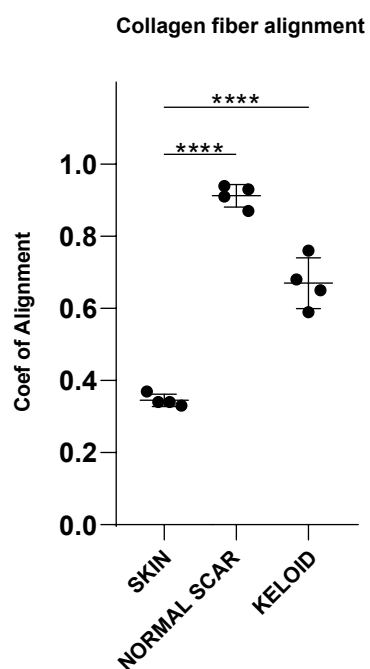


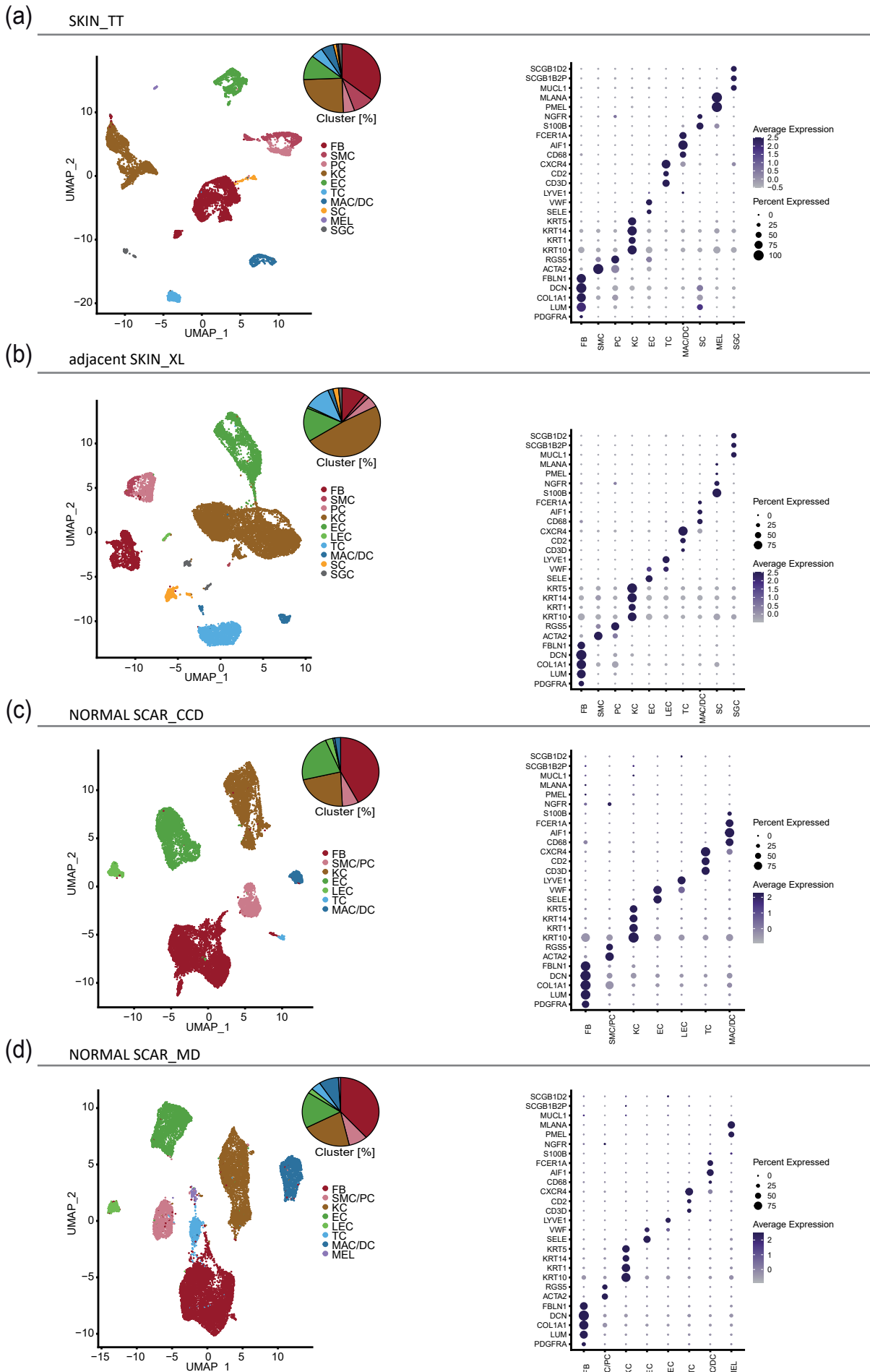
Supplementary Fig. 1



Supplementary Fig. 1: Collagen alignment in skin, normal scar and keloid

Evaluation of the alignment coefficient of healthy skin, normal scar and keloid tissue. Maximum and minimum value with <1.5 interquartile range is shown by whiskers. The middle line represents the mean. Normally distributed data were compared by one-way ANOVA with Tukey post hoc test. ****p <0.0001.

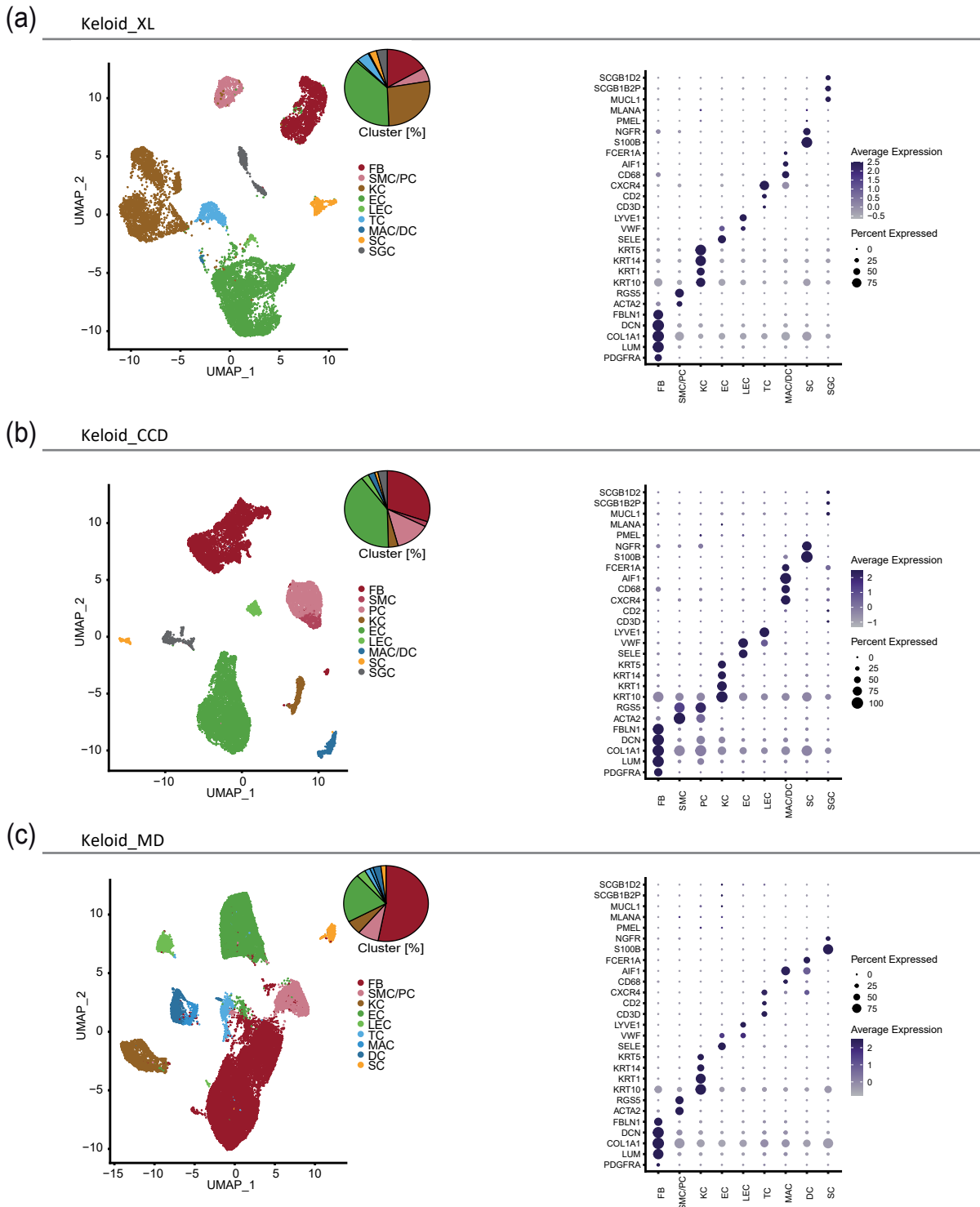
Supplementary Fig. 2



Supplementary Fig. 2: Individual dataset integration unravels cluster consistency

UMAP-Plots and Dot plots individual integrations of datasets from distinct conditions and sources: SKIN_TT, n=6 (a); adjacent SKIN_XL, n=4 (b); NORMAL SCAR_CCD, n=3 (c); NORMAL SCAR_MD, n=3 (d); cluster classification as fibroblasts (FB), smooth muscle cells (SMC), pericytes (PC), smooth muscle cells and pericytes (SMC/PC), keratinocytes (KC), endothelial cells (EC), lymphatic endothelial cells (LEC), T-cells (TC), macrophages (MAC), dendritic cells (DC), macrophages and dendritic cells (MAC/DC), Schwann cells (SC), melanocytes (MEL), erythrocytes (ERY) and sweat gland cells (SGC); Pie plots show cluster composition within each dataset combination. Dot plots showing well-known marker genes to characterise clusters: *PDGFRA*, *LUM*, *COL1A1*, *DCN*, *FBLN1* for FB; *ACTA2*, *RGS5* for SMC and PC; *KRT10*, *KRT1*, *KRT14*, *KRT5* for KC; *SELE*, *VWF* for EC; *LYVE1* for LEC; *CD3D*, *CD2*, *CXCR4* for TC; *CD68*, *AIF1* for MAC; *FCER1A* for DC; *S100B*, *NGFR* for SC; *PMEL*, *MLANA* for MEL; Dot size symbolizes percentage of cells expressing the gene, colour gradient shows level of average gene expression.

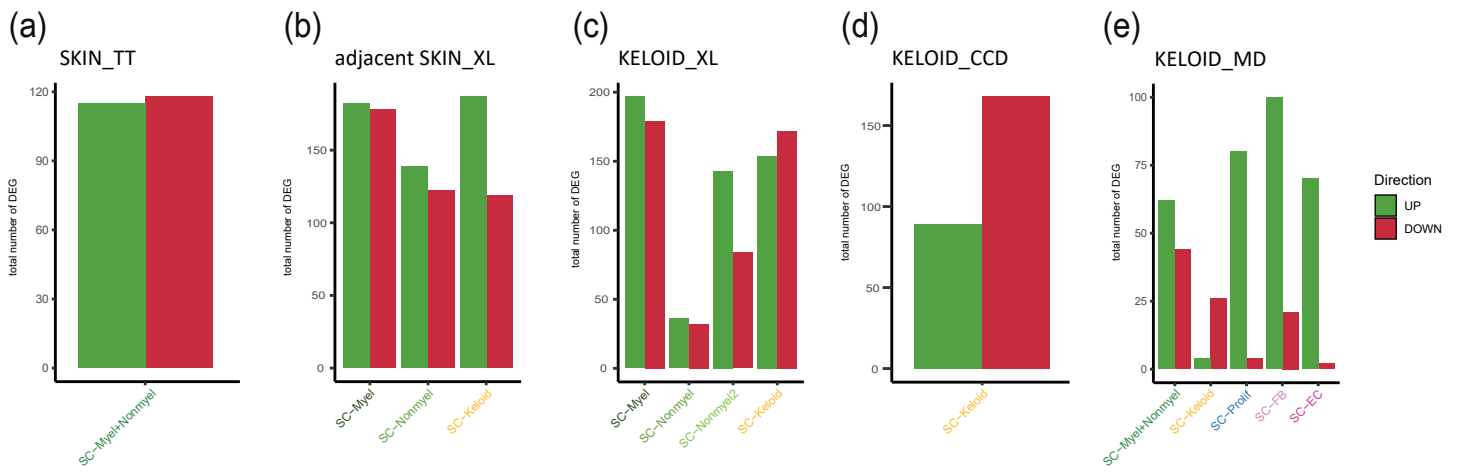
Supplementary Fig. 3



Supplementary Fig. 3: Individual dataset integration unravels cluster consistency

UMAP-plots and DotPlots individual integrations of datasets from distinct conditions and sources: KELOID_XL, $n=4$ (a); KELOID_CCD, $n=3$ (b); KELOID_MD, $n=4$ (c); cluster classification as fibroblasts (FB), smooth muscle cells (SMC), pericytes (PC), smooth muscle cells and pericytes (SMC/PC), keratinocytes (KC), endothelial cells (EC), lymphatic endothelial cells (LEC), T-cells (TC), macrophages (MAC), dendritic cells (DC), macrophages and dendritic cells (MAC/DC), Schwann cells (SC), melanocytes (MEL), erythrocytes (ERY) and sweat gland cells (SGC); Pie plots show cluster composition within each dataset combination. Dot plots showing well-known marker genes to characterise clusters: *PDGFRA*, *LUM*, *COL1A1*, *DCN*, *FBLN1* for FB; *ACTA2*, *RGS5* for SMC and PC; *KRT10*, *KRT1*, *KRT14*, *KRT5* for KC; *SELE*, *VWF* for EC; *LYVE1* for LEC; *CD3D*, *CD2*, *CXCR4* for TC; *CD68*, *AIF1* for MAC; *FCER1A* for DC; *S100B*, *NGFR* for SC; *PMEL*, *MLANA* for MEL; Dot size symbolizes percentage of cells expressing the gene, colour gradient shows level of average gene expression.

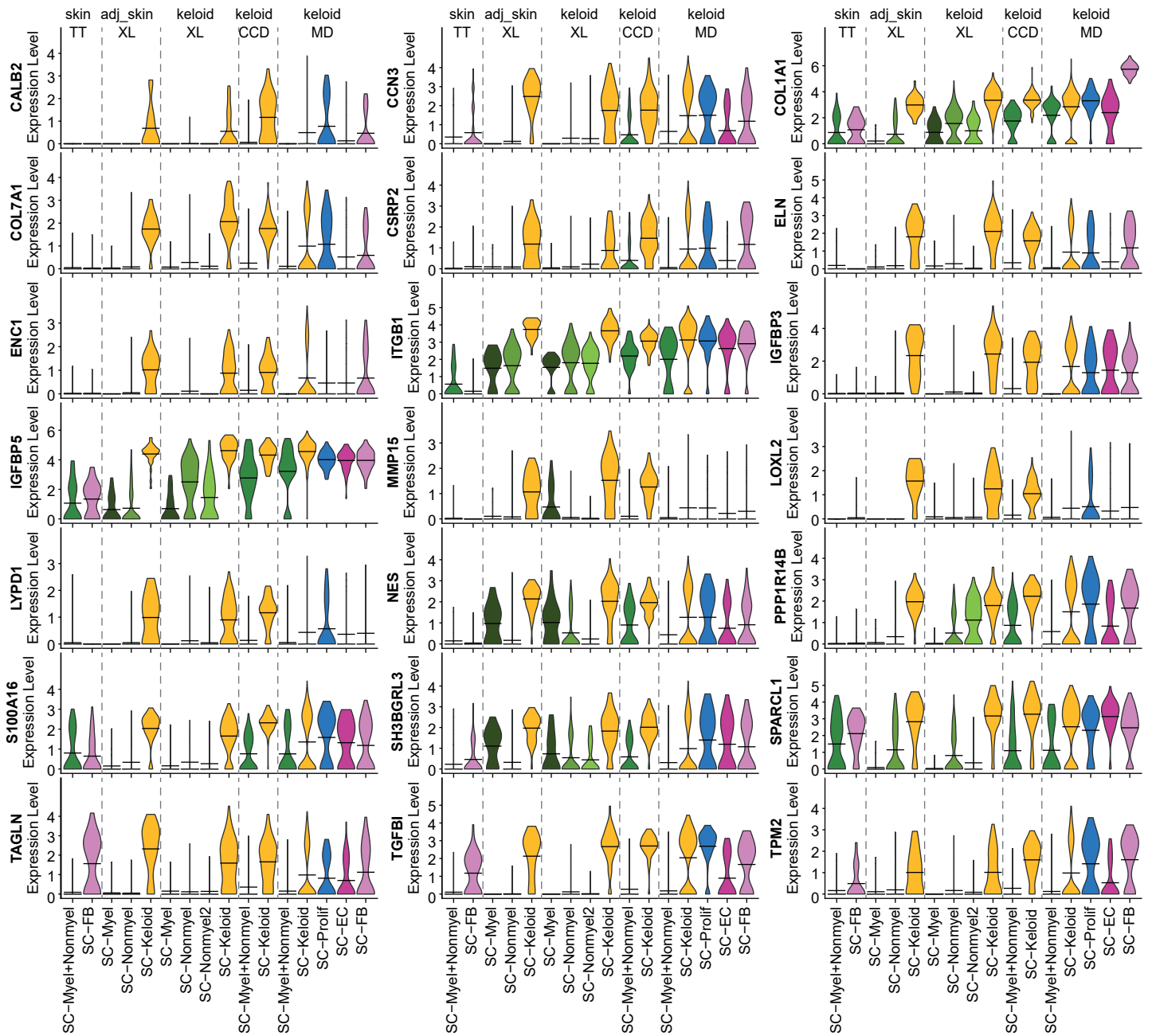
Supplementary Fig. 4



Supplementary Fig. 4: Total number of differentially expressed genes in each individual computation

Bar plots show the total number of differentially expressed genes (fold change ≥ 2) between all Schwann cell cluster of SKIN_TT (a); adjacent SKIN_XL (b); KELOID_XL (c); KELOID_CCD (d); KELOID_MD (e); green= UP regulation, red= DOWN regulation

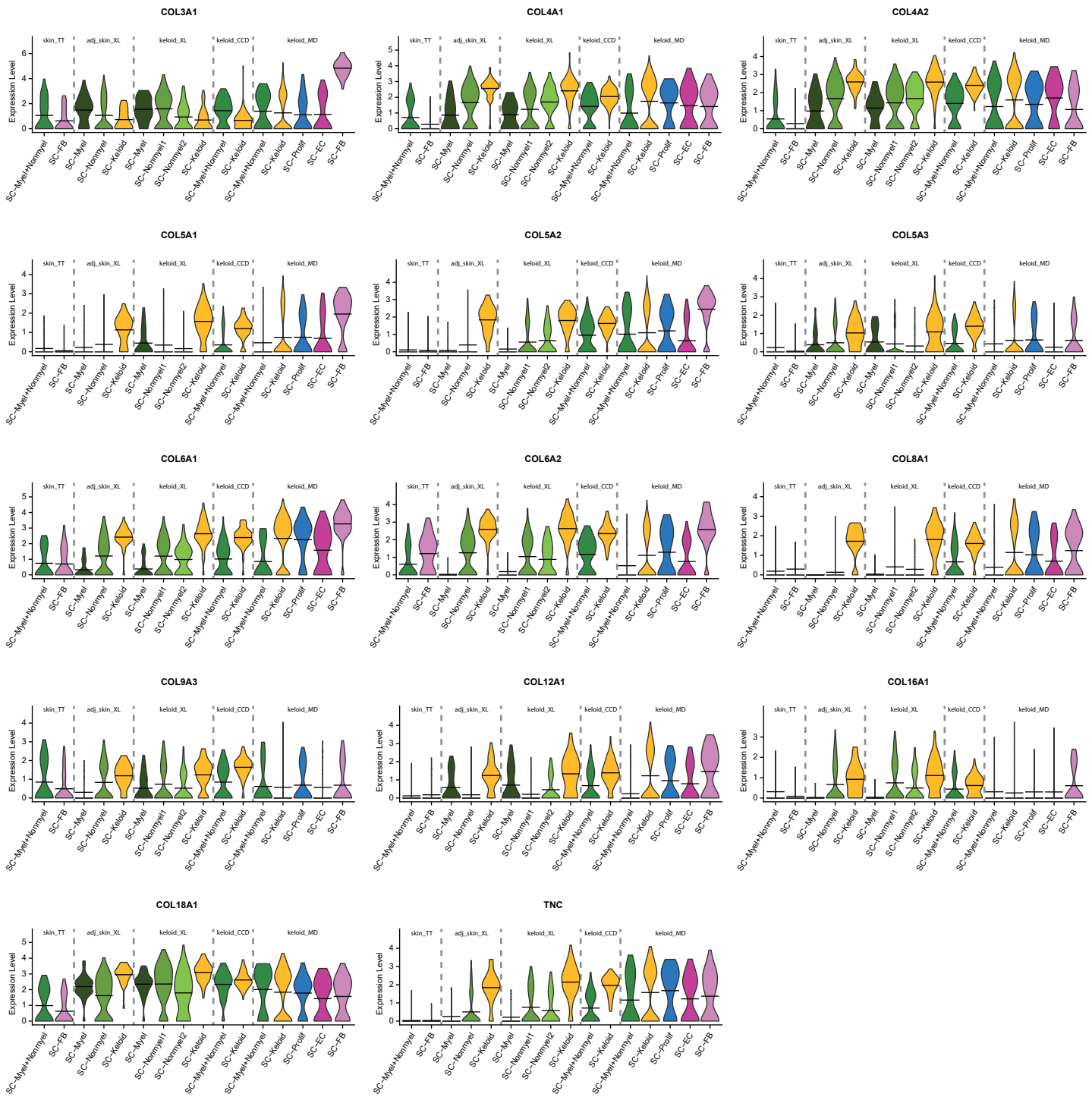
Supplementary Fig. 5



Supplementary Fig. 5: SC-Keloid pattern gene expression in all Schwann cell subtypes

Violin plots show the expression of the identified SC-Keloid expression pattern in all Schwann cell subtypes. Crossbeams mark the mean expression, vertical lines show maximum expression, violin width symbolizes frequency of cells on a distinct expression level.

Supplementary Fig. 6

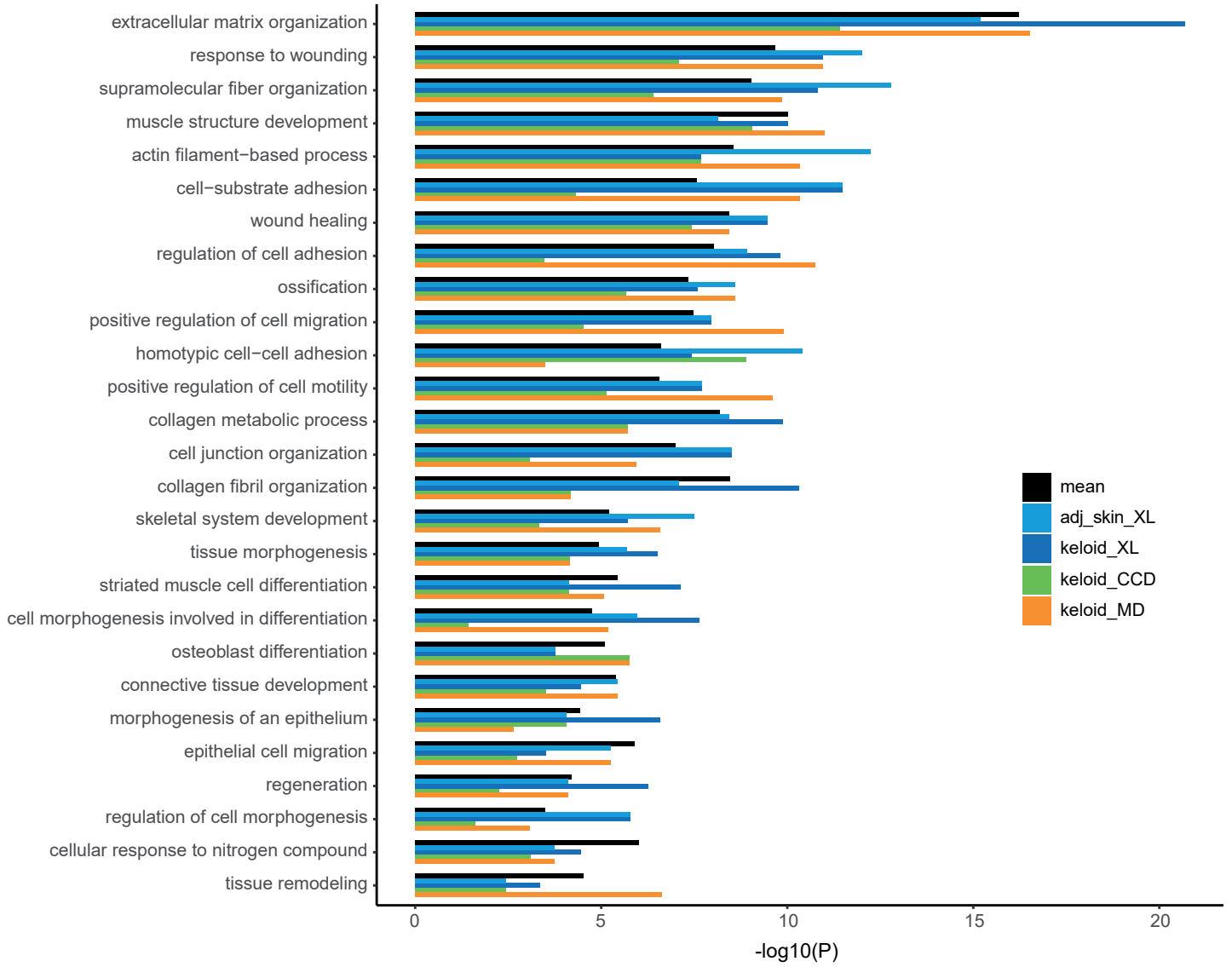


Supplementary Fig. 6: Extracellular matrix associated gene expression in SC-Keloid of distinct sources

Violin plots show the expression of several genes associated with matrix formation in all Schwann cell subtypes. Crossbeams mark the mean expression, vertical lines show maximum expression, violin width symbolizes frequency of cells on a distinct expression level.

Supplementary Fig. 7

GO-Term comparison SC-Keloid

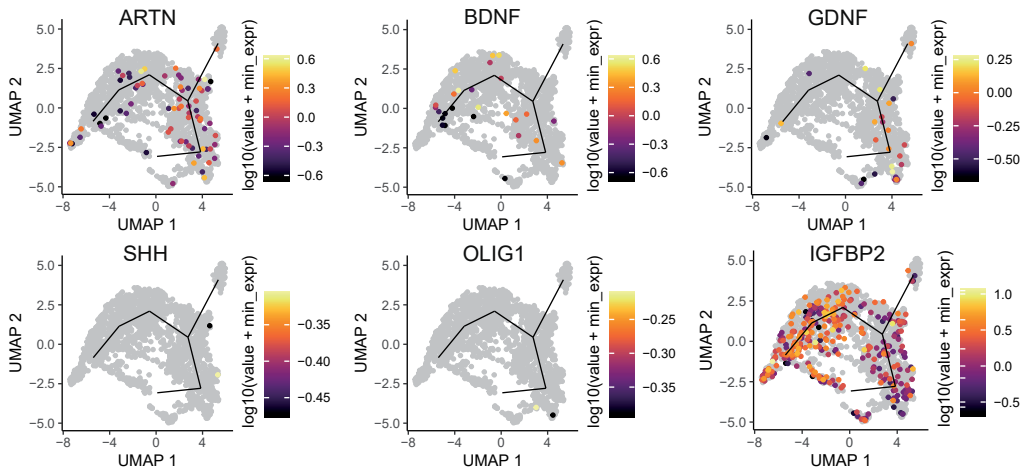


Supplementary Fig. 7: Corresponding GO-Terms encourage reported functions of keloidal Schwann cells

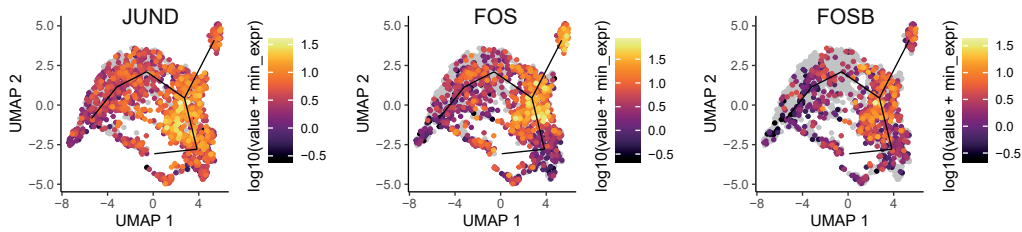
Enrichment analysis of top 100 upregulated genes resulted by data confrontation of SC-Keloid with myelination and nonmyelinating Schwann cells. Bar length shows statistical significance; mean value is depicted in black.

Supplementary Fig. 8

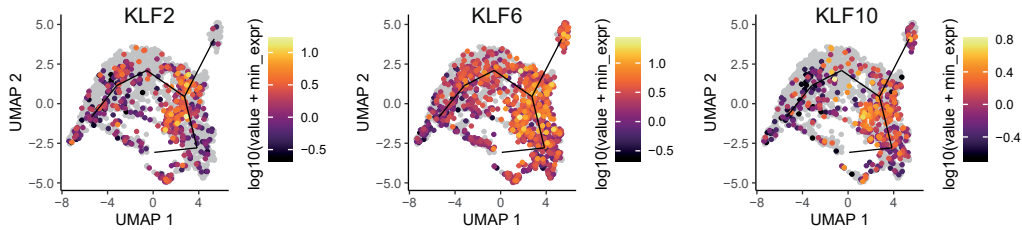
(a)



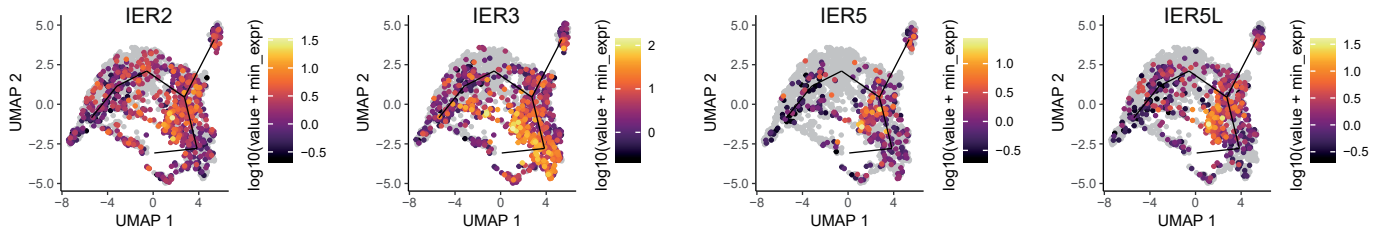
(b)



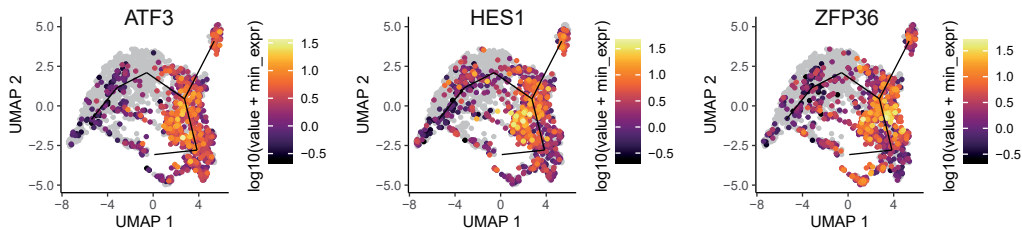
(c)



(d)



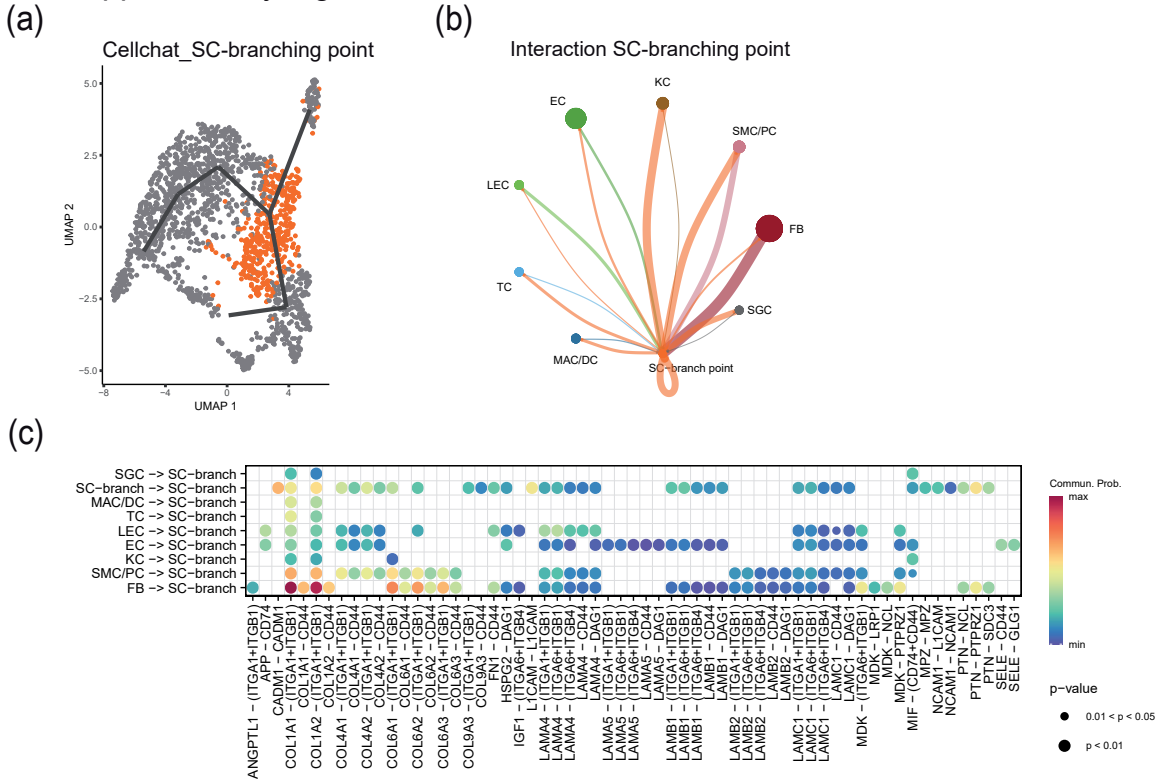
(e)



Supplementary Fig. 8: Pivotal gene groups potentially involved in the Schwann cell dedifferentiation process

(a) Feature Plots with pseudotime track of BDNF, GDNF, ARTN, SHH, OLIG1 and IGFBP2. (b) Feature Plots with UMAP Plot of combined Schwann cell clusters of all individual computations as basis showing activator protein 1 (AP-1) members JUND, FOS and FOSB. (c) Feature Plots of the kruppel-like factors (KLF) members KLF2, KLF6 and KLF10. (d) Feature Plots of the immediate early response (IER) genes IER2, IER3, IER5L and IER5. (e) Feature Plots of ATF3, HES1 and ZFP36.

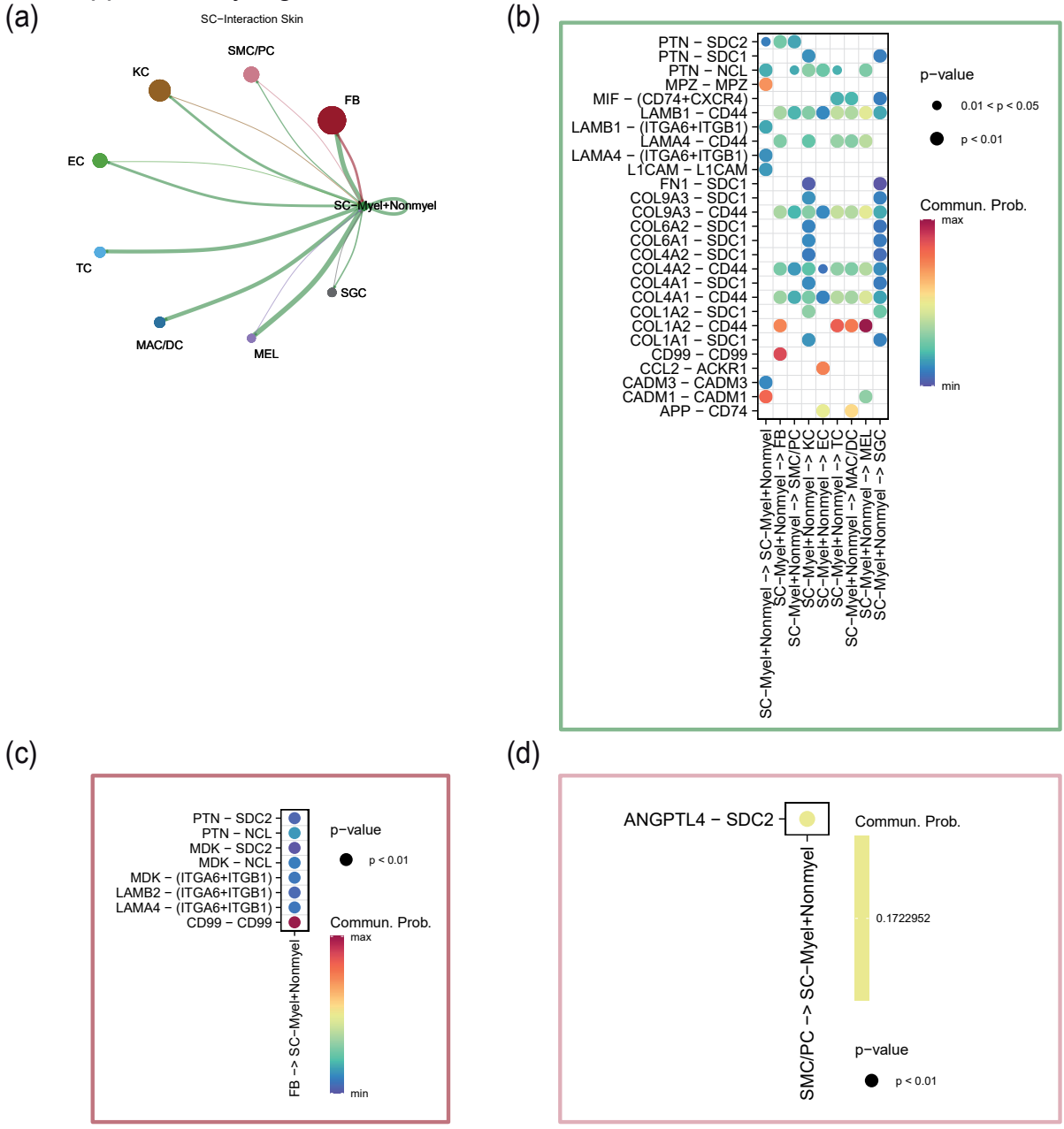
Supplementary Fig. 9



Supplementary Fig. 9: Potential impact of different cell types in the Schwann cell dedifferentiation process

(a) UMAP-Plot of combined Schwann cell clusters with determining cells at the branching point highlighted in orange. (b) Circle plot of detected interactions between the distinct keloidal cell types and the determining Schwann cells at the branching point; fibroblasts (FB), smooth muscle cells and pericytes (SMC/PC), keratinocytes (KC), endothelial cells (EC), lymphatic endothelial cells (LEC), T-cells (TC), macrophages and dendritic cells (MAC/DC), sweat gland cells (SGC); bows are coloured according to the signal-sending cell type; bow thickness symbolizes extent of detected interactions. (c) Dotplot shows all identified interactions of the distinct keloidal cell types with the pivotal Schwann cells at the branching point; dots symbolize a detected interaction, dot size shows p-value, dot colour depicts extent of the communication probability.

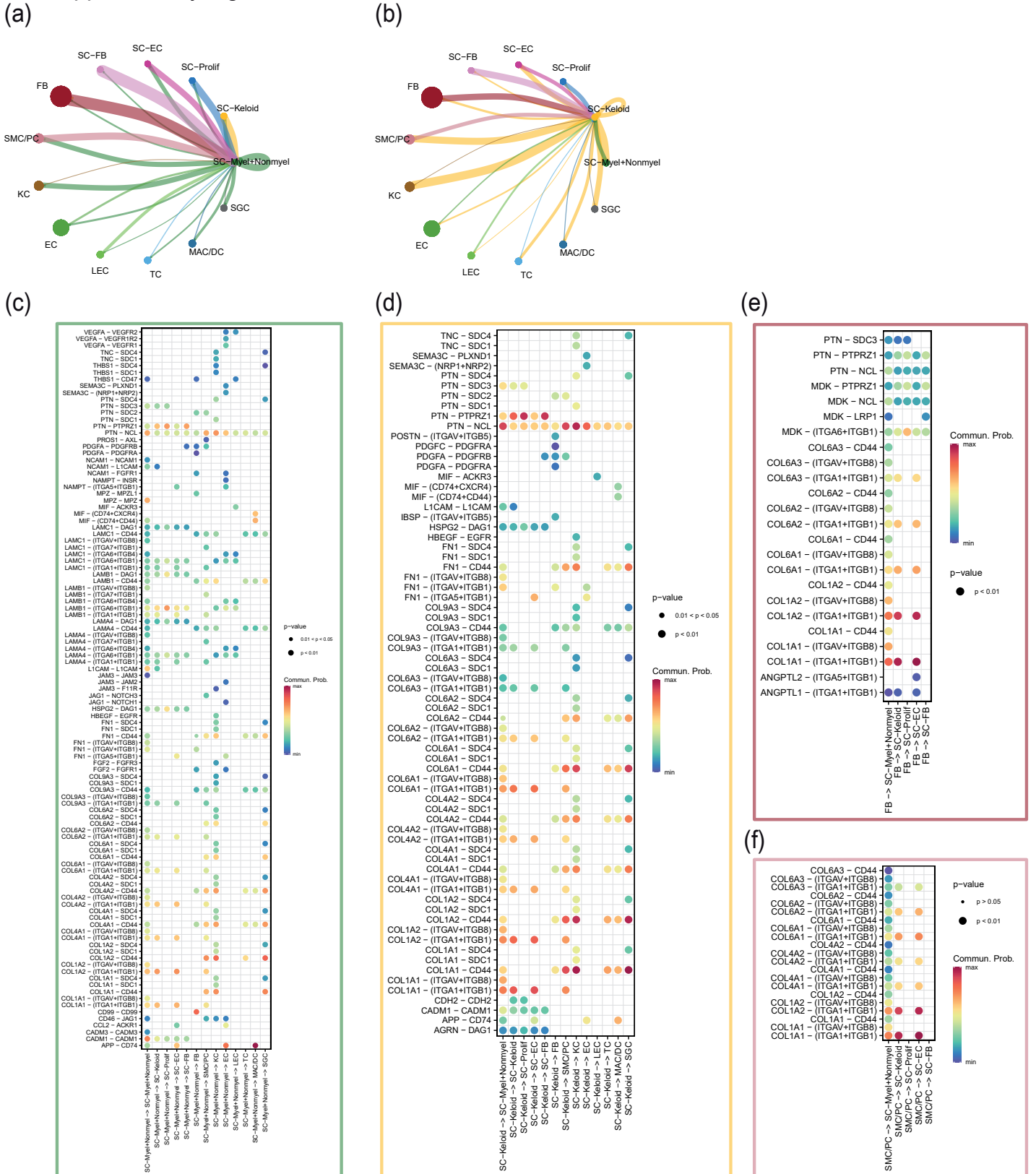
Supplementary Fig. 10



Supplementary Fig. 10: Potential Schwann cell interaction in healthy skin.

(a) Circle plot of the detected interactions in healthy skin between myelinating + nonmyelinating Schwann cells (SC-Myel+Nonmyel) and the remaining cell types [fibroblasts (FB), smooth muscle cells and pericytes (SMC/PC), keratinocytes (KC), endothelial cells (EC), T-cells (TC), macrophages and dendritic cells (MAC/DC), melanocytes (MEL), sweat gland cells (SGC)]; bows are coloured according to the signal-sending celltype; bow thickness symbolizes extent of detected interactions. Dotplots show all identified interactions with cells present in keloids sent by (b) SC-Myel+Nonmyel, (c) FB and (d) SMC/PC; dots symbolize a detected interaction, dotsize shows p-value, dot colour depicts extent of the communication probability.

Supplementary Fig. 11



Supplementary Fig. 11: Potential Schwann cell interaction in keloids .

Circle plots of detected interactions in keloids between (a) myelinating and nonmyelinating Schwann cells (SC-Myel+Nonmyel), (b) keloidal Schwann cells (SC-Keloid) and the remaining cell types; fibroblasts (FB), smooth muscle cells and pericytes (SMC/PC), keratinocytes (KC), endothelial cells (EC), lymphatic endothelial cells (LEC), T-cells (TC), macrophages and dendritic cells (MAC/DC), sweat gland cells (SGC), proliferating Schwann cells (SC-Prolif), Schwann cells expressing genes typical for endothelial cells (SC-EC) or fibroblasts (SC-FB); bows are coloured according to the signal-sending cell type; bow thickness symbolizes extent of detected interactions. Dotplots show all identified interactions with cells present in keloids sent by (c) SC-Myel+Nonmyel, (d) SC-Keloid, (e) FB and (f) SMC/PC; dots symbolize a detected interaction, dotsize shows p-value, dot colour depicts extent of the communication probability.

Supplementary Table 1

Differentially expressed genes_adjacent-skin-XL_comparing SC-Keloid vs. (SC-Myel, SC-Nonmyel)								
gene	p_val	avg_log2FC	pct.1	pct.2	p_val_adj	Foldchange_UP	Foldchange_DOWN	Ratio_pct1_pct2
IGFBP5	3,75985E-24	4,172214618	1	0,32	7,93367E-20	18,02858943	0,055467457	3,125
TAGLN	8,41937E-42	4,034051171	0,844	0,031	1,77657E-37	16,38213146	0,061042118	27,22580645
IGFBP3	5,44115E-46	3,979903772	0,906	0,027	1,14814E-41	15,7786708	0,063376695	33,55555556
TGFBI	7,82192E-48	3,809347934	0,812	0,008	1,6505E-43	14,01935367	0,071329965	101,5
CCN3	2,74623E-40	3,553600279	0,938	0,059	5,79481E-36	11,74195135	0,08516472	15,89830508
PMEPA1	6,37599E-25	2,991178137	1	0,289	1,3454E-20	7,951230464	0,125766698	3,460207612
ELN	9,39877E-25	2,744572089	0,812	0,105	1,98323E-20	6,701908962	0,149211218	7,733333333
COL1A1	2,80222E-20	2,687854737	1	0,328	5,91296E-16	6,443545503	0,155194062	3,048780488
LOXL2	1,24566E-57	2,566847202	0,906	0	2,62846E-53	5,925131621	0,168772622	#DIV/0!
APOD	1,28159E-24	2,497995728	0,75	0,074	2,70428E-20	5,649000888	0,177022454	10,13513514
ITGB1	1,17015E-18	2,47289199	1	0,715	2,46913E-14	5,551555232	0,180129704	1,398601399
NES	1,65975E-27	2,445557305	0,969	0,16	3,50224E-23	5,447360344	0,183575151	6,05625
COL7A1	3,6255E-41	2,436012037	0,938	0,051	7,65017E-37	5,411438076	0,184793762	18,39215686
S100A16	2,91126E-22	2,328345725	0,906	0,207	6,14305E-18	5,022291356	0,199112303	4,376811594
COL8A1	5,14801E-33	2,326828989	0,875	0,07	1,08628E-28	5,017014086	0,199321745	12,5
PTN	7,39689E-16	2,298231868	0,969	0,422	1,56082E-11	4,918545907	0,203312121	2,296208531
FN1	1,301E-16	2,268482516	0,969	0,348	2,74525E-12	4,818160713	0,207548079	2,784482759
PDLIM7	4,71905E-37	2,256920578	0,875	0,055	9,95767E-33	4,779701683	0,209218078	15,90909091
S100A13	1,8595E-21	2,221078711	0,938	0,207	3,92374E-17	4,662419158	0,214480931	4,531400966
PCDH20	1,15617E-21	2,200924696	0,875	0,141	2,43964E-17	4,597739399	0,217498191	6,205673759
TIMP4	2,68071E-35	2,195462089	0,75	0,027	5,65656E-31	4,580363477	0,218323285	27,77777778
PPP1R14B	1,23462E-23	2,120857034	0,969	0,191	2,60518E-19	4,349522521	0,229910294	5,073298429
MYL6	1,03389E-17	2,011367588	1	0,715	2,18161E-13	4,031642142	0,248037887	1,398601399
SH3BGRL3	1,28347E-19	1,995802282	0,969	0,258	2,70824E-15	3,98837837	0,250728468	3,755813953
PFN1	3,5014E-17	1,978006745	0,969	0,469	7,3883E-13	3,939484189	0,253840339	2,066098081
CSRP2	2,098E-25	1,97308897	0,719	0,059	4,42699E-21	3,926078368	0,254707091	12,18644068
COL5A2	2,67889E-19	1,898472142	0,938	0,203	5,65273E-15	3,728181616	0,268227276	4,620689655
TMSB10	1,17749E-15	1,88373001	1	0,91	2,48462E-11	3,690279297	0,270982199	1,098901099
COL1A2	5,80342E-15	1,875042622	1	0,578	1,22458E-10	3,66812454	0,272618879	1,730103806
SPARCL1	3,94377E-10	1,841613943	0,875	0,406	8,32175E-06	3,584107584	0,279009482	2,155172414

Supplementary Table 1

Differentially expressed genes_adjacent-skin-XL_comparing SC-Keloid vs. (SC-Myel, SC-Nonmyel)								
gene	p_val	avg_log2FC	pct.1	pct.2	p_val_adj	Foldchange_UP	Foldchange_DOWN	Ratio_pct1_pct2
CYTL1	4,2357E-43	1,809547978	0,688	0	8,93774E-39	3,505324434	0,285280298	#DIV/0!
ACTB	1,38321E-13	1,783939308	1	0,871	2,91871E-09	3,443651882	0,290389399	1,148105626
MYL9	1,156E-11	1,781799974	0,938	0,449	2,43928E-07	3,438549165	0,290820329	2,08908686
LYPD1	1,45653E-28	1,775847192	0,656	0,031	3,07342E-24	3,424390413	0,292022778	21,16129032
IGFBP2	2,52383E-19	1,764717606	0,5	0,031	5,32554E-15	3,398074789	0,294284282	16,12903226
RAB13	1,23228E-26	1,762061509	0,875	0,105	2,60024E-22	3,391824465	0,294826578	8,333333333
CALB2	3,56695E-31	1,755884321	0,5	0	7,52662E-27	3,377332736	0,296091643	#DIV/0!
TNFAIP6	2,41712E-12	1,74427061	0,875	0,316	5,10036E-08	3,350254308	0,298484804	2,768987342
GAPDH	1,56837E-12	1,741285951	1	0,633	3,30941E-08	3,343330438	0,299102951	1,579778831
EMP3	9,37977E-13	1,728605057	0,938	0,391	1,97923E-08	3,314072255	0,301743572	2,398976982
S100A6	1,59049E-17	1,723852974	1	0,973	3,35609E-13	3,303174013	0,302739122	1,027749229
HMCN2	4,51596E-39	1,723330261	0,625	0	9,52913E-35	3,301977434	0,302848829	#DIV/0!
CD151	1,63957E-15	1,718128058	0,938	0,344	3,45966E-11	3,290092301	0,303942841	2,726744186
TNC	1,43898E-14	1,713868253	0,906	0,27	3,03638E-10	3,280392066	0,30484161	3,355555556
ENC1	6,16782E-35	1,677679442	0,75	0,027	1,30147E-30	3,199129608	0,312585022	27,77777778
PLAC9	1,92455E-18	1,664335135	0,719	0,098	4,061E-14	3,169675468	0,315489712	7,336734694
ANGPTL7	2,52819E-06	1,66379677	0,344	0,07	0,053347327	3,168492872	0,315607464	4,914285714
TUBB3	1,48872E-18	1,656575137	0,562	0,051	3,14135E-14	3,15267212	0,317191247	11,01960784
TPM4	9,21357E-15	1,64592728	0,969	0,414	1,94416E-10	3,12948938	0,319540947	2,34057971
ACTG1	8,79291E-11	1,638655876	0,938	0,855	1,85539E-06	3,113755956	0,321155548	1,097076023
ACTN1	7,19892E-23	1,614400712	0,844	0,113	1,51904E-18	3,061843856	0,326600587	7,469026549
ANGPTL2	2,27734E-28	1,601632401	0,781	0,059	4,80542E-24	3,034865123	0,329503935	13,23728814
SCX	1,03577E-15	1,598780221	0,375	0,02	2,18557E-11	3,028871181	0,330156002	18,75
MMP15	6,43568E-28	1,598644479	0,75	0,051	1,35799E-23	3,028586209	0,330187068	14,70588235
CCN2	1,65147E-21	1,59651362	0,719	0,074	3,48477E-17	3,024116293	0,330675114	9,716216216
S100A11	2,99964E-14	1,589368915	1	0,656	6,32953E-10	3,009176888	0,332316789	1,524390244
ATP5F1E	3,51941E-13	1,573708754	0,938	0,59	7,42632E-09	2,976689527	0,335943669	1,589830508
COL6A2	2,07111E-12	1,535338998	0,969	0,559	4,37025E-08	2,89856532	0,344998263	1,733452594
SLC15A3	5,08786E-23	1,516904404	0,812	0,094	1,07359E-18	2,861763407	0,349434897	8,638297872
CLIC1	3,45125E-13	1,514949366	0,906	0,359	7,28247E-09	2,857887975	0,349908747	2,52367688

Supplementary Table 1

Differentially expressed genes_adjacent-skin-XL_comparing SC-Keloid vs. (SC-Myel, SC-Nonmyel)								
gene	p_val	avg_log2FC	pct.1	pct.2	p_val_adj	Foldchange_UP	Foldchange_DOWN	Ratio_pct1_pct2
TPM2	9,93652E-13	1,508973263	0,625	0,113	2,0967E-08	2,846074177	0,351361187	5,530973451
TNFRSF12A	8,08358E-11	1,508331261	0,844	0,332	1,70572E-06	2,844807949	0,351517578	2,542168675
CAMK2N1	4,02831E-22	1,507344125	0,781	0,09	8,50013E-18	2,842862112	0,351758179	8,677777778
MYL12A	2,2593E-12	1,507243911	0,938	0,461	4,76735E-08	2,842664644	0,351782614	2,034707158
NRXN2	4,06234E-26	1,498981596	0,531	0,016	8,57194E-22	2,826431231	0,353803053	33,1875
MMP14	8,92376E-17	1,487219812	0,812	0,16	1,883E-12	2,803482009	0,356699275	5,075
COL12A1	8,67368E-19	1,486346494	0,844	0,133	1,83023E-14	2,801785469	0,356915264	6,345864662
SLN	4,09886E-14	1,476862577	0,219	0	8,649E-10	2,783427638	0,359269264	#DIV/0!
ANXA1	2,01285E-13	1,474887149	0,969	0,516	4,24732E-09	2,779619003	0,359761535	1,877906977
LSM7	2,87271E-15	1,460109946	0,875	0,23	6,06171E-11	2,751293301	0,363465429	3,804347826
PLS3	9,75771E-20	1,449626818	0,875	0,141	2,05897E-15	2,731373897	0,366116115	6,205673759
RCN2	4,40851E-18	1,447215095	0,906	0,184	9,3024E-14	2,726811731	0,366728656	4,923913043
MIA	4,02272E-12	1,441904453	1	0,406	8,48835E-08	2,716792634	0,368081092	2,463054187
P4HB	7,4364E-14	1,435190889	0,938	0,305	1,56915E-09	2,704179444	0,369797944	3,075409836
CCND1	2,17438E-12	1,422847949	0,812	0,246	4,58815E-08	2,681142592	0,372975314	3,300813008
KCNMA1	3,45974E-32	1,421534097	0,688	0,023	7,3004E-28	2,678702007	0,373315134	29,91304348
ADAMTS16	1,74045E-31	1,41888453	0,594	0,012	3,67253E-27	2,673786978	0,374001373	49,5
CDK2AP1	1,07941E-15	1,414723433	0,906	0,242	2,27765E-11	2,666086212	0,375081644	3,743801653
MMP2	8,21849E-24	1,414030664	0,656	0,047	1,73418E-19	2,664806289	0,375261798	13,95744681
SERPINE2	6,08488E-17	1,411572204	0,625	0,078	1,28397E-12	2,660269127	0,375901818	8,012820513
TMSB4X	5,68687E-12	1,394562976	1	0,816	1,19999E-07	2,629088992	0,38035989	1,225490196
CALM1	6,7871E-12	1,39026314	1	0,633	1,43215E-07	2,621264869	0,381495213	1,579778831
DYNLT1	6,99478E-21	1,385087959	0,75	0,094	1,47597E-16	2,611878812	0,382866156	7,978723404
COL6A3	1,13298E-15	1,382320339	0,375	0,02	2,39071E-11	2,606873071	0,383601339	18,75
S100A10	6,13335E-15	1,380588303	1	0,922	1,2942E-10	2,603745251	0,38406215	1,084598698
CDH6	7,54585E-24	1,375899404	0,75	0,066	1,59225E-19	2,595296564	0,38531242	11,36363636
IL1RAP	8,28871E-31	1,368108473	0,719	0,031	1,749E-26	2,581319057	0,387398837	23,19354839
TAGLN2	2,08858E-11	1,343286772	0,969	0,566	4,40711E-07	2,537287098	0,394121738	1,712014134
CFL1	4,08292E-14	1,343259148	0,969	0,77	8,61537E-10	2,537238516	0,394129284	1,258441558
DSEL	5,15818E-17	1,340063808	0,656	0,086	1,08843E-12	2,531625156	0,395003185	7,627906977

Supplementary Table 1

Differentially expressed genes_adjacent-skin-XL_comparing SC-Keloid vs. (SC-Myel, SC-Nonmyel)								
gene	p_val	avg_log2FC	pct.1	pct.2	p_val_adj	Foldchange_UP	Foldchange_DOWN	Ratio_pct1_pct2
CALR	8,34849E-10	1,323024364	0,938	0,473	1,76162E-05	2,501900412	0,399696165	1,983086681
HSBP1	2,42266E-14	1,296607018	1	0,344	5,11206E-10	2,456504731	0,407082464	2,906976744
ACTA2	4,01004E-16	1,295386193	0,312	0,008	8,46158E-12	2,454426888	0,407427088	39
S100A4	1,28526E-06	1,292866627	1	0,625	0,027120371	2,450144145	0,408139253	1,6
NGFR	3,33899E-09	1,292185651	0,875	0,355	7,04561E-05	2,448987908	0,408331947	2,464788732
PKM	1,2732E-10	1,289333729	0,844	0,262	2,68659E-06	2,444151527	0,409139936	3,221374046
LGALS1	1,52054E-11	1,288943421	1	0,906	3,20849E-07	2,443490374	0,40925064	1,103752759
PDIA4	1,01488E-17	1,287868345	0,75	0,109	2,1415E-13	2,441670198	0,409555722	6,880733945
ARPC2	2,82933E-12	1,286865545	0,906	0,324	5,97017E-08	2,439973612	0,409840498	2,796296296
PPIB	3,38502E-11	1,276469243	0,969	0,473	7,14272E-07	2,422453953	0,412804544	2,048625793
OST4	2,25501E-11	1,266662562	0,906	0,426	4,7583E-07	2,406043226	0,415620131	2,126760563
NME2	4,73546E-11	1,263020178	0,969	0,488	9,9923E-07	2,399976331	0,416670776	1,985655738
PRSS23	4,91333E-08	1,260981224	0,781	0,309	0,001036761	2,396586852	0,417260071	2,527508091
CDH2	1,73906E-20	1,255844191	0,688	0,07	3,66958E-16	2,388068453	0,418748465	9,828571429
ATOX1	2,77625E-12	1,253386907	0,688	0,156	5,85817E-08	2,384004414	0,419462311	4,41025641
ARL4C	2,86381E-21	1,249733683	0,562	0,035	6,04293E-17	2,377975222	0,420525828	16,05714286
PRRX1	2,43387E-27	1,246116457	0,719	0,043	5,13571E-23	2,372020465	0,421581523	16,72093023
RHOA	1,51547E-10	1,237334437	1	0,562	3,1978E-06	2,357625284	0,424155614	1,779359431
TPPP3	6,51683E-08	1,236848674	0,5	0,121	0,001375115	2,356831592	0,424298454	4,132231405
NDUFA4	5,84138E-11	1,227422752	0,969	0,477	1,23259E-06	2,341483305	0,427079705	2,031446541
VDAC1	7,79493E-17	1,22592124	0,781	0,133	1,64481E-12	2,339047631	0,427524428	5,872180451
MAFB	1,41998E-14	1,210899788	0,625	0,094	2,99629E-10	2,314819637	0,4319991	6,64893617
SERF2	2,43532E-11	1,202355557	1	0,785	5,13877E-07	2,301150843	0,434565167	1,27388535
FABP5	2,17913E-10	1,200083872	0,656	0,16	4,59819E-06	2,297530275	0,435249977	4,1
RGS3	7,4854E-13	1,19639886	0,75	0,156	1,57949E-08	2,291669282	0,436363138	4,807692308
PLOD1	1,66175E-26	1,191718688	0,656	0,035	3,50646E-22	2,284247043	0,43778102	18,74285714
COL6A1	6,21281E-10	1,189532608	0,969	0,547	1,31097E-05	2,280788401	0,438444881	1,771480804
MAGED2	4,93379E-11	1,187662294	0,938	0,355	1,04108E-06	2,277833497	0,439013651	2,642253521
MYL12B	6,5859E-11	1,181781435	1	0,531	1,38969E-06	2,268567262	0,440806855	1,883239171
ARPC3	1,71857E-11	1,179544151	0,906	0,301	3,62636E-07	2,265051968	0,441490974	3,009966777

Supplementary Table 1

Differentially expressed genes_adjacent-skin-XL_comparing SC-Keloid vs. (SC-Myel, SC-Nonmyel)								
gene	p_val	avg_log2FC	pct.1	pct.2	p_val_adj	Foldchange_UP	Foldchange_DOWN	Ratio_pct1_pct2
GNG5	1,42897E-11	1,1726542	0,938	0,391	3,01528E-07	2,254260435	0,443604468	2,398976982
TIMM13	8,62823E-17	1,166721002	0,75	0,121	1,82064E-12	2,245008648	0,445432583	6,198347107
ECM1	1,10576E-13	1,163218923	0,75	0,137	2,33327E-09	2,239565596	0,446515164	5,474452555
COL18A1	6,02772E-10	1,153507631	1	0,727	1,27191E-05	2,224540911	0,449530955	1,375515818
NDUFS6	5,58667E-13	1,151401883	0,906	0,25	1,17884E-08	2,221296354	0,450187566	3,624
COTL1	5,80568E-13	1,148772448	0,844	0,211	1,22506E-08	2,217251539	0,45100882	4
CIAO2B	2,76951E-09	1,148531201	0,906	0,328	5,84394E-05	2,216880802	0,451084244	2,762195122
CTSZ	4,30946E-13	1,148349801	0,781	0,18	9,09338E-09	2,216602076	0,451140965	4,338888889
CYTOR	6,03429E-17	1,141277513	0,594	0,062	1,27329E-12	2,205762579	0,45335795	9,580645161
RTN1	2,20066E-25	1,141166372	0,406	0	4,64361E-21	2,205592661	0,453392876	#DIV/0!
FLNA	2,24119E-09	1,136814709	1	0,461	4,72914E-05	2,198949861	0,454762529	2,169197397
SEM1	2,71423E-09	1,134998682	0,812	0,305	5,72729E-05	2,196183621	0,455335333	2,662295082
BEX3	2,1903E-10	1,1348396	0,906	0,305	4,62174E-06	2,195941467	0,455385544	2,970491803
FKBP1A	2,85998E-09	1,129027162	0,844	0,293	6,03483E-05	2,187112092	0,457223936	2,880546075
ANXA2	3,2262E-08	1,12635282	1	0,863	0,000680761	2,18306157	0,458072284	1,158748552
PHLDA2	2,62142E-21	1,122011436	0,688	0,066	5,53147E-17	2,176502136	0,4594528	10,42424242
STMP1	5,16133E-16	1,120662538	0,781	0,133	1,08909E-11	2,17446809	0,459882582	5,872180451
APRT	6,69526E-15	1,120215911	0,844	0,172	1,41277E-10	2,173795027	0,460024974	4,906976744
DNAJC15	1,76927E-21	1,119429836	0,781	0,09	3,73333E-17	2,172610923	0,460275694	8,677777778
PSMA7	3,89791E-09	1,117511514	0,812	0,34	8,22497E-05	2,169723967	0,46088812	2,388235294
PTMS	3,25483E-10	1,115459343	0,969	0,562	6,86801E-06	2,166639823	0,46154418	1,724199288
MARCKSL1	1,2713E-13	1,113996863	0,844	0,188	2,68258E-09	2,164444582	0,462012291	4,489361702
TXNDC17	2,38135E-19	1,111774424	0,719	0,086	5,02489E-15	2,161112872	0,462724559	8,360465116
CALD1	4,97638E-09	1,111545361	0,906	0,418	0,000105007	2,160769769	0,462798033	2,167464115
CCT5	5,11095E-14	1,110149134	0,781	0,16	1,07846E-09	2,158679609	0,463246142	4,88125
MYLK	6,55424E-26	1,108927717	0,531	0,016	1,38301E-21	2,156852796	0,463638502	33,1875
RPL36A	6,68557E-08	1,10032706	0,969	0,664	0,001410722	2,144032924	0,466410748	1,459337349
MYDGF	9,06985E-09	1,09966004	0,75	0,266	0,000191383	2,143041875	0,46662644	2,819548872
TMED9	1,2614E-11	1,096682082	0,938	0,309	2,66167E-07	2,138622849	0,467590628	3,035598706
DNPH1	1,52952E-18	1,095102973	0,719	0,086	3,22744E-14	2,136283288	0,468102712	8,360465116

Supplementary Table 1

Differentially expressed genes_adjacent-skin-XL_comparing SC-Keloid vs. (SC-Myel, SC-Nonmyel)								
gene	p_val	avg_log2FC	pct.1	pct.2	p_val_adj	Foldchange_UP	Foldchange_DOWN	Ratio_pct1_pct2
THBS2	1,0872E-15	1,086742506	0,625	0,082	2,29411E-11	2,123939255	0,470823258	7,62195122
PLP2	4,38818E-09	1,084524803	0,625	0,168	9,2595E-05	2,120676856	0,471547561	3,720238095
PPFIBP1	8,31379E-12	1,083163458	0,938	0,277	1,75429E-07	2,118676703	0,471992729	3,386281588
PGK1	1,04017E-12	1,082018327	0,75	0,16	2,19486E-08	2,116995682	0,47236752	4,6875
PHACTR1	2,68058E-16	1,077736212	0,469	0,035	5,6563E-12	2,110721467	0,473771654	13,4
P4HA2	1,39414E-11	1,077715147	0,781	0,195	2,94178E-07	2,110690649	0,473778571	4,005128205
PDLIM1	1,96597E-19	1,070230436	0,625	0,059	4,1484E-15	2,099768728	0,476242925	10,59322034
GSTP1	1,38982E-09	1,068126844	0,938	0,496	2,93266E-05	2,096709289	0,47693784	1,891129032
SSR4	7,11486E-10	1,068049488	0,906	0,352	1,50131E-05	2,096596868	0,476963414	2,573863636
RPS2	2,90465E-10	1,067111949	1	0,848	6,12911E-06	2,095234832	0,477273471	1,179245283
RPS6	1,13808E-09	1,065610537	1	0,781	2,40147E-05	2,093055456	0,477770428	1,280409731
HLA-A	1,06476E-07	1,062949738	0,969	0,68	0,002246741	2,089198739	0,478652405	1,425
FXYS5	2,26298E-15	1,060426231	0,719	0,113	4,77512E-11	2,085547586	0,479490378	6,362831858
TIMP1	3,31691E-09	1,059463825	0,969	0,59	6,999E-05	2,084156805	0,479810347	1,642372881
ELOB	1,77312E-10	1,059235007	1	0,445	3,74146E-06	2,083826274	0,479886453	2,247191011
ANAPC11	5,91328E-11	1,052860937	0,719	0,184	1,24776E-06	2,074639887	0,482011363	3,907608696
ANXA5	1,27555E-08	1,050376544	0,938	0,68	0,000269154	2,071070327	0,482842126	1,379411765
PDIA6	4,716E-11	1,045884708	0,906	0,277	9,95124E-07	2,06463207	0,484347799	3,270758123
BRK1	9,45657E-12	1,045821993	0,906	0,281	1,99543E-07	2,064542322	0,484368855	3,224199288
SSR2	2,63756E-09	1,042961473	0,906	0,367	5,56551E-05	2,060452882	0,485330196	2,46866485
FKBP3	1,18823E-19	1,042576585	0,719	0,082	2,50729E-15	2,05990326	0,485459691	8,768292683
NAA10	6,93317E-13	1,041868847	0,656	0,125	1,46297E-08	2,058892987	0,4856979	5,248
COL20A1	1,43347E-08	1,041313141	0,156	0,004	0,000302477	2,058100084	0,48588502	39
LBH	1,94499E-16	1,034403457	0,5	0,043	4,10411E-12	2,048266528	0,488217713	11,62790698
TMEM219	8,02601E-14	1,033168232	0,812	0,16	1,69357E-09	2,046513568	0,4886359	5,075
C1orf122	9,92262E-15	1,03228717	0,812	0,152	2,09377E-10	2,045264132	0,488934404	5,342105263
C1QL1	6,6483E-12	1,032275662	0,375	0,035	1,40286E-07	2,045247818	0,488938304	10,71428571
NDUFS5	1,42179E-09	1,025800982	0,938	0,426	3,00013E-05	2,036089504	0,491137545	2,201877934
UQCRH	5,68675E-11	1,025685597	0,906	0,336	1,19996E-06	2,035926666	0,491176827	2,696428571
CALU	1,16403E-07	1,020522435	0,844	0,387	0,002456214	2,028653451	0,492937815	2,180878553

Supplementary Table 1

Differentially expressed genes_adjacent-skin-XL_comparing SC-Keloid vs. (SC-Myel, SC-Nonmyel)								
gene	p_val	avg_log2FC	pct.1	pct.2	p_val_adj	Foldchange_UP	Foldchange_DOWN	Ratio_pct1_pct2
SPCS1	6,74952E-10	1,019528464	0,812	0,262	1,42422E-05	2,027256255	0,493277551	3,099236641
PDIA3	1,33703E-07	1,018886679	0,844	0,383	0,002821263	2,026354628	0,493497035	2,203655352
PGAM1	1,29144E-11	1,014986062	0,719	0,16	2,72507E-07	2,020883369	0,494833109	4,49375
PSMB6	2,99465E-12	1,011743811	0,844	0,215	6,31902E-08	2,016346822	0,495946426	3,925581395
RPL26	3,75956E-10	1,011076536	1	0,82	7,93305E-06	2,015414438	0,496175864	1,219512195
NME1	2,19773E-12	1,009084832	0,625	0,113	4,63742E-08	2,012633989	0,49686133	5,530973451
NDUFB2	1,76887E-10	1,008143434	0,875	0,301	3,7325E-06	2,011321119	0,497185651	2,906976744
PDGFC	4,35563E-22	1,007112679	0,562	0,031	9,19081E-18	2,009884614	0,497541	18,12903226
ATP5PD	2,79358E-11	1,005349274	0,844	0,23	5,89473E-07	2,007429434	0,498149516	3,669565217
RNF7	3,26236E-08	0,999590193	0,562	0,141	0,00068839	1,999431968	0,500142048	3,985815603
ATP5MG	2,36403E-07	0,997404038	0,938	0,434	0,004988329	1,996404468	0,500900502	2,161290323
NIBAN2	1,96161E-09	0,991822847	0,875	0,273	4,1392E-05	1,988696125	0,502842032	3,205128205
ATP5F1B	1,58937E-09	0,991664141	0,938	0,367	3,35373E-05	1,988477366	0,502897351	2,555858311
ATP5MF	4,96727E-10	0,990883296	0,875	0,309	1,04814E-05	1,987401413	0,503169613	2,83171521
SDCCAG8	1,95389E-17	0,988476883	0,656	0,074	4,1229E-13	1,984089194	0,504009599	8,864864865
MYH9	6,07653E-10	0,987282781	0,656	0,16	1,28221E-05	1,982447666	0,504426935	4,1
CD82	5,04864E-12	0,987109621	0,656	0,117	1,06531E-07	1,982209737	0,504487483	5,606837607
KIRREL3	5,16264E-17	0,984803762	0,562	0,055	1,08937E-12	1,979044102	0,50529445	10,21818182
ABHD2	1,07359E-21	0,981873627	0,875	0,105	2,26537E-17	1,975028712	0,506321753	8,333333333
MZT2B	6,72828E-09	0,980410762	0,906	0,359	0,000141973	1,973027087	0,506835414	2,52367688
GIPC1	1,68353E-21	0,978565136	0,656	0,055	3,55243E-17	1,970504625	0,507484219	11,92727273
LOXL3	9,06058E-26	0,976121211	0,781	0,062	1,91187E-21	1,967169417	0,508344625	12,59677419
RNASEH2C	4,10837E-13	0,973581184	0,625	0,098	8,66906E-09	1,963709041	0,509240411	6,37755102
SLC9A3R2	6,91091E-14	0,97194427	0,75	0,145	1,45827E-09	1,961482236	0,509818535	5,172413793
SERPINH1	2,07858E-09	0,970359674	0,875	0,293	4,38601E-05	1,959329009	0,510378806	2,986348123
PLOD3	6,28472E-18	0,969548147	0,844	0,133	1,32614E-13	1,958227181	0,510665979	6,345864662
CAP1	1,0635E-08	0,969390486	0,875	0,352	0,000224409	1,958013193	0,510721788	2,485795455
HLA-C	2,30484E-07	0,96732598	0,938	0,742	0,004863438	1,955213268	0,511453158	1,264150943
SHISA4	4,41456E-11	0,962072589	0,656	0,137	9,31517E-07	1,948106553	0,513318945	4,788321168
H3-3A	3,93923E-10	0,960904952	1	0,812	8,31218E-06	1,946530502	0,513734565	1,231527094

Supplementary Table 1

Differentially expressed genes_adjacent-skin-XL_comparing SC-Keloid vs. (SC-Myel, SC-Nonmyel)								
gene	p_val	avg_log2FC	pct.1	pct.2	p_val_adj	Foldchange_UP	Foldchange_DOWN	Ratio_pct1_pct2
TPST2	9,76652E-26	0,960626813	0,688	0,043	2,06083E-21	1,946155264	0,513833618	16
RPL17	1,49025E-07	0,959032349	1	0,742	0,003144586	1,944005565	0,51440182	1,347708895
TENM3	7,23932E-15	0,957547701	0,812	0,152	1,52757E-10	1,942006057	0,514931453	5,342105263
ADAMTSL1	6,15244E-33	0,957147971	0,594	0,008	1,29823E-28	1,941468057	0,515074145	74,25
COPS9	1,16903E-09	0,956487686	0,812	0,254	2,46676E-05	1,9405797	0,515309935	3,196850394
ATP5MJ	4,39108E-11	0,95420782	0,844	0,211	9,26562E-07	1,937515458	0,516124915	4
RPS18	1,76239E-09	0,952826188	1	0,91	3,71881E-05	1,935660837	0,516619431	1,098901099
REEP3	4,73057E-09	0,947504727	0,75	0,211	9,98197E-05	1,928534195	0,518528529	3,55450237
TXNL4A	4,19939E-13	0,946193014	0,688	0,129	8,86113E-09	1,926781549	0,519000195	5,333333333
EEF1G	2,03788E-08	0,944234447	0,969	0,551	0,000430012	1,924167573	0,519705255	1,75862069
AURKAIP1	9,89489E-13	0,944064378	0,812	0,191	2,08792E-08	1,923940761	0,519766523	4,251308901
ATP5F1C	3,44078E-10	0,942522015	0,844	0,242	7,26039E-06	1,921885004	0,520322495	3,487603306
EMC10	1,02213E-10	0,93961837	0,75	0,18	2,1568E-06	1,918020806	0,521370778	4,166666667
MCRIP1	7,42098E-11	0,939456263	0,781	0,211	1,5659E-06	1,917805301	0,521429365	3,701421801
AP2S1	2,54903E-11	0,938475567	0,594	0,117	5,37871E-07	1,916502084	0,521783936	5,076923077
SCARA3	5,1155E-14	0,937709312	0,75	0,133	1,07942E-09	1,915484447	0,522061143	5,639097744
MEF2C	2,27637E-13	0,933092425	0,719	0,133	4,80336E-09	1,909364346	0,52373451	5,406015038
PERP	1,73599E-15	0,932278512	0,656	0,09	3,66312E-11	1,90828746	0,524030064	7,288888889
NAA38	2,39382E-12	0,932158492	0,75	0,156	5,05121E-08	1,908128713	0,524073661	4,807692308
RPL28	5,24899E-10	0,932149671	1	0,863	1,10759E-05	1,908117046	0,524076865	1,158748552
QPCT	7,57111E-23	0,929673276	0,531	0,023	1,59758E-18	1,904844561	0,524977219	23,08695652
IFI27L2	3,69607E-11	0,926031853	0,875	0,238	7,79907E-07	1,900042715	0,526303957	3,676470588
GPC1	7,20353E-07	0,92573403	0,812	0,379	0,01520016	1,899650521	0,526412616	2,142480211
ALDH1A3	7,07559E-22	0,924543314	0,562	0,031	1,49302E-17	1,898083308	0,526847265	18,12903226
UQCR11	5,91166E-09	0,923640946	0,906	0,34	0,000124742	1,896896477	0,527176898	2,664705882
NOP10	3,03941E-13	0,923518911	0,719	0,133	6,41345E-09	1,896736028	0,527221493	5,406015038
RPL10A	2,73649E-09	0,923279384	1	0,754	5,77427E-05	1,896421144	0,527309033	1,326259947
CHN1	2,81721E-22	0,920740308	0,5	0,02	5,94459E-18	1,893086467	0,52823789	25
ATP5F1D	9,5967E-08	0,918658133	0,781	0,293	0,002025	1,890356234	0,529000821	2,66552901
NDUFA13	3,93899E-08	0,914713132	0,938	0,43	0,000831167	1,885194179	0,530449336	2,181395349

Supplementary Table 1

Differentially expressed genes_adjacent-skin-XL_comparing SC-Keloid vs. (SC-Myel, SC-Nonmyel)								
gene	p_val	avg_log2FC	pct.1	pct.2	p_val_adj	Foldchange_UP	Foldchange_DOWN	Ratio_pct1_pct2
RABAC1	2,21101E-07	0,912935449	0,906	0,367	0,004665443	1,882872682	0,531103356	2,46866485
FAM32A	4,40666E-15	0,912216782	0,438	0,035	9,2985E-11	1,881934977	0,531367987	12,51428571
CYBA	2,63593E-10	0,912128823	0,938	0,301	5,56207E-06	1,881820242	0,531400385	3,11627907
PRDX5	4,48497E-08	0,908187168	0,844	0,293	0,000946373	1,876685849	0,532854234	2,880546075
HMGN1	1,7154E-08	0,907340828	0,875	0,309	0,000361967	1,875585236	0,533166918	2,83171521
CXCL12	8,12453E-22	0,906715814	0,656	0,051	1,71436E-17	1,874772859	0,53339795	12,8627451
AP2M1	1,00251E-08	0,906687846	0,844	0,277	0,00021154	1,874736515	0,533408291	3,046931408
TIMM8B	9,57393E-17	0,906584935	0,812	0,125	2,0202E-12	1,87460279	0,533446341	6,496
HOXB2	3,90621E-19	0,9051739	0,562	0,043	8,2425E-15	1,872770222	0,533968336	13,06976744
ZNHIT1	7,5306E-10	0,905017987	0,75	0,203	1,58903E-05	1,872567841	0,534026046	3,694581281
VAMP5	1,23611E-10	0,902965636	0,812	0,211	2,60831E-06	1,869905856	0,534786282	3,848341232
NDUFAF8	6,85646E-13	0,901792367	0,625	0,102	1,44678E-08	1,868385776	0,535221373	6,12745098
COX7A2	1,54088E-06	0,901581971	0,875	0,422	0,032514155	1,86811332	0,535299433	2,073459716
ITPA	1,33843E-21	0,900021706	0,656	0,055	2,82423E-17	1,866094059	0,535878669	11,92727273
MAD2L2	5,2274E-17	0,894617446	0,688	0,086	1,10303E-12	1,859116845	0,537889807	8
STX8	9,01486E-18	0,890436671	0,594	0,059	1,90223E-13	1,853737123	0,539450814	10,06779661
PSMB1	1,70009E-07	0,888787483	0,75	0,301	0,003587349	1,851619271	0,540067829	2,491694352
NT5E	2,65901E-27	0,888560329	0,438	0	5,61077E-23	1,851327754	0,54015287	#DIV/0!
PARVB	4,97512E-21	0,887809025	0,562	0,035	1,0498E-16	1,850363901	0,540434236	16,05714286
RPLP0	1,14478E-06	0,885849177	0,938	0,633	0,024155921	1,847851956	0,541168894	1,481832543
COX6B1	2,71446E-08	0,883505608	0,906	0,387	0,000572778	1,844852671	0,542048704	2,341085271
BBLN	2,29481E-11	0,883246192	0,688	0,152	4,84228E-07	1,844520972	0,542146181	4,526315789
SLIRP	1,88539E-09	0,882373412	0,719	0,188	3,97837E-05	1,843405438	0,54247426	3,824468085
LIMS1	1,47941E-08	0,882010639	0,781	0,254	0,00031217	1,842941963	0,542610684	3,07480315
RPL12	1,53466E-09	0,881782011	1	0,809	3,23828E-05	1,84264993	0,54269668	1,236093943
RTRAF	4,26359E-09	0,881450226	0,844	0,258	8,9966E-05	1,842226214	0,542821502	3,271317829
POMP	6,09064E-09	0,872884177	0,812	0,277	0,000128519	1,831320345	0,546054109	2,931407942
LTBP1	2,65356E-23	0,870635447	0,438	0,008	5,59927E-19	1,828468087	0,546905908	54,75
ARF3	5,31765E-12	0,868512674	0,531	0,074	1,12208E-07	1,825779668	0,547711215	7,175675676
ARF5	2,6113E-08	0,867905204	0,812	0,254	0,00055101	1,825011056	0,547941886	3,196850394

Supplementary Table 1

Differentially expressed genes_adjacent-skin-XL_comparing SC-Keloid vs. (SC-Myel, SC-Nonmyel)								
gene	p_val	avg_log2FC	pct.1	pct.2	p_val_adj	Foldchange_UP	Foldchange_DOWN	Ratio_pct1_pct2
ACTG2	2,86276E-12	0,866005285	0,188	0	6,04072E-08	1,822609238	0,548663959	#DIV/0!
TGFB1I1	5,85437E-11	0,865722459	0,75	0,18	1,23533E-06	1,822251968	0,54877153	4,166666667
TAX1BP3	4,71243E-08	0,86475768	0,875	0,395	0,000994371	1,821033775	0,549138634	2,215189873
BSG	1,69711E-07	0,863840237	0,875	0,395	0,003581063	1,819876105	0,549487956	2,215189873
LIMA1	9,00804E-14	0,862454862	0,812	0,16	1,90079E-09	1,818129373	0,550015865	5,075
LSM4	4,73331E-10	0,862388329	0,531	0,098	9,98776E-06	1,818045529	0,550041231	5,418367347
KCNN4	8,55163E-26	0,862033371	0,562	0,02	1,80448E-21	1,817598275	0,550176578	28,1
COL4A2	6,93438E-07	0,861684464	1	0,715	0,014632227	1,817158753	0,550309651	1,398601399
LIF	1,29589E-15	0,861510607	0,375	0,02	2,73446E-11	1,816939784	0,550375972	18,75
PDCD5	9,21258E-10	0,861023766	0,75	0,199	1,94395E-05	1,816326756	0,550561729	3,768844221
PSMB3	4,0075E-09	0,860117422	0,719	0,199	8,45623E-05	1,815186044	0,550907717	3,613065327
DPM2	3,05311E-18	0,85983266	0,594	0,055	6,44236E-14	1,814827794	0,551016467	10,8
ANP32B	1,37162E-09	0,859019776	0,844	0,254	2,89426E-05	1,813805521	0,551327024	3,322834646
COPE	1,09697E-07	0,858684263	0,812	0,32	0,002314707	1,813383751	0,551455256	2,5375
MXRA5	5,0668E-20	0,855983818	0,438	0,016	1,06914E-15	1,809992624	0,552488439	27,375
CD63	1,36232E-09	0,854460859	1	0,824	2,87463E-05	1,808082941	0,553071973	1,213592233
COX6A1	1,54365E-07	0,852210274	0,906	0,387	0,003257246	1,805264555	0,553935432	2,341085271
COL4A1	1,07018E-06	0,852093078	0,969	0,703	0,022581915	1,805117912	0,553980432	1,378378378
RCN3	4,45799E-16	0,851880322	0,625	0,074	9,40679E-12	1,804851728	0,554062134	8,445945946
SH3GLB1	4,39761E-09	0,851805772	0,719	0,207	9,27939E-05	1,804758466	0,554090765	3,473429952
EMILIN1	1,37952E-16	0,848592995	0,625	0,07	2,91092E-12	1,800743872	0,55532606	8,928571429
ACTR2	5,17991E-12	0,840570454	0,844	0,195	1,09301E-07	1,790758084	0,55842272	4,328205128
CD276	2,40751E-20	0,839801362	0,719	0,074	5,08009E-16	1,789803695	0,558720492	9,716216216
TUBB	0,000120884	0,838684476	0,781	0,418	1	1,788418626	0,559153201	1,868421053
SELENOH	2,45519E-11	0,838527925	0,75	0,16	5,1807E-07	1,788224569	0,55921388	4,6875
COL5A1	6,76766E-10	0,83801236	0,781	0,207	1,42804E-05	1,787585639	0,559413758	3,77294686
PSMD8	1,03692E-07	0,837138502	0,688	0,238	0,002188015	1,786503205	0,559752704	2,890756303
LOXL1	4,29805E-27	0,836488049	0,531	0,012	9,06931E-23	1,785697924	0,560005131	44,25
ARPC5	6,3904E-05	0,836140219	0,781	0,422	1	1,785267449	0,560140163	1,8507109
MIR4435-2HG	9,46903E-25	0,834567242	0,594	0,027	1,99806E-20	1,783322024	0,56075122	22

Supplementary Table 1

Differentially expressed genes_adjacent-skin-XL_comparing SC-Keloid vs. (SC-Myel, SC-Nonmyel)								
gene	p_val	avg_log2FC	pct.1	pct.2	p_val_adj	Foldchange_UP	Foldchange_DOWN	Ratio_pct1_pct2
DDOST	5,33167E-11	0,834093386	0,625	0,125	1,12504E-06	1,782736385	0,56093543	5
CLTA	7,37279E-09	0,832180286	0,938	0,328	0,000155573	1,780373936	0,561679757	2,859756098
SNRPD2	1,10324E-10	0,831799453	0,844	0,215	2,32794E-06	1,779904028	0,561828045	3,925581395
CLEC11A	2,58463E-12	0,830211734	0,594	0,098	5,45382E-08	1,777946279	0,56244669	6,06122449
RACK1	7,2383E-05	0,828908401	0,906	0,676	1	1,776340806	0,562955035	1,340236686
MGST3	7,88954E-09	0,828259104	0,938	0,344	0,000166477	1,775541528	0,563208455	2,726744186
PLPP4	3,124E-29	0,827941651	0,469	0	6,59194E-25	1,775150878	0,563332398	#DIV/0!
DCTN2	3,91423E-12	0,827383355	0,781	0,168	8,25941E-08	1,774464061	0,563550439	4,648809524
CBX3	6,73901E-11	0,826157904	0,844	0,211	1,422E-06	1,772957439	0,564029332	4
ISG15	9,05705E-07	0,825750218	0,656	0,184	0,019111275	1,772456497	0,564188741	3,565217391
RPL3	4,1738E-07	0,823730066	0,969	0,883	0,008807141	1,769976329	0,564979307	1,097395243
RPS24	2,53779E-08	0,822636362	1	0,852	0,000535499	1,768635022	0,565407779	1,17370892
SUMO2	1,75872E-06	0,822564439	0,906	0,531	0,037110766	1,768546852	0,565435967	1,706214689
SLC25A3	9,84327E-06	0,822497303	0,844	0,438	0,207702845	1,768464554	0,565462281	1,926940639
MRPL51	2,3518E-09	0,821345969	0,781	0,215	4,96253E-05	1,767053805	0,565913725	3,63255814
DYNLT2B	1,4711E-22	0,820927624	0,531	0,023	3,10416E-18	1,766541478	0,566077849	23,08695652
LAMB2	4,71332E-09	0,82057001	0,75	0,199	9,94557E-05	1,766103644	0,566218185	3,768844221
CSTB	1,50861E-08	0,818715535	0,812	0,242	0,000318332	1,76383491	0,566946484	3,355371901
RPLP2	5,73248E-09	0,818572413	1	0,789	0,000120961	1,763659938	0,56700273	1,267427123
SEC11A	1,11207E-08	0,818386115	0,906	0,32	0,000234657	1,763432208	0,567075953	2,83125
RPS5	4,08024E-07	0,81795507	1	0,656	0,008609712	1,762905412	0,567245408	1,524390244
CBR1	9,50275E-11	0,817624946	0,812	0,207	2,00517E-06	1,762502062	0,567375223	3,922705314
PSMB2	1,00758E-12	0,817313315	0,75	0,152	2,1261E-08	1,762121393	0,567497792	4,934210526
RPL29	1,93016E-06	0,816433554	0,969	0,828	0,040728337	1,761047172	0,56784396	1,170289855
DYNC2I2	4,3842E-11	0,816117392	0,406	0,047	9,25109E-07	1,760661287	0,567968415	8,638297872
TMEM160	2,24956E-14	0,815827144	0,562	0,07	4,7468E-10	1,760307104	0,568082693	8,028571429
SNU13	6,28775E-09	0,815380734	0,844	0,262	0,000132678	1,7597625	0,568258501	3,221374046
FIBIN	4,17431E-10	0,814438171	0,656	0,141	8,80821E-06	1,758613161	0,568629885	4,65248227
PPIA	5,11582E-08	0,813533032	1	0,762	0,001079488	1,757510163	0,568986752	1,312335958
RPLP1	4,86137E-08	0,812024875	1	0,961	0,001025797	1,755673866	0,569581868	1,040582726

Supplementary Table 1

Differentially expressed genes_adjacent-skin-XL_comparing SC-Keloid vs. (SC-Myel, SC-Nonmyel)								
gene	p_val	avg_log2FC	pct.1	pct.2	p_val_adj	Foldchange_UP	Foldchange_DOWN	Ratio_pct1_pct2
CXXC5	5,59181E-09	0,811283925	0,875	0,305	0,000117993	1,754772406	0,569874473	2,868852459
MRPL57	4,91302E-13	0,809323949	0,656	0,109	1,0367E-08	1,752390075	0,570649203	6,018348624
CIB1	1,70442E-10	0,806862061	0,75	0,18	3,59649E-06	1,749402258	0,571623819	4,166666667
BCL7C	2,50129E-08	0,805703095	0,594	0,152	0,000527798	1,747997468	0,572083208	3,907894737
SRPRB	4,7158E-17	0,805233224	0,469	0,031	9,9508E-13	1,747428255	0,572269561	15,12903226
MICOS13	2,32785E-10	0,80475637	0,75	0,18	4,91199E-06	1,746850774	0,572458744	4,166666667
SSBP4	2,82891E-14	0,803042321	0,625	0,09	5,96929E-10	1,744776593	0,57313928	6,944444444
PFDN5	7,78595E-06	0,802399214	0,938	0,523	0,164291329	1,743999001	0,573394824	1,793499044
ANXA6	1,12492E-15	0,800113146	0,719	0,105	2,37369E-11	1,74123768	0,574304135	6,847619048
GNAI2	2,08509E-07	0,799637095	0,906	0,375	0,004399757	1,740663214	0,574493671	2,416
UAP1	1,37531E-15	0,799310036	0,656	0,09	2,90203E-11	1,74026865	0,574623924	7,288888889
ACTN4	9,16559E-09	0,796310101	0,875	0,277	0,000193403	1,736653701	0,575820038	3,158844765
NEDD8	6,87122E-07	0,794757142	0,844	0,305	0,014498967	1,734785323	0,576440201	2,767213115
RPS19	1,20793E-07	0,793962304	1	0,785	0,002548848	1,733829823	0,576757872	1,27388535
TRUB2	5,03869E-18	0,793912367	0,469	0,027	1,06321E-13	1,733769811	0,576777836	17,37037037
GABARAP	9,28202E-05	0,790572046	0,906	0,539	1	1,729760198	0,578114817	1,680890538
MRPL52	1,51607E-11	0,78980929	0,719	0,145	3,19906E-07	1,728845911	0,578420548	4,95862069
NME4	1,78452E-12	0,789693474	0,562	0,082	3,76552E-08	1,72870713	0,578466984	6,853658537
EIF4E2	3,40648E-14	0,789599309	0,531	0,062	7,18801E-10	1,7285943	0,578504742	8,564516129
RSU1	3,46348E-12	0,788781348	0,625	0,105	7,30829E-08	1,727614521	0,578832829	5,952380952
BCAP31	9,23764E-11	0,787490117	0,719	0,156	1,94923E-06	1,726068975	0,579351124	4,608974359
ATP5MC2	1,41333E-07	0,787297111	0,938	0,43	0,002982267	1,725838074	0,579428635	2,181395349
FAM162A	1,42121E-15	0,782941317	0,75	0,113	2,99889E-11	1,720635271	0,581180693	6,637168142
MRPL47	2,92626E-13	0,782223209	0,594	0,086	6,1747E-09	1,71977903	0,581470051	6,906976744
MTLN	4,88998E-20	0,781071686	0,688	0,066	1,03184E-15	1,718406893	0,581934351	10,42424242
NDUFA1	2,80126E-07	0,779671036	0,875	0,359	0,005910941	1,716739376	0,5824996	2,437325905
YBX1	4,6484E-06	0,77850003	0,938	0,531	0,098085891	1,7153465	0,582972595	1,766478343
RPL13	8,88476E-09	0,778131842	1	0,902	0,000187477	1,714908785	0,583121393	1,10864745
RPL19	5,39805E-08	0,777891399	1	0,852	0,001139043	1,714622998	0,583218586	1,17370892
PSMC5	1,89234E-09	0,776492334	0,656	0,16	3,99303E-05	1,712961034	0,583784441	4,1

Supplementary Table 1

Differentially expressed genes_adjacent-skin-XL_comparing SC-Keloid vs. (SC-Myel, SC-Nonmyel)								
gene	p_val	avg_log2FC	pct.1	pct.2	p_val_adj	Foldchange_UP	Foldchange_DOWN	Ratio_pct1_pct2
CMSS1	2,28279E-13	0,776315614	0,594	0,086	4,81691E-09	1,712751221	0,583855955	6,906976744
TPI1	5,31689E-08	0,774858014	0,906	0,371	0,001121917	1,711021649	0,584446141	2,442048518
RPL6	2,82298E-06	0,774507197	0,969	0,707	0,059567639	1,710605634	0,584588277	1,370579915
COX7A2L	3,61635E-13	0,773681852	0,812	0,16	7,63085E-09	1,709627301	0,584922807	5,075
FADS1	2,94022E-06	0,773620072	0,406	0,09	0,062041601	1,709554093	0,584947855	4,511111111
NDUFAB1	1,98304E-09	0,772481416	0,781	0,211	4,18441E-05	1,708205348	0,585409711	3,701421801
A1BG	1,27969E-13	0,77199641	0,812	0,156	2,70027E-09	1,707631179	0,585606548	5,205128205
PLAT	1,26672E-06	0,771860936	0,969	0,441	0,026728981	1,707470834	0,585661541	2,197278912
ERP29	4,2377E-13	0,771477353	0,719	0,129	8,94197E-09	1,707016914	0,585817277	5,573643411
HOXC9	5,38738E-27	0,771422595	0,469	0,004	1,13679E-22	1,706952124	0,585839512	117,25
TMED3	1,32268E-16	0,770023435	0,562	0,055	2,79098E-12	1,705297484	0,586407949	10,21818182
SERPINE1	5,24077E-18	0,768869511	0,562	0,047	1,10585E-13	1,703934065	0,586877169	11,95744681
POLR2L	3,07893E-08	0,766947133	0,969	0,43	0,000649686	1,701665102	0,587659698	2,253488372
APMAP	5,49842E-12	0,765883017	0,469	0,059	1,16022E-07	1,700410434	0,58809331	7,949152542
PHPT1	4,46774E-07	0,764806003	0,781	0,301	0,009427372	1,699141502	0,588532502	2,594684385
CHMP3	5,03293E-13	0,763219555	0,781	0,152	1,062E-08	1,697274082	0,589180033	5,138157895
GMFG	2,2608E-10	0,762612976	0,188	0,004	4,77051E-06	1,696560615	0,589427805	47
HINT1	3,7134E-07	0,761344787	0,906	0,434	0,007835648	1,695069923	0,589946165	2,087557604
TMCO1	1,45783E-08	0,761229005	0,781	0,227	0,000307617	1,694933892	0,589993512	3,440528634
FHDC1	3,89044E-19	0,760047228	0,531	0,035	8,20922E-15	1,693546064	0,590477	15,17142857
ST3GAL4	2,17734E-12	0,759934762	0,656	0,117	4,59441E-08	1,693414047	0,590523033	5,606837607
EDF1	2,61283E-06	0,758469285	0,906	0,445	0,055133285	1,691694766	0,591123186	2,035955056
EVA1B	4,79626E-16	0,758146728	0,656	0,082	1,01206E-11	1,69131658	0,591255364	8
C4orf48	7,49712E-13	0,757854306	0,688	0,125	1,58197E-08	1,690973799	0,591375219	5,504
GNAS	2,36606E-05	0,757373495	0,969	0,727	0,499262054	1,690410338	0,591572341	1,332874828
NCS1	3,74251E-14	0,757112795	0,531	0,062	7,89707E-10	1,690104903	0,591679249	8,564516129
PYGB	1,44507E-19	0,755780635	0,688	0,07	3,04923E-15	1,688545009	0,592225848	9,828571429
CD99	5,36756E-06	0,754261912	0,906	0,5	0,113260808	1,686768414	0,592849612	1,812
RPL4	9,49063E-06	0,753202094	0,875	0,465	0,200261764	1,685529753	0,593285285	1,88172043
ATP6VOB	8,27349E-07	0,752044622	0,812	0,277	0,017457891	1,684177998	0,593761468	2,931407942

Supplementary Table 1

Differentially expressed genes_adjacent-skin-XL_comparing SC-Keloid vs. (SC-Myel, SC-Nonmyel)								
gene	p_val	avg_log2FC	pct.1	pct.2	p_val_adj	Foldchange_UP	Foldchange_DOWN	Ratio_pct1_pct2
PPDPF	3,06116E-06	0,751298041	1	0,668	0,064593486	1,683306677	0,594068813	1,497005988
SSB	6,28653E-11	0,749249878	0,875	0,223	1,32652E-06	1,680918618	0,594912799	3,923766816
CMTM3	1,3891E-11	0,749144129	0,719	0,145	2,93114E-07	1,680795411	0,594956408	4,95862069
HLA-B	0,000143643	0,748809308	0,938	0,734	1	1,680405378	0,595094501	1,277929155
ABLIM3	1,22444E-14	0,748162822	0,438	0,035	2,5837E-10	1,67965254	0,595361229	12,51428571
OSTC	3,85126E-10	0,746809471	0,719	0,168	8,12654E-06	1,678077645	0,595919982	4,279761905
CTSA	1,70757E-14	0,746121782	0,625	0,086	3,60314E-10	1,677277947	0,596204107	7,26744186
UBA52	1,12313E-06	0,744137687	1	0,656	0,023699228	1,674972822	0,597024613	1,524390244
SMAP2	2,89798E-16	0,744007147	0,469	0,035	6,11503E-12	1,674821272	0,597078636	13,4
EEF1B2	1,40984E-06	0,743930347	0,938	0,465	0,02974893	1,674732118	0,597110421	2,017204301
PSMB10	7,49278E-16	0,743325172	0,562	0,059	1,58105E-11	1,674029755	0,597360947	9,525423729
RPL7A	7,20574E-06	0,743045105	1	0,777	0,152048307	1,673704812	0,597476922	1,287001287
OCIAD2	2,00705E-19	0,742701091	0,344	0,004	4,23507E-15	1,67330576	0,597619409	86
AEBP1	4,55379E-08	0,742163539	0,906	0,301	0,000960896	1,672682399	0,597842125	3,009966777
TAF10	8,40653E-11	0,741976638	0,531	0,09	1,77386E-06	1,672465717	0,597919581	5,9
LINC01116	3,76123E-10	0,740828389	0,469	0,074	7,93658E-06	1,671135121	0,598395658	6,337837838
MPG	2,15641E-13	0,738380174	0,844	0,168	4,55025E-09	1,668301654	0,599411981	5,023809524
TMEM50A	3,50301E-08	0,736873614	0,844	0,281	0,00073917	1,66656041	0,600038255	3,003558719
NRBF2	2,78342E-17	0,735473492	0,656	0,074	5,8733E-13	1,664943813	0,600620869	8,864864865
COPS6	6,09801E-08	0,734146909	0,656	0,176	0,001286741	1,663413573	0,601173404	3,727272727
MTPN	6,21629E-12	0,734129086	0,688	0,133	1,3117E-07	1,663393023	0,601180831	5,172932331
HEXB	1,63045E-15	0,732449034	0,625	0,078	3,44041E-11	1,661457091	0,601881328	8,012820513
UQCRCQ	2,75692E-06	0,731653874	0,812	0,316	0,058173825	1,66054161	0,602213154	2,569620253
TAF12	1,52868E-07	0,728486413	0,375	0,066	0,003225666	1,656899862	0,603536775	5,681818182
MEAF6	2,37955E-09	0,728434613	0,719	0,176	5,02108E-05	1,656840372	0,603558446	4,085227273
NARS1	1,17417E-11	0,727915549	0,688	0,133	2,47762E-07	1,656244368	0,603775638	5,172932331
RPL10	9,12855E-08	0,727839023	1	0,926	0,001926215	1,656156517	0,603807665	1,079913607
COPZ2	3,60438E-12	0,727771517	0,594	0,098	7,60561E-08	1,656079025	0,603835919	6,06122449
POSTN	2,24722E-08	0,727348302	0,281	0,031	0,000474185	1,655593285	0,604013081	9,064516129
MICOS10	4,38759E-10	0,727344241	0,812	0,215	9,25825E-06	1,655588624	0,604014781	3,776744186

Supplementary Table 1

Differentially expressed genes_adjacent-skin-XL_comparing SC-Keloid vs. (SC-Myel, SC-Nonmyel)								
gene	p_val	avg_log2FC	pct.1	pct.2	p_val_adj	Foldchange_UP	Foldchange_DOWN	Ratio_pct1_pct2
SEPTIN7	6,39873E-06	0,726691614	0,906	0,449	0,135019581	1,654839861	0,604288078	2,017817372
PFDN1	1,28589E-10	0,726124043	0,812	0,191	2,71337E-06	1,654188958	0,604525859	4,251308901
LLPH	1,13763E-17	0,724104461	0,5	0,035	2,4005E-13	1,651874933	0,605372707	14,28571429
SMARCB1	7,26066E-13	0,723923144	0,531	0,07	1,53207E-08	1,651667338	0,605448795	7,585714286
FABP7	6,94858E-18	0,722365341	0,375	0,012	1,46622E-13	1,649884853	0,606102903	31,25
TRAPPC5	7,32636E-14	0,716943046	0,75	0,137	1,54593E-09	1,643695485	0,608385196	5,474452555
RPL22	4,16124E-06	0,716391578	1	0,73	0,087806429	1,643067304	0,608617795	1,369863014
APLNR	2,86276E-12	0,716318085	0,188	0	6,04072E-08	1,642983607	0,6086488	#DIV/0!
IFT22	4,7158E-17	0,715536997	0,469	0,031	9,9508E-13	1,642094321	0,608978417	15,12903226
KIFAP3	3,61288E-19	0,715332634	0,562	0,043	7,62355E-15	1,641861728	0,609064687	13,06976744
CTHRC1	1,43028E-17	0,714597322	0,312	0,004	3,01804E-13	1,641025119	0,609375194	78
RPS26	3,19387E-06	0,714011212	0,938	0,48	0,067393938	1,640358571	0,609622809	1,954166667
CRIP2	1,00108E-05	0,711555449	0,969	0,496	0,211237807	1,637568719	0,610661396	1,953629032
PTPRZ1	1,58349E-06	0,70952698	0,781	0,281	0,033413213	1,63526787	0,611520607	2,779359431
CCT3	1,40088E-07	0,708976383	0,719	0,215	0,002955992	1,634643898	0,611754035	3,344186047
NDUFA12	1,00963E-08	0,708554547	0,688	0,18	0,000213041	1,634166007	0,611932934	3,822222222
CRIP1	5,36606E-05	0,708443514	0,875	0,43	1	1,634040243	0,611980032	2,034883721
MANF	1,20184E-12	0,708364127	0,719	0,141	2,536E-08	1,633950329	0,612013708	5,09929078
RPS3	5,01589E-05	0,708279943	1	0,762	1	1,633854987	0,612049422	1,312335958
HSD17B10	2,02022E-13	0,707119856	0,688	0,113	4,26286E-09	1,632541715	0,612541775	6,088495575
NAT14	3,14613E-11	0,706524176	0,625	0,113	6,63865E-07	1,631867787	0,612794742	5,530973451
RPS15A	3,83325E-07	0,705922296	1	0,82	0,008088547	1,631187128	0,613050448	1,219512195
TRNP1	6,27223E-13	0,705010854	0,438	0,043	1,3235E-08	1,630156929	0,613437873	10,18604651
SNRPD1	2,54322E-08	0,70318932	0,625	0,16	0,000536646	1,628100006	0,614212884	3,90625
RPS23	6,50825E-06	0,702946893	1	0,816	0,137330688	1,627826448	0,614316103	1,225490196
TMEM106C	9,51785E-11	0,702897589	0,531	0,09	2,00836E-06	1,627770817	0,614337098	5,9
TASP1	3,24098E-12	0,702867832	0,312	0,02	6,83879E-08	1,627737243	0,614349769	15,6
RPS4X	2,92524E-06	0,700746502	1	0,832	0,061725461	1,625345587	0,61525377	1,201923077
LRRFIP1	2,22064E-12	0,700744593	0,625	0,102	4,68578E-08	1,625343437	0,615254584	6,12745098
BMP1	2,42673E-14	0,699413688	0,531	0,059	5,12064E-10	1,623844727	0,615822426	9

Supplementary Table 1

Differentially expressed genes_adjacent-skin-XL_comparing SC-Keloid vs. (SC-Myel, SC-Nonmyel)								
gene	p_val	avg_log2FC	pct.1	pct.2	p_val_adj	Foldchange_UP	Foldchange_DOWN	Ratio_pct1_pct2
ARHGAP21	1,2573E-20	0,698824214	0,562	0,035	2,65304E-16	1,623181373	0,616074098	16,05714286
EFHD2	1,54355E-11	0,698763472	0,5	0,07	3,25705E-07	1,623113033	0,616100037	7,142857143
KCNS3	9,05393E-12	0,697505884	0,562	0,086	1,91047E-07	1,621698792	0,616637322	6,534883721
PSMD2	1,19973E-09	0,697257496	0,656	0,152	2,53154E-05	1,621419609	0,616743497	4,315789474
ANAPC15	1,41047E-17	0,697013938	0,438	0,023	2,97624E-13	1,621145902	0,616847625	19,04347826
UQCRB	7,81416E-05	0,695454411	0,844	0,438	1	1,61939442	0,617514787	1,926940639
MRPL23	2,52444E-10	0,694870808	0,656	0,137	5,32681E-06	1,61873947	0,617764636	4,788321168
AKR7A2	3,7775E-09	0,691381454	0,469	0,082	7,9709E-05	1,61482906	0,619260592	5,719512195
IKBIP	2,57971E-19	0,690461963	0,531	0,035	5,44345E-15	1,613800188	0,619655399	15,17142857
C17orf49	1,35016E-10	0,690113882	0,562	0,102	2,84897E-06	1,613410872	0,619804922	5,509803922
EPB41L3	1,13615E-10	0,689996517	0,438	0,059	2,39739E-06	1,613279623	0,619855347	7,423728814
PIN1	8,26451E-11	0,689859084	0,781	0,168	1,74389E-06	1,613125948	0,619914398	4,648809524
CHCHD2	4,07424E-06	0,689375922	0,969	0,512	0,085970452	1,612585798	0,620122043	1,892578125
IER3IP1	6,89442E-11	0,689190873	0,688	0,141	1,45479E-06	1,612378972	0,620201589	4,879432624
DBNDD1	3,124E-29	0,688879842	0,469	0	6,59194E-25	1,612031396	0,620335313	#DIV/0!
RPS10	1,85163E-05	0,688512905	0,969	0,699	0,390711572	1,611621441	0,62049311	1,386266094
PRELID1	9,29321E-10	0,687772526	0,688	0,156	1,96096E-05	1,610794583	0,620811623	4,41025641
RASA1	2,80156E-10	0,687274798	0,344	0,035	5,91156E-06	1,610238957	0,62102584	9,828571429
ACBD3	1,51923E-10	0,686039462	0,625	0,121	3,20573E-06	1,608860749	0,621557833	5,165289256
PSMD14	1,1087E-23	0,685971637	0,656	0,043	2,33947E-19	1,608785113	0,621587055	15,25581395
ARPC1B	1,29677E-05	0,684645976	0,938	0,496	0,273630442	1,607307515	0,62215848	1,891129032
LMAN2	7,78316E-09	0,684121612	0,688	0,176	0,000164232	1,606723427	0,622384652	3,909090909
CYB5R3	9,59284E-08	0,683597922	0,75	0,242	0,002024186	1,606140301	0,622610615	3,099173554
RPL13A	4,70843E-06	0,681871095	1	0,801	0,099352563	1,604218989	0,623356292	1,248439451
TCEAL8	1,86582E-12	0,681530855	0,688	0,121	3,93707E-08	1,603840701	0,623503319	5,685950413
FAAP20	3,07283E-08	0,681366059	0,562	0,129	0,000648397	1,603657508	0,623574545	4,356589147
PSMA1	1,08334E-09	0,680918028	0,781	0,207	2,28595E-05	1,603159567	0,623768227	3,77294686
AP1S1	7,44737E-20	0,678119124	0,562	0,039	1,57147E-15	1,600052369	0,624979544	14,41025641
AP1S2	2,07585E-05	0,676580913	0,938	0,496	0,438024852	1,598347292	0,625646257	1,891129032
ZYX	1,47001E-10	0,67650903	0,531	0,094	3,10187E-06	1,598267655	0,625677431	5,64893617

Supplementary Table 1

Differentially expressed genes_adjacent-skin-XL_comparing SC-Keloid vs. (SC-Myel, SC-Nonmyel)								
gene	p_val	avg_log2FC	pct.1	pct.2	p_val_adj	Foldchange_UP	Foldchange_DOWN	Ratio_pct1_pct2
PDLIM4	7,5994E-05	0,67572664	0,906	0,484	1	1,597401131	0,626016835	1,871900826
EIF4G2	1,37887E-05	0,673844587	0,875	0,449	0,290955445	1,595318617	0,626834032	1,948775056
DAD1	3,8634E-06	0,671850083	0,969	0,547	0,081521628	1,593114636	0,627701219	1,771480804
SELENON	1,22552E-14	0,671743423	0,594	0,074	2,58596E-10	1,59299686	0,627747628	8,027027027
ATP5F1A	2,64299E-07	0,671254969	0,656	0,195	0,005576977	1,59245761	0,627960201	3,364102564
MRPL3	1,23758E-13	0,670688724	0,531	0,066	2,61141E-09	1,591832707	0,628206718	8,045454545
MRPS21	4,082E-10	0,670380128	0,781	0,195	8,61342E-06	1,591492246	0,628341107	4,005128205
UBE2M	8,69443E-09	0,667607467	0,719	0,188	0,000183461	1,588436555	0,629549853	3,824468085
MAP1B	1,76407E-05	0,667386992	0,844	0,406	0,37223556	1,588193826	0,629646069	2,078817734
NUCB2	4,9271E-06	0,667279611	0,5	0,148	0,103966735	1,58807562	0,629692936	3,378378378
COX5B	4,67339E-06	0,667043412	0,875	0,375	0,098613155	1,58781564	0,629796039	2,333333333
RPL34	1,56648E-05	0,66688889	1	0,871	0,330543975	1,587645584	0,629863497	1,148105626
BZW2	7,01189E-11	0,664709927	0,531	0,086	1,47958E-06	1,585249506	0,630815525	6,174418605
NDUFS8	5,71526E-09	0,661838769	0,594	0,133	0,000120598	1,582097782	0,632072184	4,466165414
GRN	1,24078E-08	0,66060333	0,688	0,176	0,000261818	1,580743547	0,632613685	3,909090909
OLA1	1,71598E-09	0,65930738	0,531	0,102	3,62089E-05	1,579324227	0,633182207	5,205882353
PSMA6	2,30461E-09	0,657633206	0,688	0,168	4,86295E-05	1,577492566	0,633917409	4,095238095
EIF5A	0,000111594	0,656870948	0,812	0,367	1	1,576659306	0,634252432	2,21253406
GDI2	1,82373E-09	0,656561429	0,812	0,223	3,84825E-05	1,576321082	0,634388521	3,641255605
PRDX4	5,08872E-10	0,655740668	0,688	0,152	1,07377E-05	1,575424556	0,634749532	4,526315789
BOP1	1,16002E-11	0,655479362	0,375	0,035	2,44776E-07	1,575139235	0,634864511	10,71428571
RPL36	4,84438E-06	0,648676197	0,969	0,812	0,102221232	1,567729003	0,637865344	1,193349754
PARK7	1,59848E-05	0,648559014	0,781	0,348	0,337295323	1,567601669	0,637917157	2,244252874
POLR2K	1,13129E-08	0,648331722	0,719	0,188	0,000238713	1,567354717	0,638017667	3,824468085
TXN2	7,05346E-18	0,647512346	0,562	0,047	1,48835E-13	1,566464794	0,638380131	11,95744681
PHB	8,2542E-06	0,646832893	0,531	0,164	0,174171792	1,565727224	0,638680854	3,237804878
PSMC3	1,34576E-09	0,646492647	0,688	0,16	2,83969E-05	1,565358006	0,638831498	4,3
RPL8	2,64252E-05	0,646037795	0,938	0,777	0,557598502	1,564864558	0,639032941	1,207207207
SDF4	1,26449E-07	0,645909343	0,688	0,199	0,002668199	1,564725236	0,63908984	3,457286432
NDUFC2	1,54815E-06	0,645613808	0,875	0,312	0,032667575	1,564404735	0,63922077	2,804487179

Supplementary Table 1

Differentially expressed genes_adjacent-skin-XL_comparing SC-Keloid vs. (SC-Myel, SC-Nonmyel)								
gene	p_val	avg_log2FC	pct.1	pct.2	p_val_adj	Foldchange_UP	Foldchange_DOWN	Ratio_pct1_pct2
UQCRC1	9,15428E-09	0,645241776	0,562	0,117	0,000193164	1,56400137	0,639385629	4,803418803
RNH1	9,571E-06	0,644993829	0,812	0,328	0,201957769	1,563732597	0,639495526	2,475609756
ARL6IP4	7,76178E-06	0,644800011	0,812	0,352	0,163781369	1,563522533	0,639581444	2,306818182
NDUFB10	8,53823E-08	0,644089635	0,781	0,234	0,001801653	1,562752852	0,639896449	3,337606838
RPS3A	5,47126E-05	0,643919328	0,969	0,766	1	1,562568383	0,639971992	1,265013055
CHMP2A	3,9707E-10	0,643687222	0,812	0,211	8,37858E-06	1,562317011	0,640074961	3,848341232
CAVIN3	1,68397E-05	0,642070581	0,969	0,555	0,355335292	1,560567307	0,640792612	1,745945946
SKP1	3,83058E-05	0,641664545	1	0,605	0,808290904	1,560128157	0,640972984	1,652892562
TRAPPC1	4,02001E-15	0,641405111	0,625	0,078	8,48261E-11	1,559847631	0,641088258	8,012820513
NACA	1,07808E-05	0,639864653	1	0,797	0,227486016	1,558182971	0,641773154	1,254705144
DYNLL1	7,72669E-08	0,639541248	1	0,516	0,001630409	1,557833716	0,641917035	1,937984496
TSPO	1,97021E-05	0,638173175	0,844	0,406	0,415734598	1,55635716	0,642526038	2,078817734
CTSB	2,40663E-11	0,63785483	0,562	0,09	5,07822E-07	1,556013773	0,642667833	6,244444444
MZT2A	1,63335E-09	0,637367619	0,594	0,121	3,44654E-05	1,555488382	0,642884905	4,909090909
MIF	7,38514E-05	0,636933547	0,906	0,57	1	1,555020443	0,643078363	1,589473684
C19orf53	2,92947E-06	0,63597615	0,75	0,289	0,061814759	1,553988847	0,643505262	2,595155709
BANF1	4,9481E-06	0,635124641	0,688	0,227	0,104409771	1,553071921	0,643885184	3,030837004
RPL32	3,49516E-06	0,634822963	1	0,938	0,073751443	1,552747197	0,644019839	1,066098081
DNAJC10	1,25246E-15	0,63480141	0,656	0,082	2,64283E-11	1,552724	0,64402946	8
NUDT1	4,64033E-13	0,631855665	0,469	0,051	9,79156E-09	1,549556828	0,645345806	9,196078431
SLC35B1	7,88975E-08	0,630793216	0,469	0,094	0,001664816	1,548416102	0,645821235	4,989361702
CKLF	1,41352E-09	0,630190764	0,5	0,086	2,98268E-05	1,547769638	0,646090978	5,813953488
TUBA1B	0,036503545	0,629680844	0,938	0,691	1	1,547222675	0,64631938	1,357452967
SRA1	2,2339E-10	0,629202339	0,469	0,07	4,71375E-06	1,546709587	0,646533783	6,7
DRAP1	7,7254E-05	0,628779246	0,781	0,336	1	1,546256057	0,646723417	2,324404762
MAPRE3	1,16171E-10	0,628604675	0,375	0,043	2,45131E-06	1,546068966	0,646801677	8,720930233
ANXA4	9,60629E-11	0,628286707	0,688	0,145	2,02702E-06	1,545728251	0,646944247	4,744827586
NDUFB7	1,77149E-05	0,627954952	0,844	0,328	0,373802353	1,545372844	0,647093032	2,573170732
TBCA	4,49368E-05	0,627942902	0,875	0,5	0,948210751	1,545359936	0,647098437	1,75
MRPS34	2,34145E-10	0,627727577	0,594	0,113	4,9407E-06	1,545129306	0,647195025	5,256637168

Supplementary Table 1

Differentially expressed genes_adjacent-skin-XL_comparing SC-Keloid vs. (SC-Myel, SC-Nonmyel)								
gene	p_val	avg_log2FC	pct.1	pct.2	p_val_adj	Foldchange_UP	Foldchange_DOWN	Ratio_pct1_pct2
LAP3	1,93605E-14	0,62757391	0,5	0,051	4,08525E-10	1,544964737	0,647263964	9,803921569
NRBP1	4,00619E-10	0,627487558	0,656	0,137	8,45345E-06	1,544872267	0,647302707	4,788321168
PSMA4	2,96861E-08	0,626727563	0,719	0,207	0,000626406	1,54405866	0,647643788	3,473429952
ZNF706	2,40485E-07	0,626266612	0,969	0,371	0,005074471	1,543565402	0,647850748	2,611859838
PLPP5	3,61686E-15	0,625431657	0,469	0,039	7,63193E-11	1,542672327	0,648225798	12,02564103
BRI3	1,31501E-06	0,62540539	0,781	0,273	0,027747991	1,54264424	0,6482376	2,860805861
SYNCRIP	8,67577E-09	0,623478143	0,625	0,148	0,000183067	1,54058485	0,649104137	4,222972973
SEC61G	3,73667E-05	0,622434915	0,75	0,363	0,788473882	1,53947124	0,649573681	2,066115702
LAMTOR5	2,16223E-06	0,622374706	0,875	0,352	0,04562527	1,539406993	0,649600791	2,485795455
TMEM147	1,43922E-10	0,622312309	0,594	0,109	3,03691E-06	1,539340415	0,649628887	5,449541284
RPL11	4,00939E-06	0,621048452	1	0,871	0,084602221	1,537992483	0,650198236	1,148105626
MYL3	0,004841742	0,62049564	0,031	0	1	1,537403267	0,650447427	#DIV/0!
P3H2	9,69112E-18	0,619282021	0,344	0,008	2,04492E-13	1,536110522	0,650994825	43
GAP43	6,89484E-07	0,619050431	0,312	0,051	0,0145488	1,535863956	0,651099335	6,117647059
SPTSSA	1,55593E-06	0,618921069	0,906	0,359	0,032831648	1,535726246	0,651157719	2,52367688
HIGD1A	1,05639E-10	0,618836377	0,688	0,141	2,22909E-06	1,535636096	0,651195946	4,879432624
RIC8A	2,63322E-17	0,617602552	0,531	0,043	5,55636E-13	1,534323347	0,651753102	12,34883721
RPL35	9,1366E-06	0,617490788	1	0,793	0,192791309	1,534204489	0,651803594	1,261034048
TIMM10	6,64612E-16	0,617465309	0,531	0,051	1,4024E-11	1,534177394	0,651815106	10,41176471
SPPL2A	6,06116E-05	0,6172588	0,781	0,352	1	1,533957807	0,651908413	2,21875
HMGB1	3,95027E-06	0,6172048	1	0,824	0,083354737	1,533900391	0,651932815	1,213592233
ACSBG1	9,90862E-17	0,617178771	0,375	0,016	2,09082E-12	1,533872717	0,651944577	23,4375
URM1	2,27157E-10	0,613163036	0,531	0,094	4,79323E-06	1,529609126	0,65376179	5,64893617
SSNA1	8,58711E-08	0,613089431	0,594	0,145	0,001811965	1,529531089	0,653795145	4,096551724
FIBP	4,8988E-10	0,61246499	0,562	0,105	1,03369E-05	1,528869206	0,654078188	5,352380952
LSM1	4,80798E-15	0,611077589	0,625	0,078	1,01453E-10	1,52739964	0,6547075	8,012820513
TUSC3	1,38925E-21	0,610499127	0,344	0	2,93145E-17	1,526787338	0,654970064	#DIV/0!
CREB3	7,21863E-08	0,610401323	0,5	0,109	0,001523202	1,526683837	0,655014467	4,587155963
RPL37A	2,00353E-06	0,609741938	1	0,902	0,042276416	1,525986224	0,655313911	1,10864745
IL11	1,83852E-05	0,608702389	0,156	0,016	0,387946114	1,524887054	0,655786274	9,75

Supplementary Table 1

Differentially expressed genes_adjacent-skin-XL_comparing SC-Keloid vs. (SC-Myel, SC-Nonmyel)								
gene	p_val	avg_log2FC	pct.1	pct.2	p_val_adj	Foldchange_UP	Foldchange_DOWN	Ratio_pct1_pct2
ZCRB1	5,64784E-13	0,608026882	0,688	0,113	1,19175E-08	1,52417323	0,656093402	6,088495575
SEPTIN9	5,46209E-08	0,607929082	0,781	0,227	0,001152556	1,524069911	0,65613788	3,440528634
ACOT7	2,9033E-18	0,606907637	0,531	0,039	6,12626E-14	1,522991233	0,656602598	13,61538462
NDUFA7	3,55047E-12	0,606088296	0,625	0,105	7,49185E-08	1,522126535	0,656975604	5,952380952
B4GALT1	3,48157E-09	0,605912269	0,5	0,094	7,34646E-05	1,521940828	0,657055768	5,319148936
PCBD1	8,94097E-10	0,605575297	0,375	0,047	1,88663E-05	1,521585388	0,657209256	7,978723404
ATP5PF	5,91898E-05	0,605560854	0,781	0,375	1	1,521570156	0,657215835	2,082666667
PARP1	6,44279E-07	0,605423709	0,469	0,113	0,013594923	1,521425519	0,657278314	4,150442478
AKT1	1,12093E-09	0,605284664	0,781	0,188	2,36528E-05	1,521278893	0,657341665	4,154255319
PDHB	2,42673E-14	0,604988443	0,531	0,059	5,12064E-10	1,520966569	0,657476647	9
SUGT1	7,90171E-08	0,604519183	0,531	0,121	0,001667341	1,520471931	0,657690537	4,388429752
HSPB2	0,000301659	0,603975146	0,438	0,148	1	1,519898673	0,657938597	2,959459459
DECR1	3,98814E-07	0,60338366	0,562	0,145	0,00841538	1,519275661	0,658208399	3,875862069
RPL35A	1,34564E-05	0,603295968	1	0,84	0,283943411	1,519183318	0,658248408	1,19047619
MLEC	5,81527E-09	0,602947275	0,625	0,141	0,000122708	1,518816181	0,658407523	4,432624113
PSMD1	5,08269E-10	0,602309281	0,594	0,117	1,0725E-05	1,518144673	0,658698751	5,076923077
UBL5	7,11952E-05	0,602140718	0,906	0,527	1	1,517967305	0,658775717	1,719165085
CD2BP2	5,75559E-13	0,601452865	0,562	0,078	1,21449E-08	1,517243737	0,659089885	7,205128205
HADHB	2,87858E-05	0,600659669	0,625	0,219	0,60740838	1,516409783	0,659452353	2,853881279
SDC3	2,06975E-06	0,600005121	0,938	0,398	0,043673803	1,515721947	0,659751613	2,35678392
SWI5	7,08319E-12	0,599690613	0,531	0,078	1,49462E-07	1,515391554	0,659895455	6,807692308
ATP5MC3	1,50772E-06	0,599106176	0,844	0,332	0,031814504	1,514777792	0,660162834	2,542168675
DUSP10	2,01087E-19	0,598201932	0,469	0,023	4,24314E-15	1,513828666	0,660576737	20,39130435
YWHAB	0,000144927	0,596912817	0,812	0,445	1	1,512476595	0,661167256	1,824719101
CTSD	1,92675E-05	0,59581634	0,844	0,367	0,406562689	1,511327519	0,661669948	2,29972752
RPL37	1,06417E-06	0,594811822	1	0,898	0,022454962	1,51027558	0,662130815	1,113585746
NABP2	3,76964E-13	0,594784687	0,438	0,043	7,95431E-09	1,510247174	0,662143268	10,18604651
MTX2	2,44254E-17	0,593988568	0,531	0,043	5,15401E-13	1,509414008	0,662508758	12,34883721
TMEM47	1,0548E-08	0,593682836	0,719	0,188	0,000222573	1,50909417	0,66264917	3,824468085
PLPP1	4,73794E-05	0,593371895	0,969	0,57	0,999752774	1,508768954	0,662792005	1,7

Supplementary Table 1

Differentially expressed genes_adjacent-skin-XL_comparing SC-Keloid vs. (SC-Myel, SC-Nonmyel)								
gene	p_val	avg_log2FC	pct.1	pct.2	p_val_adj	Foldchange_UP	Foldchange_DOWN	Ratio_pct1_pct2
MPDU1	3,071E-13	0,592646143	0,438	0,043	6,48011E-09	1,508010154	0,663125508	10,18604651
CDKN2A	2,00705E-19	0,592250411	0,344	0,004	4,23507E-15	1,507596563	0,663307429	86
CCDC167	1,34816E-15	0,592174219	0,438	0,031	2,84476E-11	1,507516945	0,663342461	14,12903226
EDNRB	3,64754E-07	0,591194188	0,656	0,184	0,007696675	1,506493228	0,663793226	3,565217391
EXOSC10	1,29997E-08	0,590178976	0,406	0,066	0,000274307	1,505433495	0,664260496	6,151515152
LSM10	1,22053E-12	0,590116576	0,531	0,07	2,57544E-08	1,505368383	0,664289227	7,585714286
EFEMP2	1,62891E-11	0,590072492	0,531	0,078	3,43716E-07	1,505322385	0,664309526	6,807692308
STMN1	0,000460134	0,588454757	0,875	0,438	1	1,503635369	0,665054853	1,997716895
MELTF	1,86558E-08	0,588238575	0,219	0,016	0,000393656	1,503410072	0,665154517	13,6875
RPL26L1	1,2471E-11	0,588077518	0,531	0,078	2,6315E-07	1,503242247	0,665228776	6,807692308
ANXA11	1,0508E-12	0,58767225	0,625	0,098	2,21729E-08	1,50282003	0,665415672	6,37755102
NCBP2	1,1201E-11	0,587646911	0,469	0,059	2,36352E-07	1,502793635	0,665427359	7,949152542
KRTCAP2	4,00777E-06	0,586964979	0,906	0,352	0,084568053	1,502083464	0,665741967	2,573863636
SNX17	2,28791E-11	0,586954415	0,562	0,09	4,82772E-07	1,502072465	0,665746842	6,244444444
SMIM26	5,11562E-07	0,586477999	0,594	0,164	0,010794478	1,501576523	0,665966725	3,62195122
C1QBP	4,06621E-08	0,585250508	0,594	0,145	0,000858012	1,500299477	0,666533592	4,096551724
RTN3	1,24016E-05	0,584445713	0,531	0,156	0,261685793	1,499462781	0,666905516	3,403846154
MYO10	2,3932E-12	0,583637966	0,406	0,039	5,04989E-08	1,498623486	0,667279013	10,41025641
C11orf58	1,04775E-05	0,583289224	0,875	0,359	0,221085833	1,498261268	0,667440333	2,437325905
HYI	1,21188E-08	0,583287814	0,562	0,125	0,00025572	1,498259804	0,667440986	4,496
CRLF1	1,41588E-11	0,583229217	0,281	0,016	2,98764E-07	1,498198951	0,667468095	17,5625
REEP5	1,42268E-06	0,582833385	0,812	0,277	0,030019997	1,497787947	0,667651253	2,931407942
MACIR	5,47843E-13	0,582077758	0,438	0,043	1,156E-08	1,49700367	0,668001035	10,18604651
IFI27	0,005375672	0,580844946	0,5	0,242	1	1,495724997	0,668572099	2,066115702
FHL3	2,15942E-12	0,580697896	0,406	0,039	4,5566E-08	1,495572549	0,668640248	10,41025641
CAPZB	7,12848E-05	0,580363177	0,719	0,305	1	1,495225602	0,668795397	2,357377049
SNRPD3	7,28727E-09	0,580276666	0,688	0,164	0,000153769	1,495135943	0,668835502	4,195121951
SNX3	0,000205302	0,579743122	0,812	0,371	1	1,494583108	0,6690829	2,188679245
COL5A3	6,60168E-06	0,579415517	0,781	0,281	0,139302038	1,494243759	0,669234852	2,779359431
PSMC1	3,66446E-07	0,578857175	0,5	0,121	0,007732382	1,493665579	0,669493904	4,132231405

Supplementary Table 1

Differentially expressed genes_adjacent-skin-XL_comparing SC-Keloid vs. (SC-Myel, SC-Nonmyel)								
gene	p_val	avg_log2FC	pct.1	pct.2	p_val_adj	Foldchange_UP	Foldchange_DOWN	Ratio_pct1_pct2
SEC61B	1,56385E-05	0,578297358	0,906	0,438	0,329987962	1,493086095	0,669753742	2,068493151
GLT8D1	2,52672E-11	0,576574408	0,625	0,109	5,33162E-07	1,49130403	0,670554079	5,733944954
EIF6	1,02563E-09	0,576277872	0,625	0,133	2,16418E-05	1,490997534	0,670691921	4,69924812
FSCN1	6,56269E-11	0,576070705	0,625	0,117	1,38479E-06	1,490783447	0,670788237	5,341880342
ISLR	2,73095E-21	0,575855689	0,375	0,004	5,76258E-17	1,49056128	0,670888217	93,75
SERBP1	1,91503E-06	0,575438748	0,875	0,336	0,040408948	1,490130568	0,671082133	2,604166667
RPS7	4,13701E-05	0,575327785	1	0,824	0,872951003	1,490015962	0,67113375	1,213592233
C5orf15	6,9939E-09	0,575211457	0,625	0,145	0,000147578	1,489895823	0,671187867	4,310344828
CAPG	3,19317E-23	0,574808762	0,406	0,004	6,73791E-19	1,489480011	0,67137524	101,5
TPGS1	2,91529E-10	0,574360458	0,594	0,109	6,15156E-06	1,48901724	0,671583896	5,449541284
PRLR	0,000247725	0,574319583	0,156	0,023	1	1,488975053	0,671602924	6,782608696
DYRK2	1,26059E-11	0,574271275	0,406	0,043	2,65998E-07	1,488925197	0,671625413	9,441860465
MTCH2	5,9331E-06	0,573268435	0,375	0,082	0,125194427	1,487890581	0,672092432	4,573170732
MORF4L2	4,99404E-06	0,573140246	0,938	0,41	0,105379137	1,487758382	0,672152153	2,287804878
DCTN3	1,99675E-07	0,572667149	0,625	0,168	0,004213349	1,487270588	0,672372605	3,720238095
SRPX	1,49624E-12	0,572247601	0,5	0,062	3,15721E-08	1,486838139	0,672568166	8,064516129
SLC25A5	1,21953E-06	0,572237275	0,875	0,34	0,025733231	1,486827498	0,672572979	2,573529412
DUT	2,10918E-05	0,5705945	0,656	0,242	0,445058645	1,485135434	0,673339264	2,710743802
PPM1G	8,76082E-10	0,568427029	0,5	0,086	1,84862E-05	1,482905876	0,674351634	5,813953488
SLC1A5	8,64449E-12	0,56815764	0,438	0,051	1,82407E-07	1,482629005	0,674477564	8,588235294
RPS20	3,72948E-05	0,566872899	0,938	0,547	0,786957122	1,481309289	0,675078464	1,714808044
GLO1	3,1714E-08	0,566775307	0,594	0,137	0,000669196	1,481209089	0,675124132	4,335766423
UQCC2	4,38893E-09	0,566762504	0,594	0,125	9,26109E-05	1,481195944	0,675130123	4,752
EMC7	4,45928E-07	0,56552525	0,688	0,199	0,009409531	1,479926216	0,675709362	3,457286432
CHID1	2,75274E-14	0,565366656	0,688	0,105	5,80856E-10	1,479763538	0,675783647	6,552380952
TPM3	1,14805E-06	0,56521995	0,781	0,273	0,024224989	1,47961307	0,67585237	2,860805861
LY6E	5,87694E-11	0,565152629	0,75	0,16	1,24009E-06	1,479544029	0,675883908	4,6875
SRI	1,07423E-05	0,564778214	0,812	0,312	0,226673373	1,4791601	0,676059339	2,602564103
FAM89B	1,62891E-11	0,564681199	0,531	0,078	3,43716E-07	1,479060637	0,676104803	6,807692308
TRIR	0,000291214	0,564201901	0,875	0,41	1	1,478569338	0,676329459	2,134146341

Supplementary Table 1

Differentially expressed genes_adjacent-skin-XL_comparing SC-Keloid vs. (SC-Myel, SC-Nonmyel)								
gene	p_val	avg_log2FC	pct.1	pct.2	p_val_adj	Foldchange_UP	Foldchange_DOWN	Ratio_pct1_pct2
GUK1	1,90277E-05	0,56397763	0,844	0,379	0,401502502	1,478339508	0,676434604	2,226912929
CLDN4	1,59511E-16	0,563697503	0,375	0,016	3,36584E-12	1,478052489	0,676565959	23,4375
NPM1	0,000278114	0,561952259	0,906	0,539	1	1,476265553	0,677384904	1,680890538
TNFRSF19	4,27264E-13	0,561639693	0,688	0,109	9,01569E-09	1,475945749	0,677531678	6,311926606
POLR2G	6,42263E-11	0,56126385	0,656	0,129	1,35524E-06	1,475561294	0,677708208	5,085271318
PTPRE	2,84766E-08	0,561176236	0,469	0,09	0,000600884	1,475471686	0,677749366	5,211111111
TOMM6	1,40007E-07	0,560783145	0,812	0,25	0,002954284	1,475069719	0,677934058	3,248
CMPK1	2,29989E-06	0,560710118	0,625	0,188	0,048529927	1,474995055	0,677968374	3,324468085
RPS9	7,39803E-05	0,560557262	1	0,789	1	1,474838785	0,67804021	1,267427123
RRAGA	6,58558E-09	0,560498381	0,656	0,152	0,000138962	1,474778594	0,678067884	4,315789474
APOC2	1,24307E-11	0,559850657	0,375	0,035	2,623E-07	1,474116614	0,678372383	10,71428571
VDAC2	5,87317E-06	0,559642338	0,75	0,262	0,123929827	1,473903773	0,678470344	2,86259542
UFC1	1,62058E-11	0,558748314	0,719	0,137	3,41959E-07	1,472990692	0,678890916	5,248175182
CHST3	2,09208E-12	0,558475102	0,656	0,109	4,4145E-08	1,47271177	0,679019494	6,018348624
EIF3M	2,28222E-07	0,558163646	0,656	0,188	0,004815715	1,472393867	0,6791661	3,489361702
RPS27L	0,000211355	0,558075906	0,844	0,406	1	1,472304324	0,679207406	2,078817734
ALKBH7	1,16085E-09	0,556246491	0,656	0,141	2,44951E-05	1,470438546	0,680069224	4,65248227
COX4I1	8,0391E-05	0,555801695	0,906	0,504	1	1,469985267	0,680278927	1,797619048
HOXD-AS2	1,33663E-19	0,555661205	0,406	0,012	2,82043E-15	1,469842125	0,680345176	33,83333333
PRAF2	6,60292E-09	0,555658643	0,406	0,066	0,000139328	1,469839516	0,680346384	6,151515152
SRP72	4,29191E-09	0,555064918	0,719	0,18	9,05635E-05	1,469234744	0,680626431	3,994444444
DOK1	2,89553E-10	0,554938606	0,344	0,035	6,10986E-06	1,469106114	0,680686024	9,828571429
TMEM230	7,35497E-08	0,554379104	0,688	0,184	0,001551972	1,46853648	0,680950057	3,739130435
DCBLD2	6,51352E-06	0,554211699	0,5	0,145	0,1374417	1,468366086	0,681029077	3,448275862
RHOC	0,000312485	0,553881136	0,938	0,527	1	1,468029679	0,681185138	1,779886148
AFAP1L1	5,69635E-19	0,553574655	0,469	0,023	1,20199E-14	1,46771785	0,681329862	20,39130435
ARF4	1,16459E-05	0,552866932	0,781	0,324	0,245739348	1,466998028	0,681664174	2,410493827
UNC5B	1,82586E-19	0,552738878	0,375	0,008	3,85275E-15	1,466867823	0,681724682	46,875
AP2A1	1,06718E-07	0,552127556	0,406	0,074	0,00225185	1,46624639	0,682013614	5,486486486
BTF3L4	1,95567E-09	0,551910323	0,625	0,129	4,12666E-05	1,466025627	0,682116316	4,84496124

Supplementary Table 1

Differentially expressed genes_adjacent-skin-XL_comparing SC-Keloid vs. (SC-Myel, SC-Nonmyel)								
gene	p_val	avg_log2FC	pct.1	pct.2	p_val_adj	Foldchange_UP	Foldchange_DOWN	Ratio_pct1_pct2
NDUFB3	8,91972E-10	0,551418708	0,656	0,141	1,88215E-05	1,465526147	0,682348795	4,65248227
PRKAR1B	1,12056E-11	0,550879423	0,375	0,035	2,3645E-07	1,46497843	0,682603907	10,71428571
DESI1	6,7021E-10	0,55086944	0,406	0,055	1,41421E-05	1,464968293	0,68260863	7,381818182
JTB	9,97371E-07	0,550652304	0,75	0,23	0,021045521	1,464747821	0,682711376	3,260869565
CUTA	1,32821E-05	0,550180191	0,719	0,273	0,280266545	1,46426857	0,682934825	2,633699634
NDUFS4	9,26729E-06	0,549931644	0,719	0,262	0,195549151	1,464016328	0,683052491	2,744274809
APP	3,0478E-05	0,549816008	0,844	0,406	0,643116158	1,463898988	0,683107242	2,078817734
HS2ST1	1,39928E-07	0,549747207	0,25	0,027	0,002952628	1,463829178	0,683139819	9,259259259
FBN1	5,17299E-12	0,549550849	0,531	0,074	1,09155E-07	1,463629956	0,683232805	7,175675676
TRAF1	2,19124E-17	0,549548652	0,438	0,023	4,62374E-13	1,463627727	0,683233845	19,04347826
CMC1	2,15119E-17	0,549257873	0,5	0,035	4,53922E-13	1,463332759	0,683371567	14,28571429
PRDX6	2,39676E-06	0,548914362	0,812	0,312	0,050573985	1,462984375	0,683534299	2,602564103
SQLE	2,32831E-09	0,54759265	0,438	0,07	4,91296E-05	1,461644689	0,6841608	6,257142857
C2orf27A	6,96316E-22	0,546867177	0,469	0,016	1,4693E-17	1,460909873	0,684504923	29,3125
EID1	4,1613E-05	0,54552204	0,969	0,57	0,878075411	1,459548387	0,685143438	1,7
NDUFB4	1,07526E-05	0,545054853	0,812	0,336	0,22689104	1,459075819	0,685365344	2,416666667
METTL9	1,48175E-13	0,544316662	0,656	0,098	3,12664E-09	1,458329437	0,685716118	6,693877551
ACTR10	4,41915E-06	0,544246025	0,594	0,18	0,09324855	1,458258036	0,685749693	3,3
TMBIM4	1,1109E-05	0,544071775	0,812	0,324	0,234411009	1,458081918	0,685832523	2,50617284
PCNA	9,46056E-08	0,543886623	0,375	0,062	0,001996274	1,457894803	0,685920546	6,048387097
CDK4	6,04836E-09	0,542904385	0,531	0,105	0,000127626	1,456902554	0,686387705	5,057142857
ITIH5	0,000216124	0,542055553	0,469	0,168	1	1,456045615	0,686791671	2,791666667
CNIH4	6,12691E-08	0,540390867	0,469	0,094	0,00129284	1,454366493	0,687584598	4,989361702
TMEM115	5,87232E-07	0,54027445	0,344	0,059	0,012391183	1,454249139	0,687640084	5,830508475
SPCS2	0,000379257	0,539528905	0,875	0,418	1	1,453497817	0,687995529	2,093301435
ECHDC1	1,86116E-09	0,539465902	0,625	0,133	3,92724E-05	1,453434344	0,688025575	4,69924812
ADH5	2,84037E-06	0,539335793	0,594	0,168	0,05993463	1,453303272	0,688087627	3,535714286
COX8A	7,42334E-05	0,539024516	0,812	0,375	1	1,45298974	0,688236105	2,165333333
MRPS12	4,11174E-16	0,538687993	0,469	0,035	8,67619E-12	1,452650855	0,688396662	13,4
VKORC1	8,46223E-07	0,538666269	0,656	0,191	0,017856142	1,452628982	0,688407028	3,434554974

Supplementary Table 1

Differentially expressed genes_adjacent-skin-XL_comparing SC-Keloid vs. (SC-Myel, SC-Nonmyel)								
gene	p_val	avg_log2FC	pct.1	pct.2	p_val_adj	Foldchange_UP	Foldchange_DOWN	Ratio_pct1_pct2
HAGH	3,73533E-11	0,538536267	0,594	0,102	7,88192E-07	1,45249809	0,688469064	5,823529412
ACP1	7,15714E-16	0,538275764	0,688	0,09	1,51023E-11	1,452235841	0,688593389	7,644444444
RBIS	4,43793E-06	0,53822531	0,781	0,273	0,093644721	1,452185054	0,688617471	2,860805861
ILK	3,37245E-07	0,538222784	0,688	0,207	0,007116214	1,452182512	0,688618677	3,323671498
RAB34	2,20931E-07	0,538165346	0,688	0,199	0,004661874	1,452124697	0,688646094	3,457286432
S100B	0,001632504	0,537796454	1	0,805	1	1,451753441	0,6888222	1,242236025
TMA7	0,000302107	0,537631377	0,938	0,652	1	1,451587338	0,688901022	1,438650307
EIF3L	1,33815E-06	0,537586731	0,688	0,215	0,02823627	1,451542417	0,688922341	3,2
SEMA3C	9,39893E-06	0,536338446	0,938	0,395	0,198326859	1,45028702	0,689518686	2,374683544
DNM1	9,87864E-16	0,536222317	0,281	0,004	2,08449E-11	1,450170284	0,689574191	70,25
EPDR1	3,95687E-08	0,535836573	0,406	0,07	0,00083494	1,449782594	0,689758592	5,8
SNRPB2	4,75861E-05	0,535761295	0,656	0,242	1	1,449706948	0,689794583	2,710743802
EEF1E1	2,16004E-10	0,535582069	0,406	0,051	4,55789E-06	1,449526862	0,689880282	7,960784314
DNAJB11	4,0548E-07	0,53467486	0,625	0,172	0,008556038	1,448615643	0,690314235	3,63372093
AP3S1	3,09333E-07	0,534208285	0,531	0,133	0,006527244	1,448147229	0,690537523	3,992481203
SPARC	1,67658E-05	0,534176048	1	0,926	0,353774692	1,448114871	0,690552952	1,079913607
COX5A	1,79196E-08	0,533581309	0,656	0,16	0,000378122	1,447518021	0,690837686	4,1
MORN2	1,08008E-15	0,533011693	0,531	0,051	2,27908E-11	1,446946613	0,691110502	10,41176471
ITGB1BP1	6,37682E-07	0,532574588	0,781	0,227	0,013455723	1,446508286	0,691319925	3,440528634
UBE2S	7,91444E-05	0,532160623	0,594	0,207	1	1,446093287	0,69151832	2,869565217
TTYH3	6,98239E-08	0,531674092	0,312	0,043	0,001473355	1,445605692	0,691751565	7,255813953
GPAA1	2,42399E-09	0,531381308	0,625	0,133	5,11486E-05	1,445312347	0,691891965	4,69924812
ACTL6A	7,6787E-13	0,529620949	0,438	0,043	1,62028E-08	1,44354987	0,692736718	10,18604651
SNRNP200	1,33027E-07	0,529543229	0,5	0,113	0,002807008	1,443472107	0,692774038	4,424778761
CSNK2B	2,88556E-05	0,529214228	0,625	0,215	0,608882415	1,443142965	0,692932041	2,906976744
PYCR1	1,27193E-17	0,529129952	0,312	0,004	2,68389E-13	1,443058666	0,69297252	78
NDUFS7	1,2802E-08	0,528660765	0,688	0,168	0,000270134	1,442589437	0,693197922	4,095238095
PSMB7	9,99137E-07	0,528500323	0,688	0,215	0,021082797	1,442429015	0,693275017	3,2
USF2	1,89393E-06	0,527987987	0,625	0,188	0,039963853	1,441916865	0,693521259	3,324468085
LRRCC1	7,25359E-08	0,526961962	0,469	0,094	0,001530579	1,440891758	0,694014658	4,989361702

Supplementary Table 1

Differentially expressed genes_adjacent-skin-XL_comparing SC-Keloid vs. (SC-Myel, SC-Nonmyel)								
gene	p_val	avg_log2FC	pct.1	pct.2	p_val_adj	Foldchange_UP	Foldchange_DOWN	Ratio_pct1_pct2
GSTZ1	1,29948E-13	0,526550231	0,469	0,047	2,74203E-09	1,4404806	0,694212751	9,978723404
MRPL15	3,19317E-23	0,526462621	0,406	0,004	6,73791E-19	1,440393127	0,694254909	101,5
NNT	1,2714E-17	0,526303124	0,344	0,008	2,68278E-13	1,440233893	0,694331667	43
PRKDC	1,39386E-07	0,526235155	0,656	0,176	0,002941179	1,440166042	0,694364379	3,727272727
YWHAH	2,06445E-05	0,525948476	0,719	0,273	0,435618556	1,439879894	0,694502371	2,633699634
PDAP1	2,38541E-08	0,525317599	0,719	0,191	0,000503346	1,439250386	0,694806136	3,764397906
HOXB7	2,20066E-25	0,525129395	0,406	0	4,64361E-21	1,439062643	0,694896782	#DIV/0!
MDH2	1,18006E-06	0,525112311	0,656	0,199	0,024900411	1,439045603	0,694905011	3,296482412
COX17	6,05974E-07	0,525010083	0,688	0,199	0,012786665	1,438943637	0,694954253	3,457286432
OPRD1	1,0613E-19	0,524924345	0,312	0	2,23945E-15	1,438858125	0,694995554	#DIV/0!
COX6C	4,41202E-06	0,524648854	0,938	0,461	0,093097957	1,438583393	0,69512828	2,034707158
CCPG1	8,84602E-09	0,524545969	0,656	0,148	0,00018666	1,438480804	0,695177855	4,432432432
ZNF428	3,92765E-06	0,524379657	0,812	0,305	0,082877431	1,438314987	0,695257999	2,662295082
TCEA1	1,54645E-07	0,523970164	0,844	0,262	0,00326316	1,437906795	0,695455368	3,221374046
ZNF385A	9,69112E-18	0,523362778	0,344	0,008	2,04492E-13	1,437301553	0,695748222	43
NDUFA11	0,000111281	0,523021766	0,812	0,344	1	1,436961856	0,695912697	2,360465116
SCAND1	7,46874E-09	0,522742353	0,719	0,184	0,000157598	1,436683358	0,69604749	3,907608696
ROMO1	2,57838E-06	0,522017014	0,719	0,242	0,054406368	1,435961445	0,696397527	2,97107438
HMGN3	3,96906E-05	0,521239839	0,812	0,34	0,83751069	1,435188105	0,696772776	2,388235294
AGTRAP	2,54026E-10	0,521136641	0,375	0,043	5,36021E-06	1,435085449	0,696822618	8,720930233
GNB1	2,30978E-05	0,521013195	0,812	0,32	0,487387371	1,434962658	0,696882246	2,5375
VPS25	1,9508E-14	0,520986855	0,469	0,043	4,11638E-10	1,434936461	0,696894969	10,90697674
DR1	7,64549E-09	0,519796621	0,469	0,082	0,000161327	1,433753115	0,69747015	5,719512195
GNG10	1,59374E-07	0,519661549	0,719	0,203	0,003362951	1,433618887	0,697535453	3,541871921
AKAP12	2,18881E-05	0,519586161	0,469	0,141	0,461860409	1,433543975	0,697571904	3,326241135
BCL2L13	8,2354E-13	0,518575324	0,344	0,023	1,73775E-08	1,432539902	0,698060835	14,95652174
SLC35B2	2,24393E-09	0,518131969	0,5	0,09	4,73491E-05	1,432099735	0,698275389	5,555555556
TMED2	7,58628E-08	0,517528699	0,719	0,199	0,001600781	1,431501021	0,698567438	3,613065327
MED11	1,20084E-11	0,517443829	0,375	0,035	2,5339E-07	1,431416812	0,698608534	10,71428571
COA3	1,19307E-13	0,516859849	0,594	0,078	2,5175E-09	1,430837514	0,698891377	7,615384615

Supplementary Table 1

Differentially expressed genes_adjacent-skin-XL_comparing SC-Keloid vs. (SC-Myel, SC-Nonmyel)								
gene	p_val	avg_log2FC	pct.1	pct.2	p_val_adj	Foldchange_UP	Foldchange_DOWN	Ratio_pct1_pct2
KDELR1	5,75219E-08	0,516111715	0,75	0,215	0,001213769	1,430095722	0,699253892	3,488372093
C1orf43	1,07259E-05	0,514333697	0,656	0,223	0,226327729	1,428334317	0,700116204	2,941704036
ITGA1	2,84154E-07	0,514315704	0,688	0,199	0,005995939	1,428316503	0,700124936	3,457286432
VIM	0,001640874	0,514232538	1	0,988	1	1,428234169	0,700165296	1,012145749
PHB2	1,06586E-06	0,514065161	0,625	0,184	0,022490618	1,428068479	0,700246532	3,39673913
RPL31	0,000225636	0,513761272	0,875	0,441	1	1,427767702	0,700394048	1,984126984
NUDT21	6,41542E-07	0,51352622	0,438	0,094	0,01353718	1,427535101	0,700508169	4,659574468
HSP90B1	0,000731824	0,51344568	0,844	0,543	1	1,427455409	0,700547277	1,554327808
SHTN1	6,79406E-16	0,513091237	0,469	0,035	1,43362E-11	1,427104754	0,700719409	13,4
RGS16	1,80366E-08	0,512754098	0,75	0,23	0,00038059	1,426771297	0,700883177	3,260869565
TMEM141	4,53448E-10	0,512013657	0,469	0,07	9,56821E-06	1,426039217	0,701242987	6,7
FAM114A1	6,6626E-07	0,511489934	0,625	0,18	0,014058751	1,425521634	0,701497596	3,472222222
MAZ	2,8838E-06	0,51100833	0,531	0,148	0,060851059	1,425045842	0,701731811	3,587837838
MVP	3,84429E-12	0,510869231	0,5	0,062	8,11184E-08	1,424908451	0,701799473	8,064516129
APEX1	9,94847E-09	0,510718034	0,594	0,133	0,000209923	1,424759126	0,701873027	4,466165414
COPZ1	2,0275E-07	0,51061014	0,469	0,102	0,004278236	1,424652578	0,701925519	4,598039216
SMC4	5,21449E-08	0,509751282	0,344	0,051	0,00110031	1,423804713	0,70234351	6,745098039
PEF1	2,11029E-10	0,509438463	0,562	0,098	4,45293E-06	1,423496024	0,702495816	5,734693878
ARHGAP12	6,21281E-08	0,508608728	0,5	0,105	0,001310964	1,422677566	0,702899957	4,761904762
CNN2	1,2714E-17	0,508384364	0,344	0,008	2,68278E-13	1,422456332	0,703009279	43
BAX	4,3271E-06	0,50755742	0,531	0,152	0,091306147	1,421641222	0,703412355	3,493421053
CSPG4	7,00097E-10	0,507391638	0,562	0,102	1,47728E-05	1,42147787	0,703493189	5,509803922
MRPL20	2,44208E-07	0,507220431	0,656	0,184	0,005153024	1,42130919	0,703576679	3,565217391
ERH	7,8485E-06	0,506905914	0,844	0,32	0,165611118	1,420999369	0,70373008	2,6375
GALR1	1,83586E-09	0,506427208	0,438	0,066	3,87385E-05	1,42052794	0,703963626	6,636363636
ADARB1	2,4996E-17	0,505198971	0,438	0,023	5,2744E-13	1,41931909	0,7045632	19,04347826
MCAM	0,000179067	0,505051899	0,812	0,41	1	1,419174408	0,704635029	1,980487805
MRPL40	3,72671E-08	0,504686057	0,5	0,102	0,000786374	1,418814576	0,704813735	4,901960784
RRAS	5,11302E-05	0,504370645	0,656	0,234	1	1,418504419	0,704967843	2,803418803
NAPRT	3,22509E-12	0,504148523	0,5	0,062	6,80527E-08	1,418286038	0,70507639	8,064516129

Supplementary Table 1

Differentially expressed genes_adjacent-skin-XL_comparing SC-Keloid vs. (SC-Myel, SC-Nonmyel)								
gene	p_val	avg_log2FC	pct.1	pct.2	p_val_adj	Foldchange_UP	Foldchange_DOWN	Ratio_pct1_pct2
MFSD12	4,92965E-07	0,50413729	0,656	0,184	0,010402047	1,418274995	0,70508188	3,565217391
CCT7	2,67114E-07	0,503759178	0,562	0,137	0,005636372	1,417903332	0,705266697	4,102189781
SMARCE1	4,37306E-08	0,503567712	0,688	0,176	0,000922759	1,417715169	0,705360302	3,909090909
GPR17	1,46005E-13	0,503431436	0,438	0,039	3,08084E-09	1,417581259	0,705426933	11,23076923
PXDN	9,22226E-13	0,503402029	0,5	0,059	1,94599E-08	1,417552364	0,705441313	8,474576271
GRSF1	2,35926E-10	0,503378026	0,406	0,051	4,97828E-06	1,41752878	0,705453049	7,960784314
COA1	5,86215E-13	0,503324937	0,438	0,043	1,23697E-08	1,417476617	0,705479009	10,18604651
PPP1R7	4,34639E-11	0,503128389	0,531	0,082	9,17131E-07	1,417283518	0,705575128	6,475609756
TGFB1	2,38844E-08	0,502837	0,625	0,148	0,000503985	1,416997291	0,705717651	4,222972973
M6PR	7,74708E-11	0,502640209	0,625	0,113	1,63471E-06	1,416804019	0,705813921	5,530973451
LDHB	7,17001E-06	0,502214907	0,688	0,25	0,151294484	1,416386411	0,706022024	2,752
PRKCSH	2,71895E-07	0,501891951	0,562	0,137	0,00573726	1,416069379	0,706180089	4,102189781
MTHFD1L	5,75596E-16	0,501873523	0,25	0	1,21456E-11	1,416051292	0,706189109	#DIV/0!
ARHGDI1	6,41032E-05	0,501674673	0,812	0,367	1	1,415856127	0,706286452	2,21253406
TRMT112	0,001315498	0,501041581	0,75	0,375	1	1,415234949	0,706596456	2
PRKRA	7,25359E-08	0,500588188	0,469	0,094	0,001530579	1,414790256	0,706818552	4,989361702
GUSB	2,59159E-09	0,500463692	0,594	0,121	5,46852E-05	1,414668174	0,706879549	4,909090909
ERCC1	1,40401E-12	0,499560342	0,562	0,078	2,9626E-08	1,41378265	0,707322303	7,205128205
COX16	6,22092E-07	0,499299349	0,656	0,191	0,013126757	1,41352691	0,707450274	3,434554974
MESD	7,32547E-14	0,498946006	0,594	0,078	1,54575E-09	1,413180754	0,707623563	7,615384615
PGLS	5,46318E-09	0,498745128	0,562	0,117	0,000115279	1,412983999	0,707722098	4,803418803
NDUFA9	5,57435E-10	0,498305088	0,438	0,062	1,17624E-05	1,412553087	0,707937995	7,064516129
TUBA1A	0,003477473	0,498032743	1	0,664	1	1,412286457	0,708071649	1,506024096
SERPINB8	2,00549E-07	0,497254275	0,312	0,047	0,00423179	1,411524602	0,708453822	6,638297872
HIKESHI	7,82443E-10	0,496010639	0,625	0,125	1,65103E-05	1,41030836	0,709064789	5
RSPO3	3,29263E-08	0,49583053	0,25	0,023	0,000694779	1,410132306	0,709153315	10,86956522
SNRPG	4,91975E-05	0,495028288	0,719	0,289	1	1,409348389	0,709547766	2,487889273
NHP2	2,14619E-09	0,494916447	0,625	0,133	4,52867E-05	1,409239138	0,709602773	4,69924812
MCUR1	2,87606E-09	0,493578727	0,594	0,121	6,06878E-05	1,407933045	0,710261048	4,909090909
GADD45GIP1	2,72486E-06	0,493140544	0,625	0,184	0,057497254	1,407505485	0,710476805	3,39673913

Supplementary Table 1

Differentially expressed genes_adjacent-skin-XL_comparing SC-Keloid vs. (SC-Myel, SC-Nonmyel)								
gene	p_val	avg_log2FC	pct.1	pct.2	p_val_adj	Foldchange_UP	Foldchange_DOWN	Ratio_pct1_pct2
SIGIRR	3,77936E-08	0,492784454	0,625	0,148	0,000797483	1,407158123	0,710652189	4,222972973
TXNL1	6,01004E-06	0,492295022	0,594	0,18	0,12681786	1,406680828	0,710893317	3,3
TBCB	0,000488155	0,491763147	0,812	0,344	1	1,406162326	0,711155449	2,360465116
DGUOK	3,03045E-09	0,491266197	0,656	0,145	6,39455E-05	1,405678043	0,711400456	4,524137931
EIF2AK4	3,71174E-12	0,490619184	0,469	0,055	7,83214E-08	1,405047772	0,711719573	8,527272727
GNG11	1,6649E-09	0,490503387	0,719	0,168	3,51312E-05	1,404935002	0,711776701	4,279761905
EXTL2	1,35367E-09	0,490081903	0,344	0,039	2,85638E-05	1,404524609	0,711984677	8,820512821
UFD1	6,11375E-06	0,48943738	0,438	0,105	0,129006141	1,403897279	0,712302826	4,171428571
RPL14	0,001239654	0,489408254	1	0,785	1	1,403868937	0,712317207	1,27388535
NDUFA6	1,90002E-07	0,489070857	0,656	0,172	0,004009222	1,403540658	0,712483813	3,813953488
CAPN1	5,0917E-09	0,488339982	0,625	0,137	0,00010744	1,402829799	0,712844852	4,562043796
IFNAR1	7,41583E-07	0,488265762	0,594	0,156	0,015648152	1,402757632	0,712881525	3,807692308
STUB1	8,44234E-06	0,48767491	0,656	0,211	0,178141776	1,402183254	0,713173544	3,109004739
TCEAL7	1,15834E-10	0,487199723	0,531	0,086	2,44421E-06	1,401721486	0,713408484	6,174418605
FKBP8	7,28475E-05	0,486476092	0,812	0,301	1	1,401018584	0,713766407	2,697674419
EIF3I	8,83479E-08	0,486259258	0,688	0,184	0,001864229	1,400808029	0,713873692	3,739130435
ATP5PO	1,60226E-06	0,485935687	0,781	0,254	0,033809221	1,400493888	0,714033382	3,07480315
HTATSF1	8,39107E-10	0,485709484	0,406	0,055	1,7706E-05	1,400274319	0,714145783	7,381818182
HRAS	1,48171E-06	0,485633017	0,438	0,102	0,031265647	1,400200102	0,714183636	4,294117647
VPS29	2,40518E-05	0,484734549	0,625	0,219	0,50751691	1,399328371	0,714628547	2,853881279
PXDC1	6,48449E-06	0,484590148	0,688	0,227	0,136829135	1,399188316	0,714700079	3,030837004
SURF4	1,14285E-07	0,484515465	0,625	0,16	0,002411519	1,399115888	0,714737077	3,90625
CFAP20	5,39203E-11	0,484477129	0,656	0,121	1,13777E-06	1,39907871	0,71475607	5,421487603
MRPL38	8,10967E-08	0,483420503	0,562	0,129	0,001711221	1,398054404	0,715279747	4,356589147
SLC16A3	7,24756E-09	0,48326956	0,188	0,008	0,000152931	1,397908139	0,715354587	23,5
TXNDC15	1,18104E-06	0,483082423	0,531	0,141	0,024921226	1,397726824	0,715447384	3,765957447
MFAP2	2,57203E-21	0,48291444	0,375	0,004	5,42725E-17	1,397564086	0,715530694	93,75
MYG1	6,90102E-08	0,482795977	0,375	0,062	0,001456185	1,397449333	0,71558945	6,048387097
TCEAL4	3,55263E-06	0,482648966	0,844	0,305	0,07496412	1,39730694	0,715662373	2,767213115
RPL39	0,001287941	0,482458801	0,969	0,855	1	1,39712277	0,715756712	1,133333333

Supplementary Table 1

Differentially expressed genes_adjacent-skin-XL_comparing SC-Keloid vs. (SC-Myel, SC-Nonmyel)								
gene	p_val	avg_log2FC	pct.1	pct.2	p_val_adj	Foldchange_UP	Foldchange_DOWN	Ratio_pct1_pct2
SSRP1	3,17659E-08	0,482457768	0,469	0,09	0,000670293	1,39712177	0,715757224	5,211111111
PDZD11	7,99979E-15	0,4822885	0,5	0,047	1,68803E-10	1,396957858	0,715841207	10,63829787
PRKACB	6,43083E-11	0,481950464	0,375	0,039	1,35697E-06	1,396630577	0,716008955	9,615384615
MRPL13	5,26874E-11	0,481938675	0,438	0,055	1,11176E-06	1,396619164	0,716014806	7,963636364
ATP6V1G1	2,7465E-05	0,481894	0,844	0,324	0,579538626	1,396575917	0,716036979	2,604938272
MRPL17	4,08383E-09	0,479932749	0,344	0,043	8,6173E-05	1,394678653	0,717011046	8
MINPP1	1,02526E-12	0,479750905	0,281	0,012	2,1634E-08	1,394502871	0,717101428	23,41666667
VBP1	2,0123E-06	0,479613944	0,531	0,141	0,042461523	1,394370491	0,717169508	3,765957447
SSR1	1,71068E-08	0,479275943	0,625	0,145	0,000360971	1,394043851	0,71733755	4,310344828
YIPF3	1,28902E-08	0,478970817	0,625	0,145	0,000271995	1,393749045	0,717489281	4,310344828
BAD	1,91275E-08	0,47861594	0,594	0,129	0,00040361	1,393406251	0,717665792	4,604651163
TLE5	4,40757E-05	0,478580681	0,906	0,41	0,930041277	1,393372197	0,717683331	2,209756098
SF3B5	1,20569E-07	0,478454806	0,656	0,18	0,002544125	1,39325063	0,717745952	3,644444444
TLN1	0,000177088	0,478407757	0,812	0,352	1	1,393205194	0,71776936	2,306818182
NIPSNAP3A	9,78982E-12	0,477668556	0,344	0,027	2,06575E-07	1,392491533	0,718137221	12,74074074
CES1	2,48095E-09	0,477362602	0,219	0,012	5,23505E-05	1,392196258	0,718289533	18,25
TALDO1	0,000195558	0,477334207	0,75	0,32	1	1,392168857	0,71830367	2,34375
DNAJC1	1,08432E-07	0,477285233	0,531	0,125	0,002288015	1,392121599	0,718328055	4,248
POP7	3,85602E-12	0,477111257	0,406	0,039	8,13659E-08	1,391953732	0,718414684	10,41025641
EIF3K	9,73766E-05	0,477041305	0,781	0,312	1	1,391886241	0,718449519	2,503205128
B3GAT3	5,10815E-10	0,476237719	0,594	0,109	1,07787E-05	1,391111172	0,718849809	5,449541284
DPH3	8,26184E-07	0,475797428	0,406	0,086	0,0174333	1,390686688	0,719069226	4,720930233
FKBP10	4,45123E-09	0,475697289	0,531	0,102	9,39255E-05	1,390590163	0,719119138	5,205882353
PSMA2	3,24863E-05	0,475507574	0,688	0,254	0,685493179	1,390407312	0,719213709	2,708661417
LAMTOR4	0,00019156	0,475269673	0,75	0,32	1	1,390178052	0,719332318	2,34375
PPP4C	3,39249E-09	0,474914039	0,562	0,109	7,15849E-05	1,389835406	0,71950966	5,155963303
ZNF787	0,000691403	0,473776507	0,312	0,094	1	1,388739985	0,7200772	3,319148936
ANP32A	1,18792E-09	0,47376427	0,688	0,148	2,50662E-05	1,388728205	0,720083308	4,648648649
SNRPB	0,001554573	0,473723568	0,719	0,375	1	1,388689027	0,720103623	1,917333333
CDK6	1,2292E-07	0,473697824	0,5	0,105	0,002593744	1,388664247	0,720116473	4,761904762

Supplementary Table 1

Differentially expressed genes_adjacent-skin-XL_comparing SC-Keloid vs. (SC-Myel, SC-Nonmyel)								
gene	p_val	avg_log2FC	pct.1	pct.2	p_val_adj	Foldchange_UP	Foldchange_DOWN	Ratio_pct1_pct2
RUNX1	1,99622E-09	0,472971778	0,625	0,129	4,21223E-05	1,387965567	0,720478969	4,84496124
TATDN1	3,78582E-13	0,47173454	0,5	0,059	7,98845E-09	1,386775775	0,721097108	8,474576271
GNB5	2,37538E-09	0,471606333	0,219	0,012	5,0123E-05	1,386652543	0,721161192	18,25
AKR1A1	2,49974E-06	0,471535769	0,469	0,117	0,052746924	1,386584722	0,721196465	4,008547009
SLITRK6	2,14689E-09	0,470590671	0,688	0,152	4,53016E-05	1,385676678	0,72166907	4,526315789
AGAP2-AS1	5,01789E-11	0,469911662	0,312	0,023	1,05883E-06	1,385024658	0,722008806	13,56521739
KLF2	5,21873E-06	0,469629364	0,781	0,297	0,110120397	1,384753671	0,722150098	2,62962963
SNRPE	7,51796E-06	0,469227093	0,625	0,203	0,158636542	1,384367611	0,722351485	3,078817734
COMMD1	1,41896E-08	0,468890675	0,5	0,098	0,000299415	1,384044831	0,722519948	5,102040816
PKN1	1,49638E-09	0,468807251	0,625	0,129	3,1575E-05	1,383964801	0,722561729	4,84496124
PDGFA	0,015885062	0,468779111	0,781	0,402	1	1,383937807	0,722575823	1,94278607
ABHD12	2,50863E-07	0,468636576	0,5	0,113	0,005293468	1,383801084	0,722647216	4,424778761
HBEGF	2,45176E-05	0,468624412	0,812	0,34	0,517346134	1,383789416	0,722653308	2,388235294
LINC00623	1,14679E-10	0,468124119	0,594	0,105	2,41985E-06	1,383309633	0,722903951	5,657142857
TMEM134	1,16828E-07	0,467921637	0,406	0,074	0,002465178	1,3831155	0,723005418	5,486486486
STK17A	1,80278E-09	0,467331806	0,688	0,152	3,80406E-05	1,382550143	0,723301072	4,526315789
RAB32	8,93296E-09	0,466904033	0,5	0,094	0,000188494	1,382140264	0,723515569	5,319148936
ST6GAL1	1,46247E-13	0,466515628	0,531	0,062	3,08595E-09	1,381768212	0,723710382	8,564516129
MRPL41	3,1655E-07	0,465889346	0,75	0,227	0,006679516	1,381168509	0,724024617	3,303964758
RPS17	0,002655389	0,465317426	0,812	0,48	1	1,380621088	0,724311695	1,691666667
THOC7	3,25369E-06	0,465280105	0,5	0,137	0,068656094	1,380585374	0,724330432	3,649635036
VCAN	1,22029E-11	0,464905574	0,406	0,043	2,57494E-07	1,380227013	0,724518496	9,441860465
GNB2	0,000151709	0,464664077	0,844	0,383	1	1,379995992	0,724639786	2,203655352
SLC66A2	3,09295E-09	0,464477553	0,375	0,051	6,52643E-05	1,379817585	0,72473348	7,352941176
NDUFB8	0,000102612	0,464372135	0,781	0,324	1	1,379716766	0,724786438	2,410493827
EIF4EBP1	2,89649E-10	0,463970973	0,406	0,051	6,11189E-06	1,37933317	0,724988003	7,960784314
PIH1D1	1,114E-08	0,463632168	0,5	0,094	0,000235065	1,379009282	0,725158281	5,319148936
STMN3	1,58874E-13	0,463495236	0,469	0,047	3,3524E-09	1,378878402	0,725227111	9,978723404
SND1	8,10967E-08	0,463136505	0,562	0,129	0,001711221	1,378535581	0,725407464	4,356589147
MXRA7	1,18982E-07	0,462993243	0,688	0,184	0,002510634	1,378398697	0,725479502	3,739130435

Supplementary Table 1

Differentially expressed genes_adjacent-skin-XL_comparing SC-Keloid vs. (SC-Myel, SC-Nonmyel)								
gene	p_val	avg_log2FC	pct.1	pct.2	p_val_adj	Foldchange_UP	Foldchange_DOWN	Ratio_pct1_pct2
YWHAQ	0,000284942	0,462630785	0,875	0,477	1	1,378052436	0,725661792	1,834381551
WDR83OS	8,29222E-05	0,462551801	0,906	0,41	1	1,377976993	0,725701521	2,209756098
HDLBP	1,73491E-07	0,462549558	0,656	0,168	0,003660827	1,377974851	0,72570265	3,904761905
LRPAP1	0,000375834	0,462432688	0,562	0,23	1	1,377863228	0,72576144	2,443478261
UTP14A	1,53958E-07	0,461974113	0,219	0,02	0,003248661	1,37742533	0,725992167	10,95
RPS14	0,001715062	0,461931192	1	0,863	1	1,377384352	0,726013766	1,158748552
WDR1	2,01079E-06	0,461495249	0,688	0,227	0,04242964	1,376968206	0,726233181	3,030837004
BCHE	2,54624E-06	0,461456987	0,25	0,035	0,053728244	1,376931689	0,726252441	7,142857143
SIGMAR1	1,69856E-13	0,461255777	0,469	0,047	3,58412E-09	1,376739664	0,726353737	9,978723404
EBP	2,65494E-12	0,461123304	0,438	0,047	5,60218E-08	1,376613253	0,726420436	9,319148936
CHCHD1	1,69015E-15	0,460760746	0,531	0,051	3,56638E-11	1,376267344	0,726603014	10,41176471
NMD3	1,80167E-08	0,46057335	0,344	0,047	0,00038017	1,376088589	0,7266974	7,319148936
IFI27L1	3,11952E-12	0,460253334	0,438	0,047	6,58251E-08	1,375783381	0,726858613	9,319148936
TRAPPC2L	3,32103E-12	0,460118851	0,5	0,062	7,00771E-08	1,375655141	0,726926371	8,064516129
ECHS1	1,61119E-07	0,459932112	0,625	0,16	0,003399778	1,375477091	0,727020469	3,90625
STK32B	1,0613E-19	0,459536661	0,312	0	2,23945E-15	1,375100117	0,727219777	#DIV/0!
SELENOF	8,38965E-05	0,459172949	0,75	0,32	1	1,374753489	0,727403136	2,34375
AGPAT2	1,97842E-08	0,458728461	0,406	0,066	0,000417466	1,374329999	0,727627281	6,151515152
TTR	0,082317662	0,458632455	0,031	0,004	1	1,374238546	0,727675703	7,75
RGMB	1,93978E-10	0,457330352	0,656	0,133	4,09314E-06	1,372998788	0,728332762	4,932330827
NID1	4,16806E-09	0,456860804	0,531	0,102	8,79503E-05	1,372551997	0,728569848	5,205882353
CHST14	8,61967E-11	0,45677379	0,375	0,039	1,81884E-06	1,372469215	0,728613792	9,615384615
BCS1L	1,82463E-09	0,456772445	0,312	0,031	3,85015E-05	1,372467936	0,728614472	10,06451613
SUMO1	6,29765E-05	0,456558075	0,625	0,23	1	1,372264016	0,728722745	2,717391304
SNAPC2	2,47651E-12	0,455795642	0,406	0,039	5,22567E-08	1,371538996	0,72910796	10,41025641
UBE2A	1,35507E-08	0,45543938	0,688	0,164	0,000285933	1,371200348	0,72928803	4,195121951
JAG1	2,72578E-08	0,455349493	0,562	0,125	0,000575167	1,371114918	0,72933347	4,496
RPL27	0,000642574	0,455286932	0,969	0,688	1	1,371055462	0,729365097	1,408430233
PGP	3,5898E-06	0,455236329	0,5	0,133	0,075748431	1,371007373	0,72939068	3,759398496
PAIP1	1,18032E-07	0,455016527	0,531	0,121	0,002490602	1,370798508	0,729501815	4,388429752

Supplementary Table 1

Differentially expressed genes_adjacent-skin-XL_comparing SC-Keloid vs. (SC-Myel, SC-Nonmyel)								
gene	p_val	avg_log2FC	pct.1	pct.2	p_val_adj	Foldchange_UP	Foldchange_DOWN	Ratio_pct1_pct2
ORAI1	2,35856E-09	0,454917907	0,531	0,098	4,97681E-05	1,370704806	0,729551684	5,418367347
ABRACL	2,41715E-14	0,454714724	0,312	0,012	5,10043E-10	1,370511776	0,729654438	26
RPS13	0,003625039	0,454661577	1	0,82	1	1,370461289	0,729681319	1,219512195
CERCAM	1,26742E-13	0,454615188	0,438	0,039	2,67437E-09	1,370417223	0,729704781	11,23076923
IFI44L	1,51026E-15	0,454324042	0,5	0,043	3,1868E-11	1,370140691	0,729852056	11,62790698
GPX7	2,48769E-14	0,454169652	0,375	0,023	5,24927E-10	1,369994073	0,729930165	16,30434783
CHMP5	2,23283E-06	0,453836836	0,781	0,262	0,047114951	1,369678066	0,730098572	2,980916031
ITGA3	3,49126E-10	0,453412392	0,594	0,109	7,3669E-06	1,369275163	0,7303134	5,449541284
SLC31A2	4,03999E-12	0,451900956	0,219	0,004	8,52479E-08	1,367841395	0,731078913	54,75
SEC13	3,06776E-10	0,449900231	0,5	0,078	6,47329E-06	1,365945792	0,732093474	6,41025641
RAB23	4,26111E-13	0,449707206	0,312	0,016	8,99136E-09	1,365763048	0,732191431	19,5
MSC	5,75596E-16	0,44781706	0,25	0	1,21456E-11	1,363974866	0,733151339	#DIV/0!
PAFAH1B3	8,75235E-12	0,447342393	0,344	0,027	1,84683E-07	1,363526173	0,733392596	12,74074074
SUPT4H1	1,24274E-08	0,447176123	0,562	0,121	0,00026223	1,363369036	0,733477124	4,644628099
PTPMT1	1,21509E-13	0,446942058	0,469	0,047	2,56395E-09	1,363147859	0,733596135	9,978723404
CRELD1	4,26642E-06	0,446871484	0,375	0,082	0,090025755	1,363081178	0,733632022	4,573170732
GARS1	2,44211E-08	0,446624187	0,469	0,09	0,000515309	1,362847548	0,733757786	5,211111111
PLN	2,86276E-12	0,446182098	0,188	0	6,04072E-08	1,362429991	0,733982668	#DIV/0!
ATP6V1F	5,32424E-05	0,446162342	0,625	0,227	1	1,362411334	0,733992719	2,753303965
RPN2	9,28061E-05	0,445601308	0,656	0,258	1	1,361881623	0,734278209	2,542635659
WDR61	4,65033E-09	0,445163437	0,531	0,102	9,81265E-05	1,361468343	0,734501103	5,205882353
RPL41	5,18822E-05	0,44505044	1	0,953	1	1,361361712	0,734558634	1,049317943
HNRNPA1L2	0,001203934	0,444706392	0,125	0,02	1	1,361037099	0,73473383	6,25
NOPCHAP1	7,60701E-08	0,444535525	0,375	0,062	0,001605155	1,360875913	0,734820854	6,048387097
C20orf27	5,8259E-11	0,443954802	0,344	0,031	1,22932E-06	1,360328234	0,735116698	11,09677419
UBE2L3	2,74095E-05	0,443821874	0,625	0,215	0,578368189	1,360202901	0,735184434	2,906976744
XRCC6	2,08791E-05	0,443659073	0,688	0,242	0,440570765	1,360049418	0,7352674	2,842975207
SMUG1	6,60693E-14	0,443339103	0,25	0,004	1,39413E-09	1,359747811	0,735430491	62,5
KIF9	1,68712E-11	0,443334422	0,406	0,043	3,55998E-07	1,359743399	0,735432877	9,441860465
NDUFA3	5,66591E-08	0,443137335	0,625	0,152	0,001195564	1,359557656	0,735533352	4,111842105

Supplementary Table 1

Differentially expressed genes_adjacent-skin-XL_comparing SC-Keloid vs. (SC-Myel, SC-Nonmyel)								
gene	p_val	avg_log2FC	pct.1	pct.2	p_val_adj	Foldchange_UP	Foldchange_DOWN	Ratio_pct1_pct2
RCN1	6,22734E-06	0,442814709	0,688	0,219	0,131403066	1,359253656	0,735697855	3,141552511
HOXC8	4,55359E-09	0,442478821	0,312	0,035	9,60852E-05	1,358937232	0,73586916	8,914285714
BPNT2	5,70593E-10	0,442424837	0,594	0,113	1,20401E-05	1,358886384	0,735896696	5,256637168
NENF	5,77844E-06	0,44236689	0,781	0,266	0,121930956	1,358831804	0,735926255	2,936090226
PGGT1B	2,67442E-07	0,44232118	0,312	0,047	0,005643297	1,358788751	0,735949572	6,638297872
NDUFA8	1,51075E-10	0,442158539	0,469	0,066	3,18783E-06	1,358635578	0,736032544	7,106060606
PEPD	1,35762E-07	0,442077318	0,625	0,16	0,002864715	1,358559092	0,736073982	3,90625
CMYA5	1,4652E-10	0,44203044	0,5	0,078	3,09171E-06	1,358514948	0,7360979	6,41025641
PSENE1	4,52463E-10	0,441901578	0,531	0,09	9,54743E-06	1,35839361	0,736163651	5,9
KCNMB1	7,90851E-18	0,441653989	0,281	0	1,66877E-13	1,358160509	0,736289999	#DIV/0!
VAR1	1,64952E-07	0,440938836	0,344	0,055	0,003480651	1,357487427	0,736655073	6,254545455
PCBP4	2,82247E-06	0,440890586	0,75	0,25	0,059557011	1,357442028	0,736679711	3
TMEM208	5,52128E-08	0,440782027	0,5	0,102	0,001165045	1,357339887	0,736735146	4,901960784
SMIM20	3,35513E-10	0,440584032	0,375	0,043	7,07967E-06	1,357153619	0,736836262	8,720930233
SLC25A11	2,63556E-10	0,440360955	0,5	0,078	5,5613E-06	1,356943786	0,736950204	6,41025641
POLR2E	2,87422E-08	0,440223925	0,688	0,172	0,000606489	1,356814906	0,737020205	4
KPNA3	9,35701E-06	0,439598319	0,312	0,062	0,19744232	1,356226668	0,737339873	5,032258065
WDR81	8,91574E-05	0,439503087	0,156	0,02	1	1,356137148	0,737388546	7,8
ATRAID	2,58943E-05	0,438935333	0,75	0,281	0,546394719	1,355603562	0,737678793	2,669039146
SLBP	2,28444E-07	0,438690932	0,469	0,102	0,004820392	1,355373934	0,737803771	4,598039216
SLC25A6	0,001434869	0,437809253	0,719	0,355	1	1,354545873	0,738254806	2,025352113
FAM207A	4,87019E-13	0,437319768	0,312	0,016	1,02766E-08	1,354086374	0,738505327	19,5
RANBP1	1,62618E-05	0,437119523	0,656	0,219	0,343140682	1,353898441	0,738607838	2,99543379
BOLA3	1,41687E-09	0,436844632	0,438	0,066	2,98974E-05	1,353640494	0,738748586	6,636363636
CCDC124	1,17076E-08	0,436824293	0,531	0,105	0,000247043	1,35362141	0,738759001	5,057142857
STIM1	4,42467E-07	0,436710955	0,344	0,059	0,00933649	1,353515074	0,73881704	5,830508475
NDUFV1	3,02366E-07	0,436603423	0,562	0,137	0,006380227	1,353414193	0,73887211	4,102189781
ADAMTS2	1,40767E-13	0,43616801	0,344	0,02	2,97033E-09	1,353005787	0,739095139	17,2
IBSP	9,12354E-07	0,436058109	0,094	0	0,019251588	1,352902722	0,739151443	#DIV/0!
ANKRD10	0,002136908	0,435776686	0,844	0,465	1	1,352638841	0,739295642	1,815053763

Supplementary Table 1

Differentially expressed genes_adjacent-skin-XL_comparing SC-Keloid vs. (SC-Myel, SC-Nonmyel)								
gene	p_val	avg_log2FC	pct.1	pct.2	p_val_adj	Foldchange_UP	Foldchange_DOWN	Ratio_pct1_pct2
PLGRKT	2,11379E-11	0,435492436	0,406	0,043	4,46031E-07	1,35237236	0,739441318	9,441860465
CHPF	1,23735E-12	0,435420461	0,625	0,094	2,61094E-08	1,352304894	0,739478208	6,64893617
RPL23A	9,16318E-05	0,43523722	1	0,852	1	1,352133144	0,739572138	1,17370892
TOMM22	2,96249E-09	0,434757287	0,5	0,09	6,25116E-05	1,351683412	0,739818208	5,555555556
MACF1	5,01042E-08	0,43468207	0,719	0,184	0,001057249	1,351612942	0,739856781	3,907608696
TPT1	5,59574E-05	0,434136829	1	0,934	1	1,35110222	0,740136449	1,070663812
DHX34	8,61561E-07	0,433867563	0,125	0,004	0,018179807	1,350850073	0,740274602	31,25
HYAL2	3,14623E-10	0,432495478	0,5	0,078	6,63886E-06	1,349565948	0,74097898	6,41025641
UBE2F	1,18068E-09	0,431978038	0,438	0,066	2,49135E-05	1,349081997	0,741244789	6,636363636
SET	0,003039772	0,431802841	0,906	0,555	1	1,348918178	0,741334809	1,632432432
GTF3C6	1,12991E-10	0,431524694	0,5	0,074	2,38422E-06	1,348658136	0,74147775	6,756756757
RBMX2	5,11613E-11	0,431446717	0,438	0,055	1,07955E-06	1,348585244	0,741517827	7,963636364
ANO6	2,56914E-12	0,431196869	0,469	0,055	5,42114E-08	1,348351714	0,741646255	8,527272727
MAML2	5,57293E-08	0,431169845	0,562	0,125	0,001175944	1,348326458	0,741660148	4,496
CAMLG	8,12833E-07	0,430692986	0,656	0,184	0,017151593	1,347880865	0,741905332	3,565217391
COPS8	1,51032E-13	0,430614309	0,75	0,125	3,18692E-09	1,34780736	0,741945793	6
HM13	3,64583E-06	0,430588803	0,594	0,18	0,076930657	1,347783532	0,74195891	3,3
RPL9	0,001883592	0,43058443	1	0,84	1	1,347779447	0,741961159	1,19047619
EMC6	6,97568E-07	0,430340628	0,375	0,07	0,014719382	1,347551704	0,742086554	5,357142857
PYM1	3,02825E-10	0,430153931	0,312	0,027	6,38991E-06	1,34737733	0,742182592	11,555555556
MBTPS1	3,80935E-07	0,429875053	0,5	0,117	0,008038106	1,347116902	0,742326073	4,273504274
UBE2D2	1,12489E-05	0,429799824	0,719	0,266	0,237362104	1,347046659	0,742364782	2,703007519
ADAM9	1,75885E-09	0,429689649	0,531	0,098	3,71135E-05	1,346943793	0,742421477	5,418367347
MICU1	1,81491E-09	0,429635376	0,594	0,121	3,82964E-05	1,346893123	0,742449407	4,909090909
HDHD5	1,7341E-09	0,429511549	0,344	0,039	3,65911E-05	1,346777524	0,742513134	8,820512821
MAP2K2	2,16335E-06	0,429499462	0,719	0,227	0,04564883	1,34676624	0,742519355	3,167400881
CSRP1	0,006832456	0,429397544	0,812	0,523	1	1,346671102	0,742571812	1,552581262
UBE2G1	0,001524635	0,429324422	0,344	0,117	1	1,346602848	0,74260945	2,94017094
RALA	2,09869E-06	0,428542913	0,469	0,113	0,044284464	1,34587359	0,74301183	4,150442478
HDAC9	1,57978E-10	0,428502273	0,219	0,008	3,33348E-06	1,345835678	0,743032761	27,375

Supplementary Table 1

Differentially expressed genes_adjacent-skin-XL_comparing SC-Keloid vs. (SC-Myel, SC-Nonmyel)								
gene	p_val	avg_log2FC	pct.1	pct.2	p_val_adj	Foldchange_UP	Foldchange_DOWN	Ratio_pct1_pct2
SNRPC	4,00195E-08	0,428178561	0,469	0,094	0,000844451	1,345533734	0,743199501	4,989361702
PTOV1	3,56047E-07	0,427895211	0,594	0,152	0,00751295	1,345269492	0,743345483	3,907894737
DSTN	0,004882178	0,427882392	0,781	0,402	1	1,345257539	0,743352087	1,94278607
SCPEP1	1,81114E-10	0,427666773	0,531	0,086	3,82169E-06	1,345056498	0,743463194	6,174418605
DNAJC4	6,72404E-05	0,427272485	0,312	0,074	1	1,344688944	0,74366641	4,216216216
VAT1	6,74059E-06	0,427097298	0,594	0,176	0,14223328	1,344525669	0,743756719	3,375
CYB5B	3,97904E-08	0,426848547	0,375	0,059	0,000839617	1,344293864	0,74388497	6,355932203
FRG1	2,62903E-07	0,426071598	0,438	0,09	0,005547524	1,343570103	0,744285689	4,866666667
ELP5	1,97839E-08	0,426068179	0,406	0,066	0,00041746	1,343566918	0,744287453	6,151515152
SRPX2	6,60272E-18	0,425584239	0,375	0,012	1,39324E-13	1,343116306	0,74453716	31,25
DEF8	5,11383E-11	0,425284379	0,375	0,039	1,07907E-06	1,342837172	0,744691926	9,615384615
ARPC4	6,06871E-07	0,424270164	0,625	0,172	0,012805582	1,341893489	0,745215629	3,63372093
TSR3	4,0351E-08	0,423886737	0,469	0,09	0,000851447	1,341536899	0,745413712	5,211111111
GRHPR	1,43763E-07	0,423809851	0,688	0,18	0,003033542	1,341465406	0,745453439	3,822222222
TIMP2	0,000284519	0,423789767	0,906	0,504	1	1,341446732	0,745463816	1,797619048
AMACR	1,5116E-08	0,423668848	0,156	0,004	0,000318962	1,341334303	0,7455263	39
NDUFB11	1,41859E-05	0,423641453	0,719	0,25	0,299336733	1,341308833	0,745540457	2,876
EIF2A	2,65579E-07	0,423325821	0,5	0,113	0,005603984	1,341015415	0,745703583	4,424778761
CYBC1	1,05106E-06	0,423192063	0,344	0,062	0,022178476	1,34089109	0,745772724	5,548387097
CCT6A	2,0813E-07	0,423173179	0,562	0,137	0,004391741	1,340873539	0,745782485	4,102189781
TMEM179B	5,90187E-07	0,422871447	0,562	0,141	0,012453539	1,340593131	0,745938478	3,985815603
C14orf119	3,25367E-12	0,422651579	0,406	0,039	6,86557E-08	1,340388839	0,746052168	10,41025641
SYAP1	7,03788E-10	0,422574602	0,625	0,125	1,48506E-05	1,340317323	0,746091976	5
SOCS4	7,55883E-05	0,422570231	0,281	0,062	1	1,340313262	0,746094237	4,532258065
EEF1D	0,001414457	0,42239561	0,906	0,566	1	1,340151043	0,746184548	1,600706714
AARSD1	7,90453E-06	0,421835175	0,312	0,062	0,166793541	1,339630543	0,74647447	5,032258065
CENPB	1,89251E-05	0,421703396	0,375	0,094	0,39933877	1,339508184	0,746542658	3,989361702
GLRX5	1,95411E-12	0,421533307	0,562	0,078	4,12337E-08	1,33935027	0,746630678	7,205128205
GLDC	9,87864E-16	0,420729492	0,281	0,004	2,08449E-11	1,338604243	0,747046788	70,25
GLIPR1	6,60693E-14	0,41983747	0,25	0,004	1,39413E-09	1,337776836	0,747508832	62,5

Supplementary Table 1

Differentially expressed genes_adjacent-skin-XL_comparing SC-Keloid vs. (SC-Myel, SC-Nonmyel)								
gene	p_val	avg_log2FC	pct.1	pct.2	p_val_adj	Foldchange_UP	Foldchange_DOWN	Ratio_pct1_pct2
EIF3D	6,20904E-05	0,419573236	0,5	0,16	1	1,337531841	0,747645753	3,125
COL22A1	1,0613E-19	0,419514382	0,312	0	2,23945E-15	1,337477278	0,747676253	#DIV/0!
ACTR6	1,69889E-09	0,419294071	0,438	0,066	3,58483E-05	1,33727305	0,747790438	6,636363636
JPT1	5,91617E-12	0,419144366	0,438	0,047	1,24837E-07	1,337134292	0,747868038	9,319148936
DNM3	2,22625E-14	0,419001675	0,438	0,035	4,69761E-10	1,337002048	0,747942011	12,51428571
NDUFB1	4,84283E-07	0,418454138	0,781	0,238	0,010218851	1,33649472	0,748225926	3,281512605
CETN2	2,62558E-12	0,418403654	0,5	0,062	5,54024E-08	1,336447953	0,748252109	8,064516129
MFGE8	0,000290483	0,418334273	0,812	0,359	1	1,336383683	0,748288095	2,26183844
TMED1	2,39522E-09	0,417935383	0,469	0,078	5,05415E-05	1,336014238	0,748495017	6,012820513
NAV1	1,80143E-06	0,417400473	0,312	0,055	0,038011942	1,335518974	0,748772589	5,672727273
RPS19BP1	1,2443E-07	0,417353342	0,719	0,195	0,002625599	1,335475345	0,748797051	3,687179487
TMEM54	7,90851E-18	0,417351475	0,281	0	1,66877E-13	1,335473617	0,74879802	#DIV/0!
C3orf70	8,89803E-11	0,417246264	0,531	0,082	1,87757E-06	1,335376229	0,748852629	6,475609756
ZCCHC17	9,26114E-05	0,417203423	0,406	0,117	1	1,335336575	0,748874867	3,47008547
EDEM2	3,25118E-10	0,417173437	0,312	0,027	6,86031E-06	1,335308821	0,748890432	11,55555556
MVB12A	1,76693E-10	0,41701713	0,531	0,086	3,72841E-06	1,335164157	0,748971574	6,174418605
ORAI2	9,77947E-13	0,416831262	0,281	0,012	2,06357E-08	1,334992153	0,749068073	23,41666667
TMEM45A	3,92384E-14	0,416792104	0,375	0,023	8,2797E-10	1,334955919	0,749088405	16,30434783
KDEL3	1,49741E-19	0,416679888	0,5	0,027	3,15968E-15	1,334852087	0,749146673	18,51851852
CCDC28B	9,16227E-15	0,416580579	0,344	0,016	1,93333E-10	1,334760205	0,749198243	21,5
TUFM	3,52486E-06	0,415996848	0,75	0,238	0,074378091	1,334220255	0,749501438	3,151260504
CNPY2	0,000106433	0,41563788	0,781	0,309	1	1,333888319	0,749687951	2,527508091
PIGF	3,52702E-09	0,415205322	0,469	0,078	7,44236E-05	1,333488443	0,749912761	6,012820513
SRM	1,79257E-06	0,414325268	0,531	0,141	0,037825035	1,332675254	0,750370352	3,765957447
LAPTM4B	2,97506E-08	0,412919735	0,469	0,09	0,000627768	1,331377539	0,75110175	5,211111111
POP5	1,7026E-11	0,412852626	0,438	0,051	3,59265E-07	1,33131561	0,75113669	8,588235294
TMEM167A	1,22694E-07	0,412625813	0,594	0,141	0,002588969	1,331106323	0,751254789	4,212765957
RPL24	0,001762604	0,41255992	1	0,773	1	1,331045529	0,751289102	1,293661061
POLR2J	1,30385E-07	0,412370114	0,656	0,168	0,002751264	1,330870423	0,751387951	3,904761905
SLC25A39	3,17659E-08	0,411851011	0,469	0,09	0,000670293	1,330391643	0,75165836	5,211111111

Supplementary Table 1

Differentially expressed genes_adjacent-skin-XL_comparing SC-Keloid vs. (SC-Myel, SC-Nonmyel)								
gene	p_val	avg_log2FC	pct.1	pct.2	p_val_adj	Foldchange_UP	Foldchange_DOWN	Ratio_pct1_pct2
DNAL4	1,00455E-14	0,411743747	0,344	0,016	2,1197E-10	1,330292732	0,751714248	21,5
LSM3	4,30116E-06	0,411510952	0,625	0,184	0,090758863	1,330078092	0,751835555	3,39673913
HAX1	8,8752E-07	0,411466998	0,469	0,109	0,018727562	1,330037569	0,751858461	4,302752294
TCTN1	1,81501E-11	0,411415094	0,375	0,035	3,82984E-07	1,329989719	0,751885511	10,71428571
ADSL	2,82236E-12	0,41098867	0,375	0,031	5,95546E-08	1,329596666	0,752107782	12,09677419
ARHGAP18	2,38781E-12	0,410972342	0,25	0,008	5,03852E-08	1,329581619	0,752116294	31,25
DIMT1	1,85005E-15	0,410306404	0,438	0,031	3,90379E-11	1,328968034	0,752463546	14,12903226
DLGAP4	1,10486E-05	0,409097269	0,625	0,203	0,233135864	1,327854682	0,753094457	3,078817734
TRPT1	1,39899E-07	0,409035808	0,406	0,074	0,002951999	1,327798114	0,75312654	5,486486486
PTPRK	0,000125068	0,409010009	0,281	0,066	1	1,32777437	0,753140008	4,257575758
PLAUR	3,66209E-06	0,408778346	0,531	0,148	0,077273796	1,327561178	0,753260954	3,587837838
DDT	4,77234E-05	0,408596857	0,656	0,23	1	1,327394183	0,75335572	2,852173913
POLR3G	2,19342E-14	0,408545393	0,312	0,012	4,62834E-10	1,327346832	0,753382594	26
ABHD17A	4,78672E-07	0,408409641	0,625	0,168	0,010100448	1,32722194	0,753453488	3,720238095
DBN1	4,81619E-09	0,408335156	0,438	0,07	0,000101626	1,327153419	0,753492389	6,257142857
DOCK6	1,90127E-05	0,408193174	0,156	0,016	0,401186735	1,327022815	0,753566547	9,75
TRIAP1	4,90197E-12	0,408091699	0,312	0,02	1,03436E-07	1,326929478	0,753619553	15,6
CCNY	3,11297E-06	0,407800725	0,438	0,105	0,06568686	1,32666188	0,753771564	4,171428571
RALY	4,0704E-08	0,407749371	0,688	0,172	0,000858895	1,326614657	0,753798395	4
TMEM126A	6,39052E-07	0,407734462	0,375	0,07	0,013484639	1,326600948	0,753806185	5,357142857
ZSWIM7	4,70877E-12	0,40751394	0,562	0,082	9,93598E-08	1,326398187	0,753921416	6,853658537
DDX52	3,25329E-10	0,407382016	0,375	0,043	6,86477E-06	1,326276903	0,75399036	8,720930233
TIPRL	3,16401E-08	0,407276498	0,562	0,121	0,000667639	1,326179903	0,754045509	4,644628099
RFLNB	6,91427E-09	0,406901202	0,188	0,008	0,000145898	1,325834962	0,754241688	23,5
RNASEK	0,005300078	0,406113137	0,906	0,527	1	1,325110929	0,754653802	1,719165085
EFHC1	2,65218E-05	0,405109709	0,406	0,105	0,559636828	1,324189604	0,755178863	3,866666667
CNIH1	3,62015E-08	0,403552212	0,469	0,09	0,000763887	1,322760814	0,755994576	5,211111111
VEGFB	1,29401E-08	0,40322031	0,594	0,129	0,000273049	1,322456538	0,756168517	4,604651163
COA5	0,017863454	0,403216761	0,188	0,062	1	1,322453285	0,756170378	3,032258065
ZDHHC9	2,03294E-05	0,403136035	0,156	0,016	0,428970333	1,32237929	0,75621269	9,75

Supplementary Table 1

Differentially expressed genes_adjacent-skin-XL_comparing SC-Keloid vs. (SC-Myel, SC-Nonmyel)								
gene	p_val	avg_log2FC	pct.1	pct.2	p_val_adj	Foldchange_UP	Foldchange_DOWN	Ratio_pct1_pct2
UXS1	4,17914E-06	0,402951855	0,406	0,094	0,08818403	1,32221048	0,756309237	4,319148936
PGA5	6,3574E-05	0,402856952	0,062	0	1	1,322123505	0,756358991	#DIV/0!
CD320	1,97701E-06	0,402598351	0,375	0,078	0,041716958	1,321886538	0,756494579	4,807692308
RGS2	7,11541E-06	0,402446205	0,406	0,098	0,150142189	1,32174714	0,756574362	4,142857143
RRS1	0,050929149	0,402204072	0,094	0,027	1	1,321525325	0,756701352	3,481481481
USB1	7,06114E-09	0,40134729	0,312	0,035	0,000148997	1,320740736	0,757150872	8,914285714
RAB5IF	2,29229E-08	0,400846539	0,594	0,133	0,000483695	1,320282394	0,757413721	4,466165414
BABAM1	1,84586E-06	0,400804894	0,344	0,066	0,038949426	1,320244283	0,757435584	5,212121212
ATP6AP1	3,96151E-05	0,400665506	0,594	0,191	0,835917608	1,320116731	0,757508769	3,109947644
NAALADL1	2,65168E-08	0,400339311	0,219	0,016	0,00055953	1,319818286	0,757680061	13,6875
MBD3	7,00659E-13	0,400049499	0,5	0,059	1,47846E-08	1,319553184	0,757832281	8,474576271
SLC52A2	8,70774E-15	0,39978063	0,531	0,055	1,83742E-10	1,319307288	0,757973529	9,654545455
PSMD4	2,17881E-06	0,399731396	0,562	0,152	0,045975141	1,319262265	0,757999396	3,697368421
FAM118A	3,13778E-10	0,39968457	0,312	0,027	6,62103E-06	1,319219446	0,758023999	11,55555556
MRPL16	5,983E-07	0,399607956	0,375	0,07	0,01262473	1,319149391	0,758064255	5,357142857
DBI	0,000525529	0,399297592	0,844	0,453	1	1,318865636	0,758227353	1,863134658
CBX5	0,000969397	0,399295314	0,562	0,23	1	1,318863553	0,75822855	2,443478261
TMEM59L	9,87864E-16	0,399271081	0,281	0,004	2,08449E-11	1,318841401	0,758241286	70,25
P3H1	6,28233E-11	0,399264157	0,438	0,055	1,32563E-06	1,318835071	0,758244925	7,963636364
EMC4	7,93947E-07	0,398971462	0,656	0,18	0,016753065	1,318567531	0,758398775	3,644444444
PRPS2	1,13285E-13	0,398952633	0,406	0,031	2,39044E-09	1,318550323	0,758408672	13,09677419
R3HCC1	6,96119E-08	0,398912915	0,344	0,051	0,001468881	1,318514023	0,758429552	6,745098039
OS9	5,15103E-07	0,398813009	0,719	0,207	0,010869184	1,318422719	0,758482075	3,473429952
SRP14	0,001146824	0,398143763	1	0,723	1	1,317811264	0,758834005	1,383125864
SLC20A1	6,67402E-07	0,398039846	0,438	0,094	0,014082858	1,317716345	0,758888667	4,659574468
TMEM222	2,0714E-06	0,398013898	0,312	0,055	0,043708599	1,317692646	0,758902316	5,672727273
YIPF5	2,27455E-07	0,397927747	0,438	0,09	0,004799529	1,317613962	0,758947635	4,866666667
GART	1,85851E-11	0,397869006	0,406	0,043	3,92165E-07	1,317560314	0,758978537	9,441860465
KDM1B	2,55053E-08	0,397832013	0,219	0,016	0,000538188	1,31752653	0,758997999	13,6875
MTMR2	1,02526E-12	0,3974307	0,281	0,012	2,1634E-08	1,317160086	0,759209158	23,41666667

Supplementary Table 1

Differentially expressed genes_adjacent-skin-XL_comparing SC-Keloid vs. (SC-Myel, SC-Nonmyel)								
gene	p_val	avg_log2FC	pct.1	pct.2	p_val_adj	Foldchange_UP	Foldchange_DOWN	Ratio_pct1_pct2
SNX5	5,18672E-09	0,397288419	0,531	0,102	0,000109445	1,317030192	0,759284036	5,205882353
NDUFB9	3,51202E-06	0,397034606	0,656	0,195	0,074107031	1,316798508	0,759417628	3,364102564
DGKB	1,88354E-08	0,396944884	0,406	0,066	0,000397447	1,316716618	0,759464858	6,151515152
RUVBL2	2,54051E-11	0,396889268	0,562	0,086	5,36072E-07	1,316665859	0,759494137	6,534883721
ENO1	0,001692114	0,396775672	0,875	0,445	1	1,316562191	0,75955394	1,966292135
RASSF8	9,41179E-07	0,396298943	0,594	0,16	0,019859823	1,316127213	0,759804972	3,7125
METTL23	3,08926E-08	0,396116415	0,375	0,059	0,000651864	1,315960709	0,759901107	6,355932203
ZMPSTE24	1,98356E-11	0,396071534	0,438	0,051	4,18551E-07	1,315919772	0,759924747	8,588235294
ZFAND6	1,39132E-05	0,394930504	0,625	0,203	0,293581694	1,31487942	0,760526011	3,078817734
RPS25	0,001280136	0,394603632	1	0,82	1	1,314581541	0,760698343	1,219512195
TM9SF1	4,86095E-10	0,394525785	0,531	0,09	1,02571E-05	1,314510608	0,760739391	5,9
SMARCA5	1,06497E-06	0,393484925	0,719	0,223	0,022471923	1,313562572	0,761288439	3,224215247
YBEY	1,17927E-11	0,393372905	0,344	0,027	2,48837E-07	1,313460583	0,761347553	12,74074074
RTCB	5,45918E-06	0,393311273	0,344	0,07	0,115194137	1,313404472	0,761380078	4,914285714
UBXN6	6,72671E-07	0,393211437	0,312	0,051	0,014194039	1,313313586	0,761432769	6,117647059
PCYT1A	5,7268E-10	0,393012372	0,438	0,062	1,20841E-05	1,313132386	0,761537839	7,064516129
LEF1	2,41715E-14	0,392540779	0,312	0,012	5,10043E-10	1,312703215	0,761786814	26
RAMP1	1,46005E-13	0,392466065	0,438	0,039	3,08084E-09	1,312635235	0,761826266	11,23076923
KMT5A	7,1866E-11	0,392302473	0,406	0,047	1,51644E-06	1,3124864	0,761912657	8,638297872
DMAC1	4,67745E-11	0,391547661	0,469	0,062	9,8699E-07	1,311799891	0,762311391	7,564516129
SMC2	1,14696E-07	0,391437357	0,375	0,062	0,002420196	1,311699599	0,762369677	6,048387097
RPS16	0,004340366	0,391386841	1	0,777	1	1,311653671	0,762396372	1,287001287
RECQL	4,26297E-12	0,391294617	0,531	0,074	8,9953E-08	1,311569826	0,76244511	7,175675676
RABL6	3,46601E-08	0,39123122	0,469	0,09	0,000731362	1,311512192	0,762478615	5,211111111
PLOD2	4,36762E-14	0,390207712	0,281	0,008	9,21611E-10	1,310582081	0,763019741	35,125
MTHFD2	1,53242E-09	0,389712032	0,344	0,039	3,23356E-05	1,31013187	0,763281943	8,820512821
TADA3	2,29309E-10	0,389523915	0,594	0,105	4,83865E-06	1,309961049	0,763381477	5,657142857
CBWD2	1,59791E-09	0,389483912	0,312	0,031	3,37176E-05	1,309924727	0,763402644	10,06451613
BCAT2	5,0197E-07	0,389441094	0,281	0,039	0,010592072	1,30988585	0,763425301	7,205128205
IMPDH2	4,90138E-07	0,389070634	0,562	0,145	0,010342395	1,309549536	0,763621362	3,875862069

Supplementary Table 1

Differentially expressed genes_adjacent-skin-XL_comparing SC-Keloid vs. (SC-Myel, SC-Nonmyel)								
gene	p_val	avg_log2FC	pct.1	pct.2	p_val_adj	Foldchange_UP	Foldchange_DOWN	Ratio_pct1_pct2
SDHC	9,34443E-10	0,388233711	0,5	0,082	1,97177E-05	1,308790073	0,764064475	6,097560976
SLC39A3	1,21646E-14	0,388051518	0,406	0,027	2,56684E-10	1,308624801	0,764160972	15,03703704
IDNK	0,001371418	0,387792156	0,125	0,02	1	1,308389563	0,764298362	6,25
CHMP1A	1,37632E-06	0,387604377	0,344	0,062	0,029041819	1,308219276	0,764397849	5,548387097
CBWD1	1,64926E-08	0,387145507	0,375	0,055	0,000348011	1,307803244	0,764641015	6,818181818
UBA2	3,132E-06	0,387132929	0,5	0,129	0,066088396	1,307791842	0,764647681	3,875968992
MXRA8	0,006665234	0,387049138	0,844	0,426	1	1,307715889	0,764692093	1,981220657
NUDT15	7,46552E-05	0,386714314	0,156	0,02	1	1,307412426	0,764869585	7,8
LAMTOR2	1,04095E-07	0,386285764	0,562	0,125	0,002196502	1,307024119	0,765096822	4,496
PLEKHJ1	1,86611E-11	0,386032242	0,438	0,051	3,93768E-07	1,306794458	0,765231283	8,588235294
NUDCD2	1,14172E-06	0,385787586	0,594	0,16	0,024091397	1,306572867	0,765361064	3,7125
CIB2	4,03999E-12	0,385529192	0,219	0,004	8,52479E-08	1,306338875	0,765498156	54,75
MRPL19	2,76678E-11	0,385326448	0,531	0,078	5,83819E-07	1,306155306	0,76560574	6,807692308
RBCK1	8,28595E-07	0,384980902	0,438	0,094	0,017484174	1,3058425	0,765789136	4,659574468
CNPY3	4,16485E-12	0,384771947	0,438	0,047	8,78825E-08	1,30565338	0,765900058	9,319148936
COX20	3,74796E-06	0,3829195	0,75	0,242	0,079085727	1,303977974	0,766884119	3,099173554
SMS	1,84608E-07	0,382894046	0,594	0,145	0,003895408	1,303954967	0,76689765	4,096551724
HIGD2A	4,40576E-09	0,381907261	0,625	0,129	9,29659E-05	1,303063383	0,767422378	4,84496124
GTF3A	4,39769E-11	0,381715972	0,562	0,09	9,27957E-07	1,30289062	0,767524138	6,244444444
RPS15	0,002594662	0,381362682	1	0,906	1	1,302571605	0,767712114	1,103752759
CHCHD5	2,87844E-07	0,381220915	0,406	0,078	0,006073803	1,302443613	0,767787557	5,205128205
MRPL36	8,46482E-11	0,38099372	0,5	0,074	1,78616E-06	1,302238521	0,767908477	6,756756757
LIMK1	5,97464E-09	0,380860794	0,25	0,02	0,000126071	1,302118542	0,767979234	12,5
ATP2B1	1,95035E-10	0,380744156	0,531	0,086	4,11544E-06	1,302013273	0,768041326	6,174418605
RPL18A	0,002170887	0,380714766	1	0,793	1	1,301986749	0,768056972	1,261034048
DDA1	6,33541E-08	0,380474409	0,406	0,07	0,001336834	1,301769853	0,768184943	5,8
ARL6IP5	0,000447869	0,380408738	0,75	0,328	1	1,301710599	0,768219911	2,286585366
MRPL28	5,43746E-10	0,380188231	0,469	0,07	1,14736E-05	1,301511655	0,768337338	6,7
CDC123	1,7434E-09	0,379738725	0,438	0,066	3,67875E-05	1,301106202	0,768576769	6,636363636
GSDMD	9,01089E-08	0,379489621	0,438	0,082	0,001901388	1,300881564	0,768709487	5,341463415

Supplementary Table 1

Differentially expressed genes_adjacent-skin-XL_comparing SC-Keloid vs. (SC-Myel, SC-Nonmyel)								
gene	p_val	avg_log2FC	pct.1	pct.2	p_val_adj	Foldchange_UP	Foldchange_DOWN	Ratio_pct1_pct2
BCL2	9,16263E-06	0,37932465	0,438	0,109	0,19334064	1,300732818	0,768797394	4,018348624
MDK	0,011117037	0,379076574	0,344	0,145	1	1,300509172	0,768929602	2,372413793
CIAO2A	5,02386E-14	0,379043157	0,375	0,023	1,06008E-09	1,300479049	0,768947413	16,30434783
DTD1	5,92885E-07	0,378547478	0,5	0,117	0,012510463	1,300032309	0,769211652	4,273504274
ATP6V1D	6,38968E-06	0,378260908	0,438	0,109	0,134828681	1,299774102	0,76936446	4,018348624
TM9SF2	7,15869E-08	0,378195828	0,531	0,113	0,001510555	1,29971547	0,769399167	4,699115044
ERCC8	2,52232E-10	0,377956008	0,188	0,004	5,32235E-06	1,299499436	0,769527075	47
CNIH3	9,87864E-16	0,377672035	0,281	0,004	2,08449E-11	1,299243674	0,76967856	70,25
VPS28	3,55638E-05	0,377577187	0,656	0,227	0,750431063	1,29915826	0,769729163	2,889867841
RRP15	4,90429E-05	0,37704658	0,375	0,098	1	1,298680532	0,770012313	3,826530612
SLC39A7	2,46918E-07	0,376935165	0,594	0,148	0,005210227	1,298580243	0,770071781	4,013513514
HPRT1	2,11462E-10	0,376914722	0,438	0,059	4,46205E-06	1,298561842	0,770082693	7,423728814
CALM2	0,003225786	0,376810987	0,969	0,848	1	1,298468474	0,770138067	1,142688679
MEGF8	2,29201E-06	0,376530801	0,344	0,066	0,048363718	1,298216323	0,77028765	5,212121212
MRPL54	7,64549E-09	0,37520557	0,469	0,082	0,000161327	1,297024355	0,770995546	5,719512195
MLLT11	3,15447E-10	0,374927852	0,375	0,043	6,65625E-06	1,296774703	0,771143976	8,720930233
GOT2	7,37666E-07	0,374789001	0,188	0,016	0,015565494	1,296649901	0,771218198	11,75
TNIP1	1,6211E-08	0,374507203	0,438	0,074	0,000342069	1,296396655	0,771368853	5,918918919
PPP1CA	1,71675E-09	0,374056156	0,469	0,074	3,62252E-05	1,29599141	0,771610053	6,337837838
FASTK	1,78074E-06	0,373529325	0,406	0,09	0,037575365	1,295518238	0,771891874	4,511111111
KRT10	8,56866E-05	0,373494831	0,906	0,449	1	1,295487263	0,77191033	2,017817372
FAM174C	2,07713E-07	0,373468502	0,406	0,078	0,004382957	1,295463621	0,771924417	5,205128205
JMJD7	0,000486824	0,373291435	0,094	0,008	1	1,295304634	0,772019164	11,75
MRPS26	4,36552E-07	0,372872951	0,469	0,102	0,00921169	1,294928958	0,772243136	4,598039216
SSBP1	4,65446E-06	0,372536093	0,656	0,203	0,098213786	1,294626637	0,772423471	3,231527094
PPP2R1A	3,11676E-05	0,372518176	0,531	0,164	0,657667304	1,294610559	0,772433063	3,237804878
TSG101	2,60416E-06	0,372495373	0,5	0,129	0,054950464	1,294590097	0,772445272	3,875968992
REX1BD	3,93675E-07	0,372419377	0,656	0,172	0,008306936	1,294521904	0,772485963	3,813953488
MT1F	1,6383E-10	0,372364441	0,469	0,066	3,45698E-06	1,294472611	0,772515379	7,106060606
LMF2	2,95078E-12	0,371936449	0,531	0,07	6,22644E-08	1,294088648	0,772744589	7,585714286

Supplementary Table 1

Differentially expressed genes_adjacent-skin-XL_comparing SC-Keloid vs. (SC-Myel, SC-Nonmyel)								
gene	p_val	avg_log2FC	pct.1	pct.2	p_val_adj	Foldchange_UP	Foldchange_DOWN	Ratio_pct1_pct2
AMOTL1	1,43796E-05	0,371620028	0,375	0,09	0,303422967	1,293804852	0,77291409	4,166666667
RPL21	0,009607627	0,371374252	0,938	0,766	1	1,293584459	0,773045775	1,224543081
YAF2	0,000426252	0,371214617	0,312	0,09	1	1,293441332	0,773131317	3,466666667
CENPF	0,013054404	0,371012873	0,062	0,008	1	1,293260472	0,773239438	7,75
OXCT1	1,41616E-06	0,370118017	0,281	0,043	0,02988246	1,292458554	0,773719201	6,534883721
C1QTNF3	1,57978E-10	0,369928453	0,219	0,008	3,33348E-06	1,292288741	0,773820871	27,375
SNW1	1,87015E-07	0,369847189	0,594	0,148	0,003946205	1,292215952	0,77386446	4,013513514
F2R	6,00279E-06	0,369786264	0,25	0,039	0,1266649	1,292161382	0,773897142	6,41025641
HOXD8	6,91427E-09	0,369242482	0,188	0,008	0,000145898	1,291674431	0,774188894	23,5
NAA20	1,28255E-06	0,369100103	0,469	0,109	0,027062998	1,291546963	0,774265303	4,302752294
SUCLG1	2,84806E-06	0,368937192	0,375	0,078	0,060097016	1,291401128	0,774352739	4,807692308
LGI1	0,000633004	0,367857151	0,188	0,039	1	1,290434711	0,774932658	4,820512821
ZNF506	0,027767885	0,367679309	0,188	0,07	1	1,290275648	0,77502819	2,685714286
FAM104B	2,84493E-08	0,367665365	0,312	0,039	0,000600308	1,290263177	0,775035681	8
SRP9	4,64131E-06	0,367600167	0,75	0,242	0,097936273	1,290204869	0,775070707	3,099173554
PSMD13	4,13014E-08	0,367578612	0,656	0,156	0,000871501	1,290185593	0,775082287	4,205128205
IAH1	1,16993E-05	0,367555812	0,656	0,219	0,24686625	1,290165203	0,775094536	2,99543379
MLX	3,65877E-09	0,367551948	0,375	0,051	7,72037E-05	1,290161748	0,775096612	7,352941176
PRKAB1	1,55244E-05	0,367502934	0,188	0,023	0,32758078	1,290117917	0,775122946	8,173913043
RPL7	0,009573799	0,367296046	0,969	0,73	1	1,289932922	0,775234109	1,32739726
AGPS	3,14761E-12	0,367186381	0,375	0,031	6,64178E-08	1,289834873	0,77529304	12,09677419
PRR13	6,33541E-08	0,366820386	0,406	0,07	0,001336834	1,289507698	0,775489748	5,8
LYPLA1	8,66868E-17	0,366766006	0,469	0,031	1,82918E-12	1,289459093	0,775518979	15,12903226
RER1	1,96381E-05	0,366734113	0,562	0,176	0,414384298	1,289430588	0,775536124	3,193181818
ATP5PB	2,6776E-07	0,36664669	0,625	0,16	0,005650005	1,289352455	0,77558312	3,90625
MSI2	1,17927E-11	0,366448614	0,344	0,027	2,48837E-07	1,289175445	0,775689612	12,74074074
SMIM7	8,26201E-05	0,366197264	0,531	0,176	1	1,28895086	0,775824766	3,017045455
GLB1	3,13778E-10	0,365384755	0,312	0,027	6,62103E-06	1,288225143	0,776261825	11,55555556
ERLEC1	7,00443E-08	0,365316793	0,562	0,125	0,001478005	1,288164459	0,776298393	4,496
TMEM87B	1,80314E-07	0,365289575	0,25	0,027	0,003804814	1,288140157	0,776313039	9,259259259

Supplementary Table 1

Differentially expressed genes_adjacent-skin-XL_comparing SC-Keloid vs. (SC-Myel, SC-Nonmyel)								
gene	p_val	avg_log2FC	pct.1	pct.2	p_val_adj	Foldchange_UP	Foldchange_DOWN	Ratio_pct1_pct2
ILF2	7,45939E-05	0,365244768	0,625	0,223	1	1,288100151	0,77633715	2,802690583
DNAJC8	1,4543E-05	0,365202581	0,75	0,25	0,306871073	1,288062485	0,776359852	3
PRTFDC1	9,32316E-16	0,364812055	0,281	0,004	1,96728E-11	1,287713864	0,776570035	70,25
THAP2	5,34526E-05	0,364598698	0,188	0,027	1	1,28752344	0,776684889	6,962962963
NOL7	4,63255E-05	0,364516176	0,688	0,246	0,977514618	1,287449796	0,776729316	2,796747967
NANS	1,66398E-06	0,364051589	0,438	0,098	0,035111722	1,287035269	0,776979484	4,469387755
ADAM12	6,59591E-09	0,363986553	0,188	0,008	0,00013918	1,286977252	0,777014511	23,5
RAB1B	8,67864E-06	0,363009615	0,5	0,137	0,183127984	1,286106055	0,777540854	3,649635036
PBDC1	2,71813E-09	0,36300886	0,406	0,059	5,73552E-05	1,286105382	0,777541261	6,881355932
CLPP	1,07506E-06	0,362743286	0,344	0,062	0,022684808	1,285868655	0,777684405	5,548387097
MLF2	0,000318367	0,362097609	0,688	0,27	1	1,285293294	0,778032535	2,548148148
SHMT2	1,75258E-09	0,361530585	0,375	0,047	3,69813E-05	1,284788233	0,778338386	7,978723404
DNAJC9	6,28034E-07	0,360846908	0,25	0,031	0,013252142	1,284179531	0,778707319	8,064516129
NSA2	4,64355E-05	0,36081701	0,594	0,203	0,97983605	1,284152918	0,778723457	2,926108374
DCTN1	5,02498E-07	0,360498502	0,562	0,137	0,010603201	1,283869443	0,778895398	4,102189781
PIEZO1	2,01277E-07	0,360485885	0,344	0,055	0,00424715	1,283858216	0,778902209	6,254545455
RPSA	0,039722648	0,36020764	0,906	0,688	1	1,283610628	0,779052446	1,316860465
ARL16	7,27095E-11	0,360107755	0,438	0,055	1,53424E-06	1,283521761	0,779106386	7,963636364
BLMH	1,44034E-09	0,360034483	0,344	0,039	3,03927E-05	1,283456574	0,779145956	8,820512821
PSMD7	1,28427E-05	0,359656032	0,562	0,164	0,270994399	1,283119939	0,77935037	3,426829268
KRT16	0,023665185	0,359215995	0,125	0,035	1	1,282728634	0,779588117	3,571428571
INPPL1	8,0086E-05	0,35920084	0,281	0,062	1	1,282715159	0,779596306	4,532258065
MMP24OS	2,28626E-09	0,359149627	0,594	0,121	4,82423E-05	1,282669626	0,779623981	4,909090909
DRAXIN	1,0613E-19	0,359049535	0,312	0	2,23945E-15	1,28258064	0,779678072	#DIV/0!
FKBP9	1,0912E-09	0,358303527	0,688	0,141	2,30254E-05	1,281917597	0,780081342	4,879432624
RWDD1	5,11752E-06	0,358189009	0,719	0,234	0,107984844	1,281815845	0,780143266	3,072649573
SDF2L1	7,10248E-08	0,358024846	0,469	0,094	0,001498694	1,281669997	0,780232043	4,989361702
CREB3L1	5,75596E-16	0,357990874	0,25	0	1,21456E-11	1,281639817	0,780250416	#DIV/0!
C11orf49	4,44048E-14	0,356951963	0,375	0,023	9,36986E-10	1,280717217	0,780812491	16,30434783
ZMAT2	1,7738E-07	0,356783543	0,438	0,086	0,003742891	1,280567715	0,780903648	5,093023256

Supplementary Table 1

Differentially expressed genes_adjacent-skin-XL_comparing SC-Keloid vs. (SC-Myel, SC-Nonmyel)								
gene	p_val	avg_log2FC	pct.1	pct.2	p_val_adj	Foldchange_UP	Foldchange_DOWN	Ratio_pct1_pct2
METTL2A	8,58517E-09	0,356524523	0,281	0,027	0,000181156	1,280337824	0,781043863	10,40740741
MACROH2A1	1,2102E-05	0,356471469	0,5	0,145	0,255365055	1,280290741	0,781072586	3,448275862
BUD23	1,02E-08	0,356449495	0,5	0,094	0,00021523	1,280271241	0,781084483	5,319148936
NDUFC1	0,00042243	0,356014694	0,781	0,359	1	1,27988545	0,781319922	2,175487465
ALG14	0,001159845	0,355928238	0,281	0,082	1	1,279808752	0,781366746	3,426829268
UBE2D1	5,57612E-08	0,35588188	0,469	0,09	0,001176618	1,279767629	0,781391854	5,211111111
ESYT2	1,8799E-07	0,355807059	0,688	0,184	0,003966775	1,279701259	0,781432379	3,739130435
SPAST	0,003333189	0,355740154	0,125	0,023	1	1,279641914	0,781468619	5,434782609
HINT2	4,09636E-07	0,355565473	0,5	0,113	0,008643726	1,279486985	0,781563245	4,424778761
CISD3	2,254E-11	0,3552175	0,406	0,043	4,75617E-07	1,279178415	0,781751778	9,441860465
PPCS	6,39045E-07	0,355088029	0,375	0,07	0,013484484	1,279063624	0,781821937	5,357142857
SF3B6	0,003648123	0,355034136	0,719	0,344	1	1,279015844	0,781851143	2,090116279
PRCC	1,83211E-08	0,354976195	0,375	0,055	0,000386594	1,278964477	0,781882545	6,818181818
PPP1R2	8,32881E-12	0,354938768	0,625	0,102	1,75746E-07	1,278931298	0,781902829	6,12745098
COMMD7	5,52128E-08	0,354715471	0,5	0,102	0,001165045	1,278733364	0,782023859	4,901960784
GTF2H5	3,13818E-05	0,353290133	0,656	0,227	0,662187226	1,277470639	0,782796856	2,889867841
UTP11	3,05972E-07	0,353280461	0,375	0,066	0,00645632	1,277462075	0,782802104	5,681818182
KARS1	5,87105E-09	0,35326892	0,438	0,07	0,000123885	1,277451855	0,782808367	6,257142857
UBE2D4	1,09475E-11	0,35322096	0,344	0,027	2,31003E-07	1,27740939	0,78283439	12,74074074
BUD31	3,92826E-06	0,352834706	0,656	0,203	0,082890191	1,277067433	0,783044007	3,231527094
C12orf75	4,03182E-13	0,352546554	0,375	0,027	8,50753E-09	1,276812388	0,783200421	13,88888889
NIFK	0,000398237	0,352456121	0,344	0,102	1	1,276732355	0,783249517	3,37254902
MRPS23	1,75258E-09	0,352301337	0,375	0,047	3,69813E-05	1,276595385	0,783333554	7,978723404
CTSK	1,08341E-05	0,35198348	0,312	0,062	0,228609655	1,276314154	0,783506159	5,032258065
NUCB1	0,000214794	0,351855392	0,75	0,285	1	1,276200843	0,783575724	2,631578947
PEX10	2,60611E-07	0,351376402	0,375	0,066	0,005499158	1,275777201	0,783835923	5,681818182
NAT10	1,90127E-05	0,350459171	0,156	0,016	0,401186735	1,27496635	0,784334426	9,75
PITPNA-AS1	0,000142816	0,350073595	0,188	0,031	1	1,274625647	0,784544076	6,064516129
COPRS	2,82414E-06	0,349800528	0,469	0,117	0,059592171	1,274384415	0,784692584	4,008547009
LIX1L	2,69906E-09	0,349583351	0,438	0,066	5,69529E-05	1,274192589	0,784810718	6,636363636

Supplementary Table 1

Differentially expressed genes_adjacent-skin-XL_comparing SC-Keloid vs. (SC-Myel, SC-Nonmyel)								
gene	p_val	avg_log2FC	pct.1	pct.2	p_val_adj	Foldchange_UP	Foldchange_DOWN	Ratio_pct1_pct2
TEAD2	0,000655683	0,349314279	0,156	0,027	1	1,273954966	0,784957104	5,777777778
COMTD1	3,72083E-08	0,3488788	0,281	0,031	0,000785132	1,273570479	0,78519408	9,064516129
FANCE	0,000486824	0,348780812	0,094	0,008	1	1,273483981	0,785247412	11,75
CMAS	8,60164E-07	0,348389586	0,312	0,051	0,018150325	1,273138688	0,785460382	6,117647059
TSPAN4	7,0889E-05	0,34810712	0,438	0,125	1	1,272889444	0,785614183	3,504
JKAMP	1,03527E-07	0,348032044	0,469	0,094	0,002184527	1,272823206	0,785655066	4,989361702
WNT16	6,3574E-05	0,347851448	0,062	0	1	1,272663885	0,78575342	#DIV/0!
ADIPOR1	4,93566E-07	0,347457061	0,5	0,113	0,010414737	1,272316026	0,78596825	4,424778761
MAGOH	5,8376E-06	0,347421688	0,594	0,18	0,123179255	1,272284831	0,785987521	3,3
ABHD14B	4,32897E-07	0,347257894	0,406	0,078	0,009134556	1,272140392	0,786076762	5,205128205
BRMS1	6,60624E-08	0,347247302	0,344	0,051	0,001393983	1,272131052	0,786082533	6,745098039
ZNF322	3,25531E-10	0,346718606	0,406	0,051	6,86904E-06	1,271664948	0,786370657	7,960784314
SMIM19	2,98808E-06	0,346618591	0,562	0,156	0,063051576	1,271576792	0,786425174	3,602564103
SNRPF	6,11663E-06	0,34657946	0,594	0,168	0,129066942	1,271542303	0,786446505	3,535714286
NELFE	1,75209E-05	0,346577328	0,375	0,09	0,369707907	1,271540424	0,786447667	4,166666667
DHRS7	0,000161513	0,346003543	0,469	0,152	1	1,271034811	0,786760513	3,085526316
PSMD3	2,15233E-10	0,345912185	0,531	0,086	4,54164E-06	1,270954325	0,786810336	6,174418605
CLSPN	4,5807E-05	0,345648425	0,094	0,004	0,966573495	1,270721986	0,786954197	23,5
IRAK1	3,36857E-10	0,345625685	0,312	0,027	7,10802E-06	1,270701956	0,786966602	11,55555556
DHX29	6,3373E-07	0,34540228	0,5	0,121	0,013372347	1,2705052	0,787088475	4,132231405
RRBP1	0,000238018	0,344971927	0,625	0,25	1	1,270126267	0,787323297	2,5
TPMT	3,07079E-10	0,344954712	0,406	0,051	6,47967E-06	1,270111111	0,787332692	7,960784314
RAB31	1,64036E-09	0,344857877	0,562	0,105	3,46132E-05	1,270025863	0,78738554	5,352380952
HELLS	3,64608E-05	0,344812046	0,219	0,035	0,769358508	1,269985518	0,787410554	6,257142857
ZNF580	3,05456E-06	0,344755521	0,406	0,09	0,064454248	1,269935761	0,787441405	4,511111111
PHC2	1,77849E-06	0,344663657	0,531	0,137	0,037527896	1,2698549	0,787491547	3,875912409
B3GALT6	3,15172E-15	0,344103976	0,375	0,02	6,65044E-11	1,269362367	0,787797107	18,75
RPS12	0,001767624	0,343830509	1	0,832	1	1,269121778	0,78794645	1,201923077
CALHM2	8,46963E-16	0,343479277	0,312	0,008	1,78718E-11	1,268812841	0,788138304	39
PCDHB5	0,004841742	0,343352824	0,031	0	1	1,268701634	0,788207387	#DIV/0!

Supplementary Table 1

Differentially expressed genes_adjacent-skin-XL_comparing SC-Keloid vs. (SC-Myel, SC-Nonmyel)								
gene	p_val	avg_log2FC	pct.1	pct.2	p_val_adj	Foldchange_UP	Foldchange_DOWN	Ratio_pct1_pct2
NCK2	1,92396E-11	0,343167918	0,438	0,051	4,05974E-07	1,268539038	0,788308416	8,588235294
TPD52L2	1,10416E-05	0,342587343	0,438	0,109	0,232989384	1,26802865	0,788625714	4,018348624
ARNT2	1,18109E-12	0,342514302	0,281	0,012	2,49221E-08	1,267964455	0,788665641	23,41666667
SRP19	3,88259E-10	0,341735578	0,562	0,098	8,19265E-06	1,267280229	0,789091455	5,734693878
CCS	9,21037E-08	0,34105292	0,438	0,082	0,001943481	1,266680716	0,789464928	5,341463415
SMPDL3A	5,39277E-11	0,340914973	0,25	0,012	1,13793E-06	1,266559606	0,789540418	20,83333333
ITGA7	1,56895E-06	0,340660708	0,375	0,074	0,033106457	1,266336403	0,789679581	5,067567568
TECR	0,000184294	0,34059503	0,812	0,344	1	1,266278754	0,789715532	2,360465116
LSM2	8,77573E-05	0,340295558	0,594	0,199	1	1,26601593	0,789879477	2,984924623
UBE2C	0,004841742	0,340012375	0,031	0	1	1,265767451	0,790034535	#DIV/0!
UCK2	1,76518E-09	0,339811261	0,312	0,031	3,7247E-05	1,265591014	0,790144675	10,06451613
KDELR2	0,000261715	0,339655033	0,688	0,277	1	1,265453972	0,790230243	2,483754513
KIFC3	9,65054E-06	0,339523707	0,344	0,074	0,203636023	1,265338784	0,79030218	4,648648649
ENOPH1	7,96316E-05	0,33927305	0,438	0,133	1	1,265118961	0,790439501	3,293233083
MARCHF2	1,33906E-06	0,338389872	0,406	0,086	0,028255507	1,264344728	0,790923534	4,720930233
ETFA	1,77074E-05	0,338158936	0,5	0,141	0,373642817	1,264142356	0,79105015	3,546099291
ATP5MK	0,002046656	0,33809465	0,938	0,461	1	1,264086027	0,7910854	2,034707158
DPYSL3	4,21575E-08	0,33763212	0,281	0,031	0,000889566	1,263680825	0,791339063	9,064516129
COMMD10	1,27017E-11	0,337471867	0,344	0,027	2,68019E-07	1,263540465	0,791426969	12,74074074
NDUFB6	1,25402E-06	0,337246117	0,656	0,188	0,026461019	1,263342764	0,79155082	3,489361702
DCK	5,62455E-11	0,337235949	0,312	0,023	1,18684E-06	1,26333386	0,791556398	13,56521739
COL11A1	7,70517E-07	0,337206667	0,25	0,031	0,01625868	1,263308218	0,791572465	8,064516129
APH1A	1,30473E-05	0,337107268	0,469	0,133	0,275312012	1,263221182	0,791627004	3,526315789
GGH	8,75235E-12	0,336826765	0,344	0,027	1,84683E-07	1,262975598	0,791780935	12,74074074
TRPV2	9,87864E-16	0,336740535	0,281	0,004	2,08449E-11	1,262900112	0,791828261	70,25
PLD3	3,3259E-07	0,336689206	0,656	0,176	0,007017973	1,262855181	0,791856434	3,727272727
RPN1	1,31281E-06	0,336676176	0,562	0,148	0,027701698	1,262843775	0,791863586	3,797297297
ITPRIPL2	1,00375E-05	0,336520981	0,344	0,074	0,21180149	1,262707934	0,791948774	4,648648649
SAE1	8,57361E-06	0,336029959	0,344	0,074	0,180911771	1,262278244	0,79221836	4,648648649
ATP6VOE1	0,001632141	0,335955533	0,719	0,316	1	1,262213127	0,79225923	2,275316456

Supplementary Table 1

Differentially expressed genes_adjacent-skin-XL_comparing SC-Keloid vs. (SC-Myel, SC-Nonmyel)								
gene	p_val	avg_log2FC	pct.1	pct.2	p_val_adj	Foldchange_UP	Foldchange_DOWN	Ratio_pct1_pct2
CPLX1	0,079594089	0,335096261	0,031	0,004	1	1,261461575	0,792731241	7,75
MAGOHB	6,47688E-06	0,334721424	0,25	0,039	0,136668547	1,261133868	0,792937233	6,41025641
RAD51C	3,25118E-10	0,334551069	0,312	0,027	6,86031E-06	1,260984961	0,79303087	11,55555556
PNO1	6,85679E-07	0,334540104	0,25	0,031	0,014468514	1,260975376	0,793036897	8,064516129
EIF4A1	0,006267916	0,334351757	0,969	0,68	1	1,260810764	0,793140437	1,425
EBPL	4,26856E-12	0,333906508	0,406	0,039	9,00709E-08	1,260421709	0,793385256	10,41025641
CPNE2	1,89579E-09	0,333113583	0,469	0,074	4,0003E-05	1,259729154	0,793821431	6,337837838
SMDT1	2,63979E-06	0,332811113	0,656	0,191	0,05570226	1,259465072	0,793987878	3,434554974
CHP1	0,000328667	0,332288937	0,344	0,102	1	1,259009298	0,79427531	3,37254902
SEC61A1	2,79215E-07	0,33209989	0,531	0,121	0,005891712	1,258844331	0,794379396	4,388429752
TMEM240	0,016562311	0,33190249	0,094	0,02	1	1,258672098	0,794488097	4,7
C1GALT1C1	2,79642E-10	0,331838294	0,438	0,059	5,90073E-06	1,258616092	0,79452345	7,423728814
RAB8A	0,000100594	0,331067387	0,344	0,09	1	1,257943728	0,794948119	3,822222222
HARS1	2,14284E-09	0,33089104	0,438	0,066	4,5216E-05	1,257789973	0,795045295	6,636363636
PRMT1	0,003338449	0,330746086	0,594	0,277	1	1,257663604	0,79512518	2,144404332
NUTF2	2,72369E-06	0,330575398	0,406	0,09	0,057472657	1,257514816	0,795219259	4,511111111
LINC00920	1,12672E-12	0,330487732	0,281	0,012	2,3775E-08	1,257438405	0,795267582	23,41666667
MMADHC	1,53903E-06	0,330260141	0,406	0,086	0,032475139	1,257240054	0,795393049	4,720930233
CDK7	1,85141E-05	0,329947471	0,188	0,023	0,390665998	1,256967607	0,79556545	8,173913043
SUPT3H	0,030543175	0,329868912	0,188	0,07	1	1,256899163	0,795608772	2,685714286
BTBD6	3,80295E-07	0,329787292	0,438	0,09	0,008024611	1,256828057	0,795653785	4,866666667
ANKRD9	0,003488919	0,329771625	0,125	0,023	1	1,256814408	0,795662425	5,434782609
MIR503HG	2,52232E-10	0,329449497	0,188	0,004	5,32235E-06	1,256533816	0,795840102	47
KRT10-AS1	1,74709E-07	0,329252872	0,25	0,027	0,003686534	1,256362574	0,795948575	9,259259259
DCTN6	0,000260329	0,328874045	0,594	0,227	1	1,256032718	0,796157604	2,616740088
DUSP1	0,000268886	0,328688622	0,938	0,492	1	1,255871296	0,796259938	1,906504065
NOVA1	3,21766E-06	0,328674538	0,438	0,102	0,067895903	1,255859036	0,796267711	4,294117647
NBPF1	0,033585021	0,328605892	0,094	0,023	1	1,255799281	0,7963056	4,086956522
INTS8	3,28579E-06	0,328548217	0,219	0,027	0,069333472	1,255749079	0,796337435	8,111111111
SEC14L2	7,87421E-05	0,328507857	0,25	0,051	1	1,255713949	0,796359713	4,901960784

Supplementary Table 1

Differentially expressed genes_adjacent-skin-XL_comparing SC-Keloid vs. (SC-Myel, SC-Nonmyel)								
gene	p_val	avg_log2FC	pct.1	pct.2	p_val_adj	Foldchange_UP	Foldchange_DOWN	Ratio_pct1_pct2
OPRL1	0,079594089	0,32841833	0,031	0,004	1	1,255636028	0,796409132	7,75
ANO4	1,23802E-12	0,32828442	0,281	0,012	2,61235E-08	1,255519486	0,796483058	23,41666667
PPP1R12A	7,37255E-07	0,328281604	0,75	0,23	0,015556819	1,255517036	0,796484613	3,260869565
DERL2	3,79079E-09	0,327961982	0,469	0,078	7,99894E-05	1,255238913	0,796661089	6,012820513
CCNI	0,011301623	0,327699451	0,844	0,48	1	1,255010515	0,796806073	1,758333333
MTHFS	2,03907E-07	0,32764846	0,219	0,02	0,004302644	1,254966157	0,796834237	10,95
RPS8	0,014300261	0,327449406	0,969	0,863	1	1,254793017	0,796944186	1,122827346
EIF3H	0,000504555	0,32744096	0,719	0,312	1	1,254785671	0,796948852	2,304487179
HCFC1R1	5,37316E-05	0,327301476	0,719	0,258	1	1,254664361	0,797025907	2,786821705
CHMP1B	1,94E-07	0,327244261	0,469	0,098	0,004093585	1,254614604	0,797057516	4,785714286
ADGRG1	3,59796E-11	0,326866821	0,531	0,078	7,59206E-07	1,254286412	0,797266071	6,807692308
C5orf34	1,39097E-05	0,326549249	0,125	0,008	0,293508116	1,254010345	0,797441588	15,625
DCUN1D5	6,73458E-11	0,326522659	0,469	0,062	1,42106E-06	1,253987232	0,797456285	7,564516129
EIF2B3	6,93869E-11	0,326471053	0,344	0,031	1,46413E-06	1,253942378	0,797484811	11,09677419
GFPT1	3,88452E-06	0,325984887	0,281	0,047	0,081967219	1,253519889	0,797753597	5,978723404
FAM50A	5,25599E-08	0,325963431	0,594	0,137	0,001109067	1,253501246	0,797765461	4,335766423
UBE2I	9,45231E-08	0,325861636	0,719	0,195	0,001994531	1,253412804	0,797821753	3,687179487
RAMAC	5,09162E-13	0,325269194	0,312	0,016	1,07438E-08	1,252898197	0,798149445	19,5
ZDHHC12	3,3871E-08	0,325037373	0,281	0,031	0,000714712	1,252696889	0,798277707	9,064516129
MRPS33	2,82997E-06	0,324869989	0,406	0,09	0,059715213	1,252551557	0,79837033	4,511111111
ABI1	0,00784636	0,324643728	0,312	0,121	1	1,252355132	0,79849555	2,578512397
SCOC	1,03758E-05	0,324554606	0,688	0,219	0,218939381	1,252277772	0,798544878	3,141552511
SYT11	3,91798E-05	0,324001796	0,688	0,242	0,826732185	1,251798017	0,798850922	2,842975207
TMEM121	1,43243E-10	0,323972829	0,219	0,008	3,02257E-06	1,251772883	0,798866962	27,375
G6PC3	3,45065E-10	0,323932912	0,406	0,051	7,28122E-06	1,251738249	0,798889065	7,960784314
UBE2Q2	8,02793E-12	0,323800245	0,531	0,074	1,69397E-07	1,251623147	0,798962533	7,175675676
GCSH	5,33942E-05	0,323769215	0,531	0,164	1	1,251596227	0,798979717	3,237804878
DCTPP1	1,68138E-09	0,32366262	0,344	0,039	3,54787E-05	1,251503755	0,799038753	8,820512821
ATP5MC1	4,28417E-05	0,323259101	0,656	0,227	0,904002969	1,251153761	0,799262274	2,889867841
NUDT8	6,6835E-09	0,322970762	0,25	0,02	0,000141028	1,250903729	0,799422031	12,5

Supplementary Table 1

Differentially expressed genes_adjacent-skin-XL_comparing SC-Keloid vs. (SC-Myel, SC-Nonmyel)								
gene	p_val	avg_log2FC	pct.1	pct.2	p_val_adj	Foldchange_UP	Foldchange_DOWN	Ratio_pct1_pct2
FDPS	5,2444E-07	0,32292321	0,594	0,152	0,011066205	1,250862499	0,799448381	3,907894737
C8orf76	2,17326E-05	0,322814444	0,156	0,016	0,458580025	1,250768199	0,799508655	9,75
RGL2	1,30054E-06	0,322447763	0,438	0,098	0,027442635	1,250450339	0,799711887	4,469387755
GOLGA2	6,77313E-08	0,32234398	0,719	0,184	0,001429197	1,250360389	0,799769417	3,907608696
GNA12	6,53221E-07	0,322073379	0,375	0,07	0,013783618	1,250125885	0,799919442	5,357142857
ASAP2	0,000289532	0,321972224	0,625	0,238	1	1,250038236	0,79997553	2,62605042
SELENOT	0,000437405	0,321609438	0,688	0,281	1	1,249723935	0,80017672	2,448398577
GOLGA5	1,79804E-05	0,321396795	0,188	0,023	0,379403857	1,249539748	0,80029467	8,173913043
FBXO7	3,57882E-06	0,321261052	0,5	0,129	0,075516664	1,249422185	0,800369972	3,875968992
MRPL9	5,14469E-12	0,321241838	0,5	0,062	1,08558E-07	1,249405545	0,800380632	8,064516129
MGAT4B	6,73211E-07	0,321081847	0,594	0,152	0,014205428	1,249266997	0,800469397	3,907894737
NFIL3	0,000180694	0,320783505	0,688	0,27	1	1,249008681	0,800634947	2,548148148
GSTO1	5,07141E-06	0,320459155	0,625	0,188	0,107011727	1,248727908	0,800814968	3,324468085
GPSM2	5,87627E-10	0,320414023	0,469	0,07	1,23995E-05	1,248688845	0,800840021	6,7
DPY30	7,98674E-07	0,320292226	0,531	0,129	0,016852812	1,248583431	0,800907633	4,11627907
SCARB2	0,000398693	0,32022355	0,875	0,441	1	1,248523997	0,800945759	1,984126984
GABRA2	8,59744E-08	0,320211066	0,688	0,18	0,001814146	1,248513193	0,80095269	3,822222222
POLR3GL	6,04459E-06	0,319962852	0,406	0,094	0,127546957	1,248298406	0,801090504	4,319148936
BCKDHA	4,7449E-08	0,319832587	0,375	0,059	0,001001222	1,248185699	0,801162841	6,355932203
DTYMK	1,09317E-07	0,31949891	0,375	0,062	0,002306702	1,247897042	0,801348161	6,048387097
MCUB	0,001371418	0,319239116	0,125	0,02	1	1,247672348	0,801492477	6,25
ADRM1	0,001284837	0,319198668	0,469	0,176	1	1,247637367	0,801514948	2,664772727
SDHAF2	1,80411E-09	0,318875387	0,469	0,074	3,80685E-05	1,247357826	0,801694573	6,337837838
NRM	1,4529E-06	0,31839786	0,281	0,043	0,030657605	1,246945024	0,801959975	6,534883721
WDR18	1,04183E-07	0,317854966	0,375	0,062	0,002198366	1,24647588	0,802261814	6,048387097
MLH1	3,30275E-05	0,317306624	0,219	0,035	0,696912488	1,246002207	0,802566796	6,257142857
PITPNA	2,58449E-06	0,31726357	0,438	0,102	0,054535414	1,245965023	0,802590748	4,294117647
ANKRD54	1,7341E-09	0,317207772	0,344	0,039	3,65911E-05	1,245916835	0,80262179	8,820512821
CNKSRI	0,216675772	0,317104338	0,031	0,008	1	1,245827513	0,802679335	3,875
NDRG4	0,216675772	0,316834843	0,031	0,008	1	1,245594814	0,80282929	3,875

Supplementary Table 1

Differentially expressed genes_adjacent-skin-XL_comparing SC-Keloid vs. (SC-Myel, SC-Nonmyel)								
gene	p_val	avg_log2FC	pct.1	pct.2	p_val_adj	Foldchange_UP	Foldchange_DOWN	Ratio_pct1_pct2
FAU	0,005295918	0,316797532	1	0,832	1	1,245562601	0,802850053	1,201923077
RPS21	0,00924843	0,316607774	1	0,719	1	1,245398783	0,802955659	1,390820584
OSTM1	5,18265E-06	0,316454871	0,375	0,082	0,109359146	1,245266796	0,803040764	4,573170732
GREB1	1,39097E-05	0,316070232	0,125	0,008	0,293508116	1,244934839	0,803254892	15,625
CARHSP1	0,000184559	0,31576346	0,312	0,082	1	1,244670146	0,803425713	3,804878049
NPL	5,89503E-14	0,315520276	0,25	0,004	1,24391E-09	1,24446036	0,803561152	62,5
SIDT2	4,18583E-08	0,315504515	0,25	0,023	0,000883252	1,244446764	0,803569931	10,86956522
SUSD4	9,06462E-07	0,3153256	0,125	0,004	0,019127258	1,244292445	0,803669591	31,25
YIF1B	2,25587E-09	0,314469599	0,438	0,066	4,7601E-05	1,243554381	0,804146578	6,636363636
STK10	4,50007E-07	0,313945841	0,281	0,039	0,009495599	1,243103002	0,804438569	7,205128205
NUDT22	2,30976E-11	0,313157229	0,438	0,051	4,87383E-07	1,242423677	0,804878415	8,588235294
GORAB	7,59646E-09	0,312593911	0,188	0,008	0,000160293	1,241938653	0,805192751	23,5
TSEN15	1,1764E-13	0,312428071	0,406	0,031	2,48233E-09	1,241795898	0,805285315	13,09677419
PTGR1	1,5926E-11	0,312136218	0,469	0,059	3,36054E-07	1,241544711	0,805448238	7,949152542
SPAG7	0,000214295	0,312092738	0,375	0,109	1	1,241507294	0,805472513	3,440366972
POLG2	2,03294E-05	0,311779761	0,156	0,016	0,428970333	1,241237992	0,80564727	9,75
GTPBP2	1,92051E-07	0,311526977	0,25	0,027	0,004052478	1,241020526	0,805788445	9,259259259
DCSTAMP	1,33967E-08	0,311376777	0,125	0	0,000282684	1,240891329	0,805872341	#DIV/0!
VCP	1,74429E-07	0,311309282	0,625	0,152	0,003680625	1,240833277	0,805910044	4,111842105
ARPC1A	7,09663E-05	0,311116583	0,594	0,199	1	1,240667551	0,806017695	2,984924623
EFTUD2	7,99636E-09	0,310911541	0,312	0,035	0,000168731	1,240491234	0,806132258	8,914285714
CSK	3,79454E-10	0,31066467	0,375	0,043	8,00686E-06	1,240278983	0,806270213	8,720930233
PFN2	7,20697E-09	0,310626342	0,5	0,09	0,000152074	1,240246032	0,806291634	5,555555556
RGS20	1,33967E-08	0,310469159	0,125	0	0,000282684	1,240110914	0,806379485	#DIV/0!
RFC4	4,5807E-05	0,310087534	0,094	0,004	0,966573495	1,23978292	0,806592818	23,5
BCAP29	2,4257E-05	0,309986939	0,594	0,191	0,511847132	1,239696477	0,806649062	3,109947644
DERL1	7,69876E-13	0,30984512	0,406	0,035	1,62452E-08	1,239574619	0,806728361	11,6
DBNL	4,11565E-08	0,309606911	0,5	0,098	0,000868444	1,239369965	0,806861573	5,102040816
CENPW	2,86276E-12	0,309004159	0,188	0	6,04072E-08	1,238852269	0,807198747	#DIV/0!
TRIP6	5,6068E-07	0,308911164	0,594	0,152	0,011830901	1,238772416	0,80725078	3,907894737

Supplementary Table 1

Differentially expressed genes_adjacent-skin-XL_comparing SC-Keloid vs. (SC-Myel, SC-Nonmyel)								
gene	p_val	avg_log2FC	pct.1	pct.2	p_val_adj	Foldchange_UP	Foldchange_DOWN	Ratio_pct1_pct2
ENY2	9,43521E-06	0,308629823	0,812	0,285	0,199092297	1,238530866	0,807408219	2,849122807
CHST1	2,66394E-10	0,308291334	0,188	0,004	5,62118E-06	1,238240312	0,807597677	47
TK1	4,5807E-05	0,308211714	0,094	0,004	0,966573495	1,238171978	0,807642248	23,5
IFT20	2,30034E-15	0,308075421	0,531	0,051	4,85396E-11	1,238055012	0,807718551	10,41176471
MPC1	8,25323E-05	0,307451652	0,656	0,227	1	1,237519838	0,808067854	2,889867841
MCM3	3,52698E-08	0,307420619	0,25	0,023	0,000744228	1,237493219	0,808085236	10,86956522
AUP1	5,41025E-07	0,307289789	0,594	0,148	0,011416173	1,237381002	0,808158521	4,013513514
ACADM	2,01277E-07	0,307218585	0,344	0,055	0,00424715	1,237319933	0,808198408	6,254545455
TWF2	6,92349E-09	0,307040579	0,344	0,043	0,000146093	1,237167276	0,808298133	8
TIMM22	4,04517E-08	0,306872533	0,25	0,023	0,000853571	1,237023179	0,80839229	10,86956522
HAUS1	2,66329E-14	0,306775127	0,312	0,012	5,61981E-10	1,236939661	0,808446872	26
VAC14	6,06826E-11	0,306608233	0,312	0,023	1,28046E-06	1,236796579	0,8085404	13,56521739
DPP7	3,80125E-07	0,306032306	0,625	0,16	0,00802102	1,236302945	0,808863236	3,90625
PELO	0,247238819	0,305841135	0,219	0,129	1	1,236139133	0,808970425	1,697674419
RNF187	2,08401E-05	0,305672627	0,594	0,188	0,439745967	1,23599476	0,809064919	3,159574468
FSTL3	0,000150814	0,305487016	0,781	0,32	1	1,235835753	0,809169016	2,440625
LIN52	0,036851882	0,3048389	0,125	0,039	1	1,235280691	0,809532609	3,205128205
PSMB9	2,78278E-07	0,3045081	0,469	0,098	0,00587194	1,234997482	0,80971825	4,785714286
IGSF8	0,000288619	0,304385497	0,469	0,156	1	1,234892534	0,809787065	3,006410256
NDUFS2	4,67267E-09	0,304248153	0,562	0,109	9,85981E-05	1,234774978	0,80986416	5,155963303
MCM4	8,54581E-07	0,304052232	0,219	0,023	0,018032515	1,234607304	0,809974149	9,52173913
PCDHGC3	6,466E-11	0,303820228	0,25	0,012	1,36439E-06	1,234408779	0,810104413	20,83333333
NUBP2	4,7968E-08	0,303728214	0,469	0,09	0,001012173	1,234330052	0,810156083	5,211111111
TRIM58	8,22802E-07	0,303594648	0,188	0,016	0,01736194	1,234215782	0,810231091	11,75
LINC00665	8,49478E-10	0,303497273	0,25	0,016	1,79248E-05	1,234132482	0,81028578	15,625
IDH2	4,88462E-07	0,303484418	0,281	0,039	0,01030703	1,234121485	0,810293	7,205128205
DHRS4-AS1	2,65168E-08	0,303437015	0,219	0,016	0,00055953	1,234080936	0,810319624	13,6875
RPL36AL	0,006015039	0,303180306	0,875	0,473	1	1,233861366	0,810463823	1,849894292
RMDN1	6,30011E-07	0,303136415	0,344	0,059	0,013293862	1,23382383	0,81048848	5,830508475
FAF2	0,000268309	0,302937073	0,281	0,07	1	1,23365336	0,810600475	4,014285714

Supplementary Table 1

Differentially expressed genes_adjacent-skin-XL_comparing SC-Keloid vs. (SC-Myel, SC-Nonmyel)								
gene	p_val	avg_log2FC	pct.1	pct.2	p_val_adj	Foldchange_UP	Foldchange_DOWN	Ratio_pct1_pct2
KLHL36	1,79492E-05	0,302606801	0,281	0,055	0,378745038	1,233370975	0,810786066	5,109090909
LDLRAP1	4,58437E-12	0,302572726	0,438	0,047	9,67347E-08	1,233341845	0,810805215	9,319148936
ATXN10	1,91697E-05	0,301962751	0,438	0,117	0,404500592	1,232820495	0,811148098	3,743589744
COX7B	0,002900042	0,301309278	0,75	0,359	1	1,232262211	0,811515594	2,08913649
PSMA3	0,000413037	0,300998918	0,625	0,254	1	1,23199715	0,81169019	2,460629921
IARS2	9,33487E-05	0,300815098	0,281	0,062	1	1,231840185	0,811793617	4,532258065
TPRN	0,003590182	0,300772733	0,156	0,035	1	1,231804012	0,811817456	4,457142857
NFIX	0,00010839	0,300685448	0,688	0,25	1	1,231729489	0,811866573	2,752
PBXIP1	0,000632975	0,300486291	0,25	0,062	1	1,231559467	0,811978656	4,032258065
CENPH	1,59484E-07	0,300181854	0,219	0,02	0,003365275	1,231299611	0,812150017	10,95
CAPNS1	0,000129179	0,300172562	0,719	0,262	1	1,23129168	0,812155248	2,744274809
MRPS36	2,01009E-07	0,300142908	0,562	0,133	0,004241491	1,231266372	0,812171942	4,22556391
ASB3	0,000390215	0,299752936	0,25	0,059	1	1,230933596	0,812391508	4,237288136
VANGL1	2,8258E-09	0,299180108	0,219	0,012	5,96273E-05	1,230444945	0,812714135	18,25
PTTG1IP	1,08578E-05	0,298965778	0,75	0,258	0,229109575	1,230262162	0,812834883	2,906976744
POLR2H	5,56188E-08	0,298862841	0,562	0,129	0,001173613	1,230174385	0,812892881	4,356589147
COMMD6	0,002311566	0,298808715	0,812	0,395	1	1,230128233	0,812923379	2,055696203
TAF6	1,45029E-07	0,298793604	0,281	0,035	0,003060257	1,230115348	0,812931894	8,028571429
RPL39L	6,24833E-11	0,298664593	0,344	0,031	1,31846E-06	1,230005352	0,813004593	11,09677419
TOR1AIP2	6,45154E-06	0,298412999	0,5	0,133	0,136133995	1,229790868	0,813146386	3,759398496
POFUT1	2,76082E-06	0,298310895	0,25	0,035	0,058256123	1,229703835	0,813203937	7,142857143
SLFN5	1,31816E-11	0,298025708	0,344	0,027	2,78145E-07	1,229460776	0,813364704	12,74074074
DHRS7B	1,63999E-07	0,29709402	0,25	0,027	0,003460546	1,228667049	0,813890143	9,259259259
THAP11	8,3444E-11	0,296923284	0,375	0,039	1,76075E-06	1,228521651	0,813986468	9,615384615
ETHE1	0,000161827	0,296864145	0,375	0,105	1	1,228471293	0,814019835	3,571428571
SNRNP25	8,87823E-09	0,296858829	0,281	0,027	0,00018734	1,228466766	0,814022835	10,40740741
CYP27C1	3,86379E-06	0,296799681	0,156	0,012	0,081529835	1,228416402	0,81405621	13
ALYREF	1,15762E-05	0,296669994	0,406	0,102	0,244269533	1,228305982	0,81412939	3,980392157
PPP1R9B	0,000142816	0,296243935	0,188	0,031	1	1,22794329	0,814369855	6,064516129
MRC2	2,64255E-12	0,296193455	0,25	0,008	5,57605E-08	1,227900325	0,814398351	31,25

Supplementary Table 1

Differentially expressed genes_adjacent-skin-XL_comparing SC-Keloid vs. (SC-Myel, SC-Nonmyel)								
gene	p_val	avg_log2FC	pct.1	pct.2	p_val_adj	Foldchange_UP	Foldchange_DOWN	Ratio_pct1_pct2
RASGEF1C	0,020165934	0,296174683	0,344	0,148	1	1,227884348	0,814408948	2,324324324
FAM184B	1,96814E-10	0,296093666	0,156	0	4,15296E-06	1,227815397	0,814454683	#DIV/0!
SPOCD1	3,21675E-07	0,295766059	0,156	0,008	0,006787672	1,227536616	0,814639651	19,5
ANTKMT	5,76305E-06	0,295662429	0,5	0,133	0,12160622	1,227448444	0,814698169	3,759398496
ISY1	6,27223E-13	0,295406501	0,438	0,043	1,3235E-08	1,227230719	0,814842706	10,18604651
ATP6AP2	0,006998667	0,295366006	0,844	0,473	1	1,227196273	0,814865578	1,78435518
FAM104A	1,75619E-11	0,295352115	0,281	0,016	3,70573E-07	1,227184457	0,814873424	17,5625
ATP5ME	0,003760038	0,295293457	0,969	0,543	1	1,227134562	0,814906556	1,784530387
BRCA1	0,004607686	0,295095176	0,188	0,051	1	1,226965919	0,815018563	3,68627451
TIGAR	5,10479E-14	0,294912275	0,281	0,008	1,07716E-09	1,226810377	0,815121896	35,125
PFDN2	0,001687355	0,29488257	0,75	0,352	1	1,226785118	0,815138679	2,130681818
ATIC	7,43981E-11	0,294785865	0,344	0,031	1,56987E-06	1,226702887	0,81519332	11,09677419
RPS27	0,004104589	0,294723188	1	0,914	1	1,226649596	0,815228736	1,094091904
XYLT1	5,0197E-07	0,294614962	0,281	0,039	0,010592072	1,22655758	0,815289895	7,205128205
PCLAF	9,12354E-07	0,29426096	0,094	0	0,019251588	1,22625665	0,815489971	#DIV/0!
HGS	5,70869E-06	0,294001122	0,375	0,082	0,120459106	1,226035814	0,815636859	4,573170732
C20orf96	1,44979E-05	0,293867172	0,125	0,008	0,305919948	1,225921985	0,815712592	15,625
MED31	5,05391E-10	0,293732976	0,344	0,035	1,06643E-05	1,225807958	0,815788471	9,828571429
ANKH	2,41218E-06	0,292466638	0,25	0,035	0,050899452	1,224732467	0,816504851	7,142857143
PBRM1	5,95191E-05	0,292398116	0,531	0,164	1	1,224674298	0,816543632	3,237804878
WDR27	0,031169948	0,292277921	0,094	0,023	1	1,224572271	0,816611664	4,086956522
IFT27	1,04462E-08	0,292217949	0,406	0,062	0,000220426	1,224521367	0,816645611	6,548387097
RPE65	2,66394E-10	0,292189097	0,188	0,004	5,62118E-06	1,224496879	0,816661943	47
DUSP14	8,57488E-08	0,291725289	0,344	0,051	0,001809386	1,224103282	0,816924531	6,745098039
CLPTM1L	1,14064E-09	0,291682751	0,406	0,055	2,40686E-05	1,22406719	0,816948619	7,381818182
MLST8	8,16642E-07	0,291585482	0,25	0,031	0,01723197	1,223984665	0,8170037	8,064516129
HNRNPR	0,000384717	0,291440474	0,719	0,281	1	1,223861645	0,817085823	2,558718861
KLHL3	0,013349129	0,291428978	0,125	0,031	1	1,223851894	0,817092334	4,032258065
ESD	0,000155415	0,291270348	0,625	0,23	1	1,223717333	0,817182182	2,717391304
IPO4	7,82681E-10	0,291227918	0,25	0,016	1,65154E-05	1,223681344	0,817206216	15,625

Supplementary Table 1

Differentially expressed genes_adjacent-skin-XL_comparing SC-Keloid vs. (SC-Myel, SC-Nonmyel)								
gene	p_val	avg_log2FC	pct.1	pct.2	p_val_adj	Foldchange_UP	Foldchange_DOWN	Ratio_pct1_pct2
ECH1	2,23905E-08	0,291133871	0,531	0,105	0,000472461	1,223601576	0,81725949	5,057142857
RSL24D1	0,002722867	0,291081827	0,688	0,293	1	1,223557437	0,817288972	2,348122867
IMMP1L	1,95325E-11	0,291065596	0,469	0,059	4,12155E-07	1,223543671	0,817298167	7,949152542
OAZ1	0,009661003	0,290909844	0,969	0,668	1	1,223411586	0,817386406	1,450598802
SLC39A1	1,7972E-07	0,290858824	0,562	0,129	0,003792262	1,223368322	0,817415313	4,356589147
EEF2	0,053411174	0,290857668	0,938	0,688	1	1,223367342	0,817415968	1,363372093
MZT1	9,63836E-06	0,290820728	0,406	0,098	0,203379102	1,223336017	0,817436899	4,142857143
STX10	1,97144E-07	0,290512959	0,438	0,086	0,004159927	1,223075072	0,8176113	5,093023256
SNX22	6,3574E-05	0,290181868	0,062	0	1	1,222794415	0,817798959	#DIV/0!
SDF2	3,9745E-07	0,29010833	0,406	0,078	0,008386593	1,222732087	0,817840646	5,205128205
KCTD15	1,79804E-05	0,290033738	0,188	0,023	0,379403857	1,22266887	0,817882932	8,173913043
LEPROTL1	1,73305E-06	0,289903818	0,406	0,086	0,036569061	1,222558769	0,817956589	4,720930233
MANEA-DT	0,000451818	0,289451339	0,094	0,008	1	1,222175393	0,818213168	11,75
ZGPAT	0,12647311	0,289120809	0,094	0,035	1	1,221895417	0,818400647	2,685714286
ZNF32	2,47596E-08	0,288830983	0,438	0,074	0,000522452	1,221649972	0,818565074	5,918918919
RPA3	5,02919E-06	0,288620476	0,344	0,07	0,106120986	1,221471732	0,818684521	4,914285714
ST8SIA2	2,86276E-12	0,288557244	0,188	0	6,04072E-08	1,221418197	0,818720404	#DIV/0!
RALYL	9,12354E-07	0,28848993	0,094	0	0,019251588	1,221361209	0,818758605	#DIV/0!
PGM3	6,24909E-08	0,288244749	0,562	0,125	0,00131862	1,221153661	0,818897762	4,496
CSNK1A1	0,004870538	0,288009159	0,844	0,418	1	1,220954264	0,819031498	2,019138756
CDK5	1,18109E-12	0,287967012	0,281	0,012	2,49221E-08	1,220918596	0,819055426	23,41666667
B4GALT7	1,69471E-11	0,287724923	0,375	0,035	3,57601E-07	1,220713739	0,819192877	10,71428571
PPP4R1	5,31565E-06	0,287709839	0,406	0,094	0,11216551	1,220700975	0,819201443	4,319148936
KDM2B	0,00079237	0,287378534	0,156	0,027	1	1,220420682	0,819389588	5,777777778
CCDC106	2,81727E-07	0,287364527	0,312	0,047	0,005944715	1,220408833	0,819397544	6,638297872
NMI	0,000189737	0,287309361	0,25	0,055	1	1,220362168	0,819428877	4,545454545
ANPEP	2,86276E-12	0,287234493	0,188	0	6,04072E-08	1,220298839	0,819471401	#DIV/0!
NUDT5	5,26847E-08	0,287189695	0,438	0,078	0,001111699	1,220260948	0,819496847	5,615384615
ATG101	7,84831E-07	0,286797997	0,531	0,129	0,016560709	1,219929686	0,819719375	4,11627907
NSMCE1	2,11379E-11	0,286760938	0,406	0,043	4,46031E-07	1,21989835	0,819740431	9,441860465

Supplementary Table 1

Differentially expressed genes_adjacent-skin-XL_comparing SC-Keloid vs. (SC-Myel, SC-Nonmyel)								
gene	p_val	avg_log2FC	pct.1	pct.2	p_val_adj	Foldchange_UP	Foldchange_DOWN	Ratio_pct1_pct2
PAK1IP1	3,88452E-06	0,286571592	0,281	0,047	0,081967219	1,219738256	0,819848025	5,978723404
FAM114A2	9,0771E-08	0,285874552	0,188	0,012	0,001915359	1,219149079	0,820244232	15,66666667
DNMT1	1,07328E-06	0,285738571	0,531	0,129	0,022647178	1,219034174	0,820321547	4,11627907
KIF7	0,039886012	0,285622941	0,062	0,012	1	1,218936475	0,820387297	5,166666667
MED16	7,66065E-05	0,285511521	0,219	0,039	1	1,218842339	0,820450659	5,615384615
CDK18	4,38117E-05	0,284591151	0,281	0,059	0,924471165	1,218065024	0,820974234	4,762711864
TXNDC9	5,01789E-11	0,284509308	0,312	0,023	1,05883E-06	1,217995927	0,821020808	13,56521739
HMG20B	0,000109069	0,284260889	0,75	0,285	1	1,217786217	0,821162193	2,631578947
SLC39A13	7,27202E-05	0,284257947	0,375	0,098	1	1,217783733	0,821163868	3,826530612
SPDL1	5,34526E-05	0,284209886	0,188	0,027	1	1,217743165	0,821191224	6,962962963
PCNX2	1,51098E-05	0,284030544	0,125	0,008	0,318831333	1,217591796	0,821293313	15,625
GPX4	0,010556548	0,283811156	0,75	0,426	1	1,217406654	0,821418215	1,76056338
CTXN1	4,09886E-14	0,283517708	0,219	0	8,649E-10	1,217159055	0,82158531	#DIV/0!
SLC35A2	5,25184E-05	0,28273047	0,281	0,059	1	1,216495067	0,822033748	4,762711864
DHODH	9,0771E-08	0,282345924	0,188	0,012	0,001915359	1,216170857	0,822252888	15,66666667
FH	2,99054E-07	0,282316069	0,375	0,066	0,006310343	1,21614569	0,822269904	5,681818182
TUBG1	1,77239E-07	0,282312126	0,219	0,02	0,00373992	1,216142366	0,822272151	10,95
POLRMT	0,060046712	0,282235308	0,156	0,062	1	1,216077613	0,822315935	2,516129032
FMOD	0,034213216	0,281937369	0,094	0,023	1	1,2158265	0,822485774	4,086956522
PUF60	0,000136604	0,281648933	0,75	0,277	1	1,215583446	0,822650229	2,707581227
NDUFAF4	0,004972449	0,281638417	0,219	0,066	1	1,215574586	0,822656225	3,318181818
CDC42EP1	3,35661E-05	0,281586525	0,75	0,281	0,708279251	1,215530863	0,822685816	2,669039146
PFDN4	1,03996E-05	0,281501511	0,5	0,133	0,219441092	1,215459238	0,822734296	3,759398496
C15orf61	3,59137E-08	0,281376523	0,312	0,039	0,000757815	1,215353941	0,822805576	8
COX14	3,25025E-05	0,28104458	0,531	0,164	0,68583617	1,215074338	0,822994914	3,237804878
CUL2	1,31608E-06	0,281002536	0,344	0,062	0,027770673	1,215038928	0,823018899	5,548387097
RPS29	0,006923322	0,280933242	1	0,832	1	1,21498057	0,82305843	1,201923077
UBTD1	1,08519E-08	0,280899559	0,281	0,027	0,000228985	1,214952203	0,823077646	10,40740741
RPL15	0,018541127	0,280661666	0,969	0,832	1	1,21475188	0,823213379	1,164663462
ATP11B	7,53121E-05	0,280081691	0,344	0,086	1	1,214263639	0,823544384	4

Supplementary Table 1

Differentially expressed genes_adjacent-skin-XL_comparing SC-Keloid vs. (SC-Myel, SC-Nonmyel)								
gene	p_val	avg_log2FC	pct.1	pct.2	p_val_adj	Foldchange_UP	Foldchange_DOWN	Ratio_pct1_pct2
TOR3A	1,68113E-05	0,279964702	0,25	0,043	0,354735265	1,214165178	0,823611168	5,813953488
GPI	6,67693E-07	0,27947085	0,375	0,07	0,014088981	1,213749625	0,823893149	5,357142857
TLL1	4,27234E-12	0,279290744	0,219	0,004	9,01506E-08	1,21359811	0,82399601	54,75
TXNDC12	1,51302E-05	0,279136095	0,438	0,113	0,319262325	1,213468026	0,824084342	3,876106195
SLC25A4	4,8636E-06	0,279124532	0,438	0,105	0,102626823	1,2134583	0,824090947	4,171428571
ARF1	0,007847613	0,278966274	0,812	0,488	1	1,213325196	0,824181352	1,663934426
MTA1	4,97968E-06	0,278890288	0,469	0,117	0,105076243	1,213261293	0,824224762	4,008547009
UPF3B	4,12646E-12	0,278867453	0,406	0,039	8,70723E-08	1,213242089	0,824237808	10,41025641
RTF2	0,000151745	0,27885791	0,562	0,199	1	1,213234064	0,82424326	2,824120603
ID3	0,000169991	0,278848981	0,75	0,293	1	1,213226555	0,824248362	2,559726962
EIF3E	0,000646176	0,27872378	0,812	0,359	1	1,213121273	0,824319895	2,26183844
PIP4P2	7,4957E-05	0,278569462	0,312	0,074	1	1,212991518	0,824408073	4,216216216
ITGAE	6,97568E-07	0,278529026	0,375	0,07	0,014719382	1,212957521	0,82443118	5,357142857
C9orf64	1,86093E-07	0,278478276	0,25	0,027	0,003926759	1,212914853	0,824460182	9,259259259
TMTC3	5,30076E-07	0,278194149	0,281	0,039	0,011185134	1,212676002	0,824622569	7,205128205
TOR1A	4,62713E-14	0,277994256	0,375	0,023	9,7637E-10	1,212507991	0,824736832	16,30434783
CYB561A3	8,24168E-09	0,277920551	0,344	0,043	0,000173908	1,212446048	0,824778968	8
BLOC1S4	2,04525E-07	0,27757477	0,25	0,027	0,00431569	1,212155487	0,824976672	9,259259259
NOSIP	5,54069E-05	0,277522241	0,344	0,082	1	1,212111353	0,82500671	4,195121951
UBE4A	0,000292494	0,277355235	0,281	0,07	1	1,211971048	0,825102218	4,014285714
ROGDI	7,24756E-09	0,277213019	0,188	0,008	0,000152931	1,211851582	0,825183558	23,5
TUBA1C	0,001879994	0,277078393	0,5	0,195	1	1,211738502	0,825260564	2,564102564
UBA6-DT	7,24756E-09	0,276619012	0,188	0,008	0,000152931	1,211352723	0,825523384	23,5
FNBP1L	9,95832E-07	0,276577493	0,312	0,051	0,021013058	1,211317862	0,825547143	6,117647059
SIL1	2,77715E-07	0,276221364	0,562	0,133	0,005860059	1,211018885	0,825750954	4,22556391
MDH1	6,81779E-06	0,27619918	0,594	0,172	0,143862188	1,211000265	0,825763651	3,453488372
IMMT	1,91188E-05	0,275945768	0,344	0,078	0,403425253	1,210787569	0,825908711	4,41025641
PDCL	3,59137E-08	0,275640738	0,312	0,039	0,000757815	1,210531598	0,826083352	8
APBB1	3,48389E-06	0,275591028	0,219	0,027	0,073513559	1,210489889	0,826111816	8,111111111
H2AJ	0,038034675	0,275442596	0,781	0,414	1	1,210365353	0,826196815	1,88647343

Supplementary Table 1

Differentially expressed genes_adjacent-skin-XL_comparing SC-Keloid vs. (SC-Myel, SC-Nonmyel)								
gene	p_val	avg_log2FC	pct.1	pct.2	p_val_adj	Foldchange_UP	Foldchange_DOWN	Ratio_pct1_pct2
NDUFAF1	2,24215E-10	0,275403455	0,281	0,02	4,73116E-06	1,210332516	0,82621923	14,05
HOMER1	3,91499E-06	0,275074046	0,219	0,027	0,082610119	1,210056193	0,826407902	8,111111111
MRPS16	7,3383E-09	0,274774116	0,344	0,043	0,000154846	1,209804654	0,826579727	8
ZBED1	0,0555007	0,274483403	0,125	0,043	1	1,209560895	0,826746305	2,906976744
RALB	4,27613E-06	0,27426051	0,281	0,047	0,090230617	1,209374035	0,826874045	5,978723404
AREG	0,433572992	0,274053582	0,062	0,035	1	1,209200585	0,826992653	1,771428571
RPL22L1	0,002313981	0,273925461	0,75	0,359	1	1,209093205	0,827066099	2,08913649
DDX23	6,03826E-06	0,273819409	0,312	0,059	0,127413405	1,209004328	0,827126899	5,288135593
RAB5C	5,46517E-06	0,273677852	0,656	0,195	0,115320473	1,208885706	0,82720806	3,364102564
OXSM	8,18806E-07	0,273531961	0,125	0,004	0,017277634	1,208763465	0,827291715	31,25
TFPT	1,88604E-09	0,273506394	0,312	0,031	3,97972E-05	1,208742045	0,827306376	10,06451613
TOP1MT	1,77239E-07	0,27340643	0,219	0,02	0,00373992	1,208658293	0,827363702	10,95
MED24	9,05158E-09	0,273249875	0,312	0,035	0,000190997	1,208527142	0,827453489	8,914285714
WLS	1,25535E-06	0,27324912	0,625	0,172	0,026489135	1,20852651	0,827453921	3,63372093
ENDOD1	0,009341004	0,27311313	0,531	0,242	1	1,208412598	0,827531922	2,194214876
RAB11A	6,43341E-05	0,272996324	0,656	0,223	1	1,208314765	0,827598925	2,941704036
EXOSC5	7,16496E-06	0,27281971	0,25	0,039	0,151187773	1,208166852	0,827700245	6,41025641
SULF1	0,000486824	0,272629266	0,094	0,008	1	1,208007378	0,827809514	11,75
SEC24D	2,00542E-05	0,272611436	0,406	0,102	0,423163655	1,207992449	0,827819744	3,980392157
ZNF160	0,000157414	0,272390569	0,188	0,031	1	1,207807527	0,827946488	6,064516129
INTS12	0,000392856	0,272254285	0,219	0,047	1	1,207693437	0,828024704	4,659574468
AGPAT1	3,32737E-07	0,27216029	0,469	0,098	0,007021076	1,207614755	0,828078653	4,785714286
LAGE3	2,04693E-11	0,272158335	0,406	0,043	4,31922E-07	1,207613119	0,828079775	9,441860465
TMEM223	3,9091E-08	0,272017486	0,25	0,023	0,000824859	1,207495227	0,828160623	10,86956522
LPCAT2	3,72126E-05	0,271840125	0,469	0,129	0,785222778	1,207346789	0,828262442	3,635658915
TCF4	1,41746E-05	0,27173235	0,719	0,246	0,299098567	1,2072566	0,828324318	2,922764228
CARM1	5,65549E-06	0,271428454	0,312	0,059	0,11933641	1,207002324	0,828498819	5,288135593
GLRX3	2,2623E-10	0,271422381	0,469	0,066	4,77367E-06	1,206997243	0,828502306	7,106060606
UBR4	5,72121E-06	0,271405399	0,406	0,094	0,120723203	1,206983036	0,828512059	4,319148936
PSMG2	9,82992E-07	0,271265998	0,594	0,152	0,020742108	1,206866416	0,828592118	3,907894737

Supplementary Table 1

Differentially expressed genes_adjacent-skin-XL_ comparing SC-Keloid vs. (SC-Myel, SC-Nonmyel)								
gene	p_val	avg_log2FC	pct.1	pct.2	p_val_adj	Foldchange_UP	Foldchange_DOWN	Ratio_pct1_pct2
DGAT1	3,25118E-10	0,271218619	0,312	0,027	6,86031E-06	1,206826782	0,82861933	11,55555556
TPM1	3,72621E-07	0,270965031	0,438	0,09	0,007862681	1,206614673	0,828764992	4,866666667
EPB41L4A	4,5807E-05	0,270959513	0,094	0,004	0,966573495	1,206610058	0,828768162	23,5
ZNF417	0,082317662	0,270950975	0,031	0,004	1	1,206602916	0,828773067	7,75
PPIL3	2,72573E-08	0,27088498	0,344	0,047	0,000575156	1,206547723	0,82881098	7,319148936
ZWINT	1,33443E-05	0,270766214	0,125	0,008	0,281577496	1,206448401	0,828879212	15,625
TSPAN11	0,000818349	0,270643931	0,562	0,219	1	1,206346147	0,828949471	2,566210046
MAPKAP1	1,22749E-05	0,270434937	0,312	0,062	0,259013251	1,206171404	0,829069564	5,032258065
MAD2L1	3,44546E-06	0,270308526	0,156	0,012	0,072702732	1,206065722	0,829142211	13
PIGT	3,53787E-05	0,270279642	0,469	0,133	0,746526569	1,206041576	0,829158812	3,526315789
ECI1	5,4927E-06	0,270082221	0,5	0,129	0,11590148	1,20587655	0,829272283	3,875968992
SUCLG2	1,07156E-05	0,270054364	0,469	0,121	0,226109558	1,205853266	0,829288296	3,876033058
TMEM161A	4,64156E-06	0,270046971	0,312	0,059	0,097941569	1,205847086	0,829292546	5,288135593
DYRK4	0,000168807	0,269622221	0,25	0,055	1	1,205492121	0,829536737	4,545454545
SPG21	1,38976E-05	0,269095125	0,312	0,062	0,293252516	1,205051769	0,829839867	5,032258065
PCDHB2	8,61561E-07	0,268879659	0,125	0,004	0,018179807	1,204871808	0,829963813	31,25
KDM1A	1,65075E-06	0,268849285	0,281	0,043	0,034832408	1,204846441	0,829981287	6,534883721
C2orf81	0,00050526	0,26884513	0,094	0,008	1	1,204842971	0,829983678	11,75
GSTA4	2,58449E-06	0,26861788	0,438	0,102	0,054535414	1,204653202	0,830114425	4,294117647
TMSB15A	0,00050526	0,26857011	0,094	0,008	1	1,204613315	0,830141912	11,75
CRAT	3,74455E-07	0,268558116	0,312	0,047	0,007901365	1,2046033	0,830148813	6,638297872
TRAF7	4,68061E-05	0,268438336	0,312	0,07	0,987655199	1,204503292	0,830217739	4,457142857
EPRS1	2,48397E-07	0,26821883	0,438	0,086	0,005241431	1,204320041	0,830344067	5,093023256
ENDOG	0,000183387	0,268206058	0,281	0,066	1	1,204309379	0,830351418	4,257575758
CWC15	6,96722E-05	0,268025538	0,469	0,141	1	1,204158697	0,830455323	3,326241135
ULK4	0,000486824	0,267944412	0,094	0,008	1	1,204090986	0,830502023	11,75
METAP2	0,000197292	0,267685415	0,594	0,211	1	1,203874843	0,830651131	2,815165877
NEFM	3,82664E-06	0,267665913	0,188	0,02	0,080745856	1,20385857	0,830662359	9,4
LRP4	0,64910682	0,267568304	0,031	0,02	1	1,203777123	0,830718562	1,55
ARHGDI3	1,29854E-10	0,267390929	0,219	0,008	2,74005E-06	1,20362913	0,830820703	27,375

Supplementary Table 1

Differentially expressed genes_adjacent-skin-XL_comparing SC-Keloid vs. (SC-Myel, SC-Nonmyel)								
gene	p_val	avg_log2FC	pct.1	pct.2	p_val_adj	Foldchange_UP	Foldchange_DOWN	Ratio_pct1_pct2
DGCR6L	7,40549E-11	0,267383175	0,562	0,09	1,56263E-06	1,203622662	0,830825168	6,244444444
METTL5	6,46751E-10	0,267154376	0,531	0,09	1,36471E-05	1,203431793	0,83095694	5,9
PDE4A	2,11157E-07	0,267104506	0,219	0,02	0,00445563	1,203390194	0,830985664	10,95
CCDC34	1,99284E-10	0,267024776	0,281	0,02	4,2051E-06	1,203323691	0,83103159	14,05
THYN1	4,70256E-09	0,266571938	0,469	0,078	9,92287E-05	1,202946047	0,831292478	6,012820513
BBOX1	1,33967E-08	0,266369685	0,125	0	0,000282684	1,202777417	0,831409026	#DIV/0!
PSMC2	3,33903E-05	0,265849577	0,406	0,105	0,704567964	1,20234388	0,831708812	3,866666667
RND3	0,040432475	0,265060083	0,75	0,445	1	1,201686094	0,832164078	1,685393258
AIFM1	8,22802E-07	0,264937418	0,188	0,016	0,01736194	1,201583925	0,832234835	11,75
STK25	0,00011675	0,264928088	0,375	0,102	1	1,201576154	0,832240217	3,676470588
ELMOD1	6,3574E-05	0,264814075	0,062	0	1	1,201481201	0,83230599	#DIV/0!
TIMM23B	0,05712057	0,264670353	0,094	0,027	1	1,201361514	0,832388909	3,481481481
AMZ2	1,69117E-07	0,264520606	0,344	0,055	0,003568535	1,201236823	0,832475312	6,254545455
ZC3HC1	0,000486824	0,264506057	0,094	0,008	1	1,201224709	0,832483708	11,75
MCTS1	7,45803E-08	0,264412725	0,406	0,07	0,001573719	1,201147002	0,832537565	5,8
USP14	9,30016E-08	0,264324522	0,562	0,125	0,001962427	1,201073568	0,832588466	4,496
MICALL1	1,57978E-10	0,264098427	0,219	0,008	3,33348E-06	1,200885355	0,832718957	27,375
RPL5	0,103548686	0,26386582	0,938	0,746	1	1,20069175	0,832853228	1,257372654
TSPAN3	0,001215659	0,26376377	0,594	0,234	1	1,200606821	0,832912143	2,538461538
DDX11	4,36691E-05	0,2636901	0,094	0,004	0,921461827	1,200545515	0,832954676	23,5
PSMD9	9,51361E-07	0,263641304	0,594	0,152	0,02007467	1,20050491	0,832982849	3,907894737
MFSD3	1,96898E-07	0,263581921	0,219	0,02	0,00415474	1,200455496	0,833017136	10,95
PAR6A	1,33967E-08	0,263579644	0,125	0	0,000282684	1,200453602	0,833018451	#DIV/0!
CLTC	7,21599E-06	0,263566389	0,562	0,16	0,152264664	1,200442573	0,833026104	3,5125
MYEOV	4,09886E-14	0,263547785	0,219	0	8,649E-10	1,200427093	0,833036846	#DIV/0!
RPL30	0,014566126	0,263331247	1	0,883	1	1,200246931	0,833161889	1,132502831
ZNF544	1,02698E-07	0,263272101	0,188	0,012	0,002167028	1,200197725	0,833196047	15,66666667
TMX1	2,43867E-05	0,263236879	0,438	0,117	0,51458445	1,200168424	0,833216389	3,743589744
ERVMER34-1	2,86276E-12	0,263126483	0,188	0	6,04072E-08	1,20007659	0,833280149	#DIV/0!
CKS2	5,79556E-08	0,263043969	0,375	0,059	0,001222921	1,200007954	0,83332781	6,355932203

Supplementary Table 1

Differentially expressed genes_adjacent-skin-XL_comparing SC-Keloid vs. (SC-Myel, SC-Nonmyel)								
gene	p_val	avg_log2FC	pct.1	pct.2	p_val_adj	Foldchange_UP	Foldchange_DOWN	Ratio_pct1_pct2
DCTN5	8,59347E-05	0,262782245	0,219	0,039	1	1,199790277	0,833479	5,615384615
IMP4	1,60198E-07	0,262652417	0,375	0,062	0,003380331	1,199682312	0,833554008	6,048387097
REEP6	0,000452457	0,262605308	0,125	0,016	1	1,19964314	0,833581227	7,8125
SEC62	0,000955886	0,262447343	0,875	0,391	1	1,199511794	0,833672503	2,237851662
COQ3	3,57983E-06	0,262426522	0,156	0,012	0,075538003	1,199494483	0,833684535	13
ADAMTS12	9,12354E-07	0,262416048	0,094	0	0,019251588	1,199485775	0,833690587	#DIV/0!
ST3GAL2	5,94561E-05	0,262233544	0,188	0,027	1	1,199334047	0,833796058	6,962962963
ARMC10	3,02618E-05	0,262145523	0,406	0,105	0,638555129	1,199260876	0,83384693	3,866666667
AIF1L	2,86075E-06	0,261265994	0,312	0,055	0,060364658	1,198529977	0,834355435	5,672727273
HS3ST1	1,96814E-10	0,261223087	0,156	0	4,15296E-06	1,198494332	0,834380249	#DIV/0!
YWHAZ	0,002852144	0,261161745	0,875	0,453	1	1,198443375	0,834415727	1,931567329
LPGAT1	1,35983E-06	0,261004797	0,531	0,137	0,028693682	1,198313006	0,834506506	3,875912409
NDUFB5	1,05193E-06	0,260970888	0,469	0,105	0,022196825	1,198284841	0,834526121	4,466666667
RNF150	0,002168448	0,260965428	0,062	0,004	1	1,198280306	0,834529279	15,5
EIF3G	0,00029595	0,260923282	0,781	0,309	1	1,198245301	0,834553659	2,527508091
HEATR1	0,001808729	0,260670401	0,156	0,031	1	1,198035286	0,834699955	5,032258065
HMGNA4	6,30011E-07	0,260651828	0,344	0,059	0,013293862	1,198019863	0,834710701	5,830508475
MRPS7	9,80955E-10	0,260289879	0,5	0,082	2,06991E-05	1,197719337	0,834920143	6,097560976
GPX8	1,86296E-06	0,260254321	0,438	0,098	0,03931032	1,197689817	0,834940721	4,469387755
LEO1	1,17927E-11	0,26023504	0,344	0,027	2,48837E-07	1,197673811	0,83495188	12,74074074
FBXO21	3,59278E-05	0,260103412	0,375	0,094	0,758112671	1,197564542	0,835028063	3,989361702
CSE1L	4,70556E-08	0,259606028	0,438	0,078	0,00099292	1,197151741	0,835315997	5,615384615
SPATC1L	1,38853E-07	0,259551468	0,312	0,043	0,002929933	1,197106468	0,835347588	7,255813953
CDC37L1	2,30501E-05	0,25936821	0,344	0,078	0,486379331	1,196954415	0,835453704	4,41025641
P4HA3	1,33967E-08	0,25932721	0,125	0	0,000282684	1,196920399	0,835477447	#DIV/0!
TMEM250	9,0771E-08	0,25882614	0,188	0,012	0,001915359	1,196504763	0,835767671	15,666666667
DDX18	0,000130369	0,258794396	0,75	0,281	1	1,196478436	0,835786061	2,669039146
GNG7	5,59696E-07	0,258726637	0,281	0,039	0,01181015	1,196422243	0,835825317	7,205128205
GFUS	2,03458E-08	0,25865502	0,375	0,055	0,000429317	1,196362852	0,835866809	6,818181818
FBH1	0,005194433	0,25848939	0,219	0,066	1	1,196225511	0,835962777	3,318181818

Supplementary Table 1

Differentially expressed genes_adjacent-skin-XL_comparing SC-Keloid vs. (SC-Myel, SC-Nonmyel)								
gene	p_val	avg_log2FC	pct.1	pct.2	p_val_adj	Foldchange_UP	Foldchange_DOWN	Ratio_pct1_pct2
PIGU	3,64929E-07	0,258341514	0,312	0,047	0,007700373	1,196102904	0,836048467	6,638297872
DENR	6,77744E-08	0,258279396	0,5	0,102	0,001430107	1,196051405	0,836084466	4,901960784
POLDIP2	8,77574E-09	0,258045703	0,312	0,035	0,000185177	1,195857679	0,836219909	8,914285714
DOCK2	2,86276E-12	0,257886988	0,188	0	6,04072E-08	1,195726127	0,836311909	#DIV/0!
RAI1	0,000290171	0,257581141	0,156	0,023	1	1,195472664	0,836489223	6,782608696
HSPBP1	6,72473E-09	0,25745552	0,344	0,043	0,000141898	1,195368574	0,836562063	8
TMEM14C	6,1983E-05	0,257423463	0,531	0,164	1	1,195342013	0,836580652	3,237804878
IDH1	5,01789E-11	0,257282535	0,312	0,023	1,05883E-06	1,195225253	0,836662376	13,56521739
CACNA2D4	2,86577E-08	0,257042616	0,219	0,016	0,000604707	1,195026504	0,836801524	13,6875
ZNF138	0,00703765	0,256972271	0,125	0,027	1	1,194968237	0,836842327	4,62962963
PDCL3	3,30101E-08	0,256808039	0,344	0,047	0,000696546	1,194832213	0,836937596	7,319148936
BMERB1	3,79454E-10	0,256472865	0,375	0,043	8,00686E-06	1,194554656	0,83713206	8,720930233
INSYN2A	1,33967E-08	0,256324217	0,125	0	0,000282684	1,194431582	0,837218318	#DIV/0!
TRMO	2,86577E-08	0,256126905	0,219	0,016	0,000604707	1,194268235	0,837332829	13,6875
SEPTIN2	0,022059085	0,25602693	0,75	0,512	1	1,194185478	0,837390856	1,46484375
MAP4	0,027371938	0,255801834	0,906	0,52	1	1,19399917	0,83752152	1,742307692
KCNC2	6,3574E-05	0,255712355	0,062	0	1	1,193925118	0,837573466	#DIV/0!
POLR3H	1,03471E-06	0,255680348	0,219	0,023	0,021833489	1,19389863	0,837592049	9,52173913
CHKB	0,007888732	0,255609121	0,312	0,117	1	1,193839689	0,837633402	2,666666667
PSMB5	0,000230571	0,255355154	0,562	0,199	1	1,193629548	0,837780869	2,824120603
GPATCH1	0,081392519	0,255213129	0,062	0,016	1	1,193512048	0,837863348	3,875
LHFPL6	2,27444E-08	0,255151971	0,469	0,086	0,000479931	1,193461454	0,837898867	5,453488372
TRADD	1,56846E-09	0,254937445	0,281	0,023	3,30962E-05	1,193284001	0,838023471	12,2173913
MAPK3	1,15611E-08	0,254559367	0,406	0,062	0,000243951	1,192971326	0,838243115	6,548387097
POLR2C	8,75711E-07	0,25436887	0,406	0,082	0,018478373	1,192813814	0,838353806	4,951219512
ABHD16A	9,25608E-07	0,254316379	0,312	0,051	0,019531255	1,192770415	0,838384309	6,117647059
ACLY	2,22056E-06	0,253958545	0,312	0,055	0,046856037	1,192474607	0,83859228	5,672727273
CABIN1	0,000362786	0,253932025	0,25	0,059	1	1,192452687	0,838607696	4,237288136
NIP7	4,33123E-08	0,253684773	0,25	0,023	0,000913933	1,192248339	0,838751431	10,86956522
SRSF9	0,000822741	0,253591559	0,594	0,238	1	1,192171309	0,838805625	2,495798319

Supplementary Table 1

Differentially expressed genes_adjacent-skin-XL_comparing SC-Keloid vs. (SC-Myel, SC-Nonmyel)								
gene	p_val	avg_log2FC	pct.1	pct.2	p_val_adj	Foldchange_UP	Foldchange_DOWN	Ratio_pct1_pct2
ACTR1A	4,2816E-07	0,253591547	0,469	0,102	0,009034597	1,1921713	0,838805632	4,598039216
DIRAS1	4,09886E-14	0,253274426	0,219	0	8,649E-10	1,191909275	0,838990031	#DIV/0!
SMIM15	1,42389E-09	0,253227206	0,406	0,055	3,00454E-05	1,191870264	0,839017492	7,381818182
TP53I13	8,59395E-08	0,253146354	0,625	0,145	0,00181341	1,191803471	0,839064514	4,310344828
ATP6VOD1	5,15424E-07	0,253123658	0,438	0,09	0,010875957	1,191784722	0,839077714	4,866666667
MEOX1	6,3574E-05	0,252927537	0,062	0	1	1,191622721	0,839191786	#DIV/0!
SNF8	1,93845E-05	0,252516307	0,562	0,168	0,409031717	1,191283106	0,839431026	3,345238095
EI24	7,10867E-06	0,252464496	0,562	0,16	0,150000027	1,191240324	0,839461173	3,5125
MED10	3,31861E-06	0,25228736	0,594	0,164	0,070026036	1,191094071	0,839564249	3,62195122
RBBP4	1,71496E-06	0,252233596	0,625	0,176	0,036187473	1,191049684	0,839595538	3,551136364
TIMM17A	2,23409E-07	0,252185039	0,406	0,074	0,004714163	1,191009598	0,839623796	5,486486486
PRAG1	3,57983E-06	0,251854438	0,156	0,012	0,075538003	1,190736703	0,839816223	13
MOGS	2,11052E-07	0,25165503	0,25	0,027	0,004453418	1,190572131	0,83993231	9,259259259
PSMG3	6,03985E-05	0,251599668	0,281	0,059	1	1,190526446	0,839964541	4,762711864
CSNK1G3	3,65452E-05	0,251563127	0,375	0,094	0,771140872	1,190496292	0,839985817	3,989361702
PDHA1	0,000182503	0,250921218	0,25	0,055	1	1,189966713	0,840359641	4,545454545
ETV4	1,96814E-10	0,250818879	0,156	0	4,15296E-06	1,189882305	0,840419255	#DIV/0!
EFCAB2	2,33183E-10	0,250805791	0,281	0,02	4,92039E-06	1,18987151	0,840426879	14,05
MEA1	1,2796E-07	0,250763737	0,312	0,043	0,002700092	1,189836826	0,840451378	7,255813953
KIF13B	8,4498E-07	0,250706395	0,438	0,094	0,017829924	1,189789536	0,840484783	4,659574468
LIMD2	1,30636E-05	0,250647169	0,219	0,031	0,275655185	1,189740693	0,840519288	7,064516129
ITGA5	4,75304E-07	0,250509962	0,281	0,039	0,010029393	1,189627549	0,840599229	7,205128205
WDR46	9,10679E-05	0,250443727	0,25	0,051	1	1,189572934	0,840637822	4,901960784
HOGA1	4,09886E-14	0,250187043	0,219	0	8,649E-10	1,189361304	0,840787401	#DIV/0!
RNF128	4,27234E-12	0,250081005	0,219	0,004	9,01506E-08	1,189273889	0,840849202	54,75
MSRB1	4,03265E-08	0,249587858	0,312	0,039	0,000850929	1,188867437	0,841136673	8
RBM3	0,024130258	0,249580873	0,719	0,438	1	1,18886168	0,841140745	1,641552511
ARPIN	8,59347E-05	0,249456085	0,219	0,039	1	1,188758853	0,841213504	5,615384615
CNFN	0,00737039	0,24944426	0,094	0,016	1	1,188749109	0,841220399	5,875
PSMA5	7,85583E-06	0,249397106	0,594	0,168	0,165765954	1,188710256	0,841247895	3,535714286

Supplementary Table 1

Differentially expressed genes_adjacent-skin-XL_comparing SC-Keloid vs. (SC-Myel, SC-Nonmyel)								
gene	p_val	avg_log2FC	pct.1	pct.2	p_val_adj	Foldchange_UP	Foldchange_DOWN	Ratio_pct1_pct2
BDH2	0,001492226	0,249217879	0,406	0,141	1	1,188562591	0,84135241	2,879432624
HTRA2	0,001066258	0,249014675	0,312	0,094	1	1,188395193	0,841470923	3,319148936
INO80C	1,01508E-08	0,248909881	0,281	0,027	0,000214192	1,188308874	0,841532048	10,40740741
RCAN1	0,000729331	0,248883038	0,906	0,477	1	1,188286764	0,841547706	1,899371069
RPE	6,40895E-07	0,248867643	0,281	0,039	0,013523521	1,188274084	0,841556686	7,205128205
SAMD1	7,07015E-08	0,248864754	0,375	0,059	0,001491872	1,188271705	0,841558371	6,355932203
RNASEH2B	4,15798E-09	0,24846155	0,438	0,066	8,77376E-05	1,187939654	0,841793602	6,636363636
DDX1	8,95258E-06	0,248398591	0,469	0,121	0,188908433	1,187887813	0,841830339	3,876033058
LRP12	0,001037136	0,248346551	0,25	0,066	1	1,187844965	0,841860705	3,787878788
SNX7	5,39891E-08	0,248224149	0,5	0,098	0,001139224	1,187744189	0,841932134	5,102040816
UPRT	3,5572E-05	0,248158573	0,219	0,035	0,75060449	1,187690203	0,841970404	6,257142857
SLC35C2	1,69331E-06	0,248033231	0,281	0,043	0,035730553	1,187587021	0,842043558	6,534883721
C18orf32	0,000163694	0,247875675	0,594	0,207	1	1,187457332	0,842135522	2,869565217
HSD17B11	1,75258E-09	0,247765833	0,375	0,047	3,69813E-05	1,187366926	0,842199642	7,978723404
SH3BGR	1,71675E-09	0,247601459	0,469	0,074	3,62252E-05	1,187231651	0,842295603	6,337837838
COQ8B	1,58275E-07	0,247570514	0,281	0,035	0,00333977	1,187206186	0,84231367	8,028571429
MRTO4	1,21163E-07	0,247534715	0,312	0,043	0,002556662	1,187176726	0,842334572	7,255813953
LMNB2	0,001625689	0,247531888	0,156	0,031	1	1,1871744	0,842336223	5,032258065
FAM229B	1,3835E-07	0,247504606	0,469	0,094	0,002919331	1,18715195	0,842352152	4,989361702
ARSA	0,001935026	0,247359452	0,25	0,07	1	1,187032514	0,842436907	3,571428571
ARHGAP1	6,15428E-07	0,246947461	0,344	0,059	0,012986147	1,186693581	0,842677517	5,830508475
AIFM2	2,03907E-07	0,24692012	0,219	0,02	0,004302644	1,186671092	0,842693487	10,95
UBE2T	2,81241E-07	0,246746664	0,156	0,008	0,005934461	1,186528426	0,842794811	19,5
RAP1GDS1	0,000874229	0,246651578	0,375	0,121	1	1,186450226	0,84285036	3,099173554
COPS4	1,31496E-07	0,246641858	0,312	0,043	0,002774696	1,186442233	0,842856038	7,255813953
NRSN2	2,37592E-09	0,246567239	0,312	0,031	5,01343E-05	1,186380869	0,842899633	10,06451613
UQCRCF1	3,99577E-07	0,246273561	0,5	0,109	0,008431478	1,186139392	0,843071233	4,587155963
THEM4	1,33352E-05	0,246077289	0,312	0,062	0,281386118	1,185978034	0,843185937	5,032258065
GNA11	9,51595E-05	0,246031796	0,375	0,102	1	1,185940637	0,843212526	3,676470588
CNPPD1	0,004239973	0,245974988	0,281	0,094	1	1,18589394	0,843245729	2,989361702

Supplementary Table 1

Differentially expressed genes_adjacent-skin-XL_ comparing SC-Keloid vs. (SC-Myel, SC-Nonmyel)								
gene	p_val	avg_log2FC	pct.1	pct.2	p_val_adj	Foldchange_UP	Foldchange_DOWN	Ratio_pct1_pct2
CCDC91	2,55882E-05	0,245867025	0,312	0,066	0,539936516	1,185805198	0,843308835	4,727272727
HOXB5	6,3574E-05	0,245842191	0,062	0	1	1,185784785	0,843323352	#DIV/0!
RRAD	0,025463646	0,245768333	0,188	0,066	1	1,185724081	0,843366527	2,848484848
SARNP	5,5641E-05	0,245523372	0,688	0,238	1	1,18552277	0,843509737	2,890756303
RFC5	5,90558E-11	0,245445872	0,25	0,012	1,24614E-06	1,185459086	0,843555051	20,83333333
GASK1B	8,23459E-06	0,245418044	0,406	0,094	0,173758165	1,18543622	0,843571323	4,319148936
PFDN6	0,000109253	0,245025988	0,344	0,09	1	1,185114119	0,843800596	3,822222222
IFRD2	5,23791E-05	0,244932163	0,312	0,07	1	1,185037048	0,843855474	4,457142857
ARL2BP	1,17879E-05	0,244807781	0,594	0,18	0,248737486	1,184934884	0,84392823	3,3
JOSD2	4,35448E-06	0,244710267	0,625	0,176	0,091883945	1,184854796	0,843985275	3,551136364
METTL26	0,000184234	0,244654248	0,594	0,207	1	1,184808789	0,844018047	2,869565217
DYNC1I2	0,00124038	0,243842782	0,781	0,359	1	1,184142563	0,844492911	2,175487465
GNL2	0,000102664	0,243527895	0,281	0,062	1	1,183884136	0,844677253	4,532258065
VDR	0,000486824	0,24342488	0,094	0,008	1	1,183799605	0,844737569	11,75
PPP2R3C	2,95926E-08	0,243304733	0,344	0,047	0,000624432	1,183701022	0,844807921	7,319148936
HMBS	1,50434E-10	0,243257849	0,219	0,008	3,17431E-06	1,183662556	0,844835376	27,375
SLC49A3	7,96166E-09	0,243177173	0,188	0,008	0,000167999	1,183596367	0,844882621	23,5
PRPF31	3,63521E-08	0,242853588	0,406	0,066	0,000767065	1,183330926	0,845072142	6,151515152
TP53TG1	0,000182503	0,24282753	0,25	0,055	1	1,183309552	0,845087406	4,545454545
TOR1AIP1	2,23409E-07	0,242554661	0,406	0,074	0,004714163	1,183085764	0,84524726	5,486486486
TINF2	0,000273883	0,242306984	0,312	0,082	1	1,182882673	0,845392381	3,804878049
C14orf132	7,47389E-09	0,242165179	0,25	0,02	0,000157707	1,182766411	0,845475481	12,5
LYRM2	8,93857E-07	0,242131553	0,406	0,082	0,018861285	1,182738844	0,845495187	4,951219512
MPND	2,70596E-09	0,24195763	0,219	0,012	5,70985E-05	1,182596268	0,845597121	18,25
NOC2L	6,59509E-05	0,241852302	0,375	0,098	1	1,182509933	0,845658858	3,826530612
SURF2	2,22228E-07	0,241640268	0,344	0,055	0,004689228	1,182336151	0,845783155	6,254545455
XRCC5	0,000291348	0,241409277	0,781	0,312	1	1,182146862	0,845918585	2,503205128
TTC4	9,7095E-07	0,241374925	0,219	0,023	0,020488018	1,182118714	0,845938727	9,52173913
OCEL1	1,08519E-08	0,241235896	0,281	0,027	0,000228985	1,182004802	0,846020252	10,40740741
CCDC90B	0,000465198	0,241051441	0,469	0,16	1	1,181853687	0,846128426	2,93125

Supplementary Table 1

Differentially expressed genes_adjacent-skin-XL_comparing SC-Keloid vs. (SC-Myel, SC-Nonmyel)								
gene	p_val	avg_log2FC	pct.1	pct.2	p_val_adj	Foldchange_UP	Foldchange_DOWN	Ratio_pct1_pct2
NUDT9	0,001590978	0,240904878	0,281	0,086	1	1,181733628	0,846214389	3,26744186
MRPL12	3,38123E-08	0,240858617	0,406	0,066	0,000713474	1,181695736	0,846241523	6,151515152
EIF2B2	6,40752E-06	0,240799527	0,375	0,082	0,135204977	1,181647337	0,846276184	4,573170732
RANGRF	3,36842E-06	0,240670997	0,344	0,066	0,071077053	1,181542068	0,846351583	5,212121212
CDK1	6,3574E-05	0,240583745	0,062	0	1	1,181470613	0,84640277	#DIV/0!
PRKAR2A	0,00051005	0,240518728	0,344	0,102	1	1,18141737	0,846440915	3,37254902
PPOX	0,036309636	0,240476587	0,125	0,039	1	1,181382861	0,846465641	3,205128205
DDRGK1	1,84398E-06	0,240464927	0,469	0,109	0,038909776	1,181373313	0,846472482	4,302752294
RPL18	0,048110318	0,240320619	1	0,836	1	1,18125515	0,846557156	1,196172249
SMC1A	7,66099E-06	0,240258165	0,562	0,16	0,16165448	1,181204015	0,846593804	3,5125
TBC1D22A	5,94561E-05	0,240121294	0,188	0,027	1	1,181091957	0,846674125	6,962962963
CBY1	0,00030797	0,240022309	0,281	0,07	1	1,181010923	0,846732219	4,014285714
USE1	4,13472E-05	0,239862093	0,25	0,047	0,872467404	1,180879776	0,846826256	5,319148936
STING1	1,4529E-06	0,239743679	0,281	0,043	0,030657605	1,180782855	0,846895766	6,534883721
CFAP97	0,000159854	0,239291876	0,594	0,207	1	1,180413132	0,847161026	2,869565217
CPXM1	2,86276E-12	0,238785385	0,188	0	6,04072E-08	1,179998794	0,847458493	#DIV/0!
TOMM5	1,54008E-05	0,238653883	0,625	0,199	0,32497171	1,179891242	0,847535743	3,140703518
ANKRD6	1,17365E-05	0,238653329	0,219	0,031	0,247652593	1,179890789	0,847536068	7,064516129
TMEM60	3,9608E-08	0,238511234	0,281	0,031	0,000835768	1,179774584	0,847619549	9,064516129
P4HTM	0,00037456	0,23846655	0,406	0,125	1	1,179738043	0,847645802	3,248
NME3	0,000697293	0,238428184	0,719	0,289	1	1,179706671	0,847668344	2,487889273
GFER	2,41218E-06	0,238356202	0,25	0,035	0,050899452	1,179647812	0,847710639	7,142857143
MUL1	1,83571E-07	0,23806812	0,219	0,02	0,003873533	1,17941228	0,847879929	10,95
ETV5	4,5807E-05	0,238048923	0,094	0,004	0,966573495	1,179396586	0,847891211	23,5
USP45	0,000778441	0,238026504	0,188	0,039	1	1,179378259	0,847904388	4,820512821
GTF2H4	4,74973E-05	0,237978957	0,281	0,059	1	1,179339391	0,847932332	4,762711864
ZNF101	9,12354E-07	0,237917302	0,094	0	0,019251588	1,179288992	0,84796857	#DIV/0!
FOCAD	0,002370322	0,237671075	0,094	0,012	1	1,179087737	0,848113307	7,833333333
HSPA8	0,001881736	0,237633338	1	0,676	1	1,179056896	0,848135492	1,479289941
CDR2L	1,64657E-05	0,236829145	0,188	0,023	0,347443783	1,178399844	0,848608395	8,173913043

Supplementary Table 1

Differentially expressed genes_adjacent-skin-XL_comparing SC-Keloid vs. (SC-Myel, SC-Nonmyel)								
gene	p_val	avg_log2FC	pct.1	pct.2	p_val_adj	Foldchange_UP	Foldchange_DOWN	Ratio_pct1_pct2
ALDOA	3,66632E-06	0,236784676	0,344	0,066	0,077363122	1,178363522	0,848634552	5,212121212
UCHL5	2,34772E-06	0,236661668	0,25	0,035	0,049539231	1,178263056	0,848706912	7,142857143
LDHA	0,000867274	0,236638321	0,875	0,414	1	1,178243989	0,848720646	2,11352657
HSPB3	2,52232E-10	0,236552509	0,188	0,004	5,32235E-06	1,178173909	0,84877113	47
CD81	0,038034898	0,236462312	0,969	0,84	1	1,178100251	0,848824197	1,153571429
NDUFS3	4,60659E-07	0,236410199	0,562	0,137	0,009720359	1,178057697	0,848854859	4,102189781
SPATS2L	0,000285018	0,236248727	0,719	0,277	1	1,177925852	0,848949871	2,59566787
RAB3D	0,081392519	0,235983285	0,062	0,016	1	1,177709145	0,849106084	3,875
GAL3ST4	2,97902E-08	0,235929683	0,219	0,016	0,000628603	1,177665389	0,849137632	13,6875
SDC1	6,26921E-05	0,235709763	0,188	0,027	1	1,177485882	0,849267082	6,962962963
CCT8	0,000102655	0,235702864	0,531	0,172	1	1,177480252	0,849271143	3,087209302
POLR3D	4,56192E-05	0,235637506	0,281	0,059	0,962611179	1,17742691	0,849309618	4,762711864
CEP112	0,003651243	0,235585556	0,125	0,023	1	1,177384513	0,849340202	5,434782609
LAMTOR1	0,000257417	0,235404595	0,625	0,223	1	1,17723684	0,849446743	2,802690583
STK11	0,001515665	0,235291119	0,312	0,098	1	1,177144247	0,84951356	3,183673469
NUCKS1	0,055411361	0,235269069	0,969	0,684	1	1,177126256	0,849526544	1,416666667
JMJD8	0,000105708	0,235023902	0,344	0,09	1	1,176926236	0,849670922	3,822222222
IGBP1	4,5658E-07	0,234985644	0,438	0,09	0,009634302	1,176895026	0,849693454	4,866666667
KLHL9	1,73693E-06	0,234978287	0,281	0,043	0,036650933	1,176889024	0,849697787	6,534883721
RPS27A	0,032662414	0,234960867	1	0,898	1	1,176874814	0,849708047	1,113585746
MACO1	1,04547E-06	0,2349574	0,312	0,051	0,022060425	1,176871986	0,849710089	6,117647059
PTPN14	1,70371E-07	0,234899356	0,531	0,117	0,003594989	1,176824638	0,849744276	4,538461538
PTPA	3,62649E-11	0,234798853	0,562	0,086	7,65225E-07	1,176742659	0,849803475	6,534883721
ULBP2	2,86276E-12	0,234773699	0,188	0	6,04072E-08	1,176722142	0,849818291	#DIV/0!
TMEM150A	0,001444236	0,234460645	0,125	0,02	1	1,17646683	0,850002715	6,25
MMP17	7,86208E-09	0,234311855	0,562	0,113	0,000165898	1,176345503	0,850090384	4,973451327
COL9A2	0,013108072	0,234267243	0,125	0,031	1	1,176309128	0,850116671	4,032258065
TBL2	0,007479227	0,234241203	0,125	0,027	1	1,176287897	0,850132015	4,62962963
ZNF420	0,000466094	0,232778715	0,125	0,016	1	1,175096075	0,850994247	7,8125
SRRT	0,005168596	0,232619501	0,281	0,098	1	1,1749664	0,851088167	2,867346939

Supplementary Table 1

Differentially expressed genes_adjacent-skin-XL_comparing SC-Keloid vs. (SC-Myel, SC-Nonmyel)								
gene	p_val	avg_log2FC	pct.1	pct.2	p_val_adj	Foldchange_UP	Foldchange_DOWN	Ratio_pct1_pct2
CENPM	9,12354E-07	0,232418798	0,094	0	0,019251588	1,174802954	0,851206576	#DIV/0!
PCGF2	0,001066258	0,232002471	0,312	0,094	1	1,174463983	0,851452249	3,319148936
GDE1	8,16984E-11	0,231921337	0,438	0,055	1,72392E-06	1,174397935	0,851500135	7,963636364
CLNS1A	2,28454E-07	0,231708623	0,594	0,141	0,004820618	1,174224792	0,851625691	4,212765957
RNF182	1,96814E-10	0,231646752	0,156	0	4,15296E-06	1,174174436	0,851662214	#DIV/0!
POLR3K	0,000297876	0,2314477	0,156	0,023	1	1,174012443	0,851779728	6,782608696
CCL28	0,007186669	0,231426748	0,094	0,016	1	1,173995394	0,851792098	5,875
THAP8	1,96814E-10	0,231173265	0,156	0	4,15296E-06	1,173789139	0,851941773	#DIV/0!
FAM50B	2,10199E-05	0,231134774	0,156	0,016	0,443540004	1,173757824	0,851964502	9,75
GET3	5,47524E-07	0,230557953	0,438	0,09	0,0115533	1,173288624	0,852305204	4,866666667
TRABD	2,22437E-05	0,230502452	0,281	0,055	0,469363894	1,173243487	0,852337994	5,109090909
SRD5A1	2,33183E-10	0,230414951	0,281	0,02	4,92039E-06	1,173172331	0,85238969	14,05
DENND6B	0,000755915	0,230232963	0,156	0,027	1	1,173024351	0,852497222	5,777777778
NR1H2	4,34527E-06	0,230214401	0,469	0,117	0,091689461	1,173009259	0,85250819	4,008547009
ADA2	8,22802E-07	0,230115891	0,188	0,016	0,01736194	1,172929166	0,852566403	11,75
IGFBP6	1,07001E-07	0,230061611	0,188	0,012	0,002257818	1,172885037	0,85259848	15,666666667
INO80B	0,003403052	0,229986712	0,219	0,062	1	1,172824147	0,852642745	3,532258065
SOX11	9,12354E-07	0,229676854	0,094	0	0,019251588	1,172572278	0,852825893	#DIV/0!
TRAK2	1,11223E-05	0,229602188	0,219	0,031	0,234690635	1,172511594	0,852870032	7,064516129
RPF1	5,2276E-12	0,229160032	0,406	0,039	1,10307E-07	1,172152298	0,853131459	10,41025641
TWF1	1,03141E-06	0,228842149	0,406	0,082	0,021763787	1,171894055	0,853319458	4,951219512
PRPF19	2,54624E-06	0,228831989	0,25	0,035	0,053728244	1,171885802	0,853325468	7,142857143
CIAPIN1	8,24168E-09	0,228645209	0,344	0,043	0,000173908	1,171734092	0,853435952	8
EXOSC1	0,00287441	0,228229262	0,188	0,047	1	1,171396316	0,853682043	4
COQ10B	0,000281007	0,228099754	0,406	0,125	1	1,171291166	0,85375868	3,248
ENDOV	6,8971E-08	0,228085727	0,375	0,059	0,001455356	1,171279778	0,853766981	6,355932203
RPS28	0,045384033	0,228027612	1	0,898	1	1,171232597	0,853801373	1,113585746
SH2B3	9,40504E-07	0,228025278	0,219	0,023	0,019845575	1,171230703	0,853802754	9,52173913
MAP9	1,28694E-06	0,228015915	0,344	0,062	0,027155825	1,171223102	0,853808296	5,548387097
PRPF40A	0,000192736	0,227324242	0,594	0,211	1	1,170661715	0,854217736	2,815165877

Supplementary Table 1

Differentially expressed genes_adjacent-skin-XL_comparing SC-Keloid vs. (SC-Myel, SC-Nonmyel)								
gene	p_val	avg_log2FC	pct.1	pct.2	p_val_adj	Foldchange_UP	Foldchange_DOWN	Ratio_pct1_pct2
ALG6	1,27946E-05	0,227057428	0,312	0,062	0,269978646	1,170445231	0,854375731	5,032258065
TRAM2	6,78692E-06	0,226879125	0,375	0,082	0,143210806	1,170300584	0,85448133	4,573170732
KCTD17	1,56846E-09	0,22664934	0,281	0,023	3,30962E-05	1,1701142	0,854617438	12,2173913
RABIF	1,36009E-12	0,226120353	0,281	0,012	2,86993E-08	1,169685238	0,854930854	23,41666667
SP110	0,003590182	0,225934847	0,156	0,035	1	1,169534846	0,855040791	4,457142857
RAB12	1,2136E-05	0,225815248	0,281	0,051	0,256081924	1,169437896	0,855111677	5,509803922
ACAT2	2,7063E-07	0,225802459	0,344	0,055	0,00571057	1,169427529	0,855119257	6,254545455
RFTN1	0,002370322	0,225794624	0,094	0,012	1	1,169421178	0,855123901	7,833333333
CHST11	3,57983E-06	0,225446016	0,156	0,012	0,075538003	1,169138638	0,855330555	13
RTN2	1,96814E-10	0,225408885	0,156	0	4,15296E-06	1,169108548	0,855352569	#DIV/0!
NHLRC3	0,000205019	0,225172248	0,25	0,055	1	1,168916801	0,85549288	4,545454545
PIK3R4	0,007631848	0,225002425	0,125	0,027	1	1,168779213	0,855593588	4,62962963
CDIPT	1,69566E-06	0,224968625	0,438	0,098	0,03578021	1,168751831	0,855613633	4,469387755
OGFOD3	2,43556E-06	0,224873557	0,312	0,055	0,051392661	1,168674817	0,855670017	5,672727273
MRM3	8,65685E-05	0,224760272	0,156	0,02	1	1,168583052	0,855737209	7,8
GLRX2	0,003712381	0,224416387	0,25	0,078	1	1,168304539	0,855941209	3,205128205
TMEM258	0,02145433	0,22437319	0,875	0,566	1	1,168269559	0,855966838	1,545936396
POLE3	9,13181E-09	0,2243661	0,438	0,07	0,00019269	1,168263817	0,855971045	6,257142857
FAM210B	6,61533E-07	0,224180221	0,594	0,148	0,013959011	1,168113306	0,856081336	4,013513514
PRDM10	0,000112833	0,224120272	0,125	0,012	1	1,168064768	0,85611691	10,41666667
SEMA4D	0,003660239	0,224110608	0,156	0,035	1	1,168056944	0,856122645	4,457142857
REXO2	1,34284E-05	0,223984053	0,594	0,172	0,283351994	1,167954485	0,856197748	3,453488372
GRB10	4,64456E-05	0,223909451	0,344	0,082	0,980048497	1,167894091	0,856242024	4,195121951
HOXB8	2,86276E-12	0,22355314	0,188	0	6,04072E-08	1,167605684	0,856453521	#DIV/0!
RAD23B	0,001005729	0,223536834	0,531	0,203	1	1,167592488	0,856463201	2,615763547
EFR3B	0,000169271	0,22347887	0,188	0,031	1	1,167545578	0,856497612	6,064516129
ITPK1	0,00078188	0,223434068	0,625	0,258	1	1,167509321	0,856524211	2,42248062
BEX1	0,169508224	0,223340091	0,094	0,039	1	1,167433272	0,856580007	2,41025641
RAB18	3,22581E-05	0,222994297	0,562	0,176	0,680677248	1,167153488	0,856785342	3,193181818
PPP1R37	2,33183E-10	0,222993153	0,281	0,02	4,92039E-06	1,167152563	0,856786021	14,05

Supplementary Table 1

Differentially expressed genes_adjacent-skin-XL_ comparing SC-Keloid vs. (SC-Myel, SC-Nonmyel)								
gene	p_val	avg_log2FC	pct.1	pct.2	p_val_adj	Foldchange_UP	Foldchange_DOWN	Ratio_pct1_pct2
STOML2	0,000113152	0,222915206	0,375	0,102	1	1,167089505	0,856832313	3,676470588
TRAPPC6A	0,00082778	0,222857761	0,188	0,039	1	1,167043035	0,856866431	4,820512821
AC097381.1	0,079594089	0,222807451	0,031	0,004	1	1,167002338	0,856896312	7,75
DDR1	0,000528986	0,222731247	0,406	0,133	1	1,166940698	0,856941575	3,052631579
CSNK1G2	3,80295E-07	0,22253909	0,438	0,09	0,008024611	1,166785279	0,857055722	4,866666667
ZDHHC13	0,002168448	0,222122871	0,062	0,004	1	1,166448709	0,857303019	15,5
TRPV4	1,33967E-08	0,221817429	0,125	0	0,000282684	1,166201779	0,857484543	#DIV/0!
STYXL1	2,41715E-14	0,221760791	0,312	0,012	5,10043E-10	1,166155997	0,857518207	26
SMIM12	8,43723E-08	0,221680318	0,438	0,082	0,001780339	1,166090951	0,857566041	5,341463415
PIAS2	5,30076E-07	0,221490985	0,281	0,039	0,011185134	1,165937928	0,857678591	7,205128205
STXBP4	9,73699E-05	0,221344395	0,156	0,02	1	1,165819465	0,857765743	7,8
CLN5	0,000133984	0,221212249	0,438	0,129	1	1,165712685	0,857844315	3,395348837
LMLN	1,57978E-10	0,221039614	0,219	0,008	3,33348E-06	1,165573203	0,857946972	27,375
SP2	0,010532596	0,220943546	0,156	0,043	1	1,16549559	0,858004104	3,627906977
TSNAX	3,12413E-07	0,220657802	0,438	0,086	0,006592226	1,165264772	0,85817406	5,093023256
RAB2A	0,001297108	0,220509468	0,875	0,395	1	1,165144969	0,858262299	2,215189873
RPAP2	0,010194	0,22036533	0,156	0,043	1	1,165028566	0,858348052	3,627906977
ADSS1	0,000486824	0,22027881	0,094	0,008	1	1,164958701	0,858399529	11,75
POP4	2,33183E-10	0,220076655	0,281	0,02	4,92039E-06	1,164795474	0,85851982	14,05
CHD9	1,31206E-05	0,21984917	0,844	0,297	0,276858651	1,164611823	0,858655202	2,841750842
IMPDH1	6,43857E-09	0,219745837	0,25	0,02	0,00013586	1,164528411	0,858716705	12,5
HMCN1	1,36009E-12	0,219634271	0,281	0,012	2,86993E-08	1,164438359	0,858783114	23,41666667
AHNAK2	7,47389E-09	0,219238008	0,25	0,02	0,000157707	1,164118569	0,859019027	12,5
WDR41	1,67748E-07	0,219159063	0,281	0,035	0,00353966	1,164054869	0,859066034	8,028571429
S100A9	0,00737039	0,219081274	0,094	0,016	1	1,163992106	0,859112355	5,875
ALDH7A1	5,36615E-07	0,218568911	0,438	0,09	0,011323121	1,163578796	0,859417518	4,866666667
LRP10	4,24827E-05	0,21852948	0,625	0,203	0,896427428	1,163546993	0,859441007	3,078817734
PTMA	0,021331787	0,218443967	1	0,965	1	1,163478029	0,85949195	1,03626943
ELP4	0,000774932	0,218161481	0,219	0,051	1	1,163250237	0,859660259	4,294117647
NPTN	2,06076E-07	0,21813478	0,625	0,156	0,00434842	1,163228708	0,85967617	4,006410256

Supplementary Table 1

Differentially expressed genes_adjacent-skin-XL_comparing SC-Keloid vs. (SC-Myel, SC-Nonmyel)								
gene	p_val	avg_log2FC	pct.1	pct.2	p_val_adj	Foldchange_UP	Foldchange_DOWN	Ratio_pct1_pct2
BMS1	4,56192E-05	0,218049594	0,281	0,059	0,962611179	1,163160026	0,859726932	4,762711864
COMMD8	1,92244E-06	0,217996872	0,281	0,043	0,040565506	1,16311752	0,85975835	6,534883721
C4orf3	0,018070651	0,217948691	0,812	0,422	1	1,163078676	0,859787064	1,924170616
FDX2	1,06047E-05	0,217931128	0,281	0,051	0,22377069	1,163064517	0,859797531	5,509803922
MAN1C1	2,66394E-10	0,217888087	0,188	0,004	5,62118E-06	1,16302982	0,859823182	47
ADAM10	3,28502E-06	0,217785489	0,625	0,176	0,069317282	1,162947113	0,859884331	3,551136364
CAPN5	1,69331E-06	0,217656068	0,281	0,043	0,035730553	1,162842792	0,859961473	6,534883721
HSPA13	0,000127721	0,217292496	0,5	0,156	1	1,162549782	0,860178218	3,205128205
IL7R	1,57978E-10	0,217274619	0,219	0,008	3,33348E-06	1,162535376	0,860188877	27,375
FBXL7	0,171460184	0,217203169	0,094	0,039	1	1,162477803	0,860231479	2,41025641
LYAR	5,25179E-09	0,217194888	0,375	0,051	0,000110818	1,162471131	0,860236417	7,352941176
SOAT1	9,29699E-05	0,217159474	0,25	0,051	1	1,162442595	0,860257534	4,901960784
OTUD6B	6,60944E-05	0,217141022	0,188	0,027	1	1,162427728	0,860268536	6,962962963
IL27RA	1,5116E-08	0,217124316	0,156	0,004	0,000318962	1,162414267	0,860278498	39
MRPS18A	8,40691E-07	0,217100123	0,25	0,031	0,017739423	1,162394775	0,860292924	8,064516129
ASB1	0,000773943	0,216968806	0,156	0,027	1	1,162288977	0,860371233	5,777777778
PXN-AS1	7,65055E-07	0,216951864	0,188	0,016	0,016143431	1,162275327	0,860381337	11,75
PEX13	3,86379E-06	0,216689249	0,156	0,012	0,081529835	1,162063777	0,860537967	13
PGAP6	4,62825E-08	0,21659633	0,281	0,031	0,000976607	1,161988934	0,860593393	9,064516129
DRG1	3,59137E-08	0,216434868	0,312	0,039	0,000757815	1,161858895	0,860689714	8
PA2G4	0,000228794	0,216352926	0,75	0,285	1	1,161792906	0,8607386	2,631578947
KNOP1	0,001003745	0,216216519	0,25	0,066	1	1,161683064	0,860819987	3,787878788
CHRNB1	9,7095E-07	0,215895064	0,219	0,023	0,020488018	1,161424251	0,861011813	9,52173913
COPS5	7,93315E-05	0,215845975	0,406	0,113	1	1,161384733	0,86104111	3,592920354
CTCF	7,44809E-07	0,215649168	0,375	0,07	0,015716207	1,161226313	0,861158578	5,357142857
TYMS	9,12354E-07	0,215569093	0,094	0	0,019251588	1,161161862	0,861206377	#DIV/0!
ZMAT3	0,000939929	0,215345305	0,25	0,066	1	1,160981759	0,861339976	3,787878788
TMEM184B	0,045493752	0,215277649	0,25	0,113	1	1,160927316	0,861380369	2,212389381
EVA1A	8,61561E-07	0,215233435	0,125	0,004	0,018179807	1,160891737	0,861406768	31,25
DHFR	9,40504E-07	0,215058964	0,219	0,023	0,019845575	1,160751354	0,861510949	9,52173913

Supplementary Table 1

Differentially expressed genes_adjacent-skin-XL_comparing SC-Keloid vs. (SC-Myel, SC-Nonmyel)								
gene	p_val	avg_log2FC	pct.1	pct.2	p_val_adj	Foldchange_UP	Foldchange_DOWN	Ratio_pct1_pct2
ESYT1	1,92242E-06	0,215027253	0,281	0,043	0,040564886	1,160725841	0,861529885	6,534883721
YTHDF2	1,06747E-05	0,215026959	0,438	0,109	0,225246221	1,160725604	0,861530061	4,018348624
NDUFA2	2,05856E-05	0,214985673	0,594	0,18	0,434377207	1,160692388	0,861554715	3,3
ZNF282	0,006378008	0,214965414	0,156	0,039	1	1,160676089	0,861566814	4
SMYD5	0,00737039	0,214955638	0,094	0,016	1	1,160668224	0,861572652	5,875
ATAD2B	9,89074E-05	0,214837132	0,25	0,051	1	1,160572888	0,861643426	4,901960784
KIAA0232	4,92519E-05	0,214829874	0,406	0,105	1	1,16056705	0,861647761	3,866666667
ABI2	0,003920049	0,214795217	0,438	0,176	1	1,16053917	0,86166846	2,488636364
PIGP	5,48122E-08	0,214744114	0,531	0,109	0,001156592	1,160498063	0,861698983	4,871559633
RBM15B	0,006378008	0,214567033	0,156	0,039	1	1,160355628	0,861804757	4
METTL21A	9,17361E-07	0,214467077	0,188	0,016	0,019357231	1,160275237	0,861864468	11,75
HMG2	0,010063632	0,214394948	0,781	0,398	1	1,160217228	0,86190756	1,962311558
GIGYF2	2,62475E-05	0,214363554	0,344	0,078	0,553847608	1,160191982	0,861926315	4,41025641
NUDT2	8,90851E-07	0,214311283	0,25	0,031	0,018797848	1,160149947	0,861957545	8,064516129
RGS19	2,66394E-10	0,214294585	0,188	0,004	5,62118E-06	1,160136519	0,861967521	47
CCDC47	0,000543438	0,214170299	0,594	0,223	1	1,16003658	0,862041781	2,66367713
CTPS1	9,48524E-05	0,214166051	0,125	0,012	1	1,160033164	0,86204432	10,41666667
ZDHHC4	7,70517E-07	0,214059743	0,25	0,031	0,01625868	1,159947688	0,862107844	8,064516129
OLFML3	8,91574E-05	0,21382213	0,156	0,02	1	1,15975666	0,862249845	7,8
APEX2	1,59386E-08	0,213742197	0,156	0,004	0,000336319	1,159692404	0,86229762	39
COMMD3	5,80052E-06	0,213663448	0,438	0,105	0,122396669	1,159629105	0,862344689	4,171428571
NCAPD3	9,41597E-05	0,213650302	0,219	0,039	1	1,159618538	0,862352547	5,615384615
TMEM127	0,003453714	0,213486533	0,156	0,035	1	1,15948691	0,862450444	4,457142857
BIRC5	0,004841742	0,213453635	0,031	0	1	1,159460471	0,86247011	#DIV/0!
SPRYD7	0,000200254	0,213451306	0,219	0,043	1	1,159458599	0,862471502	5,093023256
TMPO	2,22454E-09	0,213277546	0,312	0,031	4,69401E-05	1,15931896	0,862575386	10,06451613
EHD2	3,76932E-06	0,213242409	0,375	0,078	0,079536364	1,159290726	0,862596394	4,807692308
POLR1D	5,53501E-05	0,213174224	0,625	0,207	1	1,159235936	0,862637164	3,019323671
EIF4H	0,0024417	0,212804961	0,688	0,297	1	1,158939263	0,862857987	2,316498316
CFDP1	2,40826E-05	0,212640828	0,562	0,172	0,508167664	1,158807421	0,862956158	3,26744186

Supplementary Table 1

Differentially expressed genes_adjacent-skin-XL_comparing SC-Keloid vs. (SC-Myel, SC-Nonmyel)								
gene	p_val	avg_log2FC	pct.1	pct.2	p_val_adj	Foldchange_UP	Foldchange_DOWN	Ratio_pct1_pct2
SLC25A24	1,63458E-09	0,212404913	0,406	0,055	3,44913E-05	1,158617943	0,863097284	7,381818182
ARL15	1,44979E-05	0,212310657	0,125	0,008	0,305919948	1,158542249	0,863153675	15,625
PGS1	0,024054161	0,212003231	0,125	0,035	1	1,1582954	0,863337625	3,571428571
QDPR	0,000153915	0,211710123	0,5	0,16	1	1,158060097	0,863513045	3,125
TMEM214	0,000109604	0,211449018	0,25	0,051	1	1,157850525	0,863669341	4,901960784
TUSC2	4,03182E-13	0,211402866	0,375	0,027	8,50753E-09	1,157813486	0,86369697	13,88888889
C22orf39	0,007863882	0,211374498	0,219	0,07	1	1,15779072	0,863713953	3,128571429
PAICS	1,54041E-05	0,211242772	0,312	0,062	0,325042363	1,157685012	0,863792819	5,032258065
GTF2E2	9,47138E-06	0,211187393	0,281	0,051	0,19985553	1,157640575	0,863825977	5,509803922
DCBLD1	2,92389E-12	0,210687041	0,25	0,008	6,1697E-08	1,157239154	0,864125619	31,25
UBE2L6	0,000205019	0,210629726	0,25	0,055	1	1,15719318	0,864159949	4,545454545
MICAL2	2,33183E-10	0,210456666	0,281	0,02	4,92039E-06	1,157054376	0,864263617	14,05
PRIM2	2,86577E-08	0,210447535	0,219	0,016	0,000604707	1,157047053	0,864269087	13,6875
LRRC75A	6,93747E-09	0,210435576	0,25	0,02	0,000146388	1,157037462	0,864276251	12,5
CASP14	0,004841742	0,210432726	0,031	0	1	1,157035176	0,864277959	#DIV/0!
GABRA4	0,004841742	0,210432726	0,031	0	1	1,157035176	0,864277959	#DIV/0!
ELMOD3	0,000305772	0,210351516	0,156	0,023	1	1,156970048	0,864326611	6,782608696
WRAP73	8,65685E-05	0,210257255	0,156	0,02	1	1,156894458	0,864383085	7,8
ATG7	0,000760719	0,21024659	0,219	0,051	1	1,156885906	0,864389474	4,294117647
NTN1	6,02104E-12	0,210188295	0,312	0,02	1,2705E-07	1,15683916	0,864424402	15,6
FAM136A	8,55048E-11	0,210152441	0,344	0,031	1,80424E-06	1,156810411	0,864445885	11,09677419
ERIB	4,21482E-06	0,21012464	0,406	0,09	0,088937012	1,156788119	0,864462544	4,511111111
CALML4	0,013054404	0,209738751	0,062	0,008	1	1,156478745	0,864693799	7,75
SIVA1	0,001381319	0,209584669	0,656	0,273	1	1,156355238	0,864786155	2,402930403
CROT	1,58275E-07	0,209030607	0,281	0,035	0,00333977	1,155911229	0,865118337	8,028571429
SIPA1	0,005141746	0,208857539	0,344	0,129	1	1,155772573	0,865222124	2,666666667
FXD3	0,000209017	0,208603933	0,25	0,055	1	1,155569422	0,865374231	4,545454545
LARS1	1,38862E-06	0,208551291	0,562	0,145	0,029301308	1,155527257	0,865405809	3,875862069
MEAK7	1,11477E-07	0,208546651	0,188	0,012	0,002352284	1,155523541	0,865408592	15,66666667
RAC1	0,076956059	0,208312388	0,938	0,656	1	1,155335924	0,865549127	1,429878049

Supplementary Table 1

Differentially expressed genes_adjacent-skin-XL_comparing SC-Keloid vs. (SC-Myel, SC-Nonmyel)								
gene	p_val	avg_log2FC	pct.1	pct.2	p_val_adj	Foldchange_UP	Foldchange_DOWN	Ratio_pct1_pct2
UQCC3	1,56439E-07	0,208295528	0,375	0,062	0,00330101	1,155322421	0,865559243	6,048387097
FARP1	0,000305772	0,208075671	0,156	0,023	1	1,155146372	0,865691158	6,782608696
NAGA	1,51026E-05	0,208065333	0,344	0,074	0,318679081	1,155138094	0,865697361	4,648648649
S100A1	0,112120623	0,208039997	0,188	0,09	1	1,155117808	0,865712565	2,088888889
RUFY1	2,02073E-05	0,207910722	0,188	0,023	0,426394579	1,155014307	0,865790141	8,173913043
LRWD1	7,59646E-09	0,207902758	0,188	0,008	0,000160293	1,155007931	0,865794921	23,5
ZNF362	9,51212E-08	0,207892052	0,344	0,051	0,002007153	1,15499936	0,865801345	6,745098039
ST7-AS1	1,33967E-08	0,20775428	0,125	0	0,000282684	1,154889067	0,865884031	#DIV/0!
SLC35E4	4,79742E-08	0,207717011	0,25	0,023	0,001012303	1,154859233	0,865906399	10,86956522
MAPRE1	0,000531572	0,207706327	0,625	0,23	1	1,154850681	0,865912812	2,717391304
PRCP	0,001606083	0,207398282	0,375	0,129	1	1,154604123	0,866097722	2,906976744
FAIM	5,35812E-05	0,207179469	0,281	0,059	1	1,154429018	0,866229092	4,762711864
FBXO8	9,25608E-07	0,207156888	0,312	0,051	0,019531255	1,154410949	0,866242651	6,117647059
SH3KBP1	5,02394E-07	0,207008372	0,406	0,078	0,010601017	1,154292116	0,866331829	5,205128205
SUPV3L1	1,89132E-05	0,206853318	0,25	0,043	0,399087485	1,154168065	0,866424943	5,813953488
RBX1	0,004016773	0,206347158	0,875	0,449	1	1,153763203	0,866728976	1,948775056
RPAIN	3,92965E-05	0,206132795	0,5	0,148	0,829196265	1,153591784	0,866857769	3,378378378
TMEM220	0,000452457	0,205857218	0,125	0,016	1	1,153371452	0,867023368	7,8125
SLC12A4	6,66992E-05	0,205705839	0,281	0,059	1	1,153250437	0,867114347	4,762711864
ADGRA3	9,82165E-05	0,205534408	0,125	0,012	1	1,153113408	0,86721739	10,41666667
CHCHD3	0,00028292	0,205289944	0,312	0,082	1	1,15291803	0,867364352	3,804878049
DOCK8	0,000112833	0,20513752	0,125	0,012	1	1,152796228	0,867455996	10,41666667
KIF3B	9,48524E-05	0,205019892	0,125	0,012	1	1,152702241	0,867526725	10,41666667
CDC5L	7,23811E-06	0,204995125	0,5	0,129	0,152731424	1,152682452	0,867541618	3,875968992
GINS2	1,39097E-05	0,204673929	0,125	0,008	0,293508116	1,152425852	0,867734786	15,625
GPS1	1,16412E-07	0,204573196	0,531	0,117	0,002456417	1,152345388	0,867795376	4,538461538
ABHD6	1,77239E-07	0,204285382	0,219	0,02	0,00373992	1,152115522	0,867968516	10,95
SNRNP40	0,001177356	0,204261175	0,312	0,094	1	1,15209619	0,86798308	3,319148936
RAB11B	1,26978E-05	0,20404627	0,625	0,188	0,267937201	1,151924586	0,868112385	3,324468085
PRKACA	0,000164053	0,204036305	0,312	0,078	1	1,15191663	0,868118381	4

Supplementary Table 1

Differentially expressed genes_adjacent-skin-XL_comparing SC-Keloid vs. (SC-Myel, SC-Nonmyel)								
gene	p_val	avg_log2FC	pct.1	pct.2	p_val_adj	Foldchange_UP	Foldchange_DOWN	Ratio_pct1_pct2
SNAPC5	1,73693E-06	0,203929225	0,281	0,043	0,036650933	1,151831135	0,868182818	6,534883721
DDX49	7,11318E-06	0,203844897	0,344	0,07	0,150095314	1,151763811	0,868233566	4,914285714
TSSC4	0,000501385	0,203789052	0,438	0,145	1	1,151719228	0,868267174	3,020689655
KLHDC3	1,25841E-06	0,203755428	0,344	0,062	0,026553766	1,151692386	0,868287411	5,548387097
DCAF4	0,013054404	0,203663556	0,062	0,008	1	1,151619047	0,868342706	7,75
MAP7D3	6,07138E-07	0,203622607	0,281	0,039	0,012811221	1,151586361	0,868367353	7,205128205
MRFAP1L1	9,62117E-08	0,2035475	0,406	0,07	0,002030164	1,15152641	0,868412562	5,8
HYOU1	0,000765876	0,203456757	0,312	0,094	1	1,151453984	0,868467185	3,319148936
MBLAC1	0,01346698	0,203453993	0,062	0,008	1	1,151451778	0,868468849	7,75
HACD3	5,96633E-09	0,203368571	0,469	0,078	0,000125895	1,151383602	0,868520273	6,012820513
PRR7	4,18583E-08	0,203337756	0,25	0,023	0,000883252	1,15135901	0,868538824	10,86956522
STAT1	0,000100965	0,202786986	0,25	0,051	1	1,150919545	0,868870465	4,901960784
CDK5RAP3	4,18627E-05	0,202506805	0,375	0,094	0,883345867	1,150696051	0,869039221	3,989361702
ORMDL3	4,0305E-06	0,202250439	0,219	0,027	0,085047498	1,150491591	0,869193663	8,111111111
NOA1	6,40895E-07	0,202233506	0,281	0,039	0,013523521	1,150478088	0,869203865	7,205128205
BCOR	1,13457E-05	0,202183831	0,281	0,051	0,239406468	1,150438475	0,869233793	5,509803922
MRPS35	1,78163E-06	0,202183139	0,281	0,043	0,037594075	1,150437924	0,86923421	6,534883721
GTF2F1	8,65547E-05	0,202145412	0,312	0,074	1	1,150407839	0,869256942	4,216216216
PFKFB4	7,93423E-07	0,202050216	0,188	0,016	0,016742011	1,150331932	0,869314301	11,75
CPSF2	0,000417537	0,201928805	0,188	0,035	1	1,15023513	0,869387462	5,371428571
EMD	0,000191745	0,201849047	0,5	0,16	1	1,150171542	0,869435526	3,125
UNC93B1	4,48152E-08	0,201848571	0,25	0,023	0,000945646	1,150171162	0,869435813	10,86956522
TRPV3	2,91341E-06	0,201777945	0,25	0,035	0,061475767	1,150114858	0,869478377	7,142857143
ANKRD13C	9,48469E-07	0,201677506	0,312	0,051	0,020013643	1,150034791	0,869538911	6,117647059
DPY19L1	6,17128E-06	0,201636407	0,312	0,059	0,130220119	1,15000203	0,869563683	5,288135593
AP3M1	1,10934E-05	0,201594306	0,281	0,051	0,23408214	1,14996847	0,869589059	5,509803922
NDFIP1	0,005933351	0,201542568	0,656	0,312	1	1,149927231	0,869620245	2,102564103
RNF26	0,000486824	0,201334872	0,094	0,008	1	1,149761694	0,869745448	11,75
MDP1	2,86075E-06	0,201184788	0,312	0,055	0,060364658	1,149642091	0,869835933	5,672727273
TNIK	3,51691E-07	0,201112127	0,156	0,008	0,007421029	1,149584191	0,869879743	19,5

Supplementary Table 1

Differentially expressed genes_adjacent-skin-XL_comparing SC-Keloid vs. (SC-Myel, SC-Nonmyel)								
gene	p_val	avg_log2FC	pct.1	pct.2	p_val_adj	Foldchange_UP	Foldchange_DOWN	Ratio_pct1_pct2
GTSE1	9,12354E-07	0,200993646	0,094	0	0,019251588	1,149489785	0,869951184	#DIV/0!
PEBP1	0,039700085	0,200705746	0,969	0,711	1	1,149260419	0,870124807	1,362869198
CCDC50	1,82828E-06	0,200542732	0,438	0,098	0,038578545	1,149130568	0,87022313	4,469387755
POLE4	9,40178E-08	0,200422569	0,406	0,07	0,001983869	1,149034861	0,870295614	5,8
PRKAR1A	0,012411259	0,20037827	0,594	0,285	1	1,14899958	0,870322337	2,084210526
DENND2B	0,004081618	0,200308464	0,344	0,121	1	1,148943985	0,87036445	2,842975207
STT3A	1,50482E-06	0,200280243	0,344	0,062	0,031753276	1,148921511	0,870381476	5,548387097
PRKAG1	1,2719E-05	0,200126569	0,219	0,031	0,268384055	1,148799136	0,870474192	7,064516129
SELENOS	0,000417809	0,200087054	0,656	0,238	1	1,148767671	0,870498035	2,756302521
CLPTM1	3,09835E-08	0,199186929	0,594	0,129	0,000653783	1,148051156	0,871041325	4,604651163
RAD17	0,000466094	0,199099462	0,125	0,016	1	1,147981555	0,871094135	7,8125
TOM1L1	4,35951E-06	0,198800539	0,188	0,02	0,091990018	1,147743721	0,871274643	9,4
PLA2G4A	5,94561E-05	0,198611677	0,188	0,027	1	1,14759348	0,871388708	6,962962963
EXOSC2	0,003651243	0,198559137	0,125	0,023	1	1,147551688	0,871420443	5,434782609
MRPL45	2,65168E-08	0,198417597	0,219	0,016	0,00055953	1,14743911	0,87150594	13,6875
MRPL35	1,08519E-08	0,198237551	0,281	0,027	0,000228985	1,14729592	0,871614709	10,40740741
ALPK3	0,079594089	0,198201531	0,031	0,004	1	1,147267275	0,871636472	7,75
ADCK5	1,02698E-07	0,198161245	0,188	0,012	0,002167028	1,147235239	0,871660812	15,66666667
PTGES2	5,55781E-06	0,197781752	0,281	0,047	0,117275301	1,146933505	0,871890128	5,978723404
MAP3K20	0,002679274	0,197654716	0,188	0,047	1	1,146832517	0,871966905	4
ARL2	0,001768797	0,197567999	0,719	0,316	1	1,146763585	0,872019318	2,275316456
ZW10	1,2719E-05	0,197305424	0,219	0,031	0,268384055	1,14655489	0,872178043	7,064516129
CYSTM1	0,000354409	0,196829619	0,719	0,281	1	1,146176816	0,872465737	2,558718861
RNF181	5,83159E-07	0,196618643	0,625	0,16	0,01230523	1,146009214	0,872593333	3,90625
NREP	1,34164E-05	0,196595995	0,375	0,086	0,283099549	1,145991223	0,872607032	4,360465116
UROS	8,14044E-08	0,196456447	0,344	0,051	0,001717714	1,14588038	0,872691441	6,745098039
ELOVL1	1,28694E-06	0,196204685	0,344	0,062	0,027155825	1,145680432	0,872843746	5,548387097
FBXL4	0,000738278	0,196166287	0,156	0,027	1	1,145649939	0,872866978	5,777777778
NR2F6	6,07138E-07	0,196022733	0,281	0,039	0,012811221	1,145535949	0,872953835	7,205128205
CDC73	0,005295635	0,196001811	0,375	0,148	1	1,145519336	0,872966496	2,533783784

Supplementary Table 1

Differentially expressed genes_adjacent-skin-XL_comparing SC-Keloid vs. (SC-Myel, SC-Nonmyel)								
gene	p_val	avg_log2FC	pct.1	pct.2	p_val_adj	Foldchange_UP	Foldchange_DOWN	Ratio_pct1_pct2
DRAM2	4,62825E-08	0,195911295	0,281	0,031	0,000976607	1,145447468	0,873021267	9,064516129
TIPIN	0,000305772	0,195809305	0,156	0,023	1	1,145366494	0,873082987	6,782608696
HPF1	8,67326E-07	0,195692643	0,375	0,07	0,018301437	1,145273879	0,873153591	5,357142857
MUS81	2,38912E-05	0,19562638	0,25	0,043	0,50412882	1,145221278	0,873193696	5,813953488
WASL	2,39175E-05	0,195579832	0,531	0,156	0,504682659	1,145184328	0,87322187	3,403846154
ZADH2	4,33123E-08	0,195542209	0,25	0,023	0,000913933	1,145154464	0,873244642	10,86956522
SEMA4F	4,5807E-05	0,195223812	0,094	0,004	0,966573495	1,144901761	0,873437385	23,5
TACC1	0,000804532	0,194984281	0,656	0,27	1	1,144711689	0,873582414	2,42962963
NOL9	0,000173407	0,194923251	0,188	0,031	1	1,144663265	0,87361937	6,064516129
SEPTIN11	4,19272E-05	0,194819008	0,406	0,105	0,884705188	1,14458056	0,873682496	3,866666667
ZNF283	0,368323117	0,194655059	0,031	0,012	1	1,144450496	0,873781787	2,583333333
PSME2	0,000149073	0,194584604	0,531	0,176	1	1,144394607	0,87382446	3,017045455
TRAPPC6B	4,70541E-06	0,194553731	0,281	0,047	0,099288927	1,144370118	0,87384316	5,978723404
CUTC	0,000417537	0,19422848	0,188	0,035	1	1,144112152	0,874040188	5,371428571
REPIN1	0,000641668	0,194138456	0,312	0,09	1	1,144040762	0,874094729	3,466666667
SHROOM2	3,3636E-07	0,194059102	0,156	0,008	0,007097534	1,143977837	0,874142809	19,5
MPHOSPH9	0,007631848	0,193964911	0,125	0,027	1	1,143903151	0,874199883	4,62962963
MYL5	7,96166E-09	0,193853884	0,188	0,008	0,000167999	1,143815122	0,874267161	23,5
SYTL2	5,78487E-05	0,193820099	0,375	0,098	1	1,143788336	0,874287635	3,826530612
CTDNEP1	5,13089E-07	0,193702944	0,688	0,184	0,010826683	1,143695458	0,874358635	3,739130435
RBM42	0,000499558	0,193397517	0,5	0,18	1	1,143453356	0,874543762	2,777777778
ATP2C1	3,11336E-06	0,193394318	0,406	0,09	0,065694924	1,143450821	0,874545701	4,511111111
POU3F2	1,34171E-05	0,19338996	0,219	0,031	0,283114022	1,143447367	0,874548343	7,064516129
FHOD1	2,8258E-09	0,193003147	0,219	0,012	5,96273E-05	1,143140829	0,874782857	18,25
DGKZ	0,00010081	0,192987096	0,219	0,039	1	1,143128111	0,874792589	5,615384615
PPP1R11	8,37038E-06	0,192960756	0,375	0,082	0,176623288	1,14310724	0,874808561	4,573170732
IRF2BP1	5,90909E-07	0,192959416	0,281	0,039	0,012468772	1,143106179	0,874809374	7,205128205
RND2	3,86379E-06	0,192825503	0,156	0,012	0,081529835	1,143000079	0,874890578	13
GAN	1,39097E-05	0,192410945	0,125	0,008	0,293508116	1,142671685	0,875142014	15,625
TRUB1	0,001770672	0,192353929	0,156	0,031	1	1,142626527	0,875176601	5,032258065

Supplementary Table 1

Differentially expressed genes_adjacent-skin-XL_comparing SC-Keloid vs. (SC-Myel, SC-Nonmyel)								
gene	p_val	avg_log2FC	pct.1	pct.2	p_val_adj	Foldchange_UP	Foldchange_DOWN	Ratio_pct1_pct2
ETFRF1	3,59126E-05	0,19235181	0,469	0,133	0,757792512	1,142624849	0,875177886	3,526315789
MED27	1,31182E-08	0,192280595	0,406	0,062	0,000276808	1,142568447	0,875221088	6,548387097
PTRHD1	1,68619E-09	0,192268179	0,281	0,023	3,55804E-05	1,142558614	0,875228621	12,2173913
ZSCAN12	0,007750521	0,192263924	0,094	0,016	1	1,142555245	0,875231202	5,875
TRAPPC4	1,31726E-05	0,192261948	0,375	0,086	0,277954243	1,14255368	0,875232401	4,360465116
AKT1S1	1,3161E-06	0,192210987	0,344	0,062	0,027771004	1,142513322	0,875263317	5,548387097
NTHL1	1,28978E-06	0,192195457	0,469	0,105	0,027215712	1,142501023	0,875272739	4,466666667
CLN3	1,31496E-07	0,191869719	0,312	0,043	0,002774696	1,142243093	0,875470385	7,255813953
PLCG1	4,14927E-06	0,191805429	0,219	0,027	0,087553714	1,142192193	0,875509398	8,111111111
ARMC5	0,012262652	0,191741842	0,062	0,008	1	1,142141852	0,875547987	7,75
SMIM30	1,64044E-07	0,191735264	0,375	0,062	0,003461494	1,142136644	0,87555198	6,048387097
SYMPK	7,9257E-05	0,191685766	0,344	0,086	1	1,142097459	0,87558202	4
CYP51A1	3,2565E-07	0,191582099	0,438	0,086	0,006871539	1,142015395	0,875644938	5,093023256
RNF208	0,007945492	0,191543252	0,125	0,027	1	1,141984644	0,875668517	4,62962963
ZNF124	0,039886012	0,19153622	0,062	0,012	1	1,141979078	0,875672785	5,166666667
SAR1B	2,18521E-07	0,191203604	0,406	0,074	0,004611011	1,141715823	0,875874696	5,486486486
ZNF45	0,079594089	0,19117576	0,031	0,004	1	1,141693788	0,875891601	7,75
YIF1A	2,08573E-05	0,191148147	0,531	0,148	0,440110734	1,141671937	0,875908365	3,587837838
PAQR4	1,64044E-07	0,190888734	0,375	0,062	0,003461494	1,14146667	0,876065878	6,048387097
PNPLA4	3,86379E-06	0,190869752	0,156	0,012	0,081529835	1,141451651	0,876077405	13
SOCS2	6,42992E-05	0,190792519	0,625	0,207	1	1,141390547	0,876124306	3,019323671
NTAN1	5,09918E-07	0,190765671	0,344	0,059	0,010759779	1,141369306	0,87614061	5,830508475
ANXA8L1	0,004841742	0,190727061	0,031	0	1	1,141338761	0,876164058	#DIV/0!
LORICRIN	0,004841742	0,190727061	0,031	0	1	1,141338761	0,876164058	#DIV/0!
PTPRH	0,004841742	0,190727061	0,031	0	1	1,141338761	0,876164058	#DIV/0!
TENT5C	0,004841742	0,190727061	0,031	0	1	1,141338761	0,876164058	#DIV/0!
TLR6	0,004841742	0,190727061	0,031	0	1	1,141338761	0,876164058	#DIV/0!
RBM33	0,019943735	0,190718454	0,281	0,113	1	1,141331951	0,876169286	2,486725664
NKAIN4	0,520968078	0,190608619	0,031	0,016	1	1,141245063	0,876235992	1,9375
UGGT2	1,64044E-07	0,190552772	0,375	0,062	0,003461494	1,141200886	0,876269912	6,048387097

Supplementary Table 1

Differentially expressed genes_adjacent-skin-XL_comparing SC-Keloid vs. (SC-Myel, SC-Nonmyel)								
gene	p_val	avg_log2FC	pct.1	pct.2	p_val_adj	Foldchange_UP	Foldchange_DOWN	Ratio_pct1_pct2
DLD	7,1112E-09	0,190552645	0,375	0,051	0,000150053	1,141200786	0,876269989	7,352941176
PIGC	2,06459E-05	0,190497827	0,438	0,113	0,435650061	1,141157424	0,876303285	3,876106195
PKNOX2	1,2719E-05	0,190472916	0,219	0,031	0,268384055	1,14113772	0,876318417	7,064516129
SMIM10	0,000200254	0,190408439	0,219	0,043	1	1,141086721	0,876357582	5,093023256
FAM167B	9,12354E-07	0,190205375	0,094	0	0,019251588	1,140926121	0,876480941	#DIV/0!
TMEM98	5,9331E-06	0,190128705	0,375	0,082	0,125194427	1,140865489	0,876527522	4,573170732
DYM	5,44692E-07	0,190084413	0,281	0,039	0,011493547	1,140830464	0,876554432	7,205128205
TBX3	0,000105286	0,190071864	0,125	0,012	1	1,140820541	0,876562057	10,41666667
FILIP1L	0,001557595	0,189779173	0,312	0,098	1	1,140589118	0,87673991	3,183673469
DYNC1LI2	0,000991155	0,189772957	0,719	0,285	1	1,140584203	0,876743687	2,522807018
LRRC41	0,000576308	0,189255376	0,281	0,074	1	1,14017508	0,877058284	3,797297297
BRD9	3,29746E-05	0,189032532	0,469	0,129	0,695796475	1,139998978	0,877193769	3,635658915
RNASEH1	2,83613E-06	0,188861141	0,25	0,035	0,059845173	1,139863556	0,877297984	7,142857143
CHMP4A	0,000321385	0,18883973	0,469	0,152	1	1,139846639	0,877311004	3,085526316
TRIB1	0,000916506	0,188786584	0,188	0,039	1	1,13980465	0,877343323	4,820512821
DRG2	1,72688E-07	0,188726004	0,281	0,035	0,003643896	1,13975679	0,877380164	8,028571429
SLTM	9,74729E-06	0,188599127	0,625	0,188	0,205677645	1,139656559	0,877457329	3,324468085
MIS18BP1	0,000390703	0,188477508	0,188	0,035	1	1,13956049	0,877531302	5,371428571
HIVEP3	3,58718E-06	0,188430479	0,219	0,027	0,075693187	1,139523344	0,877559907	8,111111111
ZEB1	1,45331E-05	0,188379083	0,219	0,031	0,306663142	1,139482749	0,877591171	7,064516129
EXOC6	0,007631848	0,18835418	0,125	0,027	1	1,13946308	0,87760632	4,62962963
YIPF6	0,005779495	0,188106803	0,375	0,145	1	1,139267714	0,877756815	2,586206897
UBA3	0,000428394	0,188024703	0,312	0,086	1	1,139202884	0,877806767	3,627906977
ATPAF1	1,96898E-07	0,187734787	0,219	0,02	0,00415474	1,138973979	0,877983184	10,95
PBK	6,3574E-05	0,187723195	0,062	0	1	1,138964827	0,877990239	#DIV/0!
DOHH	0,000408406	0,187504123	0,188	0,035	1	1,138791889	0,87812357	5,371428571
ZBED4	7,93423E-07	0,187258939	0,188	0,016	0,016742011	1,138598369	0,878272819	11,75
ERG28	1,37797E-05	0,18715948	0,219	0,031	0,29076515	1,138519878	0,878333369	7,064516129
NEIL2	2,17326E-05	0,187101546	0,156	0,016	0,458580025	1,138474159	0,878368641	9,75
ATF7	0,011968519	0,187062562	0,25	0,09	1	1,138443396	0,878392376	2,777777778

Supplementary Table 1

Differentially expressed genes_adjacent-skin-XL_comparing SC-Keloid vs. (SC-Myel, SC-Nonmyel)								
gene	p_val	avg_log2FC	pct.1	pct.2	p_val_adj	Foldchange_UP	Foldchange_DOWN	Ratio_pct1_pct2
MAGED1	1,03141E-06	0,187047886	0,406	0,082	0,021763787	1,138431816	0,878401312	4,951219512
GLMP	2,27357E-09	0,186868844	0,375	0,047	4,79746E-05	1,138290542	0,87851033	7,978723404
NKIRAS1	0,017290773	0,186730523	0,094	0,02	1	1,138181412	0,878594563	4,7
TRAPPC3	3,92226E-06	0,186423138	0,375	0,078	0,082763591	1,137938933	0,878781779	4,807692308
MFN1	4,59733E-07	0,186238652	0,312	0,047	0,009700817	1,137793427	0,878894161	6,638297872
PGRMC2	0,014854014	0,186018376	0,406	0,184	1	1,137619718	0,879028364	2,206521739
ARHGAP4	0,221475664	0,185985968	0,031	0,008	1	1,137594163	0,879048111	3,875
MANBAL	1,03113E-06	0,185743859	0,375	0,07	0,021757888	1,137403271	0,879195642	5,357142857
DGUOK-AS1	3,67695E-07	0,185710818	0,156	0,008	0,007758733	1,137377222	0,879215778	19,5
ZNF341	0,079594089	0,185660745	0,031	0,004	1	1,137337747	0,879246295	7,75
PPP1CB	0,006321051	0,185523657	0,75	0,363	1	1,13722968	0,879329847	2,066115702
GPS2	0,002382773	0,185484655	0,469	0,184	1	1,137198937	0,879353618	2,548913043
RFXANK	7,80539E-08	0,185451089	0,375	0,059	0,001647015	1,137172479	0,879374078	6,355932203
TMCC1	6,4372E-05	0,185432097	0,188	0,027	1	1,137157508	0,879385655	6,962962963
WAC-AS1	2,03294E-05	0,185383574	0,156	0,016	0,428970333	1,137119263	0,879415232	9,75
CRTC1	0,039090354	0,185236063	0,125	0,039	1	1,137003002	0,879505154	3,205128205
PET100	0,00395393	0,185149349	0,625	0,277	1	1,136934663	0,879558019	2,25631769
PDE7A	0,000773943	0,185118387	0,156	0,027	1	1,136910264	0,879576895	5,777777778
RGL3	0,079594089	0,184961113	0,031	0,004	1	1,136786331	0,879672787	7,75
GOLIM4	0,000218057	0,184884009	0,406	0,121	1	1,136725578	0,879719802	3,355371901
CKMT2-AS1	0,082995684	0,184820331	0,062	0,016	1	1,136675407	0,879758631	3,875
PNKP	3,77747E-08	0,184733473	0,25	0,023	0,000797083	1,136606974	0,879811599	10,86956522
SS18L2	0,000248368	0,184728328	0,312	0,082	1	1,136602921	0,879814737	3,804878049
SCAMP3	2,7063E-07	0,184546549	0,344	0,055	0,00571057	1,136459718	0,8799256	6,254545455
C19orf73	3,67695E-07	0,184526001	0,156	0,008	0,007758733	1,136443532	0,879938133	19,5
URI1	8,37081E-05	0,184377109	0,5	0,16	1	1,136326252	0,880028951	3,125
ARFGAP3	1,65634E-05	0,18428557	0,594	0,176	0,349505	1,136254155	0,880084791	3,375
AP3D1	0,000255579	0,184077068	0,375	0,109	1	1,136089952	0,880211992	3,440366972
NPRL3	8,08168E-09	0,183725373	0,438	0,07	0,000170532	1,135813034	0,880426593	6,257142857
CD4	0,000362786	0,183622329	0,25	0,059	1	1,135731912	0,880489479	4,237288136

Supplementary Table 1

Differentially expressed genes_adjacent-skin-XL_comparing SC-Keloid vs. (SC-Myel, SC-Nonmyel)								
gene	p_val	avg_log2FC	pct.1	pct.2	p_val_adj	Foldchange_UP	Foldchange_DOWN	Ratio_pct1_pct2
SMARCC1	1,79728E-06	0,183310097	0,344	0,062	0,037924443	1,135486141	0,880680058	5,548387097
ZNF626	0,000811202	0,18324056	0,156	0,027	1	1,135431413	0,880722507	5,777777778
ACBD6	5,25917E-07	0,183139943	0,438	0,09	0,011097368	1,135352227	0,880783933	4,866666667
MED4	6,07559E-05	0,183118885	0,438	0,121	1	1,135335656	0,880796789	3,619834711
HADHA	1,47773E-05	0,183085683	0,625	0,188	0,311815116	1,135309527	0,88081706	3,324468085
SMYD2	4,79742E-08	0,183013607	0,25	0,023	0,001012303	1,135252809	0,880861066	10,86956522
PMM1	6,4022E-08	0,182998893	0,375	0,059	0,001350927	1,135241231	0,88087005	6,355932203
SDK1	0,00737039	0,182975162	0,094	0,016	1	1,135222557	0,88088454	5,875
PLPBP	0,001819944	0,182966218	0,25	0,07	1	1,135215519	0,880890001	3,571428571
HKDC1	3,86379E-06	0,1827802	0,156	0,012	0,081529835	1,135069157	0,881003588	13
CYC1	2,07373E-05	0,182676971	0,656	0,207	0,437578288	1,134987942	0,881066629	3,169082126
AARS1	7,34732E-05	0,182624903	0,406	0,113	1	1,13494698	0,881098428	3,592920354
ATAD3A	5,98372E-09	0,182574851	0,344	0,043	0,000126263	1,134907606	0,881128996	8
COPB1	3,85019E-06	0,182531488	0,531	0,137	0,081242781	1,134873494	0,881155481	3,875912409
NDUFA5	0,002685982	0,182514868	0,562	0,23	1	1,134860421	0,881165632	2,443478261
INSC	0,023224909	0,182450784	0,375	0,168	1	1,134810012	0,881204774	2,232142857
HNRNPD	0,014648368	0,182401791	0,719	0,375	1	1,134771475	0,8812347	1,917333333
CDC26	8,41178E-05	0,182339799	0,375	0,098	1	1,134722716	0,881272566	3,826530612
MTHFD2L	9,7095E-07	0,182219655	0,219	0,023	0,020488018	1,134628223	0,88134596	9,52173913
BAG2	1,33967E-08	0,182144622	0,125	0	0,000282684	1,134569214	0,881391799	#DIV/0!
ARMT1	1,00234E-06	0,181934354	0,219	0,023	0,021150457	1,134403865	0,881520269	9,52173913
SPG11	0,00082778	0,18171337	0,188	0,039	1	1,134230117	0,881655305	4,820512821
SLC35A4	2,28053E-05	0,181397039	0,25	0,043	0,481213619	1,133981449	0,881848642	5,813953488
MSRA	4,50344E-06	0,181301694	0,188	0,02	0,095027166	1,133906509	0,881906923	9,4
PIGM	0,001520602	0,181271603	0,125	0,02	1	1,133882859	0,881925317	6,25
FAAP100	8,91574E-05	0,181202033	0,156	0,02	1	1,133828181	0,881967847	7,8
TMEM161B	0,000108998	0,181189143	0,125	0,012	1	1,133818051	0,881975727	10,41666667
LMAN1	0,000842458	0,181179293	0,719	0,293	1	1,13381031	0,881981749	2,453924915
CC2D2A	1,37797E-05	0,181029653	0,219	0,031	0,29076515	1,133692715	0,882073235	7,064516129
ARMC1	1,52765E-07	0,180997135	0,375	0,062	0,003223491	1,133667161	0,882093117	6,048387097

Supplementary Table 1

Differentially expressed genes_adjacent-skin-XL_comparing SC-Keloid vs. (SC-Myel, SC-Nonmyel)								
gene	p_val	avg_log2FC	pct.1	pct.2	p_val_adj	Foldchange_UP	Foldchange_DOWN	Ratio_pct1_pct2
ERAP2	1,53871E-06	0,180950282	0,344	0,062	0,032468255	1,133630345	0,882121764	5,548387097
AIMP2	9,93063E-09	0,180922689	0,312	0,035	0,000209546	1,133608664	0,882138636	8,914285714
MRS2	4,02048E-10	0,180814172	0,312	0,027	8,48362E-06	1,133523399	0,882204991	11,55555556
LRRC55	0,004841742	0,180578281	0,031	0	1	1,133338074	0,88234925	#DIV/0!
SLFN12	4,41731E-05	0,180545504	0,25	0,047	0,932096561	1,133312326	0,882369296	5,319148936
ARL1	0,000109835	0,180537773	0,531	0,176	1	1,133306253	0,882374025	3,017045455
BLOC1S1	2,05332E-05	0,180337283	0,844	0,293	0,433271519	1,13314877	0,882496656	2,880546075
DARS2	0,002594281	0,180336029	0,094	0,012	1	1,133147784	0,882497424	7,833333333
RCC2	2,25732E-05	0,180302891	0,406	0,102	0,476317656	1,133121757	0,882517694	3,980392157
VDAC3	4,01187E-05	0,180295487	0,469	0,129	0,846544503	1,133115942	0,882522223	3,635658915
TTL	9,9101E-06	0,180290698	0,281	0,051	0,209112923	1,133112181	0,882525152	5,509803922
EEF1A1	0,008132866	0,180147266	1	0,973	1	1,132999532	0,882612897	1,027749229
NAA30	0,003136549	0,18014644	0,188	0,047	1	1,132998884	0,882613403	4
ODF2L	4,08635E-08	0,180124772	0,281	0,031	0,00086226	1,132981867	0,882626659	9,064516129
AIMP1	5,12068E-06	0,179754673	0,625	0,184	0,108051397	1,132691258	0,882853111	3,39673913
GCC1	4,50344E-06	0,179650596	0,188	0,02	0,095027166	1,132609547	0,882916803	9,4
IK	4,00808E-05	0,179593546	0,625	0,191	0,84574561	1,13256476	0,882951718	3,272251309
PYCR3	2,70596E-09	0,179588324	0,219	0,012	5,70985E-05	1,13256066	0,882954914	18,25
ZNF439	2,24684E-05	0,179267171	0,156	0,016	0,474104712	1,132308573	0,883151487	9,75
SACS	3,91499E-06	0,179025169	0,219	0,027	0,082610119	1,132118653	0,883299641	8,111111111
FOXC2	0,01346698	0,17900061	0,062	0,008	1	1,132099381	0,883314678	7,75
RWDD3	2,55882E-05	0,17835821	0,312	0,066	0,539936516	1,131595394	0,883708086	4,727272727
FN3KRP	2,54624E-06	0,178354078	0,25	0,035	0,053728244	1,131592154	0,883710617	7,142857143
NOL3	2,59108E-09	0,17825487	0,219	0,012	5,46744E-05	1,131514341	0,883771388	18,25
THAP4	2,91341E-06	0,178104952	0,25	0,035	0,061475767	1,131396766	0,88386323	7,142857143
KIAA1143	2,31819E-05	0,178095993	0,312	0,066	0,489161611	1,13138974	0,883868719	4,727272727
CISD1	5,14755E-05	0,17806718	0,281	0,059	1	1,131367144	0,883886372	4,762711864
MAF1	0,000175504	0,178006579	0,531	0,176	1	1,131319622	0,8839235	3,017045455
TMEM218	6,23796E-07	0,178000846	0,281	0,039	0,013162728	1,131315126	0,883927013	7,205128205
SURF1	0,00022545	0,177922607	0,438	0,137	1	1,131253775	0,88397495	3,197080292

Supplementary Table 1

Differentially expressed genes_adjacent-skin-XL_comparing SC-Keloid vs. (SC-Myel, SC-Nonmyel)								
gene	p_val	avg_log2FC	pct.1	pct.2	p_val_adj	Foldchange_UP	Foldchange_DOWN	Ratio_pct1_pct2
G6PD	6,4372E-05	0,177857547	0,188	0,027	1	1,131202762	0,884014815	6,962962963
B3GALT4	7,20082E-09	0,177774612	0,25	0,02	0,000151945	1,131137735	0,884065635	12,5
ALG8	2,17664E-05	0,177768791	0,25	0,043	0,45929188	1,131133171	0,884069202	5,813953488
LACC1	4,80439E-05	0,177643808	0,094	0,004	1	1,131035183	0,884145794	23,5
TMEM203	4,59438E-06	0,177345919	0,281	0,047	0,096945964	1,13080167	0,884328372	5,978723404
TYSND1	0,001808729	0,177183303	0,156	0,031	1	1,130674217	0,884428056	5,032258065
USP5	4,22524E-05	0,177119242	0,219	0,035	0,891567246	1,130624012	0,884467329	6,257142857
XRN2	2,08946E-06	0,176911416	0,562	0,145	0,044089784	1,130461152	0,88459475	3,875862069
MRM2	4,48152E-08	0,176718927	0,25	0,023	0,000945646	1,130310333	0,884712783	10,86956522
HDAC1	0,000100733	0,176605492	0,281	0,062	1	1,130221464	0,884782348	4,532258065
TAF1B	0,011239937	0,176209728	0,156	0,043	1	1,12991146	0,885025097	3,627906977
DEGS1	0,000482217	0,175933142	0,719	0,293	1	1,12969486	0,885194786	2,453924915
SLC50A1	1,13961E-07	0,175777406	0,344	0,051	0,002404685	1,129572919	0,885290346	6,745098039
ANLN	1,33967E-08	0,175737702	0,125	0	0,000282684	1,129541832	0,88531471	#DIV/0!
SMIM4	3,9894E-06	0,175725805	0,344	0,066	0,084180249	1,129532518	0,885322011	5,212121212
PCOLCE2	1,33967E-08	0,175662262	0,125	0	0,000282684	1,129482769	0,885361005	#DIV/0!
GNB1L	4,80439E-05	0,175311332	0,094	0,004	1	1,12920806	0,885576392	23,5
SEZ6L2	7,96166E-09	0,175261686	0,188	0,008	0,000167999	1,129169203	0,885606867	23,5
TMEM39B	0,00050526	0,175227582	0,094	0,008	1	1,12914251	0,885627802	11,75
CPT2	4,80439E-05	0,175178702	0,094	0,004	1	1,129104254	0,885657809	23,5
BACE1	0,000209017	0,175160099	0,25	0,055	1	1,129089695	0,885669229	4,545454545
DPM1	3,15362E-05	0,174997108	0,406	0,102	0,665445267	1,128962142	0,885769295	3,980392157
EIF4G1	0,002569616	0,17490818	0,5	0,199	1	1,128892554	0,885823896	2,512562814
TMUB1	2,08505E-09	0,174890959	0,375	0,047	4,39966E-05	1,128879079	0,885834469	7,978723404
WDR54	1,30636E-05	0,174872464	0,219	0,031	0,275655185	1,128864607	0,885845826	7,064516129
TRMU	8,40691E-07	0,174817101	0,25	0,031	0,017739423	1,128821289	0,88587982	8,064516129
MAP1LC3A	0,001178868	0,174740357	0,656	0,266	1	1,128761243	0,885926946	2,466165414
KATNB1	2,66394E-10	0,174547215	0,188	0,004	5,62118E-06	1,128610139	0,886045558	47
ANAPC2	0,006725366	0,174463524	0,156	0,039	1	1,12854467	0,886096959	4
MMP11	2,66394E-10	0,174454706	0,188	0,004	5,62118E-06	1,128537772	0,886102375	47

Supplementary Table 1

Differentially expressed genes_adjacent-skin-XL_comparing SC-Keloid vs. (SC-Myel, SC-Nonmyel)								
gene	p_val	avg_log2FC	pct.1	pct.2	p_val_adj	Foldchange_UP	Foldchange_DOWN	Ratio_pct1_pct2
LTBP2	1,88366E-07	0,174374007	0,281	0,035	0,003974718	1,128474647	0,886151942	8,028571429
ZNF485	9,12354E-07	0,174373288	0,094	0	0,019251588	1,128474085	0,886152383	#DIV/0!
NAGK	1,57893E-06	0,174343756	0,469	0,105	0,033317012	1,128450986	0,886170523	4,466666667
HPCAL1	0,000244445	0,174250165	0,438	0,137	1	1,128377783	0,886228013	3,197080292
LYRM4	0,000922105	0,173898905	0,281	0,078	1	1,128103084	0,886443814	3,602564103
PUSL1	9,17361E-07	0,173894749	0,188	0,016	0,019357231	1,128099834	0,886446367	11,75
TRAM2-AS1	0,003321984	0,173795728	0,156	0,035	1	1,128022409	0,886507211	4,457142857
MVB12B	2,43721E-05	0,173779294	0,344	0,078	0,514276546	1,12800956	0,88651731	4,41025641
POGLUT3	0,000196043	0,173711652	0,219	0,043	1	1,127956673	0,886558876	5,093023256
TOR4A	9,12354E-07	0,173644147	0,094	0	0,019251588	1,127903896	0,88660036	#DIV/0!
CCDC74B	7,96166E-09	0,173558453	0,188	0,008	0,000167999	1,127836902	0,886653024	23,5
CLP1	0,082995684	0,173481933	0,062	0,016	1	1,127777084	0,886700053	3,875
PHETA2	1,57978E-10	0,173264924	0,219	0,008	3,33348E-06	1,127607457	0,88683344	27,375
MAFG-DT	0,013054404	0,173245809	0,062	0,008	1	1,127592517	0,88684519	7,75
MPV17	3,55058E-06	0,17319955	0,375	0,078	0,074920718	1,127556362	0,886873627	4,807692308
CCDC86	4,35951E-06	0,172919798	0,188	0,02	0,091990018	1,12733774	0,887045616	9,4
DYNC1H1	0,006256954	0,172913679	0,812	0,402	1	1,127332958	0,887049379	2,019900498
SNX8	4,80509E-06	0,172794704	0,188	0,02	0,101392141	1,127239994	0,887122534	9,4
PTRH1	4,14927E-06	0,172595025	0,219	0,027	0,087553714	1,127083987	0,887245326	8,111111111
ROPN1B	3,31594E-06	0,172538325	0,156	0,012	0,069969667	1,127039692	0,887280197	13
CBX1	6,66882E-07	0,172518503	0,469	0,102	0,014071873	1,127024207	0,887292388	4,598039216
C3orf14	5,26316E-05	0,17242834	0,25	0,047	1	1,126953774	0,887347842	5,319148936
HS3ST3A1	0,005333601	0,17233841	0,188	0,051	1	1,126883528	0,887403157	3,68627451
PACC1	0,000157414	0,172316481	0,188	0,031	1	1,126866399	0,887416645	6,064516129
GGCT	0,000119568	0,172080387	0,438	0,129	1	1,126682006	0,887561881	3,395348837
SEC16A	0,004999094	0,171734168	0,188	0,051	1	1,126411656	0,887774904	3,68627451
RRAGB	0,001793335	0,171624443	0,188	0,043	1	1,12632599	0,887842427	4,372093023
AAMDC	8,13591E-07	0,171310169	0,562	0,137	0,017167592	1,126080659	0,888035854	4,102189781
BPHL	1,37797E-05	0,171169197	0,219	0,031	0,29076515	1,125970631	0,888122632	7,064516129
SCT	9,12354E-07	0,171136011	0,094	0	0,019251588	1,12594473	0,888143062	#DIV/0!

Supplementary Table 1

Differentially expressed genes_adjacent-skin-XL_comparing SC-Keloid vs. (SC-Myel, SC-Nonmyel)								
gene	p_val	avg_log2FC	pct.1	pct.2	p_val_adj	Foldchange_UP	Foldchange_DOWN	Ratio_pct1_pct2
ZNHIT3	1,39804E-06	0,17106725	0,406	0,082	0,029500136	1,125891067	0,888185393	4,951219512
SPRY4	1,51098E-05	0,171034276	0,125	0,008	0,318831333	1,125865335	0,888205693	15,625
ITGB5	0,001481966	0,170716707	0,125	0,02	1	1,125617534	0,888401229	6,25
EREG	0,004841742	0,170607404	0,031	0	1	1,125532257	0,888468539	#DIV/0!
NRAS	1,01508E-08	0,170424051	0,281	0,027	0,000214192	1,125389221	0,888581462	10,40740741
TRAPPC12	2,60971E-05	0,170368877	0,312	0,066	0,550675877	1,125346183	0,888615446	4,727272727
RABEP2	1,00234E-06	0,170345843	0,219	0,023	0,021150457	1,125328216	0,888629633	9,52173913
MIB1	0,002509791	0,17032331	0,344	0,121	1	1,12531064	0,888643512	2,842975207
GLOD4	1,42359E-11	0,170194827	0,5	0,066	3,00392E-07	1,125210427	0,888722657	7,575757576
CD109	3,86379E-06	0,170057837	0,156	0,012	0,081529835	1,125103589	0,888807048	13
CACNA1D	9,12354E-07	0,170040751	0,094	0	0,019251588	1,125090264	0,888817575	#DIV/0!
TPX2	4,80439E-05	0,169987852	0,094	0,004	1	1,125049012	0,888850165	23,5
H1-4	9,45561E-05	0,169726397	0,156	0,02	1	1,124845141	0,889011264	7,8
ELAC2	4,0305E-06	0,169585746	0,219	0,027	0,085047498	1,124735483	0,889097939	8,111111111
NUSAP1	0,01346698	0,169554476	0,062	0,008	1	1,124711104	0,889117211	7,75
UBALD2	7,16027E-05	0,169548093	0,688	0,23	1	1,124706129	0,889121144	2,991304348
TOP2A	0,079594089	0,169367314	0,031	0,004	1	1,124565205	0,889232563	7,75
MYBL1	0,000466094	0,169303358	0,125	0,016	1	1,124515353	0,889271985	7,8125
TSPAN6	2,33422E-05	0,169277103	0,25	0,043	0,492544426	1,124494888	0,889288169	5,813953488
LMO4	0,003066018	0,169236936	0,719	0,344	1	1,124463581	0,889312929	2,090116279
EBAG9	1,26917E-05	0,169069367	0,281	0,051	0,26780859	1,124332982	0,889416228	5,509803922
ORC6	0,039886012	0,168897364	0,062	0,012	1	1,124198943	0,889522273	5,166666667
PMS2	0,003731537	0,168893281	0,156	0,035	1	1,124195761	0,889524791	4,457142857
ARHGAP22	2,66394E-10	0,168851482	0,188	0,004	5,62118E-06	1,124163191	0,889550563	47
TAF9	7,40997E-10	0,168555019	0,469	0,07	1,56358E-05	1,123932208	0,889733378	6,7
SHROOM4	0,003660239	0,168538874	0,156	0,035	1	1,12391963	0,889743335	4,457142857
SLURP1	0,082317662	0,168497362	0,031	0,004	1	1,123887291	0,889768937	7,75
TNFSF12	0,000107903	0,168438089	0,562	0,18	1	1,123841117	0,889805493	3,122222222
FAM8A1	0,115638666	0,168364691	0,156	0,07	1	1,123783942	0,889850764	2,228571429
RABGGTB	6,4529E-05	0,168354255	0,438	0,121	1	1,123775814	0,889857201	3,619834711

Supplementary Table 1

Differentially expressed genes_adjacent-skin-XL_comparing SC-Keloid vs. (SC-Myel, SC-Nonmyel)								
gene	p_val	avg_log2FC	pct.1	pct.2	p_val_adj	Foldchange_UP	Foldchange_DOWN	Ratio_pct1_pct2
AKR1B1	7,61677E-06	0,16835301	0,531	0,141	0,160721394	1,123774844	0,889857969	3,765957447
TICAM1	3,57983E-06	0,168267263	0,156	0,012	0,075538003	1,123708054	0,88991086	13
TMEM164	3,67695E-07	0,168163232	0,156	0,008	0,007758733	1,123627027	0,889975033	19,5
DNAJC7	6,43053E-05	0,167597685	0,531	0,168	1	1,123186643	0,890323978	3,160714286
ANTXR1	0,004132388	0,167458289	0,281	0,094	1	1,123078124	0,890410006	2,989361702
CENPK	9,06462E-07	0,167111362	0,125	0,004	0,019127258	1,122808088	0,890624151	31,25
NTAQ1	3,86379E-06	0,167069708	0,156	0,012	0,081529835	1,122775671	0,890649865	13
ASL	0,000689826	0,16682173	0,25	0,062	1	1,122582699	0,890802968	4,032258065
CDR2	1,16035E-05	0,166780093	0,281	0,051	0,244846285	1,122550301	0,890828677	5,509803922
ZNF688	1,74824E-09	0,166653105	0,281	0,023	3,68897E-05	1,122451497	0,890907093	12,2173913
STXBP3	8,37038E-06	0,166521833	0,375	0,082	0,176623288	1,122349368	0,890988161	4,573170732
PRECSIT	4,5807E-05	0,166472053	0,094	0,004	0,966573495	1,122310643	0,891018905	23,5
NBL1	7,96166E-09	0,166208745	0,188	0,008	0,000167999	1,122105827	0,891181541	23,5
DDX54	1,54779E-07	0,166166817	0,312	0,043	0,003265999	1,122073217	0,891207441	7,255813953
BOLA1	2,11157E-07	0,166115497	0,219	0,02	0,00445563	1,122033303	0,891239143	10,95
BICC1	1,51098E-05	0,166080344	0,125	0,008	0,318831333	1,122005964	0,89126086	15,625
CCNB1	9,06462E-07	0,166074115	0,125	0,004	0,019127258	1,122001119	0,891264708	31,25
TMEM101	1,23864E-06	0,165772102	0,312	0,051	0,026136469	1,121766265	0,891451304	6,117647059
DSCC1	1,59386E-08	0,165715698	0,156	0,004	0,000336319	1,121722409	0,891486158	39
ALG1	1,11477E-07	0,165493297	0,188	0,012	0,002352284	1,121549501	0,891623597	15,6666667
FBXL5	1,98911E-06	0,165482261	0,406	0,086	0,04197219	1,121540922	0,891630417	4,720930233
ZKSCAN7	6,3574E-05	0,165458835	0,062	0	1	1,12152271	0,891644896	#DIV/0!
PHYH	0,000576308	0,165423669	0,281	0,074	1	1,121495374	0,89166663	3,797297297
FMNL3	1,59772E-07	0,165374351	0,469	0,094	0,003371341	1,121457036	0,891697112	4,989361702
PCDHGA12	9,12354E-07	0,165239729	0,094	0	0,019251588	1,121352395	0,891780322	#DIV/0!
HAUS4	0,000263702	0,165087304	0,281	0,07	1	1,121233927	0,891874546	4,014285714
BBIP1	0,00015856	0,165043498	0,312	0,078	1	1,121199882	0,891901628	4
SLC39A10	6,1182E-08	0,165038379	0,5	0,102	0,001291001	1,121195904	0,891904792	4,901960784
MSANTD4	6,93747E-09	0,164979603	0,25	0,02	0,000146388	1,121150227	0,89194113	12,5
MRPL50	1,8738E-08	0,164852004	0,469	0,082	0,000395392	1,121051071	0,892020021	5,719512195

Supplementary Table 1

Differentially expressed genes_adjacent-skin-XL_comparing SC-Keloid vs. (SC-Myel, SC-Nonmyel)								
gene	p_val	avg_log2FC	pct.1	pct.2	p_val_adj	Foldchange_UP	Foldchange_DOWN	Ratio_pct1_pct2
TMEM177	1,57978E-10	0,164661146	0,219	0,008	3,33348E-06	1,120902774	0,892138036	27,375
KLHL4	9,12354E-07	0,164471826	0,094	0	0,019251588	1,120755692	0,892255116	#DIV/0!
C19orf48	1,54041E-05	0,164398443	0,312	0,062	0,325042363	1,120698686	0,892300502	5,032258065
NAXE	0,000540084	0,164341931	0,281	0,074	1	1,120654788	0,892335455	3,797297297
MSH2	1,08924E-08	0,164336596	0,312	0,035	0,000229841	1,120650643	0,892338755	8,914285714
NDUFAF2	3,23417E-06	0,164309456	0,406	0,09	0,068244172	1,120629562	0,892355542	4,511111111
MAMDC2	0,057775912	0,16424958	0,125	0,043	1	1,120583053	0,892392578	2,906976744
LNPK	0,000292494	0,164108804	0,281	0,07	1	1,120473714	0,892479661	4,014285714
ZNF444	0,000301839	0,164080606	0,312	0,082	1	1,120451814	0,892497105	3,804878049
METTL1	3,57983E-06	0,164070492	0,156	0,012	0,075538003	1,120443959	0,892503362	13
ARSD	0,033163773	0,163935732	0,188	0,07	1	1,120339305	0,892586733	2,685714286
FBXO32	0,038934481	0,163853079	0,062	0,012	1	1,120275122	0,892637871	5,166666667
HNRNPAB	2,24349E-06	0,163684773	0,688	0,195	0,04733988	1,120144437	0,892742013	3,528205128
PLIN3	9,68728E-06	0,163593051	0,531	0,145	0,204411223	1,120073224	0,892798773	3,662068966
SLC35F5	5,03836E-05	0,163586387	0,25	0,047	1	1,120068051	0,892802896	5,319148936
A2ML1	0,004841742	0,163375166	0,031	0	1	1,119904077	0,892933619	#DIV/0!
NCCRP1	0,004841742	0,163375166	0,031	0	1	1,119904077	0,892933619	#DIV/0!
WDR72	0,004841742	0,163375166	0,031	0	1	1,119904077	0,892933619	#DIV/0!
BABAM2	0,002478714	0,163259629	0,219	0,059	1	1,119814394	0,893005131	3,711864407
INKA1	9,12354E-07	0,163253611	0,094	0	0,019251588	1,119809722	0,893008857	#DIV/0!
C2orf72	1,33967E-08	0,163243023	0,125	0	0,000282684	1,119801504	0,893015411	#DIV/0!
FBXW5	5,29769E-05	0,163172111	0,375	0,094	1	1,119746465	0,893059305	3,989361702
TECPR2	0,000417537	0,163063608	0,188	0,035	1	1,119662253	0,893126474	5,371428571
IDI1	1,94445E-07	0,162984109	0,531	0,117	0,004102974	1,119600556	0,893175691	4,538461538
ARG2	1,39097E-05	0,162922591	0,125	0,008	0,293508116	1,119552817	0,893213777	15,625
SCGB1B2P	6,3574E-05	0,162917228	0,062	0	1	1,119548654	0,893217098	#DIV/0!
PHTF1	4,50344E-06	0,162761762	0,188	0,02	0,095027166	1,119428018	0,893313356	9,4
CUL1	0,016716716	0,162722376	0,188	0,062	1	1,119397457	0,893337745	3,032258065
IKBKG	0,00019555	0,162595444	0,188	0,031	1	1,119298975	0,893416346	6,064516129
FIS1	0,007532433	0,162513062	0,75	0,355	1	1,119235061	0,893467364	2,112676056

Supplementary Table 1

Differentially expressed genes_adjacent-skin-XL_comparing SC-Keloid vs. (SC-Myel, SC-Nonmyel)								
gene	p_val	avg_log2FC	pct.1	pct.2	p_val_adj	Foldchange_UP	Foldchange_DOWN	Ratio_pct1_pct2
RPP30	5,14086E-05	0,162486727	0,312	0,07	1	1,119214631	0,893483674	4,457142857
LMNB1	1,44979E-05	0,162457644	0,125	0,008	0,305919948	1,119192069	0,893501685	15,625
PCCB	2,83613E-06	0,162416407	0,25	0,035	0,059845173	1,119160079	0,893527225	7,142857143
IPO13	1,90629E-05	0,162039241	0,188	0,023	0,402246146	1,118867533	0,893760852	8,173913043
HSF1	0,001325703	0,161987844	0,281	0,082	1	1,118827674	0,893792694	3,426829268
HDDC2	9,70761E-05	0,161937664	0,344	0,086	1	1,11878876	0,893823782	4
FADD	1,33967E-08	0,161606988	0,125	0	0,000282684	1,118532354	0,894028676	#DIV/0!
SAMM50	2,15242E-09	0,16154305	0,312	0,031	4,54182E-05	1,118482784	0,894068299	10,06451613
SLC39A4	2,9927E-06	0,161542022	0,25	0,035	0,063148942	1,118481987	0,894068936	7,142857143
PKMYT1	9,12354E-07	0,16150357	0,094	0	0,019251588	1,118452177	0,894092766	#DIV/0!
MTFR1L	0,000204257	0,161445463	0,281	0,066	1	1,11840713	0,894128778	4,257575758
DNAJB5	0,00292518	0,161419866	0,188	0,047	1	1,118387286	0,894144642	4
CFAP36	1,39438E-05	0,161244398	0,406	0,098	0,294228514	1,118251271	0,894253399	4,142857143
POMGNT2	4,5807E-05	0,1611377	0,094	0,004	0,966573495	1,118168571	0,894319538	23,5
RAD50	2,60711E-07	0,160930753	0,406	0,074	0,005501273	1,118008187	0,894447833	5,486486486
RASSF4	0,001275639	0,160766637	0,781	0,324	1	1,117881014	0,894549588	2,410493827
GRID2	0,079594089	0,160569263	0,031	0,004	1	1,117728088	0,894671979	7,75
FUT11	0,001560165	0,160545492	0,125	0,02	1	1,117709671	0,89468672	6,25
SPATA5L1	1,51098E-05	0,160397451	0,125	0,008	0,318831333	1,117594984	0,894778533	15,625
GALNT11	0,000390215	0,160381006	0,25	0,059	1	1,117582245	0,894788732	4,237288136
ZDHC24	4,92471E-08	0,160376322	0,281	0,031	0,001039163	1,117578617	0,894791637	9,064516129
SDSL	2,86276E-12	0,160198119	0,188	0	6,04072E-08	1,117440581	0,89490217	#DIV/0!
NFU1	8,87757E-06	0,160186387	0,344	0,07	0,187325628	1,117431494	0,894909447	4,914285714
PHF19	3,51435E-06	0,160038359	0,344	0,066	0,074156248	1,117316845	0,895001274	5,212121212
NFE2L3	1,51098E-05	0,159993995	0,125	0,008	0,318831333	1,117282487	0,895028797	15,625
TRIB2	7,25857E-06	0,159991402	0,344	0,07	0,153163084	1,11728048	0,895030405	4,914285714
ACSL1	0,032396086	0,159969546	0,188	0,07	1	1,117263553	0,895043964	2,685714286
PDIA5	2,24684E-05	0,159928337	0,156	0,016	0,474104712	1,11723164	0,895069531	9,75
PKP1	4,80509E-06	0,159853808	0,188	0,02	0,101392141	1,117173926	0,895115771	9,4
TRAF5	0,002263143	0,159808605	0,062	0,004	1	1,117138923	0,895143817	15,5

Supplementary Table 1

Differentially expressed genes_adjacent-skin-XL_ comparing SC-Keloid vs. (SC-Myel, SC-Nonmyel)								
gene	p_val	avg_log2FC	pct.1	pct.2	p_val_adj	Foldchange_UP	Foldchange_DOWN	Ratio_pct1_pct2
WFS1	0,000313864	0,159736429	0,156	0,023	1	1,117083036	0,895188601	6,782608696
LIG3	3,71921E-06	0,159318357	0,156	0,012	0,078479117	1,116759368	0,895448051	13
HMGB3	4,82268E-05	0,159314912	0,25	0,047	1	1,116756701	0,89545019	5,319148936
EML1	2,02073E-05	0,158794994	0,188	0,023	0,426394579	1,116354317	0,89577295	8,173913043
VPS41	1,03682E-05	0,158784602	0,281	0,051	0,218779044	1,116346276	0,895779402	5,509803922
DNTTIP1	1,32717E-05	0,158595785	0,281	0,051	0,280046571	1,116200181	0,895896648	5,509803922
RPS6KA1	0,001808729	0,158536614	0,156	0,031	1	1,116154402	0,895933393	5,032258065
WDR13	0,000896083	0,158337449	0,5	0,18	1	1,116000327	0,896057085	2,777777778
APEH	1,99574E-07	0,158206873	0,281	0,035	0,004211201	1,115899323	0,89613819	8,028571429
ZNF720	0,007945492	0,158011944	0,125	0,027	1	1,115748559	0,89625928	4,62962963
SMAD7	8,53227E-07	0,157881429	0,188	0,016	0,018003947	1,115647627	0,896340364	11,75
KIF1C	9,69747E-05	0,15780716	0,281	0,062	1	1,115590195	0,896386509	4,532258065
MOCS2	3,10173E-05	0,157638218	0,5	0,145	0,654496234	1,115459566	0,896491483	3,448275862
MEX3A	4,65192E-06	0,157564023	0,188	0,02	0,098160247	1,115402201	0,896537589	9,4
PLA2G15	7,96166E-09	0,157263479	0,188	0,008	0,000167999	1,115169863	0,896724376	23,5
CD58	1,85164E-05	0,15716048	0,312	0,062	0,39071388	1,11509025	0,896788399	5,032258065
GMPPA	9,73699E-05	0,157078866	0,156	0,02	1	1,115027171	0,896839132	7,8
CDK20	2,10199E-05	0,156941949	0,156	0,016	0,443540004	1,114921356	0,896924249	9,75
POMGNT1	8,00274E-06	0,156908193	0,312	0,059	0,168865745	1,11489527	0,896945235	5,288135593
ABCC10	0,216675772	0,15690461	0,031	0,008	1	1,1148925	0,896947463	3,875
YKT6	1,38976E-05	0,15679026	0,312	0,062	0,293252516	1,114804136	0,897018559	5,032258065
AHCY	2,7748E-05	0,156768626	0,375	0,09	0,585509559	1,114787419	0,897032011	4,166666667
ENTR1	1,41893E-05	0,15669152	0,281	0,051	0,29940858	1,11472784	0,897079955	5,509803922
CD164	0,000524773	0,156688862	0,625	0,242	1	1,114725786	0,897081607	2,582644628
STX7	0,000349957	0,156622664	0,406	0,125	1	1,114674638	0,897122771	3,248
SLC31A1	3,51691E-07	0,15658294	0,156	0,008	0,007421029	1,114643946	0,897147473	19,5
LRFN4	0,000104629	0,156105421	0,281	0,062	1	1,114275071	0,89744447	4,532258065
CEP135	0,001808729	0,156067962	0,156	0,031	1	1,114246139	0,897467772	5,032258065
PCNX4	0,000208933	0,156016905	0,219	0,043	1	1,114206706	0,897499534	5,093023256
HDAC2	0,001051807	0,155894533	0,344	0,109	1	1,114112202	0,897575665	3,155963303

Supplementary Table 1

Differentially expressed genes_adjacent-skin-XL_comparing SC-Keloid vs. (SC-Myel, SC-Nonmyel)								
gene	p_val	avg_log2FC	pct.1	pct.2	p_val_adj	Foldchange_UP	Foldchange_DOWN	Ratio_pct1_pct2
RUVBL1	4,25761E-07	0,155687231	0,312	0,047	0,008983981	1,113952125	0,897704648	6,638297872
E2F5	5,49744E-05	0,155596546	0,25	0,047	1	1,113882107	0,897761077	5,319148936
MRPS15	6,85015E-05	0,155230046	0,406	0,109	1	1,113599174	0,897989172	3,724770642
IFTAP	7,07015E-08	0,15515597	0,375	0,059	0,001491872	1,113541997	0,898035281	6,355932203
KANSL1	0,000693449	0,155065963	0,406	0,133	1	1,113472527	0,898091309	3,052631579
COL9A3	0,007172229	0,15489348	0,875	0,434	1	1,113339413	0,898198688	2,016129032
UTP4	0,000173407	0,154634698	0,188	0,031	1	1,113139727	0,898359816	6,064516129
DCAF15	1,06809E-06	0,154466956	0,219	0,023	0,022537726	1,11301031	0,898464274	9,52173913
AUH	0,057775912	0,154435442	0,125	0,043	1	1,112985997	0,898483901	2,906976744
HPS4	0,002478699	0,154296035	0,219	0,059	1	1,112878455	0,898570725	3,711864407
EIF2AK1	3,39387E-07	0,154246745	0,469	0,098	0,007161415	1,112840434	0,898601425	4,785714286
ANAPC5	0,000141727	0,154214458	0,531	0,176	1	1,112815529	0,898621536	3,017045455
KCND3	4,5807E-05	0,154057899	0,094	0,004	0,966573495	1,112694775	0,898719058	23,5
SLC2A1	0,024054161	0,153870925	0,125	0,035	1	1,112550579	0,89883554	3,571428571
POGLUT2	9,06462E-07	0,15380567	0,125	0,004	0,019127258	1,112500258	0,898876196	31,25
POPDC3	4,50344E-06	0,153713069	0,188	0,02	0,095027166	1,112428853	0,898933894	9,4
MIEN1	0,00016416	0,153711362	0,438	0,133	1	1,112427537	0,898934957	3,293233083
CSDE1	0,007675956	0,15356966	0,844	0,402	1	1,112318279	0,899023255	2,099502488
CZIB	1,46573E-06	0,153372865	0,562	0,141	0,030928364	1,11216656	0,899145898	3,985815603
TUBB6	4,67306E-06	0,153209086	0,531	0,141	0,098606208	1,112040311	0,899247977	3,765957447
STYX	0,000100263	0,153186982	0,156	0,02	1	1,112023273	0,899261755	7,8
C16orf91	4,70541E-06	0,153092748	0,281	0,047	0,099288927	1,11195064	0,899320495	5,978723404
MRPL55	3,70548E-08	0,153092571	0,5	0,098	0,000781893	1,111950504	0,899320605	5,102040816
TMEM199	0,000100263	0,153084072	0,156	0,02	1	1,111943953	0,899325903	7,8
MYCBP	7,96166E-09	0,152971385	0,188	0,008	0,000167999	1,111857105	0,899396151	23,5
ZFYVE9	0,000811202	0,152735414	0,156	0,027	1	1,111675261	0,899543271	5,777777778
PSME1	0,001777154	0,152716424	0,812	0,348	1	1,111660628	0,899555111	2,333333333
SNX9	0,000205019	0,152659593	0,25	0,055	1	1,111616839	0,899590547	4,545454545
TIMELESS	1,59386E-08	0,152596723	0,156	0,004	0,000336319	1,111568397	0,899629751	39
RNASEL	0,002517564	0,15250064	0,094	0,012	1	1,11149437	0,899689668	7,833333333

Supplementary Table 1

Differentially expressed genes_adjacent-skin-XL_comparing SC-Keloid vs. (SC-Myel, SC-Nonmyel)								
gene	p_val	avg_log2FC	pct.1	pct.2	p_val_adj	Foldchange_UP	Foldchange_DOWN	Ratio_pct1_pct2
PSMD6	5,67461E-05	0,152378167	0,5	0,145	1	1,111400017	0,899766047	3,448275862
FBLIM1	4,80439E-05	0,152333719	0,094	0,004	1	1,111365776	0,899793768	23,5
AAMP	9,1055E-05	0,152333333	0,438	0,125	1	1,111365477	0,899794011	3,504
VPS53	0,00151347	0,152277442	0,188	0,043	1	1,111322424	0,899828869	4,372093023
OSER1-DT	0,000112833	0,152215654	0,125	0,012	1	1,111274829	0,899867408	10,41666667
GLB1L	6,3574E-05	0,152204898	0,062	0	1	1,111266544	0,899874117	#DIV/0!
HMOX2	4,71723E-06	0,15220079	0,406	0,09	0,099538323	1,11126338	0,899876679	4,511111111
RAD23A	0,008100744	0,152162964	0,562	0,25	1	1,111234244	0,899900273	2,248
PHKG2	0,000173407	0,152052549	0,188	0,031	1	1,111149201	0,899969148	6,064516129
TBC1D7	3,51435E-06	0,151576108	0,344	0,066	0,074156248	1,110782311	0,900266407	5,212121212
NOP56	0,000280811	0,151519123	0,406	0,121	1	1,110738438	0,900301967	3,355371901
PGM2	8,84735E-07	0,151447326	0,188	0,016	0,018668785	1,110683162	0,900346773	11,75
MRPL22	2,16766E-06	0,151370996	0,469	0,109	0,045739869	1,1106244	0,900394409	4,302752294
ZNF281	0,006607735	0,151355547	0,156	0,039	1	1,110612506	0,900404051	4
RRP7A	6,73191E-06	0,151115715	0,312	0,059	0,142049988	1,110427894	0,900553746	5,288135593
UPK3BL1	0,00011859	0,150981967	0,375	0,102	1	1,110324955	0,900637237	3,676470588
KIF3A	0,001385681	0,150823743	0,281	0,082	1	1,110203189	0,900736018	3,426829268
ODF2	2,17326E-05	0,150705738	0,156	0,016	0,458580025	1,110112384	0,900809696	9,75
SNX4	9,38646E-05	0,150662721	0,344	0,086	1	1,110079284	0,900836557	4
SLC4A3	0,039886012	0,15062022	0,062	0,012	1	1,110046583	0,900863095	5,166666667
ENAH	0,00079237	0,150464385	0,156	0,027	1	1,109926686	0,900960408	5,777777778
TTC1	2,1104E-05	0,150421903	0,469	0,125	0,445315492	1,109894003	0,900986939	3,752
RDH11	6,07698E-05	0,150046627	0,375	0,098	1	1,109605334	0,901221335	3,826530612
ZNF593	1,82474E-09	0,149893332	0,406	0,055	3,85039E-05	1,109487437	0,9013171	7,381818182
CATSPER1	6,3574E-05	0,149861183	0,062	0	1	1,109462714	0,901337186	#DIV/0!
DCLK1	0,216675772	0,14981673	0,031	0,008	1	1,109428529	0,901364959	3,875
TMEM9B	0,000513154	0,149808127	0,375	0,113	1	1,109421913	0,901370333	3,318584071
COA8	9,55566E-06	0,149331276	0,375	0,082	0,201634002	1,109055279	0,901668311	4,573170732
POLE	0,000108998	0,149117564	0,125	0,012	1	1,108891003	0,901801888	10,41666667
TOMM40	0,006373067	0,149040876	0,312	0,117	1	1,10883206	0,901849826	2,666666667

Supplementary Table 1

Differentially expressed genes_adjacent-skin-XL_comparing SC-Keloid vs. (SC-Myel, SC-Nonmyel)								
gene	p_val	avg_log2FC	pct.1	pct.2	p_val_adj	Foldchange_UP	Foldchange_DOWN	Ratio_pct1_pct2
MARK2	0,01796492	0,148926456	0,219	0,078	1	1,108744122	0,901921354	2,807692308
SLC46A3	9,06462E-07	0,148820576	0,125	0,004	0,019127258	1,108662754	0,901987549	31,25
RAB4B	0,000196043	0,148634156	0,219	0,043	1	1,108519505	0,902104109	5,093023256
SEPHS2	5,82109E-10	0,148559094	0,375	0,043	1,22831E-05	1,108461832	0,902151045	8,720930233
MGMT	1,29375E-05	0,148271173	0,344	0,074	0,272994515	1,108240636	0,902331107	4,648648649
SCG5	1,59386E-08	0,148185245	0,156	0,004	0,000336319	1,108174631	0,902384852	39
TRMT12	0,039886012	0,148142418	0,062	0,012	1	1,108141734	0,90241164	5,166666667
SNAPIN	7,5014E-06	0,147972334	0,312	0,059	0,158287075	1,1080111	0,902518034	5,288135593
LINC01137	7,96166E-09	0,147963817	0,188	0,008	0,000167999	1,108004559	0,902523362	23,5
UTP18	5,26316E-05	0,147893312	0,25	0,047	1	1,107950412	0,90256747	5,319148936
TMX4	2,23171E-05	0,147851342	0,562	0,168	0,470913836	1,10791818	0,902593727	3,345238095
ACP2	2,40115E-05	0,147810201	0,156	0,016	0,506667402	1,107886586	0,902619467	9,75
NINJ1	9,41785E-05	0,147373227	0,625	0,207	1	1,107551072	0,902892901	3,019323671
DHPS	1,99857E-05	0,14726964	0,438	0,113	0,421717445	1,107471552	0,902957732	3,876106195
TASOR	0,000595256	0,147106226	0,281	0,074	1	1,107346116	0,903060015	3,797297297
BIN3	0,000105292	0,147095551	0,312	0,074	1	1,107337922	0,903066697	4,216216216
ADGRL4	3,67695E-07	0,146962544	0,156	0,008	0,007758733	1,107235838	0,903149958	19,5
YARS2	1,07001E-07	0,146791351	0,188	0,012	0,002257818	1,107104458	0,903257134	15,66666667
NCAPG	6,3574E-05	0,146750007	0,062	0	1	1,107072732	0,903283019	#DIV/0!
GCNT1	1,59386E-08	0,146594399	0,156	0,004	0,000336319	1,10695333	0,903380452	39
UBA5	0,00022736	0,146514849	0,219	0,043	1	1,106892295	0,903430266	5,093023256
KCNE4	0,004180266	0,14651157	0,125	0,023	1	1,106889779	0,903432319	5,434782609
ZFAND3	0,000253739	0,146453388	0,5	0,16	1	1,106845141	0,903468754	3,125
RSBN1	0,001170364	0,146415406	0,344	0,109	1	1,106816001	0,90349254	3,155963303
MVD	9,25578E-07	0,146230351	0,375	0,07	0,019530631	1,106674038	0,903608439	5,357142857
SSC5D	1,93924E-05	0,146229282	0,5	0,137	0,409199075	1,106673219	0,903609108	3,649635036
RIOK1	0,000446084	0,146220563	0,188	0,035	1	1,106666531	0,903614569	5,371428571
DCLRE1C	2,39232E-07	0,145814392	0,25	0,027	0,005048036	1,106355008	0,903869005	9,259259259
PLEKHO1	0,000314345	0,145783033	0,562	0,195	1	1,10633096	0,903888652	2,882051282
USP22	1,79699E-06	0,145758758	0,656	0,184	0,03791833	1,106312344	0,903903861	3,565217391

Supplementary Table 1

Differentially expressed genes_adjacent-skin-XL_comparing SC-Keloid vs. (SC-Myel, SC-Nonmyel)								
gene	p_val	avg_log2FC	pct.1	pct.2	p_val_adj	Foldchange_UP	Foldchange_DOWN	Ratio_pct1_pct2
FAHD2B	0,000297876	0,145756368	0,156	0,023	1	1,106310511	0,903905359	6,782608696
RAB11B-AS1	9,06462E-07	0,14575451	0,125	0,004	0,019127258	1,106309086	0,903906523	31,25
ZNF576	0,002370322	0,145685028	0,094	0,012	1	1,106255807	0,903950057	7,833333333
ALG3	9,85458E-05	0,145628959	0,219	0,039	1	1,106212814	0,903985189	5,615384615
TSEN2	0,520968078	0,145594814	0,031	0,016	1	1,106186633	0,904006584	1,9375
TRMT1	0,001503327	0,145472984	0,219	0,055	1	1,106093224	0,904082928	3,981818182
COPB2	0,000902011	0,145365203	0,406	0,137	1	1,106010593	0,904150472	2,96350365
CD302	0,011423236	0,145345522	0,156	0,043	1	1,105995505	0,904162807	3,627906977
SUGP1	0,000439193	0,145306611	0,125	0,016	1	1,105965675	0,904187194	7,8125
GINM1	7,02651E-06	0,145294545	0,625	0,184	0,148266402	1,105956426	0,904194756	3,39673913
FKBP2	0,00858429	0,145077524	0,281	0,102	1	1,105790072	0,904330781	2,754901961
SLC35F6	2,08038E-05	0,145050626	0,188	0,023	0,438980454	1,105769456	0,904347642	8,173913043
SLC45A3	0,37426516	0,144956081	0,031	0,012	1	1,105696993	0,904406909	2,583333333
DHCR24	1,59386E-08	0,14491775	0,156	0,004	0,000336319	1,105667616	0,904430939	39
CCDC88A	4,80509E-06	0,144858335	0,188	0,02	0,101392141	1,105622082	0,904468187	9,4
NAE1	0,000103442	0,144784751	0,312	0,074	1	1,105565691	0,904514321	4,216216216
TTC19	7,10311E-07	0,144725551	0,438	0,09	0,014988265	1,105520326	0,904551437	4,866666667
PTPN9	2,32278E-05	0,144517969	0,156	0,016	0,490128791	1,10536127	0,904681598	9,75
TOR1B	0,000112833	0,144497112	0,125	0,012	1	1,10534529	0,904694677	10,41666667
DLK2	0,004841742	0,14437834	0,031	0	1	1,105254294	0,90476916	#DIV/0!
KCNH2	0,004841742	0,14437834	0,031	0	1	1,105254294	0,90476916	#DIV/0!
SPATA2L	0,007089636	0,144376113	0,156	0,039	1	1,105252588	0,904770557	4
AKAP1	0,000494525	0,144343671	0,125	0,016	1	1,105227735	0,904790903	7,8125
CCNDBP1	0,000561747	0,144285211	0,375	0,117	1	1,105182951	0,904827567	3,205128205
FBXO22	2,29902E-09	0,144111067	0,312	0,031	4,85116E-05	1,105049555	0,904936793	10,06451613
CTPS2	0,000509339	0,144038424	0,125	0,016	1	1,104993915	0,904982359	7,8125
DIRAS3	0,002168448	0,144017939	0,062	0,004	1	1,104978224	0,90499521	15,5
NCBP1	2,75671E-08	0,144015375	0,219	0,016	0,000581693	1,104976261	0,904996818	13,6875
MSTN	0,002168448	0,144013907	0,062	0,004	1	1,104975136	0,904997739	15,5
COMMD5	4,14985E-07	0,143854789	0,312	0,047	0,008756602	1,104853273	0,905097559	6,638297872

Supplementary Table 1

Differentially expressed genes_adjacent-skin-XL_ comparing SC-Keloid vs. (SC-Myel, SC-Nonmyel)								
gene	p_val	avg_log2FC	pct.1	pct.2	p_val_adj	Foldchange_UP	Foldchange_DOWN	Ratio_pct1_pct2
MLLT1	0,02536082	0,143437805	0,25	0,102	1	1,104533982	0,905359198	2,450980392
VPS45	0,008576675	0,143424671	0,188	0,055	1	1,104523927	0,90536744	3,418181818
TAF11	4,45925E-06	0,14300005	0,406	0,09	0,094094732	1,104198886	0,905633951	4,511111111
SRP54	6,95585E-05	0,14295571	0,438	0,121	1	1,10416495	0,905661786	3,619834711
TMOD3	1,66591E-06	0,142648173	0,406	0,086	0,035152316	1,103929602	0,905854865	4,720930233
DZIP1	0,033585021	0,142630313	0,094	0,023	1	1,103915935	0,905866079	4,086956522
SSUH2	0,00819789	0,142615151	0,188	0,055	1	1,103904333	0,9058756	3,418181818
STX18-AS1	0,216675772	0,142412158	0,031	0,008	1	1,103749021	0,906003069	3,875
NAGLU	0,000789392	0,142305506	0,219	0,051	1	1,103667428	0,906070048	4,294117647
NOTCH3	2,40115E-05	0,142207469	0,156	0,016	0,506667402	1,103592433	0,906131621	9,75
TCTN3	0,001201874	0,141868093	0,344	0,109	1	1,103332857	0,906344802	3,155963303
RPL23	0,070616355	0,141659381	0,906	0,613	1	1,103173251	0,906475931	1,477977162
ZDHHC1	2,24684E-05	0,141511136	0,156	0,016	0,474104712	1,103059899	0,906569082	9,75
GMPPB	5,12603E-06	0,141486628	0,188	0,02	0,108164307	1,103041162	0,906584482	9,4
PPIL1	8,84735E-07	0,141459566	0,188	0,016	0,018668785	1,103020471	0,906601488	11,75
LPCAT1	0,002594281	0,141357445	0,094	0,012	1	1,102942396	0,906665664	7,833333333
FURIN	0,00259611	0,141249841	0,25	0,074	1	1,102860136	0,90673329	3,378378378
CAAP1	2,24684E-05	0,141242403	0,156	0,016	0,474104712	1,10285445	0,906737965	9,75
LAPTM4A	0,073021569	0,141156169	0,938	0,57	1	1,102788531	0,906792165	1,645614035
FKBP14	5,908E-06	0,141069091	0,312	0,059	0,124664638	1,102721972	0,906846899	5,288135593
AGA	2,67934E-05	0,140915574	0,375	0,09	0,565368181	1,102604637	0,906943402	4,166666667
USO1	1,06763E-06	0,140598182	0,438	0,094	0,022527994	1,102362092	0,90714295	4,659574468
GPSM3	2,39232E-07	0,140458223	0,25	0,027	0,005048036	1,102255154	0,907230959	9,259259259
TM2D3	1,64883E-06	0,140452808	0,5	0,117	0,034791873	1,102251017	0,907234364	4,273504274
MED8	5,12603E-06	0,140298393	0,188	0,02	0,108164307	1,102133047	0,907331472	9,4
MPHOSPH10	9,87205E-05	0,140225892	0,344	0,086	1	1,102077662	0,90737707	4
SCG2	0,002263143	0,140211556	0,062	0,004	1	1,102066711	0,907386087	15,5
NPDC1	0,004150422	0,140143672	0,531	0,227	1	1,102014856	0,907428784	2,339207048
SCGB1D2	0,082317662	0,140052841	0,031	0,004	1	1,101945476	0,907485917	7,75
TAPBP	2,98435E-05	0,139913467	0,688	0,223	0,629727684	1,101839025	0,90757359	3,085201794

Supplementary Table 1

Differentially expressed genes_adjacent-skin-XL_comparing SC-Keloid vs. (SC-Myel, SC-Nonmyel)								
gene	p_val	avg_log2FC	pct.1	pct.2	p_val_adj	Foldchange_UP	Foldchange_DOWN	Ratio_pct1_pct2
CLTB	0,003928859	0,139865405	0,688	0,297	1	1,101802319	0,907603826	2,316498316
SLC27A4	2,33183E-10	0,139809569	0,281	0,02	4,92039E-06	1,101759678	0,907638953	14,05
SLC25A1	0,00010663	0,139349039	0,281	0,062	1	1,101408035	0,907928731	4,532258065
HAUS6	0,000494525	0,139303323	0,125	0,016	1	1,101373135	0,907957502	7,8125
RFT1	0,001696757	0,139292125	0,156	0,031	1	1,101364586	0,907964549	5,032258065
MTERF3	0,000305772	0,139244501	0,156	0,023	1	1,10132823	0,907994522	6,782608696
HEXIM2	3,86379E-06	0,139115868	0,156	0,012	0,081529835	1,101230038	0,908075484	13
VPS39	2,1417E-05	0,139110892	0,188	0,023	0,451919526	1,10122624	0,908078616	8,173913043
FAF1	1,4531E-05	0,139064964	0,344	0,074	0,306618748	1,101191184	0,908107525	4,648648649
LRRC23	0,000789392	0,13899374	0,219	0,051	1	1,10113682	0,908152358	4,294117647
KANSL1-AS1	1,51098E-05	0,138664363	0,125	0,008	0,318831333	1,100885452	0,90835972	15,625
E2F7	9,06462E-07	0,138629672	0,125	0,004	0,019127258	1,100858981	0,908381562	31,25
EXOSC7	3,13462E-07	0,138500182	0,344	0,055	0,006614354	1,100760176	0,908463098	6,254545455
RNF126	0,036468388	0,138271182	0,312	0,141	1	1,100585466	0,908607311	2,212765957
FANCF	3,71921E-06	0,138229608	0,156	0,012	0,078479117	1,100553751	0,908633494	13
FOXD2	0,079594089	0,138180242	0,031	0,004	1	1,100516093	0,908664586	7,75
SLC25A34	0,082317662	0,138177072	0,031	0,004	1	1,100513675	0,908666583	7,75
CDC34	1,05494E-07	0,137935822	0,406	0,07	0,00222602	1,10032966	0,908818544	5,8
CCDC113	0,002263143	0,137478428	0,062	0,004	1	1,099980866	0,909106723	15,5
CRYBB2	1,33967E-08	0,137276601	0,125	0	0,000282684	1,099826993	0,909233912	#DIV/0!
SCML2	0,079594089	0,137186979	0,031	0,004	1	1,099758673	0,909290396	7,75
HAS2-AS1	0,088161845	0,137164524	0,094	0,031	1	1,099741556	0,909304549	3,032258065
PXYLP1	0,001560165	0,13713671	0,125	0,02	1	1,099720354	0,90932208	6,25
DCPS	1,60002E-05	0,137132218	0,344	0,074	0,337621055	1,09971693	0,909324912	4,648648649
CASP3	0,000103442	0,137114582	0,312	0,074	1	1,099703487	0,909336028	4,216216216
RRP36	8,54054E-06	0,137095415	0,25	0,039	0,18021385	1,099688877	0,909348109	6,41025641
RCC1	9,17361E-07	0,137090132	0,188	0,016	0,019357231	1,09968485	0,909351438	11,75
LIG4	2,32278E-05	0,13694204	0,156	0,016	0,490128791	1,099571973	0,909444788	9,75
B4GALT2	6,07138E-07	0,136882771	0,281	0,039	0,012811221	1,099526802	0,90948215	7,205128205
PALM2AKAP2	1,21997E-06	0,136814313	0,875	0,277	0,025742608	1,099474628	0,909525308	3,158844765

Supplementary Table 1

Differentially expressed genes_adjacent-skin-XL_ comparing SC-Keloid vs. (SC-Myel, SC-Nonmyel)								
gene	p_val	avg_log2FC	pct.1	pct.2	p_val_adj	Foldchange_UP	Foldchange_DOWN	Ratio_pct1_pct2
KIRREL1	8,54831E-05	0,136696775	0,375	0,098	1	1,099385057	0,909599411	3,826530612
RAPH1	5,74157E-05	0,136542142	0,25	0,047	1	1,099267227	0,90969691	5,319148936
CXorf38	5,74157E-05	0,136524772	0,25	0,047	1	1,099253992	0,909707863	5,319148936
ATP7A	0,006844876	0,136458365	0,156	0,039	1	1,099203395	0,909749737	4
LONP1	9,71531E-07	0,136445575	0,25	0,031	0,020500283	1,09919365	0,909757803	8,064516129
CCDC32	0,000217964	0,136420662	0,219	0,043	1	1,099174669	0,909773513	5,093023256
RINL	6,3574E-05	0,136312304	0,062	0	1	1,099092116	0,909841847	#DIV/0!
FNTA	0,004207321	0,136298654	0,531	0,219	1	1,099081716	0,909850456	2,424657534
ECSIT	2,07726E-05	0,136292467	0,25	0,043	0,438322831	1,099077003	0,909854357	5,813953488
PTS	2,22069E-05	0,136034231	0,344	0,078	0,468587791	1,09888029	0,910017232	4,41025641
ELOVL6	9,06462E-07	0,135896365	0,125	0,004	0,019127258	1,098775285	0,910104198	31,25
NINL	0,079594089	0,135807863	0,031	0,004	1	1,098707882	0,910160031	7,75
ENTPD6	1,00234E-06	0,135781986	0,219	0,023	0,021150457	1,098688176	0,910176356	9,52173913
GTF2H3	4,123E-05	0,135731579	0,219	0,035	0,869994633	1,098649789	0,910208158	6,257142857
MCRS1	2,82309E-05	0,135723019	0,312	0,066	0,595699315	1,098643271	0,910213558	4,727272727
PCK2	1,51098E-05	0,135673979	0,125	0,008	0,318831333	1,098605926	0,910244498	15,625
OXTR	9,12354E-07	0,135652768	0,094	0	0,019251588	1,098589774	0,910257881	#DIV/0!
VPS18	0,207161335	0,135520702	0,062	0,023	1	1,098489212	0,910341211	2,695652174
CDKN2AIPNL	9,18193E-05	0,135498559	0,156	0,02	1	1,098472352	0,910355184	7,8
SIRT2	0,002824026	0,13548169	0,5	0,203	1	1,098459508	0,910365828	2,463054187
PSMC4	7,09557E-07	0,13541173	0,562	0,137	0,014972355	1,098406243	0,910409975	4,102189781
GOLM1	5,26316E-05	0,135328018	0,25	0,047	1	1,09834251	0,910462803	5,319148936
TMEM234	9,17361E-07	0,13528504	0,188	0,016	0,019357231	1,098309791	0,910489926	11,75
SCN1B	5,03836E-05	0,135238421	0,25	0,047	1	1,0982743	0,910519348	5,319148936
NFKBIL1	4,39767E-08	0,135221661	0,312	0,039	0,000927952	1,098261542	0,910529926	8
MTMR14	1,06809E-06	0,13518685	0,219	0,023	0,022537726	1,098235042	0,910551896	9,52173913
EID2B	0,204327649	0,135037023	0,062	0,023	1	1,098120994	0,910646464	2,695652174
ICAM3	6,466E-11	0,13486558	0,25	0,012	1,36439E-06	1,097990506	0,910754687	20,83333333
MACROD1	9,71531E-07	0,134815415	0,25	0,031	0,020500283	1,097952328	0,910786356	8,064516129
ATG9A	0,000850121	0,134766292	0,156	0,027	1	1,097914944	0,910817368	5,777777778

Supplementary Table 1

Differentially expressed genes_adjacent-skin-XL_comparing SC-Keloid vs. (SC-Myel, SC-Nonmyel)								
gene	p_val	avg_log2FC	pct.1	pct.2	p_val_adj	Foldchange_UP	Foldchange_DOWN	Ratio_pct1_pct2
DHCR7	1,33967E-08	0,134724443	0,125	0	0,000282684	1,097883096	0,91084379	#DIV/0!
EDC4	0,01198915	0,134703882	0,156	0,043	1	1,09786745	0,910856771	3,627906977
DBR1	0,002517564	0,13469954	0,094	0,012	1	1,097864146	0,910859512	7,833333333
GALNS	0,002442928	0,134571875	0,094	0,012	1	1,097766999	0,910940119	7,833333333
SNAP29	0,00819789	0,134455233	0,188	0,055	1	1,097678248	0,911013771	3,418181818
NUS1	2,33422E-05	0,134446883	0,25	0,043	0,492544426	1,097671895	0,911019043	5,813953488
ADPRM	0,000100263	0,134255115	0,156	0,02	1	1,097525999	0,911140147	7,8
ATE1	0,000451131	0,134162911	0,219	0,047	1	1,097455857	0,911198381	4,659574468
JAM3	0,000452944	0,134123393	0,469	0,156	1	1,097425796	0,911223341	3,006410256
FES	0,090719467	0,133840868	0,094	0,031	1	1,097210906	0,911401804	3,032258065
NUDT18	9,12354E-07	0,133660172	0,094	0	0,019251588	1,09707349	0,911515964	#DIV/0!
SARAF	0,025723822	0,133606175	0,812	0,434	1	1,09703243	0,911550081	1,870967742
ZNF582	0,079594089	0,133546009	0,031	0,004	1	1,096986681	0,911588096	7,75
TAF9B	8,53227E-07	0,133511021	0,188	0,016	0,018003947	1,096960077	0,911610204	11,75
TBCC	0,024533893	0,133440528	0,188	0,066	1	1,096906478	0,911654749	2,848484848
PCYT2	0,00022736	0,133302153	0,219	0,043	1	1,096801275	0,911742193	5,093023256
U2SURP	0,001102349	0,133229161	0,656	0,262	1	1,096745784	0,911788324	2,503816794
REEP2	1,53257E-05	0,133210694	0,219	0,031	0,323387973	1,096731746	0,911799994	7,064516129
SEMA6A	2,40115E-05	0,13314884	0,156	0,016	0,506667402	1,096684726	0,911839088	9,75
DAZAP2	0,000911191	0,133123842	0,594	0,227	1	1,096665723	0,911854888	2,616740088
ATR	0,014352989	0,133099845	0,125	0,031	1	1,096647482	0,911870055	4,032258065
INTS14	0,017290773	0,133041106	0,094	0,02	1	1,096602833	0,911907183	4,7
ACAP2	0,000482061	0,132768019	0,5	0,172	1	1,096395277	0,912079814	2,906976744
ETAA1	0,00050526	0,132611628	0,094	0,008	1	1,096276432	0,91217869	11,75
TTC13	0,000494525	0,132523186	0,125	0,016	1	1,096209229	0,912234611	7,8125
GNS	0,024931667	0,132511349	0,219	0,082	1	1,096200235	0,912242096	2,670731707
COQ5	9,49112E-05	0,132444161	0,25	0,051	1	1,096149185	0,912284581	4,901960784
FAM229A	0,000850121	0,13238774	0,156	0,027	1	1,096106317	0,91232026	5,777777778
MRGBP	2,03907E-07	0,132309028	0,219	0,02	0,004302644	1,096046517	0,912370036	10,95
SMC3	0,001213208	0,132267738	0,531	0,199	1	1,096015148	0,912396148	2,668341709

Supplementary Table 1

Differentially expressed genes_adjacent-skin-XL_comparing SC-Keloid vs. (SC-Myel, SC-Nonmyel)								
gene	p_val	avg_log2FC	pct.1	pct.2	p_val_adj	Foldchange_UP	Foldchange_DOWN	Ratio_pct1_pct2
UBB	6,55085E-05	0,131906213	0,906	0,387	1	1,095740532	0,912624815	2,341085271
DGKQ	0,37426516	0,131792415	0,031	0,012	1	1,095654105	0,912696804	2,583333333
SFRP2	0,221475664	0,131720028	0,031	0,008	1	1,095599132	0,9127426	3,875
DOK4	1,51098E-05	0,131541168	0,125	0,008	0,318831333	1,095463312	0,912855765	15,625
ANO1	0,000524345	0,131486061	0,094	0,008	1	1,095421469	0,912890635	11,75
SMIM27	0,000341249	0,131400349	0,281	0,07	1	1,095356391	0,912944872	4,014285714
ABHD13	6,26921E-05	0,131310315	0,188	0,027	1	1,095288035	0,913001848	6,962962963
LRTOMT	0,002168448	0,131143897	0,062	0,004	1	1,095161698	0,913107171	15,5
KIF20B	0,038520178	0,131061275	0,125	0,039	1	1,095098981	0,913159465	3,205128205
KAT5	0,000764302	0,130961653	0,25	0,062	1	1,095023365	0,913222523	4,032258065
PEX3	6,6835E-09	0,130905905	0,25	0,02	0,000141028	1,094981052	0,913257812	12,5
CCDC43	0,000777418	0,130706189	0,25	0,062	1	1,094829482	0,913384245	4,032258065
GTF2F2	3,40485E-06	0,13066874	0,5	0,121	0,071845702	1,094801063	0,913407955	4,132231405
ZNF239	0,079594089	0,130631475	0,031	0,004	1	1,094772784	0,913431549	7,75
SV2A	1,33967E-08	0,130552796	0,125	0	0,000282684	1,094713081	0,913481365	#DIV/0!
TNFSF13B	6,3574E-05	0,130481427	0,062	0	1	1,094658927	0,913526556	#DIV/0!
NDUFAF3	0,00530393	0,130246947	0,75	0,332	1	1,094481028	0,913675043	2,259036145
QSOX1	8,47889E-08	0,130233354	0,5	0,102	0,00178913	1,094470716	0,913683651	4,901960784
METTL6	1,96272E-05	0,130200599	0,188	0,023	0,414152777	1,094445868	0,913704395	8,173913043
RPS6KB2	5,1496E-05	0,130040962	0,25	0,047	1	1,094324772	0,913805504	5,319148936
AARD	9,12354E-07	0,13001606	0,094	0	0,019251588	1,094305883	0,913821278	#DIV/0!
PLXNA4	7,15271E-05	0,129994808	0,188	0,027	1	1,094289763	0,913834739	6,962962963
TBRG1	0,000345222	0,129803236	0,406	0,125	1	1,094144465	0,913956093	3,248
NOL8	0,000213404	0,129787729	0,219	0,043	1	1,094132704	0,913965917	5,093023256
RPIA	9,18193E-05	0,129611904	0,156	0,02	1	1,093999367	0,914077311	7,8
VPS26B	8,75655E-06	0,129593143	0,25	0,039	0,184771949	1,093985141	0,914089198	6,41025641
EEFSEC	7,15271E-05	0,129493161	0,188	0,027	1	1,093909328	0,914152549	6,962962963
WDR83	0,058054176	0,129295097	0,094	0,027	1	1,093759158	0,914278059	3,481481481
SCAP	1,63815E-05	0,129250449	0,312	0,062	0,345665807	1,093725309	0,914306354	5,032258065
PSME3IP1	1,16035E-05	0,129168561	0,281	0,051	0,244846285	1,093663231	0,914358252	5,509803922

Supplementary Table 1

Differentially expressed genes_adjacent-skin-XL_comparing SC-Keloid vs. (SC-Myel, SC-Nonmyel)								
gene	p_val	avg_log2FC	pct.1	pct.2	p_val_adj	Foldchange_UP	Foldchange_DOWN	Ratio_pct1_pct2
FBXW2	0,008767839	0,129147617	0,219	0,07	1	1,093647354	0,914371526	3,128571429
PXMP4	5,12603E-06	0,129079988	0,188	0,02	0,108164307	1,093596089	0,91441439	9,4
AK1	0,000346284	0,129074288	0,531	0,18	1	1,093591768	0,914418003	2,95
PRADC1	0,000408406	0,128942999	0,188	0,035	1	1,093492253	0,914501221	5,371428571
C3orf18	0,140820961	0,128921767	0,062	0,02	1	1,09347616	0,91451468	3,1
CHPF2	0,003191522	0,128910355	0,188	0,047	1	1,09346751	0,914521914	4
CTSH	0,380266129	0,12884451	0,031	0,012	1	1,093417605	0,914563654	2,583333333
IREB2	0,002438935	0,128810376	0,219	0,059	1	1,093391736	0,914585292	3,711864407
SLC35B4	2,08038E-05	0,128720605	0,188	0,023	0,438980454	1,093323702	0,914642203	8,173913043
DSG2	9,12354E-07	0,128575452	0,094	0	0,019251588	1,093213706	0,914734233	#DIV/0!
PTBP1	0,000324159	0,128518392	0,531	0,184	1	1,093170468	0,914770412	2,885869565
LIN7B	0,003731537	0,128513712	0,156	0,035	1	1,093166922	0,91477338	4,457142857
TFAP4	0,000524345	0,128486026	0,094	0,008	1	1,093145945	0,914790934	11,75
STK19	6,58444E-07	0,128397875	0,281	0,039	0,013893836	1,093079154	0,914846831	7,205128205
SF3B2	0,000178536	0,128211977	0,625	0,215	1	1,092938314	0,914964721	2,906976744
TRMT61A	5,1496E-05	0,127906342	0,25	0,047	1	1,092706799	0,915158577	5,319148936
TSFM	9,17361E-07	0,127799931	0,188	0,016	0,019357231	1,092626206	0,91522608	11,75
VTI1B	1,70052E-05	0,127734466	0,375	0,086	0,358825913	1,092576628	0,915267611	4,360465116
TEX264	2,99389E-05	0,127709962	0,312	0,066	0,631740799	1,09255807	0,915283157	4,727272727
FNDC4	1,11477E-07	0,127671849	0,188	0,012	0,002352284	1,092529207	0,915307338	15,66666667
BCKDHB	0,011239937	0,127616598	0,156	0,043	1	1,092487368	0,915342392	3,627906977
APOBEC3C	2,4664E-06	0,127499288	0,406	0,086	0,052043428	1,092398538	0,915416824	4,720930233
H4C11	0,013054404	0,127420737	0,062	0,008	1	1,092339061	0,915466668	7,75
NUP188	0,024247489	0,127260017	0,25	0,098	1	1,092217378	0,915568659	2,551020408
ZNF317	0,000112833	0,127215493	0,125	0,012	1	1,092183671	0,915596915	10,41666667
HIVEP1	0,024371641	0,127183443	0,219	0,082	1	1,092159408	0,915617256	2,670731707
LAMA5	0,000907991	0,12700936	0,281	0,078	1	1,092027631	0,915727745	3,602564103
CENPO	0,079594089	0,126987377	0,031	0,004	1	1,092010991	0,915741699	7,75
SUZ12	0,001221806	0,126841495	0,375	0,121	1	1,091900575	0,915834301	3,099173554
ANKRD35	6,3574E-05	0,126784193	0,062	0	1	1,091857207	0,915870677	#DIV/0!

Supplementary Table 1

Differentially expressed genes_adjacent-skin-XL_comparing SC-Keloid vs. (SC-Myel, SC-Nonmyel)								
gene	p_val	avg_log2FC	pct.1	pct.2	p_val_adj	Foldchange_UP	Foldchange_DOWN	Ratio_pct1_pct2
MIER1	4,01482E-06	0,126736689	0,469	0,113	0,084716761	1,091821255	0,915900835	4,150442478
KANK2	0,00502496	0,126725743	0,438	0,18	1	1,091812971	0,915907785	2,433333333
NR2C2AP	0,000100263	0,126629597	0,156	0,02	1	1,091740212	0,915968826	7,8
HSD11B1L	0,000486824	0,1262323	0,094	0,008	1	1,091439605	0,916221104	11,75
ATP5IF1	0,010876165	0,126193117	0,812	0,387	1	1,091409962	0,916245989	2,098191214
MRPL24	1,82968E-05	0,126070868	0,344	0,074	0,38608009	1,091317483	0,916323632	4,648648649
RBM18	2,02073E-05	0,126018966	0,188	0,023	0,426394579	1,091278223	0,916356598	8,173913043
DPH2	3,71921E-06	0,126008886	0,156	0,012	0,078479117	1,091270599	0,916363	13
TRAF4	2,45533E-09	0,125916693	0,312	0,031	5,18099E-05	1,091200865	0,916421561	10,06451613
ATAD2	1,51098E-05	0,125897311	0,125	0,008	0,318831333	1,091186205	0,916433873	15,625
PIGH	3,1256E-08	0,125879635	0,344	0,047	0,000659534	1,091172836	0,916445101	7,319148936
FLYWCH2	3,45071E-05	0,125861291	0,469	0,129	0,728133774	1,091158962	0,916456754	3,635658915
ZNF629	0,000108998	0,125846925	0,125	0,012	1	1,091148096	0,91646588	10,41666667
TSHZ1	1,45331E-05	0,12571442	0,219	0,031	0,306663142	1,091047884	0,916550057	7,064516129
GPATCH4	0,003453714	0,125638886	0,156	0,035	1	1,090990762	0,916598045	4,457142857
CYB561D2	5,12603E-06	0,125341553	0,188	0,02	0,108164307	1,090765937	0,916786972	9,4
ZNF746	0,002594281	0,125259603	0,094	0,012	1	1,09070398	0,91683905	7,833333333
RHNO1	7,96166E-09	0,125201207	0,188	0,008	0,000167999	1,090659832	0,916876161	23,5
ENG	2,96463E-05	0,125171742	0,469	0,129	0,625566052	1,090637557	0,916894888	3,635658915
MTDH	0,004851532	0,125151664	0,781	0,359	1	1,090622379	0,916907648	2,175487465
PAFAH2	0,00050526	0,125073339	0,094	0,008	1	1,09056317	0,916957429	11,75
GCDH	0,000426857	0,125042157	0,188	0,035	1	1,090539599	0,916977248	5,371428571
DYNC2L1	0,001642148	0,124968476	0,125	0,02	1	1,090483904	0,917024081	6,25
ABI3BP	0,00018472	0,124921194	0,312	0,078	1	1,090448166	0,917054135	4
GDAP1	0,016270711	0,12485248	0,125	0,031	1	1,090396231	0,917097814	4,032258065
EXOSC4	1,96272E-05	0,124816343	0,188	0,023	0,414152777	1,090368919	0,917120786	8,173913043
CHRAC1	1,70052E-05	0,124513843	0,375	0,086	0,358825913	1,090140317	0,917313106	4,360465116
C19orf25	2,1264E-05	0,12447344	0,25	0,043	0,448690756	1,090109788	0,917338796	5,813953488
UXT	0,000237591	0,124429328	0,5	0,164	1	1,090076457	0,917366844	3,048780488
RPTN	0,004841742	0,124232911	0,031	0	1	1,089928058	0,917491749	#DIV/0!

Supplementary Table 1

Differentially expressed genes_adjacent-skin-XL_comparing SC-Keloid vs. (SC-Myel, SC-Nonmyel)								
gene	p_val	avg_log2FC	pct.1	pct.2	p_val_adj	Foldchange_UP	Foldchange_DOWN	Ratio_pct1_pct2
EPB41	0,000313864	0,12416382	0,156	0,023	1	1,089875862	0,917535689	6,782608696
PITPNM3	9,12354E-07	0,124137136	0,094	0	0,019251588	1,089855704	0,91755266	#DIV/0!
SYF2	0,001137823	0,124127047	0,594	0,23	1	1,089848082	0,917559077	2,582608696
ORMDL2	1,5064E-07	0,124122495	0,312	0,043	0,003178646	1,089844644	0,917561972	7,255813953
FAM218A	0,002168448	0,124111152	0,062	0,004	1	1,089836075	0,917569186	15,5
ZFP14	0,287158009	0,123901153	0,062	0,027	1	1,08967745	0,917702757	2,296296296
ALG9	9,17361E-07	0,123746544	0,188	0,016	0,019357231	1,089560679	0,91780111	11,75
ZNF691	0,002442928	0,123737937	0,094	0,012	1	1,089554178	0,917806585	7,833333333
XRCC4	4,80509E-06	0,123735887	0,188	0,02	0,101392141	1,08955263	0,917807889	9,4
UNC119B	0,000217964	0,123490137	0,219	0,043	1	1,089367051	0,917964243	5,093023256
USP18	0,886800848	0,123399	0,031	0,027	1	1,089298237	0,918022233	1,148148148
IFT74	6,4372E-05	0,123341358	0,188	0,027	1	1,089254715	0,918058914	6,962962963
FAM78B	9,06462E-07	0,123288424	0,125	0,004	0,019127258	1,08921475	0,918092599	31,25
COG2	0,034851427	0,12322727	0,094	0,023	1	1,08916858	0,918131516	4,086956522
TUBB2A	0,003624359	0,123173616	0,656	0,297	1	1,089128075	0,918165662	2,208754209
NDN	0,000801432	0,12306421	0,312	0,09	1	1,089045484	0,918235294	3,466666667
ZFPM1	0,002686655	0,122777762	0,219	0,059	1	1,088829275	0,918417628	3,711864407
SERP2	0,002517564	0,122757996	0,094	0,012	1	1,088814358	0,918430211	7,833333333
LBX2-AS1	3,86379E-06	0,122661215	0,156	0,012	0,081529835	1,088741319	0,918491824	13
EMC9	0,008322455	0,122554235	0,188	0,055	1	1,088660588	0,918559936	3,418181818
SGSM3	8,00274E-06	0,122470828	0,312	0,059	0,168865745	1,088597651	0,918613043	5,288135593
SUB1	0,010998166	0,122435898	0,844	0,441	1	1,088571295	0,918635283	1,9138322
COG4	1,5064E-07	0,122371818	0,312	0,043	0,003178646	1,088522944	0,918676088	7,255813953
ACADS	5,49744E-05	0,122326376	0,25	0,047	1	1,088488659	0,918705025	5,319148936
FGFBP3	0,00696629	0,122325243	0,156	0,039	1	1,088487804	0,918705746	4
MTOR	2,40115E-05	0,122234662	0,156	0,016	0,506667402	1,088419465	0,918763429	9,75
B3GALNT2	8,19238E-06	0,121954831	0,344	0,07	0,172867368	1,088208371	0,918941654	4,914285714
CRLS1	9,85458E-05	0,121598884	0,219	0,039	1	1,087939917	0,919168407	5,615384615
ABCA7	6,3574E-05	0,121587789	0,062	0	1	1,08793155	0,919175476	#DIV/0!
AL031590.1	0,004841742	0,121387998	0,031	0	1	1,087780899	0,919302776	#DIV/0!

Supplementary Table 1

Differentially expressed genes_adjacent-skin-XL_comparing SC-Keloid vs. (SC-Myel, SC-Nonmyel)								
gene	p_val	avg_log2FC	pct.1	pct.2	p_val_adj	Foldchange_UP	Foldchange_DOWN	Ratio_pct1_pct2
MOSPD1	0,000186392	0,121250078	0,188	0,031	1	1,087676913	0,919390665	6,064516129
COQ9	4,14927E-06	0,121207397	0,219	0,027	0,087553714	1,087644735	0,919417865	8,111111111
SMARCD2	0,05712057	0,121122073	0,094	0,027	1	1,087580412	0,919472242	3,481481481
PRICKLE2	4,24942E-06	0,121040398	0,344	0,066	0,089667107	1,087518843	0,919524297	5,212121212
TMEM14B	0,000685336	0,120906796	0,5	0,172	1	1,087418137	0,919609455	2,906976744
HENMT1	0,082317662	0,120872276	0,031	0,004	1	1,087392118	0,919631459	7,75
GFOD2	2,03907E-07	0,12086599	0,219	0,02	0,004302644	1,08738738	0,919635466	10,95
CHST7	0,136324108	0,120764855	0,062	0,02	1	1,087311155	0,919699936	3,1
MMGT1	0,005043469	0,120695001	0,219	0,062	1	1,08725851	0,919744468	3,532258065
MRPL21	5,08352E-06	0,120651209	0,406	0,09	0,107267254	1,087225508	0,919772386	4,511111111
COL16A1	0,002128196	0,120636073	0,75	0,336	1	1,087214101	0,919782037	2,232142857
OXLD1	0,007558313	0,120547342	0,094	0,016	1	1,087147235	0,919838608	5,875
FAM214B	1,12327E-08	0,120484652	0,312	0,035	0,000237021	1,087099996	0,919878579	8,914285714
DERA	6,8795E-06	0,120373101	0,312	0,059	0,14516429	1,087015944	0,919949708	5,288135593
REP15	6,3574E-05	0,120335535	0,062	0	1	1,086987639	0,919973663	#DIV/0!
SMNDC1	0,002497467	0,120215261	0,375	0,133	1	1,086897024	0,920050362	2,819548872
GPALPP1	0,123276773	0,120199514	0,094	0,035	1	1,08688516	0,920060404	2,685714286
AVEN	2,24684E-05	0,120127094	0,156	0,016	0,474104712	1,086830602	0,920106591	9,75
ATAT1	0,000862268	0,11995858	0,188	0,039	1	1,086703663	0,92021407	4,820512821
ALDH3B1	2,11157E-07	0,119896744	0,219	0,02	0,00445563	1,086657086	0,920253512	10,95
CDT1	9,12354E-07	0,119767952	0,094	0	0,019251588	1,086560083	0,920335669	#DIV/0!
EXOC7	0,001096967	0,119720487	0,312	0,094	1	1,086524335	0,920365948	3,319148936
FMNL1	0,216675772	0,119342815	0,031	0,008	1	1,08623994	0,920606915	3,875
GOLGA7B	1,33967E-08	0,119221628	0,125	0	0,000282684	1,086148698	0,92068425	#DIV/0!
FNDC10	9,12354E-07	0,119211923	0,094	0	0,019251588	1,086141392	0,920690443	#DIV/0!
MAPKAPK3	9,17361E-07	0,119195682	0,188	0,016	0,019357231	1,086129165	0,920700808	11,75
SGO2	8,53227E-07	0,119000006	0,188	0,016	0,018003947	1,085981861	0,920825693	11,75
ATXN7L3	0,003907631	0,118987971	0,125	0,023	1	1,085972801	0,920833375	5,434782609
ARV1	0,001520602	0,118982512	0,125	0,02	1	1,085968692	0,92083686	6,25
DAP3	0,00019011	0,118869071	0,281	0,066	1	1,085883305	0,920909269	4,257575758

Supplementary Table 1

Differentially expressed genes_adjacent-skin-XL_comparing SC-Keloid vs. (SC-Myel, SC-Nonmyel)								
gene	p_val	avg_log2FC	pct.1	pct.2	p_val_adj	Foldchange_UP	Foldchange_DOWN	Ratio_pct1_pct2
TFB1M	0,000524345	0,11884519	0,094	0,008	1	1,08586533	0,920924513	11,75
BCKDK	0,000235567	0,118808075	0,281	0,066	1	1,085837396	0,920948205	4,257575758
CKAP2L	6,3574E-05	0,118773451	0,062	0	1	1,085811336	0,920970307	#DIV/0!
CDCA5	6,3574E-05	0,118750856	0,062	0	1	1,085794331	0,920984731	#DIV/0!
POLR1E	0,039090354	0,118702899	0,125	0,039	1	1,085758238	0,921015347	3,205128205
GOPC	3,20633E-05	0,118616773	0,406	0,102	0,676566707	1,085693422	0,921070331	3,980392157
SRPK1	0,006263449	0,118543463	0,219	0,066	1	1,085638255	0,921117136	3,318181818
CTU2	4,02312E-05	0,118472998	0,219	0,035	0,848917917	1,085585523	0,921162127	6,257142857
ADAM15	9,0753E-05	0,118452452	0,344	0,086	1	1,085569771	0,921175246	4
NT5DC1	3,67695E-07	0,118144395	0,156	0,008	0,007758733	1,085337995	0,921371964	19,5
C7orf50	0,000107103	0,118078564	0,656	0,227	1	1,085288471	0,921414008	2,889867841
NXPH3	9,06462E-07	0,118071213	0,125	0,004	0,019127258	1,085282941	0,921418703	31,25
MRPL33	0,01098539	0,118044065	0,781	0,387	1	1,085262519	0,921436042	2,018087855
GDI1	0,000552365	0,118034426	0,688	0,266	1	1,085255268	0,921442198	2,586466165
SYCE1L	4,80439E-05	0,117996409	0,094	0,004	1	1,085226671	0,92146648	23,5
MANEA	4,15544E-10	0,117963814	0,344	0,035	8,7684E-06	1,085202152	0,921487299	9,828571429
TMEM233	0,004841742	0,117956024	0,031	0	1	1,085196292	0,921492275	#DIV/0!
TMEM51	3,51691E-07	0,11794196	0,156	0,008	0,007421029	1,085185714	0,921501257	19,5
RHBDD2	1,28546E-05	0,117774086	0,469	0,117	0,271244228	1,085059447	0,921608491	4,008547009
RRM2	0,004841742	0,117755654	0,031	0	1	1,085045584	0,921620266	#DIV/0!
RRP1B	0,004267025	0,117598072	0,156	0,035	1	1,084927074	0,921720938	4,457142857
FCGRT	0,030702441	0,117595747	0,594	0,297	1	1,084925325	0,921722423	2
CRELD2	2,35573E-05	0,117545393	0,469	0,129	0,497083296	1,084887459	0,921754594	3,635658915
ARL10	0,000417537	0,117513731	0,188	0,035	1	1,08486365	0,921774824	5,371428571
USP40	3,64935E-07	0,117481367	0,312	0,047	0,007700495	1,084839314	0,921795502	6,638297872
ARL6	9,06462E-07	0,117372197	0,125	0,004	0,019127258	1,084757227	0,921865257	31,25
ACD	0,000208933	0,117242451	0,219	0,043	1	1,084659675	0,921948168	5,093023256
BTN3A3	1,33967E-08	0,117185974	0,125	0	0,000282684	1,084617215	0,92198426	#DIV/0!
CPSF3	6,78604E-05	0,11717318	0,188	0,027	1	1,084607596	0,921992436	6,962962963
APLF	6,3574E-05	0,11709406	0,062	0	1	1,084548116	0,922043001	#DIV/0!

Supplementary Table 1

Differentially expressed genes_adjacent-skin-XL_comparing SC-Keloid vs. (SC-Myel, SC-Nonmyel)								
gene	p_val	avg_log2FC	pct.1	pct.2	p_val_adj	Foldchange_UP	Foldchange_DOWN	Ratio_pct1_pct2
TES	3,92553E-05	0,117072978	0,219	0,035	0,828326361	1,084532268	0,922056475	6,257142857
TAF1A	6,3574E-05	0,117006176	0,062	0	1	1,084482051	0,922099171	#DIV/0!
C14orf93	0,000305772	0,11680624	0,156	0,023	1	1,084331768	0,922226969	6,782608696
MTG2	5,30026E-06	0,116798737	0,281	0,047	0,111840702	1,084326129	0,922231765	5,978723404
MEIS3	0,003734954	0,116669128	0,125	0,023	1	1,08422872	0,92231462	5,434782609
MECR	0,000100263	0,116664123	0,156	0,02	1	1,084224959	0,92231782	7,8
PDGFB	4,32037E-12	0,116628276	0,5	0,062	9,11641E-08	1,084198019	0,922340737	8,064516129
BCAT1	1,33967E-08	0,116604134	0,125	0	0,000282684	1,084179876	0,922356172	#DIV/0!
SPCS3	0,003180406	0,116575868	0,438	0,168	1	1,084158635	0,922374243	2,607142857
TMBIM1	0,055551272	0,116498697	0,375	0,191	1	1,084100644	0,922423583	1,963350785
CFAP298	3,52995E-09	0,11631048	0,625	0,129	7,44854E-05	1,083959219	0,922543932	4,84496124
PLAA	0,003660239	0,116284412	0,156	0,035	1	1,083939633	0,922560602	4,457142857
MNS1	3,73706E-05	0,116243233	0,219	0,035	0,788556861	1,083908695	0,922586935	6,257142857
ERC1	0,07109236	0,116162993	0,25	0,117	1	1,083848411	0,922638249	2,136752137
DNAJC17	9,91727E-06	0,116140099	0,25	0,039	0,209264362	1,083831212	0,92265289	6,41025641
CASD1	4,43697E-05	0,116098957	0,219	0,035	0,936244219	1,083800304	0,922679202	6,257142857
MTHFD1	0,000419572	0,116053371	0,25	0,059	1	1,083766059	0,922708357	4,237288136
SLC1A4	0,025666014	0,115883106	0,125	0,035	1	1,083638162	0,92281726	3,571428571
CHST12	5,07391E-05	0,11581868	0,344	0,082	1	1,083589771	0,922858472	4,195121951
COG8	0,143111738	0,115782068	0,062	0,02	1	1,083562273	0,922881891	3,1
ZNF777	0,985101745	0,115732726	0,031	0,031	1	1,083525214	0,922913456	1
IL15	0,038520178	0,115664469	0,125	0,039	1	1,083473951	0,922957122	3,205128205
HSPB11	2,56424E-06	0,115653286	0,406	0,086	0,054108077	1,083465553	0,922964276	4,720930233
NDUFAF5	8,53227E-07	0,115519218	0,188	0,016	0,018003947	1,083364873	0,92305005	11,75
TAMM41	0,217761179	0,115514607	0,094	0,043	1	1,08336141	0,923053001	2,186046512
IPO11	0,007558313	0,11550652	0,094	0,016	1	1,083355337	0,923058175	5,875
PHKA2	0,007558313	0,115428037	0,094	0,016	1	1,083296404	0,923108391	5,875
OGFOD1	6,94943E-07	0,115374311	0,281	0,039	0,014663999	1,083256063	0,923142768	7,205128205
MASTL	0,003907631	0,115248166	0,125	0,023	1	1,08316135	0,923223489	5,434782609
CYHR1	8,94972E-05	0,115105504	0,5	0,152	1	1,083054246	0,923314786	3,289473684

Supplementary Table 1

Differentially expressed genes_adjacent-skin-XL_comparing SC-Keloid vs. (SC-Myel, SC-Nonmyel)								
gene	p_val	avg_log2FC	pct.1	pct.2	p_val_adj	Foldchange_UP	Foldchange_DOWN	Ratio_pct1_pct2
MRPS18C	0,00024412	0,1150116	0,406	0,121	1	1,082983753	0,923374886	3,355371901
PIGV	0,000112833	0,114994111	0,125	0,012	1	1,082970625	0,92338608	10,41666667
PINK1	0,024095672	0,114889756	0,219	0,082	1	1,082892292	0,923452874	2,670731707
CCDC25	0,000751392	0,114680291	0,25	0,062	1	1,082735079	0,92358696	4,032258065
KEAP1	5,49744E-05	0,114640011	0,25	0,047	1	1,082704849	0,923612747	5,319148936
CSF3	0,079594089	0,114429281	0,031	0,004	1	1,082546714	0,923747666	7,75
SLC9A5	0,004841742	0,114392539	0,031	0	1	1,082519144	0,923771192	#DIV/0!
GP1BB	6,3574E-05	0,114377582	0,062	0	1	1,082507922	0,923780769	#DIV/0!
OTUD3	0,001600673	0,11427028	0,125	0,02	1	1,082427411	0,923849479	6,25
CAVIN1	0,00598963	0,114221907	0,812	0,41	1	1,082391119	0,923880456	1,980487805
TIMM50	3,83019E-05	0,114089518	0,219	0,035	0,808209445	1,082291798	0,92396524	6,257142857
STRN3	0,001160855	0,114042607	0,312	0,094	1	1,082256607	0,923995284	3,319148936
LOXL1-AS1	9,06462E-07	0,114033921	0,125	0,004	0,019127258	1,082250091	0,924000847	31,25
SNX6	0,000164547	0,113999626	0,625	0,215	1	1,082224364	0,924022812	2,906976744
SAMD12	0,00050526	0,113914146	0,094	0,008	1	1,082160244	0,924077562	11,75
SLC48A1	0,163752339	0,113616323	0,094	0,039	1	1,081936871	0,924268344	2,41025641
UNG	6,10538E-05	0,113606115	0,188	0,027	1	1,081929215	0,924274884	6,962962963
BMF	0,64910682	0,113374158	0,031	0,02	1	1,081755277	0,924423501	1,55
ZBTB8OS	1,39237E-10	0,113247484	0,5	0,074	2,93803E-06	1,081660299	0,924504672	6,756756757
KIF5B	0,006594757	0,113137968	0,781	0,379	1	1,081578192	0,924574855	2,060686016
SLC25A37	0,00192833	0,113118706	0,406	0,148	1	1,081563752	0,924587199	2,743243243
SLC35A3	0,001280476	0,112962734	0,25	0,066	1	1,081446829	0,924687163	3,787878788
ATP6V1E1	0,000461786	0,112931017	0,406	0,129	1	1,081423053	0,924707493	3,147286822
PPA2	1,87436E-06	0,112857651	0,281	0,043	0,039550805	1,081368061	0,924754518	6,534883721
RMI1	1,96814E-10	0,11277735	0,156	0	4,15296E-06	1,081307874	0,924805991	#DIV/0!
ETV1	1,51098E-05	0,112689986	0,125	0,008	0,318831333	1,081242395	0,924861996	15,625
UCN2	1,33967E-08	0,112677366	0,125	0	0,000282684	1,081232937	0,924870086	#DIV/0!
AC003102.1	0,007750521	0,112622339	0,094	0,016	1	1,081191698	0,924905363	5,875
FUBP3	0,065708526	0,112552564	0,219	0,098	1	1,081139408	0,924950097	2,234693878
C8orf33	4,97256E-06	0,112536954	0,375	0,078	0,104925968	1,08112771	0,924960105	4,807692308

Supplementary Table 1

Differentially expressed genes_adjacent-skin-XL_comparing SC-Keloid vs. (SC-Myel, SC-Nonmyel)								
gene	p_val	avg_log2FC	pct.1	pct.2	p_val_adj	Foldchange_UP	Foldchange_DOWN	Ratio_pct1_pct2
RBFOX2	1,1972E-07	0,112525006	0,469	0,094	0,002526204	1,081118756	0,924967765	4,989361702
ACYP1	5,30026E-06	0,112523628	0,281	0,047	0,111840702	1,081117724	0,924968649	5,978723404
CEP41	0,000105286	0,112505023	0,125	0,012	1	1,081103782	0,924980577	10,41666667
LGMN	2,72358E-05	0,112480894	0,344	0,078	0,574702915	1,081085701	0,924996048	4,41025641
ZNF454	0,079594089	0,112471924	0,031	0,004	1	1,081078979	0,925001799	7,75
DUSP4	0,002370322	0,112387178	0,094	0,012	1	1,081015477	0,925056136	7,833333333
ATG4D	3,71921E-06	0,112306504	0,156	0,012	0,078479117	1,080955029	0,925107866	13
SPTLC2	5,03836E-05	0,112282537	0,25	0,047	1	1,080937072	0,925123234	5,319148936
P4HA1	0,000138718	0,112133278	0,281	0,062	1	1,080825245	0,925218951	4,532258065
MED14OS	0,039886012	0,112094855	0,062	0,012	1	1,08079646	0,925243593	5,166666667
P3H4	9,17361E-07	0,112012054	0,188	0,016	0,019357231	1,080734431	0,925296697	11,75
CANT1	9,17361E-07	0,111909746	0,188	0,016	0,019357231	1,080657795	0,925362316	11,75
NXN	9,06462E-07	0,111866676	0,125	0,004	0,019127258	1,080625533	0,925389942	31,25
NAA60	0,001827205	0,111854396	0,188	0,043	1	1,080616335	0,925397819	4,372093023
AATF	0,000420635	0,111462232	0,344	0,098	1	1,080322634	0,925649402	3,510204082
PKN3	0,039886012	0,111386878	0,062	0,012	1	1,080266209	0,925697751	5,166666667
SUSD6	0,009253741	0,110945632	0,219	0,07	1	1,079935862	0,925980917	3,128571429
ZDHHC3	3,04133E-08	0,110923428	0,344	0,047	0,00064175	1,079919241	0,925995169	7,319148936
VSTM2B	0,226351275	0,110779664	0,031	0,008	1	1,079811633	0,926087449	3,875
TERF2	0,000509339	0,110747641	0,125	0,016	1	1,079787664	0,926108005	7,8125
DXO	0,003361753	0,110745596	0,188	0,047	1	1,079786134	0,926109317	4
ZNF18	0,004841742	0,110701721	0,031	0	1	1,079753296	0,926137483	#DIV/0!
AC004637.1	1,33967E-08	0,11066474	0,125	0	0,000282684	1,079725619	0,926161223	#DIV/0!
POLD2	0,001464368	0,110581213	0,344	0,109	1	1,079663109	0,926214846	3,155963303
DNLZ	1,44979E-05	0,11046168	0,125	0,008	0,305919948	1,079573658	0,92629159	15,625
ACTR1B	4,50124E-07	0,110447212	0,375	0,066	0,009498056	1,079562831	0,926300879	5,681818182
L3HYPDH	0,000181965	0,110390423	0,188	0,031	1	1,079520338	0,926337342	6,064516129
DHX30	0,000359124	0,11037519	0,281	0,07	1	1,079508939	0,926347123	4,014285714
XPO7	0,01796492	0,110369319	0,219	0,078	1	1,079504546	0,926350893	2,807692308
TFAP2A	0,005023211	0,110358083	0,562	0,238	1	1,079496139	0,926358107	2,361344538

Supplementary Table 1

Differentially expressed genes_adjacent-skin-XL_comparing SC-Keloid vs. (SC-Myel, SC-Nonmyel)								
gene	p_val	avg_log2FC	pct.1	pct.2	p_val_adj	Foldchange_UP	Foldchange_DOWN	Ratio_pct1_pct2
TP53I3	4,62254E-08	0,110352595	0,406	0,066	0,000975403	1,079492033	0,926361631	6,151515152
ASPM	0,002263143	0,110319964	0,062	0,004	1	1,079467617	0,926382584	15,5
C6orf226	0,009528382	0,110309348	0,25	0,086	1	1,079459673	0,926389401	2,906976744
PHTF2	0,006844876	0,110232841	0,156	0,039	1	1,07940243	0,926438529	4
VAMP4	0,011609182	0,110213297	0,156	0,043	1	1,079387808	0,926451079	3,627906977
ANKRD34A	6,3574E-05	0,110081515	0,062	0	1	1,079289217	0,926535709	#DIV/0!
SFI1	0,002442928	0,110051396	0,094	0,012	1	1,079266685	0,926555053	7,833333333
PDE4B	1,11477E-07	0,11001538	0,188	0,012	0,002352284	1,079239742	0,926578184	15,66666667
ZNF674	0,002263143	0,109970912	0,062	0,004	1	1,079206477	0,926606744	15,5
FLNB	9,41286E-05	0,109949706	0,375	0,098	1	1,079190614	0,926620365	3,826530612
ARHGEF35	6,3574E-05	0,109890898	0,062	0	1	1,079146624	0,926658137	#DIV/0!
ZFP1	0,034213216	0,109884044	0,094	0,023	1	1,079141497	0,926662539	4,086956522
FASN	5,70421E-07	0,109882458	0,406	0,078	0,012036463	1,079140311	0,926663558	5,205128205
TMEM242	0,004026393	0,109836851	0,219	0,062	1	1,079106197	0,926692852	3,532258065
BTN3A1	9,06462E-07	0,109744122	0,125	0,004	0,019127258	1,079036841	0,926752417	31,25
UBTD2	0,000397528	0,109671393	0,281	0,07	1	1,078982446	0,926799138	4,014285714
PSMG3-AS1	0,040857201	0,109575466	0,062	0,012	1	1,078910705	0,926860764	5,166666667
ANP32E	0,009340743	0,109472945	0,312	0,121	1	1,078834038	0,926926631	2,578512397
FBL	7,10604E-05	0,109440585	0,5	0,148	1	1,078809839	0,926947423	3,378378378
MBNL1-AS1	0,173428922	0,109439811	0,094	0,039	1	1,078809261	0,92694792	2,41025641
GPRASP2	6,3574E-05	0,109434084	0,062	0	1	1,078804978	0,9269516	#DIV/0!
MYO1F	0,079594089	0,109347569	0,031	0,004	1	1,078740287	0,927007188	7,75
VASP	0,000278367	0,109303506	0,312	0,082	1	1,07870734	0,927035502	3,804878049
BAALC	6,3574E-05	0,109282055	0,062	0	1	1,078691301	0,927049286	#DIV/0!
PIN4	0,002116036	0,109256026	0,469	0,176	1	1,07867184	0,927066011	2,664772727
HNRNPA1	0,132238451	0,109194273	0,938	0,652	1	1,07862567	0,927105694	1,438650307
PYGO2	0,015149007	0,109177633	0,125	0,031	1	1,078613228	0,927116388	4,032258065
HIRIP3	0,017650698	0,10916843	0,156	0,047	1	1,078606348	0,927122301	3,319148936
MEPE	0,004841742	0,108944248	0,031	0	1	1,078438755	0,92726638	#DIV/0!
CHCHD6	9,73699E-05	0,108890337	0,156	0,02	1	1,078398456	0,927301031	7,8

Supplementary Table 1

Differentially expressed genes_adjacent-skin-XL_comparing SC-Keloid vs. (SC-Myel, SC-Nonmyel)								
gene	p_val	avg_log2FC	pct.1	pct.2	p_val_adj	Foldchange_UP	Foldchange_DOWN	Ratio_pct1_pct2
BORCS6	0,000322156	0,108679205	0,156	0,023	1	1,078240649	0,927436747	6,782608696
NCKAP1	0,003444709	0,108621101	0,5	0,207	1	1,078197225	0,927474099	2,415458937
PI4KA	0,000497591	0,108520752	0,219	0,047	1	1,078122232	0,927538614	4,659574468
RTKN2	9,06462E-07	0,108418583	0,125	0,004	0,019127258	1,078045883	0,927604303	31,25
GLYCTK	9,06462E-07	0,108367747	0,125	0,004	0,019127258	1,078007897	0,927636989	31,25
UBAC1	0,002864354	0,10832414	0,219	0,059	1	1,077975314	0,927665028	3,711864407
PNPLA6	0,003804096	0,108291151	0,156	0,035	1	1,077950664	0,927686241	4,457142857
CACUL1	0,000216206	0,108275271	0,344	0,094	1	1,0779388	0,927696452	3,659574468
GOLPH3L	0,000100263	0,108230886	0,156	0,02	1	1,077905637	0,927724993	7,8
NMRAL1	1,41893E-05	0,108206587	0,281	0,051	0,29940858	1,077887482	0,927740619	5,509803922
LINC00630	0,221475664	0,10805473	0,031	0,008	1	1,077774031	0,927838277	3,875
ETV2	9,12354E-07	0,107970764	0,094	0	0,019251588	1,077711306	0,92789228	#DIV/0!
EEF1AKMT1	5,12603E-06	0,107967066	0,188	0,02	0,108164307	1,077708542	0,927894659	9,4
MSRB3	7,33388E-07	0,107710074	0,281	0,039	0,015475215	1,077516584	0,928059962	7,205128205
BCL2L11	0,000954402	0,10728368	0,188	0,039	1	1,077198167	0,928334294	4,820512821
MED1	9,91727E-06	0,107141059	0,25	0,039	0,209264362	1,077091684	0,928426071	6,41025641
MTIF2	0,000100263	0,10707484	0,156	0,02	1	1,077042246	0,928468687	7,8
ECD	0,002976767	0,107018676	0,188	0,047	1	1,077000318	0,928504833	4
SCLY	9,73699E-05	0,106941755	0,156	0,02	1	1,076942897	0,92855434	7,8
COMMD9	7,25857E-06	0,106775533	0,344	0,07	0,153163084	1,076818823	0,92866133	4,914285714
AK2	0,000812022	0,10676179	0,438	0,148	1	1,076808565	0,928670176	2,959459459
G3BP2	0,001103208	0,106634831	0,375	0,121	1	1,076713809	0,928751904	3,099173554
GPC2	0,002263143	0,106543934	0,062	0,004	1	1,076645972	0,928810422	15,5
PFKP	0,014273854	0,106500737	0,25	0,09	1	1,076613736	0,928838233	2,777777778
EPG5	0,084624339	0,106288606	0,062	0,016	1	1,076455445	0,928974817	3,875
NUP93	4,14927E-06	0,106260555	0,219	0,027	0,087553714	1,076434514	0,92899288	8,111111111
CEP250	0,000339359	0,106199474	0,156	0,023	1	1,076388941	0,929032213	6,782608696
KIAA1614	0,018047186	0,106131484	0,094	0,02	1	1,076338216	0,929075996	4,7
PEX2	0,000215381	0,10612998	0,375	0,105	1	1,076337094	0,929076965	3,571428571
FUCA1	0,000103236	0,106104936	0,156	0,02	1	1,076318409	0,929093093	7,8

Supplementary Table 1

Differentially expressed genes_adjacent-skin-XL_comparing SC-Keloid vs. (SC-Myel, SC-Nonmyel)								
gene	p_val	avg_log2FC	pct.1	pct.2	p_val_adj	Foldchange_UP	Foldchange_DOWN	Ratio_pct1_pct2
ZNF667-AS1	0,000187864	0,105996536	0,312	0,078	1	1,076237541	0,929162905	4
PPT2	2,16801E-07	0,105625908	0,344	0,055	0,004574713	1,075961091	0,929401637	6,254545455
FOXK2	2,93017E-05	0,105603579	0,281	0,055	0,618294606	1,075944438	0,929416022	5,109090909
ADPRS	2,44525E-05	0,105600241	0,25	0,043	0,515972154	1,075941949	0,929418173	5,813953488
IFT52	1,50482E-06	0,105439404	0,344	0,062	0,031753276	1,075822006	0,929521793	5,548387097
ALDH18A1	4,02312E-05	0,10532534	0,219	0,035	0,848917917	1,075736951	0,929595287	6,257142857
LPP	0,001531692	0,105229596	0,531	0,203	1	1,075665562	0,929656982	2,615763547
STON2	0,000480113	0,105177453	0,125	0,016	1	1,075626686	0,929690582	7,8125
RNPEPL1	0,000212852	0,105115243	0,344	0,094	1	1,075580305	0,929730673	3,659574468
SCP2	0,00826133	0,105016062	0,531	0,238	1	1,075506364	0,929794591	2,231092437
DPH6	0,000425232	0,104892933	0,219	0,047	1	1,075414578	0,929873949	4,659574468
HMG20A	0,213283768	0,10486847	0,094	0,043	1	1,075396343	0,929889716	2,186046512
PTK2	0,017923128	0,10486251	0,562	0,273	1	1,0753919	0,929893558	2,058608059
PMF1	3,31424E-05	0,104859059	0,406	0,102	0,699337059	1,075389327	0,929895782	3,980392157
SUCLA2	0,00013642	0,104747985	0,375	0,102	1	1,075306536	0,929967378	3,676470588
ZNF91	0,030940914	0,104646454	0,219	0,086	1	1,075230863	0,930032828	2,546511628
CHD4	2,99875E-05	0,104607496	0,656	0,211	0,632766515	1,075201828	0,930057943	3,109004739
ASH2L	0,00083045	0,104462878	0,156	0,027	1	1,075094053	0,930151178	5,777777778
DNPEP	6,58735E-06	0,104396568	0,312	0,059	0,138999658	1,07504464	0,930193931	5,288135593
PGAP3	0,138558481	0,104316015	0,062	0,02	1	1,074984617	0,93024587	3,1
TFDP1	2,82595E-05	0,104201703	0,344	0,078	0,596303572	1,074899444	0,930319581	4,41025641
RAC2	9,12354E-07	0,1041945	0,094	0	0,019251588	1,074894077	0,930324226	#DIV/0!
CD2AP	6,41077E-05	0,104170164	0,281	0,059	1	1,074875946	0,930339919	4,762711864
PABPC5	0,000480113	0,104081145	0,125	0,016	1	1,074809624	0,930397325	7,8125
FBXW9	2,97902E-08	0,104041033	0,219	0,016	0,000628603	1,074779741	0,930423194	13,6875
USP35	0,000524345	0,104003142	0,094	0,008	1	1,074751513	0,930447631	11,75
TTC23	0,173428922	0,103962474	0,094	0,039	1	1,074721218	0,93047386	2,41025641
GCC2	0,002247723	0,103894994	0,469	0,18	1	1,074670951	0,930517383	2,605555556
PHF5A	0,000121256	0,103888258	0,312	0,074	1	1,074665932	0,930521728	4,216216216
MRPL37	1,14716E-07	0,103879577	0,312	0,043	0,002420617	1,074659466	0,930527326	7,255813953

Supplementary Table 1

Differentially expressed genes_adjacent-skin-XL_comparing SC-Keloid vs. (SC-Myel, SC-Nonmyel)								
gene	p_val	avg_log2FC	pct.1	pct.2	p_val_adj	Foldchange_UP	Foldchange_DOWN	Ratio_pct1_pct2
MRPS27	0,000466117	0,103878359	0,188	0,035	1	1,074658559	0,930528112	5,371428571
ALKBH6	0,007750521	0,10382845	0,094	0,016	1	1,074621383	0,930560304	5,875
SLC17A9	4,52605E-06	0,103800004	0,219	0,027	0,095504122	1,074600195	0,930578652	8,111111111
SLC25A14	0,000108998	0,103772448	0,125	0,012	1	1,074579669	0,930596426	10,41666667
ZNF662	0,002263143	0,103094638	0,062	0,004	1	1,074074927	0,931033744	15,5
EN1	0,039886012	0,103088692	0,062	0,012	1	1,0740705	0,931037581	5,166666667
MED12	0,057775912	0,103082322	0,125	0,043	1	1,074065757	0,931041692	2,906976744
INTS5	1,51098E-05	0,103022329	0,125	0,008	0,318831333	1,074021095	0,931080409	15,625
KRCC1	9,55574E-06	0,102949692	0,375	0,082	0,201635701	1,073967021	0,931127288	4,573170732
UGGT1	8,14044E-08	0,10293233	0,344	0,051	0,001717714	1,073954096	0,931138494	6,745098039
CIBAR1	0,000478496	0,102895576	0,219	0,047	1	1,073926736	0,931162216	4,659574468
MTG1	1,05359E-06	0,10286096	0,375	0,07	0,022231775	1,073900969	0,931184559	5,357142857
DNAJC5	0,00094841	0,102766722	0,219	0,051	1	1,073830824	0,931245386	4,294117647
ELMOD2	2,50263E-05	0,10275453	0,25	0,043	0,528079884	1,073821749	0,931253256	5,813953488
DHRS4	0,001625689	0,102704894	0,156	0,031	1	1,073784805	0,931285296	5,032258065
ERI1	0,000524345	0,102604335	0,094	0,008	1	1,073709962	0,931350211	11,75
GHDC	0,01179781	0,102298152	0,156	0,043	1	1,073482113	0,931547893	3,627906977
ASF1A	0,000105488	0,102188285	0,219	0,039	1	1,073400366	0,931618837	5,615384615
FMN1	4,80439E-05	0,102183927	0,094	0,004	1	1,073397123	0,931621651	23,5
CYB5RL	0,082317662	0,102131032	0,031	0,004	1	1,073357769	0,931655808	7,75
GOLGA3	6,15412E-05	0,102089666	0,375	0,094	1	1,073326993	0,931682522	3,989361702
ABCB8	0,000850121	0,102015539	0,156	0,027	1	1,073271846	0,931730394	5,777777778
VRK2	4,96307E-06	0,101945568	0,188	0,02	0,104725812	1,073219793	0,931775584	9,4
WIZ	0,000181963	0,101760499	0,188	0,031	1	1,07308213	0,93189512	6,064516129
GOSR2	0,000114181	0,101753126	0,25	0,051	1	1,073076646	0,931899883	4,901960784
RRP1	0,000466117	0,10172953	0,188	0,035	1	1,073059095	0,931915124	5,371428571
LRRC28	0,015983649	0,101605196	0,125	0,031	1	1,072966621	0,931995442	4,032258065
CENPU	1,51098E-05	0,101588928	0,125	0,008	0,318831333	1,072954522	0,932005951	15,625
ECI2	0,002463233	0,101499555	0,281	0,086	1	1,072888056	0,932063689	3,26744186
PPP1R26	0,082317662	0,101493869	0,031	0,004	1	1,072883828	0,932067363	7,75

Supplementary Table 1

Differentially expressed genes_adjacent-skin-XL_comparing SC-Keloid vs. (SC-Myel, SC-Nonmyel)								
gene	p_val	avg_log2FC	pct.1	pct.2	p_val_adj	Foldchange_UP	Foldchange_DOWN	Ratio_pct1_pct2
BMPER	6,3574E-05	0,101441373	0,062	0	1	1,072844789	0,932101279	#DIV/0!
MACROD2	0,00050526	0,101368846	0,094	0,008	1	1,072790856	0,932148139	11,75
GLUD2	0,002263143	0,101345674	0,062	0,004	1	1,072773625	0,932163111	15,5
DPP3	1,51098E-05	0,101337881	0,125	0,008	0,318831333	1,072767831	0,932168146	15,625
HMGCL	0,000103124	0,101250386	0,219	0,039	1	1,072702773	0,932224681	5,615384615
DEPP1	0,000604947	0,101155389	0,281	0,074	1	1,072632141	0,932286067	3,797297297
SUPT20H	0,000500143	0,101152315	0,312	0,086	1	1,072629856	0,932288053	3,627906977
PEMT	4,61578E-05	0,101128946	0,25	0,047	0,973975249	1,072612481	0,932303155	5,319148936
EPHA2	0,012263219	0,101111962	0,219	0,074	1	1,072599854	0,93231413	2,959459459
VPS72	3,05607E-05	0,101092656	0,281	0,055	0,644860382	1,0725855	0,932326607	5,109090909
ABCB7	9,71531E-07	0,101055729	0,25	0,031	0,020500283	1,072558047	0,932350471	8,064516129
DIAPH1	2,80921E-05	0,100903524	0,281	0,055	0,592771218	1,072444898	0,932448839	5,109090909
SH3BP4	0,000480113	0,100838984	0,125	0,016	1	1,072396923	0,932490554	7,8125
TMEM185B	0,01179781	0,100729037	0,156	0,043	1	1,072315199	0,932561621	3,627906977
FARSA	0,000114181	0,100694387	0,25	0,051	1	1,072289444	0,932584019	4,901960784
TPGS2	1,02794E-07	0,100597458	0,344	0,051	0,00216905	1,072217404	0,932646678	6,745098039
RCE1	2,11157E-07	0,100579136	0,219	0,02	0,00445563	1,072203787	0,932658523	10,95
EXO5	9,12354E-07	0,10045556	0,094	0	0,019251588	1,07211195	0,932738414	#DIV/0!
DOK3	0,002263143	0,100412207	0,062	0,004	1	1,072079733	0,932766444	15,5
H2AZ1	0,049504971	0,100246533	0,812	0,469	1	1,071956627	0,932873565	1,731343284
AMDHD2	4,92471E-08	0,100216301	0,281	0,031	0,001039163	1,071934164	0,932893114	9,064516129
UBL7	4,80509E-06	0,100202265	0,188	0,02	0,101392141	1,071923735	0,93290219	9,4
METTL13	0,000108998	0,100161609	0,125	0,012	1	1,071893528	0,93292848	10,41666667
NDST2	0,002263143	0,100147438	0,062	0,004	1	1,071882999	0,932937644	15,5
DDX55	0,000850121	0,100035904	0,156	0,027	1	1,071800136	0,933009772	5,777777778
LIN9	0,000524345	0,100005012	0,094	0,008	1	1,071777186	0,93302975	11,75
NPR2	0,040857201	0,09995049	0,062	0,012	1	1,071736682	0,933065012	5,166666667
AC093323.1	2,44525E-05	0,099916492	0,25	0,043	0,515972154	1,071711427	0,933087	5,813953488
ARL6IP6	4,2156E-05	0,099847254	0,531	0,156	0,889534105	1,071659994	0,933131782	3,403846154
IMPA2	3,67695E-07	0,099796531	0,156	0,008	0,007758733	1,071622317	0,93316459	19,5

Supplementary Table 1

Differentially expressed genes_adjacent-skin-XL_comparing SC-Keloid vs. (SC-Myel, SC-Nonmyel)								
gene	p_val	avg_log2FC	pct.1	pct.2	p_val_adj	Foldchange_UP	Foldchange_DOWN	Ratio_pct1_pct2
ZDHHC21	3,92553E-05	0,099609622	0,219	0,035	0,828326361	1,071483491	0,933285495	6,257142857
ELOF1	0,001857229	0,099524	0,312	0,098	1	1,071419902	0,933340886	3,183673469
TTC26	4,80439E-05	0,099416375	0,094	0,004	1	1,071339977	0,933410515	23,5
ENO2	0,073365787	0,099392255	0,156	0,062	1	1,071322066	0,933426121	2,516129032
PTK7	0,002594281	0,099293143	0,094	0,012	1	1,071248469	0,933490249	7,833333333
ALG1L	6,3574E-05	0,0992758	0,062	0	1	1,071235591	0,933501471	#DIV/0!
UPF3A	0,006484811	0,099223372	0,375	0,145	1	1,071196663	0,933535395	2,586206897
TMUB2	3,2432E-06	0,099206015	0,25	0,035	0,068434669	1,071183776	0,933546626	7,142857143
MAP3K3	0,023284222	0,099156349	0,219	0,082	1	1,0711469	0,933578765	2,670731707
SEC61A2	0,01346698	0,098827564	0,062	0,008	1	1,070902817	0,933791549	7,75
GAB2	0,662254058	0,098682556	0,031	0,02	1	1,070795185	0,93388541	1,55
RASL12	0,011486777	0,098664601	0,281	0,105	1	1,070781858	0,933897033	2,676190476
LINC00926	1,33967E-08	0,098663412	0,125	0	0,000282684	1,070780976	0,933897802	#DIV/0!
TRIT1	0,000509339	0,098642288	0,125	0,016	1	1,070765297	0,933911477	7,8125
MAP6	0,003953072	0,098626232	0,156	0,035	1	1,070753381	0,93392187	4,457142857
FUT8	0,000514321	0,098391206	0,281	0,074	1	1,070578961	0,934074026	3,797297297
PDCD6	0,00035569	0,098332828	0,625	0,223	1	1,070535641	0,934111824	2,802690583
ST8SIA4	4,80439E-05	0,098230537	0,094	0,004	1	1,07045974	0,934178057	23,5
RBMX	0,001165359	0,098195494	0,75	0,309	1	1,070433739	0,934200748	2,427184466
ZBTB42	0,37426516	0,097890154	0,031	0,012	1	1,07020721	0,934398489	2,583333333
CPSF4	0,002442928	0,097873391	0,094	0,012	1	1,070194775	0,934409346	7,833333333
MPV17L2	3,86379E-06	0,097804254	0,156	0,012	0,081529835	1,070143491	0,934454126	13
PRELID3B	3,23695E-05	0,097790432	0,312	0,066	0,68302947	1,070133238	0,934463078	4,727272727
DPCD	9,17361E-07	0,097713675	0,188	0,016	0,019357231	1,070076304	0,934512797	11,75
LAMA2	0,000901035	0,097701538	0,312	0,09	1	1,070067302	0,934520659	3,466666667
NDE1	0,036392125	0,09765727	0,188	0,07	1	1,070034468	0,934549334	2,685714286
NUDT16L1	1,97172E-06	0,097544598	0,281	0,043	0,041605191	1,069950903	0,934622324	6,534883721
SUMF2	0,002089818	0,097530846	0,438	0,16	1	1,069940705	0,934631233	2,7375
ACAA2	6,4022E-08	0,097505259	0,375	0,059	0,001350927	1,069921729	0,934647809	6,355932203
SFXN3	2,90967E-07	0,09744837	0,406	0,074	0,006139701	1,06987954	0,934684665	5,486486486

Supplementary Table 1

Differentially expressed genes_adjacent-skin-XL_comparing SC-Keloid vs. (SC-Myel, SC-Nonmyel)								
gene	p_val	avg_log2FC	pct.1	pct.2	p_val_adj	Foldchange_UP	Foldchange_DOWN	Ratio_pct1_pct2
SRPRA	4,89131E-08	0,097396059	0,594	0,129	0,001032116	1,069840748	0,934718557	4,604651163
CD68	0,000108998	0,097392613	0,125	0,012	1	1,069838192	0,93472079	10,41666667
URB1-AS1	0,034213216	0,097385499	0,094	0,023	1	1,069832917	0,934725399	4,086956522
ZNF92	0,001560165	0,097338839	0,125	0,02	1	1,069798317	0,93475563	6,25
MUC12	0,000105286	0,097296445	0,125	0,012	1	1,069766881	0,934783098	10,41666667
CENPS	0,000112833	0,097159993	0,125	0,012	1	1,069665706	0,934871516	10,41666667
VPS4A	3,5393E-05	0,097125459	0,375	0,09	0,746827544	1,069640101	0,934893895	4,166666667
NTPCR	0,000983579	0,097034353	0,219	0,051	1	1,069572556	0,934952935	4,294117647
SLC6A9	0,084624339	0,097031019	0,062	0,016	1	1,069570084	0,934955095	3,875
NCBP2AS2	3,37262E-07	0,097010143	0,344	0,055	0,007116571	1,069554607	0,934968624	6,254545455
TEX12	6,3574E-05	0,096959664	0,062	0	1	1,069517185	0,935001339	#DIV/0!
PAM	3,15754E-06	0,096883513	0,25	0,035	0,066627295	1,069460734	0,935050693	7,142857143
LMF1	0,006087048	0,096863185	0,219	0,066	1	1,069445664	0,935063869	3,318181818
TPP1	0,000745105	0,096859323	0,375	0,117	1	1,069442801	0,935066372	3,205128205
SEC31A	0,000104423	0,096815295	0,625	0,211	1	1,069410165	0,935094908	2,962085308
TGFBR1	0,00011187	0,096689186	0,25	0,051	1	1,06931669	0,93517665	4,901960784
CLSTN1	0,001883587	0,096660793	0,719	0,309	1	1,069295645	0,935195055	2,326860841
YY2	0,002263143	0,096611818	0,062	0,004	1	1,069259347	0,935226803	15,5
PCDHGA7	6,3574E-05	0,096607795	0,062	0	1	1,069256365	0,935229411	#DIV/0!
KRT23	0,002263143	0,096530603	0,062	0,004	1	1,069199155	0,935279452	15,5
NEK8	0,221475664	0,096464711	0,031	0,008	1	1,069150323	0,93532217	3,875
SLC27A5	9,12354E-07	0,096417983	0,094	0	0,019251588	1,069115694	0,935352465	#DIV/0!
EMC3	0,000149678	0,096415769	0,375	0,102	1	1,069114054	0,9353539	3,676470588
R3HDM1	9,17361E-07	0,096399679	0,188	0,016	0,019357231	1,06910213	0,935364332	11,75
ANKRD7	0,004841742	0,096343869	0,031	0	1	1,069060773	0,935400517	#DIV/0!
BEX2	0,004841742	0,096343869	0,031	0	1	1,069060773	0,935400517	#DIV/0!
C10orf143	0,01346698	0,096317794	0,062	0,008	1	1,069041451	0,935417423	7,75
CLCN7	0,0028755	0,09616958	0,25	0,074	1	1,06893163	0,935513527	3,378378378
COX11	3,31426E-05	0,096166241	0,406	0,102	0,699341562	1,068929157	0,935515692	3,980392157
ERGIC1	1,08914E-05	0,096145316	0,469	0,121	0,2298184	1,068913653	0,935529261	3,876033058

Supplementary Table 1

Differentially expressed genes_adjacent-skin-XL_ comparing SC-Keloid vs. (SC-Myel, SC-Nonmyel)								
gene	p_val	avg_log2FC	pct.1	pct.2	p_val_adj	Foldchange_UP	Foldchange_DOWN	Ratio_pct1_pct2
DHX40	0,000105201	0,096115242	0,25	0,051	1	1,068891371	0,935548763	4,901960784
TMED10	0,03856194	0,096089503	0,844	0,5	1	1,0688723	0,935565455	1,688
SPRYD3	0,000849771	0,095894278	0,219	0,051	1	1,068727671	0,935692064	4,294117647
CHMP7	0,000103236	0,095887536	0,156	0,02	1	1,068722677	0,935696436	7,8
KMT2B	0,323722708	0,095886521	0,094	0,051	1	1,068721925	0,935697095	1,843137255
AKIP1	7,15271E-05	0,09588551	0,188	0,027	1	1,068721175	0,935697751	6,962962963
YEATS4	1,70654E-05	0,095816327	0,312	0,062	0,360097761	1,068669928	0,935742622	5,032258065
NFYB	0,02256494	0,095712453	0,281	0,117	1	1,068592986	0,935809998	2,401709402
SLC66A1	0,040857201	0,095710662	0,062	0,012	1	1,06859166	0,93581116	5,166666667
SYNRG	0,000677	0,095640496	0,281	0,074	1	1,06853969	0,935856674	3,797297297
REST	7,43798E-05	0,095618339	0,562	0,18	1	1,068523279	0,935871047	3,122222222
FAM174A	0,000253224	0,095592625	0,25	0,055	1	1,068504234	0,935887728	4,545454545
UBE3D	6,3574E-05	0,095546511	0,062	0	1	1,068470081	0,935917643	#DIV/0!
NPEPL1	3,56492E-06	0,095498962	0,438	0,098	0,075223275	1,068434866	0,93594849	4,469387755
MAT2B	0,005508322	0,095497835	0,188	0,051	1	1,068434032	0,935949221	3,68627451
KIFBP	0,000112852	0,095421737	0,281	0,062	1	1,068377677	0,935998591	4,532258065
ELK1	0,000870223	0,095390615	0,156	0,027	1	1,06835463	0,936018783	5,777777778
DNASE2	4,6586E-08	0,095389311	0,312	0,039	0,000983011	1,068353664	0,936019629	8
DMWD	0,000313821	0,095389218	0,406	0,121	1	1,068353596	0,936019689	3,355371901
TPRKB	6,44927E-07	0,095332924	0,344	0,059	0,013608598	1,068311909	0,936056213	5,830508475
SPATA33	0,000297876	0,095318274	0,156	0,023	1	1,068301061	0,936065719	6,782608696
SYNJ2	0,000524345	0,095302057	0,094	0,008	1	1,068289052	0,936076241	11,75
ZNF559	0,000870223	0,095271027	0,156	0,027	1	1,068266075	0,936096375	5,777777778
DNAJC11	0,212914042	0,095181859	0,062	0,023	1	1,068200051	0,936154233	2,695652174
DENND3	0,01346698	0,095181657	0,062	0,008	1	1,068199902	0,936154364	7,75
GNPNAT1	4,39695E-06	0,095137575	0,219	0,027	0,092780105	1,068167264	0,936182969	8,111111111
SKAP1	0,002263143	0,095116511	0,062	0,004	1	1,068151668	0,936196638	15,5
UCK1	0,002560056	0,095039434	0,219	0,059	1	1,068094602	0,936246656	3,711864407
ARRB2	2,40115E-05	0,094914763	0,156	0,016	0,506667402	1,068002307	0,936327565	9,75
COMT	0,211033137	0,094844819	0,969	0,652	1	1,067950529	0,936372962	1,486196319

Supplementary Table 1

Differentially expressed genes_adjacent-skin-XL_comparing SC-Keloid vs. (SC-Myel, SC-Nonmyel)								
gene	p_val	avg_log2FC	pct.1	pct.2	p_val_adj	Foldchange_UP	Foldchange_DOWN	Ratio_pct1_pct2
B3GNTL1	6,3574E-05	0,094700907	0,062	0	1	1,067844004	0,936466371	#DIV/0!
N6AMT1	0,000100263	0,094646801	0,156	0,02	1	1,067803957	0,936501493	7,8
GLUD1	0,025397909	0,094539312	0,281	0,117	1	1,067724403	0,93657127	2,401709402
TRMT6	0,001847537	0,094527608	0,156	0,031	1	1,067715741	0,936578868	5,032258065
CCHCR1	1,03471E-06	0,094414838	0,219	0,023	0,021833489	1,067632285	0,93665208	9,52173913
NONO	0,000106876	0,094388521	0,656	0,219	1	1,06761281	0,936669166	2,99543379
CNPY4	0,007342225	0,094371676	0,156	0,039	1	1,067600344	0,936680103	4
FSD1	4,80439E-05	0,094298866	0,094	0,004	1	1,067546466	0,936727376	23,5
COA6	3,67604E-06	0,094021253	0,312	0,055	0,077568042	1,067341061	0,936907645	5,672727273
COMMD4	6,16792E-05	0,093968215	0,438	0,121	1	1,067301823	0,936942089	3,619834711
FAM193A	0,000751392	0,093777924	0,25	0,062	1	1,067161056	0,937065679	4,032258065
PANK4	2,40115E-05	0,093579874	0,156	0,016	0,506667402	1,067014568	0,937194327	9,75
MTPAP	0,008106602	0,093563301	0,125	0,027	1	1,067002311	0,937205093	4,62962963
NFIC	0,067903822	0,093532176	0,844	0,48	1	1,066979291	0,937225313	1,758333333
NPM3	2,40115E-05	0,093479623	0,156	0,016	0,506667402	1,066940425	0,937259454	9,75
ARSB	1,51098E-05	0,093442085	0,125	0,008	0,318831333	1,066912665	0,937283841	15,625
ZNF684	0,000524345	0,093440105	0,094	0,008	1	1,066911201	0,937285127	11,75
ECE1	0,002464759	0,093367584	0,531	0,207	1	1,066857571	0,937332243	2,565217391
ECSCR	6,3574E-05	0,093356367	0,062	0	1	1,066849276	0,937339531	#DIV/0!
GPR108	1,41872E-05	0,093207268	0,312	0,062	0,299363242	1,066739026	0,937436408	5,032258065
APTX	2,11424E-07	0,09295797	0,281	0,035	0,004461255	1,066554708	0,937598411	8,028571429
ITGB3	0,002263143	0,092929097	0,062	0,004	1	1,066533364	0,937617176	15,5
MFSD4B	0,040857201	0,092922706	0,062	0,012	1	1,066528639	0,937621329	5,166666667
PI4K2B	0,040857201	0,092892834	0,062	0,012	1	1,066506556	0,937640743	5,166666667
FBXL8	6,3574E-05	0,092795047	0,062	0	1	1,066434269	0,9377043	#DIV/0!
ATP13A2	4,96307E-06	0,092748169	0,188	0,02	0,104725812	1,066399618	0,937734769	9,4
TTL12	9,17361E-07	0,092698295	0,188	0,016	0,019357231	1,066362753	0,937767187	11,75
BYSL	0,00083045	0,092657262	0,156	0,027	1	1,066332424	0,93779386	5,777777778
DNAJC30	0,000177637	0,092559507	0,188	0,031	1	1,066260174	0,937857406	6,064516129
CLIC6	0,004841742	0,092545383	0,031	0	1	1,066249735	0,937866587	#DIV/0!

Supplementary Table 1

Differentially expressed genes_adjacent-skin-XL_comparing SC-Keloid vs. (SC-Myel, SC-Nonmyel)								
gene	p_val	avg_log2FC	pct.1	pct.2	p_val_adj	Foldchange_UP	Foldchange_DOWN	Ratio_pct1_pct2
CPVL	0,004841742	0,092545383	0,031	0	1	1,066249735	0,937866587	#DIV/0!
GDPD2	0,004841742	0,092545383	0,031	0	1	1,066249735	0,937866587	#DIV/0!
HSF2BP	0,004841742	0,092545383	0,031	0	1	1,066249735	0,937866587	#DIV/0!
PCDHGB3	0,004841742	0,092545383	0,031	0	1	1,066249735	0,937866587	#DIV/0!
PPFIA2	0,004841742	0,092545383	0,031	0	1	1,066249735	0,937866587	#DIV/0!
ZNF671	0,004841742	0,092545383	0,031	0	1	1,066249735	0,937866587	#DIV/0!
MYEF2	0,035499775	0,092507298	0,094	0,023	1	1,066221588	0,937891346	4,086956522
PJA2	0,024164687	0,09247289	0,688	0,348	1	1,066196159	0,937913715	1,977011494
TBC1D20	0,018732203	0,092419814	0,156	0,047	1	1,066156935	0,937948221	3,319148936
BLOC1S2	1,90086E-05	0,092419179	0,344	0,074	0,401099502	1,066156466	0,937948633	4,648648649
ASTE1	0,002263143	0,092416342	0,062	0,004	1	1,066154369	0,937950478	15,5
BTBD10	0,00019555	0,092298396	0,188	0,031	1	1,06606721	0,938027162	6,064516129
WNK1	0,002024853	0,092239781	0,5	0,191	1	1,066023898	0,938065274	2,617801047
PTGES3	0,098211925	0,092159853	0,875	0,516	1	1,06596484	0,938117246	1,695736434
DNAAF5	1,51098E-05	0,092148583	0,125	0,008	0,318831333	1,065956513	0,938124574	15,625
FAM174B	0,000322156	0,092129176	0,156	0,023	1	1,065942174	0,938137194	6,782608696
BORCS8	1,24109E-05	0,092067077	0,281	0,051	0,261882629	1,065896293	0,938177576	5,509803922
COQ4	0,000199866	0,092037461	0,375	0,105	1	1,065874412	0,938196835	3,571428571
CYTH2	0,00367496	0,091973145	0,344	0,121	1	1,065826896	0,938238661	2,842975207
TCHP	0,000480113	0,091957058	0,125	0,016	1	1,065815011	0,938249123	7,8125
MRPS17	4,81902E-06	0,091576314	0,281	0,047	0,101686073	1,065533767	0,938496771	5,978723404
LINC01060	9,12354E-07	0,091558987	0,094	0	0,019251588	1,06552097	0,938508042	#DIV/0!
CDK5R1	9,12354E-07	0,091453362	0,094	0	0,019251588	1,065442962	0,938576757	#DIV/0!
ATF7IP2	0,110558038	0,091448672	0,125	0,051	1	1,065439499	0,938579807	2,450980392
DECR2	2,32278E-05	0,091339153	0,156	0,016	0,490128791	1,065358621	0,938651061	9,75
ZNF48	9,12354E-07	0,09133164	0,094	0	0,019251588	1,065353074	0,938655949	#DIV/0!
MCM10	6,3574E-05	0,091257987	0,062	0	1	1,065298686	0,93870387	#DIV/0!
RMI2	6,3574E-05	0,091257987	0,062	0	1	1,065298686	0,93870387	#DIV/0!
CHEK1	6,3574E-05	0,091234957	0,062	0	1	1,065281681	0,938718855	#DIV/0!
NEFH	9,12354E-07	0,091102152	0,094	0	0,019251588	1,065183623	0,938805271	#DIV/0!

Supplementary Table 1

Differentially expressed genes_adjacent-skin-XL_comparing SC-Keloid vs. (SC-Myel, SC-Nonmyel)								
gene	p_val	avg_log2FC	pct.1	pct.2	p_val_adj	Foldchange_UP	Foldchange_DOWN	Ratio_pct1_pct2
ZNF20	3,86379E-06	0,090947562	0,156	0,012	0,081529835	1,06506949	0,938905873	13
NUP155	0,017290773	0,090820879	0,094	0,02	1	1,06497597	0,938988323	4,7
FAM91A1	0,001637922	0,090820149	0,219	0,055	1	1,064975432	0,938988797	3,981818182
CIPC	0,287158009	0,090817112	0,062	0,027	1	1,06497319	0,938990774	2,296296296
ZNF837	6,3574E-05	0,090813277	0,062	0	1	1,064970359	0,93899327	#DIV/0!
AKNAD1	0,380266129	0,090657345	0,031	0,012	1	1,064855259	0,939094765	2,583333333
SNX14	3,39075E-07	0,090508149	0,406	0,074	0,007154826	1,064745143	0,939191887	5,486486486
SETMAR	0,002263143	0,090494244	0,062	0,004	1	1,064734881	0,939200939	15,5
ICAM2	0,000524345	0,090419119	0,094	0,008	1	1,064679439	0,939249847	11,75
PLEKHG4	0,002517564	0,09040814	0,094	0,012	1	1,064671337	0,939256995	7,833333333
ELOC	0,003199976	0,0903436	0,719	0,312	1	1,064623709	0,939299014	2,304487179
KIF15	6,3574E-05	0,090243631	0,062	0	1	1,06454994	0,939364103	#DIV/0!
ARHGAP11A	6,3574E-05	0,090220585	0,062	0	1	1,064532934	0,939379109	#DIV/0!
RTEL1	0,01346698	0,09017173	0,062	0,008	1	1,064496886	0,939410921	7,75
PLXNB2	0,000135099	0,090113103	0,469	0,145	1	1,064453629	0,939449097	3,234482759
HECTD2	0,003820406	0,090079978	0,125	0,023	1	1,064429189	0,939470667	5,434782609
UROD	7,33388E-07	0,090057297	0,281	0,039	0,015475215	1,064412455	0,939485437	7,205128205
FBXO16	4,80439E-05	0,089977265	0,094	0,004	1	1,06435341	0,939537555	23,5
HP1BP3	0,023702854	0,08995558	0,781	0,41	1	1,064337412	0,939551677	1,904878049
DHX32	0,00019555	0,089881007	0,188	0,031	1	1,064282397	0,939600244	6,064516129
TSPAN31	0,00038432	0,089769215	0,281	0,07	1	1,064199931	0,939673055	4,014285714
APCDD1L	9,12354E-07	0,0897445	0,094	0	0,019251588	1,0641817	0,939689153	#DIV/0!
MFSD11	0,001477662	0,089702738	0,219	0,055	1	1,064150896	0,939716354	3,981818182
UFM1	0,003052977	0,089694632	0,531	0,219	1	1,064144916	0,939721634	2,424657534
IFI44	0,00024217	0,08933215	0,219	0,043	1	1,06387758	0,939957772	5,093023256
FBXO28	0,001637922	0,089322968	0,219	0,055	1	1,063870809	0,939963755	3,981818182
KNL1	0,004841742	0,089205499	0,031	0	1	1,063784188	0,940040293	#DIV/0!
MKI67	0,004841742	0,089205499	0,031	0	1	1,063784188	0,940040293	#DIV/0!
CARD6	0,00050526	0,089123976	0,094	0,008	1	1,063724079	0,940093413	11,75
B9D1	1,51098E-05	0,089029677	0,125	0,008	0,318831333	1,063654553	0,940154863	15,625

Supplementary Table 1

Differentially expressed genes_adjacent-skin-XL_comparing SC-Keloid vs. (SC-Myel, SC-Nonmyel)								
gene	p_val	avg_log2FC	pct.1	pct.2	p_val_adj	Foldchange_UP	Foldchange_DOWN	Ratio_pct1_pct2
MAML3	0,000486986	0,088914518	0,188	0,035	1	1,063569653	0,940229911	5,371428571
HHLA3	0,000509339	0,088858582	0,125	0,016	1	1,063528417	0,940266366	7,8125
TRNT1	3,86379E-06	0,088808932	0,156	0,012	0,081529835	1,063491817	0,940298725	13
RNF217	0,00022736	0,088679282	0,219	0,043	1	1,063396248	0,940383231	5,093023256
HDDC3	0,000186392	0,088617204	0,188	0,031	1	1,063350492	0,940423696	6,064516129
FAM120A	5,72167E-05	0,088564323	0,531	0,16	1	1,063311517	0,940458167	3,31875
ADI1	0,002659405	0,088476583	0,5	0,195	1	1,063246852	0,940515364	2,564102564
ZNF776	4,80439E-05	0,088468551	0,094	0,004	1	1,063240932	0,940520601	23,5
NSD2	0,090719467	0,088372352	0,094	0,031	1	1,063170038	0,940583316	3,032258065
AP1M1	1,5064E-07	0,088352394	0,312	0,043	0,003178646	1,06315533	0,940596328	7,255813953
B3GALT2	0,000112833	0,08834627	0,125	0,012	1	1,063150817	0,940600321	10,41666667
PYURF	7,42194E-05	0,088337008	0,781	0,273	1	1,063143992	0,94060636	2,860805861
MT-ATP6	0,852540647	0,088279267	0,906	0,883	1	1,063101442	0,940644007	1,026047565
CD200	0,002818951	0,088247279	0,219	0,059	1	1,063077871	0,940664863	3,711864407
XPNPEP1	0,000181965	0,088206291	0,188	0,031	1	1,063047669	0,940691588	6,064516129
LTC4S	0,000112833	0,088167322	0,125	0,012	1	1,063018955	0,940716998	10,41666667
CAPZA1	0,000119405	0,088150474	0,562	0,18	1	1,063006541	0,940727984	3,122222222
ABAT	0,221475664	0,088137597	0,031	0,008	1	1,062997052	0,940736381	3,875
PUS7L	0,000777418	0,088089893	0,25	0,062	1	1,062961905	0,940767487	4,032258065
TUBD1	0,007750521	0,08807864	0,094	0,016	1	1,062953614	0,940774825	5,875
DIAPH3	0,002263143	0,087912849	0,062	0,004	1	1,062831469	0,940882943	15,5
C1orf94	6,3574E-05	0,087870453	0,062	0	1	1,062800236	0,940910593	#DIV/0!
DAB2	4,80439E-05	0,087856302	0,094	0,004	1	1,062789811	0,940919822	23,5
FAM120AOS	0,017756423	0,087832461	0,25	0,094	1	1,062772248	0,940935371	2,659574468
DKAKD	8,90851E-07	0,087827704	0,25	0,031	0,018797848	1,062768744	0,940938474	8,064516129
RNF40	0,00022736	0,087768643	0,219	0,043	1	1,062725237	0,940976995	5,093023256
BIN1	2,37907E-06	0,087759048	0,5	0,121	0,050200786	1,06271817	0,940983253	4,132231405
SAMD9L	0,000916506	0,08771029	0,188	0,039	1	1,062682254	0,941015056	4,820512821
UTP23	4,123E-05	0,087666244	0,219	0,035	0,869994633	1,06264981	0,941043785	6,257142857
DUSP28	0,036158386	0,087612455	0,094	0,023	1	1,062610191	0,941078872	4,086956522

Supplementary Table 1

Differentially expressed genes_adjacent-skin-XL_comparing SC-Keloid vs. (SC-Myel, SC-Nonmyel)								
gene	p_val	avg_log2FC	pct.1	pct.2	p_val_adj	Foldchange_UP	Foldchange_DOWN	Ratio_pct1_pct2
P2RX7	0,00234362	0,087555371	0,312	0,102	1	1,062568147	0,941116109	3,058823529
COX7C	0,029773256	0,08751842	0,844	0,488	1	1,062540933	0,941140213	1,729508197
LEPR	0,082995684	0,087466839	0,062	0,016	1	1,062502944	0,941173863	3,875
CTNNBIP1	0,000110741	0,087441002	0,281	0,062	1	1,062483916	0,941190718	4,532258065
PLBD1	0,002517564	0,087408818	0,094	0,012	1	1,062460214	0,941211715	7,833333333
SARS1	0,008866644	0,087356989	0,531	0,234	1	1,062422046	0,941245528	2,269230769
UBA7	4,39687E-06	0,087155437	0,219	0,027	0,092778258	1,06227363	0,941377034	8,111111111
BST1	1,51098E-05	0,086877226	0,125	0,008	0,318831333	1,0620688	0,941558588	15,625
ELOVL4	0,01346698	0,086791096	0,062	0,008	1	1,062005396	0,941614802	7,75
C10orf67	3,67695E-07	0,086646657	0,156	0,008	0,007758733	1,061899076	0,941709078	19,5
IL3RA	0,004841742	0,086622355	0,031	0	1	1,061881188	0,941724942	#DIV/0!
INCENP	0,004841742	0,086622355	0,031	0	1	1,061881188	0,941724942	#DIV/0!
IZUMO1	0,004841742	0,086622355	0,031	0	1	1,061881188	0,941724942	#DIV/0!
MAGIX	0,004841742	0,086622355	0,031	0	1	1,061881188	0,941724942	#DIV/0!
PDGFRA	0,004841742	0,086622355	0,031	0	1	1,061881188	0,941724942	#DIV/0!
SLC47A1	0,004841742	0,086622355	0,031	0	1	1,061881188	0,941724942	#DIV/0!
TMEM72	0,004841742	0,086622355	0,031	0	1	1,061881188	0,941724942	#DIV/0!
ST6GAL2	9,12354E-07	0,086594208	0,094	0	0,019251588	1,061860471	0,941743315	#DIV/0!
ZNF827	0,001444236	0,086401968	0,125	0,02	1	1,061718987	0,941868811	6,25
SFT2D3	0,002442928	0,086370963	0,094	0,012	1	1,06169617	0,941889053	7,833333333
TRMT61B	5,86746E-05	0,086296469	0,25	0,047	1	1,06164135	0,941937689	5,319148936
ABCC3	9,12354E-07	0,086263813	0,094	0	0,019251588	1,06161732	0,94195901	#DIV/0!
SSR3	2,27194E-05	0,08616409	0,844	0,312	0,479402614	1,061543941	0,942024123	2,705128205
FAM72B	0,143111738	0,086132906	0,062	0,02	1	1,061520995	0,942044486	3,1
DLGAP1-AS1	0,000524345	0,08611526	0,094	0,008	1	1,061508012	0,942056008	11,75
ARMC9	9,06462E-07	0,086099069	0,125	0,004	0,019127258	1,061496099	0,94206658	31,25
POMT2	9,17E-07	0,086057045	0,25	0,031	0,01934961	1,061465179	0,942094023	8,064516129
RTL8C	0,000710949	0,085910595	0,531	0,191	1	1,061357434	0,942189661	2,780104712
LRRC34	0,013891036	0,08569931	0,062	0,008	1	1,061202008	0,942327655	7,75
RAB43	0,034851427	0,085559779	0,094	0,023	1	1,061099378	0,942418798	4,086956522

Supplementary Table 1

Differentially expressed genes_adjacent-skin-XL_ comparing SC-Keloid vs. (SC-Myel, SC-Nonmyel)								
gene	p_val	avg_log2FC	pct.1	pct.2	p_val_adj	Foldchange_UP	Foldchange_DOWN	Ratio_pct1_pct2
GIMAP4	0,082317662	0,085548854	0,031	0,004	1	1,061091343	0,942425934	7,75
DDR2	7,95124E-07	0,085501387	0,375	0,07	0,016777907	1,061056431	0,942456942	5,357142857
MTF1	0,777381931	0,085373644	0,031	0,023	1	1,060962485	0,942540396	1,347826087
TSTD2	0,005420294	0,085351599	0,188	0,051	1	1,060946273	0,942554798	3,68627451
DNAJC16	0,000509339	0,085310309	0,125	0,016	1	1,060915909	0,942581774	7,8125
ACO1	2,33422E-05	0,085308036	0,25	0,043	0,492544426	1,060914238	0,942583259	5,813953488
BDKRB1	0,079594089	0,085300391	0,031	0,004	1	1,060908616	0,942588254	7,75
TIMM17B	3,18992E-05	0,085231482	0,375	0,09	0,673105308	1,060857943	0,942633277	4,166666667
SDHAF3	7,93488E-09	0,085044584	0,375	0,051	0,000167434	1,06072052	0,942755401	7,352941176
ENTPD5	0,018047186	0,085034639	0,094	0,02	1	1,060713209	0,9427619	4,7
WDR3	0,000100263	0,085002427	0,156	0,02	1	1,060689526	0,94278295	7,8
SEC11C	0,000546674	0,084948386	0,375	0,117	1	1,060649795	0,942818265	3,205128205
SLC35B3	0,000466117	0,084802355	0,188	0,035	1	1,060542441	0,942913703	5,371428571
CENPBD1	0,002263143	0,084666168	0,062	0,004	1	1,060442332	0,943002716	15,5
MED14	0,002113111	0,084655178	0,281	0,086	1	1,060434254	0,9430099	3,26744186
TRMT11	4,48128E-07	0,084376957	0,312	0,047	0,009455951	1,060229771	0,943191775	6,638297872
TMEM267	6,78604E-05	0,084237609	0,188	0,027	1	1,06012737	0,943282881	6,962962963
H1-1	0,002263143	0,084099958	0,062	0,004	1	1,060026226	0,943372886	15,5
CEACAM6	0,004841742	0,083998986	0,031	0	1	1,059952038	0,943438914	#DIV/0!
LCN2	0,004841742	0,083998986	0,031	0	1	1,059952038	0,943438914	#DIV/0!
MYO5B	0,004841742	0,083998986	0,031	0	1	1,059952038	0,943438914	#DIV/0!
FAHD1	0,000509339	0,083996656	0,125	0,016	1	1,059950326	0,943440438	7,8125
TMEM119	6,3574E-05	0,083962888	0,062	0	1	1,059925518	0,94346252	#DIV/0!
CCDC134	6,3574E-05	0,083817773	0,062	0	1	1,059818909	0,943557424	#DIV/0!
KIAA1328	0,027421825	0,083797258	0,156	0,051	1	1,059803839	0,943570842	3,058823529
ABCA3	0,38835216	0,083786527	0,094	0,055	1	1,059795956	0,94357786	1,709090909
F8A1	0,002096899	0,083747867	0,156	0,031	1	1,059767557	0,943603145	5,032258065
CC2D1A	0,011609182	0,083653611	0,156	0,043	1	1,059698321	0,943664796	3,627906977
ANKAR	0,128095294	0,083541693	0,094	0,035	1	1,059616117	0,943738005	2,685714286
CCNG1	0,000446084	0,083516535	0,188	0,035	1	1,05959764	0,943754461	5,371428571

Supplementary Table 1

Differentially expressed genes_adjacent-skin-XL_ comparing SC-Keloid vs. (SC-Myel, SC-Nonmyel)								
gene	p_val	avg_log2FC	pct.1	pct.2	p_val_adj	Foldchange_UP	Foldchange_DOWN	Ratio_pct1_pct2
PSMG1	0,003540212	0,083507449	0,188	0,047	1	1,059590966	0,943760406	4
CAMK1D	0,000487956	0,083484299	0,219	0,047	1	1,059573964	0,943775549	4,659574468
CHCHD10	0,001490764	0,083410007	0,562	0,219	1	1,059519402	0,943824151	2,566210046
RALGPS1	0,143111738	0,083351756	0,062	0,02	1	1,059476623	0,94386226	3,1
MAPKAPK5	2,63664E-05	0,08326555	0,281	0,055	0,556356432	1,059413318	0,94391866	5,109090909
GALK1	0,001019952	0,083226227	0,219	0,051	1	1,059384442	0,943944389	4,294117647
SLC30A5	3,21209E-07	0,083098145	0,344	0,055	0,006777833	1,059290395	0,944028196	6,254545455
EIF3F	0,033344813	0,083007994	0,656	0,336	1	1,059224204	0,944087188	1,952380952
CLCC1	0,00122005	0,082970999	0,25	0,066	1	1,059197043	0,944111397	3,787878788
MIA2	1,37797E-05	0,082880839	0,219	0,031	0,29076515	1,059130851	0,944170401	7,064516129
SEMA3D	0,229249342	0,082836199	0,094	0,043	1	1,05909808	0,944199615	2,186046512
ZNF10	0,035499775	0,082754425	0,094	0,023	1	1,05903805	0,944253136	4,086956522
NAP1L1	0,22259565	0,082723375	0,656	0,484	1	1,059015257	0,944273459	1,355371901
ZNF568	8,84735E-07	0,08270126	0,188	0,016	0,018668785	1,058999024	0,944287933	11,75
CST6	6,3574E-05	0,082694036	0,062	0	1	1,058993721	0,944292662	#DIV/0!
UCLH3	1,21952E-05	0,082643239	0,375	0,082	0,257330394	1,058956435	0,944325911	4,573170732
CCDC102A	0,000509339	0,082567796	0,125	0,016	1	1,058901061	0,944375293	7,8125
RHBDD3	0,000339359	0,08253301	0,156	0,023	1	1,058875529	0,944398064	6,782608696
FAM111B	4,80439E-05	0,082500963	0,094	0,004	1	1,058852008	0,944419043	23,5
COG3	0,01179781	0,082471947	0,156	0,043	1	1,058830712	0,944438038	3,627906977
BVES	0,000524345	0,082403257	0,094	0,008	1	1,0587803	0,944483005	11,75
JAGN1	8,52679E-07	0,082377578	0,344	0,059	0,017992372	1,058761455	0,944499817	5,830508475
UBAC2	0,00025286	0,082312709	0,281	0,066	1	1,05871385	0,944542286	4,257575758
PPP3CC	0,000862411	0,082267925	0,312	0,09	1	1,058680986	0,944571607	3,466666667
ZNF641	0,008437622	0,082263291	0,125	0,027	1	1,058677585	0,944574641	4,62962963
FAM47E	6,3574E-05	0,082258265	0,062	0	1	1,058673897	0,944577932	#DIV/0!
ST3GAL1	0,175414505	0,082257002	0,094	0,039	1	1,05867297	0,944578759	2,41025641
KLHL18	0,00083045	0,08218628	0,156	0,027	1	1,058621075	0,944625063	5,777777778
IQGAP1	0,002600504	0,082184802	0,625	0,258	1	1,05861999	0,944626031	2,42248062
USP51	0,179574158	0,082139803	0,125	0,059	1	1,058586971	0,944655496	2,118644068

Supplementary Table 1

Differentially expressed genes_adjacent-skin-XL_comparing SC-Keloid vs. (SC-Myel, SC-Nonmyel)								
gene	p_val	avg_log2FC	pct.1	pct.2	p_val_adj	Foldchange_UP	Foldchange_DOWN	Ratio_pct1_pct2
SEPTIN5	4,80439E-05	0,082052559	0,094	0,004	1	1,058522958	0,944712623	23,5
SFSWAP	0,0002964	0,081951109	0,531	0,18	1	1,058448525	0,944779058	2,95
C9orf40	1,51098E-05	0,081774759	0,125	0,008	0,318831333	1,058319151	0,944894552	15,625
ENTPD4	0,006536686	0,081739009	0,219	0,066	1	1,058292927	0,944917966	3,318181818
CKAP2	0,000509339	0,081724584	0,125	0,016	1	1,058282345	0,944927414	7,8125
CCNB2	9,12354E-07	0,081675527	0,094	0	0,019251588	1,058246361	0,944959545	#DIV/0!
SGCE	0,082320805	0,081666166	0,719	0,438	1	1,058239494	0,944965677	1,641552511
RAB22A	3,87818E-06	0,081464538	0,469	0,113	0,081833425	1,058091607	0,945097753	4,150442478
TUT7	0,003304112	0,081435522	0,188	0,047	1	1,058070327	0,945116761	4
POGLUT1	0,004180266	0,081424448	0,125	0,023	1	1,058062205	0,945124016	5,434782609
FASTKD2	0,038025501	0,081326424	0,156	0,055	1	1,057990317	0,945188235	2,836363636
LINC00960	0,002263143	0,081279683	0,062	0,004	1	1,05795604	0,945218858	15,5
ALG12	0,003820406	0,081217731	0,125	0,023	1	1,057910611	0,945259448	5,434782609
CCNC	0,000242168	0,081132742	0,219	0,043	1	1,057848291	0,945315135	5,093023256
FIP1L1	5,4442E-05	0,080980663	0,344	0,082	1	1,057736786	0,945414789	4,195121951
AASDHPPT	0,000125591	0,080977103	0,312	0,074	1	1,057734176	0,945417121	4,216216216
DPF2	0,167341781	0,080902071	0,156	0,078	1	1,057679167	0,945466292	2
AC010976.2	0,004841742	0,080886111	0,031	0	1	1,057667466	0,945476751	#DIV/0!
CADPS2	0,004841742	0,080886111	0,031	0	1	1,057667466	0,945476751	#DIV/0!
LINC00865	0,004841742	0,080886111	0,031	0	1	1,057667466	0,945476751	#DIV/0!
TWNK	0,004841742	0,080886111	0,031	0	1	1,057667466	0,945476751	#DIV/0!
WFIKKN1	0,079594089	0,08077911	0,031	0,004	1	1,057589025	0,945546877	7,75
PAPSS1	0,002435762	0,080742375	0,438	0,16	1	1,057562096	0,945570954	2,7375
SPACA9	0,007750521	0,080712923	0,094	0,016	1	1,057540506	0,945590258	5,875
RAB40C	0,000103236	0,080635966	0,156	0,02	1	1,057484096	0,9456407	7,8
FBXO36	9,06462E-07	0,080617243	0,125	0,004	0,019127258	1,057470372	0,945652972	31,25
PAXIP1-AS2	0,002263143	0,080616181	0,062	0,004	1	1,057469593	0,945653668	15,5
SEMA6C	0,018047186	0,080553931	0,094	0,02	1	1,057423967	0,945694472	4,7
CHAMP1	0,060931358	0,080549313	0,094	0,027	1	1,057420581	0,9456975	3,481481481
PAGR1	4,10016E-08	0,080474171	0,406	0,066	0,000865174	1,057365508	0,945746757	6,151515152

Supplementary Table 1

Differentially expressed genes_adjacent-skin-XL_comparing SC-Keloid vs. (SC-Myel, SC-Nonmyel)								
gene	p_val	avg_log2FC	pct.1	pct.2	p_val_adj	Foldchange_UP	Foldchange_DOWN	Ratio_pct1_pct2
PIK3CD	0,002594281	0,080463818	0,094	0,012	1	1,05735792	0,945753544	7,833333333
ZNF738	0,000494525	0,080366816	0,125	0,016	1	1,057286829	0,945817135	7,8125
CDKL5	0,29055378	0,080311011	0,062	0,027	1	1,057245933	0,945853721	2,296296296
RARS1	6,94943E-07	0,080298719	0,281	0,039	0,014663999	1,057236925	0,94586178	7,205128205
NDUFA10	3,62687E-05	0,080279173	0,562	0,168	0,765305132	1,057222602	0,945874595	3,345238095
LRR8A	0,000113954	0,080164665	0,375	0,098	1	1,057138692	0,945949673	3,826530612
ESS2	0,002517564	0,079813049	0,094	0,012	1	1,056881076	0,946180249	7,833333333
LDOC1	0,129733608	0,079798088	0,094	0,035	1	1,056870116	0,946190061	2,685714286
HSD17B14	0,039886012	0,079780842	0,062	0,012	1	1,056857483	0,946201372	5,166666667
HCG27	0,226351275	0,079619604	0,031	0,008	1	1,056739373	0,946307127	3,875
DDX60	0,140820961	0,07959983	0,062	0,02	1	1,056724889	0,946320098	3,1
FHL2	5,12603E-06	0,079595221	0,188	0,02	0,108164307	1,056721513	0,946323121	9,4
ANO10	1,26889E-06	0,079471638	0,312	0,051	0,026774874	1,056630997	0,946404187	6,117647059
SPAG1	0,001600673	0,079444786	0,125	0,02	1	1,056611331	0,946421802	6,25
GLRB	4,80439E-05	0,07939217	0,094	0,004	1	1,056572796	0,946456319	23,5
CCR1	6,3574E-05	0,079375314	0,062	0	1	1,056560451	0,946467378	#DIV/0!
MAPK9	0,005248131	0,079363727	0,188	0,051	1	1,056551966	0,946474979	3,68627451
AC093690.1	0,082317662	0,079314124	0,031	0,004	1	1,05651564	0,946507522	7,75
BRF1	0,142206469	0,079307796	0,125	0,055	1	1,056511006	0,946511673	2,272727273
CEP55	0,002263143	0,07926762	0,062	0,004	1	1,056481584	0,946538032	15,5
H1-3	0,040857201	0,079250415	0,062	0,012	1	1,056468985	0,946549321	5,166666667
DAXX	0,00083045	0,079236421	0,156	0,027	1	1,056458738	0,946558502	5,777777778
UBE3B	0,035499775	0,079231998	0,094	0,023	1	1,056455499	0,946561404	4,086956522
AGFG1	0,001103204	0,079209322	0,375	0,121	1	1,056438894	0,946576281	3,099173554
RBBP9	4,80439E-05	0,078904451	0,094	0,004	1	1,05621567	0,946776334	23,5
USP46	0,001452401	0,078862113	0,219	0,055	1	1,056184674	0,946804119	3,981818182
HSD17B4	5,07132E-06	0,078859274	0,375	0,078	0,107009836	1,056182596	0,946805982	4,807692308
CUL7	0,082995684	0,078667034	0,062	0,016	1	1,056041869	0,946932152	3,875
PPP6R1	0,025952325	0,078637925	0,156	0,051	1	1,056020561	0,946951259	3,058823529
WSB2	2,00071E-05	0,078616604	0,375	0,086	0,42217062	1,056004955	0,946965254	4,360465116

Supplementary Table 1

Differentially expressed genes_adjacent-skin-XL_comparing SC-Keloid vs. (SC-Myel, SC-Nonmyel)								
gene	p_val	avg_log2FC	pct.1	pct.2	p_val_adj	Foldchange_UP	Foldchange_DOWN	Ratio_pct1_pct2
PRMT5-AS1	0,002263143	0,078607272	0,062	0,004	1	1,055998124	0,946971379	15,5
ADGRE5	0,000634905	0,078581995	0,281	0,074	1	1,055979622	0,946987971	3,797297297
TMEM109	0,000897631	0,078561486	0,625	0,234	1	1,055964611	0,947001433	2,670940171
YIPF2	0,000432429	0,078547723	0,281	0,07	1	1,055954537	0,947010467	4,014285714
AC011484.1	0,004841742	0,078341451	0,031	0	1	1,055803571	0,947145877	#DIV/0!
CNTNAP5	0,004841742	0,078341451	0,031	0	1	1,055803571	0,947145877	#DIV/0!
GNG3	0,004841742	0,078341451	0,031	0	1	1,055803571	0,947145877	#DIV/0!
PSORS1C1	0,004841742	0,078341451	0,031	0	1	1,055803571	0,947145877	#DIV/0!
SORL1	0,004841742	0,078341451	0,031	0	1	1,055803571	0,947145877	#DIV/0!
GTF2H2C	0,129733608	0,078322752	0,094	0,035	1	1,055789887	0,947158154	2,685714286
BZW1	0,000853194	0,07832207	0,719	0,281	1	1,055789388	0,947158602	2,558718861
GSK3A	0,010257922	0,078278057	0,25	0,086	1	1,055757179	0,947187497	2,906976744
EXOSC9	1,32717E-05	0,078270838	0,281	0,051	0,280046571	1,055751896	0,947192237	5,509803922
ATP9A	0,002594281	0,078161424	0,094	0,012	1	1,055671831	0,947264075	7,833333333
BTN3A2	3,86379E-06	0,078144266	0,156	0,012	0,081529835	1,055659276	0,947275341	13
MTMR4	0,00019555	0,078058032	0,188	0,031	1	1,055596178	0,947331964	6,064516129
MRPS22	0,000239783	0,078043209	0,281	0,066	1	1,055585332	0,947341697	4,257575758
TTL7	0,00273635	0,077981543	0,469	0,188	1	1,055540213	0,947382191	2,494680851
RIN1	0,000112833	0,077889342	0,125	0,012	1	1,055472757	0,947442739	10,41666667
EPS8L1	6,3574E-05	0,077856125	0,062	0	1	1,055448456	0,947464553	#DIV/0!
SAYSD1	0,000200286	0,077809269	0,188	0,031	1	1,055414177	0,947495326	6,064516129
ATL2	0,000897835	0,077807877	0,219	0,051	1	1,055413159	0,94749624	4,294117647
NPHP1	0,000100263	0,077780833	0,156	0,02	1	1,055393376	0,947514001	7,8
ZUP1	0,082317662	0,077670021	0,031	0,004	1	1,055312315	0,947586782	7,75
GAREM1	0,015983649	0,07765547	0,125	0,031	1	1,055301671	0,947596339	4,032258065
ZFYVE16	0,000684407	0,077651104	0,469	0,16	1	1,055298478	0,947599206	2,93125
DNAH5	1,33967E-08	0,077628488	0,125	0	0,000282684	1,055281934	0,947614062	#DIV/0!
VEGFA	0,001643475	0,077574778	0,5	0,191	1	1,055242648	0,947649341	2,617801047
TCF7	0,000339359	0,07745034	0,156	0,023	1	1,055151633	0,947731083	6,782608696
ALDH1B1	4,80439E-05	0,077447105	0,094	0,004	1	1,055149268	0,947733208	23,5

Supplementary Table 1

Differentially expressed genes_adjacent-skin-XL_ comparing SC-Keloid vs. (SC-Myel, SC-Nonmyel)								
gene	p_val	avg_log2FC	pct.1	pct.2	p_val_adj	Foldchange_UP	Foldchange_DOWN	Ratio_pct1_pct2
CTTN	0,000485886	0,077413546	0,75	0,277	1	1,055124723	0,947755254	2,707581227
SMARCD1	0,000313264	0,077359619	0,344	0,094	1	1,055085284	0,947790681	3,659574468
TIMM8A	0,007750521	0,077256673	0,094	0,016	1	1,055009999	0,947858315	5,875
C15orf48	0,079594089	0,077167581	0,031	0,004	1	1,05494485	0,947916851	7,75
CEBPG	0,005165859	0,077028757	0,25	0,078	1	1,054843343	0,948008069	3,205128205
ZNF616	0,013891036	0,07700614	0,062	0,008	1	1,054826806	0,948022931	7,75
MRPL46	1,51098E-05	0,076992157	0,125	0,008	0,318831333	1,054816583	0,948032119	15,625
DOLPP1	2,40115E-05	0,076963317	0,156	0,016	0,506667402	1,054795497	0,94805107	9,75
SF3A3	3,5672E-05	0,076820082	0,312	0,066	0,752713874	1,054690779	0,9481452	4,727272727
SRPK2	0,006504289	0,076658045	0,406	0,16	1	1,054572327	0,948251698	2,5375
RAP1B	0,000709604	0,076577963	0,812	0,32	1	1,054513791	0,948304336	2,5375
IRAK4	2,32278E-05	0,07649244	0,156	0,016	0,490128791	1,054451281	0,948360553	9,75
PEX11G	0,002594281	0,076375794	0,094	0,012	1	1,05436603	0,948437233	7,833333333
TMEM251	0,000466117	0,076292362	0,188	0,035	1	1,054305056	0,948492084	5,371428571
C15orf65	4,80439E-05	0,076287002	0,094	0,004	1	1,05430114	0,948495608	23,5
COX18	0,079594089	0,076282901	0,031	0,004	1	1,054298142	0,948498304	7,75
MAN1A2	2,22383E-06	0,07614847	0,531	0,133	0,046924959	1,054199907	0,948586689	3,992481203
DPAGT1	5,12603E-06	0,076146897	0,188	0,02	0,108164307	1,054198758	0,948587724	9,4
DOLK	1,51098E-05	0,076144569	0,125	0,008	0,318831333	1,054197056	0,948589255	15,625
IFIT5	0,283294123	0,076092196	0,094	0,047	1	1,054158787	0,948623691	2
RFC1	0,005718938	0,07608101	0,375	0,145	1	1,054150614	0,948631046	2,586206897
E2F1	6,3574E-05	0,076020136	0,062	0	1	1,054106135	0,948671074	#DIV/0!
AAGAB	2,11157E-07	0,075971019	0,219	0,02	0,00445563	1,054070249	0,948703372	10,95
TMX3	9,10554E-05	0,075950789	0,438	0,125	1	1,054055468	0,948716676	3,504
FAM83D	6,3574E-05	0,075764323	0,062	0	1	1,053919242	0,948839304	#DIV/0!
GIN51	6,3574E-05	0,075764323	0,062	0	1	1,053919242	0,948839304	#DIV/0!
SETD6	1,51098E-05	0,075749328	0,125	0,008	0,318831333	1,053908288	0,948849166	15,625
CCDC137	0,001520602	0,075674945	0,125	0,02	1	1,053853952	0,948898088	6,25
CCDC88B	6,3574E-05	0,075621367	0,062	0	1	1,053814815	0,948933328	#DIV/0!
ZMYND15	6,3574E-05	0,075621367	0,062	0	1	1,053814815	0,948933328	#DIV/0!

Supplementary Table 1

Differentially expressed genes_adjacent-skin-XL_comparing SC-Keloid vs. (SC-Myel, SC-Nonmyel)								
gene	p_val	avg_log2FC	pct.1	pct.2	p_val_adj	Foldchange_UP	Foldchange_DOWN	Ratio_pct1_pct2
B3GNT7	0,001642148	0,075573381	0,125	0,02	1	1,053779764	0,948964892	6,25
ATRX	0,000491157	0,075548347	0,844	0,336	1	1,053761479	0,948981358	2,511904762
LIPH	0,079594089	0,075449312	0,031	0,004	1	1,053689145	0,949046504	7,75
HCG18	0,044664395	0,075435771	0,188	0,074	1	1,053679256	0,949055412	2,540540541
TFB2M	0,082995684	0,075425312	0,062	0,016	1	1,053671617	0,949062292	3,875
CCNA2	0,013891036	0,075406541	0,062	0,008	1	1,053657907	0,949074641	7,75
ESCO1	0,003877934	0,075373062	0,156	0,035	1	1,053633456	0,949096666	4,457142857
SLC2A6	9,12354E-07	0,075322703	0,094	0	0,019251588	1,053596679	0,949129795	#DIV/0!
ULK3	0,00819789	0,075279151	0,188	0,055	1	1,053564874	0,949158448	3,418181818
FAM86C1P	0,013891036	0,075271958	0,062	0,008	1	1,053559621	0,94916318	7,75
ELOVL5	0,002083508	0,075270634	0,344	0,113	1	1,053558654	0,949164051	3,044247788
AMPH	6,3574E-05	0,075202982	0,062	0	1	1,05350925	0,949208562	#DIV/0!
C3AR1	6,3574E-05	0,075137816	0,062	0	1	1,053461665	0,949251438	#DIV/0!
FAM172A	0,000199867	0,075133993	0,375	0,105	1	1,053458873	0,949253953	3,571428571
SBSN	0,002263143	0,075106396	0,062	0,004	1	1,053438723	0,949272111	15,5
ZNF280C	0,221475664	0,075104247	0,031	0,008	1	1,053437153	0,949273525	3,875
ERGIC3	0,001313187	0,075099587	0,5	0,188	1	1,05343375	0,949276592	2,659574468
TMEM69	0,001600673	0,075094286	0,125	0,02	1	1,05342988	0,94928008	6,25
STARD3NL	3,90616E-06	0,075085114	0,344	0,066	0,082423904	1,053423183	0,949286115	5,212121212
LINC01117	0,040857201	0,075077369	0,062	0,012	1	1,053417527	0,949291211	5,166666667
ZKSCAN1	0,000119144	0,074997475	0,312	0,074	1	1,053359193	0,949343782	4,216216216
LPIN3	0,036158386	0,074865965	0,094	0,023	1	1,053263177	0,949430324	4,086956522
RAB35	3,35667E-06	0,074767321	0,312	0,055	0,070829145	1,053191163	0,949495244	5,672727273
ARID3A	0,007947097	0,074766701	0,094	0,016	1	1,05319071	0,949495652	5,875
RIMS2	0,004841742	0,074736776	0,031	0	1	1,053168864	0,949515347	#DIV/0!
EHD4	1,46747E-07	0,074727728	0,625	0,148	0,003096511	1,05316226	0,949521302	4,222972973
CDC20	0,004841742	0,074715715	0,031	0	1	1,05315349	0,949529208	#DIV/0!
STC1	0,133058992	0,074707403	0,094	0,035	1	1,053147423	0,949534679	2,685714286
GPR137	0,00010081	0,074654261	0,219	0,039	1	1,05310863	0,949569656	5,615384615
BAG6	7,067E-05	0,074587677	0,469	0,141	1	1,053060028	0,949613482	3,326241135

Supplementary Table 1

Differentially expressed genes_adjacent-skin-XL_comparing SC-Keloid vs. (SC-Myel, SC-Nonmyel)								
gene	p_val	avg_log2FC	pct.1	pct.2	p_val_adj	Foldchange_UP	Foldchange_DOWN	Ratio_pct1_pct2
SCO2	5,12603E-06	0,07458487	0,188	0,02	0,108164307	1,053057979	0,94961533	9,4
MROH6	0,002263143	0,074560146	0,062	0,004	1	1,053039932	0,949631604	15,5
RUNDC3B	0,082317662	0,074428382	0,031	0,004	1	1,052943761	0,949718339	7,75
LPCAT3	0,12647311	0,074411273	0,094	0,035	1	1,052931274	0,949729602	2,685714286
VPS26C	0,041443265	0,074377882	0,125	0,039	1	1,052906905	0,949751584	3,205128205
UBXN4	0,024661405	0,074360855	0,625	0,324	1	1,052894478	0,949762793	1,929012346
ENKD1	6,96709E-05	0,074269061	0,188	0,027	1	1,052827487	0,949823225	6,962962963
NPTXR	0,000524345	0,074200379	0,094	0,008	1	1,052777367	0,949868445	11,75
NUAK2	0,002594281	0,073973697	0,094	0,012	1	1,052611963	0,950017704	7,833333333
ADPRH	0,002263143	0,073952741	0,062	0,004	1	1,052596674	0,950031503	15,5
MCAT	9,06462E-07	0,07388259	0,125	0,004	0,019127258	1,052545493	0,950077699	31,25
PEX1	0,129733608	0,073789606	0,094	0,035	1	1,052477656	0,950138935	2,685714286
TLCD3A	1,51098E-05	0,073697702	0,125	0,008	0,318831333	1,052410612	0,950199464	15,625
EMC1	0,000881541	0,073658877	0,219	0,051	1	1,052382291	0,950225036	4,294117647
BCL2L12	0,000103236	0,073622846	0,156	0,02	1	1,052356008	0,950248768	7,8
GGPS1	0,007214939	0,073593337	0,156	0,039	1	1,052334484	0,950268204	4
WASHC5	0,000112833	0,073579304	0,125	0,012	1	1,052324248	0,950277448	10,41666667
TCF12	0,000172259	0,07350612	0,344	0,09	1	1,052270868	0,950325653	3,822222222
AP5S1	3,86379E-06	0,073490716	0,156	0,012	0,081529835	1,052259633	0,9503358	13
HES5	0,082317662	0,073457354	0,031	0,004	1	1,052235299	0,950357777	7,75
ZNF714	0,002263143	0,073440709	0,062	0,004	1	1,052223159	0,950368742	15,5
TUBGCP5	0,000103236	0,073381514	0,156	0,02	1	1,052179986	0,950407737	7,8
CWC27	0,001582806	0,073348325	0,219	0,055	1	1,052155781	0,950429602	3,981818182
MYO9B	0,002990404	0,073219252	0,531	0,211	1	1,052061653	0,950514637	2,516587678
NT5C3A	0,000862006	0,07314507	0,375	0,117	1	1,052007559	0,950563512	3,205128205
SVBP	0,178976513	0,073000807	0,156	0,078	1	1,051902368	0,950658569	2
TEP1	0,040857201	0,072870018	0,062	0,012	1	1,051807011	0,950744756	5,166666667
RNF121	0,000190919	0,072865636	0,188	0,031	1	1,051803816	0,950747644	6,064516129
MAP2K5	0,039090354	0,072841761	0,125	0,039	1	1,05178641	0,950763378	3,205128205
FREM1	6,3574E-05	0,072710725	0,062	0	1	1,051690884	0,950849737	#DIV/0!

Supplementary Table 1

Differentially expressed genes_adjacent-skin-XL_comparing SC-Keloid vs. (SC-Myel, SC-Nonmyel)								
gene	p_val	avg_log2FC	pct.1	pct.2	p_val_adj	Foldchange_UP	Foldchange_DOWN	Ratio_pct1_pct2
UNC79	0,082317662	0,07256341	0,031	0,004	1	1,051583499	0,950946835	7,75
GCFC2	0,000931266	0,072535737	0,219	0,051	1	1,051563329	0,950965075	4,294117647
CBL	0,01641551	0,072423629	0,25	0,094	1	1,051481618	0,951038975	2,659574468
CD79B	0,082317662	0,072182032	0,031	0,004	1	1,051305549	0,951198251	7,75
SMU1	0,007571116	0,072145619	0,312	0,113	1	1,051279015	0,951222259	2,761061947
C12orf76	5,63881E-05	0,072040868	0,344	0,082	1	1,051202686	0,951291328	4,195121951
RPGRIP1L	3,86379E-06	0,072032975	0,156	0,012	0,081529835	1,051196935	0,951296533	13
MRPL27	3,54056E-05	0,071889559	0,406	0,102	0,747094241	1,051092443	0,951391104	3,980392157
B3GNT5	0,000881541	0,071858119	0,219	0,051	1	1,051069537	0,951411838	4,294117647
CNOT6L	0,004569341	0,071833157	0,25	0,078	1	1,051051351	0,9514283	3,205128205
PTPRB	0,082317662	0,071687861	0,031	0,004	1	1,050945504	0,951524124	7,75
PSMB8	0,000342424	0,071598492	0,469	0,152	1	1,050880404	0,951583069	3,085526316
GPATCH2	5,85504E-05	0,071514999	0,375	0,094	1	1,050819588	0,951638141	3,989361702
AP4E1	3,67695E-07	0,071475232	0,156	0,008	0,007758733	1,050790624	0,951664373	19,5
HIBADH	9,43886E-07	0,071424193	0,25	0,031	0,019916948	1,05075345	0,951698041	8,064516129
ALDH1L2	0,000112833	0,07140308	0,125	0,012	1	1,050738072	0,951711969	10,41666667
PDE6D	0,000804279	0,071399872	0,25	0,062	1	1,050735736	0,951714085	4,032258065
CCDC28A	0,211308821	0,071316689	0,156	0,082	1	1,050675154	0,951768961	1,902439024
ASAH1	0,004580593	0,071315395	0,562	0,246	1	1,050674212	0,951769814	2,284552846
SP140L	0,007342225	0,071246945	0,156	0,039	1	1,050624363	0,951814973	4
L3MBTL3	0,177416998	0,071214656	0,094	0,039	1	1,050600849	0,951836276	2,41025641
TOR2A	1,51098E-05	0,071161057	0,125	0,008	0,318831333	1,050561818	0,951871639	15,625
UBE2Q1	0,01390071	0,071148305	0,188	0,059	1	1,050552532	0,951880053	3,186440678
EEA1	0,000610173	0,071120748	0,562	0,207	1	1,050532466	0,951898235	2,714975845
ZNF260	0,001896716	0,070920879	0,188	0,043	1	1,050386937	0,952030119	4,372093023
RAB11FIP3	0,029760483	0,070914776	0,156	0,051	1	1,050382493	0,952034146	3,058823529
RRP9	0,000487956	0,070856195	0,219	0,047	1	1,050339843	0,952072805	4,659574468
L3MBTL1	0,013891036	0,070794892	0,062	0,008	1	1,050295213	0,952113261	7,75
GALE	0,002263143	0,070692192	0,062	0,004	1	1,050220449	0,952181041	15,5
FBXO9	0,000452946	0,070684004	0,375	0,113	1	1,050214488	0,952186445	3,318584071

Supplementary Table 1

Differentially expressed genes_adjacent-skin-XL_ comparing SC-Keloid vs. (SC-Myel, SC-Nonmyel)								
gene	p_val	avg_log2FC	pct.1	pct.2	p_val_adj	Foldchange_UP	Foldchange_DOWN	Ratio_pct1_pct2
CRPPA	0,000494525	0,070626647	0,125	0,016	1	1,050172736	0,952224301	7,8125
COL2A1	0,082317662	0,070514376	0,031	0,004	1	1,050091015	0,952298407	7,75
DGKI	6,3574E-05	0,070485611	0,062	0	1	1,050070078	0,952317394	#DIV/0!
PPIG	0,015875905	0,070444376	0,531	0,254	1	1,050040065	0,952344613	2,090551181
TMED8	0,000112833	0,070240318	0,125	0,012	1	1,049891556	0,952479325	10,41666667
WDR77	0,000509339	0,070208374	0,125	0,016	1	1,049868309	0,952500415	7,8125
EGFL7	6,3574E-05	0,070183318	0,062	0	1	1,049850076	0,952516958	#DIV/0!
CRABP1	0,002594281	0,070141709	0,094	0,012	1	1,049819797	0,95254443	7,833333333
SLC46A1	6,3574E-05	0,07012926	0,062	0	1	1,049810738	0,952552649	#DIV/0!
LCMT1	4,0305E-06	0,070063581	0,219	0,027	0,085047498	1,049762947	0,952596015	8,111111111
ZFP37	0,00050526	0,070025094	0,094	0,008	1	1,049734942	0,952621428	11,75
GSDMB	0,655667102	0,069975342	0,031	0,02	1	1,049698742	0,95265428	1,55
FZD6	4,80439E-05	0,069790174	0,094	0,004	1	1,049564024	0,95277656	23,5
MMS19	9,17361E-07	0,069764238	0,188	0,016	0,019357231	1,049545155	0,952793689	11,75
ANKRD13D	8,70131E-06	0,069727582	0,344	0,07	0,183606386	1,049518489	0,952817897	4,914285714
CMIP	0,008971031	0,069724488	0,188	0,055	1	1,049516238	0,952819941	3,418181818
PCMT1	0,004326724	0,069721414	0,719	0,312	1	1,049514002	0,952821971	2,304487179
EIF4ENIF1	0,041848356	0,069704464	0,062	0,012	1	1,049501671	0,952833166	5,166666667
EMB	9,12354E-07	0,069687359	0,094	0	0,019251588	1,049489228	0,952844463	#DIV/0!
SLC5A6	9,06462E-07	0,069610833	0,125	0,004	0,019127258	1,049433561	0,952895007	31,25
IMPACT	6,94943E-07	0,069597745	0,281	0,039	0,014663999	1,04942404	0,952903652	7,205128205
DUSP23	0,000390562	0,069578442	0,344	0,098	1	1,049409999	0,952916401	3,510204082
WDTC1	4,02312E-05	0,069551675	0,219	0,035	0,848917917	1,049390529	0,952934082	6,257142857
OCLN	4,80439E-05	0,069504332	0,094	0,004	1	1,049356093	0,952965353	23,5
DNAH14	6,3574E-05	0,069434399	0,062	0	1	1,049305228	0,953011548	#DIV/0!
MRPL34	3,31291E-06	0,069377	0,438	0,098	0,069905783	1,049263482	0,953049465	4,469387755
PACS1	0,000118938	0,069369738	0,25	0,051	1	1,0492582	0,953054262	4,901960784
RIDA	0,002517564	0,06935818	0,094	0,012	1	1,049249794	0,953061898	7,833333333
LENG9	0,53887511	0,06932648	0,062	0,039	1	1,04922674	0,953082839	1,58974359
CCDC61	0,000524345	0,069163922	0,094	0,008	1	1,049108523	0,953190235	11,75

Supplementary Table 1

Differentially expressed genes_adjacent-skin-XL_comparing SC-Keloid vs. (SC-Myel, SC-Nonmyel)								
gene	p_val	avg_log2FC	pct.1	pct.2	p_val_adj	Foldchange_UP	Foldchange_DOWN	Ratio_pct1_pct2
FAM234A	4,90537E-05	0,06916208	0,469	0,133	1	1,049107183	0,953191453	3,526315789
AGPAT5	1,12327E-08	0,069160498	0,312	0,035	0,000237021	1,049106033	0,953192498	8,914285714
EIF2B1	6,71476E-05	0,069116989	0,344	0,082	1	1,049074394	0,953221245	4,195121951
MVK	0,059959447	0,069107877	0,094	0,027	1	1,049067768	0,953227265	3,481481481
RRM1	9,85458E-05	0,068989487	0,219	0,039	1	1,048981684	0,953305492	5,615384615
B3GNT8	0,002263143	0,068988504	0,062	0,004	1	1,048980969	0,953306142	15,5
CALM3	0,005935912	0,06897016	0,469	0,195	1	1,048967631	0,953318263	2,405128205
TBC1D5	0,000202883	0,068828083	0,375	0,105	1	1,048864333	0,953412151	3,571428571
RNF19B	0,001968597	0,068702634	0,156	0,031	1	1,048773134	0,953495058	5,032258065
RAD1	0,001560165	0,068669316	0,125	0,02	1	1,048748914	0,953517078	6,25
FAP	6,3574E-05	0,068605064	0,062	0	1	1,048702207	0,953559546	#DIV/0!
STARD4	4,80439E-05	0,068598415	0,094	0,004	1	1,048697374	0,95356394	23,5
VRK1	0,004087528	0,068524129	0,125	0,023	1	1,048643377	0,953613042	5,434782609
IDE	0,001600673	0,068524036	0,125	0,02	1	1,04864331	0,953613103	6,25
MARS1	2,08038E-05	0,068478158	0,188	0,023	0,438980454	1,048609963	0,953643429	8,173913043
MFAP3	0,040857201	0,068475278	0,062	0,012	1	1,048607869	0,953645332	5,166666667
SERPINB1	0,000634905	0,068468501	0,281	0,074	1	1,048602944	0,953649812	3,797297297
CLCN3	0,001284108	0,068448091	0,344	0,109	1	1,048588109	0,953663303	3,155963303
TAF6L	0,000524345	0,068173021	0,094	0,008	1	1,0483882	0,95384515	11,75
RPF2	0,000174506	0,068160596	0,375	0,102	1	1,048379171	0,953853365	3,676470588
UBE2J2	0,00052751	0,068149416	0,375	0,113	1	1,048371047	0,953860757	3,318584071
GMDS	0,002594281	0,068104665	0,094	0,012	1	1,048338528	0,953890345	7,833333333
RNF14	6,60944E-05	0,068092568	0,188	0,027	1	1,048329737	0,953898344	6,962962963
ABHD15	0,007947097	0,06800476	0,094	0,016	1	1,048265934	0,953956403	5,875
AL137026.1	0,002594281	0,067959592	0,094	0,012	1	1,048233116	0,95398627	7,833333333
USP31	0,008148126	0,067959463	0,094	0,016	1	1,048233022	0,953986356	5,875
ABCF2	0,00010081	0,0678413	0,219	0,039	1	1,048147171	0,954064494	5,615384615
SPNS1	1,48343E-05	0,067684603	0,281	0,051	0,313018834	1,048033333	0,954168125	5,509803922
ASMTL	0,000390872	0,067574449	0,281	0,07	1	1,047953316	0,954240981	4,014285714
ZNF384	1,41516E-05	0,067489375	0,219	0,031	0,298613258	1,047891521	0,954297253	7,064516129

Supplementary Table 1

Differentially expressed genes_adjacent-skin-XL_comparing SC-Keloid vs. (SC-Myel, SC-Nonmyel)								
gene	p_val	avg_log2FC	pct.1	pct.2	p_val_adj	Foldchange_UP	Foldchange_DOWN	Ratio_pct1_pct2
BCO2	0,082317662	0,067467802	0,031	0,004	1	1,047875852	0,954311523	7,75
MARCHF9	0,000818029	0,067393042	0,25	0,062	1	1,047821552	0,954360976	4,032258065
BGLAP	9,12354E-07	0,067291141	0,094	0	0,019251588	1,047747545	0,954428387	#DIV/0!
SZRD1	0,000266861	0,067253391	0,5	0,16	1	1,04772013	0,954453362	3,125
RAB6C	0,002263143	0,067131109	0,062	0,004	1	1,047631329	0,954534264	15,5
PTHLH	0,00050526	0,067096974	0,094	0,008	1	1,047606542	0,95455685	11,75
CCT2	0,003509282	0,067009636	0,656	0,277	1	1,047543124	0,954614638	2,368231047
AHCYL2	0,001560165	0,066992871	0,125	0,02	1	1,047530951	0,954625731	6,25
LINC00167	0,082317662	0,066983982	0,031	0,004	1	1,047524497	0,954631613	7,75
UBXN1	0,038714022	0,066969453	0,625	0,316	1	1,047513947	0,954641227	1,977848101
LYSMD1	4,80439E-05	0,066943572	0,094	0,004	1	1,047495156	0,954658353	23,5
CPNE1	0,001013249	0,06692401	0,5	0,18	1	1,047480952	0,954671298	2,777777778
AIDA	0,025898836	0,066865089	0,281	0,117	1	1,047438173	0,954710288	2,401709402
DIPK1A	0,082317662	0,066827166	0,031	0,004	1	1,047410641	0,954735384	7,75
AP1G2	0,002263143	0,066804126	0,062	0,004	1	1,047393913	0,954750632	15,5
KRT6A	0,018436147	0,066752597	0,094	0,02	1	1,047356504	0,954784733	4,7
KLF11	0,000881541	0,066729475	0,219	0,051	1	1,047339718	0,954800035	4,294117647
HOXB6	9,12354E-07	0,066676114	0,094	0	0,019251588	1,047300981	0,954835351	#DIV/0!
ACAD8	0,000339359	0,066670202	0,156	0,023	1	1,047296689	0,954839264	6,782608696
RAC3	3,67695E-07	0,066646528	0,156	0,008	0,007758733	1,047279503	0,954854933	19,5
CCDC92	0,000412046	0,066620571	0,25	0,059	1	1,047260661	0,954872112	4,237288136
PROCR	9,12354E-07	0,06660197	0,094	0	0,019251588	1,047247159	0,954884424	#DIV/0!
MFAP1	0,003191522	0,066500018	0,188	0,047	1	1,047173155	0,954951906	4
EIF3B	5,27955E-05	0,066495756	0,469	0,133	1	1,047170061	0,954954727	3,526315789
XKR8	6,3574E-05	0,06642765	0,062	0	1	1,047120628	0,954999809	#DIV/0!
LKAAEAR1	6,3574E-05	0,066422091	0,062	0	1	1,047116594	0,955003489	#DIV/0!
DHRS1	0,013145712	0,066384107	0,188	0,059	1	1,047089025	0,955028633	3,186440678
ZNF577	5,12603E-06	0,066291032	0,188	0,02	0,108164307	1,047021474	0,955090248	9,4
KIF11	0,002263143	0,066272423	0,062	0,004	1	1,047007969	0,955102568	15,5
LRRC20	1,51098E-05	0,066190611	0,125	0,008	0,318831333	1,046948597	0,955156731	15,625

Supplementary Table 1

Differentially expressed genes_adjacent-skin-XL_comparing SC-Keloid vs. (SC-Myel, SC-Nonmyel)								
gene	p_val	avg_log2FC	pct.1	pct.2	p_val_adj	Foldchange_UP	Foldchange_DOWN	Ratio_pct1_pct2
CNOT11	0,000509339	0,06609672	0,125	0,016	1	1,046880464	0,955218895	7,8125
LINC00839	9,06462E-07	0,066032404	0,125	0,004	0,019127258	1,046833794	0,95526148	31,25
CPE	0,210023432	0,066026129	0,062	0,023	1	1,046829241	0,955265635	2,695652174
POU5F2	0,082317662	0,06597914	0,031	0,004	1	1,046795146	0,955296749	7,75
C5orf63	6,3574E-05	0,065925372	0,062	0	1	1,046756134	0,955332353	#DIV/0!
PLAGL1	0,002594281	0,065824889	0,094	0,012	1	1,04668323	0,955398893	7,833333333
RPUSD1	2,40115E-05	0,06581748	0,156	0,016	0,506667402	1,046677855	0,9554038	9,75
STRAP	0,024641865	0,065607803	0,562	0,277	1	1,046525745	0,955542666	2,028880866
MMP1	0,013891036	0,06560159	0,062	0,008	1	1,046521238	0,95554678	7,75
ACP6	0,000103236	0,065576501	0,156	0,02	1	1,046503039	0,955563398	7,8
ACACA	0,002053304	0,065509995	0,156	0,031	1	1,046454798	0,955607449	5,032258065
FICD	0,001642148	0,065436818	0,125	0,02	1	1,04640172	0,955655921	6,25
TMEM154	0,002263143	0,065420396	0,062	0,004	1	1,04638981	0,955666799	15,5
IWS1	0,000931266	0,065386423	0,219	0,051	1	1,046365169	0,955689304	4,294117647
ZNF195	0,000103236	0,065285703	0,156	0,02	1	1,046292121	0,955756026	7,8
DMXL2	0,00399666	0,065197473	0,125	0,023	1	1,046228136	0,955814479	5,434782609
NSUN2	0,000237136	0,065165148	0,219	0,043	1	1,046204694	0,955835895	5,093023256
GRK6	4,123E-05	0,065125819	0,219	0,035	0,869994633	1,046176174	0,955861952	6,257142857
KRT77	0,082317662	0,065059146	0,031	0,004	1	1,046127827	0,955906127	7,75
HYKK	0,008148126	0,064994349	0,094	0,016	1	1,046080842	0,955949062	5,875
SHKBP1	5,05415E-06	0,064991084	0,281	0,047	0,106647708	1,046078475	0,955951225	5,978723404
AGRN	0,000257484	0,064928935	0,594	0,211	1	1,046033413	0,955992407	2,815165877
CHUK	0,00097389	0,06481087	0,188	0,039	1	1,045947813	0,956070645	4,820512821
CASP6	0,002594281	0,064769811	0,094	0,012	1	1,045918045	0,956097856	7,833333333
FZD1	0,084624339	0,064764845	0,062	0,016	1	1,045914445	0,956101146	3,875
ZNF44	0,002594281	0,064730223	0,094	0,012	1	1,045889345	0,956124092	7,833333333
ZNF350	0,000524345	0,06469612	0,094	0,008	1	1,045864622	0,956146693	11,75
ASB7	0,061916284	0,064619463	0,094	0,027	1	1,045809052	0,956197499	3,481481481
B4GALT3	0,000252542	0,064617365	0,219	0,043	1	1,045807532	0,956198889	5,093023256
ZMYND10	0,082317662	0,064376554	0,031	0,004	1	1,045632982	0,956358509	7,75

Supplementary Table 1

Differentially expressed genes_adjacent-skin-XL_comparing SC-Keloid vs. (SC-Myel, SC-Nonmyel)								
gene	p_val	avg_log2FC	pct.1	pct.2	p_val_adj	Foldchange_UP	Foldchange_DOWN	Ratio_pct1_pct2
AP3B1	4,24942E-06	0,064372342	0,344	0,066	0,089667107	1,04562993	0,956361301	5,212121212
TIAL1	0,007349966	0,064289168	0,469	0,195	1	1,045569649	0,956416439	2,405128205
SLC2A11	0,00399666	0,064196379	0,125	0,023	1	1,045502404	0,956477954	5,434782609
AACS	0,086278754	0,063944878	0,062	0,016	1	1,04532016	0,956644708	3,875
VEGFC	6,3574E-05	0,063886901	0,062	0	1	1,045278153	0,956683154	#DIV/0!
ZNF581	0,00010081	0,063852321	0,219	0,039	1	1,045253099	0,956706085	5,615384615
DDI2	0,041443265	0,063784514	0,125	0,039	1	1,045203973	0,956751051	3,205128205
B4GALNT3	1,11477E-07	0,063776781	0,188	0,012	0,002352284	1,045198371	0,95675618	15,66666667
ANKRD40	0,000124121	0,063640943	0,531	0,168	1	1,045099964	0,956846267	3,160714286
BTD	0,001666138	0,0635519	0,219	0,055	1	1,045035462	0,956905326	3,981818182
GTF2IRD2	0,142206469	0,063526599	0,125	0,055	1	1,045017136	0,956922108	2,272727273
MNAT1	0,000117065	0,063378667	0,312	0,074	1	1,044909986	0,957020234	4,216216216
MRPS18B	0,095443971	0,063327331	0,219	0,105	1	1,044872806	0,957054289	2,085714286
PRKRIP1	0,00950559	0,063291407	0,219	0,07	1	1,044846788	0,95707812	3,128571429
NUDC	0,005706333	0,063280148	0,594	0,266	1	1,044838634	0,95708559	2,233082707
ABR	1,47837E-05	0,063270936	0,312	0,062	0,311950941	1,044831962	0,957091701	5,032258065
EXTL1	0,060931358	0,06315322	0,094	0,027	1	1,044746714	0,957169797	3,481481481
TBC1D23	0,023239872	0,063144616	0,25	0,098	1	1,044740482	0,957175506	2,551020408
APOBEC3F	0,002594281	0,063123751	0,094	0,012	1	1,044725373	0,957189349	7,833333333
ALK	0,226351275	0,063007993	0,031	0,008	1	1,04464155	0,957266155	3,875
UFSP2	2,82528E-05	0,062978546	0,562	0,16	0,596163152	1,044620228	0,957285694	3,5125
NDUFV2	0,000327108	0,062937876	0,594	0,211	1	1,04459078	0,95731268	2,815165877
MYD88	4,80439E-05	0,062924503	0,094	0,004	1	1,044581098	0,957321554	23,5
GEMIN2	7,15271E-05	0,062880594	0,188	0,027	1	1,044549306	0,957350691	6,962962963
BCL10	0,000408355	0,062837465	0,344	0,098	1	1,04451808	0,957379311	3,510204082
AC022182.1	0,004841742	0,062737938	0,031	0	1	1,044446025	0,95744536	#DIV/0!
CABLES1	0,004841742	0,062737938	0,031	0	1	1,044446025	0,95744536	#DIV/0!
CDH4	0,004841742	0,062737938	0,031	0	1	1,044446025	0,95744536	#DIV/0!
GABRR2	0,004841742	0,062737938	0,031	0	1	1,044446025	0,95744536	#DIV/0!
GASK1A	0,004841742	0,062737938	0,031	0	1	1,044446025	0,95744536	#DIV/0!

Supplementary Table 1

Differentially expressed genes_adjacent-skin-XL_comparing SC-Keloid vs. (SC-Myel, SC-Nonmyel)								
gene	p_val	avg_log2FC	pct.1	pct.2	p_val_adj	Foldchange_UP	Foldchange_DOWN	Ratio_pct1_pct2
KCTD14	0,004841742	0,062737938	0,031	0	1	1,044446025	0,95744536	#DIV/0!
LINC00240	0,004841742	0,062737938	0,031	0	1	1,044446025	0,95744536	#DIV/0!
SHISA3	0,004841742	0,062737938	0,031	0	1	1,044446025	0,95744536	#DIV/0!
ACAA1	6,599E-05	0,062704123	0,344	0,082	1	1,044421544	0,957467802	4,195121951
ZNF493	0,02693544	0,062605901	0,125	0,035	1	1,04435044	0,95753299	3,571428571
TTC3	0,000329944	0,062495723	0,781	0,293	1	1,044270686	0,95760612	2,66552901
MTCL1	6,3574E-05	0,06246842	0,062	0	1	1,044250924	0,957624242	#DIV/0!
DGKE	0,662254058	0,062461724	0,031	0,02	1	1,044246078	0,957628687	1,55
TMEM249	0,082317662	0,062404204	0,031	0,004	1	1,044204444	0,957666868	7,75
OSBPL7	0,226917872	0,062344547	0,094	0,043	1	1,044161266	0,95770647	2,186046512
ARCN1	1,79207E-05	0,062193773	0,438	0,109	0,37814398	1,044052148	0,957806563	4,018348624
SLC25A44	0,886800848	0,0621274	0,031	0,027	1	1,044004116	0,95785063	1,148148148
L1TD1	0,079594089	0,062122434	0,031	0,004	1	1,044000522	0,957853927	7,75
INSIG1	0,00041116	0,062085911	0,281	0,07	1	1,043974093	0,957878176	4,014285714
SLC22A18	3,33107E-06	0,062066501	0,25	0,035	0,070289013	1,043960047	0,957891064	7,142857143
ST3GAL6	0,003034006	0,062032908	0,312	0,105	1	1,043935739	0,957913368	2,971428571
DPH5	0,000100263	0,061998175	0,156	0,02	1	1,043910607	0,95793643	7,8
KLHL5	0,285925963	0,061996162	0,094	0,047	1	1,04390915	0,957937767	2
EEF2KMT	0,001600673	0,061959757	0,125	0,02	1	1,043882809	0,957961939	6,25
SNX11	0,215833268	0,061936957	0,062	0,023	1	1,043866311	0,957977079	2,695652174
S100A3	0,000509339	0,061912537	0,125	0,016	1	1,043848642	0,957993295	7,8125
NUDT19	0,002594281	0,061894078	0,094	0,012	1	1,043835286	0,958005552	7,833333333
RAB24	0,042049888	0,061785025	0,125	0,039	1	1,043756387	0,95807797	3,205128205
SMYD3	0,004107327	0,061759761	0,156	0,035	1	1,043738109	0,958094748	4,457142857
PPHLN1	0,000408355	0,061732146	0,344	0,098	1	1,04371813	0,958113087	3,510204082
TMBIM6	0,127999557	0,061714793	0,875	0,543	1	1,043705576	0,958124612	1,611418048
NDFIP2	3,73485E-05	0,061650478	0,438	0,117	0,788091641	1,04365905	0,958167325	3,743589744
MCC	5,12603E-06	0,061587288	0,188	0,02	0,108164307	1,043613338	0,958209294	9,4
NAA40	0,013891036	0,061504046	0,062	0,008	1	1,043553124	0,958264583	7,75
SHISAL1	6,3574E-05	0,061445571	0,062	0	1	1,043510828	0,958303424	#DIV/0!

Supplementary Table 1

Differentially expressed genes_adjacent-skin-XL_ comparing SC-Keloid vs. (SC-Myel, SC-Nonmyel)								
gene	p_val	avg_log2FC	pct.1	pct.2	p_val_adj	Foldchange_UP	Foldchange_DOWN	Ratio_pct1_pct2
ARNTL	0,00844871	0,061396305	0,188	0,055	1	1,043475194	0,95833615	3,418181818
ISOC2	0,000851711	0,061327711	0,375	0,121	1	1,043425583	0,958381715	3,099173554
MAP3K7CL	0,084624339	0,061324342	0,062	0,016	1	1,043423146	0,958383954	3,875
PARP11	0,084624339	0,061308814	0,062	0,016	1	1,043411916	0,958394269	3,875
SGTA	0,00862775	0,061213664	0,25	0,086	1	1,043343102	0,95845748	2,906976744
DALRD3	0,004267025	0,061203831	0,156	0,035	1	1,043335991	0,958464012	4,457142857
KLHL11	0,013891036	0,0611933	0,062	0,008	1	1,043328375	0,958471009	7,75
MOAP1	0,003518189	0,061154693	0,25	0,074	1	1,043300456	0,958496658	3,378378378
TESK2	0,145431	0,061148153	0,062	0,02	1	1,043295726	0,958501003	3,1
AP1S3	0,004841742	0,061138222	0,031	0	1	1,043288544	0,958507601	#DIV/0!
CDC25A	0,004841742	0,061138222	0,031	0	1	1,043288544	0,958507601	#DIV/0!
CDC6	0,004841742	0,061138222	0,031	0	1	1,043288544	0,958507601	#DIV/0!
KCNH1	0,004841742	0,061138222	0,031	0	1	1,043288544	0,958507601	#DIV/0!
LINC00028	0,004841742	0,061138222	0,031	0	1	1,043288544	0,958507601	#DIV/0!
LINC01561	0,004841742	0,061138222	0,031	0	1	1,043288544	0,958507601	#DIV/0!
LRRC56	0,004841742	0,061138222	0,031	0	1	1,043288544	0,958507601	#DIV/0!
NRIP3	0,004841742	0,061138222	0,031	0	1	1,043288544	0,958507601	#DIV/0!
POLQ	0,004841742	0,061138222	0,031	0	1	1,043288544	0,958507601	#DIV/0!
TMEM171	0,004841742	0,061138222	0,031	0	1	1,043288544	0,958507601	#DIV/0!
ZNF730	0,004841742	0,061138222	0,031	0	1	1,043288544	0,958507601	#DIV/0!
PALB2	0,002263143	0,061137636	0,062	0,004	1	1,043288121	0,95850799	15,5
SYNGR1	0,000113517	0,061133327	0,562	0,18	1	1,043285005	0,958510853	3,122222222
SPC24	6,3574E-05	0,061114705	0,062	0	1	1,043271538	0,958523225	#DIV/0!
EIF2S1	0,001211009	0,061094379	0,312	0,094	1	1,04325684	0,95853673	3,319148936
TTC12	0,013891036	0,061046264	0,062	0,008	1	1,043222047	0,958568699	7,75
STN1	0,000524345	0,061037431	0,094	0,008	1	1,043215659	0,958574568	11,75
ZNF35	0,082317662	0,060955854	0,031	0,004	1	1,043156673	0,958628772	7,75
BNIP2	0,001210407	0,060954397	0,438	0,152	1	1,043155619	0,95862974	2,881578947
PGPEP1	0,004029529	0,060918538	0,156	0,035	1	1,043129691	0,958653567	4,457142857
CDCA2	0,002263143	0,060829829	0,062	0,004	1	1,043065553	0,958712515	15,5

Supplementary Table 1

Differentially expressed genes_adjacent-skin-XL_comparing SC-Keloid vs. (SC-Myel, SC-Nonmyel)								
gene	p_val	avg_log2FC	pct.1	pct.2	p_val_adj	Foldchange_UP	Foldchange_DOWN	Ratio_pct1_pct2
ZBTB41	0,004760864	0,060781738	0,25	0,078	1	1,043030784	0,958744474	3,205128205
ANKRD39	2,0222E-06	0,060762371	0,281	0,043	0,042670449	1,043016782	0,958757344	6,534883721
GPR89A	2,1417E-05	0,06064783	0,188	0,023	0,451919526	1,042933976	0,958833467	8,173913043
ZNF480	0,000524345	0,060534611	0,094	0,008	1	1,042852133	0,958908716	11,75
SPOP	0,000198951	0,06052186	0,406	0,117	1	1,042842916	0,958917192	3,47008547
GSDME	0,013891036	0,060483107	0,062	0,008	1	1,042814904	0,95894295	7,75
FBXO4	0,040844069	0,060451168	0,125	0,039	1	1,042791818	0,95896418	3,205128205
COMP	0,226351275	0,060440531	0,031	0,008	1	1,04278413	0,95897125	3,875
PLRG1	0,00023142	0,060394276	0,281	0,066	1	1,042750696	0,959001997	4,257575758
PCDHGB6	0,002442928	0,060367215	0,094	0,012	1	1,042731138	0,959019985	7,833333333
BRCA2	0,002263143	0,060233227	0,062	0,004	1	1,0426343	0,959109057	15,5
CENPE	0,013891036	0,060227346	0,062	0,008	1	1,04263005	0,959112966	7,75
TMEM18	0,023239872	0,060221767	0,25	0,098	1	1,042626018	0,959116676	2,551020408
AFAP1	0,041554521	0,060182386	0,156	0,055	1	1,042597558	0,959142856	2,836363636
CSNK1G1	0,001968597	0,060156532	0,156	0,031	1	1,042578874	0,959160045	5,032258065
SLC25A26	3,2432E-06	0,060145205	0,25	0,035	0,068434669	1,042570689	0,959167575	7,142857143
LTK	0,040857201	0,0601251	0,062	0,012	1	1,042556159	0,959180943	5,166666667
NSUN5	1,53257E-05	0,060114336	0,219	0,031	0,323387973	1,042548381	0,959188099	7,064516129
ATP6V1B1	6,3574E-05	0,060090646	0,062	0	1	1,042531262	0,95920385	#DIV/0!
LIPT2	6,3574E-05	0,060090646	0,062	0	1	1,042531262	0,95920385	#DIV/0!
MAX	0,025944296	0,060083412	0,375	0,168	1	1,042526035	0,959208659	2,232142857
HJURP	0,004841742	0,060078925	0,031	0	1	1,042522792	0,959211643	#DIV/0!
RACGAP1	0,004841742	0,060078925	0,031	0	1	1,042522792	0,959211643	#DIV/0!
TROAP	0,004841742	0,060078925	0,031	0	1	1,042522792	0,959211643	#DIV/0!
DAP	0,000135123	0,059984291	0,594	0,203	1	1,04245441	0,959274564	2,926108374
PCYOX1	0,000669326	0,059883439	0,344	0,102	1	1,042381539	0,959341625	3,37254902
CAMKK1	0,002263143	0,05983702	0,062	0,004	1	1,042348001	0,959372492	15,5
ACOX3	0,013891036	0,059825873	0,062	0,008	1	1,042339947	0,959379905	7,75
CREBBP	0,075628693	0,05980219	0,281	0,137	1	1,042322837	0,959395654	2,051094891
CDHR3	0,177883766	0,059761739	0,125	0,059	1	1,042293612	0,959422555	2,118644068

Supplementary Table 1

Differentially expressed genes_adjacent-skin-XL_comparing SC-Keloid vs. (SC-Myel, SC-Nonmyel)								
gene	p_val	avg_log2FC	pct.1	pct.2	p_val_adj	Foldchange_UP	Foldchange_DOWN	Ratio_pct1_pct2
UCHL1	0,004507068	0,059731917	0,25	0,078	1	1,042272067	0,959442387	3,205128205
ZSCAN2	9,12354E-07	0,059727462	0,094	0	0,019251588	1,042268848	0,95944535	#DIV/0!
MGAT2	2,11157E-07	0,059677474	0,219	0,02	0,00445563	1,042232736	0,959478594	10,95
CCDC189	4,80439E-05	0,059657099	0,094	0,004	1	1,042218016	0,959492145	23,5
BFAR	0,000967853	0,059611786	0,344	0,105	1	1,042185282	0,959522282	3,276190476
TRIM16	0,000339359	0,059596654	0,156	0,023	1	1,042174351	0,959532346	6,782608696
AC009506.1	0,000524345	0,059568273	0,094	0,008	1	1,042153849	0,959551222	11,75
TNFAIP1	0,000103124	0,059514747	0,219	0,039	1	1,042115185	0,959586824	5,615384615
CILK1	0,000103124	0,059470621	0,219	0,039	1	1,042083311	0,959616174	5,615384615
CEP57	0,000466383	0,059418175	0,344	0,098	1	1,042045429	0,959651059	3,510204082
TSR1	0,000486986	0,059365543	0,188	0,035	1	1,042007414	0,95968607	5,371428571
HCG11	0,059959447	0,059357059	0,094	0,027	1	1,042001286	0,959691713	3,481481481
NEMF	0,001081512	0,059345988	0,312	0,094	1	1,04199329	0,959699078	3,319148936
KRBOX1	0,002594281	0,059279442	0,094	0,012	1	1,041945228	0,959743346	7,833333333
PRR14L	2,1417E-05	0,059257507	0,188	0,023	0,451919526	1,041929387	0,959757938	8,173913043
CPNE8	0,057775912	0,059215776	0,125	0,043	1	1,041899248	0,959785701	2,906976744
KRT80	6,3574E-05	0,059152451	0,062	0	1	1,041853517	0,95982783	#DIV/0!
FKBP15	0,000509339	0,059121195	0,125	0,016	1	1,041830945	0,959848625	7,8125
GTPBP6	0,000113241	0,059110714	0,438	0,125	1	1,041823377	0,959855598	3,504
TRAF2	0,004107327	0,059046775	0,156	0,035	1	1,041777205	0,959898139	4,457142857
LSM5	0,002529014	0,058834204	0,406	0,148	1	1,041623718	0,960039583	2,743243243
CSRNP3	0,002168448	0,058814111	0,062	0,004	1	1,041609211	0,960052954	15,5
EIF2S3	2,2573E-05	0,058746343	0,625	0,195	0,476312484	1,041560284	0,960098052	3,205128205
MRPL1	0,001637922	0,058578021	0,219	0,055	1	1,04143877	0,960210075	3,981818182
RILPL1	0,001555893	0,05848588	0,219	0,055	1	1,041372259	0,960271403	3,981818182
DARS1	0,01976798	0,058437201	0,219	0,078	1	1,041337122	0,960303805	2,807692308
IFI6	0,0012511	0,05835059	0,719	0,305	1	1,041274608	0,960361458	2,357377049
EDN2	0,004841742	0,058329758	0,031	0	1	1,041259572	0,960375325	#DIV/0!
SRGAP2-AS1	0,004841742	0,058329758	0,031	0	1	1,041259572	0,960375325	#DIV/0!
LRCH4	0,089433293	0,058328283	0,094	0,031	1	1,041258507	0,960376307	3,032258065

Supplementary Table 1

Differentially expressed genes_adjacent-skin-XL_comparing SC-Keloid vs. (SC-Myel, SC-Nonmyel)								
gene	p_val	avg_log2FC	pct.1	pct.2	p_val_adj	Foldchange_UP	Foldchange_DOWN	Ratio_pct1_pct2
LETM2	0,004841742	0,058134176	0,031	0	1	1,041118421	0,960505529	#DIV/0!
NRG2	0,004841742	0,058134176	0,031	0	1	1,041118421	0,960505529	#DIV/0!
OAZ3	0,004841742	0,058134176	0,031	0	1	1,041118421	0,960505529	#DIV/0!
RIN3	0,004841742	0,058134176	0,031	0	1	1,041118421	0,960505529	#DIV/0!
GRIPAP1	0,000537931	0,05812826	0,219	0,047	1	1,041114152	0,960509468	4,659574468
TCP10L	0,002263143	0,058064566	0,062	0,004	1	1,041068188	0,960551875	15,5
CENATAC	0,022031631	0,058042734	0,25	0,098	1	1,041052434	0,960566411	2,551020408
ZC3HAV1L	0,013891036	0,057915908	0,062	0,008	1	1,04096092	0,960650857	7,75
ADCK1	9,12354E-07	0,057884458	0,094	0	0,019251588	1,040938228	0,960671799	#DIV/0!
FUNDC1	0,019236133	0,05771312	0,094	0,02	1	1,040814611	0,960785897	4,7
TPRA1	0,003191522	0,057696601	0,188	0,047	1	1,040802694	0,960796899	4
NCK1	0,001177356	0,05767649	0,312	0,094	1	1,040788185	0,960810292	3,319148936
RFWD3	0,000494525	0,057522753	0,125	0,016	1	1,040677282	0,960912684	7,8125
RNF144B	0,380266129	0,057472266	0,031	0,012	1	1,040640864	0,960946311	2,583333333
ZNF658	6,3574E-05	0,057424925	0,062	0	1	1,040606717	0,960977844	#DIV/0!
KRT8	0,082317662	0,057403086	0,031	0,004	1	1,040590965	0,960992392	7,75
TMA16	4,32987E-05	0,057346863	0,219	0,035	0,913646714	1,040550413	0,961029843	6,257142857
RNF170	0,008780679	0,057280975	0,125	0,027	1	1,040502892	0,961073734	4,62962963
ZNF689	4,80439E-05	0,057007297	0,094	0,004	1	1,040305528	0,961256067	23,5
PITPNC1	0,000509339	0,056849224	0,125	0,016	1	1,04019155	0,961361395	7,8125
MAMDC4	0,002263143	0,056826218	0,062	0,004	1	1,040174963	0,961376726	15,5
ABCB6	0,040857201	0,056825331	0,062	0,012	1	1,040174324	0,961377317	5,166666667
DEXI	7,04762E-05	0,056815157	0,312	0,07	1	1,040166988	0,961384096	4,457142857
SAC3D1	0,000112833	0,056756793	0,125	0,012	1	1,040124909	0,96142299	10,41666667
POLD1	0,013891036	0,056706981	0,062	0,008	1	1,040088998	0,961456185	7,75
KLHL2	0,004087481	0,056694826	0,125	0,023	1	1,040080234	0,961464286	5,434782609
SASS6	0,004029529	0,056602159	0,156	0,035	1	1,04001343	0,961526045	4,457142857
ACTR3	0,005699711	0,056589748	0,531	0,223	1	1,040004484	0,961534316	2,381165919
TFCP2	0,278079807	0,05648718	0,094	0,047	1	1,039930548	0,961602679	2
CHAF1A	3,67695E-07	0,056422218	0,156	0,008	0,007758733	1,039883723	0,961645979	19,5

Supplementary Table 1

Differentially expressed genes_adjacent-skin-XL_comparing SC-Keloid vs. (SC-Myel, SC-Nonmyel)								
gene	p_val	avg_log2FC	pct.1	pct.2	p_val_adj	Foldchange_UP	Foldchange_DOWN	Ratio_pct1_pct2
IL32	0,000322156	0,056361261	0,156	0,023	1	1,039839785	0,961686612	6,782608696
TMEM11	0,000126424	0,056341647	0,25	0,051	1	1,039825649	0,961699686	4,901960784
UTP15	0,000524345	0,056331341	0,094	0,008	1	1,03981822	0,961706556	11,75
ZNF781	0,000494525	0,056315185	0,125	0,016	1	1,039806576	0,961717326	7,8125
PGAP2	0,000509339	0,05630413	0,125	0,016	1	1,039798609	0,961724695	7,8125
ETFB	0,006569644	0,056251614	0,406	0,16	1	1,039760759	0,961759704	2,5375
OSTF1	0,001267483	0,056223697	0,531	0,191	1	1,039740639	0,961778315	2,780104712
GEN1	0,000112833	0,05618019	0,125	0,012	1	1,039709285	0,961807319	10,41666667
TMEM138	0,000509339	0,056151119	0,125	0,016	1	1,039688335	0,9618267	7,8125
PIGB	0,002594281	0,056140658	0,094	0,012	1	1,039680795	0,961833675	7,833333333
CDCA4	0,013891036	0,056116247	0,062	0,008	1	1,039663204	0,961849949	7,75
THAP1	9,17361E-07	0,056109086	0,188	0,016	0,019357231	1,039658044	0,961854723	11,75
THRAP3	2,5478E-05	0,056053079	0,562	0,164	0,537612072	1,039617684	0,961892064	3,426829268
AMT	0,147778936	0,056007027	0,062	0,02	1	1,039584499	0,961922769	3,1
PCGF5	0,255362483	0,055921677	0,281	0,176	1	1,039522999	0,961979679	1,596590909
PTK6	0,082317662	0,055884154	0,031	0,004	1	1,039495962	0,962004699	7,75
SLC2A4RG	1,96669E-05	0,055858202	0,531	0,148	0,414992103	1,039477263	0,962022004	3,587837838
METTL16	0,020463101	0,055842699	0,156	0,047	1	1,039466093	0,962032342	3,319148936
WDR91	0,145431	0,055810735	0,062	0,02	1	1,039443063	0,962053657	3,1
RABGGTA	0,001968597	0,055718533	0,156	0,031	1	1,039376635	0,962115143	5,032258065
RAD51AP1	1,51098E-05	0,055579483	0,125	0,008	0,318831333	1,039276463	0,962207878	15,625
BATF3	0,002594281	0,055549084	0,094	0,012	1	1,039254564	0,962228153	7,833333333
SLC37A1	0,000524345	0,05552371	0,094	0,008	1	1,039236286	0,962245077	11,75
AGBL2	0,004841742	0,055500237	0,031	0	1	1,039219378	0,962260733	#DIV/0!
AJM1	0,004841742	0,055500237	0,031	0	1	1,039219378	0,962260733	#DIV/0!
ATP13A4	0,004841742	0,055500237	0,031	0	1	1,039219378	0,962260733	#DIV/0!
COL5A1-AS1	0,004841742	0,055500237	0,031	0	1	1,039219378	0,962260733	#DIV/0!
DCTN1-AS1	0,004841742	0,055500237	0,031	0	1	1,039219378	0,962260733	#DIV/0!
LINC00393	0,004841742	0,055500237	0,031	0	1	1,039219378	0,962260733	#DIV/0!
LRRC46	0,004841742	0,055500237	0,031	0	1	1,039219378	0,962260733	#DIV/0!

Supplementary Table 1

Differentially expressed genes_adjacent-skin-XL_comparing SC-Keloid vs. (SC-Myel, SC-Nonmyel)								
gene	p_val	avg_log2FC	pct.1	pct.2	p_val_adj	Foldchange_UP	Foldchange_DOWN	Ratio_pct1_pct2
MC5R	0,004841742	0,055500237	0,031	0	1	1,039219378	0,962260733	#DIV/0!
MGAT5B	0,004841742	0,055500237	0,031	0	1	1,039219378	0,962260733	#DIV/0!
PCDHGA11	0,004841742	0,055500237	0,031	0	1	1,039219378	0,962260733	#DIV/0!
RLBP1	0,004841742	0,055500237	0,031	0	1	1,039219378	0,962260733	#DIV/0!
SLC1A1	0,004841742	0,055500237	0,031	0	1	1,039219378	0,962260733	#DIV/0!
ARHGEF33	0,004841742	0,055445626	0,031	0	1	1,03918004	0,962297159	#DIV/0!
CCNO	0,004841742	0,055445626	0,031	0	1	1,03918004	0,962297159	#DIV/0!
LINC01549	0,004841742	0,055445626	0,031	0	1	1,03918004	0,962297159	#DIV/0!
MMP16	0,004841742	0,055445626	0,031	0	1	1,03918004	0,962297159	#DIV/0!
NDST3	0,004841742	0,055445626	0,031	0	1	1,03918004	0,962297159	#DIV/0!
NME5	0,004841742	0,055445626	0,031	0	1	1,03918004	0,962297159	#DIV/0!
ZBTB3	0,004841742	0,055445626	0,031	0	1	1,03918004	0,962297159	#DIV/0!
ZNRF3-AS1	0,004841742	0,055445626	0,031	0	1	1,03918004	0,962297159	#DIV/0!
FBXL17	0,083160445	0,05543421	0,125	0,047	1	1,039171817	0,962304773	2,659574468
SLC4A1AP	0,000107903	0,05535192	0,219	0,039	1	1,039112546	0,962359664	5,615384615
OGFR	0,024369817	0,055160042	0,344	0,152	1	1,038974353	0,962487666	2,263157895
GON7	0,000509339	0,055153434	0,125	0,016	1	1,038969594	0,962492075	7,8125
JOSD1	0,001318433	0,055116797	0,344	0,109	1	1,03894321	0,962516517	3,155963303
SEC22C	0,000509247	0,055056727	0,344	0,098	1	1,038899952	0,962556595	3,510204082
SLC19A1	0,013891036	0,0550237	0,062	0,008	1	1,038876169	0,96257863	7,75
AC002454.1	6,3574E-05	0,054999204	0,062	0	1	1,03885853	0,962594974	#DIV/0!
AMBRA1	0,899307354	0,054991886	0,031	0,027	1	1,03885326	0,962599857	1,148148148
NCDN	0,000112833	0,054881383	0,125	0,012	1	1,038773693	0,96267359	10,41666667
ABHD4	0,000339359	0,054836758	0,156	0,023	1	1,038741563	0,962703367	6,782608696
SNRPN	0,000463482	0,054783378	0,75	0,281	1	1,03870313	0,962738988	2,669039146
ZNF75A	0,018832425	0,054754571	0,094	0,02	1	1,03868239	0,962758212	4,7
HOXB-AS1	0,143670631	0,054659592	0,125	0,055	1	1,03861401	0,962821597	2,272727273
DDX39B	0,007060784	0,054619009	0,719	0,328	1	1,038584794	0,962848682	2,192073171
SRRD	0,000486986	0,054617963	0,188	0,035	1	1,038584042	0,962849379	5,371428571
PPIE	9,73764E-06	0,054614288	0,375	0,082	0,205473989	1,038581396	0,962851832	4,573170732

Supplementary Table 1

Differentially expressed genes_adjacent-skin-XL_ comparing SC-Keloid vs. (SC-Myel, SC-Nonmyel)								
gene	p_val	avg_log2FC	pct.1	pct.2	p_val_adj	Foldchange_UP	Foldchange_DOWN	Ratio_pct1_pct2
ARSK	0,226917872	0,054605566	0,094	0,043	1	1,038575117	0,962857653	2,186046512
IFT81	0,001013976	0,054572766	0,188	0,039	1	1,038551505	0,962879544	4,820512821
CASTOR2	0,008956837	0,054531657	0,125	0,027	1	1,038521913	0,962906981	4,62962963
KLHL29	0,000881541	0,054527424	0,219	0,051	1	1,038518866	0,962909807	4,294117647
ZNF227	0,000509339	0,054484742	0,125	0,016	1	1,038488141	0,962938295	7,8125
PSMC3IP	0,147778936	0,054414324	0,062	0,02	1	1,038437454	0,962985297	3,1
FKBP11	0,004186451	0,054321068	0,156	0,035	1	1,038370331	0,963047546	4,457142857
SLC35G1	0,221475664	0,054259305	0,031	0,008	1	1,038325879	0,963088777	3,875
DIS3L	0,000100263	0,054216248	0,156	0,02	1	1,038294891	0,96311752	7,8
FAM117A	0,013891036	0,054197933	0,062	0,008	1	1,038281709	0,963129747	7,75
PPIF	0,287158009	0,054186509	0,062	0,027	1	1,038273488	0,963137374	2,296296296
EMILIN2	0,018436147	0,054127289	0,094	0,02	1	1,03823087	0,963176909	4,7
ZNF19	0,533973819	0,054118302	0,031	0,016	1	1,038224402	0,963182909	1,9375
HEATR3	0,29055378	0,05411404	0,062	0,027	1	1,038221335	0,963185754	2,296296296
AGER	0,002517564	0,054084104	0,094	0,012	1	1,038199792	0,963205741	7,833333333
ACSL4	7,5014E-06	0,05407657	0,312	0,059	0,158287075	1,038194371	0,963210771	5,288135593
CAD	0,001600673	0,054064068	0,125	0,02	1	1,038185374	0,963219118	6,25
RESF1	0,177416998	0,053878345	0,094	0,039	1	1,038051734	0,963343124	2,41025641
WNK3	0,002594281	0,053533226	0,094	0,012	1	1,037803442	0,963573601	7,833333333
CTNNB1	0,006642536	0,053517657	0,844	0,398	1	1,037792243	0,963584	2,120603015
CTDP1	0,002594281	0,053459489	0,094	0,012	1	1,037750401	0,963622851	7,833333333
TSR2	0,061168803	0,053366887	0,25	0,113	1	1,037683793	0,963684705	2,212389381
CAND1	0,000319167	0,053366349	0,438	0,137	1	1,037683406	0,963685065	3,197080292
CCDC140	0,002263143	0,053293123	0,062	0,004	1	1,037630738	0,963733979	15,5
THAP9	0,082317662	0,053283164	0,031	0,004	1	1,037623576	0,963740632	7,75
CGRRF1	0,082895194	0,053281019	0,188	0,082	1	1,037622033	0,963742065	2,292682927
SAMD14	6,3574E-05	0,053096923	0,062	0	1	1,037489635	0,963865051	#DIV/0!
TLCD1	6,3574E-05	0,053096923	0,062	0	1	1,037489635	0,963865051	#DIV/0!
MESP1	0,002594281	0,052982743	0,094	0,012	1	1,037407527	0,963941338	7,833333333
MED20	4,80439E-05	0,052968605	0,094	0,004	1	1,037397361	0,963950784	23,5

Supplementary Table 1

Differentially expressed genes_adjacent-skin-XL_comparing SC-Keloid vs. (SC-Myel, SC-Nonmyel)								
gene	p_val	avg_log2FC	pct.1	pct.2	p_val_adj	Foldchange_UP	Foldchange_DOWN	Ratio_pct1_pct2
PES1	7,15271E-05	0,052961619	0,188	0,027	1	1,037392338	0,963955452	6,962962963
FAM210A	0,035499775	0,052945104	0,094	0,023	1	1,037380462	0,963966487	4,086956522
RELCH	0,004180266	0,052892803	0,125	0,023	1	1,037342856	0,964001434	5,434782609
THAP12	6,58444E-07	0,052841564	0,281	0,039	0,013893836	1,037306014	0,964035672	7,205128205
C3orf52	0,01346698	0,052790547	0,062	0,008	1	1,037269333	0,964069763	7,75
PPAT	0,015701049	0,052753467	0,125	0,031	1	1,037242673	0,964094542	4,032258065
CELSR1	0,002263143	0,052749084	0,062	0,004	1	1,037239523	0,964097471	15,5
SPATA18	6,3574E-05	0,052715157	0,062	0	1	1,03721513	0,964120143	#DIV/0!
ACOT11	0,007750521	0,05258881	0,094	0,016	1	1,037124298	0,964204582	5,875
VARS2	0,007947097	0,052585159	0,094	0,016	1	1,037121674	0,964207022	5,875
RASL10A	0,079594089	0,052486514	0,031	0,004	1	1,037050762	0,964272952	7,75
CCDC80	2,6901E-06	0,052486231	0,531	0,137	0,056763861	1,037050559	0,964273141	3,875912409
XRCC2	0,082317662	0,052460405	0,031	0,004	1	1,037031995	0,964290403	7,75
MPI	9,06462E-07	0,052407319	0,125	0,004	0,019127258	1,036993836	0,964325886	31,25
ZNF587	0,079594089	0,052290932	0,031	0,004	1	1,036910182	0,964403685	7,75
EFNB1	0,007089636	0,052268455	0,156	0,039	1	1,036894027	0,96441871	4
GCLC	0,373006089	0,05212464	0,062	0,031	1	1,03679067	0,964514853	2
ABCE1	0,005187435	0,05210879	0,531	0,215	1	1,036779279	0,964525449	2,469767442
DLG2	0,937761989	0,052020562	0,031	0,035	1	1,036715877	0,964584437	0,885714286
METTL22	0,000103236	0,052002904	0,156	0,02	1	1,036703188	0,964596243	7,8
TRIM35	0,008148126	0,051897612	0,094	0,016	1	1,036627529	0,964666645	5,875
BICD2	0,000531863	0,051824745	0,312	0,086	1	1,036575173	0,964715369	3,627906977
ZNF596	0,013891036	0,051802215	0,062	0,008	1	1,036558985	0,964730435	7,75
CCNQ	0,007471523	0,051801061	0,156	0,039	1	1,036558156	0,964731206	4
PHF14	1,74332E-05	0,051749254	0,5	0,137	0,36785828	1,036520934	0,96476585	3,649635036
WDR31	0,013891036	0,0517387	0,062	0,008	1	1,036513352	0,964772908	7,75
SOX5	0,003896088	0,051723366	0,344	0,121	1	1,036502335	0,964783162	2,842975207
CCZ1	1,54378E-05	0,05167424	0,438	0,109	0,325753636	1,03646704	0,964816015	4,018348624
TMX2	0,01299974	0,05166946	0,25	0,09	1	1,036463606	0,964819212	2,777777778
ZNF365	6,3574E-05	0,051636764	0,062	0	1	1,036440117	0,964841078	#DIV/0!

Supplementary Table 1

Differentially expressed genes_adjacent-skin-XL_comparing SC-Keloid vs. (SC-Myel, SC-Nonmyel)								
gene	p_val	avg_log2FC	pct.1	pct.2	p_val_adj	Foldchange_UP	Foldchange_DOWN	Ratio_pct1_pct2
VAMP3	0,00023321	0,051576142	0,594	0,203	1	1,036396567	0,964881621	2,926108374
ILVBL	0,058043615	0,051534875	0,156	0,059	1	1,036366922	0,964909221	2,644067797
TCIRG1	0,000114181	0,051502367	0,25	0,051	1	1,03634357	0,964930964	4,901960784
SMC6	5,55781E-06	0,051498133	0,281	0,047	0,117275301	1,036340529	0,964933795	5,978723404
ZNF354B	0,770919596	0,051470129	0,031	0,023	1	1,036320413	0,964952526	1,347826087
MSL3	0,00011037	0,051455317	0,219	0,039	1	1,036309773	0,964962433	5,615384615
MAN1B1	3,60095E-05	0,051152358	0,375	0,09	0,759836844	1,036092176	0,965165092	4,166666667
ZNF747	0,000112833	0,051144461	0,125	0,012	1	1,036086505	0,965170375	10,41666667
ZNF598	0,019329956	0,051105223	0,188	0,062	1	1,036058326	0,965196626	3,032258065
FOXS1	6,3574E-05	0,051080942	0,062	0	1	1,036040889	0,96521287	#DIV/0!
LINC00629	6,3574E-05	0,051080942	0,062	0	1	1,036040889	0,96521287	#DIV/0!
BBS12	0,212914042	0,051017722	0,062	0,023	1	1,03599549	0,965255168	2,695652174
SH3BP1	0,000494525	0,050936579	0,125	0,016	1	1,035937223	0,965309459	7,8125
POU2F3	0,079594089	0,050889184	0,031	0,004	1	1,035903191	0,965341171	7,75
FARS2	0,058551336	0,050799898	0,125	0,043	1	1,035839082	0,965400917	2,906976744
PSEN2	0,002594281	0,050711416	0,094	0,012	1	1,035775556	0,965460128	7,833333333
TSPAN17	0,000112833	0,050704255	0,125	0,012	1	1,035770414	0,96546492	10,41666667
NEK3	0,212914042	0,050630922	0,062	0,023	1	1,035717767	0,965513996	2,695652174
CDKN3	0,01346698	0,050528333	0,062	0,008	1	1,03564412	0,965582656	7,75
ASB16-AS1	0,145431	0,050482593	0,062	0,02	1	1,035611286	0,965613269	3,1
CIP2A	4,80439E-05	0,050474348	0,094	0,004	1	1,035605367	0,965618788	23,5
AAR2	0,01346698	0,050460145	0,062	0,008	1	1,035595173	0,965628294	7,75
UBL7-DT	0,002263143	0,050452879	0,062	0,004	1	1,035589957	0,965633158	15,5
ZNF775	0,000466117	0,050394721	0,188	0,035	1	1,035548211	0,965672085	5,371428571
SNUPN	0,000390872	0,050388593	0,281	0,07	1	1,035543812	0,965676187	4,014285714
TIMM29	4,123E-05	0,050276082	0,219	0,035	0,869994633	1,035463057	0,9657515	6,257142857
HERC6	0,133058992	0,050239392	0,094	0,035	1	1,035436724	0,965776061	2,685714286
TBC1D1	0,004186485	0,050218337	0,156	0,035	1	1,035421613	0,965790155	4,457142857
ARPC5L	2,18864E-05	0,050208398	0,375	0,086	0,461825118	1,03541448	0,965796809	4,360465116
PGBD1	4,80439E-05	0,050185908	0,094	0,004	1	1,035398338	0,965811865	23,5

Supplementary Table 1

Differentially expressed genes_adjacent-skin-XL_comparing SC-Keloid vs. (SC-Myel, SC-Nonmyel)								
gene	p_val	avg_log2FC	pct.1	pct.2	p_val_adj	Foldchange_UP	Foldchange_DOWN	Ratio_pct1_pct2
CYB561D1	0,002263143	0,050091962	0,062	0,004	1	1,035330917	0,965874759	15,5
NUF2	0,082317662	0,049925751	0,031	0,004	1	1,035211645	0,965986042	7,75
ZNF558	0,094667448	0,049922866	0,094	0,031	1	1,035209575	0,965987974	3,032258065
NSMCE2	1,67202E-05	0,049711432	0,312	0,062	0,352813205	1,03505787	0,966129555	5,032258065
SPATA6L	0,079594089	0,049656993	0,031	0,004	1	1,035018814	0,966166012	7,75
KLKB1	0,226351275	0,049498526	0,031	0,008	1	1,034905133	0,966272142	3,875
ISCA1	7,63763E-05	0,049442505	0,406	0,109	1	1,034864948	0,966309664	3,724770642
TMEM14A	0,000217056	0,04944141	0,531	0,172	1	1,034864162	0,966310398	3,087209302
CDC42SE2	0,000666239	0,049419626	0,281	0,074	1	1,034848537	0,966324988	3,797297297
SLC37A4	0,008607623	0,049347868	0,125	0,027	1	1,034797065	0,966373054	4,62962963
COX10	0,013891036	0,049267327	0,062	0,008	1	1,034739297	0,966427005	7,75
SRSF2	0,018901273	0,04924444	0,844	0,426	1	1,034722883	0,966442336	1,981220657
ZNF326	0,00344676	0,049235561	0,375	0,133	1	1,034716515	0,966448284	2,819548872
MINDY3	0,084174094	0,049186039	0,125	0,047	1	1,034680998	0,966481459	2,659574468
ERCC2	0,041848356	0,049149762	0,062	0,012	1	1,03465498	0,966505762	5,166666667
TOMM40L	0,000509339	0,049103101	0,125	0,016	1	1,034621518	0,966537022	7,8125
PLPP7	0,000524345	0,049095055	0,094	0,008	1	1,034615747	0,966542412	11,75
CHRNE	0,226351275	0,049077684	0,031	0,008	1	1,034603289	0,96655405	3,875
CCDC112	0,000338057	0,049029843	0,344	0,094	1	1,034568982	0,966586102	3,659574468
RTL8B	0,000993746	0,049009445	0,188	0,039	1	1,034554355	0,966599769	4,820512821
ANO7	0,226351275	0,048851154	0,031	0,008	1	1,034440851	0,966705829	3,875
TSPAN9	0,00094841	0,048817685	0,219	0,051	1	1,034416853	0,966728256	4,294117647
MRPL32	5,38695E-05	0,048723706	0,375	0,094	1	1,034349472	0,966791232	3,989361702
S100PBP	9,91727E-06	0,048667873	0,25	0,039	0,209264362	1,034309443	0,966828648	6,41025641
GEMIN6	0,013891036	0,048665501	0,062	0,008	1	1,034307742	0,966830237	7,75
MYPOP	0,000466094	0,048565652	0,125	0,016	1	1,03423616	0,966897154	7,8125
H2AC20	0,02693544	0,048551548	0,125	0,035	1	1,034226049	0,966906607	3,571428571
MDC1	0,008607623	0,048489251	0,125	0,027	1	1,034181391	0,96694836	4,62962963
BBOF1	0,008148126	0,048451875	0,094	0,016	1	1,034154599	0,966973411	5,875
IDS	0,000311395	0,048305345	0,625	0,223	1	1,034049569	0,967071628	2,802690583

Supplementary Table 1

Differentially expressed genes_adjacent-skin-XL_comparing SC-Keloid vs. (SC-Myel, SC-Nonmyel)								
gene	p_val	avg_log2FC	pct.1	pct.2	p_val_adj	Foldchange_UP	Foldchange_DOWN	Ratio_pct1_pct2
MIA3	0,005262184	0,048266064	0,281	0,094	1	1,034021414	0,96709796	2,989361702
MOV10	0,061916284	0,048241166	0,094	0,027	1	1,03400357	0,96711465	3,481481481
CARD19	0,000812022	0,048156263	0,438	0,148	1	1,03394272	0,967171566	2,959459459
SHARPIN	0,000242575	0,048145139	0,375	0,105	1	1,033934748	0,967179024	3,571428571
MAGEF1	0,000591923	0,047994993	0,312	0,086	1	1,033827148	0,967279687	3,627906977
NOL10	0,000911755	0,047979945	0,156	0,027	1	1,033816365	0,967289776	5,777777778
AFG1L	0,013891036	0,047912595	0,062	0,008	1	1,033768104	0,967334933	7,75
SCRN2	0,006263449	0,047733022	0,219	0,066	1	1,033639438	0,967455346	3,318181818
ZWILCH	0,004087528	0,047725022	0,125	0,023	1	1,033633707	0,96746071	5,434782609
FGFR4	0,004841742	0,047706206	0,031	0	1	1,033620226	0,967473328	#DIV/0!
STEAP3	0,004841742	0,047706206	0,031	0	1	1,033620226	0,967473328	#DIV/0!
PIP4K2C	0,018436147	0,047569063	0,094	0,02	1	1,033521974	0,967565301	4,7
C17orf75	0,000108998	0,047559421	0,125	0,012	1	1,033515067	0,967571768	10,41666667
TAS2R30	0,082317662	0,047503445	0,031	0,004	1	1,033474967	0,96760931	7,75
ZNF71	0,008148126	0,047437658	0,094	0,016	1	1,033427842	0,967653434	5,875
R3HDM2	0,001092769	0,047420108	0,469	0,168	1	1,033415271	0,967665205	2,791666667
ZNF185	0,082317662	0,047391357	0,031	0,004	1	1,033394677	0,967684489	7,75
GABPA	0,00721637	0,047335217	0,219	0,066	1	1,033354465	0,967722146	3,318181818
KIAA1191	0,001907981	0,047313753	0,281	0,082	1	1,033339091	0,967736544	3,426829268
ADCY3	0,149643094	0,047277405	0,125	0,055	1	1,033313056	0,967760926	2,272727273
GEMIN8	0,143670631	0,047277137	0,125	0,055	1	1,033312865	0,967761105	2,272727273
RAB14	0,000457512	0,047255827	0,625	0,223	1	1,033297602	0,9677754	2,802690583
TARS1	0,001640115	0,047169826	0,406	0,141	1	1,033236008	0,967833092	2,879432624
TBC1D9B	0,012186755	0,047136036	0,312	0,121	1	1,033211808	0,96785576	2,578512397
CNOT8	0,00011289	0,047110673	0,219	0,039	1	1,033193644	0,967872776	5,615384615
PLAAT4	0,060931358	0,047099357	0,094	0,027	1	1,03318554	0,967880367	3,481481481
CYREN	0,000911755	0,04708958	0,156	0,027	1	1,033178538	0,967886927	5,777777778
RNF135	0,008270631	0,046942188	0,125	0,027	1	1,033072989	0,967985815	4,62962963
BBS1	0,45783772	0,046936039	0,062	0,035	1	1,033068586	0,967989941	1,771428571
LBX2	0,002263143	0,046923378	0,062	0,004	1	1,03305952	0,967998436	15,5

Supplementary Table 1

Differentially expressed genes_adjacent-skin-XL_comparing SC-Keloid vs. (SC-Myel, SC-Nonmyel)								
gene	p_val	avg_log2FC	pct.1	pct.2	p_val_adj	Foldchange_UP	Foldchange_DOWN	Ratio_pct1_pct2
CCDC22	2,62125E-05	0,046919969	0,25	0,043	0,553110895	1,033057079	0,968000724	5,813953488
GPR89B	0,002010541	0,046905064	0,156	0,031	1	1,033046407	0,968010724	5,032258065
ADAMTS15	0,002594281	0,046791738	0,094	0,012	1	1,032965262	0,968086766	7,833333333
PECR	0,082317662	0,046780031	0,031	0,004	1	1,03295688	0,968094622	7,75
POMC	0,000524345	0,04668558	0,094	0,008	1	1,032889256	0,968158004	11,75
BRSK1	0,002881213	0,04655946	0,312	0,102	1	1,032798965	0,968242643	3,058823529
IGSF9B	0,147778936	0,046556341	0,062	0,02	1	1,032796732	0,968244737	3,1
COP1	0,000190919	0,046542916	0,188	0,031	1	1,032787121	0,968253747	6,064516129
ZNF212	0,226351275	0,046507869	0,031	0,008	1	1,032762033	0,968277268	3,875
COLGALT1	0,007861788	0,046502478	0,25	0,082	1	1,032758173	0,968280887	3,048780488
ZNF100	0,041848356	0,046392901	0,062	0,012	1	1,032679735	0,968354434	5,166666667
ZMIZ2	0,02818312	0,04634496	0,156	0,051	1	1,03264542	0,968386613	3,058823529
BRIP1	6,3574E-05	0,046338562	0,062	0	1	1,03264084	0,968390907	#DIV/0!
MACROH2A2	6,3574E-05	0,046338562	0,062	0	1	1,03264084	0,968390907	#DIV/0!
MESP2	6,3574E-05	0,046338562	0,062	0	1	1,03264084	0,968390907	#DIV/0!
NPAS1	6,3574E-05	0,046338562	0,062	0	1	1,03264084	0,968390907	#DIV/0!
POC1A	6,3574E-05	0,046338562	0,062	0	1	1,03264084	0,968390907	#DIV/0!
DNAAF11	0,082317662	0,046318131	0,031	0,004	1	1,032626216	0,968404622	7,75
ABHD11	2,1417E-05	0,04630075	0,188	0,023	0,451919526	1,032613776	0,968416288	8,173913043
TEX10	0,026506403	0,046274974	0,125	0,035	1	1,032595327	0,968433591	3,571428571
RIPOR3	0,004841742	0,046193245	0,031	0	1	1,032536832	0,968488454	#DIV/0!
KBTBD4	0,018436147	0,045949204	0,094	0,02	1	1,032362186	0,968652294	4,7
SERPINB6	0,003311505	0,045878196	0,594	0,238	1	1,032311376	0,968699971	2,495798319
RNF8	7,13916E-07	0,045820627	0,281	0,039	0,015064347	1,032270184	0,968738627	7,205128205
KSR2	6,3574E-05	0,045698772	0,062	0	1	1,032182998	0,968820454	#DIV/0!
GMNN	4,96307E-06	0,04566867	0,188	0,02	0,104725812	1,032161461	0,968840668	9,4
SPICE1	0,018436147	0,045558458	0,094	0,02	1	1,032082615	0,968914684	4,7
ANKFY1	0,02857055	0,045511208	0,156	0,051	1	1,032048813	0,968946417	3,058823529
FKBP7	1,9707E-05	0,045463456	0,406	0,098	0,41583782	1,032014654	0,968978489	4,142857143
POLR2I	0,002434679	0,045440371	0,594	0,238	1	1,03199814	0,968993994	2,495798319

Supplementary Table 1

Differentially expressed genes_adjacent-skin-XL_comparing SC-Keloid vs. (SC-Myel, SC-Nonmyel)								
gene	p_val	avg_log2FC	pct.1	pct.2	p_val_adj	Foldchange_UP	Foldchange_DOWN	Ratio_pct1_pct2
ATRIP	0,527450503	0,045430249	0,031	0,016	1	1,0319909	0,969000793	1,9375
PRPF40B	0,143111738	0,045407689	0,062	0,02	1	1,031974762	0,969015945	3,1
CCDC138	0,002263143	0,045404213	0,062	0,004	1	1,031972276	0,96901828	15,5
CFAP20DC	0,002263143	0,045351551	0,062	0,004	1	1,031934607	0,969053653	15,5
CDCA3	0,004841742	0,045292115	0,031	0	1	1,031892094	0,969093576	#DIV/0!
DLGAP5	0,004841742	0,045292115	0,031	0	1	1,031892094	0,969093576	#DIV/0!
ESCO2	0,004841742	0,045292115	0,031	0	1	1,031892094	0,969093576	#DIV/0!
HMMR	0,004841742	0,045292115	0,031	0	1	1,031892094	0,969093576	#DIV/0!
KIF14	0,004841742	0,045292115	0,031	0	1	1,031892094	0,969093576	#DIV/0!
PIMREG	0,004841742	0,045292115	0,031	0	1	1,031892094	0,969093576	#DIV/0!
SPC25	0,004841742	0,045292115	0,031	0	1	1,031892094	0,969093576	#DIV/0!
MKS1	0,01346698	0,045282751	0,062	0,008	1	1,031885396	0,969099867	7,75
LINC00847	0,001642148	0,045207468	0,125	0,02	1	1,031831552	0,969150438	6,25
PLEK2	4,80439E-05	0,045149985	0,094	0,004	1	1,03179044	0,969189053	23,5
IFT43	0,000484576	0,045105681	0,25	0,059	1	1,031758755	0,969218817	4,237288136
POLE2	0,082317662	0,044927849	0,031	0,004	1	1,031631585	0,969338294	7,75
TOPBP1	0,000466117	0,044909854	0,188	0,035	1	1,031618717	0,969350384	5,371428571
GPAT4	0,011239937	0,044909568	0,156	0,043	1	1,031618512	0,969350577	3,627906977
GSTCD	0,041848356	0,044762069	0,062	0,012	1	1,031513047	0,969449686	5,166666667
FAM177A1	0,000778225	0,044747397	0,719	0,273	1	1,031502557	0,969459546	2,633699634
BST2	0,470250215	0,044721157	0,062	0,035	1	1,031483796	0,969477179	1,771428571
VPS37D	0,082317662	0,044686866	0,031	0,004	1	1,031459279	0,969500222	7,75
TRIP4	0,0016948	0,044594114	0,219	0,055	1	1,031392967	0,969562554	3,981818182
COG6	6,10931E-06	0,044539974	0,281	0,047	0,128912454	1,031354264	0,969598939	5,978723404
MYBL2	6,3574E-05	0,044530159	0,062	0	1	1,031347247	0,969605536	#DIV/0!
PCDHGA8	0,082317662	0,044387311	0,031	0,004	1	1,031245134	0,969701546	7,75
PIK3R2	0,004029529	0,044363202	0,156	0,035	1	1,0312279	0,969717751	4,457142857
GLIPR2	0,000371827	0,044291149	0,312	0,082	1	1,031176398	0,969766183	3,804878049
INHBA	0,082317662	0,04424159	0,031	0,004	1	1,031140976	0,969799497	7,75
LRRC61	0,003907631	0,044234389	0,125	0,023	1	1,03113583	0,969804337	5,434782609

Supplementary Table 1

Differentially expressed genes_adjacent-skin-XL_ comparing SC-Keloid vs. (SC-Myel, SC-Nonmyel)								
gene	p_val	avg_log2FC	pct.1	pct.2	p_val_adj	Foldchange_UP	Foldchange_DOWN	Ratio_pct1_pct2
DNAAF2	0,000954402	0,044223414	0,188	0,039	1	1,031127986	0,969811715	4,820512821
GAK	0,150636831	0,044185597	0,156	0,074	1	1,031100957	0,969837137	2,108108108
GLE1	0,000509339	0,04406156	0,125	0,016	1	1,031012311	0,969920523	7,8125
TWIST1	0,380266129	0,044028391	0,031	0,012	1	1,030988607	0,969942823	2,583333333
PRPH	0,004841742	0,043986939	0,031	0	1	1,030958986	0,969970691	#DIV/0!
DAAM1	0,000659904	0,043942762	0,344	0,102	1	1,030927417	0,970000394	3,37254902
RHOD	6,3574E-05	0,043837747	0,062	0	1	1,030852377	0,970071003	#DIV/0!
SLC16A2	0,040857201	0,043787902	0,062	0,012	1	1,030816762	0,97010452	5,166666667
BAK1	0,000436372	0,043776486	0,188	0,035	1	1,030808605	0,970112196	5,371428571
ZNF469	0,004841742	0,04368854	0,031	0	1	1,030745769	0,970171336	#DIV/0!
PREB	0,000850121	0,043621507	0,156	0,027	1	1,030697878	0,970216415	5,777777778
NPB	0,380266129	0,043436106	0,031	0,012	1	1,030565432	0,970341105	2,583333333
CSNK1D	0,01231509	0,043400133	0,312	0,121	1	1,030539736	0,9703653	2,578512397
FDFT1	7,61493E-08	0,043329024	0,375	0,059	0,001606825	1,030488942	0,97041313	6,355932203
MAP3K10	0,002594281	0,043290304	0,094	0,012	1	1,030461286	0,970439175	7,833333333
B3GNT9	0,002594281	0,043286227	0,094	0,012	1	1,030458374	0,970441917	7,833333333
UPP1	0,001318364	0,043128408	0,375	0,121	1	1,030345656	0,970548082	3,099173554
SPIN3	0,084624339	0,043104303	0,062	0,016	1	1,030328441	0,970564298	3,875
TLE2	0,004107327	0,04306958	0,156	0,035	1	1,030303643	0,970587658	4,457142857
STIMATE	0,059959447	0,043038428	0,094	0,027	1	1,030281396	0,970608616	3,481481481
DDX46	5,9111E-05	0,043023731	0,625	0,199	1	1,030270901	0,970618504	3,140703518
LINC00702	0,004841742	0,043005039	0,031	0	1	1,030257552	0,970631079	#DIV/0!
TSHZ3	0,013891036	0,042967315	0,062	0,008	1	1,030230613	0,97065646	7,75
DIRC3	0,002263143	0,042960115	0,062	0,004	1	1,030225472	0,970661304	15,5
PDCD2	0,000756965	0,042940594	0,281	0,074	1	1,030211532	0,970674438	3,797297297
WDR53	0,002594281	0,042882044	0,094	0,012	1	1,030169722	0,970713833	7,833333333
DHX33	0,003953072	0,042760886	0,156	0,035	1	1,030083212	0,970795357	4,457142857
CISD2	0,001125066	0,042724311	0,281	0,078	1	1,030057098	0,970819969	3,602564103
AP1M2	0,004841742	0,042610748	0,031	0	1	1,029976019	0,970896391	#DIV/0!
BCL2A1	0,004841742	0,042610748	0,031	0	1	1,029976019	0,970896391	#DIV/0!

Supplementary Table 1

Differentially expressed genes_adjacent-skin-XL_comparing SC-Keloid vs. (SC-Myel, SC-Nonmyel)								
gene	p_val	avg_log2FC	pct.1	pct.2	p_val_adj	Foldchange_UP	Foldchange_DOWN	Ratio_pct1_pct2
BTBD16	0,004841742	0,042610748	0,031	0	1	1,029976019	0,970896391	#DIV/0!
CASP8	0,004841742	0,042610748	0,031	0	1	1,029976019	0,970896391	#DIV/0!
CD79A	0,004841742	0,042610748	0,031	0	1	1,029976019	0,970896391	#DIV/0!
CEACAM5	0,004841742	0,042610748	0,031	0	1	1,029976019	0,970896391	#DIV/0!
CKMT1A	0,004841742	0,042610748	0,031	0	1	1,029976019	0,970896391	#DIV/0!
EEF1A2	0,004841742	0,042610748	0,031	0	1	1,029976019	0,970896391	#DIV/0!
FAM66B	0,004841742	0,042610748	0,031	0	1	1,029976019	0,970896391	#DIV/0!
FLG	0,004841742	0,042610748	0,031	0	1	1,029976019	0,970896391	#DIV/0!
HSD11B2	0,004841742	0,042610748	0,031	0	1	1,029976019	0,970896391	#DIV/0!
LINC00460	0,004841742	0,042610748	0,031	0	1	1,029976019	0,970896391	#DIV/0!
NOTUM	0,004841742	0,042610748	0,031	0	1	1,029976019	0,970896391	#DIV/0!
PAQR5	0,004841742	0,042610748	0,031	0	1	1,029976019	0,970896391	#DIV/0!
SPTSSB	0,004841742	0,042610748	0,031	0	1	1,029976019	0,970896391	#DIV/0!
TMPRSS11E	0,004841742	0,042610748	0,031	0	1	1,029976019	0,970896391	#DIV/0!
ZBTB8B	0,004841742	0,042610748	0,031	0	1	1,029976019	0,970896391	#DIV/0!
EFHD1	0,041848356	0,042587571	0,062	0,012	1	1,029959473	0,970911989	5,166666667
ZNF875	0,062914349	0,042418724	0,094	0,027	1	1,029838938	0,971025626	3,481481481
DCAF13	0,001144569	0,042400085	0,312	0,094	1	1,029825633	0,971038172	3,319148936
POLR1H	0,028962559	0,042257826	0,156	0,051	1	1,029724091	0,971133927	3,058823529
ZNF682	0,013891036	0,042236426	0,062	0,008	1	1,029708816	0,971148332	7,75
ERFE	0,002263143	0,042204433	0,062	0,004	1	1,029685982	0,971169869	15,5
FANCG	1,51098E-05	0,042110654	0,125	0,008	0,318831333	1,029619052	0,971233	15,625
NUP42	3,33107E-06	0,042015232	0,25	0,035	0,070289013	1,029550953	0,971297241	7,142857143
SMPD1	0,000502235	0,042015049	0,25	0,059	1	1,029550823	0,971297364	4,237288136
VPS33A	0,019236133	0,041915117	0,094	0,02	1	1,02947951	0,971364646	4,7
TEAD4	0,004180266	0,041911889	0,125	0,023	1	1,029477207	0,971366819	5,434782609
PIP	0,082317662	0,041820201	0,031	0,004	1	1,029411783	0,971428554	7,75
SLC35E3	0,012905641	0,041818062	0,219	0,074	1	1,029410257	0,971429995	2,959459459
FRAT2	0,221757959	0,041809874	0,062	0,023	1	1,029404414	0,971435508	2,695652174
RGP1	0,036158386	0,041780737	0,094	0,023	1	1,029383624	0,971455128	4,086956522

Supplementary Table 1

Differentially expressed genes_adjacent-skin-XL_comparing SC-Keloid vs. (SC-Myel, SC-Nonmyel)								
gene	p_val	avg_log2FC	pct.1	pct.2	p_val_adj	Foldchange_UP	Foldchange_DOWN	Ratio_pct1_pct2
ATP6V1A	0,03766997	0,041776056	0,188	0,07	1	1,029380284	0,97145828	2,685714286
DPF1	6,3574E-05	0,041755134	0,062	0	1	1,029365356	0,971472368	#DIV/0!
VLDLR	6,3574E-05	0,041755134	0,062	0	1	1,029365356	0,971472368	#DIV/0!
TNFAIP8	9,17361E-07	0,041739326	0,188	0,016	0,019357231	1,029354077	0,971483013	11,75
ZFP69B	0,002263143	0,041731076	0,062	0,004	1	1,029348191	0,971488568	15,5
C12orf43	0,041848356	0,041721687	0,062	0,012	1	1,029341492	0,97149489	5,166666667
MDFI	0,000524345	0,04165707	0,094	0,008	1	1,029295389	0,971538404	11,75
ZNF300	0,041848356	0,041650946	0,062	0,012	1	1,02929102	0,971542528	5,166666667
MMAB	1,93892E-07	0,041571307	0,281	0,035	0,004091308	1,029234204	0,97159616	8,028571429
PGD	0,002601637	0,041570409	0,219	0,059	1	1,029233563	0,971596765	3,711864407
ZNF668	0,002263143	0,041569758	0,062	0,004	1	1,029233099	0,971597203	15,5
POLD3	7,15271E-05	0,041539567	0,188	0,027	1	1,02921156	0,971617536	6,962962963
MBLAC2	0,000509339	0,041454213	0,125	0,016	1	1,029150671	0,971675021	7,8125
CFAP69	0,013891036	0,041423561	0,062	0,008	1	1,029128806	0,971695666	7,75
METTL7B	0,002263143	0,041404947	0,062	0,004	1	1,029115528	0,971708203	15,5
APOM	4,80439E-05	0,04130825	0,094	0,004	1	1,029046553	0,971773334	23,5
PEX19	0,060128123	0,041303866	0,125	0,043	1	1,029043427	0,971776287	2,906976744
GPR180	0,00010081	0,041271693	0,219	0,039	1	1,029020478	0,971797959	5,615384615
PRICKLE1	0,018832425	0,04125514	0,094	0,02	1	1,029008672	0,971809109	4,7
NIT2	5,84452E-05	0,041209923	0,438	0,117	1	1,028976421	0,971839568	3,743589744
TRAPPC14	0,041848356	0,04114678	0,062	0,012	1	1,028931386	0,971882103	5,166666667
ZSCAN16	6,3574E-05	0,040995724	0,062	0	1	1,028823659	0,971983869	#DIV/0!
CCDC150	0,082317662	0,040986045	0,031	0,004	1	1,028816756	0,97199039	7,75
POLR3C	0,036827385	0,040985195	0,094	0,023	1	1,02881615	0,971990962	4,086956522
MRPL10	4,52605E-06	0,040959454	0,219	0,027	0,095504122	1,028797794	0,972008305	8,111111111
FYTTD1	0,000308767	0,040845197	0,531	0,176	1	1,028716319	0,972085289	3,017045455
ZCCHC24	2,34925E-05	0,040827018	0,625	0,195	0,49571452	1,028703357	0,972097537	3,205128205
ZNF546	0,082317662	0,040743213	0,031	0,004	1	1,028643602	0,972154007	7,75
SPECC1L	0,006630119	0,040726234	0,219	0,066	1	1,028631496	0,972165449	3,318181818
STIL	0,002263143	0,040530203	0,062	0,004	1	1,028491737	0,972297554	15,5

Supplementary Table 1

Differentially expressed genes_adjacent-skin-XL_ comparing SC-Keloid vs. (SC-Myel, SC-Nonmyel)								
gene	p_val	avg_log2FC	pct.1	pct.2	p_val_adj	Foldchange_UP	Foldchange_DOWN	Ratio_pct1_pct2
RRP8	0,007471523	0,040402771	0,156	0,039	1	1,028400895	0,97238344	4
BAIAP2L2	0,004841742	0,040399781	0,031	0	1	1,028398764	0,972385455	#DIV/0!
CACNG4	0,004841742	0,040399781	0,031	0	1	1,028398764	0,972385455	#DIV/0!
CFAP45	0,004841742	0,040399781	0,031	0	1	1,028398764	0,972385455	#DIV/0!
EAF1-AS1	0,004841742	0,040399781	0,031	0	1	1,028398764	0,972385455	#DIV/0!
GPC6	0,004841742	0,040399781	0,031	0	1	1,028398764	0,972385455	#DIV/0!
GPR183	0,004841742	0,040399781	0,031	0	1	1,028398764	0,972385455	#DIV/0!
LINC01545	0,004841742	0,040399781	0,031	0	1	1,028398764	0,972385455	#DIV/0!
LYPD6	0,004841742	0,040399781	0,031	0	1	1,028398764	0,972385455	#DIV/0!
ODAM	0,004841742	0,040399781	0,031	0	1	1,028398764	0,972385455	#DIV/0!
LCORL	0,028438047	0,040337379	0,188	0,066	1	1,028354283	0,972427515	2,848484848
KLF16	0,029498271	0,040254371	0,219	0,082	1	1,028295116	0,972483467	2,670731707
SLC26A11	0,45783772	0,040244449	0,062	0,035	1	1,028288044	0,972490155	1,771428571
CIZ1	0,000478496	0,040215388	0,219	0,047	1	1,028267331	0,972509745	4,659574468
MUCL1	0,013891036	0,040206493	0,062	0,008	1	1,028260991	0,972515741	7,75
VIRMA	0,008607623	0,040201835	0,125	0,027	1	1,028257672	0,972518881	4,62962963
MPZL1	0,037506898	0,040196336	0,094	0,023	1	1,028253752	0,972522588	4,086956522
PPP1R42	0,002263143	0,040183789	0,062	0,004	1	1,02824481	0,972531046	15,5
C1orf112	0,040857201	0,040059265	0,062	0,012	1	1,028156062	0,972614992	5,166666667
AFF2	0,004841742	0,040033841	0,031	0	1	1,028137943	0,972632132	#DIV/0!
BEAN1	0,004841742	0,040033841	0,031	0	1	1,028137943	0,972632132	#DIV/0!
FAM225B	0,004841742	0,040033841	0,031	0	1	1,028137943	0,972632132	#DIV/0!
FSCN2	0,004841742	0,040033841	0,031	0	1	1,028137943	0,972632132	#DIV/0!
H2AC21	0,004841742	0,040033841	0,031	0	1	1,028137943	0,972632132	#DIV/0!
INPP5B	0,004841742	0,040033841	0,031	0	1	1,028137943	0,972632132	#DIV/0!
LGALS8-AS1	0,004841742	0,040033841	0,031	0	1	1,028137943	0,972632132	#DIV/0!
LINC00954	0,004841742	0,040033841	0,031	0	1	1,028137943	0,972632132	#DIV/0!
LRFN3	0,004841742	0,040033841	0,031	0	1	1,028137943	0,972632132	#DIV/0!
NCF1	0,004841742	0,040033841	0,031	0	1	1,028137943	0,972632132	#DIV/0!
NUDT11	0,004841742	0,040033841	0,031	0	1	1,028137943	0,972632132	#DIV/0!

Supplementary Table 1

Differentially expressed genes_adjacent-skin-XL_comparing SC-Keloid vs. (SC-Myel, SC-Nonmyel)								
gene	p_val	avg_log2FC	pct.1	pct.2	p_val_adj	Foldchange_UP	Foldchange_DOWN	Ratio_pct1_pct2
SOX18	0,004841742	0,040033841	0,031	0	1	1,028137943	0,972632132	#DIV/0!
TMEM145	0,004841742	0,040033841	0,031	0	1	1,028137943	0,972632132	#DIV/0!
ZNF492	0,004841742	0,040033841	0,031	0	1	1,028137943	0,972632132	#DIV/0!
CASP9	0,02857055	0,039967284	0,156	0,051	1	1,028090512	0,972677005	3,058823529
KAT14	0,086278754	0,039959426	0,062	0,016	1	1,028084913	0,972682302	3,875
TTC38	0,040857201	0,039929441	0,062	0,012	1	1,028063545	0,972702519	5,166666667
CEP97	0,000588759	0,039899975	0,375	0,113	1	1,028042548	0,972722386	3,318584071
CD6	6,3574E-05	0,039889012	0,062	0	1	1,028034736	0,972729778	#DIV/0!
MILR1	6,3574E-05	0,039889012	0,062	0	1	1,028034736	0,972729778	#DIV/0!
GPN2	0,001642148	0,039838624	0,125	0,02	1	1,027998831	0,972763752	6,25
LRRC29	6,3574E-05	0,039739396	0,062	0	1	1,027928128	0,972830661	#DIV/0!
ATMIN	0,007089636	0,039707337	0,156	0,039	1	1,027905286	0,972852279	4
KREMEN1	0,008148126	0,039627251	0,094	0,016	1	1,027848227	0,972906285	5,875
ANAPC4	0,00019555	0,039584967	0,188	0,031	1	1,027818102	0,9729348	6,064516129
SUPT7L	0,000466117	0,039561222	0,188	0,035	1	1,027801186	0,972950814	5,371428571
SCRG1	0,003547823	0,039503443	0,344	0,121	1	1,027760024	0,97298978	2,842975207
SEPSECS	0,002263143	0,039443577	0,062	0,004	1	1,027717377	0,973030156	15,5
AGPAT3	0,000311736	0,039418985	0,312	0,082	1	1,027699859	0,973046743	3,804878049
FANCD2	0,082317662	0,039407994	0,031	0,004	1	1,027692029	0,973054156	7,75
CCDC85B	0,001081065	0,039315342	0,656	0,262	1	1,027626032	0,973116649	2,503816794
PXK	0,065622259	0,039264011	0,188	0,078	1	1,027589469	0,973151273	2,41025641
ARID3B	2,40115E-05	0,039232875	0,156	0,016	0,506667402	1,027567293	0,973172275	9,75
MIS18A	0,000339359	0,039225572	0,156	0,023	1	1,027562091	0,973177202	6,782608696
COPS7A	6,30883E-05	0,039212446	0,312	0,07	1	1,027552742	0,973186056	4,457142857
WDHD1	9,06462E-07	0,039211754	0,125	0,004	0,019127258	1,027552249	0,973186522	31,25
SS18	0,017996779	0,039150993	0,281	0,113	1	1,027508973	0,97322751	2,486725664
ABCC8	0,226351275	0,039150171	0,031	0,008	1	1,027508388	0,973228065	3,875
TMEM243	1,21952E-05	0,039105466	0,375	0,082	0,257330394	1,027476548	0,973258223	4,573170732
OSBPL3	0,221475664	0,039104402	0,031	0,008	1	1,027475791	0,973258941	3,875
KIAA0895L	0,002594281	0,039071951	0,094	0,012	1	1,02745268	0,973280833	7,833333333

Supplementary Table 1

Differentially expressed genes_adjacent-skin-XL_ comparing SC-Keloid vs. (SC-Myel, SC-Nonmyel)								
gene	p_val	avg_log2FC	pct.1	pct.2	p_val_adj	Foldchange_UP	Foldchange_DOWN	Ratio_pct1_pct2
GSTM4	0,018436147	0,039000142	0,094	0,02	1	1,027401541	0,973329278	4,7
ATG3	0,001601928	0,038965507	0,406	0,141	1	1,027376876	0,973352645	2,879432624
CERK	0,041848356	0,038927375	0,062	0,012	1	1,027349722	0,973378372	5,166666667
SH3GL1	0,001385781	0,038912635	0,438	0,148	1	1,027339225	0,973388318	2,959459459
GMIP	0,002263143	0,038912446	0,062	0,004	1	1,027339091	0,973388445	15,5
FBLL1	0,002263143	0,038880029	0,062	0,004	1	1,027316007	0,973410317	15,5
SLC9B1	0,082317662	0,038812237	0,031	0,004	1	1,027267735	0,973456059	7,75
PAK1	0,004180266	0,03880875	0,125	0,023	1	1,027265252	0,973458411	5,434782609
TMEM104	4,80439E-05	0,038757658	0,094	0,004	1	1,027228872	0,973492886	23,5
PLTP	0,000291314	0,038733219	0,375	0,109	1	1,027211471	0,973509377	3,440366972
SLMAP	0,000247303	0,038728151	0,219	0,043	1	1,027207863	0,973512797	5,093023256
CSTA	0,041848356	0,038633522	0,062	0,012	1	1,027140489	0,973576654	5,166666667
EXOC3-AS1	0,000524345	0,038618982	0,094	0,008	1	1,027130137	0,973586466	11,75
COMMD2	0,001245548	0,038408833	0,312	0,094	1	1,026980532	0,973728293	3,319148936
RELL1	0,007214939	0,03836489	0,156	0,039	1	1,026949251	0,973757952	4
CDCA8	0,082317662	0,038335982	0,031	0,004	1	1,026928674	0,973777464	7,75
GGACT	6,3574E-05	0,038294453	0,062	0	1	1,026899114	0,973805495	#DIV/0!
SPA17	6,3574E-05	0,038294453	0,062	0	1	1,026899114	0,973805495	#DIV/0!
ALPK2	6,3574E-05	0,038290028	0,062	0	1	1,026895964	0,973808482	#DIV/0!
GTPBP8	6,26098E-05	0,038211092	0,25	0,047	1	1,02683978	0,973861765	5,319148936
CREBL2	0,26859919	0,038138865	0,125	0,066	1	1,026788373	0,973910522	1,893939394
RPS11	0,270238431	0,038120052	0,938	0,793	1	1,026774984	0,973923221	1,182849937
CDC37	0,007884792	0,038000916	0,656	0,293	1	1,026690197	0,97400365	2,23890785
KLRG1	0,082317662	0,037996402	0,031	0,004	1	1,026686985	0,974006698	7,75
FECH	0,008148126	0,037872719	0,094	0,016	1	1,02659897	0,974090204	5,875
C21orf62	0,004841742	0,037852288	0,031	0	1	1,026584432	0,974103998	#DIV/0!
CDYL2	0,004841742	0,037852288	0,031	0	1	1,026584432	0,974103998	#DIV/0!
FAM149A	0,004841742	0,037852288	0,031	0	1	1,026584432	0,974103998	#DIV/0!
GALR3	0,004841742	0,037852288	0,031	0	1	1,026584432	0,974103998	#DIV/0!
OAS2	0,004841742	0,037852288	0,031	0	1	1,026584432	0,974103998	#DIV/0!

Supplementary Table 1

Differentially expressed genes_adjacent-skin-XL_comparing SC-Keloid vs. (SC-Myel, SC-Nonmyel)								
gene	p_val	avg_log2FC	pct.1	pct.2	p_val_adj	Foldchange_UP	Foldchange_DOWN	Ratio_pct1_pct2
RGPD8	0,004841742	0,037852288	0,031	0	1	1,026584432	0,974103998	#DIV/0!
RGS4	0,004841742	0,037852288	0,031	0	1	1,026584432	0,974103998	#DIV/0!
TMEM72-AS1	0,004841742	0,037852288	0,031	0	1	1,026584432	0,974103998	#DIV/0!
WDR5B	0,004841742	0,037852288	0,031	0	1	1,026584432	0,974103998	#DIV/0!
ZNF154	0,004841742	0,037852288	0,031	0	1	1,026584432	0,974103998	#DIV/0!
ETFBKMT	0,000524345	0,037843382	0,094	0,008	1	1,026578095	0,974110012	11,75
PLD2	0,002594281	0,037784523	0,094	0,012	1	1,026536214	0,974149754	7,833333333
NUP43	0,084624339	0,037733638	0,062	0,016	1	1,026500008	0,974184113	3,875
ZBTB37	0,00083045	0,037724929	0,156	0,027	1	1,026493811	0,974189995	5,777777778
TDP1	0,018436147	0,037698396	0,094	0,02	1	1,026474932	0,974207912	4,7
SHLD3	0,041848356	0,037693435	0,062	0,012	1	1,026471403	0,974211261	5,166666667
THAP7	0,001622495	0,037660809	0,312	0,098	1	1,02644819	0,974233293	3,183673469
EIF5A2	0,019871239	0,03763399	0,156	0,047	1	1,026429109	0,974251403	3,319148936
LINC00973	0,002263143	0,037596526	0,062	0,004	1	1,026402455	0,974276703	15,5
C9orf116	6,3574E-05	0,037528792	0,062	0	1	1,026354267	0,974322446	#DIV/0!
VAX2	6,3574E-05	0,037528792	0,062	0	1	1,026354267	0,974322446	#DIV/0!
PDCD10	0,007118477	0,037514938	0,375	0,145	1	1,026344411	0,974331803	2,586206897
GAS8	0,041848356	0,037483513	0,062	0,012	1	1,026322055	0,974353026	5,166666667
CCDC181	0,079594089	0,037440311	0,031	0,004	1	1,026291322	0,974382204	7,75
PCSK7	0,003091583	0,037381152	0,25	0,074	1	1,026249239	0,97442216	3,378378378
ACOT8	0,000339359	0,037348865	0,156	0,023	1	1,026226272	0,974443967	6,782608696
FAM110A	0,000524345	0,037301327	0,094	0,008	1	1,026192458	0,974476077	11,75
SMARCAD1	0,000537931	0,037292001	0,219	0,047	1	1,026185824	0,974482376	4,659574468
RAN	0,009740348	0,037269281	0,844	0,457	1	1,026169663	0,974497723	1,846827133
CNOT9	0,000486115	0,037190727	0,281	0,07	1	1,026113791	0,974550785	4,014285714
STARD8	6,3574E-05	0,037185666	0,062	0	1	1,026110191	0,974554204	#DIV/0!
YAE1	0,000103236	0,037136797	0,156	0,02	1	1,026075434	0,974587215	7,8
LINC00937	0,226351275	0,037040612	0,031	0,008	1	1,026007027	0,974652194	3,875
KCNN3	0,226351275	0,036981668	0,031	0,008	1	1,025965108	0,974692016	3,875
PRSS27	0,087959196	0,036959839	0,062	0,016	1	1,025949585	0,974706764	3,875

Supplementary Table 1

Differentially expressed genes_adjacent-skin-XL_ comparing SC-Keloid vs. (SC-Myel, SC-Nonmyel)								
gene	p_val	avg_log2FC	pct.1	pct.2	p_val_adj	Foldchange_UP	Foldchange_DOWN	Ratio_pct1_pct2
METTL4	0,060128123	0,036951212	0,125	0,043	1	1,02594345	0,974712592	2,906976744
NUDT16	8,35459E-06	0,036928842	0,312	0,059	0,176290113	1,025927542	0,974727706	5,288135593
KLC2	0,000200286	0,03689435	0,188	0,031	1	1,025903014	0,974751011	6,064516129
ABCF1	0,006606659	0,036858665	0,312	0,113	1	1,02587764	0,974775121	2,761061947
RHEBL1	0,002594281	0,036835483	0,094	0,012	1	1,025861155	0,974790785	7,833333333
PGM1	0,000112833	0,036830086	0,125	0,012	1	1,025857318	0,974794431	10,41666667
FAM168A	0,0162314	0,03682506	0,25	0,094	1	1,025853744	0,974797827	2,659574468
BTF3	0,453673081	0,036824398	0,938	0,703	1	1,025853273	0,974798274	1,33428165
TMOD1	0,226351275	0,036797972	0,031	0,008	1	1,025834483	0,97481613	3,875
ZNF737	0,221757959	0,036717307	0,062	0,023	1	1,025777127	0,974870636	2,695652174
BAG5	0,000112855	0,036712123	0,344	0,086	1	1,025773441	0,974874139	4
CSMD2	0,002594281	0,036624482	0,094	0,012	1	1,025711129	0,974933362	7,833333333
APBA3	0,790352492	0,036624155	0,031	0,023	1	1,025710896	0,974933584	1,347826087
FREM2	0,01796492	0,036608583	0,219	0,078	1	1,025699825	0,974944107	2,807692308
CHFR	0,000426857	0,036464724	0,188	0,035	1	1,025597552	0,975041328	5,371428571
LRRC59	0,000172863	0,036463186	0,406	0,113	1	1,025596459	0,975042368	3,592920354
PAX8	0,380266129	0,036398007	0,031	0,012	1	1,025550125	0,97508642	2,583333333
PEX11B	0,041848356	0,036396746	0,062	0,012	1	1,025549229	0,975087272	5,166666667
PIGW	4,80439E-05	0,036362654	0,094	0,004	1	1,025524994	0,975110315	23,5
COL19A1	6,3574E-05	0,036269439	0,062	0	1	1,025458735	0,97517332	#DIV/0!
ZBTB9	6,3574E-05	0,036269439	0,062	0	1	1,025458735	0,97517332	#DIV/0!
NIPA1	5,12603E-06	0,036261822	0,188	0,02	0,108164307	1,025453322	0,975178469	9,4
SANBR	0,002096899	0,036255534	0,156	0,031	1	1,025448852	0,975182719	5,032258065
CENPA	0,082317662	0,036238347	0,031	0,004	1	1,025436636	0,975194337	7,75
SATB1	0,000371522	0,036231507	0,281	0,07	1	1,025431774	0,97519896	4,014285714
SCCPDH	0,009328862	0,036226929	0,75	0,352	1	1,02542852	0,975202055	2,130681818
CALML5	0,221475664	0,036172797	0,031	0,008	1	1,025390045	0,975238647	3,875
CYB5D2	1,49244E-05	0,035978404	0,219	0,031	0,314919708	1,02525189	0,975370062	7,064516129
SGPP1	0,059959447	0,035882245	0,094	0,027	1	1,025183558	0,975435074	3,481481481
RPL27A	0,371142822	0,035817396	0,969	0,734	1	1,025137477	0,975478921	1,320163488

Supplementary Table 1

Differentially expressed genes_adjacent-skin-XL_comparing SC-Keloid vs. (SC-Myel, SC-Nonmyel)								
gene	p_val	avg_log2FC	pct.1	pct.2	p_val_adj	Foldchange_UP	Foldchange_DOWN	Ratio_pct1_pct2
SLC7A11	0,002263143	0,035795081	0,062	0,004	1	1,02512162	0,97549401	15,5
NDOR1	0,002594281	0,03579081	0,094	0,012	1	1,025118585	0,975496898	7,833333333
PIFO	0,004841742	0,035779411	0,031	0	1	1,025110486	0,975504605	#DIV/0!
AC009228.1	0,004841742	0,035773733	0,031	0	1	1,025106451	0,975508445	#DIV/0!
EFNB3	0,004841742	0,035773733	0,031	0	1	1,025106451	0,975508445	#DIV/0!
ENO4	0,004841742	0,035773733	0,031	0	1	1,025106451	0,975508445	#DIV/0!
IDH1-AS1	0,004841742	0,035773733	0,031	0	1	1,025106451	0,975508445	#DIV/0!
LHB	0,004841742	0,035773733	0,031	0	1	1,025106451	0,975508445	#DIV/0!
MEDAG	0,004841742	0,035773733	0,031	0	1	1,025106451	0,975508445	#DIV/0!
MGST1	0,004841742	0,035773733	0,031	0	1	1,025106451	0,975508445	#DIV/0!
PLA2R1	0,004841742	0,035773733	0,031	0	1	1,025106451	0,975508445	#DIV/0!
STXBP5L	0,004841742	0,035773733	0,031	0	1	1,025106451	0,975508445	#DIV/0!
TLR7	0,004841742	0,035773733	0,031	0	1	1,025106451	0,975508445	#DIV/0!
TM6SF2	0,004841742	0,035773733	0,031	0	1	1,025106451	0,975508445	#DIV/0!
TRIM7	0,004841742	0,035773733	0,031	0	1	1,025106451	0,975508445	#DIV/0!
KPNA2	0,001701754	0,035729131	0,375	0,125	1	1,02507476	0,975538604	3
PGF	0,040857201	0,035720231	0,062	0,012	1	1,025068436	0,975544622	5,166666667
VPS4B	0,001700084	0,035710592	0,281	0,082	1	1,025061588	0,97555114	3,426829268
COPG1	0,00052757	0,035709326	0,219	0,047	1	1,025060688	0,975551996	4,659574468
C7orf25	0,008148126	0,035692271	0,094	0,016	1	1,02504857	0,975563528	5,875
SLC6A6	0,098751938	0,035645528	0,094	0,031	1	1,025015359	0,975595137	3,032258065
NACC1	0,000112833	0,03553901	0,125	0,012	1	1,024939683	0,97566717	10,41666667
MTMR9	0,013518555	0,035504627	0,188	0,059	1	1,024915256	0,975690423	3,186440678
CHCHD4	0,527450503	0,035368155	0,031	0,016	1	1,024818308	0,975782724	1,9375
PEX12	0,082317662	0,03534806	0,031	0,004	1	1,024804034	0,975796315	7,75
TGFB2	0,015983649	0,035319882	0,125	0,031	1	1,024784019	0,975815374	4,032258065
HSF4	0,082317662	0,035276443	0,031	0,004	1	1,024753163	0,975844755	7,75
DAZAP1	0,00575081	0,035273663	0,344	0,125	1	1,024751188	0,975846636	2,752
SENP6	0,000301561	0,035254289	0,469	0,152	1	1,024737427	0,975859741	3,085526316
ZNF724	0,041848356	0,035212942	0,062	0,012	1	1,024708059	0,975887709	5,166666667

Supplementary Table 1

Differentially expressed genes_adjacent-skin-XL_comparing SC-Keloid vs. (SC-Myel, SC-Nonmyel)								
gene	p_val	avg_log2FC	pct.1	pct.2	p_val_adj	Foldchange_UP	Foldchange_DOWN	Ratio_pct1_pct2
CMTR2	0,000476445	0,03514806	0,188	0,035	1	1,024661976	0,975931598	5,371428571
DTX2	0,004180266	0,035046288	0,125	0,023	1	1,024589696	0,976000446	5,434782609
RAB28	0,001700084	0,035027423	0,281	0,082	1	1,024576298	0,976013208	3,426829268
ATAD5	0,386325862	0,034976422	0,031	0,012	1	1,024540079	0,976047712	2,583333333
EOLA2	0,001600673	0,034794502	0,125	0,02	1	1,024410895	0,976170797	6,25
ETNK2	0,221475664	0,03463651	0,031	0,008	1	1,024298716	0,976277705	3,875
FBP1	0,082317662	0,034592944	0,031	0,004	1	1,024267785	0,976307187	7,75
MAD1L1	0,02818312	0,03456987	0,156	0,051	1	1,024251404	0,976322802	3,058823529
CLSTN3	0,852091481	0,034540518	0,031	0,039	1	1,024230565	0,976342665	0,794871795
GZF1	0,004180266	0,03448242	0,125	0,023	1	1,02418932	0,976381984	5,434782609
CEP78	0,002053304	0,034479183	0,156	0,031	1	1,024187022	0,976384175	5,032258065
BCL9	0,003304112	0,034392505	0,188	0,047	1	1,02412549	0,976442838	4
DNAJC22	0,082317662	0,034348557	0,031	0,004	1	1,024094293	0,976472584	7,75
BAZ1A	0,000954735	0,034266344	0,344	0,105	1	1,024035936	0,97652823	3,276190476
RANBP6	0,041848356	0,033998236	0,062	0,012	1	1,023845649	0,976709723	5,166666667
FAM76A	0,026750634	0,033971318	0,188	0,066	1	1,023826545	0,976727947	2,848484848
C8orf88	0,000190919	0,033967929	0,188	0,031	1	1,02382414	0,976730242	6,064516129
BTN2A2	0,000112833	0,033756642	0,125	0,012	1	1,02367421	0,976873297	10,41666667
HNRNPLL	0,003601587	0,033736382	0,188	0,047	1	1,023659834	0,976887015	4
ST13	0,046407115	0,033646093	0,719	0,379	1	1,023595772	0,976948154	1,897097625
PMPCA	2,87896E-05	0,033549179	0,312	0,066	0,607490199	1,023527014	0,977013783	4,727272727
GCAT	0,040857201	0,033532566	0,062	0,012	1	1,023515227	0,977025035	5,166666667
RHOBTB2	0,002594281	0,033519434	0,094	0,012	1	1,023505911	0,977033928	7,833333333
AC007879.2	0,004841742	0,033490869	0,031	0	1	1,023485646	0,977053273	#DIV/0!
BDNF	0,004841742	0,033490869	0,031	0	1	1,023485646	0,977053273	#DIV/0!
BNC2	0,004841742	0,033490869	0,031	0	1	1,023485646	0,977053273	#DIV/0!
CRYBA2	0,004841742	0,033490869	0,031	0	1	1,023485646	0,977053273	#DIV/0!
EPSTI1	0,004841742	0,033490869	0,031	0	1	1,023485646	0,977053273	#DIV/0!
IQUB	0,004841742	0,033490869	0,031	0	1	1,023485646	0,977053273	#DIV/0!
LINC00871	0,004841742	0,033490869	0,031	0	1	1,023485646	0,977053273	#DIV/0!

Supplementary Table 1

Differentially expressed genes_adjacent-skin-XL_comparing SC-Keloid vs. (SC-Myel, SC-Nonmyel)								
gene	p_val	avg_log2FC	pct.1	pct.2	p_val_adj	Foldchange_UP	Foldchange_DOWN	Ratio_pct1_pct2
POU2F2	0,004841742	0,033490869	0,031	0	1	1,023485646	0,977053273	#DIV/0!
RAD54B	0,004841742	0,033490869	0,031	0	1	1,023485646	0,977053273	#DIV/0!
TLL1	0,004841742	0,033490869	0,031	0	1	1,023485646	0,977053273	#DIV/0!
TPRG1	0,004841742	0,033490869	0,031	0	1	1,023485646	0,977053273	#DIV/0!
ULBP3	0,004841742	0,033490869	0,031	0	1	1,023485646	0,977053273	#DIV/0!
ZNF304	0,004841742	0,033490869	0,031	0	1	1,023485646	0,977053273	#DIV/0!
WSCD1	0,082317662	0,033441065	0,031	0,004	1	1,023450314	0,977087003	7,75
MRPS11	0,000245551	0,033342837	0,312	0,078	1	1,023380634	0,977153531	4
MED25	0,093336433	0,033306113	0,094	0,031	1	1,023354584	0,977178405	3,032258065
CDK14	0,036158386	0,033274102	0,094	0,023	1	1,023331877	0,977200088	4,086956522
MED7	0,001642148	0,033267059	0,125	0,02	1	1,023326882	0,977204858	6,25
TTI2	0,008148126	0,033191788	0,094	0,016	1	1,023273492	0,977255844	5,875
FAM66C	0,221475664	0,033191722	0,031	0,008	1	1,023273445	0,977255889	3,875
PIGN	0,028712073	0,033158039	0,125	0,035	1	1,023249555	0,977278705	3,571428571
RIOK2	0,0057801	0,033110993	0,188	0,051	1	1,023216188	0,977310574	3,68627451
PFKM	0,002010541	0,033019398	0,156	0,031	1	1,023151226	0,977372625	5,032258065
SNX12	0,016562293	0,032999425	0,125	0,031	1	1,023137062	0,977386156	4,032258065
ERCC3	0,002005544	0,032865975	0,188	0,043	1	1,023042426	0,977476569	4,372093023
ZNF623	0,461954663	0,032660667	0,062	0,035	1	1,022896848	0,977615682	1,771428571
FGFBP1	0,777381931	0,032645293	0,031	0,023	1	1,022885948	0,9776261	1,347826087
KCTD5	0,000911755	0,032590134	0,156	0,027	1	1,02284684	0,977663478	5,777777778
ORMDL1	0,179626713	0,032573541	0,438	0,254	1	1,022835076	0,977674723	1,724409449
PARN	0,01390071	0,03254649	0,188	0,059	1	1,022815898	0,977693055	3,186440678
SPATS2	0,043915019	0,032522016	0,125	0,039	1	1,022798547	0,977709641	3,205128205
LRRTM2	0,179436467	0,032480803	0,094	0,039	1	1,02276933	0,977737571	2,41025641
AP5B1	0,150155729	0,032436117	0,062	0,02	1	1,022737651	0,977767856	3,1
CDH13	0,000623439	0,032367814	0,344	0,102	1	1,022689231	0,977814149	3,37254902
ZNF395	0,133058992	0,032341835	0,094	0,035	1	1,022670816	0,977831757	2,685714286
GJA4	0,082317662	0,032324022	0,031	0,004	1	1,022658189	0,97784383	7,75
RCVRN	6,3574E-05	0,032299906	0,062	0	1	1,022641094	0,977860176	#DIV/0!

Supplementary Table 1

Differentially expressed genes_adjacent-skin-XL_comparing SC-Keloid vs. (SC-Myel, SC-Nonmyel)								
gene	p_val	avg_log2FC	pct.1	pct.2	p_val_adj	Foldchange_UP	Foldchange_DOWN	Ratio_pct1_pct2
KDM5B	0,017516805	0,032249573	0,281	0,109	1	1,022605417	0,977894292	2,577981651
TOP3B	0,041848356	0,032210366	0,062	0,012	1	1,022577626	0,977920868	5,166666667
NUP54	0,00014425	0,032192337	0,344	0,09	1	1,022564847	0,977933089	3,822222222
SMPD2	0,041848356	0,032093231	0,062	0,012	1	1,022494605	0,97800027	5,166666667
SLC35F2	0,226351275	0,032087443	0,031	0,008	1	1,022490503	0,978004194	3,875
KRBA2	0,221475664	0,032043602	0,031	0,008	1	1,022459432	0,978033914	3,875
GMEB1	0,226917872	0,031964087	0,094	0,043	1	1,022403079	0,978087821	2,186046512
ZNF217	0,05670394	0,031818179	0,156	0,059	1	1,022299683	0,978186745	2,644067797
WDR55	0,001642148	0,031803996	0,125	0,02	1	1,022289634	0,978196362	6,25
GBA2	1,53257E-05	0,031802975	0,219	0,031	0,323387973	1,02228891	0,978197054	7,064516129
FANCA	0,002263143	0,03176711	0,062	0,004	1	1,022263496	0,978221372	15,5
TYW1	0,087959196	0,031697567	0,062	0,016	1	1,022214221	0,978268527	3,875
MARK4	0,041443265	0,031671771	0,125	0,039	1	1,022195943	0,978286019	3,205128205
TRIB3	0,000524345	0,031600241	0,094	0,008	1	1,022145264	0,978334524	11,75
MATN3	0,000339359	0,031535338	0,156	0,023	1	1,022099281	0,978378538	6,782608696
STAU1	0,004796303	0,031481677	0,5	0,199	1	1,022061265	0,978414929	2,512562814
SUFU	4,80439E-05	0,031441994	0,094	0,004	1	1,022033152	0,978441842	23,5
BORA	0,004841742	0,031409513	0,031	0	1	1,022010142	0,978463871	#DIV/0!
CDCA7	0,004841742	0,031409513	0,031	0	1	1,022010142	0,978463871	#DIV/0!
DDIAS	0,004841742	0,031409513	0,031	0	1	1,022010142	0,978463871	#DIV/0!
DSN1	0,004841742	0,031409513	0,031	0	1	1,022010142	0,978463871	#DIV/0!
EFCAB13	0,004841742	0,031409513	0,031	0	1	1,022010142	0,978463871	#DIV/0!
GALNT15	0,004841742	0,031409513	0,031	0	1	1,022010142	0,978463871	#DIV/0!
GINS4	0,004841742	0,031409513	0,031	0	1	1,022010142	0,978463871	#DIV/0!
GPR162	0,004841742	0,031409513	0,031	0	1	1,022010142	0,978463871	#DIV/0!
H3C1	0,004841742	0,031409513	0,031	0	1	1,022010142	0,978463871	#DIV/0!
KHDC1	0,004841742	0,031409513	0,031	0	1	1,022010142	0,978463871	#DIV/0!
KIFC1	0,004841742	0,031409513	0,031	0	1	1,022010142	0,978463871	#DIV/0!
PROB1	0,004841742	0,031409513	0,031	0	1	1,022010142	0,978463871	#DIV/0!
RASSF7	0,004841742	0,031409513	0,031	0	1	1,022010142	0,978463871	#DIV/0!

Supplementary Table 1

Differentially expressed genes_adjacent-skin-XL_ comparing SC-Keloid vs. (SC-Myel, SC-Nonmyel)								
gene	p_val	avg_log2FC	pct.1	pct.2	p_val_adj	Foldchange_UP	Foldchange_DOWN	Ratio_pct1_pct2
RNF39	0,004841742	0,031409513	0,031	0	1	1,022010142	0,978463871	#DIV/0!
SGO1	0,004841742	0,031409513	0,031	0	1	1,022010142	0,978463871	#DIV/0!
ZNF257	0,004841742	0,031409513	0,031	0	1	1,022010142	0,978463871	#DIV/0!
ZNF488	0,004841742	0,031409513	0,031	0	1	1,022010142	0,978463871	#DIV/0!
ZNF7	0,000911755	0,031373381	0,156	0,027	1	1,021984546	0,978488377	5,777777778
LSM12	0,001801849	0,031282566	0,344	0,109	1	1,021920216	0,978549973	3,155963303
HDFGL3	0,000237136	0,031220699	0,219	0,043	1	1,021876394	0,978591937	5,093023256
DLG3	0,668867248	0,031163776	0,031	0,02	1	1,021836076	0,978630549	1,55
SLC39A11	0,008148126	0,03107802	0,094	0,016	1	1,021775338	0,978688722	5,875
MBTPS2	0,008607623	0,031064839	0,125	0,027	1	1,021766003	0,978697664	4,62962963
SLC45A4	0,002263143	0,031049819	0,062	0,004	1	1,021755366	0,978707853	15,5
ALKBH8	0,086278754	0,030954459	0,062	0,016	1	1,021687831	0,978772546	3,875
ABCB9	0,004841742	0,030945964	0,031	0	1	1,021681815	0,97877831	#DIV/0!
ADM2	0,004841742	0,030945964	0,031	0	1	1,021681815	0,97877831	#DIV/0!
C2CD6	0,004841742	0,030945964	0,031	0	1	1,021681815	0,97877831	#DIV/0!
COCH	0,004841742	0,030945964	0,031	0	1	1,021681815	0,97877831	#DIV/0!
MAPK12	0,004841742	0,030945964	0,031	0	1	1,021681815	0,97877831	#DIV/0!
PLCB2	0,004841742	0,030945964	0,031	0	1	1,021681815	0,97877831	#DIV/0!
SNX32	0,004841742	0,030945964	0,031	0	1	1,021681815	0,97877831	#DIV/0!
STKLD1	0,004841742	0,030945964	0,031	0	1	1,021681815	0,97877831	#DIV/0!
TNN	0,004841742	0,030945964	0,031	0	1	1,021681815	0,97877831	#DIV/0!
TNNI3	0,004841742	0,030945964	0,031	0	1	1,021681815	0,97877831	#DIV/0!
ZNF174	0,004841742	0,030945964	0,031	0	1	1,021681815	0,97877831	#DIV/0!
TBRG4	0,00347979	0,030922577	0,188	0,047	1	1,021665253	0,978794176	4
PRIM1	0,008148126	0,030864319	0,094	0,016	1	1,021623998	0,978833702	5,875
C6orf89	0,00041116	0,03076718	0,281	0,07	1	1,021555213	0,978899611	4,014285714
ZNF628	0,008607623	0,030747605	0,125	0,027	1	1,021541352	0,978912893	4,62962963
MTMR6	0,002043075	0,03067287	0,188	0,043	1	1,021488435	0,978963605	4,372093023
TAF3	0,002025682	0,030660726	0,25	0,07	1	1,021479836	0,978971845	3,571428571
CCNJ	0,002263143	0,030656271	0,062	0,004	1	1,021476682	0,978974868	15,5

Supplementary Table 1

Differentially expressed genes_adjacent-skin-XL_ comparing SC-Keloid vs. (SC-Myel, SC-Nonmyel)								
gene	p_val	avg_log2FC	pct.1	pct.2	p_val_adj	Foldchange_UP	Foldchange_DOWN	Ratio_pct1_pct2
OAZ2	0,003916378	0,030607778	0,375	0,137	1	1,021442348	0,979007774	2,737226277
SCAMP4	6,83245E-05	0,030581787	0,344	0,082	1	1,021423946	0,979025412	4,195121951
C9orf78	0,000581767	0,03053573	0,438	0,141	1	1,021391339	0,979056667	3,106382979
NDUFA4L2	0,041848356	0,030371354	0,062	0,012	1	1,021274971	0,979168224	5,166666667
BUB1	0,004841742	0,030352177	0,031	0	1	1,021261396	0,97918124	#DIV/0!
BUB1B	0,004841742	0,030352177	0,031	0	1	1,021261396	0,97918124	#DIV/0!
CORT	0,004841742	0,030352177	0,031	0	1	1,021261396	0,97918124	#DIV/0!
H2AC12	0,004841742	0,030352177	0,031	0	1	1,021261396	0,97918124	#DIV/0!
KIF2C	0,004841742	0,030352177	0,031	0	1	1,021261396	0,97918124	#DIV/0!
MND1	0,004841742	0,030352177	0,031	0	1	1,021261396	0,97918124	#DIV/0!
NEXN	0,004841742	0,030352177	0,031	0	1	1,021261396	0,97918124	#DIV/0!
PLK4	0,004841742	0,030352177	0,031	0	1	1,021261396	0,97918124	#DIV/0!
RBPMS2	0,004841742	0,030352177	0,031	0	1	1,021261396	0,97918124	#DIV/0!
SUV39H1	0,004841742	0,030352177	0,031	0	1	1,021261396	0,97918124	#DIV/0!
TBC1D19	0,000190919	0,030341949	0,188	0,031	1	1,021254155	0,979188182	6,064516129
DENND1B	0,004180266	0,030293525	0,125	0,023	1	1,021219878	0,979221049	5,434782609
PANK2	0,007761791	0,030198304	0,25	0,082	1	1,021152478	0,979285681	3,048780488
ZNF697	0,150155729	0,030198133	0,062	0,02	1	1,021152357	0,979285798	3,1
CEP131	0,065070981	0,030184395	0,125	0,043	1	1,021142633	0,979295123	2,906976744
NAP1L5	0,004180266	0,030177881	0,125	0,023	1	1,021138022	0,979299545	5,434782609
FLRT1	0,039505443	0,030081876	0,156	0,055	1	1,021070072	0,979364715	2,836363636
HMSD	4,80439E-05	0,030062219	0,094	0,004	1	1,02105616	0,979378059	23,5
GPBP1L1	0,000475965	0,030041662	0,25	0,059	1	1,021041611	0,979392014	4,237288136
FAM219B	0,040519001	0,02997637	0,156	0,055	1	1,020995403	0,97943634	2,836363636
EHHADH	0,226351275	0,029970161	0,031	0,008	1	1,020991009	0,979440555	3,875
IFT140	0,380266129	0,029918917	0,031	0,012	1	1,020954744	0,979475345	2,583333333
EPN1	0,001123583	0,029915101	0,344	0,105	1	1,020952043	0,979477936	3,276190476
GEMIN7	0,008607623	0,029870744	0,125	0,027	1	1,020920654	0,979508051	4,62962963
SYT17	0,226351275	0,029818755	0,031	0,008	1	1,020883864	0,97954335	3,875
IL4R	4,80439E-05	0,029799497	0,094	0,004	1	1,020870237	0,979556425	23,5

Supplementary Table 1

Differentially expressed genes_adjacent-skin-XL_comparing SC-Keloid vs. (SC-Myel, SC-Nonmyel)								
gene	p_val	avg_log2FC	pct.1	pct.2	p_val_adj	Foldchange_UP	Foldchange_DOWN	Ratio_pct1_pct2
INTS7	0,226351275	0,029682339	0,031	0,008	1	1,020787338	0,979635976	3,875
EVL	8,97778E-06	0,029613335	0,25	0,039	0,189440096	1,020738515	0,979682833	6,41025641
DEPDC1	6,3574E-05	0,029582288	0,062	0	1	1,020716549	0,979703916	#DIV/0!
KLHL23	0,082317662	0,029567451	0,031	0,004	1	1,020706051	0,979713992	7,75
NDC80	0,082317662	0,029466032	0,031	0,004	1	1,0206343	0,979782866	7,75
RNF19A	0,000163225	0,029405246	0,438	0,129	1	1,020591298	0,979824149	3,395348837
POLR2D	0,00399666	0,029349282	0,125	0,023	1	1,020551709	0,979862158	5,434782609
DMAP1	3,63697E-05	0,029329728	0,312	0,066	0,767438061	1,020537877	0,979875439	4,727272727
C6orf223	0,082317662	0,029281811	0,031	0,004	1	1,020503981	0,979907985	7,75
GNA15	0,082317662	0,029280113	0,031	0,004	1	1,02050278	0,979909138	7,75
OGFOD2	0,002263143	0,029272229	0,062	0,004	1	1,020497203	0,979914493	15,5
L3MBTL2	0,002043075	0,029254252	0,188	0,043	1	1,020484488	0,979926703	4,372093023
IPO9	0,043285695	0,029185303	0,125	0,039	1	1,020435718	0,979973537	3,205128205
KIF23	0,082317662	0,029160625	0,031	0,004	1	1,020418263	0,9799903	7,75
TICAM2	0,037506898	0,029073016	0,094	0,023	1	1,020356299	0,980049813	4,086956522
BTBD1	0,000258097	0,029065521	0,25	0,055	1	1,020350998	0,980054905	4,545454545
ZFYVE19	0,019236133	0,029055201	0,094	0,02	1	1,020343699	0,980061915	4,7
ZNF625	0,002263143	0,029013091	0,062	0,004	1	1,020313918	0,980090522	15,5
ECHDC3	0,041848356	0,029006714	0,062	0,012	1	1,020309407	0,980094854	5,166666667
PCDHB10	0,082317662	0,028995705	0,031	0,004	1	1,020301622	0,980102333	7,75
SIRT6	0,000537931	0,028965837	0,219	0,047	1	1,020280499	0,980122624	4,659574468
DHX58	0,300902654	0,028871007	0,062	0,027	1	1,020213436	0,980187051	2,296296296
BNIP1	0,002096899	0,028840053	0,156	0,031	1	1,020191548	0,980208082	5,032258065
PARP3	0,001600673	0,028839136	0,125	0,02	1	1,020190899	0,980208705	6,25
PRMT3	0,008956837	0,028817635	0,125	0,027	1	1,020175695	0,980223314	4,62962963
PDZK1	0,002263143	0,028809947	0,062	0,004	1	1,020170258	0,980228537	15,5
CGREF1	0,082317662	0,02879852	0,031	0,004	1	1,020162178	0,980236301	7,75
NQO1	0,000103236	0,028785752	0,156	0,02	1	1,02015315	0,980244976	7,8
KCNC3	0,002263143	0,028753629	0,062	0,004	1	1,020130435	0,980266803	15,5
RTKN	0,001887375	0,02871455	0,406	0,141	1	1,020102803	0,980293356	2,879432624

Supplementary Table 1

Differentially expressed genes_adjacent-skin-XL_comparing SC-Keloid vs. (SC-Myel, SC-Nonmyel)								
gene	p_val	avg_log2FC	pct.1	pct.2	p_val_adj	Foldchange_UP	Foldchange_DOWN	Ratio_pct1_pct2
AP4M1	0,008148126	0,028695873	0,094	0,016	1	1,020089597	0,980306047	5,875
ZNF277	0,000248428	0,028683237	0,281	0,066	1	1,020080663	0,980314633	4,257575758
STXBP1	0,020365114	0,028630848	0,188	0,062	1	1,020043621	0,980350232	3,032258065
ITGA4	0,013891036	0,028566227	0,062	0,008	1	1,019997932	0,980394144	7,75
SSH3	0,036158386	0,028459008	0,094	0,023	1	1,01992213	0,980467009	4,086956522
SMIM3	0,013891036	0,028376424	0,062	0,008	1	1,019863748	0,980523135	7,75
ATP6VOA2	0,003663929	0,028331599	0,188	0,047	1	1,019832062	0,980553601	4
RSAD1	0,007736261	0,028284972	0,156	0,039	1	1,019799101	0,980585293	4
NCAPG2	0,000509339	0,02827546	0,125	0,016	1	1,019792377	0,980591758	7,8125
LINC00663	0,082317662	0,028206557	0,031	0,004	1	1,019743674	0,980638592	7,75
RSRC1	0,010891946	0,028146009	0,375	0,152	1	1,019700878	0,980679748	2,467105263
SCAMP2	0,000231507	0,028140662	0,438	0,133	1	1,019697098	0,980683383	3,293233083
GBA	0,000954402	0,028019234	0,188	0,039	1	1,019611277	0,980765928	4,820512821
EIPR1	0,000890764	0,027996737	0,156	0,027	1	1,019595377	0,980781222	5,777777778
SERPINA5	0,082317662	0,027993413	0,031	0,004	1	1,019593028	0,980783482	7,75
TEX2	0,026679107	0,027833923	0,219	0,082	1	1,019480318	0,980891913	2,670731707
RXRB	0,007020064	0,027830472	0,281	0,098	1	1,019477879	0,98089426	2,867346939
MORN4	2,40115E-05	0,027753074	0,156	0,016	0,506667402	1,019423188	0,980946884	9,75
SARS2	0,018832425	0,02773321	0,094	0,02	1	1,019409151	0,980960391	4,7
DNASE1L1	0,002263143	0,027719765	0,062	0,004	1	1,019399652	0,980969533	15,5
SPIN4	0,041848356	0,027619209	0,062	0,012	1	1,019328602	0,981037909	5,166666667
LINC00672	0,226351275	0,027530338	0,031	0,008	1	1,019265812	0,981098344	3,875
TACC2	0,013145712	0,027524983	0,188	0,059	1	1,019262029	0,981101985	3,186440678
SLC25A20	0,040857201	0,027500946	0,062	0,012	1	1,019245047	0,981118332	5,166666667
LRR1	0,001642148	0,02749423	0,125	0,02	1	1,019240302	0,981122899	6,25
CCT4	0,004661349	0,027351489	0,688	0,301	1	1,019139463	0,981219976	2,285714286
NIPSNAP2	0,000596865	0,027263613	0,375	0,113	1	1,019077388	0,981279745	3,318584071
TCN2	0,002263143	0,027237309	0,062	0,004	1	1,019058808	0,981297637	15,5
LIG1	0,001642148	0,027228643	0,125	0,02	1	1,019052686	0,981303531	6,25
RPS6KC1	0,004087528	0,027189657	0,125	0,023	1	1,019025149	0,98133005	5,434782609

Supplementary Table 1

Differentially expressed genes_adjacent-skin-XL_ comparing SC-Keloid vs. (SC-Myel, SC-Nonmyel)								
gene	p_val	avg_log2FC	pct.1	pct.2	p_val_adj	Foldchange_UP	Foldchange_DOWN	Ratio_pct1_pct2
MAP4K4	0,000524001	0,02717899	0,594	0,215	1	1,019017614	0,981337305	2,762790698
PEBP4	0,082317662	0,026964268	0,031	0,004	1	1,018865961	0,981483373	7,75
SPATA5	0,094667448	0,026929822	0,094	0,031	1	1,018841635	0,981506807	3,032258065
TMEM79	0,013891036	0,026918745	0,062	0,008	1	1,018833813	0,981514343	7,75
C11orf24	0,000910029	0,026888669	0,5	0,176	1	1,018812573	0,981534805	2,840909091
CMPK2	0,013891036	0,026843873	0,062	0,008	1	1,018780939	0,981565282	7,75
CCAR1	1,0872E-05	0,026818455	0,531	0,141	0,229410591	1,01876299	0,981582576	3,765957447
FAM89A	0,016270711	0,026802618	0,125	0,031	1	1,018751807	0,981593351	4,032258065
CYRIB	6,26098E-05	0,026771245	0,25	0,047	1	1,018729653	0,981614697	5,319148936
LRRC14	0,018832425	0,026743724	0,094	0,02	1	1,01871022	0,981633423	4,7
ZNF107	0,226351275	0,026731986	0,031	0,008	1	1,018701931	0,98164141	3,875
GAR1	0,000486986	0,026691575	0,188	0,035	1	1,018673397	0,981668906	5,371428571
SERP1	0,003582014	0,026589165	0,656	0,27	1	1,018601089	0,981738593	2,42962963
FAM200A	0,002263143	0,026512233	0,062	0,004	1	1,018546774	0,981790945	15,5
DZIP1L	0,041848356	0,026500854	0,062	0,012	1	1,01853874	0,981798689	5,166666667
ZNF324B	0,082317662	0,026456137	0,031	0,004	1	1,01850717	0,981829121	7,75
BID	0,018832425	0,02641551	0,094	0,02	1	1,018478489	0,98185677	4,7
UBE2J1	0,000104629	0,026411024	0,281	0,062	1	1,018475322	0,981859823	4,532258065
ZSCAN21	0,002594281	0,026391339	0,094	0,012	1	1,018461426	0,981873221	7,833333333
OCIAD1	0,01039994	0,026298279	0,688	0,32	1	1,018395733	0,981936558	2,15
PSMB8-AS1	4,80439E-05	0,026290667	0,094	0,004	1	1,018390359	0,981941739	23,5
ANO8	0,226351275	0,026256371	0,031	0,008	1	1,01836615	0,981965082	3,875
TBC1D10A	0,000237396	0,026254248	0,344	0,094	1	1,018364652	0,981966527	3,659574468
UGDH-AS1	0,380266129	0,026216014	0,031	0,012	1	1,018337663	0,981992551	2,583333333
DLST	0,000619548	0,026186375	0,312	0,086	1	1,018316743	0,982012725	3,627906977
ZFYVE1	0,001642148	0,02602359	0,125	0,02	1	1,018201848	0,982123536	6,25
C12orf60	0,087959196	0,025839118	0,062	0,016	1	1,018071663	0,982249125	3,875
CWC22	0,010298205	0,025780243	0,219	0,07	1	1,018030118	0,98228921	3,128571429
DENND6A	0,006917668	0,025699015	0,219	0,066	1	1,017972801	0,982344517	3,318181818
CDC7	0,386325862	0,025646438	0,031	0,012	1	1,017935703	0,982380318	2,583333333

Supplementary Table 1

Differentially expressed genes_adjacent-skin-XL_comparing SC-Keloid vs. (SC-Myel, SC-Nonmyel)								
gene	p_val	avg_log2FC	pct.1	pct.2	p_val_adj	Foldchange_UP	Foldchange_DOWN	Ratio_pct1_pct2
TKT	0,002673937	0,025636713	0,406	0,148	1	1,017928841	0,982386941	2,743243243
USF3	0,06592651	0,025622529	0,125	0,043	1	1,017918833	0,982396599	2,906976744
RGMB-AS1	0,082317662	0,025566269	0,031	0,004	1	1,017879139	0,982434909	7,75
CMBL	0,082317662	0,025525392	0,031	0,004	1	1,017850299	0,982462746	7,75
TRAP1	0,005236307	0,025517167	0,25	0,078	1	1,017844496	0,982468348	3,205128205
SYNJ1	0,145431	0,025499336	0,062	0,02	1	1,017831916	0,98248049	3,1
ZNF337	0,177416998	0,025474994	0,094	0,039	1	1,017814743	0,982497067	2,41025641
SCFD2	0,013891036	0,025427097	0,062	0,008	1	1,017780953	0,982529686	7,75
ARHGAP42	0,012579781	0,02539949	0,156	0,043	1	1,017761477	0,982548488	3,627906977
PMPCB	0,000142904	0,025351326	0,375	0,102	1	1,0177275	0,982581291	3,676470588
ACO2	0,000887986	0,02528525	0,312	0,09	1	1,017680888	0,982626294	3,466666667
TXNDC11	0,000911755	0,025247328	0,156	0,027	1	1,017654138	0,982652124	5,777777778
RNF157	0,041848356	0,025203045	0,062	0,012	1	1,017622903	0,982682286	5,166666667
NCAPH	0,082317662	0,025181741	0,031	0,004	1	1,017607875	0,982696797	7,75
MRPL58	0,016270711	0,025111478	0,125	0,031	1	1,017558316	0,982744658	4,032258065
CASP2	0,090719467	0,025058147	0,094	0,031	1	1,017520702	0,982780987	3,032258065
FAM27C	0,013891036	0,025052152	0,062	0,008	1	1,017516473	0,982785071	7,75
MTIF3	0,000336489	0,025030412	0,375	0,109	1	1,017501141	0,982799881	3,440366972
MCM9	0,013891036	0,025011871	0,062	0,008	1	1,017488064	0,982812511	7,75
SUPT5H	0,031534081	0,024957269	0,344	0,156	1	1,017449556	0,982849709	2,205128205
GUCD1	0,01390071	0,02491284	0,188	0,059	1	1,017418223	0,982879977	3,186440678
OCRL	0,013891036	0,024880518	0,062	0,008	1	1,01739543	0,982901998	7,75
UHMK1	0,056043813	0,024867717	0,156	0,059	1	1,017386402	0,982910719	2,644067797
MTFP1	0,013891036	0,02485794	0,062	0,008	1	1,017379507	0,98291738	7,75
OSCP1	0,002263143	0,024803662	0,062	0,004	1	1,017341232	0,982954361	15,5
GSS	0,000173407	0,024733452	0,188	0,031	1	1,017291723	0,983002198	6,064516129
SLU7	0,000657584	0,024705989	0,406	0,129	1	1,017272358	0,983020911	3,147286822
ITPR3	0,001087388	0,024640337	0,469	0,164	1	1,017226067	0,983065646	2,859756098
ZBED5	0,018341076	0,024576733	0,188	0,062	1	1,017181222	0,983108987	3,032258065
BOLA3-AS1	0,084624339	0,024561557	0,062	0,016	1	1,017170522	0,983119328	3,875

Supplementary Table 1

Differentially expressed genes_adjacent-skin-XL_comparing SC-Keloid vs. (SC-Myel, SC-Nonmyel)								
gene	p_val	avg_log2FC	pct.1	pct.2	p_val_adj	Foldchange_UP	Foldchange_DOWN	Ratio_pct1_pct2
ZNF251	0,019236133	0,024548591	0,094	0,02	1	1,01716138	0,983128164	4,7
ZNF468	0,226351275	0,024487481	0,031	0,008	1	1,017118296	0,983169808	3,875
DGKH	0,013708456	0,024450951	0,188	0,059	1	1,017092541	0,983194704	3,186440678
VASH2	0,002263143	0,024377983	0,062	0,004	1	1,017041101	0,983244433	15,5
FOXQ1	0,082317662	0,024316491	0,031	0,004	1	1,016997752	0,983286342	7,75
EHD3	0,082317662	0,024308762	0,031	0,004	1	1,016992304	0,98329161	7,75
ZNF470	0,041848356	0,024257564	0,062	0,012	1	1,016956214	0,983326505	5,166666667
RMC1	0,018436147	0,024172611	0,094	0,02	1	1,016896332	0,98338441	4,7
MTRES1	0,131388145	0,024165947	0,094	0,035	1	1,016891635	0,983388953	2,685714286
APOBEC3H	0,082317662	0,024148678	0,031	0,004	1	1,016879463	0,983400724	7,75
MRPS5	4,10457E-05	0,024112578	0,406	0,102	0,866106149	1,016854019	0,983425331	3,980392157
CANX	0,044634338	0,024112359	0,781	0,418	1	1,016853864	0,983425481	1,868421053
AL133481.1	0,004841742	0,024050284	0,031	0	1	1,016810113	0,983467795	#DIV/0!
ATP2A1	0,004841742	0,024050284	0,031	0	1	1,016810113	0,983467795	#DIV/0!
CD1D	0,004841742	0,024050284	0,031	0	1	1,016810113	0,983467795	#DIV/0!
CMTM8	0,004841742	0,024050284	0,031	0	1	1,016810113	0,983467795	#DIV/0!
CORO2A	0,004841742	0,024050284	0,031	0	1	1,016810113	0,983467795	#DIV/0!
ELF3	0,004841742	0,024050284	0,031	0	1	1,016810113	0,983467795	#DIV/0!
FAAP24	0,004841742	0,024050284	0,031	0	1	1,016810113	0,983467795	#DIV/0!
GLB1L2	0,004841742	0,024050284	0,031	0	1	1,016810113	0,983467795	#DIV/0!
LINC00265	0,004841742	0,024050284	0,031	0	1	1,016810113	0,983467795	#DIV/0!
NOMO2	0,004841742	0,024050284	0,031	0	1	1,016810113	0,983467795	#DIV/0!
POLR3B	0,004841742	0,024050284	0,031	0	1	1,016810113	0,983467795	#DIV/0!
RNF165	0,004841742	0,024050284	0,031	0	1	1,016810113	0,983467795	#DIV/0!
STAMBPL1	0,004841742	0,024050284	0,031	0	1	1,016810113	0,983467795	#DIV/0!
WNT10A	0,004841742	0,024050284	0,031	0	1	1,016810113	0,983467795	#DIV/0!
SMAD2	0,00076551	0,023959543	0,438	0,145	1	1,016746161	0,983529654	3,020689655
CCNJL	0,000103236	0,023940488	0,156	0,02	1	1,016732732	0,983542645	7,8
DCUN1D2	0,008148126	0,023912472	0,094	0,016	1	1,016712988	0,983561745	5,875
TBCCD1	0,041848356	0,023899039	0,062	0,012	1	1,016703521	0,983570903	5,166666667

Supplementary Table 1

Differentially expressed genes_adjacent-skin-XL_comparing SC-Keloid vs. (SC-Myel, SC-Nonmyel)								
gene	p_val	avg_log2FC	pct.1	pct.2	p_val_adj	Foldchange_UP	Foldchange_DOWN	Ratio_pct1_pct2
LY6K	0,226351275	0,023891253	0,031	0,008	1	1,016698034	0,983576211	3,875
VCPIP1	0,019329956	0,023872779	0,188	0,062	1	1,016685015	0,983588806	3,032258065
HK1	0,002012651	0,02386129	0,312	0,098	1	1,016676918	0,983596639	3,183673469
IBA57	0,226351275	0,023785765	0,031	0,008	1	1,016623697	0,983648132	3,875
ITGA11	0,082317662	0,023733304	0,031	0,004	1	1,01658673	0,9836839	7,75
KYNU	0,082317662	0,023670908	0,031	0,004	1	1,016542764	0,983726445	7,75
SIKE1	1,38769E-05	0,023663377	0,281	0,051	0,292816941	1,016537457	0,983731581	5,509803922
KNSTRN	0,000524345	0,023638913	0,094	0,008	1	1,01652022	0,983748262	11,75
MIEF2	0,082317662	0,023534485	0,031	0,004	1	1,016446643	0,983819473	7,75
SLC26A2	0,019580952	0,023484581	0,156	0,047	1	1,016411484	0,983853504	3,319148936
TMEM237	0,001642148	0,023433528	0,125	0,02	1	1,016375517	0,98388832	6,25
HCCS	0,214636476	0,023369842	0,156	0,082	1	1,016330651	0,983931754	1,902439024
NIF3L1	0,008148126	0,023342606	0,094	0,016	1	1,016311465	0,983950329	5,875
RNF34	5,86746E-05	0,023311562	0,25	0,047	1	1,016289596	0,983971502	5,319148936
KLHDC4	0,003420308	0,023290562	0,188	0,047	1	1,016274802	0,983985825	4
APOO	0,008956837	0,023282895	0,125	0,027	1	1,016269402	0,983991054	4,62962963
BAIAP3	0,004841742	0,023281496	0,031	0	1	1,016268416	0,983992009	#DIV/0!
C17orf97	0,004841742	0,023281496	0,031	0	1	1,016268416	0,983992009	#DIV/0!
DLX5	0,004841742	0,023281496	0,031	0	1	1,016268416	0,983992009	#DIV/0!
FAM86B1	0,004841742	0,023281496	0,031	0	1	1,016268416	0,983992009	#DIV/0!
HOXD4	0,004841742	0,023281496	0,031	0	1	1,016268416	0,983992009	#DIV/0!
RHPN1-AS1	0,004841742	0,023281496	0,031	0	1	1,016268416	0,983992009	#DIV/0!
SAMD15	0,004841742	0,023281496	0,031	0	1	1,016268416	0,983992009	#DIV/0!
SMAGP	0,004841742	0,023281496	0,031	0	1	1,016268416	0,983992009	#DIV/0!
TMEM229B	0,004841742	0,023281496	0,031	0	1	1,016268416	0,983992009	#DIV/0!
ZNF134	0,004841742	0,023281496	0,031	0	1	1,016268416	0,983992009	#DIV/0!
ZNF229	0,004841742	0,023281496	0,031	0	1	1,016268416	0,983992009	#DIV/0!
CYP26B1	0,226351275	0,023269257	0,031	0,008	1	1,016259795	0,984000356	3,875
REXO4	0,000965846	0,023124119	0,219	0,051	1	1,016157562	0,984099354	4,294117647
MAK16	0,037506898	0,0231013	0,094	0,023	1	1,01614149	0,984114919	4,086956522

Supplementary Table 1

Differentially expressed genes_adjacent-skin-XL_ comparing SC-Keloid vs. (SC-Myel, SC-Nonmyel)								
gene	p_val	avg_log2FC	pct.1	pct.2	p_val_adj	Foldchange_UP	Foldchange_DOWN	Ratio_pct1_pct2
SLC25A22	0,000509339	0,02307094	0,125	0,016	1	1,016120106	0,984135629	7,8125
RAB9B	4,80439E-05	0,023057727	0,094	0,004	1	1,0161108	0,984144642	23,5
RAMP2	0,082317662	0,023016362	0,031	0,004	1	1,016081667	0,98417286	7,75
RARRES1	0,226351275	0,02294984	0,031	0,008	1	1,016034816	0,984218241	3,875
ZFP90	0,043285695	0,022901043	0,125	0,039	1	1,016000452	0,984251531	3,205128205
EAF1	0,00011037	0,022892861	0,219	0,039	1	1,015994689	0,984257113	5,615384615
LINGO1	0,082317662	0,022876991	0,031	0,004	1	1,015983513	0,98426794	7,75
DNAJC21	0,008685186	0,022857272	0,406	0,164	1	1,015969627	0,984281394	2,475609756
MR1	0,000524345	0,022824358	0,094	0,008	1	1,015946448	0,98430385	11,75
VPS11	0,097375089	0,022804161	0,094	0,031	1	1,015932226	0,984317629	3,032258065
FAM151B	0,082317662	0,022745288	0,031	0,004	1	1,015890768	0,984357798	7,75
ZNF800	0,037823916	0,022741254	0,25	0,105	1	1,015887928	0,98436055	2,380952381
MRTFB	0,183526587	0,022695354	0,094	0,039	1	1,015855607	0,984391869	2,41025641
DLG1	0,000788946	0,022691208	0,469	0,16	1	1,015852689	0,984394697	2,93125
POP1	0,226351275	0,022683056	0,031	0,008	1	1,015846949	0,98440026	3,875
TACO1	0,013891036	0,022660246	0,062	0,008	1	1,015830887	0,984415824	7,75
ZNF780B	0,150155009	0,022624616	0,062	0,02	1	1,015805799	0,984440137	3,1
ELP6	0,000128726	0,022584013	0,281	0,062	1	1,015777211	0,984467843	4,532258065
QSER1	0,011715823	0,022566485	0,344	0,137	1	1,01576487	0,984479804	2,510948905
SLX4	0,082317662	0,022524001	0,031	0,004	1	1,015734959	0,984508794	7,75
TP53INP1	0,087959196	0,022484052	0,062	0,016	1	1,015706833	0,984536057	3,875
HMG3-AS1	0,041848356	0,022479899	0,062	0,012	1	1,015703909	0,984538891	5,166666667
TMSB15B	0,013891036	0,022446693	0,062	0,008	1	1,015680531	0,984561552	7,75
PIGG	0,000126424	0,022391951	0,25	0,051	1	1,015641993	0,984598911	4,901960784
NSFL1C	0,000305244	0,02233037	0,406	0,121	1	1,015598641	0,984640939	3,355371901
RBBP7	0,000350429	0,022244977	0,531	0,18	1	1,01553853	0,984699222	2,95
A4GALT	0,004841742	0,022161105	0,031	0	1	1,015479493	0,984756469	#DIV/0!
AC140912.1	0,004841742	0,022161105	0,031	0	1	1,015479493	0,984756469	#DIV/0!
ANKRD2	0,004841742	0,022161105	0,031	0	1	1,015479493	0,984756469	#DIV/0!
ARHGAP28	0,004841742	0,022161105	0,031	0	1	1,015479493	0,984756469	#DIV/0!

Supplementary Table 1

Differentially expressed genes_adjacent-skin-XL_comparing SC-Keloid vs. (SC-Myel, SC-Nonmyel)								
gene	p_val	avg_log2FC	pct.1	pct.2	p_val_adj	Foldchange_UP	Foldchange_DOWN	Ratio_pct1_pct2
C1orf53	0,004841742	0,022161105	0,031	0	1	1,015479493	0,984756469	#DIV/0!
CRMP1	0,004841742	0,022161105	0,031	0	1	1,015479493	0,984756469	#DIV/0!
DDIT4L	0,004841742	0,022161105	0,031	0	1	1,015479493	0,984756469	#DIV/0!
FAM182B	0,004841742	0,022161105	0,031	0	1	1,015479493	0,984756469	#DIV/0!
FGF22	0,004841742	0,022161105	0,031	0	1	1,015479493	0,984756469	#DIV/0!
GAREM2	0,004841742	0,022161105	0,031	0	1	1,015479493	0,984756469	#DIV/0!
HOXA11	0,004841742	0,022161105	0,031	0	1	1,015479493	0,984756469	#DIV/0!
HOXD1	0,004841742	0,022161105	0,031	0	1	1,015479493	0,984756469	#DIV/0!
LINC02872	0,004841742	0,022161105	0,031	0	1	1,015479493	0,984756469	#DIV/0!
LINC02901	0,004841742	0,022161105	0,031	0	1	1,015479493	0,984756469	#DIV/0!
MCHR1	0,004841742	0,022161105	0,031	0	1	1,015479493	0,984756469	#DIV/0!
SHOX2	0,004841742	0,022161105	0,031	0	1	1,015479493	0,984756469	#DIV/0!
STK33	0,004841742	0,022161105	0,031	0	1	1,015479493	0,984756469	#DIV/0!
SMAP1	0,001108522	0,022013587	0,344	0,105	1	1,015375664	0,984857167	3,276190476
AC092171.2	0,004841742	0,022009639	0,031	0	1	1,015372885	0,984859863	#DIV/0!
AP001437.1	0,004841742	0,022009639	0,031	0	1	1,015372885	0,984859863	#DIV/0!
APOL4	0,004841742	0,022009639	0,031	0	1	1,015372885	0,984859863	#DIV/0!
FCRLB	0,004841742	0,022009639	0,031	0	1	1,015372885	0,984859863	#DIV/0!
GPR35	0,004841742	0,022009639	0,031	0	1	1,015372885	0,984859863	#DIV/0!
H4C9	0,004841742	0,022009639	0,031	0	1	1,015372885	0,984859863	#DIV/0!
IKBKE	0,004841742	0,022009639	0,031	0	1	1,015372885	0,984859863	#DIV/0!
JPH2	0,004841742	0,022009639	0,031	0	1	1,015372885	0,984859863	#DIV/0!
KLHL35	0,004841742	0,022009639	0,031	0	1	1,015372885	0,984859863	#DIV/0!
NANOS3	0,004841742	0,022009639	0,031	0	1	1,015372885	0,984859863	#DIV/0!
PHETA1	0,004841742	0,022009639	0,031	0	1	1,015372885	0,984859863	#DIV/0!
PNPLA3	0,004841742	0,022009639	0,031	0	1	1,015372885	0,984859863	#DIV/0!
PODNL1	0,004841742	0,022009639	0,031	0	1	1,015372885	0,984859863	#DIV/0!
PRICKLE4	0,004841742	0,022009639	0,031	0	1	1,015372885	0,984859863	#DIV/0!
RGS8	0,004841742	0,022009639	0,031	0	1	1,015372885	0,984859863	#DIV/0!
TBC1D2	0,004841742	0,022009639	0,031	0	1	1,015372885	0,984859863	#DIV/0!

Supplementary Table 1

Differentially expressed genes_adjacent-skin-XL_comparing SC-Keloid vs. (SC-Myel, SC-Nonmyel)								
gene	p_val	avg_log2FC	pct.1	pct.2	p_val_adj	Foldchange_UP	Foldchange_DOWN	Ratio_pct1_pct2
MAPK8IP3	0,08132778	0,021992152	0,188	0,082	1	1,015360577	0,9848718	2,292682927
EEF1AKMT3	0,002263143	0,02196952	0,062	0,004	1	1,01534465	0,98488725	15,5
HAUS3	0,027811527	0,021963367	0,125	0,035	1	1,015340319	0,984891451	3,571428571
LINC01547	0,002263143	0,021960452	0,062	0,004	1	1,015338267	0,984893441	15,5
CYB5R4	0,027811527	0,021910856	0,125	0,035	1	1,015303363	0,9849273	3,571428571
TMLHE	0,007947097	0,021812442	0,094	0,016	1	1,015234107	0,984994489	5,875
C1QTNF1	0,001560165	0,021808845	0,125	0,02	1	1,015231575	0,984996945	6,25
SFXN4	0,087959196	0,021782659	0,062	0,016	1	1,015213148	0,985014823	3,875
RPA2	0,000253221	0,021779867	0,25	0,055	1	1,015211183	0,98501673	4,545454545
SPRYD4	0,002263143	0,021757143	0,062	0,004	1	1,015195193	0,985032245	15,5
GTF2A2	0,00023336	0,021713112	0,531	0,176	1	1,01516421	0,985062309	3,017045455
HOXB4	0,002263143	0,021673375	0,062	0,004	1	1,015136249	0,985089441	15,5
PASK	0,386325862	0,021657914	0,031	0,012	1	1,01512537	0,985099998	2,583333333
MBD4	0,000764302	0,021419898	0,25	0,062	1	1,014957909	0,985262533	4,032258065
ZNF561	0,008148126	0,021413392	0,094	0,016	1	1,014953331	0,985266977	5,875
XPO5	0,041848356	0,021410167	0,062	0,012	1	1,014951062	0,985269179	5,166666667
NPW	0,041848356	0,021319839	0,062	0,012	1	1,014887518	0,985330869	5,166666667
ZNF710	0,226351275	0,021281723	0,031	0,008	1	1,014860704	0,985356902	3,875
RNASEH1-AS1	0,002594281	0,02126304	0,094	0,012	1	1,014847562	0,985369663	7,833333333
CELSR2	0,002560056	0,021134007	0,219	0,059	1	1,0147568	0,985457797	3,711864407
PRRT3	0,000509339	0,021015026	0,125	0,016	1	1,014673115	0,985539072	7,8125
LYRM1	0,016270711	0,020977211	0,125	0,031	1	1,014646519	0,985564905	4,032258065
COIL	0,149643094	0,020963647	0,125	0,055	1	1,014636979	0,985574171	2,272727273
MRPL39	0,000517394	0,020887045	0,219	0,047	1	1,014583107	0,985626503	4,659574468
MT-ND6	0,002263143	0,020884831	0,062	0,004	1	1,01458155	0,985628016	15,5
POLR3F	0,226351275	0,020788142	0,031	0,008	1	1,014513556	0,985694074	3,875
RAB20	0,013891036	0,020778577	0,062	0,008	1	1,014506829	0,98570061	7,75
NOB1	0,030583271	0,020771122	0,188	0,066	1	1,014501587	0,985705703	2,848484848
MED17	0,35458226	0,02076559	0,156	0,098	1	1,014497697	0,985709483	1,591836735
MCM8	0,002594281	0,020660979	0,094	0,012	1	1,014424137	0,98578096	7,833333333

Supplementary Table 1

Differentially expressed genes_adjacent-skin-XL_comparing SC-Keloid vs. (SC-Myel, SC-Nonmyel)								
gene	p_val	avg_log2FC	pct.1	pct.2	p_val_adj	Foldchange_UP	Foldchange_DOWN	Ratio_pct1_pct2
NGRN	0,001462129	0,020456155	0,594	0,23	1	1,014280127	0,985920924	2,582608696
TRPS1	0,013247448	0,020439868	0,312	0,121	1	1,014268676	0,985932055	2,578512397
TBC1D9	0,380266129	0,020395678	0,031	0,012	1	1,014237609	0,985962255	2,583333333
ZBED6CL	0,226351275	0,020325758	0,031	0,008	1	1,014188456	0,98601004	3,875
CXCL16	4,22524E-05	0,020320274	0,219	0,035	0,891567246	1,014184601	0,986013788	6,257142857
CDKN2C	0,000828263	0,020303244	0,406	0,133	1	1,014172629	0,986025427	3,052631579
DHRS4L2	1,63815E-05	0,020300066	0,312	0,062	0,345665807	1,014170395	0,9860276	5,032258065
ZFYVE27	0,040252231	0,020215719	0,125	0,039	1	1,014111104	0,986085249	3,205128205
KRR1	0,037105165	0,020183452	0,312	0,141	1	1,014088423	0,986107304	2,212765957
SIRT5	0,008148126	0,020059147	0,094	0,016	1	1,01400105	0,986192272	5,875
MOCS3	0,082317662	0,020055355	0,031	0,004	1	1,013998385	0,986194864	7,75
WWC1	1,51098E-05	0,019918264	0,125	0,008	0,318831333	1,013902036	0,986288581	15,625
DAGLB	0,013891036	0,019897519	0,062	0,008	1	1,013887456	0,986302763	7,75
ZCCHC9	3,15754E-06	0,019880654	0,25	0,035	0,066627295	1,013875604	0,986314293	7,142857143
SUSD5	0,082317662	0,019815825	0,031	0,004	1	1,013830046	0,986358615	7,75
CDC42EP5	0,033341196	0,019740807	0,688	0,363	1	1,013777329	0,986409906	1,895316804
PSAP	0,147637695	0,019667276	1	0,773	1	1,01372566	0,986460183	1,293661061
MYL6B	0,000597516	0,019656488	0,344	0,098	1	1,013718081	0,986467559	3,510204082
ZNF286A	0,188205529	0,019635283	0,125	0,059	1	1,013703181	0,986482058	2,118644068
AC007365.1	0,082317662	0,019619122	0,031	0,004	1	1,013691826	0,986493108	7,75
MCCC2	0,000983579	0,019608882	0,219	0,051	1	1,01368463	0,986500111	4,294117647
DOCK8-AS1	0,082317662	0,019528316	0,031	0,004	1	1,013628024	0,986555202	7,75
RAPGEF4	0,082317662	0,019528316	0,031	0,004	1	1,013628024	0,986555202	7,75
CENPJ	0,000112833	0,019522262	0,125	0,012	1	1,01362377	0,986559342	10,41666667
MEPCE	0,041554521	0,019502173	0,156	0,055	1	1,013609656	0,98657308	2,836363636
DHDDS	0,008956837	0,019395968	0,125	0,027	1	1,013535041	0,98664571	4,62962963
PRRC1	0,003420308	0,019390466	0,188	0,047	1	1,013531175	0,986649473	4
CSNK2A3	0,082317662	0,019390218	0,031	0,004	1	1,013531002	0,986649642	7,75
HAPLN2	0,226351275	0,019336226	0,031	0,008	1	1,013493071	0,986686568	3,875
CABCOC1	0,013891036	0,019304626	0,062	0,008	1	1,013470873	0,98670818	7,75

Supplementary Table 1

Differentially expressed genes_adjacent-skin-XL_ comparing SC-Keloid vs. (SC-Myel, SC-Nonmyel)								
gene	p_val	avg_log2FC	pct.1	pct.2	p_val_adj	Foldchange_UP	Foldchange_DOWN	Ratio_pct1_pct2
SNRK-AS1	0,082317662	0,019225457	0,031	0,004	1	1,013415259	0,986762327	7,75
CDC42	0,18062686	0,01919876	0,812	0,512	1	1,013396506	0,986780588	1,5859375
SLC30A7	0,000905215	0,019153457	0,25	0,062	1	1,013364684	0,986811575	4,032258065
PHYHD1	0,002010541	0,019125777	0,156	0,031	1	1,013345242	0,986830508	5,032258065
AMN1	0,003953072	0,019094444	0,156	0,035	1	1,013323233	0,986851941	4,457142857
SPRTN	0,00011289	0,019069918	0,219	0,039	1	1,013306007	0,986868718	5,615384615
MTRNR2L1	0,062914349	0,019062444	0,094	0,027	1	1,013300758	0,98687383	3,481481481
INTS6-AS1	0,540537634	0,01902189	0,031	0,016	1	1,013272274	0,986901572	1,9375
MFSD8	0,013891036	0,018995879	0,062	0,008	1	1,013254006	0,986919365	7,75
AP5M1	0,003361753	0,018925737	0,188	0,047	1	1,013204744	0,986967349	4
TEDC1	0,139907281	0,018924346	0,094	0,035	1	1,013203767	0,9869683	2,685714286
C4orf46	0,004180266	0,018918116	0,125	0,023	1	1,013199392	0,986972563	5,434782609
TRO	0,013891036	0,018904361	0,062	0,008	1	1,013189732	0,986981972	7,75
COQ2	0,013891036	0,018858264	0,062	0,008	1	1,013157359	0,987013509	7,75
BEND6	0,019236133	0,018851453	0,094	0,02	1	1,013152576	0,987018169	4,7
ERGIC2	0,000596933	0,018837637	0,562	0,207	1	1,013142873	0,987027621	2,714975845
PPP2R5A	0,00208125	0,018780702	0,188	0,043	1	1,013102891	0,987066574	4,372093023
FAM120C	0,015983649	0,018732204	0,125	0,031	1	1,013068835	0,987099756	4,032258065
PDCD2L	0,224763613	0,01867947	0,062	0,023	1	1,013031806	0,987135838	2,695652174
LINC00526	0,145431	0,018645379	0,062	0,02	1	1,013007868	0,987159164	3,1
ACYP2	0,003953072	0,018547748	0,156	0,035	1	1,012939317	0,98722597	4,457142857
ARL14EP	0,131388145	0,01853765	0,094	0,035	1	1,012932227	0,98723288	2,685714286
RWDD2A	0,082317662	0,018503508	0,031	0,004	1	1,012908256	0,987256244	7,75
DGLUCY	0,150155729	0,018443501	0,062	0,02	1	1,012866126	0,987297308	3,1
RASAL2-AS1	0,226351275	0,018383336	0,031	0,008	1	1,012823887	0,987338483	3,875
ARMC6	0,002096899	0,018317545	0,156	0,031	1	1,0127777	0,987383509	5,032258065
NOX4	0,082317662	0,018223644	0,031	0,004	1	1,012711784	0,987447777	7,75
B3GALNT1	0,082317662	0,018166163	0,031	0,004	1	1,012671436	0,987487121	7,75
DNM3OS	0,082317662	0,018116502	0,031	0,004	1	1,012636577	0,987521113	7,75
SHQ1	0,150155729	0,018111201	0,062	0,02	1	1,012632856	0,987524742	3,1

Supplementary Table 1

Differentially expressed genes_adjacent-skin-XL_comparing SC-Keloid vs. (SC-Myel, SC-Nonmyel)								
gene	p_val	avg_log2FC	pct.1	pct.2	p_val_adj	Foldchange_UP	Foldchange_DOWN	Ratio_pct1_pct2
ACTR3C	0,004841742	0,018000621	0,031	0	1	1,012555243	0,987600436	#DIV/0!
ADTRP	0,004841742	0,018000621	0,031	0	1	1,012555243	0,987600436	#DIV/0!
ASB2	0,004841742	0,018000621	0,031	0	1	1,012555243	0,987600436	#DIV/0!
AVIL	0,004841742	0,018000621	0,031	0	1	1,012555243	0,987600436	#DIV/0!
B3GAT2	0,004841742	0,018000621	0,031	0	1	1,012555243	0,987600436	#DIV/0!
C7orf31	0,004841742	0,018000621	0,031	0	1	1,012555243	0,987600436	#DIV/0!
C9orf135-DT	0,004841742	0,018000621	0,031	0	1	1,012555243	0,987600436	#DIV/0!
CCL26	0,004841742	0,018000621	0,031	0	1	1,012555243	0,987600436	#DIV/0!
DEFB124	0,004841742	0,018000621	0,031	0	1	1,012555243	0,987600436	#DIV/0!
DPYSL4	0,004841742	0,018000621	0,031	0	1	1,012555243	0,987600436	#DIV/0!
EOMES	0,004841742	0,018000621	0,031	0	1	1,012555243	0,987600436	#DIV/0!
HOXD3	0,004841742	0,018000621	0,031	0	1	1,012555243	0,987600436	#DIV/0!
HRH1	0,004841742	0,018000621	0,031	0	1	1,012555243	0,987600436	#DIV/0!
ITGB2	0,004841742	0,018000621	0,031	0	1	1,012555243	0,987600436	#DIV/0!
KRT79	0,004841742	0,018000621	0,031	0	1	1,012555243	0,987600436	#DIV/0!
LINC00519	0,004841742	0,018000621	0,031	0	1	1,012555243	0,987600436	#DIV/0!
LINC00923	0,004841742	0,018000621	0,031	0	1	1,012555243	0,987600436	#DIV/0!
LRRC73	0,004841742	0,018000621	0,031	0	1	1,012555243	0,987600436	#DIV/0!
METTL27	0,004841742	0,018000621	0,031	0	1	1,012555243	0,987600436	#DIV/0!
NAPA-AS1	0,004841742	0,018000621	0,031	0	1	1,012555243	0,987600436	#DIV/0!
PITX1-AS1	0,004841742	0,018000621	0,031	0	1	1,012555243	0,987600436	#DIV/0!
SNPH	0,004841742	0,018000621	0,031	0	1	1,012555243	0,987600436	#DIV/0!
SPRED3	0,004841742	0,018000621	0,031	0	1	1,012555243	0,987600436	#DIV/0!
TNFSF4	0,004841742	0,018000621	0,031	0	1	1,012555243	0,987600436	#DIV/0!
ZNF772	0,004841742	0,018000621	0,031	0	1	1,012555243	0,987600436	#DIV/0!
ZSCAN1	0,004841742	0,018000621	0,031	0	1	1,012555243	0,987600436	#DIV/0!
ZNF563	0,226351275	0,017971227	0,031	0,008	1	1,012534613	0,987620558	3,875
RBPM5	0,140867233	0,017969842	0,25	0,133	1	1,012533641	0,987621507	1,879699248
ZFPL1	0,122440788	0,017937062	0,156	0,07	1	1,012510635	0,987643947	2,228571429
LINC00887	0,226351275	0,017936837	0,031	0,008	1	1,012510478	0,987644101	3,875

Supplementary Table 1

Differentially expressed genes_adjacent-skin-XL_comparing SC-Keloid vs. (SC-Myel, SC-Nonmyel)								
gene	p_val	avg_log2FC	pct.1	pct.2	p_val_adj	Foldchange_UP	Foldchange_DOWN	Ratio_pct1_pct2
C8orf82	0,003070984	0,01787635	0,312	0,102	1	1,012468027	0,98768551	3,058823529
DNAJB14	9,23407E-05	0,01783182	0,5	0,148	1	1,012436777	0,987715997	3,378378378
ZNF586	0,226351275	0,017793413	0,031	0,008	1	1,012409825	0,987742291	3,875
AGAP1	0,015772854	0,017781032	0,344	0,145	1	1,012401136	0,987750768	2,372413793
DDB1	6,02217E-05	0,017765493	0,469	0,133	1	1,012390232	0,987761407	3,526315789
CCDC127	0,003601563	0,017717913	0,188	0,047	1	1,012356844	0,987793984	4
RNF20	0,000509339	0,017679517	0,125	0,016	1	1,012329902	0,987820273	7,8125
RALGAPB	0,002774205	0,017673626	0,219	0,059	1	1,012325768	0,987824307	3,711864407
PSMD6-AS2	0,386325862	0,017647537	0,031	0,012	1	1,012307461	0,987842171	2,583333333
ST7	0,041848356	0,017572588	0,062	0,012	1	1,012254873	0,987893491	5,166666667
ANKRD16	0,082317662	0,017516927	0,031	0,004	1	1,01221582	0,987931606	7,75
ENTPD7	0,041848356	0,01742236	0,062	0,012	1	1,012149472	0,987996366	5,166666667
MIX23	0,008270631	0,017373069	0,125	0,027	1	1,012114892	0,988030122	4,62962963
PHF7	0,386325862	0,017357411	0,031	0,012	1	1,012103907	0,988040846	2,583333333
OSBPL8	0,000480998	0,017354847	0,5	0,168	1	1,012102108	0,988042601	2,976190476
DTL	0,082317662	0,017344618	0,031	0,004	1	1,012094932	0,988049607	7,75
ZNRF1	4,43697E-05	0,017337092	0,219	0,035	0,936244219	1,012089652	0,988054761	6,257142857
CLEC18A	0,082317662	0,017336258	0,031	0,004	1	1,012089068	0,988055332	7,75
MINDY4	0,082317662	0,017336258	0,031	0,004	1	1,012089068	0,988055332	7,75
ZDHHC20	6,53913E-05	0,017281054	0,281	0,059	1	1,012050341	0,988093141	4,762711864
LINC01001	0,540537634	0,017260964	0,031	0,016	1	1,012036248	0,9881069	1,9375
SAMD10	0,226351275	0,017248336	0,031	0,008	1	1,01202739	0,988115549	3,875
MAGT1	0,001210407	0,017238157	0,438	0,152	1	1,01202025	0,988122521	2,881578947
PGBD4	0,226351275	0,017118203	0,031	0,008	1	1,011936108	0,988204682	3,875
SHC1	1,09993E-06	0,017103653	0,375	0,07	0,023209524	1,011925902	0,988214649	5,357142857
ELAPOR2	0,226351275	0,017033132	0,031	0,008	1	1,011876439	0,988262955	3,875
CAMK2A	0,082317662	0,017021542	0,031	0,004	1	1,01186831	0,988270895	7,75
CENPL	0,29055378	0,017008026	0,062	0,027	1	1,01185883	0,988280153	2,296296296
RNF123	0,212914042	0,016974286	0,062	0,023	1	1,011835166	0,988303267	2,695652174
DROSHA	0,087959196	0,016947062	0,062	0,016	1	1,011816073	0,988321916	3,875

Supplementary Table 1

Differentially expressed genes_adjacent-skin-XL_comparing SC-Keloid vs. (SC-Myel, SC-Nonmyel)								
gene	p_val	avg_log2FC	pct.1	pct.2	p_val_adj	Foldchange_UP	Foldchange_DOWN	Ratio_pct1_pct2
CAMK2N2	0,082317662	0,016943322	0,031	0,004	1	1,01181345	0,988324478	7,75
ZBTB46	0,226351275	0,016938781	0,031	0,008	1	1,011810265	0,988327589	3,875
ZNF396	0,082317662	0,016839202	0,031	0,004	1	1,01174043	0,988395809	7,75
ALKBH4	0,001642148	0,016757972	0,125	0,02	1	1,011683466	0,988451461	6,25
TUBGCP3	0,000200286	0,016755143	0,188	0,031	1	1,011681482	0,9884534	6,064516129
BET1	0,003791564	0,016732164	0,188	0,047	1	1,011665368	0,988469144	4
TTC32	0,006444438	0,016567296	0,219	0,066	1	1,011549764	0,98858211	3,318181818
LAD1	0,082317662	0,016416927	0,031	0,004	1	1,011444338	0,988685153	7,75
FPGT	0,004087528	0,016392873	0,125	0,023	1	1,011427474	0,988701638	5,434782609
PSPN	0,226351275	0,016380541	0,031	0,008	1	1,011418829	0,988710089	3,875
GSK3B	0,003663003	0,016371498	0,375	0,137	1	1,011412489	0,988716286	2,737226277
ST3GAL3	0,037506898	0,016356281	0,094	0,023	1	1,011401821	0,988726715	4,086956522
ZNF569	0,041848356	0,0163221	0,062	0,012	1	1,011377859	0,988750141	5,166666667
ENPEP	0,082317662	0,016317861	0,031	0,004	1	1,011374887	0,988753046	7,75
TRIM41	0,175414505	0,016310858	0,094	0,039	1	1,011369977	0,988757846	2,41025641
BHLHE41	0,093336433	0,016266981	0,094	0,031	1	1,011339219	0,988787917	3,032258065
IPO5	5,26466E-05	0,016232859	0,531	0,156	1	1,0113153	0,988811304	3,403846154
POLH	0,226351275	0,016212755	0,031	0,008	1	1,011301207	0,988825083	3,875
FBXL20	0,004107327	0,016172683	0,156	0,035	1	1,011273118	0,988852549	4,457142857
CORO1B	6,63363E-07	0,0161531	0,5	0,113	0,013997633	1,011259391	0,988865971	4,424778761
ERI2	0,002263143	0,016151528	0,062	0,004	1	1,011258289	0,988867049	15,5
SLC25A40	0,041848356	0,016128685	0,062	0,012	1	1,011242277	0,988882706	5,166666667
SLF1	2,24716E-07	0,01612481	0,25	0,027	0,004741729	1,011239561	0,988885362	9,259259259
ABHD8	0,036827385	0,016074994	0,094	0,023	1	1,011204644	0,988919509	4,086956522
PCMTD2	0,021796651	0,016055779	0,25	0,098	1	1,011191176	0,98893268	2,551020408
RAB27B	0,082317662	0,016036504	0,031	0,004	1	1,011177666	0,988945893	7,75
ZNF213	0,036827385	0,016015187	0,094	0,023	1	1,011162725	0,988960506	4,086956522
ROCK1	0,000290654	0,015990863	0,531	0,176	1	1,011145677	0,98897718	3,017045455
EARS2	0,002263143	0,015966517	0,062	0,004	1	1,011128614	0,988993869	15,5
POLD4	0,001260548	0,015913404	0,469	0,164	1	1,011091389	0,98903028	2,859756098

Supplementary Table 1

Differentially expressed genes_adjacent-skin-XL_comparing SC-Keloid vs. (SC-Myel, SC-Nonmyel)								
gene	p_val	avg_log2FC	pct.1	pct.2	p_val_adj	Foldchange_UP	Foldchange_DOWN	Ratio_pct1_pct2
GPATCH3	0,000509339	0,015864745	0,125	0,016	1	1,011057288	0,989063639	7,8125
C5	0,380671495	0,01585748	0,062	0,031	1	1,011052197	0,989068619	2
ZNF66	4,80439E-05	0,01585307	0,094	0,004	1	1,011049106	0,989071643	23,5
AMMECR1L	0,016858455	0,01579318	0,125	0,031	1	1,011007136	0,989112702	4,032258065
DPY19L4	0,000211329	0,015761575	0,312	0,078	1	1,010984988	0,989134371	4
ADAT1	0,000911755	0,015704286	0,156	0,027	1	1,010944843	0,98917365	5,777777778
INKA2	0,088329108	0,015661099	0,125	0,047	1	1,010914581	0,989203261	2,659574468
FAS	0,001968597	0,015657716	0,156	0,031	1	1,01091221	0,989205581	5,032258065
ZNF814	0,013891036	0,01562841	0,062	0,008	1	1,010891675	0,989225675	7,75
FEZ1	0,001667472	0,01549717	0,656	0,258	1	1,01079972	0,989315668	2,542635659
SF3A1	0,016972927	0,015480644	0,281	0,109	1	1,010788142	0,989327	2,577981651
MIS12	0,000509339	0,015452843	0,125	0,016	1	1,010768664	0,989346065	7,8125
C18orf54	0,008148126	0,015264825	0,094	0,016	1	1,010636945	0,989475009	5,875
NFX1	0,012579781	0,015260482	0,156	0,043	1	1,010633902	0,989477988	3,627906977
HROB	0,002263143	0,015257995	0,062	0,004	1	1,01063216	0,989479693	15,5
ADRA1B	0,004841742	0,015255908	0,031	0	1	1,010630698	0,989481125	#DIV/0!
APOBEC3B	0,004841742	0,015255908	0,031	0	1	1,010630698	0,989481125	#DIV/0!
ARHGEF39	0,004841742	0,015255908	0,031	0	1	1,010630698	0,989481125	#DIV/0!
BTN1A1	0,004841742	0,015255908	0,031	0	1	1,010630698	0,989481125	#DIV/0!
C2orf66	0,004841742	0,015255908	0,031	0	1	1,010630698	0,989481125	#DIV/0!
CD70	0,004841742	0,015255908	0,031	0	1	1,010630698	0,989481125	#DIV/0!
CDC45	0,004841742	0,015255908	0,031	0	1	1,010630698	0,989481125	#DIV/0!
CNIH2	0,004841742	0,015255908	0,031	0	1	1,010630698	0,989481125	#DIV/0!
E2F8	0,004841742	0,015255908	0,031	0	1	1,010630698	0,989481125	#DIV/0!
FBLN7	0,004841742	0,015255908	0,031	0	1	1,010630698	0,989481125	#DIV/0!
FSCN3	0,004841742	0,015255908	0,031	0	1	1,010630698	0,989481125	#DIV/0!
H3C2	0,004841742	0,015255908	0,031	0	1	1,010630698	0,989481125	#DIV/0!
H3C8	0,004841742	0,015255908	0,031	0	1	1,010630698	0,989481125	#DIV/0!
IQCH	0,004841742	0,015255908	0,031	0	1	1,010630698	0,989481125	#DIV/0!
IQGAP3	0,004841742	0,015255908	0,031	0	1	1,010630698	0,989481125	#DIV/0!

Supplementary Table 1

Differentially expressed genes_adjacent-skin-XL_comparing SC-Keloid vs. (SC-Myel, SC-Nonmyel)								
gene	p_val	avg_log2FC	pct.1	pct.2	p_val_adj	Foldchange_UP	Foldchange_DOWN	Ratio_pct1_pct2
KIF20A	0,004841742	0,015255908	0,031	0	1	1,010630698	0,989481125	#DIV/0!
KTN1-AS1	0,004841742	0,015255908	0,031	0	1	1,010630698	0,989481125	#DIV/0!
NEK2	0,004841742	0,015255908	0,031	0	1	1,010630698	0,989481125	#DIV/0!
PLEKHS1	0,004841742	0,015255908	0,031	0	1	1,010630698	0,989481125	#DIV/0!
PRSS36	0,004841742	0,015255908	0,031	0	1	1,010630698	0,989481125	#DIV/0!
PSTPIP1	0,004841742	0,015255908	0,031	0	1	1,010630698	0,989481125	#DIV/0!
RAB39B	0,004841742	0,015255908	0,031	0	1	1,010630698	0,989481125	#DIV/0!
RAD51	0,004841742	0,015255908	0,031	0	1	1,010630698	0,989481125	#DIV/0!
SLC24A1	0,004841742	0,015255908	0,031	0	1	1,010630698	0,989481125	#DIV/0!
SLC26A4	0,004841742	0,015255908	0,031	0	1	1,010630698	0,989481125	#DIV/0!
THBS4	0,004841742	0,015255908	0,031	0	1	1,010630698	0,989481125	#DIV/0!
TONSL	0,004841742	0,015255908	0,031	0	1	1,010630698	0,989481125	#DIV/0!
TRIM61	0,004841742	0,015255908	0,031	0	1	1,010630698	0,989481125	#DIV/0!
TSPAN2	0,004841742	0,015255908	0,031	0	1	1,010630698	0,989481125	#DIV/0!
TTK	0,004841742	0,015255908	0,031	0	1	1,010630698	0,989481125	#DIV/0!
WNT5B	0,004841742	0,015255908	0,031	0	1	1,010630698	0,989481125	#DIV/0!
XPO4	0,036158386	0,015238858	0,094	0,023	1	1,010618755	0,989492819	4,086956522
NDUFV3	0,000479192	0,01521685	0,406	0,121	1	1,010603338	0,989507913	3,355371901
MCM2	0,082317662	0,01517925	0,031	0,004	1	1,010576999	0,989533703	7,75
ZNF584	0,082317662	0,01517925	0,031	0,004	1	1,010576999	0,989533703	7,75
SYT1	0,082317662	0,015168485	0,031	0,004	1	1,010569459	0,989541086	7,75
KCTD13	0,030992783	0,015161683	0,156	0,051	1	1,010564694	0,989545752	3,058823529
GIT2	0,081162818	0,015130939	0,125	0,047	1	1,010543159	0,989566839	2,659574468
FTSJ3	0,036827385	0,015117482	0,094	0,023	1	1,010533733	0,98957607	4,086956522
NPPC	0,226351275	0,015095753	0,031	0,008	1	1,010518514	0,989590974	3,875
PCDHGA9	0,226351275	0,015074692	0,031	0,008	1	1,010503762	0,98960542	3,875
ZNF620	0,082317662	0,015072939	0,031	0,004	1	1,010502534	0,989606623	7,75
ZNF511	0,013783696	0,014934776	0,25	0,09	1	1,010405765	0,9897014	2,777777778
PPP5D1P	0,082317662	0,014928169	0,031	0,004	1	1,010401138	0,989705932	7,75
MEX3B	5,12603E-06	0,014920724	0,188	0,02	0,108164307	1,010395923	0,98971104	9,4

Supplementary Table 1

Differentially expressed genes_adjacent-skin-XL_comparing SC-Keloid vs. (SC-Myel, SC-Nonmyel)								
gene	p_val	avg_log2FC	pct.1	pct.2	p_val_adj	Foldchange_UP	Foldchange_DOWN	Ratio_pct1_pct2
KAZALD1	0,226351275	0,014914435	0,031	0,008	1	1,010391519	0,989715354	3,875
GPATCH11	0,001034587	0,014888593	0,188	0,039	1	1,010373421	0,989733082	4,820512821
PLA2G4E	0,082317662	0,014764647	0,031	0,004	1	1,010286621	0,989818116	7,75
NUP37	0,026506403	0,014710936	0,125	0,035	1	1,010249009	0,989854968	3,571428571
SYS1	0,003361753	0,014656211	0,188	0,047	1	1,010210689	0,989892516	4
AL445989.1	0,386325862	0,014651505	0,031	0,012	1	1,010207393	0,989895745	2,583333333
AURKA	0,002263143	0,014647794	0,062	0,004	1	1,010204795	0,989898291	15,5
PLEKHG1	0,011423236	0,014641634	0,156	0,043	1	1,010200481	0,989902518	3,627906977
BTC	0,082317662	0,014594539	0,031	0,004	1	1,010167505	0,989934833	7,75
DHRS12	0,003420308	0,01453668	0,188	0,047	1	1,010126993	0,989974535	4
ADORA1	0,004841742	0,014477918	0,031	0	1	1,010085851	0,990014858	#DIV/0!
ADORA2A	0,004841742	0,014477918	0,031	0	1	1,010085851	0,990014858	#DIV/0!
AK7	0,004841742	0,014477918	0,031	0	1	1,010085851	0,990014858	#DIV/0!
ARHGAP45	0,004841742	0,014477918	0,031	0	1	1,010085851	0,990014858	#DIV/0!
BFSP1	0,004841742	0,014477918	0,031	0	1	1,010085851	0,990014858	#DIV/0!
CCDC125	0,004841742	0,014477918	0,031	0	1	1,010085851	0,990014858	#DIV/0!
CHRNA5	0,004841742	0,014477918	0,031	0	1	1,010085851	0,990014858	#DIV/0!
CSF1R	0,004841742	0,014477918	0,031	0	1	1,010085851	0,990014858	#DIV/0!
GRAMD1C	0,004841742	0,014477918	0,031	0	1	1,010085851	0,990014858	#DIV/0!
GREM1	0,004841742	0,014477918	0,031	0	1	1,010085851	0,990014858	#DIV/0!
H2AC13	0,004841742	0,014477918	0,031	0	1	1,010085851	0,990014858	#DIV/0!
ITPRIPL1	0,004841742	0,014477918	0,031	0	1	1,010085851	0,990014858	#DIV/0!
PLAC8L1	0,004841742	0,014477918	0,031	0	1	1,010085851	0,990014858	#DIV/0!
PSD2	0,004841742	0,014477918	0,031	0	1	1,010085851	0,990014858	#DIV/0!
PTGER1	0,004841742	0,014477918	0,031	0	1	1,010085851	0,990014858	#DIV/0!
ROBO4	0,004841742	0,014477918	0,031	0	1	1,010085851	0,990014858	#DIV/0!
SCG3	0,004841742	0,014477918	0,031	0	1	1,010085851	0,990014858	#DIV/0!
TSNAXIP1	0,004841742	0,014477918	0,031	0	1	1,010085851	0,990014858	#DIV/0!
WDR89	0,004841742	0,014477918	0,031	0	1	1,010085851	0,990014858	#DIV/0!
ZSCAN22	0,004841742	0,014477918	0,031	0	1	1,010085851	0,990014858	#DIV/0!

Supplementary Table 1

Differentially expressed genes_adjacent-skin-XL_comparing SC-Keloid vs. (SC-Myel, SC-Nonmyel)								
gene	p_val	avg_log2FC	pct.1	pct.2	p_val_adj	Foldchange_UP	Foldchange_DOWN	Ratio_pct1_pct2
TEX261	7,83217E-06	0,014467781	0,312	0,059	0,165266588	1,010078753	0,990021814	5,288135593
MRPL18	0,000139969	0,014431979	0,469	0,141	1	1,010053687	0,990046383	3,326241135
CYFIP1	0,000280812	0,014340487	0,406	0,121	1	1,009989635	0,990109171	3,355371901
ACTR3B	0,041848356	0,014326423	0,062	0,012	1	1,009979789	0,990118823	5,166666667
DUSP12	0,000252542	0,014322062	0,219	0,043	1	1,009976736	0,990121816	5,093023256
FGF5	0,082317662	0,014279815	0,031	0,004	1	1,009947161	0,990150811	7,75
ZBTB11-AS1	0,041848356	0,014266383	0,062	0,012	1	1,009937758	0,990160029	5,166666667
MOCS1	0,150155729	0,01423006	0,062	0,02	1	1,009912331	0,990184959	3,1
CDK16	0,001125066	0,014188248	0,281	0,078	1	1,009883062	0,990213657	3,602564103
SMURF2	0,082895042	0,01414728	0,188	0,082	1	1,009854385	0,990241776	2,292682927
CNNM2	0,036827385	0,014076445	0,094	0,023	1	1,009804804	0,990290397	4,086956522
NOC3L	0,006724752	0,014018127	0,219	0,066	1	1,009763985	0,990330428	3,318181818
ZNF3	0,236345884	0,013989971	0,094	0,043	1	1,009744278	0,990349757	2,186046512
GFM2	0,001642148	0,013932472	0,125	0,02	1	1,009704036	0,990389228	6,25
WDPCP	0,086278754	0,0139205	0,062	0,016	1	1,009695656	0,990397447	3,875
PRKAR2B	0,002517564	0,013820927	0,094	0,012	1	1,009625971	0,990465805	7,833333333
TMEM256	0,010318402	0,013789627	0,469	0,203	1	1,009604067	0,990487294	2,310344828
PCDHGA1	0,226351275	0,013729723	0,031	0,008	1	1,009562147	0,990528422	3,875
GAS2L1	0,000537931	0,013677632	0,219	0,047	1	1,009525696	0,990564187	4,659574468
TIGD6	0,086278754	0,013676528	0,062	0,016	1	1,009524923	0,990564946	3,875
FBXL14	0,082317662	0,013590628	0,031	0,004	1	1,009464816	0,990623927	7,75
VWA8	0,086278754	0,013588948	0,062	0,016	1	1,009463641	0,99062508	3,875
EXOC2	0,008148126	0,013573071	0,094	0,016	1	1,009452531	0,990635982	5,875
TRIM6	0,082317662	0,013555002	0,031	0,004	1	1,009439888	0,99064839	7,75
HTRA3	0,082317662	0,013537203	0,031	0,004	1	1,009427435	0,990660612	7,75
DDX10	0,038302319	0,013531797	0,219	0,086	1	1,009423652	0,990664324	2,546511628
ZNF711	0,036827385	0,013340283	0,094	0,023	1	1,009289663	0,99079584	4,086956522
STX5	0,000103595	0,013306358	0,375	0,098	1	1,00926593	0,990819139	3,826530612
HAUS8	0,019236133	0,013297016	0,094	0,02	1	1,009259395	0,990825555	4,7
HHAT	0,386325862	0,013263164	0,031	0,012	1	1,009235713	0,990848804	2,583333333

Supplementary Table 1

Differentially expressed genes_adjacent-skin-XL_comparing SC-Keloid vs. (SC-Myel, SC-Nonmyel)								
gene	p_val	avg_log2FC	pct.1	pct.2	p_val_adj	Foldchange_UP	Foldchange_DOWN	Ratio_pct1_pct2
ARFRP1	0,014633666	0,013118447	0,281	0,105	1	1,009134481	0,990948202	2,676190476
GYS1	0,002594281	0,013109062	0,094	0,012	1	1,009127917	0,990954648	7,833333333
KCNJ2	0,082317662	0,013050652	0,031	0,004	1	1,009087061	0,99099477	7,75
IMMP2L	0,019871239	0,013021668	0,156	0,047	1	1,009066789	0,991014679	3,319148936
PCDH18	0,380266129	0,013001183	0,031	0,012	1	1,009052461	0,991028751	2,583333333
RDH13	0,386325862	0,012864067	0,031	0,012	1	1,008956564	0,991122944	2,583333333
FDXR	0,001642148	0,012791172	0,125	0,02	1	1,008905585	0,991173024	6,25
TRIM59	0,002263143	0,012772329	0,062	0,004	1	1,008892408	0,991185969	15,5
MED22	0,003907631	0,012753111	0,125	0,023	1	1,008878969	0,991199173	5,434782609
GRK4	0,008148126	0,012731957	0,094	0,016	1	1,008864177	0,991213707	5,875
NCAPH2	8,72119E-06	0,012729278	0,312	0,059	0,184025872	1,008862303	0,991215547	5,288135593
LRMDA	0,000425228	0,012708985	0,281	0,07	1	1,008848112	0,99122949	4,014285714
ZSCAN9	0,226351275	0,012704925	0,031	0,008	1	1,008845273	0,99123228	3,875
GLCE	0,783859705	0,012693488	0,031	0,023	1	1,008837276	0,991240138	1,347826087
RBM34	0,386325862	0,012685954	0,031	0,012	1	1,008832007	0,991245314	2,583333333
CFAP46	0,082317662	0,012656571	0,031	0,004	1	1,008811461	0,991265503	7,75
H3C4	0,002263143	0,012639884	0,062	0,004	1	1,008799793	0,991276968	15,5
C2orf74	0,036158386	0,012607986	0,094	0,023	1	1,008777488	0,991298886	4,086956522
ANKRD37	0,243500153	0,012548714	0,188	0,105	1	1,008736044	0,991339613	1,79047619
KCNAB3	0,147778936	0,012435851	0,062	0,02	1	1,008657133	0,99141717	3,1
ANG	2,40115E-05	0,012411871	0,156	0,016	0,506667402	1,008640368	0,991433649	9,75
BANK1	0,041848356	0,012373436	0,062	0,012	1	1,008613497	0,991460062	5,166666667
ABHD18	0,668867248	0,012363179	0,031	0,02	1	1,008606326	0,991467111	1,55
NUDCD1	0,057370526	0,01230925	0,156	0,059	1	1,008568624	0,991504174	2,644067797
DBF4B	0,013891036	0,012264421	0,062	0,008	1	1,008537286	0,991534983	7,75
TTPA	0,082317662	0,012152548	0,031	0,004	1	1,008459082	0,991611874	7,75
ZNF843	0,082317662	0,0121165	0,031	0,004	1	1,008433884	0,991636651	7,75
PSPH	0,019236133	0,012065513	0,094	0,02	1	1,008398246	0,991671698	4,7
TMEM241	0,226351275	0,012049586	0,031	0,008	1	1,008387113	0,991682645	3,875
STAC3	0,082317662	0,012016854	0,031	0,004	1	1,008364235	0,991705145	7,75

Supplementary Table 1

Differentially expressed genes_adjacent-skin-XL_comparing SC-Keloid vs. (SC-Myel, SC-Nonmyel)								
gene	p_val	avg_log2FC	pct.1	pct.2	p_val_adj	Foldchange_UP	Foldchange_DOWN	Ratio_pct1_pct2
NF2	0,027370459	0,012013309	0,125	0,035	1	1,008361757	0,991707582	3,571428571
ACOT9	0,003973246	0,011977267	0,281	0,09	1	1,008336566	0,991732358	3,122222222
ANGEL1	0,380266129	0,011952914	0,031	0,012	1	1,008319545	0,991749098	2,583333333
NLE1	0,000524345	0,011914053	0,094	0,008	1	1,008292385	0,991775813	11,75
ZNF358	0,007341735	0,011833461	0,375	0,145	1	1,008236062	0,991831217	2,586206897
MTRNR2L12	0,008437622	0,011815606	0,125	0,027	1	1,008223583	0,991843493	4,62962963
IFT122	0,229249342	0,011782118	0,094	0,043	1	1,008200181	0,991866515	2,186046512
APOC1	0,082317662	0,011772094	0,031	0,004	1	1,008193175	0,991873407	7,75
ADCY1	0,013891036	0,011763564	0,062	0,008	1	1,008187215	0,991879272	7,75
ZNF415	0,000509339	0,011677717	0,125	0,016	1	1,008127224	0,991938295	7,8125
LEMD2	0,004751692	0,0116733	0,219	0,062	1	1,008124138	0,991941331	3,532258065
PEX11A	0,013891036	0,011631084	0,062	0,008	1	1,008094639	0,991970358	7,75
NAP1L4	0,000273658	0,011607468	0,5	0,16	1	1,008078137	0,991986596	3,125
ZNF570	0,533973819	0,011597756	0,031	0,016	1	1,008071351	0,991993274	1,9375
PLEC	0,036246184	0,011587862	0,75	0,418	1	1,008064438	0,992000077	1,794258373
SNTB2	0,001206362	0,011488807	0,375	0,121	1	1,007995227	0,99206819	3,099173554
FZD3	0,016205151	0,011475907	0,25	0,09	1	1,007986213	0,992077061	2,777777778
C9orf135	0,082317662	0,011468582	0,031	0,004	1	1,007981096	0,992082098	7,75
NIPSNAP1	0,036827385	0,011364594	0,094	0,023	1	1,007908444	0,992153608	4,086956522
MCEE	0,000911755	0,011364472	0,156	0,027	1	1,007908359	0,992153693	5,777777778
EPHA3	0,143111738	0,011352707	0,062	0,02	1	1,007900139	0,992161784	3,1
LINC01069	0,082317662	0,011328774	0,031	0,004	1	1,00788342	0,992178242	7,75
MUC5B	0,082317662	0,011287235	0,031	0,004	1	1,0078544	0,99220681	7,75
ZNF805	0,008148126	0,011274868	0,094	0,016	1	1,007845761	0,992215316	5,875
PPIH	0,000804279	0,01118279	0,25	0,062	1	1,007781439	0,992278644	4,032258065
BECN1	8,86008E-06	0,011170429	0,375	0,082	0,186956528	1,007772804	0,992287146	4,573170732
MELTF-AS1	0,098751938	0,011138105	0,094	0,031	1	1,007750224	0,99230938	3,032258065
KIF18A	0,082317662	0,011095212	0,031	0,004	1	1,007720263	0,992338882	7,75
NUDT6	0,041848356	0,01099507	0,062	0,012	1	1,007650317	0,992407766	5,166666667
MCRIP2	0,007736261	0,010948184	0,156	0,039	1	1,00761757	0,992440018	4

Supplementary Table 1

Differentially expressed genes_adjacent-skin-XL_ comparing SC-Keloid vs. (SC-Myel, SC-Nonmyel)								
gene	p_val	avg_log2FC	pct.1	pct.2	p_val_adj	Foldchange_UP	Foldchange_DOWN	Ratio_pct1_pct2
PMVK	0,000580757	0,010785553	0,375	0,113	1	1,00750399	0,9925519	3,318584071
FANCI	0,013891036	0,010766958	0,062	0,008	1	1,007491005	0,992564693	7,75
HYAL3	0,002263143	0,010712216	0,062	0,004	1	1,007452777	0,992602356	15,5
ZNF391	0,082317662	0,010677822	0,031	0,004	1	1,00742876	0,99262602	7,75
C19orf54	0,226351275	0,010659924	0,031	0,008	1	1,007416262	0,992638334	3,875
SPON2	0,187685368	0,010656323	0,094	0,039	1	1,007413747	0,992640812	2,41025641
SKA2	0,000330614	0,010584783	0,625	0,215	1	1,007363793	0,992690036	2,906976744
ZNF770	0,008956837	0,010559446	0,125	0,027	1	1,007346102	0,99270747	4,62962963
KRT7	0,380266129	0,010544953	0,031	0,012	1	1,007335982	0,992717443	2,583333333
GOLGA8N	0,682170546	0,010524475	0,031	0,02	1	1,007321683	0,992731534	1,55
PSMD12	0,004853928	0,010482316	0,406	0,152	1	1,007292247	0,992760545	2,671052632
PRUNE2	0,221475664	0,010344969	0,031	0,008	1	1,007196356	0,992855061	3,875
UBE2G2	0,003530962	0,010290612	0,406	0,152	1	1,007158409	0,99289247	2,671052632
VAMP8	0,019236133	0,010130916	0,094	0,02	1	1,007046929	0,993002382	4,7
KXD1	0,000734952	0,010130644	0,469	0,16	1	1,007046739	0,99300257	2,93125
ATP10B	0,082317662	0,010097438	0,031	0,004	1	1,007023561	0,993025425	7,75
SELPLG	0,013891036	0,010086591	0,062	0,008	1	1,00701599	0,993032891	7,75
NKAPD1	5,86746E-05	-0,010076384	0,25	0,047	1	0,993039917	1,007008865	5,319148936
ENOX1	0,082317662	-0,010086186	0,031	0,004	1	0,99303317	1,007015707	7,75
PWP1	0,000215327	-0,010221494	0,344	0,09	1	0,99294004	1,007110158	3,822222222
SCO1	0,036158129	-0,010241758	0,094	0,023	1	0,992926093	1,007124304	4,086956522
COPG2	0,150155729	-0,010256246	0,062	0,02	1	0,992916122	1,007134417	3,1
SPOCK1	0,226351275	-0,010398146	0,031	0,008	1	0,992818466	1,007233481	3,875
FBXW8	0,226351275	-0,010399973	0,031	0,008	1	0,992817208	1,007234758	3,875
ZC2HC1A	0,013247448	-0,010419954	0,312	0,121	1	0,992803459	1,007248707	2,578512397
CRCP	0,086231137	-0,010553997	0,125	0,047	1	0,99271122	1,007342296	2,659574468
PRRG2	0,226351275	-0,010569996	0,031	0,008	1	0,992700211	1,007353468	3,875
MRPS25	0,000537931	-0,01059715	0,219	0,047	1	0,992681527	1,007372428	4,659574468
METAP1	0,06222129	-0,010618064	0,156	0,059	1	0,992667137	1,007387031	2,644067797
CASP1	0,226351275	-0,01065939	0,031	0,008	1	0,992638702	1,007415888	3,875

Supplementary Table 1

Differentially expressed genes_adjacent-skin-XL_ comparing SC-Keloid vs. (SC-Myel, SC-Nonmyel)								
gene	p_val	avg_log2FC	pct.1	pct.2	p_val_adj	Foldchange_UP	Foldchange_DOWN	Ratio_pct1_pct2
TCF19	0,226351275	-0,010675902	0,031	0,008	1	0,992627341	1,007427419	3,875
BANP	0,000870223	-0,010714652	0,156	0,027	1	0,99260068	1,007454478	5,777777778
DEPTOR	0,150155729	-0,010784048	0,062	0,02	1	0,992552935	1,007502939	3,1
BEX5	0,226351275	-0,010786042	0,031	0,008	1	0,992551563	1,007504332	3,875
UBR1	0,067638366	-0,010809034	0,188	0,078	1	0,992535745	1,007520389	2,41025641
HSDL2	0,019329956	-0,010846138	0,188	0,062	1	0,992510219	1,007546301	3,032258065
NOL11	0,009522001	-0,010881857	0,188	0,055	1	0,992485647	1,007571247	3,418181818
NAPG	0,002910424	-0,010918726	0,219	0,059	1	0,992460283	1,007596996	3,711864407
NLRX1	0,041848356	-0,010964428	0,062	0,012	1	0,992428844	1,007628915	5,166666667
THEM6	0,371729093	-0,010971844	0,125	0,074	1	0,992423743	1,007634095	1,689189189
FXN	0,000509339	-0,011004003	0,125	0,016	1	0,992401621	1,007656556	7,8125
RAB9A	0,000374084	-0,011132592	0,531	0,176	1	0,992313171	1,007746374	3,017045455
KDM4C	0,004107327	-0,011171261	0,156	0,035	1	0,992286574	1,007773385	4,457142857
CBX8	0,082317662	-0,01117306	0,031	0,004	1	0,992285337	1,007774642	7,75
SAPCD1	0,013891036	-0,011195829	0,062	0,008	1	0,992269676	1,007790547	7,75
FUT10	0,008148126	-0,011287361	0,094	0,016	1	0,992206724	1,007854488	5,875
OAS3	0,087959196	-0,011288066	0,062	0,016	1	0,992206239	1,007854981	3,875
CASZ1	0,226351275	-0,01130198	0,031	0,008	1	0,99219667	1,007864701	3,875
FAM219A	0,004087528	-0,011331701	0,125	0,023	1	0,99217623	1,007885465	5,434782609
AKT2	0,00029018	-0,011372489	0,344	0,094	1	0,992148179	1,00791396	3,659574468
R3HDM4	0,000428874	-0,011449906	0,312	0,082	1	0,992094941	1,007968047	3,804878049
YPEL1	0,019236133	-0,011465498	0,094	0,02	1	0,992084218	1,007978941	4,7
RALGPS2	0,164073652	-0,011509207	0,188	0,098	1	0,992054162	1,00800948	1,918367347
TIPARP-AS1	0,226351275	-0,011543658	0,031	0,008	1	0,992030473	1,008033551	3,875
CAMKK2	9,37709E-06	-0,011582949	0,375	0,082	0,197865964	0,992003455	1,008061005	4,573170732
MOSPD3	0,009242853	-0,011779843	0,188	0,055	1	0,99186808	1,008198591	3,418181818
TTI1	0,002594281	-0,011901865	0,094	0,012	1	0,991784191	1,008283867	7,833333333
CCDC121	0,087959196	-0,011936702	0,062	0,016	1	0,991760243	1,008308215	3,875
PRR16	0,221757959	-0,011983219	0,062	0,023	1	0,991728266	1,008340726	2,695652174
NRTN	0,224763613	-0,012023365	0,062	0,023	1	0,991700669	1,008368786	2,695652174

Supplementary Table 1

Differentially expressed genes_adjacent-skin-XL_ comparing SC-Keloid vs. (SC-Myel, SC-Nonmyel)								
gene	p_val	avg_log2FC	pct.1	pct.2	p_val_adj	Foldchange_UP	Foldchange_DOWN	Ratio_pct1_pct2
BBS4	0,000476445	-0,012144065	0,188	0,035	1	0,991617705	1,008453152	5,371428571
BTBD8	0,226351275	-0,012156312	0,031	0,008	1	0,991609287	1,008461713	3,875
H2BC5	0,540537634	-0,01217688	0,031	0,016	1	0,99159515	1,00847609	1,9375
NNT-AS1	0,006360213	-0,012216757	0,188	0,051	1	0,991567742	1,008503966	3,68627451
TTC30A	0,386325862	-0,012263753	0,031	0,012	1	0,991535442	1,008536818	2,583333333
GINS3	0,000339359	-0,012306205	0,156	0,023	1	0,991506266	1,008566496	6,782608696
MON1A	0,386325862	-0,012334632	0,031	0,012	1	0,991486729	1,008586369	2,583333333
MEF2B	0,386325862	-0,012336546	0,031	0,012	1	0,991485414	1,008587707	2,583333333
ZNF599	0,013891036	-0,012345663	0,062	0,008	1	0,991479149	1,00859408	7,75
CRACR2B	0,226351275	-0,012403121	0,031	0,008	1	0,991439662	1,00863425	3,875
DFFA	0,12647311	-0,012467064	0,094	0,035	1	0,991395721	1,008678956	2,685714286
CDC23	0,000931266	-0,012467451	0,219	0,051	1	0,991395454	1,008679227	4,294117647
ZNF430	0,098751938	-0,012503095	0,094	0,031	1	0,99137096	1,008704148	3,032258065
LSG1	0,000993746	-0,012633575	0,188	0,039	1	0,991281303	1,008795381	4,820512821
GOLT1B	1,48183E-06	-0,012657194	0,438	0,094	0,03126817	0,991265075	1,008811896	4,659574468
LINC01088	0,013891036	-0,012676905	0,062	0,008	1	0,991251532	1,008825679	7,75
PAQR7	0,008956837	-0,012747842	0,125	0,027	1	0,991202793	1,008875284	4,62962963
ZC4H2	0,004180266	-0,013011822	0,125	0,023	1	0,991021443	1,009059902	5,434782609
MRPL30	0,004823168	-0,01303788	0,219	0,062	1	0,991003543	1,009078128	3,532258065
NBR1	3,42564E-05	-0,013048098	0,406	0,102	0,722843467	0,990996524	1,009085275	3,980392157
PNPT1	0,003568756	-0,013124766	0,25	0,074	1	0,990943862	1,009138901	3,378378378
TCF3	0,000233604	-0,013273881	0,312	0,078	1	0,990841445	1,00924321	4
SRD5A3	0,016858455	-0,01327505	0,125	0,031	1	0,990840642	1,009244028	4,032258065
BTN2A1	0,004611611	-0,013340409	0,219	0,062	1	0,990795754	1,009289751	3,532258065
BRF2	0,041848356	-0,013390582	0,062	0,012	1	0,990761297	1,009324852	5,166666667
RAP1GAP2	0,062914349	-0,013466761	0,094	0,027	1	0,990708983	1,009378149	3,481481481
KIF4A	0,386325862	-0,013524062	0,031	0,012	1	0,990669635	1,009418241	2,583333333
SLC38A5	0,226351275	-0,013559176	0,031	0,008	1	0,990645524	1,009442809	3,875
GPR107	0,089393291	-0,01356442	0,125	0,047	1	0,990641922	1,009446479	2,659574468
PMS1	0,020165275	-0,013577778	0,156	0,047	1	0,99063275	1,009455825	3,319148936

Supplementary Table 1

Differentially expressed genes_adjacent-skin-XL_comparing SC-Keloid vs. (SC-Myel, SC-Nonmyel)								
gene	p_val	avg_log2FC	pct.1	pct.2	p_val_adj	Foldchange_UP	Foldchange_DOWN	Ratio_pct1_pct2
GBP3	0,000507403	-0,013618023	0,219	0,047	1	0,990605116	1,009483985	4,659574468
QRICH2	0,150155729	-0,013675767	0,062	0,02	1	0,990565468	1,00952439	3,1
BLZF1	0,014828336	-0,013798656	0,219	0,074	1	0,990481095	1,009610386	2,959459459
TRAM1	0,000173589	-0,013799776	0,688	0,238	1	0,990480326	1,009611169	2,890756303
TBC1D8	0,540537634	-0,013881476	0,031	0,016	1	0,990424237	1,009668345	1,9375
DSC2	0,226351275	-0,013940207	0,031	0,008	1	0,990383918	1,009709449	3,875
GLTP	0,319787484	-0,013953897	0,219	0,133	1	0,99037452	1,00971903	1,646616541
EPS15	0,018087948	-0,014010764	0,312	0,125	1	0,990335483	1,009758831	2,496
FAM43A	0,386325862	-0,014016329	0,031	0,012	1	0,990331663	1,009762726	2,583333333
PLCB3	3,86379E-06	-0,014073559	0,156	0,012	0,081529835	0,990292378	1,009802783	13
MALT1	0,150155729	-0,014086795	0,062	0,02	1	0,990283293	1,009812048	3,1
PHGDH	0,020463101	-0,014136474	0,156	0,047	1	0,990249193	1,009846821	3,319148936
MLPH	0,226351275	-0,014294983	0,031	0,008	1	0,9901404	1,009957779	3,875
CLIC3	0,540537634	-0,014302246	0,031	0,016	1	0,990135416	1,009962864	1,9375
BCL7A	0,037506898	-0,014329764	0,094	0,023	1	0,99011653	1,009982128	4,086956522
ZNF446	0,796859864	-0,014342013	0,031	0,023	1	0,990108124	1,009990703	1,347826087
NDUFAF7	0,138170297	-0,014352177	0,094	0,035	1	0,990101149	1,009997818	2,685714286
OXCT2	0,082317662	-0,014379587	0,031	0,004	1	0,990082337	1,010017008	7,75
CBWD6	0,386325862	-0,014457036	0,031	0,012	1	0,990029188	1,01007123	2,583333333
PCSK5	0,06592651	-0,014513571	0,125	0,043	1	0,989990392	1,010110813	2,906976744
C11orf65	0,386325862	-0,014561412	0,031	0,012	1	0,989957564	1,01014431	2,583333333
TIGD1	0,540537634	-0,014658285	0,031	0,016	1	0,989891093	1,010212141	1,9375
MYO5A	0,021727091	-0,014768683	0,219	0,078	1	0,989815348	1,010289447	2,807692308
LANCL2	0,063925678	-0,014821852	0,094	0,027	1	0,989778869	1,010326681	3,481481481
STOML1	0,001055584	-0,014832108	0,188	0,039	1	0,989771833	1,010333863	4,820512821
MGST2	0,668867248	-0,014860835	0,031	0,02	1	0,989752125	1,010353981	1,55
LRCH2	0,675506228	-0,014946147	0,031	0,02	1	0,989693599	1,010413729	1,55
PAXIP1	0,087959196	-0,014964384	0,062	0,016	1	0,989681089	1,010426502	3,875
SRR	0,224763613	-0,015013002	0,062	0,023	1	0,989647737	1,010460553	2,695652174
ROR1	0,082317662	-0,015029507	0,031	0,004	1	0,989636415	1,010472113	7,75

Supplementary Table 1

Differentially expressed genes_adjacent-skin-XL_comparing SC-Keloid vs. (SC-Myel, SC-Nonmyel)								
gene	p_val	avg_log2FC	pct.1	pct.2	p_val_adj	Foldchange_UP	Foldchange_DOWN	Ratio_pct1_pct2
SAAL1	0,004180266	-0,015040727	0,125	0,023	1	0,989628719	1,010479972	5,434782609
PROSER1	0,150155729	-0,015053865	0,062	0,02	1	0,989619707	1,010489174	3,1
IRX2	0,386325862	-0,015097701	0,031	0,012	1	0,989589638	1,010519878	2,583333333
NT5M	0,041848356	-0,015137609	0,062	0,012	1	0,989562264	1,010547831	5,166666667
LRP2BP	0,796859864	-0,01533443	0,031	0,023	1	0,989427271	1,010685706	1,347826087
DUOX1	0,675506228	-0,015348792	0,031	0,02	1	0,989417422	1,010695767	1,55
YPEL4	0,226351275	-0,015384842	0,031	0,008	1	0,989392698	1,010721023	3,875
FASTKD5	0,540537634	-0,015420756	0,031	0,016	1	0,989368069	1,010746183	1,9375
ZNF653	0,668867248	-0,015439251	0,031	0,02	1	0,989355386	1,010759141	1,55
PHKG1	0,043692883	-0,015537914	0,156	0,055	1	0,989287728	1,010828267	2,836363636
STRN	0,007635721	-0,015549478	0,281	0,098	1	0,989279799	1,010836369	2,867346939
WASHC3	0,000345651	-0,015749602	0,406	0,121	1	0,98914258	1,010976598	3,355371901
ZNF22	6,52388E-06	-0,015815363	0,562	0,148	0,137660362	0,989097494	1,011022681	3,797297297
MFSD1	0,01460911	-0,015837658	0,25	0,09	1	0,989082208	1,011038306	2,777777778
TDRD7	0,540537634	-0,015842788	0,031	0,016	1	0,989078691	1,011041901	1,9375
RSPRY1	0,045949521	-0,015859814	0,219	0,09	1	0,989067019	1,011053832	2,433333333
LFNG	0,041848356	-0,015872172	0,062	0,012	1	0,989058547	1,011062493	5,166666667
TAF2	0,183526587	-0,015885307	0,094	0,039	1	0,989049542	1,011071698	2,41025641
DBF4	0,386325862	-0,015902769	0,031	0,012	1	0,98903757	1,011083936	2,583333333
ZBTB45	0,000112833	-0,015940249	0,125	0,012	1	0,989011877	1,011110204	10,416666667
TCAF1	4,00575E-05	-0,016015633	0,312	0,066	0,845253588	0,9889602	1,011163038	4,727272727
JRKL	0,008956837	-0,016051335	0,125	0,027	1	0,988935726	1,011188061	4,62962963
MANEAL	0,226351275	-0,016083862	0,031	0,008	1	0,988913431	1,011210859	3,875
CRYBG3	0,127492976	-0,016099115	0,188	0,09	1	0,988902975	1,011221551	2,088888889
PLXNA1	0,224763613	-0,016114919	0,062	0,023	1	0,988892142	1,011232628	2,695652174
KCNC4	0,675506228	-0,016160298	0,031	0,02	1	0,988861038	1,011264436	1,55
HCG25	0,226351275	-0,016238891	0,031	0,008	1	0,988807169	1,011319528	3,875
ZNF487	0,039667683	-0,016297358	0,125	0,039	1	0,988767097	1,011360514	3,205128205
C19orf44	0,218781208	-0,016343596	0,062	0,023	1	0,988735408	1,011392928	2,695652174
C12orf73	0,000466117	-0,016479213	0,188	0,035	1	0,988642469	1,011488006	5,371428571

Supplementary Table 1

Differentially expressed genes_adjacent-skin-XL_comparing SC-Keloid vs. (SC-Myel, SC-Nonmyel)								
gene	p_val	avg_log2FC	pct.1	pct.2	p_val_adj	Foldchange_UP	Foldchange_DOWN	Ratio_pct1_pct2
VAPB	0,000605519	-0,016484063	0,406	0,125	1	0,988639146	1,011491406	3,248
DBP	0,076632198	-0,016505438	0,156	0,062	1	0,988624498	1,011506393	2,516129032
ZNF692	0,001642148	-0,016511833	0,125	0,02	1	0,988620116	1,011510876	6,25
RNGTT	0,016562293	-0,016578162	0,125	0,031	1	0,988574664	1,011557382	4,032258065
SCHIP1	0,063387391	-0,016615621	0,125	0,043	1	0,988548997	1,011583647	2,906976744
DHRX	0,016858455	-0,016639244	0,125	0,031	1	0,98853281	1,011600212	4,032258065
ATP6VOE2	0,002538449	-0,01672599	0,406	0,145	1	0,988473374	1,011661039	2,8
NASP	0,010412431	-0,016804844	0,594	0,27	1	0,988419348	1,011716335	2,2
HARS2	0,019236133	-0,016819173	0,094	0,02	1	0,988409531	1,011726384	4,7
AC147651.4	0,014828336	-0,016832439	0,219	0,074	1	0,988400442	1,011735687	2,959459459
HOMER3	0,00036468	-0,016879763	0,344	0,094	1	0,988368021	1,011768874	3,659574468
RAB3IL1	0,540537634	-0,016971458	0,031	0,016	1	0,988305204	1,011833183	1,9375
ZNF830	0,019580952	-0,017041738	0,156	0,047	1	0,98825706	1,011882475	3,319148936
OPA3	0,224763613	-0,017089896	0,062	0,023	1	0,988224072	1,011916253	2,695652174
NUP88	0,000509339	-0,017215701	0,125	0,016	1	0,988137901	1,012004497	7,8125
ZNF43	0,019236133	-0,01726264	0,094	0,02	1	0,988105752	1,012037424	4,7
KIF2A	0,018075901	-0,017273851	0,281	0,109	1	0,988098074	1,012045288	2,577981651
MYOF	0,041641305	-0,017344608	0,25	0,105	1	0,988049614	1,012094925	2,380952381
NT5C	0,001507967	-0,017390214	0,531	0,195	1	0,988018381	1,012126919	2,723076923
MAOB	0,386325862	-0,017402646	0,031	0,012	1	0,988009866	1,012135642	2,583333333
NIT1	0,000476445	-0,017428447	0,188	0,035	1	0,987992197	1,012153743	5,371428571
SNAPC1	0,093336433	-0,017496298	0,094	0,031	1	0,987945732	1,012201346	3,032258065
FBXO45	0,141661018	-0,017528851	0,094	0,035	1	0,98792344	1,012224186	2,685714286
MTA2	0,291239073	-0,017529596	0,094	0,047	1	0,98792293	1,012224708	2
P2RY1	0,145146326	-0,017629822	0,125	0,055	1	0,9878543	1,012295032	2,272727273
RGMA	0,540537634	-0,017748493	0,031	0,016	1	0,987773047	1,012378302	1,9375
RNF25	0,000911755	-0,01775522	0,156	0,027	1	0,98776844	1,012383023	5,777777778
PSMD10	0,184716953	-0,017824394	0,125	0,059	1	0,98772108	1,012431566	2,118644068
PMM2	0,297426083	-0,017838025	0,062	0,027	1	0,987711748	1,012441131	2,296296296
UBL4A	0,00013166	-0,017840296	0,25	0,051	1	0,987710193	1,012442725	4,901960784

Supplementary Table 1

Differentially expressed genes_adjacent-skin-XL_ comparing SC-Keloid vs. (SC-Myel, SC-Nonmyel)								
gene	p_val	avg_log2FC	pct.1	pct.2	p_val_adj	Foldchange_UP	Foldchange_DOWN	Ratio_pct1_pct2
RBKS	0,226351275	-0,017877254	0,031	0,008	1	0,987684891	1,012468662	3,875
MRPL2	0,000693143	-0,017879809	0,375	0,113	1	0,987683142	1,012470455	3,318584071
C3	0,087959196	-0,017929006	0,062	0,016	1	0,987649462	1,012504981	3,875
PDSS2	0,386325862	-0,017958996	0,031	0,012	1	0,987628931	1,012526029	2,583333333
ADAMTS1	0,000365428	-0,017962838	0,562	0,195	1	0,987626301	1,012528726	2,882051282
H2AC8	0,082317662	-0,018022353	0,031	0,004	1	0,987585556	1,012570496	7,75
USP4	0,021379715	-0,018034742	0,156	0,047	1	0,987577079	1,012579192	3,319148936
BCL7B	0,000189615	-0,018112209	0,344	0,09	1	0,987524052	1,012633564	3,822222222
C17orf58	0,540537634	-0,018141793	0,031	0,016	1	0,987503801	1,01265433	1,9375
ZNF883	0,041848356	-0,018212241	0,062	0,012	1	0,987455582	1,01270378	5,166666667
GABPB1	0,002096899	-0,018238535	0,156	0,031	1	0,987437585	1,012722237	5,032258065
BTBD19	0,226351275	-0,018241341	0,031	0,008	1	0,987435665	1,012724206	3,875
PML	0,001753489	-0,018257474	0,219	0,055	1	0,987424623	1,012735531	3,981818182
C19orf47	0,226351275	-0,01827382	0,031	0,008	1	0,987413435	1,012747006	3,875
SEC23A	0,00245484	-0,01829515	0,312	0,098	1	0,987398836	1,01276198	3,183673469
TXLNA	0,009633791	-0,018319478	0,219	0,07	1	0,987382186	1,012779058	3,128571429
KLHDC10	0,001783529	-0,018366147	0,219	0,055	1	0,987350246	1,01281182	3,981818182
EIF5AL1	0,386325862	-0,01841842	0,031	0,012	1	0,987314472	1,012848518	2,583333333
ACOT4	0,226351275	-0,018444783	0,031	0,008	1	0,987296431	1,012867026	3,875
ZNF592	0,063387391	-0,018450021	0,125	0,043	1	0,987292846	1,012870704	2,906976744
ZNF624	0,019236133	-0,018462274	0,094	0,02	1	0,987284461	1,012879306	4,7
ATXN2L	0,034171291	-0,01854361	0,312	0,137	1	0,987228802	1,012936412	2,277372263
R3HCC1L	0,008148126	-0,018583155	0,094	0,016	1	0,987201742	1,012964177	5,875
CLK2	0,226351275	-0,018685872	0,031	0,008	1	0,987131457	1,013036301	3,875
ZNF484	0,041848356	-0,018686167	0,062	0,012	1	0,987131256	1,013036508	5,166666667
CERS2	0,002500955	-0,018728283	0,594	0,234	1	0,987102439	1,013066081	2,538461538
NACAD	0,093753684	-0,018732479	0,125	0,047	1	0,987099568	1,013069028	2,659574468
TTC37	0,000193306	-0,018792453	0,406	0,117	1	0,987058534	1,013111143	3,47008547
ZNF525	0,087959196	-0,018824603	0,062	0,016	1	0,987036538	1,01313372	3,875
ZNF513	0,547500804	-0,018827346	0,062	0,039	1	0,987034662	1,013135646	1,58974359

Supplementary Table 1

Differentially expressed genes_adjacent-skin-XL_ comparing SC-Keloid vs. (SC-Myel, SC-Nonmyel)								
gene	p_val	avg_log2FC	pct.1	pct.2	p_val_adj	Foldchange_UP	Foldchange_DOWN	Ratio_pct1_pct2
SLC38A10	7,14053E-05	-0,018939845	0,375	0,094	1	0,986957697	1,013214652	3,989361702
HOTAIRM1	0,226351275	-0,018988685	0,031	0,008	1	0,986924286	1,013248953	3,875
RAD52	0,036827385	-0,019057911	0,094	0,023	1	0,986876931	1,013297574	4,086956522
DTWD2	0,226351275	-0,019096092	0,031	0,008	1	0,986850814	1,013324391	3,875
PPM1L	0,226351275	-0,019103358	0,031	0,008	1	0,986845844	1,013329495	3,875
ASCC2	0,000469207	-0,019125084	0,219	0,047	1	0,986830982	1,013344755	4,659574468
SPRED2	0,037506634	-0,019153038	0,094	0,023	1	0,986811861	1,01336439	4,086956522
RPUSD2	0,150155729	-0,019334935	0,062	0,02	1	0,986687451	1,013492164	3,1
AGO1	0,063925678	-0,019421439	0,094	0,027	1	0,986628291	1,013552935	3,481481481
UBA1	0,00307185	-0,019499438	0,5	0,191	1	0,98657495	1,013607734	2,617801047
MFSD9	0,082317662	-0,019555336	0,031	0,004	1	0,986536725	1,013647008	7,75
TLCD5	0,243596382	-0,019574795	0,094	0,043	1	0,98652342	1,01366068	2,186046512
PBX4	0,041848356	-0,019682401	0,062	0,012	1	0,986449841	1,013736288	5,166666667
SYNGR2	0,106283856	-0,019703546	0,219	0,105	1	0,986435383	1,013751146	2,085714286
RBBP8	0,091552625	-0,019811194	0,125	0,047	1	0,986361782	1,013826791	2,659574468
PBLD	0,001642148	-0,019840416	0,125	0,02	1	0,986341803	1,013847327	6,25
SMAD1	0,019236133	-0,019854163	0,094	0,02	1	0,986332404	1,013856987	4,7
OGG1	0,001034587	-0,020010958	0,188	0,039	1	0,986225214	1,013967181	4,820512821
INAVA	0,226351275	-0,020026264	0,031	0,008	1	0,98621475	1,013977939	3,875
ZSCAN5A	0,226351275	-0,020048473	0,031	0,008	1	0,986199569	1,013993548	3,875
PARD6G	0,918113127	-0,020139756	0,031	0,027	1	0,986137172	1,014057708	1,148148148
UBE2N	0,005554076	-0,020176873	0,625	0,266	1	0,986111801	1,014083798	2,34962406
NARF	0,000110396	-0,020480414	0,375	0,098	1	0,985904346	1,014297182	3,826530612
B3GLCT	0,150155729	-0,020551564	0,062	0,02	1	0,985855725	1,014347206	3,1
BCDIN3D	0,002594281	-0,020559945	0,094	0,012	1	0,985849998	1,014353099	7,833333333
ARL5A	0,000608099	-0,020567711	0,531	0,188	1	0,985844691	1,014358559	2,824468085
MFF	0,005275462	-0,02057596	0,406	0,152	1	0,985839054	1,014364359	2,671052632
CRYZ	0,004180266	-0,020599154	0,125	0,023	1	0,985823205	1,014380666	5,434782609
LINC02897	0,226351275	-0,020679021	0,031	0,008	1	0,985768632	1,014436824	3,875
PTPN18	0,124769281	-0,020728312	0,125	0,051	1	0,985734953	1,014471483	2,450980392

Supplementary Table 1

Differentially expressed genes_adjacent-skin-XL_comparing SC-Keloid vs. (SC-Myel, SC-Nonmyel)								
gene	p_val	avg_log2FC	pct.1	pct.2	p_val_adj	Foldchange_UP	Foldchange_DOWN	Ratio_pct1_pct2
ZNF254	0,27733921	-0,020767838	0,125	0,066	1	0,985707947	1,014499278	1,893939394
UBTF	4,77841E-05	-0,020839555	0,531	0,156	1	0,985658948	1,014549711	3,403846154
CCDC157	0,386325862	-0,020846462	0,031	0,012	1	0,985654229	1,014554567	2,583333333
FBXO33	0,041554521	-0,020856309	0,156	0,055	1	0,985647502	1,014561492	2,836363636
MARCHF7	0,061210167	-0,02088253	0,281	0,133	1	0,985629587	1,014579932	2,112781955
LXN	0,540537634	-0,021000671	0,031	0,016	1	0,985548878	1,014663019	1,9375
RILP	0,682170546	-0,021074335	0,031	0,02	1	0,985498558	1,014714828	1,55
HAPLN3	0,386325862	-0,021077014	0,031	0,012	1	0,985496728	1,014716713	2,583333333
PSMG4	0,010298205	-0,021145825	0,219	0,07	1	0,985449724	1,014765112	3,128571429
ZNF768	0,911838915	-0,021149681	0,031	0,027	1	0,98544709	1,014767824	1,148148148
MOB2	0,002169795	-0,021222133	0,375	0,125	1	0,985397603	1,014818787	3
AKAP10	0,40679988	-0,021238819	0,094	0,055	1	0,985386206	1,014830525	1,709090909
OSGEPL1	0,533973819	-0,021258012	0,031	0,016	1	0,985373097	1,014844025	1,9375
PHKB	0,150636831	-0,02136522	0,156	0,074	1	0,985299876	1,014919442	2,108108108
MIPEP	0,221475664	-0,021378291	0,031	0,008	1	0,985290949	1,014928637	3,875
POLR2J2	0,226351275	-0,021391014	0,031	0,008	1	0,985282259	1,014937588	3,875
ZNF335	0,185597364	-0,021397118	0,094	0,039	1	0,985278091	1,014941882	2,41025641
IARS1	0,019838208	-0,021418765	0,25	0,094	1	0,985263308	1,014957111	2,659574468
INVS	0,224763613	-0,021491219	0,062	0,023	1	0,985213827	1,015008085	2,695652174
SH3BGRL	0,032224112	-0,021545287	0,656	0,32	1	0,985176905	1,015046125	2,05
IPCEF1	0,087959196	-0,021554847	0,062	0,016	1	0,985170377	1,015052851	3,875
ANKRD26	0,000235567	-0,021555419	0,281	0,066	1	0,985169986	1,015053254	4,257575758
PRKD2	0,38454022	-0,021562092	0,062	0,031	1	0,985165429	1,015057949	2
AGTPBP1	0,224763613	-0,021606116	0,062	0,023	1	0,985135367	1,015088924	2,695652174
TCTA	0,044241765	-0,021687165	0,156	0,055	1	0,985080025	1,015145952	2,836363636
STK17B	0,016858455	-0,021764276	0,125	0,031	1	0,985027375	1,015200212	4,032258065
DKC1	0,004681177	-0,021809519	0,219	0,062	1	0,984996485	1,01523205	3,532258065
LINC00649	0,533973819	-0,021847172	0,031	0,016	1	0,984970778	1,015258546	1,9375
AGFG2	0,540537634	-0,021947648	0,031	0,016	1	0,984902182	1,015329256	1,9375
IFFO2	0,003663929	-0,022001514	0,188	0,047	1	0,98486541	1,015367166	4

Supplementary Table 1

Differentially expressed genes_adjacent-skin-XL_comparing SC-Keloid vs. (SC-Myel, SC-Nonmyel)								
gene	p_val	avg_log2FC	pct.1	pct.2	p_val_adj	Foldchange_UP	Foldchange_DOWN	Ratio_pct1_pct2
CEP63	0,063655955	-0,022023203	0,188	0,078	1	0,984850603	1,015382431	2,41025641
FERMT2	0,150139851	-0,022034311	0,781	0,488	1	0,98484302	1,015390249	1,600409836
SERHL2	0,002594281	-0,022034882	0,094	0,012	1	0,98484263	1,015390651	7,833333333
BRCC3	0,000322156	-0,022073146	0,156	0,023	1	0,984816511	1,015417582	6,782608696
TRIM14	0,221757959	-0,022227723	0,062	0,023	1	0,984710999	1,015526384	2,695652174
TUT1	0,061916284	-0,022245486	0,094	0,027	1	0,984698874	1,015538888	3,481481481
OTUD5	0,138170297	-0,022258846	0,094	0,035	1	0,984689756	1,015548292	2,685714286
FRS3	0,386325862	-0,022282548	0,031	0,012	1	0,984673578	1,015564977	2,583333333
PRELID3A	0,304406192	-0,022329049	0,062	0,027	1	0,984641841	1,015597712	2,296296296
RHOBTB1	0,063387391	-0,022431454	0,125	0,043	1	0,984571952	1,015669803	2,906976744
BDH1	0,386325862	-0,022514201	0,031	0,012	1	0,984515482	1,015728059	2,583333333
ORAI3	0,008148126	-0,022521089	0,094	0,016	1	0,984510782	1,015732908	5,875
NOCT	0,396289917	-0,022569082	0,062	0,031	1	0,984478031	1,015766699	2
GRIK4	0,226351275	-0,022695926	0,031	0,008	1	0,984391478	1,01585601	3,875
SMARCAL1	0,096013629	-0,022700382	0,094	0,031	1	0,984388438	1,015859148	3,032258065
PTPRS	0,037506898	-0,022740259	0,094	0,023	1	0,98436123	1,015887227	4,086956522
SLC16A7	0,041848356	-0,022746726	0,062	0,012	1	0,984356817	1,015891781	5,166666667
MTFR1	0,236345884	-0,022796482	0,094	0,043	1	0,984322869	1,015926818	2,186046512
KATNAL1	1,43353E-05	-0,022799857	0,469	0,121	0,302489408	0,984320566	1,015929195	3,876033058
RHBDD1	0,38454022	-0,022830927	0,062	0,031	1	0,984299368	1,015951074	2
SLC8B1	0,096013629	-0,022870116	0,094	0,031	1	0,984272631	1,015978672	3,032258065
C11orf71	0,396289917	-0,022870803	0,062	0,031	1	0,984272162	1,015979155	2
NDC1	0,041848356	-0,022887094	0,062	0,012	1	0,984261048	1,015990628	5,166666667
TMEM53	0,019236133	-0,022916906	0,094	0,02	1	0,984240709	1,016011623	4,7
BUB3	0,000246192	-0,022953198	0,375	0,105	1	0,98421595	1,016037181	3,571428571
GRWD1	0,066791287	-0,022968912	0,125	0,043	1	0,98420523	1,016048248	2,906976744
HEXA	0,00033983	-0,023013932	0,469	0,148	1	0,984174518	1,016079955	3,168918919
NOTCH4	0,564954469	-0,023022381	0,062	0,039	1	0,984168754	1,016085906	1,58974359
SLC2A13	0,045949521	-0,023038323	0,219	0,09	1	0,984157879	1,016097134	2,433333333
POLM	0,224763613	-0,023129397	0,062	0,023	1	0,984095754	1,016161279	2,695652174

Supplementary Table 1

Differentially expressed genes_adjacent-skin-XL_comparing SC-Keloid vs. (SC-Myel, SC-Nonmyel)								
gene	p_val	avg_log2FC	pct.1	pct.2	p_val_adj	Foldchange_UP	Foldchange_DOWN	Ratio_pct1_pct2
GOT1	0,001642148	-0,0231689	0,125	0,02	1	0,984068808	1,016189104	6,25
METTL8	0,016270711	-0,023170377	0,125	0,031	1	0,9840678	1,016190144	4,032258065
RAPGEF6	0,735890209	-0,023219984	0,094	0,074	1	0,984033964	1,016225087	1,27027027
TRIM65	0,087959196	-0,023242413	0,062	0,016	1	0,984018666	1,016240885	3,875
BRME1	0,226351275	-0,023268118	0,031	0,008	1	0,984001133	1,016258992	3,875
NOL12	0,160548057	-0,023270376	0,125	0,055	1	0,983999593	1,016260583	2,272727273
KDM5A	0,000120335	-0,023282593	0,469	0,141	1	0,98399126	1,016269189	3,326241135
PLXNA2	0,386325862	-0,02330183	0,031	0,012	1	0,98397814	1,01628274	2,583333333
ICA1	0,226351275	-0,023322818	0,031	0,008	1	0,983963825	1,016297525	3,875
QSOX2	0,008148126	-0,023330814	0,094	0,016	1	0,983958372	1,016303158	5,875
FBXO27	0,386325862	-0,023340534	0,031	0,012	1	0,983951743	1,016310005	2,583333333
DMAC2	0,017209641	-0,02334731	0,219	0,074	1	0,983947121	1,016314778	2,959459459
FGD5	0,543117005	-0,023429862	0	0,012	1	0,98389082	1,016372934	0
TCOF1	0,001814041	-0,02344259	0,219	0,055	1	0,983882141	1,016381901	3,981818182
TEX30	0,004180266	-0,023467371	0,125	0,023	1	0,983865241	1,016399359	5,434782609
FBXL18	0,062914349	-0,023472881	0,094	0,027	1	0,983861483	1,016403241	3,481481481
ZKSCAN2	0,386325862	-0,023555636	0,031	0,012	1	0,983805049	1,016461545	2,583333333
PPIL6	0,226351275	-0,023566395	0,031	0,008	1	0,983797712	1,016469125	3,875
LRR47	0,064224632	-0,023568383	0,125	0,043	1	0,983796356	1,016470526	2,906976744
SLC4A7	6,66992E-05	-0,023584143	0,281	0,059	1	0,98378561	1,01648163	4,762711864
GLRX	0,147778936	-0,023615476	0,062	0,02	1	0,983764243	1,016503707	3,1
SCRN3	0,016562293	-0,023627314	0,125	0,031	1	0,983756172	1,016512047	4,032258065
TBC1D4	0,226351275	-0,023638074	0,031	0,008	1	0,983748834	1,016519629	3,875
DDX19B	0,029760483	-0,023644796	0,156	0,051	1	0,983744251	1,016524365	3,058823529
MAP1S	0,386325862	-0,023645108	0,031	0,012	1	0,983744038	1,016524585	2,583333333
SLC22A11	0,082317662	-0,023680314	0,031	0,004	1	0,983720032	1,016549392	7,75
TSEN54	0,224763613	-0,023709506	0,062	0,023	1	0,983700127	1,016569961	2,695652174
OSBPL6	0,226351275	-0,023785674	0,031	0,008	1	0,983648193	1,016623633	3,875
DUS4L	0,087959196	-0,023790986	0,062	0,016	1	0,983644572	1,016627376	3,875
ZNF287	0,000509339	-0,023807809	0,125	0,016	1	0,983633101	1,016639231	7,8125

Supplementary Table 1

Differentially expressed genes_adjacent-skin-XL_comparing SC-Keloid vs. (SC-Myel, SC-Nonmyel)								
gene	p_val	avg_log2FC	pct.1	pct.2	p_val_adj	Foldchange_UP	Foldchange_DOWN	Ratio_pct1_pct2
PACRGL	0,031413167	-0,02383034	0,156	0,051	1	0,98361774	1,016655108	3,058823529
FAM3A	6,05286E-05	-0,023862298	0,375	0,094	1	0,983595951	1,016677629	3,989361702
TRAF3IP1	0,002096899	-0,024019207	0,156	0,031	1	0,983488981	1,01678821	5,032258065
TMEM181	0,00011289	-0,024140367	0,219	0,039	1	0,983406389	1,016873605	5,615384615
PIM2	0,082317662	-0,024167706	0,031	0,004	1	0,983387753	1,016892875	7,75
UMPS	0,041848356	-0,024190458	0,062	0,012	1	0,983372245	1,016908912	5,166666667
COG5	0,080880928	-0,024209286	0,156	0,062	1	0,983359411	1,016922184	2,516129032
UQCRC2	0,001131816	-0,024231405	0,375	0,121	1	0,983344335	1,016937774	3,099173554
RFX7	0,300902654	-0,024447372	0,062	0,027	1	0,983197143	1,017090018	2,296296296
FTSJ1	0,028712073	-0,024451057	0,125	0,035	1	0,983194631	1,017092616	3,571428571
LARP1	0,005471065	-0,024451223	0,469	0,184	1	0,983194518	1,017092733	2,548913043
AMPD2	0,020764757	-0,024490161	0,156	0,047	1	0,983167982	1,017120185	3,319148936
NBPF3	0,386325862	-0,024563631	0,031	0,012	1	0,983117915	1,017171983	2,583333333
SPECC1	6,91883E-05	-0,024593371	0,312	0,07	1	0,98309765	1,017192952	4,457142857
TMEM238	0,386325862	-0,024613854	0,031	0,012	1	0,983083692	1,017207394	2,583333333
FAM98B	0,001055584	-0,024634465	0,188	0,039	1	0,983069647	1,017221926	4,820512821
EPHB4	0,087959196	-0,024648467	0,062	0,016	1	0,983060106	1,017231799	3,875
COL24A1	0,226351275	-0,024768892	0,031	0,008	1	0,982978051	1,017316713	3,875
ZDHHC11	0,221475664	-0,024813026	0,031	0,008	1	0,982947981	1,017347835	3,875
EID2	0,006461838	-0,024927961	0,188	0,051	1	0,982869676	1,017428887	3,68627451
MRFAP1	0,183520991	-0,024975968	0,875	0,488	1	0,98283697	1,017462744	1,793032787
ARMCX3	0,010754958	-0,02523561	0,625	0,281	1	0,982660105	1,017645872	2,224199288
PDK1	0,041848356	-0,025241859	0,062	0,012	1	0,982655848	1,017650281	5,166666667
ZNF274	0,065070981	-0,025260531	0,125	0,043	1	0,982643131	1,017663452	2,906976744
PUS3	0,386325862	-0,025476346	0,031	0,012	1	0,982496146	1,017815697	2,583333333
C1QTNF6	3,86379E-06	-0,025479202	0,156	0,012	0,081529835	0,982494202	1,017817712	13
ROM1	0,543117005	-0,025532804	0	0,012	1	0,982457698	1,017855529	0
SLC11A2	0,511066664	-0,025619695	0,188	0,133	1	0,982398528	1,017916834	1,413533835
LACTB2	0,044552052	-0,025675597	0,125	0,039	1	0,982360463	1,017956277	3,205128205
LRCH1	0,346466678	-0,025757304	0,094	0,051	1	0,982304829	1,018013931	1,843137255

Supplementary Table 1

Differentially expressed genes_adjacent-skin-XL_ comparing SC-Keloid vs. (SC-Myel, SC-Nonmyel)								
gene	p_val	avg_log2FC	pct.1	pct.2	p_val_adj	Foldchange_UP	Foldchange_DOWN	Ratio_pct1_pct2
TAF5	0,226351275	-0,025849521	0,031	0,008	1	0,982242041	1,018079005	3,875
SPOUT1	0,087959196	-0,025862549	0,062	0,016	1	0,982233172	1,018088198	3,875
SNRPA1	0,020683076	-0,025907323	0,281	0,109	1	0,982202689	1,018119795	2,577981651
DHRS11	0,041848356	-0,025961393	0,062	0,012	1	0,982165878	1,018157953	5,166666667
AIP	0,000403093	-0,025990024	0,562	0,191	1	0,982146387	1,018178159	2,942408377
TAOK2	0,281781087	-0,026102945	0,125	0,066	1	0,982069516	1,018257856	1,893939394
ZNF527	0,386325862	-0,026112207	0,031	0,012	1	0,982063212	1,018264393	2,583333333
DCAF7	0,047830565	-0,026150905	0,219	0,09	1	0,98203687	1,018291707	2,433333333
MDM1	0,14813251	-0,026191123	0,125	0,055	1	0,982009494	1,018320094	2,272727273
CBARP	0,386325862	-0,026255404	0,031	0,012	1	0,98196574	1,018365467	2,583333333
TRIM62	0,226351275	-0,026284144	0,031	0,008	1	0,981946179	1,018385755	3,875
ELP3	0,682170546	-0,026312856	0,031	0,02	1	0,981926636	1,018406022	1,55
ZNF880	0,224763613	-0,026345494	0,062	0,023	1	0,981904423	1,018429062	2,695652174
PIGX	0,000983571	-0,02636661	0,219	0,051	1	0,981890051	1,018443969	4,294117647
ZNHIT6	0,416216544	-0,026507404	0,094	0,055	1	0,981794232	1,018543364	1,709090909
ARMC2	0,540537634	-0,026543082	0,031	0,016	1	0,981769953	1,018568553	1,9375
TANGO2	0,002096899	-0,026544216	0,156	0,031	1	0,981769181	1,018569354	5,032258065
ZNF169	0,533973819	-0,02658708	0,031	0,016	1	0,981740012	1,018599617	1,9375
LARP1B	0,000343233	-0,026597281	0,344	0,094	1	0,98173307	1,01860682	3,659574468
C6orf47	7,15271E-05	-0,026620796	0,188	0,027	1	0,981717068	1,018623422	6,962962963
KDM4A	0,147778936	-0,026653033	0,062	0,02	1	0,981695132	1,018646184	3,1
STX18	0,007318479	-0,026682948	0,219	0,066	1	0,981674777	1,018667306	3,318181818
STARD5	0,918113127	-0,026703046	0,031	0,027	1	0,981661101	1,018681497	1,148148148
TXNRD3	0,540537634	-0,026751519	0,031	0,016	1	0,981628119	1,018715724	1,9375
ZNF839	0,803381388	-0,02675545	0,031	0,023	1	0,981625444	1,0187185	1,347826087
FUZ	0,008956837	-0,026779347	0,125	0,027	1	0,981609185	1,018735374	4,62962963
CEP126	0,138170297	-0,026802408	0,094	0,035	1	0,981593494	1,018751659	2,685714286
ATXN7L3B	0,000632526	-0,026817562	0,406	0,129	1	0,981583183	1,01876236	3,147286822
FANCC	0,082317662	-0,026817966	0,031	0,004	1	0,981582908	1,018762645	7,75
FAM72A	0,150155729	-0,026917248	0,062	0,02	1	0,981515361	1,018832755	3,1

Supplementary Table 1

Differentially expressed genes_adjacent-skin-XL_ comparing SC-Keloid vs. (SC-Myel, SC-Nonmyel)								
gene	p_val	avg_log2FC	pct.1	pct.2	p_val_adj	Foldchange_UP	Foldchange_DOWN	Ratio_pct1_pct2
AL592183.1	0,386325862	-0,026933826	0,031	0,012	1	0,981504083	1,018844463	2,583333333
MSH5	0,082317662	-0,026934478	0,031	0,004	1	0,981503639	1,018844923	7,75
PABPC1L	0,224763613	-0,026945633	0,062	0,023	1	0,98149605	1,018852801	2,695652174
MKKS	0,000252542	-0,026950157	0,219	0,043	1	0,981492973	1,018855996	5,093023256
ZFP82	0,386325862	-0,027021541	0,031	0,012	1	0,98144441	1,01890641	2,583333333
ZBTB48	0,139907281	-0,027041071	0,094	0,035	1	0,981431124	1,018920203	2,685714286
F11R	0,226351275	-0,027093123	0,031	0,008	1	0,981395715	1,018956966	3,875
PDIK1L	0,041848356	-0,027098522	0,062	0,012	1	0,981392042	1,018960779	5,166666667
CHDH	0,675506228	-0,027294315	0,031	0,02	1	0,981258863	1,019099075	1,55
DIAPH2	0,150155729	-0,027434976	0,062	0,02	1	0,981163196	1,019198441	3,1
EML4	0,000112855	-0,027481009	0,344	0,086	1	0,98113189	1,019230962	4
RPAP1	0,226351275	-0,027502046	0,031	0,008	1	0,981117584	1,019245824	3,875
CTU1	0,224763613	-0,027512971	0,062	0,023	1	0,981110154	1,019253543	2,695652174
ATF2	0,00145178	-0,027552134	0,406	0,137	1	0,981083521	1,019281211	2,96350365
CARD8	0,087959196	-0,027562406	0,062	0,016	1	0,981076536	1,019288469	3,875
ZNF268	0,019236133	-0,0276119	0,094	0,02	1	0,981042879	1,019323437	4,7
PAPPA2	0,082317662	-0,027624251	0,031	0,004	1	0,98103448	1,019332164	7,75
RAP2C	0,019580952	-0,027700408	0,156	0,047	1	0,980982695	1,019385974	3,319148936
SHISA5	0,002067673	-0,02774971	0,375	0,125	1	0,980949172	1,019420811	3
SUSD1	0,226351275	-0,027844014	0,031	0,008	1	0,980885052	1,019487449	3,875
NIPA2	0,001963481	-0,027889236	0,281	0,082	1	0,980854307	1,019519405	3,426829268
PTDSS1	0,019236133	-0,02811176	0,094	0,02	1	0,980703029	1,019676671	4,7
MBIP	0,01057519	-0,028119857	0,219	0,07	1	0,980697526	1,019682393	3,128571429
TAFAZZIN	0,006070525	-0,028174875	0,25	0,078	1	0,980660127	1,01972128	3,205128205
ACVRL1	0,543117005	-0,02828215	0	0,012	1	0,980587211	1,019797106	0
CYP4V2	0,008956837	-0,028321333	0,125	0,027	1	0,980560578	1,019824805	4,62962963
YARS1	0,014643669	-0,028329774	0,219	0,074	1	0,980554841	1,019830772	2,959459459
UCN	0,082317662	-0,028450744	0,031	0,004	1	0,980472625	1,019916287	7,75
PSMC6	0,000280867	-0,028457664	0,469	0,145	1	0,980467922	1,01992118	3,234482759
GLIS2	0,540537634	-0,028479791	0,031	0,016	1	0,980452884	1,019936823	1,9375

Supplementary Table 1

Differentially expressed genes_adjacent-skin-XL_ comparing SC-Keloid vs. (SC-Myel, SC-Nonmyel)								
gene	p_val	avg_log2FC	pct.1	pct.2	p_val_adj	Foldchange_UP	Foldchange_DOWN	Ratio_pct1_pct2
FGF13	0,226351275	-0,028483845	0,031	0,008	1	0,98045013	1,019939688	3,875
SHLD2	0,066791287	-0,028488497	0,125	0,043	1	0,980446968	1,019942978	2,906976744
STPG1	0,386325862	-0,028540535	0,031	0,012	1	0,980411604	1,019979767	2,583333333
CAPN2	0,003873867	-0,028547095	0,438	0,168	1	0,980407146	1,019984405	2,607142857
ZNF175	0,668867248	-0,028578779	0,031	0,02	1	0,980385615	1,020006806	1,55
ZNF680	0,016858455	-0,028672437	0,125	0,031	1	0,980321972	1,020073026	4,032258065
ZNF224	0,062559189	-0,028786161	0,125	0,043	1	0,980244698	1,020153439	2,906976744
C21orf58	0,041848356	-0,028790222	0,062	0,012	1	0,980241939	1,020156311	5,166666667
ATF6B	0,004352817	-0,028790249	0,281	0,09	1	0,98024192	1,02015633	3,122222222
HACD1	0,150155729	-0,028798345	0,062	0,02	1	0,98023642	1,020162055	3,1
TRAPPC13	0,000965846	-0,028823201	0,219	0,051	1	0,980219531	1,020179631	4,294117647
TMED4	0,013290145	-0,028839829	0,562	0,262	1	0,980208234	1,020191389	2,145038168
AASDH	0,22892808	-0,028959053	0,125	0,062	1	0,980127233	1,020275701	2,016129032
TET3	0,087959196	-0,028961953	0,062	0,016	1	0,980125263	1,020277752	3,875
KCNG1	0,022581316	-0,028971071	0,188	0,062	1	0,980119069	1,0202842	3,032258065
ZNF408	0,019236133	-0,029117517	0,094	0,02	1	0,980019583	1,020387773	4,7
EIF3J	0,012558306	-0,029308493	0,562	0,254	1	0,979889862	1,020522856	2,212598425
L3MBTL4	0,540537634	-0,029326479	0,031	0,016	1	0,979877646	1,020535578	1,9375
IRGQ	0,224763613	-0,029355656	0,062	0,023	1	0,979857829	1,020556217	2,695652174
LEPROT	0,012926041	-0,029398382	0,719	0,336	1	0,979828811	1,020586442	2,139880952
EXOSC6	0,000460086	-0,029406842	0,219	0,047	1	0,979823065	1,020592427	4,659574468
IL1RAPL1	0,318241523	-0,029406877	0,156	0,094	1	0,979823041	1,020592452	1,659574468
SH3BP5L	0,911838915	-0,029449697	0,031	0,027	1	0,97979396	1,020622744	1,148148148
SLC30A6	0,224763613	-0,029453335	0,062	0,023	1	0,979791489	1,020625318	2,695652174
GTPBP10	0,150155729	-0,029466191	0,062	0,02	1	0,979782758	1,020634413	3,1
CEPT1	0,063925678	-0,029492482	0,094	0,027	1	0,979764903	1,020653012	3,481481481
SEC22A	0,002053304	-0,029548359	0,156	0,031	1	0,979726957	1,020692544	5,032258065
CA12	0,543117005	-0,029565934	0	0,012	1	0,979715022	1,020704978	0
RIC1	0,224763613	-0,029573986	0,062	0,023	1	0,979709554	1,020710675	2,695652174
PPP2R5D	0,001013976	-0,029580662	0,188	0,039	1	0,97970502	1,020715399	4,820512821

Supplementary Table 1

Differentially expressed genes_adjacent-skin-XL_ comparing SC-Keloid vs. (SC-Myel, SC-Nonmyel)								
gene	p_val	avg_log2FC	pct.1	pct.2	p_val_adj	Foldchange_UP	Foldchange_DOWN	Ratio_pct1_pct2
HUWE1	0,029364342	-0,029607009	0,375	0,172	1	0,979687129	1,020734039	2,180232558
GK5	0,087959196	-0,029668855	0,062	0,016	1	0,979645132	1,020777797	3,875
TNFAIP8L3	0,041848356	-0,029676128	0,062	0,012	1	0,979640193	1,020782943	5,166666667
EXPH5	0,543117005	-0,029700381	0	0,012	1	0,979623725	1,020800104	0
ZBTB14	0,087959196	-0,029702255	0,062	0,016	1	0,979622452	1,02080143	3,875
TNPO1	0,000728803	-0,029719992	0,438	0,145	1	0,979610408	1,02081398	3,020689655
PPP1R12C	0,475301513	-0,029724765	0,156	0,105	1	0,979607168	1,020817357	1,485714286
KTI12	0,087959196	-0,029729641	0,062	0,016	1	0,979603857	1,020820807	3,875
AGAP5	0,226351275	-0,029731017	0,031	0,008	1	0,979602923	1,020821781	3,875
KCTD20	0,024505233	-0,029767547	0,25	0,098	1	0,979578118	1,020847629	2,551020408
E2F4	0,003004599	-0,029773932	0,219	0,059	1	0,979573783	1,020852147	3,711864407
FAM20B	0,014828336	-0,029778818	0,219	0,074	1	0,979570466	1,020855604	2,959459459
ZNF93	0,041848356	-0,029790355	0,062	0,012	1	0,979562632	1,020863768	5,166666667
ABHD14A	0,031706938	-0,029798246	0,188	0,066	1	0,979557274	1,020869352	2,848484848
BAIAP2-DT	0,141661018	-0,029805414	0,094	0,035	1	0,979552407	1,020874424	2,685714286
PAXIP1-DT	0,291239073	-0,029812576	0,094	0,047	1	0,979547544	1,020879492	2
RAB30	0,178976513	-0,029897584	0,156	0,078	1	0,979489829	1,020939647	2
LGALS3BP	0,018884013	-0,029932792	0,875	0,438	1	0,979465925	1,020964563	1,997716895
INSYN1	0,80991663	-0,02993557	0,031	0,023	1	0,979464039	1,020966529	1,347826087
LINC01140	0,226351275	-0,02994528	0,031	0,008	1	0,979457447	1,0209734	3,875
ASNS	0,002594281	-0,02996069	0,094	0,012	1	0,979446985	1,020984306	7,833333333
KYAT1	0,543117005	-0,029994466	0	0,012	1	0,979424054	1,021008209	0
ZNF548	0,991060715	-0,030011146	0,031	0,031	1	0,979412731	1,021020014	1
NEMP2	0,036827385	-0,030107272	0,094	0,023	1	0,979347475	1,021088046	4,086956522
PI16	0,682170546	-0,030122623	0,031	0,02	1	0,979337055	1,021098911	1,55
DDX60L	0,150155729	-0,030164821	0,062	0,02	1	0,97930841	1,021128778	3,1
NAA15	0,031755723	-0,030200646	0,25	0,102	1	0,979284092	1,021154135	2,450980392
LRP11	0,13644998	-0,030276182	0,094	0,035	1	0,979232821	1,021207602	2,685714286
PAXBP1-AS1	0,386325862	-0,030285054	0,031	0,012	1	0,979226798	1,021213882	2,583333333
TMEM17	0,002096899	-0,030321024	0,156	0,031	1	0,979202384	1,021239343	5,032258065

Supplementary Table 1

Differentially expressed genes_adjacent-skin-XL_comparing SC-Keloid vs. (SC-Myel, SC-Nonmyel)								
gene	p_val	avg_log2FC	pct.1	pct.2	p_val_adj	Foldchange_UP	Foldchange_DOWN	Ratio_pct1_pct2
CBFB	0,000103352	-0,0303993	0,531	0,16	1	0,979149258	1,021294754	3,31875
TENT5B	0,150155729	-0,030410668	0,062	0,02	1	0,979141542	1,021302801	3,1
RNF180	0,150155729	-0,030430883	0,062	0,02	1	0,979127822	1,021317112	3,1
ANGPTL1	0,478627389	-0,030439435	0,062	0,035	1	0,979122018	1,021323166	1,771428571
IL17RE	0,002096899	-0,030448199	0,156	0,031	1	0,979116071	1,02132937	5,032258065
LAT	0,533973819	-0,030474654	0,031	0,016	1	0,979098117	1,021348099	1,9375
SNAPC4	0,540537634	-0,030476525	0,031	0,016	1	0,979096847	1,021349424	1,9375
RCC1L	0,092647906	-0,030567058	0,125	0,047	1	0,979035408	1,021413518	2,659574468
RXYLT1	7,44701E-05	-0,03057176	0,312	0,07	1	0,979032217	1,021416847	4,457142857
APOL2	0,128344705	-0,030574964	0,156	0,07	1	0,979030043	1,021419115	2,228571429
MIR181A1HG	0,098751938	-0,030588303	0,094	0,031	1	0,979020991	1,021428559	3,032258065
RCBTB2	0,037506898	-0,030657234	0,094	0,023	1	0,978974215	1,021477364	4,086956522
RPA4	0,082317662	-0,030670581	0,031	0,004	1	0,978965158	1,021486814	7,75
TIAM1	0,543117005	-0,030858141	0	0,012	1	0,978837894	1,021619623	0
SPSB1	0,021070281	-0,030858826	0,156	0,047	1	0,978837429	1,021620108	3,319148936
GPER1	0,150155729	-0,030875445	0,062	0,02	1	0,978826153	1,021631877	3,1
AIG1	0,013467327	-0,030915427	0,344	0,137	1	0,978799027	1,02166019	2,510948905
TEFM	0,396289917	-0,03092546	0,062	0,031	1	0,978792221	1,021667294	2
MANSC1	0,543117005	-0,030970626	0	0,012	1	0,978761579	1,02169928	0
RTL6	0,224763613	-0,030971436	0,062	0,023	1	0,978761028	1,021699854	2,695652174
RHBDF2	0,062914349	-0,030981738	0,094	0,027	1	0,97875404	1,021707149	3,481481481
MIF4GD	0,00208125	-0,031008304	0,188	0,043	1	0,978736017	1,021725964	4,372093023
FLOT1	0,008322664	-0,031025853	0,594	0,254	1	0,978724111	1,021738392	2,338582677
B4GALT6	0,000204358	-0,03104337	0,312	0,078	1	0,978712228	1,021750798	4
ANKRD23	0,226351275	-0,031116462	0,031	0,008	1	0,978662644	1,021802565	3,875
CCDC77	0,019236133	-0,031126969	0,094	0,02	1	0,978655517	1,021810006	4,7
TMEM131	0,021727091	-0,031140664	0,219	0,078	1	0,978646227	1,021819706	2,807692308
DGKG	0,540537634	-0,031166014	0,031	0,016	1	0,978629031	1,021837661	1,9375
TNNI3K	0,543117005	-0,031200956	0	0,012	1	0,978605329	1,02186241	0
C1orf50	0,133058992	-0,031211083	0,094	0,035	1	0,97859846	1,021869583	2,685714286

Supplementary Table 1

Differentially expressed genes_adjacent-skin-XL_comparing SC-Keloid vs. (SC-Myel, SC-Nonmyel)								
gene	p_val	avg_log2FC	pct.1	pct.2	p_val_adj	Foldchange_UP	Foldchange_DOWN	Ratio_pct1_pct2
ZBTB1	0,3182413	-0,031321138	0,156	0,094	1	0,978523811	1,021947539	1,659574468
WDR19	0,098751938	-0,03139988	0,094	0,031	1	0,978470405	1,022003318	3,032258065
ZNF749	0,028258709	-0,031537007	0,125	0,035	1	0,978377406	1,022100463	3,571428571
TBL3	0,183526587	-0,031546148	0,094	0,039	1	0,978371207	1,022106939	2,41025641
HUNK	0,004180266	-0,031568462	0,125	0,023	1	0,978356075	1,022122748	5,434782609
RETREG3	0,010405093	-0,031619202	0,188	0,055	1	0,978321666	1,022158697	3,418181818
EPB41L1	0,000339359	-0,031631226	0,156	0,023	1	0,978313513	1,022167216	6,782608696
OR7A5	0,386325862	-0,031650863	0,031	0,012	1	0,978300197	1,022181129	2,583333333
INTS4	0,002043075	-0,031682508	0,188	0,043	1	0,978278738	1,022203551	4,372093023
AP4B1	0,087959196	-0,031712739	0,062	0,016	1	0,978258239	1,022224971	3,875
MPP2	0,087959196	-0,031720931	0,062	0,016	1	0,978252685	1,022230775	3,875
ATG16L1	0,028712073	-0,031766452	0,125	0,035	1	0,978221818	1,02226303	3,571428571
C1orf216	0,918113127	-0,031769825	0,031	0,027	1	0,978219531	1,02226542	1,148148148
TM9SF4	0,006260028	-0,031799	0,188	0,051	1	0,978199749	1,022286093	3,68627451
STX2	0,001959565	-0,031829969	0,312	0,098	1	0,978178752	1,022308038	3,183673469
MCU	0,304406192	-0,031855648	0,062	0,027	1	0,97816134	1,022326235	2,296296296
URGCP	0,092647906	-0,031867459	0,125	0,047	1	0,978153333	1,022334604	2,659574468
CACYBP	0,000180922	-0,031899817	0,656	0,23	1	0,978131394	1,022357534	2,852173913
ACSS3	0,098751938	-0,031949102	0,094	0,031	1	0,97809798	1,02239246	3,032258065
LIAS	0,016858455	-0,032114647	0,125	0,031	1	0,977985753	1,022509783	4,032258065
SKP2	0,540537634	-0,032148676	0,031	0,016	1	0,977962685	1,022533902	1,9375
GANAB	0,046537241	-0,032153789	0,344	0,164	1	0,977959219	1,022537526	2,097560976
DPP9	0,080553141	-0,032155366	0,188	0,082	1	0,97795815	1,022538643	2,292682927
PPID	0,029760483	-0,032190446	0,156	0,051	1	0,97793437	1,022563508	3,058823529
CYP2R1	0,226351275	-0,032267477	0,031	0,008	1	0,977882156	1,022618107	3,875
UBP1	0,197139196	-0,032298975	0,125	0,059	1	0,977860807	1,022640434	2,118644068
ZMYM6	0,015314414	-0,032306914	0,188	0,059	1	0,977855425	1,022646062	3,186440678
ZNF771	0,147778936	-0,032316288	0,062	0,02	1	0,977849072	1,022652707	3,1
MAST2	0,016562293	-0,032347371	0,125	0,031	1	0,977828005	1,02267474	4,032258065
MATN4	0,386325862	-0,032358739	0,031	0,012	1	0,977820299	1,022682798	2,583333333

Supplementary Table 1

Differentially expressed genes_adjacent-skin-XL_ comparing SC-Keloid vs. (SC-Myel, SC-Nonmyel)								
gene	p_val	avg_log2FC	pct.1	pct.2	p_val_adj	Foldchange_UP	Foldchange_DOWN	Ratio_pct1_pct2
EFS	0,000712309	-0,032382453	0,531	0,184	1	0,977804227	1,022699608	2,885869565
ECRG4	0,082317662	-0,032388655	0,031	0,004	1	0,977800024	1,022704005	7,75
SLC25A15	0,226351275	-0,032430006	0,031	0,008	1	0,977771998	1,022733319	3,875
CPM	0,662254058	-0,0324437	0,031	0,02	1	0,977762717	1,022743026	1,55
PET117	0,008148126	-0,032448347	0,094	0,016	1	0,977759567	1,022746321	5,875
ACAT1	0,020057665	-0,032459623	0,25	0,094	1	0,977751925	1,022754314	2,659574468
ZNF517	0,386325862	-0,032491439	0,031	0,012	1	0,977730363	1,022776869	2,583333333
IRAK2	0,019236133	-0,032499191	0,094	0,02	1	0,977725109	1,022782365	4,7
SLC7A6OS	0,008780679	-0,032510991	0,125	0,027	1	0,977717113	1,02279073	4,62962963
HEBP2	0,000566964	-0,032519849	0,406	0,125	1	0,97771111	1,02279701	3,248
SUGP2	0,000190541	-0,032552025	0,406	0,117	1	0,977689304	1,022819822	3,47008547
LZTS1	0,040857201	-0,032617238	0,062	0,012	1	0,977645112	1,022866056	5,166666667
CCDC6	0,005195348	-0,032635905	0,219	0,062	1	0,977632462	1,022879292	3,532258065
BVES-AS1	0,226351275	-0,032692346	0,031	0,008	1	0,977594216	1,02291931	3,875
SULT1A1	0,915203992	-0,032734531	0,031	0,035	1	0,977565631	1,022949221	0,885714286
LGALS7	0,543117005	-0,032881228	0	0,012	1	0,977466235	1,023053242	0
OPTN	0,025330018	-0,032891759	0,594	0,285	1	0,977459099	1,02306071	2,084210526
HGSNAT	0,15375596	-0,032938244	0,219	0,113	1	0,977427606	1,023093674	1,938053097
WDR24	0,543117005	-0,032952293	0	0,012	1	0,977418087	1,023103637	0
ZFAND1	0,04173482	-0,032957372	0,188	0,07	1	0,977414646	1,023107239	2,685714286
PCSK1N	0,540537634	-0,032977908	0,031	0,016	1	0,977400733	1,023121803	1,9375
PAK4	0,007871757	-0,032997431	0,156	0,039	1	0,977387507	1,023135648	4
AMMECR1	0,226351275	-0,033045858	0,031	0,008	1	0,9773547	1,023169992	3,875
LARP4	0,029285816	-0,033073544	0,344	0,152	1	0,977335944	1,023189627	2,263157895
HUS1B	0,543117005	-0,033086127	0	0,012	1	0,977327419	1,023198552	0
RBMS3-AS3	0,682170546	-0,033135368	0,031	0,02	1	0,977294063	1,023233475	1,55
ZNF652	0,133804381	-0,033196794	0,281	0,148	1	0,977252453	1,023277043	1,898648649
TMEM254	0,041848356	-0,03324291	0,062	0,012	1	0,977221216	1,023309752	5,166666667
ICE1	0,00464375	-0,033314478	0,281	0,09	1	0,977172739	1,023360517	3,122222222
IFT80	0,001013976	-0,033356578	0,188	0,039	1	0,977144225	1,02339038	4,820512821

Supplementary Table 1

Differentially expressed genes_adjacent-skin-XL_comparing SC-Keloid vs. (SC-Myel, SC-Nonmyel)								
gene	p_val	avg_log2FC	pct.1	pct.2	p_val_adj	Foldchange_UP	Foldchange_DOWN	Ratio_pct1_pct2
SLC25A19	0,386325862	-0,03337337	0,031	0,012	1	0,977132851	1,023402292	2,583333333
ZNF471	0,150155729	-0,033373868	0,062	0,02	1	0,977132514	1,023402646	3,1
ZNF764	0,540537634	-0,033388336	0,031	0,016	1	0,977122715	1,023412909	1,9375
NCOA4	0,007536877	-0,033417065	0,344	0,129	1	0,977103257	1,023433289	2,666666667
ZFP62	0,041848356	-0,033466257	0,062	0,012	1	0,977069941	1,023468186	5,166666667
INPP5F	0,000651351	-0,033483985	0,438	0,141	1	0,977057935	1,023480762	3,106382979
KLHL7-DT	0,543117005	-0,033532166	0	0,012	1	0,977025305	1,023514943	0
FBXO15	0,543117005	-0,033590818	0	0,012	1	0,976985585	1,023556555	0
PIP5K1C	0,044552052	-0,033592501	0,125	0,039	1	0,976984446	1,023557749	3,205128205
SPATA6	0,007993973	-0,033599449	0,656	0,297	1	0,976979741	1,023562678	2,208754209
FITM2	0,307936041	-0,033699415	0,062	0,027	1	0,976912047	1,023633604	2,296296296
TDRD9	0,013891036	-0,033712508	0,062	0,008	1	0,976903181	1,023642895	7,75
STIM2	0,152699481	-0,033722158	0,125	0,055	1	0,976896647	1,023649742	2,272727273
TSLP	0,386325862	-0,033745315	0,031	0,012	1	0,976880967	1,023666172	2,583333333
SNRNP48	0,13644998	-0,033777842	0,094	0,035	1	0,976858942	1,023689252	2,685714286
IQCG	0,044552052	-0,033788057	0,125	0,039	1	0,976852025	1,0236965	3,205128205
UBXN11	0,008148126	-0,033806535	0,094	0,016	1	0,976839514	1,023709612	5,875
PTCD3	0,001853924	-0,033877973	0,281	0,082	1	0,976791145	1,023760305	3,426829268
CHST10	0,682170546	-0,033947646	0,031	0,02	1	0,976743973	1,023809747	1,55
SEMA6D	0,030992783	-0,033967042	0,156	0,051	1	0,976730842	1,023823512	3,058823529
CTF1	0,392349482	-0,03406316	0,062	0,031	1	0,976665771	1,023891724	2
PIK3C3	0,02818312	-0,034067655	0,156	0,051	1	0,976662727	1,023894915	3,058823529
CBWD3	0,037506898	-0,034085612	0,094	0,023	1	0,976650571	1,023907659	4,086956522
USP20	0,911838915	-0,03417149	0,031	0,027	1	0,976592436	1,02396861	1,148148148
PDE12	0,007871757	-0,034223321	0,156	0,039	1	0,976557352	1,024005398	4
AGAP9	0,386325862	-0,034232286	0,031	0,012	1	0,976551283	1,024011762	2,583333333
SLC44A4	0,543117005	-0,034264201	0	0,012	1	0,976529681	1,024034415	0
UBFD1	0,000105488	-0,034272556	0,219	0,039	1	0,976524025	1,024040346	5,615384615
ZNF112	0,386325862	-0,034281774	0,031	0,012	1	0,976517786	1,024046888	2,583333333
PRRT3-AS1	0,063925678	-0,034304554	0,094	0,027	1	0,976502367	1,024063058	3,481481481

Supplementary Table 1

Differentially expressed genes_adjacent-skin-XL_comparing SC-Keloid vs. (SC-Myel, SC-Nonmyel)								
gene	p_val	avg_log2FC	pct.1	pct.2	p_val_adj	Foldchange_UP	Foldchange_DOWN	Ratio_pct1_pct2
C3orf38	0,010253031	-0,034311936	0,188	0,055	1	0,97649737	1,024068298	3,418181818
THOC6	0,147986647	-0,034317778	0,156	0,074	1	0,976493416	1,024072445	2,108108108
MRPL49	0,029826788	-0,034319956	0,219	0,082	1	0,976491942	1,024073991	2,670731707
ELAC1	0,008956837	-0,03432179	0,125	0,027	1	0,976490701	1,024075292	4,62962963
SNIP1	0,285925963	-0,034333456	0,094	0,047	1	0,976482805	1,024083573	2
MED15	0,024538024	-0,034376967	0,406	0,188	1	0,976453355	1,02411446	2,159574468
LIPT1	0,543117005	-0,034397437	0	0,012	1	0,9764395	1,024128991	0
FNDC1	0,386325862	-0,034418365	0,031	0,012	1	0,976425336	1,024143847	2,583333333
PTPRG	0,543117005	-0,034477673	0	0,012	1	0,976385196	1,02418595	0
NSUN3	0,041848356	-0,034478518	0,062	0,012	1	0,976384624	1,02418655	5,166666667
DCAF11	0,007471523	-0,034516384	0,156	0,039	1	0,976358998	1,024213432	4
GRAMD1B	0,543117005	-0,034542276	0	0,012	1	0,976341476	1,024231813	0
HIC2	0,147778936	-0,034560802	0,062	0,02	1	0,976328939	1,024244966	3,1
SHB	0,682170546	-0,034564479	0,031	0,02	1	0,97632645	1,024247576	1,55
SATB2	0,226351275	-0,034593768	0,031	0,008	1	0,976306629	1,02426837	3,875
SNX1	0,003987873	-0,03460905	0,344	0,121	1	0,976296287	1,02427922	2,842975207
PSTK	0,224763613	-0,034685793	0,062	0,023	1	0,976244355	1,024333707	2,695652174
KPNA1	0,011181716	-0,03471187	0,312	0,117	1	0,97622671	1,024352222	2,666666667
PFKL	0,003182741	-0,034743681	0,375	0,133	1	0,976205185	1,024374809	2,819548872
HOXC-AS1	0,226351275	-0,034787949	0,031	0,008	1	0,976175231	1,024406242	3,875
SORD	0,098751938	-0,034939365	0,094	0,031	1	0,976072783	1,024513763	3,032258065
ACBD5	0,000801432	-0,034964367	0,312	0,09	1	0,976055868	1,024531518	3,466666667
ING4	0,005967942	-0,034968883	0,188	0,051	1	0,976052813	1,024534725	3,68627451
MPLKIP	0,001190114	-0,035042254	0,438	0,148	1	0,976003175	1,024586831	2,959459459
VMAC	0,087959196	-0,035049429	0,062	0,016	1	0,975998321	1,024591927	3,875
GIN1	0,028712073	-0,035102009	0,125	0,035	1	0,975962751	1,024629269	3,571428571
GORASP1	0,094667448	-0,035121158	0,094	0,031	1	0,975949797	1,024642869	3,032258065
MRPS10	0,005602602	-0,035163902	0,281	0,094	1	0,975920882	1,024673227	2,989361702
METTL25	0,150155729	-0,035173291	0,062	0,02	1	0,975914531	1,024679896	3,1
FGD1	0,226351275	-0,03518143	0,031	0,008	1	0,975909025	1,024685677	3,875

Supplementary Table 1

Differentially expressed genes_adjacent-skin-XL_ comparing SC-Keloid vs. (SC-Myel, SC-Nonmyel)								
gene	p_val	avg_log2FC	pct.1	pct.2	p_val_adj	Foldchange_UP	Foldchange_DOWN	Ratio_pct1_pct2
STK16	0,008956837	-0,03523651	0,125	0,027	1	0,975871767	1,024724799	4,62962963
H2AC11	0,543117005	-0,035253999	0	0,012	1	0,975859937	1,024737221	0
ZNF583	0,386325862	-0,035284098	0,031	0,012	1	0,975839578	1,0247586	2,583333333
ASPHD1	0,682170546	-0,035330532	0,031	0,02	1	0,975808171	1,024791583	1,55
PCDHB14	0,540537634	-0,035351206	0,031	0,016	1	0,975794187	1,024806269	1,9375
SPINT1	0,543117005	-0,03537745	0	0,012	1	0,975776437	1,024824911	0
OTUD7A	0,087959196	-0,035389228	0,062	0,016	1	0,975768471	1,024833278	3,875
BRD7	0,002023444	-0,035417546	0,406	0,141	1	0,975749318	1,024853394	2,879432624
UVRAG	0,102525773	-0,035455481	0,156	0,066	1	0,975723661	1,024880343	2,363636364
SPINDOC	0,123421204	-0,035462465	0,125	0,051	1	0,975718938	1,024885304	2,450980392
ATG12	0,02226642	-0,035479072	0,344	0,145	1	0,975707706	1,024897102	2,372413793
NNAT	0,543117005	-0,035517596	0	0,012	1	0,975681652	1,024924469	0
DRD4	0,386325862	-0,035532347	0,031	0,012	1	0,975671676	1,024934949	2,583333333
CEP19	0,226351275	-0,035627264	0,031	0,008	1	0,975607488	1,025002383	3,875
PSRC1	0,087959196	-0,035678367	0,062	0,016	1	0,97557293	1,025038691	3,875
MT1G	0,041848356	-0,035710945	0,062	0,012	1	0,975550901	1,025061838	5,166666667
AC093157.1	0,063925678	-0,035776033	0,094	0,027	1	0,975506889	1,025108086	3,481481481
GALM	0,016562293	-0,035781968	0,125	0,031	1	0,975502876	1,025112303	4,032258065
TARS2	0,002594281	-0,035809022	0,094	0,012	1	0,975484583	1,025131526	7,833333333
TFPI	0,150155729	-0,035894191	0,062	0,02	1	0,975426998	1,025192046	3,1
CLINT1	0,584692171	-0,035923421	0,188	0,137	1	0,975407236	1,025212817	1,372262774
TNNI2	0,543117005	-0,035966129	0	0,012	1	0,975378361	1,025243167	0
DLX1	0,386325862	-0,036038015	0,031	0,012	1	0,975329761	1,025294254	2,583333333
ZNF385D	0,226351275	-0,036111813	0,031	0,008	1	0,975279872	1,025346702	3,875
SMCO4	0,224763613	-0,036126166	0,062	0,023	1	0,975270169	1,025356903	2,695652174
COX15	0,000476445	-0,036154374	0,188	0,035	1	0,9752511	1,025376952	5,371428571
ZNF354A	0,246047587	-0,036221265	0,094	0,043	1	0,975205883	1,025424495	2,186046512
AC144652.1	0,386325862	-0,036302291	0,031	0,012	1	0,975151115	1,025482087	2,583333333
WASHC2A	0,118142322	-0,036367452	0,125	0,051	1	0,975107072	1,025528405	2,450980392
SLC35E2B	0,146633603	-0,036367609	0,125	0,055	1	0,975106966	1,025528516	2,272727273

Supplementary Table 1

Differentially expressed genes_adjacent-skin-XL_comparing SC-Keloid vs. (SC-Myel, SC-Nonmyel)								
gene	p_val	avg_log2FC	pct.1	pct.2	p_val_adj	Foldchange_UP	Foldchange_DOWN	Ratio_pct1_pct2
AP2B1	0,000273539	-0,036402083	0,531	0,176	1	0,975083665	1,025553022	3,017045455
RPS6KL1	0,386325862	-0,036491	0,031	0,012	1	0,97502357	1,025616232	2,583333333
ACSS1	0,077467066	-0,036527617	0,156	0,062	1	0,974998823	1,025642264	2,516129032
MYO19	0,098751938	-0,036639373	0,094	0,031	1	0,9749233	1,025721716	3,032258065
NOMO1	3,05607E-05	-0,036667666	0,281	0,055	0,644860382	0,97490418	1,025741832	5,109090909
DMC1	0,386325862	-0,036722059	0,031	0,012	1	0,974867425	1,025780505	2,583333333
MED19	0,000146687	-0,036756534	0,281	0,062	1	0,97484413	1,025805018	4,532258065
SYNGAP1	0,087959196	-0,036769479	0,062	0,016	1	0,974835382	1,025814223	3,875
TGFB3	0,543117005	-0,036777127	0	0,012	1	0,974830215	1,02581966	0
C15orf40	0,015105004	-0,036927112	0,188	0,059	1	0,974728875	1,025926312	3,186440678
SLC16A8	0,226351275	-0,036969422	0,031	0,008	1	0,97470029	1,0259564	3,875
TNS3	0,019510793	-0,036972076	0,594	0,289	1	0,974698496	1,025958287	2,055363322
ERBIN	0,077894802	-0,036994693	0,406	0,215	1	0,974683216	1,025974371	1,888372093
GEMIN4	0,386325862	-0,036995692	0,031	0,012	1	0,974682542	1,025975081	2,583333333
BBS10	0,221757959	-0,037013933	0,062	0,023	1	0,974670218	1,025988054	2,695652174
TRIM45	0,386325862	-0,037038375	0,031	0,012	1	0,974653705	1,026005437	2,583333333
TGFBRAP1	0,141661018	-0,037042244	0,094	0,035	1	0,974651091	1,026008188	2,685714286
MIR181A2HG	0,226351275	-0,03706628	0,031	0,008	1	0,974634853	1,026025282	3,875
SLC20A2	0,012009804	-0,037095335	0,281	0,105	1	0,974615225	1,026045946	2,676190476
RELA	0,008282358	-0,037118992	0,312	0,113	1	0,974599244	1,02606277	2,761061947
RPP25	0,386325862	-0,037120994	0,031	0,012	1	0,974597891	1,026064194	2,583333333
NEURL1B	0,004267025	-0,037124896	0,156	0,035	1	0,974595255	1,026066969	4,457142857
DNAAF10	0,224763613	-0,037163543	0,062	0,023	1	0,974569148	1,026094456	2,695652174
MUC1	0,543117005	-0,03721724	0	0,012	1	0,974532876	1,026132648	0
FBXL6	0,001034587	-0,03723123	0,188	0,039	1	0,974523425	1,026142598	4,820512821
CORO1A	0,226351275	-0,037289131	0,031	0,008	1	0,974484315	1,026183782	3,875
SPATA20	0,06901054	-0,037291147	0,188	0,078	1	0,974482953	1,026185217	2,41025641
LDAH	0,082317662	-0,037294082	0,031	0,004	1	0,974480971	1,026187304	7,75
RPP40	0,008148126	-0,037358742	0,094	0,016	1	0,974437296	1,026233298	5,875
NFXL1	0,008956837	-0,037375296	0,125	0,027	1	0,974426115	1,026245073	4,62962963

Supplementary Table 1

Differentially expressed genes_adjacent-skin-XL_ comparing SC-Keloid vs. (SC-Myel, SC-Nonmyel)								
gene	p_val	avg_log2FC	pct.1	pct.2	p_val_adj	Foldchange_UP	Foldchange_DOWN	Ratio_pct1_pct2
MIER2	0,041848356	-0,037389911	0,062	0,012	1	0,974416244	1,026255469	5,166666667
TP53	0,004681177	-0,037412686	0,219	0,062	1	0,974400862	1,02627167	3,532258065
FASTKD3	0,226351275	-0,037429898	0,031	0,008	1	0,974389237	1,026283914	3,875
OTUB1	0,001535057	-0,037492306	0,312	0,094	1	0,974347088	1,02632831	3,319148936
EDC3	0,386325862	-0,037540435	0,031	0,012	1	0,974314583	1,02636255	2,583333333
MEN1	0,087959196	-0,037551439	0,062	0,016	1	0,974307152	1,026370379	3,875
MTRR	0,540537634	-0,037652238	0,031	0,016	1	0,974239081	1,026442092	1,9375
PCAT6	0,540537634	-0,037676253	0,031	0,016	1	0,974222863	1,026459178	1,9375
ASAH2B	0,082317662	-0,037719141	0,031	0,004	1	0,974193903	1,026489693	7,75
CDON	0,543117005	-0,037729997	0	0,012	1	0,974186572	1,026497417	0
CHD1L	0,543117005	-0,038003713	0	0,012	1	0,974001762	1,026692188	0
FAR2	0,019236133	-0,038043668	0,094	0,02	1	0,973974788	1,026720622	4,7
KCNK6	0,386325862	-0,038076872	0,031	0,012	1	0,973952371	1,026744253	2,583333333
GCHFR	0,543117005	-0,03808296	0	0,012	1	0,973948262	1,026748585	0
TNPO3	0,000257882	-0,038112285	0,219	0,043	1	0,973928465	1,026769456	5,093023256
CAPS	0,0501673	-0,038123163	0,281	0,129	1	0,973921122	1,026777198	2,178294574
EXTL3	0,392349482	-0,038132341	0,062	0,031	1	0,973914925	1,02678373	2
HAUS7	0,009522001	-0,038141521	0,188	0,055	1	0,973908728	1,026790264	3,418181818
TM2D2	0,006461838	-0,03817132	0,188	0,051	1	0,973888613	1,026811472	3,68627451
PPIP5K1	0,543117005	-0,038319539	0	0,012	1	0,973788562	1,02691697	0
SRP68	0,040359751	-0,038349556	0,219	0,086	1	0,973768302	1,026938336	2,546511628
HSPBAP1	0,578217897	-0,038556967	0,062	0,039	1	0,973628317	1,027085986	1,58974359
FCSK	0,540537634	-0,038609291	0,031	0,016	1	0,973593006	1,027123237	1,9375
NKAPL	0,543117005	-0,038733975	0	0,012	1	0,973508867	1,02721201	0
ING2	0,000257365	-0,038787419	0,281	0,066	1	0,973472805	1,027250063	4,257575758
PLEKHH1	0,139907281	-0,038828106	0,094	0,035	1	0,973445351	1,027279034	2,685714286
CAMK1	0,000257882	-0,038864875	0,219	0,043	1	0,973420542	1,027305216	5,093023256
TYW5	0,803381388	-0,038940852	0,031	0,023	1	0,97336928	1,027359319	1,347826087
PLEKHM2	0,003622253	-0,038964787	0,375	0,137	1	0,973353131	1,027376363	2,737226277
OPLAH	0,543117005	-0,038981611	0	0,012	1	0,973341781	1,027388344	0

Supplementary Table 1

Differentially expressed genes_adjacent-skin-XL_ comparing SC-Keloid vs. (SC-Myel, SC-Nonmyel)								
gene	p_val	avg_log2FC	pct.1	pct.2	p_val_adj	Foldchange_UP	Foldchange_DOWN	Ratio_pct1_pct2
NECAB3	0,037506898	-0,03903078	0,094	0,023	1	0,973308608	1,027423359	4,086956522
CXADR	0,540537634	-0,039075561	0,031	0,016	1	0,973278397	1,027455251	1,9375
LENG1	0,011446319	-0,039162042	0,219	0,07	1	0,973220057	1,027516843	3,128571429
PRKCZ	0,087959196	-0,039168829	0,062	0,016	1	0,973215479	1,027521676	3,875
PTGES	0,226351275	-0,039313277	0,031	0,008	1	0,973118041	1,027624561	3,875
EYA2	0,480650464	-0,03939156	0	0,016	1	0,97306524	1,027680323	0
B9D2	0,008148126	-0,039470341	0,094	0,016	1	0,973012105	1,027736443	5,875
SENP1	0,019236133	-0,039476779	0,094	0,02	1	0,973007763	1,027741029	4,7
TERF2IP	0,00629843	-0,039542182	0,688	0,297	1	0,972963654	1,027787622	2,316498316
ADGRG6	0,000132242	-0,039567384	0,5	0,152	1	0,972946658	1,027805576	3,289473684
TRIM34	0,540537634	-0,039663887	0,031	0,016	1	0,972881579	1,027874329	1,9375
NSDHL	0,098751938	-0,039768376	0,094	0,031	1	0,972811119	1,027948777	3,032258065
STRIP1	0,098751938	-0,039772713	0,094	0,031	1	0,972808195	1,027951867	3,032258065
CCDC97	0,540537634	-0,039793488	0,031	0,016	1	0,972794186	1,02796667	1,9375
SLC17A5	0,540537634	-0,039814813	0,031	0,016	1	0,972779807	1,027981864	1,9375
MAP6D1	0,386325862	-0,039914836	0,031	0,012	1	0,972712366	1,028053137	2,583333333
CCDC180	0,226351275	-0,039948409	0,031	0,008	1	0,97268973	1,028077062	3,875
CCDC3	0,285925963	-0,039950524	0,094	0,047	1	0,972688305	1,028078569	2
GPN3	0,005677526	-0,039957988	0,25	0,078	1	0,972683272	1,028083888	3,205128205
SETD1B	0,30793671	-0,040025988	0,062	0,027	1	0,972637427	1,028132347	2,296296296
ICMT	0,000484576	-0,040047873	0,25	0,059	1	0,972622672	1,028147943	4,237288136
HK2	0,041848356	-0,040144121	0,062	0,012	1	0,972557787	1,028216537	5,166666667
EXOG	0,030992783	-0,040206807	0,156	0,051	1	0,97251553	1,028261215	3,058823529
DUS1L	0,006917668	-0,040216614	0,219	0,066	1	0,972508918	1,028268205	3,318181818
ZSCAN31	0,543117005	-0,040421726	0	0,012	1	0,972370664	1,028414407	0
SLC35A5	0,093753684	-0,040441995	0,125	0,047	1	0,972357003	1,028428855	2,659574468
NMNAT3	0,543117005	-0,040462078	0	0,012	1	0,972343468	1,028443172	0
PFAS	0,226351275	-0,04053868	0,031	0,008	1	0,972291841	1,02849778	3,875
DUS2	0,540537634	-0,040649077	0,031	0,016	1	0,972217443	1,028576485	1,9375
ADCK2	0,001013976	-0,040661523	0,188	0,039	1	0,972209056	1,028585358	4,820512821

Supplementary Table 1

Differentially expressed genes_adjacent-skin-XL_ comparing SC-Keloid vs. (SC-Myel, SC-Nonmyel)								
gene	p_val	avg_log2FC	pct.1	pct.2	p_val_adj	Foldchange_UP	Foldchange_DOWN	Ratio_pct1_pct2
SGF29	0,037506898	-0,04069555	0,094	0,023	1	0,972186125	1,028609619	4,086956522
SNX21	0,009664375	-0,040755251	0,188	0,055	1	0,972145896	1,028652185	3,418181818
WDR62	0,386325862	-0,04078563	0,031	0,012	1	0,972125425	1,028673846	2,583333333
ACSL3	0,001076629	-0,040804881	0,406	0,133	1	0,972112454	1,028687572	3,052631579
HYPK	0,27733921	-0,040857569	0,125	0,066	1	0,972076952	1,028725141	1,893939394
PTPN3	0,540537634	-0,040883633	0,031	0,016	1	0,972059391	1,028743727	1,9375
NUB1	0,000314728	-0,040927402	0,469	0,148	1	0,9720299	1,028774938	3,168918919
EBNA1BP2	0,00027287	-0,04093556	0,344	0,094	1	0,972024404	1,028780755	3,659574468
GNG12-AS1	0,543117005	-0,04093857	0	0,012	1	0,972022376	1,028782901	0
TRIM3	0,063387391	-0,040939097	0,125	0,043	1	0,97202202	1,028783277	2,906976744
ODF3L1	0,540537634	-0,040955676	0,031	0,016	1	0,972010851	1,028795099	1,9375
FBXO6	0,082317662	-0,040961452	0,031	0,004	1	0,972006959	1,028799219	7,75
TNFRSF10B	0,18979066	-0,040972075	0,094	0,039	1	0,971999802	1,028806794	2,41025641
ZBTB5	0,564954469	-0,041040839	0,062	0,039	1	0,971953474	1,028855832	1,58974359
PAIP2	0,016755261	-0,041086214	0,688	0,32	1	0,971922905	1,028888191	2,15
ASPG	0,226351275	-0,041106692	0,031	0,008	1	0,971909109	1,028902796	3,875
ZNRD2	0,000383854	-0,041131918	0,312	0,082	1	0,971892115	1,028920787	3,804878049
XRCC3	0,543117005	-0,041198083	0	0,012	1	0,971847543	1,028967976	0
ZRANB3	0,386325862	-0,041204288	0,031	0,012	1	0,971843364	1,028972402	2,583333333
DRAM1	0,785705341	-0,041230349	0,062	0,051	1	0,971825808	1,028990989	1,215686275
NUP85	0,000257882	-0,041321635	0,219	0,043	1	0,971764318	1,029056101	5,093023256
FLAD1	0,002005544	-0,041325268	0,188	0,043	1	0,971761872	1,029058692	4,372093023
FCRLA	0,543117005	-0,041363847	0	0,012	1	0,971735886	1,02908621	0
RNF216	0,010903421	-0,041392171	0,25	0,086	1	0,971716808	1,029106414	2,906976744
TEN1	0,560566066	-0,041453586	0,062	0,039	1	0,971675443	1,029150224	1,58974359
FBF1	0,803381388	-0,041463313	0,031	0,023	1	0,971668892	1,029157162	1,347826087
IL10RB	0,015394705	-0,041471178	0,219	0,074	1	0,971663595	1,029162774	2,959459459
TRMT2A	0,003151082	-0,041489836	0,219	0,059	1	0,971651029	1,029176083	3,711864407
ZNF615	0,543117005	-0,041532933	0	0,012	1	0,971622004	1,029206827	0
SOX17	0,533973819	-0,041567046	0,031	0,016	1	0,97159903	1,029231164	1,9375

Supplementary Table 1

Differentially expressed genes_adjacent-skin-XL_ comparing SC-Keloid vs. (SC-Myel, SC-Nonmyel)								
gene	p_val	avg_log2FC	pct.1	pct.2	p_val_adj	Foldchange_UP	Foldchange_DOWN	Ratio_pct1_pct2
SYCP2	0,224763613	-0,041576793	0,062	0,023	1	0,971592465	1,029238118	2,695652174
PDE7B	0,682170546	-0,041581962	0,031	0,02	1	0,971588985	1,029241805	1,55
OMA1	0,063925678	-0,041605471	0,094	0,027	1	0,971573152	1,029258577	3,481481481
NUDT14	0,008956837	-0,04189755	0,125	0,027	1	0,971376473	1,029466976	4,62962963
EYA3	0,150155729	-0,041901633	0,062	0,02	1	0,971373724	1,029469889	3,1
ARAP3	0,540537634	-0,041935584	0,031	0,016	1	0,971350865	1,029494116	1,9375
NOD1	0,682170546	-0,041936148	0,031	0,02	1	0,971350486	1,029494518	1,55
STRADB	0,30793671	-0,041980579	0,062	0,027	1	0,971320571	1,029526224	2,296296296
IL1RAPL2	0,037506898	-0,042016715	0,094	0,023	1	0,971296242	1,029552012	4,086956522
FBXL12	0,000467498	-0,042024933	0,25	0,059	1	0,97129071	1,029557876	4,237288136
GMPR2	0,030583271	-0,04202603	0,188	0,066	1	0,97128997	1,02955866	2,848484848
GTF3C1	0,000475965	-0,042035072	0,25	0,059	1	0,971283883	1,029565112	4,237288136
SURF6	0,004475279	-0,042047445	0,219	0,062	1	0,971275553	1,029573942	3,532258065
AP001816.1	0,004107327	-0,042208395	0,156	0,035	1	0,971167202	1,02968881	4,457142857
ZNF606	0,013891036	-0,042223952	0,062	0,008	1	0,97115673	1,029699913	7,75
DHX9	0,017693233	-0,042255474	0,406	0,176	1	0,971135511	1,029722412	2,306818182
WDR20	0,199149424	-0,04229383	0,156	0,078	1	0,971109692	1,029749789	2
SPATA22	0,543117005	-0,042390587	0	0,012	1	0,971044565	1,029818853	0
MFSD5	0,386325862	-0,042484149	0,031	0,012	1	0,970981592	1,029885641	2,583333333
PABPC4	0,03539645	-0,042566047	0,312	0,137	1	0,970926474	1,029944107	2,277372263
KATNAL2	0,386325862	-0,042580317	0,031	0,012	1	0,97091687	1,029954294	2,583333333
ZNF709	0,543117005	-0,042627073	0	0,012	1	0,970885405	1,029987674	0
ZC3H13	0,019816745	-0,04267733	0,438	0,191	1	0,970851584	1,030023555	2,293193717
CHP2	0,480650464	-0,042717749	0	0,016	1	0,970824384	1,030052413	0
ICA1L	0,224763613	-0,042726126	0,062	0,023	1	0,970818748	1,030058394	2,695652174
ADAP1	0,366622408	-0,042765195	0,125	0,074	1	0,970792458	1,030086289	1,689189189
SWSAP1	0,386325862	-0,042779949	0,031	0,012	1	0,97078253	1,030096823	2,583333333
MAP3K8	0,236345884	-0,042814006	0,094	0,043	1	0,970759613	1,030121141	2,186046512
ZBTB34	0,543117005	-0,042877985	0	0,012	1	0,970716564	1,030166824	0
OSBPL2	0,191913299	-0,042883008	0,094	0,039	1	0,970713184	1,030170411	2,41025641

Supplementary Table 1

Differentially expressed genes_adjacent-skin-XL_comparing SC-Keloid vs. (SC-Myel, SC-Nonmyel)								
gene	p_val	avg_log2FC	pct.1	pct.2	p_val_adj	Foldchange_UP	Foldchange_DOWN	Ratio_pct1_pct2
RAD9A	0,000920564	-0,042924336	0,25	0,062	1	0,970685377	1,030199922	4,032258065
RMDN3	0,044149392	-0,042950114	0,188	0,07	1	0,970668033	1,03021833	2,685714286
CLEC2D	0,285925963	-0,043014878	0,094	0,047	1	0,97062446	1,030264578	2
C6orf120	0,138170297	-0,043031942	0,094	0,035	1	0,97061298	1,030276764	2,685714286
TAF15	0,023441759	-0,043140456	0,281	0,113	1	0,970539977	1,030354261	2,486725664
SLC27A6	0,543117005	-0,043144394	0	0,012	1	0,970537327	1,030357073	0
MEIS1	0,480650464	-0,04346028	0	0,016	1	0,970324846	1,0305827	0
TMEM116	0,087959196	-0,043483489	0,062	0,016	1	0,970309237	1,030599279	3,875
DUOX2	0,543117005	-0,043487924	0	0,012	1	0,970306254	1,030602447	0
ZBED8	0,540537634	-0,043548829	0,031	0,016	1	0,970265292	1,030645957	1,9375
SNAI2	0,087959196	-0,043596387	0,062	0,016	1	0,970233308	1,030679932	3,875
MMAA	0,540537634	-0,043614605	0,031	0,016	1	0,970221056	1,030692947	1,9375
PAFAH1B2	0,011766264	-0,043676464	0,375	0,152	1	0,970179457	1,030737141	2,467105263
SMAD9	0,226351275	-0,043682798	0,031	0,008	1	0,970175197	1,030741667	3,875
SLC35A1	0,012380103	-0,043695313	0,156	0,043	1	0,970166781	1,030750608	3,627906977
PLEKHH2	0,543117005	-0,043728283	0	0,012	1	0,97014461	1,030774165	0
SOCS5	0,028258709	-0,043736471	0,125	0,035	1	0,970139104	1,030780014	3,571428571
MORF4L1	0,474416485	-0,043831464	0,875	0,668	1	0,970075228	1,030847888	1,30988024
ATP7B	0,543117005	-0,043883936	0	0,012	1	0,970039946	1,030885381	0
ZNF425	0,543117005	-0,043990111	0	0,012	1	0,969968559	1,030961252	0
SUPT16H	0,004077882	-0,043992289	0,438	0,168	1	0,969967095	1,030962808	2,607142857
RBL1	0,045196862	-0,044125302	0,125	0,039	1	0,96987767	1,031057865	3,205128205
C1orf131	0,019236133	-0,044147515	0,094	0,02	1	0,969862737	1,03107374	4,7
ZNF23	0,036827385	-0,044172376	0,094	0,023	1	0,969846025	1,031091508	4,086956522
PPARG	0,386325862	-0,044199665	0,031	0,012	1	0,969827679	1,031111012	2,583333333
RSPH4A	0,543117005	-0,044260118	0	0,012	1	0,969787042	1,031154219	0
TUBGCP6	0,224763613	-0,044297071	0,062	0,023	1	0,969762202	1,031180631	2,695652174
HINT3	0,187685368	-0,044339477	0,094	0,039	1	0,969733698	1,031210942	2,41025641
BCAN	0,543117005	-0,044356709	0	0,012	1	0,969722115	1,031223259	0
CORO6	0,543117005	-0,044368515	0	0,012	1	0,969714179	1,031231698	0

Supplementary Table 1

Differentially expressed genes_adjacent-skin-XL_comparing SC-Keloid vs. (SC-Myel, SC-Nonmyel)								
gene	p_val	avg_log2FC	pct.1	pct.2	p_val_adj	Foldchange_UP	Foldchange_DOWN	Ratio_pct1_pct2
DNER	0,543117005	-0,044369355	0	0,012	1	0,969713615	1,031232299	0
GMEB2	0,803381388	-0,044395312	0,031	0,023	1	0,969696168	1,031250852	1,347826087
PROSER3	0,540537634	-0,044427622	0,031	0,016	1	0,969674451	1,031273948	1,9375
MTERF1	0,540537634	-0,044542246	0,031	0,016	1	0,969597412	1,031355888	1,9375
KLHL7	0,004186485	-0,04459756	0,156	0,035	1	0,969560238	1,031395431	4,457142857
CXXC1	0,062941189	-0,044603232	0,156	0,059	1	0,969556427	1,031399486	2,644067797
QRSL1	0,396289328	-0,044647824	0,062	0,031	1	0,969526459	1,031431366	2
CLDN15	0,063925678	-0,044739892	0,094	0,027	1	0,969464589	1,031497191	3,481481481
KLK11	0,543117005	-0,044761309	0	0,012	1	0,969450197	1,031512503	0
YIPF1	0,000911755	-0,044843802	0,156	0,027	1	0,969394766	1,031571487	5,777777778
STARD4-AS1	0,682170546	-0,044927799	0,031	0,02	1	0,969338327	1,031631549	1,55
ABCG1	0,682170546	-0,044978634	0,031	0,02	1	0,969304172	1,0316679	1,55
KMT5C	0,609434411	-0,044989651	0,094	0,066	1	0,96929677	1,031675779	1,424242424
VSIG10	0,019236133	-0,044990965	0,094	0,02	1	0,969295887	1,031676719	4,7
SKIV2L	0,063925678	-0,045123284	0,094	0,027	1	0,969206991	1,031771345	3,481481481
RBM10	0,014095341	-0,045169317	0,188	0,059	1	0,969176066	1,031804267	3,186440678
THOC3	0,028712073	-0,045199685	0,125	0,035	1	0,969155666	1,031825985	3,571428571
ANKMY1	0,543117005	-0,045200121	0	0,012	1	0,969155373	1,031826297	0
IFITM10	0,386325862	-0,045204165	0,031	0,012	1	0,969152656	1,03182919	2,583333333
MFHAS1	0,028712073	-0,045215422	0,125	0,035	1	0,969145094	1,031837241	3,571428571
C1orf162	0,480650464	-0,04521791	0	0,016	1	0,969143423	1,03183902	0
MGAT5	0,224763613	-0,04524352	0,062	0,023	1	0,969126219	1,031857338	2,695652174
KIF9-AS1	0,543117005	-0,045293207	0	0,012	1	0,969092843	1,031892875	0
AQR	0,002053304	-0,045295976	0,156	0,031	1	0,969090983	1,031894856	5,032258065
NOP53	0,095825261	-0,045313993	0,812	0,438	1	0,96907888	1,031907743	1,853881279
H4C5	0,540537634	-0,04531609	0,031	0,016	1	0,969077472	1,031909243	1,9375
TBCK	0,185597364	-0,045351027	0,094	0,039	1	0,969054005	1,031934232	2,41025641
RASL11A	0,543117005	-0,045355353	0	0,012	1	0,969051098	1,031937327	0
CASTOR1	0,037506898	-0,045505262	0,094	0,023	1	0,968950411	1,03204456	4,086956522
HIP1	0,34617705	-0,045527904	0,156	0,094	1	0,968935204	1,032060757	1,659574468

Supplementary Table 1

Differentially expressed genes_adjacent-skin-XL_comparing SC-Keloid vs. (SC-Myel, SC-Nonmyel)								
gene	p_val	avg_log2FC	pct.1	pct.2	p_val_adj	Foldchange_UP	Foldchange_DOWN	Ratio_pct1_pct2
ZDHC14	0,212914042	-0,04554269	0,062	0,023	1	0,968925273	1,032071335	2,695652174
SMARCA4	7,44701E-05	-0,045587064	0,312	0,07	1	0,968895472	1,032103079	4,457142857
ZNF574	0,028712073	-0,045638824	0,125	0,035	1	0,968860711	1,032140109	3,571428571
IL18	0,543117005	-0,045647039	0	0,012	1	0,968855194	1,032145986	0
KIAA1549	0,543117005	-0,045659374	0	0,012	1	0,968846911	1,032154811	0
SALL2	0,087959196	-0,045661542	0,062	0,016	1	0,968845455	1,032156362	3,875
TBP	0,150155729	-0,045671491	0,062	0,02	1	0,968838774	1,03216348	3,1
CLN6	0,682170546	-0,04570753	0,031	0,02	1	0,968814572	1,032189264	1,55
RNASEH2A	0,540537634	-0,045759326	0,031	0,016	1	0,96877979	1,032226322	1,9375
CCDC78	0,543117005	-0,045769089	0	0,012	1	0,968773234	1,032233308	0
ACAD10	0,087959196	-0,045771286	0,062	0,016	1	0,968771759	1,03223488	3,875
USP13	0,062914349	-0,045775507	0,094	0,027	1	0,968768924	1,0322379	3,481481481
BEND5	0,80991663	-0,045794572	0,031	0,023	1	0,968756122	1,032251541	1,347826087
FAM204A	0,096306182	-0,04579477	0,312	0,16	1	0,968755989	1,032251683	1,95
SAP30L	0,437565433	-0,045867883	0,156	0,102	1	0,968706896	1,032303997	1,529411765
TSC22D1	0,0082127	-0,045947223	0,5	0,211	1	0,968653624	1,032360769	2,369668246
CLCN5	0,300902654	-0,045976749	0,062	0,027	1	0,9686338	1,032381897	2,296296296
MSRB2	0,028531331	-0,046143679	0,219	0,082	1	0,968521729	1,032501358	2,670731707
FAM234B	0,480650464	-0,046155667	0	0,016	1	0,968513681	1,032509938	0
SYN3	0,540537634	-0,046214727	0,031	0,016	1	0,968474034	1,032552206	1,9375
ELAVL1	0,00181928	-0,046217547	0,406	0,137	1	0,96847214	1,032554225	2,96350365
ZFP64	0,386325862	-0,046220494	0,031	0,012	1	0,968470162	1,032556334	2,583333333
UTP25	0,543117005	-0,046282332	0	0,012	1	0,968428652	1,032600593	0
CNBD2	0,003004599	-0,046310308	0,219	0,059	1	0,968409872	1,032620617	3,711864407
ACSS2	0,682170546	-0,046390142	0,031	0,02	1	0,968356285	1,03267776	1,55
NEU3	0,682170546	-0,046408983	0,031	0,02	1	0,968343639	1,032691247	1,55
KLHL8	0,668126075	-0,046438757	0,062	0,043	1	0,968323655	1,032712559	1,441860465
API5	0,005679953	-0,046489878	0,312	0,109	1	0,968289344	1,032749153	2,862385321
ITPKB	0,152699481	-0,046534787	0,125	0,055	1	0,968259202	1,032781303	2,272727273
ONECUT1	0,226351275	-0,046550306	0,031	0,008	1	0,968248787	1,032792412	3,875

Supplementary Table 1

Differentially expressed genes_adjacent-skin-XL_ comparing SC-Keloid vs. (SC-Myel, SC-Nonmyel)								
gene	p_val	avg_log2FC	pct.1	pct.2	p_val_adj	Foldchange_UP	Foldchange_DOWN	Ratio_pct1_pct2
STK24	0,112358923	-0,046612434	0,188	0,086	1	0,968207091	1,032836889	2,186046512
TATDN2	0,021379715	-0,046692265	0,156	0,047	1	0,968153518	1,032894042	3,319148936
DNA2	0,543117005	-0,046705054	0	0,012	1	0,968144935	1,032903198	0
PANX2	0,480650464	-0,046705387	0	0,016	1	0,968144712	1,032903437	0
FKBP1B	0,001642148	-0,04684075	0,125	0,02	1	0,968053878	1,033000355	6,25
CNEP1R1	0,304406192	-0,046866905	0,062	0,027	1	0,968036328	1,033019083	2,296296296
PSKH1	0,540537634	-0,046917804	0,031	0,016	1	0,968002176	1,033055529	1,9375
STAU2	0,000890115	-0,047001374	0,25	0,062	1	0,967946105	1,033115371	4,032258065
SLF2	0,000539834	-0,047018778	0,344	0,098	1	0,967934428	1,033127835	3,510204082
GNB4	0,011883017	-0,047100605	0,375	0,148	1	0,967879531	1,033186433	2,533783784
TRIM32	0,480650464	-0,047104851	0	0,016	1	0,967876682	1,033189474	0
FEZ2	0,009140921	-0,047120538	0,469	0,195	1	0,967866158	1,033200708	2,405128205
TMEM186	0,543117005	-0,047176341	0	0,012	1	0,967828722	1,033240673	0
LIN37	0,654515658	-0,04718386	0,062	0,043	1	0,967823678	1,033246058	1,441860465
NRL	0,543117005	-0,047216966	0	0,012	1	0,967801469	1,033269769	0
MYRIP	0,543117005	-0,047250022	0	0,012	1	0,967779294	1,033293444	0
TOMM34	0,063925678	-0,047261667	0,094	0,027	1	0,967771483	1,033301784	3,481481481
ZNF319	0,150155729	-0,047308979	0,062	0,02	1	0,967739746	1,033335671	3,1
RAP2C-AS1	0,150155729	-0,047374679	0,062	0,02	1	0,967695676	1,03338273	3,1
EPN2	0,014109694	-0,047390375	0,344	0,141	1	0,967685148	1,033393973	2,439716312
RAB3B	0,543117005	-0,047408355	0	0,012	1	0,967673088	1,033406852	0
HRCT1	0,480650464	-0,04741583	0	0,016	1	0,967668074	1,033412207	0
SBF2-AS1	0,543117005	-0,047559506	0	0,012	1	0,96757171	1,033515128	0
CCL21	0,480650464	-0,047756546	0	0,016	1	0,967439571	1,033656292	0
CRYBG1	0,386325862	-0,047799878	0,031	0,012	1	0,967410514	1,033687339	2,583333333
RANBP9	0,000327928	-0,047816813	0,344	0,094	1	0,967399158	1,033699474	3,659574468
RPP38	0,001055584	-0,047906139	0,188	0,039	1	0,967339262	1,033763478	4,820512821
GCA	0,007565208	-0,047926071	0,25	0,082	1	0,967325898	1,03377776	3,048780488
SPIN2A	0,543117005	-0,048053777	0	0,012	1	0,967240275	1,033869273	0
GLIS3	0,012493801	-0,048084339	0,438	0,191	1	0,967219785	1,033891175	2,293193717

Supplementary Table 1

Differentially expressed genes_adjacent-skin-XL_comparing SC-Keloid vs. (SC-Myel, SC-Nonmyel)								
gene	p_val	avg_log2FC	pct.1	pct.2	p_val_adj	Foldchange_UP	Foldchange_DOWN	Ratio_pct1_pct2
MRRF	0,065070981	-0,048112798	0,125	0,043	1	0,967200705	1,03391157	2,906976744
FAM13A	0,285925963	-0,048135895	0,094	0,047	1	0,967185221	1,033928123	2
RIOX2	0,037506898	-0,048169572	0,094	0,023	1	0,967162644	1,033952258	4,086956522
TAPBPL	0,062914349	-0,048185285	0,094	0,027	1	0,967152111	1,033963519	3,481481481
BET1L	0,238745564	-0,048210833	0,094	0,043	1	0,967134984	1,03398183	2,186046512
SIN3B	0,083687879	-0,048227964	0,188	0,082	1	0,9671235	1,033994108	2,292682927
PTGIR	0,543117005	-0,04830998	0	0,012	1	0,967068521	1,034052891	0
REM1	0,682170546	-0,048385339	0,031	0,02	1	0,967018008	1,034106906	1,55
RAB11FIP4	0,480650464	-0,04848239	0	0,016	1	0,966952958	1,034176473	0
CTSS	0,543117005	-0,048490457	0	0,012	1	0,966947551	1,034182256	0
LRRC27	0,386325862	-0,048495444	0,031	0,012	1	0,966944209	1,034185831	2,583333333
DPT	0,543117005	-0,048499362	0	0,012	1	0,966941583	1,034188639	0
PRR14	7,07365E-05	-0,048616227	0,344	0,082	1	0,966863259	1,034272417	4,195121951
LRRN3	0,543117005	-0,048673147	0	0,012	1	0,966825113	1,034313224	0
METAP1D	0,010405093	-0,048698301	0,188	0,055	1	0,966808256	1,034331258	3,418181818
ATP8B2	0,191913299	-0,048736991	0,094	0,039	1	0,966782329	1,034358997	2,41025641
CCDC85C	0,543117005	-0,048835499	0	0,012	1	0,966716319	1,034429626	0
NFATC3	0,043915019	-0,048849156	0,125	0,039	1	0,966707168	1,034439418	3,205128205
RALBP1	0,001989868	-0,04895953	0,625	0,242	1	0,966633212	1,034518561	2,582644628
RAB6B	0,543117005	-0,049102461	0	0,012	1	0,96653745	1,034621058	0
SH3BP5-AS1	0,386325862	-0,049207004	0,031	0,012	1	0,966467414	1,034696034	2,583333333
DOC2B	0,543117005	-0,04924786	0	0,012	1	0,966440045	1,034725336	0
IFT57	0,014096701	-0,049284092	0,375	0,152	1	0,966415774	1,034751322	2,467105263
IGFLR1	0,480650464	-0,049337915	0	0,016	1	0,96637972	1,034789927	0
NPY1R	0,543117005	-0,049376108	0	0,012	1	0,966354138	1,034817321	0
ARMH3	0,918113127	-0,049384809	0,031	0,027	1	0,966348309	1,034823563	1,148148148
CAMTA2	0,224763613	-0,049413247	0,062	0,023	1	0,966329261	1,034843961	2,695652174
SLX4IP	0,540537634	-0,049429123	0,031	0,016	1	0,966318627	1,034855349	1,9375
PICK1	0,152699481	-0,049495771	0,125	0,055	1	0,966273988	1,034903157	2,272727273
AC132192.1	0,087959196	-0,049501538	0,062	0,016	1	0,966270125	1,034907294	3,875

Supplementary Table 1

Differentially expressed genes_adjacent-skin-XL_comparing SC-Keloid vs. (SC-Myel, SC-Nonmyel)								
gene	p_val	avg_log2FC	pct.1	pct.2	p_val_adj	Foldchange_UP	Foldchange_DOWN	Ratio_pct1_pct2
NLGN1	0,540537634	-0,049524927	0,031	0,016	1	0,96625446	1,034924072	1,9375
RSBN1L	0,018003408	-0,049555868	0,406	0,176	1	0,966233737	1,034946268	2,306818182
PCDHB11	0,540537634	-0,049557265	0,031	0,016	1	0,966232801	1,03494727	1,9375
IDH3A	0,002020461	-0,049576342	0,281	0,082	1	0,966220025	1,034960956	3,426829268
BAP1	0,178474769	-0,049608755	0,188	0,098	1	0,966198317	1,034984208	1,918367347
PEX7	0,191913299	-0,049738492	0,094	0,039	1	0,966111434	1,035077285	2,41025641
LRIG3	0,386325862	-0,04975345	0,031	0,012	1	0,966101417	1,035088017	2,583333333
MFN2	0,016858455	-0,049794998	0,125	0,031	1	0,966073595	1,035117827	4,032258065
MGAT4A	0,543117005	-0,049823593	0	0,012	1	0,966054447	1,035138343	0
TMEM68	0,004186485	-0,049876255	0,156	0,035	1	0,966019184	1,03517613	4,457142857
IRF3	3,3603E-05	-0,049964935	0,375	0,09	0,709056871	0,965959806	1,035239762	4,166666667
ANKLE2	0,000130697	-0,049964965	0,469	0,141	1	0,965959786	1,035239783	3,326241135
UBE2V2	0,01375067	-0,049978631	0,406	0,168	1	0,965950636	1,03524959	2,416666667
ISOC1	0,065070981	-0,049980734	0,125	0,043	1	0,965949228	1,035251099	2,906976744
FAM178B	0,803381388	-0,050090044	0,031	0,023	1	0,965876043	1,035329541	1,347826087
RPUSD4	0,191913299	-0,050172635	0,094	0,039	1	0,96582075	1,035388813	2,41025641
LRRC8D	0,300902654	-0,050236239	0,062	0,027	1	0,965778171	1,035434461	2,296296296
LGALS9	0,543117005	-0,050330397	0	0,012	1	0,965715142	1,035502041	0
NOP14	0,098751938	-0,050337285	0,094	0,031	1	0,965710531	1,035506985	3,032258065
FGF4	0,543117005	-0,050405304	0	0,012	1	0,965665002	1,035555807	0
ARHGEF2	0,013138017	-0,050621015	0,406	0,168	1	0,965520627	1,035710654	2,416666667
NUP133	0,65904021	-0,05066278	0,062	0,043	1	0,965492676	1,035740638	1,441860465
APLP1	0,141661018	-0,050691034	0,094	0,035	1	0,965473768	1,035760922	2,685714286
ALDH4A1	0,087959196	-0,050700249	0,062	0,016	1	0,965467601	1,035767538	3,875
FOXD1	0,041848356	-0,050796522	0,062	0,012	1	0,965403176	1,035836658	5,166666667
SLC8A2	0,543117005	-0,050812694	0	0,012	1	0,965392354	1,03584827	0
GUF1	0,30793671	-0,050835087	0,062	0,027	1	0,96537737	1,035864348	2,296296296
PAPLN	0,041848356	-0,050859144	0,062	0,012	1	0,965361272	1,035881621	5,166666667
PAF1	0,049390616	-0,050997124	0,25	0,109	1	0,965268949	1,035980698	2,293577982
LRRC49	0,002263143	-0,051116627	0,062	0,004	1	0,965188996	1,036066516	15,5

Supplementary Table 1

Differentially expressed genes_adjacent-skin-XL_comparing SC-Keloid vs. (SC-Myel, SC-Nonmyel)								
gene	p_val	avg_log2FC	pct.1	pct.2	p_val_adj	Foldchange_UP	Foldchange_DOWN	Ratio_pct1_pct2
GRM5-AS1	0,543117005	-0,051159411	0	0,012	1	0,965160373	1,036097241	0
PICALM	9,01646E-05	-0,051179577	0,469	0,133	1	0,965146882	1,036111724	3,526315789
ZNF266	0,037506898	-0,051204759	0,094	0,023	1	0,965130036	1,036129809	4,086956522
F2RL1	0,543117005	-0,05120582	0	0,012	1	0,965129326	1,036130571	0
ITGB7	0,543117005	-0,051213565	0	0,012	1	0,965124145	1,036136134	0
KIAA1586	0,682170546	-0,0513225	0,031	0,02	1	0,965051273	1,036214373	1,55
LINC02875	0,543117005	-0,051324605	0	0,012	1	0,965049865	1,036215885	0
CYB561	0,087959196	-0,051353454	0,062	0,016	1	0,965030567	1,036236606	3,875
PWWP2A	0,002873288	-0,051357617	0,344	0,117	1	0,965027783	1,036239596	2,94017094
HSDL1	0,540537634	-0,051371908	0,031	0,016	1	0,965018224	1,036249861	1,9375
CCL20	0,013891036	-0,051383083	0,062	0,008	1	0,965010749	1,036257888	7,75
DAPL1	0,80991663	-0,051388467	0,031	0,023	1	0,965007147	1,036261755	1,347826087
ERLIN1	0,185597364	-0,051404407	0,094	0,039	1	0,964996485	1,036273204	2,41025641
ERMP1	0,386325862	-0,051477789	0,031	0,012	1	0,964947403	1,036325915	2,583333333
AGPAT4	0,236345884	-0,051501694	0,094	0,043	1	0,964931414	1,036343087	2,186046512
LRRC37A3	0,543117005	-0,051546035	0	0,012	1	0,964901757	1,036374939	0
CAPZA2	0,018429421	-0,05156467	0,562	0,258	1	0,964889294	1,036388326	2,178294574
MTA3	0,001753489	-0,051570896	0,219	0,055	1	0,96488513	1,036392798	3,981818182
ZNF667	0,480650464	-0,051578258	0	0,016	1	0,964880206	1,036398087	0
TMEM70	0,000229745	-0,051624028	0,312	0,078	1	0,964849595	1,036430968	4
MITD1	0,000831993	-0,051653146	0,25	0,062	1	0,964830122	1,036451886	4,032258065
FAH	0,386325862	-0,051662486	0,031	0,012	1	0,964823875	1,036458597	2,583333333
RNF167	0,001091363	-0,051668285	0,281	0,078	1	0,964819997	1,036462763	3,602564103
IRAK1BP1	0,304406192	-0,05167652	0,062	0,027	1	0,96481449	1,036468679	2,296296296
ERMAP	0,150155729	-0,051723736	0,062	0,02	1	0,964782915	1,0365026	3,1
SLC35G2	0,682170546	-0,051734504	0,031	0,02	1	0,964775714	1,036510337	1,55
ADAM19	0,000503273	-0,051750428	0,406	0,125	1	0,964765065	1,036521777	3,248
MATN1	0,543117005	-0,051859649	0	0,012	1	0,964692029	1,036600251	0
ZNF607	0,428872689	-0,051873282	0	0,02	1	0,964682913	1,036610047	0
HIRA	0,224763613	-0,051904717	0,062	0,023	1	0,964661894	1,036632634	2,695652174

Supplementary Table 1

Differentially expressed genes_adjacent-skin-XL_ comparing SC-Keloid vs. (SC-Myel, SC-Nonmyel)								
gene	p_val	avg_log2FC	pct.1	pct.2	p_val_adj	Foldchange_UP	Foldchange_DOWN	Ratio_pct1_pct2
JAZF1	0,000103236	-0,051957569	0,156	0,02	1	0,964626555	1,036670611	7,8
MRPL14	0,003593442	-0,051964312	0,438	0,164	1	0,964622046	1,036675457	2,670731707
ZNF512B	0,682170546	-0,051966365	0,031	0,02	1	0,964620674	1,036676931	1,55
PPP1R14A	0,543117005	-0,051986436	0	0,012	1	0,964607253	1,036691354	0
LURAP1	0,478627389	-0,052018377	0,062	0,035	1	0,964585897	1,036714307	1,771428571
ACSL6	0,543117005	-0,052020841	0	0,012	1	0,96458425	1,036716077	0
TMEM135	0,138170297	-0,052136131	0,094	0,035	1	0,96450717	1,036798928	2,685714286
ACBD4	0,002594281	-0,052154936	0,094	0,012	1	0,964494599	1,036812442	7,833333333
TMEM231	0,30793671	-0,052192377	0,062	0,027	1	0,964469568	1,03683935	2,296296296
C2CD4B	0,543117005	-0,052261891	0	0,012	1	0,964423098	1,03688931	0
MORC2-AS1	0,386325862	-0,052279743	0,031	0,012	1	0,964411164	1,03690214	2,583333333
AC147651.1	0,480650464	-0,052291463	0	0,016	1	0,964403329	1,036910564	0
MORN1	0,543117005	-0,052357889	0	0,012	1	0,964358927	1,036958307	0
CYP20A1	0,27733921	-0,052400047	0,125	0,066	1	0,964330747	1,036988609	1,893939394
CAPRIN1	0,000170904	-0,052430139	0,531	0,168	1	0,964310633	1,037010239	3,160714286
TATDN3	0,543117005	-0,05246113	0	0,012	1	0,964289918	1,037032516	0
TMEM92	0,543117005	-0,052513214	0	0,012	1	0,964255106	1,037069955	0
WWC2-AS2	0,480650464	-0,052534043	0	0,016	1	0,964241185	1,037084928	0
RAB36	0,543117005	-0,052546035	0	0,012	1	0,96423317	1,037093549	0
CALHM5	0,041848356	-0,052569909	0,062	0,012	1	0,964217214	1,03711071	5,166666667
EGLN1	0,062247505	-0,052662701	0,25	0,113	1	0,964155199	1,037177418	2,212389381
SMYD4	0,224763613	-0,052663116	0,062	0,023	1	0,964154921	1,037177717	2,695652174
FHIT	0,480650464	-0,052683377	0	0,016	1	0,964141381	1,037192283	0
ZNF26	0,087959196	-0,052685248	0,062	0,016	1	0,964140131	1,037193628	3,875
SHPK	0,80991663	-0,052786801	0,031	0,023	1	0,964072266	1,03726664	1,347826087
MROH1	0,540537634	-0,052819532	0,031	0,016	1	0,964050394	1,037290173	1,9375
PEG3	0,682170546	-0,05282753	0,031	0,02	1	0,96404505	1,037295923	1,55
C2orf42	0,087959196	-0,052852698	0,062	0,016	1	0,964028232	1,03731402	3,875
MYCL	0,480650464	-0,052852703	0	0,016	1	0,964028228	1,037314023	0
CGGBP1	0,001121182	-0,052857904	0,625	0,238	1	0,964024753	1,037317763	2,62605042

Supplementary Table 1

Differentially expressed genes_adjacent-skin-XL_ comparing SC-Keloid vs. (SC-Myel, SC-Nonmyel)								
gene	p_val	avg_log2FC	pct.1	pct.2	p_val_adj	Foldchange_UP	Foldchange_DOWN	Ratio_pct1_pct2
CCDC144A	0,918113127	-0,052862854	0,031	0,027	1	0,964021446	1,037321322	1,148148148
HBS1L	0,000278482	-0,052945593	0,25	0,055	1	0,96396616	1,037380814	4,545454545
ALAS1	0,037506898	-0,052953527	0,094	0,023	1	0,963960859	1,037386519	4,086956522
EPS15L1	0,001019952	-0,052978333	0,219	0,051	1	0,963944285	1,037404356	4,294117647
ZNF177	0,543117005	-0,053036353	0	0,012	1	0,963905519	1,037446078	0
TGDS	0,000911755	-0,053077435	0,156	0,027	1	0,963878071	1,037475621	5,777777778
NOM1	0,04261236	-0,053083387	0,156	0,055	1	0,963874095	1,037479901	2,836363636
TGOLN2	0,015503587	-0,053172246	0,625	0,277	1	0,963814729	1,037543804	2,25631769
DHX57	0,019236133	-0,053197795	0,094	0,02	1	0,963797661	1,037562178	4,7
TTN-AS1	0,063925678	-0,053198969	0,094	0,027	1	0,963796877	1,037563022	3,481481481
ERCC4	0,000486986	-0,053199138	0,188	0,035	1	0,963796764	1,037563144	5,371428571
MMUT	0,005043469	-0,053214347	0,219	0,062	1	0,963786603	1,037574082	3,532258065
LIMD1	0,008148126	-0,05326443	0,094	0,016	1	0,963753147	1,037610101	5,875
LRFN5	0,480650464	-0,053280355	0	0,016	1	0,963742508	1,037621555	0
DRC3	0,543117005	-0,053326275	0	0,012	1	0,963711833	1,037654583	0
PLGLB1	0,543117005	-0,053351037	0	0,012	1	0,963695293	1,037672393	0
DAGLA	0,682170546	-0,05335151	0,031	0,02	1	0,963694977	1,037672733	1,55
PGAM5	0,224763613	-0,053400402	0,062	0,023	1	0,963662318	1,0377079	2,695652174
KIN	0,001845033	-0,053457403	0,219	0,055	1	0,963624244	1,0377489	3,981818182
AC104532.2	0,540537634	-0,053484613	0,031	0,016	1	0,96360607	1,037768473	1,9375
KATNIP	0,183526587	-0,0535575	0,094	0,039	1	0,963557389	1,037820903	2,41025641
CEP104	0,141661018	-0,053573287	0,094	0,035	1	0,963546845	1,037832261	2,685714286
BCAS2	0,076019609	-0,053575024	0,25	0,117	1	0,963545684	1,03783351	2,136752137
CRTAP	0,000604154	-0,053608039	0,438	0,141	1	0,963523635	1,03785726	3,106382979
GPKOW	0,138170297	-0,05369056	0,094	0,035	1	0,963468524	1,037916627	2,685714286
TIMM23	0,016858455	-0,053787522	0,125	0,031	1	0,963403772	1,037986386	4,032258065
HOMEZ	0,386325862	-0,053795784	0,031	0,012	1	0,963398255	1,03799233	2,583333333
CEP162	0,063925678	-0,053816602	0,094	0,027	1	0,963384354	1,038007309	3,481481481
SNTB1	0,922888178	-0,053895507	0,062	0,066	1	0,963331665	1,038064082	0,939393939
LONRF2	0,543117005	-0,054053078	0	0,012	1	0,963226455	1,038177466	0

Supplementary Table 1

Differentially expressed genes_adjacent-skin-XL_comparing SC-Keloid vs. (SC-Myel, SC-Nonmyel)								
gene	p_val	avg_log2FC	pct.1	pct.2	p_val_adj	Foldchange_UP	Foldchange_DOWN	Ratio_pct1_pct2
ZNF500	0,226351275	-0,054103625	0,031	0,008	1	0,963192708	1,03821384	3,875
PRPSAP2	0,013518555	-0,054117563	0,188	0,059	1	0,963183403	1,03822387	3,186440678
JADE2	0,924392325	-0,054129756	0,031	0,027	1	0,963175262	1,038232645	1,148148148
TMEM204	0,480650464	-0,054132737	0	0,016	1	0,963173272	1,03823479	0
PCDHB6	0,543117005	-0,054152118	0	0,012	1	0,963160333	1,038248738	0
MDFIC	5,82732E-06	-0,054205229	0,281	0,047	0,12296218	0,963124876	1,03828696	5,978723404
EML2	0,015105004	-0,054230081	0,188	0,059	1	0,963108285	1,038304846	3,186440678
TWIST2	0,540537634	-0,054431218	0,031	0,016	1	0,96297402	1,038449614	1,9375
SPINK5	0,682170546	-0,054469145	0,031	0,02	1	0,962948705	1,038476914	1,55
PFN4	0,386325862	-0,054469917	0,031	0,012	1	0,96294819	1,03847747	2,583333333
CCNK	0,976455087	-0,05455801	0,062	0,062	1	0,962889393	1,038540883	1
RCHY1	0,141661018	-0,054585358	0,094	0,035	1	0,96287114	1,03856057	2,685714286
SLC7A1	0,470250215	-0,054614093	0,062	0,035	1	0,962851962	1,038581256	1,771428571
CLDN12	0,008148126	-0,054684433	0,094	0,016	1	0,962805019	1,038631894	5,875
AVL9	0,682170546	-0,054712771	0,031	0,02	1	0,962786107	1,038652296	1,55
KLHL42	0,004542982	-0,054754444	0,219	0,062	1	0,962758297	1,038682297	3,532258065
ZSWIM8-AS1	0,543117005	-0,054802909	0	0,012	1	0,962725955	1,038717191	0
BTRC	0,097375089	-0,054853931	0,094	0,031	1	0,962691908	1,038753927	3,032258065
FHIP1A	0,543117005	-0,05489875	0	0,012	1	0,962662001	1,038786198	0
CDC25B	0,002053304	-0,054964677	0,156	0,031	1	0,962618012	1,038833668	5,032258065
CHAC2	0,226351275	-0,054974447	0,031	0,008	1	0,962611493	1,038840703	3,875
KDM4A-AS1	0,543117005	-0,054994628	0	0,012	1	0,962598028	1,038855235	0
HABP4	0,027355643	-0,055008637	0,312	0,133	1	0,962588681	1,038865322	2,345864662
GNAL	0,924392442	-0,055034093	0,031	0,027	1	0,962571696	1,038883654	1,148148148
HLA-DQB1	0,540537634	-0,055055287	0,031	0,016	1	0,962557555	1,038898915	1,9375
LIPC	0,480650464	-0,055109591	0	0,016	1	0,962521325	1,038938021	0
ZBED6	0,480650464	-0,055163286	0	0,016	1	0,962485502	1,038976689	0
UBC	0,056469408	-0,055216511	1	0,91	1	0,962449993	1,039015021	1,098901099
PPFIA3	0,543117005	-0,055260005	0	0,012	1	0,962420979	1,039046345	0
APC	0,02529276	-0,055304035	0,25	0,098	1	0,962391606	1,039078057	2,551020408

Supplementary Table 1

Differentially expressed genes_adjacent-skin-XL_comparing SC-Keloid vs. (SC-Myel, SC-Nonmyel)								
gene	p_val	avg_log2FC	pct.1	pct.2	p_val_adj	Foldchange_UP	Foldchange_DOWN	Ratio_pct1_pct2
WDR36	0,191913299	-0,05534114	0,094	0,039	1	0,962366855	1,039104781	2,41025641
NAV2-AS3	0,480650464	-0,055345955	0	0,016	1	0,962363643	1,039108249	0
TMCC2	0,543117005	-0,055351286	0	0,012	1	0,962360087	1,039112089	0
CYB5R1	0,097228337	-0,055390695	0,188	0,082	1	0,962333799	1,039140474	2,292682927
LINC00900	0,082317662	-0,055439313	0,031	0,004	1	0,96230137	1,039175493	7,75
FAM72D	0,226351275	-0,055454304	0,031	0,008	1	0,96229137	1,039186291	3,875
BMI1	0,003103243	-0,055465714	0,406	0,145	1	0,96228376	1,039194509	2,8
PPP1R8	0,004180266	-0,055542547	0,125	0,023	1	0,962232513	1,039249855	5,434782609
SDK2	0,80991663	-0,055568853	0,031	0,023	1	0,962214968	1,039268805	1,347826087
NIFK-AS1	0,224763613	-0,055584998	0,062	0,023	1	0,9622042	1,039280435	2,695652174
TLK1	1,04156E-05	-0,055598456	0,344	0,07	0,219780613	0,962195224	1,03929013	4,914285714
FIZ1	0,543117005	-0,055608323	0	0,012	1	0,962188644	1,039297238	0
GLI4	0,098751938	-0,055638299	0,094	0,031	1	0,962168652	1,039318833	3,032258065
VXN	0,543117005	-0,055644863	0	0,012	1	0,962164274	1,039323562	0
DNAJC25	0,063925678	-0,055667485	0,094	0,027	1	0,962149187	1,039339859	3,481481481
RAVER1	0,241162386	-0,055678589	0,094	0,043	1	0,962141781	1,039347858	2,186046512
FERMT3	0,30793671	-0,055691274	0,062	0,027	1	0,962133322	1,039356997	2,296296296
CCDC183	0,543117005	-0,05569596	0	0,012	1	0,962130197	1,039360373	0
TMEM183A	0,037342574	-0,055769515	0,281	0,121	1	0,962081145	1,039413365	2,32231405
FAM131A	0,573780511	-0,055795336	0,062	0,039	1	0,962063926	1,039431968	1,58974359
HPDL	0,480650464	-0,055815134	0	0,016	1	0,962050724	1,039446232	0
RTN4IP1	0,480650464	-0,055844844	0	0,016	1	0,962030912	1,039467639	0
MORC2	0,016858455	-0,055855667	0,125	0,031	1	0,962023695	1,039475437	4,032258065
ENTHD1	0,543117005	-0,055863109	0	0,012	1	0,962018732	1,039480799	0
MCF2L2	0,543117005	-0,055899918	0	0,012	1	0,961994187	1,03950732	0
TNFAIP8L1	0,428872689	-0,055907815	0	0,02	1	0,961988921	1,039513011	0
ITGA2	0,000492493	-0,055911723	0,312	0,086	1	0,961986316	1,039515826	3,627906977
EEF1AKMT2	0,006502031	-0,05595475	0,281	0,094	1	0,961957626	1,039546829	2,989361702
PCGF6	0,063925678	-0,055969627	0,094	0,027	1	0,961947706	1,039557549	3,481481481
UNC119	0,918113127	-0,056025795	0,031	0,027	1	0,961910256	1,039598023	1,148148148

Supplementary Table 1

Differentially expressed genes_adjacent-skin-XL_comparing SC-Keloid vs. (SC-Myel, SC-Nonmyel)								
gene	p_val	avg_log2FC	pct.1	pct.2	p_val_adj	Foldchange_UP	Foldchange_DOWN	Ratio_pct1_pct2
NUAK1	0,386325862	-0,056117559	0,031	0,012	1	0,961849074	1,03966415	2,583333333
PEX5	0,183526162	-0,056159053	0,094	0,039	1	0,961821411	1,039694052	2,41025641
ZNF512	0,028712073	-0,056160837	0,125	0,035	1	0,961820221	1,039695338	3,571428571
TESK1	0,012987709	-0,056180154	0,156	0,043	1	0,961807343	1,039709259	3,627906977
FBXL2	0,000911755	-0,056196205	0,156	0,027	1	0,961796642	1,039720827	5,777777778
DTX3L	0,123421204	-0,056318107	0,125	0,051	1	0,961715378	1,039808683	2,450980392
DUSP15	0,013407295	-0,056415883	0,156	0,043	1	0,961650201	1,039879156	3,627906977
INPP5K	0,002042841	-0,056485727	0,375	0,125	1	0,961603647	1,0399295	3
FYCO1	0,028712073	-0,056485957	0,125	0,035	1	0,961603494	1,039929666	3,571428571
YTHDF3-DT	0,30793671	-0,056511191	0,062	0,027	1	0,961586675	1,039947855	2,296296296
TRIM73	0,150155729	-0,056515333	0,062	0,02	1	0,961583914	1,039950841	3,1
FOLH1	0,428872689	-0,056516024	0	0,02	1	0,961583454	1,039951339	0
TMEM86B	0,543117005	-0,05652467	0	0,012	1	0,961577691	1,039957571	0
ISCA2	0,015740914	-0,056526656	0,188	0,059	1	0,961576367	1,039959003	3,186440678
SFXN2	0,543117005	-0,056546469	0	0,012	1	0,961563162	1,039973285	0
HUS1	0,00208125	-0,056553426	0,188	0,043	1	0,961558525	1,0399783	4,372093023
ZSWIM9	0,682170546	-0,056580203	0,031	0,02	1	0,961540678	1,039997603	1,55
ATP6V1H	0,001195376	-0,056626434	0,281	0,078	1	0,961509866	1,04003093	3,602564103
SLFN13	0,150155729	-0,056685147	0,062	0,02	1	0,961470737	1,040073257	3,1
VHL	0,043149764	-0,056777745	0,156	0,055	1	0,961409027	1,040140015	2,836363636
BCAS4	0,013891036	-0,056825199	0,062	0,008	1	0,961377404	1,040174229	7,75
RILPL2	0,396289917	-0,056844351	0,062	0,031	1	0,961364642	1,040188037	2
KIF3C	0,482846351	-0,056868211	0,062	0,035	1	0,961348743	1,04020524	1,771428571
ZNF250	0,543117005	-0,056904569	0	0,012	1	0,961324516	1,040231455	0
PCBD2	0,082317662	-0,056914791	0,031	0,004	1	0,961317704	1,040238826	7,75
MAP4K1	0,480650464	-0,056915024	0	0,016	1	0,961317549	1,040238993	0
MSTO1	0,091552625	-0,056978653	0,125	0,047	1	0,961275152	1,040284874	2,659574468
TRIP13	0,082317662	-0,057145942	0,031	0,004	1	0,961163693	1,040405508	7,75
ZNF503-AS1	0,386325862	-0,057188332	0,031	0,012	1	0,961135452	1,040436078	2,583333333
DGKA	0,392349482	-0,057193014	0,062	0,031	1	0,961132332	1,040439455	2

Supplementary Table 1

Differentially expressed genes_adjacent-skin-XL_comparing SC-Keloid vs. (SC-Myel, SC-Nonmyel)								
gene	p_val	avg_log2FC	pct.1	pct.2	p_val_adj	Foldchange_UP	Foldchange_DOWN	Ratio_pct1_pct2
ERN1	0,060102361	-0,057240417	0,156	0,059	1	0,961100753	1,040473641	2,644067797
SLC36A2	0,480650464	-0,057252716	0	0,016	1	0,96109256	1,040482511	0
RAB7A	0,057320859	-0,057338739	0,75	0,398	1	0,961035255	1,040544554	1,884422111
LANCL1	0,185597364	-0,057369985	0,094	0,039	1	0,961014441	1,04056709	2,41025641
PARP6	0,000511287	-0,057423294	0,25	0,059	1	0,960978931	1,040605541	4,237288136
TSTD3	0,098751938	-0,057445568	0,094	0,031	1	0,960964095	1,040621606	3,032258065
CFB	0,480650464	-0,057511273	0	0,016	1	0,96092033	1,040669001	0
ADD1	0,007483769	-0,057574855	0,656	0,281	1	0,960877982	1,040714866	2,334519573
APBB1IP	0,543117005	-0,057632437	0	0,012	1	0,960839631	1,040756405	0
ZNF571	0,540537634	-0,057648098	0,031	0,016	1	0,960829201	1,040767703	1,9375
SMARCA2	0,000266603	-0,057685344	0,281	0,066	1	0,960804396	1,040794572	4,257575758
ABITRAM	0,304406192	-0,057741148	0,062	0,027	1	0,960767232	1,040834831	2,296296296
LSR	0,30793671	-0,057755336	0,062	0,027	1	0,960757783	1,040845068	2,296296296
RNPEP	0,005379813	-0,057811759	0,25	0,078	1	0,960720209	1,040885775	3,205128205
GRIK5	0,480650464	-0,057844614	0	0,016	1	0,960698331	1,04090948	0
NARS2	0,30793671	-0,057855445	0,062	0,027	1	0,960691119	1,040917295	2,296296296
BAG1	0,038195773	-0,057912851	0,375	0,176	1	0,960652893	1,040958714	2,130681818
PTCH2	0,543117005	-0,057927666	0	0,012	1	0,960643027	1,040969404	0
TCEAL3	0,105996737	-0,057977576	0,344	0,18	1	0,960609794	1,041005417	1,911111111
RNF111	0,009808643	-0,058045215	0,188	0,055	1	0,960564759	1,041054224	3,418181818
ZNF518B	0,480650464	-0,058047957	0	0,016	1	0,960562933	1,041056203	0
SLC27A3	0,386325862	-0,058105101	0,031	0,012	1	0,960524887	1,041097439	2,583333333
ZNF407-AS1	0,224763613	-0,05820783	0,062	0,023	1	0,960456494	1,041171575	2,695652174
HVCN1	0,543117005	-0,058271646	0	0,012	1	0,96041401	1,041217631	0
ZNF490	0,815054348	-0,058278305	0,031	0,039	1	0,960409577	1,041222437	0,794871795
MGAT1	0,009644385	-0,058291039	0,344	0,133	1	0,9604011	1,041231627	2,586466165
MRPL53	0,037506898	-0,058298957	0,094	0,023	1	0,960395829	1,041237342	4,086956522
ARHGEF19	0,682170546	-0,05831565	0,031	0,02	1	0,960384716	1,04124939	1,55
ZNF184	0,087959196	-0,058352289	0,062	0,016	1	0,960360326	1,041275834	3,875
NPIPA5	0,480650464	-0,058400732	0	0,016	1	0,96032808	1,041310798	0

Supplementary Table 1

Differentially expressed genes_adjacent-skin-XL_ comparing SC-Keloid vs. (SC-Myel, SC-Nonmyel)								
gene	p_val	avg_log2FC	pct.1	pct.2	p_val_adj	Foldchange_UP	Foldchange_DOWN	Ratio_pct1_pct2
CDKN2B	0,002594281	-0,058428798	0,094	0,012	1	0,960309398	1,041331056	7,833333333
ZGRF1	0,150155729	-0,058454455	0,062	0,02	1	0,96029232	1,041349575	3,1
TC2N	0,480650464	-0,058468976	0	0,016	1	0,960282655	1,041360057	0
ZNF436	0,543117005	-0,058476792	0	0,012	1	0,960277452	1,041365699	0
NFS1	0,06592651	-0,058490177	0,125	0,043	1	0,960268543	1,04137536	2,906976744
CNGA1	0,543117005	-0,058499816	0	0,012	1	0,960262127	1,041382318	0
TBC1D25	0,291239073	-0,058515572	0,094	0,047	1	0,96025164	1,041393691	2
LRR4B	0,480650464	-0,058531954	0	0,016	1	0,960240736	1,041405517	0
HSPB8	0,543117005	-0,058567681	0	0,012	1	0,960216957	1,041431306	0
SUCO	0,003724448	-0,058571142	0,25	0,074	1	0,960214653	1,041433805	3,378378378
VPS37A	0,090467775	-0,058632211	0,125	0,047	1	0,960174009	1,04147789	2,659574468
MRPL11	0,005962766	-0,058632604	0,281	0,094	1	0,960173747	1,041478173	2,989361702
GHR	0,543117005	-0,058700759	0	0,012	1	0,960128388	1,041527375	0
CDKL1	0,924392442	-0,058717481	0,031	0,027	1	0,96011726	1,041539447	1,148148148
C2orf49	0,188089808	-0,058738812	0,156	0,078	1	0,960103064	1,041554847	2
SF3B4	0,008201485	-0,058783937	0,281	0,098	1	0,960073034	1,041587425	2,867346939
HAS3	0,543117005	-0,058832727	0	0,012	1	0,960040566	1,041622651	0
KCNJ10	0,543117005	-0,05886107	0	0,012	1	0,960021706	1,041643115	0
SLC26A6	0,224763613	-0,05891201	0,062	0,023	1	0,959987809	1,041679895	2,695652174
AC019117.2	0,803381388	-0,058982911	0,031	0,023	1	0,959940631	1,04173109	1,347826087
TLR1	0,480650464	-0,058985543	0	0,016	1	0,95993888	1,04173299	0
SLC4A2	0,002246141	-0,058998508	0,344	0,113	1	0,959930254	1,041742352	3,044247788
ARFIP2	0,020165275	-0,059008133	0,156	0,047	1	0,95992385	1,041749302	3,319148936
PIM1	0,139907281	-0,059017972	0,094	0,035	1	0,959917303	1,041756406	2,685714286
SLC33A1	0,307008662	-0,059047637	0,188	0,113	1	0,959897565	1,041777827	1,663716814
NOP2	0,480650464	-0,059058091	0	0,016	1	0,95989061	1,041785376	0
NME6	0,80991663	-0,05907129	0,031	0,023	1	0,959881828	1,041794907	1,347826087
SEMA7A	0,803381388	-0,059073631	0,031	0,023	1	0,95988027	1,041796598	1,347826087
CEP43	0,905570195	-0,059075826	0,031	0,027	1	0,95987881	1,041798183	1,148148148
GNL3L	0,080880928	-0,059122312	0,156	0,062	1	0,959847881	1,041831752	2,516129032

Supplementary Table 1

Differentially expressed genes_adjacent-skin-XL_ comparing SC-Keloid vs. (SC-Myel, SC-Nonmyel)								
gene	p_val	avg_log2FC	pct.1	pct.2	p_val_adj	Foldchange_UP	Foldchange_DOWN	Ratio_pct1_pct2
SLC39A9	0,150155729	-0,059311745	0,062	0,02	1	0,959721857	1,041968559	3,1
GLT8D2	0,543117005	-0,05936573	0	0,012	1	0,959685945	1,042007549	0
CRABP2	0,150155729	-0,059477954	0,062	0,02	1	0,959611296	1,042088608	3,1
NELFB	0,00014443	-0,059507226	0,312	0,074	1	0,959591826	1,042109752	4,216216216
AIFM3	0,543117005	-0,059508888	0	0,012	1	0,959590721	1,042110952	0
FRRS1L	0,543117005	-0,059557995	0	0,012	1	0,959558059	1,042146425	0
EHBP1L1	0,013783696	-0,059706408	0,25	0,09	1	0,959459352	1,042253638	2,777777778
HECTD4	0,361559695	-0,05973785	0,125	0,074	1	0,959438442	1,042276353	1,689189189
SPR	0,543117005	-0,059745067	0	0,012	1	0,959433642	1,042281567	0
DIABLO	0,480650464	-0,059808132	0	0,016	1	0,959391703	1,04232713	0
FSIP1	0,543117005	-0,059968013	0	0,012	1	0,959285388	1,042442648	0
PKNOX1	0,028712073	-0,06001155	0,125	0,035	1	0,959256439	1,042474107	3,571428571
TDG	0,038104316	-0,060018487	0,188	0,07	1	0,959251827	1,04247912	2,685714286
ZNF398	0,226351275	-0,060060865	0,031	0,008	1	0,95922365	1,042509742	3,875
GLMN	0,641019742	-0,060148712	0,062	0,043	1	0,959165244	1,042573223	1,441860465
ZNF845	0,543117005	-0,060154242	0	0,012	1	0,959161567	1,042577219	0
VPS50	0,008780679	-0,06017377	0,125	0,027	1	0,959148584	1,042591332	4,62962963
STAG3	0,543117005	-0,060224195	0	0,012	1	0,959115061	1,042627772	0
FOXO6	0,428872689	-0,060333371	0	0,02	1	0,959042483	1,042706677	0
APOBEC3D	0,428872689	-0,060333597	0	0,02	1	0,959042332	1,04270684	0
CD34	0,428872689	-0,060341976	0	0,02	1	0,959036763	1,042712896	0
CAP2	0,480650464	-0,060406907	0	0,016	1	0,9589936	1,042759826	0
PKIA	0,044796455	-0,060469861	0,156	0,055	1	0,958951754	1,04280533	2,836363636
ZNF678	0,224763613	-0,060471802	0,062	0,023	1	0,958950464	1,042806732	2,695652174
LINC01106	0,543117005	-0,060493189	0	0,012	1	0,958936248	1,042822192	0
WDR11	0,003791564	-0,06050717	0,188	0,047	1	0,958926956	1,042832297	4
PRMT7	0,569359326	-0,060516615	0,062	0,039	1	0,958920678	1,042839124	1,58974359
FLI1	0,543117005	-0,06054749	0	0,012	1	0,958900156	1,042861443	0
ZNF367	0,682170546	-0,060605402	0,031	0,02	1	0,958861665	1,042903305	1,55
EPOR	0,543117005	-0,060609931	0	0,012	1	0,958858655	1,042906579	0

Supplementary Table 1

Differentially expressed genes_adjacent-skin-XL_comparing SC-Keloid vs. (SC-Myel, SC-Nonmyel)								
gene	p_val	avg_log2FC	pct.1	pct.2	p_val_adj	Foldchange_UP	Foldchange_DOWN	Ratio_pct1_pct2
OLFM2	0,682170546	-0,060635804	0,031	0,02	1	0,958841459	1,042925283	1,55
NUDT7	0,682170546	-0,060636435	0,031	0,02	1	0,95884104	1,042925739	1,55
RCOR1	0,06222129	-0,060669843	0,156	0,059	1	0,958818837	1,04294989	2,644067797
INPP5J	0,226351275	-0,060675525	0,031	0,008	1	0,95881506	1,042953997	3,875
CPSF6	0,004374246	-0,060678646	0,375	0,137	1	0,958812986	1,042956253	2,737226277
NUP210	0,480650464	-0,060694324	0	0,016	1	0,958802567	1,042967588	0
PYCR2	0,000246494	-0,060708458	0,406	0,117	1	0,958793173	1,042977806	3,47008547
CHKB-DT	0,682170546	-0,060721269	0,031	0,02	1	0,958784659	1,042987067	1,55
LBR	0,00187651	-0,060721651	0,219	0,055	1	0,958784405	1,042987344	3,981818182
TRAIP	0,087959196	-0,060734486	0,062	0,016	1	0,958775876	1,042996622	3,875
ZDHHC18	0,682170546	-0,060806812	0,031	0,02	1	0,958727811	1,043048912	1,55
CHM	0,045949521	-0,06098374	0,219	0,09	1	0,958610243	1,043176836	2,433333333
TIMMDC1	0,020837881	-0,061022582	0,406	0,176	1	0,958584434	1,043204923	2,306818182
PRRT2	0,028712073	-0,061041621	0,125	0,035	1	0,958571784	1,04321869	3,571428571
CD248	0,428872689	-0,0610608	0	0,02	1	0,958559041	1,043232558	0
ESRRG	0,543117005	-0,061113069	0	0,012	1	0,958524312	1,043270355	0
ZNF180	0,428872689	-0,061156329	0	0,02	1	0,958495571	1,043301639	0
ZNF467	0,543117005	-0,06118588	0	0,012	1	0,958475939	1,043323009	0
KPNA4	0,003395537	-0,061228586	0,438	0,16	1	0,958447566	1,043353894	2,7375
CYB5D1	0,540537634	-0,061284864	0,031	0,016	1	0,958410179	1,043394594	1,9375
RNF10	0,03126913	-0,061298354	0,406	0,184	1	0,958401217	1,043404351	2,206521739
RPA1	1,51672E-05	-0,061299968	0,281	0,051	0,32004324	0,958400145	1,043405518	5,509803922
ATPAF2	0,30793671	-0,061337282	0,062	0,027	1	0,958375358	1,043432505	2,296296296
BRD3	0,011655001	-0,061373034	0,375	0,148	1	0,958351608	1,043458363	2,533783784
MCPH1	0,299332476	-0,061384993	0,094	0,047	1	0,958343664	1,043467013	2
ALS2CL	0,543117005	-0,061440608	0	0,012	1	0,958306721	1,043507238	0
H2BC9	0,543117005	-0,061451861	0	0,012	1	0,958299246	1,043515378	0
DEDD	0,300902654	-0,061457487	0,062	0,027	1	0,958295509	1,043519447	2,296296296
MCOLN2	0,480650464	-0,061457897	0	0,016	1	0,958295237	1,043519743	0
SLAIN2	0,006238542	-0,061470674	0,375	0,141	1	0,95828675	1,043528985	2,659574468

Supplementary Table 1

Differentially expressed genes_adjacent-skin-XL_comparing SC-Keloid vs. (SC-Myel, SC-Nonmyel)								
gene	p_val	avg_log2FC	pct.1	pct.2	p_val_adj	Foldchange_UP	Foldchange_DOWN	Ratio_pct1_pct2
LYPLA2	0,001896716	-0,061476578	0,188	0,043	1	0,958282829	1,043533256	4,372093023
AOC3	0,480650464	-0,06148889	0	0,016	1	0,95827465	1,043542162	0
KBTBD8	0,543117005	-0,061514962	0	0,012	1	0,958257333	1,04356102	0
FANCM	0,682170546	-0,06163423	0,031	0,02	1	0,958178116	1,043647296	1,55
RNF41	0,011149113	-0,061680605	0,219	0,07	1	0,958147317	1,043680844	3,128571429
GXYLT2	0,013196028	-0,061755999	0,156	0,043	1	0,958097246	1,043735387	3,627906977
TNFRSF21	0,543117005	-0,061772915	0	0,012	1	0,958086012	1,043747625	0
MTCH1	0,078203165	-0,061835411	0,656	0,352	1	0,95804451	1,04379284	1,863636364
SLC16A5	0,543117005	-0,061842588	0	0,012	1	0,958039744	1,043798033	0
BRPF1	0,097375089	-0,061845319	0,094	0,031	1	0,95803793	1,043800009	3,032258065
OXNAD1	0,543117005	-0,061857483	0	0,012	1	0,958029853	1,043808809	0
PNMA1	0,002052921	-0,061882529	0,469	0,172	1	0,958013221	1,043826931	2,726744186
PARVA	0,000869817	-0,061920896	0,5	0,176	1	0,957987744	1,04385469	2,840909091
KCNIP2	0,480650464	-0,061931718	0	0,016	1	0,957980558	1,043862521	0
SMCO3	0,540537634	-0,062047933	0,031	0,016	1	0,957903392	1,043946611	1,9375
ALAD	0,020165275	-0,062075165	0,156	0,047	1	0,957885311	1,043966317	3,319148936
ARSJ	0,741950345	-0,062102326	0,062	0,047	1	0,957867277	1,043985971	1,319148936
LRRC45	0,224763613	-0,062142015	0,062	0,023	1	0,957840927	1,044014692	2,695652174
RHOU	0,480650464	-0,06215008	0	0,016	1	0,957835572	1,044020529	0
MPC2	0,000223656	-0,06220179	0,5	0,156	1	0,957801241	1,04405795	3,205128205
LZTFL1	0,428872689	-0,062221724	0	0,02	1	0,957788007	1,044072376	0
PPP1R14C	0,480650464	-0,06228652	0	0,016	1	0,957744991	1,044119269	0
TMEM80	0,026654007	-0,062406809	0,25	0,098	1	0,957665139	1,04420633	2,551020408
KCNAB2	0,543117005	-0,062407139	0	0,012	1	0,95766492	1,044206569	0
KICS2	0,80991663	-0,062420694	0,031	0,023	1	0,957655922	1,04421638	1,347826087
ZNF140	0,682170546	-0,062479169	0,031	0,02	1	0,957617108	1,044258704	1,55
ZBTB47	0,18979066	-0,06252012	0,094	0,039	1	0,957589926	1,044288346	2,41025641
CEP128	0,540537634	-0,062560479	0,031	0,016	1	0,957563138	1,04431756	1,9375
PRPF8	0,000425789	-0,062580876	0,438	0,137	1	0,9575496	1,044332325	3,197080292
WDCP	0,543117005	-0,062600818	0	0,012	1	0,957536364	1,044346761	0

Supplementary Table 1

Differentially expressed genes_adjacent-skin-XL_comparing SC-Keloid vs. (SC-Myel, SC-Nonmyel)								
gene	p_val	avg_log2FC	pct.1	pct.2	p_val_adj	Foldchange_UP	Foldchange_DOWN	Ratio_pct1_pct2
LMO7	0,275136254	-0,062684332	0,125	0,066	1	0,957480937	1,044407217	1,893939394
HOMER2	0,682170546	-0,062709449	0,031	0,02	1	0,957464267	1,0444254	1,55
CTNBL1	0,007318479	-0,062824985	0,219	0,066	1	0,957387593	1,044509045	3,318181818
SRBD1	0,30757457	-0,062885089	0,094	0,047	1	0,957347708	1,04455256	2
POLR2F	0,054996801	-0,062901256	0,688	0,359	1	0,95733698	1,044564266	1,91643454
AJAP1	0,480650464	-0,062904389	0	0,016	1	0,957334901	1,044566534	0
IQSEC2	0,037506898	-0,062954001	0,094	0,023	1	0,957301981	1,044602456	4,086956522
CLASP1	0,000121681	-0,062975429	0,281	0,062	1	0,957287762	1,044617972	4,532258065
MTMR11	0,226351275	-0,063020166	0,031	0,008	1	0,957258077	1,044650365	3,875
ZFP28	0,428872689	-0,06303538	0	0,02	1	0,957247983	1,044661381	0
TRIM47	0,001391765	-0,063076521	0,344	0,105	1	0,957220686	1,044691172	3,276190476
SMIM1	0,480650464	-0,063129285	0	0,016	1	0,957185678	1,04472938	0
CDK3	0,480650464	-0,063140402	0	0,016	1	0,957178302	1,044737431	0
TRIM36	0,428872689	-0,063142964	0	0,02	1	0,957176602	1,044739286	0
ZSWIM4	0,815054348	-0,06322162	0,031	0,039	1	0,957124418	1,044796247	0,794871795
SLC35E2A	0,386325862	-0,063229722	0,031	0,012	1	0,957119043	1,044802115	2,583333333
CYP4F11	0,480650464	-0,063248577	0	0,016	1	0,957106534	1,04481577	0
NEURL4	0,480650464	-0,063368477	0	0,016	1	0,957026994	1,044902606	0
GABRQ	0,480650464	-0,063483165	0	0,016	1	0,956950917	1,044985675	0
TRIM16L	0,386325862	-0,063524634	0,031	0,012	1	0,956923411	1,045015712	2,583333333
WDR44	0,045196862	-0,06353117	0,125	0,039	1	0,956919076	1,045020447	3,205128205
METTL15	0,126128812	-0,06364912	0,125	0,051	1	0,956840845	1,045105887	2,450980392
S1PR2	0,191913299	-0,063652418	0,094	0,039	1	0,956838657	1,045108277	2,41025641
MBNL3	0,480650464	-0,063660533	0	0,016	1	0,956833275	1,045114155	0
UBE2H	0,015370253	-0,063676918	0,656	0,285	1	0,956822408	1,045126025	2,301754386
TRIM29	0,224763613	-0,063688257	0,062	0,023	1	0,956814888	1,045134239	2,695652174
PDHX	0,803381388	-0,063712066	0,031	0,023	1	0,956799098	1,045151487	1,347826087
WBP4	0,014231146	-0,063720494	0,406	0,172	1	0,956793508	1,045157593	2,360465116
SDCBP2-AS1	0,543117005	-0,063769136	0	0,012	1	0,956761249	1,045192832	0
RBPMS-AS1	0,543117005	-0,063790685	0	0,012	1	0,956746959	1,045208444	0

Supplementary Table 1

Differentially expressed genes_adjacent-skin-XL_ comparing SC-Keloid vs. (SC-Myel, SC-Nonmyel)								
gene	p_val	avg_log2FC	pct.1	pct.2	p_val_adj	Foldchange_UP	Foldchange_DOWN	Ratio_pct1_pct2
METTL25B	0,924392442	-0,063795425	0,031	0,027	1	0,956743816	1,045211878	1,148148148
GULP1	0,043054743	-0,063831944	0,625	0,312	1	0,956719597	1,045238336	2,003205128
TMCO4	0,30793671	-0,06383515	0,062	0,027	1	0,956717471	1,045240659	2,296296296
ANKRD18B	0,543117005	-0,063874763	0	0,012	1	0,956691203	1,045269359	0
BACH1	0,01094829	-0,063925676	0,656	0,316	1	0,956657441	1,045306247	2,075949367
SLC25A23	0,098751938	-0,063928615	0,094	0,031	1	0,956655493	1,045308377	3,032258065
MSX2	0,30793671	-0,064098787	0,062	0,027	1	0,956542658	1,045431682	2,296296296
PCTP	0,098751938	-0,064106563	0,094	0,031	1	0,956537502	1,045437317	3,032258065
TRIM17	0,480650464	-0,064128702	0	0,016	1	0,956522823	1,045453361	0
EMCN	0,543117005	-0,064132712	0	0,012	1	0,956520165	1,045456266	0
TMCC3	0,918113127	-0,064248195	0,031	0,027	1	0,956443602	1,045539955	1,148148148
SLC9A8	0,428872689	-0,064251441	0	0,02	1	0,95644145	1,045542307	0
USP19	0,898329073	-0,064268686	0,031	0,035	1	0,956430017	1,045554805	0,885714286
PAN3-AS1	0,543117005	-0,064279676	0	0,012	1	0,956422731	1,04556277	0
AQP8	0,543117005	-0,064355084	0	0,012	1	0,956372741	1,045617422	0
EPCAM	0,480650464	-0,064449739	0	0,016	1	0,956309996	1,045686026	0
ATAD3C	0,480650464	-0,064521136	0	0,016	1	0,956262671	1,045737777	0
CTSL	0,008090256	-0,064531528	0,5	0,207	1	0,956255783	1,04574531	2,415458937
CDPF1	0,480650464	-0,064531622	0	0,016	1	0,95625572	1,045745379	0
GPD1L	0,38481627	-0,064543738	0	0,023	1	0,95624769	1,045754161	0
TCEAL9	0,011189289	-0,064559034	0,75	0,371	1	0,956237551	1,045765248	2,021563342
PIGZ	0,480650464	-0,064574906	0	0,016	1	0,956227031	1,045776754	0
TMEM131L	0,682170546	-0,064628821	0,031	0,02	1	0,956191297	1,045815836	1,55
TECPR1	0,020764757	-0,064630207	0,156	0,047	1	0,956190378	1,04581684	3,319148936
DUSP2	0,985101745	-0,064650106	0,031	0,031	1	0,956177189	1,045831266	1
FAM102B	0,304406192	-0,064665486	0,062	0,027	1	0,956166996	1,045842415	2,296296296
ZMYND19	0,224763613	-0,064690974	0,062	0,023	1	0,956150103	1,045860892	2,695652174
DZANK1	0,543117005	-0,064736726	0	0,012	1	0,956119782	1,04589406	0
SEC16B	0,480650464	-0,064777508	0	0,016	1	0,956092755	1,045923625	0
GRB2	0,001068223	-0,065015005	0,469	0,16	1	0,955935375	1,04609582	2,93125

Supplementary Table 1

Differentially expressed genes_adjacent-skin-XL_comparing SC-Keloid vs. (SC-Myel, SC-Nonmyel)								
gene	p_val	avg_log2FC	pct.1	pct.2	p_val_adj	Foldchange_UP	Foldchange_DOWN	Ratio_pct1_pct2
CAPNS2	0,543117005	-0,065036815	0	0,012	1	0,955920924	1,046111635	0
RFXAP	0,063925678	-0,065037166	0,094	0,027	1	0,955920692	1,046111889	3,481481481
GK	0,020764757	-0,065044232	0,156	0,047	1	0,95591601	1,046117012	3,319148936
PLD1	0,480650464	-0,065085564	0	0,016	1	0,955888624	1,046146983	0
MGA	0,007871757	-0,065092976	0,156	0,039	1	0,955883713	1,046152358	4
TTC7B	0,097375089	-0,065107657	0,094	0,031	1	0,955873985	1,046163004	3,032258065
HEPH	0,428970186	-0,065232661	0,094	0,055	1	0,955791166	1,046253654	1,709090909
THOC5	0,016858455	-0,06523456	0,125	0,031	1	0,955789908	1,046255031	4,032258065
NCAPD2	0,682170546	-0,065259784	0,031	0,02	1	0,955773197	1,046273324	1,55
APOBEC3G	1,66267E-05	-0,065298491	0,344	0,074	0,35084016	0,955747554	1,046301396	4,648648649
PXMP2	0,001637922	-0,065302117	0,219	0,055	1	0,955745153	1,046304025	3,981818182
ZBED5-AS1	0,480650464	-0,065418431	0	0,016	1	0,955668101	1,046388384	0
BTBD9	0,924392442	-0,065502444	0,031	0,027	1	0,955612451	1,04644932	1,148148148
THBS3	0,030577237	-0,065508775	0,156	0,051	1	0,955608257	1,046453913	3,058823529
ANAPC13	0,020683123	-0,065595489	0,281	0,109	1	0,955550821	1,046516813	2,577981651
GTPBP3	0,004180266	-0,065600809	0,125	0,023	1	0,955547298	1,046520671	5,434782609
CHTF18	0,008956837	-0,065619683	0,125	0,027	1	0,955534797	1,046534362	4,62962963
TNFSF10	0,540537634	-0,065622376	0,031	0,016	1	0,955533013	1,046536317	1,9375
ZNF696	0,543117005	-0,065725352	0	0,012	1	0,955464813	1,046611018	0
TCFL5	0,008956837	-0,065747368	0,125	0,027	1	0,955450232	1,04662699	4,62962963
SLC43A1	0,543117005	-0,065759341	0	0,012	1	0,955442303	1,046635676	0
TMEM33	0,002391142	-0,065777973	0,312	0,098	1	0,955429963	1,046649193	3,183673469
DYNLT2	0,540537634	-0,065803702	0,031	0,016	1	0,955412924	1,046667859	1,9375
TAOK3	0,109417123	-0,065837403	0,188	0,086	1	0,955390606	1,04669231	2,186046512
EGFR	0,480650464	-0,065902967	0	0,016	1	0,955347189	1,046739878	0
PEAR1	0,543117005	-0,065987731	0	0,012	1	0,95529106	1,04680138	0
LMOD3	0,543117005	-0,066013761	0	0,012	1	0,955273824	1,046820267	0
UEVLD	0,80991663	-0,066016284	0,031	0,023	1	0,955272154	1,046822098	1,347826087
SEC24C	0,236932254	-0,066045876	0,125	0,062	1	0,95525256	1,04684357	2,016129032
SPIN2B	0,388432899	-0,066065875	0,062	0,031	1	0,955239318	1,046858082	2

Supplementary Table 1

Differentially expressed genes_adjacent-skin-XL_ comparing SC-Keloid vs. (SC-Myel, SC-Nonmyel)								
gene	p_val	avg_log2FC	pct.1	pct.2	p_val_adj	Foldchange_UP	Foldchange_DOWN	Ratio_pct1_pct2
SLC25A35	0,543117005	-0,066105741	0	0,012	1	0,955212923	1,046887009	0
CASTOR3	0,540537634	-0,066122197	0,031	0,016	1	0,955202027	1,046898951	1,9375
RNF146	0,045240417	-0,06614559	0,438	0,207	1	0,955186539	1,046915926	2,115942029
APOLD1	0,013407295	-0,066166518	0,156	0,043	1	0,955172683	1,046931113	3,627906977
LAMC2	0,480650464	-0,066217866	0	0,016	1	0,955138687	1,046968376	0
ZDHHC16	0,682170546	-0,066219841	0,031	0,02	1	0,955137379	1,04696981	1,55
INAFM2	0,767893042	-0,066365627	0,125	0,102	1	0,955040866	1,047075612	1,225490196
WDR76	0,543117005	-0,066368852	0	0,012	1	0,955038731	1,047077953	0
PPARA	0,80991663	-0,066396438	0,031	0,023	1	0,95502047	1,047097975	1,347826087
DFFB	0,543117005	-0,066475063	0	0,012	1	0,954968424	1,047155042	0
SNAP47	0,191913299	-0,066476144	0,094	0,039	1	0,954967709	1,047155826	2,41025641
ZC3H10	0,300902654	-0,06649709	0,062	0,027	1	0,954953844	1,04717103	2,296296296
ATAD3B	0,01071611	-0,066539088	0,219	0,07	1	0,954926045	1,047201514	3,128571429
CFAP70	0,480650464	-0,066568918	0	0,016	1	0,9549063	1,047223167	0
CCDC15	0,480650464	-0,066584233	0	0,016	1	0,954896164	1,047234283	0
FDX1	0,000973816	-0,066633475	0,469	0,16	1	0,954863572	1,047270028	2,93125
LAMB4	0,543117005	-0,066678733	0	0,012	1	0,954833618	1,047302882	0
ALG2	0,021379715	-0,066763325	0,156	0,047	1	0,954777633	1,047364292	3,319148936
GEMIN5	0,041848356	-0,066763923	0,062	0,012	1	0,954777238	1,047364726	5,166666667
CDIN1	0,543117005	-0,066977348	0	0,012	1	0,954636003	1,04751968	0
SINHCAF	0,300902654	-0,066981382	0,062	0,027	1	0,954633334	1,047522609	2,296296296
SPAG16	0,005195348	-0,06698988	0,219	0,062	1	0,954627711	1,047528779	3,532258065
SLC7A6	0,30793671	-0,067008924	0,062	0,027	1	0,954615109	1,047542607	2,296296296
BBS9	1,49244E-05	-0,067037365	0,219	0,031	0,314919708	0,954596291	1,047563258	7,064516129
SETD9	0,150155729	-0,067041541	0,062	0,02	1	0,954593527	1,04756629	3,1
CSTF2	0,386325862	-0,067096438	0,031	0,012	1	0,954557204	1,047606152	2,583333333
DNAH10OS	0,480650464	-0,067123258	0	0,016	1	0,954539459	1,047625628	0
MUC20	0,543117005	-0,067147725	0	0,012	1	0,95452327	1,047643395	0
KLK7	0,543117005	-0,067179926	0	0,012	1	0,954501966	1,047666779	0
TBX19	0,428872689	-0,06731182	0	0,02	1	0,954414707	1,047762563	0

Supplementary Table 1

Differentially expressed genes_adjacent-skin-XL_comparing SC-Keloid vs. (SC-Myel, SC-Nonmyel)								
gene	p_val	avg_log2FC	pct.1	pct.2	p_val_adj	Foldchange_UP	Foldchange_DOWN	Ratio_pct1_pct2
CFAP410	0,009052775	-0,067355171	0,312	0,113	1	0,954386029	1,047794047	2,761061947
MAMLD1	0,063925678	-0,067368052	0,094	0,027	1	0,954377508	1,047803402	3,481481481
ZBTB22	0,004267025	-0,067375392	0,156	0,035	1	0,954372652	1,047808733	4,457142857
TTC21A	0,543117005	-0,067408874	0	0,012	1	0,954350503	1,047833051	0
LRR3	0,540537634	-0,067458098	0,031	0,016	1	0,954317942	1,047868804	1,9375
JHY	0,001642148	-0,067507305	0,125	0,02	1	0,954285393	1,047904544	6,25
CCL14	0,985101745	-0,067575881	0,031	0,031	1	0,954240034	1,047954356	1
PRDX3	0,021863554	-0,067605223	0,344	0,145	1	0,954220626	1,04797567	2,372413793
PHF11	0,065872266	-0,067665212	0,219	0,094	1	0,95418095	1,048019247	2,329787234
UAP1L1	0,045196862	-0,067722553	0,125	0,039	1	0,954143026	1,048060902	3,205128205
MAP2K4	0,031413167	-0,067772147	0,156	0,051	1	0,954110226	1,048096931	3,058823529
GSPT1	0,009644385	-0,067835617	0,344	0,133	1	0,954068252	1,048143042	2,586466165
PNMA8B	0,386325862	-0,067850066	0,031	0,012	1	0,954058697	1,048153539	2,583333333
SCYL3	0,803381388	-0,067868029	0,031	0,023	1	0,954046818	1,04816659	1,347826087
CDKL3	0,18979066	-0,067884947	0,094	0,039	1	0,954035631	1,048178881	2,41025641
CCDC146	0,480650464	-0,06791121	0	0,016	1	0,954018263	1,048197963	0
FAM24B	0,226351275	-0,067917194	0,031	0,008	1	0,954014306	1,04820231	3,875
MGRN1	0,002818951	-0,068154739	0,219	0,059	1	0,953857237	1,048374915	3,711864407
KCNK7	0,543117005	-0,068156965	0	0,012	1	0,953855765	1,048376533	0
YWHAG	0,012821205	-0,06818637	0,5	0,219	1	0,953836324	1,048397901	2,283105023
SHC3	0,543117005	-0,068186677	0	0,012	1	0,953836121	1,048398124	0
ZCWPW2	0,150155729	-0,068199107	0,062	0,02	1	0,953827903	1,048407157	3,1
TTC5	0,097375089	-0,068343067	0,094	0,031	1	0,95373273	1,048511777	3,032258065
SPHK2	0,089393291	-0,068439757	0,125	0,047	1	0,953668812	1,048582052	2,659574468
ZFTA	0,918113127	-0,06851172	0,031	0,027	1	0,953621243	1,048634358	1,148148148
ESYT3	0,082317662	-0,068540426	0,031	0,004	1	0,953602269	1,048655223	7,75
HIF1AN	0,150155729	-0,068548882	0,062	0,02	1	0,95359668	1,048661369	3,1
ZNF891	0,150155729	-0,068568151	0,062	0,02	1	0,953583944	1,048675375	3,1
LMBR1	0,682170546	-0,068611001	0,031	0,02	1	0,953555621	1,048706523	1,55
ERP44	0,012057574	-0,068624756	0,438	0,18	1	0,95354653	1,048716522	2,433333333

Supplementary Table 1

Differentially expressed genes_adjacent-skin-XL_comparing SC-Keloid vs. (SC-Myel, SC-Nonmyel)								
gene	p_val	avg_log2FC	pct.1	pct.2	p_val_adj	Foldchange_UP	Foldchange_DOWN	Ratio_pct1_pct2
FLVCR2	0,543117005	-0,068652298	0	0,012	1	0,953528326	1,048736542	0
NFYA	0,480650464	-0,068681748	0	0,016	1	0,953508862	1,04875795	0
STK4	0,002865711	-0,068715045	0,281	0,086	1	0,953486855	1,048782156	3,26744186
SGCB	0,007191855	-0,068736084	0,688	0,289	1	0,953472951	1,048797451	2,380622837
CEP76	0,540537634	-0,068797544	0,031	0,016	1	0,953432333	1,048842131	1,9375
GABBR1	0,901189191	-0,068908627	0,125	0,113	1	0,953358924	1,048922892	1,10619469
CEP83	0,224763613	-0,068928379	0,062	0,023	1	0,953345872	1,048937253	2,695652174
C1orf174	0,246047587	-0,068964275	0,094	0,043	1	0,953322152	1,048963352	2,186046512
EPOP	0,543117005	-0,068993827	0	0,012	1	0,953302624	1,048984839	0
EHMT2	0,47210696	-0,069094438	0,094	0,059	1	0,953236145	1,049057996	1,593220339
ANAPC7	0,01489812	-0,069102724	0,188	0,059	1	0,95323067	1,049064021	3,186440678
HYLS1	0,533973819	-0,0691119	0,031	0,016	1	0,953224607	1,049070694	1,9375
ANXA2R	0,540537634	-0,069170149	0,031	0,016	1	0,953186121	1,049113051	1,9375
BLVRA	0,008594651	-0,069198112	0,25	0,082	1	0,953167646	1,049133386	3,048780488
TMEM268	0,150155729	-0,069205447	0,062	0,02	1	0,953162801	1,049138719	3,1
AQP1	0,016795238	-0,06923015	0,375	0,168	1	0,95314648	1,049156684	2,232142857
LY6D	0,560566066	-0,069271897	0,062	0,039	1	0,953118899	1,049187044	1,58974359
ZNF579	0,540537634	-0,069309264	0,031	0,016	1	0,953094213	1,049214219	1,9375
BHLHE40-AS1	0,543117005	-0,069328168	0	0,012	1	0,953081724	1,049227967	0
PYCARD	0,150155729	-0,069338944	0,062	0,02	1	0,953074606	1,049235804	3,1
RBM19	0,091552625	-0,069359416	0,125	0,047	1	0,953061081	1,049250693	2,659574468
KPTN	0,019236133	-0,069478034	0,094	0,02	1	0,952982724	1,049336965	4,7
AGAP4	0,682170546	-0,069483624	0,031	0,02	1	0,952979031	1,049341032	1,55
NKIRAS2	0,080880928	-0,069581404	0,156	0,062	1	0,952914445	1,049412154	2,516129032
TVP23B	0,001783529	-0,069621514	0,219	0,055	1	0,952887952	1,04944133	3,981818182
MPP4	0,082317662	-0,069633797	0,031	0,004	1	0,95287984	1,049450265	7,75
YJU2	0,224763613	-0,069650439	0,062	0,023	1	0,952868848	1,049462371	2,695652174
ADCY2	0,543117005	-0,069664467	0	0,012	1	0,952859583	1,049472575	0
PEA15	0,010386793	-0,069671865	0,625	0,289	1	0,952854696	1,049477957	2,162629758
ERAL1	0,00208125	-0,069679259	0,188	0,043	1	0,952849813	1,049483336	4,372093023

Supplementary Table 1

Differentially expressed genes_adjacent-skin-XL_comparing SC-Keloid vs. (SC-Myel, SC-Nonmyel)								
gene	p_val	avg_log2FC	pct.1	pct.2	p_val_adj	Foldchange_UP	Foldchange_DOWN	Ratio_pct1_pct2
PRPS1	0,24262347	-0,069725201	0,156	0,082	1	0,95281947	1,049516757	1,902439024
TMEM144	0,480650464	-0,069799145	0	0,016	1	0,952770635	1,04957055	0
GLI1	0,428872689	-0,069813825	0	0,02	1	0,952760941	1,04958123	0
MAST4	0,041848356	-0,069821612	0,062	0,012	1	0,952755798	1,049586895	5,166666667
OPN3	0,012987709	-0,069919728	0,156	0,043	1	0,952691005	1,049658279	3,627906977
CCDC107	0,075619507	-0,069961883	0,375	0,184	1	0,952663168	1,04968895	2,038043478
MYH7B	0,543117005	-0,069987451	0	0,012	1	0,952646285	1,049707553	0
BOLA2	0,010903421	-0,070034265	0,25	0,086	1	0,952615372	1,049741616	2,906976744
C16orf46	0,087959196	-0,070122447	0,062	0,016	1	0,952557147	1,049805781	3,875
ROPN1	0,38481627	-0,070167027	0	0,023	1	0,952527713	1,049838221	0
HS3ST2	0,226351275	-0,070168561	0,031	0,008	1	0,952526701	1,049839337	3,875
LSP1	0,480650464	-0,070170489	0	0,016	1	0,952525428	1,04984074	0
CDR1	0,543117005	-0,070243288	0	0,012	1	0,952477364	1,049893717	0
SLC25A42	0,80991663	-0,070258562	0,031	0,023	1	0,95246728	1,049904832	1,347826087
ZNF853	0,191913299	-0,070268506	0,094	0,039	1	0,952460715	1,049912069	2,41025641
GTF2E1	0,540537634	-0,070325016	0,031	0,016	1	0,952423408	1,049953195	1,9375
SLC7A8	0,543117005	-0,070329671	0	0,012	1	0,952420335	1,049956583	0
LRRC17	0,543117005	-0,070335699	0	0,012	1	0,952416356	1,049960969	0
EMSY	0,055416701	-0,070339548	0,188	0,074	1	0,952413815	1,04996377	2,540540541
USP27X	0,682170546	-0,070404602	0,031	0,02	1	0,952370869	1,050011117	1,55
PHYHIP	0,540537634	-0,070437547	0,031	0,016	1	0,952349122	1,050035094	1,9375
FAHD2A	0,286270979	-0,070457742	0,125	0,066	1	0,95233579	1,050049793	1,893939394
DTX4	0,480650464	-0,070559408	0	0,016	1	0,952268682	1,050123792	0
BOLA2B	0,224763613	-0,070575431	0,062	0,023	1	0,952258106	1,050135456	2,695652174
ZNF77	0,041848356	-0,070633056	0,062	0,012	1	0,952220071	1,050177401	5,166666667
MOB1A	0,000171537	-0,07064838	0,562	0,18	1	0,952209957	1,050188556	3,122222222
PPP1R1B	0,480650464	-0,070713528	0	0,016	1	0,952166959	1,050235981	0
VPS26A	0,000636209	-0,070730666	0,562	0,195	1	0,952155648	1,050248456	2,882051282
SCEL	0,226351275	-0,070854485	0,031	0,008	1	0,952073933	1,050338598	3,875
SPEG	0,480650464	-0,070869017	0	0,016	1	0,952064343	1,050349178	0

Supplementary Table 1

Differentially expressed genes_adjacent-skin-XL_ comparing SC-Keloid vs. (SC-Myel, SC-Nonmyel)								
gene	p_val	avg_log2FC	pct.1	pct.2	p_val_adj	Foldchange_UP	Foldchange_DOWN	Ratio_pct1_pct2
IQSEC1	0,089411268	-0,070904326	0,188	0,082	1	0,952041042	1,050374885	2,292682927
PIGQ	0,00187651	-0,070939018	0,219	0,055	1	0,952018149	1,050400143	3,981818182
TBC1D15	0,015301152	-0,070945832	0,312	0,121	1	0,952013653	1,050405104	2,578512397
HMGXB4	0,015203835	-0,070958005	0,219	0,074	1	0,95200562	1,050413967	2,959459459
GJC2	0,310355006	-0,070982824	0,094	0,047	1	0,951989243	1,050432038	2
TOP3A	0,150155729	-0,071067656	0,062	0,02	1	0,951933266	1,050493807	3,1
HPR	0,543117005	-0,071157961	0	0,012	1	0,951873682	1,050559564	0
ZNF614	0,682170546	-0,071161073	0,031	0,02	1	0,951871629	1,05056183	1,55
ZBTB25	0,24851603	-0,071211274	0,094	0,043	1	0,951838507	1,050598387	2,186046512
CLPX	0,021448302	-0,071214083	0,188	0,062	1	0,951836654	1,050600432	3,032258065
FAM227B	0,30793671	-0,071290421	0,062	0,027	1	0,95178629	1,050656025	2,296296296
DDX59	0,044552052	-0,071342942	0,125	0,039	1	0,951751642	1,050694274	3,205128205
NSMCE4A	0,001308481	-0,071349005	0,281	0,078	1	0,951747642	1,05069869	3,602564103
GDF10	0,543117005	-0,071370064	0	0,012	1	0,951733749	1,050714027	0
CERS5	0,371729093	-0,071384392	0,125	0,074	1	0,951724297	1,050724462	1,689189189
KLHL12	0,386325862	-0,07143713	0,031	0,012	1	0,951689508	1,050762872	2,583333333
ZNF345	0,540537634	-0,071551771	0,031	0,016	1	0,951613886	1,050846372	1,9375
PKDCC	0,191913299	-0,071584892	0,094	0,039	1	0,95159204	1,050870497	2,41025641
DDAH1	0,682170546	-0,071621604	0,031	0,02	1	0,951567824	1,05089724	1,55
SELENBP1	0,480650464	-0,071653565	0	0,016	1	0,951546744	1,050920521	0
ZNF808	0,224763613	-0,071857075	0,062	0,023	1	0,951412527	1,051068776	2,695652174
PUS1	0,487085433	-0,071893633	0,062	0,035	1	0,951388418	1,051095411	1,771428571
CCND3	0,00555836	-0,071932997	0,344	0,121	1	0,95136246	1,05112409	2,842975207
FUOM	0,046495836	-0,072115339	0,156	0,055	1	0,951242225	1,05125695	2,836363636
TMEM187	0,480650464	-0,072139496	0	0,016	1	0,951226297	1,051274553	0
STRADA	0,478627389	-0,072204955	0,062	0,035	1	0,951183138	1,051322253	1,771428571
ANGPT2	0,540537634	-0,07221581	0,031	0,016	1	0,951175981	1,051330164	1,9375
SOX3	0,480650464	-0,072232964	0	0,016	1	0,951164671	1,051342664	0
MTX1	0,002826784	-0,072269391	0,281	0,086	1	0,951140655	1,051369211	3,26744186
GDPD1	0,386325862	-0,072309351	0,031	0,012	1	0,951114311	1,051398332	2,583333333

Supplementary Table 1

Differentially expressed genes_adjacent-skin-XL_comparing SC-Keloid vs. (SC-Myel, SC-Nonmyel)								
gene	p_val	avg_log2FC	pct.1	pct.2	p_val_adj	Foldchange_UP	Foldchange_DOWN	Ratio_pct1_pct2
AC011043.1	0,300902654	-0,072372122	0,062	0,027	1	0,951072929	1,051444079	2,296296296
EAF2	0,480650464	-0,072386142	0	0,016	1	0,951063687	1,051454296	0
TRIM52	0,150155729	-0,072467358	0,062	0,02	1	0,951010149	1,051513489	3,1
RNF152	0,543117005	-0,072633989	0	0,012	1	0,950900314	1,051634946	0
PROCA1	0,543117005	-0,072658916	0	0,012	1	0,950883884	1,051653116	0
ESRRA	0,083520674	-0,072765802	0,156	0,062	1	0,950813438	1,051731034	2,516129032
CNOT3	0,059034985	-0,072805181	0,188	0,074	1	0,950787486	1,051759741	2,540540541
DUSP18	0,004107327	-0,072923462	0,156	0,035	1	0,950709537	1,051845975	4,457142857
HECTD3	0,087959196	-0,072945747	0,062	0,016	1	0,950694852	1,051862223	3,875
IRF6	0,428872689	-0,072966054	0	0,02	1	0,95068147	1,051877029	0
FBXL19-AS1	0,543117005	-0,072990234	0	0,012	1	0,950665536	1,051894659	0
ZNF550	0,480650464	-0,073069935	0	0,016	1	0,950613019	1,051952771	0
ELMO2	0,470250215	-0,073111979	0,062	0,035	1	0,950585316	1,051983429	1,771428571
TMEM209	0,098751938	-0,073287445	0,094	0,031	1	0,950469709	1,052111383	3,032258065
POFUT2	0,005262184	-0,073326922	0,281	0,094	1	0,950443702	1,052140172	2,989361702
CTRL	0,428872689	-0,07338276	0	0,02	1	0,950406916	1,052180895	0
GPR157	0,543117005	-0,073459135	0	0,012	1	0,950356604	1,052236598	0
ZNF823	0,480650464	-0,07346258	0	0,016	1	0,950354335	1,052239111	0
CAVIN4	0,388432899	-0,073487555	0,062	0,031	1	0,950337883	1,052257326	2
TRAPPC10	0,090467775	-0,073530634	0,125	0,047	1	0,950309506	1,052288748	2,659574468
CCAR2	0,482846351	-0,07357149	0,062	0,035	1	0,950282594	1,052318548	1,771428571
SPATA2	0,138170297	-0,073621668	0,094	0,035	1	0,950249544	1,052355149	2,685714286
ANKRD65	0,000278482	-0,073622866	0,25	0,055	1	0,950248754	1,052356023	4,545454545
PTCD2	0,480650464	-0,073631436	0	0,016	1	0,95024311	1,052362274	0
PDK2	0,016562293	-0,073711539	0,125	0,031	1	0,950190351	1,052420706	4,032258065
CDK5RAP2	0,00606391	-0,073736571	0,188	0,051	1	0,950173864	1,052438967	3,68627451
MYOZ1	0,682170546	-0,073760117	0,031	0,02	1	0,950158356	1,052456144	1,55
AGGF1	0,002005544	-0,073771698	0,188	0,043	1	0,950150729	1,052464593	4,372093023
DACT1	0,396289917	-0,073812142	0,062	0,031	1	0,950124094	1,052494097	2
SPTLC3	0,80991663	-0,073876028	0,031	0,023	1	0,950082021	1,052540705	1,347826087

Supplementary Table 1

Differentially expressed genes_adjacent-skin-XL_ comparing SC-Keloid vs. (SC-Myel, SC-Nonmyel)								
gene	p_val	avg_log2FC	pct.1	pct.2	p_val_adj	Foldchange_UP	Foldchange_DOWN	Ratio_pct1_pct2
ZCWPW1	0,028712073	-0,073916577	0,125	0,035	1	0,950055318	1,052570288	3,571428571
MORC3	0,079867096	-0,07397743	0,281	0,137	1	0,950015245	1,052614687	2,051094891
CCDC117	0,006461838	-0,07404185	0,188	0,051	1	0,949972826	1,05266169	3,68627451
HPGD	0,543117005	-0,074152076	0	0,012	1	0,949900248	1,05274212	0
ABCA6	0,543117005	-0,074198172	0	0,012	1	0,949869898	1,052775756	0
WDR7	0,682170546	-0,074226902	0,031	0,02	1	0,949850982	1,052796722	1,55
EIF2S2	0,006896051	-0,074235307	0,656	0,285	1	0,949845448	1,052802855	2,301754386
ZNF783	0,924392442	-0,074254255	0,031	0,027	1	0,949832973	1,052816683	1,148148148
WDR25	0,578217897	-0,074256686	0,062	0,039	1	0,949831373	1,052818457	1,58974359
PODXL	0,533973819	-0,074327026	0,031	0,016	1	0,949785064	1,052869789	1,9375
FAM124A	0,543117005	-0,074348159	0	0,012	1	0,949771151	1,052885212	0
GTF2H2	0,979143607	-0,074464556	0,031	0,031	1	0,949694527	1,052970163	1
PTPRN2	0,682170546	-0,074510572	0,031	0,02	1	0,949664236	1,053003749	1,55
PACSIN2	0,008489906	-0,074584895	0,406	0,16	1	0,949615313	1,053057997	2,5375
SUPT6H	0,01602055	-0,074688416	0,25	0,09	1	0,949547176	1,053133563	2,777777778
FCHO2	0,002686655	-0,07473828	0,219	0,059	1	0,949514357	1,053169963	3,711864407
HEPN1	0,38481627	-0,07473907	0	0,023	1	0,949513837	1,053170539	0
DOP1B	0,224763613	-0,074745294	0,062	0,023	1	0,949509741	1,053175083	2,695652174
SPAG8	0,543115367	-0,074748024	0	0,012	1	0,949507944	1,053177076	0
LMCD1	0,162153727	-0,074763343	0,125	0,055	1	0,949497862	1,053188259	2,272727273
MMRN2	0,480650464	-0,074796216	0	0,016	1	0,949476227	1,053212257	0
ZC3H3	0,480650464	-0,07482932	0	0,016	1	0,949454441	1,053236424	0
ARFIP1	0,015776025	-0,074841034	0,312	0,121	1	0,949446731	1,053244976	2,578512397
RNF139-AS1	0,543117005	-0,074845528	0	0,012	1	0,949443774	1,053248257	0
OSGEP	0,008065251	-0,074881855	0,25	0,082	1	0,949419868	1,053274778	3,048780488
DHFR2	0,480650464	-0,074944102	0	0,016	1	0,949378905	1,053320224	0
FUCA2	0,001578028	-0,074962198	0,312	0,094	1	0,949366996	1,053333436	3,319148936
ZNF426	0,392349482	-0,075000652	0,062	0,031	1	0,949341692	1,053361512	2
IL16	0,38481627	-0,075012364	0	0,023	1	0,949333985	1,053370063	0
TADA2A	0,396289917	-0,075110347	0,062	0,031	1	0,949269512	1,053441607	2

Supplementary Table 1

Differentially expressed genes_adjacent-skin-XL_comparing SC-Keloid vs. (SC-Myel, SC-Nonmyel)								
gene	p_val	avg_log2FC	pct.1	pct.2	p_val_adj	Foldchange_UP	Foldchange_DOWN	Ratio_pct1_pct2
ZNF567	0,396289917	-0,075120593	0,062	0,031	1	0,94926277	1,053449089	2
AEN	0,045196862	-0,075161495	0,125	0,039	1	0,949235858	1,053478956	3,205128205
GTF3C3	0,007871757	-0,0751851	0,156	0,039	1	0,949220327	1,053496192	4
FZR1	0,011296848	-0,075239971	0,219	0,07	1	0,949184225	1,053536262	3,128571429
TP53BP1	0,023464878	-0,075297528	0,188	0,062	1	0,949146358	1,053578294	3,032258065
H2BU1	0,480650464	-0,075326952	0	0,016	1	0,949127	1,053599782	0
DMPK	0,249776756	-0,075339787	0,156	0,086	1	0,949118556	1,053609155	1,813953488
ARHGAP20	0,480650464	-0,075339892	0	0,016	1	0,949118487	1,053609232	0
LINC01550	0,30793671	-0,075364281	0,062	0,027	1	0,949102442	1,053627044	2,296296296
DNMT3A	0,044241765	-0,075379034	0,156	0,055	1	0,949092737	1,053637818	2,836363636
LDHD	0,396289917	-0,075455348	0,062	0,031	1	0,949042534	1,053693553	2
RPS6KA4	0,020165275	-0,075546966	0,156	0,047	1	0,948982267	1,05376047	3,319148936
LOX	0,386325862	-0,075553232	0,031	0,012	1	0,948978145	1,053765047	2,583333333
KIF22	0,00711554	-0,075570323	0,219	0,066	1	0,948966903	1,05377753	3,318181818
GOLGA8B	0,044241765	-0,075574164	0,156	0,055	1	0,948964377	1,053780336	2,836363636
DNAJC27-AS1	0,924392442	-0,075576837	0,031	0,027	1	0,948962619	1,053782288	1,148148148
RSPH9	0,226351275	-0,075592436	0,031	0,008	1	0,948952358	1,053793683	3,875
OR2AT4	0,543117005	-0,075595061	0	0,012	1	0,948950631	1,0537956	0
ZBTB33	0,224763613	-0,075638208	0,062	0,023	1	0,948922251	1,053827117	2,695652174
TRAF3	0,991060715	-0,075643078	0,031	0,031	1	0,948919048	1,053830674	1
ZNF763	0,543117005	-0,075724524	0	0,012	1	0,94886548	1,053890168	0
RAI14	0,00052757	-0,075804705	0,219	0,047	1	0,948812746	1,053948742	4,659574468
DACT3	0,30757457	-0,075871076	0,094	0,047	1	0,948769096	1,053997231	2
LINC01011	0,682170546	-0,076027354	0,031	0,02	1	0,948666328	1,054111409	1,55
KCTD6	0,241162386	-0,076101489	0,094	0,043	1	0,94861758	1,054165578	2,186046512
TMEM9B-AS1	0,543117005	-0,076180232	0	0,012	1	0,948565806	1,054223116	0
PLEKHG5	0,38481627	-0,076213233	0	0,023	1	0,948544108	1,054247231	0
ACACB	0,918113127	-0,076264616	0,031	0,027	1	0,948510325	1,05428478	1,148148148
CD72	0,226351275	-0,076272786	0,031	0,008	1	0,948504954	1,054290751	3,875
FAM241B	0,480650464	-0,076284875	0	0,016	1	0,948497006	1,054299585	0

Supplementary Table 1

Differentially expressed genes_adjacent-skin-XL_comparing SC-Keloid vs. (SC-Myel, SC-Nonmyel)								
gene	p_val	avg_log2FC	pct.1	pct.2	p_val_adj	Foldchange_UP	Foldchange_DOWN	Ratio_pct1_pct2
VMA21	0,005322289	-0,076493833	0,375	0,137	1	0,948359637	1,054452299	2,737226277
MRPS28	0,000277006	-0,076524884	0,375	0,105	1	0,948339226	1,054474994	3,571428571
PRPSAP1	0,002969767	-0,076549285	0,438	0,156	1	0,948323186	1,05449283	2,807692308
BCAR1	0,001503035	-0,076550268	0,438	0,148	1	0,94832254	1,054493548	2,959459459
VSNL1	0,543117005	-0,0765554	0	0,012	1	0,948319166	1,054497299	0
MAML1	0,569359326	-0,076562807	0,062	0,039	1	0,948314298	1,054502713	1,58974359
PIWIL4	0,480650464	-0,076563819	0	0,016	1	0,948313632	1,054503453	0
THUMPD3	0,001038602	-0,076750527	0,219	0,051	1	0,948190913	1,054639932	4,294117647
TMEM184C	0,098751938	-0,076793511	0,094	0,031	1	0,948162663	1,054671354	3,032258065
EIF2B5	0,015740914	-0,076894279	0,188	0,059	1	0,948096439	1,054745022	3,186440678
IRX5	0,480650464	-0,076949348	0	0,016	1	0,94806025	1,054785284	0
GDAP2	0,30793671	-0,076974792	0,062	0,027	1	0,94804353	1,054803886	2,296296296
CNOT6	0,106706178	-0,077033368	0,156	0,066	1	0,948005039	1,054846714	2,363636364
ZNF639	0,000520492	-0,077110333	0,25	0,059	1	0,947954465	1,05490299	4,237288136
NLN	0,020764757	-0,077183337	0,156	0,047	1	0,947906498	1,054956372	3,319148936
TENT2	0,154245377	-0,077222984	0,125	0,055	1	0,947880449	1,054985364	2,272727273
ARHGAP33	0,682170546	-0,077375001	0,031	0,02	1	0,947780576	1,055096534	1,55
FBXO5	0,80991663	-0,077428218	0,031	0,023	1	0,947745616	1,055135454	1,347826087
FAM83B	0,480650464	-0,077469157	0	0,016	1	0,947718722	1,055165396	0
CIITA	0,543117005	-0,077561791	0	0,012	1	0,947657872	1,055233149	0
FAXC	0,226351275	-0,077563195	0,031	0,008	1	0,94765695	1,055234176	3,875
CTNNA2	0,543117005	-0,077775479	0	0,012	1	0,947517517	1,055389459	0
GSR	0,484885847	-0,07780696	0,125	0,082	1	0,947496842	1,055412489	1,524390244
TAB3	0,233963311	-0,07783604	0,094	0,043	1	0,947477744	1,055433762	2,186046512
SRC	0,012011479	-0,077843978	0,25	0,086	1	0,947472531	1,055439569	2,906976744
SOSTDC1	0,428872689	-0,077849157	0	0,02	1	0,947469129	1,055443359	0
MICAL1	0,007871757	-0,077884068	0,156	0,039	1	0,947446202	1,055468899	4
FKBPL	0,008956837	-0,077897014	0,125	0,027	1	0,947437701	1,05547837	4,62962963
AR	0,480650464	-0,077938457	0	0,016	1	0,947410485	1,05550869	0
FZD8	0,150155729	-0,077958192	0,062	0,02	1	0,947397525	1,055523129	3,1

Supplementary Table 1

Differentially expressed genes_adjacent-skin-XL_comparing SC-Keloid vs. (SC-Myel, SC-Nonmyel)								
gene	p_val	avg_log2FC	pct.1	pct.2	p_val_adj	Foldchange_UP	Foldchange_DOWN	Ratio_pct1_pct2
SELENOK	0,030598955	-0,077995816	0,812	0,395	1	0,947372818	1,055550656	2,055696203
FADS2	0,115570145	-0,078028671	0,125	0,051	1	0,947351243	1,055574695	2,450980392
CDV3	0,149055219	-0,078064725	0,438	0,25	1	0,947327569	1,055601075	1,752
GRIA3	0,480650464	-0,078064875	0	0,016	1	0,94732747	1,055601185	0
RPTOR	0,540537634	-0,07808398	0,031	0,016	1	0,947314925	1,055615164	1,9375
EIF3C	0,063925678	-0,078178748	0,094	0,027	1	0,9472527	1,055684507	3,481481481
ESAM	0,480650464	-0,078233433	0	0,016	1	0,947216796	1,055724523	0
CFAP91	0,480650464	-0,078237298	0	0,016	1	0,947214258	1,055727352	0
RBM24	0,38481627	-0,078276595	0	0,023	1	0,947188457	1,055756109	0
GGNBP2	0,03177037	-0,078278619	0,406	0,184	1	0,947187129	1,05575759	2,206521739
H4-16	0,428872689	-0,078289227	0	0,02	1	0,947180164	1,055765353	0
BTBD2	0,002185475	-0,078298747	0,25	0,07	1	0,947173914	1,055772319	3,571428571
ZNF649	0,004180266	-0,078314155	0,125	0,023	1	0,947163798	1,055783596	5,434782609
LSM6	0,030181651	-0,078333371	0,25	0,098	1	0,947151182	1,055797658	2,551020408
TOMM7	0,680787953	-0,078351234	0,781	0,625	1	0,947139455	1,055810731	1,2496
EOLA1	0,80991663	-0,0784409	0,031	0,023	1	0,947080591	1,055876353	1,347826087
SNAPC3	0,985101745	-0,078460286	0,031	0,031	1	0,947067865	1,055890541	1
NCSTN	0,010265241	-0,078493435	0,375	0,148	1	0,947046103	1,055914803	2,533783784
SLC12A7	0,480650464	-0,078503601	0	0,016	1	0,94703943	1,055922244	0
ZKSCAN8	0,480650464	-0,078515136	0	0,016	1	0,947031859	1,055930686	0
FANCL	0,096013629	-0,078660841	0,094	0,031	1	0,946936218	1,056037335	3,032258065
TRNAU1AP	0,106706178	-0,078678404	0,156	0,066	1	0,94692469	1,056050191	2,363636364
CDC42BPG	0,428872689	-0,078760864	0	0,02	1	0,946870568	1,056110554	0
RNFT1	0,224763613	-0,078768056	0,062	0,023	1	0,946865848	1,056115818	2,695652174
GSTT2B	0,116850675	-0,078781046	0,125	0,051	1	0,946857323	1,056125328	2,450980392
ZNF433	0,019236133	-0,078825179	0,094	0,02	1	0,946828358	1,056157636	4,7
ADPGK	0,004475279	-0,078916111	0,219	0,062	1	0,946768682	1,056224207	3,532258065
CLIP1	0,00356589	-0,078995651	0,375	0,133	1	0,946716485	1,056282441	2,819548872
CEP20	0,093753684	-0,079002773	0,125	0,047	1	0,946711812	1,056287655	2,659574468
MPHOSPH6	0,80991663	-0,079002812	0,031	0,023	1	0,946711786	1,056287684	1,347826087

Supplementary Table 1

Differentially expressed genes_adjacent-skin-XL_comparing SC-Keloid vs. (SC-Myel, SC-Nonmyel)								
gene	p_val	avg_log2FC	pct.1	pct.2	p_val_adj	Foldchange_UP	Foldchange_DOWN	Ratio_pct1_pct2
LYPLAL1	0,030583271	-0,079008225	0,188	0,066	1	0,946708234	1,056291648	2,848484848
TMEM62	0,682170546	-0,07902164	0,031	0,02	1	0,946699431	1,056301469	1,55
CAMSAP1	0,953848385	-0,079035762	0,062	0,059	1	0,946690164	1,056311809	1,050847458
IGF2R	0,000951976	-0,079052276	0,25	0,062	1	0,946679328	1,056323901	4,032258065
GALNT4	0,540537634	-0,079134263	0,031	0,016	1	0,94662553	1,056383932	1,9375
FAM185A	0,985101745	-0,079160514	0,031	0,031	1	0,946608306	1,056403154	1
THADA	0,540537634	-0,079266592	0,031	0,016	1	0,946538706	1,056480832	1,9375
WDR6	0,001195376	-0,079347365	0,281	0,078	1	0,946485714	1,056539983	3,602564103
S100P	0,543117005	-0,079400848	0	0,012	1	0,946450626	1,056579152	0
BTBD3	0,020165275	-0,079407656	0,156	0,047	1	0,94644616	1,056584138	3,319148936
NEPRO	0,009954827	-0,079431995	0,188	0,055	1	0,946430193	1,056601963	3,418181818
SS18L1	0,150155729	-0,079528854	0,062	0,02	1	0,946366655	1,056672902	3,1
LRRC57	0,379471368	-0,079534982	0,125	0,074	1	0,946362635	1,056677391	1,689189189
DDX19A	0,011750536	-0,079698497	0,219	0,07	1	0,94625538	1,056797162	3,128571429
LASP1	0,031172497	-0,079711069	0,219	0,082	1	0,946247134	1,056806371	2,670731707
TCEANC	0,543117005	-0,079765501	0	0,012	1	0,946211434	1,056846244	0
ZDBF2	0,134746241	-0,079832526	0,094	0,035	1	0,946167475	1,056895345	2,685714286
KLHL15	0,243596382	-0,079877346	0,094	0,043	1	0,946138081	1,05692818	2,186046512
SORT1	0,00732945	-0,079915763	0,312	0,109	1	0,946112887	1,056956324	2,862385321
NRF1	0,183526587	-0,079979931	0,094	0,039	1	0,946070807	1,057003337	2,41025641
SERPINB7	0,480650464	-0,080099583	0	0,016	1	0,945992347	1,057091005	0
LCTL	0,682170546	-0,080143174	0,031	0,02	1	0,945963764	1,057122945	1,55
CLHC1	0,013891036	-0,080152468	0,062	0,008	1	0,94595767	1,057129755	7,75
GM2A	0,979143607	-0,080207418	0,031	0,031	1	0,945921641	1,05717002	1
PPME1	0,361186003	-0,080227403	0,094	0,051	1	0,945908537	1,057184665	1,843137255
FEN1	0,063925678	-0,080318841	0,094	0,027	1	0,945848587	1,057251671	3,481481481
BACE2	0,000280868	-0,080350877	0,469	0,145	1	0,945827585	1,057275148	3,234482759
CCDC82	0,013950247	-0,080355115	0,469	0,203	1	0,945824806	1,057278254	2,310344828
P2RX4	0,191913299	-0,080375959	0,094	0,039	1	0,945811141	1,05729353	2,41025641
GALK2	0,126128812	-0,080402607	0,125	0,051	1	0,945793671	1,057313059	2,450980392

Supplementary Table 1

Differentially expressed genes_adjacent-skin-XL_comparing SC-Keloid vs. (SC-Myel, SC-Nonmyel)								
gene	p_val	avg_log2FC	pct.1	pct.2	p_val_adj	Foldchange_UP	Foldchange_DOWN	Ratio_pct1_pct2
ACVR2A	0,191913299	-0,080487169	0,094	0,039	1	0,945738236	1,057375034	2,41025641
CRNKL1	0,233614723	-0,080498911	0,156	0,082	1	0,945730539	1,05738364	1,902439024
CASKIN1	0,480650464	-0,080533101	0	0,016	1	0,945708127	1,057408699	0
IRAK3	0,480650464	-0,080627072	0	0,016	1	0,945646529	1,057477577	0
LATS2-AS1	0,543117005	-0,080637751	0	0,012	1	0,945639529	1,057485405	0
PITPNB	0,000238705	-0,080670847	0,562	0,18	1	0,945617836	1,057509664	3,122222222
ZNF549	0,543117005	-0,080737925	0	0,012	1	0,945573871	1,057558834	0
POU6F1	0,480650464	-0,080798842	0	0,016	1	0,945533945	1,05760349	0
RMRP	0,004180266	-0,080961287	0,125	0,023	1	0,945427486	1,05772258	5,434782609
MDN1	0,310355006	-0,080964824	0,094	0,047	1	0,945425168	1,057725174	2
ZNF181	0,38481627	-0,080977161	0	0,023	1	0,945417083	1,057734219	0
ALG10B	0,428872689	-0,081057902	0	0,02	1	0,945364174	1,057793417	0
PKHD1	0,480650464	-0,081142945	0	0,016	1	0,945308449	1,057855773	0
SMIM14	0,010944771	-0,081200264	0,312	0,117	1	0,945270893	1,057897802	2,666666667
ERRFI1	0,015740914	-0,081217617	0,188	0,059	1	0,945259523	1,057910527	3,186440678
SESN2	0,428872689	-0,081271237	0	0,02	1	0,945224391	1,057949847	0
HLF	0,803381388	-0,0813058	0,031	0,023	1	0,945201746	1,057975193	1,347826087
TCF20	0,243596382	-0,081329725	0,094	0,043	1	0,945186072	1,057992738	2,186046512
BRD3OS	0,480650464	-0,081344546	0	0,016	1	0,945176362	1,058003607	0
PPCDC	0,478627389	-0,081368067	0,062	0,035	1	0,945160952	1,058020857	1,771428571
RFX5	0,428872689	-0,081420591	0	0,02	1	0,945126542	1,058059376	0
GRK5	0,540537634	-0,081473632	0,031	0,016	1	0,945091795	1,058098277	1,9375
OXER1	0,543117005	-0,081481452	0	0,012	1	0,945086672	1,058104012	0
FKTN	0,30793671	-0,081490489	0,062	0,027	1	0,945080753	1,05811064	2,296296296
SLCO3A1	0,198962585	-0,081539695	0,125	0,059	1	0,945048519	1,05814673	2,118644068
POLA1	0,428872689	-0,081585726	0	0,02	1	0,945018367	1,058180492	0
MMS22L	0,087959196	-0,081624302	0,062	0,016	1	0,944993098	1,058208787	3,875
ZNF334	0,540537634	-0,081639479	0,031	0,016	1	0,944983158	1,058219919	1,9375
MTFMT	0,185597364	-0,081705278	0,094	0,039	1	0,944940059	1,058268184	2,41025641
TRMT44	0,543117005	-0,081740757	0	0,012	1	0,944916821	1,058294209	0

Supplementary Table 1

Differentially expressed genes_adjacent-skin-XL_ comparing SC-Keloid vs. (SC-Myel, SC-Nonmyel)								
gene	p_val	avg_log2FC	pct.1	pct.2	p_val_adj	Foldchange_UP	Foldchange_DOWN	Ratio_pct1_pct2
DPY19L3	0,020900593	-0,08174968	0,188	0,062	1	0,944910977	1,058300755	3,032258065
ZNF189	0,682170546	-0,081781172	0,031	0,02	1	0,944890351	1,058323856	1,55
MOB3A	0,045196862	-0,081939705	0,125	0,039	1	0,944786526	1,058440158	3,205128205
GYG1	0,00187651	-0,081952518	0,219	0,055	1	0,944778135	1,058449559	3,981818182
ZNF223	0,480650464	-0,082016355	0	0,016	1	0,944736331	1,058496394	0
MANBA	0,224763613	-0,082079205	0,062	0,023	1	0,944695175	1,058542508	2,695652174
PNMA6A	0,480650464	-0,082142444	0	0,016	1	0,944653766	1,058588909	0
LIMK2	0,80991663	-0,082300516	0,031	0,023	1	0,944550269	1,058704902	1,347826087
C17orf100	0,386325862	-0,082318298	0,031	0,012	1	0,944538627	1,058717951	2,583333333
EBF1	0,428872689	-0,082329891	0	0,02	1	0,944531037	1,058726458	0
NOP16	0,924392442	-0,082414677	0,031	0,027	1	0,944475529	1,058788681	1,148148148
UBE2E1	0,005526861	-0,082502431	0,25	0,078	1	0,944418082	1,058853085	3,205128205
ZFAT	0,480650464	-0,082527683	0	0,016	1	0,944401552	1,058871619	0
ARVCF	0,80991663	-0,082605841	0,031	0,023	1	0,94435039	1,058928985	1,347826087
NUDT17	0,540537634	-0,082628438	0,031	0,016	1	0,944335599	1,058945571	1,9375
TCP11L1	0,141661018	-0,082630409	0,094	0,035	1	0,944334309	1,058947018	2,685714286
ANKRD46	0,487085433	-0,082655742	0,062	0,035	1	0,944317727	1,058965612	1,771428571
FAM111A	0,000642175	-0,082664162	0,344	0,098	1	0,944312216	1,058971793	3,510204082
PAX3	0,12425419	-0,082774605	0,25	0,125	1	0,944239928	1,059052864	2
ADGRL1	0,037506898	-0,08282616	0,094	0,023	1	0,944206186	1,05909071	4,086956522
PCIF1	0,003101546	-0,082849894	0,219	0,059	1	0,944190653	1,059108133	3,711864407
MCM3AP	0,076632198	-0,082865903	0,156	0,062	1	0,944180176	1,059119886	2,516129032
JMJD4	0,540537634	-0,082970065	0,031	0,016	1	0,944112009	1,059196357	1,9375
CTIF	0,428872689	-0,083084723	0	0,02	1	0,944036978	1,05928054	0
ACTR5	0,480650464	-0,083148476	0	0,016	1	0,943995262	1,059327351	0
STEAP1B	0,162153727	-0,083216366	0,125	0,055	1	0,943950841	1,059377201	2,272727273
ZNF343	0,682170546	-0,083344822	0,031	0,02	1	0,943866796	1,059471531	1,55
TSPYL5	0,480650464	-0,083356736	0	0,016	1	0,943859002	1,05948028	0
KLK1	0,543117005	-0,083488116	0	0,012	1	0,943773053	1,059576767	0
ATP2B2	0,30793671	-0,083618077	0,062	0,027	1	0,943688039	1,05967222	2,296296296

Supplementary Table 1

Differentially expressed genes_adjacent-skin-XL_comparing SC-Keloid vs. (SC-Myel, SC-Nonmyel)								
gene	p_val	avg_log2FC	pct.1	pct.2	p_val_adj	Foldchange_UP	Foldchange_DOWN	Ratio_pct1_pct2
RBM26-AS1	0,428872689	-0,083708673	0	0,02	1	0,943628781	1,059738766	0
ZFAND4	0,480650464	-0,08371905	0	0,016	1	0,943621994	1,059746389	0
DNAJC18	0,141661018	-0,08379292	0,094	0,035	1	0,943573679	1,059800652	2,685714286
KATNA1	0,081753212	-0,083801649	0,156	0,062	1	0,94356797	1,059807064	2,516129032
PIDD1	0,428872689	-0,083852868	0	0,02	1	0,943534471	1,059844691	0
SMIM8	0,031413167	-0,083895353	0,156	0,051	1	0,943506686	1,059875902	3,058823529
MALSU1	0,033543351	-0,084020326	0,281	0,117	1	0,943424959	1,059967717	2,401709402
GRAMD1A	0,004584175	-0,084020414	0,281	0,09	1	0,943424902	1,059967781	3,122222222
PDZRN3	0,793660383	-0,084035603	0,125	0,105	1	0,943414969	1,059978941	1,19047619
ZNF337-AS1	0,480650464	-0,084049874	0	0,016	1	0,943405637	1,059989426	0
GALC	0,012579781	-0,084053765	0,156	0,043	1	0,943403092	1,059992286	3,627906977
VTI1A	0,392349482	-0,08408197	0,062	0,031	1	0,943384649	1,060013008	2
DDX20	0,224763613	-0,084104995	0,062	0,023	1	0,943369593	1,060029927	2,695652174
KLHL20	0,065070981	-0,084131252	0,125	0,043	1	0,943352424	1,060049219	2,906976744
MRPS30	0,191913299	-0,084166226	0,094	0,039	1	0,943329555	1,060074917	2,41025641
ZNF324	0,487085433	-0,08417386	0,062	0,035	1	0,943324564	1,060080526	1,771428571
HMBOX1	0,004241146	-0,084180152	0,281	0,09	1	0,94332045	1,06008515	3,122222222
RNF207	0,543117005	-0,084194871	0	0,012	1	0,943310825	1,060095965	0
ZNF789	0,675506228	-0,08429425	0,031	0,02	1	0,943245849	1,060168992	1,55
WDR5	0,000237136	-0,084303444	0,219	0,043	1	0,943239837	1,060175748	5,093023256
NDUFAF6	0,021379715	-0,084314367	0,156	0,047	1	0,943232695	1,060183775	3,319148936
ACADVL	0,032365765	-0,084344155	0,719	0,348	1	0,943213221	1,060205665	2,066091954
RIPPLY2	0,543117005	-0,084344505	0	0,012	1	0,943212991	1,060205923	0
PRICKLE3	0,924392442	-0,084345794	0,031	0,027	1	0,943212149	1,06020687	1,148148148
SLC29A4	0,428872689	-0,084378854	0	0,02	1	0,943190535	1,060231165	0
PABIR2	0,299332476	-0,08452178	0,094	0,047	1	0,943097099	1,060336206	2
TMEM50B	0,001247106	-0,084551719	0,531	0,195	1	0,943077528	1,060358211	2,723076923
SEC23IP	0,241162386	-0,08458392	0,094	0,043	1	0,943056479	1,060381878	2,186046512
MAGEH1	0,00455806	-0,08467241	0,406	0,152	1	0,942998637	1,06044692	2,671052632
CCZ1B	0,804543977	-0,084722482	0,031	0,039	1	0,942965908	1,060483727	0,794871795

Supplementary Table 1

Differentially expressed genes_adjacent-skin-XL_comparing SC-Keloid vs. (SC-Myel, SC-Nonmyel)								
gene	p_val	avg_log2FC	pct.1	pct.2	p_val_adj	Foldchange_UP	Foldchange_DOWN	Ratio_pct1_pct2
FRZB	0,543117005	-0,084776914	0	0,012	1	0,942930331	1,060523739	0
PRKCD	0,006461838	-0,084792083	0,188	0,051	1	0,942920417	1,060534889	3,68627451
POLR1C	0,141661018	-0,084796765	0,094	0,035	1	0,942917357	1,060538331	2,685714286
MSH6	0,869419867	-0,084824216	0,094	0,082	1	0,942899416	1,060558511	1,146341463
USF1	0,004180266	-0,084849624	0,125	0,023	1	0,94288281	1,060577189	5,434782609
PDIA2	0,428872689	-0,084920833	0	0,02	1	0,942836272	1,060629538	0
SLC41A3	0,010102949	-0,08498892	0,188	0,055	1	0,942791776	1,060679596	3,418181818
IGSF3	0,30793671	-0,085029853	0,062	0,027	1	0,942765028	1,06070969	2,296296296
NDRG3	0,077467066	-0,085037547	0,156	0,062	1	0,94276	1,060715347	2,516129032
FKRP	0,094667448	-0,085072795	0,094	0,031	1	0,942736966	1,060741263	3,032258065
TTC8	0,181472976	-0,08513374	0,094	0,039	1	0,942697142	1,060786073	2,41025641
MLH3	0,004107327	-0,085139881	0,156	0,035	1	0,942693129	1,060790589	4,457142857
PHAF1	0,428872689	-0,085143445	0	0,02	1	0,942690801	1,060793209	0
UBOX5	0,543117005	-0,085164594	0	0,012	1	0,942676982	1,06080876	0
SEL1L	0,013651996	-0,085276478	0,438	0,188	1	0,942603878	1,060891031	2,329787234
ASB8	0,030992783	-0,085298377	0,156	0,051	1	0,94258957	1,060907134	3,058823529
GRIA2	0,38481627	-0,085389803	0	0,023	1	0,942529839	1,060974368	0
WASF2	0,059010151	-0,085405192	0,656	0,348	1	0,942519785	1,060985685	1,885057471
CCDC173	0,480650464	-0,08543414	0	0,016	1	0,942500873	1,061006975	0
TOMM70	0,044149392	-0,085436566	0,188	0,07	1	0,942499288	1,061008759	2,685714286
UBE3C	0,0001347	-0,085512997	0,312	0,074	1	0,942449358	1,06106497	4,216216216
SYPL1	0,02802379	-0,085518241	0,656	0,324	1	0,942445932	1,061068827	2,024691358
SLX1A	0,386325862	-0,085531642	0,031	0,012	1	0,942437178	1,061078683	2,583333333
ARL17A	0,428872689	-0,085567069	0	0,02	1	0,942414036	1,061104739	0
PRKAA2	0,38481627	-0,085596444	0	0,023	1	0,942394847	1,061126346	0
FLNC	0,062914349	-0,085704598	0,094	0,027	1	0,942324202	1,061205897	3,481481481
IQCE	0,221757959	-0,085731646	0,062	0,023	1	0,942306535	1,061225794	2,695652174
NAGPA	0,569359326	-0,085745646	0,062	0,039	1	0,942297391	1,061236091	1,58974359
PAOX	0,226351275	-0,085805927	0,031	0,008	1	0,942258019	1,061280435	3,875
NPIP4	0,346686972	-0,085825752	0	0,027	1	0,942245071	1,061295018	0

Supplementary Table 1

Differentially expressed genes_adjacent-skin-XL_comparing SC-Keloid vs. (SC-Myel, SC-Nonmyel)								
gene	p_val	avg_log2FC	pct.1	pct.2	p_val_adj	Foldchange_UP	Foldchange_DOWN	Ratio_pct1_pct2
GRAMD2A	0,540537634	-0,085825916	0,031	0,016	1	0,942244964	1,061295139	1,9375
LINC01560	0,428872689	-0,085844284	0	0,02	1	0,942232968	1,061308651	0
IQCK	0,30793671	-0,085931412	0,062	0,027	1	0,942176065	1,061372749	2,296296296
ASNSD1	0,084415749	-0,085947287	0,156	0,062	1	0,942165698	1,061384428	2,516129032
KMT2D	0,979143607	-0,085983029	0,031	0,031	1	0,942142357	1,061410723	1
PDPN	0,028712073	-0,086031405	0,125	0,035	1	0,942110766	1,061446315	3,571428571
LIPA	0,000478083	-0,086050276	0,281	0,07	1	0,942098443	1,061460199	4,014285714
CCNE1	0,540537634	-0,086331717	0,031	0,016	1	0,941914676	1,061667289	1,9375
FOXP4	0,803745164	-0,086415826	0,062	0,051	1	0,941859764	1,061729186	1,215686275
TMEM140	0,38481627	-0,086442049	0	0,023	1	0,941842644	1,061748484	0
CPT1B	0,480650464	-0,086477401	0	0,016	1	0,941819566	1,061774502	0
LINC01136	0,543117005	-0,08655504	0	0,012	1	0,941768882	1,061831643	0
SMARCC2	0,036658896	-0,086642284	0,312	0,137	1	0,941711933	1,061895857	2,277372263
ZFHX2	0,428872689	-0,086643013	0	0,02	1	0,941711457	1,061896394	0
GTF3C2	0,016858455	-0,086685253	0,125	0,031	1	0,941683885	1,061927485	4,032258065
RANBP3	0,032268627	-0,086889972	0,156	0,051	1	0,94155027	1,062078183	3,058823529
RARB	0,480650464	-0,086950451	0	0,016	1	0,9415108	1,062122708	0
ZNF76	0,098751938	-0,086982294	0,094	0,031	1	0,941490019	1,062146151	3,032258065
SYTL4	0,487085433	-0,086993877	0,062	0,035	1	0,941482461	1,062154678	1,771428571
RFK	0,007632632	-0,08706945	0,219	0,066	1	0,941433144	1,062210319	3,318181818
TMC7	0,80991663	-0,08721337	0,031	0,023	1	0,941339233	1,062316288	1,347826087
SOX1-OT	0,38481627	-0,087222272	0	0,023	1	0,941333425	1,062322843	0
GON4L	0,138088965	-0,087232772	0,312	0,172	1	0,941326574	1,062330575	1,813953488
CFAP44	0,428872689	-0,087353156	0	0,02	1	0,941248029	1,062419223	0
DDX31	0,80991663	-0,087372351	0,031	0,023	1	0,941235506	1,062433359	1,347826087
GJB1	0,480650464	-0,087580032	0	0,016	1	0,941100022	1,062586311	0
PDLIM3	0,008622858	-0,087591443	0,406	0,168	1	0,941092578	1,062594715	2,416666667
LPCAT4	0,141661018	-0,087593451	0,094	0,035	1	0,941091268	1,062596194	2,685714286
PTBP3	0,011597498	-0,08759551	0,219	0,07	1	0,941089925	1,062597711	3,128571429
SIRT3	0,087959196	-0,087613135	0,062	0,016	1	0,941078428	1,062610693	3,875

Supplementary Table 1

Differentially expressed genes_adjacent-skin-XL_ comparing SC-Keloid vs. (SC-Myel, SC-Nonmyel)								
gene	p_val	avg_log2FC	pct.1	pct.2	p_val_adj	Foldchange_UP	Foldchange_DOWN	Ratio_pct1_pct2
F2RL2	0,480650464	-0,08761628	0	0,016	1	0,941076376	1,062613009	0
NGLY1	0,003791564	-0,087641626	0,188	0,047	1	0,941059844	1,062631677	4
GCN1	0,020463101	-0,087666877	0,156	0,047	1	0,941043373	1,062650276	3,319148936
HDX	0,682170546	-0,08767791	0,031	0,02	1	0,941036176	1,062658403	1,55
PHOSPHO2	0,480650464	-0,08771295	0	0,016	1	0,94101332	1,062684213	0
EXOSC3	0,887104347	-0,087728171	0,031	0,035	1	0,941003392	1,062695425	0,885714286
GCH1	0,38481627	-0,087744568	0	0,023	1	0,940992697	1,062707504	0
EFNA3	0,087959196	-0,087775833	0,062	0,016	1	0,940972305	1,062730534	3,875
PEX14	0,063925678	-0,087839989	0,094	0,027	1	0,940930461	1,062777794	3,481481481
SPTB	0,543117005	-0,087883463	0	0,012	1	0,940902108	1,06280982	0
ZNF383	0,898329199	-0,087927451	0,031	0,035	1	0,94087342	1,062842225	0,885714286
CDC14A	0,150155729	-0,088001893	0,062	0,02	1	0,940824873	1,062897069	3,1
ROBO1	0,141661018	-0,088025726	0,094	0,035	1	0,940809331	1,062914628	2,685714286
ZEB2-AS1	0,985101745	-0,088053723	0,031	0,031	1	0,940791074	1,062935255	1
MFSD6	0,019236133	-0,088116002	0,094	0,02	1	0,940750462	1,062981142	4,7
LAMB3	0,80991663	-0,088167298	0,031	0,023	1	0,940717013	1,063018937	1,347826087
AP5Z1	0,028712073	-0,088167884	0,125	0,035	1	0,940716632	1,063019369	3,571428571
RWDD2B	0,682170546	-0,08825566	0,031	0,02	1	0,940659398	1,063084047	1,55
CDK8	0,027811527	-0,088358948	0,125	0,035	1	0,940592056	1,06316016	3,571428571
PRR4	0,682170546	-0,088399351	0,031	0,02	1	0,940565715	1,063189934	1,55
YDJC	0,540537634	-0,088399776	0,031	0,016	1	0,940565437	1,063190247	1,9375
KCNK1	0,480650464	-0,088430319	0	0,016	1	0,940545525	1,063212756	0
BUD13	7,15271E-05	-0,088553305	0,188	0,027	1	0,940465349	1,063303396	6,962962963
MIR155HG	0,480650464	-0,088553807	0	0,016	1	0,940465022	1,063303766	0
TRIM39	0,80991663	-0,088610852	0,031	0,023	1	0,940427837	1,06334581	1,347826087
LARP6	0,006112579	-0,088623158	0,281	0,094	1	0,940419815	1,063354881	2,989361702
NHEJ1	0,682170546	-0,088639817	0,031	0,02	1	0,940408956	1,063367159	1,55
THNSL2	0,006360213	-0,088706209	0,188	0,051	1	0,94036568	1,063416096	3,68627451
FAM161B	0,682170546	-0,088746977	0,031	0,02	1	0,940339107	1,063446147	1,55
PRXL2B	0,020165275	-0,088784325	0,156	0,047	1	0,940314764	1,063473677	3,319148936

Supplementary Table 1

Differentially expressed genes_adjacent-skin-XL_comparing SC-Keloid vs. (SC-Myel, SC-Nonmyel)								
gene	p_val	avg_log2FC	pct.1	pct.2	p_val_adj	Foldchange_UP	Foldchange_DOWN	Ratio_pct1_pct2
OAF	0,000191716	-0,088832959	0,469	0,145	1	0,940283066	1,063509528	3,234482759
LYSMD3	0,015740914	-0,088851773	0,188	0,059	1	0,940270804	1,063523398	3,186440678
SDHAF1	0,056601693	-0,08907061	0,188	0,074	1	0,940128188	1,063684732	2,540540541
SLC9A1	0,682170546	-0,089112702	0,031	0,02	1	0,94010076	1,063715766	1,55
HCFC1	0,033260329	-0,089134074	0,188	0,066	1	0,940086833	1,063731524	2,848484848
FGGY	0,396289917	-0,089175626	0,062	0,031	1	0,940059757	1,063762162	2
USP21	0,543117005	-0,089246895	0	0,012	1	0,94001332	1,063814712	0
PPWD1	0,06592651	-0,089296158	0,125	0,043	1	0,939981222	1,063851039	2,906976744
TSNARE1	0,428872689	-0,089296648	0	0,02	1	0,939980903	1,0638514	0
GATD3A	0,924392442	-0,089504913	0,031	0,027	1	0,939845219	1,064004987	1,148148148
GDF11	0,031413167	-0,08953786	0,156	0,051	1	0,939823756	1,064029286	3,058823529
ITIH3	0,428872689	-0,089585391	0	0,02	1	0,939792793	1,064064342	0
ZNF436-AS1	0,887104347	-0,089604705	0,031	0,035	1	0,939780211	1,064078588	0,885714286
TMEM88	0,480650464	-0,089735118	0	0,016	1	0,939695263	1,06417478	0
ZNF8	0,428872689	-0,089783436	0	0,02	1	0,939663792	1,064210421	0
SAMD9	0,30793671	-0,089816303	0,062	0,027	1	0,939642385	1,064234666	2,296296296
ST6GALNAC5	0,458984864	-0,089823187	0,031	0,066	1	0,939637902	1,064239744	0,46969697
MTARC1	0,480650464	-0,089857604	0	0,016	1	0,939615486	1,064265133	0
GTPBP4	0,021727091	-0,089866282	0,219	0,078	1	0,939609834	1,064271534	2,807692308
TTL9	0,428872689	-0,089872461	0	0,02	1	0,93960581	1,064276093	0
SCNM1	0,163771487	-0,089901435	0,125	0,055	1	0,93958694	1,064297467	2,272727273
ASAP1	0,001026737	-0,089913649	0,312	0,09	1	0,939578985	1,064306478	3,466666667
ZNF595	0,480650464	-0,08991465	0	0,016	1	0,939578333	1,064307216	0
CLEC16A	0,38481627	-0,089938157	0	0,023	1	0,939563024	1,064324558	0
ZNF57	0,924392442	-0,08993937	0,031	0,027	1	0,939562234	1,064325453	1,148148148
NUBPL	0,682170546	-0,089969223	0,031	0,02	1	0,939542792	1,064347477	1,55
NUP214	0,409924554	-0,090013805	0,094	0,055	1	0,939513759	1,064380367	1,709090909
RRN3	0,633153567	-0,09007477	0,031	0,051	1	0,939474058	1,064425347	0,607843137
RSAD2	0,543117005	-0,090107958	0	0,012	1	0,939452447	1,0644449833	0
AURKB	0,979143607	-0,090113795	0,031	0,031	1	0,939448646	1,06445414	1

Supplementary Table 1

Differentially expressed genes_adjacent-skin-XL_ comparing SC-Keloid vs. (SC-Myel, SC-Nonmyel)								
gene	p_val	avg_log2FC	pct.1	pct.2	p_val_adj	Foldchange_UP	Foldchange_DOWN	Ratio_pct1_pct2
NCOA3	0,073703017	-0,090129028	0,281	0,133	1	0,939438726	1,064465379	2,112781955
UBE2QL1	0,543117005	-0,090154501	0	0,012	1	0,939422139	1,064484174	0
S100A7	0,428872689	-0,090178025	0	0,02	1	0,939406821	1,064501532	0
MCM6	0,480650464	-0,090337764	0	0,016	1	0,939302814	1,064619402	0
PTPN4	0,008956837	-0,090451525	0,125	0,027	1	0,93922875	1,064703354	4,62962963
SERGEF	0,279554151	-0,090531115	0,125	0,066	1	0,939176936	1,064762093	1,893939394
ZC3H8	0,141661018	-0,090538725	0,094	0,035	1	0,939171982	1,06476771	2,685714286
SETD4	0,352307957	-0,09058456	0,094	0,051	1	0,939142145	1,064801538	1,843137255
ABTB1	0,355251835	-0,090638781	0,094	0,051	1	0,939106849	1,064841557	1,843137255
GNAZ	0,480650464	-0,090639554	0	0,016	1	0,939106347	1,064842128	0
ALG10	0,80991663	-0,090697274	0,031	0,023	1	0,939068775	1,064884731	1,347826087
FCF1	0,044552052	-0,090721167	0,125	0,039	1	0,939053223	1,064902367	3,205128205
CCT6B	0,008148126	-0,090738788	0,094	0,016	1	0,939041753	1,064915374	5,875
RAB5A	0,009784256	-0,090774705	0,5	0,211	1	0,939018375	1,064941887	2,369668246
FMC1	0,001797983	-0,090804817	0,406	0,137	1	0,938998776	1,064964114	2,96350365
APBA1	0,30793671	-0,090885848	0,062	0,027	1	0,938946038	1,065023931	2,296296296
TBC1D22B	0,540537634	-0,090904757	0,031	0,016	1	0,938933731	1,06503789	1,9375
CTR9	0,24851603	-0,09095277	0,094	0,043	1	0,938902484	1,065073335	2,186046512
RSKR	0,480650464	-0,091022171	0	0,016	1	0,938857319	1,065124572	0
PRDX2	0,015844528	-0,091070952	0,438	0,184	1	0,938825574	1,065160587	2,380434783
DUS3L	0,578217897	-0,091094011	0,062	0,039	1	0,938810569	1,065177612	1,58974359
TEPSIN	0,80991663	-0,091193225	0,031	0,023	1	0,938746009	1,065250867	1,347826087
HPS3	0,191913299	-0,091206912	0,094	0,039	1	0,938737104	1,065260972	2,41025641
PPP1R1C	0,346686972	-0,091272335	0	0,027	1	0,938694535	1,065309281	0
NLRC5	0,682170546	-0,091303744	0,031	0,02	1	0,938674099	1,065332474	1,55
PAQR3	0,198962585	-0,091309432	0,125	0,059	1	0,938670398	1,065336674	2,118644068
RFNG	0,019958062	-0,09131923	0,312	0,125	1	0,938664023	1,065343909	2,496
CORO7	0,794711529	-0,091453834	0,062	0,051	1	0,93857645	1,065443311	1,215686275
ZNF646	0,543117005	-0,091477233	0	0,012	1	0,938561227	1,065460592	0
SPATA7	0,150155729	-0,091491694	0,062	0,02	1	0,938551819	1,065471271	3,1

Supplementary Table 1

Differentially expressed genes_adjacent-skin-XL_ comparing SC-Keloid vs. (SC-Myel, SC-Nonmyel)								
gene	p_val	avg_log2FC	pct.1	pct.2	p_val_adj	Foldchange_UP	Foldchange_DOWN	Ratio_pct1_pct2
ARHGEF9	0,351727998	-0,091605083	0,125	0,07	1	0,938478056	1,065555015	1,785714286
STRIP2	0,543117005	-0,091643178	0	0,012	1	0,938453275	1,065583153	0
CCDC122	0,979143607	-0,091678626	0,031	0,031	1	0,938430217	1,065609335	1
MTERF2	0,191913299	-0,091701467	0,094	0,039	1	0,93841536	1,065626206	2,41025641
COPS3	0,006012768	-0,091756346	0,344	0,121	1	0,938379664	1,065666742	2,842975207
TLCD2	0,428872689	-0,091768038	0	0,02	1	0,938372059	1,065675379	0
UBALD1	0,004895615	-0,091788751	0,219	0,062	1	0,938358587	1,065690679	3,532258065
PRR3	0,396289917	-0,091821295	0,062	0,031	1	0,93833742	1,065714719	2
AZ12	0,004409647	-0,091837077	0,281	0,09	1	0,938327155	1,065726377	3,122222222
C2CD2	0,224763613	-0,091853008	0,062	0,023	1	0,938316794	1,065738146	2,695652174
MYO1G	0,543117005	-0,091872568	0	0,012	1	0,938304073	1,065752595	0
WWC2	0,01489812	-0,09189341	0,188	0,059	1	0,938290517	1,065767992	3,186440678
ZBTB18	0,38481627	-0,091909267	0	0,023	1	0,938280205	1,065779705	0
LRIF1	0,141661018	-0,092044023	0,094	0,035	1	0,938192567	1,065879261	2,685714286
LRRC69	0,480650464	-0,09213213	0	0,016	1	0,938135273	1,065944356	0
CHCHD7	0,007958785	-0,092164526	0,219	0,066	1	0,938114207	1,065968293	3,318181818
TKFC	0,80991663	-0,092203011	0,031	0,023	1	0,938089183	1,065996729	1,347826087
GPRC5B	0,428872689	-0,09221424	0	0,02	1	0,938081881	1,066005026	0
CSTF3	0,012380103	-0,092346514	0,156	0,043	1	0,937995877	1,066102767	3,627906977
FAM117B	0,480650464	-0,092476508	0	0,016	1	0,937911363	1,066198833	0
CLDN1	0,540537634	-0,092533613	0,031	0,016	1	0,937874239	1,066241036	1,9375
RTN4RL2	0,428872689	-0,092559389	0	0,02	1	0,937857482	1,066260086	0
FRMD1	0,38481627	-0,092611593	0	0,023	1	0,937823546	1,06629867	0
MIR22HG	0,067638227	-0,092626524	0,188	0,078	1	0,937813841	1,066309705	2,41025641
SCARF2	0,428872689	-0,092658212	0	0,02	1	0,937793242	1,066333126	0
GSAP	0,80991663	-0,092662484	0,031	0,023	1	0,937790465	1,066336284	1,347826087
QPRT	0,924392442	-0,092723612	0,031	0,027	1	0,937750731	1,066381466	1,148148148
PISD	0,063925678	-0,092836165	0,094	0,027	1	0,937677574	1,066464665	3,481481481
KLHDC9	0,480650464	-0,092853055	0	0,016	1	0,937666597	1,06647715	0
CHST6	0,682170546	-0,092998347	0,031	0,02	1	0,937572171	1,066584559	1,55

Supplementary Table 1

Differentially expressed genes_adjacent-skin-XL_comparing SC-Keloid vs. (SC-Myel, SC-Nonmyel)								
gene	p_val	avg_log2FC	pct.1	pct.2	p_val_adj	Foldchange_UP	Foldchange_DOWN	Ratio_pct1_pct2
MIOS	0,06592651	-0,093034259	0,125	0,043	1	0,937548833	1,066611109	2,906976744
RAB2B	0,737388712	-0,093143075	0,062	0,047	1	0,93747812	1,066691562	1,319148936
ZNF263	0,641781411	-0,093169767	0,031	0,051	1	0,937460776	1,066711297	0,607843137
SH3PXD2A	0,031803489	-0,093193662	0,625	0,324	1	0,937445249	1,066728965	1,929012346
TTC9C	0,139907281	-0,093227828	0,094	0,035	1	0,937423048	1,066754228	2,685714286
TELO2	0,304406192	-0,093282365	0,062	0,027	1	0,937387613	1,066794554	2,296296296
TSPAN7	0,663576959	-0,093292999	0,062	0,043	1	0,937380703	1,066802417	1,441860465
PRDM4	0,755689148	-0,093353578	0,062	0,047	1	0,937341343	1,066847213	1,319148936
NFYC	0,01158477	-0,093429521	0,25	0,086	1	0,937292003	1,066903374	2,906976744
PCDHGB7	0,386325862	-0,09344237	0,031	0,012	1	0,937283655	1,066912876	2,583333333
RABL2A	0,478627389	-0,093443661	0,062	0,035	1	0,937282816	1,066913831	1,771428571
CTDSPL	0,00660872	-0,093470655	0,312	0,109	1	0,937265279	1,066933793	2,862385321
FBXO46	0,428872689	-0,093470747	0	0,02	1	0,93726522	1,066933861	0
SNRNP35	0,24851603	-0,093486859	0,094	0,043	1	0,937254753	1,066945777	2,186046512
CCDC191	0,80991663	-0,09354217	0,031	0,023	1	0,93721882	1,066986683	1,347826087
SEC14L5	0,38481627	-0,093547657	0	0,023	1	0,937215255	1,066990741	0
ZMAT5	0,00187651	-0,093558738	0,219	0,055	1	0,937208057	1,066998936	3,981818182
MAN2A1	0,021653988	-0,093587707	0,25	0,094	1	0,937189238	1,067020362	2,659574468
DMTN	0,480650464	-0,093588049	0	0,016	1	0,937189016	1,067020615	0
CDHR1	0,543117005	-0,093643266	0	0,012	1	0,937153147	1,067061454	0
PLIN2	0,927044416	-0,093655869	0,062	0,066	1	0,93714496	1,067070776	0,939393939
THAP7-AS1	0,30793671	-0,093657381	0,062	0,027	1	0,937143979	1,067071894	2,296296296
CAVIN2	0,428872689	-0,093710049	0	0,02	1	0,937109767	1,06711085	0
TMEM191C	0,480650464	-0,093729408	0	0,016	1	0,937097193	1,067125169	0
PELP1	0,002053304	-0,093757325	0,156	0,031	1	0,937079059	1,067145819	5,032258065
POLL	0,236345884	-0,093800303	0,094	0,043	1	0,937051144	1,06717761	2,186046512
NPFFR1	0,543117005	-0,093806819	0	0,012	1	0,937046912	1,06718243	0
FIG4	0,746521062	-0,094064933	0,062	0,047	1	0,936879279	1,067373378	1,319148936
CMTM4	0,480650464	-0,094075209	0	0,016	1	0,936872605	1,06738098	0
GKAP1	0,979143607	-0,094088889	0,031	0,031	1	0,936863722	1,067391101	1

Supplementary Table 1

Differentially expressed genes_adjacent-skin-XL_comparing SC-Keloid vs. (SC-Myel, SC-Nonmyel)								
gene	p_val	avg_log2FC	pct.1	pct.2	p_val_adj	Foldchange_UP	Foldchange_DOWN	Ratio_pct1_pct2
DDX39A	0,005265092	-0,09409083	0,375	0,137	1	0,936862461	1,067392537	2,737226277
C2orf92	0,540537634	-0,094135877	0,031	0,016	1	0,936833209	1,067425866	1,9375
USP3	0,654515972	-0,094258236	0,062	0,043	1	0,936753757	1,067516402	1,441860465
SSX2IP	0,386325862	-0,094260903	0,031	0,012	1	0,936752025	1,067518375	2,583333333
IFT172	0,80991663	-0,094297407	0,031	0,023	1	0,936728323	1,067545386	1,347826087
RAE1	0,00372725	-0,09430568	0,188	0,047	1	0,936722952	1,067551508	4
ZNF14	0,428872689	-0,094439563	0	0,02	1	0,936636028	1,067650582	0
SLC38A9	0,428872689	-0,094504247	0	0,02	1	0,936594034	1,067698452	0
FAM228B	0,264732918	-0,094514961	0,156	0,086	1	0,936587079	1,067706381	1,813953488
ATL3	0,000702579	-0,094675863	0,375	0,113	1	0,936482627	1,067825468	3,318584071
KCND1	0,386325862	-0,094707134	0,031	0,012	1	0,936462329	1,067848614	2,583333333
LETM1	0,002540231	-0,094725431	0,25	0,07	1	0,936450453	1,067862156	3,571428571
TRMT9B	0,803381388	-0,094772912	0,031	0,023	1	0,936419633	1,067897302	1,347826087
PPP1R13B	0,682170546	-0,094814617	0,031	0,02	1	0,936392564	1,067928173	1,55
SEPTIN3	0,38481627	-0,095021196	0	0,023	1	0,936258492	1,0680811	0
HES6	0,011438702	-0,095043492	0,281	0,102	1	0,936244023	1,068097606	2,754901961
E2F6	0,141661018	-0,095130711	0,094	0,035	1	0,936187423	1,068162181	2,685714286
CDC20B	0,588139692	-0,095212991	0,094	0,066	1	0,936134032	1,068223103	1,424242424
C2CD2L	0,150155729	-0,095235429	0,062	0,02	1	0,936119472	1,068239717	3,1
ZNF441	0,30793671	-0,09523618	0,062	0,027	1	0,936118985	1,068240272	2,296296296
IQCC	0,543117005	-0,095240893	0	0,012	1	0,936115927	1,068243762	0
SHC2	0,38481627	-0,095285744	0	0,023	1	0,936086825	1,068276973	0
STAT6	0,841804635	-0,095321335	0,094	0,105	1	0,936063732	1,068303327	0,895238095
CSTF1	0,224763613	-0,09534086	0,062	0,023	1	0,936051064	1,068317786	2,695652174
TMEM120B	0,346686972	-0,09542148	0	0,027	1	0,935998758	1,068377486	0
MRAS	0,246047587	-0,095445777	0,094	0,043	1	0,935982994	1,068395479	2,186046512
DCAF6	0,46012646	-0,095490604	0,156	0,105	1	0,935953912	1,068428677	1,485714286
PYGO1	0,918113127	-0,095633022	0,031	0,027	1	0,935861522	1,068534154	1,148148148
IDH3G	0,000101021	-0,095636248	0,469	0,133	1	0,93585943	1,068536543	3,526315789
PDE8A	0,000957468	-0,095744295	0,375	0,117	1	0,935789343	1,068616572	3,205128205

Supplementary Table 1

Differentially expressed genes_adjacent-skin-XL_ comparing SC-Keloid vs. (SC-Myel, SC-Nonmyel)								
gene	p_val	avg_log2FC	pct.1	pct.2	p_val_adj	Foldchange_UP	Foldchange_DOWN	Ratio_pct1_pct2
SRCAP	0,958239549	-0,095744882	0,062	0,059	1	0,935788963	1,068617006	1,050847458
FAM83H	0,428872689	-0,095822509	0	0,02	1	0,935738612	1,068674507	0
BSDC1	0,077284458	-0,095939235	0,281	0,133	1	0,935662906	1,068760975	2,112781955
MPV17L	0,428872689	-0,095955689	0	0,02	1	0,935652235	1,068773164	0
NBPF14	0,428872689	-0,095966394	0	0,02	1	0,935645292	1,068781095	0
NCOA5	0,396289917	-0,095981876	0,062	0,031	1	0,935635251	1,068792565	2
CCDC81	0,543117005	-0,096068342	0	0,012	1	0,935579178	1,068856623	0
RTL10	0,80991663	-0,096136863	0,031	0,023	1	0,935534743	1,06890739	1,347826087
RINT1	0,979143607	-0,096201943	0,031	0,031	1	0,935492542	1,068955609	1
BIVM	0,307936041	-0,096260007	0,062	0,027	1	0,935454892	1,068998632	2,296296296
CEP152	0,808271912	-0,096405186	0,062	0,051	1	0,935360762	1,069106211	1,215686275
SGPL1	0,130767324	-0,096407868	0,156	0,07	1	0,935359023	1,069108199	2,228571429
PHF21A	0,309574808	-0,096413362	0,156	0,09	1	0,935355461	1,06911227	1,733333333
HEATR6	0,979143607	-0,09641512	0,031	0,031	1	0,935354321	1,069113573	1
CTDSPL2	0,055416701	-0,096506899	0,188	0,074	1	0,935294819	1,069181588	2,540540541
CHAC1	0,428872689	-0,096749038	0	0,02	1	0,935137854	1,069361052	0
ELOVL7	0,38481627	-0,096865349	0	0,023	1	0,935062466	1,069447268	0
ZBTB4	0,092820674	-0,096880909	0,188	0,082	1	0,935052381	1,069458803	2,292682927
CA11	0,090467775	-0,096918588	0,125	0,047	1	0,935027961	1,069486734	2,659574468
PTPRU	0,592641159	-0,096922816	0,031	0,055	1	0,93502522	1,069489869	0,563636364
SMIM13	0,158804529	-0,096961398	0,156	0,074	1	0,935000215	1,069518471	2,108108108
MEMO1	0,924392442	-0,09697894	0,031	0,027	1	0,934988846	1,069531475	1,148148148
ZBTB7B	0,578217897	-0,097053153	0,062	0,039	1	0,934940751	1,069586494	1,58974359
MUTYH	0,241007682	-0,097058588	0,125	0,062	1	0,934937229	1,069590523	2,016129032
WWC3	0,107772109	-0,097118409	0,156	0,066	1	0,934898463	1,069634874	2,363636364
AGL	0,478627389	-0,097149302	0,062	0,035	1	0,934878444	1,069657779	1,771428571
IPP	0,138170297	-0,09714986	0,094	0,035	1	0,934878082	1,069658193	2,685714286
ASXL3	0,543117005	-0,097194341	0	0,012	1	0,934849259	1,069691173	0
COX7A1	0,025744792	-0,097202514	0,406	0,18	1	0,934843963	1,069697233	2,255555556
B3GAT1	0,979143607	-0,097257547	0,031	0,031	1	0,934808303	1,069738038	1

Supplementary Table 1

Differentially expressed genes_adjacent-skin-XL_ comparing SC-Keloid vs. (SC-Myel, SC-Nonmyel)								
gene	p_val	avg_log2FC	pct.1	pct.2	p_val_adj	Foldchange_UP	Foldchange_DOWN	Ratio_pct1_pct2
KANK3	0,38481627	-0,097340841	0	0,023	1	0,934754333	1,069799801	0
LRP5	0,803381388	-0,097436912	0,031	0,023	1	0,934692089	1,069871043	1,347826087
HMGGA2	0,480650464	-0,097449487	0	0,016	1	0,934683942	1,069880369	0
ZNF28	0,041848356	-0,097482259	0,062	0,012	1	0,93466271	1,069904672	5,166666667
HMGCR	0,246047587	-0,097504272	0,094	0,043	1	0,934648448	1,069920997	2,186046512
CCL19	0,543117005	-0,097522925	0	0,012	1	0,934636364	1,069934831	0
CBFA2T2	0,482846351	-0,097563963	0,062	0,035	1	0,934609779	1,069965265	1,771428571
LUM	0,428872689	-0,097587648	0	0,02	1	0,934594435	1,069982832	0
RBSN	0,361186003	-0,097623204	0,094	0,051	1	0,934571402	1,070009202	1,843137255
H2AC19	0,428872689	-0,097640323	0	0,02	1	0,934560313	1,070021899	0
ZC3H14	0,315872824	-0,097656675	0,156	0,09	1	0,934549719	1,070034027	1,733333333
C18orf25	0,425948605	-0,097674821	0,125	0,078	1	0,934537965	1,070047486	1,602564103
GMCL1	0,133225265	-0,097702767	0,156	0,07	1	0,934519863	1,070068214	2,228571429
WASF1	0,38481627	-0,097777807	0	0,023	1	0,934471256	1,070123873	0
RABL2B	0,30206331	-0,097789066	0,094	0,047	1	0,934463963	1,070132225	2
NXT2	0,924392442	-0,097827736	0,031	0,027	1	0,934438916	1,070160909	1,148148148
KRI1	0,139907281	-0,097865999	0,094	0,035	1	0,934414133	1,070189292	2,685714286
LINC01588	0,396289917	-0,097883059	0,062	0,031	1	0,934403084	1,070201947	2
RGS5	0,543117005	-0,097920128	0	0,012	1	0,934379075	1,070229446	0
AKT3	0,008008107	-0,097936513	0,375	0,141	1	0,934368464	1,0702416	2,659574468
NKAP	0,000524333	-0,097945201	0,344	0,098	1	0,934362837	1,070248046	3,510204082
AP3S2	0,432193743	-0,097953156	0,094	0,055	1	0,934357685	1,070253947	1,709090909
MSLN	0,543117005	-0,097986561	0	0,012	1	0,93433605	1,070278729	0
BCL9L	0,335252921	-0,097990129	0,156	0,094	1	0,934333739	1,070281376	1,659574468
TRIO	0,028002326	-0,098009762	0,281	0,113	1	0,934321025	1,07029594	2,486725664
ZHX3	0,682170546	-0,098058071	0,031	0,02	1	0,93428974	1,07033178	1,55
CDH15	0,428872689	-0,098061755	0	0,02	1	0,934287353	1,070334514	0
FHIP2A	0,392349482	-0,098081539	0,062	0,031	1	0,934274541	1,070349191	2
KLHL17	0,224763613	-0,098082367	0,062	0,023	1	0,934274005	1,070349806	2,695652174
NFKBIE	0,031707035	-0,098101759	0,188	0,066	1	0,934261447	1,070364193	2,848484848

Supplementary Table 1

Differentially expressed genes_adjacent-skin-XL_comparing SC-Keloid vs. (SC-Myel, SC-Nonmyel)								
gene	p_val	avg_log2FC	pct.1	pct.2	p_val_adj	Foldchange_UP	Foldchange_DOWN	Ratio_pct1_pct2
EMG1	0,012303637	-0,098147292	0,25	0,086	1	0,934231962	1,070397975	2,906976744
TOM1	0,251411476	-0,098186116	0,125	0,062	1	0,934206821	1,070426781	2,016129032
FLOT2	0,186547601	-0,098187573	0,156	0,078	1	0,934205877	1,070427862	2
MPP1	0,80991663	-0,098196538	0,031	0,023	1	0,934200072	1,070434514	1,347826087
PIGS	0,054252457	-0,098220389	0,188	0,074	1	0,934184628	1,070452211	2,540540541
AGK	0,001055584	-0,098224954	0,188	0,039	1	0,934181672	1,070455597	4,820512821
NKRF	0,80991663	-0,098258483	0,031	0,023	1	0,934159962	1,070480475	1,347826087
NLRP1	0,045196862	-0,098269491	0,125	0,039	1	0,934152834	1,070488644	3,205128205
PAPOLG	0,979143607	-0,098287011	0,031	0,031	1	0,934141489	1,070501644	1
PARG	0,098751938	-0,098308736	0,094	0,031	1	0,934127423	1,070517764	3,032258065
GSN	0,19131494	-0,098327394	0,938	0,766	1	0,934115342	1,070531609	1,224543081
STK40	0,253529282	-0,098507127	0,125	0,062	1	0,933998976	1,070664986	2,016129032
LMTK2	0,38481627	-0,0985773	0	0,023	1	0,933953547	1,070717065	0
KCTD1	0,797009215	-0,098580031	0,062	0,074	1	0,933951779	1,070719091	0,837837838
RIPOR1	0,010903421	-0,098635022	0,25	0,086	1	0,93391618	1,070759905	2,906976744
MET	0,487085433	-0,098640943	0,062	0,035	1	0,933912347	1,070764299	1,771428571
DICER1-AS1	0,924392442	-0,098655834	0,031	0,027	1	0,933902708	1,070775351	1,148148148
AARS2	0,226351275	-0,098655853	0,031	0,008	1	0,933902696	1,070775365	3,875
LRRC40	0,045196862	-0,098694826	0,125	0,039	1	0,933877468	1,070804291	3,205128205
VPS9D1	0,304810673	-0,098744663	0,094	0,047	1	0,933845208	1,070841282	2
LSAMP	0,010737013	-0,098757551	0,438	0,184	1	0,933836866	1,070850848	2,380434783
PILRB	0,101501297	-0,098854057	0,156	0,066	1	0,933774401	1,070922483	2,363636364
KLK6	0,815054348	-0,098930938	0,031	0,039	1	0,933724641	1,070979554	0,794871795
TXNDC5	0,006092904	-0,098937245	0,312	0,109	1	0,933720559	1,070984236	2,862385321
DOCK11	0,428872689	-0,098946656	0	0,02	1	0,933714469	1,070991222	0
PLEKHM1	0,815054348	-0,09907121	0,031	0,039	1	0,933633861	1,071083689	0,794871795
PHKA1	0,543117005	-0,099253898	0	0,012	1	0,933515642	1,071219329	0
DNHD1	0,480650464	-0,099299188	0	0,016	1	0,933486337	1,071252958	0
ANKRD20A1	0,428872689	-0,099352317	0	0,02	1	0,933451961	1,071292409	0
AC008914.1	0,480650464	-0,099370949	0	0,016	1	0,933439906	1,071306244	0

Supplementary Table 1

Differentially expressed genes_adjacent-skin-XL_comparing SC-Keloid vs. (SC-Myel, SC-Nonmyel)								
gene	p_val	avg_log2FC	pct.1	pct.2	p_val_adj	Foldchange_UP	Foldchange_DOWN	Ratio_pct1_pct2
IL20RB	0,38481627	-0,099371378	0	0,023	1	0,933439628	1,071306563	0
AL627171.1	0,924392442	-0,099467357	0,031	0,027	1	0,933377531	1,071377837	1,148148148
PPP2R5C	0,003190249	-0,099555749	0,312	0,102	1	0,933320346	1,071443481	3,058823529
DHX8	0,093753684	-0,099625366	0,125	0,047	1	0,93327531	1,071495184	2,659574468
MED9	0,480650464	-0,099654783	0	0,016	1	0,93325628	1,071517032	0
PI4K2A	0,198962585	-0,099671604	0,125	0,059	1	0,933245399	1,071529526	2,118644068
SENP7	0,003256235	-0,099677127	0,375	0,133	1	0,933241826	1,071533628	2,819548872
CHSY1	0,062941189	-0,09977646	0,156	0,059	1	0,933177573	1,071607408	2,644067797
TCEAL1	0,003190249	-0,099791564	0,312	0,102	1	0,933167803	1,071618627	3,058823529
WASF3	0,428872689	-0,099799038	0	0,02	1	0,933162969	1,071624179	0
RBBP5	0,804543977	-0,099821222	0,031	0,039	1	0,93314862	1,071640657	0,794871795
DET1	0,428872689	-0,099823143	0	0,02	1	0,933147377	1,071642084	0
HR	0,257702735	-0,099842706	0,031	0,094	1	0,933134724	1,071656615	0,329787234
SEMA3E	0,543117005	-0,09986564	0	0,012	1	0,93311989	1,071673652	0
FRY	0,428872689	-0,099889503	0	0,02	1	0,933104456	1,071691378	0
ZNF790	0,682170546	-0,099967989	0,031	0,02	1	0,933053694	1,071749682	1,55
MTM1	0,663576959	-0,100079731	0,062	0,043	1	0,932981428	1,071832696	1,441860465
PATJ	0,313292814	-0,100080822	0	0,031	1	0,932980723	1,071833506	0
ATP11C	0,122084526	-0,100093118	0,125	0,051	1	0,932972771	1,071842642	2,450980392
C1RL-AS1	0,480650464	-0,100113062	0	0,016	1	0,932959874	1,071857459	0
NAP1L2	0,480650464	-0,100230049	0	0,016	1	0,932884224	1,071944379	0
PHF6	0,006461838	-0,100337463	0,188	0,051	1	0,93281477	1,072024192	3,68627451
HDGF	0,073207175	-0,100391318	0,531	0,27	1	0,932779949	1,072064211	1,966666667
WDR82	0,006785527	-0,100483796	0,344	0,125	1	0,932720159	1,072132933	2,752
PON3	0,80991663	-0,100549578	0,031	0,023	1	0,932677631	1,07218182	1,347826087
PARP12	0,746971464	-0,100567334	0,094	0,074	1	0,932666152	1,072195016	1,27027027
CEP170B	0,097375089	-0,100571186	0,094	0,031	1	0,932663662	1,072197879	3,032258065
TBKBP1	0,80991663	-0,100605155	0,031	0,023	1	0,932641702	1,072223125	1,347826087
CARD10	0,24851603	-0,100640577	0,094	0,043	1	0,932618804	1,072249451	2,186046512
PPARD	0,093753684	-0,100691473	0,125	0,047	1	0,932585903	1,072287279	2,659574468

Supplementary Table 1

Differentially expressed genes_adjacent-skin-XL_comparing SC-Keloid vs. (SC-Myel, SC-Nonmyel)								
gene	p_val	avg_log2FC	pct.1	pct.2	p_val_adj	Foldchange_UP	Foldchange_DOWN	Ratio_pct1_pct2
OPA1	0,040359751	-0,100712204	0,219	0,086	1	0,932572502	1,072302687	2,546511628
CPTP	0,30793671	-0,100744719	0,062	0,027	1	0,932551484	1,072326855	2,296296296
FLRT3	0,026365081	-0,10077786	0,312	0,133	1	0,932530062	1,072351488	2,345864662
XPNPEP3	0,093753684	-0,100805151	0,125	0,047	1	0,932512422	1,072371774	2,659574468
ZNF718	0,480650464	-0,100807098	0	0,016	1	0,932511164	1,072373221	0
GABARAPL2	0,595233492	-0,100821627	0,844	0,555	1	0,932501773	1,07238402	1,520720721
LY96	0,682170546	-0,100890057	0,031	0,02	1	0,932457543	1,072434887	1,55
GPRC5A	0,480650464	-0,100894682	0	0,016	1	0,932454554	1,072438325	0
LDLRAD2	0,480650464	-0,101000507	0	0,016	1	0,932386159	1,072516994	0
DNAJC14	0,098751938	-0,101038934	0,094	0,031	1	0,932361325	1,072545561	3,032258065
DTNBP1	0,560566066	-0,101058435	0,062	0,039	1	0,932348721	1,072560059	1,58974359
AXL	0,012799595	-0,101060863	0,469	0,199	1	0,932347153	1,072561864	2,35678392
PLCD3	0,396289917	-0,10109051	0,062	0,031	1	0,932327993	1,072583905	2
ALKBH3	0,007871757	-0,101093839	0,156	0,039	1	0,932325842	1,07258638	4
BEGAIN	0,38481627	-0,101175657	0	0,023	1	0,93227297	1,07264721	0
TOLLIP	0,005793368	-0,101212122	0,375	0,141	1	0,932249406	1,072674322	2,659574468
ZXDB	0,682170546	-0,101261964	0,031	0,02	1	0,932217199	1,072711382	1,55
PCNT	0,003791564	-0,101297415	0,188	0,047	1	0,932194293	1,072737741	4
TINAGL1	0,480650464	-0,101341041	0	0,016	1	0,932166104	1,072770181	0
ADARB2	0,428872689	-0,101367098	0	0,02	1	0,932149268	1,072789557	0
ZNF793	0,226351275	-0,101373685	0,031	0,008	1	0,932145012	1,072794455	3,875
CRLF3	0,682170546	-0,101471518	0,031	0,02	1	0,932081803	1,072867206	1,55
EIF2AK2	0,014668447	-0,101501503	0,344	0,141	1	0,932062431	1,072889505	2,439716312
AKNA	0,224763613	-0,101526966	0,062	0,023	1	0,932045981	1,072908441	2,695652174
CIAO3	0,578217897	-0,101558526	0,062	0,039	1	0,932025592	1,072931912	1,58974359
MAGEE1	0,428872689	-0,101597856	0	0,02	1	0,932000184	1,072961162	0
FOXRED2	0,480650464	-0,101630761	0	0,016	1	0,931978927	1,072985634	0
PRDM5	0,141661018	-0,101743711	0,094	0,035	1	0,931905964	1,073069643	2,685714286
ARRB1	0,80991663	-0,101749768	0,031	0,023	1	0,931902051	1,073074148	1,347826087
PRXL2C	0,007018614	-0,101825566	0,5	0,203	1	0,931853092	1,073130528	2,463054187

Supplementary Table 1

Differentially expressed genes_adjacent-skin-XL_comparing SC-Keloid vs. (SC-Myel, SC-Nonmyel)								
gene	p_val	avg_log2FC	pct.1	pct.2	p_val_adj	Foldchange_UP	Foldchange_DOWN	Ratio_pct1_pct2
SEH1L	0,20079827	-0,101847035	0,125	0,059	1	0,931839225	1,073146497	2,118644068
TTC9	0,480650464	-0,101883365	0	0,016	1	0,931815759	1,073173522	0
YRDC	0,487085433	-0,101885804	0,062	0,035	1	0,931814184	1,073175336	1,771428571
CERS4	0,284294126	-0,101997055	0,188	0,109	1	0,931742331	1,073258095	1,724770642
TNKS1BP1	0,062941189	-0,102005222	0,156	0,059	1	0,931737056	1,073264172	2,644067797
CPSF1	0,076632198	-0,102006178	0,156	0,062	1	0,931736439	1,073264882	2,516129032
SPSB2	0,487085433	-0,102089324	0,062	0,035	1	0,931682743	1,073326739	1,771428571
ZCCHC10	0,057807698	-0,10214782	0,188	0,074	1	0,931644967	1,073370259	2,540540541
CLBA1	0,013891036	-0,102176741	0,062	0,008	1	0,931626291	1,073391777	7,75
BRMS1L	0,376291412	-0,102197413	0,094	0,051	1	0,931612942	1,073407158	1,843137255
ZNF766	0,80991663	-0,102217847	0,031	0,023	1	0,931599747	1,073422361	1,347826087
ZNF611	0,38481627	-0,102239412	0	0,023	1	0,931585822	1,073438406	0
RNASE1	0,310355006	-0,102314649	0,094	0,047	1	0,93153724	1,073494388	2
PPP1R3D	0,428872689	-0,10239924	0	0,02	1	0,931482623	1,073557333	0
C16orf87	0,063895026	-0,102415705	0,25	0,113	1	0,931471992	1,073569585	2,212389381
CDH3	0,543117005	-0,10251885	0	0,012	1	0,931405399	1,073646342	0
APTR	0,638347525	-0,102584977	0,094	0,066	1	0,931362708	1,073695555	1,424242424
SEC31B	0,543117005	-0,102626908	0	0,012	1	0,931335639	1,073726762	0
PTPRF	0,000161906	-0,10265792	0,438	0,125	1	0,93131562	1,073749842	3,504
PPAN	0,578217897	-0,102673468	0,062	0,039	1	0,931305583	1,073761415	1,58974359
KLHDC8A	0,815054348	-0,10269925	0,031	0,039	1	0,93128894	1,073780603	0,794871795
MTSS1	0,38481627	-0,102714085	0	0,023	1	0,931279363	1,073791646	0
MAK	0,480650464	-0,102770726	0	0,016	1	0,931242802	1,073833804	0
CARMIL1	0,543117005	-0,102806827	0	0,012	1	0,9312195	1,073860675	0
SGMS2	0,741950345	-0,102810347	0,062	0,047	1	0,931217228	1,073863295	1,319148936
ZNF582-DT	0,428872689	-0,102935304	0	0,02	1	0,931136575	1,07395631	0
POLR1A	0,540537634	-0,102973446	0,031	0,016	1	0,931111958	1,073984704	1,9375
LRPPRC	0,008804476	-0,103044011	0,281	0,098	1	0,931066416	1,074037236	2,867346939
EVI5L	0,80991663	-0,10317868	0,031	0,023	1	0,930979509	1,074137497	1,347826087
ST6GALNAC2	0,38481627	-0,103189371	0	0,023	1	0,93097261	1,074145457	0

Supplementary Table 1

Differentially expressed genes_adjacent-skin-XL_ comparing SC-Keloid vs. (SC-Myel, SC-Nonmyel)								
gene	p_val	avg_log2FC	pct.1	pct.2	p_val_adj	Foldchange_UP	Foldchange_DOWN	Ratio_pct1_pct2
CR1	0,428872689	-0,103304449	0	0,02	1	0,930898353	1,074231141	0
CD14	0,543117005	-0,103383263	0	0,012	1	0,9308475	1,074289827	0
RAP1A	0,040061847	-0,103439287	0,625	0,301	1	0,930811353	1,074331546	2,07641196
ELP1	0,482846351	-0,103458145	0,062	0,035	1	0,930799187	1,074345589	1,771428571
PCDHB15	0,80991663	-0,103524077	0,031	0,023	1	0,930756649	1,074394688	1,347826087
DCLK3	0,38481627	-0,103589874	0	0,023	1	0,930714201	1,074443689	0
PLEKHF1	0,246047587	-0,103619537	0,094	0,043	1	0,930695065	1,074465781	2,186046512
ZNF566	0,346686972	-0,103700582	0	0,027	1	0,930642784	1,074526142	0
SLC25A10	0,018832425	-0,103711914	0,094	0,02	1	0,930635474	1,074534582	4,7
GSTM2	0,924392442	-0,103809563	0,031	0,027	1	0,930572486	1,074607314	1,148148148
BAHD1	0,907442332	-0,103838783	0,062	0,055	1	0,930553639	1,074629079	1,127272727
VPS13B	0,060102361	-0,103858125	0,156	0,059	1	0,930541163	1,074643487	2,644067797
ANKRD13B	0,185597364	-0,103966849	0,094	0,039	1	0,930471038	1,074724477	2,41025641
STK32C	0,000137099	-0,104085937	0,25	0,051	1	0,930394235	1,074813194	4,901960784
HEPACAM	0,346686972	-0,104090891	0	0,027	1	0,93039104	1,074816885	0
PTPRM	0,119445142	-0,104096002	0,125	0,051	1	0,930387745	1,074820693	2,450980392
MST1	0,38481627	-0,104245218	0	0,023	1	0,930291521	1,074931866	0
H3-2	0,388432899	-0,104298773	0,062	0,031	1	0,930256987	1,07497177	2
TMTC4	0,80991663	-0,104373144	0,031	0,023	1	0,930209034	1,075027186	1,347826087
TMEM216	0,428872689	-0,104441857	0	0,02	1	0,930164731	1,075078389	0
GALNT12	0,082317662	-0,10444613	0,031	0,004	1	0,930161976	1,075081573	7,75
ANKMY2	0,997020183	-0,104448704	0,031	0,031	1	0,930160316	1,075083491	1
ZNF197	0,396289917	-0,104483761	0,062	0,031	1	0,930137714	1,075109616	2
ZNF672	0,373239546	-0,104508661	0,094	0,051	1	0,930121661	1,075128171	1,843137255
TIMM9	0,01679085	-0,104579751	0,219	0,074	1	0,930075829	1,075181151	2,959459459
FRA10AC1	0,064651165	-0,104601639	0,219	0,094	1	0,930061718	1,075197463	2,329787234
RAB29	0,008148126	-0,104752299	0,094	0,016	1	0,929964598	1,075309751	5,875
PRH1	0,000493332	-0,10483339	0,25	0,059	1	0,929912327	1,075370194	4,237288136
NAAA	0,38481627	-0,10483856	0	0,023	1	0,929908995	1,075374047	0
DDX27	0,003195191	-0,104902133	0,281	0,086	1	0,929868019	1,075421435	3,26744186

Supplementary Table 1

Differentially expressed genes_adjacent-skin-XL_ comparing SC-Keloid vs. (SC-Myel, SC-Nonmyel)								
gene	p_val	avg_log2FC	pct.1	pct.2	p_val_adj	Foldchange_UP	Foldchange_DOWN	Ratio_pct1_pct2
ERCC5	0,015958056	-0,104916212	0,188	0,059	1	0,929858945	1,07543193	3,186440678
RNF220	0,001968647	-0,104916954	0,188	0,043	1	0,929858467	1,075432483	4,372093023
ITPK1-AS1	0,543117005	-0,104977497	0	0,012	1	0,929819446	1,075477615	0
CATSPER2	0,543117005	-0,105004116	0	0,012	1	0,929802229	1,075497459	0
MERTK	0,313292814	-0,105101641	0	0,031	1	0,929739438	1,075570164	0
TOLLIP-DT	0,428872689	-0,105225845	0	0,02	1	0,929659399	1,075662766	0
DUSP3	0,656644882	-0,105296892	0,125	0,094	1	0,929613618	1,075715739	1,329787234
FRMD5	0,006829528	-0,105354357	0,281	0,094	1	0,92957659	1,075758588	2,989361702
NHSL1	0,543117005	-0,10537675	0	0,012	1	0,929562162	1,075775285	0
KLF8	0,38481627	-0,105413913	0	0,023	1	0,929538218	1,075802997	0
ZKSCAN5	0,540537634	-0,105516832	0,031	0,016	1	0,929471908	1,075879745	1,9375
MB21D2	0,881459974	-0,105529295	0,062	0,066	1	0,929463879	1,07588904	0,939393939
ZZEF1	0,396289917	-0,105563746	0,062	0,031	1	0,929441684	1,075914732	2
ZNF449	0,428872689	-0,105597414	0	0,02	1	0,929419994	1,075939841	0
KPNA6	0,006920774	-0,10564716	0,312	0,109	1	0,929387947	1,075976941	2,862385321
CECR2	0,085298168	-0,105673803	0,219	0,098	1	0,929370783	1,075996812	2,234693878
LEAP2	0,428872689	-0,105756751	0	0,02	1	0,929317351	1,076058678	0
ATRN	0,108846454	-0,105767326	0,156	0,066	1	0,929310539	1,076066566	2,363636364
HNRNPM	0,025188216	-0,105916529	0,812	0,406	1	0,929214435	1,076177858	2
LRRK1	0,480650464	-0,10594639	0	0,016	1	0,929195202	1,076200132	0
RAB3IP	0,371729093	-0,105972365	0,125	0,074	1	0,929178473	1,076219509	1,689189189
TRERF1	0,543117005	-0,106065512	0	0,012	1	0,929118482	1,076288998	0
ANAPC10	0,079159031	-0,106112724	0,156	0,062	1	0,929088078	1,076324219	2,516129032
HELQ	0,979143607	-0,106187055	0,031	0,031	1	0,92904021	1,076379676	1
ZNF81	0,682170546	-0,106311632	0,031	0,02	1	0,928959991	1,076472625	1,55
MRPL4	0,022674894	-0,106385993	0,281	0,109	1	0,928912111	1,076528111	2,577981651
SULT1A2	0,480650464	-0,106416613	0	0,016	1	0,928892396	1,07655096	0
NTMT1	0,075260589	-0,106435367	0,344	0,168	1	0,928880321	1,076564954	2,047619048
TRAF3IP2-AS1	0,512685318	-0,106455978	0,094	0,059	1	0,92886705	1,076580335	1,593220339
ATP13A1	0,063925678	-0,106469124	0,094	0,027	1	0,928858587	1,076590145	3,481481481

Supplementary Table 1

Differentially expressed genes_adjacent-skin-XL_comparing SC-Keloid vs. (SC-Myel, SC-Nonmyel)								
gene	p_val	avg_log2FC	pct.1	pct.2	p_val_adj	Foldchange_UP	Foldchange_DOWN	Ratio_pct1_pct2
CDC42EP2	0,540537634	-0,106517101	0,031	0,016	1	0,928827697	1,076625948	1,9375
LRRN1	0,979143607	-0,106574996	0,031	0,031	1	0,928790424	1,076669154	1
PTGER4	0,543117005	-0,106595289	0	0,012	1	0,92877736	1,076684298	0
ESF1	3,06659E-06	-0,106604796	0,531	0,137	0,064708125	0,92877124	1,076691393	3,875912409
GTF3C5	0,006461838	-0,106619986	0,188	0,051	1	0,928761461	1,076702729	3,68627451
ZNF442	0,428872689	-0,106638589	0	0,02	1	0,928749485	1,076716613	0
ALDH5A1	0,543117005	-0,106696225	0	0,012	1	0,928712382	1,076759629	0
CDK12	0,003481349	-0,106705941	0,344	0,117	1	0,928706128	1,076766881	2,94017094
CWF19L2	0,424410493	-0,106724856	0,344	0,23	1	0,928693952	1,076780998	1,495652174
ZNF451	0,083810509	-0,106931988	0,219	0,098	1	0,928560626	1,076935606	2,234693878
NOTCH2NLA	0,38481627	-0,106980178	0	0,023	1	0,92852961	1,076971579	0
MYO1B	0,487085433	-0,107029592	0,062	0,035	1	0,928497807	1,077008467	1,771428571
TMEM175	0,103558458	-0,107090063	0,156	0,066	1	0,928458889	1,077053612	2,363636364
CXCR4	0,924392442	-0,10709078	0,031	0,027	1	0,928458428	1,077054146	1,148148148
PTDSS2	0,010405093	-0,107129464	0,188	0,055	1	0,928433533	1,077083026	3,418181818
ST6GALNAC6	0,049283458	-0,107179039	0,219	0,09	1	0,92840163	1,077120039	2,433333333
CLUAP1	0,004823168	-0,107300681	0,219	0,062	1	0,928323354	1,077210861	3,532258065
TBCD	0,304810673	-0,107318971	0,094	0,047	1	0,928311586	1,077224517	2
MAP2	0,428872689	-0,107345235	0	0,02	1	0,928294686	1,077244128	0
C2orf69	0,682170546	-0,107347435	0,031	0,02	1	0,92829327	1,077245771	1,55
MFSD13A	0,38481627	-0,10749824	0	0,023	1	0,928196241	1,077358381	0
MICU3	0,001478724	-0,10749905	0,25	0,066	1	0,92819572	1,077358987	3,787878788
EHD1	0,002010541	-0,107508104	0,156	0,031	1	0,928189895	1,077365748	5,032258065
GAMT	0,001328266	-0,107547442	0,281	0,078	1	0,928164586	1,077395124	3,602564103
PCOLCE	0,097375089	-0,107603683	0,094	0,031	1	0,928128404	1,077437126	3,032258065
C1orf109	0,396289917	-0,107660133	0,062	0,031	1	0,928092089	1,077479285	2
RMND1	0,004087528	-0,107715293	0,125	0,023	1	0,928056605	1,077520482	5,434782609
CUL3	0,007287546	-0,107732796	0,406	0,156	1	0,928045346	1,077533555	2,602564103
FRMD4A	0,022295068	-0,107821527	0,594	0,285	1	0,927988269	1,077599829	2,084210526
HNRNPUL1	0,00432798	-0,107860137	0,5	0,203	1	0,927963434	1,077628668	2,463054187

Supplementary Table 1

Differentially expressed genes_adjacent-skin-XL_comparing SC-Keloid vs. (SC-Myel, SC-Nonmyel)								
gene	p_val	avg_log2FC	pct.1	pct.2	p_val_adj	Foldchange_UP	Foldchange_DOWN	Ratio_pct1_pct2
PHAX	0,006037254	-0,107888927	0,281	0,094	1	0,927944916	1,077650173	2,989361702
COL9A1	0,480650464	-0,107989157	0	0,016	1	0,92788045	1,077725045	0
TENM4	0,428872689	-0,107997281	0	0,02	1	0,927875225	1,077731114	0
PLCG2	0,80991663	-0,108012149	0,031	0,023	1	0,927865663	1,07774222	1,347826087
ILDR2	0,80991663	-0,108049655	0,031	0,023	1	0,927841541	1,077770239	1,347826087
H2BC11	0,38481627	-0,108053628	0	0,023	1	0,927838986	1,077773207	0
HEMK1	0,396289917	-0,10808197	0,062	0,031	1	0,927820759	1,077794381	2
HDAC6	0,246047587	-0,108108868	0,094	0,043	1	0,92780346	1,077814476	2,186046512
TAF13	0,011597542	-0,108161617	0,219	0,07	1	0,927769538	1,077853884	3,128571429
TMEM178B	0,224763613	-0,108208094	0,062	0,023	1	0,92773965	1,077888608	2,695652174
VCL	0,02913176	-0,108274146	0,688	0,336	1	0,927697176	1,077937959	2,047619048
GATA3	0,543117005	-0,10827466	0	0,012	1	0,927696845	1,077938343	0
CUL4A	0,022242508	-0,108478428	0,219	0,078	1	0,927565825	1,078090604	2,807692308
PARP9	0,30757457	-0,108492743	0,094	0,047	1	0,927556622	1,0781013	2
PEDS1	0,016381033	-0,108499148	0,219	0,074	1	0,927552504	1,078106087	2,959459459
RADX	0,474428645	-0,108542185	0,062	0,035	1	0,927524834	1,078138249	1,771428571
TMEM19	0,191913299	-0,108545306	0,094	0,039	1	0,927522828	1,078140581	2,41025641
SPRING1	0,244454149	-0,10855475	0,156	0,082	1	0,927516756	1,078147639	1,902439024
SLC12A9	0,093753684	-0,108575246	0,125	0,047	1	0,927503579	1,078162956	2,659574468
TRIM21	0,30793671	-0,108610712	0,062	0,027	1	0,927480779	1,07818946	2,296296296
IQCB1	0,008956837	-0,108635714	0,125	0,027	1	0,927464705	1,078208146	4,62962963
LMBRD2	0,65904021	-0,108647107	0,062	0,043	1	0,927457381	1,07821666	1,441860465
C10orf90	0,396289917	-0,108670426	0,062	0,031	1	0,92744239	1,078234088	2
DCP1B	0,037506898	-0,108734496	0,094	0,023	1	0,927401204	1,078281973	4,086956522
P2RY11	0,480650464	-0,108752395	0	0,016	1	0,927389698	1,078295352	0
DENND4A	0,663576959	-0,108793748	0,062	0,043	1	0,927363116	1,07832626	1,441860465
FUNDC2	0,014652896	-0,108830597	0,531	0,234	1	0,927339429	1,078353803	2,269230769
LAPTM5	0,480650464	-0,108873822	0	0,016	1	0,927311645	1,078386112	0
HACE1	0,041848356	-0,108885841	0,062	0,012	1	0,92730392	1,078395096	5,166666667
KCTD10	0,487085433	-0,108887332	0,062	0,035	1	0,927302962	1,07839621	1,771428571

Supplementary Table 1

Differentially expressed genes_adjacent-skin-XL_ comparing SC-Keloid vs. (SC-Myel, SC-Nonmyel)								
gene	p_val	avg_log2FC	pct.1	pct.2	p_val_adj	Foldchange_UP	Foldchange_DOWN	Ratio_pct1_pct2
SLC2A10	0,386325862	-0,108887961	0,031	0,012	1	0,927302558	1,07839668	2,583333333
SIAE	0,480650464	-0,108919467	0	0,016	1	0,927282307	1,078420231	0
GLCCI1	0,30793671	-0,109043218	0,062	0,027	1	0,92720277	1,078512739	2,296296296
GPD2	0,241007682	-0,109084201	0,125	0,062	1	0,927176431	1,078543378	2,016129032
ANKRD29	0,682170546	-0,10924564	0,031	0,02	1	0,927072685	1,078664075	1,55
RHOF	0,65904021	-0,109248201	0,062	0,043	1	0,92707104	1,078665989	1,441860465
TMEM67	0,062941189	-0,109316404	0,156	0,059	1	0,927027214	1,078716984	2,644067797
CES2	0,396289917	-0,109505115	0,062	0,031	1	0,926905962	1,078858095	2
EIF4B	0,082312017	-0,109522073	0,5	0,258	1	0,926895067	1,078870776	1,937984496
WDR90	0,428872689	-0,109786307	0	0,02	1	0,926725319	1,079068392	0
ACOT2	0,138248252	-0,109801909	0,156	0,07	1	0,926715297	1,079080062	2,228571429
VPS54	0,045196862	-0,110042016	0,125	0,039	1	0,926561077	1,079259668	3,205128205
ZNF555	0,540537634	-0,11006842	0,031	0,016	1	0,926544119	1,07927942	1,9375
TBC1D10B	0,00257846	-0,11010962	0,25	0,07	1	0,92651766	1,079310242	3,571428571
MAP3K12	0,011905317	-0,110163069	0,219	0,07	1	0,926483335	1,07935023	3,128571429
RIPK1	0,063925678	-0,110164652	0,094	0,027	1	0,926482318	1,079351414	3,481481481
TBC1D2B	0,202646283	-0,110206707	0,125	0,059	1	0,926455311	1,079382878	2,118644068
TRMT5	0,38481627	-0,110304966	0	0,023	1	0,926392214	1,079456395	0
FAM193B	0,022371373	-0,110416826	0,25	0,094	1	0,926320389	1,079540094	2,659574468
NME7	0,18979066	-0,110474039	0,094	0,039	1	0,926283654	1,079582907	2,41025641
PKP4	0,746521062	-0,110511809	0,062	0,047	1	0,926259405	1,07961117	1,319148936
TANK	0,030205778	-0,110589187	0,375	0,164	1	0,926209727	1,079669076	2,286585366
MED6	0,204032042	-0,110611577	0,156	0,078	1	0,926195352	1,079685833	2
SMG8	0,428872689	-0,110666028	0	0,02	1	0,926160396	1,079726583	0
MARCHF3	0,887104347	-0,110788216	0,031	0,035	1	0,926081959	1,079818033	0,885714286
RGS10	0,009783331	-0,110795705	0,281	0,098	1	0,926077152	1,079823639	2,867346939
LINC00342	0,232905777	-0,110878989	0,125	0,062	1	0,926023693	1,079885977	2,016129032
FAM189A2	0,480650464	-0,110910434	0	0,016	1	0,926003509	1,079909515	0
UBE2O	0,38481627	-0,110937698	0	0,023	1	0,92598601	1,079929923	0
ATP10D	0,013407295	-0,111144188	0,156	0,043	1	0,925853485	1,080084502	3,627906977

Supplementary Table 1

Differentially expressed genes_adjacent-skin-XL_ comparing SC-Keloid vs. (SC-Myel, SC-Nonmyel)								
gene	p_val	avg_log2FC	pct.1	pct.2	p_val_adj	Foldchange_UP	Foldchange_DOWN	Ratio_pct1_pct2
ABTB2	0,924392442	-0,111183989	0,031	0,027	1	0,925827943	1,0801143	1,148148148
INSIG2	0,370203052	-0,11125504	0,094	0,051	1	0,925782348	1,080167495	1,843137255
TMEM74	0,38481627	-0,111274252	0	0,023	1	0,92577002	1,080181879	0
NAIF1	0,38481627	-0,111278437	0	0,023	1	0,925767334	1,080185013	0
TRIM25	0,924392442	-0,111291207	0,031	0,027	1	0,92575914	1,080194574	1,148148148
TPH1	0,480650464	-0,111318151	0	0,016	1	0,92574185	1,080214748	0
SLC29A1	0,924392442	-0,111413666	0,031	0,027	1	0,925680563	1,080286268	1,148148148
SPINT2	0,313292814	-0,111430399	0	0,031	1	0,925669827	1,080298797	0
ZNF562	0,569359326	-0,111438162	0,062	0,039	1	0,925664846	1,08030461	1,58974359
JUP	0,482008211	-0,111497447	0,125	0,082	1	0,925626808	1,080349004	1,524390244
EGFLAM	0,492171826	-0,111558904	0,094	0,059	1	0,925587378	1,080395027	1,593220339
ZMYM3	0,141661018	-0,111591867	0,094	0,035	1	0,92556623	1,080419712	2,685714286
DEFB1	0,924392442	-0,111593232	0,031	0,027	1	0,925565354	1,080420735	1,148148148
CPD	0,241007682	-0,111596763	0,125	0,062	1	0,925563089	1,080423378	2,016129032
OSR2	0,226351275	-0,111613638	0,031	0,008	1	0,925552263	1,080436016	3,875
LINC00842	0,480650464	-0,111732801	0	0,016	1	0,925475818	1,080525261	0
ARHGAP6	0,428872689	-0,111775822	0	0,02	1	0,925448221	1,080557483	0
ZNF621	0,422565177	-0,111777072	0,094	0,055	1	0,925447419	1,080558419	1,709090909
QTRT1	0,000497147	-0,111782775	0,438	0,137	1	0,92544376	1,080562691	3,197080292
PEX26	0,141661018	-0,11202258	0,094	0,035	1	0,925289946	1,080742317	2,685714286
DCAF12	0,003101546	-0,112031313	0,219	0,059	1	0,925284345	1,080748859	3,711864407
HOOK3	0,060183489	-0,112034116	0,438	0,223	1	0,925282547	1,080750959	1,964125561
DIS3	0,000890115	-0,112165988	0,25	0,062	1	0,925197974	1,080849751	4,032258065
TFDP2	0,00311028	-0,112179278	0,312	0,102	1	0,925189451	1,080859708	3,058823529
N4BP2	0,924392442	-0,112324516	0,031	0,027	1	0,925096316	1,080968525	1,148148148
DTWD1	0,001337371	-0,112379536	0,344	0,105	1	0,925061036	1,081009751	3,276190476
PMAIP1	0,100484991	-0,112463706	0,156	0,066	1	0,925007068	1,081072821	2,363636364
GOLGA6L10	0,80991663	-0,112656331	0,031	0,023	1	0,924883572	1,081217172	1,347826087
ZNF687	0,346686972	-0,112751696	0	0,027	1	0,924822437	1,081288646	0
ARHGAP10	0,058265316	-0,112835997	0,219	0,094	1	0,924768398	1,08135183	2,329787234

Supplementary Table 1

Differentially expressed genes_adjacent-skin-XL_comparing SC-Keloid vs. (SC-Myel, SC-Nonmyel)								
gene	p_val	avg_log2FC	pct.1	pct.2	p_val_adj	Foldchange_UP	Foldchange_DOWN	Ratio_pct1_pct2
SLC10A7	0,313292064	-0,112934701	0	0,031	1	0,924705131	1,081425815	0
NYNRIN	0,30793671	-0,11299012	0,062	0,027	1	0,924669611	1,081467357	2,296296296
EVC2	0,428872689	-0,113043131	0	0,02	1	0,924635635	1,081507096	0
SORCS2	0,191913299	-0,113064425	0,094	0,039	1	0,924621987	1,081523059	2,41025641
TUFT1	0,008148126	-0,113155102	0,094	0,016	1	0,924563875	1,081591037	5,875
FBXO38	0,141661018	-0,113176934	0,094	0,035	1	0,924549883	1,081607405	2,685714286
ETV3	0,820034503	-0,11321077	0,094	0,078	1	0,9245282	1,081632773	1,205128205
FNIP1	0,066548207	-0,113212109	0,406	0,203	1	0,924527342	1,081633777	2
PEX6	0,304810673	-0,113219494	0,094	0,047	1	0,924522609	1,081639313	2
HSCB	0,663576959	-0,113226405	0,062	0,043	1	0,92451818	1,081644495	1,441860465
GBE1	0,001119353	-0,113271321	0,312	0,09	1	0,924489397	1,081678171	3,466666667
RNF185	0,396289917	-0,113290512	0,062	0,031	1	0,924477099	1,08169256	2
LYL1	0,037506898	-0,113295332	0,094	0,023	1	0,924474011	1,081696173	4,086956522
PRKAA1	0,005195348	-0,113317984	0,219	0,062	1	0,924459496	1,081713157	3,532258065
MAPK7	0,682170546	-0,113362375	0,031	0,02	1	0,924431051	1,081746442	1,55
SFXN5	0,160548057	-0,113457824	0,125	0,055	1	0,924369892	1,081818013	2,272727273
ZNF519	0,480650464	-0,113467875	0	0,016	1	0,924363452	1,08182555	0
SHMT1	0,898459048	-0,113547934	0,062	0,055	1	0,924312159	1,081885584	1,127272727
NAALADL2	0,033260329	-0,113584427	0,188	0,066	1	0,924288778	1,081912951	2,848484848
MTREX	0,054252457	-0,113610405	0,188	0,074	1	0,924272135	1,081932433	2,540540541
EFCAB7	0,396289917	-0,113729869	0,062	0,031	1	0,924195603	1,082022027	2
ATAD1	0,047008515	-0,113749116	0,312	0,137	1	0,924183273	1,082036463	2,277372263
CCDC174	0,123421204	-0,113841017	0,125	0,051	1	0,924124404	1,082105391	2,450980392
HPS1	0,061508217	-0,113867443	0,156	0,059	1	0,924107477	1,082125212	2,644067797
STK38	0,663576959	-0,113873026	0,062	0,043	1	0,924103901	1,082129401	1,441860465
MCOLN3	0,428872689	-0,113877658	0	0,02	1	0,924100934	1,082132875	0
HIF3A	0,38481627	-0,113999951	0	0,023	1	0,924022604	1,082224608	0
ZNF234	0,428872689	-0,114000386	0	0,02	1	0,924022325	1,082224934	0
XPA	0,008804476	-0,114011637	0,281	0,098	1	0,924015119	1,082233374	2,867346939
MBTD1	0,098751938	-0,114016416	0,094	0,031	1	0,924012059	1,082236959	3,032258065

Supplementary Table 1

Differentially expressed genes_adjacent-skin-XL_ comparing SC-Keloid vs. (SC-Myel, SC-Nonmyel)								
gene	p_val	avg_log2FC	pct.1	pct.2	p_val_adj	Foldchange_UP	Foldchange_DOWN	Ratio_pct1_pct2
PCBP2	0,163555638	-0,114061227	0,781	0,438	1	0,923983358	1,082270575	1,783105023
CINP	0,013407295	-0,114123197	0,156	0,043	1	0,92394367	1,082317064	3,627906977
OSBPL10	0,016858455	-0,114205787	0,125	0,031	1	0,923890778	1,082379025	4,032258065
IL17RC	0,351727998	-0,114288453	0,125	0,07	1	0,923837842	1,082441046	1,785714286
SLC40A1	0,346686972	-0,114314017	0	0,027	1	0,923821471	1,082460227	0
CEACAM1	0,480650464	-0,114319549	0	0,016	1	0,923817929	1,082464378	0
C1QTNF2	0,38481627	-0,114345307	0	0,023	1	0,923801436	1,082483704	0
MEIS2	0,480650464	-0,114525525	0	0,016	1	0,923686044	1,082618934	0
UCP2	0,80991663	-0,114577892	0,031	0,023	1	0,923652516	1,082658232	1,347826087
NMRK1	0,005831886	-0,11466612	0,25	0,078	1	0,923596032	1,082724444	3,205128205
MAP3K7	0,016999114	-0,114709106	0,219	0,074	1	0,923568513	1,082756705	2,959459459
TMEM97	0,746521062	-0,114765947	0,062	0,047	1	0,923532126	1,082799365	1,319148936
STXBP6	0,18979066	-0,114886925	0,094	0,039	1	0,923454686	1,082890168	2,41025641
ZNF431	0,060929624	-0,114939564	0,125	0,043	1	0,923420993	1,082929679	2,906976744
RAB11FIP2	0,064224632	-0,114950742	0,125	0,043	1	0,923413838	1,08293807	2,906976744
GATC	0,735253332	-0,114968819	0,031	0,043	1	0,923402268	1,08295164	0,720930233
ZNF429	0,346686972	-0,11502551	0	0,027	1	0,923365983	1,082994195	0
KRBA1	0,924392442	-0,115172721	0,031	0,027	1	0,923271769	1,083104708	1,148148148
CDIP1	0,681846175	-0,115355591	0,031	0,047	1	0,923154746	1,083242007	0,659574468
TEPP	0,543117005	-0,11535573	0	0,012	1	0,923154657	1,083242111	0
PCCA	0,098751938	-0,115413826	0,094	0,031	1	0,923117484	1,083285733	3,032258065
TMEM170B	0,38481627	-0,115532948	0	0,023	1	0,923041266	1,083375183	0
PNPO	0,924392442	-0,115615215	0,031	0,027	1	0,922988632	1,083436962	1,148148148
ARL6IP1	0,115222133	-0,115670187	0,625	0,352	1	0,922953464	1,083478246	1,775568182
ATP2B1-AS1	0,224763613	-0,115755251	0,062	0,023	1	0,922899046	1,083542132	2,695652174
OTULIN	0,085318957	-0,115780673	0,156	0,062	1	0,922882784	1,083561225	2,516129032
GATD1	0,552606916	-0,115782286	0,094	0,062	1	0,922881752	1,083562436	1,516129032
VPS51	0,022218422	-0,115782836	0,281	0,109	1	0,9228814	1,083562849	2,577981651
PJKV	0,540537634	-0,115787393	0,031	0,016	1	0,922878485	1,083566272	1,9375
MCFD2	0,006829551	-0,115799267	0,281	0,094	1	0,92287089	1,08357519	2,989361702

Supplementary Table 1

Differentially expressed genes_adjacent-skin-XL_ comparing SC-Keloid vs. (SC-Myel, SC-Nonmyel)								
gene	p_val	avg_log2FC	pct.1	pct.2	p_val_adj	Foldchange_UP	Foldchange_DOWN	Ratio_pct1_pct2
ZNF445	0,396289917	-0,115800833	0,062	0,031	1	0,922869888	1,083576366	2
TMEM263	0,010366655	-0,115814488	0,375	0,148	1	0,922861153	1,083586623	2,533783784
KIAA0040	0,979143607	-0,115837111	0,031	0,031	1	0,922846682	1,083603614	1
DENND5A	0,001278728	-0,115847382	0,406	0,133	1	0,922840111	1,083611329	3,052631579
ZNF600	0,682170546	-0,1159235	0,031	0,02	1	0,922791423	1,083668503	1,55
PARD6B	0,573780511	-0,115972582	0,062	0,039	1	0,922760029	1,083705371	1,58974359
FHIP2B	0,638347525	-0,116036213	0,094	0,066	1	0,922719332	1,083753169	1,424242424
DPY19L2	0,480650464	-0,11614588	0	0,016	1	0,922649193	1,083835554	0
ABCD1	0,480650464	-0,116182648	0	0,016	1	0,922625679	1,083863177	0
FAM81A	0,428872689	-0,116191312	0	0,02	1	0,922620138	1,083869687	0
MTBP	0,543117005	-0,116229897	0	0,012	1	0,922595463	1,083898675	0
CLYBL	0,80991663	-0,116249207	0,031	0,023	1	0,922583115	1,083913183	1,347826087
APPL1	0,002946987	-0,116270868	0,344	0,113	1	0,922569263	1,083929457	3,044247788
AHSA1	0,003069747	-0,116319462	0,656	0,266	1	0,922538188	1,083965967	2,466165414
ZNF713	0,682170546	-0,116334737	0,031	0,02	1	0,922528421	1,083977445	1,55
SMAD3	0,979143607	-0,116342302	0,031	0,031	1	0,922523583	1,083983129	1
ZNF521	0,38481627	-0,116356707	0	0,023	1	0,922514372	1,083993952	0
ENOX2	0,428872689	-0,116474087	0	0,02	1	0,922439318	1,084082151	0
OXSRI	0,051520095	-0,116599695	0,312	0,145	1	0,92235901	1,08417654	2,151724138
C4orf33	0,141661018	-0,116621122	0,094	0,035	1	0,922345311	1,084192643	2,685714286
SNX27	0,067298158	-0,116635156	0,25	0,113	1	0,922336339	1,084203189	2,212389381
KIFC2	0,985101745	-0,116673055	0,031	0,031	1	0,92231211	1,084231671	1
GPHN	0,979143607	-0,116779107	0,031	0,031	1	0,922244313	1,084311376	1
KIAA1671	0,578217897	-0,116883326	0,062	0,039	1	0,922177693	1,084389708	1,58974359
CSNK2A1	0,006146292	-0,11689552	0,344	0,125	1	0,922169899	1,084398874	2,752
CKS1B	0,122113558	-0,116909038	0,344	0,184	1	0,922161259	1,084409034	1,869565217
E2F3	0,540537634	-0,117054468	0,031	0,016	1	0,922068305	1,084518353	1,9375
SH3YL1	0,016962377	-0,117138905	0,25	0,09	1	0,922014341	1,084581829	2,777777778
NSG1	0,480650464	-0,117144221	0	0,016	1	0,922010943	1,084585825	0
PIK3C2B	0,38481627	-0,117215297	0	0,023	1	0,921965521	1,08463926	0

Supplementary Table 1

Differentially expressed genes_adjacent-skin-XL_ comparing SC-Keloid vs. (SC-Myel, SC-Nonmyel)								
gene	p_val	avg_log2FC	pct.1	pct.2	p_val_adj	Foldchange_UP	Foldchange_DOWN	Ratio_pct1_pct2
SLC38A7	0,063925678	-0,117227272	0,094	0,027	1	0,921957868	1,084648263	3,481481481
GGA2	0,677260831	-0,117253508	0,031	0,047	1	0,921941102	1,084667988	0,659574468
P2RX6	0,082317662	-0,117292893	0,031	0,004	1	0,921915933	1,0846976	7,75
RBM41	0,682170546	-0,117304367	0,031	0,02	1	0,921908601	1,084706227	1,55
PRTG	0,480650464	-0,117330467	0	0,016	1	0,921891923	1,08472585	0
HDHD3	0,346686972	-0,117371002	0	0,027	1	0,921866022	1,084756327	0
CNTROB	0,38454022	-0,117389162	0,062	0,031	1	0,921854417	1,084769982	2
PDCD4	0,021783242	-0,117409742	0,312	0,125	1	0,921841267	1,084785457	2,496
C21orf91	0,80991663	-0,117463919	0,031	0,023	1	0,921806651	1,084826194	1,347826087
ZNF211	0,428872689	-0,117476915	0	0,02	1	0,921798346	1,084835967	0
FBXO31	0,578217897	-0,117579607	0,062	0,039	1	0,921732734	1,084913189	1,58974359
BPNT1	0,30793671	-0,117583509	0,062	0,027	1	0,921730242	1,084916122	2,296296296
NIM1K	0,032866024	-0,117819988	0,188	0,066	1	0,921579169	1,085093971	2,848484848
DCLK2	0,979143607	-0,117829145	0,031	0,031	1	0,92157332	1,085100858	1
ZNF22-AS1	0,543117005	-0,117849731	0	0,012	1	0,92156017	1,085116342	0
TANGO6	0,540537634	-0,117896349	0,031	0,016	1	0,921530391	1,085151406	1,9375
SUGCT	0,543117005	-0,117923465	0	0,012	1	0,921513071	1,085171802	0
GNPAT	0,005452889	-0,117945466	0,25	0,078	1	0,921499018	1,085188351	3,205128205
MAN2B2	0,045196862	-0,118005634	0,125	0,039	1	0,921460587	1,08523361	3,205128205
PPP1R35	0,010105466	-0,118111279	0,312	0,113	1	0,921393114	1,085313082	2,761061947
ZNF25	0,195328071	-0,11813859	0,125	0,059	1	0,921375672	1,085333628	2,118644068
LOH12CR2	0,428872689	-0,118159554	0	0,02	1	0,921362283	1,085349399	0
PHYHIPL	0,428872689	-0,11816295	0	0,02	1	0,921360114	1,085351954	0
LIPE	0,80991663	-0,11817879	0,031	0,023	1	0,921349998	1,08536387	1,347826087
RRAS2	0,438682776	-0,118190735	0,094	0,055	1	0,92134237	1,085372857	1,709090909
SETD7	0,023853062	-0,118271408	0,219	0,078	1	0,921290852	1,08543355	2,807692308
TMEM259	0,107936107	-0,118284877	0,594	0,32	1	0,92128225	1,085443684	1,85625
MLKL	0,38481627	-0,118335107	0	0,023	1	0,921250175	1,085481476	0
LINC01023	0,38481627	-0,118336965	0	0,023	1	0,921248988	1,085482874	0
QRICH1	0,24851603	-0,118435876	0,094	0,043	1	0,92118583	1,085557298	2,186046512

Supplementary Table 1

Differentially expressed genes_adjacent-skin-XL_comparing SC-Keloid vs. (SC-Myel, SC-Nonmyel)								
gene	p_val	avg_log2FC	pct.1	pct.2	p_val_adj	Foldchange_UP	Foldchange_DOWN	Ratio_pct1_pct2
INTS9	0,682170546	-0,118466724	0,031	0,02	1	0,921166133	1,085580509	1,55
NTRK2	0,985101745	-0,118482854	0,031	0,031	1	0,921155834	1,085592647	1
HCFC2	0,011905272	-0,11851401	0,219	0,07	1	0,921135941	1,085616091	3,128571429
IFITM1	0,487085433	-0,118573451	0,062	0,035	1	0,92109799	1,085660821	1,771428571
COA7	0,543117005	-0,118580426	0	0,012	1	0,921093537	1,08566607	0
ALG5	0,000404212	-0,118864989	0,438	0,137	1	0,920911875	1,085880232	3,197080292
SLC7A5	0,037506898	-0,118909748	0,094	0,023	1	0,920883304	1,085913922	4,086956522
ARHGAP31	0,299332476	-0,119051797	0,094	0,047	1	0,920792637	1,086020847	2
RSPH3	0,428872689	-0,119094643	0	0,02	1	0,920765292	1,0860531	0
CIDEB	0,80991663	-0,119105289	0,031	0,023	1	0,920758497	1,086061115	1,347826087
CCDC115	0,219587526	-0,11920021	0,188	0,102	1	0,920697918	1,086132574	1,843137255
IRX3	0,428872689	-0,119275123	0	0,02	1	0,920650112	1,086188974	0
AC159540.2	0,543117005	-0,119280186	0	0,012	1	0,920646881	1,086192786	0
N4BP1	0,032927619	-0,119297747	0,219	0,082	1	0,920635675	1,086206007	2,670731707
METRN	0,040081648	-0,119354099	0,781	0,402	1	0,920599715	1,086248435	1,94278607
EXD2	0,098751938	-0,119395348	0,094	0,031	1	0,920573394	1,086279494	3,032258065
DEPDC5	0,346686972	-0,119436121	0	0,027	1	0,920547377	1,086310194	0
LPAR6	0,441948175	-0,119458998	0,094	0,055	1	0,92053278	1,08632742	1,709090909
EIF1AD	0,063925678	-0,119544771	0,094	0,027	1	0,920478053	1,086392008	3,481481481
C21orf62-AS1	0,480650464	-0,119553241	0	0,016	1	0,920472649	1,086398386	0
KCNIP4	0,480650464	-0,119598708	0	0,016	1	0,92044364	1,086432625	0
AS3MT	0,38481627	-0,119625187	0	0,023	1	0,920426747	1,086452565	0
USPL1	0,020764757	-0,119794946	0,156	0,047	1	0,920318449	1,086580413	3,319148936
MON1B	0,24851603	-0,119799725	0,094	0,043	1	0,9203154	1,086584013	2,186046512
MCMDC2	0,543117005	-0,119920347	0	0,012	1	0,920238457	1,086674864	0
ALKBH1	0,979143607	-0,120182729	0,031	0,031	1	0,920071109	1,086872515	1
MYNN	0,396289917	-0,120218295	0,062	0,031	1	0,920048427	1,086899309	2
HDAC5	0,001493165	-0,120256861	0,312	0,094	1	0,920023833	1,086928365	3,319148936
VAMP7	0,055416701	-0,120328398	0,188	0,074	1	0,919978214	1,086982262	2,540540541
RNF138	0,187685368	-0,120387777	0,094	0,039	1	0,91994035	1,087027001	2,41025641

Supplementary Table 1

Differentially expressed genes_adjacent-skin-XL_ comparing SC-Keloid vs. (SC-Myel, SC-Nonmyel)								
gene	p_val	avg_log2FC	pct.1	pct.2	p_val_adj	Foldchange_UP	Foldchange_DOWN	Ratio_pct1_pct2
THAP9-AS1	0,230628924	-0,120422393	0,188	0,102	1	0,919918277	1,087053084	1,843137255
TTC39B	0,428872689	-0,120451372	0	0,02	1	0,919899799	1,087074919	0
UBE2B	0,112897195	-0,120497157	0,688	0,395	1	0,919870606	1,087109419	1,741772152
PDLIM2	0,070258445	-0,12052547	0,281	0,133	1	0,919852553	1,087130754	2,112781955
TMEM59	0,540894585	-0,120532358	0,75	0,52	1	0,919848162	1,087135944	1,442307692
PDZD8	0,111371471	-0,120552582	0,188	0,086	1	0,919835267	1,087151184	2,186046512
DNAJB12	0,007848695	-0,120614144	0,219	0,066	1	0,919796017	1,087197576	3,318181818
CPNE3	0,001139882	-0,120643322	0,562	0,203	1	0,919777415	1,087219564	2,768472906
SLC25A32	0,158954432	-0,120668874	0,125	0,055	1	0,919761125	1,08723882	2,272727273
ZBTB20-AS2	0,540537634	-0,120801605	0,031	0,016	1	0,919676508	1,087338853	1,9375
GAS1	0,346686972	-0,120927576	0	0,027	1	0,919596209	1,0874338	0
OSMR	0,30757457	-0,121018413	0,094	0,047	1	0,91953831	1,087502271	2
ATF5	0,013407295	-0,121100087	0,156	0,043	1	0,919486255	1,087563838	3,627906977
AXIN2	0,924392442	-0,12121891	0,031	0,027	1	0,919410527	1,087653415	1,148148148
ALKBH2	0,00187651	-0,121294877	0,219	0,055	1	0,919362115	1,087710689	3,981818182
TTLL3	0,792332287	-0,121327962	0,094	0,105	1	0,919341032	1,087735633	0,895238095
DSE	0,560566066	-0,121343188	0,062	0,039	1	0,91933133	1,087747113	1,58974359
FNTB	0,013407295	-0,121354487	0,156	0,043	1	0,919324129	1,087755633	3,627906977
VSIG8	0,480650464	-0,121488029	0	0,016	1	0,919239037	1,087856324	0
XPC	0,00434487	-0,121529297	0,312	0,105	1	0,919212743	1,087887443	2,971428571
CDC27	0,004889051	-0,121569171	0,281	0,09	1	0,919187338	1,08791751	3,122222222
FAM222A	0,907442332	-0,121586024	0,062	0,055	1	0,9191766	1,08793022	1,127272727
KAT6B	0,000123326	-0,121648937	0,375	0,098	1	0,919136517	1,087977663	3,826530612
ADGRL2	0,428872689	-0,121716975	0	0,02	1	0,919093172	1,088028973	0
RTTN	0,139907281	-0,121727166	0,094	0,035	1	0,91908668	1,088036659	2,685714286
ZNF654	0,445305691	-0,121729969	0,125	0,078	1	0,919084894	1,088038773	1,602564103
MTARC2	0,663576959	-0,121736029	0,062	0,043	1	0,919081033	1,088043344	1,441860465
FGFR3	0,682170546	-0,121892329	0,031	0,02	1	0,918981466	1,088161227	1,55
AKAP6	0,283789128	-0,121932164	0	0,035	1	0,918956092	1,088191273	0
LRSAM1	0,346686972	-0,121959139	0	0,027	1	0,91893891	1,08821162	0

Supplementary Table 1

Differentially expressed genes_adjacent-skin-XL_ comparing SC-Keloid vs. (SC-Myel, SC-Nonmyel)								
gene	p_val	avg_log2FC	pct.1	pct.2	p_val_adj	Foldchange_UP	Foldchange_DOWN	Ratio_pct1_pct2
NR1D2	0,013194542	-0,122094622	0,375	0,152	1	0,918852617	1,088313818	2,467105263
DNAJA3	0,578217897	-0,122128611	0,062	0,039	1	0,91883097	1,088339459	1,58974359
DCTN4	0,232905777	-0,122154821	0,125	0,062	1	0,918814277	1,088359232	2,016129032
ANAPC1	0,668126075	-0,122206162	0,062	0,043	1	0,91878158	1,088397963	1,441860465
ZPR1	0,195328071	-0,122226296	0,125	0,059	1	0,918768757	1,088413153	2,118644068
RUNX2	0,243596382	-0,122229492	0,094	0,043	1	0,918766722	1,088415564	2,186046512
C16orf74	0,38481627	-0,122353188	0	0,023	1	0,918687951	1,088508888	0
TSTD1	0,740158863	-0,12236091	0,031	0,043	1	0,918683034	1,088514715	0,720930233
DOP1A	0,24851603	-0,122365562	0,094	0,043	1	0,918680071	1,088518224	2,186046512
ZNF674-AS1	0,428872689	-0,122383314	0	0,02	1	0,918668767	1,088531619	0
LTO1	0,569358921	-0,122424833	0,062	0,039	1	0,918642329	1,088562946	1,58974359
GNPDA1	0,170843838	-0,122433197	0,188	0,094	1	0,918637004	1,088569257	2
AC083843.3	0,346686972	-0,122479225	0	0,027	1	0,918607695	1,088603987	0
GGA1	0,005754239	-0,122535607	0,25	0,078	1	0,918571797	1,088646531	3,205128205
LPXN	0,543117005	-0,122584689	0	0,012	1	0,918540546	1,088683569	0
WDR4	0,543117005	-0,122645729	0	0,012	1	0,918501684	1,088729632	0
RGS9	0,428970186	-0,122754854	0,094	0,055	1	0,918432211	1,088811987	1,709090909
PWWP2B	0,578217897	-0,122848245	0,062	0,039	1	0,91837276	1,088882471	1,58974359
GXYLT1	0,376291412	-0,122874543	0,094	0,051	1	0,918356019	1,08890232	1,843137255
VRK3	0,487085433	-0,122921593	0,062	0,035	1	0,91832607	1,088937833	1,771428571
MMACHC	0,543117005	-0,122925928	0	0,012	1	0,918323311	1,088941104	0
TRIM37	0,139907281	-0,122939763	0,094	0,035	1	0,918314504	1,088951547	2,685714286
PSMB4	0,000128916	-0,122950748	0,625	0,207	1	0,918307512	1,088959839	3,019323671
SGCD	0,355251835	-0,123045717	0,094	0,051	1	0,918247064	1,089031525	1,843137255
UNC45A	0,015105004	-0,123063978	0,188	0,059	1	0,918235441	1,08904531	3,186440678
TUBGCP2	0,000207816	-0,123077586	0,312	0,078	1	0,91822678	1,089055581	4
LRP3	0,313292814	-0,123148056	0	0,031	1	0,91818193	1,089108779	0
PLXNB1	0,892714086	-0,123167499	0,031	0,035	1	0,918169555	1,089123457	0,885714286
FGF14-AS2	0,487085433	-0,123172858	0,062	0,035	1	0,918166145	1,089127502	1,771428571
CHRD1	0,346686972	-0,123254519	0	0,027	1	0,918114175	1,089189152	0

Supplementary Table 1

Differentially expressed genes_adjacent-skin-XL_comparing SC-Keloid vs. (SC-Myel, SC-Nonmyel)								
gene	p_val	avg_log2FC	pct.1	pct.2	p_val_adj	Foldchange_UP	Foldchange_DOWN	Ratio_pct1_pct2
ALDH9A1	0,003355836	-0,123296513	0,312	0,102	1	0,918087451	1,089220857	3,058823529
C12orf4	0,06592651	-0,12337101	0,125	0,043	1	0,918040044	1,089277103	2,906976744
TMEM25	0,428872689	-0,123411148	0	0,02	1	0,918014504	1,089307408	0
CEP295	0,021379715	-0,123482298	0,156	0,047	1	0,917969231	1,089361132	3,319148936
AC016831.7	0,257548576	-0,123489013	0	0,039	1	0,917964958	1,089366202	0
RABEPK	0,007602859	-0,123507512	0,156	0,039	1	0,917953187	1,089380171	4
PUDP	0,346686972	-0,123512358	0	0,027	1	0,917950104	1,08938383	0
OASL	0,480650464	-0,123623289	0	0,016	1	0,917879524	1,089467598	0
AJUBA	0,428872689	-0,123646437	0	0,02	1	0,917864797	1,089485078	0
ADK	0,00397851	-0,123652699	0,531	0,219	1	0,917860813	1,089489807	2,424657534
MAPK8	0,400593325	-0,123721554	0,094	0,055	1	0,917817008	1,089541806	1,709090909
MBOAT1	0,996386478	-0,123796124	0,094	0,09	1	0,917769569	1,089598124	1,044444444
ALS2	0,124769281	-0,124072416	0,125	0,051	1	0,917593822	1,089806814	2,450980392
RNF4	0,563155042	-0,124095825	0,094	0,062	1	0,917578934	1,089824496	1,516129032
SULT1C4	0,80991663	-0,124164962	0,031	0,023	1	0,917534963	1,089876725	1,347826087
ZNF669	0,38481627	-0,124197263	0	0,023	1	0,91751442	1,089901127	0
TDRP	0,313292814	-0,124243662	0	0,031	1	0,917484912	1,08993618	0
FCHSD1	0,80991663	-0,12438498	0,031	0,023	1	0,917395045	1,090042949	1,347826087
ZBED3-AS1	0,38481627	-0,124402892	0	0,023	1	0,917383655	1,090056483	0
VWC2	0,38481627	-0,124423784	0	0,023	1	0,91737037	1,090072268	0
AQP11	0,346686972	-0,124620041	0	0,027	1	0,917245584	1,090220566	0
EXOC6B	0,24851603	-0,124737822	0,094	0,043	1	0,917170703	1,090309575	2,186046512
RING1	0,103889562	-0,124760179	0,219	0,102	1	0,91715649	1,090326472	2,147058824
GOLGA1	0,578217897	-0,124782889	0,062	0,039	1	0,917142053	1,090343635	1,58974359
ZNF346	0,887104347	-0,12478695	0,031	0,035	1	0,917139472	1,090346704	0,885714286
CLSTN2	0,346686972	-0,124971839	0	0,027	1	0,917021943	1,090486446	0
TRAPPC2	0,924392442	-0,124981805	0,031	0,027	1	0,917015609	1,090493979	1,148148148
FZD5	0,681846175	-0,125032733	0,031	0,047	1	0,916983238	1,090532475	0,659574468
SCNN1D	0,38481627	-0,125043051	0	0,023	1	0,916976679	1,090540275	0
MN1	0,887104347	-0,125059929	0,031	0,035	1	0,916965952	1,090553033	0,885714286

Supplementary Table 1

Differentially expressed genes_adjacent-skin-XL_comparing SC-Keloid vs. (SC-Myel, SC-Nonmyel)								
gene	p_val	avg_log2FC	pct.1	pct.2	p_val_adj	Foldchange_UP	Foldchange_DOWN	Ratio_pct1_pct2
DNAJC24	0,171678436	-0,125093832	0,156	0,074	1	0,916944404	1,090578661	2,108108108
SYTL1	0,38481627	-0,12510871	0	0,023	1	0,916934947	1,090589908	0
PINX1	0,984608494	-0,125125762	0,062	0,059	1	0,91692411	1,090602798	1,050847458
ANKRD49	0,046495836	-0,125143372	0,156	0,055	1	0,916912918	1,09061611	2,836363636
CRTAC1	0,38481627	-0,125193202	0	0,023	1	0,916881249	1,09065378	0
CATSPERG	0,480650464	-0,125212304	0	0,016	1	0,916869109	1,090668221	0
ISG20L2	0,191913299	-0,125222815	0,094	0,039	1	0,916862429	1,090676167	2,41025641
COQ6	0,021726813	-0,125223475	0,188	0,062	1	0,91686201	1,090676666	3,032258065
CLIP3	0,300029356	-0,125226089	0,125	0,066	1	0,916860348	1,090678643	1,893939394
PHF20	0,129999673	-0,125250524	0,312	0,168	1	0,91684482	1,090697115	1,857142857
KDM3B	0,613016608	-0,125363705	0,094	0,066	1	0,916772895	1,090782685	1,424242424
SKIL	0,002392549	-0,125434022	0,531	0,207	1	0,916728212	1,090835851	2,565217391
C6orf136	0,224763613	-0,125545598	0,062	0,023	1	0,916657317	1,090920218	2,695652174
NAP1L3	0,924392442	-0,125595269	0,031	0,027	1	0,916625757	1,090957779	1,148148148
ATG10	0,124769281	-0,125599803	0,125	0,051	1	0,916622876	1,090961207	2,450980392
MAGI3	0,730358576	-0,125673599	0,031	0,043	1	0,916575991	1,091017013	0,720930233
SLC16A12	0,480650464	-0,125680562	0	0,016	1	0,916571567	1,091022279	0
SCN5A	0,38481627	-0,125691635	0	0,023	1	0,916564532	1,091030653	0
MPPE1	0,06440165	-0,12577736	0,156	0,059	1	0,916510072	1,091095483	2,644067797
RP9	0,031413167	-0,125823235	0,156	0,051	1	0,916480929	1,091130179	3,058823529
SNX29	0,016858455	-0,125853219	0,125	0,031	1	0,916461881	1,091152857	4,032258065
PLAGL2	0,428872689	-0,125886662	0	0,02	1	0,916440637	1,091178151	0
APC2	0,428872689	-0,125889463	0	0,02	1	0,916438858	1,091180269	0
SNURF	0,428872689	-0,12600173	0	0,02	1	0,916367546	1,091265186	0
SLC12A6	0,979143607	-0,1260087	0,031	0,031	1	0,916363119	1,091270458	1
PTGR2	0,578217897	-0,126013066	0,062	0,039	1	0,916360346	1,09127376	1,58974359
EXOC4	0,021379715	-0,12604142	0,156	0,047	1	0,916342336	1,091295208	3,319148936
CCDC102B	0,924392442	-0,126117193	0,031	0,027	1	0,916294209	1,091352526	1,148148148
UPF1	0,138620038	-0,126159056	0,188	0,09	1	0,916267621	1,091384195	2,088888889
CHEK2	0,80991663	-0,126172746	0,031	0,023	1	0,916258927	1,091394551	1,347826087

Supplementary Table 1

Differentially expressed genes_adjacent-skin-XL_ comparing SC-Keloid vs. (SC-Myel, SC-Nonmyel)								
gene	p_val	avg_log2FC	pct.1	pct.2	p_val_adj	Foldchange_UP	Foldchange_DOWN	Ratio_pct1_pct2
TNFRSF1A	0,028631721	-0,126214334	0,406	0,184	1	0,916232515	1,091426012	2,206521739
ZNF618	0,38481627	-0,126299904	0	0,023	1	0,916178172	1,09149075	0
ST8SIA1	0,428872689	-0,126304939	0	0,02	1	0,916174974	1,091494559	0
RBM45	0,313292814	-0,126353228	0	0,031	1	0,916144309	1,091531094	0
AP4S1	0,346686972	-0,126353633	0	0,027	1	0,916144052	1,0915314	0
RBMS2	0,062854872	-0,126363231	0,219	0,094	1	0,916137958	1,091538662	2,329787234
S100A8	0,38481627	-0,126365021	0	0,023	1	0,916136821	1,091540016	0
MED30	0,003355836	-0,126491824	0,312	0,102	1	0,916056302	1,091635959	3,058823529
STAMBP	0,009014103	-0,126504182	0,281	0,098	1	0,916048455	1,091645311	2,867346939
BLOC1S6	0,033217489	-0,126543343	0,469	0,219	1	0,91602359	1,091674943	2,141552511
PC	0,672687415	-0,126563424	0,031	0,047	1	0,91601084	1,091690138	0,659574468
PRKAG2	0,139907281	-0,126586711	0,094	0,035	1	0,915996054	1,091707759	2,685714286
PRKN	0,38481627	-0,126590155	0	0,023	1	0,915993867	1,091710366	0
SMO	0,682170546	-0,126617064	0,031	0,02	1	0,915976783	1,091730728	1,55
DCST2	0,480650464	-0,126619382	0	0,016	1	0,915975311	1,091732482	0
HLCS	0,480650464	-0,126736319	0	0,016	1	0,91590107	1,091820976	0
NUPR1	0,123421204	-0,126909372	0,125	0,051	1	0,915791213	1,091951949	2,450980392
SLC25A45	0,428872689	-0,126911191	0	0,02	1	0,915790059	1,091953325	0
ATF6	0,003827364	-0,126915235	0,344	0,117	1	0,915787491	1,091956387	2,94017094
TGIF2	0,605861551	-0,12694965	0,094	0,066	1	0,915765646	1,091982435	1,424242424
C9orf50	0,396289917	-0,126974253	0,062	0,031	1	0,915750029	1,092001057	2
CACNA1A	0,346686972	-0,126976992	0	0,027	1	0,91574829	1,092003131	0
RAB11FIP5	0,310355006	-0,127005767	0,094	0,047	1	0,915730026	1,092024911	2
PBX3	0,002617214	-0,127136755	0,25	0,07	1	0,915646887	1,092124065	3,571428571
COX19	0,329441973	-0,127152114	0,125	0,07	1	0,915637139	1,092135691	1,785714286
TPST1	0,012061903	-0,127191826	0,219	0,07	1	0,915611935	1,092165754	3,128571429
TLNRD1	0,02386822	-0,127243249	0,25	0,094	1	0,9155793	1,092204684	2,659574468
KCTD18	0,313292814	-0,127257621	0	0,031	1	0,915570179	1,092215564	0
TOE1	0,150155729	-0,127294681	0,062	0,02	1	0,91554666	1,092243622	3,1
GTF2IRD1	0,06592651	-0,127367883	0,125	0,043	1	0,915500207	1,092299043	2,906976744

Supplementary Table 1

Differentially expressed genes_adjacent-skin-XL_ comparing SC-Keloid vs. (SC-Myel, SC-Nonmyel)								
gene	p_val	avg_log2FC	pct.1	pct.2	p_val_adj	Foldchange_UP	Foldchange_DOWN	Ratio_pct1_pct2
BLOC1S3	0,887104347	-0,127406872	0,031	0,035	1	0,915475466	1,092328563	0,885714286
MAD2L1BP	0,016858455	-0,127496027	0,125	0,031	1	0,915418893	1,092396069	4,032258065
TCEA3	0,887104347	-0,127612222	0,031	0,035	1	0,915345168	1,092484054	0,885714286
SRPK3	0,682170546	-0,12771703	0,031	0,02	1	0,915278673	1,092563423	1,55
CRISPLD1	0,346686972	-0,127720165	0	0,027	1	0,915276684	1,092565797	0
ATP6VOC	0,361013281	-0,127741703	0,844	0,543	1	0,91526302	1,092582108	1,554327808
PWP2	0,480650464	-0,127762009	0	0,016	1	0,915250138	1,092597486	0
WWOX	0,191913299	-0,12777838	0,094	0,039	1	0,915239752	1,092609885	2,41025641
DVL1	0,053678031	-0,127833838	0,188	0,074	1	0,91520457	1,092651886	2,540540541
DIPK2A	0,122084526	-0,127860905	0,125	0,051	1	0,9151874	1,092672386	2,450980392
DNMBP	0,38481627	-0,127869612	0	0,023	1	0,915181876	1,092678981	0
ARNT	0,163771487	-0,127870346	0,125	0,055	1	0,915181411	1,092679537	2,272727273
TANC2	0,170423334	-0,127951696	0,25	0,137	1	0,915129808	1,092741151	1,824817518
PTER	0,346686972	-0,127984122	0	0,027	1	0,91510924	1,092765712	0
MPP3	0,38481627	-0,128000963	0	0,023	1	0,915098557	1,092778469	0
AC123768.4	0,543117005	-0,128114352	0	0,012	1	0,915026638	1,092864359	0
RAB5B	0,059034985	-0,128122138	0,188	0,074	1	0,9150217	1,092870257	2,540540541
ADAM17	0,016947037	-0,128194263	0,5	0,223	1	0,914975956	1,092924895	2,242152466
OSGIN1	0,38481627	-0,128278817	0	0,023	1	0,914922332	1,092988951	0
ROBO3	0,032917376	-0,128398627	0,281	0,117	1	0,914846355	1,093079723	2,401709402
TRIM27	0,206379422	-0,128568646	0,125	0,059	1	0,914738548	1,093208548	2,118644068
AAAS	0,157372807	-0,128592373	0,125	0,055	1	0,914723504	1,093226528	2,272727273
IL6	0,924392442	-0,128653413	0,031	0,027	1	0,914684803	1,093272782	1,148148148
NOP14-AS1	0,346686972	-0,128726882	0	0,027	1	0,914638224	1,093328459	0
RNF115	0,020832552	-0,12878678	0,344	0,141	1	0,914600251	1,093373853	2,439716312
EGOT	0,087959196	-0,12885948	0,062	0,016	1	0,914554164	1,093428951	3,875
MRPS14	0,01032863	-0,128918462	0,312	0,113	1	0,914516775	1,093473655	2,761061947
LIN54	0,804543977	-0,129052153	0,031	0,039	1	0,914432032	1,09357499	0,794871795
ZBTB24	0,150155729	-0,129162656	0,062	0,02	1	0,914361995	1,093658754	3,1
IPMK	0,313292814	-0,129196904	0	0,031	1	0,914340289	1,093684717	0

Supplementary Table 1

Differentially expressed genes_adjacent-skin-XL_comparing SC-Keloid vs. (SC-Myel, SC-Nonmyel)								
gene	p_val	avg_log2FC	pct.1	pct.2	p_val_adj	Foldchange_UP	Foldchange_DOWN	Ratio_pct1_pct2
TAF1C	0,735253332	-0,129199503	0,031	0,043	1	0,914338641	1,093686688	0,720930233
NR3C2	0,38481627	-0,1292127	0	0,023	1	0,914330278	1,093696692	0
MALRD1	0,480650464	-0,129293733	0	0,016	1	0,914278923	1,093758124	0
FTX	0,400032689	-0,129297482	0,219	0,145	1	0,914276547	1,093760967	1,510344828
TRRAP	0,082633113	-0,129414293	0,156	0,062	1	0,914202524	1,093849529	2,516129032
TRAPPC11	0,30793671	-0,129443083	0,062	0,027	1	0,914184281	1,093871357	2,296296296
SLC44A3	0,682170546	-0,12947356	0,031	0,02	1	0,914164968	1,093894466	1,55
YJU2B	0,00036468	-0,12947428	0,344	0,094	1	0,914164512	1,093895012	3,659574468
TNK1	0,80991663	-0,129532077	0,031	0,023	1	0,91412789	1,093938836	1,347826087
RBM12	0,435431286	-0,129600026	0,094	0,055	1	0,914084837	1,09399036	1,709090909
CCDC153	0,480650464	-0,129604137	0	0,016	1	0,914082232	1,093993477	0
VOPP1	0,157372807	-0,129629201	0,125	0,055	1	0,914066352	1,094012484	2,272727273
CCNE2	0,346686972	-0,129649233	0	0,027	1	0,91405366	1,094027674	0
SMAD4	0,046142047	-0,129686845	0,344	0,16	1	0,91402983	1,094056197	2,15
POMZP3	0,428872689	-0,129733519	0	0,02	1	0,91400026	1,094091592	0
TPCN2	0,123421204	-0,130053617	0,125	0,051	1	0,913797489	1,094334371	2,450980392
SART1	0,348388786	-0,130195639	0,156	0,094	1	0,913707537	1,094442105	1,659574468
MFS10	0,068218414	-0,130275713	0,469	0,238	1	0,913656825	1,094502851	1,970588235
TCERG1	0,062955122	-0,130385006	0,281	0,129	1	0,913587612	1,09458577	2,178294574
SMARCD3	0,351727998	-0,130443503	0,125	0,07	1	0,91355057	1,094630153	1,785714286
RABL3	0,540537634	-0,130559647	0,031	0,016	1	0,913477027	1,09471828	1,9375
CCDC7	0,918113127	-0,13057358	0,031	0,027	1	0,913468205	1,094728852	1,148148148
TBPL1	0,032475728	-0,130621314	0,188	0,066	1	0,913437982	1,094765074	2,848484848
CDC42EP4	0,023800873	-0,130641266	0,375	0,16	1	0,91342535	1,094780214	2,34375
AMOT	0,313292814	-0,13065278	0	0,031	1	0,91341806	1,094788952	0
OPCML	0,38481627	-0,130658331	0	0,023	1	0,913414546	1,094793164	0
MTHFSD	0,150155729	-0,130689734	0,062	0,02	1	0,913394663	1,094816994	3,1
CSTF2T	0,480650464	-0,130746392	0	0,016	1	0,913358793	1,094859991	0
MOSPD2	0,395713974	-0,130758238	0,156	0,098	1	0,913351293	1,094868981	1,591836735
HAS2	0,014442227	-0,13078925	0,281	0,113	1	0,913331661	1,094892516	2,486725664

Supplementary Table 1

Differentially expressed genes_adjacent-skin-XL_comparing SC-Keloid vs. (SC-Myel, SC-Nonmyel)								
gene	p_val	avg_log2FC	pct.1	pct.2	p_val_adj	Foldchange_UP	Foldchange_DOWN	Ratio_pct1_pct2
TMEM8B	0,045653963	-0,130796574	0,188	0,07	1	0,913327024	1,094898074	2,685714286
PAN2	0,799224988	-0,130827064	0,062	0,051	1	0,913307722	1,094921215	1,215686275
PPP1R13L	0,979143607	-0,130875551	0,031	0,031	1	0,913277027	1,094958014	1
JAKMIP2	0,141661018	-0,130927298	0,094	0,035	1	0,91324427	1,094997289	2,685714286
RECQL5	0,924392442	-0,130970895	0,031	0,027	1	0,913216673	1,09503038	1,148148148
PEX5L	0,38481627	-0,131102976	0	0,023	1	0,91313307	1,095130636	0
AC002451.1	0,428872689	-0,131104058	0	0,02	1	0,913132386	1,095131457	0
CTNS	0,06592651	-0,131113075	0,125	0,043	1	0,913126679	1,095138302	2,906976744
PUM2	0,003195191	-0,131126896	0,281	0,086	1	0,913117931	1,095148793	3,26744186
CREB3L4	0,682170546	-0,131154227	0,031	0,02	1	0,913100633	1,09516954	1,55
RHOG	0,00640202	-0,131162115	0,438	0,168	1	0,91309564	1,095175528	2,607142857
DCAF17	0,346686972	-0,131332892	0	0,027	1	0,91298756	1,095305176	0
TRPC1	0,804543977	-0,131475079	0,031	0,039	1	0,912897584	1,09541313	0,794871795
KPNB1	0,020415783	-0,131491575	0,531	0,242	1	0,912887145	1,095425656	2,194214876
ZNF461	0,540537634	-0,131540165	0,031	0,016	1	0,9128564	1,095462551	1,9375
ZNF486	0,38481627	-0,131577702	0	0,023	1	0,912832649	1,095491053	0
ERCC6	0,80991663	-0,131613986	0,031	0,023	1	0,912809691	1,095518605	1,347826087
EPB41L5	0,924392442	-0,131622576	0,031	0,027	1	0,912804257	1,095525128	1,148148148
WHRN	0,482846351	-0,131709021	0,062	0,035	1	0,912749564	1,095590773	1,771428571
RSL1D1	0,002393139	-0,131735371	0,438	0,152	1	0,912732893	1,095610783	2,881578947
EXT2	0,021654043	-0,131805892	0,25	0,094	1	0,912688278	1,09566434	2,659574468
NBPF11	0,80991663	-0,131810378	0,031	0,023	1	0,91268544	1,095667747	1,347826087
ZNF460	0,304810673	-0,131822319	0,094	0,047	1	0,912677887	1,095676815	2
SGSM2	0,30793671	-0,13184139	0,062	0,027	1	0,912665822	1,095691299	2,296296296
ACCS	0,224763613	-0,131858654	0,062	0,023	1	0,9126549	1,095704411	2,695652174
ANXA3	0,349205649	-0,131875587	0,125	0,07	1	0,912644188	1,095717272	1,785714286
ZNF700	0,924392442	-0,131965899	0,031	0,027	1	0,912587059	1,095785865	1,148148148
ZNF605	0,80991663	-0,132051343	0,031	0,023	1	0,912533012	1,095850765	1,347826087
ATG2A	0,663576959	-0,132157974	0,062	0,043	1	0,912465569	1,095931763	1,441860465
DBT	0,916437471	-0,132202216	0,062	0,055	1	0,912437587	1,095965372	1,127272727

Supplementary Table 1

Differentially expressed genes_adjacent-skin-XL_ comparing SC-Keloid vs. (SC-Myel, SC-Nonmyel)								
gene	p_val	avg_log2FC	pct.1	pct.2	p_val_adj	Foldchange_UP	Foldchange_DOWN	Ratio_pct1_pct2
CDC42BPA	0,014364265	-0,132210958	0,375	0,152	1	0,912432059	1,095972013	2,467105263
STK39	0,730358576	-0,132284787	0,031	0,043	1	0,912385367	1,0960281	0,720930233
PRC1	0,304406192	-0,132334537	0,062	0,027	1	0,912353904	1,096065896	2,296296296
PCDHGA10	0,396289917	-0,132358341	0,062	0,031	1	0,912338851	1,096083981	2
ALG11	0,224763613	-0,132450958	0,062	0,023	1	0,912280283	1,096154349	2,695652174
NACC2	0,264732918	-0,132550395	0,156	0,086	1	0,912217407	1,096229904	1,813953488
ATG4A	0,396289917	-0,132559695	0,062	0,031	1	0,912211527	1,09623697	2
UHRF1BP1L	0,632215601	-0,132620382	0,125	0,09	1	0,912173155	1,096283084	1,388888889
SACM1L	0,24851603	-0,13267781	0,094	0,043	1	0,912136846	1,096326724	2,186046512
TCP11L2	0,480650464	-0,132735903	0	0,016	1	0,912100118	1,096370871	0
DHX37	0,979143607	-0,132771973	0,031	0,031	1	0,912077314	1,096398282	1
WDR35	0,487085433	-0,132793351	0,062	0,035	1	0,912063798	1,096414529	1,771428571
ECT2	0,089393291	-0,132889919	0,125	0,047	1	0,912002751	1,096487921	2,659574468
BRWD3	0,032569978	-0,132952734	0,219	0,082	1	0,911963043	1,096535663	2,670731707
LGALS1	0,741950345	-0,132969683	0,062	0,047	1	0,911952329	1,096548545	1,319148936
MTO1	0,098751938	-0,132984308	0,094	0,031	1	0,911943084	1,096559662	3,032258065
PPM1A	0,008258336	-0,133205146	0,375	0,141	1	0,911803501	1,096727528	2,659574468
MAN1A1	0,924392442	-0,13329325	0,031	0,027	1	0,91174782	1,096794506	1,148148148
HDGFL2	0,011438702	-0,133340562	0,281	0,102	1	0,911717921	1,096830475	2,754901961
RGL1	0,979143607	-0,133535321	0,031	0,031	1	0,91159485	1,096978554	1
FBXO30	0,237189349	-0,133573772	0,156	0,082	1	0,911570554	1,097007791	1,902439024
WDR17	0,313292814	-0,13361724	0	0,031	1	0,911543089	1,097040844	0
TULP4	0,052408043	-0,133676709	0,281	0,125	1	0,911505516	1,097086066	2,248
MAPK6	0,016558745	-0,133762121	0,406	0,172	1	0,911451553	1,097151019	2,360465116
SH2B1	0,505798338	-0,133836403	0,094	0,059	1	0,911404625	1,097207511	1,593220339
ZNF318	0,38481627	-0,134007957	0	0,023	1	0,911296255	1,09733799	0
CSRNP2	0,920939129	-0,134049279	0,062	0,055	1	0,911270153	1,09736942	1,127272727
UBQLN2	0,016391618	-0,134049625	0,25	0,09	1	0,911269935	1,097369684	2,777777778
PRRC2C	0,048544154	-0,134207047	0,75	0,387	1	0,911170505	1,097489431	1,937984496
NTN4	0,304810673	-0,134237386	0,094	0,047	1	0,911151344	1,097512511	2

Supplementary Table 1

Differentially expressed genes_adjacent-skin-XL_ comparing SC-Keloid vs. (SC-Myel, SC-Nonmyel)								
gene	p_val	avg_log2FC	pct.1	pct.2	p_val_adj	Foldchange_UP	Foldchange_DOWN	Ratio_pct1_pct2
SLC22A4	0,682170546	-0,134240079	0,031	0,02	1	0,911149643	1,09751456	1,55
ETV7	0,224763613	-0,134412481	0,062	0,023	1	0,911040767	1,097645721	2,695652174
PAAF1	0,067739324	-0,134640749	0,219	0,094	1	0,910896631	1,097819408	2,329787234
RASA4	0,428872689	-0,134868658	0	0,02	1	0,910752744	1,097992848	0
MSANTD2	0,924392442	-0,134874881	0,031	0,027	1	0,910748816	1,097997585	1,148148148
CHD3	7,38464E-05	-0,134901571	0,438	0,121	1	0,910731967	1,098017898	3,619834711
GORASP2	0,000741516	-0,134912812	0,375	0,113	1	0,910724871	1,098026453	3,318584071
CDC16	0,00295717	-0,134930795	0,219	0,059	1	0,910713519	1,09804014	3,711864407
TAF4	0,38481627	-0,134942026	0	0,023	1	0,910706429	1,098048689	0
L2HGDH	0,38481627	-0,134956046	0	0,023	1	0,910697579	1,098059359	0
THBD	0,346686972	-0,135051233	0	0,027	1	0,910637495	1,09813181	0
ZNF524	0,017209641	-0,135087221	0,219	0,074	1	0,910614779	1,098159203	2,959459459
CSNK2A2	0,015052808	-0,135173891	0,375	0,152	1	0,910560075	1,098225177	2,467105263
SSTR1	0,428872689	-0,135184267	0	0,02	1	0,910553526	1,098233076	0
CFH	0,428872689	-0,135199821	0	0,02	1	0,91054371	1,098244916	0
CBLL1	0,283789128	-0,135212655	0	0,035	1	0,910535609	1,098254686	0
EPHA10	0,38481627	-0,135214403	0	0,023	1	0,910534506	1,098256017	0
NAXD	0,376291412	-0,135230142	0,094	0,051	1	0,910524573	1,098267998	1,843137255
UMAD1	0,13644998	-0,135242326	0,094	0,035	1	0,910516883	1,098277273	2,685714286
LINC00324	0,682170546	-0,135349282	0,031	0,02	1	0,910449383	1,098358699	1,55
CCDC71L	0,023035563	-0,135351304	0,219	0,078	1	0,910448107	1,098360238	2,807692308
CUEDC2	0,002518612	-0,135355242	0,562	0,219	1	0,910445623	1,098363236	2,566210046
ADNP	0,042949063	-0,135364156	0,375	0,176	1	0,910439997	1,098370022	2,130681818
SMN1	0,979143607	-0,135368785	0,031	0,031	1	0,910437076	1,098373547	1
ACER3	0,440039837	-0,135381358	0,156	0,102	1	0,910429141	1,098383119	1,529411765
ASRGL1	0,730358576	-0,135419919	0,031	0,043	1	0,910404808	1,098412477	0,720930233
SPIDR	0,124769281	-0,135461389	0,125	0,051	1	0,910378638	1,098444051	2,450980392
SMURF1	0,943031489	-0,135692598	0,094	0,086	1	0,910232751	1,098620104	1,093023256
CCDC14	0,094709571	-0,135698965	0,219	0,102	1	0,910228734	1,098624953	2,147058824
MKRN2	0,030493266	-0,135750505	0,219	0,082	1	0,910196217	1,098664202	2,670731707

Supplementary Table 1

Differentially expressed genes_adjacent-skin-XL_ comparing SC-Keloid vs. (SC-Myel, SC-Nonmyel)								
gene	p_val	avg_log2FC	pct.1	pct.2	p_val_adj	Foldchange_UP	Foldchange_DOWN	Ratio_pct1_pct2
RAB33A	0,313292814	-0,135827261	0	0,031	1	0,910147793	1,098722656	0
NBEA	0,283788463	-0,135941265	0	0,035	1	0,910075874	1,098809482	0
DDX47	0,257548576	-0,135989942	0	0,039	1	0,910045168	1,098846557	0
ZNF665	0,80991663	-0,136019447	0,031	0,023	1	0,910026557	1,098869029	1,347826087
SYDE1	0,010405093	-0,136039455	0,188	0,055	1	0,910013937	1,09888427	3,418181818
RNF139	0,163012044	-0,136107453	0,156	0,074	1	0,909971046	1,098936064	2,108108108
H2AW	0,600062	-0,136142066	0,188	0,137	1	0,909949215	1,09896243	1,372262774
HIBCH	0,022445649	-0,136173301	0,281	0,109	1	0,909929514	1,098986223	2,577981651
MYBBP1A	0,578217897	-0,136202536	0,062	0,039	1	0,909911075	1,099008493	1,58974359
RANGAP1	0,202549436	-0,136229722	0,188	0,098	1	0,909893929	1,099029203	1,918367347
ANKRD42	0,668126075	-0,13626663	0,062	0,043	1	0,909870652	1,09905732	1,441860465
SDHB	0,000138929	-0,136313504	0,469	0,137	1	0,90984109	1,099093029	3,423357664
PRKAB2	0,066791287	-0,13637147	0,125	0,043	1	0,909804534	1,099137191	2,906976744
LINC00115	0,804543977	-0,136444398	0,031	0,039	1	0,909758545	1,099192754	0,794871795
GCX	0,485433146	-0,136544553	0,094	0,059	1	0,90969539	1,099269064	1,593220339
KLHL34	0,313292814	-0,136554997	0	0,031	1	0,909688804	1,099277022	0
PPP1R21	0,376291412	-0,136590687	0,094	0,051	1	0,9096663	1,099304217	1,843137255
PCDHB16	0,428872689	-0,136614841	0	0,02	1	0,909651071	1,099322622	0
ISYNA1	0,434183714	-0,136641746	0,125	0,078	1	0,909634107	1,099343123	1,602564103
USP28	0,924392442	-0,136687298	0,031	0,027	1	0,909605386	1,099377835	1,148148148
TNFRSF6B	0,428872689	-0,136718086	0	0,02	1	0,909585975	1,099401296	0
SCLT1	0,076971853	-0,136892117	0,188	0,078	1	0,909476259	1,099533925	2,41025641
DCAF1	0,573780511	-0,136946972	0,062	0,039	1	0,909441679	1,099575733	1,58974359
TTF1	0,017422452	-0,136985323	0,219	0,074	1	0,909417503	1,099604963	2,959459459
TSGA10	0,38481627	-0,137038382	0	0,023	1	0,909384058	1,099645405	0
C3orf62	0,80991663	-0,137057793	0,031	0,023	1	0,909371823	1,0996602	1,347826087
FBXW4	0,415867271	-0,137062877	0,031	0,07	1	0,909368618	1,099664075	0,442857143
FXR2	0,06440165	-0,137151973	0,156	0,059	1	0,90931246	1,099731988	2,644067797
C12orf29	0,017377488	-0,137159395	0,281	0,105	1	0,909307782	1,099737646	2,676190476
CX3CL1	0,480650464	-0,137332848	0	0,016	1	0,909198464	1,099869874	0

Supplementary Table 1

Differentially expressed genes_adjacent-skin-XL_ comparing SC-Keloid vs. (SC-Myel, SC-Nonmyel)								
gene	p_val	avg_log2FC	pct.1	pct.2	p_val_adj	Foldchange_UP	Foldchange_DOWN	Ratio_pct1_pct2
TMEM39A	0,920939129	-0,137432413	0,062	0,055	1	0,909135719	1,099945782	1,127272727
ARFGF1	0,086229766	-0,137435076	0,156	0,062	1	0,909134041	1,099947812	2,516129032
MRPL48	0,003997708	-0,137462053	0,25	0,074	1	0,909117042	1,09996838	3,378378378
GOLPH3	0,013381021	-0,137507948	0,281	0,102	1	0,909088121	1,100003373	2,754901961
ZNF133	0,150155729	-0,137525074	0,062	0,02	1	0,909077329	1,100016432	3,1
METTL3	0,043169771	-0,137568034	0,188	0,07	1	0,90905026	1,100049188	2,685714286
UHRF1BP1	0,979143607	-0,137599526	0,031	0,031	1	0,909030417	1,1000732	1
TRAF6	0,755689148	-0,13766183	0,062	0,047	1	0,90899116	1,100120709	1,319148936
RNF214	0,578217897	-0,137687216	0,062	0,039	1	0,908975166	1,100140067	1,58974359
PHF12	0,158954432	-0,137751294	0,125	0,055	1	0,908934794	1,100188932	2,272727273
THOC2	0,073890297	-0,138016904	0,375	0,188	1	0,908767469	1,100391502	1,994680851
NCOR2	0,011768519	-0,138027945	0,375	0,148	1	0,908760513	1,100399924	2,533783784
CISH	0,480650464	-0,138106926	0	0,016	1	0,908710764	1,100460168	0
UBE2Q2L	0,283789128	-0,138520521	0	0,035	1	0,908450291	1,100775695	0
C11orf91	0,578217897	-0,138528449	0,062	0,039	1	0,908445298	1,100781744	1,58974359
AP3M2	0,045196862	-0,138616537	0,125	0,039	1	0,908389832	1,100848958	3,205128205
MRPS9	0,373239546	-0,138623855	0,094	0,051	1	0,908385225	1,100854541	1,843137255
RABGAP1L	0,384687297	-0,138742832	0,125	0,074	1	0,908310314	1,100945331	1,689189189
CALCOCO1	0,00581471	-0,138790989	0,312	0,109	1	0,908279996	1,100982081	2,862385321
F10	0,346686972	-0,13888985	0	0,027	1	0,908217758	1,101057529	0
NSMF	0,021379715	-0,139008386	0,156	0,047	1	0,908143139	1,101147999	3,319148936
NCKIPSD	0,840130893	-0,139011404	0,062	0,051	1	0,908141239	1,101150302	1,215686275
TRPM4	0,38481627	-0,13903958	0	0,023	1	0,908123503	1,101171808	0
CUBN	0,191913299	-0,13907184	0,094	0,039	1	0,908103197	1,101196431	2,41025641
USP2	0,346686972	-0,13911642	0	0,027	1	0,908075136	1,10123046	0
SCAF1	0,086049964	-0,139254739	0,219	0,098	1	0,907988078	1,101336046	2,234693878
NSL1	0,003355836	-0,13931659	0,312	0,102	1	0,907949153	1,101383263	3,058823529
STAM2	0,367181952	-0,139322289	0,094	0,051	1	0,907945566	1,101387614	1,843137255
MNT	0,885008839	-0,139322535	0,062	0,055	1	0,907945411	1,101387801	1,127272727
BMP4	0,38481627	-0,139342593	0	0,023	1	0,907932788	1,101403114	0

Supplementary Table 1

Differentially expressed genes_adjacent-skin-XL_comparing SC-Keloid vs. (SC-Myel, SC-Nonmyel)								
gene	p_val	avg_log2FC	pct.1	pct.2	p_val_adj	Foldchange_UP	Foldchange_DOWN	Ratio_pct1_pct2
TCAIM	0,551839113	-0,139348704	0,062	0,039	1	0,907928942	1,10140778	1,58974359
PAPOLA	0,050044716	-0,139483803	0,625	0,312	1	0,907843924	1,101510924	2,003205128
BAZ1B	0,049054766	-0,139665436	0,312	0,145	1	0,907729635	1,101649611	2,151724138
STXBP5	0,370203052	-0,139757714	0,094	0,051	1	0,907671577	1,101720078	1,843137255
EPHA5	0,480650464	-0,139763384	0	0,016	1	0,90766801	1,101724407	0
USP1	0,012712505	-0,139823977	0,375	0,148	1	0,907629888	1,101770681	2,533783784
CYP2D6	0,543117005	-0,139862838	0	0,012	1	0,907605441	1,101800359	0
HPS6	0,38481627	-0,139993113	0	0,023	1	0,907523487	1,101899856	0
ZNF205	0,578217897	-0,140036007	0,062	0,039	1	0,907496506	1,101932618	1,58974359
IPO8	0,016179439	-0,140082093	0,219	0,074	1	0,907467517	1,101967819	2,959459459
GTF3C4	0,817344545	-0,140104873	0,062	0,051	1	0,907453188	1,101985219	1,215686275
GATB	0,346686972	-0,140171099	0	0,027	1	0,907411533	1,102035806	0
TTC7A	0,578217897	-0,140180239	0,062	0,039	1	0,907405784	1,102042788	1,58974359
CETN3	0,118142322	-0,140247936	0,125	0,051	1	0,907363206	1,102094501	2,450980392
GGA3	0,924392325	-0,140302263	0,031	0,027	1	0,907329038	1,102136003	1,148148148
LIPE-AS1	0,804543977	-0,140602637	0,031	0,039	1	0,907140149	1,102365496	0,794871795
LLGL2	0,924392442	-0,140674702	0,031	0,027	1	0,907094837	1,102420562	1,148148148
MARF1	0,428970186	-0,140807066	0,094	0,055	1	0,907011617	1,102521711	1,709090909
RETREG2	0,006746293	-0,140821642	0,281	0,094	1	0,907002453	1,10253285	2,989361702
LONRF3	0,38481627	-0,140832853	0	0,023	1	0,906995405	1,102541418	0
ZHX2	0,979143607	-0,14087312	0,031	0,031	1	0,90697009	1,102572192	1
ZNF529	0,979143607	-0,140881222	0,031	0,031	1	0,906964997	1,102578383	1
CES4A	0,346686972	-0,140884469	0	0,027	1	0,906962955	1,102580865	0
RCCD1	0,573780511	-0,1409502	0,062	0,039	1	0,906921634	1,102631101	1,58974359
MAPKAPK5-AS1	0,7917997	-0,140997518	0,094	0,074	1	0,906891889	1,102667266	1,27027027
ATG5	0,074729729	-0,141035981	0,188	0,078	1	0,906867711	1,102696664	2,41025641
MRNIP	0,580948071	-0,141076879	0,094	0,062	1	0,906842004	1,102727924	1,516129032
EXT1	0,346694817	-0,141091677	0,125	0,07	1	0,906832702	1,102739235	1,785714286
RANBP10	0,682170546	-0,141184824	0,031	0,02	1	0,906774155	1,102810435	1,55
FBXL19	0,480650464	-0,141258402	0	0,016	1	0,90672791	1,102866681	0

Supplementary Table 1

Differentially expressed genes_adjacent-skin-XL_ comparing SC-Keloid vs. (SC-Myel, SC-Nonmyel)								
gene	p_val	avg_log2FC	pct.1	pct.2	p_val_adj	Foldchange_UP	Foldchange_DOWN	Ratio_pct1_pct2
TRPM7	0,012515483	-0,14131221	0,281	0,102	1	0,906694093	1,102907815	2,754901961
ZNF836	0,38481627	-0,14132407	0	0,023	1	0,906686639	1,102916881	0
PARP10	0,161825316	-0,141370182	0,219	0,113	1	0,906657659	1,102952134	1,938053097
RADIL	0,346686972	-0,141377328	0	0,027	1	0,906653169	1,102957597	0
RRM2B	0,191913299	-0,141411646	0,094	0,039	1	0,906631602	1,102983834	2,41025641
GFPT2	0,224763613	-0,141427125	0,062	0,023	1	0,906621874	1,102995668	2,695652174
LAYN	0,158954432	-0,141447242	0,125	0,055	1	0,906609232	1,103011048	2,272727273
TRIM5	0,38481627	-0,141520996	0	0,023	1	0,906562886	1,103067438	0
ADRB2	0,887104347	-0,14152129	0,031	0,035	1	0,906562701	1,103067664	0,885714286
RO60	0,006717589	-0,141601809	0,562	0,242	1	0,906512105	1,103129229	2,32231405
H3C10	0,480650464	-0,141644836	0	0,016	1	0,90648507	1,103162129	0
RCL1	0,396289917	-0,141707146	0,062	0,031	1	0,90644592	1,103209776	2
SPTBN4	0,38481627	-0,141763737	0	0,023	1	0,906410365	1,103253051	0
GTDC1	0,219587526	-0,141971038	0,188	0,102	1	0,906280132	1,103411589	1,843137255
ARRDC1-AS1	0,376291412	-0,142021724	0,094	0,051	1	0,906248292	1,103450356	1,843137255
DYRK1B	0,428872689	-0,142035217	0	0,02	1	0,906239816	1,103460676	0
TTC28	0,955618714	-0,142048035	0,094	0,094	1	0,906231765	1,10347048	1
NFATC2IP	0,016391618	-0,142124323	0,25	0,09	1	0,906183845	1,103528831	2,777777778
EEF2K	0,668126075	-0,142208634	0,062	0,043	1	0,90613089	1,103593323	1,441860465
FAM107A	0,313292814	-0,142217633	0	0,031	1	0,906125237	1,103600207	0
ARHGEF37	0,257548576	-0,142419147	0	0,039	1	0,90599868	1,103754367	0
UNK	0,12714655	-0,142427872	0,156	0,07	1	0,9059932	1,103761043	2,228571429
SCAF4	0,077757581	-0,142449133	0,25	0,113	1	0,905979849	1,103777309	2,212389381
TMEFF1	0,663576959	-0,142471882	0,031	0,047	1	0,905965563	1,103794714	0,659574468
HDHD2	0,376291412	-0,14248305	0,094	0,051	1	0,90595855	1,103803259	1,843137255
NAT9	0,248144547	-0,142493385	0,156	0,082	1	0,90595206	1,103811167	1,902439024
ABRAXAS1	0,376291412	-0,14255711	0,094	0,051	1	0,905912045	1,103859923	1,843137255
USP54	0,980211723	-0,142655753	0,062	0,059	1	0,905850106	1,103935401	1,050847458
ATP2A2	0,130846492	-0,142715461	0,312	0,168	1	0,905812617	1,10398109	1,857142857
GATAD1	0,00430374	-0,142873819	0,344	0,117	1	0,905713195	1,104102276	2,94017094

Supplementary Table 1

Differentially expressed genes_adjacent-skin-XL_comparing SC-Keloid vs. (SC-Myel, SC-Nonmyel)								
gene	p_val	avg_log2FC	pct.1	pct.2	p_val_adj	Foldchange_UP	Foldchange_DOWN	Ratio_pct1_pct2
BOC	0,313292814	-0,142921311	0	0,031	1	0,905683381	1,104138622	0
PDP2	0,313292814	-0,142932271	0	0,031	1	0,9056765	1,10414701	0
TMEM126B	0,125283821	-0,142963146	0,375	0,199	1	0,905657118	1,10417064	1,884422111
UST	0,578217897	-0,142996391	0,062	0,039	1	0,905636249	1,104196085	1,58974359
NUDT12	0,093753684	-0,143074889	0,125	0,047	1	0,905586973	1,104256167	2,659574468
KIAA1549L	0,38481627	-0,143109824	0	0,023	1	0,905565045	1,104282907	0
FGFRL1	0,804543977	-0,143157239	0,031	0,039	1	0,905535284	1,1043192	0,794871795
ARSL	0,141661018	-0,143174439	0,094	0,035	1	0,905524488	1,104332366	2,685714286
CREB1	0,013381021	-0,143227894	0,281	0,102	1	0,905490937	1,104373285	2,754901961
SAMD5	0,514167295	-0,143408764	0,125	0,082	1	0,905377423	1,104511748	1,524390244
KTN1	0,131259472	-0,143413078	0,875	0,512	1	0,905374716	1,104515051	1,708984375
AADAT	0,573780511	-0,143439727	0,062	0,039	1	0,905357992	1,104535453	1,58974359
AMY2B	0,38481627	-0,143579008	0	0,023	1	0,905270591	1,104642093	0
ARHGEF1	0,010405093	-0,143629674	0,188	0,055	1	0,905238799	1,104680888	3,418181818
KCTD2	0,487085433	-0,143923292	0,062	0,035	1	0,905054583	1,104905736	1,771428571
MAFA	0,428872689	-0,143940768	0	0,02	1	0,90504362	1,10491912	0
ALMS1	0,979143607	-0,143952556	0,031	0,031	1	0,905036225	1,104928148	1
NAA50	0,05005634	-0,143975337	0,375	0,176	1	0,905021934	1,104945595	2,130681818
TAB1	0,032268627	-0,144014326	0,156	0,051	1	0,904997476	1,104975457	3,058823529
PHLDB3	0,80991663	-0,144037575	0,031	0,023	1	0,904982892	1,104993264	1,347826087
PPP6C	0,000886095	-0,144141172	0,344	0,102	1	0,90491791	1,105072614	3,37254902
CYFIP2	0,898329199	-0,144180116	0,031	0,035	1	0,904893483	1,105102444	0,885714286
SLK	0,00294808	-0,144217695	0,375	0,129	1	0,904869913	1,10513123	2,906976744
FSBP	0,428872689	-0,144371907	0	0,02	1	0,904773195	1,105249366	0
PDP1	0,221404772	-0,144413362	0,156	0,082	1	0,904747197	1,105281125	1,902439024
RBM27	0,097146104	-0,144427659	0,219	0,102	1	0,904738231	1,105292079	2,147058824
VPS16	0,002096899	-0,144446713	0,156	0,031	1	0,904726282	1,105306676	5,032258065
MLYCD	0,979143607	-0,14447092	0,031	0,031	1	0,904711102	1,105325223	1
WWP2	0,313292814	-0,144522399	0	0,031	1	0,90467882	1,105364664	0
MIGA2	0,918113127	-0,144561467	0,031	0,027	1	0,904654322	1,105394598	1,148148148

Supplementary Table 1

Differentially expressed genes_adjacent-skin-XL_comparing SC-Keloid vs. (SC-Myel, SC-Nonmyel)								
gene	p_val	avg_log2FC	pct.1	pct.2	p_val_adj	Foldchange_UP	Foldchange_DOWN	Ratio_pct1_pct2
TIMM10B	0,516147046	-0,144715612	0,094	0,059	1	0,904557669	1,10551271	1,593220339
CRAMP1	0,668126075	-0,144963557	0,062	0,043	1	0,904402223	1,105702722	1,441860465
NQO2	0,011445553	-0,144978757	0,25	0,086	1	0,904392694	1,105714372	2,906976744
C18orf21	0,313292814	-0,144986791	0	0,031	1	0,904387658	1,10572053	0
NECAB1	0,38481627	-0,145066915	0	0,023	1	0,904337432	1,105781941	0
EIF3A	0,147059932	-0,145135085	0,562	0,316	1	0,904294701	1,105834192	1,778481013
EFCAB5	0,543117005	-0,145166348	0	0,012	1	0,904275105	1,105858156	0
NEK4	0,313292814	-0,145314349	0	0,031	1	0,904182344	1,105971607	0
DTD2	0,243596382	-0,145363755	0,094	0,043	1	0,90415138	1,106009483	2,186046512
PLEKHA8	0,445227443	-0,14536454	0,094	0,055	1	0,904150888	1,106010085	1,709090909
SLC25A43	0,346686972	-0,145365445	0	0,027	1	0,904150321	1,106010778	0
ZDHC17	0,009336902	-0,145370087	0,281	0,098	1	0,904147412	1,106014337	2,867346939
CORO2B	0,163022941	-0,145372935	0,188	0,094	1	0,904145627	1,10601652	2
EPC1	0,073415381	-0,145392937	0,5	0,254	1	0,904133092	1,106031855	1,968503937
CRADD	0,445227443	-0,145411809	0,094	0,055	1	0,904121265	1,106046323	1,709090909
HIF1A	0,025560092	-0,14542645	0,25	0,098	1	0,904112089	1,106057548	2,551020408
GPR153	0,376291412	-0,145446847	0,094	0,051	1	0,904099307	1,106073185	1,843137255
C14orf28	0,428872689	-0,145490669	0	0,02	1	0,904071845	1,106106782	0
CYP1B1	0,979143607	-0,145524657	0,031	0,031	1	0,904050547	1,106132842	1
TBCEL	0,313292814	-0,145793384	0	0,031	1	0,903882167	1,106338897	0
ZNF33B	0,480650464	-0,145820485	0	0,016	1	0,903865188	1,10635968	0
LY6G5B	0,38481627	-0,145974963	0	0,023	1	0,903768411	1,106478151	0
HSD17B8	0,141661018	-0,146018052	0,094	0,035	1	0,903741419	1,106511198	2,685714286
MAP3K1	0,238963839	-0,146069011	0,125	0,062	1	0,903709497	1,106550283	2,016129032
TTC33	0,293095985	-0,146096102	0,125	0,066	1	0,903692527	1,106571062	1,893939394
CTH	0,80991663	-0,14613524	0,031	0,023	1	0,903668012	1,106601082	1,347826087
NR4A3	0,880532593	-0,146137639	0,062	0,055	1	0,903666509	1,106602922	1,127272727
SCFD1	0,022224283	-0,146199983	0,344	0,141	1	0,90362746	1,106650744	2,439716312
BRIX1	0,039525798	-0,146220707	0,219	0,086	1	0,903614479	1,106666641	2,546511628
PKIB	0,346686972	-0,146260839	0	0,027	1	0,903589343	1,106697426	0

Supplementary Table 1

Differentially expressed genes_adjacent-skin-XL_comparing SC-Keloid vs. (SC-Myel, SC-Nonmyel)								
gene	p_val	avg_log2FC	pct.1	pct.2	p_val_adj	Foldchange_UP	Foldchange_DOWN	Ratio_pct1_pct2
ATXN7L1	0,924392442	-0,146431473	0,031	0,027	1	0,903482478	1,106828328	1,148148148
MYRF	0,480650464	-0,146487143	0	0,016	1	0,903447616	1,106871038	0
AZIN1	0,034279306	-0,146569607	0,531	0,25	1	0,903395976	1,106934308	2,124
LINC01006	0,205678783	-0,146590678	0,156	0,078	1	0,903382782	1,106950476	2
EPHA7	0,346686972	-0,146621925	0	0,027	1	0,903363216	1,106974451	0
EDEM1	0,191913299	-0,146669079	0,094	0,039	1	0,903333691	1,107010632	2,41025641
COG1	0,141661018	-0,146871658	0,094	0,035	1	0,903206855	1,107166087	2,685714286
EGLN2	0,033696287	-0,146893713	0,312	0,133	1	0,903193048	1,107183013	2,345864662
GFOD1	0,979143607	-0,146911164	0,031	0,031	1	0,903182123	1,107196406	1
TANC1	0,038148997	-0,146932772	0,406	0,191	1	0,903168596	1,107212989	2,12565445
SYNC	0,695004519	-0,146964652	0,094	0,07	1	0,903148638	1,107237455	1,342857143
AHRR	0,346686972	-0,147138178	0	0,027	1	0,903040015	1,107370641	0
BRD8	0,086035399	-0,147149326	0,25	0,121	1	0,903033037	1,107379198	2,066115702
PINLYP	0,38481627	-0,147179492	0	0,023	1	0,903014155	1,107402353	0
CAND2	0,38481627	-0,147187727	0	0,023	1	0,903009001	1,107408673	0
LINC02693	0,80991663	-0,1472351	0,031	0,023	1	0,90297935	1,107445038	1,347826087
PNPLA7	0,38481627	-0,147262862	0	0,023	1	0,902961973	1,107466349	0
ABHD3	0,730358576	-0,147285954	0,031	0,043	1	0,902947521	1,107484075	0,720930233
PITPNM2	0,480650464	-0,147332439	0	0,016	1	0,902918428	1,10751976	0
CNOT7	0,003573812	-0,14735065	0,312	0,102	1	0,90290703	1,10753374	3,058823529
PDXDC1	0,44252225	-0,147474201	0,156	0,102	1	0,902829709	1,107628592	1,529411765
NAT8L	0,346686972	-0,147588449	0	0,027	1	0,902758217	1,107716309	0
POLR3E	0,663576959	-0,147623667	0,031	0,047	1	0,902736179	1,107743351	0,659574468
KLHL26	0,709822531	-0,147658981	0,094	0,07	1	0,902714082	1,107770467	1,342857143
CNTLN	0,06366796	-0,147683189	0,156	0,059	1	0,902698935	1,107789054	2,644067797
ME1	0,38481627	-0,147718164	0	0,023	1	0,902677051	1,107815911	0
IL1R1	0,979143607	-0,147774757	0,031	0,031	1	0,902641643	1,107859368	1
ZDHHC6	0,142110321	-0,147843404	0,156	0,07	1	0,902598694	1,107912084	2,228571429
CCL27	0,482846351	-0,147852925	0,062	0,035	1	0,902592738	1,107919395	1,771428571
LYRM7	0,209000952	-0,147977703	0,156	0,078	1	0,902514676	1,108015223	2

Supplementary Table 1

Differentially expressed genes_adjacent-skin-XL_comparing SC-Keloid vs. (SC-Myel, SC-Nonmyel)								
gene	p_val	avg_log2FC	pct.1	pct.2	p_val_adj	Foldchange_UP	Foldchange_DOWN	Ratio_pct1_pct2
SEC23B	0,373239546	-0,148003411	0,094	0,051	1	0,902498594	1,108034968	1,843137255
UGP2	0,002500836	-0,148381038	0,312	0,102	1	0,902262395	1,108325035	3,058823529
AKAP8	0,042072475	-0,148410085	0,219	0,086	1	0,902244229	1,10834735	2,546511628
NEO1	0,80991663	-0,148462267	0,031	0,023	1	0,902211595	1,10838744	1,347826087
GSTK1	0,006409259	-0,148494577	0,562	0,234	1	0,90219139	1,108412263	2,401709402
RANBP2	0,032749577	-0,148706157	0,375	0,168	1	0,902059088	1,10857483	2,232142857
CDYL	0,024125962	-0,14872558	0,25	0,094	1	0,902046943	1,108589755	2,659574468
MTERF4	0,031413167	-0,148774736	0,156	0,051	1	0,902016209	1,108627528	3,058823529
PPIC	0,887104347	-0,148877532	0,031	0,035	1	0,90195194	1,108706524	0,885714286
LCLAT1	0,480650464	-0,148961193	0	0,016	1	0,901899638	1,108770818	0
UNC50	0,0332995	-0,149017936	0,344	0,152	1	0,901864166	1,108814429	2,263157895
PIK3R3	0,046495836	-0,14932125	0,156	0,055	1	0,901674577	1,109047572	2,836363636
CTDSP1	0,001326358	-0,149356886	0,406	0,133	1	0,901652305	1,109074966	3,052631579
PPP1R12B	0,087744784	-0,149365473	0,188	0,082	1	0,901646938	1,109081568	2,292682927
VIPAS39	0,037506898	-0,149561481	0,094	0,023	1	0,901524446	1,109232261	4,086956522
CLCN2	0,487085433	-0,149600803	0,062	0,035	1	0,901499875	1,109262494	1,771428571
UTP20	0,093753684	-0,149603285	0,125	0,047	1	0,901498324	1,109264402	2,659574468
TRIM13	0,112512668	-0,14963088	0,219	0,105	1	0,901481081	1,10928562	2,085714286
VPS52	0,80991663	-0,149637284	0,031	0,023	1	0,901477079	1,109290544	1,347826087
NPIP15	0,663576959	-0,14967522	0,031	0,047	1	0,901453375	1,109319713	0,659574468
GNG2	0,102932724	-0,149715565	0,781	0,434	1	0,901428166	1,109350736	1,799539171
TMEM201	0,979143607	-0,149785313	0,031	0,031	1	0,901384587	1,10940437	1
MAP4K2	0,346686972	-0,149813736	0	0,027	1	0,901366829	1,109426226	0
APOOL	0,187685368	-0,149852511	0,094	0,039	1	0,901342604	1,109456045	2,41025641
NTRK3	0,578217897	-0,150031789	0,062	0,039	1	0,901230605	1,109593921	1,58974359
ERV3-1	0,191913299	-0,150039573	0,094	0,039	1	0,901225742	1,109599908	2,41025641
ZNF84	0,487085433	-0,150091869	0,062	0,035	1	0,901193074	1,10964013	1,771428571
NOC4L	0,170210335	-0,150397981	0,156	0,074	1	0,901001878	1,109875599	2,108108108
DZIP3	0,65904021	-0,15041492	0,062	0,043	1	0,9009913	1,109888631	1,441860465
FBXO34	0,502372892	-0,150455117	0,094	0,059	1	0,900966196	1,109919555	1,593220339

Supplementary Table 1

Differentially expressed genes_adjacent-skin-XL_ comparing SC-Keloid vs. (SC-Myel, SC-Nonmyel)								
gene	p_val	avg_log2FC	pct.1	pct.2	p_val_adj	Foldchange_UP	Foldchange_DOWN	Ratio_pct1_pct2
BCL2L1	0,046495836	-0,150527774	0,156	0,055	1	0,900920823	1,109975455	2,836363636
BCLAF3	0,122617152	-0,150622577	0,188	0,086	1	0,900861623	1,110048396	2,186046512
FXVD6	0,000699188	-0,150681961	0,312	0,086	1	0,900824543	1,110094089	3,627906977
LMOD1	0,38481627	-0,150693261	0	0,023	1	0,900817487	1,110102783	0
MAP3K5	0,428872689	-0,150765627	0	0,02	1	0,900772303	1,110158468	0
FAM13A-AS1	0,428872689	-0,150769748	0	0,02	1	0,90076973	1,11016164	0
HERC3	0,283789128	-0,150820961	0	0,035	1	0,900737755	1,110201049	0
EAPP	0,028096732	-0,150846605	0,469	0,215	1	0,900721744	1,110220783	2,181395349
FAN1	0,552606916	-0,150890941	0,094	0,062	1	0,900694064	1,110254902	1,516129032
SAP130	0,487085433	-0,150895354	0,062	0,035	1	0,900691309	1,110258298	1,771428571
TSPOAP1	0,38481627	-0,150991913	0	0,023	1	0,900631028	1,11033261	0
RXRA	0,028370624	-0,151219406	0,25	0,098	1	0,900489022	1,110507708	2,551020408
CBLB	0,820322169	-0,151286338	0,031	0,039	1	0,900447246	1,110559229	0,794871795
UNC13D	0,38481627	-0,15140733	0	0,023	1	0,900371734	1,11065237	0
PCDHB4	0,346686972	-0,151463317	0	0,027	1	0,900336793	1,110695472	0
KIF13A	0,011597542	-0,151572501	0,219	0,07	1	0,900268658	1,110779534	3,128571429
BRSK2	0,346686972	-0,151576909	0	0,027	1	0,900265907	1,110782928	0
PDXK	0,016831044	-0,151618943	0,281	0,105	1	0,900239677	1,110815292	2,676190476
NCEH1	0,682170546	-0,151640405	0,031	0,02	1	0,900226285	1,110831817	1,55
IZUMO4	0,313292814	-0,151676567	0	0,031	1	0,900203721	1,110859661	0
ATF7IP	0,008555004	-0,151801261	0,375	0,145	1	0,900125918	1,110955678	2,586206897
INIP	0,505287368	-0,151843199	0,125	0,082	1	0,900099753	1,110987973	1,524390244
RNPS1	0,002880026	-0,15188956	0,594	0,234	1	0,900070829	1,111023675	2,538461538
USP49	0,313292814	-0,151970094	0	0,031	1	0,900020586	1,111085697	0
C1orf35	0,222039877	-0,151976151	0,219	0,121	1	0,900016807	1,111090362	1,809917355
C19orf81	0,30793671	-0,151978527	0,062	0,027	1	0,900015325	1,111092191	2,296296296
UBLCP1	0,001348326	-0,152012696	0,281	0,078	1	0,899994009	1,111118507	3,602564103
PLPP2	0,346686972	-0,152063354	0	0,027	1	0,899962409	1,111157522	0
ZNF333	0,840130893	-0,1520702	0,062	0,051	1	0,899958138	1,111162795	1,215686275
IFIH1	0,918113127	-0,152081082	0,031	0,027	1	0,899951349	1,111171177	1,148148148

Supplementary Table 1

Differentially expressed genes_adjacent-skin-XL_comparing SC-Keloid vs. (SC-Myel, SC-Nonmyel)								
gene	p_val	avg_log2FC	pct.1	pct.2	p_val_adj	Foldchange_UP	Foldchange_DOWN	Ratio_pct1_pct2
MAP3K13	0,006343661	-0,152129372	0,281	0,094	1	0,899921227	1,11120837	2,989361702
ZFPM2	0,428872689	-0,152143508	0	0,02	1	0,899912409	1,111219258	0
INTS2	0,487085433	-0,15220712	0,062	0,035	1	0,89987273	1,111268256	1,771428571
USP36	0,548211541	-0,152308245	0,156	0,109	1	0,899809656	1,111346153	1,431192661
MRPL43	0,00546859	-0,152584485	0,469	0,18	1	0,899637382	1,111558968	2,605555556
CCDC152	0,578217897	-0,152594274	0,062	0,039	1	0,899631278	1,11156651	1,58974359
AFG3L2	0,030492951	-0,152662627	0,25	0,098	1	0,899588655	1,111619176	2,551020408
TDP2	0,668126075	-0,152721525	0,062	0,043	1	0,89955193	1,111664559	1,441860465
MTRF1L	0,066791287	-0,152725242	0,125	0,043	1	0,899549613	1,111667423	2,906976744
NFE2L1	0,000589142	-0,152771838	0,438	0,141	1	0,89952056	1,111703328	3,106382979
NIPAL3	0,887104347	-0,152785654	0,031	0,035	1	0,899511946	1,111713974	0,885714286
ARHGEF3	0,924392442	-0,152797148	0,031	0,027	1	0,899504779	1,111722831	1,148148148
CIART	0,979143607	-0,15280955	0,031	0,031	1	0,899497047	1,111732388	1
CA13	0,668126075	-0,152921619	0,062	0,043	1	0,899427176	1,111818751	1,441860465
H4C8	0,543117005	-0,153068956	0	0,012	1	0,899335326	1,111932303	0
DHX38	0,012156741	-0,153166001	0,25	0,086	1	0,899274833	1,112007101	2,906976744
LSMEM2	0,346686972	-0,1531949	0	0,027	1	0,899256819	1,112029377	0
INPP5A	0,510608096	-0,153313166	0,031	0,059	1	0,899183105	1,11212054	0,525423729
FARP2	0,242059311	-0,153413475	0,188	0,102	1	0,899120588	1,112197867	1,843137255
DENND4B	0,310355006	-0,153436601	0,094	0,047	1	0,899106176	1,112215695	2
CPPED1	7,0737E-05	-0,153458639	0,344	0,082	1	0,899092441	1,112232685	4,195121951
PCNX3	0,979143607	-0,153484966	0,031	0,031	1	0,899076034	1,112252982	1
POGK	0,021726813	-0,153541295	0,188	0,062	1	0,899040931	1,112296409	3,032258065
KIF16B	0,580948071	-0,153558994	0,094	0,062	1	0,899029902	1,112310055	1,516129032
EED	0,804543977	-0,153725673	0,031	0,039	1	0,898926041	1,112438571	0,794871795
PAFAH1B1	0,021721731	-0,153796329	0,625	0,289	1	0,898882017	1,112493054	2,162629758
ADM	0,797009215	-0,153838366	0,062	0,074	1	0,898855825	1,11252547	0,837837838
ABCB4	0,487085433	-0,153846437	0,062	0,035	1	0,898850797	1,112531695	1,771428571
ZNF330	0,376881888	-0,153912505	0,188	0,117	1	0,898809635	1,112582644	1,606837607
BMP2K	0,569030388	-0,153912841	0,25	0,184	1	0,898809426	1,112582903	1,358695652

Supplementary Table 1

Differentially expressed genes_adjacent-skin-XL_ comparing SC-Keloid vs. (SC-Myel, SC-Nonmyel)								
gene	p_val	avg_log2FC	pct.1	pct.2	p_val_adj	Foldchange_UP	Foldchange_DOWN	Ratio_pct1_pct2
WRAP53	0,028712073	-0,153935545	0,125	0,035	1	0,898795281	1,112600412	3,571428571
ID1	0,014643669	-0,153967856	0,219	0,074	1	0,898775152	1,11262533	2,959459459
MGAT3	0,924392442	-0,153985373	0,031	0,027	1	0,898764239	1,11263884	1,148148148
SUMO4	0,924392442	-0,154087416	0,031	0,027	1	0,898700671	1,112717541	1,148148148
NAALAD2	0,38481627	-0,154154033	0	0,023	1	0,898659174	1,112768922	0
SIRT7	0,001626207	-0,154223822	0,25	0,066	1	0,898615703	1,112822752	3,787878788
TMEM185A	0,007848729	-0,154357422	0,219	0,066	1	0,898532491	1,112925809	3,318181818
LNP1	0,480650464	-0,154391066	0	0,016	1	0,898511537	1,112951764	0
TMEM167B	0,102169822	-0,154498033	0,219	0,102	1	0,898444921	1,113034285	2,147058824
ATP1B1	0,004295141	-0,154528399	0,688	0,285	1	0,89842601	1,113057713	2,414035088
GNA13	0,030158445	-0,154556084	0,219	0,082	1	0,89840877	1,113079072	2,670731707
BRPF3	0,907442332	-0,154558866	0,062	0,055	1	0,898407037	1,113081219	1,127272727
EMC2	0,069682133	-0,154572504	0,438	0,223	1	0,898398545	1,113091741	1,964125561
NPAT	0,668126075	-0,154654439	0,062	0,043	1	0,898347524	1,113154958	1,441860465
ZNF407	0,804543977	-0,15469663	0,031	0,039	1	0,898321252	1,113187512	0,794871795
ENHO	0,283789128	-0,154744865	0	0,035	1	0,898291218	1,113224732	0
PIGL	0,38481627	-0,154751967	0	0,023	1	0,898286796	1,113230211	0
GNPTG	0,033118365	-0,15478699	0,344	0,148	1	0,898264989	1,113257237	2,324324324
KAZN	0,085318957	-0,154840345	0,156	0,062	1	0,89823177	1,113298409	2,516129032
RNF166	0,013196028	-0,154870268	0,156	0,043	1	0,898213139	1,1133215	3,627906977
TMEM63B	0,302364586	-0,155011073	0,125	0,066	1	0,89812548	1,113430164	1,893939394
HEY2	0,313292814	-0,155022526	0	0,031	1	0,89811835	1,113439003	0
INTS1	0,082632923	-0,155053107	0,156	0,062	1	0,898099312	1,113462605	2,516129032
CXCL8	0,157961013	-0,15506211	0,188	0,094	1	0,898093708	1,113469554	2
ARID1A	0,111390099	-0,15506771	0,312	0,16	1	0,898090222	1,113473875	1,95
NR1H3	0,746521062	-0,155192984	0,062	0,047	1	0,898012241	1,113570567	1,319148936
DLX2	0,668126075	-0,155360233	0,062	0,043	1	0,897908142	1,113699668	1,441860465
TSN	0,060916409	-0,155405416	0,188	0,074	1	0,897880022	1,113734548	2,540540541
PLEKHA2	0,257548576	-0,155427722	0	0,039	1	0,897866139	1,113751768	0
TUBGCP4	0,668126075	-0,155734098	0,062	0,043	1	0,897675485	1,113988313	1,441860465

Supplementary Table 1

Differentially expressed genes_adjacent-skin-XL_comparing SC-Keloid vs. (SC-Myel, SC-Nonmyel)								
gene	p_val	avg_log2FC	pct.1	pct.2	p_val_adj	Foldchange_UP	Foldchange_DOWN	Ratio_pct1_pct2
CUL9	0,30793671	-0,155742801	0,062	0,027	1	0,89767007	1,113995034	2,296296296
RPP25L	0,578217499	-0,155891006	0,062	0,039	1	0,897577859	1,114109478	1,58974359
NCOA6	0,505798338	-0,155919373	0,094	0,059	1	0,89756021	1,114131385	1,593220339
PHIP	0,018057075	-0,155977028	0,531	0,242	1	0,897524342	1,11417591	2,194214876
NFKBID	0,603353082	-0,156029614	0,031	0,051	1	0,897491628	1,114216522	0,607843137
MGME1	0,032268627	-0,156069742	0,156	0,051	1	0,897466665	1,114247514	3,058823529
DIDO1	0,032866024	-0,156090739	0,188	0,066	1	0,897453603	1,114263731	2,848484848
LPIN2	0,653016738	-0,156150408	0,094	0,066	1	0,897416485	1,114309817	1,424242424
CEP164	0,06222129	-0,156158549	0,156	0,059	1	0,897411422	1,114316105	2,644067797
SLC25A30-AS1	0,480650464	-0,156171117	0	0,016	1	0,897403571	1,114325853	0
CCDC59	0,012153845	-0,15623965	0,469	0,199	1	0,897360975	1,114378748	2,35678392
RASA2	0,505798338	-0,156248858	0,094	0,059	1	0,897355248	1,114385861	1,593220339
ADPRHL1	0,313292814	-0,15625778	0	0,031	1	0,897349698	1,114392752	0
GRIN2B	0,313292814	-0,1562875	0	0,031	1	0,897331213	1,114415709	0
SOCS1	0,804543977	-0,156293695	0,031	0,039	1	0,89732736	1,114420495	0,794871795
MIR4458HG	0,015526375	-0,156856978	0,188	0,059	1	0,896977078	1,114855691	3,186440678
TRIP12	0,005677323	-0,156857067	0,375	0,137	1	0,896977022	1,11485576	2,737226277
EPHB6	0,487085433	-0,15686511	0,062	0,035	1	0,896972022	1,114861976	1,771428571
PSMD5	0,093753684	-0,156899122	0,125	0,047	1	0,896950875	1,11488826	2,659574468
SEN3	0,804543977	-0,156985213	0,031	0,039	1	0,896897353	1,114954791	0,794871795
GSN-AS1	0,226351275	-0,157003175	0,031	0,008	1	0,896886186	1,114968673	3,875
UNKL	0,967025549	-0,157007994	0,062	0,059	1	0,89688319	1,114972397	1,050847458
YPEL2	0,159667137	-0,15703885	0,25	0,129	1	0,896864008	1,114996244	1,937984496
SGMS1	0,039103141	-0,15713771	0,25	0,102	1	0,896802553	1,115072651	2,450980392
CEBPZOS	0,023853062	-0,157207477	0,219	0,078	1	0,896759186	1,115126576	2,807692308
MOB4	0,061583228	-0,157311186	0,438	0,215	1	0,896694724	1,115206741	2,037209302
XRCC1	0,202646283	-0,157382836	0,125	0,059	1	0,896650191	1,115262128	2,118644068
SCRIB	0,137474745	-0,157492767	0,188	0,09	1	0,896581871	1,115347112	2,088888889
OGT	0,879936477	-0,157655985	0,156	0,152	1	0,896480442	1,115473303	1,026315789
GOLGA6L4	0,313292814	-0,157682012	0	0,031	1	0,896464269	1,115493427	0

Supplementary Table 1

Differentially expressed genes_adjacent-skin-XL_comparing SC-Keloid vs. (SC-Myel, SC-Nonmyel)								
gene	p_val	avg_log2FC	pct.1	pct.2	p_val_adj	Foldchange_UP	Foldchange_DOWN	Ratio_pct1_pct2
HEG1	0,804543977	-0,157737261	0,031	0,039	1	0,89642994	1,115536146	0,794871795
ACVR1B	0,487085433	-0,157756486	0,062	0,035	1	0,896417994	1,115551012	1,771428571
KPNA5	0,997801078	-0,157991023	0,062	0,059	1	0,896272276	1,11573238	1,050847458
PPIL4	0,026160842	-0,158112835	0,594	0,281	1	0,896196604	1,115826589	2,113879004
PLA2G4B	0,346686972	-0,158113626	0	0,027	1	0,896196113	1,115827201	0
FZD4	0,892714086	-0,15811692	0,031	0,035	1	0,896194067	1,115829748	0,885714286
SPTY2D1	0,054396443	-0,158186082	0,219	0,09	1	0,896151105	1,115883242	2,433333333
MTX3	0,487085433	-0,158218679	0,062	0,035	1	0,896130857	1,115908455	1,771428571
FTO	0,126128812	-0,158354503	0,125	0,051	1	0,896046494	1,116013518	2,450980392
COPS7B	0,370203052	-0,158407051	0,094	0,051	1	0,896013857	1,116054168	1,843137255
EXOC8	0,887104347	-0,158424179	0,031	0,035	1	0,896003219	1,116067419	0,885714286
SNX33	0,887104347	-0,158444591	0,031	0,035	1	0,895990542	1,11608321	0,885714286
MDM2	0,238991084	-0,158497945	0,156	0,082	1	0,895957407	1,116124485	1,902439024
PRPF38B	0,105080828	-0,158661366	0,375	0,195	1	0,895855924	1,116250921	1,923076923
ZNF865	0,141661018	-0,158865594	0,094	0,035	1	0,895729115	1,116408949	2,685714286
FHIP1B	0,01489812	-0,158893202	0,188	0,059	1	0,895711974	1,116430313	3,186440678
ASB6	0,098751938	-0,158912205	0,094	0,031	1	0,895700176	1,116445019	3,032258065
ABCB10	0,428872689	-0,158982488	0	0,02	1	0,895656542	1,116499409	0
ABHD17B	0,99780108	-0,158982863	0,062	0,059	1	0,895656309	1,116499699	1,050847458
ACVR1	0,892714086	-0,159101864	0,031	0,035	1	0,895582434	1,116591798	0,885714286
SEPTIN4	0,313292814	-0,159136869	0	0,031	1	0,895560704	1,116618891	0
CDCA7L	0,804543977	-0,159261401	0,031	0,039	1	0,895483404	1,11671528	0,794871795
PIGK	0,001591384	-0,159266922	0,375	0,121	1	0,895479976	1,116719554	3,099173554
PDPK1	0,17621177	-0,159290283	0,188	0,094	1	0,895465476	1,116737637	2
DLGAP1-AS2	0,38481627	-0,159317677	0	0,023	1	0,895448473	1,116758842	0
DNASE1	0,283789128	-0,159347046	0	0,035	1	0,895430245	1,116781576	0
ZFAND2B	0,023577809	-0,159662241	0,219	0,078	1	0,895234636	1,117025593	2,807692308
NFKBIB	0,188205529	-0,159663885	0,125	0,059	1	0,895233615	1,117026866	2,118644068
STK11IP	0,840130893	-0,159695438	0,062	0,051	1	0,895214036	1,117051297	1,215686275
C19orf12	0,516147046	-0,159954315	0,094	0,059	1	0,895053414	1,117251758	1,593220339

Supplementary Table 1

Differentially expressed genes_adjacent-skin-XL_comparing SC-Keloid vs. (SC-Myel, SC-Nonmyel)								
gene	p_val	avg_log2FC	pct.1	pct.2	p_val_adj	Foldchange_UP	Foldchange_DOWN	Ratio_pct1_pct2
ANKRD52	0,016858455	-0,159989039	0,125	0,031	1	0,895031871	1,117278649	4,032258065
HSPA14	0,668126075	-0,160040815	0,062	0,043	1	0,89499975	1,117318747	1,441860465
DOCK10	0,283789128	-0,160115752	0	0,035	1	0,894953263	1,117376785	0
NUBP1	0,046495836	-0,160129295	0,156	0,055	1	0,894944862	1,117387274	2,836363636
RAVER2	0,80991663	-0,160156113	0,031	0,023	1	0,894928226	1,117408045	1,347826087
SLC12A2	0,035794044	-0,160160733	0,25	0,102	1	0,89492536	1,117411624	2,450980392
ZNF394	0,005195348	-0,160196977	0,219	0,062	1	0,894902878	1,117439696	3,532258065
GPR137B	0,016314912	-0,160239672	0,406	0,168	1	0,894876395	1,117472766	2,416666667
CCSER2	0,047107985	-0,16024164	0,531	0,262	1	0,894875174	1,11747429	2,026717557
ADAMTSL4	0,38481627	-0,160245637	0	0,023	1	0,894872695	1,117477386	0
KCTD7	0,224763613	-0,160249456	0,062	0,023	1	0,894870326	1,117480345	2,695652174
ZNF117	0,428872689	-0,160320894	0	0,02	1	0,894826016	1,11753568	0
HEXD	0,045356999	-0,16044754	0,156	0,055	1	0,894747467	1,117633787	2,836363636
MALINC1	0,428872689	-0,160524117	0	0,02	1	0,894699976	1,117693111	0
NECTIN3	0,202646283	-0,160673866	0,125	0,059	1	0,894607113	1,117809132	2,118644068
NSRP1	0,001571041	-0,160721782	0,406	0,133	1	0,894577401	1,117846258	3,052631579
GAS7	0,598297014	-0,16084176	0,938	0,629	1	0,894503009	1,117939224	1,491255962
MME	0,313292814	-0,160890103	0	0,031	1	0,894473036	1,117976686	0
NUP35	0,283789128	-0,161094434	0	0,035	1	0,894346359	1,118135038	0
LLGL1	0,682170546	-0,161177817	0,031	0,02	1	0,89429467	1,118199665	1,55
TFIP11	0,979143607	-0,161210633	0,031	0,031	1	0,894274329	1,118225099	1
UBE2V1	0,061399135	-0,161222166	0,594	0,301	1	0,89426718	1,118234038	1,973421927
MAP3K6	0,093753684	-0,161294993	0,125	0,047	1	0,894222038	1,118290488	2,659574468
KLHDC1	0,38481627	-0,161338815	0	0,023	1	0,894194876	1,118324457	0
XRR1	0,175031227	-0,161513583	0,281	0,152	1	0,894086561	1,118459939	1,848684211
RREB1	0,204506657	-0,161633785	0,125	0,059	1	0,894012071	1,11855313	2,118644068
TM7SF3	0,017987005	-0,16168237	0,312	0,121	1	0,893981963	1,1185908	2,578512397
SUOX	0,428872689	-0,161685015	0	0,02	1	0,893980325	1,118592851	0
PRKD1	0,32461626	-0,161721677	0,125	0,07	1	0,893957607	1,118621277	1,785714286
DONSON	0,037506898	-0,161725945	0,094	0,023	1	0,893954962	1,118624587	4,086956522

Supplementary Table 1

Differentially expressed genes_adjacent-skin-XL_ comparing SC-Keloid vs. (SC-Myel, SC-Nonmyel)								
gene	p_val	avg_log2FC	pct.1	pct.2	p_val_adj	Foldchange_UP	Foldchange_DOWN	Ratio_pct1_pct2
GPM6A	0,283789128	-0,16172718	0	0,035	1	0,893954197	1,118625544	0
SLC22A5	0,428872689	-0,161780374	0	0,02	1	0,893921236	1,11866679	0
GBP4	0,616047684	-0,161818676	0,031	0,051	1	0,893897504	1,11869649	0,607843137
AKAP8L	0,057218654	-0,162061333	0,312	0,145	1	0,893747166	1,118884667	2,151724138
NTNG2	0,313292814	-0,162097327	0	0,031	1	0,893724868	1,118912582	0
HOXC4	0,979143607	-0,162230665	0,031	0,031	1	0,893642271	1,119016	1
KLHL22	0,428872689	-0,162241267	0	0,02	1	0,893635704	1,119024224	0
B4GALT4	0,663576959	-0,162343955	0,031	0,047	1	0,893572099	1,119103876	0,659574468
IGIP	0,80991663	-0,16235158	0,031	0,023	1	0,893567377	1,119109791	1,347826087
C5orf24	0,033637365	-0,162408052	0,531	0,258	1	0,8935324	1,119153598	2,058139535
AK4	0,38481627	-0,162512409	0	0,023	1	0,893467769	1,119234554	0
ZNF585A	0,187685368	-0,162530215	0,094	0,039	1	0,893456741	1,119248368	2,41025641
GABRB3	0,283789128	-0,162604613	0	0,035	1	0,893410668	1,119306088	0
PLCL1	0,313292814	-0,162657516	0	0,031	1	0,893377908	1,119347133	0
LDLR	0,106706178	-0,162678983	0,156	0,066	1	0,893364615	1,119363789	2,363636364
MIPOL1	0,668126075	-0,162712848	0,062	0,043	1	0,893343644	1,119390065	1,441860465
DCUN1D1	0,023853062	-0,162726401	0,219	0,078	1	0,893335253	1,11940058	2,807692308
SLC22A23	0,668126075	-0,162729505	0,062	0,043	1	0,893333333	1,119402989	1,441860465
DNAJC2	0,001963472	-0,162750811	0,281	0,082	1	0,893320137	1,119419521	3,426829268
PLAG1	0,346686972	-0,162778271	0	0,027	1	0,893303135	1,119440827	0
ZNF660	0,226351275	-0,162779288	0,031	0,008	1	0,893302505	1,119441617	3,875
POT1	0,607571545	-0,162794894	0,031	0,051	1	0,893292841	1,119453726	0,607843137
SARM1	0,578217897	-0,162937865	0,062	0,039	1	0,893204321	1,119564669	1,58974359
PRKCE	0,257548576	-0,162976757	0	0,039	1	0,893180242	1,119594851	0
SIAH2	0,055470426	-0,163028894	0,219	0,09	1	0,893147964	1,119635313	2,433333333
H2AZ2	0,036060551	-0,163068937	0,688	0,336	1	0,893123175	1,119666389	2,047619048
CHIC1	0,346686972	-0,163070292	0	0,027	1	0,893122336	1,11966744	0
FAT1	0,031984901	-0,163145979	0,406	0,188	1	0,893075482	1,119726183	2,159574468
HSPA1L	0,887104347	-0,163154063	0,031	0,035	1	0,893070478	1,119732457	0,885714286
PPP5C	0,191913299	-0,163190774	0,094	0,039	1	0,893047753	1,119760949	2,41025641

Supplementary Table 1

Differentially expressed genes_adjacent-skin-XL_comparing SC-Keloid vs. (SC-Myel, SC-Nonmyel)								
gene	p_val	avg_log2FC	pct.1	pct.2	p_val_adj	Foldchange_UP	Foldchange_DOWN	Ratio_pct1_pct2
NR2C2	0,046495836	-0,163207541	0,156	0,055	1	0,893037374	1,119773964	2,836363636
NBPF9	0,540537634	-0,163384894	0,031	0,016	1	0,892927598	1,119911628	1,9375
CEACAM19	0,924392442	-0,163393507	0,031	0,027	1	0,892922267	1,119918314	1,148148148
ARHGAP5-AS1	0,804543977	-0,163757023	0,031	0,039	1	0,892697306	1,120200535	0,794871795
KCNIP3	0,480650464	-0,163790304	0	0,016	1	0,892676713	1,120226377	0
SIPA1L3	0,019236133	-0,163843751	0,094	0,02	1	0,892643643	1,120267879	4,7
NEDD4	0,441948175	-0,163881637	0,094	0,055	1	0,892620202	1,120297298	1,709090909
ANKS3	0,007871757	-0,163884545	0,156	0,039	1	0,892618402	1,120299556	4
ZSCAN32	0,428872689	-0,164031049	0	0,02	1	0,892527763	1,120413327	0
CPOX	0,283789128	-0,164100614	0	0,035	1	0,892484727	1,120467354	0
SART3	0,010405093	-0,164125287	0,188	0,055	1	0,892469464	1,120486516	3,418181818
PPP2R5E	0,026679107	-0,164199765	0,219	0,082	1	0,892423392	1,120544361	2,670731707
TADA2B	0,682170546	-0,164203656	0,031	0,02	1	0,892420985	1,120547383	1,55
U2AF1L4	0,062941189	-0,164320916	0,156	0,059	1	0,892348453	1,120638464	2,644067797
TPBG	0,38481627	-0,164351293	0	0,023	1	0,892329665	1,12066206	0
GDNF	0,887104347	-0,164406642	0,031	0,035	1	0,892295431	1,120705055	0,885714286
COG7	0,924392442	-0,164614553	0,031	0,027	1	0,892166849	1,120866574	1,148148148
ARMCX5	0,396289917	-0,164696548	0,062	0,031	1	0,892116145	1,12093028	2
FAM120B	0,835562242	-0,164699623	0,062	0,051	1	0,892114243	1,120932669	1,215686275
SLC25A13	0,000137099	-0,164723594	0,25	0,051	1	0,89209942	1,120951294	4,901960784
ZMYM1	0,38481627	-0,164755374	0	0,023	1	0,892079769	1,120975987	0
ZBTB17	0,163771186	-0,164833405	0,125	0,055	1	0,89203152	1,121036619	2,272727273
XRN1	0,219379907	-0,164840199	0,25	0,141	1	0,89202732	1,121041898	1,773049645
TMEM91	0,162153727	-0,164850008	0,125	0,055	1	0,892021255	1,121049521	2,272727273
CNR1	0,428872689	-0,165011912	0	0,02	1	0,891921155	1,121175335	0
KIF27	0,735253332	-0,165038547	0,031	0,043	1	0,891904688	1,121196035	0,720930233
TEX41	0,428872689	-0,165226028	0	0,02	1	0,891788791	1,121341746	0
AHCYL1	0,019312158	-0,1653081	0,469	0,199	1	0,891738061	1,121405538	2,35678392
INPP4B	0,38481627	-0,165319257	0	0,023	1	0,891731164	1,121414211	0
LRP1	0,012154915	-0,165410174	0,75	0,344	1	0,89167497	1,121484883	2,180232558

Supplementary Table 1

Differentially expressed genes_adjacent-skin-XL_ comparing SC-Keloid vs. (SC-Myel, SC-Nonmyel)								
gene	p_val	avg_log2FC	pct.1	pct.2	p_val_adj	Foldchange_UP	Foldchange_DOWN	Ratio_pct1_pct2
RMND5B	0,755689148	-0,16567891	0,062	0,047	1	0,89150889	1,121693806	1,319148936
ANKRD20A4P	0,283789128	-0,165723901	0	0,035	1	0,891481089	1,121728786	0
HECTD1	0,008160896	-0,165744814	0,469	0,191	1	0,891468166	1,121745047	2,455497382
SMG5	0,24851603	-0,165787264	0,094	0,043	1	0,891441936	1,121778054	2,186046512
FILIP1	0,257548576	-0,16578785	0	0,039	1	0,891441574	1,12177851	0
MOB3C	0,283789128	-0,165940436	0	0,035	1	0,891347296	1,12189716	0
UBE2E2	0,13446757	-0,166064997	0,156	0,07	1	0,891270341	1,121994028	2,228571429
SLC25A27	0,346686972	-0,166111048	0	0,027	1	0,891241892	1,122029842	0
SPRY2	0,002659034	-0,166184834	0,625	0,25	1	0,891196311	1,12208723	2,5
IKZF2	0,480650464	-0,166214992	0	0,016	1	0,891177682	1,122110686	0
FRMD4B	0,283788463	-0,166376772	0	0,035	1	0,891077753	1,122236524	0
TPR	0,015662533	-0,16647999	0,469	0,211	1	0,891014003	1,122316818	2,222748815
WRNIP1	0,045147709	-0,166532346	0,188	0,07	1	0,890981668	1,122357547	2,685714286
RASSF8-AS1	0,050259834	-0,166537924	0,25	0,105	1	0,890978224	1,122361887	2,380952381
NTM	0,193723669	-0,166590707	0,938	0,574	1	0,890945627	1,122402951	1,634146341
YTHDF1	0,846196088	-0,166658577	0,094	0,078	1	0,890903714	1,122455754	1,205128205
BOD1	0,024242212	-0,166683314	0,312	0,129	1	0,890888438	1,122475	2,418604651
POLR2B	0,00211817	-0,166697179	0,375	0,125	1	0,890879876	1,122485788	3
CYRIA	0,578217897	-0,166726114	0,062	0,039	1	0,890862009	1,122508301	1,58974359
SNX25	0,428872689	-0,166880278	0	0,02	1	0,890766818	1,122628257	0
ANKRD30B	0,38481627	-0,166912946	0	0,023	1	0,890746648	1,122653678	0
ZNF740	0,487085433	-0,166973351	0,062	0,035	1	0,890709354	1,122700683	1,771428571
LDAF1	0,516147046	-0,167053813	0,094	0,059	1	0,890659678	1,122763301	1,593220339
CTBP1-DT	0,346686972	-0,167205739	0	0,027	1	0,89056589	1,122881542	0
PER2	0,310355006	-0,167296722	0,094	0,047	1	0,890509729	1,122952358	2
PIR	0,313292814	-0,167316197	0	0,031	1	0,890497708	1,122967517	0
C9orf72	0,38481627	-0,167323261	0	0,023	1	0,890493348	1,122973016	0
SETD1A	0,032268627	-0,167349113	0,156	0,051	1	0,890477391	1,122993139	3,058823529
NSUN4	0,428872689	-0,16741049	0	0,02	1	0,890439508	1,123040915	0
TMEM178A	0,38481627	-0,167484637	0	0,023	1	0,890393745	1,123098635	0

Supplementary Table 1

Differentially expressed genes_adjacent-skin-XL_comparing SC-Keloid vs. (SC-Myel, SC-Nonmyel)								
gene	p_val	avg_log2FC	pct.1	pct.2	p_val_adj	Foldchange_UP	Foldchange_DOWN	Ratio_pct1_pct2
KLC1	0,174462513	-0,167494792	0,531	0,309	1	0,890387478	1,123106541	1,718446602
METTL17	0,157372807	-0,167495336	0,125	0,055	1	0,890387142	1,123106964	2,272727273
DVL2	0,516147046	-0,167724775	0,094	0,059	1	0,890245551	1,123285592	1,593220339
DSG3	0,428872689	-0,167963448	0	0,02	1	0,890098284	1,123471439	0
RRAGD	0,234088337	-0,168108845	0	0,043	1	0,890008583	1,12358467	0
DNALI1	0,191913299	-0,168149277	0,094	0,039	1	0,889983641	1,123616159	2,41025641
GABPB2	0,141661018	-0,168158351	0,094	0,035	1	0,889978043	1,123623226	2,685714286
GJB6	0,283789128	-0,168271206	0	0,035	1	0,889908428	1,123711124	0
PHLPP2	0,979143607	-0,16828917	0,031	0,031	1	0,889897347	1,123725117	1
ABT1	0,396289917	-0,168297998	0,062	0,031	1	0,889891902	1,123731993	2
MCCC1	0,668126075	-0,16851801	0,062	0,043	1	0,889756202	1,123903376	1,441860465
DGKD	0,396289917	-0,168553864	0,062	0,031	1	0,88973409	1,123931308	2
PHC3	0,22427219	-0,168679	0,188	0,102	1	0,88965692	1,1240288	1,843137255
DHTKD1	0,257548576	-0,16920993	0	0,039	1	0,889329576	1,124442532	0
ING3	0,247212967	-0,169263554	0,125	0,062	1	0,88929652	1,124484328	2,016129032
DPH7	0,300029356	-0,169310927	0,125	0,066	1	0,88926732	1,124521252	1,893939394
XYLT2	0,577368489	-0,169425365	0,094	0,062	1	0,889196784	1,124610455	1,516129032
EBF4	0,569359326	-0,169465332	0,062	0,039	1	0,889172151	1,124641611	1,58974359
TMEM158	0,141661018	-0,169529925	0,094	0,035	1	0,889132341	1,124691965	2,685714286
WDR37	0,924392442	-0,169700259	0,031	0,027	1	0,88902737	1,124824762	1,148148148
POLG	0,249306044	-0,169722603	0,125	0,062	1	0,889013602	1,124842183	2,016129032
UVSSA	0,141661018	-0,169722965	0,094	0,035	1	0,889013379	1,124842465	2,685714286
PTPN13	0,171744666	-0,169736909	0,281	0,152	1	0,889004786	1,124853337	1,848684211
TBCE	0,373239546	-0,169969064	0,094	0,051	1	0,888861741	1,12503436	1,843137255
SLC16A1	0,123421204	-0,170094044	0,125	0,051	1	0,888784743	1,125131825	2,450980392
BIRC7	0,346686972	-0,170101978	0	0,027	1	0,888779855	1,125138013	0
TNPO2	0,012061903	-0,170297682	0,219	0,07	1	0,888659299	1,12529065	3,128571429
PYROXD2	0,480650464	-0,170396888	0	0,016	1	0,888598192	1,125368033	0
RNF44	0,668126075	-0,170404332	0,062	0,043	1	0,888593608	1,125373839	1,441860465
XPO6	0,074729729	-0,170406574	0,188	0,078	1	0,888592227	1,125375588	2,41025641

Supplementary Table 1

Differentially expressed genes_adjacent-skin-XL_comparing SC-Keloid vs. (SC-Myel, SC-Nonmyel)								
gene	p_val	avg_log2FC	pct.1	pct.2	p_val_adj	Foldchange_UP	Foldchange_DOWN	Ratio_pct1_pct2
DSG1	0,573780511	-0,170558201	0,062	0,039	1	0,888498841	1,125493871	1,58974359
GIGYF1	0,192364395	-0,170635549	0,188	0,098	1	0,888451206	1,125554215	1,918367347
DENND1A	0,924392442	-0,170659681	0,031	0,027	1	0,888436345	1,125573042	1,148148148
TFPI2	0,016858455	-0,170685143	0,125	0,031	1	0,888420666	1,125592907	4,032258065
LTA4H	0,916437471	-0,170689839	0,062	0,055	1	0,888417773	1,125596572	1,127272727
ENSA	0,006587322	-0,170730285	0,5	0,199	1	0,888392867	1,125628128	2,512562814
TVP23C	0,482846351	-0,171004423	0,062	0,035	1	0,888224073	1,125842038	1,771428571
ERMN	0,428872689	-0,17107929	0	0,02	1	0,888177981	1,125900463	0
FLRT2	0,346686972	-0,171111144	0	0,027	1	0,888158371	1,125925323	0
LINC00461	0,257548576	-0,171135512	0	0,039	1	0,888143369	1,125944341	0
TTPAL	0,428872689	-0,17115666	0	0,02	1	0,88813035	1,125960846	0
ZNF34	0,376291412	-0,171276945	0,094	0,051	1	0,888056305	1,126054727	1,843137255
PAIP2B	0,313292814	-0,171340435	0	0,031	1	0,888017224	1,126104284	0
CEP44	0,933712959	-0,171513693	0,062	0,062	1	0,887910586	1,126239529	1
LTN1	0,003618924	-0,171541534	0,312	0,102	1	0,887893451	1,126261263	3,058823529
GRPEL1	0,014142285	-0,171649964	0,281	0,102	1	0,887826721	1,126345914	2,754901961
SH3BP5	0,050263346	-0,171655405	0,469	0,227	1	0,887823373	1,126350162	2,066079295
ASIC3	0,480650464	-0,171658059	0	0,016	1	0,88782174	1,126352234	0
CRISPLD2	0,021983485	-0,171699364	0,219	0,078	1	0,887796321	1,126384482	2,807692308
SERAC1	0,804543977	-0,171778168	0,031	0,039	1	0,887747829	1,12644601	0,794871795
AREL1	0,283789128	-0,171954895	0	0,035	1	0,887639088	1,126584006	0
TTC17	0,169441886	-0,172080879	0,281	0,156	1	0,887561578	1,12668239	1,801282051
TSPOAP1-AS1	0,428872689	-0,172135821	0	0,02	1	0,887527778	1,126725298	0
OFD1	0,08709749	-0,172137964	0,344	0,176	1	0,887526459	1,126726972	1,954545455
MSMO1	0,004241146	-0,172323303	0,281	0,09	1	0,887412449	1,126871729	3,122222222
PKP2	0,257548576	-0,172460356	0	0,039	1	0,887328151	1,126978783	0
CLK3	0,12985323	-0,17275061	0,219	0,105	1	0,887149648	1,127205542	2,085714286
FAM221A	0,573799329	-0,172879246	0,094	0,062	1	0,88707055	1,127306052	1,516129032
WIPI2	0,001193685	-0,172917717	0,375	0,117	1	0,887046896	1,127336114	3,205128205
TASOR2	0,078496688	-0,172969033	0,188	0,078	1	0,887015344	1,127376213	2,41025641

Supplementary Table 1

Differentially expressed genes_adjacent-skin-XL_comparing SC-Keloid vs. (SC-Myel, SC-Nonmyel)								
gene	p_val	avg_log2FC	pct.1	pct.2	p_val_adj	Foldchange_UP	Foldchange_DOWN	Ratio_pct1_pct2
ASMTL-AS1	0,480650464	-0,172985753	0	0,016	1	0,887005065	1,127389279	0
CLPB	0,924392442	-0,173110746	0,031	0,027	1	0,886928219	1,127486959	1,148148148
VANGL2	0,556776127	-0,17320077	0,031	0,055	1	0,886872876	1,127557316	0,563636364
COL11A2	0,38481627	-0,173202405	0	0,023	1	0,886871871	1,127558594	0
DTX3	0,134082625	-0,17322414	0,188	0,09	1	0,88685851	1,127575581	2,088888889
POLR2M	0,069649574	-0,173226835	0,219	0,094	1	0,886856854	1,127577687	2,329787234
KIF5C	0,835562242	-0,173234228	0,062	0,051	1	0,886852309	1,127583466	1,215686275
HLA-DMA	0,38481627	-0,173256698	0	0,023	1	0,886838496	1,127601028	0
GPNMB	0,288533951	-0,173339468	0,125	0,066	1	0,886787618	1,127665722	1,893939394
SRGAP3	0,887104347	-0,173373336	0,031	0,035	1	0,886766801	1,127692195	0,885714286
RSF1	0,219892848	-0,173435704	0,469	0,277	1	0,886728467	1,127740946	1,693140794
FOXP1	0,008087959	-0,173509075	0,625	0,273	1	0,886683371	1,127798301	2,289377289
DVL3	0,071823511	-0,173567009	0,188	0,078	1	0,886647766	1,127843591	2,41025641
RERG	0,213026321	-0,173696708	0	0,047	1	0,886568059	1,127944989	0
SLC9A6	0,578217897	-0,173755428	0,062	0,039	1	0,886531975	1,1279909	1,58974359
GLYR1	0,001644566	-0,173811659	0,312	0,094	1	0,886497422	1,128034865	3,319148936
KIAA2026	0,014142248	-0,173842994	0,281	0,102	1	0,886478168	1,128059366	2,754901961
LDB1	0,578217897	-0,173966665	0,062	0,039	1	0,88640218	1,12815607	1,58974359
ACAP1	0,213026321	-0,173981707	0	0,047	1	0,886392938	1,128167832	0
CDH1	0,283789128	-0,174183199	0	0,035	1	0,88626915	1,128325407	0
FAM135A	0,663576959	-0,17422209	0,031	0,047	1	0,886245259	1,128355824	0,659574468
LRRC42	0,917697681	-0,174223513	0,094	0,082	1	0,886244385	1,128356937	1,146341463
RAD54L2	0,060283688	-0,17429408	0,188	0,074	1	0,886201037	1,12841213	2,540540541
SLC30A9	0,003201338	-0,17436827	0,219	0,059	1	0,886155465	1,12847016	3,711864407
ADGRB1	0,80991663	-0,174413557	0,031	0,023	1	0,886127649	1,128505584	1,347826087
POLR3A	0,283789128	-0,174561834	0	0,035	1	0,886036579	1,128621575	0
LRRC24	0,979143607	-0,174572115	0,031	0,031	1	0,886030265	1,128629618	1
THSD7B	0,38481627	-0,174622645	0	0,023	1	0,885999233	1,128669149	0
CS	0,656705388	-0,174689453	0,094	0,066	1	0,885958206	1,128721416	1,424242424
NBPF20	0,480650464	-0,174714217	0	0,016	1	0,885942998	1,128740791	0

Supplementary Table 1

Differentially expressed genes_adjacent-skin-XL_ comparing SC-Keloid vs. (SC-Myel, SC-Nonmyel)								
gene	p_val	avg_log2FC	pct.1	pct.2	p_val_adj	Foldchange_UP	Foldchange_DOWN	Ratio_pct1_pct2
KIF5A	0,38481627	-0,174759166	0	0,023	1	0,885915396	1,128775959	0
ZNF721	0,024411868	-0,174766289	0,219	0,078	1	0,885911021	1,128781532	2,807692308
EXOC5	0,144457051	-0,174849057	0,188	0,09	1	0,885860198	1,128846292	2,088888889
STK38L	0,283789128	-0,174924615	0	0,035	1	0,885813804	1,128905414	0
ORC2	0,482846351	-0,175031935	0,062	0,035	1	0,885747912	1,128989395	1,771428571
FAM53C	0,085298168	-0,175120977	0,219	0,098	1	0,885693246	1,129059078	2,234693878
CLN8	0,615516182	-0,175195641	0,156	0,113	1	0,88564741	1,129117512	1,380530973
NUFIP1	0,663576959	-0,175198325	0,031	0,047	1	0,885645762	1,129119612	0,659574468
MYH14	0,681846175	-0,175361012	0,031	0,047	1	0,885545897	1,129246946	0,659574468
WDSUB1	0,603353082	-0,175369884	0,031	0,051	1	0,885540451	1,129253891	0,607843137
TMEM192	0,840130893	-0,175429198	0,062	0,051	1	0,885504045	1,129300319	1,215686275
S100A14	0,911938491	-0,175444676	0,062	0,055	1	0,885494545	1,129312435	1,127272727
FOXC1	0,150155729	-0,175475059	0,062	0,02	1	0,885475896	1,129336218	3,1
SETD2	0,020351656	-0,175481014	0,312	0,125	1	0,885472241	1,12934088	2,496
PSMF1	0,00354177	-0,175508642	0,438	0,16	1	0,885455284	1,129362507	2,7375
TBX2	0,395250692	-0,175535722	0,125	0,074	1	0,885438665	1,129383706	1,689189189
EIF4G3	0,019190685	-0,175662471	0,312	0,125	1	0,885360877	1,129482933	2,496
C17orf67	0,283789128	-0,175849005	0	0,035	1	0,885246411	1,12962898	0
SLC4A5	0,924392442	-0,175872135	0,031	0,027	1	0,885232219	1,12964709	1,148148148
BDNF-AS	0,80991663	-0,175927405	0,031	0,023	1	0,885198306	1,129690368	1,347826087
ZNF496	0,163771487	-0,175989456	0,125	0,055	1	0,885160234	1,129738958	2,272727273
CYP46A1	0,234087804	-0,176147836	0	0,043	1	0,885063066	1,129862988	0
BCCIP	0,045356999	-0,17616643	0,156	0,055	1	0,885051659	1,12987755	2,836363636
BCAR3	0,037171106	-0,176175657	0,281	0,117	1	0,885045998	1,129884776	2,401709402
CEBPZ	0,00891214	-0,176187314	0,406	0,16	1	0,885038847	1,129893906	2,5375
CTBP2	0,053220599	-0,176208736	0,312	0,145	1	0,885025706	1,129910683	2,151724138
COQ8A	0,804543977	-0,176252488	0,031	0,039	1	0,884998866	1,12994495	0,794871795
MRI1	0,243596382	-0,176273751	0,094	0,043	1	0,884985823	1,129961604	2,186046512
SETDB1	0,428872689	-0,176332868	0	0,02	1	0,884949559	1,130007908	0
MAOA	0,540537634	-0,176397133	0,031	0,016	1	0,88491014	1,130058245	1,9375

Supplementary Table 1

Differentially expressed genes_adjacent-skin-XL_ comparing SC-Keloid vs. (SC-Myel, SC-Nonmyel)								
gene	p_val	avg_log2FC	pct.1	pct.2	p_val_adj	Foldchange_UP	Foldchange_DOWN	Ratio_pct1_pct2
UBE4B	0,588138226	-0,176425072	0,094	0,062	1	0,884893003	1,13008013	1,516129032
HACL1	0,864972765	-0,176434905	0,062	0,066	1	0,884886973	1,130087831	0,939393939
HAUS2	0,663576959	-0,176461018	0,031	0,047	1	0,884870956	1,130108286	0,659574468
ERO1A	0,112120373	-0,176529256	0,156	0,066	1	0,884829103	1,130161741	2,363636364
LARP7	0,00377279	-0,176634062	0,375	0,133	1	0,884764827	1,130243845	2,819548872
FLII	0,011699892	-0,176655266	0,281	0,102	1	0,884751823	1,130260458	2,754901961
RNASSET2	0,804543977	-0,176748697	0,031	0,039	1	0,884694527	1,130333657	0,794871795
MICA	0,0600426	-0,176945785	0,281	0,125	1	0,884573676	1,130488084	2,248
PLA2G6	0,346686972	-0,177113963	0	0,027	1	0,884470565	1,130619875	0
NSMAF	0,234088337	-0,177307269	0	0,043	1	0,884352064	1,130771376	0
TIFA	0,65904021	-0,177338617	0,062	0,043	1	0,884332848	1,130795947	1,441860465
LSM14B	0,253529282	-0,177350365	0,125	0,062	1	0,884325647	1,130805155	2,016129032
PCYOX1L	0,487085433	-0,177388618	0,062	0,035	1	0,884302199	1,130835138	1,771428571
KBTBD7	0,755689148	-0,177501886	0,062	0,047	1	0,884232774	1,130923925	1,319148936
CNDP2	0,046495687	-0,177597126	0,156	0,055	1	0,884174403	1,130998587	2,836363636
MCM7	0,293095687	-0,177774378	0,125	0,066	1	0,884065778	1,131137552	1,893939394
SOGA3	0,668126075	-0,177844141	0,062	0,043	1	0,88402303	1,13119225	1,441860465
SV2C	0,313292814	-0,177968611	0	0,031	1	0,883946763	1,131289849	0
SMIM43	0,38481627	-0,177988427	0	0,023	1	0,883934622	1,131305388	0
LINC01003	0,465191913	-0,177997012	0,031	0,062	1	0,883929362	1,13131212	0,5
ANKS1B	0,283789128	-0,17799979	0	0,035	1	0,88392766	1,131314298	0
BRAT1	0,512685318	-0,178114482	0,094	0,059	1	0,883857391	1,13140424	1,593220339
ZNF432	0,30793671	-0,178157023	0,062	0,027	1	0,88383133	1,131437602	2,296296296
ARHGAP29	0,191913299	-0,17826219	0,094	0,039	1	0,883766904	1,131520082	2,41025641
C1QTNF4	0,804543977	-0,178283182	0,031	0,039	1	0,883754045	1,131536547	0,794871795
PIP4P1	0,294412282	-0,178285251	0,156	0,086	1	0,883752778	1,131538169	1,813953488
TMEM65	0,04735424	-0,178386769	0,219	0,09	1	0,883690593	1,131617795	2,433333333
KLHL13	0,346686972	-0,178399648	0	0,027	1	0,883682704	1,131627897	0
C3orf33	0,396289917	-0,178498212	0,062	0,031	1	0,883622333	1,131705212	2
KDM4B	0,045923444	-0,178625042	0,156	0,055	1	0,883544656	1,131804707	2,836363636

Supplementary Table 1

Differentially expressed genes_adjacent-skin-XL_comparing SC-Keloid vs. (SC-Myel, SC-Nonmyel)								
gene	p_val	avg_log2FC	pct.1	pct.2	p_val_adj	Foldchange_UP	Foldchange_DOWN	Ratio_pct1_pct2
TIAM2	0,313292814	-0,178684619	0	0,031	1	0,88350817	1,131851446	0
PIK3CA	0,078068641	-0,178717805	0,219	0,098	1	0,883487847	1,131877482	2,234693878
CAMK2G	0,126128812	-0,178788456	0,125	0,051	1	0,883444582	1,131932914	2,450980392
TRIM44	0,017176388	-0,178803257	0,344	0,137	1	0,883435519	1,131944526	2,510948905
FBXO48	0,313292814	-0,178839607	0	0,031	1	0,883413261	1,131973047	0
PRMT5	0,920939129	-0,178903984	0,062	0,055	1	0,883373841	1,13202356	1,127272727
DBNDD2	0,143778766	-0,178909509	0,219	0,109	1	0,883370458	1,132027895	2,009174312
MYO6	0,575944473	-0,17897855	0,125	0,086	1	0,883328185	1,13208207	1,453488372
COQ7	0,924392442	-0,179028111	0,031	0,027	1	0,88329784	1,132120962	1,148148148
DENND10	0,06222129	-0,179068764	0,156	0,059	1	0,88327295	1,132152864	2,644067797
ZNF253	0,730358576	-0,179154895	0,031	0,043	1	0,883220219	1,132220457	0,720930233
NAB1	0,032927619	-0,179196263	0,219	0,082	1	0,883194894	1,132252923	2,670731707
GAS2	0,313292814	-0,179288137	0	0,031	1	0,883138652	1,132325029	0
MATN1-AS1	0,543117005	-0,179362448	0	0,012	1	0,883093164	1,132383355	0
NEK6	0,106706178	-0,179470356	0,156	0,066	1	0,883027115	1,132468056	2,363636364
LDLRAD3	0,38481627	-0,179732882	0	0,023	1	0,882866446	1,132674149	0
H6PD	0,084415941	-0,179882274	0,156	0,062	1	0,882775029	1,132791444	2,516129032
OXA1L	0,013247139	-0,179884062	0,312	0,117	1	0,882773935	1,132792848	2,666666667
IRF8	0,730358576	-0,179951615	0,031	0,043	1	0,882732601	1,132845891	0,720930233
C5orf51	0,887104347	-0,179981649	0,031	0,035	1	0,882714224	1,132869475	0,885714286
TUBB4A	0,257548576	-0,180063197	0	0,039	1	0,88266433	1,132933512	0
CCNB1IP1	0,228559925	-0,180101555	0,281	0,16	1	0,882640863	1,132963634	1,75625
IL17RA	0,924392442	-0,18031164	0,031	0,027	1	0,882512342	1,133128629	1,148148148
ARSG	0,428872689	-0,180332304	0	0,02	1	0,882499702	1,133144859	0
MYH10	0,840130893	-0,180341168	0,062	0,051	1	0,882494279	1,133151821	1,215686275
RNF43	0,38481627	-0,180416621	0	0,023	1	0,882448126	1,133211087	0
PYROXD1	0,668126075	-0,180459555	0,062	0,043	1	0,882421866	1,133244811	1,441860465
CENPC	0,317829628	-0,180634029	0,25	0,152	1	0,882315155	1,13338187	1,644736842
ASCC3	0,093923791	-0,180815673	0,25	0,121	1	0,882204073	1,133524578	2,066115702
KRT6B	0,487085433	-0,180858113	0,062	0,035	1	0,882178122	1,133557923	1,771428571

Supplementary Table 1

Differentially expressed genes_adjacent-skin-XL_ comparing SC-Keloid vs. (SC-Myel, SC-Nonmyel)								
gene	p_val	avg_log2FC	pct.1	pct.2	p_val_adj	Foldchange_UP	Foldchange_DOWN	Ratio_pct1_pct2
U2AF1	0,804543977	-0,181099099	0,031	0,039	1	0,882030776	1,133747288	0,794871795
ACAP3	0,566708997	-0,18137443	0,125	0,086	1	0,881862461	1,133963678	1,453488372
FRAS1	0,38481627	-0,181404095	0	0,023	1	0,881844328	1,133986995	0
PCMTD1	0,043619105	-0,181487115	0,375	0,176	1	0,881793584	1,134052252	2,130681818
HEYL	0,234088337	-0,181492433	0	0,043	1	0,881790333	1,134056433	0
FCGR2A	0,283789128	-0,181547638	0	0,035	1	0,881756593	1,134099828	0
SLC10A3	0,668126075	-0,181801192	0,031	0,047	1	0,881601637	1,134299164	0,659574468
KIAA0753	0,887104347	-0,181822686	0,031	0,035	1	0,881588503	1,134316063	0,885714286
OPHN1	0,135718813	-0,181932279	0,156	0,07	1	0,881521536	1,134402234	2,228571429
LRP1B	0,887104347	-0,181964025	0,031	0,035	1	0,881502139	1,134427197	0,885714286
RETSAT	0,668126075	-0,182120841	0,062	0,043	1	0,881406328	1,134550512	1,441860465
IDH3B	0,051511579	-0,182157346	0,281	0,121	1	0,881384026	1,13457922	2,32231405
SYBU	0,283789128	-0,182200569	0	0,035	1	0,88135762	1,134613212	0
ARHGAP17	0,045356999	-0,182232107	0,156	0,055	1	0,881338353	1,134638016	2,836363636
RFFL	0,234088337	-0,182234267	0	0,043	1	0,881337033	1,134639714	0
ARMCX2	0,817344545	-0,182249026	0,062	0,051	1	0,881328017	1,134651322	1,215686275
ME3	0,286287755	-0,182372802	0,156	0,086	1	0,881252407	1,134748674	1,813953488
DELE1	0,702399386	-0,182378487	0,094	0,07	1	0,881248935	1,134753145	1,342857143
ARRDC1	0,741950345	-0,182382444	0,062	0,047	1	0,881246517	1,134756258	1,319148936
TSPAN13	0,548952158	-0,182393063	0,031	0,055	1	0,881240031	1,13476461	0,563636364
CYP19A1	0,38481627	-0,182415736	0	0,023	1	0,881226182	1,134782444	0
SENP2	0,552857355	-0,18242172	0,031	0,055	1	0,881222527	1,13478715	0,563636364
CMTR1	0,24851603	-0,182423664	0,094	0,043	1	0,881221339	1,134788679	2,186046512
BLVRB	0,000478633	-0,18246427	0,562	0,191	1	0,881196537	1,13482062	2,942408377
COL15A1	0,225044228	-0,182574184	0,5	0,301	1	0,881129404	1,134907081	1,661129568
ZNF142	0,346686972	-0,182690968	0	0,027	1	0,881058081	1,134998954	0
DUSP22	0,584538006	-0,182894638	0,094	0,062	1	0,880933707	1,135159197	1,516129032
CDK19	0,237112684	-0,183038119	0,188	0,102	1	0,8808461	1,135272098	1,843137255
CSGALNACT1	0,234088337	-0,183110684	0	0,043	1	0,880801796	1,135329201	0
THAP5	0,079734103	-0,183171613	0,25	0,113	1	0,880764598	1,135377151	2,212389381

Supplementary Table 1

Differentially expressed genes_adjacent-skin-XL_comparing SC-Keloid vs. (SC-Myel, SC-Nonmyel)								
gene	p_val	avg_log2FC	pct.1	pct.2	p_val_adj	Foldchange_UP	Foldchange_DOWN	Ratio_pct1_pct2
TP53RK	0,002502521	-0,183216639	0,25	0,07	1	0,88073711	1,135412586	3,571428571
NCKAP5L	0,920939129	-0,183256754	0,062	0,055	1	0,880712621	1,135444157	1,127272727
UNC13B	0,804543977	-0,18333224	0,031	0,039	1	0,880666541	1,135503568	0,794871795
ZBED3	0,887104347	-0,183348337	0,031	0,035	1	0,880656715	1,135516238	0,885714286
ADHFE1	0,283789128	-0,183463323	0	0,035	1	0,880586528	1,135606745	0
LMCD1-AS1	0,257548576	-0,183490355	0	0,039	1	0,880570028	1,135628023	0
SZT2	0,804543977	-0,183524629	0,031	0,039	1	0,880549108	1,135655003	0,794871795
PHF3	0,103229209	-0,183841558	0,344	0,18	1	0,880355692	1,135904509	1,911111111
NXT1	0,166191736	-0,183901172	0,25	0,133	1	0,880319316	1,135951447	1,879699248
STARD10	0,730358576	-0,183902303	0,031	0,043	1	0,880318625	1,135952338	0,720930233
EPM2AIP1	0,102169822	-0,183925213	0,219	0,102	1	0,880304646	1,135970377	2,147058824
LINC00639	0,38481627	-0,183952938	0	0,023	1	0,880287729	1,135992207	0
BICD1	0,639978691	-0,183976642	0,25	0,184	1	0,880273265	1,136010872	1,358695652
SLC25A46	0,505798338	-0,184003317	0,094	0,059	1	0,880256989	1,136031877	1,593220339
OARD1	0,653016738	-0,184090906	0,094	0,066	1	0,880203549	1,13610085	1,424242424
HERC5	0,730358576	-0,18426141	0,031	0,043	1	0,880099529	1,136235127	0,720930233
DNM2	0,000588939	-0,184340877	0,344	0,098	1	0,880051052	1,136297715	3,510204082
MAPK14	0,093753684	-0,184345498	0,125	0,047	1	0,880048233	1,136301355	2,659574468
DGCR2	0,140813864	-0,184368801	0,156	0,07	1	0,880034018	1,136319709	2,228571429
HSPA4	0,043081122	-0,184496541	0,25	0,102	1	0,879956102	1,136420326	2,450980392
ANO3	0,313292814	-0,184561658	0	0,031	1	0,879916385	1,13647162	0
CACNA2D2	0,887104347	-0,184598696	0,031	0,035	1	0,879893796	1,136500797	0,885714286
SNX18	0,251411476	-0,184625681	0,125	0,062	1	0,879877338	1,136522055	2,016129032
TYK2	0,020728744	-0,184697717	0,25	0,094	1	0,879833405	1,136578805	2,659574468
AC087239.1	0,578217897	-0,184815892	0,062	0,039	1	0,879761339	1,136671909	1,58974359
DLG5	0,021379617	-0,184843843	0,156	0,047	1	0,879744294	1,136693931	3,319148936
PIKFYVE	0,660402423	-0,184883975	0,094	0,066	1	0,879719822	1,136725551	1,424242424
ZSCAN18	0,504051677	-0,18496647	0,188	0,129	1	0,87966952	1,136790552	1,457364341
CHST15	0,313292814	-0,18498441	0	0,031	1	0,879658582	1,136804689	0
RNF13	0,027793664	-0,184998682	0,594	0,27	1	0,879649879	1,136815935	2,2

Supplementary Table 1

Differentially expressed genes_adjacent-skin-XL_comparing SC-Keloid vs. (SC-Myel, SC-Nonmyel)								
gene	p_val	avg_log2FC	pct.1	pct.2	p_val_adj	Foldchange_UP	Foldchange_DOWN	Ratio_pct1_pct2
PRKCI	0,24262347	-0,185029585	0,156	0,082	1	0,879631037	1,136840286	1,902439024
EBLN2	0,804543977	-0,185058464	0,031	0,039	1	0,87961343	1,136863043	0,794871795
G2E3	0,445227443	-0,185083032	0,094	0,055	1	0,879598451	1,136882402	1,709090909
CCDC93	0,840130893	-0,185290802	0,062	0,051	1	0,879471784	1,137046143	1,215686275
TWSG1	0,003131851	-0,185341192	0,344	0,113	1	0,879441067	1,137085858	3,044247788
RABEP1	0,017377488	-0,185350686	0,281	0,105	1	0,87943528	1,137093341	2,676190476
WNT2B	0,38481627	-0,185424917	0	0,023	1	0,879390031	1,137151849	0
TOP2B	0,075667481	-0,18548136	0,312	0,152	1	0,879355627	1,137196339	2,052631579
CNN3	0,924341381	-0,18549705	0,938	0,777	1	0,879346064	1,137208707	1,207207207
TAX1BP1	0,102973716	-0,185501675	0,5	0,266	1	0,879343245	1,137212352	1,879699248
PI4KB	0,017422395	-0,185722211	0,219	0,074	1	0,879208835	1,137386205	2,959459459
IMP3	0,059405355	-0,185927776	0,281	0,129	1	0,879083568	1,137548279	2,178294574
PRPF38A	0,011905317	-0,185954595	0,219	0,07	1	0,879067227	1,137569426	3,128571429
CD40	0,584537751	-0,185977937	0,094	0,062	1	0,879053004	1,137587831	1,516129032
CRBN	0,041373501	-0,186093554	0,344	0,152	1	0,87898256	1,137679	2,263157895
TBC1D13	0,098751938	-0,186103499	0,094	0,031	1	0,878976501	1,137686843	3,032258065
GPRASP1	0,730358576	-0,186190699	0,031	0,043	1	0,878923375	1,137755609	0,720930233
ZNF627	0,682170546	-0,186195097	0,031	0,02	1	0,878920695	1,137759078	1,55
DDB2	0,012061903	-0,186314788	0,219	0,07	1	0,878847781	1,137853474	3,128571429
PNPLA8	0,100519352	-0,186381577	0,344	0,18	1	0,878807096	1,137906151	1,911111111
TPD52	0,194053346	-0,186429171	0	0,051	1	0,878778105	1,137943691	0
NPHP4	0,887104347	-0,186544812	0,031	0,035	1	0,878707667	1,138034909	0,885714286
STX4	0,163003711	-0,186572611	0,219	0,113	1	0,878690736	1,138056838	1,938053097
RBM48	0,755689148	-0,186665333	0,062	0,047	1	0,878634264	1,138129983	1,319148936
CCDC142	0,804543977	-0,186768222	0,031	0,039	1	0,878571605	1,138211154	0,794871795
SUMF1	0,108846454	-0,186793413	0,156	0,066	1	0,878556264	1,138231028	2,363636364
ELOA	0,993403306	-0,186881565	0,062	0,059	1	0,878502584	1,138300579	1,050847458
GPAM	0,187685368	-0,186902301	0,094	0,039	1	0,878489957	1,13831694	2,41025641
HERC4	0,222039877	-0,186922761	0,219	0,121	1	0,878477499	1,138333084	1,809917355
HCN1	0,313292814	-0,186929537	0	0,031	1	0,878473373	1,13833843	0

Supplementary Table 1

Differentially expressed genes_adjacent-skin-XL_comparing SC-Keloid vs. (SC-Myel, SC-Nonmyel)								
gene	p_val	avg_log2FC	pct.1	pct.2	p_val_adj	Foldchange_UP	Foldchange_DOWN	Ratio_pct1_pct2
RIN2	0,023464878	-0,187224626	0,188	0,062	1	0,878293708	1,138571289	3,032258065
RBAK	0,313292814	-0,187262659	0	0,031	1	0,878270554	1,138601306	0
SCAI	0,663576959	-0,187288418	0,062	0,043	1	0,878254873	1,138621635	1,441860465
ZNF12	0,755689148	-0,187311825	0,062	0,047	1	0,878240625	1,138640108	1,319148936
SLC25A16	0,310355006	-0,187374773	0,094	0,047	1	0,878202305	1,138689791	2
UQCC1	0,578217897	-0,187494602	0,062	0,039	1	0,878129366	1,138784374	1,58974359
GNL1	0,024125962	-0,187522118	0,25	0,094	1	0,878112618	1,138806094	2,659574468
HFE	0,428872689	-0,187593711	0	0,02	1	0,878069043	1,138862608	0
PREP	0,066791287	-0,187606236	0,125	0,043	1	0,87806142	1,138872495	2,906976744
GPR37L1	0,234088337	-0,187611493	0	0,043	1	0,87805822	1,138876645	0
PTRH2	0,435431286	-0,187690274	0,094	0,055	1	0,878010274	1,138938837	1,709090909
STAT5A	0,663576959	-0,18770521	0,031	0,047	1	0,878001184	1,138950629	0,659574468
TRMT1L	0,283789128	-0,187845584	0	0,035	1	0,877915758	1,139061454	0
SPEF2	0,487085433	-0,188028112	0,062	0,035	1	0,877804693	1,139205575	1,771428571
MAEA	0,086049964	-0,188117401	0,219	0,098	1	0,877750367	1,139276083	2,234693878
SDCBP	0,007292486	-0,18817866	0,594	0,246	1	0,877713097	1,13932446	2,414634146
NEMP1	0,979143607	-0,188364326	0,031	0,031	1	0,877600148	1,139471094	1
TMEM215	0,346686972	-0,188399944	0	0,027	1	0,877578482	1,139499225	0
CAPN3	0,283789128	-0,188409356	0	0,035	1	0,877572756	1,139506659	0
DUBR	0,30793671	-0,18846772	0,062	0,027	1	0,877537255	1,139552759	2,296296296
ZNF275	0,809794875	-0,188501271	0,031	0,039	1	0,877516847	1,13957926	0,794871795
SLC24A4	0,346686972	-0,188600215	0	0,027	1	0,877456667	1,139657418	0
TBXA2R	0,578217897	-0,188712859	0,062	0,039	1	0,877388159	1,139746405	1,58974359
AK9	0,933712959	-0,189016633	0,062	0,062	1	0,877203435	1,139986416	1
ERMARD	0,578217897	-0,189054287	0,062	0,039	1	0,877180541	1,14001617	1,58974359
CPED1	0,257548576	-0,189083263	0	0,039	1	0,877162923	1,140039067	0
AL035681.1	0,283789128	-0,189085913	0	0,035	1	0,877161312	1,14004116	0
CNNM4	0,730358576	-0,189125944	0,031	0,043	1	0,877136974	1,140072794	0,720930233
CNTNAP3B	0,38481627	-0,189171712	0	0,023	1	0,877109148	1,140108962	0
PTGFRN	0,313292814	-0,189181487	0	0,031	1	0,877103205	1,140116687	0

Supplementary Table 1

Differentially expressed genes_adjacent-skin-XL_comparing SC-Keloid vs. (SC-Myel, SC-Nonmyel)								
gene	p_val	avg_log2FC	pct.1	pct.2	p_val_adj	Foldchange_UP	Foldchange_DOWN	Ratio_pct1_pct2
SLC35E1	0,108846454	-0,189197994	0,156	0,066	1	0,877093169	1,140129732	2,363636364
FBXO17	0,05263413	-0,189202744	0,25	0,105	1	0,877090281	1,140133486	2,380952381
DEK	0,103213032	-0,189233539	0,656	0,363	1	0,87707156	1,140157823	1,807162534
PTPN1	0,046647979	-0,189277258	0,25	0,105	1	0,877044981	1,140192375	2,380952381
SCYL2	0,112120373	-0,189338224	0,156	0,066	1	0,87700792	1,140240558	2,363636364
NHS	0,428872689	-0,189413633	0	0,02	1	0,87696208	1,14030016	0
COQ10A	0,396289917	-0,189443508	0,062	0,031	1	0,87694392	1,140323773	2
LTV1	0,082633113	-0,189443645	0,156	0,062	1	0,876943837	1,140323882	2,516129032
MARCHF8	0,257548576	-0,189478207	0	0,039	1	0,876922829	1,1403512	0
ZNF106	0,829394279	-0,189580928	0,312	0,25	1	0,876860394	1,140432396	1,248
SECISBP2	0,072066314	-0,189608136	0,25	0,113	1	0,876843857	1,140453905	2,212389381
EFNB2	0,603353082	-0,189610886	0,031	0,051	1	0,876842186	1,140456078	0,607843137
LRRTM4	0,234088337	-0,189666118	0	0,043	1	0,876808617	1,14049974	0
ARHGAP35	0,012941817	-0,189727331	0,281	0,102	1	0,876771415	1,140548132	2,754901961
PAQR8	0,084415941	-0,189750277	0,156	0,062	1	0,87675747	1,140566273	2,516129032
PRDM8	0,313292814	-0,189977756	0	0,031	1	0,876619238	1,140746127	0
CYP2J2	0,313292814	-0,190029124	0	0,031	1	0,876588025	1,140786745	0
TRIM11	0,804543977	-0,190066343	0,031	0,039	1	0,876565411	1,140816175	0,794871795
CNOT10	0,009808643	-0,19012574	0,188	0,055	1	0,876529323	1,140863145	3,418181818
SNX19	0,24851603	-0,190188739	0,094	0,043	1	0,876491048	1,140912965	2,186046512
LIME1	0,924392442	-0,190236081	0,031	0,027	1	0,876462286	1,140950404	1,148148148
ULK2	0,093753684	-0,190247623	0,125	0,047	1	0,876455274	1,140959533	2,659574468
GRK3	0,283789128	-0,190267332	0	0,035	1	0,876443301	1,140975119	0
MSANTD3	0,001998184	-0,190336661	0,406	0,137	1	0,876401184	1,141029951	2,96350365
NEIL1	0,603353082	-0,190364619	0,031	0,051	1	0,876384201	1,141052063	0,607843137
SPTBN5	0,668126075	-0,190462026	0,031	0,047	1	0,876325031	1,141129107	0,659574468
YES1	0,126128812	-0,190571512	0,125	0,051	1	0,87625853	1,14121571	2,450980392
SYNPO	0,037601582	-0,190708477	0,25	0,102	1	0,876175345	1,141324058	2,450980392
RBM22	0,017193636	-0,191216885	0,281	0,105	1	0,875866634	1,141726333	2,676190476
ZNF701	0,924392442	-0,191295976	0,031	0,027	1	0,875818618	1,141788927	1,148148148

Supplementary Table 1

Differentially expressed genes_adjacent-skin-XL_comparing SC-Keloid vs. (SC-Myel, SC-Nonmyel)								
gene	p_val	avg_log2FC	pct.1	pct.2	p_val_adj	Foldchange_UP	Foldchange_DOWN	Ratio_pct1_pct2
SYT10	0,603353082	-0,1913098	0,031	0,051	1	0,875810226	1,141799868	0,607843137
WEE1	0,901760626	-0,191330632	0,125	0,125	1	0,87579758	1,141816355	1
CEP170	0,008124757	-0,191335708	0,438	0,18	1	0,875794498	1,141820372	2,433333333
DDX56	0,015958056	-0,191372125	0,188	0,059	1	0,875772392	1,141849195	3,186440678
USP6NL	0,147069022	-0,191384602	0,219	0,109	1	0,875764818	1,14185907	2,009174312
CNTN4	0,804543977	-0,191438613	0,031	0,039	1	0,875732032	1,141901819	0,794871795
CLCN6	0,920939129	-0,19150916	0,062	0,055	1	0,87568921	1,141957659	1,127272727
PARD3	0,346694817	-0,191601472	0,125	0,07	1	0,87563318	1,14203073	1,785714286
RUFY3	0,099952249	-0,191625953	0,188	0,082	1	0,875618321	1,14205011	2,292682927
TBK1	0,536449576	-0,191693451	0,031	0,059	1	0,875577356	1,142103543	0,525423729
JAK1	0,278206222	-0,191905037	0,281	0,172	1	0,875448953	1,142271056	1,63372093
ICE2	0,754388196	-0,191917446	0,094	0,074	1	0,875441423	1,142280881	1,27027027
HS1BP3	0,033260329	-0,192147391	0,188	0,066	1	0,875301901	1,142462959	2,848484848
ABCA5	0,668126075	-0,19216295	0,062	0,043	1	0,875292461	1,142475281	1,441860465
ZBTB49	0,150155729	-0,192281512	0,062	0,02	1	0,875220532	1,142569174	3,1
LRBA	0,107772109	-0,192372125	0,156	0,066	1	0,875165562	1,142640939	2,363636364
USP15	0,383262858	-0,19249852	0,188	0,117	1	0,875088892	1,14274105	1,606837607
SREK1IP1	0,000334896	-0,192539575	0,375	0,105	1	0,87506399	1,14277357	3,571428571
VPS35L	0,045196862	-0,192546629	0,125	0,039	1	0,875059712	1,142779158	3,205128205
SREBF2	0,175145722	-0,192559372	0,219	0,113	1	0,875051983	1,142789251	1,938053097
BLOC1S5	0,313292814	-0,192805563	0	0,031	1	0,87490267	1,142984281	0
ZSCAN30	0,663576959	-0,192957045	0,062	0,043	1	0,874810812	1,1431043	1,441860465
QTRT2	0,887104347	-0,193053754	0,031	0,035	1	0,874752171	1,143180929	0,885714286
DAPK3	0,551476222	-0,193079234	0,125	0,086	1	0,874736722	1,143201119	1,453488372
HS6ST1	0,840130759	-0,193230142	0,062	0,051	1	0,874645228	1,143320706	1,215686275
VPS35	0,017012333	-0,193562198	0,344	0,137	1	0,87444394	1,143583888	2,510948905
SPP1	0,682170546	-0,193569131	0,031	0,02	1	0,874439738	1,143589383	1,55
IKZF4	0,346686972	-0,193580551	0	0,027	1	0,874432816	1,143598436	0
FAM199X	0,288304724	-0,193608904	0,156	0,086	1	0,874415631	1,14362091	1,813953488
KBTBD6	0,746521062	-0,193734205	0,062	0,047	1	0,87433969	1,143720241	1,319148936

Supplementary Table 1

Differentially expressed genes_adjacent-skin-XL_comparing SC-Keloid vs. (SC-Myel, SC-Nonmyel)								
gene	p_val	avg_log2FC	pct.1	pct.2	p_val_adj	Foldchange_UP	Foldchange_DOWN	Ratio_pct1_pct2
AC144831.1	0,428872689	-0,193784897	0	0,02	1	0,874308969	1,143760428	0
HDAC10	0,310355006	-0,193847023	0,094	0,047	1	0,874271319	1,143809683	2
ERO1B	0,109929252	-0,193883366	0,156	0,066	1	0,874249296	1,143838496	2,363636364
METTL14	0,730358576	-0,1938957	0,031	0,043	1	0,874241822	1,143848275	0,720930233
CLIP2	0,788035309	-0,193930005	0,094	0,074	1	0,874221034	1,143875475	1,27027027
ZCCHC3	0,093753684	-0,193944235	0,125	0,047	1	0,874212411	1,143886758	2,659574468
MFSD14C	0,057671435	-0,194005136	0,219	0,09	1	0,874175508	1,143935046	2,433333333
CHD8	0,000845623	-0,194127509	0,281	0,074	1	0,874101362	1,144032081	3,797297297
HLTF	0,024411938	-0,194190901	0,219	0,078	1	0,874062955	1,144082351	2,807692308
MEGF10	0,346686972	-0,194192775	0	0,027	1	0,874061819	1,144083837	0
ST3GAL6-AS1	0,99780108	-0,194195844	0,062	0,059	1	0,87405996	1,144086271	1,050847458
PTP4A2	0,12899053	-0,194221637	0,531	0,293	1	0,874044333	1,144106725	1,812286689
HSD17B7	0,730358576	-0,194455458	0,031	0,043	1	0,873902686	1,144292169	0,720930233
KCNA2	0,741950345	-0,194523924	0,062	0,047	1	0,873861214	1,144346475	1,319148936
PTPN2	0,830197375	-0,194548277	0,125	0,102	1	0,873846464	1,144365791	1,225490196
LRATD2	0,313292814	-0,194622135	0	0,031	1	0,873801728	1,144424379	0
UTP6	0,003327396	-0,194623398	0,281	0,086	1	0,873800964	1,14442538	3,26744186
BMP2	0,376291412	-0,194633393	0,094	0,051	1	0,87379491	1,144433309	1,843137255
ZNF143	0,532167601	-0,194687427	0,125	0,082	1	0,873762184	1,144476172	1,524390244
RIC8B	0,499735776	-0,194758869	0,031	0,059	1	0,873718917	1,144532848	0,525423729
SNX15	0,006461838	-0,194773744	0,188	0,051	1	0,873709908	1,144544649	3,68627451
KIAA0586	0,441948175	-0,194774889	0,094	0,055	1	0,873709214	1,144545558	1,709090909
TRMT10C	0,140813864	-0,194986829	0,156	0,07	1	0,873580871	1,14471371	2,228571429
ZC3H7A	0,064653778	-0,195073296	0,25	0,109	1	0,873528515	1,14478232	2,293577982
HAT1	0,006622186	-0,195157886	0,469	0,184	1	0,873477299	1,144849444	2,548913043
ADAMTS10	0,346686972	-0,19537241	0	0,027	1	0,873347425	1,145019692	0
ADO	0,663576959	-0,195563109	0,031	0,047	1	0,873231992	1,145171053	0,659574468
EIF2B4	0,032569978	-0,195621339	0,219	0,082	1	0,873196747	1,145217276	2,670731707
ENTPD1	0,283789128	-0,195837819	0	0,035	1	0,873065732	1,145389131	0
LRP6	0,012798323	-0,196085038	0,281	0,102	1	0,872916137	1,145585421	2,754901961

Supplementary Table 1

Differentially expressed genes_adjacent-skin-XL_comparing SC-Keloid vs. (SC-Myel, SC-Nonmyel)								
gene	p_val	avg_log2FC	pct.1	pct.2	p_val_adj	Foldchange_UP	Foldchange_DOWN	Ratio_pct1_pct2
AP1B1	0,902949137	-0,196262801	0,062	0,055	1	0,872808586	1,145726584	1,127272727
HAUS5	0,38481627	-0,196318891	0	0,023	1	0,872774653	1,145771129	0
CACTIN	0,24851603	-0,196364143	0,094	0,043	1	0,872747278	1,145807068	2,186046512
HMCES	0,887104347	-0,196382928	0,031	0,035	1	0,872735914	1,145821988	0,885714286
FAM200B	0,109275924	-0,19639625	0,312	0,156	1	0,872727855	1,145832569	2
RDH14	0,097803604	-0,196414932	0,25	0,117	1	0,872716554	1,145847407	2,136752137
EIF4E3	0,603353082	-0,196519826	0,031	0,051	1	0,872653104	1,145930721	0,607843137
APOA1	0,283789128	-0,196537351	0	0,035	1	0,872642503	1,145944641	0
KIAA1522	0,804543977	-0,196733958	0,031	0,039	1	0,87252359	1,146100818	0,794871795
RNF5	0,21844902	-0,197110371	0,344	0,195	1	0,87229597	1,146399886	1,764102564
HLA-DPB1	0,130767324	-0,197195092	0,156	0,07	1	0,872244746	1,146467209	2,228571429
SCAF8	0,963619739	-0,19731346	0,062	0,062	1	0,872173185	1,146561276	1
CHML	0,38731203	-0,197348138	0,125	0,074	1	0,872152221	1,146588836	1,689189189
CHMP4B	0,116434951	-0,197498637	0,438	0,234	1	0,872061244	1,146708453	1,871794872
TNS4	0,38481627	-0,197511537	0	0,023	1	0,872053447	1,146718706	0
NUP160	0,632215601	-0,197570113	0,125	0,09	1	0,872018041	1,146765266	1,388888889
ACY1	0,989005733	-0,197859198	0,062	0,059	1	0,871843324	1,146995076	1,050847458
DDHD1	0,274387967	-0,197949585	0,156	0,086	1	0,871788704	1,147066939	1,813953488
NOXA1	0,887104347	-0,197996393	0,031	0,035	1	0,871760419	1,147104156	0,885714286
CEP120	0,924392442	-0,198114662	0,031	0,027	1	0,871688957	1,147198197	1,148148148
TMEM129	0,18309726	-0,198175558	0,188	0,094	1	0,871652164	1,147246621	2
DSC3	0,313292814	-0,198183182	0	0,031	1	0,871647558	1,147252684	0
CAPN15	0,213026321	-0,198218824	0	0,047	1	0,871626024	1,147281028	0
PHLPP1	0,730358576	-0,198350957	0,031	0,043	1	0,871546197	1,147386109	0,720930233
PFKFB2	0,887104347	-0,198427426	0,031	0,035	1	0,871500003	1,147446927	0,885714286
CAPN7	0,204730373	-0,198479125	0,219	0,117	1	0,871468773	1,147488046	1,871794872
MAU2	0,438682776	-0,198597335	0,094	0,055	1	0,871397371	1,147582072	1,709090909
ZFR	0,002789771	-0,198607534	0,594	0,227	1	0,871391211	1,147590184	2,616740088
CACNB1	0,887104347	-0,198712576	0,031	0,035	1	0,871327767	1,147673743	0,885714286
SFT2D1	0,248412105	-0,198877291	0,438	0,262	1	0,871228292	1,147804782	1,671755725

Supplementary Table 1

Differentially expressed genes_adjacent-skin-XL_comparing SC-Keloid vs. (SC-Myel, SC-Nonmyel)								
gene	p_val	avg_log2FC	pct.1	pct.2	p_val_adj	Foldchange_UP	Foldchange_DOWN	Ratio_pct1_pct2
TRIM24	0,709822531	-0,198996706	0,094	0,07	1	0,871156181	1,147899793	1,342857143
ZNF17	0,313292814	-0,198998704	0	0,031	1	0,871154975	1,147901382	0
METTL2B	0,505798338	-0,199107221	0,094	0,059	1	0,871089451	1,147987729	1,593220339
NUP107	0,022581316	-0,199169317	0,188	0,062	1	0,871051958	1,148037142	3,032258065
ATXN2	0,055924511	-0,199206574	0,312	0,141	1	0,871029464	1,148066789	2,212765957
LNPEP	0,054236211	-0,199218728	0,281	0,125	1	0,871022126	1,148076461	2,248
TRIOBP	0,021783242	-0,199278147	0,312	0,125	1	0,870986252	1,148123747	2,496
MTF2	0,079268503	-0,199298826	0,188	0,078	1	0,870973768	1,148140204	2,41025641
ZNF33A	0,299332476	-0,199328182	0,094	0,047	1	0,870956046	1,148163567	2
NCLN	0,010253031	-0,199331143	0,188	0,055	1	0,870954259	1,148165923	3,418181818
RENBP	0,735253332	-0,199360869	0,031	0,043	1	0,870936313	1,148189581	0,720930233
CDRT4	0,38481627	-0,199389403	0	0,023	1	0,870919087	1,14821229	0
IDUA	0,730358576	-0,199437586	0,031	0,043	1	0,870890001	1,148250638	0,720930233
LONP2	0,163022941	-0,199471884	0,188	0,094	1	0,870869297	1,148277937	2
DMAC2L	0,022218422	-0,199553243	0,281	0,109	1	0,870820187	1,148342694	2,577981651
ATP6AP1L	0,480650464	-0,199563183	0	0,016	1	0,870814187	1,148350607	0
ANGPTL4	0,796888971	-0,199586383	0,094	0,109	1	0,870800184	1,148369073	0,862385321
CHPT1	0,210631511	-0,199587814	0,281	0,16	1	0,87079932	1,148370213	1,75625
UBE3A	0,0160657	-0,19970405	0,375	0,152	1	0,870729164	1,148462738	2,467105263
MAP2K1	0,302364288	-0,199715821	0,125	0,066	1	0,870722059	1,148472109	1,893939394
PORCN	0,979143607	-0,199717413	0,031	0,031	1	0,870721099	1,148473376	1
CTBP1	0,007912882	-0,199756861	0,469	0,184	1	0,870697291	1,14850478	2,548913043
SELENOI	0,085310408	-0,199843106	0,25	0,117	1	0,870645241	1,148573441	2,136752137
KLHL28	0,512685017	-0,199909846	0,094	0,059	1	0,870604966	1,148626575	1,593220339
COASY	0,085318957	-0,200051442	0,156	0,062	1	0,870519523	1,148739315	2,516129032
IL13RA1	0,441948175	-0,200084297	0,094	0,055	1	0,870499699	1,148765475	1,709090909
ENTPD3-AS1	0,445227443	-0,20018271	0,094	0,055	1	0,870440319	1,148843841	1,709090909
KRTDAP	0,755688935	-0,200253121	0,062	0,047	1	0,870397839	1,148899912	1,319148936
SUDS3	0,013247171	-0,200390293	0,312	0,117	1	0,870315085	1,149009155	2,666666667
ACVR2B	0,755689148	-0,200557436	0,062	0,047	1	0,870214261	1,149142281	1,319148936

Supplementary Table 1

Differentially expressed genes_adjacent-skin-XL_comparing SC-Keloid vs. (SC-Myel, SC-Nonmyel)								
gene	p_val	avg_log2FC	pct.1	pct.2	p_val_adj	Foldchange_UP	Foldchange_DOWN	Ratio_pct1_pct2
KANK1	0,821890137	-0,200588521	0,062	0,051	1	0,870195511	1,149167041	1,215686275
PXN	0,048878828	-0,200597808	0,25	0,105	1	0,870189909	1,149174439	2,380952381
MIER3	0,730358576	-0,200779329	0,031	0,043	1	0,870080428	1,149319038	0,720930233
CRIP1	0,048249119	-0,200834825	0,312	0,141	1	0,870046959	1,149363249	2,212765957
SP1	0,165863407	-0,200972039	0,156	0,074	1	0,869964213	1,14947257	2,108108108
TMEM41B	0,296467269	-0,201029125	0,156	0,086	1	0,86992979	1,149518054	1,813953488
MIB2	0,162153727	-0,201163185	0,125	0,055	1	0,869848958	1,149624876	2,272727273
TTF2	0,063925678	-0,201193339	0,094	0,027	1	0,869830777	1,149648905	3,481481481
CDK11A	0,176138873	-0,201291977	0,156	0,074	1	0,869771308	1,14972751	2,108108108
FBLN1	0,165863407	-0,201582561	0,156	0,074	1	0,869596138	1,149959108	2,108108108
RB1	0,000761729	-0,201601172	0,375	0,113	1	0,869584921	1,149973943	3,318584071
ENPP4	0,487085433	-0,201754191	0,062	0,035	1	0,869492693	1,150095921	1,771428571
SNORC	0,38481627	-0,201779972	0	0,023	1	0,869477155	1,150116474	0
OSMR-DT	0,234088337	-0,201835314	0	0,043	1	0,869443803	1,150160593	0
DNAJB2	0,021766407	-0,202278155	0,562	0,25	1	0,869176965	1,150513693	2,248
NELFA	0,021379715	-0,202363521	0,156	0,047	1	0,869125536	1,150581773	3,319148936
MZF1	0,445227443	-0,202391518	0,094	0,055	1	0,86910867	1,150604101	1,709090909
BORCS7	0,171556582	-0,202417697	0,312	0,172	1	0,869092899	1,15062498	1,813953488
MAN2B1	0,020727365	-0,20249627	0,219	0,078	1	0,869045567	1,150687648	2,807692308
TIMM44	0,010665855	-0,202541698	0,344	0,129	1	0,869018203	1,150723882	2,666666667
BRD1	0,003804594	-0,202611239	0,312	0,102	1	0,868976316	1,15077935	3,058823529
BCR	0,376291412	-0,202652087	0,094	0,051	1	0,868951712	1,150811934	1,843137255
ARRDC4	0,965065266	-0,20266582	0,094	0,086	1	0,868943441	1,150822888	1,093023256
KNTC1	0,396289917	-0,202695218	0,062	0,031	1	0,868925734	1,150846339	2
LIFR	0,804543977	-0,202853636	0,031	0,039	1	0,868830325	1,150972717	0,794871795
MTR	0,109465145	-0,202868617	0,344	0,184	1	0,868821303	1,150984669	1,869565217
TCF25	0,138316184	-0,202919656	0,656	0,371	1	0,868790567	1,151025388	1,76819407
OXR1	0,023564102	-0,202984566	0,312	0,129	1	0,868751479	1,151077177	2,418604651
ALDH16A1	0,663576959	-0,202986556	0,031	0,047	1	0,868750281	1,151078765	0,659574468
IL17D	0,234088337	-0,203031345	0	0,043	1	0,86872331	1,151114501	0

Supplementary Table 1

Differentially expressed genes_adjacent-skin-XL_comparing SC-Keloid vs. (SC-Myel, SC-Nonmyel)								
gene	p_val	avg_log2FC	pct.1	pct.2	p_val_adj	Foldchange_UP	Foldchange_DOWN	Ratio_pct1_pct2
EXOSC8	0,015596966	-0,203257751	0,344	0,137	1	0,86858699	1,151295163	2,510948905
GET1	0,042510141	-0,203390111	0,219	0,086	1	0,868507305	1,151400793	2,546511628
NMB	0,438682776	-0,203423654	0,094	0,055	1	0,868487112	1,151427564	1,709090909
ZNF414	0,354261856	-0,203594341	0,125	0,07	1	0,868384367	1,151563799	1,785714286
SFMBT1	0,257548576	-0,203612371	0	0,039	1	0,868373514	1,15157819	0
PCDH7	0,310355006	-0,203813648	0,094	0,047	1	0,868252372	1,151738863	2
GMFB	0,294914241	-0,203872081	0,281	0,168	1	0,868217206	1,151785512	1,672619048
SMAD5	0,133024088	-0,203885554	0,312	0,164	1	0,868209098	1,151796269	1,902439024
CDK17	0,66298871	-0,203907785	0,125	0,094	1	0,86819572	1,151814017	1,329787234
SGSH	0,804543977	-0,203980116	0,031	0,039	1	0,868152193	1,151871767	0,794871795
COL14A1	0,059009985	-0,204252804	0,656	0,348	1	0,867988116	1,152089506	1,885057471
ZNF670	0,663576959	-0,204351571	0,031	0,047	1	0,867928696	1,152168381	0,659574468
TNFSF13	0,840130893	-0,204363144	0,062	0,051	1	0,867921733	1,152177623	1,215686275
XPR1	0,668126075	-0,204443299	0,062	0,043	1	0,867873514	1,152241639	1,441860465
FCHSD2	0,346686972	-0,204512596	0	0,027	1	0,867831828	1,152296986	0
SLC15A4	0,359363779	-0,204613283	0,125	0,07	1	0,867771264	1,152377409	1,785714286
NCL	0,491718361	-0,204810227	0,719	0,5	1	0,867652812	1,152534731	1,438
ZNF146	0,015980029	-0,205032064	0,219	0,074	1	0,867519406	1,152711966	2,959459459
DCUN1D4	0,204506657	-0,205099194	0,125	0,059	1	0,86747904	1,152765604	2,118644068
DNAAF9	0,49382256	-0,205162781	0,156	0,102	1	0,867440807	1,152816413	1,529411765
VCPKMT	0,730358576	-0,205163449	0,031	0,043	1	0,867440406	1,152816947	0,720930233
BMPR2	0,000564972	-0,205183424	0,438	0,137	1	0,867428396	1,152832908	3,197080292
CADM1	0,60167888	-0,205424724	0,844	0,605	1	0,867283324	1,153025744	1,395041322
CHURC1	0,048262835	-0,205653959	0,594	0,289	1	0,86714553	1,153208966	2,055363322
CYP27A1	0,132721028	-0,205795786	0,25	0,125	1	0,867060287	1,15332234	2
RUSF1	0,121559505	-0,205839888	0,188	0,086	1	0,867033783	1,153357597	2,186046512
KIDINS220	0,051676732	-0,205877201	0,562	0,277	1	0,867011358	1,153387427	2,028880866
USP44	0,194053346	-0,205877563	0	0,051	1	0,867011141	1,153387717	0
SEPTIN8	0,478106391	-0,205907613	0,156	0,102	1	0,866993082	1,153411741	1,529411765
INPP1	0,467546197	-0,205946805	0,219	0,145	1	0,86696953	1,153443075	1,510344828

Supplementary Table 1

Differentially expressed genes_adjacent-skin-XL_ comparing SC-Keloid vs. (SC-Myel, SC-Nonmyel)								
gene	p_val	avg_log2FC	pct.1	pct.2	p_val_adj	Foldchange_UP	Foldchange_DOWN	Ratio_pct1_pct2
ZRSR2	0,131179297	-0,205985523	0,219	0,109	1	0,866946263	1,15347403	2,009174312
MARVELD1	0,015008421	-0,206011735	0,531	0,234	1	0,866930512	1,153494987	2,269230769
BCL2L2	0,376291412	-0,206022511	0,094	0,051	1	0,866924036	1,153503604	1,843137255
RAPGEFL1	0,346686972	-0,206251501	0	0,027	1	0,866786446	1,153686706	0
PCDH1	0,176138873	-0,206270303	0,156	0,074	1	0,866775149	1,153701742	2,108108108
TTL5	0,045196862	-0,206316666	0,125	0,039	1	0,866747295	1,153738818	3,205128205
SCAPER	0,910865542	-0,206530655	0,125	0,113	1	0,866618743	1,153909961	1,10619469
GID4	0,755689148	-0,206745397	0,062	0,047	1	0,866489759	1,15408173	1,319148936
ME2	0,008636262	-0,206765112	0,438	0,168	1	0,866477918	1,154097501	2,607142857
DENND4C	0,031838434	-0,20684689	0,156	0,051	1	0,866428804	1,154162922	3,058823529
TFRC	0,755689148	-0,206889868	0,062	0,047	1	0,866402993	1,154197306	1,319148936
SLC30A1	0,023464878	-0,207020007	0,188	0,062	1	0,866324842	1,154301425	3,032258065
SRXN1	0,755689148	-0,207109677	0,062	0,047	1	0,866270998	1,154373172	1,319148936
PRDX1	0,267197802	-0,207141403	0,781	0,465	1	0,866251948	1,154398558	1,679569892
ZNF514	0,804543977	-0,207300579	0,031	0,039	1	0,866156378	1,154525933	0,794871795
MCOLN1	0,920939129	-0,207391782	0,062	0,055	1	0,866101624	1,154598921	1,127272727
SLC16A1-AS1	0,730358576	-0,207423991	0,031	0,043	1	0,866082287	1,154624699	0,720930233
MSN	0,022864713	-0,207601197	0,719	0,348	1	0,865975914	1,154766529	2,066091954
RUSC1	0,111020545	-0,207620177	0,156	0,066	1	0,865964521	1,154781722	2,363636364
GTF2A1	0,096333668	-0,207681774	0,188	0,082	1	0,865927548	1,154831027	2,292682927
DMKN	0,449278612	-0,207684796	0,031	0,066	1	0,865925735	1,154833446	0,46969697
NAPB	0,234088337	-0,207753395	0	0,043	1	0,865884561	1,154888359	0
SGK3	0,663576959	-0,207776965	0,031	0,047	1	0,865870416	1,154907226	0,659574468
APBB3	0,840130893	-0,207781312	0,062	0,051	1	0,865867807	1,154910706	1,215686275
H4C3	0,48019894	-0,207934658	0,188	0,129	1	0,865775777	1,15503347	1,457364341
ARMCX6	0,118408245	-0,208385587	0,25	0,121	1	0,865505212	1,155394544	2,066115702
ALDOC	0,573799329	-0,20844463	0,094	0,062	1	0,865469792	1,15544183	1,516129032
HOOK2	0,721008876	-0,208568957	0,094	0,07	1	0,865395211	1,155541407	1,342857143
RNF2	0,033260329	-0,208697798	0,188	0,066	1	0,86531793	1,155644608	2,848484848
RHOT1	0,403286918	-0,208861659	0,125	0,074	1	0,865219653	1,155775873	1,689189189

Supplementary Table 1

Differentially expressed genes_adjacent-skin-XL_comparing SC-Keloid vs. (SC-Myel, SC-Nonmyel)								
gene	p_val	avg_log2FC	pct.1	pct.2	p_val_adj	Foldchange_UP	Foldchange_DOWN	Ratio_pct1_pct2
PROX1	0,313292814	-0,208879038	0	0,031	1	0,86520923	1,155789796	0
MIIP	0,211587583	-0,208926328	0,188	0,098	1	0,86518087	1,155827682	1,918367347
CACNA2D1	0,924392442	-0,209013645	0,031	0,027	1	0,865128508	1,155897639	1,148148148
STAT5B	0,603353082	-0,209064128	0,031	0,051	1	0,865098236	1,155938087	0,607843137
AKTIP	0,588138226	-0,209164511	0,094	0,062	1	0,865038044	1,15601852	1,516129032
ELF1	0,023456761	-0,209335633	0,406	0,176	1	0,864935446	1,156155647	2,306818182
C2CD3	0,603353082	-0,209423675	0,031	0,051	1	0,864882664	1,156226205	0,607843137
PIBF1	0,1480486	-0,209460751	0,188	0,09	1	0,864860437	1,156255919	2,088888889
TUBE1	0,30757457	-0,209650855	0,094	0,047	1	0,864746483	1,156408289	2
HSD17B12	0,001785675	-0,209807734	0,438	0,148	1	0,864652455	1,156534044	2,959459459
SSPN	0,008602824	-0,210004206	0,375	0,141	1	0,864534711	1,156691556	2,659574468
NT5C2	0,30793671	-0,210051746	0,062	0,027	1	0,864506223	1,156729672	2,296296296
ARL4D	0,007632599	-0,210119638	0,219	0,066	1	0,864465541	1,156784108	3,318181818
UBAP2L	0,095516294	-0,210185432	0,219	0,102	1	0,864426118	1,156836864	2,147058824
KYAT3	0,120509006	-0,21038703	0,188	0,086	1	0,864305334	1,156998529	2,186046512
ACOX1	0,126128812	-0,210507862	0,125	0,051	1	0,864232948	1,157095436	2,450980392
ASPCR1	0,011905317	-0,210533541	0,219	0,07	1	0,864217565	1,157116032	3,128571429
RNF122	0,313292814	-0,210551113	0	0,031	1	0,864207039	1,157130126	0
GOLGA7	0,102160818	-0,210619399	0,406	0,211	1	0,864166135	1,157184897	1,924170616
UBXN7	0,477649336	-0,210633187	0,188	0,125	1	0,864157876	1,157195956	1,504
FOXK1	0,470914834	-0,210752114	0,125	0,078	1	0,864086643	1,157291353	1,602564103
BOD1L1	0,016618948	-0,211010874	0,562	0,246	1	0,863931676	1,157498941	2,284552846
TXNL4B	0,257548576	-0,211115235	0	0,039	1	0,863869183	1,157582675	0
HNRNPUL2	0,006343661	-0,211380775	0,281	0,094	1	0,863710196	1,157795757	2,989361702
HEBP1	0,755689148	-0,211449735	0,062	0,047	1	0,863668912	1,1578511	1,319148936
SDHD	0,076126362	-0,211524609	0,438	0,211	1	0,86362409	1,157911193	2,075829384
RPS6KA2	0,194053346	-0,211565218	0	0,051	1	0,863599781	1,157943786	0
BMT2	0,804543977	-0,211566813	0,031	0,039	1	0,863598826	1,157945067	0,794871795
DYNC1L1	0,048731044	-0,211824153	0,344	0,156	1	0,863444795	1,158151633	2,205128205
WBP1	0,077107676	-0,211905101	0,25	0,113	1	0,86339635	1,158216617	2,212389381

Supplementary Table 1

Differentially expressed genes_adjacent-skin-XL_comparing SC-Keloid vs. (SC-Myel, SC-Nonmyel)								
gene	p_val	avg_log2FC	pct.1	pct.2	p_val_adj	Foldchange_UP	Foldchange_DOWN	Ratio_pct1_pct2
HNRNPF	0,20307892	-0,2119921	0,688	0,398	1	0,863344286	1,158286464	1,728643216
FN3K	0,213026321	-0,212117729	0	0,047	1	0,86326911	1,158387331	0
PRRX2	0,887104347	-0,212124568	0,031	0,035	1	0,863265018	1,158392822	0,885714286
ANKRD44	0,300029356	-0,212329744	0,125	0,066	1	0,863142255	1,158557577	1,893939394
DTNA	0,920939129	-0,212358421	0,062	0,055	1	0,863125098	1,158580607	1,127272727
NBPF15	0,283789128	-0,21246245	0	0,035	1	0,863062863	1,158664151	0
ZFHX4	0,809794875	-0,212579815	0,031	0,039	1	0,862992654	1,158758415	0,794871795
TTC31	0,815054348	-0,212780253	0,031	0,039	1	0,862872765	1,158919415	0,794871795
CDK2AP2	0,010493526	-0,212898172	0,625	0,27	1	0,86280224	1,159014144	2,314814815
AFDN	0,499735776	-0,212899205	0,031	0,059	1	0,862801623	1,159014973	0,525423729
IKZF5	0,173155757	-0,212952193	0,156	0,074	1	0,862769934	1,159057543	2,108108108
CEP350	0,129906113	-0,212968678	0,281	0,145	1	0,862760075	1,159070787	1,937931034
ACIN1	0,021818636	-0,213145951	0,344	0,141	1	0,862654069	1,159213219	2,439716312
PLEKHF2	0,035154895	-0,21321565	0,344	0,148	1	0,862612394	1,159269224	2,324324324
MEX3C	0,01270143	-0,213262419	0,312	0,117	1	0,86258443	1,159306805	2,666666667
TMEM117	0,213026321	-0,213279205	0	0,047	1	0,862574394	1,159320294	0
RYK	0,031443381	-0,213315569	0,25	0,098	1	0,862552653	1,159349515	2,551020408
RBM4	0,071728066	-0,213579132	0,5	0,25	1	0,862395089	1,159561334	2
STX17	0,098798214	-0,213584157	0,219	0,102	1	0,862392085	1,159565373	2,147058824
CCNYL1	0,283789128	-0,213621203	0	0,035	1	0,862369941	1,159595149	0
JPX	0,209711856	-0,21363768	0,375	0,215	1	0,862360092	1,159608393	1,744186047
COL8A2	0,283789128	-0,213674184	0	0,035	1	0,862338272	1,159637734	0
NDST1	0,344129332	-0,21372712	0,156	0,09	1	0,862306631	1,159680285	1,733333333
PPP2R5B	0,293095985	-0,213755635	0,125	0,066	1	0,862289588	1,159703207	1,893939394
EFNA5	0,253529282	-0,21377924	0,125	0,062	1	0,86227548	1,159722181	2,016129032
ZNF236	0,394496075	-0,213872366	0,156	0,094	1	0,862219821	1,159797044	1,659574468
SNHG18	0,416896114	-0,21393677	0,125	0,074	1	0,862181332	1,15984882	1,689189189
PDPR	0,751100713	-0,213990763	0,062	0,047	1	0,862149065	1,159892228	1,319148936
CRTC3	0,007165916	-0,214042943	0,344	0,125	1	0,862117883	1,159934181	2,752
ZNF736	0,80991663	-0,214096977	0,031	0,023	1	0,862085594	1,159977625	1,347826087

Supplementary Table 1

Differentially expressed genes_adjacent-skin-XL_ comparing SC-Keloid vs. (SC-Myel, SC-Nonmyel)								
gene	p_val	avg_log2FC	pct.1	pct.2	p_val_adj	Foldchange_UP	Foldchange_DOWN	Ratio_pct1_pct2
IVD	0,004170278	-0,214345833	0,25	0,074	1	0,861936903	1,160177731	3,378378378
CAV2	0,10309818	-0,214363751	0,438	0,227	1	0,861926198	1,16019214	1,929515419
FAM83F	0,346686972	-0,214373054	0	0,027	1	0,86192064	1,160199621	0
RAD51D	0,376291412	-0,214400384	0,094	0,051	1	0,861904312	1,1602216	1,843137255
DCP2	0,937980621	-0,2144033	0,062	0,062	1	0,86190257	1,160223945	1
PPP6R3	0,001193685	-0,214482772	0,375	0,117	1	0,861855093	1,160287859	3,205128205
GANC	0,993403301	-0,214593812	0,062	0,059	1	0,861788761	1,160377166	1,050847458
SYT8	0,313292814	-0,214661504	0	0,031	1	0,861748326	1,160431613	0
SLC25A51	0,804543977	-0,214949782	0,031	0,039	1	0,861576149	1,160663513	0,794871795
SLC2A8	0,382636471	-0,214986948	0,156	0,094	1	0,861553954	1,160693413	1,659574468
NUP58	0,197902332	-0,215016706	0,219	0,117	1	0,861536183	1,160717355	1,871794872
TMTC2	0,234088337	-0,215017882	0	0,043	1	0,861535481	1,160718301	0
OGDH	0,022768525	-0,215073506	0,219	0,078	1	0,861502265	1,160763054	2,807692308
SRCIN1	0,695157794	-0,215139552	0,156	0,121	1	0,861462827	1,160816195	1,289256198
MTAP	0,296467032	-0,215166108	0,156	0,086	1	0,861446969	1,160837562	1,813953488
MCM5	0,376291412	-0,215318185	0,094	0,051	1	0,861356167	1,160959935	1,843137255
HHIPL1	0,283789128	-0,215410196	0	0,035	1	0,861301234	1,16103398	0
MMP28	0,857462101	-0,215657685	0,094	0,078	1	0,861153494	1,161233168	1,205128205
LUZP1	0,110090245	-0,215701182	0,219	0,102	1	0,861127531	1,16126818	2,147058824
PDRG1	0,06440165	-0,215938401	0,156	0,059	1	0,860985949	1,16145914	2,644067797
TFAP2B	0,150480606	-0,215970126	0,188	0,09	1	0,860967016	1,161484681	2,088888889
RPP14	0,191913299	-0,216032796	0,094	0,039	1	0,860929617	1,161535136	2,41025641
NISCH	0,323961112	-0,216140043	0,188	0,109	1	0,86086562	1,161621485	1,724770642
USP8	0,039103141	-0,216151283	0,25	0,102	1	0,860858913	1,161630536	2,450980392
MADD	0,24851603	-0,21639385	0,094	0,043	1	0,860714185	1,161825862	2,186046512
DSP	0,563155042	-0,216435686	0,094	0,062	1	0,860689225	1,161859554	1,516129032
KRT15	0,887940756	-0,2165191	0,094	0,082	1	0,860639464	1,161926733	1,146341463
CPEB3	0,677260831	-0,216814541	0,031	0,047	1	0,860463236	1,162164701	0,659574468
CNTF	0,283789128	-0,216867825	0	0,035	1	0,860431457	1,162207625	0
LGALS7B	0,989005733	-0,21695859	0,062	0,059	1	0,860377326	1,162280746	1,050847458

Supplementary Table 1

Differentially expressed genes_adjacent-skin-XL_comparing SC-Keloid vs. (SC-Myel, SC-Nonmyel)								
gene	p_val	avg_log2FC	pct.1	pct.2	p_val_adj	Foldchange_UP	Foldchange_DOWN	Ratio_pct1_pct2
CAMK2B	0,257548576	-0,2170577	0	0,039	1	0,860318222	1,162360595	0
BASP1	0,663576959	-0,217065274	0,031	0,047	1	0,860313706	1,162366697	0,659574468
ZNF267	0,015958056	-0,217218318	0,188	0,059	1	0,860222446	1,16249001	3,186440678
SFR1	0,836825729	-0,217345128	0,125	0,102	1	0,860146838	1,162592195	1,225490196
KRAS	0,105466572	-0,217357027	0,438	0,23	1	0,860139744	1,162601783	1,904347826
CDK2	0,204035935	-0,217411823	0,188	0,098	1	0,860107074	1,162645942	1,918367347
AFMID	0,660402423	-0,217487008	0,094	0,066	1	0,860062252	1,162706534	1,424242424
THOC1	0,024131097	-0,217516121	0,219	0,078	1	0,860044896	1,162729998	2,807692308
KMT5B	0,094564098	-0,217578584	0,188	0,082	1	0,860007661	1,16278034	2,292682927
ARFGAP1	0,12985323	-0,217997863	0,219	0,105	1	0,85975776	1,163118319	2,085714286
TEF	0,548952158	-0,218172047	0,031	0,055	1	0,859653963	1,163258757	0,563636364
SOX13	0,286287991	-0,218251633	0,156	0,086	1	0,859606542	1,163322929	1,813953488
LYNX1	0,420869875	-0,218436533	0,031	0,066	1	0,859496379	1,163472034	0,46969697
SNRPA	0,00587965	-0,218528783	0,344	0,121	1	0,859441422	1,163546431	2,842975207
NRIP2	0,414703427	-0,218567005	0,031	0,066	1	0,859418653	1,163577258	0,46969697
RARG	0,660402423	-0,218569235	0,094	0,066	1	0,859417324	1,163579057	1,424242424
OBSCN	0,346686972	-0,21872714	0	0,027	1	0,859323265	1,163706419	0
CDC42BPB	0,470352044	-0,21876635	0,156	0,102	1	0,859299911	1,163738047	1,529411765
RHOB	0,162099104	-0,218784526	1	0,676	1	0,859289084	1,163752709	1,479289941
PAPPA	0,80991663	-0,218899718	0,031	0,023	1	0,859220477	1,163845632	1,347826087
ALPK1	0,804543977	-0,218902562	0,031	0,039	1	0,859218784	1,163847927	0,794871795
ACSF3	0,376291412	-0,218959944	0,094	0,051	1	0,85918461	1,163894218	1,843137255
CIAO1	0,055641998	-0,218976323	0,281	0,125	1	0,859174855	1,163907433	2,248
TBL1XR1	0,101791565	-0,219030981	0,344	0,172	1	0,859142305	1,163951529	2
LZTS3	0,663576959	-0,219053707	0,031	0,047	1	0,859128771	1,163969865	0,659574468
CNTNAP1	0,234088337	-0,219229517	0	0,043	1	0,859024083	1,164111717	0
CARS1	0,025727869	-0,219287853	0,344	0,145	1	0,858989349	1,164158789	2,372413793
TARBP1	0,197541013	-0,219288877	0,156	0,078	1	0,858988739	1,164159615	2
TXNDC16	0,354261856	-0,219439576	0,125	0,07	1	0,858899017	1,164281226	1,785714286
LYPD3	0,607571545	-0,219456068	0,031	0,051	1	0,858889198	1,164294535	0,607843137

Supplementary Table 1

Differentially expressed genes_adjacent-skin-XL_ comparing SC-Keloid vs. (SC-Myel, SC-Nonmyel)								
gene	p_val	avg_log2FC	pct.1	pct.2	p_val_adj	Foldchange_UP	Foldchange_DOWN	Ratio_pct1_pct2
NSD3	0,111217613	-0,219607102	0,562	0,301	1	0,858799287	1,16441643	1,867109635
ASAP3	0,804543977	-0,219621225	0,031	0,039	1	0,858790879	1,16442783	0,794871795
FAM149B1	0,283789128	-0,219823241	0	0,035	1	0,858670634	1,164590892	0
SIPA1L1	0,635386876	-0,220044913	0,125	0,09	1	0,858538708	1,164769847	1,388888889
FSD1L	0,234088337	-0,220057572	0	0,043	1	0,858531175	1,164780067	0
TGIF1	0,042403887	-0,220171483	0,344	0,152	1	0,858463391	1,164872038	2,263157895
C1RL	0,979143607	-0,220413832	0,031	0,031	1	0,858319195	1,165067734	1
EVC	0,313292814	-0,220676592	0	0,031	1	0,858162882	1,165279949	0
DENND2C	0,38481627	-0,220701679	0	0,023	1	0,85814796	1,165300212	0
ZMYM4	0,233614723	-0,220820482	0,156	0,082	1	0,858077296	1,165396176	1,902439024
MFSD14A	0,462289318	-0,220822061	0,125	0,078	1	0,858076357	1,165397452	1,602564103
NUDCD3	0,010248684	-0,220936034	0,281	0,098	1	0,858008572	1,165489522	2,867346939
RAD21	0,023981535	-0,220977583	0,688	0,309	1	0,857983862	1,165523087	2,226537217
TBC1D17	0,193795898	-0,221001031	0,188	0,098	1	0,857969917	1,165542031	1,918367347
NPRL2	0,668126075	-0,221163294	0,062	0,043	1	0,857873425	1,16567313	1,441860465
SLC30A4	0,730358576	-0,221233715	0,031	0,043	1	0,857831552	1,16573003	0,720930233
PIK3CB	0,176914647	-0,221455068	0	0,055	1	0,857699944	1,165908902	0
NGDN	0,691830399	-0,221557142	0,125	0,094	1	0,857639262	1,165991396	1,329787234
KHSRP	0,093171637	-0,221638115	0,344	0,172	1	0,857591128	1,16605684	2
ZNF24	0,039672007	-0,221646441	0,438	0,207	1	0,857586178	1,166063569	2,115942029
INPP4A	0,979143607	-0,221666979	0,031	0,031	1	0,85757397	1,166080169	1
ERLIN2	0,180319513	-0,221705943	0,188	0,094	1	0,857550809	1,166111663	2
B3GNT2	0,603353082	-0,221823518	0,031	0,051	1	0,857480924	1,166206702	0,607843137
NBEAL2	0,313292814	-0,221898354	0	0,031	1	0,857436445	1,166267197	0
ITGA6	0,566482884	-0,221907918	0,75	0,551	1	0,857430761	1,166274929	1,361161525
MAF	0,037284913	-0,22195374	0,625	0,297	1	0,857403529	1,166311971	2,104377104
ELP2	0,002806326	-0,222024696	0,344	0,113	1	0,85736136	1,166369336	3,044247788
NUMB	0,034609483	-0,222123285	0,312	0,133	1	0,857302773	1,166449044	2,345864662
RNF144A	0,730358576	-0,222125836	0,031	0,043	1	0,857301257	1,166451107	0,720930233
SAFB	0,082278968	-0,222240485	0,281	0,133	1	0,857233131	1,166543806	2,112781955

Supplementary Table 1

Differentially expressed genes_adjacent-skin-XL_ comparing SC-Keloid vs. (SC-Myel, SC-Nonmyel)								
gene	p_val	avg_log2FC	pct.1	pct.2	p_val_adj	Foldchange_UP	Foldchange_DOWN	Ratio_pct1_pct2
HOXC6	0,044299501	-0,222276815	0,219	0,086	1	0,857211545	1,166573183	2,546511628
HDAC3	0,205678783	-0,222377106	0,156	0,078	1	0,857151956	1,166654282	2
YJEFN3	0,346686972	-0,222428501	0	0,027	1	0,857121421	1,166695844	0
OSBPL11	0,588138226	-0,222583456	0,094	0,062	1	0,857029366	1,166821162	1,516129032
C2CD5	0,191913299	-0,22271049	0,094	0,039	1	0,856953905	1,166923908	2,41025641
CDK10	0,045653963	-0,222919122	0,188	0,07	1	0,856829987	1,167092673	2,685714286
ZYG11B	0,060916409	-0,223021354	0,188	0,074	1	0,856769273	1,167175378	2,540540541
TRIM28	0,186249045	-0,223168053	0,438	0,258	1	0,856682158	1,167294067	1,697674419
EDEM3	0,001195376	-0,223241384	0,281	0,078	1	0,856638615	1,1673534	3,602564103
RAB4A	0,052320766	-0,223504938	0,344	0,156	1	0,856482137	1,167566674	2,205128205
FAM3C	0,056829833	-0,223537294	0,688	0,336	1	0,856462928	1,16759286	2,047619048
CD47	0,047527418	-0,223688223	0,562	0,277	1	0,856373333	1,167715015	2,028880866
KRIT1	0,341900128	-0,223705389	0,156	0,09	1	0,856363143	1,16772891	1,733333333
PACRG	0,979143607	-0,223714477	0,031	0,031	1	0,856357749	1,167736266	1
PPIL2	0,40869837	-0,223811756	0,125	0,074	1	0,856300008	1,167815007	1,689189189
SNHG32	0,314485574	-0,223882849	0,594	0,359	1	0,856257812	1,167872556	1,6545961
ZNF410	0,05263413	-0,224063163	0,25	0,105	1	0,856150801	1,168018531	2,380952381
CSKMT	0,128167284	-0,224307351	0,219	0,109	1	0,856005902	1,168216245	2,009174312
PREX2	0,283789128	-0,224314923	0	0,035	1	0,856001409	1,168222376	0
DDX50	0,007259728	-0,224326181	0,281	0,094	1	0,85599473	1,168231492	2,989361702
CTDSP2	0,23387633	-0,22438456	0,281	0,16	1	0,855960092	1,168278766	1,75625
MINDY1	0,161397126	-0,224402847	0	0,059	1	0,855949242	1,168293575	0
FBRS	0,098129635	-0,224633209	0,188	0,082	1	0,85581258	1,168480136	2,292682927
UHRF2	0,057671435	-0,224939595	0,219	0,09	1	0,85563085	1,168728314	2,433333333
PIP5K1A	0,828111391	-0,225017613	0,062	0,07	1	0,85558458	1,168791518	0,885714286
LAMTOR3	0,144457051	-0,225051322	0,188	0,09	1	0,855564589	1,168818827	2,088888889
WDR48	0,499735776	-0,225061947	0,031	0,059	1	0,855558289	1,168827435	0,525423729
GABARAPL1	0,649827026	-0,225073081	0,156	0,113	1	0,855551686	1,168836456	1,380530973
FBXO42	0,556776127	-0,225114577	0,031	0,055	1	0,855527078	1,168870075	0,563636364
WAPL	0,017764736	-0,225291315	0,344	0,141	1	0,855422278	1,169013277	2,439716312

Supplementary Table 1

Differentially expressed genes_adjacent-skin-XL_comparing SC-Keloid vs. (SC-Myel, SC-Nonmyel)								
gene	p_val	avg_log2FC	pct.1	pct.2	p_val_adj	Foldchange_UP	Foldchange_DOWN	Ratio_pct1_pct2
TOX4	0,021818636	-0,225539038	0,344	0,141	1	0,855275407	1,169214023	2,439716312
SHROOM3	0,257548576	-0,225581101	0	0,039	1	0,855250471	1,169248113	0
TLCD4	0,668126075	-0,22570905	0,031	0,047	1	0,855174624	1,169351816	0,659574468
LAS1L	0,400597364	-0,225712875	0,125	0,074	1	0,855172357	1,169354916	1,689189189
NAPEPLD	0,560708386	-0,225794628	0,031	0,055	1	0,855123898	1,169421182	0,563636364
SLC41A2	0,942250066	-0,225977909	0,062	0,062	1	0,85501527	1,169569755	1
DNAJC3	0,12924202	-0,225993997	0,469	0,254	1	0,855005736	1,169582797	1,846456693
AC011752.1	0,213026321	-0,226185068	0	0,047	1	0,854892506	1,169737708	0
ABRAXAS2	0,30793671	-0,22618964	0,062	0,027	1	0,854889797	1,169741414	2,296296296
PLEKHH3	0,511198329	-0,226261539	0,125	0,082	1	0,854847193	1,169799712	1,524390244
PARP8	0,726697784	-0,226327937	0,062	0,078	1	0,854807851	1,169853552	0,794871795
GOSR1	0,000315631	-0,226448238	0,469	0,145	1	0,854736574	1,169951105	3,234482759
RALGAPA2	0,283789128	-0,226552323	0	0,035	1	0,854674911	1,170035516	0
ADAT2	0,603353082	-0,226660502	0,031	0,051	1	0,854610826	1,170123253	0,607843137
PRKX	0,99780108	-0,226669989	0,062	0,059	1	0,854605206	1,170130948	1,050847458
PLAU	0,310355006	-0,226682862	0,094	0,047	1	0,854597581	1,170141389	2
CXCL2	0,283789128	-0,226832665	0	0,035	1	0,854508848	1,170262897	0
CROCC	0,588138226	-0,227010687	0,094	0,062	1	0,854403412	1,170407311	1,516129032
LZTR1	0,031838434	-0,227070584	0,156	0,051	1	0,85436794	1,170455905	3,058823529
FEM1A	0,840130893	-0,227273751	0,062	0,051	1	0,854247632	1,170620745	1,215686275
CCP110	0,202394917	-0,227342898	0,156	0,078	1	0,85420669	1,170676854	2
ARL17B	0,234088337	-0,227420608	0	0,043	1	0,85416068	1,170739913	0
SPIRE1	0,984065256	-0,227622955	0,156	0,148	1	0,854040887	1,170904128	1,054054054
ADAMTS7	0,037113331	-0,227897469	0,438	0,207	1	0,853878396	1,171126948	2,115942029
DSTYK	0,145646739	-0,228134935	0,188	0,09	1	0,853737861	1,171319729	2,088888889
LIN7C	0,076677794	-0,228152666	0,281	0,133	1	0,853727368	1,171334125	2,112781955
ARTN	0,963619739	-0,228273456	0,062	0,062	1	0,853655893	1,1714322	1
SLC25A48	0,234088337	-0,228523503	0	0,043	1	0,85350795	1,171635249	0
TOGARAM1	0,031451095	-0,228566892	0,281	0,113	1	0,853482282	1,171670486	2,486725664
STEEP1	0,804543977	-0,228627438	0,031	0,039	1	0,853446464	1,17171966	0,794871795

Supplementary Table 1

Differentially expressed genes_adjacent-skin-XL_comparing SC-Keloid vs. (SC-Myel, SC-Nonmyel)								
gene	p_val	avg_log2FC	pct.1	pct.2	p_val_adj	Foldchange_UP	Foldchange_DOWN	Ratio_pct1_pct2
ALKBH5	0,081948379	-0,228695142	0,312	0,148	1	0,853406414	1,171774648	2,108108108
PRRG3	0,257548576	-0,228894429	0	0,039	1	0,853288537	1,171936522	0
JMY	0,400599564	-0,229034383	0,188	0,117	1	0,853205764	1,172050217	1,606837607
MLF1	0,004528707	-0,229310338	0,344	0,121	1	0,853042581	1,172274424	2,842975207
WFDC2	0,213026321	-0,229444967	0	0,047	1	0,85296298	1,172383824	0
PDZD4	0,836825729	-0,22946239	0,125	0,102	1	0,85295268	1,172397982	1,225490196
FLCN	0,920205922	-0,229554844	0,094	0,094	1	0,85289802	1,172473117	1
GALT	0,212362312	-0,229602397	0,156	0,078	1	0,852869908	1,172511763	2
CCM2	0,003196702	-0,229642135	0,375	0,129	1	0,852846417	1,17254406	2,906976744
ATG14	0,240402432	-0,229773425	0,188	0,102	1	0,852768808	1,17265077	1,843137255
GNE	0,887104347	-0,229832453	0,031	0,035	1	0,852733918	1,172698751	0,885714286
ARHGAP39	0,401035597	-0,229978427	0,031	0,07	1	0,852647642	1,172817412	0,442857143
CA2	0,887104347	-0,230010595	0,031	0,035	1	0,85262863	1,172843562	0,885714286
HOPX	0,428872689	-0,230012647	0	0,02	1	0,852627417	1,172845231	0
LGALS8	0,445227443	-0,230225172	0,094	0,055	1	0,852501825	1,173018016	1,709090909
SCAMP1	0,050620571	-0,230242995	0,281	0,121	1	0,852491293	1,173032508	2,32231405
LYRM9	0,597765819	-0,230306772	0,125	0,086	1	0,852453609	1,173084365	1,453488372
XPOT	0,050727376	-0,230313855	0,25	0,105	1	0,852449423	1,173090124	2,380952381
MBOAT7	0,804306744	-0,23038847	0,062	0,07	1	0,852405336	1,173150797	0,885714286
TAPT1	0,457583888	-0,23043634	0,156	0,102	1	0,852377053	1,173189725	1,529411765
PLEKHM3	0,257548576	-0,230480053	0	0,039	1	0,852351227	1,173225272	0
UBR7	0,097228337	-0,230634286	0,188	0,082	1	0,85226011	1,173350704	2,292682927
GFM1	0,556776127	-0,230906405	0,031	0,055	1	0,852099373	1,17357204	0,563636364
CAMTA1	0,165926701	-0,231082089	0,594	0,348	1	0,851995615	1,17371496	1,706896552
MAP7D1	0,270700266	-0,231185356	0,344	0,207	1	0,851934632	1,173798977	1,661835749
WDR75	0,302364586	-0,231211609	0,125	0,066	1	0,851919129	1,173820337	1,893939394
TLE3	0,080620365	-0,231329941	0,5	0,262	1	0,851849257	1,17391662	1,908396947
TBC1D32	0,887104347	-0,231347509	0,031	0,035	1	0,851838884	1,173930914	0,885714286
STX12	0,202385763	-0,23147405	0,344	0,195	1	0,851764171	1,174033886	1,764102564
C16orf72	0,229370318	-0,231658427	0,219	0,121	1	0,851655322	1,174183938	1,809917355

Supplementary Table 1

Differentially expressed genes_adjacent-skin-XL_comparing SC-Keloid vs. (SC-Myel, SC-Nonmyel)								
gene	p_val	avg_log2FC	pct.1	pct.2	p_val_adj	Foldchange_UP	Foldchange_DOWN	Ratio_pct1_pct2
ADRA2A	0,283789128	-0,231843482	0	0,035	1	0,851546087	1,174334561	0
DCAF16	0,458482361	-0,231972634	0,031	0,062	1	0,851469859	1,174439693	0,5
PRPF4B	0,263115464	-0,232064759	0,656	0,387	1	0,851415489	1,174514691	1,695090439
CC2D1B	0,548952158	-0,232093061	0,031	0,055	1	0,851398786	1,174537732	0,563636364
ARHGDIG	0,234088337	-0,232157791	0	0,043	1	0,851360587	1,174590432	0
CBX4	0,176138873	-0,232162004	0,156	0,074	1	0,851358101	1,174593862	2,108108108
TTLL4	0,30793671	-0,232328919	0,062	0,027	1	0,851259607	1,174729767	2,296296296
PDLIM5	0,048024678	-0,232412412	0,281	0,121	1	0,851210344	1,174797754	2,32231405
UQCR10	0,101636686	-0,232653114	0,625	0,352	1	0,851068339	1,174993775	1,775568182
ARHGFE25	0,730358576	-0,232666801	0,031	0,043	1	0,851060264	1,175004923	0,720930233
MAP3K2	0,008215074	-0,232705046	0,375	0,145	1	0,851037703	1,175036072	2,586206897
ITM2A	0,503346174	-0,232813571	0,031	0,059	1	0,850973687	1,175124466	0,525423729
FBXW7	0,278218567	-0,232819945	0,281	0,168	1	0,850969928	1,175129658	1,672619048
RIPK2	0,185335556	-0,232852903	0,219	0,113	1	0,850950488	1,175156503	1,938053097
MOSMO	0,598076973	-0,233022229	0,156	0,109	1	0,850850584	1,175294487	1,431192661
CWF19L1	0,38481627	-0,233050242	0	0,023	1	0,850834098	1,175317259	0
FMN2	0,234088337	-0,23332413	0	0,043	1	0,850672588	1,175540407	0
TMC6	0,283789128	-0,233388001	0	0,035	1	0,850634928	1,175592452	0
PSPC1	0,795568952	-0,233485046	0,094	0,074	1	0,85057771	1,175671532	1,27027027
RAP2B	0,40598726	-0,233523208	0,125	0,074	1	0,850555211	1,175702631	1,689189189
RNMT	0,061685881	-0,233704949	0,406	0,203	1	0,850448071	1,175850748	2
TRIP11	0,03715015	-0,233710965	0,344	0,152	1	0,850444524	1,175855651	2,263157895
MOK	0,007740005	-0,233713234	0,219	0,066	1	0,850443187	1,175857501	3,318181818
ENOSF1	0,093753684	-0,233797405	0,125	0,047	1	0,850393571	1,175926105	2,659574468
PSD3	0,144822002	-0,233816656	0,25	0,129	1	0,850382224	1,175941797	1,937984496
RAB33B	0,538237415	-0,233828246	0,125	0,082	1	0,850375392	1,175951244	1,524390244
UBR2	0,142100035	-0,233892662	0,188	0,09	1	0,850337424	1,176003751	2,088888889
NLGN2	0,906381059	-0,233930318	0,125	0,109	1	0,850315229	1,176034447	1,146788991
CAPS2	0,543117005	-0,234179658	0	0,012	1	0,850168282	1,176237718	0
NPC1	0,998160744	-0,234250889	0,094	0,086	1	0,850126308	1,176295794	1,093023256

Supplementary Table 1

Differentially expressed genes_adjacent-skin-XL_comparing SC-Keloid vs. (SC-Myel, SC-Nonmyel)								
gene	p_val	avg_log2FC	pct.1	pct.2	p_val_adj	Foldchange_UP	Foldchange_DOWN	Ratio_pct1_pct2
YTHDC1	0,642293611	-0,234291644	0,438	0,316	1	0,850102293	1,176329024	1,386075949
CCDC171	0,283789128	-0,234658493	0	0,035	1	0,849886156	1,176628179	0
ANOS1	0,194053346	-0,234692799	0	0,051	1	0,849865947	1,176656158	0
NDUFS1	0,093751344	-0,234732765	0,281	0,137	1	0,849842403	1,176688755	2,051094891
ENGASE	0,213026321	-0,235109133	0	0,047	1	0,849620727	1,176995768	0
EIF4A3	0,097562195	-0,235195707	0,5	0,254	1	0,849569744	1,1770664	1,968503937
IQGAP2	0,692420524	-0,235230296	0,5	0,387	1	0,849549375	1,177094621	1,291989664
EID3	0,548952158	-0,235494711	0,031	0,055	1	0,849393686	1,177310377	0,563636364
IBTK	0,060245342	-0,235542009	0,25	0,109	1	0,849365839	1,177348975	2,293577982
SHFL	0,123752934	-0,235770008	0,312	0,164	1	0,849231619	1,177535054	1,902439024
BMP1A	0,553563879	-0,235819504	0,062	0,09	1	0,849202484	1,177575454	0,688888889
PRPF18	0,300605972	-0,235941709	0,156	0,086	1	0,849130554	1,177675206	1,813953488
C7orf26	0,396289917	-0,236011881	0,062	0,031	1	0,849089254	1,177732488	2
UBN1	0,588138226	-0,236346678	0,094	0,062	1	0,848892234	1,178005829	1,516129032
USP11	0,170623218	-0,236349942	0,344	0,191	1	0,848890314	1,178008494	1,80104712
H2BC15	0,751100713	-0,236392039	0,062	0,047	1	0,848865544	1,178042868	1,319148936
UCKL1	0,036178394	-0,23640022	0,312	0,133	1	0,84886073	1,178049548	2,345864662
SMG6	0,163771487	-0,236712692	0,125	0,055	1	0,848676896	1,178304729	2,272727273
ODR4	0,060916409	-0,236750168	0,188	0,074	1	0,848654851	1,178335337	2,540540541
ST7L	0,173155757	-0,236852517	0,156	0,074	1	0,848594647	1,178418935	2,108108108
SNTA1	0,255641859	-0,236882928	0,156	0,082	1	0,84857676	1,178443775	1,902439024
HMGCS1	0,033860139	-0,236943591	0,281	0,117	1	0,848541079	1,178493328	2,401709402
TOB2	0,635380935	-0,236983595	0,25	0,188	1	0,84851755	1,178526006	1,329787234
TMEM74B	0,38481627	-0,237231486	0	0,023	1	0,848371766	1,178728524	0
DDX42	0,176396095	-0,237562018	0,219	0,113	1	0,848177421	1,17899861	1,938053097
CFL2	0,059539815	-0,237597075	0,281	0,125	1	0,84815681	1,17902726	2,248
SDE2	0,535198384	-0,237760429	0,125	0,082	1	0,84806078	1,179160767	1,524390244
RPRD2	0,516147046	-0,23780467	0,094	0,059	1	0,848034775	1,179196927	1,593220339
TFG	0,033363079	-0,237882042	0,625	0,289	1	0,847989295	1,179260169	2,162629758
KIAA0408	0,804543977	-0,237956252	0,031	0,039	1	0,847945677	1,17932083	0,794871795

Supplementary Table 1

Differentially expressed genes_adjacent-skin-XL_ comparing SC-Keloid vs. (SC-Myel, SC-Nonmyel)								
gene	p_val	avg_log2FC	pct.1	pct.2	p_val_adj	Foldchange_UP	Foldchange_DOWN	Ratio_pct1_pct2
RGS1	0,346686972	-0,238267084	0	0,027	1	0,847763005	1,179574945	0
PPP1CC	0,015859624	-0,238615415	0,438	0,18	1	0,847558342	1,179859782	2,433333333
MPRIIP-AS1	0,799342981	-0,238743692	0,094	0,074	1	0,847482984	1,179964694	1,27027027
MED21	0,28927089	-0,238772536	0,219	0,129	1	0,847466041	1,179988285	1,697674419
ABHD10	0,376291412	-0,238881316	0,094	0,051	1	0,847402144	1,18007726	1,843137255
KANTR	0,313292814	-0,238977729	0	0,031	1	0,847345515	1,180156125	0
SDR42E2	0,603353082	-0,238996926	0,031	0,051	1	0,84733424	1,180171829	0,607843137
TAP2	0,054931246	-0,239023378	0,219	0,09	1	0,847318705	1,180193467	2,433333333
RBM11	0,497163605	-0,239051446	0,062	0,098	1	0,84730222	1,180216428	0,632653061
SYDE2	0,603353082	-0,239057768	0,031	0,051	1	0,847298507	1,1802216	0,607843137
NADK2	0,578217897	-0,239103788	0,062	0,039	1	0,84727148	1,180259248	1,58974359
RFC3	0,06440165	-0,239526914	0,156	0,059	1	0,847023021	1,180605456	2,644067797
LAMA3	0,283789128	-0,239792653	0	0,035	1	0,846867017	1,180822939	0
USP33	0,081640693	-0,239983815	0,281	0,133	1	0,846754812	1,180979412	2,112781955
PRPF6	0,072310646	-0,240064427	0,281	0,129	1	0,8467075	1,181045403	2,178294574
FNBP1	0,235357578	-0,240087898	0,219	0,121	1	0,846693725	1,181064617	1,809917355
HEATR5B	0,079268503	-0,240091307	0,188	0,078	1	0,846691724	1,181067408	2,41025641
SYVN1	0,548952158	-0,240277964	0,031	0,055	1	0,846582186	1,181220225	0,563636364
XPO1	0,058127092	-0,240441978	0,406	0,191	1	0,846485947	1,181354521	2,12565445
NBEAL1	0,195356281	-0,240634466	0,281	0,156	1	0,846373014	1,18151215	1,801282051
SLC25A38	0,516147046	-0,240857124	0,094	0,059	1	0,846242399	1,181694513	1,593220339
C2orf76	0,204506657	-0,240927017	0,125	0,059	1	0,846201403	1,181751763	2,118644068
DGCR6	0,283789128	-0,241457852	0	0,035	1	0,845890104	1,182186665	0
MKNK1	0,253529282	-0,241730639	0,125	0,062	1	0,845730177	1,182410215	2,016129032
SRFBP1	0,279787851	-0,241759961	0,188	0,105	1	0,845712987	1,182434248	1,79047619
FAM20C	0,035482716	-0,241801191	0,281	0,117	1	0,845688818	1,18246804	2,401709402
UBQLN1	0,039640256	-0,241920456	0,312	0,137	1	0,84561891	1,182565797	2,277372263
SLC44A2	0,597547605	-0,242012688	0,375	0,277	1	0,845564851	1,182641401	1,353790614
CNTRL	0,429615562	-0,242036508	0,156	0,098	1	0,84555089	1,182660928	1,591836735
LARP4B	0,579038679	-0,242166807	0,125	0,086	1	0,845474526	1,182767746	1,453488372

Supplementary Table 1

Differentially expressed genes_adjacent-skin-XL_ comparing SC-Keloid vs. (SC-Myel, SC-Nonmyel)								
gene	p_val	avg_log2FC	pct.1	pct.2	p_val_adj	Foldchange_UP	Foldchange_DOWN	Ratio_pct1_pct2
PDK3	0,213026321	-0,242196377	0	0,047	1	0,845457198	1,182791989	0
SCGB2A2	0,804543977	-0,242213467	0,031	0,039	1	0,845447182	1,182806	0,794871795
PNP	0,933712959	-0,24232062	0,062	0,062	1	0,845384391	1,182893854	1
POC5	0,887104347	-0,242511579	0,031	0,035	1	0,845272501	1,183050435	0,885714286
LINC00667	0,730213605	-0,242636612	0,156	0,121	1	0,845199248	1,18315297	1,289256198
LSS	0,359364064	-0,242762006	0,125	0,07	1	0,845125789	1,18325581	1,785714286
CDC40	0,086229766	-0,243043822	0,156	0,062	1	0,844960718	1,18348697	2,516129032
MLLT10	0,387353854	-0,243070425	0,156	0,094	1	0,844945137	1,183508794	1,659574468
RNF11	0,493233094	-0,243158319	0,25	0,168	1	0,844893662	1,183580899	1,488095238
EXD3	0,887104347	-0,243429878	0,031	0,035	1	0,844734643	1,183803705	0,885714286
C1D	0,045258158	-0,243514278	0,344	0,152	1	0,844685226	1,183872962	2,263157895
NRARP	0,436520656	-0,243542813	0,031	0,066	1	0,844668518	1,183896378	0,46969697
FLT3LG	0,887104347	-0,243542924	0,031	0,035	1	0,844668454	1,183896469	0,885714286
PEAK1	0,95305118	-0,243698514	0,094	0,09	1	0,844577364	1,184024155	1,044444444
SERPINB5	0,313292814	-0,243787266	0	0,031	1	0,844525409	1,184096996	0
POLDIP3	0,496843677	-0,24394137	0,188	0,125	1	0,844435204	1,184223485	1,504
MSH3	0,653016738	-0,243945977	0,094	0,066	1	0,844432507	1,184227267	1,424242424
DNAJC19	0,007902696	-0,24417978	0,5	0,199	1	0,84429567	1,184419198	2,512562814
RHOT2	0,308425288	-0,244438399	0,219	0,129	1	0,844144334	1,184631537	1,697674419
ZBTB11	0,217580187	-0,244458511	0,281	0,156	1	0,844132566	1,184648052	1,801282051
CMTM7	0,142110321	-0,244509884	0,156	0,07	1	0,844102508	1,184690236	2,228571429
LURAP1L	0,804543977	-0,244525565	0,031	0,039	1	0,844093333	1,184703114	0,794871795
SHISA9	0,663576959	-0,244648465	0,062	0,043	1	0,84402143	1,18480404	1,441860465
TK2	0,214664135	-0,244704952	0,188	0,098	1	0,843988384	1,184850431	1,918367347
MEG8	0,627437373	-0,244739813	0,094	0,066	1	0,84396799	1,184879061	1,424242424
CPQ	0,178680175	-0,244802926	0,344	0,191	1	0,84393107	1,184930897	1,80104712
USP10	0,138196896	-0,244993767	0,219	0,105	1	0,843819442	1,185087651	2,085714286
ZC3H12A	0,711312846	-0,245088637	0,125	0,094	1	0,843763955	1,185165584	1,329787234
NET1	0,038216718	-0,24512949	0,281	0,117	1	0,843740062	1,185199144	2,401709402
HSPA4L	0,176914647	-0,245284787	0	0,055	1	0,843649244	1,18532673	0

Supplementary Table 1

Differentially expressed genes_adjacent-skin-XL_comparing SC-Keloid vs. (SC-Myel, SC-Nonmyel)								
gene	p_val	avg_log2FC	pct.1	pct.2	p_val_adj	Foldchange_UP	Foldchange_DOWN	Ratio_pct1_pct2
DDX51	0,804543977	-0,245442824	0,031	0,039	1	0,843556833	1,185456582	0,794871795
TMEM71	0,933712959	-0,245521893	0,062	0,062	1	0,843510602	1,185521554	1
CTSO	0,933712959	-0,245613675	0,062	0,062	1	0,843456941	1,185596978	1
CAT	0,236009066	-0,245776508	0,25	0,141	1	0,843361748	1,1857308	1,773049645
PELI2	0,234088337	-0,245870837	0	0,043	1	0,843306607	1,18580833	0
SMPD4	0,34004375	-0,245884487	0,188	0,113	1	0,843298628	1,18581955	1,663716814
RBM15	0,548952158	-0,246030632	0,031	0,055	1	0,843213206	1,18593968	0,563636364
GNPDA2	0,445227443	-0,246059202	0,094	0,055	1	0,843196509	1,185963165	1,709090909
SOCS7	0,603353082	-0,246115323	0,031	0,051	1	0,843163708	1,186009301	0,607843137
LMO7DN	0,428872689	-0,246266362	0	0,02	1	0,843075441	1,186133473	0
WWP1	0,965906126	-0,246320615	0,125	0,113	1	0,843043737	1,186178079	1,10619469
HLA-DQA1	0,480650464	-0,246352464	0	0,016	1	0,843025126	1,186204265	0
AC116407.2	0,663576959	-0,246459195	0,031	0,047	1	0,842962761	1,186292024	0,659574468
PGM5	0,38481627	-0,246467332	0	0,023	1	0,842958007	1,186298715	0
HNRNPK	0,906160641	-0,246478263	0,875	0,656	1	0,84295162	1,186307703	1,333841463
NSUN6	0,168752127	-0,246510655	0,156	0,074	1	0,842932694	1,186334339	2,108108108
TADA1	0,194053346	-0,246591235	0	0,051	1	0,842885614	1,186400602	0
IFIT1	0,739785061	-0,246918669	0,062	0,074	1	0,842694334	1,186669898	0,837837838
ATG4B	0,074729729	-0,247093985	0,188	0,078	1	0,842591937	1,186814111	2,41025641
HMGXB3	0,028002326	-0,247150017	0,281	0,113	1	0,842559212	1,186860205	2,486725664
GTF2I	0,090030079	-0,247161946	0,75	0,387	1	0,842552246	1,186870019	1,937984496
FGD4	0,31227644	-0,247260901	0,188	0,109	1	0,842494457	1,18695143	1,724770642
AP1AR	0,403286918	-0,247318208	0,125	0,074	1	0,842460992	1,186998579	1,689189189
ANKRD17	0,058657759	-0,247378104	0,25	0,109	1	0,842426016	1,187047861	2,293577982
URB1	0,99780108	-0,247481336	0,062	0,059	1	0,842365738	1,187132803	1,050847458
XAF1	0,062941189	-0,247495757	0,156	0,059	1	0,842357318	1,187144669	2,644067797
PTPN11	0,010105466	-0,247619964	0,312	0,113	1	0,8422848	1,18724688	2,761061947
TNS2	0,618344889	-0,247999292	0,156	0,113	1	0,842063367	1,187559083	1,380530973
ARRDC2	0,396289917	-0,248052135	0,062	0,031	1	0,842032524	1,187602582	2
MBD1	0,043657261	-0,248199477	0,188	0,07	1	0,841946532	1,187723877	2,685714286

Supplementary Table 1

Differentially expressed genes_adjacent-skin-XL_comparing SC-Keloid vs. (SC-Myel, SC-Nonmyel)								
gene	p_val	avg_log2FC	pct.1	pct.2	p_val_adj	Foldchange_UP	Foldchange_DOWN	Ratio_pct1_pct2
ANKRA2	0,304711877	-0,248215107	0,125	0,066	1	0,841937411	1,187736745	1,893939394
WDFY1	0,445227443	-0,248250235	0,094	0,055	1	0,841916911	1,187765666	1,709090909
DUSP5	0,724751104	-0,248275594	0,094	0,07	1	0,841902112	1,187786544	1,342857143
NVL	0,213026321	-0,248292136	0	0,047	1	0,841892459	1,187800164	0
SCMH1	0,99780108	-0,248431581	0,062	0,059	1	0,841811089	1,187914977	1,050847458
KCTD4	0,257548576	-0,248461754	0	0,039	1	0,841793483	1,187939821	0
LZIC	0,018167812	-0,248490028	0,312	0,121	1	0,841776986	1,187963103	2,578512397
RHEB	0,327964386	-0,248742928	0,688	0,414	1	0,841629438	1,188171368	1,661835749
ATXN1	0,00243148	-0,248859852	0,406	0,141	1	0,84156123	1,188267667	2,879432624
SDAD1	0,516147046	-0,248920952	0,094	0,059	1	0,84152559	1,188317993	1,593220339
CSPP1	0,961390661	-0,248968793	0,094	0,086	1	0,841497685	1,188357399	1,093023256
SLC25A12	0,663576959	-0,248987762	0,031	0,047	1	0,84148662	1,188373024	0,659574468
EPHX1	0,588138226	-0,249166245	0,094	0,062	1	0,841382522	1,188520053	1,516129032
GTF2H1	0,517145205	-0,249167357	0,125	0,082	1	0,841381874	1,188520969	1,524390244
UGDH	0,113147688	-0,249263811	0,25	0,121	1	0,841325624	1,188600432	2,066115702
ERCC6L2	0,074729729	-0,24929154	0,188	0,078	1	0,841309453	1,188623278	2,41025641
MLLT3	0,887104347	-0,249403919	0,031	0,035	1	0,841243922	1,188715869	0,885714286
DNAL1	0,663576959	-0,249638333	0,031	0,047	1	0,841107245	1,188909032	0,659574468
CCDC159	0,902554286	-0,249686305	0,094	0,094	1	0,841079277	1,188948565	1
PBX1	0,773969012	-0,249722239	0,062	0,074	1	0,841058328	1,18897818	0,837837838
EIF4EBP2	0,86908937	-0,249780646	0,062	0,066	1	0,841024279	1,189026316	0,939393939
USP25	0,588138226	-0,249866304	0,094	0,062	1	0,840974346	1,189096915	1,516129032
BAMBI	0,234088337	-0,249967754	0	0,043	1	0,840915211	1,189180535	0
SWT1	0,979143607	-0,249979184	0,031	0,031	1	0,840908548	1,189189957	1
TRIM4	0,603353082	-0,250017549	0,031	0,051	1	0,840886186	1,189221581	0,607843137
FER	0,998397162	-0,25009856	0,125	0,117	1	0,84083897	1,18928836	1,068376068
LINS1	0,191913299	-0,250159632	0,094	0,039	1	0,840803377	1,189338706	2,41025641
SEPTIN1	0,933712959	-0,250219988	0,062	0,062	1	0,840768202	1,189388464	1
DGCR8	0,603353082	-0,25028894	0,031	0,051	1	0,840728019	1,189445311	0,607843137
UBXN2A	0,141002056	-0,250334217	0,312	0,164	1	0,840701634	1,189482641	1,902439024

Supplementary Table 1

Differentially expressed genes_adjacent-skin-XL_comparing SC-Keloid vs. (SC-Myel, SC-Nonmyel)								
gene	p_val	avg_log2FC	pct.1	pct.2	p_val_adj	Foldchange_UP	Foldchange_DOWN	Ratio_pct1_pct2
LARGE1	0,339977961	-0,250391107	0,188	0,109	1	0,840668484	1,189529546	1,724770642
KAT7	0,057671435	-0,250482835	0,219	0,09	1	0,840615035	1,18960518	2,433333333
ZNF136	0,176914255	-0,25067062	0	0,055	1	0,840505625	1,189760033	0
YPEL3	0,065290575	-0,250715054	0,375	0,18	1	0,840479739	1,189796677	2,083333333
SF3B3	0,25187375	-0,250974458	0,156	0,082	1	0,84032863	1,190010628	1,902439024
GGT7	0,997801078	-0,251027965	0,062	0,059	1	0,840297464	1,190054764	1,050847458
CHST9	0,933712959	-0,251029573	0,062	0,062	1	0,840296527	1,190056091	1
TMEM87A	0,012740243	-0,251053086	0,562	0,242	1	0,840282832	1,190075486	2,32231405
THAP6	0,283789128	-0,251105431	0	0,035	1	0,840252345	1,190118666	0
SLC39A14	0,253529282	-0,251114274	0,125	0,062	1	0,840247195	1,190125961	2,016129032
COL23A1	0,213026321	-0,251216308	0	0,047	1	0,840187771	1,190210135	0
CASK	0,230628924	-0,25126976	0,188	0,102	1	0,840156642	1,190254233	1,843137255
RBM26	0,01480364	-0,251428186	0,375	0,148	1	0,840064388	1,190384945	2,533783784
PNPLA2	0,113235914	-0,25181352	0,344	0,176	1	0,839840042	1,190702932	1,954545455
MPST	0,05964868	-0,25219357	0,312	0,141	1	0,839618832	1,19101664	2,212765957
ATF1	0,864972765	-0,252248277	0,062	0,066	1	0,839586994	1,191061804	0,939393939
CNST	0,720482167	-0,252537782	0,094	0,109	1	0,839418531	1,191300838	0,862385321
CBR3	0,538237843	-0,252626722	0,125	0,082	1	0,839366784	1,191374283	1,524390244
UBN2	0,48331453	-0,252754245	0,156	0,102	1	0,839292594	1,191479595	1,529411765
HELB	0,194053346	-0,252801449	0	0,051	1	0,839265133	1,19151858	0
BIRC6	0,096332388	-0,252848375	0,312	0,152	1	0,839237835	1,191557337	2,052631579
ITFG1	0,077209699	-0,253020772	0,375	0,184	1	0,839137555	1,191699733	2,038043478
PRR12	0,732255237	-0,253136601	0,094	0,07	1	0,839070187	1,191795414	1,342857143
ZNRF3	0,663576959	-0,253183946	0,031	0,047	1	0,839042651	1,191834526	0,659574468
ZNFX1	0,638302587	-0,253355458	0,156	0,113	1	0,838942909	1,191976223	1,380530973
D2HGDH	0,803121702	-0,253394143	0,094	0,074	1	0,838920414	1,192008186	1,27027027
SHOC2	0,125272136	-0,253657177	0,375	0,195	1	0,838767474	1,192225534	1,923076923
LRRC4	0,234088337	-0,254083588	0	0,043	1	0,8385196	1,192577967	0
PPP6R2	0,321994138	-0,254117234	0,188	0,109	1	0,838500045	1,19260578	1,724770642
SYT14	0,161397126	-0,2544985	0	0,059	1	0,838278481	1,192920996	0

Supplementary Table 1

Differentially expressed genes_adjacent-skin-XL_comparing SC-Keloid vs. (SC-Myel, SC-Nonmyel)								
gene	p_val	avg_log2FC	pct.1	pct.2	p_val_adj	Foldchange_UP	Foldchange_DOWN	Ratio_pct1_pct2
CYS1	0,213026321	-0,254688508	0	0,047	1	0,838168084	1,193078118	0
FAM168B	0,134661836	-0,254794025	0,25	0,125	1	0,838106784	1,193165381	2
U2AF2	0,07974974	-0,254809024	0,281	0,133	1	0,83809807	1,193177787	2,112781955
PPP2CA	0,089906165	-0,254815171	0,594	0,309	1	0,838094499	1,19318287	1,922330097
CRY2	0,607571545	-0,254826714	0,031	0,051	1	0,838087794	1,193192417	0,607843137
CBX6	0,414229703	-0,254940301	0,375	0,242	1	0,838021812	1,193286363	1,549586777
STAT2	0,616461443	-0,255086838	0,125	0,09	1	0,837936697	1,193407574	1,388888889
POR	0,219339222	-0,255321765	0,188	0,098	1	0,837800259	1,193601923	1,918367347
BORCS5	0,124754001	-0,255441767	0,188	0,086	1	0,837730574	1,19370121	2,186046512
DPM3	0,02809504	-0,255494946	0,438	0,191	1	0,837699695	1,193745212	2,293193717
SORCS3	0,257548576	-0,255589621	0	0,039	1	0,837644724	1,193823552	0
POLB	0,788035309	-0,255604245	0,094	0,074	1	0,837636234	1,193835653	1,27027027
TBL1X	0,990803913	-0,255681667	0,094	0,086	1	0,837591283	1,193899722	1,093023256
FXR1	0,279034725	-0,25577955	0,625	0,367	1	0,837534457	1,193980727	1,702997275
STS	0,257548576	-0,255878895	0	0,039	1	0,837476786	1,194062949	0
TMF1	0,276733609	-0,255921991	0,281	0,168	1	0,837451769	1,194098619	1,672619048
CLEC2B	0,864972765	-0,255954539	0,062	0,066	1	0,837432876	1,194125558	0,939393939
PAXX	0,262322083	-0,256004498	0,469	0,281	1	0,837403876	1,19416691	1,669039146
CTNNA3	0,257548576	-0,256139466	0	0,039	1	0,837325539	1,194278633	0
IFI35	0,287162697	-0,256312145	0,25	0,148	1	0,837225324	1,194421587	1,689189189
TRPV1	0,603353082	-0,256483632	0,031	0,051	1	0,837125813	1,194563571	0,607843137
INTS13	0,516147046	-0,256521368	0,094	0,059	1	0,837103916	1,194594818	1,593220339
FBXL3	0,01453664	-0,25672929	0,469	0,195	1	0,836983281	1,194766995	2,405128205
TSPAN8	0,346686972	-0,256793539	0	0,027	1	0,836946007	1,194820205	0
RCOR3	0,569779589	-0,25687327	0,125	0,086	1	0,836899755	1,194886238	1,453488372
LYST	0,002547096	-0,256900377	0,5	0,184	1	0,83688403	1,19490869	2,717391304
RORA	0,730358576	-0,256903326	0,031	0,043	1	0,83688232	1,194911132	0,720930233
RDH5	0,323924664	-0,2569246	0,031	0,078	1	0,836869979	1,194928753	0,397435897
CPLANE1	0,310355006	-0,257190123	0,094	0,047	1	0,83671597	1,195148695	2
SDHA	0,024139484	-0,257327671	0,438	0,184	1	0,836636201	1,195262647	2,380434783

Supplementary Table 1

Differentially expressed genes_adjacent-skin-XL_comparing SC-Keloid vs. (SC-Myel, SC-Nonmyel)								
gene	p_val	avg_log2FC	pct.1	pct.2	p_val_adj	Foldchange_UP	Foldchange_DOWN	Ratio_pct1_pct2
ETV6	0,208543031	-0,257397753	0,188	0,098	1	0,83659556	1,195320711	1,918367347
LHFPL2	0,163771487	-0,257599195	0,125	0,055	1	0,836478755	1,195487624	2,272727273
ITPRIP	0,455148041	-0,257641475	0,031	0,062	1	0,836454242	1,19552266	0,5
CHTOP	0,025504336	-0,257736042	0,375	0,16	1	0,836399415	1,195601027	2,34375
LSMEM1	0,161397126	-0,257854616	0	0,059	1	0,836330675	1,195699297	0
ANKRD13A	0,603353082	-0,258041953	0,031	0,051	1	0,836222083	1,195854571	0,607843137
PATL1	0,512685318	-0,258275853	0,094	0,059	1	0,836086519	1,196048468	1,593220339
SSBP2	0,59146562	-0,258362678	0,312	0,223	1	0,836036203	1,19612045	1,399103139
MFSD2A	0,603353082	-0,258647586	0,031	0,051	1	0,835871116	1,196356688	0,607843137
APAF1	0,755689148	-0,258795096	0,062	0,047	1	0,835785656	1,196479017	1,319148936
TEAD3	0,250004291	-0,259043024	0,156	0,082	1	0,835642038	1,19668465	1,902439024
ARFGF2	0,887104347	-0,259049327	0,031	0,035	1	0,835638387	1,196689878	0,885714286
ATPCKMT	0,751100713	-0,259183325	0,062	0,047	1	0,835560777	1,196801032	1,319148936
NR2C1	0,152942762	-0,259218161	0,188	0,09	1	0,835540601	1,196829932	2,088888889
ARPP19	0,091991809	-0,259515271	0,688	0,352	1	0,835368547	1,197076433	1,954545455
NECTIN1	0,257548576	-0,259646122	0	0,039	1	0,835292783	1,197185012	0
RPS6KB1	0,206379422	-0,259715261	0,125	0,059	1	0,835252753	1,197242387	2,118644068
SAP25	0,979143607	-0,259889117	0,031	0,031	1	0,835152105	1,197386672	1
FAM13B	0,294412282	-0,260086982	0,156	0,086	1	0,835037573	1,197550904	1,813953488
PODN	0,346686972	-0,260201168	0	0,027	1	0,834971484	1,197645692	0
TST	0,872528346	-0,260297367	0,094	0,078	1	0,83491581	1,197725553	1,205128205
FHL1	0,064712409	-0,260386604	0,344	0,164	1	0,834864168	1,19779964	2,097560976
PIAS1	0,983447865	-0,260568929	0,094	0,086	1	0,834758666	1,197951025	1,093023256
OSBPL9	0,081388664	-0,260821158	0,438	0,219	1	0,834612736	1,198160484	2
ING1	0,005703422	-0,260845496	0,531	0,207	1	0,834598657	1,198180697	2,565217391
CBWD5	0,356807214	-0,260866258	0,125	0,07	1	0,834586646	1,19819794	1,785714286
STX11	0,771038875	-0,261080112	0,094	0,102	1	0,834462943	1,198375565	0,921568627
ARHGAP36	0,257548576	-0,261213193	0	0,039	1	0,834385972	1,198486113	0
MTRFR	0,40869837	-0,261214988	0,125	0,074	1	0,834384933	1,198487605	1,689189189
STAM	0,474951714	-0,261258311	0,188	0,121	1	0,834359877	1,198523595	1,553719008

Supplementary Table 1

Differentially expressed genes_adjacent-skin-XL_comparing SC-Keloid vs. (SC-Myel, SC-Nonmyel)								
gene	p_val	avg_log2FC	pct.1	pct.2	p_val_adj	Foldchange_UP	Foldchange_DOWN	Ratio_pct1_pct2
CREG1	0,100873626	-0,261418775	0,188	0,082	1	0,834267081	1,198656908	2,292682927
SMIM29	0,098415875	-0,261556962	0,312	0,152	1	0,834187175	1,198771726	2,052631579
ZNF821	0,499735776	-0,261612553	0,031	0,059	1	0,834155032	1,198817919	0,525423729
PPP1R3B	0,234088337	-0,261650894	0	0,043	1	0,834132864	1,198849779	0
SELENOO	0,213026321	-0,261843597	0	0,047	1	0,834021455	1,199009922	0
GRK2	0,066489731	-0,261893534	0,219	0,094	1	0,833992587	1,199051424	2,329787234
ZNF121	0,257548576	-0,261925418	0	0,039	1	0,833974156	1,199077924	0
KHDRBS1	0,045833886	-0,26204295	0,594	0,285	1	0,833906218	1,199175614	2,084210526
TNFAIP3	0,015819636	-0,2620588	0,438	0,188	1	0,833897056	1,199188788	2,329787234
DOCK4	0,234088337	-0,262101807	0	0,043	1	0,833872198	1,199224536	0
CUL4B	0,011149113	-0,262113572	0,219	0,07	1	0,833865397	1,199234317	3,128571429
BEX4	0,113552381	-0,262135614	0,281	0,137	1	0,833852657	1,199252639	2,051094891
SNN	0,908376542	-0,262484208	0,125	0,105	1	0,833651201	1,199542445	1,19047619
PDS5A	0,514412332	-0,262680866	0,156	0,105	1	0,833537571	1,19970597	1,485714286
CEP290	0,030583271	-0,262753182	0,188	0,066	1	0,833495791	1,199766107	2,848484848
ARHGAP32	0,603353082	-0,262926793	0,031	0,051	1	0,833395495	1,199910494	0,607843137
POLI	0,933712959	-0,263086418	0,062	0,062	1	0,833303291	1,200043263	1
RFLNA	0,234088337	-0,263186788	0	0,043	1	0,833245319	1,200126754	0
DNAJA4	0,1480486	-0,263353878	0,188	0,09	1	0,833148819	1,200265759	2,088888889
RALGAPA1	0,260995138	-0,263544322	0,25	0,145	1	0,833038846	1,200424211	1,724137931
BCORL1	0,234088337	-0,263802308	0	0,043	1	0,832889894	1,200638893	0
NRCAM	0,377976391	-0,26380554	0,031	0,07	1	0,832888028	1,200641583	0,442857143
BTBD7	0,323405291	-0,263862909	0,219	0,133	1	0,832854909	1,200689327	1,646616541
FLYWCH1	0,920939129	-0,264168071	0,062	0,055	1	0,83267876	1,200943327	1,127272727
PLD6	0,344592621	-0,264203493	0,031	0,074	1	0,832658316	1,200972813	0,418918919
TNFRSF1B	0,234088337	-0,264299106	0	0,043	1	0,832603134	1,201052409	0
WIPI1	0,159627915	-0,26468513	0,219	0,109	1	0,832380383	1,20137382	2,009174312
POMT1	0,730358576	-0,264715698	0,031	0,043	1	0,832362747	1,201399274	0,720930233
NFRKB	0,672687415	-0,264857912	0,031	0,047	1	0,8322807	1,201517709	0,659574468
ORC4	0,728499918	-0,264883432	0,094	0,07	1	0,832265978	1,201538962	1,342857143

Supplementary Table 1

Differentially expressed genes_adjacent-skin-XL_comparing SC-Keloid vs. (SC-Myel, SC-Nonmyel)								
gene	p_val	avg_log2FC	pct.1	pct.2	p_val_adj	Foldchange_UP	Foldchange_DOWN	Ratio_pct1_pct2
INO80	0,033288532	-0,265001845	0,219	0,082	1	0,83219767	1,201637586	2,670731707
ANKS1A	0,257548576	-0,265016501	0	0,039	1	0,832189216	1,201649794	0
FARSB	0,603353082	-0,265064602	0,031	0,051	1	0,832161471	1,201689858	0,607843137
CLUH	0,660402423	-0,265261643	0,094	0,066	1	0,832047823	1,201853994	1,424242424
TFAP2C	0,173512292	-0,265375141	0,188	0,094	1	0,831982368	1,201948549	2
SNX2	0,422212218	-0,265472549	0,156	0,098	1	0,831926196	1,202029705	1,591836735
PRDM11	0,283789128	-0,265520301	0	0,035	1	0,83189866	1,202069492	0
CHMP2B	0,00368802	-0,265581127	0,625	0,25	1	0,831863587	1,202120174	2,5
PARP2	0,112120373	-0,265668801	0,156	0,066	1	0,831813036	1,20219323	2,363636364
TOMM20	0,926891423	-0,265696369	0,688	0,504	1	0,831797141	1,202216203	1,365079365
CARF	0,376291412	-0,265740446	0,094	0,051	1	0,831771728	1,202252933	1,843137255
LCOR	0,598664857	-0,265804172	0,156	0,113	1	0,831734988	1,20230604	1,380530973
CLASP2	0,404264282	-0,26604443	0,25	0,16	1	0,831596488	1,202506281	1,5625
ATP6V1C1	0,663284905	-0,266079639	0,188	0,137	1	0,831576193	1,202535629	1,372262774
BICRA	0,505798338	-0,266108944	0,094	0,059	1	0,831559302	1,202560056	1,593220339
AKIRIN1	0,047804972	-0,266199187	0,312	0,137	1	0,831507288	1,20263528	2,277372263
ADNP2	0,99780108	-0,266237731	0,062	0,059	1	0,831485073	1,202667411	1,050847458
CAST	0,156386684	-0,26637252	0,562	0,324	1	0,831407392	1,20277978	1,734567901
MAP3K11	0,05488416	-0,266435738	0,406	0,191	1	0,831370961	1,202832487	2,12565445
ELK4	0,076071543	-0,266456052	0,344	0,164	1	0,831359255	1,202849423	2,097560976
PHACTR2	0,67254982	-0,266865086	0,125	0,094	1	0,83112358	1,203190504	1,329787234
RTL8A	0,005851444	-0,266946951	0,469	0,18	1	0,831076421	1,20325878	2,605555556
UBE2E3	0,34115731	-0,266979613	0,469	0,281	1	0,831057605	1,203286022	1,669039146
SESN1	0,109929252	-0,267448185	0,156	0,066	1	0,830787731	1,2036769	2,363636364
ITPR2	0,40598726	-0,267455671	0,125	0,074	1	0,83078342	1,203683146	1,689189189
CSGALNACT2	0,469579464	-0,267472469	0,281	0,191	1	0,830773746	1,203697161	1,471204188
PARL	0,60658408	-0,267533003	0,156	0,109	1	0,830738889	1,203747668	1,431192661
TMEM44-AS1	0,730358576	-0,267582772	0,031	0,043	1	0,830710231	1,203789194	0,720930233
NAIP	0,730358576	-0,267859368	0,031	0,043	1	0,830550981	1,204020009	0,720930233
WWTR1	0,001438879	-0,267914075	0,594	0,215	1	0,830519487	1,204065667	2,762790698

Supplementary Table 1

Differentially expressed genes_adjacent-skin-XL_comparing SC-Keloid vs. (SC-Myel, SC-Nonmyel)								
gene	p_val	avg_log2FC	pct.1	pct.2	p_val_adj	Foldchange_UP	Foldchange_DOWN	Ratio_pct1_pct2
RBM28	0,142694599	-0,267977677	0,219	0,109	1	0,830482874	1,20411875	2,009174312
USP12	0,337948547	-0,268084028	0,188	0,109	1	0,830421656	1,204207517	1,724770642
SLC43A2	0,99780108	-0,268145836	0,062	0,059	1	0,830386079	1,204259109	1,050847458
DPYD	0,762521971	-0,268459949	0,062	0,074	1	0,830205302	1,204521337	0,837837838
KLF5	0,18833141	-0,268576185	0,281	0,156	1	0,830138416	1,204618387	1,801282051
FAT4	0,194053346	-0,268686256	0	0,051	1	0,830075083	1,204710297	0
LEMD3	0,47380962	-0,268748325	0,125	0,078	1	0,830039372	1,204762128	1,602564103
NTNG1	0,840130893	-0,268851051	0,062	0,051	1	0,829980272	1,204847915	1,215686275
PATZ1	0,499735776	-0,269016836	0,031	0,059	1	0,829884901	1,204986377	0,525423729
NABP1	0,414703427	-0,269068523	0,031	0,066	1	0,829855169	1,205029548	0,46969697
TOPORS	0,428423523	-0,269114477	0,188	0,121	1	0,829828737	1,205067932	1,553719008
FAM161A	0,213026321	-0,269205205	0	0,047	1	0,829776552	1,205143719	0
PPFIBP2	0,867816547	-0,269255788	0,094	0,098	1	0,829747459	1,205185974	0,959183673
EML3	0,516147046	-0,269446567	0,094	0,059	1	0,829637743	1,205345356	1,593220339
ZFP91	0,10042554	-0,269490837	0,344	0,172	1	0,829612285	1,205382344	2
LMNA	0,549394686	-0,269508029	1	0,836	1	0,829602399	1,205396707	1,196172249
WDR86	0,176914647	-0,26974256	0	0,055	1	0,829467546	1,205592678	0
PTPN23	0,202646283	-0,269770245	0,125	0,059	1	0,829451629	1,205615813	2,118644068
ITPKC	0,840130893	-0,269795631	0,062	0,051	1	0,829437034	1,205637027	1,215686275
MFAP3L	0,230078455	-0,269926499	0,031	0,098	1	0,829361798	1,205746397	0,316326531
PRXL2A	0,314221703	-0,270014482	0,031	0,078	1	0,829311221	1,205819932	0,397435897
CDK11B	0,073994318	-0,270106137	0,188	0,078	1	0,829258536	1,205896541	2,41025641
HNRNPA3	0,86445071	-0,27046883	0,844	0,578	1	0,829050087	1,206199741	1,460207612
YEATS2	0,213026321	-0,270514859	0	0,047	1	0,829023637	1,206238225	0
LUC7L	0,0527427	-0,270718194	0,344	0,16	1	0,828906801	1,206408246	2,15
PPP1R3E	0,234088337	-0,270751661	0	0,043	1	0,828887573	1,206436232	0
RBM12B	0,512685318	-0,270757673	0,094	0,059	1	0,828884119	1,206441258	1,593220339
UBE2Z	0,032277048	-0,270767141	0,344	0,148	1	0,828878679	1,206449177	2,324324324
TGS1	0,982137358	-0,270878136	0,125	0,113	1	0,828814911	1,206541999	1,10619469
RP2	0,949444396	-0,27101554	0,094	0,09	1	0,828735978	1,206656917	1,044444444

Supplementary Table 1

Differentially expressed genes_adjacent-skin-XL_ comparing SC-Keloid vs. (SC-Myel, SC-Nonmyel)								
gene	p_val	avg_log2FC	pct.1	pct.2	p_val_adj	Foldchange_UP	Foldchange_DOWN	Ratio_pct1_pct2
PLXNA3	0,03107935	-0,271133647	0,312	0,133	1	0,828668135	1,206755705	2,345864662
TRIM23	0,933712959	-0,271386513	0,062	0,062	1	0,828522905	1,206967236	1
TTBK2	0,804306744	-0,271408043	0,062	0,07	1	0,82851054	1,206985248	0,885714286
RHAG	0,161397126	-0,271430259	0	0,059	1	0,828497782	1,207003834	0
DNAJC13	0,588138226	-0,271733586	0,094	0,062	1	0,828323609	1,207257634	1,516129032
MIGA1	0,02361287	-0,271749692	0,25	0,094	1	0,828314362	1,207271111	2,659574468
KIAA0319L	0,441948175	-0,271877391	0,094	0,055	1	0,828241047	1,207377977	1,709090909
SOX4	0,010984362	-0,272104306	0,906	0,543	1	0,828110787	1,207567895	1,668508287
PNN	0,060413072	-0,272382817	0,594	0,293	1	0,827950937	1,207801037	2,027303754
BIRC2	0,023091141	-0,272420408	0,719	0,34	1	0,827929364	1,207832508	2,114705882
NUP50	0,086229766	-0,272670497	0,156	0,062	1	0,827785856	1,208041902	2,516129032
VPS8	0,445227443	-0,272733055	0,094	0,055	1	0,827749962	1,208094286	1,709090909
ABL1	0,790895329	-0,272739635	0,125	0,098	1	0,827746187	1,208099796	1,275510204
RSRP1	0,042956774	-0,272824139	0,656	0,324	1	0,827697705	1,208170561	2,024691358
NMT2	0,563646362	-0,272953141	0,125	0,086	1	0,827623697	1,208278598	1,453488372
ZSCAN16-AS1	0,01059166	-0,272990789	0,406	0,16	1	0,8276021	1,208310129	2,5375
TUBA4A	0,234088337	-0,27308296	0	0,043	1	0,827549228	1,208387328	0
RPAP3	0,482846351	-0,273231661	0,062	0,035	1	0,827463935	1,208511885	1,771428571
PDCD11	0,304711877	-0,273421246	0,125	0,066	1	0,827355205	1,208670706	1,893939394
SSBP3	0,561023118	-0,27376423	0,25	0,176	1	0,827158534	1,208958088	1,420454545
DDX41	0,830999134	-0,273988642	0,062	0,051	1	0,827029879	1,209146157	1,215686275
AKAP17A	0,598076973	-0,274019469	0,156	0,109	1	0,827012208	1,209171993	1,431192661
GARNL3	0,257548576	-0,274197436	0	0,039	1	0,826910196	1,209321163	0
ZNF438	0,38481627	-0,274218734	0	0,023	1	0,826897989	1,209339016	0
TBC1D16	0,211587385	-0,274260134	0,188	0,098	1	0,82687426	1,20937372	1,918367347
GPR161	0,804543977	-0,274360869	0,031	0,039	1	0,826816527	1,209458166	0,794871795
ARIH2	0,074669904	-0,274765252	0,281	0,129	1	0,826584805	1,209797221	2,178294574
KANSL2	0,084415941	-0,274813837	0,156	0,062	1	0,826556969	1,209837963	2,516129032
ARHGEF11	0,084505016	-0,275250691	0,25	0,113	1	0,826306722	1,210204363	2,212389381
PIP4K2B	0,877333124	-0,275329516	0,062	0,066	1	0,826261576	1,210270487	0,939393939

Supplementary Table 1

Differentially expressed genes_adjacent-skin-XL_comparing SC-Keloid vs. (SC-Myel, SC-Nonmyel)								
gene	p_val	avg_log2FC	pct.1	pct.2	p_val_adj	Foldchange_UP	Foldchange_DOWN	Ratio_pct1_pct2
ZER1	0,194053346	-0,275461865	0	0,051	1	0,82618578	1,210381519	0
EPS8L2	0,663576959	-0,275530939	0,031	0,047	1	0,826146225	1,210439472	0,659574468
ATL1	0,043846305	-0,27567134	0,219	0,086	1	0,826065829	1,210557276	2,546511628
SNHG10	0,336324902	-0,27581154	0,031	0,078	1	0,825985557	1,210674923	0,397435897
AC018742.1	0,176914647	-0,275947168	0	0,055	1	0,825907909	1,210788744	0
MED28	0,375273435	-0,276183945	0,188	0,113	1	0,825772371	1,210987476	1,663716814
ZFAND2A	0,37314069	-0,276427294	0,188	0,113	1	0,825633095	1,211191758	1,663716814
RRP12	0,346686972	-0,276648164	0	0,027	1	0,825506703	1,211377201	0
ATXN7	0,131758782	-0,276757743	0,25	0,125	1	0,825444005	1,211469214	2
ATG2B	0,368897772	-0,276770569	0,188	0,113	1	0,825436667	1,211479984	1,663716814
AOPEP	0,256694147	-0,276807297	0,75	0,434	1	0,825415653	1,211510826	1,728110599
SMG9	0,023464878	-0,277003724	0,188	0,062	1	0,825303278	1,211675788	3,032258065
SLC19A2	0,376291412	-0,277023653	0,094	0,051	1	0,825291878	1,211692526	1,843137255
POU2F1	0,377954466	-0,277068586	0,156	0,094	1	0,825266174	1,211730265	1,659574468
CREB5	0,003714914	-0,277085281	0,688	0,285	1	0,825256624	1,211744287	2,414035088
TET2	0,449025168	-0,277194629	0,188	0,121	1	0,825194077	1,211836134	1,553719008
H2AX	0,134277149	-0,277470928	0,312	0,168	1	0,825036054	1,212068242	1,857142857
DENND5B	0,897998875	-0,27751157	0,062	0,066	1	0,825012813	1,212102387	0,939393939
NUMBL	0,701170822	-0,277603626	0,062	0,078	1	0,824960172	1,212179732	0,794871795
SLC35D2	0,485930104	-0,277846578	0,156	0,102	1	0,824821259	1,212383882	1,529411765
ZC3H15	0,106737226	-0,277974234	0,531	0,281	1	0,824748278	1,212491165	1,889679715
NUP205	0,603353082	-0,278210877	0,031	0,051	1	0,824613007	1,212690063	0,607843137
ANKZF1	0,257548576	-0,27837366	0	0,039	1	0,824519969	1,212826902	0
NOL4L	0,864972765	-0,278488594	0,062	0,066	1	0,824454285	1,212923528	0,939393939
PCID2	0,072798397	-0,278534483	0,438	0,215	1	0,824428062	1,212962109	2,037209302
GTPBP1	0,683139498	-0,278567028	0,062	0,078	1	0,824409464	1,212989471	0,794871795
ZDHHC7	0,006461838	-0,278614779	0,188	0,051	1	0,824382178	1,21302962	3,68627451
CEP68	0,176914647	-0,278729117	0	0,055	1	0,824316845	1,21312576	0
STX6	0,552857355	-0,279027093	0,031	0,055	1	0,824146608	1,213376346	0,563636364
FBXO25	0,048024678	-0,279114088	0,281	0,121	1	0,824096913	1,213449516	2,32231405

Supplementary Table 1

Differentially expressed genes_adjacent-skin-XL_ comparing SC-Keloid vs. (SC-Myel, SC-Nonmyel)								
gene	p_val	avg_log2FC	pct.1	pct.2	p_val_adj	Foldchange_UP	Foldchange_DOWN	Ratio_pct1_pct2
TERF1	0,159450688	-0,279116138	0,469	0,258	1	0,824095742	1,21345124	1,817829457
NBAS	0,282283175	-0,279515027	0,156	0,086	1	0,82386792	1,213786792	1,813953488
CYB5R2	0,480026373	-0,27956719	0,188	0,125	1	0,823838132	1,21383068	1,504
SHC4	0,00093582	-0,279621296	0,5	0,168	1	0,823807236	1,213876203	2,976190476
ANKRD36	0,0323681	-0,279873301	0,281	0,113	1	0,823663349	1,214088257	2,486725664
PABPN1	0,084307738	-0,279914454	0,562	0,289	1	0,823639854	1,21412289	1,944636678
SLC41A1	0,897998807	-0,279957339	0,062	0,066	1	0,823615372	1,21415898	0,939393939
A2M	0,641749481	-0,2799818	0,125	0,09	1	0,823601407	1,214179567	1,388888889
USP38	0,965440085	-0,280016667	0,125	0,109	1	0,823581503	1,214208912	1,146788991
PREPL	0,219339222	-0,280235943	0,188	0,098	1	0,823456336	1,214393474	1,918367347
RND1	0,213026321	-0,280358977	0	0,047	1	0,823386114	1,214497043	0
PITPNM1	0,92888861	-0,280403123	0,094	0,082	1	0,823360919	1,214534206	1,146341463
CTBS	0,532167601	-0,280413144	0,125	0,082	1	0,8233552	1,214542643	1,524390244
CPEB2	0,620208736	-0,280474136	0,094	0,066	1	0,823320392	1,21459399	1,424242424
NBN	0,039498851	-0,280587725	0,312	0,133	1	0,823255571	1,214689623	2,345864662
VAMP2	0,57400339	-0,280771532	0,656	0,434	1	0,823150691	1,214844392	1,511520737
EHMT1	0,445227443	-0,280825788	0,094	0,055	1	0,823119735	1,214890079	1,709090909
TYMP	0,755689148	-0,280844671	0,062	0,047	1	0,823108961	1,214905981	1,319148936
DNAJA2	0,083274923	-0,280934956	0,375	0,184	1	0,823057452	1,214982013	2,038043478
ANKDD1A	0,057114487	-0,281058921	0,219	0,09	1	0,822986733	1,215086416	2,433333333
SLC23A2	0,585250398	-0,281063156	0,125	0,086	1	0,822984317	1,215089983	1,453488372
PDE1C	0,296467269	-0,281356327	0,156	0,086	1	0,822817095	1,215336927	1,813953488
PODXL2	0,176914647	-0,281420756	0	0,055	1	0,82278035	1,215391204	0
PITRM1	0,416896114	-0,281463094	0,125	0,074	1	0,822756205	1,215426872	1,689189189
MAST3	0,257548576	-0,281573534	0	0,039	1	0,822693224	1,215519918	0
HIPK1	0,162173229	-0,281670546	0,281	0,148	1	0,822637905	1,215601656	1,898648649
OSER1	0,869020862	-0,281712439	0,219	0,18	1	0,822614018	1,215636956	1,216666667
NFKB1	0,018778522	-0,281719196	0,375	0,152	1	0,822610165	1,215642649	2,467105263
ITM2B	0,38991927	-0,281787516	0,938	0,82	1	0,82257121	1,215700218	1,143902439
DAB2IP	0,877924569	-0,28197572	0,094	0,094	1	0,822463911	1,21585882	1

Supplementary Table 1

Differentially expressed genes_adjacent-skin-XL_comparing SC-Keloid vs. (SC-Myel, SC-Nonmyel)								
gene	p_val	avg_log2FC	pct.1	pct.2	p_val_adj	Foldchange_UP	Foldchange_DOWN	Ratio_pct1_pct2
GNRH1	0,442873529	-0,282120151	0,031	0,066	1	0,822381576	1,215980548	0,46969697
NADK	0,588138226	-0,282301702	0,094	0,062	1	0,822278093	1,216133579	1,516129032
CLCF1	0,548952158	-0,282596534	0,031	0,055	1	0,822110067	1,216382136	0,563636364
HDAC4	0,455148041	-0,28265252	0,031	0,062	1	0,822078165	1,216429341	0,5
TMEM205	0,042345745	-0,282705788	0,375	0,168	1	0,822047812	1,216474255	2,232142857
CDC14B	0,185335556	-0,282882734	0,219	0,113	1	0,821946995	1,216623464	1,938053097
RNF145	0,107553188	-0,282979438	0,438	0,227	1	0,821891901	1,216705017	1,929515419
WDR43	0,279787851	-0,283097789	0,188	0,105	1	0,821824481	1,216804833	1,79047619
CBX7	0,566708997	-0,283277798	0,125	0,086	1	0,821721946	1,216956667	1,453488372
DMTF1	0,933712959	-0,283356386	0,062	0,062	1	0,821677185	1,21702296	1
TMEM94	0,99780108	-0,28385413	0,062	0,059	1	0,821393747	1,217442918	1,050847458
CREB3L2	0,135673048	-0,283865476	0,531	0,289	1	0,821387288	1,217452492	1,837370242
CENPT	0,073603171	-0,283969089	0,219	0,094	1	0,821328298	1,217539931	2,329787234
KMT2E-AS1	0,720482167	-0,283972282	0,094	0,109	1	0,821326481	1,217542626	0,862385321
RNPC3	0,901654262	-0,284054822	0,156	0,137	1	0,821279492	1,217612286	1,138686131
EIF3J-DT	0,99780108	-0,284056863	0,062	0,059	1	0,82127833	1,217614009	1,050847458
CALCOCO2	0,095645788	-0,284107883	0,312	0,152	1	0,821249287	1,21765707	2,052631579
H1-0	0,006188545	-0,284267015	0,594	0,238	1	0,821158706	1,217791388	2,495798319
DIS3L2	0,445227443	-0,284403198	0,094	0,055	1	0,821081196	1,217906347	1,709090909
SF3A2	0,081340621	-0,284736001	0,312	0,148	1	0,82089181	1,218187327	2,108108108
MPP7	0,176914647	-0,284893021	0	0,055	1	0,820802471	1,218319919	0
PURA	0,294977518	-0,285009472	0,562	0,355	1	0,82073622	1,218418263	1,583098592
TJAP1	0,337469503	-0,28537279	0,156	0,09	1	0,820529558	1,21872514	1,733333333
TAF4B	0,730358576	-0,285463916	0,031	0,043	1	0,820477732	1,218802121	0,720930233
TRABD2B	0,685922766	-0,285583975	0,094	0,113	1	0,820409456	1,218903552	0,831858407
INPP5E	0,139907281	-0,285600967	0,094	0,035	1	0,820399793	1,218917909	2,685714286
FEM1C	0,004000281	-0,28566122	0,469	0,172	1	0,820365531	1,218968816	2,726744186
WDR47	0,189793134	-0,285744032	0,25	0,133	1	0,820318442	1,219038789	1,879699248
MAP2K7	0,940093621	-0,285871345	0,094	0,082	1	0,820246055	1,21914637	1,146341463
ARAF	0,905060272	-0,286071261	0,125	0,105	1	0,8201324	1,21931532	1,19047619

Supplementary Table 1

Differentially expressed genes_adjacent-skin-XL_comparing SC-Keloid vs. (SC-Myel, SC-Nonmyel)								
gene	p_val	avg_log2FC	pct.1	pct.2	p_val_adj	Foldchange_UP	Foldchange_DOWN	Ratio_pct1_pct2
PIAS4	0,840130893	-0,286262267	0,062	0,051	1	0,820023826	1,219476762	1,215686275
PIGA	0,176914647	-0,286487653	0	0,055	1	0,819895727	1,219667291	0
METTL7A	0,283789128	-0,286519672	0	0,035	1	0,81987753	1,21969436	0
FUS	0,582606868	-0,286521935	0,844	0,566	1	0,819876244	1,219696274	1,491166078
EDA	0,283789128	-0,287315603	0	0,035	1	0,819425331	1,220367448	0
UFL1	0,644568418	-0,287595142	0,219	0,16	1	0,819266573	1,220603931	1,36875
ARMC8	0,544122042	-0,287652705	0,156	0,105	1	0,819233885	1,220652634	1,485714286
RHOJ	0,217772806	-0,287879815	0,188	0,098	1	0,819104931	1,220844805	1,918367347
WIPF2	0,163189943	-0,287940224	0,219	0,109	1	0,819070634	1,220895925	2,009174312
CCDC30	0,346686972	-0,287993501	0	0,027	1	0,819040387	1,220941013	0
FBXO2	0,194053346	-0,28828185	0	0,051	1	0,818876704	1,221185064	0
ADCY6	0,416896114	-0,288302181	0,125	0,074	1	0,818865164	1,221202274	1,689189189
LRRTM1	0,161397126	-0,288504252	0	0,059	1	0,818750478	1,221373333	0
SRSF1	0,061665482	-0,288807348	0,469	0,234	1	0,818578484	1,221629959	2,004273504
TMEM38B	0,826887692	-0,288863318	0,125	0,102	1	0,818546728	1,221677354	1,225490196
BBS2	0,466259327	-0,289030156	0,219	0,148	1	0,818452073	1,221818641	1,47972973
NUMA1	0,183857413	-0,289271509	0,344	0,191	1	0,818315163	1,22202306	1,80104712
ATP6VOA1	0,864371301	-0,289391173	0,094	0,098	1	0,818247292	1,222124424	0,959183673
MIR4500HG	0,257548576	-0,289398679	0	0,039	1	0,818243034	1,222130782	0
MPHOSPH8	0,06072671	-0,289526405	0,594	0,297	1	0,818170596	1,222238986	2
RPRD1B	0,194053346	-0,289846344	0	0,051	1	0,817989175	1,222510066	0
ST6GALNAC3	0,455148041	-0,289848138	0,031	0,062	1	0,817988158	1,222511586	0,5
TMCO3	0,538237843	-0,289914906	0,125	0,082	1	0,817950302	1,222568166	1,524390244
WASHC4	0,006677744	-0,290011453	0,406	0,152	1	0,817895566	1,222649984	2,671052632
HILPDA	0,588367824	-0,290023743	0,125	0,086	1	0,817888598	1,2226604	1,453488372
TJP1	0,261947676	-0,290154748	0,406	0,242	1	0,817814332	1,222771429	1,67768595
RPGR	0,33089308	-0,29077809	0,156	0,09	1	0,817461058	1,223299863	1,733333333
IFNAR2	0,067002187	-0,290992886	0,312	0,145	1	0,817339359	1,223482008	2,151724138
RNF6	0,160548057	-0,291015556	0,125	0,055	1	0,817326516	1,223501233	2,272727273
NUP62	0,045653963	-0,291094179	0,188	0,07	1	0,817281975	1,223567913	2,685714286

Supplementary Table 1

Differentially expressed genes_adjacent-skin-XL_comparing SC-Keloid vs. (SC-Myel, SC-Nonmyel)								
gene	p_val	avg_log2FC	pct.1	pct.2	p_val_adj	Foldchange_UP	Foldchange_DOWN	Ratio_pct1_pct2
ZDHHC2	0,945716537	-0,291292777	0,125	0,109	1	0,817169477	1,223736358	1,146788991
KLHDC2	0,142790542	-0,291351916	0,25	0,129	1	0,81713598	1,223786523	1,937984496
FBXO44	0,359364064	-0,291369279	0,125	0,07	1	0,817126146	1,223801251	1,785714286
BEST1	0,864972765	-0,291469217	0,062	0,066	1	0,817069545	1,223886028	0,939393939
YOD1	0,723616565	-0,291763865	0,094	0,109	1	0,816902688	1,224136014	0,862385321
MXD4	0,224684614	-0,291796482	0,375	0,219	1	0,816884219	1,22416369	1,712328767
KCNK5	0,176914647	-0,292280714	0	0,055	1	0,816610083	1,224574642	0
ZFYVE26	0,283789128	-0,292332706	0	0,035	1	0,816580654	1,224618775	0
ALDH3A1	0,283789128	-0,292337122	0	0,035	1	0,816578155	1,224622523	0
GBF1	0,253529282	-0,292454796	0,125	0,062	1	0,816511553	1,224722414	2,016129032
RPRD1A	0,571446987	-0,292467526	0,188	0,129	1	0,816504348	1,22473322	1,457364341
SLC16A4	0,780949248	-0,292561244	0,125	0,098	1	0,816451309	1,224812783	1,275510204
APPBP2	0,045653963	-0,292979021	0,188	0,07	1	0,816214915	1,225167516	2,685714286
VPS36	0,280295079	-0,293142812	0,156	0,086	1	0,816122254	1,225306619	1,813953488
TMEM43	0,488339982	-0,293250453	0,219	0,148	1	0,816061365	1,225398044	1,47972973
SOX15	0,194053346	-0,293308227	0	0,051	1	0,816028686	1,225447117	0
PACSIN3	0,94223401	-0,293328573	0,094	0,09	1	0,816017178	1,225464399	1,044444444
GOLM2	0,111559249	-0,293597755	0,312	0,156	1	0,815864937	1,225693071	2
IL6R	0,314221703	-0,293707076	0,031	0,078	1	0,815803117	1,225785952	0,397435897
FBXO3	0,425400508	-0,293893702	0,219	0,141	1	0,815697592	1,225944529	1,553191489
ILF3-DT	0,411420229	-0,294031617	0,125	0,074	1	0,815619619	1,226061729	1,689189189
ZNF37A	0,06440165	-0,294070495	0,156	0,059	1	0,815597639	1,22609477	2,644067797
VSIR	0,820932332	-0,294094027	0,094	0,102	1	0,815584336	1,226114769	0,921568627
RBP7	0,161397126	-0,294122474	0	0,059	1	0,815568255	1,226138945	0
AGAP3	0,585250398	-0,294307032	0,125	0,086	1	0,815463929	1,22629581	1,453488372
CKAP5	0,017422452	-0,294419634	0,219	0,074	1	0,815400285	1,226391527	2,959459459
ELK3	0,045138424	-0,294519762	0,281	0,121	1	0,815343695	1,226476645	2,32231405
ZNF248	0,499735776	-0,294766097	0,031	0,059	1	0,81520449	1,226686079	0,525423729
PCED1A	0,214057198	-0,294824684	0,156	0,078	1	0,815171386	1,226735895	2
TRPM3	0,234088337	-0,294903322	0	0,043	1	0,815126954	1,226802764	0

Supplementary Table 1

Differentially expressed genes_adjacent-skin-XL_comparing SC-Keloid vs. (SC-Myel, SC-Nonmyel)								
gene	p_val	avg_log2FC	pct.1	pct.2	p_val_adj	Foldchange_UP	Foldchange_DOWN	Ratio_pct1_pct2
CCNG2	0,344592621	-0,2949236	0,031	0,074	1	0,815115497	1,226820008	0,418918919
TBC1D14	0,414703427	-0,294984103	0,031	0,066	1	0,815081314	1,226871459	0,46969697
NAF1	0,286570971	-0,295006806	0,031	0,082	1	0,815068487	1,226890765	0,37804878
INTS6L	0,283789128	-0,295148968	0	0,035	1	0,814988175	1,227011668	0
ARHGAP26	0,414703427	-0,295203953	0,031	0,066	1	0,814957114	1,227058433	0,46969697
SLC27A1	0,080736527	-0,295221748	0,312	0,148	1	0,814947062	1,227073569	2,108108108
NR1D1	0,69506376	-0,295221864	0,125	0,094	1	0,814946997	1,227073667	1,329787234
PHF8	0,499735776	-0,295226733	0,031	0,059	1	0,814944246	1,227077809	0,525423729
DOCK9	0,603353082	-0,295447292	0,031	0,051	1	0,814819667	1,227265419	0,607843137
FST	0,089395838	-0,295498689	0,344	0,172	1	0,814790639	1,227309142	2
GOLGB1	0,043864058	-0,295504457	0,406	0,188	1	0,814787382	1,227314048	2,159574468
ABCD4	0,952287961	-0,295981833	0,125	0,109	1	0,81451782	1,227720224	1,146788991
EPHB3	0,933712959	-0,296006501	0,062	0,062	1	0,814503893	1,227741217	1
NPR3	0,38481627	-0,296009064	0	0,023	1	0,814502446	1,227743397	0
ISCU	0,014540929	-0,296119381	0,625	0,27	1	0,814440166	1,227837282	2,314814815
CPSF7	0,139772668	-0,296788436	0,188	0,09	1	0,814062555	1,228406827	2,088888889
OGFRL1	0,933712959	-0,297022164	0,062	0,062	1	0,813930681	1,228605855	1
PPRC1	0,864972765	-0,297182548	0,062	0,066	1	0,813840201	1,228742447	0,939393939
OTUD4	0,50170566	-0,297385524	0,188	0,125	1	0,813725708	1,228915334	1,504
TJP2	0,548952158	-0,29757679	0,031	0,055	1	0,813617836	1,229078268	0,563636364
SOCS6	0,253529282	-0,297680582	0,125	0,062	1	0,813559303	1,229166695	2,016129032
MOB1B	0,310355006	-0,297912725	0,094	0,047	1	0,813428404	1,229364495	2
MBD6	0,898658481	-0,298121437	0,125	0,125	1	0,813310736	1,229542358	1
PIAS3	1	-0,298175801	0,094	0,086	1	0,813280089	1,229588691	1,093023256
TLK2	0,233850664	-0,298205202	0,219	0,121	1	0,813263515	1,229613749	1,809917355
GSE1	0,588138226	-0,29822074	0,094	0,062	1	0,813254756	1,229626993	1,516129032
KIAA0100	0,109929252	-0,298410073	0,156	0,066	1	0,813148035	1,229788374	2,363636364
EIF2AK3	0,998160744	-0,298593609	0,094	0,086	1	0,813044595	1,229944834	1,093023256
HTT	0,442120615	-0,298595926	0,156	0,098	1	0,813043289	1,22994681	1,591836735
CPT1A	0,499735776	-0,298860255	0,031	0,059	1	0,812894338	1,23017218	0,525423729

Supplementary Table 1

Differentially expressed genes_adjacent-skin-XL_comparing SC-Keloid vs. (SC-Myel, SC-Nonmyel)								
gene	p_val	avg_log2FC	pct.1	pct.2	p_val_adj	Foldchange_UP	Foldchange_DOWN	Ratio_pct1_pct2
MORC4	0,455148041	-0,298883322	0,031	0,062	1	0,812881341	1,230191849	0,5
TNKS	0,304070194	-0,299025523	0,219	0,125	1	0,812801223	1,23031311	1,752
THUMPD2	0,755689148	-0,299162593	0,062	0,047	1	0,812724002	1,230430008	1,319148936
MSX1	0,468029835	-0,299210479	0,125	0,078	1	0,812697027	1,230470848	1,602564103
SETDB2	0,234088337	-0,299586818	0	0,043	1	0,812485056	1,230791869	0
CHD7	0,094284344	-0,299687664	0,312	0,152	1	0,812428264	1,230877906	2,052631579
CLIP4	0,499735776	-0,299780397	0,031	0,059	1	0,812376044	1,230957027	0,525423729
ATG13	0,872528346	-0,299882398	0,094	0,078	1	0,81231861	1,23104406	1,205128205
TRAPPC8	0,445227443	-0,299915951	0,094	0,055	1	0,812299718	1,231072691	1,709090909
ORC3	0,170210568	-0,300158404	0,156	0,074	1	0,812163218	1,231279597	2,108108108
TFE3	0,92142629	-0,30029037	0,094	0,082	1	0,812088932	1,231392229	1,146341463
KAT2A	0,377976391	-0,300887327	0,031	0,07	1	0,811752976	1,231901859	0,442857143
ZNF264	0,663576959	-0,300906887	0,031	0,047	1	0,81174197	1,231918562	0,659574468
NEGR1	0,740472812	-0,300937937	0,094	0,105	1	0,8117245	1,231945076	0,895238095
HMGNS	0,653016738	-0,300958741	0,094	0,066	1	0,811712794	1,231962841	1,424242424
RPL38	0,721966631	-0,301022549	0,938	0,793	1	0,811676895	1,232017329	1,182849937
CGAS	0,399301517	-0,301084511	0,156	0,094	1	0,811642035	1,232070244	1,659574468
DCP1A	0,455618878	-0,301113693	0,25	0,168	1	0,811625618	1,232095166	1,488095238
SLC7A2	0,720482167	-0,30137924	0,094	0,109	1	0,811476241	1,23232197	0,862385321
TIMP3	0,611112677	-0,301403221	0,875	0,637	1	0,811462752	1,232342454	1,373626374
PTAR1	0,079303382	-0,301414206	0,406	0,203	1	0,811456574	1,232351838	2
NPIP5	0,891985815	-0,301435717	0,094	0,094	1	0,811444475	1,232370212	1
CHKA	0,932622158	-0,301490433	0,094	0,082	1	0,811413701	1,232416952	1,146341463
OSGIN2	0,949001794	-0,301512955	0,125	0,109	1	0,811401033	1,232436192	1,146788991
H1-2	0,508238341	-0,301635615	0,125	0,082	1	0,81133205	1,232540981	1,524390244
PHRF1	0,499735776	-0,3016683	0,031	0,059	1	0,811313669	1,232568904	0,525423729
ZNF528	0,755689148	-0,30183696	0,062	0,047	1	0,811218827	1,232713008	1,319148936
PDGFRB	0,799342981	-0,301986262	0,094	0,074	1	0,81113488	1,232840585	1,27027027
UBE2K	0,062546936	-0,302261069	0,375	0,176	1	0,810980388	1,233075442	2,130681818
CCNH	0,664350968	-0,302268787	0,156	0,113	1	0,810976049	1,233082039	1,380530973

Supplementary Table 1

Differentially expressed genes_adjacent-skin-XL_comparing SC-Keloid vs. (SC-Myel, SC-Nonmyel)								
gene	p_val	avg_log2FC	pct.1	pct.2	p_val_adj	Foldchange_UP	Foldchange_DOWN	Ratio_pct1_pct2
SOX12	0,134529645	-0,302429463	0	0,066	1	0,810885734	1,233219377	0
LINC00844	0,377976391	-0,302522531	0,031	0,07	1	0,810833426	1,233298934	0,442857143
SIRPA	0,257548576	-0,302805703	0	0,039	1	0,810674291	1,23354103	0
AC012368.1	0,147320294	-0,302915012	0	0,062	1	0,810612871	1,233634495	0
MTMR12	0,99780108	-0,302940342	0,062	0,059	1	0,810598639	1,233656155	1,050847458
LINC00327	0,603353082	-0,30296186	0,031	0,051	1	0,810586549	1,233674555	0,607843137
FOSL1	0,499122068	-0,303167445	0,156	0,102	1	0,810471048	1,233850367	1,529411765
SP3	0,084416338	-0,303234715	0,312	0,148	1	0,810433258	1,2339079	2,108108108
HSPA5	0,000295098	-0,303264739	0,875	0,496	1	0,810416393	1,233933579	1,764112903
ARFGAP2	0,040655239	-0,303366061	0,25	0,102	1	0,810359478	1,234020244	2,450980392
NF1	0,001574074	-0,30350795	0,438	0,148	1	0,810279783	1,234141615	2,959459459
PSME4	0,607026308	-0,30362658	0,062	0,086	1	0,810213158	1,2342431	0,720930233
THAP3	0,732255237	-0,303627877	0,094	0,07	1	0,81021243	1,234244209	1,342857143
MGP	0,528999683	-0,303860123	0,031	0,059	1	0,810082012	1,234442915	0,525423729
TMEM170A	0,501783108	-0,304506667	0,156	0,102	1	0,809719054	1,234996255	1,529411765
CLDND1	0,980897822	-0,304538853	0,531	0,398	1	0,80970099	1,235023808	1,334170854
PLEKHB1	0,77263384	-0,304989747	0,25	0,199	1	0,809447969	1,235409857	1,256281407
DNM1L	0,041853306	-0,305172128	0,25	0,102	1	0,809345648	1,235566044	2,450980392
ATP1B3	0,055021025	-0,305221565	0,469	0,223	1	0,809317914	1,235608384	2,103139013
PPP2R3B	1	-0,305296267	0,094	0,086	1	0,809276009	1,235672365	1,093023256
MID1IP1	0,025583591	-0,305501027	0,5	0,227	1	0,809161158	1,235847754	2,202643172
DYRK3	0,739785061	-0,305731461	0,062	0,074	1	0,809031925	1,236045166	0,837837838
NLK	0,234088337	-0,305746574	0	0,043	1	0,80902345	1,236058114	0
SPTAN1	0,103586669	-0,305783288	0,75	0,398	1	0,809002862	1,23608957	1,884422111
ZFX	0,606634787	-0,305897787	0,188	0,133	1	0,808938658	1,236187676	1,413533835
TMEM64	0,810386495	-0,306051129	0,125	0,102	1	0,808852682	1,236319076	1,225490196
DPP8	0,296411886	-0,30609491	0,188	0,105	1	0,808828136	1,236356594	1,79047619
AXIN1	0,933712959	-0,306309848	0,062	0,062	1	0,808707644	1,236540804	1
CCDC9	0,433914664	-0,306368552	0,062	0,105	1	0,808674738	1,236591121	0,59047619
WTIP	0,606583785	-0,306505758	0,094	0,117	1	0,808597833	1,236708732	0,803418803

Supplementary Table 1

Differentially expressed genes_adjacent-skin-XL_comparing SC-Keloid vs. (SC-Myel, SC-Nonmyel)								
gene	p_val	avg_log2FC	pct.1	pct.2	p_val_adj	Foldchange_UP	Foldchange_DOWN	Ratio_pct1_pct2
AGO4	0,283789128	-0,306695436	0	0,035	1	0,80849153	1,236871338	0
KHNYN	0,739785061	-0,306900086	0,062	0,074	1	0,808376851	1,237046804	0,837837838
BARD1	0,099037596	-0,306994194	0,188	0,082	1	0,808324122	1,2371275	2,292682927
CCDC9B	0,110090391	-0,307078272	0,219	0,102	1	0,808277015	1,2371996	2,147058824
PAK2	0,140661932	-0,307394949	0,594	0,316	1	0,808099615	1,237471199	1,879746835
PTGS2	0,607571545	-0,307496758	0,031	0,051	1	0,80804259	1,23755853	0,607843137
KBTBD2	0,427470791	-0,307982747	0,188	0,117	1	0,807770438	1,237975486	1,606837607
KANSL3	0,499735776	-0,30807434	0,031	0,059	1	0,807719156	1,238054084	0,525423729
WDR59	0,414152817	-0,308101154	0,125	0,074	1	0,807704144	1,238077095	1,689189189
ZNF708	0,291015131	-0,308176854	0,031	0,082	1	0,807661764	1,23814206	0,37804878
LRRC75B	0,176914647	-0,308190555	0	0,055	1	0,807654094	1,238153819	0
IKBKB	0,803121702	-0,30825914	0,094	0,074	1	0,807615699	1,238212681	1,27027027
MARCHF1	0,325559719	-0,308291666	0,062	0,121	1	0,807597491	1,238240597	0,512396694
MED29	0,165597712	-0,308293441	0,219	0,109	1	0,807596498	1,238242121	2,009174312
PAPSS2	0,213026321	-0,308314917	0	0,047	1	0,807584476	1,238260554	0
ZBTB2	0,690331157	-0,308447767	0,062	0,078	1	0,807510113	1,238374583	0,794871795
NIN	0,732255237	-0,30888782	0,094	0,07	1	0,807263842	1,238752372	1,342857143
HEY1	0,079268503	-0,309148561	0,188	0,078	1	0,807117958	1,238976274	2,41025641
MOXD1	0,597765632	-0,309511723	0,125	0,086	1	0,806914812	1,239288194	1,453488372
BCAM	0,800356249	-0,309892708	0,062	0,07	1	0,806701751	1,239615507	0,885714286
TNXB	0,346686972	-0,310322464	0	0,027	1	0,806461483	1,239984824	0
DNAJC3-DT	0,993403306	-0,310383958	0,062	0,059	1	0,806427108	1,240037679	1,050847458
HSF2	0,908376542	-0,310442421	0,125	0,105	1	0,80639443	1,24008793	1,19047619
GLS	0,155491455	-0,310497684	0,438	0,234	1	0,806363542	1,240135433	1,871794872
PRRT1	0,864989089	-0,31054911	0,094	0,078	1	0,806334798	1,24017964	1,205128205
FHOD3	0,39210653	-0,310567299	0,156	0,094	1	0,806324633	1,240195275	1,659574468
NAPA	0,166915939	-0,310570692	0,406	0,223	1	0,806322736	1,240198193	1,820627803
CMTM6	0,403541193	-0,310774884	0,531	0,34	1	0,806208621	1,240373737	1,561764706
ATG16L2	0,81222265	-0,310826763	0,062	0,07	1	0,80617963	1,240418341	0,885714286
PVR	0,916437471	-0,310847982	0,062	0,055	1	0,806167774	1,240436585	1,127272727

Supplementary Table 1

Differentially expressed genes_adjacent-skin-XL_comparing SC-Keloid vs. (SC-Myel, SC-Nonmyel)								
gene	p_val	avg_log2FC	pct.1	pct.2	p_val_adj	Foldchange_UP	Foldchange_DOWN	Ratio_pct1_pct2
ERAP1	0,304711877	-0,310886063	0,125	0,066	1	0,806146495	1,240469328	1,893939394
RIMKLB	0,380539324	-0,310965573	0,062	0,109	1	0,806102068	1,240537694	0,568807339
TM4SF1	0,131958685	-0,311071792	0,344	0,18	1	0,80604272	1,240629033	1,911111111
FRS2	0,088230697	-0,311163563	0,312	0,148	1	0,805991448	1,240707953	2,108108108
SH3PXD2B	0,405092563	-0,311180564	0,219	0,137	1	0,805981951	1,240722573	1,598540146
CCDC184	0,352472909	-0,311262209	0,031	0,074	1	0,805936339	1,240792791	0,418918919
FAM171A1	0,660402423	-0,311621886	0,094	0,066	1	0,805735437	1,24110217	1,424242424
STARD7	0,165597712	-0,311704122	0,219	0,109	1	0,80568951	1,241172917	2,009174312
CERT1	0,396866202	-0,311721794	0,219	0,137	1	0,805679642	1,241188121	1,598540146
ADAR	0,409657741	-0,311800426	0,281	0,184	1	0,80563573	1,241255772	1,527173913
CD99L2	0,22275641	-0,311870722	0,281	0,156	1	0,805596476	1,241316254	1,801282051
E4F1	0,603353082	-0,311955191	0,031	0,051	1	0,80554931	1,241388934	0,607843137
FBRSL1	0,799342981	-0,312116822	0,094	0,074	1	0,805459067	1,24152802	1,27027027
C2orf68	0,864972765	-0,312486566	0,062	0,066	1	0,805252664	1,241846249	0,939393939
GAPVD1	0,210314935	-0,313027747	0,219	0,117	1	0,804950656	1,242312174	1,871794872
ACKR1	0,134529645	-0,313174185	0	0,066	1	0,804868955	1,24243828	0
ZBTB8A	0,283789128	-0,313673972	0	0,035	1	0,804590176	1,242868767	0
RBM23	0,382714865	-0,313689998	0,219	0,137	1	0,804581239	1,242882573	1,598540146
ADCY9	0,548952158	-0,313756796	0,031	0,055	1	0,804543986	1,242940121	0,563636364
RFX3	0,664688786	-0,313867484	0,062	0,082	1	0,804482262	1,243035487	0,756097561
FANCB	0,603353082	-0,313972726	0,031	0,051	1	0,804423578	1,243126167	0,607843137
USP7	0,015076029	-0,314019571	0,406	0,164	1	0,804397459	1,243166533	2,475609756
TMEM41A	0,420870206	-0,31409743	0,031	0,066	1	0,804354048	1,243233626	0,46969697
CASP4	0,165379896	-0,314204922	0,219	0,113	1	0,80429412	1,24332626	1,938053097
SAMD8	0,420656361	-0,314301828	0,188	0,117	1	0,804240097	1,243409777	1,606837607
NCALD	0,213026321	-0,315458379	0	0,047	1	0,803595628	1,244406969	0
WIPF1	0,031021044	-0,315629607	0,406	0,184	1	0,803500258	1,244554672	2,206521739
MFS14B	0,701547097	-0,315672969	0,125	0,094	1	0,803476109	1,244592078	1,329787234
AHDC1	0,682891358	-0,315763295	0,094	0,113	1	0,803425805	1,244670004	0,831858407
KIAA0930	0,561197551	-0,315903172	0,188	0,129	1	0,803347912	1,244790687	1,457364341

Supplementary Table 1

Differentially expressed genes_adjacent-skin-XL_comparing SC-Keloid vs. (SC-Myel, SC-Nonmyel)								
gene	p_val	avg_log2FC	pct.1	pct.2	p_val_adj	Foldchange_UP	Foldchange_DOWN	Ratio_pct1_pct2
BLCAP	0,535198384	-0,316237291	0,062	0,09	1	0,803161884	1,245079006	0,688888889
LAMP5	0,194053346	-0,316241673	0	0,051	1	0,803159444	1,245082788	0
MAP1LC3B	0,079580072	-0,316486763	0,656	0,34	1	0,803023013	1,245294324	1,929411765
SMG7	0,688602647	-0,316921737	0,125	0,094	1	0,802780937	1,245669839	1,329787234
ABCD3	0,096829815	-0,317058486	0,375	0,188	1	0,802704847	1,245787918	1,994680851
MKRN1	0,331907101	-0,317308537	0,188	0,109	1	0,802565733	1,246003859	1,724770642
SCAF11	0,02508472	-0,317504263	0,594	0,273	1	0,802456858	1,246172912	2,175824176
VAV2	0,194053346	-0,317532104	0	0,051	1	0,802441373	1,246196961	0
CNKS2	0,932622158	-0,317579323	0,094	0,082	1	0,80241511	1,246237749	1,146341463
PRMT2	0,124591345	-0,317759264	0,531	0,289	1	0,802315034	1,246393197	1,837370242
PHYKPL	0,830197375	-0,317896702	0,125	0,102	1	0,802238605	1,246511194	1,225490196
NXF1	0,899089282	-0,318223756	0,156	0,133	1	0,802056761	1,246794552	1,172932331
SH3RF3	0,535198384	-0,318529765	0,125	0,082	1	0,801886655	1,247059037	1,524390244
REPS1	0,721126199	-0,31856039	0,125	0,094	1	0,801869633	1,247085509	1,329787234
CITED4	0,283789128	-0,318903323	0	0,035	1	0,801679049	1,24738198	0
MSL2	0,377976391	-0,319022515	0,031	0,07	1	0,801612819	1,24748504	0,442857143
TRDMT1	0,800356249	-0,319030447	0,062	0,07	1	0,801608412	1,247491899	0,885714286
ARID1B	0,068226873	-0,319148875	0,469	0,23	1	0,801542612	1,247594308	2,039130435
MXD1	0,529145535	-0,319619714	0,125	0,082	1	0,801281063	1,248001539	1,524390244
ZNF302	0,573799329	-0,319798505	0,094	0,062	1	0,801181768	1,248156212	1,516129032
NUDT3	0,870756587	-0,320166622	0,188	0,16	1	0,800977365	1,248474731	1,175
ARHGEF17	0,60091357	-0,320255247	0,125	0,086	1	0,800928162	1,248551427	1,453488372
FXD7	0,176914647	-0,320396276	0	0,055	1	0,800849872	1,248673484	0
PPP2R2D	0,594827904	-0,320407802	0,188	0,129	1	0,800843474	1,24868346	1,457364341
SLC66A3	0,49213523	-0,320426781	0,219	0,145	1	0,800832938	1,248699887	1,510344828
ETF1	0,223362355	-0,320661569	0,406	0,223	1	0,800702619	1,248903121	1,820627803
ZHX1	0,739069785	-0,320763724	0,156	0,121	1	0,800645925	1,248991556	1,289256198
CUEDC1	0,351104367	-0,320765127	0,25	0,152	1	0,800645146	1,248992771	1,644736842
TRIM33	0,049795909	-0,32100782	0,25	0,105	1	0,800510472	1,249202896	2,380952381
BICRAL	0,176914647	-0,321051518	0	0,055	1	0,800486225	1,249240735	0

Supplementary Table 1

Differentially expressed genes_adjacent-skin-XL_comparing SC-Keloid vs. (SC-Myel, SC-Nonmyel)								
gene	p_val	avg_log2FC	pct.1	pct.2	p_val_adj	Foldchange_UP	Foldchange_DOWN	Ratio_pct1_pct2
SLFN11	0,341900128	-0,321069861	0,156	0,09	1	0,800476047	1,249256618	1,733333333
CNN1	0,348136214	-0,321277544	0,188	0,113	1	0,800360824	1,249436467	1,663716814
PTPN21	0,864989089	-0,321671643	0,094	0,078	1	0,80014222	1,249777821	1,205128205
SPSB3	0,759572792	-0,321736991	0,281	0,219	1	0,800105977	1,249834432	1,283105023
SQOR	0,377976391	-0,321906001	0,031	0,07	1	0,800012251	1,249980858	0,442857143
CDH7	0,194053346	-0,321968351	0	0,051	1	0,799977678	1,25003488	0
SYP	0,937980621	-0,322199738	0,062	0,062	1	0,799849383	1,250235383	1
SNHG7	0,600018946	-0,322823136	0,406	0,277	1	0,799503838	1,250775734	1,465703971
RAPGEF1	0,377976391	-0,322921665	0,031	0,07	1	0,799449238	1,250861159	0,442857143
DDAH2	0,115401198	-0,322923695	0,625	0,324	1	0,799448112	1,25086292	1,929012346
EDRF1	0,161397126	-0,323210061	0	0,059	1	0,799289443	1,251111233	0
TSPAN5	0,06801158	-0,323312756	0,469	0,234	1	0,799232549	1,251200293	2,004273504
TRIM9	0,499735776	-0,323328475	0,031	0,059	1	0,799223841	1,251213926	0,525423729
BEND7	0,804543977	-0,323451726	0,031	0,039	1	0,799155566	1,251320823	0,794871795
ASXL2	0,940093621	-0,323541532	0,094	0,082	1	0,799105821	1,251398718	1,146341463
C1GALT1	0,482162603	-0,323855828	0,188	0,121	1	0,798931752	1,25167137	1,553719008
SSH1	0,29527654	-0,323923732	0,188	0,109	1	0,798894149	1,251730284	1,724770642
APOL6	0,683139676	-0,32413139	0,062	0,078	1	0,798779166	1,251910468	0,794871795
APIP	0,138196896	-0,324205279	0,219	0,105	1	0,798738257	1,251974587	2,085714286
LYSMD2	0,588138226	-0,32422229	0,094	0,062	1	0,798728839	1,25198935	1,516129032
MCMBP	0,331907101	-0,324308978	0,188	0,109	1	0,798680847	1,252064581	1,724770642
STAG1	0,477497952	-0,32471006	0,281	0,188	1	0,798458838	1,252412714	1,494680851
RBM17	0,056992281	-0,324799199	0,406	0,195	1	0,798409505	1,252490099	2,082051282
FOXO4	0,414703427	-0,32516878	0,031	0,066	1	0,798204999	1,252810996	0,46969697
LETMD1	0,739785061	-0,325238922	0,062	0,074	1	0,798166193	1,252871907	0,837837838
POM121	0,739785061	-0,325257074	0,062	0,074	1	0,79815615	1,252887671	0,837837838
TAF8	0,516147046	-0,325384107	0,094	0,059	1	0,798085874	1,252997996	1,593220339
RC3H2	0,935028354	-0,325591464	0,094	0,09	1	0,797971174	1,253178101	1,044444444
YIPF4	0,270384651	-0,32561845	0,438	0,258	1	0,797956248	1,253201542	1,697674419
PCGF3	0,054396443	-0,325793385	0,219	0,09	1	0,797859497	1,253353509	2,433333333

Supplementary Table 1

Differentially expressed genes_adjacent-skin-XL_comparing SC-Keloid vs. (SC-Myel, SC-Nonmyel)								
gene	p_val	avg_log2FC	pct.1	pct.2	p_val_adj	Foldchange_UP	Foldchange_DOWN	Ratio_pct1_pct2
EPS8	0,067162899	-0,325889825	0,344	0,164	1	0,797806164	1,253437295	2,097560976
CUL5	0,529145535	-0,325960051	0,125	0,082	1	0,79776733	1,25349831	1,524390244
USP42	0,25962289	-0,326387726	0,031	0,09	1	0,797530873	1,253869954	0,344444444
GABRE	0,147320294	-0,326701463	0	0,062	1	0,797357457	1,254142658	0
SUN1	0,64075889	-0,326811063	0,281	0,207	1	0,797296885	1,254237937	1,357487923
SF3B1	0,307065968	-0,327150444	0,656	0,406	1	0,79710935	1,25453302	1,615763547
GNPTAB	0,660402423	-0,327247746	0,094	0,066	1	0,797055591	1,254617634	1,424242424
TACSTD2	0,122891724	-0,327309943	0	0,07	1	0,797021229	1,254671724	0
PLEKHA3	0,070297141	-0,327389976	0,406	0,195	1	0,796977016	1,254741328	2,082051282
ZCCHC8	0,803121702	-0,327399464	0,094	0,074	1	0,796971774	1,254749581	1,27027027
CYCS	0,025025245	-0,32759758	0,719	0,34	1	0,796862339	1,254921899	2,114705882
LRIG2	0,804543977	-0,327674231	0,031	0,039	1	0,796820003	1,254988576	0,794871795
ELL2	0,270497466	-0,328062152	0,156	0,086	1	0,796605777	1,25532607	1,813953488
MGAT4C	0,283789128	-0,328296141	0	0,035	1	0,796476587	1,255529687	0
YTHDF3	0,054103199	-0,328440523	0,25	0,105	1	0,796396882	1,255655343	2,380952381
ZNF507	0,630272476	-0,3284866	0,062	0,082	1	0,796371446	1,255695448	0,756097561
MARK3	0,089247978	-0,328493932	0,406	0,203	1	0,796367399	1,25570183	2
PGAP1	0,99448227	-0,328533188	0,094	0,086	1	0,79634573	1,255735998	1,093023256
SSH2	0,429756478	-0,328869765	0,188	0,117	1	0,796159967	1,256028991	1,606837607
SBF2	0,943946826	-0,329056771	0,125	0,117	1	0,796056773	1,256191812	1,068376068
UBAP2	0,731875997	-0,329177407	0,125	0,141	1	0,795990211	1,256296857	0,886524823
TULP3	0,060233739	-0,329367441	0,406	0,191	1	0,795885368	1,25646235	2,12565445
EXOC3	0,135027649	-0,329497213	0,281	0,141	1	0,795813781	1,256575375	1,992907801
COL17A1	0,313292814	-0,32953394	0	0,031	1	0,795793522	1,256607364	0
AKR1C2	0,147320294	-0,329586671	0	0,062	1	0,795764436	1,256653294	0
ARID5B	0,037162106	-0,329633471	0,594	0,285	1	0,795738622	1,25669406	2,084210526
MARCKS	0,444380808	-0,329665638	1	0,879	1	0,79572088	1,25672208	1,137656428
PBX2	0,048449315	-0,329954653	0,281	0,121	1	0,79556149	1,256973865	2,32231405
CEP192	0,257548576	-0,330533997	0	0,039	1	0,795242079	1,25747873	0
PKIG	0,000606525	-0,330824021	0,688	0,25	1	0,795082229	1,257731545	2,752

Supplementary Table 1

Differentially expressed genes_adjacent-skin-XL_comparing SC-Keloid vs. (SC-Myel, SC-Nonmyel)								
gene	p_val	avg_log2FC	pct.1	pct.2	p_val_adj	Foldchange_UP	Foldchange_DOWN	Ratio_pct1_pct2
GALNT18	0,234088337	-0,330866184	0	0,043	1	0,795058993	1,257768303	0
AMIGO2	0,213026321	-0,330882513	0	0,047	1	0,795049994	1,257782539	0
FAM76B	0,563799113	-0,331056741	0,094	0,125	1	0,794953985	1,257934445	0,752
AP2A2	0,255577342	-0,331282077	0,219	0,121	1	0,79482983	1,258130938	1,809917355
SERINC3	0,427421679	-0,331396468	0,406	0,266	1	0,794766811	1,258230699	1,526315789
PALLD	0,131096381	-0,331407513	0,594	0,32	1	0,794760726	1,258240332	1,85625
WNK2	0,234088337	-0,331565353	0	0,043	1	0,794673779	1,258377999	0
SPTLC1	0,753434371	-0,331731155	0,188	0,145	1	0,794582456	1,258522627	1,296551724
CDS2	0,683139676	-0,331895938	0,062	0,078	1	0,794491705	1,258666382	0,794871795
HLA-F	0,134099711	-0,331963606	0,281	0,141	1	0,794454441	1,25872542	1,992907801
GRINA	0,225377528	-0,332025233	0,281	0,156	1	0,794420505	1,258779189	1,801282051
NR6A1	0,093802134	-0,332154424	0	0,082	1	0,79434937	1,258891916	0
KLF7	0,229370488	-0,332383057	0,219	0,121	1	0,794223494	1,259091436	1,809917355
MITF	0,428872689	-0,332412745	0	0,02	1	0,79420715	1,259117347	0
ZNF83	0,036984609	-0,332496365	0,344	0,148	1	0,794161119	1,259190328	2,324324324
WDR45B	0,182101208	-0,332792336	0,406	0,223	1	0,793998212	1,25944868	1,820627803
CD83	0,06440165	-0,332844822	0,156	0,059	1	0,793969326	1,2594945	2,644067797
DIP2C	0,389095675	-0,333029236	0,094	0,145	1	0,793867843	1,259655506	0,648275862
MDGA1	0,176914647	-0,333119946	0	0,055	1	0,79381793	1,25973471	0
PRKD3	0,358820944	-0,333200825	0,312	0,188	1	0,793773429	1,259805334	1,659574468
STAG2	0,110573964	-0,333523115	0,531	0,277	1	0,793596124	1,260086799	1,916967509
RBM5	0,268932309	-0,333678043	0,344	0,199	1	0,793510906	1,260222125	1,728643216
PPP3R1	0,093052434	-0,334076831	0,281	0,133	1	0,793291595	1,260570522	2,112781955
TMEM9	0,482260664	-0,334138953	0,219	0,141	1	0,793257437	1,260624803	1,553191489
CXCL14	0,942250066	-0,3345764	0,062	0,062	1	0,793016946	1,261007101	1
KDM3A	0,960267559	-0,334899116	0,094	0,09	1	0,792839576	1,261289207	1,044444444
KDM6A	0,683139676	-0,334984451	0,062	0,078	1	0,792792681	1,261363814	0,794871795
XIAP	0,480873217	-0,335036512	0,219	0,145	1	0,792764073	1,261409333	1,510344828
TFEB	0,872528346	-0,335041851	0,094	0,078	1	0,792761139	1,261414	1,205128205
PLA2G4C	0,176914647	-0,335147634	0	0,055	1	0,792703013	1,261506495	0

Supplementary Table 1

Differentially expressed genes_adjacent-skin-XL_comparing SC-Keloid vs. (SC-Myel, SC-Nonmyel)								
gene	p_val	avg_log2FC	pct.1	pct.2	p_val_adj	Foldchange_UP	Foldchange_DOWN	Ratio_pct1_pct2
VPS13C	0,146718253	-0,335187009	0,562	0,309	1	0,792681379	1,261540925	1,818770227
PLEKHG2	0,414703427	-0,335883446	0,031	0,066	1	0,792298818	1,26215006	0,46969697
ANKIB1	0,002108779	-0,335886548	0,281	0,082	1	0,792297114	1,262152773	3,426829268
ECPAS	0,37099797	-0,335943214	0,156	0,094	1	0,792265995	1,262202349	1,659574468
DDX6	0,0321176	-0,336367955	0,5	0,23	1	0,792032779	1,262574007	2,173913043
PHF20L1	0,046151963	-0,336584035	0,375	0,168	1	0,791914161	1,262763124	2,232142857
PANK3	0,028002326	-0,33669142	0,281	0,113	1	0,791855219	1,262857119	2,486725664
RGS12	0,517145205	-0,336986559	0,125	0,082	1	0,791693242	1,263115494	1,524390244
ITM2C	0,030109085	-0,337089418	0,75	0,355	1	0,791636799	1,263205553	2,112676056
MAPK1IP1L	0,273549367	-0,337260844	0,281	0,16	1	0,791542739	1,26335566	1,75625
CAV1	0,067594417	-0,337545783	0,531	0,27	1	0,791386421	1,263605204	1,966666667
VTA1	0,800356249	-0,337548293	0,062	0,07	1	0,791385044	1,263607402	0,885714286
KCMF1	0,178842486	-0,337618854	0,375	0,203	1	0,79134634	1,263669205	1,84729064
ILF3	0,273697301	-0,337643559	0,438	0,262	1	0,791332788	1,263690845	1,671755725
ZNF207	0,016864748	-0,338062861	0,594	0,262	1	0,79110283	1,264058175	2,267175573
HACD2	0,538657453	-0,338080089	0,156	0,105	1	0,791093384	1,264073269	1,485714286
ZNF655	0,163189943	-0,338443026	0,219	0,109	1	0,790894394	1,264391311	2,009174312
HLA-DPA1	0,924392442	-0,338443242	0,031	0,027	1	0,790894276	1,2643915	1,148148148
CNNM3	0,161397126	-0,33855003	0	0,059	1	0,790835736	1,264485094	0
SAP18	0,944368866	-0,33867764	0,719	0,523	1	0,790765788	1,264596945	1,374760994
YPEL5	0,086900572	-0,338686543	0,5	0,258	1	0,790760908	1,26460475	1,937984496
OLFML2B	0,416896114	-0,338790556	0,125	0,074	1	0,790703899	1,264695927	1,689189189
LGR4	0,960267559	-0,338813364	0,094	0,09	1	0,790691399	1,26471592	1,044444444
TCP1	0,333101677	-0,339198482	0,469	0,297	1	0,790480357	1,265053573	1,579124579
SHF	0,607571545	-0,339290314	0,031	0,051	1	0,790430042	1,2651341	0,607843137
RABGAP1	0,620881389	-0,3393152	0,156	0,109	1	0,790416407	1,265155924	1,431192661
SLC25A33	0,76088146	-0,339576569	0,125	0,133	1	0,790273223	1,265385149	0,939849624
TPRG1L	0,660402423	-0,339651954	0,094	0,066	1	0,79023193	1,265451271	1,424242424
LRRK2	0,316283338	-0,339728343	0,031	0,082	1	0,790190089	1,265518277	0,37804878
ZMYND11	0,320338862	-0,339857426	0,25	0,148	1	0,790119391	1,265631512	1,689189189

Supplementary Table 1

Differentially expressed genes_adjacent-skin-XL_comparing SC-Keloid vs. (SC-Myel, SC-Nonmyel)								
gene	p_val	avg_log2FC	pct.1	pct.2	p_val_adj	Foldchange_UP	Foldchange_DOWN	Ratio_pct1_pct2
UIMC1	1	-0,340179261	0,094	0,086	1	0,789943152	1,26591388	1,093023256
MAPKBP1	0,920939129	-0,340219827	0,062	0,055	1	0,78992094	1,265949475	1,127272727
PALS1	0,16495238	-0,340633975	0,031	0,113	1	0,789694214	1,266312938	0,274336283
SIX5	0,730358576	-0,340803655	0,031	0,043	1	0,789601341	1,266461881	0,720930233
USP16	0,177046306	-0,341045202	0,344	0,184	1	0,789469151	1,26667394	1,869565217
EP300	0,657456412	-0,341153397	0,219	0,168	1	0,789409947	1,266768938	1,303571429
ALG13	0,97109805	-0,341238252	0,094	0,09	1	0,789363518	1,266843447	1,044444444
CCDC149	0,10262374	-0,341253052	0	0,078	1	0,78935542	1,266856444	0
GTF2IRD2B	0,213026321	-0,341317179	0	0,047	1	0,789320334	1,266912756	0
SEMA4A	0,492632793	-0,341453589	0,062	0,094	1	0,789245706	1,267032551	0,659574468
DENND2A	0,344592621	-0,341493728	0,031	0,074	1	0,789223748	1,267067803	0,418918919
AP1G1	0,860276283	-0,341723729	0,156	0,133	1	0,789097936	1,267269821	1,172932331
THBS1	0,056235689	-0,341786107	0,5	0,25	1	0,789063818	1,267324616	2
PIEZO2	0,10262374	-0,34188031	0	0,078	1	0,789012297	1,26740737	0
PEG10	0,001612855	-0,342053761	0,531	0,203	1	0,788917442	1,267559755	2,615763547
WHAMM	0,940093621	-0,342195974	0,094	0,082	1	0,788839679	1,267684711	1,146341463
REXO1	0,032569978	-0,342229179	0,219	0,082	1	0,788821523	1,267713889	2,670731707
ACADSB	0,499735776	-0,342334271	0,031	0,059	1	0,788764064	1,267806238	0,525423729
INTU	0,800356249	-0,342373975	0,062	0,07	1	0,788742357	1,267841129	0,885714286
PPFIA1	0,434592747	-0,342533767	0,156	0,098	1	0,788655001	1,267981562	1,591836735
ARHGEF10L	0,100873626	-0,342735311	0,188	0,082	1	0,788544834	1,268158711	2,292682927
ZNF131	0,976274084	-0,342889223	0,188	0,16	1	0,788460713	1,26829401	1,175
GNL3	0,004661673	-0,342918378	0,5	0,199	1	0,78844478	1,268319641	2,512562814
ZNF677	0,377976391	-0,342974586	0,031	0,07	1	0,788414062	1,268369056	0,442857143
TMEM165	0,022157242	-0,343098941	0,531	0,234	1	0,788346107	1,26847839	2,269230769
MPRIP	0,069948044	-0,343272852	0,5	0,25	1	0,788251081	1,268631308	2
WBP11	0,133974042	-0,34356338	0,469	0,242	1	0,78809236	1,268886809	1,938016529
MAPK10	0,28878729	-0,343685246	0,031	0,082	1	0,788025792	1,268993998	0,37804878
ZNF397	0,682891358	-0,34385333	0,094	0,113	1	0,787933987	1,269141853	0,831858407
SPPL3	0,138730892	-0,34398926	0,344	0,18	1	0,787859751	1,269261438	1,911111111

Supplementary Table 1

Differentially expressed genes_adjacent-skin-XL_comparing SC-Keloid vs. (SC-Myel, SC-Nonmyel)								
gene	p_val	avg_log2FC	pct.1	pct.2	p_val_adj	Foldchange_UP	Foldchange_DOWN	Ratio_pct1_pct2
ZNF704	0,396895993	-0,34401813	0,062	0,109	1	0,787843985	1,269286837	0,568807339
TSC1	0,711312846	-0,344248605	0,125	0,094	1	0,787718135	1,269489625	1,329787234
SNX24	0,10262374	-0,344518341	0	0,078	1	0,787570872	1,269727	0
NBPF12	0,383663233	-0,344656598	0,031	0,07	1	0,7874954	1,269848687	0,442857143
NKX6-2	0,257548576	-0,344716273	0	0,039	1	0,787462827	1,269901214	0
TUSC1	0,090849937	-0,34478198	0,312	0,148	1	0,787426963	1,269959052	2,108108108
TCEA2	0,845147782	-0,344885163	0,281	0,219	1	0,787370648	1,270049884	1,283105023
EZH2	0,630272476	-0,344931086	0,062	0,082	1	0,787345585	1,270090312	0,756097561
ZCCHC14	0,1480486	-0,34495006	0,188	0,09	1	0,78733523	1,270107016	2,088888889
MAPKAPK2	0,38681383	-0,345837969	0,25	0,156	1	0,786850813	1,270888946	1,602564103
TIA1	0,26655819	-0,346051781	0,219	0,125	1	0,786734208	1,271077309	1,752
NOTCH1	0,0620791	-0,346245359	0,312	0,141	1	0,786628652	1,271247872	2,212765957
IRF9	0,309367063	-0,346414333	0,344	0,211	1	0,786536525	1,271396774	1,630331754
ETS2	0,212362312	-0,346710527	0,156	0,078	1	0,78637506	1,271657826	2
FEM1B	0,864989089	-0,346745058	0,094	0,078	1	0,786356239	1,271688264	1,205128205
KLF15	0,134529645	-0,347184497	0	0,066	1	0,786116755	1,272075674	0
PANX1	0,630272281	-0,347311388	0,062	0,082	1	0,786047615	1,272187563	0,756097561
CYB5A	0,216844992	-0,347339189	0,312	0,172	1	0,786032468	1,272212079	1,813953488
MTMR10	0,314221703	-0,347421523	0,031	0,078	1	0,785987611	1,272284685	0,397435897
TSC2	0,621083681	-0,347805948	0,25	0,18	1	0,785778202	1,272623748	1,388888889
OTUD1	0,704796968	-0,347914755	0,125	0,094	1	0,785718942	1,272719731	1,329787234
RNF130	0,300504859	-0,347996279	0,5	0,309	1	0,785674543	1,272791653	1,618122977
INTS3	0,165597712	-0,348183729	0,219	0,109	1	0,785572467	1,272957038	2,009174312
ZNF141	0,864989089	-0,34824401	0,094	0,078	1	0,785539643	1,273010228	1,205128205
ZNF532	0,264110461	-0,348737978	0,062	0,129	1	0,785270726	1,273446172	0,480620155
RASGRF1	0,283789128	-0,348878848	0	0,035	1	0,785194053	1,273570521	0
TENT4B	0,217772806	-0,349154219	0,188	0,098	1	0,785044196	1,273813634	1,918367347
FBLN5	0,10262374	-0,349372604	0	0,078	1	0,78492537	1,27400647	0
RBM14	0,790895329	-0,349493042	0,125	0,098	1	0,784859846	1,27411283	1,275510204
RUFY2	0,790895329	-0,349727368	0,125	0,098	1	0,784732378	1,274319791	1,275510204

Supplementary Table 1

Differentially expressed genes_adjacent-skin-XL_comparing SC-Keloid vs. (SC-Myel, SC-Nonmyel)								
gene	p_val	avg_log2FC	pct.1	pct.2	p_val_adj	Foldchange_UP	Foldchange_DOWN	Ratio_pct1_pct2
SPIN1	0,526388413	-0,350650381	0,188	0,125	1	0,784230479	1,275135341	1,504
PKD1	0,291985575	-0,350717475	0,25	0,148	1	0,784194009	1,275194644	1,689189189
C1orf52	0,139693288	-0,350974183	0,312	0,16	1	0,784054485	1,275421568	1,95
KIF1B	0,276655885	-0,351291408	0,344	0,203	1	0,783882103	1,275702043	1,694581281
PCBP1	0,188666329	-0,351373128	0,781	0,414	1	0,783837702	1,275774306	1,88647343
RIPK4	0,603353082	-0,351376336	0,031	0,051	1	0,783835959	1,275777143	0,607843137
ZNF622	0,780949248	-0,351395402	0,094	0,102	1	0,7838256	1,275794002	0,921568627
IFT88	0,853446312	-0,35163611	0,125	0,102	1	0,783694833	1,276006882	1,225490196
MGLL	0,344592621	-0,351999655	0,031	0,074	1	0,783497374	1,276328464	0,418918919
SNAI1	0,392106312	-0,352599694	0,156	0,094	1	0,783171573	1,276859419	1,659574468
NAA25	0,587470736	-0,35273478	0,062	0,086	1	0,783098245	1,276978983	0,720930233
RBP1	0,194053346	-0,352812299	0	0,051	1	0,783056169	1,277047599	0
NT5DC2	0,050014543	-0,353579	0,438	0,207	1	0,782640135	1,277726449	2,115942029
SNRNP70	0,148541101	-0,353646516	0,719	0,387	1	0,782603509	1,277786247	1,857881137
CCNT1	0,932622158	-0,353803198	0,094	0,082	1	0,78251852	1,277925026	1,146341463
REV1	0,362589924	-0,353970207	0,188	0,113	1	0,782427939	1,27807297	1,663716814
TXLNG	0,432049072	-0,354004535	0,188	0,117	1	0,782409322	1,278103381	1,606837607
KIF19	0,176914647	-0,354010842	0	0,055	1	0,782405902	1,278108968	0
ZC3HAV1	0,180187128	-0,354048619	0,219	0,113	1	0,782385415	1,278142436	1,938053097
KDM5C	0,507127635	-0,354099972	0,156	0,102	1	0,782357566	1,278187933	1,529411765
CRKL	0,935028354	-0,354106346	0,094	0,09	1	0,782354109	1,27819358	1,044444444
PLK3	0,790895329	-0,354164791	0,094	0,102	1	0,782322416	1,278245362	0,921568627
NPIP11	0,455148041	-0,354331288	0,031	0,062	1	0,782232136	1,278392888	0,5
ANKRD50	0,798617831	-0,354392778	0,219	0,176	1	0,782198797	1,278447377	1,244318182
ATP6V1E2	0,548952158	-0,354398445	0,031	0,055	1	0,782195724	1,278452399	0,563636364
TRHDE	0,176914647	-0,354561136	0	0,055	1	0,782107522	1,278596576	0
KHDRBS3	0,154902655	-0,354652241	0,75	0,391	1	0,782058134	1,278677322	1,918158568
FMR1	0,573788361	-0,354694715	0,094	0,121	1	0,78203511	1,278714967	0,776859504
APBB2	0,310355006	-0,354899229	0,094	0,047	1	0,781924258	1,278896249	2
VEZT	0,209609348	-0,35498805	0,25	0,137	1	0,78187612	1,278974987	1,824817518

Supplementary Table 1

Differentially expressed genes_adjacent-skin-XL_ comparing SC-Keloid vs. (SC-Myel, SC-Nonmyel)								
gene	p_val	avg_log2FC	pct.1	pct.2	p_val_adj	Foldchange_UP	Foldchange_DOWN	Ratio_pct1_pct2
PCNX1	0,874415164	-0,355485726	0,094	0,094	1	0,781606448	1,279416262	1
RNF38	0,736944569	-0,355752906	0,188	0,145	1	0,781461712	1,279653226	1,296551724
CRTC2	0,764452551	-0,355851249	0,125	0,098	1	0,781408444	1,279740458	1,275510204
SLC39A6	0,296464763	-0,356048425	0,281	0,168	1	0,781301655	1,279915374	1,672619048
POU3F1	0,000310707	-0,356145474	0,562	0,195	1	0,781249099	1,280001476	2,882051282
MAT2A	0,95305118	-0,356472828	0,094	0,09	1	0,78107185	1,280291947	1,044444444
RASSF1	0,250657258	-0,356775754	0,312	0,18	1	0,780907864	1,280560801	1,733333333
LINC00685	0,194053346	-0,356806824	0	0,051	1	0,780891047	1,28058838	0
RBPJ	0,037267708	-0,357053545	0,625	0,293	1	0,780757515	1,280807397	2,133105802
EIF1AX	0,663103381	-0,357187524	0,719	0,473	1	0,780685011	1,280926348	1,520084567
KRT17	0,177248199	-0,357211934	0,281	0,152	1	0,780671803	1,28094802	1,848684211
ANGEL2	0,359364064	-0,357805675	0,125	0,07	1	0,780350583	1,281475303	1,785714286
IRF7	0,127829684	-0,35781879	0,219	0,105	1	0,780343489	1,281486952	2,085714286
ZNF703	0,99780108	-0,357851196	0,062	0,059	1	0,780325961	1,281515738	1,050847458
TUBG2	0,908376542	-0,358108498	0,125	0,105	1	0,780186804	1,281744314	1,19047619
AAK1	0,070620647	-0,358155075	0,375	0,18	1	0,780161616	1,281785695	2,083333333
ULK1	0,288304724	-0,358317555	0,156	0,086	1	0,780073758	1,281930061	1,813953488
SIRT1	0,810386495	-0,358903275	0,125	0,102	1	0,779757119	1,282450619	1,225490196
ATXN1L	0,314221703	-0,35912495	0,031	0,078	1	0,779637317	1,282647686	0,397435897
SAFB2	0,171841867	-0,359156659	0,281	0,148	1	0,779620181	1,282675878	1,898648649
SEC63	0,235403752	-0,359233241	0,312	0,176	1	0,779578798	1,282743967	1,772727273
CREM	0,288320579	-0,359371025	0,219	0,125	1	0,779504348	1,282866482	1,752
RICTOR	0,824651962	-0,359671592	0,219	0,176	1	0,779341965	1,283133778	1,244318182
NAB2	0,250004291	-0,359753338	0,156	0,082	1	0,779297807	1,283206485	1,902439024
NECTIN2	0,195175128	-0,359813682	0,406	0,223	1	0,779265212	1,28326016	1,820627803
CTNNA1	0,801026191	-0,36011053	0,938	0,613	1	0,779104887	1,283524229	1,530179445
GARRE1	0,50638112	-0,360201528	0,094	0,125	1	0,779055747	1,28360519	0,752
DDX24	0,085816921	-0,361429578	0,75	0,363	1	0,778392882	1,284698284	2,066115702
ZFYVE28	0,455148041	-0,361518575	0,031	0,062	1	0,778344865	1,284777538	0,5
SOS2	0,11621502	-0,361526786	0,25	0,125	1	0,778340436	1,28478485	2

Supplementary Table 1

Differentially expressed genes_adjacent-skin-XL_ comparing SC-Keloid vs. (SC-Myel, SC-Nonmyel)								
gene	p_val	avg_log2FC	pct.1	pct.2	p_val_adj	Foldchange_UP	Foldchange_DOWN	Ratio_pct1_pct2
AK3	0,422250029	-0,361696205	0,281	0,18	1	0,778249039	1,284935734	1,561111111
PPP3CA	0,095565969	-0,361928682	0,5	0,258	1	0,778123641	1,285142807	1,937984496
BRWD1	0,144843861	-0,362696052	0,281	0,145	1	0,777709867	1,285826556	1,937931034
PPM1D	0,538237843	-0,362726666	0,062	0,09	1	0,777693364	1,285853841	0,688888889
AFF4	0,036152742	-0,362752213	0,531	0,242	1	0,777679593	1,285876611	2,194214876
KIAA1109	0,739069785	-0,362954393	0,156	0,121	1	0,777570616	1,286056827	1,289256198
GPR173	0,147320294	-0,36296622	0	0,062	1	0,777564242	1,28606737	0
POM121C	0,738281619	-0,363268898	0,125	0,098	1	0,777401126	1,286337216	1,275510204
DOK5	0,414703427	-0,363491861	0,031	0,066	1	0,777280991	1,28653603	0,46969697
DISP1	0,499735776	-0,363527551	0,031	0,059	1	0,777261762	1,286567857	0,525423729
ADGRA2	0,1480486	-0,36365711	0,188	0,09	1	0,777191964	1,286683401	2,088888889
GRAMD4	0,499735776	-0,363704631	0,031	0,059	1	0,777166365	1,286725784	0,525423729
GOS2	0,10262374	-0,363921188	0	0,078	1	0,777049716	1,286918943	0
RBM38	0,512685318	-0,364154878	0,094	0,059	1	0,776923859	1,287127417	1,593220339
CEP95	0,637094964	-0,364206034	0,062	0,082	1	0,776896311	1,287173058	0,756097561
OSBPL5	0,377976391	-0,36420965	0,031	0,07	1	0,776894363	1,287176284	0,442857143
PHLDB2	0,120847574	-0,364463725	0,344	0,176	1	0,776757556	1,28740299	1,954545455
TNIP2	0,194605586	-0,364527125	0,219	0,113	1	0,776723422	1,287459567	1,938053097
HELZ2	0,833510073	-0,364972823	0,125	0,102	1	0,776483502	1,287857369	1,225490196
RNF31	0,99780108	-0,365457366	0,062	0,059	1	0,776222756	1,288289981	1,050847458
EFR3A	0,783849734	-0,365514939	0,156	0,121	1	0,776191781	1,288341393	1,289256198
CDKAL1	0,176914647	-0,365876901	0	0,055	1	0,775997064	1,28866467	0
USP9X	0,449929502	-0,365953967	0,25	0,164	1	0,775955613	1,288733509	1,524390244
MMP19	0,191913299	-0,365975083	0,094	0,039	1	0,775944256	1,288752372	2,41025641
ITSN2	0,589624457	-0,366096596	0,094	0,117	1	0,775878903	1,288860924	0,803418803
H2AC6	0,377976391	-0,366416699	0,031	0,07	1	0,775706772	1,289146926	0,442857143
IL17B	0,147320294	-0,366418648	0	0,062	1	0,775705724	1,289148668	0
DNAJB9	0,27817043	-0,36678656	0,281	0,164	1	0,775507931	1,289477464	1,713414634
THY1	0,014401184	-0,366885719	0,312	0,117	1	0,775454631	1,289566095	2,666666667
HERPUD2	0,347206802	-0,367191169	0,031	0,074	1	0,775290467	1,289839153	0,418918919

Supplementary Table 1

Differentially expressed genes_adjacent-skin-XL_comparing SC-Keloid vs. (SC-Myel, SC-Nonmyel)								
gene	p_val	avg_log2FC	pct.1	pct.2	p_val_adj	Foldchange_UP	Foldchange_DOWN	Ratio_pct1_pct2
KDM7A	0,112290358	-0,367660838	0	0,074	1	0,775038113	1,290259129	0
STX3	0,935028321	-0,367726816	0,094	0,09	1	0,775002669	1,290318137	1,044444444
EPAS1	0,840330301	-0,367732127	0,094	0,098	1	0,774999816	1,290322887	0,959183673
ZXDC	0,147320294	-0,367758472	0	0,062	1	0,774985664	1,29034645	0
PDZD2	0,134529645	-0,368089398	0	0,066	1	0,774807918	1,290642464	0
ARID2	0,528890372	-0,368184877	0,188	0,125	1	0,774756642	1,290727883	1,504
ZNF148	0,274790708	-0,368310879	0,219	0,125	1	0,774688979	1,290840617	1,752
MTHFR	0,633679827	-0,368564689	0,062	0,082	1	0,774552702	1,291067731	0,756097561
NCOA2	0,587470736	-0,368846503	0,062	0,086	1	0,774401417	1,291319951	0,720930233
SNX30	0,739785061	-0,368849372	0,062	0,074	1	0,774399877	1,29132252	0,837837838
ARAP1	0,99780108	-0,368963064	0,062	0,059	1	0,774338852	1,291424287	1,050847458
PPP2R3A	0,756564831	-0,369167995	0,094	0,105	1	0,774228868	1,291607743	0,895238095
ZRANB1	0,853446377	-0,36930997	0,125	0,102	1	0,774152679	1,291734856	1,225490196
ZC3H7B	0,185335556	-0,369506052	0,219	0,113	1	0,774047469	1,291910432	1,938053097
IFIT3	0,847430516	-0,369670094	0,188	0,156	1	0,77395946	1,292057338	1,205128205
ADIPOR2	0,908376542	-0,369707553	0,125	0,105	1	0,773939365	1,292090885	1,19047619
EPB41L4B	0,112290358	-0,369733414	0	0,074	1	0,773925492	1,292114047	0
DHX36	0,244023195	-0,370953155	0,531	0,312	1	0,773271445	1,29320694	1,701923077
POLR2A	0,639262178	-0,371051513	0,188	0,137	1	0,773218728	1,29329511	1,372262774
POLR2J3	0,165239067	-0,371141238	0,25	0,129	1	0,773170641	1,293375546	1,937984496
RASEF	0,194053346	-0,371170142	0	0,051	1	0,773155151	1,293401458	0
RYR1	0,122891457	-0,371247744	0	0,07	1	0,773113565	1,293471031	0
USP39	0,872528346	-0,371512161	0,094	0,078	1	0,772971881	1,293708121	1,205128205
OBSL1	0,633679827	-0,371519107	0,062	0,082	1	0,77296816	1,29371435	0,756097561
MAPK8IP1	0,906837565	-0,372180508	0,125	0,121	1	0,772613875	1,294307587	1,033057851
ARL8B	0,784946494	-0,372359412	0,219	0,168	1	0,772518072	1,294468099	1,303571429
REL	0,344060173	-0,372455095	0,188	0,109	1	0,772466838	1,294553954	1,724770642
PURB	0,158735078	-0,372939197	0,344	0,18	1	0,772207677	1,29498842	1,911111111
SP4	0,183854736	-0,373094562	0,031	0,102	1	0,772124522	1,295127886	0,303921569
PRRC2A	0,230685397	-0,37310719	0,281	0,156	1	0,772117764	1,295139222	1,801282051

Supplementary Table 1

Differentially expressed genes_adjacent-skin-XL_comparing SC-Keloid vs. (SC-Myel, SC-Nonmyel)								
gene	p_val	avg_log2FC	pct.1	pct.2	p_val_adj	Foldchange_UP	Foldchange_DOWN	Ratio_pct1_pct2
LIN7A	0,933712959	-0,373461385	0,062	0,062	1	0,771928225	1,29545723	1
XAB2	0,633679827	-0,373511527	0,062	0,082	1	0,771901397	1,295502255	0,756097561
SERTAD3	0,540099312	-0,373848467	0,25	0,172	1	0,771721141	1,295804854	1,453488372
MAP1A	0,581227435	-0,373966631	0,094	0,117	1	0,771657935	1,295910991	0,803418803
TENT4A	0,122891724	-0,374065272	0	0,07	1	0,771605177	1,295999599	0
TRMT13	0,840130893	-0,374185327	0,062	0,051	1	0,77154097	1,296107452	1,215686275
UBL3	0,149799379	-0,37440934	0,375	0,203	1	0,771421179	1,296308719	1,84729064
REC8	0,581017609	-0,374476953	0,062	0,086	1	0,771385027	1,296369472	0,720930233
BAG4	0,997012247	-0,374926695	0,156	0,137	1	0,771144595	1,296773662	1,138686131
PRRG1	0,416531335	-0,375038102	0,062	0,102	1	0,771085048	1,296873805	0,607843137
CDC42EP3	0,00823539	-0,375069413	0,5	0,207	1	0,771068313	1,296901952	2,415458937
KANK4	0,134529645	-0,375392477	0	0,066	1	0,770895666	1,297192401	0
SELE	0,314221703	-0,375604919	0,031	0,078	1	0,770782157	1,297383431	0,397435897
PCM1	0,211486392	-0,375712882	0,656	0,375	1	0,770724479	1,297480523	1,749333333
GLA	0,956227111	-0,375934279	0,156	0,133	1	0,770606212	1,297679651	1,172932331
ARMH4	0,176914647	-0,376040936	0	0,055	1	0,770549244	1,29777559	0
TTC39C	0,795919922	-0,376070881	0,156	0,121	1	0,77053325	1,297802528	1,289256198
KAT8	0,783849734	-0,376736072	0,156	0,121	1	0,770178058	1,29840105	1,289256198
G3BP1	0,195794938	-0,376748989	0,438	0,242	1	0,770171163	1,298412675	1,809917355
VPS13A	0,255603817	-0,377006568	0,188	0,102	1	0,770033668	1,298644515	1,843137255
CDKN2D	0,127028438	-0,377081817	0,25	0,125	1	0,769993506	1,298712253	2
HECA	0,767743616	-0,37726334	0,094	0,102	1	0,769896629	1,29887567	0,921568627
AQP3	0,99780108	-0,377291161	0,062	0,059	1	0,769881783	1,298900717	1,050847458
FRMD6	0,089637552	-0,377296988	0,531	0,273	1	0,769878674	1,298905963	1,945054945
EVA1C	0,271686462	-0,377384598	0,031	0,086	1	0,769831923	1,298984844	0,360465116
SPG7	0,051511579	-0,377429748	0,281	0,121	1	0,769807831	1,299025497	2,32231405
SETD3	0,983740563	-0,377625284	0,156	0,141	1	0,769703502	1,299201573	1,106382979
SWAP70	0,147320294	-0,37793041	0	0,062	1	0,769540729	1,299476379	0
EP400	0,836907453	-0,378210491	0,094	0,098	1	0,769391347	1,299728681	0,959183673
RAB3GAP1	0,453327517	-0,378305129	0,219	0,141	1	0,769340878	1,299813943	1,553191489

Supplementary Table 1

Differentially expressed genes_adjacent-skin-XL_comparing SC-Keloid vs. (SC-Myel, SC-Nonmyel)								
gene	p_val	avg_log2FC	pct.1	pct.2	p_val_adj	Foldchange_UP	Foldchange_DOWN	Ratio_pct1_pct2
ENPP2	0,683139676	-0,378463707	0,062	0,078	1	0,769256318	1,29956824	0,794871795
KLF3	0,115202665	-0,378514944	0,281	0,137	1	0,769228998	1,30002993	2,051094891
CCDC186	0,891985815	-0,378753946	0,094	0,094	1	0,769101576	1,300218373	1
CIC	0,122912861	-0,378806771	0,375	0,191	1	0,769073415	1,300265983	1,963350785
JDP2	0,322941334	-0,379060125	0,25	0,152	1	0,768938369	1,300494344	1,644736842
OTUD6B-AS1	0,000584485	-0,379112368	0,469	0,152	1	0,768910525	1,300541439	3,085526316
RAF1	0,551561351	-0,379369141	0,281	0,195	1	0,768773685	1,300772931	1,441025641
RHBDF1	0,067686507	-0,379474048	0,625	0,312	1	0,768717785	1,300867522	2,003205128
TCF7L1	0,093802134	-0,379631856	0	0,082	1	0,768633704	1,301009824	0
ZMYM2	0,705829061	-0,379718021	0,281	0,215	1	0,768587799	1,301087529	1,306976744
TTC14	0,090673844	-0,3797747	0,219	0,098	1	0,768557604	1,301138646	2,234693878
GLI3	0,62870361	-0,379789085	0,188	0,137	1	0,768549941	1,30115162	1,372262774
SLC2A3	0,535935517	-0,37992026	0,156	0,105	1	0,768480065	1,30126993	1,485714286
HSBP1L1	0,263419653	-0,379932761	0,031	0,086	1	0,768473406	1,301281206	0,360465116
PALM	0,147320294	-0,380288295	0	0,062	1	0,768284048	1,30160193	0
CHD6	0,191924078	-0,380516124	0,344	0,184	1	0,768162731	1,301807494	1,869565217
SNX13	0,378844198	-0,380610423	0,219	0,133	1	0,768112524	1,301892586	1,646616541
GNG12	0,661090749	-0,381071549	0,562	0,371	1	0,767867052	1,302308775	1,514824798
ARHGEF12	0,104361714	-0,381248288	0,531	0,266	1	0,767772989	1,302468326	1,996240602
GTF2B	0,150581114	-0,381388029	0,312	0,168	1	0,767698626	1,30259449	1,857142857
TMEM106B	0,048773235	-0,381404446	0,594	0,273	1	0,76768989	1,302609313	2,175824176
AVPI1	0,724493459	-0,381423245	0,094	0,105	1	0,767679887	1,302626286	0,895238095
KCNMB4	0,059738382	-0,381494884	0,562	0,273	1	0,767641767	1,302690972	2,058608059
SH3RF1	0,047008515	-0,381618181	0,312	0,137	1	0,767576165	1,302802308	2,277372263
SSU72	0,084485451	-0,381665225	0,438	0,211	1	0,767551137	1,302844791	2,075829384
BCAS3	0,864972765	-0,381852601	0,062	0,066	1	0,767451454	1,303014015	0,939393939
SIN3A	0,940300606	-0,381870679	0,156	0,137	1	0,767441837	1,303030342	1,138686131
DIP2A	0,421195014	-0,38212146	0,219	0,141	1	0,767308446	1,303256866	1,553191489
CNRIP1	0,761165734	-0,382521404	0,094	0,102	1	0,767095762	1,303618204	0,921568627
SRSF10	0,254882297	-0,382560888	0,5	0,297	1	0,767074768	1,303653882	1,683501684

Supplementary Table 1

Differentially expressed genes_adjacent-skin-XL_comparing SC-Keloid vs. (SC-Myel, SC-Nonmyel)								
gene	p_val	avg_log2FC	pct.1	pct.2	p_val_adj	Foldchange_UP	Foldchange_DOWN	Ratio_pct1_pct2
CYP2U1	0,499735776	-0,382952313	0,031	0,059	1	0,766866678	1,304007632	0,525423729
MYO1C	0,582442201	-0,383064913	0,438	0,312	1	0,766806827	1,304109411	1,403846154
SERINC1	0,824329963	-0,38313766	0,75	0,477	1	0,766768162	1,304175172	1,572327044
CA5B	0,286570971	-0,383307374	0,031	0,082	1	0,766677967	1,3043286	0,37804878
PLEKHB2	0,127653578	-0,383361099	0,438	0,227	1	0,766649417	1,304377173	1,929515419
RAB30-DT	0,764452551	-0,38343445	0,094	0,102	1	0,76661044	1,304443493	0,921568627
PIP4K2A	0,759867431	-0,383481991	0,156	0,121	1	0,766585178	1,30448648	1,289256198
TSPYL1	0,381130252	-0,38355032	0,25	0,156	1	0,766548872	1,304548264	1,602564103
PSEN1	0,739785061	-0,383644146	0,062	0,074	1	0,766499021	1,304633108	0,837837838
SOS1	0,92888861	-0,383685358	0,094	0,082	1	0,766477125	1,304670377	1,146341463
DDX21	0,180917725	-0,383784361	0,531	0,297	1	0,766424529	1,304759911	1,787878788
FAM126B	0,932622158	-0,383848129	0,094	0,082	1	0,766390653	1,304817583	1,146341463
RGPD5	0,147320294	-0,384027494	0	0,062	1	0,766295376	1,304979817	0
JADE1	0,795919846	-0,384083593	0,156	0,121	1	0,76626558	1,305030562	1,289256198
PRDM2	0,460709201	-0,384295919	0,188	0,121	1	0,766152814	1,305222641	1,553719008
ZNF844	0,194053346	-0,384419166	0	0,051	1	0,766087366	1,305334149	0
SLC6A8	0,476871703	-0,384476235	0,125	0,164	1	0,766057062	1,305385785	0,762195122
GLG1	0,143447781	-0,384561148	0,656	0,344	1	0,766011975	1,30546262	1,906976744
NAV3	0,739785061	-0,384563799	0,062	0,074	1	0,766010568	1,305465018	0,837837838
GATAD2B	0,846196797	-0,384676923	0,125	0,125	1	0,765950506	1,305567385	1
TOX	0,180934293	-0,384822233	0,031	0,102	1	0,765873362	1,305698891	0,303921569
PM20D2	0,122891724	-0,384856489	0	0,07	1	0,765855178	1,305729894	0
REV3L	0,354261856	-0,38500438	0,125	0,07	1	0,765776674	1,305863751	1,785714286
ZCCHC2	0,093802134	-0,385383139	0	0,082	1	0,765575656	1,306206633	0
SDR39U1	0,430375867	-0,385590142	0,219	0,137	1	0,765465816	1,306394066	1,598540146
STOX2	0,590709689	-0,385652518	0,062	0,086	1	0,765432722	1,306450549	0,720930233
EIF5B	0,454104776	-0,385915974	0,5	0,328	1	0,765292956	1,306689147	1,524390244
WBP2	0,357140161	-0,386249496	0,312	0,188	1	0,765116056	1,306991263	1,659574468
RECK	0,344592621	-0,386750382	0,031	0,074	1	0,764850463	1,307445112	0,418918919
MEF2D	0,829082683	-0,38690827	0,219	0,211	1	0,764766763	1,307588206	1,037914692

Supplementary Table 1

Differentially expressed genes_adjacent-skin-XL_comparing SC-Keloid vs. (SC-Myel, SC-Nonmyel)								
gene	p_val	avg_log2FC	pct.1	pct.2	p_val_adj	Foldchange_UP	Foldchange_DOWN	Ratio_pct1_pct2
COPS2	0,097309644	-0,387365941	0,625	0,32	1	0,764524192	1,308003082	1,953125
PHF23	0,727694156	-0,387566821	0,125	0,094	1	0,764417747	1,308185221	1,329787234
MAPRE2	0,606764606	-0,38766631	0,438	0,312	1	0,764365035	1,308275437	1,403846154
ZNF276	0,784260716	-0,387781212	0,094	0,102	1	0,76430416	1,308379638	0,921568627
PSAT1	0,65562104	-0,387934543	0,156	0,113	1	0,764222933	1,308518701	1,380530973
FGFR1OP2	0,216855361	-0,388094742	0,375	0,207	1	0,764138078	1,308664009	1,811594203
ZCCHC7	0,630272476	-0,388142597	0,062	0,082	1	0,764112731	1,308707419	0,756097561
ING5	0,784260716	-0,388470501	0,125	0,098	1	0,763939079	1,309004903	1,275510204
PDE4D	0,830197375	-0,388884479	0,125	0,102	1	0,7637199	1,309380572	1,225490196
TMEM100	0,933712959	-0,388955555	0,062	0,062	1	0,763682275	1,309445082	1
CNTFR	0,112290358	-0,389265965	0	0,074	1	0,763517979	1,309726853	0
ZFYVE21	0,399428356	-0,389566081	0,438	0,273	1	0,763359165	1,309999336	1,604395604
ASTN2	0,335280915	-0,389707779	0,062	0,117	1	0,763284194	1,310128008	0,52991453
TM2D1	0,518918986	-0,390002754	0,188	0,125	1	0,763128148	1,310395905	1,504
FAM53B	0,371015466	-0,390272093	0,188	0,113	1	0,762985691	1,310640568	1,663716814
PROS1	0,275671339	-0,390301899	0,312	0,18	1	0,762969928	1,310667646	1,733333333
LRIG1	0,929115609	-0,390348955	0,156	0,133	1	0,762945043	1,310710396	1,172932331
DUSP8	0,168918316	-0,390644616	0,469	0,258	1	0,762788704	1,310979037	1,817829457
MYADM	0,275690751	-0,391387705	0,656	0,383	1	0,762395916	1,311654456	1,712793734
DUSP7	0,633679827	-0,391762618	0,062	0,082	1	0,762197817	1,311995361	0,756097561
SRGAP2	0,351736754	-0,391822237	0,375	0,234	1	0,76216632	1,312049579	1,602564103
SREK1	0,120415954	-0,392645615	0,438	0,227	1	0,761731459	1,312798609	1,929515419
ZNF292	0,34004375	-0,393158794	0,188	0,113	1	0,761460553	1,313265665	1,663716814
ANKRD11	0,271175856	-0,393301566	0,531	0,309	1	0,761385201	1,313395635	1,718446602
MAN2C1	0,294412282	-0,394044779	0,156	0,086	1	0,76099307	1,314072413	1,813953488
CAB39	0,484579232	-0,394158046	0,188	0,121	1	0,760933326	1,314175586	1,553719008
CNOT1	0,256016384	-0,394401251	0,281	0,16	1	0,760805061	1,314397144	1,75625
AKIRIN2	0,483515905	-0,394602374	0,281	0,184	1	0,760699007	1,314580394	1,527173913
ALDH2	0,761165734	-0,395054583	0,094	0,102	1	0,760460605	1,314992511	0,921568627
RAP1GAP	0,286570971	-0,395245249	0,031	0,082	1	0,760360109	1,315166311	0,37804878

Supplementary Table 1

Differentially expressed genes_adjacent-skin-XL_comparing SC-Keloid vs. (SC-Myel, SC-Nonmyel)								
gene	p_val	avg_log2FC	pct.1	pct.2	p_val_adj	Foldchange_UP	Foldchange_DOWN	Ratio_pct1_pct2
SNAP23	0,721126199	-0,395393294	0,125	0,094	1	0,760282088	1,315301276	1,329787234
CLDN11	0,54128594	-0,395413868	0,062	0,09	1	0,760271245	1,315320034	0,688888889
FAM107B	0,643001647	-0,395425086	0,281	0,207	1	0,760265334	1,315330261	1,357487923
WDR70	0,679002061	-0,395551319	0,156	0,113	1	0,760198815	1,315445355	1,380530973
UGT8	0,344592621	-0,39580923	0,031	0,074	1	0,760062926	1,315680539	0,418918919
FNDC3A	0,103443287	-0,395960007	0,406	0,211	1	0,759983496	1,315818048	1,924170616
ARHGEF28	0,286570971	-0,39599998	0,031	0,082	1	0,759962439	1,315854507	0,37804878
WDFY2	0,161996001	-0,396320018	0,219	0,109	1	0,759793872	1,31614644	2,009174312
PKN2	0,625841939	-0,396536187	0,344	0,242	1	0,759680036	1,316343662	1,421487603
SYNPO2	0,377976391	-0,396627776	0,031	0,07	1	0,759631809	1,316427232	0,442857143
C1orf56	0,533757264	-0,396868558	0,344	0,23	1	0,759505039	1,316646959	1,495652174
GALNT17	0,111920774	-0,397196193	0,281	0,137	1	0,759332576	1,316946002	2,051094891
PDE4DIP	0,99198594	-0,397408394	0,125	0,117	1	0,759220897	1,317139721	1,068376068
PLEKHO2	0,629239656	-0,397882067	0,094	0,113	1	0,758971666	1,317572242	0,831858407
ZBTB21	0,91311971	-0,39795255	0,188	0,18	1	0,758934587	1,317636614	1,044444444
LTBR	0,425192201	-0,397970118	0,188	0,117	1	0,758925346	1,317652659	1,606837607
COPA	0,104921292	-0,398154804	0,375	0,191	1	0,758828198	1,317821349	1,963350785
NSD1	0,041354995	-0,398180596	0,375	0,168	1	0,758814632	1,317844909	2,232142857
RIT1	0,09828181	-0,398284501	0,406	0,203	1	0,758759984	1,317939825	2
SEC24B	0,314221703	-0,398526689	0,031	0,078	1	0,75863262	1,318161089	0,397435897
ZNRF2	0,157750115	-0,398618587	0,438	0,23	1	0,758584297	1,318245057	1,904347826
TNFSF9	0,176914647	-0,398659316	0	0,055	1	0,758562882	1,318282273	0
ZFC3H1	0,518918986	-0,399140658	0,188	0,125	1	0,758309836	1,318722179	1,504
BMP8B	0,102705832	-0,399463229	0,375	0,188	1	0,758140305	1,319017064	1,994680851
RAB1A	0,209331887	-0,399961081	0,5	0,27	1	0,757878728	1,319472315	1,851851852
UTRN	0,599452816	-0,400239199	0,625	0,414	1	0,757732641	1,319726703	1,509661836
CDADC1	0,622425736	-0,400354329	0,125	0,141	1	0,757672175	1,319832024	0,886524823
NANOS1	0,134529645	-0,400567682	0	0,066	1	0,757560134	1,320027222	0
BRAF	0,748489035	-0,400821312	0,219	0,168	1	0,757426965	1,320259307	1,303571429
NOTCH2	0,933712959	-0,401079988	0,062	0,062	1	0,75729117	1,320496052	1

Supplementary Table 1

Differentially expressed genes_adjacent-skin-XL_comparing SC-Keloid vs. (SC-Myel, SC-Nonmyel)								
gene	p_val	avg_log2FC	pct.1	pct.2	p_val_adj	Foldchange_UP	Foldchange_DOWN	Ratio_pct1_pct2
ODC1	0,320929119	-0,401274979	0,375	0,23	1	0,757188823	1,320674539	1,630434783
NRIP1	0,743682421	-0,401441333	0,094	0,105	1	0,757101519	1,320826832	0,895238095
TSIX	0,161397126	-0,401786432	0	0,059	1	0,756920438	1,321142817	0
DOT1L	0,888467101	-0,40248506	0,094	0,094	1	0,756553987	1,321782738	1
SUN2	0,139091795	-0,402575333	0,5	0,266	1	0,756506649	1,321865447	1,879699248
PYGL	0,676061779	-0,402751615	0,156	0,113	1	0,756414217	1,322026975	1,380530973
DYNLL2	0,074070998	-0,403613168	0,312	0,145	1	0,755962634	1,322816703	2,151724138
LMBR1L	0,804306744	-0,403689936	0,062	0,07	1	0,75592241	1,322887094	0,885714286
RELB	0,73148486	-0,403766453	0,156	0,117	1	0,755882318	1,322957259	1,333333333
SHROOM1	0,499735776	-0,404189492	0,031	0,059	1	0,755660705	1,323345245	0,525423729
PLEKHA5	0,093064088	-0,404590816	0,375	0,188	1	0,755450527	1,323713419	1,994680851
ALDH3A2	0,369291357	-0,404664497	0,281	0,172	1	0,755411946	1,323781026	1,63372093
PIK3IP1	0,894553025	-0,404683527	0,156	0,148	1	0,755401982	1,323798487	1,054054054
PHF2	0,891985815	-0,405071603	0,094	0,094	1	0,75519881	1,324154628	1
TNFRSF25	0,637094964	-0,405600709	0,062	0,082	1	0,754921893	1,324640349	0,756097561
YTHDC2	0,780840172	-0,405891356	0,156	0,121	1	0,754769821	1,324907239	1,289256198
CSNK1E	0,212322827	-0,405916742	0,594	0,34	1	0,75475654	1,324930553	1,747058824
IGFBP4	0,177714422	-0,406468494	0,5	0,273	1	0,754467942	1,325437363	1,831501832
BTG1	0,259697423	-0,406623955	0,906	0,559	1	0,754386647	1,325580196	1,620751342
AKR1C3	0,730358576	-0,40732641	0,031	0,043	1	0,754019422	1,326225785	0,720930233
ITCH	0,516441398	-0,407410343	0,188	0,125	1	0,753975556	1,326302944	1,504
ATF4	0,997181982	-0,407691393	0,781	0,531	1	0,753828689	1,326561346	1,470809793
NT5DC3	0,998160744	-0,40804922	0,094	0,086	1	0,753641743	1,326890409	1,093023256
RNF168	0,795919922	-0,408265417	0,156	0,121	1	0,753528813	1,327089266	1,289256198
LCAT	0,796107586	-0,408270939	0,125	0,133	1	0,753525929	1,327094346	0,939849624
MT-ND5	0,581668786	-0,40870256	0,844	0,531	1	0,753300525	1,327491442	1,589453861
LRRC8C	0,180934293	-0,408729587	0,031	0,102	1	0,753286413	1,327516311	0,303921569
PDE5A	0,935028354	-0,40889686	0,094	0,09	1	0,753199078	1,327670238	1,044444444
SYNJ2BP	0,376840213	-0,409229048	0,219	0,133	1	0,75302567	1,327975977	1,646616541
THUMPD1	0,563751658	-0,409510799	0,188	0,129	1	0,752878623	1,328235349	1,457364341

Supplementary Table 1

Differentially expressed genes_adjacent-skin-XL_comparing SC-Keloid vs. (SC-Myel, SC-Nonmyel)								
gene	p_val	avg_log2FC	pct.1	pct.2	p_val_adj	Foldchange_UP	Foldchange_DOWN	Ratio_pct1_pct2
DNAJC27	0,874415164	-0,409517929	0,094	0,094	1	0,752874902	1,328241913	1
EFCAB14	0,778379363	-0,409638904	0,188	0,145	1	0,752811773	1,328353295	1,296551724
WARS1	0,081948379	-0,409667034	0,312	0,148	1	0,752797095	1,328379196	2,108108108
PPA1	0,109648938	-0,409810317	0,469	0,242	1	0,752722334	1,328511132	1,938016529
SASH1	0,039155566	-0,410009077	0,312	0,133	1	0,752618638	1,328694174	2,345864662
SLC25A28	0,684934253	-0,410018456	0,188	0,137	1	0,752613746	1,328702811	1,372262774
BNIP3	0,814811285	-0,410031488	0,188	0,145	1	0,752606947	1,328714814	1,296551724
NEDD1	0,998160744	-0,41030938	0,094	0,086	1	0,752461994	1,328970776	1,093023256
LRRC1	0,309789541	-0,410351206	0,062	0,121	1	0,752440179	1,329009305	0,512396694
PGGHG	0,161397126	-0,41040295	0	0,059	1	0,752413193	1,329056973	0
PPP4R3A	0,704239657	-0,410504699	0,188	0,141	1	0,752360129	1,32915071	1,333333333
EIF1	0,05695683	-0,410921704	1	0,945	1	0,752142694	1,329534951	1,058201058
ARIH1	0,046571605	-0,411076757	0,406	0,188	1	0,752061862	1,32967785	2,159574468
ARL4A	0,793909321	-0,411498652	0,156	0,16	1	0,751841965	1,330066752	0,975
MT-ND4	0,246764884	-0,41159891	0,875	0,879	1	0,751789718	1,330159187	0,995449374
ZDHHC8	0,723273635	-0,411866991	0,125	0,133	1	0,751650034	1,330406379	0,939849624
COBLL1	0,378729131	-0,411965752	0,219	0,137	1	0,751598581	1,330497456	1,598540146
MYO18A	0,935028354	-0,411992275	0,094	0,09	1	0,751584763	1,330521917	1,044444444
OSBPL1A	0,494404353	-0,412292101	0,219	0,145	1	0,751428583	1,330798459	1,510344828
FGF1	0,377976391	-0,412571552	0,031	0,07	1	0,751283045	1,331056261	0,442857143
PLEKHA7	0,112290358	-0,412690604	0	0,074	1	0,751221051	1,331166104	0
CNOT2	0,169219927	-0,412839914	0,312	0,164	1	0,751143308	1,331303879	1,902439024
POLK	0,54829256	-0,413439175	0,219	0,148	1	0,750831366	1,331856986	1,47972973
TMEM176B	0,74527186	-0,414554835	0,562	0,465	1	0,75025096	1,332887332	1,208602151
ILKAP	0,879520665	-0,415169295	0,219	0,18	1	0,749931488	1,333455144	1,216666667
INTS11	0,125718416	-0,416106408	0,25	0,121	1	0,749444523	1,334321581	2,066115702
KDM2A	0,162595876	-0,416308706	0,344	0,18	1	0,749339441	1,334508695	1,911111111
H1-10	0,246397264	-0,41634369	0,594	0,355	1	0,749321271	1,334541056	1,673239437
C11orf68	0,471015282	-0,416369652	0,219	0,141	1	0,749307786	1,334565072	1,553191489
ROCK2	0,199197135	-0,416456983	0,5	0,273	1	0,74926243	1,33464586	1,831501832

Supplementary Table 1

Differentially expressed genes_adjacent-skin-XL_comparing SC-Keloid vs. (SC-Myel, SC-Nonmyel)								
gene	p_val	avg_log2FC	pct.1	pct.2	p_val_adj	Foldchange_UP	Foldchange_DOWN	Ratio_pct1_pct2
FZD7	0,112290358	-0,416512015	0	0,074	1	0,749233849	1,334696772	0
BMP1B	0,286570971	-0,416515351	0,031	0,082	1	0,749232117	1,334699858	0,37804878
PTTG1	0,099632778	-0,416711854	0,219	0,102	1	0,749130074	1,334881664	2,147058824
CCSAP	0,122891724	-0,41712194	0	0,07	1	0,748917165	1,335261158	0
CRNDE	0,800356249	-0,417142928	0,062	0,07	1	0,748906269	1,335280583	0,885714286
MFAP4	0,078384714	-0,417516202	0	0,09	1	0,748712527	1,33562611	0
AKAP11	0,914087118	-0,417587877	0,156	0,133	1	0,748675331	1,335692467	1,172932331
PARD3B	0,122891724	-0,418081539	0	0,07	1	0,748419193	1,336149593	0
RTL5	0,147319971	-0,41811755	0	0,062	1	0,748400512	1,336182945	0
IGF1R	0,983447865	-0,418235321	0,094	0,086	1	0,74833942	1,336292026	1,093023256
KITLG	0,10262374	-0,418714743	0	0,078	1	0,748090781	1,336736163	0
SENP5	0,79289767	-0,41912952	0,156	0,121	1	0,747875735	1,337120532	1,289256198
STK3	0,775937953	-0,419156019	0,125	0,129	1	0,747861998	1,337145092	0,968992248
EVI5	0,113010074	-0,419650898	0,438	0,223	1	0,747605508	1,337603843	1,964125561
SDC4	0,386049732	-0,41969156	0,188	0,113	1	0,747584437	1,337641544	1,663716814
GPATCH2L	0,501783108	-0,419976389	0,156	0,102	1	0,747436857	1,337905659	1,529411765
PPM1B	0,249959309	-0,420097764	0,312	0,176	1	0,747373977	1,338018223	1,772727273
LAMP1	0,944623414	-0,420210294	0,812	0,527	1	0,747315684	1,338122591	1,540796964
NFATC4	0,26138036	-0,420265368	0,031	0,086	1	0,747287156	1,338173674	0,360465116
RHOQ	0,430724357	-0,420739487	0,438	0,293	1	0,747041612	1,338613517	1,494880546
CERS1	0,71496263	-0,420845954	0,094	0,105	1	0,746986485	1,338712306	0,895238095
TNKS2	0,709693094	-0,421023298	0,188	0,141	1	0,746894667	1,338876878	1,333333333
PCNP	0,443094633	-0,421049259	0,625	0,371	1	0,746881227	1,338900972	1,684636119
RBL2	0,416531335	-0,421556509	0,062	0,102	1	0,74661867	1,33937181	0,607843137
ZNF280D	0,250807401	-0,421810974	0,219	0,121	1	0,746486992	1,339608071	1,809917355
CXCL3	0,213026321	-0,421867788	0	0,047	1	0,746457596	1,339660827	0
FGD5-AS1	0,150020598	-0,422075694	0,406	0,215	1	0,746350032	1,339853898	1,888372093
TP53INP2	0,868757226	-0,422174142	0,094	0,078	1	0,746299103	1,339945332	1,205128205
ASPA	0,235102422	-0,422306925	0,594	0,34	1	0,746230418	1,340068664	1,747058824
DYNLRB1	0,982173576	-0,423250542	0,812	0,531	1	0,745742495	1,340945443	1,529190207

Supplementary Table 1

Differentially expressed genes_adjacent-skin-XL_comparing SC-Keloid vs. (SC-Myel, SC-Nonmyel)								
gene	p_val	avg_log2FC	pct.1	pct.2	p_val_adj	Foldchange_UP	Foldchange_DOWN	Ratio_pct1_pct2
AL627171.2	0,504146063	-0,424877964	0,188	0,125	1	0,744901739	1,342458941	1,504
CHIC2	0,676784237	-0,42489987	0,188	0,137	1	0,744890429	1,342479325	1,372262774
TNRC6C	0,89455306	-0,424965244	0,156	0,148	1	0,744856676	1,342540159	1,054054054
SH3GLB2	0,773567054	-0,425039359	0,344	0,262	1	0,744818411	1,342609131	1,312977099
ZC3H4	0,507127635	-0,425318396	0,156	0,102	1	0,744674367	1,342868835	1,529411765
YLPM1	0,881436494	-0,425336698	0,094	0,094	1	0,74466492	1,342885871	1
ADAM33	0,161397126	-0,42534141	0	0,059	1	0,744662488	1,342890257	0
NPHP3	0,452272907	-0,425390504	0,156	0,098	1	0,744637148	1,342935955	1,591836735
MYCBP2	0,320338862	-0,425396886	0,25	0,148	1	0,744633854	1,342941896	1,689189189
NR2F2-AS1	0,686731872	-0,425578409	0,062	0,078	1	0,744540169	1,343110879	0,794871795
WDR26	0,358918639	-0,42560648	0,094	0,145	1	0,744525682	1,343137012	0,648275862
ZNF516	0,786862533	-0,426616887	0,156	0,121	1	0,744004428	1,344078022	1,289256198
RBMXL1	0,66795303	-0,426621209	0,094	0,109	1	0,744002199	1,344082049	0,862385321
EZH1	0,884950692	-0,426884046	0,094	0,094	1	0,743866666	1,344326942	1
KCNH8	0,286570971	-0,42692071	0,031	0,082	1	0,743847762	1,344361106	0,37804878
RUSC2	0,614662208	-0,426987766	0,094	0,113	1	0,743813189	1,344423593	0,831858407
CRIM1	0,677114428	-0,427804879	0,094	0,109	1	0,743392027	1,345185263	0,862385321
ANKRD12	0,214766065	-0,427806266	0,594	0,324	1	0,743391312	1,345186557	1,833333333
RHPN1	0,498361807	-0,427942865	0,062	0,094	1	0,743320929	1,345313929	0,659574468
DMXL1	0,89512162	-0,427991389	0,125	0,105	1	0,743295929	1,345359178	1,19047619
TRIM69	0,788750462	-0,42809388	0,188	0,148	1	0,743243126	1,345454758	1,27027027
PALMD	0,176914647	-0,428161517	0	0,055	1	0,743208282	1,345517837	0
TXNRD2	0,679002061	-0,428295828	0,156	0,113	1	0,743139094	1,345643108	1,380530973
PAN3	0,220157452	-0,428451574	0,281	0,156	1	0,743058873	1,345788384	1,801282051
HNRNPL	0,313250979	-0,428459085	0,531	0,305	1	0,743055004	1,345795391	1,740983607
NCAM2	0,869232693	-0,428649774	0,125	0,121	1	0,742956797	1,345973284	1,033057851
C11orf96	0,269438702	-0,428671372	0,281	0,176	1	0,742945675	1,345993433	1,596590909
GPSM1	0,372854694	-0,428736469	0,281	0,172	1	0,742912152	1,346054169	1,63372093
PDCD6IP	0,127653578	-0,428808009	0,438	0,227	1	0,742875314	1,346120918	1,929515419
ESPN	0,059869253	-0,42895401	0	0,102	1	0,742800139	1,346257153	0

Supplementary Table 1

Differentially expressed genes_adjacent-skin-XL_comparing SC-Keloid vs. (SC-Myel, SC-Nonmyel)								
gene	p_val	avg_log2FC	pct.1	pct.2	p_val_adj	Foldchange_UP	Foldchange_DOWN	Ratio_pct1_pct2
USP24	0,935028354	-0,43023345	0,094	0,09	1	0,742141686	1,347451598	1,044444444
PHLDA3	0,08577078	-0,430256092	0,5	0,25	1	0,742130039	1,347472745	2
KIAA1217	0,864647308	-0,430538359	0,125	0,125	1	0,741984853	1,347736407	1
SLITRK2	0,199956022	-0,430992092	0,031	0,098	1	0,741751533	1,348160341	0,316326531
ALDH1A1	0,112290358	-0,431867663	0	0,074	1	0,7413015	1,348978789	0
YAP1	0,278057939	-0,432118361	0,281	0,16	1	0,741172695	1,349213221	1,75625
CLDND2	0,08574604	-0,43240253	0	0,086	1	0,74102672	1,349479003	0
BTG3	0,370524765	-0,432861211	0,625	0,383	1	0,740791161	1,349908116	1,631853786
IP6K1	0,975643601	-0,433473042	0,125	0,113	1	0,740477066	1,350480718	1,10619469
DAB1	0,112290358	-0,433692097	0	0,074	1	0,740364643	1,350685787	0
MAGI2	0,257984542	-0,43373008	0,25	0,145	1	0,74034515	1,350721349	1,724137931
ARHGAP23	0,764452445	-0,433881429	0,094	0,102	1	0,740267487	1,350863056	0,921568627
ITFG2	0,516147046	-0,433980812	0,094	0,059	1	0,740216494	1,350956117	1,593220339
MT-ATP8	0,38996635	-0,434663964	0,281	0,176	1	0,739866066	1,351595979	1,596590909
NKAIN2	0,112290358	-0,434792322	0	0,074	1	0,739800242	1,351716238	0
JMJD6	0,821728391	-0,434841644	0,125	0,125	1	0,739774951	1,35176245	1
TNFRSF14	0,474951714	-0,434914272	0,188	0,121	1	0,739737771	1,351830502	1,553719008
ATP11A	0,584240026	-0,434990455	0,062	0,086	1	0,739698649	1,351901889	0,720930233
TET1	0,826816092	-0,435020798	0,156	0,125	1	0,739683091	1,351930323	1,248
TOX2	0,630272476	-0,435109377	0,062	0,082	1	0,739637678	1,352013331	0,756097561
RARA	0,137266353	-0,435241402	0,344	0,176	1	0,739569994	1,352137063	1,954545455
TMEM35B	0,092805973	-0,435441052	0,469	0,227	1	0,739467654	1,352324195	2,066079295
TNRC6A	0,18989486	-0,435761515	0,312	0,168	1	0,739303416	1,352624617	1,857142857
MBD5	0,419048035	-0,436011966	0,062	0,102	1	0,739175085	1,352859452	0,607843137
FUBP1	0,381855801	-0,436074659	0,281	0,172	1	0,739142964	1,352918242	1,63372093
AFF1	0,453137599	-0,43638319	0,062	0,098	1	0,73898491	1,353207605	0,632653061
AHCTF1	0,768835141	-0,436441276	0,156	0,121	1	0,738955158	1,353262089	1,289256198
CYTH1	0,593956834	-0,436807533	0,062	0,086	1	0,738767583	1,353605685	0,720930233
NRG1	0,134529645	-0,436909803	0	0,066	1	0,738715215	1,353701644	0
HERPUD1	0,121574842	-0,437861637	0,531	0,285	1	0,738228	1,354595058	1,863157895

Supplementary Table 1

Differentially expressed genes_adjacent-skin-XL_comparing SC-Keloid vs. (SC-Myel, SC-Nonmyel)								
gene	p_val	avg_log2FC	pct.1	pct.2	p_val_adj	Foldchange_UP	Foldchange_DOWN	Ratio_pct1_pct2
MRE11	0,935028354	-0,437870324	0,094	0,09	1	0,738223555	1,354603214	1,044444444
HMG1A1	0,120752413	-0,437882713	0,375	0,203	1	0,738217216	1,354614846	1,84729064
SFN	0,263449854	-0,438690232	0,281	0,164	1	0,737804129	1,355373277	1,713414634
PKD2	0,826565871	-0,438902172	0,156	0,156	1	0,737695749	1,355572404	1
LRRC58	0,285844171	-0,438943133	0,312	0,18	1	0,737674805	1,355610891	1,733333333
CCNT2	0,611764646	-0,43940387	0,094	0,113	1	0,73743926	1,356043886	0,831858407
TDRD3	0,623390898	-0,4395783	0,094	0,113	1	0,737350105	1,356207849	0,831858407
SCD5	0,134529645	-0,439745505	0	0,066	1	0,737264652	1,35636504	0
RFX2	0,134529645	-0,439798946	0	0,066	1	0,737237343	1,356415284	0
TMEM255A	0,093802134	-0,439831932	0	0,082	1	0,737220487	1,356446298	0
PON2	0,319403387	-0,44026021	0,656	0,359	1	0,737001668	1,356849032	1,82729805
FKBP5	0,220913711	-0,440346433	0,188	0,098	1	0,736957622	1,356930127	1,918367347
AKAP13	0,328814009	-0,44040983	0,812	0,453	1	0,736925239	1,356989756	1,792494481
CIT	0,42035466	-0,440756858	0,281	0,18	1	0,736747999	1,357316208	1,561111111
SESTD1	0,684934253	-0,441490117	0,188	0,137	1	0,736373637	1,358006247	1,372262774
CRYZL1	0,194605756	-0,441664167	0,219	0,113	1	0,736284805	1,35817009	1,938053097
AGO3	0,516587316	-0,441814229	0,094	0,125	1	0,736208224	1,358311369	0,752
CPXM2	0,238418073	-0,441998599	0,031	0,09	1	0,736114146	1,358484966	0,344444444
RASAL2	0,855412171	-0,442355507	0,125	0,125	1	0,735932061	1,358821082	1
PARP4	0,253529282	-0,442778356	0,125	0,062	1	0,735716394	1,359219406	2,016129032
TUT4	0,122552691	-0,442896304	0,438	0,227	1	0,735656248	1,359330534	1,929515419
RCAN3	0,720644445	-0,44300868	0,188	0,141	1	0,735598947	1,359436421	1,333333333
SAV1	0,306674893	-0,444058787	0,125	0,188	1	0,735063715	1,360426286	0,664893617
RLIM	0,560183087	-0,444472276	0,094	0,121	1	0,73485307	1,360816252	0,776859504
CCDC12	0,245928411	-0,444479522	0,312	0,176	1	0,734849379	1,360823086	1,772727273
ST3GAL5	0,112290358	-0,444920686	0	0,074	1	0,734624702	1,361239279	0
ABHD5	0,676061901	-0,445401533	0,156	0,113	1	0,734379895	1,361693052	1,380530973
GPX3	0,924392442	-0,44669574	0,031	0,027	1	0,733721395	1,362915143	1,148148148
CSF1	0,220935523	-0,447264127	0,031	0,094	1	0,733432384	1,363452204	0,329787234
TAF7	0,445024927	-0,447627997	0,625	0,367	1	0,733247424	1,363796131	1,702997275

Supplementary Table 1

Differentially expressed genes_adjacent-skin-XL_comparing SC-Keloid vs. (SC-Myel, SC-Nonmyel)								
gene	p_val	avg_log2FC	pct.1	pct.2	p_val_adj	Foldchange_UP	Foldchange_DOWN	Ratio_pct1_pct2
ARHGEF6	0,285257317	-0,448132288	0,062	0,121	1	0,732991164	1,364272926	0,512396694
HADH	0,799342981	-0,448536035	0,094	0,074	1	0,73278606	1,36465478	1,27027027
FA2H	0,180934293	-0,448828243	0,031	0,102	1	0,732637655	1,364931209	0,303921569
GSTM3	0,464378621	-0,449192994	0,25	0,164	1	0,732452448	1,365276344	1,524390244
SF1	0,334357247	-0,449321814	0,812	0,457	1	0,73238705	1,365398255	1,776805252
RELT	0,220935523	-0,449613112	0,031	0,094	1	0,732239186	1,365673975	0,329787234
SPOPL	0,683139498	-0,449745548	0,062	0,078	1	0,732171972	1,365799346	0,794871795
MICAL3	0,787831811	-0,450016119	0,156	0,125	1	0,732034669	1,366055519	1,248
FBXW11	0,400977729	-0,450529334	0,312	0,199	1	0,731774306	1,366541558	1,567839196
CIRBP	0,393323828	-0,450893246	0,812	0,656	1	0,731589743	1,366886304	1,237804878
ARHGEF40	0,4750123	-0,451862074	0,312	0,207	1	0,731098616	1,367804531	1,507246377
CLASRP	0,453137599	-0,452058224	0,062	0,098	1	0,730999222	1,367990512	0,632653061
DCXR	0,858704938	-0,45211266	0,188	0,148	1	0,73097164	1,36804213	1,27027027
NLGN3	0,352472909	-0,45268757	0,031	0,074	1	0,730680408	1,3685874	0,418918919
IER3	0,651974317	-0,453657966	0,75	0,574	1	0,730189098	1,369508258	1,306620209
DYNC2I1	0,792338755	-0,453702042	0,188	0,145	1	0,73016679	1,3695501	1,296551724
CBR4	0,683139676	-0,453708312	0,062	0,078	1	0,730163617	1,369556052	0,794871795
TUBB4B	0,547771204	-0,453801434	0,594	0,391	1	0,730116488	1,369644455	1,519181586
AFTPH	0,70409276	-0,454119052	0,188	0,137	1	0,729955767	1,369946024	1,372262774
ZNF608	0,388962014	-0,454192732	0,219	0,133	1	0,729918488	1,37001599	1,646616541
LTBP3	0,505862177	-0,454541794	0,656	0,422	1	0,729741904	1,370347508	1,55450237
FAXDC2	0,093802134	-0,45486224	0	0,082	1	0,729579835	1,370651918	0
METRNL	0,92470606	-0,455025384	0,219	0,191	1	0,729497337	1,370806924	1,146596859
DCN	0,714264918	-0,455605766	0,031	0,047	1	0,729203926	1,371358497	0,659574468
RFX1	0,936503132	-0,455767353	0,156	0,141	1	0,729122257	1,371512103	1,106382979
C1orf21	0,458526501	-0,456419087	0,438	0,285	1	0,728792952	1,37213182	1,536842105
C10orf82	0,217476928	-0,457696387	0,031	0,094	1	0,728147996	1,373347185	0,329787234
CNP	0,8930962	-0,457955171	0,656	0,488	1	0,728017396	1,373593551	1,344262295
CWC25	0,567357939	-0,458352271	0,094	0,117	1	0,727817038	1,373971683	0,803418803
NGF	0,933712959	-0,458359587	0,062	0,062	1	0,727813347	1,373978651	1

Supplementary Table 1

Differentially expressed genes_adjacent-skin-XL_comparing SC-Keloid vs. (SC-Myel, SC-Nonmyel)								
gene	p_val	avg_log2FC	pct.1	pct.2	p_val_adj	Foldchange_UP	Foldchange_DOWN	Ratio_pct1_pct2
DDHD2	0,752148714	-0,458750419	0,125	0,133	1	0,727616206	1,374350918	0,939849624
TNK2	0,724407642	-0,459139707	0,125	0,094	1	0,727419897	1,374721814	1,329787234
TRAK1	0,311875867	-0,460210986	0,312	0,184	1	0,726879949	1,375742998	1,695652174
NFASC	0,147320294	-0,460611415	0	0,062	1	0,726678227	1,376124897	0
FAM241A	0,238418073	-0,46103909	0,031	0,09	1	0,726462841	1,376532899	0,344444444
MT-CYB	0,568438123	-0,46118783	0,875	0,805	1	0,726387947	1,376674825	1,086956522
CASC3	0,646129172	-0,461501455	0,156	0,172	1	0,726230057	1,37697413	0,906976744
CD9	0,040744367	-0,462007176	1	0,898	1	0,725975529	1,377456898	1,113585746
IFFO1	0,238418073	-0,462453829	0,031	0,09	1	0,725750804	1,37788342	0,344444444
CERS6	0,409017449	-0,462659117	0,062	0,105	1	0,725647541	1,378079499	0,59047619
ATXN3	0,838902498	-0,463093105	0,156	0,125	1	0,725429287	1,378494112	1,248
AMFR	0,260324649	-0,46384477	0,281	0,16	1	0,725051426	1,379212514	1,75625
MPDZ	0,295716939	-0,463915174	0,25	0,145	1	0,725016044	1,379279822	1,724137931
SPART	0,158963941	-0,463977892	0,281	0,145	1	0,724984526	1,379339784	1,937931034
CELF2	0,533456153	-0,464594736	0,594	0,363	1	0,724674615	1,379929667	1,636363636
PTPRJ	0,915013818	-0,46576293	0,125	0,105	1	0,724088062	1,38104749	1,19047619
SRSF6	0,058975014	-0,465976612	0,438	0,203	1	0,723980823	1,381252056	2,157635468
EIF4E	0,053592746	-0,465986373	0,531	0,258	1	0,723975925	1,381261401	2,058139535
MAVS	0,660994176	-0,466076306	0,125	0,09	1	0,723930795	1,381347508	1,388888889
POGZ	0,834073421	-0,466255719	0,25	0,227	1	0,723840773	1,381519302	1,101321586
CSAD	0,166418547	-0,466890784	0,281	0,148	1	0,723522213	1,382127572	1,898648649
YY1AP1	0,73994668	-0,467248096	0,188	0,141	1	0,723343041	1,382469925	1,333333333
ATP6V1B2	0,28568409	-0,467291243	0,281	0,16	1	0,723321408	1,382511272	1,75625
TRPC4AP	0,975310564	-0,467685547	0,125	0,109	1	0,723123744	1,382889178	1,146788991
LRRC8B	0,19837126	-0,468173253	0,031	0,098	1	0,722879332	1,383356746	0,316326531
EHBP1	0,699930189	-0,468285302	0,656	0,434	1	0,72282319	1,383464191	1,511520737
SERPINA3	0,548952158	-0,468313234	0,031	0,055	1	0,722809196	1,383490976	0,563636364
FSTL5	0,134529645	-0,468484207	0	0,066	1	0,722723541	1,383654943	0
EPC2	0,905539169	-0,468542054	0,156	0,129	1	0,722694563	1,383710424	1,209302326
NPC2	0,392955531	-0,469042835	0,625	0,355	1	0,722443748	1,384190814	1,76056338

Supplementary Table 1

Differentially expressed genes_adjacent-skin-XL_comparing SC-Keloid vs. (SC-Myel, SC-Nonmyel)								
gene	p_val	avg_log2FC	pct.1	pct.2	p_val_adj	Foldchange_UP	Foldchange_DOWN	Ratio_pct1_pct2
MRPS31	0,416896114	-0,469113725	0,125	0,074	1	0,72240825	1,384258831	1,689189189
HERC1	0,945716537	-0,469221319	0,125	0,109	1	0,722354376	1,38436207	1,146788991
C7orf61	0,08574604	-0,469485428	0	0,086	1	0,72222215	1,384615524	0
MEG3	0,00329525	-0,469570095	0,719	0,285	1	0,722179766	1,384696785	2,522807018
CKAP4	0,122936942	-0,469828232	0,25	0,121	1	0,72205056	1,384944566	2,066115702
RBM25	0,455553576	-0,470020781	0,688	0,406	1	0,721954199	1,385129419	1,694581281
PLK2	0,527444083	-0,470167464	0,219	0,152	1	0,721880799	1,385270257	1,440789474
ANKRD18A	0,213026321	-0,47065802	0	0,047	1	0,721635381	1,385741367	0
BROX	0,811460203	-0,471280338	0,219	0,172	1	0,721324165	1,386339247	1,273255814
GATAD2A	0,536573979	-0,472089773	0,125	0,148	1	0,720919574	1,387117281	0,844594595
ELL	0,314221703	-0,472229915	0,031	0,078	1	0,720849549	1,387252031	0,397435897
TMEM161B-DT	0,455148041	-0,472365625	0,031	0,062	1	0,720781743	1,387382532	0,5
ADAMTS9	0,790538584	-0,472612344	0,219	0,172	1	0,720658491	1,387619812	1,273255814
TMEM128	0,353479652	-0,472644135	0,062	0,109	1	0,720642611	1,38765039	0,568807339
PHF1	0,63133634	-0,472845302	0,125	0,145	1	0,720542133	1,387843895	0,862068966
WBP1L	0,322870955	-0,47435123	0,219	0,129	1	0,719790402	1,389293323	1,697674419
ZNF219	0,726144259	-0,47504178	0,125	0,133	1	0,719445955	1,389958472	0,939849624
ZC3H6	0,475495989	-0,475365201	0,219	0,141	1	0,719284688	1,390270106	1,553191489
SMOX	0,270831373	-0,476224113	0,062	0,121	1	0,718856588	1,391098053	0,512396694
RBM7	0,616094331	-0,476301027	0,281	0,191	1	0,718818265	1,391172218	1,471204188
NRDE2	0,837002351	-0,477986737	0,125	0,125	1	0,717978856	1,392798676	1
TYRO3	0,08574604	-0,478859637	0	0,086	1	0,717544575	1,393641642	0
PRRC2B	0,520874723	-0,479281136	0,312	0,211	1	0,717334968	1,394048868	1,478672986
EGFL8	0,458755675	-0,480093362	0,844	0,656	1	0,716931228	1,394833928	1,286585366
KRT1	0,09097562	-0,480374208	0,031	0,141	1	0,716791677	1,395105484	0,219858156
FAM133B	0,521406761	-0,48037692	0,469	0,305	1	0,71679033	1,395108106	1,537704918
SRSF4	0,263679024	-0,480934036	0,375	0,211	1	0,716513585	1,39564695	1,777251185
RAB10	0,939107348	-0,481521264	0,5	0,359	1	0,716221999	1,396215143	1,39275766
IL11RA	0,73624035	-0,482343514	0,281	0,262	1	0,715813911	1,397011129	1,072519084
CCNL2	0,191876676	-0,482550462	0,406	0,227	1	0,715711238	1,397211539	1,788546256

Supplementary Table 1

Differentially expressed genes_adjacent-skin-XL_comparing SC-Keloid vs. (SC-Myel, SC-Nonmyel)								
gene	p_val	avg_log2FC	pct.1	pct.2	p_val_adj	Foldchange_UP	Foldchange_DOWN	Ratio_pct1_pct2
SEC14L1	0,530052754	-0,48323046	0,312	0,203	1	0,715373975	1,397870253	1,536945813
SBNO2	0,560003828	-0,483325964	0,125	0,152	1	0,71532662	1,397962794	0,822368421
ANAPC16	0,135648283	-0,483341138	0,594	0,301	1	0,715319096	1,397977497	1,973421927
FKBP4	0,203993033	-0,483941055	0,406	0,23	1	0,715021707	1,39855894	1,765217391
NCOR1	0,044672041	-0,484114443	0,406	0,184	1	0,714935778	1,398727033	2,206521739
MARCHF6	0,937963083	-0,484218342	0,406	0,324	1	0,714884292	1,39882777	1,25308642
MICALL2	0,449453483	-0,484587281	0,469	0,301	1	0,714701499	1,399185537	1,558139535
SORBS2	0,47756212	-0,484656375	0,5	0,316	1	0,714667271	1,399252548	1,582278481
SPRY1	0,015693314	-0,485401731	0,344	0,141	1	0,71429814	1,399975646	2,439716312
PLEKHG3	0,059869253	-0,486227612	0	0,102	1	0,713889352	1,400777302	0
CLOCK	0,721126199	-0,486531796	0,125	0,094	1	0,713738848	1,401072679	1,329787234
PABPC1	0,908444375	-0,486846082	0,719	0,516	1	0,71358338	1,401377931	1,393410853
MTSS2	0,675735117	-0,487132761	0,125	0,137	1	0,713441597	1,401656427	0,912408759
MON2	0,799775352	-0,487235336	0,125	0,129	1	0,713390873	1,401756088	0,968992248
CDK9	0,964894825	-0,488092115	0,156	0,145	1	0,712967335	1,402588802	1,075862069
MED13	0,722343574	-0,488188281	0,312	0,227	1	0,712919812	1,402682298	1,374449339
SOX7	0,26138036	-0,488989207	0,031	0,086	1	0,712524138	1,403461226	0,360465116
TFAM	0,379561462	-0,489102993	0,188	0,113	1	0,712467943	1,403571923	1,663716814
CREBZF	0,922361175	-0,489274594	0,25	0,219	1	0,712383204	1,40373888	1,141552511
DHX15	0,890525449	-0,489535371	0,219	0,176	1	0,712254447	1,403992638	1,244318182
MID1	0,180934293	-0,489672144	0,031	0,102	1	0,712186926	1,404125748	0,303921569
GRAMD2B	0,140747594	-0,489689422	0,344	0,176	1	0,712178396	1,404142564	1,954545455
TMEM168	0,586985538	-0,489752827	0,188	0,129	1	0,712147098	1,404204277	1,457364341
NRDC	0,532574125	-0,490537173	0,312	0,207	1	0,711760032	1,404967904	1,507246377
KIAA1755	0,982137358	-0,49057596	0,125	0,113	1	0,711740896	1,405005677	1,10619469
CUX1	0,314654322	-0,491058403	0,375	0,219	1	0,711502927	1,405475595	1,712328767
JMJD1C	0,530326632	-0,491257104	0,531	0,348	1	0,711404939	1,405669183	1,525862069
PSIP1	0,258883021	-0,491318491	0,281	0,16	1	0,711374669	1,405728996	1,75625
NPIPA1	0,630272476	-0,491860392	0,062	0,082	1	0,711107515	1,406257111	0,756097561
PDE9A	0,071654957	-0,492199329	0	0,094	1	0,710940472	1,406587527	0

Supplementary Table 1

Differentially expressed genes_adjacent-skin-XL_comparing SC-Keloid vs. (SC-Myel, SC-Nonmyel)								
gene	p_val	avg_log2FC	pct.1	pct.2	p_val_adj	Foldchange_UP	Foldchange_DOWN	Ratio_pct1_pct2
SIK2	0,198371032	-0,492706286	0,031	0,098	1	0,710690694	1,407081882	0,316326531
TNS1	0,99584873	-0,493364752	0,188	0,164	1	0,710366399	1,407724241	1,146341463
WNT6	0,180934079	-0,493457	0,031	0,102	1	0,710320979	1,407814256	0,303921569
KHDC4	0,594827904	-0,493963368	0,188	0,129	1	0,710071709	1,408308467	1,457364341
EZR	0,526054298	-0,493964304	0,562	0,355	1	0,710071248	1,408309381	1,583098592
NOLC1	0,188904652	-0,494058615	0,281	0,148	1	0,710024831	1,408401447	1,898648649
CAPRIN2	0,239501047	-0,494457995	0,062	0,129	1	0,709828303	1,408791388	0,480620155
ANKHD1	0,847556267	-0,494547602	0,25	0,223	1	0,709784216	1,408878892	1,121076233
CRY1	0,259540252	-0,494722713	0,25	0,141	1	0,709698069	1,409049909	1,773049645
TNFAIP2	0,507127635	-0,494779574	0,156	0,102	1	0,709670099	1,409105444	1,529411765
TOP1	0,510974938	-0,494813994	0,406	0,266	1	0,709653167	1,409139064	1,526315789
ZFHX3	0,496193648	-0,494876265	0,25	0,164	1	0,709622538	1,409199887	1,524390244
LMBRD1	0,197426112	-0,495557504	0,5	0,27	1	0,709287533	1,409865468	1,851851852
FRMD8	0,213436227	-0,496063998	0,062	0,133	1	0,709038564	1,410360523	0,466165414
TMED5	0,307253547	-0,496312389	0,312	0,184	1	0,708916499	1,410603367	1,695652174
RNF114	0,736411986	-0,496829516	0,406	0,285	1	0,708662436	1,411109082	1,424561404
DIXDC1	0,45890811	-0,496851086	0,156	0,191	1	0,708651841	1,41113018	0,816753927
NRP1	0,084505016	-0,496868178	0,25	0,113	1	0,708643445	1,411146898	2,212389381
SCD	0,43153954	-0,497253318	0,438	0,273	1	0,708454292	1,411523666	1,604395604
GALNT2	0,114455439	-0,497927216	0,625	0,316	1	0,708123443	1,412183158	1,977848101
C12orf57	0,419427842	-0,499063149	0,656	0,406	1	0,707566108	1,413295505	1,615763547
RASGEF1A	0,492632793	-0,499164784	0,062	0,094	1	0,707516263	1,413395072	0,659574468
KCTD3	0,977829359	-0,499530028	0,156	0,141	1	0,707337166	1,413752943	1,106382979
TARS3	0,926839124	-0,499788131	0,25	0,215	1	0,707210632	1,414005892	1,162790698
ARL8A	0,883675864	-0,499847725	0,406	0,293	1	0,70718142	1,414064301	1,385665529
AEBP2	0,192462217	-0,500743745	0,281	0,148	1	0,706742344	1,414942812	1,898648649
SAP30BP	0,205385164	-0,502817831	0,406	0,227	1	0,705727028	1,416978463	1,788546256
HELZ	0,139465797	-0,503534625	0,031	0,113	1	0,705376479	1,417682655	0,274336283
AFAP1L2	0,397154955	-0,504443339	0,469	0,293	1	0,704932322	1,418575896	1,600682594
CDKN1C	0,773665643	-0,505579211	0,312	0,262	1	0,704377529	1,419693218	1,190839695

Supplementary Table 1

Differentially expressed genes_adjacent-skin-XL_comparing SC-Keloid vs. (SC-Myel, SC-Nonmyel)								
gene	p_val	avg_log2FC	pct.1	pct.2	p_val_adj	Foldchange_UP	Foldchange_DOWN	Ratio_pct1_pct2
BACH2	0,19837126	-0,505596422	0,031	0,098	1	0,704369125	1,419710155	0,316326531
BAZ2B	0,626135927	-0,506218528	0,219	0,152	1	0,704065459	1,420322482	1,440789474
B4GALT5	0,674055279	-0,506600999	0,094	0,109	1	0,70387883	1,420699071	0,862385321
AHI1	0,454428691	-0,507313266	0,406	0,254	1	0,703531406	1,421400652	1,598425197
MTMR3	0,968729744	-0,507322197	0,125	0,109	1	0,703527052	1,421409451	1,146788991
NHLRC2	0,708633239	-0,507624275	0,094	0,105	1	0,703379759	1,421707103	0,895238095
MEF2A	0,399497935	-0,507906762	0,406	0,25	1	0,703242048	1,421985508	1,624
TMEM248	0,589223109	-0,508246519	0,281	0,191	1	0,703076452	1,422320428	1,471204188
GAL3ST1	0,351280945	-0,508540799	0,062	0,109	1	0,702933054	1,42261058	0,568807339
RFTN2	0,549412664	-0,509037876	0,094	0,121	1	0,702690901	1,423100823	0,776859504
RNF24	0,682167253	-0,509326913	0,156	0,16	1	0,702550135	1,423385962	0,975
BMP7	0,078384714	-0,509579542	0	0,09	1	0,702427123	1,423635232	0
WDFY3	0,611764646	-0,510180374	0,094	0,113	1	0,702134648	1,424228249	0,831858407
DISC1	0,91169441	-0,51059941	0,125	0,105	1	0,701930739	1,424641982	1,19047619
SIAH1	0,807013741	-0,510825841	0,281	0,207	1	0,70182058	1,424865597	1,357487923
NXPE3	0,616164234	-0,511000843	0,219	0,152	1	0,701735453	1,425038447	1,440789474
PTPDC1	0,256488161	-0,5111167713	0,094	0,164	1	0,701654291	1,425203284	0,573170732
TSPAN14	0,723273635	-0,512033513	0,125	0,133	1	0,701233336	1,426058843	0,939849624
NKD1	0,122891724	-0,512461801	0	0,07	1	0,701025194	1,426482255	0
TPCN1	0,26138036	-0,512703426	0,031	0,086	1	0,700907795	1,426721185	0,360465116
CEMIP2	0,674055279	-0,512808677	0,094	0,109	1	0,700856662	1,426825275	0,862385321
SELENOW	0,14489921	-0,513326399	0,719	0,582	1	0,7006052	1,427337394	1,235395189
GRB14	0,220935523	-0,51335968	0,031	0,094	1	0,700589038	1,427370321	0,329787234
TPP2	0,761165734	-0,513781244	0,094	0,102	1	0,700384352	1,427787468	0,921568627
ETFDH	0,491272981	-0,513808505	0,094	0,125	1	0,700371117	1,427814448	0,752
RAB11FIP1	0,19837126	-0,514040898	0,031	0,098	1	0,700258309	1,428044462	0,316326531
CD46	0,181261718	-0,514838642	0,656	0,348	1	0,699871205	1,428834323	1,885057471
HLA-DRA	0,530494223	-0,515798861	0,062	0,094	1	0,699405545	1,429785633	0,659574468
HDAC11	0,150480606	-0,516554389	0,031	0,109	1	0,699039368	1,430534597	0,28440367
ZNF791	0,81643733	-0,516851424	0,094	0,098	1	0,698895458	1,430829159	0,959183673

Supplementary Table 1

Differentially expressed genes_adjacent-skin-XL_comparing SC-Keloid vs. (SC-Myel, SC-Nonmyel)								
gene	p_val	avg_log2FC	pct.1	pct.2	p_val_adj	Foldchange_UP	Foldchange_DOWN	Ratio_pct1_pct2
YME1L1	0,17903325	-0,517507161	0,406	0,227	1	0,698577867	1,43147965	1,788546256
RPS6KA3	0,270831373	-0,517709791	0,062	0,121	1	0,698479757	1,431680719	0,512396694
IGF2BP2	0,835877214	-0,517847892	0,156	0,125	1	0,698412898	1,431817772	1,248
DNAJC6	0,054716441	-0,518457537	0	0,105	1	0,69811783	1,432422948	0
RTF1	0,06208619	-0,518982438	0,5	0,238	1	0,697863877	1,432944207	2,100840336
SYNM	0,309093028	-0,519512505	0,094	0,148	1	0,697607519	1,433470788	0,635135135
SOX6	0,656036246	-0,520698081	0,375	0,262	1	0,697034476	1,434649268	1,43129771
ERBB3	0,294659479	-0,521225682	0,875	0,5	1	0,696779613	1,435174022	1,75
C11orf54	0,078384714	-0,52175605	0	0,09	1	0,696523508	1,435701723	0
SFT2D2	0,248051582	-0,521934131	0,062	0,125	1	0,696437537	1,435878951	0,496
ARGLU1	0,909089059	-0,52310997	0,656	0,457	1	0,695870151	1,437049712	1,435448578
LRRC7	0,093802134	-0,523158157	0	0,082	1	0,695846909	1,437097711	0
EWSR1	0,114855681	-0,523233948	0,562	0,285	1	0,695810354	1,43717321	1,971929825
KANSL1L	0,23950123	-0,523979934	0,062	0,129	1	0,695450659	1,437916533	0,480620155
HNRNPA2B1	0,07943437	-0,524347548	0,938	0,797	1	0,695273473	1,438282977	1,176913425
PRPF39	0,217476686	-0,524698026	0,031	0,094	1	0,695104589	1,438632425	0,329787234
STX16	0,393622993	-0,525264403	0,281	0,176	1	0,694831756	1,439197318	1,596590909
PDS5B	0,714048186	-0,525353187	0,312	0,223	1	0,694788997	1,439285889	1,399103139
PIK3C2A	0,907819917	-0,525449799	0,188	0,152	1	0,694742471	1,439382276	1,236842105
MINDY2	0,961283601	-0,525869348	0,25	0,211	1	0,694540464	1,439800922	1,184834123
RNF103	0,723273635	-0,526655012	0,125	0,133	1	0,694162333	1,440585224	0,939849624
TMEM176A	0,31715205	-0,526914793	0,312	0,352	1	0,694037349	1,440844649	0,886363636
NFATC1	0,389076766	-0,527352501	0,094	0,137	1	0,693826812	1,441281862	0,686131387
SBDS	0,491042257	-0,527518578	0,781	0,586	1	0,693746947	1,441447786	1,332764505
PLXDC2	0,901090659	-0,527658711	0,375	0,285	1	0,693679565	1,441587804	1,315789474
TAF1	0,112290358	-0,52768383	0	0,074	1	0,693667487	1,441612904	0
TAOK1	0,492895148	-0,527867284	0,5	0,312	1	0,693579285	1,441796232	1,602564103
ZNF331	0,249700501	-0,527933782	0,062	0,125	1	0,693547317	1,441862691	0,496
TLN2	0,472561141	-0,528011835	0,188	0,121	1	0,693509796	1,4419407	1,553719008
MYO1E	0,899476288	-0,52841952	0,156	0,129	1	0,693313847	1,44234823	1,209302326

Supplementary Table 1

Differentially expressed genes_adjacent-skin-XL_comparing SC-Keloid vs. (SC-Myel, SC-Nonmyel)								
gene	p_val	avg_log2FC	pct.1	pct.2	p_val_adj	Foldchange_UP	Foldchange_DOWN	Ratio_pct1_pct2
SNHG12	0,829851616	-0,529682165	0,219	0,168	1	0,692707325	1,443611123	1,303571429
ANKRD36C	0,708251698	-0,530876499	0,156	0,16	1	0,692134105	1,444806711	0,975
SLC9A3R1	0,230125064	-0,53143839	0,062	0,129	1	0,69186459	1,445369534	0,480620155
NKTR	0,421783651	-0,531746314	0,469	0,285	1	0,691716937	1,445678061	1,645614035
KCNQ1OT1	0,600062	-0,531756457	0,125	0,145	1	0,691712073	1,445688226	0,862068966
ZMYND8	0,507127635	-0,532553274	0,156	0,102	1	0,691330138	1,446486916	1,529411765
RASGEF1B	0,345353593	-0,532922153	0,094	0,145	1	0,691153397	1,446856812	0,648275862
EXOC1	0,048449393	-0,532935518	0,281	0,121	1	0,691146994	1,446870216	2,32231405
SVIP	0,088519719	-0,533138986	0,375	0,184	1	0,691049526	1,447074287	2,038043478
ADAM23	0,78856501	-0,533448581	0,188	0,184	1	0,690901246	1,447384855	1,02173913
UBAP1	0,284187836	-0,533669979	0,094	0,152	1	0,690795227	1,44760699	0,618421053
IL34	0,071654957	-0,53371672	0	0,094	1	0,690772847	1,447653891	0
RNF149	0,270831373	-0,533949889	0,062	0,121	1	0,690661213	1,44788788	0,512396694
RLF	0,882939173	-0,534805909	0,219	0,195	1	0,690251532	1,448747236	1,123076923
HES4	0,897119629	-0,535813453	0,25	0,199	1	0,689769646	1,44975936	1,256281407
AKAP7	0,324349291	-0,536482012	0,062	0,113	1	0,689450074	1,450431349	0,548672566
MECP2	0,647779378	-0,537074249	0,375	0,262	1	0,689167107	1,451026883	1,43129771
USP47	0,367937279	-0,537188462	0,344	0,207	1	0,68911255	1,451141761	1,661835749
AGO2	0,947872509	-0,537396366	0,281	0,227	1	0,689013251	1,451350897	1,237885463
LINC00632	0,943740324	-0,537686942	0,219	0,188	1	0,688874489	1,451643246	1,164893617
TRIM56	0,059869253	-0,538285398	0	0,102	1	0,688588791	1,452245539	0
IFNGR1	0,250980166	-0,539107299	0,219	0,277	1	0,688196615	1,453073117	0,790613718
APOE	0,26138036	-0,540723225	0,031	0,086	1	0,687426215	1,454701578	0,360465116
SOD1	0,468461826	-0,541604548	0,844	0,645	1	0,687006404	1,455590507	1,308527132
GPATCH8	0,338687844	-0,541842176	0,281	0,168	1	0,686893256	1,455830279	1,672619048
TMEM132A	0,667452977	-0,542410162	0,125	0,137	1	0,68662288	1,456403549	0,912408759
PARP14	0,841792297	-0,543097163	0,188	0,148	1	0,686295993	1,457097243	1,27027027
KIF1A	0,10262374	-0,543204179	0	0,078	1	0,686245087	1,457205332	0
LUC7L2	0,745097108	-0,543924422	0,375	0,27	1	0,685902576	1,457933	1,388888889
CIR1	0,567878517	-0,544150158	0,281	0,188	1	0,685795262	1,458161138	1,494680851

Supplementary Table 1

Differentially expressed genes_adjacent-skin-XL_comparing SC-Keloid vs. (SC-Myel, SC-Nonmyel)								
gene	p_val	avg_log2FC	pct.1	pct.2	p_val_adj	Foldchange_UP	Foldchange_DOWN	Ratio_pct1_pct2
USP32	0,803488864	-0,544227525	0,125	0,125	1	0,685758486	1,458239337	1
RBBP6	0,836660523	-0,544590524	0,344	0,254	1	0,685585963	1,458606294	1,354330709
MT-CO1	0,649932755	-0,545046839	0,781	0,719	1	0,685369151	1,459067714	1,086230876
SERINC5	0,930493752	-0,545299108	0,25	0,203	1	0,685249318	1,459322868	1,231527094
PHC1	0,611764646	-0,545460366	0,094	0,113	1	0,685172728	1,459485994	0,831858407
ADAMTS4	0,966010928	-0,546128274	0,156	0,141	1	0,684855595	1,460161832	1,106382979
MYSM1	0,574023156	-0,547108897	0,188	0,129	1	0,684390246	1,461154664	1,457364341
SNRNP27	0,172612804	-0,548242942	0,406	0,215	1	0,683852485	1,462303671	1,888372093
JAM2	0,19837126	-0,548425518	0,031	0,098	1	0,683765948	1,462488741	0,316326531
MEGF6	0,612285359	-0,54864432	0,156	0,109	1	0,683662254	1,462710562	1,431192661
SLC35F1	0,172513176	-0,548769625	0,5	0,262	1	0,683602877	1,462837611	1,908396947
NEDD4L	0,536573979	-0,549668448	0,125	0,148	1	0,683177114	1,463749266	0,844594595
CLK4	0,328400266	-0,549773897	0,094	0,145	1	0,683127182	1,463856258	0,648275862
RIF1	0,691490388	-0,551747041	0,312	0,223	1	0,682193521	1,465859714	1,399103139
WRN	0,730871257	-0,55222762	0,094	0,105	1	0,681966312	1,46634809	0,895238095
HEXIM1	0,09580422	-0,553027975	0,406	0,203	1	0,681588087	1,467161793	2
CTNND1	0,573208462	-0,553260432	0,312	0,297	1	0,681478274	1,467398212	1,050505051
ECHDC2	0,426651606	-0,553825732	0,062	0,102	1	0,681211298	1,467973304	0,607843137
PRNP	0,418711318	-0,554108034	1	0,824	1	0,681078014	1,468260581	1,213592233
NEK7	0,167651587	-0,554355896	0,062	0,145	1	0,680961011	1,468512857	0,427586207
SLC25A29	0,486291268	-0,554829145	0,094	0,125	1	0,680737672	1,468994653	0,752
PLCE1	0,082922884	-0,555489336	0,344	0,164	1	0,680426231	1,469667033	2,097560976
BBX	0,838249419	-0,556658535	0,375	0,277	1	0,679875018	1,470858574	1,353790614
ARMCX4	0,611764646	-0,557528782	0,094	0,113	1	0,679465035	1,471746077	0,831858407
CYBRD1	0,987437888	-0,558050254	0,188	0,16	1	0,679219482	1,472278146	1,175
DUSP16	0,915013818	-0,558155445	0,125	0,105	1	0,67916996	1,472385498	1,19047619
ALDH6A1	0,803488864	-0,558994262	0,125	0,125	1	0,678775189	1,473241827	1
JARID2	0,435228895	-0,559230904	0,094	0,133	1	0,678663861	1,473483498	0,706766917
IST1	0,144091573	-0,559382185	0,375	0,191	1	0,6785927	1,473638016	1,963350785
MAP4K3	0,486291098	-0,560742111	0,094	0,125	1	0,67795334	1,475027765	0,752

Supplementary Table 1

Differentially expressed genes_adjacent-skin-XL_comparing SC-Keloid vs. (SC-Myel, SC-Nonmyel)								
gene	p_val	avg_log2FC	pct.1	pct.2	p_val_adj	Foldchange_UP	Foldchange_DOWN	Ratio_pct1_pct2
PAQR6	0,883363513	-0,561140385	0,156	0,145	1	0,677766208	1,475435021	1,075862069
INAFM1	0,227058461	-0,561285407	0,062	0,129	1	0,677698082	1,475583341	0,480620155
SREBF1	0,801438557	-0,561439648	0,312	0,238	1	0,677625632	1,475741107	1,31092437
NUP98	0,069020595	-0,562060078	0,031	0,145	1	0,677334282	1,476375885	0,213793103
PGM2L1	0,035646772	-0,562645373	0,531	0,242	1	0,677059546	1,476974965	2,194214876
SMCHD1	0,35121699	-0,562762504	0,344	0,203	1	0,677004579	1,477094885	1,694581281
NDEL1	0,60483255	-0,56381453	0,281	0,191	1	0,676511081	1,478172388	1,471204188
USP34	0,822879814	-0,564246293	0,375	0,277	1	0,676308648	1,478614835	1,353790614
HERC2	0,213440672	-0,564299033	0,375	0,207	1	0,676283925	1,478668889	1,811594203
HNRNPA0	0,644251391	-0,565373495	0,75	0,508	1	0,675780443	1,479770553	1,476377953
NUTM2A-AS1	0,598458377	-0,565534769	0,375	0,246	1	0,675704904	1,479935981	1,524390244
PPP1R16A	0,908273548	-0,56618434	0,188	0,168	1	0,675400737	1,48060247	1,119047619
RMND5A	0,103889562	-0,567001408	0,031	0,125	1	0,675018334	1,481441244	0,248
CNKSR3	0,629352429	-0,567276418	0,344	0,238	1	0,674889672	1,481723667	1,445378151
CPEB4	0,600062	-0,567430653	0,125	0,145	1	0,674817525	1,481882083	0,862068966
BTA1F1	0,345353761	-0,567667061	0,094	0,145	1	0,674706955	1,482124932	0,648275862
ERICH1	0,783849734	-0,567744406	0,156	0,121	1	0,674670784	1,482204393	1,289256198
CLDN19	0,078384714	-0,567938558	0	0,09	1	0,674579996	1,482403875	0
RBMS1	0,142817233	-0,56977545	0,594	0,316	1	0,673721643	1,484292528	1,879746835
FAM214A	0,535198384	-0,569878454	0,062	0,09	1	0,673673542	1,484398506	0,688888889
MEX3D	0,950738707	-0,569926681	0,188	0,156	1	0,673651023	1,484448128	1,205128205
ZC3H12C	0,295532937	-0,569962529	0,062	0,117	1	0,673634284	1,484485014	0,52991453
KDSR	0,669580018	-0,570252191	0,469	0,316	1	0,673499047	1,484783096	1,484177215
BDP1	0,404521581	-0,572167702	0,312	0,199	1	0,672605414	1,486755798	1,567839196
SLC37A3	0,449469411	-0,572481299	0,094	0,129	1	0,672459227	1,487079008	0,728682171
PCDH17	0,071654957	-0,57289112	0	0,094	1	0,672268231	1,487501496	0
RDX	0,303707374	-0,573054763	0,844	0,68	1	0,672191981	1,487670232	1,241176471
SPRED1	0,975124463	-0,57439476	0,219	0,188	1	0,671567929	1,489052644	1,164893617
FCGR2B	0,314221703	-0,574438402	0,031	0,078	1	0,671547614	1,489097689	0,397435897
FRMD3	0,54873037	-0,57529378	0,125	0,148	1	0,671149569	1,489980841	0,844594595

Supplementary Table 1

Differentially expressed genes_adjacent-skin-XL_ comparing SC-Keloid vs. (SC-Myel, SC-Nonmyel)								
gene	p_val	avg_log2FC	pct.1	pct.2	p_val_adj	Foldchange_UP	Foldchange_DOWN	Ratio_pct1_pct2
FAR1	0,428423523	-0,575390696	0,094	0,133	1	0,671104485	1,490080937	0,706766917
CYP7B1	0,327050001	-0,576092861	0,094	0,148	1	0,670777936	1,490806341	0,635135135
LSM14A	0,598509491	-0,576576214	0,344	0,23	1	0,670553239	1,491305897	1,495652174
ARID4A	0,733675065	-0,577789633	0,156	0,156	1	0,669989489	1,492560729	1
KMT2A	0,367014331	-0,577980978	0,562	0,332	1	0,669900634	1,492758701	1,692771084
TARDBP	0,576684612	-0,578071989	0,188	0,199	1	0,669858375	1,492852873	0,944723618
H2BC21	0,19837126	-0,578215754	0,031	0,098	1	0,669791627	1,493001644	0,316326531
INTS10	0,511429095	-0,579573211	0,25	0,164	1	0,669161705	1,494407096	1,524390244
VPS37B	0,70704765	-0,580075693	0,25	0,184	1	0,66892868	1,49492768	1,358695652
CDKN1B	0,583331073	-0,580181352	0,188	0,199	1	0,668879692	1,495037168	0,944723618
IFIT2	0,771038875	-0,580533583	0,094	0,102	1	0,668716406	1,495402223	0,921568627
RUBCN	0,189930437	-0,580549439	0,062	0,137	1	0,668709056	1,495418659	0,452554745
MAPK1	0,414206269	-0,581247271	0,344	0,215	1	0,66838568	1,496142168	1,6
ZNF644	0,798298705	-0,582018994	0,344	0,289	1	0,668028244	1,496942695	1,190311419
PTPRA	0,236011314	-0,582278011	0,375	0,211	1	0,667908319	1,497211475	1,777251185
KSR1	0,078384714	-0,583256424	0	0,09	1	0,667455508	1,498227205	0
HIPK3	0,302084682	-0,583938836	0,469	0,273	1	0,667139868	1,498936052	1,717948718
TUBB2B	0,9102215	-0,584124541	0,531	0,43	1	0,667053999	1,499129009	1,234883721
DOCK7	0,088935428	-0,584308377	0,438	0,211	1	0,666969005	1,499320048	2,075829384
PAG1	0,087669454	-0,584331879	0,031	0,133	1	0,66695814	1,499344473	0,233082707
NEU1	0,309264374	-0,584426243	0,281	0,164	1	0,666914516	1,499442546	1,713414634
FYN	0,80210583	-0,584671583	0,312	0,27	1	0,666801113	1,499697557	1,155555556
NAV2	0,848801983	-0,58472823	0,156	0,148	1	0,666774932	1,499756443	1,054054054
PCDH10	0,337841113	-0,584850179	0,125	0,188	1	0,666718572	1,499883222	0,664893617
USP53	0,899977466	-0,584926999	0,469	0,348	1	0,666683072	1,499963089	1,347701149
CFD	0,344592621	-0,587517065	0,031	0,074	1	0,665487252	1,502658386	0,418918919
ATOH8	0,054716322	-0,588400034	0	0,105	1	0,66508008	1,503578336	0
NUDT4	0,014587152	-0,588683509	0,562	0,242	1	0,664949411	1,503873804	2,32231405
ARF6	0,461326013	-0,588837869	0,531	0,324	1	0,664878269	1,504034717	1,638888889
STIP1	0,874412152	-0,58892577	0,438	0,312	1	0,664837761	1,504126359	1,403846154

Supplementary Table 1

Differentially expressed genes_adjacent-skin-XL_comparing SC-Keloid vs. (SC-Myel, SC-Nonmyel)								
gene	p_val	avg_log2FC	pct.1	pct.2	p_val_adj	Foldchange_UP	Foldchange_DOWN	Ratio_pct1_pct2
LITAF	0,764312379	-0,589833405	0,438	0,352	1	0,664419626	1,50507294	1,244318182
MRGPRF	0,031765882	-0,590077649	0	0,129	1	0,664307152	1,505327765	0
TTC21B	0,276181391	-0,590894074	0,062	0,121	1	0,663931325	1,506179875	0,512396694
NEK1	0,189930437	-0,591067119	0,062	0,137	1	0,663851694	1,506360546	0,452554745
SP100	0,331669544	-0,591690921	0,406	0,234	1	0,663564715	1,507012017	1,735042735
IRF2BPL	0,389151804	-0,591970919	0,281	0,172	1	0,663435943	1,507304526	1,63372093
HTRA1	0,424065451	-0,592165699	0,562	0,328	1	0,663346378	1,507508042	1,713414634
PCF11	0,61519101	-0,594079329	0,281	0,273	1	0,662467081	1,509508969	1,029304029
ARHGEF16	0,045682874	-0,594206032	0	0,113	1	0,662408903	1,509641546	0
BNIP3L	0,558819534	-0,595434137	0,281	0,277	1	0,661845262	1,510927186	1,014440433
MBNL1	0,676253127	-0,596176508	0,625	0,484	1	0,661504782	1,511704868	1,291322314
NAA16	0,065500116	-0,596347307	0	0,098	1	0,661426472	1,511883848	0
PLSCR1	0,346885347	-0,596483148	0,125	0,176	1	0,661364197	1,51202621	0,710227273
BAZ2A	0,227194215	-0,597226691	0,125	0,191	1	0,661023427	1,512805686	0,654450262
SHPRH	0,927665952	-0,600003022	0,156	0,141	1	0,659752574	1,515719741	1,106382979
ATP2B4	0,822100351	-0,600004106	0,312	0,27	1	0,659752078	1,515720881	1,155555556
STON1	0,312631271	-0,600806957	0,094	0,148	1	0,659385032	1,516564604	0,635135135
IFNGR2	0,84684372	-0,601658471	0,688	0,453	1	0,658995962	1,517459982	1,518763797
AC007952.4	0,915013818	-0,601881079	0,125	0,105	1	0,658894286	1,517694145	1,19047619
NOP58	0,911607561	-0,601938177	0,156	0,129	1	0,658868209	1,517754212	1,209302326
ATM	0,118585846	-0,60222515	0,344	0,172	1	0,658737164	1,518056145	2
SESN3	0,642128591	-0,602464987	0,25	0,176	1	0,658627663	1,518308532	1,420454545
MX1	0,177040152	-0,603458725	0,094	0,18	1	0,658174152	1,519354713	0,522222222
COL27A1	0,862675664	-0,60347826	0,281	0,254	1	0,65816524	1,519375287	1,106299213
DYRK1A	0,556088893	-0,604185129	0,125	0,148	1	0,657842842	1,520119908	0,844594595
MAGI1	0,325081758	-0,604293276	0,125	0,18	1	0,657793531	1,520233863	0,694444444
SH3D19	0,699543015	-0,605518328	0,312	0,281	1	0,657235208	1,521525305	1,110320285
THRA	0,768954653	-0,606004941	0,188	0,18	1	0,657013563	1,522038594	1,044444444
ELF2	0,698599064	-0,606255138	0,188	0,137	1	0,656899632	1,522302574	1,372262774
IRF2	0,427947953	-0,606299326	0,125	0,16	1	0,656879512	1,522349201	0,78125

Supplementary Table 1

Differentially expressed genes_adjacent-skin-XL_comparing SC-Keloid vs. (SC-Myel, SC-Nonmyel)								
gene	p_val	avg_log2FC	pct.1	pct.2	p_val_adj	Foldchange_UP	Foldchange_DOWN	Ratio_pct1_pct2
AKR1C1	0,755689148	-0,606666017	0,062	0,047	1	0,656712574	1,522736186	1,319148936
CD59	0,370177778	-0,607045986	0,969	0,809	1	0,656539635	1,523137289	1,197775031
SPAG9	0,543313878	-0,607067088	0,625	0,375	1	0,656530032	1,523159568	1,666666667
L1CAM	0,37324344	-0,607681497	0,906	0,652	1	0,656250492	1,523808382	1,389570552
KLHL21	0,71468524	-0,608737828	0,125	0,133	1	0,655770165	1,524924513	0,939849624
CADM4	0,200355408	-0,609534304	0,438	0,469	1	0,655408231	1,525766619	0,933901919
TMEM123	0,921931644	-0,610217151	0,375	0,297	1	0,655098091	1,526488955	1,262626263
SEPTIN10	0,741468474	-0,610860974	0,5	0,328	1	0,654805809	1,527170324	1,524390244
CNBP	0,624285586	-0,611778833	0,688	0,477	1	0,654389347	1,528142237	1,442348008
DIP2B	0,775368776	-0,612640385	0,375	0,27	1	0,653998674	1,529055089	1,388888889
WDR74	0,507127635	-0,612771256	0,156	0,102	1	0,65393935	1,5291938	1,529411765
MYO15B	0,243695697	-0,612913253	0,062	0,133	1	0,65387499	1,529344318	0,466165414
ATP9B	0,10388942	-0,612913949	0,031	0,125	1	0,653874674	1,529345056	0,248
ERBB2	0,155166548	-0,613425793	0,438	0,23	1	0,653642732	1,529887738	1,904347826
AUTS2	0,659211148	-0,613680057	0,125	0,137	1	0,653527542	1,530157393	0,912408759
SPHK1	0,838254212	-0,61427677	0,5	0,336	1	0,653257293	1,530790412	1,488095238
EIF1B	0,892198632	-0,6143419	0,625	0,449	1	0,653227802	1,53085952	1,391982183
ZFAS1	0,602714118	-0,614466488	0,969	0,605	1	0,653171393	1,530991728	1,601652893
SLC25A36	0,69409843	-0,614979978	0,219	0,207	1	0,652938955	1,531536742	1,057971014
PHF10	0,938454639	-0,615872687	0,219	0,176	1	0,652535055	1,532484718	1,244318182
KLHL24	0,918500285	-0,616555988	0,188	0,164	1	0,65222607	1,533210717	1,146341463
RB1CC1	0,658940148	-0,618850235	0,312	0,215	1	0,651189691	1,535650847	1,451162791
DHH	0,189930437	-0,618922623	0,062	0,137	1	0,651157018	1,535727901	0,452554745
SH3BP2	0,353309248	-0,6194439	0,344	0,207	1	0,650921783	1,536282892	1,661835749
LZTS2	0,541420238	-0,620113591	0,125	0,148	1	0,650619699	1,536996192	0,844594595
GPCPD1	0,138332372	-0,620155959	0,031	0,113	1	0,650600592	1,53704133	0,274336283
ITGAV	0,438290863	-0,620272615	0,594	0,344	1	0,650547987	1,53716562	1,726744186
GPC4	0,078384714	-0,620537934	0	0,09	1	0,650428359	1,537448339	0
THUMPD3-AS1	0,984779541	-0,621012858	0,188	0,164	1	0,650214278	1,537954538	1,146341463
STOM	0,789751879	-0,621818635	0,312	0,273	1	0,649851221	1,53881376	1,142857143

Supplementary Table 1

Differentially expressed genes_adjacent-skin-XL_comparing SC-Keloid vs. (SC-Myel, SC-Nonmyel)								
gene	p_val	avg_log2FC	pct.1	pct.2	p_val_adj	Foldchange_UP	Foldchange_DOWN	Ratio_pct1_pct2
HDAC7	0,382784766	-0,622568964	0,094	0,137	1	0,649513328	1,539614287	0,686131387
TMED7	0,154809432	-0,623044315	0,438	0,227	1	0,649299357	1,540121655	1,929515419
RAB40B	0,382784766	-0,62511509	0,094	0,137	1	0,648368052	1,54233386	0,686131387
ZNF638	0,75124878	-0,626299991	0,406	0,281	1	0,647835759	1,543601115	1,444839858
FBXO11	0,521878142	-0,627299262	0,312	0,203	1	0,647387196	1,544670648	1,536945813
CRK	0,81875474	-0,627905672	0,25	0,223	1	0,647115136	1,545320058	1,121076233
DNTTIP2	0,177396377	-0,627994307	0,094	0,172	1	0,647075381	1,545415001	0,546511628
EGR3	0,865226568	-0,628629065	0,25	0,227	1	0,646790742	1,546095104	1,101321586
INSR	0,137206058	-0,629160402	0,031	0,113	1	0,646552577	1,546664626	0,274336283
CLEC14A	0,065500116	-0,630091878	0	0,098	1	0,646135265	1,547663553	0
RORB	0,078496882	-0,630995184	0,031	0,137	1	0,645730831	1,548632886	0,226277372
NIPBL	0,707188953	-0,631019904	0,344	0,242	1	0,645719766	1,548659422	1,421487603
CKB	0,859329737	-0,631054206	0,5	0,383	1	0,645704414	1,548696243	1,305483029
HMGB2	0,566311275	-0,63111964	0,25	0,266	1	0,645675128	1,548766487	0,939849624
LPIN1	0,806521651	-0,631687122	0,125	0,125	1	0,645421203	1,549375812	1
KMT2C	0,671602961	-0,632350026	0,281	0,262	1	0,645124706	1,550087898	1,072519084
GCLM	0,32791849	-0,632563009	0,188	0,109	1	0,645029474	1,550316753	1,724770642
GIT1	0,983758836	-0,632646566	0,25	0,211	1	0,644992117	1,550406545	1,184834123
HLA-DRB1	0,314221703	-0,63323962	0,031	0,078	1	0,644727033	1,551044007	0,397435897
NPEPPS	0,638567716	-0,634045134	0,344	0,23	1	0,644367156	1,551910258	1,495652174
NR3C1	0,957983132	-0,634247681	0,625	0,441	1	0,644276697	1,552128154	1,41723356
RNF169	0,775527841	-0,635700183	0,25	0,188	1	0,643628367	1,55369162	1,329787234
BBS5	0,19837126	-0,63613824	0,031	0,098	1	0,643432967	1,554163451	0,316326531
AK5	0,041730427	-0,636607201	0	0,117	1	0,643223847	1,554668728	0
NMT1	0,541417165	-0,636715326	0,281	0,191	1	0,643175641	1,554785249	1,471204188
MAG	0,08574604	-0,636964282	0	0,086	1	0,643064662	1,555053572	0
KAT2B	0,355687038	-0,637666258	0,062	0,109	1	0,642751841	1,555810402	0,568807339
MBD2	0,429427742	-0,63842768	0,375	0,23	1	0,642412701	1,55663174	1,630434783
ATP8A1	0,050000177	-0,639263575	0	0,109	1	0,642040595	1,557533912	0
LACTB	0,251919686	-0,639943849	0,094	0,156	1	0,641737925	1,558268509	0,602564103

Supplementary Table 1

Differentially expressed genes_adjacent-skin-XL_comparing SC-Keloid vs. (SC-Myel, SC-Nonmyel)								
gene	p_val	avg_log2FC	pct.1	pct.2	p_val_adj	Foldchange_UP	Foldchange_DOWN	Ratio_pct1_pct2
MLXIP	0,405500634	-0,640278854	0,375	0,23	1	0,641588926	1,558630393	1,630434783
PPP2CB	0,828245535	-0,640562494	0,656	0,449	1	0,6414628	1,558936856	1,461024499
DCAF8	0,82197282	-0,641265112	0,188	0,176	1	0,641150472	1,559696271	1,068181818
CELF1	0,915192996	-0,643126872	0,312	0,254	1	0,640323618	1,561710317	1,228346457
RAB8B	0,444667251	-0,643687085	0,344	0,211	1	0,640075022	1,562316863	1,630331754
ICAM1	0,238418073	-0,646909102	0,031	0,09	1	0,638647117	1,565809934	0,344444444
ANKRD28	0,427947953	-0,64730192	0,125	0,16	1	0,638473249	1,566236333	0,78125
HIPK2	0,413936113	-0,647737815	0,125	0,168	1	0,63828037	1,566709626	0,744047619
FOXN2	0,384875137	-0,647905873	0,094	0,137	1	0,638206022	1,566892141	0,686131387
AKAP9	0,814480554	-0,647962802	0,406	0,293	1	0,638180839	1,566953971	1,385665529
CHD1	0,666879428	-0,648571809	0,312	0,289	1	0,6379115	1,567615571	1,079584775
COBL	0,75872397	-0,648678237	0,438	0,301	1	0,637864442	1,567731219	1,455149502
CAHM	0,2285881	-0,649804366	0,062	0,129	1	0,637366737	1,568955426	0,480620155
SRGN	0,150480606	-0,651122972	0,031	0,109	1	0,636784457	1,570390088	0,28440367
ZSWIM8	0,453137599	-0,651835338	0,062	0,098	1	0,636470107	1,571165698	0,632653061
KLF6	0,31355846	-0,65189151	0,906	0,773	1	0,636445326	1,571226873	1,172056921
ANTXR2	0,307333706	-0,653236786	0,094	0,148	1	0,635852134	1,572692685	0,635135135
MRPS24	0,072634989	-0,653441702	0,656	0,328	1	0,635761826	1,572916081	2
LINC00472	0,145730596	-0,653462839	0,062	0,148	1	0,635752511	1,572939127	0,418918919
LENG8	0,989447626	-0,653846414	0,219	0,184	1	0,635583504	1,573357385	1,190217391
ARMCX1	0,074893791	-0,653953485	0,062	0,18	1	0,635536335	1,573474158	0,344444444
VEZF1	0,372432709	-0,653976849	0,5	0,289	1	0,635526043	1,573499641	1,730103806
MDM4	0,998932805	-0,65399363	0,438	0,324	1	0,635518651	1,573517943	1,351851852
EIF5	0,496471528	-0,654965407	0,531	0,441	1	0,635090719	1,574578197	1,204081633
HNRNPC	0,322341005	-0,656095244	0,844	0,594	1	0,634593547	1,5758118	1,420875421
TTYH2	0,086206764	-0,656369403	0,031	0,133	1	0,634472965	1,576111285	0,233082707
APLP2	0,54519988	-0,657275921	0,688	0,5	1	0,634074419	1,577101946	1,376
BPTF	0,877091832	-0,657684195	0,469	0,324	1	0,633895005	1,57754832	1,447530864
TMPRSS5	0,045682874	-0,657965484	0	0,113	1	0,633771424	1,577855931	0
EGR2	0,790895329	-0,658880671	0,094	0,102	1	0,633369512	1,578857177	0,921568627

Supplementary Table 1

Differentially expressed genes_adjacent-skin-XL_comparing SC-Keloid vs. (SC-Myel, SC-Nonmyel)								
gene	p_val	avg_log2FC	pct.1	pct.2	p_val_adj	Foldchange_UP	Foldchange_DOWN	Ratio_pct1_pct2
CASKIN2	0,248051582	-0,658896719	0,062	0,125	1	0,633362467	1,578874739	0,496
SDC2	0,564559422	-0,658898343	0,156	0,172	1	0,633361754	1,578876516	0,906976744
HEATR5A	0,512526612	-0,660116303	0,156	0,176	1	0,632827279	1,580210007	0,886363636
NFAT5	0,495477494	-0,661826145	0,188	0,207	1	0,632077715	1,582083938	0,90821256
HSPA9	0,914697862	-0,662354063	0,594	0,391	1	0,631846464	1,582662969	1,519181586
MTUS1	0,673955066	-0,663589018	0,219	0,211	1	0,631305831	1,584018317	1,037914692
CCDC126	0,861530298	-0,664164166	0,188	0,148	1	0,631054203	1,584649931	1,27027027
UPF2	0,728981998	-0,664651336	0,312	0,273	1	0,630841145	1,585185126	1,142857143
CORO1C	0,683925113	-0,664956322	0,375	0,258	1	0,630707799	1,585520271	1,453488372
AMOTL2	0,356657717	-0,665457381	0,094	0,141	1	0,630488787	1,586071029	0,666666667
FOXJ3	0,779766547	-0,665799352	0,219	0,199	1	0,630339357	1,58644703	1,100502513
FGF2	0,506319067	-0,667138344	0,406	0,277	1	0,629754598	1,587920125	1,465703971
PPP2R2B	0,116282551	-0,667524993	0,062	0,16	1	0,629585844	1,588345752	0,3875
ZBTB7A	0,863911019	-0,668117625	0,406	0,309	1	0,629327275	1,588998348	1,313915858
MKNK2	0,227823267	-0,668157166	0,094	0,164	1	0,629310026	1,5890419	0,573170732
SRGAP1	0,254938178	-0,66815773	0,094	0,156	1	0,62930978	1,589042521	0,602564103
FOXN3	0,277642838	-0,668539038	0,094	0,152	1	0,629143474	1,589462564	0,618421053
FRYL	0,643920142	-0,669188782	0,219	0,219	1	0,628860192	1,590178569	1
ITSN1	0,158518263	-0,669316484	0,062	0,145	1	0,62880453	1,590319333	0,427586207
EMP1	0,121368453	-0,669614165	0,875	0,461	1	0,628674798	1,590647508	1,898047722
CFLAR	0,142451599	-0,669750051	0,094	0,184	1	0,628615587	1,590797335	0,510869565
INO80D	0,106159347	-0,670422104	0,062	0,168	1	0,628322825	1,591538552	0,369047619
RASD1	0,970129378	-0,671208699	0,156	0,137	1	0,627980341	1,592406537	1,138686131
HNRNPH2	0,561120066	-0,671941916	0,281	0,27	1	0,627661265	1,593216047	1,040740741
RBM43	0,454181181	-0,67239534	0,094	0,129	1	0,627464029	1,593716857	0,728682171
PROSER2	0,021993198	-0,672932255	0	0,145	1	0,627230555	1,594310087	0
S100A2	0,236273078	-0,673158726	0,156	0,227	1	0,627132101	1,594560378	0,68722467
DOK6	0,024121703	-0,67347707	0	0,141	1	0,626993734	1,594912271	0
RAB21	0,791451263	-0,673986559	0,375	0,305	1	0,62677235	1,595475615	1,229508197
SMIM5	0,323879795	-0,674113092	0,344	0,199	1	0,62671738	1,595615554	1,728643216

Supplementary Table 1

Differentially expressed genes_adjacent-skin-XL_ comparing SC-Keloid vs. (SC-Myel, SC-Nonmyel)								
gene	p_val	avg_log2FC	pct.1	pct.2	p_val_adj	Foldchange_UP	Foldchange_DOWN	Ratio_pct1_pct2
UACA	0,64821776	-0,674156111	0,25	0,242	1	0,626698693	1,595663134	1,033057851
SORBS3	0,347958339	-0,675175179	0,156	0,199	1	0,626256172	1,596790651	0,783919598
IGSF11	0,021993198	-0,675330931	0	0,145	1	0,626188565	1,596963049	0
H3-3B	0,001377561	-0,678473223	0,969	0,957	1	0,624826166	1,600445138	1,012539185
GAS6	0,173563398	-0,679422758	0,062	0,141	1	0,624415062	1,601498845	0,439716312
RBM6	0,119127359	-0,679425676	0,5	0,25	1	0,624413799	1,601502085	2
CTSF	0,792249622	-0,679956056	0,281	0,242	1	0,624184287	1,602090955	1,161157025
SELENOM	0,142710778	-0,680589626	0,812	0,645	1	0,623910232	1,602794679	1,258914729
CTTNBP2NL	0,360215275	-0,681070558	0,125	0,168	1	0,623702282	1,603329071	0,744047619
ATP1A1	0,859703745	-0,681728919	0,5	0,344	1	0,623417726	1,604060903	1,453488372
TOB1	0,529583804	-0,683643445	0,375	0,34	1	0,622590969	1,606190982	1,102941176
MSL1	0,722930988	-0,684164033	0,281	0,203	1	0,622366351	1,606770672	1,384236453
LRCH3	0,353488187	-0,686265181	0,125	0,172	1	0,621460594	1,609112485	0,726744186
ATP13A3	0,515145183	-0,686666131	0,188	0,203	1	0,621287903	1,609559747	0,926108374
KCNK12	0,071654957	-0,687005229	0	0,094	1	0,621141889	1,609938111	0
TRIM8	0,739656961	-0,687570278	0,375	0,258	1	0,62089866	1,610568786	1,453488372
HNRNPDL	0,045348966	-0,689481507	0,906	0,73	1	0,62007666	1,612703822	1,24109589
VWA1	0,157721486	-0,689515302	0,812	0,707	1	0,620062136	1,612741599	1,148514851
UBE2R2	0,856979723	-0,68978983	0,562	0,371	1	0,619944156	1,613048514	1,514824798
TP53BP2	0,298637683	-0,690635031	0,094	0,148	1	0,619581069	1,613993793	0,635135135
ZBTB38	0,316848011	-0,691161345	0,469	0,266	1	0,619355079	1,614582707	1,763157895
NPTX2	0,764452551	-0,692309592	0,094	0,102	1	0,618862328	1,615868272	0,921568627
GRIK2	0,840275242	-0,692490398	0,156	0,148	1	0,618784773	1,616070794	1,054054054
ASPH	0,794573296	-0,692579354	0,531	0,348	1	0,618746621	1,616170443	1,525862069
SFPQ	0,294095328	-0,692755358	0,688	0,559	1	0,61867114	1,616367622	1,230769231
PPP1R9A	0,384590169	-0,694817551	0,125	0,168	1	0,617787442	1,618679715	0,744047619
ZBTB10	0,464267129	-0,69517441	0,156	0,184	1	0,617634647	1,619080154	0,847826087
MYLIP	0,086206887	-0,695439067	0,031	0,133	1	0,617521355	1,619377196	0,233082707
SAP30	0,622996508	-0,695583773	0,281	0,258	1	0,617459419	1,619539632	1,089147287
ZBTB43	0,13585239	-0,69626128	0,062	0,152	1	0,617169521	1,620300365	0,407894737

Supplementary Table 1

Differentially expressed genes_adjacent-skin-XL_comparing SC-Keloid vs. (SC-Myel, SC-Nonmyel)								
gene	p_val	avg_log2FC	pct.1	pct.2	p_val_adj	Foldchange_UP	Foldchange_DOWN	Ratio_pct1_pct2
ARID4B	0,66771677	-0,696497658	0,406	0,336	1	0,617068409	1,620565866	1,208333333
RPS6KA5	0,057628491	-0,696867074	0,031	0,152	1	0,616910423	1,62098088	0,203947368
GNAI1	0,013784176	-0,697124659	0	0,164	1	0,616800287	1,621270323	0
GADD45G	0,436655983	-0,697355872	0,188	0,117	1	0,616701443	1,621530176	1,606837607
MAP2K3	0,201268578	-0,698193304	0,125	0,195	1	0,616343574	1,622471689	0,641025641
NCOA1	0,493774078	-0,698460307	0,094	0,125	1	0,616229517	1,622771991	0,752
LAMC1	0,812864729	-0,698606698	0,531	0,391	1	0,616166991	1,622936663	1,358056266
HIVEP2	0,464246717	-0,699162279	0,125	0,156	1	0,615929751	1,623561776	0,801282051
RBM39	0,074220177	-0,699173846	0,781	0,664	1	0,615924813	1,623574792	1,176204819
PGRMC1	0,828309537	-0,699369922	0,719	0,484	1	0,615841108	1,623795467	1,48553719
RNF213	0,520207072	-0,70107434	0,406	0,258	1	0,615113976	1,625714973	1,573643411
TNRC18	0,611764646	-0,702935	0,094	0,113	1	0,614321168	1,627813028	0,831858407
DAAM2	0,21437948	-0,70379198	0,094	0,164	1	0,613956361	1,628780258	0,573170732
CDC42SE1	0,924457555	-0,704127246	0,469	0,34	1	0,613813701	1,629158811	1,379411765
MYO9A	0,414999889	-0,704936126	0,094	0,133	1	0,613469649	1,630072493	0,706766917
DEDD2	0,231069397	-0,705409241	0,094	0,16	1	0,613268502	1,630607144	0,5875
YY1	0,863516207	-0,706375767	0,625	0,422	1	0,612857783	1,631699927	1,481042654
EFNA1	0,054716441	-0,706565848	0	0,105	1	0,612777042	1,631914924	0
SERPINB2	0,314221703	-0,706692827	0,031	0,078	1	0,612723111	1,632058564	0,397435897
TRIM2	0,104758015	-0,708667913	0,031	0,125	1	0,611884851	1,634294423	0,248
IP6K2	0,069302474	-0,708851041	0,406	0,191	1	0,611807187	1,634501886	2,12565445
PELI1	0,58497922	-0,710024716	0,25	0,246	1	0,611309666	1,635832142	1,016260163
INF2	0,754571239	-0,710078442	0,375	0,309	1	0,611286901	1,635893061	1,213592233
LRRFIP2	0,567778851	-0,711692142	0,469	0,301	1	0,61060354	1,637723883	1,558139535
RNASE4	0,112311725	-0,712173324	0,094	0,191	1	0,610399919	1,638270204	0,492146597
HSPB1	0,418452272	-0,712188668	0,969	0,758	1	0,610393427	1,638287628	1,278364116
PTBP2	0,396332035	-0,712287728	0,188	0,223	1	0,610351517	1,638400122	0,843049327
OAT	0,400891593	-0,713109602	0,344	0,332	1	0,610003911	1,639333752	1,036144578
DICER1	0,872732285	-0,713870742	0,219	0,195	1	0,609682169	1,640198863	1,123076923
SAMD4B	0,381980579	-0,714166779	0,281	0,289	1	0,609557077	1,640535461	0,972318339

Supplementary Table 1

Differentially expressed genes_adjacent-skin-XL_ comparing SC-Keloid vs. (SC-Myel, SC-Nonmyel)								
gene	p_val	avg_log2FC	pct.1	pct.2	p_val_adj	Foldchange_UP	Foldchange_DOWN	Ratio_pct1_pct2
IRF2BP2	0,799941487	-0,714374707	0,5	0,34	1	0,609469231	1,64077192	1,470588235
FGF7	0,028989337	-0,714474518	0	0,133	1	0,609427067	1,640885439	0
MALAT1	3,06731E-05	-0,715658378	1	0,996	0,647232879	0,608927183	1,642232485	1,004016064
PLCB1	0,828430167	-0,716472777	0,25	0,188	1	0,608583541	1,643159783	1,329787234
DEPDC7	0,132006288	-0,718113963	0,062	0,152	1	0,60789162	1,645030078	0,407894737
EIF4A2	0,312636926	-0,718874341	0,875	0,594	1	0,607571313	1,645897326	1,473063973
SOX10	0,465907978	-0,720438295	0,812	0,457	1	0,606913032	1,647682529	1,776805252
ARHGEF26	0,910986121	-0,72101166	0,312	0,258	1	0,606671877	1,648337492	1,209302326
PTX3	0,009120578	-0,721587665	0,281	0,098	1	0,606429708	1,648995732	2,867346939
SLC22A17	0,960889512	-0,722067331	0,562	0,398	1	0,606228116	1,64954408	1,412060302
KLF13	0,787534153	-0,724227738	0,344	0,289	1	0,605320981	1,65201609	1,190311419
DIO2	0,065500116	-0,724660181	0	0,098	1	0,605139565	1,652511351	0
SERTAD1	0,767122349	-0,726879488	0,531	0,398	1	0,604209391	1,655055376	1,334170854
TMEM245	0,353796011	-0,727897276	0,156	0,195	1	0,603783285	1,656223391	0,8
PHF13	0,434202776	-0,729279923	0,125	0,16	1	0,60320491	1,65781144	0,78125
GPM6B	0,000330269	-0,729874982	1	0,926	1	0,602956161	1,658495367	1,079913607
MIDEAS	0,535149581	-0,730388075	0,25	0,254	1	0,602741759	1,659085314	0,984251969
BAIAP2	0,520630523	-0,731268152	0,188	0,199	1	0,602374185	1,660097703	0,944723618
PFKFB3	0,12036165	-0,73204648	0,062	0,156	1	0,602049294	1,66099356	0,397435897
NUFIP2	0,867579695	-0,733335643	0,438	0,309	1	0,601511555	1,662478454	1,417475728
GNAQ	0,963076802	-0,734248146	0,25	0,199	1	0,60113122	1,663530303	1,256281407
FOXD3	0,920892644	-0,734739517	0,688	0,492	1	0,600926514	1,664096985	1,398373984
STK32A	0,030461633	-0,735017267	0,031	0,176	1	0,600810834	1,66441739	0,176136364
SRSF5	0,965010947	-0,735171219	0,781	0,508	1	0,600746724	1,664595012	1,537401575
HNRNPH3	0,414440417	-0,735297116	0,594	0,473	1	0,600694302	1,664740279	1,255813953
SPEN	0,383902296	-0,736466222	0,219	0,242	1	0,600207719	1,66608987	0,904958678
IPO7	0,998818743	-0,736595828	0,312	0,242	1	0,600153801	1,666239551	1,289256198
PTGDS	0,19837126	-0,738444586	0,031	0,098	1	0,59938522	1,668376141	0,316326531
CNTN1	0,041730427	-0,739328293	0	0,117	1	0,599018185	1,6693984	0
UBE2D3	0,503682383	-0,740228312	0,656	0,473	1	0,598644607	1,670440172	1,386892178

Supplementary Table 1

Differentially expressed genes_adjacent-skin-XL_ comparing SC-Keloid vs. (SC-Myel, SC-Nonmyel)								
gene	p_val	avg_log2FC	pct.1	pct.2	p_val_adj	Foldchange_UP	Foldchange_DOWN	Ratio_pct1_pct2
ADAMTS9-AS2	0,038111671	-0,742139877	0	0,121	1	0,597851931	1,672654964	0
ZMAT1	0,684759296	-0,742950327	0,156	0,16	1	0,597516175	1,673594861	0,975
ATN1	0,109401783	-0,74384166	0,25	0,344	1	0,597147129	1,674629169	0,726744186
SGK1	0,749244773	-0,743991424	0,125	0,133	1	0,597085143	1,67480302	0,939849624
PLAAT3	0,863015651	-0,7444272	0,375	0,297	1	0,596904816	1,675308982	1,262626263
ZNF462	0,921952026	-0,744555914	0,188	0,152	1	0,596851564	1,675458455	1,236842105
PPP1R18	0,964067721	-0,745613446	0,406	0,305	1	0,596414217	1,67668706	1,331147541
CAMK2D	0,664432664	-0,745714666	0,344	0,23	1	0,596372374	1,6768047	1,495652174
HSP90AB1	0,119655413	-0,745793838	0,969	0,832	1	0,596339647	1,676896723	1,164663462
GFRA3	0,897038612	-0,745913366	0,75	0,48	1	0,596290242	1,67703566	1,5625
HLA-E	0,402826691	-0,746785888	0,719	0,531	1	0,595929724	1,678050214	1,354048964
PACS2	0,491361021	-0,747849678	0,125	0,152	1	0,595490469	1,679288003	0,822368421
UGCG	0,412460131	-0,748906237	0,344	0,215	1	0,595054521	1,680518281	1,6
PPTC7	0,092299385	-0,750119735	0,062	0,168	1	0,594554211	1,681932415	0,369047619
DUSP6	0,523236119	-0,750447049	0,125	0,156	1	0,594419336	1,682314049	0,801282051
GJC3	0,078384714	-0,750997386	0	0,09	1	0,594192629	1,682955915	0
TAB2	0,200105361	-0,752379498	0,125	0,195	1	0,593623661	1,684568971	0,641025641
ZMYM5	0,297710641	-0,753238449	0,156	0,207	1	0,593270335	1,685572227	0,753623188
PLPP3	0,428736122	-0,753855192	0,188	0,211	1	0,59301677	1,686292953	0,890995261
MKLN1	0,876663892	-0,754791241	0,188	0,172	1	0,592632134	1,687387408	1,093023256
PHLDB1	0,73708174	-0,755505632	0,469	0,32	1	0,592338748	1,688223173	1,465625
XBP1	0,461846537	-0,756621939	0,438	0,281	1	0,591880594	1,689529966	1,558718861
FNBP4	0,738086752	-0,75671973	0,281	0,25	1	0,591840476	1,689644492	1,124
GBP1	0,144763586	-0,757370593	0,438	0,227	1	0,591573531	1,690406937	1,929515419
BGN	0,137205524	-0,757491973	0,125	0,23	1	0,591523761	1,690549164	0,543478261
MAN2A2	0,07228439	-0,758286037	0,156	0,289	1	0,591198274	1,691479904	0,539792388
PPP4R2	0,937976735	-0,759300876	0,406	0,305	1	0,590782552	1,692670165	1,331147541
PREX1	0,054716441	-0,759729349	0	0,105	1	0,590607119	1,693172954	0
NR2F1	0,731305749	-0,760686839	0,219	0,16	1	0,590215274	1,694297054	1,36875
FGFBP2	0,054716441	-0,761031404	0	0,105	1	0,590074327	1,694701759	0

Supplementary Table 1

Differentially expressed genes_adjacent-skin-XL_comparing SC-Keloid vs. (SC-Myel, SC-Nonmyel)								
gene	p_val	avg_log2FC	pct.1	pct.2	p_val_adj	Foldchange_UP	Foldchange_DOWN	Ratio_pct1_pct2
GOLGA8A	0,529345739	-0,764237638	0,125	0,148	1	0,588764407	1,698472239	0,844594595
ZRANB2	0,747475225	-0,764443571	0,375	0,305	1	0,588680371	1,698714699	1,229508197
KMT2E	0,831376578	-0,764663642	0,625	0,457	1	0,58859058	1,698973844	1,36761488
TMEM132B	0,038111838	-0,768787417	0	0,121	1	0,586910565	1,703837109	0
UBR3	0,078496882	-0,769741454	0,031	0,137	1	0,586522576	1,704964208	0,226277372
PRDM16	0,109682674	-0,771412611	0,062	0,16	1	0,585843567	1,706940311	0,3875
ARL13B	0,622936899	-0,771461171	0,219	0,215	1	0,585823848	1,706997767	1,018604651
NORAD	0,733068525	-0,771637315	0,562	0,41	1	0,585752327	1,707206193	1,370731707
GAB1	0,609762878	-0,771643207	0,25	0,246	1	0,585749934	1,707213166	1,016260163
ADGRL3	0,016635187	-0,772160576	0	0,156	1	0,585539915	1,707825504	0
ATP1B2	0,095797588	-0,773229897	0,062	0,168	1	0,585106075	1,709091808	0,369047619
SRSF11	0,099550522	-0,77512838	0,656	0,562	1	0,584336624	1,71134233	1,167259786
OGA	0,60416098	-0,775286529	0,344	0,305	1	0,584272572	1,711529939	1,127868852
TSPAN15	0,637426397	-0,775635118	0,438	0,355	1	0,584131415	1,711943535	1,233802817
NPNT	0,026447767	-0,776966053	0	0,137	1	0,583592783	1,713523589	0
ARHGEF7	0,764260824	-0,778267793	0,25	0,223	1	0,583066446	1,715070395	1,121076233
SETD5	0,35496866	-0,779286367	0,25	0,273	1	0,582654934	1,7162817	0,915750916
RSRC2	0,709651769	-0,779373944	0,781	0,445	1	0,582619566	1,716385887	1,75505618
PNRC2	0,562656319	-0,780134142	0,25	0,242	1	0,582312647	1,717290539	1,033057851
SMC5	0,800582307	-0,782624987	0,375	0,297	1	0,581308139	1,720258041	1,262626263
SRSF3	0,06174927	-0,782787617	0,781	0,676	1	0,581242614	1,720451971	1,155325444
PLEKHA4	0,585766432	-0,783589661	0,719	0,426	1	0,580919571	1,721408695	1,687793427
RIOK3	0,409820795	-0,786503157	0,25	0,262	1	0,579747598	1,724888561	0,954198473
VGLL4	0,995246059	-0,787365868	0,75	0,496	1	0,579401021	1,725920327	1,512096774
CITED2	0,557828792	-0,787733523	0,219	0,148	1	0,579253386	1,726360216	1,47972973
TXN	0,637446779	-0,790432079	0,688	0,578	1	0,578170907	1,729592388	1,190311419
CCN1	0,755531983	-0,790498168	0,844	0,613	1	0,578144422	1,729671621	1,376835237
RYBP	0,540963733	-0,790532099	0,344	0,32	1	0,578130825	1,729712303	1,075
SRRM1	0,285112879	-0,790613073	0,656	0,508	1	0,578098377	1,729809388	1,291338583
CDKN2AIP	0,189930272	-0,790781995	0,062	0,137	1	0,578030692	1,730011941	0,452554745

Supplementary Table 1

Differentially expressed genes_adjacent-skin-XL_comparing SC-Keloid vs. (SC-Myel, SC-Nonmyel)								
gene	p_val	avg_log2FC	pct.1	pct.2	p_val_adj	Foldchange_UP	Foldchange_DOWN	Ratio_pct1_pct2
DCUN1D3	0,305722739	-0,791408264	0,156	0,203	1	0,577779826	1,730763096	0,768472906
MYOT	0,61252846	-0,79176852	0,438	0,301	1	0,577635566	1,73119534	1,455149502
HNRNPU	0,219334289	-0,792570328	0,781	0,605	1	0,577314622	1,732157755	1,290909091
PPP2R2A	0,26710439	-0,796517608	0,281	0,309	1	0,575737222	1,736903507	0,909385113
CRYL1	0,11399702	-0,797767517	0,125	0,223	1	0,575238636	1,738408961	0,560538117
ELMO1	0,034798894	-0,79834708	0	0,125	1	0,575007596	1,73910746	0
NFKB2	0,099894919	-0,798636471	0,062	0,164	1	0,574892267	1,739456344	0,37804878
CNOT4	0,708770049	-0,799509815	0,344	0,234	1	0,574544357	1,740509653	1,47008547
CAMSAP2	0,228167587	-0,800927637	0,188	0,242	1	0,573979996	1,742220996	0,776859504
RXRG	0,086802846	-0,803470986	0,125	0,234	1	0,572969009	1,745295092	0,534188034
GEM	0,836432406	-0,805342248	0,188	0,18	1	0,572226316	1,747560314	1,044444444
MLLT6	0,018098341	-0,805846913	0,031	0,203	1	0,572026182	1,74817173	0,15270936
PER3	0,986081827	-0,806107319	0,25	0,203	1	0,571922941	1,748487302	1,231527094
S1PR3	0,78964859	-0,806872476	0,219	0,199	1	0,571619693	1,749414887	1,100502513
APCDD1	0,324707387	-0,809622019	0,094	0,145	1	0,570531315	1,752752168	0,648275862
LHPP	0,068343209	-0,809979368	0,062	0,18	1	0,570390015	1,75318637	0,344444444
RALGDS	0,725641486	-0,811144679	0,156	0,156	1	0,569929479	1,754603047	1
KIF21A	0,06206671	-0,811201494	0,062	0,184	1	0,569907035	1,754672147	0,336956522
ARHGAP15	0,053282509	-0,812766637	0,062	0,203	1	0,569289092	1,756576779	0,305418719
KAT6A	0,164165532	-0,814013683	0,156	0,242	1	0,568797219	1,758095796	0,644628099
MAFG	0,575103826	-0,81436969	0,438	0,281	1	0,568656877	1,758529687	1,558718861
TAMALIN	0,553211263	-0,814539524	0,219	0,219	1	0,568589939	1,758736712	1
MAP3K4	0,090929152	-0,817446937	0,062	0,168	1	0,567445233	1,762284607	0,369047619
HPS5	0,075210866	-0,817937764	0,062	0,176	1	0,567252213	1,762884265	0,352272727
MBOAT2	0,293579025	-0,819693493	0,219	0,258	1	0,566562298	1,765030965	0,848837209
NKAIN3	0,01254006	-0,819820349	0	0,168	1	0,566512483	1,76518617	0
DDX5	0,03640077	-0,821682086	1	0,793	1	0,565781894	1,767465538	1,261034048
FAM181B	0,324707219	-0,822716265	0,094	0,145	1	0,565376465	1,768732979	0,648275862
ASH1L	0,82986017	-0,824137786	0,344	0,277	1	0,564819661	1,770476612	1,241877256
PHACTR4	0,870309538	-0,824215552	0,344	0,273	1	0,564789216	1,770572049	1,26007326

Supplementary Table 1

Differentially expressed genes_adjacent-skin-XL_ comparing SC-Keloid vs. (SC-Myel, SC-Nonmyel)								
gene	p_val	avg_log2FC	pct.1	pct.2	p_val_adj	Foldchange_UP	Foldchange_DOWN	Ratio_pct1_pct2
FNDC3B	0,996777288	-0,825773059	0,438	0,316	1	0,564179809	1,772484559	1,386075949
KCTD11	0,096946527	-0,828675597	0,094	0,199	1	0,563045885	1,776054185	0,472361809
NCOA7	0,090929152	-0,828946522	0,062	0,168	1	0,56294016	1,776387743	0,369047619
FAM126A	0,879492191	-0,836432596	0,375	0,289	1	0,560026656	1,785629289	1,297577855
SCML1	0,163572054	-0,83763844	0,125	0,207	1	0,559558766	1,78712239	0,603864734
MAFK	0,05293496	-0,837719659	0,094	0,23	1	0,559527266	1,787223002	0,408695652
MT-CO3	0,035466145	-0,838894846	0,844	0,82	1	0,559071673	1,788679427	1,029268293
ARHGAP19	0,024121756	-0,840443404	0	0,141	1	0,558471899	1,790600389	0
SMG1	0,707944663	-0,841628962	0,25	0,227	1	0,558013155	1,792072448	1,101321586
SON	0,007338614	-0,841732343	0,938	0,754	1	0,55797317	1,792200869	1,24403183
SECISBP2L	0,951390724	-0,842528899	0,594	0,414	1	0,557665181	1,793190671	1,434782609
ZSWIM6	0,159148124	-0,843936745	0,188	0,258	1	0,557121252	1,7949414	0,728682171
CHORDC1	0,531153812	-0,845908041	0,25	0,25	1	0,556360522	1,797395682	1
DRP2	0,078384714	-0,848819576	0	0,09	1	0,555238851	1,801026709	0
SNHG9	0,572382114	-0,849264806	0,375	0,246	1	0,555067525	1,801582608	1,524390244
ZBTB16	0,045682874	-0,849290444	0	0,113	1	0,555057661	1,801614625	0
NUP153	0,052320766	-0,849661428	0,062	0,191	1	0,554914949	1,802077963	0,32460733
DNAJB6	0,931529644	-0,84971339	0,656	0,434	1	0,554894962	1,80214287	1,511520737
GOLGA4	0,811215417	-0,850741624	0,469	0,316	1	0,55449962	1,803427747	1,484177215
IVNS1ABP	0,06213286	-0,851109865	0,125	0,258	1	0,554358104	1,803888122	0,484496124
CLK1	0,222595783	-0,852677657	0,562	0,496	1	0,553756005	1,805849492	1,133064516
VASN	0,150052517	-0,853323052	0,094	0,18	1	0,553508335	1,806657526	0,522222222
MARCHF5	0,520630631	-0,855937383	0,188	0,199	1	0,552506222	1,809934368	0,944723618
JUND	0,002323049	-0,856443444	1	0,922	1	0,552312451	1,810569358	1,084598698
SCRN1	0,281853519	-0,856851345	0,125	0,18	1	0,552156315	1,811081343	0,694444444
ABLIM1	0,358606521	-0,857303649	0,281	0,301	1	0,551983234	1,81164923	0,933554817
MTCO2P12	0,077128877	-0,859298936	0,812	0,777	1	0,551220353	1,814156524	1,045045045
NRBP2	0,715557304	-0,861395174	0,344	0,297	1	0,550420011	1,816794412	1,158249158
GFRA1	0,636959502	-0,862316997	0,312	0,273	1	0,550068427	1,81795564	1,142857143
NID2	0,020369679	-0,862818049	0,031	0,191	1	0,54987742	1,818587131	0,162303665

Supplementary Table 1

Differentially expressed genes_adjacent-skin-XL_comparing SC-Keloid vs. (SC-Myel, SC-Nonmyel)								
gene	p_val	avg_log2FC	pct.1	pct.2	p_val_adj	Foldchange_UP	Foldchange_DOWN	Ratio_pct1_pct2
PAXBP1	0,107695716	-0,862872318	0,219	0,312	1	0,549856736	1,818655541	0,701923077
ADAMTS8	0,01514567	-0,864095441	0	0,16	1	0,549390763	1,820198059	0
BAG3	0,186594105	-0,865313606	0,188	0,266	1	0,548927071	1,821735624	0,706766917
THSD7A	0,110135177	-0,866214645	0,156	0,254	1	0,548584344	1,82287375	0,614173228
GJC1	0,8258646	-0,8665337	0,188	0,172	1	0,548463037	1,823276926	1,093023256
AASS	0,337299246	-0,867424409	0,156	0,203	1	0,548124524	1,824402951	0,768472906
MT-ND1	0,005740828	-0,868101962	0,844	0,82	1	0,547867162	1,825259972	1,029268293
TOM1L2	0,065525443	-0,871120959	0,094	0,215	1	0,546721888	1,829083527	0,437209302
DPYSL2	0,690228765	-0,871327665	0,375	0,328	1	0,546643561	1,829345613	1,143292683
HNRNPH1	0,031020966	-0,872653356	0,875	0,723	1	0,546141481	1,83102737	1,210235131
B4GALNT1	0,21834609	-0,875895603	0,125	0,191	1	0,544915486	1,835146964	0,654450262
ZMIZ1	0,244740217	-0,876316363	0,125	0,188	1	0,544756585	1,83568226	0,664893617
EDIL3	0,016384074	-0,877047155	0,031	0,203	1	0,544480711	1,836612354	0,15270936
SLITRK5	0,038111838	-0,878646695	0	0,121	1	0,54387737	1,838649766	0
GJA1	0,0301917	-0,880297571	0,031	0,176	1	0,543255368	1,840754937	0,176136364
AZGP1	0,137205883	-0,880596837	0,031	0,113	1	0,543142689	1,841136815	0,274336283
WTAP	0,867699789	-0,881020012	0,531	0,359	1	0,542983396	1,84167694	1,479108635
MIDN	0,267041892	-0,88277714	0,219	0,281	1	0,542322473	1,843921374	0,779359431
MX2	0,029129106	-0,883355961	0,031	0,184	1	0,542104932	1,84466132	0,168478261
TXNRD1	0,724070658	-0,884432305	0,156	0,16	1	0,541700638	1,846038069	0,975
BCAS1	0,071654957	-0,88601864	0	0,094	1	0,541105331	1,848069022	0
HSPE1	0,085349783	-0,886122652	0,75	0,629	1	0,541066321	1,848202264	1,192368839
SLC3A2	0,797175401	-0,888084896	0,625	0,434	1	0,540330904	1,850717759	1,440092166
CHD2	0,839210831	-0,888511098	0,375	0,297	1	0,540171303	1,851264581	1,262626263
MIR99AHG	0,048905975	-0,889928468	0,031	0,156	1	0,539640874	1,853084241	0,198717949
TAF5	0,010365668	-0,892244857	0	0,176	1	0,538775123	1,856061941	0
CLMN	0,07764459	-0,893045156	0,094	0,215	1	0,538476334	1,85709183	0,437209302
C1R	0,606308094	-0,893640113	0,312	0,277	1	0,538254316	1,857857839	1,126353791
SEMA4B	0,048906052	-0,893738159	0,031	0,156	1	0,538217737	1,857984104	0,198717949
ETNK1	0,170586877	-0,895771767	0,25	0,309	1	0,537459605	1,860604946	0,809061489

Supplementary Table 1

Differentially expressed genes_adjacent-skin-XL_ comparing SC-Keloid vs. (SC-Myel, SC-Nonmyel)								
gene	p_val	avg_log2FC	pct.1	pct.2	p_val_adj	Foldchange_UP	Foldchange_DOWN	Ratio_pct1_pct2
HSPD1	0,764102597	-0,895849695	0,688	0,473	1	0,537430575	1,86070545	1,454545455
ID4	0,220694814	-0,896269413	0,25	0,301	1	0,537274245	1,861246857	0,830564784
DNAJA1	0,142311415	-0,897186956	0,906	0,652	1	0,536932651	1,862430973	1,389570552
SLC25A25	0,162901689	-0,897725073	0,156	0,23	1	0,536732416	1,863125779	0,67826087
TLE1	0,696643418	-0,900236064	0,594	0,418	1	0,535799053	1,866371347	1,421052632
BRD4	0,313957844	-0,901322553	0,344	0,348	1	0,535395696	1,867777434	0,988505747
LPAR1	0,124515681	-0,904227541	0,188	0,27	1	0,534318716	1,871542151	0,696296296
CEP85L	0,400977845	-0,904907111	0,188	0,215	1	0,534067089	1,872423934	0,874418605
RERE	0,154166227	-0,905653409	0,219	0,281	1	0,533790891	1,873392779	0,779359431
BCLAF1	0,309930687	-0,907246767	0,375	0,352	1	0,533201681	1,875462955	1,065340909
ARHGAP5	0,242222017	-0,907575883	0,344	0,355	1	0,533080057	1,875890846	0,969014085
FBLN2	0,204440837	-0,907833386	0,219	0,285	1	0,532984918	1,876225699	0,768421053
PIK3R1	0,407099813	-0,909390564	0,562	0,457	1	0,532409949	1,878251903	1,2297593
UBR5	0,442734228	-0,909655902	0,219	0,23	1	0,532312038	1,87859738	0,952173913
EPB41L4A-AS1	0,374462559	-0,91039405	0,312	0,301	1	0,532039753	1,879558801	1,03654485
MXI1	0,102252102	-0,912394872	0,094	0,195	1	0,531302398	1,882167302	0,482051282
HTATIP2	0,062957523	-0,913334549	0,125	0,246	1	0,530956455	1,883393621	0,508130081
CD44	0,533400398	-0,914920062	0,75	0,438	1	0,530373257	1,885464598	1,712328767
N4BP2L1	0,028814689	-0,916277998	0,062	0,215	1	0,529874279	1,887240126	0,288372093
KCTD12	0,576894575	-0,918451629	0,375	0,32	1	0,529076547	1,890085672	1,171875
PPM1K	0,00941818	-0,923732529	0	0,18	1	0,527143433	1,897016897	0
ERF	0,245298456	-0,924588188	0,406	0,391	1	0,526830878	1,898142347	1,038363171
LIMS2	0,562237259	-0,929937203	0,156	0,172	1	0,524881188	1,905193066	0,906976744
SOX8	0,045413282	-0,933212528	0,094	0,242	1	0,523690911	1,909523306	0,388429752
STARD9	0,038357172	-0,933784861	0,062	0,211	1	0,523483199	1,910280985	0,293838863
SERPINB9	0,038111671	-0,935392227	0	0,121	1	0,522900289	1,912410493	0
GATM	0,408165217	-0,935441332	0,406	0,242	1	0,522882492	1,912475587	1,67768595
PLEKHA1	0,963412599	-0,936614842	0,281	0,223	1	0,522457344	1,914031857	1,260089686
SNHG8	0,632765497	-0,939362768	0,594	0,445	1	0,521463158	1,91768102	1,334831461
ANK2	0,936472656	-0,940607031	0,281	0,234	1	0,521013612	1,919335652	1,200854701

Supplementary Table 1

Differentially expressed genes_adjacent-skin-XL_comparing SC-Keloid vs. (SC-Myel, SC-Nonmyel)								
gene	p_val	avg_log2FC	pct.1	pct.2	p_val_adj	Foldchange_UP	Foldchange_DOWN	Ratio_pct1_pct2
GRIK3	0,016635187	-0,940711794	0	0,156	1	0,520975779	1,919475032	0
MAP4K5	0,61398632	-0,941568246	0,438	0,344	1	0,520666595	1,920614861	1,273255814
FADS3	0,141874315	-0,944433876	0,531	0,484	1	0,51963342	1,924433576	1,097107438
FOXO3	0,178072433	-0,944567851	0,188	0,254	1	0,519585166	1,924612297	0,74015748
PRKCA	0,542212256	-0,945340482	0,406	0,34	1	0,519306979	1,925643292	1,194117647
TTYH1	0,059703471	-0,945374593	0,188	0,305	1	0,5192947	1,925688823	0,616393443
NFKBIZ	0,735053311	-0,945764023	0,375	0,305	1	0,519154545	1,926208698	1,229508197
SYNE1	0,770265309	-0,948835192	0,312	0,266	1	0,518050559	1,930313525	1,172932331
RGS11	0,09743441	-0,95021914	0,156	0,254	1	0,517553841	1,932166125	0,614173228
DDX3X	0,223783767	-0,951247665	0,781	0,602	1	0,517184999	1,933544093	1,297342193
PTPN12	0,238436492	-0,951336671	0,375	0,363	1	0,517153093	1,933663386	1,033057851
SFRP1	0,132959812	-0,951661851	0,062	0,152	1	0,517036541	1,934099278	0,407894737
PUM1	0,168691752	-0,954753053	0,156	0,234	1	0,515929894	1,938247834	0,666666667
TRIP10	0,044250233	-0,956013706	0,156	0,297	1	0,515479262	1,93994225	0,525252525
OTUD7B	0,363446048	-0,956888033	0,25	0,262	1	0,515166957	1,941118284	0,954198473
LUC7L3	0,617147851	-0,958201067	0,594	0,43	1	0,514698304	1,94288575	1,381395349
KLF10	0,243091552	-0,959596463	0,312	0,332	1	0,51420072	1,944765848	0,939759036
VAPA	0,092311085	-0,960805395	0,688	0,59	1	0,513770017	1,946396182	1,166101695
ASXL1	0,076945647	-0,961531566	0,281	0,359	1	0,51351148	1,947376133	0,782729805
DCD	0,454084099	-0,961759465	0,156	0,184	1	0,513430368	1,94768378	0,847826087
TCF7L2	0,059560843	-0,966681081	0,094	0,223	1	0,511681834	1,954339463	0,421524664
SYNE3	0,039766082	-0,96735423	0,094	0,242	1	0,511443143	1,955251554	0,388429752
EMP2	0,117368323	-0,970250043	0,656	0,555	1	0,510417591	1,959180125	1,181981982
INTS6	0,435006104	-0,970533097	0,375	0,348	1	0,510317458	1,959564549	1,077586207
HBP1	0,552798543	-0,976961991	0,406	0,34	1	0,508048456	1,968316186	1,194117647
LRRC4C	0,056128986	-0,978862885	0,062	0,191	1	0,507379493	1,970911347	0,32460733
SBSPON	0,031103374	-0,980804897	0,062	0,211	1	0,506696969	1,973566179	0,293838863
QKI	0,000761518	-0,981209971	0,875	0,781	1	0,50655472	1,974120386	1,120358515
FTH1	0,055805446	-0,982930643	1	0,973	1	0,505950923	1,976476282	1,027749229
GPBP1	0,158601771	-0,98431859	0,75	0,594	1	0,505464407	1,978378669	1,262626263

Supplementary Table 1

Differentially expressed genes_adjacent-skin-XL_comparing SC-Keloid vs. (SC-Myel, SC-Nonmyel)								
gene	p_val	avg_log2FC	pct.1	pct.2	p_val_adj	Foldchange_UP	Foldchange_DOWN	Ratio_pct1_pct2
VPS13D	0,090929152	-0,986725848	0,062	0,168	1	0,5046217	1,981682516	0,369047619
ARHGAP24	0,159966334	-0,98835152	0,312	0,359	1	0,504053397	1,983916794	0,86908078
IER2	0,714654675	-0,990343107	0,719	0,512	1	0,50335805	1,986657409	1,404296875
DLC1	0,143224237	-0,990745315	0,469	0,469	1	0,503217739	1,987211346	1
PCDH9	0,096496694	-0,993572037	0,125	0,242	1	0,502232733	1,991108773	0,516528926
ARL5B	0,14495731	-0,994768154	0,125	0,211	1	0,501816511	1,992760256	0,592417062
SOX2	0,891269757	-0,995097849	0,5	0,352	1	0,501701846	1,993215708	1,420454545
ISG20	0,011403548	-0,99512006	0	0,172	1	0,501694122	1,993246395	0
ZNF536	0,212510708	-0,996378709	0,188	0,246	1	0,50125662	1,99498612	0,764227642
GADD45A	0,366304996	-0,99654937	0,406	0,254	1	0,501197329	1,995222127	1,598425197
C1S	0,036660749	-0,99833483	0,031	0,168	1	0,500577437	1,997692916	0,18452381
RHOBTB3	0,285941193	-1,002547159	0,156	0,207	1	0,499118001	2,003534231	0,753623188
C1orf198	0,134977634	-1,005250662	0,562	0,512	1	0,498183567	2,007292224	1,09765625
ARRDC3	0,380496983	-1,006758152	0,219	0,238	1	0,49766328	2,009390766	0,920168067
ANKRD33B	0,02004569	-1,007961717	0	0,148	1	0,497248279	2,011067795	0
ABCA8	0,8414712	-1,007982159	0,281	0,234	1	0,497241233	2,011096291	1,200854701
PPP1R15B	0,098189816	-1,009676039	0,25	0,32	1	0,496657761	2,013458921	0,78125
SERTAD2	0,164353323	-1,012212815	0,312	0,344	1	0,495785226	2,01700242	0,906976744
SLC44A1	0,546832311	-1,013601003	0,375	0,328	1	0,495308401	2,018944152	1,143292683
RAPGEF2	0,025604089	-1,015340595	0,062	0,219	1	0,494711522	2,021380049	0,283105023
FOXO1	0,027571015	-1,019276323	0,188	0,344	1	0,493363769	2,02690198	0,546511628
F3	0,027165086	-1,021435583	0,062	0,227	1	0,492625911	2,029937886	0,273127753
CTSC	0,086604386	-1,022195281	0,312	0,387	1	0,492366571	2,031007097	0,80620155
CD74	0,248051582	-1,022495197	0,062	0,125	1	0,492264226	2,031429359	0,496
MAL	0,006578194	-1,023737823	0,625	0,656	1	0,49184041	2,033179829	0,952743902
MT-ND4L	0,446962539	-1,027545372	0,656	0,477	1	0,49054406	2,038552868	1,375262055
BRD2	0,155623357	-1,030808362	0,594	0,512	1	0,489435834	2,043168747	1,16015625
NRP2	0,201371388	-1,031591511	0,219	0,27	1	0,489170222	2,044278156	0,811111111
NCMAP	0,078384714	-1,032904756	0	0,09	1	0,488725147	2,046139853	0
CMTM5	0,102731791	-1,034945603	0,281	0,34	1	0,488034282	2,049036385	0,826470588

Supplementary Table 1

Differentially expressed genes_adjacent-skin-XL_ comparing SC-Keloid vs. (SC-Myel, SC-Nonmyel)								
gene	p_val	avg_log2FC	pct.1	pct.2	p_val_adj	Foldchange_UP	Foldchange_DOWN	Ratio_pct1_pct2
NNMT	0,051387074	-1,035659866	0,031	0,164	1	0,487792721	2,050051093	0,18902439
SRSF7	0,495427991	-1,036374176	0,625	0,469	1	0,487551264	2,051066369	1,332622601
ID2	0,3148935	-1,03638128	0,188	0,238	1	0,487548863	2,051076469	0,789915966
FAM102A	0,013608429	-1,039137284	0,062	0,242	1	0,486618379	2,054998419	0,256198347
CYLD	0,279143582	-1,040045434	0,281	0,297	1	0,486312158	2,056292411	0,946127946
DDX17	0,140775248	-1,046570034	0,906	0,637	1	0,484117773	2,065613069	1,422291994
IER5	0,072729672	-1,046601132	0,469	0,238	1	0,484107338	2,065657596	1,970588235
TGFBR3	0,00406764	-1,048238319	0,031	0,262	1	0,483558279	2,068003058	0,118320611
TRA2B	0,047453112	-1,052194555	0,594	0,535	1	0,482234056	2,07368183	1,110280374
KCTD9	0,093861404	-1,058286007	0,156	0,254	1	0,480202225	2,082455992	0,614173228
IFITM2	0,15311344	-1,062029733	0,625	0,527	1	0,478957738	2,087866885	1,185958254
SLC5A3	0,022046343	-1,062604376	0,062	0,23	1	0,478767001	2,088698672	0,269565217
BCL3	0,087194206	-1,063780986	0,125	0,23	1	0,478376695	2,090402835	0,543478261
FGFR1	0,057032565	-1,063922309	0,094	0,223	1	0,478329837	2,090607615	0,421524664
MLIP	0,028989337	-1,065686702	0	0,133	1	0,477745205	2,093165959	0
ZBTB44	0,056948738	-1,070464336	0,156	0,273	1	0,476165719	2,100109185	0,571428571
LONRF1	0,063837771	-1,071885851	0,094	0,219	1	0,475696775	2,102179483	0,429223744
ARC	0,78981908	-1,072871237	0,219	0,164	1	0,475371977	2,103615798	1,335365854
TRA2A	0,130099628	-1,080589986	0,469	0,441	1	0,472835419	2,114900787	1,063492063
FOSL2	0,17416129	-1,081266539	0,25	0,305	1	0,472613734	2,115892805	0,819672131
PNISR	0,006151966	-1,08613737	0,75	0,676	1	0,471020785	2,123048559	1,109467456
ENTPD2	0,05661993	-1,087601625	0,094	0,223	1	0,470542968	2,12520443	0,421524664
CYTH3	0,049701594	-1,094258858	0,125	0,254	1	0,468376677	2,135033723	0,492125984
PIM3	0,194372735	-1,100072699	0,25	0,305	1	0,466492988	2,143654944	0,819672131
PPP1R10	0,180063683	-1,100740546	0,312	0,336	1	0,466277091	2,144647506	0,928571429
NEAT1	0,000105444	-1,103530347	0,906	0,898	1	0,465376302	2,148798714	1,008908686
SRRM2	0,043994388	-1,105846523	0,656	0,578	1	0,464629763	2,152251276	1,134948097
DDIT3	0,052490891	-1,106985316	0,25	0,355	1	0,464263152	2,153950828	0,704225352
WAC	0,145418195	-1,107180743	0,344	0,363	1	0,464200267	2,154242622	0,947658402
FMNL2	0,001802033	-1,10810015	0,062	0,324	1	0,463904533	2,155615925	0,191358025

Supplementary Table 1

Differentially expressed genes_adjacent-skin-XL_comparing SC-Keloid vs. (SC-Myel, SC-Nonmyel)								
gene	p_val	avg_log2FC	pct.1	pct.2	p_val_adj	Foldchange_UP	Foldchange_DOWN	Ratio_pct1_pct2
SKI	0,20422078	-1,109882183	0,312	0,332	1	0,463331867	2,15828021	0,939759036
SEMA4C	0,109682674	-1,110977736	0,062	0,16	1	0,462980156	2,159919787	0,3875
SAMD4A	0,083372458	-1,1111045109	0,188	0,285	1	0,462958535	2,160020657	0,659649123
TEAD1	0,080248942	-1,111958987	0,312	0,383	1	0,462665366	2,161389359	0,81462141
RTN4	0,153276844	-1,115067617	0,688	0,543	1	0,461669517	2,166051608	1,267034991
TNRC6B	0,276339621	-1,116010457	0,5	0,426	1	0,461367902	2,167467644	1,17370892
FNIP2	0,267786202	-1,116379257	0,219	0,262	1	0,461249976	2,168021791	0,835877863
HSPG2	0,023485799	-1,117591325	0,906	0,738	1	0,460862624	2,169844001	1,227642276
ACKR3	0,020369679	-1,118546279	0,031	0,191	1	0,460557669	2,171280748	0,162303665
IRS2	0,012451411	-1,1218215	0,062	0,246	1	0,459513292	2,17621561	0,25203252
LGI4	0,07565944	-1,12297205	0,438	0,473	1	0,459146976	2,177951835	0,926004228
SIPA1L2	0,124344223	-1,127071993	0,5	0,473	1	0,457843995	2,184150081	1,057082452
TLE4	0,367743962	-1,127464561	0,281	0,297	1	0,45771943	2,184744486	0,946127946
C2orf88	0,015254011	-1,134285278	0,062	0,238	1	0,455560549	2,195097891	0,260504202
PRDM16-DT	0,00389118	-1,13573219	0,031	0,254	1	0,455103886	2,197300509	0,122047244
ITGB4	0,07574701	-1,13670966	0,5	0,488	1	0,454795644	2,198789751	1,024590164
KDM6B	0,091319012	-1,139317901	0,188	0,285	1	0,453974164	2,202768528	0,659649123
ARID5A	0,344662082	-1,14040283	0,281	0,293	1	0,453632897	2,204425666	0,959044369
PRELP	0,014940017	-1,140691216	0,031	0,211	1	0,453542227	2,204866361	0,146919431
IFITM3	6,36237E-05	-1,143757265	1	0,895	1	0,452579372	2,209557179	1,117318436
RBMS3	0,013639666	-1,144812181	0,031	0,207	1	0,452248562	2,211173423	0,149758454
SIK3	0,032087103	-1,147561441	0,125	0,27	1	0,451387558	2,215391146	0,462962963
LATS2	0,103995267	-1,148442933	0,188	0,277	1	0,451111843	2,216745172	0,678700361
SCN9A	0,096620596	-1,148931904	0,312	0,367	1	0,450958974	2,217496617	0,85013624
OLFM1	0,018871851	-1,151117954	0,094	0,27	1	0,450276174	2,220859236	0,348148148
LAMA4	0,095104602	-1,153862809	0,531	0,5	1	0,449420298	2,22508864	1,062
ARAP2	0,01723139	-1,158942509	0,062	0,234	1	0,447840681	2,23293694	0,264957265
N4BP2L2	0,032281593	-1,16731779	0,531	0,543	1	0,445248362	2,245937514	0,977900552
PLSCR4	0,019595462	-1,174044394	0,156	0,316	1	0,443177212	2,256433708	0,493670886
MYC	0,116778581	-1,178137555	0,125	0,219	1	0,441921628	2,262844668	0,570776256

Supplementary Table 1

Differentially expressed genes_adjacent-skin-XL_comparing SC-Keloid vs. (SC-Myel, SC-Nonmyel)								
gene	p_val	avg_log2FC	pct.1	pct.2	p_val_adj	Foldchange_UP	Foldchange_DOWN	Ratio_pct1_pct2
IGFBP7	0,052065573	-1,181206889	0,75	0,742	1	0,440982439	2,267663995	1,010781671
ITPRID2	0,032617871	-1,186040599	0,375	0,445	1	0,439507412	2,275274484	0,842696629
FIGN	0,247448622	-1,186113165	0,406	0,379	1	0,439485306	2,27538893	1,071240106
ZNF503	0,023291609	-1,187262756	0,188	0,348	1	0,439135248	2,277202764	0,540229885
SORBS1	0,022850965	-1,19242944	0,219	0,367	1	0,437565397	2,285372669	0,596730245
PHLDA1	0,530059383	-1,194340596	0,625	0,48	1	0,436986133	2,288402135	1,302083333
FSTL1	0,040955199	-1,195926994	0,438	0,477	1	0,436505884	2,290919863	0,918238994
SFRP5	0,024121703	-1,19824523	0	0,141	1	0,435805035	2,294604053	0
OLFML2A	0,701078703	-1,198366988	0,719	0,449	1	0,435768256	2,294797718	1,601336303
MRPS6	0,039020606	-1,204985923	0,125	0,262	1	0,433773576	2,305350199	0,477099237
ITPR1	0,008167187	-1,209893608	0,031	0,227	1	0,432300495	2,313205774	0,136563877
NLGN4X	0,03387328	-1,210057222	0,156	0,305	1	0,432251471	2,313468126	0,51147541
CHADL	0,044630182	-1,210938075	0,219	0,328	1	0,431987635	2,314881071	0,667682927
STAT3	0,050088233	-1,211235076	0,406	0,441	1	0,431898713	2,315357673	0,920634921
AC009041.2	0,011487017	-1,212215971	0,062	0,25	1	0,431605163	2,31693243	0,248
PMP2	0,154061402	-1,214355133	0,406	0,441	1	0,430965673	2,32037042	0,920634921
MCL1	0,174101789	-1,215667914	0,594	0,48	1	0,430573694	2,322482802	1,2375
ARHGEF10	0,006744192	-1,215766412	0,188	0,391	1	0,430544298	2,322641373	0,480818414
SMTN	0,029264113	-1,220783077	0,156	0,301	1	0,429049772	2,330731921	0,518272425
CNTN2	0,003891944	-1,221690884	0	0,215	1	0,42877988	2,332198982	0
SEMA5A	0,03161618	-1,235083747	0,062	0,211	1	0,424817838	2,353950116	0,293838863
CREBRF	0,026925757	-1,239773293	0,188	0,324	1	0,423439191	2,361614187	0,580246914
GFRA2	0,155566833	-1,241150347	0,219	0,285	1	0,42303521	2,363869426	0,768421053
DNAJB4	0,189382021	-1,241517187	0,375	0,383	1	0,422927657	2,364470573	0,979112272
NEDD9	0,26704199	-1,251783001	0,25	0,277	1	0,419928904	2,381355486	0,902527076
ZBTB20	0,049601691	-1,252737111	0,594	0,527	1	0,419651281	2,38293089	1,127134725
PTEN	0,028740164	-1,254499412	0,375	0,449	1	0,419138975	2,3858435	0,83518931
HSPA2	0,078442739	-1,25798428	0,094	0,207	1	0,418127756	2,391613534	0,45410628
DDIT4	0,575177068	-1,261618946	0,344	0,316	1	0,417075668	2,397646462	1,088607595
NFE2L2	0,053452746	-1,262818711	0,781	0,586	1	0,416728967	2,399641206	1,332764505

Supplementary Table 1

Differentially expressed genes_adjacent-skin-XL_comparing SC-Keloid vs. (SC-Myel, SC-Nonmyel)								
gene	p_val	avg_log2FC	pct.1	pct.2	p_val_adj	Foldchange_UP	Foldchange_DOWN	Ratio_pct1_pct2
SLIT2	0,001808419	-1,26312705	0,062	0,312	1	0,416639911	2,400154123	0,198717949
IER5L	0,881276048	-1,264300909	0,594	0,43	1	0,416301047	2,402107821	1,381395349
NR2F2	0,168957526	-1,265022582	0,406	0,418	1	0,416092854	2,403309717	0,971291866
B4GALNT4	0,006627143	-1,266002865	0,031	0,234	1	0,415810223	2,404943274	0,132478632
SPTBN1	7,6514E-06	-1,266905703	0,812	0,844	0,161452129	0,415550091	2,406448757	0,962085308
MEGF9	0,009125872	-1,268348499	0,281	0,43	1	0,41513472	2,408856578	0,653488372
ART3	0,000521148	-1,269305391	0	0,289	1	0,414859466	2,410454824	0
MED13L	0,059760021	-1,271281558	0,219	0,32	1	0,414291591	2,413758866	0,684375
GLDN	0,038111838	-1,277667763	0	0,121	1	0,412461749	2,424467246	0
ADGRB3	0,00233989	-1,27964665	0	0,234	1	0,41189638	2,427795071	0
LAMB1	0,151754339	-1,280968331	0,656	0,523	1	0,411519206	2,430020241	1,254302103
CTNNAL1	0,013141583	-1,281829675	0,25	0,414	1	0,411273586	2,43147149	0,603864734
MT1X	0,117391427	-1,292645948	0,594	0,297	1	0,408201688	2,449769391	2
KLF4	0,411365317	-1,295299521	0,594	0,457	1	0,407451566	2,454279439	1,299781182
NR4A1	0,099814455	-1,299962306	0,875	0,672	1	0,406136809	2,462224494	1,302083333
FOS	0,062805775	-1,302091138	0,938	0,82	1	0,405537958	2,465860419	1,143902439
NDRG1	0,006894276	-1,304635019	0,344	0,484	1	0,40482351	2,470212267	0,710743802
ZEB2	0,000190608	-1,30491606	0,906	0,797	1	0,404744657	2,470693518	1,136762861
SPATA13	0,004074523	-1,305154021	0,062	0,285	1	0,404677903	2,471101074	0,21754386
SERPING1	0,001607793	-1,306982411	0,031	0,285	1	0,404165362	2,474234792	0,10877193
TSPYL2	0,037320683	-1,313955585	0,094	0,238	1	0,402216568	2,486222795	0,394957983
COL3A1	0,40492022	-1,31716832	0,594	0,48	1	0,401321869	2,49176553	1,2375
GPR155	0,014158204	-1,321101176	0,344	0,469	1	0,400229336	2,498567469	0,73347548
PRIMA1	0,006627129	-1,322066328	0,031	0,234	1	0,399961676	2,500239551	0,132478632
SEMA3G	0,001387247	-1,323905225	0	0,254	1	0,399452199	2,503428453	0
BHLHE40	0,038478302	-1,33625316	0,406	0,457	1	0,396047902	2,524947097	0,888402626
RDH10	0,006553384	-1,34469807	0,062	0,27	1	0,393736381	2,539770382	0,22962963
LPL	0,003180406	-1,348440459	0	0,223	1	0,392716343	2,546367165	0
TIPARP	0,067184942	-1,349931289	0,219	0,324	1	0,392310733	2,548999851	0,675925926
PNRC1	0,001040003	-1,350580056	0,719	0,68	1	0,392134354	2,550146371	1,057352941

Supplementary Table 1

Differentially expressed genes_adjacent-skin-XL_comparing SC-Keloid vs. (SC-Myel, SC-Nonmyel)								
gene	p_val	avg_log2FC	pct.1	pct.2	p_val_adj	Foldchange_UP	Foldchange_DOWN	Ratio_pct1_pct2
ETS1	0,143852793	-1,354460401	0,562	0,48	1	0,391081067	2,557014605	1,170833333
TMOD2	0,022143304	-1,358307161	0,281	0,398	1	0,390039689	2,563841652	0,706030151
CADM3	0,005697043	-1,363502494	0,188	0,402	1	0,388637631	2,573091024	0,467661692
NIBAN1	0,009452591	-1,365385148	0,156	0,355	1	0,388130807	2,576450987	0,43943662
SORCS1	0,009361352	-1,368022607	0,188	0,379	1	0,387421894	2,581165428	0,496042216
IFRD1	0,013620574	-1,376982811	0,312	0,445	1	0,385023174	2,59724626	0,701123596
GAS2L3	0,0092796	-1,377421201	0,125	0,316	1	0,384906196	2,598035603	0,39556962
SLC38A2	0,003055286	-1,377620205	0,375	0,547	1	0,384853106	2,598393998	0,685557587
HSPH1	0,845159753	-1,377733377	0,594	0,402	1	0,384822917	2,598597837	1,47761194
IGSF1	0,002110019	-1,381828568	0	0,238	1	0,383732119	2,605984617	0
SNHG15	0,08051557	-1,384312628	0,281	0,352	1	0,383071971	2,610475516	0,798295455
CSRNP1	0,033492656	-1,393769119	0,406	0,461	1	0,380569245	2,627642707	0,880694143
CLIC4	0,000104241	-1,396858265	0,906	0,77	1	0,379755229	2,63327513	1,176623377
GBP2	0,057556704	-1,399907448	0,156	0,277	1	0,378953452	2,638846528	0,563176895
FTL	0,006179769	-1,400975581	1	0,883	1	0,378672988	2,640800983	1,132502831
TSC22D2	0,014197513	-1,404046352	0,25	0,395	1	0,377867841	2,646427905	0,632911392
GLUL	0,028188895	-1,411896583	0,188	0,34	1	0,375817308	2,660867336	0,552941176
ABCA1	0,003082907	-1,414825929	0,094	0,332	1	0,375054998	2,66627563	0,28313253
RC3H1	0,016577215	-1,423093774	0,125	0,293	1	0,372911767	2,68159948	0,42662116
HMOX1	0,431765035	-1,425767617	0,062	0,102	1	0,372221265	2,686574075	0,607843137
ATP1A2	0,000888905	-1,428226816	0,031	0,312	1	0,371587322	2,691157479	0,099358974
TAF1D	0,098619939	-1,436709593	0,531	0,48	1	0,369408869	2,707027592	1,10625
AHNAK	4,63416E-06	-1,438159544	0,969	0,832	0,097785484	0,369037788	2,709749603	1,164663462
KRT5	0,003929166	-1,439396388	0,031	0,254	1	0,368721542	2,712073709	0,122047244
IL6ST	0,01282952	-1,441824678	0,5	0,531	1	0,368101446	2,716642412	0,941619586
SYNE2	0,032916555	-1,445331948	0,281	0,383	1	0,367207658	2,723254752	0,733681462
EPB41L2	0,010436886	-1,447561858	0,281	0,422	1	0,36664052	2,72746722	0,665876777
PRRG4	0,000805979	-1,451344223	0,031	0,309	1	0,365680544	2,7346273	0,100323625
SNCA	0,001108266	-1,452606805	0,156	0,426	1	0,365360657	2,737021571	0,366197183
BPGM	0,550310174	-1,45288584	0,406	0,332	1	0,365289999	2,737550996	1,222891566

Supplementary Table 1

Differentially expressed genes_adjacent-skin-XL_comparing SC-Keloid vs. (SC-Myel, SC-Nonmyel)								
gene	p_val	avg_log2FC	pct.1	pct.2	p_val_adj	Foldchange_UP	Foldchange_DOWN	Ratio_pct1_pct2
NR4A2	0,023665888	-1,45728209	0,594	0,574	1	0,364178564	2,745905716	1,034843206
AMD1	0,001894494	-1,463046037	0,156	0,395	1	0,362726477	2,756898279	0,394936709
NRN1	0,043454745	-1,465940521	0,531	0,496	1	0,361999467	2,762435004	1,070564516
COL21A1	0,001541938	-1,46973062	0	0,25	1	0,361049708	2,76970173	0
KRT14	0,113824728	-1,471931522	0,281	0,348	1	0,360499329	2,77393027	0,807471264
MT-ND2	2,09488E-05	-1,472645502	0,844	0,82	0,442041378	0,360320964	2,775303409	1,029268293
CCND2	0,002446203	-1,474457763	0,062	0,305	1	0,359868626	2,778791835	0,203278689
TENT5A	0,08880514	-1,490600538	0,25	0,328	1	0,355864385	2,810059228	0,762195122
ABCA2	0,002572903	-1,493278288	0,062	0,301	1	0,355204487	2,81527975	0,205980066
JUN	6,45673E-05	-1,499359024	1	0,934	1	0,353710506	2,827170759	1,070663812
DHRS3	0,000465946	-1,500857715	0	0,293	1	0,353343257	2,830109189	0
LIMCH1	0,009059078	-1,510090553	0,031	0,223	1	0,351089182	2,848279162	0,139013453
ABL2	0,20096991	-1,527151597	0,406	0,387	1	0,346961719	2,882162337	1,049095607
MT1E	0,559141209	-1,531640436	0,469	0,383	1	0,345883851	2,891143937	1,224543081
SOCS3	0,063316032	-1,532406171	0,531	0,512	1	0,345700316	2,892678868	1,037109375
IFI16	0,045498933	-1,539194415	0,625	0,543	1	0,34407753	2,906321723	1,151012891
TSC22D3	0,902579767	-1,541950208	0,406	0,285	1	0,343420911	2,911878598	1,424561404
CEBPB	0,136626421	-1,555146378	0,781	0,566	1	0,340294001	2,93863541	1,379858657
XIST	7,51886E-06	-1,561103938	0,781	0,832	0,158655511	0,338891666	2,950795495	0,938701923
DKK3	0,000137148	-1,56559708	0,156	0,492	1	0,33783786	2,959999803	0,317073171
TGFBR2	0,008409367	-1,569874703	0,438	0,512	1	0,336837647	2,968789294	0,85546875
SQSTM1	0,034044879	-1,571731933	0,562	0,523	1	0,336404304	2,972613576	1,07456979
NFKBIA	0,001808384	-1,574392428	0,656	0,738	1	0,335784507	2,978100475	0,888888889
CRYAB	1,97264E-07	-1,57472901	1	0,961	0,004162477	0,335706178	2,978795348	1,040582726
HSP90AA1	0,005788735	-1,57701408	1	0,922	1	0,335174877	2,983517171	1,084598698
CCNL1	0,000159697	-1,578639547	0,656	0,68	1	0,334797452	2,986880557	0,964705882
NRXN3	0,031717738	-1,587949556	0,219	0,34	1	0,332643891	3,006217842	0,644117647
HSPA12A	0,002259963	-1,589792636	0,406	0,543	1	0,332219201	3,010060816	0,747697974
SOD3	0,009874943	-1,603375158	0,062	0,254	1	0,329106139	3,038533417	0,244094488
NAMPT	0,039410979	-1,604535339	0,25	0,352	1	0,328841586	3,040977915	0,710227273

Supplementary Table 1

Differentially expressed genes_adjacent-skin-XL_comparing SC-Keloid vs. (SC-Myel, SC-Nonmyel)								
gene	p_val	avg_log2FC	pct.1	pct.2	p_val_adj	Foldchange_UP	Foldchange_DOWN	Ratio_pct1_pct2
CAB39L	0,000761101	-1,605552592	0,094	0,367	1	0,328609799	3,043122883	0,25613079
RETREG1	0,001149229	-1,607363473	0,25	0,477	1	0,328197585	3,04694503	0,524109015
VGLL3	0,00037172	-1,607404633	0	0,301	1	0,328188221	3,047031962	0
NFIA	0,000994878	-1,609824742	0,156	0,41	1	0,32763815	3,052147621	0,380487805
PMP22	6,09945E-09	-1,613049936	1	0,922	0,000128704	0,326906522	3,058978434	1,084598698
RAPGEF5	0,000146496	-1,613168503	0	0,332	1	0,326879656	3,059229844	0
SOWAHC	0,002513995	-1,619482706	0,031	0,27	1	0,325452137	3,072648434	0,114814815
TXNIP	0,011911683	-1,622226571	0,312	0,441	1	0,324833747	3,078497871	0,707482993
MT-ND3	1,02546E-05	-1,630133347	0,844	0,875	0,216382902	0,323058346	3,095416081	0,964571429
MAFF	0,002033328	-1,650080538	0,25	0,461	1	0,318622369	3,138511593	0,542299349
MT1A	0,033276355	-1,655692691	0,031	0,176	1	0,317385321	3,15074433	0,176136364
ALCAM	0,001254174	-1,656223648	0,156	0,398	1	0,317268534	3,151904118	0,391959799
ADD3	0,002628605	-1,663840289	0,219	0,422	1	0,315597944	3,168588451	0,518957346
CD55	0,000805983	-1,672426669	0,031	0,309	1	0,313725202	3,187502932	0,100323625
SOD2	0,642995769	-1,679068911	0,531	0,336	1	0,312284115	3,202212193	1,580357143
BCL6	0,003096624	-1,680673201	0,312	0,469	1	0,311937045	3,205775064	0,665245203
GADD45B	0,313831708	-1,682982858	0,812	0,672	1	0,311438054	3,210911404	1,208333333
NRXN1	1,30342E-05	-1,684621321	0,844	0,809	0,275034574	0,311084556	3,214560094	1,043263288
RELN	0,000654925	-1,688762978	0,094	0,371	1	0,310192782	3,223801641	0,253369272
HSPA1A	0,018784067	-1,69450398	0,969	0,879	1	0,308960866	3,236655863	1,102389078
FOSB	0,072783521	-1,698077637	0,812	0,652	1	0,308196496	3,244683226	1,245398773
NFIB	0,000112077	-1,701386428	0,094	0,422	1	0,307490463	3,25213338	0,222748815
MBNL2	0,00057158	-1,702101991	0,375	0,535	1	0,307337989	3,253746807	0,700934579
STARD13	0,002436583	-1,708931013	0,375	0,512	1	0,305886637	3,269184983	0,732421875
BTG2	0,176353344	-1,720731278	0,406	0,398	1	0,303394896	3,29603435	1,020100503
SELENOP	2,24418E-05	-1,727633043	0,031	0,418	0,473545264	0,30194694	3,311840153	0,074162679
NFATC2	0,00810324	-1,745194952	0,094	0,305	1	0,298293625	3,352401519	0,308196721
PLLP	0,000365502	-1,751173215	0,062	0,363	1	0,297060108	3,366322078	0,170798898
TSC22D4	0,002725343	-1,756689144	0,156	0,375	1	0,295926512	3,379217343	0,416
RGCC	0,004618309	-1,75803476	0,344	0,508	1	0,295650627	3,382370643	0,677165354

Supplementary Table 1

Differentially expressed genes_adjacent-skin-XL_comparing SC-Keloid vs. (SC-Myel, SC-Nonmyel)								
gene	p_val	avg_log2FC	pct.1	pct.2	p_val_adj	Foldchange_UP	Foldchange_DOWN	Ratio_pct1_pct2
PER1	0,000850035	-1,782753536	0,094	0,363	1	0,290628172	3,440822656	0,258953168
HES1	0,000194163	-1,785515348	0,594	0,73	1	0,290072343	3,447415876	0,81369863
YBX3	0,00357947	-1,795772801	0,469	0,543	1	0,288017265	3,472014086	0,863720074
DNAJB1	0,008924643	-1,802144402	0,812	0,699	1	0,286748054	3,487381998	1,161659514
IRF1	0,009089875	-1,814850041	0,156	0,355	1	0,284233786	3,518230588	0,43943662
HSPA6	0,297875812	-1,832245392	0,219	0,129	1	0,280827205	3,560908567	1,697674419
LTBP4	1,0953E-05	-1,836550542	0,312	0,652	0,231119174	0,279990437	3,571550552	0,478527607
SAMHD1	0,000827252	-1,83689586	0,219	0,457	1	0,279923428	3,572405528	0,479212254
WSB1	5,21784E-06	-1,858434816	0,562	0,715	0,110101556	0,275775306	3,626140476	0,786013986
MTURN	0,005261806	-1,865240339	0,219	0,398	1	0,274477474	3,643286219	0,550251256
TCIM	0,208448506	-1,869798269	0,688	0,559	1	0,273611682	3,654814715	1,230769231
EGR1	0,231347142	-1,88571504	0,781	0,57	1	0,270609606	3,695360313	1,370175439
ZFAND5	0,001416688	-1,891698474	0,438	0,555	1	0,269489604	3,710718277	0,789189189
DMD	1,50201E-05	-1,899757876	0,125	0,508	0,316938305	0,267988338	3,731505665	0,246062992
PPP1R15A	3,91578E-08	-1,932853556	0,812	0,855	0,000826268	0,261910616	3,818096473	0,949707602
AHR	2,15528E-05	-1,948399263	0,719	0,75	0,454784973	0,259103559	3,859460689	0,958666667
PLP1	1,68409E-08	-1,953748789	0,75	0,828	0,000355359	0,25814458	3,873798169	0,905797101
ITGB8	0,021634511	-1,956565317	0,625	0,555	1	0,257641104	3,881368249	1,126126126
FXYD1	2,20406E-07	-1,990188155	0,594	0,781	0,004650794	0,251706058	3,97288809	0,76056338
HSPA1B	0,020498363	-1,994620708	1	0,805	1	0,2509339	3,985113207	1,242236025
NDRG2	8,62269E-07	-2,005298642	0,406	0,695	0,018194742	0,249083499	4,014717967	0,584172662
DOCK5	5,03745E-05	-2,01956677	0,219	0,52	1	0,246632227	4,054620164	0,421153846
NCAM1	3,15288E-05	-2,024930487	0,156	0,508	0,665288904	0,245716989	4,069722672	0,307086614
PRX	0,137206058	-2,031403162	0,031	0,113	1	0,244617045	4,088022573	0,274336283
RARRES2	3,22499E-06	-2,050922346	0,094	0,52	0,068050569	0,241329746	4,143708011	0,180769231
JUNB	8,88571E-05	-2,061404409	0,938	0,816	1	0,239582692	4,173924224	1,149509804
BCL2	1,70476E-05	-2,068597401	0,062	0,449	0,359722259	0,238391153	4,194786547	0,138084633
MT2A	0,125004246	-2,078061558	0,906	0,738	1	0,236832412	4,222395032	1,227642276
CCN5	0,018264327	-2,093454803	0	0,152	1	0,234318895	4,26768828	0
MATN2	0,000240492	-2,094002224	0,5	0,641	1	0,234230001	4,269307933	0,780031201

Supplementary Table 1

Differentially expressed genes_adjacent-skin-XL_comparing SC-Keloid vs. (SC-Myel, SC-Nonmyel)								
gene	p_val	avg_log2FC	pct.1	pct.2	p_val_adj	Foldchange_UP	Foldchange_DOWN	Ratio_pct1_pct2
CDH19	7,49304E-10	-2,098682395	1	0,918	1,58111E-05	0,233471379	4,283180259	1,089324619
CDKN1A	4,46741E-05	-2,105185751	0,188	0,508	0,942668022	0,232421309	4,30253149	0,37007874
ZFP36L2	0,053704432	-2,128795911	0,656	0,559	1	0,228648615	4,373523093	1,17352415
CHL1	7,19449E-07	-2,146949616	0,031	0,516	0,015181093	0,225789513	4,428903662	0,060077519
MT3	0,00124733	-2,168135319	0	0,258	1	0,222498063	4,494421151	0
ZFP36L1	1,48319E-06	-2,249186985	0,625	0,746	0,031296798	0,210342607	4,754148557	0,837801609
ADIRF	1,19435E-06	-2,287653243	0,25	0,641	0,025202079	0,204808395	4,882612356	0,390015601
DST	1,6753E-09	-2,313876176	0,875	0,863	3,53504E-05	0,201119354	4,972171903	1,013904983
CADM2	1,75525E-07	-2,320422696	0,031	0,543	0,003703747	0,200208801	4,994785407	0,057090239
SCN7A	2,61179E-06	-2,330290234	0,656	0,746	0,055111356	0,198844114	5,029065118	0,879356568
XKR4	1,05817E-06	-2,333336095	0,062	0,527	0,022328418	0,198424752	5,039693848	0,117647059
PCSK2	7,47954E-07	-2,361331633	0,125	0,594	0,015782577	0,194611432	5,138444275	0,21043771
KLF9	4,40649E-07	-2,411156826	0,25	0,652	0,009298126	0,188005031	5,319006596	0,383435583
AATK	5,15953E-05	-2,496597927	0,156	0,488	1	0,177194051	5,643530327	0,319672131
SAT1	5,01889E-06	-2,499737087	0,531	0,688	0,105903628	0,176808914	5,655823453	0,771802326
ATF3	6,06014E-08	-2,524379074	0,625	0,777	0,001278751	0,17381457	5,753257623	0,804375804
VMP1	3,17903E-05	-2,726511972	0,625	0,684	0,670806983	0,151090832	6,618535262	0,91374269
ANK3	1,23746E-08	-2,7411253	0,125	0,645	0,000261117	0,14956813	6,685916329	0,19379845
CLU	8,26174E-10	-2,783778854	0,438	0,797	1,74331E-05	0,145210849	6,886537809	0,549560853
MT1M	0,045648135	-2,849449353	0,156	0,281	1	0,138749132	7,207252315	0,555160142
ZFP36	6,83522E-07	-3,060017338	0,531	0,746	0,014422992	0,119906574	8,339826314	0,711796247
BIRC3	0,000109392	-3,075533987	0,156	0,473	1	0,118623851	8,430007921	0,329809725
MBP	0,004823334	-3,131080632	0,031	0,246	1	0,114143402	8,760909396	0,12601626
CEBPD	0,000650306	-3,133043865	0,281	0,512	1	0,11398818	8,77283944	0,548828125
FGL2	2,59668E-07	-3,268276216	0,031	0,535	0,005479256	0,10378888	9,634943564	0,057943925
COL28A1	1,13234E-12	-3,342514488	0,031	0,77	2,38935E-08	0,098583192	10,14371694	0,04025974
PDK4	2,17807E-07	-3,346423805	0	0,516	0,004595936	0,09831642	10,17124097	0
MPZ	2,65263E-07	-3,703191866	0,312	0,703	0,005597309	0,076776475	13,02482303	0,443812233
CCL2	0,000262071	-4,072429784	0,156	0,441	1	0,059439682	16,82377767	0,353741497

Supplementary Table 2

Differentially expressed genes_keloid-XL_comparing SC-Keloid vs. (SC-Myel, SC-Nonmyel, SC-Nonmyel2)								
gene	p_val	avg_log2FC	pct.1	pct.2	p_val_adj	Foldchange_UP	Foldchange_DOWN	Ratio_pct1_pct2
TGFBI	1,62559E-63	4,114407312	0,939	0,049	3,43016E-59	17,32048367	0,057735108	19,16326531
IBSP	1,76098E-49	4,02492376	0,744	0,025	3,71584E-45	16,27881479	0,061429534	29,76
IGFBP3	2,56146E-59	3,882741596	0,902	0,042	5,40493E-55	14,75100757	0,067791979	21,47619048
SPARCL1	1,80626E-38	3,198701767	0,951	0,281	3,81138E-34	9,181321159	0,108916787	3,384341637
ELN	1,45092E-46	3,00729267	0,915	0,126	3,06158E-42	8,040541529	0,124369733	7,261904762
TAGLN	2,86713E-39	2,872219187	0,768	0,088	6,04993E-35	7,321905671	0,136576466	8,727272727
COL7A1	3,01719E-45	2,7498591	0,902	0,126	6,36657E-41	6,726514348	0,148665408	7,158730159
MMP15	9,57764E-48	2,51027746	0,829	0,07	2,02098E-43	5,697296385	0,17552185	11,84285714
COL1A1	1,86368E-30	2,492821807	0,988	0,656	3,93254E-26	5,628778225	0,177658447	1,506097561
IGFBP5	6,04209E-33	2,463500531	1	0,702	1,27494E-28	5,515533849	0,181306112	1,424501425
FN1	3,93038E-29	2,438870099	0,963	0,488	8,29349E-25	5,422169072	0,184428037	1,973360656
CCN3	3,09733E-32	2,417916588	0,793	0,137	6,53567E-28	5,343987333	0,187126192	5,788321168
ITGB1	4,92765E-35	2,248125	1	0,765	1,03978E-30	4,750650259	0,210497499	1,307189542
PCDH20	1,48287E-30	2,235276058	0,841	0,193	3,12901E-26	4,708527835	0,212380607	4,357512953
APOD	8,17119E-31	2,16544267	0,854	0,204	1,7242E-26	4,486040577	0,222913722	4,18627451
COL6A2	8,30144E-29	2,148125105	0,951	0,502	1,75169E-24	4,432513745	0,225605617	1,894422311
LOXL2	2,83567E-49	2,073879796	0,817	0,049	5,98355E-45	4,210173817	0,237519885	16,67346939
NES	1,81968E-29	2,06620237	0,902	0,288	3,83971E-25	4,187828523	0,238787237	3,131944444
COL8A1	6,91195E-32	2,01267362	0,866	0,214	1,45849E-27	4,035293531	0,247813447	4,046728972
S100A16	4,14099E-31	2,004861574	0,829	0,2	8,73791E-27	4,013501882	0,249158971	4,145
COL1A2	2,89243E-25	1,978320612	0,976	0,723	6,10332E-21	3,940341342	0,25378512	1,349930844
MYL9	4,53715E-27	1,956163331	0,927	0,354	9,57385E-23	3,880286913	0,257712902	2,618644068
TNFAIP6	8,63425E-23	1,944135252	0,89	0,442	1,82191E-18	3,848070556	0,259870495	2,013574661
TNC	6,21347E-25	1,943263571	0,927	0,365	1,3111E-20	3,845746242	0,260027557	2,539726027
S100A6	4,10404E-33	1,939016777	1	0,954	8,65993E-29	3,834442343	0,260794116	1,048218029
COL6A1	1,67035E-25	1,92907186	0,976	0,565	3,52461E-21	3,808101309	0,262598056	1,727433628
PTN	1,35095E-27	1,900107448	1	0,596	2,85065E-23	3,732409936	0,267923411	1,677852349
ACTB	7,55083E-25	1,893136081	1	0,853	1,5933E-20	3,714417753	0,269221199	1,172332943
S100A11	4,39506E-23	1,873087428	0,976	0,695	9,27401E-19	3,663156728	0,272988593	1,404316547
GPC1	3,17181E-29	1,850565564	0,927	0,298	6,69284E-25	3,606415357	0,277283646	3,110738255

Supplementary Table 2

Differentially expressed genes_keloid-XL_comparing SC-Keloid vs. (SC-Myel, SC-Nonmyel, SC-Nonmyel2)								
gene	p_val	avg_log2FC	pct.1	pct.2	p_val_adj	Foldchange_UP	Foldchange_DOWN	Ratio_pct1_pct2
TNFRSF12A	4,81504E-23	1,813453931	0,854	0,309	1,01602E-18	3,514827609	0,284508975	2,763754045
POSTN	1,64269E-10	1,767518868	0,415	0,109	3,46623E-06	3,404679197	0,293713429	3,80733945
COL5A1	2,20943E-31	1,757190004	0,878	0,189	4,66211E-27	3,380390709	0,295823793	4,645502646
MMP2	4,2307E-27	1,753113296	0,707	0,119	8,92719E-23	3,370852024	0,296660901	5,941176471
SH3BGR13	2,26043E-23	1,750267321	0,878	0,323	4,76973E-19	3,364208967	0,297246696	2,718266254
SCARA3	1,22164E-31	1,734678751	0,732	0,105	2,57779E-27	3,328053788	0,300475913	6,971428571
COL12A1	1,59351E-21	1,72302214	0,756	0,214	3,36246E-17	3,301272295	0,302913517	3,53271028
CCN2	8,73775E-19	1,718610944	0,659	0,154	1,84375E-14	3,291193716	0,303841125	4,279220779
TPM2	5,2851E-27	1,703018669	0,622	0,077	1,11521E-22	3,255814872	0,307142771	8,077922078
S100A13	3,97585E-26	1,690629594	0,915	0,33	8,38945E-22	3,227975421	0,309791702	2,772727273
PDLIM7	1,10251E-28	1,681052191	0,805	0,175	2,32642E-24	3,206617318	0,311855111	4,6
HMCN2	5,90033E-45	1,646631677	0,695	0,021	1,24503E-40	3,131017727	0,319384969	33,0952381
MYL6	1,48839E-27	1,636808819	0,976	0,758	3,14064E-23	3,10977202	0,321566981	1,287598945
CD151	1,21178E-24	1,630034051	0,89	0,309	2,55697E-20	3,09520304	0,323080582	2,8802589
S100A4	6,69157E-09	1,56417428	0,817	0,596	0,000141199	2,957082062	0,338171204	1,370805369
CDH2	7,17837E-39	1,559836326	0,744	0,063	1,51471E-34	2,948203941	0,339189561	11,80952381
TMSB10	5,12584E-23	1,537081364	1	0,923	1,0816E-18	2,90206808	0,344581854	1,083423619
PMEPA1	8,79212E-18	1,531498495	0,902	0,604	1,85523E-13	2,890859503	0,345917883	1,493377483
CALR	9,47057E-19	1,517175727	0,878	0,456	1,99838E-14	2,86230166	0,349369186	1,925438596
PPP1R14B	4,432E-21	1,512759122	0,89	0,379	9,35197E-17	2,853552532	0,350440368	2,34828496
TUBB3	9,55507E-27	1,497262433	0,598	0,074	2,01622E-22	2,823065169	0,354224908	8,081081081
COL5A2	3,05732E-25	1,488710361	0,927	0,326	6,45124E-21	2,806379981	0,356330934	2,843558282
MMP14	1,2458E-20	1,479955532	0,89	0,316	2,62876E-16	2,789401355	0,358499862	2,816455696
CSRP2	5,96579E-21	1,479317957	0,549	0,091	1,25884E-16	2,788168897	0,35865833	6,032967033
ENC1	1,06132E-32	1,458627118	0,622	0,046	2,23949E-28	2,748466925	0,363839197	13,52173913
CCND1	3,18616E-15	1,455715169	0,744	0,305	6,72313E-11	2,742924989	0,364574315	2,439344262
SLC15A3	2,22243E-26	1,448380917	0,707	0,119	4,68954E-22	2,729016122	0,366432427	5,941176471
CDKN2A	1,76597E-22	1,437972217	0,427	0,028	3,72636E-18	2,709397779	0,369085709	15,25
PPIB	3,62907E-23	1,435850422	0,939	0,551	7,65771E-19	2,705415952	0,369628929	1,704174229
CFL1	6,82296E-24	1,433647643	0,988	0,709	1,43971E-19	2,701288339	0,370193728	1,393511989

Supplementary Table 2

Differentially expressed genes_keloid-XL_comparing SC-Keloid vs. (SC-Myel, SC-Nonmyel, SC-Nonmyel2)								
gene	p_val	avg_log2FC	pct.1	pct.2	p_val_adj	Foldchange_UP	Foldchange_DOWN	Ratio_pct1_pct2
ISLR	1,88969E-37	1,427952535	0,512	0	3,98742E-33	2,690645893	0,371657974	#DIV/0!
ATOX1	2,77868E-25	1,426045969	0,768	0,193	5,86329E-21	2,68709247	0,372149456	3,979274611
ATP5F1E	2,55495E-21	1,416318029	0,963	0,635	5,39121E-17	2,66903464	0,374667299	1,516535433
MYL12A	1,01094E-16	1,397384056	0,866	0,582	2,13319E-12	2,634235003	0,379616852	1,487972509
LYPD1	4,35129E-32	1,389825846	0,646	0,056	9,18165E-28	2,620470461	0,381610865	11,53571429
CALB2	2,94856E-25	1,385608713	0,366	0,004	6,22175E-21	2,612821764	0,382727982	91,5
ACTG1	2,10965E-19	1,360547517	0,939	0,888	4,45157E-15	2,567826125	0,389434468	1,057432432
MYH9	9,80578E-19	1,359781339	0,72	0,204	2,06912E-14	2,566462782	0,389641341	3,529411765
S100A10	8,75227E-24	1,34296843	1	0,891	1,84682E-19	2,536727288	0,394208713	1,122334456
UQCR11	1,14514E-19	1,317434553	0,841	0,326	2,41637E-15	2,492225399	0,401247817	2,579754601
PHLDA2	1,18899E-25	1,313456336	0,72	0,13	2,50889E-21	2,485362579	0,40235578	5,538461538
COL4A2	1,18968E-17	1,303975734	0,976	0,719	2,51034E-13	2,469083683	0,405008549	1,35744089
TMED9	6,44674E-23	1,293342579	0,793	0,232	1,36033E-18	2,450952593	0,408004628	3,418103448
OST4	2,0745E-16	1,287697766	0,902	0,47	4,3774E-12	2,441381521	0,409604149	1,919148936
ADAMTSL1	5,12554E-28	1,281280043	0,732	0,112	1,08154E-23	2,430545333	0,411430302	6,535714286
RGS16	4,81023E-17	1,277923538	0,78	0,284	1,01501E-12	2,424897117	0,41238863	2,746478873
CDK2AP1	3,21289E-16	1,254193557	0,805	0,33	6,77952E-12	2,385337749	0,419227843	2,439393939
PRRX1	9,43329E-27	1,253395425	0,598	0,063	1,99052E-22	2,38401849	0,419459834	9,492063492
BSG	3,59957E-20	1,250317609	0,963	0,421	7,59545E-16	2,378937895	0,420355656	2,287410926
PFN1	2,12696E-17	1,249913788	0,89	0,561	4,4881E-13	2,378272106	0,420473333	1,586452763
COL4A1	1,37339E-14	1,242931285	0,951	0,635	2,89799E-10	2,366789312	0,422513316	1,497637795
COL6A3	8,11708E-18	1,24174266	0,354	0,028	1,71279E-13	2,364840136	0,422861565	12,64285714
CDH6	8,03257E-19	1,239794178	0,683	0,168	1,69495E-14	2,361648375	0,423433061	4,06547619
EMP3	1,23338E-16	1,23844335	0,915	0,47	2,60256E-12	2,359438144	0,423829717	1,946808511
ADAMTS16	1,03115E-34	1,234480386	0,573	0,025	2,17583E-30	2,352965856	0,424995542	22,92
TIMP4	4,83669E-23	1,22783714	0,659	0,112	1,02059E-18	2,34215595	0,426957052	5,883928571
NGFR	6,22554E-16	1,226256474	0,902	0,446	1,31365E-11	2,339591211	0,427425097	2,022421525
THBS2	2,33723E-20	1,220693936	0,646	0,13	4,93178E-16	2,330587916	0,429076283	4,969230769
TENM3	3,80701E-19	1,202970271	0,72	0,196	8,03316E-15	2,302131543	0,434380044	3,673469388
LOXL3	1,8427E-28	1,19256383	0,646	0,07	3,88828E-24	2,285585566	0,437524639	9,228571429

Supplementary Table 2

Differentially expressed genes_keloid-XL_comparing SC-Keloid vs. (SC-Myel, SC-Nonmyel, SC-Nonmyel2)								
gene	p_val	avg_log2FC	pct.1	pct.2	p_val_adj	Foldchange_UP	Foldchange_DOWN	Ratio_pct1_pct2
P3H2	4,94023E-34	1,188752101	0,598	0,035	1,04244E-29	2,279554814	0,438682147	17,08571429
TPST2	1,56728E-31	1,183237268	0,585	0,042	3,30711E-27	2,270857642	0,440362258	13,92857143
CD276	2,14028E-25	1,181847037	0,634	0,095	4,5162E-21	2,26867042	0,440786811	6,673684211
FLNA	1,07565E-13	1,178181262	0,866	0,53	2,26974E-09	2,262913224	0,44190824	1,633962264
COL5A3	1,41652E-11	1,175518208	0,683	0,263	2,989E-07	2,258739991	0,442724707	2,596958175
DSEL	4,70947E-24	1,173977256	0,598	0,081	9,93745E-20	2,256328704	0,443197837	7,382716049
STMP1	1,16258E-20	1,168524364	0,78	0,211	2,45315E-16	2,247816653	0,444876142	3,696682464
ANGPTL2	1,33042E-19	1,16814382	0,707	0,168	2,80733E-15	2,247223818	0,444993504	4,208333333
RCAN1	8,01016E-08	1,167599034	0,793	0,512	0,001690224	2,246375387	0,445161573	1,548828125
PDIA4	3,35776E-21	1,162338444	0,72	0,158	7,08521E-17	2,238199204	0,446787756	4,556962025
PPFIBP1	1,01044E-14	1,160154914	0,805	0,326	2,13214E-10	2,234814234	0,447464485	2,469325153
TAGLN2	1,3442E-18	1,157733351	0,951	0,667	2,83641E-14	2,231066245	0,448216185	1,425787106
P4HB	3,08161E-17	1,15324973	0,805	0,316	6,50249E-13	2,224143281	0,449611322	2,547468354
CYTOR	2,73679E-18	1,152021859	0,598	0,13	5,7749E-14	2,222251128	0,449994147	4,6
CRIP2	5,09393E-16	1,1352815	0,878	0,407	1,07487E-11	2,196614192	0,45524608	2,157248157
GAPDH	9,14084E-13	1,129295436	0,963	0,761	1,92881E-08	2,18751883	0,457138922	1,26544021
FKBP10	4,16567E-24	1,128440052	0,695	0,123	8,78997E-20	2,18622222	0,457410043	5,650406504
GRN	9,37728E-25	1,126470611	0,744	0,137	1,9787E-20	2,183239817	0,458034886	5,430656934
ABHD2	1,82113E-19	1,121888852	0,646	0,14	3,84277E-15	2,176317209	0,459491841	4,614285714
KIRREL3	9,38378E-22	1,120760419	0,61	0,098	1,98007E-17	2,174615625	0,459851382	6,224489796
PLOD1	2,72906E-23	1,113425352	0,646	0,105	5,75859E-19	2,163587327	0,462195349	6,152380952
BBLN	7,83839E-16	1,112231867	0,78	0,26	1,65398E-11	2,161798217	0,462577863	3
APOC2	4,44145E-22	1,111506396	0,5	0,056	9,37191E-18	2,160711411	0,462810533	8,928571429
ANXA5	8,65981E-17	1,110886539	0,976	0,649	1,82731E-12	2,159783257	0,463009423	1,50385208
ELOB	1,75296E-14	1,110757793	0,854	0,432	3,69893E-10	2,159590526	0,463050744	1,976851852
CAP1	6,03086E-14	1,109323682	0,768	0,337	1,27257E-09	2,157444852	0,463511269	2,278931751
LGALS1	5,92638E-12	1,106029625	0,988	0,898	1,25053E-07	2,15252445	0,464570797	1,100222717
BMP1	1,70077E-23	1,104707308	0,659	0,109	3,5888E-19	2,150552436	0,4649968	6,04587156
APRT	3,49156E-21	1,095907891	0,732	0,172	7,36755E-17	2,137475511	0,467841617	4,255813953
LSM7	2,70165E-19	1,091575216	0,805	0,277	5,70076E-15	2,131065913	0,469248742	2,906137184

Supplementary Table 2

Differentially expressed genes_keloid-XL_comparing SC-Keloid vs. (SC-Myel, SC-Nonmyel, SC-Nonmyel2)								
gene	p_val	avg_log2FC	pct.1	pct.2	p_val_adj	Foldchange_UP	Foldchange_DOWN	Ratio_pct1_pct2
CRLF1	7,62731E-11	1,086386213	0,378	0,084	1,60944E-06	2,123414786	0,470939548	4,5
DBNDD1	1,67922E-32	1,085994828	0,463	0,004	3,54332E-28	2,122838807	0,471067326	115,75
SERF2	1,57319E-15	1,080888041	0,988	0,856	3,31959E-11	2,115337763	0,472737743	1,154205607
PLS3	1,2554E-19	1,080113085	0,768	0,214	2,64902E-15	2,114201796	0,472991747	3,588785047
VAMP5	2,77017E-18	1,079660022	0,72	0,218	5,84533E-14	2,113537956	0,473140308	3,302752294
TRAF1	4,57707E-26	1,074681264	0,5	0,035	9,65808E-22	2,106256683	0,474775942	14,28571429
NDUFA4	1,01263E-14	1,073128757	0,878	0,502	2,13674E-10	2,103991326	0,47528713	1,749003984
TIMP1	3,42035E-15	1,072740781	0,976	0,653	7,21729E-11	2,103425587	0,475414964	1,494640123
CYTL1	6,40469E-25	1,069086869	0,573	0,067	1,35145E-20	2,098104984	0,476620573	8,552238806
SPARC	4,64894E-17	1,066926586	1	0,926	9,80973E-13	2,094965645	0,477334797	1,079913607
PDIA6	1,4584E-14	1,066890247	0,793	0,316	3,07737E-10	2,094912877	0,47734682	2,509493671
ARHGDI1	2,07492E-18	1,064881859	0,817	0,26	4,37829E-14	2,091998561	0,478011801	3,142307692
ECM1	5,26123E-18	1,058558764	0,646	0,144	1,11017E-13	2,082849739	0,480111446	4,486111111
NDUFB2	1,40457E-16	1,058438247	0,817	0,277	2,96377E-12	2,082675753	0,480151554	2,949458484
TXNDC17	1,76196E-21	1,050111493	0,683	0,137	3,71791E-17	2,070689867	0,482930842	4,98540146
CAPNS1	1,38345E-19	1,046388391	0,829	0,232	2,91922E-15	2,065353014	0,48417873	3,573275862
POLR2L	2,31601E-17	1,043107339	0,866	0,358	4,887E-13	2,060661219	0,485281128	2,418994413
PDLIM1	1,61542E-19	1,037855495	0,573	0,102	3,40869E-15	2,053173428	0,487050917	5,617647059
LAMB2	6,99846E-18	1,035362193	0,732	0,196	1,47675E-13	2,049628147	0,487893378	3,734693878
SCRG1	5,98067E-07	1,035312396	0,366	0,126	0,012619813	2,049557402	0,487910219	2,904761905
SEM1	1,33093E-15	1,033872991	0,829	0,365	2,80839E-11	2,047513538	0,488397259	2,271232877
HSBP1	9,92472E-15	1,028784106	0,915	0,432	2,09422E-10	2,040303972	0,490123047	2,118055556
TPM4	4,15742E-14	1,025928253	0,866	0,495	8,77258E-10	2,036269131	0,49109422	1,749494949
NCS1	8,47452E-24	1,024926172	0,537	0,06	1,78821E-19	2,034855251	0,491435447	8,95
CYBA	3,14133E-17	1,018306593	0,768	0,235	6,62852E-13	2,025540025	0,493695502	3,268085106
SSR4	1,6312E-15	1,017204361	0,89	0,386	3,44199E-11	2,023993085	0,494072834	2,305699482
FRMD4A	3,26816E-16	1,01454576	0,695	0,193	6,89614E-12	2,020266701	0,494984152	3,601036269
UQCRCQ	6,8204E-15	1,010868812	0,768	0,274	1,43917E-10	2,015124272	0,49624731	2,802919708
VCAN	4,00491E-18	1,00951676	0,5	0,077	8,45076E-14	2,013236641	0,496712597	6,493506494
ANXA2	1,99468E-12	1,009063799	0,963	0,832	4,20898E-08	2,012604646	0,496868574	1,157451923

Supplementary Table 2

Differentially expressed genes_keloid-XL_comparing SC-Keloid vs. (SC-Myel, SC-Nonmyel, SC-Nonmyel2)								
gene	p_val	avg_log2FC	pct.1	pct.2	p_val_adj	Foldchange_UP	Foldchange_DOWN	Ratio_pct1_pct2
SCX	6,24715E-16	1,007808137	0,293	0,018	1,31821E-11	2,010853721	0,497301216	16,27777778
DYNLT1	2,4264E-20	1,00406928	0,683	0,151	5,11994E-16	2,005649183	0,498591682	4,523178808
MAGED2	1,99518E-12	1,004029625	0,72	0,312	4,21003E-08	2,005594055	0,498605387	2,307692308
RAB13	1,00729E-14	1,001607342	0,817	0,337	2,12548E-10	2,002229492	0,499443248	2,424332344
ATP5MF	2,03747E-14	0,99891078	0,78	0,312	4,29927E-10	1,998490591	0,500377637	2,5
STX8	3,63073E-19	0,996126176	0,561	0,102	7,66121E-15	1,994636943	0,501344369	5,5
NDUFS5	7,91025E-13	0,991379512	0,829	0,428	1,66914E-08	1,988085099	0,502996577	1,936915888
APP	2,407E-13	0,990634012	0,951	0,54	5,07901E-09	1,987058039	0,503256563	1,761111111
FXVD5	4,36389E-18	0,986372999	0,695	0,172	9,20825E-14	1,981197903	0,504745134	4,040697674
MFGE8	6,3249E-14	0,98105308	0,72	0,235	1,33462E-09	1,973905715	0,50660981	3,063829787
PLAT	1,21971E-11	0,977582849	0,915	0,495	2,5737E-07	1,969163426	0,507829867	1,848484848
RHOC	3,56084E-13	0,973215112	0,829	0,389	7,51374E-09	1,963210829	0,509369643	2,131105398
BEX3	2,37171E-13	0,972839403	0,854	0,396	5,00455E-09	1,962699633	0,509502312	2,156565657
PERP	3,77597E-22	0,971764878	0,622	0,098	7,96768E-18	1,96123835	0,509881932	6,346938776
PTMS	8,4227E-12	0,9716285	0,927	0,632	1,77727E-07	1,961052964	0,509930134	1,466772152
PKM	3,06907E-12	0,971155154	0,744	0,344	6,47605E-08	1,96040965	0,510097469	2,162790698
CAMK2N1	2,55643E-13	0,966619342	0,671	0,221	5,39431E-09	1,954255831	0,511703731	3,036199095
PHPT1	1,36833E-14	0,961893377	0,744	0,256	2,88731E-10	1,947864575	0,513382713	2,90625
KCNMA1	6,30954E-21	0,960681885	0,72	0,151	1,33138E-16	1,946229557	0,513814003	4,768211921
SERPINE2	2,58298E-13	0,958848978	0,695	0,218	5,45035E-09	1,943758491	0,514467206	3,188073394
CD63	1,8822E-12	0,958002214	0,963	0,768	3,97162E-08	1,942617972	0,514769252	1,25390625
SDCCAG8	1,53642E-17	0,957897798	0,585	0,116	3,242E-13	1,94247738	0,51480651	5,043103448
GPR17	5,91491E-30	0,948342481	0,524	0,025	1,2481E-25	1,929654394	0,518227514	20,96
EMC10	9,49018E-16	0,945390446	0,793	0,277	2,00252E-11	1,925709983	0,519288994	2,862815884
CYB5R3	1,2062E-12	0,941679138	0,744	0,277	2,5452E-08	1,920762495	0,520626576	2,685920578
HLA-A	7,74157E-10	0,941426965	0,951	0,621	1,63355E-05	1,920426787	0,520717586	1,531400966
CTSB	5,99762E-17	0,93725039	0,537	0,102	1,26556E-12	1,914875227	0,522227237	5,264705882
PDIA3	7,06661E-13	0,933322318	0,866	0,449	1,49113E-08	1,909668626	0,52365106	1,928730512
ANXA6	2,31451E-16	0,932048543	0,512	0,095	4,88384E-12	1,907983299	0,524113602	5,389473684
ANAPC11	8,98081E-19	0,930209237	0,732	0,189	1,89504E-14	1,905552342	0,524782226	3,873015873

Supplementary Table 2

Differentially expressed genes_keloid-XL_comparing SC-Keloid vs. (SC-Myel, SC-Nonmyel, SC-Nonmyel2)								
gene	p_val	avg_log2FC	pct.1	pct.2	p_val_adj	Foldchange_UP	Foldchange_DOWN	Ratio_pct1_pct2
COTL1	7,51593E-10	0,927957889	0,659	0,253	1,58594E-05	1,902581018	0,525601796	2,604743083
IL1RAP	9,08427E-16	0,925825804	0,61	0,147	1,91687E-11	1,899771366	0,526379131	4,149659864
ZYX	1,03062E-19	0,925783839	0,549	0,095	2,17471E-15	1,899716107	0,526394442	5,778947368
RPS26	2,58818E-10	0,911434282	0,805	0,446	5,46132E-06	1,880914515	0,531656273	1,804932735
PET100	8,35814E-17	0,910132754	0,744	0,218	1,76365E-12	1,879218412	0,532136123	3,412844037
PLOD3	1,74388E-19	0,908933624	0,695	0,154	3,67976E-15	1,877657105	0,532578604	4,512987013
CHPF	5,33508E-16	0,908081844	0,561	0,116	1,12575E-11	1,876548847	0,532893136	4,836206897
ZNF385A	2,03398E-24	0,906735798	0,439	0,025	4,29191E-20	1,874798828	0,533390562	17,56
EVA1B	3,40075E-23	0,903360178	0,61	0,084	7,17593E-19	1,870417299	0,534640051	7,261904762
SLIRP	1,17962E-13	0,900426541	0,561	0,151	2,48912E-09	1,866617777	0,535728317	3,715231788
ARF5	2,44054E-16	0,899238362	0,78	0,242	5,14979E-12	1,865081096	0,536169715	3,223140496
SHISA4	8,82195E-18	0,897446618	0,634	0,144	1,86152E-13	1,862766211	0,536836021	4,402777778
P4HA2	1,82312E-13	0,896586485	0,768	0,288	3,84697E-09	1,861655963	0,537156177	2,666666667
SEPTIN9	1,27153E-16	0,893258661	0,671	0,179	2,68305E-12	1,857366682	0,53839665	3,748603352
CD82	1,34986E-13	0,891355268	0,598	0,161	2,84833E-09	1,854917816	0,539107443	3,714285714
PDGFB	5,50193E-19	0,889679957	0,561	0,091	1,16096E-14	1,852765067	0,539733838	6,164835165
MYLK	3,63074E-26	0,887974269	0,476	0,028	7,66121E-22	1,850575851	0,540372339	17
TLE5	9,24541E-10	0,887629328	0,878	0,46	1,95087E-05	1,85013344	0,540501554	1,908695652
TMSB4X	3,99536E-13	0,870784216	1	0,912	8,43061E-09	1,828656646	0,546849515	1,096491228
MICOS13	7,2432E-13	0,870502663	0,61	0,186	1,52839E-08	1,828299804	0,546956247	3,279569892
TMCO1	1,17643E-15	0,869918559	0,695	0,207	2,48239E-11	1,827559731	0,547177738	3,357487923
FIBIN	1,20587E-12	0,865798401	0,561	0,158	2,54451E-08	1,822347892	0,548742644	3,550632911
PDLIM4	2,35977E-09	0,864493834	0,793	0,463	4,97935E-05	1,820700767	0,549239072	1,712742981
ARPC2	1,2248E-12	0,863781288	0,805	0,375	2,58446E-08	1,819801746	0,549510408	2,146666667
GUK1	3,37041E-12	0,861464405	0,78	0,351	7,11191E-08	1,816881598	0,550393598	2,222222222
RPN2	2,27221E-12	0,859516775	0,732	0,27	4,7946E-08	1,814430473	0,551137128	2,711111111
RSU1	8,13371E-19	0,858515075	0,573	0,102	1,71629E-14	1,813171105	0,55151993	5,617647059
ARL4C	3,56791E-22	0,858290988	0,598	0,084	7,52864E-18	1,812889495	0,551605601	7,119047619
CTSA	3,42944E-18	0,857684885	0,573	0,105	7,23646E-14	1,812128027	0,55183739	5,457142857
URM1	3,08305E-19	0,856940313	0,549	0,091	6,50555E-15	1,811193032	0,552122265	6,032967033

Supplementary Table 2

Differentially expressed genes_keloid-XL_comparing SC-Keloid vs. (SC-Myel, SC-Nonmyel, SC-Nonmyel2)								
gene	p_val	avg_log2FC	pct.1	pct.2	p_val_adj	Foldchange_UP	Foldchange_DOWN	Ratio_pct1_pct2
DRAXIN	9,20887E-18	0,854681362	0,415	0,049	1,94316E-13	1,808359311	0,552987448	8,469387755
FSCN1	7,43725E-14	0,846966148	0,622	0,175	1,56933E-09	1,798714418	0,555952624	3,554285714
AP2S1	3,94473E-17	0,844919414	0,683	0,179	8,32378E-13	1,796164413	0,556741907	3,815642458
ATP5F1D	2,64692E-14	0,843742567	0,793	0,291	5,58527E-10	1,794699828	0,557196242	2,725085911
AQP1	2,18541E-12	0,841925839	0,561	0,158	4,61144E-08	1,792441257	0,557898339	3,550632911
HSP90B1	3,20682E-09	0,841652819	0,927	0,628	6,76672E-05	1,792102083	0,558003927	1,47611465
DNPH1	2,00334E-16	0,841029495	0,512	0,095	4,22725E-12	1,791327963	0,558245068	5,389473684
HLA-B	2,55208E-07	0,840464841	0,963	0,786	0,00538515	1,790626994	0,558463601	1,22519084
PLAC9	4,34098E-09	0,837939222	0,598	0,232	9,15989E-05	1,787495019	0,559442118	2,577586207
GSN	4,73998E-12	0,836296674	0,976	0,709	1,00018E-07	1,785461065	0,560079421	1,376586742
OS9	1,22853E-11	0,832599471	0,683	0,232	2,59231E-07	1,780891312	0,561516581	2,943965517
TIMM8B	4,53808E-15	0,831204055	0,585	0,137	9,5758E-11	1,779169615	0,562059958	4,270072993
CSPG4	2,05286E-14	0,830909508	0,439	0,077	4,33173E-10	1,778806409	0,562174723	5,701298701
SELENON	5,36583E-22	0,830107698	0,622	0,102	1,13224E-17	1,777818073	0,562487251	6,098039216
PLN	1,48819E-14	0,828904962	0,232	0,007	3,14022E-10	1,776336571	0,562956377	33,14285714
CLIC1	1,08167E-11	0,82736821	0,854	0,509	2,28244E-07	1,774445433	0,563556355	1,677799607
TIMP2	1,882E-08	0,826709309	0,963	0,635	0,000397121	1,773635202	0,563813798	1,516535433
GNG5	3,88886E-11	0,826677453	0,878	0,491	8,20589E-07	1,773596039	0,563826248	1,788187373
DDOST	1,3336E-16	0,82657897	0,61	0,137	2,81403E-12	1,773474971	0,563864738	4,452554745
RABAC1	1,35267E-13	0,82629854	0,866	0,365	2,85427E-09	1,773130278	0,563974352	2,37260274
TSPAN3	2,86913E-12	0,825928032	0,683	0,232	6,05415E-08	1,772674967	0,564119209	2,943965517
DAP	7,61574E-14	0,825857676	0,622	0,168	1,607E-09	1,772588521	0,56414672	3,702380952
TMEM54	1,29734E-21	0,821362452	0,378	0,018	2,73751E-17	1,767073993	0,565907259	21
ERGIC1	4,48645E-19	0,820169183	0,524	0,081	9,46686E-15	1,765613032	0,566375521	6,469135802
CHCHD2	3,72429E-10	0,819493382	0,793	0,456	7,85863E-06	1,76478616	0,56664089	1,739035088
FHDC1	2,31128E-17	0,818784223	0,476	0,07	4,87703E-13	1,763918889	0,566919492	6,8
NME2	1,9937E-09	0,816974836	0,915	0,593	4,20691E-05	1,76170802	0,567630952	1,543001686
RTN1	1,38412E-20	0,816559361	0,317	0,007	2,92063E-16	1,761200746	0,567794445	45,28571429
SERPINE1	3,47646E-14	0,815271163	0,451	0,084	7,33568E-10	1,759628853	0,568301661	5,369047619
RPL28	7,02416E-13	0,812978946	0,988	0,933	1,48217E-08	1,756835297	0,569205321	1,058949625

Supplementary Table 2

Differentially expressed genes_keloid-XL_comparing SC-Keloid vs. (SC-Myel, SC-Nonmyel, SC-Nonmyel2)								
gene	p_val	avg_log2FC	pct.1	pct.2	p_val_adj	Foldchange_UP	Foldchange_DOWN	Ratio_pct1_pct2
ATP5PF	8,01045E-11	0,811054529	0,805	0,389	1,69028E-06	1,75449341	0,569965093	2,06940874
TMEM160	4,88517E-16	0,810074029	0,573	0,126	1,03082E-11	1,753301408	0,570352591	4,547619048
OSTC	1,24774E-13	0,809768479	0,61	0,179	2,63285E-09	1,752930113	0,570473399	3,407821229
RBM3	6,25709E-10	0,809521901	0,854	0,463	1,32031E-05	1,752630537	0,57057091	1,844492441
CHST3	9,08483E-15	0,808531958	0,585	0,14	1,91699E-10	1,751428336	0,570962556	4,178571429
CALU	2,28741E-10	0,801247308	0,841	0,432	4,82667E-06	1,742607078	0,573852828	1,946759259
FKBP1A	2,9835E-11	0,801152354	0,732	0,291	6,29549E-07	1,742492388	0,573890599	2,515463918
CAVIN3	3,9452E-09	0,797370779	0,878	0,572	8,32476E-05	1,737930969	0,575396847	1,534965035
BCL7C	1,76738E-14	0,792981077	0,634	0,165	3,72935E-10	1,732650986	0,577150279	3,842424242
PRTFDC1	1,77489E-21	0,792809286	0,329	0,007	3,7452E-17	1,732444681	0,577219008	47
HLA-C	4,8583E-06	0,790147963	0,951	0,67	0,102515065	1,729251806	0,57828478	1,419402985
FAAP20	1,73767E-17	0,7859519	0,622	0,133	3,66665E-13	1,724229603	0,579969163	4,676691729
BRK1	5,13362E-10	0,784857987	0,793	0,389	1,08324E-05	1,722922714	0,580409087	2,038560411
NID1	4,45846E-12	0,784413547	0,549	0,154	9,40779E-08	1,722392028	0,580587917	3,564935065
CALD1	3,58349E-09	0,781451222	0,78	0,453	7,56152E-05	1,718859022	0,581781279	1,721854305
DHRS7	9,03911E-15	0,781309239	0,549	0,126	1,90734E-10	1,718689868	0,581838538	4,357142857
C4orf48	1,16306E-12	0,781189928	0,573	0,161	2,45418E-08	1,718547739	0,581886658	3,559006211
CMTM3	4,18412E-15	0,778870831	0,683	0,196	8,82892E-11	1,715787435	0,582822779	3,484693878
PPP1CA	6,90533E-27	0,776780167	0,561	0,049	1,45709E-22	1,713302822	0,583667982	11,44897959
RCN2	3,09253E-14	0,775512401	0,707	0,211	6,52554E-10	1,711797921	0,584181104	3,3507109
GNAI2	2,56256E-10	0,774735853	0,902	0,509	5,40726E-06	1,710876773	0,584495631	1,772102161
ABLIM3	2,55859E-22	0,774450886	0,488	0,046	5,39889E-18	1,710538867	0,584611095	10,60869565
NDUFB3	1,1447E-14	0,772620519	0,61	0,154	2,41543E-10	1,708370059	0,58535327	3,961038961
DCTN2	7,82173E-17	0,771340457	0,671	0,168	1,65046E-12	1,706854944	0,585872867	3,994047619
PPIA	1,76878E-13	0,770271176	0,963	0,779	3,73229E-09	1,705590344	0,586307259	1,236200257
CTSD	2,25293E-09	0,770112053	0,841	0,418	4,75391E-05	1,705402236	0,58637193	2,011961722
GSTP1	6,14185E-10	0,769461295	0,793	0,358	1,29599E-05	1,704633152	0,586636485	2,215083799
ARPC3	9,65905E-12	0,769407	0,78	0,337	2,03816E-07	1,704569	0,586658563	2,314540059
RGS3	4,67365E-11	0,768462201	0,646	0,221	9,86186E-07	1,703453069	0,587042883	2,923076923
TPPP3	6,18389E-09	0,767412206	0,585	0,214	0,000130486	1,702213745	0,587470289	2,73364486

Supplementary Table 2

Differentially expressed genes_keloid-XL_comparing SC-Keloid vs. (SC-Myel, SC-Nonmyel, SC-Nonmyel2)								
gene	p_val	avg_log2FC	pct.1	pct.2	p_val_adj	Foldchange_UP	Foldchange_DOWN	Ratio_pct1_pct2
FABP5	9,54174E-10	0,764334671	0,622	0,228	2,0134E-05	1,698586479	0,588724809	2,728070175
SLN	1,82136E-07	0,764042252	0,11	0,004	0,003843249	1,698242229	0,588844149	27,5
NDUFA13	3,93307E-10	0,763491016	0,805	0,414	8,29917E-06	1,697593475	0,589069182	1,944444444
C1QL1	8,43349E-13	0,761280353	0,634	0,186	1,77955E-08	1,694994219	0,589972514	3,408602151
RPL36A	5,76965E-09	0,757560189	0,951	0,8	0,000121745	1,690629102	0,591495792	1,18875
SRM	3,5492E-09	0,755832786	0,5	0,158	7,48918E-05	1,688606047	0,592204441	3,164556962
LTBP2	4,5483E-17	0,754699597	0,451	0,06	9,59737E-13	1,687280225	0,59266978	7,516666667
QPCT	5,55105E-24	0,75190268	0,427	0,021	1,17133E-19	1,684012305	0,593819889	20,33333333
C12orf75	1,80795E-17	0,751259386	0,39	0,039	3,81495E-13	1,683261575	0,594084731	10
PSMB3	9,33162E-15	0,750991957	0,695	0,204	1,96907E-10	1,682949582	0,594194865	3,406862745
MCRIP1	3,44343E-15	0,748278747	0,732	0,232	7,26598E-11	1,679787511	0,595313391	3,155172414
OPRD1	6,12815E-23	0,74769693	0,366	0,011	1,2931E-18	1,679110214	0,595553521	33,27272727
ZNHIT1	1,78906E-10	0,747668856	0,659	0,242	3,7751E-06	1,679077541	0,59556511	2,723140496
MLEC	5,78727E-12	0,746779001	0,561	0,154	1,22117E-07	1,678042204	0,595932568	3,642857143
RPL36	6,84888E-09	0,746646571	0,976	0,849	0,000144518	1,677888177	0,595987274	1,14958775
PXDN	1,57083E-11	0,745987824	0,476	0,116	3,3146E-07	1,677122214	0,596259468	4,103448276
EFEMP2	2,25925E-19	0,745515884	0,573	0,095	4,76725E-15	1,676573678	0,596454551	6,031578947
RPS2	9,85872E-08	0,74529298	1	0,916	0,002080288	1,676314658	0,596546713	1,091703057
SSR2	7,03046E-10	0,744582334	0,756	0,34	1,4835E-05	1,675489139	0,596840634	2,223529412
UBTD1	3,77206E-18	0,744136435	0,463	0,063	7,95942E-14	1,674971369	0,597025131	7,349206349
TPGS1	3,44593E-22	0,743632729	0,61	0,091	7,27126E-18	1,674386668	0,597233613	6,703296703
NDUFAF8	1,67423E-17	0,743469769	0,573	0,112	3,53279E-13	1,674197547	0,597301078	5,116071429
LINC00623	1,5587E-19	0,743216027	0,573	0,091	3,28902E-15	1,673903115	0,597406141	6,296703297
ANXA1	9,19237E-12	0,742604441	0,951	0,667	1,93968E-07	1,673193665	0,597659447	1,425787106
PGM3	2,66793E-12	0,741968513	0,5	0,13	5,62961E-08	1,672456298	0,597922948	3,846153846
NEDD8	4,99914E-12	0,740999285	0,817	0,361	1,05487E-07	1,67133309	0,598324778	2,263157895
MARCKSL1	1,58504E-12	0,739251417	0,695	0,221	3,34459E-08	1,669309446	0,599050106	3,14479638
LAMTOR2	2,48739E-17	0,739014799	0,585	0,119	5,24863E-13	1,669035682	0,599148365	4,915966387
NIBAN2	1,28044E-08	0,73678107	0,829	0,439	0,000270186	1,66645351	0,600076746	1,888382688
TAF10	2,82578E-17	0,736655101	0,537	0,098	5,96268E-13	1,666308009	0,600129144	5,479591837

Supplementary Table 2

Differentially expressed genes_keloid-XL_comparing SC-Keloid vs. (SC-Myel, SC-Nonmyel, SC-Nonmyel2)								
gene	p_val	avg_log2FC	pct.1	pct.2	p_val_adj	Foldchange_UP	Foldchange_DOWN	Ratio_pct1_pct2
SELENOF	4,9864E-08	0,734854223	0,756	0,361	0,001052181	1,664229299	0,600878737	2,094182825
COPE	1,1654E-12	0,733691473	0,732	0,253	2,45911E-08	1,662888543	0,601363215	2,893280632
QSOX1	1,22983E-18	0,73038779	0,476	0,06	2,59507E-14	1,659084986	0,602741878	7,933333333
COX8A	3,82673E-10	0,730365782	0,805	0,354	8,07479E-06	1,659059677	0,602751073	2,274011299
ACTG2	1,25399E-12	0,728176638	0,171	0	2,64605E-08	1,656544131	0,603666381	#DIV/0!
TECR	4,4026E-10	0,725601991	0,768	0,347	9,28993E-06	1,653590483	0,604744651	2,213256484
HM13	7,45032E-14	0,721961638	0,524	0,123	1,57209E-09	1,649423237	0,606272531	4,260162602
TMEM47	1,54587E-13	0,721035453	0,634	0,175	3,26194E-09	1,648364677	0,606661872	3,622857143
MGAT4B	5,19197E-12	0,719608199	0,537	0,14	1,09556E-07	1,646734761	0,607262337	3,835714286
HOXB2	2,93499E-17	0,718050187	0,439	0,06	6,19313E-13	1,64495736	0,607918493	7,316666667
TRUB2	1,76436E-26	0,716123514	0,476	0,025	3,72298E-22	1,642762038	0,608730891	19,04
COX7A2	2,02429E-09	0,715442361	0,744	0,358	4,27145E-05	1,641986609	0,609018365	2,078212291
PRDX5	1,00769E-11	0,715429537	0,707	0,274	2,12632E-07	1,641972014	0,609023779	2,580291971
IFI27L2	7,21906E-13	0,715147727	0,683	0,225	1,52329E-08	1,641651308	0,609142755	3,035555556
COX6A1	2,40012E-09	0,714043948	0,841	0,439	5,06449E-05	1,640395792	0,609608976	1,91571754
PFKFB4	8,10509E-25	0,710157351	0,439	0,021	1,71026E-20	1,63598254	0,611253467	20,9047619
CTSZ	4,66042E-13	0,709265443	0,671	0,214	9,83395E-09	1,63497145	0,611631475	3,135514019
MYDGF	1,96692E-11	0,707284519	0,634	0,225	4,1504E-07	1,632728056	0,612471866	2,817777778
MICOS10	3,76744E-12	0,70609852	0,695	0,232	7,94968E-08	1,631386389	0,612975569	2,995689655
CTDNEP1	8,74844E-16	0,705950632	0,671	0,175	1,84601E-11	1,631219166	0,613038408	3,834285714
ECE1	2,66522E-10	0,704791082	0,695	0,26	5,62388E-06	1,629908619	0,613531328	2,673076923
ACTN1	3,08625E-14	0,703331291	0,744	0,228	6,51229E-10	1,628260231	0,614152444	3,263157895
NDUFA1	5,86662E-09	0,70247871	0,78	0,393	0,000123792	1,627298272	0,614515493	1,984732824
NDUFA7	2,19295E-15	0,700904691	0,537	0,109	4,62735E-11	1,625523813	0,615186312	4,926605505
MAZ	1,66128E-11	0,700585583	0,671	0,232	3,50546E-07	1,625164305	0,6153224	2,892241379
PGAM1	1,76128E-11	0,699630518	0,634	0,214	3,71648E-07	1,624088802	0,615729878	2,962616822
NDUFA11	2,98651E-11	0,697102675	0,768	0,302	6,30184E-07	1,621245618	0,616809686	2,543046358
AGRN	7,7145E-14	0,696062482	0,695	0,196	1,62784E-09	1,62007711	0,61725457	3,545918367
RPLP2	3,8604E-08	0,695895001	0,988	0,877	0,000814583	1,619889048	0,617326231	1,126567845
RPL37A	5,21782E-10	0,69498839	0,988	0,919	1,10101E-05	1,618871405	0,61771429	1,07508161

Supplementary Table 2

Differentially expressed genes_keloid-XL_comparing SC-Keloid vs. (SC-Myel, SC-Nonmyel, SC-Nonmyel2)								
gene	p_val	avg_log2FC	pct.1	pct.2	p_val_adj	Foldchange_UP	Foldchange_DOWN	Ratio_pct1_pct2
LOXL1	1,24125E-21	0,694176253	0,378	0,018	2,61916E-17	1,617960349	0,618062118	21
C2orf27A	6,70436E-23	0,692020473	0,488	0,042	1,41469E-18	1,615544481	0,618986362	11,61904762
SDC3	7,10678E-08	0,690675708	0,878	0,484	0,001499601	1,614039302	0,6195636	1,814049587
COX6B1	1,20668E-07	0,690071063	0,829	0,498	0,002546219	1,613362986	0,619823319	1,664658635
KRT10	2,41436E-07	0,687743629	0,793	0,481	0,005094545	1,61076232	0,620824058	1,648648649
PSMD13	4,30261E-16	0,687443265	0,537	0,102	9,07893E-12	1,610426999	0,620953325	5,264705882
PLPP4	1,1595E-20	0,687034782	0,305	0,004	2,44667E-16	1,60997109	0,621129166	76,25
YWHAB	4,15882E-10	0,685737104	0,817	0,393	8,77552E-06	1,608523601	0,621688112	2,078880407
PLP2	5,98914E-07	0,684790116	0,524	0,228	0,01263768	1,607468109	0,622096323	2,298245614
CLDN4	1,23006E-16	0,683947094	0,293	0,014	2,59555E-12	1,606529078	0,622459944	20,92857143
HMGN1	6,28396E-09	0,683648011	0,817	0,404	0,000132598	1,606196065	0,622588999	2,022277228
MTPN	3,83693E-14	0,683417485	0,683	0,186	8,0963E-10	1,605939435	0,622688489	3,672043011
MFAP2	4,39331E-19	0,682666618	0,354	0,021	9,27032E-15	1,605103823	0,623012659	16,85714286
NUCB2	2,21931E-10	0,68230636	0,549	0,172	4,68297E-06	1,604703059	0,623168252	3,191860465
COX6C	6,66007E-10	0,681769539	0,829	0,425	1,40534E-05	1,604106067	0,623400173	1,950588235
NDUFB7	5,21249E-13	0,67985351	0,732	0,256	1,09989E-08	1,601977084	0,624228655	2,859375
RPLP1	8,6321E-08	0,679813629	1	0,975	0,001821459	1,6019328	0,624245911	1,025641026
GLRX2	1,21776E-20	0,678821286	0,476	0,053	2,5696E-16	1,600831306	0,62467544	8,981132075
SLC9A3R2	2,55941E-14	0,678474295	0,683	0,2	5,40062E-10	1,600446327	0,624825702	3,415
ADAM19	5,80179E-18	0,676353387	0,512	0,077	1,22424E-13	1,598095238	0,625744935	6,649350649
PDGFC	1,59628E-17	0,673229864	0,537	0,088	3,36831E-13	1,594639006	0,627101178	6,102272727
MRC2	4,68471E-21	0,673226914	0,341	0,011	9,88521E-17	1,594635745	0,627102461	31
CD81	5,66536E-10	0,67300548	0,976	0,775	1,19545E-05	1,594391009	0,62719872	1,259354839
REEP3	1,70628E-10	0,672365952	0,707	0,27	3,60043E-06	1,593684393	0,62747681	2,618518519
NRXN2	5,82173E-09	0,671158209	0,476	0,147	0,000122844	1,592350809	0,628002319	3,238095238
ATP5MJ	4,89408E-10	0,667816745	0,707	0,284	1,0327E-05	1,588666991	0,629458537	2,48943662
LAMTOR4	7,56379E-11	0,66534076	0,72	0,277	1,59604E-06	1,585942824	0,630539755	2,599277978
GLIPR1	1,02223E-22	0,665007624	0,378	0,014	2,15701E-18	1,585576653	0,630685371	27
ST8SIA2	1,51419E-20	0,66462616	0,378	0,021	3,19509E-16	1,585157464	0,630852154	18
TXNDC5	8,78383E-13	0,664167008	0,439	0,088	1,85348E-08	1,584653052	0,631052961	4,988636364

Supplementary Table 2

Differentially expressed genes_keloid-XL_comparing SC-Keloid vs. (SC-Myel, SC-Nonmyel, SC-Nonmyel2)								
gene	p_val	avg_log2FC	pct.1	pct.2	p_val_adj	Foldchange_UP	Foldchange_DOWN	Ratio_pct1_pct2
ERH	1,57148E-10	0,661121992	0,768	0,316	3,31597E-06	1,581311941	0,632386295	2,430379747
CD99	3,17303E-10	0,659632697	0,902	0,488	6,69541E-06	1,579680394	0,633039445	1,848360656
PRDX4	4,5924E-15	0,659054066	0,598	0,144	9,69043E-11	1,579046948	0,633293394	4,152777778
ATP5MK	1,77669E-08	0,659034752	0,866	0,491	0,0003749	1,579025808	0,633301872	1,763747454
NDUFA3	4,58528E-10	0,658654651	0,561	0,186	9,67539E-06	1,578609844	0,633468747	3,016129032
RHOA	9,45889E-09	0,658515825	0,939	0,66	0,000199592	1,578457947	0,633529707	1,422727273
TAX1BP3	1,09569E-09	0,658142951	0,89	0,421	2,31201E-05	1,578050037	0,633693468	2,114014252
GABARAP	1,62862E-07	0,657588498	0,854	0,551	0,003436543	1,577443681	0,633937054	1,549909256
SHC1	2,09903E-12	0,656252886	0,463	0,098	4,42916E-08	1,575983998	0,634524209	4,724489796
CIAO2B	6,0758E-10	0,65527897	0,756	0,337	1,28205E-05	1,574920461	0,634952701	2,243323442
SEC61G	2,21687E-10	0,654176115	0,756	0,326	4,67782E-06	1,573716988	0,63543827	2,319018405
LAMTOR1	1,09888E-12	0,653664536	0,659	0,196	2,31875E-08	1,573159048	0,635663636	3,362244898
TMA7	6,65353E-09	0,653082031	0,976	0,695	0,000140396	1,572523995	0,635920344	1,404316547
IFI44	2,56014E-13	0,652545731	0,476	0,098	5,40215E-09	1,571939542	0,636156782	4,857142857
CAPG	6,048E-17	0,651020069	0,28	0,011	1,27619E-12	1,570278081	0,636829879	25,45454545
RAB34	2,4802E-13	0,649847427	0,537	0,13	5,23348E-09	1,569002257	0,637347713	4,130769231
COX7A1	3,80433E-12	0,648069477	0,622	0,186	8,02751E-08	1,567069839	0,638133653	3,344086022
DSTN	3,41124E-11	0,647443803	0,805	0,33	7,19806E-07	1,566390372	0,638410461	2,439393939
ITGA3	4,11197E-12	0,644977425	0,585	0,165	8,67666E-08	1,563714818	0,639502797	3,545454545
C7orf50	2,76136E-14	0,643543487	0,622	0,154	5,82675E-10	1,562161366	0,640138735	4,038961039
PRKCSH	5,18498E-13	0,643104678	0,549	0,14	1,09408E-08	1,561686293	0,640333468	3,921428571
RPN1	1,91564E-09	0,642417881	0,549	0,186	4,04219E-05	1,560943027	0,640638372	2,951612903
LMAN2	2,69601E-10	0,642235518	0,573	0,186	5,68885E-06	1,560745729	0,640719357	3,080645161
TGFB1I1	3,13671E-12	0,641895307	0,585	0,168	6,61877E-08	1,560377723	0,640870467	3,482142857
ALDH1A3	1,00185E-15	0,641535618	0,561	0,109	2,11399E-11	1,559988742	0,641030267	5,146788991
ATP5MG	5,8368E-10	0,641301443	0,841	0,446	1,23162E-05	1,559735549	0,641134326	1,885650224
MXRA8	2,47648E-10	0,637009955	0,841	0,365	5,22563E-06	1,555102802	0,643044305	2,304109589
LGALS3BP	5,58853E-09	0,635770536	0,744	0,319	0,000117924	1,553767387	0,643596981	2,332288401
SEC11A	2,62115E-08	0,633959726	0,744	0,354	0,000553088	1,551818387	0,644405304	2,101694915
COX5B	4,70758E-10	0,632851814	0,756	0,33	9,93347E-06	1,550627132	0,644900363	2,290909091

Supplementary Table 2

Differentially expressed genes_keloid-XL_comparing SC-Keloid vs. (SC-Myel, SC-Nonmyel, SC-Nonmyel2)								
gene	p_val	avg_log2FC	pct.1	pct.2	p_val_adj	Foldchange_UP	Foldchange_DOWN	Ratio_pct1_pct2
NDUFS8	7,94916E-13	0,632420476	0,537	0,144	1,67735E-08	1,550163594	0,645093204	3,729166667
ATP5MC3	6,06014E-11	0,632368137	0,78	0,323	1,27875E-06	1,550107358	0,645116608	2,414860681
DRAP1	5,59097E-10	0,632183877	0,768	0,323	1,17975E-05	1,549909392	0,645199007	2,377708978
PLEC	5,20583E-07	0,629341868	0,793	0,432	0,010984831	1,546859183	0,646471257	1,835648148
MMP24OS	2,95866E-14	0,629279813	0,561	0,126	6,24307E-10	1,546792649	0,646499064	4,452380952
PKN1	7,82344E-11	0,628912401	0,561	0,168	1,65082E-06	1,546398776	0,64666373	3,339285714
CSRP1	1,891E-06	0,628316862	0,744	0,425	0,039902018	1,545760561	0,646930725	1,750588235
CALM1	7,45862E-07	0,627729464	0,89	0,782	0,015738442	1,545131327	0,647194178	1,138107417
GDI1	3,37058E-11	0,627670362	0,646	0,214	7,11226E-07	1,54506803	0,647220692	3,018691589
C17orf49	2,50602E-12	0,626356652	0,598	0,179	5,28796E-08	1,54366174	0,647810316	3,340782123
SPCS1	6,43093E-09	0,626120255	0,756	0,337	0,000135699	1,54340882	0,647916474	2,243323442
COL20A1	1,30395E-06	0,625612827	0,232	0,053	0,027514561	1,542866064	0,648144401	4,377358491
UQCC2	2,3792E-15	0,623959699	0,5	0,095	5,02035E-11	1,541099167	0,648887509	5,263157895
RPL4	7,95406E-08	0,623938165	0,927	0,653	0,001678386	1,541076164	0,648897195	1,419601838
SEMA3C	6,16035E-09	0,623877264	0,854	0,407	0,00012999	1,541011111	0,648924588	2,098280098
MIA	2,41272E-08	0,623496229	0,927	0,575	0,000509108	1,540604163	0,649096	1,612173913
COL18A1	1,15303E-09	0,623479402	1	0,832	2,433E-05	1,540586194	0,649103571	1,201923077
MANF	3,53666E-12	0,62344384	0,561	0,161	7,46271E-08	1,54054822	0,649119571	3,48447205
SFXN3	5,09478E-19	0,623383868	0,415	0,039	1,07505E-14	1,540484182	0,649146555	10,64102564
HEXB	7,66309E-13	0,623132179	0,402	0,074	1,61699E-08	1,540215456	0,649259814	5,432432432
ACTA2	6,88075E-06	0,619089125	0,122	0,014	0,145190748	1,53590515	0,651081872	8,714285714
EDF1	1,08409E-07	0,619060769	0,78	0,463	0,002287539	1,535874962	0,651094669	1,684665227
TMEM14C	6,83141E-14	0,618581828	0,659	0,175	1,4415E-09	1,535365172	0,651310853	3,765714286
PSMB1	7,77843E-09	0,617594884	0,683	0,284	0,000164133	1,534315192	0,651756565	2,404929577
MED4	2,33849E-18	0,6171626	0,585	0,105	4,93444E-14	1,533855525	0,651951885	5,571428571
CXXC5	5,89814E-08	0,616132372	0,829	0,421	0,001244567	1,532760589	0,65241761	1,96912114
ANKH	1,18414E-11	0,615473508	0,415	0,088	2,49866E-07	1,532060753	0,65271563	4,715909091
AP2M1	9,66228E-09	0,613954279	0,671	0,291	0,000203884	1,530448267	0,653403334	2,305841924
NME4	3,16137E-11	0,613485638	0,451	0,112	6,6708E-07	1,529951201	0,653615618	4,026785714
AURKAIP1	6,60256E-15	0,611955161	0,61	0,147	1,39321E-10	1,528329019	0,654309371	4,149659864

Supplementary Table 2

Differentially expressed genes_keloid-XL_comparing SC-Keloid vs. (SC-Myel, SC-Nonmyel, SC-Nonmyel2)								
gene	p_val	avg_log2FC	pct.1	pct.2	p_val_adj	Foldchange_UP	Foldchange_DOWN	Ratio_pct1_pct2
LIMK1	2,10212E-11	0,611177085	0,28	0,035	4,43569E-07	1,527504981	0,65466235	8
SRPX	1,60128E-11	0,611127358	0,451	0,102	3,37886E-07	1,527452332	0,654684915	4,421568627
KCNN4	2,3339E-17	0,609376803	0,354	0,028	4,92477E-13	1,525600058	0,655479786	12,64285714
NAT14	2,51244E-13	0,609140083	0,549	0,13	5,30151E-09	1,525349755	0,655587347	4,223076923
SLC39A3	1,54109E-18	0,607905844	0,402	0,039	3,25186E-14	1,524045362	0,656148449	10,30769231
PPDPF	3,2218E-07	0,607466333	0,951	0,733	0,006798328	1,523581138	0,656348372	1,297407913
SSC5D	3,17917E-11	0,606635796	0,512	0,137	6,70837E-07	1,522704289	0,65672633	3,737226277
ITGB5	2,92623E-14	0,6063728	0,366	0,049	6,17464E-10	1,522426733	0,656846059	7,469387755
MRPL41	1,87039E-12	0,605410815	0,622	0,186	3,94672E-08	1,521411922	0,657284188	3,344086022
RPS27L	4,03838E-07	0,605221051	0,744	0,379	0,008521381	1,521211817	0,657370649	1,963060686
COX5A	4,89633E-13	0,605197367	0,598	0,168	1,03318E-08	1,521186844	0,657381441	3,55952381
SCG2	1,16201E-17	0,604043249	0,244	0	2,45196E-13	1,519970421	0,65790754	#DIV/0!
ILK	4,36213E-14	0,603988443	0,646	0,175	9,20452E-10	1,519912681	0,657932533	3,691428571
HOXC9	2,04999E-15	0,603300802	0,402	0,053	4,32569E-11	1,519188407	0,658246202	7,58490566
CAPS	1,5959E-08	0,602172809	0,451	0,14	0,00033675	1,518001071	0,658761064	3,221428571
PRSS23	4,28476E-08	0,602124329	0,659	0,298	0,000904126	1,517950062	0,658783201	2,211409396
TMEM59L	6,50115E-11	0,601262226	0,439	0,102	1,37181E-06	1,51704326	0,659176984	4,303921569
KDELR2	6,6943E-08	0,601248568	0,659	0,295	0,001412563	1,517028898	0,659183224	2,233898305
FKBP3	1,12791E-15	0,601026892	0,537	0,109	2,38E-11	1,516795819	0,659284518	4,926605505
PYGB	5,08566E-13	0,600752988	0,439	0,084	1,07313E-08	1,516507873	0,659409699	5,226190476
TADA3	1,31552E-18	0,600520615	0,476	0,06	2,77588E-14	1,516263631	0,659515918	7,933333333
VDAC1	1,95241E-12	0,598651222	0,646	0,204	4,11979E-08	1,514300183	0,660371049	3,166666667
COX4I1	4,68408E-08	0,598528892	0,829	0,477	0,000988389	1,514171787	0,660427046	1,737945493
PRELID1	7,57197E-12	0,597286315	0,598	0,175	1,59776E-07	1,512868209	0,660996109	3,417142857
PSMD8	7,1826E-10	0,597058394	0,61	0,232	1,5156E-05	1,51262922	0,661100544	2,629310345
PPP2R1A	3,75869E-13	0,597011754	0,573	0,144	7,93121E-09	1,51258032	0,661121916	3,979166667
ADARB1	1,76294E-20	0,594217688	0,451	0,042	3,71998E-16	1,509653742	0,662403551	10,73809524
SDF4	2,12483E-12	0,59411538	0,695	0,214	4,4836E-08	1,50954669	0,662450527	3,247663551
UQCRH	1,50106E-08	0,593497304	0,805	0,393	0,000316738	1,508900112	0,662734393	2,048346056
GLDC	9,28997E-16	0,592446609	0,305	0,021	1,96028E-11	1,507801601	0,663217229	14,52380952

Supplementary Table 2

Differentially expressed genes_keloid-XL_comparing SC-Keloid vs. (SC-Myel, SC-Nonmyel, SC-Nonmyel2)								
gene	p_val	avg_log2FC	pct.1	pct.2	p_val_adj	Foldchange_UP	Foldchange_DOWN	Ratio_pct1_pct2
TM9SF2	9,73185E-11	0,592295806	0,5	0,133	2,05352E-06	1,507644001	0,663286558	3,759398496
PSMD1	2,10772E-14	0,592049845	0,476	0,091	4,4475E-10	1,507386988	0,66339965	5,230769231
ATP5PD	1,8292E-08	0,592022382	0,683	0,281	0,00038598	1,507358294	0,663412278	2,430604982
NME1	7,64002E-12	0,591762774	0,573	0,158	1,61212E-07	1,507087075	0,663531667	3,626582278
KIFC3	1,15306E-15	0,590936208	0,488	0,084	2,43308E-11	1,506223865	0,663911935	5,80952381
HMCN1	3,62547E-14	0,590319239	0,329	0,035	7,6501E-10	1,505579865	0,664195918	9,4
PIGT	1,3102E-14	0,588925597	0,451	0,077	2,76464E-10	1,504126178	0,664837841	5,857142857
DNAJC15	3,26664E-16	0,588425527	0,585	0,116	6,89294E-12	1,503604905	0,665068328	5,043103448
RPLP0	3,09259E-07	0,588292266	0,988	0,779	0,00652568	1,503466025	0,665129763	1,268292683
PRKAR1B	1,36386E-15	0,587339942	0,402	0,053	2,87788E-11	1,502473913	0,66556896	7,58490566
C19orf53	3,8239E-07	0,587223689	0,695	0,326	0,008068812	1,502352848	0,665622594	2,13190184
SUMO2	5,01602E-09	0,587136752	0,951	0,628	0,000105843	1,502262318	0,665662706	1,51433121
MIF	5,70801E-05	0,586233174	0,878	0,618	1	1,501321727	0,666079749	1,420711974
SNRPF	1,58147E-07	0,585352045	0,622	0,267	0,003337053	1,500405072	0,666486683	2,329588015
UBA52	5,83903E-09	0,584225052	0,963	0,758	0,000123209	1,499233455	0,667007527	1,270448549
NAA10	8,16659E-10	0,583463941	0,598	0,2	1,72323E-05	1,498442725	0,667359508	2,99
NAA38	3,93773E-09	0,583450892	0,598	0,218	8,309E-05	1,498429173	0,667365544	2,743119266
SNF8	1,40908E-13	0,58251623	0,5	0,109	2,97329E-09	1,497458717	0,667798043	4,587155963
NENF	4,31259E-10	0,581915889	0,72	0,263	9,09999E-06	1,496835716	0,668075988	2,737642586
LIMA1	7,06874E-10	0,581696612	0,659	0,246	1,49157E-05	1,496608228	0,668177537	2,678861789
DYRK2	5,24121E-12	0,581535269	0,476	0,109	1,10595E-07	1,496440866	0,668252266	4,366972477
TUSC3	1,30657E-18	0,580786709	0,329	0,018	2,75699E-14	1,49566462	0,668599087	18,27777778
MPG	1,46254E-12	0,579328281	0,634	0,182	3,08612E-08	1,494153408	0,66927532	3,483516484
EIF4EBP1	2,23711E-15	0,578808085	0,341	0,035	4,72053E-11	1,493614755	0,669516685	9,742857143
TGFB1	1,77711E-10	0,578753592	0,634	0,218	3,74988E-06	1,49355834	0,669541974	2,908256881
SPTSSA	1,15662E-06	0,576209363	0,78	0,428	0,024405822	1,490926733	0,670723771	1,822429907
PLPP1	1,34246E-07	0,573718198	0,841	0,54	0,002832731	1,488354506	0,671882939	1,557407407
RPL35	8,40074E-06	0,572877449	0,963	0,842	0,177264096	1,487487401	0,672274602	1,143705463
POMP	1,63041E-08	0,570398594	0,768	0,344	0,000344034	1,484933778	0,673430704	2,23255814
SPNS1	4,00112E-18	0,570180456	0,378	0,032	8,44275E-14	1,48470927	0,673532536	11,8125

Supplementary Table 2

Differentially expressed genes_keloid-XL_comparing SC-Keloid vs. (SC-Myel, SC-Nonmyel, SC-Nonmyel2)								
gene	p_val	avg_log2FC	pct.1	pct.2	p_val_adj	Foldchange_UP	Foldchange_DOWN	Ratio_pct1_pct2
DBN1	5,36999E-19	0,569670562	0,524	0,074	1,13312E-14	1,48418462	0,673770626	7,081081081
MRPS21	2,31946E-10	0,567806416	0,732	0,256	4,89429E-06	1,482268103	0,674641786	2,859375
PSMC3	4,33351E-10	0,567671291	0,585	0,186	9,14413E-06	1,482129278	0,674704977	3,14516129
BLOC1S1	1,94053E-10	0,566786287	0,695	0,246	4,0947E-06	1,481220362	0,675118993	2,825203252
SEC61B	7,2489E-07	0,566614247	0,793	0,463	0,0152959	1,481043738	0,675199506	1,712742981
ACTR2	1,33841E-08	0,566468035	0,573	0,207	0,000282418	1,480893648	0,675267938	2,768115942
C14orf132	4,14014E-14	0,566234181	0,268	0,018	8,7361E-10	1,480653621	0,675377405	14,88888889
CHMP2A	8,50003E-12	0,565795532	0,695	0,225	1,79359E-07	1,480203499	0,675582783	3,088888889
PSMC5	1,12901E-11	0,565472684	0,512	0,133	2,38233E-07	1,479872295	0,675733983	3,84962406
SEPTIN2	5,46167E-08	0,564795001	0,878	0,46	0,001152467	1,479177311	0,676051473	1,908695652
DGUOK	1,95944E-12	0,564249296	0,646	0,2	4,13461E-08	1,478617913	0,67630724	3,23
NDUFS2	1,55212E-13	0,563904528	0,5	0,105	3,27512E-09	1,478264602	0,67646888	4,761904762
PFDN5	1,50806E-06	0,563828111	0,963	0,698	0,031821487	1,478186303	0,676504712	1,37965616
PEA15	4,02477E-08	0,562401094	0,78	0,351	0,000849267	1,476724904	0,677174197	2,22222222
CNIH3	6,0734E-21	0,562194378	0,354	0,014	1,28155E-16	1,476513326	0,677271232	25,28571429
DDR1	3,18849E-11	0,56209293	0,561	0,154	6,72803E-07	1,476409504	0,677318859	3,642857143
TXNL4A	1,17528E-14	0,561104405	0,598	0,144	2,47995E-10	1,475398225	0,677783112	4,152777778
TMEM219	1,26521E-12	0,560437557	0,683	0,211	2,66971E-08	1,474716419	0,678096472	3,236966825
ADGRL4	6,63347E-15	0,559663864	0,305	0,025	1,39973E-10	1,473925765	0,678460221	12,2
DNM3	6,65258E-14	0,559565065	0,415	0,067	1,40376E-09	1,47382483	0,678506685	6,194029851
MRPL52	3,68533E-11	0,559452275	0,585	0,175	7,7764E-07	1,473709611	0,678559733	3,342857143
PARK7	3,2398E-09	0,558950233	0,756	0,337	6,83631E-05	1,473196866	0,678795905	2,243323442
CCDC124	7,85015E-14	0,55805039	0,573	0,137	1,65646E-09	1,472278284	0,679219418	4,182481752
EIF6	7,2983E-13	0,557257994	0,512	0,116	1,54001E-08	1,471469862	0,67959258	4,413793103
KRTCAP2	2,52608E-09	0,557078073	0,854	0,428	5,33028E-05	1,471286364	0,679677338	1,995327103
NINJ1	2,51037E-10	0,557063868	0,5	0,14	5,29712E-06	1,471271878	0,679684031	3,571428571
TSPO	6,55783E-09	0,556103814	0,805	0,379	0,000138377	1,470293133	0,680136483	2,124010554
WDR1	1,36259E-08	0,556001928	0,598	0,246	0,00028752	1,470189302	0,680184517	2,430894309
SCAND1	5,15558E-12	0,555741299	0,646	0,204	1,08788E-07	1,469923729	0,680307407	3,166666667
NDUFA6	8,83242E-12	0,55512959	0,634	0,196	1,86373E-07	1,469300607	0,680595921	3,234693878

Supplementary Table 2

Differentially expressed genes_keloid-XL_comparing SC-Keloid vs. (SC-Myel, SC-Nonmyel, SC-Nonmyel2)								
gene	p_val	avg_log2FC	pct.1	pct.2	p_val_adj	Foldchange_UP	Foldchange_DOWN	Ratio_pct1_pct2
EIF4E2	2,90186E-13	0,555109523	0,39	0,063	6,12322E-09	1,46928017	0,680605388	6,19047619
GIPC1	8,75995E-16	0,553270001	0,549	0,105	1,84844E-11	1,467407945	0,681473754	5,228571429
CAPZB	5,42221E-09	0,552870988	0,744	0,291	0,000114414	1,467002153	0,681662258	2,556701031
PSAP	6,77522E-06	0,551263405	0,976	0,779	0,142963907	1,465368395	0,682422252	1,252888318
TCEA2	6,69401E-15	0,550362822	0,549	0,116	1,4125E-10	1,464453944	0,682848378	4,732758621
MRPL51	1,4604E-08	0,549571103	0,695	0,291	0,00030816	1,463650505	0,683223213	2,388316151
AEBP1	0,000177795	0,549231504	0,707	0,425	1	1,463306013	0,683384057	1,663529412
FHL3	4,44758E-13	0,549088198	0,39	0,067	9,38484E-09	1,463160668	0,683451942	5,820895522
PDAP1	1,59756E-12	0,547798307	0,646	0,186	3,37102E-08	1,461853062	0,684063279	3,47311828
KCNS3	1,81086E-11	0,545829592	0,561	0,154	3,82109E-07	1,459859565	0,684997396	3,642857143
PDCD5	2,16792E-08	0,545788808	0,634	0,256	0,000457452	1,459818296	0,68501676	2,4765625
S100A1	8,21747E-05	0,544803532	0,28	0,102	1	1,458821666	0,685484746	2,745098039
CARD19	1,68739E-11	0,544734633	0,512	0,137	3,56056E-07	1,458751999	0,685517484	3,737226277
PEX10	8,88557E-14	0,54331072	0,378	0,056	1,87494E-09	1,457312949	0,686194411	6,75
GNG10	1,20301E-09	0,542845859	0,695	0,267	2,53847E-05	1,456843453	0,68641555	2,602996255
BANF1	1,42807E-07	0,542657408	0,671	0,323	0,003013378	1,456653167	0,686505218	2,077399381
C5orf15	3,67048E-12	0,541973436	0,561	0,14	7,74507E-08	1,45596274	0,686830763	4,007142857
RPS19BP1	5,7424E-13	0,541144569	0,659	0,186	1,2117E-08	1,455126491	0,687225479	3,543010753
COL9A3	7,17009E-08	0,540357469	0,793	0,396	0,001512961	1,454332825	0,687600515	2,002525253
FAM89B	1,62682E-12	0,539214835	0,488	0,112	3,43276E-08	1,45318143	0,68814532	4,357142857
COPS9	5,84179E-08	0,53807447	0,707	0,33	0,001232676	1,45203323	0,688689473	2,142424242
ARPC4	1,32333E-11	0,53775392	0,585	0,165	2,79236E-07	1,451710641	0,688842509	3,545454545
DIRC3	3,96988E-15	0,536960528	0,207	0	8,37685E-11	1,450912511	0,689221433	#DIV/0!
PIN1	1,1891E-11	0,535894176	0,561	0,154	2,50911E-07	1,449840481	0,689731052	3,642857143
TSC22D1	2,25E-07	0,535824541	0,622	0,267	0,00474772	1,449770503	0,689764344	2,329588015
LRRFIP1	5,76942E-11	0,535149428	0,488	0,126	1,2174E-06	1,449092238	0,690087197	3,873015873
UBL5	7,89652E-09	0,534778672	0,878	0,456	0,000166624	1,448719886	0,690264564	1,925438596
MEF2C	4,58428E-11	0,534583574	0,744	0,263	9,67329E-07	1,448523986	0,690357916	2,828897338
GASK1B	1,0418E-11	0,534554815	0,415	0,088	2,1983E-07	1,448495111	0,690371678	4,715909091
ARPC1B	1,88313E-06	0,533513502	0,817	0,484	0,039735942	1,447449989	0,690870156	1,688016529

Supplementary Table 2

Differentially expressed genes_keloid-XL_comparing SC-Keloid vs. (SC-Myel, SC-Nonmyel, SC-Nonmyel2)								
gene	p_val	avg_log2FC	pct.1	pct.2	p_val_adj	Foldchange_UP	Foldchange_DOWN	Ratio_pct1_pct2
RRAS	1,60952E-13	0,533220557	0,634	0,165	3,39625E-09	1,447156108	0,691010455	3,842424242
TMEM167A	1,16397E-11	0,532650466	0,573	0,158	2,4561E-07	1,446584367	0,691283566	3,626582278
KRT1	0,111172911	0,532346008	0,159	0,095	1	1,44627912	0,691429466	1,673684211
SRP9	7,91235E-08	0,532301309	0,683	0,277	0,001669584	1,446234311	0,691450889	2,465703971
COL9A2	4,83658E-15	0,532033927	0,329	0,032	1,02057E-10	1,445966299	0,691579051	10,28125
ARPC5	1,07224E-07	0,529745995	0,841	0,463	0,002262542	1,443674996	0,692676678	1,816414687
BUD23	7,95141E-13	0,529397277	0,512	0,116	1,67783E-08	1,443326083	0,692844127	4,413793103
COX7A2L	7,92649E-10	0,529375538	0,524	0,168	1,67257E-05	1,443304335	0,692854567	3,119047619
ARHGAP21	1,56178E-13	0,528267294	0,512	0,112	3,2955E-09	1,442196048	0,693387006	4,571428571
HINT2	4,56861E-15	0,528042076	0,573	0,123	9,64023E-11	1,441970926	0,693495258	4,658536585
CSTB	3,28345E-10	0,526738906	0,683	0,242	6,9284E-06	1,440668998	0,694121968	2,82231405
MRPL20	1,23115E-10	0,526575908	0,549	0,161	2,59785E-06	1,440506238	0,694200395	3,409937888
PSMB7	1,29376E-09	0,525895094	0,512	0,161	2,72996E-05	1,439826617	0,694528069	3,180124224
CTXN1	4,26618E-21	0,525026139	0,293	0	9,00206E-17	1,438959651	0,694946519	#DIV/0!
SIL1	2,14463E-13	0,524462775	0,463	0,091	4,52538E-09	1,438397855	0,695217944	5,087912088
GPAA1	6,10336E-11	0,524438082	0,512	0,137	1,28787E-06	1,438373237	0,695229843	3,737226277
DNASE2	3,24039E-05	0,524174559	0,159	0,032	0,683754475	1,438110526	0,695356846	4,96875
MZT2B	2,9296E-07	0,524061988	0,829	0,442	0,006181748	1,437998318	0,695411106	1,875565611
TRAPPC1	6,49233E-17	0,522679097	0,5	0,081	1,36995E-12	1,436620589	0,69607801	6,172839506
SELENOS	6,28427E-10	0,521886388	0,598	0,196	1,32604E-05	1,435831435	0,696460584	3,051020408
SEC61A1	3,29148E-10	0,520830034	0,451	0,119	6,94535E-06	1,434780491	0,696970726	3,789915966
CNPY2	5,56976E-08	0,520229637	0,756	0,358	0,001175274	1,434183512	0,69726084	2,111731844
RNF128	2,28785E-19	0,518887085	0,317	0,011	4,82759E-15	1,432849502	0,697910003	28,81818182
COX17	2,82427E-08	0,518748309	0,549	0,207	0,000595949	1,432711679	0,69797714	2,652173913
CRIP1	1,45302E-05	0,518731267	0,707	0,372	0,306600939	1,432694755	0,697985385	1,900537634
EVA1A	2,88804E-17	0,518590616	0,256	0,004	6,09406E-13	1,432555086	0,698053436	64
CHID1	1,22162E-10	0,517729989	0,427	0,098	2,57775E-06	1,431700763	0,698469978	4,357142857
RPS19	0,001260254	0,517402633	0,976	0,888	1	1,431375938	0,698628483	1,099099099
FAM20C	1,72842E-10	0,515518518	0,439	0,109	3,64714E-06	1,429507825	0,699541466	4,027522936
CTNNB1	3,90452E-07	0,515492099	0,744	0,368	0,008238918	1,429481649	0,699554276	2,02173913

Supplementary Table 2

Differentially expressed genes_keloid-XL_comparing SC-Keloid vs. (SC-Myel, SC-Nonmyel, SC-Nonmyel2)								
gene	p_val	avg_log2FC	pct.1	pct.2	p_val_adj	Foldchange_UP	Foldchange_DOWN	Ratio_pct1_pct2
TAPBP	8,09367E-07	0,515351845	0,671	0,288	0,017078443	1,429342686	0,699622288	2,329861111
COMMD7	2,67117E-13	0,514751182	0,402	0,07	5,63643E-09	1,428747706	0,699913635	5,742857143
PSMA7	2,44056E-08	0,514630208	0,768	0,368	0,000514983	1,428627906	0,699972327	2,086956522
UBE2D1	1,91763E-14	0,514229348	0,39	0,056	4,04639E-10	1,42823101	0,700166845	6,964285714
DCTN3	5,59295E-11	0,513982177	0,537	0,151	1,18017E-06	1,427986338	0,700286812	3,556291391
ERP29	1,88922E-09	0,513632517	0,537	0,168	3,98645E-05	1,427640285	0,700456558	3,196428571
POLR2G	3,74787E-13	0,513626076	0,573	0,137	7,90838E-09	1,427633912	0,700459685	4,182481752
CTTN	1,14731E-10	0,513599237	0,744	0,263	2,42093E-06	1,427607353	0,700472716	2,828897338
HIGD1A	2,80706E-10	0,513149312	0,512	0,144	5,92317E-06	1,427162203	0,700691203	3,555555556
NRBF2	1,36426E-11	0,513097178	0,402	0,081	2,87872E-07	1,42711063	0,700716524	4,962962963
ARPC1A	8,37722E-13	0,512503631	0,549	0,14	1,76768E-08	1,426523616	0,701004869	3,921428571
SCUBE3	7,88467E-10	0,512503073	0,146	0,004	1,66374E-05	1,426523064	0,70100514	36,5
ESD	4,86998E-10	0,512318209	0,622	0,211	1,02762E-05	1,426340284	0,701094971	2,947867299
MXRA5	1,75288E-13	0,511887929	0,293	0,028	3,69875E-09	1,425914945	0,701304102	10,46428571
HOXB7	1,1487E-16	0,511868809	0,39	0,042	2,42388E-12	1,425896048	0,701313396	9,285714286
MLF2	2,21824E-07	0,511733047	0,549	0,221	0,004680706	1,425761874	0,701379395	2,484162896
SCARB2	6,33607E-06	0,511254722	0,793	0,435	0,133697317	1,425289241	0,701611976	1,822988506
NPL	1,65879E-21	0,511222474	0,366	0,014	3,50022E-17	1,425257382	0,701627659	26,14285714
MRPL16	9,74773E-13	0,510150787	0,366	0,06	2,05687E-08	1,424199042	0,702149047	6,1
GTF3A	4,61872E-15	0,509432268	0,537	0,105	9,74597E-11	1,423489911	0,702498832	5,114285714
ATP5MC2	1,41291E-07	0,509371033	0,878	0,481	0,002981378	1,423429492	0,70252865	1,825363825
MORN2	1,05522E-16	0,509190716	0,439	0,06	2,22662E-12	1,423251594	0,702616462	7,316666667
NDUFB10	4,81236E-09	0,50915747	0,671	0,26	0,000101546	1,423218797	0,702632654	2,580769231
GNG7	1,32712E-14	0,508798875	0,402	0,056	2,80036E-10	1,422865087	0,702807321	7,178571429
BCAP31	1,87259E-09	0,508581298	0,524	0,168	3,95136E-05	1,422650517	0,702913321	3,119047619
CHMP5	4,24196E-07	0,50794282	0,61	0,256	0,008950961	1,422021049	0,703224471	2,3828125
NDUFB11	2,73624E-09	0,507910742	0,72	0,284	5,77373E-05	1,421989431	0,703240107	2,535211268
PSMB10	3,60856E-09	0,507713646	0,293	0,056	7,61441E-05	1,421795177	0,703336188	5,232142857
VKORC1	6,55493E-11	0,507087317	0,683	0,239	1,38316E-06	1,421178055	0,7036416	2,857740586
HYAL2	3,64835E-15	0,502980417	0,354	0,039	7,69837E-11	1,417138161	0,7056475	9,076923077

Supplementary Table 2

Differentially expressed genes_keloid-XL_comparing SC-Keloid vs. (SC-Myel, SC-Nonmyel, SC-Nonmyel2)								
gene	p_val	avg_log2FC	pct.1	pct.2	p_val_adj	Foldchange_UP	Foldchange_DOWN	Ratio_pct1_pct2
B4GALT2	1,60536E-12	0,502390205	0,329	0,046	3,38747E-08	1,416558522	0,705936242	7,152173913
PSMA6	3,59759E-10	0,502359379	0,598	0,189	7,59128E-06	1,416528256	0,705951326	3,164021164
ITGA1	1,4869E-11	0,501848865	0,72	0,235	3,13751E-07	1,41602709	0,706201179	3,063829787
VAT1	6,75237E-06	0,501749817	0,561	0,232	0,142481733	1,415929875	0,706249665	2,418103448
CLU	0,002328052	0,501705561	0,671	0,421	1	1,415886441	0,70627133	1,593824228
GUSB	2,15211E-11	0,500982571	0,415	0,088	4,54117E-07	1,415177064	0,706625358	4,715909091
MXRA7	3,35389E-12	0,500472244	0,622	0,175	7,07704E-08	1,414676559	0,706875358	3,554285714
SHFL	1,83956E-08	0,500157593	0,427	0,123	0,000388165	1,414368053	0,707029545	3,471544715
MFSD10	4,02367E-12	0,49968058	0,598	0,161	8,49034E-08	1,413900483	0,707263356	3,714285714
MYL6B	1,92335E-13	0,499471484	0,451	0,088	4,05846E-09	1,413695575	0,70736587	5,125
TCEAL4	2,71236E-09	0,49943068	0,707	0,284	5,72335E-05	1,413655592	0,707385877	2,48943662
KCNMB1	3,1272E-20	0,498971382	0,28	0	6,59871E-16	1,413205611	0,707611116	#DIV/0!
P3H1	6,67394E-13	0,498516988	0,476	0,098	1,40827E-08	1,412760575	0,707834022	4,857142857
MYL12B	9,41296E-07	0,498133152	0,878	0,635	0,019862295	1,412384753	0,70802237	1,382677165
ANO6	1,42026E-08	0,498104305	0,39	0,105	0,000299689	1,412356512	0,708036527	3,714285714
EEF1G	1,30791E-05	0,49808317	0,89	0,656	0,275982128	1,412335822	0,7080469	1,356707317
RAB31	8,97243E-09	0,497561939	0,463	0,14	0,000189327	1,411825651	0,708302756	3,307142857
A1BG	1,08688E-12	0,496386875	0,561	0,144	2,29343E-08	1,410676198	0,708879898	3,895833333
NAP1L4	5,27423E-13	0,49350294	0,585	0,147	1,11292E-08	1,407859086	0,71029836	3,979591837
LSM3	1,83954E-09	0,493362954	0,524	0,158	3,88161E-05	1,407722487	0,710367284	3,316455696
SNU13	8,71124E-08	0,492874326	0,78	0,351	0,001838159	1,407245784	0,71060792	2,222222222
GNAS	4,74842E-06	0,491775787	0,988	0,839	0,100196424	1,406174646	0,711149218	1,177592372
MARVELD1	1,47809E-09	0,491036866	0,659	0,225	3,11892E-05	1,405454614	0,711513549	2,928888889
PSMB8	1,48167E-10	0,49062524	0,463	0,119	3,12648E-06	1,405053671	0,711716585	3,890756303
ACP1	1,70738E-13	0,489525501	0,5	0,109	3,60275E-09	1,403983033	0,71225932	4,587155963
YIF1A	5,47486E-12	0,489076557	0,488	0,116	1,15525E-07	1,403546204	0,712480998	4,206896552
RAB1B	2,25502E-11	0,487202974	0,512	0,137	4,75832E-07	1,401724645	0,713406876	3,737226277
SNRPE	8,93909E-09	0,486812393	0,585	0,207	0,000188624	1,401345207	0,713600043	2,826086957
LMF2	7,37157E-11	0,486741682	0,488	0,126	1,55547E-06	1,401276524	0,71363502	3,873015873
EMC7	6,7997E-10	0,486226881	0,671	0,232	1,4348E-05	1,400776593	0,713889713	2,892241379

Supplementary Table 2

Differentially expressed genes_keloid-XL_comparing SC-Keloid vs. (SC-Myel, SC-Nonmyel, SC-Nonmyel2)								
gene	p_val	avg_log2FC	pct.1	pct.2	p_val_adj	Foldchange_UP	Foldchange_DOWN	Ratio_pct1_pct2
CHPF2	4,74931E-15	0,485190225	0,329	0,032	1,00215E-10	1,399770419	0,714402867	10,28125
PSMB9	3,97203E-10	0,484264461	0,439	0,112	8,38137E-06	1,398872487	0,71486144	3,919642857
SSBP1	8,78868E-09	0,484042822	0,561	0,196	0,00018545	1,398657597	0,714971271	2,862244898
GNA11	5,93049E-08	0,483464345	0,427	0,126	0,001251394	1,39809689	0,715258011	3,388888889
HDAC9	2,80761E-13	0,482129352	0,256	0,018	5,92433E-09	1,396803764	0,715920178	14,22222222
PRKACB	1,17895E-16	0,481978327	0,402	0,046	2,48769E-12	1,396657551	0,715995126	8,739130435
GET3	3,20665E-13	0,481968101	0,427	0,081	6,76635E-09	1,396647651	0,716000202	5,271604938
PTPRK	4,85419E-10	0,481777671	0,439	0,112	1,02428E-05	1,396463311	0,716094717	3,919642857
HOXC8	1,10755E-10	0,481544929	0,268	0,035	2,33705E-06	1,396238046	0,71621025	7,657142857
PLD3	2,74054E-07	0,481226655	0,537	0,2	0,005782814	1,395930054	0,716368271	2,685
MIR4435-2HG	4,1431E-13	0,480454277	0,378	0,06	8,74236E-09	1,395182914	0,716751897	6,3
COQ4	9,12065E-14	0,480104191	0,476	0,091	1,92455E-09	1,394844398	0,716925846	5,230769231
TOMM22	8,88293E-13	0,479663843	0,415	0,077	1,87439E-08	1,39441872	0,717144704	5,38961039
SMARCB1	1,67148E-13	0,479056253	0,488	0,102	3,52698E-09	1,393831585	0,717446793	4,784313725
ITGA2	3,48186E-07	0,478728959	0,415	0,133	0,007347078	1,393515412	0,717609573	3,120300752
APEX1	1,12247E-09	0,476706152	0,622	0,2	2,36852E-05	1,39156293	0,718616441	3,11
PSMB6	2,99536E-09	0,476420689	0,549	0,189	6,32051E-05	1,391287611	0,718758646	2,904761905
PPP4C	2,12934E-12	0,476260049	0,488	0,112	4,49312E-08	1,391132704	0,718838682	4,357142857
MMP11	1,15746E-13	0,475709118	0,22	0,007	2,44235E-09	1,390601564	0,719113242	31,42857143
KDEL3	1,44822E-21	0,475577837	0,366	0,014	3,05588E-17	1,39047503	0,719178682	26,14285714
GTF2A2	7,62807E-09	0,475050924	0,61	0,218	0,00016096	1,389967282	0,719441395	2,798165138
SH3GL1	6,10057E-11	0,47468022	0,488	0,126	1,28728E-06	1,389610172	0,719626281	3,873015873
LIMD2	2,03339E-16	0,474013489	0,354	0,032	4,29067E-12	1,388968122	0,719958928	11,0625
RCN3	8,04841E-10	0,472955871	0,354	0,074	1,6983E-05	1,387950264	0,720486912	4,783783784
ATP6AP1	3,58416E-09	0,472679843	0,537	0,172	7,56294E-05	1,387684736	0,720624775	3,122093023
RPS18	0,000107073	0,472495927	0,988	0,954	1	1,387507843	0,720716647	1,035639413
NOP10	5,08831E-10	0,472136269	0,598	0,207	1,07368E-05	1,387161986	0,720896341	2,888888889
CCDC167	1,4636E-13	0,47199398	0,366	0,053	3,08835E-09	1,387025181	0,720967444	6,905660377
SDF2L1	3,36549E-11	0,471706117	0,402	0,088	7,10152E-07	1,386748454	0,721111314	4,568181818
ATP5F1C	2,52329E-07	0,471339984	0,646	0,288	0,005324396	1,386396564	0,721294344	2,243055556

Supplementary Table 2

Differentially expressed genes_keloid-XL_comparing SC-Keloid vs. (SC-Myel, SC-Nonmyel, SC-Nonmyel2)								
gene	p_val	avg_log2FC	pct.1	pct.2	p_val_adj	Foldchange_UP	Foldchange_DOWN	Ratio_pct1_pct2
PFDN4	1,53368E-07	0,470721765	0,439	0,144	0,003236208	1,385802597	0,721603497	3,048611111
STRAP	7,6657E-07	0,470126616	0,549	0,204	0,016175385	1,385231036	0,721901238	2,691176471
COL16A1	1,80022E-07	0,469954967	0,793	0,351	0,003798634	1,385066234	0,721987134	2,259259259
NDUFB8	6,52455E-06	0,469948881	0,671	0,309	0,137674618	1,38506039	0,72199018	2,171521036
WLS	7,09532E-10	0,469878731	0,512	0,144	1,49718E-05	1,384993044	0,722025287	3,555555556
GANAB	1,30973E-10	0,469837342	0,598	0,179	2,76367E-06	1,384953312	0,722046001	3,340782123
GADD45GIP1	7,91896E-09	0,469557075	0,549	0,196	0,000167098	1,384684288	0,722186284	2,801020408
HSPB2	1,40215E-05	0,468906552	0,488	0,211	0,29586708	1,384060063	0,722511997	2,312796209
WDR45	4,64998E-11	0,468661173	0,476	0,119	9,81192E-07	1,383824677	0,722634895	4
VPS28	1,89631E-09	0,468520142	0,707	0,274	4,00141E-05	1,383689408	0,722705539	2,580291971
RUNX1	1,9465E-11	0,468505575	0,61	0,175	4,1073E-07	1,383675437	0,722712837	3,485714286
PARVB	2,12765E-15	0,468498515	0,366	0,042	4,48956E-11	1,383668665	0,722716374	8,714285714
RCN1	1,78926E-07	0,46825288	0,512	0,189	0,003775523	1,383433101	0,722839434	2,708994709
CCDC50	2,87881E-12	0,467735225	0,451	0,098	6,07457E-08	1,382936798	0,723098844	4,602040816
SNX3	5,26077E-06	0,467466605	0,793	0,411	0,111007561	1,382679328	0,723233493	1,929440389
RPL7L1	2,43653E-14	0,467389772	0,5	0,095	5,14133E-10	1,382605694	0,72327201	5,263157895
MELTF	6,08531E-16	0,467369931	0,28	0,014	1,28406E-11	1,38258668	0,723281957	20
SYT11	9,01994E-06	0,467122785	0,573	0,263	0,190329858	1,382349851	0,723405873	2,178707224
C1orf122	2,89591E-11	0,467036979	0,646	0,196	6,11066E-07	1,382267636	0,7234489	3,295918367
RPL39L	1,23196E-15	0,466863294	0,366	0,039	2,59955E-11	1,382101236	0,723536	9,384615385
TRAPPC2L	1,43344E-12	0,465858572	0,402	0,074	3,02471E-08	1,381139047	0,724040061	5,432432432
MDH2	2,31743E-08	0,465642415	0,512	0,175	0,000489001	1,380932129	0,724148551	2,925714286
ENG	3,7574E-11	0,465315481	0,476	0,112	7,92848E-07	1,380619227	0,724312671	4,25
COPS6	1,90267E-11	0,464688314	0,598	0,172	4,01483E-07	1,380019176	0,724627612	3,476744186
VPS35	4,99319E-08	0,463576121	0,415	0,119	0,001053613	1,37895571	0,725186453	3,487394958
SHTN1	3,10104E-08	0,463564268	0,268	0,053	0,00065435	1,378944381	0,725192411	5,056603774
SHISA5	3,92488E-09	0,462790644	0,427	0,116	8,28189E-05	1,378205141	0,725581389	3,681034483
TRAPPC5	7,30031E-13	0,46258145	0,573	0,14	1,54044E-08	1,378005312	0,725686607	4,092857143
LARP7	3,36178E-15	0,462287063	0,512	0,098	7,0937E-11	1,377724155	0,725834701	5,224489796
UAP1	3,53724E-11	0,462189739	0,439	0,102	7,46394E-07	1,377631217	0,725883667	4,303921569

Supplementary Table 2

Differentially expressed genes_keloid-XL_comparing SC-Keloid vs. (SC-Myel, SC-Nonmyel, SC-Nonmyel2)								
gene	p_val	avg_log2FC	pct.1	pct.2	p_val_adj	Foldchange_UP	Foldchange_DOWN	Ratio_pct1_pct2
PFN2	1,04185E-15	0,461896063	0,476	0,081	2,19841E-11	1,377350814	0,726031444	5,87654321
BOLA3	8,66745E-14	0,461825172	0,415	0,067	1,82892E-09	1,377283135	0,72606712	6,194029851
RBX1	9,65093E-07	0,461705977	0,854	0,481	0,020364437	1,377169349	0,726127111	1,775467775
ZNF428	3,02824E-09	0,460721245	0,793	0,316	6,38988E-05	1,376229664	0,726622908	2,509493671
FHL2	3,71441E-17	0,460678932	0,354	0,028	7,83778E-13	1,3761893	0,72664422	12,64285714
SUMO1	1,12111E-09	0,46043722	0,634	0,221	2,36566E-05	1,37595875	0,726765973	2,868778281
HS3ST1	1,85484E-13	0,460371668	0,268	0,021	3,9139E-09	1,375896231	0,726798996	12,76190476
LRPAP1	3,25121E-05	0,459875186	0,549	0,253	0,686036843	1,375422819	0,727049156	2,169960474
FAM114A1	2,42405E-10	0,459262412	0,585	0,175	5,11499E-06	1,374838743	0,72735803	3,342857143
SURF4	2,13827E-09	0,459046472	0,573	0,186	4,51196E-05	1,374632974	0,727466909	3,080645161
AP1S1	3,06104E-15	0,459010293	0,378	0,046	6,45909E-11	1,374598503	0,727485151	8,217391304
GSDMD	1,29724E-13	0,45895517	0,39	0,06	2,73731E-09	1,374545982	0,727512948	6,5
JTB	1,37655E-08	0,458916897	0,622	0,242	0,000290466	1,374509518	0,727532249	2,570247934
ACTN4	0,000101416	0,457687249	0,732	0,46	1	1,373338485	0,728152608	1,591304348
ATP5PB	5,48016E-12	0,457484416	0,512	0,13	1,15637E-07	1,373145417	0,728254989	3,938461538
EMC3	5,65978E-16	0,45726671	0,451	0,067	1,19427E-11	1,372938222	0,728364892	6,731343284
CANX	9,72965E-06	0,457139145	0,829	0,516	0,205305412	1,37281683	0,728429298	1,606589147
CUTA	5,9655E-07	0,456476296	0,646	0,302	0,012587796	1,372186232	0,728764053	2,139072848
SRI	2,93807E-11	0,456459151	0,622	0,189	6,19961E-07	1,372169925	0,728772714	3,291005291
MAP2K2	2,25452E-08	0,45624651	0,585	0,218	0,000475725	1,371967694	0,728880137	2,683486239
MRPL34	8,00009E-13	0,456121987	0,524	0,119	1,6881E-08	1,37184928	0,728943051	4,403361345
MMP17	2,60465E-08	0,455370927	0,561	0,2	0,000549607	1,371135288	0,729322634	2,805
COL11A1	1,31883E-09	0,454988657	0,268	0,042	2,78287E-05	1,370772028	0,729515908	6,380952381
ELOF1	2,77951E-12	0,454771559	0,439	0,091	5,86505E-08	1,370565768	0,729625694	4,824175824
PHC2	1,01133E-11	0,454018035	0,61	0,175	2,13401E-07	1,369850105	0,730006879	3,485714286
RPS10	0,001221381	0,453424021	0,939	0,747	1	1,369286199	0,730307514	1,257028112
PSMB4	7,37789E-09	0,45305206	0,671	0,256	0,000155681	1,368933211	0,730495829	2,62109375
PGAP6	3,36806E-11	0,452908326	0,341	0,06	7,10694E-07	1,368796833	0,730568611	5,683333333
SNRPC	6,14175E-15	0,452074773	0,415	0,06	1,29597E-10	1,368006204	0,730990837	6,916666667
ADH5	1,47209E-11	0,451314528	0,463	0,109	3,10626E-07	1,367285507	0,731376143	4,247706422

Supplementary Table 2

Differentially expressed genes_keloid-XL_comparing SC-Keloid vs. (SC-Myel, SC-Nonmyel, SC-Nonmyel2)								
gene	p_val	avg_log2FC	pct.1	pct.2	p_val_adj	Foldchange_UP	Foldchange_DOWN	Ratio_pct1_pct2
LYRM4	1,83667E-11	0,451271357	0,39	0,077	3,87556E-07	1,367244593	0,731398029	5,064935065
SH3BGR	3,12104E-12	0,450848719	0,415	0,081	6,5857E-08	1,366844117	0,731612323	5,12345679
FABP7	2,12165E-13	0,449140099	0,268	0,021	4,4769E-09	1,365226287	0,732479304	12,76190476
DPM2	3,74157E-11	0,448980231	0,415	0,091	7,89509E-07	1,365075013	0,732560475	4,56043956
NOTCH3	1,15746E-13	0,448775385	0,22	0,007	2,44235E-09	1,364881201	0,732664498	31,42857143
ECHS1	9,22507E-09	0,447854471	0,427	0,116	0,000194658	1,364010236	0,733132328	3,681034483
AUP1	1,08097E-12	0,446410053	0,537	0,13	2,28096E-08	1,36264528	0,733866704	4,130769231
MVP	2,60569E-10	0,446140408	0,439	0,109	5,49826E-06	1,362390621	0,734003879	4,027522936
HYI	8,5149E-11	0,445765339	0,488	0,126	1,79673E-06	1,362036475	0,734194728	3,873015873
ST3GAL4	9,2128E-11	0,443649763	0,463	0,112	1,94399E-06	1,360040641	0,735272145	4,133928571
AGPAT2	1,9604E-15	0,443438303	0,451	0,07	4,13665E-11	1,35984131	0,735379924	6,442857143
FKBP8	5,29979E-07	0,443303523	0,683	0,302	0,011183078	1,359714277	0,735448628	2,261589404
SLC35B2	2,38506E-13	0,442573205	0,439	0,081	5,03271E-09	1,359026139	0,73582102	5,419753086
SNX17	2,63969E-12	0,44251757	0,439	0,091	5,57001E-08	1,358973732	0,735849396	4,824175824
ADAMTS2	1,15969E-12	0,441834206	0,28	0,028	2,44707E-08	1,358330177	0,73619803	10
POLR2I	6,58955E-11	0,441796882	0,561	0,158	1,39046E-06	1,358295035	0,736217077	3,550632911
UCN2	2,91183E-16	0,441723624	0,256	0,007	6,14425E-12	1,358226066	0,736254461	36,57142857
NDUFS6	1,87151E-08	0,440870441	0,622	0,232	0,000394907	1,357423073	0,736689997	2,681034483
CDIPT	2,99691E-09	0,440800981	0,415	0,105	6,32379E-05	1,35735772	0,736725467	3,952380952
FAM204A	3,80022E-09	0,4406657	0,488	0,147	8,01884E-05	1,357230447	0,736794552	3,319727891
SNRPD2	4,24574E-07	0,439530258	0,671	0,302	0,008958941	1,356162689	0,737374659	2,221854305
PRAF2	1,48875E-11	0,439255672	0,378	0,074	3,14141E-07	1,355904596	0,737515016	5,108108108
DAZAP2	3,50249E-09	0,43883576	0,61	0,204	7,39059E-05	1,355510003	0,737729709	2,990196078
CAPN2	1,9946E-08	0,438320019	0,463	0,144	0,000420881	1,355025516	0,737993483	3,215277778
SRP19	6,57128E-08	0,438061599	0,476	0,158	0,001386606	1,354782821	0,738125686	3,012658228
PLEKHG1	8,18343E-10	0,437534974	0,451	0,119	1,72679E-05	1,354288378	0,738395172	3,789915966
PIN4	6,82474E-10	0,437479301	0,5	0,14	1,44009E-05	1,354236117	0,738423667	3,571428571
MSRB2	3,29211E-09	0,436318546	0,305	0,06	6,94669E-05	1,353146972	0,739018023	5,083333333
UQCRC1	7,13739E-16	0,436193106	0,5	0,084	1,50606E-11	1,353029323	0,739082282	5,952380952
RPS17	0,000289034	0,436019825	0,902	0,611	1	1,352866821	0,739171058	1,476268412

Supplementary Table 2

Differentially expressed genes_keloid-XL_comparing SC-Keloid vs. (SC-Myel, SC-Nonmyel, SC-Nonmyel2)								
gene	p_val	avg_log2FC	pct.1	pct.2	p_val_adj	Foldchange_UP	Foldchange_DOWN	Ratio_pct1_pct2
RPS6	3,30444E-05	0,435780557	0,976	0,874	0,697270777	1,35264247	0,739293658	1,116704805
DNM1	1,74966E-16	0,435566309	0,305	0,018	3,69196E-12	1,35244161	0,739403455	16,94444444
RRAGA	3,37443E-12	0,435124413	0,476	0,105	7,12039E-08	1,352027422	0,739629969	4,533333333
CCDC90B	1,36575E-11	0,434734563	0,463	0,105	2,88187E-07	1,351662122	0,739829861	4,40952381
HSPB11	1,05417E-11	0,434528562	0,439	0,095	2,2244E-07	1,351469133	0,739935508	4,621052632
HIGD2A	1,76145E-11	0,434134229	0,549	0,147	3,71684E-07	1,351099786	0,740137783	3,734693878
SELENOH	1,47518E-08	0,434028872	0,61	0,214	0,000311278	1,351001122	0,740191836	2,85046729
SPPL2A	2,73852E-06	0,433780108	0,829	0,439	0,057785494	1,350768188	0,740319478	1,888382688
MRPL17	2,26948E-17	0,433306182	0,512	0,081	4,78883E-13	1,350324533	0,740562713	6,320987654
DERL2	1,9255E-12	0,433240678	0,378	0,063	4,063E-08	1,350263224	0,740596338	6
RTRAF	4,31432E-06	0,43255821	0,695	0,333	0,091036566	1,349624632	0,740946761	2,087087087
IFI27L1	1,56982E-12	0,432017271	0,341	0,049	3,31247E-08	1,349118685	0,741224631	6,959183673
ZNF827	7,1255E-13	0,431751502	0,329	0,042	1,50355E-08	1,348870177	0,74136119	7,833333333
GPI	4,47709E-09	0,43144558	0,39	0,098	9,44711E-05	1,348584181	0,741518412	3,979591837
FBN1	1,56845E-09	0,431440275	0,415	0,105	3,30959E-05	1,348579222	0,741521139	3,952380952
DAD1	7,36312E-05	0,431134524	0,841	0,582	1	1,348293448	0,741678306	1,445017182
CCPG1	6,05575E-08	0,431128156	0,5	0,175	0,001277824	1,348287496	0,74168158	2,857142857
TTYH3	1,64454E-10	0,430725413	0,329	0,06	3,47014E-06	1,34791116	0,741888657	5,483333333
CCNDBP1	4,59782E-11	0,429062471	0,378	0,074	9,70185E-07	1,346358368	0,742744298	5,108108108
TGOLN2	1,42776E-09	0,427954498	0,72	0,256	3,01271E-05	1,345324776	0,743314936	2,8125
CCDC25	2,83078E-11	0,427573383	0,366	0,067	5,97323E-07	1,344969431	0,743511322	5,462686567
DTYMK	2,90131E-13	0,427339273	0,354	0,049	6,12205E-09	1,344751197	0,743631984	7,224489796
FNBP1L	7,34197E-15	0,427256783	0,329	0,032	1,54923E-10	1,34467431	0,743674504	10,28125
PLXNA4	1,37047E-13	0,427142653	0,341	0,042	2,89183E-09	1,344567938	0,743733337	8,119047619
MRPL54	2,22194E-13	0,426881743	0,476	0,095	4,68851E-09	1,344324796	0,743867853	5,010526316
RASSF8-AS1	1,43596E-10	0,42675849	0,463	0,116	3,03001E-06	1,344209952	0,743931406	3,99137931
CKAP5	5,19236E-08	0,426502704	0,305	0,07	0,00109564	1,343971648	0,744063315	4,357142857
ITFG1	4,58697E-10	0,426288589	0,427	0,105	9,67897E-06	1,3437722	0,744173752	4,066666667
RPL27	3,54524E-05	0,426011171	0,915	0,768	0,74808191	1,343513829	0,744316864	1,19140625
TUBB	0,000201891	0,425772536	0,829	0,625	1	1,343291617	0,744439991	1,3264

Supplementary Table 2

Differentially expressed genes_keloid-XL_comparing SC-Keloid vs. (SC-Myel, SC-Nonmyel, SC-Nonmyel2)								
gene	p_val	avg_log2FC	pct.1	pct.2	p_val_adj	Foldchange_UP	Foldchange_DOWN	Ratio_pct1_pct2
RAB5C	9,51635E-10	0,425577442	0,622	0,204	2,00805E-05	1,343109978	0,744540668	3,049019608
COPS8	1,60824E-09	0,425399507	0,476	0,137	3,39356E-05	1,342944336	0,744632501	3,474452555
TWF2	3,955E-14	0,424988683	0,329	0,035	8,34544E-10	1,342561971	0,744844575	9,4
SAE1	1,8276E-12	0,424229871	0,39	0,07	3,85641E-08	1,341856012	0,745236442	5,571428571
AKAP12	5,83516E-08	0,424224412	0,451	0,144	0,001231278	1,341850934	0,745239262	3,131944444
NT5DC2	6,57128E-08	0,424204377	0,488	0,154	0,001386606	1,3418323	0,745249611	3,168831169
HPCAL1	2,03487E-05	0,424162191	0,39	0,154	0,429377418	1,341793064	0,745271403	2,532467532
GTF3C6	4,31819E-15	0,424063878	0,439	0,07	9,11181E-11	1,34170163	0,745322192	6,271428571
TMEM147	6,7852E-11	0,423982874	0,573	0,161	1,43174E-06	1,341626299	0,745364041	3,559006211
NT5E	8,96003E-09	0,423361056	0,195	0,021	0,000189066	1,341048167	0,745685371	9,285714286
TBCA	0,000111951	0,423296044	0,78	0,46	1	1,340987737	0,745718975	1,695652174
PLAUR	3,26819E-09	0,423228537	0,476	0,137	6,89621E-05	1,34092499	0,745753869	3,474452555
PGK1	1,48163E-08	0,422896128	0,5	0,158	0,000312639	1,340616066	0,745925717	3,164556962
DNAJC2	4,14681E-10	0,42289475	0,305	0,053	8,75017E-06	1,340614785	0,745926429	5,754716981
RAB5IF	9,94582E-11	0,422572601	0,5	0,133	2,09867E-06	1,340315463	0,746093011	3,759398496
MCAM	0,00017561	0,422434868	0,805	0,533	1	1,340187511	0,746164243	1,510318949
KDELR1	7,28297E-08	0,422330173	0,634	0,256	0,00153678	1,340090259	0,746218393	2,4765625
H2AJ	2,81543E-07	0,421410184	0,78	0,354	0,005940846	1,339235971	0,7466944	2,203389831
COX16	3,03105E-08	0,421330279	0,463	0,147	0,000639581	1,339161799	0,746735757	3,149659864
RBIS	3,34362E-08	0,420691274	0,744	0,333	0,000705537	1,338568783	0,747066578	2,234234234
LZIC	1,25072E-06	0,42059427	0,354	0,109	0,026391379	1,338478783	0,747116811	3,247706422
EIF3M	1,00468E-06	0,420311282	0,415	0,147	0,021199806	1,338216263	0,747263374	2,823129252
ELAVL1	1,65211E-09	0,420104748	0,439	0,119	3,48611E-05	1,3380247	0,747370359	3,68907563
AGA	6,96776E-14	0,419779408	0,366	0,049	1,47027E-09	1,337722997	0,747538917	7,469387755
CMSS1	1,13686E-13	0,419619793	0,415	0,07	2,39889E-09	1,337575005	0,747621626	5,928571429
SYTL2	3,51225E-17	0,419245032	0,402	0,042	7,41121E-13	1,337227595	0,747815857	9,571428571
MYOF	1,24034E-10	0,419220631	0,354	0,07	2,61724E-06	1,337204978	0,747828505	5,057142857
CERCAM	5,92658E-12	0,418946423	0,402	0,074	1,25057E-07	1,336950844	0,747970656	5,432432432
NDUFA2	7,99594E-07	0,418887261	0,463	0,175	0,016872231	1,33689602	0,748001329	2,645714286
PCBP4	7,23097E-07	0,41887374	0,671	0,302	0,015258069	1,33688349	0,74800834	2,221854305

Supplementary Table 2

Differentially expressed genes_keloid-XL_comparing SC-Keloid vs. (SC-Myel, SC-Nonmyel, SC-Nonmyel2)								
gene	p_val	avg_log2FC	pct.1	pct.2	p_val_adj	Foldchange_UP	Foldchange_DOWN	Ratio_pct1_pct2
DCBLD2	3,44721E-09	0,418668638	0,561	0,179	7,27396E-05	1,336693445	0,748114689	3,134078212
PYURF	4,70625E-08	0,417882147	0,646	0,249	0,000993065	1,33596494	0,748522637	2,59437751
METAP2	4,1807E-07	0,416958547	0,549	0,211	0,008821686	1,335109941	0,749001988	2,601895735
UBE2Q2	2,63542E-10	0,416870969	0,439	0,109	5,561E-06	1,335028896	0,749047457	4,027522936
HMOX2	1,98654E-09	0,416592017	0,39	0,095	4,19179E-05	1,334770788	0,749192303	4,105263158
PSMD14	4,85505E-14	0,415694397	0,451	0,081	1,02446E-09	1,333940574	0,749658583	5,567901235
AP3S1	6,34682E-11	0,414632618	0,463	0,112	1,33924E-06	1,332959196	0,750210511	4,133928571
TCF3	5,03755E-12	0,414464402	0,463	0,102	1,06297E-07	1,332803784	0,75029799	4,539215686
PSME2	1,46499E-08	0,414351195	0,524	0,172	0,000309128	1,332699204	0,750356868	3,046511628
RPL3	0,000873564	0,414325357	0,976	0,905	1	1,332675336	0,750370306	1,078453039
RPE65	6,01275E-14	0,414016633	0,207	0,004	1,26875E-09	1,332390186	0,750530896	51,75
PBXIP1	1,30274E-09	0,413216717	0,305	0,056	2,74892E-05	1,331651635	0,75094715	5,446428571
ABCF2	4,29588E-10	0,412507104	0,268	0,039	9,06473E-06	1,330996802	0,751316606	6,871794872
PSENEN	1,31809E-11	0,412423833	0,451	0,102	2,7813E-07	1,330919979	0,751359973	4,421568627
RPL22L1	0,001021646	0,412339146	0,695	0,396	1	1,330841857	0,751404079	1,755050505
ERI3	1,32346E-09	0,412209075	0,329	0,063	2,79262E-05	1,330721875	0,751471828	5,222222222
PEMT	9,08828E-11	0,411420485	0,305	0,049	1,91772E-06	1,32999469	0,751882701	6,224489796
ERCC1	1,2443E-13	0,411399406	0,537	0,119	2,62559E-09	1,329975257	0,751893687	4,512605042
TRAPPC4	3,34596E-11	0,411375839	0,354	0,063	7,06031E-07	1,329953532	0,75190597	5,619047619
FAM32A	4,34691E-12	0,411303255	0,463	0,098	9,17242E-08	1,329886621	0,7519438	4,724489796
TCF12	1,41726E-11	0,4111948	0,415	0,084	2,99056E-07	1,329786651	0,75200033	4,94047619
COMMD3	9,93322E-12	0,410460809	0,439	0,091	2,09601E-07	1,329110275	0,752383018	4,824175824
ARL2	1,36908E-05	0,410445115	0,622	0,277	0,288889373	1,329095818	0,752391202	2,245487365
ERGIC3	2,16614E-08	0,41013125	0,561	0,2	0,000457078	1,328806697	0,752554907	2,805
ARL2BP	3,72516E-10	0,409993036	0,524	0,151	7,86046E-06	1,3286794	0,752627007	3,470198675
PLEKHG4	5,06939E-14	0,409080452	0,28	0,021	1,06969E-09	1,327839203	0,753103235	13,33333333
RANBP1	6,1262E-10	0,408968856	0,646	0,214	1,29269E-05	1,327736496	0,753161492	3,018691589
TCTN1	2,13666E-11	0,408637767	0,28	0,035	4,50856E-07	1,327431824	0,753334357	8
OCIAD2	9,50765E-13	0,408510498	0,268	0,025	2,00621E-08	1,327314728	0,753400817	10,72
ABI3BP	6,04745E-07	0,408063869	0,256	0,06	0,012760715	1,326903882	0,75363409	4,266666667

Supplementary Table 2

Differentially expressed genes_keloid-XL_comparing SC-Keloid vs. (SC-Myel, SC-Nonmyel, SC-Nonmyel2)								
gene	p_val	avg_log2FC	pct.1	pct.2	p_val_adj	Foldchange_UP	Foldchange_DOWN	Ratio_pct1_pct2
ERLIN2	6,20937E-05	0,407484102	0,183	0,046	1	1,326370755	0,753937009	3,97826087
GLOD4	4,01678E-16	0,407360537	0,402	0,049	8,4758E-12	1,326257157	0,754001586	8,204081633
ADGRG1	7,46884E-13	0,407176135	0,5	0,109	1,576E-08	1,326087649	0,754097967	4,587155963
SH3BGRL	2,19172E-07	0,406753328	0,732	0,316	0,004624747	1,325699073	0,754319001	2,316455696
LBH	5,24774E-13	0,406745478	0,451	0,091	1,10733E-08	1,325691859	0,754323105	4,956043956
STK32B	1,36E-12	0,406377401	0,256	0,021	2,86973E-08	1,325353677	0,754515581	12,19047619
PGLS	6,35293E-09	0,406376251	0,476	0,14	0,000134053	1,32535262	0,754516183	3,4
IER3IP1	2,21851E-10	0,405628739	0,585	0,175	4,68127E-06	1,324666085	0,754907226	3,342857143
SSB	9,0389E-08	0,405300296	0,695	0,291	0,001907299	1,324364547	0,755079107	2,388316151
PARP3	1,90671E-10	0,405193845	0,171	0,007	4,02334E-06	1,324266831	0,755134824	24,42857143
POLR2J	2,70664E-08	0,405085572	0,561	0,204	0,000571129	1,32416745	0,755191498	2,75
HMG3	2,56982E-05	0,404929962	0,707	0,368	0,542257973	1,324024632	0,755272958	1,921195652
CAND1	1,20762E-07	0,404715253	0,488	0,165	0,002548191	1,323827599	0,75538537	2,957575758
SWI5	1,61658E-12	0,404619505	0,451	0,091	3,41115E-08	1,323739743	0,755435504	4,956043956
THOC7	3,20723E-08	0,404592345	0,451	0,133	0,000676758	1,323714822	0,755449726	3,390977444
HYOU1	3,41916E-07	0,403417886	0,366	0,105	0,007214765	1,322637661	0,756064968	3,485714286
TPGS2	5,28081E-14	0,402373246	0,305	0,028	1,1143E-09	1,3216803	0,756612624	10,89285714
TUBB6	1,02945E-08	0,40178214	0,476	0,151	0,000217225	1,321138886	0,75692269	3,152317881
TMEM14B	2,75157E-10	0,401039368	0,549	0,158	5,80608E-06	1,320458873	0,757312492	3,474683544
UFC1	2,94865E-10	0,400953526	0,561	0,168	6,22195E-06	1,320380307	0,757357554	3,339285714
TOMM5	1,16748E-07	0,400559093	0,549	0,204	0,002463489	1,320019363	0,757564645	2,691176471
NTN1	1,09013E-06	0,400506585	0,195	0,035	0,023002751	1,319971321	0,757592217	5,571428571
TCEAL8	9,40622E-11	0,400199986	0,488	0,126	1,98481E-06	1,319690833	0,757753236	3,873015873
ATP6AP2	2,68794E-05	0,399990279	0,805	0,46	0,567181546	1,31949902	0,75786339	1,75
ZFAND2B	4,76008E-09	0,39892871	0,293	0,056	0,000100442	1,318528458	0,758421249	5,232142857
NPM3	1,15033E-06	0,398589853	0,195	0,035	0,024273087	1,318218802	0,758599406	5,571428571
ABRACL	3,52113E-12	0,398033395	0,293	0,035	7,42995E-08	1,317710453	0,75889206	8,371428571
NDUFB4	1,45658E-07	0,397499848	0,732	0,33	0,003073524	1,317223219	0,75917277	2,218181818
ITGAE	1,07491E-12	0,397150668	0,451	0,088	2,26817E-08	1,316904446	0,759356537	5,125
C3orf14	7,14958E-12	0,396678151	0,28	0,032	1,50863E-07	1,316473199	0,759605286	8,75

Supplementary Table 2

Differentially expressed genes_keloid-XL_comparing SC-Keloid vs. (SC-Myel, SC-Nonmyel, SC-Nonmyel2)								
gene	p_val	avg_log2FC	pct.1	pct.2	p_val_adj	Foldchange_UP	Foldchange_DOWN	Ratio_pct1_pct2
ST3GAL2	1,41131E-09	0,396611277	0,22	0,025	2,978E-05	1,316412177	0,759640497	8,8
TMEM59	0,003044102	0,396274846	0,817	0,565	1	1,316105231	0,759817663	1,446017699
POLR2E	2,22008E-08	0,39623364	0,524	0,175	0,00046846	1,316067641	0,759839365	2,994285714
CLNS1A	1,20086E-08	0,395931098	0,427	0,119	0,000253394	1,315791682	0,759998724	3,588235294
CHN1	9,89953E-08	0,395876192	0,341	0,091	0,0020889	1,315741607	0,760027649	3,747252747
ATRAID	4,09648E-08	0,395626919	0,524	0,182	0,000864399	1,315514289	0,76015898	2,879120879
TALDO1	4,05758E-08	0,394451178	0,671	0,274	0,000856189	1,314442632	0,760778733	2,448905109
GARS1	2,54344E-10	0,394255976	0,329	0,06	5,36691E-06	1,314264796	0,760881676	5,483333333
RPL41	0,000563398	0,393398645	1	0,968	1	1,313484016	0,761333969	1,033057851
CCT3	1,19047E-07	0,393341	0,622	0,232	0,002512002	1,313431535	0,76136439	2,681034483
ZNF365	2,72638E-14	0,393202558	0,195	0	5,75293E-10	1,313305503	0,761437455	#DIV/0!
MRPL23	6,8254E-08	0,392922214	0,451	0,144	0,001440228	1,313050327	0,761585431	3,131944444
JMJD8	2,36857E-12	0,392800117	0,415	0,077	4,99792E-08	1,312939207	0,761649888	5,38961039
CXCL12	2,79416E-09	0,392185976	0,585	0,182	5,89595E-05	1,312380421	0,761974184	3,214285714
ACSBG1	4,73042E-11	0,391835881	0,366	0,067	9,98165E-07	1,312061988	0,762159112	5,462686567
NUDT1	6,5086E-10	0,391168288	0,39	0,088	1,37338E-05	1,311454984	0,762511876	4,431818182
SGCE	5,29058E-05	0,390730033	0,756	0,421	1	1,311056658	0,762743543	1,795724466
DNAJB12	1,33823E-09	0,39048736	0,305	0,056	2,8238E-05	1,310836146	0,762871853	5,446428571
DEAF1	4,00323E-11	0,389139158	0,244	0,025	8,44722E-07	1,309611738	0,763585092	9,76
ANP32B	3,61754E-06	0,38909956	0,695	0,33	0,076333779	1,309575793	0,763606051	2,106060606
ADAM15	2,79652E-08	0,389024482	0,268	0,053	0,000590093	1,309507645	0,76364579	5,056603774
ETS2	7,315E-07	0,388866338	0,329	0,095	0,01543538	1,309364109	0,763729503	3,463157895
SRP14	3,14544E-05	0,388803283	0,951	0,73	0,663718538	1,309306882	0,763762884	1,302739726
NABP2	3,33825E-09	0,388073387	0,232	0,032	7,04404E-05	1,308644638	0,764149388	7,25
NDUFC2	6,00762E-08	0,387812777	0,756	0,337	0,001267667	1,308408264	0,764287438	2,243323442
VPS25	1,57423E-15	0,387710106	0,366	0,039	3,32178E-11	1,308315153	0,764341831	9,384615385
EIF4G1	3,95711E-07	0,387525789	0,524	0,193	0,008349907	1,308148015	0,764439489	2,715025907
CDC123	2,99894E-13	0,38740944	0,402	0,067	6,32805E-09	1,308042522	0,764501141	6
FAM136A	7,09342E-12	0,386528939	0,268	0,028	1,49678E-07	1,307244444	0,764967871	9,571428571
SHMT2	2,39317E-12	0,386083736	0,305	0,039	5,04982E-08	1,306841103	0,76520397	7,820512821

Supplementary Table 2

Differentially expressed genes_keloid-XL_comparing SC-Keloid vs. (SC-Myel, SC-Nonmyel, SC-Nonmyel2)								
gene	p_val	avg_log2FC	pct.1	pct.2	p_val_adj	Foldchange_UP	Foldchange_DOWN	Ratio_pct1_pct2
HOXB-AS1	6,82833E-06	0,385559444	0,134	0,018	0,144084492	1,306366268	0,765482105	7,444444444
RPL10A	0,000954574	0,385475844	0,939	0,832	1	1,30629057	0,765526463	1,128605769
R3HDM4	5,57388E-15	0,385171623	0,439	0,07	1,17614E-10	1,306015141	0,765687907	6,271428571
CST3	0,000154861	0,384992321	0,976	0,811	1	1,305852836	0,765783075	1,203452528
MACF1	2,76528E-06	0,38476674	0,61	0,263	0,058350086	1,305648668	0,765902823	2,319391635
RPL12	0,001213796	0,384761203	0,976	0,905	1	1,305643657	0,765905762	1,078453039
MDP1	1,9252E-13	0,384601558	0,354	0,049	4,06237E-09	1,305499186	0,76599052	7,224489796
SLC52A2	5,59403E-15	0,384504307	0,329	0,032	1,1804E-10	1,305411186	0,766042156	10,28125
JOSD2	6,72195E-11	0,384207875	0,634	0,182	1,4184E-06	1,30514299	0,766199572	3,483516484
ATP5F1A	2,39405E-07	0,383958217	0,598	0,235	0,005051683	1,304917155	0,766332174	2,544680851
MACIR	4,58367E-10	0,383625474	0,341	0,067	9,672E-06	1,304616224	0,766508941	5,089552239
NELFE	2,77699E-14	0,383501528	0,476	0,088	5,85973E-10	1,304504144	0,766574797	5,409090909
RP9	5,41276E-08	0,382412014	0,28	0,06	0,001142147	1,303519364	0,767153928	4,666666667
CKAP4	3,2372E-07	0,382272219	0,329	0,091	0,006830817	1,303393061	0,767228268	3,615384615
CNN2	6,51136E-16	0,382017158	0,293	0,018	1,37396E-11	1,303162648	0,767363922	16,27777778
PEBP1	5,93422E-05	0,381994581	0,951	0,702	1	1,303142254	0,767375931	1,354700855
COPZ1	1,75771E-15	0,381645909	0,427	0,063	3,70895E-11	1,302827348	0,767561413	6,777777778
YIF1B	9,15077E-13	0,381348918	0,293	0,032	1,9309E-08	1,302559177	0,767719439	9,15625
NPTN	3,51221E-10	0,381141909	0,622	0,2	7,41111E-06	1,30237229	0,767829604	3,11
NSMCE1	3,28035E-12	0,380329698	0,366	0,06	6,92187E-08	1,301639284	0,768262	6,1
KCTD13	1,77717E-09	0,380015825	0,256	0,039	3,75001E-05	1,30135613	0,768429162	6,564102564
COMMD6	2,94713E-06	0,37983626	0,841	0,414	0,062187406	1,301194167	0,76852481	2,031400966
SLC39A7	1,82427E-09	0,379767491	0,573	0,182	3,84939E-05	1,301132145	0,768561444	3,148351648
NDUFAF2	3,10031E-08	0,379563759	0,427	0,126	0,000654197	1,300948416	0,768669985	3,388888889
TMEM230	1,25809E-09	0,379540779	0,561	0,172	2,6547E-05	1,300927694	0,768682229	3,261627907
CFAP36	1,00353E-08	0,379508298	0,378	0,098	0,000211755	1,300898406	0,768699535	3,857142857
CNIH1	2,37849E-10	0,379198245	0,5	0,133	5,01886E-06	1,300618856	0,768864756	3,759398496
RNF7	2,57269E-08	0,378691679	0,561	0,193	0,000542863	1,300162257	0,769134771	2,906735751
IMPDH2	2,16186E-10	0,378559863	0,524	0,147	4,56174E-06	1,300043469	0,769205049	3,56462585
PPP1CB	2,65256E-05	0,378552255	0,659	0,326	0,559715858	1,300036614	0,769209105	2,021472393

Supplementary Table 2

Differentially expressed genes_keloid-XL_comparing SC-Keloid vs. (SC-Myel, SC-Nonmyel, SC-Nonmyel2)								
gene	p_val	avg_log2FC	pct.1	pct.2	p_val_adj	Foldchange_UP	Foldchange_DOWN	Ratio_pct1_pct2
MGST3	2,54898E-07	0,378535275	0,671	0,302	0,005378609	1,300021312	0,769218159	2,221854305
SLC12A4	2,37306E-11	0,3781434	0,427	0,091	5,00739E-07	1,29966824	0,769427127	4,692307692
ANGPTL7	0,01184833	0,37780228	0,183	0,081	1	1,299360974	0,769609077	2,259259259
CPNE2	1,24048E-10	0,377739159	0,354	0,067	2,61754E-06	1,299304125	0,76964275	5,28358209
ATP5ME	0,001006057	0,377593464	0,866	0,604	1	1,299172918	0,769720478	1,433774834
CDC42EP1	3,34521E-08	0,377383205	0,61	0,225	0,000705874	1,29898359	0,769832666	2,711111111
PTPA	1,07931E-10	0,376888534	0,439	0,102	2,27744E-06	1,298538271	0,770096672	4,303921569
ACAP3	2,27189E-08	0,376215718	0,341	0,084	0,000479392	1,297932825	0,770455898	4,05952381
PSMG2	3,62589E-10	0,375770359	0,476	0,123	7,65099E-06	1,297532215	0,770693774	3,869918699
GFUS	2,11938E-08	0,3757419	0,305	0,067	0,000447211	1,29750662	0,770708977	4,552238806
MYO10	1,9211E-07	0,37546675	0,439	0,14	0,004053716	1,297259184	0,77085598	3,135714286
EID1	0,00021199	0,375317486	0,768	0,523	1	1,297124975	0,770935738	1,468451243
RND2	1,59334E-09	0,375295121	0,171	0,011	3,36211E-05	1,297104866	0,77094769	15,54545455
TEN1	2,93496E-14	0,375208699	0,293	0,025	6,19306E-10	1,297027168	0,770993873	11,72
MTX2	3,59032E-13	0,375131377	0,366	0,053	7,57593E-09	1,296957655	0,771035196	6,905660377
SEC23A	3,10586E-08	0,37493207	0,341	0,084	0,000655367	1,296778493	0,771141722	4,05952381
HSPA5	0,000238584	0,374360041	0,89	0,614	1	1,296264422	0,77144754	1,449511401
ANO4	1,03632E-16	0,374061925	0,28	0,011	2,18674E-12	1,295996592	0,771606967	25,45454545
KCND3	5,77944E-14	0,374059298	0,293	0,025	1,21952E-09	1,295994233	0,771608372	11,72
TMEM43	1,07915E-07	0,373772868	0,415	0,126	0,002277108	1,295736954	0,771761581	3,293650794
PSMB5	3,42032E-09	0,37345806	0,561	0,175	7,21722E-05	1,295454244	0,771930004	3,205714286
HOMER3	1,19365E-08	0,373321545	0,366	0,091	0,000251872	1,295331667	0,772003052	4,021978022
GORASP2	7,97067E-08	0,373315966	0,317	0,077	0,001681892	1,295326658	0,772006037	4,116883117
NAA20	3,25453E-15	0,373295359	0,488	0,084	6,86738E-11	1,295308157	0,772017064	5,80952381
PWP1	5,03921E-11	0,373250528	0,378	0,074	1,06332E-06	1,295267906	0,772041055	5,108108108
NDUFAB1	7,03012E-08	0,37315536	0,549	0,196	0,001483426	1,295182466	0,772091984	2,801020408
RRP36	1,45879E-09	0,372696536	0,329	0,067	3,07819E-05	1,294770621	0,772337574	4,910447761
CSNK2B	6,15555E-06	0,372488431	0,622	0,291	0,12988822	1,294583867	0,772448989	2,137457045
SPPL3	2,80165E-11	0,371765266	0,5	0,126	5,91175E-07	1,293935108	0,772836284	3,968253968
PPCS	7,76554E-10	0,371708111	0,366	0,081	1,63861E-05	1,293883846	0,772866902	4,518518519

Supplementary Table 2

Differentially expressed genes_keloid-XL_comparing SC-Keloid vs. (SC-Myel, SC-Nonmyel, SC-Nonmyel2)								
gene	p_val	avg_log2FC	pct.1	pct.2	p_val_adj	Foldchange_UP	Foldchange_DOWN	Ratio_pct1_pct2
PSMB2	1,95991E-08	0,371643866	0,537	0,179	0,000413561	1,29382623	0,772901319	3
DBI	1,1564E-05	0,371577674	0,78	0,425	0,244012856	1,293766869	0,772936781	1,835294118
SUN2	9,64356E-06	0,371576565	0,561	0,253	0,203488708	1,293765875	0,772937376	2,217391304
SNRPG	1,22603E-05	0,370857411	0,634	0,319	0,258704685	1,293121119	0,773322765	1,987460815
TNIK	1,27282E-12	0,370759302	0,22	0,011	2,68577E-08	1,293033185	0,773375356	20
H3-3A	0,000124538	0,370684905	0,988	0,902	1	1,292966508	0,773415238	1,095343681
CYTH2	2,04829E-10	0,370478738	0,5	0,133	4,32211E-06	1,292781751	0,773525771	3,759398496
RER1	2,16313E-09	0,370346025	0,598	0,189	4,56442E-05	1,292662834	0,77359693	3,164021164
ANXA11	1,94158E-10	0,3703024	0,5	0,133	4,09693E-06	1,292623746	0,773620323	3,759398496
SNRPD3	1,97484E-05	0,370000246	0,561	0,246	0,416710651	1,292353051	0,773782365	2,280487805
BLOC1S2	9,63074E-15	0,369910442	0,415	0,06	2,03218E-10	1,292272608	0,773830532	6,916666667
RNF34	1,52946E-13	0,369908644	0,329	0,039	3,22731E-09	1,292270998	0,773831497	8,435897436
SF3A3	1,5558E-10	0,368483833	0,451	0,109	3,28289E-06	1,290995376	0,774596113	4,137614679
DGCR6L	9,8889E-14	0,36838477	0,415	0,067	2,08666E-09	1,290906733	0,774649303	6,194029851
SLC35A4	9,06611E-09	0,3683794	0,232	0,035	0,000191304	1,290901927	0,774652186	6,628571429
RRBP1	3,69864E-05	0,368339505	0,573	0,277	0,780450311	1,29086623	0,774673608	2,068592058
IGFBP6	1,73673E-12	0,36829483	0,256	0,021	3,66467E-08	1,290826257	0,774697597	12,19047619
IFT20	1,40427E-08	0,368013757	0,378	0,098	0,000296316	1,290574797	0,774848542	3,857142857
ANAPC15	1,18829E-13	0,36765755	0,329	0,039	2,50741E-09	1,290256188	0,775039879	8,435897436
RPL26	0,000641429	0,367457492	0,963	0,94	1	1,290077282	0,775147361	1,024468085
KHDRBS1	5,94858E-07	0,3670908	0,646	0,274	0,012552104	1,289749422	0,775344406	2,357664234
C3orf70	2,28809E-10	0,367065849	0,39	0,084	4,82811E-06	1,289727116	0,775357816	4,642857143
ETFA	8,6709E-08	0,367046105	0,427	0,13	0,001829646	1,289709466	0,775368427	3,284615385
CTHRC1	2,2064E-12	0,366321144	0,341	0,053	4,65572E-08	1,289061543	0,775758151	6,433962264
ABHD14B	1,25282E-08	0,366303377	0,329	0,074	0,000264357	1,289045669	0,775767705	4,445945946
PFDN1	2,13321E-08	0,366177287	0,659	0,249	0,000450128	1,288933013	0,775835509	2,646586345
ELAC2	1,60381E-05	0,365379997	0,171	0,035	0,338420451	1,288220895	0,776264385	4,885714286
ACTR10	7,53068E-11	0,365236345	0,634	0,186	1,58905E-06	1,28809263	0,776341683	3,408602151
IGSF8	7,16569E-07	0,365176335	0,439	0,151	0,015120312	1,288039052	0,776373976	2,907284768
SLC38A10	1,70793E-07	0,36513569	0,366	0,102	0,0036039	1,288002764	0,776395849	3,588235294

Supplementary Table 2

Differentially expressed genes_keloid-XL_comparing SC-Keloid vs. (SC-Myel, SC-Nonmyel, SC-Nonmyel2)								
gene	p_val	avg_log2FC	pct.1	pct.2	p_val_adj	Foldchange_UP	Foldchange_DOWN	Ratio_pct1_pct2
ARL6IP4	1,30814E-05	0,364367204	0,683	0,34	0,276030552	1,287316862	0,776809525	2,008823529
DLX5	1,85659E-13	0,36434265	0,183	0	3,91758E-09	1,287294952	0,776822746	#DIV/0!
TSEN15	1,86004E-10	0,364290103	0,232	0,025	3,92487E-06	1,287248067	0,776851041	9,28
TMED3	2,25714E-13	0,364274124	0,439	0,081	4,76278E-09	1,287233809	0,776859645	5,419753086
MED10	1,76336E-10	0,364088119	0,488	0,123	3,72086E-06	1,287067858	0,776959811	3,967479675
MRPL57	2,95931E-10	0,363609275	0,512	0,14	6,24445E-06	1,286640739	0,777217734	3,657142857
RPL32	0,001980261	0,363573035	0,988	0,951	1	1,28660842	0,777237258	1,038906414
GSTO1	1,57445E-08	0,36312392	0,512	0,165	0,000332226	1,286207957	0,777479252	3,103030303
LIF	1,57118E-07	0,362877024	0,183	0,025	0,003315355	1,285987861	0,777612317	7,32
RPL13	0,003599224	0,362055281	0,988	0,944	1	1,285255584	0,778055363	1,046610169
DNTTIP1	4,51798E-12	0,361286237	0,293	0,035	9,5334E-08	1,284570648	0,778470224	8,371428571
NDUFS3	2,35169E-10	0,360612767	0,549	0,158	4,96231E-06	1,283971132	0,77883371	3,474683544
CPNE1	9,08402E-08	0,360412848	0,488	0,158	0,001916818	1,283793221	0,778941642	3,088607595
THYN1	4,45665E-11	0,360165638	0,341	0,06	9,40397E-07	1,283573258	0,779075128	5,683333333
MRPL55	2,96501E-12	0,360037479	0,476	0,105	6,25646E-08	1,28345924	0,779144338	4,533333333
SSRP1	1,38408E-07	0,359195233	0,378	0,109	0,002920538	1,282710174	0,779599336	3,467889908
TMEM208	9,33396E-09	0,359152215	0,402	0,109	0,000196956	1,282671927	0,779622582	3,688073394
PSMA1	7,15815E-08	0,358938919	0,598	0,214	0,00151044	1,282482303	0,779737855	2,794392523
DYNLT2B	8,03643E-15	0,358763594	0,329	0,032	1,69577E-10	1,282326458	0,779832619	10,28125
THOP1	3,08453E-10	0,35840444	0,22	0,021	6,50866E-06	1,282007267	0,78002678	10,47619048
LY6E	1,68362E-10	0,358182753	0,524	0,147	3,55261E-06	1,281810287	0,780146649	3,56462585
R3HCC1	1,12983E-12	0,358134998	0,354	0,053	2,38405E-08	1,281767858	0,780172473	6,679245283
CIBAR1	1,6417E-13	0,357959443	0,341	0,042	3,46415E-09	1,281611895	0,780267415	8,119047619
ZSCAN16-AS1	8,78222E-10	0,357951596	0,354	0,074	1,85314E-05	1,281604924	0,780271659	4,783783784
VEGFB	8,76533E-08	0,357705636	0,463	0,151	0,001849572	1,281386447	0,780404696	3,066225166
GLIPR2	1,89974E-15	0,357597028	0,305	0,021	4,00863E-11	1,281289986	0,780463448	14,52380952
DCTD	4,81332E-06	0,357592344	0,305	0,091	0,101565811	1,281285826	0,780465982	3,351648352
RPSA	0,016428521	0,357442625	0,878	0,705	1	1,281152865	0,780546981	1,245390071
UQCRB	6,5046E-05	0,357247659	0,841	0,519	1	1,280979741	0,780652471	1,620423892
BRSK1	3,63881E-07	0,357085739	0,293	0,074	0,00767826	1,280835979	0,780740092	3,959459459

Supplementary Table 2

Differentially expressed genes_keloid-XL_comparing SC-Keloid vs. (SC-Myel, SC-Nonmyel, SC-Nonmyel2)								
gene	p_val	avg_log2FC	pct.1	pct.2	p_val_adj	Foldchange_UP	Foldchange_DOWN	Ratio_pct1_pct2
INTS1	7,73359E-05	0,356838676	0,268	0,091	1	1,280616653	0,780873806	2,945054945
CENPB	2,4019E-08	0,356637739	0,439	0,13	0,000506824	1,280438303	0,780982573	3,376923077
PDGFA	0,000450537	0,356603664	0,72	0,432	1	1,280408061	0,781001019	1,666666667
COMT	0,000436018	0,35655876	0,768	0,526	1	1,280368208	0,781025328	1,460076046
LTBP1	1,73695E-12	0,356550956	0,268	0,025	3,66514E-08	1,280361282	0,781029553	10,72
KARS1	1,74912E-09	0,356490944	0,305	0,056	3,69082E-05	1,280308024	0,781062042	5,446428571
AGAP2-AS1	3,32985E-08	0,356284937	0,232	0,039	0,000702632	1,280125218	0,781173581	5,948717949
SMARCE1	3,67792E-10	0,355807542	0,598	0,179	7,76077E-06	1,279701688	0,781432118	3,340782123
NAXE	3,07379E-10	0,35565217	0,329	0,06	6,486E-06	1,279563877	0,781516279	5,483333333
DARS1	9,90557E-14	0,35559294	0,354	0,046	2,09017E-09	1,279511345	0,781548365	7,695652174
COPS7A	3,44523E-11	0,35551578	0,317	0,049	7,26978E-07	1,279442915	0,781590166	6,469387755
NTPCR	1,59785E-07	0,355508361	0,28	0,063	0,003371631	1,279436336	0,781594185	4,444444444
WIPF1	1,59969E-07	0,355485846	0,573	0,218	0,003375505	1,279416368	0,781606383	2,628440367
ZSWIM7	3,4598E-13	0,355318434	0,427	0,074	7,30052E-09	1,279267912	0,781697087	5,77027027
EMILIN1	6,62118E-08	0,35523456	0,28	0,06	0,001397136	1,279193542	0,781742533	4,666666667
ATP6V1F	1,89993E-09	0,355101287	0,659	0,225	4,00904E-05	1,279075378	0,781814752	2,928888889
CRISPLD1	1,36536E-06	0,354608144	0,098	0,004	0,028810488	1,278638238	0,782082039	24,5
TUBA1B	0,000209396	0,354127447	0,89	0,814	1	1,278212275	0,782342667	1,093366093
BTBD10	3,20102E-10	0,35402138	0,28	0,042	6,75447E-06	1,278118304	0,782400187	6,666666667
LTBR	1,8675E-09	0,353347152	0,439	0,116	3,94061E-05	1,277521129	0,782765919	3,784482759
CDK5RAP3	6,72492E-09	0,353087275	0,39	0,098	0,000141902	1,277291026	0,782906933	3,979591837
MANBAL	3,86464E-11	0,352986457	0,39	0,077	8,15478E-07	1,277201769	0,782961646	5,064935065
CLTA	8,00289E-07	0,352633968	0,768	0,361	0,016886902	1,276889753	0,783152968	2,127423823
CHCHD1	4,20672E-15	0,352543266	0,378	0,046	8,87661E-11	1,276809478	0,783202206	8,217391304
UBE2L3	8,1892E-07	0,352257398	0,598	0,246	0,017280035	1,276556505	0,783357412	2,430894309
SERPINH1	0,000235943	0,352250937	0,793	0,467	1	1,276550788	0,78336092	1,698072805
CCT8	4,62102E-09	0,352211872	0,598	0,196	9,75081E-05	1,276516223	0,783382132	3,051020408
EPN1	2,43227E-09	0,352063508	0,463	0,126	5,13233E-05	1,276384955	0,783462698	3,674603175
TBCB	1,03624E-06	0,351504042	0,683	0,291	0,021865802	1,275890078	0,783766578	2,347079038
RPL7A	0,002877129	0,35148519	0,963	0,867	1	1,275873406	0,783776819	1,110726644

Supplementary Table 2

Differentially expressed genes_keloid-XL_comparing SC-Keloid vs. (SC-Myel, SC-Nonmyel, SC-Nonmyel2)								
gene	p_val	avg_log2FC	pct.1	pct.2	p_val_adj	Foldchange_UP	Foldchange_DOWN	Ratio_pct1_pct2
PPWD1	1,0077E-05	0,351297048	0,244	0,067	0,212634949	1,27570703	0,783879038	3,641791045
EIF3I	6,41173E-09	0,350958952	0,598	0,207	0,000135294	1,275408103	0,784062762	2,888888889
ATP6V1E1	1,94871E-08	0,350739739	0,476	0,144	0,000411198	1,275214323	0,784181907	3,305555556
MRPL21	6,8079E-10	0,350628462	0,427	0,105	1,43653E-05	1,275115968	0,784242394	4,066666667
MRPL24	2,07162E-16	0,350149098	0,354	0,032	4,37133E-12	1,274692356	0,784503018	11,0625
ARHGAP1	3,07194E-11	0,349996009	0,378	0,07	6,48211E-07	1,274557101	0,784586268	5,4
CORO1B	9,42556E-11	0,349680528	0,463	0,112	1,98889E-06	1,274278419	0,784757856	4,133928571
PSMC2	8,56761E-09	0,349374633	0,329	0,074	0,000180785	1,274008261	0,784924267	4,445945946
TXNDC15	8,53187E-08	0,349083208	0,463	0,151	0,001800311	1,273750937	0,785082837	3,066225166
RNF8	0,005817772	0,348913117	0,134	0,046	1	1,273600774	0,785175402	2,913043478
PTPRZ1	1,06389E-05	0,348730915	0,829	0,446	0,224491855	1,273439937	0,785274571	1,858744395
HACD3	3,04026E-08	0,348685782	0,329	0,077	0,000641526	1,2734001	0,785299137	4,272727273
RPS25	8,93741E-05	0,348682267	0,976	0,912	1	1,273396997	0,785301051	1,070175439
SLC2A4RG	4,64222E-08	0,347886906	0,439	0,133	0,000979555	1,272695164	0,785734108	3,30075188
EMC4	8,63294E-10	0,347884855	0,561	0,168	1,82164E-05	1,272693355	0,785735225	3,339285714
BTF3L4	8,68784E-10	0,347705338	0,463	0,123	1,83322E-05	1,272535001	0,785833002	3,764227642
LPGAT1	9,9121E-08	0,347582893	0,5	0,175	0,002091552	1,272427002	0,7858997	2,857142857
G6PC3	5,12172E-11	0,347580208	0,354	0,067	1,08073E-06	1,272424634	0,785901163	5,28358209
SURF2	3,61383E-13	0,347552823	0,354	0,049	7,62555E-09	1,272400481	0,785916081	7,224489796
COPA	4,28447E-08	0,347539339	0,451	0,137	0,000904066	1,272388589	0,785923427	3,291970803
RSRC1	0,00164994	0,346865549	0,293	0,126	1	1,271794477	0,786290567	2,325396825
NDUFB1	6,01926E-06	0,346843056	0,695	0,319	0,127012314	1,271774649	0,786302825	2,178683386
MRPS34	2,66702E-07	0,346524592	0,439	0,144	0,005627687	1,271493945	0,786476415	3,048611111
RPS24	8,69121E-05	0,345934594	0,988	0,926	1	1,270974068	0,786798115	1,066954644
TXNDC12	1,25316E-07	0,345864997	0,39	0,116	0,002644288	1,270912756	0,786836072	3,362068966
CTDSP1	3,30747E-11	0,345793013	0,476	0,112	6,97909E-07	1,270849344	0,786875332	4,25
IFNGR2	1,22842E-05	0,345510714	0,585	0,26	0,259209833	1,270600696	0,787029319	2,25
PLTP	6,64447E-07	0,345225247	0,415	0,14	0,014020496	1,270349306	0,787185064	2,964285714
AGTRAP	1,88551E-10	0,345215827	0,329	0,06	3,97862E-06	1,270341011	0,787190204	5,483333333
GPX7	1,38675E-13	0,344980721	0,256	0,018	2,92619E-09	1,270134009	0,787318498	14,22222222

Supplementary Table 2

Differentially expressed genes_keloid-XL_comparing SC-Keloid vs. (SC-Myel, SC-Nonmyel, SC-Nonmyel2)								
gene	p_val	avg_log2FC	pct.1	pct.2	p_val_adj	Foldchange_UP	Foldchange_DOWN	Ratio_pct1_pct2
SF3B6	2,70482E-06	0,34456436	0,646	0,305	0,057074369	1,269767502	0,78754575	2,118032787
YBX1	0,012922442	0,344554142	0,866	0,66	1	1,269758509	0,787551328	1,312121212
SNW1	1,83542E-07	0,344501554	0,439	0,144	0,003872911	1,269712225	0,787580036	3,048611111
ZCCHC17	5,70089E-10	0,344076741	0,451	0,116	1,20295E-05	1,269338404	0,787811979	3,887931034
TNS3	2,63506E-05	0,344011354	0,646	0,316	0,556024936	1,269280876	0,787847685	2,044303797
C20orf27	3,57903E-11	0,343893681	0,305	0,046	7,55211E-07	1,269177351	0,787911949	6,630434783
SMARCD1	6,27562E-09	0,343882453	0,415	0,109	0,000132422	1,269167474	0,787918081	3,80733945
MT1F	2,11449E-10	0,343799655	0,341	0,063	4,46179E-06	1,269094636	0,787963302	5,412698413
PTOV1	1,96304E-07	0,343679354	0,561	0,211	0,004142206	1,268988816	0,78802901	2,658767773
WDR83OS	3,18087E-06	0,343432617	0,744	0,368	0,067119594	1,268771806	0,788163794	2,02173913
MARS1	2,37167E-08	0,343378108	0,244	0,042	0,000500446	1,268723868	0,788193574	5,80952381
GGCT	1,33067E-09	0,343050063	0,402	0,102	2,80785E-05	1,268435415	0,788372816	3,941176471
TMEM179B	8,53737E-11	0,342997184	0,537	0,144	1,80147E-06	1,268388923	0,788401713	3,729166667
SETD4	8,15897E-07	0,342683476	0,171	0,025	0,017216233	1,268113148	0,788573166	6,84
RNASEH2B	4,20731E-13	0,342665799	0,415	0,074	8,87784E-09	1,26809761	0,788582829	5,608108108
CDC5L	4,30994E-10	0,342651598	0,476	0,123	9,09441E-06	1,268085128	0,788590591	3,869918699
PLEKHO1	8,82356E-10	0,342584574	0,61	0,2	1,86186E-05	1,268026217	0,788627228	3,05
P2RX4	2,13829E-13	0,342536689	0,293	0,028	4,512E-09	1,26798413	0,788653404	10,46428571
HDLBP	1,89319E-05	0,342435917	0,646	0,298	0,399482045	1,267895564	0,788708493	2,167785235
LAMTOR3	1,24737E-05	0,342429043	0,244	0,067	0,263207229	1,267889524	0,788712251	3,641791045
TIMM13	3,10733E-07	0,342156505	0,549	0,211	0,006556776	1,26765003	0,78886126	2,601895735
KCNC2	3,30148E-08	0,342089245	0,122	0,004	0,000696645	1,267590933	0,788898038	30,5
NDUFC1	3,29936E-05	0,34205641	0,768	0,407	0,696197413	1,267562084	0,788915993	1,886977887
DCAF11	6,00386E-07	0,341770987	0,22	0,042	0,012668742	1,267311333	0,789072088	5,238095238
USP22	5,98669E-07	0,341767864	0,622	0,256	0,012632513	1,26730859	0,789073796	2,4296875
OXA1L	1,55701E-10	0,341763481	0,439	0,105	3,28544E-06	1,26730474	0,789076193	4,180952381
SMIM15	2,95982E-15	0,341519038	0,476	0,077	6,24551E-11	1,267090032	0,789209902	6,181818182
ARL14EP	1,14768E-07	0,34141999	0,22	0,039	0,002421718	1,267003043	0,789264087	5,641025641
ASAH1	3,75959E-05	0,341395084	0,598	0,267	0,79331062	1,266981171	0,789277712	2,239700375
ROMO1	3,22129E-06	0,341303993	0,622	0,267	0,067972476	1,266901176	0,789327549	2,329588015

Supplementary Table 2

Differentially expressed genes_keloid-XL_comparing SC-Keloid vs. (SC-Myel, SC-Nonmyel, SC-Nonmyel2)								
gene	p_val	avg_log2FC	pct.1	pct.2	p_val_adj	Foldchange_UP	Foldchange_DOWN	Ratio_pct1_pct2
PRR16	3,10908E-17	0,341102469	0,256	0,004	6,56046E-13	1,266724221	0,789437814	64
DPCD	2,65887E-14	0,340776697	0,268	0,018	5,61048E-10	1,266438217	0,789616096	14,88888889
SMG9	1,52838E-06	0,340704588	0,256	0,063	0,032250266	1,266374919	0,789655563	4,063492063
GPX8	2,44473E-11	0,340076996	0,439	0,095	5,15862E-07	1,265824149	0,789999149	4,621052632
HDGFL3	3,35472E-06	0,33946123	0,256	0,067	0,070788009	1,265283989	0,790336406	3,820895522
MAGOH	7,67515E-11	0,339392298	0,402	0,088	1,61953E-06	1,265223536	0,790374168	4,568181818
FAM234A	3,46272E-10	0,339194481	0,549	0,161	7,30668E-06	1,265050065	0,790482549	3,409937888
AP2B1	1,312E-08	0,338687174	0,488	0,147	0,000276844	1,264605303	0,790760562	3,319727891
PSMA3	4,82285E-06	0,338305409	0,561	0,232	0,101766859	1,264270708	0,79096984	2,418103448
CLTC	6,71575E-07	0,338028354	0,524	0,2	0,014170896	1,264027941	0,791121753	2,62
PSMA4	4,68324E-09	0,337914124	0,585	0,2	9,88211E-05	1,263927861	0,791184395	2,925
B4GALT7	8,18246E-15	0,337661569	0,305	0,025	1,72658E-10	1,26370662	0,79132291	12,2
POLDIP2	7,73736E-12	0,337606963	0,268	0,028	1,63266E-07	1,263658789	0,791352862	9,571428571
SLC35G1	8,07006E-10	0,337166121	0,146	0,004	1,70286E-05	1,263272714	0,791594712	36,5
LGMN	4,04008E-10	0,336979366	0,354	0,07	8,52497E-06	1,263109196	0,791697189	5,057142857
MYG1	9,04102E-09	0,336972498	0,366	0,088	0,000190775	1,263103183	0,791700958	4,159090909
NDUFAF3	8,40927E-08	0,336965557	0,707	0,284	0,00177444	1,263097106	0,791704767	2,48943662
ANAPC16	2,09508E-08	0,336765746	0,598	0,207	0,000442082	1,262922182	0,791814424	2,888888889
UBXN6	3,41235E-07	0,336342199	0,341	0,095	0,00720041	1,262551467	0,79204692	3,589473684
OSTM1	2,01659E-07	0,336301718	0,366	0,105	0,004255213	1,262516041	0,792069144	3,485714286
FLNC	1,76167E-13	0,33624664	0,232	0,011	3,7173E-09	1,262467843	0,792099384	21,09090909
DIRAS1	1,03738E-15	0,335878643	0,28	0,014	2,18897E-11	1,262145858	0,792301455	20
TAF15	2,10502E-10	0,335561668	0,5	0,13	4,4418E-06	1,261868582	0,792475551	3,846153846
ST3GAL5	1,42955E-10	0,335407947	0,329	0,056	3,01649E-06	1,261734136	0,792559995	5,875
LNPEP	2,6882E-07	0,335177203	0,354	0,098	0,005672372	1,261532351	0,792686767	3,612244898
MRPL37	1,84289E-11	0,334236828	0,341	0,056	3,88867E-07	1,260710329	0,793203623	6,089285714
UCK2	3,04255E-12	0,333986776	0,317	0,042	6,4201E-08	1,260491838	0,793341115	7,547619048
ENO1	0,00016186	0,333905064	0,756	0,411	1	1,260420447	0,79338605	1,839416058
TUFM	2,08268E-07	0,333760597	0,585	0,225	0,00439467	1,260294239	0,793465501	2,6
AXL	4,79221E-08	0,333632285	0,476	0,147	0,001011204	1,260182155	0,793536074	3,238095238

Supplementary Table 2

Differentially expressed genes_keloid-XL_comparing SC-Keloid vs. (SC-Myel, SC-Nonmyel, SC-Nonmyel2)								
gene	p_val	avg_log2FC	pct.1	pct.2	p_val_adj	Foldchange_UP	Foldchange_DOWN	Ratio_pct1_pct2
LIMS1	1,21835E-06	0,333532017	0,768	0,365	0,025708501	1,260094574	0,793591228	2,104109589
RNF181	6,48082E-09	0,333353179	0,585	0,196	0,000136752	1,259938381	0,793689608	2,984693878
UBE2D4	1,45089E-10	0,33332011	0,268	0,035	3,06152E-06	1,259909502	0,793707801	7,657142857
GRINA	5,22494E-09	0,333082158	0,39	0,098	0,000110251	1,259701715	0,793838722	3,979591837
RNPEPL1	2,50396E-11	0,333054065	0,451	0,102	5,2836E-07	1,259677186	0,79385418	4,421568627
COPZ2	1,07195E-07	0,332756089	0,524	0,172	0,002261917	1,259417037	0,794018161	3,046511628
MAP3K13	2,92492E-07	0,332655003	0,329	0,088	0,006171877	1,259328796	0,794073798	3,738636364
MSRB3	0,000153059	0,332484061	0,159	0,039	1	1,25917959	0,794167892	4,076923077
ZDHHC1	3,86345E-11	0,332034306	0,268	0,032	8,15226E-07	1,258787106	0,794415509	8,375
TTL7	1,033E-08	0,331841012	0,427	0,116	0,000217973	1,258618463	0,794521953	3,681034483
MTLN	4,19262E-12	0,331534121	0,439	0,091	8,84686E-08	1,258350758	0,794690982	4,824175824
TRIM16	7,01137E-09	0,331452941	0,171	0,014	0,000147947	1,258279953	0,794735701	12,21428571
SHKBP1	1,18356E-09	0,330875831	0,28	0,046	2,49742E-05	1,257776714	0,795053676	6,086956522
COA6	7,56045E-13	0,330575493	0,293	0,032	1,59533E-08	1,257514899	0,795219206	9,15625
NHP2	5,42179E-10	0,330420369	0,463	0,123	1,14405E-05	1,257379694	0,795304716	3,764227642
IDS	3,43545E-06	0,330103095	0,585	0,242	0,072491469	1,257103204	0,795479637	2,417355372
MAGOHB	6,88854E-08	0,330083386	0,268	0,056	0,001453355	1,25708603	0,795490504	4,785714286
EEF1D	0,001127966	0,329958508	0,902	0,646	1	1,256977223	0,795559364	1,39628483
MESD	7,9925E-10	0,329951962	0,476	0,126	1,6865E-05	1,25697152	0,795562973	3,777777778
CFAP410	1,12546E-09	0,329807242	0,415	0,102	2,37483E-05	1,256845437	0,795642782	4,068627451
CERS2	9,71046E-06	0,329368167	0,488	0,193	0,204900375	1,256462982	0,795884968	2,528497409
SNAPIN	1,90747E-09	0,329279876	0,293	0,053	4,02494E-05	1,256386091	0,795933676	5,528301887
C9orf78	2,91172E-13	0,329261861	0,549	0,123	6,14402E-09	1,256370402	0,795943615	4,463414634
CIB1	1,1727E-07	0,328740817	0,537	0,193	0,002474519	1,255916733	0,796231131	2,78238342
MACROD1	2,41166E-08	0,328575207	0,207	0,028	0,000508885	1,255772572	0,796322537	7,392857143
TMEM9B	1,89715E-10	0,328541726	0,488	0,126	4,00318E-06	1,25574343	0,796341017	3,873015873
CDK4	3,93477E-10	0,328440879	0,402	0,091	8,30275E-06	1,255655653	0,796396685	4,417582418
FLOT1	1,00104E-08	0,328320198	0,61	0,207	0,000211229	1,255550623	0,796463306	2,946859903
GLT8D1	1,68611E-08	0,328236755	0,378	0,098	0,000355785	1,255478006	0,796509373	3,857142857
PSMD4	1,05803E-08	0,328232326	0,476	0,144	0,000223255	1,255474152	0,796511819	3,305555556

Supplementary Table 2

Differentially expressed genes_keloid-XL_comparing SC-Keloid vs. (SC-Myel, SC-Nonmyel, SC-Nonmyel2)								
gene	p_val	avg_log2FC	pct.1	pct.2	p_val_adj	Foldchange_UP	Foldchange_DOWN	Ratio_pct1_pct2
ZCRB1	2,62658E-10	0,328143016	0,415	0,095	5,54235E-06	1,255396434	0,796561128	4,368421053
SMARCA1	5,39766E-06	0,32801307	0,28	0,081	0,113895985	1,255283363	0,796632879	3,456790123
ZNF593	5,78906E-10	0,327858286	0,293	0,049	1,22155E-05	1,255148693	0,796718353	5,979591837
RPL37	0,00309164	0,327553031	0,988	0,958	1	1,254883149	0,796886946	1,03131524
SMS	4,84298E-07	0,327482294	0,451	0,154	0,010219176	1,254821622	0,796926019	2,928571429
SLC39A1	8,13211E-07	0,326864288	0,439	0,151	0,017159564	1,25428421	0,797267471	2,907284768
NUCB1	2,30657E-05	0,326835734	0,598	0,281	0,486708321	1,254259386	0,79728325	2,128113879
IQSEC1	2,94435E-07	0,326805413	0,305	0,077	0,006212871	1,254233025	0,797300007	3,961038961
ABHD17A	5,01626E-07	0,32653794	0,537	0,207	0,010584813	1,254014295	0,797439076	2,594202899
BOLA2B	1,48591E-12	0,326055905	0,28	0,028	3,13541E-08	1,253581596	0,797714327	10
GOLGA2	2,16194E-07	0,326010364	0,524	0,186	0,004561916	1,253542025	0,797739509	2,817204301
POLE4	8,23737E-05	0,325794416	0,317	0,116	1	1,253354405	0,797858927	2,732758621
RALB	6,48827E-12	0,325582942	0,341	0,053	1,36909E-07	1,253170699	0,797975887	6,433962264
UBE2V1	7,64765E-05	0,325438643	0,524	0,253	1	1,253045362	0,798055705	2,071146245
KLHL12	0,170152369	0,325411185	0,049	0,021	1	1,253021514	0,798070894	2,333333333
CD320	3,43946E-11	0,325320865	0,354	0,063	7,2576E-07	1,252943071	0,798120859	5,619047619
SUCLG1	5,51237E-09	0,325206927	0,329	0,07	0,000116317	1,252844122	0,798183894	4,7
SKP1	0,002054185	0,32509735	0,89	0,646	1	1,252748969	0,798244521	1,377708978
PKP1	1,46644E-12	0,324612504	0,256	0,021	3,09434E-08	1,252328028	0,798512832	12,19047619
MIEN1	5,03402E-10	0,324553436	0,537	0,154	1,06223E-05	1,252276756	0,798545526	3,487012987
MEGF8	1,84502E-07	0,323401632	0,366	0,105	0,003893167	1,251277375	0,799183315	3,485714286
SHROOM2	6,01275E-14	0,323250443	0,207	0,004	1,26875E-09	1,251146253	0,79926707	51,75
ANKRD54	1,2439E-09	0,323246981	0,268	0,042	2,62476E-05	1,251143251	0,799268988	6,380952381
CRELD1	2,902E-11	0,32295416	0,329	0,053	6,12352E-07	1,250889334	0,799431231	6,20754717
CCT6A	5,54824E-07	0,322517787	0,537	0,196	0,011707349	1,250511034	0,799673072	2,739795918
RASSF4	3,18559E-07	0,322385811	0,598	0,239	0,006721905	1,250396644	0,799746228	2,50209205
HGSNAT	2,28084E-09	0,322077978	0,415	0,105	4,8128E-05	1,250129871	0,799916891	3,952380952
HOXB6	1,32627E-12	0,321784508	0,232	0,014	2,79856E-08	1,249875598	0,800079625	16,57142857
MRPL3	3,49803E-10	0,32175111	0,293	0,046	7,3812E-06	1,249846664	0,800098147	6,369565217
DYNLT3	1,2777E-06	0,321712657	0,476	0,168	0,026960836	1,249813351	0,800119473	2,833333333

Supplementary Table 2

Differentially expressed genes_keloid-XL_comparing SC-Keloid vs. (SC-Myel, SC-Nonmyel, SC-Nonmyel2)								
gene	p_val	avg_log2FC	pct.1	pct.2	p_val_adj	Foldchange_UP	Foldchange_DOWN	Ratio_pct1_pct2
B3GALT6	1,00057E-14	0,321433009	0,22	0,004	2,11131E-10	1,249571114	0,800274581	55
SEPTIN7	0,000329591	0,321377484	0,878	0,551	1	1,249523023	0,800305382	1,593466425
SDF2	1,89747E-13	0,32130244	0,463	0,084	4,00384E-09	1,249458028	0,800347012	5,511904762
MRPL4	4,19221E-06	0,321214974	0,341	0,112	0,088459877	1,249382281	0,800395536	3,044642857
SLC35E2B	1,59293E-05	0,321143901	0,22	0,056	0,336125017	1,249320732	0,800434968	3,928571429
CHCHD5	1,18681E-09	0,320918997	0,366	0,081	2,50428E-05	1,249125989	0,800559758	4,518518519
FSTL3	8,58766E-09	0,320746024	0,72	0,288	0,000181208	1,248976233	0,800655748	2,5
NPEPL1	2,27654E-07	0,320640584	0,341	0,095	0,004803722	1,248884955	0,800714266	3,589473684
ZNRD2	1,81511E-11	0,3203608	0,28	0,035	3,83007E-07	1,24864278	0,800869565	8
RAD23A	9,74322E-07	0,320188239	0,598	0,232	0,020559168	1,248493438	0,800965363	2,577586207
UXT	4,23879E-07	0,31999639	0,537	0,2	0,008944265	1,248327426	0,801071882	2,685
GDE1	4,81925E-09	0,319951799	0,329	0,07	0,000101691	1,248288843	0,801096642	4,7
PRPF31	1,54785E-08	0,319589308	0,39	0,102	0,000326611	1,247975237	0,801297951	3,823529412
MCTS1	5,1942E-08	0,319188087	0,366	0,098	0,001096028	1,247628217	0,801520827	3,734693878
TMOD3	2,5471E-07	0,318924151	0,39	0,116	0,005374625	1,247399989	0,801667476	3,362068966
NPTXR	1,0745E-11	0,318150872	0,232	0,018	2,2673E-07	1,246731566	0,802097282	12,88888889
BAD	3,31435E-07	0,318147547	0,427	0,137	0,006993611	1,246728693	0,80209913	3,116788321
SLC15A4	5,39465E-10	0,317739383	0,268	0,039	1,13833E-05	1,246376021	0,80232609	6,871794872
VCL	0,000381883	0,317725627	0,707	0,407	1	1,246364137	0,80233374	1,737100737
SMDT1	7,28726E-07	0,317562964	0,5	0,189	0,015376853	1,246223618	0,802424208	2,645502646
SVBP	3,4886E-10	0,317233007	0,317	0,056	7,36129E-06	1,245938629	0,80260775	5,660714286
SNRPD1	1,03963E-08	0,317215363	0,549	0,186	0,000219372	1,245923391	0,802617566	2,951612903
CRLS1	1,86955E-11	0,317184266	0,341	0,056	3,94493E-07	1,245896536	0,802634867	6,089285714
CANT1	3,43575E-11	0,316879356	0,183	0,007	7,24977E-07	1,245633247	0,802804519	26,14285714
DOK1	1,36269E-09	0,316388713	0,232	0,028	2,87541E-05	1,245209694	0,80307759	8,285714286
CZIB	7,65047E-10	0,316377788	0,488	0,133	1,61432E-05	1,245200264	0,803083672	3,669172932
TIMM17B	7,94638E-10	0,31632693	0,341	0,07	1,67677E-05	1,245156369	0,803111982	4,871428571
PCDHGC3	1,45398E-09	0,316279882	0,232	0,028	3,06804E-05	1,245115763	0,803138174	8,285714286
MAD2L2	7,67373E-08	0,316077676	0,439	0,137	0,001619234	1,244941263	0,803250748	3,204379562
HK1	2,494E-11	0,31593493	0,427	0,091	5,26259E-07	1,244818089	0,803330229	4,692307692

Supplementary Table 2

Differentially expressed genes_keloid-XL_comparing SC-Keloid vs. (SC-Myel, SC-Nonmyel, SC-Nonmyel2)								
gene	p_val	avg_log2FC	pct.1	pct.2	p_val_adj	Foldchange_UP	Foldchange_DOWN	Ratio_pct1_pct2
STX12	7,72211E-10	0,315419353	0,439	0,112	1,62944E-05	1,244373307	0,803617366	3,919642857
AKR1B1	1,1557E-09	0,315400692	0,415	0,098	2,43864E-05	1,244357211	0,803627761	4,234693878
UFD1	1,15129E-12	0,315246689	0,439	0,084	2,42933E-08	1,244224387	0,803713551	5,226190476
UBLCP1	9,54135E-18	0,315245378	0,402	0,039	2,01332E-13	1,244223257	0,803714281	10,30769231
NCK2	2,41934E-11	0,314969676	0,341	0,056	5,10506E-07	1,243985506	0,803867887	6,089285714
NDUFB6	7,16941E-08	0,31488651	0,585	0,211	0,001512818	1,243913796	0,803914229	2,772511848
MAN1B1	4,58338E-09	0,314855035	0,439	0,116	9,67139E-05	1,243886659	0,803931767	3,784482759
TMCO3	5,92941E-08	0,314794119	0,329	0,081	0,001251166	1,243834139	0,803965713	4,061728395
SARAF	0,000180637	0,314671013	0,805	0,449	1	1,243728005	0,804034319	1,792873051
TIMM10	8,56761E-09	0,314665091	0,329	0,074	0,000180785	1,2437229	0,804037619	4,445945946
ARAP3	2,19475E-07	0,314559241	0,244	0,049	0,004631148	1,243631652	0,804096614	4,979591837
KPNA3	1,31109E-05	0,31453579	0,268	0,077	0,276653936	1,243611437	0,804109684	3,480519481
RFLNB	2,12562E-10	0,314431009	0,171	0,007	4,48528E-06	1,243521118	0,804168088	24,42857143
SPATS2L	1,21625E-07	0,314116745	0,646	0,253	0,002566403	1,24325027	0,80434328	2,553359684
IFT22	6,97121E-18	0,313845066	0,39	0,035	1,47099E-13	1,243016172	0,804494763	11,14285714
TMEM178B	9,83782E-08	0,313843506	0,195	0,028	0,002075879	1,243014827	0,804495633	6,964285714
LRRC59	9,76123E-07	0,313671986	0,39	0,13	0,020597179	1,242867056	0,804591284	3
CCNI	0,003572266	0,313490013	0,78	0,516	1	1,242710298	0,804692776	1,511627907
NDUFA8	1,39338E-08	0,313101559	0,366	0,091	0,000294018	1,242375736	0,804909474	4,021978022
MRPS33	6,73125E-14	0,312945395	0,402	0,06	1,42036E-09	1,242241263	0,804996606	6,7
MTCO2P12	0,425842823	0,312859144	0,805	0,677	1	1,242166998	0,805044733	1,189069424
ABCD4	5,74357E-09	0,312437635	0,378	0,095	0,000121195	1,24180413	0,805279976	3,978947368
C18orf32	0,000102387	0,312067856	0,622	0,326	1	1,241485882	0,805486405	1,90797546
PSMC4	1,34814E-09	0,311988396	0,402	0,098	2,84472E-05	1,241417506	0,80553077	4,102040816
MRPS16	1,19163E-15	0,31131519	0,378	0,042	2,51446E-11	1,240838358	0,805906743	9
CAMK1D	1,87865E-10	0,311230384	0,256	0,032	3,96413E-06	1,24076542	0,805954119	8
FHOD1	5,84024E-12	0,311186781	0,354	0,056	1,23235E-07	1,240727921	0,805978477	6,321428571
PHB	4,90476E-08	0,310918567	0,5	0,161	0,001034954	1,240497276	0,806128332	3,105590062
XRCC6	1,70997E-05	0,310225926	0,537	0,228	0,360820705	1,239901854	0,806515449	2,355263158
RAB23	6,16607E-11	0,309962509	0,232	0,021	1,3011E-06	1,239675485	0,80662721	11,04761905

Supplementary Table 2

Differentially expressed genes_keloid-XL_comparing SC-Keloid vs. (SC-Myel, SC-Nonmyel, SC-Nonmyel2)								
gene	p_val	avg_log2FC	pct.1	pct.2	p_val_adj	Foldchange_UP	Foldchange_DOWN	Ratio_pct1_pct2
CMAS	8,24922E-07	0,309187133	0,256	0,06	0,017406682	1,2390094	0,807096379	4,266666667
ATG13	1,1603E-08	0,309146004	0,244	0,039	0,000244834	1,238974079	0,807119388	6,256410256
EMC6	1,1633E-10	0,308790796	0,39	0,081	2,45468E-06	1,238669066	0,807318135	4,814814815
CTNNBIP1	1,70489E-12	0,308480112	0,366	0,06	3,5975E-08	1,238402348	0,807492009	6,1
ZNF480	8,2597E-10	0,308302714	0,146	0,004	1,74288E-05	1,23825008	0,807591307	36,5
IMMP1L	3,67004E-12	0,308022519	0,329	0,046	7,74416E-08	1,238009615	0,807748169	7,152173913
METTL23	6,2874E-12	0,307690812	0,293	0,035	1,3267E-07	1,237725002	0,80793391	8,371428571
TNFRSF6B	8,26544E-06	0,307338398	0,122	0,014	0,174409102	1,237422694	0,808131291	8,714285714
PEPD	2,53429E-05	0,307251756	0,488	0,2	0,534761166	1,237348382	0,808179826	2,44
TUBGCP2	1,18895E-07	0,307226457	0,305	0,074	0,002508802	1,237326684	0,808193998	4,121621622
PDZD11	3,94721E-08	0,3068534	0,293	0,063	0,000832901	1,237006773	0,808403011	4,650793651
TMED10	0,012557722	0,306653592	0,829	0,537	1	1,236835464	0,80851498	1,543761639
DNAJC19	2,35197E-09	0,306623961	0,512	0,151	4,96288E-05	1,236810062	0,808531586	3,390728477
VIRMA	0,000197025	0,306594596	0,171	0,046	1	1,236784887	0,808548043	3,717391304
ERG28	9,73562E-10	0,306363097	0,22	0,025	2,05431E-05	1,236586445	0,808677795	8,8
ATXN10	3,07543E-08	0,306130001	0,451	0,137	0,000648947	1,236386666	0,808808464	3,291970803
PSMC1	5,80406E-07	0,306097719	0,451	0,158	0,012247149	1,236359001	0,808826562	2,85443038
GSTT2B	3,58104E-07	0,306038249	0,232	0,046	0,007556354	1,236308038	0,808859903	5,043478261
JKAMP	8,37966E-08	0,305997575	0,39	0,109	0,001768191	1,236273183	0,808882708	3,577981651
PDCD6	3,66692E-07	0,305854475	0,659	0,263	0,007737576	1,236150564	0,808962945	2,505703422
CFAP298	9,29465E-08	0,305851721	0,341	0,088	0,001961263	1,236148204	0,808964489	3,875
POMGNT1	5,47919E-10	0,305753828	0,305	0,053	1,15616E-05	1,236064329	0,809019382	5,754716981
LDLRAP1	3,63748E-08	0,305229281	0,244	0,042	0,000767544	1,235614992	0,809313586	5,80952381
GPX4	0,000437663	0,305119793	0,841	0,526	1	1,235521223	0,809375008	1,598859316
RAPH1	8,35573E-09	0,304631647	0,366	0,088	0,000176314	1,235103247	0,809648912	4,159090909
EHD2	1,7404E-13	0,30435659	0,354	0,046	3,67243E-09	1,234867791	0,80980329	7,695652174
ORMDL2	4,81548E-07	0,304347426	0,244	0,053	0,010161135	1,234859947	0,809808434	4,603773585
SPSB3	1,94322E-08	0,303949977	0,512	0,161	0,000410039	1,234519801	0,81003156	3,180124224
ATP2C1	1,33137E-05	0,303808823	0,366	0,13	0,280932307	1,234399022	0,810110817	2,815384615
ACTR3	2,10268E-09	0,303802723	0,549	0,168	4,43687E-05	1,234393802	0,810114243	3,267857143

Supplementary Table 2

Differentially expressed genes_keloid-XL_comparing SC-Keloid vs. (SC-Myel, SC-Nonmyel, SC-Nonmyel2)								
gene	p_val	avg_log2FC	pct.1	pct.2	p_val_adj	Foldchange_UP	Foldchange_DOWN	Ratio_pct1_pct2
RNF187	1,70078E-08	0,303779316	0,524	0,168	0,000358882	1,234373774	0,810127387	3,119047619
FAM177A1	3,39525E-07	0,303633149	0,573	0,211	0,007164324	1,23424872	0,810209469	2,71563981
TRPV2	5,73029E-16	0,303407043	0,22	0	1,20915E-11	1,234055298	0,810336459	#DIV/0!
SRPX2	1,8561E-11	0,302984084	0,305	0,042	3,91657E-07	1,233693559	0,810574062	7,261904762
MRPS7	8,17685E-11	0,302918396	0,329	0,056	1,7254E-06	1,233637389	0,810610969	5,875
CCDC28B	1,2997E-09	0,30284312	0,268	0,042	2,74249E-05	1,233573023	0,810653266	6,380952381
GRSF1	5,16897E-09	0,302493971	0,317	0,067	0,00010907	1,233274519	0,810849478	4,731343284
FEZ2	2,71224E-06	0,302328771	0,524	0,2	0,057231036	1,233133308	0,810942331	2,62
TMX1	3,87537E-08	0,302208738	0,463	0,14	0,000817741	1,233030715	0,811009805	3,307142857
BCHE	1,69521E-05	0,30218974	0,195	0,046	0,357706445	1,233014478	0,811020485	4,239130435
LSM4	3,54349E-08	0,301894607	0,415	0,116	0,000747712	1,232762265	0,811186413	3,577586207
FBXL6	4,4767E-08	0,301665011	0,232	0,039	0,000944628	1,232566094	0,811315519	5,948717949
NSMCE4A	9,91294E-10	0,301610767	0,256	0,035	2,09173E-05	1,232519752	0,811346024	7,314285714
PLGRKT	6,26286E-09	0,301607898	0,28	0,053	0,000132153	1,232517301	0,811347637	5,283018868
MRPL47	4,30624E-10	0,301535115	0,366	0,077	9,0866E-06	1,232455123	0,81138857	4,753246753
CEP89	4,11479E-08	0,301194521	0,232	0,039	0,000868262	1,232164197	0,811580147	5,948717949
MRPS14	5,21434E-11	0,301073794	0,305	0,046	1,10028E-06	1,232061092	0,811648064	6,630434783
SH2B3	2,77734E-07	0,30075775	0,329	0,088	0,005860474	1,23179122	0,811825887	3,738636364
ANKRD44	9,84372E-07	0,300493689	0,293	0,077	0,02077124	1,231565782	0,811974492	3,805194805
TPRKB	8,0679E-10	0,300356009	0,305	0,053	1,70241E-05	1,231448256	0,812051985	5,754716981
PAWR	1,22894E-08	0,299906718	0,244	0,039	0,000259318	1,231064812	0,812304917	6,256410256
CCL14	0,0103374	0,299449512	0,159	0,063	1	1,230674736	0,812562386	2,523809524
MFN1	4,22033E-11	0,29901085	0,244	0,025	8,90531E-07	1,230300597	0,812809489	9,76
IFITM10	1,64161E-12	0,298926212	0,256	0,021	3,46396E-08	1,230228422	0,812857175	12,19047619
SUMF2	6,09665E-05	0,298803499	0,378	0,151	1	1,230123786	0,812926318	2,503311258
RAB14	5,29106E-06	0,298783311	0,622	0,274	0,111646684	1,230106572	0,812937694	2,270072993
PYCR1	1,45951E-09	0,298639118	0,22	0,025	3,07971E-05	1,229983633	0,813018949	8,8
DEC1	2,60628E-07	0,297885803	0,451	0,147	0,005499514	1,229341555	0,813443584	3,068027211
BEX1	5,73002E-06	0,297707166	0,207	0,046	0,120909104	1,229189345	0,813544312	4,5
DALRD3	1,00176E-10	0,297699555	0,28	0,039	2,11382E-06	1,22918286	0,813548604	7,179487179

Supplementary Table 2

Differentially expressed genes_keloid-XL_comparing SC-Keloid vs. (SC-Myel, SC-Nonmyel, SC-Nonmyel2)								
gene	p_val	avg_log2FC	pct.1	pct.2	p_val_adj	Foldchange_UP	Foldchange_DOWN	Ratio_pct1_pct2
PTRHD1	7,37514E-10	0,297560059	0,329	0,063	1,55623E-05	1,229064014	0,813627271	5,222222222
EEF2	0,005169813	0,297500053	0,939	0,772	1	1,229012895	0,813661113	1,216321244
CIAPIN1	4,9772E-15	0,297468142	0,305	0,025	1,05024E-10	1,228985711	0,813679111	12,2
HMGB1	0,005698602	0,297357959	0,951	0,849	1	1,228891853	0,813741256	1,120141343
ATAD1	3,86389E-09	0,297354205	0,39	0,095	8,1532E-05	1,228888655	0,813743374	4,105263158
FIS1	4,07396E-07	0,297184712	0,732	0,309	0,008596459	1,22874429	0,81383898	2,368932039
RPS4X	0,004252664	0,296849708	0,976	0,902	1	1,228459	0,814027981	1,082039911
RALA	5,94843E-10	0,29661811	0,427	0,105	1,25518E-05	1,228261809	0,814158669	4,066666667
CAMLG	7,79464E-06	0,296617486	0,622	0,256	0,164474797	1,228261278	0,814159021	2,4296875
GNB2	0,000102149	0,296073769	0,744	0,379	1	1,227798463	0,814465916	1,963060686
REX1BD	1,3949E-07	0,295987624	0,598	0,228	0,002943375	1,227725152	0,81451455	2,622807018
SSBP4	6,96116E-09	0,29590277	0,439	0,119	0,000146887	1,227652944	0,814562459	3,68907563
PFDN6	1,30225E-11	0,295894092	0,402	0,077	2,74788E-07	1,227645559	0,814567358	5,220779221
KRR1	1,61217E-08	0,295201715	0,378	0,095	0,000340184	1,22705653	0,814958378	3,978947368
STK11	1,92674E-05	0,294682401	0,366	0,133	0,406561383	1,226614917	0,815251785	2,751879699
TMEM258	0,000125006	0,293943539	0,89	0,561	1	1,225986879	0,815669414	1,586452763
SOCS2	2,69111E-05	0,293525193	0,634	0,291	0,567850574	1,225631424	0,815905973	2,178694158
SURF1	1,01713E-09	0,293491556	0,415	0,102	2,14624E-05	1,225602849	0,815924997	4,068627451
CRTAP	1,42152E-05	0,292875143	0,488	0,204	0,29995459	1,225079304	0,816273687	2,392156863
GSPT1	1,71513E-06	0,292267949	0,415	0,14	0,036191023	1,224563807	0,816617308	2,964285714
GNS	0,000198924	0,292171568	0,207	0,063	1	1,224482002	0,816671865	3,285714286
PTPRE	8,61929E-08	0,29207589	0,512	0,175	0,001818755	1,224400798	0,816726028	2,925714286
BCL2L1	6,81442E-11	0,291887908	0,354	0,063	1,43791E-06	1,22424127	0,816832454	5,619047619
RARS1	5,66777E-09	0,291874419	0,268	0,046	0,000119596	1,224229823	0,816840091	5,826086957
AGPAT1	1,87975E-08	0,291283979	0,402	0,109	0,000396647	1,223728895	0,817174461	3,688073394
EIF2AK1	2,93233E-08	0,291223834	0,305	0,067	0,00061875	1,22367788	0,817208529	4,552238806
PXYLP1	6,01716E-05	0,291188983	0,085	0,007	1	1,22364832	0,81722827	12,14285714
UQCC3	2,279E-10	0,29109728	0,402	0,088	4,80892E-06	1,223570543	0,817280218	4,568181818
AAR2	8,65211E-10	0,290279683	0,146	0,004	1,82568E-05	1,222877324	0,817743514	36,5
IL11	9,98574E-09	0,290263887	0,159	0,011	0,000210709	1,222863935	0,817752468	14,45454545

Supplementary Table 2

Differentially expressed genes_keloid-XL_comparing SC-Keloid vs. (SC-Myel, SC-Nonmyel, SC-Nonmyel2)								
gene	p_val	avg_log2FC	pct.1	pct.2	p_val_adj	Foldchange_UP	Foldchange_DOWN	Ratio_pct1_pct2
FKBP9	4,32263E-08	0,29002264	0,439	0,133	0,000912118	1,222659465	0,817889223	3,30075188
IFT57	1,16197E-07	0,289789572	0,39	0,112	0,00245188	1,222461959	0,818021364	3,482142857
PMPCA	5,68688E-07	0,289754491	0,268	0,063	0,01199989	1,222432234	0,818041256	4,253968254
CHST11	7,12258E-09	0,289623519	0,183	0,018	0,000150293	1,222321263	0,818115523	10,16666667
VPS45	7,26135E-07	0,289003704	0,207	0,039	0,015322168	1,221796239	0,81846708	5,307692308
LRP1	0,001259814	0,288685788	0,585	0,337	1	1,22152703	0,818647459	1,735905045
TMEM51	5,15386E-08	0,288682172	0,159	0,014	0,001087517	1,221523968	0,818649511	11,35714286
TMX2	3,63456E-07	0,288612627	0,28	0,067	0,007669294	1,221465086	0,818688975	4,179104478
SLC41A3	1,56249E-06	0,288427396	0,256	0,063	0,032970135	1,22130827	0,818794095	4,063492063
NCOR2	3,01136E-06	0,288219849	0,585	0,242	0,063542715	1,221132584	0,818911896	2,417355372
TSPAN9	6,42925E-12	0,287891552	0,305	0,039	1,35664E-07	1,220854737	0,819098268	7,820512821
C19orf25	8,04034E-08	0,287865893	0,28	0,06	0,001696593	1,220833023	0,819112836	4,666666667
LENG1	9,5155E-05	0,287827238	0,171	0,042	1	1,220800313	0,819134783	4,071428571
TWF1	2,92147E-09	0,287377051	0,354	0,077	6,1646E-05	1,220419428	0,81939043	4,597402597
DIAPH1	2,60756E-09	0,286941585	0,39	0,095	5,50221E-05	1,220051109	0,819637794	4,105263158
TASP1	5,55324E-11	0,286736247	0,329	0,053	1,17179E-06	1,219877472	0,819754461	6,20754717
HAGH	6,76335E-07	0,28670315	0,427	0,14	0,01427134	1,219849487	0,819773267	3,05
PINK1	2,40937E-08	0,286620238	0,354	0,088	0,000508401	1,219779384	0,819820381	4,022727273
ATP13A1	1,41131E-09	0,286551659	0,22	0,025	2,978E-05	1,219721403	0,819859353	8,8
RAC1	0,000685981	0,286504953	0,89	0,726	1	1,219681916	0,819885896	1,225895317
PTDSS2	1,16562E-12	0,286035639	0,293	0,032	2,45957E-08	1,219285214	0,820152651	9,15625
SSR1	1,73394E-08	0,285965548	0,585	0,2	0,000365878	1,219225978	0,820192498	2,925
RPL29	0,007320851	0,285961005	0,976	0,888	1	1,219222139	0,82019508	1,099099099
SNHG9	4,05114E-07	0,285909988	0,5	0,179	0,008548309	1,219179025	0,820224085	2,793296089
ATP1B1	4,86399E-05	0,285707035	0,695	0,351	1	1,219007528	0,820339479	1,98005698
NADK	1,2467E-08	0,285694715	0,244	0,039	0,000263067	1,218997118	0,820346484	6,256410256
RWDD1	5,5758E-06	0,285561627	0,598	0,26	0,117655055	1,218884671	0,820422165	2,3
MED24	0,000637069	0,285489477	0,171	0,053	1	1,218823716	0,820463195	3,226415094
IFT52	4,83465E-11	0,285275887	0,317	0,049	1,02016E-06	1,218643283	0,820584673	6,469387755
BTC	3,35288E-07	0,285241719	0,134	0,011	0,00707491	1,218614422	0,820604108	12,18181818

Supplementary Table 2

Differentially expressed genes_keloid-XL_comparing SC-Keloid vs. (SC-Myel, SC-Nonmyel, SC-Nonmyel2)								
gene	p_val	avg_log2FC	pct.1	pct.2	p_val_adj	Foldchange_UP	Foldchange_DOWN	Ratio_pct1_pct2
MMADHC	7,78968E-10	0,285204186	0,293	0,049	1,6437E-05	1,218582719	0,820625457	5,979591837
TSG101	2,47394E-09	0,285052337	0,402	0,098	5,22026E-05	1,218454465	0,820711835	4,102040816
AZI2	1,80608E-07	0,284913725	0,341	0,088	0,003811004	1,218337403	0,820790692	3,875
ABHD14A	1,47881E-08	0,284574481	0,232	0,035	0,000312045	1,21805095	0,82098372	6,628571429
GOLT1B	1,55549E-07	0,28454097	0,402	0,123	0,003282246	1,218022657	0,82100279	3,268292683
MMP28	3,42792E-05	0,284512363	0,232	0,067	0,723324825	1,217998505	0,82101907	3,462686567
NFIX	3,47856E-05	0,284348026	0,732	0,368	0,734010428	1,217859771	0,821112597	1,989130435
ZNF22	3,79794E-07	0,284304981	0,463	0,151	0,008014026	1,217823436	0,821137097	3,066225166
AFAP1L1	1,0923E-11	0,284101498	0,305	0,042	2,30485E-07	1,217651681	0,821252921	7,261904762
EIF2S2	3,96782E-05	0,283974273	0,622	0,312	0,837249287	1,217544307	0,821325347	1,993589744
CADM1	0,00496992	0,283442885	0,878	0,656	1	1,217095931	0,821627922	1,338414634
GAP43	1,33009E-07	0,283297106	0,305	0,074	0,002806627	1,216972954	0,821710948	4,121621622
LARP6	7,40022E-05	0,283277719	0,22	0,063	1	1,2169566	0,82172199	3,492063492
PMPCB	5,07535E-08	0,283271991	0,329	0,081	0,001070949	1,216951769	0,821725253	4,061728395
RAB11B	3,70878E-07	0,283095481	0,585	0,228	0,007825896	1,216802887	0,821825795	2,565789474
SLC22A18	1,69222E-09	0,283013322	0,171	0,011	3,57076E-05	1,216733594	0,821872598	15,54545455
MFS1	3,98217E-09	0,28249107	0,28	0,049	8,40279E-05	1,216293219	0,822170168	5,714285714
LONP1	4,5734E-10	0,281573164	0,28	0,042	9,65032E-06	1,215519606	0,822693435	6,666666667
SART1	3,37602E-10	0,281411307	0,354	0,07	7,12373E-06	1,215383244	0,822785738	5,057142857
NOL7	3,17706E-07	0,281257467	0,646	0,256	0,006703911	1,21525365	0,82287348	2,5234375
FAM210B	4,35363E-07	0,28106763	0,537	0,193	0,009186595	1,215093752	0,822981765	2,78238342
SPOCK1	3,71719E-10	0,280529279	0,195	0,014	7,84365E-06	1,214640415	0,823288924	13,92857143
RAB18	7,49454E-07	0,280504998	0,463	0,158	0,015814224	1,214619973	0,823302779	2,930379747
HDDC2	1,56882E-09	0,280363368	0,341	0,07	3,31037E-05	1,214500739	0,823383608	4,871428571
ZBTB8OS	2,05217E-09	0,28036154	0,305	0,056	4,33028E-05	1,2144992	0,823384651	5,446428571
ATG4B	3,97798E-07	0,28022555	0,305	0,077	0,008393938	1,214384726	0,823462268	3,961038961
MRPL2	1,01953E-08	0,28015077	0,305	0,063	0,000215131	1,214321781	0,823504952	4,841269841
POLR2C	1,11771E-06	0,279977891	0,305	0,084	0,023584828	1,214176277	0,823603639	3,630952381
CLEC11A	1,32817E-07	0,279912391	0,39	0,116	0,002802565	1,214121154	0,823641032	3,362068966
PBDC1	2,98878E-11	0,279761359	0,366	0,067	6,30663E-07	1,213994057	0,823727262	5,462686567

Supplementary Table 2

Differentially expressed genes_keloid-XL_comparing SC-Keloid vs. (SC-Myel, SC-Nonmyel, SC-Nonmyel2)								
gene	p_val	avg_log2FC	pct.1	pct.2	p_val_adj	Foldchange_UP	Foldchange_DOWN	Ratio_pct1_pct2
TSHZ3	4,86028E-08	0,279310698	0,171	0,018	0,001025568	1,213614895	0,823984613	9,5
RPS5	0,02774199	0,279180291	0,854	0,709	1	1,2135052	0,824059098	1,204513399
GTF2H2	5,5067E-05	0,278733834	0,098	0,011	1	1,213129727	0,82431415	8,909090909
COX7C	0,003361054	0,278447224	0,854	0,572	1	1,212888747	0,824477927	1,493006993
HMGN4	2,38503E-11	0,278413848	0,341	0,056	5,03265E-07	1,212860688	0,824497001	6,089285714
P4HTM	7,44811E-06	0,278302939	0,354	0,119	0,157162491	1,212767451	0,824560388	2,974789916
PPHLN1	5,27282E-08	0,278246042	0,341	0,084	0,001112618	1,212719623	0,824592908	4,05952381
CSK	2,8562E-11	0,278185051	0,293	0,039	6,02687E-07	1,212668355	0,824627769	7,512820513
KCTD5	2,22375E-07	0,277982764	0,268	0,06	0,004692332	1,212498333	0,824743402	4,466666667
SLC25A11	5,96944E-08	0,277749576	0,305	0,07	0,001259611	1,212302368	0,824876719	4,357142857
UBALD1	5,56778E-08	0,277553657	0,305	0,07	0,001174857	1,212137748	0,824988745	4,357142857
PAK1IP1	6,39267E-10	0,277500461	0,293	0,049	1,34892E-05	1,212093054	0,825019165	5,979591837
PPP1R7	2,00108E-08	0,277260312	0,378	0,098	0,000422248	1,211891308	0,825156508	3,857142857
PMS1	7,85877E-07	0,277231602	0,207	0,039	0,01658279	1,211867191	0,825172929	5,307692308
ATP6V0B	1,12934E-05	0,277131136	0,634	0,291	0,238301132	1,211782803	0,825230394	2,178694158
THUMPD3	1,10294E-09	0,277083548	0,232	0,028	2,32731E-05	1,211742831	0,825257616	8,285714286
RDH11	1,84116E-06	0,27707633	0,39	0,133	0,038850284	1,211736769	0,825261745	2,932330827
RPS15A	0,002945226	0,277007134	0,976	0,881	1	1,211678652	0,825301328	1,107832009
HS2ST1	3,2095E-08	0,276932646	0,28	0,056	0,000677237	1,211616093	0,82534394	5
USE1	3,09073E-07	0,276922947	0,317	0,084	0,006521747	1,211607948	0,825349488	3,773809524
KRT10-AS1	1,21581E-07	0,276645054	0,195	0,028	0,002565474	1,21137459	0,825508483	6,964285714
COLGALT1	1,58854E-07	0,276379353	0,28	0,063	0,003351972	1,211151511	0,825660531	4,444444444
PCYOX1	1,21174E-06	0,276189513	0,305	0,084	0,025568919	1,21099215	0,825769184	3,630952381
DNAJB11	5,30193E-09	0,276127848	0,5	0,147	0,000111876	1,21094039	0,825804481	3,401360544
SSR3	0,000766378	0,276013976	0,561	0,298	1	1,210844814	0,825869664	1,882550336
XRCC5	2,09367E-06	0,275953453	0,61	0,26	0,044178433	1,210794018	0,825904311	2,346153846
UCHL5	1,95169E-07	0,275951885	0,268	0,06	0,004118266	1,210792703	0,825905209	4,466666667
ITGB1BP1	4,85426E-06	0,275935705	0,549	0,225	0,102429787	1,210779123	0,825914472	2,44
CLASP1	0,000348582	0,275758744	0,207	0,067	1	1,210630618	0,826015785	3,089552239
ITGA5	6,53581E-10	0,275648219	0,256	0,035	1,37912E-05	1,210537875	0,826079068	7,314285714

Supplementary Table 2

Differentially expressed genes_keloid-XL_comparing SC-Keloid vs. (SC-Myel, SC-Nonmyel, SC-Nonmyel2)								
gene	p_val	avg_log2FC	pct.1	pct.2	p_val_adj	Foldchange_UP	Foldchange_DOWN	Ratio_pct1_pct2
PDCD6IP	8,5331E-08	0,275443114	0,524	0,182	0,001800569	1,210365788	0,826196518	2,879120879
NUTF2	7,7476E-12	0,275203861	0,463	0,102	1,63482E-07	1,21016508	0,826333544	4,539215686
DAGLA	0,00174268	0,274848315	0,134	0,039	1	1,209866877	0,826537216	3,435897436
OTUB1	1,86918E-07	0,274778652	0,39	0,116	0,003944153	1,209808458	0,826577128	3,362068966
CCDC43	6,56905E-07	0,27462587	0,22	0,042	0,013861358	1,209680345	0,826664667	5,238095238
ARNTL	0,000105356	0,274403186	0,268	0,091	1	1,209493642	0,826792275	2,945054945
C1QBP	4,47854E-07	0,273990468	0,451	0,151	0,009450175	1,209147687	0,827028832	2,986754967
FAM168A	6,7829E-08	0,273925642	0,354	0,091	0,00143126	1,209093356	0,827065995	3,89010989
PEX16	6,6848E-05	0,273873728	0,159	0,035	1	1,209049849	0,827095757	4,542857143
NTAN1	1,52639E-06	0,273627731	0,305	0,084	0,032208425	1,208843709	0,827236799	3,630952381
NFE2L3	0,002795762	0,273510213	0,122	0,035	1	1,208745244	0,827304186	3,485714286
ADAM12	8,45368E-10	0,273281903	0,146	0,004	1,78381E-05	1,208553972	0,827435119	36,5
B3GAT3	2,00309E-07	0,27294831	0,366	0,102	0,004226728	1,208274552	0,827626468	3,588235294
RPS29	0,029862512	0,272929351	0,976	0,933	1	1,208258673	0,827637345	1,046087889
PSMG3	1,24543E-08	0,272835555	0,329	0,074	0,000262798	1,208180122	0,827691154	4,445945946
TOMM7	0,001045251	0,272460172	0,915	0,649	1	1,207865799	0,827906545	1,409861325
GOLIM4	6,10303E-07	0,272427855	0,488	0,172	0,012878006	1,207838743	0,82792509	2,837209302
CWC15	2,77981E-07	0,272349903	0,402	0,123	0,005865672	1,207773482	0,827969826	3,268292683
ZDHHC12	5,94697E-11	0,272279027	0,232	0,021	1,25487E-06	1,207714149	0,828010503	11,04761905
SPAG7	2,2262E-08	0,271959461	0,378	0,098	0,00046975	1,207446663	0,828193933	3,857142857
MPC2	4,9959E-09	0,271900997	0,524	0,158	0,000105419	1,207397733	0,828227495	3,316455696
PSMA2	3,68663E-06	0,271805464	0,634	0,267	0,077791682	1,207317783	0,828282341	2,374531835
COPB1	1,454E-07	0,271649321	0,39	0,112	0,003068085	1,207187122	0,828371991	3,482142857
PITPNM3	5,5905E-11	0,271522248	0,146	0	1,17965E-06	1,207080797	0,828444958	#DIV/0!
HTRA2	1,18209E-06	0,271487386	0,268	0,067	0,024943384	1,207051629	0,828464977	4
XPO6	1,84816E-05	0,271330488	0,268	0,081	0,389981025	1,206920366	0,82855508	3,308641975
PCMTD2	5,9403E-06	0,27123039	0,341	0,109	0,125346349	1,206836629	0,82861257	3,128440367
CETN2	9,93147E-13	0,27088177	0,427	0,077	2,09564E-08	1,206545038	0,828812824	5,545454545
SGPL1	0,003210374	0,270829431	0,134	0,042	1	1,206501268	0,828842892	3,19047619
SPCS3	1,40989E-05	0,270820271	0,5	0,204	0,297500221	1,206493607	0,828848155	2,450980392

Supplementary Table 2

Differentially expressed genes_keloid-XL_comparing SC-Keloid vs. (SC-Myel, SC-Nonmyel, SC-Nonmyel2)								
gene	p_val	avg_log2FC	pct.1	pct.2	p_val_adj	Foldchange_UP	Foldchange_DOWN	Ratio_pct1_pct2
LDHB	0,000202357	0,270671537	0,561	0,281	1	1,206369231	0,828933609	1,996441281
PRRC2B	1,05217E-05	0,270644365	0,488	0,196	0,222018888	1,206346509	0,828949222	2,489795918
TMEM141	1,7624E-07	0,270587302	0,354	0,098	0,003718836	1,206298796	0,82898201	3,612244898
LAMA2	0,000219066	0,270489539	0,402	0,175	1	1,206217055	0,829038187	2,297142857
ABHD11	9,6391E-09	0,270470622	0,183	0,018	0,000203395	1,206201239	0,829049057	10,16666667
MRPL19	4,14669E-07	0,270248307	0,378	0,112	0,008749923	1,206015381	0,829176821	3,375
ERAP2	1,71287E-08	0,270127929	0,232	0,035	0,000361434	1,205914756	0,82924601	6,628571429
LIX1L	6,70227E-08	0,270097623	0,28	0,06	0,001414246	1,205889424	0,82926343	4,666666667
AP1M1	2,36321E-11	0,269913806	0,293	0,039	4,98662E-07	1,205735789	0,829369095	7,512820513
PRR14	2,0035E-05	0,269645386	0,366	0,133	0,422759089	1,205511477	0,829523417	2,751879699
IFRD2	1,33166E-11	0,269311104	0,317	0,046	2,80994E-07	1,205232184	0,829715646	6,891304348
TRIAP1	1,16175E-10	0,269271645	0,268	0,035	2,4514E-06	1,205199221	0,829738339	7,657142857
WDR61	5,3475E-08	0,269204062	0,415	0,119	0,001128375	1,205142764	0,829777209	3,487394958
DYNC2I2	4,90851E-08	0,269123337	0,329	0,081	0,001035744	1,205075333	0,829823641	4,061728395
DHX30	1,59245E-07	0,269109011	0,366	0,102	0,003360224	1,205063367	0,829831881	3,588235294
USB1	1,3444E-10	0,269066769	0,28	0,039	2,83682E-06	1,205028083	0,829856178	7,179487179
LRRC28	4,41502E-09	0,268773396	0,232	0,032	9,31613E-05	1,204783065	0,830024948	7,25
SNX7	1,09012E-09	0,268755677	0,329	0,063	2,30026E-05	1,204768268	0,830035141	5,222222222
ALDH18A1	1,76146E-12	0,268645124	0,244	0,018	3,71687E-08	1,204675951	0,830098749	13,55555556
TELO2	1,54556E-08	0,268537339	0,232	0,035	0,000326128	1,204585952	0,830160769	6,628571429
GAS8	1,02456E-11	0,268181369	0,22	0,014	2,16192E-07	1,204288769	0,830365628	15,71428571
UBE2C	0,043000486	0,268109399	0,037	0,007	1	1,204228694	0,830407052	5,285714286
RGS19	5,25198E-12	0,268108253	0,195	0,007	1,10822E-07	1,204227737	0,830407712	27,85714286
SEC14L2	9,67084E-10	0,268032508	0,244	0,032	2,04064E-05	1,204164514	0,830451311	7,625
LIG4	1,30526E-10	0,267775377	0,159	0,004	2,75423E-06	1,203949916	0,830599336	39,75
VTI1B	4,14827E-07	0,267717226	0,341	0,095	0,00875327	1,203901388	0,830632816	3,589473684
GTF3C3	1,82755E-05	0,266820085	0,171	0,035	0,385631777	1,203152974	0,831149506	4,885714286
PPP2R3C	6,29382E-10	0,266612138	0,305	0,053	1,32806E-05	1,202979567	0,831269315	5,754716981
ERP44	9,26112E-05	0,266606705	0,39	0,158	1	1,202975037	0,831272445	2,46835443
FURIN	4,50205E-10	0,266333754	0,415	0,095	9,49978E-06	1,202747461	0,831429732	4,368421053

Supplementary Table 2

Differentially expressed genes_keloid-XL_comparing SC-Keloid vs. (SC-Myel, SC-Nonmyel, SC-Nonmyel2)								
gene	p_val	avg_log2FC	pct.1	pct.2	p_val_adj	Foldchange_UP	Foldchange_DOWN	Ratio_pct1_pct2
UQCRC2	3,14186E-06	0,265752554	0,329	0,102	0,066296306	1,202263023	0,831764748	3,225490196
RPF1	1,1539E-09	0,265554087	0,354	0,074	2,43484E-05	1,202097644	0,831879178	4,783783784
FOXRED2	2,80682E-05	0,265543219	0,061	0	0,592266086	1,202088587	0,831885446	#DIV/0!
B4GALNT3	2,0388E-08	0,265520187	0,268	0,049	0,000430207	1,202069397	0,831898726	5,469387755
MLPH	1,58349E-08	0,265467545	0,11	0	0,000334132	1,202025536	0,831929082	#DIV/0!
AKT1	2,12321E-07	0,265441792	0,476	0,158	0,004480194	1,20200408	0,831943932	3,012658228
STK16	1,31086E-07	0,265399158	0,195	0,028	0,002766052	1,201968558	0,831968518	6,964285714
LSM2	1,04563E-08	0,265332076	0,524	0,161	0,000220639	1,201912671	0,832007203	3,254658385
EIF3D	1,48308E-06	0,26517444	0,512	0,204	0,031294491	1,201781351	0,832098117	2,509803922
TMED1	3,61895E-08	0,265153498	0,268	0,053	0,000763635	1,201763907	0,832110196	5,056603774
MDFIC	1,1603E-08	0,265142041	0,244	0,039	0,000244834	1,201754362	0,832116805	6,256410256
GOPC	2,54803E-09	0,265104376	0,366	0,081	5,37659E-05	1,201722988	0,832138529	4,518518519
TMEM250	2,09267E-07	0,2649446	0,159	0,018	0,004415741	1,201589907	0,832230692	8,833333333
SCG5	1,99881E-07	0,26491202	0,171	0,021	0,004217683	1,201562772	0,832249486	8,142857143
ZMAT3	3,46453E-05	0,264896289	0,293	0,098	0,7310502	1,20154967	0,832258561	2,989795918
PRCP	9,57539E-08	0,264700115	0,378	0,105	0,002020502	1,201386298	0,832371737	3,6
TUSC2	4,60404E-08	0,264516489	0,232	0,039	0,000971499	1,201233396	0,832477688	5,948717949
GLG1	0,000255757	0,264393661	0,671	0,361	1	1,20113113	0,832548566	1,858725762
PTS	4,10921E-08	0,264212819	0,366	0,095	0,000867085	1,200980577	0,832652933	3,852631579
HAUS3	1,6798E-05	0,264211834	0,22	0,056	0,354453774	1,200979757	0,832653502	3,928571429
SMIM19	3,5297E-06	0,264124352	0,5	0,196	0,074480095	1,200906935	0,832703993	2,551020408
APMAP	1,37151E-09	0,264063059	0,354	0,074	2,89402E-05	1,200855915	0,832739372	4,783783784
FAM174C	4,48201E-09	0,26384589	0,366	0,084	9,4575E-05	1,200675164	0,832864733	4,357142857
PTPMT1	2,54344E-10	0,263768274	0,329	0,06	5,36691E-06	1,200610569	0,832909542	5,483333333
IARS2	4,2636E-09	0,263626641	0,28	0,049	8,99661E-05	1,200492708	0,832991315	5,714285714
ISOC2	5,52108E-08	0,263440922	0,439	0,13	0,001165003	1,200338178	0,833098554	3,376923077
SNRNP25	4,91815E-08	0,263241271	0,268	0,053	0,001037778	1,200172078	0,833213852	5,056603774
NDUFV2	1,70923E-07	0,262991113	0,598	0,228	0,003606655	1,199963991	0,833358341	2,622807018
NNT	5,31341E-09	0,262629148	0,232	0,032	0,000112118	1,199662963	0,833567453	7,25
THAP11	2,22401E-09	0,262423148	0,268	0,042	4,69289E-05	1,199491677	0,833686485	6,380952381

Supplementary Table 2

Differentially expressed genes_keloid-XL_comparing SC-Keloid vs. (SC-Myel, SC-Nonmyel, SC-Nonmyel2)								
gene	p_val	avg_log2FC	pct.1	pct.2	p_val_adj	Foldchange_UP	Foldchange_DOWN	Ratio_pct1_pct2
FASTK	5,47672E-09	0,262147604	0,402	0,102	0,000115564	1,199262606	0,833845727	3,941176471
PRKRA	3,90973E-07	0,261975349	0,402	0,123	0,00824993	1,199119425	0,833945293	3,268292683
EIF3G	9,8552E-06	0,261840479	0,634	0,288	0,207954591	1,19900733	0,834023258	2,201388889
ITM2C	5,14375E-05	0,261790312	0,646	0,312	1	1,198965638	0,83405226	2,070512821
ELOVL1	1,39668E-13	0,261667091	0,366	0,053	2,94714E-09	1,198863238	0,8341235	6,905660377
WDR46	1,15731E-07	0,261639606	0,232	0,042	0,002442033	1,198840399	0,834139391	5,523809524
MSRA	2,39174E-09	0,261081208	0,256	0,039	5,0468E-05	1,198376475	0,834462309	6,564102564
NDUFA12	2,90595E-09	0,261022463	0,659	0,235	6,13184E-05	1,198327679	0,834496288	2,804255319
UCHL1	1,14068E-05	0,260889753	0,183	0,039	0,240695295	1,198217454	0,834573054	4,692307692
MGAT2	6,47862E-13	0,260610287	0,207	0,007	1,36705E-08	1,197985367	0,834734737	29,57142857
OLA1	3,83964E-06	0,260535538	0,366	0,123	0,081020327	1,197923299	0,834777987	2,975609756
MAD1L1	6,39229E-15	0,260516311	0,268	0,014	1,34884E-10	1,197907334	0,834789112	19,14285714
LSM5	4,80345E-09	0,260504832	0,366	0,084	0,000101358	1,197897803	0,834795754	4,357142857
NSMF	8,23642E-06	0,260393769	0,195	0,042	0,173796802	1,197805589	0,834860022	4,642857143
CBY1	1,45455E-07	0,259930546	0,305	0,074	0,003069244	1,197421057	0,835128123	4,121621622
RNF20	2,45763E-07	0,259893574	0,244	0,049	0,005185847	1,197390371	0,835149525	4,979591837
PHB2	1,5997E-06	0,259803326	0,585	0,235	0,033755317	1,197315471	0,83520177	2,489361702
HGS	1,29115E-07	0,259694344	0,341	0,088	0,002724452	1,197225028	0,835264864	3,875
KATNAL1	1,77302E-05	0,259557418	0,305	0,098	0,374125844	1,197111405	0,835344142	3,112244898
TRAP1	3,7569E-06	0,259047581	0,232	0,056	0,079274306	1,196688431	0,835639398	4,142857143
PAM16	5,32974E-08	0,259039947	0,378	0,102	0,001124629	1,196682098	0,835643821	3,705882353
MRPL15	1,07496E-11	0,258898679	0,268	0,028	2,26827E-07	1,196564926	0,83572565	9,571428571
FAM207A	7,51442E-09	0,258806607	0,207	0,025	0,000158562	1,196488564	0,835778987	8,28
ANTKMT	2,31989E-09	0,258728964	0,5	0,144	4,8952E-05	1,196424173	0,835823969	3,472222222
USP11	2,66205E-05	0,258413902	0,476	0,2	0,561718121	1,196162921	0,836006519	2,38
MTCH2	2,89322E-08	0,258208659	0,317	0,07	0,000610499	1,195992762	0,836125461	4,528571429
NELFB	5,43568E-06	0,257997077	0,305	0,091	0,11469838	1,195817374	0,836248094	3,351648352
MRPS10	2,52304E-07	0,257940301	0,293	0,07	0,005323857	1,195770314	0,836281005	4,185714286
WDR11	8,34326E-09	0,257882052	0,268	0,046	0,000176051	1,195722036	0,83631477	5,826086957
TNIP1	2,39981E-08	0,257865364	0,463	0,137	0,000506384	1,195708205	0,836324444	3,379562044

Supplementary Table 2

Differentially expressed genes_keloid-XL_comparing SC-Keloid vs. (SC-Myel, SC-Nonmyel, SC-Nonmyel2)								
gene	p_val	avg_log2FC	pct.1	pct.2	p_val_adj	Foldchange_UP	Foldchange_DOWN	Ratio_pct1_pct2
CHD8	0,000396649	0,257814053	0,244	0,088	1	1,195665679	0,836354189	2,772727273
ZNF205	8,69795E-08	0,257767633	0,22	0,035	0,001835353	1,195627208	0,8363811	6,285714286
COX14	1,98687E-06	0,257759912	0,524	0,2	0,041925018	1,195620809	0,836385577	2,62
LY6D	0,034389558	0,257729777	0,073	0,025	1	1,195595836	0,836403047	2,92
RPS9	0,01482614	0,257712467	0,976	0,891	1	1,195581491	0,836413082	1,095398429
SPCS2	6,68613E-05	0,257239817	0,768	0,396	1	1,195189863	0,83668715	1,939393939
NKIRAS2	3,25629E-09	0,256265053	0,317	0,063	6,87111E-05	1,1943826	0,837252652	5,031746032
NDUFB5	8,30963E-07	0,25603467	0,476	0,168	0,017534159	1,194191885	0,837386363	2,833333333
MTHFD1L	7,60717E-11	0,255983862	0,293	0,042	1,60519E-06	1,194149829	0,837415855	6,976190476
PPT1	5,58195E-06	0,255939866	0,378	0,126	0,117784784	1,194113413	0,837441393	3
TM9SF1	9,01084E-10	0,255800109	0,402	0,095	1,90138E-05	1,193997743	0,837522521	4,231578947
DPY30	4,03438E-10	0,255649014	0,463	0,116	8,51294E-06	1,1938727	0,837610241	3,99137931
KCTD15	1,86304E-06	0,255584306	0,256	0,063	0,039312064	1,193819154	0,83764781	4,063492063
ZNF32	2,20768E-07	0,255544481	0,341	0,091	0,004658418	1,193786199	0,837670933	3,747252747
HKDC1	2,8576E-10	0,255517331	0,207	0,018	6,02982E-06	1,193763734	0,837686698	11,5
UBE2J2	1,81484E-07	0,255435159	0,341	0,091	0,0038295	1,193695743	0,837734411	3,747252747
ST6GAL1	1,35285E-05	0,255320214	0,366	0,13	0,285464448	1,19360064	0,837801159	2,815384615
CBX3	0,000194481	0,254953263	0,634	0,344	1	1,193297085	0,838014282	1,843023256
ADI1	6,18412E-06	0,254814264	0,451	0,175	0,1304911	1,19318212	0,838095026	2,577142857
ABCA3	0,000177614	0,253979989	0,171	0,046	1	1,192492332	0,838579816	3,717391304
GALNT11	2,55606E-07	0,253946721	0,329	0,088	0,005393547	1,192464833	0,838599154	3,738636364
HSPBP1	1,68863E-09	0,253914296	0,28	0,046	3,56318E-05	1,192438033	0,838618001	6,086956522
F8A1	4,91932E-09	0,253802009	0,232	0,032	0,000103803	1,192345228	0,838683275	7,25
TMEM50A	6,78376E-05	0,253731102	0,756	0,389	1	1,192286626	0,838724496	1,94344473
NUDT9	1,32939E-08	0,253615287	0,28	0,053	0,000280515	1,192190917	0,838791829	5,283018868
SPATC1L	1,18545E-11	0,25360906	0,329	0,049	2,50142E-07	1,192185771	0,838795449	6,714285714
RAB2A	8,0578E-06	0,253493085	0,756	0,372	0,170027667	1,192089938	0,838862881	2,032258065
EIF5A	0,000928199	0,253199401	0,695	0,411	1	1,191847293	0,839033663	1,690997567
UBXN1	0,00032027	0,253100817	0,598	0,312	1	1,191765853	0,839090999	1,916666667
SLC27A4	1,30012E-12	0,252951334	0,22	0,011	2,74338E-08	1,191642377	0,839177944	20

Supplementary Table 2

Differentially expressed genes_keloid-XL_comparing SC-Keloid vs. (SC-Myel, SC-Nonmyel, SC-Nonmyel2)								
gene	p_val	avg_log2FC	pct.1	pct.2	p_val_adj	Foldchange_UP	Foldchange_DOWN	Ratio_pct1_pct2
ZFAND3	4,55581E-07	0,252910766	0,451	0,151	0,00961321	1,191608868	0,839201542	2,986754967
HES6	1,79015E-06	0,252801142	0,305	0,084	0,03777386	1,191518327	0,839265311	3,630952381
FAM174B	1,00204E-07	0,252723238	0,22	0,035	0,002114405	1,191453988	0,839310632	6,285714286
ACOT7	1,09934E-12	0,252477849	0,415	0,074	2,31971E-08	1,19125135	0,839453403	5,608108108
ECI1	4,13192E-08	0,252377065	0,463	0,144	0,000871877	1,191168134	0,839512048	3,215277778
FIBP	1,93996E-08	0,252332087	0,366	0,095	0,000409351	1,191130998	0,839538222	3,852631579
CHRN1	0,002631406	0,252122781	0,085	0,018	1	1,190958202	0,83966003	4,722222222
DDX54	3,37847E-06	0,252089066	0,28	0,077	0,071289034	1,190930371	0,839679653	3,636363636
CYC1	2,68356E-05	0,251826581	0,488	0,2	0,566258295	1,190713711	0,839832439	2,44
RIC8A	4,65274E-10	0,251638517	0,329	0,063	9,81774E-06	1,190558505	0,839941923	5,222222222
HIVEP3	6,60534E-06	0,251413406	0,171	0,032	0,139379264	1,19037275	0,840072994	5,34375
RPL23	0,005692361	0,251327931	0,915	0,667	1	1,190302226	0,840122767	1,371814093
MRPS11	6,79963E-10	0,251095913	0,341	0,067	1,43479E-05	1,190110815	0,840257888	5,089552239
TOR1A	4,45779E-09	0,250847356	0,244	0,035	9,40638E-05	1,189905792	0,840402666	6,971428571
YIPF3	3,96615E-08	0,250818627	0,5	0,165	0,000836897	1,189882097	0,840419402	3,03030303
TRIM27	0,001146878	0,250789347	0,183	0,063	1	1,189857948	0,840436458	2,904761905
VPS16	6,80875E-07	0,25063896	0,171	0,025	0,01436714	1,189733924	0,84052407	6,84
HSD17B10	2,90327E-07	0,250607927	0,476	0,158	0,006126187	1,189708332	0,840542151	3,012658228
NME3	2,11061E-05	0,250550191	0,646	0,295	0,445360491	1,189660721	0,84057579	2,189830508
MRPL9	1,47593E-06	0,250518427	0,244	0,056	0,031143703	1,189634529	0,840594297	4,357142857
IFT43	9,08244E-09	0,250491178	0,28	0,053	0,000191649	1,18961206	0,840610174	5,283018868
PPP3CB	8,64303E-09	0,250443931	0,366	0,088	0,000182377	1,189573102	0,840637703	4,159090909
COMMD10	1,68794E-08	0,250435876	0,232	0,035	0,000356172	1,18956646	0,840642397	6,628571429
PDCD2	3,81283E-11	0,250298818	0,341	0,056	8,04545E-07	1,189453455	0,840722263	6,089285714
FEZ1	3,5617E-05	0,250018648	0,524	0,228	0,751554721	1,189222486	0,840885546	2,298245614
S100B	0,02040716	0,250001068	1	0,87	1	1,189207995	0,840895793	1,149425287
DDA1	6,11497E-09	0,249855956	0,366	0,084	0,000129032	1,189088386	0,840980378	4,357142857
RPAIN	2,35718E-06	0,249489366	0,524	0,2	0,049738895	1,188786276	0,841194099	2,62
REXO2	1,10359E-08	0,24904416	0,463	0,137	0,000232868	1,188419481	0,841453725	3,379562044
NNT-AS1	0,00010162	0,24901587	0,171	0,042	1	1,188396177	0,841470226	4,071428571

Supplementary Table 2

Differentially expressed genes_keloid-XL_comparing SC-Keloid vs. (SC-Myel, SC-Nonmyel, SC-Nonmyel2)								
gene	p_val	avg_log2FC	pct.1	pct.2	p_val_adj	Foldchange_UP	Foldchange_DOWN	Ratio_pct1_pct2
RPL19	0,009043395	0,24883965	0,976	0,916	1	1,188251028	0,841573015	1,065502183
TAX1BP1	1,74044E-06	0,248715059	0,634	0,263	0,036725011	1,188148416	0,841645696	2,410646388
GOSR2	3,03746E-05	0,248314313	0,195	0,049	0,640934995	1,187818423	0,841879517	3,979591837
BCL7B	5,89042E-07	0,24829507	0,415	0,133	0,012429366	1,187802579	0,841890747	3,120300752
ANKRD13D	6,67722E-07	0,24810963	0,317	0,088	0,014089604	1,187649912	0,841998968	3,602272727
CNPY4	7,2721E-09	0,247950665	0,207	0,025	0,000153449	1,187519056	0,84209175	8,28
POP7	7,70775E-08	0,247749466	0,317	0,077	0,001626412	1,187353456	0,842209196	4,116883117
NDFIP1	0,000343944	0,247620323	0,61	0,323	1	1,187247175	0,84228459	1,888544892
RTCA	2,16672E-07	0,247474999	0,171	0,021	0,004571988	1,187127588	0,842369438	8,142857143
ZNF280D	0,0001721	0,24733175	0,28	0,102	1	1,187009721	0,842453084	2,745098039
IRF9	1,42215E-06	0,246907486	0,39	0,13	0,030008763	1,1866607	0,842700867	3
CILK1	1,26827E-08	0,246862688	0,317	0,067	0,000267618	1,186623852	0,842727034	4,731343284
PCYT1A	9,74502E-11	0,246698707	0,305	0,046	2,0563E-06	1,186488985	0,842822826	6,630434783
PREB	4,14983E-09	0,246620437	0,232	0,032	8,75655E-05	1,186424616	0,842868553	7,25
ALYREF	6,58939E-09	0,24651196	0,366	0,088	0,000139043	1,186335412	0,842931931	4,159090909
IKBIP	5,35595E-06	0,246323019	0,22	0,053	0,11301595	1,186180055	0,843042332	4,150943396
PGGT1B	2,53936E-05	0,246061343	0,207	0,053	0,535831396	1,185964925	0,843195257	3,905660377
SPATA7	9,75345E-06	0,245934426	0,11	0,011	0,205807544	1,185860598	0,843269438	10
KATNB1	7,64681E-12	0,245731789	0,207	0,011	1,61355E-07	1,185694047	0,84338789	18,81818182
AGK	5,3647E-11	0,245730714	0,256	0,028	1,13201E-06	1,185693164	0,843388518	9,142857143
LAPTM4B	7,53627E-07	0,245578604	0,28	0,07	0,015902288	1,185568157	0,843477445	4
DHX57	0,037317289	0,245296358	0,073	0,025	1	1,185336237	0,843642477	2,92
OGT	0,000121938	0,245097364	0,329	0,126	1	1,185172753	0,843758851	2,611111111
GPATCH8	4,74119E-05	0,244902449	0,39	0,147	1	1,185012641	0,843872855	2,653061224
EI24	1,705E-07	0,244722375	0,463	0,147	0,003597712	1,18486474	0,843978191	3,149659864
CNOT3	1,31579E-06	0,244501878	0,244	0,056	0,027764392	1,184683662	0,844107192	4,357142857
FARSB	4,12755E-11	0,244069536	0,268	0,032	8,70954E-07	1,184328694	0,844360189	8,375
SNRNP40	6,07476E-09	0,243922218	0,268	0,046	0,000128183	1,184207765	0,844446414	5,826086957
C5orf51	9,41876E-06	0,243859838	0,171	0,032	0,198745195	1,184156562	0,844482927	5,34375
MON2	6,33638E-08	0,243794103	0,256	0,049	0,00133704	1,184102608	0,844521407	5,224489796

Supplementary Table 2

Differentially expressed genes_keloid-XL_comparing SC-Keloid vs. (SC-Myel, SC-Nonmyel, SC-Nonmyel2)								
gene	p_val	avg_log2FC	pct.1	pct.2	p_val_adj	Foldchange_UP	Foldchange_DOWN	Ratio_pct1_pct2
RAI14	8,69881E-05	0,243609234	0,268	0,091	1	1,183950886	0,844629631	2,945054945
PRAG1	4,279E-08	0,243416451	0,195	0,025	0,000902911	1,183792688	0,844742504	7,8
ACADVL	4,52618E-06	0,243333365	0,756	0,354	0,09550683	1,183724514	0,844791155	2,13559322
AGPS	1,4818E-10	0,243331718	0,317	0,053	3,12675E-06	1,183723163	0,844792119	5,981132075
PSMD2	1,22103E-06	0,243315135	0,463	0,168	0,025765029	1,183709557	0,84480183	2,755952381
AIMP1	3,346E-07	0,24318266	0,476	0,161	0,007060403	1,183600869	0,844879407	2,956521739
EEF1E1	2,49987E-12	0,24275793	0,415	0,077	5,27498E-08	1,183252467	0,845128177	5,38961039
GPS1	1,07345E-08	0,24262779	0,415	0,112	0,000226508	1,183145735	0,845204416	3,705357143
GCSH	1,5444E-05	0,242421268	0,549	0,232	0,325884619	1,18297638	0,845325416	2,36637931
DESI1	2,37451E-09	0,242393449	0,305	0,056	5,01045E-05	1,182953569	0,845341716	5,446428571
OGFOD3	4,86934E-08	0,242269276	0,232	0,039	0,00102748	1,182851757	0,845414478	5,948717949
FAF1	2,71759E-07	0,242264238	0,268	0,06	0,005734397	1,182847626	0,84541743	4,466666667
KXD1	1,48565E-08	0,242166011	0,427	0,119	0,000313487	1,182767094	0,845474993	3,588235294
NDN	1,38887E-07	0,24148909	0,268	0,056	0,002930647	1,182212262	0,845871788	4,785714286
CYP27A1	1,87107E-05	0,241481273	0,232	0,063	0,39481551	1,182205857	0,845876371	3,682539683
HACD2	3,15221E-05	0,241299946	0,232	0,063	0,665147428	1,182057279	0,845982693	3,682539683
SIPA1L3	3,36918E-06	0,241264319	0,159	0,025	0,071092969	1,182028089	0,846003584	6,36
CTBP1	1,68966E-06	0,241131899	0,439	0,154	0,035653436	1,1819196	0,846081239	2,850649351
ERLIN1	3,50888E-05	0,241078156	0,207	0,053	0,740408865	1,181875572	0,846112758	3,905660377
WSB2	1,39021E-08	0,240924851	0,415	0,112	0,000293348	1,181749989	0,846202673	3,705357143
MAN2B2	7,55582E-06	0,240856189	0,256	0,07	0,159435276	1,181693747	0,846242948	3,657142857
TACO1	6,18103E-08	0,24085447	0,159	0,014	0,00130426	1,18169234	0,846243956	11,35714286
SRA1	8,78189E-09	0,240756164	0,293	0,056	0,000185307	1,181611821	0,846301622	5,232142857
EFHD2	6,51225E-09	0,240687297	0,402	0,102	0,000137415	1,181555418	0,84634202	3,941176471
TFG	0,000658476	0,240484136	0,488	0,242	1	1,181389042	0,846461211	2,016528926
C1QTNF1	0,000129099	0,240447575	0,11	0,018	1	1,181359104	0,846482663	6,111111111
SDC1	5,30439E-09	0,240166099	0,134	0,004	0,000111928	1,181128638	0,846647831	33,5
OGDH	5,25076E-05	0,240155735	0,256	0,081	1	1,181120153	0,846653913	3,160493827
ESS2	7,4007E-05	0,240130886	0,134	0,025	1	1,18109981	0,846668496	5,36
KCTD10	2,77201E-06	0,239937232	0,171	0,028	0,058492215	1,180941281	0,846782153	6,107142857

Supplementary Table 2

Differentially expressed genes_keloid-XL_comparing SC-Keloid vs. (SC-Myel, SC-Nonmyel, SC-Nonmyel2)								
gene	p_val	avg_log2FC	pct.1	pct.2	p_val_adj	Foldchange_UP	Foldchange_DOWN	Ratio_pct1_pct2
PAIP1	4,67089E-07	0,239810707	0,439	0,144	0,009856035	1,180837716	0,84685642	3,048611111
ATP5MC1	8,00609E-05	0,239467992	0,537	0,246	1	1,180557239	0,847057615	2,182926829
RTCB	1,07084E-09	0,239296888	0,28	0,046	2,25957E-05	1,180417233	0,847158083	6,086956522
KLHDC2	1,05184E-06	0,239247116	0,305	0,084	0,022194871	1,18037651	0,84718731	3,630952381
CAPN5	1,01265E-06	0,239125124	0,256	0,06	0,021367881	1,180276704	0,847258949	4,266666667
ARL8A	2,0662E-06	0,238979394	0,61	0,242	0,04359881	1,180157487	0,847344537	2,520661157
STIM1	1,77642E-08	0,238855208	0,341	0,081	0,000374842	1,180055904	0,847417479	4,209876543
COPS4	6,03701E-12	0,238788168	0,28	0,032	1,27387E-07	1,18000107	0,847456859	8,75
DGAT1	2,5942E-05	0,23877113	0,207	0,053	0,547402383	1,179987135	0,847466867	3,905660377
MSI2	1,38251E-08	0,238597926	0,28	0,053	0,000291722	1,179845479	0,847568616	5,283018868
NSDHL	2,92786E-07	0,238472996	0,122	0,007	0,006178086	1,179743315	0,847642015	17,42857143
CDC26	1,16283E-07	0,238315082	0,317	0,077	0,00245368	1,17961419	0,847734801	4,116883117
USP18	2,18116E-07	0,238196639	0,11	0,004	0,004602468	1,17951735	0,847804401	27,5
EFCAB11	5,47929E-05	0,237936349	0,085	0,007	1	1,179304561	0,847957375	12,14285714
TRIM26	2,65511E-07	0,237769362	0,207	0,035	0,005602541	1,179168068	0,848055529	5,914285714
TRADD	7,1242E-11	0,237737286	0,232	0,021	1,50328E-06	1,179141852	0,848074384	11,04761905
BTBD1	1,50549E-06	0,23766171	0,28	0,074	0,031767255	1,179080083	0,848118813	3,783783784
JAGN1	6,40582E-09	0,237649142	0,28	0,049	0,000135169	1,179069812	0,8481262	5,714285714
HDHD2	4,24684E-10	0,236964399	0,28	0,042	8,96126E-06	1,178510326	0,84852884	6,666666667
MMGT1	2,72034E-07	0,236920916	0,329	0,088	0,005740184	1,178474806	0,848554416	3,738636364
GOLGA5	2,85515E-09	0,236888042	0,256	0,039	6,02466E-05	1,178447953	0,848573751	6,564102564
RHOQ	1,93718E-06	0,236785055	0,646	0,27	0,040876361	1,178363832	0,848634329	2,392592593
SCRIB	2,43784E-05	0,236726216	0,305	0,102	0,514407964	1,178315775	0,84866894	2,990196078
MTHFD2	2,82336E-06	0,236633913	0,268	0,07	0,059575721	1,178240389	0,84872324	3,828571429
FLOT2	1,42781E-05	0,236515233	0,195	0,046	0,30128174	1,178143468	0,848793061	4,239130435
SLC39A10	2,02994E-11	0,236256593	0,427	0,088	4,28338E-07	1,177932274	0,848945243	4,852272727
TCHP	1,01816E-07	0,236100915	0,207	0,032	0,002148429	1,177805173	0,849036855	6,46875
CYP1B1	0,043000486	0,236001253	0,037	0,007	1	1,177723812	0,849095509	5,285714286
EXOSC8	2,13127E-06	0,23593156	0,317	0,091	0,044971967	1,177666921	0,849136528	3,483516484
ABCC3	2,26856E-10	0,235867904	0,171	0,007	4,78689E-06	1,17761496	0,849173995	24,42857143

Supplementary Table 2

Differentially expressed genes_keloid-XL_comparing SC-Keloid vs. (SC-Myel, SC-Nonmyel, SC-Nonmyel2)								
gene	p_val	avg_log2FC	pct.1	pct.2	p_val_adj	Foldchange_UP	Foldchange_DOWN	Ratio_pct1_pct2
DGCR2	2,45791E-05	0,235628835	0,28	0,088	0,518643421	1,177419833	0,849314723	3,181818182
CYBC1	3,4708E-07	0,235620391	0,256	0,056	0,007323729	1,177412942	0,849319694	4,571428571
LIG3	2,1468E-05	0,235553426	0,134	0,021	0,452995664	1,177358292	0,849359118	6,380952381
MTDH	0,000109705	0,235508097	0,732	0,382	1	1,1773213	0,849385805	1,916230366
SSNA1	2,46646E-08	0,235422811	0,427	0,123	0,000520448	1,177251704	0,849436019	3,471544715
RARS2	1,27595E-08	0,235183287	0,232	0,035	0,000269237	1,177056267	0,849577058	6,628571429
IFNAR2	2,57425E-07	0,235099253	0,329	0,084	0,005431932	1,176987708	0,849626545	3,916666667
PMVK	1,60401E-07	0,234898496	0,378	0,109	0,003384618	1,176823936	0,849744783	3,467889908
NIFK-AS1	3,22222E-07	0,234568143	0,146	0,014	0,006799216	1,176554494	0,849939382	10,42857143
MSC	4,23876E-13	0,234544791	0,195	0,004	8,9442E-09	1,17653545	0,84995314	48,75
PCDHGA3	0,000183568	0,234481354	0,049	0	1	1,176483718	0,849990514	#DIV/0!
C14orf119	2,07731E-10	0,234469556	0,305	0,049	4,38333E-06	1,176474097	0,849997465	6,224489796
STOML2	3,92798E-08	0,234457064	0,378	0,102	0,000828843	1,17646391	0,850004825	3,705882353
YWHAZ	0,015878117	0,23425189	0,829	0,582	1	1,17629661	0,850125718	1,424398625
ANAPC13	1,46236E-08	0,234155128	0,378	0,095	0,000308573	1,176217718	0,850182738	3,978947368
METTL25B	1,02952E-07	0,233840865	0,098	0	0,002172399	1,17596153	0,850367954	#DIV/0!
EBP	1,06374E-07	0,233796068	0,207	0,032	0,002244596	1,175925016	0,850394359	6,46875
PDHA1	1,84634E-08	0,233777833	0,317	0,07	0,000389597	1,175910153	0,850405108	4,528571429
OTUD5	2,14719E-06	0,233556805	0,329	0,095	0,045307852	1,175730011	0,850535404	3,463157895
POLR2F	2,11437E-06	0,233538127	0,72	0,309	0,044615222	1,17571479	0,850546415	2,330097087
PHTF2	3,51943E-06	0,233429809	0,159	0,025	0,074263512	1,17562652	0,850610277	6,36
C1orf131	2,8975E-09	0,233267282	0,256	0,039	6,11401E-05	1,175494087	0,850706108	6,564102564
PPP1R8	1,61686E-07	0,233251702	0,195	0,028	0,003411727	1,175481392	0,850715295	6,964285714
RPL31	0,018651435	0,233223933	0,866	0,681	1	1,175458768	0,85073167	1,271659325
MRPL12	4,15604E-09	0,233171938	0,305	0,06	8,76965E-05	1,175416404	0,850762331	5,083333333
TRAPPC6A	0,000145935	0,232970259	0,183	0,049	1	1,175252101	0,85088127	3,734693878
CUL4A	1,83332E-06	0,232866251	0,244	0,056	0,038684881	1,175167376	0,850942615	4,357142857
PON2	7,53218E-05	0,232783731	0,598	0,27	1	1,17510016	0,850991289	2,214814815
C11orf58	0,000677693	0,2327322	0,671	0,365	1	1,175058188	0,851021686	1,838356164
ITPR3	2,70578E-06	0,232710928	0,524	0,207	0,057094629	1,175040863	0,851034233	2,531400966

Supplementary Table 2

Differentially expressed genes_keloid-XL_comparing SC-Keloid vs. (SC-Myel, SC-Nonmyel, SC-Nonmyel2)								
gene	p_val	avg_log2FC	pct.1	pct.2	p_val_adj	Foldchange_UP	Foldchange_DOWN	Ratio_pct1_pct2
STX5	1,11067E-07	0,232598371	0,293	0,067	0,002343632	1,174949191	0,851100633	4,373134328
LINC00667	3,62981E-06	0,232327204	0,341	0,105	0,076592544	1,17472837	0,85126062	3,247619048
HP1BP3	0,00345878	0,232321698	0,72	0,414	1	1,174723887	0,851263868	1,739130435
ITPK1	0,000104007	0,232245583	0,707	0,354	1	1,174661911	0,851308781	1,997175141
WDR27	0,000915822	0,231968301	0,085	0,014	1	1,174436166	0,851472416	6,071428571
LSM1	1,55679E-08	0,231909974	0,415	0,112	0,000328499	1,174388686	0,851506841	3,705357143
ARL6IP6	2,59526E-06	0,231431217	0,427	0,151	0,05476258	1,17399903	0,85178946	2,82781457
STUB1	2,23119E-06	0,231319765	0,463	0,165	0,047080442	1,173908339	0,851855265	2,806060606
CIT	0,001187461	0,231310787	0,463	0,228	1	1,173901034	0,851860566	2,030701754
APH1A	5,24385E-08	0,231271742	0,415	0,119	0,001106505	1,173869264	0,851883622	3,487394958
SRPRB	1,44041E-10	0,231241633	0,317	0,053	3,03941E-06	1,173844766	0,8519014	5,981132075
NANS	4,17549E-07	0,231033769	0,329	0,091	0,008810694	1,17367565	0,852024152	3,615384615
POLR2K	8,10671E-06	0,230948255	0,61	0,263	0,171059792	1,173606084	0,852074656	2,319391635
RPL18A	0,048687854	0,230785146	0,988	0,874	1	1,173473405	0,852170996	1,130434783
ENDOD1	1,59252E-07	0,230782608	0,61	0,221	0,003360382	1,173471341	0,852172495	2,760180995
DUSP10	1,66557E-13	0,230729147	0,305	0,032	3,51453E-09	1,173427857	0,852204074	9,53125
GLRX3	8,81576E-07	0,23067076	0,329	0,095	0,018602126	1,173380368	0,852238564	3,463157895
POLR1A	3,22222E-07	0,230616231	0,146	0,014	0,006799216	1,17333602	0,852270776	10,42857143
PRPF19	4,23218E-08	0,230598831	0,232	0,039	0,000893032	1,173321868	0,852281055	5,948717949
PPP1R11	3,44039E-06	0,230487948	0,244	0,06	0,072595679	1,173231693	0,852346562	4,066666667
SLITRK6	2,7748E-06	0,230428059	0,573	0,228	0,058551153	1,17318299	0,852381946	2,513157895
TCF4	2,05906E-05	0,23024687	0,72	0,337	0,434481595	1,173035659	0,852489004	2,136498516
TBC1D19	1,6416E-05	0,230185954	0,146	0,025	0,346394762	1,172986129	0,852525	5,84
KIFAP3	6,16527E-08	0,230152903	0,39	0,105	0,001300933	1,172959258	0,852544531	3,714285714
MORN4	1,33474E-06	0,229635389	0,146	0,018	0,028164367	1,172538578	0,852850404	8,111111111
GNL1	5,86151E-07	0,229392615	0,366	0,109	0,012368368	1,172341281	0,852993933	3,357798165
DCTN1	1,49822E-06	0,2292438	0,402	0,13	0,031614038	1,17222036	0,853081924	3,092307692
ZNF226	5,21699E-11	0,228994584	0,207	0,014	1,10084E-06	1,172017884	0,853229301	14,78571429
EAPP	6,069E-06	0,228942479	0,39	0,137	0,128061934	1,171975555	0,853260117	2,846715328
ACYP2	8,1914E-06	0,228904034	0,256	0,07	0,17284666	1,171944325	0,853282855	3,657142857

Supplementary Table 2

Differentially expressed genes_keloid-XL_comparing SC-Keloid vs. (SC-Myel, SC-Nonmyel, SC-Nonmyel2)								
gene	p_val	avg_log2FC	pct.1	pct.2	p_val_adj	Foldchange_UP	Foldchange_DOWN	Ratio_pct1_pct2
RPF2	4,41936E-08	0,228886634	0,28	0,06	0,00093253	1,17193019	0,853293147	4,666666667
IQGAP1	6,51352E-05	0,228886588	0,634	0,302	1	1,171930153	0,853293174	2,099337748
COA4	5,01244E-08	0,228804909	0,427	0,126	0,001057676	1,171863806	0,853341485	3,388888889
NRP1	6,23082E-08	0,228453759	0,354	0,091	0,001314765	1,17157861	0,853549212	3,89010989
NT5C3B	1,02014E-05	0,228414945	0,28	0,084	0,215259219	1,171547091	0,853572176	3,333333333
TRMT112	0,003021431	0,228327805	0,732	0,467	1	1,17147633	0,853623735	1,56745182
GAR1	4,45121E-11	0,22799367	0,256	0,028	9,39249E-07	1,171205043	0,85382146	9,142857143
SDHAF3	1,09597E-08	0,227945296	0,317	0,067	0,000231262	1,171165772	0,85385009	4,731343284
NAV1	4,77528E-07	0,22793059	0,378	0,112	0,010076326	1,171153834	0,853858794	3,375
MYO19	1,08035E-06	0,227910111	0,159	0,021	0,022796397	1,17113721	0,853870914	7,571428571
GAA	8,67253E-05	0,227901481	0,427	0,175	1	1,171130204	0,853876022	2,44
MFS12	7,05026E-06	0,227646202	0,463	0,175	0,148767611	1,170922996	0,854027125	2,645714286
ARF3	1,69606E-07	0,227486516	0,402	0,119	0,003578854	1,170793398	0,854121659	3,378151261
ANXA4	3,12549E-05	0,227339944	0,415	0,165	0,659509823	1,170674456	0,854208439	2,515151515
RTL8C	1,05257E-05	0,227252784	0,549	0,228	0,222102989	1,170603733	0,854260047	2,407894737
DDB1	3,03493E-06	0,227110604	0,427	0,147	0,064040084	1,170488373	0,85434424	2,904761905
HSPB3	0,000183568	0,226858092	0,049	0	1	1,170283523	0,854493787	#DIV/0!
SCN1B	0,000150458	0,226789564	0,183	0,049	1	1,170227936	0,854534377	3,734693878
DMAC1	1,60803E-07	0,22655544	0,305	0,074	0,003393111	1,170038044	0,854673064	4,121621622
PARL	6,69648E-09	0,226516823	0,329	0,07	0,000141302	1,170006726	0,854695941	4,7
SNAI2	4,66435E-13	0,226507134	0,195	0,004	9,84225E-09	1,169998868	0,854701681	48,75
KCTD17	3,82684E-10	0,226468355	0,232	0,025	8,07502E-06	1,169967419	0,854724656	9,28
NDUFB9	2,30981E-10	0,22639909	0,561	0,161	4,87392E-06	1,16991125	0,854765693	3,48447205
ZFPM1	2,83891E-08	0,226221398	0,329	0,077	0,000599039	1,169767165	0,854870978	4,272727273
BAX	9,96265E-08	0,226189277	0,537	0,189	0,002102219	1,16974112	0,854890012	2,841269841
SLC9A7	8,40386E-12	0,226160731	0,159	0	1,7733E-07	1,169717975	0,854906927	#DIV/0!
GCFC2	1,44381E-06	0,226141344	0,195	0,035	0,030465921	1,169702257	0,854918415	5,571428571
HADHB	1,90575E-05	0,226043047	0,476	0,193	0,40213175	1,169622562	0,854976667	2,466321244
KCNG1	1,17656E-05	0,226027309	0,232	0,06	0,248265924	1,169609803	0,854985994	3,866666667
ARNT2	5,03918E-07	0,225999878	0,183	0,028	0,01063317	1,169587566	0,85500225	6,535714286

Supplementary Table 2

Differentially expressed genes_keloid-XL_comparing SC-Keloid vs. (SC-Myel, SC-Nonmyel, SC-Nonmyel2)								
gene	p_val	avg_log2FC	pct.1	pct.2	p_val_adj	Foldchange_UP	Foldchange_DOWN	Ratio_pct1_pct2
ATF6	3,09191E-07	0,225922128	0,268	0,06	0,00652424	1,169524535	0,85504833	4,466666667
COMMD4	9,64312E-11	0,225868231	0,463	0,112	2,03479E-06	1,169480844	0,855080273	4,133928571
HAX1	5,53789E-07	0,225822245	0,329	0,091	0,011685504	1,169443568	0,855107529	3,615384615
CDK5RAP2	2,47738E-06	0,225348154	0,232	0,053	0,052275269	1,169059334	0,855388577	4,377358491
DGKI	5,5905E-11	0,225327266	0,146	0	1,17965E-06	1,169042408	0,855400961	#DIV/0!
NR2C2AP	4,23186E-07	0,22519752	0,22	0,042	0,008929644	1,168937277	0,855477894	5,238095238
RPL10	0,009883443	0,225126923	1	0,954	1	1,168880078	0,855519757	1,048218029
EPHA3	1,02952E-07	0,225102176	0,098	0	0,002172399	1,168860028	0,855534432	#DIV/0!
IAH1	0,000383552	0,225046224	0,585	0,298	1	1,168814697	0,855567613	1,963087248
GPR153	0,001789861	0,224786213	0,195	0,07	1	1,168604065	0,855721822	2,785714286
RO60	5,52939E-07	0,224719964	0,573	0,214	0,011667575	1,168550404	0,855761118	2,677570093
EMCN	0,00032041	0,224718299	0,073	0,007	1	1,168549055	0,855762106	10,42857143
PRKAB2	0,002984434	0,224657821	0,134	0,042	1	1,168500071	0,85579798	3,19047619
ABHD12	1,62836E-06	0,224458137	0,415	0,137	0,034360006	1,168338349	0,85591644	3,02919708
RPL6	0,015686261	0,224413711	0,951	0,87	1	1,168302372	0,855942797	1,093103448
DR1	4,09471E-05	0,224345985	0,329	0,119	0,864024304	1,168247528	0,855982979	2,764705882
HSD17B11	2,68582E-07	0,22428466	0,268	0,06	0,005667358	1,168197871	0,856019366	4,466666667
ITPA	1,32141E-06	0,224228133	0,427	0,144	0,027883002	1,1681521	0,856052906	2,965277778
ADAMTS6	6,67422E-07	0,224217685	0,085	0	0,014083281	1,16814364	0,856059106	#DIV/0!
RAB5B	0,01756438	0,224129122	0,183	0,088	1	1,168071933	0,856111659	2,079545455
ZNF783	0,000640402	0,223945747	0,098	0,018	1	1,167923473	0,856220483	5,444444444
XRCC4	3,3975E-07	0,223919723	0,146	0,014	0,007169057	1,167902406	0,856235928	10,42857143
SARS1	5,7489E-05	0,223804621	0,549	0,239	1	1,167809231	0,856304243	2,29707113
CAV2	7,59676E-05	0,223794649	0,439	0,179	1	1,16780116	0,856310162	2,452513966
NRAS	1,36458E-08	0,223733803	0,28	0,053	0,000287939	1,167751908	0,856346278	5,283018868
CYRIB	2,41327E-06	0,223732768	0,268	0,07	0,050922305	1,167751071	0,856346892	3,828571429
LBX2-AS1	1,86382E-06	0,223087671	0,122	0,011	0,039328534	1,167229031	0,85672989	11,09090909
TMEM14A	5,64889E-07	0,222918946	0,439	0,144	0,011919723	1,16709253	0,856830092	3,048611111
NDUFV3	2,70723E-05	0,222818846	0,317	0,109	0,571252879	1,167011555	0,856889545	2,908256881
BOP1	2,14886E-10	0,222727966	0,244	0,028	4,53431E-06	1,166938044	0,856943525	8,714285714

Supplementary Table 2

Differentially expressed genes_keloid-XL_comparing SC-Keloid vs. (SC-Myel, SC-Nonmyel, SC-Nonmyel2)								
gene	p_val	avg_log2FC	pct.1	pct.2	p_val_adj	Foldchange_UP	Foldchange_DOWN	Ratio_pct1_pct2
CKLF	3,92935E-08	0,222717173	0,439	0,126	0,000829133	1,166929313	0,856949936	3,484126984
TATDN1	2,26578E-07	0,222405284	0,256	0,053	0,004781017	1,166677068	0,857135215	4,830188679
SPOCD1	6,10551E-11	0,222399642	0,207	0,014	1,28832E-06	1,166672505	0,857138567	14,78571429
C3orf38	0,000325846	0,222274567	0,183	0,053	1	1,166571365	0,857212881	3,452830189
NAA60	7,7401E-07	0,222059709	0,293	0,074	0,016332389	1,166397642	0,857340553	3,959459459
UBA1	4,08995E-06	0,221915647	0,537	0,207	0,086302106	1,166281177	0,857426168	2,594202899
PIGS	1,03424E-05	0,221830333	0,22	0,053	0,218233962	1,16621221	0,857476874	4,150943396
LAMTOR5	0,000163737	0,221825942	0,732	0,407	1	1,16620866	0,857479484	1,798525799
GPSM3	9,76427E-12	0,221551779	0,232	0,018	2,06036E-07	1,165987061	0,85764245	12,88888889
TP53I3	1,85115E-08	0,221503589	0,293	0,06	0,000390611	1,165948115	0,857671098	4,883333333
STN1	4,91932E-09	0,221398757	0,232	0,032	0,000103803	1,165863395	0,857733423	7,25
RNF14	8,10174E-08	0,22139646	0,22	0,035	0,001709548	1,165861539	0,857734788	6,285714286
BAG6	9,41071E-08	0,221298763	0,5	0,165	0,001985753	1,165782591	0,857792875	3,03030303
CPSF2	9,83374E-05	0,220853667	0,171	0,042	1	1,165422983	0,858057559	4,071428571
VAMP7	3,32918E-06	0,220811401	0,244	0,06	0,070248972	1,16538884	0,858082698	4,066666667
BIN3	3,1358E-11	0,220685342	0,305	0,042	6,61686E-07	1,165287016	0,858157678	7,261904762
PTTG1IP	1,90618E-05	0,22063493	0,671	0,316	0,40222353	1,165246298	0,858187665	2,123417722
TMEM134	3,92734E-07	0,220593074	0,354	0,102	0,008287076	1,165212492	0,858212563	3,470588235
MAPKAPK5-AS1	2,09583E-07	0,220533955	0,268	0,06	0,004422404	1,165164745	0,858247732	4,466666667
TOMM40	8,70092E-11	0,220470561	0,378	0,074	1,83598E-06	1,165113547	0,858285446	5,108108108
SNRPB2	2,05636E-06	0,220436115	0,622	0,253	0,043391198	1,16508573	0,858305938	2,458498024
CDK5	3,61835E-10	0,220314631	0,22	0,021	7,63508E-06	1,164987626	0,858378216	10,47619048
FPGS	1,35362E-08	0,220314116	0,232	0,035	0,000285628	1,16498721	0,858378523	6,628571429
TIMM29	0,002239651	0,220272768	0,159	0,053	1	1,164953822	0,858403124	3
ZMAT2	8,92651E-09	0,220033177	0,39	0,098	0,000188358	1,164760372	0,858545693	3,979591837
TXNL1	1,76866E-06	0,219955148	0,537	0,207	0,037320419	1,164697376	0,858592129	2,594202899
IFT74	0,001085403	0,219864447	0,159	0,049	1	1,164624155	0,858646109	3,244897959
ACBD6	2,86433E-05	0,219725206	0,329	0,112	0,604401632	1,164511758	0,858728985	2,9375
MPV17L2	3,36921E-06	0,219693754	0,159	0,025	0,071093597	1,164486371	0,858747706	6,36
CAPZA1	6,50826E-08	0,219398125	0,512	0,165	0,001373308	1,164247775	0,858923694	3,103030303

Supplementary Table 2

Differentially expressed genes_keloid-XL_comparing SC-Keloid vs. (SC-Myel, SC-Nonmyel, SC-Nonmyel2)								
gene	p_val	avg_log2FC	pct.1	pct.2	p_val_adj	Foldchange_UP	Foldchange_DOWN	Ratio_pct1_pct2
C6orf47	2,31636E-07	0,219379875	0,159	0,018	0,004887745	1,164233047	0,85893456	8,833333333
CRAT	2,97058E-10	0,2192031	0,28	0,042	6,26822E-06	1,164090401	0,859039812	6,666666667
TIMM22	4,68278E-07	0,219080257	0,183	0,028	0,009881124	1,163991286	0,859112961	6,535714286
DAPK3	2,1731E-08	0,218936313	0,329	0,074	0,000458546	1,163875154	0,859198683	4,445945946
NIFK	1,37162E-07	0,21871903	0,39	0,112	0,002894247	1,163699878	0,859328096	3,482142857
DNAJC5	2,74168E-06	0,218696102	0,207	0,042	0,057852276	1,163681384	0,859341753	4,928571429
PIH1D1	1,65299E-09	0,218641262	0,268	0,042	3,48798E-05	1,16363715	0,859374419	6,380952381
PMF1	2,19361E-06	0,218622796	0,317	0,091	0,046287366	1,163622256	0,859385419	3,483516484
TUT7	0,011292245	0,218490172	0,159	0,067	1	1,163515292	0,859464424	2,373134328
RPAP3	0,000203227	0,21844169	0,171	0,046	1	1,163476192	0,859493307	3,717391304
TES	2,32149E-08	0,218399402	0,22	0,032	0,000489857	1,163442089	0,859518501	6,875
CCNT2	3,15003E-05	0,218236525	0,256	0,077	0,664688396	1,163310747	0,859615544	3,324675325
HEATR3	5,60121E-05	0,21821122	0,098	0,011	1	1,163290342	0,859630622	8,909090909
AGAP5	0,001876622	0,21816731	0,049	0,004	1	1,163254937	0,859656786	12,25
ATG7	7,34252E-09	0,218058217	0,22	0,028	0,000154935	1,163166978	0,859721793	7,857142857
TMEM185B	3,77042E-10	0,217856725	0,207	0,018	7,95596E-06	1,163004537	0,859841874	11,5
ZNF771	2,12559E-07	0,217702946	0,22	0,039	0,004485207	1,162880577	0,85993353	5,641025641
GNB1	0,000385961	0,217622543	0,707	0,432	1	1,162815771	0,859981457	1,636574074
ANXA7	5,34295E-07	0,217496685	0,585	0,211	0,011274163	1,162714333	0,860056483	2,772511848
FKBP11	3,24801E-06	0,217383159	0,195	0,039	0,068536275	1,162622843	0,860124164	5
AFAP1	8,92419E-08	0,217045929	0,354	0,091	0,001883093	1,162351111	0,860325242	3,89010989
INKA2	6,11901E-07	0,216963993	0,293	0,074	0,012911733	1,162285098	0,860374104	3,959459459
SV2A	1,8347E-06	0,216928299	0,11	0,007	0,038713925	1,162256343	0,860395391	15,71428571
RPS23	0,039800247	0,216839312	0,915	0,895	1	1,162184656	0,860448462	1,022346369
TBC1D9B	4,50613E-06	0,216658659	0,427	0,151	0,095083938	1,162039137	0,860556214	2,82781457
ANKRD10	0,011744583	0,216645236	0,878	0,667	1	1,162028326	0,86056422	1,316341829
VPS29	7,74748E-07	0,216508098	0,5	0,172	0,016347966	1,161917872	0,860646027	2,906976744
DGKZ	4,20027E-06	0,216497322	0,232	0,056	0,088629973	1,161909193	0,860652455	4,142857143
COMMD9	7,99158E-10	0,21633925	0,256	0,035	1,6863E-05	1,161781893	0,86074676	7,314285714
QDPR	3,53319E-06	0,216266819	0,341	0,105	0,074553904	1,161723567	0,860789975	3,247619048

Supplementary Table 2

Differentially expressed genes_keloid-XL_comparing SC-Keloid vs. (SC-Myel, SC-Nonmyel, SC-Nonmyel2)								
gene	p_val	avg_log2FC	pct.1	pct.2	p_val_adj	Foldchange_UP	Foldchange_DOWN	Ratio_pct1_pct2
CCDC112	7,98662E-08	0,216212702	0,329	0,081	0,001685256	1,16167999	0,860822265	4,061728395
ALG13	3,10407E-09	0,216207285	0,293	0,053	6,54989E-05	1,161675629	0,860825497	5,528301887
CCDC66	0,000208146	0,2160298	0,256	0,091	1	1,161532724	0,860931405	2,813186813
POLR3K	1,31916E-09	0,21587368	0,232	0,028	2,78356E-05	1,161407036	0,861024575	8,285714286
SH3GLB1	2,1743E-07	0,215735732	0,646	0,256	0,004587986	1,161295991	0,861106908	2,5234375
NECAB3	9,92806E-06	0,215730434	0,11	0,011	0,209492051	1,161291726	0,861110071	10
CHMP1A	1,15223E-06	0,215589281	0,329	0,091	0,024313194	1,16117811	0,861194326	3,615384615
GDI2	1,05392E-06	0,2154851	0,61	0,249	0,022238787	1,161094262	0,861256517	2,449799197
SLC35A3	0,00039981	0,215391123	0,171	0,049	1	1,161018631	0,861312621	3,489795918
CREM	7,49796E-06	0,215333914	0,293	0,088	0,158214551	1,160972592	0,861346777	3,329545455
BPNT2	2,87861E-07	0,215154526	0,476	0,158	0,006074163	1,160828243	0,861453885	3,012658228
UGGT2	4,03486E-06	0,215032405	0,317	0,095	0,085139556	1,160729986	0,861526808	3,336842105
SH3KBP1	4,78358E-08	0,214645332	0,329	0,077	0,001009383	1,160418605	0,861757986	4,272727273
GTF3C1	5,08847E-08	0,214622049	0,354	0,091	0,001073718	1,160399878	0,861771894	3,89010989
DNAJC4	1,46971E-07	0,214490958	0,366	0,102	0,00310123	1,160294443	0,861850202	3,588235294
RMDN3	3,47825E-06	0,214383948	0,244	0,06	0,073394486	1,160208382	0,861914131	4,066666667
PDIA5	1,61236E-06	0,214209599	0,134	0,014	0,034022396	1,160068181	0,862018299	9,571428571
NEK3	4,35326E-08	0,214192469	0,183	0,021	0,000918581	1,160054406	0,862028535	8,714285714
L3HYPDH	5,33878E-06	0,214037733	0,171	0,032	0,112653644	1,159929992	0,862120996	5,34375
CPTP	1,06622E-11	0,214034019	0,22	0,014	2,24984E-07	1,159927005	0,862123216	15,71428571
ABR	8,89414E-13	0,213752949	0,354	0,049	1,87675E-08	1,159701047	0,862291193	7,224489796
VAC14	5,20852E-08	0,21365429	0,171	0,018	0,00109905	1,159621743	0,862350164	9,5
TMEM115	1,05024E-09	0,213476269	0,232	0,028	2,2161E-05	1,159478661	0,862456579	8,285714286
CELSR1	3,08328E-08	0,21315021	0,122	0,004	0,000650604	1,15921664	0,862651523	30,5
TMED4	1,4775E-06	0,213137207	0,573	0,221	0,03117672	1,159206192	0,862659298	2,592760181
MBD3	1,80137E-06	0,212967535	0,329	0,095	0,038010805	1,159069869	0,862760759	3,463157895
DNAJC11	8,63999E-06	0,212662258	0,195	0,042	0,182312455	1,158824633	0,86294334	4,642857143
POGLUT2	3,05139E-07	0,212611111	0,134	0,011	0,006438732	1,158783551	0,862973934	12,18181818
IK	5,59693E-06	0,212489509	0,463	0,175	0,118100874	1,158685884	0,863046675	2,645714286
AZIN2	1,69291E-06	0,212443724	0,22	0,046	0,035722153	1,158649113	0,863074065	4,782608696

Supplementary Table 2

Differentially expressed genes_keloid-XL_comparing SC-Keloid vs. (SC-Myel, SC-Nonmyel, SC-Nonmyel2)								
gene	p_val	avg_log2FC	pct.1	pct.2	p_val_adj	Foldchange_UP	Foldchange_DOWN	Ratio_pct1_pct2
CHP1	0,001496408	0,212269446	0,378	0,175	1	1,158509156	0,863178331	2,16
CDR2L	2,03597E-09	0,21203193	0,207	0,021	4,2961E-05	1,158318442	0,863320451	9,857142857
MLX	3,23409E-10	0,212028509	0,354	0,067	6,82426E-06	1,158315696	0,863322498	5,28358209
EFR3A	7,70873E-07	0,212026184	0,268	0,063	0,016266189	1,158313829	0,863323889	4,253968254
KIF9	1,38557E-05	0,212017573	0,183	0,039	0,292368974	1,158306915	0,863329043	4,692307692
ENOPH1	5,0539E-07	0,211973477	0,415	0,13	0,01066424	1,158271512	0,86335543	3,192307692
GAS7	0,054637783	0,211903623	0,854	0,635	1	1,158215431	0,863397235	1,34488189
NAGK	9,01088E-06	0,211902488	0,366	0,126	0,190138555	1,158214519	0,863397914	2,904761905
SLC35B1	3,2832E-08	0,211774755	0,341	0,084	0,000692788	1,158111979	0,86347436	4,05952381
MEA1	2,63114E-08	0,211721858	0,354	0,088	0,000555196	1,158069516	0,863506021	4,022727273
ISG15	8,45557E-08	0,211504029	0,61	0,228	0,001784209	1,157894676	0,863636409	2,675438596
L3MBTL2	5,05208E-06	0,211463866	0,183	0,035	0,106604025	1,157862442	0,863660452	5,228571429
MAST4	0,002714415	0,211442896	0,122	0,035	1	1,157845612	0,863673006	3,485714286
PIK3C3	1,48049E-07	0,211319569	0,244	0,046	0,003123987	1,157746639	0,863746839	5,304347826
RPS3	0,010742368	0,211303987	0,976	0,825	1	1,157734135	0,863756168	1,183030303
NSRP1	9,54854E-07	0,211183324	0,354	0,105	0,020148373	1,157637309	0,863828413	3,371428571
SLC16A3	5,5905E-11	0,211024983	0,146	0	1,17965E-06	1,157510261	0,863923227	#DIV/0!
DPH3	1,60049E-07	0,210970287	0,329	0,084	0,003377185	1,157466378	0,863955981	3,916666667
BET1L	4,1982E-09	0,210947329	0,244	0,035	8,85863E-05	1,157447959	0,863969729	6,971428571
ODF2L	2,46803E-08	0,210796504	0,341	0,081	0,00052078	1,157326961	0,864060057	4,209876543
TMEM126A	1,22402E-06	0,210669007	0,305	0,084	0,025827941	1,157224688	0,86413642	3,630952381
HOXD-AS2	2,96175E-10	0,210583202	0,232	0,025	6,24958E-06	1,157155864	0,864187817	9,28
GID8	2,21466E-06	0,210498838	0,354	0,109	0,046731624	1,157088199	0,864238354	3,247706422
OCIAD1	0,000128162	0,210437444	0,598	0,288	1	1,15703896	0,864275132	2,076388889
FARSA	7,96284E-07	0,210402124	0,207	0,039	0,01680238	1,157010634	0,864296291	5,307692308
MRPL40	1,1465E-10	0,210258746	0,439	0,098	2,41922E-06	1,156895653	0,864382191	4,479591837
VPS9D1	5,13587E-08	0,210186889	0,183	0,021	0,00108372	1,156838033	0,864425245	8,714285714
FUCA2	1,28965E-06	0,21018004	0,293	0,077	0,027212834	1,156832541	0,864429349	3,805194805
CCDC34	5,00259E-05	0,210059658	0,171	0,039	1	1,156736016	0,864501482	4,384615385
ITGA7	0,00216227	0,210009061	0,329	0,144	1	1,156695449	0,864531801	2,284722222

Supplementary Table 2

Differentially expressed genes_keloid-XL_comparing SC-Keloid vs. (SC-Myel, SC-Nonmyel, SC-Nonmyel2)								
gene	p_val	avg_log2FC	pct.1	pct.2	p_val_adj	Foldchange_UP	Foldchange_DOWN	Ratio_pct1_pct2
GGA2	4,61553E-06	0,209990146	0,183	0,035	0,097392261	1,156680283	0,864543136	5,228571429
GNPAT	6,04746E-06	0,209961284	0,232	0,056	0,127607439	1,156657144	0,864560432	4,142857143
NDUFA9	1,58854E-07	0,20995171	0,28	0,063	0,003351972	1,156649467	0,86456617	4,444444444
TMEM60	2,23108E-08	0,209823209	0,207	0,028	0,000470781	1,156546449	0,86464318	7,392857143
PPP1R9B	6,0984E-06	0,209666142	0,268	0,074	0,128682266	1,156420543	0,864737319	3,621621622
BBS12	5,47929E-05	0,20966609	0,085	0,007	1	1,156420501	0,864737351	12,14285714
C11orf68	2,4143E-06	0,209535249	0,317	0,091	0,050944168	1,156315628	0,864815779	3,483516484
ZER1	9,81975E-07	0,209507925	0,207	0,039	0,020720645	1,156293727	0,864832158	5,307692308
PLCB3	1,13299E-05	0,2094815	0,159	0,028	0,239071246	1,156272548	0,864847999	5,678571429
MTRF1L	3,51938E-05	0,209434417	0,256	0,077	0,742624535	1,156234813	0,864876224	3,324675325
MRPL38	5,3308E-08	0,209379055	0,341	0,084	0,001124852	1,156190445	0,864909414	4,05952381
NFKBIB	7,24379E-07	0,209169093	0,244	0,053	0,015285114	1,156022192	0,865035297	4,603773585
GOLM2	4,64152E-05	0,209147101	0,415	0,165	0,979406552	1,15600457	0,865048484	2,515151515
MKRN2	5,23929E-05	0,209022013	0,171	0,039	1	1,155904343	0,86512349	4,384615385
GMFG	5,21474E-05	0,208763942	0,073	0,004	1	1,155697592	0,865278258	18,25
AKT2	2,83974E-07	0,208745935	0,354	0,098	0,005992126	1,155683168	0,865289058	3,612244898
MAP3K10	0,000180605	0,208552726	0,159	0,039	1	1,155528406	0,865404948	4,076923077
CTBS	7,81632E-09	0,208458587	0,293	0,056	0,000164932	1,155453008	0,865461419	5,232142857
MACO1	4,27945E-05	0,208250741	0,305	0,105	0,903006819	1,155286556	0,865586113	2,904761905
TNFRSF19	1,39205E-05	0,208206962	0,524	0,211	0,293735503	1,1552515	0,86561238	2,483412322
SLC39A13	1,2755E-06	0,20801473	0,329	0,095	0,026914284	1,155097578	0,865727726	3,463157895
PEX26	2,49998E-07	0,207849529	0,22	0,039	0,005275213	1,154965317	0,865826865	5,641025641
FYCO1	0,000648131	0,207846349	0,122	0,028	1	1,154962771	0,865828774	4,357142857
HPS1	0,001467056	0,207755476	0,171	0,056	1	1,154890024	0,865883313	3,053571429
FOCAD	0,000204598	0,207740233	0,098	0,014	1	1,154877822	0,865892461	7
MTX1	3,09191E-07	0,207700032	0,268	0,06	0,00652424	1,154845642	0,86591659	4,466666667
HOXD8	1,23009E-06	0,207646821	0,146	0,018	0,02595621	1,154803048	0,865948528	8,111111111
EIF2D	9,82182E-06	0,207621508	0,268	0,077	0,207250257	1,154782787	0,865963722	3,480519481
LINC00926	1,58349E-08	0,207544329	0,11	0	0,000334132	1,154721012	0,866010049	#DIV/0!
KMT5A	1,08254E-07	0,207254179	0,415	0,123	0,00228426	1,154488801	0,866184236	3,37398374

Supplementary Table 2

Differentially expressed genes_keloid-XL_comparing SC-Keloid vs. (SC-Myel, SC-Nonmyel, SC-Nonmyel2)								
gene	p_val	avg_log2FC	pct.1	pct.2	p_val_adj	Foldchange_UP	Foldchange_DOWN	Ratio_pct1_pct2
RPA1	1,10663E-08	0,207219518	0,28	0,053	0,00023351	1,154461065	0,866205046	5,283018868
RAB4B	5,53955E-05	0,207112363	0,256	0,081	1	1,154375322	0,866269385	3,160493827
NFE2L1	3,39312E-05	0,207112069	0,354	0,133	0,715983286	1,154375086	0,866269562	2,661654135
BBS7	0,000507286	0,207068194	0,146	0,039	1	1,15433998	0,866295907	3,743589744
CLPTM1L	8,55595E-07	0,207029456	0,305	0,081	0,018053905	1,154308985	0,866319168	3,765432099
MRPS18C	1,20723E-05	0,206918991	0,305	0,095	0,254738633	1,154220605	0,866385503	3,210526316
KLHL29	1,95495E-05	0,206649292	0,293	0,091	0,412514008	1,154004854	0,866547482	3,21978022
AARSD1	1,3747E-06	0,206626503	0,22	0,046	0,029007469	1,153986625	0,86656117	4,782608696
RGS20	3,54737E-07	0,206491398	0,134	0,011	0,007485302	1,153878562	0,866642325	12,18181818
HSD11B1L	5,23216E-05	0,206369551	0,098	0,011	1	1,153781112	0,866715523	8,909090909
PCCB	1,27699E-09	0,206228013	0,232	0,028	2,69458E-05	1,153667924	0,866800558	8,285714286
GSTZ1	2,77227E-09	0,206156077	0,256	0,039	5,84976E-05	1,153610401	0,866843779	6,564102564
FUBP1	7,37791E-05	0,205987057	0,366	0,14	1	1,153475257	0,866945341	2,614285714
SPRY4	0,006606071	0,205562928	0,098	0,028	1	1,153136204	0,867200246	3,5
DPP7	3,58629E-05	0,205545835	0,439	0,179	0,756742776	1,153122541	0,867210521	2,452513966
ST6GAL2	3,69345E-10	0,205528056	0,134	0	7,79355E-06	1,153108331	0,867221208	#DIV/0!
MRPS36	3,73965E-06	0,205459477	0,463	0,172	0,078910337	1,153053519	0,867262433	2,691860465
TINF2	1,042E-07	0,20544714	0,244	0,046	0,002198723	1,153043658	0,86726985	5,304347826
SLC49A3	0,000189633	0,205439864	0,098	0,014	1	1,153037844	0,867274223	7
ATP13A2	6,01581E-08	0,205404995	0,146	0,011	0,001269396	1,153009975	0,867295185	13,27272727
KLHL4	7,70344E-10	0,205305539	0,146	0,004	1,6255E-05	1,152930493	0,867354976	36,5
EIF2AK4	3,22E-06	0,205301568	0,305	0,088	0,067945183	1,152927319	0,867357364	3,465909091
ZNF706	0,003218054	0,205001881	0,793	0,446	1	1,15268785	0,867537556	1,778026906
VPS26A	2,68547E-05	0,20497741	0,463	0,186	0,566661979	1,152668298	0,867552272	2,489247312
CEP162	0,000214102	0,204936025	0,098	0,014	1	1,152635233	0,867577158	7
ZNF362	3,67813E-08	0,204889286	0,305	0,067	0,000776123	1,152597892	0,867605266	4,552238806
ELP5	7,0129E-09	0,204834837	0,378	0,091	0,000147979	1,152554393	0,86763801	4,153846154
VIM	0,018650911	0,204783045	1	0,993	1	1,152513017	0,867669159	1,007049345
TTL1	0,000105335	0,204779658	0,122	0,021	1	1,152510311	0,867671196	5,80952381
SERBP1	0,002056492	0,204705615	0,744	0,432	1	1,152451162	0,867715729	1,722222222

Supplementary Table 2

Differentially expressed genes_keloid-XL_comparing SC-Keloid vs. (SC-Myel, SC-Nonmyel, SC-Nonmyel2)								
gene	p_val	avg_log2FC	pct.1	pct.2	p_val_adj	Foldchange_UP	Foldchange_DOWN	Ratio_pct1_pct2
TTC1	9,93213E-08	0,204579496	0,39	0,112	0,002095778	1,152350421	0,867791587	3,482142857
IFNAR1	1,97851E-05	0,204569914	0,463	0,182	0,417484455	1,152342768	0,86779735	2,543956044
CDC42BPB	1,68283E-09	0,20454549	0,415	0,102	3,55095E-05	1,152323259	0,867812042	4,068627451
LAMP1	0,007559161	0,204361229	0,756	0,474	1	1,152176094	0,867922886	1,594936709
TAF9	1,04123E-06	0,204031021	0,305	0,084	0,021971013	1,151912411	0,868121561	3,630952381
RASGEF1C	1,21191E-05	0,203650975	0,39	0,14	0,255724915	1,151609005	0,868350279	2,785714286
ZMPSTE24	3,01009E-06	0,203617783	0,305	0,088	0,063515875	1,15158251	0,868370257	3,465909091
ANKRD52	1,5202E-06	0,203601659	0,146	0,018	0,0320778	1,15156964	0,868379962	8,111111111
SAR1B	1,11852E-06	0,203469931	0,341	0,102	0,023601851	1,151464498	0,868459255	3,343137255
WBP1	0,000493127	0,203402358	0,305	0,123	1	1,151410568	0,868499932	2,479674797
POLD4	3,32561E-05	0,20324575	0,317	0,109	0,701736723	1,151285586	0,868594215	2,908256881
COX20	6,34055E-07	0,203002567	0,61	0,239	0,013379203	1,15109154	0,868740639	2,552301255
ZNF720	0,000181872	0,202928082	0,195	0,056	1	1,151032111	0,868785493	3,482142857
PRR13	9,11153E-08	0,202735002	0,293	0,063	0,001922624	1,150878075	0,868901773	4,650793651
PDZRN4	0,000183568	0,202726164	0,049	0	1	1,150871026	0,868907095	#DIV/0!
UQCR10	1,01644E-05	0,202622111	0,598	0,27	0,21447991	1,150788023	0,868969767	2,214814815
SLC35E1	0,000261614	0,202449608	0,122	0,025	1	1,150650431	0,869073676	4,88
ACTL6A	1,89091E-08	0,202429394	0,305	0,063	0,000399001	1,15063431	0,869085852	4,841269841
OXLD1	3,84049E-10	0,202340576	0,207	0,018	8,10383E-06	1,150563474	0,869139359	11,5
IDH3B	2,95473E-10	0,202316098	0,415	0,095	6,23478E-06	1,150543953	0,869154105	4,368421053
PAM	1,02845E-07	0,202131818	0,244	0,046	0,002170139	1,150397	0,869265132	5,304347826
RPL23A	0,035594651	0,201733128	0,963	0,898	1	1,15007913	0,869505388	1,072383073
UNC119	1,02173E-05	0,201646471	0,098	0,007	0,215595665	1,150010051	0,869557617	14
EIF2S1	7,08191E-06	0,201458822	0,305	0,095	0,149435441	1,149860481	0,869670726	3,210526316
LIME1	0,001278637	0,201411732	0,073	0,011	1	1,14982295	0,869699113	6,636363636
ILVBL	5,31902E-06	0,201357922	0,183	0,035	0,112236587	1,149780065	0,869731552	5,228571429
BRCC3	1,08035E-06	0,201306629	0,159	0,021	0,022796397	1,149739186	0,869762475	7,571428571
NCAPH2	0,000187187	0,201275876	0,195	0,056	1	1,149714679	0,869781015	3,482142857
LTBP3	0,040689728	0,201091914	0,598	0,393	1	1,149568085	0,86989193	1,521628499
TOM1	8,40872E-07	0,200680392	0,159	0,021	0,017743232	1,149240222	0,870140098	7,571428571

Supplementary Table 2

Differentially expressed genes_keloid-XL_comparing SC-Keloid vs. (SC-Myel, SC-Nonmyel, SC-Nonmyel2)								
gene	p_val	avg_log2FC	pct.1	pct.2	p_val_adj	Foldchange_UP	Foldchange_DOWN	Ratio_pct1_pct2
UNC93B1	6,44539E-06	0,199903871	0,183	0,035	0,136004184	1,148621818	0,870608571	5,228571429
EFS	6,63905E-06	0,19966269	0,463	0,172	0,140090583	1,148429815	0,870754126	2,691860465
MYEF2	2,61613E-05	0,199585491	0,244	0,07	0,55202967	1,148368363	0,870800722	3,485714286
ZNF260	0,000420675	0,19953811	0,159	0,042	1	1,148330649	0,870829321	3,785714286
MRPL11	2,13808E-10	0,199484106	0,317	0,053	4,51156E-06	1,148287665	0,87086192	5,981132075
AQP7	1,047E-05	0,199378478	0,11	0,011	0,220927383	1,148203595	0,870925683	10
POLR3B	1,02952E-07	0,199264872	0,098	0	0,002172399	1,148113183	0,870994267	#DIV/0!
TFDP1	4,13102E-08	0,199150769	0,341	0,081	0,000871686	1,148022382	0,871063157	4,209876543
PHAX	4,53829E-09	0,199138	0,354	0,077	9,57625E-05	1,148012221	0,871070866	4,597402597
ADIPOR1	1,32567E-06	0,199111745	0,329	0,095	0,027973041	1,147991329	0,871086719	3,463157895
ATIC	1,80693E-07	0,199107603	0,183	0,025	0,003812806	1,147988033	0,87108922	7,32
TSEN34	3,33003E-08	0,199047437	0,317	0,07	0,00070267	1,147940159	0,871125548	4,528571429
ESCO1	9,47787E-07	0,198902958	0,171	0,025	0,019999248	1,147825203	0,871212792	6,84
STING1	0,000119672	0,19874891	0,22	0,067	1	1,147702648	0,871305823	3,28358209
RHBDF2	2,9671E-05	0,198621957	0,159	0,032	0,626087906	1,147601658	0,871382499	4,96875
FLYWCH2	2,38462E-09	0,198473444	0,39	0,091	5,03179E-05	1,147483528	0,871472205	4,285714286
TXNDC9	5,32006E-10	0,198471996	0,293	0,046	1,12259E-05	1,147482376	0,87147308	6,369565217
LAMP2	0,016993087	0,198455043	0,817	0,54	1	1,147468892	0,87148332	1,512962963
CHURC1	1,15906E-05	0,198434634	0,659	0,302	0,244573686	1,14745266	0,871495649	2,182119205
MVB12A	4,85608E-09	0,198402902	0,402	0,098	0,000102468	1,147427422	0,871514817	4,102040816
COA3	2,34093E-11	0,19839499	0,305	0,042	4,9396E-07	1,147421129	0,871519597	7,261904762
LINC00920	5,29929E-08	0,198377034	0,171	0,018	0,001118203	1,147406849	0,871530444	9,5
DPM3	3,39548E-07	0,198295302	0,439	0,14	0,007164809	1,147341847	0,87157982	3,135714286
STK40	5,46195E-06	0,198094467	0,268	0,074	0,115252604	1,147182139	0,871701159	3,621621622
GRB10	1,41456E-06	0,197790602	0,402	0,133	0,029848528	1,146940541	0,871884779	3,022556391
CDK16	5,01014E-08	0,19767576	0,378	0,102	0,00105719	1,146849246	0,871954186	3,705882353
SRR	1,44656E-09	0,197575044	0,159	0,007	3,05239E-05	1,146769186	0,87201506	22,71428571
CRK	4,05398E-07	0,197286843	0,488	0,168	0,008554308	1,146540123	0,872189276	2,904761905
FAM219A	0,000230198	0,1972785	0,183	0,053	1	1,146533493	0,87219432	3,452830189
CD58	5,22271E-10	0,197219699	0,39	0,084	1,10204E-05	1,146486764	0,872229869	4,642857143

Supplementary Table 2

Differentially expressed genes_keloid-XL_comparing SC-Keloid vs. (SC-Myel, SC-Nonmyel, SC-Nonmyel2)								
gene	p_val	avg_log2FC	pct.1	pct.2	p_val_adj	Foldchange_UP	Foldchange_DOWN	Ratio_pct1_pct2
DSC3	0,059627559	0,197189476	0,061	0,021	1	1,146462746	0,872248142	2,904761905
MACROH2A1	3,05228E-08	0,197149943	0,537	0,175	0,000644061	1,146431331	0,872272044	3,068571429
ZNHIT2	5,79627E-05	0,197099523	0,085	0,007	1	1,146391266	0,872302529	12,14285714
FKBP15	3,95199E-06	0,196963339	0,159	0,025	0,083391026	1,146283057	0,872384874	6,36
LRRC45	1,80693E-07	0,196956531	0,183	0,025	0,003812806	1,146277648	0,872388991	7,32
CDC37	0,000202826	0,196865502	0,659	0,337	1	1,146205323	0,872444038	1,955489614
CDIN1	8,1138E-06	0,196850241	0,085	0,004	0,171209209	1,146193199	0,872453266	21,25
PCNX2	3,95284E-10	0,196795348	0,22	0,021	8,34089E-06	1,146149588	0,872486463	10,47619048
CNOT7	0,006569046	0,196791855	0,183	0,074	1	1,146146814	0,872488575	2,472972973
HOXB8	1,35664E-09	0,196757961	0,159	0,007	2,86265E-05	1,146119887	0,872509073	22,71428571
B4GALT6	8,93582E-09	0,19672582	0,268	0,046	0,000188555	1,146094353	0,872528511	5,826086957
OSR1	5,30286E-08	0,196637898	0,134	0,007	0,001118956	1,146024509	0,872581687	19,14285714
RAD50	7,20148E-09	0,196594433	0,329	0,07	0,000151958	1,145989983	0,872607977	4,7
NUBP2	5,07562E-06	0,196507479	0,39	0,133	0,107100642	1,145920913	0,872660572	2,932330827
PSMD7	4,44657E-05	0,196486006	0,427	0,168	0,938269864	1,145903858	0,872673561	2,541666667
IFI6	1,28153E-07	0,196407951	0,573	0,225	0,002704153	1,145841862	0,872720777	2,546666667
SGSH	5,69725E-05	0,196354139	0,098	0,011	1	1,145799123	0,87275333	8,909090909
ANKRD6	1,95401E-08	0,196226181	0,232	0,035	0,000412315	1,145697503	0,872830741	6,628571429
IMMT	2,60919E-09	0,19617645	0,341	0,07	5,50565E-05	1,14565801	0,872860829	4,871428571
DPM1	3,52125E-07	0,196172536	0,293	0,07	0,007430198	1,145654902	0,872863197	4,185714286
DDX10	1,89218E-06	0,195988209	0,183	0,032	0,039926833	1,145508536	0,872974726	5,71875
CISD1	3,66571E-08	0,195809004	0,268	0,053	0,000773502	1,145366255	0,87308317	5,056603774
TMEM201	0,013668311	0,195798212	0,134	0,053	1	1,145357687	0,873089701	2,528301887
FBLIM1	4,16452E-05	0,195784841	0,11	0,014	0,878756316	1,145347071	0,873097793	7,857142857
DNAJC10	2,01923E-06	0,195642254	0,341	0,102	0,042607711	1,145233878	0,873184088	3,343137255
TMEM63B	4,66646E-05	0,19557091	0,171	0,039	0,984669334	1,145177246	0,87322727	4,384615385
DYRK1B	3,04946E-07	0,195441499	0,122	0,007	0,006434672	1,145074527	0,873305603	17,42857143
OSBPL8	0,000457116	0,195358693	0,402	0,182	1	1,145008806	0,873355729	2,208791209
SLC1A5	4,23165E-06	0,195209858	0,293	0,084	0,089292063	1,144890687	0,873445833	3,488095238
ARHGAP22	8,29253E-06	0,195197764	0,085	0,004	0,174980583	1,14488109	0,873453155	21,25

Supplementary Table 2

Differentially expressed genes_keloid-XL_comparing SC-Keloid vs. (SC-Myel, SC-Nonmyel, SC-Nonmyel2)								
gene	p_val	avg_log2FC	pct.1	pct.2	p_val_adj	Foldchange_UP	Foldchange_DOWN	Ratio_pct1_pct2
EFCAB7	3,32276E-05	0,195170178	0,159	0,032	0,701135887	1,144859199	0,873469856	4,96875
SETDB1	0,000285723	0,195161436	0,122	0,025	1	1,144852261	0,87347515	4,88
DHRS1	1,17194E-07	0,195157725	0,244	0,046	0,002472921	1,144849316	0,873477396	5,304347826
RALYL	2,26856E-10	0,195061086	0,171	0,007	4,78689E-06	1,144772631	0,873535908	24,42857143
BBS4	4,88779E-08	0,195038844	0,183	0,021	0,001031372	1,144754982	0,873549376	8,714285714
RABIF	1,96537E-06	0,194974874	0,232	0,053	0,041471269	1,144704224	0,87358811	4,377358491
ERLEC1	3,0295E-07	0,194940491	0,354	0,098	0,006392545	1,144676944	0,87360893	3,612244898
ENTPD6	6,36417E-07	0,194830016	0,183	0,028	0,013429045	1,144589293	0,87367583	6,535714286
UBE2I	3,08436E-05	0,194662668	0,646	0,295	0,650831393	1,144456531	0,873777179	2,189830508
NKX6-1	1,89824E-06	0,194553316	0,122	0,011	0,040054753	1,144369788	0,873843412	11,09090909
NAE1	1,42969E-09	0,194348384	0,317	0,06	3,01678E-05	1,144207245	0,873967548	5,283333333
CPSF1	0,013396864	0,194283139	0,122	0,046	1	1,1441555	0,874007074	2,652173913
PRDX2	5,0436E-05	0,194178512	0,451	0,179	1	1,144072526	0,87407046	2,519553073
TMEM259	0,00018375	0,194141208	0,659	0,323	1	1,144042944	0,874093062	2,040247678
SH3BP1	3,35288E-07	0,194099877	0,134	0,011	0,00707491	1,14401017	0,874118103	12,18181818
PIEZO1	9,09958E-08	0,194048526	0,439	0,13	0,001920103	1,143969451	0,874149217	3,376923077
TENT2	9,66716E-06	0,193880779	0,244	0,063	0,203986677	1,143836445	0,874250863	3,873015873
MRPS23	7,53784E-07	0,19384105	0,268	0,063	0,0159056	1,143804946	0,874274939	4,253968254
DAG1	0,001758994	0,193756124	0,817	0,463	1	1,143737617	0,874326406	1,764578834
UROD	7,64015E-08	0,193578059	0,256	0,049	0,001612148	1,14359646	0,874434327	5,224489796
TBX3	0,011324043	0,193321204	0,085	0,025	1	1,143392874	0,874590023	3,4
NXPH3	2,42495E-09	0,193120886	0,122	0	5,11688E-05	1,143234125	0,874711468	#DIV/0!
PEX11B	7,27037E-06	0,193116523	0,134	0,018	0,153412017	1,143230667	0,874714114	7,444444444
FNTB	1,20154E-05	0,193108641	0,232	0,06	0,253537089	1,143224422	0,874718892	3,866666667
ACAD9	3,62311E-06	0,19276626	0,159	0,025	0,076451158	1,142953144	0,874926506	6,36
GGA1	3,09185E-05	0,1927365	0,22	0,06	0,652412253	1,142929567	0,874944554	3,666666667
NACC1	1,57118E-07	0,192675251	0,183	0,025	0,003315355	1,142881045	0,8749817	7,32
IL27RA	3,35857E-05	0,192516454	0,122	0,018	0,708691935	1,142755256	0,875078014	6,777777778
SUMF1	6,59742E-06	0,192474647	0,207	0,046	0,13921213	1,14272214	0,875103373	4,5
ZCCHC9	5,10936E-08	0,192471029	0,268	0,053	0,001078126	1,142719275	0,875105568	5,056603774

Supplementary Table 2

Differentially expressed genes_keloid-XL_comparing SC-Keloid vs. (SC-Myel, SC-Nonmyel, SC-Nonmyel2)								
gene	p_val	avg_log2FC	pct.1	pct.2	p_val_adj	Foldchange_UP	Foldchange_DOWN	Ratio_pct1_pct2
RHOBTB2	1,06202E-05	0,192310162	0,098	0,007	0,224096034	1,142591864	0,875203151	14
ADK	0,000662137	0,192263229	0,488	0,228	1	1,142554694	0,875231624	2,140350877
SLC25A3	0,007505446	0,192203049	0,793	0,572	1	1,142507035	0,875268133	1,386363636
OSBPL10	5,23929E-05	0,19200114	0,171	0,039	1	1,142347149	0,875390638	4,384615385
ACLY	2,08426E-07	0,191878864	0,366	0,102	0,004397995	1,142250334	0,875464835	3,588235294
RDX	0,01453352	0,191744442	0,707	0,477	1	1,142143911	0,875546409	1,482180294
ETFRF1	0,039502926	0,191438042	0,305	0,168	1	1,141901368	0,875732378	1,81547619
MRPL33	0,000547206	0,191371461	0,646	0,361	1	1,141848669	0,875772795	1,789473684
TBRG1	0,001040606	0,19122383	0,305	0,13	1	1,14173183	0,875862417	2,346153846
TSPAN31	2,93846E-08	0,191137496	0,28	0,056	0,000620044	1,141663508	0,875914832	5
ACSL4	3,77007E-07	0,19108781	0,268	0,06	0,007955225	1,14162419	0,875944999	4,466666667
EXOSC1	8,51851E-10	0,19100957	0,244	0,032	1,79749E-05	1,14156228	0,875992504	7,625
TCOF1	2,70805E-06	0,190979186	0,207	0,042	0,057142629	1,141538238	0,876010954	4,928571429
MFSD5	8,93956E-06	0,190833714	0,171	0,032	0,188633563	1,141423138	0,876099289	5,34375
SDHB	4,63908E-06	0,190771892	0,439	0,161	0,097889147	1,141374227	0,876136832	2,726708075
HEBP2	2,32358E-06	0,190487553	0,317	0,091	0,04902987	1,141149298	0,876309526	3,483516484
AK2	3,59359E-09	0,190462039	0,463	0,126	7,58283E-05	1,141129117	0,876325023	3,674603175
KRCC1	6,61008E-08	0,190457408	0,439	0,13	0,001394793	1,141125454	0,876327836	3,376923077
PSMD6	5,16215E-06	0,190398392	0,415	0,144	0,108926617	1,141078774	0,876363685	2,881944444
USP5	6,27593E-07	0,190380273	0,244	0,053	0,01324283	1,141064444	0,876374691	4,603773585
LIMD1	2,49785E-05	0,190343342	0,134	0,021	0,527071154	1,141035235	0,876397126	6,380952381
AC147651.4	4,20685E-09	0,190291097	0,22	0,028	8,87686E-05	1,140993915	0,876428864	7,857142857
APTX	2,27685E-06	0,19006452	0,207	0,042	0,048043722	1,140814734	0,876566519	4,928571429
DUS1L	6,95698E-07	0,18999998	0,305	0,081	0,014679919	1,1407637	0,876605734	3,765432099
PSMA5	3,60687E-06	0,189961611	0,439	0,165	0,076108533	1,140733361	0,876629048	2,660606061
GBP3	1,33284E-06	0,189856333	0,195	0,035	0,028124213	1,140650121	0,87669302	5,571428571
MORC2	0,001602565	0,189851902	0,098	0,021	1	1,140646619	0,876695713	4,666666667
SLC50A1	0,00123424	0,189803635	0,171	0,056	1	1,140608457	0,876725044	3,053571429
MGMT	1,15167E-06	0,189721647	0,354	0,105	0,024301363	1,140543638	0,87677487	3,371428571
ZDHHC4	1,41434E-07	0,189689871	0,232	0,042	0,002984409	1,140518518	0,876794181	5,523809524

Supplementary Table 2

Differentially expressed genes_keloid-XL_comparing SC-Keloid vs. (SC-Myel, SC-Nonmyel, SC-Nonmyel2)								
gene	p_val	avg_log2FC	pct.1	pct.2	p_val_adj	Foldchange_UP	Foldchange_DOWN	Ratio_pct1_pct2
CRABP1	1,39592E-06	0,189655271	0,098	0,004	0,029455268	1,140491165	0,87681521	24,5
SUMO3	1,01769E-08	0,189630207	0,5	0,147	0,000214742	1,140471352	0,876830442	3,401360544
DDX23	8,0798E-05	0,189626189	0,195	0,053	1	1,140468175	0,876832885	3,679245283
RUSC1	0,001185897	0,189620609	0,183	0,063	1	1,140463764	0,876836276	2,904761905
DHCR7	1,02952E-07	0,189599648	0,098	0	0,002172399	1,140447195	0,876849016	#DIV/0!
SEMA4F	0,000317802	0,189498134	0,061	0,004	1	1,140366951	0,876910717	15,25
RASA1	8,04146E-06	0,189480677	0,195	0,042	0,169682876	1,140353152	0,876921327	4,642857143
IGFBP2	0,074868323	0,18936746	0,22	0,133	1	1,140263665	0,876990148	1,654135338
RWDD4	9,14205E-08	0,189208925	0,305	0,07	0,001929064	1,140138371	0,877086523	4,357142857
PIF1	6,01716E-05	0,189110718	0,085	0,007	1	1,140060762	0,87714623	12,14285714
MZT1	1,83774E-05	0,18901611	0,329	0,112	0,387782228	1,139986002	0,877203753	2,9375
MRPS15	6,41683E-10	0,188954899	0,341	0,067	1,35402E-05	1,139937636	0,877240973	5,089552239
NIPSNAP3A	1,09747E-09	0,188770436	0,244	0,032	2,31577E-05	1,139791892	0,877353144	7,625
RTKN2	1,01057E-05	0,188155147	0,11	0,011	0,21323951	1,139305891	0,877727402	10
PCLAF	0,303137231	0,188117633	0,037	0,018	1	1,139276267	0,877750226	2,055555556
EPRS1	4,49256E-07	0,188024494	0,341	0,095	0,00947976	1,139202718	0,877806894	3,589473684
NF1	6,65788E-06	0,187770265	0,439	0,161	0,140488022	1,139001988	0,877961593	2,726708075
DCBLD1	2,1468E-05	0,187716025	0,134	0,021	0,452995664	1,138959167	0,877994602	6,380952381
ADPGK	0,000115143	0,187676898	0,244	0,077	1	1,138928278	0,878018414	3,168831169
SAMM50	5,65719E-06	0,187633586	0,268	0,074	0,119372465	1,138894086	0,878044774	3,621621622
MZT2A	2,18447E-06	0,187540198	0,402	0,133	0,046094477	1,138820365	0,878101613	3,022556391
PTDSS1	9,5155E-05	0,187536258	0,171	0,042	1	1,138817255	0,878104011	4,071428571
RABL6	4,41673E-07	0,187154739	0,39	0,119	0,00931974	1,138516136	0,878336256	3,277310924
ARHGEF11	2,09545E-06	0,186941603	0,341	0,102	0,044215994	1,13834795	0,878466026	3,343137255
CCDC74A	8,29253E-06	0,186936592	0,085	0,004	0,174980583	1,138343997	0,878469077	21,25
RPL26L1	3,67678E-07	0,186741496	0,39	0,116	0,007758375	1,138190069	0,87858788	3,362068966
GGH	3,3376E-08	0,186741142	0,207	0,028	0,000704268	1,138189789	0,878588096	7,392857143
GSTK1	7,21159E-05	0,186707597	0,561	0,253	1	1,138163325	0,878608525	2,217391304
NEDD4	1,93327E-06	0,18666972	0,122	0,011	0,040793846	1,138133444	0,878631593	11,09090909
CPSF6	4,33869E-07	0,186602057	0,341	0,095	0,009155073	1,138080066	0,878672802	3,589473684

Supplementary Table 2

Differentially expressed genes_keloid-XL_comparing SC-Keloid vs. (SC-Myel, SC-Nonmyel, SC-Nonmyel2)								
gene	p_val	avg_log2FC	pct.1	pct.2	p_val_adj	Foldchange_UP	Foldchange_DOWN	Ratio_pct1_pct2
TTF1	6,20327E-06	0,186371112	0,183	0,035	0,13089519	1,137897897	0,87881347	5,228571429
C12orf73	5,13587E-08	0,186370726	0,183	0,021	0,00108372	1,137897593	0,878813705	8,714285714
TRIT1	0,000198484	0,186370446	0,098	0,014	1	1,137897373	0,878813876	7
LRWD1	5,97624E-09	0,186365736	0,22	0,028	0,000126105	1,137893658	0,878816745	7,857142857
UGGT1	1,44381E-06	0,18634078	0,195	0,035	0,030465921	1,137873974	0,878831947	5,571428571
TPRN	0,001602574	0,186325047	0,098	0,021	1	1,137861566	0,878841531	4,666666667
GTF2H5	9,9754E-09	0,18623289	0,573	0,189	0,000210491	1,137788883	0,878897672	3,031746032
SATB1	7,86018E-05	0,18615457	0,305	0,109	1	1,137727117	0,878945386	2,798165138
PDHX	3,24738E-10	0,186150723	0,195	0,014	6,85231E-06	1,137724084	0,878947729	13,92857143
UBE2M	0,000146365	0,185930978	0,439	0,189	1	1,137550803	0,879081618	2,322751323
DPP3	1,66973E-09	0,185853565	0,183	0,014	3,52329E-05	1,137489766	0,879128789	13,07142857
HMG2	0,001113718	0,185778081	0,671	0,372	1	1,137430252	0,879174787	1,803763441
MAPRE3	1,56288E-06	0,185581271	0,244	0,056	0,032978351	1,137275096	0,879294731	4,357142857
KLHL2	0,001526092	0,185528473	0,098	0,021	1	1,137233476	0,879326911	4,666666667
DYNLRB1	0,007253273	0,185521472	0,805	0,509	1	1,137227958	0,879331178	1,581532417
CRYZ	2,17226E-10	0,185514639	0,171	0,007	4,58369E-06	1,137222571	0,879335343	24,42857143
PTRH1	6,8349E-05	0,185451697	0,134	0,025	1	1,137172958	0,879373707	5,36
TSPAN17	4,58906E-08	0,185440732	0,146	0,011	0,000968339	1,137164315	0,879380391	13,27272727
CDK18	1,04809E-07	0,185438673	0,28	0,06	0,002211585	1,137162692	0,879381646	4,666666667
TSR3	1,96302E-09	0,185360775	0,341	0,07	4,14217E-05	1,137101293	0,87942913	4,871428571
TOP3B	0,000109756	0,185316628	0,122	0,021	1	1,137066498	0,87945604	5,80952381
ERO1B	0,00017668	0,185300392	0,159	0,039	1	1,137053701	0,879465938	4,076923077
YEATS4	2,47065E-09	0,185099412	0,305	0,056	5,21333E-05	1,136895311	0,879588464	5,446428571
NCLN	7,79976E-09	0,184938087	0,256	0,042	0,000164583	1,136768188	0,879686827	6,095238095
RPL11	0,013163286	0,184858663	0,976	0,912	1	1,136705607	0,879735257	1,070175439
TMBIM4	0,00015338	0,184350253	0,683	0,34	1	1,1363051	0,880045333	2,008823529
STXBP6	1,44077E-09	0,184313873	0,293	0,049	3,04016E-05	1,136276446	0,880067525	5,979591837
BAK1	1,90824E-09	0,184279172	0,171	0,011	4,02658E-05	1,136249116	0,880088694	15,54545455
SHISAL1	4,32324E-06	0,184257888	0,073	0	0,09122464	1,136232353	0,880101678	#DIV/0!
EIF3J	1,66729E-05	0,18404421	0,512	0,218	0,35181423	1,136064078	0,880232039	2,348623853

Supplementary Table 2

Differentially expressed genes_keloid-XL_ comparing SC-Keloid vs. (SC-Myel, SC-Nonmyel, SC-Nonmyel2)								
gene	p_val	avg_log2FC	pct.1	pct.2	p_val_adj	Foldchange_UP	Foldchange_DOWN	Ratio_pct1_pct2
ARIH2	6,79308E-05	0,184002828	0,305	0,105	1	1,136031492	0,880257288	2,904761905
DPY19L3	1,17398E-05	0,183884512	0,256	0,07	0,247722026	1,135938329	0,880329481	3,657142857
SYNGR1	2,33208E-06	0,183797206	0,366	0,116	0,049209204	1,135869589	0,880382757	3,155172414
IRF7	2,00956E-05	0,183768096	0,268	0,081	0,424036398	1,13584667	0,880400521	3,308641975
MTREX	0,000883159	0,183755184	0,183	0,06	1	1,135836504	0,880408401	3,05
RALY	1,01974E-08	0,183717515	0,524	0,158	0,000215176	1,135806848	0,880431389	3,316455696
ABCF1	4,50019E-05	0,183548833	0,293	0,098	0,949584281	1,135674055	0,880534336	2,989795918
ALKBH7	0,00011244	0,183311667	0,463	0,2	1	1,135487376	0,8806791	2,315
PAPSS1	0,000730684	0,183302002	0,366	0,161	1	1,135479769	0,880684999	2,273291925
MORF4L2	0,005090405	0,183251116	0,707	0,439	1	1,13543972	0,880716063	1,61047836
ENTR1	0,002273841	0,183093339	0,183	0,067	1	1,135315552	0,880812386	2,731343284
SMPD1	4,23152E-06	0,183027949	0,195	0,039	0,089289314	1,135264095	0,880852309	5
AP3M2	0,037517008	0,183017033	0,11	0,046	1	1,135255505	0,880858974	2,391304348
RTL8A	4,36499E-07	0,182990777	0,451	0,151	0,009210571	1,135234845	0,880875005	2,986754967
PHLDA3	0,000125988	0,182715794	0,415	0,175	1	1,135018485	0,88104292	2,371428571
SMARCD2	8,96112E-07	0,18248936	0,207	0,039	0,018908861	1,134840355	0,881181212	5,307692308
FMNL3	1,94017E-06	0,182484097	0,329	0,098	0,040939605	1,134836216	0,881184426	3,357142857
GNAI3	2,55251E-07	0,182378246	0,512	0,172	0,005386043	1,134752955	0,881249082	2,976744186
COPG1	1,56288E-06	0,182362381	0,244	0,056	0,032978351	1,134740477	0,881258773	4,357142857
PML	6,2277E-05	0,182329505	0,207	0,056	1	1,134714619	0,881278855	3,696428571
SRRD	5,90231E-05	0,182320027	0,134	0,025	1	1,134707164	0,881284645	5,36
AHNAK2	6,37324E-08	0,18230617	0,146	0,011	0,001344817	1,134696266	0,881293109	13,27272727
C9orf64	0,000614877	0,182222966	0,098	0,018	1	1,134630827	0,881343937	5,444444444
PRMT9	0,001428181	0,181790442	0,122	0,032	1	1,134290712	0,881608206	3,8125
RNH1	4,05527E-05	0,181744993	0,695	0,34	0,855702222	1,134254979	0,88163598	2,044117647
MTRNR2L1	0,008167365	0,18163895	0,134	0,049	1	1,134171611	0,881700786	2,734693878
PEF1	2,49456E-07	0,181599131	0,329	0,084	0,005263767	1,134140307	0,881725121	3,916666667
IFT27	4,72583E-07	0,181578578	0,256	0,056	0,009971983	1,134124151	0,881737682	4,571428571
SRP14-DT	0,513508152	0,181537085	0,024	0,014	1	1,134091533	0,881763042	1,714285714
POLD2	1,79149E-06	0,181522729	0,317	0,091	0,037802275	1,134080248	0,881771816	3,483516484

Supplementary Table 2

Differentially expressed genes_keloid-XL_comparing SC-Keloid vs. (SC-Myel, SC-Nonmyel, SC-Nonmyel2)								
gene	p_val	avg_log2FC	pct.1	pct.2	p_val_adj	Foldchange_UP	Foldchange_DOWN	Ratio_pct1_pct2
GNPDA2	4,00328E-08	0,181512663	0,244	0,042	0,000844731	1,134072335	0,881777969	5,80952381
IRAK1	1,29829E-06	0,18135719	0,256	0,06	0,027395138	1,133950128	0,881872999	4,266666667
NDUFA10	4,07505E-05	0,181321279	0,476	0,193	0,859876183	1,133921902	0,881894951	2,466321244
C8orf33	7,6302E-08	0,181311532	0,293	0,063	0,001610048	1,133914241	0,881900909	4,650793651
SMIM30	2,87705E-06	0,181290853	0,256	0,063	0,060708706	1,133897988	0,88191355	4,063492063
B3GALT4	2,34822E-07	0,181228414	0,171	0,021	0,004954974	1,133848915	0,88195172	8,142857143
EVL	3,73156E-08	0,181205807	0,28	0,056	0,000787397	1,133831148	0,88196554	5
WDR41	3,47772E-07	0,181189499	0,207	0,035	0,007338339	1,133818331	0,881975509	5,914285714
SNRNP200	1,52554E-05	0,181160837	0,366	0,126	0,321903617	1,133795806	0,881993032	2,904761905
CRCP	0,000380805	0,180845057	0,171	0,049	1	1,133547665	0,882186106	3,489795918
PPP1R35	2,77004E-07	0,180772842	0,317	0,081	0,005845069	1,133490926	0,882230265	3,913580247
CACNA1D	0,000210889	0,180662128	0,098	0,014	1	1,133403944	0,882297971	7
LMNA	0,024908882	0,180583124	0,951	0,821	1	1,133341879	0,882346288	1,158343484
DLGAP4	0,000149751	0,180576247	0,683	0,354	1	1,133336476	0,882350494	1,929378531
FUT8	6,87072E-05	0,180408768	0,305	0,109	1	1,133204918	0,88245293	2,798165138
CREB3	4,77161E-08	0,180401589	0,317	0,074	0,001006857	1,133199279	0,882457321	4,283783784
TRIQQ	1,55242E-07	0,180195951	0,232	0,042	0,003275771	1,133037767	0,882583113	5,523809524
SDHC	7,38549E-10	0,180178465	0,488	0,126	1,55841E-05	1,133024034	0,882593811	3,873015873
LTF	0,011128779	0,180173378	0,037	0,004	1	1,13302004	0,882596922	9,25
TFPT	2,77308E-08	0,18011305	0,207	0,028	0,000585148	1,132972662	0,88263383	7,392857143
RBM4B	2,01765E-05	0,180055283	0,171	0,035	0,425744527	1,132927297	0,882669172	4,885714286
EIF3H	0,001321454	0,180047991	0,622	0,333	1	1,132921571	0,882673634	1,867867868
NMI	7,28917E-09	0,17997415	0,329	0,07	0,000153809	1,132863587	0,882718812	4,7
CASD1	0,000174788	0,179936803	0,268	0,091	1	1,132834261	0,882741664	2,945054945
DLG4	1,16779E-06	0,17989347	0,159	0,021	0,02464156	1,132800235	0,882768178	7,571428571
SMAP2	2,71249E-10	0,179875262	0,244	0,028	5,72363E-06	1,132785938	0,88277932	8,714285714
FAM229A	1,25037E-06	0,179608747	0,146	0,018	0,026384074	1,132576694	0,882942414	8,111111111
TMED2	4,58849E-06	0,179381673	0,524	0,207	0,096821662	1,132398445	0,883081397	2,531400966
CNIH4	2,93871E-07	0,179343989	0,402	0,123	0,006200974	1,132368866	0,883104463	3,268292683
KRT80	3,41654E-07	0,179114449	0,134	0,011	0,007209233	1,132188715	0,883244981	12,18181818

Supplementary Table 2

Differentially expressed genes_keloid-XL_comparing SC-Keloid vs. (SC-Myel, SC-Nonmyel, SC-Nonmyel2)								
gene	p_val	avg_log2FC	pct.1	pct.2	p_val_adj	Foldchange_UP	Foldchange_DOWN	Ratio_pct1_pct2
TRAPPC3	1,84426E-06	0,179112417	0,317	0,091	0,038915657	1,13218712	0,883246225	3,483516484
RHBDF1	0,000386187	0,179072183	0,585	0,288	1	1,132155546	0,883270858	2,03125
S1PR2	3,15996E-05	0,179015407	0,159	0,032	0,666782936	1,132110992	0,883305619	4,96875
PMM1	3,76659E-08	0,17900629	0,305	0,067	0,000794787	1,132103838	0,8833112	4,552238806
MAP3K7	2,2314E-08	0,179001545	0,256	0,046	0,000470848	1,132100115	0,883314105	5,565217391
OSGEP	3,79244E-09	0,178933112	0,317	0,063	8,00244E-05	1,132046415	0,883356006	5,031746032
EFTUD2	3,34992E-08	0,17886556	0,244	0,042	0,000706866	1,131993411	0,883397368	5,80952381
CCS	9,72975E-07	0,178610622	0,354	0,105	0,02053075	1,131793394	0,883553487	3,371428571
NDUFV1	1,45148E-05	0,178499133	0,402	0,147	0,306275918	1,131705934	0,883621769	2,734693878
DTWD1	3,47822E-05	0,178492068	0,329	0,112	0,733938611	1,131700393	0,883626096	2,9375
PFDN2	0,007580823	0,178281603	0,671	0,389	1	1,131535308	0,883755012	1,724935733
OCEL1	6,44461E-06	0,178215189	0,207	0,046	0,135987778	1,131483219	0,883795697	4,5
NDFIP2	7,31031E-06	0,178035624	0,329	0,105	0,154254858	1,131342399	0,883905705	3,133333333
GFM2	1,36536E-06	0,177990353	0,098	0,004	0,028810488	1,131306898	0,883933441	24,5
SUPT4H1	2,39168E-05	0,177957556	0,39	0,147	0,504667401	1,13128118	0,883953537	2,653061224
MARCHF7	0,000102144	0,177931821	0,256	0,084	1	1,131261	0,883969305	3,047619048
RAP1B	8,34361E-05	0,177822654	0,695	0,344	1	1,131175402	0,884036196	2,020348837
PSMD11	0,000205624	0,177671052	0,427	0,182	1	1,131056542	0,884129098	2,346153846
CARM1	0,000406709	0,177525103	0,232	0,081	1	1,130942125	0,884218545	2,864197531
BECN1	0,000104049	0,177513357	0,207	0,06	1	1,130932918	0,884225743	3,45
RGL2	1,60803E-07	0,177396966	0,305	0,074	0,003393111	1,130841682	0,884297082	4,121621622
SAAL1	5,4137E-05	0,177390362	0,098	0,011	1	1,130836505	0,884301131	8,909090909
METTL3	2,97214E-05	0,177359615	0,183	0,042	0,627150464	1,130812405	0,884319977	4,357142857
PRKAR1A	0,000254871	0,177266536	0,659	0,326	1	1,130739451	0,884377033	2,021472393
UBE2A	2,51891E-06	0,177207778	0,524	0,189	0,053151473	1,130693399	0,884413052	2,772486772
CASP6	6,93636E-06	0,177164546	0,134	0,018	0,146364163	1,130659516	0,884439555	7,444444444
TMEM161B	1,37895E-06	0,177101748	0,146	0,018	0,029097295	1,130610302	0,884478054	8,111111111
MAP2	1,047E-05	0,177094022	0,11	0,011	0,220927383	1,130604247	0,884482791	10
SLC10A3	1,17809E-06	0,17708029	0,207	0,039	0,024858914	1,130593486	0,88449121	5,307692308
LASP1	1,02768E-05	0,176948474	0,427	0,158	0,21685103	1,13049019	0,884572028	2,702531646

Supplementary Table 2

Differentially expressed genes_keloid-XL_comparing SC-Keloid vs. (SC-Myel, SC-Nonmyel, SC-Nonmyel2)								
gene	p_val	avg_log2FC	pct.1	pct.2	p_val_adj	Foldchange_UP	Foldchange_DOWN	Ratio_pct1_pct2
MRPS25	3,86364E-07	0,17694784	0,256	0,056	0,008152673	1,130489694	0,884572416	4,571428571
KCTD20	1,32748E-06	0,176709097	0,402	0,13	0,028011242	1,130302631	0,884718811	3,092307692
VASP	5,10767E-06	0,176677129	0,329	0,102	0,107776959	1,130277586	0,884738415	3,225490196
HEXA	1,13354E-06	0,176620245	0,39	0,123	0,023918817	1,130233021	0,8847733	3,170731707
ACO2	0,000689538	0,176587795	0,28	0,112	1	1,130207599	0,884793201	2,5
POLR2D	0,000153426	0,176535882	0,11	0,018	1	1,130166932	0,88482504	6,111111111
SUGT1	1,84178E-07	0,176473224	0,5	0,172	0,003886336	1,130117848	0,884863469	2,906976744
C6orf89	9,74531E-05	0,176462733	0,244	0,077	1	1,13010963	0,884869904	3,168831169
HOXB5	1,02952E-07	0,176396119	0,098	0	0,002172399	1,130057451	0,884910762	#DIV/0!
DDX39B	0,000973817	0,176356598	0,659	0,354	1	1,130026494	0,884935004	1,861581921
AAMDC	2,39131E-06	0,176291921	0,317	0,091	0,050458975	1,129975836	0,884974677	3,483516484
EIF3F	5,98473E-05	0,176201116	0,646	0,295	1	1,129904716	0,88503038	2,189830508
GLO1	2,00813E-07	0,176186826	0,439	0,137	0,004237346	1,129893524	0,885039147	3,204379562
SYNJ2	0,000275125	0,175940307	0,085	0,011	1	1,129700471	0,885190389	7,727272727
PRH1	0,000289263	0,175728761	0,146	0,035	1	1,129534832	0,885320197	4,171428571
MRPL27	1,0336E-08	0,175675283	0,329	0,07	0,000218099	1,129492963	0,885353015	4,7
IL7R	3,53478E-08	0,175550328	0,122	0,004	0,000745874	1,12939514	0,8854297	30,5
SNRNP35	8,28943E-09	0,175532559	0,207	0,025	0,000174915	1,129381229	0,885440606	8,28
TMEM30A	1,65227E-06	0,175507571	0,646	0,26	0,0348645	1,129361668	0,885455942	2,484615385
CSMD2	2,00519E-06	0,175414031	0,122	0,011	0,042311532	1,129288447	0,885513354	11,09090909
ZNF146	5,66206E-06	0,175347365	0,232	0,056	0,119475056	1,129236264	0,885554274	4,142857143
RIOK2	1,42472E-06	0,175333893	0,195	0,035	0,030063027	1,129225719	0,885562544	5,571428571
UFSP2	1,43452E-10	0,175272738	0,415	0,091	3,02699E-06	1,129177853	0,885600083	4,56043956
NDUFS1	4,56806E-08	0,174894297	0,366	0,095	0,000963906	1,128881691	0,88583242	3,852631579
MRPL22	1,33265E-05	0,174889464	0,439	0,165	0,281203077	1,128877909	0,885835387	2,660606061
GNPTG	0,003010501	0,174823811	0,28	0,126	1	1,128826539	0,8858757	2,222222222
MCRS1	3,36919E-08	0,174787621	0,317	0,07	0,000710933	1,128798222	0,885897923	4,528571429
SND1	5,45188E-06	0,174785552	0,439	0,158	0,115040123	1,128796604	0,885899193	2,778481013
PTPN14	4,0895E-06	0,174721771	0,354	0,116	0,086292601	1,128746701	0,885938359	3,051724138
GINM1	0,000258071	0,174697788	0,39	0,168	1	1,128727937	0,885953087	2,321428571

Supplementary Table 2

Differentially expressed genes_keloid-XL_comparing SC-Keloid vs. (SC-Myel, SC-Nonmyel, SC-Nonmyel2)								
gene	p_val	avg_log2FC	pct.1	pct.2	p_val_adj	Foldchange_UP	Foldchange_DOWN	Ratio_pct1_pct2
PIP5K1C	3,90887E-07	0,174616174	0,207	0,035	0,008248112	1,128664086	0,886003207	5,914285714
ILF3	1,98236E-05	0,174531659	0,646	0,281	0,418297139	1,128597969	0,886055112	2,298932384
MRPL13	1,75178E-06	0,174507714	0,244	0,056	0,036964228	1,128579238	0,886069818	4,357142857
RPL34	0,055476334	0,174271223	0,988	0,912	1	1,128394253	0,886215077	1,083333333
CRELD2	5,54229E-08	0,17425207	0,354	0,091	0,001169479	1,128379273	0,886226842	3,89010989
SAR1A	3,88948E-06	0,174149835	0,634	0,267	0,082072011	1,128299314	0,886289646	2,374531835
SLC25A1	1,82206E-06	0,17393981	0,268	0,067	0,038447379	1,12813507	0,88641868	4
TRAPPC6B	2,84621E-06	0,173888156	0,256	0,063	0,060057957	1,128094679	0,886450418	4,063492063
DDX1	1,64054E-07	0,173768022	0,415	0,123	0,003461697	1,128000746	0,886524237	3,37398374
GMPPB	3,06022E-10	0,173751557	0,183	0,011	6,45737E-06	1,127987873	0,886534354	16,63636364
SREBF2	6,69901E-06	0,173718531	0,305	0,091	0,141355793	1,127962051	0,886554649	3,351648352
DOCK6	4,17761E-06	0,173517979	0,22	0,049	0,08815171	1,127805262	0,886677899	4,489795918
SLC17A9	8,92738E-07	0,173496396	0,171	0,025	0,018837654	1,12778839	0,886691164	6,84
RMDN1	3,2095E-08	0,173479382	0,28	0,056	0,000677237	1,12777509	0,886701621	5
DCAF13	1,13955E-05	0,173380829	0,256	0,07	0,240455983	1,127698052	0,886762195	3,657142857
RNF167	0,0004083	0,173335317	0,268	0,102	1	1,127662477	0,88679017	2,62745098
C19orf48	8,25615E-07	0,173240338	0,244	0,053	0,017421299	1,127588241	0,886848553	4,603773585
PGD	2,69541E-08	0,173150831	0,256	0,046	0,000568759	1,127518286	0,886903576	5,565217391
HIKESHI	1,22172E-07	0,173077894	0,451	0,137	0,002577949	1,127461284	0,886948416	3,291970803
ANKRA2	6,61706E-06	0,173016761	0,134	0,018	0,139626629	1,12741351	0,886986	7,444444444
PNKP	3,50403E-06	0,172992996	0,195	0,039	0,073938602	1,127394939	0,887000611	5
COG8	5,60121E-05	0,172879146	0,098	0,011	1	1,127305974	0,887070612	8,909090909
LAS1L	0,020196758	0,172816444	0,134	0,056	1	1,127256981	0,887109166	2,392857143
DDT	5,20716E-06	0,172796789	0,537	0,214	0,109876208	1,127241624	0,887121252	2,509345794
DBNL	5,17893E-06	0,17277703	0,317	0,095	0,109280678	1,127226185	0,887133402	3,336842105
FDPS	1,52027E-05	0,172537053	0,451	0,179	0,320791962	1,127038698	0,88728098	2,519553073
FUT11	0,000216184	0,172528556	0,171	0,046	1	1,127032061	0,887286205	3,717391304
ZDHC16	1,11454E-06	0,172508316	0,159	0,021	0,023517921	1,127016249	0,887298653	7,571428571
POMGNT2	1,7018E-09	0,17246279	0,183	0,014	3,59096E-05	1,126980685	0,887326654	13,07142857
MAP7D3	3,52827E-07	0,172446076	0,244	0,049	0,007444996	1,126967629	0,887336933	4,979591837

Supplementary Table 2

Differentially expressed genes_keloid-XL_comparing SC-Keloid vs. (SC-Myel, SC-Nonmyel, SC-Nonmyel2)								
gene	p_val	avg_log2FC	pct.1	pct.2	p_val_adj	Foldchange_UP	Foldchange_DOWN	Ratio_pct1_pct2
FADD	4,7289E-08	0,172403089	0,183	0,021	0,000997844	1,12693405	0,887363373	8,714285714
FDX2	2,06593E-08	0,172350919	0,268	0,049	0,000435932	1,126893299	0,887395462	5,469387755
RPP21	1,72558E-05	0,172348093	0,402	0,151	0,36411532	1,126891091	0,887397201	2,662251656
RUVBL1	9,60448E-08	0,172217779	0,22	0,035	0,002026641	1,126789307	0,88747736	6,285714286
DNAJC13	2,11962E-05	0,172193991	0,171	0,035	0,44726133	1,126770729	0,887491993	4,885714286
SCAP	0,000160436	0,172110282	0,195	0,056	1	1,126705352	0,887543489	3,482142857
TIMM17A	3,92746E-06	0,172101484	0,366	0,119	0,08287335	1,126698482	0,887548902	3,075630252
RWDD2A	8,68705E-06	0,172037344	0,122	0,014	0,183305486	1,126648391	0,887588362	8,714285714
MIOS	0,001049213	0,171678162	0,11	0,025	1	1,126367929	0,887809369	4,4
APPL2	2,28182E-05	0,171652307	0,171	0,035	0,481487455	1,126347743	0,88782528	4,885714286
SZRD1	8,87214E-05	0,171630047	0,415	0,168	1	1,126330365	0,887838978	2,470238095
EIF2B1	2,68515E-11	0,171602599	0,354	0,06	5,66594E-07	1,126308936	0,88785587	5,9
GDPD5	0,001876622	0,171577587	0,049	0,004	1	1,126289409	0,887871263	12,25
NRDE2	0,000174671	0,171545962	0,244	0,081	1	1,12626472	0,887890726	3,012345679
CTNBL1	6,56905E-07	0,171498755	0,22	0,042	0,013861358	1,126227868	0,887919779	5,238095238
ARSA	0,000141395	0,171356682	0,195	0,056	1	1,126116965	0,888007224	3,482142857
HS3ST3B1	0,001952737	0,171296221	0,049	0,004	1	1,126069772	0,88804444	12,25
MRPS18A	1,82755E-05	0,171290647	0,171	0,035	0,385631777	1,126065422	0,888047871	4,885714286
MYEOV	5,5905E-11	0,171180616	0,146	0	1,17965E-06	1,125979543	0,888115602	#DIV/0!
IKBKG	7,97812E-05	0,171123942	0,159	0,035	1	1,125935311	0,888150492	4,542857143
TCIRG1	6,36417E-07	0,171088933	0,183	0,028	0,013429045	1,125907989	0,888172044	6,535714286
PLXND1	0,000106922	0,170838932	0,463	0,2	1	1,125712901	0,888325966	2,315
MTG2	0,000223551	0,170666483	0,183	0,053	1	1,125578349	0,888432157	3,452830189
UBFD1	2,82044E-07	0,170611772	0,244	0,049	0,005951411	1,125535664	0,888465849	4,979591837
CMTR2	5,3728E-09	0,170490052	0,28	0,049	0,000113372	1,125440708	0,888540812	5,714285714
NAT10	0,002321451	0,170463093	0,11	0,028	1	1,125419677	0,888557416	3,928571429
WAC-AS1	7,14685E-07	0,170434125	0,183	0,028	0,015080561	1,12539708	0,888575258	6,535714286
HPRT1	8,62361E-05	0,170425604	0,232	0,07	1	1,125390433	0,888580506	3,314285714
MSL3	1,23359E-05	0,17029836	0,256	0,07	0,260299981	1,125291179	0,888658881	3,657142857
CAMK2N2	1,58349E-08	0,170161385	0,11	0	0,000334132	1,125184345	0,888743258	#DIV/0!

Supplementary Table 2

Differentially expressed genes_keloid-XL_comparing SC-Keloid vs. (SC-Myel, SC-Nonmyel, SC-Nonmyel2)								
gene	p_val	avg_log2FC	pct.1	pct.2	p_val_adj	Foldchange_UP	Foldchange_DOWN	Ratio_pct1_pct2
RALBP1	0,000398295	0,17014664	0,561	0,26	1	1,125172845	0,888752341	2,157692308
SGCB	1,18547E-05	0,169991182	0,671	0,305	0,250145686	1,125051608	0,888848114	2,2
ZNF3	2,82921E-07	0,169947257	0,134	0,011	0,005969912	1,125017354	0,888875177	12,18181818
RGS8	6,67422E-07	0,169931495	0,085	0	0,014083281	1,125005064	0,888884888	#DIV/0!
TTC8	7,86343E-06	0,169872685	0,122	0,014	0,165926312	1,124959205	0,888921123	8,714285714
GLTP	9,10158E-05	0,16969389	0,317	0,116	1	1,124819796	0,889031295	2,732758621
SIRT7	1,54086E-05	0,169609704	0,244	0,067	0,325135945	1,124754161	0,889083175	3,641791045
UNC5B	0,000276795	0,16959874	0,183	0,053	1	1,124745613	0,889089931	3,452830189
PACC1	3,62311E-06	0,169433207	0,159	0,025	0,076451158	1,124616569	0,88919195	6,36
BBIP1	1,80554E-06	0,169429759	0,354	0,109	0,038098798	1,124613881	0,889194076	3,247706422
TRAM2-AS1	0,000685342	0,16937977	0,159	0,046	1	1,124574914	0,889224886	3,456521739
DNMT3A	1,74547E-06	0,169376948	0,268	0,067	0,036831262	1,124572714	0,889226626	4
PGP	1,64229E-07	0,169342577	0,427	0,126	0,003465402	1,124545922	0,889247811	3,388888889
INSYN2A	1,33545E-06	0,169268125	0,098	0,004	0,028179294	1,12448789	0,889293703	24,5
ZNRF1	0,00097948	0,16913588	0,183	0,06	1	1,124384819	0,889375224	3,05
VIPAS39	0,00109994	0,169113168	0,11	0,025	1	1,124367118	0,889389225	4,4
NGDN	3,39554E-05	0,169111451	0,268	0,084	0,716492954	1,12436578	0,889390284	3,19047619
F2R	0,0016151	0,169110456	0,22	0,084	1	1,124365005	0,889390897	2,619047619
C1QTNF6	0,000685342	0,168896844	0,159	0,046	1	1,124198538	0,889522594	3,456521739
CBFB	5,54468E-06	0,168781999	0,512	0,196	0,116998267	1,12410905	0,889593407	2,612244898
SPG21	2,01615E-06	0,168700515	0,305	0,084	0,042542862	1,124045562	0,889643653	3,630952381
HS3ST3A1	1,5822E-05	0,168617795	0,183	0,039	0,333859568	1,123981114	0,889694664	4,692307692
NSD2	0,001366307	0,168539003	0,146	0,042	1	1,12391973	0,889743256	3,476190476
P3H4	5,38783E-06	0,168475064	0,183	0,035	0,113688628	1,12386992	0,889782689	5,228571429
TPD52L2	2,51654E-07	0,168460872	0,39	0,112	0,00531015	1,123858865	0,889791442	3,482142857
CERS5	9,87009E-08	0,168104547	0,28	0,06	0,002082687	1,123581322	0,890011235	4,666666667
LCTL	5,08758E-08	0,168030007	0,134	0,007	0,001073531	1,123523271	0,890057221	19,14285714
RNASEH1-AS1	3,16576E-07	0,167879383	0,146	0,014	0,006680081	1,123405976	0,890150152	10,42857143
POLR3F	0,004199164	0,167828288	0,073	0,014	1	1,12336619	0,890181678	5,214285714
TMED7	4,81185E-05	0,167776951	0,476	0,2	1	1,123326217	0,890213355	2,38

Supplementary Table 2

Differentially expressed genes_keloid-XL_comparing SC-Keloid vs. (SC-Myel, SC-Nonmyel, SC-Nonmyel2)								
gene	p_val	avg_log2FC	pct.1	pct.2	p_val_adj	Foldchange_UP	Foldchange_DOWN	Ratio_pct1_pct2
AK1	1,89511E-06	0,167720021	0,415	0,137	0,039988737	1,12328189	0,890248484	3,02919708
HTATSF1	6,6303E-07	0,167680518	0,329	0,091	0,013990596	1,123251134	0,890272861	3,615384615
SMARCA4	6,67316E-05	0,167670817	0,268	0,088	1	1,123243581	0,890278847	3,045454545
CLPP	1,9583E-08	0,167639645	0,317	0,067	0,000413222	1,123219311	0,890298083	4,731343284
PARP1	1,56982E-08	0,167538508	0,427	0,116	0,000331248	1,123140573	0,890360498	3,681034483
CENPW	4,95036E-09	0,167500748	0,134	0,004	0,000104458	1,123111177	0,890383802	33,5
TAOK2	0,000314739	0,16747038	0,22	0,074	1	1,123087537	0,890402544	2,972972973
FARP1	1,78419E-05	0,167468024	0,146	0,025	0,376480972	1,123085703	0,890403998	5,84
SEZ6L2	9,20529E-08	0,167352276	0,22	0,035	0,001942408	1,122995601	0,890475438	6,285714286
ZNF251	1,02863E-05	0,167305686	0,11	0,011	0,217050943	1,122959336	0,890504196	10
MRPS2	1,30385E-07	0,167272542	0,207	0,032	0,002751254	1,122933538	0,890524654	6,46875
RNF139	7,61401E-05	0,167138931	0,256	0,081	1	1,122829545	0,890607131	3,160493827
RNF40	1,60931E-05	0,167001524	0,28	0,084	0,339580086	1,122722608	0,89069196	3,333333333
CCNY	6,40156E-09	0,166976157	0,366	0,084	0,000135079	1,122702867	0,890707621	4,357142857
UBE2L6	8,92496E-08	0,166877262	0,207	0,032	0,001883256	1,12262591	0,89076868	6,46875
SNX6	0,00020312	0,166817975	0,512	0,239	1	1,122579777	0,890805286	2,142259414
STAMPB	9,94033E-08	0,166810023	0,329	0,081	0,002097509	1,12257359	0,890810197	4,061728395
YPEL3	0,00252273	0,166762379	0,415	0,211	1	1,122536518	0,890839616	1,966824645
RRP15	9,21927E-06	0,16672122	0,305	0,095	0,19453582	1,122504493	0,890865031	3,210526316
GIT2	0,002296533	0,166666848	0,11	0,028	1	1,122462189	0,890898606	3,928571429
SEC31A	5,57713E-07	0,166625202	0,598	0,225	0,011768307	1,122429788	0,890924324	2,657777778
NUDT19	0,006076786	0,166569506	0,061	0,011	1	1,122386457	0,890958719	5,545454545
VBP1	1,5347E-06	0,166540566	0,415	0,137	0,032383681	1,122363942	0,890976592	3,02919708
BEND6	3,89526E-06	0,1665109	0,159	0,025	0,08219389	1,122340863	0,890994913	6,36
RNF157	3,16224E-05	0,166467498	0,122	0,018	0,667263526	1,1223071	0,891021718	6,777777778
TAF11	4,27361E-08	0,166377379	0,329	0,077	0,000901775	1,122236996	0,891077378	4,272727273
CLSTN1	2,57351E-05	0,16637594	0,659	0,305	0,543035814	1,122235877	0,891078267	2,160655738
ZNF655	2,47738E-06	0,166329821	0,232	0,053	0,052275269	1,122200003	0,891106753	4,377358491
LRRC23	7,35655E-07	0,16607509	0,183	0,028	0,015523062	1,122001877	0,891264106	6,535714286
NOC2L	6,00108E-05	0,166052346	0,256	0,081	1	1,12198419	0,891278156	3,160493827

Supplementary Table 2

Differentially expressed genes_keloid-XL_comparing SC-Keloid vs. (SC-Myel, SC-Nonmyel, SC-Nonmyel2)								
gene	p_val	avg_log2FC	pct.1	pct.2	p_val_adj	Foldchange_UP	Foldchange_DOWN	Ratio_pct1_pct2
SCFD1	1,27407E-05	0,16603644	0,329	0,105	0,268840694	1,121971819	0,891287983	3,133333333
ROGDI	0,000590302	0,165930214	0,098	0,018	1	1,121889211	0,891353611	5,444444444
TRIM14	2,04948E-09	0,165886384	0,195	0,018	4,3246E-05	1,121855128	0,891380691	10,83333333
ZNF524	2,47712E-06	0,165550751	0,28	0,074	0,052269763	1,121594166	0,89158809	3,783783784
F8	0,008614542	0,165433119	0,049	0,007	1	1,121502719	0,891660789	7
PCBD1	9,46653E-07	0,165426068	0,293	0,074	0,019975331	1,121497238	0,891665147	3,959459459
PMAIP1	4,69377E-05	0,165371203	0,146	0,028	0,990433334	1,121454589	0,891699057	5,214285714
HDAC1	6,73816E-07	0,165338724	0,293	0,074	0,014218182	1,121429342	0,891719132	3,959459459
RIDA	0,00037988	0,165297044	0,11	0,021	1	1,121396944	0,891744895	5,238095238
PRDX6	6,43711E-05	0,165292985	0,671	0,312	1	1,12139379	0,891747403	2,150641026
DPYSL3	4,31746E-10	0,165276732	0,22	0,021	9,11026E-06	1,121381156	0,89175745	10,47619048
ENSA	6,57335E-05	0,165211101	0,476	0,2	1	1,121330143	0,891798019	2,38
NUBP1	3,90887E-07	0,165192203	0,207	0,035	0,008248112	1,121315455	0,8918097	5,914285714
GPATCH2	1,54134E-05	0,165092303	0,329	0,109	0,325239048	1,121237812	0,891871456	3,018348624
PTGR1	4,24453E-10	0,164996375	0,329	0,06	8,95639E-06	1,121163261	0,891930761	5,483333333
BLOC1S4	7,65346E-08	0,164963465	0,22	0,035	0,001614956	1,121137686	0,891951107	6,285714286
TTC17	0,000613079	0,164899501	0,305	0,123	1	1,121087979	0,891990654	2,479674797
FKBP1B	0,000444147	0,164651923	0,11	0,021	1	1,120895608	0,89214374	5,238095238
TRPV4	5,55398E-09	0,164537207	0,134	0,004	0,000117194	1,120806484	0,892214682	33,5
SLC25A45	0,00380062	0,164512106	0,098	0,025	1	1,120786984	0,892230205	3,92
MAP2K5	0,009081904	0,164394662	0,11	0,035	1	1,120695749	0,89230284	3,142857143
YIPF5	3,85E-07	0,164330105	0,317	0,084	0,00812389	1,120645602	0,89234277	3,773809524
CYB561D2	1,7192E-06	0,164312984	0,183	0,032	0,036276865	1,120632302	0,89235336	5,71875
APOBEC3C	7,55226E-06	0,16423543	0,305	0,091	0,159360183	1,120572063	0,892401331	3,351648352
MYCBP	1,37895E-06	0,164081086	0,146	0,018	0,029097295	1,120452187	0,892496808	8,111111111
ACY1	1,24261E-06	0,164068454	0,159	0,021	0,02622034	1,120442376	0,892504622	7,571428571
CEP63	3,853E-06	0,164007679	0,268	0,07	0,081302136	1,120395178	0,892542221	3,828571429
MAN2B1	1,18479E-05	0,163949106	0,329	0,109	0,250001937	1,120349691	0,892578458	3,018348624
TMEM199	7,36862E-09	0,163911272	0,146	0,007	0,000155485	1,12032031	0,892601866	20,85714286
EIF3B	8,89321E-05	0,163821846	0,366	0,14	1	1,120250869	0,892657196	2,614285714

Supplementary Table 2

Differentially expressed genes_keloid-XL_comparing SC-Keloid vs. (SC-Myel, SC-Nonmyel, SC-Nonmyel2)								
gene	p_val	avg_log2FC	pct.1	pct.2	p_val_adj	Foldchange_UP	Foldchange_DOWN	Ratio_pct1_pct2
COA5	7,99092E-07	0,163671398	0,293	0,074	0,016861648	1,120134052	0,89275029	3,959459459
TMEM8B	0,001428181	0,163604326	0,122	0,032	1	1,120081978	0,892791795	3,8125
ANAPC5	1,92922E-07	0,163559772	0,512	0,168	0,004070853	1,120047388	0,892819367	3,047619048
C2orf74	0,001024669	0,163489049	0,11	0,025	1	1,119992483	0,892863136	4,4
DUT	0,004183708	0,163244477	0,488	0,253	1	1,119802633	0,89301451	1,928853755
UQCRFS1	1,88117E-07	0,162758552	0,378	0,105	0,003969465	1,119425527	0,893315344	3,6
TMEM42	1,45421E-05	0,162703115	0,183	0,039	0,306852515	1,119382513	0,893349672	4,692307692
SIKE1	5,83999E-07	0,162624052	0,244	0,053	0,012322958	1,11932117	0,89339863	4,603773585
RPP38	0,000194727	0,162520298	0,134	0,028	1	1,119240675	0,893462883	4,785714286
PLOD2	7,09401E-07	0,162496773	0,22	0,042	0,014969078	1,119222424	0,893477452	5,238095238
RNPS1	4,85095E-05	0,16243191	0,524	0,225	1	1,119172106	0,893517623	2,328888889
RPL22	0,054032787	0,162339417	0,951	0,877	1	1,119100356	0,89357491	1,084378563
MAD2L1BP	1,47187E-05	0,162252996	0,183	0,039	0,310578899	1,119033321	0,893628439	4,692307692
MICALL1	8,65211E-10	0,162181154	0,146	0,004	1,82568E-05	1,118977598	0,89367294	36,5
RBMS2	1,8284E-06	0,162144776	0,293	0,077	0,038581109	1,118949383	0,893695474	3,805194805
UBALD2	0,003541359	0,162098302	0,585	0,326	1	1,118913339	0,893724264	1,794478528
PDHB	6,26271E-08	0,162072236	0,366	0,095	0,001321495	1,118893123	0,893740412	3,852631579
ANGEL2	0,000164834	0,162053956	0,183	0,049	1	1,118878946	0,893751736	3,734693878
BAP1	4,1788E-06	0,162049615	0,195	0,039	0,088176872	1,118875579	0,893754425	5
ZNF775	2,11962E-05	0,162010378	0,171	0,035	0,44726133	1,118845149	0,893778733	4,885714286
SH3YL1	4,63516E-05	0,161970453	0,268	0,084	0,978065431	1,118814187	0,893803468	3,19047619
COPS5	2,20468E-06	0,161790347	0,354	0,109	0,046520996	1,118674523	0,893915057	3,247706422
ZDHHC5	4,28183E-08	0,161633426	0,28	0,056	0,000903509	1,118552852	0,894012293	5
CEP78	5,60121E-05	0,161548759	0,098	0,011	1	1,11848721	0,894064761	8,909090909
CCDC24	8,1138E-06	0,161541999	0,085	0,004	0,171209209	1,118481969	0,894068951	21,25
TLN1	0,000353318	0,16151746	0,695	0,354	1	1,118462945	0,894084158	1,963276836
UBAC2	5,62892E-06	0,161331661	0,268	0,074	0,118775827	1,118318912	0,894199311	3,621621622
GLMP	7,44051E-06	0,16127959	0,232	0,056	0,157002258	1,118278549	0,894231585	4,142857143
TMEM45A	3,52728E-05	0,161059134	0,183	0,042	0,744292094	1,11810768	0,894368242	4,357142857
DYNC2H1	0,000839097	0,161043444	0,171	0,053	1	1,11809552	0,894377969	3,226415094

Supplementary Table 2

Differentially expressed genes_keloid-XL_comparing SC-Keloid vs. (SC-Myel, SC-Nonmyel, SC-Nonmyel2)								
gene	p_val	avg_log2FC	pct.1	pct.2	p_val_adj	Foldchange_UP	Foldchange_DOWN	Ratio_pct1_pct2
KLHL36	0,006415308	0,160965159	0,207	0,088	1	1,11803485	0,894426502	2,352272727
CLDN5	0,003759144	0,160936126	0,098	0,025	1	1,118012351	0,894444502	3,92
COASY	0,00020114	0,160844287	0,171	0,046	1	1,117941183	0,894501442	3,717391304
POLR3G	4,42145E-07	0,160835013	0,207	0,035	0,009329705	1,117933996	0,894507192	5,914285714
SLC25A39	6,7035E-07	0,160717832	0,341	0,095	0,014145062	1,117843198	0,89457985	3,589473684
TIA1	5,81883E-06	0,160665921	0,378	0,126	0,122783037	1,117802976	0,894612039	3
ROPN1	2,31826E-10	0,160398162	0,171	0,007	4,89176E-06	1,117595535	0,894778092	24,42857143
TNK2	4,21083E-05	0,160340755	0,317	0,109	0,888528264	1,117551065	0,894813697	2,908256881
C6orf226	1,22548E-06	0,160327351	0,232	0,049	0,025858797	1,117540682	0,894822011	4,734693878
COMMD1	1,75605E-07	0,160112792	0,378	0,105	0,003705448	1,117374493	0,894955099	3,6
MPV17	1,01178E-07	0,160094998	0,39	0,109	0,00213495	1,117360711	0,894966137	3,577981651
C1orf56	0,000332001	0,160094862	0,366	0,158	1	1,117360606	0,894966222	2,316455696
SHARPIN	2,69483E-05	0,160046242	0,317	0,105	0,568635509	1,117322951	0,894996384	3,019047619
CCT5	4,45417E-05	0,160035122	0,463	0,189	0,939873909	1,117314338	0,895003282	2,44973545
MVK	2,2307E-07	0,15999355	0,11	0,004	0,004706999	1,117282143	0,895029073	27,5
TTL	2,47712E-06	0,159986464	0,28	0,074	0,052269763	1,117276655	0,895033468	3,783783784
XPNPEP1	4,05203E-06	0,159922194	0,244	0,06	0,085501984	1,117226884	0,895073342	4,066666667
CCT7	1,02028E-05	0,159782764	0,488	0,186	0,215290172	1,117118914	0,895159851	2,623655914
RPA2	3,9635E-05	0,159657986	0,171	0,039	0,836337258	1,117022298	0,895237276	4,384615385
NBPF1	8,26781E-07	0,159234711	0,22	0,042	0,017445897	1,116694621	0,89549997	5,238095238
ZNF84	1,84929E-06	0,159233283	0,134	0,014	0,039021837	1,116693516	0,895500856	9,571428571
ADAM10	0,000264134	0,159218736	0,598	0,284	1	1,116682256	0,895509886	2,105633803
TMEM121	2,90594E-08	0,159176521	0,22	0,032	0,000613182	1,116649582	0,89553609	6,875
METTL5	6,88037E-08	0,159089219	0,366	0,095	0,001451826	1,116582011	0,895590283	3,852631579
ZNF133	0,037995958	0,158882646	0,073	0,025	1	1,116422145	0,895718528	2,92
FBXO22	1,65209E-06	0,158868601	0,22	0,046	0,034860754	1,116411276	0,895727248	4,782608696
RECQL	0,000312434	0,158790149	0,28	0,105	1	1,116350568	0,895775958	2,666666667
PKIA	3,44186E-07	0,158742426	0,244	0,049	0,007262675	1,116313642	0,89580559	4,979591837
NDUFAF5	6,18181E-07	0,158715844	0,183	0,028	0,013044241	1,116293073	0,895822096	6,535714286
GLCE	2,30998E-05	0,158545439	0,171	0,035	0,487428804	1,116161229	0,895927912	4,885714286

Supplementary Table 2

Differentially expressed genes_keloid-XL_comparing SC-Keloid vs. (SC-Myel, SC-Nonmyel, SC-Nonmyel2)								
gene	p_val	avg_log2FC	pct.1	pct.2	p_val_adj	Foldchange_UP	Foldchange_DOWN	Ratio_pct1_pct2
ZADH2	3,71682E-08	0,158453665	0,207	0,028	0,000784286	1,116090229	0,895984907	7,392857143
NFS1	0,000210889	0,158405399	0,098	0,014	1	1,11605289	0,896014883	7
RPL30	0,261451897	0,158375036	0,963	0,919	1	1,116029402	0,896033741	1,047878128
PRPF38A	3,13385E-06	0,158358015	0,28	0,074	0,066127404	1,116016235	0,896044312	3,783783784
CARF	0,00174496	0,158348685	0,098	0,021	1	1,116009018	0,896050107	4,666666667
YBEY	5,7507E-09	0,158312817	0,341	0,074	0,000121346	1,115981272	0,896072385	4,608108108
TMEM248	1,19347E-05	0,158246299	0,366	0,126	0,251834589	1,115929819	0,896113701	2,904761905
DPH2	0,001703135	0,158214896	0,098	0,021	1	1,115905529	0,896133207	4,666666667
CDC42SE2	1,90706E-05	0,158193965	0,22	0,056	0,402407918	1,115889339	0,896146208	3,928571429
DDX49	6,87095E-08	0,158162992	0,317	0,074	0,001449839	1,115865383	0,896165447	4,283783784
DRG1	3,3093E-06	0,158003602	0,22	0,049	0,069829535	1,115742108	0,896264462	4,489795918
CDC16	4,72583E-07	0,157943486	0,256	0,056	0,009971983	1,115695617	0,896301809	4,571428571
MED7	3,64556E-07	0,15787622	0,146	0,014	0,007692497	1,115643599	0,8963436	10,42857143
SLC35F6	6,55188E-11	0,157849239	0,22	0,018	1,38251E-06	1,115622734	0,896360364	12,22222222
ALDH16A1	1,27887E-05	0,157772899	0,159	0,028	0,26985512	1,115563703	0,896407796	5,678571429
API5	7,86753E-06	0,157257121	0,256	0,067	0,166012805	1,115164949	0,896728328	3,820895522
BCL10	3,18917E-06	0,157149869	0,305	0,088	0,067294762	1,115082049	0,896794994	3,465909091
PAFAH1B3	2,29032E-05	0,157138136	0,232	0,063	0,483279746	1,11507298	0,896802288	3,682539683
COX7B	0,013370272	0,157137745	0,659	0,428	1	1,115072678	0,896802531	1,539719626
LZTR1	2,12429E-06	0,157127435	0,244	0,056	0,044824715	1,11506471	0,89680894	4,357142857
TRAF7	0,00012023	0,157106802	0,268	0,091	1	1,115048762	0,896821766	2,945054945
GRHPR	2,60469E-06	0,157068128	0,451	0,161	0,054961627	1,115018872	0,896845807	2,801242236
DCTN6	1,68627E-05	0,156929891	0,561	0,232	0,355819959	1,114912037	0,896931746	2,418103448
PTBP1	0,000228288	0,156898773	0,598	0,284	1	1,11488799	0,896951092	2,105633803
MTIF3	1,17297E-06	0,156864355	0,366	0,112	0,024750878	1,114861392	0,896972491	3,267857143
ILRUN	0,002077581	0,156682764	0,232	0,091	1	1,114721074	0,897085399	2,549450549
ADAMTS12	5,25571E-08	0,156639922	0,146	0,011	0,001109008	1,114687972	0,897112039	13,27272727
PSMD9	8,14288E-07	0,156592204	0,476	0,168	0,017182298	1,114651104	0,897141712	2,833333333
SNAI3-AS1	0,008751649	0,156506303	0,049	0,007	1	1,114584737	0,897195132	7
ADA2	1,33545E-06	0,156492944	0,098	0,004	0,028179294	1,114574417	0,897203439	24,5

Supplementary Table 2

Differentially expressed genes_keloid-XL_comparing SC-Keloid vs. (SC-Myel, SC-Nonmyel, SC-Nonmyel2)								
gene	p_val	avg_log2FC	pct.1	pct.2	p_val_adj	Foldchange_UP	Foldchange_DOWN	Ratio_pct1_pct2
AMPH	3,53478E-08	0,156414853	0,122	0,004	0,000745874	1,114514088	0,897252005	30,5
CBX5	0,000636146	0,156392372	0,561	0,291	1	1,114496721	0,897265987	1,927835052
CALHM2	0,00017875	0,156318683	0,134	0,028	1	1,114439797	0,897311818	4,785714286
ZNF766	0,00010679	0,156309081	0,122	0,021	1	1,114432379	0,89731779	5,80952381
SANBR	0,001474456	0,156187671	0,122	0,032	1	1,114338598	0,897393307	3,8125
YWHAH	0,00026985	0,156112283	0,659	0,326	1	1,114280371	0,897440201	2,021472393
SRSF9	2,01206E-05	0,156056562	0,537	0,221	0,424565537	1,114237335	0,897474864	2,429864253
CYP20A1	6,40582E-09	0,156043397	0,28	0,049	0,000135169	1,114227167	0,897483054	5,714285714
ATP2B2	0,001003155	0,155960639	0,134	0,035	1	1,114163253	0,897534538	3,828571429
LEF1	2,3778E-06	0,155850443	0,244	0,056	0,050173887	1,114078154	0,897603096	4,357142857
CNOT8	1,03076E-06	0,155821415	0,28	0,07	0,021750085	1,114055738	0,897621156	4
EXOC4	1,25713E-08	0,155682536	0,256	0,042	0,000265267	1,1139485	0,897707569	6,095238095
UCK1	3,10799E-05	0,155677239	0,207	0,053	0,655817737	1,11394441	0,897710865	3,905660377
MAP1LC3A	0,001122356	0,15559704	0,622	0,337	1	1,113882488	0,89776077	1,845697329
LCMT1	4,01294E-08	0,155577368	0,207	0,028	0,00084677	1,1138673	0,897773012	7,392857143
CTNNA1	0,005856707	0,155549299	0,854	0,649	1	1,113845629	0,897790479	1,31587057
CUEDC1	6,2031E-07	0,155455897	0,39	0,119	0,013089169	1,113773519	0,897848605	3,277310924
CLDN7	0,001839595	0,155442353	0,049	0,004	1	1,113763063	0,897857034	12,25
UBA6	7,37793E-05	0,155293421	0,366	0,14	1	1,113648093	0,897949726	2,614285714
SYCE1L	4,78823E-05	0,155219305	0,073	0,004	1	1,113590883	0,897995858	18,25
H2AZ2	0,002248882	0,155218005	0,634	0,34	1	1,11358988	0,897996667	1,864705882
CEP55	0,009031726	0,155182325	0,049	0,007	1	1,113562339	0,898018876	7
ANAPC10	9,03745E-05	0,155100923	0,195	0,053	1	1,113499509	0,898069547	3,679245283
FBXO38	0,02175178	0,155091666	0,073	0,021	1	1,113492365	0,898075309	3,476190476
UBL4A	2,92313E-09	0,155031517	0,244	0,035	6,1681E-05	1,113445942	0,898112752	6,971428571
CBARP	0,009329829	0,154742167	0,11	0,035	1	1,11322265	0,898292898	3,142857143
EXOC7	0,000446164	0,154715133	0,28	0,109	1	1,113201789	0,898309731	2,568807339
DNAL4	2,98523E-07	0,154502735	0,171	0,021	0,006299136	1,113037913	0,898441992	8,142857143
PPIL1	3,29037E-07	0,154484324	0,134	0,011	0,006943005	1,113023709	0,898453458	12,18181818
APLNR	9,45499E-06	0,154469586	0,098	0,007	0,199509675	1,113012338	0,898462637	14

Supplementary Table 2

Differentially expressed genes_keloid-XL_comparing SC-Keloid vs. (SC-Myel, SC-Nonmyel, SC-Nonmyel2)								
gene	p_val	avg_log2FC	pct.1	pct.2	p_val_adj	Foldchange_UP	Foldchange_DOWN	Ratio_pct1_pct2
PHF11	0,003846395	0,154458327	0,22	0,091	1	1,113003653	0,898469648	2,417582418
INO80E	0,000336578	0,154455975	0,207	0,067	1	1,113001838	0,898471113	3,089552239
SGO2	0,001803241	0,154346171	0,049	0,004	1	1,11291713	0,898539498	12,25
MMS19	1,65923E-08	0,154193082	0,244	0,039	0,000350114	1,112799041	0,89863485	6,256410256
SEC22A	1,90824E-09	0,154165206	0,171	0,011	4,02658E-05	1,112777539	0,898652214	15,54545455
ATP6V0E2-AS1	0,008401736	0,154088921	0,024	0	1	1,112718701	0,898699733	#DIV/0!
HIRA	0,001474456	0,154081802	0,122	0,032	1	1,112713211	0,898704168	3,8125
SPACA9	1,6403E-06	0,153972629	0,134	0,014	0,034611876	1,112629011	0,898772178	9,571428571
ZNF211	0,001126146	0,153819296	0,11	0,025	1	1,112510765	0,898867707	4,4
BMERB1	1,06086E-05	0,153798227	0,244	0,063	0,223852694	1,112494518	0,898880834	3,873015873
ZNF585B	0,000332109	0,153740684	0,073	0,007	1	1,112450146	0,898916687	10,42857143
RFNG	0,000421287	0,153526475	0,305	0,119	1	1,112284984	0,899050167	2,56302521
CCNB1IP1	4,99173E-06	0,153402119	0,317	0,095	0,105330494	1,112189112	0,899127666	3,336842105
RPS6KB2	0,011312565	0,153374927	0,171	0,07	1	1,112168149	0,899144613	2,442857143
DUSP23	6,51755E-08	0,153118665	0,39	0,105	0,001375268	1,111970616	0,899304339	3,714285714
SLC35C2	6,4873E-09	0,153057075	0,232	0,032	0,000136889	1,111923146	0,899342732	7,25
NUDT2	4,97361E-07	0,152876475	0,28	0,067	0,010494812	1,111783961	0,899455321	4,179104478
FBXL17	2,68861E-05	0,152869374	0,232	0,063	0,567322603	1,11177849	0,899459748	3,682539683
GPR108	0,00390695	0,152709392	0,207	0,084	1	1,111655209	0,899559496	2,464285714
SF3B5	6,48146E-06	0,152622331	0,561	0,232	0,136765335	1,111588128	0,899613782	2,418103448
MICU1	1,32108E-05	0,152593733	0,378	0,133	0,278761391	1,111566093	0,899631615	2,842105263
TM2D1	0,009487909	0,152522592	0,171	0,07	1	1,111511282	0,899675978	2,442857143
MAN1A2	1,02768E-05	0,152477202	0,451	0,165	0,216851261	1,111476312	0,899704284	2,733333333
ATG3	9,93562E-05	0,152457527	0,354	0,14	1	1,111461155	0,899716554	2,528571429
TMEM33	3,28733E-05	0,152194599	0,329	0,112	0,693659897	1,111258612	0,89988054	2,9375
CAMTA2	3,36584E-06	0,152084562	0,244	0,06	0,07102265	1,111173857	0,899949179	4,066666667
TNFAIP1	6,3637E-06	0,15183991	0,183	0,035	0,13428035	1,11098544	0,900101805	5,228571429
UMPS	5,08758E-08	0,151740767	0,134	0,007	0,001073531	1,110909095	0,900163662	19,14285714
ZBTB17	0,001659385	0,151709866	0,134	0,039	1	1,110885301	0,900182943	3,435897436
NDRG4	6,67422E-07	0,151657049	0,085	0	0,014083281	1,110844632	0,9002159	#DIV/0!

Supplementary Table 2

Differentially expressed genes_keloid-XL_comparing SC-Keloid vs. (SC-Myel, SC-Nonmyel, SC-Nonmyel2)								
gene	p_val	avg_log2FC	pct.1	pct.2	p_val_adj	Foldchange_UP	Foldchange_DOWN	Ratio_pct1_pct2
NLRX1	0,026685693	0,151622185	0,049	0,011	1	1,110817788	0,900237654	4,454545455
AIMP2	8,40774E-07	0,151591028	0,171	0,025	0,017741166	1,110793798	0,900257097	6,84
BRD3OS	2,47998E-05	0,151471804	0,134	0,021	0,523300999	1,110702006	0,900331497	6,380952381
CDKN2B	0,000412162	0,151402768	0,159	0,042	1	1,110648859	0,90037458	3,785714286
WDR13	7,23726E-05	0,151306914	0,451	0,182	1	1,110575069	0,900434404	2,478021978
CUL4B	6,83314E-06	0,15124506	0,207	0,046	0,144186145	1,110527454	0,90047301	4,5
TMEM267	8,07227E-05	0,151061669	0,159	0,035	1	1,110386297	0,900587483	4,542857143
GBA	9,41154E-05	0,151035475	0,195	0,053	1	1,110366136	0,900603834	3,679245283
GTF2E1	6,67422E-07	0,150930807	0,085	0	0,014083281	1,110285582	0,900669175	#DIV/0!
BEND5	1,83428E-05	0,150791314	0,146	0,025	0,387051502	1,110178235	0,900756265	5,84
MUL1	1,90655E-09	0,150561256	0,195	0,018	4,02302E-05	1,110001215	0,900899915	10,83333333
ARFRP1	7,26295E-05	0,150552404	0,305	0,109	1	1,109994404	0,900905442	2,798165138
NT5C3A	2,43477E-06	0,150364242	0,354	0,109	0,051376124	1,109849644	0,90102295	3,247706422
RPS12	0,026100466	0,150126059	0,976	0,912	1	1,109666428	0,901171717	1,070175439
ZNF576	0,000702674	0,15004971	0,122	0,028	1	1,109607704	0,901219409	4,357142857
C4orf3	0,002130089	0,150038138	0,683	0,404	1	1,109598804	0,901226638	1,690594059
ARL4D	8,25251E-08	0,14998468	0,256	0,049	0,001741362	1,10955769	0,901260033	5,224489796
IPO4	1,81794E-06	0,149907736	0,134	0,014	0,038360322	1,109498514	0,901308102	9,571428571
LINC00665	3,12046E-05	0,149804473	0,159	0,032	0,658448012	1,109419103	0,901372617	4,96875
LTA4H	0,000705559	0,149745177	0,159	0,046	1	1,109373506	0,901409664	3,456521739
DRG2	0,000290452	0,149567018	0,183	0,053	1	1,109236518	0,901520987	3,452830189
CFAP20	2,2086E-05	0,149396633	0,573	0,249	0,466036878	1,109105523	0,901627464	2,301204819
CHMP6	1,0926E-05	0,149389822	0,22	0,053	0,230548859	1,109100286	0,901631721	4,150943396
FMNL1	0,006076786	0,149368023	0,061	0,011	1	1,109083528	0,901645345	5,545454545
MED8	2,63838E-07	0,149304996	0,22	0,039	0,00556724	1,109035077	0,901684736	5,641025641
BMP8B	1,72676E-05	0,149249429	0,415	0,154	0,364363962	1,108992362	0,901719466	2,694805195
TIMM23	9,11343E-09	0,149233707	0,195	0,021	0,000192303	1,108980277	0,901729292	9,285714286
SLC25A24	1,912E-06	0,149194211	0,22	0,046	0,040345126	1,108949917	0,901753979	4,782608696
FAT1	1,46962E-07	0,149179019	0,415	0,119	0,003101049	1,108938239	0,901763475	3,487394958
IL17RA	7,4007E-05	0,149070531	0,134	0,025	1	1,108854852	0,901831288	5,36

Supplementary Table 2

Differentially expressed genes_keloid-XL_comparing SC-Keloid vs. (SC-Myel, SC-Nonmyel, SC-Nonmyel2)								
gene	p_val	avg_log2FC	pct.1	pct.2	p_val_adj	Foldchange_UP	Foldchange_DOWN	Ratio_pct1_pct2
PCDHGA10	0,000284208	0,149030537	0,085	0,011	1	1,108824113	0,901856289	7,727272727
DNAJC17	7,14685E-07	0,148963369	0,183	0,028	0,015080561	1,108772491	0,901898278	6,535714286
SCAMP3	5,85622E-06	0,148819669	0,305	0,091	0,123572035	1,108662057	0,901988116	3,351648352
TMEM184B	0,000359592	0,148777439	0,329	0,133	1	1,108629605	0,902014519	2,473684211
PABIR2	4,9418E-05	0,148679777	0,146	0,028	1	1,10855456	0,902075582	5,214285714
MKNK1	1,55729E-05	0,14858204	0,207	0,049	0,328603271	1,108479462	0,902136696	4,224489796
VCP	1,22724E-05	0,148475522	0,524	0,211	0,258959273	1,108397623	0,902203306	2,483412322
RETREG2	4,49189E-05	0,148452138	0,317	0,109	0,947833764	1,108379658	0,90221793	2,908256881
RBMX2	1,66436E-05	0,14827628	0,207	0,049	0,351196556	1,108244559	0,902327913	4,224489796
MTFMT	3,53748E-05	0,148271977	0,159	0,032	0,746444206	1,108241254	0,902330604	4,96875
SLC2A8	1,22606E-05	0,148037383	0,268	0,077	0,25871057	1,108061059	0,902477343	3,480519481
DNAJC1	4,95818E-06	0,147915954	0,427	0,154	0,104622475	1,1079678	0,902553306	2,772727273
TPCN2	0,00046173	0,147657673	0,11	0,021	1	1,107769462	0,902714901	5,238095238
MRGBP	5,79791E-06	0,147635494	0,207	0,046	0,122341755	1,107752432	0,902728779	4,5
TBC1D16	0,001545113	0,147436968	0,183	0,063	1	1,107600007	0,90285301	2,904761905
RILPL1	5,94946E-06	0,147411362	0,28	0,077	0,125539597	1,107580348	0,902869035	3,636363636
REXO4	1,86648E-06	0,147372297	0,183	0,032	0,039384609	1,107550359	0,902893482	5,71875
ITGA11	0,000344207	0,147341932	0,073	0,007	1	1,107527048	0,902912486	10,42857143
RPL39	0,176132979	0,147182579	0,963	0,919	1	1,107404722	0,903012223	1,047878128
ATP6VOA1	0,000167444	0,147116085	0,244	0,081	1	1,107353683	0,903053844	3,012345679
CNPPD1	6,99759E-08	0,147109558	0,329	0,077	0,001476561	1,107348673	0,90305793	4,272727273
PPM1M	9,76523E-07	0,146911776	0,171	0,025	0,020605606	1,107196875	0,90318174	6,84
PABPC1L	0,000316068	0,146658191	0,146	0,035	1	1,107002278	0,903340508	4,171428571
ARID3B	4,18695E-06	0,146628843	0,159	0,025	0,088348819	1,106979759	0,903358884	6,36
LYPLA1	1,0229E-06	0,146608217	0,232	0,049	0,021584237	1,106963933	0,9033718	4,734693878
LNPBK	3,15192E-06	0,146539233	0,232	0,053	0,06650873	1,106911004	0,903414996	4,377358491
ZNF346	0,000204598	0,14651093	0,098	0,014	1	1,106889289	0,903432719	7
FBXW4	0,046537539	0,146411118	0,122	0,056	1	1,106812711	0,903495226	2,178571429
MRPS35	3,53006E-11	0,146352207	0,28	0,035	7,44877E-07	1,106767517	0,903532119	8
PLAGL1	2,13269E-07	0,14629833	0,11	0,004	0,004500182	1,106726186	0,903565862	27,5

Supplementary Table 2

Differentially expressed genes_keloid-XL_comparing SC-Keloid vs. (SC-Myel, SC-Nonmyel, SC-Nonmyel2)								
gene	p_val	avg_log2FC	pct.1	pct.2	p_val_adj	Foldchange_UP	Foldchange_DOWN	Ratio_pct1_pct2
DCUN1D5	2,66021E-06	0,146292223	0,244	0,056	0,056133048	1,106721501	0,903569687	4,357142857
NUDT5	1,39884E-06	0,146265585	0,317	0,088	0,029516935	1,106701066	0,903586371	3,602272727
C1orf159	0,097164846	0,146131412	0,085	0,039	1	1,106598146	0,903670409	2,179487179
DIRAS3	5,55398E-09	0,146053854	0,134	0,004	0,000117194	1,106538658	0,903718992	33,5
CTSO	8,72937E-07	0,146026708	0,207	0,039	0,018419843	1,106517837	0,903735996	5,307692308
ETV5	1,02292E-05	0,145989817	0,22	0,053	0,215846465	1,106489543	0,903759106	4,150943396
NCBP2	6,07784E-07	0,145951408	0,354	0,102	0,012824844	1,106460085	0,903783167	3,470588235
RAD51C	1,69089E-07	0,145907095	0,195	0,028	0,003567937	1,1064261	0,903810927	6,964285714
PLBD2	6,04672E-06	0,145724092	0,183	0,035	0,127591781	1,106285762	0,903925581	5,228571429
ADSL	2,16855E-06	0,145693171	0,183	0,032	0,045758632	1,10626205	0,903944956	5,71875
TEDC1	2,21914E-08	0,145640944	0,22	0,032	0,00046826	1,106222004	0,90397768	6,875
ARRB2	0,012780645	0,145567961	0,085	0,025	1	1,106166043	0,904023411	3,4
GALK1	3,21999E-05	0,145499944	0,183	0,042	0,679450306	1,106113894	0,904066033	4,357142857
HAUS1	0,000132233	0,145495287	0,146	0,032	1	1,106110323	0,904068951	4,5625
BASP1	0,304816249	0,145421001	0,061	0,035	1	1,10605337	0,904115504	1,742857143
SERP2	1,93327E-06	0,145393646	0,122	0,011	0,040793846	1,106032398	0,904132647	11,09090909
RBM23	0,000172682	0,145286847	0,317	0,119	1	1,105950524	0,904199581	2,663865546
BCL2L13	2,08677E-06	0,145177045	0,207	0,042	0,044033036	1,105866355	0,904268401	4,928571429
DERL1	3,7347E-06	0,14511337	0,28	0,077	0,078805884	1,105817548	0,904308312	3,636363636
SNX16	0,001777061	0,145056008	0,134	0,039	1	1,105773581	0,904344269	3,435897436
MED6	5,40733E-06	0,145017209	0,268	0,074	0,114100115	1,105743843	0,90436859	3,621621622
SIVA1	0,000158074	0,144945615	0,549	0,253	1	1,105688972	0,90441347	2,169960474
HTRA1	9,54858E-06	0,144829612	0,585	0,246	0,201484516	1,10560007	0,904486195	2,37804878
DXO	4,06927E-05	0,144530614	0,195	0,049	0,858655708	1,105370958	0,904673669	3,979591837
MRPL14	1,70731E-07	0,144419794	0,476	0,154	0,003602598	1,105286053	0,904743163	3,090909091
ERFE	4,32324E-06	0,144418899	0,073	0	0,09122464	1,105285367	0,904743725	#DIV/0!
PRPS2	1,01061E-06	0,14431953	0,232	0,049	0,021324863	1,105209241	0,904806043	4,734693878
TUBGCP3	3,3707E-06	0,144280128	0,171	0,028	0,071125139	1,105179057	0,904830755	6,107142857
CCDC22	4,30939E-06	0,144278831	0,159	0,025	0,09093244	1,105178063	0,904831569	6,36
PRKAG1	1,11655E-08	0,144140023	0,195	0,021	0,000235604	1,105071734	0,90491863	9,285714286

Supplementary Table 2

Differentially expressed genes_keloid-XL_comparing SC-Keloid vs. (SC-Myel, SC-Nonmyel, SC-Nonmyel2)								
gene	p_val	avg_log2FC	pct.1	pct.2	p_val_adj	Foldchange_UP	Foldchange_DOWN	Ratio_pct1_pct2
BABAM1	3,72895E-06	0,144099408	0,341	0,105	0,07868457	1,105040624	0,904944106	3,247619048
ISYNA1	1,75178E-06	0,143979194	0,244	0,056	0,036964228	1,10494855	0,905019514	4,357142857
ANKIB1	2,2405E-06	0,143938179	0,329	0,095	0,047276696	1,104917137	0,905045244	3,463157895
CASP3	7,19892E-09	0,143820404	0,317	0,063	0,000151904	1,10482694	0,905119131	5,031746032
AASDHPPT	5,96711E-05	0,143814001	0,244	0,074	1	1,104822037	0,905123148	3,297297297
RBCK1	4,72109E-07	0,143756032	0,463	0,154	0,009961982	1,104777645	0,905159518	3,006493506
RUFY3	0,02014484	0,143704776	0,207	0,102	1	1,104738395	0,905191676	2,029411765
ARHGAP23	6,64427E-05	0,143692587	0,28	0,095	1	1,104729061	0,905199324	2,947368421
GOLGA8B	0,009645779	0,143680927	0,134	0,049	1	1,104720133	0,90520664	2,734693878
TRAM2	0,000130745	0,143560258	0,293	0,102	1	1,104627736	0,905282357	2,87254902
FAF2	0,000267571	0,143516052	0,146	0,035	1	1,10459389	0,905310096	4,171428571
GSS	4,01294E-08	0,143425408	0,207	0,028	0,00084677	1,104524491	0,905366978	7,392857143
COA8	1,08166E-07	0,143376062	0,366	0,098	0,002282419	1,104486712	0,905397945	3,734693878
ZNF263	0,004566226	0,143327637	0,11	0,032	1	1,10444964	0,905428336	3,4375
SUSD4	0,000983548	0,14319995	0,085	0,014	1	1,104351894	0,905508475	6,071428571
METTL27	6,67422E-07	0,143131114	0,085	0	0,014083281	1,104299203	0,905551681	#DIV/0!
CCM2	4,85913E-05	0,143089227	0,329	0,116	1	1,104267141	0,905577974	2,836206897
RPL18	0,043644107	0,14306101	0,976	0,874	1	1,104245544	0,905595685	1,116704805
BSDC1	0,000380385	0,1430551	0,28	0,109	1	1,10424102	0,905599395	2,568807339
POFUT1	0,001182686	0,142853201	0,146	0,042	1	1,104086497	0,905726139	3,476190476
SSU72	2,73649E-06	0,14279025	0,512	0,189	0,057742693	1,104038322	0,90576566	2,708994709
BRMS1	3,60614E-08	0,142747328	0,329	0,077	0,000760932	1,104005476	0,905792609	4,272727273
LRRC61	1,59595E-06	0,142746617	0,146	0,018	0,033676041	1,104004931	0,905793055	8,111111111
CYHR1	0,000605906	0,142738468	0,354	0,151	1	1,103998696	0,905798171	2,344370861
AARD	4,32324E-06	0,142703171	0,073	0	0,09122464	1,103971686	0,905820333	#DIV/0!
MAPKAPK5	7,3023E-05	0,142593494	0,183	0,046	1	1,103887763	0,905889198	3,97826087
LRRC75A	1,18512E-05	0,142475604	0,28	0,084	0,250071219	1,103797562	0,905963226	3,333333333
DDRGK1	2,52402E-06	0,142452312	0,354	0,109	0,053259401	1,103779741	0,905977853	3,247706422
WWC1	1,02952E-07	0,142420208	0,098	0	0,002172399	1,103755179	0,905998014	#DIV/0!
RAMP1	1,80697E-08	0,142334234	0,244	0,039	0,00038129	1,103689406	0,906052006	6,256410256

Supplementary Table 2

Differentially expressed genes_keloid-XL_comparing SC-Keloid vs. (SC-Myel, SC-Nonmyel, SC-Nonmyel2)								
gene	p_val	avg_log2FC	pct.1	pct.2	p_val_adj	Foldchange_UP	Foldchange_DOWN	Ratio_pct1_pct2
PUS7L	1,09579E-05	0,14232457	0,195	0,042	0,231222427	1,103682013	0,906058075	4,642857143
RAE1	4,34375E-05	0,142264002	0,146	0,028	0,916575713	1,103635679	0,906096114	5,214285714
SMIM29	4,0422E-06	0,141986822	0,341	0,105	0,085294427	1,103423661	0,906270216	3,247619048
MCUR1	2,13049E-05	0,141984755	0,354	0,123	0,449554349	1,10342208	0,906271515	2,87804878
SCO1	1,02863E-05	0,141947657	0,11	0,011	0,217050943	1,103393706	0,90629482	10
EIF2B3	3,73206E-06	0,141931219	0,195	0,039	0,078750233	1,103381135	0,906305145	5
PEX2	5,50109E-07	0,141834765	0,305	0,077	0,011607854	1,103307368	0,90636574	3,961038961
DHRXS	7,61186E-11	0,141794248	0,22	0,018	1,60618E-06	1,103276383	0,906391196	12,22222222
ESYT1	4,91433E-07	0,14174702	0,232	0,046	0,010369724	1,103240267	0,906420867	5,043478261
PPID	6,1337E-06	0,141651862	0,146	0,021	0,129427162	1,103167501	0,906480656	6,952380952
MDK	2,19759E-05	0,141597183	0,463	0,186	0,463713113	1,103125692	0,906515012	2,489247312
FAM104B	0,000491694	0,14159376	0,183	0,056	1	1,103123075	0,906517163	3,267857143
PHKG1	5,61434E-05	0,141511226	0,171	0,039	1	1,103059968	0,906569025	4,384615385
FAM50A	3,81697E-06	0,141475865	0,402	0,14	0,080541829	1,103032932	0,906591246	2,871428571
OAZ1	0,080810863	0,141411007	0,951	0,786	1	1,102983345	0,906632003	1,209923664
HOXB4	7,59943E-06	0,141369536	0,085	0,004	0,160355666	1,10295164	0,906658065	21,25
PSKH1	2,1468E-05	0,141258651	0,134	0,021	0,452995664	1,102866871	0,906727753	6,380952381
RAB8A	1,2913E-08	0,141227321	0,293	0,056	0,000272478	1,102842921	0,906747444	5,232142857
HNRNPUL2	0,000114968	0,14122507	0,354	0,137	1	1,1028412	0,906748859	2,583941606
ICAM2	0,016071749	0,141063367	0,061	0,014	1	1,102717597	0,906850497	4,357142857
CAPZA2	8,45131E-06	0,141032861	0,561	0,235	0,178331074	1,10269428	0,906869672	2,387234043
C15orf61	2,5872E-07	0,140996388	0,28	0,063	0,005459252	1,102666403	0,906892599	4,444444444
MRPL28	5,47239E-06	0,140975394	0,317	0,095	0,115473007	1,102650357	0,906905797	3,336842105
ZFYVE27	0,000110887	0,14091582	0,171	0,042	1	1,102604825	0,906943247	4,071428571
TMEM101	7,90708E-07	0,140783435	0,183	0,028	0,016684724	1,102503652	0,907026474	6,535714286
ECHDC1	0,000336448	0,140763239	0,305	0,119	1	1,102488219	0,907039171	2,56302521
BCAT2	3,3465E-05	0,140612449	0,207	0,053	0,706144696	1,102372993	0,907133979	3,905660377
RPS27	0,125047335	0,140480163	0,988	0,94	1	1,102271917	0,907217162	1,05106383
STX18	0,000745181	0,140377502	0,171	0,053	1	1,102193483	0,907281721	3,226415094
RPS28	0,063518306	0,140349235	0,976	0,909	1	1,102171888	0,907299497	1,073707371

Supplementary Table 2

Differentially expressed genes_keloid-XL_comparing SC-Keloid vs. (SC-Myel, SC-Nonmyel, SC-Nonmyel2)								
gene	p_val	avg_log2FC	pct.1	pct.2	p_val_adj	Foldchange_UP	Foldchange_DOWN	Ratio_pct1_pct2
KIAA0753	8,29253E-06	0,140288753	0,085	0,004	0,174980583	1,102125683	0,907337535	21,25
TMEM41B	3,57942E-05	0,140242264	0,317	0,109	0,755292466	1,102090168	0,907366773	2,908256881
IMPACT	7,28732E-05	0,140160667	0,256	0,081	1	1,102027837	0,907418094	3,160493827
PPM1G	1,5112E-06	0,140029329	0,402	0,13	0,031887762	1,101927517	0,907500706	3,092307692
NARF	7,31286E-06	0,139987544	0,305	0,091	0,15430866	1,101895602	0,907526991	3,351648352
ANPEP	1,10381E-05	0,139862061	0,098	0,007	0,232915863	1,101799766	0,907605929	14
GAMT	1,86156E-06	0,139843451	0,268	0,067	0,039280779	1,101785553	0,907617637	4
C22orf39	3,19473E-07	0,139814343	0,244	0,049	0,006741204	1,101763323	0,90763595	4,979591837
PJA1	0,000505741	0,139730132	0,268	0,102	1	1,101699015	0,90768893	2,62745098
SMC6	2,17282E-06	0,139589669	0,244	0,056	0,04584871	1,101591756	0,907777309	4,357142857
TFAM	1,05306E-05	0,139414272	0,28	0,081	0,22220625	1,101457838	0,907887679	3,456790123
TMEM127	4,14509E-08	0,139407313	0,195	0,025	0,000874655	1,101452525	0,907892059	7,8
ATMIN	2,62381E-08	0,139405784	0,256	0,046	0,00055365	1,101451357	0,907893021	5,565217391
SCP2	2,87412E-06	0,139223899	0,585	0,232	0,060646839	1,101312503	0,908007489	2,521551724
METTL26	1,83242E-05	0,13919871	0,537	0,228	0,38665924	1,101293275	0,908023342	2,355263158
PRPF4	0,000271704	0,13914175	0,122	0,025	1	1,101249794	0,908059194	4,88
CCNC	2,81634E-08	0,139054028	0,207	0,028	0,000594277	1,101182836	0,908114409	7,392857143
MRPS26	1,35748E-05	0,139047757	0,415	0,151	0,286440893	1,10117805	0,908118356	2,748344371
STOML1	1,19159E-08	0,139039831	0,183	0,018	0,000251436	1,101171999	0,908123345	10,16666667
ARMC9	2,04211E-06	0,138949945	0,122	0,011	0,043090571	1,101103394	0,908179927	11,09090909
PPP1R16A	0,034527937	0,138854796	0,207	0,109	1	1,101030776	0,908239825	1,899082569
ZNF384	1,02116E-06	0,138828284	0,207	0,039	0,021547494	1,101010543	0,908256516	5,307692308
CPSF4	0,001338917	0,13880066	0,073	0,011	1	1,100989462	0,908273907	6,636363636
CHMP3	0,000225716	0,138500184	0,585	0,281	1	1,100760178	0,908463097	2,081850534
NAF1	7,68252E-07	0,138464026	0,171	0,025	0,016210885	1,10073259	0,908485865	6,84
PRNP	0,232700802	0,138435514	0,89	0,818	1	1,100710836	0,90850382	1,08801956
NAGPA	3,04946E-07	0,13839089	0,122	0,007	0,006434672	1,100676791	0,908531921	17,42857143
PPP2R1B	0,001052504	0,138248389	0,146	0,042	1	1,100568078	0,908621665	3,476190476
ZNF579	6,09253E-07	0,138240334	0,183	0,028	0,012855847	1,100561933	0,908626739	6,535714286
SIT1	0,063203483	0,138207475	0,012	0	1	1,100536867	0,908647434	#DIV/0!

Supplementary Table 2

Differentially expressed genes_keloid-XL_comparing SC-Keloid vs. (SC-Myel, SC-Nonmyel, SC-Nonmyel2)								
gene	p_val	avg_log2FC	pct.1	pct.2	p_val_adj	Foldchange_UP	Foldchange_DOWN	Ratio_pct1_pct2
TRAPPC13	3,37031E-05	0,138173049	0,183	0,042	0,711169579	1,100510606	0,908669117	4,357142857
TTC4	0,000569058	0,138169842	0,146	0,039	1	1,100508159	0,908671137	3,743589744
ATAT1	0,001074299	0,138139534	0,11	0,025	1	1,10048504	0,908690226	4,4
CCNQ	2,88302E-07	0,138122452	0,159	0,018	0,006083471	1,100472011	0,908700985	8,833333333
PHETA2	0,000201519	0,138118123	0,098	0,014	1	1,100468708	0,908703712	7
COQ9	1,07752E-08	0,137885312	0,171	0,014	0,000227368	1,100291137	0,908850363	12,21428571
ASPSCR1	2,70805E-06	0,137719694	0,207	0,042	0,057142629	1,100164834	0,908954703	4,928571429
HOMER1	0,001268404	0,137696374	0,159	0,049	1	1,100147051	0,908969396	3,244897959
ADRM1	1,37545E-05	0,137688598	0,463	0,179	0,290232906	1,100141121	0,908974295	2,586592179
MTERF3	8,93956E-06	0,137668028	0,171	0,032	0,188633563	1,100125436	0,908987255	5,34375
C1GALT1C1	6,83314E-06	0,137654534	0,207	0,046	0,144186145	1,100115145	0,908995758	4,5
TIPRL	2,26301E-06	0,137643912	0,293	0,077	0,047751839	1,100107046	0,90900245	3,805194805
DCTPP1	1,3407E-06	0,137628717	0,207	0,039	0,028290029	1,100095459	0,909012024	5,307692308
PXDC1	0,00243811	0,137592574	0,451	0,232	1	1,1000679	0,909034797	1,943965517
AC093323.1	1,21195E-05	0,137529778	0,159	0,028	0,255733306	1,100020018	0,909074366	5,678571429
SLX4IP	0,008751649	0,137421022	0,049	0,007	1	1,099937097	0,909142898	7
CDC37L1	0,003902084	0,137399765	0,171	0,063	1	1,099920891	0,909156293	2,714285714
GALNT2	0,000131491	0,137332918	0,634	0,295	1	1,099869927	0,90919842	2,149152542
TRMT5	0,000151245	0,137152721	0,11	0,018	1	1,099732559	0,909311989	6,111111111
B3GNT7	6,40456E-08	0,137058239	0,171	0,018	0,001351425	1,09966054	0,909371541	9,5
MRPL43	7,91168E-10	0,137017849	0,573	0,165	1,66944E-05	1,099629754	0,909397	3,472727273
NSA2	7,8591E-06	0,136952331	0,622	0,267	0,165834882	1,099579817	0,909438301	2,329588015
NCSTN	2,92707E-06	0,136893789	0,39	0,126	0,061764055	1,099535199	0,909475205	3,095238095
RUNX2	1,20154E-05	0,136875829	0,232	0,06	0,253537089	1,09952151	0,909486527	3,866666667
NMRAL1	2,7334E-06	0,136873896	0,171	0,028	0,057677459	1,099520037	0,909487746	6,107142857
GOLM1	2,57745E-06	0,136834368	0,207	0,042	0,054386685	1,099489913	0,909512664	4,928571429
HLTF	1,72088E-05	0,136766215	0,183	0,039	0,363123284	1,099437974	0,909555631	4,692307692
APOBEC3G	2,68848E-08	0,136482518	0,207	0,028	0,000567297	1,099221797	0,909734507	7,392857143
AGPAT4	3,00544E-06	0,136406133	0,268	0,07	0,063417838	1,0991636	0,909782675	3,828571429
ATG5	1,31687E-06	0,136100017	0,232	0,049	0,027787357	1,0989304	0,909975737	4,734693878

Supplementary Table 2

Differentially expressed genes_keloid-XL_comparing SC-Keloid vs. (SC-Myel, SC-Nonmyel, SC-Nonmyel2)								
gene	p_val	avg_log2FC	pct.1	pct.2	p_val_adj	Foldchange_UP	Foldchange_DOWN	Ratio_pct1_pct2
MSH5	0,10804138	0,136010177	0,049	0,018	1	1,098861969	0,910032405	2,722222222
RPS6KA4	3,29598E-07	0,135940561	0,159	0,018	0,006954841	1,098808946	0,910076318	8,833333333
GOT2	0,000190779	0,135825085	0,159	0,039	1	1,098720998	0,910149166	4,076923077
ARSB	0,001013666	0,135686582	0,134	0,035	1	1,098615523	0,910236547	3,828571429
MVD	1,25745E-05	0,135652223	0,183	0,039	0,265334346	1,098589359	0,910258225	4,692307692
VTA1	0,000306151	0,135615078	0,195	0,06	1	1,098561074	0,910281662	3,25
ESYT2	5,63527E-06	0,135603247	0,488	0,182	0,118909792	1,098552065	0,910289127	2,681318681
TAB1	2,7563E-07	0,135416947	0,171	0,021	0,005816066	1,098410215	0,910406683	8,142857143
CLN6	0,001662234	0,135296085	0,098	0,021	1	1,098318199	0,910482956	4,666666667
METTL21A	6,84305E-07	0,135180772	0,183	0,028	0,01443952	1,098230415	0,910555733	6,535714286
NDOR1	0,025678378	0,135178163	0,049	0,011	1	1,098228429	0,910557379	4,454545455
BLMH	6,91886E-05	0,134981422	0,22	0,063	1	1,098078674	0,91068156	3,492063492
AARS1	1,90351E-07	0,134952466	0,317	0,077	0,004016601	1,098056634	0,910699839	4,116883117
XPOT	0,000233466	0,134847187	0,268	0,095	1	1,097976508	0,910766298	2,821052632
TRIM66	0,000344207	0,134837937	0,073	0,007	1	1,097969468	0,910772138	10,42857143
MAGED1	1,15167E-06	0,134821375	0,354	0,105	0,024301363	1,097956863	0,910782594	3,371428571
MED16	4,65134E-08	0,134791825	0,183	0,021	0,000981479	1,097934375	0,910801249	8,714285714
SIGIRR	3,71162E-05	0,134759063	0,537	0,232	0,78318991	1,097909442	0,910821933	2,314655172
RILP	3,0502E-07	0,134617222	0,207	0,035	0,006436236	1,097801505	0,910911486	5,914285714
H1-O	0,000194108	0,134565194	0,598	0,288	1	1,097761915	0,910944337	2,076388889
PHGDH	3,13577E-07	0,134498388	0,207	0,035	0,006616784	1,097711084	0,91098652	5,914285714
LFNG	7,50152E-06	0,13433582	0,134	0,018	0,158289655	1,097587396	0,911089179	7,444444444
MARVELD2	0,000183568	0,134276659	0,049	0	1	1,097542388	0,911126541	#DIV/0!
NDUFA5	5,4526E-06	0,134251001	0,476	0,179	0,115055224	1,097522868	0,911142746	2,659217877
LPCAT2	4,75231E-05	0,134179737	0,317	0,109	1	1,097468657	0,911187754	2,908256881
NTMT1	0,001774933	0,134170898	0,293	0,13	1	1,097461932	0,911193337	2,253846154
FDFT1	1,15209E-05	0,134167161	0,232	0,06	0,243101689	1,09745909	0,911195697	3,866666667
SLC36A4	0,001826896	0,134131198	0,146	0,046	1	1,097431733	0,911218411	3,173913043
ERCC8	3,16224E-05	0,134051065	0,122	0,018	0,667263526	1,097370779	0,911269025	6,777777778
CILP2	0,063203483	0,133891976	0,012	0	1	1,097249776	0,911369518	#DIV/0!

Supplementary Table 2

Differentially expressed genes_keloid-XL_comparing SC-Keloid vs. (SC-Myel, SC-Nonmyel, SC-Nonmyel2)								
gene	p_val	avg_log2FC	pct.1	pct.2	p_val_adj	Foldchange_UP	Foldchange_DOWN	Ratio_pct1_pct2
GLB1L2	0,063203483	0,133891976	0,012	0	1	1,097249776	0,911369518	#DIV/0!
LYZ	0,063203483	0,133891976	0,012	0	1	1,097249776	0,911369518	#DIV/0!
PLCXD3	0,063203483	0,133891976	0,012	0	1	1,097249776	0,911369518	#DIV/0!
TAP2	0,000406709	0,133878576	0,232	0,081	1	1,097239585	0,911377983	2,864197531
PIGP	7,62776E-06	0,133842608	0,402	0,14	0,160953443	1,09721223	0,911400705	2,871428571
MAN2C1	0,002132794	0,133756721	0,256	0,109	1	1,097146912	0,911454965	2,348623853
HMGB3	0,013862815	0,133713735	0,146	0,06	1	1,097114223	0,911482122	2,433333333
PLCG1	0,000593207	0,133648888	0,146	0,039	1	1,09706491	0,911523093	3,743589744
SMAP1	2,02559E-05	0,13363906	0,293	0,091	0,427420187	1,097057437	0,911529302	3,21978022
ZNF853	3,61459E-07	0,133612873	0,134	0,011	0,007627136	1,097037523	0,911545848	12,18181818
SCAMP4	5,33977E-05	0,133610518	0,232	0,067	1	1,097035733	0,911547336	3,462686567
DHX29	7,67868E-05	0,133499582	0,341	0,126	1	1,096951379	0,911617433	2,706349206
DNAJC8	0,000843558	0,133323371	0,524	0,26	1	1,096817406	0,911728784	2,015384615
ASMTL	0,000166509	0,133079073	0,183	0,049	1	1,096631693	0,911883184	3,734693878
GHITM	3,68861E-05	0,133011023	0,451	0,179	0,778332658	1,096579967	0,911926198	2,519553073
RHOT2	1,35563E-05	0,132905139	0,39	0,137	0,286050813	1,096499489	0,911993129	2,846715328
COX18	0,000151245	0,132665491	0,11	0,018	1	1,096317363	0,912144635	6,111111111
ALG3	1,30411E-05	0,132584872	0,183	0,039	0,275180202	1,096256101	0,912195607	4,692307692
HSDL1	0,000983548	0,132578399	0,085	0,014	1	1,096251183	0,9121997	6,071428571
NOC4L	9,17106E-06	0,132578039	0,195	0,042	0,193518607	1,096250909	0,912199927	4,642857143
SDAD1	4,37693E-05	0,132555876	0,244	0,07	0,923575029	1,096234068	0,912213942	3,485714286
HSDL2	0,000133291	0,132393648	0,171	0,042	1	1,096110806	0,912316524	4,071428571
ATP2B1-AS1	0,000200163	0,132271834	0,195	0,056	1	1,09601826	0,912393558	3,482142857
RNF123	0,040095269	0,132191683	0,073	0,025	1	1,095957371	0,912444249	2,92
EDEM3	0,000433156	0,131989658	0,207	0,067	1	1,095803911	0,91257203	3,089552239
CXADR	1,39592E-06	0,131929379	0,098	0,004	0,029455268	1,095758127	0,91261016	24,5
GMPR2	4,88116E-05	0,131854357	0,195	0,049	1	1,095701148	0,912657618	3,979591837
NAGLU	3,28023E-06	0,131683301	0,232	0,053	0,069216199	1,095571241	0,912765836	4,377358491
ACAD10	1,87147E-06	0,131582059	0,11	0,007	0,039489991	1,095494362	0,912829892	15,71428571
APIP	1,28715E-05	0,131548713	0,22	0,053	0,271600545	1,095469041	0,912850992	4,150943396

Supplementary Table 2

Differentially expressed genes_keloid-XL_comparing SC-Keloid vs. (SC-Myel, SC-Nonmyel, SC-Nonmyel2)								
gene	p_val	avg_log2FC	pct.1	pct.2	p_val_adj	Foldchange_UP	Foldchange_DOWN	Ratio_pct1_pct2
LARP1B	0,001280533	0,131520096	0,293	0,126	1	1,095447312	0,912869098	2,325396825
EMC1	9,74291E-07	0,131484715	0,244	0,053	0,02055852	1,095420447	0,912891486	4,603773585
MALSU1	1,11633E-06	0,131418753	0,341	0,098	0,023555745	1,095370364	0,912933226	3,479591837
RB1	7,54588E-05	0,131416982	0,293	0,102	1	1,095369019	0,912934347	2,87254902
DNALI1	4,43815E-05	0,13135687	0,11	0,014	0,936495011	1,09532338	0,912972386	7,857142857
NRSN2	0,001182686	0,131340431	0,146	0,042	1	1,0953109	0,912982789	3,476190476
EIF4G2	0,024824017	0,131276473	0,793	0,589	1	1,095262343	0,913023265	1,346349745
SCRN2	1,02065E-05	0,13081346	0,195	0,042	0,215368013	1,09491089	0,913316334	4,642857143
SPATA20	0,00036744	0,13080301	0,195	0,06	1	1,094902959	0,913322949	3,25
DDX52	1,25521E-06	0,130792394	0,256	0,06	0,026486091	1,094894902	0,91332967	4,266666667
SYAP1	4,69788E-05	0,130714373	0,39	0,151	0,99130034	1,094835692	0,913379064	2,582781457
LYPLAL1	1,02116E-06	0,130669338	0,207	0,039	0,021547494	1,094801517	0,913407576	5,307692308
FBXO32	0,014152931	0,130662781	0,122	0,046	1	1,09479654	0,913411728	2,652173913
COG6	8,70878E-06	0,130491617	0,171	0,032	0,183763963	1,09466666	0,913520103	5,34375
LARP1	5,26E-05	0,130440742	0,5	0,207	1	1,094628058	0,913552318	2,415458937
PIGQ	5,16791E-07	0,130440368	0,232	0,046	0,010904805	1,094627775	0,913552555	5,043478261
MRPS27	0,000444781	0,130404367	0,171	0,049	1	1,094600459	0,913575352	3,489795918
AP1G2	0,008401736	0,130386372	0,024	0	1	1,094586806	0,913586748	#DIV/0!
RABEPK	3,18768E-07	0,130374011	0,159	0,018	0,006726334	1,094577428	0,913594575	8,833333333
CARD8	4,37189E-06	0,130350663	0,159	0,025	0,092251246	1,094559713	0,913609361	6,36
CHST1	2,98807E-07	0,130142228	0,122	0,007	0,006305119	1,094401588	0,913741365	17,42857143
SPRED2	0,003835983	0,130117845	0,159	0,056	1	1,094383091	0,913756808	2,839285714
JAM3	1,43301E-05	0,129999297	0,61	0,256	0,30237855	1,094293168	0,913831896	2,3828125
WASHC2A	0,014512383	0,129953573	0,171	0,074	1	1,094258487	0,913860858	2,310810811
KLHL42	0,000100509	0,129949701	0,317	0,116	1	1,094255549	0,913863311	2,732758621
OGG1	1,06184E-06	0,129891623	0,207	0,039	0,022405895	1,0942115	0,913900101	5,307692308
APBB3	1,94649E-06	0,129723555	0,134	0,014	0,041072798	1,094084036	0,914006573	9,571428571
U2SURP	4,81362E-06	0,129691929	0,5	0,193	0,10157209	1,094060052	0,914026609	2,590673575
MGAT5	0,131674021	0,129650363	0,085	0,042	1	1,094028531	0,914052944	2,023809524
OAF	0,001001916	0,129543095	0,39	0,182	1	1,093947191	0,914120909	2,142857143

Supplementary Table 2

Differentially expressed genes_keloid-XL_comparing SC-Keloid vs. (SC-Myel, SC-Nonmyel, SC-Nonmyel2)								
gene	p_val	avg_log2FC	pct.1	pct.2	p_val_adj	Foldchange_UP	Foldchange_DOWN	Ratio_pct1_pct2
CPXM1	0,005768901	0,129434381	0,134	0,046	1	1,093864759	0,914189795	2,913043478
RBM27	0,019027132	0,129432991	0,28	0,147	1	1,093863706	0,914190675	1,904761905
ATP6V0D1	2,72241E-07	0,129307381	0,439	0,133	0,005744549	1,093768471	0,914270274	3,30075188
MED31	0,000558164	0,129227251	0,195	0,063	1	1,093707723	0,914321056	3,095238095
POLR3E	1,51036E-05	0,129219642	0,22	0,056	0,318701911	1,093701954	0,914325878	3,928571429
USP25	0,082545931	0,129137749	0,122	0,063	1	1,093639874	0,91437778	1,936507937
SNAP29	1,40587E-06	0,129101761	0,195	0,035	0,02966526	1,093612593	0,91440059	5,571428571
AP4M1	2,51728E-06	0,129097114	0,183	0,032	0,053117118	1,093609071	0,914403535	5,71875
MBD4	0,000220788	0,129013179	0,22	0,07	1	1,093545447	0,914456736	3,142857143
C1QTNF3	5,23216E-05	0,1290029	0,098	0,011	1	1,093537655	0,914463251	8,909090909
RETREG3	5,68695E-05	0,128953066	0,207	0,056	1	1,093499883	0,914494839	3,696428571
PSMG1	7,2721E-09	0,128800246	0,207	0,025	0,000153449	1,093384058	0,914591714	8,28
TMEM120B	1,88116E-06	0,128774713	0,134	0,014	0,039694305	1,093364708	0,914607901	9,571428571
LEO1	2,28962E-06	0,128694893	0,183	0,032	0,048313355	1,093304217	0,914658505	5,71875
ARHGAP18	1,11851E-06	0,128650906	0,207	0,039	0,023601757	1,093270883	0,914686392	5,307692308
NLRP1	0,000167584	0,128644294	0,232	0,074	1	1,093265872	0,914690585	3,135135135
RNF215	0,000719024	0,128600555	0,122	0,028	1	1,093232728	0,914718316	4,357142857
CRIP1	0,001650073	0,128572638	0,268	0,112	1	1,093211573	0,914736017	2,392857143
NAPG	4,22631E-06	0,12852886	0,22	0,049	0,089179439	1,093178401	0,914763775	4,489795918
DTX3L	0,003470627	0,128520986	0,146	0,049	1	1,093172434	0,914768767	2,979591837
SLC35C1	8,2597E-10	0,128227875	0,146	0,004	1,74288E-05	1,092950358	0,914954639	36,5
GOLGA7B	1,93327E-06	0,12817178	0,122	0,011	0,040793846	1,092907863	0,914990215	11,09090909
LAGE3	1,44627E-06	0,128140635	0,354	0,105	0,030517746	1,092884269	0,915009968	3,371428571
EXD2	2,2307E-07	0,128126216	0,11	0,004	0,004706999	1,092873347	0,915019113	27,5
FRG1	4,89835E-07	0,128033374	0,415	0,13	0,010336005	1,092803019	0,915077999	3,192307692
STYXL1	3,51943E-06	0,127997511	0,159	0,025	0,074263512	1,092775854	0,915100747	6,36
NGRN	0,00014153	0,127966456	0,622	0,291	1	1,092752332	0,915120445	2,137457045
ARSK	0,000119644	0,127885222	0,171	0,042	1	1,092690803	0,915171975	4,071428571
TBL2	1,42819E-06	0,127726629	0,159	0,021	0,030136228	1,092570692	0,915272583	7,571428571
EXTL1	4,9862E-05	0,127605395	0,195	0,049	1	1,092478884	0,9153495	3,979591837

Supplementary Table 2

Differentially expressed genes_keloid-XL_ comparing SC-Keloid vs. (SC-Myel, SC-Nonmyel, SC-Nonmyel2)								
gene	p_val	avg_log2FC	pct.1	pct.2	p_val_adj	Foldchange_UP	Foldchange_DOWN	Ratio_pct1_pct2
HAUS4	0,00100048	0,127549125	0,195	0,067	1	1,092436275	0,915385202	2,910447761
CRKL	6,0016E-06	0,127545856	0,329	0,102	0,126639684	1,092433799	0,915387276	3,225490196
CCDC6	0,000719084	0,127533653	0,207	0,07	1	1,092424559	0,915395019	2,957142857
NACA	0,06414866	0,127523013	0,976	0,888	1	1,092416502	0,91540177	1,099099099
RNF208	0,015603254	0,127495678	0,098	0,032	1	1,092395804	0,915419115	3,0625
PLEKHO2	1,01121E-05	0,127434211	0,256	0,07	0,213375452	1,092349263	0,915458117	3,657142857
RAB20	0,000220667	0,127418677	0,098	0,014	1	1,092337502	0,915467974	7
RGMB	8,1517E-05	0,12720836	0,549	0,242	1	1,092178271	0,915601442	2,268595041
BCKDK	4,00328E-08	0,127105635	0,244	0,042	0,000844731	1,092100507	0,915666638	5,80952381
PNKD	3,69522E-05	0,127102274	0,402	0,154	0,779729001	1,092097963	0,915668772	2,61038961
ALG5	6,43106E-05	0,127005733	0,293	0,098	1	1,092024885	0,915730048	2,989795918
DHRS4	1,56328E-05	0,126931897	0,183	0,039	0,329867241	1,091968998	0,915776915	4,692307692
FANCI	0,065143806	0,126874475	0,024	0,004	1	1,091925536	0,915813366	6
SEPHS1	0,111382367	0,126778035	0,098	0,049	1	1,091852546	0,915874587	2
S100A3	3,24105E-07	0,126734753	0,122	0,007	0,00683894	1,09181979	0,915902065	17,42857143
SHQ1	0,00590611	0,126701855	0,061	0,011	1	1,091794894	0,91592295	5,545454545
TPM1	8,21019E-07	0,126406435	0,305	0,081	0,017324322	1,09157135	0,916110523	3,765432099
SYNCRIP	0,001174271	0,12635034	0,5	0,249	1	1,091528909	0,916146143	2,008032129
FGFR4	0,011128779	0,126304061	0,037	0,004	1	1,091493895	0,916175532	9,25
TECPR2	0,060753558	0,126280155	0,098	0,042	1	1,091475809	0,916190713	2,333333333
ITGA6	0,003028132	0,126212109	0,744	0,46	1	1,091424329	0,916233928	1,617391304
FIP1L1	0,000298895	0,126212107	0,268	0,098	1	1,091424328	0,916233929	2,734693878
PPP1R37	1,30173E-06	0,126158616	0,159	0,021	0,027467822	1,091383862	0,916267901	7,571428571
TMEM128	1,01173E-05	0,126155751	0,22	0,053	0,213486071	1,091381695	0,91626972	4,150943396
TTC33	0,002780459	0,126155443	0,159	0,053	1	1,091381462	0,916269916	3
FBXO17	2,41758E-05	0,126073186	0,268	0,081	0,510133599	1,091319237	0,91632216	3,308641975
PPP5C	5,67761E-08	0,125953174	0,232	0,039	0,001198033	1,091228458	0,916398388	5,948717949
DPY19L1	1,22144E-05	0,125896721	0,256	0,07	0,257736615	1,091185759	0,916434247	3,657142857
RPS6KC1	0,000174748	0,125771318	0,159	0,039	1	1,091090914	0,91651391	4,076923077
PWP2	0,001220269	0,125692926	0,037	0	1	1,091031629	0,916563712	#DIV/0!

Supplementary Table 2

Differentially expressed genes_keloid-XL_comparing SC-Keloid vs. (SC-Myel, SC-Nonmyel, SC-Nonmyel2)								
gene	p_val	avg_log2FC	pct.1	pct.2	p_val_adj	Foldchange_UP	Foldchange_DOWN	Ratio_pct1_pct2
CAAP1	5,48545E-08	0,125571446	0,171	0,018	0,001157484	1,090939764	0,916640894	9,5
DHRS12	6,36887E-05	0,125562128	0,171	0,039	1	1,090932718	0,916646814	4,384615385
DNAJC21	0,002391845	0,125457872	0,39	0,189	1	1,090853885	0,916713057	2,063492063
RBFA	0,002952442	0,125360744	0,22	0,088	1	1,090780447	0,916774776	2,5
ISY1	2,27685E-06	0,125197222	0,207	0,042	0,048043722	1,090656819	0,916878694	4,928571429
RPL8	0,05578835	0,125162157	0,915	0,811	1	1,090630311	0,916900979	1,128236745
KIN	0,001300227	0,125030969	0,171	0,056	1	1,090531142	0,916984359	3,053571429
TMEM41A	0,00237203	0,125026819	0,11	0,028	1	1,090528005	0,916986997	3,928571429
RPL14	0,282383378	0,125011722	0,939	0,881	1	1,090516593	0,916996592	1,065834279
TMEM53	1,58349E-08	0,124931698	0,11	0	0,000334132	1,090456105	0,917047459	#DIV/0!
PRLR	0,00621443	0,124852215	0,183	0,074	1	1,09039603	0,917097983	2,472972973
THOC5	4,72873E-05	0,124747414	0,11	0,014	0,997809544	1,090316824	0,917164606	7,857142857
ECD	6,52415E-08	0,124744893	0,232	0,039	0,001376661	1,090314919	0,917166209	5,948717949
CMC4	1,63503E-05	0,124617236	0,317	0,102	0,345007624	1,090218447	0,917247367	3,107843137
RAPGEF3	0,00590611	0,124516305	0,061	0,011	1	1,090142177	0,91731154	5,545454545
VSTM4	1,02952E-07	0,124367173	0,098	0	0,002172399	1,090029495	0,917406368	#DIV/0!
CYFIP1	0,001460731	0,124243846	0,268	0,112	1	1,089936319	0,917484795	2,392857143
SECISBP2	7,71811E-06	0,124208622	0,354	0,116	0,162859933	1,089909708	0,917507196	3,051724138
UCLH3	5,00285E-08	0,124174256	0,305	0,067	0,001055652	1,089883746	0,917529052	4,552238806
AP4B1	0,038685095	0,124152228	0,073	0,025	1	1,089867105	0,917543061	2,92
UTP4	5,83288E-06	0,12406372	0,134	0,018	0,123079618	1,089800245	0,917599354	7,444444444
PRMT1	0,001172696	0,124031655	0,561	0,288	1	1,089776023	0,917619748	1,947916667
RNF126	0,005984451	0,124026095	0,341	0,175	1	1,089771823	0,917623285	1,948571429
BRI3	0,000113745	0,123890583	0,646	0,305	1	1,089669467	0,91770948	2,118032787
IFI44L	2,62336E-07	0,123675252	0,268	0,06	0,005535545	1,089506838	0,917846465	4,466666667
TRIM24	0,000266511	0,123614451	0,256	0,091	1	1,089460923	0,917885147	2,813186813
FANCG	0,001602574	0,123610233	0,098	0,021	1	1,089457738	0,917887831	4,666666667
BRD3	0,00041513	0,123529682	0,402	0,182	1	1,089396911	0,917939081	2,208791209
AL441883.1	0,001772311	0,12350292	0,061	0,007	1	1,089376703	0,917956109	8,714285714
MAP4K4	0,000958553	0,123466632	0,622	0,33	1	1,089349303	0,917979199	1,884848485

Supplementary Table 2

Differentially expressed genes_keloid-XL_comparing SC-Keloid vs. (SC-Myel, SC-Nonmyel, SC-Nonmyel2)								
gene	p_val	avg_log2FC	pct.1	pct.2	p_val_adj	Foldchange_UP	Foldchange_DOWN	Ratio_pct1_pct2
ALG1	8,91037E-09	0,123432183	0,146	0,007	0,000188018	1,089323292	0,918001118	20,85714286
RPL17	0,170560756	0,123395173	0,902	0,867	1	1,089295347	0,918024669	1,040369089
OXTR	4,32324E-06	0,123306755	0,073	0	0,09122464	1,089228589	0,918080933	#DIV/0!
DNAJC14	3,30843E-05	0,123306743	0,122	0,018	0,698111591	1,08922858	0,918080941	6,777777778
DPAGT1	7,53788E-06	0,123276928	0,171	0,032	0,159056749	1,08920607	0,918099914	5,34375
NUDT22	1,59263E-06	0,12318764	0,22	0,046	0,033605986	1,089138662	0,918156737	4,782608696
ITGB3	2,80682E-05	0,123146525	0,061	0	0,592266086	1,089107623	0,918182904	#DIV/0!
LEPROTL1	2,56035E-07	0,122918697	0,427	0,13	0,005402594	1,088935646	0,918327913	3,284615385
LMLN	3,67491E-05	0,122698209	0,122	0,018	0,77544318	1,088769237	0,918468272	6,777777778
TRIP4	6,74467E-05	0,122659479	0,134	0,025	1	1,088740009	0,918492929	5,36
LRRC40	3,0557E-07	0,122550406	0,146	0,014	0,006447828	1,088657699	0,918562374	10,42857143
RCC2	1,741E-05	0,12251975	0,5	0,2	0,367367805	1,088634566	0,918581893	2,5
PTGES2	6,11409E-06	0,12236037	0,232	0,056	0,129013334	1,088514307	0,918683378	4,142857143
MOXD1	3,58198E-05	0,122338612	0,159	0,032	0,755833467	1,088497891	0,918697232	4,96875
YES1	0,000138689	0,122268532	0,207	0,06	1	1,088445017	0,91874186	3,45
SEC13	7,54963E-08	0,122260558	0,378	0,102	0,001593048	1,088439001	0,918746938	3,705882353
ANO8	0,002094809	0,122259326	0,146	0,046	1	1,088438072	0,918747723	3,173913043
UTP11	9,42612E-06	0,122231935	0,366	0,123	0,198900636	1,088417407	0,918765166	2,975609756
ZPR1	6,84492E-05	0,122224625	0,183	0,046	1	1,088411892	0,918769822	3,97826087
DPP9	0,002535781	0,122126759	0,183	0,067	1	1,088338061	0,918832149	2,731343284
RNASEH2C	1,7212E-05	0,122107719	0,39	0,144	0,363190693	1,088323699	0,918844275	2,708333333
NKAPD1	6,73808E-06	0,12206928	0,268	0,074	0,142180123	1,088294702	0,918868757	3,621621622
NTAQ1	0,000338108	0,122010174	0,073	0,007	1	1,088250116	0,918906403	10,42857143
POMT2	2,16342E-05	0,121834409	0,22	0,056	0,456502346	1,088117541	0,919018361	3,928571429
IBTK	3,41158E-05	0,121807021	0,232	0,063	0,719876608	1,088096885	0,919035808	3,682539683
DCSTAMP	1,02952E-07	0,121664086	0,098	0	0,002172399	1,087989087	0,919126866	#DIV/0!
TPP1	0,000941213	0,121492932	0,317	0,133	1	1,087860021	0,919235913	2,383458647
CSTF1	4,80414E-05	0,121484006	0,11	0,014	1	1,08785329	0,919241601	7,857142857
RCE1	2,1468E-05	0,121435471	0,134	0,021	0,452995664	1,087816694	0,919272526	6,380952381
VPS26C	0,001245481	0,121422241	0,159	0,049	1	1,087806718	0,919280956	3,244897959

Supplementary Table 2

Differentially expressed genes_keloid-XL_comparing SC-Keloid vs. (SC-Myel, SC-Nonmyel, SC-Nonmyel2)								
gene	p_val	avg_log2FC	pct.1	pct.2	p_val_adj	Foldchange_UP	Foldchange_DOWN	Ratio_pct1_pct2
ORAI2	3,64556E-07	0,121229018	0,146	0,014	0,007692497	1,087661036	0,919404086	10,42857143
PLEKHJ1	1,42388E-07	0,121190659	0,305	0,07	0,003004531	1,087632117	0,919428531	4,357142857
FUCA1	2,80682E-05	0,121162941	0,061	0	0,592266086	1,087611221	0,919446196	#DIV/0!
TMEM222	1,37664E-05	0,121128572	0,232	0,06	0,290485377	1,087585312	0,9194681	3,866666667
PPIL3	0,001201942	0,121069719	0,183	0,06	1	1,087540946	0,91950561	3,05
EPB41L3	2,33385E-05	0,121054015	0,402	0,147	0,492466511	1,087529107	0,919515619	2,734693878
SNX4	0,00045166	0,121053788	0,22	0,074	1	1,087528936	0,919515763	2,972972973
TSTD3	0,009726554	0,121004428	0,122	0,042	1	1,087491729	0,919547224	2,904761905
WDR81	0,00140181	0,12099922	0,073	0,011	1	1,087488332	0,919550096	6,636363636
POC1A	2,80682E-05	0,120975517	0,061	0	0,592266086	1,087469936	0,919565651	#DIV/0!
SAMD5	0,000199303	0,12097257	0,159	0,039	1	1,087467715	0,919567529	4,076923077
SLC7A5	0,003970716	0,120953061	0,098	0,025	1	1,087453009	0,919579965	3,92
IL4R	7,01879E-05	0,120901627	0,134	0,025	1	1,087414241	0,919612749	5,36
ZBTB14	6,13057E-05	0,120811614	0,085	0,007	1	1,087346397	0,919670128	12,14285714
MIEF1	1,8347E-06	0,120754372	0,11	0,007	0,038713925	1,087303255	0,919706619	15,71428571
FNDC4	0,00019003	0,12063536	0,134	0,028	1	1,087213564	0,919782491	4,785714286
MRS2	0,000105335	0,120601095	0,122	0,021	1	1,087187742	0,919804337	5,80952381
TIMM9	1,19155E-05	0,120545879	0,293	0,088	0,251429383	1,087146133	0,919839541	3,329545455
PRPF6	4,10982E-05	0,120544886	0,317	0,109	0,867213402	1,087145385	0,919840174	2,908256881
SLC30A5	6,21382E-06	0,120508801	0,256	0,067	0,131117733	1,087118193	0,919863182	3,820895522
TBC1D2B	0,003546515	0,120484225	0,134	0,042	1	1,087099675	0,919878851	3,19047619
PTK7	4,65444E-05	0,120415443	0,11	0,014	0,9821336	1,087047847	0,919922709	7,857142857
TMEM209	5,20222E-05	0,120405439	0,146	0,028	1	1,087040309	0,919929088	5,214285714
ARHGEF18	0,040202307	0,120398834	0,085	0,032	1	1,087035332	0,9199333	2,65625
CIB2	3,33807E-07	0,120291231	0,146	0,014	0,00704367	1,086954259	0,920001915	10,42857143
SLC3A1	0,008401736	0,12014902	0,024	0	1	1,08684712	0,920092607	#DIV/0!
OPN3	0,006222372	0,120140515	0,134	0,046	1	1,086840713	0,920098031	2,913043478
GEMIN7	3,17593E-07	0,120007748	0,122	0,007	0,006701534	1,086740699	0,920182709	17,42857143
THOC6	3,90076E-05	0,11998291	0,22	0,06	0,82309976	1,086721989	0,920198551	3,666666667
MSRB1	2,27392E-07	0,119972624	0,171	0,021	0,004798199	1,086714241	0,920205112	8,142857143

Supplementary Table 2

Differentially expressed genes_keloid-XL_comparing SC-Keloid vs. (SC-Myel, SC-Nonmyel, SC-Nonmyel2)								
gene	p_val	avg_log2FC	pct.1	pct.2	p_val_adj	Foldchange_UP	Foldchange_DOWN	Ratio_pct1_pct2
KLHL9	2,32089E-06	0,119894613	0,183	0,032	0,048973121	1,086655481	0,920254872	5,71875
SLC6A6	2,11962E-05	0,11985184	0,171	0,035	0,44726133	1,086623264	0,920282155	4,885714286
ARHGAP35	0,000554509	0,119842727	0,317	0,13	1	1,086616401	0,920287969	2,438461538
MIR4458HG	0,002552281	0,119826421	0,195	0,074	1	1,086604119	0,92029837	2,635135135
ZNF286A	0,002115747	0,119694904	0,134	0,039	1	1,086505068	0,920382269	3,435897436
ADCY1	6,67422E-07	0,119690988	0,085	0	0,014083281	1,086502119	0,920384768	#DIV/0!
SRP72	5,6999E-05	0,119664265	0,439	0,179	1	1,086481994	0,920401816	2,452513966
PCDH1	0,000411811	0,119661013	0,341	0,14	1	1,086479545	0,92040389	2,435714286
ZSWIM1	0,063203483	0,11953145	0,012	0	1	1,086398314	0,92047271	#DIV/0!
ARHGEF33	0,063203483	0,119512516	0,012	0	1	1,086367719	0,920498633	#DIV/0!
SNX2	7,58018E-07	0,119503327	0,268	0,063	0,015994934	1,0863608	0,920504496	4,253968254
EEF1AKMT1	0,005916634	0,119481622	0,134	0,046	1	1,086344456	0,920518345	2,913043478
PENK	0,000183568	0,119449402	0,049	0	1	1,086320194	0,920538903	#DIV/0!
PCGF1	0,000190779	0,119424325	0,159	0,039	1	1,086301312	0,920554904	4,076923077
PRDX3	1,15564E-05	0,11941109	0,427	0,154	0,243850634	1,086291346	0,920563349	2,772727273
HARS2	0,004014306	0,119403264	0,098	0,025	1	1,086285454	0,920568343	3,92
CDC42EP3	1,20119E-05	0,119384624	0,622	0,263	0,253463883	1,086271419	0,920580237	2,365019011
CCDC191	9,64031E-06	0,119352065	0,098	0,007	0,20342014	1,086246904	0,920601013	14
SMIM12	5,85172E-06	0,119294254	0,232	0,056	0,123477184	1,086203377	0,920637904	4,142857143
AKR1A1	1,09701E-05	0,119292703	0,293	0,088	0,231479565	1,08620221	0,920638893	3,329545455
ARPC5L	2,69182E-05	0,119248163	0,378	0,137	0,568000084	1,086168676	0,920667317	2,759124088
PDE6D	1,14837E-05	0,119124625	0,159	0,028	0,242318466	1,086075671	0,920746156	5,678571429
DYNC1LI2	0,022439685	0,118749472	0,659	0,432	1	1,085793289	0,920985615	1,525462963
LETMD1	7,54346E-05	0,118746592	0,22	0,063	1	1,085791121	0,920987454	3,492063492
ANAPC4	0,035965312	0,118725483	0,11	0,046	1	1,085775235	0,921000929	2,391304348
GCNT1	5,23216E-05	0,118625708	0,098	0,011	1	1,085700146	0,921064627	8,909090909
PGAP3	0,002664794	0,118621072	0,085	0,018	1	1,085696658	0,921067586	4,722222222
EGLN1	1,77675E-05	0,118615508	0,268	0,077	0,374912466	1,085692471	0,921071139	3,480519481
TRIM23	4,07113E-05	0,118610543	0,146	0,028	0,859049315	1,085688734	0,921074309	5,214285714
CSNK2A2	9,19588E-05	0,118563188	0,39	0,151	1	1,085653098	0,921104543	2,582781457

Supplementary Table 2

Differentially expressed genes_keloid-XL_comparing SC-Keloid vs. (SC-Myel, SC-Nonmyel, SC-Nonmyel2)								
gene	p_val	avg_log2FC	pct.1	pct.2	p_val_adj	Foldchange_UP	Foldchange_DOWN	Ratio_pct1_pct2
SHLD1	4,23142E-05	0,11838989	0,11	0,014	0,892872791	1,085522696	0,921215193	7,857142857
HCFC1R1	0,002875634	0,118170483	0,646	0,361	1	1,085357621	0,921355303	1,789473684
FAM3A	2,49928E-07	0,118000817	0,28	0,063	0,00527372	1,085229986	0,921463665	4,444444444
DCXR	0,000103853	0,117993104	0,341	0,13	1	1,085224185	0,92146859	2,623076923
KCNA2	0,000103074	0,117979473	0,195	0,053	1	1,085213931	0,921477297	3,679245283
PEX13	7,52278E-05	0,11797573	0,159	0,035	1	1,085211116	0,921479688	4,542857143
TSSC4	5,09271E-09	0,117752257	0,378	0,088	0,000107461	1,08504303	0,921622436	4,295454545
SMURF2	3,11595E-06	0,117716414	0,415	0,14	0,065749715	1,085016073	0,921645333	2,964285714
ZNF558	0,002767295	0,117704687	0,085	0,018	1	1,085007253	0,921652825	4,722222222
FBXW5	1,38207E-06	0,117625259	0,366	0,112	0,029162994	1,084947519	0,921703568	3,267857143
SHROOM4	2,05285E-05	0,117616051	0,22	0,056	0,433171245	1,084940595	0,921709451	3,928571429
FKBP7	1,71213E-08	0,117580116	0,415	0,109	0,000361277	1,084913572	0,921732409	3,80733945
SCFD2	8,66134E-06	0,117574876	0,085	0,004	0,1827629	1,084909631	0,921735757	21,25
ZNF677	1,64028E-05	0,117481427	0,183	0,039	0,346114767	1,084839359	0,921795463	4,692307692
SPSB1	0,003961102	0,117182051	0,159	0,056	1	1,084614266	0,921986767	2,839285714
CCDC77	0,001600233	0,117140136	0,061	0,007	1	1,084582755	0,922013554	8,714285714
C2orf49	4,61419E-07	0,117096966	0,232	0,046	0,009736407	1,084550301	0,922041144	5,043478261
BMPER	4,32324E-06	0,117050114	0,073	0	0,09122464	1,08451508	0,922071088	#DIV/0!
TXNDC16	0,002397697	0,116770231	0,11	0,028	1	1,084304705	0,922249987	3,928571429
YJU2	0,000444147	0,116712881	0,11	0,021	1	1,084261602	0,922286649	5,238095238
RPS21	0,077152328	0,116501619	0,915	0,814	1	1,084102839	0,922421715	1,124078624
LAMC1	0,018821254	0,116428784	0,573	0,358	1	1,084048109	0,922468285	1,600558659
AAGAB	2,66449E-05	0,11639077	0,134	0,021	0,562233009	1,084019546	0,922492592	6,380952381
PTPRA	2,03205E-05	0,116363513	0,463	0,179	0,428783269	1,083999066	0,92251002	2,586592179
LINC01063	0,347088417	0,1163223	0,012	0,004	1	1,0839681	0,922536374	3
PCSK7	0,000224892	0,116262659	0,256	0,088	1	1,083923289	0,922574512	2,909090909
TCEAL3	4,26468E-05	0,116240515	0,463	0,189	0,899889921	1,083906652	0,922588673	2,44973545
MRPL58	2,08681E-09	0,116207939	0,195	0,018	4,40337E-05	1,083882178	0,922609505	10,83333333
DPYSL2	0,003527906	0,116177719	0,427	0,225	1	1,083859474	0,922628831	1,897777778
TMEM39A	0,003026608	0,116174853	0,183	0,067	1	1,083857321	0,922630664	2,731343284

Supplementary Table 2

Differentially expressed genes_keloid-XL_comparing SC-Keloid vs. (SC-Myel, SC-Nonmyel, SC-Nonmyel2)								
gene	p_val	avg_log2FC	pct.1	pct.2	p_val_adj	Foldchange_UP	Foldchange_DOWN	Ratio_pct1_pct2
AP5M1	1,98272E-07	0,116151167	0,183	0,025	0,004183744	1,083839527	0,922645812	7,32
ARNTL2	5,55398E-09	0,116027167	0,134	0,004	0,000117194	1,083746374	0,922725117	33,5
SUPT16H	0,000166809	0,115998386	0,366	0,147	1	1,083724755	0,922743525	2,489795918
MRPS17	0,000127665	0,115990268	0,171	0,042	1	1,083718657	0,922748717	4,071428571
DNM1L	3,82735E-06	0,115972812	0,366	0,119	0,080761017	1,083705544	0,922759882	3,075630252
NECAP2	8,06384E-06	0,115938617	0,28	0,081	0,170155105	1,083679858	0,922781754	3,456790123
ATPAF2	0,000194727	0,115856092	0,134	0,028	1	1,083617871	0,922834541	4,785714286
GNA12	1,648E-08	0,115851301	0,39	0,098	0,000347744	1,083614273	0,922837605	3,979591837
ZNF599	0,00059839	0,115845901	0,098	0,018	1	1,083610217	0,922841059	5,444444444
TMUB1	6,21769E-05	0,115782362	0,256	0,081	1	1,083562493	0,922881704	3,160493827
PRRC2A	0,03492659	0,115775674	0,415	0,246	1	1,083557471	0,922885982	1,68699187
TRMT6	2,51588E-05	0,115769328	0,134	0,021	0,530876209	1,083552704	0,922890041	6,380952381
EDC3	0,001011915	0,115620815	0,085	0,014	1	1,083441168	0,92298505	6,071428571
DYNC1I1	0,513508152	0,115599886	0,024	0,014	1	1,08342545	0,922998439	1,714285714
TUBG1	0,000557329	0,115567698	0,146	0,039	1	1,083401278	0,923019033	3,743589744
ANAPC2	0,013301771	0,115508283	0,085	0,025	1	1,083356661	0,923057046	3,4
ERI1	9,30589E-05	0,11546882	0,122	0,021	1	1,083327027	0,923082296	5,80952381
TRIB3	0,010425992	0,115457856	0,073	0,018	1	1,083318794	0,923089311	4,055555556
HELZ2	0,010031179	0,11538871	0,134	0,049	1	1,083266874	0,923133555	2,734693878
PIGO	0,000210889	0,115264752	0,098	0,014	1	1,083173803	0,923212874	7
CDKAL1	5,20222E-05	0,115263649	0,146	0,028	1	1,083172975	0,92321358	5,214285714
TEAD3	3,14105E-05	0,115207098	0,207	0,053	0,66279258	1,083130517	0,923249769	3,905660377
ADGRE5	2,24366E-05	0,1151996	0,366	0,13	0,473434236	1,083124888	0,923254568	2,815384615
WDR18	4,15926E-07	0,115177591	0,28	0,067	0,00877646	1,083108364	0,923268652	4,179104478
MAP3K6	0,001474456	0,115142145	0,122	0,032	1	1,083081753	0,923291337	3,8125
MDH1	0,000107854	0,115044317	0,5	0,214	1	1,083008313	0,923353946	2,336448598
SOX18	0,065834577	0,115022425	0,061	0,021	1	1,082991879	0,923367958	2,904761905
RACK1	0,035150541	0,114961016	0,927	0,811	1	1,082945782	0,923407262	1,143033292
MRI1	0,000164012	0,114911445	0,134	0,028	1	1,082908572	0,923438991	4,785714286
KNL1	0,001220269	0,114892056	0,037	0	1	1,082894019	0,923451402	#DIV/0!

Supplementary Table 2

Differentially expressed genes_keloid-XL_comparing SC-Keloid vs. (SC-Myel, SC-Nonmyel, SC-Nonmyel2)								
gene	p_val	avg_log2FC	pct.1	pct.2	p_val_adj	Foldchange_UP	Foldchange_DOWN	Ratio_pct1_pct2
ELAVL4	6,67422E-07	0,114881508	0,085	0	0,014083281	1,082886102	0,923458153	#DIV/0!
BET1	1,01629E-07	0,114880475	0,22	0,035	0,002144469	1,082885327	0,923458815	6,285714286
NUDT8	0,000942376	0,114829751	0,085	0,014	1	1,082847253	0,923491284	6,071428571
ORMDL3	1,07355E-05	0,114682109	0,256	0,07	0,226529633	1,082736444	0,923585796	3,657142857
EYA3	0,000685144	0,114588463	0,098	0,018	1	1,082666165	0,923645748	5,444444444
RNASET2	0,016071749	0,114564177	0,061	0,014	1	1,082647939	0,923661297	4,357142857
PKD1	0,000236006	0,114546765	0,378	0,154	1	1,082634873	0,923672445	2,454545455
CAMK1	4,33882E-06	0,114475995	0,195	0,039	0,091553477	1,082581767	0,923717756	5
TMEM181	0,000184612	0,114403703	0,159	0,039	1	1,082527521	0,923764044	4,076923077
TRMT61B	0,00067597	0,114388507	0,098	0,018	1	1,082516119	0,923773773	5,444444444
SCPEP1	9,32723E-05	0,114346068	0,28	0,095	1	1,082484275	0,923800948	2,947368421
PRDM1	0,510048238	0,114343433	0,024	0,014	1	1,082482298	0,923802635	1,714285714
TMUB2	5,7449E-05	0,114337216	0,171	0,039	1	1,082477634	0,923806616	4,384615385
APEX2	0,000186767	0,114298639	0,098	0,014	1	1,082448689	0,923831319	7
SEPTIN6	0,008751649	0,114288192	0,049	0,007	1	1,082440851	0,923838008	7
MRPL46	4,63364E-05	0,114236289	0,146	0,028	0,977743891	1,082401909	0,923871245	5,214285714
ARMC5	0,002631406	0,11409975	0,085	0,018	1	1,082299474	0,923958686	4,722222222
PPA2	6,99475E-06	0,113996838	0,207	0,046	0,147596116	1,082222273	0,924024598	4,5
TMEM185A	0,000129749	0,113936792	0,207	0,06	1	1,082177231	0,924063057	3,45
ZNF469	8,66134E-06	0,113907744	0,085	0,004	0,1827629	1,082155442	0,924081663	21,25
CIAO2A	2,02929E-05	0,113825404	0,207	0,049	0,42819948	1,082093681	0,924134405	4,224489796
CSDE1	0,025663028	0,113769898	0,72	0,442	1	1,082052049	0,924169961	1,628959276
CACNA1C	5,32686E-05	0,113712413	0,073	0,004	1	1,082008935	0,924206785	18,25
PSMD3	2,2595E-06	0,113667315	0,402	0,133	0,047677729	1,081975113	0,924235676	3,022556391
ZBTB8A	3,19993E-05	0,113620394	0,159	0,032	0,675218046	1,081939924	0,924265736	4,96875
SLC30A9	6,3387E-07	0,113536529	0,256	0,056	0,013375287	1,081877032	0,924319466	4,571428571
SCOC	4,15086E-07	0,113473129	0,537	0,189	0,008758723	1,081829489	0,924360086	2,841269841
TMEM203	2,95204E-06	0,113314457	0,207	0,042	0,062291075	1,081710513	0,924461756	4,928571429
SACM1L	6,2277E-05	0,113203944	0,207	0,056	1	1,081627655	0,924532574	3,696428571
NACC2	6,88723E-06	0,113184999	0,256	0,067	0,145327362	1,081613451	0,924544715	3,820895522

Supplementary Table 2

Differentially expressed genes_keloid-XL_comparing SC-Keloid vs. (SC-Myel, SC-Nonmyel, SC-Nonmyel2)								
gene	p_val	avg_log2FC	pct.1	pct.2	p_val_adj	Foldchange_UP	Foldchange_DOWN	Ratio_pct1_pct2
EXT2	1,70226E-06	0,113171719	0,293	0,077	0,035919458	1,081603495	0,924553226	3,805194805
RMDN2	1,49573E-06	0,113151239	0,146	0,018	0,03156145	1,081588141	0,92456635	8,111111111
ZNF525	0,011553628	0,113148962	0,037	0,004	1	1,081586434	0,924567809	9,25
ZNF880	0,006170448	0,113134788	0,134	0,046	1	1,081575808	0,924576893	2,913043478
PPP6C	3,07307E-06	0,113074467	0,305	0,084	0,064844951	1,081530587	0,924615551	3,630952381
AMACR	9,56641E-05	0,113073335	0,122	0,021	1	1,081529739	0,924616277	5,80952381
DYRK4	9,64033E-06	0,112937735	0,293	0,088	0,203420635	1,08142809	0,924703186	3,329545455
AP5Z1	9,62051E-07	0,11281244	0,171	0,025	0,020300248	1,081334173	0,924783499	6,84
RPS3A	0,08781488	0,112773781	0,976	0,884	1	1,081305199	0,924808279	1,104072398
ORC4	1,23461E-07	0,112748603	0,244	0,046	0,002605148	1,081286327	0,924824419	5,304347826
MNAT1	1,65927E-06	0,112739949	0,293	0,077	0,035012201	1,081279841	0,924829967	3,805194805
ZFPL1	6,78231E-06	0,112686345	0,183	0,035	0,143113616	1,081239667	0,92486433	5,228571429
CPD	0,002886858	0,112667259	0,207	0,081	1	1,081225363	0,924876565	2,555555556
EEF1B2	0,02317115	0,112651522	0,78	0,561	1	1,081213568	0,924886655	1,390374332
MOB3A	3,64556E-07	0,112602326	0,146	0,014	0,007692497	1,0811767	0,924918194	10,42857143
CFDP1	0,001912292	0,112472864	0,39	0,189	1	1,081079684	0,925001196	2,063492063
SLF1	2,05364E-06	0,112459087	0,183	0,032	0,043333918	1,081069359	0,925010029	5,71875
WIZ	1,54009E-05	0,112431959	0,207	0,049	0,324975096	1,081049031	0,925027423	4,224489796
ENPP4	0,011128779	0,112393058	0,037	0,004	1	1,081019882	0,925052366	9,25
IVD	7,78762E-06	0,11237548	0,256	0,067	0,164326581	1,081006711	0,925063637	3,820895522
CD2BP2	1,55636E-05	0,112273276	0,244	0,067	0,328407081	1,080930133	0,925129173	3,641791045
LRIF1	2,51588E-05	0,112221063	0,134	0,021	0,530876209	1,080891013	0,925162656	6,380952381
C12orf43	3,17593E-07	0,112168019	0,122	0,007	0,006701534	1,080851273	0,925196672	17,42857143
SCO2	7,05689E-06	0,112149252	0,171	0,032	0,148907436	1,080837212	0,925208707	5,34375
FBXO4	0,000120189	0,112143178	0,146	0,032	1	1,080832662	0,925212602	4,5625
MPND	7,7397E-06	0,112132784	0,134	0,018	0,163315378	1,080824875	0,925219268	7,444444444
TSFM	8,37326E-06	0,112042662	0,171	0,032	0,176684187	1,080757361	0,925277066	5,34375
PAR6A	0,000214102	0,111987539	0,098	0,014	1	1,080716067	0,92531242	7
TBC1D7	7,65928E-07	0,111915132	0,22	0,042	0,016161843	1,080661829	0,925358861	5,238095238
PDE4B	0,000198484	0,111845289	0,098	0,014	1	1,080609514	0,925403661	7

Supplementary Table 2

Differentially expressed genes_keloid-XL_comparing SC-Keloid vs. (SC-Myel, SC-Nonmyel, SC-Nonmyel2)								
gene	p_val	avg_log2FC	pct.1	pct.2	p_val_adj	Foldchange_UP	Foldchange_DOWN	Ratio_pct1_pct2
BCAP29	0,00112445	0,111805393	0,463	0,225	1	1,080579632	0,925429252	2,057777778
ELOA	0,003560464	0,11178269	0,146	0,049	1	1,080562627	0,925443815	2,979591837
NLE1	2,18116E-07	0,111651268	0,11	0,004	0,004602468	1,080464198	0,925528122	27,5
VPS37D	0,10804138	0,111638237	0,049	0,018	1	1,080454439	0,925536482	2,722222222
CBR1	0,000130744	0,11163075	0,512	0,228	1	1,080448831	0,925541285	2,245614035
YIPF2	9,87009E-08	0,111465311	0,28	0,06	0,002082687	1,08032494	0,925647426	4,666666667
B4GALT1	6,04502E-06	0,111445004	0,341	0,109	0,127555985	1,080309733	0,925660456	3,128440367
ALG14	0,00018342	0,111408844	0,268	0,091	1	1,080282656	0,925683657	2,945054945
ELK3	1,35049E-05	0,111376828	0,463	0,175	0,284966246	1,080258684	0,925704199	2,645714286
NADSYN1	0,009407308	0,111259615	0,122	0,042	1	1,08017092	0,925779412	2,904761905
GMDS	5,77801E-06	0,111240486	0,146	0,021	0,121921893	1,080156599	0,925791687	6,952380952
INTS12	3,45006E-05	0,111172744	0,159	0,032	0,727996941	1,080105881	0,925835159	4,96875
GIN1	0,000432775	0,111091262	0,11	0,021	1	1,080044879	0,925887451	5,238095238
ZNF557	5,90574E-05	0,111084465	0,085	0,007	1	1,080039791	0,925891813	12,14285714
ALKBH6	0,000421675	0,111069215	0,11	0,021	1	1,080028374	0,9259016	5,238095238
MCM6	0,000332109	0,111031036	0,073	0,007	1	1,079999793	0,925926103	10,42857143
KRI1	0,014817086	0,110914591	0,11	0,039	1	1,079912626	0,926000841	2,820512821
ARFIP2	2,45218E-08	0,110883762	0,268	0,049	0,000517435	1,07988955	0,926020629	5,469387755
SLC39A4	0,000425319	0,11087101	0,134	0,032	1	1,079880005	0,926028814	4,1875
ZNF662	0,001914332	0,110668924	0,049	0,004	1	1,07972875	0,926158537	12,25
RHNO1	1,08469E-05	0,110651932	0,11	0,011	0,228879507	1,079716034	0,926169445	10
YARS1	0,000113219	0,11056737	0,22	0,067	1	1,079652749	0,926223734	3,28358209
CHST14	3,49528E-07	0,110553801	0,22	0,039	0,007375398	1,079642595	0,926232445	5,641025641
IQCK	1,61892E-05	0,11055214	0,146	0,025	0,341608689	1,079641352	0,926233511	5,84
POLR3GL	2,75993E-05	0,110423508	0,28	0,088	0,582372342	1,079545094	0,926316099	3,181818182
CLPTM1	0,000292146	0,110401317	0,415	0,179	1	1,079528489	0,926330347	2,318435754
ABAT	0,186442875	0,110375661	0,037	0,014	1	1,079509291	0,926346821	2,642857143
FAIM	0,005867015	0,110213294	0,134	0,046	1	1,079387806	0,926451081	2,913043478
ECH1	3,40124E-06	0,110110365	0,463	0,165	0,071769648	1,0793108	0,926517181	2,806060606
PTGER1	0,000298645	0,110073403	0,061	0,004	1	1,079283148	0,926540919	15,25

Supplementary Table 2

Differentially expressed genes_keloid-XL_comparing SC-Keloid vs. (SC-Myel, SC-Nonmyel, SC-Nonmyel2)								
gene	p_val	avg_log2FC	pct.1	pct.2	p_val_adj	Foldchange_UP	Foldchange_DOWN	Ratio_pct1_pct2
SULF1	9,28126E-06	0,110040333	0,122	0,014	0,195843832	1,079258408	0,926562158	8,714285714
RAD1	0,009021414	0,110035559	0,122	0,042	1	1,079254837	0,926565224	2,904761905
WASHC5	0,001139464	0,110010052	0,11	0,025	1	1,079235756	0,926581606	4,4
LRRC27	1,08469E-05	0,109985959	0,11	0,011	0,228879507	1,079217733	0,92659708	10
SDK1	0,004564654	0,109931612	0,122	0,039	1	1,079177079	0,926631986	3,128205128
ADSS2	0,000787841	0,109852583	0,256	0,098	1	1,079117965	0,926682747	2,612244898
INPP5K	7,9173E-05	0,109851348	0,317	0,112	1	1,079117041	0,92668354	2,830357143
AKTIP	2,27964E-05	0,109838627	0,22	0,056	0,481026575	1,079107526	0,926691711	3,928571429
CXXC1	0,000188991	0,109827362	0,195	0,056	1	1,0790991	0,926698947	3,482142857
LSM6	6,26294E-07	0,109794002	0,354	0,098	0,013215423	1,079074148	0,926720376	3,612244898
TFAP2A-AS1	0,001713147	0,10977414	0,061	0,007	1	1,079059292	0,926733134	8,714285714
MRPL32	0,000434918	0,109735807	0,402	0,179	1	1,079030622	0,926757758	2,245810056
ZBED5	0,000448556	0,109719146	0,183	0,056	1	1,07901816	0,926768461	3,267857143
UBA5	0,000801747	0,109669229	0,171	0,053	1	1,078980827	0,926800528	3,226415094
GLRX5	0,000346043	0,109520766	0,39	0,165	1	1,078869799	0,926895906	2,363636364
EPSTI1	6,67422E-07	0,10940105	0,085	0	0,014083281	1,078780277	0,926972824	#DIV/0!
MTHFD1	0,000148936	0,10936457	0,183	0,049	1	1,078752999	0,926996265	3,734693878
POLD1	0,057650786	0,109352764	0,049	0,014	1	1,078744171	0,92700385	3,5
JMJD4	3,73031E-05	0,109229318	0,122	0,018	0,787133093	1,078651871	0,927083174	6,777777778
FIG4	3,24105E-07	0,109193183	0,122	0,007	0,00683894	1,078624854	0,927106395	17,42857143
TIMM21	0,000458752	0,109007606	0,11	0,021	1	1,078486118	0,927225658	5,238095238
LYRM2	7,60802E-09	0,108948129	0,354	0,081	0,000160537	1,078441656	0,927263885	4,37037037
OXER1	0,063203483	0,108926143	0,012	0	1	1,078425222	0,927278016	#DIV/0!
MRPL30	8,4837E-06	0,108889721	0,171	0,032	0,179014635	1,078397996	0,927301427	5,34375
ADPRM	0,001239853	0,108867053	0,073	0,011	1	1,078381052	0,927315997	6,636363636
KANK2	0,002711112	0,108864763	0,488	0,253	1	1,07837934	0,927317469	1,928853755
SH3BP4	9,91694E-09	0,10864503	0,207	0,025	0,000209257	1,078215108	0,927458716	8,28
ULBP2	2,2307E-07	0,108633974	0,11	0,004	0,004706999	1,078206845	0,927465824	27,5
OSBPL6	0,001952737	0,108622768	0,049	0,004	1	1,078198471	0,927473028	12,25
SH3BGRL2	0,510048238	0,108611192	0,024	0,014	1	1,078189819	0,92748047	1,714285714

Supplementary Table 2

Differentially expressed genes_keloid-XL_comparing SC-Keloid vs. (SC-Myel, SC-Nonmyel, SC-Nonmyel2)								
gene	p_val	avg_log2FC	pct.1	pct.2	p_val_adj	Foldchange_UP	Foldchange_DOWN	Ratio_pct1_pct2
AP001816.1	0,001126735	0,108519814	0,146	0,042	1	1,07812153	0,927539217	3,476190476
MRFAP1	0,004565065	0,108509046	0,768	0,477	1	1,078113483	0,92754614	1,610062893
ZNF195	5,13592E-05	0,108410338	0,146	0,028	1	1,078039722	0,927609604	5,214285714
FAM219B	0,000952436	0,108408885	0,171	0,053	1	1,078038637	0,927610538	3,226415094
HNRNPH2	0,000212919	0,108290194	0,402	0,165	1	1,077949949	0,927686856	2,436363636
CHMP4A	3,80998E-07	0,108270034	0,402	0,119	0,00803944	1,077934887	0,92769982	3,378151261
BDH2	0,035247036	0,108255846	0,28	0,161	1	1,077924286	0,927708943	1,739130435
NPHP1	5,69725E-05	0,108253433	0,098	0,011	1	1,077922483	0,927710495	8,909090909
RAB35	4,48757E-05	0,108203544	0,22	0,06	0,946921188	1,077885209	0,927742576	3,666666667
CYREN	3,68303E-07	0,108174411	0,134	0,011	0,007771562	1,077863442	0,927761311	12,18181818
CENPN	0,292304842	0,108111823	0,037	0,018	1	1,077816683	0,92780156	2,055555556
DACT1	5,40601E-05	0,108105985	0,146	0,028	1	1,077812322	0,927805314	5,214285714
NARS1	6,34443E-06	0,108055482	0,415	0,147	0,133873818	1,077774592	0,927837794	2,823129252
RTTN	2,93176E-06	0,108054893	0,171	0,028	0,061863053	1,077774153	0,927838172	6,107142857
XRCC1	0,00475002	0,108043441	0,11	0,032	1	1,077765597	0,927845538	3,4375
ABCC10	0,006556321	0,107898233	0,085	0,021	1	1,077657125	0,927938931	4,047619048
HID1	0,05889129	0,107734102	0,049	0,014	1	1,077534531	0,928044505	3,5
SEMA6D	1,71092E-05	0,107711467	0,268	0,077	0,361021405	1,077517624	0,928059066	3,480519481
STK36	0,179467859	0,107693801	0,049	0,021	1	1,07750443	0,92807043	2,333333333
CAMKK2	1,46543E-05	0,107609525	0,232	0,06	0,309220926	1,077441489	0,928124646	3,866666667
PAICS	6,60988E-06	0,107573143	0,256	0,067	0,139475168	1,077414318	0,928148051	3,820895522
TCTA	1,7849E-06	0,107457585	0,195	0,035	0,037663249	1,077328022	0,928222398	5,571428571
ZBTB22	8,76126E-05	0,107432986	0,159	0,035	1	1,077309653	0,928238225	4,542857143
MRPS12	5,15784E-12	0,107400334	0,293	0,035	1,08836E-07	1,077285271	0,928259233	8,371428571
ECSCR	0,020887559	0,107395376	0,073	0,021	1	1,077281569	0,928262424	3,476190476
ZFAND6	0,000292546	0,107321333	0,5	0,228	1	1,077226281	0,928310066	2,192982456
POLM	9,30589E-05	0,107310031	0,122	0,021	1	1,077217842	0,928317338	5,80952381
CISD3	4,87689E-10	0,107190009	0,305	0,049	1,02907E-05	1,07712823	0,92839457	6,224489796
UVRAG	0,002505089	0,107103327	0,195	0,074	1	1,077063514	0,928450353	2,635135135
YIPF1	1,42457E-06	0,107084929	0,146	0,018	0,030059903	1,077049778	0,928462194	8,111111111

Supplementary Table 2

Differentially expressed genes_keloid-XL_comparing SC-Keloid vs. (SC-Myel, SC-Nonmyel, SC-Nonmyel2)								
gene	p_val	avg_log2FC	pct.1	pct.2	p_val_adj	Foldchange_UP	Foldchange_DOWN	Ratio_pct1_pct2
DCAF17	0,000467734	0,107049345	0,11	0,021	1	1,077023214	0,928485094	5,238095238
MICAL2	1,44656E-09	0,106968451	0,159	0,007	3,05239E-05	1,076962825	0,928537158	22,71428571
COMMD2	0,001799836	0,106965433	0,232	0,091	1	1,076960572	0,9285391	2,549450549
CHFR	1,43675E-05	0,106913475	0,183	0,039	0,303168791	1,076921787	0,928572541	4,692307692
SDR39U1	0,000517403	0,106897815	0,232	0,081	1	1,076910097	0,928582621	2,864197531
POP5	0,000114365	0,106821458	0,293	0,102	1	1,076853101	0,928631769	2,87254902
YKT6	8,02218E-06	0,106786811	0,293	0,084	0,169276077	1,07682724	0,928654071	3,488095238
MAPK3	4,1086E-07	0,106724979	0,293	0,07	0,008669559	1,07678109	0,928693873	4,185714286
FKBP2	0,000170208	0,106717808	0,28	0,098	1	1,076775737	0,928698489	2,857142857
PYROXD1	3,40712E-05	0,106715325	0,159	0,032	0,718936484	1,076773885	0,928700087	4,96875
CCDC71	1,06202E-05	0,106601929	0,098	0,007	0,224096034	1,076689253	0,928773086	14
ACAD8	1,52268E-06	0,106545817	0,195	0,035	0,032130029	1,076647378	0,92880921	5,571428571
CYP27C1	5,93202E-07	0,106407312	0,232	0,046	0,012517148	1,07654402	0,928898384	5,043478261
UTP20	0,000972222	0,106263789	0,134	0,035	1	1,076436928	0,928990798	3,828571429
AIP	0,000321509	0,10622722	0,463	0,207	1	1,076409642	0,929014346	2,236714976
C2orf92	0,183494953	0,106184855	0,024	0,007	1	1,076378034	0,929041627	3,428571429
HELQ	0,006340275	0,106164367	0,085	0,021	1	1,076362748	0,929054821	4,047619048
CD52	0,063203483	0,10610024	0,012	0	1	1,076314906	0,929096117	#DIV/0!
FAM110D	0,063203483	0,10610024	0,012	0	1	1,076314906	0,929096117	#DIV/0!
TMEM241	0,004035611	0,106091706	0,073	0,014	1	1,076308539	0,929101613	5,214285714
SFT2D1	2,21056E-05	0,106065095	0,463	0,179	0,46644981	1,076288687	0,929118751	2,586592179
MTMR6	0,003026098	0,105972854	0,195	0,074	1	1,076219875	0,929178157	2,635135135
EIF3L	0,001686373	0,105897773	0,549	0,288	1	1,076163867	0,929226516	1,90625
POLR3H	3,14724E-05	0,105887448	0,183	0,042	0,66409926	1,076156165	0,929233166	4,357142857
NUDCD2	5,36697E-05	0,105869616	0,451	0,182	1	1,076142864	0,929244651	2,478021978
RRP7A	2,05375E-07	0,105808259	0,256	0,053	0,004333616	1,076097097	0,929284172	4,830188679
FADS2	0,001041902	0,105808229	0,171	0,053	1	1,076097074	0,929284192	3,226415094
WDR5B	5,69725E-05	0,105801171	0,098	0,011	1	1,07609181	0,929288738	8,909090909
BLVRA	7,32957E-05	0,105710022	0,22	0,063	1	1,076023825	0,929347452	3,492063492
SFI1	0,001380549	0,105680681	0,073	0,011	1	1,076001941	0,929366353	6,636363636

Supplementary Table 2

Differentially expressed genes_keloid-XL_comparing SC-Keloid vs. (SC-Myel, SC-Nonmyel, SC-Nonmyel2)								
gene	p_val	avg_log2FC	pct.1	pct.2	p_val_adj	Foldchange_UP	Foldchange_DOWN	Ratio_pct1_pct2
GXYLT2	7,01531E-08	0,105603761	0,159	0,014	0,0014803	1,075944574	0,929415905	11,35714286
FAM50B	6,04286E-06	0,105586921	0,146	0,021	0,127510438	1,075932015	0,929426754	6,952380952
CCDC32	0,0001121	0,105573457	0,171	0,042	1	1,075921974	0,929435428	4,071428571
IL31RA	0,001220269	0,105548763	0,037	0	1	1,075903558	0,929451337	#DIV/0!
ZNF446	8,47501E-06	0,105523433	0,085	0,004	0,178831285	1,075884668	0,929467656	21,25
CALML5	0,347088417	0,105466828	0,012	0,004	1	1,075842456	0,929504125	3
CHKB	1,07595E-06	0,105466464	0,28	0,07	0,02270366	1,075842185	0,929504359	4
PHC3	0,002866349	0,105412289	0,207	0,081	1	1,075801786	0,929539264	2,555555556
BTBD6	3,80729E-05	0,105349689	0,305	0,102	0,803375267	1,075755107	0,929579598	2,990196078
FAM120A	0,001411781	0,105277316	0,366	0,165	1	1,075701143	0,929626232	2,218181818
CDK1	0,510048238	0,105169714	0,024	0,014	1	1,075620916	0,92969557	1,714285714
SLC35A2	0,009572322	0,105090808	0,183	0,077	1	1,075562087	0,92974642	2,376623377
EIF2B2	1,75178E-06	0,104955213	0,244	0,056	0,036964228	1,075461003	0,929833808	4,357142857
PTCD3	0,001847472	0,104798707	0,207	0,077	1	1,075344342	0,929934683	2,688311688
ASF1A	0,00055155	0,104722031	0,146	0,039	1	1,075287191	0,929984109	3,743589744
MRPL10	3,95199E-06	0,104589316	0,159	0,025	0,083391026	1,075188279	0,930069662	6,36
MINPP1	5,60121E-05	0,104414153	0,098	0,011	1	1,075057744	0,930182593	8,909090909
TYMS	0,000314706	0,104270953	0,073	0,007	1	1,074951041	0,930274926	10,42857143
RNF182	0,065143806	0,104246125	0,024	0,004	1	1,074932542	0,930290935	6
SUCO	0,002635829	0,104234487	0,183	0,067	1	1,07492387	0,930298441	2,731343284
CBX1	1,44332E-05	0,104149205	0,293	0,088	0,304555555	1,07486033	0,930353435	3,329545455
COIL	9,66747E-06	0,104034624	0,171	0,032	0,203993199	1,074774967	0,930427327	5,34375
AMBRA1	0,014921301	0,10390492	0,098	0,032	1	1,074678345	0,93051098	3,0625
GPATCH3	0,000275125	0,103859186	0,085	0,011	1	1,074644277	0,930540479	7,727272727
PPP2R5C	0,000900049	0,103848365	0,317	0,133	1	1,074636217	0,930547458	2,383458647
PHAF1	0,000114351	0,103757469	0,122	0,021	1	1,074568512	0,930606088	5,80952381
NOL12	4,72753E-05	0,103667266	0,195	0,049	0,997556556	1,074501328	0,930664276	3,979591837
FANCE	0,001359586	0,103504478	0,073	0,011	1	1,074380093	0,930769294	6,636363636
ATF6B	5,94173E-05	0,103355512	0,268	0,088	1	1,074269163	0,930865406	3,045454545
CMC1	2,21943E-06	0,103341307	0,329	0,095	0,046832239	1,074258585	0,930874571	3,463157895

Supplementary Table 2

Differentially expressed genes_keloid-XL_comparing SC-Keloid vs. (SC-Myel, SC-Nonmyel, SC-Nonmyel2)								
gene	p_val	avg_log2FC	pct.1	pct.2	p_val_adj	Foldchange_UP	Foldchange_DOWN	Ratio_pct1_pct2
TOE1	5,32686E-05	0,103207023	0,073	0,004	1	1,0741586	0,93096122	18,25
PCED1A	0,002231776	0,103183837	0,146	0,046	1	1,074141337	0,930976182	3,173913043
MRPL45	2,8218E-07	0,103076163	0,22	0,039	0,005954283	1,074061172	0,931045667	5,641025641
RPS27A	0,150848743	0,103070784	0,988	0,926	1	1,074057167	0,931049138	1,066954644
MYD88	1,12366E-05	0,102993361	0,11	0,011	0,23710448	1,073999529	0,931099105	10
GMPPA	1,1086E-08	0,102936697	0,256	0,042	0,000233926	1,073957347	0,931135676	6,095238095
IDH2	4,23152E-06	0,102933882	0,195	0,039	0,089289314	1,073955252	0,931137492	5
CCNH	1,86156E-06	0,102913494	0,268	0,067	0,039280779	1,073940074	0,931150652	4
MRPL36	3,06976E-05	0,102876384	0,28	0,088	0,64775032	1,07391245	0,931174603	3,181818182
TRPM8	4,32324E-06	0,102860598	0,073	0	0,09122464	1,0739007	0,931184792	#DIV/0!
KCTD14	2,80682E-05	0,102840102	0,061	0	0,592266086	1,073885443	0,931198022	#DIV/0!
LRRC47	8,76126E-05	0,102742318	0,159	0,035	1	1,073812659	0,931261139	4,542857143
LINC00592	2,80682E-05	0,102644022	0,061	0	0,592266086	1,073739499	0,931324591	#DIV/0!
PSMD12	2,8323E-05	0,102619739	0,366	0,13	0,597643657	1,073721426	0,931340267	2,815384615
OGFR	0,000422705	0,102612705	0,329	0,133	1	1,073716191	0,931344808	2,473684211
TMLHE	3,46103E-05	0,102518945	0,122	0,018	0,730311277	1,073646414	0,931405337	6,777777778
MED25	2,57378E-05	0,102484879	0,195	0,046	0,543093082	1,073621062	0,931427331	4,239130435
EHD3	0,026685693	0,10227232	0,049	0,011	1	1,073462892	0,931564573	4,454545455
LONP2	0,012157541	0,102184475	0,22	0,102	1	1,073397532	0,931621297	2,156862745
PIGL	0,02110076	0,102165306	0,073	0,021	1	1,073383269	0,931633675	3,476190476
MPDU1	1,82813E-08	0,102158956	0,293	0,06	0,000385753	1,073378545	0,931637776	4,883333333
CCDC86	2,3412E-05	0,102108677	0,134	0,021	0,494016028	1,073341137	0,931670245	6,380952381
HUWE1	0,000294847	0,102078697	0,366	0,147	1	1,073318833	0,931689605	2,489795918
RABGGTB	4,47684E-05	0,1020578	0,439	0,168	0,944657555	1,073303286	0,931703101	2,613095238
PDS5A	1,54166E-05	0,101963654	0,268	0,077	0,325305094	1,073233248	0,931763903	3,480519481
ZNF540	0,011553628	0,101939729	0,037	0,004	1	1,07321545	0,931779355	9,25
IFT122	0,000719024	0,101865251	0,122	0,028	1	1,073160047	0,931827459	4,357142857
UBASH3B	0,000344207	0,101821882	0,073	0,007	1	1,073127787	0,931855471	10,42857143
NFYB	0,007429969	0,101782479	0,293	0,14	1	1,073098478	0,931880923	2,092857143
CTU2	5,54605E-05	0,101782461	0,146	0,028	1	1,073098465	0,931880934	5,214285714

Supplementary Table 2

Differentially expressed genes_keloid-XL_comparing SC-Keloid vs. (SC-Myel, SC-Nonmyel, SC-Nonmyel2)								
gene	p_val	avg_log2FC	pct.1	pct.2	p_val_adj	Foldchange_UP	Foldchange_DOWN	Ratio_pct1_pct2
FCRLA	0,000253594	0,10174606	0,085	0,011	1	1,07307139	0,931904447	7,727272727
HACD1	0,000309097	0,10170431	0,073	0,007	1	1,073040337	0,931931415	10,42857143
CHSY1	0,001557806	0,101670457	0,183	0,063	1	1,073015158	0,931953283	2,904761905
HDHD3	0,02110076	0,101555966	0,073	0,021	1	1,072930008	0,932027245	3,476190476
TXN2	4,92227E-07	0,101487409	0,305	0,077	0,010386484	1,072879023	0,932071537	3,961038961
IDH3G	7,11085E-05	0,101431189	0,341	0,123	1	1,072837216	0,932107858	2,772357724
PIGM	0,00072733	0,101319291	0,122	0,028	1	1,072754008	0,932180158	4,357142857
NOL6	1,10401E-05	0,101208281	0,11	0,011	0,23295734	1,072671467	0,932251888	10
CLCN7	0,002755295	0,101201047	0,22	0,088	1	1,072666088	0,932256563	2,5
ABHD8	5,5067E-05	0,101059554	0,098	0,011	1	1,072560891	0,932347999	8,909090909
RHBDD2	1,90987E-06	0,10105782	0,341	0,102	0,040300207	1,072559602	0,932349119	3,343137255
NUP43	0,006251893	0,101031159	0,061	0,011	1	1,072539781	0,932366349	5,545454545
RAB11FIP3	8,33671E-07	0,100957221	0,268	0,063	0,017591299	1,072484815	0,932414134	4,253968254
PLCXD1	0,011339437	0,100922881	0,037	0,004	1	1,072459287	0,932436328	9,25
NRM	0,000322117	0,100782486	0,207	0,067	1	1,072354926	0,932527072	3,089552239
PIGB	0,001772311	0,100712099	0,061	0,007	1	1,072302609	0,93257257	8,714285714
REEP5	0,00021556	0,100406978	0,524	0,242	1	1,072075848	0,932769824	2,165289256
SMIM20	4,40464E-08	0,100136335	0,244	0,042	0,000929423	1,07187475	0,932944824	5,80952381
FPGT	0,000115923	0,100116854	0,122	0,021	1	1,071860276	0,932957422	5,80952381
MAP3K1	4,20589E-05	0,100104121	0,305	0,102	0,887485753	1,071850816	0,932965656	2,990196078
MAP9	2,60923E-05	0,100030475	0,232	0,063	0,55057388	1,071796103	0,933013283	3,682539683
FBLN7	0,009031726	0,100016544	0,049	0,007	1	1,071785753	0,933022292	7
ITGB3BP	7,76016E-06	0,099936488	0,28	0,081	0,163747111	1,071726281	0,933074067	3,456790123
BAALC	0,000915822	0,099915045	0,085	0,014	1	1,071710352	0,933087936	6,071428571
GTPBP2	0,00296515	0,099896614	0,122	0,035	1	1,07169666	0,933099857	3,485714286
PDZD8	0,039805415	0,09989588	0,244	0,13	1	1,071696115	0,933100331	1,876923077
WNT16	8,66134E-06	0,099840903	0,085	0,004	0,1827629	1,071655276	0,93313589	21,25
TTC37	7,09608E-07	0,099761227	0,378	0,112	0,014973446	1,071596093	0,933187426	3,375
ZBTB42	2,04211E-06	0,099730234	0,122	0,011	0,043090571	1,071573073	0,933207473	11,09090909
ENKD1	0,001531269	0,099596147	0,171	0,056	1	1,071473484	0,933294211	3,053571429

Supplementary Table 2

Differentially expressed genes_keloid-XL_comparing SC-Keloid vs. (SC-Myel, SC-Nonmyel, SC-Nonmyel2)								
gene	p_val	avg_log2FC	pct.1	pct.2	p_val_adj	Foldchange_UP	Foldchange_DOWN	Ratio_pct1_pct2
ATP6V1H	3,09036E-05	0,099578093	0,232	0,063	0,652096183	1,071460075	0,933305891	3,682539683
PTP4A3	0,008751649	0,099566479	0,049	0,007	1	1,07145145	0,933313404	7
NCBP2AS2	0,000128817	0,099462468	0,22	0,067	1	1,071374206	0,933380694	3,28358209
EHMT1	0,002790291	0,099365238	0,195	0,074	1	1,071302004	0,933443601	2,635135135
HRAS	0,002380183	0,099310095	0,341	0,161	1	1,071261057	0,93347928	2,118012422
PCDHB2	0,347088417	0,099292373	0,012	0,004	1	1,071247898	0,933490747	3
SLC27A5	0,039238167	0,099207921	0,085	0,032	1	1,071185191	0,933545393	2,65625
CCDC74B	4,80414E-05	0,099156148	0,11	0,014	1	1,071146751	0,933578895	7,857142857
C17orf58	4,80414E-05	0,099137759	0,11	0,014	1	1,071133098	0,933590794	7,857142857
HSD17B1	0,008890703	0,099124202	0,049	0,007	1	1,071123033	0,933599568	7
TPR	0,000406003	0,099069985	0,427	0,186	1	1,07108278	0,933634653	2,295698925
CLN3	2,57871E-05	0,098980952	0,171	0,035	0,544132901	1,071016682	0,933692273	4,885714286
DCAF12	0,000579236	0,098947202	0,183	0,056	1	1,070991627	0,933714115	3,267857143
STEAP3	4,32324E-06	0,098759258	0,073	0	0,09122464	1,070852115	0,933835761	#DIV/0!
TMEM243	6,41967E-05	0,098751684	0,244	0,074	1	1,070846493	0,933840664	3,297297297
PRADC1	7,91729E-07	0,098745603	0,171	0,025	0,016706276	1,07084198	0,9338446	6,84
RGS1	0,347088417	0,09874312	0,012	0,004	1	1,070840137	0,933846207	3
IFTAP	1,62791E-05	0,098734181	0,207	0,049	0,343505831	1,070833502	0,933851993	4,224489796
MRM2	0,009163884	0,098680534	0,11	0,035	1	1,070793684	0,933886719	3,142857143
LAP3	1,70575E-05	0,098655466	0,256	0,07	0,359930495	1,070775078	0,933902946	3,657142857
CHD9	0,001155777	0,098638222	0,671	0,361	1	1,07076228	0,933914109	1,858725762
IL32	0,01375973	0,098613452	0,098	0,032	1	1,070743895	0,933930144	3,0625
ARNT	0,773305148	0,098580512	0,073	0,063	1	1,070719448	0,933951468	1,158730159
RPL21	0,093891472	0,098532733	0,976	0,835	1	1,070683989	0,933982398	1,168862275
AIFM1	4,18695E-06	0,098484419	0,159	0,025	0,088348819	1,070648134	0,934013677	6,36
SIDT2	5,61434E-05	0,098294276	0,171	0,039	1	1,070507035	0,934136785	4,384615385
SEMA4D	1,45516E-05	0,098289639	0,305	0,095	0,307053931	1,070503593	0,934139788	3,210526316
SERPINB8	0,000894103	0,098255004	0,171	0,053	1	1,070477894	0,934162214	3,226415094
METRN	0,01669849	0,098178354	0,744	0,449	1	1,070421021	0,934211847	1,65701559
VASH1	4,08921E-07	0,098178093	0,268	0,06	0,008628642	1,070420828	0,934212016	4,466666667

Supplementary Table 2

Differentially expressed genes_keloid-XL_comparing SC-Keloid vs. (SC-Myel, SC-Nonmyel, SC-Nonmyel2)								
gene	p_val	avg_log2FC	pct.1	pct.2	p_val_adj	Foldchange_UP	Foldchange_DOWN	Ratio_pct1_pct2
VPS51	0,002375385	0,098165752	0,341	0,154	1	1,070411671	0,934220008	2,214285714
TMEM205	0,005827726	0,098160392	0,341	0,165	1	1,070407695	0,934223478	2,066666667
SLC5A6	0,006341138	0,098075998	0,061	0,011	1	1,07034508	0,93427813	5,545454545
IDE	0,000162451	0,098040482	0,11	0,018	1	1,070318731	0,93430113	6,111111111
DMAC2	1,51927E-07	0,098038521	0,244	0,046	0,00320582	1,070317276	0,9343024	5,304347826
PAGR1	5,58393E-08	0,097974986	0,268	0,053	0,001178264	1,070270141	0,934343547	5,056603774
TMEM18	0,000162836	0,097959632	0,317	0,119	1	1,070258751	0,934353491	2,663865546
DNAAF10	0,023331282	0,097958115	0,098	0,035	1	1,070257626	0,934354473	2,8
MAPKAPK3	1,36536E-06	0,097798912	0,098	0,004	0,028810488	1,070139528	0,934457586	24,5
CDK5R1	1,10381E-05	0,097755833	0,098	0,007	0,232915863	1,070107574	0,934485489	14
NIPSNAP2	8,77377E-06	0,09773508	0,341	0,109	0,185135409	1,070092181	0,934498932	3,128440367
SMU1	0,000183673	0,097699452	0,305	0,112	1	1,070065755	0,93452201	2,723214286
MRPL35	4,67659E-06	0,097684073	0,195	0,039	0,098680786	1,070054348	0,934531972	5
EPDR1	0,000963552	0,097673867	0,268	0,105	1	1,070046779	0,934538583	2,552380952
SIRT6	0,003174574	0,097654926	0,122	0,035	1	1,07003273	0,934550853	3,485714286
ADTRP	0,065143806	0,097622098	0,024	0,004	1	1,070008382	0,934572119	6
ZNF287	8,47501E-06	0,097604583	0,085	0,004	0,178831285	1,069995391	0,934583465	21,25
UBE2D2	0,001099284	0,097566652	0,659	0,354	1	1,06996726	0,934608037	1,861581921
HOGA1	0,000183568	0,097534135	0,049	0	1	1,069943144	0,934629102	#DIV/0!
MMAB	3,12046E-05	0,097527023	0,159	0,032	0,658448012	1,069937869	0,93463371	4,96875
VCPKMT	0,005577099	0,09752378	0,134	0,046	1	1,069935465	0,93463581	2,913043478
CARD10	0,006062183	0,097489184	0,085	0,021	1	1,069909808	0,934658223	4,047619048
CPEB1	0,060153875	0,097468153	0,049	0,014	1	1,069894211	0,934671849	3,5
GPALPP1	2,74168E-06	0,097439549	0,207	0,042	0,057852276	1,069872999	0,93469038	4,928571429
XYLT2	0,000752789	0,097367841	0,122	0,028	1	1,069819823	0,934736839	4,357142857
EDC4	4,0245E-06	0,097339347	0,195	0,039	0,084920902	1,069798694	0,934755301	5
MOSPD1	3,62029E-05	0,097316653	0,122	0,018	0,763918221	1,069781866	0,934770005	6,777777778
ZNF605	6,62286E-08	0,097303566	0,146	0,011	0,001397491	1,069772161	0,934778485	13,27272727
PLPP6	0,000311292	0,097214845	0,061	0,004	1	1,069706376	0,934835973	15,25
UBXN2B	0,009031726	0,097152766	0,049	0,007	1	1,069660348	0,934876199	7

Supplementary Table 2

Differentially expressed genes_keloid-XL_comparing SC-Keloid vs. (SC-Myel, SC-Nonmyel, SC-Nonmyel2)								
gene	p_val	avg_log2FC	pct.1	pct.2	p_val_adj	Foldchange_UP	Foldchange_DOWN	Ratio_pct1_pct2
C19orf54	0,001423372	0,097122719	0,073	0,011	1	1,06963807	0,93489567	6,636363636
BTN3A1	5,69725E-05	0,097107645	0,098	0,011	1	1,069626894	0,934905438	8,909090909
RITA1	6,13057E-05	0,097074128	0,085	0,007	1	1,069602045	0,934927158	12,14285714
ZNF451	2,06984E-05	0,097041205	0,28	0,084	0,436756518	1,069577636	0,934948494	3,333333333
C1orf216	0,010188387	0,096899061	0,073	0,018	1	1,069472259	0,935040616	4,055555556
CCDC9B	8,02431E-05	0,096893909	0,256	0,081	1	1,06946844	0,935043955	3,160493827
VANGL1	1,39592E-06	0,096845627	0,098	0,004	0,029455268	1,069432649	0,935075248	24,5
SETMAR	0,00140181	0,096717332	0,073	0,011	1	1,069337552	0,935158406	6,636363636
MOSPD3	8,71822E-08	0,09663519	0,232	0,039	0,001839631	1,069276669	0,935211652	5,948717949
C3orf18	0,000230869	0,096469829	0,098	0,014	1	1,069154116	0,935318851	7
NAB1	8,62361E-05	0,096350843	0,232	0,07	1	1,069065941	0,935395995	3,314285714
STK31	0,347088417	0,096313548	0,012	0,004	1	1,069038306	0,935420176	3
GEMIN8	6,54879E-05	0,096287539	0,207	0,056	1	1,069019033	0,93543704	3,696428571
TFPI2	0,006269696	0,096219439	0,085	0,021	1	1,068968573	0,935481197	4,047619048
GSTA4	0,000121331	0,096108042	0,244	0,077	1	1,068886036	0,935553433	3,168831169
EFNA4	0,000649127	0,096052843	0,098	0,018	1	1,06884514	0,935589229	5,444444444
TEDC2	0,008401736	0,095910805	0,024	0	1	1,068739914	0,935681345	#DIV/0!
SPTLC1	6,96677E-05	0,095897375	0,354	0,13	1	1,068729965	0,935690055	2,723076923
TEX261	6,0173E-08	0,095779779	0,244	0,042	0,00126971	1,068642856	0,935766327	5,80952381
VPS35L	0,000153426	0,095740859	0,11	0,018	1	1,068614027	0,935791572	6,111111111
SEC24D	3,96744E-06	0,09571381	0,329	0,098	0,083716951	1,068593991	0,935809118	3,357142857
ZCCHC7	7,05328E-05	0,095658127	0,22	0,063	1	1,068552748	0,935845237	3,492063492
STK3	0,014373075	0,095557993	0,171	0,074	1	1,068478585	0,935910195	2,310810811
MRPS28	0,000395663	0,095445918	0,268	0,098	1	1,068395584	0,935982903	2,734693878
TRIM37	0,009930926	0,095434153	0,122	0,042	1	1,068386871	0,935990536	2,904761905
MNS1	0,002449793	0,095400676	0,11	0,028	1	1,06836208	0,936012255	3,928571429
CEBPZOS	4,33053E-06	0,095386747	0,305	0,088	0,091378607	1,068351766	0,936021292	3,465909091
CD164	0,000110095	0,095324272	0,646	0,302	1	1,068305502	0,936061827	2,139072848
PLRG1	3,41358E-06	0,095299602	0,232	0,053	0,072029977	1,068287234	0,936077833	4,377358491
CREB3L1	3,17593E-07	0,095293315	0,122	0,007	0,006701534	1,068282579	0,936081913	17,42857143

Supplementary Table 2

Differentially expressed genes_keloid-XL_comparing SC-Keloid vs. (SC-Myel, SC-Nonmyel, SC-Nonmyel2)								
gene	p_val	avg_log2FC	pct.1	pct.2	p_val_adj	Foldchange_UP	Foldchange_DOWN	Ratio_pct1_pct2
PUSL1	3,53478E-08	0,09527563	0,122	0,004	0,000745874	1,068269484	0,936093387	30,5
ZNF136	6,246E-05	0,095246414	0,085	0,007	1	1,068247851	0,936112345	12,14285714
DOK5	0,001217477	0,095159387	0,146	0,042	1	1,068183413	0,936168815	3,476190476
ACAA2	2,35206E-06	0,094976415	0,232	0,053	0,049630756	1,068047948	0,936287553	4,377358491
MEIS3	0,163217468	0,094956426	0,061	0,028	1	1,06803315	0,936300526	2,178571429
EIF2B4	8,53692E-07	0,09493231	0,256	0,06	0,018013746	1,068015297	0,936316177	4,266666667
LAMA5	1,63503E-05	0,09490994	0,317	0,102	0,345007624	1,067998737	0,936330696	3,107843137
APCDD1L	4,32324E-06	0,094822749	0,073	0	0,09122464	1,067934193	0,936387286	#DIV/0!
PIDD1	0,000288855	0,094811112	0,085	0,011	1	1,067925579	0,936394839	7,727272727
THUMPD2	4,99665E-06	0,094759249	0,22	0,049	0,105434212	1,067887189	0,936428502	4,489795918
TMEM63A	0,009972289	0,094729128	0,122	0,042	1	1,067864893	0,936448053	2,904761905
ADAMTS10	0,644071107	0,09472358	0,012	0,007	1	1,067860787	0,936451654	1,714285714
ENOSF1	0,000470825	0,094691161	0,134	0,032	1	1,067836791	0,936472697	4,1875
ZNF138	0,001703135	0,094517076	0,098	0,021	1	1,067707946	0,936585705	4,666666667
SLC25A20	0,333178656	0,094507932	0,024	0,011	1	1,06770118	0,936591641	2,181818182
DHX34	0,011339437	0,094366121	0,037	0,004	1	1,067596234	0,936683709	9,25
WDPCP	0,01030658	0,094356043	0,073	0,018	1	1,067588776	0,936690253	4,055555556
GINS2	2,80682E-05	0,094320512	0,061	0	0,592266086	1,067562484	0,936713322	#DIV/0!
FOXM1	0,001772311	0,09431152	0,061	0,007	1	1,06755583	0,93671916	8,714285714
ZNF268	0,000969643	0,094212345	0,085	0,014	1	1,067482445	0,936783555	6,071428571
NTRK3	0,169837703	0,094205831	0,11	0,063	1	1,067477626	0,936787784	1,746031746
INPPL1	3,36272E-06	0,094078591	0,329	0,098	0,070956689	1,067383483	0,936870409	3,357142857
GALNS	0,000432069	0,094072609	0,171	0,049	1	1,067379056	0,936874294	3,489795918
RTN3	0,000147144	0,094004261	0,476	0,211	1	1,06732849	0,93691868	2,255924171
URB1	0,000169117	0,093983046	0,207	0,06	1	1,067312795	0,936932457	3,45
C11orf49	2,18601E-08	0,093889325	0,22	0,032	0,000461269	1,067243462	0,936993325	6,875
NXN	0,016071749	0,093785165	0,061	0,014	1	1,067166412	0,937060976	4,357142857
EBAG9	0,000266143	0,093764332	0,207	0,063	1	1,067151002	0,937074508	3,285714286
NME6	3,68303E-07	0,093748872	0,134	0,011	0,007771562	1,067139567	0,937084549	12,18181818
LMAN2L	0,000877287	0,093710205	0,085	0,014	1	1,067110965	0,937109666	6,071428571

Supplementary Table 2

Differentially expressed genes_keloid-XL_comparing SC-Keloid vs. (SC-Myel, SC-Nonmyel, SC-Nonmyel2)								
gene	p_val	avg_log2FC	pct.1	pct.2	p_val_adj	Foldchange_UP	Foldchange_DOWN	Ratio_pct1_pct2
AP1B1	6,44461E-06	0,093701016	0,207	0,046	0,135987778	1,067104169	0,937115635	4,5
TBRG4	0,001353292	0,093675583	0,146	0,042	1	1,067085357	0,937132155	3,476190476
SPOP	1,95723E-05	0,093674264	0,317	0,102	0,412994159	1,067084382	0,937133011	3,107843137
ARF1	0,048464513	0,093658351	0,805	0,572	1	1,067072611	0,937143348	1,407342657
HLCS	0,000109756	0,093656972	0,122	0,021	1	1,067071592	0,937144244	5,80952381
AAAS	0,000335451	0,093611582	0,159	0,042	1	1,06703802	0,937173729	3,785714286
EFCAB13	0,001952737	0,093594471	0,049	0,004	1	1,067025364	0,937184844	12,25
NFKBIL1	0,000752789	0,093590232	0,122	0,028	1	1,067022229	0,937187598	4,357142857
CHST8	4,32324E-06	0,093586191	0,073	0	0,09122464	1,06701924	0,937190223	#DIV/0!
ARMC8	0,000896751	0,093581019	0,256	0,098	1	1,067015415	0,937193583	2,612244898
CRYBG1	0,004255004	0,093565786	0,073	0,014	1	1,067004149	0,937203478	5,214285714
GTPBP3	5,69725E-05	0,093545829	0,098	0,011	1	1,066989389	0,937216443	8,909090909
GABRB1	5,32686E-05	0,093538976	0,073	0,004	1	1,066984321	0,937220895	18,25
NDP	0,001703135	0,093513453	0,098	0,021	1	1,066965445	0,937237476	4,666666667
MANEA	1,38141E-06	0,093454421	0,232	0,049	0,029149134	1,066921787	0,937275826	4,734693878
USP14	7,43082E-06	0,093415442	0,415	0,144	0,156797671	1,066892961	0,93730115	2,881944444
SMAD1	3,90623E-05	0,093315774	0,183	0,042	0,824254035	1,066819258	0,937365905	4,357142857
BLCAP	0,00038684	0,093287417	0,268	0,098	1	1,06679829	0,93738433	2,734693878
ZNF154	0,011339437	0,093251975	0,037	0,004	1	1,066772082	0,937407359	9,25
EGFL8	0,08742224	0,093032588	0,902	0,688	1	1,066609873	0,937549919	1,311046512
PPIG	5,53349E-05	0,093010008	0,549	0,235	1	1,06659318	0,937564593	2,336170213
DONSON	0,002016171	0,093001428	0,134	0,039	1	1,066586837	0,937570168	3,435897436
SLC35G2	7,99531E-06	0,092999123	0,122	0,014	0,1687091	1,066585133	0,937571666	8,714285714
TRIM5	0,008346075	0,092969925	0,049	0,007	1	1,066563547	0,937590642	7
MYT1	0,000183568	0,092755209	0,049	0	1	1,066404822	0,937730193	#DIV/0!
TOLLIP	4,61669E-05	0,092717694	0,378	0,14	0,9741677	1,066377092	0,937754578	2,7
DTNA	0,00102428	0,092702743	0,134	0,035	1	1,066366041	0,937764296	3,828571429
ATP6AP1L	0,00032444	0,092696703	0,061	0,004	1	1,066361577	0,937768222	15,25
INTS4	0,009972289	0,092670161	0,122	0,042	1	1,066341959	0,937785475	2,904761905
PTPRM	0,000918685	0,092637236	0,171	0,053	1	1,066317623	0,937806877	3,226415094

Supplementary Table 2

Differentially expressed genes_keloid-XL_comparing SC-Keloid vs. (SC-Myel, SC-Nonmyel, SC-Nonmyel2)								
gene	p_val	avg_log2FC	pct.1	pct.2	p_val_adj	Foldchange_UP	Foldchange_DOWN	Ratio_pct1_pct2
TVP23B	0,015183551	0,092532892	0,146	0,06	1	1,066240503	0,937874707	2,433333333
VHL	3,75113E-07	0,092515173	0,207	0,035	0,007915261	1,066227408	0,937886226	5,914285714
DNAJC9	3,03887E-08	0,092475045	0,22	0,032	0,000641233	1,066197752	0,937912313	6,875
AC004637.1	4,32324E-06	0,092443476	0,073	0	0,09122464	1,066174422	0,937932837	#DIV/0!
CDCA4	2,80682E-05	0,092427267	0,061	0	0,592266086	1,066162443	0,937943375	#DIV/0!
SLC10A7	0,016266828	0,092362991	0,061	0,014	1	1,066114943	0,937985164	4,357142857
ABHD18	0,001772311	0,092258976	0,061	0,007	1	1,066038082	0,938052793	8,714285714
TRAPPC9	2,07968E-06	0,09222943	0,122	0,011	0,043883378	1,06601625	0,938072005	11,09090909
ABCE1	0,000489294	0,092008356	0,293	0,116	1	1,065852909	0,938215762	2,525862069
PRELID3B	0,000397613	0,091937774	0,244	0,084	1	1,065800766	0,938261664	2,904761905
PILRB	0,282277357	0,091925148	0,085	0,053	1	1,065791437	0,938269876	1,603773585
MOGS	4,38829E-07	0,0919021	0,293	0,07	0,009259729	1,065774411	0,938284865	4,185714286
TRIM41	0,005234552	0,091874433	0,122	0,039	1	1,065753973	0,938302859	3,128205128
RPS8	0,239145891	0,091840365	1	0,958	1	1,065728806	0,938325017	1,043841336
ZNF781	0,000631786	0,091810707	0,098	0,018	1	1,065706898	0,938344306	5,444444444
PTRH2	7,97812E-05	0,091735729	0,159	0,035	1	1,065651513	0,938393075	4,542857143
GTF2H2C	0,000217361	0,091629372	0,098	0,014	1	1,065572956	0,938462256	7
CEP290	0,009040853	0,09154953	0,195	0,084	1	1,065513986	0,938514195	2,321428571
PHETA1	0,00032621	0,091504127	0,073	0,007	1	1,065480454	0,93854373	10,42857143
H2BC9	0,000703841	0,091475489	0,098	0,018	1	1,065459304	0,938562361	5,444444444
LINC01554	0,342070304	0,091472502	0,024	0,011	1	1,065457098	0,938564304	2,181818182
P2RY1	0,000173945	0,091396076	0,207	0,06	1	1,065400657	0,938614026	3,45
LCLAT1	4,8807E-05	0,091355768	0,11	0,014	1	1,065370891	0,938640251	7,857142857
OIP5	0,008401736	0,091203629	0,024	0	1	1,065258549	0,93873924	#DIV/0!
NIPA2	0,000203192	0,091194722	0,244	0,081	1	1,065251972	0,938745036	3,012345679
COQ10B	0,000133905	0,091145633	0,317	0,116	1	1,065215726	0,938776978	2,732758621
SGSM3	1,2511E-06	0,091102675	0,329	0,095	0,026399467	1,065184008	0,938804931	3,463157895
KIAA0895L	1,08469E-05	0,090990327	0,11	0,011	0,228879507	1,065101062	0,938878042	10
TICAM2	0,04287207	0,090937565	0,085	0,032	1	1,06506211	0,938912379	2,65625
TAPBPL	0,001538307	0,090857568	0,122	0,032	1	1,065003054	0,938964444	3,8125

Supplementary Table 2

Differentially expressed genes_keloid-XL_comparing SC-Keloid vs. (SC-Myel, SC-Nonmyel, SC-Nonmyel2)								
gene	p_val	avg_log2FC	pct.1	pct.2	p_val_adj	Foldchange_UP	Foldchange_DOWN	Ratio_pct1_pct2
SLC33A1	0,00011679	0,09077887	0,207	0,06	1	1,064944961	0,939015664	3,45
BCAS2	4,50067E-06	0,090759662	0,293	0,081	0,094968624	1,064930782	0,939028166	3,617283951
VAPB	0,000121815	0,090737605	0,329	0,119	1	1,064914501	0,939042523	2,764705882
PPP4R3B	0,031343802	0,090680076	0,256	0,137	1	1,064872037	0,939079969	1,868613139
COMMD5	0,000127665	0,090656868	0,171	0,042	1	1,064854907	0,939095076	4,071428571
ALG2	0,008760492	0,090540717	0,11	0,035	1	1,06476918	0,939170685	3,142857143
RAB12	0,000238764	0,090484499	0,207	0,063	1	1,064727689	0,939207283	3,285714286
TSN	2,80628E-07	0,090417146	0,378	0,105	0,005921541	1,064677982	0,939251132	3,6
PITPNA	1,34032E-05	0,090406665	0,317	0,102	0,282821059	1,064670248	0,939257955	3,107843137
SNRK	0,037995958	0,09024946	0,073	0,025	1	1,064554241	0,939360308	2,92
CCAR2	0,000470825	0,090166246	0,134	0,032	1	1,06449284	0,939414491	4,1875
KEAP1	9,19469E-05	0,09014618	0,232	0,07	1	1,064478034	0,939427558	3,314285714
GEMIN5	1,7871E-06	0,090112762	0,134	0,014	0,03770959	1,064453378	0,939449318	9,571428571
TMEM106C	5,90121E-06	0,090046916	0,256	0,067	0,124521343	1,064404796	0,939492197	3,820895522
CROT	2,55228E-05	0,090045198	0,134	0,021	0,538555655	1,064403528	0,939493316	6,380952381
TRIP11	0,000171728	0,089974491	0,305	0,112	1	1,064351363	0,939539362	2,723214286
STAM2	0,00683044	0,089930856	0,146	0,053	1	1,064319172	0,939567779	2,754716981
ZNF468	5,32686E-05	0,089910538	0,073	0,004	1	1,064304182	0,939581011	18,25
MCAT	4,95841E-05	0,089895776	0,11	0,014	1	1,064293292	0,939590625	7,857142857
MIB2	0,04045173	0,089858676	0,159	0,077	1	1,064265924	0,939614788	2,064935065
THADA	0,001241194	0,089793105	0,146	0,042	1	1,064217553	0,939657495	3,476190476
IGFLR1	0,001220269	0,08976894	0,037	0	1	1,064199728	0,939673234	#DIV/0!
ARAF	2,3522E-05	0,089756555	0,22	0,056	0,496337612	1,064190592	0,939681301	3,928571429
CHUK	0,001571179	0,089735169	0,122	0,032	1	1,064174817	0,93969523	3,8125
RSPRY1	0,000276176	0,089642472	0,171	0,046	1	1,064106443	0,93975561	3,717391304
RUFY2	0,000107105	0,089602165	0,207	0,06	1	1,064076714	0,939781866	3,45
CCZ1	4,29376E-05	0,089560209	0,305	0,102	0,906027166	1,064045769	0,939809197	2,990196078
UBE2V2	4,10545E-05	0,089517663	0,427	0,161	0,866291261	1,064014391	0,939836913	2,652173913
NUP93	0,001861343	0,08951708	0,171	0,056	1	1,064013961	0,939837293	3,053571429
BCAT1	1,02952E-07	0,089503631	0,098	0	0,002172399	1,064004042	0,939846054	#DIV/0!

Supplementary Table 2

Differentially expressed genes_keloid-XL_comparing SC-Keloid vs. (SC-Myel, SC-Nonmyel, SC-Nonmyel2)								
gene	p_val	avg_log2FC	pct.1	pct.2	p_val_adj	Foldchange_UP	Foldchange_DOWN	Ratio_pct1_pct2
ARCN1	2,09384E-05	0,089397643	0,415	0,154	0,441821824	1,063925877	0,939915102	2,694805195
MFSD9	0,000183568	0,089354333	0,049	0	1	1,063893938	0,93994332	#DIV/0!
EXOSC4	1,28715E-05	0,089337172	0,22	0,053	0,271600545	1,063881283	0,9399545	4,150943396
SMO	0,060153875	0,089325474	0,049	0,014	1	1,063872657	0,939962122	3,5
CYFIP2	0,000315825	0,089297935	0,122	0,025	1	1,063852349	0,939980065	4,88
GTF2H1	0,002016171	0,089211878	0,134	0,039	1	1,063788893	0,940036136	3,435897436
AIF1L	0,000576852	0,0892046	0,305	0,123	1	1,063783526	0,940040878	2,479674797
MTMR14	7,4992E-05	0,089036397	0,134	0,025	1	1,063659507	0,940150484	5,36
FKRP	0,025343006	0,089011371	0,11	0,042	1	1,063641056	0,940166792	2,619047619
NEK7	0,036903994	0,088977166	0,232	0,126	1	1,063615839	0,940189083	1,841269841
SNX9	0,000384038	0,088954076	0,232	0,077	1	1,063598816	0,94020413	3,012987013
LRR8E	0,008401736	0,088949122	0,024	0	1	1,063595163	0,94020736	#DIV/0!
CEP41	0,004102792	0,088892066	0,098	0,025	1	1,063553101	0,940244544	3,92
LRR41	0,000651262	0,08859858	0,183	0,056	1	1,063336766	0,940435836	3,267857143
NUDT16L1	0,000127297	0,088584422	0,207	0,06	1	1,06332633	0,940445065	3,45
ARF4	0,05206881	0,088583011	0,634	0,446	1	1,06332529	0,940445985	1,421524664
WIPF2	0,00096313	0,088450752	0,256	0,098	1	1,063227815	0,940532204	2,612244898
GSPT2	4,88624E-05	0,088440522	0,098	0,011	1	1,063220275	0,940538874	8,909090909
ARMC6	0,000651072	0,088404776	0,146	0,039	1	1,063193932	0,940562177	3,743589744
APOM	0,00031979	0,088285413	0,122	0,025	1	1,063105972	0,940639999	4,88
FBXO16	0,008401736	0,088250447	0,024	0	1	1,063080206	0,940662797	#DIV/0!
EEF2KMT	5,58308E-05	0,088137468	0,085	0,007	1	1,062996958	0,940736465	12,14285714
EIF3K	0,000584763	0,088122796	0,671	0,347	1	1,062986147	0,940746032	1,933717579
ARL8B	3,99546E-05	0,08803661	0,354	0,126	0,843080964	1,062922647	0,940802233	2,80952381
GAL3ST4	0,000298361	0,087961514	0,085	0,011	1	1,062867321	0,940851206	7,727272727
GPAT4	0,000262066	0,087946861	0,232	0,077	1	1,062856525	0,940860762	3,012987013
ZNF33A	0,014137725	0,087930785	0,098	0,032	1	1,062844682	0,940871246	3,0625
LBR	1,96144E-06	0,087910916	0,256	0,06	0,041388341	1,062830044	0,940884204	4,266666667
ANO1	0,00032444	0,087872925	0,061	0,004	1	1,062802057	0,940908981	15,25
LPAR4	0,000332109	0,087848842	0,073	0,007	1	1,062784316	0,940924687	10,42857143

Supplementary Table 2

Differentially expressed genes_keloid-XL_comparing SC-Keloid vs. (SC-Myel, SC-Nonmyel, SC-Nonmyel2)								
gene	p_val	avg_log2FC	pct.1	pct.2	p_val_adj	Foldchange_UP	Foldchange_DOWN	Ratio_pct1_pct2
BAG4	0,01352207	0,087650617	0,183	0,081	1	1,0626383	0,941053979	2,259259259
DHX16	0,003053309	0,087583875	0,122	0,035	1	1,062589141	0,941097515	3,485714286
TTL12	0,010188387	0,087536958	0,073	0,018	1	1,062554586	0,94112812	4,055555556
TFAZZIN	0,033702567	0,087519228	0,134	0,06	1	1,062541528	0,941139686	2,233333333
SAP30L	0,00079604	0,087499274	0,305	0,126	1	1,062526832	0,941152703	2,420634921
TIMELESS	0,011339437	0,087427468	0,037	0,004	1	1,062473949	0,941199547	9,25
CNTRL	0,015153743	0,087422601	0,134	0,053	1	1,062470365	0,941202723	2,528301887
FAM174A	0,00017554	0,087349199	0,22	0,067	1	1,062416309	0,941250611	3,28358209
JADE3	0,001802592	0,087265128	0,061	0,007	1	1,0623544	0,941305462	8,714285714
SLFN5	1,98732E-05	0,087078619	0,195	0,046	0,419345238	1,06221707	0,94142716	4,239130435
SNCG	0,060153875	0,087053432	0,049	0,014	1	1,062198525	0,941443597	3,5
NATD1	5,32686E-05	0,087044118	0,073	0,004	1	1,062191668	0,941449675	18,25
UBXN11	0,002631406	0,087024709	0,085	0,018	1	1,062177378	0,94146234	4,722222222
GRK5	0,058268295	0,087009218	0,049	0,014	1	1,062165973	0,941472449	3,5
ANKRD49	0,014394785	0,086934126	0,098	0,032	1	1,062110689	0,941521454	3,0625
TPI1	0,004808897	0,086929107	0,805	0,484	1	1,062106994	0,941524729	1,66322314
RFX5	0,006340275	0,086864029	0,085	0,021	1	1,062059085	0,941567201	4,047619048
CHMP7	0,00050647	0,086821497	0,134	0,032	1	1,062027775	0,94159496	4,1875
CASTOR1	8,66134E-06	0,08680606	0,085	0,004	0,1827629	1,062016411	0,941605035	21,25
RANGRF	6,36949E-06	0,086788176	0,207	0,046	0,134402518	1,062003246	0,941616707	4,5
RALGAPA2	0,00296515	0,08674472	0,122	0,035	1	1,061971257	0,941645071	3,485714286
VRK1	0,002767295	0,086690636	0,085	0,018	1	1,061931447	0,941680372	4,722222222
AHCY	1,37509E-08	0,086654578	0,341	0,077	0,000290159	1,061904906	0,941703908	4,428571429
UBE2F	0,000372541	0,086626724	0,268	0,098	1	1,061884404	0,94172209	2,734693878
YJU2B	6,03301E-05	0,086494955	0,305	0,102	1	1,061787421	0,941808106	2,990196078
OGFRL1	0,002698569	0,086494379	0,085	0,018	1	1,061786997	0,941808482	4,722222222
RRP8	0,000212764	0,086464057	0,159	0,039	1	1,061764681	0,941828277	4,076923077
SLC22A18AS	0,001876622	0,086438627	0,049	0,004	1	1,061745965	0,941844879	12,25
TMEM129	0,00024535	0,086407429	0,207	0,063	1	1,061723006	0,941865246	3,285714286
CNFN	1,02173E-05	0,086396663	0,098	0,007	0,215595665	1,061715083	0,941872274	14

Supplementary Table 2

Differentially expressed genes_keloid-XL_comparing SC-Keloid vs. (SC-Myel, SC-Nonmyel, SC-Nonmyel2)								
gene	p_val	avg_log2FC	pct.1	pct.2	p_val_adj	Foldchange_UP	Foldchange_DOWN	Ratio_pct1_pct2
VPS52	0,002095478	0,086375987	0,134	0,039	1	1,061699867	0,941885773	3,435897436
WRAP53	5,89403E-05	0,086177551	0,098	0,011	1	1,061553846	0,942015334	8,909090909
DTX2	3,64556E-07	0,086136105	0,146	0,014	0,007692497	1,061523349	0,942042397	10,42857143
UTP14A	0,00405833	0,086128825	0,098	0,025	1	1,061517993	0,94204715	3,92
DMTF1	0,001547529	0,086112147	0,159	0,049	1	1,061505721	0,942058041	3,244897959
ZNF391	0,011128779	0,086004666	0,037	0,004	1	1,061426642	0,942128227	9,25
OSBP2	0,043000486	0,085971375	0,037	0,007	1	1,061402149	0,942149967	5,285714286
DYSF	5,90574E-05	0,085965946	0,085	0,007	1	1,061398155	0,942153513	12,14285714
PHF5A	0,000635621	0,085796188	0,195	0,063	1	1,06127327	0,94226438	3,095238095
PCDHGB7	0,099301202	0,085786411	0,037	0,011	1	1,061266078	0,942270766	3,363636364
KCNMB3	0,00032444	0,085769146	0,061	0,004	1	1,061253378	0,942282042	15,25
PXN-AS1	2,62657E-05	0,085739126	0,134	0,021	0,554232678	1,061231295	0,94230165	6,380952381
CFAP97	1,86553E-05	0,085572637	0,622	0,263	0,393644434	1,061108835	0,942410399	2,365019011
LRPPRC	0,000641617	0,085541291	0,28	0,109	1	1,06108578	0,942430875	2,568807339
PPIL6	0,000284208	0,085515218	0,085	0,011	1	1,061066604	0,942447907	7,727272727
TMEM87B	4,90412E-06	0,08548928	0,159	0,025	0,103481741	1,061047527	0,942464852	6,36
PSMG4	0,000228156	0,08539568	0,207	0,063	1	1,060978691	0,942525999	3,285714286
ZNF2	0,065143806	0,08534444	0,024	0,004	1	1,060941008	0,942559476	6
HDDC3	4,3682E-05	0,085319624	0,11	0,014	0,921734445	1,060922759	0,942575689	7,857142857
TMX4	5,2807E-07	0,085315025	0,439	0,14	0,011142803	1,060919377	0,942578693	3,135714286
NUP88	2,74188E-05	0,085308737	0,134	0,021	0,578564323	1,060914753	0,942582802	6,380952381
ITPRIPL2	2,58919E-07	0,085298141	0,415	0,123	0,005463454	1,060906961	0,942589725	3,37398374
THY1	0,049682602	0,085243088	0,11	0,049	1	1,060866478	0,942625694	2,244897959
C5orf34	2,80682E-05	0,085218497	0,061	0	0,592266086	1,060848395	0,942641762	#DIV/0!
SLC29A1	6,246E-05	0,085196532	0,085	0,007	1	1,060832244	0,942656114	12,14285714
MAPKAP1	0,000410787	0,085154968	0,268	0,098	1	1,060801682	0,942683271	2,734693878
PLA2G4A	0,000103093	0,08509707	0,159	0,035	1	1,060759111	0,942721104	4,542857143
EPN2	0,001757527	0,085052616	0,305	0,133	1	1,060726426	0,942750152	2,293233083
IQCE	1,42345E-05	0,085050452	0,159	0,028	0,300362154	1,060724835	0,942751567	5,678571429
OR7C1	5,21474E-05	0,085030594	0,073	0,004	1	1,060710235	0,942764543	18,25

Supplementary Table 2

Differentially expressed genes_keloid-XL_comparing SC-Keloid vs. (SC-Myel, SC-Nonmyel, SC-Nonmyel2)								
gene	p_val	avg_log2FC	pct.1	pct.2	p_val_adj	Foldchange_UP	Foldchange_DOWN	Ratio_pct1_pct2
DDX56	0,023818859	0,084976838	0,134	0,056	1	1,060670713	0,942799672	2,392857143
YDJC	1,08272E-05	0,084966759	0,098	0,007	0,228465315	1,060663303	0,942806259	14
MAST2	0,05064237	0,084764232	0,134	0,063	1	1,060514416	0,94293862	2,126984127
ARFGAP2	4,81779E-06	0,084660279	0,293	0,081	0,101660119	1,060438004	0,943006566	3,617283951
NOL8	0,00244171	0,084572848	0,146	0,046	1	1,06037374	0,943063716	3,173913043
TBC1D22A	0,003759144	0,084565427	0,098	0,025	1	1,060368286	0,943068567	3,92
MAEA	0,000496265	0,084483945	0,256	0,095	1	1,060308399	0,943121832	2,694736842
ARFGAP1	0,000901737	0,084452595	0,28	0,112	1	1,060285358	0,943142327	2,5
ELP6	0,000148395	0,084363856	0,171	0,042	1	1,060220143	0,943200341	4,071428571
PLEKHH3	0,02311933	0,0843572	0,232	0,119	1	1,060215252	0,943204692	1,949579832
SNX21	1,33137E-05	0,084336228	0,159	0,028	0,280931553	1,06019984	0,943218403	5,678571429
KNSTRN	0,000332109	0,084311223	0,073	0,007	1	1,060181465	0,943234751	10,42857143
MAGEF1	1,01637E-05	0,084307247	0,305	0,091	0,214465091	1,060178543	0,943237351	3,351648352
FLRT1	0,052459136	0,084292139	0,134	0,063	1	1,060167441	0,943247228	2,126984127
NOP9	0,016864604	0,084247881	0,061	0,014	1	1,060134918	0,943276165	4,357142857
PEX6	0,000304206	0,08423239	0,122	0,025	1	1,060123535	0,943286294	4,88
BORCS8	2,42595E-05	0,084115476	0,171	0,035	0,511899209	1,060037627	0,94336274	4,885714286
DEF8	5,03394E-08	0,084084957	0,28	0,056	0,001062213	1,060015203	0,943382696	5
UBL7	7,30342E-05	0,084082436	0,134	0,025	1	1,060013351	0,943384344	5,36
HYKK	1,06202E-05	0,084024289	0,098	0,007	0,224096034	1,059970629	0,943422367	14
MUC12	0,000304206	0,083997818	0,122	0,025	1	1,059951181	0,943439678	4,88
NSMCE3	7,12794E-09	0,083995576	0,341	0,074	0,000150407	1,059949533	0,943441144	4,608108108
EXTL2	3,62294E-05	0,083981513	0,244	0,07	0,764475716	1,059939201	0,943450341	3,485714286
ETV4	8,66134E-06	0,08393237	0,085	0,004	0,1827629	1,059903097	0,943482478	21,25
GSK3A	1,60713E-05	0,083917492	0,317	0,102	0,339120865	1,059892167	0,943492208	3,107843137
MORN3	0,00032444	0,083901013	0,061	0,004	1	1,05988006	0,943502985	15,25
POLA2	0,003982392	0,083879785	0,073	0,014	1	1,059864465	0,943516868	5,214285714
PFAS	1,12366E-05	0,083879362	0,11	0,011	0,23710448	1,059864154	0,943517144	10
HEATR1	5,55011E-05	0,08385753	0,171	0,039	1	1,059848115	0,943531423	4,384615385
DDX60L	6,13057E-05	0,083851795	0,085	0,007	1	1,059843902	0,943535173	12,14285714

Supplementary Table 2

Differentially expressed genes_keloid-XL_comparing SC-Keloid vs. (SC-Myel, SC-Nonmyel, SC-Nonmyel2)								
gene	p_val	avg_log2FC	pct.1	pct.2	p_val_adj	Foldchange_UP	Foldchange_DOWN	Ratio_pct1_pct2
PIGW	8,66134E-06	0,083794073	0,085	0,004	0,1827629	1,059801499	0,943572925	21,25
BCAS4	0,00012579	0,083751767	0,122	0,021	1	1,059770422	0,943600595	5,80952381
CERK	0,001673714	0,083738606	0,122	0,032	1	1,059760754	0,943609203	3,8125
ADAMTS13	0,008401736	0,083717816	0,024	0	1	1,059745482	0,943622801	#DIV/0!
GON7	0,000111268	0,08368296	0,122	0,021	1	1,059719879	0,943645599	5,80952381
DOP1A	0,006411568	0,083672549	0,085	0,021	1	1,059712231	0,943652409	4,047619048
CA11	0,001492907	0,083671066	0,159	0,049	1	1,059711142	0,943653379	3,244897959
CINP	4,4995E-06	0,083650044	0,159	0,025	0,094944043	1,0596957	0,94366713	6,36
ARMC7	5,32686E-05	0,083589497	0,073	0,004	1	1,059651228	0,943706734	18,25
SERPINB5	0,016463985	0,083552598	0,061	0,014	1	1,059624127	0,943730871	4,357142857
CASP4	0,000938221	0,083548087	0,183	0,06	1	1,059620813	0,943733822	3,05
RASL11B	4,3682E-05	0,083540276	0,11	0,014	0,921734445	1,059615076	0,943738932	7,857142857
PHF6	0,009816935	0,08345436	0,171	0,07	1	1,059551976	0,943795135	2,442857143
ICA1	0,006163779	0,083414271	0,061	0,011	1	1,059522534	0,943821361	5,545454545
ZNF711	0,041525285	0,083393737	0,098	0,039	1	1,059507453	0,943834795	2,512820513
ZNF277	0,010863732	0,083304118	0,146	0,056	1	1,05944164	0,943893427	2,607142857
FAM222B	0,516980245	0,08321746	0,024	0,014	1	1,059378005	0,943950125	1,714285714
VPS37C	1,17619E-05	0,083158235	0,195	0,042	0,24818749	1,059334517	0,943988876	4,642857143
MAN2A1	1,5947E-05	0,082977469	0,293	0,088	0,336497046	1,059201793	0,944107163	3,329545455
CREBL2	0,000641125	0,082862466	0,195	0,063	1	1,059117363	0,944182425	3,095238095
SLC30A7	8,57134E-05	0,082841057	0,207	0,056	1	1,059101646	0,944196436	3,696428571
ER12	0,004311516	0,082837246	0,073	0,014	1	1,059098848	0,944198931	5,214285714
PCDHB14	0,0059273	0,082795032	0,085	0,021	1	1,059067859	0,944226559	4,047619048
C14orf28	0,001798559	0,082784912	0,098	0,021	1	1,05906043	0,944233182	4,666666667
PCOLCE2	1,39592E-06	0,082752421	0,098	0,004	0,029455268	1,059036579	0,944254448	24,5
TMEM150A	0,000649127	0,082670422	0,098	0,018	1	1,058976388	0,944308118	5,444444444
COQ2	1,36536E-06	0,082597894	0,098	0,004	0,028810488	1,058923152	0,944355592	24,5
TBL3	0,00018544	0,082561739	0,134	0,028	1	1,058896615	0,944379258	4,785714286
HAUS2	0,058461383	0,0825279	0,122	0,056	1	1,058871779	0,944401409	2,178571429
AKIP1	0,000465553	0,082506695	0,134	0,032	1	1,058856215	0,944415291	4,1875

Supplementary Table 2

Differentially expressed genes_keloid-XL_comparing SC-Keloid vs. (SC-Myel, SC-Nonmyel, SC-Nonmyel2)								
gene	p_val	avg_log2FC	pct.1	pct.2	p_val_adj	Foldchange_UP	Foldchange_DOWN	Ratio_pct1_pct2
PDCD2L	5,32686E-05	0,082461195	0,073	0,004	1	1,058822821	0,944445076	18,25
FAHD1	0,000264599	0,082449858	0,146	0,035	1	1,0588145	0,944452498	4,171428571
ZC3H13	4,24249E-07	0,082406403	0,439	0,137	0,008952082	1,058782609	0,944480946	3,204379562
CCDC113	6,01716E-05	0,082361674	0,085	0,007	1	1,058749783	0,944510229	12,14285714
RIOK1	0,000815224	0,082268547	0,159	0,046	1	1,058681442	0,9445712	3,456521739
RPL13A	0,427836809	0,082207958	0,988	0,888	1	1,058636982	0,94461087	1,112612613
ARMT1	0,000220667	0,082180633	0,098	0,014	1	1,058616931	0,944628761	7
REP15	0,000332109	0,082152225	0,073	0,007	1	1,058596086	0,944647362	10,42857143
CDK10	0,001694829	0,082148016	0,195	0,07	1	1,058592998	0,944650118	2,785714286
SPDL1	0,008145887	0,082012618	0,098	0,028	1	1,058493653	0,944738778	3,5
GPR39	0,000183568	0,081965974	0,049	0	1	1,058459431	0,944769323	#DIV/0!
ACSL3	0,004152316	0,08187636	0,329	0,154	1	1,058393686	0,94482801	2,136363636
PDPK1	0,002668862	0,0817809	0,195	0,074	1	1,058323657	0,944890529	2,635135135
AP4S1	0,040095269	0,081776165	0,073	0,025	1	1,058320183	0,94489363	2,92
EML1	6,01472E-05	0,081737379	0,171	0,039	1	1,058291731	0,944919034	4,384615385
DZIP1L	0,010071401	0,081714763	0,073	0,018	1	1,058275141	0,944933847	4,055555556
GATD3A	9,64031E-06	0,081671093	0,098	0,007	0,20342014	1,058243108	0,94496245	14
PUF60	0,001723599	0,081594219	0,585	0,295	1	1,058186721	0,945012803	1,983050847
ARSI	4,72873E-05	0,081585291	0,11	0,014	0,997809544	1,058180173	0,945018651	7,857142857
ZKSCAN4	2,80682E-05	0,081547507	0,061	0	0,592266086	1,058152459	0,945043402	#DIV/0!
NSUN5	9,07324E-05	0,081538191	0,159	0,035	1	1,058145627	0,945049504	4,542857143
GM2A	0,001194179	0,081476558	0,146	0,042	1	1,058100422	0,945089879	3,476190476
GATC	2,51588E-05	0,0814403	0,134	0,021	0,530876209	1,05807383	0,945113631	6,380952381
KLHDC10	0,000749037	0,081436033	0,244	0,091	1	1,058070701	0,945116426	2,681318681
CIRBP	0,107517407	0,081433256	0,902	0,656	1	1,058068664	0,945118246	1,375
UMAD1	0,000336119	0,08141429	0,122	0,025	1	1,058054755	0,94513067	4,88
MICAL3	0,003951254	0,081408337	0,329	0,158	1	1,05805039	0,94513457	2,082278481
NDUFAF1	5,68952E-05	0,081372518	0,146	0,028	1	1,058024121	0,945158036	5,214285714
TAOK3	0,000179872	0,0813141	0,354	0,14	1	1,057981279	0,945196309	2,528571429
SEMA6A	0,000124579	0,081287248	0,146	0,032	1	1,057961588	0,945213901	4,5625

Supplementary Table 2

Differentially expressed genes_keloid-XL_comparing SC-Keloid vs. (SC-Myel, SC-Nonmyel, SC-Nonmyel2)								
gene	p_val	avg_log2FC	pct.1	pct.2	p_val_adj	Foldchange_UP	Foldchange_DOWN	Ratio_pct1_pct2
RAD18	0,346572919	0,081273407	0,049	0,028	1	1,057951438	0,945222969	1,75
RRM2B	0,015078158	0,081240693	0,146	0,06	1	1,057927449	0,945244403	2,433333333
PEX7	0,000742666	0,081234895	0,098	0,018	1	1,057923197	0,945248202	5,444444444
AP1AR	0,009423296	0,081184854	0,171	0,07	1	1,057886503	0,945280989	2,442857143
DNAAF3	0,000183568	0,081181805	0,049	0	1	1,057884267	0,945282987	#DIV/0!
NXT2	0,000157878	0,081043717	0,11	0,018	1	1,057783016	0,945373469	6,111111111
GPR180	0,000839209	0,081030087	0,134	0,035	1	1,057773023	0,945382401	3,828571429
INTS7	4,65444E-05	0,080962033	0,11	0,014	0,9821336	1,057723127	0,945426997	7,857142857
ABCB6	0,001713147	0,080891827	0,061	0,007	1	1,057671657	0,945473005	8,714285714
DYNC2LI1	1,48158E-05	0,080726923	0,159	0,028	0,312628803	1,057550769	0,945581082	5,678571429
BMS1	3,1659E-06	0,080649862	0,28	0,074	0,06680361	1,057494282	0,945631591	3,783783784
EIF2AK2	1,97578E-07	0,080600395	0,378	0,105	0,004169088	1,057458023	0,945664015	3,6
GUF1	1,91355E-06	0,080578177	0,134	0,014	0,0403779	1,057441738	0,945678579	9,571428571
JPT1	6,47486E-06	0,080570543	0,268	0,074	0,136625959	1,057436142	0,945683583	3,621621622
NVL	8,26419E-06	0,080556011	0,171	0,032	0,174382754	1,057425491	0,945693108	5,34375
RET	0,063203483	0,080469133	0,012	0	1	1,057361815	0,94575006	#DIV/0!
AMOT	0,107332601	0,080399549	0,061	0,025	1	1,057310818	0,945795676	2,44
LYPLA2	5,72295E-05	0,080269915	0,195	0,049	1	1,057215817	0,945880665	3,979591837
ZNF511	1,26621E-05	0,080251184	0,232	0,06	0,267183289	1,057202091	0,945892946	3,866666667
CD6	0,000183568	0,080226535	0,049	0	1	1,057184029	0,945909107	#DIV/0!
TPBG	0,009031726	0,080218909	0,049	0,007	1	1,05717844	0,945914107	7
LIPA	7,35158E-05	0,080216533	0,256	0,081	1	1,057176699	0,945915664	3,160493827
DCUN1D1	0,001047006	0,080198281	0,268	0,105	1	1,057163325	0,945927631	2,552380952
MPI	0,000160149	0,080191123	0,11	0,018	1	1,05715808	0,945932325	6,111111111
SNUPN	0,002401544	0,080167668	0,183	0,067	1	1,057140893	0,945947704	2,731343284
DCUN1D2	0,006431528	0,080149737	0,061	0,011	1	1,057127754	0,94595946	5,545454545
XRN2	0,004264256	0,080139718	0,341	0,165	1	1,057120412	0,94596603	2,066666667
NEIL2	0,001772311	0,080129911	0,061	0,007	1	1,057113227	0,94597246	8,714285714
PPFIA1	2,70394E-05	0,080127997	0,366	0,13	0,570557601	1,057111824	0,945973716	2,815384615
CCDC57	0,005992082	0,080107756	0,122	0,039	1	1,057096993	0,945986988	3,128205128

Supplementary Table 2

Differentially expressed genes_keloid-XL_comparing SC-Keloid vs. (SC-Myel, SC-Nonmyel, SC-Nonmyel2)								
gene	p_val	avg_log2FC	pct.1	pct.2	p_val_adj	Foldchange_UP	Foldchange_DOWN	Ratio_pct1_pct2
HERPUD2	1,95737E-06	0,080078179	0,195	0,035	0,041302386	1,057075321	0,946006382	5,571428571
ECRG4	4,32324E-06	0,080074149	0,073	0	0,09122464	1,057072368	0,946009025	#DIV/0!
TPX2	0,059519563	0,080036468	0,049	0,014	1	1,05704476	0,946033733	3,5
TNFRSF1A	6,70333E-06	0,079999279	0,415	0,147	0,1414446985	1,057017512	0,94605812	2,823129252
TNFAIP8	0,000308034	0,079965102	0,122	0,025	1	1,056992472	0,946080532	4,88
ENTPD5	0,005342271	0,079964639	0,11	0,032	1	1,056992133	0,946080835	3,4375
TRIP6	3,33782E-06	0,079910368	0,39	0,126	0,070431359	1,056952372	0,946116425	3,095238095
KCNRG	0,001220269	0,079908489	0,037	0	1	1,056950995	0,946117658	#DIV/0!
DDX39A	0,000711065	0,079894695	0,341	0,144	1	1,05694089	0,946126703	2,368055556
RNF4	0,000189302	0,079892084	0,232	0,074	1	1,056938977	0,946128416	3,135135135
SCCPDH	0,000955702	0,079870331	0,659	0,326	1	1,05692304	0,946142682	2,021472393
BEAN1	0,000317802	0,079843234	0,061	0,004	1	1,056903189	0,946160453	15,25
MINDY3	7,13605E-06	0,079839811	0,183	0,035	0,150577744	1,056900681	0,946162698	5,228571429
STK25	2,31592E-07	0,079795549	0,354	0,095	0,004886813	1,056868256	0,946191726	3,726315789
FAM118B	1,36355E-06	0,079783638	0,159	0,021	0,028772289	1,05685953	0,946199539	7,571428571
TOR4A	2,80682E-05	0,079753708	0,061	0	0,592266086	1,056837605	0,946219168	#DIV/0!
NAP1L5	0,00140181	0,079747227	0,073	0,011	1	1,056832858	0,946223419	6,636363636
PRRC1	0,000190951	0,079668961	0,232	0,074	1	1,056775526	0,946274753	3,135135135
USP35	0,060793535	0,079661361	0,049	0,014	1	1,056769959	0,946279738	3,5
NCKAP5L	8,8541E-05	0,079642824	0,183	0,046	1	1,056756381	0,946291896	3,97826087
DIP2A	0,004375273	0,079639466	0,28	0,13	1	1,056753921	0,946294099	2,153846154
POU5F2	0,009102897	0,079494947	0,049	0,007	1	1,056648068	0,946388897	7
FAM229B	0,00035282	0,079453714	0,244	0,084	1	1,056617869	0,946415946	2,904761905
RNFT1	5,69725E-05	0,079371335	0,098	0,011	1	1,056557537	0,946469988	8,909090909
STX2	0,000367621	0,079316928	0,354	0,144	1	1,056517693	0,946505682	2,458333333
SLC66A1	0,002983177	0,079310979	0,085	0,018	1	1,056513337	0,946509585	4,722222222
CLCN6	0,009413802	0,079285616	0,11	0,035	1	1,056494763	0,946526225	3,142857143
FAHD2B	0,00140181	0,079244406	0,073	0,011	1	1,056464585	0,946553263	6,636363636
HRCT1	8,66134E-06	0,079213517	0,085	0,004	0,1827629	1,056441966	0,946573529	21,25
DRAM2	1,77191E-05	0,079181982	0,244	0,067	0,373891544	1,056418874	0,94659422	3,641791045

Supplementary Table 2

Differentially expressed genes_keloid-XL_comparing SC-Keloid vs. (SC-Myel, SC-Nonmyel, SC-Nonmyel2)								
gene	p_val	avg_log2FC	pct.1	pct.2	p_val_adj	Foldchange_UP	Foldchange_DOWN	Ratio_pct1_pct2
NELFCD	1,45285E-05	0,079167962	0,329	0,109	0,3065655	1,056408608	0,946603419	3,018348624
ZNF627	0,00032444	0,07914894	0,061	0,004	1	1,056394679	0,9466159	15,25
PPP2CB	0,014076621	0,07911044	0,683	0,414	1	1,056366488	0,946641162	1,649758454
COMMD8	7,83921E-08	0,078991013	0,256	0,049	0,001654152	1,056279045	0,946719529	5,224489796
LEKR1	0,008401736	0,078942628	0,024	0	1	1,05624362	0,94675128	#DIV/0!
TBC1D13	0,004147695	0,078846596	0,098	0,025	1	1,056173315	0,946814302	3,92
SLX1A	0,001952737	0,078832034	0,049	0,004	1	1,056162654	0,946823859	12,25
RAPGEF6	0,004750396	0,078805159	0,22	0,091	1	1,05614298	0,946841497	2,417582418
PRKD2	7,24402E-06	0,078737872	0,207	0,046	0,152856065	1,056093723	0,946885658	4,5
PHACTR2	0,018791522	0,078737845	0,183	0,084	1	1,056093703	0,946885676	2,178571429
UNC13B	0,001003155	0,078736296	0,134	0,035	1	1,056092569	0,946886693	3,828571429
RPS13	0,16109071	0,078657872	0,963	0,898	1	1,056035162	0,946938166	1,072383073
RCBTB2	0,065834577	0,07862391	0,061	0,021	1	1,056010303	0,946960458	2,904761905
TARBP2	5,79485E-05	0,078535985	0,098	0,011	1	1,055945946	0,947018173	8,909090909
AGBL4	0,001220269	0,078512859	0,037	0	1	1,05592902	0,947033353	#DIV/0!
FANCC	0,001833348	0,078443312	0,061	0,007	1	1,055878119	0,947079007	8,714285714
ST7L	0,023657379	0,078416202	0,134	0,056	1	1,055858278	0,947096804	2,392857143
NAPEPLD	0,000276176	0,078308253	0,171	0,046	1	1,055779276	0,947167673	3,717391304
EDEM2	0,000182598	0,078270261	0,159	0,039	1	1,055751473	0,947192616	4,076923077
LIAS	0,006067769	0,078175387	0,134	0,046	1	1,055682048	0,947254906	2,913043478
KIF4A	0,064667995	0,078166336	0,061	0,021	1	1,055675425	0,947260849	2,904761905
IFIT5	0,100834226	0,078124689	0,073	0,032	1	1,055644951	0,947288195	2,28125
ZNF611	0,001914332	0,078124641	0,049	0,004	1	1,055644915	0,947288227	12,25
GINS3	4,17072E-05	0,078076542	0,207	0,053	0,880063939	1,055609721	0,947319809	3,905660377
SPATA2L	9,91418E-06	0,078057957	0,122	0,014	0,209199094	1,055596123	0,947332013	8,714285714
INTS9	0,008401736	0,078050991	0,024	0	1	1,055591026	0,947336587	#DIV/0!
BIRC5	0,001914332	0,078035576	0,049	0,004	1	1,055579748	0,947346709	12,25
AC007952.4	0,002474156	0,077990644	0,207	0,081	1	1,055546873	0,947376214	2,555555556
PLEKHS1	0,000338108	0,077972706	0,073	0,007	1	1,055533748	0,947387994	10,42857143
AC002454.1	2,80682E-05	0,077917977	0,061	0	0,592266086	1,055493707	0,947423934	#DIV/0!

Supplementary Table 2

Differentially expressed genes_keloid-XL_comparing SC-Keloid vs. (SC-Myel, SC-Nonmyel, SC-Nonmyel2)								
gene	p_val	avg_log2FC	pct.1	pct.2	p_val_adj	Foldchange_UP	Foldchange_DOWN	Ratio_pct1_pct2
TXNRD2	0,007277368	0,077895415	0,159	0,06	1	1,0554772	0,947438751	2,65
ACTR8	0,000201519	0,077884953	0,098	0,014	1	1,055469546	0,947445621	7
CFAP20DC	4,32324E-06	0,077795993	0,073	0	0,09122464	1,055404466	0,947504044	#DIV/0!
PGM2	0,000988848	0,077782707	0,11	0,025	1	1,055394746	0,94751277	4,4
PYCR2	0,000143162	0,077765196	0,329	0,126	1	1,055381937	0,947524271	2,611111111
CAMKMT	0,024538047	0,077755896	0,085	0,028	1	1,055375133	0,947530379	3,035714286
EFHB	0,063203483	0,077730952	0,012	0	1	1,055356886	0,947546762	#DIV/0!
KEL	0,063203483	0,077730952	0,012	0	1	1,055356886	0,947546762	#DIV/0!
LGALS2	0,063203483	0,077730952	0,012	0	1	1,055356886	0,947546762	#DIV/0!
STAB1	0,063203483	0,077730952	0,012	0	1	1,055356886	0,947546762	#DIV/0!
UBQLNL	0,063203483	0,077730952	0,012	0	1	1,055356886	0,947546762	#DIV/0!
ZFP82	0,063203483	0,077730952	0,012	0	1	1,055356886	0,947546762	#DIV/0!
GBF1	1,18313E-05	0,077726898	0,195	0,042	0,249652213	1,055353921	0,947549424	4,642857143
UBB	3,62718E-10	0,077690997	0,854	0,4	7,65371E-06	1,055327658	0,947573005	2,135
CBX2	0,05889129	0,077667811	0,049	0,014	1	1,055310698	0,947588233	3,5
DHX33	0,002095478	0,077508163	0,134	0,039	1	1,055193924	0,947693099	3,435897436
PDCD10	0,000753737	0,077466405	0,415	0,182	1	1,055163383	0,947720529	2,28021978
AMH	0,010921605	0,077337814	0,037	0,004	1	1,055069338	0,947805006	9,25
STT3A	0,000118625	0,077295316	0,195	0,053	1	1,055038259	0,947832926	3,679245283
GLI3	0,000790232	0,07728549	0,439	0,2	1	1,055031073	0,947839382	2,195
FOXC2	0,00140181	0,077214616	0,073	0,011	1	1,054979244	0,947885947	6,636363636
NFU1	2,2882E-05	0,077209258	0,341	0,112	0,482833656	1,054975327	0,947889467	3,044642857
SLC25A35	0,059519805	0,077177486	0,049	0,014	1	1,054952094	0,947910342	3,5
SMG6	0,02622152	0,077134693	0,183	0,088	1	1,054920802	0,94793846	2,079545455
FZR1	0,001557671	0,077132351	0,171	0,056	1	1,054919089	0,947939999	3,053571429
SLC31A2	1,00787E-05	0,077052926	0,122	0,014	0,212671388	1,054861014	0,947992187	8,714285714
ULK4	0,000332109	0,077045337	0,073	0,007	1	1,054855465	0,947997174	10,42857143
MCM2	0,183494953	0,077025727	0,024	0,007	1	1,054841128	0,948010059	3,428571429
MCM4	0,006556321	0,077000502	0,085	0,021	1	1,054822684	0,948026635	4,047619048
DCAF7	0,005194404	0,076980579	0,28	0,13	1	1,054808117	0,948039727	2,153846154

Supplementary Table 2

Differentially expressed genes_keloid-XL_comparing SC-Keloid vs. (SC-Myel, SC-Nonmyel, SC-Nonmyel2)								
gene	p_val	avg_log2FC	pct.1	pct.2	p_val_adj	Foldchange_UP	Foldchange_DOWN	Ratio_pct1_pct2
LSS	0,003269243	0,076878078	0,134	0,042	1	1,054733178	0,948107086	3,19047619
CCNB2	0,065143806	0,076873227	0,024	0,004	1	1,054729632	0,948110274	6
ELMOD1	0,001220269	0,076790454	0,037	0	1	1,054669119	0,948164672	#DIV/0!
SRRM3	0,008401736	0,076771039	0,024	0	1	1,054654926	0,948177433	#DIV/0!
NKAP	0,000777309	0,076691501	0,232	0,084	1	1,054596783	0,948229708	2,761904762
LZTFL1	0,000445012	0,076688079	0,134	0,032	1	1,054594281	0,948231958	4,1875
GNG11	3,69832E-08	0,076627377	0,598	0,2	0,000780383	1,05454991	0,948271855	2,99
TEX9	0,00140181	0,076545573	0,073	0,011	1	1,054490116	0,948325627	6,636363636
BBOF1	0,00047996	0,07653513	0,11	0,021	1	1,054482484	0,948332491	5,238095238
BPNT1	0,001236845	0,07653109	0,11	0,025	1	1,05447953	0,948335147	4,4
ZFP62	0,002640395	0,07650774	0,11	0,028	1	1,054462464	0,948350495	3,928571429
INTS3	0,004480116	0,076492281	0,232	0,098	1	1,054451165	0,948360657	2,367346939
TIGAR	0,000292988	0,076447285	0,122	0,025	1	1,054418278	0,948390236	4,88
ARHGEF40	0,000928531	0,076445335	0,5	0,235	1	1,054416853	0,948391518	2,127659574
PRPF8	0,000433914	0,076443813	0,366	0,154	1	1,054415741	0,948392518	2,376623377
CAPN1	3,75508E-05	0,076433686	0,415	0,158	0,792359671	1,05440834	0,948399175	2,626582278
BRMS1L	0,00031979	0,076401105	0,122	0,025	1	1,054384528	0,948420594	4,88
TMEM184C	0,041519021	0,07637243	0,085	0,032	1	1,054363571	0,948439445	2,65625
FSD1	6,13057E-05	0,07633643	0,085	0,007	1	1,054337262	0,948463112	12,14285714
CCDC186	0,020615501	0,07630044	0,22	0,109	1	1,05431096	0,948486773	2,018348624
DEGS1	0,003397095	0,076298206	0,537	0,274	1	1,054309327	0,948488242	1,959854015
DHRS7B	4,13314E-05	0,076180579	0,183	0,042	0,872133784	1,05422337	0,948565578	4,357142857
RHBDD3	0,000685139	0,076172099	0,098	0,018	1	1,054217173	0,948571154	5,444444444
RAB30-DT	0,000504006	0,076135103	0,171	0,049	1	1,054190139	0,948595479	3,489795918
SMIM10	0,000354997	0,076129502	0,183	0,053	1	1,054186047	0,948599161	3,452830189
NCAPD2	0,000197116	0,076075469	0,134	0,028	1	1,054146566	0,948634689	4,785714286
FGF5	0,000183568	0,075956209	0,049	0	1	1,054059428	0,948713112	#DIV/0!
EDRF1	0,036803449	0,075759821	0,061	0,018	1	1,053915953	0,948842265	3,388888889
MTRF1	0,065249136	0,075747673	0,061	0,021	1	1,053907079	0,948850254	2,904761905
GLB1	8,58922E-07	0,075697844	0,22	0,042	0,018124104	1,053870679	0,948883027	5,238095238

Supplementary Table 2

Differentially expressed genes_keloid-XL_comparing SC-Keloid vs. (SC-Myel, SC-Nonmyel, SC-Nonmyel2)								
gene	p_val	avg_log2FC	pct.1	pct.2	p_val_adj	Foldchange_UP	Foldchange_DOWN	Ratio_pct1_pct2
NSUN2	0,000770218	0,075684483	0,122	0,028	1	1,053860919	0,948891815	4,357142857
SLC25A23	9,91418E-06	0,075648424	0,122	0,014	0,209199094	1,053834579	0,948915532	8,714285714
ALDH3B1	0,000744212	0,075645478	0,122	0,028	1	1,053832427	0,948917469	4,357142857
IFI35	0,000635621	0,075627955	0,195	0,063	1	1,053819627	0,948928995	3,095238095
CLPB	0,065834577	0,07560988	0,061	0,021	1	1,053806425	0,948940884	2,904761905
FZD6	0,000204598	0,075557919	0,098	0,014	1	1,053768471	0,948975062	7
ZNF407-AS1	0,003268385	0,075547813	0,122	0,035	1	1,053761089	0,94898171	3,485714286
POLR1E	7,68227E-07	0,075444679	0,183	0,028	0,016210348	1,053685761	0,949049552	6,535714286
ZNF721	0,16838416	0,075415669	0,134	0,081	1	1,053664574	0,949068636	1,654320988
HAT1	0,001091792	0,075366474	0,305	0,13	1	1,053628646	0,949100999	2,346153846
SELENOO	0,000932352	0,075323878	0,134	0,035	1	1,053597537	0,949129022	3,828571429
ZNF69	0,000183568	0,075310036	0,049	0	1	1,053587429	0,949138128	#DIV/0!
TRPM4	0,004255004	0,075297292	0,073	0,014	1	1,053578121	0,949146513	5,214285714
SH2B1	0,005482257	0,075265256	0,22	0,095	1	1,053554727	0,949167589	2,315789474
ATF1	0,002949192	0,075209992	0,207	0,081	1	1,05351437	0,949203949	2,555555556
ADGRE2	2,80682E-05	0,075207706	0,061	0	0,592266086	1,0535127	0,949205453	#DIV/0!
DOCK7	0,001315659	0,07511636	0,354	0,161	1	1,053445998	0,949265555	2,198757764
WDR3	0,000217361	0,075048092	0,098	0,014	1	1,05339615	0,949310476	7
BBS1	0,111964825	0,075015922	0,049	0,018	1	1,053372661	0,949331644	2,722222222
ZNF548	0,016463985	0,074987408	0,061	0,014	1	1,053351842	0,949350407	4,357142857
SEC23IP	0,002296533	0,074974517	0,11	0,028	1	1,05334243	0,94935889	3,928571429
PI4K2B	0,00095592	0,074947643	0,085	0,014	1	1,053322809	0,949376574	6,071428571
CBR4	0,003102112	0,074927289	0,171	0,06	1	1,053307949	0,949389968	2,85
ATR	0,000713367	0,074894318	0,098	0,018	1	1,053283877	0,949411666	5,444444444
AP2A2	2,16516E-06	0,0748195	0,354	0,109	0,045686941	1,053229255	0,949460903	3,247706422
OXCT1	0,016651717	0,074793006	0,122	0,046	1	1,053209913	0,94947834	2,652173913
ATP6V1D	2,63989E-05	0,074739981	0,39	0,14	0,557043007	1,053171204	0,949513238	2,785714286
ST8SIA4	0,000183568	0,074707357	0,049	0	1	1,053147389	0,949534709	#DIV/0!
BCS1L	0,000199533	0,074682037	0,134	0,028	1	1,053128906	0,949551374	4,785714286
HSD17B4	6,64597E-05	0,074665246	0,293	0,098	1	1,053116649	0,949562426	2,989795918

Supplementary Table 2

Differentially expressed genes_keloid-XL_comparing SC-Keloid vs. (SC-Myel, SC-Nonmyel, SC-Nonmyel2)								
gene	p_val	avg_log2FC	pct.1	pct.2	p_val_adj	Foldchange_UP	Foldchange_DOWN	Ratio_pct1_pct2
HS1BP3	9,44252E-07	0,074548265	0,207	0,039	0,019924668	1,05303126	0,949639425	5,307692308
HOXC5	0,001898897	0,074522259	0,098	0,021	1	1,053012278	0,949656543	4,666666667
SFT2D3	2,04211E-06	0,074508895	0,122	0,011	0,043090571	1,053002524	0,94966534	11,09090909
ZNF81	0,000997638	0,074506894	0,085	0,014	1	1,053001064	0,949666657	6,071428571
NF2	0,000905476	0,074495626	0,159	0,046	1	1,05299284	0,949674074	3,456521739
PIM1	0,035683499	0,074491653	0,134	0,06	1	1,05298994	0,949676689	2,233333333
SRBD1	0,00405833	0,074441489	0,098	0,025	1	1,052953327	0,949709711	3,92
YTHDF3-DT	2,07968E-06	0,07439743	0,122	0,011	0,043883378	1,052921171	0,949738715	11,09090909
PEDS1	4,12502E-05	0,074355609	0,293	0,095	0,870421401	1,052890649	0,949766247	3,084210526
AKR7A2	2,55312E-06	0,074296716	0,305	0,084	0,05387347	1,052847669	0,949805019	3,630952381
TRAM1L1	0,000338108	0,074274604	0,073	0,007	1	1,052831533	0,949819576	10,42857143
RBM42	0,000351959	0,074263106	0,415	0,182	1	1,052823142	0,949827146	2,28021978
ZNF414	3,21999E-05	0,074189613	0,183	0,042	0,679450306	1,052769511	0,949875533	4,357142857
SLC43A1	0,008401736	0,074140943	0,024	0	1	1,052733996	0,949907578	#DIV/0!
KLHL17	0,000167149	0,074070497	0,11	0,018	1	1,052682593	0,949953962	6,111111111
GCDH	0,006115259	0,074069136	0,146	0,053	1	1,0526816	0,949954858	2,754716981
MEN1	0,026163616	0,074062207	0,098	0,035	1	1,052676544	0,949959421	2,8
BRPF1	0,003205568	0,074012735	0,122	0,035	1	1,052640446	0,949991997	3,485714286
DRD2	5,21474E-05	0,073937733	0,073	0,004	1	1,052585724	0,950041386	18,25
NFYA	0,485575622	0,073889612	0,061	0,042	1	1,052550616	0,950073075	1,452380952
CFAP251	0,001772311	0,073888168	0,061	0,007	1	1,052549562	0,950074026	8,714285714
KIAA2013	2,8305E-07	0,073853373	0,366	0,102	0,005972641	1,052524177	0,95009694	3,588235294
ZNF175	0,103792275	0,073770869	0,037	0,011	1	1,052463988	0,950151275	3,363636364
C11orf1	0,000624735	0,073756121	0,146	0,039	1	1,052453229	0,950160988	3,743589744
FAM162A	5,43281E-07	0,073694982	0,378	0,109	0,011463774	1,052408628	0,950201256	3,467889908
BAG2	0,000214102	0,073690639	0,098	0,014	1	1,052405461	0,950204116	7
DSCC1	0,006251893	0,073571313	0,061	0,011	1	1,052318419	0,950282711	5,545454545
RBM18	0,000133816	0,073568672	0,146	0,032	1	1,052316492	0,950284451	4,5625
TF	0,066254792	0,073554499	0,024	0,004	1	1,052306154	0,950293786	6
TMEM223	8,68688E-08	0,073553405	0,256	0,049	0,001833018	1,052305357	0,950294507	5,224489796

Supplementary Table 2

Differentially expressed genes_keloid-XL_comparing SC-Keloid vs. (SC-Myel, SC-Nonmyel, SC-Nonmyel2)								
gene	p_val	avg_log2FC	pct.1	pct.2	p_val_adj	Foldchange_UP	Foldchange_DOWN	Ratio_pct1_pct2
ZKSCAN1	0,0001082	0,073544923	0,293	0,102	1	1,05229917	0,950300094	2,87254902
POU3F2	0,016274784	0,073516318	0,183	0,081	1	1,052278305	0,950318936	2,259259259
SUPT3H	1,72088E-05	0,07349788	0,183	0,039	0,363123284	1,052264858	0,950331081	4,692307692
DNAJC18	0,001194205	0,073410497	0,11	0,025	1	1,052201124	0,950388644	4,4
PSORS1C1	0,000338108	0,073369196	0,073	0,007	1	1,052171003	0,950415852	10,42857143
CC2D2A	0,014921301	0,07335729	0,098	0,032	1	1,05216232	0,950423695	3,0625
DROSHA	2,10551E-05	0,073349221	0,146	0,025	0,44428446	1,052156435	0,950429011	5,84
BNIP3	0,005276004	0,073205143	0,22	0,095	1	1,052051364	0,950523933	2,315789474
ZNF660	0,067018449	0,073202026	0,061	0,021	1	1,052049091	0,950525986	2,904761905
DLD	1,06888E-05	0,073149014	0,22	0,053	0,225545313	1,052010435	0,950560914	4,150943396
JAK2	0,000183568	0,073142581	0,049	0	1	1,052005743	0,950565153	#DIV/0!
GPS2	3,69029E-05	0,073131363	0,476	0,189	0,778688535	1,051997563	0,950572544	2,518518519
SEL1L	1,1546E-05	0,073124286	0,354	0,116	0,243632596	1,051992403	0,950577207	3,051724138
CBWD1	9,06518E-06	0,073079214	0,268	0,074	0,191284269	1,051959538	0,950606905	3,621621622
HSPA4	1,83347E-05	0,073005209	0,341	0,116	0,386880192	1,051905577	0,950655669	2,939655172
RPUSD1	0,000710805	0,072862484	0,122	0,028	1	1,051801518	0,950749722	4,357142857
CNEP1R1	0,013704854	0,072848636	0,085	0,025	1	1,051791422	0,950758847	3,4
CYYR1	0,183494953	0,072814515	0,024	0,007	1	1,051766547	0,950781334	3,428571429
C5orf58	0,008401736	0,072778581	0,024	0	1	1,05174035	0,950805016	#DIV/0!
DHDDS	0,001101503	0,072692882	0,134	0,035	1	1,051677877	0,950861497	3,828571429
NEMP2	8,66134E-06	0,072622762	0,085	0,004	0,1827629	1,051626762	0,950907714	21,25
MTHFD2L	5,55011E-05	0,072573131	0,171	0,039	1	1,051590585	0,950940427	4,384615385
TIRAP	0,00032444	0,072510994	0,061	0,004	1	1,051545295	0,950981384	15,25
CDK7	0,001831458	0,07245849	0,098	0,021	1	1,051507026	0,951015995	4,666666667
SPRING1	0,000166278	0,07239646	0,22	0,067	1	1,051461817	0,951056885	3,28358209
MCUB	0,00371808	0,072369614	0,098	0,025	1	1,051442251	0,951074583	3,92
PRCC	0,000436709	0,072367667	0,28	0,105	1	1,051440832	0,951075866	2,666666667
ENAH	6,2249E-05	0,072334376	0,171	0,039	1	1,051416569	0,951097813	4,384615385
SF3B2	0,004845864	0,072286496	0,463	0,242	1	1,051381675	0,951129379	1,91322314
C1orf50	5,81126E-05	0,072238356	0,171	0,039	1	1,051346594	0,951161117	4,384615385

Supplementary Table 2

Differentially expressed genes_keloid-XL_comparing SC-Keloid vs. (SC-Myel, SC-Nonmyel, SC-Nonmyel2)								
gene	p_val	avg_log2FC	pct.1	pct.2	p_val_adj	Foldchange_UP	Foldchange_DOWN	Ratio_pct1_pct2
ENO4	0,001220269	0,072180807	0,037	0	1	1,051304657	0,951199059	#DIV/0!
ZNF319	0,006431528	0,072146432	0,061	0,011	1	1,051279607	0,951221724	5,545454545
RSPH9	0,00095592	0,072143147	0,085	0,014	1	1,051277214	0,951223889	6,071428571
HDAC6	0,069914007	0,072120469	0,122	0,06	1	1,051260689	0,951238842	2,033333333
CEP68	0,003205568	0,07208467	0,122	0,035	1	1,051234603	0,951262446	3,485714286
TMEM9	5,95845E-05	0,072069878	0,28	0,091	1	1,051223825	0,9512722	3,076923077
TCEAL7	2,19535E-06	0,072047178	0,293	0,077	0,046324103	1,051207285	0,951287167	3,805194805
GEMIN6	3,24105E-07	0,072028388	0,122	0,007	0,00683894	1,051193593	0,951299557	17,42857143
SPIN2A	0,008401736	0,07201636	0,024	0	1	1,051184829	0,951307489	#DIV/0!
PFKP	0,000360636	0,071860025	0,159	0,042	1	1,051070926	0,951410581	3,785714286
SPHK2	0,016147858	0,071756342	0,122	0,046	1	1,05099539	0,951478959	2,652173913
MRPL48	5,30011E-05	0,071723186	0,171	0,039	1	1,050971237	0,951500826	4,384615385
PLIN3	0,000192241	0,07171709	0,366	0,144	1	1,050966796	0,951504847	2,541666667
TBCK	0,000713367	0,071690093	0,098	0,018	1	1,05094713	0,951522652	5,444444444
ZCWPW2	0,00414399	0,071610946	0,073	0,014	1	1,050889475	0,951574855	5,214285714
CMTR1	0,002508126	0,071539956	0,146	0,046	1	1,050837767	0,951621679	3,173913043
EPS15L1	1,08291E-05	0,071437593	0,195	0,042	0,228504817	1,050763209	0,951689202	4,642857143
SPIRE2	0,347088417	0,071418194	0,012	0,004	1	1,05074908	0,951701999	3
HOXC-AS1	0,013704854	0,071408351	0,085	0,025	1	1,050741912	0,951708492	3,4
RPA3	0,000115675	0,071367659	0,207	0,06	1	1,050712275	0,951735336	3,45
MEDAG	0,006341138	0,071366267	0,061	0,011	1	1,050711261	0,951736254	5,545454545
FAM98A	0,000762572	0,071316646	0,22	0,077	1	1,050675123	0,951768989	2,857142857
CIAO3	0,000311907	0,0712919	0,122	0,025	1	1,050657102	0,951785315	4,88
UBR1	0,000642543	0,071258327	0,183	0,056	1	1,050632652	0,951807464	3,267857143
PPARD	0,040310506	0,071223077	0,098	0,039	1	1,050606982	0,95183072	2,512820513
DUSP4	0,001229283	0,071221296	0,146	0,042	1	1,050605685	0,951831895	3,476190476
PRKAR2B	4,32324E-06	0,071192187	0,073	0	0,09122464	1,050584487	0,9518511	#DIV/0!
DNPEP	0,000761642	0,07115754	0,207	0,07	1	1,050559257	0,95187396	2,957142857
RAP1GDS1	6,25578E-05	0,071139838	0,488	0,204	1	1,050546367	0,951885639	2,392156863
STARD3NL	0,002817764	0,071137663	0,232	0,095	1	1,050544783	0,951887074	2,442105263

Supplementary Table 2

Differentially expressed genes_keloid-XL_comparing SC-Keloid vs. (SC-Myel, SC-Nonmyel, SC-Nonmyel2)								
gene	p_val	avg_log2FC	pct.1	pct.2	p_val_adj	Foldchange_UP	Foldchange_DOWN	Ratio_pct1_pct2
ZWILCH	0,000685144	0,071105051	0,098	0,018	1	1,050521036	0,951908592	5,444444444
MIER2	0,041181302	0,071100601	0,073	0,025	1	1,050517795	0,951911528	2,92
ABCG1	0,260282533	0,071098352	0,049	0,025	1	1,050516158	0,951913012	1,96
PES1	6,20327E-06	0,071098089	0,183	0,035	0,13089519	1,050515966	0,951913186	5,228571429
RUVBL2	0,000138689	0,071055572	0,207	0,06	1	1,050485007	0,95194124	3,45
ZNF598	0,009423296	0,071014384	0,171	0,07	1	1,050455017	0,951968417	2,442857143
ZNF578	0,008401736	0,070991474	0,024	0	1	1,050438336	0,951983534	#DIV/0!
FMN1	0,028081741	0,070946897	0,049	0,011	1	1,05040588	0,95201295	4,454545455
PABIR3	0,016864604	0,070928964	0,061	0,014	1	1,050392823	0,952024783	4,357142857
EPB41L4A	0,040202307	0,070858343	0,085	0,032	1	1,050341407	0,952071387	2,65625
ROPN1B	0,004199164	0,070854227	0,073	0,014	1	1,05033841	0,952074103	5,214285714
TRAPPC12	6,25295E-06	0,07082339	0,268	0,07	0,131943405	1,05031596	0,952094453	3,828571429
RNF180	5,32686E-05	0,070812039	0,073	0,004	1	1,050307696	0,952101945	18,25
WDR12	0,00095592	0,070801828	0,085	0,014	1	1,050300262	0,952108684	6,071428571
MMP16	5,32686E-05	0,070779384	0,073	0,004	1	1,050283923	0,952123496	18,25
LZTS1	0,000124092	0,07070669	0,122	0,021	1	1,050231003	0,952171472	5,80952381
DNAI4	0,347088417	0,070649652	0,012	0,004	1	1,050189482	0,952209117	3
FADS1	0,002570239	0,070639732	0,22	0,088	1	1,050182261	0,952215665	2,5
TMEM254	0,000279632	0,070400342	0,085	0,011	1	1,050008016	0,952373682	7,727272727
RAMAC	4,4719E-05	0,070222867	0,183	0,042	0,943616019	1,049878856	0,952490846	4,357142857
CHDH	0,911002271	0,070201288	0,012	0,014	1	1,049863153	0,952505093	0,857142857
POGLUT3	6,27412E-05	0,070188312	0,232	0,067	1	1,04985371	0,95251366	3,462686567
HDAC8	3,90623E-05	0,070181214	0,183	0,042	0,824254035	1,049848545	0,952518347	4,357142857
YY2	0,001742498	0,070174826	0,061	0,007	1	1,049843896	0,952522564	8,714285714
ZNF584	0,004368707	0,070134047	0,073	0,014	1	1,049814222	0,952549489	5,214285714
ZNF439	0,001003155	0,070070696	0,134	0,035	1	1,049768124	0,952591317	3,828571429
CUL2	1,13313E-06	0,07005325	0,207	0,039	0,023910185	1,049755429	0,952602837	5,307692308
AL162431.1	0,649511996	0,070036385	0,012	0,007	1	1,049743158	0,952613972	1,714285714
PRDM10	0,191478184	0,070013132	0,037	0,014	1	1,049726239	0,952629326	2,642857143
RINL	0,103792275	0,06999066	0,037	0,011	1	1,049709888	0,952644165	3,363636364

Supplementary Table 2

Differentially expressed genes_keloid-XL_comparing SC-Keloid vs. (SC-Myel, SC-Nonmyel, SC-Nonmyel2)								
gene	p_val	avg_log2FC	pct.1	pct.2	p_val_adj	Foldchange_UP	Foldchange_DOWN	Ratio_pct1_pct2
NPIPA5	0,188110324	0,069956847	0,037	0,014	1	1,049685286	0,952666493	2,642857143
FAM98C	0,000247417	0,069912232	0,22	0,07	1	1,049652825	0,952695954	3,142857143
CYB5R4	1,11779E-05	0,069887028	0,159	0,028	0,235865591	1,049634487	0,952712599	5,678571429
TMEM154	0,000997638	0,069881537	0,085	0,014	1	1,049630492	0,952716225	6,071428571
SNAPC2	6,37734E-07	0,069869939	0,354	0,102	0,013456825	1,049622054	0,952723884	3,470588235
ATP6V1G1	0,000186641	0,069846734	0,695	0,344	1	1,049605172	0,952739208	2,020348837
KLHDC3	0,000161996	0,069835838	0,195	0,056	1	1,049597245	0,952746403	3,482142857
ZNF555	0,065143806	0,069834632	0,024	0,004	1	1,049596367	0,9527472	6
ACOT9	9,89053E-06	0,069824319	0,305	0,091	0,208699979	1,049588864	0,952754011	3,351648352
FAM110B	0,513508152	0,069823408	0,024	0,014	1	1,049588202	0,952754612	1,714285714
BVES	0,003268385	0,069786802	0,122	0,035	1	1,04956157	0,952778787	3,485714286
ZNF510	0,040816555	0,069766328	0,073	0,025	1	1,049546676	0,952792308	2,92
PREP	0,009955614	0,069765896	0,073	0,018	1	1,049546361	0,952792594	4,055555556
BIVM	0,01356931	0,069757804	0,085	0,025	1	1,049540475	0,952797938	3,4
DOLK	6,13057E-05	0,069736512	0,085	0,007	1	1,049524985	0,952812	12,14285714
HEPH	0,015316495	0,069685485	0,11	0,039	1	1,049487865	0,952845701	2,820512821
AL592183.1	0,178114335	0,069677629	0,049	0,021	1	1,04948215	0,952850889	2,333333333
PDCL3	3,40892E-05	0,069637904	0,183	0,042	0,719316414	1,049453253	0,952877127	4,357142857
NAPA	5,81918E-05	0,069627124	0,476	0,193	1	1,049445411	0,952884247	2,466321244
SEMA3E	0,001220269	0,069594061	0,037	0	1	1,049421361	0,952906084	#DIV/0!
SCNM1	7,22352E-06	0,069584929	0,268	0,074	0,152423491	1,049414718	0,952912117	3,621621622
ZNF100	0,001055888	0,06952009	0,085	0,014	1	1,049367555	0,952954944	6,071428571
LINC00526	6,246E-05	0,069517065	0,085	0,007	1	1,049365355	0,952956942	12,14285714
INTS14	9,91418E-06	0,069509678	0,122	0,014	0,209199094	1,049359982	0,952961822	8,714285714
CASTOR3	0,000234367	0,0695016	0,098	0,014	1	1,049354106	0,952967158	7
TPMT	0,00032897	0,069443075	0,183	0,053	1	1,049311539	0,953005817	3,452830189
MYPOP	0,060793535	0,069427994	0,049	0,014	1	1,04930057	0,953015779	3,5
ZNF668	0,002802255	0,069364155	0,085	0,018	1	1,049254139	0,953057951	4,722222222
HHAT	0,000332109	0,069362794	0,073	0,007	1	1,04925315	0,95305885	10,42857143
H2BC3	0,063203483	0,069349355	0,012	0	1	1,049243376	0,953067728	#DIV/0!

Supplementary Table 2

Differentially expressed genes_keloid-XL_comparing SC-Keloid vs. (SC-Myel, SC-Nonmyel, SC-Nonmyel2)								
gene	p_val	avg_log2FC	pct.1	pct.2	p_val_adj	Foldchange_UP	Foldchange_DOWN	Ratio_pct1_pct2
TMEM109	1,56722E-05	0,069287448	0,524	0,211	0,330699952	1,049198353	0,953108625	2,483412322
GPR176	0,009329829	0,069231064	0,11	0,035	1	1,049157349	0,953145876	3,142857143
FANCA	0,006163779	0,069227734	0,061	0,011	1	1,049154927	0,953148076	5,545454545
FANCL	0,001112971	0,069185424	0,11	0,025	1	1,049124159	0,953176029	4,4
CASP7	5,81663E-05	0,069182094	0,232	0,067	1	1,049121738	0,953178229	3,462686567
CACNB4	0,064048232	0,069057788	0,024	0,004	1	1,049031346	0,953260361	6
CDKL5	0,015883623	0,069043504	0,098	0,032	1	1,04902096	0,9532698	3,0625
KIAA1614	0,193178656	0,069017333	0,037	0,014	1	1,049001931	0,953287092	2,642857143
STK19	0,000165969	0,069015712	0,207	0,06	1	1,049000752	0,953288163	3,45
TP53	0,000926625	0,069005677	0,28	0,112	1	1,048993455	0,953294794	2,5
THAP7	0,000176699	0,068952778	0,195	0,056	1	1,048954993	0,953329749	3,482142857
UBE2G2	0,000432529	0,068926095	0,402	0,172	1	1,048935592	0,953347381	2,337209302
DELE1	3,72758E-05	0,068844632	0,244	0,07	0,786557383	1,048876365	0,953401214	3,485714286
MEIG1	0,008401736	0,068737237	0,024	0	1	1,048798289	0,953472188	#DIV/0!
PROCR	0,000287585	0,068703326	0,073	0,007	1	1,048773637	0,9534946	10,42857143
HSD17B8	4,58126E-05	0,068689455	0,11	0,014	0,966691375	1,048763553	0,953503768	7,857142857
GPRASP2	2,80682E-05	0,068686294	0,061	0	0,592266086	1,048761256	0,953505857	#DIV/0!
IRF3	0,00022786	0,068616128	0,354	0,14	1	1,04871025	0,953552232	2,528571429
C18orf21	0,101551261	0,068561357	0,073	0,032	1	1,048670437	0,953588434	2,28125
TRAPPC8	0,003974717	0,068505013	0,146	0,049	1	1,048629482	0,953625677	2,979591837
PRC1	0,110292725	0,068493968	0,061	0,025	1	1,048621454	0,953632978	2,44
OSBPL3	0,000194727	0,068485623	0,134	0,028	1	1,048615389	0,953638494	4,785714286
ZNF219	0,210417192	0,068450043	0,244	0,168	1	1,048589528	0,953662013	1,452380952
ALG12	2,51654E-05	0,068405424	0,171	0,035	0,531014339	1,048557098	0,953691508	4,885714286
ZNF580	6,81628E-06	0,068387303	0,476	0,175	0,143830269	1,048543928	0,953703487	2,72
CENPQ	1,87659E-07	0,068326442	0,195	0,028	0,003959786	1,048499696	0,95374372	6,964285714
COQ5	1,62791E-05	0,068220155	0,207	0,049	0,343505831	1,048422453	0,953813987	4,224489796
HFE	0,036427227	0,068210071	0,061	0,018	1	1,048415125	0,953820654	3,388888889
ALDH9A1	0,000914102	0,06817569	0,28	0,112	1	1,04839014	0,953843385	2,5
CRMP1	0,063203483	0,06817349	0,012	0	1	1,048388541	0,95384484	#DIV/0!

Supplementary Table 2

Differentially expressed genes_keloid-XL_comparing SC-Keloid vs. (SC-Myel, SC-Nonmyel, SC-Nonmyel2)								
gene	p_val	avg_log2FC	pct.1	pct.2	p_val_adj	Foldchange_UP	Foldchange_DOWN	Ratio_pct1_pct2
IWS1	0,005294521	0,068172452	0,183	0,07	1	1,048387786	0,953845526	2,614285714
CDPF1	0,000288855	0,068171756	0,085	0,011	1	1,048387281	0,953845986	7,727272727
GEMIN2	0,004102792	0,068167429	0,098	0,025	1	1,048384136	0,953848847	3,92
FAM200A	0,000338108	0,068059508	0,073	0,007	1	1,048305715	0,953920203	10,42857143
PDCL	0,000710721	0,068010334	0,195	0,063	1	1,048269984	0,953952718	3,095238095
EMC8	1,88294E-07	0,067968044	0,317	0,077	0,003973196	1,048239257	0,953980681	4,116883117
AC040977.1	0,347088417	0,06794392	0,012	0,004	1	1,048221728	0,953996633	3
DPH6	0,010139169	0,067912742	0,122	0,042	1	1,048199076	0,95401725	2,904761905
STMN3	4,31504E-09	0,067905829	0,439	0,112	9,10516E-05	1,048194053	0,954021822	3,919642857
ELOVL4	0,004147695	0,06784227	0,098	0,025	1	1,048147875	0,954063853	3,92
TWINK	8,66134E-06	0,067800155	0,085	0,004	0,1827629	1,048117278	0,954091704	21,25
RNF135	0,00021046	0,067742753	0,159	0,039	1	1,048075577	0,954129666	4,076923077
PAPPA2	0,008401736	0,067619211	0,024	0	1	1,047985831	0,954211374	#DIV/0!
WRAP73	9,23892E-05	0,067576274	0,183	0,046	1	1,047954641	0,954239774	3,97826087
KLHL23	0,006523076	0,067567051	0,061	0,011	1	1,047947942	0,954245875	5,545454545
CEP250	0,010188387	0,067483328	0,073	0,018	1	1,047887129	0,954301253	4,055555556
ARMCX6	0,002539974	0,067437525	0,28	0,123	1	1,047853861	0,954331551	2,276422764
PDRG1	5,33977E-05	0,067414339	0,232	0,067	1	1,047837021	0,954346888	3,462686567
RSL24D1	8,27571E-05	0,067353194	0,61	0,281	1	1,047792612	0,954387337	2,170818505
RANBP3	0,001171783	0,067311877	0,183	0,06	1	1,047762605	0,954414669	3,05
AFF2	0,001220269	0,067288505	0,037	0	1	1,04774563	0,954430132	#DIV/0!
CCDC121	0,043000486	0,067222413	0,037	0,007	1	1,047697633	0,954473856	5,285714286
ASB13	2,80682E-05	0,067198387	0,061	0	0,592266086	1,047680185	0,954489752	#DIV/0!
NUDT15	0,005038283	0,067186609	0,11	0,032	1	1,047671632	0,954497544	3,4375
PHOSPHO2	5,32686E-05	0,067162534	0,073	0,004	1	1,047654149	0,954513473	18,25
ABT1	5,5243E-06	0,067162295	0,146	0,021	0,11656823	1,047653976	0,954513631	6,952380952
ST3GAL3	0,002498171	0,067135842	0,171	0,06	1	1,047634766	0,954531133	2,85
GPRIN1	0,000183568	0,067105498	0,049	0	1	1,047612732	0,954551209	#DIV/0!
MED19	0,01915118	0,067103315	0,171	0,077	1	1,047611146	0,954552654	2,220779221
C19orf44	1,25621E-08	0,067082837	0,183	0,018	0,000265072	1,047596277	0,954566203	10,16666667

Supplementary Table 2

Differentially expressed genes_keloid-XL_comparing SC-Keloid vs. (SC-Myel, SC-Nonmyel, SC-Nonmyel2)								
gene	p_val	avg_log2FC	pct.1	pct.2	p_val_adj	Foldchange_UP	Foldchange_DOWN	Ratio_pct1_pct2
NGEF	0,000183568	0,067082223	0,049	0	1	1,047595831	0,954566609	#DIV/0!
NFATC2IP	1,46979E-05	0,067054267	0,293	0,088	0,310139365	1,047575531	0,954585107	3,329545455
BOLA3-AS1	0,001445239	0,067017453	0,073	0,011	1	1,0475488	0,954609466	6,636363636
MFHAS1	0,002565774	0,066927024	0,085	0,018	1	1,047483141	0,954669303	4,722222222
RCOR1	0,006941731	0,066926455	0,183	0,074	1	1,047482727	0,95466968	2,472972973
FICD	9,43577E-06	0,066863893	0,122	0,014	0,199104144	1,047437305	0,954711079	8,714285714
NDC80	0,000183568	0,066862169	0,049	0	1	1,047436053	0,95471222	#DIV/0!
INTS13	0,000120762	0,066860504	0,122	0,021	1	1,047434845	0,954713322	5,80952381
MECR	2,40964E-05	0,066823598	0,134	0,021	0,508457956	1,04740805	0,954737745	6,380952381
S100A9	0,347088417	0,066794536	0,012	0,004	1	1,047386951	0,954756978	3
RMI1	0,001742498	0,06671608	0,061	0,007	1	1,047329994	0,9548089	8,714285714
TONSL	0,008401736	0,066715801	0,024	0	1	1,047329791	0,954809085	#DIV/0!
CNOT10	0,02702556	0,066698144	0,098	0,035	1	1,047316973	0,954820771	2,8
RAB3GAP2	0,020471455	0,066650813	0,195	0,091	1	1,047282614	0,954852096	2,142857143
HDAC10	0,000187722	0,066625157	0,134	0,028	1	1,04726399	0,954869077	4,785714286
HTRA3	0,347088417	0,066590953	0,012	0,004	1	1,047239161	0,954891716	3
PRPSAP2	0,001725089	0,066577649	0,171	0,056	1	1,047229504	0,954900522	3,053571429
CCR1	0,011128779	0,066456583	0,037	0,004	1	1,047141628	0,954980657	9,25
BNIP1	0,000575008	0,066453752	0,146	0,039	1	1,047139573	0,954982531	3,743589744
TRMU	0,000140328	0,066453101	0,146	0,032	1	1,047139101	0,954982962	4,5625
RIN3	0,001298447	0,066392697	0,073	0,011	1	1,04709526	0,955022946	6,636363636
ZNHIT3	2,24762E-06	0,066344896	0,244	0,056	0,047426935	1,047060566	0,95505459	4,357142857
SCAMP1	0,000797971	0,066323633	0,293	0,116	1	1,047045134	0,955068666	2,525862069
NT5C	0,000213484	0,06629673	0,439	0,189	1	1,047025609	0,955086477	2,322751323
ZDHHC3	0,001059744	0,066270575	0,195	0,067	1	1,047006628	0,955103791	2,910447761
ZNF865	0,087380487	0,066252528	0,098	0,046	1	1,046993531	0,955115739	2,130434783
STARD4	0,008751649	0,066168329	0,049	0,007	1	1,046932428	0,955171483	7
BCDIN3D	0,001772311	0,066131191	0,061	0,007	1	1,046905478	0,955196072	8,714285714
HYPK	0,260460861	0,066082262	0,073	0,042	1	1,046869972	0,955228468	1,738095238
WDR77	0,000265199	0,066062141	0,171	0,046	1	1,046855372	0,955241791	3,717391304

Supplementary Table 2

Differentially expressed genes_keloid-XL_comparing SC-Keloid vs. (SC-Myel, SC-Nonmyel, SC-Nonmyel2)								
gene	p_val	avg_log2FC	pct.1	pct.2	p_val_adj	Foldchange_UP	Foldchange_DOWN	Ratio_pct1_pct2
RWDD3	1,43623E-06	0,066007311	0,256	0,06	0,030305912	1,046815587	0,955278096	4,266666667
SEC16A	6,36887E-05	0,065960544	0,171	0,039	1	1,046781653	0,955309063	4,384615385
CABLES1	0,147332039	0,065908435	0,073	0,035	1	1,046743845	0,955343569	2,085714286
METTL14	0,063551963	0,065814648	0,085	0,035	1	1,0466758	0,955405675	2,428571429
PLAAT1	0,001220269	0,065771599	0,037	0	1	1,046644569	0,955434184	#DIV/0!
CIAO1	0,000126344	0,065758659	0,341	0,13	1	1,046635181	0,955442754	2,623076923
KIF27	0,001772311	0,06557642	0,061	0,007	1	1,04650298	0,955563452	8,714285714
ATE1	0,000587352	0,065568252	0,232	0,081	1	1,046497055	0,955568862	2,864197531
KIF9-AS1	0,001713147	0,065529207	0,061	0,007	1	1,046468733	0,955594723	8,714285714
NPLOC4	0,001564553	0,065520466	0,256	0,105	1	1,046462393	0,955600513	2,438095238
GRK6	0,000486977	0,065469849	0,134	0,032	1	1,046425679	0,955634041	4,1875
MEOX1	0,02175178	0,065382872	0,073	0,021	1	1,046362593	0,955691656	3,476190476
POP4	3,76534E-05	0,065335286	0,159	0,032	0,794523918	1,046328081	0,955723179	4,96875
PDIK1L	0,036427227	0,065256253	0,061	0,018	1	1,046270763	0,955775537	3,388888889
DTWD2	0,016864604	0,065235206	0,061	0,014	1	1,046255499	0,95578948	4,357142857
DHX37	0,111964825	0,065115329	0,049	0,018	1	1,046168567	0,955868902	2,722222222
TPRA1	0,006884292	0,065102372	0,146	0,053	1	1,046159171	0,955877487	2,754716981
ZNF487	0,004485159	0,065078814	0,073	0,014	1	1,046142089	0,955893096	5,214285714
KIF3B	2,75193E-05	0,065050019	0,195	0,046	0,580684188	1,046121209	0,955912175	4,239130435
TSPAN14	0,016613854	0,065021256	0,146	0,06	1	1,046100353	0,955931233	2,433333333
MALT1	0,014394785	0,064993981	0,098	0,032	1	1,046080575	0,955949306	3,0625
LRRCC1	5,02314E-05	0,064894397	0,39	0,147	1	1,046008371	0,956015294	2,653061224
NOP58	0,001281628	0,06488209	0,256	0,102	1	1,045999448	0,956023449	2,509803922
CRACR2B	0,008401736	0,06485022	0,024	0	1	1,045976342	0,956044568	#DIV/0!
IKZF2	0,001802592	0,064843396	0,061	0,007	1	1,045971394	0,956049091	8,714285714
LPCAT1	0,000214626	0,064842512	0,134	0,028	1	1,045970753	0,956049677	4,785714286
NIT2	9,29125E-06	0,064667959	0,354	0,116	0,196054616	1,045844208	0,956165357	3,051724138
MTIF2	0,001194205	0,064587566	0,11	0,025	1	1,045785931	0,95621864	4,4
ZNF12	0,040011563	0,06456268	0,098	0,039	1	1,045767891	0,956235134	2,512820513
C2orf68	0,002376906	0,064557279	0,146	0,046	1	1,045763976	0,956238714	3,173913043

Supplementary Table 2

Differentially expressed genes_keloid-XL_comparing SC-Keloid vs. (SC-Myel, SC-Nonmyel, SC-Nonmyel2)								
gene	p_val	avg_log2FC	pct.1	pct.2	p_val_adj	Foldchange_UP	Foldchange_DOWN	Ratio_pct1_pct2
ACOX3	1,10381E-05	0,064507142	0,098	0,007	0,232915863	1,045727634	0,956271946	14
YTHDC2	0,000190951	0,064471572	0,232	0,074	1	1,045701851	0,956295524	3,135135135
EVI5L	0,183574298	0,06445767	0,049	0,021	1	1,045691775	0,956304739	2,333333333
MCCC1	0,040856169	0,064411433	0,085	0,032	1	1,045658262	0,956335388	2,65625
TTC7A	0,006341138	0,064411335	0,061	0,011	1	1,045658192	0,956335453	5,545454545
CCDC97	0,00019003	0,064408832	0,134	0,028	1	1,045656377	0,956337112	4,785714286
SLC43A3	0,005685201	0,064397492	0,256	0,116	1	1,045648158	0,956344629	2,206896552
CCAR1	0,000165246	0,064391865	0,317	0,119	1	1,04564408	0,956348359	2,663865546
ANKRD17	0,018313621	0,064391	0,305	0,161	1	1,045643453	0,956348933	1,894409938
GTF3C2	0,001149257	0,064364399	0,171	0,053	1	1,045624173	0,956366566	3,226415094
KLK6	0,18492249	0,064286207	0,11	0,063	1	1,045567503	0,956418402	1,746031746
CMPK1	0,017117784	0,064273224	0,451	0,256	1	1,045558094	0,956427009	1,76171875
ZXDC	0,010223539	0,064243995	0,122	0,042	1	1,045536911	0,956446386	2,904761905
CETN3	0,002470351	0,064238481	0,159	0,053	1	1,045532915	0,956450042	3
WNT10A	0,001220269	0,064230591	0,037	0	1	1,045527197	0,956455272	#DIV/0!
TRMT2A	0,000126076	0,06421894	0,146	0,032	1	1,045518754	0,956462997	4,5625
CALM2	0,33202586	0,064042231	0,854	0,835	1	1,045390701	0,956580156	1,022754491
CATSPER2	0,183494953	0,064013145	0,024	0,007	1	1,045369625	0,956599442	3,428571429
TBC1D8B	3,90131E-05	0,063897539	0,122	0,018	0,823214902	1,045285861	0,956676099	6,777777778
PLXNA1	0,005342271	0,063858053	0,11	0,032	1	1,045257252	0,956702283	3,4375
DHX36	0,000287151	0,063832946	0,488	0,214	1	1,045239062	0,956718933	2,280373832
HUS1	0,004892231	0,063682989	0,11	0,032	1	1,045130423	0,956818382	3,4375
OXSM	0,000300423	0,063548785	0,122	0,025	1	1,045033206	0,956907392	4,88
TTC26	0,004311516	0,063455471	0,073	0,014	1	1,044965615	0,956969287	5,214285714
PSPH	0,067616925	0,063379501	0,061	0,021	1	1,044910591	0,957019681	2,904761905
DENND2C	0,024758179	0,063364212	0,085	0,028	1	1,044899517	0,957029823	3,035714286
TEPSIN	3,8435E-05	0,063343724	0,122	0,018	0,811016692	1,044884679	0,957043414	6,777777778
TACC2	0,00479282	0,063271658	0,159	0,056	1	1,044832485	0,957091222	2,839285714
RPS6KL1	0,181340493	0,063242441	0,024	0,007	1	1,044811326	0,957110605	3,428571429
PROSER3	0,016864604	0,063191207	0,061	0,014	1	1,044774223	0,957144595	4,357142857

Supplementary Table 2

Differentially expressed genes_keloid-XL_comparing SC-Keloid vs. (SC-Myel, SC-Nonmyel, SC-Nonmyel2)								
gene	p_val	avg_log2FC	pct.1	pct.2	p_val_adj	Foldchange_UP	Foldchange_DOWN	Ratio_pct1_pct2
DMPK	0,003291251	0,063027668	0,207	0,081	1	1,044655797	0,9572531	2,555555556
TOP3A	0,041186466	0,0630238	0,085	0,032	1	1,044652996	0,957255666	2,65625
SAYSD1	0,001265337	0,063018859	0,146	0,042	1	1,044649419	0,957258945	3,476190476
TDG	5,08305E-05	0,062994677	0,305	0,102	1	1,044631909	0,95727499	2,990196078
GID4	0,18978875	0,062974843	0,037	0,014	1	1,044617547	0,957288151	2,642857143
MAML3	0,003073142	0,062949298	0,183	0,067	1	1,044599051	0,957305101	2,731343284
DDX19B	2,30545E-07	0,062915883	0,22	0,039	0,004864739	1,044574857	0,957327274	5,641025641
TMEM237	2,41717E-06	0,062912679	0,183	0,032	0,05100473	1,044572537	0,9573294	5,71875
NEK8	0,001952737	0,062877638	0,049	0,004	1	1,044547166	0,957352652	12,25
SEPTIN1	0,014257957	0,062803424	0,146	0,06	1	1,044493435	0,957401901	2,433333333
TMEM233	0,00032621	0,062784076	0,073	0,007	1	1,044479427	0,957414741	10,42857143
ICAM3	3,35145E-07	0,06277737	0,159	0,018	0,007071888	1,044474572	0,957419192	8,833333333
ZFYVE19	0,001078907	0,06271986	0,134	0,035	1	1,044432937	0,957457358	3,828571429
ST6GALNAC4	1,32203E-06	0,062686002	0,159	0,021	0,027896192	1,044408426	0,957479828	7,571428571
TRAF3IP2-AS1	0,00380062	0,062659785	0,098	0,025	1	1,044389447	0,957497228	3,92
ZSCAN21	0,010071401	0,062568208	0,073	0,018	1	1,044323155	0,957558008	4,055555556
FXD3	0,02349685	0,062525699	0,134	0,056	1	1,044292385	0,957586223	2,392857143
ZMAT5	2,83299E-08	0,062413359	0,268	0,049	0,000597789	1,04421107	0,957660791	5,469387755
TRIB1	0,065238659	0,06238735	0,159	0,081	1	1,044192245	0,957678056	1,962962963
AC023590.1	0,036803449	0,062238669	0,061	0,018	1	1,044084639	0,957776757	3,388888889
LANCL1	5,16791E-07	0,062209738	0,232	0,046	0,010904805	1,044063702	0,957795964	5,043478261
NOVA1	0,000240966	0,062193021	0,402	0,172	1	1,044051604	0,957807063	2,337209302
TRPM7	0,011511464	0,062158658	0,305	0,158	1	1,044026736	0,957829876	1,930379747
HECTD2	0,015178235	0,062105137	0,171	0,074	1	1,043988005	0,957865411	2,310810811
SYNC	0,000149616	0,062102192	0,207	0,06	1	1,043985874	0,957867366	3,45
CSTF2	0,001952737	0,062075871	0,049	0,004	1	1,043966828	0,957884842	12,25
NBEAL2	0,109440534	0,061976565	0,061	0,025	1	1,04389497	0,957950779	2,44
IRAK3	0,017481575	0,061941608	0,061	0,014	1	1,043869677	0,957973991	4,357142857
SMCO4	0,000171975	0,061908276	0,11	0,018	1	1,043845559	0,957996124	6,111111111
RNF144B	0,111964825	0,061823685	0,049	0,018	1	1,043784356	0,958052297	2,722222222

Supplementary Table 2

Differentially expressed genes_keloid-XL_comparing SC-Keloid vs. (SC-Myel, SC-Nonmyel, SC-Nonmyel2)								
gene	p_val	avg_log2FC	pct.1	pct.2	p_val_adj	Foldchange_UP	Foldchange_DOWN	Ratio_pct1_pct2
PIK3CD	0,103792275	0,06182201	0,037	0,011	1	1,043783145	0,958053409	3,363636364
IFI27	0,000765513	0,06182065	0,415	0,2	1	1,04378216	0,958054312	2,075
REM1	0,006523076	0,061818053	0,061	0,011	1	1,043780282	0,958056037	5,545454545
ADAMTS15	0,001208265	0,06178108	0,11	0,025	1	1,043753533	0,95808059	4,4
ASB3	0,001745559	0,061737915	0,293	0,126	1	1,043722304	0,958109256	2,325396825
NOL11	0,030285543	0,061703634	0,146	0,067	1	1,043697504	0,958132022	2,179104478
HOXB3	0,042398422	0,061688856	0,037	0,007	1	1,043686812	0,958141837	5,285714286
ABHD16A	0,000770252	0,061677755	0,28	0,112	1	1,043678782	0,958149209	2,5
DUSP14	0,000347218	0,061659461	0,244	0,084	1	1,043665548	0,958161359	2,904761905
RTL10	0,026010433	0,061618102	0,049	0,011	1	1,043635628	0,958188828	4,454545455
RANBP6	0,015190866	0,061611653	0,098	0,032	1	1,043630963	0,958193112	3,0625
VEPH1	0,063203483	0,061548305	0,012	0	1	1,043585139	0,958235186	#DIV/0!
PYGL	0,078768491	0,061510696	0,146	0,077	1	1,043557935	0,958260166	1,896103896
CERS1	0,016343264	0,061503071	0,244	0,119	1	1,043552419	0,958265231	2,050420168
TTC13	0,001423372	0,061419858	0,073	0,011	1	1,04349223	0,958320504	6,636363636
SMPDL3A	0,004089475	0,061338503	0,073	0,014	1	1,043433388	0,958374546	5,214285714
CDRT4	0,00032444	0,061334774	0,061	0,004	1	1,043430691	0,958377024	15,25
AGAP1	0,048744367	0,061317478	0,354	0,211	1	1,043418181	0,958388514	1,677725118
FBXO8	0,000188702	0,061256633	0,159	0,039	1	1,043374177	0,958428934	4,076923077
ZNF639	0,000398607	0,061254132	0,195	0,06	1	1,043372368	0,958430595	3,25
SMYD2	2,80801E-05	0,061125915	0,171	0,035	0,592517408	1,043279644	0,958515778	4,885714286
MMP21	0,063203483	0,061014609	0,012	0	1	1,043199157	0,958589732	#DIV/0!
MAP3K7CL	0,001041037	0,061008982	0,085	0,014	1	1,043195088	0,958593471	6,071428571
THUMPD3-AS1	3,6929E-05	0,06100452	0,293	0,095	0,779239858	1,043191862	0,958596435	3,084210526
HARS1	1,57119E-05	0,060979226	0,268	0,077	0,331537855	1,043173572	0,958613242	3,480519481
TANGO2	6,13057E-05	0,060972372	0,085	0,007	1	1,043168616	0,958617796	12,14285714
TAF6L	6,13057E-05	0,060892938	0,085	0,007	1	1,043111182	0,958670578	12,14285714
TRIM32	0,017068103	0,060854152	0,061	0,014	1	1,043083139	0,958696352	4,357142857
PPIP5K2	0,000116217	0,060852885	0,28	0,095	1	1,043082222	0,958697194	2,947368421
SLC30A6	0,004311516	0,060850182	0,073	0,014	1	1,043080268	0,95869899	5,214285714

Supplementary Table 2

Differentially expressed genes_keloid-XL_comparing SC-Keloid vs. (SC-Myel, SC-Nonmyel, SC-Nonmyel2)								
gene	p_val	avg_log2FC	pct.1	pct.2	p_val_adj	Foldchange_UP	Foldchange_DOWN	Ratio_pct1_pct2
USP3	0,077011555	0,060827565	0,11	0,053	1	1,043063916	0,95871402	2,075471698
DHRS4-AS1	3,75273E-07	0,060815128	0,134	0,011	0,007918625	1,043054925	0,958722284	12,18181818
TRMT1L	0,001055888	0,06080287	0,085	0,014	1	1,043046062	0,95873043	6,071428571
RTP4	0,009031726	0,06073788	0,049	0,007	1	1,042999076	0,95877362	7
TMEM102	4,89164E-05	0,060686576	0,073	0,004	1	1,042961986	0,958807716	18,25
PLAA	0,005447223	0,060679851	0,11	0,032	1	1,042957125	0,958812185	3,4375
NDUFAF6	0,001692235	0,06067329	0,159	0,049	1	1,042952382	0,958816545	3,244897959
PLGLB2	0,001952737	0,060607005	0,049	0,004	1	1,042904464	0,9588606	12,25
TMEM182	0,065143806	0,060507337	0,024	0,004	1	1,042832418	0,958926845	6
RASSF1	0,00486739	0,060501855	0,341	0,161	1	1,042828455	0,958930489	2,118012422
SMIM26	0,001592539	0,060485709	0,439	0,214	1	1,042816785	0,95894122	2,051401869
ADCY4	0,011128779	0,060466295	0,037	0,004	1	1,042802752	0,958954124	9,25
FOLR1	0,001220269	0,060445913	0,037	0	1	1,04278802	0,958967672	#DIV/0!
TMEM17	0,008145887	0,060410136	0,098	0,028	1	1,04276216	0,958991454	3,5
MT-ND6	0,043000486	0,0603199	0,037	0,007	1	1,04269694	0,959051438	5,285714286
PITPNB	0,001354578	0,060318554	0,5	0,242	1	1,042695968	0,959052332	2,066115702
IFT140	0,009174744	0,060226897	0,049	0,007	1	1,042629726	0,959113265	7
VAR51	0,000291801	0,060203273	0,22	0,07	1	1,042612653	0,95912897	3,142857143
MLH3	0,002075387	0,060198982	0,134	0,039	1	1,042609551	0,959131823	3,435897436
GORAB	8,9681E-05	0,060176025	0,159	0,035	1	1,042592961	0,959147085	4,542857143
SYT10	6,246E-05	0,060121441	0,085	0,007	1	1,042553516	0,959183375	12,14285714
ZNF19	0,001220269	0,060108052	0,037	0	1	1,04254384	0,959192277	#DIV/0!
CDK6	0,002062384	0,060096019	0,5	0,246	1	1,042535145	0,959200277	2,032520325
TBC1D2	0,065143806	0,059994795	0,024	0,004	1	1,042462	0,95926758	6
CDKN3	0,001802592	0,059988734	0,061	0,007	1	1,04245762	0,95927161	8,714285714
MRPL44	0,002284574	0,059970622	0,171	0,06	1	1,042444533	0,959283653	2,85
STAU2	0,015064968	0,059890875	0,11	0,039	1	1,042386912	0,95933668	2,820512821
TGS1	0,000381936	0,059871397	0,256	0,091	1	1,042372838	0,959349633	2,813186813
ENGASE	0,202985042	0,059852552	0,073	0,039	1	1,042359223	0,959362164	1,871794872
COP1	0,02471232	0,059826794	0,098	0,035	1	1,042340613	0,959379293	2,8

Supplementary Table 2

Differentially expressed genes_keloid-XL_comparing SC-Keloid vs. (SC-Myel, SC-Nonmyel, SC-Nonmyel2)								
gene	p_val	avg_log2FC	pct.1	pct.2	p_val_adj	Foldchange_UP	Foldchange_DOWN	Ratio_pct1_pct2
EMP1	0,00052017	0,059816088	0,829	0,467	1	1,042332878	0,959386412	1,7751606
MYO5A	1,08253E-06	0,059750365	0,378	0,112	0,022842468	1,042285395	0,959430119	3,375
PCNA	0,000298566	0,059643166	0,28	0,102	1	1,042207951	0,959501411	2,745098039
FZD2	0,010546634	0,05961817	0,073	0,018	1	1,042189894	0,959518036	4,055555556
DPF1	2,80682E-05	0,059562567	0,061	0	0,592266086	1,042149727	0,959555018	#DIV/0!
TGFBRAP1	0,000124579	0,059545279	0,146	0,032	1	1,042137239	0,959566516	4,5625
SUV39H2	0,001742498	0,059525151	0,061	0,007	1	1,0421227	0,959579904	8,714285714
FRMPD4	0,000183568	0,059488243	0,049	0	1	1,04209604	0,959604453	#DIV/0!
CYB5D1	0,02737604	0,059482172	0,049	0,011	1	1,042091655	0,959608491	4,454545455
UBR4	2,78974E-08	0,059468618	0,39	0,102	0,000588662	1,042081864	0,959617506	3,823529412
LYSMD4	0,00032444	0,059430864	0,061	0,004	1	1,042054595	0,959642619	15,25
FZD1	0,008226643	0,059389554	0,098	0,028	1	1,042024757	0,959670098	3,5
SNAPC5	6,48528E-07	0,059247405	0,22	0,042	0,013684591	1,041922091	0,959764659	5,238095238
MRPL39	3,4874E-05	0,059198391	0,183	0,042	0,73587676	1,041886694	0,959797266	4,357142857
ODF3B	0,008890703	0,059192781	0,049	0,007	1	1,041882642	0,959800999	7
MSANTD2	0,036993563	0,059144572	0,11	0,046	1	1,041847827	0,959833072	2,391304348
C1QTNF4	0,02595188	0,059140655	0,098	0,035	1	1,041844998	0,959835678	2,8
PINK1-AS	0,001220269	0,059099052	0,037	0	1	1,041814955	0,959863357	#DIV/0!
ARL6	0,00032444	0,059076152	0,061	0,004	1	1,041798418	0,959878593	15,25
PAXIP1	0,567510207	0,059054449	0,037	0,025	1	1,041782746	0,959893033	1,48
LIN7B	0,008308113	0,059027412	0,098	0,028	1	1,041763223	0,959911022	3,5
DDX41	0,000807603	0,059012367	0,232	0,084	1	1,041752359	0,959921033	2,761904762
TCERG1	0,002606467	0,058996141	0,256	0,109	1	1,041740643	0,959931829	2,348623853
HMGCL	2,67471E-05	0,058992998	0,171	0,035	0,564390132	1,041738373	0,95993392	4,885714286
GAS2L1	2,30359E-05	0,058957982	0,22	0,056	0,486079608	1,041713089	0,959957219	3,928571429
FNDC10	0,011339437	0,05889478	0,037	0,004	1	1,041667455	0,959999274	9,25
DBR1	0,193178656	0,058880876	0,037	0,014	1	1,041657415	0,960008526	2,642857143
SCT	0,008401736	0,058782538	0,024	0	1	1,041586415	0,960073965	#DIV/0!
REEP4	0,001003155	0,058700629	0,134	0,035	1	1,041527281	0,960128475	3,828571429
PGPEP1	0,040856169	0,058664887	0,085	0,032	1	1,041501478	0,960152262	2,65625

Supplementary Table 2

Differentially expressed genes_keloid-XL_comparing SC-Keloid vs. (SC-Myel, SC-Nonmyel, SC-Nonmyel2)								
gene	p_val	avg_log2FC	pct.1	pct.2	p_val_adj	Foldchange_UP	Foldchange_DOWN	Ratio_pct1_pct2
DSG2	5,32686E-05	0,058652775	0,073	0,004	1	1,041492734	0,960160323	18,25
TSPAN5	2,42558E-05	0,058647965	0,415	0,154	0,511822217	1,041489262	0,960163524	2,694805195
GDF15	0,065143806	0,058497213	0,024	0,004	1	1,041380439	0,96026386	6
RPUSD3	0,001638871	0,058465627	0,122	0,032	1	1,041357639	0,960284884	3,8125
ANKMY1	0,892889287	0,058457675	0,012	0,011	1	1,041351899	0,960290177	1,090909091
GTF2IRD1	0,208267874	0,058424353	0,098	0,056	1	1,041327848	0,960312357	1,75
TMEM68	0,000432775	0,058409823	0,11	0,021	1	1,04131736	0,960322029	5,238095238
ZFHX2	0,065143806	0,058295018	0,024	0,004	1	1,041234499	0,960398451	6
NOL9	0,005729257	0,058274341	0,122	0,039	1	1,041219576	0,960412216	3,128205128
DMWD	0,002048849	0,058272004	0,232	0,091	1	1,041217889	0,960413772	2,549450549
RNASEH2B-AS1	0,000183568	0,05820823	0,049	0	1	1,041171864	0,960456227	#DIV/0!
RAB15	0,000183568	0,058190731	0,049	0	1	1,041159234	0,960467877	#DIV/0!
LRRC14	0,016663237	0,058145356	0,061	0,014	1	1,041126489	0,960498086	4,357142857
GSKIP	0,001013666	0,058125293	0,134	0,035	1	1,041112011	0,960511443	3,828571429
MANEAL	0,001220269	0,05811781	0,037	0	1	1,041106611	0,960516425	#DIV/0!
GOLGA1	0,003743072	0,058078094	0,134	0,042	1	1,04107795	0,960542868	3,19047619
CDH24	0,025349996	0,058057116	0,049	0,011	1	1,041062813	0,960556835	4,454545455
SH3TC2	0,113968254	0,058048557	0,049	0,018	1	1,041056636	0,960562533	2,722222222
PRPF40B	0,00140181	0,058026163	0,073	0,011	1	1,041040476	0,960577444	6,636363636
MED15	0,000998569	0,058017638	0,524	0,249	1	1,041034325	0,96058312	2,104417671
SPA17	0,00022402	0,05795228	0,098	0,014	1	1,040987165	0,960626638	7
GATA3	0,065143806	0,057924446	0,024	0,004	1	1,040967081	0,960645172	6
LDAF1	0,003205568	0,057911506	0,122	0,035	1	1,040957744	0,960653788	3,485714286
NUDT21	0,000655292	0,05790767	0,28	0,109	1	1,040954976	0,960656342	2,568807339
ALK	0,00032444	0,057865787	0,061	0,004	1	1,040924756	0,960684232	15,25
CASC3	0,003065232	0,057821082	0,39	0,189	1	1,040892502	0,960714001	2,063492063
LRFN3	0,067584209	0,057815812	0,073	0,028	1	1,0408887	0,96071751	2,607142857
THOC3	2,33847E-05	0,057728705	0,171	0,035	0,493439878	1,040825855	0,960775518	4,885714286
WDR54	1,40243E-05	0,057715767	0,183	0,039	0,295927476	1,040816521	0,960784134	4,692307692
ZNF449	0,05889129	0,057694637	0,049	0,014	1	1,040801277	0,960798206	3,5

Supplementary Table 2

Differentially expressed genes_keloid-XL_comparing SC-Keloid vs. (SC-Myel, SC-Nonmyel, SC-Nonmyel2)								
gene	p_val	avg_log2FC	pct.1	pct.2	p_val_adj	Foldchange_UP	Foldchange_DOWN	Ratio_pct1_pct2
PAX8	0,000183568	0,057679644	0,049	0	1	1,04079046	0,960808191	#DIV/0!
RAB28	0,000146815	0,057566913	0,171	0,042	1	1,040709137	0,960883271	4,071428571
AKR1C3	0,422305786	0,05753448	0,037	0,021	1	1,040685742	0,960904873	1,761904762
SDSL	8,66134E-06	0,057456121	0,085	0,004	0,1827629	1,040629219	0,960957065	21,25
TMEM104	0,000234367	0,0574417	0,098	0,014	1	1,040618817	0,960966671	7
DUSP12	1,08068E-05	0,057440302	0,22	0,053	0,228033983	1,040617809	0,960967602	4,150943396
IHO1	0,001220269	0,057435753	0,037	0	1	1,040614527	0,960970632	#DIV/0!
SMARCA1	0,001041037	0,05741864	0,085	0,014	1	1,040602184	0,960982031	6,071428571
CSNK2A1	0,00042088	0,057407951	0,402	0,175	1	1,040594474	0,960989151	2,297142857
NME5	0,183494953	0,05734545	0,024	0,007	1	1,040549394	0,961030784	3,428571429
CLBA1	0,001802592	0,05728319	0,061	0,007	1	1,040504489	0,961072259	8,714285714
TMEM218	0,000175126	0,057250115	0,183	0,049	1	1,040480635	0,961094293	3,734693878
LCA5L	0,009031726	0,057150128	0,049	0,007	1	1,040408526	0,961160904	7
ZSCAN9	0,006163779	0,057033434	0,061	0,011	1	1,040324375	0,961238652	5,545454545
LAMC3	0,008401736	0,057030501	0,024	0	1	1,04032226	0,961240606	#DIV/0!
PPP1R26	0,041853847	0,056892743	0,085	0,032	1	1,040222929	0,961332396	2,65625
LINC01561	0,001220269	0,056868076	0,037	0	1	1,040205143	0,961348833	#DIV/0!
HMBS	0,001853689	0,056801571	0,098	0,021	1	1,040157193	0,961393149	4,666666667
LACTB2	0,002584599	0,056782467	0,11	0,028	1	1,040143419	0,96140588	3,928571429
PROCA1	0,066254792	0,056771908	0,024	0,004	1	1,040135807	0,961412917	6
LRRC20	0,00032444	0,056762824	0,061	0,004	1	1,040129257	0,961418971	15,25
PFN4	0,066254792	0,056731786	0,024	0,004	1	1,040106881	0,961439655	6
HDAC2	0,001919235	0,056629083	0,439	0,214	1	1,04003284	0,9615081	2,051401869
TBCCD1	0,000234367	0,056551886	0,098	0,014	1	1,03997719	0,961559551	7
RPL9	0,247038789	0,056519107	0,927	0,86	1	1,039953561	0,961581399	1,077906977
PPP2R5B	1,03455E-06	0,056441517	0,207	0,039	0,021830049	1,039897633	0,961633115	5,307692308
MYO1D	0,042398422	0,056437092	0,037	0,007	1	1,039894443	0,961636065	5,285714286
LMAN1	0,000453761	0,056419154	0,598	0,288	1	1,039881514	0,961648021	2,076388889
CCDC125	0,008401736	0,056389206	0,024	0	1	1,039859928	0,961667984	#DIV/0!
PPFIBP2	0,072365958	0,056291726	0,122	0,06	1	1,039789669	0,961732964	2,033333333

Supplementary Table 2

Differentially expressed genes_keloid-XL_comparing SC-Keloid vs. (SC-Myel, SC-Nonmyel, SC-Nonmyel2)								
gene	p_val	avg_log2FC	pct.1	pct.2	p_val_adj	Foldchange_UP	Foldchange_DOWN	Ratio_pct1_pct2
PAIP2	0,000820553	0,05622242	0,585	0,284	1	1,03973972	0,961779166	2,059859155
FAM210A	0,025532849	0,056201013	0,098	0,035	1	1,039724291	0,961793437	2,8
USP7	0,000232722	0,056114717	0,354	0,137	1	1,039662101	0,961850969	2,583941606
MINDY4	0,001952737	0,056011847	0,049	0,004	1	1,039587972	0,961919555	12,25
DENR	0,000214813	0,055962984	0,293	0,109	1	1,039552762	0,961952136	2,688073394
B3GALT2	4,95841E-05	0,055868289	0,11	0,014	1	1,039484531	0,962015278	7,857142857
TSPAN6	0,000961052	0,055859442	0,171	0,053	1	1,039478157	0,962021177	3,226415094
FAM47E	0,001833348	0,055772953	0,061	0,007	1	1,039415842	0,962078852	8,714285714
SNAP47	0,000302387	0,055730396	0,146	0,035	1	1,039385181	0,962107232	4,171428571
KIRREL3-AS3	0,001220269	0,055726279	0,037	0	1	1,039382215	0,962109978	#DIV/0!
DHRS11	0,000174436	0,05572134	0,11	0,018	1	1,039378657	0,962113271	6,111111111
DIMT1	0,000614042	0,055668113	0,195	0,063	1	1,039340311	0,962148768	3,095238095
OSTF1	0,002758267	0,055591452	0,341	0,158	1	1,039285085	0,962199895	2,158227848
NCBP1	0,036803449	0,055536038	0,061	0,018	1	1,039245166	0,962236855	3,388888889
SPOUT1	0,001621701	0,055486221	0,122	0,032	1	1,039209281	0,962270082	3,8125
DENND6B	3,8435E-05	0,055473022	0,122	0,018	0,811016692	1,039199774	0,962278885	6,777777778
RSPH14	0,011553628	0,055323655	0,037	0,004	1	1,039092187	0,962378519	9,25
PPP1R13L	0,112963039	0,055295287	0,049	0,018	1	1,039071756	0,962397442	2,722222222
SACS	0,000863362	0,055275275	0,159	0,046	1	1,039057343	0,962410792	3,456521739
SNX19	0,000225277	0,055197323	0,134	0,028	1	1,039001202	0,962462794	4,785714286
TRPT1	3,1659E-06	0,055192546	0,28	0,074	0,06680361	1,038997761	0,962465981	3,783783784
LRP1B	0,043000486	0,055192094	0,037	0,007	1	1,038997436	0,962466282	5,285714286
KSR2	0,001952737	0,055169369	0,049	0,004	1	1,03898107	0,962481443	12,25
ZCWPW1	0,103792275	0,055165818	0,037	0,011	1	1,038978513	0,962483812	3,363636364
EGFL7	0,001026381	0,055112645	0,085	0,014	1	1,03894022	0,962519287	6,071428571
CUL5	0,001168951	0,055086664	0,195	0,067	1	1,03892151	0,962536621	2,910447761
STRN4	0,040113022	0,055072297	0,232	0,126	1	1,038911165	0,962546206	1,841269841
PRPF18	2,24871E-06	0,055069906	0,207	0,042	0,047450017	1,038909443	0,962547801	4,928571429
FGF10-AS1	0,008401736	0,054999492	0,024	0	1	1,038858737	0,962594782	#DIV/0!
P2RX6	0,065143806	0,054987829	0,024	0,004	1	1,038850339	0,962602564	6

Supplementary Table 2

Differentially expressed genes_keloid-XL_comparing SC-Keloid vs. (SC-Myel, SC-Nonmyel, SC-Nonmyel2)								
gene	p_val	avg_log2FC	pct.1	pct.2	p_val_adj	Foldchange_UP	Foldchange_DOWN	Ratio_pct1_pct2
DCPS	4,27E-06	0,054926131	0,268	0,07	0,090101259	1,038805913	0,962643731	3,828571429
GLT8D2	0,063203483	0,054919165	0,012	0	1	1,038800897	0,962648379	#DIV/0!
VAR52	0,002755303	0,054854262	0,11	0,028	1	1,038754165	0,962691687	3,928571429
AAMP	9,03059E-05	0,054841052	0,317	0,112	1	1,038744654	0,962700502	2,830357143
CHCHD7	0,000606013	0,054830535	0,183	0,056	1	1,038737082	0,96270752	3,267857143
ZFP37	5,32686E-05	0,054819067	0,073	0,004	1	1,038728825	0,962715173	18,25
PHC1	0,003853665	0,054788358	0,207	0,084	1	1,038706715	0,962735665	2,464285714
PIK3R4	0,036427227	0,054765172	0,061	0,018	1	1,038690022	0,962751137	3,388888889
UROS	7,72204E-10	0,05474109	0,329	0,06	1,62943E-05	1,038672684	0,962767208	5,483333333
TIMM44	0,000715732	0,054714328	0,293	0,116	1	1,038653416	0,962785068	2,525862069
ZMYND15	0,347088417	0,054713515	0,012	0,004	1	1,038652831	0,96278561	3
TMEM169	4,32324E-06	0,054652371	0,073	0	0,09122464	1,038608812	0,962826416	#DIV/0!
AVEN	0,008065843	0,054623427	0,098	0,028	1	1,038587975	0,962845733	3,5
IPO13	2,74919E-05	0,054564657	0,22	0,056	0,580107244	1,038545668	0,962884956	3,928571429
SH2D3C	0,347088417	0,054485014	0,012	0,004	1	1,038488337	0,962938113	3
PKD1L1	0,008401736	0,054446437	0,024	0	1	1,038460569	0,962963862	#DIV/0!
IFT80	0,000302452	0,054392861	0,171	0,046	1	1,038422005	0,962999623	3,717391304
DNAJA3	0,000631225	0,054370083	0,146	0,039	1	1,03840561	0,963014828	3,743589744
PHKB	0,009669783	0,054358803	0,11	0,035	1	1,038397491	0,963022358	3,142857143
PPCDC	1,10381E-05	0,054272379	0,098	0,007	0,232915863	1,038335288	0,963080049	14
PRUNE1	0,035684609	0,054244659	0,061	0,018	1	1,038315338	0,963098553	3,388888889
ZC2HC1A	0,000998742	0,054097502	0,244	0,091	1	1,038209434	0,963196796	2,681318681
MORF4L1	0,027723624	0,054065296	0,841	0,677	1	1,038186257	0,963218298	1,242245199
SIN3B	0,010007568	0,05406241	0,195	0,084	1	1,038184181	0,963220225	2,321428571
SLC41A2	0,001041037	0,054049992	0,085	0,014	1	1,038175245	0,963228516	6,071428571
CCDC40	0,001220269	0,054034368	0,037	0	1	1,038164002	0,963238947	#DIV/0!
AGPAT3	0,000138689	0,054020901	0,207	0,06	1	1,038154311	0,963247939	3,45
CCDC47	0,00081557	0,054005234	0,561	0,263	1	1,038143037	0,963258399	2,133079848
SCAMP2	0,000575761	0,053833416	0,244	0,088	1	1,038019406	0,963373126	2,772727273
PITPNC1	0,261979564	0,053814521	0,049	0,025	1	1,038005812	0,963385743	1,96

Supplementary Table 2

Differentially expressed genes_keloid-XL_comparing SC-Keloid vs. (SC-Myel, SC-Nonmyel, SC-Nonmyel2)								
gene	p_val	avg_log2FC	pct.1	pct.2	p_val_adj	Foldchange_UP	Foldchange_DOWN	Ratio_pct1_pct2
ZNF471	0,911002271	0,053742739	0,012	0,014	1	1,037954167	0,963433678	0,857142857
ZNF292	0,00315705	0,053710698	0,329	0,154	1	1,037931114	0,963455075	2,136363636
PTCD2	2,80682E-05	0,053691173	0,061	0	0,592266086	1,037917067	0,963468115	#DIV/0!
DDR2	4,05831E-05	0,053671223	0,366	0,133	0,856344048	1,037902715	0,963481438	2,751879699
TMEM50B	0,000150077	0,05361887	0,402	0,161	1	1,037865052	0,963516402	2,49689441
FBXL5	0,000853855	0,053600412	0,207	0,07	1	1,037851773	0,963528729	2,957142857
H2BC13	0,063203483	0,053589144	0,012	0	1	1,037843668	0,963536254	#DIV/0!
GALC	0,000472068	0,053558804	0,207	0,067	1	1,037821842	0,963556518	3,089552239
PCDH18	0,066254792	0,053553495	0,024	0,004	1	1,037818023	0,963560063	6
ZNF770	3,64035E-05	0,053533855	0,207	0,053	0,768150495	1,037803895	0,963573181	3,905660377
GPN3	0,000271022	0,05352675	0,232	0,077	1	1,037798784	0,963577926	3,012987013
ZNF30	0,342070304	0,053456863	0,024	0,011	1	1,037748512	0,963624605	2,181818182
MRTFB	0,000197116	0,053448845	0,134	0,028	1	1,037742745	0,963629961	4,785714286
SIRT5	0,016864604	0,053353694	0,061	0,014	1	1,037674304	0,963693518	4,357142857
TRNP1	1,25823E-05	0,053289272	0,256	0,07	0,265499884	1,037627969	0,963736551	3,657142857
RPE	0,000453449	0,053274656	0,171	0,049	1	1,037617456	0,963746315	3,489795918
ARHGDI	0,911002271	0,053254281	0,012	0,014	1	1,037602802	0,963759926	0,857142857
OGFOD1	0,025535806	0,053243743	0,11	0,042	1	1,037595223	0,963766966	2,619047619
ANAPC1	0,042518051	0,053103544	0,11	0,046	1	1,037494396	0,963860628	2,391304348
PJA2	0,174519833	0,053081687	0,732	0,491	1	1,037478678	0,963875231	1,490835031
METTL6	0,112963039	0,053028431	0,049	0,018	1	1,037440381	0,963910812	2,722222222
TMEM254-AS1	0,011553628	0,052967804	0,037	0,004	1	1,037396785	0,963951319	9,25
ZNF782	0,025678378	0,052816539	0,049	0,011	1	1,037288021	0,964052394	4,454545455
TPRG1L	0,00381076	0,052813933	0,134	0,042	1	1,037286148	0,964054135	3,19047619
FAM153CP	0,0059909	0,052793614	0,061	0,011	1	1,037271538	0,964067713	5,545454545
MIGA1	0,054199044	0,052792363	0,195	0,105	1	1,037270638	0,96406855	1,857142857
ABHD4	0,025343006	0,052785739	0,11	0,042	1	1,037265876	0,964072976	2,619047619
FRA10AC1	0,004409658	0,052764147	0,195	0,077	1	1,037250352	0,964087404	2,532467532
ARHGAP29	0,50438121	0,052656304	0,073	0,053	1	1,03717282	0,964159474	1,377358491
FBXL18	0,000344207	0,052628385	0,073	0,007	1	1,037152748	0,964178132	10,42857143

Supplementary Table 2

Differentially expressed genes_keloid-XL_comparing SC-Keloid vs. (SC-Myel, SC-Nonmyel, SC-Nonmyel2)								
gene	p_val	avg_log2FC	pct.1	pct.2	p_val_adj	Foldchange_UP	Foldchange_DOWN	Ratio_pct1_pct2
EIPR1	0,001222478	0,052625911	0,11	0,025	1	1,03715097	0,964179786	4,4
EHHADH	0,001220269	0,052589281	0,037	0	1	1,037124637	0,964204267	#DIV/0!
IFT81	0,000678439	0,052587673	0,146	0,039	1	1,037123481	0,964205342	3,743589744
IQCJ-SCHIP1	0,000770218	0,052582201	0,122	0,028	1	1,037119547	0,964208999	4,357142857
HOXC6	0,00620106	0,052581301	0,268	0,123	1	1,0371189	0,9642096	2,178861789
COLQ	0,644071107	0,052563638	0,012	0,007	1	1,037106203	0,964221405	1,714285714
B9D1	5,60121E-05	0,05255628	0,098	0,011	1	1,037100913	0,964226323	8,909090909
DUSP18	0,00032786	0,05251096	0,122	0,025	1	1,037068335	0,964256613	4,88
GK5	0,036365456	0,05247597	0,134	0,06	1	1,037043183	0,96428	2,233333333
PIGX	0,002075387	0,052460629	0,134	0,039	1	1,037032156	0,964290253	3,435897436
PBK	0,001220269	0,05239805	0,037	0	1	1,036987174	0,964332082	#DIV/0!
PLD2	0,000685144	0,052390664	0,098	0,018	1	1,036981865	0,964337019	5,444444444
MCRIP2	0,002502924	0,052349547	0,11	0,028	1	1,036952311	0,964364503	3,928571429
AMZ2	7,29081E-05	0,05231211	0,244	0,074	1	1,036925403	0,964389528	3,297297297
GDPD1	0,104939896	0,052309182	0,037	0,011	1	1,036923299	0,964391485	3,363636364
TMEM80	0,054965454	0,052165788	0,159	0,081	1	1,036820241	0,964487344	1,962962963
MTHFS	0,000140652	0,051970192	0,171	0,042	1	1,036679681	0,964618115	4,071428571
AFG1L	0,065143806	0,051926872	0,024	0,004	1	1,036648554	0,96464708	6
WDR83	0,006704008	0,051907699	0,085	0,021	1	1,036634777	0,9646599	4,047619048
LYPD6	0,001833348	0,05190249	0,061	0,007	1	1,036631034	0,964663383	8,714285714
NOB1	0,000967641	0,051883913	0,159	0,046	1	1,036617686	0,964675805	3,456521739
MOB2	0,005161375	0,051800376	0,354	0,175	1	1,036557664	0,964731664	2,022857143
KRT17	0,003643588	0,051756714	0,134	0,042	1	1,036526294	0,964760861	3,19047619
MRPS30	2,27964E-05	0,051663812	0,22	0,056	0,481026575	1,036459549	0,964822989	3,928571429
SYT1	0,000344207	0,051650073	0,073	0,007	1	1,036449679	0,964832177	10,42857143
MAD2L1	0,000344207	0,051631317	0,073	0,007	1	1,036436204	0,964844721	10,42857143
RAD17	0,00049803	0,05152928	0,134	0,032	1	1,036362903	0,964912964	4,1875
CARD6	0,001220269	0,051506133	0,037	0	1	1,036346276	0,964928445	#DIV/0!
VSTM2L	0,063203483	0,051429746	0,012	0	1	1,036291405	0,964979536	#DIV/0!
TM2D3	0,000508002	0,05130902	0,305	0,119	1	1,036204691	0,965060291	2,56302521

Supplementary Table 2

Differentially expressed genes_keloid-XL_comparing SC-Keloid vs. (SC-Myel, SC-Nonmyel, SC-Nonmyel2)								
gene	p_val	avg_log2FC	pct.1	pct.2	p_val_adj	Foldchange_UP	Foldchange_DOWN	Ratio_pct1_pct2
PIP5KL1	0,001220269	0,051290788	0,037	0	1	1,036191596	0,965072487	#DIV/0!
ZNF317	0,000298361	0,051240971	0,085	0,011	1	1,036155817	0,965105811	7,727272727
ZNF302	0,000617042	0,051175551	0,183	0,056	1	1,036108832	0,965149576	3,267857143
RAC2	0,001220269	0,051175192	0,037	0	1	1,036108575	0,965149816	#DIV/0!
ZNF438	0,194890196	0,051169251	0,037	0,014	1	1,036104308	0,965153791	2,642857143
STX10	2,66046E-05	0,05114729	0,354	0,123	0,561384403	1,036088536	0,965168482	2,87804878
TOMM6	0,000499064	0,051056113	0,634	0,319	1	1,036023058	0,965229482	1,987460815
POLR1D	0,023921081	0,050988138	0,549	0,323	1	1,035974245	0,965274962	1,699690402
NOP2	0,000420675	0,050976099	0,159	0,042	1	1,0359656	0,965283017	3,785714286
MITD1	0,009992675	0,05094139	0,207	0,091	1	1,035940677	0,96530624	2,274725275
ZNF181	0,001338917	0,050897652	0,073	0,011	1	1,035909271	0,965335505	6,636363636
ANKRD13C	0,001351989	0,050867109	0,207	0,074	1	1,03588734	0,965355943	2,797297297
STX6	0,001085451	0,050839802	0,183	0,06	1	1,035867734	0,965374215	3,05
BDKRB2	0,008401736	0,050789637	0,024	0	1	1,035831716	0,965407783	#DIV/0!
LPAR6	0,008526144	0,050769665	0,11	0,035	1	1,035817376	0,965421148	3,142857143
USP28	0,017068103	0,050767927	0,061	0,014	1	1,035816128	0,965422311	4,357142857
FCF1	0,001647567	0,050728752	0,159	0,049	1	1,035788002	0,965448526	3,244897959
ZNF101	0,104364397	0,050603569	0,037	0,011	1	1,03569813	0,965532302	3,363636364
TNNI2	0,347088417	0,050574358	0,012	0,004	1	1,03567716	0,965551852	3
NT5M	0,183494953	0,050456817	0,024	0,007	1	1,035592784	0,965630522	3,428571429
PTPN9	0,010505641	0,050448441	0,171	0,07	1	1,035586771	0,965636128	2,442857143
RPS15	0,237450556	0,050443289	0,976	0,926	1	1,035583073	0,965639576	1,05399568
TOP2A	0,041803504	0,050430589	0,037	0,007	1	1,035573957	0,965648077	5,285714286
HOXD9	0,347088417	0,050389257	0,012	0,004	1	1,035544289	0,965675742	3
KBTBD3	0,24086264	0,050386238	0,061	0,032	1	1,035542121	0,965677764	1,90625
FAM41C	0,001220269	0,050364398	0,037	0	1	1,035526445	0,965692382	#DIV/0!
EMB	0,00032444	0,050317169	0,061	0,004	1	1,035492546	0,965723996	15,25
CLUAP1	6,01472E-05	0,050302238	0,171	0,039	1	1,03548183	0,965733991	4,384615385
CCDC102A	0,001876168	0,050200941	0,098	0,021	1	1,035409128	0,965801801	4,666666667
RWDD2B	0,000340322	0,050138526	0,122	0,025	1	1,035364333	0,965843585	4,88

Supplementary Table 2

Differentially expressed genes_keloid-XL_comparing SC-Keloid vs. (SC-Myel, SC-Nonmyel, SC-Nonmyel2)								
gene	p_val	avg_log2FC	pct.1	pct.2	p_val_adj	Foldchange_UP	Foldchange_DOWN	Ratio_pct1_pct2
CCDC142	0,184958462	0,050130119	0,049	0,021	1	1,0353583	0,965849214	2,333333333
CDKN2AIPNL	0,015190866	0,050128812	0,098	0,032	1	1,035357362	0,965850089	3,0625
QSOX2	0,000288855	0,05010457	0,085	0,011	1	1,035339965	0,965866318	7,727272727
BOLA1	0,002177637	0,050087831	0,134	0,039	1	1,035327953	0,965877525	3,435897436
MKI67	0,043000486	0,050060463	0,037	0,007	1	1,035308313	0,965895847	5,285714286
LLPH	3,35418E-06	0,04994458	0,293	0,081	0,070776525	1,035225156	0,965973435	3,617283951
GABPB1	0,039738699	0,049821203	0,073	0,025	1	1,035136629	0,966056047	2,92
ERVMER34-1	4,32324E-06	0,049753402	0,073	0	0,09122464	1,035087982	0,966101449	#DIV/0!
VPS41	9,09477E-05	0,049710297	0,207	0,056	1	1,035057057	0,966130315	3,696428571
SELENBP1	0,001220269	0,04969998	0,037	0	1	1,035049655	0,966137224	#DIV/0!
CDYL2	0,181340493	0,049698925	0,024	0,007	1	1,035048898	0,96613793	3,428571429
SMYD5	0,017068103	0,049691856	0,061	0,014	1	1,035043826	0,966142665	4,357142857
PIGC	1,31736E-08	0,049654207	0,378	0,091	0,000277975	1,035016815	0,966167878	4,153846154
ABCC1	0,564675598	0,049625617	0,037	0,025	1	1,034996305	0,966187025	1,48
SRD5A3	0,010916043	0,049598528	0,073	0,018	1	1,034976871	0,966205166	4,055555556
SEC31B	0,00931978	0,049594478	0,049	0,007	1	1,034973966	0,966207879	7
TFAP2B	0,010268947	0,049577058	0,134	0,049	1	1,034961469	0,966219545	2,734693878
TRIM25	0,003497178	0,049544877	0,122	0,035	1	1,034938383	0,966241098	3,485714286
GBA2	0,014910424	0,049543681	0,159	0,067	1	1,034937525	0,966241899	2,373134328
ZNF45	0,001914332	0,049393164	0,049	0,004	1	1,034829556	0,966342713	12,25
METTL22	0,00032444	0,049366867	0,061	0,004	1	1,034810693	0,966360327	15,25
ZNF382	0,043000486	0,049363381	0,037	0,007	1	1,034808192	0,966362663	5,285714286
MYNN	0,097309365	0,049268793	0,073	0,032	1	1,034740349	0,966426022	2,28125
HIF1AN	0,000723012	0,049240048	0,098	0,018	1	1,034719733	0,966445278	5,444444444
HPS6	0,011553628	0,049226023	0,037	0,004	1	1,034709674	0,966454674	9,25
NUBPL	0,027028964	0,049222518	0,049	0,011	1	1,03470716	0,966457021	4,454545455
SLCO2A1	0,064048232	0,049172583	0,024	0,004	1	1,034671347	0,966490473	6
CENPM	0,065143806	0,049141847	0,024	0,004	1	1,034649304	0,966511064	6
GOLGA8R	0,008401736	0,049127892	0,024	0	1	1,034639296	0,966520413	#DIV/0!
NTF3	0,028081741	0,049092536	0,049	0,011	1	1,034613941	0,9665441	4,454545455

Supplementary Table 2

Differentially expressed genes_keloid-XL_comparing SC-Keloid vs. (SC-Myel, SC-Nonmyel, SC-Nonmyel2)								
gene	p_val	avg_log2FC	pct.1	pct.2	p_val_adj	Foldchange_UP	Foldchange_DOWN	Ratio_pct1_pct2
LBX2	0,00931978	0,049087082	0,049	0,007	1	1,034610029	0,966547754	7
ACSF3	0,001180297	0,049085391	0,11	0,025	1	1,034608817	0,966548886	4,4
SPRYD7	0,000230242	0,049085231	0,207	0,063	1	1,034608702	0,966548994	3,285714286
SEC61A2	0,010425992	0,049071967	0,073	0,018	1	1,03459919	0,96655788	4,055555556
ARMC1	0,000496956	0,049063717	0,207	0,067	1	1,034593273	0,966563408	3,089552239
APBA3	2,51588E-05	0,049026964	0,134	0,021	0,530876209	1,034566917	0,966588031	6,380952381
RAB29	0,06642434	0,049016623	0,061	0,021	1	1,034559502	0,966594959	2,904761905
LINC01137	0,000183568	0,049014199	0,049	0	1	1,034557764	0,966596584	#DIV/0!
TRIOBP	0,002173845	0,0489616	0,293	0,13	1	1,034520045	0,966631826	2,253846154
PPT2	3,29775E-05	0,048957337	0,268	0,081	0,695859044	1,034516988	0,966634682	3,308641975
ALG9	0,003927556	0,048938222	0,098	0,025	1	1,034503282	0,966647489	3,92
TNFSF13B	0,008401736	0,048928981	0,024	0	1	1,034496655	0,966653681	#DIV/0!
BVES-AS1	0,001220269	0,048917019	0,037	0	1	1,034488078	0,966661696	#DIV/0!
NPRL3	0,000322749	0,048914904	0,183	0,053	1	1,034486561	0,966663113	3,452830189
BRD9	5,31671E-05	0,048852701	0,317	0,109	1	1,03444196	0,966704792	2,908256881
TAF2	0,347088417	0,04885063	0,012	0,004	1	1,034440475	0,96670618	3
RCC1L	4,22736E-05	0,048809199	0,183	0,042	0,892014976	1,034410768	0,966733942	4,357142857
C1RL	0,013704854	0,048803365	0,085	0,025	1	1,034406585	0,966737852	3,4
RASSF8	0,000282912	0,048730541	0,524	0,239	1	1,034354372	0,966786651	2,192468619
ZNF790	0,006615795	0,048720183	0,061	0,011	1	1,034346946	0,966793593	5,545454545
PELP1	0,003026608	0,048610976	0,183	0,067	1	1,034268653	0,966866778	2,731343284
PRICKLE3	0,012780645	0,048561516	0,085	0,025	1	1,034233195	0,966899926	3,4
RRP12	0,008145887	0,048517384	0,098	0,028	1	1,034201558	0,966929504	3,5
USP31	0,686285647	0,048511524	0,037	0,028	1	1,034197358	0,966933432	1,321428571
SLC39A11	0,179204865	0,048482892	0,024	0,007	1	1,034176833	0,966952622	3,428571429
LPP	2,8894E-05	0,048395387	0,524	0,214	0,609691488	1,034114109	0,967011273	2,448598131
CAPN10	0,00020149	0,048369528	0,159	0,039	1	1,034095573	0,967028606	4,076923077
LINC00839	0,000169546	0,048358592	0,11	0,018	1	1,034087734	0,967035936	6,111111111
C2CD2L	0,004368707	0,04834472	0,073	0,014	1	1,034077791	0,967045235	5,214285714
DTD1	3,32776E-06	0,048299182	0,39	0,123	0,070219133	1,034045151	0,967075759	3,170731707

Supplementary Table 2

Differentially expressed genes_keloid-XL_comparing SC-Keloid vs. (SC-Myel, SC-Nonmyel, SC-Nonmyel2)								
gene	p_val	avg_log2FC	pct.1	pct.2	p_val_adj	Foldchange_UP	Foldchange_DOWN	Ratio_pct1_pct2
CDC42SE1	0,001448225	0,048294124	0,476	0,235	1	1,034041526	0,96707915	2,025531915
USP8	0,004876141	0,048266042	0,293	0,133	1	1,034021399	0,967097974	2,203007519
GREB1	0,106097567	0,048249884	0,037	0,011	1	1,034009818	0,967108806	3,363636364
ZNF23	0,000230869	0,048209095	0,098	0,014	1	1,033980584	0,967136149	7
FAAP100	0,001099251	0,048202706	0,171	0,053	1	1,033976005	0,967140432	3,226415094
NDUFS7	0,000139668	0,048138658	0,488	0,204	1	1,033930103	0,967183369	2,392156863
KIF13B	0,000143959	0,048114925	0,427	0,172	1	1,033913094	0,967199279	2,48255814
ABCF3	0,000713367	0,047861432	0,098	0,018	1	1,033731444	0,967369239	5,444444444
RPP25L	0,00380062	0,04783273	0,098	0,025	1	1,033710878	0,967388485	3,92
ZNF823	0,011553628	0,047826593	0,037	0,004	1	1,033706481	0,9673926	9,25
GNB1L	0,006062183	0,047818434	0,085	0,021	1	1,033700635	0,967398071	4,047619048
ZNF174	0,001318539	0,047790494	0,073	0,011	1	1,033680615	0,967416807	6,636363636
SURF6	1,79815E-05	0,047765458	0,207	0,049	0,379426863	1,033662678	0,967433594	4,224489796
ZNF749	4,65444E-05	0,047517477	0,11	0,014	0,9821336	1,03348502	0,967599898	7,857142857
RPL36AL	0,052472184	0,047486986	0,841	0,596	1	1,033463178	0,967620348	1,411073826
TOPBP1	9,07324E-05	0,047411045	0,159	0,035	1	1,033408779	0,967671284	4,542857143
ST7	0,026685693	0,047352866	0,049	0,011	1	1,033367106	0,967710307	4,454545455
NHLRC2	0,002512624	0,04733999	0,159	0,053	1	1,033357883	0,967718944	3
HRH1	0,001802592	0,047300001	0,061	0,007	1	1,033329241	0,967745768	8,714285714
GRPEL2	0,43516567	0,047294906	0,037	0,021	1	1,033325591	0,967749186	1,761904762
DLGAP5	0,347088417	0,047290972	0,012	0,004	1	1,033322774	0,967751825	3
TMEM217	2,80682E-05	0,047284951	0,061	0	0,592266086	1,033318461	0,967755864	#DIV/0!
C2orf81	0,000983548	0,047205057	0,085	0,014	1	1,03326124	0,967809458	6,071428571
ALKBH2	9,95727E-05	0,047179735	0,159	0,035	1	1,033243104	0,967826445	4,542857143
SMAD4	0,043184756	0,047153523	0,378	0,225	1	1,033224332	0,967844029	1,68
OGN	0,691844906	0,047140927	0,024	0,018	1	1,03321531	0,967852479	1,333333333
DDX42	0,001047991	0,047120097	0,354	0,151	1	1,033200393	0,967866454	2,344370861
LRFN4	1,7171E-06	0,047078339	0,28	0,07	0,036232561	1,033170488	0,967894468	4
ZNF85	5,32686E-05	0,047044991	0,073	0,004	1	1,033146606	0,967916841	18,25
PLA2G15	0,002726155	0,047033113	0,11	0,028	1	1,0331381	0,967924811	3,928571429

Supplementary Table 2

Differentially expressed genes_keloid-XL_comparing SC-Keloid vs. (SC-Myel, SC-Nonmyel, SC-Nonmyel2)								
gene	p_val	avg_log2FC	pct.1	pct.2	p_val_adj	Foldchange_UP	Foldchange_DOWN	Ratio_pct1_pct2
PDCD7	0,004945257	0,046923474	0,256	0,112	1	1,033059589	0,967998372	2,285714286
ZBED5-AS1	0,024758179	0,04691703	0,085	0,028	1	1,033054975	0,968002695	3,035714286
C2orf72	0,066254792	0,046807232	0,024	0,004	1	1,032976355	0,96807637	6
CYP2R1	0,001423372	0,046787839	0,073	0,011	1	1,032962471	0,968089382	6,636363636
CENPP	0,001952737	0,046751059	0,049	0,004	1	1,032936136	0,968114064	12,25
ACOT4	0,043000486	0,046748325	0,037	0,007	1	1,032934179	0,968115898	5,285714286
IKBKE	5,32686E-05	0,046723659	0,073	0,004	1	1,032916519	0,96813245	18,25
C20orf96	0,001723931	0,046704752	0,098	0,021	1	1,032902982	0,968145138	4,666666667
FERMT3	0,010916043	0,046682944	0,073	0,018	1	1,032887368	0,968159773	4,055555556
GPR137	0,002585356	0,046682521	0,183	0,067	1	1,032887066	0,968160057	2,731343284
CYB5B	0,000232459	0,046667977	0,305	0,116	1	1,032876654	0,968169816	2,629310345
B3GLCT	0,001898897	0,046618692	0,098	0,021	1	1,032841369	0,968202892	4,666666667
ZNF48	0,017068103	0,046590289	0,061	0,014	1	1,032821035	0,968221953	4,357142857
NOL3	0,000723012	0,046587558	0,098	0,018	1	1,03281908	0,968223786	5,444444444
BRF2	0,000338108	0,046574241	0,073	0,007	1	1,032809547	0,968232723	10,42857143
GBE1	0,000871637	0,046554372	0,159	0,046	1	1,032795323	0,968246058	3,456521739
SLC25A15	0,00032444	0,046541808	0,061	0,004	1	1,032786328	0,968254491	15,25
MIEF2	0,043609761	0,04649121	0,037	0,007	1	1,032750107	0,968288449	5,285714286
MYLPF	0,001952737	0,046479014	0,049	0,004	1	1,032741377	0,968296635	12,25
PRMT6	2,80682E-05	0,046415238	0,061	0	0,592266086	1,032695724	0,968339441	#DIV/0!
KCNH1	0,001220269	0,046391602	0,037	0	1	1,032678806	0,968355305	#DIV/0!
EIF1AD	0,000234367	0,046375017	0,098	0,014	1	1,032666934	0,968366437	7
WBP11	0,001717164	0,046232738	0,451	0,218	1	1,032565097	0,968461942	2,068807339
NOSIP	4,34026E-05	0,046202504	0,293	0,095	0,915839002	1,032543458	0,968482239	3,084210526
CDC27	7,13199E-06	0,046194992	0,341	0,109	0,150492048	1,032538082	0,968487282	3,128440367
ZNF160	0,138914913	0,046158892	0,085	0,042	1	1,032512246	0,968511516	2,023809524
LRBA	0,007608639	0,046082606	0,159	0,06	1	1,032457651	0,968562729	2,65
KCNK6	0,008401736	0,046070715	0,024	0	1	1,032449141	0,968570713	#DIV/0!
SAMD13	0,008401736	0,046070715	0,024	0	1	1,032449141	0,968570713	#DIV/0!
RRS1	0,000713367	0,046063995	0,098	0,018	1	1,032444332	0,968575224	5,444444444

Supplementary Table 2

Differentially expressed genes_keloid-XL_comparing SC-Keloid vs. (SC-Myel, SC-Nonmyel, SC-Nonmyel2)								
gene	p_val	avg_log2FC	pct.1	pct.2	p_val_adj	Foldchange_UP	Foldchange_DOWN	Ratio_pct1_pct2
LINC01060	0,00032444	0,046047838	0,061	0,004	1	1,032432769	0,968586072	15,25
ELAC1	0,010668516	0,045957302	0,073	0,018	1	1,032367981	0,968646857	4,055555556
NFYC-AS1	0,008401736	0,045925197	0,024	0	1	1,032345008	0,968668413	#DIV/0!
TMCO4	0,002502924	0,045924921	0,11	0,028	1	1,03234481	0,968668598	3,928571429
COG4	3,9586E-05	0,045865885	0,207	0,053	0,835303213	1,032302567	0,968708237	3,905660377
GGT7	0,025838473	0,045825533	0,122	0,049	1	1,032273694	0,968735332	2,489795918
AP000462.3	0,342070304	0,045779201	0,024	0,011	1	1,032240543	0,968766444	2,181818182
DMAP1	0,000914715	0,045727363	0,244	0,091	1	1,032203454	0,968801253	2,681318681
SNX25	0,00931978	0,045691147	0,049	0,007	1	1,032177543	0,968825574	7
GTF2H3	3,2263E-07	0,045685894	0,22	0,039	0,00680781	1,032173785	0,968829101	5,641025641
MPST	0,003048205	0,045667382	0,268	0,116	1	1,03216054	0,968841533	2,310344828
UNG	0,000694434	0,04563873	0,098	0,018	1	1,032140042	0,968860774	5,444444444
CHKB-DT	0,001220269	0,045636393	0,037	0	1	1,03213837	0,968862344	#DIV/0!
TMTC3	0,023592192	0,045632721	0,146	0,063	1	1,032135743	0,96886481	2,317460317
IPO9	0,001919241	0,045595967	0,195	0,07	1	1,032109449	0,968889493	2,785714286
PRR7	0,001739762	0,045591544	0,171	0,056	1	1,032106284	0,968892463	3,053571429
ARHGAP31	0,054343153	0,045589224	0,122	0,056	1	1,032104624	0,968894021	2,178571429
RPS20	0,432409985	0,045576327	0,927	0,765	1	1,032095398	0,968902683	1,211764706
ALDH3B2	0,063203483	0,045560371	0,012	0	1	1,032083983	0,968913399	#DIV/0!
DPYS	0,063203483	0,045560371	0,012	0	1	1,032083983	0,968913399	#DIV/0!
DSC2	0,063203483	0,045560371	0,012	0	1	1,032083983	0,968913399	#DIV/0!
GPR21	0,063203483	0,045560371	0,012	0	1	1,032083983	0,968913399	#DIV/0!
RTN4RL1	0,063203483	0,045560371	0,012	0	1	1,032083983	0,968913399	#DIV/0!
WNK4	0,063203483	0,045560371	0,012	0	1	1,032083983	0,968913399	#DIV/0!
CYP3A5	0,065143806	0,045549533	0,024	0,004	1	1,03207623	0,968920678	6
CCDC30	0,010668516	0,0455225	0,073	0,018	1	1,032056891	0,968938833	4,055555556
LRR1	0,000969643	0,045497182	0,085	0,014	1	1,03203878	0,968955838	6,071428571
B9D2	0,006431528	0,04549432	0,061	0,011	1	1,032036732	0,96895776	5,545454545
ZNF573	0,036427227	0,045437181	0,061	0,018	1	1,031995858	0,968996137	3,388888889
BTBD2	0,003073868	0,045389561	0,232	0,095	1	1,031961795	0,969028122	2,442105263

Supplementary Table 2

Differentially expressed genes_keloid-XL_comparing SC-Keloid vs. (SC-Myel, SC-Nonmyel, SC-Nonmyel2)								
gene	p_val	avg_log2FC	pct.1	pct.2	p_val_adj	Foldchange_UP	Foldchange_DOWN	Ratio_pct1_pct2
CHTF18	0,068827069	0,045367855	0,061	0,021	1	1,031946269	0,969042701	2,904761905
TMEM25	0,644071107	0,045357852	0,012	0,007	1	1,031939114	0,96904942	1,714285714
MED14	0,011360658	0,045333977	0,207	0,095	1	1,031922037	0,969065457	2,178947368
CNPY3	1,09513E-05	0,04529415	0,256	0,07	0,231083882	1,03189355	0,969092209	3,657142857
PTPN1	0,008280952	0,045267838	0,256	0,119	1	1,03187473	0,969109884	2,151260504
GOLPH3	0,037649564	0,045252617	0,28	0,158	1	1,031863844	0,969120108	1,772151899
FAM124A	0,347088417	0,045124732	0,012	0,004	1	1,03177238	0,969206018	3
C11orf80	0,004426608	0,045113715	0,098	0,025	1	1,031764501	0,969213419	3,92
UBIAD1	0,003949482	0,045096369	0,134	0,042	1	1,031752096	0,969225072	3,19047619
RRAS2	1,10008E-06	0,045028486	0,171	0,025	0,023212815	1,03170355	0,969270679	6,84
PLCL1	0,649511996	0,044989646	0,012	0,007	1	1,031675775	0,969296773	1,714285714
PRSS36	0,339089703	0,044953613	0,024	0,011	1	1,031650008	0,969320983	2,181818182
CLN5	0,001118483	0,04481277	0,378	0,165	1	1,031549298	0,969415618	2,290909091
ZMYND19	1,38478E-06	0,04477582	0,159	0,021	0,029220202	1,031522879	0,969440446	7,571428571
ESF1	4,60262E-08	0,044725596	0,451	0,133	0,000971199	1,031486969	0,969474196	3,390977444
GRB7	0,179204865	0,044694465	0,024	0,007	1	1,031464712	0,969495115	3,428571429
RMI2	0,001220269	0,044693377	0,037	0	1	1,031463934	0,969495847	#DIV/0!
FAM102B	0,002485806	0,044687926	0,146	0,046	1	1,031460037	0,96949951	3,173913043
XYLB	0,008401736	0,04465032	0,024	0	1	1,031433151	0,969524782	#DIV/0!
DYNC1I2	0,001361616	0,04464829	0,646	0,358	1	1,0314317	0,969526146	1,804469274
UBE2Q1	0,000136423	0,044632493	0,28	0,098	1	1,031420406	0,969536762	2,857142857
DDI2	0,014940574	0,044618356	0,11	0,039	1	1,031410299	0,969546262	2,820512821
KRBOX4	0,023887799	0,044615158	0,085	0,028	1	1,031408012	0,969548412	3,035714286
DNMBP	0,106083716	0,044569505	0,061	0,025	1	1,031375375	0,969579093	2,44
ASB7	0,113968254	0,044543638	0,049	0,018	1	1,031356883	0,969596477	2,722222222
ABHD17C	0,001713147	0,044518573	0,061	0,007	1	1,031338964	0,969613323	8,714285714
UBE3B	0,00020948	0,044514091	0,134	0,028	1	1,03133576	0,969616335	4,785714286
TBC1D10A	3,09476E-05	0,044508586	0,268	0,081	0,653024352	1,031331825	0,969620035	3,308641975
PDCD1LG2	0,000183568	0,044383871	0,049	0	1	1,031242675	0,969703858	#DIV/0!
LRRC49	0,009031726	0,044376653	0,049	0,007	1	1,031237515	0,969708709	7

Supplementary Table 2

Differentially expressed genes_keloid-XL_comparing SC-Keloid vs. (SC-Myel, SC-Nonmyel, SC-Nonmyel2)								
gene	p_val	avg_log2FC	pct.1	pct.2	p_val_adj	Foldchange_UP	Foldchange_DOWN	Ratio_pct1_pct2
CASC2	0,063203483	0,044343083	0,012	0	1	1,031213519	0,969731274	#DIV/0!
CCDC181	0,011553628	0,044300354	0,037	0,004	1	1,031182978	0,969759995	9,25
MTRES1	0,001041037	0,0442986	0,085	0,014	1	1,031181725	0,969761174	6,071428571
IRAK4	0,003974717	0,044205796	0,146	0,049	1	1,031115394	0,969823558	2,979591837
ZNF565	0,689228839	0,044205733	0,037	0,028	1	1,031115349	0,969823601	1,321428571
TTC5	0,025428865	0,044187331	0,085	0,028	1	1,031102197	0,969835971	3,035714286
SNURF	0,000183568	0,044177346	0,049	0	1	1,03109506	0,969842683	#DIV/0!
THAP7-AS1	0,006629795	0,044173769	0,085	0,021	1	1,031092504	0,969845088	4,047619048
NIF3L1	5,89403E-05	0,04414444	0,098	0,011	1	1,031071543	0,969864804	8,909090909
RPRD1B	4,08678E-05	0,044131349	0,183	0,042	0,862351563	1,031062187	0,969873605	4,357142857
IRX3	0,183494953	0,044121658	0,024	0,007	1	1,031055261	0,96988012	3,428571429
ANO5	0,063203483	0,044070927	0,012	0	1	1,031019005	0,969914225	#DIV/0!
PAQR4	0,001949134	0,044047765	0,195	0,07	1	1,031002453	0,969929797	2,785714286
THEMIS2	0,000183568	0,044042316	0,049	0	1	1,030998559	0,969933461	#DIV/0!
CPPED1	0,001314487	0,044034683	0,22	0,081	1	1,030993104	0,969938592	2,716049383
MFSD3	3,56336E-06	0,044028206	0,171	0,028	0,075190555	1,030988475	0,969942947	6,107142857
NIP7	0,000227074	0,044025321	0,159	0,039	1	1,030986414	0,969944886	4,076923077
CDON	0,180829015	0,043971415	0,049	0,021	1	1,030947892	0,969981129	2,333333333
DDX60	0,001921879	0,043831246	0,098	0,021	1	1,030847732	0,970075375	4,666666667
SLC37A4	0,001055888	0,043829073	0,085	0,014	1	1,030846179	0,970076836	6,071428571
EBPL	0,000819022	0,043783099	0,28	0,109	1	1,03081333	0,970107749	2,568807339
GNB4	0,000122962	0,043760124	0,268	0,088	1	1,030796915	0,970123198	3,045454545
KIF2A	0,033649462	0,043685314	0,256	0,137	1	1,030743465	0,970173505	1,868613139
RCBTB1	0,026685693	0,043679555	0,049	0,011	1	1,03073935	0,970177378	4,454545455
FAM89A	0,00685582	0,043644773	0,159	0,06	1	1,030714501	0,970200768	2,65
PRKAG2	0,998241088	0,043644284	0,024	0,025	1	1,030714151	0,970201097	0,96
CROCC	0,001256896	0,043600364	0,159	0,049	1	1,030682774	0,970230633	3,244897959
OGFOD2	0,001833348	0,04355317	0,061	0,007	1	1,030649058	0,970262373	8,714285714
LSM11	0,065143806	0,043528857	0,024	0,004	1	1,030631689	0,970278724	6
ZNHIT6	0,145204976	0,043452259	0,11	0,06	1	1,03057697	0,970330241	1,833333333

Supplementary Table 2

Differentially expressed genes_keloid-XL_comparing SC-Keloid vs. (SC-Myel, SC-Nonmyel, SC-Nonmyel2)								
gene	p_val	avg_log2FC	pct.1	pct.2	p_val_adj	Foldchange_UP	Foldchange_DOWN	Ratio_pct1_pct2
EXOC3-AS1	1,10381E-05	0,04343251	0,098	0,007	0,232915863	1,030562863	0,970343524	14
RRP1B	0,001124536	0,043412573	0,134	0,035	1	1,030548621	0,970356934	3,828571429
ALPK3	0,00931978	0,043381275	0,049	0,007	1	1,030526264	0,970377985	7
XXYLT1	0,000212038	0,043362689	0,134	0,028	1	1,030512989	0,970390486	4,785714286
KRBA1	0,024758179	0,043349048	0,085	0,028	1	1,030503245	0,970399661	3,035714286
PGS1	0,402953631	0,043317012	0,061	0,039	1	1,030480363	0,97042121	1,564102564
SAP30BP	0,000260089	0,043281404	0,476	0,214	1	1,030454929	0,970445162	2,224299065
DLGAP1-AS2	0,022420212	0,043184062	0,073	0,021	1	1,030385404	0,970510642	3,476190476
OLFML3	0,004426586	0,043180153	0,073	0,014	1	1,030382612	0,970513272	5,214285714
PPIF	0,001853678	0,043155185	0,098	0,021	1	1,03036478	0,970530068	4,666666667
SUSD1	0,00931978	0,043090047	0,049	0,007	1	1,030318259	0,970573889	7
TTC38	0,007676086	0,043038022	0,098	0,028	1	1,030281106	0,970608889	3,5
PLPBP	0,055866845	0,043036878	0,11	0,049	1	1,030280289	0,970609659	2,244897959
RIPK1	0,001045816	0,04301766	0,134	0,035	1	1,030266565	0,970622589	3,828571429
NBPF20	0,011553628	0,042999874	0,037	0,004	1	1,030253864	0,970634554	9,25
AGL	0,064483381	0,042996357	0,085	0,035	1	1,030251352	0,970636921	2,428571429
TMEM167B	1,87827E-05	0,042957008	0,232	0,06	0,396334767	1,030223252	0,970663395	3,866666667
ADGRG6	0,000453615	0,042939833	0,366	0,154	1	1,030210988	0,970674951	2,376623377
NQO1	0,166583455	0,04291708	0,061	0,028	1	1,030194741	0,970690259	2,178571429
THNSL2	0,208798809	0,042886516	0,073	0,039	1	1,030172916	0,970710824	1,871794872
ITPRIPL1	0,043609761	0,042874875	0,037	0,007	1	1,030164604	0,970718657	5,285714286
ZFP69	0,011553628	0,042855853	0,037	0,004	1	1,030151021	0,970731456	9,25
SLC2A6	0,001220269	0,042849233	0,037	0	1	1,030146294	0,97073591	#DIV/0!
ARL5A	0,002174808	0,042829999	0,427	0,207	1	1,03013256	0,970748852	2,062801932
SRD5A1	5,89403E-05	0,042826259	0,098	0,011	1	1,03012989	0,970751368	8,909090909
ABITRAM	0,000162451	0,042793996	0,11	0,018	1	1,030106853	0,970773077	6,111111111
USP40	0,000513745	0,042766187	0,171	0,049	1	1,030086997	0,97079179	3,489795918
MECOM	0,347088417	0,042749949	0,012	0,004	1	1,030075404	0,970802717	3
CREG1	0,001013666	0,042684627	0,134	0,035	1	1,030028765	0,970846674	3,828571429
ZNF75D	0,017068103	0,042676329	0,061	0,014	1	1,030022841	0,970852257	4,357142857

Supplementary Table 2

Differentially expressed genes_keloid-XL_comparing SC-Keloid vs. (SC-Myel, SC-Nonmyel, SC-Nonmyel2)								
gene	p_val	avg_log2FC	pct.1	pct.2	p_val_adj	Foldchange_UP	Foldchange_DOWN	Ratio_pct1_pct2
MTAP	5,5269E-05	0,042628319	0,22	0,06	1	1,029988564	0,970884566	3,666666667
ANKRD27	0,168856267	0,042622856	0,061	0,028	1	1,029984664	0,970888243	2,178571429
ZSCAN31	0,193178656	0,04262085	0,037	0,014	1	1,029983232	0,970889592	2,642857143
PARP2	0,023439606	0,042611058	0,146	0,063	1	1,029976241	0,970896182	2,317460317
NPFF	0,02737604	0,042608001	0,049	0,011	1	1,029974059	0,970898239	4,454545455
ZNF107	0,001380549	0,042586761	0,073	0,011	1	1,029958894	0,970912534	6,636363636
CACNA2D4	3,24139E-07	0,042570644	0,159	0,018	0,006839666	1,029947389	0,97092338	8,833333333
MT-CYB	0,3565742	0,042504699	0,841	0,846	1	1,029900311	0,970967762	0,994089835
LINC00345	0,008401736	0,042504685	0,024	0	1	1,029900301	0,970967771	#DIV/0!
INAVA	0,008401736	0,042504003	0,024	0	1	1,029899815	0,97096823	#DIV/0!
BACE1	0,000252448	0,04249817	0,268	0,095	1	1,02989565	0,970972156	2,821052632
KPTN	0,016864604	0,042454004	0,061	0,014	1	1,029864122	0,971001881	4,357142857
NUP133	0,068219791	0,042429808	0,061	0,021	1	1,02984685	0,971018167	2,904761905
ABCD1	0,002909566	0,042395843	0,085	0,018	1	1,029822605	0,971041027	4,722222222
TEX264	0,000602812	0,042365431	0,256	0,095	1	1,029800896	0,971061497	2,694736842
C5orf63	5,32686E-05	0,042326006	0,073	0,004	1	1,029772755	0,971088034	18,25
USO1	6,48505E-05	0,042308833	0,329	0,116	1	1,029760497	0,971099593	2,836206897
STK38	0,017038619	0,042292435	0,122	0,046	1	1,029748793	0,971110631	2,652173913
AC003102.1	0,825514901	0,0422256	0,037	0,032	1	1,029701089	0,97115562	1,15625
CHD1L	0,000288855	0,042202897	0,085	0,011	1	1,029684885	0,971170903	7,727272727
TIMM50	8,33671E-07	0,042181332	0,268	0,063	0,017591299	1,029669494	0,97118542	4,253968254
FBXW8	0,001445239	0,042087408	0,073	0,011	1	1,029602462	0,971248649	6,636363636
ASPHD2	0,000183568	0,042077391	0,049	0	1	1,029595313	0,971255393	#DIV/0!
CCDC138	0,011553628	0,041977107	0,037	0,004	1	1,029523747	0,971322909	9,25
NAB2	0,000322775	0,041963885	0,293	0,109	1	1,029514311	0,971331811	2,688073394
HECTD3	0,185668317	0,041928701	0,024	0,007	1	1,029489204	0,971355499	3,428571429
C6orf47-AS1	0,063203483	0,041923236	0,012	0	1	1,029485305	0,971359179	#DIV/0!
CDK15	0,063203483	0,041923236	0,012	0	1	1,029485305	0,971359179	#DIV/0!
CFAP52	0,063203483	0,041923236	0,012	0	1	1,029485305	0,971359179	#DIV/0!
KCTD8	0,063203483	0,041923236	0,012	0	1	1,029485305	0,971359179	#DIV/0!

Supplementary Table 2

Differentially expressed genes_keloid-XL_comparing SC-Keloid vs. (SC-Myel, SC-Nonmyel, SC-Nonmyel2)								
gene	p_val	avg_log2FC	pct.1	pct.2	p_val_adj	Foldchange_UP	Foldchange_DOWN	Ratio_pct1_pct2
WNT3	0,063203483	0,041923236	0,012	0	1	1,029485305	0,971359179	#DIV/0!
SIAE	0,060153875	0,04191092	0,049	0,014	1	1,029476516	0,971367471	3,5
UBE2T	0,009174744	0,041900237	0,049	0,007	1	1,029468892	0,971374664	7
ZNF747	0,00931978	0,04187359	0,049	0,007	1	1,029449878	0,971392606	7
DHRS13	0,066254792	0,041832728	0,024	0,004	1	1,029420721	0,971420119	6
OAZ3	0,001220269	0,0418239	0,037	0	1	1,029414422	0,971426064	#DIV/0!
COPB2	1,75588E-07	0,041800165	0,378	0,102	0,00370509	1,029397487	0,971442045	3,705882353
DAAM1	0,000764781	0,041770957	0,329	0,137	1	1,029376646	0,971461713	2,401459854
PRELID2	0,013301771	0,041730953	0,085	0,025	1	1,029348103	0,971488651	3,4
PPP6R1	1,89992E-05	0,041661186	0,207	0,049	0,400901198	1,029298327	0,971535632	4,224489796
RBMS3-AS3	0,00032444	0,041646081	0,061	0,004	1	1,02928755	0,971545804	15,25
RGP1	0,003927556	0,041628773	0,098	0,025	1	1,029275201	0,97155746	3,92
CGREF1	0,001220269	0,041616332	0,037	0	1	1,029266325	0,971565838	#DIV/0!
ZNF341	0,183494953	0,041609256	0,024	0,007	1	1,029261277	0,971570603	3,428571429
SAC3D1	0,002055474	0,041565665	0,134	0,039	1	1,029230179	0,97159996	3,435897436
CRYBB1	0,008401736	0,041553481	0,024	0	1	1,029221487	0,971608165	#DIV/0!
H4-16	0,105939109	0,041463587	0,073	0,032	1	1,029157358	0,971668708	2,28125
SMYD4	0,461793215	0,041440395	0,049	0,032	1	1,029140814	0,971684328	1,53125
KICS2	0,027028964	0,041432836	0,049	0,011	1	1,029135422	0,971689419	4,454545455
TMEM67	0,006707687	0,041389673	0,134	0,046	1	1,029104632	0,971718491	2,913043478
MRPL53	0,024102868	0,041377094	0,085	0,028	1	1,029095659	0,971726963	3,035714286
HOXD1	0,011553628	0,041338695	0,037	0,004	1	1,029068269	0,971752827	9,25
MT-CO3	0,807222086	0,041324009	0,841	0,765	1	1,029057794	0,971762719	1,099346405
NPW	0,831491253	0,041320438	0,037	0,032	1	1,029055246	0,971765125	1,15625
FXN	0,010071401	0,041310548	0,073	0,018	1	1,029048193	0,971771786	4,055555556
AREG	0,02737604	0,04130612	0,049	0,011	1	1,029045034	0,971774769	4,454545455
BICRAL	0,112012827	0,041302471	0,061	0,025	1	1,029042431	0,971777227	2,44
TNFRSF4	0,347088417	0,041298701	0,012	0,004	1	1,029039742	0,971779766	3
ICA1L	0,113968254	0,041252561	0,049	0,018	1	1,029006832	0,971810846	2,722222222
HNRNPUL1	0,000739049	0,041207432	0,549	0,27	1	1,028974644	0,971841246	2,033333333

Supplementary Table 2

Differentially expressed genes_keloid-XL_comparing SC-Keloid vs. (SC-Myel, SC-Nonmyel, SC-Nonmyel2)								
gene	p_val	avg_log2FC	pct.1	pct.2	p_val_adj	Foldchange_UP	Foldchange_DOWN	Ratio_pct1_pct2
LOXL4	0,001952737	0,041183852	0,049	0,004	1	1,028957826	0,97185713	12,25
ZSCAN25	0,017481575	0,041151044	0,061	0,014	1	1,028934427	0,971879231	4,357142857
FAM167B	0,000183568	0,041141525	0,049	0	1	1,028927638	0,971885643	#DIV/0!
TYW5	0,010546634	0,041113296	0,073	0,018	1	1,028907506	0,971904661	4,055555556
CFI	0,103792275	0,041106273	0,037	0,011	1	1,028902497	0,971909392	3,363636364
CC2D1A	0,002018358	0,041094067	0,183	0,063	1	1,028893792	0,971917615	2,904761905
SLC26A2	0,109353288	0,0410867	0,11	0,056	1	1,028888538	0,971922578	1,964285714
MRPS9	8,36103E-05	0,041078013	0,159	0,035	1	1,028882343	0,97192843	4,542857143
LLGL1	0,001833348	0,041077113	0,061	0,007	1	1,028881701	0,971929036	8,714285714
CCHCR1	0,000470501	0,041067242	0,159	0,042	1	1,028874661	0,971935686	3,785714286
MCM8	0,191478184	0,041052868	0,037	0,014	1	1,02886441	0,97194537	2,642857143
PCAT6	0,00032621	0,04097313	0,073	0,007	1	1,028807546	0,971999091	10,42857143
ARHGDI1	0,010425992	0,040972099	0,073	0,018	1	1,028806811	0,971999786	4,055555556
XPNPEP3	0,002612361	0,040950711	0,11	0,028	1	1,028791559	0,972014196	3,928571429
GGPS1	0,014934204	0,040928194	0,183	0,081	1	1,028775503	0,972029367	2,259259259
APOC1	0,011553628	0,040853036	0,037	0,004	1	1,028721909	0,972080007	9,25
MAP1S	8,6678E-05	0,040846095	0,134	0,025	1	1,02871696	0,972084683	5,36
DOCK8	0,010916043	0,040644446	0,073	0,018	1	1,028573184	0,972220563	4,055555556
RNF6	2,29157E-05	0,040635174	0,22	0,056	0,483544625	1,028566573	0,972226812	3,928571429
INSIG2	0,000599391	0,040599614	0,146	0,039	1	1,028541221	0,972250776	3,743589744
UPRT	0,00414399	0,040536833	0,073	0,014	1	1,028496464	0,972293086	5,214285714
YARS2	7,15736E-06	0,040503578	0,134	0,018	0,151027427	1,028472756	0,972315498	7,444444444
BCAS3	0,000735726	0,040470716	0,122	0,028	1	1,028449329	0,972337646	4,357142857
SBF2-AS1	0,185668317	0,040427465	0,024	0,007	1	1,028418498	0,972366796	3,428571429
EHD4	6,24531E-06	0,040397965	0,415	0,147	0,13178233	1,028397469	0,972386679	2,823129252
TMEM198	0,011553628	0,04035737	0,037	0,004	1	1,028368533	0,972414041	9,25
MACROH2A2	0,001220269	0,040291135	0,037	0	1	1,02832132	0,972458686	#DIV/0!
ASAP1	0,055255667	0,040252286	0,159	0,081	1	1,02829363	0,972484873	1,962962963
C14orf93	0,181340493	0,040208538	0,024	0,007	1	1,028262449	0,972514362	3,428571429
LZTS3	0,001787728	0,040200767	0,098	0,021	1	1,02825691	0,972519601	4,666666667

Supplementary Table 2

Differentially expressed genes_keloid-XL_comparing SC-Keloid vs. (SC-Myel, SC-Nonmyel, SC-Nonmyel2)								
gene	p_val	avg_log2FC	pct.1	pct.2	p_val_adj	Foldchange_UP	Foldchange_DOWN	Ratio_pct1_pct2
GPN2	0,017068103	0,040187822	0,061	0,014	1	1,028247683	0,972528328	4,357142857
MFAP3	0,001876168	0,040169194	0,098	0,021	1	1,028234407	0,972540885	4,666666667
ABCB8	0,000109686	0,04013976	0,171	0,042	1	1,028213429	0,972560727	4,071428571
GNPDA1	0,001440066	0,040054594	0,159	0,049	1	1,028152733	0,972618141	3,244897959
SDE2	0,017271324	0,040029946	0,134	0,053	1	1,028135167	0,972634758	2,528301887
BHMT2	0,008401736	0,039927388	0,024	0	1	1,028062082	0,972703903	#DIV/0!
TSNAX	8,80969E-05	0,039918237	0,244	0,074	1	1,028055561	0,972710073	3,297297297
GIT1	0,12027408	0,039916059	0,378	0,246	1	1,028054009	0,972711542	1,536585366
ACOT8	0,000214626	0,039764718	0,134	0,028	1	1,02794617	0,972813586	4,785714286
NAIF1	0,001220269	0,039728772	0,037	0	1	1,027920559	0,972837824	#DIV/0!
STAT2	0,000407186	0,03967239	0,244	0,084	1	1,027880387	0,972875845	2,904761905
PTGS1	0,008401736	0,039661023	0,024	0	1	1,027872288	0,97288351	#DIV/0!
UXS1	0,005641411	0,03958929	0,293	0,137	1	1,027821182	0,972931885	2,138686131
KDM8	0,347088417	0,039547779	0,012	0,004	1	1,027791609	0,972959879	3
TRPC4AP	2,44026E-05	0,039541532	0,317	0,102	0,514918259	1,027787158	0,972964093	3,107843137
ZNF70	0,043609761	0,039483084	0,037	0,007	1	1,027745521	0,973003511	5,285714286
ASB6	0,003430365	0,039391331	0,122	0,035	1	1,02768016	0,973065395	3,485714286
AMMECR1	0,198346594	0,039372708	0,037	0,014	1	1,027666894	0,973077955	2,642857143
AATF	2,61027E-05	0,039361667	0,22	0,056	0,550793183	1,027659029	0,973085402	3,928571429
OARD1	2,91165E-05	0,039354732	0,232	0,063	0,614386888	1,027654089	0,97309008	3,682539683
RNF166	0,025884674	0,039348224	0,085	0,028	1	1,027649453	0,97309447	3,035714286
KCNA3	0,063203483	0,039344876	0,012	0	1	1,027647069	0,973096728	#DIV/0!
LSM10	5,26643E-08	0,039341319	0,415	0,116	0,001111269	1,027644535	0,973099127	3,577586207
MSANTD4	1,52159E-05	0,03933704	0,159	0,028	0,321070382	1,027641487	0,973102013	5,678571429
ADGRG2	0,008401736	0,039288114	0,024	0	1	1,027606638	0,973135014	#DIV/0!
FAM131A	0,000295757	0,039251377	0,146	0,035	1	1,027580471	0,973159795	4,171428571
OR7A5	0,065143806	0,039241571	0,024	0,004	1	1,027573486	0,973166409	6
CAVIN1	0,148262174	0,039238277	0,744	0,523	1	1,02757114	0,973168631	1,422562141
ZNF750	0,008401736	0,039164055	0,024	0	1	1,027518276	0,973218699	#DIV/0!
PRR19	0,001952737	0,03912495	0,049	0,004	1	1,027490425	0,973245079	12,25

Supplementary Table 2

Differentially expressed genes_keloid-XL_comparing SC-Keloid vs. (SC-Myel, SC-Nonmyel, SC-Nonmyel2)								
gene	p_val	avg_log2FC	pct.1	pct.2	p_val_adj	Foldchange_UP	Foldchange_DOWN	Ratio_pct1_pct2
RINT1	0,561847818	0,039057942	0,037	0,025	1	1,027442703	0,973290284	1,48
MFNG	0,065143806	0,039041986	0,024	0,004	1	1,02743134	0,973301048	6
MYL5	0,001809471	0,038970264	0,098	0,021	1	1,027380263	0,973349436	4,666666667
ZCCHC24	0,000665196	0,038945422	0,573	0,277	1	1,027362573	0,973366196	2,068592058
KRBOX1	0,006615795	0,038784079	0,061	0,011	1	1,027247685	0,973475058	5,545454545
GALE	0,001604696	0,038762694	0,122	0,032	1	1,027232458	0,973489488	3,8125
INHBB	0,179204865	0,038757057	0,024	0,007	1	1,027228444	0,973493292	3,428571429
ZCCHC10	3,47519E-06	0,038706555	0,268	0,07	0,07333007	1,027192487	0,97352737	3,828571429
CACNG4	0,008401736	0,038653922	0,024	0	1	1,027155013	0,973562887	#DIV/0!
BUD31	0,001024593	0,038593903	0,537	0,253	1	1,027112282	0,97360339	2,122529644
KPNA5	0,017043378	0,038544118	0,11	0,039	1	1,027076838	0,973636989	2,820512821
RUBCNL	0,001952737	0,038483901	0,049	0,004	1	1,02703397	0,973677628	12,25
ZNF784	0,001220269	0,03847057	0,037	0	1	1,02702448	0,973686625	#DIV/0!
OPRL1	0,001220269	0,038458751	0,037	0	1	1,027016066	0,973694602	#DIV/0!
MAP3K12	0,001099251	0,038449809	0,171	0,053	1	1,027009701	0,973700637	3,226415094
ACAT2	0,005476874	0,038444641	0,122	0,039	1	1,027006022	0,973704125	3,128205128
OLFM2	0,005447223	0,038418526	0,11	0,032	1	1,026987432	0,973721751	3,4375
AMN1	0,003970716	0,038399967	0,098	0,025	1	1,02697422	0,973734277	3,92
TUBE1	0,025838473	0,038389112	0,122	0,049	1	1,026966494	0,973741603	2,489795918
TIGD1	0,027726954	0,038388471	0,049	0,011	1	1,026966037	0,973742036	4,454545455
CALML4	0,006431528	0,038298556	0,061	0,011	1	1,026902034	0,973802726	5,545454545
TJAP1	0,021765621	0,038290332	0,183	0,084	1	1,02689618	0,973808277	2,178571429
DDX50	0,002342756	0,038271129	0,195	0,07	1	1,026882512	0,973821239	2,785714286
ZNF746	0,006778966	0,038222022	0,085	0,021	1	1,026847559	0,973854387	4,047619048
TBC1D31	0,066254792	0,038180385	0,024	0,004	1	1,026817924	0,973882493	6
SLC7A6OS	0,000444147	0,038165432	0,11	0,021	1	1,026807282	0,973892587	5,238095238
BEX5	0,009174744	0,038147295	0,049	0,007	1	1,026794373	0,973904831	7
TOP2B	0,000258631	0,038127731	0,39	0,161	1	1,026780449	0,973918037	2,422360248
THAP5	0,000606723	0,038084208	0,268	0,102	1	1,026749474	0,973947419	2,62745098
BEST4	0,008401736	0,038077768	0,024	0	1	1,02674489	0,973951767	#DIV/0!

Supplementary Table 2

Differentially expressed genes_keloid-XL_comparing SC-Keloid vs. (SC-Myel, SC-Nonmyel, SC-Nonmyel2)								
gene	p_val	avg_log2FC	pct.1	pct.2	p_val_adj	Foldchange_UP	Foldchange_DOWN	Ratio_pct1_pct2
HECW2	0,044226311	0,038063786	0,037	0,007	1	1,02673494	0,973961206	5,285714286
ZNF547	0,065143806	0,038062303	0,024	0,004	1	1,026733885	0,973962207	6
METTL13	0,01030658	0,038049638	0,073	0,018	1	1,026724871	0,973970757	4,055555556
NR1H2	1,07319E-05	0,038030448	0,305	0,091	0,226454834	1,026711214	0,973983713	3,351648352
ASS1	0,058268295	0,038027374	0,049	0,014	1	1,026709026	0,973985788	3,5
GYG1	1,68287E-05	0,038018485	0,207	0,049	0,355103187	1,026702701	0,973991789	4,224489796
OSBPL7	0,02175178	0,038005593	0,073	0,021	1	1,026693526	0,974000493	3,476190476
GLIPR1L2	0,520464457	0,037990512	0,024	0,014	1	1,026682794	0,974010674	1,714285714
CALCOCO1	0,004395453	0,037985783	0,146	0,049	1	1,026679429	0,974013867	2,979591837
NSUN3	0,004426608	0,037980727	0,098	0,025	1	1,02667583	0,97401728	3,92
RPS11	0,946283832	0,037960306	0,939	0,877	1	1,026661298	0,974031068	1,070695553
MTERF1	0,00032444	0,037957407	0,061	0,004	1	1,026659235	0,974033025	15,25
MEAF6	1,62781E-05	0,037940472	0,5	0,193	0,34348333	1,026647184	0,974044458	2,590673575
CWF19L1	0,017481575	0,037767519	0,061	0,014	1	1,026524115	0,974161236	4,357142857
AGBL1	0,063203483	0,037716905	0,012	0	1	1,026488102	0,974195413	#DIV/0!
P4HA3	0,00140181	0,037703002	0,073	0,011	1	1,02647821	0,974204801	6,636363636
SELENOT	0,00813047	0,037674636	0,488	0,263	1	1,026458028	0,974223956	1,855513308
MYLK-AS1	0,036427227	0,037658732	0,061	0,018	1	1,026446712	0,974234696	3,388888889
TFAP4	0,060793535	0,037618835	0,049	0,014	1	1,026418326	0,974261638	3,5
LTC4S	0,010071401	0,037614165	0,073	0,018	1	1,026415004	0,974264792	4,055555556
ZNF830	0,003546515	0,037605795	0,134	0,042	1	1,02640905	0,974270444	3,19047619
DHRS4L2	0,000657816	0,037605005	0,146	0,039	1	1,026408487	0,974270978	3,743589744
SUPT20H	0,001504284	0,037594159	0,268	0,109	1	1,026400771	0,974278302	2,458715596
ZC3HAV1L	0,011553628	0,037581571	0,037	0,004	1	1,026391815	0,974286803	9,25
C6orf52	0,008401736	0,037519703	0,024	0	1	1,026347801	0,974328585	#DIV/0!
FOXS1	0,00032444	0,037517499	0,061	0,004	1	1,026346232	0,974330073	15,25
TRIM58	0,000503644	0,037509194	0,134	0,032	1	1,026340324	0,974335682	4,1875
PACSIN2	0,002472188	0,03750589	0,39	0,182	1	1,026337974	0,974337913	2,142857143
KCTD7	0,001831458	0,037468535	0,098	0,021	1	1,0263114	0,974363142	4,666666667
SLC35B3	0,000108174	0,037462067	0,22	0,063	1	1,026306798	0,97436751	3,492063492

Supplementary Table 2

Differentially expressed genes_keloid-XL_comparing SC-Keloid vs. (SC-Myel, SC-Nonmyel, SC-Nonmyel2)								
gene	p_val	avg_log2FC	pct.1	pct.2	p_val_adj	Foldchange_UP	Foldchange_DOWN	Ratio_pct1_pct2
CHST10	0,007986503	0,037414845	0,098	0,028	1	1,026273207	0,974399403	3,5
NKAIN4	0,000174436	0,037369453	0,11	0,018	1	1,026240917	0,974430062	6,111111111
ABL1	0,002631923	0,037326102	0,28	0,119	1	1,02621008	0,974459342	2,352941176
LSM12	4,24587E-05	0,03730063	0,366	0,133	0,895921905	1,026191962	0,974476547	2,751879699
SELENOK	0,028614003	0,037289525	0,768	0,502	1	1,026184063	0,974484049	1,529880478
PYCR3	0,000983548	0,037279512	0,085	0,014	1	1,026176941	0,974490812	6,071428571
RHOT1	0,000279292	0,037230157	0,268	0,095	1	1,026141835	0,97452415	2,821052632
DUS4L	0,001220269	0,037199765	0,037	0	1	1,026120219	0,97454468	#DIV/0!
CA3	0,063203483	0,037123965	0,012	0	1	1,026066307	0,974595884	#DIV/0!
FOXB1	0,063203483	0,037123965	0,012	0	1	1,026066307	0,974595884	#DIV/0!
C2orf69	0,103792275	0,037115656	0,037	0,011	1	1,026060398	0,974601497	3,363636364
CD34	0,307543976	0,037099328	0,037	0,018	1	1,026048785	0,974612528	2,055555556
ICE1	0,000360591	0,037039174	0,305	0,116	1	1,026006005	0,974653165	2,629310345
PPAN	0,003268385	0,037035204	0,122	0,035	1	1,026003181	0,974655847	3,485714286
RNF220	0,000379338	0,037009083	0,183	0,053	1	1,025984605	0,974673494	3,452830189
ENTPD3-AS1	0,000111268	0,03700768	0,122	0,021	1	1,025983607	0,974674442	5,80952381
IQSEC2	0,00032444	0,036977146	0,061	0,004	1	1,025961893	0,974695071	15,25
ERMAP	0,061438821	0,036922292	0,049	0,014	1	1,025922884	0,974732132	3,5
MEAK7	0,004485159	0,036872878	0,073	0,014	1	1,025887746	0,974765518	5,214285714
WDR73	0,001379438	0,036872484	0,146	0,042	1	1,025887466	0,974765784	3,476190476
UHRF1BP1	0,00931978	0,036843666	0,049	0,007	1	1,025866974	0,974785255	7
TMEM163	0,000183568	0,036823047	0,049	0	1	1,025852312	0,974799187	#DIV/0!
GLRB	0,00032444	0,036801217	0,061	0,004	1	1,025836789	0,974813938	15,25
GATD1	1,14878E-05	0,03675555	0,195	0,042	0,242404618	1,025804319	0,974844794	4,642857143
ZNF227	0,961674519	0,036735337	0,037	0,039	1	1,025789947	0,974858452	0,948717949
EXOSC3	1,45037E-05	0,036714985	0,22	0,053	0,306043147	1,025775476	0,974872205	4,150943396
POLR3C	0,001055888	0,036621824	0,085	0,014	1	1,025709239	0,974935159	6,071428571
BTN2A2	0,001222478	0,036600423	0,11	0,025	1	1,025694024	0,974949621	4,4
MTERF2	0,002387752	0,036552553	0,159	0,053	1	1,025659991	0,974981971	3
CABCOC1	0,183494953	0,036550391	0,024	0,007	1	1,025658454	0,974983433	3,428571429

Supplementary Table 2

Differentially expressed genes_keloid-XL_comparing SC-Keloid vs. (SC-Myel, SC-Nonmyel, SC-Nonmyel2)								
gene	p_val	avg_log2FC	pct.1	pct.2	p_val_adj	Foldchange_UP	Foldchange_DOWN	Ratio_pct1_pct2
EFCAB2	0,069914007	0,036506484	0,122	0,06	1	1,025627239	0,975013106	2,033333333
PUS10	0,044226311	0,036504659	0,037	0,007	1	1,025625942	0,975014339	5,285714286
RIN1	5,32686E-05	0,036456156	0,073	0,004	1	1,025591462	0,975047119	18,25
CNIH2	0,066254792	0,036415257	0,024	0,004	1	1,025562387	0,975074761	6
ZNF586	0,35185965	0,036343888	0,012	0,004	1	1,025511655	0,975122999	3
HNRNPA1L2	0,194890196	0,036332971	0,037	0,014	1	1,025503895	0,975130377	2,642857143
ZNF780B	0,004368707	0,036246136	0,073	0,014	1	1,025442172	0,975189072	5,214285714
VAX2	0,001952737	0,036239668	0,049	0,004	1	1,025437575	0,975193444	12,25
NUP37	0,002909566	0,036192211	0,085	0,018	1	1,025403844	0,975225523	4,722222222
SLC25A6	0,109098021	0,036081162	0,756	0,477	1	1,025324918	0,975300592	1,58490566
ANKS3	0,005188266	0,036067187	0,11	0,032	1	1,025314986	0,97531004	3,4375
ERICH3	0,063203483	0,036003362	0,012	0	1	1,025269627	0,975353189	#DIV/0!
SNRK-AS1	0,063203483	0,036003362	0,012	0	1	1,025269627	0,975353189	#DIV/0!
SHB	0,146677521	0,035969907	0,11	0,06	1	1,025245852	0,975375806	1,833333333
RFXANK	5,25695E-05	0,035928007	0,256	0,077	1	1,025216076	0,975404135	3,324675325
ASB2	0,001220269	0,035920483	0,037	0	1	1,02521073	0,975409222	#DIV/0!
VPS72	2,40727E-06	0,035894411	0,305	0,084	0,050795843	1,025192202	0,975426849	3,630952381
MED14OS	0,004485159	0,035871883	0,073	0,014	1	1,025176194	0,975442081	5,214285714
MTSS1	0,008401736	0,035861645	0,024	0	1	1,025168919	0,975449003	#DIV/0!
PHF7	0,00931978	0,035854973	0,049	0,007	1	1,025164178	0,975453514	7
COL22A1	0,000344207	0,035849756	0,073	0,007	1	1,025160471	0,975457042	10,42857143
TYK2	2,18131E-05	0,035809994	0,244	0,067	0,460278759	1,025132217	0,975483926	3,641791045
ZNF589	0,183494953	0,035807576	0,024	0,007	1	1,025130498	0,975485562	3,428571429
PDE1C	0,001419533	0,035796974	0,146	0,042	1	1,025122965	0,97549273	3,476190476
ZC3H8	0,006483581	0,035774897	0,085	0,021	1	1,025107278	0,975507658	4,047619048
GLB1L	0,187860656	0,035755664	0,024	0,007	1	1,025093612	0,975520663	3,428571429
KLHL22	6,3637E-06	0,03570113	0,183	0,035	0,13428035	1,025054865	0,975557538	5,228571429
LINC00893	0,008401736	0,03569867	0,024	0	1	1,025053117	0,975559201	#DIV/0!
GPC2	0,027726954	0,035626637	0,049	0,011	1	1,025001938	0,975607912	4,454545455
BGLAP	0,001055888	0,035589085	0,085	0,014	1	1,024975258	0,975633306	6,071428571

Supplementary Table 2

Differentially expressed genes_keloid-XL_comparing SC-Keloid vs. (SC-Myel, SC-Nonmyel, SC-Nonmyel2)								
gene	p_val	avg_log2FC	pct.1	pct.2	p_val_adj	Foldchange_UP	Foldchange_DOWN	Ratio_pct1_pct2
WWC3	0,336979217	0,03556159	0,171	0,123	1	1,024955725	0,9756519	1,390243902
LMBR1	0,025203577	0,035440548	0,085	0,028	1	1,024869734	0,975733761	3,035714286
RASSF7	0,001802592	0,035372114	0,061	0,007	1	1,024821121	0,975780046	8,714285714
ASPRV1	0,181340493	0,035363426	0,024	0,007	1	1,024814949	0,975785922	3,428571429
LINC00460	0,008401736	0,035356417	0,024	0	1	1,024809971	0,975790662	#DIV/0!
LRATD1	0,066254792	0,035336543	0,024	0,004	1	1,024795853	0,975804105	6
ZNF688	4,30313E-05	0,035305162	0,207	0,053	0,908002961	1,024773562	0,97582533	3,905660377
CYP4V2	0,001876168	0,035265712	0,098	0,021	1	1,024745541	0,975852014	4,666666667
TLCD1	0,000183568	0,035249059	0,049	0	1	1,024733712	0,975863278	#DIV/0!
GBGT1	0,008401736	0,035214695	0,024	0	1	1,024709304	0,975886523	#DIV/0!
FGF12	0,063203483	0,035091334	0,012	0	1	1,024621688	0,975969972	#DIV/0!
H3C7	0,063203483	0,035091334	0,012	0	1	1,024621688	0,975969972	#DIV/0!
HPCAL4	0,063203483	0,035091334	0,012	0	1	1,024621688	0,975969972	#DIV/0!
IL7	0,063203483	0,035091334	0,012	0	1	1,024621688	0,975969972	#DIV/0!
OR7D2	0,063203483	0,035091334	0,012	0	1	1,024621688	0,975969972	#DIV/0!
PFKFB1	0,063203483	0,035091334	0,012	0	1	1,024621688	0,975969972	#DIV/0!
TAF3	0,063203483	0,035091334	0,012	0	1	1,024621688	0,975969972	#DIV/0!
TNPO2	0,00013292	0,03506139	0,244	0,077	1	1,024600421	0,975990229	3,168831169
SERF1A	0,043609761	0,034981343	0,037	0,007	1	1,024543574	0,976044383	5,285714286
CKMT1A	0,063203483	0,03493802	0,012	0	1	1,024512808	0,976073693	#DIV/0!
KRT79	0,063203483	0,03493802	0,012	0	1	1,024512808	0,976073693	#DIV/0!
MGAT5B	0,063203483	0,03493802	0,012	0	1	1,024512808	0,976073693	#DIV/0!
NPM2	0,063203483	0,03493802	0,012	0	1	1,024512808	0,976073693	#DIV/0!
RPL24	0,481746482	0,034889716	0,939	0,821	1	1,024478506	0,976106374	1,143727162
BRME1	0,748990771	0,03485526	0,012	0,018	1	1,024454039	0,976129687	0,666666667
TDRKH	0,347088417	0,034841937	0,012	0,004	1	1,024444578	0,976138702	3
ETNK2	0,037565828	0,034826168	0,061	0,018	1	1,02443338	0,976149371	3,388888889
NCKAP1	1,28469E-06	0,034789918	0,463	0,154	0,027108267	1,02440764	0,976173899	3,006493506
ZNF839	0,427422808	0,034752988	0,037	0,021	1	1,024381418	0,976198887	1,761904762
SKAP1	2,80682E-05	0,034577632	0,061	0	0,592266086	1,024256914	0,976317549	#DIV/0!

Supplementary Table 2

Differentially expressed genes_keloid-XL_comparing SC-Keloid vs. (SC-Myel, SC-Nonmyel, SC-Nonmyel2)								
gene	p_val	avg_log2FC	pct.1	pct.2	p_val_adj	Foldchange_UP	Foldchange_DOWN	Ratio_pct1_pct2
XKR8	0,001833348	0,034569253	0,061	0,007	1	1,024250966	0,976323219	8,714285714
PRR5L	0,183494953	0,034567754	0,024	0,007	1	1,024249902	0,976324233	3,428571429
SCD	0,032306429	0,034482611	0,573	0,34	1	1,024189456	0,976381854	1,685294118
KCNJ2	0,339089703	0,034448406	0,024	0,011	1	1,024165173	0,976405004	2,181818182
ACACA	0,000114351	0,034426258	0,122	0,021	1	1,024149451	0,976419994	5,80952381
ISG20L2	3,13909E-06	0,034423669	0,207	0,042	0,066237957	1,024147613	0,976421746	4,928571429
CES2	0,182936607	0,034401188	0,085	0,046	1	1,024131653	0,976436962	1,847826087
FAM151B	0,008401736	0,034398347	0,024	0	1	1,024129637	0,976438884	#DIV/0!
SLC4A5	0,107265343	0,034383425	0,037	0,011	1	1,024119045	0,976448983	3,363636364
TCN2	0,186442875	0,034340663	0,037	0,014	1	1,02408869	0,976477926	2,642857143
DNAH14	0,001220269	0,034338487	0,037	0	1	1,024087145	0,9764794	#DIV/0!
CDCA7L	0,108593558	0,034291395	0,061	0,025	1	1,024053718	0,976511274	2,44
NSFL1C	8,68606E-05	0,034285733	0,378	0,147	1	1,024049699	0,976515106	2,571428571
KIAA0319L	0,000868198	0,034273776	0,232	0,084	1	1,024041211	0,976523199	2,761904762
SLC6A9	0,001220269	0,034273113	0,037	0	1	1,024040741	0,976523648	#DIV/0!
CBLB	0,024309048	0,034260764	0,134	0,056	1	1,024031975	0,976532007	2,392857143
ARL16	1,8075E-05	0,03424968	0,244	0,067	0,381401007	1,024024108	0,976539509	3,641791045
RAD54L2	0,000594027	0,034226952	0,207	0,067	1	1,024007975	0,976554894	3,089552239
BAIAP2L2	0,065143806	0,034150788	0,024	0,004	1	1,023953917	0,976606451	6
ZNF544	0,010791649	0,034137659	0,073	0,018	1	1,023944599	0,976615338	4,055555556
EXO5	0,001952737	0,034137069	0,049	0,004	1	1,02394418	0,976615737	12,25
GCAT	0,00414399	0,034132757	0,073	0,014	1	1,023941119	0,976618656	5,214285714
ATAD3A	0,000259864	0,034119638	0,171	0,046	1	1,023931808	0,976627537	3,717391304
SLC9A5	0,00931978	0,034106408	0,049	0,007	1	1,023922419	0,976636493	7
CUL7	4,31662E-05	0,034083164	0,159	0,032	0,910850685	1,023905922	0,976652228	4,96875
ZNF626	0,10265465	0,034071234	0,037	0,011	1	1,023897455	0,976660305	3,363636364
GABRA2	6,05627E-05	0,034041547	0,561	0,235	1	1,023876386	0,976680402	2,387234043
GNB5	0,003143853	0,034031411	0,122	0,035	1	1,023869192	0,976687264	3,485714286
LKAAEAR1	0,008401736	0,034025905	0,024	0	1	1,023865284	0,976690992	#DIV/0!
NUP50	0,011065297	0,034008114	0,195	0,084	1	1,023852659	0,976703036	2,321428571

Supplementary Table 2

Differentially expressed genes_keloid-XL_comparing SC-Keloid vs. (SC-Myel, SC-Nonmyel, SC-Nonmyel2)								
gene	p_val	avg_log2FC	pct.1	pct.2	p_val_adj	Foldchange_UP	Foldchange_DOWN	Ratio_pct1_pct2
BTBD16	0,008401736	0,033997374	0,024	0	1	1,023845037	0,976710307	#DIV/0!
TRIM38	0,009578684	0,033964026	0,146	0,056	1	1,023821371	0,976732884	2,607142857
LOXL1-AS1	0,000183568	0,033867629	0,049	0	1	1,023752964	0,976798148	#DIV/0!
LACC1	0,042398422	0,033816279	0,037	0,007	1	1,023716526	0,976832916	5,285714286
LAPTM4A	0,153658175	0,033780769	0,878	0,646	1	1,023691329	0,976856961	1,359133127
ZNF582-DT	0,347088417	0,033713784	0,012	0,004	1	1,0236438	0,976902317	3
RPAP1	0,000511843	0,033693784	0,11	0,021	1	1,023629609	0,97691586	5,238095238
BFAR	6,7885E-05	0,033684335	0,268	0,088	1	1,023622905	0,976922258	3,045454545
B3GNTL1	5,32686E-05	0,033632945	0,073	0,004	1	1,023586443	0,976957058	18,25
AKNA	0,061438821	0,033628348	0,049	0,014	1	1,023583182	0,976960171	3,5
BCL2L15	0,063203483	0,033520128	0,012	0	1	1,023506403	0,977033458	#DIV/0!
CYSRT1	0,063203483	0,033520128	0,012	0	1	1,023506403	0,977033458	#DIV/0!
SLC16A8	0,063203483	0,033520128	0,012	0	1	1,023506403	0,977033458	#DIV/0!
RAD23B	0,006735904	0,033496919	0,329	0,161	1	1,023489938	0,977049175	2,043478261
SFN	0,069455719	0,0334513	0,159	0,084	1	1,023457575	0,977080071	1,892857143
GPAT2	0,059519805	0,033433745	0,049	0,014	1	1,023445121	0,977091961	3,5
VPS4A	0,001609618	0,033397696	0,293	0,123	1	1,023419549	0,977116375	2,382113821
AANAT	0,063203483	0,033392881	0,012	0	1	1,023416133	0,977119637	#DIV/0!
C1QL4	0,063203483	0,033392881	0,012	0	1	1,023416133	0,977119637	#DIV/0!
PCDH15	0,063203483	0,033392881	0,012	0	1	1,023416133	0,977119637	#DIV/0!
ZNF132	0,063203483	0,033392881	0,012	0	1	1,023416133	0,977119637	#DIV/0!
SPR	0,042398422	0,033364419	0,037	0,007	1	1,023395942	0,977138914	5,285714286
RTN2	0,006431528	0,033287672	0,061	0,011	1	1,023341503	0,977190896	5,545454545
VAMP3	0,017562356	0,033275342	0,427	0,232	1	1,023332757	0,977199247	1,840517241
CTPS2	0,106097567	0,033228518	0,037	0,011	1	1,023299544	0,977230964	3,363636364
ZNF564	0,011553628	0,033225577	0,037	0,004	1	1,023297458	0,977232956	9,25
ZNF250	0,022195444	0,033192427	0,073	0,021	1	1,023273945	0,977255411	3,476190476
MTARC2	0,001898897	0,033148312	0,098	0,021	1	1,023242656	0,977285294	4,666666667
CNOT9	0,000329164	0,033139896	0,22	0,07	1	1,023236687	0,977290995	3,142857143
MR1	0,004368707	0,033107141	0,073	0,014	1	1,023213455	0,977313184	5,214285714

Supplementary Table 2

Differentially expressed genes_keloid-XL_comparing SC-Keloid vs. (SC-Myel, SC-Nonmyel, SC-Nonmyel2)								
gene	p_val	avg_log2FC	pct.1	pct.2	p_val_adj	Foldchange_UP	Foldchange_DOWN	Ratio_pct1_pct2
CCNJL	0,001423372	0,032987717	0,073	0,011	1	1,023128759	0,977394088	6,636363636
PGBD1	0,060153875	0,032987432	0,049	0,014	1	1,023128557	0,977394281	3,5
AL590714.1	0,063203483	0,032976644	0,012	0	1	1,023120906	0,97740159	#DIV/0!
FAM149B1	0,000124092	0,032973026	0,122	0,021	1	1,023118341	0,977404041	5,80952381
JMJD7	0,043609761	0,032968032	0,037	0,007	1	1,023114798	0,977407424	5,285714286
ACOT2	2,46117E-05	0,032940837	0,195	0,046	0,519330851	1,023095513	0,977425849	4,239130435
TUSC1	5,17434E-06	0,032903417	0,354	0,109	0,109183652	1,023068977	0,977451201	3,247706422
HMGXB4	0,004823017	0,032894958	0,207	0,084	1	1,023062978	0,977456932	2,464285714
PCK2	0,000234367	0,03286654	0,098	0,014	1	1,023042826	0,977476186	7
TKFC	0,001853689	0,032866417	0,098	0,021	1	1,023042739	0,97747627	4,666666667
NUF2	0,103792275	0,032847013	0,037	0,011	1	1,023028979	0,977489417	3,363636364
ZNF595	0,027726954	0,03279711	0,049	0,011	1	1,022993593	0,977523229	4,454545455
PXMP2	0,003364716	0,032767341	0,122	0,035	1	1,022972485	0,977543399	3,485714286
WWP2	9,39569E-05	0,032748275	0,159	0,035	1	1,022958965	0,977556318	4,542857143
NCDN	0,037565828	0,032748032	0,061	0,018	1	1,022958793	0,977556483	3,388888889
LDOC1	0,242293287	0,032704802	0,061	0,032	1	1,022928141	0,977585775	1,90625
CDC42EP5	0,026068228	0,032701855	0,634	0,393	1	1,022926051	0,977587773	1,613231552
EPHB2	0,644071107	0,03267285	0,012	0,007	1	1,022905486	0,977607427	1,714285714
GTSE1	0,044226311	0,032650733	0,037	0,007	1	1,022889805	0,977622413	5,285714286
DCLRE1B	0,00931978	0,032613425	0,049	0,007	1	1,022863353	0,977647695	7
IMP4	0,000319433	0,032612592	0,28	0,102	1	1,022862763	0,97764826	2,745098039
SPAAR	0,008401736	0,032603552	0,024	0	1	1,022856354	0,977654386	#DIV/0!
CHCHD6	0,000685144	0,032536439	0,098	0,018	1	1,022808772	0,977699866	5,444444444
BAIAP2-DT	0,005885676	0,032527617	0,122	0,039	1	1,022802518	0,977705845	3,128205128
LPCAT4	0,005137829	0,032512628	0,11	0,032	1	1,022791891	0,977716003	3,4375
CORO2A	0,006341138	0,032488165	0,061	0,011	1	1,022774549	0,977732582	5,545454545
ENTPD1-AS1	0,00031979	0,032416982	0,122	0,025	1	1,022724086	0,977780825	4,88
AC092687.3	0,342070304	0,032409848	0,024	0,011	1	1,022719029	0,97778566	2,181818182
FH	0,001639094	0,032359793	0,207	0,074	1	1,022683545	0,977819585	2,797297297
ZBTB5	0,015603254	0,03235902	0,098	0,032	1	1,022682997	0,977820109	3,0625

Supplementary Table 2

Differentially expressed genes_keloid-XL_comparing SC-Keloid vs. (SC-Myel, SC-Nonmyel, SC-Nonmyel2)								
gene	p_val	avg_log2FC	pct.1	pct.2	p_val_adj	Foldchange_UP	Foldchange_DOWN	Ratio_pct1_pct2
DDN	0,008401736	0,032340073	0,024	0	1	1,022669567	0,977832951	#DIV/0!
ZNF765	0,104939896	0,032329086	0,037	0,011	1	1,022661778	0,977840398	3,363636364
GPN1	6,21985E-05	0,032257303	0,146	0,028	1	1,022610896	0,977889052	5,214285714
FASTKD2	0,008390305	0,032239668	0,098	0,028	1	1,022598396	0,977901006	3,5
ANGEL1	0,516980245	0,032193918	0,024	0,014	1	1,022565968	0,977932017	1,714285714
CCDC96	0,103792275	0,032179072	0,037	0,011	1	1,022555446	0,977942081	3,363636364
LANCL2	0,067018449	0,032154487	0,061	0,021	1	1,02253802	0,977958746	2,904761905
THBS3	0,006876865	0,032120856	0,134	0,046	1	1,022514184	0,977981544	2,913043478
TDP1	0,111964825	0,032092094	0,049	0,018	1	1,022493799	0,978001041	2,722222222
DUSP7	0,018467596	0,032091796	0,244	0,119	1	1,022493588	0,978001243	2,050420168
RNF19B	0,000261384	0,032090017	0,207	0,063	1	1,022492327	0,978002449	3,285714286
YWHAQ	0,044966845	0,032086969	0,744	0,512	1	1,022490167	0,978004516	1,453125
RIMS2	0,008401736	0,032079133	0,024	0	1	1,022484613	0,978009827	#DIV/0!
KIFBP	3,20938E-05	0,032063045	0,22	0,056	0,677210702	1,022473211	0,978020734	3,928571429
ZNF135	0,066254792	0,032003785	0,024	0,004	1	1,022431213	0,978060908	6
TRIM39	0,011553628	0,031994382	0,037	0,004	1	1,022424549	0,978067282	9,25
PBLD	0,027726954	0,03197589	0,049	0,011	1	1,022411444	0,978079819	4,454545455
SNRPB	0,03364801	0,031943494	0,659	0,393	1	1,022388486	0,978101782	1,676844784
RNF44	0,13485524	0,031882431	0,085	0,042	1	1,022345213	0,978143182	2,023809524
MAK16	0,006854678	0,031880996	0,085	0,021	1	1,022344197	0,978144154	4,047619048
PPP2R5D	0,062847269	0,031828658	0,098	0,042	1	1,022307109	0,97817964	2,333333333
ZNF71	0,004102792	0,031778874	0,098	0,025	1	1,022271832	0,978213396	3,92
NEDD1	0,004286645	0,031777399	0,146	0,049	1	1,022270787	0,978214395	2,979591837
ALS2	0,459043308	0,031768496	0,122	0,091	1	1,022264478	0,978220432	1,340659341
CCZ1B	0,00124327	0,031731763	0,183	0,06	1	1,022238451	0,978245339	3,05
CFAP53	0,008401736	0,031722184	0,024	0	1	1,022231663	0,978251835	#DIV/0!
CIP2A	0,008401736	0,031719362	0,024	0	1	1,022229663	0,978253748	#DIV/0!
PLCD4	0,064048232	0,03169915	0,024	0,004	1	1,022215343	0,978267453	6
ARHGEF10L	0,015517806	0,031667322	0,159	0,067	1	1,022192791	0,978289036	2,373134328
RABGGTA	0,000931651	0,031655584	0,159	0,046	1	1,022184474	0,978296996	3,456521739

Supplementary Table 2

Differentially expressed genes_keloid-XL_comparing SC-Keloid vs. (SC-Myel, SC-Nonmyel, SC-Nonmyel2)								
gene	p_val	avg_log2FC	pct.1	pct.2	p_val_adj	Foldchange_UP	Foldchange_DOWN	Ratio_pct1_pct2
GRHL3	0,063203483	0,031645008	0,012	0	1	1,022176981	0,978304167	#DIV/0!
PRKCI	0,002166012	0,031628218	0,232	0,091	1	1,022165085	0,978315552	2,549450549
ZFP92	0,008401736	0,031606611	0,024	0	1	1,022149777	0,978330204	#DIV/0!
MUTYH	0,004102792	0,031597558	0,098	0,025	1	1,022143362	0,978336344	3,92
CCN4	0,008401736	0,031583891	0,024	0	1	1,022133679	0,978345612	#DIV/0!
AKAP11	0,001574491	0,031532672	0,232	0,088	1	1,022097392	0,978380346	2,636363636
TEP1	0,112963039	0,031494966	0,049	0,018	1	1,022070679	0,978405917	2,722222222
CDC42BPG	0,193178656	0,03148236	0,037	0,014	1	1,022061749	0,978414466	2,642857143
ACADS	0,007159314	0,031466488	0,146	0,053	1	1,022050504	0,978425231	2,754716981
EEF1AKMT3	0,011553628	0,031447894	0,037	0,004	1	1,022037331	0,978437841	9,25
CENPS	0,000298361	0,031409156	0,085	0,011	1	1,022009889	0,978464114	7,727272727
CST6	0,001220269	0,031399704	0,037	0	1	1,022003193	0,978470524	#DIV/0!
REPS1	0,008308113	0,031329203	0,098	0,028	1	1,021953252	0,97851834	3,5
CAST	0,001336086	0,0313289	0,561	0,274	1	1,021953037	0,978518546	2,047445255
VPS33A	0,00931978	0,031269868	0,049	0,007	1	1,021911222	0,978558586	7
VILL	0,011553628	0,031239514	0,037	0,004	1	1,021889721	0,978579175	9,25
TMEM44	0,00032444	0,031176619	0,061	0,004	1	1,021845173	0,978621837	15,25
TADA2B	0,006615795	0,031129223	0,061	0,011	1	1,021811603	0,978653988	5,545454545
IQGAP3	0,347088417	0,031117492	0,012	0,004	1	1,021803294	0,978661946	3
AQP10	0,347088417	0,031105166	0,012	0,004	1	1,021794564	0,978670307	3
TMEM132A	0,000956293	0,031089673	0,256	0,098	1	1,021783591	0,978680817	2,612244898
FBN3	0,008401736	0,031067037	0,024	0	1	1,021767559	0,978696173	#DIV/0!
FBXO46	0,042668024	0,031014537	0,073	0,025	1	1,021730378	0,978731789	2,92
ATRNL1	0,008401736	0,031005519	0,024	0	1	1,021723991	0,978737907	#DIV/0!
TRIM62	0,000293572	0,030932059	0,085	0,011	1	1,021671968	0,978787743	7,727272727
ZDHHC2	0,695998291	0,030924571	0,061	0,049	1	1,021666665	0,978792824	1,244897959
ANO9	0,008401736	0,030912599	0,024	0	1	1,021658187	0,978800946	#DIV/0!
MOG	0,066254792	0,030906688	0,024	0,004	1	1,021654001	0,978804957	6
RHBDL1	0,001220269	0,030903223	0,037	0	1	1,021651547	0,978807307	#DIV/0!
ZNF304	0,027726954	0,030872289	0,049	0,011	1	1,021629641	0,978828295	4,454545455

Supplementary Table 2

Differentially expressed genes_keloid-XL_comparing SC-Keloid vs. (SC-Myel, SC-Nonmyel, SC-Nonmyel2)								
gene	p_val	avg_log2FC	pct.1	pct.2	p_val_adj	Foldchange_UP	Foldchange_DOWN	Ratio_pct1_pct2
ZNF543	0,044226311	0,030864233	0,037	0,007	1	1,021623936	0,978833761	5,285714286
ZNF214	0,001220269	0,030842773	0,037	0	1	1,02160874	0,978848321	#DIV/0!
GPATCH11	0,001589697	0,030825629	0,159	0,049	1	1,0215966	0,978859953	3,244897959
PTBP3	0,001743633	0,03081531	0,232	0,091	1	1,021589293	0,978866955	2,549450549
ANKRD16	0,000344207	0,030773288	0,073	0,007	1	1,021559537	0,978895467	10,42857143
ITPRIP	0,068052562	0,030725597	0,146	0,074	1	1,021525768	0,978927826	1,972972973
TOR2A	0,011553628	0,030722786	0,037	0,004	1	1,021523778	0,978929734	9,25
SLC2A13	0,302095643	0,030669783	0,122	0,081	1	1,021486249	0,978965699	1,50617284
SNRPA	0,00060856	0,030663435	0,317	0,13	1	1,021481755	0,978970006	2,438461538
KRIT1	0,00212947	0,030632724	0,195	0,07	1	1,02146001	0,978990847	2,785714286
ZNF93	0,00931978	0,03062312	0,049	0,007	1	1,02145321	0,978997364	7
CATSPER1	0,000183568	0,030590875	0,049	0	1	1,021430381	0,979019245	#DIV/0!
TATDN2	0,14913678	0,030525866	0,134	0,077	1	1,021384355	0,979063361	1,74025974
TOMM34	8,57548E-05	0,030509526	0,183	0,046	1	1,021372787	0,97907445	3,97826087
NIPA1	0,000732778	0,030445555	0,098	0,018	1	1,021327499	0,979117865	5,444444444
CYGB	0,043609761	0,030422992	0,037	0,007	1	1,021311526	0,979133178	5,285714286
TRMT61A	7,99666E-05	0,030415174	0,207	0,056	1	1,021305991	0,979138484	3,696428571
RUFY1	0,002595385	0,030414779	0,183	0,067	1	1,021305712	0,979138752	2,731343284
SH3D21	0,10265465	0,030400127	0,037	0,011	1	1,021295339	0,979148696	3,363636364
SOS1	0,014889645	0,030362297	0,171	0,074	1	1,02126856	0,979174371	2,310810811
PNPLA4	0,000142807	0,030350265	0,11	0,018	1	1,021260042	0,979182538	6,111111111
ORC5	0,00196861	0,030251951	0,098	0,021	1	1,02119045	0,979249267	4,666666667
MZF1	0,003842512	0,030221766	0,098	0,025	1	1,021169084	0,979269756	3,92
WDR55	6,41411E-06	0,030210245	0,146	0,021	0,135344167	1,021160929	0,979277576	6,952380952
ZNF813	0,008401736	0,030198611	0,024	0	1	1,021152695	0,979285473	#DIV/0!
UPK3BL1	0,000240941	0,030197205	0,207	0,063	1	1,0211517	0,979286428	3,285714286
LINC02584	0,001220269	0,030044468	0,037	0	1	1,021043597	0,97939011	#DIV/0!
AR	0,194890196	0,030037797	0,037	0,014	1	1,021038875	0,979394638	2,642857143
SLC35F2	0,058268295	0,029998538	0,049	0,014	1	1,021011091	0,97942129	3,5
IRAK1BP1	0,004199164	0,029952466	0,073	0,014	1	1,020978486	0,979452568	5,214285714

Supplementary Table 2

Differentially expressed genes_keloid-XL_comparing SC-Keloid vs. (SC-Myel, SC-Nonmyel, SC-Nonmyel2)								
gene	p_val	avg_log2FC	pct.1	pct.2	p_val_adj	Foldchange_UP	Foldchange_DOWN	Ratio_pct1_pct2
IZUMO4	0,008401736	0,029904443	0,024	0	1	1,020944501	0,979485172	#DIV/0!
MICAL1	0,00716736	0,029895859	0,134	0,046	1	1,020938427	0,979490999	2,913043478
SAMD10	0,185668317	0,029883894	0,024	0,007	1	1,020929959	0,979499123	3,428571429
ST8SIA1	0,345067611	0,029882299	0,024	0,011	1	1,020928831	0,979500206	2,181818182
WDR37	0,027726954	0,029881989	0,049	0,011	1	1,020928611	0,979500416	4,454545455
DNAJC28	0,066254792	0,029852238	0,024	0,004	1	1,020907558	0,979520616	6
METTL1	0,000344207	0,029796807	0,073	0,007	1	1,020868334	0,979558252	10,42857143
MAFG-DT	0,004485159	0,029795866	0,073	0,014	1	1,020867668	0,979558891	5,214285714
CDCP1	0,008401736	0,029762772	0,024	0	1	1,020844251	0,979581361	#DIV/0!
MN1	0,564675598	0,029726786	0,037	0,025	1	1,020818788	0,979605795	1,48
EML2	0,043216097	0,029674108	0,085	0,032	1	1,020781514	0,979641565	2,65625
TMEM255A	0,270579294	0,029665209	0,049	0,025	1	1,020775218	0,979647608	1,96
DSG3	0,183494953	0,029659291	0,024	0,007	1	1,02077103	0,979651626	3,428571429
ABHD6	0,001112971	0,029647731	0,11	0,025	1	1,020762852	0,979659476	4,4
CCDC180	0,345067611	0,029613241	0,024	0,011	1	1,020738448	0,979682897	2,181818182
CLIC5	0,347088417	0,029610942	0,012	0,004	1	1,020736822	0,979684458	3
LRRC73	0,347088417	0,029605803	0,012	0,004	1	1,020733186	0,979687947	3
RFC5	4,95841E-05	0,029591327	0,11	0,014	1	1,020722944	0,979697778	7,857142857
ZFYVE9	0,053680889	0,029553662	0,122	0,056	1	1,020696296	0,979723356	2,178571429
RNASEH1	0,004684683	0,029528772	0,183	0,07	1	1,020678687	0,979740258	2,614285714
TNFSF4	0,011553628	0,02952416	0,037	0,004	1	1,020675424	0,97974339	9,25
CNNM2	0,748990771	0,029497635	0,012	0,018	1	1,020656658	0,979761404	0,666666667
PHYHIP	0,001952737	0,029489983	0,049	0,004	1	1,020651244	0,979766601	12,25
TRMT12	0,001952737	0,029468322	0,049	0,004	1	1,02063592	0,979781311	12,25
CABIN1	0,09581901	0,029455232	0,134	0,07	1	1,02062666	0,979790201	1,914285714
KLHL13	0,196612832	0,029405545	0,037	0,014	1	1,02059151	0,979823946	2,642857143
CAMKK1	0,00931978	0,029385913	0,049	0,007	1	1,020577622	0,979837279	7
TMSB15B	0,044226311	0,029384925	0,037	0,007	1	1,020576923	0,97983795	5,285714286
RBM15B	0,002734083	0,02932145	0,159	0,053	1	1,020532021	0,979881062	3
UBAC2-AS1	0,008401736	0,029305663	0,024	0	1	1,020520853	0,979891784	#DIV/0!

Supplementary Table 2

Differentially expressed genes_keloid-XL_comparing SC-Keloid vs. (SC-Myel, SC-Nonmyel, SC-Nonmyel2)								
gene	p_val	avg_log2FC	pct.1	pct.2	p_val_adj	Foldchange_UP	Foldchange_DOWN	Ratio_pct1_pct2
TESK1	0,006969362	0,029283555	0,171	0,067	1	1,020505215	0,9799068	2,552238806
TTI2	0,010546634	0,029279126	0,073	0,018	1	1,020502082	0,979909809	4,055555556
FKTN	0,268844049	0,029266317	0,049	0,025	1	1,020493022	0,979918509	1,96
CDK20	0,112963039	0,029263613	0,049	0,018	1	1,020491109	0,979920346	2,722222222
LINC00393	0,008401736	0,029252475	0,024	0	1	1,02048323	0,979927911	#DIV/0!
DBT	0,138095537	0,029251038	0,085	0,042	1	1,020482214	0,979928887	2,023809524
SLC12A9	0,041519021	0,02920182	0,085	0,032	1	1,020447401	0,979962318	2,65625
TMEM145	0,066254792	0,029201387	0,024	0,004	1	1,020447095	0,979962612	6
LRCH2	0,008401736	0,029200742	0,024	0	1	1,020446638	0,97996305	#DIV/0!
ZNF433	0,000344207	0,029102164	0,073	0,007	1	1,020376914	0,980030013	10,42857143
TOM1L1	0,000713367	0,029074793	0,098	0,018	1	1,020357556	0,980048606	5,444444444
TEF	0,016767057	0,029049073	0,11	0,039	1	1,020339366	0,980066078	2,820512821
CERS3	0,063203483	0,029048221	0,012	0	1	1,020338762	0,980066657	#DIV/0!
CLCA4	0,063203483	0,029048221	0,012	0	1	1,020338762	0,980066657	#DIV/0!
DQX1	0,063203483	0,029048221	0,012	0	1	1,020338762	0,980066657	#DIV/0!
EPN3	0,063203483	0,029048221	0,012	0	1	1,020338762	0,980066657	#DIV/0!
HCAR2	0,063203483	0,029048221	0,012	0	1	1,020338762	0,980066657	#DIV/0!
PPARGC1B	0,063203483	0,029048221	0,012	0	1	1,020338762	0,980066657	#DIV/0!
SGPP2	0,063203483	0,029048221	0,012	0	1	1,020338762	0,980066657	#DIV/0!
ZNF257	0,063203483	0,029048221	0,012	0	1	1,020338762	0,980066657	#DIV/0!
NPAS3	0,066254792	0,029042259	0,024	0,004	1	1,020334546	0,980070707	6
RMND1	0,000147137	0,028998654	0,146	0,032	1	1,020303707	0,98010033	4,5625
TGDS	0,000742666	0,028968762	0,098	0,018	1	1,020282568	0,980120637	5,444444444
RASIP1	0,101526965	0,028963956	0,037	0,011	1	1,020279168	0,980123902	3,363636364
RNASEL	0,000162451	0,02895091	0,11	0,018	1	1,020269942	0,980132766	6,111111111
RPP40	0,004426586	0,02889057	0,073	0,014	1	1,020227271	0,98017376	5,214285714
SPATA22	0,106097567	0,028878375	0,037	0,011	1	1,020218647	0,980182045	3,363636364
URGCP	0,039702859	0,02884048	0,122	0,053	1	1,02019185	0,980207792	2,301886792
CPNE8	0,005780975	0,028765056	0,122	0,039	1	1,020138515	0,980259038	3,128205128
ALG6	0,003268385	0,028722013	0,122	0,035	1	1,02010808	0,980288285	3,485714286

Supplementary Table 2

Differentially expressed genes_keloid-XL_comparing SC-Keloid vs. (SC-Myel, SC-Nonmyel, SC-Nonmyel2)								
gene	p_val	avg_log2FC	pct.1	pct.2	p_val_adj	Foldchange_UP	Foldchange_DOWN	Ratio_pct1_pct2
LINC00685	0,005677957	0,028704596	0,122	0,039	1	1,020095764	0,98030012	3,128205128
H3C10	0,065143806	0,028676058	0,024	0,004	1	1,020075586	0,980319511	6
AFP	0,063203483	0,028636864	0,012	0	1	1,020047874	0,980346144	#DIV/0!
IRX1	0,063203483	0,028636864	0,012	0	1	1,020047874	0,980346144	#DIV/0!
BUB1B	0,063203483	0,028633369	0,012	0	1	1,020045403	0,980348519	#DIV/0!
DIAPH3	0,063203483	0,028633369	0,012	0	1	1,020045403	0,980348519	#DIV/0!
STAP2	0,011553628	0,028627578	0,037	0,004	1	1,020041308	0,980352454	9,25
PCDHGB6	0,00931978	0,028592703	0,049	0,007	1	1,020016651	0,980376153	7
MRM1	0,006523076	0,028554316	0,061	0,011	1	1,019989511	0,980402239	5,545454545
B3GNT9	0,017068103	0,028498111	0,061	0,014	1	1,019949774	0,980440435	4,357142857
C16orf95	0,00931978	0,028446328	0,049	0,007	1	1,019913166	0,980475627	7
CEMIP	0,065143806	0,02842968	0,024	0,004	1	1,019901397	0,980486941	6
ADAMTS14	0,063203483	0,028327928	0,012	0	1	1,019829467	0,980556096	#DIV/0!
COL4A6	0,063203483	0,028327928	0,012	0	1	1,019829467	0,980556096	#DIV/0!
RN7SL832P	0,063203483	0,028327928	0,012	0	1	1,019829467	0,980556096	#DIV/0!
WAS	0,063203483	0,028327928	0,012	0	1	1,019829467	0,980556096	#DIV/0!
XIRP1	0,063203483	0,028327928	0,012	0	1	1,019829467	0,980556096	#DIV/0!
SPC24	0,008401736	0,028308392	0,024	0	1	1,019815657	0,980569374	#DIV/0!
CMTM1	0,066254792	0,028289244	0,024	0,004	1	1,019802121	0,980582389	6
KRTAP2-2	0,347088417	0,028246026	0,012	0,004	1	1,019771572	0,980611764	3
GPATCH4	7,57218E-07	0,028201351	0,183	0,028	0,015978058	1,019739994	0,98064213	6,535714286
MFSD14B	0,001574353	0,028184997	0,244	0,095	1	1,019728434	0,980653247	2,568421053
PEX19	0,138914913	0,028174309	0,085	0,042	1	1,01972088	0,980660512	2,023809524
C1orf112	0,017481575	0,028172162	0,061	0,014	1	1,019719362	0,980661971	4,357142857
BMP8A	0,347088417	0,028158238	0,012	0,004	1	1,019709521	0,980671436	3
ME1	0,001952737	0,028150401	0,049	0,004	1	1,019703982	0,980676763	12,25
TPM3	0,027602734	0,028142021	0,683	0,404	1	1,019698058	0,98068246	1,690594059
MAPK13	0,065143806	0,028136456	0,024	0,004	1	1,019694125	0,980686242	6
THAP4	0,00014217	0,028128942	0,171	0,042	1	1,019688814	0,98069135	4,071428571
MRPS22	0,000280656	0,028111655	0,244	0,081	1	1,019676596	0,980703101	3,012345679

Supplementary Table 2

Differentially expressed genes_keloid-XL_comparing SC-Keloid vs. (SC-Myel, SC-Nonmyel, SC-Nonmyel2)								
gene	p_val	avg_log2FC	pct.1	pct.2	p_val_adj	Foldchange_UP	Foldchange_DOWN	Ratio_pct1_pct2
DAB2	0,010546634	0,028088805	0,073	0,018	1	1,019660446	0,980718634	4,055555556
ZSCAN2	0,011339437	0,028030737	0,037	0,004	1	1,019619406	0,980758109	9,25
MAST3	0,739733711	0,027952899	0,037	0,046	1	1,019564396	0,980811025	0,804347826
TCTN2	0,017691584	0,027909794	0,061	0,014	1	1,019533934	0,98084033	4,357142857
USP39	0,000449575	0,027885186	0,244	0,088	1	1,019516543	0,980857061	2,772727273
TICAM1	0,038046743	0,027823434	0,11	0,046	1	1,019472906	0,980899045	2,391304348
ST7-AS1	0,044226311	0,02779716	0,037	0,007	1	1,01945434	0,980916909	5,285714286
KRT86	0,008401736	0,02777981	0,024	0	1	1,01944208	0,980928706	#DIV/0!
TXNDC11	0,105099631	0,027767473	0,122	0,063	1	1,019433362	0,980937094	1,936507937
RPGRIP1L	0,006615795	0,027740827	0,061	0,011	1	1,019414534	0,980955212	5,545454545
ARPP19	0,006012214	0,027726583	0,659	0,354	1	1,019404469	0,980964897	1,861581921
NXT1	0,002167609	0,027656035	0,39	0,179	1	1,019354621	0,981012868	2,17877095
ATP6VOC	0,223927175	0,027650725	0,841	0,6	1	1,019350869	0,981016478	1,401666667
IGFL4	0,008401736	0,027568461	0,024	0	1	1,019292746	0,981072419	#DIV/0!
SUSD5	0,008401736	0,027568461	0,024	0	1	1,019292746	0,981072419	#DIV/0!
FXVD2	0,008401736	0,02756167	0,024	0	1	1,019287948	0,981077037	#DIV/0!
POLR2B	0,000131858	0,0275507	0,378	0,147	1	1,019280198	0,981084497	2,571428571
CCDC88A	0,000194502	0,027544769	0,195	0,056	1	1,019276008	0,98108853	3,482142857
SENP8	0,001220269	0,027541144	0,037	0	1	1,019273446	0,981090995	#DIV/0!
GMIP	0,008401736	0,027518198	0,024	0	1	1,019257235	0,981106599	#DIV/0!
LRRN3	0,644071107	0,027503277	0,012	0,007	1	1,019246693	0,981116747	1,714285714
RFT1	0,011168661	0,027499537	0,073	0,018	1	1,019244051	0,98111929	4,055555556
ZNF862	0,025203577	0,027475941	0,085	0,028	1	1,019227381	0,981135337	3,035714286
UBE3C	5,91048E-06	0,027454281	0,244	0,06	0,124717129	1,019212079	0,981150067	4,066666667
NDST3	0,011553628	0,027453357	0,037	0,004	1	1,019211426	0,981150696	9,25
ARMCX5	0,002909566	0,027450829	0,085	0,018	1	1,019209641	0,981152415	4,722222222
PEX12	0,043609761	0,027432528	0,037	0,007	1	1,019196712	0,981164861	5,285714286
FAM161B	0,026685693	0,02741823	0,049	0,011	1	1,019186611	0,981174585	4,454545455
FDX1	0,000102459	0,02737596	0,415	0,161	1	1,01915675	0,981203333	2,577639752
KLF12	0,036803449	0,027347445	0,061	0,018	1	1,019136606	0,981222727	3,388888889

Supplementary Table 2

Differentially expressed genes_keloid-XL_comparing SC-Keloid vs. (SC-Myel, SC-Nonmyel, SC-Nonmyel2)								
gene	p_val	avg_log2FC	pct.1	pct.2	p_val_adj	Foldchange_UP	Foldchange_DOWN	Ratio_pct1_pct2
RAD51AP1	0,183494953	0,027339638	0,024	0,007	1	1,019131091	0,981228037	3,428571429
SEC24B	0,129105122	0,027328584	0,122	0,067	1	1,019123283	0,981235555	1,820895522
COL2A1	0,063203483	0,027326916	0,012	0	1	1,019122104	0,98123669	#DIV/0!
ARPP21	0,063203483	0,027307828	0,012	0	1	1,019108621	0,981249672	#DIV/0!
TMEM89	0,063203483	0,027307828	0,012	0	1	1,019108621	0,981249672	#DIV/0!
ZFP69B	0,065143806	0,027300075	0,024	0,004	1	1,019103144	0,981254946	6
CCNB1	0,027726954	0,027274284	0,049	0,011	1	1,019084926	0,981272488	4,454545455
GNPNAT1	0,011803785	0,027240185	0,134	0,049	1	1,01906084	0,98129568	2,734693878
SH3PXD2A	0,005151743	0,027239497	0,756	0,446	1	1,019060353	0,981296149	1,695067265
PRMT3	0,03795203	0,027215108	0,061	0,018	1	1,019043126	0,981312738	3,388888889
TIAM1	0,026685693	0,027112222	0,049	0,011	1	1,018970456	0,981382723	4,454545455
ZNF74	0,067616925	0,027082204	0,061	0,021	1	1,018949254	0,981403142	2,904761905
REEP6	0,000486185	0,027070943	0,11	0,021	1	1,0189413	0,981410803	5,238095238
ANKRD20A3P	0,063203483	0,02704338	0,012	0	1	1,018921834	0,981429553	#DIV/0!
ARMC12	0,063203483	0,02704338	0,012	0	1	1,018921834	0,981429553	#DIV/0!
CRCT1	0,063203483	0,02704338	0,012	0	1	1,018921834	0,981429553	#DIV/0!
DERL3	0,063203483	0,02704338	0,012	0	1	1,018921834	0,981429553	#DIV/0!
NTS	0,063203483	0,02704338	0,012	0	1	1,018921834	0,981429553	#DIV/0!
TDRD3	0,004165279	0,027020556	0,22	0,091	1	1,018905714	0,98144508	2,417582418
ISM1	0,347088417	0,027002603	0,012	0,004	1	1,018893035	0,981457293	3
RANBP17	0,001833348	0,027000821	0,061	0,007	1	1,018891777	0,981458505	8,714285714
GRIPAP1	0,077011555	0,026901393	0,11	0,053	1	1,018821559	0,981526148	2,075471698
LRIT3	0,063203483	0,026894554	0,012	0	1	1,018816729	0,981530801	#DIV/0!
TMEM97	0,105197534	0,026890543	0,073	0,032	1	1,018813897	0,98153353	2,28125
GMEB2	0,009031726	0,026888266	0,049	0,007	1	1,018812288	0,981535079	7
TTC30B	0,185668317	0,026864614	0,024	0,007	1	1,018795586	0,981551171	3,428571429
SHC2	0,649511996	0,026862587	0,012	0,007	1	1,018794155	0,981552549	1,714285714
ARL17A	0,180829015	0,026854223	0,049	0,021	1	1,018788248	0,98155824	2,333333333
RSL1D1	0,024899155	0,026828792	0,463	0,263	1	1,01877029	0,981575543	1,760456274
ZNF674-AS1	0,00931978	0,026791377	0,049	0,007	1	1,018743869	0,981600999	7

Supplementary Table 2

Differentially expressed genes_keloid-XL_comparing SC-Keloid vs. (SC-Myel, SC-Nonmyel, SC-Nonmyel2)								
gene	p_val	avg_log2FC	pct.1	pct.2	p_val_adj	Foldchange_UP	Foldchange_DOWN	Ratio_pct1_pct2
PAOX	0,044226311	0,026786515	0,037	0,007	1	1,018740436	0,981604307	5,285714286
NDUFA4L2	0,345067611	0,026754505	0,024	0,011	1	1,018717832	0,981626087	2,181818182
CCSER1	0,008401736	0,026731939	0,024	0	1	1,018701898	0,981641442	#DIV/0!
CCDC92	0,000181982	0,026713498	0,22	0,067	1	1,018688877	0,981653399	3,28358209
NECAB1	0,348081613	0,026677695	0,024	0,011	1	1,018663597	0,981678351	2,181818182
EFHC1	0,001013979	0,026676625	0,341	0,147	1	1,018662842	0,981679079	2,319727891
MEPE	0,001952737	0,026633653	0,049	0,004	1	1,0186325	0,98170832	12,25
ZNF583	0,02737604	0,026621083	0,049	0,011	1	1,018623625	0,981716873	4,454545455
DOCK8-AS1	0,008401736	0,02661115	0,024	0	1	1,018616612	0,981723632	#DIV/0!
HOTAIRM1	0,695525935	0,026595485	0,024	0,018	1	1,018605551	0,981734292	1,333333333
FAP	0,103792275	0,026580417	0,037	0,011	1	1,018594913	0,981744546	3,363636364
MAN1C1	0,002612361	0,026535486	0,11	0,028	1	1,01856319	0,981775122	3,928571429
ZNF430	0,008726393	0,026504031	0,098	0,028	1	1,018540983	0,981796527	3,5
MDFI	0,006993141	0,026436051	0,146	0,053	1	1,01849299	0,981842791	2,754716981
CPOX	0,001055888	0,026421182	0,085	0,014	1	1,018482494	0,98185291	6,071428571
FKBP14	0,011604277	0,026413577	0,146	0,056	1	1,018477125	0,981858086	2,607142857
RAB11B-AS1	0,06274641	0,026390561	0,049	0,014	1	1,018460876	0,98187375	3,5
ADAMTS5	0,196612832	0,026383983	0,037	0,014	1	1,018456232	0,981878227	2,642857143
PIFO	0,000183568	0,026335743	0,049	0	1	1,018422178	0,981911059	#DIV/0!
SLC38A7	0,179467859	0,026259976	0,049	0,021	1	1,018368695	0,981962628	2,333333333
KYAT1	0,066254792	0,026213944	0,024	0,004	1	1,018336202	0,98199396	6
FZD3	0,178775462	0,026186129	0,134	0,081	1	1,018316569	0,982012893	1,654320988
MAPK11P1L	1,36192E-05	0,026133702	0,378	0,13	0,287378965	1,018279564	0,98204858	2,907692308
PKP3	0,008401736	0,026129797	0,024	0	1	1,018276808	0,982051238	#DIV/0!
FAM85B	0,347088417	0,026111951	0,012	0,004	1	1,018264212	0,982063386	3
CYCS	0,00093246	0,026102731	0,634	0,33	1	1,018257705	0,982069662	1,921212121
COX15	0,015327249	0,026098815	0,098	0,032	1	1,018254941	0,982072327	3,0625
SUPT6H	0,004954407	0,026083814	0,207	0,084	1	1,018244353	0,982082539	2,464285714
TUB	0,011553628	0,026062703	0,037	0,004	1	1,018229454	0,98209691	9,25
SP2	0,018247048	0,026030879	0,122	0,046	1	1,018206993	0,982118574	2,652173913

Supplementary Table 2

Differentially expressed genes_keloid-XL_comparing SC-Keloid vs. (SC-Myel, SC-Nonmyel, SC-Nonmyel2)								
gene	p_val	avg_log2FC	pct.1	pct.2	p_val_adj	Foldchange_UP	Foldchange_DOWN	Ratio_pct1_pct2
TSPYL5	0,005290483	0,025976648	0,11	0,032	1	1,018168719	0,982155493	3,4375
FAM228A	0,008401736	0,025958225	0,024	0	1	1,018155718	0,982168034	#DIV/0!
AC026202.3	0,066254792	0,025941132	0,024	0,004	1	1,018143654	0,982179671	6
TNNT2	0,063203483	0,025895029	0,012	0	1	1,018111119	0,982211059	#DIV/0!
HAPLN2	0,066254792	0,025845776	0,024	0,004	1	1,018076362	0,982244592	6
CKB	0,088467486	0,02583006	0,451	0,309	1	1,018065271	0,982255292	1,459546926
RTKN	0,000148287	0,025825613	0,402	0,158	1	1,018062133	0,98225832	2,544303797
RGMB-AS1	0,104939896	0,025811966	0,037	0,011	1	1,018052503	0,982267611	3,363636364
SLCO2B1	0,065143806	0,025748477	0,024	0,004	1	1,018007702	0,982310839	6
EVC2	0,348081613	0,025747329	0,024	0,011	1	1,018006892	0,982311621	2,181818182
TMEM216	0,002449793	0,025745222	0,11	0,028	1	1,018005406	0,982313055	3,928571429
TLR6	0,044226311	0,025740033	0,037	0,007	1	1,018001744	0,982316588	5,285714286
SNX14	0,003256641	0,025732566	0,207	0,081	1	1,017996475	0,982321672	2,555555556
SETX	0,00297168	0,025578406	0,293	0,13	1	1,017887702	0,982426645	2,253846154
ME3	0,000608755	0,025577135	0,195	0,063	1	1,017886805	0,98242751	3,095238095
RNF170	0,000230869	0,025494703	0,098	0,014	1	1,017828648	0,982483645	7
SLC8A2	0,347088417	0,025484484	0,012	0,004	1	1,017821438	0,982490604	3
DNAJC3	0,004853657	0,025441937	0,476	0,253	1	1,017791421	0,98251958	1,881422925
TCF19	0,339089703	0,025385099	0,024	0,011	1	1,017751325	0,982558289	2,181818182
RDH8	0,008401736	0,0253683	0,024	0	1	1,017739473	0,98256973	#DIV/0!
C4orf47	0,011553628	0,025300307	0,037	0,004	1	1,01769151	0,982616039	9,25
ZNF180	0,066254792	0,025290566	0,024	0,004	1	1,017684638	0,982622673	6
NBPF9	0,001445239	0,025233914	0,073	0,011	1	1,017644676	0,98266126	6,636363636
MAPK11	0,065143806	0,02511084	0,024	0,004	1	1,017557866	0,982745093	6
BAG1	0,014569513	0,02506365	0,378	0,204	1	1,017524583	0,982777239	1,852941176
SMYD3	8,11676E-05	0,025056673	0,134	0,025	1	1,017519662	0,982781991	5,36
FAM104A	0,001696084	0,025054749	0,171	0,056	1	1,017518305	0,982783302	3,053571429
FUNDC1	1,40255E-05	0,025054677	0,195	0,042	0,29595285	1,017518254	0,982783351	4,642857143
RAB22A	0,00035081	0,025029653	0,341	0,137	1	1,017500606	0,982800398	2,489051095
DENND1A	0,03795203	0,024998333	0,061	0,018	1	1,017478517	0,982821734	3,388888889

Supplementary Table 2

Differentially expressed genes_keloid-XL_comparing SC-Keloid vs. (SC-Myel, SC-Nonmyel, SC-Nonmyel2)								
gene	p_val	avg_log2FC	pct.1	pct.2	p_val_adj	Foldchange_UP	Foldchange_DOWN	Ratio_pct1_pct2
SLC36A1	0,06274641	0,024995648	0,049	0,014	1	1,017476623	0,982823563	3,5
FDXACB1	0,044226311	0,024963065	0,037	0,007	1	1,017453644	0,98284576	5,285714286
ETAA1	0,001833348	0,024920521	0,061	0,007	1	1,01742364	0,982874744	8,714285714
RELL2	0,011553628	0,024918505	0,037	0,004	1	1,017422218	0,982876118	9,25
SLC25A10	0,184958462	0,024898113	0,049	0,021	1	1,017407837	0,982890011	2,333333333
NCAPG2	0,063408785	0,024864428	0,049	0,014	1	1,017384083	0,98291296	3,5
PITHD1	2,9328E-05	0,024849685	0,476	0,189	0,618850375	1,017373686	0,982923004	2,518518519
SNAPC1	0,000207953	0,024831011	0,195	0,056	1	1,017360517	0,982935727	3,482142857
LINC00654	0,011553628	0,024762228	0,037	0,004	1	1,017312014	0,982982592	9,25
FIBCD1	0,063203483	0,02475112	0,012	0	1	1,017304182	0,98299016	#DIV/0!
FOXD2-AS1	0,107265343	0,02472348	0,037	0,011	1	1,017284692	0,983008993	3,363636364
SIRT4	0,008401736	0,024723027	0,024	0	1	1,017284372	0,983009302	#DIV/0!
ANKRD22	0,063203483	0,024676481	0,012	0	1	1,017251552	0,983041017	#DIV/0!
VTN	0,063203483	0,024676481	0,012	0	1	1,017251552	0,983041017	#DIV/0!
ZNF222	0,183494953	0,024670583	0,024	0,007	1	1,017247393	0,983045036	3,428571429
SLC25A14	0,002983177	0,024616485	0,085	0,018	1	1,017209249	0,983081899	4,722222222
ZNF805	0,000225277	0,02461221	0,134	0,028	1	1,017206235	0,983084812	4,785714286
PRSS12	0,008401736	0,024595058	0,024	0	1	1,017194142	0,9830965	#DIV/0!
PCDHGA4	0,066254792	0,024577716	0,024	0,004	1	1,017181915	0,983108317	6
CCDC88B	0,001952737	0,024558485	0,049	0,004	1	1,017168355	0,983121422	12,25
TRDMT1	0,004092775	0,024555792	0,134	0,042	1	1,017166457	0,983123257	3,19047619
CYB5R1	5,96828E-06	0,024548998	0,22	0,049	0,125936664	1,017161667	0,983127887	4,489795918
NCOA5	0,067616925	0,024523203	0,061	0,021	1	1,01714348	0,983145465	2,904761905
ENPP1	0,028081741	0,02449238	0,049	0,011	1	1,017121749	0,98316647	4,454545455
ASB9	0,008401736	0,024473567	0,024	0	1	1,017108486	0,983179291	#DIV/0!
APOL2	0,010480408	0,024465557	0,122	0,042	1	1,017102839	0,983184749	2,904761905
PAN3-AS1	0,347088417	0,024443438	0,012	0,004	1	1,017087245	0,983199824	3
ETV2	0,001952737	0,024422971	0,049	0,004	1	1,017072816	0,983213772	12,25
GGACT	0,011553628	0,024418925	0,037	0,004	1	1,017069964	0,983216529	9,25
FIZ1	0,001723931	0,024390689	0,098	0,021	1	1,017050058	0,983235773	4,666666667

Supplementary Table 2

Differentially expressed genes_keloid-XL_comparing SC-Keloid vs. (SC-Myel, SC-Nonmyel, SC-Nonmyel2)								
gene	p_val	avg_log2FC	pct.1	pct.2	p_val_adj	Foldchange_UP	Foldchange_DOWN	Ratio_pct1_pct2
LGALS4	0,066254792	0,024337744	0,024	0,004	1	1,017012735	0,983271857	6
BTBD9	0,069438782	0,024335933	0,061	0,021	1	1,017011458	0,983273091	2,904761905
DNAAF5	0,006596991	0,024325066	0,134	0,046	1	1,017003797	0,983280498	2,913043478
KIAA1522	0,117026191	0,024318209	0,049	0,018	1	1,016998963	0,983285171	2,722222222
SNAP23	7,10704E-05	0,024303258	0,268	0,084	1	1,016988424	0,983295361	3,19047619
CLINT1	0,004010237	0,024280289	0,244	0,105	1	1,016972233	0,983311016	2,323809524
DUSP19	0,011553628	0,024277616	0,037	0,004	1	1,016970349	0,983312838	9,25
DLL3	0,35185965	0,0242157	0,012	0,004	1	1,016926704	0,98335504	3
SLC25A38	0,027124406	0,024178004	0,11	0,042	1	1,016900133	0,983380734	2,619047619
MLLT11	2,31391E-05	0,02414686	0,244	0,067	0,488258256	1,016878181	0,983401963	3,641791045
FANK1	0,008401736	0,024132663	0,024	0	1	1,016868175	0,98341164	#DIV/0!
ALKAL2	0,063203483	0,024111704	0,012	0	1	1,016853402	0,983425927	#DIV/0!
ZNF431	0,001492437	0,024099302	0,171	0,056	1	1,016844661	0,983434381	3,053571429
ARHGAP20	0,066254792	0,024098433	0,024	0,004	1	1,016844049	0,983434973	6
CAPN15	0,010349311	0,024073552	0,134	0,049	1	1,016826512	0,983451934	2,734693878
FAM184B	0,001026381	0,024068951	0,085	0,014	1	1,01682327	0,98345507	6,071428571
ATL1	0,002751905	0,024058765	0,171	0,06	1	1,01681609	0,983462014	2,85
RARRES1	0,044226311	0,024053089	0,037	0,007	1	1,01681209	0,983465883	5,285714286
DKC1	0,002957421	0,02398755	0,171	0,06	1	1,016765899	0,983510562	2,85
IDNK	0,112963039	0,023949266	0,049	0,018	1	1,016738918	0,98353666	2,722222222
ZBTB45	0,060793535	0,023948054	0,049	0,014	1	1,016738064	0,983537487	3,5
DAPL1	0,006523076	0,023920596	0,061	0,011	1	1,016718713	0,983556206	5,545454545
PABIR1	0,011168661	0,023912455	0,073	0,018	1	1,016712976	0,983561756	4,055555556
ZNF90	0,106097567	0,023911741	0,037	0,011	1	1,016712472	0,983562243	3,363636364
CHCHD4	0,006483581	0,023909242	0,085	0,021	1	1,016710712	0,983563946	4,047619048
ZNF614	0,187860656	0,02390213	0,024	0,007	1	1,016705699	0,983568796	3,428571429
HDAC5	0,036746792	0,02387422	0,195	0,098	1	1,01668603	0,983587824	1,989795918
RAP2C-AS1	0,006615795	0,023830544	0,061	0,011	1	1,016655252	0,983617601	5,545454545
ALG8	5,96828E-06	0,023730302	0,22	0,049	0,125936664	1,016584615	0,983685947	4,489795918
STX1A	0,026685693	0,023702773	0,049	0,011	1	1,016565217	0,983704718	4,454545455

Supplementary Table 2

Differentially expressed genes_keloid-XL_comparing SC-Keloid vs. (SC-Myel, SC-Nonmyel, SC-Nonmyel2)								
gene	p_val	avg_log2FC	pct.1	pct.2	p_val_adj	Foldchange_UP	Foldchange_DOWN	Ratio_pct1_pct2
PTGR2	0,105197534	0,023690033	0,073	0,032	1	1,01655624	0,983713405	2,28125
PSTK	0,006704008	0,023682635	0,085	0,021	1	1,016551027	0,983718449	4,047619048
TNKS2	9,88338E-05	0,023604482	0,341	0,123	1	1,01649596	0,98377174	2,772357724
KLC2	0,001236845	0,023598343	0,11	0,025	1	1,016491635	0,983775926	4,4
AFAP1-AS1	0,063203483	0,023597494	0,012	0	1	1,016491037	0,983776505	#DIV/0!
C8G	0,063203483	0,023597494	0,012	0	1	1,016491037	0,983776505	#DIV/0!
CD200R1	0,063203483	0,023597494	0,012	0	1	1,016491037	0,983776505	#DIV/0!
CFP	0,063203483	0,023597494	0,012	0	1	1,016491037	0,983776505	#DIV/0!
F5	0,063203483	0,023597494	0,012	0	1	1,016491037	0,983776505	#DIV/0!
IL15RA	0,063203483	0,023597494	0,012	0	1	1,016491037	0,983776505	#DIV/0!
LCN10	0,063203483	0,023597494	0,012	0	1	1,016491037	0,983776505	#DIV/0!
OSM	0,063203483	0,023597494	0,012	0	1	1,016491037	0,983776505	#DIV/0!
PCDH19	0,063203483	0,023597494	0,012	0	1	1,016491037	0,983776505	#DIV/0!
PLSCR2	0,063203483	0,023597494	0,012	0	1	1,016491037	0,983776505	#DIV/0!
RAB3B	0,063203483	0,023597494	0,012	0	1	1,016491037	0,983776505	#DIV/0!
RIPOR2	0,063203483	0,023597494	0,012	0	1	1,016491037	0,983776505	#DIV/0!
SEC24B-AS1	0,063203483	0,023597494	0,012	0	1	1,016491037	0,983776505	#DIV/0!
SLC1A1	0,063203483	0,023597494	0,012	0	1	1,016491037	0,983776505	#DIV/0!
LINC00303	0,008401736	0,023564339	0,024	0	1	1,016467677	0,983799114	#DIV/0!
SRXN1	0,021972638	0,023541609	0,073	0,021	1	1,016451662	0,983814614	3,476190476
PARG	0,06642434	0,023540044	0,061	0,021	1	1,01645056	0,983815681	2,904761905
CCDC122	0,113968254	0,023535626	0,049	0,018	1	1,016447447	0,983818694	2,722222222
ACP2	7,20735E-05	0,0234654	0,134	0,025	1	1,016397971	0,983866585	5,36
RNF121	0,015742889	0,02344621	0,098	0,032	1	1,016384451	0,983879672	3,0625
PHEX	0,001220269	0,023436116	0,037	0	1	1,01637734	0,983886555	#DIV/0!
FAM131B	0,063203483	0,023435612	0,012	0	1	1,016376985	0,983886899	#DIV/0!
FBXO24	0,063203483	0,023435612	0,012	0	1	1,016376985	0,983886899	#DIV/0!
RIPOR3	0,106097567	0,023417132	0,037	0,011	1	1,016363966	0,983899502	3,363636364
SKA3	0,008401736	0,023361174	0,024	0	1	1,016324545	0,983937666	#DIV/0!
ZNF613	0,008401736	0,023361174	0,024	0	1	1,016324545	0,983937666	#DIV/0!

Supplementary Table 2

Differentially expressed genes_keloid-XL_comparing SC-Keloid vs. (SC-Myel, SC-Nonmyel, SC-Nonmyel2)								
gene	p_val	avg_log2FC	pct.1	pct.2	p_val_adj	Foldchange_UP	Foldchange_DOWN	Ratio_pct1_pct2
CCDC189	0,009174744	0,023323924	0,049	0,007	1	1,016298304	0,983963071	7
CHTOP	7,02824E-05	0,023314518	0,415	0,165	1	1,016291678	0,983969486	2,515151515
CNDP2	0,000838973	0,02330031	0,159	0,046	1	1,016281669	0,983979176	3,456521739
TNPO3	0,008146582	0,023245542	0,171	0,067	1	1,016243089	0,984016531	2,552238806
PPL	0,008401736	0,023234162	0,024	0	1	1,016235073	0,984024294	#DIV/0!
AC011043.1	0,067051517	0,023226678	0,073	0,028	1	1,016229802	0,984029398	2,607142857
TFR2	0,066254792	0,023184823	0,024	0,004	1	1,016200319	0,984057947	6
TMEM161A	0,001474664	0,023141308	0,146	0,042	1	1,016169669	0,984087629	3,476190476
GUCD1	0,000195581	0,023128265	0,183	0,049	1	1,016160482	0,984096526	3,734693878
FAM66B	0,008401736	0,023105716	0,024	0	1	1,0161446	0,984111907	#DIV/0!
MFF	5,13464E-05	0,023094746	0,402	0,154	1	1,016136874	0,98411939	2,61038961
C1RL-AS1	0,044226311	0,023001959	0,037	0,007	1	1,016071523	0,984182686	5,285714286
ALKBH3	0,000323801	0,022996106	0,122	0,025	1	1,0160674	0,984186679	4,88
SLC16A5	0,011553628	0,022907365	0,037	0,004	1	1,016004903	0,984247218	9,25
RADX	0,027465648	0,022904982	0,098	0,035	1	1,016003225	0,984248844	2,8
PEX11G	0,004311516	0,022844933	0,073	0,014	1	1,015960937	0,984289812	5,214285714
VGFB	0,066254792	0,022836531	0,024	0,004	1	1,015955021	0,984295544	6
ZNF785	0,044226311	0,02283318	0,037	0,007	1	1,015952661	0,98429783	5,285714286
PSMB8-AS1	0,011553628	0,022819881	0,037	0,004	1	1,015943296	0,984306904	9,25
BORCS7	5,14053E-06	0,022792542	0,341	0,105	0,108470277	1,015924043	0,984325557	3,247619048
ASCC2	0,000313622	0,022753593	0,183	0,053	1	1,015896617	0,984352132	3,452830189
GPR137B	0,002551837	0,022753038	0,402	0,193	1	1,015896226	0,98435251	2,082901554
NAGS	0,065143806	0,022743378	0,024	0,004	1	1,015889424	0,984359101	6
PHYHD1	0,066380027	0,022628843	0,085	0,035	1	1,015808776	0,984437252	2,428571429
ERCC3	0,004475867	0,022592389	0,171	0,063	1	1,015783109	0,984462127	2,714285714
FAM71E1	0,065143806	0,022558884	0,024	0,004	1	1,015759519	0,98448499	6
ALKBH4	0,021972638	0,022553894	0,073	0,021	1	1,015756005	0,984488396	3,476190476
PPP1R3B	0,183574298	0,022526525	0,049	0,021	1	1,015736736	0,984507072	2,333333333
ZFP90	0,003236838	0,022522918	0,122	0,035	1	1,015734196	0,984509534	3,485714286
PCDH12	0,065143806	0,022509272	0,024	0,004	1	1,015724589	0,984518846	6

Supplementary Table 2

Differentially expressed genes_keloid-XL_comparing SC-Keloid vs. (SC-Myel, SC-Nonmyel, SC-Nonmyel2)								
gene	p_val	avg_log2FC	pct.1	pct.2	p_val_adj	Foldchange_UP	Foldchange_DOWN	Ratio_pct1_pct2
SFXN1	0,003332322	0,022497023	0,122	0,035	1	1,015715965	0,984527205	3,485714286
LRRC17	0,001220269	0,02249574	0,037	0	1	1,015715061	0,984528081	#DIV/0!
AURKC	0,187860656	0,022492344	0,024	0,007	1	1,015712671	0,984530398	3,428571429
IBA57	0,567510207	0,022487232	0,037	0,025	1	1,015709072	0,984533887	1,48
TUBA4A	0,68014566	0,022471293	0,061	0,049	1	1,01569785	0,984544764	1,244897959
SLC25A13	0,000133512	0,022459125	0,207	0,06	1	1,015689283	0,984553068	3,45
DMGDH	0,347088417	0,022451147	0,012	0,004	1	1,015683667	0,984558512	3
RAVER1	0,174061207	0,022417967	0,134	0,077	1	1,015660308	0,984581156	1,74025974
ZDHHC13	0,006615795	0,02238784	0,061	0,011	1	1,015639099	0,984601716	5,545454545
KIF22	0,015687817	0,022384258	0,183	0,081	1	1,015636577	0,984604161	2,259259259
MAPK12	0,183494953	0,022358118	0,024	0,007	1	1,015618175	0,984622002	3,428571429
FAM220A	0,063203483	0,022341902	0,012	0	1	1,01560676	0,984633068	#DIV/0!
LRRC63	0,063203483	0,022341902	0,012	0	1	1,01560676	0,984633068	#DIV/0!
SORL1	0,063203483	0,022341902	0,012	0	1	1,01560676	0,984633068	#DIV/0!
WWTR1-AS1	0,063203483	0,022341902	0,012	0	1	1,01560676	0,984633068	#DIV/0!
NEK11	0,000298361	0,022320905	0,085	0,011	1	1,015591978	0,984647399	7,727272727
C15orf65	0,906339215	0,022318433	0,012	0,014	1	1,015590238	0,984649086	0,857142857
AP2A1	8,91065E-05	0,022311206	0,293	0,098	1	1,01558515	0,984654019	2,989795918
WIPI2	0,00044542	0,022303242	0,305	0,119	1	1,015579544	0,984659454	2,56302521
CLOCK	0,000201128	0,022295382	0,232	0,074	1	1,015574012	0,984664819	3,135135135
ZNF117	0,013434952	0,02229479	0,085	0,025	1	1,015573595	0,984665223	3,4
ATG10	0,00269729	0,022257465	0,11	0,028	1	1,015547321	0,984690698	3,928571429
GDPGP1	0,066254792	0,022236406	0,024	0,004	1	1,015532496	0,984705072	6
KCNJ2-AS1	0,063203483	0,02220374	0,012	0	1	1,015509503	0,984727368	#DIV/0!
LUCAT1	0,063203483	0,02220374	0,012	0	1	1,015509503	0,984727368	#DIV/0!
NEK5	0,063203483	0,02220374	0,012	0	1	1,015509503	0,984727368	#DIV/0!
POT1-AS1	0,063203483	0,02220374	0,012	0	1	1,015509503	0,984727368	#DIV/0!
TMEM38A	0,063203483	0,02220374	0,012	0	1	1,015509503	0,984727368	#DIV/0!
CEP131	0,13246382	0,022184897	0,085	0,042	1	1,01549624	0,984740229	2,023809524
CMYA5	8,94415E-06	0,022147078	0,427	0,151	0,188730414	1,015469619	0,984766044	2,82781457

Supplementary Table 2

Differentially expressed genes_keloid-XL_comparing SC-Keloid vs. (SC-Myel, SC-Nonmyel, SC-Nonmyel2)								
gene	p_val	avg_log2FC	pct.1	pct.2	p_val_adj	Foldchange_UP	Foldchange_DOWN	Ratio_pct1_pct2
EXTL3	0,001691389	0,022116866	0,122	0,032	1	1,015448354	0,984786667	3,8125
UTRN	0,010777728	0,022100724	0,671	0,375	1	1,015436993	0,984797685	1,789333333
ZNF696	0,008401736	0,022073443	0,024	0	1	1,015417791	0,984816308	#DIV/0!
GRAMD1C	0,35185965	0,022059888	0,012	0,004	1	1,015408251	0,98482556	3
DVL1	0,002020829	0,022039762	0,366	0,168	1	1,015394085	0,9848393	2,178571429
PCGF6	0,007226764	0,022020067	0,134	0,046	1	1,015380224	0,984852744	2,913043478
USP13	0,011168661	0,021983083	0,073	0,018	1	1,015354195	0,984877992	4,055555556
LENG8-AS1	0,695525935	0,021977264	0,024	0,018	1	1,0153501	0,984881964	1,333333333
FAXC	0,106097567	0,021885674	0,037	0,011	1	1,015285642	0,984944491	3,363636364
DLX3	0,063203483	0,021867055	0,012	0	1	1,015272538	0,984957203	#DIV/0!
COLGALT2	0,063203483	0,021829071	0,012	0	1	1,015245808	0,984983136	#DIV/0!
FAM180A	0,063203483	0,021829071	0,012	0	1	1,015245808	0,984983136	#DIV/0!
MYB	0,063203483	0,021829071	0,012	0	1	1,015245808	0,984983136	#DIV/0!
OSCP1	0,063203483	0,021829071	0,012	0	1	1,015245808	0,984983136	#DIV/0!
PLEKHN1	0,063203483	0,021829071	0,012	0	1	1,015245808	0,984983136	#DIV/0!
GPER1	0,00931978	0,021814016	0,049	0,007	1	1,015235214	0,984993414	7
UBE4A	0,034701433	0,021810161	0,207	0,105	1	1,015232501	0,984996047	1,971428571
LSR	0,008473224	0,021759408	0,098	0,028	1	1,015196787	0,985030698	3,5
RASA4	0,345067611	0,021702186	0,024	0,011	1	1,015156521	0,985069769	2,181818182
DNLZ	0,002645942	0,02168586	0,146	0,046	1	1,015145034	0,985080916	3,173913043
SH3RF2	0,011553628	0,021635992	0,037	0,004	1	1,015109945	0,985114967	9,25
NUDT18	0,066254792	0,021623778	0,024	0,004	1	1,015101351	0,985123307	6
ABC9	0,004485159	0,02161251	0,073	0,014	1	1,015093423	0,985131001	5,214285714
NDUFAF7	0,064483381	0,021494532	0,085	0,035	1	1,015010416	0,985211565	2,428571429
RNGTT	0,000225277	0,021484722	0,134	0,028	1	1,015003514	0,985218264	4,785714286
ORAI1	0,000369356	0,021459859	0,341	0,133	1	1,014986022	0,985235243	2,563909774
ZSWIM4	0,000657963	0,021440008	0,098	0,018	1	1,014972056	0,9852488	5,444444444
TMEM107	4,41829E-05	0,02143104	0,244	0,07	0,932302481	1,014965747	0,985254924	3,485714286
SLC49A4	0,01104171	0,02142412	0,073	0,018	1	1,014960878	0,98525965	4,055555556
TMEM225B	0,063203483	0,021414578	0,012	0	1	1,014954165	0,985266167	#DIV/0!

Supplementary Table 2

Differentially expressed genes_keloid-XL_comparing SC-Keloid vs. (SC-Myel, SC-Nonmyel, SC-Nonmyel2)								
gene	p_val	avg_log2FC	pct.1	pct.2	p_val_adj	Foldchange_UP	Foldchange_DOWN	Ratio_pct1_pct2
DOCK3	0,649511996	0,021232494	0,012	0,007	1	1,014826075	0,985390526	1,714285714
TSTD2	0,13405442	0,021213522	0,085	0,042	1	1,01481273	0,985403484	2,023809524
SPAG16	0,035868595	0,021203716	0,159	0,074	1	1,014805832	0,985410182	2,148648649
CCDC136	0,066254792	0,021119749	0,024	0,004	1	1,014746771	0,985467536	6
BRWD3	0,085377891	0,021117623	0,146	0,077	1	1,014745275	0,985468988	1,896103896
ABCB4	0,004426586	0,021110252	0,073	0,014	1	1,014740091	0,985474023	5,214285714
CYB561	0,06642434	0,021105307	0,061	0,021	1	1,014736613	0,985477401	2,904761905
H4C11	0,044226311	0,021101964	0,037	0,007	1	1,014734262	0,985479684	5,285714286
TMEM214	0,002803916	0,021080115	0,159	0,053	1	1,014718894	0,985494609	3
PIGH	5,66281E-05	0,021063738	0,195	0,049	1	1,014707375	0,985505797	3,979591837
DOCK2	0,00931978	0,021054475	0,049	0,007	1	1,01470086	0,985512124	7
BCL2L12	6,86914E-06	0,021051614	0,183	0,035	0,144945752	1,014698848	0,985514078	5,228571429
BLZF1	1,04518E-05	0,020977978	0,171	0,032	0,220543226	1,014647058	0,985564381	5,34375
ADORA1	0,008401736	0,020871824	0,024	0	1	1,014572403	0,985636902	#DIV/0!
GSTM4	0,005447223	0,02086631	0,11	0,032	1	1,014568526	0,985640669	3,4375
TMEM11	0,000151129	0,020855644	0,268	0,091	1	1,014561025	0,985647956	2,945054945
ZNF239	0,00032444	0,02082548	0,061	0,004	1	1,014539813	0,985668564	15,25
CACNA1C-AS2	0,063203483	0,020809223	0,012	0	1	1,01452838	0,985679671	#DIV/0!
DEGS2	0,063203483	0,020809223	0,012	0	1	1,01452838	0,985679671	#DIV/0!
MBL2	0,063203483	0,020809223	0,012	0	1	1,01452838	0,985679671	#DIV/0!
SIGLEC10	0,063203483	0,020809223	0,012	0	1	1,01452838	0,985679671	#DIV/0!
ETV1	0,125592074	0,020799295	0,098	0,049	1	1,014521398	0,985686454	2
FASTKD3	0,061438821	0,020791073	0,049	0,014	1	1,014515617	0,985692071	3,5
MICU3	0,00370964	0,020785767	0,134	0,042	1	1,014511886	0,985695697	3,19047619
DYNLT5	0,065143806	0,020785027	0,024	0,004	1	1,014511365	0,985696202	6
ZSCAN32	0,042398422	0,020780622	0,037	0,007	1	1,014508267	0,985699212	5,285714286
MED9	0,036803449	0,020767762	0,061	0,018	1	1,014499224	0,985707999	3,388888889
KIAA1549	0,906339215	0,020759076	0,012	0,014	1	1,014493116	0,985713934	0,857142857
ZNF441	0,114980497	0,020751184	0,049	0,018	1	1,014487567	0,985719326	2,722222222
HINT3	0,001662334	0,020738937	0,159	0,049	1	1,014478955	0,985727693	3,244897959

Supplementary Table 2

Differentially expressed genes_keloid-XL_comparing SC-Keloid vs. (SC-Myel, SC-Nonmyel, SC-Nonmyel2)								
gene	p_val	avg_log2FC	pct.1	pct.2	p_val_adj	Foldchange_UP	Foldchange_DOWN	Ratio_pct1_pct2
MSS51	0,649511996	0,020730782	0,012	0,007	1	1,01447322	0,985733265	1,714285714
CLIP3	0,025659188	0,020723477	0,134	0,056	1	1,014468084	0,985738256	2,392857143
INAFM1	0,010288979	0,020644227	0,22	0,098	1	1,014412358	0,985792407	2,244897959
FGGY	0,014118687	0,020629396	0,085	0,025	1	1,01440193	0,98580254	3,4
RTEL1	0,066254792	0,020574472	0,024	0,004	1	1,014363312	0,985840071	6
STK33	0,063203483	0,020568378	0,012	0	1	1,014359027	0,985844236	#DIV/0!
LG1	0,000894757	0,020546348	0,244	0,091	1	1,014343539	0,985859289	2,681318681
BTRC	0,017481575	0,020519282	0,061	0,014	1	1,014324509	0,985877785	4,357142857
ADAL	0,18978875	0,020513693	0,037	0,014	1	1,01432058	0,985881604	2,642857143
ITGB2	0,008401736	0,02051255	0,024	0	1	1,014319776	0,985882385	#DIV/0!
PRXL2B	0,001289912	0,020464937	0,146	0,042	1	1,014286301	0,985914923	3,476190476
DNAJC22	0,008401736	0,020461905	0,024	0	1	1,014284169	0,985916995	#DIV/0!
FAAP24	0,008401736	0,020447444	0,024	0	1	1,014274003	0,985926877	#DIV/0!
SNHG10	0,104067166	0,020336983	0,11	0,056	1	1,014196347	0,986002368	1,964285714
ARHGEF35	0,187860656	0,020297478	0,024	0,007	1	1,014168576	0,986029368	3,428571429
SUFU	0,069203207	0,020270869	0,073	0,028	1	1,014149871	0,986047554	2,607142857
ASTE1	0,113968254	0,020240535	0,049	0,018	1	1,014128548	0,986068287	2,722222222
NUP85	0,003879558	0,02023511	0,134	0,042	1	1,014124734	0,986071995	3,19047619
AL592528.1	0,063203483	0,020188386	0,012	0	1	1,01409189	0,986103931	#DIV/0!
ALG1L	0,063203483	0,020188386	0,012	0	1	1,01409189	0,986103931	#DIV/0!
LAT2	0,063203483	0,020188386	0,012	0	1	1,01409189	0,986103931	#DIV/0!
NLGN1-AS1	0,063203483	0,020188386	0,012	0	1	1,01409189	0,986103931	#DIV/0!
SFXN2	0,063203483	0,020188386	0,012	0	1	1,01409189	0,986103931	#DIV/0!
SPATA21	0,063203483	0,020188386	0,012	0	1	1,01409189	0,986103931	#DIV/0!
BEX2	0,008401736	0,020132191	0,024	0	1	1,014052391	0,986142343	#DIV/0!
UBA6-DT	0,000761457	0,020099409	0,122	0,028	1	1,014029349	0,98616475	4,357142857
AC019171.1	0,066254792	0,020083251	0,024	0,004	1	1,014017992	0,986175796	6
TMEM229B	0,04253036	0,020055221	0,085	0,032	1	1,013998291	0,986194956	2,65625
KHDC1	0,649511996	0,020044489	0,012	0,007	1	1,013990748	0,986202292	1,714285714
RNF11	0,000794756	0,02003924	0,463	0,218	1	1,013987059	0,98620588	2,123853211

Supplementary Table 2

Differentially expressed genes_keloid-XL_ comparing SC-Keloid vs. (SC-Myel, SC-Nonmyel, SC-Nonmyel2)								
gene	p_val	avg_log2FC	pct.1	pct.2	p_val_adj	Foldchange_UP	Foldchange_DOWN	Ratio_pct1_pct2
CS	0,003501912	0,020002529	0,195	0,074	1	1,013961257	0,986230976	2,635135135
FAM172A	0,003344358	0,019985203	0,305	0,137	1	1,01394908	0,98624282	2,226277372
MTRF1L	0,03501243	0,019943127	0,134	0,06	1	1,013919509	0,986271584	2,233333333
ATP5F1B	0,041866742	0,019846829	0,756	0,491	1	1,013851833	0,986337419	1,539714868
ZNF773	0,066254792	0,019821043	0,024	0,004	1	1,013833712	0,986355048	6
HES2	0,35185965	0,019810033	0,012	0,004	1	1,013825976	0,986362575	3
RPP30	7,65035E-08	0,019796392	0,317	0,074	0,0016143	1,01381639	0,986371901	4,283783784
ABCA7	0,011553628	0,019752349	0,037	0,004	1	1,01378544	0,986402015	9,25
LTO1	0,001236845	0,019741098	0,11	0,025	1	1,013777534	0,986409707	4,4
LIN7A	0,06274641	0,019727092	0,049	0,014	1	1,013767692	0,986419283	3,5
ANAPC7	0,002018358	0,019713254	0,183	0,063	1	1,013757968	0,986428745	2,904761905
ADAM22	0,008401736	0,019698339	0,024	0	1	1,013747487	0,986438943	#DIV/0!
LINC01551	0,347088417	0,019613624	0,012	0,004	1	1,013687962	0,986496868	3
GMNN	0,001302365	0,0195976	0,146	0,042	1	1,013676703	0,986507825	3,476190476
LDLRAD4	0,342070304	0,019516709	0,024	0,011	1	1,013619869	0,98656314	2,181818182
ARHGAP12	0,002270124	0,019482775	0,39	0,182	1	1,013596027	0,986586345	2,142857143
DNAJB5	0,009669783	0,019452049	0,11	0,035	1	1,01357444	0,986607357	3,142857143
TNFRSF10D	0,022646956	0,01941812	0,073	0,021	1	1,013550604	0,98663056	3,476190476
BMF	0,585233179	0,019416688	0,085	0,067	1	1,013549598	0,98663154	1,268656716
CTU1	0,001673714	0,019342352	0,122	0,032	1	1,013497375	0,986682378	3,8125
PCMTD1	0,005338226	0,019318479	0,329	0,161	1	1,013480604	0,986698706	2,043478261
LINC01556	0,008401736	0,019315898	0,024	0	1	1,013478791	0,986700471	#DIV/0!
GCNT2	0,898084959	0,019302441	0,012	0,011	1	1,013469338	0,986709674	1,090909091
PYROXD2	0,006523076	0,019291336	0,061	0,011	1	1,013461537	0,986717269	5,545454545
MT-ND5	0,478097036	0,019280901	0,659	0,509	1	1,013454206	0,986724406	1,294695481
LIG1	0,008751649	0,019255991	0,049	0,007	1	1,013436708	0,986741443	7
POC1B	0,039951184	0,019213207	0,11	0,046	1	1,013406655	0,986770706	2,391304348
EXOSC9	0,000197139	0,019162529	0,159	0,039	1	1,013371056	0,98680537	4,076923077
PLGLB1	0,35185965	0,019138222	0,012	0,004	1	1,013353983	0,986821995	3
MATN4	0,011553628	0,019133226	0,037	0,004	1	1,013350474	0,986825413	9,25

Supplementary Table 2

Differentially expressed genes_keloid-XL_comparing SC-Keloid vs. (SC-Myel, SC-Nonmyel, SC-Nonmyel2)								
gene	p_val	avg_log2FC	pct.1	pct.2	p_val_adj	Foldchange_UP	Foldchange_DOWN	Ratio_pct1_pct2
DNMT3B	0,044226311	0,019130326	0,037	0,007	1	1,013348437	0,986827397	5,285714286
AGBL5	0,006523076	0,019102672	0,061	0,011	1	1,013329013	0,986846313	5,545454545
SDHAF1	0,000397671	0,019095035	0,183	0,053	1	1,013323649	0,986851537	3,452830189
KLHL7	0,002096749	0,019049436	0,207	0,077	1	1,013291621	0,986882729	2,688311688
SHLD3	0,066254792	0,018984877	0,024	0,004	1	1,013246279	0,986926891	6
EVI2A	0,063203483	0,018981705	0,012	0	1	1,013244051	0,986929061	#DIV/0!
FOXL1	0,063203483	0,018981705	0,012	0	1	1,013244051	0,986929061	#DIV/0!
FPR1	0,063203483	0,018981705	0,012	0	1	1,013244051	0,986929061	#DIV/0!
JARID2-AS1	0,063203483	0,018981705	0,012	0	1	1,013244051	0,986929061	#DIV/0!
KCNJ6	0,063203483	0,018981705	0,012	0	1	1,013244051	0,986929061	#DIV/0!
MED18	0,063203483	0,018981705	0,012	0	1	1,013244051	0,986929061	#DIV/0!
RNF125	0,063203483	0,018981705	0,012	0	1	1,013244051	0,986929061	#DIV/0!
TNFRSF10A	0,063203483	0,018981705	0,012	0	1	1,013244051	0,986929061	#DIV/0!
DDX19A	4,46557E-05	0,0188787	0,256	0,077	0,942279781	1,01317171	0,986999528	3,324675325
SMG5	0,059191799	0,018844459	0,11	0,049	1	1,013147664	0,987022954	2,244897959
ATG4D	0,000732778	0,018825871	0,098	0,018	1	1,01313461	0,987035671	5,444444444
HCN3	0,35185965	0,018798789	0,012	0,004	1	1,013115592	0,9870542	3
ZNF419	0,185668317	0,018797652	0,024	0,007	1	1,013114794	0,987054977	3,428571429
CCDC51	0,001423372	0,018773501	0,073	0,011	1	1,013097834	0,987071501	6,636363636
ZNF282	0,000234367	0,018739644	0,098	0,014	1	1,013074059	0,987094666	7
FBXW9	0,010916043	0,018710487	0,073	0,018	1	1,013053585	0,987114615	4,055555556
CORT	0,066254792	0,018700896	0,024	0,004	1	1,01304685	0,987121178	6
AC005597.1	0,063203483	0,01868139	0,012	0	1	1,013033154	0,987134524	#DIV/0!
ACOT11	0,063203483	0,01868139	0,012	0	1	1,013033154	0,987134524	#DIV/0!
GPC6	0,063203483	0,01868139	0,012	0	1	1,013033154	0,987134524	#DIV/0!
PCDHGB1	0,063203483	0,01868139	0,012	0	1	1,013033154	0,987134524	#DIV/0!
SFTPD	0,063203483	0,01868139	0,012	0	1	1,013033154	0,987134524	#DIV/0!
TNNI3	0,063203483	0,01868139	0,012	0	1	1,013033154	0,987134524	#DIV/0!
ZNF658	0,063203483	0,01868139	0,012	0	1	1,013033154	0,987134524	#DIV/0!
CCDC91	6,88939E-06	0,018660196	0,28	0,077	0,145373117	1,013018271	0,987149026	3,636363636

Supplementary Table 2

Differentially expressed genes_keloid-XL_comparing SC-Keloid vs. (SC-Myel, SC-Nonmyel, SC-Nonmyel2)								
gene	p_val	avg_log2FC	pct.1	pct.2	p_val_adj	Foldchange_UP	Foldchange_DOWN	Ratio_pct1_pct2
TTL3	0,017600145	0,018597044	0,22	0,105	1	1,012973929	0,987192238	2,095238095
NAV3	0,12773253	0,018582077	0,098	0,049	1	1,01296342	0,98720248	2
PNPLA6	0,007103533	0,018576404	0,146	0,053	1	1,012959437	0,987206361	2,754716981
PRKAA1	0,000961052	0,01850896	0,171	0,053	1	1,012912084	0,987252513	3,226415094
AC009506.1	0,027028964	0,018429649	0,049	0,011	1	1,012856401	0,987306788	4,454545455
TRIM61	0,011553628	0,018388474	0,037	0,004	1	1,012827495	0,987334966	9,25
PRDM4	0,095840528	0,018382917	0,098	0,046	1	1,012823593	0,98733877	2,130434783
PLEKHH1	0,006556321	0,018377362	0,085	0,021	1	1,012819693	0,987342571	4,047619048
C2	0,654971645	0,018371161	0,012	0,007	1	1,01281534	0,987346815	1,714285714
CFAP45	0,348081613	0,018368805	0,024	0,011	1	1,012813686	0,987348427	2,181818182
RPS14	0,539771885	0,018361967	0,927	0,853	1	1,012808886	0,987353107	1,086752638
TNFAIP8L3	0,008401736	0,018353999	0,024	0	1	1,012803292	0,98735856	#DIV/0!
CUBN	0,148735876	0,018319506	0,073	0,035	1	1,012779077	0,987382167	2,085714286
CD68	0,008556874	0,018275198	0,098	0,028	1	1,012747973	0,987412492	3,5
CCDC174	0,000128556	0,018248475	0,232	0,07	1	1,012729214	0,987430782	3,314285714
SIRT2	0,001176662	0,018234885	0,427	0,2	1	1,012719675	0,987440083	2,135
ZBTB49	0,006615795	0,018199252	0,061	0,011	1	1,012694662	0,987464473	5,545454545
MIF4GD	2,45237E-05	0,018167012	0,22	0,056	0,517474845	1,012672031	0,98748654	3,928571429
ACTL10	0,185668317	0,018115371	0,024	0,007	1	1,012635783	0,987521887	3,428571429
YAE1	0,00427852	0,018109263	0,134	0,042	1	1,012631496	0,987526068	3,19047619
ANP32A	0,000555069	0,018085698	0,463	0,207	1	1,012614956	0,987542199	2,236714976
KRT5	0,877744654	0,01807632	0,098	0,091	1	1,012608374	0,987548617	1,076923077
STIL	0,183494953	0,018062202	0,024	0,007	1	1,012598464	0,987558282	3,428571429
MCOLN2	0,649511996	0,018045849	0,012	0,007	1	1,012586987	0,987569476	1,714285714
ADPRS	0,000324488	0,017945175	0,171	0,046	1	1,012516329	0,987638393	3,717391304
MBLAC1	0,001952737	0,017846339	0,049	0,004	1	1,012446966	0,987706056	12,25
BRI3BP	0,025655894	0,017832815	0,085	0,028	1	1,012437476	0,987715315	3,035714286
ARHGEF5	0,347088417	0,017823811	0,012	0,004	1	1,012431157	0,98772148	3
DDX11-AS1	0,063203483	0,017822234	0,012	0	1	1,01243005	0,987722559	#DIV/0!
POGLUT1	0,004222519	0,017817646	0,159	0,056	1	1,01242683	0,987725701	2,839285714

Supplementary Table 2

Differentially expressed genes_keloid-XL_comparing SC-Keloid vs. (SC-Myel, SC-Nonmyel, SC-Nonmyel2)								
gene	p_val	avg_log2FC	pct.1	pct.2	p_val_adj	Foldchange_UP	Foldchange_DOWN	Ratio_pct1_pct2
MELK	0,345067611	0,017797704	0,024	0,011	1	1,012412836	0,987739354	2,181818182
RILPL2	0,00381076	0,017781063	0,134	0,042	1	1,012401158	0,987750747	3,19047619
NTM	0,037578658	0,017765323	0,829	0,572	1	1,012390113	0,987761523	1,449300699
ZNF285	0,35185965	0,01776123	0,012	0,004	1	1,01238724	0,987764326	3
LINC00847	0,042292152	0,01776023	0,073	0,025	1	1,012386539	0,98776501	2,92
DYNLRB2	0,063203483	0,017716349	0,012	0	1	1,012355747	0,987795055	#DIV/0!
HBA1	0,063203483	0,017716349	0,012	0	1	1,012355747	0,987795055	#DIV/0!
MUC7	0,063203483	0,017716349	0,012	0	1	1,012355747	0,987795055	#DIV/0!
PPP1R27	0,063203483	0,017716349	0,012	0	1	1,012355747	0,987795055	#DIV/0!
SLCO5A1	0,063203483	0,017716349	0,012	0	1	1,012355747	0,987795055	#DIV/0!
TNFRSF8	0,063203483	0,017716349	0,012	0	1	1,012355747	0,987795055	#DIV/0!
MIER1	0,007877352	0,017707912	0,293	0,14	1	1,012349826	0,987800831	2,092857143
ABCC4	0,063203483	0,017671861	0,012	0	1	1,01232453	0,987825515	#DIV/0!
GPR158	0,063203483	0,017671861	0,012	0	1	1,01232453	0,987825515	#DIV/0!
NBPF10	0,063203483	0,017671861	0,012	0	1	1,01232453	0,987825515	#DIV/0!
PCDHB12	0,35185965	0,017669166	0,012	0,004	1	1,012322638	0,987827361	3
COPG2	0,006431528	0,017621225	0,061	0,011	1	1,012288999	0,987860187	5,545454545
DESI2	0,010226639	0,017599015	0,28	0,137	1	1,012273415	0,987875395	2,04379562
EDA2R	0,063203483	0,017583553	0,012	0	1	1,012262566	0,987885983	#DIV/0!
SACS-AS1	0,063203483	0,017583553	0,012	0	1	1,012262566	0,987885983	#DIV/0!
SPON2	0,015327249	0,017571321	0,098	0,032	1	1,012253984	0,987894359	3,0625
KIF25	0,066254792	0,017529434	0,024	0,004	1	1,012224595	0,987923041	6
ACSF2	0,008401736	0,017504302	0,024	0	1	1,012206962	0,987940251	#DIV/0!
VDR	0,060793535	0,017485632	0,049	0,014	1	1,012193863	0,987953036	3,5
WDR72	0,008401736	0,017481358	0,024	0	1	1,012190864	0,987955963	#DIV/0!
TSHZ2	0,106097567	0,017478674	0,037	0,011	1	1,012188981	0,987957801	3,363636364
HDHD5	0,015190866	0,017474317	0,098	0,032	1	1,012185924	0,987960785	3,0625
SH2B2	0,106097567	0,017471164	0,037	0,011	1	1,012183712	0,987962944	3,363636364
ZDHC18	0,006321781	0,017455705	0,122	0,039	1	1,012172866	0,987973531	3,128205128
ETHE1	0,000396972	0,017436983	0,256	0,091	1	1,012159731	0,987986351	2,813186813

Supplementary Table 2

Differentially expressed genes_keloid-XL_comparing SC-Keloid vs. (SC-Myel, SC-Nonmyel, SC-Nonmyel2)								
gene	p_val	avg_log2FC	pct.1	pct.2	p_val_adj	Foldchange_UP	Foldchange_DOWN	Ratio_pct1_pct2
TBC1D22B	0,062089768	0,017418931	0,049	0,014	1	1,012147066	0,987998714	3,5
NEURL4	0,067616925	0,017408954	0,061	0,021	1	1,012140067	0,988005546	2,904761905
RAP2B	0,030600753	0,017404526	0,22	0,112	1	1,01213696	0,988008579	1,964285714
NDNF	0,649511996	0,017393627	0,012	0,007	1	1,012129314	0,988016043	1,714285714
TSNAXIP1	0,35185965	0,017376495	0,012	0,004	1	1,012117295	0,988027776	3
ACRBP	0,063203483	0,017347758	0,012	0	1	1,012097135	0,988047456	#DIV/0!
ADRA1B	0,063203483	0,017347758	0,012	0	1	1,012097135	0,988047456	#DIV/0!
AP001412.1	0,063203483	0,017347758	0,012	0	1	1,012097135	0,988047456	#DIV/0!
TRIM67	0,063203483	0,017347758	0,012	0	1	1,012097135	0,988047456	#DIV/0!
ZNF556	0,063203483	0,017347758	0,012	0	1	1,012097135	0,988047456	#DIV/0!
ZNF610	0,063203483	0,017347758	0,012	0	1	1,012097135	0,988047456	#DIV/0!
AMPD3	0,063203483	0,017340919	0,012	0	1	1,012092337	0,98805214	#DIV/0!
CD248	0,063203483	0,017340919	0,012	0	1	1,012092337	0,98805214	#DIV/0!
LINC00853	0,063203483	0,017340919	0,012	0	1	1,012092337	0,98805214	#DIV/0!
TLDC2	0,063203483	0,017340919	0,012	0	1	1,012092337	0,98805214	#DIV/0!
TMF1	0,040933561	0,01732498	0,256	0,14	1	1,012081155	0,988063057	1,828571429
TMEM79	0,066254792	0,017317115	0,024	0,004	1	1,012075638	0,988068443	6
EBNA1BP2	0,000317049	0,017313606	0,28	0,102	1	1,012073176	0,988070846	2,745098039
FLT3LG	0,024405628	0,017282133	0,122	0,049	1	1,012051098	0,988092402	2,489795918
ARPIN	0,009583775	0,017264993	0,11	0,035	1	1,012039074	0,988104141	3,142857143
PRPSAP1	2,48535E-05	0,017248315	0,39	0,14	0,524432834	1,012027375	0,988115564	2,785714286
ZFAND2A	0,000997547	0,017244541	0,268	0,105	1	1,012024728	0,988118148	2,552380952
PPP5D1P	0,345067611	0,017216125	0,024	0,011	1	1,012004795	0,988137611	2,181818182
AC159540.2	0,187860656	0,017197729	0,024	0,007	1	1,011991891	0,988150211	3,428571429
MARS2	0,185668317	0,01719359	0,024	0,007	1	1,011988987	0,988153046	3,428571429
RRP1	0,002035735	0,017182569	0,134	0,039	1	1,011981256	0,988160595	3,435897436
XPR1	0,016494677	0,017182504	0,11	0,039	1	1,011981211	0,988160639	2,820512821
PLXNB1	0,136467966	0,017163432	0,085	0,042	1	1,011967832	0,988173703	2,023809524
GPR107	0,000550497	0,017160236	0,22	0,074	1	1,011965591	0,988175892	2,972972973
ABRAXAS2	0,013841592	0,017157519	0,085	0,025	1	1,011963685	0,988177752	3,4

Supplementary Table 2

Differentially expressed genes_keloid-XL_comparing SC-Keloid vs. (SC-Myel, SC-Nonmyel, SC-Nonmyel2)								
gene	p_val	avg_log2FC	pct.1	pct.2	p_val_adj	Foldchange_UP	Foldchange_DOWN	Ratio_pct1_pct2
H2BC5	0,011553628	0,017156356	0,037	0,004	1	1,011962869	0,988178549	9,25
LRRC46	0,001220269	0,017155796	0,037	0	1	1,011962477	0,988178933	#DIV/0!
ZNF225	0,008401736	0,017151842	0,024	0	1	1,011959703	0,988181641	#DIV/0!
PANK3	3,47866E-06	0,017115988	0,329	0,095	0,073403239	1,011934554	0,988206199	3,463157895
CDC42EP2	0,001423372	0,017075187	0,073	0,011	1	1,011905935	0,988234148	6,636363636
SRPK3	0,516980245	0,017047578	0,024	0,014	1	1,011886571	0,98825306	1,714285714
SMUG1	8,78217E-05	0,017046059	0,134	0,025	1	1,011885506	0,9882541	5,36
CDH4	0,35185965	0,017037366	0,012	0,004	1	1,011879408	0,988260055	3
ESRP1	0,066254792	0,016998935	0,024	0,004	1	1,011852454	0,988286381	6
KBTBD6	0,006704008	0,016974167	0,085	0,021	1	1,011835083	0,988303348	4,047619048
ACTR1A	1,73042E-05	0,016972904	0,341	0,112	0,365136826	1,011834197	0,988304213	3,044642857
GEMIN4	0,028081741	0,016964506	0,049	0,011	1	1,011828307	0,988309966	4,454545455
INPP4A	0,07141129	0,016920653	0,073	0,028	1	1,011797551	0,988340008	2,607142857
SUV39H1	0,009174744	0,016917076	0,049	0,007	1	1,011795043	0,988342458	7
FBXL8	0,066254792	0,016896681	0,024	0,004	1	1,011780739	0,988356431	6
DNA2	0,35185965	0,016879613	0,012	0,004	1	1,01176877	0,988368123	3
TBC1D1	0,01546471	0,01687751	0,098	0,032	1	1,011767295	0,988369564	3,0625
PPP1R3F	0,466295416	0,016842939	0,049	0,032	1	1,01174305	0,988393248	1,53125
MIS12	0,015377159	0,016798727	0,134	0,053	1	1,011712046	0,988423538	2,528301887
ZFAT	0,006523076	0,016798532	0,061	0,011	1	1,011711909	0,988423672	5,545454545
CAND2	0,520464457	0,016790022	0,024	0,014	1	1,011705941	0,988429503	1,714285714
ZNF440	0,011553628	0,016761149	0,037	0,004	1	1,011685693	0,988449285	9,25
PTPRF	1,6524E-05	0,016756611	0,366	0,126	0,348673386	1,011682511	0,988452394	2,904761905
EGLN2	0,006978016	0,016730528	0,244	0,109	1	1,011664221	0,988470265	2,23853211
RNF122	0,035318168	0,016646312	0,061	0,018	1	1,011605167	0,988527967	3,388888889
MAPK8IP3	0,038962044	0,016643859	0,134	0,06	1	1,011603447	0,988529648	2,233333333
ZNF124	0,185668317	0,016614349	0,024	0,007	1	1,011582756	0,988549869	3,428571429
DES	0,063203483	0,016582541	0,012	0	1	1,011560453	0,988571664	#DIV/0!
HSF4	0,063203483	0,016582541	0,012	0	1	1,011560453	0,988571664	#DIV/0!
P2RY12	0,063203483	0,016582541	0,012	0	1	1,011560453	0,988571664	#DIV/0!

Supplementary Table 2

Differentially expressed genes_keloid-XL_comparing SC-Keloid vs. (SC-Myel, SC-Nonmyel, SC-Nonmyel2)								
gene	p_val	avg_log2FC	pct.1	pct.2	p_val_adj	Foldchange_UP	Foldchange_DOWN	Ratio_pct1_pct2
RGN	0,063203483	0,016582541	0,012	0	1	1,011560453	0,988571664	#DIV/0!
NOA1	0,00426205	0,016571329	0,183	0,07	1	1,011552592	0,988579346	2,614285714
ZNF425	0,008401736	0,016567711	0,024	0	1	1,011550055	0,988581825	#DIV/0!
ZNF142	0,183574298	0,01649509	0,049	0,021	1	1,011499137	0,988631589	2,333333333
HEXD	0,003578608	0,016444526	0,134	0,042	1	1,011463687	0,98866624	3,19047619
GLUD2	0,008401736	0,016419697	0,024	0	1	1,01144628	0,988683255	#DIV/0!
RGS5	0,35185965	0,016400259	0,012	0,004	1	1,011432652	0,988696576	3
POLR2J3	0,006668903	0,016377499	0,207	0,088	1	1,011416696	0,988712174	2,352272727
XRN1	0,001912299	0,016347461	0,341	0,154	1	1,011395637	0,98873276	2,214285714
NKIRAS1	0,066254792	0,016326413	0,024	0,004	1	1,011380882	0,988747185	6
CDK14	0,100388468	0,01631512	0,085	0,039	1	1,011372965	0,988754925	2,179487179
TMEM186	0,106097567	0,016312013	0,037	0,011	1	1,011370787	0,988757054	3,363636364
BRAP	0,027294734	0,01627571	0,085	0,028	1	1,011345338	0,988781935	3,035714286
MTRNR2L12	0,511905263	0,016255782	0,073	0,053	1	1,011331368	0,988795593	1,377358491
NMD3	0,045032159	0,016241171	0,183	0,091	1	1,011321127	0,988805607	2,010989011
SLC25A46	0,002957421	0,016222312	0,171	0,06	1	1,011307907	0,988818532	2,85
PYGO2	0,000678439	0,016211891	0,146	0,039	1	1,011300601	0,988825675	3,743589744
CDC23	0,000575959	0,016166117	0,171	0,049	1	1,011268515	0,988857049	3,489795918
PIWIL4	0,107265343	0,016162732	0,037	0,011	1	1,011266143	0,988859369	3,363636364
TST	0,02175178	0,016133319	0,073	0,021	1	1,011245525	0,98887953	3,476190476
ZNF273	0,017691584	0,016131685	0,061	0,014	1	1,01124438	0,98888065	4,357142857
CD36	0,063203483	0,016129998	0,012	0	1	1,011243198	0,988881806	#DIV/0!
ZNF112	0,008401736	0,016129137	0,024	0	1	1,011242594	0,988882397	#DIV/0!
MBOAT7	0,242163316	0,016114865	0,122	0,077	1	1,011232591	0,988892179	1,584415584
NKX3-1	0,196612832	0,016096735	0,037	0,014	1	1,011219883	0,988904606	2,642857143
CGB7	0,008401736	0,016064561	0,024	0	1	1,011197331	0,988926661	#DIV/0!
SERTAD4	0,35185965	0,016057389	0,012	0,004	1	1,011192304	0,988931577	3
NINJ2	0,011553628	0,016043665	0,037	0,004	1	1,011182685	0,988940984	9,25
RPH3AL	0,008401736	0,016040138	0,024	0	1	1,011180213	0,988943402	#DIV/0!
RASGRP1	0,35185965	0,015983284	0,012	0,004	1	1,011140365	0,988982375	3

Supplementary Table 2

Differentially expressed genes_keloid-XL_comparing SC-Keloid vs. (SC-Myel, SC-Nonmyel, SC-Nonmyel2)								
gene	p_val	avg_log2FC	pct.1	pct.2	p_val_adj	Foldchange_UP	Foldchange_DOWN	Ratio_pct1_pct2
ZNF777	0,016630377	0,015969444	0,11	0,039	1	1,011130665	0,988991863	2,820512821
ANTXR1	0,000328228	0,015956683	0,341	0,133	1	1,011121721	0,989000611	2,563909774
CFAP299	0,008401736	0,015904221	0,024	0	1	1,011084954	0,989036575	#DIV/0!
ZNF701	0,026115216	0,015890501	0,085	0,028	1	1,011075339	0,989045981	3,035714286
ZDHHC9	0,040454549	0,015843924	0,073	0,025	1	1,011042697	0,989077913	2,92
SOX11	0,004255004	0,015817205	0,073	0,014	1	1,011023972	0,989096231	5,214285714
CCM2L	0,063203483	0,015810619	0,012	0	1	1,011019357	0,989100746	#DIV/0!
MC5R	0,063203483	0,015810619	0,012	0	1	1,011019357	0,989100746	#DIV/0!
MYOZ2	0,063203483	0,015810619	0,012	0	1	1,011019357	0,989100746	#DIV/0!
PDGFD	0,063203483	0,015810619	0,012	0	1	1,011019357	0,989100746	#DIV/0!
RAB6C	0,063203483	0,015810619	0,012	0	1	1,011019357	0,989100746	#DIV/0!
RNF157-AS1	0,063203483	0,015810619	0,012	0	1	1,011019357	0,989100746	#DIV/0!
SALL1	0,063203483	0,015810619	0,012	0	1	1,011019357	0,989100746	#DIV/0!
HSCB	0,004892231	0,015785577	0,11	0,032	1	1,011001808	0,989117915	3,4375
SCYL1	0,000117161	0,015700666	0,28	0,095	1	1,010942306	0,989176132	2,947368421
CARD14	0,063203483	0,015619719	0,012	0	1	1,010885586	0,989231634	#DIV/0!
PHACTR3	0,063203483	0,015619719	0,012	0	1	1,010885586	0,989231634	#DIV/0!
DGUOK-AS1	0,004426586	0,015618762	0,073	0,014	1	1,010884915	0,989232291	5,214285714
ZHX3	0,005608142	0,015615159	0,11	0,032	1	1,010882391	0,989234761	3,4375
GTPBP8	0,005717791	0,015562671	0,11	0,032	1	1,010845613	0,989270752	3,4375
ADCK2	0,000779072	0,015555019	0,122	0,028	1	1,010840252	0,989275999	4,357142857
DDIAS	0,008401736	0,015478533	0,024	0	1	1,010786663	0,989328448	#DIV/0!
EPS8L1	0,001833348	0,015474906	0,061	0,007	1	1,010784121	0,989330935	8,714285714
H4C15	0,649511996	0,01546631	0,012	0,007	1	1,010778099	0,98933683	1,714285714
AQP6	0,348081613	0,015450831	0,024	0,011	1	1,010767254	0,989347445	2,181818182
ECM2	0,35185965	0,015431512	0,012	0,004	1	1,010753719	0,989360693	3
HOPX	0,345067611	0,015408698	0,024	0,011	1	1,010737736	0,989376338	2,181818182
LDAH	0,114980497	0,015377176	0,049	0,018	1	1,010715652	0,989397956	2,722222222
NAGA	0,002645942	0,015373327	0,146	0,046	1	1,010712955	0,989400595	3,173913043
MOCS3	0,066254792	0,015348031	0,024	0,004	1	1,010695234	0,989417943	6

Supplementary Table 2

Differentially expressed genes_keloid-XL_comparing SC-Keloid vs. (SC-Myel, SC-Nonmyel, SC-Nonmyel2)								
gene	p_val	avg_log2FC	pct.1	pct.2	p_val_adj	Foldchange_UP	Foldchange_DOWN	Ratio_pct1_pct2
ERCC6	0,114980497	0,015318353	0,049	0,018	1	1,010674443	0,989438297	2,722222222
C5orf46	0,063203483	0,015269956	0,012	0	1	1,010640539	0,98947149	#DIV/0!
GALNT12	0,063203483	0,015269956	0,012	0	1	1,010640539	0,98947149	#DIV/0!
TMEM52	0,063203483	0,015269956	0,012	0	1	1,010640539	0,98947149	#DIV/0!
ZKSCAN2	0,066254792	0,015266921	0,024	0,004	1	1,010638413	0,989473572	6
LEMD2	0,010792943	0,015256553	0,171	0,07	1	1,01063115	0,989480683	2,442857143
C6orf136	6,06374E-05	0,015249911	0,146	0,028	1	1,010626497	0,989485238	5,214285714
HOXC4	0,011098146	0,015223819	0,134	0,049	1	1,01060822	0,989503133	2,734693878
ARHGAP45	0,008401736	0,015214398	0,024	0	1	1,01060162	0,989509595	#DIV/0!
PAK1	0,011168661	0,015209009	0,073	0,018	1	1,010597845	0,989513291	4,055555556
IL3RA	0,644071107	0,01518249	0,012	0,007	1	1,010579269	0,989531481	1,714285714
LAYN	5,47561E-05	0,015177869	0,146	0,028	1	1,010576032	0,98953465	5,214285714
PCYT2	0,010707948	0,015170465	0,159	0,063	1	1,010570846	0,989539728	2,523809524
FMO5	0,523960732	0,015139108	0,024	0,014	1	1,010548881	0,989561236	1,714285714
TRAF3IP2	0,043000486	0,015121943	0,037	0,007	1	1,010536858	0,98957301	5,285714286
ADPGK-AS1	0,187860656	0,015068041	0,024	0,007	1	1,010499103	0,989609983	3,428571429
LINC00240	0,35185965	0,014984782	0,012	0,004	1	1,010440788	0,989667096	3
CTRB1	0,35185965	0,014913167	0,012	0,004	1	1,010390631	0,989716224	3
DLX6	0,008401736	0,014838563	0,024	0	1	1,010338383	0,989767405	#DIV/0!
CARMN	0,649511996	0,014792065	0,012	0,007	1	1,010305821	0,989799306	1,714285714
LINC00900	0,35185965	0,014779869	0,012	0,004	1	1,01029728	0,989807673	3
ZFP41	0,187860656	0,014722413	0,024	0,007	1	1,010257045	0,989847093	3,428571429
WDR24	0,000298361	0,014679212	0,085	0,011	1	1,010226794	0,989876734	7,727272727
AC005523.2	0,898084959	0,014661454	0,012	0,011	1	1,010214359	0,989888919	1,090909091
FBXL20	0,000148395	0,014617426	0,171	0,042	1	1,01018353	0,989919129	4,071428571
BRWD1	0,024336011	0,014606818	0,256	0,133	1	1,010176103	0,989926407	1,92481203
STON2	0,000570518	0,014603254	0,171	0,049	1	1,010173607	0,989928853	3,489795918
LYAR	0,002508126	0,014562241	0,146	0,046	1	1,01014489	0,989956995	3,173913043
RAB17	0,008401736	0,014559744	0,024	0	1	1,010143142	0,989958708	#DIV/0!
TMC7	0,028583695	0,014520547	0,11	0,042	1	1,010115698	0,989985605	2,619047619

Supplementary Table 2

Differentially expressed genes_keloid-XL_comparing SC-Keloid vs. (SC-Myel, SC-Nonmyel, SC-Nonmyel2)								
gene	p_val	avg_log2FC	pct.1	pct.2	p_val_adj	Foldchange_UP	Foldchange_DOWN	Ratio_pct1_pct2
PPP1R2	0,001277431	0,014500427	0,366	0,161	1	1,010101611	0,989999411	2,273291925
ZNF566	0,270579294	0,014492075	0,049	0,025	1	1,010095763	0,990005143	1,96
ADRB1	0,35185965	0,014444819	0,012	0,004	1	1,010062677	0,990037572	3
CSNK1E	0,004556291	0,01440743	0,671	0,361	1	1,010036501	0,99006323	1,858725762
CXorf38	0,016486475	0,014400378	0,171	0,074	1	1,010031563	0,990068069	2,310810811
SDCBP2-AS1	0,063203483	0,01438772	0,012	0	1	1,010022701	0,990076756	#DIV/0!
MESP1	0,345067611	0,014350395	0,024	0,011	1	1,009996571	0,990102371	2,181818182
CFAP44	0,187860656	0,014340091	0,024	0,007	1	1,009989358	0,990109443	3,428571429
PPP1R12A	0,013276955	0,014330287	0,524	0,298	1	1,009982494	0,990116171	1,758389262
CBX8	0,193178656	0,014234921	0,037	0,014	1	1,009915734	0,990181623	2,642857143
C19orf47	0,35185965	0,014231417	0,012	0,004	1	1,00991328	0,990184028	3
LINC00392	0,063203483	0,014217389	0,012	0	1	1,009903461	0,990193656	#DIV/0!
ZMYND10	0,066254792	0,014192463	0,024	0,004	1	1,009886013	0,990210764	6
DPYSL4	0,347088417	0,014157542	0,012	0,004	1	1,009861568	0,990234733	3
VEGFC	0,006431528	0,014106712	0,061	0,011	1	1,009825989	0,990269622	5,545454545
FLI1	0,347088417	0,014095932	0,012	0,004	1	1,009818443	0,990277021	3
MLST8	0,000149616	0,014093725	0,207	0,06	1	1,009816899	0,990278536	3,45
TP53TG1	1,60147E-06	0,014084276	0,268	0,067	0,033792668	1,009810285	0,990285022	4
LRRC34	0,044226311	0,014080378	0,037	0,007	1	1,009807556	0,990287698	5,285714286
CCER2	0,649511996	0,014073206	0,012	0,007	1	1,009802536	0,990292621	1,714285714
KLHL3	0,005447223	0,014056435	0,11	0,032	1	1,009790798	0,990304133	3,4375
AKR1E2	0,008401736	0,014034497	0,024	0	1	1,009775442	0,990319192	#DIV/0!
OLIG2	0,35185965	0,014011934	0,012	0,004	1	1,009759651	0,99033468	3
FBXO21	0,000108661	0,013992954	0,256	0,081	1	1,009746366	0,990347709	3,160493827
GRHL1	0,649511996	0,013987659	0,012	0,007	1	1,00974266	0,990351344	1,714285714
MIPEP	0,001952737	0,013979791	0,049	0,004	1	1,009737153	0,990356745	12,25
TRUB1	0,039738699	0,01392924	0,073	0,025	1	1,009701774	0,990391446	2,92
IQCH	0,011553628	0,013926474	0,037	0,004	1	1,009699838	0,990393345	9,25
MMRN1	0,347088417	0,013904664	0,012	0,004	1	1,009684574	0,990408318	3
CCDC160	0,35185965	0,013900493	0,012	0,004	1	1,009681654	0,990411181	3

Supplementary Table 2

Differentially expressed genes_keloid-XL_comparing SC-Keloid vs. (SC-Myel, SC-Nonmyel, SC-Nonmyel2)								
gene	p_val	avg_log2FC	pct.1	pct.2	p_val_adj	Foldchange_UP	Foldchange_DOWN	Ratio_pct1_pct2
MMAA	0,001952737	0,013857219	0,049	0,004	1	1,009651369	0,990440889	12,25
SCAF1	6,37837E-05	0,01385657	0,293	0,098	1	1,009650915	0,990441335	2,989795918
RGPD8	0,898084959	0,013836379	0,012	0,011	1	1,009636785	0,990455197	1,090909091
ZNF20	0,187860656	0,013789114	0,024	0,007	1	1,009603708	0,990487646	3,428571429
SPAG5	0,35185965	0,013769577	0,012	0,004	1	1,009590036	0,990501059	3
AC011625.1	0,063203483	0,013728159	0,012	0	1	1,009561052	0,990529496	#DIV/0!
MALRD1	0,063203483	0,013728159	0,012	0	1	1,009561052	0,990529496	#DIV/0!
MYF6	0,063203483	0,013728159	0,012	0	1	1,009561052	0,990529496	#DIV/0!
PDZK1	0,063203483	0,013728159	0,012	0	1	1,009561052	0,990529496	#DIV/0!
ZSCAN1	0,063203483	0,013728159	0,012	0	1	1,009561052	0,990529496	#DIV/0!
SLC22A11	0,35185965	0,013698152	0,012	0,004	1	1,009540055	0,990550098	3
KIAA0895	0,187860656	0,013696752	0,024	0,007	1	1,009539075	0,990551059	3,428571429
OSMR-DT	0,699214153	0,01367372	0,024	0,018	1	1,009522958	0,990566873	1,333333333
SERINC2	0,066254792	0,013654193	0,024	0,004	1	1,009509294	0,990580281	6
C9orf50	0,187860656	0,013631039	0,024	0,007	1	1,009493093	0,990596179	3,428571429
ZNF530	0,044226311	0,013600182	0,037	0,007	1	1,009471502	0,990617366	5,285714286
TRIP13	0,066254792	0,013584439	0,024	0,004	1	1,009460486	0,990628176	6
HADH	0,04277092	0,013523416	0,098	0,039	1	1,009417789	0,990670079	2,512820513
TEAD2	0,063408785	0,013482501	0,049	0,014	1	1,009389162	0,990698175	3,5
MPP4	0,008401736	0,013472111	0,024	0	1	1,009381892	0,99070531	#DIV/0!
SHISA9	0,044226311	0,013467723	0,037	0,007	1	1,009378822	0,990708323	5,285714286
GPR68	0,345067611	0,013458744	0,024	0,011	1	1,00937254	0,990714489	2,181818182
HVCN1	0,187860656	0,013404732	0,024	0,007	1	1,009334751	0,99075158	3,428571429
LYL1	0,009031726	0,013378657	0,049	0,007	1	1,009316509	0,990769487	7
OVOL1	0,649511996	0,013370998	0,012	0,007	1	1,009311151	0,990774746	1,714285714
ERMN	0,35185965	0,013350613	0,012	0,004	1	1,00929689	0,990788746	3
WDR19	0,000815443	0,013332317	0,122	0,028	1	1,00928409	0,990801311	4,357142857
ELAPOR2	0,654971645	0,013297053	0,012	0,007	1	1,009259421	0,99082553	1,714285714
HDAC3	0,001250737	0,013292167	0,207	0,074	1	1,009256002	0,990828886	2,797297297
CDT1	0,106097567	0,013165288	0,037	0,011	1	1,009167246	0,990916029	3,363636364

Supplementary Table 2

Differentially expressed genes_keloid-XL_comparing SC-Keloid vs. (SC-Myel, SC-Nonmyel, SC-Nonmyel2)								
gene	p_val	avg_log2FC	pct.1	pct.2	p_val_adj	Foldchange_UP	Foldchange_DOWN	Ratio_pct1_pct2
TEFM	0,000233589	0,013160448	0,134	0,028	1	1,009163861	0,990919353	4,785714286
SGF29	0,015961553	0,01315447	0,11	0,039	1	1,009159679	0,990923459	2,820512821
ELFN1	0,063203483	0,013133278	0,012	0	1	1,009144855	0,990938015	#DIV/0!
XYLT1	0,000126726	0,01310064	0,244	0,077	1	1,009122026	0,990960433	3,168831169
C9orf135-DT	0,063203483	0,013069376	0,012	0	1	1,009100158	0,990981908	#DIV/0!
DDO	0,063203483	0,013069376	0,012	0	1	1,009100158	0,990981908	#DIV/0!
DSCR8	0,063203483	0,013069376	0,012	0	1	1,009100158	0,990981908	#DIV/0!
LRP4-AS1	0,063203483	0,013069376	0,012	0	1	1,009100158	0,990981908	#DIV/0!
OTC	0,063203483	0,013069376	0,012	0	1	1,009100158	0,990981908	#DIV/0!
MTPAP	0,028081741	0,013047198	0,049	0,011	1	1,009084646	0,990997142	4,454545455
VAV3	0,044226311	0,013046684	0,037	0,007	1	1,009084286	0,990997495	5,285714286
SERF1B	0,347088417	0,013044622	0,012	0,004	1	1,009082844	0,990998912	3
BABAM2	0,000226532	0,013027029	0,195	0,056	1	1,009070538	0,991010997	3,482142857
C10orf143	0,044226311	0,013012222	0,037	0,007	1	1,009060182	0,991021168	5,285714286
C10orf55	0,063203483	0,013005613	0,012	0	1	1,009055559	0,991025708	#DIV/0!
CASP14	0,063203483	0,013005613	0,012	0	1	1,009055559	0,991025708	#DIV/0!
CHRNA10	0,063203483	0,013005613	0,012	0	1	1,009055559	0,991025708	#DIV/0!
LINC00885	0,063203483	0,013005613	0,012	0	1	1,009055559	0,991025708	#DIV/0!
PCP2	0,063203483	0,013005613	0,012	0	1	1,009055559	0,991025708	#DIV/0!
PLCH2	0,063203483	0,013005613	0,012	0	1	1,009055559	0,991025708	#DIV/0!
RDH12	0,063203483	0,013005613	0,012	0	1	1,009055559	0,991025708	#DIV/0!
SNX10	0,063203483	0,013005613	0,012	0	1	1,009055559	0,991025708	#DIV/0!
STAMBPL1	0,063203483	0,013005613	0,012	0	1	1,009055559	0,991025708	#DIV/0!
STX19	0,063203483	0,013005613	0,012	0	1	1,009055559	0,991025708	#DIV/0!
ZNF443	0,063203483	0,013005613	0,012	0	1	1,009055559	0,991025708	#DIV/0!
ATG2B	0,119504195	0,012998895	0,159	0,091	1	1,009050861	0,991030323	1,747252747
ADPRH	0,00032444	0,012952065	0,061	0,004	1	1,009018108	0,991062492	15,25
LINC00640	0,35185965	0,012938483	0,012	0,004	1	1,009008609	0,991071822	3
SPIN2B	0,041519021	0,012904175	0,085	0,032	1	1,008984614	0,991095391	2,65625
HAS2-AS1	0,345067611	0,012897633	0,024	0,011	1	1,008980039	0,991099885	2,181818182

Supplementary Table 2

Differentially expressed genes_keloid-XL_comparing SC-Keloid vs. (SC-Myel, SC-Nonmyel, SC-Nonmyel2)								
gene	p_val	avg_log2FC	pct.1	pct.2	p_val_adj	Foldchange_UP	Foldchange_DOWN	Ratio_pct1_pct2
ZNF727	0,35185965	0,012882235	0,012	0,004	1	1,00896927	0,991110463	3
DSC1	0,35185965	0,012863583	0,012	0,004	1	1,008956226	0,991123276	3
DMKN	0,470821879	0,012851384	0,049	0,032	1	1,008947694	0,991131657	1,53125
CTPS1	0,001295886	0,012824342	0,11	0,025	1	1,008928782	0,991150235	4,4
PARP9	0,017566709	0,012813644	0,122	0,046	1	1,008921301	0,991157585	2,652173913
ZNF513	0,169554003	0,01280072	0,122	0,07	1	1,008912263	0,991166464	1,742857143
CKMT2-AS1	0,066380027	0,012800407	0,085	0,035	1	1,008912044	0,991166679	2,428571429
UTP15	0,000174436	0,012782433	0,11	0,018	1	1,008899475	0,991179027	6,111111111
ZNF606	0,898084959	0,012777827	0,012	0,011	1	1,008896253	0,991182192	1,090909091
ZNF521	0,028081741	0,012696061	0,049	0,011	1	1,008839075	0,99123837	4,454545455
ATPAF1	0,002095478	0,012683711	0,134	0,039	1	1,008830439	0,991246855	3,435897436
GIMAP1	0,644071107	0,012640711	0,012	0,007	1	1,008800371	0,9912764	1,714285714
ZNF454	0,008401736	0,012610903	0,024	0	1	1,008779528	0,991296881	#DIV/0!
CFAP418	0,35185965	0,012584146	0,012	0,004	1	1,008760819	0,991315267	3
SLC22A3	0,063203483	0,012566009	0,012	0	1	1,008748137	0,991327729	#DIV/0!
MFSD8	0,007008383	0,012538008	0,085	0,021	1	1,008728559	0,99134697	4,047619048
PYM1	6,29219E-05	0,012536291	0,195	0,049	1	1,008727358	0,99134815	3,979591837
PPM1N	0,35185965	0,012517902	0,012	0,004	1	1,008714501	0,991360786	3
IRGQ	0,096530335	0,012501133	0,085	0,039	1	1,008702776	0,991372309	2,179487179
CDS2	0,002417403	0,012496884	0,22	0,084	1	1,008699805	0,991375229	2,619047619
MIS18A	0,152528829	0,012448926	0,073	0,035	1	1,008666275	0,991408184	2,085714286
SOCS7	0,310141781	0,012435325	0,085	0,053	1	1,008656765	0,991417531	1,603773585
C1orf53	0,063203483	0,012428639	0,012	0	1	1,008652091	0,991422126	#DIV/0!
CENPV	0,063203483	0,012428639	0,012	0	1	1,008652091	0,991422126	#DIV/0!
GABRG3	0,063203483	0,012428639	0,012	0	1	1,008652091	0,991422126	#DIV/0!
OXT	0,063203483	0,012428639	0,012	0	1	1,008652091	0,991422126	#DIV/0!
USP30-AS1	0,063203483	0,012428639	0,012	0	1	1,008652091	0,991422126	#DIV/0!
CTIF	0,066380027	0,012378868	0,085	0,035	1	1,008617294	0,991456329	2,428571429
MYO6	0,093522856	0,012377829	0,098	0,046	1	1,008616568	0,991457043	2,130434783
SLC25A27	0,898084959	0,012377441	0,012	0,011	1	1,008616297	0,99145731	1,090909091

Supplementary Table 2

Differentially expressed genes_keloid-XL_comparing SC-Keloid vs. (SC-Myel, SC-Nonmyel, SC-Nonmyel2)								
gene	p_val	avg_log2FC	pct.1	pct.2	p_val_adj	Foldchange_UP	Foldchange_DOWN	Ratio_pct1_pct2
SMPD4	0,004029607	0,012361666	0,22	0,091	1	1,008605268	0,991468151	2,417582418
RASGRP2	0,008401736	0,012358644	0,024	0	1	1,008603156	0,991470227	#DIV/0!
GINS4	0,347088417	0,012353653	0,012	0,004	1	1,008599666	0,991473657	3
PCDHGA5	0,342070304	0,01233272	0,024	0,011	1	1,008585032	0,991488043	2,181818182
TRIM16L	0,193178656	0,012295519	0,037	0,014	1	1,008559025	0,99151361	2,642857143
TMTC2	0,000438194	0,012286973	0,159	0,042	1	1,008553051	0,991519483	3,785714286
RBM26	0,001563773	0,012282963	0,305	0,13	1	1,008550248	0,991522239	2,346153846
LPXN	0,043609761	0,012274561	0,037	0,007	1	1,008544374	0,991528014	5,285714286
URI1	2,38881E-05	0,012270224	0,5	0,193	0,504062101	1,008541342	0,991530994	2,590673575
FBXO9	0,000997868	0,012265473	0,317	0,13	1	1,008538021	0,99153426	2,438461538
PPM1L	0,066254792	0,012263377	0,024	0,004	1	1,008536556	0,9915357	6
DDX46	0,000342981	0,012250844	0,439	0,189	1	1,008527794	0,991544314	2,322751323
WASHC3	4,62107E-06	0,012244344	0,341	0,105	0,097509143	1,008523251	0,991548781	3,247619048
FOXRED1	0,010020735	0,012235491	0,11	0,035	1	1,008517062	0,991554866	3,142857143
MRTO4	0,001109088	0,01223505	0,171	0,053	1	1,008516753	0,991555169	3,226415094
ZNF846	0,040816555	0,012206156	0,073	0,025	1	1,008496555	0,991575028	2,92
SMN2	0,067584209	0,012202725	0,073	0,028	1	1,008494157	0,991577386	2,607142857
DENND4B	0,084177047	0,012192446	0,11	0,053	1	1,008486971	0,991584451	2,075471698
PLAGL2	0,35185965	0,012176391	0,012	0,004	1	1,008475748	0,991595486	3
CACNB1	0,196612832	0,012165876	0,037	0,014	1	1,008468398	0,991602713	2,642857143
BCL6B	0,065143806	0,012148401	0,024	0,004	1	1,008456183	0,991614725	6
CNTNAP3	0,065143806	0,012148401	0,024	0,004	1	1,008456183	0,991614725	6
RNASEH2A	0,011553628	0,012124278	0,037	0,004	1	1,008439321	0,991631305	9,25
ZNF619	0,066254792	0,01211711	0,024	0,004	1	1,008434311	0,991636232	6
RNF216	0,001816412	0,012108221	0,232	0,088	1	1,008428097	0,991642342	2,636363636
RETSAT	0,025838473	0,012063525	0,122	0,049	1	1,008396856	0,991673064	2,489795918
METTL7B	0,066254792	0,012018797	0,024	0,004	1	1,008365593	0,991703809	6
MYSM1	0,003373268	0,011906162	0,232	0,095	1	1,00828687	0,991781238	2,442105263
SEPTIN8	0,00993173	0,011892564	0,207	0,091	1	1,008277367	0,991790586	2,274725275
ST20-AS1	0,001952737	0,011885777	0,049	0,004	1	1,008272624	0,991795251	12,25

Supplementary Table 2

Differentially expressed genes_keloid-XL_comparing SC-Keloid vs. (SC-Myel, SC-Nonmyel, SC-Nonmyel2)								
gene	p_val	avg_log2FC	pct.1	pct.2	p_val_adj	Foldchange_UP	Foldchange_DOWN	Ratio_pct1_pct2
LRR32	0,185668317	0,011848292	0,024	0,007	1	1,008246426	0,991821021	3,428571429
CFAP77	0,063203483	0,011836632	0,012	0	1	1,008238277	0,991829037	#DIV/0!
CRYBA4	0,063203483	0,011836632	0,012	0	1	1,008238277	0,991829037	#DIV/0!
HYAL3	0,063203483	0,011836632	0,012	0	1	1,008238277	0,991829037	#DIV/0!
LINC01143	0,063203483	0,011836632	0,012	0	1	1,008238277	0,991829037	#DIV/0!
S100A5	0,063203483	0,011836632	0,012	0	1	1,008238277	0,991829037	#DIV/0!
SYT6	0,063203483	0,011836632	0,012	0	1	1,008238277	0,991829037	#DIV/0!
TLL13P	0,063203483	0,011836632	0,012	0	1	1,008238277	0,991829037	#DIV/0!
UNC79	0,063203483	0,011836632	0,012	0	1	1,008238277	0,991829037	#DIV/0!
DIAPH2	0,01546471	0,011811299	0,098	0,032	1	1,008220573	0,991846453	3,0625
AURKA	0,063203483	0,011765393	0,012	0	1	1,008188493	0,991878014	#DIV/0!
C6orf163	0,063203483	0,011765393	0,012	0	1	1,008188493	0,991878014	#DIV/0!
DMRTA1	0,063203483	0,011765393	0,012	0	1	1,008188493	0,991878014	#DIV/0!
LINC00973	0,063203483	0,011765393	0,012	0	1	1,008188493	0,991878014	#DIV/0!
RBAKDN	0,063203483	0,011765393	0,012	0	1	1,008188493	0,991878014	#DIV/0!
RCSD1	0,063203483	0,011765393	0,012	0	1	1,008188493	0,991878014	#DIV/0!
RIPPLY3	0,063203483	0,011765393	0,012	0	1	1,008188493	0,991878014	#DIV/0!
STK26	0,063203483	0,011765393	0,012	0	1	1,008188493	0,991878014	#DIV/0!
TBX18	0,063203483	0,011765393	0,012	0	1	1,008188493	0,991878014	#DIV/0!
TMEM86B	0,309763172	0,011762878	0,037	0,018	1	1,008186736	0,991879743	2,055555556
NLN	0,002998177	0,011725257	0,159	0,053	1	1,008160445	0,991905609	3
LINC01546	0,185668317	0,011680596	0,024	0,007	1	1,008129237	0,991936315	3,428571429
ADAM9	0,000588212	0,011599835	0,293	0,112	1	1,008072804	0,991991845	2,616071429
ATL3	0,000186763	0,011545327	0,329	0,123	1	1,008034717	0,992029325	2,674796748
DCTN1-AS1	0,35185965	0,011519287	0,012	0,004	1	1,008016523	0,99204723	3
NECAP1	0,004963269	0,011503282	0,183	0,07	1	1,00800534	0,992058236	2,614285714
PCYOX1L	0,017691584	0,011499233	0,061	0,014	1	1,008002511	0,992061021	4,357142857
DPH5	0,003236838	0,011490211	0,122	0,035	1	1,007996208	0,992067224	3,485714286
ZNF202	0,196612832	0,011460521	0,037	0,014	1	1,007975464	0,992087641	2,642857143
CARD9	0,063203483	0,011432817	0,012	0	1	1,007956108	0,992106692	#DIV/0!

Supplementary Table 2

Differentially expressed genes_keloid-XL_comparing SC-Keloid vs. (SC-Myel, SC-Nonmyel, SC-Nonmyel2)								
gene	p_val	avg_log2FC	pct.1	pct.2	p_val_adj	Foldchange_UP	Foldchange_DOWN	Ratio_pct1_pct2
CREG2	0,063203483	0,011432817	0,012	0	1	1,007956108	0,992106692	#DIV/0!
LINC00271	0,063203483	0,011432817	0,012	0	1	1,007956108	0,992106692	#DIV/0!
MUC5B	0,063203483	0,011432817	0,012	0	1	1,007956108	0,992106692	#DIV/0!
OSBPL10-AS1	0,063203483	0,011432817	0,012	0	1	1,007956108	0,992106692	#DIV/0!
PLA2G5	0,063203483	0,011432817	0,012	0	1	1,007956108	0,992106692	#DIV/0!
RAET1G	0,063203483	0,011432817	0,012	0	1	1,007956108	0,992106692	#DIV/0!
TAS2R14	0,063203483	0,011432817	0,012	0	1	1,007956108	0,992106692	#DIV/0!
ADAR	1,54238E-05	0,011383059	0,402	0,144	0,325457677	1,007921345	0,99214091	2,791666667
ZNF675	0,183574298	0,011373078	0,049	0,021	1	1,007914371	0,992147774	2,333333333
ZNF772	0,35185965	0,011372995	0,012	0,004	1	1,007914313	0,992147831	3
ZNF473	0,183494953	0,011354764	0,024	0,007	1	1,007901576	0,992160369	3,428571429
DLL4	0,193178656	0,011334479	0,037	0,014	1	1,007887405	0,992174319	2,642857143
LINC01117	0,037182975	0,011324628	0,061	0,018	1	1,007880523	0,992181094	3,388888889
ZNF264	0,01144614	0,011319968	0,134	0,049	1	1,007877267	0,992184299	2,734693878
MBD1	0,000879985	0,011314154	0,159	0,046	1	1,007873206	0,992188297	3,456521739
SF3A2	0,000782293	0,011275397	0,341	0,147	1	1,00784613	0,992214952	2,319727891
MRPL42	0,002472188	0,011268352	0,39	0,182	1	1,007841209	0,992219797	2,142857143
CSTF2T	0,000742666	0,011231796	0,098	0,018	1	1,007815672	0,992244939	5,444444444
SAPCD2	0,347088417	0,011197503	0,012	0,004	1	1,007791716	0,992268525	3
KLC4	0,001952737	0,011175487	0,049	0,004	1	1,007776337	0,992283668	12,25
FMC1	3,51311E-05	0,011170675	0,378	0,133	0,741301821	1,007772976	0,992286977	2,842105263
FAM43A	0,008751649	0,011128544	0,049	0,007	1	1,007743546	0,992315955	7
GNL3L	3,27664E-05	0,011109374	0,207	0,053	0,691403156	1,007730156	0,992329141	3,905660377
CAMK2A	0,063203483	0,011099587	0,012	0	1	1,00772332	0,992335873	#DIV/0!
CHRNA5	0,063203483	0,011099587	0,012	0	1	1,00772332	0,992335873	#DIV/0!
GRM5-AS1	0,063203483	0,011099587	0,012	0	1	1,00772332	0,992335873	#DIV/0!
KLKB1	0,063203483	0,011099587	0,012	0	1	1,00772332	0,992335873	#DIV/0!
MIR210HG	0,063203483	0,011099587	0,012	0	1	1,00772332	0,992335873	#DIV/0!
NMUR1	0,063203483	0,011099587	0,012	0	1	1,00772332	0,992335873	#DIV/0!
STARD6	0,063203483	0,011099587	0,012	0	1	1,00772332	0,992335873	#DIV/0!

Supplementary Table 2

Differentially expressed genes_keloid-XL_comparing SC-Keloid vs. (SC-Myel, SC-Nonmyel, SC-Nonmyel2)								
gene	p_val	avg_log2FC	pct.1	pct.2	p_val_adj	Foldchange_UP	Foldchange_DOWN	Ratio_pct1_pct2
GHDC	0,000219891	0,011083376	0,134	0,028	1	1,007711996	0,992347024	4,785714286
NDE1	0,00122654	0,011080505	0,207	0,074	1	1,007709991	0,992348998	2,797297297
CACHD1	0,644071107	0,011063411	0,012	0,007	1	1,007698051	0,992360756	1,714285714
OAS3	0,111964825	0,011008123	0,049	0,018	1	1,007659434	0,992398787	2,722222222
AC112721.2	0,063203483	0,010974957	0,012	0	1	1,007636269	0,992421601	#DIV/0!
DNAI3	0,063203483	0,010974957	0,012	0	1	1,007636269	0,992421601	#DIV/0!
KCNK9	0,063203483	0,010974957	0,012	0	1	1,007636269	0,992421601	#DIV/0!
OGFR-AS1	0,063203483	0,010974957	0,012	0	1	1,007636269	0,992421601	#DIV/0!
RFESD	0,063203483	0,010974957	0,012	0	1	1,007636269	0,992421601	#DIV/0!
SLC10A4	0,063203483	0,010974957	0,012	0	1	1,007636269	0,992421601	#DIV/0!
TIGD3	0,063203483	0,010974957	0,012	0	1	1,007636269	0,992421601	#DIV/0!
TREH	0,063203483	0,010974957	0,012	0	1	1,007636269	0,992421601	#DIV/0!
TUBA8	0,063203483	0,010974957	0,012	0	1	1,007636269	0,992421601	#DIV/0!
WNT2	0,063203483	0,010974957	0,012	0	1	1,007636269	0,992421601	#DIV/0!
EED	0,028797588	0,010954491	0,11	0,042	1	1,007621975	0,99243568	2,619047619
MRPL18	5,93436E-05	0,01095387	0,476	0,193	1	1,007621541	0,992436108	2,466321244
FHIP1A	0,516980245	0,010945544	0,024	0,014	1	1,007615727	0,992441834	1,714285714
BLM	0,104939896	0,010943275	0,037	0,011	1	1,007614141	0,992443396	3,363636364
SRF	0,044956169	0,01087432	0,159	0,077	1	1,007565983	0,992490832	2,064935065
CPSF3	0,001727257	0,010826923	0,122	0,032	1	1,007532882	0,992523438	3,8125
EBF3	0,063203483	0,010773345	0,012	0	1	1,007495465	0,992560299	#DIV/0!
MGAT4A	0,063203483	0,010773345	0,012	0	1	1,007495465	0,992560299	#DIV/0!
MYO5C	0,063203483	0,010773345	0,012	0	1	1,007495465	0,992560299	#DIV/0!
TNFRSF11B	0,063203483	0,010773345	0,012	0	1	1,007495465	0,992560299	#DIV/0!
VMO1	0,066254792	0,01073053	0,024	0,004	1	1,007465566	0,992589755	6
SLC25A19	0,47765681	0,010679488	0,049	0,032	1	1,007429923	0,992624873	1,53125
FEM1A	0,028081741	0,010667309	0,049	0,011	1	1,007421418	0,992633253	4,454545455
MRPS18B	8,8608E-07	0,010656437	0,305	0,077	0,018697171	1,007413826	0,992640734	3,961038961
MADD	0,060335976	0,010647239	0,11	0,049	1	1,007407404	0,992647062	2,244897959
GRK3	0,649511996	0,010646205	0,012	0,007	1	1,007406682	0,992647774	1,714285714

Supplementary Table 2

Differentially expressed genes_keloid-XL_comparing SC-Keloid vs. (SC-Myel, SC-Nonmyel, SC-Nonmyel2)								
gene	p_val	avg_log2FC	pct.1	pct.2	p_val_adj	Foldchange_UP	Foldchange_DOWN	Ratio_pct1_pct2
PKIG	1,75299E-05	0,010629308	0,463	0,172	0,369897667	1,007394883	0,9926594	2,691860465
KRTDAP	0,063408785	0,010614837	0,049	0,014	1	1,007384779	0,992669357	3,5
PCDHA10	0,35185965	0,010590562	0,012	0,004	1	1,007367828	0,99268606	3
CPT2	0,06274641	0,010572495	0,049	0,014	1	1,007355213	0,992698491	3,5
ZKSCAN7	0,35185965	0,010538943	0,012	0,004	1	1,007331786	0,992721578	3
HIC2	0,015742889	0,010530431	0,098	0,032	1	1,007325843	0,992727435	3,0625
C12orf76	0,00013764	0,010521019	0,28	0,095	1	1,00731927	0,992733912	2,947368421
ALDH1B1	0,043609761	0,010476274	0,037	0,007	1	1,007288029	0,992764702	5,285714286
CEP135	0,002802255	0,010462465	0,085	0,018	1	1,007278388	0,992774204	4,722222222
ZNF787	0,002137652	0,010459068	0,195	0,07	1	1,007276016	0,992776542	2,785714286
ZNF587B	0,187860656	0,010449892	0,024	0,007	1	1,007269609	0,992782857	3,428571429
XPO5	0,041519021	0,010449778	0,085	0,032	1	1,00726953	0,992782935	2,65625
NPTX2	0,360040425	0,010445197	0,073	0,046	1	1,007266331	0,992786087	1,586956522
B3GNT8	0,063203483	0,010406307	0,012	0	1	1,00723918	0,992812849	#DIV/0!
GNMT	0,063203483	0,010406307	0,012	0	1	1,00723918	0,992812849	#DIV/0!
LYG1	0,063203483	0,010406307	0,012	0	1	1,00723918	0,992812849	#DIV/0!
RAD54L	0,063203483	0,010406307	0,012	0	1	1,00723918	0,992812849	#DIV/0!
SH3RF3-AS1	0,063203483	0,010406307	0,012	0	1	1,00723918	0,992812849	#DIV/0!
HEATR6	9,75219E-06	0,010370166	0,122	0,014	0,205780988	1,007213947	0,992837721	8,714285714
BLOC1S3	0,35185965	0,01036571	0,012	0,004	1	1,007210837	0,992840787	3
UNC5C	0,008401736	0,010347875	0,024	0	1	1,007198385	0,992853061	#DIV/0!
FBXL2	0,004485159	0,010346865	0,073	0,014	1	1,00719768	0,992853756	5,214285714
A2M-AS1	0,063203483	0,010343902	0,012	0	1	1,007195611	0,992855796	#DIV/0!
ASAH2B	0,063203483	0,010343902	0,012	0	1	1,007195611	0,992855796	#DIV/0!
ATP6VOA4	0,063203483	0,010343902	0,012	0	1	1,007195611	0,992855796	#DIV/0!
CFAP300	0,063203483	0,010343902	0,012	0	1	1,007195611	0,992855796	#DIV/0!
CHAC2	0,063203483	0,010343902	0,012	0	1	1,007195611	0,992855796	#DIV/0!
FAM225B	0,063203483	0,010343902	0,012	0	1	1,007195611	0,992855796	#DIV/0!
LINGO1	0,063203483	0,010343902	0,012	0	1	1,007195611	0,992855796	#DIV/0!
LRRC69	0,063203483	0,010343902	0,012	0	1	1,007195611	0,992855796	#DIV/0!

Supplementary Table 2

Differentially expressed genes_keloid-XL_comparing SC-Keloid vs. (SC-Myel, SC-Nonmyel, SC-Nonmyel2)								
gene	p_val	avg_log2FC	pct.1	pct.2	p_val_adj	Foldchange_UP	Foldchange_DOWN	Ratio_pct1_pct2
PLS1	0,063203483	0,010343902	0,012	0	1	1,007195611	0,992855796	#DIV/0!
WNT10B	0,063203483	0,010343902	0,012	0	1	1,007195611	0,992855796	#DIV/0!
AKR1B10	0,063203483	0,010320844	0,012	0	1	1,007179514	0,992871664	#DIV/0!
AMN	0,063203483	0,010320844	0,012	0	1	1,007179514	0,992871664	#DIV/0!
ARHGAP30	0,063203483	0,010320844	0,012	0	1	1,007179514	0,992871664	#DIV/0!
BTBD11	0,063203483	0,010320844	0,012	0	1	1,007179514	0,992871664	#DIV/0!
DRD4	0,063203483	0,010320844	0,012	0	1	1,007179514	0,992871664	#DIV/0!
FAM90A1	0,063203483	0,010320844	0,012	0	1	1,007179514	0,992871664	#DIV/0!
MMACHC	0,063203483	0,010320844	0,012	0	1	1,007179514	0,992871664	#DIV/0!
NEURL2	0,063203483	0,010320844	0,012	0	1	1,007179514	0,992871664	#DIV/0!
OVOL1-AS1	0,063203483	0,010320844	0,012	0	1	1,007179514	0,992871664	#DIV/0!
PTGES	0,063203483	0,010320844	0,012	0	1	1,007179514	0,992871664	#DIV/0!
SLC16A14	0,063203483	0,010320844	0,012	0	1	1,007179514	0,992871664	#DIV/0!
SLC24A3	0,063203483	0,010320844	0,012	0	1	1,007179514	0,992871664	#DIV/0!
SLC8A1	0,063203483	0,010320844	0,012	0	1	1,007179514	0,992871664	#DIV/0!
TMCO2	0,063203483	0,010320844	0,012	0	1	1,007179514	0,992871664	#DIV/0!
CCL27	0,35185965	0,010318172	0,012	0,004	1	1,007177648	0,992873503	3
TATDN3	0,061438821	0,010208821	0,049	0,014	1	1,007101311	0,992948762	3,5
ZNF852	0,066254792	0,010160443	0,024	0,004	1	1,00706754	0,992982059	6
ADGRA3	0,093522856	0,01013408	0,098	0,046	1	1,007049138	0,993000205	2,130434783
HAUS5	0,066254792	0,010106824	0,024	0,004	1	1,007030112	0,993018965	6
FAM182B	0,187860656	0,010105432	0,024	0,007	1	1,007029141	0,993019923	3,428571429
CYB561D1	0,028081741	0,010098168	0,049	0,011	1	1,007024071	0,993024923	4,454545455
PYCARD	0,04287207	0,01005794	0,085	0,032	1	1,006995991	0,993052613	2,65625
ZNF396	0,35185965	-0,010011829	0,012	0,004	1	0,993084353	1,006963806	3
TUT1	0,872003564	-0,010044767	0,024	0,021	1	0,99306168	1,006986797	1,142857143
FOSL1	0,233798664	-0,01005106	0,061	0,032	1	0,993057349	1,006991189	1,90625
GEN1	0,066254792	-0,010058799	0,024	0,004	1	0,993052021	1,006996591	6
FBXO28	0,21713941	-0,010062586	0,073	0,039	1	0,993049414	1,006999234	1,871794872
CHAMP1	0,004238843	-0,010083437	0,098	0,025	1	0,993035063	1,007013788	3,92

Supplementary Table 2

Differentially expressed genes_keloid-XL_comparing SC-Keloid vs. (SC-Myel, SC-Nonmyel, SC-Nonmyel2)								
gene	p_val	avg_log2FC	pct.1	pct.2	p_val_adj	Foldchange_UP	Foldchange_DOWN	Ratio_pct1_pct2
TBKBP1	0,834483111	-0,010103641	0,037	0,032	1	0,993021156	1,007027891	1,15625
GAK	0,000309956	-0,010121807	0,22	0,07	1	0,993008652	1,007040571	3,142857143
GTF2H4	0,048994444	-0,010136694	0,146	0,07	1	0,992998405	1,007050963	2,085714286
POLRMT	0,006321781	-0,010149215	0,122	0,039	1	0,992989787	1,007059703	3,128205128
GAL3ST1	0,236275739	-0,010156652	0,11	0,067	1	0,992984669	1,007064894	1,641791045
AOC3	0,89702294	-0,01017579	0,012	0,014	1	0,992971496	1,007078254	0,857142857
CARNMT1	0,370654006	-0,010200169	0,049	0,028	1	0,992954717	1,007095271	1,75
MLYCD	0,02310643	-0,010201551	0,073	0,021	1	0,992953766	1,007096236	3,476190476
GET1	0,002508243	-0,010208927	0,195	0,07	1	0,992948689	1,007101385	2,785714286
GLYR1	0,020698327	-0,010287142	0,22	0,105	1	0,992894858	1,007155986	2,095238095
CLUH	0,000505313	-0,010289346	0,11	0,021	1	0,992893341	1,007157525	5,238095238
INTS11	8,91065E-05	-0,010301155	0,293	0,098	1	0,992885214	1,007165769	2,989795918
CDIP1	0,24086264	-0,010303009	0,061	0,032	1	0,992883938	1,007167063	1,90625
ZNF383	0,107265343	-0,0103078	0,037	0,011	1	0,992880641	1,007170408	3,363636364
FAS	0,00056312	-0,010420633	0,134	0,032	1	0,992802991	1,007249181	4,1875
IPO11	0,070300136	-0,01043158	0,073	0,028	1	0,992795458	1,007256824	2,607142857
TCEAL1	0,003066924	-0,010440335	0,268	0,112	1	0,992789433	1,007262937	2,392857143
LRRC8D	0,994723299	-0,010470867	0,024	0,025	1	0,992768422	1,007284254	0,96
KCNF1	0,35185965	-0,010484273	0,012	0,004	1	0,992759198	1,007293614	3
ZNF416	0,35185965	-0,01049391	0,012	0,004	1	0,992752566	1,007300342	3
ZNF891	0,527469009	-0,010511386	0,024	0,014	1	0,992740541	1,007312544	1,714285714
VOPP1	0,000146153	-0,010521519	0,195	0,053	1	0,992733568	1,00731962	3,679245283
NME7	1,64879E-06	-0,010556739	0,195	0,035	0,034791059	0,992709333	1,007344211	5,571428571
PIGZ	0,040454549	-0,010567301	0,073	0,025	1	0,992702065	1,007351586	2,92
ZP3	0,35185965	-0,010596025	0,012	0,004	1	0,992682301	1,007371643	3
HMG20B	0,027629005	-0,010608776	0,659	0,386	1	0,992673527	1,007380546	1,707253886
DCTN5	0,043216097	-0,010652722	0,085	0,032	1	0,99264329	1,007411232	2,65625
RNPC3	0,050807004	-0,01066443	0,256	0,14	1	0,992635234	1,007419408	1,828571429
RFX2	0,140630018	-0,010727862	0,122	0,067	1	0,992591591	1,007463703	1,820895522
ALG11	0,013979533	-0,010788981	0,085	0,025	1	0,992549541	1,007506385	3,4

Supplementary Table 2

Differentially expressed genes_keloid-XL_comparing SC-Keloid vs. (SC-Myel, SC-Nonmyel, SC-Nonmyel2)								
gene	p_val	avg_log2FC	pct.1	pct.2	p_val_adj	Foldchange_UP	Foldchange_DOWN	Ratio_pct1_pct2
SKIDA1	0,187860656	-0,010805359	0,024	0,007	1	0,992538274	1,007517822	3,428571429
PSMC3IP	0,311992919	-0,010805913	0,037	0,018	1	0,992537892	1,007518209	2,055555556
EXOSC7	0,000554481	-0,010826094	0,171	0,049	1	0,992524009	1,007532303	3,489795918
IL17RC	0,000405233	-0,010836759	0,183	0,053	1	0,992516672	1,007539751	3,452830189
VPS37A	0,000903748	-0,010844778	0,207	0,07	1	0,992511155	1,007545351	2,957142857
TPST1	0,017793293	-0,010850432	0,146	0,06	1	0,992507265	1,0075493	2,433333333
CLDN15	0,246621056	-0,010888174	0,061	0,032	1	0,992481301	1,007575658	1,90625
PDSS2	0,001171943	-0,010931596	0,134	0,035	1	0,99245143	1,007605984	3,828571429
TSPAN12	0,649511996	-0,010972153	0,012	0,007	1	0,99242353	1,007634311	1,714285714
ZNF184	0,042292152	-0,011015927	0,073	0,025	1	0,992393419	1,007664885	2,92
ZNF311	0,066254792	-0,011044831	0,024	0,004	1	0,992373537	1,007685073	6
ZNF185	0,699214153	-0,011057909	0,024	0,018	1	0,992364541	1,007694208	1,333333333
MEST	0,903285004	-0,011066676	0,012	0,011	1	0,99235851	1,007700332	1,090909091
C1orf94	0,028081741	-0,011075501	0,049	0,011	1	0,992352441	1,007706495	4,454545455
RABEP2	0,002219815	-0,011076237	0,134	0,039	1	0,992351934	1,00770701	3,435897436
OTUD6B	0,000931651	-0,011077458	0,159	0,046	1	0,992351094	1,007707863	3,456521739
SLC35A5	0,028371172	-0,011122272	0,11	0,042	1	0,992320269	1,007739166	2,619047619
CLCN3	0,002226392	-0,011142231	0,341	0,151	1	0,992306542	1,007753107	2,258278146
HGH1	0,000293572	-0,011196271	0,085	0,011	1	0,992269372	1,007790856	7,727272727
SERPINI1	0,351112297	-0,011204028	0,024	0,011	1	0,992264037	1,007796275	2,181818182
CHEK1	0,043609761	-0,011209098	0,037	0,007	1	0,99226055	1,007799816	5,285714286
IQCD	0,649511996	-0,011225949	0,012	0,007	1	0,992248961	1,007811587	1,714285714
SSX2IP	0,189157269	-0,011236024	0,049	0,021	1	0,992242031	1,007818626	2,333333333
POLL	0,000556891	-0,011245947	0,134	0,032	1	0,992235207	1,007825557	4,1875
ATP7A	0,043702889	-0,011262325	0,11	0,046	1	0,992223943	1,007836998	2,391304348
ZNF486	0,351112297	-0,011310632	0,024	0,011	1	0,992190719	1,007870746	2,181818182
TSPOAP1	0,903285004	-0,011393341	0,012	0,011	1	0,99213384	1,007928528	1,090909091
RNF31	0,042104484	-0,011450893	0,122	0,053	1	0,992094262	1,007968737	2,301886792
GANC	0,187860656	-0,011452061	0,024	0,007	1	0,992093459	1,007969553	3,428571429
PSMD10	0,001290367	-0,011459275	0,207	0,074	1	0,992088498	1,007974593	2,797297297

Supplementary Table 2

Differentially expressed genes_keloid-XL_comparing SC-Keloid vs. (SC-Myel, SC-Nonmyel, SC-Nonmyel2)								
gene	p_val	avg_log2FC	pct.1	pct.2	p_val_adj	Foldchange_UP	Foldchange_DOWN	Ratio_pct1_pct2
C1orf174	0,018635701	-0,011513491	0,11	0,039	1	0,992051216	1,008012473	2,820512821
CASP8	0,066254792	-0,011531112	0,024	0,004	1	0,992039099	1,008024785	6
APOA1-AS	0,908489202	-0,011561693	0,012	0,011	1	0,992018071	1,008046152	1,090909091
PTK2B	0,567510207	-0,011571459	0,037	0,025	1	0,992011356	1,008052976	1,48
ARV1	0,002502924	-0,011628861	0,11	0,028	1	0,991971887	1,008093085	3,928571429
EDNRA	0,011553628	-0,011630389	0,037	0,004	1	0,991970836	1,008094153	9,25
CACNA2D1	0,018385843	-0,011672556	0,122	0,046	1	0,991941843	1,008123618	2,652173913
PTGER3	0,35185965	-0,011693598	0,012	0,004	1	0,991927376	1,008138322	3
FCSK	0,351112297	-0,011749142	0,024	0,011	1	0,991889187	1,008177137	2,181818182
PGAP2	0,043428247	-0,011776955	0,073	0,025	1	0,991870065	1,008196572	2,92
MYCN	0,20009151	-0,011794846	0,037	0,014	1	0,991857765	1,008209075	2,642857143
TRAPPC2	0,000853385	-0,011853155	0,122	0,028	1	0,991817678	1,008249825	4,357142857
ACAT1	0,003357668	-0,011891907	0,171	0,06	1	0,991791037	1,008276908	2,85
DCAF4L1	0,908489202	-0,011937134	0,012	0,011	1	0,991759946	1,008308517	1,090909091
BSL	0,113968254	-0,011938552	0,049	0,018	1	0,991758971	1,008309508	2,722222222
ZNF25	4,15912E-05	-0,011948162	0,159	0,032	0,877615986	0,991752365	1,008316224	4,96875
PCDHB10	0,520464457	-0,011970877	0,024	0,014	1	0,99173675	1,0083321	1,714285714
FSBP	0,908489202	-0,012007225	0,012	0,011	1	0,991711764	1,008357505	1,090909091
SETD6	0,044262208	-0,012028301	0,085	0,032	1	0,991697277	1,008372236	2,65625
AC011484.1	0,654971645	-0,012037689	0,012	0,007	1	0,991690823	1,008378798	1,714285714
TMEM251	0,006876865	-0,012058691	0,134	0,046	1	0,991676387	1,008393477	2,913043478
SLIT3	0,187860656	-0,012067383	0,024	0,007	1	0,991670412	1,008399553	3,428571429
INCA1	0,654971645	-0,01208848	0,012	0,007	1	0,991655911	1,008414299	1,714285714
BSN	0,903285004	-0,012140894	0,012	0,011	1	0,991619884	1,008450936	1,090909091
FAM111A	0,045305059	-0,012166377	0,195	0,102	1	0,991602369	1,008468749	1,911764706
ZNF280C	0,706611845	-0,01217515	0,024	0,018	1	0,991596339	1,008474881	1,333333333
GCA	0,101701491	-0,012200773	0,085	0,039	1	0,991578728	1,008492792	2,179487179
KATNIP	0,18774993	-0,0122198	0,049	0,021	1	0,991565651	1,008506093	2,333333333
GRAMD4	0,001067771	-0,012231486	0,134	0,035	1	0,991557619	1,008514262	3,828571429
NCEH1	0,699214153	-0,012248268	0,024	0,018	1	0,991546085	1,008525993	1,333333333

Supplementary Table 2

Differentially expressed genes_keloid-XL_comparing SC-Keloid vs. (SC-Myel, SC-Nonmyel, SC-Nonmyel2)								
gene	p_val	avg_log2FC	pct.1	pct.2	p_val_adj	Foldchange_UP	Foldchange_DOWN	Ratio_pct1_pct2
KTI12	0,001445239	-0,012333117	0,073	0,011	1	0,991487771	1,00858531	6,636363636
PRR4	0,442988867	-0,012355069	0,037	0,021	1	0,991472684	1,008600656	1,761904762
ZNF350	0,307543976	-0,012380164	0,037	0,018	1	0,991455438	1,008618201	2,055555556
ANKAR	0,356483051	-0,012401168	0,049	0,028	1	0,991441004	1,008632885	1,75
VPREB3	0,35185965	-0,012407791	0,012	0,004	1	0,991436453	1,008637515	3
PEBP4	0,901679385	-0,012426723	0,012	0,014	1	0,991423442	1,008650751	0,857142857
BCL7A	0,044615627	-0,012443694	0,085	0,032	1	0,99141178	1,008662617	2,65625
ZNF615	0,351112297	-0,012458744	0,024	0,011	1	0,991401437	1,008673139	2,181818182
LINC01004	0,044226311	-0,012500046	0,037	0,007	1	0,991373056	1,008702016	5,285714286
RIC8B	0,004937062	-0,012546346	0,146	0,049	1	0,991341241	1,008734388	2,979591837
CD93	0,106097567	-0,012573621	0,037	0,011	1	0,991322498	1,00875346	3,363636364
PITPNM2	0,903285004	-0,012600422	0,012	0,011	1	0,991304083	1,008772199	1,090909091
NUDT16	3,60232E-05	-0,012600897	0,207	0,053	0,760126203	0,991303757	1,008772531	3,905660377
RGS17	0,35185965	-0,012716448	0,012	0,004	1	0,991224362	1,008853331	3
KLLN	0,654971645	-0,012742736	0,012	0,007	1	0,991206301	1,008871714	1,714285714
LIN9	0,20009151	-0,012753524	0,037	0,014	1	0,991198889	1,008879258	2,642857143
LMOD3	0,314233219	-0,012760568	0,037	0,018	1	0,99119405	1,008884184	2,055555556
MGA	0,004659136	-0,012784102	0,146	0,049	1	0,991177881	1,008900641	2,979591837
SLC35B4	0,000348875	-0,012814981	0,122	0,025	1	0,991156667	1,008922236	4,88
TBX1	0,901679385	-0,012826233	0,012	0,014	1	0,991148936	1,008930105	0,857142857
MEF2C-AS1	0,35185965	-0,012917128	0,012	0,004	1	0,991086492	1,008993673	3
CCDC106	0,000161624	-0,01292393	0,171	0,042	1	0,991081819	1,00899843	4,071428571
R3HDM1	0,000304206	-0,01298297	0,122	0,025	1	0,991041262	1,009039723	4,88
ZKSCAN3	0,187860656	-0,013001099	0,024	0,007	1	0,991028809	1,009052402	3,428571429
ACADSB	0,704014659	-0,013014605	0,037	0,028	1	0,991019531	1,009061849	1,321428571
FOXN3-AS1	0,35185965	-0,013047237	0,012	0,004	1	0,990997115	1,009084673	3
FZD4	0,044048002	-0,013054943	0,098	0,039	1	0,990991822	1,009090063	2,512820513
GJB2	0,066254792	-0,013055086	0,024	0,004	1	0,990991724	1,009090163	6
TRMT1	0,337028145	-0,0130826	0,098	0,063	1	0,990972824	1,009109408	1,555555556
FITM2	0,440372242	-0,013122617	0,037	0,021	1	0,990945338	1,009137398	1,761904762

Supplementary Table 2

Differentially expressed genes_keloid-XL_comparing SC-Keloid vs. (SC-Myel, SC-Nonmyel, SC-Nonmyel2)								
gene	p_val	avg_log2FC	pct.1	pct.2	p_val_adj	Foldchange_UP	Foldchange_DOWN	Ratio_pct1_pct2
TMPPE	0,654971645	-0,013152359	0,012	0,007	1	0,990924909	1,009158203	1,714285714
HNRNPK	0,329007786	-0,013181913	0,817	0,639	1	0,99090461	1,009178876	1,27856025
PCCA	0,010791649	-0,013201731	0,073	0,018	1	0,990890998	1,009192739	4,055555556
BCDIN3D-AS1	0,35185965	-0,013226829	0,012	0,004	1	0,99087376	1,009210295	3
HMGCR	0,003634369	-0,013238191	0,122	0,035	1	0,990865956	1,009218244	3,485714286
CCDC137	0,005137829	-0,013243407	0,11	0,032	1	0,990862374	1,009221892	3,4375
SLC37A3	0,000682544	-0,013292586	0,171	0,049	1	0,990828598	1,009256296	3,489795918
RXYLT1	7,16859E-05	-0,013331179	0,268	0,084	1	0,990802093	1,009283294	3,19047619
TRAF3	0,01855649	-0,013374178	0,134	0,053	1	0,990772563	1,009313376	2,528301887
MTMR10	0,269824943	-0,013417772	0,098	0,06	1	0,990742625	1,009343875	1,633333333
PDCD11	0,004856163	-0,013419394	0,146	0,049	1	0,990741511	1,00934501	2,979591837
ZDHHC11	0,654971645	-0,013443748	0,012	0,007	1	0,990724787	1,009362048	1,714285714
STX1B	0,654971645	-0,013524736	0,012	0,007	1	0,990669172	1,009418712	1,714285714
LINC00630	0,044226311	-0,013543449	0,037	0,007	1	0,990656323	1,009431805	5,285714286
PIGA	0,172308997	-0,013544193	0,061	0,028	1	0,990655812	1,009432326	2,178571429
SYNPO	5,90908E-06	-0,013583679	0,378	0,123	0,124687586	0,990628698	1,009459954	3,073170732
IL18BP	0,185668317	-0,013588492	0,024	0,007	1	0,990625394	1,009463321	3,428571429
DPY19L2	0,903285004	-0,013613648	0,012	0,011	1	0,99060812	1,009480924	1,090909091
PTPN18	9,6395E-05	-0,013719625	0,183	0,046	1	0,990535355	1,009555081	3,97826087
EIF4H	0,004687718	-0,013735915	0,695	0,361	1	0,99052417	1,00956648	1,925207756
DGCR6	0,214732296	-0,01374746	0,073	0,039	1	0,990516244	1,009574559	1,871794872
CNRIP1	0,000821389	-0,013775075	0,195	0,063	1	0,990497284	1,009593884	3,095238095
CLSPN	0,654971645	-0,013801288	0,012	0,007	1	0,990479288	1,009612227	1,714285714
SLC16A2	0,026163616	-0,01380654	0,098	0,035	1	0,990475682	1,009615903	2,8
TIGD7	0,038341604	-0,013809385	0,061	0,018	1	0,990473729	1,009617894	3,388888889
CELF6	0,654971645	-0,013816004	0,012	0,007	1	0,990469185	1,009622526	1,714285714
GHRLOS	0,654971645	-0,013816211	0,012	0,007	1	0,990469043	1,00962267	1,714285714
RABGEF1	0,001667528	-0,013889349	0,171	0,056	1	0,990418831	1,009673855	3,053571429
ZNF22-AS1	0,114980497	-0,013926786	0,049	0,018	1	0,990393132	1,009700056	2,722222222
KIAA0825	0,187860656	-0,013937245	0,024	0,007	1	0,990385951	1,009707376	3,428571429

Supplementary Table 2

Differentially expressed genes_keloid-XL_comparing SC-Keloid vs. (SC-Myel, SC-Nonmyel, SC-Nonmyel2)								
gene	p_val	avg_log2FC	pct.1	pct.2	p_val_adj	Foldchange_UP	Foldchange_DOWN	Ratio_pct1_pct2
CSTF3	0,242424104	-0,013954827	0,11	0,067	1	0,990373882	1,009719681	1,641791045
TAMM41	0,184958462	-0,013973348	0,049	0,021	1	0,990361168	1,009732644	2,333333333
ARHGEF1	0,006929265	-0,013974636	0,256	0,116	1	0,990360283	1,009733546	2,206896552
MYO1F	0,654971645	-0,013991416	0,012	0,007	1	0,990348765	1,009745289	1,714285714
ZFP64	0,187860656	-0,01400475	0,024	0,007	1	0,990339612	1,009754622	3,428571429
OCLN	0,1180597	-0,014071046	0,049	0,018	1	0,990294103	1,009801025	2,722222222
MYCL	0,654971645	-0,014075085	0,012	0,007	1	0,990291331	1,009803852	1,714285714
HOOK1	0,35185965	-0,014075767	0,012	0,004	1	0,990290863	1,009804329	3
ATAD3B	0,007215488	-0,014081261	0,146	0,053	1	0,990287092	1,009808174	2,754716981
FRMD5	2,09611E-05	-0,014086176	0,366	0,126	0,442300086	0,990283718	1,009811615	2,904761905
DDX28	0,654971645	-0,014102939	0,012	0,007	1	0,990272211	1,009823348	1,714285714
KANSL1-AS1	0,028081741	-0,014127938	0,049	0,011	1	0,990255053	1,009840846	4,454545455
PJKV	0,530989227	-0,014187717	0,024	0,014	1	0,990214021	1,009882691	1,714285714
IGF2R	0,130630474	-0,014260608	0,098	0,049	1	0,990163993	1,009933715	2
IZUMO1	0,527469009	-0,014267864	0,024	0,014	1	0,990159013	1,009938795	1,714285714
ABTB2	0,174639985	-0,014357825	0,061	0,028	1	0,990097272	1,010001773	2,178571429
VXN	0,654971645	-0,014375647	0,012	0,007	1	0,990085041	1,01001425	1,714285714
DOK4	0,174639985	-0,014386603	0,061	0,028	1	0,990077522	1,01002192	2,178571429
CLMAT3	0,654971645	-0,014391584	0,012	0,007	1	0,990074104	1,010025407	1,714285714
PCDHGA11	0,35185965	-0,014402571	0,012	0,004	1	0,990066564	1,010033099	3
DUBR	0,044971423	-0,014409067	0,085	0,032	1	0,990062106	1,010037647	2,65625
GENE	0,063408785	-0,014423152	0,049	0,014	1	0,990052441	1,010047508	3,5
SEC11C	0,01113311	-0,014429947	0,293	0,144	1	0,990047777	1,010052265	2,034722222
AGFG2	0,654971645	-0,014441556	0,012	0,007	1	0,990039811	1,010060393	1,714285714
ALAS1	0,125592074	-0,014461822	0,098	0,049	1	0,990025903	1,010074582	2
PHF2	0,188346329	-0,014478543	0,183	0,116	1	0,990014429	1,010086288	1,577586207
SCARB1	0,311992919	-0,014482228	0,037	0,018	1	0,9900119	1,010088868	2,055555556
MALL	0,20009151	-0,014483158	0,037	0,014	1	0,990011262	1,01008952	2,642857143
AACS	0,860982214	-0,014537008	0,024	0,021	1	0,989974309	1,010127223	1,142857143
RBBP5	0,000174436	-0,014630149	0,11	0,018	1	0,989910399	1,010192439	6,111111111

Supplementary Table 2

Differentially expressed genes_keloid-XL_comparing SC-Keloid vs. (SC-Myel, SC-Nonmyel, SC-Nonmyel2)								
gene	p_val	avg_log2FC	pct.1	pct.2	p_val_adj	Foldchange_UP	Foldchange_DOWN	Ratio_pct1_pct2
TCP11L1	0,171152267	-0,014696458	0,061	0,028	1	0,989864901	1,010238871	2,178571429
MASTL	0,171152267	-0,014727695	0,061	0,028	1	0,989843469	1,010260744	2,178571429
ABCG2	0,702909482	-0,014730541	0,024	0,018	1	0,989841516	1,010262738	1,333333333
ZNF526	0,187860656	-0,014760369	0,024	0,007	1	0,989821052	1,010283625	3,428571429
STXBP3	3,8381E-06	-0,014776576	0,354	0,109	0,080987722	0,989809932	1,010294974	3,247706422
NBPF15	0,101701491	-0,014781542	0,085	0,039	1	0,989806525	1,010298452	2,179487179
SUCLA2	0,002605658	-0,014788937	0,268	0,112	1	0,989801452	1,01030363	2,392857143
POLR1H	0,001044471	-0,014806194	0,232	0,084	1	0,989789612	1,010315715	2,761904762
TP63	0,654971645	-0,014896985	0,012	0,007	1	0,989727325	1,010379298	1,714285714
RHPN2	0,654971645	-0,014908875	0,012	0,007	1	0,989719168	1,010387626	1,714285714
BIN1	8,7828E-05	-0,014911534	0,329	0,116	1	0,989717344	1,010389487	2,836206897
EML6	0,908489202	-0,014930937	0,012	0,011	1	0,989704033	1,010403076	1,090909091
CISD2	0,000483051	-0,014941235	0,329	0,133	1	0,989696969	1,010410289	2,473684211
P2RY11	0,106097567	-0,015026656	0,037	0,011	1	0,989638371	1,010470116	3,363636364
MAP6	0,099088993	-0,015076843	0,085	0,039	1	0,989603945	1,010505268	2,179487179
ZNF41	0,194890196	-0,015078435	0,037	0,014	1	0,989602853	1,010506383	2,642857143
SMIM3	0,114980497	-0,015123292	0,049	0,018	1	0,989572084	1,010537803	2,722222222
RASL12	0,014704774	-0,015147426	0,244	0,116	1	0,98955553	1,010554708	2,103448276
RND3	0,495064391	-0,015162542	0,744	0,565	1	0,989545163	1,010565296	1,316814159
YJEFN3	0,351112297	-0,015172191	0,024	0,011	1	0,989538544	1,010572055	2,181818182
SMAD5-AS1	0,654971645	-0,01517308	0,012	0,007	1	0,989537935	1,010572677	1,714285714
BTBD19	0,03795203	-0,015226457	0,061	0,018	1	0,989501324	1,010610067	3,388888889
GASK1A	0,855427988	-0,015251476	0,024	0,028	1	0,989484165	1,010627593	0,857142857
TMEM94	0,007496727	-0,015341149	0,159	0,06	1	0,989422663	1,010690413	2,65
ZNF234	0,654971645	-0,015388686	0,012	0,007	1	0,989390063	1,010723715	1,714285714
LY6G5C	0,028081741	-0,015388853	0,049	0,011	1	0,989389948	1,010723833	4,454545455
PPP6R2	0,001100605	-0,015390207	0,232	0,084	1	0,98938902	1,010724781	2,761904762
ARRDC1	0,00286441	-0,015401835	0,171	0,06	1	0,989381045	1,010732928	2,85
RTN4IP1	0,654971645	-0,015403342	0,012	0,007	1	0,989380011	1,010733983	1,714285714
TSPYL1	0,024598115	-0,015432539	0,207	0,102	1	0,989359989	1,010754438	2,029411765

Supplementary Table 2

Differentially expressed genes_keloid-XL_comparing SC-Keloid vs. (SC-Myel, SC-Nonmyel, SC-Nonmyel2)								
gene	p_val	avg_log2FC	pct.1	pct.2	p_val_adj	Foldchange_UP	Foldchange_DOWN	Ratio_pct1_pct2
GPAM	0,172308997	-0,015446346	0,061	0,028	1	0,98935052	1,010764112	2,178571429
ZNF875	0,023887799	-0,01544698	0,085	0,028	1	0,989350085	1,010764556	3,035714286
FUT1	0,35185965	-0,015456349	0,012	0,004	1	0,989343661	1,01077112	3
BBS10	0,1180597	-0,015510458	0,049	0,018	1	0,989306555	1,01080903	2,722222222
CSTA	0,35350329	-0,015528809	0	0,011	1	0,989293972	1,010821888	0
EFCAB14	0,000855941	-0,015540493	0,305	0,123	1	0,98928596	1,010830074	2,479674797
SOX17	0,263684223	-0,01555011	0,049	0,025	1	0,989279365	1,010836812	1,96
ABCA5	0,704014659	-0,015551331	0,037	0,028	1	0,989278528	1,010837668	1,321428571
INTS5	0,872003564	-0,015552881	0,024	0,021	1	0,989277465	1,010838754	1,142857143
CCDC85C	0,316484073	-0,015596948	0,037	0,018	1	0,989247248	1,010869631	2,055555556
RHEBL1	0,736792926	-0,015659858	0,012	0,018	1	0,989204112	1,010913711	0,666666667
ZNF212	0,311992919	-0,015676956	0,037	0,018	1	0,989192388	1,010925692	2,055555556
LINC01006	0,011472074	-0,015686234	0,122	0,042	1	0,989186027	1,010932193	2,904761905
RUSC1-AS1	0,903285004	-0,01572036	0,012	0,011	1	0,989162629	1,010956106	1,090909091
CCDC153	0,066254792	-0,015750789	0,024	0,004	1	0,989141766	1,01097743	6
KCNIP2	0,898084959	-0,015812904	0,012	0,011	1	0,98909918	1,011020958	1,090909091
LETM1	0,008961116	-0,015826391	0,195	0,081	1	0,989089933	1,01103041	2,407407407
TM6SF2	0,35185965	-0,015828711	0,012	0,004	1	0,989088342	1,011032035	3
TNKS	0,045015119	-0,01584176	0,22	0,116	1	0,989079397	1,01104118	1,896551724
TRMT44	0,114980497	-0,015870877	0,049	0,018	1	0,989059435	1,011061585	2,722222222
CCDC171	0,424859796	-0,015873758	0,012	0,028	1	0,989057459	1,011063605	0,428571429
ACVR1	0,000476922	-0,015900199	0,195	0,06	1	0,989039333	1,011082135	3,25
EOGT	0,702909482	-0,015917166	0,024	0,018	1	0,989027701	1,011094026	1,333333333
AKNAD1	0,351112297	-0,015923223	0,024	0,011	1	0,989023549	1,011098271	2,181818182
MOCS1	0,068827069	-0,015965108	0,061	0,021	1	0,988994835	1,011127626	2,904761905
VKORC1L1	0,000247692	-0,015975625	0,256	0,088	1	0,988987626	1,011134997	2,909090909
HNRNPD	0,104722394	-0,015982347	0,683	0,449	1	0,988983017	1,011139709	1,521158129
GON4L	0,058240835	-0,015987911	0,28	0,158	1	0,988979203	1,011143608	1,772151899
CCDC140	0,20009151	-0,016036581	0,037	0,014	1	0,988945841	1,01117772	2,642857143
GIMAP4	0,530989227	-0,01603835	0,024	0,014	1	0,988944628	1,01117896	1,714285714

Supplementary Table 2

Differentially expressed genes_keloid-XL_comparing SC-Keloid vs. (SC-Myel, SC-Nonmyel, SC-Nonmyel2)								
gene	p_val	avg_log2FC	pct.1	pct.2	p_val_adj	Foldchange_UP	Foldchange_DOWN	Ratio_pct1_pct2
PLEKHM3	0,319654352	-0,016040074	0,061	0,035	1	0,988943446	1,011180168	1,742857143
EPHA4	0,654971645	-0,016044574	0,012	0,007	1	0,988940362	1,011183322	1,714285714
GPR4	0,35350329	-0,016065824	0	0,011	1	0,988925795	1,011198216	0
ERCC6L2	0,096308262	-0,016170819	0,134	0,07	1	0,988853827	1,011271811	1,914285714
C19orf81	0,107265343	-0,016240788	0,037	0,011	1	0,98880587	1,011320857	3,363636364
NDUFB2-AS1	0,654971645	-0,016253364	0,012	0,007	1	0,98879725	1,011329674	1,714285714
DNAH9	0,35185965	-0,016344002	0,012	0,004	1	0,98873513	1,011393213	3
METTL9	0,00053138	-0,016377361	0,39	0,168	1	0,988712268	1,0114166	2,321428571
PRICKLE1	0,008308113	-0,01642512	0,098	0,028	1	0,988679538	1,011450082	3,5
TNXB	0,044226311	-0,016432979	0,037	0,007	1	0,988674153	1,011455591	5,285714286
TSEN2	0,113968254	-0,016556904	0,049	0,018	1	0,988589231	1,011542478	2,722222222
PAQR7	0,159342977	-0,016603421	0,073	0,035	1	0,988557357	1,011575093	2,085714286
AGO4	0,834483111	-0,016614899	0,037	0,032	1	0,988549491	1,011583141	1,15625
POMC	0,187860656	-0,016618067	0,024	0,007	1	0,988547321	1,011585363	3,428571429
AADAT	0,043428247	-0,016749792	0,073	0,025	1	0,988457066	1,011677729	2,92
TMEM187	0,903285004	-0,016811241	0,012	0,011	1	0,988414965	1,011720821	1,090909091
SNAPC4	0,345067611	-0,016817851	0,024	0,011	1	0,988410437	1,011725456	2,181818182
UBE2Z	0,001062906	-0,016839632	0,378	0,168	1	0,988395514	1,011740731	2,25
TMEM273	0,908489202	-0,016845475	0,012	0,011	1	0,988391511	1,011744829	1,090909091
TUBGCP5	0,02310643	-0,016854344	0,073	0,021	1	0,988385435	1,011751049	3,476190476
SUGP1	0,014543509	-0,016869942	0,085	0,025	1	0,988374749	1,011761987	3,4
MPLKIP	0,007488112	-0,016892465	0,232	0,102	1	0,988359319	1,011777782	2,274509804
ZNF385C	0,654971645	-0,016899431	0,012	0,007	1	0,988354546	1,011782668	1,714285714
TRIM9	0,158355665	-0,016935212	0,073	0,035	1	0,988330034	1,011807762	2,085714286
NFXL1	0,19057237	-0,01702764	0,049	0,021	1	0,988266718	1,011872587	2,333333333
APOBEC3F	0,07141129	-0,017045945	0,073	0,028	1	0,988254178	1,011885426	2,607142857
SASS6	0,440372242	-0,017143865	0,037	0,021	1	0,988187105	1,011954108	1,761904762
PDIA2	0,35185965	-0,0171531	0,012	0,004	1	0,988180779	1,011960585	3
LINC00115	0,654971645	-0,01718385	0,012	0,007	1	0,988159717	1,011982155	1,714285714
CLEC1A	0,35350329	-0,017193686	0	0,011	1	0,98815298	1,011989054	0

Supplementary Table 2

Differentially expressed genes_keloid-XL_comparing SC-Keloid vs. (SC-Myel, SC-Nonmyel, SC-Nonmyel2)								
gene	p_val	avg_log2FC	pct.1	pct.2	p_val_adj	Foldchange_UP	Foldchange_DOWN	Ratio_pct1_pct2
KIF14	0,908489202	-0,017228673	0,012	0,011	1	0,988129016	1,012013597	1,090909091
RBM17	0,001142191	-0,017237101	0,463	0,218	1	0,988123244	1,012019509	2,123853211
PRELID3A	0,19057237	-0,017284724	0,049	0,021	1	0,988090627	1,012052916	2,333333333
KLHDC8B	0,139738027	-0,017293971	0,085	0,042	1	0,988084294	1,012059403	2,023809524
EEF1A1	0,805459215	-0,017305992	1	0,996	1	0,988076061	1,012067836	1,004016064
FXYP7	0,570351612	-0,017306359	0,037	0,025	1	0,988075809	1,012068093	1,48
MTMR1	0,351112297	-0,017326562	0,024	0,011	1	0,988061973	1,012082266	2,181818182
MPZL2	0,57319978	-0,017327789	0,037	0,025	1	0,988061133	1,012083126	1,48
EGOT	0,520464457	-0,017347935	0,024	0,014	1	0,988047335	1,012097259	1,714285714
UBTD2	0,019313876	-0,017418441	0,232	0,112	1	0,98799905	1,012146722	2,071428571
TM7SF3	0,004718714	-0,017435217	0,183	0,07	1	0,987987561	1,012158492	2,614285714
TSPAN32	0,35185965	-0,017450751	0,012	0,004	1	0,987976923	1,012169391	3
B4GALNT4	0,784581007	-0,017492618	0,28	0,232	1	0,987948252	1,012198764	1,206896552
TPD52L1	0,908489202	-0,017503201	0,012	0,011	1	0,987941005	1,012206189	1,090909091
RUNDC1	0,442944663	-0,017565091	0,073	0,049	1	0,987898625	1,012249613	1,489795918
SENP1	0,107265343	-0,017630133	0,037	0,011	1	0,987854087	1,01229525	3,363636364
MYBBP1A	0,008726393	-0,01767832	0,098	0,028	1	0,987821093	1,012329062	3,5
NSUN4	0,275831025	-0,01767973	0,049	0,025	1	0,987820127	1,012330051	1,96
RAB9B	0,908489202	-0,017717323	0,012	0,011	1	0,987794388	1,01235643	1,090909091
CACFD1	0,010916043	-0,017742796	0,073	0,018	1	0,987776947	1,012374305	4,055555556
LZTS2	0,000551355	-0,017743868	0,329	0,133	1	0,987776213	1,012375057	2,473684211
CCDC173	0,908489202	-0,017756488	0,012	0,011	1	0,987767572	1,012383913	1,090909091
RIPOR1	0,00616	-0,017766432	0,244	0,109	1	0,987760764	1,012390891	2,23853211
ATP5PO	0,012233358	-0,017776902	0,524	0,305	1	0,987753595	1,012398239	1,718032787
TMEM164	0,445614357	-0,017799065	0,037	0,021	1	0,987738421	1,012413791	1,761904762
FBXO27	0,530989227	-0,017914002	0,024	0,014	1	0,987659733	1,012494452	1,714285714
INTS10	0,001276765	-0,017974752	0,256	0,098	1	0,987618145	1,012537087	2,612244898
GIMAP6	0,903285004	-0,018039112	0,012	0,011	1	0,987574088	1,012582258	1,090909091
GIPC3	0,107265343	-0,018064968	0,037	0,011	1	0,987556389	1,012600406	3,363636364
MRM3	0,117026191	-0,018090154	0,049	0,018	1	0,987539148	1,012618084	2,722222222

Supplementary Table 2

Differentially expressed genes_keloid-XL_comparing SC-Keloid vs. (SC-Myel, SC-Nonmyel, SC-Nonmyel2)								
gene	p_val	avg_log2FC	pct.1	pct.2	p_val_adj	Foldchange_UP	Foldchange_DOWN	Ratio_pct1_pct2
FNDC3A	0,003816767	-0,018119003	0,451	0,221	1	0,987519401	1,012638333	2,040723982
C12orf57	0,021293163	-0,018159025	0,659	0,389	1	0,987492006	1,012666425	1,694087404
PTGS2	0,991205612	-0,018189956	0,024	0,025	1	0,987470835	1,012688136	0,96
PEX3	0,189157269	-0,018218342	0,049	0,021	1	0,987451406	1,012708062	2,333333333
POLE2	0,187860656	-0,018226853	0,024	0,007	1	0,987445581	1,012714036	3,428571429
CDCA5	0,908489202	-0,018242955	0,012	0,011	1	0,98743456	1,012725339	1,090909091
FBXO3	0,039445245	-0,018258954	0,22	0,116	1	0,98742361	1,01273657	1,896551724
PPP1R14A	0,35185965	-0,018265979	0,012	0,004	1	0,987418802	1,012741502	3
PACS1	0,000155379	-0,018463395	0,207	0,06	1	0,987283694	1,012880093	3,45
WDR25	0,002873386	-0,018484657	0,085	0,018	1	0,987269144	1,012895021	4,722222222
TGFBR1	0,008656677	-0,018491121	0,207	0,088	1	0,98726472	1,012899559	2,352272727
UBXN4	0,008996383	-0,01851499	0,646	0,354	1	0,987248386	1,012916318	1,824858757
C16orf86	0,316484073	-0,018560356	0,037	0,018	1	0,987217343	1,012948169	2,055555556
NRL	0,654971645	-0,018579527	0,012	0,007	1	0,987204224	1,01296163	1,714285714
SLC4A1AP	0,01189473	-0,018593784	0,134	0,049	1	0,987194468	1,01297164	2,734693878
GIMAP5	0,654971645	-0,018646078	0,012	0,007	1	0,987158686	1,013008359	1,714285714
CD4	0,028583695	-0,018646247	0,11	0,042	1	0,987158571	1,013008477	2,619047619
APOL1	0,351112297	-0,01866732	0,024	0,011	1	0,987144151	1,013023274	2,181818182
HAS1	0,351112297	-0,018681536	0,024	0,011	1	0,987134424	1,013033256	2,181818182
PEX1	0,002419035	-0,018741473	0,134	0,039	1	0,987093415	1,013075343	3,435897436
PPP2R5A	0,000485496	-0,018748831	0,195	0,06	1	0,98708838	1,01308051	3,25
DERA	0,0013411	-0,01876965	0,183	0,06	1	0,987074136	1,01309513	3,05
DCTN4	0,235366721	-0,018778042	0,122	0,074	1	0,987068394	1,013101023	1,648648649
ZNF330	0,038872504	-0,018812902	0,195	0,098	1	0,987044544	1,013125503	1,989795918
LINC01140	0,908489202	-0,018814064	0,012	0,011	1	0,987043749	1,013126319	1,090909091
SULT1A3	0,654971645	-0,018868677	0,012	0,007	1	0,987006385	1,013164672	1,714285714
MTMR4	0,069809627	-0,018869617	0,085	0,035	1	0,987005742	1,013165332	2,428571429
SERPINB2	0,901679385	-0,018880265	0,012	0,014	1	0,986998458	1,013172809	0,857142857
JPX	0,005214115	-0,018890598	0,354	0,175	1	0,986991388	1,013180066	2,022857143
LINC01011	0,187860656	-0,018946048	0,024	0,007	1	0,986953454	1,013219008	3,428571429

Supplementary Table 2

Differentially expressed genes_keloid-XL_comparing SC-Keloid vs. (SC-Myel, SC-Nonmyel, SC-Nonmyel2)								
gene	p_val	avg_log2FC	pct.1	pct.2	p_val_adj	Foldchange_UP	Foldchange_DOWN	Ratio_pct1_pct2
GALNT10	0,584809532	-0,018955923	0,049	0,035	1	0,986946698	1,013225944	1,4
GALNT15	0,35185965	-0,018967382	0,012	0,004	1	0,986938859	1,013233992	3
GPR89B	0,1159998	-0,019013165	0,049	0,018	1	0,98690754	1,013266147	2,722222222
CRABP2	0,028371172	-0,019013301	0,11	0,042	1	0,986907447	1,013266242	2,619047619
ZNF554	0,901679385	-0,019038547	0,012	0,014	1	0,986890177	1,013283973	0,857142857
PRKCZ	0,448248692	-0,019063058	0,037	0,021	1	0,98687341	1,013301189	1,761904762
SLC1A3	0,908489202	-0,019097018	0,012	0,011	1	0,98685018	1,013325042	1,090909091
H2BU1	0,908489202	-0,019097398	0,012	0,011	1	0,98684992	1,013325309	1,090909091
ACBD7	0,654971645	-0,019143004	0,012	0,007	1	0,986818725	1,013357342	1,714285714
IL15	0,04253036	-0,019178708	0,085	0,032	1	0,986794303	1,013382421	2,65625
GLE1	0,038341604	-0,019195398	0,061	0,018	1	0,986782888	1,013394144	3,388888889
NUDT12	0,10104328	-0,019214867	0,085	0,039	1	0,986769571	1,013407821	2,179487179
PRRT3	0,20009151	-0,019226118	0,037	0,014	1	0,986761876	1,013415723	2,642857143
AP3B1	0,003384251	-0,01939014	0,171	0,06	1	0,986649695	1,013530947	2,85
F8A3	0,35185965	-0,019419402	0,012	0,004	1	0,986629683	1,013551504	3
CTF1	0,527469009	-0,019433708	0,024	0,014	1	0,9866199	1,013561554	1,714285714
TYW1	0,002874762	-0,019433995	0,11	0,028	1	0,986619704	1,013561756	3,928571429
INTS2	0,02310643	-0,01945104	0,073	0,021	1	0,986608048	1,013573731	3,476190476
CCNE2	0,351112297	-0,019456841	0,024	0,011	1	0,98660408	1,013577807	2,181818182
ULK3	0,002221024	-0,0195269	0,195	0,07	1	0,986556171	1,013627028	2,785714286
TM2D2	0,000233064	-0,019536487	0,195	0,056	1	0,986549615	1,013633764	3,482142857
PRSS53	0,654971645	-0,019572351	0,012	0,007	1	0,986525091	1,013658962	1,714285714
DENND2B	0,013868739	-0,019593387	0,402	0,225	1	0,986510706	1,013673743	1,786666667
ZNF778	0,908489202	-0,019607304	0,012	0,011	1	0,98650119	1,013683522	1,090909091
MON1A	0,1159998	-0,019628333	0,049	0,018	1	0,98648681	1,013698298	2,722222222
ARMH3	0,243729901	-0,019634534	0,061	0,032	1	0,986482571	1,013702654	1,90625
PTPRB	0,654971645	-0,01974074	0,012	0,007	1	0,986409952	1,013777282	1,714285714
MIGA2	0,274072777	-0,019814336	0,049	0,025	1	0,986359633	1,013829	1,96
TFRC	0,056582875	-0,019839245	0,134	0,063	1	0,986342603	1,013846504	2,126984127
GSTCD	0,025884674	-0,019861301	0,085	0,028	1	0,986327525	1,013862003	3,035714286

Supplementary Table 2

Differentially expressed genes_keloid-XL_comparing SC-Keloid vs. (SC-Myel, SC-Nonmyel, SC-Nonmyel2)								
gene	p_val	avg_log2FC	pct.1	pct.2	p_val_adj	Foldchange_UP	Foldchange_DOWN	Ratio_pct1_pct2
PDE2A	0,908489202	-0,01986511	0,012	0,011	1	0,98632492	1,013864681	1,090909091
PIGF	0,003598714	-0,019879935	0,256	0,109	1	0,986314785	1,013875099	2,348623853
EIF3C	0,493813928	-0,019890732	0,049	0,032	1	0,986307404	1,013882686	1,53125
NOC3L	0,000305754	-0,019909288	0,146	0,035	1	0,986294717	1,013895728	4,171428571
TBK1	0,080139035	-0,019925789	0,159	0,084	1	0,986283437	1,013907324	1,892857143
PAQR6	0,043687143	-0,019952282	0,207	0,109	1	0,986265325	1,013925943	1,899082569
GNA13	0,027776849	-0,020004801	0,207	0,102	1	0,986229423	1,013962854	2,029411765
BLOC1S5	0,002865678	-0,02002548	0,146	0,046	1	0,986215286	1,013977388	3,173913043
VPS4B	0,0012271	-0,020076117	0,317	0,133	1	0,986180672	1,014012978	2,383458647
FES	0,00703058	-0,020107703	0,122	0,039	1	0,986159081	1,014035179	3,128205128
ASGR1	0,345067611	-0,020150419	0,024	0,011	1	0,986129883	1,014065203	2,181818182
ZNF329	0,527469009	-0,020156098	0,024	0,014	1	0,986126001	1,014069195	1,714285714
ATP10D	0,261407632	-0,020191792	0,159	0,105	1	0,986101603	1,014094285	1,514285714
ZNF417	0,35185965	-0,020219383	0,012	0,004	1	0,986082745	1,014113679	3
KNOP1	0,002168758	-0,020231299	0,183	0,063	1	0,9860746	1,014122055	2,904761905
PLA2R1	0,187860656	-0,020237263	0,024	0,007	1	0,986070524	1,014126248	3,428571429
TBC1D20	0,104108556	-0,020250002	0,159	0,088	1	0,986061817	1,014135202	1,806818182
AGER	0,437764503	-0,020279212	0,037	0,021	1	0,986041852	1,014155736	1,761904762
SKP2	0,107265343	-0,020307799	0,037	0,011	1	0,986022314	1,014175831	3,363636364
EML5	0,903285004	-0,020363291	0,012	0,011	1	0,985984389	1,014214841	1,090909091
FTSJ3	6,79157E-05	-0,020375969	0,22	0,06	1	0,985975724	1,014223754	3,666666667
MORC2-AS1	0,649511996	-0,020527734	0,012	0,007	1	0,985872009	1,014330451	1,714285714
PNPT1	1,74763E-05	-0,020530351	0,232	0,06	0,368767115	0,985870221	1,014332291	3,866666667
GPT	0,35350329	-0,020561057	0	0,011	1	0,985849238	1,01435388	0
BEND7	0,060721418	-0,020596507	0,11	0,049	1	0,985825014	1,014378805	2,244897959
KLHDC1	0,063408785	-0,020600662	0,049	0,014	1	0,985822175	1,014381727	3,5
PIGV	0,20009151	-0,020606752	0,037	0,014	1	0,985818014	1,014386009	2,642857143
GOLGA6L10	0,351112297	-0,020656518	0,024	0,011	1	0,985784008	1,014421001	2,181818182
WDR91	0,009074461	-0,020667602	0,098	0,028	1	0,985776435	1,014428794	3,5
PRRT3-AS1	0,699214153	-0,020672459	0,024	0,018	1	0,985773116	1,014432209	1,333333333

Supplementary Table 2

Differentially expressed genes_keloid-XL_comparing SC-Keloid vs. (SC-Myel, SC-Nonmyel, SC-Nonmyel2)								
gene	p_val	avg_log2FC	pct.1	pct.2	p_val_adj	Foldchange_UP	Foldchange_DOWN	Ratio_pct1_pct2
ZC3H10	0,440372242	-0,020682718	0,037	0,021	1	0,985766106	1,014439423	1,761904762
ZFP28	0,198346594	-0,020732887	0,037	0,014	1	0,985731827	1,014474701	2,642857143
ELOVL7	0,89237004	-0,020743972	0,012	0,014	1	0,985724253	1,014482496	0,857142857
RBFOX2	0,000813913	-0,020749613	0,341	0,144	1	0,985720399	1,014486462	2,368055556
HSPBAP1	0,017691584	-0,020789506	0,061	0,014	1	0,985693143	1,014514514	4,357142857
HMCE5	0,007048143	-0,020819878	0,146	0,053	1	0,985672391	1,014535873	2,754716981
MROH8	0,28294086	-0,020828784	0,049	0,025	1	0,985666307	1,014542136	1,96
FAM66C	0,107265343	-0,020836672	0,037	0,011	1	0,985660918	1,014547683	3,363636364
ELK1	0,044698521	-0,020869778	0,098	0,039	1	0,9856383	1,014570964	2,512820513
TMCO6	0,523960732	-0,020870792	0,024	0,014	1	0,985637607	1,014571677	1,714285714
DHODH	0,8646531	-0,02087164	0,024	0,021	1	0,985637028	1,014572273	1,142857143
NPM1	0,352668784	-0,020874874	0,793	0,625	1	0,985634818	1,014574548	1,2688
TMEM131L	0,654971645	-0,020879913	0,012	0,007	1	0,985631376	1,014578091	1,714285714
LMCD1-AS1	0,8646531	-0,020899318	0,024	0,021	1	0,985618118	1,014591738	1,142857143
CEP128	0,187860656	-0,020907815	0,024	0,007	1	0,985612313	1,014597714	3,428571429
SMAD9	0,351112297	-0,020968071	0,024	0,011	1	0,985571149	1,014640091	2,181818182
THAP6	0,113754019	-0,020988794	0,061	0,025	1	0,985556992	1,014654665	2,44
NEK10	0,908489202	-0,021068685	0,012	0,011	1	0,985502418	1,014710854	1,090909091
DGCR5	0,35350329	-0,021092998	0	0,011	1	0,985485809	1,014727955	0
ARHGEF19	0,009163392	-0,021098469	0,098	0,028	1	0,985482072	1,014731803	3,5
RTF1	0,000962672	-0,021101041	0,488	0,235	1	0,985480315	1,014733612	2,076595745
LYRM1	0,008986301	-0,021185683	0,098	0,028	1	0,9854225	1,014793147	3,5
PROSER1	0,026817522	-0,021214146	0,085	0,028	1	0,985403058	1,014813169	3,035714286
CCNJ	0,35350329	-0,021231963	0	0,011	1	0,985390889	1,014825702	0
POLR1G	0,000298361	-0,021277628	0,085	0,011	1	0,985359699	1,014857824	7,727272727
ARL3	0,002235928	-0,021300905	0,463	0,221	1	0,985343801	1,014874199	2,095022624
DARS2	0,113968254	-0,021301932	0,049	0,018	1	0,985343099	1,014874921	2,722222222
ZNF500	0,908489202	-0,021309032	0,012	0,011	1	0,98533825	1,014879916	1,090909091
SIGMAR1	0,002146023	-0,021310968	0,171	0,056	1	0,985336928	1,014881277	3,053571429
SERPINF2	0,35185965	-0,021326565	0,012	0,004	1	0,985326275	1,014892249	3

Supplementary Table 2

Differentially expressed genes_keloid-XL_comparing SC-Keloid vs. (SC-Myel, SC-Nonmyel, SC-Nonmyel2)								
gene	p_val	avg_log2FC	pct.1	pct.2	p_val_adj	Foldchange_UP	Foldchange_DOWN	Ratio_pct1_pct2
SDCBP2	0,908489202	-0,021328282	0,012	0,011	1	0,985325103	1,014893457	1,090909091
UBE2E1	0,004896994	-0,021355809	0,232	0,098	1	0,985306303	1,014912822	2,367346939
DLG3	0,042292152	-0,021371113	0,073	0,025	1	0,985295851	1,014923588	2,92
ZNF57	0,35350329	-0,02137378	0	0,011	1	0,985294029	1,014925464	0
MAPK9	0,000764801	-0,021420004	0,183	0,056	1	0,985262461	1,014957983	3,267857143
CCDC85B	0,003596549	-0,021420622	0,537	0,27	1	0,985262039	1,014958417	1,988888889
SCYL2	0,007331665	-0,021423171	0,159	0,06	1	0,985260299	1,01496021	2,65
JPH1	0,35350329	-0,02142733	0	0,011	1	0,985257458	1,014963137	0
NACAD	0,018032711	-0,021439785	0,134	0,053	1	0,985248952	1,014971899	2,528301887
FHIP2A	0,045329609	-0,021522483	0,085	0,032	1	0,985192477	1,015030081	2,65625
EME2	0,57319978	-0,021533983	0,037	0,025	1	0,985184625	1,015038172	1,48
RNASE1	0,834483111	-0,021534914	0,037	0,032	1	0,985183989	1,015038827	1,15625
DGKA	0,065438103	-0,021592869	0,098	0,042	1	0,985144413	1,015079603	2,333333333
TMEM165	0,000228305	-0,021596167	0,512	0,221	1	0,985142161	1,015081924	2,316742081
AL118506.1	0,187860656	-0,021612879	0,024	0,007	1	0,985130749	1,015093682	3,428571429
ATP6VOA2	0,491488002	-0,021657492	0,049	0,032	1	0,985100286	1,015125073	1,53125
RRN3	0,14645865	-0,021673699	0,085	0,042	1	0,98508922	1,015136477	2,023809524
NIT1	0,323014826	-0,02171664	0,061	0,035	1	0,985059899	1,015166693	1,742857143
INTS6-AS1	0,107265343	-0,021761844	0,037	0,011	1	0,985029035	1,015198501	3,363636364
MATN3	0,908489202	-0,021772487	0,012	0,011	1	0,985021769	1,01520599	1,090909091
PRKACA	0,000519551	-0,021811212	0,28	0,105	1	0,984995329	1,015233241	2,666666667
NSMCE2	0,028407989	-0,02188915	0,146	0,063	1	0,984942119	1,015288087	2,317460317
STX18-AS1	0,855427988	-0,021903497	0,024	0,028	1	0,984932324	1,015298184	0,857142857
DCAF4	0,186350334	-0,021905479	0,049	0,021	1	0,984930971	1,015299579	2,333333333
ATP7B	0,351112297	-0,021913415	0,024	0,011	1	0,984925553	1,015305164	2,181818182
RAI2	0,35350329	-0,021932103	0	0,011	1	0,984912794	1,015318316	0
SAP25	0,908489202	-0,021981395	0,012	0,011	1	0,984879144	1,015353007	1,090909091
TLCD4	0,840473976	-0,021989901	0,037	0,032	1	0,984873337	1,015358993	1,15625
ZNF786	0,351112297	-0,021997636	0,024	0,011	1	0,984868057	1,015364437	2,181818182
CACNA1A	0,941822149	-0,022011228	0,049	0,046	1	0,984858778	1,015374003	1,065217391

Supplementary Table 2

Differentially expressed genes_keloid-XL_comparing SC-Keloid vs. (SC-Myel, SC-Nonmyel, SC-Nonmyel2)								
gene	p_val	avg_log2FC	pct.1	pct.2	p_val_adj	Foldchange_UP	Foldchange_DOWN	Ratio_pct1_pct2
H4C8	0,868326909	-0,022042726	0,024	0,021	1	0,984837276	1,015396172	1,142857143
OR4F15	0,654971645	-0,022069129	0,012	0,007	1	0,984819252	1,015414755	1,714285714
SRSF6	0,000511568	-0,02207616	0,427	0,186	1	0,984814453	1,015419704	2,295698925
TRIB2	0,000551653	-0,022091156	0,305	0,119	1	0,984804217	1,015430258	2,56302521
CUTC	0,008012159	-0,022093594	0,159	0,06	1	0,984802553	1,015431974	2,65
ZNF334	0,530989227	-0,02211667	0,024	0,014	1	0,984786801	1,015448216	1,714285714
TLCD5	0,043911154	-0,022168674	0,085	0,032	1	0,984751303	1,01548482	2,65625
FAM117A	0,578916265	-0,022176417	0,037	0,025	1	0,984746018	1,01549027	1,48
FOXP2	0,35185965	-0,022201865	0,012	0,004	1	0,984728648	1,015508183	3
NUPR1	0,00082307	-0,022217053	0,159	0,046	1	0,984718281	1,015518874	3,456521739
ZNF829	0,654971645	-0,022237365	0,012	0,007	1	0,984704417	1,015533172	1,714285714
ADCK1	0,028081741	-0,022248519	0,049	0,011	1	0,984696804	1,015541023	4,454545455
ARSG	0,908489202	-0,022320339	0,012	0,011	1	0,984647786	1,01559158	1,090909091
CBS	0,35185965	-0,022344992	0,012	0,004	1	0,98463096	1,015608935	3
SOX1	0,20009151	-0,022458889	0,037	0,014	1	0,984553229	1,015689118	2,642857143
ROCK1	0,013429773	-0,022477593	0,415	0,225	1	0,984540464	1,015702286	1,844444444
MORF4L2-AS1	0,654971645	-0,022485729	0,012	0,007	1	0,984534912	1,015708013	1,714285714
RNF141	0,000329164	-0,022529241	0,22	0,07	1	0,984505219	1,015738648	3,142857143
IQCH-AS1	0,187860656	-0,02253849	0,024	0,007	1	0,984498907	1,01574516	3,428571429
CDC25B	0,278246145	-0,022547936	0,073	0,042	1	0,984492461	1,01575181	1,738095238
G6PD	0,009486231	-0,022589542	0,122	0,042	1	0,98446407	1,015781104	2,904761905
PLXDC1	0,908489202	-0,022602389	0,012	0,011	1	0,984455303	1,01579015	1,090909091
ANGPT2	0,702909482	-0,022604867	0,024	0,018	1	0,984453612	1,015791895	1,333333333
OTX1	0,35350329	-0,022613466	0	0,011	1	0,984447745	1,015797949	0
DDAH2	0,029100841	-0,022745124	0,537	0,323	1	0,98435791	1,015890653	1,6625387
KANK1	0,070054953	-0,02275956	0,061	0,021	1	0,98434806	1,015900818	2,904761905
ADA	0,35350329	-0,022822609	0	0,011	1	0,984305043	1,015945217	0
MIR155HG	0,736792926	-0,022850162	0,012	0,018	1	0,984286245	1,015964619	0,666666667
SET	0,295164364	-0,022937443	0,817	0,649	1	0,984226699	1,016026086	1,258859784
AGTPBP1	0,027911906	-0,023055665	0,098	0,035	1	0,984146049	1,016109348	2,8

Supplementary Table 2

Differentially expressed genes_keloid-XL_comparing SC-Keloid vs. (SC-Myel, SC-Nonmyel, SC-Nonmyel2)								
gene	p_val	avg_log2FC	pct.1	pct.2	p_val_adj	Foldchange_UP	Foldchange_DOWN	Ratio_pct1_pct2
EPHB4	0,370654006	-0,023057995	0,049	0,028	1	0,98414446	1,016110989	1,75
HLA-DQA2	0,89702294	-0,023059616	0,012	0,014	1	0,984143354	1,01611213	0,857142857
ANKZF1	0,044372256	-0,023090536	0,098	0,039	1	0,984122262	1,016133908	2,512820513
CD200	0,01313356	-0,023116771	0,183	0,077	1	0,984104366	1,016152387	2,376623377
SPATA18	0,654971645	-0,023155466	0,012	0,007	1	0,984077971	1,016179641	1,714285714
IL1RN	0,654971645	-0,023195545	0,012	0,007	1	0,984050634	1,016207872	1,714285714
CDCA3	0,35350329	-0,023279637	0	0,011	1	0,983993277	1,016267106	0
PEAR1	0,35350329	-0,023300865	0	0,011	1	0,983978798	1,01628206	0
NUDT17	0,071300757	-0,023317391	0,061	0,021	1	0,983967527	1,016293702	2,904761905
FAM24B	0,908489202	-0,023512184	0,012	0,011	1	0,98383468	1,016430931	1,090909091
PACRG	0,187860656	-0,023526256	0,024	0,007	1	0,983825084	1,016440846	3,428571429
HMGXB3	0,007722029	-0,023697467	0,159	0,06	1	0,983708336	1,016561478	2,65
ZBTB48	0,044048002	-0,023730746	0,098	0,039	1	0,983685645	1,016584928	2,512820513
BTF3	0,423049897	-0,023799057	0,854	0,712	1	0,983639069	1,016633064	1,199438202
C17orf75	0,017183031	-0,023807887	0,11	0,039	1	0,983633048	1,016639286	2,820512821
GAREM2	0,35350329	-0,023815246	0	0,011	1	0,983628031	1,016644471	0
TUBGCP4	0,042292152	-0,023832305	0,073	0,025	1	0,9836164	1,016656493	2,92
USP30	0,063408785	-0,023861547	0,049	0,014	1	0,983596463	1,0166771	3,5
AL035681.1	0,654971645	-0,023878355	0,012	0,007	1	0,983585004	1,016688945	1,714285714
SLC35E2A	0,118200281	-0,023913413	0,061	0,025	1	0,983561103	1,016713651	2,44
LAMA3	0,908489202	-0,023933621	0,012	0,011	1	0,983547326	1,016727892	1,090909091
MGARP	0,654971645	-0,023950169	0,012	0,007	1	0,983536045	1,016739555	1,714285714
HMG A1	0,000267795	-0,023954676	0,439	0,189	1	0,983532973	1,01674273	2,322751323
KRT19	0,351112297	-0,023972212	0,024	0,011	1	0,983521017	1,016755089	2,181818182
NETO2	0,908489202	-0,02397981	0,012	0,011	1	0,983515838	1,016760444	1,090909091
C16orf74	0,35350329	-0,023984342	0	0,011	1	0,983512748	1,016763638	0
TBC1D10B	0,001620362	-0,023984543	0,232	0,088	1	0,983512612	1,016763779	2,636363636
HMSD	0,104939896	-0,023987715	0,037	0,011	1	0,983510449	1,016766015	3,363636364
WFS1	0,274072777	-0,024012575	0,049	0,025	1	0,983493501	1,016783536	1,96
GLRX	0,314233219	-0,024061422	0,037	0,018	1	0,983460203	1,016817963	2,055555556

Supplementary Table 2

Differentially expressed genes_keloid-XL_comparing SC-Keloid vs. (SC-Myel, SC-Nonmyel, SC-Nonmyel2)								
gene	p_val	avg_log2FC	pct.1	pct.2	p_val_adj	Foldchange_UP	Foldchange_DOWN	Ratio_pct1_pct2
ZNF680	0,372706606	-0,024071198	0,049	0,028	1	0,983453539	1,016824853	1,75
SMIM7	1,24478E-05	-0,024072766	0,488	0,189	0,262661355	0,98345247	1,016825958	2,582010582
U2AF2	0,006140385	-0,024135374	0,366	0,182	1	0,983409792	1,016870086	2,010989011
PLPP7	0,654971645	-0,024164429	0,012	0,007	1	0,983389987	1,016890565	1,714285714
ZNF581	0,012568907	-0,024187848	0,159	0,063	1	0,983374024	1,016907073	2,523809524
THNSL1	0,187860656	-0,024203379	0,024	0,007	1	0,983363438	1,01691802	3,428571429
PPIE	0,000871408	-0,024210871	0,256	0,098	1	0,983358331	1,016923301	2,612244898
ILF2	0,006547994	-0,024217746	0,549	0,295	1	0,983353645	1,016928147	1,861016949
SYNRG	0,011911786	-0,02431095	0,207	0,091	1	0,983290118	1,016993847	2,274725275
PIAS3	0,046156346	-0,024312959	0,11	0,046	1	0,983288749	1,016995263	2,391304348
FUT4	0,523960732	-0,024325845	0,024	0,014	1	0,983279967	1,017004346	1,714285714
KDM4A-AS1	0,908489202	-0,024331144	0,012	0,011	1	0,983276355	1,017008082	1,090909091
ZNF345	0,710321163	-0,024342715	0,024	0,018	1	0,983268469	1,017016239	1,333333333
A1BG-AS1	0,00931978	-0,024372881	0,049	0,007	1	0,983247909	1,017037504	7
ZNF467	0,35350329	-0,024379208	0	0,011	1	0,983243597	1,017041965	0
FYTTD1	0,000187678	-0,024382741	0,451	0,189	1	0,983241189	1,017044455	2,386243386
RACGAP1	0,527469009	-0,024403071	0,024	0,014	1	0,983227334	1,017058787	1,714285714
POLR1B	0,1180597	-0,024423142	0,049	0,018	1	0,983213656	1,017072936	2,722222222
ERAL1	4,97485E-06	-0,024448599	0,159	0,025	0,104974353	0,983196307	1,017090883	6,36
TDP2	0,009669783	-0,024452502	0,11	0,035	1	0,983193647	1,017093635	3,142857143
ALPK1	0,043812629	-0,024462346	0,073	0,025	1	0,983186938	1,017100576	2,92
PRRT2	0,872003564	-0,02459263	0,024	0,021	1	0,983098154	1,017192429	1,142857143
MTBP	0,530989227	-0,024607331	0,024	0,014	1	0,983088137	1,017202794	1,714285714
COQ10A	0,070884133	-0,024618537	0,098	0,042	1	0,983080501	1,017210696	2,333333333
GPR146	0,89237004	-0,024645627	0,012	0,014	1	0,983062041	1,017229797	0,857142857
SNX8	0,026581629	-0,02469033	0,085	0,028	1	0,983031581	1,017261317	3,035714286
ZNF816	0,699214153	-0,024730857	0,024	0,018	1	0,983003967	1,017289893	1,333333333
TLL1	0,185668317	-0,024776885	0,024	0,007	1	0,982972605	1,01732235	3,428571429
THAP9	0,187860656	-0,024856719	0,024	0,007	1	0,982918212	1,017378647	3,428571429
SLC9A8	0,115516455	-0,024862921	0,061	0,025	1	0,982913987	1,01738302	2,44

Supplementary Table 2

Differentially expressed genes_keloid-XL_comparing SC-Keloid vs. (SC-Myel, SC-Nonmyel, SC-Nonmyel2)								
gene	p_val	avg_log2FC	pct.1	pct.2	p_val_adj	Foldchange_UP	Foldchange_DOWN	Ratio_pct1_pct2
HEXIM2	0,004102792	-0,024876896	0,098	0,025	1	0,982904465	1,017392875	3,92
NUDCD1	0,011246549	-0,024878786	0,159	0,063	1	0,982903178	1,017394208	2,523809524
NUDCD3	4,53211E-05	-0,024927468	0,232	0,063	0,956319696	0,982870011	1,017428539	3,682539683
VRK3	0,21713941	-0,024955833	0,073	0,039	1	0,982850687	1,017448543	1,871794872
KAZALD1	0,706611845	-0,024959532	0,024	0,018	1	0,982848167	1,017451152	1,333333333
SF3B3	0,017793293	-0,02495972	0,146	0,06	1	0,982848039	1,017451285	2,433333333
RAB11FIP4	0,35350329	-0,024991261	0	0,011	1	0,982826552	1,017473529	0
SPX	0,654971645	-0,025020794	0,012	0,007	1	0,982806433	1,017494357	1,714285714
RNF217	0,000712242	-0,025021444	0,183	0,056	1	0,98280599	1,017494816	3,267857143
FAM98B	0,001603987	-0,025023105	0,159	0,049	1	0,982804858	1,017495988	3,244897959
COMTD1	7,64252E-05	-0,025051461	0,232	0,067	1	0,982785542	1,017515986	3,462686567
FAM120C	0,304698898	-0,025057229	0,085	0,053	1	0,982781613	1,017520054	1,603773585
PLPP2	0,89702294	-0,025070383	0,012	0,014	1	0,982772652	1,017529332	0,857142857
ZNF707	0,654971645	-0,025070395	0,012	0,007	1	0,982772644	1,01752934	1,714285714
MAPRE2	0,244665502	-0,025071767	0,415	0,291	1	0,982771709	1,017530308	1,426116838
IMPA1	0,031462257	-0,025080923	0,171	0,081	1	0,982765473	1,017536765	2,111111111
ZNF669	0,314233219	-0,025107994	0,037	0,018	1	0,982747031	1,017555859	2,055555556
INPP5J	0,187860656	-0,025149155	0,024	0,007	1	0,982718993	1,017584891	3,428571429
GLI2	0,351112297	-0,025155024	0,024	0,011	1	0,982714996	1,017589031	2,181818182
LYPD3	0,103792275	-0,025210959	0,037	0,011	1	0,982676895	1,017628485	3,363636364
FAM118A	0,006707687	-0,025239589	0,134	0,046	1	0,982657395	1,017648679	2,913043478
DNAAF4	0,026581629	-0,025319706	0,085	0,028	1	0,982602826	1,017705194	3,035714286
ASCC3	0,026358252	-0,025334134	0,134	0,056	1	0,982593	1,017715372	2,392857143
KIAA0513	0,89237004	-0,02534448	0,012	0,014	1	0,982585953	1,01772267	0,857142857
FHIT	0,28286347	-0,025374151	0	0,014	1	0,982565745	1,017743601	0
DENND3	0,107265343	-0,025398604	0,037	0,011	1	0,982549091	1,017760852	3,363636364
ZNF561	0,007086391	-0,025420408	0,085	0,021	1	0,982534242	1,017776233	4,047619048
PUM3	0,002907821	-0,025474838	0,232	0,091	1	0,982497173	1,017814633	2,549450549
ECI2	0,001150056	-0,025477279	0,195	0,067	1	0,982495511	1,017816355	2,910447761
SOX5	0,05481976	-0,025491549	0,207	0,112	1	0,982485793	1,017826423	1,848214286

Supplementary Table 2

Differentially expressed genes_keloid-XL_comparing SC-Keloid vs. (SC-Myel, SC-Nonmyel, SC-Nonmyel2)								
gene	p_val	avg_log2FC	pct.1	pct.2	p_val_adj	Foldchange_UP	Foldchange_DOWN	Ratio_pct1_pct2
SLC25A43	0,04308722	-0,025523269	0,098	0,039	1	0,982464192	1,017848802	2,512820513
NT5DC1	0,1180597	-0,025597174	0,049	0,018	1	0,982413865	1,017900944	2,722222222
POLR2M	0,007850161	-0,025603295	0,207	0,088	1	0,982409696	1,017905263	2,352272727
MBIP	0,112588193	-0,025701537	0,146	0,081	1	0,9823428	1,01797458	1,802469136
NUP155	0,006163779	-0,025702477	0,061	0,011	1	0,98234216	1,017975244	5,545454545
CLTB	0,000160741	-0,025736684	0,524	0,221	1	0,982318868	1,017999381	2,371040724
OSGIN1	0,351112297	-0,025737655	0,024	0,011	1	0,982318207	1,018000066	2,181818182
ULK2	0,062283647	-0,025766179	0,11	0,049	1	0,982298786	1,018020193	2,244897959
BBS9	0,070853927	-0,025786868	0,073	0,028	1	0,982284699	1,018034793	2,607142857
DEPTOR	0,986148695	-0,025815191	0,049	0,049	1	0,982265415	1,018054779	1
E2F1	0,35350329	-0,025857021	0	0,011	1	0,982236935	1,018084297	0
SCG3	0,654971645	-0,025866225	0,012	0,007	1	0,982230669	1,018090792	1,714285714
AHCYL1	0,007021084	-0,025880933	0,402	0,207	1	0,982220656	1,018101171	1,942028986
PCSK6	0,28286347	-0,025907191	0	0,014	1	0,982202779	1,018119701	0
SPG11	0,004737062	-0,02590835	0,146	0,049	1	0,98220199	1,018120519	2,979591837
MOB3C	0,06642434	-0,025912739	0,061	0,021	1	0,982199002	1,018123617	2,904761905
C2CD2	0,987688096	-0,025919364	0,024	0,025	1	0,982194491	1,018128292	0,96
UBE2S	0,018898217	-0,0259376	0,537	0,312	1	0,982182076	1,018141162	1,721153846
ENTPD7	0,071300757	-0,025944157	0,061	0,021	1	0,982177612	1,018145789	2,904761905
H2AC20	0,001295886	-0,025959274	0,11	0,025	1	0,98216732	1,018156458	4,4
N4BP2	0,19199525	-0,025991876	0,049	0,021	1	0,982145126	1,018179466	2,333333333
MYOM2	0,044226311	-0,026020184	0,037	0,007	1	0,982125855	1,018199445	5,285714286
ABCA9	0,35350329	-0,026026599	0	0,011	1	0,982121488	1,018203972	0
PDLIM2	0,000534706	-0,026052864	0,28	0,105	1	0,982103608	1,01822251	2,666666667
PAIP2B	0,316484073	-0,026070567	0,037	0,018	1	0,982091557	1,018235004	2,055555556
ZNF326	0,01515394	-0,026207099	0,329	0,172	1	0,981998619	1,018331371	1,912790698
LUC7L	0,001172796	-0,02623499	0,476	0,221	1	0,981979635	1,018351058	2,153846154
ZDHHC23	0,35350329	-0,026272933	0	0,011	1	0,981953809	1,018377841	0
SS18L2	0,00013583	-0,026283825	0,244	0,077	1	0,981946396	1,018385529	3,168831169
B4GALT3	0,001544418	-0,026289219	0,171	0,056	1	0,981942724	1,018389337	3,053571429

Supplementary Table 2

Differentially expressed genes_keloid-XL_comparing SC-Keloid vs. (SC-Myel, SC-Nonmyel, SC-Nonmyel2)								
gene	p_val	avg_log2FC	pct.1	pct.2	p_val_adj	Foldchange_UP	Foldchange_DOWN	Ratio_pct1_pct2
DNASE1L1	0,006778966	-0,026315634	0,085	0,021	1	0,981924745	1,018407984	4,047619048
CHD3	0,055251346	-0,02632556	0,39	0,232	1	0,981917989	1,018414991	1,681034483
SPATA6L	0,187860656	-0,026329502	0,024	0,007	1	0,981915307	1,018417773	3,428571429
ERCC2	0,062089768	-0,026372066	0,049	0,014	1	0,981886337	1,01844782	3,5
NRG2	0,279370565	-0,026409391	0,049	0,025	1	0,981860935	1,018474169	1,96
SPEF2	0,1180597	-0,026473529	0,049	0,018	1	0,981817285	1,018519449	2,722222222
RIC1	0,014259061	-0,026474557	0,085	0,025	1	0,981816586	1,018520174	3,4
FGD1	0,187860656	-0,026498325	0,024	0,007	1	0,981800411	1,018536954	3,428571429
CKAP2	0,069028916	-0,026536135	0,098	0,042	1	0,98177468	1,018563648	2,333333333
CLCA2	0,903285004	-0,026565899	0,012	0,011	1	0,981754425	1,018584663	1,090909091
SEMA3D	0,602048443	-0,026592568	0,049	0,035	1	0,981736277	1,018603492	1,4
NEPRO	0,041101744	-0,026603508	0,195	0,098	1	0,981728833	1,018611216	1,989795918
GRAMD2A	0,710321163	-0,026608503	0,024	0,018	1	0,981725433	1,018614743	1,333333333
TANC2	0,014762953	-0,026680605	0,293	0,147	1	0,981676371	1,018665651	1,993197279
AC002451.1	0,35350329	-0,026681893	0	0,011	1	0,981675494	1,018666561	0
INO80C	0,044372256	-0,026686123	0,098	0,039	1	0,981672616	1,018669548	2,512820513
GSDMB	0,530989227	-0,026701961	0,024	0,014	1	0,981661839	1,018680731	1,714285714
ZMYM6	0,000782871	-0,02671504	0,146	0,039	1	0,98165294	1,018689966	3,743589744
PPP2R5E	0,002153871	-0,026760226	0,256	0,105	1	0,981622194	1,018721873	2,438095238
HAAO	0,35350329	-0,026775329	0	0,011	1	0,981611919	1,018732537	0
WDSUB1	0,127015914	-0,026809417	0,098	0,049	1	0,981588725	1,018756608	2
TMEM238	0,728697501	-0,026813544	0,012	0,018	1	0,981585917	1,018759522	0,666666667
MAP4K2	0,351112297	-0,026839708	0,024	0,011	1	0,981568116	1,018777998	2,181818182
RDH14	0,008128304	-0,026859141	0,207	0,088	1	0,981554894	1,018791721	2,352272727
RANBP9	0,00090046	-0,02690324	0,354	0,151	1	0,981524891	1,018822863	2,344370861
ARHGAP8	0,908489202	-0,026988699	0,012	0,011	1	0,981466752	1,018883215	1,090909091
CA5B	0,07286384	-0,027001172	0,085	0,035	1	0,981458266	1,018892025	2,428571429
TMEM135	0,239292074	-0,027015319	0,085	0,049	1	0,981448642	1,018902016	1,734693878
RPS10-NUDT3	0,35350329	-0,027028825	0	0,011	1	0,981439455	1,018911554	0
AFG3L2	0,000458369	-0,027050299	0,244	0,084	1	0,981424846	1,018926721	2,904761905

Supplementary Table 2

Differentially expressed genes_keloid-XL_comparing SC-Keloid vs. (SC-Myel, SC-Nonmyel, SC-Nonmyel2)								
gene	p_val	avg_log2FC	pct.1	pct.2	p_val_adj	Foldchange_UP	Foldchange_DOWN	Ratio_pct1_pct2
BEND3	0,316484073	-0,027059418	0,037	0,018	1	0,981418643	1,018933161	2,055555556
RPGR	0,166960942	-0,027108775	0,098	0,053	1	0,981385068	1,018968021	1,849056604
TRIM7	0,89702294	-0,027122506	0,012	0,014	1	0,981375727	1,018977719	0,857142857
SLC12A6	0,070054953	-0,027140917	0,061	0,021	1	0,981363203	1,018990723	2,904761905
TWIST2	0,011553628	-0,027174482	0,037	0,004	1	0,981340372	1,01901443	9,25
ROBO4	0,908489202	-0,027177494	0,012	0,011	1	0,981338323	1,019016558	1,090909091
CEP76	0,107265343	-0,027202661	0,037	0,011	1	0,981321204	1,019034335	3,363636364
LSP1	0,155421519	-0,027206882	0,073	0,035	1	0,981318333	1,019037316	2,085714286
DIS3L	0,045357125	-0,027232035	0,098	0,039	1	0,981301224	1,019055083	2,512820513
OSBPL2	0,002599252	-0,027244236	0,146	0,046	1	0,981292925	1,019063701	3,173913043
PRSS22	0,35185965	-0,027282809	0,012	0,004	1	0,981266689	1,019090947	3
ABHD15	0,908489202	-0,02733148	0,012	0,011	1	0,981233585	1,019125328	1,090909091
VDAC2	0,020603506	-0,027352184	0,585	0,34	1	0,981219504	1,019139954	1,720588235
TCF15	0,35350329	-0,027366453	0	0,011	1	0,981209799	1,019150034	0
CADPS2	0,351112297	-0,027379965	0,024	0,011	1	0,981200609	1,019159579	2,181818182
IGSF10	0,35350329	-0,027384969	0	0,011	1	0,981197206	1,019163114	0
CMPK2	0,654971645	-0,027422595	0,012	0,007	1	0,981171616	1,019189695	1,714285714
MYCT1	0,89237004	-0,027448031	0,012	0,014	1	0,981154318	1,019207664	0,857142857
ZNF333	0,027465648	-0,027451071	0,098	0,035	1	0,98115225	1,019209811	2,8
SPRYD4	0,351112297	-0,027459589	0,024	0,011	1	0,981146457	1,019215829	2,181818182
MON1B	0,06242382	-0,027468159	0,098	0,042	1	0,981140629	1,019221884	2,333333333
SLC44A4	0,740851684	-0,027486829	0,012	0,018	1	0,981127932	1,019235073	0,666666667
TXLNA	0,014589242	-0,02749006	0,207	0,095	1	0,981125735	1,019237356	2,178947368
LY96	0,649511996	-0,027555106	0,012	0,007	1	0,9810815	1,019283311	1,714285714
MXD4	0,005668936	-0,027561517	0,476	0,239	1	0,981077141	1,01928784	1,991631799
TEX22	0,35350329	-0,027583785	0	0,011	1	0,981061998	1,019303573	0
BANK1	0,35350329	-0,027618078	0	0,011	1	0,981038678	1,019327803	0
TM4SF18	0,89702294	-0,027654549	0,012	0,014	1	0,981013878	1,019353571	0,857142857
RGR	0,35350329	-0,027723515	0	0,011	1	0,980966983	1,019402301	0
TMCC3	0,530989227	-0,02773388	0,024	0,014	1	0,980959935	1,019409625	1,714285714

Supplementary Table 2

Differentially expressed genes_keloid-XL_comparing SC-Keloid vs. (SC-Myel, SC-Nonmyel, SC-Nonmyel2)								
gene	p_val	avg_log2FC	pct.1	pct.2	p_val_adj	Foldchange_UP	Foldchange_DOWN	Ratio_pct1_pct2
PCNX4	0,003233748	-0,027768565	0,207	0,081	1	0,980936352	1,019434134	2,555555556
ADGRF5	0,89237004	-0,027770117	0,012	0,014	1	0,980935297	1,01943523	0,857142857
FCHSD2	0,740851684	-0,027778618	0,012	0,018	1	0,980929516	1,019441238	0,666666667
CCNE1	0,872003564	-0,027781746	0,024	0,021	1	0,980927389	1,019443448	1,142857143
ANKFY1	0,001494924	-0,027869192	0,207	0,074	1	0,980867934	1,019505241	2,797297297
PUS3	0,314233219	-0,02789109	0,037	0,018	1	0,980853047	1,019520716	2,055555556
FAM227B	0,110475994	-0,027918777	0,073	0,032	1	0,980834223	1,019540282	2,28125
ADAMTS3	0,35185965	-0,027994694	0,012	0,004	1	0,980782611	1,019593933	3
NIPAL2	0,736792926	-0,027995218	0,012	0,018	1	0,980782255	1,019594304	0,666666667
SNX31	0,35350329	-0,028022774	0	0,011	1	0,980763522	1,019613778	0
ASF1B	0,903285004	-0,028063214	0,012	0,011	1	0,980736031	1,019642359	1,090909091
DDX20	0,036803449	-0,02808669	0,061	0,018	1	0,980720072	1,019658951	3,388888889
DCAKD	0,026817522	-0,0281031	0,085	0,028	1	0,980708917	1,01967055	3,035714286
PNPO	0,042668024	-0,028166327	0,073	0,025	1	0,980665937	1,019715238	2,92
ARMH4	0,351112297	-0,028213149	0,024	0,011	1	0,980634111	1,019748333	2,181818182
TEAD4	0,024980018	-0,028244639	0,085	0,028	1	0,980612706	1,019770592	3,035714286
CIZ1	0,000116989	-0,028250561	0,268	0,088	1	0,980608681	1,019774778	3,045454545
PRIM2	0,071300757	-0,028282385	0,061	0,021	1	0,980587051	1,019797273	2,904761905
EGLN3	0,440372242	-0,028302091	0,037	0,021	1	0,980573656	1,019811203	1,761904762
ZNF429	0,736792926	-0,028357682	0,012	0,018	1	0,980535873	1,0198505	0,666666667
MYOZ3	0,35350329	-0,028378844	0	0,011	1	0,98052149	1,019865459	0
PMS2	0,439382777	-0,028390589	0,073	0,049	1	0,980513508	1,019873762	1,489795918
DLST	0,004124706	-0,028423443	0,244	0,102	1	0,98049118	1,019896987	2,392156863
IL20RB	0,35350329	-0,028511185	0	0,011	1	0,98043155	1,019959017	0
AC018742.1	0,654971645	-0,028511849	0,012	0,007	1	0,980431099	1,019959487	1,714285714
SAMD4B	0,000239857	-0,028530171	0,5	0,225	1	0,980418647	1,01997244	2,222222222
PTCH2	0,187860656	-0,028539871	0,024	0,007	1	0,980412055	1,019979298	3,428571429
PARP8	0,017271324	-0,028549878	0,134	0,053	1	0,980405255	1,019986373	2,528301887
ZNF281	0,011534637	-0,028569497	0,134	0,049	1	0,980391923	1,020000243	2,734693878
NEBL	0,89237004	-0,028585192	0,012	0,014	1	0,980381257	1,020011341	0,857142857

Supplementary Table 2

Differentially expressed genes_keloid-XL_comparing SC-Keloid vs. (SC-Myel, SC-Nonmyel, SC-Nonmyel2)								
gene	p_val	avg_log2FC	pct.1	pct.2	p_val_adj	Foldchange_UP	Foldchange_DOWN	Ratio_pct1_pct2
CEP19	0,868326909	-0,028607912	0,024	0,021	1	0,980365818	1,020027404	1,142857143
TK1	0,654971645	-0,028656818	0,012	0,007	1	0,980332585	1,020061982	1,714285714
METTL2A	0,014259061	-0,028666145	0,085	0,025	1	0,980326247	1,020068577	3,4
FGD5	0,35350329	-0,028707995	0	0,011	1	0,98029781	1,020098168	0
LINS1	0,002983177	-0,028714526	0,085	0,018	1	0,980293372	1,020102786	4,722222222
TMEM260	0,173471565	-0,028715604	0,061	0,028	1	0,98029264	1,020103548	2,178571429
LRR56	0,35185965	-0,028772523	0,012	0,004	1	0,980253965	1,020143795	3
ASNS	0,351112297	-0,028790821	0,024	0,011	1	0,980241532	1,020156734	2,181818182
LDLRAD2	0,35350329	-0,028792308	0	0,011	1	0,980240522	1,020157786	0
HSPB8	0,186350334	-0,028850793	0,049	0,021	1	0,980200785	1,020199142	2,333333333
TRABD2A	0,106097567	-0,028939501	0,037	0,011	1	0,980140516	1,020261874	3,363636364
BDH1	0,445614357	-0,028949302	0,037	0,021	1	0,980133858	1,020268805	1,761904762
MEG9	0,35350329	-0,028961556	0	0,011	1	0,980125533	1,020277471	0
ERGIC2	0,007395874	-0,028980354	0,354	0,175	1	0,980112762	1,020290765	2,022857143
UBOX5	0,654971645	-0,028989726	0,012	0,007	1	0,980106395	1,020297393	1,714285714
TTPAL	0,063408785	-0,029015043	0,049	0,014	1	0,980089196	1,020315298	3,5
MYO7B	0,35185965	-0,029019537	0,012	0,004	1	0,980086143	1,020318477	3
EEP1	0,654971645	-0,029055849	0,012	0,007	1	0,980061475	1,020344157	1,714285714
ZNF502	0,35185965	-0,029066217	0,012	0,004	1	0,980054431	1,020351491	3
BTN3A2	0,042518051	-0,0290777	0,11	0,046	1	0,980046631	1,020359612	2,391304348
DIPK1B	0,35350329	-0,02910274	0	0,011	1	0,980029621	1,020377322	0
B3GALNT1	0,187860656	-0,029222164	0,024	0,007	1	0,979948499	1,020461791	3,428571429
CTSS	0,351112297	-0,029227889	0,024	0,011	1	0,979944611	1,02046584	2,181818182
NUP54	0,010685545	-0,029290169	0,207	0,091	1	0,979902308	1,020509893	2,274725275
RAB3IP	0,392656862	-0,029363304	0,085	0,056	1	0,979852635	1,020561628	1,517857143
CLP1	0,351112297	-0,029422193	0,024	0,011	1	0,979812639	1,020603287	2,181818182
SCLY	0,570351612	-0,029429473	0,037	0,025	1	0,979807695	1,020608437	1,48
DDX31	0,028081741	-0,029467652	0,049	0,011	1	0,979781766	1,020635447	4,454545455
MET	0,445614357	-0,029514932	0,037	0,021	1	0,979749657	1,020668895	1,761904762
AC226118.1	0,654971645	-0,029530013	0,012	0,007	1	0,979739416	1,020679565	1,714285714

Supplementary Table 2

Differentially expressed genes_keloid-XL_comparing SC-Keloid vs. (SC-Myel, SC-Nonmyel, SC-Nonmyel2)								
gene	p_val	avg_log2FC	pct.1	pct.2	p_val_adj	Foldchange_UP	Foldchange_DOWN	Ratio_pct1_pct2
TRNT1	0,000515049	-0,029583166	0,134	0,032	1	0,97970332	1,02071717	4,1875
ZNF420	0,872003564	-0,029583686	0,024	0,021	1	0,979702966	1,020717538	1,142857143
HOMER2	0,736792926	-0,029588218	0,012	0,018	1	0,979699889	1,020720744	0,666666667
N4BP1	0,011337306	-0,029612046	0,183	0,077	1	0,979683708	1,020737603	2,376623377
NAALADL2	0,035868595	-0,029613287	0,159	0,074	1	0,979682865	1,020738481	2,148648649
H1-1	0,89702294	-0,029649599	0,012	0,014	1	0,979658208	1,020764173	0,857142857
WDCP	0,89237004	-0,029659877	0,012	0,014	1	0,979651228	1,020771445	0,857142857
ZNF649	0,018189014	-0,029661397	0,11	0,039	1	0,979650196	1,02077252	2,820512821
SEL1L3	0,89237004	-0,029682335	0,012	0,014	1	0,979635978	1,020787335	0,857142857
CCDC144NL	0,35350329	-0,029707704	0	0,011	1	0,979618752	1,020805286	0
CD40	0,044003418	-0,029709894	0,11	0,046	1	0,979617265	1,020806835	2,391304348
FLT1	0,530989227	-0,029726247	0,024	0,014	1	0,979606161	1,020818406	1,714285714
ZBTB3	0,654971645	-0,029730239	0,012	0,007	1	0,97960345	1,020821231	1,714285714
HRH2	0,35185965	-0,02977395	0,012	0,004	1	0,979573771	1,02085216	3
WHRN	0,837477365	-0,029781305	0,037	0,032	1	0,979568777	1,020857364	1,15625
IRX2	0,908489202	-0,029869621	0,012	0,011	1	0,979508813	1,020919859	1,090909091
PSME1	0,006849845	-0,029894387	0,683	0,379	1	0,979491999	1,020937385	1,802110818
IPP	0,113968254	-0,029931529	0,049	0,018	1	0,979466782	1,020963669	2,722222222
ZBTB26	0,187860656	-0,029937322	0,024	0,007	1	0,979462849	1,020967769	3,428571429
NELFA	0,010328004	-0,030014583	0,195	0,084	1	0,979410397	1,021022447	2,321428571
PUS1	0,010662277	-0,030022806	0,11	0,035	1	0,979404815	1,021028266	3,142857143
ARHGEF28	0,103028151	-0,030084375	0,085	0,039	1	0,979363019	1,021071841	2,179487179
ANKRD26	0,111297434	-0,030100601	0,122	0,063	1	0,979352004	1,021083325	1,936507937
WDR31	0,35350329	-0,030145575	0	0,011	1	0,979321474	1,021115156	0
SPRED3	0,348081613	-0,030168606	0,024	0,011	1	0,97930584	1,021131457	2,181818182
ZNF490	0,28294086	-0,030174592	0,049	0,025	1	0,979301777	1,021135694	1,96
SKAP2	0,903285004	-0,030187886	0,012	0,011	1	0,979292753	1,021145103	1,090909091
ARHGAP27	0,35350329	-0,030218082	0	0,011	1	0,979272257	1,021166477	0
ALMS1	0,698086519	-0,030242211	0,037	0,028	1	0,979255878	1,021183556	1,321428571
SAP130	0,868326909	-0,030264135	0,024	0,021	1	0,979240997	1,021199074	1,142857143

Supplementary Table 2

Differentially expressed genes_keloid-XL_comparing SC-Keloid vs. (SC-Myel, SC-Nonmyel, SC-Nonmyel2)								
gene	p_val	avg_log2FC	pct.1	pct.2	p_val_adj	Foldchange_UP	Foldchange_DOWN	Ratio_pct1_pct2
CWC27	6,42577E-05	-0,030269811	0,195	0,049	1	0,979237145	1,021203092	3,979591837
C1GALT1	0,022834029	-0,030275981	0,171	0,077	1	0,979232957	1,021207459	2,220779221
SLC44A3	0,187860656	-0,030303707	0,024	0,007	1	0,979214138	1,021227085	3,428571429
SLC26A6	0,187860656	-0,030315175	0,024	0,007	1	0,979206354	1,021235203	3,428571429
EPS8L2	0,070675603	-0,030338357	0,061	0,021	1	0,97919062	1,021251613	2,904761905
RASL11A	0,649511996	-0,030366002	0,012	0,007	1	0,979171857	1,021271183	1,714285714
TINCR	0,35350329	-0,030503083	0	0,011	1	0,979078823	1,021368225	0
TRIP12	0,000636844	-0,030534463	0,366	0,151	1	0,979057527	1,021390441	2,42384106
PRMT5	0,026893293	-0,030543174	0,134	0,056	1	0,979051616	1,021396609	2,392857143
C7orf26	0,027873303	-0,030548048	0,146	0,063	1	0,979048308	1,021400059	2,317460317
ANO7	0,348081613	-0,030579612	0,024	0,011	1	0,979026888	1,021422406	2,181818182
SYCP2	0,028583695	-0,030590415	0,11	0,042	1	0,979019557	1,021430055	2,619047619
SLC36A2	0,28286347	-0,030598953	0	0,014	1	0,979013763	1,0214361	0
UBAC1	0,001405402	-0,030608271	0,207	0,074	1	0,97900744	1,021442697	2,797297297
ZSCAN12	0,044226311	-0,030611334	0,037	0,007	1	0,979005362	1,021444865	5,285714286
LSAMP	2,19651E-06	-0,030690137	0,476	0,165	0,046348574	0,978951888	1,02150066	2,884848485
SEC24C	6,70103E-05	-0,03073733	0,195	0,049	1	0,978919865	1,021534076	3,979591837
GRIK4	0,107265343	-0,030746218	0,037	0,011	1	0,978913834	1,02154037	3,363636364
RGPD2	0,728697501	-0,03074996	0,012	0,018	1	0,978911295	1,021543019	0,666666667
CDC42BPA	2,83253E-05	-0,030769952	0,439	0,168	0,597692996	0,97889773	1,021557175	2,613095238
EP400	0,01130569	-0,030780073	0,22	0,098	1	0,978890863	1,021564342	2,244897959
RAP1GAP2	0,007845558	-0,03080767	0,134	0,046	1	0,978872138	1,021583884	2,913043478
VAMP1	0,906339215	-0,030842056	0,012	0,014	1	0,978848807	1,021608232	0,857142857
BRCA2	0,35350329	-0,030867879	0	0,011	1	0,978831287	1,021626519	0
BHLHE22	0,908489202	-0,030877674	0,012	0,011	1	0,978824642	1,021633455	1,090909091
THAP12	0,004927645	-0,030899563	0,183	0,07	1	0,97880979	1,021648956	2,614285714
BACE2	0,000644578	-0,030907321	0,378	0,161	1	0,978804527	1,021654449	2,347826087
SLC46A1	0,908489202	-0,030909479	0,012	0,011	1	0,978803063	1,021655978	1,090909091
PALD1	0,654971645	-0,030917974	0,012	0,007	1	0,9787973	1,021661993	1,714285714
BCO2	0,8646531	-0,03094914	0,024	0,021	1	0,978776155	1,021684064	1,142857143

Supplementary Table 2

Differentially expressed genes_keloid-XL_comparing SC-Keloid vs. (SC-Myel, SC-Nonmyel, SC-Nonmyel2)								
gene	p_val	avg_log2FC	pct.1	pct.2	p_val_adj	Foldchange_UP	Foldchange_DOWN	Ratio_pct1_pct2
UBAP2L	3,37176E-05	-0,030973841	0,305	0,098	0,711475733	0,978759397	1,021701557	3,112244898
VWA2	0,35350329	-0,030984751	0	0,011	1	0,978751996	1,021709283	0
SYDE1	0,001405402	-0,031074355	0,207	0,074	1	0,978691209	1,021772742	2,797297297
VAT1L	0,28286347	-0,031099722	0	0,014	1	0,978674	1,021790709	0
TSEN54	0,000314866	-0,031118662	0,171	0,046	1	0,978661152	1,021804123	3,717391304
PPIH	0,001934135	-0,031122428	0,195	0,07	1	0,978658597	1,02180679	2,785714286
NEXN	0,908489202	-0,031165105	0,012	0,011	1	0,978629648	1,021837017	1,090909091
MTFR1	0,002874762	-0,031166431	0,11	0,028	1	0,978628748	1,021837956	3,928571429
PAFAH1B1	0,000856389	-0,031171967	0,537	0,26	1	0,978624993	1,021841878	2,065384615
ZFAND4	0,351112297	-0,031184428	0,024	0,011	1	0,97861654	1,021850703	2,181818182
DHCR24	0,57319978	-0,031209337	0,037	0,025	1	0,978599644	1,021868347	1,48
SAMD9	0,026581629	-0,031211182	0,085	0,028	1	0,978598392	1,021869653	3,035714286
RRM1	0,011566228	-0,031219376	0,122	0,042	1	0,978592835	1,021875457	2,904761905
ELP4	0,006704008	-0,031261523	0,085	0,021	1	0,978564246	1,021905311	4,047619048
GMDS-DT	0,728697501	-0,031290698	0,012	0,018	1	0,978544457	1,021925977	0,666666667
TPD52	0,89237004	-0,031304322	0,012	0,014	1	0,978535217	1,021935627	0,857142857
NOVA2	0,35350329	-0,03131167	0	0,011	1	0,978530232	1,021940832	0
CA8	0,35350329	-0,031358336	0	0,011	1	0,978498581	1,021973889	0
RC3H2	0,023766347	-0,031372966	0,244	0,123	1	0,978488658	1,021984253	1,983739837
FABP4	0,036427227	-0,031406534	0,061	0,018	1	0,978465891	1,022008032	3,388888889
TRABD	0,014934204	-0,03141816	0,183	0,081	1	0,978458007	1,022016267	2,259259259
ENO3	0,908489202	-0,031429348	0,012	0,011	1	0,978450419	1,022024193	1,090909091
APBA1	0,35350329	-0,031476281	0	0,011	1	0,978418589	1,022057442	0
RASAL2-AS1	0,35350329	-0,031477608	0	0,011	1	0,978417689	1,022058382	0
LRRC37A	0,35350329	-0,031479092	0	0,011	1	0,978416682	1,022059433	0
CSNK1G1	0,011285803	-0,031534754	0,122	0,042	1	0,978378934	1,022098867	2,904761905
CXCL1	0,35350329	-0,031545855	0	0,011	1	0,978371406	1,022106731	0
SGTA	0,000304975	-0,031558652	0,317	0,119	1	0,978362728	1,022115798	2,663865546
HYDIN	0,908489202	-0,031564106	0,012	0,011	1	0,978359029	1,022119662	1,090909091
TECPR1	0,026817522	-0,031593374	0,085	0,028	1	0,978339181	1,022140398	3,035714286

Supplementary Table 2

Differentially expressed genes_keloid-XL_comparing SC-Keloid vs. (SC-Myel, SC-Nonmyel, SC-Nonmyel2)								
gene	p_val	avg_log2FC	pct.1	pct.2	p_val_adj	Foldchange_UP	Foldchange_DOWN	Ratio_pct1_pct2
RFK	0,034046114	-0,031662825	0,171	0,081	1	0,978292085	1,022189605	2,111111111
IPPK	0,442988867	-0,031663445	0,037	0,021	1	0,978291665	1,022190044	1,761904762
CLIC3	0,654971645	-0,031670898	0,012	0,007	1	0,978286611	1,022195324	1,714285714
PLXNB3	0,89237004	-0,031693342	0,012	0,014	1	0,978271392	1,022211227	0,857142857
FRAT1	0,35350329	-0,031709498	0	0,011	1	0,978260437	1,022222674	0
PROX1	0,611083176	-0,031713606	0,012	0,021	1	0,978257651	1,022225585	0,571428571
GTF2F2	0,00129853	-0,031827661	0,354	0,154	1	0,978180317	1,022306402	2,298701299
LAMB3	0,004485159	-0,031857389	0,073	0,014	1	0,97816016	1,022327468	5,214285714
GATB	0,008986301	-0,031869814	0,098	0,028	1	0,978151736	1,022336273	3,5
DSN1	0,908489202	-0,032091745	0,012	0,011	1	0,978001278	1,022493552	1,090909091
METTL2B	0,046418627	-0,032095352	0,085	0,032	1	0,977998833	1,022496108	2,65625
GALR1	0,00153962	-0,032096109	0,439	0,207	1	0,97799832	1,022496644	2,120772947
ARHGEF4	0,732741497	-0,032121742	0,012	0,018	1	0,977980943	1,022514812	0,666666667
ABCA10	0,35350329	-0,032122653	0	0,011	1	0,977980325	1,022515458	0
GCN1	0,124884834	-0,032162789	0,098	0,049	1	0,977953118	1,022543905	2
CRY2	0,587258138	-0,032165923	0,049	0,035	1	0,977950994	1,022546126	1,4
CCDC163	0,654971645	-0,032166942	0,012	0,007	1	0,977950303	1,022546848	1,714285714
BMPR1A	0,219439044	-0,032184094	0,098	0,056	1	0,977938677	1,022559005	1,75
MIX23	0,019825404	-0,032209771	0,122	0,046	1	0,977921271	1,022577205	2,652173913
NRIP2	0,351373689	-0,032218004	0,012	0,032	1	0,977915691	1,02258304	0,375
PARP11	0,710321163	-0,032251598	0,024	0,018	1	0,977892919	1,022606852	1,333333333
SMG8	0,654971645	-0,032270815	0,012	0,007	1	0,977879894	1,022620474	1,714285714
DECR2	0,016904722	-0,032315114	0,11	0,039	1	0,977849868	1,022651874	2,820512821
NUDT11	0,908489202	-0,032356803	0,012	0,011	1	0,977821612	1,022681426	1,090909091
MTHFSD	0,001295886	-0,03237525	0,11	0,025	1	0,977809109	1,022694503	4,4
FAH	0,038341604	-0,032449397	0,061	0,018	1	0,977758856	1,022747065	3,388888889
CAPN10-DT	0,654971645	-0,032502005	0,012	0,007	1	0,977723203	1,02278436	1,714285714
SBF1	0,000879985	-0,032504731	0,159	0,046	1	0,977721355	1,022786293	3,456521739
TTL9	0,89237004	-0,03250939	0,012	0,014	1	0,977718197	1,022789596	0,857142857
NCAPH	0,654971645	-0,032515246	0,012	0,007	1	0,977714229	1,022793747	1,714285714

Supplementary Table 2

Differentially expressed genes_keloid-XL_comparing SC-Keloid vs. (SC-Myel, SC-Nonmyel, SC-Nonmyel2)								
gene	p_val	avg_log2FC	pct.1	pct.2	p_val_adj	Foldchange_UP	Foldchange_DOWN	Ratio_pct1_pct2
ZNF607	0,89237004	-0,032531029	0,012	0,014	1	0,977703533	1,022804937	0,857142857
U2AF1L4	0,004240771	-0,032566338	0,134	0,042	1	0,977679605	1,022829969	3,19047619
HSD3B7	0,702909482	-0,032573704	0,024	0,018	1	0,977674613	1,022835192	1,333333333
EDA	0,20009151	-0,032610668	0,037	0,014	1	0,977649564	1,022861398	2,642857143
SHC3	0,654971645	-0,032642231	0,012	0,007	1	0,977628175	1,022883777	1,714285714
BDNF-AS	0,584809532	-0,032642914	0,049	0,035	1	0,977627712	1,022884261	1,4
ASIC3	0,89237004	-0,032650343	0,012	0,014	1	0,977622678	1,022889528	0,857142857
GAREM1	0,027927065	-0,032661796	0,122	0,049	1	0,977614917	1,022897649	2,489795918
UNC80	0,35350329	-0,032732825	0	0,011	1	0,977566787	1,022948011	0
KLHL20	0,026770472	-0,032739903	0,122	0,049	1	0,977561991	1,022953029	2,489795918
ZNF549	0,107265343	-0,032835936	0,037	0,011	1	0,977496922	1,023021125	3,363636364
ZNF672	0,011986296	-0,032840422	0,134	0,049	1	0,977493882	1,023024305	2,734693878
PSD	0,654971645	-0,032858538	0,012	0,007	1	0,977481608	1,023037152	1,714285714
HYLS1	0,35350329	-0,032865426	0	0,011	1	0,977476941	1,023042036	0
HES7	0,316484073	-0,032903661	0,037	0,018	1	0,977451036	1,02306915	2,055555556
TASOR	0,019935749	-0,032916087	0,22	0,105	1	0,977442617	1,023077962	2,095238095
RFLNA	0,205790003	-0,032921518	0,012	0,042	1	0,977438938	1,023081813	0,285714286
BLVRB	0,006261444	-0,032961518	0,293	0,137	1	0,977411837	1,023110179	2,138686131
TM7SF2	0,35350329	-0,032982723	0	0,011	1	0,977397471	1,023125217	0
ORAI3	0,014400666	-0,033013164	0,085	0,025	1	0,977376848	1,023146805	3,4
RIMKLB	0,122059876	-0,033015435	0,134	0,074	1	0,97737531	1,023148416	1,810810811
OAS1	0,35185965	-0,033033706	0,012	0,004	1	0,977362932	1,023161374	3
PPP1R9A	0,196307728	-0,03304447	0,22	0,144	1	0,97735564	1,023169008	1,527777778
ARSL	0,000318043	-0,033046904	0,171	0,046	1	0,97735399	1,023170734	3,717391304
ZNF493	0,196418304	-0,033063799	0,11	0,063	1	0,977342545	1,023182716	1,746031746
PLA2G4B	0,960978112	-0,033160489	0,049	0,049	1	0,977277046	1,023251292	1
ZSCAN5A	0,1180597	-0,033164368	0,049	0,018	1	0,977274418	1,023254044	2,722222222
SHLD2	0,002780459	-0,03319754	0,159	0,053	1	0,977251948	1,023277572	3
ZNF596	0,20009151	-0,033204374	0,037	0,014	1	0,977247318	1,023282419	2,642857143
POLA1	0,987688096	-0,033232911	0,024	0,025	1	0,977227988	1,02330266	0,96

Supplementary Table 2

Differentially expressed genes_keloid-XL_comparing SC-Keloid vs. (SC-Myel, SC-Nonmyel, SC-Nonmyel2)								
gene	p_val	avg_log2FC	pct.1	pct.2	p_val_adj	Foldchange_UP	Foldchange_DOWN	Ratio_pct1_pct2
LRFN5	0,728697501	-0,033241394	0,012	0,018	1	0,977222242	1,023308677	0,666666667
HCG27	0,654971645	-0,033267192	0,012	0,007	1	0,977204768	1,023326976	1,714285714
AP4E1	0,043046717	-0,033379105	0,073	0,025	1	0,977128967	1,02340636	2,92
CDK17	0,105099631	-0,033398849	0,122	0,063	1	0,977115595	1,023420367	1,936507937
PODXL	0,903285004	-0,033419171	0,012	0,011	1	0,977101831	1,023434783	1,090909091
BACH1-IT2	0,35350329	-0,03344581	0	0,011	1	0,977083789	1,023453681	0
FAM228B	0,001368055	-0,033449772	0,244	0,095	1	0,977081106	1,023456491	2,568421053
JRKL	0,01855649	-0,033454662	0,134	0,053	1	0,977077794	1,02345996	2,528301887
ZMYM1	0,023573977	-0,033475897	0,073	0,021	1	0,977063412	1,023475025	3,476190476
CDNF	0,89237004	-0,033523299	0,012	0,014	1	0,97703131	1,023508652	0,857142857
RRAGB	0,285301791	-0,033577845	0,073	0,042	1	0,976994371	1,023547351	1,738095238
PAXBP1-AS1	0,8646531	-0,033636939	0,024	0,021	1	0,976954353	1,023589277	1,142857143
CTC1	0,710321163	-0,033637448	0,024	0,018	1	0,976954008	1,023589638	1,333333333
GCC2	0,064290899	-0,03368388	0,402	0,246	1	0,976922567	1,023622582	1,634146341
LINC01023	0,063408785	-0,03371544	0,049	0,014	1	0,976901196	1,023644975	3,5
HCN2	0,89237004	-0,033715477	0,012	0,014	1	0,976901171	1,023645001	0,857142857
RCL1	0,361657411	-0,033743514	0,073	0,046	1	0,976882186	1,023664895	1,586956522
C10orf67	0,35350329	-0,033769918	0	0,011	1	0,976864308	1,02368363	0
SGSM2	0,442674068	-0,033788438	0,085	0,06	1	0,976851768	1,023696771	1,416666667
FGF17	0,35350329	-0,033806075	0	0,011	1	0,976839826	1,023709285	0
IRX4	0,35350329	-0,033809349	0	0,011	1	0,976837608	1,023711609	0
EPHX3	0,35185965	-0,033872578	0,012	0,004	1	0,976794798	1,023756476	3
RPS16	0,751861504	-0,03389592	0,976	0,867	1	0,976778994	1,02377304	1,125720877
MFSD4B	0,704014659	-0,03390929	0,037	0,028	1	0,976769942	1,023782528	1,321428571
PAQR8	0,000367825	-0,033928226	0,22	0,07	1	0,976757121	1,023795965	3,142857143
DGKQ	0,03795203	-0,033940438	0,061	0,018	1	0,976748854	1,023804631	3,388888889
CDH15	0,442988867	-0,034099429	0,037	0,021	1	0,976641217	1,023917466	1,761904762
TIAM2	0,20009151	-0,034113833	0,037	0,014	1	0,976631467	1,023927688	2,642857143
SLC7A6	0,043812629	-0,034143133	0,073	0,025	1	0,976611632	1,023948484	2,92
IL33	0,523960732	-0,034155046	0,024	0,014	1	0,976603568	1,023956939	1,714285714

Supplementary Table 2

Differentially expressed genes_keloid-XL_comparing SC-Keloid vs. (SC-Myel, SC-Nonmyel, SC-Nonmyel2)								
gene	p_val	avg_log2FC	pct.1	pct.2	p_val_adj	Foldchange_UP	Foldchange_DOWN	Ratio_pct1_pct2
ANKLE2	0,009000399	-0,034179567	0,305	0,151	1	0,976586969	1,023974343	2,01986755
ENHO	0,60063706	-0,034199045	0,012	0,021	1	0,976573784	1,023988168	0,571428571
STAT1	4,48824E-05	-0,034259721	0,232	0,063	0,947064385	0,976532713	1,024031235	3,682539683
TIMMDC1	0,017418624	-0,034265367	0,341	0,182	1	0,976528891	1,024035243	1,873626374
NQO2	0,001386819	-0,034270241	0,183	0,06	1	0,976525592	1,024038702	3,05
RPUSD2	0,316484073	-0,034287084	0,037	0,018	1	0,976514191	1,024050658	2,055555556
COQ6	0,001196333	-0,034323767	0,134	0,035	1	0,976489362	1,024076696	3,828571429
WBP4	0,000708144	-0,034337529	0,329	0,137	1	0,976480048	1,024086465	2,401459854
TANGO6	0,530989227	-0,034432335	0,024	0,014	1	0,976415881	1,024153764	1,714285714
GLMN	0,07141129	-0,03444341	0,073	0,028	1	0,976408385	1,024161626	2,607142857
PAXIP1-DT	0,328098566	-0,034499732	0,061	0,035	1	0,976370268	1,02420161	1,742857143
RBM26-AS1	0,908489202	-0,034528949	0,012	0,011	1	0,976350495	1,024222352	1,090909091
SCMH1	0,144755749	-0,034599029	0,085	0,042	1	0,976303069	1,024272105	2,023809524
CHST15	0,908489202	-0,034603025	0,012	0,011	1	0,976300365	1,024274942	1,090909091
RPRD1A	0,006371516	-0,034609777	0,256	0,116	1	0,976295795	1,024279737	2,206896552
C8orf58	0,063408785	-0,034627458	0,049	0,014	1	0,976283831	1,024292289	3,5
FAM189B	0,017433388	-0,034634318	0,122	0,046	1	0,976279188	1,02429716	2,652173913
TCTN3	0,261769789	-0,034642611	0,183	0,123	1	0,976273576	1,024303048	1,487804878
NLGN3	0,026535568	-0,034726901	0,134	0,056	1	0,976216539	1,024362895	2,392857143
SAMD12	0,018346076	-0,034758634	0,171	0,074	1	0,976195067	1,024385427	2,310810811
ATP6V0E2	0,003359443	-0,034785412	0,256	0,109	1	0,976176948	1,024404441	2,348623853
MYO1G	0,654971645	-0,034787876	0,012	0,007	1	0,97617528	1,02440619	1,714285714
SUOX	0,440372242	-0,034795124	0,037	0,021	1	0,976170376	1,024411337	1,761904762
CGN	0,066254792	-0,034829095	0,024	0,004	1	0,976147391	1,024435459	6
PIK3C2A	0,005786242	-0,034832662	0,256	0,116	1	0,976144977	1,024437992	2,206896552
MTA1	0,005880571	-0,03485008	0,28	0,13	1	0,976133192	1,02445036	2,153846154
OAZ2	0,011048373	-0,034857354	0,293	0,14	1	0,976128271	1,024455525	2,092857143
ZNF764	0,351112297	-0,034866727	0,024	0,011	1	0,976121929	1,024462181	2,181818182
QRICH1	0,041290634	-0,034906425	0,122	0,053	1	0,976095069	1,024490371	2,301886792
PSMD6-AS2	0,89237004	-0,034920254	0,012	0,014	1	0,976085713	1,024500191	0,857142857

Supplementary Table 2

Differentially expressed genes_keloid-XL_comparing SC-Keloid vs. (SC-Myel, SC-Nonmyel, SC-Nonmyel2)								
gene	p_val	avg_log2FC	pct.1	pct.2	p_val_adj	Foldchange_UP	Foldchange_DOWN	Ratio_pct1_pct2
HTR2A	0,654971645	-0,034927512	0,012	0,007	1	0,976080803	1,024505346	1,714285714
LINC00462	0,228958629	-0,03493521	0	0,018	1	0,976075595	1,024510812	0
GCNA	0,60759219	-0,034956795	0,012	0,021	1	0,976060991	1,024526141	0,571428571
REC8	0,07900023	-0,034965443	0,134	0,067	1	0,97605514	1,024532282	2
BCAR1	0,073477438	-0,034977873	0,317	0,189	1	0,976046731	1,024541109	1,677248677
S100P	0,35350329	-0,035017658	0	0,011	1	0,976019815	1,024569363	0
RALGPS1	0,314233219	-0,035026658	0,037	0,018	1	0,976013726	1,024575755	2,055555556
PALM3	0,654971645	-0,035039282	0,012	0,007	1	0,976005186	1,02458472	1,714285714
SPATA5L1	0,60759219	-0,035077098	0,012	0,021	1	0,975979603	1,024611577	0,571428571
PISD	0,023573977	-0,035126469	0,073	0,021	1	0,975946204	1,024646641	3,476190476
HOXD3	0,228958629	-0,035204846	0	0,018	1	0,975893186	1,024702308	0
ANO10	0,00716736	-0,035286585	0,134	0,046	1	0,975837896	1,024760367	2,913043478
KLHL11	0,279370565	-0,035314347	0,049	0,025	1	0,975819117	1,024780087	1,96
GDAP1	0,014400666	-0,03531858	0,085	0,025	1	0,975816255	1,024783093	3,4
TMEM81	0,654971645	-0,03533095	0,012	0,007	1	0,975807887	1,02479188	1,714285714
TP53RK	0,029887845	-0,035341312	0,11	0,042	1	0,975800879	1,024799241	2,619047619
CSNK1A1	0,159667996	-0,035386756	0,732	0,54	1	0,975770142	1,024831522	1,355555556
TYSND1	0,010852162	-0,035459692	0,11	0,035	1	0,975720813	1,024883334	3,142857143
MCOLN1	0,136592705	-0,035493233	0,122	0,067	1	0,975698129	1,024907161	1,820895522
CEPT1	0,19199525	-0,035508298	0,049	0,021	1	0,975687941	1,024917864	2,333333333
MKRN1	0,005188474	-0,035516827	0,268	0,119	1	0,975682173	1,024923923	2,25210084
ALDH5A1	0,89237004	-0,0355211	0,012	0,014	1	0,975679283	1,024926958	0,857142857
NOP14	0,584659388	-0,03554699	0,037	0,025	1	0,975661774	1,024945352	1,48
SLC25A44	0,096427073	-0,035548135	0,098	0,046	1	0,975661	1,024946165	2,130434783
FBXO10	0,654971645	-0,0355533	0,012	0,007	1	0,975657506	1,024949835	1,714285714
RAB3GAP1	0,016708662	-0,035577523	0,28	0,14	1	0,975641125	1,024967044	2
LINC00324	0,706611845	-0,035610617	0,024	0,018	1	0,975618746	1,024990556	1,333333333
LY6G5B	0,654971645	-0,03561155	0,012	0,007	1	0,975618114	1,024991219	1,714285714
MARCHF9	8,84329E-06	-0,035611553	0,354	0,112	0,186602248	0,975618112	1,024991221	3,160714286
PURG	0,35350329	-0,035704828	0	0,011	1	0,975555038	1,025057492	0

Supplementary Table 2

Differentially expressed genes_keloid-XL_comparing SC-Keloid vs. (SC-Myel, SC-Nonmyel, SC-Nonmyel2)								
gene	p_val	avg_log2FC	pct.1	pct.2	p_val_adj	Foldchange_UP	Foldchange_DOWN	Ratio_pct1_pct2
ZNF275	0,179372449	-0,035719513	0,061	0,028	1	0,975545107	1,025067926	2,178571429
NTNG1	0,376832882	-0,035722504	0,049	0,028	1	0,975543085	1,025070051	1,75
GOLGA8N	0,35350329	-0,035728692	0	0,011	1	0,975538901	1,025074448	0
HDAC11	0,087730248	-0,03575076	0,183	0,102	1	0,975523979	1,025090128	1,794117647
INHBA	0,706611845	-0,035904574	0,024	0,018	1	0,975419978	1,025199425	1,333333333
AMER1	0,908489202	-0,035905477	0,012	0,011	1	0,975419367	1,025200067	1,090909091
C15orf39	0,070054953	-0,035913776	0,061	0,021	1	0,975413756	1,025205964	2,904761905
STK4	0,005183201	-0,03593489	0,232	0,098	1	0,975399481	1,025220968	2,367346939
ABHD10	0,017465351	-0,035944538	0,11	0,039	1	0,975392958	1,025227824	2,820512821
KRT16	0,275831025	-0,035951666	0,049	0,025	1	0,975388139	1,025232889	1,96
ARRB1	0,868326909	-0,035955639	0,024	0,021	1	0,975385453	1,025235713	1,142857143
SLC9B2	0,026685693	-0,035958373	0,049	0,011	1	0,975383605	1,025237656	4,454545455
C15orf40	6,89797E-05	-0,036019541	0,171	0,039	1	0,975342251	1,025281125	4,384615385
TBXA2R	0,89237004	-0,036091121	0,012	0,014	1	0,97529386	1,025331996	0,857142857
CHCHD10	7,97476E-07	-0,036096329	0,537	0,189	0,016827536	0,975290339	1,025335698	2,841269841
POLE	0,189157269	-0,036101589	0,049	0,021	1	0,975286783	1,025339436	2,333333333
STT3B	0,001484378	-0,036105063	0,268	0,109	1	0,975284435	1,025341905	2,458715596
EHF	0,654971645	-0,036135719	0,012	0,007	1	0,975263711	1,025363693	1,714285714
ZNF140	0,274072777	-0,036183782	0,049	0,025	1	0,975231221	1,025397853	1,96
CLYBL	0,908489202	-0,036206519	0,012	0,011	1	0,975215851	1,025414013	1,090909091
SCYL3	0,710321163	-0,036292293	0,024	0,018	1	0,975157873	1,02547498	1,333333333
NLGN1	0,19057237	-0,036321807	0,049	0,021	1	0,975137924	1,025495959	2,333333333
TTC39C	0,159658848	-0,036342707	0,11	0,06	1	0,975123797	1,025510815	1,833333333
MMRN2	0,89237004	-0,036359066	0,012	0,014	1	0,97511274	1,025522444	0,857142857
ZNF718	0,89237004	-0,03636636	0,012	0,014	1	0,97510781	1,025527629	0,857142857
ZBTB18	0,044615627	-0,036419942	0,085	0,032	1	0,975071595	1,025565718	2,65625
SLCO4A1	0,35350329	-0,036437912	0	0,011	1	0,975059449	1,025578492	0
DSG1	0,872003564	-0,036441766	0,024	0,021	1	0,975056845	1,025581232	1,142857143
DISP2	0,35350329	-0,036450193	0	0,011	1	0,975051149	1,025587223	0
AC027307.3	0,89237004	-0,03650326	0,012	0,014	1	0,975015284	1,025624948	0,857142857

Supplementary Table 2

Differentially expressed genes_keloid-XL_comparing SC-Keloid vs. (SC-Myel, SC-Nonmyel, SC-Nonmyel2)								
gene	p_val	avg_log2FC	pct.1	pct.2	p_val_adj	Foldchange_UP	Foldchange_DOWN	Ratio_pct1_pct2
LRRC37A3	0,063408785	-0,036510554	0,049	0,014	1	0,975010355	1,025630133	3,5
FO XK2	0,232890846	-0,036527332	0,183	0,119	1	0,974999016	1,025642061	1,537815126
ZNF337-AS1	0,903285004	-0,036554713	0,012	0,011	1	0,974980511	1,025661527	1,090909091
FAM86B1	0,908489202	-0,036556483	0,012	0,011	1	0,974979315	1,025662785	1,090909091
LINC00958	0,710321163	-0,03657826	0,024	0,018	1	0,974964598	1,025678267	1,333333333
ZNF585A	0,007407637	-0,036585691	0,134	0,046	1	0,974959576	1,025683551	2,913043478
CDK8	0,176994433	-0,036642598	0,061	0,028	1	0,97492112	1,025724009	2,178571429
ADAT3	0,19199525	-0,036668685	0,049	0,021	1	0,974903492	1,025742557	2,333333333
ZNF629	0,028081741	-0,036743495	0,049	0,011	1	0,97485294	1,025795747	4,454545455
NUFIP1	0,184958462	-0,036752374	0,049	0,021	1	0,974846941	1,02580206	2,333333333
TMEM88	0,35350329	-0,03680782	0	0,011	1	0,974809475	1,025841485	0
TCAP	0,35350329	-0,036852289	0	0,011	1	0,974779429	1,025873105	0
TUBD1	0,017691584	-0,036857381	0,061	0,014	1	0,974775989	1,025876726	4,357142857
NARS2	0,279370565	-0,036871999	0,049	0,025	1	0,974766112	1,025887121	1,96
SRPRA	0,001000448	-0,036892684	0,305	0,126	1	0,974752136	1,02590183	2,420634921
COG3	0,000939956	-0,036895663	0,195	0,063	1	0,974750123	1,025903948	3,095238095
SOX3	0,35350329	-0,036904353	0	0,011	1	0,974744252	1,025910128	0
AKAP1	0,275457423	-0,036922625	0,073	0,042	1	0,974731906	1,025923122	1,738095238
TRIM59	0,187860656	-0,036950282	0,024	0,007	1	0,97471322	1,025942789	3,428571429
PTPRG	0,448248692	-0,036951593	0,037	0,021	1	0,974712335	1,025943721	1,761904762
ZKSCAN5	0,316484073	-0,036971544	0,037	0,018	1	0,974698856	1,025957909	2,055555556
YRDC	0,043562455	-0,037003093	0,085	0,032	1	0,974677541	1,025980345	2,65625
ACADM	0,140795415	-0,037004693	0,146	0,084	1	0,97467646	1,025981483	1,738095238
ZNF460	0,310141781	-0,037059255	0,085	0,053	1	0,974639599	1,026020286	1,603773585
RASGRP3	0,728697501	-0,037065847	0,012	0,018	1	0,974635146	1,026024974	0,666666667
KCNC1	0,35350329	-0,037073006	0	0,011	1	0,97463031	1,026030065	0
AXIN1	0,056823405	-0,037096012	0,171	0,088	1	0,974614768	1,026046427	1,943181818
PARN	0,000150658	-0,037107138	0,146	0,032	1	0,974607252	1,02605434	4,5625
PAPOLG	0,258558337	-0,037128128	0,085	0,049	1	0,974593072	1,026069268	1,734693878
DEPDC4	0,35350329	-0,037159548	0	0,011	1	0,974571847	1,026091615	0

Supplementary Table 2

Differentially expressed genes_keloid-XL_comparing SC-Keloid vs. (SC-Myel, SC-Nonmyel, SC-Nonmyel2)								
gene	p_val	avg_log2FC	pct.1	pct.2	p_val_adj	Foldchange_UP	Foldchange_DOWN	Ratio_pct1_pct2
WDR7	0,602048443	-0,037240707	0,049	0,035	1	0,974517024	1,026149339	1,4
ZNF17	0,35350329	-0,037256802	0	0,011	1	0,974506152	1,026160788	0
TNFSF12	0,000344891	-0,037307818	0,402	0,168	1	0,974471692	1,026197075	2,392857143
NAAA	0,248075609	-0,037316048	0,061	0,032	1	0,974466133	1,026202929	1,90625
ZNF883	0,908489202	-0,037342004	0,012	0,011	1	0,974448601	1,026221392	1,090909091
TRIM73	0,414697944	-0,037363833	0,012	0,028	1	0,974433857	1,026236919	0,428571429
CCDC120	0,28286347	-0,037378768	0	0,014	1	0,97442377	1,026247543	0
VGLL4	0,00771753	-0,037456501	0,744	0,421	1	0,974371269	1,026302839	1,767220903
HTT	0,18555285	-0,037505413	0,232	0,151	1	0,974338235	1,026337635	1,536423841
LINC02693	0,489167971	-0,037584178	0,049	0,032	1	0,974285042	1,02639367	1,53125
CNN1	0,100388468	-0,037709922	0,085	0,039	1	0,974200128	1,026483134	2,179487179
ARL17B	0,89237004	-0,037710104	0,012	0,014	1	0,974200005	1,026483263	0,857142857
CBX6	0,063832704	-0,037730285	0,415	0,253	1	0,974186378	1,026497622	1,640316206
ANXA2R	0,710321163	-0,037748484	0,024	0,018	1	0,974174089	1,026510571	1,333333333
UNC45A	0,022281318	-0,037773692	0,195	0,091	1	0,974157068	1,026528507	2,142857143
PIEZO2	0,35350329	-0,0377747	0	0,011	1	0,974156387	1,026529224	0
LMNB1	0,026347531	-0,037786961	0,085	0,028	1	0,974148108	1,026537949	3,035714286
DIPK2B	0,442988867	-0,037796675	0,037	0,021	1	0,974141548	1,026544861	1,761904762
TRIM22	0,274072777	-0,037822355	0,049	0,025	1	0,974124209	1,026563133	1,96
ARG2	0,114372788	-0,037865834	0,073	0,032	1	0,974094852	1,026594072	2,28125
TSTD1	0,023573977	-0,03788767	0,073	0,021	1	0,974080109	1,026609609	3,476190476
DNAJC16	0,01104171	-0,0379218	0,073	0,018	1	0,974057065	1,026633896	4,055555556
NEFM	0,001374324	-0,037941662	0,195	0,067	1	0,974043655	1,026648031	2,910447761
PLAAT5	0,35350329	-0,038082238	0	0,011	1	0,973948749	1,026748072	0
GMEB1	0,380987214	-0,038125451	0,049	0,028	1	0,973919577	1,026778826	1,75
BMT2	0,249536154	-0,038131887	0,061	0,032	1	0,973915232	1,026783407	1,90625
SMAD6	0,28286347	-0,038151319	0	0,014	1	0,973902114	1,026797237	0
ZNF620	0,908489202	-0,03816193	0,012	0,011	1	0,973894951	1,026804789	1,090909091
LAMA1	0,35350329	-0,038196098	0	0,011	1	0,973871886	1,026829108	0
SLC37A1	0,530989227	-0,038281237	0,024	0,014	1	0,973814416	1,026889707	1,714285714

Supplementary Table 2

Differentially expressed genes_keloid-XL_comparing SC-Keloid vs. (SC-Myel, SC-Nonmyel, SC-Nonmyel2)								
gene	p_val	avg_log2FC	pct.1	pct.2	p_val_adj	Foldchange_UP	Foldchange_DOWN	Ratio_pct1_pct2
ZNF503-AS1	0,35350329	-0,03832272	0	0,011	1	0,973786415	1,026919234	0
MARF1	0,03298261	-0,038330881	0,183	0,088	1	0,973780907	1,026925043	2,079545455
CNOT11	0,007086391	-0,038371478	0,085	0,021	1	0,973753505	1,026953941	4,047619048
TMEM236	0,35350329	-0,038390374	0	0,011	1	0,973740752	1,026967392	0
SLC25A30	0,654971645	-0,038415442	0,012	0,007	1	0,973723833	1,026985236	1,714285714
MCM3	0,796613111	-0,038450729	0,073	0,063	1	0,973700016	1,027010356	1,158730159
MBNL3	0,279370565	-0,038491389	0,049	0,025	1	0,973672574	1,027039301	1,96
MANSC1	0,740851684	-0,038546982	0,012	0,018	1	0,973635055	1,027078878	0,666666667
ZNF628	0,071300757	-0,038549839	0,061	0,021	1	0,973633128	1,027080911	2,904761905
UBTF	0,00037613	-0,038553193	0,524	0,228	1	0,973630864	1,027083299	2,298245614
DAXX	0,026757222	-0,038581814	0,22	0,109	1	0,973611548	1,027103676	2,018348624
DVL2	0,018528462	-0,038617555	0,159	0,067	1	0,973587429	1,027129121	2,373134328
ZNF625	0,908489202	-0,038712324	0,012	0,011	1	0,973523477	1,027196594	1,090909091
CDH11	0,20009151	-0,038723774	0,037	0,014	1	0,973515751	1,027204746	2,642857143
VIM-AS1	0,35350329	-0,038735813	0	0,011	1	0,973507627	1,027213319	0
USF1	0,380987214	-0,038744458	0,049	0,028	1	0,973501794	1,027219474	1,75
PPP1R3C	0,654971645	-0,038796849	0,012	0,007	1	0,973466442	1,027256778	1,714285714
CD14	0,20009151	-0,038818492	0,037	0,014	1	0,973451838	1,027272188	2,642857143
ZBTB40	0,041022329	-0,038837118	0,122	0,053	1	0,97343927	1,027285451	2,301886792
H3C4	0,186763581	-0,038856057	0	0,021	1	0,973426491	1,027298937	0
TBX21	0,649511996	-0,038867617	0,012	0,007	1	0,973418692	1,027307169	1,714285714
DCLK1	0,908489202	-0,03894564	0,012	0,011	1	0,973366049	1,027362728	1,090909091
ASH2L	0,000967641	-0,039007195	0,159	0,046	1	0,97332452	1,027406563	3,456521739
METTL4	0,042654557	-0,039007769	0,122	0,053	1	0,973324133	1,027406972	2,301886792
BSCL2	0,000255287	-0,039025293	0,317	0,119	1	0,97331231	1,027419452	2,663865546
SCHIP1	0,099403001	-0,039025483	0,098	0,046	1	0,973312182	1,027419587	2,130434783
SLC6A8	0,226861889	-0,039059314	0,159	0,102	1	0,973289358	1,02744368	1,558823529
TMEM44-AS1	0,176661976	-0,039129483	0,098	0,053	1	0,973242021	1,027493654	1,849056604
DISC1	0,006577039	-0,039195298	0,244	0,109	1	0,973197623	1,027540528	2,23853211
HCG17	0,35185965	-0,039210475	0,012	0,004	1	0,973187386	1,027551338	3

Supplementary Table 2

Differentially expressed genes_keloid-XL_comparing SC-Keloid vs. (SC-Myel, SC-Nonmyel, SC-Nonmyel2)								
gene	p_val	avg_log2FC	pct.1	pct.2	p_val_adj	Foldchange_UP	Foldchange_DOWN	Ratio_pct1_pct2
LRP5	0,980653851	-0,039289741	0,024	0,025	1	0,973133917	1,027607796	0,96
KIAA0040	0,728697501	-0,039327451	0,012	0,018	1	0,973108481	1,027634657	0,666666667
GLUD1	0,024639187	-0,039339996	0,22	0,109	1	0,973100019	1,027643593	2,018348624
LDLRAD3	0,958814021	-0,039352787	0,037	0,035	1	0,973091392	1,027652704	1,057142857
ATXN7L2	0,702909482	-0,039385127	0,024	0,018	1	0,973069579	1,027675741	1,333333333
ABCC5	0,002998169	-0,039409801	0,159	0,053	1	0,973052937	1,027693317	3
CHRNE	0,063408785	-0,039436496	0,049	0,014	1	0,973034932	1,027712333	3,5
SMC5-DT	0,351112297	-0,039446236	0,024	0,011	1	0,973028363	1,027719271	2,181818182
LRR37B	0,980653851	-0,039452047	0,024	0,025	1	0,973024444	1,027723411	0,96
LRTOMT	0,316484073	-0,039502548	0,037	0,018	1	0,972990384	1,027759387	2,055555556
CSE1L	0,006168117	-0,039515329	0,207	0,084	1	0,972981764	1,027768492	2,464285714
BZW1	0,007797116	-0,039531554	0,598	0,326	1	0,972970822	1,02778005	1,834355828
SPTBN4	0,597173043	-0,039567534	0,012	0,021	1	0,972946557	1,027805683	0,571428571
MCOLN3	0,89237004	-0,039638168	0,012	0,014	1	0,972898922	1,027856005	0,857142857
JHY	0,017691584	-0,03971341	0,061	0,014	1	0,972848184	1,027909613	4,357142857
FECH	0,527469009	-0,039762014	0,024	0,014	1	0,972815409	1,027944244	1,714285714
CASZ1	0,35350329	-0,039770316	0	0,011	1	0,972809811	1,027950159	0
NKAPL	0,35350329	-0,039773478	0	0,011	1	0,972807679	1,027952412	0
ADO	0,087700887	-0,039789688	0,11	0,053	1	0,972796749	1,027963962	2,075471698
MARCF2	0,000392701	-0,039815253	0,268	0,098	1	0,97277951	1,027982178	2,734693878
MAP7D2	0,28286347	-0,03982181	0	0,014	1	0,972775089	1,02798685	0
SPECC1	0,023236743	-0,03982434	0,293	0,154	1	0,972773384	1,027988653	1,902597403
CENPT	0,011689263	-0,039831945	0,146	0,056	1	0,972768256	1,027994072	2,607142857
DCAF16	0,015978931	-0,039870061	0,183	0,081	1	0,972742555	1,028021232	2,259259259
MPZL1	0,59463228	-0,039910526	0,049	0,035	1	0,972715272	1,028050067	1,4
MAP3K8	0,291032689	-0,039942521	0,073	0,042	1	0,9726937	1,028072866	1,738095238
ATF2	0,168661063	-0,039996116	0,256	0,161	1	0,972657566	1,028111059	1,590062112
CMTM8	0,110292725	-0,040023801	0,061	0,025	1	0,972638901	1,028130788	2,44
DDX51	0,069310956	-0,040046844	0,085	0,035	1	0,972623366	1,02814721	2,428571429
FEM1B	0,002763496	-0,040050123	0,22	0,084	1	0,972621155	1,028149547	2,619047619

Supplementary Table 2

Differentially expressed genes_keloid-XL_comparing SC-Keloid vs. (SC-Myel, SC-Nonmyel, SC-Nonmyel2)								
gene	p_val	avg_log2FC	pct.1	pct.2	p_val_adj	Foldchange_UP	Foldchange_DOWN	Ratio_pct1_pct2
GFAP	0,908489202	-0,040063172	0,012	0,011	1	0,972612358	1,028158846	1,090909091
ATP9A	0,28286347	-0,040082045	0	0,014	1	0,972599634	1,028172297	0
TNNI3K	0,35350329	-0,040095037	0	0,011	1	0,972590876	1,028181556	0
STRN	0,015700335	-0,040121917	0,195	0,088	1	0,972572756	1,028200712	2,215909091
PDE10A	0,60411013	-0,040137999	0,012	0,021	1	0,972561914	1,028212174	0,571428571
GART	0,004324518	-0,040169528	0,159	0,056	1	0,97254066	1,028234645	2,839285714
CCDC107	1,84895E-07	-0,040173326	0,5	0,161	0,003901474	0,972538099	1,028237352	3,105590062
PSME3	0,003603907	-0,040263852	0,171	0,06	1	0,972477076	1,028301874	2,85
ALG10B	0,584659388	-0,040296512	0,037	0,025	1	0,972455061	1,028325153	1,48
SLC2A11	0,710321163	-0,040300166	0,024	0,018	1	0,972452598	1,028327758	1,333333333
GET4	0,732741497	-0,040311025	0,012	0,018	1	0,972445279	1,028335498	0,666666667
SMN1	0,065000281	-0,040317882	0,098	0,042	1	0,972440657	1,028340386	2,333333333
C3	0,89702294	-0,040322231	0,012	0,014	1	0,972437726	1,028343485	0,857142857
TESK2	0,60411013	-0,040325932	0,012	0,021	1	0,972435231	1,028346123	0,571428571
MIA3	0,001841167	-0,040416063	0,402	0,189	1	0,972374481	1,02841037	2,126984127
LLGL2	0,530989227	-0,040458884	0,024	0,014	1	0,972345621	1,028440895	1,714285714
ELAPOR1	0,35350329	-0,0404889	0	0,011	1	0,97232539	1,028462293	0
CRNDE	0,001241194	-0,040502793	0,146	0,042	1	0,972316027	1,028472196	3,476190476
KLF8	0,89237004	-0,040504309	0,012	0,014	1	0,972315006	1,028473277	0,857142857
ITFG2	0,015742889	-0,040521512	0,098	0,032	1	0,972303411	1,028485541	3,0625
ECT2	0,044615627	-0,040526492	0,085	0,032	1	0,972300055	1,028489091	2,65625
VWF	0,89237004	-0,040585492	0,012	0,014	1	0,972260293	1,028531153	0,857142857
SRFBP1	0,021761191	-0,040789579	0,171	0,077	1	0,972122765	1,028676661	2,220779221
MFSD4A	0,35350329	-0,040810081	0	0,011	1	0,97210895	1,02869128	0
ZC3H3	0,043812629	-0,04081272	0,073	0,025	1	0,972107172	1,028693162	2,92
PDGFRA	0,351112297	-0,040899464	0,024	0,011	1	0,972048724	1,028755015	2,181818182
ZBTB25	0,711252021	-0,040900209	0,049	0,039	1	0,972048222	1,028755546	1,256410256
SLC25A16	0,011168661	-0,040971874	0,073	0,018	1	0,971999937	1,028806651	4,055555556
SPATA24	0,35350329	-0,041026795	0	0,011	1	0,971962936	1,028845816	0
ZW10	0,85248313	-0,041035491	0,037	0,032	1	0,971957077	1,028852018	1,15625

Supplementary Table 2

Differentially expressed genes_keloid-XL_comparing SC-Keloid vs. (SC-Myel, SC-Nonmyel, SC-Nonmyel2)								
gene	p_val	avg_log2FC	pct.1	pct.2	p_val_adj	Foldchange_UP	Foldchange_DOWN	Ratio_pct1_pct2
PRECSIT	0,070300136	-0,041129696	0,073	0,028	1	0,971893612	1,028919202	2,607142857
FTO	0,003352471	-0,041141934	0,195	0,074	1	0,971885368	1,02892793	2,635135135
RGS9	0,486853851	-0,04115039	0,049	0,032	1	0,971879671	1,028933961	1,53125
C5orf22	0,268844049	-0,041177149	0,049	0,025	1	0,971861645	1,028953046	1,96
POLR1C	0,005608142	-0,041278869	0,11	0,032	1	0,971793125	1,029025597	3,4375
ACBD5	0,002224419	-0,041367805	0,207	0,077	1	0,97173322	1,029089033	2,688311688
CEP20	0,068571397	-0,041389458	0,098	0,042	1	0,971718636	1,029104479	2,333333333
METTL16	0,085672974	-0,041419623	0,11	0,053	1	0,971698318	1,029125997	2,075471698
KIAA0100	0,038238737	-0,041426171	0,134	0,06	1	0,971693908	1,029130667	2,233333333
ZSWIM8-AS1	0,28286347	-0,041548807	0	0,014	1	0,971611313	1,029218152	0
ARFGF1	0,051835217	-0,041569416	0,146	0,07	1	0,971597433	1,029232855	2,085714286
DHX9	0,015478908	-0,041608277	0,451	0,249	1	0,971571262	1,029260579	1,81124498
USP15	0,030945735	-0,041652691	0,366	0,207	1	0,971541353	1,029292266	1,768115942
AC073342.1	0,35350329	-0,041697438	0	0,011	1	0,97151122	1,029324191	0
RBM11	0,282047413	-0,041722024	0,11	0,07	1	0,971494663	1,029341733	1,571428571
ARMC2	0,448248692	-0,041747941	0,037	0,021	1	0,971477211	1,029360224	1,761904762
RPL35A	0,86211655	-0,041792003	0,963	0,912	1	0,971447542	1,029391663	1,055921053
GPR162	0,28286347	-0,041820381	0	0,014	1	0,971428433	1,029411911	0
MARK3	0,010489187	-0,041842545	0,402	0,211	1	0,971413509	1,029427726	1,90521327
KCNC4	0,245172489	-0,041878901	0,061	0,032	1	0,97138903	1,029453668	1,90625
LOH12CR2	0,89237004	-0,041926157	0,012	0,014	1	0,971357212	1,029487389	0,857142857
PDE7B	0,28286347	-0,041937763	0	0,014	1	0,971349398	1,029495671	0
SOX1-OT	0,35350329	-0,04194333	0	0,011	1	0,97134565	1,029499643	0
EPHX1	0,245172489	-0,041943629	0,061	0,032	1	0,971345449	1,029499856	1,90625
PCSK1N	0,908489202	-0,041980771	0,012	0,011	1	0,971320442	1,029526361	1,090909091
PCDHB11	0,35350329	-0,042110754	0	0,011	1	0,971232933	1,029619123	0
SMARCD3	0,029666998	-0,042114241	0,11	0,042	1	0,971230585	1,029621612	2,619047619
ASB16-AS1	0,908489202	-0,042141472	0,012	0,011	1	0,971212253	1,029641046	1,090909091
TTL5	0,245540129	-0,042160602	0,11	0,067	1	0,971199375	1,029654699	1,641791045
ZNF691	0,351112297	-0,042219969	0,024	0,011	1	0,97115941	1,029697071	2,181818182

Supplementary Table 2

Differentially expressed genes_keloid-XL_comparing SC-Keloid vs. (SC-Myel, SC-Nonmyel, SC-Nonmyel2)								
gene	p_val	avg_log2FC	pct.1	pct.2	p_val_adj	Foldchange_UP	Foldchange_DOWN	Ratio_pct1_pct2
HSD17B14	0,35350329	-0,042231219	0	0,011	1	0,971151838	1,0297051	0
SLC26A11	0,820213566	-0,042269311	0,037	0,042	1	0,971126197	1,029732288	0,880952381
SLF2	0,005719079	-0,042286252	0,28	0,126	1	0,971114793	1,029744379	2,222222222
PHKA2	0,314233219	-0,042298944	0,037	0,018	1	0,97110625	1,029753439	2,055555556
PSMD5	0,274072777	-0,042313396	0,049	0,025	1	0,971096522	1,029763754	1,96
PIK3C2B	0,736792926	-0,042350595	0,012	0,018	1	0,971071483	1,029790306	0,666666667
TUBB4A	0,28286347	-0,042424954	0	0,014	1	0,971021434	1,029843385	0
ELOVL3	0,35350329	-0,042446917	0	0,011	1	0,971006651	1,029859063	0
C3orf33	0,872003564	-0,042454616	0,024	0,021	1	0,971001469	1,029864559	1,142857143
AQP3	0,017043378	-0,042460528	0,11	0,039	1	0,970997491	1,029868779	2,820512821
ELOVL5	0,080562815	-0,042467234	0,22	0,126	1	0,970992977	1,029873566	1,746031746
RASSF3	0,002580267	-0,042472857	0,171	0,06	1	0,970989192	1,02987758	2,85
LDLR	0,325381265	-0,042537801	0,134	0,091	1	0,970945484	1,029923942	1,472527473
ANKRD20A1	0,279370565	-0,042541001	0,049	0,025	1	0,97094333	1,029926227	1,96
ZNF793	0,187860656	-0,042565628	0,024	0,007	1	0,970926756	1,029943807	3,428571429
CCL23	0,35185965	-0,04261033	0,012	0,004	1	0,970896672	1,029975721	3
METAP1	0,064535293	-0,0426677	0,146	0,074	1	0,970858064	1,03001668	1,972972973
KDM7A	0,160334939	-0,042716334	0,073	0,035	1	0,970825337	1,030051403	2,085714286
LIPC	0,597173043	-0,042749225	0,012	0,021	1	0,970803204	1,030074886	0,571428571
TRIM34	0,351112297	-0,042751979	0,024	0,011	1	0,970801351	1,030076853	2,181818182
PPP2R2D	0,016267908	-0,042755656	0,195	0,088	1	0,970798876	1,030079478	2,215909091
TNFRSF21	0,908489202	-0,042823705	0,012	0,011	1	0,970753087	1,030128066	1,090909091
SFMBT1	0,361657411	-0,042863809	0,073	0,046	1	0,970726102	1,030156702	1,586956522
TMSB15A	0,846474096	-0,042888987	0,037	0,032	1	0,970709161	1,03017468	1,15625
GFOD2	0,017433388	-0,042899149	0,122	0,046	1	0,970702324	1,030181936	2,652173913
GRK2	0,001879527	-0,042924532	0,305	0,133	1	0,970685245	1,030200062	2,293233083
TRAPPC11	0,045329609	-0,042938898	0,085	0,032	1	0,97067558	1,03021032	2,65625
FGF10	0,654971645	-0,042979908	0,012	0,007	1	0,970647988	1,030239605	1,714285714
CDCA2	0,35350329	-0,0430083	0	0,011	1	0,970628886	1,030259881	0
EEF1AKMT2	0,000157652	-0,043037668	0,28	0,095	1	0,970609128	1,030280853	2,947368421

Supplementary Table 2

Differentially expressed genes_keloid-XL_comparing SC-Keloid vs. (SC-Myel, SC-Nonmyel, SC-Nonmyel2)								
gene	p_val	avg_log2FC	pct.1	pct.2	p_val_adj	Foldchange_UP	Foldchange_DOWN	Ratio_pct1_pct2
MTG1	0,000390241	-0,043053499	0,183	0,053	1	0,970598477	1,030292159	3,452830189
PCBP3	0,654971645	-0,043059255	0,012	0,007	1	0,970594604	1,03029627	1,714285714
ABRAXAS1	0,208798809	-0,04315393	0,073	0,039	1	0,970530912	1,030363884	1,871794872
C2CD4A	0,28286347	-0,043176767	0	0,014	1	0,97051555	1,030380194	0
PYGO1	0,530989227	-0,043192096	0,024	0,014	1	0,970505238	1,030391142	1,714285714
AL137026.1	0,908489202	-0,043194456	0,012	0,011	1	0,97050365	1,030392827	1,090909091
PCDH11Y	0,35185965	-0,043290644	0,012	0,004	1	0,970438946	1,030461529	3
ETV6	0,013943705	-0,043299114	0,22	0,102	1	0,970433249	1,030467578	2,156862745
AC097381.1	0,35350329	-0,043323864	0	0,011	1	0,970416601	1,030485257	0
AIFM2	0,421991908	-0,043326122	0,061	0,039	1	0,970415082	1,03048687	1,564102564
AC012313.1	0,35350329	-0,043348479	0	0,011	1	0,970400044	1,030502839	0
FAM241B	0,35350329	-0,043360138	0	0,011	1	0,970392202	1,030511166	0
BOK	0,35350329	-0,043368715	0	0,011	1	0,970386433	1,030517293	0
DHX40	0,024933105	-0,043531363	0,159	0,07	1	0,970277039	1,030633479	2,271428571
RBM19	0,00855684	-0,043641656	0,171	0,067	1	0,970202864	1,030712273	2,552238806
BRICD5	0,908489202	-0,043661837	0,012	0,011	1	0,970189293	1,030726691	1,090909091
GALNT7	0,000225277	-0,043663286	0,134	0,028	1	0,970188319	1,030727726	4,785714286
DBP	0,310141781	-0,043696924	0,085	0,053	1	0,970165698	1,030751759	1,603773585
B3GAT2	0,118200281	-0,043717786	0,061	0,025	1	0,970151669	1,030766665	2,44
ANLN	0,038341604	-0,043721817	0,061	0,018	1	0,970148958	1,030769545	3,388888889
ZNF577	0,318425758	-0,04378181	0,085	0,053	1	0,970108616	1,03081241	1,603773585
DNAAF2	0,005517033	-0,043785767	0,159	0,056	1	0,970105956	1,030815236	2,839285714
TRPV3	0,227829404	-0,043819588	0,098	0,056	1	0,970083214	1,030839402	1,75
ADCK5	0,20009151	-0,043843191	0,037	0,014	1	0,970067343	1,030856267	2,642857143
BIRC2	0,009309098	-0,043856166	0,598	0,312	1	0,970058618	1,030865539	1,916666667
XPC	0,001765454	-0,043866207	0,232	0,088	1	0,970051867	1,030872713	2,636363636
THUMPD1	0,001007945	-0,043885888	0,293	0,119	1	0,970038634	1,030886776	2,462184874
A4GALT	0,89237004	-0,043887073	0,012	0,014	1	0,970037837	1,030887623	0,857142857
PBX2	0,063017389	-0,043887307	0,256	0,147	1	0,970037679	1,03088779	1,741496599
NPR2	0,007086391	-0,043957678	0,085	0,021	1	0,969990365	1,030938075	4,047619048

Supplementary Table 2

Differentially expressed genes_keloid-XL_comparing SC-Keloid vs. (SC-Myel, SC-Nonmyel, SC-Nonmyel2)								
gene	p_val	avg_log2FC	pct.1	pct.2	p_val_adj	Foldchange_UP	Foldchange_DOWN	Ratio_pct1_pct2
PGM1	0,617004375	-0,043989737	0,049	0,035	1	0,96996881	1,030960985	1,4
H3-5	0,35350329	-0,044024557	0	0,011	1	0,9699454	1,030985868	0
FBXO33	0,09533175	-0,044042673	0,134	0,07	1	0,969933221	1,030998814	1,914285714
PICK1	0,337028145	-0,044093878	0,098	0,063	1	0,969898796	1,031035408	1,555555556
STXBP4	0,042292152	-0,044119645	0,073	0,025	1	0,969881473	1,031053822	2,92
FAM120B	0,11730029	-0,044126942	0,061	0,025	1	0,969876567	1,031059037	2,44
NUDT6	0,044971423	-0,044155635	0,085	0,032	1	0,969857278	1,031079544	2,65625
PPP1R13B	0,727904339	-0,044155795	0,037	0,028	1	0,969857171	1,031079658	1,321428571
UBE2N	0,000582776	-0,044179177	0,549	0,253	1	0,969841452	1,031096369	2,169960474
CCDC61	0,071972241	-0,044184301	0,073	0,028	1	0,969838008	1,031100031	2,607142857
BMP6	0,728697501	-0,04419809	0,012	0,018	1	0,969828738	1,031109886	0,666666667
USP46	0,005738298	-0,044236528	0,195	0,077	1	0,969802899	1,031137359	2,532467532
TTC39B	0,60063706	-0,044289035	0,012	0,021	1	0,969767604	1,031174888	0,571428571
ZKSCAN8	0,246621056	-0,044290425	0,061	0,032	1	0,969766669	1,031175881	1,90625
SLC7A8	0,654971645	-0,044397276	0,012	0,007	1	0,969694848	1,031252257	1,714285714
LGI2	0,908489202	-0,044414132	0,012	0,011	1	0,969683518	1,031264306	1,090909091
ITGA4	0,49683311	-0,044422509	0,012	0,025	1	0,969677888	1,031270293	0,48
MX1	0,101905338	-0,044429419	0,183	0,109	1	0,969673244	1,031275233	1,678899083
CAD	0,016900103	-0,044559239	0,098	0,032	1	0,969585992	1,031368036	3,0625
SULF2	0,702909482	-0,044573538	0,024	0,018	1	0,969576382	1,031378258	1,333333333
PAXIP1-AS2	0,89702294	-0,044627906	0,012	0,014	1	0,969539844	1,031417126	0,857142857
FBL	0,010119716	-0,044628353	0,366	0,182	1	0,969539544	1,031417446	2,010989011
ZC3H4	0,016676713	-0,044660023	0,183	0,081	1	0,969518261	1,031440088	2,259259259
H4C1	0,710321163	-0,044700087	0,024	0,018	1	0,969491338	1,031468731	1,333333333
IMPA2	0,351112297	-0,044702327	0,024	0,011	1	0,969489832	1,031470333	2,181818182
MUSTN1	0,351112297	-0,044752846	0,024	0,011	1	0,969455884	1,031506453	2,181818182
ZDHHC17	0,058166831	-0,044770977	0,195	0,105	1	0,969443701	1,031519416	1,857142857
ITGB7	0,35350329	-0,04485293	0	0,011	1	0,969388633	1,031578014	0
UHRF2	0,114809265	-0,044936035	0,207	0,123	1	0,969332793	1,031637439	1,682926829
TPPP	0,35350329	-0,044937354	0	0,011	1	0,969331907	1,031638382	0

Supplementary Table 2

Differentially expressed genes_keloid-XL_comparing SC-Keloid vs. (SC-Myel, SC-Nonmyel, SC-Nonmyel2)								
gene	p_val	avg_log2FC	pct.1	pct.2	p_val_adj	Foldchange_UP	Foldchange_DOWN	Ratio_pct1_pct2
CIDEB	0,879365097	-0,044973667	0,024	0,021	1	0,969307509	1,031664349	1,142857143
H3C2	0,28286347	-0,045018273	0	0,014	1	0,96927754	1,031696246	0
RNF150	0,071300757	-0,045052362	0,061	0,021	1	0,969254638	1,031720624	2,904761905
STIMATE	0,018385843	-0,04506062	0,122	0,046	1	0,969249089	1,03172653	2,652173913
EFHD1	0,28286347	-0,045126371	0	0,014	1	0,969204917	1,031773552	0
LPP-AS2	0,19199525	-0,045191199	0,049	0,021	1	0,969161367	1,031819916	2,333333333
FBXO5	0,581784514	-0,045234804	0,037	0,025	1	0,969132074	1,031851103	1,48
EBLN2	0,6276718	-0,045246579	0,024	0,035	1	0,969124165	1,031859525	0,685714286
CCDC15	0,35350329	-0,045335381	0	0,011	1	0,969064514	1,031923041	0
MEX3B	0,172242316	-0,045336848	0,159	0,098	1	0,969063528	1,03192409	1,62244898
PIP	0,35350329	-0,045458543	0	0,011	1	0,968981789	1,032011139	0
S100A8	0,370654006	-0,04546138	0,049	0,028	1	0,968979883	1,032013169	1,75
MAPK7	0,002905357	-0,045508489	0,11	0,028	1	0,968948243	1,032046868	3,928571429
AK9	0,60358712	-0,045510228	0,061	0,046	1	0,968947075	1,032048112	1,326086957
CCDC127	0,001814863	-0,045511327	0,171	0,056	1	0,968946337	1,032048899	3,053571429
TCAIM	0,008898907	-0,045536949	0,098	0,028	1	0,968929129	1,032067227	3,5
MED22	0,108946767	-0,045559065	0,073	0,032	1	0,968914276	1,032083049	2,28125
ZNF713	0,908489202	-0,045573309	0,012	0,011	1	0,96890471	1,032093239	1,090909091
ZNF177	0,186350334	-0,045588064	0,049	0,021	1	0,968894801	1,032103794	2,333333333
PITRM1	0,003497178	-0,045644067	0,122	0,035	1	0,96885719	1,03214386	3,485714286
TUBG2	0,364032582	-0,04568082	0,122	0,084	1	0,968832509	1,032170154	1,452380952
R3HCC1L	0,496145732	-0,045720557	0,049	0,032	1	0,968805824	1,032198585	1,53125
LSMEM2	0,89237004	-0,045759743	0,012	0,014	1	0,96877951	1,032226621	0,857142857
RFTN2	0,200240235	-0,045799747	0,183	0,119	1	0,968752648	1,032255243	1,537815126
DDX55	0,007272057	-0,045804771	0,146	0,053	1	0,968749274	1,032258838	2,754716981
INCENP	0,908489202	-0,045820388	0,012	0,011	1	0,968738787	1,032270013	1,090909091
HIPK4	0,28286347	-0,045823188	0	0,014	1	0,968736907	1,032272016	0
GCC1	0,710321163	-0,045829893	0,024	0,018	1	0,968732405	1,032276813	1,333333333
ZNF724	0,875682986	-0,045841494	0,024	0,021	1	0,968724615	1,032285114	1,142857143
FAM71A	0,908489202	-0,045855428	0,012	0,011	1	0,968715259	1,032295085	1,090909091

Supplementary Table 2

Differentially expressed genes_keloid-XL_comparing SC-Keloid vs. (SC-Myel, SC-Nonmyel, SC-Nonmyel2)								
gene	p_val	avg_log2FC	pct.1	pct.2	p_val_adj	Foldchange_UP	Foldchange_DOWN	Ratio_pct1_pct2
KCTD2	0,014543509	-0,045868508	0,085	0,025	1	0,968706476	1,032304444	3,4
ZNF664	0,03593624	-0,045872852	0,256	0,137	1	0,96870356	1,032307552	1,868613139
TFDP2	0,033497687	-0,04588638	0,207	0,105	1	0,968694476	1,032317232	1,971428571
UGDH-AS1	0,35350329	-0,045909041	0	0,011	1	0,968679261	1,032333447	0
ARHGAP11A	0,654971645	-0,045912781	0,012	0,007	1	0,968676749	1,032336123	1,714285714
CLHC1	0,187860656	-0,046003772	0,024	0,007	1	0,968615657	1,032401235	3,428571429
MSX2	0,530989227	-0,04600763	0,024	0,014	1	0,968613066	1,032403996	1,714285714
LINC00691	0,28286347	-0,046025843	0	0,014	1	0,968600839	1,032417029	0
ZBTB41	0,000516655	-0,046027825	0,195	0,06	1	0,968599508	1,032418447	3,25
ZNF692	0,009163392	-0,046042615	0,098	0,028	1	0,968589578	1,032429031	3,5
FRMD1	0,228958629	-0,046047692	0	0,018	1	0,96858617	1,032432665	0
CAP2	0,654971645	-0,046072576	0,012	0,007	1	0,968569463	1,032450472	1,714285714
AC011752.1	0,35350329	-0,046072686	0	0,011	1	0,968569389	1,032450551	0
TAF1B	0,222011736	-0,046089974	0,073	0,039	1	0,968557783	1,032462923	1,871794872
INTS8	0,113584895	-0,046142922	0,073	0,032	1	0,968522237	1,032500816	2,28125
ZDHHC7	0,040391926	-0,046177017	0,171	0,084	1	0,968499348	1,032525217	2,035714286
TAF12	1,35569E-05	-0,046178142	0,268	0,077	0,286063859	0,968498593	1,032526022	3,480519481
AUH	0,25505635	-0,046280639	0,11	0,067	1	0,968429788	1,032599382	1,641791045
LMNB2	0,019367116	-0,046312474	0,134	0,053	1	0,968408418	1,032622167	2,528301887
BICC1	0,043428247	-0,046320182	0,073	0,025	1	0,968403245	1,032627684	2,92
DCLRE1C	0,06590161	-0,046324533	0,085	0,035	1	0,968400324	1,032630799	2,428571429
RNF43	0,654971645	-0,046343101	0,012	0,007	1	0,96838786	1,032644089	1,714285714
ZNF687	0,380987214	-0,046348416	0,049	0,028	1	0,968384293	1,032647893	1,75
KLRD1	0,908489202	-0,046355267	0,012	0,011	1	0,968379694	1,032652798	1,090909091
U2AF1	0,101701491	-0,046383716	0,085	0,039	1	0,968360598	1,032673161	2,179487179
UPF3B	0,017780951	-0,046411371	0,171	0,074	1	0,968342036	1,032692957	2,310810811
DDX27	0,004072895	-0,046457124	0,244	0,102	1	0,968311327	1,032725707	2,392156863
DCAF6	0,180394985	-0,046469788	0,146	0,088	1	0,968302827	1,032734773	1,659090909
CD69	0,35350329	-0,046482299	0	0,011	1	0,96829443	1,032743729	0
PKP4	0,322621598	-0,046506403	0,085	0,053	1	0,968278253	1,032760983	1,603773585

Supplementary Table 2

Differentially expressed genes_keloid-XL_comparing SC-Keloid vs. (SC-Myel, SC-Nonmyel, SC-Nonmyel2)								
gene	p_val	avg_log2FC	pct.1	pct.2	p_val_adj	Foldchange_UP	Foldchange_DOWN	Ratio_pct1_pct2
RAD51D	0,022420212	-0,046509248	0,073	0,021	1	0,968276343	1,03276302	3,476190476
SCGB1B2P	0,728697501	-0,046542087	0,012	0,018	1	0,968254303	1,032786528	0,666666667
SEMA4B	0,090290037	-0,046559132	0,11	0,053	1	0,968242864	1,03279873	2,075471698
LRCH4	0,073676783	-0,046598729	0,073	0,028	1	0,968216289	1,032827077	2,607142857
CFB	0,35350329	-0,046677693	0	0,011	1	0,968163297	1,032883609	0
FAM171A2	0,35350329	-0,04674897	0	0,011	1	0,968115465	1,03293464	0
RBM41	0,484545659	-0,04675754	0,049	0,032	1	0,968109714	1,032940777	1,53125
WDR35	0,019529862	-0,04676993	0,122	0,046	1	0,9681014	1,032949648	2,652173913
GDF10	0,89237004	-0,046782997	0,012	0,014	1	0,968092632	1,032959003	0,857142857
TGM2	0,702909482	-0,04682745	0,024	0,018	1	0,968062803	1,032990832	1,333333333
EVC	0,1643495	-0,04683165	0,073	0,035	1	0,968059985	1,032993839	2,085714286
PHF20L1	0,000697341	-0,046864554	0,354	0,147	1	0,968037906	1,033017399	2,408163265
ZNF442	0,228958629	-0,046918357	0	0,018	1	0,968001805	1,033055925	0
ACO1	0,069310956	-0,046942076	0,085	0,035	1	0,96798589	1,033072909	2,428571429
TMX3	0,000200335	-0,046974098	0,427	0,172	1	0,967964406	1,033095839	2,48255814
FAM13A-AS1	0,35350329	-0,046977751	0	0,011	1	0,967961955	1,033098455	0
PPOX	0,293926973	-0,047000963	0,073	0,042	1	0,967946381	1,033115077	1,738095238
TBC1D17	0,050665707	-0,047060495	0,183	0,095	1	0,96790644	1,033157709	1,926315789
MAMDC2-AS1	0,654971645	-0,047063384	0,012	0,007	1	0,967904502	1,033159778	1,714285714
ZNF248	0,018285233	-0,047081259	0,146	0,06	1	0,967892509	1,033172579	2,433333333
PHLDB3	0,28286347	-0,047112036	0	0,014	1	0,967871862	1,03319462	0
ENTHD1	0,35350329	-0,047119399	0	0,011	1	0,967866922	1,033199893	0
SIAH2	0,009746403	-0,047147243	0,305	0,147	1	0,967848242	1,033219834	2,074829932
FAM83G	0,654971645	-0,047185061	0,012	0,007	1	0,967822872	1,033246919	1,714285714
HOOK2	0,123479672	-0,047214028	0,098	0,049	1	0,96780344	1,033267664	2
AKAP8	0,209373246	-0,047221712	0,134	0,081	1	0,967798285	1,033273168	1,654320988
EEA1	0,017995859	-0,047270423	0,415	0,232	1	0,967765609	1,033308056	1,788793103
NCK1	0,001354577	-0,047282103	0,366	0,158	1	0,967757774	1,033316421	2,316455696
FUT10	0,58754085	-0,047383768	0,037	0,025	1	0,96768958	1,033389241	1,48
DCAF10	0,078975369	-0,047498754	0,159	0,084	1	0,967612456	1,033471607	1,892857143

Supplementary Table 2

Differentially expressed genes_keloid-XL_comparing SC-Keloid vs. (SC-Myel, SC-Nonmyel, SC-Nonmyel2)								
gene	p_val	avg_log2FC	pct.1	pct.2	p_val_adj	Foldchange_UP	Foldchange_DOWN	Ratio_pct1_pct2
TMEM231	0,883812109	-0,047529406	0,049	0,053	1	0,967591898	1,033493565	0,924528302
SMCR8	0,20009151	-0,047534174	0,037	0,014	1	0,9675887	1,033496981	2,642857143
APOL3	0,351112297	-0,047545026	0,024	0,011	1	0,967581422	1,033504755	2,181818182
MUS81	7,36184E-05	-0,047553799	0,232	0,067	1	0,967575538	1,033511039	3,462686567
ASB8	0,000896904	-0,047572386	0,159	0,046	1	0,967563072	1,033524355	3,456521739
PPP2R3B	0,003300213	-0,047572714	0,122	0,035	1	0,967562852	1,03352459	3,485714286
THG1L	0,158355665	-0,047590794	0,073	0,035	1	0,967550727	1,033537542	2,085714286
COG1	0,043812629	-0,047643199	0,073	0,025	1	0,967515582	1,033575086	2,92
PAFAH2	0,316484073	-0,047643684	0,037	0,018	1	0,967515256	1,033575433	2,055555556
LRSAM1	0,277596953	-0,047766917	0,049	0,025	1	0,967432617	1,033663723	1,96
PLXNA2	0,35350329	-0,047781279	0	0,011	1	0,967422986	1,033674013	0
WDR6	0,019242352	-0,047818858	0,207	0,098	1	0,967397786	1,033700939	2,112244898
C12orf4	0,178180489	-0,047901868	0,061	0,028	1	0,967342126	1,033760418	2,178571429
UTP6	0,057060748	-0,04791992	0,122	0,056	1	0,967330022	1,033773353	2,178571429
SPIB	0,35350329	-0,04799778	0	0,011	1	0,967277818	1,033829145	0
ADSS1	0,908489202	-0,04802494	0,012	0,011	1	0,967259608	1,033848608	1,090909091
ALDH1L2	0,073676783	-0,048060369	0,073	0,028	1	0,967235855	1,033873997	2,607142857
MAP7D1	0,010568329	-0,048073778	0,463	0,242	1	0,967226866	1,033883606	1,91322314
SSBP3	0,001388538	-0,048075358	0,341	0,147	1	0,967225806	1,033884739	2,319727891
TIMM23B	0,173471565	-0,048111624	0,061	0,028	1	0,967201493	1,033910729	2,178571429
TNF	0,654971645	-0,048159711	0,012	0,007	1	0,967169255	1,033945191	1,714285714
BHLHE41	0,602048443	-0,0482135	0,049	0,035	1	0,967133196	1,033983741	1,4
MFSD13A	0,89237004	-0,048246877	0,012	0,014	1	0,967110821	1,034007663	0,857142857
ZNF189	0,1180597	-0,048250011	0,049	0,018	1	0,967108721	1,034009909	2,722222222
MIR9-1HG	0,732741497	-0,048296907	0,012	0,018	1	0,967077285	1,034043521	0,666666667
PPP1R3D	0,281151866	-0,048302556	0,049	0,025	1	0,967073497	1,03404757	1,96
BATF3	0,279370565	-0,048304388	0,049	0,025	1	0,96707227	1,034048883	1,96
RABL2A	0,20009151	-0,048312049	0,037	0,014	1	0,967067134	1,034054374	2,642857143
SWSAP1	0,044226311	-0,04840016	0,037	0,007	1	0,967008074	1,034117529	5,285714286
SLC19A1	0,500826907	-0,048434934	0,049	0,032	1	0,966984765	1,034142456	1,53125

Supplementary Table 2

Differentially expressed genes_keloid-XL_comparing SC-Keloid vs. (SC-Myel, SC-Nonmyel, SC-Nonmyel2)								
gene	p_val	avg_log2FC	pct.1	pct.2	p_val_adj	Foldchange_UP	Foldchange_DOWN	Ratio_pct1_pct2
OSER1-DT	0,324703669	-0,048484716	0,061	0,035	1	0,966951399	1,034178141	1,742857143
ASB1	0,000368648	-0,048508557	0,146	0,035	1	0,96693542	1,034195231	4,171428571
MYH14	0,171319688	-0,048575874	0,098	0,053	1	0,966890304	1,034243488	1,849056604
EXOC2	0,323014826	-0,048637346	0,061	0,035	1	0,966849106	1,034287557	1,742857143
ETFB	4,37452E-05	-0,048642868	0,415	0,151	0,9230668	0,966845405	1,034291516	2,748344371
SVEP1	0,35350329	-0,048644535	0	0,011	1	0,966844288	1,034292711	0
PRKDC	0,006713945	-0,048653237	0,366	0,179	1	0,966838456	1,03429895	2,044692737
HIP1R	0,272322201	-0,048658546	0,049	0,025	1	0,966834899	1,034302756	1,96
NR3C2	0,728697501	-0,048757091	0,012	0,018	1	0,96676886	1,034373407	0,666666667
GDAP2	0,043911154	-0,048770775	0,085	0,032	1	0,96675969	1,034383219	2,65625
EXOSC10	0,177010711	-0,048834165	0,244	0,158	1	0,966717213	1,034428669	1,544303797
KLHL34	0,875682986	-0,048867511	0,024	0,021	1	0,966694869	1,034452579	1,142857143
MARK1	0,973621109	-0,048911518	0,024	0,025	1	0,966665382	1,034484134	0,96
PRKG1	0,89237004	-0,048924737	0,012	0,014	1	0,966656524	1,034493613	0,857142857
BAHD1	0,134324326	-0,04903847	0,098	0,049	1	0,966580323	1,034575168	2
DUOX2	0,28286347	-0,049064156	0	0,014	1	0,966563113	1,034593589	0
PCDHB15	0,706611845	-0,049064194	0,024	0,018	1	0,966563088	1,034593616	1,333333333
BCKDHA	0,004393604	-0,049076689	0,134	0,042	1	0,966554717	1,034602576	3,19047619
CELSR2	0,010452238	-0,049086619	0,256	0,119	1	0,966548064	1,034609697	2,151260504
YTHDF2	0,001127216	-0,04910385	0,427	0,189	1	0,96653652	1,034622054	2,259259259
INSYN1	0,530989227	-0,049108493	0,024	0,014	1	0,96653341	1,034625384	1,714285714
MAP1LC3B2	0,35350329	-0,049117665	0	0,011	1	0,966527265	1,034631962	0
RECQL5	0,023573977	-0,049127437	0,073	0,021	1	0,966520718	1,03463897	3,476190476
ATP6V1G2	0,35185965	-0,049172907	0,012	0,004	1	0,966490257	1,034671579	3
COG7	0,111246846	-0,049225791	0,073	0,032	1	0,966454829	1,034709508	2,28125
KRTAP5-AS1	0,228958629	-0,049230095	0	0,018	1	0,966451946	1,034712594	0
MBTPS1	0,024410801	-0,049243505	0,378	0,207	1	0,966442962	1,034722213	1,826086957
TBC1D9	0,98417082	-0,049286859	0,024	0,025	1	0,966413921	1,034753307	0,96
WARS2	0,875682986	-0,049362348	0,024	0,021	1	0,966363354	1,034807452	1,142857143
TSPAN11	0,000483249	-0,049381419	0,585	0,277	1	0,96635058	1,034821131	2,111913357

Supplementary Table 2

Differentially expressed genes_keloid-XL_comparing SC-Keloid vs. (SC-Myel, SC-Nonmyel, SC-Nonmyel2)								
gene	p_val	avg_log2FC	pct.1	pct.2	p_val_adj	Foldchange_UP	Foldchange_DOWN	Ratio_pct1_pct2
SYTL1	0,28286347	-0,049386592	0	0,014	1	0,966347115	1,034824841	0
LRRC3	0,35350329	-0,049522614	0	0,011	1	0,966256009	1,034922413	0
PLCB4	0,35350329	-0,049619879	0	0,011	1	0,966190867	1,034992189	0
ZNF197	0,702909482	-0,04962838	0,024	0,018	1	0,966185174	1,034998287	1,333333333
TENT5B	0,316484073	-0,049641366	0,037	0,018	1	0,966176477	1,035007603	2,055555556
ARHGAP32	0,89237004	-0,049680611	0,012	0,014	1	0,966150195	1,035035758	0,857142857
MAP2K1	0,005817321	-0,049711019	0,195	0,077	1	0,966129832	1,035057574	2,532467532
GAS2	0,316484073	-0,049723364	0,037	0,018	1	0,966121564	1,035066431	2,055555556
M6PR	0,001326623	-0,04975095	0,256	0,102	1	0,966103091	1,035086223	2,509803922
CSAD	0,050318214	-0,049752387	0,366	0,211	1	0,966102129	1,035087254	1,734597156
LSM14B	0,219565872	-0,049807613	0,073	0,039	1	0,966065147	1,035126878	1,871794872
POLN	0,89702294	-0,049835374	0,012	0,014	1	0,966046558	1,035146796	0,857142857
PSD4	0,044226311	-0,04985906	0,037	0,007	1	0,966030698	1,035163792	5,285714286
ANKRD65	0,004043831	-0,049876556	0,207	0,081	1	0,966018982	1,035176346	2,555555556
MSL2	0,057240631	-0,049889623	0,134	0,063	1	0,966010233	1,035185722	2,126984127
ISCA1	0,016537688	-0,049894928	0,256	0,126	1	0,966006681	1,035189528	2,031746032
GLI1	0,35350329	-0,049903027	0	0,011	1	0,966001258	1,035195339	0
MCTP1	0,170001362	-0,049905688	0,061	0,028	1	0,965999476	1,035197249	2,178571429
LINC00910	0,654971645	-0,049997852	0,012	0,007	1	0,965937767	1,035263382	1,714285714
DAGLB	0,07141129	-0,050021202	0,073	0,028	1	0,965922133	1,035280138	2,607142857
ZNF92	0,103691895	-0,050055268	0,098	0,046	1	0,965899326	1,035304585	2,130434783
ATRN	0,040443565	-0,050078871	0,134	0,06	1	0,965883524	1,035321522	2,233333333
SERPINA5	0,440372242	-0,050106284	0,037	0,021	1	0,965865171	1,035341195	1,761904762
ZNF436	0,530989227	-0,050185811	0,024	0,014	1	0,96581193	1,035398269	1,714285714
ZNF283	0,706611845	-0,050187822	0,024	0,018	1	0,965810584	1,035399712	1,333333333
MFAP5	0,908489202	-0,050308105	0,012	0,011	1	0,965730064	1,035486041	1,090909091
FBXO36	0,20009151	-0,050342793	0,037	0,014	1	0,965706844	1,035510938	2,642857143
ZNF630	0,35350329	-0,050359393	0	0,011	1	0,965695733	1,035522853	0
GABARAPL1	0,144569962	-0,050389596	0,195	0,119	1	0,965675515	1,035544532	1,638655462
HABP4	0,004073918	-0,050511228	0,354	0,165	1	0,965594104	1,035631842	2,145454545

Supplementary Table 2

Differentially expressed genes_keloid-XL_comparing SC-Keloid vs. (SC-Myel, SC-Nonmyel, SC-Nonmyel2)								
gene	p_val	avg_log2FC	pct.1	pct.2	p_val_adj	Foldchange_UP	Foldchange_DOWN	Ratio_pct1_pct2
TNS4	0,89237004	-0,0505366	0,012	0,014	1	0,965577123	1,035650055	0,857142857
SEPTIN4	0,493879805	-0,050569443	0,012	0,025	1	0,965555141	1,035673632	0,48
TNRC6A	0,005304413	-0,050649564	0,39	0,186	1	0,96550152	1,03573115	2,096774194
SLC24A4	0,89237004	-0,050699052	0,012	0,014	1	0,965468402	1,035766679	0,857142857
MDGA1	0,89237004	-0,050710132	0,012	0,014	1	0,965460987	1,035774634	0,857142857
MATN1-AS1	0,35350329	-0,050768995	0	0,011	1	0,965421597	1,035816894	0
TMEM242	0,104099123	-0,050830916	0,171	0,095	1	0,965380161	1,035861353	1,8
GABRB3	0,186763581	-0,050838853	0	0,021	1	0,96537485	1,035867052	0
ITPKB-AS1	0,28286347	-0,050862647	0	0,014	1	0,965358929	1,035884136	0
CEP120	0,225717022	-0,050866288	0,073	0,039	1	0,965356492	1,035886751	1,871794872
LINC00884	0,35350329	-0,05089623	0	0,011	1	0,965336457	1,03590825	0
DDX18	0,000322744	-0,050939068	0,537	0,246	1	0,965307794	1,03593901	2,182926829
MAMDC2	0,489167971	-0,050943882	0,049	0,032	1	0,965304573	1,035942467	1,53125
MCPH1	0,070311239	-0,050987074	0,085	0,035	1	0,965275673	1,035973481	2,428571429
C10orf88	0,19057237	-0,05102365	0,049	0,021	1	0,965251201	1,035999747	2,333333333
SEC14L5	0,228958629	-0,051037516	0	0,018	1	0,965241925	1,036009703	0
GCH1	0,49683311	-0,051044838	0,012	0,025	1	0,965237025	1,036014962	0,48
DFFA	0,019894576	-0,051063934	0,159	0,067	1	0,965224249	1,036028675	2,373134328
MIER3	0,226961873	-0,05111675	0,073	0,039	1	0,965188914	1,036066604	1,871794872
PRKAB1	0,070675603	-0,051127976	0,061	0,021	1	0,965181403	1,036074666	2,904761905
GPR85	0,28286347	-0,051141337	0	0,014	1	0,965172465	1,036084261	0
ECEL1	0,35350329	-0,051143304	0	0,011	1	0,965171149	1,036085674	0
B4GALT5	0,046889423	-0,05116958	0,195	0,102	1	0,96515357	1,036104544	1,911764706
TRAM1	0,012877731	-0,0512295	0,549	0,302	1	0,965113485	1,036147578	1,817880795
CYB5RL	0,28286347	-0,05124696	0	0,014	1	0,965101805	1,036160118	0
IRF6	0,017273754	-0,051306322	0,061	0,014	1	0,965062095	1,036202754	4,357142857
PIP4K2B	0,012628148	-0,051323782	0,22	0,098	1	0,965050415	1,036215294	2,244897959
ZMIZ2	0,000448479	-0,051348762	0,232	0,077	1	0,965033706	1,036233236	3,012987013
HAPLN3	0,440372242	-0,051366845	0,037	0,021	1	0,96502161	1,036246225	1,761904762
MB21D2	0,360040425	-0,051369918	0,073	0,046	1	0,965019555	1,036248432	1,586956522

Supplementary Table 2

Differentially expressed genes_keloid-XL_comparing SC-Keloid vs. (SC-Myel, SC-Nonmyel, SC-Nonmyel2)								
gene	p_val	avg_log2FC	pct.1	pct.2	p_val_adj	Foldchange_UP	Foldchange_DOWN	Ratio_pct1_pct2
TBCD	0,231033985	-0,051370748	0,098	0,056	1	0,965019	1,036249028	1,75
AAK1	0,074240186	-0,051498274	0,488	0,302	1	0,964933701	1,03634063	1,61589404
ATP23	0,60063706	-0,051528583	0,012	0,021	1	0,96491343	1,036362402	0,571428571
DGKB	0,001357418	-0,051553879	0,268	0,105	1	0,964896511	1,036380574	2,552380952
DHX58	0,118200281	-0,051588191	0,061	0,025	1	0,964873563	1,036405223	2,44
FGF14-AS2	0,611083176	-0,051694359	0,012	0,021	1	0,96480256	1,036481495	0,571428571
FAM91A1	0,000520524	-0,051708455	0,159	0,042	1	0,964793134	1,036491622	3,785714286
DHX35	0,19199525	-0,051749103	0,049	0,021	1	0,964765951	1,036520825	2,333333333
COL8A2	0,186763581	-0,051760628	0	0,021	1	0,964758244	1,036529106	0
ANKRD30B	0,28286347	-0,05183755	0	0,014	1	0,964706806	1,036584373	0
TRMT11	0,416137067	-0,051847175	0,11	0,077	1	0,96470037	1,036591289	1,428571429
ZNF155	0,89237004	-0,051980648	0,012	0,014	1	0,964611123	1,036687195	0,857142857
CIR1	0,000270547	-0,051996993	0,39	0,158	1	0,964600195	1,03669894	2,46835443
EEF2K	0,32133172	-0,05200082	0,061	0,035	1	0,964597636	1,03670169	1,742857143
LINC00519	0,35350329	-0,05203265	0	0,011	1	0,964576355	1,036724563	0
MAML1	0,004432274	-0,052043948	0,146	0,049	1	0,964568801	1,036732682	2,979591837
STARD10	0,916373198	-0,052047826	0,037	0,039	1	0,964566208	1,036735469	0,948717949
C11orf65	0,28286347	-0,052055451	0	0,014	1	0,96456111	1,036740948	0
CDKL3	0,118200281	-0,052078858	0,061	0,025	1	0,964545461	1,036757769	2,44
BOD1	0,005372829	-0,052097793	0,28	0,126	1	0,964532802	1,036771376	2,222222222
TSGA10	0,728697501	-0,05209939	0,012	0,018	1	0,964531734	1,036772524	0,666666667
VCPIP1	0,011935711	-0,052150742	0,183	0,077	1	0,964497403	1,036809428	2,376623377
TSLP	0,28286347	-0,052161314	0	0,014	1	0,964490335	1,036817025	0
MAPK10	0,724120181	-0,052252138	0,049	0,039	1	0,964429618	1,0368823	1,256410256
ATL2	0,014100784	-0,052279633	0,195	0,088	1	0,964411238	1,036902061	2,215909091
GRIA2	0,728697501	-0,052304955	0,012	0,018	1	0,964394311	1,036920261	0,666666667
POLR3A	0,005554032	-0,052348934	0,11	0,032	1	0,964364913	1,03695187	3,4375
SGMS1	0,199123266	-0,052372918	0,207	0,133	1	0,964348881	1,036969109	1,556390977
MYOZ1	0,228958629	-0,052386291	0	0,018	1	0,964339942	1,036978722	0
TRIM3	0,27514316	-0,052410393	0,098	0,06	1	0,964323831	1,036996046	1,633333333

Supplementary Table 2

Differentially expressed genes_keloid-XL_comparing SC-Keloid vs. (SC-Myel, SC-Nonmyel, SC-Nonmyel2)								
gene	p_val	avg_log2FC	pct.1	pct.2	p_val_adj	Foldchange_UP	Foldchange_DOWN	Ratio_pct1_pct2
ARL15	0,715924734	-0,052413058	0,037	0,028	1	0,96432205	1,036997962	1,321428571
AC073257.1	0,35350329	-0,052449356	0	0,011	1	0,964297788	1,037024053	0
TMEM100	0,579926614	-0,052481914	0,049	0,035	1	0,964276026	1,037047456	1,4
ITGA10	0,28286347	-0,052540237	0	0,014	1	0,964237045	1,03708938	0
GCK	0,35350329	-0,052582887	0	0,011	1	0,96420854	1,03712004	0
TARS2	0,1180597	-0,052647861	0,049	0,018	1	0,964165117	1,03716675	2,722222222
PSMF1	0,002397674	-0,052671663	0,378	0,172	1	0,96414921	1,037183861	2,197674419
LIPT1	0,20009151	-0,052705247	0,037	0,014	1	0,964126766	1,037208006	2,642857143
DUS3L	0,084177047	-0,052725795	0,11	0,053	1	0,964113034	1,037222779	2,075471698
CORO6	0,28286347	-0,052750703	0	0,014	1	0,964096389	1,037240687	0
MFN2	0,007665146	-0,052780815	0,159	0,06	1	0,964076266	1,037262336	2,65
APLF	0,908489202	-0,052789427	0,012	0,011	1	0,964070511	1,037268528	1,090909091
NMNAT1	0,89702294	-0,052799588	0,012	0,014	1	0,964063721	1,037275834	0,857142857
TMEM138	0,022646956	-0,052804392	0,073	0,021	1	0,964060511	1,037279287	3,476190476
RASD2	0,35350329	-0,052808891	0	0,011	1	0,964057505	1,037282522	0
ANKS6	0,710321163	-0,052898989	0,024	0,018	1	0,9639973	1,037347304	1,333333333
PBX4	0,448248692	-0,052944384	0,037	0,021	1	0,963966968	1,037379944	1,761904762
DHX8	0,012479333	-0,05296425	0,146	0,056	1	0,963953695	1,037394229	2,607142857
TTC19	0,009888075	-0,052992886	0,232	0,105	1	0,963934561	1,037414821	2,20952381
TFB1M	0,19199525	-0,053003805	0,049	0,021	1	0,963927265	1,037422673	2,333333333
THAP10	0,908489202	-0,053177029	0,012	0,011	1	0,963811534	1,037547243	1,090909091
COQ8B	0,294659677	-0,053195606	0,11	0,07	1	0,963799123	1,037560604	1,571428571
ZXDB	0,710321163	-0,053204765	0,024	0,018	1	0,963793005	1,03756719	1,333333333
DCAF5	0,284092314	-0,053242063	0,171	0,116	1	0,963768088	1,037594015	1,474137931
ZNF8	0,597173043	-0,053262249	0,012	0,021	1	0,963754603	1,037608533	0,571428571
KLHDC4	0,116405688	-0,053273646	0,061	0,025	1	0,96374699	1,03761673	2,44
H2BC11	0,28286347	-0,053316839	0	0,014	1	0,963718137	1,037647795	0
ACVR1B	0,14139551	-0,053359743	0,085	0,042	1	0,963689477	1,037678654	2,023809524
PABPC5	0,19199525	-0,053361773	0,049	0,021	1	0,963688121	1,037680115	2,333333333
PLAG1	0,493813928	-0,053363705	0,049	0,032	1	0,96368683	1,037681505	1,53125

Supplementary Table 2

Differentially expressed genes_keloid-XL_comparing SC-Keloid vs. (SC-Myel, SC-Nonmyel, SC-Nonmyel2)								
gene	p_val	avg_log2FC	pct.1	pct.2	p_val_adj	Foldchange_UP	Foldchange_DOWN	Ratio_pct1_pct2
CTDP1	0,130630474	-0,053449864	0,098	0,049	1	0,96362928	1,037743477	2
FASTKD1	0,58754085	-0,053492729	0,037	0,025	1	0,96360065	1,037774311	1,48
CENPO	0,351112297	-0,053503572	0,024	0,011	1	0,963593408	1,03778211	2,181818182
ING5	0,004936693	-0,053593133	0,171	0,063	1	0,96353359	1,037846537	2,714285714
CA12	0,89237004	-0,053616349	0,012	0,014	1	0,963518085	1,037863239	0,857142857
MICU2	0,003171101	-0,053635601	0,317	0,14	1	0,963505228	1,037877088	2,264285714
CX3CL1	0,597173043	-0,053678616	0,012	0,021	1	0,9634765	1,037908034	0,571428571
NICN1	0,875682986	-0,053754489	0,024	0,021	1	0,963425831	1,03796262	1,142857143
SDHAF2	0,001553513	-0,053769364	0,207	0,074	1	0,963415898	1,037973322	2,797297297
SERHL2	0,89702294	-0,053798481	0,012	0,014	1	0,963396454	1,037994271	0,857142857
PABPC4	0,022103657	-0,053811054	0,329	0,175	1	0,963388058	1,038003317	1,88
PODN	0,35350329	-0,053928753	0	0,011	1	0,963309466	1,038088003	0
ZNF470	0,732741497	-0,053943322	0,012	0,018	1	0,963299737	1,038098487	0,666666667
DDHD2	0,02256766	-0,053944055	0,207	0,098	1	0,963299248	1,038099014	2,112244898
MAB21L1	0,35350329	-0,054045645	0	0,011	1	0,963231418	1,038172117	0
SLC17A5	0,043046717	-0,054048457	0,073	0,025	1	0,96322954	1,03817414	2,92
DLGAP1-AS1	0,612000968	-0,054052273	0,049	0,035	1	0,963226993	1,038176886	1,4
CYP19A1	0,49683311	-0,054056488	0,012	0,025	1	0,963224179	1,038179919	0,48
JADE2	0,210267721	-0,054057633	0,098	0,056	1	0,963223414	1,038180743	1,75
POLE3	0,000196154	-0,054180206	0,39	0,154	1	0,963141581	1,038268952	2,532467532
UBE2J1	0,005512944	-0,054188508	0,207	0,084	1	0,963136039	1,038274927	2,464285714
ZNF143	0,00102341	-0,05420602	0,171	0,053	1	0,963124348	1,03828753	3,226415094
CDC40	5,5443E-05	-0,054221799	0,195	0,049	1	0,963113814	1,038298885	3,979591837
CPT1B	0,702909482	-0,054225162	0,024	0,018	1	0,963111569	1,038301306	1,333333333
TMPO	0,196056982	-0,054250581	0,134	0,081	1	0,9630946	1,0383196	1,654320988
SEC23B	0,001877835	-0,054255325	0,122	0,032	1	0,963091433	1,038323014	3,8125
DYNC1L1	0,002384046	-0,054301072	0,341	0,151	1	0,963060894	1,03835594	2,258278146
SIRT3	0,448248692	-0,054314249	0,037	0,021	1	0,963052099	1,038365423	1,761904762
NOTCH2NLA	0,944403545	-0,05433367	0,049	0,046	1	0,963039134	1,038379401	1,065217391
SLC19A2	0,043911154	-0,054334051	0,085	0,032	1	0,96303888	1,038379676	2,65625

Supplementary Table 2

Differentially expressed genes_keloid-XL_comparing SC-Keloid vs. (SC-Myel, SC-Nonmyel, SC-Nonmyel2)								
gene	p_val	avg_log2FC	pct.1	pct.2	p_val_adj	Foldchange_UP	Foldchange_DOWN	Ratio_pct1_pct2
C2CD5	0,501956412	-0,054338951	0,061	0,042	1	0,963035609	1,038383202	1,452380952
PCTP	0,489167971	-0,054340862	0,049	0,032	1	0,963034334	1,038384578	1,53125
AC068987.1	0,28286347	-0,054376826	0	0,014	1	0,963010327	1,038410464	0
TPT1	0,7484323	-0,054432751	0,988	0,979	1	0,962972997	1,038450718	1,009193054
IRF2BPL	0,023151224	-0,054437339	0,366	0,204	1	0,962969935	1,03845402	1,794117647
SLC24A5	0,35350329	-0,054456995	0	0,011	1	0,962956815	1,038468169	0
SLC35E4	0,003126845	-0,054492848	0,171	0,06	1	0,962932884	1,038493976	2,85
RGL3	0,378906544	-0,054494678	0,049	0,028	1	0,962931663	1,038495293	1,75
HAUS6	0,003740454	-0,054515783	0,122	0,035	1	0,962917576	1,038510486	3,485714286
NCKIPSD	0,116405688	-0,054529339	0,061	0,025	1	0,962908529	1,038520244	2,44
PARP16	0,879365097	-0,054569687	0,024	0,021	1	0,962881599	1,038549289	1,142857143
MSH3	0,328098566	-0,054671678	0,061	0,035	1	0,962813531	1,038622711	1,742857143
MOSMO	0,00869514	-0,054703338	0,22	0,095	1	0,962792402	1,038645504	2,315789474
CDC6	0,908489202	-0,054735607	0,012	0,011	1	0,962770868	1,038668736	1,090909091
PER2	0,292477426	-0,054740347	0,073	0,042	1	0,962767704	1,038672149	1,738095238
CR1	0,28286347	-0,054809677	0	0,014	1	0,962721438	1,038722064	0
ATP2B1	0,000128479	-0,054810878	0,427	0,172	1	0,962720637	1,038722929	2,48255814
TP53BP1	0,012885819	-0,054813368	0,183	0,077	1	0,962718975	1,038724722	2,376623377
TNFRSF1B	0,404681217	-0,054880505	0,012	0,028	1	0,962674176	1,03877306	0,428571429
COA7	0,654971645	-0,05489031	0,012	0,007	1	0,962667633	1,038780121	1,714285714
ACP6	0,01938354	-0,054916194	0,122	0,046	1	0,962650362	1,038798758	2,652173913
RBSN	0,180291852	-0,054919366	0,098	0,053	1	0,962648245	1,038801042	1,849056604
NDST2	0,316484073	-0,054979459	0,037	0,018	1	0,962608149	1,038844312	2,055555556
COL17A1	0,8434729	-0,05502925	0,037	0,032	1	0,962574927	1,038880166	1,15625
RYK	0,008289778	-0,055078006	0,195	0,081	1	0,962542397	1,038915276	2,407407407
TOLLIP-DT	0,114980497	-0,055085734	0,049	0,018	1	0,962537241	1,038920841	2,722222222
HAP1	0,35350329	-0,055123437	0	0,011	1	0,962512087	1,038947992	0
DBF4B	0,187860656	-0,0551536	0,024	0,007	1	0,962491964	1,038969714	3,428571429
HHIPL1	0,1180597	-0,055185699	0,049	0,018	1	0,962470549	1,03899283	2,722222222
LRP10	0,009233066	-0,055192779	0,366	0,182	1	0,962465826	1,038997929	2,010989011

Supplementary Table 2

Differentially expressed genes_keloid-XL_comparing SC-Keloid vs. (SC-Myel, SC-Nonmyel, SC-Nonmyel2)								
gene	p_val	avg_log2FC	pct.1	pct.2	p_val_adj	Foldchange_UP	Foldchange_DOWN	Ratio_pct1_pct2
PLEKHM1	0,444731778	-0,055219254	0,073	0,049	1	0,962448164	1,039016996	1,489795918
ZNF532	0,094604985	-0,055332214	0,232	0,137	1	0,962372809	1,039098352	1,693430657
ZNF665	0,89237004	-0,055400606	0,012	0,014	1	0,962327188	1,039147613	0,857142857
PKN3	0,89237004	-0,05540135	0,012	0,014	1	0,962326692	1,039148148	0,857142857
WDR36	0,064689212	-0,055449591	0,11	0,049	1	0,962294514	1,039182896	2,244897959
TIMM10B	0,016361462	-0,055454679	0,159	0,067	1	0,96229112	1,039186561	2,373134328
NUP160	0,088019283	-0,055471865	0,195	0,109	1	0,962279657	1,03919894	1,788990826
SLC27A3	0,245172489	-0,055484023	0,061	0,032	1	0,962271547	1,039207698	1,90625
GIMAP2	0,35350329	-0,055512047	0	0,011	1	0,962252856	1,039227884	0
TMEM31	0,728697501	-0,055579775	0,012	0,018	1	0,962207683	1,039276673	0,666666667
RGMA	0,530989227	-0,055593338	0,024	0,014	1	0,962198638	1,039286443	1,714285714
CIART	0,448248692	-0,055594338	0,037	0,021	1	0,962197971	1,039287164	1,761904762
NPHP4	0,046053199	-0,055672682	0,085	0,032	1	0,962145721	1,039343602	2,65625
KLB	0,35350329	-0,055704142	0	0,011	1	0,962124741	1,039366267	0
CSNK1G2	0,002251108	-0,055704927	0,354	0,161	1	0,962124217	1,039366833	2,198757764
PKD2L2	0,35350329	-0,055730613	0	0,011	1	0,962107087	1,039385338	0
NUDT7	0,493879805	-0,055782525	0,012	0,025	1	0,962072468	1,039422739	0,48
ELP3	0,025428865	-0,055791168	0,085	0,028	1	0,962066705	1,039428965	3,035714286
DNASE1	0,872003564	-0,055818313	0,024	0,021	1	0,962048604	1,039448523	1,142857143
MAGI3	0,626508508	-0,055836451	0,073	0,056	1	0,962036508	1,039461592	1,303571429
ASL	0,011860894	-0,055859653	0,146	0,056	1	0,962021037	1,039478309	2,607142857
NUP205	0,597099695	-0,055863634	0,049	0,035	1	0,962018382	1,039481177	1,4
BRF1	0,004129328	-0,055876023	0,134	0,042	1	0,962010121	1,039490104	3,19047619
HDAC7	0,010936992	-0,055902448	0,293	0,144	1	0,9619925	1,039509144	2,034722222
ANKMY2	0,109709366	-0,055907358	0,073	0,032	1	0,961989226	1,039512681	2,28125
GTPBP6	0,001403336	-0,055986481	0,28	0,112	1	0,961936468	1,039569694	2,5
C1QTNF9	0,228958629	-0,055991316	0	0,018	1	0,961933245	1,039573177	0
SERAC1	0,132098446	-0,056033428	0,098	0,049	1	0,961905167	1,039603523	2
TIE1	0,28286347	-0,056048792	0	0,014	1	0,961894922	1,039614595	0
DCK	0,028797588	-0,056054277	0,11	0,042	1	0,961891266	1,039618547	2,619047619

Supplementary Table 2

Differentially expressed genes_keloid-XL_comparing SC-Keloid vs. (SC-Myel, SC-Nonmyel, SC-Nonmyel2)								
gene	p_val	avg_log2FC	pct.1	pct.2	p_val_adj	Foldchange_UP	Foldchange_DOWN	Ratio_pct1_pct2
ZNF408	0,118200281	-0,056080544	0,061	0,025	1	0,961873753	1,039637475	2,44
DCAF15	0,012753006	-0,056100758	0,146	0,056	1	0,961860276	1,039652042	2,607142857
ACYP1	0,012245275	-0,056165377	0,183	0,077	1	0,961817195	1,03969861	2,376623377
IKZF4	0,516525962	-0,056168513	0,061	0,042	1	0,961815104	1,039700869	1,452380952
CRPPA	0,228958629	-0,056174073	0	0,018	1	0,961811397	1,039704876	0
PAQR3	0,20263543	-0,056209721	0,134	0,081	1	0,961787632	1,039730567	1,654320988
CRYZL1	0,092558151	-0,056269169	0,159	0,084	1	0,961748001	1,039773412	1,892857143
WARS1	0,000228585	-0,056282392	0,39	0,158	1	0,961739186	1,039782942	2,46835443
ENDOG	0,003253229	-0,056293015	0,171	0,06	1	0,961732104	1,039790598	2,85
ZBED1	0,18022108	-0,056311415	0,122	0,07	1	0,961719839	1,039803859	1,742857143
MARCHF10	0,28286347	-0,056324254	0	0,014	1	0,96171128	1,039813113	0
ECHDC3	0,189157269	-0,056351287	0,049	0,021	1	0,96169326	1,039832597	2,333333333
SIK2	0,787803369	-0,056352695	0,098	0,084	1	0,961692321	1,039833612	1,166666667
EIF4G3	0,095441424	-0,056386821	0,22	0,13	1	0,961669573	1,039858209	1,692307692
ZNF432	0,107265343	-0,056432373	0,037	0,011	1	0,96163921	1,039891042	3,363636364
NOX4	0,908489202	-0,0564803	0,012	0,011	1	0,961607265	1,039925588	1,090909091
NAP1L2	0,732741497	-0,056617025	0,012	0,018	1	0,961516137	1,040024147	0,666666667
PDE4A	0,344121021	-0,056629902	0,073	0,046	1	0,961507555	1,04003343	1,586956522
TXNRD3	0,60759219	-0,056674586	0,012	0,021	1	0,961477775	1,040065643	0,571428571
ANXA3	0,459175933	-0,056701658	0,073	0,049	1	0,961459733	1,04008516	1,489795918
SMIM1	0,35350329	-0,056748895	0	0,011	1	0,961428253	1,040119215	0
DUS2	0,066254792	-0,056762584	0,024	0,004	1	0,961419131	1,040129084	6
DGKE	0,186763581	-0,056791101	0	0,021	1	0,961400127	1,040149645	0
ARTN	0,827572132	-0,056829018	0,098	0,088	1	0,961374859	1,040176982	1,113636364
FAM8A1	0,246621056	-0,056835219	0,061	0,032	1	0,961370728	1,040181453	1,90625
CCNG1	0,89958467	-0,056837766	0,061	0,056	1	0,96136903	1,040183289	1,089285714
RBL1	0,908489202	-0,056849991	0,012	0,011	1	0,961360884	1,040192103	1,090909091
HCFC1	0,000392705	-0,056935641	0,293	0,109	1	0,961303812	1,040253859	2,688073394
SNTB1	0,319820382	-0,05702727	0,085	0,053	1	0,961242758	1,040319931	1,603773585
VMA21	0,030887858	-0,057039167	0,28	0,151	1	0,961234832	1,040328509	1,854304636

Supplementary Table 2

Differentially expressed genes_keloid-XL_comparing SC-Keloid vs. (SC-Myel, SC-Nonmyel, SC-Nonmyel2)								
gene	p_val	avg_log2FC	pct.1	pct.2	p_val_adj	Foldchange_UP	Foldchange_DOWN	Ratio_pct1_pct2
KIFC2	0,018247048	-0,057060314	0,122	0,046	1	0,961220742	1,040343759	2,652173913
PLD1	0,732741497	-0,05708564	0,012	0,018	1	0,961203868	1,040362022	0,666666667
DCHS1	0,903285004	-0,057117404	0,012	0,011	1	0,961182706	1,040384928	1,090909091
UFL1	0,002552465	-0,057126547	0,244	0,098	1	0,961176614	1,040391521	2,489795918
TTC23L	0,35350329	-0,057159123	0	0,011	1	0,961154911	1,040415013	0
PCDHGA8	0,654971645	-0,057175998	0,012	0,007	1	0,961143669	1,040427183	1,714285714
MIS18BP1	0,005440017	-0,057200854	0,171	0,063	1	0,96112711	1,040445108	2,714285714
EDEM1	0,065353239	-0,057225169	0,171	0,088	1	0,961110911	1,040462644	1,943181818
ZNF559	0,028137369	-0,057313717	0,098	0,035	1	0,961051923	1,040526507	2,8
SPTLC3	0,490935921	-0,057401444	0,012	0,025	1	0,960993485	1,040589781	0,48
DNAL1	0,067693888	-0,05743391	0,146	0,074	1	0,960971859	1,040613198	1,972972973
CYS1	0,28286347	-0,057463937	0	0,014	1	0,960951859	1,040634857	0
ZNF714	0,721906011	-0,057480233	0,037	0,028	1	0,960941005	1,040646611	1,321428571
SEMA6B	0,848859315	-0,057482964	0,024	0,028	1	0,960939185	1,040648581	0,857142857
DEFB1	0,28286347	-0,057506347	0	0,014	1	0,960923611	1,040665448	0
GOLGA6L4	0,85248313	-0,057581908	0,037	0,032	1	0,960873284	1,040719954	1,15625
SARS2	0,718963318	-0,057585145	0,049	0,039	1	0,960871128	1,040722289	1,256410256
GK	0,440372242	-0,057644301	0,037	0,021	1	0,960831729	1,040764964	1,761904762
RNF25	0,712940593	-0,057723617	0,037	0,028	1	0,960778907	1,040822184	1,321428571
KBTBD4	0,1180597	-0,057742615	0,049	0,018	1	0,960766255	1,04083589	2,722222222
ABLIM2	0,649511996	-0,057748491	0,012	0,007	1	0,960762342	1,040840129	1,714285714
LTK	0,351112297	-0,057784242	0,024	0,011	1	0,960738534	1,040865922	2,181818182
GTF2F1	0,001411405	-0,057803302	0,244	0,091	1	0,960725841	1,040879674	2,681318681
RENBP	0,988227774	-0,057829266	0,037	0,035	1	0,960708551	1,040898406	1,057142857
C17orf80	0,60452973	-0,057862556	0,049	0,035	1	0,960686383	1,040922425	1,4
GRPEL1	0,003033134	-0,057871244	0,232	0,095	1	0,960680598	1,040928694	2,442105263
SDHD	0,002929072	-0,057907834	0,378	0,179	1	0,960656233	1,040955094	2,111731844
TMCC2	0,35350329	-0,057912711	0	0,011	1	0,960652985	1,040958614	0
GPCPD1	0,009697844	-0,057955456	0,171	0,067	1	0,960624523	1,040989456	2,552238806
ROM1	0,49683311	-0,058025946	0,012	0,025	1	0,960577589	1,04104032	0,48

Supplementary Table 2

Differentially expressed genes_keloid-XL_comparing SC-Keloid vs. (SC-Myel, SC-Nonmyel, SC-Nonmyel2)								
gene	p_val	avg_log2FC	pct.1	pct.2	p_val_adj	Foldchange_UP	Foldchange_DOWN	Ratio_pct1_pct2
DUSP2	0,879365097	-0,058033598	0,024	0,021	1	0,960572493	1,041045842	1,142857143
LGALS9	0,710321163	-0,058038408	0,024	0,018	1	0,960569291	1,041049312	1,333333333
S100BPB	0,07286384	-0,058046511	0,085	0,035	1	0,960563896	1,04105516	2,428571429
GTPBP10	0,311992919	-0,058050636	0,037	0,018	1	0,960561149	1,041058137	2,055555556
ADAMTSL5	0,35350329	-0,05812338	0	0,011	1	0,960512717	1,04111063	0
MKKS	0,109709366	-0,058155628	0,073	0,032	1	0,960491247	1,041133902	2,28125
RFFL	0,383074885	-0,058270927	0,049	0,028	1	0,960414489	1,041217112	1,75
KCNN2	0,153186787	-0,058291331	0	0,025	1	0,960400906	1,041231838	0
LRRC15	0,00931978	-0,058301299	0,049	0,007	1	0,96039427	1,041239032	7
LINC00052	0,186763581	-0,058362955	0	0,021	1	0,960353227	1,041283532	0
MYO9B	0,010200054	-0,058371729	0,5	0,27	1	0,960347386	1,041289865	1,851851852
NHEJ1	0,072536796	-0,058387085	0,073	0,028	1	0,960337164	1,041300948	2,607142857
NR2F6	0,001538234	-0,058409404	0,293	0,119	1	0,960322308	1,041317058	2,462184874
BST2	0,980653851	-0,058504319	0,024	0,025	1	0,96025913	1,041385569	0,96
AGAP9	0,070675603	-0,058534558	0,061	0,021	1	0,960239003	1,041407396	2,904761905
DTNBP1	0,008169675	-0,058543883	0,146	0,053	1	0,960232797	1,041414127	2,754716981
RMC1	0,7220639	-0,05855031	0,073	0,06	1	0,960228519	1,041418767	1,216666667
ZNF274	0,383074885	-0,058586238	0,049	0,028	1	0,960204606	1,041444702	1,75
MCEE	0,057571887	-0,058601451	0,134	0,063	1	0,960194481	1,041455684	2,126984127
ANKRD40	0,005117806	-0,058640046	0,402	0,196	1	0,960168794	1,041483546	2,051020408
GOSR1	0,027439345	-0,058666572	0,268	0,14	1	0,96015114	1,041502695	1,914285714
ILDR2	0,510255146	-0,058683943	0,061	0,042	1	0,96013958	1,041515235	1,452380952
SCAI	0,044698521	-0,058707444	0,098	0,039	1	0,96012394	1,041532201	2,512820513
APTR	0,065920448	-0,058734228	0,11	0,049	1	0,960106115	1,041551538	2,244897959
IFIH1	0,04430569	-0,058749078	0,11	0,046	1	0,960096232	1,041562259	2,391304348
LRRC75B	0,012753006	-0,058866702	0,146	0,056	1	0,960017958	1,041647181	2,607142857
ZNF337	0,069203207	-0,058893222	0,073	0,028	1	0,960000311	1,041666329	2,607142857
RECK	0,837311683	-0,058895988	0,049	0,042	1	0,95999847	1,041668326	1,166666667
FSIP1	0,728697501	-0,058954051	0,012	0,018	1	0,959959834	1,041710251	0,666666667
MAU2	0,117394374	-0,059036048	0,146	0,081	1	0,959905276	1,041769459	1,802469136

Supplementary Table 2

Differentially expressed genes_keloid-XL_comparing SC-Keloid vs. (SC-Myel, SC-Nonmyel, SC-Nonmyel2)								
gene	p_val	avg_log2FC	pct.1	pct.2	p_val_adj	Foldchange_UP	Foldchange_DOWN	Ratio_pct1_pct2
ALDOA	0,002863371	-0,059058298	0,268	0,112	1	0,959890472	1,041785526	2,392857143
CLSTN2	0,228958629	-0,059078557	0	0,018	1	0,959876993	1,041800155	0
KLF15	0,228958629	-0,059119832	0	0,018	1	0,959849532	1,041829961	0
PGM5	0,654971645	-0,059124795	0,012	0,007	1	0,95984623	1,041833545	1,714285714
ARMC10	0,004100112	-0,059131623	0,207	0,081	1	0,959841687	1,041838476	2,555555556
NOXA1	0,903285004	-0,05914544	0,012	0,011	1	0,959832494	1,041848454	1,090909091
CERS6	0,340048767	-0,059216801	0,134	0,091	1	0,959785018	1,041899989	1,472527473
TAF5	0,228958629	-0,05924292	0	0,018	1	0,959767642	1,041918852	0
FOLH1	0,186763581	-0,059276163	0	0,021	1	0,959745528	1,04194286	0
HOMEZ	0,351112297	-0,059299849	0,024	0,011	1	0,95972977	1,041959967	2,181818182
RAP1A	0,017424753	-0,059354048	0,634	0,368	1	0,959693716	1,041999112	1,722826087
CEP70	0,835753847	-0,05951214	0,024	0,028	1	0,959588558	1,042113301	0,857142857
PAN2	0,257323577	-0,059588995	0,085	0,049	1	0,95953744	1,042168818	1,734693878
DENND11	0,314233219	-0,059612562	0,037	0,018	1	0,959521766	1,042185842	2,055555556
TMEM215	0,186763581	-0,059619166	0	0,021	1	0,959517374	1,042190613	0
TBC1D8	0,28286347	-0,059656685	0	0,014	1	0,959492421	1,042217717	0
FOXJ3	0,049475513	-0,059671649	0,329	0,189	1	0,959482468	1,042228527	1,740740741
SEC22C	0,086796064	-0,059785449	0,207	0,116	1	0,959406787	1,042310742	1,784482759
PLEKHB1	0,017071909	-0,059895229	0,341	0,179	1	0,959333785	1,042390058	1,905027933
SLC25A53	0,597173043	-0,059911141	0,012	0,021	1	0,959323205	1,042401555	0,571428571
VPS8	0,000102238	-0,059936468	0,22	0,063	1	0,959306363	1,042419855	3,492063492
WTIP	0,154886254	-0,059960269	0,146	0,084	1	0,959290537	1,042437053	1,738095238
PAK4	0,029054986	-0,060085733	0,098	0,035	1	0,959207116	1,042527712	2,8
SLC25A42	0,254866345	-0,060102495	0,085	0,049	1	0,959195972	1,042539824	1,734693878
MAP4	0,272953165	-0,060104055	0,878	0,702	1	0,959194935	1,042540952	1,250712251
RALGAPB	0,257205434	-0,060141845	0,11	0,067	1	0,959169809	1,042568261	1,641791045
SOBP	0,228958629	-0,06014429	0	0,018	1	0,959168184	1,042570028	0
SLFN13	0,189157269	-0,060159837	0,049	0,021	1	0,959157848	1,042581262	2,333333333
FAU	0,748298158	-0,060171486	0,963	0,877	1	0,959150103	1,042589681	1,098061574
NINL	0,1180597	-0,060199687	0,049	0,018	1	0,959131354	1,042610061	2,722222222

Supplementary Table 2

Differentially expressed genes_keloid-XL_comparing SC-Keloid vs. (SC-Myel, SC-Nonmyel, SC-Nonmyel2)								
gene	p_val	avg_log2FC	pct.1	pct.2	p_val_adj	Foldchange_UP	Foldchange_DOWN	Ratio_pct1_pct2
SARM1	0,107265343	-0,060208238	0,037	0,011	1	0,95912567	1,042616241	3,363636364
MAMSTR	0,530989227	-0,060208486	0,024	0,014	1	0,959125505	1,04261642	1,714285714
CYP2U1	0,228894059	-0,060213784	0,098	0,056	1	0,959121982	1,042620249	1,75
USP27X	0,908489202	-0,060258996	0,012	0,011	1	0,959091925	1,042652924	1,090909091
RPAP2	0,095256843	-0,060289251	0,098	0,046	1	0,959071812	1,042674789	2,130434783
MIR181A2HG	0,58754085	-0,060307695	0,037	0,025	1	0,959059551	1,04268812	1,48
FHL1	0,000918969	-0,060310291	0,341	0,144	1	0,959057825	1,042689996	2,368055556
MGRN1	0,038346176	-0,060312224	0,207	0,105	1	0,959056541	1,042691393	1,971428571
PPFIA2	0,654971645	-0,06032851	0,012	0,007	1	0,959045714	1,042703163	1,714285714
DENND1B	0,612000968	-0,060335908	0,049	0,035	1	0,959040797	1,04270851	1,4
PDXP	0,002944476	-0,060412911	0,305	0,137	1	0,958989609	1,042764166	2,226277372
APAF1	0,042654557	-0,060419487	0,122	0,053	1	0,958985238	1,042768919	2,301886792
CHD5	0,35185965	-0,060480675	0,012	0,004	1	0,958944566	1,042813146	3
FOXC1	0,471017216	-0,060704786	0,085	0,06	1	0,958795614	1,042975151	1,416666667
TBC1D14	0,00328535	-0,060722484	0,159	0,053	1	0,958783852	1,042987945	3
SLC25A4	0,00282973	-0,060802926	0,256	0,105	1	0,958730393	1,043046102	2,438095238
PKHD1	0,35350329	-0,060827344	0	0,011	1	0,958714167	1,043063756	0
GNG12-AS1	0,654971645	-0,060867096	0,012	0,007	1	0,958687751	1,043092497	1,714285714
MTF1	0,07286384	-0,06087384	0,085	0,035	1	0,958683269	1,043097374	2,428571429
KANSL3	0,039696939	-0,060885155	0,134	0,06	1	0,95867575	1,043105555	2,233333333
ZNF641	0,043911154	-0,060923477	0,085	0,032	1	0,958650286	1,043133263	2,65625
USP16	0,000660037	-0,060934494	0,439	0,2	1	0,958642965	1,043141228	2,195
IMPDH1	0,318425758	-0,060945542	0,085	0,053	1	0,958635624	1,043149217	1,603773585
FARS2	0,083350984	-0,061073073	0,122	0,06	1	0,958550886	1,043241433	2,033333333
COL18A1-AS1	0,28286347	-0,061126961	0	0,014	1	0,958515083	1,043280401	0
CEP170B	0,41814263	-0,061149242	0,061	0,039	1	0,95850028	1,043296513	1,564102564
APOOL	0,028583695	-0,061202832	0,11	0,042	1	0,958464676	1,043335268	2,619047619
PLEKHG2	0,025986542	-0,061291306	0,146	0,063	1	0,9584059	1,043399253	2,317460317
TKT	0,007915019	-0,061311992	0,439	0,225	1	0,958392158	1,043414214	1,951111111
DEDD	0,322621598	-0,061406476	0,085	0,053	1	0,958329393	1,043482551	1,603773585

Supplementary Table 2

Differentially expressed genes_keloid-XL_comparing SC-Keloid vs. (SC-Myel, SC-Nonmyel, SC-Nonmyel2)								
gene	p_val	avg_log2FC	pct.1	pct.2	p_val_adj	Foldchange_UP	Foldchange_DOWN	Ratio_pct1_pct2
ZBED6	0,973621109	-0,061438063	0,024	0,025	1	0,958308411	1,043505398	0,96
ZNF66	0,351112297	-0,061452747	0,024	0,011	1	0,958298658	1,043516018	2,181818182
UBL7-DT	0,329804619	-0,061460482	0,061	0,035	1	0,95829352	1,043521614	1,742857143
MSTN	0,908489202	-0,061464464	0,012	0,011	1	0,958290875	1,043524494	1,090909091
MAGEH1	0,000289534	-0,061531212	0,366	0,144	1	0,95824654	1,043572775	2,541666667
ZNF592	0,22324196	-0,061550282	0,073	0,039	1	0,958233873	1,043586569	1,871794872
CENPJ	0,073676783	-0,061597361	0,073	0,028	1	0,958202604	1,043620624	2,607142857
RMRP	0,245172489	-0,061600424	0,061	0,032	1	0,95820057	1,04362284	1,90625
EGR1	0,020355192	-0,061603137	0,622	0,389	1	0,958198767	1,043624803	1,598971722
EIF2B5	0,04083019	-0,061603311	0,171	0,084	1	0,958198652	1,043624929	2,035714286
LIN52	0,17581427	-0,061612706	0,061	0,028	1	0,958192412	1,043631725	2,178571429
CCL21	0,706611845	-0,061657223	0,024	0,018	1	0,958162846	1,043663929	1,333333333
FAM83H	0,502767844	-0,061675343	0,012	0,025	1	0,958150811	1,043677037	0,48
WIPI1	0,620416443	-0,061690237	0,073	0,056	1	0,95814092	1,043687812	1,303571429
OMA1	0,727904339	-0,061691139	0,037	0,028	1	0,958140321	1,043688464	1,321428571
EIF3J-DT	0,395778183	-0,061729789	0,085	0,056	1	0,958114653	1,043716425	1,517857143
MOSPD2	0,074780305	-0,061730295	0,146	0,074	1	0,958114316	1,043716791	1,972972973
YEATS2	0,729035687	-0,061756768	0,085	0,095	1	0,958096735	1,043735944	0,894736842
ERBIN	0,126733582	-0,061804931	0,402	0,256	1	0,958064751	1,043770788	1,5703125
C8orf76	0,005885893	-0,061808594	0,11	0,032	1	0,958062318	1,043773438	3,4375
LRRTM3	0,35350329	-0,061838165	0	0,011	1	0,958042681	1,043794833	0
EXOC8	0,442988867	-0,061848251	0,037	0,021	1	0,958035984	1,04380213	1,761904762
AC104695.3	0,597173043	-0,061878536	0,012	0,021	1	0,958015872	1,043824042	0,571428571
MED12L	0,35350329	-0,061886337	0	0,011	1	0,958010693	1,043829686	0
SENP5	0,001668365	-0,061935401	0,22	0,081	1	0,957978112	1,043865186	2,716049383
E4F1	0,028923554	-0,062062003	0,122	0,049	1	0,95789405	1,043956793	2,489795918
MAP1B	0,032352611	-0,06208621	0,744	0,512	1	0,957877977	1,04397431	1,453125
CCL28	0,1159998	-0,062145705	0,049	0,018	1	0,957838476	1,044017363	2,722222222
CDH5	0,8646531	-0,062213544	0,024	0,021	1	0,957793438	1,044066456	1,142857143
RAP2C	0,000360074	-0,062301019	0,22	0,07	1	0,957735366	1,044129763	3,142857143

Supplementary Table 2

Differentially expressed genes_keloid-XL_comparing SC-Keloid vs. (SC-Myel, SC-Nonmyel, SC-Nonmyel2)								
gene	p_val	avg_log2FC	pct.1	pct.2	p_val_adj	Foldchange_UP	Foldchange_DOWN	Ratio_pct1_pct2
FBXO7	0,000794601	-0,062384606	0,39	0,161	1	0,957679878	1,044190259	2,422360248
RAPGEFL1	0,28286347	-0,062411421	0	0,014	1	0,957662078	1,044209668	0
LRP4	0,728697501	-0,062445687	0,012	0,018	1	0,957639332	1,044234469	0,666666667
SEPTIN11	0,003845721	-0,062464413	0,268	0,116	1	0,957626902	1,044248024	2,310344828
CRNKL1	0,001561069	-0,062563194	0,146	0,042	1	0,957561336	1,044319526	3,476190476
FAM221A	0,011809073	-0,062605091	0,159	0,063	1	0,957533528	1,044349854	2,523809524
ZNF563	0,89237004	-0,062636073	0,012	0,014	1	0,957512965	1,044372282	0,857142857
LYSMD3	0,03953545	-0,062636552	0,146	0,067	1	0,957512647	1,044372629	2,179104478
RAD54B	0,908489202	-0,062642942	0,012	0,011	1	0,957508406	1,044377254	1,090909091
SMIM27	0,00093542	-0,062655297	0,171	0,053	1	0,957500206	1,044386198	3,226415094
NCKAP5	0,228958629	-0,062709519	0	0,018	1	0,95746422	1,044425451	0
ZDHHC15	0,228958629	-0,062771783	0	0,018	1	0,957422899	1,044470527	0
ISCA2	0,068571397	-0,062819808	0,098	0,042	1	0,957391029	1,044505296	2,333333333
HELLS	0,14306806	-0,062838427	0,085	0,042	1	0,957378672	1,044518777	2,023809524
TRIM45	0,530989227	-0,062907996	0,024	0,014	1	0,957332508	1,044569146	1,714285714
PCDH7	0,766387365	-0,062931506	0,073	0,084	1	0,957316907	1,044586169	0,869047619
SASH1	0,064703286	-0,062935522	0,28	0,161	1	0,957314242	1,044589077	1,739130435
CLIP2	0,120935406	-0,062974509	0,183	0,105	1	0,957288373	1,044617305	1,742857143
PNO1	0,00362984	-0,06301302	0,183	0,067	1	0,957262819	1,044645191	2,731343284
RGS14	0,063408785	-0,063054169	0,049	0,014	1	0,957235516	1,044674987	3,5
DNAH10OS	0,89237004	-0,063090482	0,012	0,014	1	0,957211423	1,044701281	0,857142857
TRAPPC10	0,174052386	-0,06312455	0,159	0,095	1	0,957188819	1,044725952	1,673684211
PIP4P1	0,080598526	-0,063131222	0,122	0,06	1	0,957184393	1,044730783	2,033333333
GPD1L	0,872003564	-0,063138468	0,024	0,021	1	0,957179585	1,04473603	1,142857143
TBC1D4	0,710321163	-0,063188326	0,024	0,018	1	0,957146506	1,044772136	1,333333333
PEAK1	0,029566525	-0,063202205	0,244	0,126	1	0,957137299	1,044782187	1,936507937
IREB2	0,041697464	-0,063214035	0,146	0,067	1	0,95712945	1,044790754	2,179104478
ZMYM4	0,002111413	-0,063244182	0,22	0,084	1	0,95710945	1,044812587	2,619047619
TMEM91	0,10818873	-0,063289907	0,073	0,032	1	0,957079115	1,044845702	2,28125
MEOX2	0,901679385	-0,063330869	0,012	0,014	1	0,957051942	1,044875368	0,857142857

Supplementary Table 2

Differentially expressed genes_keloid-XL_comparing SC-Keloid vs. (SC-Myel, SC-Nonmyel, SC-Nonmyel2)								
gene	p_val	avg_log2FC	pct.1	pct.2	p_val_adj	Foldchange_UP	Foldchange_DOWN	Ratio_pct1_pct2
NOTCH4	0,026535568	-0,063335559	0,134	0,056	1	0,95704883	1,044878765	2,392857143
PRKN	0,58754085	-0,063345313	0,037	0,025	1	0,95704236	1,044885829	1,48
BIRC7	0,153186787	-0,063350076	0	0,025	1	0,9570392	1,044889279	0
TBC1D24	0,161331561	-0,063440437	0,073	0,035	1	0,956979259	1,044954726	2,085714286
TMEM220	0,28294086	-0,063455139	0,049	0,025	1	0,956969507	1,044965375	1,96
POLI	0,45192123	-0,063511223	0,073	0,049	1	0,956932306	1,045005998	1,489795918
PTPN23	0,008179811	-0,063608102	0,207	0,088	1	0,95686805	1,045076174	2,352272727
CERS4	0,000581823	-0,063634527	0,268	0,098	1	0,956850523	1,045095316	2,734693878
RFTN1	0,832484443	-0,06367658	0,024	0,028	1	0,956822633	1,04512578	0,857142857
FER	0,110383272	-0,0636865	0,183	0,105	1	0,956816054	1,045132966	1,742857143
PSPC1	0,012634206	-0,0637241	0,256	0,119	1	0,956791116	1,045160206	2,151260504
HEG1	0,119915355	-0,063826766	0,11	0,056	1	0,956723031	1,045234584	1,964285714
SPNS2	0,001809471	-0,063851764	0,098	0,021	1	0,956706454	1,045252696	4,666666667
TRIR	0,083066436	-0,063891514	0,72	0,46	1	0,956680095	1,045281495	1,565217391
DYM	0,090623518	-0,06389334	0,146	0,077	1	0,956678884	1,045282819	1,896103896
ZNF224	0,028936102	-0,063900951	0,134	0,056	1	0,956673837	1,045288333	2,392857143
CARS1	0,465724189	-0,063992327	0,183	0,137	1	0,956613246	1,04535454	1,335766423
CARNS1	0,58754085	-0,063994401	0,037	0,025	1	0,956611871	1,045356043	1,48
CAB39	0,133207314	-0,06403519	0,195	0,119	1	0,956584825	1,045385599	1,638655462
ORMDL1	0,005533809	-0,0640533	0,451	0,228	1	0,956572817	1,045398721	1,978070175
ZNF594	0,872003564	-0,064122579	0,024	0,021	1	0,956526883	1,045448923	1,142857143
CHST9	0,85248313	-0,064198587	0,037	0,032	1	0,95647649	1,045504004	1,15625
COBLL1	0,300515611	-0,064220682	0,11	0,07	1	0,956461842	1,045520016	1,571428571
NR3C1	0,114398513	-0,064229842	0,646	0,425	1	0,956455769	1,045526655	1,52
ZFYVE16	0,001075776	-0,064246307	0,39	0,175	1	0,956444853	1,045538586	2,228571429
DNAJC27-AS1	0,908489202	-0,064291451	0,012	0,011	1	0,956414925	1,045571304	1,090909091
ATF5	0,007909976	-0,064296389	0,134	0,046	1	0,956411651	1,045574883	2,913043478
PNPLA7	0,186763581	-0,064298045	0	0,021	1	0,956410554	1,045576083	0
ZNF736	0,60411013	-0,064324412	0,012	0,021	1	0,956393075	1,045595192	0,571428571
GAN	0,875682986	-0,064338699	0,024	0,021	1	0,956383603	1,045605546	1,142857143

Supplementary Table 2

Differentially expressed genes_keloid-XL_comparing SC-Keloid vs. (SC-Myel, SC-Nonmyel, SC-Nonmyel2)								
gene	p_val	avg_log2FC	pct.1	pct.2	p_val_adj	Foldchange_UP	Foldchange_DOWN	Ratio_pct1_pct2
IQCB1	0,194034529	-0,06435239	0,085	0,046	1	0,956374527	1,045615469	1,847826087
MED12	0,146677521	-0,06437595	0,11	0,06	1	0,956358909	1,045632545	1,833333333
ZNF37A	0,041290634	-0,064454698	0,122	0,053	1	0,956306709	1,045689621	2,301886792
TMEM62	0,19199525	-0,064463066	0,049	0,021	1	0,956301162	1,045695686	2,333333333
EPHA5	0,228958629	-0,064497644	0	0,018	1	0,956278242	1,04572075	0
STAC2	0,228958629	-0,064627172	0	0,018	1	0,956192389	1,045814641	0
SEMA6C	0,489167971	-0,064647946	0,049	0,032	1	0,956178621	1,0458297	1,53125
GPR157	0,879365097	-0,064731481	0,024	0,021	1	0,956123258	1,045890257	1,142857143
SLC22A31	0,28286347	-0,064737842	0	0,014	1	0,956119042	1,045894869	0
TEX2	0,016683683	-0,06478878	0,22	0,102	1	0,956085285	1,045931797	2,156862745
NUP35	0,333233926	-0,06490337	0,061	0,035	1	0,956009348	1,046014876	1,742857143
BCL2A1	0,044226311	-0,06493864	0,037	0,007	1	0,955985976	1,046040449	5,285714286
AC016831.7	0,228958629	-0,064941053	0	0,018	1	0,955984377	1,046042199	0
DDX59	0,279370565	-0,064970202	0,049	0,025	1	0,955965063	1,046063333	1,96
NOCT	0,49683311	-0,064973423	0,012	0,025	1	0,955962928	1,04606567	0,48
ZNF512B	0,099403001	-0,064990436	0,098	0,046	1	0,955951655	1,046078005	2,130434783
STAT5A	0,724120181	-0,065007998	0,049	0,039	1	0,955940018	1,046090739	1,256410256
KANTR	0,444731778	-0,065058444	0,073	0,049	1	0,955906593	1,046127318	1,489795918
SNX18	0,047382204	-0,065112844	0,098	0,039	1	0,955870549	1,046166765	2,512820513
FLRT2	0,28286347	-0,065250209	0	0,014	1	0,955779541	1,04626638	0
TNFSF10	0,868326909	-0,065267268	0,024	0,021	1	0,955768239	1,046278752	1,142857143
AC092171.4	0,35350329	-0,065308617	0	0,011	1	0,955740846	1,046308739	0
ASAP3	0,228958629	-0,065347396	0	0,018	1	0,955715157	1,046336864	0
TDRP	0,994113727	-0,065409078	0,037	0,035	1	0,955674297	1,046381601	1,057142857
L2HGDH	0,89237004	-0,065455431	0,012	0,014	1	0,955643592	1,046415221	0,857142857
PPARG	0,970105473	-0,065471468	0,024	0,025	1	0,955632969	1,046426853	0,96
UHMK1	9,58695E-06	-0,065493248	0,293	0,084	0,202294308	0,955618542	1,046442651	3,488095238
KCNN3	0,879365097	-0,065523868	0,024	0,021	1	0,95559826	1,046464861	1,142857143
FLVCR1-DT	0,879365097	-0,065622843	0,024	0,021	1	0,955532704	1,046536655	1,142857143
SOX9	0,069438782	-0,065670626	0,061	0,021	1	0,955501057	1,046571318	2,904761905

Supplementary Table 2

Differentially expressed genes_keloid-XL_comparing SC-Keloid vs. (SC-Myel, SC-Nonmyel, SC-Nonmyel2)								
gene	p_val	avg_log2FC	pct.1	pct.2	p_val_adj	Foldchange_UP	Foldchange_DOWN	Ratio_pct1_pct2
SBNO2	0,000524966	-0,065718329	0,268	0,098	1	0,955469464	1,046605923	2,734693878
PLPP5	0,011558487	-0,065755638	0,195	0,084	1	0,955444755	1,046632989	2,321428571
SMOX	0,233674416	-0,065774899	0,183	0,119	1	0,955431999	1,046646963	1,537815126
ZBTB11-AS1	0,597173043	-0,065796287	0,012	0,021	1	0,955417835	1,04666248	0,571428571
ITM2B	0,80286652	-0,065898857	0,939	0,828	1	0,955349911	1,046736896	1,134057971
CBLL1	0,067213776	-0,065898965	0,098	0,042	1	0,955349839	1,046736974	2,333333333
OPCML	0,35350329	-0,065912431	0	0,011	1	0,955340922	1,046746744	0
KANK3	0,126161321	-0,065915736	0	0,028	1	0,955338734	1,046749142	0
WASF1	0,597173043	-0,065973451	0,012	0,021	1	0,955300516	1,046791018	0,571428571
FBXL12	0,003437992	-0,065980735	0,171	0,06	1	0,955295693	1,046796303	2,85
AURKB	0,710321163	-0,065982699	0,024	0,018	1	0,955294392	1,046797729	1,333333333
TTC21A	0,908489202	-0,066205777	0,012	0,011	1	0,95514669	1,046959603	1,090909091
HCCS	0,085702429	-0,066245432	0,122	0,06	1	0,955120437	1,046988381	2,033333333
LDB2	0,407171737	-0,066248443	0,012	0,028	1	0,955118444	1,046990566	0,428571429
TRPV1	0,383074885	-0,066370775	0,049	0,028	1	0,955037458	1,047079349	1,75
DCST2	0,35350329	-0,06639015	0	0,011	1	0,955024633	1,04709341	0
CDH13	0,002228822	-0,066407607	0,268	0,109	1	0,955013077	1,047106081	2,458715596
G2E3	0,374756667	-0,066436394	0,073	0,046	1	0,954994021	1,047126974	1,586956522
ZNF267	0,286845168	-0,06649518	0,171	0,116	1	0,954955109	1,047169643	1,474137931
NAA35	0,046156346	-0,066522004	0,11	0,046	1	0,954937353	1,047189113	2,391304348
NAXD	0,005183771	-0,066524273	0,159	0,056	1	0,954935851	1,04719076	2,839285714
IMMP2L	0,913549329	-0,066573825	0,037	0,039	1	0,954903053	1,047226728	0,948717949
INIP	0,038650978	-0,066635525	0,159	0,074	1	0,954862215	1,047271516	2,148648649
ZGRF1	0,848859315	-0,066753093	0,024	0,028	1	0,954784405	1,047356864	0,857142857
GSTO2	0,89702294	-0,06678996	0,012	0,014	1	0,954760007	1,047383628	0,857142857
H1-4	0,069488939	-0,066813431	0,098	0,042	1	0,954744474	1,047400669	2,333333333
FBXL19	0,253953805	-0,066820109	0,061	0,032	1	0,954740054	1,047405517	1,90625
IL1RAPL2	0,095652734	-0,066897183	0,11	0,053	1	0,95468905	1,047461475	2,075471698
MED27	0,000764801	-0,066922144	0,183	0,056	1	0,954672533	1,047479597	3,267857143
SAA1	0,908489202	-0,066972379	0,012	0,011	1	0,954639291	1,047516072	1,090909091

Supplementary Table 2

Differentially expressed genes_keloid-XL_comparing SC-Keloid vs. (SC-Myel, SC-Nonmyel, SC-Nonmyel2)								
gene	p_val	avg_log2FC	pct.1	pct.2	p_val_adj	Foldchange_UP	Foldchange_DOWN	Ratio_pct1_pct2
EPOR	0,530989227	-0,067008653	0,024	0,014	1	0,954615289	1,04754241	1,714285714
SULT1C4	0,351112297	-0,067062762	0,024	0,011	1	0,954579486	1,047581699	2,181818182
ATAD3C	0,861512651	-0,067080795	0,037	0,032	1	0,954567554	1,047594793	1,15625
CBWD3	0,065097498	-0,067171941	0,11	0,049	1	0,954507249	1,04766098	2,244897959
SLC35F5	0,01127095	-0,06721704	0,134	0,049	1	0,954477411	1,047693731	2,734693878
IDH3A	0,001803548	-0,067217473	0,232	0,088	1	0,954477125	1,047694045	2,636363636
AP001437.1	0,908489202	-0,067278189	0,012	0,011	1	0,954436956	1,047738138	1,090909091
C18orf54	0,28294086	-0,067342038	0,049	0,025	1	0,954394717	1,047784509	1,96
DNM2	0,004084452	-0,067352777	0,28	0,123	1	0,954387613	1,047792308	2,276422764
NPIP15	0,914907082	-0,067353553	0,061	0,063	1	0,954387099	1,047792873	0,968253968
YPEL1	0,156394947	-0,067387724	0,073	0,035	1	0,954364494	1,04781769	2,085714286
GYPC	0,490935921	-0,067406981	0,012	0,025	1	0,954351756	1,047831676	0,48
ZBTB46	0,97057504	-0,067427849	0,037	0,035	1	0,954337951	1,047846833	1,057142857
FBXL14	0,107265343	-0,067472904	0,037	0,011	1	0,954308148	1,047879557	3,363636364
SUMO4	0,858500739	-0,067507026	0,037	0,032	1	0,954285577	1,047904342	1,15625
IFT172	0,71891322	-0,067511479	0,037	0,028	1	0,954282632	1,047907576	1,321428571
STIM2	0,384919105	-0,067548696	0,085	0,056	1	0,954258015	1,047934609	1,517857143
ZFP2	0,28286347	-0,067581834	0	0,014	1	0,954236096	1,04795868	0
TTC14	0,062545503	-0,067633069	0,183	0,095	1	0,954202209	1,047995898	1,926315789
RNF145	0,004916735	-0,067656092	0,512	0,26	1	0,954186981	1,048012622	1,969230769
PIBF1	0,033103213	-0,067668358	0,171	0,081	1	0,954178869	1,048021532	2,111111111
POLD3	0,252475247	-0,067807839	0,061	0,032	1	0,954086623	1,048122861	1,90625
MICA	0,008891596	-0,067814473	0,293	0,14	1	0,954082235	1,04812768	2,092857143
KDM3B	0,163338831	-0,067894399	0,073	0,035	1	0,95402938	1,048185749	2,085714286
FASTKD5	0,872003564	-0,067984558	0,024	0,021	1	0,953969761	1,048251255	1,142857143
GP1BB	0,607591802	-0,068028577	0,012	0,021	1	0,953940655	1,04828324	0,571428571
HES5	0,89702294	-0,06813919	0,012	0,014	1	0,953867518	1,048363616	0,857142857
ADM5	0,699214153	-0,068145354	0,024	0,018	1	0,953863442	1,048368095	1,333333333
SLC1A4	0,336686163	-0,068155763	0,061	0,035	1	0,95385656	1,048375659	1,742857143
MMD	0,731878941	-0,068240757	0,049	0,039	1	0,953800367	1,048437424	1,256410256

Supplementary Table 2

Differentially expressed genes_keloid-XL_comparing SC-Keloid vs. (SC-Myel, SC-Nonmyel, SC-Nonmyel2)								
gene	p_val	avg_log2FC	pct.1	pct.2	p_val_adj	Foldchange_UP	Foldchange_DOWN	Ratio_pct1_pct2
LINC00857	0,35350329	-0,068268228	0	0,011	1	0,953782205	1,048457388	0
ANKRD23	0,728697501	-0,068302001	0,012	0,018	1	0,953759878	1,048481932	0,666666667
CLEC2D	0,718963318	-0,06837415	0,049	0,039	1	0,953712182	1,048534368	1,256410256
AP5S1	0,710321163	-0,068374867	0,024	0,018	1	0,953711708	1,048534889	1,333333333
PCDHB16	0,728697501	-0,068421133	0,012	0,018	1	0,953681124	1,048568515	0,666666667
ANKS1B	0,728697501	-0,068453888	0,012	0,018	1	0,953659472	1,048592322	0,666666667
PA2G4	0,015567401	-0,068478395	0,61	0,33	1	0,953643272	1,048610135	1,848484848
ZXDA	0,732741497	-0,068484891	0,012	0,018	1	0,953638978	1,048614856	0,666666667
PDK1	0,977137258	-0,068493798	0,024	0,025	1	0,95363309	1,048621331	0,96
KCNB1	0,908489202	-0,06849697	0,012	0,011	1	0,953630993	1,048623636	1,090909091
DGKG	0,728697501	-0,068502589	0,012	0,018	1	0,953627279	1,04862772	0,666666667
CTNS	0,071972241	-0,068508597	0,073	0,028	1	0,953623308	1,048632088	2,607142857
ZNF217	0,035456067	-0,068536511	0,159	0,074	1	0,953604857	1,048652377	2,148648649
RAB3IL1	0,619535667	-0,068542678	0,024	0,035	1	0,953600781	1,04865686	0,685714286
GJA4	0,649511996	-0,068594882	0,012	0,007	1	0,953566276	1,048694806	1,714285714
H2AC16	0,72040908	-0,068656796	0,024	0,032	1	0,953525353	1,048739812	0,75
ZNF322	0,109461223	-0,068710081	0,183	0,105	1	0,953490136	1,048778548	1,742857143
E2F4	0,017052678	-0,06872624	0,195	0,088	1	0,953479457	1,048790294	2,215909091
HEPACAM	0,35350329	-0,068734303	0	0,011	1	0,953474128	1,048796156	0
DUSP22	0,944403545	-0,068744699	0,049	0,046	1	0,953467257	1,048803713	1,065217391
PGBD5	0,28286347	-0,068762085	0	0,014	1	0,953455767	1,048816353	0
ACTR3C	0,35350329	-0,068791739	0	0,011	1	0,953436169	1,048837911	0
CDH3	0,35350329	-0,068794318	0	0,011	1	0,953434465	1,048839786	0
ITPKC	0,44116166	-0,068807435	0,073	0,049	1	0,953425796	1,048849322	1,489795918
AC007364.1	0,412180116	-0,068873672	0,012	0,028	1	0,953382024	1,048897478	0,428571429
AARS2	0,58754085	-0,068930116	0,037	0,025	1	0,953344724	1,048938516	1,48
VPS11	0,071833843	-0,068958662	0,085	0,035	1	0,953325861	1,048959271	2,428571429
ENOX2	0,875682986	-0,06898258	0,024	0,021	1	0,953310056	1,048976661	1,142857143
THBS4	0,977137258	-0,069033459	0,024	0,025	1	0,953276437	1,049013656	0,96
ZNF789	0,20009151	-0,069050676	0,037	0,014	1	0,95326506	1,049026175	2,642857143

Supplementary Table 2

Differentially expressed genes_keloid-XL_comparing SC-Keloid vs. (SC-Myel, SC-Nonmyel, SC-Nonmyel2)								
gene	p_val	avg_log2FC	pct.1	pct.2	p_val_adj	Foldchange_UP	Foldchange_DOWN	Ratio_pct1_pct2
MLKL	0,597173043	-0,069128016	0,012	0,021	1	0,953213959	1,049082413	0,571428571
SLC25A21-AS1	0,728697501	-0,069130264	0,012	0,018	1	0,953212474	1,049084048	0,666666667
SNRNP48	0,298163995	-0,069195773	0,11	0,07	1	0,953169192	1,049131685	1,571428571
GTPBP1	0,058838927	-0,069274465	0,159	0,081	1	0,953117203	1,049188911	1,962962963
SLC28A2	0,35350329	-0,069349578	0	0,011	1	0,953067581	1,049243538	0
DDAH1	0,043725751	-0,069351478	0,098	0,039	1	0,953066325	1,04924492	2,512820513
ARFIP1	0,004108559	-0,06936768	0,28	0,123	1	0,953055622	1,049256703	2,276422764
EFNB1	0,088213869	-0,069432489	0,11	0,053	1	0,95301281	1,049303839	2,075471698
KCNJ10	0,186763581	-0,069599605	0	0,021	1	0,952902423	1,049425393	0
TAF5L	0,721540167	-0,069615804	0,049	0,039	1	0,952891724	1,049437176	1,256410256
PDE4D	0,156528875	-0,069641303	0,11	0,06	1	0,952874882	1,049455725	1,833333333
NGLY1	0,558829003	-0,069643589	0,098	0,074	1	0,952873372	1,049457388	1,324324324
IKBKB	0,058274777	-0,069658791	0,171	0,088	1	0,952863331	1,049468447	1,943181818
MPDZ	0,035405735	-0,069680155	0,207	0,105	1	0,952849221	1,049483988	1,971428571
RELCH	0,218350219	-0,069680188	0,073	0,039	1	0,952849199	1,049484012	1,871794872
ELP1	0,607015595	-0,069752685	0,049	0,035	1	0,952801319	1,049536751	1,4
ULBP3	0,89237004	-0,069772793	0,012	0,014	1	0,952788039	1,049551379	0,857142857
PRKCD	0,1002946	-0,069780985	0,134	0,07	1	0,952782628	1,049557339	1,914285714
ADAMTSL4	0,28286347	-0,069786699	0	0,014	1	0,952778855	1,049561496	0
TIPARP-AS1	0,35350329	-0,069895841	0	0,011	1	0,952706779	1,049640899	0
HIRIP3	0,314265819	-0,069929826	0,085	0,053	1	0,952684336	1,049665626	1,603773585
PIGG	0,052360184	-0,069963465	0,159	0,077	1	0,952662123	1,049690101	2,064935065
ZNF300	0,374766234	-0,070095527	0,049	0,028	1	0,952574922	1,049786192	1,75
MRGPRF	0,35350329	-0,07012396	0	0,011	1	0,952556149	1,049806882	0
CTH	0,500826907	-0,070125727	0,049	0,032	1	0,952554982	1,049808168	1,53125
TMEM263	0,012530213	-0,070139062	0,378	0,196	1	0,952546177	1,049817871	1,928571429
NAA40	0,017691584	-0,070139644	0,061	0,014	1	0,952545793	1,049818295	4,357142857
TMCC1	8,889E-05	-0,070296281	0,244	0,074	1	0,952442378	1,049932282	3,297297297
ING4	0,000778492	-0,070377646	0,183	0,056	1	0,952388664	1,049991498	3,267857143
ZRSR2	0,096799511	-0,070410561	0,134	0,07	1	0,952366936	1,050015453	1,914285714

Supplementary Table 2

Differentially expressed genes_keloid-XL_comparing SC-Keloid vs. (SC-Myel, SC-Nonmyel, SC-Nonmyel2)								
gene	p_val	avg_log2FC	pct.1	pct.2	p_val_adj	Foldchange_UP	Foldchange_DOWN	Ratio_pct1_pct2
RCCD1	0,723404008	-0,070434779	0,024	0,032	1	0,952350949	1,05003308	0,75
DENND5A	0,051903844	-0,070437399	0,354	0,204	1	0,952349219	1,050034987	1,735294118
ATXN7L1	0,169332785	-0,070449779	0,11	0,06	1	0,952341047	1,050043998	1,833333333
DRAM1	0,224477053	-0,070469707	0,073	0,039	1	0,952327893	1,050058502	1,871794872
GNL3	0,022438926	-0,070505763	0,415	0,232	1	0,952304092	1,050084746	1,788793103
CAMK2G	0,062283647	-0,070520797	0,11	0,049	1	0,952294169	1,050095688	2,244897959
PRRT1	0,796613111	-0,07052602	0,073	0,063	1	0,952290721	1,05009949	1,158730159
ISOC1	0,07286384	-0,070564214	0,085	0,035	1	0,95226551	1,050127291	2,428571429
LTV1	0,004868806	-0,070568814	0,159	0,056	1	0,952262474	1,050130639	2,839285714
PLAU	0,258558337	-0,070585711	0,085	0,049	1	0,952251321	1,050142938	1,734693878
SYPL2	0,728697501	-0,07059779	0,012	0,018	1	0,952243348	1,05015173	0,666666667
USPL1	0,137322936	-0,070632589	0,134	0,074	1	0,952220379	1,050177062	1,810810811
SLC4A2	0,002366009	-0,070658853	0,329	0,144	1	0,952203045	1,05019618	2,284722222
PIR	0,126161321	-0,070661498	0	0,028	1	0,952201299	1,050198105	0
SLC25A28	0,029393836	-0,070715765	0,159	0,07	1	0,952165483	1,050237609	2,271428571
PGF	0,07141129	-0,070834902	0,073	0,028	1	0,952086856	1,050324341	2,607142857
NEMP1	0,732741497	-0,070968533	0,012	0,018	1	0,951998672	1,050421633	0,666666667
EFR3B	0,496145732	-0,070975803	0,049	0,032	1	0,951993876	1,050426926	1,53125
MAP3K20	0,346467368	-0,071087941	0,098	0,063	1	0,951919881	1,050508577	1,555555556
NAPRT	0,001655568	-0,071142795	0,232	0,088	1	0,951883688	1,05054852	2,636363636
LYG2	0,35350329	-0,071308721	0	0,011	1	0,951774218	1,050669351	0
SNAPC3	0,832484443	-0,071361168	0,024	0,028	1	0,951739618	1,050707548	0,857142857
CEP85	0,597173043	-0,071446472	0,012	0,021	1	0,951683345	1,050769676	0,571428571
WRN	0,541045139	-0,071547084	0,085	0,063	1	0,951616978	1,050842958	1,349206349
CD22	0,186763581	-0,071584562	0	0,021	1	0,951592257	1,050870257	0
PHKG2	0,029887845	-0,071678	0,11	0,042	1	0,951530628	1,050938321	2,619047619
GPR161	0,147315828	-0,071678523	0,085	0,042	1	0,951530283	1,050938702	2,023809524
AKAP6	0,85248313	-0,071779838	0,037	0,032	1	0,951463463	1,051012508	1,15625
TTN-AS1	0,721540167	-0,071789412	0,049	0,039	1	0,951457149	1,051019482	1,256410256
PSPN	0,351112297	-0,071860135	0,024	0,011	1	0,951410509	1,051071006	2,181818182

Supplementary Table 2

Differentially expressed genes_keloid-XL_comparing SC-Keloid vs. (SC-Myel, SC-Nonmyel, SC-Nonmyel2)								
gene	p_val	avg_log2FC	pct.1	pct.2	p_val_adj	Foldchange_UP	Foldchange_DOWN	Ratio_pct1_pct2
RNF144A	0,581784514	-0,071960636	0,037	0,025	1	0,951344233	1,051144228	1,48
RSAD1	0,030581591	-0,072026245	0,122	0,049	1	0,951300971	1,051192032	2,489795918
TWIST1	0,728697501	-0,072031181	0,012	0,018	1	0,951297715	1,051195629	0,666666667
SQLE	0,00919454	-0,072039789	0,341	0,172	1	0,951292039	1,051201901	1,98255814
RAB43	0,070815804	-0,072057351	0,085	0,035	1	0,95128046	1,051214697	2,428571429
TCEANC2	0,728697501	-0,072073008	0,012	0,018	1	0,951270136	1,051226105	0,666666667
MIB1	0,020873098	-0,072082616	0,293	0,151	1	0,951263801	1,051233106	1,940397351
PPM1F	0,107481862	-0,072165413	0,159	0,088	1	0,951209209	1,051293439	1,806818182
RALGAPA1	0,011744536	-0,072185215	0,293	0,14	1	0,951196153	1,051307869	2,092857143
AVIL	0,153186787	-0,072226555	0	0,025	1	0,951168897	1,051337994	0
PMM2	0,045690197	-0,07223096	0,085	0,032	1	0,951165993	1,051341204	2,65625
CEP72	0,228958629	-0,072241103	0	0,018	1	0,951159305	1,051348596	0
TTC9	0,153186787	-0,072268273	0	0,025	1	0,951141393	1,051368396	0
SSH1	0,010966931	-0,072282137	0,232	0,105	1	0,951132253	1,051378499	2,20952381
NOG	0,316484073	-0,072337418	0,037	0,018	1	0,951095808	1,051418786	2,055555556
NUP107	0,099403001	-0,072338295	0,098	0,046	1	0,95109523	1,051419426	2,130434783
PEX5L	0,153186787	-0,072407908	0	0,025	1	0,951049339	1,05147016	0
PPRC1	0,178209062	-0,072426874	0,122	0,07	1	0,951036836	1,051483983	1,742857143
MDC1	0,28294086	-0,072460477	0,049	0,025	1	0,951014685	1,051508474	1,96
NTNG2	0,35350329	-0,072491673	0	0,011	1	0,950994121	1,051531212	0
INTU	0,146857221	-0,072503313	0,122	0,067	1	0,950986448	1,051539696	1,820895522
BCOR	0,009059385	-0,072523897	0,232	0,102	1	0,950972879	1,051554699	2,274509804
FAM27C	0,404681217	-0,072527358	0,012	0,028	1	0,950970598	1,051557221	0,428571429
JAZF1	0,070311239	-0,072570691	0,085	0,035	1	0,950942035	1,051588807	2,428571429
MCCC2	0,018823337	-0,072571875	0,134	0,053	1	0,950941254	1,05158967	2,528301887
KANSL1	0,000286719	-0,072665746	0,427	0,179	1	0,950879382	1,051658096	2,38547486
COPRS	0,006360138	-0,072848122	0,366	0,179	1	0,950759186	1,051791047	2,044692737
ZHX2	0,71891322	-0,072881092	0,037	0,028	1	0,950737459	1,051815084	1,321428571
CMTM4	0,378906544	-0,072882662	0,049	0,028	1	0,950736424	1,051816229	1,75
TMEM74	0,879365097	-0,072933857	0,024	0,021	1	0,950702687	1,051853554	1,142857143

Supplementary Table 2

Differentially expressed genes_keloid-XL_comparing SC-Keloid vs. (SC-Myel, SC-Nonmyel, SC-Nonmyel2)								
gene	p_val	avg_log2FC	pct.1	pct.2	p_val_adj	Foldchange_UP	Foldchange_DOWN	Ratio_pct1_pct2
L1TD1	0,228958629	-0,073022121	0	0,018	1	0,950644525	1,051917908	0
LARS1	0,013311015	-0,073062493	0,341	0,175	1	0,950617923	1,051947345	1,948571429
SYTL4	0,908489202	-0,073125769	0,012	0,011	1	0,95057623	1,051993484	1,090909091
GLIS3	0,007261354	-0,073184205	0,512	0,263	1	0,950537727	1,052036096	1,946768061
DFFB	0,597173043	-0,073208822	0,012	0,021	1	0,950521509	1,052054047	0,571428571
ZNF121	0,214732296	-0,073228067	0,073	0,039	1	0,950508829	1,052068081	1,871794872
FAM214B	0,002108499	-0,07329742	0,28	0,116	1	0,950463138	1,052118657	2,413793103
STRADB	0,070054953	-0,073301661	0,061	0,021	1	0,950460343	1,05212175	2,904761905
MCM5	0,288157633	-0,073343346	0,073	0,042	1	0,950432881	1,05215215	1,738095238
ILKAP	0,019994004	-0,073468188	0,256	0,13	1	0,95035064	1,052243201	1,969230769
OSMR	0,615139979	-0,073566373	0,037	0,049	1	0,950285965	1,052314815	0,755102041
NOMO1	0,067663837	-0,073570427	0,098	0,042	1	0,950283294	1,052317773	2,333333333
IDUA	0,620390165	-0,073597321	0,085	0,067	1	0,95026558	1,05233739	1,268656716
TRMT10B	0,292477426	-0,073603541	0,073	0,042	1	0,950261483	1,052341927	1,738095238
FGFRL1	0,126161321	-0,073626227	0	0,028	1	0,95024654	1,052358475	0
FAM241A	0,479556926	-0,073657985	0,098	0,07	1	0,950225623	1,05238164	1,4
DHX32	0,069028916	-0,073662723	0,098	0,042	1	0,950222503	1,052385096	2,333333333
ZNF75A	0,070311239	-0,073728858	0,085	0,035	1	0,950178944	1,05243334	2,428571429
CLPX	0,026830037	-0,073735065	0,146	0,063	1	0,950174856	1,052437869	2,317460317
TNFAIP8L1	0,619512782	-0,073752191	0,049	0,035	1	0,950163577	1,052450362	1,4
EBF4	0,179372449	-0,073756327	0,061	0,028	1	0,950160852	1,052453379	2,178571429
RNF185	0,011986296	-0,073769733	0,134	0,049	1	0,950152024	1,052463159	2,734693878
UBE2O	0,253643868	-0,073854531	0,085	0,049	1	0,950096177	1,052525022	1,734693878
DKK1	0,35350329	-0,073907189	0	0,011	1	0,9500615	1,05256344	0
NPB	0,584659388	-0,073961632	0,037	0,025	1	0,950025648	1,052603161	1,48
ARL1	0,001792189	-0,074025752	0,427	0,196	1	0,949983425	1,052649945	2,178571429
AMFR	0,016795796	-0,074060819	0,329	0,172	1	0,949960335	1,052675531	1,912790698
SLC4A3	0,735425714	-0,074112948	0,024	0,032	1	0,949926011	1,052713568	0,75
C9orf85	0,093477824	-0,074160069	0,11	0,053	1	0,949894985	1,052747952	2,075471698
PLEKHA2	0,045532357	-0,074193275	0,11	0,046	1	0,949873122	1,052772183	2,391304348

Supplementary Table 2

Differentially expressed genes_keloid-XL_comparing SC-Keloid vs. (SC-Myel, SC-Nonmyel, SC-Nonmyel2)								
gene	p_val	avg_log2FC	pct.1	pct.2	p_val_adj	Foldchange_UP	Foldchange_DOWN	Ratio_pct1_pct2
PRIMPOL	0,044372256	-0,074196095	0,098	0,039	1	0,949871265	1,052774241	2,512820513
GAB2	0,333759426	-0,074234516	0,024	0,049	1	0,949845969	1,052802278	0,489795918
CCDC159	0,00063588	-0,074255638	0,244	0,088	1	0,949832063	1,052817692	2,772727273
SOAT1	0,005937696	-0,07432498	0,195	0,077	1	0,949786411	1,052868296	2,532467532
ZNF24	0,005352765	-0,074378778	0,463	0,235	1	0,949750994	1,052907558	1,970212766
CCDC12	0,001146933	-0,074412903	0,354	0,151	1	0,94972853	1,052932463	2,344370861
CC2D1B	0,068116374	-0,074417408	0,098	0,042	1	0,949725563	1,052935752	2,333333333
TMEM170B	0,490935921	-0,074446759	0,012	0,025	1	0,949706242	1,052957173	0,48
NAA30	0,296840498	-0,074447966	0,073	0,042	1	0,949705447	1,052958054	1,738095238
C21orf58	0,970105473	-0,074495258	0,024	0,025	1	0,949674317	1,052992571	0,96
TOR1AIP1	0,142729351	-0,074580521	0,171	0,102	1	0,949618192	1,053054805	1,676470588
AKT3	0,012055232	-0,074580987	0,415	0,214	1	0,949617886	1,053055145	1,939252336
ZCCHC18	0,448248692	-0,074627743	0,037	0,021	1	0,949587111	1,053089273	1,761904762
IL10RB	0,00118408	-0,074675097	0,134	0,035	1	0,949555942	1,05312384	3,828571429
ZNF398	0,977137258	-0,074692894	0,024	0,025	1	0,949544228	1,053136832	0,96
RAB6B	0,908489202	-0,074776677	0,012	0,011	1	0,949489087	1,053197993	1,090909091
GIMAP8	0,35350329	-0,074783674	0	0,011	1	0,949484481	1,053203101	0
FBF1	0,872003564	-0,07479859	0,024	0,021	1	0,949474665	1,05321399	1,142857143
LRP2BP	0,490935921	-0,07480517	0,012	0,025	1	0,949470334	1,053218794	0,48
C6orf62	0,078889798	-0,074830027	0,341	0,214	1	0,949453975	1,05323694	1,593457944
CNTF	0,153186787	-0,074846883	0	0,025	1	0,949442882	1,053249246	0
WDR17	0,611445865	-0,074939507	0,024	0,035	1	0,949381928	1,053316869	0,685714286
SLC12A7	0,711450166	-0,074952306	0,024	0,032	1	0,949373506	1,053326213	0,75
MAN1A1	0,490935921	-0,074954827	0,012	0,025	1	0,949371846	1,053328054	0,48
MBTPS2	0,10000689	-0,07498383	0,098	0,046	1	0,949352761	1,05334923	2,130434783
LAPTM5	0,864526579	-0,075007224	0,037	0,032	1	0,949337367	1,05336631	1,15625
MTMR12	0,276334603	-0,075102555	0,098	0,06	1	0,949274639	1,053435917	1,633333333
RTN4RL2	0,728697501	-0,07512683	0,012	0,018	1	0,949258666	1,053453643	0,666666667
CNNM3	0,500826907	-0,075138482	0,049	0,032	1	0,949251	1,053462151	1,53125
MRAP2	0,35350329	-0,075139839	0	0,011	1	0,949250107	1,053463142	0

Supplementary Table 2

Differentially expressed genes_keloid-XL_comparing SC-Keloid vs. (SC-Myel, SC-Nonmyel, SC-Nonmyel2)								
gene	p_val	avg_log2FC	pct.1	pct.2	p_val_adj	Foldchange_UP	Foldchange_DOWN	Ratio_pct1_pct2
CAPN12	0,908489202	-0,075143401	0,012	0,011	1	0,949247763	1,053465743	1,090909091
MLLT3	0,705117411	-0,075241491	0,061	0,049	1	0,949183225	1,053537371	1,244897959
TSPAN8	0,186763581	-0,075322505	0	0,021	1	0,949129925	1,053596534	0
ZNF444	0,008903372	-0,075397015	0,195	0,081	1	0,949080908	1,05365095	2,407407407
CDC42	0,554554466	-0,075487439	0,768	0,579	1	0,949021423	1,053716992	1,32642487
MRRF	0,009669783	-0,075497139	0,11	0,035	1	0,949015043	1,053724077	3,142857143
BCAR3	0,000102415	-0,075502381	0,354	0,13	1	0,949011595	1,053727906	2,723076923
RBL2	0,064573884	-0,075523795	0,159	0,081	1	0,948997509	1,053743546	1,962962963
RBPMS	0,007682432	-0,075527345	0,256	0,116	1	0,948995173	1,053746139	2,206896552
PLXNB2	0,001597785	-0,075594642	0,402	0,182	1	0,948950907	1,053795294	2,208791209
ZNF436-AS1	0,490935921	-0,075639324	0,012	0,025	1	0,948921517	1,053827932	0,48
PLCG2	0,005603953	-0,07564095	0,171	0,063	1	0,948920448	1,05382912	2,714285714
STARD8	0,228958629	-0,075661423	0	0,018	1	0,948906982	1,053844074	0
CPE	0,153186787	-0,07569802	0	0,025	1	0,948882911	1,053870808	0
PTPRU	0,118200281	-0,075796663	0,061	0,025	1	0,948818034	1,053942868	2,44
BCL2L2	0,082215438	-0,075800859	0,11	0,053	1	0,948815275	1,053945933	2,075471698
DCAF8	0,002297425	-0,075828355	0,341	0,151	1	0,948797192	1,05396602	2,258278146
RAB24	0,028923554	-0,075858361	0,122	0,049	1	0,948777459	1,053987941	2,489795918
UNK	0,00281904	-0,075879614	0,244	0,098	1	0,948763482	1,054003468	2,489795918
C1QTNF2	0,35185965	-0,075957861	0,012	0,004	1	0,948712025	1,054060636	3
SEMA3F	0,153186787	-0,076000558	0	0,025	1	0,948683948	1,054091831	0
CNTLN	0,052767166	-0,076029218	0,134	0,063	1	0,948665102	1,054112771	2,126984127
PRKCE	0,712178191	-0,076050721	0,037	0,046	1	0,948650963	1,054128483	0,804347826
CENPE	0,868326909	-0,076055056	0,024	0,021	1	0,948648112	1,05413165	1,142857143
MAP1A	0,01951793	-0,076063726	0,232	0,112	1	0,948642411	1,054137985	2,071428571
PLA2G2A	0,28286347	-0,07608035	0	0,014	1	0,94863148	1,054150132	0
SPICE1	0,410506395	-0,076116615	0,061	0,039	1	0,948607635	1,054176631	1,564102564
RNF41	0,018037795	-0,07612899	0,146	0,06	1	0,948599498	1,054185673	2,433333333
PELO	0,019990832	-0,076157389	0,415	0,225	1	0,948580825	1,054206424	1,844444444
BAZ1B	0,025607077	-0,076169182	0,354	0,193	1	0,948573071	1,054215042	1,834196891

Supplementary Table 2

Differentially expressed genes_keloid-XL_comparing SC-Keloid vs. (SC-Myel, SC-Nonmyel, SC-Nonmyel2)								
gene	p_val	avg_log2FC	pct.1	pct.2	p_val_adj	Foldchange_UP	Foldchange_DOWN	Ratio_pct1_pct2
ZNF131	0,062969551	-0,076212052	0,22	0,119	1	0,948544884	1,054246369	1,848739496
LINC00539	0,28286347	-0,07625153	0	0,014	1	0,948518929	1,054275217	0
CDC34	0,000188111	-0,076256585	0,329	0,123	1	0,948515606	1,054278911	2,674796748
ACAA1	0,00053598	-0,076258725	0,244	0,084	1	0,948514199	1,054280475	2,904761905
UCP3	0,228958629	-0,07627116	0	0,018	1	0,948506023	1,054289562	0
KAT2A	0,18710479	-0,076273156	0,146	0,088	1	0,948504711	1,054291021	1,659090909
MROH1	0,316484073	-0,076292794	0,037	0,018	1	0,9484918	1,054305372	2,055555556
GALK2	0,347829442	-0,076298825	0,098	0,063	1	0,948487835	1,054309779	1,555555556
INPP4B	0,617004375	-0,076309351	0,049	0,035	1	0,948480915	1,054317472	1,4
SERPINB1	0,005163516	-0,076310794	0,171	0,063	1	0,948479966	1,054318526	2,714285714
BORCS6	0,084519998	-0,076331679	0,122	0,06	1	0,948466236	1,054333789	2,033333333
DZIP1	0,202410779	-0,076339908	0,085	0,046	1	0,948460826	1,054339803	1,847826087
SWT1	0,970105473	-0,076347714	0,024	0,025	1	0,948455693	1,054345508	0,96
HMG2	0,28286347	-0,076348453	0	0,014	1	0,948455208	1,054346048	0
NR2C2	0,15320432	-0,076393528	0,134	0,077	1	0,948425575	1,05437899	1,74025974
ZNF841	0,728697501	-0,076428098	0,012	0,018	1	0,948402849	1,054404255	0,666666667
VPS13B	0,183050258	-0,076477257	0,098	0,053	1	0,948370534	1,054440184	1,849056604
USP21	0,970105473	-0,076504525	0,024	0,025	1	0,948352609	1,054460114	0,96
AP3S2	0,107881987	-0,076544823	0,122	0,063	1	0,94832612	1,054489568	1,936507937
CA13	0,109169237	-0,076549996	0,085	0,039	1	0,948322719	1,054493349	2,179487179
ATG4C	0,448248692	-0,07656329	0,037	0,021	1	0,94831398	1,054503066	1,761904762
ZBED3-AS1	0,228958629	-0,076564698	0	0,018	1	0,948313055	1,054504096	0
FBRSL1	0,399199095	-0,076627791	0,146	0,105	1	0,948271583	1,054550213	1,39047619
SLC25A34	0,28286347	-0,07663266	0	0,014	1	0,948268383	1,054553771	0
GDF11	0,205611206	-0,076641732	0,11	0,063	1	0,94826242	1,054560403	1,746031746
SS18	0,07772334	-0,076660028	0,207	0,116	1	0,948250394	1,054573777	1,784482759
LRCH1	0,237135501	-0,076703755	0,134	0,084	1	0,948221654	1,054605741	1,595238095
CALHM5	0,281151866	-0,076717668	0,049	0,025	1	0,94821251	1,054615911	1,96
SCARF2	0,220786375	-0,076726044	0,073	0,039	1	0,948207005	1,054622034	1,871794872
ARHGEF2	0,084480639	-0,076854273	0,427	0,263	1	0,948122731	1,054715774	1,623574144

Supplementary Table 2

Differentially expressed genes_keloid-XL_comparing SC-Keloid vs. (SC-Myel, SC-Nonmyel, SC-Nonmyel2)								
gene	p_val	avg_log2FC	pct.1	pct.2	p_val_adj	Foldchange_UP	Foldchange_DOWN	Ratio_pct1_pct2
PTPN4	0,063878978	-0,076934531	0,11	0,049	1	0,948069987	1,054774451	2,244897959
MYO9A	0,087527991	-0,076999471	0,207	0,116	1	0,948027313	1,05482193	1,784482759
P4HA1	0,061177317	-0,077027092	0,256	0,144	1	0,948009163	1,054842125	1,777777778
ZNF799	0,35350329	-0,077102788	0	0,011	1	0,947959423	1,054897473	0
DDX47	0,178180489	-0,07711538	0,061	0,028	1	0,94795115	1,05490668	2,178571429
ERMARD	0,118200281	-0,077186925	0,061	0,025	1	0,94790414	1,054958996	2,44
PARP4	0,008044525	-0,077193829	0,146	0,053	1	0,947899604	1,054964044	2,754716981
FRZB	0,89702294	-0,077245558	0,012	0,014	1	0,947865617	1,055001872	0,857142857
SF3B4	0,020514288	-0,077282113	0,244	0,119	1	0,9478416	1,055028604	2,050420168
SLC22A5	0,835753847	-0,077296286	0,024	0,028	1	0,947832289	1,055038968	0,857142857
BACH1	0,008289944	-0,077463309	0,622	0,344	1	0,947722563	1,055161119	1,808139535
RAB5A	0,003318262	-0,077478069	0,451	0,221	1	0,947712867	1,055171914	2,040723982
GFPT1	0,0258913	-0,077505881	0,195	0,091	1	0,947694597	1,055192256	2,142857143
NUB1	0,031719384	-0,077525008	0,28	0,151	1	0,947682034	1,055206245	1,854304636
LNX2	0,597173043	-0,07759233	0,012	0,021	1	0,947637812	1,055255486	0,571428571
ZDHC20	0,01034404	-0,077604454	0,256	0,116	1	0,947629848	1,055264354	2,206896552
PLA2G12A	0,075313546	-0,077673089	0,171	0,091	1	0,947584767	1,055314559	1,879120879
FRMD4B	0,973621109	-0,077711246	0,024	0,025	1	0,947559705	1,055342471	0,96
SETD3	0,367108148	-0,077765347	0,159	0,112	1	0,947524172	1,055382047	1,419642857
MAMLD1	0,071113272	-0,077902104	0,171	0,091	1	0,947434358	1,055482094	1,879120879
CCR10	0,908489202	-0,077917542	0,012	0,011	1	0,94742422	1,055493389	1,090909091
DGCR8	0,855490884	-0,078054938	0,037	0,032	1	0,947333995	1,055593914	1,15625
MSN	0,055470096	-0,078058413	0,695	0,446	1	0,947331714	1,055596456	1,558295964
SMIM4	0,002656201	-0,078069361	0,244	0,098	1	0,947324524	1,055604467	2,489795918
WRNIP1	0,186358827	-0,078078336	0,122	0,07	1	0,947318632	1,055611034	1,742857143
TMEM168	0,059890456	-0,078142763	0,122	0,056	1	0,947276327	1,055658176	2,178571429
LRRC7	0,618391501	-0,078145694	0,073	0,056	1	0,947274403	1,05566032	1,303571429
TRMT9B	0,60063706	-0,078220917	0,012	0,021	1	0,947225013	1,055715365	0,571428571
HMG3-AS1	0,530989227	-0,078252314	0,024	0,014	1	0,947204399	1,05573834	1,714285714
ICOSLG	0,35350329	-0,078347055	0	0,011	1	0,947142199	1,055807672	0

Supplementary Table 2

Differentially expressed genes_keloid-XL_comparing SC-Keloid vs. (SC-Myel, SC-Nonmyel, SC-Nonmyel2)								
gene	p_val	avg_log2FC	pct.1	pct.2	p_val_adj	Foldchange_UP	Foldchange_DOWN	Ratio_pct1_pct2
SRP54	0,281995158	-0,078375823	0,22	0,151	1	0,947123312	1,055828726	1,456953642
ATG101	0,002633521	-0,078382877	0,463	0,225	1	0,947118681	1,055833888	2,057777778
FGFR3	0,228958629	-0,078403	0	0,018	1	0,947105471	1,055848615	0
SOCS4	0,003501912	-0,078425396	0,195	0,074	1	0,947090769	1,055865006	2,635135135
NMRK1	0,00282973	-0,078430876	0,256	0,105	1	0,947087171	1,055869017	2,438095238
GOLGA6L9	0,728697501	-0,078443079	0,012	0,018	1	0,94707916	1,055877948	0,666666667
RNF139-AS1	0,597173043	-0,078479364	0,012	0,021	1	0,94705534	1,055904505	0,571428571
MORN1	0,35350329	-0,078487471	0	0,011	1	0,947050019	1,055910438	0
HDX	0,85248313	-0,078498712	0,037	0,032	1	0,94704264	1,055918665	1,15625
NBPF14	0,187860656	-0,078521236	0,024	0,007	1	0,947027854	1,055935151	3,428571429
RNPEP	0,005768193	-0,0785388	0,22	0,091	1	0,947016324	1,055948007	2,417582418
FOXJ2	0,45588886	-0,078539287	0,085	0,06	1	0,947016005	1,055948363	1,416666667
OCRL	0,383074885	-0,078561366	0,049	0,028	1	0,947001512	1,055964523	1,75
AJAP1	0,28286347	-0,078564518	0	0,014	1	0,946999443	1,055966831	0
EPB41L5	0,433663659	-0,07856925	0,061	0,039	1	0,946996337	1,055970294	1,564102564
EMILIN2	0,010756847	-0,078619851	0,11	0,035	1	0,946963122	1,056007332	3,142857143
FZD8	0,176123531	-0,078642408	0,085	0,046	1	0,946948316	1,056023843	1,847826087
FAM184A	0,404681217	-0,078761835	0,012	0,028	1	0,946869931	1,056111265	0,428571429
PACSIN3	0,408813133	-0,078763624	0,098	0,067	1	0,946868756	1,056112574	1,462686567
ATP6V1E2	0,933634068	-0,078775811	0,085	0,084	1	0,946860758	1,056121496	1,011904762
SIX5	0,162037223	-0,078810636	0,11	0,06	1	0,946837902	1,05614699	1,833333333
ITIH4	0,153186787	-0,07884388	0	0,025	1	0,946816085	1,056171326	0
FAHD2A	0,143910007	-0,078949471	0,085	0,042	1	0,94674679	1,05624863	2,023809524
ZDHHC24	0,00271116	-0,078985045	0,159	0,053	1	0,946723445	1,056274676	3
PVR	0,071826962	-0,079003886	0,098	0,042	1	0,946711081	1,056288471	2,333333333
COQ8A	0,280260254	-0,079022893	0,012	0,035	1	0,946698608	1,056302387	0,342857143
CHIC2	0,013116111	-0,07902844	0,256	0,119	1	0,946694969	1,056306448	2,151260504
TMTC4	0,073676783	-0,079064449	0,073	0,028	1	0,94667134	1,056332814	2,607142857
LRIG3	0,135824284	-0,079108403	0,098	0,049	1	0,946642499	1,056364997	2
SS18L1	0,431705505	-0,079119058	0,061	0,039	1	0,946635507	1,056372799	1,564102564

Supplementary Table 2

Differentially expressed genes_keloid-XL_comparing SC-Keloid vs. (SC-Myel, SC-Nonmyel, SC-Nonmyel2)								
gene	p_val	avg_log2FC	pct.1	pct.2	p_val_adj	Foldchange_UP	Foldchange_DOWN	Ratio_pct1_pct2
SPTY2D1	0,004460268	-0,079123947	0,22	0,088	1	0,946632299	1,056376379	2,5
ALDH6A1	0,254245649	-0,079186896	0,159	0,102	1	0,946590996	1,056422472	1,558823529
SKIV2L	0,206696385	-0,079225288	0,085	0,046	1	0,946565806	1,056450585	1,847826087
PDGFRL	0,35350329	-0,079245159	0	0,011	1	0,946552769	1,056465136	0
CRTC1	0,011566228	-0,079257319	0,122	0,042	1	0,94654479	1,056474041	2,904761905
TNKS1BP1	0,021948055	-0,079292233	0,22	0,105	1	0,946521884	1,056499609	2,095238095
GPKOW	0,249536154	-0,079319417	0,061	0,032	1	0,946504049	1,056519516	1,90625
PCNT	0,520004465	-0,07932135	0,11	0,081	1	0,946502781	1,056520931	1,358024691
CASP2	0,651809736	-0,079381829	0,098	0,077	1	0,946463103	1,056565223	1,272727273
CMIP	0,001936047	-0,079383244	0,232	0,088	1	0,946462175	1,056566259	2,636363636
APLP1	0,608759699	-0,079388949	0,024	0,035	1	0,946458433	1,056570437	0,685714286
SYBU	0,186763581	-0,079404274	0	0,021	1	0,946448379	1,05658166	0
C6orf132	0,28286347	-0,079501803	0	0,014	1	0,946384399	1,05665309	0
TRAK2	0,04665711	-0,079520389	0,171	0,084	1	0,946372207	1,056666703	2,035714286
KLHL25	0,84947752	-0,079539545	0,037	0,032	1	0,946359641	1,056680733	1,15625
LRAT	0,35185965	-0,079744245	0,012	0,004	1	0,946225375	1,056830674	3
ORC2	0,070311239	-0,079775167	0,085	0,035	1	0,946205094	1,056853325	2,428571429
CENPK	0,20009151	-0,079788643	0,037	0,014	1	0,946196256	1,056863197	2,642857143
NEO1	0,404681217	-0,079838403	0,012	0,028	1	0,946163621	1,05689965	0,428571429
FBXL7	0,414314106	-0,079911414	0,061	0,039	1	0,946115739	1,056953138	1,564102564
GSK3B	0,036896428	-0,080016575	0,329	0,182	1	0,946046777	1,057030185	1,807692308
MAOB	0,597173043	-0,08011179	0,012	0,021	1	0,945984342	1,057099949	0,571428571
PABPN1	0,149216765	-0,080116501	0,537	0,358	1	0,945981254	1,057103401	1,5
GDNF	0,490935921	-0,080219861	0,012	0,025	1	0,945913482	1,057179138	0,48
KIAA1191	0,046641131	-0,080302777	0,256	0,14	1	0,945859119	1,057239899	1,828571429
ZNF814	0,20009151	-0,080314341	0,037	0,014	1	0,945851538	1,057248373	2,642857143
AGGF1	0,012568907	-0,080324274	0,159	0,063	1	0,945845025	1,057255653	2,523809524
PACS2	0,002413547	-0,080348157	0,354	0,161	1	0,945829368	1,057273155	2,198757764
PRDM11	0,839026091	-0,08041026	0,024	0,028	1	0,945788654	1,057318668	0,857142857
TBC1D32	0,10894695	-0,08042494	0,073	0,032	1	0,945779031	1,057329427	2,28125

Supplementary Table 2

Differentially expressed genes_keloid-XL_comparing SC-Keloid vs. (SC-Myel, SC-Nonmyel, SC-Nonmyel2)								
gene	p_val	avg_log2FC	pct.1	pct.2	p_val_adj	Foldchange_UP	Foldchange_DOWN	Ratio_pct1_pct2
C1orf43	0,002658315	-0,080495967	0,415	0,196	1	0,945732469	1,057381483	2,117346939
WDR90	0,835753847	-0,080593849	0,024	0,028	1	0,945668306	1,057453225	0,857142857
ANO3	0,28286347	-0,080599776	0	0,014	1	0,945664421	1,057457569	0
IGSF3	0,28294086	-0,080615242	0,049	0,025	1	0,945654283	1,057468906	1,96
HBS1L	0,002075661	-0,080645035	0,171	0,056	1	0,945634755	1,057490744	3,053571429
PPP4R1	0,006364818	-0,080711425	0,28	0,126	1	0,945591239	1,057539408	2,222222222
LPCAT3	0,030558885	-0,080736115	0,11	0,042	1	0,945575057	1,057557507	2,619047619
LINC00887	0,314233219	-0,080844983	0,037	0,018	1	0,945503705	1,057637315	2,055555556
SLTM	0,443339622	-0,080857316	0,402	0,309	1	0,945495622	1,057646356	1,300970874
PIM2	0,858500739	-0,08091275	0,037	0,032	1	0,945459293	1,057686996	1,15625
WDR76	0,490935921	-0,080936284	0,012	0,025	1	0,945443871	1,05770425	0,48
HLA-F	0,033626054	-0,080949393	0,195	0,095	1	0,94543528	1,05771386	2,052631579
UCP2	0,228958629	-0,081020713	0	0,018	1	0,945388544	1,05776615	0
S100A7	0,842301121	-0,081055819	0,024	0,028	1	0,945365539	1,05779189	0,857142857
AC093690.1	0,493879805	-0,081120188	0,012	0,025	1	0,94532336	1,057839087	0,48
ATP8A2	0,908489202	-0,081121881	0,012	0,011	1	0,945322251	1,057840328	1,090909091
CRACD	0,186763581	-0,08118065	0	0,021	1	0,945283744	1,05788342	0
PLA2G6	0,500826907	-0,081247323	0,049	0,032	1	0,945240059	1,057932311	1,53125
NRGN	0,728697501	-0,081261161	0,012	0,018	1	0,945230992	1,057942459	0,666666667
MRPL49	0,183066474	-0,081284218	0,122	0,07	1	0,945215886	1,057959366	1,742857143
MST1	0,619512782	-0,081376189	0,049	0,035	1	0,945155631	1,058026813	1,4
FAM76B	0,01871177	-0,081480503	0,317	0,165	1	0,945087294	1,058103316	1,921212121
ATRIP	0,89237004	-0,08159373	0,012	0,014	1	0,945013124	1,058186362	0,857142857
VRK2	0,159342977	-0,081661114	0,073	0,035	1	0,944968986	1,058235788	2,085714286
SEC16B	0,186763581	-0,081711326	0	0,021	1	0,944936098	1,05827262	0
RIT1	0,097005944	-0,081719191	0,366	0,221	1	0,944930947	1,058278389	1,656108597
RBM24	0,228958629	-0,081768858	0	0,018	1	0,944898416	1,058314823	0
VAMP2	0,020154486	-0,081807255	0,695	0,428	1	0,944873268	1,05834299	1,623831776
MBNL1-AS1	0,252475247	-0,081814735	0,061	0,032	1	0,944868369	1,058348477	1,90625
WDR82	0,008631628	-0,081869825	0,341	0,172	1	0,94483229	1,058388892	1,98255814

Supplementary Table 2

Differentially expressed genes_keloid-XL_comparing SC-Keloid vs. (SC-Myel, SC-Nonmyel, SC-Nonmyel2)								
gene	p_val	avg_log2FC	pct.1	pct.2	p_val_adj	Foldchange_UP	Foldchange_DOWN	Ratio_pct1_pct2
C7orf31	0,28286347	-0,081908173	0	0,014	1	0,944807176	1,058417025	0
LINC00957	0,728697501	-0,081967748	0,012	0,018	1	0,944768161	1,058460732	0,666666667
KL	0,228958629	-0,081991905	0	0,018	1	0,944752342	1,058478455	0
RTL8B	0,000440954	-0,082021981	0,183	0,053	1	0,944732647	1,058500522	3,452830189
TFPI	0,811317121	-0,082027171	0,061	0,053	1	0,944729248	1,05850433	1,150943396
STX7	0,006728881	-0,082051004	0,232	0,098	1	0,944713642	1,058521816	2,367346939
WDFY1	0,333774435	-0,082140299	0,146	0,102	1	0,944655171	1,058587335	1,431372549
ARSD	0,019644117	-0,082196712	0,134	0,053	1	0,944618233	1,05862873	2,528301887
SH3BP5-AS1	0,351112297	-0,08219986	0,024	0,011	1	0,944616172	1,058631039	2,181818182
TRIM65	0,043428247	-0,082241783	0,073	0,025	1	0,944588723	1,058661802	2,92
UBR7	0,134046764	-0,082327012	0,11	0,056	1	0,944532922	1,058724346	1,964285714
CNTROB	0,89958467	-0,082406964	0,061	0,056	1	0,944480579	1,05878302	1,089285714
ARRDC1-AS1	0,070815804	-0,082413186	0,085	0,035	1	0,944476506	1,058787587	2,428571429
VPS50	0,071300757	-0,082424842	0,061	0,021	1	0,944468874	1,058796141	2,904761905
HNRNPA1	0,853452235	-0,082438489	0,878	0,747	1	0,94445994	1,058806157	1,175368139
INVS	0,490935921	-0,08244359	0,012	0,025	1	0,944456601	1,058809901	0,48
USP49	0,104227568	-0,08248126	0	0,032	1	0,944431941	1,058837548	0
STX17	0,045205668	-0,082487892	0,122	0,053	1	0,9444276	1,058842414	2,301886792
FHIP2B	0,0041326	-0,082558904	0,195	0,074	1	0,944381114	1,058894534	2,635135135
DHFR2	0,584659388	-0,0825672	0,037	0,025	1	0,944375684	1,058900623	1,48
FAM218A	0,89237004	-0,082582901	0,012	0,014	1	0,944365406	1,058912147	0,857142857
HNRNPLL	0,046657062	-0,08268651	0,171	0,084	1	0,944297588	1,058988197	2,035714286
DHTKD1	0,728697501	-0,082717916	0,012	0,018	1	0,944277031	1,059011251	0,666666667
TLN2	0,003557561	-0,082727811	0,256	0,105	1	0,944270555	1,059018514	2,438095238
TEX10	0,394215653	-0,082769898	0,085	0,056	1	0,944243009	1,059049409	1,517857143
CSNK1D	0,165786088	-0,082822096	0,305	0,196	1	0,944208846	1,059087726	1,556122449
LYRM7	0,078804906	-0,082823342	0,122	0,06	1	0,94420803	1,059088641	2,033333333
ZNF415	0,448248692	-0,082888233	0,037	0,021	1	0,944165562	1,059136279	1,761904762
TMEM140	0,111246846	-0,082976575	0,073	0,032	1	0,944107748	1,059201136	2,28125
SUSD6	0,359576043	-0,083041661	0,11	0,074	1	0,944065156	1,059248923	1,486486486

Supplementary Table 2

Differentially expressed genes_keloid-XL_comparing SC-Keloid vs. (SC-Myel, SC-Nonmyel, SC-Nonmyel2)								
gene	p_val	avg_log2FC	pct.1	pct.2	p_val_adj	Foldchange_UP	Foldchange_DOWN	Ratio_pct1_pct2
ACOX1	0,159658848	-0,083068335	0,11	0,06	1	0,944047702	1,059268507	1,833333333
DNAJB9	0,089767182	-0,083082015	0,22	0,126	1	0,94403875	1,059278552	1,746031746
GRAMD1B	0,104227568	-0,083098	0	0,032	1	0,944028291	1,059290288	0
ZNF34	0,374756667	-0,083114629	0,073	0,046	1	0,94401741	1,059302498	1,586956522
MIR4500HG	0,228958629	-0,083185982	0	0,018	1	0,943970721	1,05935489	0
TLCD2	0,727904339	-0,083202713	0,037	0,028	1	0,943959774	1,059367176	1,321428571
CCL20	0,28286347	-0,083232775	0	0,014	1	0,943940104	1,059389251	0
EBF1	0,597173043	-0,083239789	0,012	0,021	1	0,943935516	1,059394401	0,571428571
CRTAC1	0,536668541	-0,083346085	0,024	0,039	1	0,94386597	1,059472459	0,615384615
APOO	0,062461009	-0,083353045	0,122	0,056	1	0,943861416	1,05947757	2,178571429
HPS4	0,029503827	-0,083364251	0,146	0,063	1	0,943854085	1,059485799	2,317460317
FCGR2A	0,496145732	-0,083478407	0,049	0,032	1	0,943779404	1,059569637	1,53125
TM9SF3	0,11870873	-0,083479696	0,549	0,344	1	0,94377856	1,059570584	1,595930233
RIOX2	0,721906011	-0,083481101	0,037	0,028	1	0,94377642	1,059571615	1,321428571
B3GALNT2	0,164618812	-0,083491856	0,195	0,123	1	0,943770606	1,059579514	1,585365854
SOX10	0,166584348	-0,083505439	0,671	0,467	1	0,94376172	1,05958949	1,436830835
KNTC1	0,710321163	-0,083570884	0,024	0,018	1	0,94371891	1,059637557	1,333333333
NKD1	0,804187612	-0,083691426	0,037	0,042	1	0,943640062	1,059726097	0,880952381
LSG1	0,178470047	-0,083706946	0,098	0,053	1	0,943629911	1,059737497	1,849056604
LINC01003	0,009732629	-0,083772813	0,183	0,074	1	0,94358683	1,059785881	2,472972973
SETDB2	0,098802025	-0,083900411	0,098	0,046	1	0,943503378	1,059879618	2,130434783
C8orf82	6,34829E-06	-0,08390044	0,268	0,07	0,133955355	0,943503359	1,059879639	3,828571429
RAB40C	0,146857221	-0,08393619	0,122	0,067	1	0,94347998	1,059905903	1,820895522
RRM2	0,970105473	-0,083986096	0,024	0,025	1	0,943447343	1,059942568	0,96
RSKR	0,187860656	-0,084004113	0,024	0,007	1	0,943435561	1,059955805	3,428571429
GPRASP1	0,879365097	-0,084055949	0,024	0,021	1	0,943401664	1,05999389	1,142857143
ZNF879	0,35350329	-0,084066464	0	0,011	1	0,943394788	1,060001616	0
LIFR	0,941822149	-0,084075088	0,049	0,046	1	0,943389149	1,060007952	1,065217391
SNX12	0,012171305	-0,084234205	0,134	0,049	1	0,943285107	1,060124869	2,734693878
CXCL16	0,697385708	-0,084270871	0,085	0,07	1	0,943261134	1,060151812	1,214285714

Supplementary Table 2

Differentially expressed genes_keloid-XL_comparing SC-Keloid vs. (SC-Myel, SC-Nonmyel, SC-Nonmyel2)								
gene	p_val	avg_log2FC	pct.1	pct.2	p_val_adj	Foldchange_UP	Foldchange_DOWN	Ratio_pct1_pct2
RNF26	0,025884674	-0,084297009	0,085	0,028	1	0,943244044	1,060171019	3,035714286
AMOTL1	0,039482216	-0,084394065	0,256	0,137	1	0,94318059	1,060242344	1,868613139
MOCS2	0,00087382	-0,084394246	0,439	0,196	1	0,943180472	1,060242477	2,239795918
SLK	0,006771898	-0,084468297	0,341	0,165	1	0,943132062	1,060296899	2,066666667
TMTC1	0,60063706	-0,084485762	0,012	0,021	1	0,943120644	1,060309734	0,571428571
MPHOSPH10	0,070955131	-0,084562581	0,22	0,123	1	0,943070427	1,060366194	1,788617886
CD46	0,073824741	-0,084568779	0,585	0,354	1	0,943066376	1,06037075	1,652542373
SPRTN	0,069809627	-0,084590283	0,085	0,035	1	0,943052319	1,060386555	2,428571429
ABHD13	0,042811684	-0,084614982	0,11	0,046	1	0,943036174	1,060404709	2,391304348
CELSR3	0,228958629	-0,084631288	0	0,018	1	0,943025516	1,060416694	0
YIPF6	0,000773322	-0,084648556	0,329	0,133	1	0,943014228	1,060429387	2,473684211
TPK1	0,316484073	-0,084728906	0,037	0,018	1	0,942961709	1,060488448	2,055555556
CMBL	0,153186787	-0,084731465	0	0,025	1	0,942960037	1,060490329	0
SH3RF1	0,027537278	-0,08473565	0,244	0,123	1	0,942957301	1,060493406	1,983739837
ATP11B	0,024003041	-0,084756287	0,244	0,123	1	0,942943813	1,060508576	1,983739837
MLF1	0,001446109	-0,084758167	0,329	0,137	1	0,942942584	1,060509958	2,401459854
UBA3	0,005861208	-0,084776837	0,268	0,119	1	0,942930382	1,060523682	2,25210084
METTL7A	0,89237004	-0,084781972	0,012	0,014	1	0,942927026	1,060527456	0,857142857
CEP164	0,025870211	-0,084819128	0,159	0,07	1	0,942902741	1,06055477	2,271428571
ZNF213	0,1180597	-0,084897059	0,049	0,018	1	0,942851809	1,06061206	2,722222222
ZNF385D	0,907904897	-0,084913742	0,037	0,039	1	0,942840906	1,060624325	0,948717949
POLK	0,01532951	-0,084923087	0,268	0,13	1	0,942834799	1,060631195	2,061538462
AMT	0,111246846	-0,08493972	0,073	0,032	1	0,942823929	1,060643424	2,28125
TAF3	0,086167986	-0,0849569	0,159	0,084	1	0,942812702	1,060656054	1,892857143
OR2A1-AS1	0,275831025	-0,084960679	0,049	0,025	1	0,942810232	1,060658832	1,96
AKAP5	0,35350329	-0,084998421	0	0,011	1	0,942785568	1,06068658	0
MED17	0,080231029	-0,0849988	0,22	0,126	1	0,94278532	1,060686859	1,746031746
DVL3	0,037136933	-0,08500961	0,183	0,088	1	0,942778256	1,060694807	2,079545455
FMOD	0,351112297	-0,085037583	0,024	0,011	1	0,942759976	1,060715373	2,181818182
BCR	0,065878355	-0,085094562	0,098	0,042	1	0,942722743	1,060757267	2,333333333

Supplementary Table 2

Differentially expressed genes_keloid-XL_comparing SC-Keloid vs. (SC-Myel, SC-Nonmyel, SC-Nonmyel2)								
gene	p_val	avg_log2FC	pct.1	pct.2	p_val_adj	Foldchange_UP	Foldchange_DOWN	Ratio_pct1_pct2
COPS3	0,004379216	-0,085203043	0,39	0,186	1	0,942651859	1,060837032	2,096774194
ARHGAP17	0,692437662	-0,085257068	0,098	0,081	1	0,94261656	1,060876758	1,209876543
SPRY2	0,054141727	-0,085599352	0,378	0,221	1	0,942392948	1,061128484	1,71040724
PRR14L	0,168694332	-0,085611641	0,098	0,053	1	0,94238492	1,061137523	1,849056604
TLL11	0,89237004	-0,085650179	0,012	0,014	1	0,942359747	1,061165869	0,857142857
ZNF395	0,632497817	-0,085655216	0,061	0,046	1	0,942356457	1,061169574	1,326086957
EXOC6B	0,520728588	-0,085745431	0,061	0,042	1	0,942297531	1,061235933	1,452380952
RAB32	5,37914E-05	-0,085759876	0,341	0,119	1	0,942288097	1,061246559	2,865546218
ARSJ	0,839026091	-0,085829781	0,024	0,028	1	0,942242439	1,061297983	0,857142857
OXCT2	0,28286347	-0,085833788	0	0,014	1	0,942239823	1,06130093	0
ADAP1	0,060625499	-0,085885553	0,134	0,063	1	0,942206015	1,061339011	2,126984127
UNKL	0,614137268	-0,085897078	0,024	0,035	1	0,942198488	1,06134749	0,685714286
PSME3IP1	0,002940714	-0,08593959	0,256	0,105	1	0,942170724	1,061378765	2,438095238
ARFGF2	0,469322726	-0,085985533	0,085	0,06	1	0,942140722	1,061412565	1,416666667
SLC7A1	0,148269262	-0,085988444	0,122	0,067	1	0,942138821	1,061414707	1,820895522
PSEN2	0,01104171	-0,086026335	0,073	0,018	1	0,942114076	1,061442585	4,055555556
SNX24	0,195411123	-0,086057335	0,012	0,042	1	0,942093833	1,061465393	0,285714286
ASPN	0,970105473	-0,086097754	0,024	0,025	1	0,942067439	1,061495131	0,96
MERTK	0,283838244	-0,086115816	0,012	0,035	1	0,942055645	1,061508421	0,342857143
ZNF484	0,023573977	-0,086140161	0,073	0,021	1	0,942039748	1,061526333	3,476190476
STK38L	0,982342462	-0,086154748	0,037	0,035	1	0,942030224	1,061537066	1,057142857
CYP26B1	0,153186787	-0,086177917	0	0,025	1	0,942015095	1,061554115	0
WDR89	0,28286347	-0,086199074	0	0,014	1	0,942001281	1,061569682	0
CHST6	0,89237004	-0,086254544	0,012	0,014	1	0,941965062	1,061610499	0,857142857
AEN	0,371454665	-0,086257857	0,073	0,046	1	0,941962899	1,061612937	1,586956522
PLVAP	0,219565872	-0,086292077	0,073	0,039	1	0,941940557	1,061638118	1,871794872
KLF3	0,000580962	-0,086309423	0,378	0,158	1	0,941929231	1,061650883	2,392405063
PXMP4	0,103691765	-0,086322707	0,098	0,046	1	0,941920558	1,061660658	2,130434783
RPS6KA1	0,597099695	-0,086386368	0,049	0,035	1	0,941878995	1,061707507	1,4
CDH23	0,28286347	-0,086459066	0	0,014	1	0,941831535	1,061761008	0

Supplementary Table 2

Differentially expressed genes_keloid-XL_comparing SC-Keloid vs. (SC-Myel, SC-Nonmyel, SC-Nonmyel2)								
gene	p_val	avg_log2FC	pct.1	pct.2	p_val_adj	Foldchange_UP	Foldchange_DOWN	Ratio_pct1_pct2
DTD2	0,85248313	-0,086463476	0,037	0,032	1	0,941828656	1,061764253	1,15625
TNFRSF10B	0,007655114	-0,086477307	0,134	0,046	1	0,941819627	1,061774433	2,913043478
COQ7	0,046698891	-0,086495146	0,098	0,039	1	0,941807982	1,061787561	2,512820513
TYW3	0,0088054	-0,086611371	0,183	0,074	1	0,941732111	1,061873104	2,472972973
FAM72D	0,490935921	-0,086614536	0,012	0,025	1	0,941730045	1,061875433	0,48
PSMC6	0,004947172	-0,086742133	0,341	0,158	1	0,941646759	1,061969353	2,158227848
ACCS	0,069438782	-0,086772761	0,061	0,021	1	0,941626769	1,061991899	2,904761905
STRIP1	0,057408263	-0,086774705	0,122	0,056	1	0,9416255	1,06199333	2,178571429
PARP12	0,290906351	-0,086787326	0,098	0,06	1	0,941617262	1,06200262	1,633333333
SEH1L	0,072859145	-0,086790233	0,146	0,074	1	0,941615365	1,062004761	1,972972973
C8orf88	0,728697501	-0,086795882	0,012	0,018	1	0,941611678	1,062008919	0,666666667
SYMPK	0,052049857	-0,086798547	0,195	0,102	1	0,941609939	1,062010881	1,911764706
EPM2A	0,727904339	-0,086859294	0,037	0,028	1	0,941570291	1,062055599	1,321428571
ERAP1	0,256129326	-0,086891342	0,11	0,067	1	0,941549376	1,062079192	1,641791045
ADGRL1	0,324703669	-0,086910756	0,061	0,035	1	0,941536705	1,062093484	1,742857143
SNX33	0,498483398	-0,087033927	0,049	0,032	1	0,941456325	1,062184165	1,53125
UST	0,834704212	-0,087091749	0,049	0,042	1	0,941418593	1,062226737	1,166666667
RNF138	0,965073463	-0,087150103	0,049	0,046	1	0,941380515	1,062269703	1,065217391
SIRPA	0,490935921	-0,087190117	0,012	0,025	1	0,941354406	1,062299166	0,48
GRIN2C	0,89237004	-0,087199572	0,012	0,014	1	0,941348236	1,062306128	0,857142857
DNAAF9	5,97865E-07	-0,08722449	0,256	0,056	0,012615549	0,941331977	1,062324477	4,571428571
LRRC37A2	0,490935921	-0,087312324	0,012	0,025	1	0,941274669	1,062389154	0,48
ARL6IP5	0,025555075	-0,087318855	0,622	0,361	1	0,941270408	1,062393964	1,72299169
DCLK2	0,616856942	-0,087356626	0,061	0,046	1	0,941245765	1,062421779	1,326086957
RARG	0,316456935	-0,087397264	0,183	0,126	1	0,941219252	1,062451706	1,452380952
CNKSRI	0,493879805	-0,087514491	0,012	0,025	1	0,941142776	1,062538039	0,48
SLC23A2	0,268371348	-0,087577937	0,22	0,151	1	0,941101388	1,062584768	1,456953642
STARD5	0,819098492	-0,087760163	0,049	0,042	1	0,940982526	1,062718991	1,166666667
LRIG2	0,757837918	-0,087764578	0,061	0,07	1	0,940979646	1,062722243	0,871428571
PPP1R21	0,229466246	-0,087890608	0,073	0,039	1	0,940897448	1,062815084	1,871794872

Supplementary Table 2

Differentially expressed genes_keloid-XL_comparing SC-Keloid vs. (SC-Myel, SC-Nonmyel, SC-Nonmyel2)								
gene	p_val	avg_log2FC	pct.1	pct.2	p_val_adj	Foldchange_UP	Foldchange_DOWN	Ratio_pct1_pct2
RBM12	0,312458686	-0,088039157	0,11	0,07	1	0,940800573	1,062924523	1,571428571
ADAMTS4	0,042105158	-0,088077143	0,207	0,105	1	0,940775802	1,06295251	1,971428571
H6PD	0,009697844	-0,088324802	0,171	0,067	1	0,940614318	1,063134997	2,552238806
TUFT1	0,1180597	-0,088344488	0,049	0,018	1	0,940601483	1,063149504	2,722222222
FGFBP3	0,334326668	-0,088369748	0,012	0,032	1	0,940585014	1,063168118	0,375
USP10	0,008314813	-0,088388187	0,268	0,126	1	0,940572993	1,063181707	2,126984127
DICER1	0,030436313	-0,088455298	0,378	0,211	1	0,940529241	1,063231165	1,791469194
CEP126	0,326853336	-0,088464495	0,085	0,053	1	0,940523245	1,063237943	1,603773585
ACTR1B	0,000908444	-0,088513772	0,256	0,095	1	0,94049112	1,06327426	2,694736842
EEFSEC	0,016025461	-0,088526563	0,098	0,032	1	0,940482782	1,063283687	3,0625
PPAT	0,829997838	-0,088539033	0,061	0,053	1	0,940474653	1,063292877	1,150943396
BTD	0,893008282	-0,088539818	0,098	0,088	1	0,940474141	1,063293456	1,113636364
EIF4E3	0,224477053	-0,088555073	0,073	0,039	1	0,940464197	1,0633047	1,871794872
SLC27A6	0,126161321	-0,088555984	0	0,028	1	0,940463603	1,063305371	0
WAPL	0,062706726	-0,088581185	0,268	0,151	1	0,940447175	1,063323944	1,774834437
EXOC3	0,130233211	-0,088678581	0,22	0,133	1	0,940383688	1,063395732	1,654135338
ADAM32	0,228958629	-0,088720654	0	0,018	1	0,940356264	1,063426744	0
SENP7	0,009973586	-0,088788176	0,317	0,154	1	0,940312254	1,063476517	2,058441558
MCC	0,333985977	-0,088794791	0,085	0,053	1	0,940307942	1,063481392	1,603773585
C16orf91	0,020788025	-0,088804724	0,146	0,06	1	0,940301469	1,063488714	2,433333333
NAIP	0,116405688	-0,088812217	0,061	0,025	1	0,940296584	1,063494238	2,44
IL17RE	0,366535625	-0,0888214	0,073	0,046	1	0,9402906	1,063501008	1,586956522
GPX2	0,28286347	-0,088832486	0	0,014	1	0,940283374	1,06350918	0
TRPC1	0,490935921	-0,088885271	0,012	0,025	1	0,940248972	1,063548092	0,48
RICTOR	0,055791932	-0,088934489	0,195	0,102	1	0,940216896	1,063584376	1,911764706
ZNF587	0,11730029	-0,088949935	0,061	0,025	1	0,94020683	1,063595763	2,44
PCGF2	0,009729014	-0,088957731	0,28	0,133	1	0,940201749	1,06360151	2,105263158
POLR3D	0,178470047	-0,08899102	0,098	0,053	1	0,940180055	1,063626052	1,849056604
MARCHF1	0,464496034	-0,089004068	0,024	0,042	1	0,940171551	1,063635672	0,571428571
NOL10	0,008687927	-0,089021259	0,183	0,074	1	0,940160349	1,063648346	2,472972973

Supplementary Table 2

Differentially expressed genes_keloid-XL_comparing SC-Keloid vs. (SC-Myel, SC-Nonmyel, SC-Nonmyel2)								
gene	p_val	avg_log2FC	pct.1	pct.2	p_val_adj	Foldchange_UP	Foldchange_DOWN	Ratio_pct1_pct2
CCDC3	0,718963318	-0,089041999	0,049	0,039	1	0,940146833	1,063663637	1,256410256
KCNE1	0,89237004	-0,089149794	0,012	0,014	1	0,94007659	1,063743115	0,857142857
RBM45	0,500826907	-0,089161186	0,049	0,032	1	0,940069167	1,063751515	1,53125
ZNF296	0,126161321	-0,089206435	0	0,028	1	0,940039683	1,063784879	0
NBL1	0,185840123	-0,089228544	0,098	0,053	1	0,940025277	1,063801181	1,849056604
ZNF571	0,104227568	-0,089262078	0	0,032	1	0,940003427	1,063825909	0
HPDL	0,28286347	-0,089312233	0	0,014	1	0,939970749	1,063862893	0
CTDSPL	0,029071799	-0,08933883	0,256	0,133	1	0,93995342	1,063882506	1,92481203
NBN	0,035699662	-0,089347093	0,244	0,126	1	0,939948036	1,063888599	1,936507937
LRP3	0,153186787	-0,089370514	0	0,025	1	0,939932777	1,063905871	0
FAM135A	0,179372449	-0,089373685	0,061	0,028	1	0,939930711	1,063908209	2,178571429
TEX41	0,35350329	-0,089386542	0	0,011	1	0,939922335	1,063917691	0
ZNF609	0,917262847	-0,08949211	0,11	0,102	1	0,939853559	1,063995545	1,078431373
ZNF582	0,186763581	-0,08951507	0	0,021	1	0,939838602	1,064012478	0
DNMT1	0,025086969	-0,089517405	0,317	0,172	1	0,939837081	1,0640142	1,843023256
COL27A1	0,580160595	-0,089548609	0,317	0,263	1	0,939816753	1,064037214	1,205323194
SLC44A2	0,025838761	-0,089664246	0,415	0,232	1	0,939741427	1,064122504	1,788793103
RHOA	0,727904339	-0,089732897	0,037	0,028	1	0,93969671	1,064173142	1,321428571
THOC1	0,082762428	-0,089777317	0,171	0,091	1	0,939667778	1,064205908	1,879120879
PGRMC2	0,000493812	-0,089896295	0,476	0,207	1	0,939590287	1,064293675	2,299516908
PARVA	0,016687845	-0,089922367	0,354	0,186	1	0,939573307	1,064312909	1,903225806
EXOC1	1,83455E-07	-0,08992657	0,341	0,088	0,003871083	0,93957057	1,064316009	3,875
C6orf120	0,387271199	-0,089980948	0,049	0,028	1	0,939535156	1,064356127	1,75
UTP25	0,58754085	-0,090108652	0,037	0,025	1	0,939451995	1,064450345	1,48
CRLF3	0,597173043	-0,090116284	0,012	0,021	1	0,939447025	1,064455976	0,571428571
CPSF7	0,022659537	-0,090211122	0,195	0,091	1	0,939385271	1,064525953	2,142857143
IL17D	0,186763581	-0,090215222	0	0,021	1	0,939382601	1,064528978	0
GPSM2	0,032464164	-0,090226381	0,268	0,144	1	0,939375335	1,064537211	1,861111111
BARD1	0,183354719	-0,090231914	0,146	0,088	1	0,939371733	1,064541294	1,659090909
MACROD2	0,599571757	-0,090233336	0,049	0,035	1	0,939370806	1,064542344	1,4

Supplementary Table 2

Differentially expressed genes_keloid-XL_comparing SC-Keloid vs. (SC-Myel, SC-Nonmyel, SC-Nonmyel2)								
gene	p_val	avg_log2FC	pct.1	pct.2	p_val_adj	Foldchange_UP	Foldchange_DOWN	Ratio_pct1_pct2
UBA2	0,006911296	-0,090234678	0,293	0,133	1	0,939369933	1,064543334	2,203007519
PALM2AKAP2	0,067791358	-0,090306241	0,683	0,432	1	0,939323338	1,06459614	1,581018519
TMEFF1	0,493879805	-0,090345196	0,012	0,025	1	0,939297975	1,064624886	0,48
GMCL1	0,048276044	-0,090347474	0,159	0,077	1	0,939296492	1,064626568	2,064935065
DNAJC24	0,01178067	-0,090406059	0,256	0,119	1	0,939258349	1,064669801	2,151260504
RAMP3	0,490935921	-0,090449313	0,012	0,025	1	0,939230189	1,064701722	0,48
TRIM36	0,728697501	-0,090480502	0,012	0,018	1	0,939209885	1,064724739	0,666666667
BAMBI	0,171123657	-0,090491389	0,012	0,046	1	0,939202798	1,064732774	0,260869565
THSD1	0,60411013	-0,090498058	0,012	0,021	1	0,939198456	1,064737696	0,571428571
RUSF1	0,007048143	-0,090588245	0,146	0,053	1	0,939139746	1,064804258	2,754716981
CSGALNACT1	0,280260254	-0,09062006	0,012	0,035	1	0,939119036	1,064827739	0,342857143
SERGEF	0,119598668	-0,090648895	0,122	0,063	1	0,939100266	1,064849023	1,936507937
AK4	0,732741497	-0,090835179	0,012	0,018	1	0,938979015	1,064986527	0,666666667
ELMO2	0,444731778	-0,09083655	0,073	0,049	1	0,938978123	1,064987539	1,489795918
ZNF518B	0,845578881	-0,090853399	0,024	0,028	1	0,938967156	1,064999977	0,857142857
NAPB	0,597173043	-0,090890246	0,012	0,021	1	0,938943175	1,065027178	0,571428571
CCL19	0,35350329	-0,090936321	0	0,011	1	0,938913189	1,065061191	0
QPRT	0,229374221	-0,090991035	0,012	0,039	1	0,938877582	1,065101585	0,307692308
CACNA2D2	0,728697501	-0,091023919	0,012	0,018	1	0,938856181	1,065125863	0,666666667
SGK3	0,731878941	-0,091178441	0,049	0,039	1	0,938755629	1,06523995	1,256410256
LINC01550	0,710321163	-0,091259513	0,024	0,018	1	0,938702877	1,065299813	1,333333333
CD2AP	0,001075644	-0,091323459	0,22	0,077	1	0,938661272	1,065347032	2,857142857
DPF2	0,130937101	-0,091374987	0,183	0,109	1	0,938627747	1,065385083	1,678899083
CRTC3	0,003285912	-0,091488203	0,293	0,126	1	0,93855409	1,065468694	2,325396825
FAM20B	0,029447556	-0,091506959	0,11	0,042	1	0,938541888	1,065482545	2,619047619
CHIC1	0,215933438	-0,091559417	0,073	0,039	1	0,938507763	1,065521288	1,871794872
DENND5B	0,257323577	-0,09157021	0,085	0,049	1	0,938500741	1,06552926	1,734693878
TRMT10A	0,387271199	-0,091580268	0,049	0,028	1	0,938494199	1,065536688	1,75
TBC1D23	0,014588604	-0,091587159	0,22	0,102	1	0,938489716	1,065541777	2,156862745
CD47	0,008099644	-0,091694569	0,463	0,242	1	0,938419847	1,065621111	1,91322314

Supplementary Table 2

Differentially expressed genes_keloid-XL_comparing SC-Keloid vs. (SC-Myel, SC-Nonmyel, SC-Nonmyel2)								
gene	p_val	avg_log2FC	pct.1	pct.2	p_val_adj	Foldchange_UP	Foldchange_DOWN	Ratio_pct1_pct2
BMPR1B	0,229374221	-0,091733064	0,012	0,039	1	0,938394808	1,065649545	0,307692308
RAB11FIP2	0,79338153	-0,091735194	0,098	0,084	1	0,938393422	1,065651119	1,166666667
ACSM5	0,35350329	-0,091797634	0	0,011	1	0,938352809	1,065697241	0
IPO5	0,011055497	-0,091823428	0,329	0,165	1	0,938336033	1,065716295	1,993939394
ADHFE1	0,228958629	-0,091861898	0	0,018	1	0,938311012	1,065744712	0
SPAG8	0,710321163	-0,091866	0,024	0,018	1	0,938308344	1,065747743	1,333333333
LINC01001	0,706611845	-0,091867049	0,024	0,018	1	0,938307662	1,065748518	1,333333333
ITPKB	0,08973167	-0,091887085	0,146	0,077	1	0,938294631	1,065763319	1,896103896
ERO1A	0,130435012	-0,091899966	0,134	0,074	1	0,938286253	1,065772835	1,810810811
PTHLH	0,459226901	-0,091925235	0,085	0,06	1	0,93826982	1,065791502	1,416666667
VPS39	0,197323814	-0,091951203	0,11	0,063	1	0,938252931	1,065810686	1,746031746
NOL4L	0,034844869	-0,091960763	0,159	0,074	1	0,938246714	1,065817749	2,148648649
CFHR1	0,35350329	-0,09199142	0	0,011	1	0,938226776	1,065840398	0
GZF1	0,498483398	-0,092095603	0,049	0,032	1	0,938159025	1,065917369	1,53125
CDK3	0,442988867	-0,092182045	0,037	0,021	1	0,938102816	1,065981237	1,761904762
FILIP1L	0,00553128	-0,092202183	0,207	0,084	1	0,938089721	1,065996117	2,464285714
SYN3	0,908489202	-0,092283082	0,012	0,011	1	0,938037119	1,066055895	1,090909091
ZFHX4	0,52904607	-0,092284858	0,073	0,053	1	0,938035964	1,066057207	1,377358491
ALAD	0,116579956	-0,092287694	0,122	0,063	1	0,938034121	1,066059302	1,936507937
TSPAN7	0,224904766	-0,092418389	0,122	0,074	1	0,937949147	1,066155882	1,648648649
CTDSP2	0,138404798	-0,092448991	0,402	0,26	1	0,937929251	1,066178497	1,546153846
DNAJC25	0,073383353	-0,092454621	0,085	0,035	1	0,937925591	1,066182658	2,428571429
RAB4A	0,005779094	-0,092564446	0,341	0,161	1	0,937854195	1,066263824	2,118012422
SFMBT2	0,522178538	-0,092621146	0,024	0,039	1	0,937817336	1,06630573	0,615384615
ANKRD29	0,404681217	-0,092625803	0,012	0,028	1	0,937814309	1,066309173	0,428571429
PRRX2	0,597173043	-0,092758277	0,012	0,021	1	0,937728199	1,06640709	0,571428571
RBAK	0,336686163	-0,092832745	0,061	0,035	1	0,937679797	1,066462136	1,742857143
LMO7DN	0,126161321	-0,092875838	0	0,028	1	0,937651789	1,066493992	0
POLG2	0,963493835	-0,093035838	0,049	0,049	1	0,937547807	1,066612276	1
KDM5C	0,351265073	-0,093143879	0,183	0,13	1	0,937477598	1,066692156	1,407692308

Supplementary Table 2

Differentially expressed genes_keloid-XL_comparing SC-Keloid vs. (SC-Myel, SC-Nonmyel, SC-Nonmyel2)								
gene	p_val	avg_log2FC	pct.1	pct.2	p_val_adj	Foldchange_UP	Foldchange_DOWN	Ratio_pct1_pct2
CNTNAP1	0,278482798	-0,093185129	0,012	0,035	1	0,937450793	1,066722656	0,342857143
PARP14	0,001267337	-0,093205039	0,232	0,084	1	0,937437856	1,066737377	2,761904762
H2AC12	0,228958629	-0,093248072	0	0,018	1	0,937409895	1,066769196	0
PDE12	0,614636435	-0,093328425	0,061	0,046	1	0,937357686	1,066828613	1,326086957
PAPLN	0,60063706	-0,093361712	0,012	0,021	1	0,937336058	1,066853229	0,571428571
AP3M1	0,007679309	-0,093383167	0,146	0,053	1	0,937322119	1,066869094	2,754716981
RFXAP	0,58754085	-0,093394951	0,037	0,025	1	0,937314463	1,066877808	1,48
AL627171.2	0,391045221	-0,09346502	0,268	0,204	1	0,93726894	1,066929626	1,31372549
BMP7	0,086314699	-0,09350401	0	0,035	1	0,937243611	1,066958461	0
CYP46A1	0,228958629	-0,093519885	0	0,018	1	0,937233297	1,066970202	0
EYA2	0,153186787	-0,093528065	0	0,025	1	0,937227983	1,066976252	0
RHCE	0,228958629	-0,093529743	0	0,018	1	0,937226893	1,066977492	0
GTF3C5	0,333033863	-0,093561802	0,098	0,063	1	0,937206067	1,067001202	1,555555556
LATS1	0,412917368	-0,093583291	0,134	0,095	1	0,937192107	1,067017096	1,410526316
REPIN1	0,066914956	-0,093593725	0,232	0,13	1	0,937185329	1,067024812	1,784615385
DBF4	0,970105473	-0,09362833	0,024	0,025	1	0,937162849	1,067050407	0,96
PLSCR1	0,052126725	-0,093703638	0,146	0,07	1	0,937113931	1,067106108	2,085714286
AFMID	0,018786715	-0,093856862	0,11	0,039	1	0,937014409	1,067219448	2,820512821
PKIB	0,334326668	-0,09389707	0,012	0,032	1	0,936988294	1,067249192	0,375
MYO15B	0,018506169	-0,093897513	0,195	0,088	1	0,936988007	1,067249519	2,215909091
CLCC1	0,213665947	-0,09391188	0,134	0,081	1	0,936978676	1,067260147	1,654320988
FUZ	0,376414451	-0,093979287	0,073	0,046	1	0,936934899	1,067310014	1,586956522
CLASRP	0,055526857	-0,093987719	0,195	0,102	1	0,936929423	1,067316252	1,911764706
FBXO42	0,635463215	-0,094088554	0,085	0,067	1	0,936863939	1,067390854	1,268656716
NAA25	0,736375474	-0,094139467	0,085	0,07	1	0,936830878	1,067428522	1,214285714
VPS18	0,112880777	-0,094153641	0,061	0,025	1	0,936821674	1,06743901	2,44
C3orf52	0,970105448	-0,094260354	0,024	0,025	1	0,936752382	1,067517969	0,96
MTMR9	0,290906351	-0,094305028	0,098	0,06	1	0,936723375	1,067551026	1,633333333
IFFO2	0,118960251	-0,094408601	0,183	0,105	1	0,936656129	1,067627669	1,742857143
CD302	0,292477426	-0,094507037	0,073	0,042	1	0,936592223	1,067700517	1,738095238

Supplementary Table 2

Differentially expressed genes_keloid-XL_comparing SC-Keloid vs. (SC-Myel, SC-Nonmyel, SC-Nonmyel2)								
gene	p_val	avg_log2FC	pct.1	pct.2	p_val_adj	Foldchange_UP	Foldchange_DOWN	Ratio_pct1_pct2
GPR173	0,985285018	-0,094537366	0,037	0,035	1	0,936572533	1,067722962	1,057142857
PRIM1	0,186763581	-0,094552381	0	0,021	1	0,936562786	1,067734075	0
GARRE1	0,504567415	-0,094630145	0,159	0,119	1	0,936512305	1,06779163	1,336134454
DUOX1	0,228958629	-0,094654453	0	0,018	1	0,936496525	1,067809621	0
UHRF1BP1L	0,716075118	-0,094659659	0,098	0,081	1	0,936493146	1,067813474	1,209876543
KCNAB2	0,19199525	-0,094697402	0,049	0,021	1	0,936468647	1,06784141	2,333333333
SPAST	0,08333511	-0,094776254	0,134	0,067	1	0,936417464	1,067899776	2
PIK3CA	0,159463083	-0,094801342	0,134	0,077	1	0,93640118	1,067918347	1,74025974
ZFP14	0,160334939	-0,094924458	0,073	0,035	1	0,936321274	1,068009484	2,085714286
KIAA0408	0,166384958	-0,094951541	0,073	0,035	1	0,936303697	1,068029533	2,085714286
NEU3	0,228958629	-0,094964221	0	0,018	1	0,936295467	1,06803892	0
PCBD2	0,279370565	-0,09497058	0,049	0,025	1	0,936291341	1,068043628	1,96
TEC	0,404681217	-0,095015262	0,012	0,028	1	0,936262343	1,068076707	0,428571429
LURAP1	0,105722734	-0,095108753	0,085	0,039	1	0,936201672	1,068145924	2,179487179
CPED1	0,153186787	-0,095205975	0	0,025	1	0,936138584	1,068217908	0
MINDY2	0,098593397	-0,095232799	0,354	0,218	1	0,936121179	1,068237769	1,623853211
MSI1	0,153186787	-0,095241136	0	0,025	1	0,936115769	1,068243942	0
GABPA	0,025326474	-0,09529696	0,195	0,091	1	0,936079548	1,068285278	2,142857143
ASNSD1	0,084285214	-0,095299685	0,122	0,06	1	0,93607778	1,068287296	2,033333333
SPATA2	0,746662794	-0,095309944	0,061	0,049	1	0,936071123	1,068294893	1,244897959
ZBED4	0,010831826	-0,095371899	0,122	0,042	1	0,936030925	1,068340771	2,904761905
CALCRL	0,385169549	-0,095374663	0,049	0,028	1	0,936029133	1,068342817	1,75
NBPF3	0,186763581	-0,095397444	0	0,021	1	0,936014352	1,068359687	0
RAD9B	0,35350329	-0,095421915	0	0,011	1	0,935998476	1,068377808	0
FBXL19-AS1	0,728697501	-0,095474093	0,012	0,018	1	0,935964624	1,068416449	0,666666667
MED29	0,001146514	-0,095507865	0,244	0,091	1	0,935942714	1,06844146	2,681318681
ATXN1L	0,372762349	-0,095564642	0,11	0,074	1	0,935905881	1,068483509	1,486486486
EIF4EBP2	0,023432742	-0,095607658	0,195	0,091	1	0,935877976	1,068515368	2,142857143
KANSL2	0,143372127	-0,095628999	0,122	0,067	1	0,935864132	1,068531174	1,820895522
EMSY	0,411780381	-0,095695033	0,098	0,067	1	0,935821297	1,068580083	1,462686567

Supplementary Table 2

Differentially expressed genes_keloid-XL_comparing SC-Keloid vs. (SC-Myel, SC-Nonmyel, SC-Nonmyel2)								
gene	p_val	avg_log2FC	pct.1	pct.2	p_val_adj	Foldchange_UP	Foldchange_DOWN	Ratio_pct1_pct2
TDRD7	0,735042306	-0,095699607	0,061	0,049	1	0,93581833	1,068583471	1,244897959
PC	0,839920942	-0,095701602	0,049	0,042	1	0,935817036	1,068584949	1,166666667
MYH10	0,092884275	-0,095722774	0,146	0,077	1	0,935803303	1,068600631	1,896103896
NPAT	0,944403545	-0,095724027	0,049	0,046	1	0,93580249	1,068601559	1,065217391
PTCD1	0,073104972	-0,095735527	0,073	0,028	1	0,935795031	1,068610077	2,607142857
AC144652.1	0,198346594	-0,095774579	0,037	0,014	1	0,9357697	1,068639004	2,642857143
KRAS	0,02172359	-0,095817749	0,341	0,182	1	0,9357417	1,068670981	1,873626374
ZBTB4	0,038536653	-0,095936206	0,207	0,105	1	0,935664871	1,068758731	1,971428571
MPHOSPH9	0,0146876	-0,095942633	0,085	0,025	1	0,935660703	1,068763492	3,4
KCTD3	0,031468469	-0,095981955	0,22	0,109	1	0,9356352	1,068792623	2,018348624
FBXO48	0,72040908	-0,096003582	0,024	0,032	1	0,935621175	1,068808645	0,75
BCLAF3	0,173086844	-0,096010469	0,098	0,053	1	0,935616708	1,068813747	1,849056604
NDRG3	0,042654557	-0,096039365	0,122	0,053	1	0,935597969	1,068835155	2,301886792
ZDHHC14	0,609506016	-0,096046324	0,049	0,035	1	0,935593456	1,06884031	1,4
TCFL5	0,387271199	-0,096063276	0,049	0,028	1	0,935582463	1,068852869	1,75
ANKRD18A	0,186763581	-0,096109773	0	0,021	1	0,93555231	1,068887318	0
KDM2B	0,731878941	-0,096136239	0,049	0,039	1	0,935535147	1,068906928	1,256410256
LINC01069	0,35350329	-0,096205523	0	0,011	1	0,935490221	1,068958262	0
UBN1	0,275482984	-0,096302689	0,183	0,123	1	0,935427217	1,069030259	1,487804878
IQCG	0,435626938	-0,09640728	0,061	0,039	1	0,935359404	1,069107763	1,564102564
ACBD4	0,970105473	-0,096487792	0,024	0,025	1	0,935307206	1,069167428	0,96
ZBTB33	0,493813928	-0,096518299	0,049	0,032	1	0,935287428	1,069190037	1,53125
PHF8	0,616856942	-0,096533489	0,061	0,046	1	0,935277581	1,069201294	1,326086957
INPP5B	0,073676783	-0,096535274	0,073	0,028	1	0,935276423	1,069202617	2,607142857
TMEM69	0,070300136	-0,096576808	0,073	0,028	1	0,935249498	1,069233399	2,607142857
MYRF	0,28286347	-0,09659813	0	0,014	1	0,935235676	1,069249202	0
NUAK2	0,095256843	-0,096652803	0,098	0,046	1	0,935200235	1,069289723	2,130434783
SELPLG	0,192877425	-0,096713588	0,012	0,042	1	0,935160833	1,069334776	0,285714286
ATAD2	0,711450166	-0,096723013	0,024	0,032	1	0,935154724	1,069341762	0,75
FBH1	0,050742004	-0,09677987	0,171	0,084	1	0,935117869	1,069383906	2,035714286

Supplementary Table 2

Differentially expressed genes_keloid-XL_comparing SC-Keloid vs. (SC-Myel, SC-Nonmyel, SC-Nonmyel2)								
gene	p_val	avg_log2FC	pct.1	pct.2	p_val_adj	Foldchange_UP	Foldchange_DOWN	Ratio_pct1_pct2
ST3GAL6-AS1	0,289592758	-0,096800068	0,073	0,042	1	0,935104778	1,069398878	1,738095238
CBWD2	0,143518805	-0,096855698	0,098	0,049	1	0,935068721	1,069440115	2
MTM1	0,387271199	-0,096870744	0,049	0,028	1	0,935058969	1,069451268	1,75
FAM200B	0,004400107	-0,096873619	0,268	0,119	1	0,935057106	1,069453399	2,25210084
SSUH2	0,584659388	-0,09695012	0,037	0,025	1	0,935007524	1,06951011	1,48
ZNF527	0,104939896	-0,096954339	0,037	0,011	1	0,93500479	1,069513237	3,363636364
SNTA1	0,040947903	-0,096955118	0,134	0,06	1	0,935004285	1,069513815	2,233333333
TMEM175	0,008537647	-0,096973968	0,22	0,095	1	0,934992069	1,069527789	2,315789474
PARD6G	0,611445865	-0,096986371	0,024	0,035	1	0,93498403	1,069536984	0,685714286
PDXK	0,037728767	-0,097024249	0,183	0,091	1	0,934959483	1,069565065	2,010989011
DIP2C	0,181892554	-0,097098314	0,268	0,175	1	0,934911485	1,069619976	1,531428571
SMIM8	0,044915492	-0,097145748	0,11	0,046	1	0,934880747	1,069655144	2,391304348
NR4A3	0,200551562	-0,097158684	0,012	0,042	1	0,934872364	1,069664735	0,285714286
TMEM200B	0,228958629	-0,09726599	0	0,018	1	0,934802832	1,069744299	0
THAP2	0,531311683	-0,097268463	0,061	0,042	1	0,93480123	1,069746132	1,452380952
EXOSC5	0,020152191	-0,097433746	0,159	0,067	1	0,93469414	1,069868695	2,373134328
STAT6	0,01032964	-0,097449349	0,268	0,126	1	0,934684031	1,069880266	2,126984127
PDPN	0,946985525	-0,097498281	0,049	0,046	1	0,93465233	1,069916554	1,065217391
RANBP10	0,732741497	-0,097501443	0,012	0,018	1	0,934650281	1,069918899	0,666666667
MT-ND3	0,119814824	-0,097599549	0,829	0,807	1	0,934586726	1,069991658	1,027261462
KIAA1958	0,186763581	-0,097603411	0	0,021	1	0,934584224	1,069994522	0
CTSH	0,58754085	-0,097645105	0,037	0,025	1	0,934557214	1,070025446	1,48
JAKMIP2	0,067663837	-0,097734635	0,098	0,042	1	0,93449922	1,070091851	2,333333333
ZIM2	0,28286347	-0,097783931	0	0,014	1	0,93446729	1,070128416	0
B3GNT2	0,515317252	-0,097828789	0,11	0,081	1	0,934438234	1,07016169	1,358024691
DCAF1	0,19199525	-0,097887128	0,049	0,021	1	0,934400449	1,070204966	2,333333333
USP33	0,107875203	-0,097890884	0,195	0,112	1	0,934398016	1,070207752	1,741071429
BROX	0,008153002	-0,097952012	0,293	0,137	1	0,934358425	1,070253099	2,138686131
GLI4	0,027805872	-0,097953127	0,134	0,056	1	0,934357703	1,070253926	2,392857143
ZBTB47	0,063812129	-0,097968111	0,134	0,063	1	0,934347999	1,070265041	2,126984127

Supplementary Table 2

Differentially expressed genes_keloid-XL_comparing SC-Keloid vs. (SC-Myel, SC-Nonmyel, SC-Nonmyel2)								
gene	p_val	avg_log2FC	pct.1	pct.2	p_val_adj	Foldchange_UP	Foldchange_DOWN	Ratio_pct1_pct2
TMEM178A	0,970105473	-0,098097356	0,024	0,025	1	0,934264299	1,070360926	0,96
TRIM29	0,832484443	-0,098150131	0,024	0,028	1	0,934230123	1,070400081	0,857142857
JCAD	0,835753847	-0,098156629	0,024	0,028	1	0,934225916	1,070404902	0,857142857
PXN	0,030497938	-0,098220134	0,293	0,158	1	0,934184793	1,070452021	1,85443038
TRPS1	0,002885901	-0,098257652	0,28	0,119	1	0,934160499	1,070479859	2,352941176
ZNF254	0,071323335	-0,098296776	0,085	0,035	1	0,934135167	1,07050889	2,428571429
CORO7	0,420758451	-0,09835344	0,098	0,067	1	0,934098478	1,070550936	1,462686567
XPO4	0,435626938	-0,098418321	0,061	0,039	1	0,934056471	1,070599082	1,564102564
TMEM126B	0,001146185	-0,098421887	0,366	0,158	1	0,934054162	1,070601728	2,316455696
SENP2	0,002717414	-0,09845982	0,146	0,046	1	0,934029603	1,070629879	3,173913043
MPC1	0,001222982	-0,098469961	0,524	0,242	1	0,934023038	1,070637404	2,165289256
MBD6	0,007867585	-0,098503004	0,195	0,081	1	0,934001645	1,070661926	2,407407407
BANP	0,04430569	-0,098535719	0,11	0,046	1	0,933980465	1,070686205	2,391304348
ZNF354B	0,460999751	-0,09859132	0,073	0,049	1	0,933944471	1,07072747	1,489795918
ZNF836	0,864526579	-0,098620854	0,037	0,032	1	0,933925352	1,070749389	1,15625
MINK1	0,807269295	-0,098745777	0,073	0,063	1	0,933844487	1,07084211	1,158730159
PRKRIP1	0,347674265	-0,098850445	0,122	0,081	1	0,933776739	1,070919802	1,50617284
CDC7	0,28286347	-0,098856269	0	0,014	1	0,933772969	1,070924125	0
TBP	0,729406546	-0,098921218	0,024	0,032	1	0,933730932	1,070972339	0,75
LRP11	0,785594599	-0,098942526	0,037	0,042	1	0,933717142	1,070988156	0,880952381
FAM199X	0,055733029	-0,099207196	0,146	0,07	1	0,933545862	1,071184653	2,085714286
POFUT2	0,003773432	-0,099294922	0,22	0,088	1	0,933489097	1,07124979	2,5
PRR11	0,710321163	-0,099306747	0,024	0,018	1	0,933481446	1,071258571	1,333333333
ZNF232	0,316484073	-0,099327118	0,037	0,018	1	0,933468266	1,071273697	2,055555556
METTL15	0,042689966	-0,099379791	0,146	0,067	1	0,933434185	1,07131281	2,179104478
PPP1R1C	0,186763581	-0,099389655	0	0,021	1	0,933427803	1,071320135	0
THBD	0,837311683	-0,099411667	0,049	0,042	1	0,933413561	1,071336481	1,166666667
EML4	0,256033247	-0,099417429	0,134	0,084	1	0,933409833	1,07134076	1,595238095
GULP1	0,002891027	-0,09947145	0,549	0,281	1	0,933374883	1,071380877	1,953736655
LEPR	0,597173043	-0,09947457	0,012	0,021	1	0,933372864	1,071383193	0,571428571

Supplementary Table 2

Differentially expressed genes_keloid-XL_comparing SC-Keloid vs. (SC-Myel, SC-Nonmyel, SC-Nonmyel2)								
gene	p_val	avg_log2FC	pct.1	pct.2	p_val_adj	Foldchange_UP	Foldchange_DOWN	Ratio_pct1_pct2
IPCEF1	0,534239567	-0,099518131	0,024	0,039	1	0,933344682	1,071415543	0,615384615
ATP9B	0,043550228	-0,099554792	0,134	0,06	1	0,933320965	1,07144277	2,233333333
SP110	0,049606627	-0,099579246	0,159	0,077	1	0,933305145	1,071460931	2,064935065
TRO	0,710321163	-0,09960188	0,024	0,018	1	0,933290503	1,071477742	1,333333333
AJUBA	0,788243537	-0,099692666	0,037	0,042	1	0,933231775	1,071545169	0,880952381
DOCK11	0,724903065	-0,099716458	0,037	0,028	1	0,933216384	1,071562841	1,321428571
YAP1	0,247523767	-0,099877975	0,293	0,2	1	0,933111912	1,071682815	1,465
PIP4K2C	0,448248692	-0,100001858	0,037	0,021	1	0,93303179	1,071774843	1,761904762
FOXO6	0,126161321	-0,100032816	0	0,028	1	0,933011769	1,071797842	0
EPHB6	0,499795801	-0,100055744	0,012	0,025	1	0,932996941	1,071814875	0,48
RNASEK	0,460899407	-0,100182537	0,829	0,632	1	0,932914947	1,071909077	1,311708861
PRICKLE2	0,023406136	-0,100317239	0,232	0,112	1	0,932827847	1,072009164	2,071428571
RPS7	0,47835823	-0,100526942	0,902	0,86	1	0,932692265	1,072164997	1,048837209
DSTYK	0,207673772	-0,100640655	0,134	0,081	1	0,932618753	1,072249509	1,654320988
STRBP	0,597173043	-0,100696758	0,012	0,021	1	0,932582486	1,072291207	0,571428571
C1D	0,000640665	-0,100717225	0,378	0,161	1	0,932569257	1,072306419	2,347826087
CFAP91	0,126161321	-0,100772615	0	0,028	1	0,932533453	1,072347589	0
CA6	0,35350329	-0,100827072	0	0,011	1	0,932498253	1,072388068	0
RGS7	0,28286347	-0,100904485	0	0,014	1	0,932448218	1,072445612	0
STAT5B	0,838337269	-0,100981342	0,073	0,077	1	0,932398545	1,072502746	0,948051948
MTRR	0,727904339	-0,101029611	0,037	0,028	1	0,93236735	1,07253863	1,321428571
RAB11A	0,003412279	-0,101112238	0,476	0,228	1	0,932313952	1,072600059	2,087719298
PEX14	0,236445882	-0,101245159	0,098	0,056	1	0,932228058	1,072698887	1,75
AQP11	0,334326668	-0,101385502	0,012	0,032	1	0,932137377	1,072803242	0,375
WBP1L	0,049606627	-0,101460077	0,159	0,077	1	0,932089194	1,072858698	2,064935065
SCAF8	0,000445099	-0,10146423	0,183	0,053	1	0,932086511	1,072861787	3,452830189
RCHY1	0,115001622	-0,101477268	0,159	0,088	1	0,932078088	1,072871482	1,806818182
PLEKHH2	0,186763581	-0,101487671	0	0,021	1	0,932071367	1,072879219	0
DYNLL1	0,258229319	-0,101552384	0,841	0,737	1	0,93202956	1,072927344	1,141112619
CBR3	0,06391471	-0,101611865	0,159	0,081	1	0,931991134	1,072971581	1,962962963

Supplementary Table 2

Differentially expressed genes_keloid-XL_comparing SC-Keloid vs. (SC-Myel, SC-Nonmyel, SC-Nonmyel2)								
gene	p_val	avg_log2FC	pct.1	pct.2	p_val_adj	Foldchange_UP	Foldchange_DOWN	Ratio_pct1_pct2
HSD17B7	0,114372788	-0,10164773	0,073	0,032	1	0,931967964	1,072998255	2,28125
LOX	0,879365097	-0,101678239	0,024	0,021	1	0,931948256	1,073020946	1,142857143
NBEA	0,283838244	-0,101692357	0,012	0,035	1	0,931939136	1,073031447	0,342857143
SELENOM	0,095952357	-0,101713121	0,756	0,474	1	0,931925724	1,07304689	1,594936709
NFATC3	0,044615627	-0,101753074	0,085	0,032	1	0,931899916	1,073076607	2,65625
QRSL1	0,11730029	-0,101787487	0,061	0,025	1	0,931877688	1,073102203	2,44
GDPD3	0,407171737	-0,101808034	0,012	0,028	1	0,931864416	1,073117487	0,428571429
TYMP	0,476373153	-0,101808762	0,098	0,07	1	0,931863945	1,073118029	1,4
RABGAP1L	0,36148315	-0,101961117	0,146	0,102	1	0,931765542	1,07323136	1,431372549
ZFP3	0,728697501	-0,101965122	0,012	0,018	1	0,931762955	1,07323434	0,666666667
NSL1	6,28277E-05	-0,101984719	0,305	0,102	1	0,931750298	1,073248919	2,990196078
PLEKHA8	0,519783239	-0,102049206	0,024	0,039	1	0,931708651	1,073296893	0,615384615
DZANK1	0,228958629	-0,102055525	0	0,018	1	0,93170457	1,073301594	0
GPD2	0,11362142	-0,102164534	0,122	0,063	1	0,931634174	1,073382695	1,936507937
GTF2IRD2	0,017935129	-0,102250541	0,159	0,067	1	0,931578635	1,073446687	2,373134328
NBPF11	0,850375302	-0,102262359	0,049	0,042	1	0,931571005	1,07345548	1,166666667
ZC3H18	0,274829175	-0,102264395	0,146	0,095	1	0,93156969	1,073456995	1,536842105
ZNF600	0,58754085	-0,102358425	0,037	0,025	1	0,931508975	1,073526962	1,48
PON3	0,153186787	-0,102425819	0	0,025	1	0,931465462	1,073577112	0
ATXN2L	0,010234576	-0,102498105	0,402	0,207	1	0,931418792	1,073630904	1,942028986
TMED8	0,14645865	-0,10258424	0,085	0,042	1	0,931363184	1,073695007	2,023809524
WHAMM	0,0924286	-0,10265293	0,146	0,077	1	0,931318841	1,073746129	1,896103896
CLK4	0,090018287	-0,102701898	0,256	0,151	1	0,93128723	1,073782575	1,695364238
SGPP1	0,614500429	-0,102729554	0,049	0,035	1	0,931269378	1,073803159	1,4
SOGA3	0,239255165	-0,102734645	0,122	0,074	1	0,931266092	1,073806948	1,648648649
RAMP2	0,253953805	-0,102766858	0,061	0,032	1	0,931245299	1,073830924	1,90625
FAM222A	0,876531032	-0,102769469	0,049	0,053	1	0,931243613	1,073832868	0,924528302
PTPN3	0,710321163	-0,102775623	0,024	0,018	1	0,931239641	1,073837449	1,333333333
TSC2	0,000298672	-0,102919517	0,402	0,168	1	0,931146764	1,073944559	2,392857143
DPH7	0,029666998	-0,102920194	0,11	0,042	1	0,931146327	1,073945062	2,619047619

Supplementary Table 2

Differentially expressed genes_keloid-XL_comparing SC-Keloid vs. (SC-Myel, SC-Nonmyel, SC-Nonmyel2)								
gene	p_val	avg_log2FC	pct.1	pct.2	p_val_adj	Foldchange_UP	Foldchange_DOWN	Ratio_pct1_pct2
EDIL3	0,994714111	-0,102923508	0,11	0,105	1	0,931144188	1,073947529	1,047619048
AS3MT	0,493879805	-0,102949647	0,012	0,025	1	0,931127317	1,073966987	0,48
STK35	0,801524407	-0,102970386	0,037	0,042	1	0,931113933	1,073982426	0,880952381
MKS1	0,062089768	-0,102986479	0,049	0,014	1	0,931103546	1,073994406	3,5
SLC39A9	0,017396195	-0,103009619	0,134	0,053	1	0,931088612	1,074011632	2,528301887
SUPV3L1	0,121439079	-0,103012602	0,122	0,063	1	0,931086687	1,074013853	1,936507937
NEK4	0,448248692	-0,103086176	0,037	0,021	1	0,931039205	1,074068627	1,761904762
ZNF91	0,355091426	-0,103091703	0,146	0,098	1	0,931035638	1,074072742	1,489795918
PDE7A	0,299773274	-0,103118755	0,073	0,042	1	0,93101818	1,074092882	1,738095238
GPRC5A	0,153186787	-0,103160682	0	0,025	1	0,930991123	1,074124097	0
FAM171B	0,404681217	-0,1032181	0,012	0,028	1	0,930954072	1,074166847	0,428571429
BZW2	0,009752099	-0,103221203	0,317	0,154	1	0,930952069	1,074169157	2,058441558
MED30	0,077532541	-0,103313511	0,22	0,123	1	0,930892506	1,074237888	1,788617886
TCF25	0,051031153	-0,103317119	0,695	0,418	1	0,930890178	1,074240575	1,662679426
NADK2	0,378076752	-0,103323398	0,073	0,046	1	0,930886126	1,07424525	1,586956522
SLC9A6	0,976458111	-0,103335943	0,037	0,035	1	0,930878032	1,074254591	1,057142857
TRIM47	0,084036585	-0,103337375	0,28	0,161	1	0,930877108	1,074255658	1,739130435
TMEM70	0,029214811	-0,103356107	0,195	0,095	1	0,930865022	1,074269606	2,052631579
MAP2K4	0,321218996	-0,103366736	0,085	0,053	1	0,930858163	1,074277521	1,603773585
ECPAS	0,110149594	-0,103377824	0,122	0,063	1	0,93085101	1,074285777	1,936507937
XKR6	0,28286347	-0,103410622	0	0,014	1	0,930829848	1,0743102	0
VAMP8	0,728697501	-0,103425451	0,012	0,018	1	0,93082028	1,074321243	0,666666667
RNF111	0,184906747	-0,10347243	0,098	0,053	1	0,93078997	1,074356227	1,849056604
RAB33A	0,597173043	-0,103499655	0,012	0,021	1	0,930772405	1,074376501	0,571428571
GALNT3	0,35350329	-0,103624054	0	0,011	1	0,930692151	1,074469145	0
LINC01135	0,228958629	-0,103665759	0	0,018	1	0,930665248	1,074500205	0
MED21	0,008230291	-0,103699294	0,22	0,095	1	0,930643615	1,074525182	2,315789474
NMT2	0,728918348	-0,10377658	0,098	0,081	1	0,930593761	1,074582747	1,209876543
ZZEF1	0,119031745	-0,103822486	0,146	0,081	1	0,930564151	1,07461694	1,802469136
USP20	0,251002698	-0,103859987	0,061	0,032	1	0,930539962	1,074644874	1,90625

Supplementary Table 2

Differentially expressed genes_keloid-XL_comparing SC-Keloid vs. (SC-Myel, SC-Nonmyel, SC-Nonmyel2)								
gene	p_val	avg_log2FC	pct.1	pct.2	p_val_adj	Foldchange_UP	Foldchange_DOWN	Ratio_pct1_pct2
TAF4B	0,989691752	-0,103916302	0,061	0,06	1	0,930503639	1,074686823	1,016666667
ACBD3	0,007297708	-0,103920737	0,415	0,207	1	0,930500779	1,074690126	2,004830918
OTUD1	0,313405693	-0,103945004	0,171	0,116	1	0,930485127	1,074708204	1,474137931
TRMT10C	0,088107197	-0,103968638	0,122	0,06	1	0,930469884	1,07472581	2,033333333
PRR3	0,427804608	-0,103984004	0,061	0,039	1	0,930459974	1,074737257	1,564102564
NEMF	0,004209604	-0,103985823	0,268	0,116	1	0,930458801	1,074738612	2,310344828
MC1R	0,070675603	-0,104041172	0,061	0,021	1	0,930423105	1,074779845	2,904761905
ARAP1	0,064352447	-0,104090271	0,122	0,056	1	0,93039144	1,074816423	2,178571429
ZNF684	0,448248692	-0,104099121	0,037	0,021	1	0,930385733	1,074823017	1,761904762
ZNF76	0,029447556	-0,104126967	0,11	0,042	1	0,930367775	1,074843762	2,619047619
OSGEPL1	0,437764503	-0,104209188	0,037	0,021	1	0,930314754	1,074905021	1,761904762
CDH1	0,404681217	-0,10427889	0,012	0,028	1	0,930269808	1,074956955	0,428571429
GALNT4	0,173471565	-0,104374125	0,061	0,028	1	0,930208401	1,075027917	2,178571429
E2F5	0,00531992	-0,104462625	0,171	0,063	1	0,930151341	1,075093865	2,714285714
MT1X	9,33853E-05	-0,104468047	0,476	0,2	1	0,930147845	1,075097906	2,38
FBLN2	0,021080776	-0,104480918	0,439	0,246	1	0,930139547	1,075107497	1,784552846
KIAA0586	0,019044929	-0,104545561	0,171	0,074	1	0,930097871	1,075155671	2,310810811
GJC2	0,717418436	-0,104562172	0,024	0,032	1	0,930087162	1,07516805	0,75
GOLPH3L	0,276713029	-0,104591896	0,012	0,035	1	0,930067999	1,075190202	0,342857143
SLC45A3	0,35350329	-0,104611627	0	0,011	1	0,930055279	1,075204907	0
EIF2A	0,009570943	-0,104627363	0,415	0,211	1	0,930045135	1,075216635	1,966824645
ZNF574	0,315648476	-0,104631544	0,085	0,053	1	0,93004244	1,07521975	1,603773585
ST3GAL6	0,009331102	-0,104714399	0,207	0,088	1	0,929989028	1,075281503	2,352272727
THAP9-AS1	0,323019395	-0,104858894	0,207	0,147	1	0,929895889	1,075389205	1,408163265
NSG1	0,89702294	-0,104893964	0,012	0,014	1	0,929873284	1,075415346	0,857142857
CNTFR	0,228958629	-0,104897963	0	0,018	1	0,929870707	1,075418327	0
SYNJ1	0,537713485	-0,104952183	0,061	0,042	1	0,929835761	1,075458745	1,452380952
FHIP1B	0,020124844	-0,105015928	0,122	0,046	1	0,929794677	1,075506265	2,652173913
PAPPA	0,046380124	-0,105031169	0,122	0,053	1	0,929784854	1,075517627	2,301886792
C2CD3	0,047105821	-0,105154989	0,11	0,046	1	0,929705059	1,075609937	2,391304348

Supplementary Table 2

Differentially expressed genes_keloid-XL_comparing SC-Keloid vs. (SC-Myel, SC-Nonmyel, SC-Nonmyel2)								
gene	p_val	avg_log2FC	pct.1	pct.2	p_val_adj	Foldchange_UP	Foldchange_DOWN	Ratio_pct1_pct2
TTC7B	0,113036871	-0,105170157	0,122	0,063	1	0,929695284	1,075621246	1,936507937
TRIM13	0,399645088	-0,10519971	0,171	0,123	1	0,92967624	1,07564328	1,390243902
VSIG10	0,489167971	-0,105251175	0,049	0,032	1	0,929643077	1,075681652	1,53125
IGHMBP2	0,205618858	-0,105445716	0,085	0,046	1	0,929517727	1,075826712	1,847826087
AC004448.2	0,186763581	-0,105455605	0	0,021	1	0,929511355	1,075834087	0
CLCF1	0,79620494	-0,105735758	0,037	0,042	1	0,929330874	1,07604302	0,880952381
HEATR5B	0,135072696	-0,105754037	0,098	0,049	1	0,929319099	1,076056653	2
PI4K2A	0,000928311	-0,105770797	0,256	0,095	1	0,929308303	1,076069154	2,694736842
RHOJ	0,015726631	-0,105772078	0,207	0,095	1	0,929307478	1,07607011	2,178947368
SMARCC1	0,066471534	-0,105796455	0,244	0,137	1	0,929291775	1,076088293	1,781021898
HHEX	0,295381329	-0,105919903	0,073	0,042	1	0,929212262	1,076180375	1,738095238
ARIH2OS	0,994113727	-0,105966023	0,037	0,035	1	0,929182557	1,076214779	1,057142857
EIF4ENIF1	0,994113727	-0,106028757	0,037	0,035	1	0,929142154	1,076261577	1,057142857
VEZT	0,011737335	-0,106101968	0,268	0,126	1	0,929095005	1,076316195	2,126984127
SPIDR	0,409777926	-0,106204984	0,037	0,06	1	0,929028665	1,076393052	0,616666667
KDM1B	0,864526579	-0,106311435	0,037	0,032	1	0,928960118	1,076472478	1,15625
FAT4	0,104227568	-0,106579997	0	0,032	1	0,928787205	1,076672886	0
CCT2	0,036736096	-0,106584904	0,622	0,354	1	0,928784046	1,076676548	1,757062147
SNX30	0,299773274	-0,10660978	0,073	0,042	1	0,928768032	1,076695112	1,738095238
ATG9A	0,119598668	-0,106640187	0,122	0,063	1	0,928748456	1,076717806	1,936507937
PELI3	0,879365097	-0,106687132	0,024	0,021	1	0,928718236	1,076752842	1,142857143
ICMT	0,000327031	-0,106768175	0,207	0,063	1	0,928666067	1,07681333	3,285714286
MBD5	0,215112823	-0,106769544	0,11	0,063	1	0,928665185	1,076814352	1,746031746
ERMP1	0,60063706	-0,106791879	0,012	0,021	1	0,928650808	1,076831023	0,571428571
UBE2E3	0,006395265	-0,106925212	0,585	0,309	1	0,928564987	1,076930548	1,893203883
THAP3	0,323471241	-0,106925699	0,11	0,07	1	0,928564673	1,076930911	1,571428571
NHSL1	0,334326668	-0,107000719	0,012	0,032	1	0,92851639	1,076986913	0,375
SRP68	0,137629988	-0,107205067	0,146	0,081	1	0,928384881	1,077139471	1,802469136
PCDHGA6	0,879365097	-0,107262221	0,024	0,021	1	0,928348103	1,077182144	1,142857143
C11orf24	2,99658E-05	-0,107344534	0,415	0,154	0,632307399	0,928295137	1,077243605	2,694805195

Supplementary Table 2

Differentially expressed genes_keloid-XL_comparing SC-Keloid vs. (SC-Myel, SC-Nonmyel, SC-Nonmyel2)								
gene	p_val	avg_log2FC	pct.1	pct.2	p_val_adj	Foldchange_UP	Foldchange_DOWN	Ratio_pct1_pct2
PHYKPL	0,208522254	-0,10742333	0,134	0,081	1	0,928244437	1,077302443	1,654320988
RBP7	0,60063706	-0,107446041	0,012	0,021	1	0,928229826	1,077319401	0,571428571
SOCS6	0,131260135	-0,107528885	0,11	0,056	1	0,928176525	1,077381266	1,964285714
ZFP30	0,490935921	-0,107544661	0,012	0,025	1	0,928166375	1,077393048	0,48
UQCC1	0,293926973	-0,107603219	0,073	0,042	1	0,928128702	1,077436779	1,738095238
LXN	0,71891322	-0,107605271	0,037	0,028	1	0,928127382	1,077438312	1,321428571
CCNYL1	0,612000968	-0,107611431	0,049	0,035	1	0,928123419	1,077442913	1,4
LRRC24	0,404681217	-0,10770926	0,012	0,028	1	0,928060486	1,077515976	0,428571429
UBE2Q2L	0,597173043	-0,107718305	0,012	0,021	1	0,928054667	1,077522731	0,571428571
ST3GAL1	0,325438769	-0,107731563	0,085	0,053	1	0,928046138	1,077532634	1,603773585
ZNF653	0,58754085	-0,107829934	0,037	0,025	1	0,927982861	1,077606109	1,48
GRIK2	0,162321749	-0,107859839	0,146	0,084	1	0,927963626	1,077628446	1,738095238
MOB1B	0,123828334	-0,107929198	0,11	0,056	1	0,927919014	1,077680255	1,964285714
MIIP	0,063127524	-0,10795671	0,171	0,088	1	0,927901319	1,077700807	1,943181818
NUDT14	0,295381329	-0,108051366	0,073	0,042	1	0,927840441	1,077771518	1,738095238
PRRG2	0,281151866	-0,108052474	0,049	0,025	1	0,927839728	1,077772346	1,96
H2AC8	0,28286347	-0,108060155	0	0,014	1	0,927834788	1,077778084	0
SART3	0,11812291	-0,108060774	0,159	0,088	1	0,92783439	1,077778546	1,806818182
LINC00663	0,18774993	-0,108085733	0,049	0,021	1	0,927818338	1,077797192	2,333333333
IL13RA1	0,136050144	-0,108107217	0,134	0,074	1	0,927804522	1,077813242	1,810810811
FAM81A	0,228958629	-0,108224638	0	0,018	1	0,927729011	1,077900969	0
PRDM8	0,153186787	-0,108263743	0	0,025	1	0,927703865	1,077930186	0
ZNF445	0,429752486	-0,108292427	0,061	0,039	1	0,92768542	1,077951619	1,564102564
SPSB2	0,018385843	-0,108331146	0,122	0,046	1	0,927660523	1,077980549	2,652173913
C7orf25	0,148176835	-0,108337282	0,085	0,042	1	0,927656578	1,077985134	2,023809524
USP2	0,153186787	-0,108348789	0	0,025	1	0,927649179	1,077993731	0
LINC00702	0,333233926	-0,108451501	0,061	0,035	1	0,927583138	1,078070481	1,742857143
DICER1-AS1	0,832484443	-0,108491223	0,024	0,028	1	0,927557599	1,078100165	0,857142857
PAFAH1B2	0,001785449	-0,108499242	0,439	0,204	1	0,927552443	1,078106157	2,151960784
PIKFYVE	0,462190505	-0,108603077	0,098	0,07	1	0,927485687	1,078183755	1,4

Supplementary Table 2

Differentially expressed genes_keloid-XL_comparing SC-Keloid vs. (SC-Myel, SC-Nonmyel, SC-Nonmyel2)								
gene	p_val	avg_log2FC	pct.1	pct.2	p_val_adj	Foldchange_UP	Foldchange_DOWN	Ratio_pct1_pct2
CYB561A3	0,005143418	-0,1086889	0,159	0,056	1	0,927430514	1,078247896	2,839285714
PATJ	0,835753847	-0,108726952	0,024	0,028	1	0,927406053	1,078276335	0,857142857
STRADA	0,022971312	-0,108754937	0,171	0,077	1	0,927388064	1,078297251	2,220779221
CYP4F11	0,28286347	-0,108766969	0	0,014	1	0,927380329	1,078306245	0
APPL1	0,001715399	-0,108801406	0,305	0,126	1	0,927358193	1,078331984	2,420634921
H1-10	0,201706846	-0,108828164	0,573	0,393	1	0,927340993	1,078351984	1,458015267
TFE3	0,005009521	-0,108876469	0,268	0,119	1	0,927309944	1,078388091	2,25210084
LMBRD1	0,006495246	-0,108879939	0,476	0,242	1	0,927307714	1,078390684	1,966942149
GAPVD1	0,007903661	-0,108930071	0,354	0,172	1	0,927275491	1,078428158	2,058139535
MFAP1	0,205611206	-0,109019273	0,11	0,063	1	0,927218159	1,078494839	1,746031746
ZNF528	0,067170932	-0,109035659	0,11	0,049	1	0,927207629	1,078507089	2,244897959
LINC01116	0,000127414	-0,10905956	0,427	0,168	1	0,927192268	1,078524956	2,541666667
MEIS1	0,338537609	-0,109109865	0,012	0,032	1	0,927159938	1,078562564	0,375
PDGFRB	0,817961369	-0,109123182	0,073	0,063	1	0,92715138	1,07857252	1,158730159
UBQLN4	0,522928756	-0,109141788	0,159	0,119	1	0,927139423	1,07858643	1,336134454
DHFR	0,02705522	-0,109151837	0,085	0,028	1	0,927132965	1,078593943	3,035714286
TMEM253	0,861512651	-0,10917646	0,037	0,032	1	0,927117141	1,078612352	1,15625
PKNOX1	0,227829404	-0,109186764	0,098	0,056	1	0,92711052	1,078620055	1,75
TASOR2	0,150863668	-0,109203837	0,183	0,109	1	0,927099548	1,07863282	1,678899083
NUTM2A-AS1	0,030316342	-0,109231454	0,39	0,218	1	0,927081801	1,078653468	1,788990826
AMDHD2	0,46282761	-0,109238057	0,073	0,049	1	0,927077558	1,078658404	1,489795918
SUN1	0,035149917	-0,10932366	0,329	0,182	1	0,927022551	1,078722409	1,807692308
ATG16L2	0,57319978	-0,109426045	0,037	0,025	1	0,926956764	1,078798967	1,48
CCND3	0,00480757	-0,109427741	0,354	0,168	1	0,926955675	1,078800235	2,107142857
UBE2E2	0,742285865	-0,109462119	0,085	0,07	1	0,926933586	1,078825942	1,214285714
NOPCHAP1	5,03769E-05	-0,109552589	0,244	0,07	1	0,926875461	1,078893596	3,485714286
ITIH3	0,104227568	-0,109552932	0	0,032	1	0,926875241	1,078893853	0
PRKX	0,911209371	-0,109593844	0,061	0,056	1	0,926848957	1,078924449	1,089285714
PET117	0,067616925	-0,109613181	0,061	0,021	1	0,926836534	1,07893891	2,904761905
LYSMD2	0,086167986	-0,109678926	0,159	0,084	1	0,926794299	1,078988079	1,892857143

Supplementary Table 2

Differentially expressed genes_keloid-XL_comparing SC-Keloid vs. (SC-Myel, SC-Nonmyel, SC-Nonmyel2)								
gene	p_val	avg_log2FC	pct.1	pct.2	p_val_adj	Foldchange_UP	Foldchange_DOWN	Ratio_pct1_pct2
EIF4A1	0,76017838	-0,109692409	0,854	0,726	1	0,926785637	1,078998163	1,17630854
ETFDH	0,183218582	-0,109745164	0,159	0,095	1	0,926751748	1,07903762	1,673684211
ASCC1	0,122513084	-0,109760041	0,11	0,056	1	0,926742191	1,079048747	1,964285714
MEX3A	0,069028916	-0,109873095	0,098	0,042	1	0,926669572	1,079133307	2,333333333
GPC3	0,35350329	-0,109903014	0	0,011	1	0,926650354	1,079155687	0
SGCD	0,804569351	-0,109969737	0,098	0,084	1	0,926607499	1,079205598	1,166666667
KHNYN	0,256129326	-0,110001696	0,11	0,067	1	0,926586973	1,079229505	1,641791045
USF3	0,081965385	-0,110028516	0,122	0,06	1	0,926569747	1,079249569	2,033333333
MARK2	0,008508159	-0,110086661	0,256	0,116	1	0,926532404	1,079293066	2,206896552
TOX4	0,011805568	-0,110115101	0,28	0,133	1	0,92651414	1,079314343	2,105263158
GRIN2B	0,228958629	-0,110317447	0	0,018	1	0,9263842	1,079465733	0
SLC40A1	0,493879805	-0,110319335	0,012	0,025	1	0,926382988	1,079467146	0,48
ANOS1	0,228958629	-0,110377118	0	0,018	1	0,926345885	1,079510382	0
CSRNP2	0,623405885	-0,110447592	0,098	0,077	1	0,926300635	1,079563116	1,272727273
RABGAP1	0,134108501	-0,110518483	0,183	0,109	1	0,92625512	1,079616165	1,678899083
PNP	0,058575228	-0,110567532	0,134	0,063	1	0,92622363	1,07965287	2,126984127
FCRLB	0,710321163	-0,110664025	0,024	0,018	1	0,926161682	1,079725084	1,333333333
GNG2	0,038250363	-0,11083113	0,732	0,446	1	0,926054413	1,079850154	1,641255605
EPHX2	0,28286347	-0,11091886	0	0,014	1	0,925998101	1,079915822	0
NUP58	0,032001089	-0,110948429	0,22	0,112	1	0,925979122	1,079937955	1,964285714
MTCL1	0,879365097	-0,111016367	0,024	0,021	1	0,925935518	1,079988812	1,142857143
SQOR	0,89944705	-0,111051861	0,037	0,039	1	0,925912738	1,080015383	0,948717949
CYBRD1	0,000267494	-0,111082908	0,305	0,112	1	0,925892812	1,080038625	2,723214286
STX16	0,162102281	-0,111083471	0,366	0,239	1	0,925892451	1,080039047	1,531380753
INTS6L	0,755955868	-0,111131068	0,049	0,056	1	0,925861905	1,08007468	0,875
NUAK1	0,711450166	-0,111221622	0,024	0,032	1	0,925803793	1,080142475	0,75
ZNF670	0,935846368	-0,111261661	0,049	0,049	1	0,925778099	1,080172453	1
BCKDHB	0,008799478	-0,111291493	0,171	0,067	1	0,925758956	1,080194789	2,552238806
WNT2B	0,334326668	-0,111306453	0,012	0,032	1	0,925749357	1,080205989	0,375
TEX30	0,220786375	-0,111325024	0,073	0,039	1	0,92573744	1,080219894	1,871794872

Supplementary Table 2

Differentially expressed genes_keloid-XL_comparing SC-Keloid vs. (SC-Myel, SC-Nonmyel, SC-Nonmyel2)								
gene	p_val	avg_log2FC	pct.1	pct.2	p_val_adj	Foldchange_UP	Foldchange_DOWN	Ratio_pct1_pct2
PSD2	0,490935921	-0,111344302	0,012	0,025	1	0,92572507	1,080234329	0,48
VPS26B	0,000285551	-0,11140098	0,232	0,074	1	0,925688702	1,080276769	3,135135135
SEMA4G	0,28286347	-0,111466288	0	0,014	1	0,9256468	1,080325671	0
ARHGEF25	0,711450166	-0,111623	0,024	0,032	1	0,925546257	1,080443027	0,75
CEP83	0,005019178	-0,111666598	0,146	0,049	1	0,925518288	1,080475679	2,979591837
MBLAC2	0,861512651	-0,11172972	0,037	0,032	1	0,925477795	1,080522954	1,15625
SETD9	0,302168504	-0,111763752	0,098	0,06	1	0,925455963	1,080548443	1,633333333
RAD9A	0,059306292	-0,111837387	0,183	0,095	1	0,925408729	1,080603595	1,926315789
TENT5C	0,104227568	-0,111852293	0	0,032	1	0,925399168	1,08061476	0
FAAH	0,35350329	-0,1118533	0	0,011	1	0,925398522	1,080615514	0
EXOSC6	0,003428638	-0,111855972	0,268	0,112	1	0,925396808	1,080617516	2,392857143
MAGIX	0,448248692	-0,111961296	0,037	0,021	1	0,925329252	1,080696409	1,761904762
SLC38A6	0,606078799	-0,1119643	0,024	0,035	1	0,925327325	1,08069866	0,685714286
SLC9A1	0,105043903	-0,112002449	0,085	0,039	1	0,925302857	1,080727237	2,179487179
FLII	0,031303427	-0,112182404	0,244	0,126	1	0,925187447	1,08086205	1,936507937
PDPR	0,188930236	-0,112185932	0,085	0,046	1	0,925185184	1,080864693	1,847826087
IRF8	0,186763581	-0,112232126	0	0,021	1	0,925155561	1,080899302	0
SEPSECS	0,893814763	-0,112306224	0,037	0,039	1	0,925108045	1,080954819	0,948717949
HELB	0,825889227	-0,112308106	0,049	0,053	1	0,925106838	1,08095623	0,924528302
ZNF182	0,727904339	-0,112319693	0,037	0,028	1	0,925099409	1,080964911	1,321428571
ATG4A	0,888187825	-0,112354057	0,037	0,039	1	0,925077374	1,080990659	0,948717949
FRS3	0,385169549	-0,112500754	0,049	0,028	1	0,924983314	1,081100583	1,75
ZNF335	0,13809843	-0,112539695	0,098	0,049	1	0,924958348	1,081129764	2
REV3L	0,629792658	-0,11255946	0,085	0,067	1	0,924945676	1,081144575	1,268656716
TPP2	0,013099212	-0,112568952	0,159	0,063	1	0,92493959	1,081151689	2,523809524
RAB2B	0,079250239	-0,112579798	0,122	0,06	1	0,924932637	1,081159817	2,033333333
HECTD1	0,000410185	-0,112631106	0,354	0,14	1	0,924899743	1,081198268	2,528571429
SLC25A26	0,019766849	-0,112661218	0,159	0,067	1	0,924880438	1,081220835	2,373134328
TARBP1	0,033706914	-0,112678272	0,183	0,088	1	0,924869505	1,081233616	2,079545455
LHFPL2	0,054149356	-0,112750509	0,22	0,119	1	0,924823198	1,081287756	1,848739496

Supplementary Table 2

Differentially expressed genes_keloid-XL_comparing SC-Keloid vs. (SC-Myel, SC-Nonmyel, SC-Nonmyel2)								
gene	p_val	avg_log2FC	pct.1	pct.2	p_val_adj	Foldchange_UP	Foldchange_DOWN	Ratio_pct1_pct2
DOCK1	0,069196594	-0,112770326	0,293	0,168	1	0,924810495	1,081302608	1,744047619
ATF7	0,003702756	-0,112805368	0,244	0,102	1	0,924788031	1,081328873	2,392156863
KIAA1143	0,000692816	-0,112828759	0,268	0,098	1	0,924773038	1,081346405	2,734693878
IPO9-AS1	0,28286347	-0,113020867	0	0,014	1	0,924649904	1,081490406	0
LMBR1L	0,618140307	-0,113028439	0,098	0,077	1	0,924645051	1,081496082	1,272727273
SFRP4	0,734471344	-0,113030396	0,049	0,039	1	0,924643797	1,081497549	1,256410256
KLHL18	0,266053115	-0,113044742	0,085	0,049	1	0,924634602	1,081508304	1,734693878
ANG	0,23235895	-0,113078705	0,012	0,039	1	0,924612835	1,081533764	0,307692308
CRYBB2	0,436724529	-0,113089384	0,024	0,042	1	0,924605991	1,08154177	0,571428571
MYO18A	0,094560268	-0,113152724	0,11	0,053	1	0,924565398	1,081589255	2,075471698
ANKRD46	0,531311683	-0,113174095	0,061	0,042	1	0,924551703	1,081605276	1,452380952
CEP95	0,243098006	-0,113254902	0,146	0,091	1	0,924499919	1,08166586	1,604395604
KAT8	0,186109561	-0,113283227	0,159	0,095	1	0,924481768	1,081687097	1,673684211
EAF1	0,322235281	-0,113308548	0,11	0,07	1	0,924465542	1,081706082	1,571428571
PHF19	0,02742303	-0,113383674	0,268	0,137	1	0,924417403	1,081762412	1,95620438
LINC00672	0,187860656	-0,113438956	0,024	0,007	1	0,924381982	1,081803864	3,428571429
UPF3A	0,002280662	-0,113461708	0,402	0,186	1	0,924367404	1,081820925	2,161290323
ZNF347	0,850375302	-0,113465859	0,049	0,042	1	0,924364744	1,081824038	1,166666667
ZNF10	0,848859315	-0,11351028	0,024	0,028	1	0,924336284	1,081857348	0,857142857
HLA-DMB	0,186763581	-0,113517351	0	0,021	1	0,924331753	1,08186265	0
RPL27A	0,619728275	-0,113618671	0,939	0,835	1	0,92426684	1,081938632	1,124550898
IGSF9B	0,043210696	-0,113632938	0,122	0,053	1	0,9242577	1,081949331	2,301886792
PSEN1	0,063829823	-0,113654992	0,195	0,105	1	0,924243571	1,081965871	1,857142857
AKAP8L	0,044089652	-0,113685326	0,366	0,207	1	0,924224138	1,08198862	1,768115942
GOLGA3	0,075377287	-0,113737459	0,256	0,147	1	0,924190741	1,08202772	1,741496599
DYNLT2	0,28286347	-0,11381272	0	0,014	1	0,92414253	1,082084167	0
APC2	0,186763581	-0,113853017	0	0,021	1	0,924116718	1,082114392	0
EGFR	0,597173043	-0,113889282	0,012	0,021	1	0,924093488	1,082141594	0,571428571
VTI1A	0,263538415	-0,113934938	0,085	0,049	1	0,924064244	1,08217584	1,734693878
H3C1	0,89237004	-0,113940162	0,012	0,014	1	0,924060898	1,082179759	0,857142857

Supplementary Table 2

Differentially expressed genes_keloid-XL_comparing SC-Keloid vs. (SC-Myel, SC-Nonmyel, SC-Nonmyel2)								
gene	p_val	avg_log2FC	pct.1	pct.2	p_val_adj	Foldchange_UP	Foldchange_DOWN	Ratio_pct1_pct2
UPP1	0,000859328	-0,113957402	0,439	0,196	1	0,924049856	1,08219269	2,239795918
DHX15	0,031518017	-0,11396697	0,378	0,207	1	0,924043728	1,082199868	1,826086957
DGLUCY	0,728697501	-0,11404214	0,012	0,018	1	0,923995583	1,082256256	0,666666667
KPNA6	0,511711709	-0,114137935	0,134	0,102	1	0,923934232	1,08232812	1,31372549
ZNF44	0,070815804	-0,114217505	0,085	0,035	1	0,923883275	1,082387816	2,428571429
ZC3H14	0,006223653	-0,11423048	0,28	0,126	1	0,923874966	1,082397551	2,222222222
MCM9	0,166384958	-0,114244102	0,073	0,035	1	0,923866242	1,082407771	2,085714286
ARHGAP42	0,075560265	-0,114321792	0,146	0,074	1	0,923816493	1,082466061	1,972972973
NLRC5	0,107090833	-0,114464464	0,085	0,039	1	0,923725139	1,082573114	2,179487179
HINT1	0,117619397	-0,114476551	0,744	0,505	1	0,9237174	1,082582184	1,473267327
CCDC102B	0,946985525	-0,114514544	0,049	0,046	1	0,923693074	1,082610694	1,065217391
AKT1S1	0,002446433	-0,114557929	0,256	0,102	1	0,923665297	1,082643251	2,509803922
SULT1A1	0,153186787	-0,114585998	0	0,025	1	0,923647327	1,082664315	0
PHTF1	0,000195581	-0,114604058	0,183	0,049	1	0,923635764	1,082677868	3,734693878
AQP5	0,28286347	-0,114655863	0	0,014	1	0,923602598	1,082716746	0
PCNX3	0,129199799	-0,114716644	0,11	0,056	1	0,923563687	1,082762362	1,964285714
ZNF529	0,222011736	-0,114717233	0,073	0,039	1	0,923563311	1,082762804	1,871794872
NUP42	0,003906184	-0,114746214	0,207	0,081	1	0,923544758	1,082784555	2,555555556
PI16	0,28286347	-0,115019178	0	0,014	1	0,923370036	1,082989442	0
CASP9	0,299773065	-0,115126934	0,073	0,042	1	0,923301072	1,083070334	1,738095238
SVIL	0,329804619	-0,115132766	0,061	0,035	1	0,923297339	1,083074712	1,742857143
DDX11	0,982342462	-0,115137255	0,037	0,035	1	0,923294466	1,083078083	1,057142857
NSF	0,058461383	-0,115155667	0,122	0,056	1	0,923282683	1,083091905	2,178571429
CACNG8	0,654971645	-0,115166067	0,012	0,007	1	0,923276027	1,083099713	1,714285714
WDR20	0,019163639	-0,115171323	0,171	0,074	1	0,923272663	1,083103659	2,310810811
BCAM	0,621308468	-0,115181104	0,061	0,046	1	0,923266405	1,083111001	1,326086957
NECTIN3	0,019403003	-0,115259247	0,171	0,074	1	0,923216397	1,08316967	2,310810811
NRIP1	0,047777724	-0,115316081	0,268	0,147	1	0,923180028	1,083212341	1,823129252
TERF2	0,045789724	-0,115451414	0,122	0,053	1	0,923093433	1,083313958	2,301886792
KDM4A	0,858233476	-0,115526253	0,049	0,042	1	0,923045549	1,083370155	1,166666667

Supplementary Table 2

Differentially expressed genes_keloid-XL_comparing SC-Keloid vs. (SC-Myel, SC-Nonmyel, SC-Nonmyel2)								
gene	p_val	avg_log2FC	pct.1	pct.2	p_val_adj	Foldchange_UP	Foldchange_DOWN	Ratio_pct1_pct2
ARMCX2	0,011472074	-0,115581726	0,122	0,042	1	0,923010058	1,083411813	2,904761905
TOR1AIP2	0,027771749	-0,115747602	0,305	0,165	1	0,92290394	1,083536387	1,848484848
RBBP8	0,646998113	-0,115778986	0,073	0,056	1	0,922883863	1,083559958	1,303571429
GNL2	0,003417584	-0,115785957	0,183	0,067	1	0,922879404	1,083565194	2,731343284
FAM185A	0,289262993	-0,115904637	0,012	0,035	1	0,922803489	1,083654334	0,342857143
PRKD1	0,970105473	-0,116014499	0,024	0,025	1	0,922733219	1,083736858	0,96
CENPF	0,973560112	-0,116077143	0,049	0,049	1	0,922693153	1,083783917	1
MYO1C	0,051595471	-0,11612273	0,463	0,281	1	0,922663998	1,083818164	1,647686833
CSPG5	0,89237004	-0,116177309	0,012	0,014	1	0,922629093	1,083859166	0,857142857
ADGRB1	0,84947752	-0,116297236	0,037	0,032	1	0,922552401	1,083949268	1,15625
SLC11A2	0,047152083	-0,116424684	0,171	0,084	1	0,922470906	1,084045029	2,035714286
QTRT2	0,253953805	-0,116564823	0,061	0,032	1	0,922381305	1,084150335	1,90625
DAB1	0,517393619	-0,116567638	0,024	0,039	1	0,922379505	1,08415245	0,615384615
LYRM9	0,79874132	-0,116568052	0,061	0,067	1	0,92237924	1,084152761	0,910447761
ZNF808	0,490935921	-0,116768812	0,012	0,025	1	0,922250894	1,084303638	0,48
ZSWIM9	0,517393619	-0,116914621	0,024	0,039	1	0,92215769	1,084413231	0,615384615
SLC35A1	0,440407945	-0,116921593	0,11	0,077	1	0,922153234	1,084418471	1,428571429
BUD13	0,609506016	-0,116928164	0,049	0,035	1	0,922149033	1,084423411	1,4
SMARCAD1	0,178470047	-0,116997883	0,098	0,053	1	0,922104471	1,084475818	1,849056604
RGS12	0,422293169	-0,117071771	0,146	0,105	1	0,922057246	1,084531361	1,39047619
MSH2	0,634745928	-0,117196029	0,061	0,046	1	0,921977834	1,084624774	1,326086957
ETV7	0,453700053	-0,117199055	0,024	0,042	1	0,9219759	1,084627049	0,571428571
BTBD3	0,31701312	-0,117202898	0,122	0,077	1	0,921973444	1,084629939	1,584415584
FZD5	0,597173043	-0,117211478	0,012	0,021	1	0,921967961	1,084636389	0,571428571
CEP152	0,780304193	-0,117235496	0,037	0,042	1	0,921952612	1,084654446	0,880952381
CD99L2	0,174852161	-0,117316716	0,244	0,154	1	0,92190071	1,084715511	1,584415584
WDR86	0,153186787	-0,117338656	0	0,025	1	0,921886691	1,084732007	0
MRNIP	0,465996193	-0,11734684	0,122	0,088	1	0,921881461	1,084738161	1,386363636
AKR1C2	0,351112297	-0,117374241	0,024	0,011	1	0,921863952	1,084758763	2,181818182
DOCK9	0,896630255	-0,117444231	0,037	0,039	1	0,92181923	1,08481139	0,948717949

Supplementary Table 2

Differentially expressed genes_keloid-XL_comparing SC-Keloid vs. (SC-Myel, SC-Nonmyel, SC-Nonmyel2)								
gene	p_val	avg_log2FC	pct.1	pct.2	p_val_adj	Foldchange_UP	Foldchange_DOWN	Ratio_pct1_pct2
TMBIM1	0,002746974	-0,117587808	0,378	0,175	1	0,921727495	1,084919356	2,16
ACAP1	0,295381329	-0,117664865	0,073	0,042	1	0,921678265	1,084977305	1,738095238
C4orf33	0,128452285	-0,117715825	0,098	0,049	1	0,921645709	1,08501563	2
METTL8	0,526986103	-0,11791114	0,024	0,039	1	0,921520944	1,085162531	0,615384615
ESRRA	0,040724515	-0,118168269	0,146	0,067	1	0,921356717	1,085355955	2,179104478
PWWP2B	0,730504652	-0,118308268	0,073	0,06	1	0,921267313	1,085461283	1,216666667
NTN4	0,530989227	-0,118324911	0,024	0,014	1	0,921256686	1,085473805	1,714285714
EXTL3-AS1	0,35350329	-0,118350934	0	0,011	1	0,921240068	1,085493385	0
TNFSF9	0,717418436	-0,118397015	0,024	0,032	1	0,921210643	1,085528057	0,75
DPP8	0,001612533	-0,118403429	0,195	0,067	1	0,921206548	1,085532883	2,910447761
RIF1	0,015894266	-0,118521688	0,378	0,2	1	0,921131039	1,085621869	1,89
OSBPL5	0,796801528	-0,118527033	0,11	0,095	1	0,921127626	1,085625891	1,157894737
ZNF700	0,404681217	-0,118558928	0,012	0,028	1	0,921107262	1,085649892	0,428571429
CHRD1	0,104227568	-0,11865551	0	0,032	1	0,9210456	1,085722574	0
LRR4B	0,606078799	-0,118688053	0,024	0,035	1	0,921024824	1,085747065	0,685714286
PIK3R2	0,013031976	-0,118696351	0,146	0,056	1	0,921019527	1,08575331	2,607142857
ELOC	0,065058251	-0,118792807	0,573	0,34	1	0,920957951	1,085825904	1,685294118
SFR1	0,1636376	-0,118890593	0,11	0,06	1	0,920895531	1,085899504	1,833333333
FLVCR1	0,166384958	-0,118904963	0,073	0,035	1	0,920886358	1,08591032	2,085714286
HLF	0,186763581	-0,119032926	0	0,021	1	0,920804682	1,086006641	0
SHF	0,334326668	-0,119057222	0,012	0,032	1	0,920789175	1,086024931	0,375
PACRGL	0,636997413	-0,119082611	0,061	0,046	1	0,920772971	1,086044043	1,326086957
CCDC149	0,730504652	-0,119110299	0,073	0,06	1	0,920755299	1,086064887	1,216666667
SNX27	0,027822443	-0,119139171	0,268	0,14	1	0,920736873	1,086086622	1,914285714
SLC2A9	0,228958629	-0,119264057	0	0,018	1	0,920657173	1,086180642	0
CEP57	0,09423498	-0,119264276	0,232	0,133	1	0,920657034	1,086180807	1,744360902
CREB3L2	0,049533087	-0,119329782	0,549	0,319	1	0,920615232	1,086230127	1,721003135
SORCS2	0,460999751	-0,119383118	0,073	0,049	1	0,920581198	1,086270285	1,489795918
CHAC1	0,710321163	-0,119431527	0,024	0,018	1	0,920550309	1,086306735	1,333333333
NOTCH1	0,039017339	-0,119597744	0,39	0,225	1	0,920444256	1,086431898	1,733333333

Supplementary Table 2

Differentially expressed genes_keloid-XL_comparing SC-Keloid vs. (SC-Myel, SC-Nonmyel, SC-Nonmyel2)								
gene	p_val	avg_log2FC	pct.1	pct.2	p_val_adj	Foldchange_UP	Foldchange_DOWN	Ratio_pct1_pct2
USP47	0,061539014	-0,119611649	0,402	0,239	1	0,920435384	1,08644237	1,682008368
SPATA5	0,126161321	-0,119619956	0	0,028	1	0,920430084	1,086448625	0
GLA	0,215863611	-0,119668643	0,159	0,098	1	0,920399023	1,086485291	1,62244898
TBC1D15	0,059936442	-0,119695503	0,256	0,144	1	0,920381887	1,086505519	1,777777778
PLEKHF1	0,519783239	-0,11970011	0,024	0,039	1	0,920378948	1,086508989	0,615384615
PPP1R12C	0,024213662	-0,119824096	0,207	0,098	1	0,920299854	1,086602368	2,112244898
MOV10	0,858233476	-0,119847855	0,049	0,042	1	0,920284698	1,086620262	1,166666667
TRIM44	0,002057582	-0,119855993	0,293	0,119	1	0,920279506	1,086626392	2,462184874
SNRPN	0,053398035	-0,119856923	0,537	0,312	1	0,920278913	1,086627093	1,721153846
INPP5A	0,007739127	-0,119936248	0,146	0,053	1	0,920228314	1,086686841	2,754716981
SP100	0,017302038	-0,120005032	0,341	0,179	1	0,920184441	1,086738653	1,905027933
ZNRF3	0,864526579	-0,120265331	0,037	0,032	1	0,920018432	1,086934746	1,15625
FUBP3	0,151065694	-0,12028292	0,22	0,133	1	0,920007215	1,086947998	1,654135338
NT5DC3	0,092572683	-0,120284746	0,122	0,06	1	0,92000605	1,086949373	2,033333333
RBM12B	0,060615786	-0,120358395	0,122	0,056	1	0,919959086	1,087004863	2,178571429
ST6GALNAC6	0,168105624	-0,120385686	0,22	0,137	1	0,919941683	1,087025426	1,605839416
DEXI	0,028477652	-0,120672031	0,183	0,084	1	0,919759112	1,087241199	2,178571429
DTX3	0,012449465	-0,120687524	0,195	0,084	1	0,919749235	1,087252875	2,321428571
XCL1	0,35350329	-0,121082916	0	0,011	1	0,919497199	1,087550894	0
MINDY1	0,837311683	-0,121108763	0,049	0,042	1	0,919480725	1,087570379	1,166666667
WASHC4	0,000253736	-0,121150073	0,329	0,123	1	0,919454397	1,08760152	2,674796748
CGRRF1	0,646443657	-0,121237901	0,098	0,077	1	0,919398425	1,087667733	1,272727273
PIP4K2A	0,152904106	-0,121247462	0,146	0,084	1	0,919392332	1,087674941	1,738095238
RFC3	0,105461276	-0,121252699	0,134	0,07	1	0,919388994	1,08767889	1,914285714
CARS2	0,006789595	-0,121264247	0,244	0,105	1	0,919381635	1,087687596	2,323809524
MYO1B	0,451018793	-0,121300607	0,073	0,049	1	0,919358464	1,087715009	1,489795918
RBM15	0,334326668	-0,121303594	0,012	0,032	1	0,919356561	1,087717261	0,375
CEP112	0,834704212	-0,121381854	0,049	0,042	1	0,919306691	1,087776267	1,166666667
PEG3	0,126161321	-0,121399933	0	0,028	1	0,919295171	1,087789898	0
RALGDS	0,017714651	-0,121408455	0,256	0,126	1	0,919289741	1,087796323	2,031746032

Supplementary Table 2

Differentially expressed genes_keloid-XL_comparing SC-Keloid vs. (SC-Myel, SC-Nonmyel, SC-Nonmyel2)								
gene	p_val	avg_log2FC	pct.1	pct.2	p_val_adj	Foldchange_UP	Foldchange_DOWN	Ratio_pct1_pct2
TAF1	0,136050144	-0,121427681	0,134	0,074	1	0,91927749	1,08781082	1,810810811
SUB1	0,429210005	-0,121428287	0,695	0,488	1	0,919277104	1,087811277	1,424180328
NHS	0,404681217	-0,121432859	0,012	0,028	1	0,91927419	1,087814724	0,428571429
POLR2H	0,036717317	-0,121509159	0,366	0,2	1	0,919225574	1,087872257	1,83
EXD3	0,841722995	-0,121544914	0,061	0,053	1	0,919202793	1,087899219	1,150943396
BCLAF1	0,012543332	-0,121649531	0,573	0,316	1	0,919136139	1,087978111	1,813291139
YIPF4	0,015339363	-0,121674921	0,39	0,204	1	0,919119963	1,087997258	1,911764706
RGL1	0,896630255	-0,12181723	0,037	0,039	1	0,919029305	1,088104585	0,948717949
MGST2	0,625773897	-0,121853118	0,061	0,046	1	0,919006444	1,088131652	1,326086957
NBAS	0,159658848	-0,121857706	0,11	0,06	1	0,919003521	1,088135113	1,833333333
DCUN1D4	0,748211493	-0,12199494	0,085	0,07	1	0,918916107	1,088238625	1,214285714
NRF1	0,839026091	-0,122023056	0,024	0,028	1	0,918898198	1,088259833	0,857142857
MNT	0,34039096	-0,122047244	0,122	0,081	1	0,918882792	1,088278079	1,50617284
USP45	0,404681217	-0,122079581	0,012	0,028	1	0,918862196	1,088302472	0,428571429
CHST7	0,37150382	-0,122095856	0,098	0,063	1	0,918851831	1,08831475	1,555555556
POMZP3	0,973621109	-0,122137554	0,024	0,025	1	0,918825274	1,088346205	0,96
SNORC	0,490935921	-0,122180648	0,012	0,025	1	0,918797829	1,088378715	0,48
WASF2	0,159738488	-0,122325678	0,573	0,365	1	0,918705469	1,088488132	1,569863014
FAM83F	0,186763581	-0,122387587	0	0,021	1	0,918666046	1,088534842	0
LINC00309	0,728697501	-0,12240568	0,012	0,018	1	0,918654525	1,088548494	0,666666667
NPIP11	0,41637636	-0,122434577	0,049	0,074	1	0,918636125	1,088570298	0,662162162
RNF149	0,418035465	-0,122569863	0,134	0,095	1	0,918549985	1,088672381	1,410526316
ARHGEF37	0,159203343	-0,122578937	0,012	0,046	1	0,918544208	1,088679228	0,260869565
NPDC1	0,019296128	-0,122603638	0,488	0,267	1	0,918528481	1,088697869	1,827715356
IPO8	0,214148526	-0,122611215	0,11	0,063	1	0,918523657	1,088703587	1,746031746
FBXL4	0,302725312	-0,12266739	0,073	0,042	1	0,918487893	1,088745978	1,738095238
WDR5	0,020237613	-0,122693778	0,146	0,06	1	0,918471094	1,088765892	2,433333333
ACOX2	0,864526579	-0,122974837	0,037	0,032	1	0,918292178	1,088978022	1,15625
FBXO45	0,000345184	-0,122992587	0,146	0,035	1	0,918280881	1,08899142	4,171428571
USP44	0,414697944	-0,12311232	0,012	0,028	1	0,918204673	1,089081802	0,428571429

Supplementary Table 2

Differentially expressed genes_keloid-XL_comparing SC-Keloid vs. (SC-Myel, SC-Nonmyel, SC-Nonmyel2)								
gene	p_val	avg_log2FC	pct.1	pct.2	p_val_adj	Foldchange_UP	Foldchange_DOWN	Ratio_pct1_pct2
MANEA-DT	0,908489202	-0,123296693	0,012	0,011	1	0,918087337	1,089220992	1,090909091
TUBB2A	0,026603014	-0,123302884	0,659	0,396	1	0,918083397	1,089225667	1,664141414
RTL5	0,440933767	-0,123343697	0,024	0,042	1	0,918057425	1,089256481	0,571428571
SF3A1	0,0922667	-0,123370093	0,195	0,109	1	0,918040628	1,089276411	1,788990826
GNAL	0,104227568	-0,123400127	0	0,032	1	0,918021516	1,089299087	0
BTBD7	0,047987299	-0,123456735	0,232	0,123	1	0,917985496	1,089341829	1,886178862
RECQL4	0,153186787	-0,123522019	0	0,025	1	0,917943957	1,089391125	0
TTC9C	0,14645865	-0,123524864	0,085	0,042	1	0,917942147	1,089393274	2,023809524
PTPN11	0,009653619	-0,123548661	0,378	0,193	1	0,917927006	1,089411243	1,958549223
CH25H	0,89237004	-0,123553572	0,012	0,014	1	0,917923881	1,089414951	0,857142857
H2AC11	0,126161321	-0,123588124	0	0,028	1	0,917901897	1,089441043	0
TSNARE1	0,490935921	-0,123733988	0,012	0,025	1	0,917809097	1,089551197	0,48
SNX29	0,769088539	-0,123759533	0,061	0,067	1	0,917792846	1,089570489	0,910447761
FAM53C	0,287609915	-0,123762289	0,122	0,077	1	0,917791093	1,08957257	1,584415584
GJB1	0,190367951	-0,123799299	0,012	0,042	1	0,917767549	1,089600522	0,285714286
FAM72A	0,858233476	-0,123799398	0,049	0,042	1	0,917767486	1,089600597	1,166666667
OTUD3	0,825318201	-0,123860318	0,061	0,053	1	0,917728733	1,089646607	1,150943396
TCP11L2	0,891000607	-0,123871178	0,037	0,039	1	0,917721824	1,08965481	0,948717949
CPM	0,186763581	-0,12388663	0	0,021	1	0,917711995	1,08966648	0
EDN1	0,282045401	-0,123917441	0,012	0,035	1	0,917692396	1,089689752	0,342857143
NRTN	0,821694652	-0,123936513	0,049	0,042	1	0,917680265	1,089704158	1,166666667
SH3GLB2	0,004038696	-0,12394624	0,463	0,228	1	0,917674078	1,089711505	2,030701754
LRRTM4	0,334326668	-0,123948909	0,012	0,032	1	0,91767238	1,089713521	0,375
NCALD	0,28286347	-0,123979871	0	0,014	1	0,917652686	1,089736908	0
GRIK5	0,35350329	-0,124207861	0	0,011	1	0,91750768	1,089909133	0
SALL2	0,879365097	-0,124207945	0,024	0,021	1	0,917507626	1,089909197	1,142857143
USP48	0,044266561	-0,124286494	0,232	0,119	1	0,917457673	1,089968539	1,949579832
CITED4	0,845144713	-0,124356184	0,049	0,042	1	0,917413356	1,090021192	1,166666667
ZBTB34	0,407171737	-0,12437922	0,012	0,028	1	0,917398707	1,090038597	0,428571429
TPCN1	0,635463215	-0,124494524	0,085	0,067	1	0,91732539	1,090125719	1,268656716

Supplementary Table 2

Differentially expressed genes_keloid-XL_comparing SC-Keloid vs. (SC-Myel, SC-Nonmyel, SC-Nonmyel2)								
gene	p_val	avg_log2FC	pct.1	pct.2	p_val_adj	Foldchange_UP	Foldchange_DOWN	Ratio_pct1_pct2
SHANK3	0,287447036	-0,124582764	0,012	0,035	1	0,917269284	1,090192397	0,342857143
RPS6KA2	0,87168274	-0,124656751	0,049	0,053	1	0,917222245	1,090248308	0,924528302
RXRA	0,036132012	-0,124668956	0,341	0,189	1	0,917214485	1,090257531	1,804232804
ZFYVE1	0,441860484	-0,124807823	0,11	0,077	1	0,917126203	1,090362479	1,428571429
EMC9	0,223161889	-0,124843541	0,159	0,098	1	0,917103497	1,090389475	1,62244898
RHPN1	0,09380127	-0,124891198	0,146	0,077	1	0,917073203	1,090425494	1,896103896
SCN5A	0,126160962	-0,12494074	0	0,028	1	0,917041711	1,09046294	0
TSPAN4	0,01735542	-0,124967158	0,195	0,088	1	0,917024918	1,090482909	2,215909091
PIGU	0,15342381	-0,125015181	0,085	0,042	1	0,916994394	1,090519207	2,023809524
RIN2	0,514515233	-0,125082335	0,037	0,053	1	0,916951711	1,09056997	0,698113208
STARD7	0,040412632	-0,125086561	0,293	0,161	1	0,916949025	1,090573164	1,819875776
SF3B1	0,695676215	-0,12525527	0,622	0,477	1	0,916841803	1,090700704	1,303983229
TMEM139	0,404681217	-0,125432121	0,012	0,028	1	0,91672942	1,090834414	0,428571429
WNK2	0,104227568	-0,125529797	0	0,032	1	0,916667356	1,09090827	0
SEMA7A	0,066684329	-0,125633108	0,122	0,056	1	0,916601716	1,090986393	2,178571429
RNF214	0,183050409	-0,125650604	0,098	0,053	1	0,9165906	1,090999624	1,849056604
SDHA	0,017380053	-0,125671442	0,354	0,179	1	0,916577361	1,091015382	1,977653631
SPRYD3	0,062734889	-0,125677179	0,134	0,063	1	0,916573716	1,091019721	2,126984127
PLBD1	0,619512782	-0,125698795	0,049	0,035	1	0,916559983	1,091036068	1,4
ROBO3	0,257004845	-0,125805237	0,134	0,084	1	0,916492362	1,091116567	1,595238095
CPEB3	0,879365097	-0,125925143	0,024	0,021	1	0,916416194	1,091207256	1,142857143
BLOC1S6	0,010412955	-0,125956021	0,378	0,189	1	0,91639658	1,091230612	2
CHST12	0,004928074	-0,126051602	0,232	0,098	1	0,916335869	1,09130291	2,367346939
RBM28	0,318313777	-0,126088513	0,171	0,116	1	0,916312425	1,091330831	1,474137931
NR2F2-AS1	0,879312278	-0,126120884	0,061	0,063	1	0,916291865	1,091355318	0,968253968
TK2	0,235232394	-0,12623625	0,171	0,109	1	0,916218596	1,091442593	1,568807339
ACVR2B	0,835486331	-0,126398277	0,049	0,053	1	0,916115703	1,091565178	0,924528302
PIP4P2	0,022680951	-0,126659869	0,256	0,126	1	0,915949606	1,091763121	2,031746032
SRCAP	0,265864423	-0,126719636	0,134	0,084	1	0,915911661	1,09180835	1,595238095
AIG1	0,000281411	-0,126797019	0,329	0,126	1	0,915862536	1,091866914	2,611111111

Supplementary Table 2

Differentially expressed genes_keloid-XL_comparing SC-Keloid vs. (SC-Myel, SC-Nonmyel, SC-Nonmyel2)								
gene	p_val	avg_log2FC	pct.1	pct.2	p_val_adj	Foldchange_UP	Foldchange_DOWN	Ratio_pct1_pct2
TBCC	0,001778197	-0,126833309	0,256	0,102	1	0,915839498	1,091894379	2,509803922
DIP2C-AS1	0,278482798	-0,126889489	0,012	0,035	1	0,915803835	1,0919369	0,342857143
RNF152	0,442988867	-0,127013613	0,037	0,021	1	0,915725046	1,09203085	1,761904762
CNST	0,495181583	-0,127103874	0,146	0,109	1	0,915667756	1,092099174	1,339449541
HSPA13	0,004829851	-0,127233186	0,354	0,165	1	0,915585686	1,092197066	2,145454545
SPTBN5	0,725789242	-0,127245977	0,061	0,049	1	0,915577569	1,092206749	1,244897959
TBPL1	0,138988783	-0,127436561	0,159	0,091	1	0,915456626	1,092351042	1,747252747
MIR503HG	0,710321163	-0,127451284	0,024	0,018	1	0,915447284	1,09236219	1,333333333
SOCS5	0,910529224	-0,127550743	0,085	0,077	1	0,915384175	1,0924375	1,103896104
PODXL2	0,739665212	-0,12760079	0,049	0,039	1	0,915352422	1,092475397	1,256410256
MRFAP1L1	0,120240558	-0,12763608	0,159	0,088	1	0,915330031	1,09250212	1,806818182
CA2	0,707207002	-0,127908165	0,037	0,046	1	0,915157421	1,09270818	0,804347826
LRMDA	0,004072895	-0,128043179	0,244	0,102	1	0,91507178	1,092810446	2,392156863
MTRFR	0,824325668	-0,128061745	0,073	0,077	1	0,915060004	1,092824509	0,948051948
ASXL2	0,297127771	-0,128084182	0,098	0,06	1	0,915045773	1,092841505	1,633333333
PRPF3	0,382168664	-0,12809608	0,11	0,074	1	0,915038227	1,092850518	1,486486486
KMT2D	0,643771935	-0,12813265	0,061	0,046	1	0,915015033	1,09287822	1,326086957
CLCN2	0,431705505	-0,128152346	0,061	0,039	1	0,915002541	1,09289314	1,564102564
GABPB2	0,913549329	-0,128316492	0,037	0,039	1	0,91489844	1,093017494	0,948717949
GFPT2	0,739665212	-0,128385419	0,049	0,039	1	0,91485473	1,093069716	1,256410256
HAUS8	0,832484443	-0,128461731	0,024	0,028	1	0,91480634	1,093127536	0,857142857
DISP1	0,086314699	-0,128485714	0	0,035	1	0,914791132	1,093145708	0
CSPP1	0,103639936	-0,128542356	0,171	0,095	1	0,914755217	1,093188627	1,8
CYTH1	0,355828945	-0,128546307	0,146	0,102	1	0,914752712	1,093191621	1,431372549
ZNF230	0,35350329	-0,128748493	0	0,011	1	0,914624524	1,093344836	0
SOX13	0,005005511	-0,128773575	0,293	0,13	1	0,914608622	1,093363845	2,253846154
VEZF1	0,010374582	-0,128831433	0,39	0,2	1	0,914571944	1,093407694	1,95
MPHOSPH6	0,380829982	-0,12885736	0,024	0,046	1	0,914555508	1,093427344	0,52173913
TMEM192	0,285301791	-0,128862615	0,073	0,042	1	0,914552176	1,093431327	1,738095238
GATA2	0,277596953	-0,129016947	0,049	0,025	1	0,914454347	1,093548303	1,96

Supplementary Table 2

Differentially expressed genes_keloid-XL_comparing SC-Keloid vs. (SC-Myel, SC-Nonmyel, SC-Nonmyel2)								
gene	p_val	avg_log2FC	pct.1	pct.2	p_val_adj	Foldchange_UP	Foldchange_DOWN	Ratio_pct1_pct2
GRK4	0,166384958	-0,129061995	0,073	0,035	1	0,914425794	1,09358245	2,085714286
TGFB3	0,334326668	-0,12911455	0,012	0,032	1	0,914392484	1,093622288	0,375
GLIS2	0,276713029	-0,12919862	0,012	0,035	1	0,914339201	1,093686018	0,342857143
EXOG	0,173490904	-0,129359027	0,11	0,06	1	0,914237545	1,093807627	1,833333333
HINFP	0,249536154	-0,12939922	0,061	0,032	1	0,914212075	1,093838101	1,90625
EML3	0,259564043	-0,129416378	0,171	0,112	1	0,914201203	1,09385111	1,526785714
FOXK1	0,281681009	-0,129444387	0,146	0,095	1	0,914183454	1,093872346	1,536842105
MED26	0,966793203	-0,129467873	0,061	0,06	1	0,914168572	1,093890154	1,016666667
TRIM35	0,404681217	-0,129504167	0,012	0,028	1	0,914145575	1,093917673	0,428571429
FKBP5	0,957318744	-0,129555272	0,049	0,046	1	0,914113193	1,093956424	1,065217391
FSTL1	0,095893144	-0,129733028	0,573	0,361	1	0,914000571	1,09409122	1,587257618
PPA1	0,003615733	-0,129782181	0,5	0,239	1	0,913969431	1,094128497	2,092050209
GSTM2	0,153186787	-0,129988148	0	0,025	1	0,913838957	1,094284712	0
C5orf24	0,01065315	-0,1300015	0,561	0,309	1	0,9138305	1,094294839	1,815533981
RANGAP1	0,323342579	-0,130163496	0,134	0,088	1	0,913727894	1,094417721	1,522727273
FRAT2	0,832484443	-0,130235546	0,024	0,028	1	0,913682263	1,094472379	0,857142857
FN3K	0,404681217	-0,130281412	0,012	0,028	1	0,913653216	1,094507175	0,428571429
L3MBTL1	0,717418436	-0,130361255	0,024	0,032	1	0,913602653	1,09456775	0,75
EMD	0,013856081	-0,13042696	0,39	0,2	1	0,913561045	1,094617601	1,95
VMAC	0,728697501	-0,130427374	0,012	0,018	1	0,913560783	1,094617915	0,666666667
KAT7	0,055733029	-0,130438038	0,146	0,07	1	0,91355403	1,094626007	2,085714286
NUP62	0,003632258	-0,130520511	0,171	0,06	1	0,913501808	1,094688584	2,85
PREX2	0,126161321	-0,130523867	0	0,028	1	0,913499683	1,09469113	0
GALM	0,714432118	-0,130889674	0,024	0,032	1	0,913268087	1,094968733	0,75
RTN4R	0,186763581	-0,130893198	0	0,021	1	0,913265856	1,094971407	0
PRXL2C	0,008669075	-0,130904056	0,415	0,211	1	0,913258983	1,094979649	1,966824645
TRIM33	0,069004219	-0,131081876	0,207	0,112	1	0,913146426	1,095114619	1,848214286
ZC3H6	0,071865768	-0,131148122	0,22	0,123	1	0,913104497	1,095164906	1,788617886
LINC00598	0,276713029	-0,131150059	0,012	0,035	1	0,91310327	1,095166377	0,342857143
ZYG11B	0,148053109	-0,131207436	0,159	0,091	1	0,913066957	1,095209933	1,747252747

Supplementary Table 2

Differentially expressed genes_keloid-XL_comparing SC-Keloid vs. (SC-Myel, SC-Nonmyel, SC-Nonmyel2)								
gene	p_val	avg_log2FC	pct.1	pct.2	p_val_adj	Foldchange_UP	Foldchange_DOWN	Ratio_pct1_pct2
IQCN	0,314233219	-0,131244668	0,037	0,018	1	0,913043393	1,095238197	2,055555556
AKR1C1	0,85037523	-0,131260729	0,049	0,042	1	0,913033229	1,09525039	1,166666667
CPNE3	0,030571428	-0,131283478	0,439	0,246	1	0,913018832	1,095267661	1,784552846
CAMSAP1	0,012804162	-0,131378309	0,183	0,077	1	0,912958819	1,095339657	2,376623377
RESF1	0,029515898	-0,131420956	0,134	0,056	1	0,912931832	1,095372037	2,392857143
HPF1	0,030982433	-0,131422007	0,207	0,102	1	0,912931167	1,095372835	2,029411765
HAUS7	0,028519419	-0,13145902	0,159	0,07	1	0,912907745	1,095400938	2,271428571
SELENOI	0,42253913	-0,131528835	0,122	0,084	1	0,912863569	1,095453947	1,452380952
SUCLG2	0,003742884	-0,131529277	0,28	0,119	1	0,912863289	1,095454283	2,352941176
SREK1	0,009147908	-0,131729281	0,476	0,249	1	0,912736746	1,095606159	1,911646586
NBEAL1	0,02838867	-0,131735925	0,366	0,2	1	0,912732542	1,095611205	1,83
PARP6	0,039094965	-0,131764854	0,159	0,074	1	0,912714241	1,095633173	2,148648649
FOXP4	0,737361654	-0,131846174	0,061	0,049	1	0,912662795	1,095694933	1,244897959
ITSN2	0,355133347	-0,131855715	0,134	0,091	1	0,91265676	1,095702179	1,472527473
ANKDD1A	0,327294158	-0,131859171	0,122	0,081	1	0,912654573	1,095704804	1,50617284
RRAGD	0,162390217	-0,131978441	0,012	0,046	1	0,912579125	1,095795392	0,260869565
VWA8	0,409671375	-0,131978531	0,012	0,028	1	0,912579069	1,09579546	0,428571429
NAA15	0,38773515	-0,132014718	0,195	0,14	1	0,912556179	1,095822946	1,392857143
DLG5	0,741101558	-0,132016278	0,073	0,06	1	0,912555192	1,09582413	1,216666667
RELL1	0,45098936	-0,132096147	0,037	0,056	1	0,912504673	1,095884798	0,660714286
PPP2R3A	0,293017433	-0,132167956	0,195	0,133	1	0,912459255	1,095939347	1,466165414
PCSK5	0,240936007	-0,132239283	0,024	0,056	1	0,912414144	1,095993531	0,428571429
TRAF6	0,834683514	-0,132275219	0,061	0,053	1	0,912391418	1,096020831	1,150943396
SHOC2	0,104013812	-0,132771969	0,341	0,211	1	0,912077316	1,096398279	1,616113744
QSER1	0,156189252	-0,132787761	0,183	0,109	1	0,912067333	1,096410281	1,678899083
WFDC2	0,153186787	-0,132933954	0	0,025	1	0,911974914	1,096521389	0
TOP1MT	0,535575254	-0,133012926	0,061	0,042	1	0,911924995	1,096581413	1,452380952
ATP11C	0,788115278	-0,133059904	0,061	0,067	1	0,911895301	1,096617122	0,910447761
KCNAB3	0,431705505	-0,133119541	0,061	0,039	1	0,911857606	1,096662454	1,564102564
PRKD3	0,347836074	-0,133272037	0,256	0,182	1	0,911761226	1,096778379	1,406593407

Supplementary Table 2

Differentially expressed genes_keloid-XL_comparing SC-Keloid vs. (SC-Myel, SC-Nonmyel, SC-Nonmyel2)								
gene	p_val	avg_log2FC	pct.1	pct.2	p_val_adj	Foldchange_UP	Foldchange_DOWN	Ratio_pct1_pct2
FBXO2	0,059506563	-0,133285386	0	0,042	1	0,911752789	1,096788528	0
PDP2	0,126161321	-0,133411003	0	0,028	1	0,911673406	1,096884031	0
CDHR3	0,967659139	-0,133424483	0,049	0,046	1	0,911664887	1,09689428	1,065217391
DMAC2L	0,00442256	-0,133495361	0,207	0,081	1	0,9116201	1,09694817	2,555555556
IDH1	0,013266733	-0,133662061	0,171	0,07	1	0,91151477	1,097074927	2,442857143
SLMAP	0,902426935	-0,133825294	0,098	0,088	1	0,911411643	1,097199062	1,113636364
GAS1	0,35350329	-0,133848333	0	0,011	1	0,911397089	1,097216584	0
WWC2	0,075632691	-0,133848961	0,183	0,098	1	0,911396692	1,097217061	1,867346939
C19orf12	0,535785771	-0,133994064	0,11	0,081	1	0,91130503	1,097327422	1,358024691
KIF1C	0,018722423	-0,134031012	0,195	0,088	1	0,911281691	1,097355526	2,215909091
CIITA	0,404681217	-0,134088566	0,012	0,028	1	0,911245338	1,097399304	0,428571429
BUB3	0,121196865	-0,134098596	0,305	0,186	1	0,911239003	1,097406933	1,639784946
MTCH1	0,040589732	-0,134146217	0,585	0,347	1	0,911208925	1,097443158	1,685878963
SMG7	0,277464444	-0,134146647	0,195	0,133	1	0,911208653	1,097443485	1,466165414
TBC1D12	0,67163798	-0,134151888	0,098	0,077	1	0,911205343	1,097447471	1,272727273
WDTC1	0,089084213	-0,134159034	0,122	0,06	1	0,91120083	1,097452908	2,033333333
PTGER4	0,728697501	-0,134346112	0,012	0,018	1	0,91108268	1,097595226	0,666666667
MDM2	0,125188983	-0,134401455	0,146	0,081	1	0,911047731	1,097637331	1,802469136
CHML	0,464579482	-0,134482496	0,122	0,088	1	0,910996556	1,097698991	1,386363636
CEBPG	0,100990071	-0,134573761	0,22	0,126	1	0,910938927	1,097768434	1,746031746
HIP1	0,144374625	-0,13466787	0,159	0,091	1	0,910879508	1,097840045	1,747252747
ARHGAP10	0,469446683	-0,134829419	0,146	0,105	1	0,910777515	1,097962986	1,39047619
SLC4A7	0,170158373	-0,13485903	0,11	0,06	1	0,910758822	1,097985521	1,833333333
TLNRD1	0,036937212	-0,134870508	0,195	0,095	1	0,910751576	1,097994257	2,052631579
ZMYND11	0,012785985	-0,134883667	0,293	0,144	1	0,910743269	1,098004272	2,034722222
CAPRIN1	0,162243282	-0,134952591	0,317	0,207	1	0,91069976	1,098056729	1,531400966
KIRREL1	0,079181099	-0,134983031	0,28	0,161	1	0,910680545	1,098079898	1,739130435
NOTCH2	0,505941352	-0,135032273	0,146	0,109	1	0,910649463	1,098117378	1,339449541
GTPBP4	0,026958779	-0,135037848	0,171	0,077	1	0,910645943	1,098121622	2,220779221
IFT88	0,570062028	-0,135070484	0,085	0,063	1	0,910625343	1,098146463	1,349206349

Supplementary Table 2

Differentially expressed genes_keloid-XL_comparing SC-Keloid vs. (SC-Myel, SC-Nonmyel, SC-Nonmyel2)								
gene	p_val	avg_log2FC	pct.1	pct.2	p_val_adj	Foldchange_UP	Foldchange_DOWN	Ratio_pct1_pct2
CCDC7	0,712940593	-0,135169819	0,037	0,028	1	0,910562645	1,098222077	1,321428571
MGAT1	0,020201391	-0,135174303	0,293	0,147	1	0,910559815	1,098225491	1,993197279
SLC25A33	0,074499618	-0,135202372	0,256	0,144	1	0,9105421	1,098246858	1,777777778
ERBB3	0,394489568	-0,135211134	0,744	0,519	1	0,910536569	1,098253528	1,433526012
KDM5A	0,018119692	-0,135214563	0,293	0,147	1	0,910534406	1,098256138	1,993197279
TCEA1	0,043492363	-0,135279624	0,537	0,326	1	0,910493344	1,098305668	1,647239264
DIO2	0,153186787	-0,135404187	0	0,025	1	0,910414735	1,0984005	0
NLK	0,202410779	-0,135434174	0,085	0,046	1	0,910395812	1,098423331	1,847826087
HUS1B	0,728697501	-0,13553691	0,012	0,018	1	0,910330984	1,098501553	0,666666667
WWTR1	0,004061199	-0,135588229	0,561	0,281	1	0,910298603	1,098540629	1,996441281
ZNF483	0,334326668	-0,135629747	0,012	0,032	1	0,910272406	1,098572244	0,375
CDK5RAP1	0,030785422	-0,135631885	0,11	0,042	1	0,910271057	1,098573872	2,619047619
FOXJ1	0,228958629	-0,135643874	0	0,018	1	0,910263493	1,098583001	0
KIF5A	0,728697501	-0,135646782	0,012	0,018	1	0,910261658	1,098585216	0,666666667
ZFPM2	0,404681217	-0,135822445	0,012	0,028	1	0,910150831	1,098718988	0,428571429
RASGRF1	0,186763581	-0,135829411	0	0,021	1	0,910146436	1,098724293	0
CHCHD3	0,231486434	-0,135999394	0,183	0,116	1	0,910039206	1,098853756	1,577586207
C19orf73	0,908489202	-0,136035202	0,012	0,011	1	0,910016619	1,09888103	1,090909091
GFOD1	0,603783162	-0,136050434	0,037	0,049	1	0,910007011	1,098892632	0,755102041
TTLL4	0,498483398	-0,136139901	0,049	0,032	1	0,90995058	1,098960781	1,53125
NFKBID	0,714432118	-0,136141422	0,024	0,032	1	0,909949621	1,098961939	0,75
CPXM2	0,192877425	-0,136187035	0,012	0,042	1	0,909920852	1,098996685	0,285714286
CEP57L1	0,097608776	-0,136293855	0,098	0,046	1	0,909853482	1,09907806	2,130434783
IL1R1	0,334326668	-0,136328317	0,012	0,032	1	0,909831749	1,099104314	0,375
TET3	0,041380153	-0,13655082	0,159	0,074	1	0,909691438	1,099273839	2,148648649
ARHGEF6	0,323471241	-0,136609677	0,11	0,07	1	0,909654327	1,099318687	1,571428571
RRAD	0,792475529	-0,136658239	0,146	0,126	1	0,909623708	1,099355691	1,158730159
BRAT1	0,028769307	-0,136662373	0,146	0,063	1	0,909621101	1,099358842	2,317460317
FILIP1	0,334326668	-0,136693751	0,012	0,032	1	0,909601317	1,099382753	0,375
SHROOM1	0,608759699	-0,136767096	0,024	0,035	1	0,909555076	1,099438645	0,685714286

Supplementary Table 2

Differentially expressed genes_keloid-XL_comparing SC-Keloid vs. (SC-Myel, SC-Nonmyel, SC-Nonmyel2)								
gene	p_val	avg_log2FC	pct.1	pct.2	p_val_adj	Foldchange_UP	Foldchange_DOWN	Ratio_pct1_pct2
TET2	0,27451065	-0,13685714	0,195	0,13	1	0,909498309	1,099507267	1,5
PRPF39	0,295131885	-0,136911503	0,159	0,105	1	0,909464038	1,099548699	1,514285714
PGGHG	0,994113727	-0,136917589	0,037	0,035	1	0,909460201	1,099553338	1,057142857
PRDM5	0,832484443	-0,137143861	0,024	0,028	1	0,909317573	1,099725805	0,857142857
SLC16A1-AS1	0,982342462	-0,137189985	0,037	0,035	1	0,909288502	1,099760964	1,057142857
SORD	0,852339514	-0,137192381	0,049	0,053	1	0,909286992	1,099762791	0,924528302
HEY2	0,104227568	-0,137218749	0	0,032	1	0,909270373	1,099782891	0
JUP	0,725789242	-0,137222578	0,061	0,049	1	0,90926796	1,09978581	1,244897959
RSAD2	0,153186787	-0,137240201	0	0,025	1	0,909256853	1,099799245	0
HECTD4	0,304645756	-0,137258859	0,134	0,088	1	0,909245094	1,099813468	1,522727273
TRERF1	0,153186787	-0,137269506	0	0,025	1	0,909238384	1,099821585	0
LNP1	0,252475247	-0,137466815	0,061	0,032	1	0,909114041	1,099972011	1,90625
TXNL4B	0,199239329	-0,137523849	0,085	0,046	1	0,909078101	1,100015498	1,847826087
DDB2	0,159658848	-0,137812478	0,11	0,06	1	0,908896247	1,100235591	1,833333333
CLDN12	0,440372242	-0,137918125	0,037	0,021	1	0,908829692	1,100316163	1,761904762
ZUP1	0,606078799	-0,137961753	0,024	0,035	1	0,908802209	1,100349438	0,685714286
TRIM4	0,818708351	-0,137968369	0,049	0,053	1	0,908798042	1,100354484	0,924528302
FANCM	0,186763581	-0,137984375	0	0,021	1	0,908787959	1,100366691	0
AC097532.2	0,126161321	-0,137987559	0	0,028	1	0,908785953	1,100369121	0
ZNF236	0,035661822	-0,137987793	0,159	0,074	1	0,908785806	1,100369299	2,148648649
FAM13A	0,141176134	-0,138166377	0,098	0,049	1	0,908673319	1,100505516	2
ZFAND1	0,01207846	-0,138184206	0,134	0,049	1	0,908662089	1,100519117	2,734693878
ATP5IF1	0,009953713	-0,138240186	0,707	0,386	1	0,908626832	1,10056182	1,831606218
LGALS7	0,228958629	-0,138331564	0	0,018	1	0,908569282	1,100631531	0
PRMT5-AS1	0,493879805	-0,138349044	0,012	0,025	1	0,908558274	1,100644866	0,48
DUSP5	0,181072216	-0,138444646	0,159	0,095	1	0,908498069	1,100717804	1,673684211
STARD4-AS1	0,879365097	-0,138582195	0,024	0,021	1	0,908411456	1,100822753	1,142857143
PQBP1	0,020133109	-0,13858911	0,305	0,154	1	0,908407102	1,10082803	1,980519481
RXRБ	0,127532229	-0,138612594	0,183	0,105	1	0,908392315	1,100845949	1,742857143
ATP10B	0,334326668	-0,138659687	0,012	0,032	1	0,908362664	1,100881883	0,375

Supplementary Table 2

Differentially expressed genes_keloid-XL_comparing SC-Keloid vs. (SC-Myel, SC-Nonmyel, SC-Nonmyel2)								
gene	p_val	avg_log2FC	pct.1	pct.2	p_val_adj	Foldchange_UP	Foldchange_DOWN	Ratio_pct1_pct2
AGFG1	0,08461436	-0,138799503	0,268	0,154	1	0,908274636	1,100988579	1,74025974
OBSCN	0,728697501	-0,139125123	0,012	0,018	1	0,908069659	1,101237103	0,666666667
CORO2B	0,120439228	-0,139188261	0,183	0,105	1	0,908029919	1,101285298	1,742857143
ABI1	0,005740991	-0,13926918	0,39	0,193	1	0,90797899	1,10134707	2,020725389
SMC2	0,087836139	-0,139367499	0,159	0,084	1	0,907917114	1,101422129	1,892857143
ZNF616	0,973516395	-0,139386338	0,037	0,035	1	0,907905258	1,101436511	1,057142857
C19orf33	0,228958629	-0,13954864	0	0,018	1	0,907803125	1,101560429	0
SEPTIN3	0,338537609	-0,139644924	0,012	0,032	1	0,907742541	1,101633948	0,375
SIPA1	0,121737386	-0,139785867	0,22	0,13	1	0,907653864	1,101741577	1,692307692
VPS36	0,008642356	-0,139824416	0,22	0,095	1	0,907629612	1,101771016	2,315789474
MTSS2	0,096331459	-0,139835764	0,329	0,193	1	0,907622473	1,101779683	1,704663212
C2orf73	0,228958629	-0,139953864	0	0,018	1	0,907548177	1,101869879	0
IGIP	0,198190291	-0,139969359	0,085	0,046	1	0,90753843	1,101881713	1,847826087
APH1B	0,48125471	-0,140031365	0,085	0,06	1	0,907499426	1,101929072	1,416666667
E2F6	0,609506016	-0,14005614	0,049	0,035	1	0,907483841	1,101947996	1,4
THAP1	0,285301791	-0,140060719	0,073	0,042	1	0,907480961	1,101951493	1,738095238
LGALS1	0,447302504	-0,14009463	0,037	0,056	1	0,907459631	1,101977395	0,660714286
AC007365.1	0,186763581	-0,140193537	0	0,021	1	0,90739742	1,102052946	0
NKRF	0,850233657	-0,140246184	0,073	0,063	1	0,907364308	1,102093163	1,158730159
FSD1L	0,377098496	-0,140280466	0,024	0,046	1	0,907342747	1,102119351	0,52173913
RUSC2	0,227829404	-0,140390629	0,098	0,056	1	0,907273465	1,102203512	1,75
NAT9	0,142682785	-0,140409002	0,122	0,067	1	0,907261912	1,102217549	1,820895522
UBQLN2	0,179651712	-0,14070472	0,159	0,095	1	0,907075963	1,1024435	1,673684211
ALDH2	0,854977175	-0,140725247	0,061	0,063	1	0,907063057	1,102459186	0,968253968
TSR2	0,004577183	-0,14082982	0,256	0,109	1	0,906997312	1,1025391	2,348623853
LMBRD2	0,206696385	-0,140835763	0,085	0,046	1	0,906993576	1,102543642	1,847826087
USP4	0,013179703	-0,140928393	0,171	0,07	1	0,906935343	1,102614434	2,442857143
DNAJB2	0,045452066	-0,140933313	0,439	0,249	1	0,90693225	1,102618194	1,763052209
SAMD9L	0,004551412	-0,141106437	0,134	0,042	1	0,906823424	1,102750517	3,19047619
NIM1K	0,997024428	-0,141188998	0,085	0,081	1	0,906771531	1,102813626	1,049382716

Supplementary Table 2

Differentially expressed genes_keloid-XL_comparing SC-Keloid vs. (SC-Myel, SC-Nonmyel, SC-Nonmyel2)								
gene	p_val	avg_log2FC	pct.1	pct.2	p_val_adj	Foldchange_UP	Foldchange_DOWN	Ratio_pct1_pct2
TMEM143	0,861512651	-0,141200063	0,037	0,032	1	0,906764576	1,102822084	1,15625
ZNF704	0,68009295	-0,141283045	0,037	0,046	1	0,906712422	1,102885519	0,804347826
METTL17	0,098694446	-0,141311711	0,171	0,095	1	0,906694406	1,102907433	1,8
ACSS2	0,850233608	-0,141347948	0,073	0,063	1	0,906671632	1,102935136	1,158730159
PGBD4	0,228958629	-0,141550122	0	0,018	1	0,906544584	1,103089708	0
BOLA2	0,00854861	-0,14174822	0,207	0,088	1	0,906420114	1,103241185	2,352272727
HLA-DRB5	0,153186787	-0,141777597	0	0,025	1	0,906401657	1,10326365	0
ACVR2A	0,782948141	-0,141958201	0,037	0,042	1	0,906288196	1,103401771	0,880952381
BEX4	0,049161062	-0,141990104	0,22	0,116	1	0,906268154	1,103426172	1,896551724
C17orf67	0,230954904	-0,14203353	0,024	0,056	1	0,906240876	1,103459385	0,428571429
CDADC1	0,171564731	-0,142046677	0,183	0,112	1	0,906232617	1,103469441	1,633928571
FASN	0,164983606	-0,14205631	0,171	0,102	1	0,906226566	1,103476809	1,676470588
SLC43A2	0,992583669	-0,142329997	0,073	0,07	1	0,906054667	1,103686165	1,042857143
SLC13A3	0,126160962	-0,142340033	0	0,028	1	0,906048364	1,103693842	0
STK39	0,496145732	-0,142357508	0,049	0,032	1	0,906037389	1,103707211	1,53125
ACSS1	0,547586968	-0,142415824	0,085	0,105	1	0,906000767	1,103751825	0,80952381
NPC1	0,874363148	-0,142427978	0,085	0,088	1	0,905993134	1,103761124	0,965909091
PCGF3	0,00116794	-0,142439427	0,28	0,109	1	0,905985944	1,103769883	2,568807339
TMEM131	0,012482395	-0,142463003	0,159	0,063	1	0,905971139	1,103787921	2,523809524
SLC48A1	0,363278942	-0,142501643	0,073	0,046	1	0,905946875	1,103817484	1,586956522
CLIC2	0,104227568	-0,142509379	0	0,032	1	0,905942017	1,103823403	0
TMEM65	0,002033018	-0,142549729	0,22	0,081	1	0,905916679	1,103854276	2,716049383
USP24	0,071864859	-0,142597367	0,195	0,105	1	0,905886766	1,103890726	1,857142857
MUC20	0,153186787	-0,142711891	0	0,025	1	0,905814858	1,103978359	0
METAP1D	0,172653234	-0,142738543	0,11	0,06	1	0,905798125	1,103998753	1,833333333
MCM3AP	0,043288838	-0,142761661	0,159	0,074	1	0,90578361	1,104016444	2,148648649
HDGFL2	0,010281818	-0,142801554	0,256	0,119	1	0,905758563	1,104046973	2,151260504
GPRC5B	0,334326668	-0,14289124	0,012	0,032	1	0,905702258	1,104115608	0,375
ZNF646	0,276713029	-0,142908829	0,012	0,035	1	0,905691216	1,10412907	0,342857143
CES1	0,624954658	-0,142925926	0,024	0,035	1	0,905680484	1,104142154	0,685714286

Supplementary Table 2

Differentially expressed genes_keloid-XL_comparing SC-Keloid vs. (SC-Myel, SC-Nonmyel, SC-Nonmyel2)								
gene	p_val	avg_log2FC	pct.1	pct.2	p_val_adj	Foldchange_UP	Foldchange_DOWN	Ratio_pct1_pct2
N4BP2L2	0,064469493	-0,142942493	0,634	0,389	1	0,905670083	1,104154834	1,629820051
ING2	0,068690098	-0,14314804	0,244	0,137	1	0,905541058	1,104312158	1,781021898
USP54	0,302725312	-0,143173374	0,073	0,042	1	0,905525156	1,104331551	1,738095238
MAK	0,126161321	-0,143289294	0	0,028	1	0,9054524	1,104420287	0
SYNGAP1	0,19414124	-0,143424705	0,012	0,042	1	0,905367419	1,104523953	0,285714286
SOCS1	0,53675687	-0,143462942	0,073	0,053	1	0,905343423	1,104553227	1,377358491
TTC32	0,027954801	-0,143548847	0,195	0,091	1	0,905289517	1,104618999	2,142857143
OFD1	0,062682971	-0,143600051	0,293	0,168	1	0,905257387	1,104658205	1,744047619
KHDC4	0,02047416	-0,143633377	0,28	0,14	1	0,905236475	1,104683723	2
TNRC18	0,191992699	-0,143667218	0,159	0,095	1	0,905215242	1,104709636	1,673684211
FBXO44	0,559094116	-0,1438016	0,085	0,063	1	0,905130928	1,10481254	1,349206349
AGO1	0,121557911	-0,14399314	0,171	0,098	1	0,905010766	1,104959231	1,744897959
HELZ	0,26266437	-0,144100692	0,232	0,154	1	0,904943301	1,105041608	1,506493506
SRSF12	0,312508215	-0,144299144	0,024	0,049	1	0,904818828	1,105193624	0,489795918
CCDC82	0,017439388	-0,144380662	0,415	0,218	1	0,904767704	1,105256073	1,903669725
KIF7	0,126161321	-0,144390924	0	0,028	1	0,904761268	1,105263935	0
TMEM64	0,067749407	-0,144451234	0,195	0,105	1	0,904723447	1,10531014	1,857142857
PCNX1	0,057295827	-0,144500263	0,146	0,07	1	0,904692701	1,105347704	2,085714286
ADCY3	0,728519207	-0,144533932	0,085	0,07	1	0,904671588	1,105373501	1,214285714
BTN2A1	0,031898705	-0,144585091	0,195	0,095	1	0,904639508	1,105412699	2,052631579
URB1-AS1	0,253953805	-0,144585201	0,061	0,032	1	0,904639439	1,105412783	1,90625
KRTAP2-3	0,530989227	-0,14464663	0,024	0,014	1	0,904600921	1,105459851	1,714285714
PKDCC	0,756692961	-0,144946881	0,098	0,081	1	0,904412677	1,105689942	1,209876543
PURB	0,000449433	-0,145000535	0,39	0,158	1	0,904379042	1,105731063	2,46835443
DENND4C	0,747483503	-0,145082864	0,073	0,06	1	0,904327434	1,105794165	1,216666667
AHI1	0,088584026	-0,145153406	0,378	0,242	1	0,904283217	1,105848236	1,561983471
MCU	0,508424566	-0,145206364	0,037	0,053	1	0,904250024	1,105888829	0,698113208
KRT6B	0,58754085	-0,145404111	0,037	0,025	1	0,904126089	1,106040421	1,48
TXLNG	0,058572154	-0,145407963	0,146	0,07	1	0,904123675	1,106043374	2,085714286
RNF146	0,000108019	-0,145523885	0,402	0,154	1	0,90405103	1,10613225	2,61038961

Supplementary Table 2

Differentially expressed genes_keloid-XL_comparing SC-Keloid vs. (SC-Myel, SC-Nonmyel, SC-Nonmyel2)								
gene	p_val	avg_log2FC	pct.1	pct.2	p_val_adj	Foldchange_UP	Foldchange_DOWN	Ratio_pct1_pct2
ZNF7	0,071300757	-0,145730105	0,061	0,021	1	0,903921814	1,106290373	2,904761905
ATM	0,072131727	-0,145731139	0,244	0,137	1	0,903921166	1,106291165	1,781021898
SRPK1	0,167896263	-0,145748323	0,146	0,084	1	0,9039104	1,106304342	1,738095238
COL11A2	0,071615029	-0,145783602	0	0,039	1	0,903888296	1,106331396	0
ACER3	0,560528605	-0,145887659	0,098	0,074	1	0,903823104	1,106411195	1,324324324
SHMT1	0,996821535	-0,145894439	0,073	0,07	1	0,903818856	1,106416395	1,042857143
ARHGAP4	0,517393619	-0,145895855	0,024	0,039	1	0,903817969	1,10641748	0,615384615
MAPK6	0,088137481	-0,145925738	0,268	0,158	1	0,903799248	1,106440398	1,696202532
PLAAT4	0,280260254	-0,146150521	0,012	0,035	1	0,90365844	1,106612804	0,342857143
SDCBP	5,55496E-05	-0,146155809	0,488	0,196	1	0,903655128	1,10661686	2,489795918
ABHD3	0,411643795	-0,146323054	0,134	0,095	1	0,903550377	1,106745152	1,410526316
LURAP1L	0,893814763	-0,146344243	0,037	0,039	1	0,903537107	1,106761407	0,948717949
LRP12	0,280695142	-0,146403754	0,146	0,095	1	0,903499837	1,106807062	1,536842105
TMEM183A	0,288777189	-0,146411245	0,183	0,123	1	0,903495146	1,106812809	1,487804878
MDM4	0,031023667	-0,146411508	0,451	0,26	1	0,903494981	1,106813011	1,734615385
PRRG3	0,086314699	-0,146438359	0	0,035	1	0,903478166	1,10683361	0
KIAA1549L	0,137770742	-0,146478583	0,012	0,049	1	0,903452976	1,106864471	0,244897959
APPBP2	0,144374625	-0,146504448	0,159	0,091	1	0,903436779	1,106884315	1,747252747
ADAM33	0,126161321	-0,146566449	0	0,028	1	0,903397954	1,106931885	0
ABCC8	0,104227568	-0,146756602	0	0,032	1	0,90327889	1,107077793	0
IFT46	0,131952545	-0,146759331	0,11	0,056	1	0,903277182	1,107079887	1,964285714
RABEP1	0,001023432	-0,146829194	0,39	0,165	1	0,903233441	1,107133499	2,363636364
ST6GALNAC2	0,071615029	-0,14698038	0	0,039	1	0,903138792	1,107249526	0
SCAPER	0,079425293	-0,146991628	0,134	0,067	1	0,903131751	1,107258159	2
GLCC1	0,729289595	-0,14704414	0,049	0,039	1	0,903098879	1,107298462	1,256410256
TRIM52	0,756019691	-0,147064819	0,073	0,06	1	0,903085934	1,107314334	1,216666667
AC116407.2	0,500826907	-0,147094032	0,049	0,032	1	0,903067648	1,107336756	1,53125
WASHC2C	0,378076752	-0,147131479	0,073	0,046	1	0,903044208	1,107365499	1,586956522
GRB2	0,024261055	-0,147195531	0,463	0,253	1	0,903004116	1,107414664	1,830039526
CCP110	0,46282761	-0,147195534	0,073	0,049	1	0,903004114	1,107414667	1,489795918

Supplementary Table 2

Differentially expressed genes_keloid-XL_comparing SC-Keloid vs. (SC-Myel, SC-Nonmyel, SC-Nonmyel2)								
gene	p_val	avg_log2FC	pct.1	pct.2	p_val_adj	Foldchange_UP	Foldchange_DOWN	Ratio_pct1_pct2
TRIM11	0,162037223	-0,147218927	0,11	0,06	1	0,902989473	1,107432623	1,833333333
KIF16B	0,901344687	-0,147329901	0,073	0,074	1	0,902920016	1,107517812	0,986486486
CREB1	0,120202116	-0,147339874	0,28	0,175	1	0,902913774	1,107525468	1,6
KIF5C	0,049502603	-0,147362266	0	0,046	1	0,90289976	1,107542657	0
HSPG2	0,36681924	-0,147484253	0,793	0,596	1	0,902823419	1,10763631	1,330536913
KDR	0,442988867	-0,147514047	0,037	0,021	1	0,902804775	1,107659184	1,761904762
RNF38	0,019979242	-0,147750437	0,183	0,081	1	0,902656859	1,107840693	2,259259259
ZBTB20-AS2	0,493879805	-0,147758453	0,012	0,025	1	0,902651843	1,107846848	0,48
MGST1	0,086314699	-0,147790932	0	0,035	1	0,902631523	1,107871789	0
TTC23	0,109744829	-0,147965106	0,134	0,07	1	0,902522556	1,108005549	1,914285714
OLFML2A	0,233097436	-0,148049722	0,634	0,442	1	0,902469624	1,108070536	1,43438914
ORC3	0,383524207	-0,148068547	0,11	0,074	1	0,902457848	1,108084995	1,486486486
SLC22A23	0,253953805	-0,148099009	0,061	0,032	1	0,902438793	1,108108393	1,90625
ZFTA	0,592521527	-0,148106708	0,037	0,049	1	0,902433977	1,108114306	0,755102041
CENPU	0,407171737	-0,148112229	0,012	0,028	1	0,902430523	1,108118547	0,428571429
ZNF621	0,465907558	-0,148174166	0,037	0,056	1	0,902391782	1,108166121	0,660714286
DNAJC6	0,041217527	-0,148176749	0	0,049	1	0,902390166	1,108168105	0
ANGPTL1	0,938357083	-0,148205841	0,049	0,049	1	0,90237197	1,108190451	1
PIK3IP1	0,861739194	-0,148214602	0,134	0,119	1	0,90236649	1,108197181	1,12605042
OTULIN	0,012245275	-0,148313265	0,183	0,077	1	0,902304781	1,108272971	2,376623377
ZNF276	0,66081788	-0,148331494	0,159	0,13	1	0,90229338	1,108286974	1,223076923
RPS6KB1	0,483906048	-0,14835733	0,134	0,098	1	0,902277222	1,108306822	1,367346939
RPL5	0,7586358	-0,14839364	0,915	0,807	1	0,902254514	1,108334716	1,133828996
MLXIP	0,940967255	-0,148550941	0,244	0,214	1	0,902156144	1,108455567	1,140186916
NPR3	0,049502603	-0,148605322	0	0,046	1	0,902122138	1,10849735	0
ENY2	0,61136656	-0,148831411	0,585	0,428	1	0,901980775	1,10867108	1,36682243
AP5B1	0,739665212	-0,148923937	0,049	0,039	1	0,901922929	1,108742186	1,256410256
KPNB1	0,092802272	-0,148981617	0,439	0,263	1	0,90188687	1,108786515	1,669201521
GIGYF1	0,468265366	-0,148982506	0,159	0,119	1	0,901886315	1,108787198	1,336134454
PFKM	0,727904339	-0,148997589	0,037	0,028	1	0,901876886	1,10879879	1,321428571

Supplementary Table 2

Differentially expressed genes_keloid-XL_comparing SC-Keloid vs. (SC-Myel, SC-Nonmyel, SC-Nonmyel2)								
gene	p_val	avg_log2FC	pct.1	pct.2	p_val_adj	Foldchange_UP	Foldchange_DOWN	Ratio_pct1_pct2
MTARC1	0,104227568	-0,149092122	0	0,032	1	0,901817792	1,108871447	0
NOM1	0,516553851	-0,149114539	0,037	0,053	1	0,901803779	1,108888678	0,698113208
FAM217B	0,020066105	-0,149149728	0,134	0,053	1	0,901781783	1,108915725	2,528301887
THEM4	0,061055436	-0,149150659	0,183	0,095	1	0,901781202	1,10891644	1,926315789
OBI1	0,042931865	-0,149166097	0,122	0,053	1	0,901771552	1,108928307	2,301886792
FAM120AOS	0,113959747	-0,149178701	0,22	0,126	1	0,901763673	1,108937995	1,746031746
LHFPL6	0,610151326	-0,149266861	0,22	0,175	1	0,90170857	1,109005762	1,257142857
IL16	0,190367951	-0,14926752	0,012	0,042	1	0,901708158	1,109006269	0,285714286
PTK2	0,059142233	-0,149311088	0,463	0,274	1	0,901680928	1,10903976	1,689781022
LRRC4	0,126161321	-0,149341958	0	0,028	1	0,901661635	1,109063491	0
RADIL	0,994113727	-0,14946093	0,037	0,035	1	0,901587282	1,109154954	1,057142857
MAPKBP1	0,472715076	-0,149561189	0,085	0,06	1	0,901524629	1,109232036	1,416666667
KCTD4	0,126161321	-0,14957457	0	0,028	1	0,901516267	1,109242325	0
UAP1L1	0,736031647	-0,14975275	0,073	0,081	1	0,901404933	1,109379329	0,901234568
EPOP	0,614137268	-0,149817623	0,024	0,035	1	0,9013644	1,109429216	0,685714286
GSAP	0,721906011	-0,150183208	0,037	0,028	1	0,90113602	1,109710385	1,321428571
HSPA4L	0,086314699	-0,150257284	0	0,035	1	0,901089752	1,109767365	0
LIN37	0,5245795	-0,150392533	0,024	0,039	1	0,901005281	1,109871409	0,615384615
NBPF12	0,855612483	-0,150542382	0,049	0,042	1	0,900911701	1,109986693	1,166666667
NHLRC3	0,083817045	-0,150573772	0,122	0,06	1	0,900892099	1,110010845	2,033333333
AC132192.1	0,23235895	-0,150612853	0,012	0,039	1	0,900867695	1,110040914	0,307692308
LRATD2	0,276713029	-0,150856804	0,012	0,035	1	0,900715377	1,110228631	0,342857143
H2BC18	0,277936202	-0,150971791	0,024	0,053	1	0,90064359	1,110317124	0,452830189
RFX7	0,069028916	-0,151062035	0,098	0,042	1	0,900587254	1,110386579	2,333333333
ENTPD1	0,689907146	-0,151098805	0,037	0,046	1	0,900564301	1,110414879	0,804347826
STK17B	0,841722995	-0,151166229	0,061	0,053	1	0,900522214	1,110466776	1,150943396
VCAM1	0,879365097	-0,151357153	0,024	0,021	1	0,900403049	1,110613743	1,142857143
EID2	0,04269002	-0,151455787	0,146	0,067	1	0,900341492	1,110689676	2,179104478
FARP2	0,581362486	-0,151483987	0,159	0,123	1	0,900323894	1,110711386	1,292682927
HTATIP2	0,5189655	-0,151538612	0,159	0,119	1	0,900289805	1,110753442	1,336134454

Supplementary Table 2

Differentially expressed genes_keloid-XL_comparing SC-Keloid vs. (SC-Myel, SC-Nonmyel, SC-Nonmyel2)								
gene	p_val	avg_log2FC	pct.1	pct.2	p_val_adj	Foldchange_UP	Foldchange_DOWN	Ratio_pct1_pct2
GPT2	0,796613111	-0,151601046	0,061	0,067	1	0,900250845	1,110801512	0,910447761
ZNF207	0,018174512	-0,151610613	0,585	0,319	1	0,900244876	1,110808878	1,833855799
PTPRS	0,336786239	-0,151676396	0,122	0,081	1	0,900203828	1,110859529	1,50617284
NOD1	0,334326668	-0,151710238	0,012	0,032	1	0,900182712	1,110885587	0,375
CDK11A	0,108661259	-0,151754704	0,134	0,07	1	0,900154967	1,110919827	1,914285714
ZNF43	0,375241237	-0,151757915	0,024	0,046	1	0,900152963	1,1109223	0,52173913
ZNF318	0,965073463	-0,15176727	0,049	0,046	1	0,900147126	1,110929503	1,065217391
SOX12	0,531026167	-0,151888102	0,11	0,081	1	0,900071738	1,111022552	1,358024691
PRMT2	0,011037521	-0,151940766	0,549	0,291	1	0,900038883	1,11106311	1,886597938
CDAN1	0,276713029	-0,151949364	0,012	0,035	1	0,900033519	1,111069732	0,342857143
PELI2	0,071615029	-0,151997044	0	0,039	1	0,900003774	1,111106452	0
FGD6	0,714432118	-0,15218774	0,024	0,032	1	0,899884819	1,111253328	0,75
ZNF667	0,071615029	-0,15218834	0	0,039	1	0,899884444	1,111253791	0
RAPGEF1	0,70094195	-0,152212307	0,061	0,07	1	0,899869495	1,111272252	0,871428571
PLEKHG5	0,229374221	-0,152218223	0,012	0,039	1	0,899865805	1,111276809	0,307692308
LMO2	0,3364279	-0,152366328	0,012	0,032	1	0,899773431	1,111390897	0,375
RP2	0,097599714	-0,152475869	0,232	0,133	1	0,899705115	1,111475285	1,744360902
KMT2B	0,120935406	-0,152540406	0,183	0,105	1	0,899664869	1,111525007	1,742857143
WFIKKN1	0,126161321	-0,1525683	0	0,028	1	0,899647475	1,111546498	0
BRD8	0,041077589	-0,152600297	0,244	0,133	1	0,899627522	1,111571151	1,834586466
TIFA	0,445166159	-0,152715542	0,024	0,042	1	0,899555661	1,111659949	0,571428571
PHF10	0,0773926	-0,152836089	0,293	0,168	1	0,8994805	1,111752839	1,744047619
R3HDM2	0,011434783	-0,152978053	0,378	0,193	1	0,899391994	1,111862243	1,958549223
DBNDD2	0,896075523	-0,153028065	0,134	0,119	1	0,899360817	1,111900787	1,12605042
MYCBP2	0,058359815	-0,153149377	0,305	0,175	1	0,899285195	1,111994288	1,742857143
MSTO1	0,252475247	-0,15321155	0,061	0,032	1	0,899246441	1,11204221	1,90625
C18orf25	0,822980697	-0,153318485	0,061	0,053	1	0,89917979	1,11212464	1,150943396
KIF20B	0,180291852	-0,15335504	0,098	0,053	1	0,899157007	1,112152819	1,849056604
ZNF324	0,436724529	-0,153618413	0,024	0,042	1	0,898992875	1,112355868	0,571428571
SOX7	0,615139979	-0,153650238	0,037	0,049	1	0,898973044	1,112380406	0,755102041

Supplementary Table 2

Differentially expressed genes_keloid-XL_comparing SC-Keloid vs. (SC-Myel, SC-Nonmyel, SC-Nonmyel2)								
gene	p_val	avg_log2FC	pct.1	pct.2	p_val_adj	Foldchange_UP	Foldchange_DOWN	Ratio_pct1_pct2
TMEM19	0,159941363	-0,153671625	0,122	0,067	1	0,898959717	1,112396897	1,820895522
CASKIN1	0,153186787	-0,153757441	0	0,025	1	0,898906246	1,112463068	0
SERINC1	0,467532909	-0,15391157	0,732	0,516	1	0,898810218	1,112581922	1,418604651
GBP4	0,401301665	-0,153983825	0,037	0,06	1	0,898765203	1,112637646	0,616666667
TACC1	0,005997804	-0,154040526	0,5	0,253	1	0,898729881	1,112681376	1,976284585
HK2	0,163975507	-0,154301429	0,024	0,063	1	0,898567365	1,112882616	0,380952381
POC5	0,174639985	-0,154398402	0,061	0,028	1	0,898506969	1,112957422	2,178571429
MSMO1	0,008078149	-0,154465468	0,244	0,109	1	0,898465201	1,113009162	2,23853211
PARP10	0,006934876	-0,154593693	0,22	0,091	1	0,89838535	1,113108089	2,417582418
KLHL8	0,828286125	-0,15461514	0,049	0,053	1	0,898371995	1,113124636	0,924528302
FREM2	0,262345472	-0,154667213	0,159	0,102	1	0,89833957	1,113164814	1,558823529
WDFY2	0,787888639	-0,154719497	0,134	0,116	1	0,898307014	1,113205157	1,155172414
PINX1	0,949322617	-0,154778442	0,073	0,067	1	0,898270312	1,113250641	1,089552239
XPO7	0,176871969	-0,154846031	0,11	0,06	1	0,89822823	1,113302797	1,833333333
STX4	0,044094753	-0,154857363	0,195	0,098	1	0,898221174	1,113311542	1,989795918
SETD7	0,074405682	-0,154880335	0,159	0,081	1	0,898206872	1,113329269	1,962962963
AMPD2	0,20703579	-0,154957628	0,122	0,07	1	0,898158751	1,113388918	1,742857143
GSR	0,111297434	-0,155080051	0,122	0,063	1	0,898082539	1,113483401	1,936507937
TOX2	0,505140689	-0,15528436	0,122	0,088	1	0,897955365	1,113641099	1,386363636
FBXO31	0,668209096	-0,155318245	0,11	0,088	1	0,897934275	1,113667256	1,25
IARS1	0,009832645	-0,15541578	0,171	0,067	1	0,897873572	1,113742549	2,552238806
CFL2	0,003220105	-0,155481895	0,28	0,119	1	0,897832425	1,11379359	2,352941176
TULP4	0,007017583	-0,155540262	0,341	0,161	1	0,897796102	1,113838652	2,118012422
MARCHF5	0,332328214	-0,155543888	0,232	0,165	1	0,897793846	1,113841451	1,406060606
SEC63	0,038716306	-0,155667252	0,329	0,182	1	0,897717079	1,113936699	1,807692308
LSM14A	0,03197738	-0,155708116	0,354	0,196	1	0,897691652	1,113968252	1,806122449
PTPN2	0,051835032	-0,155742703	0,207	0,109	1	0,897670131	1,113994958	1,899082569
AQR	0,07900023	-0,15575045	0,134	0,067	1	0,897665311	1,11400094	2
MEGF6	0,929957274	-0,155790244	0,073	0,067	1	0,89764055	1,114031668	1,089552239
VPS53	0,342676622	-0,155926908	0,085	0,053	1	0,897555523	1,114137204	1,603773585

Supplementary Table 2

Differentially expressed genes_keloid-XL_comparing SC-Keloid vs. (SC-Myel, SC-Nonmyel, SC-Nonmyel2)								
gene	p_val	avg_log2FC	pct.1	pct.2	p_val_adj	Foldchange_UP	Foldchange_DOWN	Ratio_pct1_pct2
TMEM184A	0,104227568	-0,155952062	0	0,032	1	0,897539874	1,114156629	0
CSNK1G3	0,163666349	-0,156037919	0,256	0,158	1	0,897486461	1,114222936	1,620253165
SNX1	0,214362594	-0,15606392	0,305	0,204	1	0,897470286	1,114243018	1,495098039
B3GNT5	0,287609915	-0,156392694	0,122	0,077	1	0,897265786	1,11449697	1,584415584
MME	0,126161321	-0,156437957	0	0,028	1	0,897237636	1,114531936	0
ESAM	0,338537609	-0,156473879	0,012	0,032	1	0,897215296	1,114559688	0,375
LEAP2	0,456551761	-0,156495916	0,037	0,056	1	0,897201591	1,114576713	0,660714286
HCG25	0,186763581	-0,156533655	0	0,021	1	0,897178122	1,114605869	0
TLE2	0,953630501	-0,15657716	0,073	0,067	1	0,897151068	1,114639481	1,089552239
SMC4	0,438535869	-0,156578964	0,146	0,105	1	0,897149946	1,114640874	1,39047619
NOLC1	0,242487776	-0,156666409	0,244	0,161	1	0,897095569	1,114708438	1,51552795
DPY19L4	0,193130266	-0,156693798	0,183	0,116	1	0,897078538	1,1147296	1,577586207
KAZN	0,309835704	-0,156826024	0,098	0,06	1	0,896996323	1,114831772	1,633333333
CUEDC2	2,55929E-05	-0,156840227	0,427	0,165	0,540035602	0,896987492	1,114842747	2,587878788
HLA-DOA	0,153186787	-0,156954615	0	0,025	1	0,896916375	1,114931144	0
POGK	0,365845344	-0,157134136	0,098	0,063	1	0,896804774	1,115069889	1,555555556
MKLN1	0,27542269	-0,157226402	0,207	0,14	1	0,896747422	1,115141204	1,478571429
ZNF738	0,073676783	-0,157230384	0,073	0,028	1	0,896744947	1,115144282	2,607142857
BCCIP	0,180946991	-0,157537793	0,134	0,077	1	0,89655389	1,115381921	1,74025974
ATXN7L3B	0,04305749	-0,157567025	0,232	0,119	1	0,896535723	1,115404522	1,949579832
PHACTR1	6,11008E-05	-0,157571147	0,39	0,144	1	0,896533162	1,115407709	2,708333333
MRPS5	0,022693045	-0,157595891	0,28	0,144	1	0,896517785	1,11542684	1,944444444
ATF7IP	0,324138511	-0,157655829	0,317	0,218	1	0,89648054	1,115473182	1,45412844
NOP16	0,948524099	-0,157759752	0,061	0,056	1	0,896415965	1,115553537	1,089285714
CEP192	0,935846368	-0,157844347	0,049	0,049	1	0,896363403	1,115618951	1
SMAD3	0,32556944	-0,157854728	0,037	0,063	1	0,896356954	1,115626979	0,587301587
TRNAU1AP	0,013985265	-0,157969404	0,207	0,091	1	0,896285707	1,11571566	2,274725275
SLFN11	0,08079325	-0,158068369	0,146	0,074	1	0,896224227	1,115792198	1,972972973
MAFA	0,46028135	-0,158096858	0,037	0,056	1	0,896206529	1,115814232	0,660714286
SCLT1	0,0126815	-0,158217206	0,195	0,084	1	0,896131772	1,115907316	2,321428571

Supplementary Table 2

Differentially expressed genes_keloid-XL_comparing SC-Keloid vs. (SC-Myel, SC-Nonmyel, SC-Nonmyel2)								
gene	p_val	avg_log2FC	pct.1	pct.2	p_val_adj	Foldchange_UP	Foldchange_DOWN	Ratio_pct1_pct2
SAP30	0,918186431	-0,15878578	0,183	0,172	1	0,895778671	1,116347188	1,063953488
ZNF407	0,190367951	-0,158894372	0,012	0,042	1	0,895711248	1,116431219	0,285714286
NFYC	0,09168476	-0,158909073	0,159	0,084	1	0,895702121	1,116442595	1,892857143
C11orf54	0,088107197	-0,158935774	0,122	0,06	1	0,895685544	1,116463258	2,033333333
LENG8	0,08602896	-0,158997104	0,28	0,168	1	0,895647468	1,116510721	1,666666667
BMP4	0,23235895	-0,159022342	0,012	0,039	1	0,8956318	1,116530253	0,307692308
LENG9	0,925810135	-0,159178164	0,049	0,049	1	0,89553507	1,116650853	1
HILPDA	0,068015387	-0,159255969	0,11	0,049	1	0,895486775	1,116711076	2,244897959
KIF13A	0,056483559	-0,159303185	0,183	0,095	1	0,895457468	1,116747624	1,926315789
TMC6	0,49683311	-0,159394019	0,012	0,025	1	0,895401091	1,116817938	0,48
MCFD2	0,027257337	-0,159746309	0,232	0,112	1	0,895182471	1,117090686	2,071428571
TOM1L2	0,121950216	-0,15985238	0,268	0,165	1	0,895116656	1,117172821	1,624242424
RAB3D	0,714432118	-0,160012197	0,024	0,032	1	0,895017504	1,117296584	0,75
DOCK10	0,071615029	-0,160024637	0	0,039	1	0,895009786	1,117306218	0
RHOG	0,037439507	-0,160038961	0,305	0,168	1	0,8950009	1,117317312	1,81547619
CCDC28A	0,234012924	-0,160072609	0,159	0,098	1	0,894980026	1,117343371	1,62244898
SP1	0,365820066	-0,160246379	0,134	0,091	1	0,894872234	1,117477962	1,472527473
FBXW11	0,097325553	-0,160287291	0,268	0,158	1	0,894846858	1,117509651	1,696202532
PARD3B	0,9345134	-0,160458287	0,061	0,056	1	0,894740802	1,117642112	1,089285714
CHADL	0,11768342	-0,160559412	0,329	0,204	1	0,894678088	1,117720456	1,612745098
DCP2	0,057031069	-0,160575056	0,159	0,077	1	0,894668386	1,117732576	2,064935065
JOSD1	0,036640557	-0,160656954	0,305	0,165	1	0,8946176	1,117796028	1,848484848
POU6F1	0,420064678	-0,160788917	0,061	0,039	1	0,894535773	1,117898278	1,564102564
ATAD2B	0,268584282	-0,160822654	0,085	0,049	1	0,894514855	1,11792442	1,734693878
CTR9	0,284773152	-0,160892839	0,098	0,06	1	0,894471339	1,117978806	1,633333333
USP19	0,332551477	-0,161314863	0,085	0,053	1	0,894209722	1,118305891	1,603773585
UIMC1	0,344020308	-0,161455825	0,122	0,081	1	0,894122356	1,118415162	1,50617284
HEBP1	0,788243537	-0,161518734	0,037	0,042	1	0,894083368	1,118463932	0,880952381
EXT1	0,994652556	-0,161564591	0,11	0,102	1	0,89405495	1,118499484	1,078431373
EIF3E	0,574237894	-0,161650346	0,61	0,428	1	0,894001808	1,11856597	1,425233645

Supplementary Table 2

Differentially expressed genes_keloid-XL_comparing SC-Keloid vs. (SC-Myel, SC-Nonmyel, SC-Nonmyel2)								
gene	p_val	avg_log2FC	pct.1	pct.2	p_val_adj	Foldchange_UP	Foldchange_DOWN	Ratio_pct1_pct2
CTSL	0,267598614	-0,161676106	0,28	0,189	1	0,893985845	1,118585943	1,481481481
STK17A	0,004881585	-0,161770501	0,537	0,27	1	0,893927354	1,118659134	1,988888889
BICD2	0,012953865	-0,161777158	0,329	0,158	1	0,893923229	1,118664296	2,082278481
GPATCH2L	0,004466332	-0,161798215	0,232	0,095	1	0,893910182	1,118680624	2,442105263
NRARP	0,864847936	-0,161799779	0,098	0,088	1	0,893909213	1,118681837	1,113636364
SPTLC2	0,085573718	-0,162070784	0,134	0,067	1	0,893741311	1,118891997	2
KIAA1671	0,272230099	-0,162148223	0,024	0,053	1	0,893693339	1,118952057	0,452830189
TRIM21	0,314233219	-0,162260791	0,037	0,018	1	0,89362361	1,119039368	2,055555556
ZNF507	0,472027267	-0,162277635	0,073	0,049	1	0,893613177	1,119052433	1,489795918
RAB30	0,118383916	-0,162423876	0,122	0,063	1	0,893522599	1,119165873	1,936507937
WDR44	0,582986136	-0,162501827	0,085	0,063	1	0,893474322	1,119226345	1,349206349
ICE2	0,036403179	-0,162765307	0,171	0,081	1	0,893311162	1,119430768	2,111111111
NFIL3	0,112609717	-0,16291765	0,585	0,4	1	0,893216837	1,119548982	1,4625
RABL2B	0,251002698	-0,163330691	0,061	0,032	1	0,892961147	1,119869553	1,90625
PHRF1	0,422265891	-0,163459541	0,098	0,067	1	0,892881398	1,119969575	1,462686567
CCDC71L	0,001242759	-0,163534635	0,268	0,105	1	0,892834923	1,120027873	2,552380952
DPT	0,908489202	-0,163579362	0,012	0,011	1	0,892807244	1,120062596	1,090909091
RNF113A	0,495648547	-0,163639398	0,098	0,07	1	0,892770091	1,120109208	1,4
ALKBH5	0,034993025	-0,163651923	0,366	0,204	1	0,892762341	1,120118932	1,794117647
TERF2IP	0,093148554	-0,163739883	0,634	0,396	1	0,892707912	1,120187227	1,601010101
ACAP2	0,003076372	-0,163843222	0,366	0,168	1	0,89264397	1,120267468	2,178571429
FAM193A	0,044315405	-0,163892678	0,195	0,098	1	0,89261337	1,120305872	1,989795918
STEEP1	0,5245795	-0,16419008	0,024	0,039	1	0,892429383	1,120536839	0,615384615
IDO1	0,597173043	-0,164653229	0,012	0,021	1	0,892142932	1,120896623	0,571428571
SMAD2	0,105244736	-0,164689772	0,341	0,207	1	0,892120335	1,120925015	1,647342995
LTN1	0,067569559	-0,164776372	0,244	0,133	1	0,892066785	1,120992303	1,834586466
FANCB	0,854556904	-0,164805325	0,073	0,063	1	0,892048883	1,1210148	1,158730159
EHBP1	0,060917799	-0,164808188	0,573	0,344	1	0,892047113	1,121017024	1,665697674
MYBL1	0,64686842	-0,164866172	0,085	0,067	1	0,892011261	1,12106208	1,268656716
GGCX	0,013556124	-0,164874122	0,159	0,063	1	0,892006345	1,121068258	2,523809524

Supplementary Table 2

Differentially expressed genes_keloid-XL_comparing SC-Keloid vs. (SC-Myel, SC-Nonmyel, SC-Nonmyel2)								
gene	p_val	avg_log2FC	pct.1	pct.2	p_val_adj	Foldchange_UP	Foldchange_DOWN	Ratio_pct1_pct2
SCRN3	0,858233476	-0,16489274	0,049	0,042	1	0,891994834	1,121082726	1,166666667
CYP2J2	0,126161321	-0,164993816	0	0,028	1	0,891932343	1,121161272	0
CAVIN4	0,902265112	-0,165106256	0,037	0,039	1	0,89186283	1,121248656	0,948717949
PPP3CA	0,030356852	-0,165114675	0,476	0,267	1	0,891857626	1,1212552	1,782771536
MPPE1	8,62207E-05	-0,165188604	0,22	0,063	1	0,891811925	1,121312658	3,492063492
TRMT2B	0,228958629	-0,165342716	0	0,018	1	0,891716665	1,121432445	0
MAVS	0,218024066	-0,165535556	0,11	0,063	1	0,89159748	1,121582354	1,746031746
MTF2	0,115127146	-0,165547414	0,195	0,112	1	0,891590152	1,121591572	1,741071429
ZNF708	0,881530583	-0,165595525	0,061	0,063	1	0,89156042	1,121628975	0,968253968
ACSS3	0,538693364	-0,165618888	0,073	0,053	1	0,891545982	1,121647139	1,377358491
NAT8L	0,37338964	-0,16576458	0,024	0,046	1	0,891455953	1,121760416	0,52173913
CCSER2	0,04834092	-0,165805181	0,463	0,27	1	0,891430865	1,121791986	1,714814815
NDST1	0,016527299	-0,165830932	0,244	0,116	1	0,891414954	1,121812009	2,103448276
DLL1	0,606078799	-0,165923603	0,024	0,035	1	0,891357696	1,121884071	0,685714286
ZNF622	0,021617883	-0,166085071	0,195	0,088	1	0,89125794	1,12200964	2,215909091
PLD6	0,230863158	-0,166111109	0,012	0,039	1	0,891241855	1,12202989	0,307692308
CFH	0,959903237	-0,166114804	0,049	0,046	1	0,891239572	1,122032764	1,065217391
RCC1	0,649062338	-0,166129462	0,073	0,056	1	0,891230516	1,122044164	1,303571429
MEGF10	0,126161321	-0,166348131	0	0,028	1	0,891095443	1,122214245	0
ACD	0,003384251	-0,166348739	0,171	0,06	1	0,891095068	1,122214718	2,85
SLC35D2	0,059252087	-0,166518148	0,134	0,063	1	0,890990437	1,122346502	2,126984127
KRT7	0,063408785	-0,166588123	0,049	0,014	1	0,890947222	1,122400941	3,5
HMG5	0,065507908	-0,166590212	0,11	0,049	1	0,890945932	1,122402566	2,244897959
TAF7	0,070912782	-0,166595304	0,537	0,326	1	0,890942787	1,122406527	1,647239264
PHLPP1	0,648777474	-0,166614924	0,085	0,067	1	0,890930671	1,122421792	1,268656716
MTHFR	0,919967107	-0,166818842	0,073	0,074	1	0,890804751	1,122580452	0,986486486
MBOAT1	0,158151635	-0,166847359	0,012	0,046	1	0,890787143	1,122602642	0,260869565
SYNGR2	0,904312358	-0,166889141	0,098	0,088	1	0,890761345	1,122635154	1,113636364
PDK3	0,955353009	-0,166945307	0,061	0,06	1	0,890726668	1,12267886	1,016666667
BBS2	0,60543617	-0,167065772	0,122	0,095	1	0,890652295	1,122772608	1,284210526

Supplementary Table 2

Differentially expressed genes_keloid-XL_comparing SC-Keloid vs. (SC-Myel, SC-Nonmyel, SC-Nonmyel2)								
gene	p_val	avg_log2FC	pct.1	pct.2	p_val_adj	Foldchange_UP	Foldchange_DOWN	Ratio_pct1_pct2
STXBP1	0,965794897	-0,167154992	0,098	0,095	1	0,890597216	1,122842045	1,031578947
COG2	0,436724529	-0,167378201	0,024	0,042	1	0,890459437	1,123015781	0,571428571
SZT2	0,027244837	-0,167552728	0,098	0,035	1	0,890351722	1,123151643	2,8
BMI1	0,033343733	-0,167582264	0,305	0,161	1	0,890333494	1,123174638	1,894409938
PNN	0,050207461	-0,167603952	0,573	0,34	1	0,89032011	1,123191523	1,685294118
SLU7	0,016390288	-0,167738268	0,305	0,154	1	0,890237224	1,123296098	1,980519481
MPV17L	0,608759699	-0,16791586	0,024	0,035	1	0,890127645	1,123434381	0,685714286
LINC00662	0,009604168	-0,168122066	0,183	0,074	1	0,890000427	1,123594966	2,472972973
ETF1	0,169074679	-0,168256529	0,39	0,253	1	0,889917481	1,123699693	1,541501976
LPIN3	0,782948141	-0,168455205	0,037	0,042	1	0,889794937	1,12385445	0,880952381
TJP2	0,092297305	-0,168547094	0,012	0,056	1	0,889738266	1,123926034	0,214285714
CRAMP1	0,45505613	-0,168573379	0,11	0,077	1	0,889722056	1,123946511	1,428571429
TWSG1	0,056060742	-0,168589716	0,268	0,147	1	0,889711981	1,123959238	1,823129252
WDR48	0,060908009	-0,168720365	0,183	0,095	1	0,889631413	1,124061028	1,926315789
NUDC	0,009373662	-0,169163847	0,573	0,295	1	0,889357983	1,124406616	1,942372881
TVP23C	0,526986103	-0,169300001	0,024	0,039	1	0,889274054	1,124512736	0,615384615
BMP2	0,131490976	-0,169333397	0,012	0,049	1	0,889253469	1,124538767	0,244897959
SLC2A1	0,280530349	-0,169356271	0,11	0,067	1	0,88923937	1,124556597	1,641791045
CCNT1	0,42253913	-0,16939121	0,122	0,084	1	0,889217835	1,124583832	1,452380952
ZCCHC4	0,493813928	-0,169391846	0,049	0,032	1	0,889217443	1,124584327	1,53125
GMFB	0,017593116	-0,169403875	0,329	0,165	1	0,889210029	1,124593704	1,993939394
TRMT13	0,057904734	-0,169620414	0,134	0,063	1	0,889076574	1,124762511	2,126984127
ACSL1	0,762441497	-0,169703279	0,073	0,06	1	0,889025509	1,124827117	1,216666667
CDYL	0,22750446	-0,169707806	0,195	0,126	1	0,88902272	1,124830646	1,547619048
GALT	0,548428076	-0,169859932	0,073	0,053	1	0,888928981	1,12494926	1,377358491
PCDHB4	0,5150097	-0,16986417	0,024	0,039	1	0,88892637	1,124952566	0,615384615
ARVCF	0,273649051	-0,169894114	0,024	0,053	1	0,88890792	1,124975915	0,452830189
SPIN1	0,285275204	-0,169990922	0,22	0,147	1	0,888848274	1,125051406	1,496598639
PPP1R3E	0,739665212	-0,170209521	0,049	0,039	1	0,888713605	1,125221888	1,256410256
NDC1	0,517393619	-0,17021639	0,024	0,039	1	0,888709373	1,125227245	0,615384615

Supplementary Table 2

Differentially expressed genes_keloid-XL_comparing SC-Keloid vs. (SC-Myel, SC-Nonmyel, SC-Nonmyel2)								
gene	p_val	avg_log2FC	pct.1	pct.2	p_val_adj	Foldchange_UP	Foldchange_DOWN	Ratio_pct1_pct2
PAPSS2	0,407171737	-0,170372883	0,012	0,028	1	0,888612978	1,125349308	0,428571429
SPATS2	0,512204675	-0,1705431	0,11	0,081	1	0,888508141	1,125482091	1,358024691
CD83	0,475980054	-0,170557089	0,122	0,088	1	0,888499526	1,125493004	1,386363636
ARMCX3	0,005049725	-0,170614172	0,512	0,26	1	0,888464371	1,125537537	1,969230769
EFNA5	0,742007514	-0,170650916	0,061	0,049	1	0,888441743	1,125566204	1,244897959
B3GAT1	0,191619666	-0,170671013	0,012	0,042	1	0,888429367	1,125581883	0,285714286
PHF1	0,451467404	-0,170786118	0,22	0,161	1	0,888358487	1,125671691	1,366459627
MT1A	0,687448661	-0,170907902	0,037	0,046	1	0,8882835	1,125766718	0,804347826
CHD7	0,064077257	-0,170941984	0,366	0,211	1	0,888262515	1,125793313	1,734597156
LPIN2	0,560584886	-0,171000763	0,061	0,077	1	0,888226326	1,125839181	0,792207792
EIF3A	0,067477603	-0,17101997	0,646	0,393	1	0,888214501	1,12585417	1,643765903
MLLT1	0,311456481	-0,171185648	0,171	0,116	1	0,888112505	1,12598347	1,474137931
DENND6A	0,899526474	-0,171216922	0,085	0,077	1	0,888093253	1,126007879	1,103896104
RBBP4	0,005818404	-0,171445696	0,378	0,186	1	0,887952436	1,126186449	2,032258065
EPC2	0,037479814	-0,171651203	0,28	0,147	1	0,887825959	1,126346881	1,904761905
TRAF3IP1	0,158445458	-0,171719546	0,122	0,067	1	0,887783902	1,12640024	1,820895522
SEC62	0,41214263	-0,171751184	0,817	0,547	1	0,887764433	1,126424942	1,493601463
PHLPP2	0,449143786	-0,17176118	0,037	0,056	1	0,887758282	1,126432746	0,660714286
UBQLN1	0,259994588	-0,171970704	0,256	0,168	1	0,887629362	1,126596351	1,523809524
EHMT2	0,433488747	-0,172098935	0,122	0,084	1	0,88755047	1,12669649	1,452380952
ELL2	0,113046836	-0,172215254	0,134	0,07	1	0,887478913	1,126787336	1,914285714
NUSAP1	0,607418359	-0,172245051	0,024	0,035	1	0,887460584	1,126810608	0,685714286
E2F3	0,436724529	-0,172494732	0,024	0,042	1	0,887307008	1,127005637	0,571428571
KRT8	0,861512651	-0,172564217	0,037	0,032	1	0,887264273	1,127059919	1,15625
MICALL2	0,001879043	-0,172732821	0,512	0,242	1	0,887160587	1,127191643	2,115702479
KAT6B	0,009973586	-0,172782104	0,317	0,154	1	0,887130282	1,127230149	2,058441558
FAM117B	0,628011784	-0,173158817	0,061	0,046	1	0,886898667	1,127524527	1,326086957
UTP18	0,915635859	-0,17327318	0,098	0,088	1	0,886828365	1,12761391	1,113636364
PALMD	0,92202407	-0,17336268	0,037	0,039	1	0,886773351	1,127683866	0,948717949
LEMD3	0,240402893	-0,173543073	0,146	0,091	1	0,886662477	1,127824879	1,604395604

Supplementary Table 2

Differentially expressed genes_keloid-XL_comparing SC-Keloid vs. (SC-Myel, SC-Nonmyel, SC-Nonmyel2)								
gene	p_val	avg_log2FC	pct.1	pct.2	p_val_adj	Foldchange_UP	Foldchange_DOWN	Ratio_pct1_pct2
GCLC	0,132374253	-0,173555109	0,012	0,049	1	0,886655079	1,127834288	0,244897959
WDR47	0,466614618	-0,173577927	0,159	0,116	1	0,886641056	1,127852126	1,370689655
SFRP2	0,081052074	-0,173603361	0,122	0,06	1	0,886625425	1,12787201	2,033333333
MAF	0,157145149	-0,173631535	0,695	0,467	1	0,88660811	1,127894036	1,488222698
FBXO34	0,817961369	-0,173677064	0,073	0,063	1	0,886580131	1,127929631	1,158730159
AC087239.1	0,464027923	-0,173680208	0,037	0,056	1	0,886578199	1,127932089	0,660714286
SHC4	0,346141973	-0,173698599	0,293	0,214	1	0,886566897	1,127946467	1,369158879
TAF1C	0,212229698	-0,17376137	0,11	0,063	1	0,886528324	1,127995545	1,746031746
UBN2	0,362399026	-0,173770002	0,159	0,109	1	0,88652302	1,128002294	1,458715596
PAAF1	0,152539636	-0,173802469	0,085	0,042	1	0,886503069	1,12802768	2,023809524
SCNN1D	0,490935921	-0,173833686	0,012	0,025	1	0,886483887	1,128052088	0,48
HIPK1	0,134189186	-0,173875184	0,293	0,186	1	0,886458389	1,128084536	1,575268817
PTPN21	0,362535727	-0,173971438	0,122	0,081	1	0,886399248	1,128159802	1,50617284
GGNBP2	0,06255033	-0,17421136	0,378	0,225	1	0,88625185	1,128347433	1,68
ZCCHC14	0,175750868	-0,174686563	0,22	0,137	1	0,88595998	1,128719155	1,605839416
SERP1	0,057352018	-0,174729341	0,561	0,337	1	0,885933711	1,128752623	1,664688427
NCAPD3	0,312508215	-0,174732407	0,024	0,049	1	0,885931828	1,128755022	0,489795918
PIAS4	0,94211979	-0,174839592	0,11	0,102	1	0,88586601	1,128838886	1,078431373
ZRANB1	0,097453441	-0,174859694	0,22	0,126	1	0,885853667	1,128854615	1,746031746
HERC2	0,098435253	-0,175019547	0,317	0,189	1	0,885755518	1,128979701	1,677248677
ARL5B	0,557021159	-0,175200577	0,207	0,158	1	0,88564438	1,129121375	1,310126582
CECR2	0,399910239	-0,175209732	0,085	0,116	1	0,88563876	1,12912854	0,732758621
FGF1	0,881530583	-0,175294447	0,061	0,063	1	0,885586757	1,129194844	0,968253968
ZNF623	0,967659139	-0,175349033	0,049	0,046	1	0,88555325	1,12923757	1,065217391
SLC8B1	0,592521527	-0,175373046	0,037	0,049	1	0,885538511	1,129256365	0,755102041
NUMBL	0,026350079	-0,17543057	0,159	0,07	1	0,885503203	1,129301392	2,271428571
CERT1	0,81865819	-0,175521632	0,134	0,116	1	0,885447312	1,129372676	1,155172414
SSH2	0,787851443	-0,175642812	0,159	0,133	1	0,885372942	1,129467542	1,195488722
RNF2	0,581116746	-0,176024088	0,098	0,074	1	0,885138986	1,129766078	1,324324324
EXOC5	0,002478714	-0,176201406	0,256	0,102	1	0,885030202	1,129904943	2,509803922

Supplementary Table 2

Differentially expressed genes_keloid-XL_comparing SC-Keloid vs. (SC-Myel, SC-Nonmyel, SC-Nonmyel2)								
gene	p_val	avg_log2FC	pct.1	pct.2	p_val_adj	Foldchange_UP	Foldchange_DOWN	Ratio_pct1_pct2
KCTD6	0,872570963	-0,176411097	0,085	0,074	1	0,884901575	1,130069183	1,148648649
H2AC19	0,158151635	-0,176459325	0,012	0,046	1	0,884871994	1,130106961	0,260869565
ITCH	0,225486995	-0,17646248	0,22	0,14	1	0,884870059	1,130109432	1,571428571
AP1S2	0,338355428	-0,176615067	0,793	0,593	1	0,884776475	1,130228965	1,337268128
ZSWIM8	0,178029146	-0,176646109	0,183	0,112	1	0,884757438	1,130253284	1,633928571
ITPK1-AS1	0,131490976	-0,176875405	0,012	0,049	1	0,88461683	1,130432935	0,244897959
ZBED3	0,280260254	-0,177147079	0,012	0,035	1	0,884450263	1,130645828	0,342857143
LYST	0,036585764	-0,177252982	0,354	0,196	1	0,884385342	1,130728827	1,806122449
TMEM161B-DT	0,182127436	-0,177534485	0,098	0,053	1	0,884212794	1,13094948	1,849056604
SFXN5	0,162821864	-0,177613894	0,207	0,13	1	0,884164127	1,131011732	1,592307692
SPHK1	0,300883361	-0,177757094	0,39	0,27	1	0,88407637	1,131124	1,444444444
RAB7A	0,035853008	-0,177974068	0,707	0,411	1	0,88394342	1,131294128	1,720194647
TMEM71	0,811317121	-0,178001476	0,061	0,053	1	0,883926627	1,13131562	1,150943396
COMP	0,490935921	-0,178059596	0,012	0,025	1	0,883891018	1,131361197	0,48
NAV2-AS3	0,113139415	-0,178106873	0,012	0,053	1	0,883862053	1,131398272	0,226415094
NKTR	0,004462013	-0,178207924	0,61	0,319	1	0,883800147	1,131477522	1,912225705
SLC12A2	0,323271938	-0,178618708	0,171	0,116	1	0,883548535	1,131799738	1,474137931
PCBP2	0,492893486	-0,178730506	0,707	0,505	1	0,883480069	1,131887447	1,4
TCF7	0,553574766	-0,178823119	0,061	0,077	1	0,883423356	1,13196011	0,792207792
FAM126B	0,478853974	-0,178876938	0,122	0,088	1	0,883390402	1,132002338	1,386363636
STAU1	0,067226207	-0,178883567	0,378	0,225	1	0,883386343	1,132007539	1,68
MRPL1	0,055424769	-0,178964335	0,146	0,07	1	0,883336888	1,132070916	2,085714286
CAMK2B	0,328774407	-0,179279076	0,024	0,049	1	0,883144199	1,132317917	0,489795918
RAB6A	0,003081265	-0,179411354	0,573	0,274	1	0,883063228	1,132421743	2,091240876
CDC14A	0,953065998	-0,179499431	0,061	0,06	1	0,883009319	1,132490879	1,016666667
CXCL8	0,170158373	-0,179546159	0,11	0,06	1	0,88298072	1,13252756	1,833333333
ATXN3	0,40574204	-0,179572281	0,159	0,112	1	0,882964732	1,132548067	1,419642857
TRPM3	0,059506563	-0,17958035	0	0,042	1	0,882959794	1,132554401	0
GTF2A1	0,027679506	-0,179649886	0,268	0,137	1	0,882917237	1,132608989	1,95620438
RALGPS2	0,182501042	-0,179681468	0,159	0,095	1	0,882897909	1,132633784	1,673684211

Supplementary Table 2

Differentially expressed genes_keloid-XL_comparing SC-Keloid vs. (SC-Myel, SC-Nonmyel, SC-Nonmyel2)								
gene	p_val	avg_log2FC	pct.1	pct.2	p_val_adj	Foldchange_UP	Foldchange_DOWN	Ratio_pct1_pct2
SLC27A1	0,432860287	-0,179725505	0,171	0,123	1	0,88287096	1,132668357	1,390243902
LONRF3	0,071615029	-0,179798042	0	0,039	1	0,882826571	1,132725308	0
WDR59	0,323471241	-0,179800272	0,11	0,07	1	0,882825207	1,132727058	1,571428571
G3BP2	0,012168379	-0,179804154	0,293	0,14	1	0,882822831	1,132730107	2,092857143
OSGIN2	0,167373049	-0,179887451	0,134	0,077	1	0,882771861	1,132795509	1,74025974
CEP104	0,568154413	-0,179930467	0,073	0,053	1	0,882745541	1,132829285	1,377358491
IFIT1	0,848754153	-0,179964735	0,085	0,088	1	0,882724573	1,132856193	0,965909091
CCNL2	0,011917589	-0,180296323	0,488	0,256	1	0,882521712	1,133116598	1,90625
NUMB	0,068676555	-0,18055811	0,293	0,168	1	0,882361587	1,133322229	1,744047619
TIAL1	0,031746157	-0,180654704	0,451	0,246	1	0,882302511	1,133398112	1,833333333
KCNIP4	0,086314699	-0,180783643	0	0,035	1	0,88222366	1,133499412	0
CHM	0,050113162	-0,180815588	0,183	0,091	1	0,882204125	1,133524511	2,010989011
TMEM38B	0,419827259	-0,180905891	0,122	0,084	1	0,882148907	1,133595464	1,452380952
LIN7C	0,010718705	-0,18095689	0,317	0,151	1	0,882117724	1,133635538	2,099337748
C1orf35	0,033182763	-0,181033191	0,256	0,133	1	0,882071072	1,133695495	1,92481203
LMTK2	0,782948141	-0,181148641	0,037	0,042	1	0,882000488	1,133786221	0,880952381
SOS2	0,031455796	-0,181239148	0,341	0,182	1	0,881945158	1,13385735	1,873626374
PHF14	0,088170879	-0,181281999	0,256	0,151	1	0,881918962	1,133891029	1,695364238
PPP1R1B	0,104227568	-0,181351888	0	0,032	1	0,881876241	1,13394596	0
NCBP3	0,020306258	-0,181359505	0,244	0,119	1	0,881871584	1,133951947	2,050420168
RBM10	0,940249638	-0,18137837	0,134	0,123	1	0,881860053	1,133966775	1,089430894
WDFY3	0,464579482	-0,181475822	0,122	0,088	1	0,881800486	1,134043376	1,386363636
L3MBTL3	0,235908114	-0,181568698	0,024	0,056	1	0,881743721	1,134116384	0,428571429
BMPR2	0,074768945	-0,181579991	0,354	0,207	1	0,881736819	1,134125261	1,710144928
AC019117.2	0,233109121	-0,181615493	0,012	0,039	1	0,881715121	1,13415317	0,307692308
PFKFB2	0,109391882	-0,181651272	0,012	0,053	1	0,881693255	1,134181298	0,226415094
SLC66A2	0,545677043	-0,182146414	0,159	0,119	1	0,881390704	1,134570623	1,336134454
CHMP4B	0,029818023	-0,182270242	0,512	0,281	1	0,881315057	1,134668008	1,822064057
IFIT3	0,148597029	-0,182752272	0,183	0,112	1	0,881020643	1,135047184	1,633928571
STRN3	0,064384436	-0,182784172	0,293	0,165	1	0,881001162	1,135072282	1,775757576

Supplementary Table 2

Differentially expressed genes_keloid-XL_comparing SC-Keloid vs. (SC-Myel, SC-Nonmyel, SC-Nonmyel2)								
gene	p_val	avg_log2FC	pct.1	pct.2	p_val_adj	Foldchange_UP	Foldchange_DOWN	Ratio_pct1_pct2
CYB5R2	0,033805237	-0,182852884	0,207	0,102	1	0,880959203	1,135126344	2,029411765
MGME1	0,000372701	-0,182909501	0,146	0,035	1	0,880924632	1,135170892	4,171428571
RBP1	0,947169223	-0,183040383	0,073	0,067	1	0,880844718	1,13527388	1,089552239
ZNF394	0,730504652	-0,183206849	0,073	0,06	1	0,880743087	1,135404881	1,216666667
KBTBD7	0,943851882	-0,183268102	0,061	0,056	1	0,880705694	1,135453089	1,089285714
TARS3	0,17373278	-0,183323561	0,268	0,168	1	0,880671839	1,135496738	1,595238095
CAMK2D	0,077818116	-0,183408544	0,28	0,165	1	0,880619964	1,135563627	1,696969697
VSIR	0,439980449	-0,183506986	0,037	0,056	1	0,880559877	1,135641115	0,660714286
PRKAR2A	0,06191058	-0,183525083	0,244	0,133	1	0,880548832	1,13565536	1,834586466
ZDHHC21	0,003777074	-0,183669106	0,171	0,06	1	0,880460931	1,135768737	2,85
SGMS2	0,504248768	-0,183737696	0,049	0,067	1	0,880419073	1,135822736	0,731343284
IKZF5	0,702730963	-0,183747901	0,085	0,095	1	0,880412845	1,13583077	0,894736842
UVSSA	0,592521527	-0,183909979	0,037	0,049	1	0,880313942	1,135958381	0,755102041
ELP2	0,571728117	-0,184236982	0,159	0,123	1	0,880114431	1,136215888	1,292682927
SDK2	0,041217527	-0,184284994	0	0,049	1	0,880085142	1,136253701	0
FAM72B	0,716389659	-0,184294951	0,049	0,039	1	0,880079068	1,136261544	1,256410256
POMT1	0,044056385	-0,184876422	0,122	0,053	1	0,879724428	1,1367196	2,301886792
AHCYL2	0,263822203	-0,18499305	0,024	0,053	1	0,879653313	1,136811497	0,452830189
HSPA1L	0,58754085	-0,185075628	0,037	0,025	1	0,879602965	1,136876568	1,48
PDLIM5	0,055349599	-0,185104846	0,22	0,116	1	0,879585151	1,136899593	1,896551724
ZNF570	0,493879805	-0,185261235	0,012	0,025	1	0,879489809	1,13702284	0,48
ZNF844	0,73897817	-0,185340164	0,073	0,06	1	0,879441694	1,137085048	1,216666667
ATG12	0,043925296	-0,185354401	0,28	0,154	1	0,879433015	1,137096269	1,818181818
NOP53	0,869838522	-0,185369822	0,744	0,551	1	0,879423614	1,137108424	1,350272232
ENO2	0,911790399	-0,185632829	0,11	0,098	1	0,879263308	1,13731574	1,12244898
ADAMTS7	0,023320626	-0,185644114	0,427	0,232	1	0,87925643	1,137324637	1,840517241
ZMYM3	0,920796342	-0,185705314	0,049	0,049	1	0,879219132	1,137372884	1
ITPR2	0,394998293	-0,185769945	0,049	0,074	1	0,879179745	1,137423838	0,662162162
TSPYL4	0,471481354	-0,185934429	0,11	0,077	1	0,879079515	1,137553524	1,428571429
CRYBG3	0,357459095	-0,18602131	0,098	0,063	1	0,879026577	1,137622031	1,555555556

Supplementary Table 2

Differentially expressed genes_keloid-XL_comparing SC-Keloid vs. (SC-Myel, SC-Nonmyel, SC-Nonmyel2)								
gene	p_val	avg_log2FC	pct.1	pct.2	p_val_adj	Foldchange_UP	Foldchange_DOWN	Ratio_pct1_pct2
SRRT	0,146271158	-0,186221665	0,256	0,158	1	0,87890451	1,13778003	1,620253165
MOB1A	0,017100825	-0,186249904	0,427	0,228	1	0,878887306	1,137802302	1,872807018
ADD1	0,133758972	-0,18631627	0,585	0,375	1	0,878846878	1,137854643	1,56
CYB5D2	0,004166177	-0,186533988	0,134	0,042	1	0,87871426	1,13802637	3,19047619
USP38	0,882648236	-0,186582536	0,122	0,119	1	0,878684691	1,138064667	1,025210084
CLCN5	0,568740001	-0,186741684	0,049	0,063	1	0,878587766	1,138190217	0,777777778
NPHP3	0,091215189	-0,186767421	0,171	0,091	1	0,878572093	1,138210522	1,879120879
PAXX	0,001477092	-0,186885162	0,463	0,211	1	0,878500394	1,138303417	2,194312796
PLEKHA3	0,085896554	-0,187020661	0,293	0,172	1	0,878417888	1,138410332	1,703488372
GNAZ	0,879365097	-0,1870445	0,024	0,021	1	0,878403373	1,138429144	1,142857143
SYT14	0,086314699	-0,187151145	0	0,035	1	0,878338444	1,1385133	0
FUOM	0,173308367	-0,187259135	0,134	0,077	1	0,8782727	1,138598525	1,74025974
ZNF654	0,886738719	-0,187400084	0,11	0,098	1	0,878186898	1,138709769	1,12244898
CITED2	0,143686642	-0,187764087	0,28	0,179	1	0,877965353	1,138997111	1,56424581
MRPS31	0,321002406	-0,18783996	0,11	0,07	1	0,877919181	1,139057013	1,571428571
SOX15	0,473879216	-0,188121357	0,073	0,049	1	0,87774796	1,139279207	1,489795918
LINC00511	0,02377333	-0,188278597	0,451	0,242	1	0,877652299	1,139403384	1,863636364
CDC73	0,015183954	-0,188343381	0,366	0,189	1	0,877612889	1,13945455	1,936507937
ZSCAN18	0,144721262	-0,188352136	0,22	0,133	1	0,877607563	1,139461465	1,654135338
HERC3	0,059506563	-0,188396565	0	0,042	1	0,877580537	1,139496557	0
SETD1B	0,660866937	-0,188483201	0,049	0,06	1	0,877527839	1,139564987	0,816666667
RPL38	0,437855746	-0,188710458	0,939	0,895	1	0,877389619	1,139744509	1,049162011
TP53INP2	0,764923904	-0,188780582	0,11	0,091	1	0,877346973	1,139799909	1,208791209
CCSAP	0,704577198	-0,18879715	0,098	0,077	1	0,877336898	1,139812998	1,272727273
ZNF514	0,734471344	-0,188891913	0,049	0,039	1	0,877279272	1,139887869	1,256410256
TMEM116	0,588044005	-0,188969079	0,037	0,049	1	0,87723235	1,13994884	0,755102041
PWWP2A	0,002346552	-0,189114993	0,268	0,109	1	0,877143631	1,140064141	2,458715596
EFEMP1	0,153186787	-0,189125753	0	0,025	1	0,877137089	1,140072643	0
ZNF141	0,456222156	-0,189275633	0,098	0,067	1	0,877045969	1,14019109	1,462686567
SELE	0,250257255	-0,189371624	0,134	0,084	1	0,876987616	1,140266956	1,595238095

Supplementary Table 2

Differentially expressed genes_keloid-XL_comparing SC-Keloid vs. (SC-Myel, SC-Nonmyel, SC-Nonmyel2)								
gene	p_val	avg_log2FC	pct.1	pct.2	p_val_adj	Foldchange_UP	Foldchange_DOWN	Ratio_pct1_pct2
GXYLT1	0,454646118	-0,189413713	0,098	0,067	1	0,876962032	1,140300223	1,462686567
DYNC2I1	0,021794518	-0,189610135	0,268	0,133	1	0,876842642	1,140455485	2,015037594
USP37	0,715193444	-0,189721648	0,073	0,081	1	0,876774869	1,140543639	0,901234568
DENND2A	0,591541809	-0,189756975	0,098	0,074	1	0,8767534	1,140571568	1,324324324
PLCE1	0,704450109	-0,189770121	0,134	0,109	1	0,876745411	1,140581961	1,229357798
SLC22A17	0,271078763	-0,189794458	0,61	0,404	1	0,876730621	1,140601202	1,50990099
TSPAN13	0,322689403	-0,189847419	0,037	0,063	1	0,876698437	1,140643074	0,587301587
C21orf91	0,941822149	-0,189975491	0,049	0,046	1	0,876620614	1,140744336	1,065217391
GNPTAB	0,278945307	-0,19021588	0,122	0,077	1	0,876474559	1,140934428	1,584415584
CCDC146	0,682541613	-0,19022559	0,037	0,046	1	0,87646866	1,140942108	0,804347826
ZC4H2	0,490935921	-0,190261117	0,012	0,025	1	0,876447077	1,140970204	0,48
WNK3	0,459175933	-0,190584346	0,073	0,049	1	0,876250735	1,141225862	1,489795918
FRMD8	0,1370862	-0,191047477	0,244	0,147	1	0,875969488	1,141592275	1,659863946
VPS13D	0,74174951	-0,19112655	0,073	0,081	1	0,875921478	1,141654847	0,901234568
BRSK2	0,059506563	-0,191176263	0	0,042	1	0,875891295	1,141694186	0
RBM22	0,430921189	-0,191192541	0,244	0,172	1	0,875881413	1,141707069	1,418604651
ZNRF2	0,425475815	-0,191203244	0,317	0,232	1	0,875874915	1,141715538	1,36637931
RASA2	0,965047968	-0,191303664	0,073	0,07	1	0,875813951	1,141795012	1,042857143
STXBP5	0,37150382	-0,191415663	0,098	0,063	1	0,875745963	1,141883654	1,555555556
RARA	0,031667474	-0,191784823	0,439	0,246	1	0,875521903	1,142175879	1,784552846
SP3	0,030075753	-0,191796504	0,329	0,175	1	0,875514815	1,142185127	1,88
TMEM170A	0,183445963	-0,192039648	0,195	0,119	1	0,875367273	1,142377641	1,638655462
ABTB1	0,632497817	-0,192150547	0,061	0,046	1	0,875299986	1,142465458	1,326086957
CARHSP1	0,1042565	-0,192462356	0,195	0,109	1	0,875110829	1,142712405	1,788990826
ARID2	0,13279458	-0,192736836	0,183	0,105	1	0,87494435	1,142929833	1,742857143
C11orf91	0,92831815	-0,192743437	0,049	0,049	1	0,874940347	1,142935062	1
UBE4B	0,563318732	-0,193010484	0,122	0,091	1	0,874778408	1,143146642	1,340659341
NUMA1	0,182743342	-0,193191968	0,366	0,246	1	0,874668372	1,143290454	1,487804878
SNTB2	0,417159168	-0,193373192	0,183	0,13	1	0,874558508	1,143434077	1,407692308
PSD3	0,795549473	-0,193556882	0,061	0,067	1	0,874447162	1,143579673	0,910447761

Supplementary Table 2

Differentially expressed genes_keloid-XL_comparing SC-Keloid vs. (SC-Myel, SC-Nonmyel, SC-Nonmyel2)								
gene	p_val	avg_log2FC	pct.1	pct.2	p_val_adj	Foldchange_UP	Foldchange_DOWN	Ratio_pct1_pct2
POLG	0,263382489	-0,193611795	0,134	0,084	1	0,874413879	1,143623202	1,595238095
PLIN2	0,256033247	-0,193790238	0,134	0,084	1	0,874305732	1,143764663	1,595238095
MLLT10	0,140048898	-0,193804206	0,171	0,098	1	0,874297267	1,143775736	1,744897959
ATRX	0,151500557	-0,193880708	0,561	0,358	1	0,874250907	1,143836389	1,567039106
ADGRA2	0,157823425	-0,193893833	0,195	0,119	1	0,874242953	1,143846795	1,638655462
NKX6-2	0,071615029	-0,193965071	0	0,039	1	0,874199785	1,143903278	0
DEK	0,058579948	-0,194015286	0,585	0,354	1	0,874169358	1,143943094	1,652542373
MIPOL1	0,982342462	-0,194136498	0,037	0,035	1	0,874095916	1,144039209	1,057142857
CMC2	0,014541435	-0,19446421	0,561	0,305	1	0,873897385	1,14429911	1,839344262
MFSD14A	0,380891196	-0,194585012	0,159	0,109	1	0,873824213	1,144394931	1,458715596
SIPA1L1	0,453842854	-0,194664434	0,146	0,105	1	0,873776109	1,144457933	1,39047619
ZBTB37	0,497273414	-0,194758857	0,098	0,07	1	0,873718924	1,144532838	1,4
NECTIN1	0,315718299	-0,19489959	0,024	0,049	1	0,873633698	1,144644492	0,489795918
EIF4A3	0,010976332	-0,194923163	0,439	0,225	1	0,873619423	1,144663195	1,951111111
UFM1	0,002901898	-0,194988967	0,439	0,211	1	0,873579576	1,144715407	2,08056872
ATOH8	0,041217527	-0,195070924	0	0,049	1	0,873529952	1,144780437	0
TUBA1A	0,50454474	-0,195233034	0,878	0,789	1	0,873431802	1,144909079	1,112801014
KIAA0930	0,872205427	-0,195311572	0,146	0,13	1	0,873384255	1,144971408	1,123076923
STK24	0,757859293	-0,195562487	0,11	0,091	1	0,873232368	1,14517056	1,208791209
TGFB2	0,136074933	-0,195898695	0,171	0,098	1	0,873028892	1,145437464	1,744897959
ZDBF2	0,404681217	-0,195966728	0,012	0,028	1	0,872987724	1,14549148	0,428571429
NCOR1	0,021412571	-0,196045989	0,451	0,242	1	0,872939764	1,145554415	1,863636364
DUSP15	0,14448804	-0,196205414	0,134	0,074	1	0,872843305	1,145681011	1,810810811
GFRA2	0,299182533	-0,196251242	0,207	0,14	1	0,872815579	1,145717404	1,478571429
SLC25A36	0,847951473	-0,196509449	0,268	0,225	1	0,87265938	1,145922479	1,191111111
ATXN1	0,122922436	-0,196719394	0,256	0,154	1	0,872532398	1,146089248	1,662337662
UBE2B	0,131098358	-0,196991119	0,634	0,411	1	0,872368076	1,146305129	1,542579075
MORC4	0,5114561	-0,197020763	0,049	0,067	1	0,872350151	1,146328683	0,731343284
CTNNA3	0,071615029	-0,197224972	0	0,039	1	0,872226681	1,146490954	0
UBD	0,228958629	-0,197266091	0	0,018	1	0,872201822	1,146523632	0

Supplementary Table 2

Differentially expressed genes_keloid-XL_comparing SC-Keloid vs. (SC-Myel, SC-Nonmyel, SC-Nonmyel2)								
gene	p_val	avg_log2FC	pct.1	pct.2	p_val_adj	Foldchange_UP	Foldchange_DOWN	Ratio_pct1_pct2
ISCU	0,121433155	-0,197495776	0,5	0,305	1	0,872062974	1,146706179	1,639344262
EHD1	0,840251839	-0,197642668	0,085	0,088	1	0,871974186	1,14682294	0,965909091
SORBS2	0,009570943	-0,197757413	0,415	0,211	1	0,871904837	1,146914156	1,966824645
NR1H3	0,5150097	-0,197925534	0,024	0,039	1	0,871803237	1,147047817	0,615384615
RAB10	0,054275304	-0,198127079	0,524	0,309	1	0,871681455	1,147208071	1,69579288
BAZ2B	0,352403654	-0,198839596	0,268	0,189	1	0,871251056	1,147774793	1,417989418
EPC1	0,009578096	-0,19898746	0,463	0,239	1	0,871161765	1,147892436	1,937238494
MT-ATP8	0,074560568	-0,19910738	0,232	0,13	1	0,871089354	1,147987856	1,784615385
DUSP1	0,141073024	-0,199196793	0,744	0,537	1	0,871035369	1,148059006	1,38547486
BAZ1A	0,035945602	-0,199266393	0,378	0,214	1	0,870993349	1,148114393	1,76635514
CCDC9	0,332551477	-0,199380596	0,085	0,053	1	0,870924404	1,148205281	1,603773585
SYPL1	0,255085653	-0,199391209	0,537	0,365	1	0,870917997	1,148213727	1,471232877
ERBB2	0,170533549	-0,199569022	0,378	0,246	1	0,870810663	1,148355254	1,536585366
PHLDB2	0,024922567	-0,199721655	0,317	0,168	1	0,870718538	1,148476754	1,886904762
INPP5E	0,666061637	-0,200096875	0,085	0,067	1	0,870492109	1,148775491	1,268656716
SLC35F1	0,059913261	-0,200114203	0,329	0,186	1	0,870481654	1,148789289	1,768817204
GOLGA7	0,281287617	-0,200219876	0,439	0,298	1	0,870417896	1,148873438	1,473154362
AIDA	0,002369328	-0,200366955	0,366	0,165	1	0,870329164	1,148990568	2,218181818
SLAIN2	0,144366276	-0,20036797	0,341	0,218	1	0,870328551	1,148991376	1,564220183
MAP4K3	0,152035006	-0,20038004	0,183	0,109	1	0,87032127	1,14900099	1,678899083
NPIP4	0,438160739	-0,200406444	0,037	0,056	1	0,870305342	1,149022018	0,660714286
TENM4	0,229374221	-0,200431463	0,012	0,039	1	0,870290249	1,149041944	0,307692308
TARS1	0,067610649	-0,200458438	0,341	0,196	1	0,870273977	1,149063429	1,739795918
RAB33B	0,478684152	-0,200671427	0,146	0,105	1	0,870145506	1,149233081	1,39047619
KCTD1	0,478134504	-0,200716328	0,122	0,088	1	0,870118424	1,149268849	1,386363636
CDK2AP2	0,162168886	-0,201069965	0,61	0,379	1	0,869905165	1,149550595	1,609498681
ZNF710	0,893814763	-0,201443461	0,037	0,039	1	0,869679986	1,149848238	0,948717949
MTO1	0,436724529	-0,201549366	0,024	0,042	1	0,869616147	1,149932649	0,571428571
IMP3	0,041455317	-0,201762153	0,256	0,137	1	0,869487895	1,150102269	1,868613139
ADIPOR2	0,505941352	-0,201789568	0,146	0,109	1	0,869471372	1,150124124	1,339449541

Supplementary Table 2

Differentially expressed genes_keloid-XL_comparing SC-Keloid vs. (SC-Myel, SC-Nonmyel, SC-Nonmyel2)								
gene	p_val	avg_log2FC	pct.1	pct.2	p_val_adj	Foldchange_UP	Foldchange_DOWN	Ratio_pct1_pct2
SRGAP3	0,049502603	-0,202111338	0	0,046	1	0,869277472	1,150380669	0
KIAA2026	0,11728245	-0,202160093	0,305	0,186	1	0,869248096	1,150419546	1,639784946
KCNE4	0,879312278	-0,202461909	0,061	0,063	1	0,869066266	1,150660242	0,968253968
HERC1	0,484006956	-0,202480765	0,146	0,105	1	0,869054907	1,150675282	1,39047619
ATP6V1A	0,457716158	-0,202499746	0,146	0,105	1	0,869043473	1,150690421	1,39047619
NRCAM	0,131490976	-0,202521968	0,012	0,049	1	0,869030088	1,150708145	0,244897959
BCL2L11	0,713006105	-0,202683972	0,061	0,07	1	0,868932507	1,150837369	0,871428571
TMEM158	0,240976075	-0,202697017	0,037	0,07	1	0,86892465	1,150847774	0,528571429
IP6K1	0,241868317	-0,2027459	0,183	0,116	1	0,868895209	1,150886769	1,577586207
TRRAP	0,616194897	-0,202800495	0,098	0,074	1	0,868862328	1,150930323	1,324324324
NANOS1	0,153186787	-0,20287929	0	0,025	1	0,868814876	1,150993184	0
LRRTM1	0,126161321	-0,202949522	0	0,028	1	0,868772582	1,151049217	0
DCLK3	0,071615029	-0,202951343	0	0,039	1	0,868771485	1,15105067	0
GPX3	0,126161321	-0,203012924	0	0,028	1	0,868734403	1,151099803	0
SPOPL	0,219000745	-0,203124275	0,11	0,063	1	0,868667354	1,151188652	1,746031746
KSR1	0,373389393	-0,203222888	0,024	0,046	1	0,86860798	1,151267342	0,52173913
CXCL10	0,908489202	-0,203296173	0,012	0,011	1	0,868563858	1,151325825	1,090909091
ATP2A2	0,293430557	-0,203363398	0,39	0,27	1	0,868523387	1,151379474	1,444444444
MRAS	0,32556944	-0,203460681	0,037	0,063	1	0,868464823	1,151457116	0,587301587
NUCKS1	0,522509188	-0,203527089	0,805	0,719	1	0,868424848	1,151510119	1,11961057
VAV2	0,438826248	-0,203998703	0,024	0,042	1	0,868141008	1,151886607	0,571428571
CYRIA	0,962216173	-0,204460542	0,061	0,06	1	0,867863141	1,15225541	1,016666667
ASRGL1	0,34021951	-0,204473125	0,037	0,063	1	0,867855572	1,152265461	0,587301587
HCFC2	0,953198087	-0,204610675	0,061	0,056	1	0,867772832	1,152375325	1,089285714
DIPK2A	0,137185497	-0,204654733	0,024	0,067	1	0,867746332	1,152410518	0,358208955
NXPE3	0,863816982	-0,204770065	0,183	0,158	1	0,867676965	1,152502648	1,158227848
RNF169	0,175108056	-0,205021372	0,195	0,119	1	0,867525835	1,152703423	1,638655462
BICD1	0,010585649	-0,205281173	0,549	0,291	1	0,867369625	1,152911021	1,886597938
CCDC152	0,342676622	-0,205359898	0,085	0,053	1	0,867322296	1,152973934	1,603773585
PRXL2A	0,206281853	-0,205394182	0,037	0,074	1	0,867301685	1,153001334	0,5

Supplementary Table 2

Differentially expressed genes_keloid-XL_comparing SC-Keloid vs. (SC-Myel, SC-Nonmyel, SC-Nonmyel2)								
gene	p_val	avg_log2FC	pct.1	pct.2	p_val_adj	Foldchange_UP	Foldchange_DOWN	Ratio_pct1_pct2
LCA5	0,972831486	-0,205450522	0,049	0,046	1	0,867267816	1,153046361	1,065217391
TMEM74B	0,071615029	-0,205530829	0	0,039	1	0,867219541	1,153110548	0
FCGRT	0,107919729	-0,20598356	0,402	0,253	1	0,866947443	1,153472461	1,588932806
CDR2	0,099510096	-0,206143354	0,232	0,133	1	0,866851424	1,153600228	1,744360902
NFX1	0,403646794	-0,206180523	0,085	0,056	1	0,866829091	1,153629948	1,517857143
ZRANB2	0,01681735	-0,206186862	0,451	0,242	1	0,866825282	1,153635018	1,863636364
PATZ1	0,043491055	-0,206204571	0,122	0,053	1	0,866814642	1,153649179	2,301886792
DZIP3	0,296840498	-0,206534987	0,073	0,042	1	0,866616141	1,153913425	1,738095238
WASL	0,173665791	-0,206591123	0,439	0,284	1	0,866582421	1,153958326	1,545774648
PATL1	0,248684136	-0,206748767	0,049	0,084	1	0,866487735	1,154084426	0,583333333
FBXO30	0,413092499	-0,206980888	0,122	0,084	1	0,866348333	1,154270127	1,452380952
LGALS7B	0,619535667	-0,207011327	0,024	0,035	1	0,866330054	1,15429448	0,685714286
ERCC5	0,20107405	-0,207119239	0,146	0,088	1	0,866265257	1,154380823	1,659090909
GSTM3	0,245111138	-0,207180476	0,207	0,133	1	0,866228488	1,154429823	1,556390977
MOAP1	0,550192305	-0,207320524	0,11	0,081	1	0,866144403	1,154541894	1,358024691
PDCD4	0,339238683	-0,207569326	0,195	0,133	1	0,865995044	1,154741019	1,466165414
ANKRD42	0,383085909	-0,207672201	0,049	0,074	1	0,865933295	1,154823364	0,662162162
SYDE2	0,118658632	-0,207684191	0,024	0,07	1	0,865926098	1,154832962	0,342857143
FLCN	0,863811614	-0,207771652	0,061	0,063	1	0,865873604	1,154902973	0,968253968
YLPM1	0,432860287	-0,207851559	0,171	0,123	1	0,865825647	1,154966942	1,390243902
USP36	0,965270946	-0,20804045	0,134	0,119	1	0,865712293	1,155118171	1,12605042
VPS54	0,548582204	-0,208112163	0,11	0,081	1	0,865669261	1,155175591	1,358024691
REXO1	0,17011954	-0,208127771	0,195	0,119	1	0,865659895	1,155188089	1,638655462
EMC2	0,00594074	-0,208445952	0,415	0,2	1	0,865468999	1,155442889	2,075
RPRD2	0,921304182	-0,208510736	0,098	0,088	1	0,865430136	1,155494775	1,113636364
CTSF	0,375352411	-0,208524841	0,207	0,144	1	0,865421675	1,155506072	1,4375
SLC16A1	0,34464581	-0,208544394	0,134	0,091	1	0,865409945	1,155521733	1,472527473
FCHO2	0,313041889	-0,208606367	0,159	0,105	1	0,865372771	1,155571371	1,514285714
CXCL3	0,375757837	-0,208622677	0,085	0,056	1	0,865362988	1,155584435	1,517857143
PSRC1	0,832484443	-0,208703189	0,024	0,028	1	0,865314696	1,155648927	0,857142857

Supplementary Table 2

Differentially expressed genes_keloid-XL_comparing SC-Keloid vs. (SC-Myel, SC-Nonmyel, SC-Nonmyel2)								
gene	p_val	avg_log2FC	pct.1	pct.2	p_val_adj	Foldchange_UP	Foldchange_DOWN	Ratio_pct1_pct2
IL11RA	0,31035636	-0,208704665	0,171	0,112	1	0,865313811	1,155650109	1,526785714
GMPS	0,113085228	-0,208897221	0,22	0,126	1	0,865198326	1,155804363	1,746031746
MAGT1	0,026368489	-0,208900179	0,317	0,165	1	0,865196552	1,155806732	1,921212121
IRAK2	0,636997413	-0,20891479	0,061	0,046	1	0,86518779	1,155818438	1,326086957
ZNF800	0,057134079	-0,20897298	0,244	0,133	1	0,865152894	1,155865058	1,834586466
NFKBIE	0,280695142	-0,209020809	0,146	0,095	1	0,865124212	1,155903379	1,536842105
PHLDB1	0,033226178	-0,209164416	0,585	0,333	1	0,865038101	1,156018444	1,756756757
PALM	0,383085909	-0,209164694	0,049	0,074	1	0,865037934	1,156018667	0,662162162
ILF3-DT	0,215063333	-0,20918154	0,159	0,098	1	0,865027834	1,156032166	1,62244898
GPM6A	0,086314699	-0,209197483	0	0,035	1	0,865018275	1,156044941	0
CACUL1	0,32627087	-0,209223896	0,171	0,116	1	0,865002438	1,156066106	1,474137931
HIBCH	0,060439369	-0,209329614	0,159	0,077	1	0,864939055	1,156150823	2,064935065
PCOLCE	0,939352703	-0,209411652	0,061	0,06	1	0,864889872	1,156216569	1,016666667
IST1	0,161896512	-0,209416163	0,415	0,267	1	0,864887167	1,156220184	1,554307116
TMEM35B	0,328567728	-0,209516286	0,329	0,225	1	0,864827146	1,156300429	1,462222222
CENPL	0,37338964	-0,209609546	0,024	0,046	1	0,864771243	1,156375177	0,52173913
SNRNP27	0,030763113	-0,209646686	0,329	0,172	1	0,864748981	1,156404947	1,912790698
ATP8A1	0,30568197	-0,209674789	0,049	0,081	1	0,864732136	1,156427474	0,604938272
NRG1	0,028629337	-0,209743376	0	0,056	1	0,864691027	1,156482453	0
ATP6V1C1	0,095667745	-0,209905889	0,159	0,084	1	0,864593629	1,156612732	1,892857143
LARGE1	0,15336741	-0,20997297	0,195	0,116	1	0,864553429	1,156666512	1,681034483
HSPA14	0,099114272	-0,210005027	0,024	0,074	1	0,864534219	1,156692214	0,324324324
PURA	0,199325503	-0,210118342	0,549	0,365	1	0,864466318	1,156783069	1,504109589
SPINDOC	0,788562121	-0,210143271	0,073	0,077	1	0,86445138	1,156803058	0,948051948
RBM14	0,063646466	-0,210161042	0,293	0,165	1	0,864440732	1,156817308	1,775757576
NR2C1	0,8502299	-0,210220066	0,11	0,095	1	0,864405367	1,156864636	1,157894737
XBP1	0,026206383	-0,210240439	0,512	0,284	1	0,86439316	1,156880973	1,802816901
RIPK4	0,190367951	-0,210662833	0,012	0,042	1	0,864140119	1,157219735	0,285714286
LDB1	0,028745028	-0,210902708	0,134	0,056	1	0,863996451	1,157412161	2,392857143
ID1	0,166339305	-0,210962896	0,232	0,144	1	0,863960407	1,157460449	1,611111111

Supplementary Table 2

Differentially expressed genes_keloid-XL_comparing SC-Keloid vs. (SC-Myel, SC-Nonmyel, SC-Nonmyel2)								
gene	p_val	avg_log2FC	pct.1	pct.2	p_val_adj	Foldchange_UP	Foldchange_DOWN	Ratio_pct1_pct2
SEC14L1	0,127335305	-0,211015279	0,22	0,13	1	0,863929038	1,157502475	1,692307692
WBP2	0,094271495	-0,211098307	0,354	0,214	1	0,863879319	1,157569093	1,654205607
WDR70	0,48057655	-0,21111586	0,11	0,077	1	0,863868809	1,157583176	1,428571429
AC144831.1	0,404681217	-0,211626124	0,012	0,028	1	0,863563323	1,157992673	0,428571429
MCMBP	0,02085362	-0,211638998	0,256	0,126	1	0,863555617	1,158003006	2,031746032
HMGCS1	0,086069086	-0,211734289	0,207	0,116	1	0,86349858	1,158079495	1,784482759
ABHD17B	0,338735774	-0,211760595	0,037	0,063	1	0,863482835	1,158100612	0,587301587
SH3BP2	0,06664083	-0,212082867	0,293	0,165	1	0,86328997	1,15835934	1,775757576
PGAP1	0,380092544	-0,21214272	0,098	0,063	1	0,863254156	1,158407397	1,555555556
SORT1	0,221604934	-0,212165532	0,305	0,2	1	0,863240506	1,158425714	1,525
CLEC16A	0,680093097	-0,212431849	0,037	0,046	1	0,86308117	1,158639575	0,804347826
MTA2	0,964504542	-0,212493402	0,061	0,06	1	0,863044347	1,15868901	1,016666667
DMXL1	0,59412207	-0,212690741	0,146	0,112	1	0,862926303	1,158847512	1,303571429
SAFB	0,686538599	-0,212870673	0,195	0,158	1	0,862818687	1,158992052	1,234177215
ZMYND8	0,125221012	-0,212906531	0,195	0,112	1	0,862797242	1,159020859	1,741071429
TMEM256	0,055516108	-0,212914114	0,439	0,256	1	0,862792707	1,159026951	1,71484375
GTF2IRD2B	0,446812106	-0,213155037	0,098	0,067	1	0,862648636	1,159220519	1,462686567
TINAGL1	0,153186787	-0,213232028	0	0,025	1	0,862602601	1,159282384	0
SYVN1	0,164983606	-0,213258254	0,171	0,102	1	0,862586921	1,159303458	1,676470588
KAT5	0,013339977	-0,213439427	0,207	0,091	1	0,862478604	1,159449052	2,274725275
POU3F1	0,091645249	-0,213484512	0,61	0,404	1	0,862451652	1,159485286	1,50990099
TBL1XR1	0,140536364	-0,213541389	0,427	0,263	1	0,862417651	1,159530998	1,623574144
ARHGAP26	0,68538792	-0,21359394	0,11	0,088	1	0,862386237	1,159573236	1,25
CEP44	0,920796342	-0,213772461	0,049	0,049	1	0,862279531	1,159716732	1
AKAP10	0,739683397	-0,213833667	0,061	0,049	1	0,86224295	1,159765934	1,244897959
C10orf82	0,131490976	-0,21388443	0,012	0,049	1	0,862212612	1,159806742	0,244897959
NRBP1	0,021139736	-0,214772771	0,415	0,218	1	0,861681867	1,160521114	1,903669725
CBFA2T2	0,584843536	-0,214961843	0,085	0,063	1	0,861568947	1,160673216	1,349206349
KLHL15	0,915536293	-0,214989839	0,085	0,077	1	0,861552228	1,16069574	1,103896104
SNN	0,38545982	-0,214992314	0,159	0,109	1	0,86155075	1,160697731	1,458715596

Supplementary Table 2

Differentially expressed genes_keloid-XL_comparing SC-Keloid vs. (SC-Myel, SC-Nonmyel, SC-Nonmyel2)								
gene	p_val	avg_log2FC	pct.1	pct.2	p_val_adj	Foldchange_UP	Foldchange_DOWN	Ratio_pct1_pct2
SKA2	0,109189133	-0,215177791	0,354	0,218	1	0,861439993	1,160846963	1,623853211
INO80	0,778483124	-0,215355284	0,134	0,112	1	0,861334018	1,160989789	1,196428571
MAP2K7	0,221949624	-0,215554316	0,11	0,063	1	0,861215198	1,161149969	1,746031746
PPP2R2B	0,495315357	-0,215556498	0,049	0,067	1	0,861213895	1,161151725	0,731343284
BRD7	0,016555384	-0,216074469	0,317	0,161	1	0,860904749	1,161568688	1,968944099
DENND4A	0,441037762	-0,216131761	0,049	0,07	1	0,860870562	1,161614817	0,7
FAM193B	0,020661769	-0,21617345	0,268	0,133	1	0,860845686	1,161648385	2,015037594
PANK2	0,478684152	-0,216186661	0,146	0,105	1	0,860837803	1,161659021	1,39047619
SETD1A	0,550085882	-0,216195771	0,061	0,077	1	0,860832367	1,161666357	0,792207792
PARD6B	0,999008141	-0,216206426	0,085	0,081	1	0,86082601	1,161674936	1,049382716
ZNF496	0,951476382	-0,216275917	0,073	0,067	1	0,860784547	1,161730893	1,089552239
SHROOM3	0,059506563	-0,216600983	0	0,042	1	0,860590618	1,161992682	0
PKD2	0,053424836	-0,216715286	0,232	0,123	1	0,860522437	1,162084749	1,886178862
EID3	0,950860882	-0,216780334	0,061	0,056	1	0,860483638	1,162137146	1,089285714
SIRT1	0,98443496	-0,216926502	0,134	0,123	1	0,860396462	1,162254895	1,089430894
OBSL1	0,363001647	-0,217143332	0,195	0,133	1	0,860267159	1,162429589	1,466165414
PIGK	0,035773849	-0,217169754	0,256	0,13	1	0,860251404	1,162450879	1,969230769
RAD21	0,049654111	-0,217367589	0,488	0,281	1	0,860133447	1,162610295	1,736654804
DTX4	0,034342747	-0,217403908	0	0,053	1	0,860111793	1,162639563	0
COX19	0,101891292	-0,217462228	0,146	0,077	1	0,860077025	1,162686563	1,896103896
NSMAF	0,495648423	-0,217563181	0,098	0,07	1	0,860016843	1,162767925	1,4
NGF	0,845914908	-0,217688287	0,073	0,063	1	0,859942268	1,162868761	1,158730159
TTC21B	0,784359671	-0,21776939	0,146	0,123	1	0,859893926	1,162934136	1,18699187
SLC30A4	0,109391882	-0,217872337	0,012	0,053	1	0,859832569	1,163017122	0,226415094
AASDH	0,788115278	-0,217940807	0,061	0,067	1	0,859791762	1,163072321	0,910447761
AC012368.1	0,041217527	-0,217953988	0	0,049	1	0,859783907	1,163082947	0
DYNC1H1	0,566794452	-0,218065844	0,598	0,449	1	0,859717248	1,163173127	1,331848552
ANK2	0,014197453	-0,218152158	0,415	0,214	1	0,859665814	1,16324272	1,939252336
SLC20A2	0,051178694	-0,218180634	0,256	0,137	1	0,859648847	1,16326568	1,868613139
CCDC115	0,071927442	-0,218320722	0,232	0,126	1	0,859565377	1,163378641	1,841269841

Supplementary Table 2

Differentially expressed genes_keloid-XL_comparing SC-Keloid vs. (SC-Myel, SC-Nonmyel, SC-Nonmyel2)								
gene	p_val	avg_log2FC	pct.1	pct.2	p_val_adj	Foldchange_UP	Foldchange_DOWN	Ratio_pct1_pct2
INPP5F	0,091011967	-0,218322149	0,39	0,232	1	0,859564527	1,163379791	1,681034483
CUX1	0,033984047	-0,218385008	0,451	0,253	1	0,859527076	1,163430481	1,782608696
CBWD5	0,663410618	-0,218585259	0,122	0,095	1	0,859407779	1,163591981	1,284210526
SMIM14	0,271319052	-0,218795936	0,22	0,144	1	0,859282289	1,163761913	1,527777778
BCORL1	0,222465486	-0,218828327	0,024	0,056	1	0,859262997	1,163788042	0,428571429
MFAP4	0,73097622	-0,218861219	0,049	0,056	1	0,859243406	1,163814575	0,875
CDK2	0,834593836	-0,21905513	0,085	0,088	1	0,859127925	1,163971012	0,965909091
KPNA1	0,330186403	-0,219095768	0,256	0,179	1	0,859103725	1,1640038	1,430167598
MDM1	0,500333917	-0,219272712	0,085	0,06	1	0,858998363	1,164146572	1,416666667
FTX	0,012823847	-0,219465742	0,244	0,112	1	0,858883439	1,164302343	2,178571429
TTR	0,952151129	-0,219548183	0,049	0,046	1	0,858834361	1,164368877	1,065217391
LCORL	0,96642007	-0,219678196	0,134	0,123	1	0,858756967	1,164473813	1,089430894
STAM	0,738599401	-0,219680957	0,146	0,119	1	0,858755324	1,164476042	1,226890756
PHF20	0,145496801	-0,219869789	0,232	0,14	1	0,85864293	1,164628468	1,657142857
GPSM1	0,145321623	-0,219992106	0,354	0,225	1	0,858570134	1,164727213	1,573333333
PTPRN2	0,334326668	-0,220008867	0,012	0,032	1	0,85856016	1,164740745	0,375
LRRC8C	0,073602823	-0,220066519	0,024	0,081	1	0,858525851	1,16478729	0,296296296
GPR37L1	0,039674265	-0,220121201	0,012	0,074	1	0,858493312	1,16483144	0,162162162
SAMD1	0,006371308	-0,220167134	0,341	0,161	1	0,858465979	1,164868527	2,118012422
PAX3	0,315158665	-0,220198612	0,207	0,14	1	0,858447248	1,164893943	1,478571429
RPL15	0,348119055	-0,220268668	0,927	0,905	1	0,858405564	1,164950511	1,024309392
GCLM	0,104935289	-0,220850587	0,134	0,07	1	0,858059391	1,165420495	1,914285714
ATXN7L3	0,021765621	-0,220908681	0,183	0,084	1	0,858024839	1,165467425	2,178571429
XIAP	0,008138967	-0,220923605	0,354	0,172	1	0,858015964	1,165479481	2,058139535
USF2	0,022542477	-0,220933005	0,5	0,267	1	0,858010373	1,165487074	1,872659176
DGKD	0,441804488	-0,220968925	0,037	0,056	1	0,857989011	1,165516093	0,660714286
ZNF821	0,843344982	-0,221007606	0,11	0,109	1	0,857966007	1,165547343	1,009174312
CFAP70	0,23235895	-0,221052515	0,012	0,039	1	0,8579393	1,165583626	0,307692308
CMTM6	0,072980655	-0,22150133	0,39	0,228	1	0,857672442	1,165946288	1,710526316
ELL	0,367576558	-0,221566318	0,122	0,081	1	0,857633807	1,165998811	1,50617284

Supplementary Table 2

Differentially expressed genes_keloid-XL_comparing SC-Keloid vs. (SC-Myel, SC-Nonmyel, SC-Nonmyel2)								
gene	p_val	avg_log2FC	pct.1	pct.2	p_val_adj	Foldchange_UP	Foldchange_DOWN	Ratio_pct1_pct2
PNMA1	0,002780447	-0,221861955	0,451	0,214	1	0,857458079	1,166237772	2,107476636
CALM3	0,004638952	-0,221943579	0,39	0,186	1	0,857409567	1,166303757	2,096774194
NMB	0,507655461	-0,22197528	0,134	0,098	1	0,857390727	1,166329385	1,367346939
TTC28	0,650268411	-0,22204684	0,049	0,06	1	0,8573482	1,166387239	0,816666667
POLB	0,769673224	-0,222049208	0,085	0,091	1	0,857346794	1,166389153	0,934065934
NEIL1	0,325478018	-0,222106962	0,024	0,049	1	0,857312473	1,166435846	0,489795918
C1orf52	0,211979881	-0,222283656	0,268	0,172	1	0,85720748	1,166578714	1,558139535
LIPE	0,126161321	-0,222472099	0	0,028	1	0,85709552	1,166731102	0
SLC20A1	0,083088294	-0,223228808	0,39	0,239	1	0,856646082	1,167343225	1,631799163
HNRNPF	0,108721627	-0,223352981	0,585	0,351	1	0,856572354	1,167443703	1,666666667
CWC22	0,281093133	-0,223478605	0,134	0,084	1	0,85649777	1,167545363	1,595238095
MORC3	0,986565678	-0,223602767	0,146	0,133	1	0,856424061	1,16764585	1,097744361
NUDT4	0,013938096	-0,223672914	0,634	0,344	1	0,85638242	1,167702625	1,843023256
CYP7B1	0,292363155	-0,223846834	0,22	0,147	1	0,856279188	1,167843402	1,496598639
KLHDC8A	0,242106134	-0,224218211	0,037	0,07	1	0,856058794	1,168144066	0,528571429
XRR1	0,01995177	-0,224244434	0,195	0,088	1	0,856043234	1,168165299	2,215909091
GNG12	0,065538769	-0,224386643	0,61	0,344	1	0,855958856	1,168280452	1,773255814
CDK11B	0,074034602	-0,224649783	0,159	0,081	1	0,855802748	1,16849356	1,962962963
C2CD4B	0,404681217	-0,224689153	0,012	0,028	1	0,855779394	1,168525448	0,428571429
PDE4DIP	0,254116245	-0,224718465	0,159	0,098	1	0,855762007	1,16854919	1,62244898
GALNT18	0,086314699	-0,224763761	0	0,035	1	0,85573514	1,168585879	0
SESN2	0,345706495	-0,224922029	0,061	0,091	1	0,855641268	1,168714083	0,67032967
ZC3H7B	0,226357698	-0,224966417	0,171	0,109	1	0,855614943	1,168750042	1,568807339
ZC3H12A	0,562223109	-0,225044538	0,171	0,133	1	0,855568612	1,168813331	1,285714286
ZNF791	0,986631918	-0,225110455	0,11	0,102	1	0,855529523	1,168866735	1,078431373
FLYWCH1	0,989089885	-0,225173514	0,085	0,081	1	0,855492129	1,168917827	1,049382716
FOXN2	0,958486851	-0,225356803	0,146	0,137	1	0,855383449	1,169066343	1,065693431
SERINC5	0,25526553	-0,22558039	0,28	0,189	1	0,855250893	1,169247537	1,481481481
CLIP4	0,669919364	-0,225876761	0,085	0,095	1	0,855075218	1,169487759	0,894736842
TYRO3	0,286150736	-0,225933029	0,037	0,067	1	0,855041869	1,169533372	0,552238806

Supplementary Table 2

Differentially expressed genes_keloid-XL_comparing SC-Keloid vs. (SC-Myel, SC-Nonmyel, SC-Nonmyel2)								
gene	p_val	avg_log2FC	pct.1	pct.2	p_val_adj	Foldchange_UP	Foldchange_DOWN	Ratio_pct1_pct2
EIF2S3	0,178027106	-0,225938644	0,415	0,274	1	0,855038541	1,169537924	1,51459854
ADCY9	0,16036767	-0,225951814	0,024	0,063	1	0,855030735	1,169548601	0,380952381
WDR43	0,938390228	-0,226108719	0,159	0,14	1	0,854937749	1,169675805	1,135714286
KRT15	0,195765721	-0,226348137	0,024	0,06	1	0,854795882	1,169869932	0,4
FGF18	0,222465486	-0,226503824	0,024	0,056	1	0,854703643	1,169996184	0,428571429
TTC3	0,409849046	-0,22650717	0,573	0,404	1	0,854701661	1,169998897	1,418316832
RAI1	0,189034303	-0,226558656	0,159	0,095	1	0,854671159	1,170040652	1,673684211
SEPTIN10	0,274055583	-0,227075252	0,524	0,354	1	0,854365176	1,170459692	1,480225989
DLX1	0,847517082	-0,227451227	0,049	0,053	1	0,854142552	1,17076476	0,924528302
CCDC14	0,017237632	-0,227501505	0,244	0,116	1	0,854112785	1,170805562	2,103448276
KREMEN1	0,263822203	-0,227551975	0,024	0,053	1	0,854082907	1,170846521	0,452830189
UPF1	0,265084725	-0,22767836	0,159	0,102	1	0,854008089	1,170949096	1,558823529
SUPT5H	0,141006546	-0,227781461	0,293	0,182	1	0,853947061	1,17103278	1,60989011
CREBZF	0,098293117	-0,227821384	0,329	0,193	1	0,85392343	1,171065186	1,704663212
XAF1	0,067592075	-0,227828292	0,11	0,049	1	0,853919341	1,171070793	2,244897959
SELENOW	0,40582725	-0,228073486	0,744	0,516	1	0,853774225	1,17126984	1,441860465
ING3	0,062461009	-0,228227044	0,122	0,056	1	0,853683356	1,171394514	2,178571429
SCD5	0,951476382	-0,228313322	0,073	0,067	1	0,853632304	1,171464571	1,089552239
NEURL1B	0,380142558	-0,228400745	0,049	0,074	1	0,853580578	1,17153556	0,662162162
ACACB	0,11855504	-0,228626589	0,012	0,053	1	0,853446966	1,171718969	0,226415094
RYR1	0,075807536	-0,228815051	0,012	0,06	1	0,853335486	1,171872044	0,2
WWP1	0,783554066	-0,228872551	0,098	0,102	1	0,853301476	1,17191875	0,960784314
SYF2	0,130751653	-0,228923669	0,476	0,295	1	0,853271243	1,171960275	1,613559322
CHD6	0,395891106	-0,228954353	0,256	0,182	1	0,853253094	1,171985202	1,406593407
FMR1	0,186069729	-0,228969411	0,195	0,119	1	0,853244189	1,171997434	1,638655462
ST6GALNAC5	0,126161321	-0,229196	0	0,028	1	0,85311019	1,172181521	0
POM121C	0,979173315	-0,229263758	0,085	0,081	1	0,853070123	1,172236576	1,049382716
RPP14	0,229374221	-0,229322792	0,012	0,039	1	0,853035217	1,172284544	0,307692308
SESTD1	0,680216669	-0,2295152	0,11	0,088	1	0,852921457	1,172440899	1,25
IRF2BP1	0,627234183	-0,2297131	0,11	0,084	1	0,852804467	1,172601738	1,30952381

Supplementary Table 2

Differentially expressed genes_keloid-XL_comparing SC-Keloid vs. (SC-Myel, SC-Nonmyel, SC-Nonmyel2)								
gene	p_val	avg_log2FC	pct.1	pct.2	p_val_adj	Foldchange_UP	Foldchange_DOWN	Ratio_pct1_pct2
DLG2	0,280994397	-0,230102459	0,037	0,067	1	0,85257434	1,172918246	0,552238806
MARCHF8	0,888187825	-0,230519977	0,037	0,039	1	0,85232764	1,173257739	0,948717949
AVPI1	0,366400629	-0,230602792	0,207	0,144	1	0,852278715	1,17332509	1,4375
CMTM7	0,953065998	-0,230885812	0,061	0,06	1	0,852111536	1,173555289	1,016666667
CNR1	0,071615029	-0,231273099	0	0,039	1	0,85188282	1,173870369	0
CPEB2	0,802965215	-0,231279835	0,122	0,126	1	0,851878843	1,173875849	0,968253968
ZC3HAV1	0,880089437	-0,231295152	0,171	0,151	1	0,851869798	1,173888313	1,132450331
SFT2D2	0,503420395	-0,231309689	0,134	0,098	1	0,851861215	1,173900141	1,367346939
AFTPH	0,323461717	-0,231372087	0,256	0,179	1	0,851824372	1,173950914	1,430167598
SLITRK5	0,232809555	-0,231403738	0,049	0,088	1	0,851805684	1,17397667	0,556818182
CCDC93	0,638879716	-0,231433032	0,098	0,109	1	0,851788388	1,174000507	0,899082569
BRPF3	0,537960754	-0,231693704	0,061	0,077	1	0,851634498	1,17421265	0,792207792
PDP1	0,804525185	-0,231953398	0,159	0,133	1	0,851481212	1,174424035	1,195488722
PCIF1	0,608784688	-0,231968426	0,11	0,084	1	0,851472342	1,174436268	1,30952381
TSR1	0,020124844	-0,231979127	0,122	0,046	1	0,851466026	1,17444498	2,652173913
AMMECR1L	0,141196433	-0,232008437	0,134	0,074	1	0,851448728	1,17446884	1,810810811
YWHAE	0,532274648	-0,232315273	0,841	0,698	1	0,85126766	1,174718655	1,20487106
ZNF462	0,401616079	-0,23272578	0,22	0,158	1	0,851025473	1,175052959	1,392405063
BDP1	0,005093907	-0,232897233	0,402	0,189	1	0,850924341	1,175192613	2,126984127
TMEM95	0,104227568	-0,232899221	0	0,032	1	0,850923169	1,175194232	0
CPLANE1	0,806393286	-0,232916158	0,073	0,077	1	0,850913179	1,175208029	0,948051948
WNT6	0,086314699	-0,233315098	0	0,035	1	0,850677913	1,175533048	0
IPMK	0,632224672	-0,233542141	0,073	0,084	1	0,850544049	1,175718061	0,869047619
NECTIN2	0,030419236	-0,233575437	0,402	0,218	1	0,850524419	1,175745196	1,844036697
CLIP1	0,03286294	-0,233671112	0,28	0,147	1	0,850468017	1,17582317	1,904761905
NP1PB5	0,627878691	-0,234005736	0,146	0,112	1	0,850270779	1,176095927	1,303571429
KIF3C	0,45588886	-0,234421691	0,049	0,07	1	0,850025666	1,176435065	0,7
DUSP3	0,165206209	-0,234502794	0,195	0,116	1	0,849977883	1,176501201	1,681034483
DLG1	0,087224102	-0,234541158	0,305	0,175	1	0,84995528	1,176532488	1,742857143
INO80B	0,231486351	-0,23471263	0,183	0,116	1	0,849854264	1,176672333	1,577586207

Supplementary Table 2

Differentially expressed genes_keloid-XL_comparing SC-Keloid vs. (SC-Myel, SC-Nonmyel, SC-Nonmyel2)								
gene	p_val	avg_log2FC	pct.1	pct.2	p_val_adj	Foldchange_UP	Foldchange_DOWN	Ratio_pct1_pct2
YAF2	0,009068827	-0,235125232	0,28	0,13	1	0,849611246	1,177008902	2,153846154
CEBPZ	0,049130463	-0,235133049	0,28	0,154	1	0,849606642	1,17701528	1,818181818
CCDC144A	0,773315089	-0,235339898	0,085	0,091	1	0,849484837	1,177184048	0,934065934
TCF20	0,543140773	-0,235429367	0,061	0,077	1	0,849432158	1,177257054	0,792207792
PTPRJ	0,819347641	-0,235569017	0,171	0,161	1	0,849349939	1,177371016	1,062111801
RCOR3	0,560653609	-0,235611628	0,159	0,119	1	0,849324853	1,177405791	1,336134454
EPS8	0,013093269	-0,23561789	0,341	0,168	1	0,849321167	1,177410901	2,029761905
CD9	0,310207921	-0,235676083	0,927	0,846	1	0,849286909	1,177458395	1,095744681
TULP3	0,015449392	-0,236177132	0,341	0,175	1	0,848992002	1,177867397	1,948571429
ANP32E	0,31695448	-0,236227217	0,28	0,189	1	0,848962529	1,177908289	1,481481481
HERC5	0,436724529	-0,236389236	0,024	0,042	1	0,848867193	1,17804058	0,571428571
CYP51A1	0,98550752	-0,236507092	0,122	0,112	1	0,84879785	1,17813682	1,089285714
TMEM87A	0,076834336	-0,236697687	0,366	0,214	1	0,848685723	1,178292474	1,710280374
PHF21A	0,999180735	-0,236733065	0,134	0,123	1	0,848664911	1,178321369	1,089430894
MAPKAPK2	0,07635082	-0,236756631	0,305	0,175	1	0,848651049	1,178340616	1,742857143
NFATC4	0,049502603	-0,23706272	0	0,046	1	0,848471014	1,178590645	0
CCDC126	1	-0,237146241	0,122	0,112	1	0,848421896	1,178658878	1,089285714
AKAP17A	0,607681281	-0,237296765	0,22	0,168	1	0,84833338	1,17878186	1,30952381
RFX3	0,898655888	-0,237336809	0,085	0,084	1	0,848309833	1,17881458	1,011904762
INO80D	0,434171543	-0,237369359	0,232	0,168	1	0,848290694	1,178841176	1,380952381
OSBPL9	0,024021259	-0,237574047	0,402	0,214	1	0,848170348	1,179008441	1,878504673
NEDD4L	0,884545033	-0,23760715	0,11	0,109	1	0,848150887	1,179035494	1,009174312
HEATR5A	0,133179063	-0,237964968	0,268	0,161	1	0,847940554	1,179327955	1,664596273
RAB40B	0,532002876	-0,238085613	0,134	0,098	1	0,847869649	1,17942658	1,367346939
FRS2	0,363353837	-0,238458467	0,256	0,179	1	0,847650551	1,179731433	1,430167598
ADAMTS9	0,406498844	-0,238517123	0,207	0,151	1	0,847616089	1,1797794	1,370860927
SENP6	0,276590244	-0,238529601	0,268	0,182	1	0,847608758	1,179789603	1,472527473
GORASP1	0,381535943	-0,238537801	0,098	0,063	1	0,84760394	1,179796309	1,555555556
GGA3	0,131952545	-0,238601106	0,11	0,056	1	0,847566748	1,179848079	1,964285714
BRD1	0,18749569	-0,238647694	0,232	0,144	1	0,847539379	1,17988618	1,611111111

Supplementary Table 2

Differentially expressed genes_keloid-XL_comparing SC-Keloid vs. (SC-Myel, SC-Nonmyel, SC-Nonmyel2)								
gene	p_val	avg_log2FC	pct.1	pct.2	p_val_adj	Foldchange_UP	Foldchange_DOWN	Ratio_pct1_pct2
MYADM	0,172554661	-0,23884475	0,573	0,361	1	0,847423622	1,180047351	1,587257618
UGDH	0,014538835	-0,239123448	0,268	0,126	1	0,847259934	1,180275332	2,126984127
ADCY6	0,867797224	-0,23928715	0,134	0,116	1	0,847163801	1,180409265	1,155172414
CCDC59	0,063407661	-0,239311888	0,293	0,168	1	0,847149275	1,180429506	1,744047619
IL6R	0,27971523	-0,239403217	0,037	0,067	1	0,847095648	1,180504235	0,552238806
CIC	0,479669194	-0,239453832	0,317	0,239	1	0,84706593	1,180545652	1,326359833
CAHM	0,933334242	-0,239584485	0,11	0,098	1	0,846989221	1,180652569	1,12244898
PIK3R3	0,623709726	-0,239688585	0,122	0,095	1	0,846928107	1,180737764	1,284210526
MFSD11	0,380377587	-0,239691755	0,134	0,091	1	0,846926246	1,180740359	1,472527473
CRIM1	0,485888464	-0,239706591	0,183	0,137	1	0,846917537	1,180752501	1,335766423
CDK9	0,210969929	-0,239755744	0,207	0,13	1	0,846888683	1,18079273	1,592307692
SP4	0,740028354	-0,239772169	0,049	0,056	1	0,846879041	1,180806173	0,875
FMN2	0,02387518	-0,240026013	0	0,06	1	0,846730045	1,181013956	0
HCN1	0,034342747	-0,240151093	0	0,053	1	0,846656638	1,181116353	0
DIS3L2	0,743226919	-0,240444903	0,073	0,06	1	0,84648423	1,181356916	1,216666667
NFRKB	0,788562121	-0,240620168	0,073	0,077	1	0,846381402	1,181500441	0,948051948
ARRDC4	0,322841239	-0,240620595	0,244	0,172	1	0,846381152	1,181500791	1,418604651
DOCK4	0,45098936	-0,240797065	0,037	0,056	1	0,846277629	1,18164532	0,660714286
KATNA1	0,070385086	-0,240883583	0,207	0,109	1	0,84622688	1,181716185	1,899082569
PDZD2	0,11267847	-0,24096881	0,024	0,07	1	0,84617689	1,181785998	0,342857143
LMO7	0,812050351	-0,241022962	0,085	0,088	1	0,846145129	1,181830357	0,965909091
RBBP7	0,111083366	-0,241303243	0,463	0,277	1	0,845980759	1,18205998	1,671480144
RASGEF1A	0,782642432	-0,241468445	0,073	0,077	1	0,845883892	1,182195345	0,948051948
FAM171A1	0,724640174	-0,241548528	0,073	0,081	1	0,845836939	1,182260969	0,901234568
RGS10	0,514671286	-0,241712295	0,232	0,175	1	0,84574093	1,182395181	1,325714286
CNNM4	0,967277813	-0,241729504	0,085	0,081	1	0,845730841	1,182409286	1,049382716
CNBD2	0,166274556	-0,242146131	0,171	0,102	1	0,845486643	1,182750795	1,676470588
STC1	0,464659504	-0,242368467	0,073	0,049	1	0,845356354	1,182933085	1,489795918
CRYL1	0,841513456	-0,242382698	0,122	0,119	1	0,845348015	1,182944754	1,025210084
ARHGEF3	0,208267874	-0,242418698	0,037	0,074	1	0,845326922	1,182974272	0,5

Supplementary Table 2

Differentially expressed genes_keloid-XL_comparing SC-Keloid vs. (SC-Myel, SC-Nonmyel, SC-Nonmyel2)								
gene	p_val	avg_log2FC	pct.1	pct.2	p_val_adj	Foldchange_UP	Foldchange_DOWN	Ratio_pct1_pct2
SC5D	0,094560268	-0,242440331	0,11	0,053	1	0,845314246	1,182992011	2,075471698
CCDC150	0,228958629	-0,242462391	0	0,018	1	0,845301321	1,1830101	0
SYP	0,272411957	-0,242659481	0,085	0,049	1	0,84518585	1,183171725	1,734693878
DDX6	0,073113523	-0,24269869	0,415	0,239	1	0,84516288	1,183203881	1,736401674
ASAP2	0,186377084	-0,242814953	0,451	0,302	1	0,845094773	1,183299237	1,493377483
CMTM5	0,390036639	-0,242832974	0,341	0,242	1	0,845084217	1,183314017	1,409090909
SRGN	0,567637723	-0,2432916	0,061	0,077	1	0,844815612	1,183690247	0,792207792
ATG2A	0,566794193	-0,243376151	0,049	0,063	1	0,844766102	1,18375962	0,777777778
FBRS	0,015577429	-0,243451018	0,293	0,144	1	0,844722264	1,183821053	2,034722222
MPRIIP-AS1	0,123621518	-0,243976441	0,037	0,084	1	0,844414677	1,184252273	0,44047619
MPHOSPH8	0,187729393	-0,24450855	0,488	0,319	1	0,844103288	1,184689141	1,529780564
KRT6A	0,160260334	-0,244565603	0,012	0,046	1	0,844069908	1,184735992	0,260869565
LRP6	0,586866912	-0,244616639	0,28	0,214	1	0,844040049	1,184777903	1,308411215
SGTB	0,237608205	-0,244652892	0,037	0,07	1	0,84401884	1,184807676	0,528571429
KDM1A	0,076322694	-0,244675587	0,207	0,112	1	0,844005563	1,184826314	1,848214286
AASS	0,667432254	-0,244742202	0,22	0,175	1	0,843966593	1,184881023	1,257142857
TBC1D5	0,048612873	-0,245130825	0,293	0,161	1	0,843739282	1,185200241	1,819875776
RAB9A	0,020145904	-0,245260617	0,366	0,189	1	0,843663378	1,185306873	1,936507937
NPIPA1	0,794706161	-0,245277674	0,122	0,123	1	0,843653403	1,185320886	0,991869919
SNX13	0,677625932	-0,245319665	0,146	0,116	1	0,843628849	1,185355387	1,25862069
ANKRD20A4P	0,058317731	-0,245584081	0,012	0,067	1	0,843474243	1,185572657	0,179104478
CALCOCO2	0,380575859	-0,245607155	0,22	0,154	1	0,843460753	1,18559162	1,428571429
PCMT1	0,057597389	-0,24561102	0,537	0,312	1	0,843458493	1,185594795	1,721153846
SNIP1	0,854556904	-0,246014566	0,073	0,063	1	0,843222597	1,185926473	1,158730159
PI4KB	0,011983849	-0,246603119	0,293	0,137	1	0,842878671	1,186410375	2,138686131
EPHA7	0,059506563	-0,246917749	0	0,042	1	0,842694872	1,186669142	0
ZNF652	0,072138639	-0,246948836	0,256	0,14	1	0,842676714	1,186694712	1,828571429
ELMOD3	0,955353009	-0,247044127	0,061	0,06	1	0,842621056	1,186773096	1,016666667
CNBP	0,619277465	-0,247125238	0,707	0,477	1	0,842573684	1,186839821	1,482180294
RAP2A	0,666888474	-0,247283121	0,244	0,186	1	0,842481481	1,186969711	1,311827957

Supplementary Table 2

Differentially expressed genes_keloid-XL_comparing SC-Keloid vs. (SC-Myel, SC-Nonmyel, SC-Nonmyel2)								
gene	p_val	avg_log2FC	pct.1	pct.2	p_val_adj	Foldchange_UP	Foldchange_DOWN	Ratio_pct1_pct2
CEP170	0,039828407	-0,247370781	0,524	0,302	1	0,842430292	1,187041835	1,735099338
PPM1A	0,37934313	-0,247547549	0,305	0,214	1	0,842327079	1,187187287	1,425233645
BNIP2	0,037633014	-0,247773995	0,366	0,196	1	0,842194877	1,187373644	1,867346939
UBE2W	0,312354714	-0,247974522	0,183	0,123	1	0,842077825	1,187538694	1,487804878
FAM178B	0,682541613	-0,248194286	0,037	0,046	1	0,841949562	1,187719604	0,804347826
CACTIN	0,578873303	-0,248424867	0,122	0,091	1	0,841815006	1,187909448	1,340659341
KDM6A	0,983768045	-0,24876234	0,134	0,126	1	0,841618113	1,188187355	1,063492063
LAMP5	0,16857089	-0,248876887	0,024	0,063	1	0,841551294	1,188281698	0,380952381
GABRE	0,034342747	-0,248944358	0	0,053	1	0,841511937	1,188337272	0
CNTN4	0,16857089	-0,248979092	0,024	0,063	1	0,841491677	1,188365883	0,380952381
RBM4	0,035812935	-0,249044116	0,524	0,291	1	0,841453751	1,188419445	1,800687285
JAM2	0,646443745	-0,249136671	0,073	0,084	1	0,84139977	1,188495689	0,869047619
ARHGEF7	0,338530304	-0,249150645	0,305	0,214	1	0,84139162	1,188507202	1,425233645
PPP2R2A	0,351609957	-0,249231023	0,378	0,263	1	0,841344744	1,18857342	1,437262357
CRADD	0,009797432	-0,249288511	0,183	0,074	1	0,84131122	1,188620782	2,472972973
ZEB1	0,009127957	-0,249372099	0,354	0,168	1	0,841262476	1,188689652	2,107142857
EIF5B	0,095381304	-0,249431827	0,561	0,337	1	0,841227648	1,188738865	1,664688427
TOX	0,488230216	-0,249668074	0,049	0,067	1	0,841089906	1,188933541	0,731343284
ELF2	0,504579495	-0,249748087	0,28	0,204	1	0,841043259	1,188999483	1,37254902
HSF2	0,55841193	-0,249818743	0,134	0,098	1	0,84100207	1,189057715	1,367346939
LYNX1	0,02387518	-0,249938675	0	0,06	1	0,84093216	1,189156566	0
STX11	0,766076528	-0,25019034	0,085	0,07	1	0,84078548	1,189364022	1,214285714
SYNJ2BP	0,072945267	-0,250300943	0,22	0,119	1	0,840721024	1,189455207	1,848739496
UBAP1	0,215907752	-0,25033086	0,207	0,13	1	0,84070359	1,189479873	1,592307692
TCF7L1	0,033012079	-0,250439988	0,024	0,098	1	0,840640001	1,18956985	0,244897959
C16orf72	0,962715341	-0,250548194	0,183	0,168	1	0,840576953	1,189659075	1,089285714
ST6GALNAC3	0,049502603	-0,250601025	0	0,046	1	0,840546172	1,18970264	0
RNF10	0,065846964	-0,250706719	0,378	0,221	1	0,840484594	1,189789803	1,71040724
TOMM20	0,631436342	-0,250718076	0,695	0,502	1	0,840477978	1,189799169	1,384462151
MOK	0,496019755	-0,250755144	0,159	0,116	1	0,840456383	1,18982974	1,370689655

Supplementary Table 2

Differentially expressed genes_keloid-XL_comparing SC-Keloid vs. (SC-Myel, SC-Nonmyel, SC-Nonmyel2)								
gene	p_val	avg_log2FC	pct.1	pct.2	p_val_adj	Foldchange_UP	Foldchange_DOWN	Ratio_pct1_pct2
SLC39A6	0,297035206	-0,251150614	0,28	0,193	1	0,84022603	1,190155939	1,450777202
TRHDE	0,071615029	-0,251157023	0	0,039	1	0,840222298	1,190161226	0
ADRB2	0,157701245	-0,251601127	0,024	0,063	1	0,839963692	1,19052765	0,380952381
FNTA	0,111401134	-0,251626224	0,354	0,214	1	0,83994908	1,19054836	1,654205607
LINC00327	0,972831486	-0,251754407	0,049	0,046	1	0,839874454	1,190654145	1,065217391
FAN1	0,505606105	-0,251832302	0,085	0,06	1	0,839829108	1,190718433	1,416666667
SDC4	0,166739683	-0,251840058	0,317	0,2	1	0,839824593	1,190724835	1,585
SNX15	0,406820285	-0,251840429	0,085	0,056	1	0,839824377	1,190725141	1,517857143
CCNK	0,567990189	-0,251893116	0,098	0,112	1	0,839793708	1,190768626	0,875
PDLIM3	0,045791672	-0,251948955	0,378	0,221	1	0,839761205	1,190814715	1,71040724
REV1	0,939927521	-0,252097969	0,159	0,14	1	0,839674472	1,190937719	1,135714286
PKN2	0,197106178	-0,252162887	0,439	0,281	1	0,839636688	1,190991311	1,56227758
RUBCN	0,800038738	-0,252284709	0,146	0,123	1	0,839565792	1,191091883	1,18699187
MAPRE1	0,04424633	-0,252357075	0,488	0,267	1	0,83952368	1,19115163	1,827715356
CDC42EP4	0,27504443	-0,252612411	0,256	0,172	1	0,83937511	1,191362464	1,488372093
SH3RF3	0,560223256	-0,252728598	0,073	0,053	1	0,839307514	1,191458414	1,377358491
NCOA6	0,283659783	-0,253124774	0,146	0,095	1	0,839077065	1,191785644	1,536842105
TAF8	0,119598668	-0,253491382	0,122	0,063	1	0,838863871	1,192088531	1,936507937
LRRRC58	0,174925386	-0,253634538	0,232	0,144	1	0,838780637	1,192206825	1,611111111
PALLD	0,033194807	-0,253801881	0,598	0,34	1	0,83868335	1,192345121	1,758823529
AFF1	0,788562121	-0,254124239	0,073	0,077	1	0,838495973	1,192611571	0,948051948
CGGBP1	0,043785428	-0,254157151	0,488	0,27	1	0,838476845	1,192638778	1,807407407
SLC39A14	0,46804143	-0,254208031	0,159	0,112	1	0,838447275	1,19268084	1,419642857
CCDC184	0,031916225	-0,254303384	0,012	0,077	1	0,83839186	1,192759671	0,155844156
RBM33	0,121480314	-0,254705707	0,329	0,204	1	0,838158092	1,193092341	1,612745098
CTDSPL2	0,958244339	-0,254724788	0,122	0,112	1	0,838147006	1,193108121	1,089285714
INSR	0,98550752	-0,254925616	0,122	0,112	1	0,838030342	1,193274217	1,089285714
CASC15	0,047340024	-0,255426827	0,512	0,295	1	0,837739249	1,193688849	1,73559322
TOGARAM1	0,402525681	-0,255761524	0,232	0,165	1	0,837544921	1,19396581	1,406060606
FOXO4	0,560975993	-0,255837661	0,049	0,063	1	0,837500722	1,194028822	0,777777778

Supplementary Table 2

Differentially expressed genes_keloid-XL_comparing SC-Keloid vs. (SC-Myel, SC-Nonmyel, SC-Nonmyel2)								
gene	p_val	avg_log2FC	pct.1	pct.2	p_val_adj	Foldchange_UP	Foldchange_DOWN	Ratio_pct1_pct2
CXCL2	0,936408352	-0,256021385	0,073	0,067	1	0,837394075	1,194180888	1,089552239
VPS37B	0,032374712	-0,256078169	0,402	0,214	1	0,837361116	1,194227892	1,878504673
PANX1	0,971144233	-0,256136878	0,11	0,098	1	0,837327041	1,194276491	1,12244898
BEST1	0,063569255	-0,256234178	0,012	0,063	1	0,837270571	1,194357039	0,19047619
ALDH3A2	0,651152769	-0,256257063	0,183	0,144	1	0,83725729	1,194375985	1,270833333
AMY2B	0,071615029	-0,256274239	0	0,039	1	0,837247322	1,194390204	0
RNF115	0,120982343	-0,256353398	0,232	0,137	1	0,837201384	1,194455741	1,693430657
MSL1	0,21058334	-0,256443349	0,439	0,284	1	0,837149187	1,194530217	1,545774648
CRTC2	0,990057737	-0,257126633	0,159	0,144	1	0,836752793	1,1950961	1,104166667
SRSF4	0,124312391	-0,257135603	0,451	0,281	1	0,836747591	1,195103531	1,604982206
ZNFX1	0,917335577	-0,257284929	0,11	0,105	1	0,836660988	1,195227236	1,047619048
BCL9	0,856427169	-0,257303331	0,085	0,074	1	0,836650316	1,195242481	1,148648649
ZBTB16	0,153186787	-0,257354083	0	0,025	1	0,836620884	1,195284529	0
SFSWAP	0,131741597	-0,25748003	0,378	0,235	1	0,83654785	1,195388882	1,608510638
RHOF	0,45098936	-0,25757106	0,037	0,056	1	0,836495069	1,19546431	0,660714286
UBE2K	0,1747954	-0,257786914	0,317	0,2	1	0,836369923	1,195643187	1,585
FST	0,827369918	-0,257800398	0,329	0,298	1	0,836362106	1,195654362	1,104026846
OTUD6B-AS1	0,015346047	-0,257801395	0,378	0,193	1	0,836361527	1,195655189	1,958549223
PRPS1	0,846763604	-0,257961602	0,11	0,109	1	0,836268657	1,19578797	1,009174312
LONRF1	0,956600398	-0,258249252	0,134	0,123	1	0,836101936	1,196026414	1,089430894
TAF4	0,637643097	-0,25830664	0,049	0,06	1	0,836068677	1,196073991	0,816666667
ARHGEF9	0,560105199	-0,258443513	0,146	0,109	1	0,835989361	1,196187472	1,339449541
AGAP4	0,73097622	-0,258752987	0,049	0,056	1	0,835810051	1,196444095	0,875
JMY	0,707626083	-0,258808397	0,134	0,109	1	0,835777951	1,196490048	1,229357798
TAF13	0,013107615	-0,258837172	0,244	0,112	1	0,835761281	1,196513913	2,178571429
AFAP1L2	0,195619395	-0,25899295	0,549	0,344	1	0,835671042	1,196643116	1,595930233
DGKH	0,383524207	-0,259000115	0,061	0,088	1	0,835666892	1,196649059	0,693181818
KMT5B	0,010364201	-0,259111689	0,232	0,102	1	0,835602267	1,196741608	2,274509804
UBE3A	0,047514643	-0,259132716	0,354	0,196	1	0,835590088	1,19675905	1,806122449
CATSPERG	0,115638032	-0,25931043	0,024	0,07	1	0,835487165	1,196906478	0,342857143

Supplementary Table 2

Differentially expressed genes_keloid-XL_comparing SC-Keloid vs. (SC-Myel, SC-Nonmyel, SC-Nonmyel2)								
gene	p_val	avg_log2FC	pct.1	pct.2	p_val_adj	Foldchange_UP	Foldchange_DOWN	Ratio_pct1_pct2
SERPINF1	0,517393619	-0,259393824	0,024	0,039	1	0,835438871	1,196975667	0,615384615
RNF130	0,320081633	-0,259474101	0,451	0,298	1	0,835392386	1,197042273	1,513422819
KIF5B	0,659310003	-0,259757106	0,707	0,512	1	0,835228528	1,197277113	1,380859375
ANKS1A	0,77964259	-0,259805838	0,061	0,067	1	0,835200315	1,197317556	0,910447761
TNPO1	0,065662838	-0,259881112	0,341	0,193	1	0,835156739	1,197380028	1,766839378
DDX21	0,045288063	-0,26030093	0,5	0,284	1	0,834913748	1,197728511	1,76056338
CDKN2C	0,345536943	-0,260482381	0,268	0,189	1	0,834808745	1,197879162	1,417989418
NONO	0,071771509	-0,260573822	0,537	0,309	1	0,834755835	1,197955089	1,737864078
ESPN	0,091671536	-0,26088124	0,012	0,056	1	0,834577979	1,198210383	0,214285714
APCDD1	0,69493781	-0,261097243	0,061	0,07	1	0,834453034	1,198389795	0,871428571
NSUN6	0,021104088	-0,261102885	0,256	0,123	1	0,83444977	1,198394481	2,081300813
RORA	0,291132007	-0,261433899	0,049	0,081	1	0,834258335	1,198669474	0,604938272
SAP18	0,187463814	-0,261612367	0,732	0,484	1	0,83415514	1,198817764	1,512396694
BBS5	0,709918735	-0,261640033	0,122	0,098	1	0,834139144	1,198840754	1,244897959
KCNK5	0,02387518	-0,26195588	0	0,06	1	0,833956547	1,199103242	0
RNF19A	0,147721956	-0,261994404	0,402	0,246	1	0,833934278	1,199135263	1,634146341
CXCR4	0,987820396	-0,262143051	0,098	0,091	1	0,833848359	1,199258821	1,076923077
HDAC4	0,682987086	-0,262375787	0,061	0,07	1	0,833713853	1,199452301	0,871428571
LRCH3	0,165858094	-0,26240945	0,366	0,235	1	0,8336944	1,199480289	1,557446809
LUM	0,666206836	-0,262516685	0,098	0,077	1	0,833632435	1,199569449	1,272727273
TMBIM6	0,466362122	-0,262566936	0,793	0,635	1	0,833603398	1,199611233	1,248818898
RAN	0,714331616	-0,262698428	0,646	0,498	1	0,833527424	1,199720574	1,297188755
RANBP2	0,760878992	-0,262722717	0,207	0,172	1	0,833513391	1,199740772	1,203488372
HIVEP1	0,20638819	-0,262898416	0,268	0,172	1	0,833411888	1,199886892	1,558139535
GNRH1	0,075380821	-0,263444779	0,049	0,116	1	0,833096326	1,200341388	0,422413793
MIR181A1HG	0,971399867	-0,263452309	0,073	0,07	1	0,833091978	1,200347653	1,042857143
MBTD1	0,132591305	-0,263537665	0,024	0,067	1	0,83304269	1,200418672	0,358208955
OSBP	0,676217131	-0,263642321	0,159	0,126	1	0,832982262	1,200505757	1,261904762
PNPLA2	0,187039482	-0,26368887	0,512	0,323	1	0,832955386	1,200544491	1,585139319
IP6K2	0,178141168	-0,264079392	0,427	0,274	1	0,832729944	1,20086951	1,558394161

Supplementary Table 2

Differentially expressed genes_keloid-XL_comparing SC-Keloid vs. (SC-Myel, SC-Nonmyel, SC-Nonmyel2)								
gene	p_val	avg_log2FC	pct.1	pct.2	p_val_adj	Foldchange_UP	Foldchange_DOWN	Ratio_pct1_pct2
NABP1	0,247812336	-0,264439625	0,037	0,07	1	0,832522042	1,201169398	0,528571429
ATP2B4	0,175363741	-0,264522072	0,427	0,274	1	0,832474467	1,201238044	1,558394161
ZFX	0,29271541	-0,26461468	0,28	0,189	1	0,832421031	1,201315155	1,481481481
DHX38	0,692863907	-0,264654463	0,146	0,116	1	0,832398077	1,201348283	1,25862069
USP42	0,4221792	-0,264816077	0,098	0,123	1	0,832304835	1,201482868	0,796747967
MYO1E	0,967216715	-0,265062934	0,098	0,091	1	0,832162433	1,201688469	1,076923077
EHBP1L1	0,536250939	-0,265184858	0,159	0,119	1	0,832092109	1,201790029	1,336134454
IQGAP2	0,351061151	-0,265389303	0,366	0,256	1	0,831974201	1,201960348	1,4296875
MAML2	0,28414849	-0,265585364	0,402	0,284	1	0,831861144	1,202123705	1,415492958
CLK3	0,276238025	-0,265724687	0,159	0,102	1	0,831780814	1,202239801	1,558823529
ATF7IP2	0,951674123	-0,2659933	0,085	0,077	1	0,83162596	1,202463665	1,103896104
RNMT	0,046042883	-0,266078423	0,341	0,189	1	0,831576894	1,202534615	1,804232804
DNHD1	0,334326668	-0,266111985	0,012	0,032	1	0,831557549	1,20256259	0,375
TOP1	0,142978311	-0,266237921	0,378	0,235	1	0,831484963	1,20266757	1,608510638
H2BC15	0,58916037	-0,266255211	0,073	0,088	1	0,831474999	1,202681983	0,829545455
PROS1	0,186400578	-0,266917945	0,329	0,211	1	0,83109313	1,203234589	1,559241706
ULK1	0,057219396	-0,267019637	0,268	0,147	1	0,83103455	1,203319404	1,823129252
FAM214A	0,968464025	-0,267024949	0,122	0,112	1	0,83103149	1,203323836	1,089285714
EDNRB	0,349295167	-0,267072353	0,476	0,337	1	0,831004185	1,203363375	1,412462908
CHRAC1	0,066365979	-0,2673159	0,195	0,102	1	0,830863911	1,203566537	1,911764706
TENT4A	0,49611756	-0,26737605	0,122	0,144	1	0,830829271	1,203616718	0,847222222
EWSR1	0,252556226	-0,267508121	0,512	0,333	1	0,830753216	1,203726907	1,537537538
RARB	0,739665212	-0,267588909	0,049	0,039	1	0,830706697	1,203794315	1,256410256
TMEM98	0,16083273	-0,267736136	0,159	0,091	1	0,830621928	1,203917169	1,747252747
ZC3H15	0,377919627	-0,268031291	0,378	0,274	1	0,830452012	1,204163499	1,379562044
UPF2	0,337931482	-0,268216207	0,341	0,239	1	0,830345577	1,204317851	1,426778243
HNRNPAB	0,116733762	-0,268231973	0,524	0,33	1	0,830336502	1,204331012	1,587878788
POM121	0,144993687	-0,268351517	0,171	0,098	1	0,830267702	1,204430809	1,744897959
MX2	0,59992337	-0,268480407	0,061	0,074	1	0,83019353	1,204538417	0,824324324
SESN3	0,327018399	-0,268672191	0,171	0,211	1	0,830083176	1,204698552	0,81042654

Supplementary Table 2

Differentially expressed genes_keloid-XL_comparing SC-Keloid vs. (SC-Myel, SC-Nonmyel, SC-Nonmyel2)								
gene	p_val	avg_log2FC	pct.1	pct.2	p_val_adj	Foldchange_UP	Foldchange_DOWN	Ratio_pct1_pct2
BICRA	0,688952745	-0,268958927	0,061	0,07	1	0,829918213	1,20493801	0,871428571
LRRN1	0,431293	-0,269066132	0,049	0,07	1	0,829856545	1,205027551	0,7
MPRIP	0,08609268	-0,269088744	0,488	0,291	1	0,829843538	1,205046438	1,676975945
TSC1	0,077532589	-0,26920837	0,22	0,123	1	0,829774732	1,205146363	1,788617886
YTHDF1	0,805393996	-0,269558544	0,146	0,144	1	0,829573351	1,205438914	1,013888889
PBX1	0,639740157	-0,269608207	0,049	0,06	1	0,829544795	1,20548041	0,816666667
HEY1	0,511435466	-0,269724476	0,183	0,137	1	0,829477943	1,205577566	1,335766423
CEP295	0,36970345	-0,269766903	0,024	0,046	1	0,82945355	1,20561302	0,52173913
MDN1	0,843757259	-0,269899788	0,073	0,063	1	0,829377154	1,205724073	1,158730159
PUM2	0,144186613	-0,270515766	0,293	0,182	1	0,829023115	1,206238983	1,60989011
TMEM117	0,034342747	-0,270805884	0	0,053	1	0,82885642	1,206481576	0
ZNF331	0,481737243	-0,270854661	0,122	0,088	1	0,828828398	1,206522367	1,386363636
NR6A1	0,091636508	-0,271105856	0,037	0,091	1	0,828684099	1,206732459	0,406593407
ARID1B	0,154840312	-0,271170858	0,5	0,312	1	0,828646762	1,206786831	1,602564103
CYB5A	0,150547982	-0,271797355	0,329	0,207	1	0,828286997	1,207310997	1,589371981
HS6ST1	0,371396218	-0,272001392	0,049	0,074	1	0,828169862	1,207481757	0,662162162
CLEC14A	0,115306319	-0,272051122	0,024	0,07	1	0,828141315	1,20752338	0,342857143
ZC3H7A	0,964182033	-0,272095804	0,22	0,193	1	0,828115668	1,207560778	1,139896373
KLF11	0,208874096	-0,272138486	0,159	0,095	1	0,828091168	1,207596504	1,673684211
EPB41L4A-AS1	0,375246467	-0,272187466	0,39	0,267	1	0,828063055	1,207637503	1,460674157
RASA3	0,012629837	-0,272355094	0,317	0,154	1	0,827966847	1,207777828	2,058441558
DNAJA4	0,786233187	-0,27238078	0,11	0,091	1	0,827952105	1,207799332	1,208791209
CAV1	8,01903E-05	-0,272386725	0,427	0,165	1	0,827948694	1,207804309	2,587878788
PXK	0,837691996	-0,272885792	0,11	0,095	1	0,827662334	1,208222193	1,157894737
GBP1	0,042828551	-0,273163541	0,268	0,144	1	0,827503007	1,208454824	1,861111111
CDH7	0,049502603	-0,273234868	0	0,046	1	0,827462096	1,208514571	0
MITF	0,747570815	-0,273331477	0,061	0,07	1	0,827406687	1,208595502	0,871428571
AP1G1	0,02609562	-0,273541514	0,244	0,119	1	0,827286237	1,208771469	2,050420168
UGP2	0,111767288	-0,273576731	0,293	0,175	1	0,827266043	1,208800976	1,674285714
ROCK2	0,176308116	-0,273589749	0,39	0,249	1	0,827258578	1,208811884	1,56626506

Supplementary Table 2

Differentially expressed genes_keloid-XL_comparing SC-Keloid vs. (SC-Myel, SC-Nonmyel, SC-Nonmyel2)								
gene	p_val	avg_log2FC	pct.1	pct.2	p_val_adj	Foldchange_UP	Foldchange_DOWN	Ratio_pct1_pct2
HNRNPM	0,633133912	-0,273684469	0,659	0,467	1	0,827204266	1,208891251	1,411134904
H3-2	0,43777557	-0,273719701	0,049	0,07	1	0,827184065	1,208920774	0,7
SLC25A29	0,66103798	-0,273789148	0,146	0,151	1	0,827144248	1,208978969	0,966887417
ENTPD4	0,110527212	-0,274393514	0,146	0,077	1	0,826797817	1,209485534	1,896103896
ALDH7A1	0,404480665	-0,274575575	0,11	0,137	1	0,826693487	1,209638175	0,802919708
ZNF410	0,726620162	-0,274586833	0,122	0,098	1	0,826687035	1,209647614	1,244897959
NR1D1	0,828944466	-0,274659294	0,085	0,088	1	0,826645515	1,209708371	0,965909091
ITM2A	0,075807536	-0,274882836	0,012	0,06	1	0,826517438	1,209895828	0,2
ADNP2	0,265246037	-0,274962146	0,061	0,098	1	0,826472003	1,209962341	0,62244898
PSIP1	0,912685943	-0,275228568	0,22	0,186	1	0,826319393	1,210185805	1,182795699
UBXN2A	0,034199717	-0,275371994	0,378	0,204	1	0,826237248	1,210306123	1,852941176
BORCS5	0,492214423	-0,275640179	0,073	0,091	1	0,826083672	1,210531129	0,802197802
FAXDC2	0,158586405	-0,276293947	0,024	0,063	1	0,825709411	1,211079814	0,380952381
CTBP2	0,204999332	-0,27662438	0,329	0,211	1	0,825520313	1,21135723	1,559241706
SLC7A2	0,224867908	-0,27667189	0,024	0,056	1	0,825493128	1,211397123	0,428571429
MIR22HG	0,249646839	-0,276837318	0,159	0,098	1	0,825398477	1,211536037	1,62244898
MARCHF6	0,259726063	-0,276987695	0,439	0,295	1	0,825312448	1,211662326	1,488135593
TNFRSF14	0,287347275	-0,277227731	0,134	0,084	1	0,825175143	1,21186394	1,595238095
H4C3	0,243400004	-0,277281616	0,22	0,144	1	0,825144324	1,211909203	1,527777778
RPS6KA3	0,964873587	-0,277293849	0,171	0,151	1	0,825137327	1,21191948	1,132450331
HUNK	0,899278687	-0,27761227	0,073	0,074	1	0,824955229	1,212186995	0,986486486
OSBPL11	0,009019195	-0,277624923	0,195	0,081	1	0,824947994	1,212197626	2,407407407
MT-ND4	0,0700849	-0,278650046	0,89	0,842	1	0,824362026	1,213059274	1,057007126
TANK	0,185347145	-0,278729645	0,232	0,14	1	0,824316544	1,213126204	1,657142857
VPS13A	0,961650221	-0,278963031	0,122	0,112	1	0,824183204	1,213322469	1,089285714
PREX1	0,028629337	-0,279265987	0	0,056	1	0,82401015	1,213577285	0
PIP5K1A	0,631794069	-0,279415392	0,098	0,109	1	0,82392482	1,213702969	0,899082569
AKIRIN2	0,145418584	-0,279491299	0,305	0,189	1	0,823881471	1,213766829	1,613756614
TBX2	0,011563645	-0,279926974	0	0,074	1	0,823632707	1,214133426	0
C16orf87	0,184790334	-0,280824177	0,39	0,253	1	0,823120654	1,214888723	1,541501976

Supplementary Table 2

Differentially expressed genes_keloid-XL_comparing SC-Keloid vs. (SC-Myel, SC-Nonmyel, SC-Nonmyel2)								
gene	p_val	avg_log2FC	pct.1	pct.2	p_val_adj	Foldchange_UP	Foldchange_DOWN	Ratio_pct1_pct2
RLIM	0,42238488	-0,28087454	0,171	0,123	1	0,82309192	1,214931134	1,390243902
LINC01588	0,016614385	-0,281154993	0	0,067	1	0,82293193	1,215167334	0
JAK1	0,141124358	-0,281242178	0,378	0,235	1	0,822882201	1,215240771	1,608510638
SPP1	0,517393619	-0,281316579	0,024	0,039	1	0,822839765	1,215303443	0,615384615
SMNDC1	0,087703056	-0,281411575	0,232	0,13	1	0,822785586	1,21538347	1,784615385
CCN5	0,943380327	-0,281842701	0,049	0,049	1	0,822539747	1,215746721	1
NAP1L1	0,883220662	-0,282182658	0,732	0,593	1	0,822345946	1,216033234	1,234401349
RAB1A	0,275512712	-0,282276799	0,463	0,312	1	0,822292286	1,216112587	1,483974359
NKAIN2	0,006707687	-0,282320822	0	0,084	1	0,822267195	1,216149696	0
MFAP3L	0,132591305	-0,282721824	0,024	0,067	1	0,822038675	1,216487776	0,358208955
PLCB1	0,996261953	-0,283241683	0,171	0,151	1	0,821742516	1,216926203	1,132450331
OXSRI	0,262737921	-0,283243934	0,256	0,165	1	0,821741234	1,216928102	1,551515152
ANKRD36	0,592976726	-0,28373848	0,122	0,137	1	0,821459595	1,217345328	0,890510949
APOA1	0,02387518	-0,283909743	0	0,06	1	0,821362084	1,217489849	0
CFLAR	0,605329347	-0,283924208	0,268	0,207	1	0,82135385	1,217502055	1,29468599
FYN	0,202314796	-0,283958551	0,463	0,298	1	0,821334298	1,217531038	1,553691275
SLC66A3	0,61354058	-0,284003043	0,159	0,123	1	0,821308969	1,217568587	1,292682927
PDE9A	0,034342747	-0,28422511	0	0,053	1	0,821182558	1,217756016	0
ZCCHC2	0,806393286	-0,284240078	0,073	0,077	1	0,821174038	1,21776865	0,948051948
TCEAL9	0,043758355	-0,284478884	0,756	0,46	1	0,821038122	1,217970241	1,643478261
TAP1	0,442158087	-0,284785007	0,244	0,172	1	0,820863926	1,218228708	1,418604651
INAFM2	0,751862434	-0,28536371	0,122	0,123	1	0,820534722	1,218717469	0,991869919
SLC25A48	0,059506563	-0,285407455	0	0,042	1	0,820509843	1,218754423	0
OPHN1	0,771638258	-0,285439276	0,098	0,081	1	0,820491745	1,218781305	1,209876543
HDGF	0,83750707	-0,285648281	0,476	0,358	1	0,820372888	1,218957884	1,329608939
TTBK2	0,935131989	-0,285894402	0,11	0,098	1	0,820232946	1,219165854	1,12244898
ZCCHC3	0,961600738	-0,286261455	0,098	0,091	1	0,820024287	1,219476076	1,076923077
PPIL4	0,270474762	-0,286300713	0,39	0,26	1	0,820001974	1,21950926	1,5
EVA1C	0,65905372	-0,286304816	0,098	0,105	1	0,819999641	1,219512729	0,933333333
PTGES3	0,857924692	-0,286380929	0,683	0,512	1	0,819956381	1,219577069	1,333984375

Supplementary Table 2

Differentially expressed genes_keloid-XL_comparing SC-Keloid vs. (SC-Myel, SC-Nonmyel, SC-Nonmyel2)								
gene	p_val	avg_log2FC	pct.1	pct.2	p_val_adj	Foldchange_UP	Foldchange_DOWN	Ratio_pct1_pct2
ZFHX3	0,983813269	-0,286503474	0,195	0,175	1	0,819886736	1,219680666	1,114285714
ERN1	0,616646356	-0,286570373	0,061	0,074	1	0,819848718	1,219737225	0,824324324
LRRC1	0,227416109	-0,286579224	0,049	0,088	1	0,819843688	1,219744708	0,556818182
ZFYVE21	0,120404332	-0,286592161	0,293	0,172	1	0,819836336	1,219755646	1,703488372
BOD1L1	0,003396495	-0,286612528	0,5	0,242	1	0,819824763	1,219772866	2,066115702
TRAF4	0,877220851	-0,287003048	0,11	0,095	1	0,819602876	1,220103088	1,157894737
SUZ12	0,243794121	-0,287214635	0,22	0,14	1	0,819482681	1,220282043	1,571428571
RBMXL1	0,708256076	-0,287271994	0,098	0,105	1	0,8194501	1,22033056	0,933333333
ZNF367	0,02387518	-0,287299665	0	0,06	1	0,819434383	1,220353966	0
C12orf29	0,119850974	-0,2877199	0,195	0,112	1	0,819195729	1,220709489	1,741071429
RSBN1L	0,305566465	-0,288579571	0,39	0,267	1	0,818707734	1,2214371	1,460674157
PBRM1	0,058607681	-0,288582108	0,378	0,214	1	0,818706294	1,221439247	1,76635514
CKS1B	0,537092255	-0,288619966	0,28	0,281	1	0,81868481	1,2214713	0,996441281
GTF2B	0,489782083	-0,288668999	0,207	0,151	1	0,818656987	1,221512815	1,370860927
DNAJA2	0,343436657	-0,288703375	0,329	0,225	1	0,81863748	1,221541921	1,462222222
GALNT1	0,324332057	-0,288983775	0,159	0,105	1	0,818478386	1,221779361	1,514285714
PHF12	0,680209188	-0,289265321	0,098	0,105	1	0,818318674	1,222017818	0,933333333
RELB	0,593821299	-0,289406229	0,098	0,109	1	0,818238753	1,222137178	0,899082569
PBX3	0,654820388	-0,289492453	0,171	0,133	1	0,818189851	1,222210222	1,285714286
CELF1	0,013954102	-0,289648148	0,451	0,239	1	0,818101557	1,22234213	1,887029289
LEPROT	0,297238097	-0,289763324	0,585	0,372	1	0,818036248	1,222439718	1,572580645
PPP3CC	0,947169223	-0,290070425	0,073	0,067	1	0,817862134	1,222699962	1,089552239
KCNMB4	0,199050592	-0,290488666	0,476	0,305	1	0,817625068	1,223054477	1,560655738
TCP1	0,362385901	-0,290552225	0,549	0,358	1	0,817589048	1,223108361	1,533519553
IFITM3	0,946694127	-0,290660553	0,951	0,818	1	0,817527659	1,223200205	1,162591687
YTHDC1	0,923678458	-0,29090151	0,402	0,333	1	0,817391128	1,223404519	1,207207207
HERC4	0,100631993	-0,291008787	0,244	0,14	1	0,81733035	1,223495493	1,742857143
IGF1R	0,959720905	-0,291338842	0,085	0,077	1	0,817143385	1,223775433	1,103896104
YOD1	0,099897667	-0,292212484	0,061	0,123	1	0,816648704	1,224516729	0,495934959
RND1	0,133348619	-0,292457235	0,024	0,067	1	0,816510173	1,224724484	0,358208955

Supplementary Table 2

Differentially expressed genes_keloid-XL_comparing SC-Keloid vs. (SC-Myel, SC-Nonmyel, SC-Nonmyel2)								
gene	p_val	avg_log2FC	pct.1	pct.2	p_val_adj	Foldchange_UP	Foldchange_DOWN	Ratio_pct1_pct2
NBR1	0,017304856	-0,29271713	0,268	0,13	1	0,816363095	1,224945133	2,061538462
KLF7	0,434668507	-0,292755002	0,171	0,119	1	0,816341665	1,224977289	1,43697479
SEC24A	0,545283472	-0,292815688	0,183	0,137	1	0,816307327	1,225028818	1,335766423
SRSF1	0,044515559	-0,293081829	0,415	0,235	1	0,816156753	1,225254826	1,765957447
HR	0,34071835	-0,293185391	0,061	0,091	1	0,816098168	1,225342782	0,67032967
ARHGEF12	0,082279963	-0,293234618	0,463	0,277	1	0,816070322	1,225384594	1,671480144
FBXL3	0,085252495	-0,293460592	0,402	0,235	1	0,815942509	1,225576544	1,710638298
PLA2G4C	0,374297693	-0,293558373	0,049	0,074	1	0,815887209	1,225659613	0,662162162
HACL1	0,790538085	-0,293687244	0,073	0,077	1	0,815814331	1,225769102	0,948051948
STX3	0,109482163	-0,294075816	0,049	0,105	1	0,815594631	1,226099292	0,466666667
CAPRIN2	0,252921063	-0,294379042	0,207	0,133	1	0,815423228	1,226357021	1,556390977
DHPS	0,154280452	-0,294847712	0,256	0,154	1	0,815158374	1,226755477	1,662337662
EPAS1	0,037828389	-0,295130911	0,049	0,13	1	0,814998376	1,22699631	0,376923077
EPB41L4B	0,028629337	-0,295356886	0	0,056	1	0,814870729	1,227188515	0
AHDC1	0,513861396	-0,295715798	0,293	0,214	1	0,814668032	1,227493851	1,369158879
CUL3	0,350340632	-0,295754592	0,317	0,218	1	0,814646126	1,227526859	1,45412844
ATP8B2	0,780074451	-0,295769031	0,146	0,144	1	0,814637973	1,227539145	1,013888889
CHKA	0,280057808	-0,295878495	0,195	0,126	1	0,814576165	1,227632287	1,547619048
USP32	0,988507754	-0,295983857	0,22	0,193	1	0,814516677	1,227721947	1,139896373
S100A14	0,041217527	-0,296324055	0	0,049	1	0,814324631	1,228011486	0
PCID2	0,015445933	-0,296329179	0,317	0,158	1	0,814321738	1,228015848	2,006329114
GOLGA8A	0,871565803	-0,296414145	0,195	0,168	1	0,814273781	1,228088173	1,160714286
PIAS2	0,034325556	-0,296484843	0,207	0,102	1	0,81423388	1,228148355	2,029411765
HMG20A	0,397804266	-0,296523418	0,134	0,091	1	0,814212109	1,228181194	1,472527473
LMCD1	0,220928258	-0,296761597	0,207	0,13	1	0,814077699	1,228383975	1,592307692
RPL7	0,182551169	-0,297095986	0,939	0,842	1	0,813889033	1,228668724	1,1152019
CAT	0,735594692	-0,29719482	0,256	0,207	1	0,813833278	1,228752899	1,236714976
LIN54	0,326444926	-0,297303375	0,049	0,077	1	0,813772044	1,228845359	0,636363636
PPP4R3A	0,604356545	-0,297313495	0,232	0,175	1	0,813766336	1,228853979	1,325714286
MTOR	0,83651665	-0,297352381	0,122	0,105	1	0,813744402	1,228887102	1,161904762

Supplementary Table 2

Differentially expressed genes_keloid-XL_comparing SC-Keloid vs. (SC-Myel, SC-Nonmyel, SC-Nonmyel2)								
gene	p_val	avg_log2FC	pct.1	pct.2	p_val_adj	Foldchange_UP	Foldchange_DOWN	Ratio_pct1_pct2
NIN	0,511745244	-0,297775489	0,159	0,116	1	0,813505785	1,229247558	1,370689655
POLR2A	0,195604483	-0,297802179	0,232	0,144	1	0,813490736	1,229270299	1,611111111
LUC7L2	0,432260745	-0,297907368	0,366	0,267	1	0,813431425	1,22935993	1,370786517
CDK12	0,226914405	-0,297978617	0,22	0,14	1	0,813391254	1,229420645	1,571428571
FEM1C	0,749009857	-0,298442888	0,268	0,211	1	0,81312954	1,229816347	1,27014218
COBL	0,597792204	-0,298797735	0,329	0,253	1	0,812929566	1,230118871	1,300395257
GABARAPL2	0,790081359	-0,299015098	0,78	0,547	1	0,812807096	1,23030422	1,425959781
PRPF38B	0,023748114	-0,299651331	0,476	0,256	1	0,812448725	1,230846907	1,859375
ZNF703	0,687879259	-0,299725611	0,134	0,105	1	0,812406895	1,230910282	1,276190476
IRS1	0,78445104	-0,299859246	0,11	0,091	1	0,812331646	1,231024305	1,208791209
TMEM106B	0,340328374	-0,300258517	0,354	0,242	1	0,812106862	1,231365042	1,462809917
NISCH	0,165380311	-0,300274709	0,183	0,109	1	0,812097747	1,231378862	1,678899083
HLA-DQA1	0,238727115	-0,300424418	0,037	0,07	1	0,81201348	1,23150665	0,528571429
MCM7	0,907700144	-0,300472076	0,159	0,14	1	0,811986656	1,231547332	1,135714286
MTX3	0,679020923	-0,300712103	0,061	0,07	1	0,811851574	1,231752246	0,871428571
SRSF5	0,583130947	-0,300934381	0,549	0,453	1	0,8117265	1,231942039	1,21192053
STARD9	0,162890528	-0,301089419	0,085	0,137	1	0,811639274	1,232074436	0,620437956
EZH2	0,943232218	-0,30118595	0,134	0,126	1	0,811584968	1,232156877	1,063492063
H2BC21	0,36048127	-0,301772978	0,073	0,102	1	0,811254804	1,232658339	0,715686275
ZMAT1	0,618224269	-0,302213939	0,085	0,098	1	0,811006882	1,23303516	0,867346939
STEAP1B	0,495262363	-0,3023838	0,073	0,091	1	0,8109114	1,233180345	0,802197802
IGSF11	0,164549302	-0,303016187	0,049	0,095	1	0,810556025	1,233721012	0,515789474
DCP1A	0,861721728	-0,303348518	0,232	0,211	1	0,810369332	1,234005238	1,099526066
ZNF536	0,48523735	-0,303600656	0,232	0,168	1	0,810227717	1,234220922	1,380952381
BOC	0,034342747	-0,303671025	0	0,053	1	0,810188198	1,234281124	0
SMARCA2	0,219485363	-0,303750722	0,207	0,13	1	0,810143444	1,234349309	1,592307692
SMARCC2	0,912667706	-0,303783755	0,183	0,168	1	0,810124894	1,234377573	1,089285714
MXD1	0,734055439	-0,304185979	0,134	0,137	1	0,809899062	1,234721765	0,97810219
GPBP1L1	0,838535906	-0,304355569	0,207	0,172	1	0,809803863	1,234866917	1,203488372
ATP11A	0,077318447	-0,304639768	0,037	0,095	1	0,809644355	1,235110199	0,389473684

Supplementary Table 2

Differentially expressed genes_keloid-XL_comparing SC-Keloid vs. (SC-Myel, SC-Nonmyel, SC-Nonmyel2)								
gene	p_val	avg_log2FC	pct.1	pct.2	p_val_adj	Foldchange_UP	Foldchange_DOWN	Ratio_pct1_pct2
BBC3	0,941625146	-0,304712837	0,207	0,186	1	0,809603349	1,235172756	1,112903226
ARHGAP39	0,309012629	-0,304926405	0,085	0,119	1	0,809483509	1,235355617	0,714285714
MBD2	0,557392726	-0,305002773	0,341	0,253	1	0,809440661	1,235421012	1,347826087
EPHB3	0,524269717	-0,305272877	0,061	0,077	1	0,80928913	1,235652331	0,792207792
COPS2	0,868136354	-0,305508267	0,427	0,319	1	0,809157097	1,235853957	1,338557994
SH3PXD2B	0,497320291	-0,306224958	0,159	0,116	1	0,80875523	1,236468047	1,370689655
EIF4B	0,259784915	-0,306335009	0,427	0,274	1	0,808693539	1,236562371	1,558394161
INPP1	0,494764498	-0,306346786	0,244	0,179	1	0,808686938	1,236572465	1,363128492
PRRG1	0,668785183	-0,306674805	0,098	0,105	1	0,808503091	1,236853651	0,933333333
LRRK2	0,213293489	-0,306983305	0,037	0,074	1	0,808330223	1,237118162	0,5
TNS2	0,315158739	-0,307452682	0,207	0,14	1	0,808067278	1,237520721	1,478571429
GABBR1	0,724944006	-0,307507581	0,122	0,098	1	0,808036529	1,237567813	1,244897959
AGAP3	0,211665134	-0,307713342	0,195	0,119	1	0,807921293	1,237744331	1,638655462
SRSF2	0,724795593	-0,30790329	0,659	0,491	1	0,807814927	1,237907306	1,342158859
ELK4	0,006842037	-0,308211263	0,341	0,161	1	0,807642501	1,238171591	2,118012422
STMN1	0,423282635	-0,308286634	0,756	0,639	1	0,807600308	1,238236279	1,183098592
RASEF	0,01991529	-0,30860109	0	0,063	1	0,807424299	1,238506199	0
BTAF1	0,968464025	-0,308614908	0,122	0,112	1	0,807416566	1,238518062	1,089285714
FA2H	0,016614385	-0,30866881	0	0,067	1	0,8073864	1,238564336	0
CNP	0,360526527	-0,309157084	0,671	0,453	1	0,807113189	1,238983594	1,481236203
TBL1X	0,116982952	-0,309897081	0,049	0,102	1	0,806699306	1,239619265	0,480392157
ENPP2	0,614868891	-0,309940693	0,146	0,154	1	0,80667492	1,239656739	0,948051948
MEF2D	0,629398956	-0,310099032	0,268	0,207	1	0,80658639	1,239792801	1,29468599
LAMA4	0,704256193	-0,310620105	0,549	0,411	1	0,80629512	1,240240671	1,335766423
TAMALIN	0,108791287	-0,311175945	0,28	0,168	1	0,805984531	1,240718601	1,666666667
CSGALNACT2	0,703102061	-0,311239469	0,305	0,242	1	0,805949043	1,240773233	1,260330579
KLF5	0,026074041	-0,311490933	0,439	0,239	1	0,805808577	1,24098952	1,836820084
TOB2	0,634287849	-0,312107904	0,232	0,225	1	0,805464045	1,241520346	1,031111111
CBX7	0,356073246	-0,312526811	0,049	0,077	1	0,805230201	1,241880891	0,636363636
FBXO11	0,817224844	-0,312594369	0,28	0,228	1	0,805192495	1,241939047	1,228070175

Supplementary Table 2

Differentially expressed genes_keloid-XL_comparing SC-Keloid vs. (SC-Myel, SC-Nonmyel, SC-Nonmyel2)								
gene	p_val	avg_log2FC	pct.1	pct.2	p_val_adj	Foldchange_UP	Foldchange_DOWN	Ratio_pct1_pct2
ECHDC2	0,066497956	-0,312846052	0,024	0,081	1	0,805052039	1,242155726	0,296296296
ADAMTS9-AS2	0,014001252	-0,312874366	0,012	0,095	1	0,805036239	1,242180105	0,126315789
ARRDC2	0,646048576	-0,312956594	0,049	0,06	1	0,804990357	1,242250906	0,816666667
AGO3	0,577818657	-0,313403131	0,146	0,158	1	0,804741238	1,242635462	0,924050633
KHSRP	0,198335122	-0,313453978	0,341	0,221	1	0,804712876	1,242679259	1,542986425
USP6NL	0,292866609	-0,313643787	0,085	0,119	1	0,80460701	1,242842763	0,714285714
SCAF4	0,391219989	-0,313668078	0,232	0,161	1	0,804593463	1,242863689	1,440993789
SLFN12	0,728297629	-0,313815171	0,122	0,098	1	0,804511433	1,242990414	1,244897959
PIK3R1	0,716204917	-0,313875231	0,537	0,456	1	0,804477942	1,243042162	1,177631579
PPARA	0,383085909	-0,313906523	0,049	0,074	1	0,804460493	1,243069124	0,662162162
SAFB2	0,508806132	-0,314241385	0,171	0,182	1	0,804273792	1,243357684	0,93956044
PDE8A	0,332424176	-0,314495483	0,232	0,161	1	0,80413215	1,243576693	1,440993789
PM20D2	0,126187576	-0,314758754	0,037	0,084	1	0,803985421	1,243803648	0,44047619
MRE11	0,382946636	-0,314844171	0,073	0,098	1	0,803937821	1,243877292	0,744897959
PAPOLA	0,631766822	-0,314887376	0,524	0,379	1	0,803913746	1,243914543	1,382585752
KMT2E-AS1	0,94590946	-0,315086868	0,098	0,088	1	0,803802591	1,24408656	1,113636364
MAFB	0,003848754	-0,315144164	0,512	0,263	1	0,803770668	1,24413597	1,946768061
SRSF11	0,9919349	-0,315748226	0,622	0,463	1	0,803434197	1,244657003	1,343412527
MIR99AHG	0,686557781	-0,315919596	0,146	0,119	1	0,803338767	1,244804859	1,226890756
PHYHIPL	0,02387518	-0,316102264	0	0,06	1	0,803237058	1,24496248	0
CCNG2	0,82057298	-0,316107146	0,134	0,13	1	0,80323434	1,244966693	1,030769231
CAMTA1	0,887462433	-0,316239995	0,634	0,46	1	0,803160378	1,24508134	1,37826087
GATAD2A	0,663810764	-0,316671861	0,329	0,249	1	0,802919991	1,245454106	1,321285141
KCMF1	0,864158419	-0,316959969	0,354	0,281	1	0,802759663	1,24570285	1,259786477
UBR3	0,809485451	-0,31704985	0,146	0,123	1	0,802709652	1,245780461	1,18699187
SHPRH	0,830047064	-0,318803824	0,146	0,123	1	0,801734341	1,247295955	1,18699187
MAGI2	0,747916993	-0,318845288	0,146	0,119	1	0,801711299	1,247331803	1,226890756
UCKL1	0,194347381	-0,319062257	0,244	0,154	1	0,801590737	1,247519405	1,584415584
FIGN	0,906902569	-0,319334744	0,439	0,365	1	0,801439352	1,247755051	1,202739726
KIAA1755	0,820963377	-0,319564401	0,134	0,112	1	0,801311784	1,247953692	1,196428571

Supplementary Table 2

Differentially expressed genes_keloid-XL_comparing SC-Keloid vs. (SC-Myel, SC-Nonmyel, SC-Nonmyel2)								
gene	p_val	avg_log2FC	pct.1	pct.2	p_val_adj	Foldchange_UP	Foldchange_DOWN	Ratio_pct1_pct2
NCOA2	0,350740934	-0,319569293	0,061	0,091	1	0,801309067	1,247957924	0,67032967
GRAMD2B	0,786664201	-0,319621718	0,256	0,207	1	0,801279949	1,248003274	1,236714976
ZBTB38	0,382172752	-0,32054447	0,378	0,263	1	0,800767613	1,248801755	1,437262357
UBE2G1	0,386468322	-0,32058284	0,305	0,207	1	0,800746316	1,248834969	1,473429952
SPG7	0,492166818	-0,320793024	0,207	0,154	1	0,800629665	1,249016923	1,344155844
TLK2	0,280754593	-0,320870825	0,232	0,151	1	0,80058649	1,249084281	1,536423841
ZNF667-AS1	0,315291627	-0,320871297	0,061	0,091	1	0,800586228	1,24908469	0,67032967
TXN	0,074537653	-0,321254108	0,683	0,477	1	0,800373825	1,249416171	1,431865828
RGPD5	0,083562027	-0,321500805	0,049	0,109	1	0,800236975	1,249629837	0,449541284
CTCF	0,43189278	-0,321687762	0,232	0,165	1	0,80013328	1,249791785	1,406060606
PDS5B	0,581963366	-0,321785203	0,293	0,281	1	0,80007924	1,2498762	1,042704626
HSBP1L1	0,14890772	-0,321833071	0,037	0,081	1	0,800052694	1,249917671	0,456790123
PHYH	0,746191175	-0,322035502	0,171	0,137	1	0,799940443	1,250093064	1,248175182
MGLL	0,102618063	-0,322213548	0,024	0,074	1	0,799841727	1,250247351	0,324324324
PLEKHF2	0,646480971	-0,322259355	0,159	0,123	1	0,799816332	1,250287048	1,292682927
ATG14	0,460629334	-0,32269737	0,061	0,081	1	0,799573537	1,250666704	0,75308642
PGM2L1	0,06826956	-0,323114052	0,573	0,344	1	0,799342636	1,251027976	1,665697674
MFSD14C	0,623320606	-0,32313503	0,098	0,074	1	0,799331013	1,251046167	1,324324324
EVI5	0,262552602	-0,323178469	0,476	0,309	1	0,799306946	1,251083837	1,540453074
CGAS	0,446912758	-0,323337871	0,073	0,095	1	0,799218636	1,251222075	0,768421053
TRIM56	0,716021013	-0,323689116	0,134	0,112	1	0,799024078	1,25152674	1,196428571
UBAP2	0,378371044	-0,324452079	0,098	0,123	1	0,79860163	1,25218878	0,796747967
NAA50	0,740346283	-0,324536465	0,207	0,193	1	0,798554919	1,252262025	1,07253886
NEGR1	0,540778822	-0,324777298	0,11	0,126	1	0,798421626	1,252471085	0,873015873
NCOA1	0,951165407	-0,324834173	0,195	0,172	1	0,79839015	1,252520463	1,13372093
CREBBP	0,894031081	-0,324855921	0,28	0,249	1	0,798378115	1,252539344	1,124497992
LRRC8A	0,549842985	-0,325004907	0,256	0,193	1	0,798295671	1,252668699	1,32642487
ABCD3	0,624436564	-0,325473734	0,256	0,193	1	0,798036294	1,25307584	1,32642487
SRSF10	0,216978412	-0,325663308	0,439	0,277	1	0,797931437	1,253240509	1,584837545
MT1E	0,000218813	-0,325777605	0,439	0,189	1	0,797868224	1,2533398	2,322751323

Supplementary Table 2

Differentially expressed genes_keloid-XL_comparing SC-Keloid vs. (SC-Myel, SC-Nonmyel, SC-Nonmyel2)								
gene	p_val	avg_log2FC	pct.1	pct.2	p_val_adj	Foldchange_UP	Foldchange_DOWN	Ratio_pct1_pct2
SMIM13	0,698680648	-0,325827357	0,122	0,126	1	0,797840709	1,253383023	0,968253968
MTMR3	0,126835528	-0,325947928	0,037	0,084	1	0,797774034	1,253487777	0,44047619
AK5	0,052581173	-0,326121821	0,012	0,067	1	0,797677881	1,253638873	0,179104478
MAF1	0,044097358	-0,32622147	0,476	0,263	1	0,797622787	1,253725466	1,809885932
ATXN7	0,862474431	-0,326616572	0,085	0,074	1	0,797404376	1,254068864	1,148648649
ADAM17	0,16545601	-0,326625206	0,427	0,274	1	0,797399604	1,254076369	1,558394161
XPA	0,212055607	-0,326780317	0,159	0,095	1	0,797313876	1,254211208	1,673684211
MUCL1	0,159203343	-0,326790111	0,012	0,046	1	0,797308464	1,254219722	0,260869565
CNKS2	0,031028599	-0,327220819	0,012	0,077	1	0,797070468	1,254594218	0,155844156
RBM43	0,149962908	-0,327265344	0,256	0,154	1	0,797045868	1,254632939	1,662337662
ADPRHL1	0,01991529	-0,327532863	0	0,063	1	0,796898086	1,254865607	0
NCOA7	0,881508495	-0,327572744	0,207	0,189	1	0,796876057	1,254900296	1,095238095
LINC00844	0,740727219	-0,328053723	0,085	0,091	1	0,796610432	1,255318736	0,934065934
PFKL	0,01634179	-0,328091181	0,317	0,158	1	0,796589749	1,255351329	2,006329114
BRAF	0,906253866	-0,328512616	0,195	0,165	1	0,796357086	1,255718091	1,181818182
NPC2	0,395931265	-0,328575178	0,598	0,389	1	0,796322553	1,255772546	1,537275064
FXVD6	0,000828974	-0,328658868	0,28	0,105	1	0,79627636	1,255845395	2,666666667
SLC25A5	0,887543425	-0,32885575	0,683	0,491	1	0,796167701	1,25601679	1,391038697
SIN3A	0,658466221	-0,32956578	0,195	0,193	1	0,795775959	1,256635098	1,010362694
KMT2C	0,161262401	-0,329718832	0,354	0,218	1	0,795691542	1,256768418	1,623853211
TNRC6B	0,327242373	-0,32981763	0,537	0,365	1	0,795637053	1,256854486	1,471232877
NTRK2	0,016614385	-0,330357122	0	0,067	1	0,795339582	1,257324572	0
RELT	0,429681097	-0,330593388	0,049	0,07	1	0,795209343	1,257530497	0,7
KATNBL1	0,556080572	-0,330754304	0,244	0,182	1	0,795120651	1,257670768	1,340659341
PER3	0,458683771	-0,330946042	0,134	0,158	1	0,795014985	1,257837927	0,848101266
MEX3D	0,166468598	-0,330976267	0,366	0,225	1	0,794998329	1,257864279	1,626666667
H2AW	0,643230196	-0,331436809	0,11	0,119	1	0,794744587	1,258265883	0,924369748
CCDC117	0,475329148	-0,331741308	0,098	0,116	1	0,794576864	1,258531484	0,844827586
TBCE	0,172849624	-0,332231897	0,037	0,077	1	0,794306714	1,258959521	0,480519481
YTHDF3	0,075609469	-0,332239955	0,232	0,126	1	0,794302277	1,258966553	1,841269841

Supplementary Table 2

Differentially expressed genes_keloid-XL_comparing SC-Keloid vs. (SC-Myel, SC-Nonmyel, SC-Nonmyel2)								
gene	p_val	avg_log2FC	pct.1	pct.2	p_val_adj	Foldchange_UP	Foldchange_DOWN	Ratio_pct1_pct2
VPS13C	0,020317235	-0,332312395	0,427	0,225	1	0,794262395	1,259029769	1,897777778
STAG1	0,274287354	-0,333062797	0,256	0,172	1	0,793849376	1,25968481	1,488372093
FAM107B	0,297798707	-0,333426465	0,366	0,253	1	0,793649291	1,260002385	1,446640316
GSE1	0,248684	-0,333792958	0,049	0,084	1	0,793447703	1,260322509	0,583333333
AK3	0,375985858	-0,334442589	0,293	0,204	1	0,793090502	1,260890147	1,43627451
FAR1	0,955980625	-0,334455657	0,183	0,165	1	0,793083318	1,260901569	1,109090909
NFKB2	0,628084086	-0,334898437	0,146	0,158	1	0,792839949	1,261288613	0,924050633
DDX17	0,765092901	-0,334994874	0,78	0,6	1	0,792786953	1,261372927	1,3
KIAA1109	0,680538799	-0,335321594	0,207	0,161	1	0,792607435	1,261658616	1,285714286
AL627171.1	0,063131319	-0,335584269	0,012	0,063	1	0,792463136	1,261888351	0,19047619
ARMCX4	0,439833432	-0,335590147	0,073	0,095	1	0,792459907	1,261893492	0,768421053
CHMP2B	0,084677419	-0,335924789	0,366	0,214	1	0,792276113	1,26218623	1,710280374
LDHA	0,264857162	-0,33660993	0,561	0,386	1	0,791899947	1,262785789	1,453367876
CYSTM1	0,212057819	-0,336655585	0,622	0,386	1	0,791874888	1,262825751	1,611398964
CPT1A	0,034875837	-0,337069069	0,024	0,095	1	0,791647965	1,263187736	0,252631579
CNTN1	0,11202894	-0,337201423	0,024	0,07	1	0,791575342	1,263303627	0,342857143
ZNF397	0,810639159	-0,337525429	0,122	0,102	1	0,791397586	1,263587377	1,196078431
CNOT6	0,453842854	-0,337723993	0,098	0,119	1	0,791288671	1,263761301	0,823529412
YY1AP1	0,294594782	-0,337930401	0,268	0,179	1	0,791175468	1,263942122	1,497206704
CHERP	0,233012742	-0,337976219	0,061	0,098	1	0,791150342	1,263982263	0,62244898
ERRFI1	0,877653482	-0,338191123	0,122	0,105	1	0,791032501	1,26417056	1,161904762
TTYH1	0,996459061	-0,338209541	0,195	0,172	1	0,791022402	1,264186699	1,13372093
MAP3K3	0,809485451	-0,338470322	0,146	0,123	1	0,790879431	1,264415234	1,18699187
ATP1B3	0,242424151	-0,338550612	0,378	0,235	1	0,790835417	1,264485604	1,608510638
SCAF11	0,179415703	-0,338591648	0,476	0,298	1	0,790812923	1,264521572	1,597315436
CASK	0,618140307	-0,338806345	0,073	0,084	1	0,790695246	1,264709767	0,869047619
RAB38	0,318650799	-0,339914405	0,049	0,077	1	0,790088187	1,265681499	0,636363636
FKBPL	0,387890691	-0,340141879	0,085	0,112	1	0,78996362	1,265881079	0,758928571
ARF6	0,5624931	-0,340219472	0,549	0,379	1	0,789921135	1,265949163	1,448548813
GJA1	0,70493481	-0,340723305	0,098	0,105	1	0,789645319	1,266391348	0,933333333

Supplementary Table 2

Differentially expressed genes_keloid-XL_comparing SC-Keloid vs. (SC-Myel, SC-Nonmyel, SC-Nonmyel2)								
gene	p_val	avg_log2FC	pct.1	pct.2	p_val_adj	Foldchange_UP	Foldchange_DOWN	Ratio_pct1_pct2
KCNH8	0,127486067	-0,340866407	0,037	0,084	1	0,789566997	1,266516969	0,44047619
IFNGR1	0,604150896	-0,340951411	0,268	0,2	1	0,789520477	1,266591595	1,34
KAT2B	0,747325565	-0,341430792	0,098	0,102	1	0,789258177	1,26701253	0,960784314
NASP	0,576752772	-0,341541048	0,512	0,351	1	0,789197862	1,267109363	1,458689459
NSD1	0,544166062	-0,342065418	0,232	0,175	1	0,788911067	1,267569998	1,325714286
MYOT	0,194214173	-0,342683667	0,476	0,305	1	0,788573062	1,268113316	1,560655738
MGAT3	0,215491374	-0,343276266	0,049	0,088	1	0,788249215	1,268634311	0,556818182
TFAP2C	0,716718211	-0,343611651	0,11	0,088	1	0,788065992	1,268929265	1,25
GAS6	0,109391882	-0,343679835	0,012	0,053	1	0,788028747	1,268989239	0,226415094
MAPK8IP1	0,759100858	-0,343754196	0,11	0,116	1	0,787988131	1,269054648	0,948275862
INSIG1	0,977882688	-0,343762213	0,134	0,123	1	0,787983752	1,269061701	1,089430894
DNAJC27	0,843959765	-0,343858131	0,061	0,063	1	0,787931364	1,269146077	0,968253968
MT-ATP6	0,0016524	-0,343887587	0,902	0,923	1	0,787915277	1,26917199	0,977248104
DOT1L	0,217873661	-0,344103538	0,085	0,13	1	0,787797346	1,269361981	0,653846154
RGS2	0,271584812	-0,344173913	0,293	0,2	1	0,787758918	1,269423903	1,465
SPTAN1	0,799109332	-0,344563365	0,72	0,544	1	0,787546293	1,269766627	1,323529412
LINC00342	0,489177521	-0,344782011	0,061	0,081	1	0,787426947	1,269959079	0,75308642
SPART	0,468682361	-0,34490163	0,183	0,133	1	0,787361661	1,27006438	1,37593985
BIRC6	0,563492547	-0,34505897	0,195	0,147	1	0,787275796	1,270202901	1,326530612
RSPO3	0,742553245	-0,345248287	0,195	0,161	1	0,787172493	1,270369593	1,211180124
PHF23	0,737742299	-0,345821531	0,122	0,123	1	0,786859778	1,270874466	0,991869919
OPTN	0,461033329	-0,34647035	0,415	0,295	1	0,786505986	1,271446141	1,406779661
SMARCA5	0,527558116	-0,346672392	0,415	0,295	1	0,786395847	1,271624213	1,406779661
ZMIZ1	0,191424132	-0,346790693	0,256	0,161	1	0,786331365	1,27172849	1,590062112
TFAP2A	0,025878786	-0,347493008	0,524	0,288	1	0,785948666	1,272347728	1,819444444
RBM5	0,242051572	-0,348341059	0,39	0,26	1	0,785486802	1,273095865	1,5
NRDC	0,554980812	-0,348405626	0,341	0,249	1	0,785451649	1,273152843	1,369477912
NOP56	0,084256376	-0,348446066	0,366	0,214	1	0,785429633	1,273188531	1,710280374
PPP6R3	0,753064346	-0,348783643	0,195	0,154	1	0,785245871	1,27348648	1,266233766
INSC	0,512001477	-0,349170393	0,317	0,232	1	0,785035395	1,273827915	1,36637931

Supplementary Table 2

Differentially expressed genes_keloid-XL_comparing SC-Keloid vs. (SC-Myel, SC-Nonmyel, SC-Nonmyel2)								
gene	p_val	avg_log2FC	pct.1	pct.2	p_val_adj	Foldchange_UP	Foldchange_DOWN	Ratio_pct1_pct2
LGI4	0,570999251	-0,349416584	0,61	0,421	1	0,784901442	1,274045308	1,448931116
EZR	0,405558706	-0,350356613	0,549	0,365	1	0,784390184	1,274875719	1,504109589
CLDN11	0,163066643	-0,350371818	0,049	0,095	1	0,784381917	1,274889155	0,515789474
AXIN2	0,625165383	-0,350389621	0,073	0,084	1	0,784372238	1,274904887	0,869047619
CNN3	0,517376363	-0,350654451	0,89	0,744	1	0,784228267	1,275138939	1,196236559
DOK6	0,004659136	-0,350657383	0	0,091	1	0,784226673	1,27514153	0
JADE1	0,818883392	-0,350789309	0,146	0,144	1	0,784154964	1,27525814	1,013888889
PRDX1	0,666405874	-0,35097703	0,695	0,498	1	0,784052937	1,275424085	1,395582329
PTAR1	0,86922692	-0,352122745	0,293	0,242	1	0,78343053	1,276437364	1,210743802
TOPORS	0,823413407	-0,352446209	0,098	0,098	1	0,783254898	1,276723584	1
ADM	0,318845664	-0,352459308	0,061	0,091	1	0,783247786	1,276735176	0,67032967
GATAD1	0,367275334	-0,352535622	0,183	0,126	1	0,783206356	1,276802713	1,452380952
ATP6V0E1	0,610572005	-0,352964415	0,549	0,389	1	0,782973609	1,277182256	1,411311054
PDZD4	0,701619403	-0,353049062	0,122	0,098	1	0,782927671	1,277257194	1,244897959
MT-ND1	0,039920432	-0,353280644	0,902	0,8	1	0,782802005	1,277462236	1,1275
NDEL1	0,577052013	-0,353677072	0,293	0,218	1	0,782586934	1,27781331	1,344036697
BCL9L	0,94025416	-0,354099853	0,207	0,186	1	0,782357631	1,278187827	1,112903226
MGAT4C	0,034342747	-0,354211151	0	0,053	1	0,782297277	1,278286438	0
FLNB	0,35795592	-0,354412756	0,183	0,126	1	0,782187965	1,278465081	1,452380952
CDV3	0,543794486	-0,355170705	0,415	0,302	1	0,781777135	1,279136925	1,374172185
NUP188	0,500166193	-0,355221075	0,146	0,105	1	0,781749841	1,279181585	1,39047619
XPO1	0,072319125	-0,355222196	0,439	0,256	1	0,781749233	1,279182579	1,71484375
PHIP	0,777586277	-0,355332516	0,268	0,246	1	0,781689457	1,279280399	1,089430894
KLF16	0,754336675	-0,35555892	0,22	0,211	1	0,781566795	1,279481174	1,042654028
SLC41A1	0,093341908	-0,356034122	0,049	0,105	1	0,781309401	1,279902685	0,466666667
DUSP16	0,203770637	-0,35640431	0,073	0,116	1	0,781108946	1,280231144	0,629310345
PTP4A2	0,529592663	-0,356543309	0,524	0,361	1	0,781033693	1,280354496	1,451523546
PCGF5	0,065722874	-0,356753018	0,305	0,168	1	0,780920171	1,28054062	1,81547619
NUP98	0,398193082	-0,35724258	0,134	0,158	1	0,780655219	1,280975231	0,848101266
KLF2	0,028318375	-0,357396954	0,683	0,393	1	0,780571691	1,281112308	1,737913486

Supplementary Table 2

Differentially expressed genes_keloid-XL_comparing SC-Keloid vs. (SC-Myel, SC-Nonmyel, SC-Nonmyel2)								
gene	p_val	avg_log2FC	pct.1	pct.2	p_val_adj	Foldchange_UP	Foldchange_DOWN	Ratio_pct1_pct2
ATN1	0,42016442	-0,357507377	0,561	0,372	1	0,780511949	1,281210367	1,508064516
POGZ	0,170449103	-0,357518432	0,476	0,305	1	0,780505968	1,281220184	1,560655738
CBL	0,618569622	-0,357796203	0,256	0,196	1	0,780355707	1,281466889	1,306122449
FRYL	0,710349084	-0,359166528	0,244	0,193	1	0,779614848	1,282684652	1,264248705
TGIF2	0,299406334	-0,360114286	0,098	0,13	1	0,779102859	1,283527571	0,753846154
ANTXR2	0,240250124	-0,360523635	0,098	0,14	1	0,778881828	1,28389181	0,7
CDK19	0,228650188	-0,36106505	0,11	0,154	1	0,778589584	1,284373719	0,714285714
CLN8	0,814406956	-0,361146356	0,159	0,13	1	0,778545706	1,284446105	1,223076923
KDM3A	0,672796684	-0,361537605	0,134	0,14	1	0,778334599	1,284794485	0,957142857
OXR1	0,791507316	-0,361728248	0,232	0,189	1	0,778231753	1,284964274	1,227513228
HOOK3	0,339900293	-0,361766076	0,415	0,281	1	0,778211348	1,284997966	1,476868327
FGD4	0,42117241	-0,361832245	0,146	0,168	1	0,778175657	1,285056904	0,869047619
THSD7B	0,034342747	-0,361917023	0	0,053	1	0,77812993	1,285132421	0
ZMYM2	0,118223461	-0,36212452	0,378	0,221	1	0,778018022	1,285317269	1,71040724
EIF1AX	0,50102754	-0,362560311	0,598	0,421	1	0,777783044	1,285705581	1,420427553
KLHL26	0,173448227	-0,362915268	0,049	0,091	1	0,777591704	1,286021951	0,538461538
RNASE4	0,524440298	-0,363641873	0,11	0,126	1	0,777200173	1,286669812	0,873015873
HIF1A	0,359911359	-0,363747966	0,232	0,158	1	0,777143021	1,286764434	1,46835443
SMAD7	0,750526475	-0,363753891	0,159	0,13	1	0,777139829	1,286769719	1,223076923
UACA	0,093879674	-0,364042487	0,317	0,186	1	0,776984386	1,287027149	1,704301075
PABPC1	0,573960203	-0,364048077	0,78	0,618	1	0,776981376	1,287032136	1,262135922
FAM181B	0,676884659	-0,364059687	0,11	0,116	1	0,776975123	1,287042493	0,948275862
ANKRD13A	0,484354275	-0,364232872	0,061	0,081	1	0,776881858	1,287197003	0,75308642
DMXL2	0,32123519	-0,364313666	0,049	0,077	1	0,776838353	1,287269091	0,636363636
FAM133B	0,208116529	-0,365938047	0,585	0,365	1	0,775964176	1,288719288	1,602739726
REL	0,286980076	-0,366038213	0,11	0,144	1	0,775910302	1,288808767	0,763888889
SMAD5	0,880612054	-0,366410034	0,244	0,2	1	0,775710355	1,28914097	1,22
DNTTIP2	0,837252272	-0,366629855	0,195	0,161	1	0,775592171	1,28933741	1,211180124
CDKN2AIP	0,884278568	-0,367136846	0,195	0,175	1	0,775319661	1,289790587	1,114285714
CWC25	0,080385448	-0,367174976	0,207	0,112	1	0,775299169	1,289824676	1,848214286

Supplementary Table 2

Differentially expressed genes_keloid-XL_comparing SC-Keloid vs. (SC-Myel, SC-Nonmyel, SC-Nonmyel2)								
gene	p_val	avg_log2FC	pct.1	pct.2	p_val_adj	Foldchange_UP	Foldchange_DOWN	Ratio_pct1_pct2
RBM8A	0,885275348	-0,367403035	0,622	0,446	1	0,775176621	1,290028586	1,394618834
RRAGC	0,675243321	-0,367931953	0,207	0,158	1	0,774892479	1,29050162	1,310126582
IL6	0,111382367	-0,368064054	0,024	0,07	1	0,774821529	1,290619791	0,342857143
RBM7	0,988370909	-0,368085089	0,183	0,161	1	0,774810232	1,290638609	1,136645963
GPNMB	0,961691101	-0,368289437	0,11	0,102	1	0,774700493	1,290821433	1,078431373
IGF2BP2	0,82885603	-0,368499031	0,159	0,151	1	0,774587953	1,291008975	1,052980132
RBPJ	0,739714056	-0,368724754	0,402	0,305	1	0,774466771	1,291210982	1,318032787
TTYH2	0,332829204	-0,369061261	0,085	0,116	1	0,774286148	1,291512191	0,732758621
FAM13B	0,136416412	-0,369109246	0,11	0,172	1	0,774260396	1,291555148	0,639534884
SNHG18	0,233012742	-0,369534054	0,061	0,098	1	0,774032445	1,291935508	0,62244898
GOLGB1	0,697445755	-0,370082106	0,366	0,284	1	0,773738461	1,292426382	1,288732394
STOX2	0,214645572	-0,371256806	0,098	0,14	1	0,773108709	1,293479156	0,7
EGR2	0,804555207	-0,371280954	0,134	0,112	1	0,773095768	1,293500807	1,196428571
RBM38	0,646131015	-0,372354571	0,146	0,147	1	0,772520664	1,294463756	0,993197279
PCM1	0,562063348	-0,372946229	0,634	0,439	1	0,772203913	1,294994732	1,444191344
RIPK2	0,577392821	-0,373247027	0,195	0,147	1	0,772042928	1,295264763	1,326530612
AKAP7	0,438877684	-0,37334364	0,085	0,109	1	0,771991228	1,295351506	0,779816514
ZDHHC8	0,111142373	-0,374045655	0,268	0,158	1	0,771615669	1,295981977	1,696202532
CEP97	0,644675697	-0,374128831	0,171	0,172	1	0,771571184	1,296056697	0,994186047
HAS2	0,158215489	-0,374281693	0,305	0,196	1	0,771489436	1,296194029	1,556122449
SESN1	0,81579734	-0,374443775	0,085	0,088	1	0,771402766	1,29633966	0,965909091
HMBOX1	0,616190002	-0,374559743	0,11	0,119	1	0,771340762	1,296443867	0,924369748
LCOR	0,905208515	-0,37458939	0,195	0,175	1	0,77132491	1,29647051	1,114285714
RB1CC1	0,987424741	-0,374606502	0,317	0,263	1	0,771315762	1,296485887	1,205323194
EZH1	0,898918423	-0,374740513	0,11	0,095	1	0,771244118	1,296606322	1,157894737
CLASP2	0,851856147	-0,375046799	0,195	0,179	1	0,7710804	1,296881623	1,089385475
FZD7	0,148169052	-0,375089909	0,073	0,123	1	0,771057359	1,296920376	0,593495935
EPM2AIP1	0,78471049	-0,375168474	0,171	0,14	1	0,771015371	1,296991005	1,221428571
SCGB2A2	0,70094195	-0,375432402	0,061	0,07	1	0,770874333	1,297228299	0,871428571
IPO7	0,804580941	-0,375457065	0,28	0,221	1	0,770861155	1,297250476	1,266968326

Supplementary Table 2

Differentially expressed genes_keloid-XL_comparing SC-Keloid vs. (SC-Myel, SC-Nonmyel, SC-Nonmyel2)								
gene	p_val	avg_log2FC	pct.1	pct.2	p_val_adj	Foldchange_UP	Foldchange_DOWN	Ratio_pct1_pct2
MAX	0,930456389	-0,37593649	0,22	0,193	1	0,770605031	1,29768164	1,139896373
PDZRN3	0,584773161	-0,376631249	0,134	0,144	1	0,77023402	1,298306715	0,930555556
DAAM2	0,891754206	-0,376814099	0,146	0,126	1	0,770136405	1,298471275	1,158730159
RAP1GAP	0,008621864	-0,377041223	0,012	0,102	1	0,770015172	1,29867571	0,117647059
RAB11FIP5	0,014577016	-0,37709661	0,012	0,091	1	0,76998561	1,298725569	0,131868132
LITAF	0,227777344	-0,37769426	0,476	0,295	1	0,769666703	1,299263689	1,613559322
TNFAIP2	0,633994778	-0,377702955	0,073	0,084	1	0,769662064	1,29927152	0,869047619
KIAA0232	0,909942628	-0,377958903	0,183	0,165	1	0,769525531	1,299502044	1,109090909
FAM3C	0,654739504	-0,37825541	0,634	0,425	1	0,769367392	1,299769149	1,491764706
LGR4	0,633140162	-0,378864474	0,134	0,14	1	0,769042656	1,30031799	0,957142857
FNIP2	0,628955844	-0,378918881	0,122	0,13	1	0,769013654	1,300367028	0,938461538
SLC25A37	0,573183953	-0,379634431	0,256	0,189	1	0,768632332	1,301012146	1,354497354
IFITM1	0,052655547	-0,380116503	0,024	0,088	1	0,768375539	1,301446948	0,272727273
DAZAP1	0,593459982	-0,380195265	0,293	0,218	1	0,768333592	1,301518001	1,344036697
FNBP1	0,402423498	-0,380339201	0,134	0,158	1	0,76825694	1,301647858	0,848101266
SNRNP70	0,548188312	-0,380373924	0,549	0,389	1	0,768238449	1,301679187	1,411311054
ZFYVE28	0,189916689	-0,380531177	0,061	0,105	1	0,768154717	1,301821076	0,580952381
FUNDC2	0,274604414	-0,381619755	0,366	0,235	1	0,767575328	1,30280373	1,557446809
RMND5A	0,674814184	-0,381654896	0,195	0,189	1	0,767556632	1,302835463	1,031746032
FLRT3	0,40663287	-0,382421024	0,28	0,196	1	0,767149137	1,303527505	1,428571429
BNIP3L	0,989144982	-0,38243527	0,305	0,26	1	0,767141562	1,303540376	1,173076923
NCOA3	0,345549451	-0,382750016	0,098	0,126	1	0,766974216	1,303824795	0,777777778
SPRED1	0,71683564	-0,382977439	0,232	0,179	1	0,766853322	1,304030343	1,296089385
SPAG9	0,875114215	-0,383038368	0,585	0,432	1	0,766820936	1,304085417	1,354166667
PRKCA	0,69148689	-0,38329115	0,439	0,326	1	0,766686589	1,304313932	1,346625767
TNS1	0,569762883	-0,383334568	0,232	0,175	1	0,766663516	1,304353186	1,325714286
ZHX1	0,774149577	-0,383620704	0,171	0,137	1	0,766511476	1,30461191	1,248175182
PPP3R1	0,79986163	-0,384220904	0,244	0,218	1	0,766192652	1,305154777	1,119266055
DPYD	0,316737346	-0,38456216	0,085	0,116	1	0,766011438	1,305463535	0,732758621
HIPK2	0,445517444	-0,384611987	0,11	0,13	1	0,765984983	1,305508623	0,846153846

Supplementary Table 2

Differentially expressed genes_keloid-XL_comparing SC-Keloid vs. (SC-Myel, SC-Nonmyel, SC-Nonmyel2)								
gene	p_val	avg_log2FC	pct.1	pct.2	p_val_adj	Foldchange_UP	Foldchange_DOWN	Ratio_pct1_pct2
PAG1	0,014682754	-0,385416226	0,012	0,091	1	0,765558099	1,306236589	0,131868132
MID1IP1	0,15574506	-0,385730241	0,415	0,249	1	0,765391487	1,306520934	1,666666667
ID3	0,354737678	-0,386007711	0,72	0,512	1	0,765244295	1,306772239	1,40625
SERTAD3	0,503625245	-0,38617692	0,207	0,218	1	0,765154547	1,306925515	0,949541284
DIS3	0,537960754	-0,386817694	0,061	0,077	1	0,764814779	1,307506115	0,792207792
SWAP70	0,449762538	-0,387102094	0,073	0,095	1	0,764664025	1,307763891	0,768421053
MAP3K11	0,738175729	-0,387902155	0,378	0,281	1	0,76424009	1,308489326	1,34519573
ZNF608	0,305511406	-0,388325823	0,122	0,154	1	0,764015693	1,308873639	0,792207792
SVIP	0,012493045	-0,388537217	0,341	0,168	1	0,763903752	1,309065438	2,029761905
ATXN2	0,838061167	-0,388933742	0,28	0,225	1	0,763693822	1,309425284	1,244444444
UBXN7	0,574685263	-0,389721185	0,268	0,2	1	0,763277101	1,310140182	1,34
FCGR2B	0,187395723	-0,389909289	0,024	0,06	1	0,763177589	1,310311014	0,4
ITPR1	0,57079528	-0,389969538	0,146	0,158	1	0,763145718	1,310365736	0,924050633
AKIRIN1	0,905639621	-0,3907526	0,195	0,161	1	0,762731612	1,311077165	1,211180124
USP34	0,524283085	-0,390844175	0,476	0,333	1	0,762683199	1,311160389	1,429429429
CELF2	0,774921041	-0,392547431	0,463	0,358	1	0,761783301	1,312709268	1,293296089
FAM126A	0,379476141	-0,392682352	0,366	0,256	1	0,761712063	1,312832039	1,4296875
SKIL	0,062838794	-0,39308534	0,5	0,284	1	0,761499323	1,313198803	1,76056338
CHD4	0,61401566	-0,394322908	0,476	0,347	1	0,760846377	1,31432577	1,371757925
YPEL5	0,945917677	-0,394444792	0,317	0,27	1	0,760782101	1,314436814	1,174074074
SIAH1	0,460076372	-0,395182649	0,366	0,256	1	0,760393103	1,315109246	1,4296875
ZFR	0,820602584	-0,395646341	0,366	0,288	1	0,760148746	1,315531999	1,270833333
VANGL2	0,449762538	-0,395784485	0,073	0,095	1	0,760075963	1,315657972	0,768421053
SYNPO2	0,030376861	-0,39673411	0,012	0,077	1	0,759575823	1,316524263	0,155844156
P2RX7	0,981666481	-0,3988442	0,146	0,13	1	0,758465677	1,318451224	1,123076923
MAP4K5	0,882357889	-0,399040835	0,39	0,316	1	0,758362307	1,318630937	1,234177215
NUDT3	0,582611152	-0,400138925	0,317	0,235	1	0,757785308	1,31963498	1,34893617
USP12	0,901953173	-0,400482816	0,207	0,186	1	0,757604699	1,319949575	1,112903226
MSANTD3	0,913380714	-0,400623933	0,195	0,165	1	0,757530598	1,320078691	1,181818182
SMIM5	0,345085212	-0,401706934	0,207	0,144	1	0,756962149	1,321070019	1,4375

Supplementary Table 2

Differentially expressed genes_keloid-XL_comparing SC-Keloid vs. (SC-Myel, SC-Nonmyel, SC-Nonmyel2)								
gene	p_val	avg_log2FC	pct.1	pct.2	p_val_adj	Foldchange_UP	Foldchange_DOWN	Ratio_pct1_pct2
PLEKHA7	0,021054818	-0,401740944	0,012	0,084	1	0,756944304	1,321101163	0,142857143
TARDBP	0,932322688	-0,402101497	0,293	0,235	1	0,756755155	1,321431369	1,246808511
MAT2A	0,753518005	-0,402297092	0,146	0,144	1	0,756652564	1,321610535	1,013888889
SLC44A1	0,577122618	-0,402314975	0,366	0,263	1	0,756643185	1,321626917	1,391634981
TUT4	0,663537427	-0,402315216	0,268	0,253	1	0,756643059	1,321627138	1,059288538
KPNA4	0,623785139	-0,402613456	0,305	0,274	1	0,756486658	1,321900378	1,113138686
ARHGEF17	0,780697459	-0,402860224	0,11	0,109	1	0,756357275	1,322126504	1,009174312
SBF2	0,073022887	-0,402882277	0,061	0,126	1	0,756345714	1,322146714	0,484126984
MFSD2A	0,674935978	-0,403943354	0,122	0,095	1	0,755789639	1,323119488	1,284210526
USP51	0,5757463	-0,404448153	0,122	0,091	1	0,755525234	1,323582528	1,340659341
KLF13	0,881107086	-0,40457265	0,378	0,305	1	0,755460039	1,323696751	1,239344262
AZIN1	0,301567043	-0,404656875	0,402	0,267	1	0,755415937	1,323774031	1,505617978
KTN1	0,578768196	-0,404672585	0,695	0,554	1	0,755407711	1,323788446	1,254512635
PSME4	0,393031055	-0,404790516	0,134	0,154	1	0,755345964	1,323896662	0,87012987
LGALS3	0,51905305	-0,405315981	0,866	0,607	1	0,755070898	1,324378946	1,426688633
DEDD2	0,362233303	-0,40541141	0,28	0,189	1	0,755020954	1,324466552	1,481481481
SLC30A1	0,319914191	-0,405917536	0,085	0,116	1	0,754756124	1,324931283	0,732758621
TRIM69	0,156836717	-0,406488906	0,073	0,123	1	0,754457267	1,325456117	0,593495935
CLMN	0,866470549	-0,406712356	0,122	0,116	1	0,754340423	1,325661424	1,051724138
LRIG1	0,453824146	-0,406784359	0,146	0,165	1	0,754302776	1,325727587	0,884848485
RBM25	0,879896162	-0,407146053	0,622	0,474	1	0,754113691	1,326059999	1,312236287
PPP1CC	0,705318462	-0,407386036	0,317	0,242	1	0,753988259	1,326280599	1,309917355
MTR	0,669403118	-0,407701094	0,159	0,158	1	0,75382362	1,326570265	1,006329114
C10orf90	0,00964585	-0,407781826	0	0,077	1	0,753781438	1,326644501	0
MLLT6	0,275366462	-0,407886931	0,22	0,242	1	0,753726525	1,326741155	0,909090909
SORBS3	0,813762289	-0,408281336	0,244	0,193	1	0,753520499	1,32710391	1,264248705
PCBP1	0,594019395	-0,409918318	0,744	0,558	1	0,752665987	1,328610589	1,333333333
ZBTB43	0,656943012	-0,411158187	0,244	0,189	1	0,752019415	1,329752903	1,291005291
ABHD5	0,159439323	-0,411692383	0,134	0,193	1	0,751741011	1,330245371	0,694300518
DDX5	0,162911949	-0,412287449	0,854	0,775	1	0,751431006	1,330794168	1,101935484

Supplementary Table 2

Differentially expressed genes_keloid-XL_comparing SC-Keloid vs. (SC-Myel, SC-Nonmyel, SC-Nonmyel2)								
gene	p_val	avg_log2FC	pct.1	pct.2	p_val_adj	Foldchange_UP	Foldchange_DOWN	Ratio_pct1_pct2
WAC	0,336704313	-0,412656635	0,5	0,323	1	0,751238739	1,331134762	1,547987616
TENT4B	0,716098154	-0,412707964	0,159	0,126	1	0,751212011	1,331182123	1,261904762
CLDND1	0,971158855	-0,412815616	0,537	0,389	1	0,751155959	1,331281458	1,380462725
BAIAP2	0,431599839	-0,413215448	0,171	0,186	1	0,75094781	1,331650464	0,919354839
SMCHD1	0,704330668	-0,4134519	0,256	0,193	1	0,750824744	1,331868733	1,32642487
FBXO25	0,12602802	-0,413464848	0,085	0,14	1	0,750818005	1,331880687	0,607142857
GFRA1	0,370335901	-0,413551774	0,195	0,218	1	0,750772767	1,331960939	0,894495413
NAA16	0,086704843	-0,414199944	0,061	0,123	1	0,750435538	1,332559492	0,495934959
DYRK3	0,068300349	-0,414247844	0,049	0,112	1	0,750410623	1,332603737	0,4375
AEBP2	0,332443593	-0,414662354	0,28	0,189	1	0,750195049	1,33298667	1,481481481
LACTB	0,109129058	-0,414761871	0,073	0,13	1	0,750143302	1,333078623	0,561538462
SPECC1L	0,617679096	-0,415314256	0,11	0,119	1	0,749856139	1,333589136	0,924369748
CLIC4	0,095562539	-0,41540344	0,878	0,709	1	0,749809786	1,333671578	1,238363893
SNHG7	0,545460201	-0,41546934	0,476	0,333	1	0,749775537	1,333732499	1,429429429
DDHD1	0,529998706	-0,415605801	0,183	0,133	1	0,749704621	1,333858659	1,37593985
LARP4B	0,349544264	-0,415690937	0,134	0,158	1	0,74966038	1,333937375	0,848101266
TSIX	0,293989663	-0,415877122	0,073	0,105	1	0,749563641	1,334109535	0,695238095
KLHL28	0,363411885	-0,416218241	0,207	0,14	1	0,74938643	1,334425017	1,478571429
LUC7L3	0,821795385	-0,416588106	0,598	0,442	1	0,749194334	1,334767169	1,352941176
IL17B	0,951476382	-0,416831174	0,073	0,067	1	0,749068119	1,334992071	1,089552239
FGF2	0,655554304	-0,417246392	0,402	0,302	1	0,748852563	1,335376347	1,331125828
FGFBP2	0,438826248	-0,41757801	0,024	0,042	1	0,748680451	1,335683332	0,571428571
RAB11FIP1	0,008748668	-0,417888746	0,012	0,102	1	0,748519213	1,335971051	0,117647059
WNK1	0,647416822	-0,418150401	0,427	0,316	1	0,74838347	1,336213372	1,351265823
VWA1	0,955507096	-0,418542846	0,817	0,649	1	0,748179921	1,3365769	1,258859784
LRRC8B	0,697161003	-0,418724738	0,122	0,126	1	0,748085598	1,336745424	0,968253968
NCAM2	0,983458312	-0,418974522	0,134	0,119	1	0,747956088	1,336976884	1,12605042
CDKN2D	0,936187326	-0,419137772	0,232	0,193	1	0,747871457	1,33712818	1,202072539
MAP2K3	0,515329686	-0,419408616	0,207	0,211	1	0,747731068	1,337379229	0,981042654
CNOT1	0,810398232	-0,419926065	0,232	0,211	1	0,747462929	1,33785899	1,099526066

Supplementary Table 2

Differentially expressed genes_keloid-XL_comparing SC-Keloid vs. (SC-Myel, SC-Nonmyel, SC-Nonmyel2)								
gene	p_val	avg_log2FC	pct.1	pct.2	p_val_adj	Foldchange_UP	Foldchange_DOWN	Ratio_pct1_pct2
AKAP9	0,90447187	-0,420121354	0,317	0,27	1	0,747361756	1,338040101	1,174074074
RCAN3	0,497319113	-0,420162063	0,195	0,14	1	0,747340668	1,338077857	1,392857143
TMEM245	0,554105181	-0,42032115	0,22	0,221	1	0,747258263	1,338225417	0,995475113
SRPK2	0,288283801	-0,420340246	0,305	0,2	1	0,747248372	1,33824313	1,525
SDR42E2	0,172170601	-0,420974953	0,061	0,109	1	0,746919696	1,338832013	0,559633028
TAPT1	0,92439736	-0,421068809	0,159	0,144	1	0,746871106	1,338919115	1,104166667
ATP6V1B2	0,739510441	-0,421120492	0,171	0,165	1	0,74684435	1,338967081	1,036363636
MT-CO1	0,010943849	-0,42176735	0,829	0,782	1	0,746509564	1,339567566	1,060102302
DDX24	0,879956008	-0,421869923	0,622	0,439	1	0,746456491	1,33966281	1,416856492
DIP2B	0,753785064	-0,421893707	0,366	0,277	1	0,746444185	1,339684896	1,321299639
FGD5-AS1	0,220481806	-0,421967968	0,415	0,267	1	0,746405764	1,339753856	1,554307116
S100A2	0,025522941	-0,422106669	0,268	0,133	1	0,746334008	1,339882666	2,015037594
SEMA4A	0,322532505	-0,422688143	0,049	0,077	1	0,746033261	1,340422811	0,636363636
NORAD	0,858310449	-0,422718983	0,646	0,495	1	0,746017313	1,340451465	1,305050505
TNRC6C	0,946979476	-0,422969883	0,183	0,161	1	0,745887584	1,340684604	1,136645963
YWHAG	0,353897272	-0,423319655	0,451	0,404	1	0,74570677	1,341009684	1,116336634
RNF114	0,461385788	-0,42350359	0,354	0,242	1	0,745611703	1,341180665	1,462809917
TET1	0,563531116	-0,424085336	0,122	0,133	1	0,745311107	1,341721585	0,917293233
SOX6	0,786705115	-0,424459239	0,317	0,256	1	0,745117969	1,342069365	1,23828125
ZNF83	0,602182047	-0,425023938	0,256	0,193	1	0,744826373	1,34259478	1,32642487
OSBPL1A	0,667030163	-0,425161897	0,122	0,126	1	0,744755151	1,342723173	0,968253968
PPM1B	0,740486275	-0,425404241	0,268	0,207	1	0,744630058	1,342948743	1,29468599
CHPT1	0,768237793	-0,426374026	0,146	0,144	1	0,744129683	1,343851781	1,013888889
GNAI1	0,132188596	-0,427248245	0,073	0,126	1	0,743678905	1,344666351	0,579365079
SLC9A3R1	0,070679524	-0,42724985	0,049	0,116	1	0,743678078	1,344667847	0,422413793
ARID4A	0,73987168	-0,42763386	0,232	0,218	1	0,743480155	1,345025813	1,064220183
ADGRL3	0,003880909	-0,428454201	0	0,095	1	0,74305752	1,345790835	0
DHH	0,117312262	-0,428980714	0,098	0,158	1	0,74278639	1,346282072	0,620253165
PHACTR4	0,569151606	-0,429534044	0,329	0,242	1	0,742501557	1,346798523	1,359504132
KLF10	0,241110104	-0,429566833	0,439	0,432	1	0,742484682	1,346829132	1,016203704

Supplementary Table 2

Differentially expressed genes_keloid-XL_comparing SC-Keloid vs. (SC-Myel, SC-Nonmyel, SC-Nonmyel2)								
gene	p_val	avg_log2FC	pct.1	pct.2	p_val_adj	Foldchange_UP	Foldchange_DOWN	Ratio_pct1_pct2
CFD	0,145939827	-0,42974642	0,037	0,081	1	0,742392263	1,346996797	0,456790123
NR1D2	0,140645657	-0,429879384	0,134	0,189	1	0,742323845	1,347120946	0,708994709
FBXW7	0,313594504	-0,429919171	0,415	0,277	1	0,742303373	1,347158099	1,498194946
PAF1	0,696344977	-0,430296564	0,232	0,179	1	0,74210922	1,347510546	1,296089385
CEMIP2	0,031468471	-0,43040409	0,037	0,112	1	0,742053912	1,347610981	0,330357143
NEK9	0,368508738	-0,430504253	0,049	0,074	1	0,742002394	1,347704546	0,662162162
ARIH1	0,769552233	-0,430932199	0,244	0,225	1	0,741782327	1,348104375	1,084444444
TNFAIP3	0,200595487	-0,430942129	0,439	0,288	1	0,741777221	1,348113654	1,524305556
ST13	0,980934396	-0,431406278	0,659	0,467	1	0,741538613	1,348547443	1,411134904
NFATC1	0,010742918	-0,431818931	0,024	0,116	1	0,741326541	1,348933222	0,206896552
SMG1	0,31103548	-0,43225248	0,329	0,34	1	0,741103796	1,349338656	0,967647059
VEGFA	0,778843803	-0,432402708	0,524	0,382	1	0,741026629	1,34947917	1,371727749
PIAS1	0,33075288	-0,432438433	0,134	0,161	1	0,741008279	1,349512587	0,832298137
TRABD2B	0,329701031	-0,433144961	0,073	0,102	1	0,740645476	1,350173643	0,715686275
FOXN3	0,303546968	-0,433786874	0,146	0,175	1	0,740316006	1,350774523	0,834285714
CREB5	0,382677604	-0,433933528	0,488	0,33	1	0,740240755	1,35091184	1,478787879
NFASC	0,03647635	-0,433965368	0,012	0,074	1	0,740224418	1,350941655	0,162162162
CKS2	0,370756146	-0,434200138	0,171	0,193	1	0,740103971	1,351161512	0,886010363
PMEL	0,28286347	-0,434259531	0	0,014	1	0,740073503	1,351217138	0
EP300	0,549210303	-0,434739471	0,28	0,204	1	0,739827344	1,351666721	1,37254902
BAG5	0,614381516	-0,435026295	0,171	0,13	1	0,739680273	1,351935474	1,315384615
MED13	0,969369753	-0,436131942	0,354	0,291	1	0,739113617	1,352971962	1,216494845
GPR155	0,824385598	-0,436719866	0,512	0,393	1	0,738812476	1,353523434	1,302798982
PLEKHG3	0,003880909	-0,437109346	0	0,095	1	0,738613048	1,353888891	0
SNAI1	0,466637347	-0,437111619	0,22	0,161	1	0,738611885	1,353891023	1,366459627
PCNP	0,846029343	-0,437133387	0,488	0,361	1	0,73860074	1,353911452	1,351800554
APLP2	0,080627697	-0,437444669	0,646	0,568	1	0,738441393	1,354203609	1,137323944
PPP2CA	0,967959744	-0,437750357	0,524	0,389	1	0,738284944	1,354490577	1,347043702
HNRNPA2B1	0,041907833	-0,437990048	0,89	0,804	1	0,738162295	1,354715632	1,106965174
CDK13	0,60077118	-0,438016235	0,354	0,26	1	0,738148896	1,354740222	1,361538462

Supplementary Table 2

Differentially expressed genes_keloid-XL_comparing SC-Keloid vs. (SC-Myel, SC-Nonmyel, SC-Nonmyel2)								
gene	p_val	avg_log2FC	pct.1	pct.2	p_val_adj	Foldchange_UP	Foldchange_DOWN	Ratio_pct1_pct2
CRY1	0,105593679	-0,438094551	0,293	0,172	1	0,738108827	1,354813766	1,703488372
ZNF638	0,429773148	-0,439232311	0,317	0,218	1	0,737526958	1,355882641	1,45412844
FHOD3	0,3852785	-0,439391799	0,098	0,123	1	0,73744543	1,35603254	0,796747967
MEF2A	0,622618213	-0,43944651	0,402	0,298	1	0,737417465	1,356083966	1,348993289
CENATAC	0,046904047	-0,439753211	0,049	0,119	1	0,737260714	1,356372285	0,411764706
MAP1LC3B	0,500609458	-0,440435736	0,585	0,488	1	0,736912006	1,357014124	1,198770492
IRF2	0,680256882	-0,441134813	0,207	0,2	1	0,736555012	1,357671842	1,035
KIDINS220	0,324114909	-0,441214508	0,415	0,277	1	0,736514326	1,357746842	1,498194946
TCF7L2	0,864126428	-0,44142738	0,305	0,267	1	0,73640566	1,357947195	1,142322097
MAG	0,013861137	-0,44164621	0	0,07	1	0,736293969	1,358153186	0
DRP2	0,011563645	-0,44203383	0	0,074	1	0,73609617	1,35851814	0
UBR2	0,537075405	-0,442601962	0,232	0,168	1	0,735806353	1,359053229	1,380952381
CADM4	0,740481625	-0,443120802	0,488	0,4	1	0,735541781	1,359542077	1,22
TFEB	0,0562275	-0,443207548	0,049	0,116	1	0,735497556	1,359623825	0,422413793
NFKB1	0,593333519	-0,443490694	0,305	0,221	1	0,73535322	1,359890694	1,380090498
UBE2H	0,758225692	-0,443953849	0,512	0,358	1	0,735117184	1,360327335	1,430167598
SH3D19	0,944049308	-0,444298886	0,244	0,204	1	0,734941393	1,360652712	1,196078431
LMO4	0,697578227	-0,444962039	0,732	0,558	1	0,734603646	1,361278298	1,311827957
FBLN5	0,311488754	-0,445114284	0,085	0,116	1	0,734526128	1,361421959	0,732758621
DSE	0,202351144	-0,44532143	0,037	0,074	1	0,734420671	1,361617449	0,5
BACH2	0,457861096	-0,446302101	0,11	0,13	1	0,733921618	1,362543322	0,846153846
ME2	0,295242955	-0,447354083	0,256	0,168	1	0,733386654	1,363537221	1,523809524
RDH5	0,879322147	-0,448038715	0,098	0,095	1	0,733038707	1,364184442	1,031578947
HNRNPL	0,95551737	-0,448649662	0,451	0,351	1	0,732728348	1,364762265	1,284900285
MMP1	0,157701408	-0,448650409	0,024	0,063	1	0,732727969	1,364762971	0,380952381
PTPDC1	0,132723091	-0,449225351	0,061	0,112	1	0,732436021	1,365306964	0,544642857
H2AC6	0,943632264	-0,449240033	0,085	0,077	1	0,732428567	1,365320858	1,103896104
GNAQ	0,250381898	-0,449490468	0,146	0,186	1	0,732301437	1,365557883	0,784946237
MT-ND4L	0,953653299	-0,45016422	0,476	0,375	1	0,731959525	1,36619576	1,269333333
ANKRD36C	0,36937799	-0,450319662	0,134	0,161	1	0,731880665	1,366342967	0,832298137

Supplementary Table 2

Differentially expressed genes_keloid-XL_comparing SC-Keloid vs. (SC-Myel, SC-Nonmyel, SC-Nonmyel2)								
gene	p_val	avg_log2FC	pct.1	pct.2	p_val_adj	Foldchange_UP	Foldchange_DOWN	Ratio_pct1_pct2
CD59	0,104963845	-0,450342938	0,878	0,825	1	0,731868857	1,366365012	1,064242424
SRRM2	0,596334687	-0,450623467	0,707	0,533	1	0,731726561	1,366630725	1,326454034
GRIK3	0,007033319	-0,451409108	0,012	0,109	1	0,731328197	1,367375147	0,110091743
SEMA4C	0,858396288	-0,451504749	0,293	0,235	1	0,731279716	1,367465797	1,246808511
LARP4	0,99749305	-0,452402397	0,28	0,232	1	0,730824854	1,368316903	1,206896552
SUGP2	0,349111994	-0,454945506	0,268	0,182	1	0,729537728	1,370731028	1,472527473
GTF2I	0,237619254	-0,455802113	0,598	0,53	1	0,72910469	1,371545148	1,128301887
ARGLU1	0,379596352	-0,455905988	0,646	0,53	1	0,729052196	1,371643904	1,218867925
WDR26	0,745114014	-0,456003088	0,195	0,182	1	0,729003129	1,371736224	1,071428571
FBLN1	0,2782102	-0,45616247	0,049	0,081	1	0,728922597	1,371887776	0,604938272
SPRY1	0,906665031	-0,457353242	0,305	0,253	1	0,728321207	1,373020572	1,205533597
MIDEAS	0,825362342	-0,457405475	0,341	0,267	1	0,728294838	1,373070283	1,277153558
ARHGEF16	0,003231342	-0,45813959	0	0,098	1	0,72792434	1,373769148	0
USP9X	0,415742385	-0,458320813	0,341	0,235	1	0,727832908	1,373941724	1,45106383
OTUD4	0,704987663	-0,458383735	0,159	0,158	1	0,727801165	1,374001648	1,006329114
EIF2AK3	0,201542676	-0,459680397	0,159	0,196	1	0,727147327	1,375237126	0,81122449
ISG20	0,065238659	-0,460326252	0,049	0,112	1	0,726821876	1,375852919	0,4375
TSPAN15	0,635664958	-0,461571216	0,329	0,288	1	0,72619494	1,377040715	1,142361111
IL34	0,008373173	-0,461997858	0,012	0,102	1	0,725980218	1,377448001	0,117647059
DIXDC1	0,813802961	-0,462613782	0,171	0,158	1	0,725670344	1,378036195	1,082278481
TCIM	0,731016665	-0,462785782	0,671	0,561	1	0,725583834	1,378200496	1,196078431
HLA-E	0,608823198	-0,462818132	0,659	0,488	1	0,725567564	1,378231401	1,350409836
A2M	0,255297484	-0,463693451	0,207	0,133	1	0,725127478	1,379067861	1,556390977
PNRC2	0,3548348	-0,463890418	0,232	0,242	1	0,725028485	1,379256154	0,958677686
ELMO1	0,025473606	-0,464160544	0,012	0,081	1	0,724892746	1,379514426	0,148148148
LPIN1	0,142961862	-0,464367584	0,085	0,14	1	0,724788724	1,379712413	0,607142857
CTTNBP2NL	0,600646901	-0,464843765	0,22	0,211	1	0,724549537	1,380167882	1,042654028
HNRNPA3	0,115904904	-0,465735588	0,659	0,582	1	0,724101785	1,381021316	1,132302405
SLC35E3	0,133531908	-0,466885978	0,049	0,098	1	0,723524623	1,382122968	0,5
LUZP1	0,979233325	-0,467929312	0,268	0,232	1	0,723001571	1,383122859	1,155172414

Supplementary Table 2

Differentially expressed genes_keloid-XL_comparing SC-Keloid vs. (SC-Myel, SC-Nonmyel, SC-Nonmyel2)								
gene	p_val	avg_log2FC	pct.1	pct.2	p_val_adj	Foldchange_UP	Foldchange_DOWN	Ratio_pct1_pct2
ATF4	0,089386672	-0,468260425	0,78	0,705	1	0,722835654	1,383440335	1,106382979
ETNK1	0,238971654	-0,46863974	0,268	0,288	1	0,72264563	1,383804119	0,930555556
ZBTB1	0,746727569	-0,468977128	0,207	0,189	1	0,722476653	1,384127772	1,095238095
TACSTD2	0,342676622	-0,468989951	0,085	0,053	1	0,722470231	1,384140074	1,603773585
KDM2A	0,52293185	-0,46963764	0,415	0,288	1	0,722145955	1,384761616	1,440972222
ARL6IP1	0,840706435	-0,470573241	0,61	0,439	1	0,721677789	1,385659937	1,38952164
KMT5C	0,341283531	-0,470701933	0,098	0,126	1	0,721613416	1,385783548	0,777777778
H3-3B	3,88951E-05	-0,471203666	0,915	0,958	0,820725079	0,721362501	1,386265572	0,955114823
FUS	0,027314012	-0,471264879	0,817	0,688	1	0,721331894	1,386324392	1,1875
ZFC3H1	0,976764004	-0,471459374	0,22	0,186	1	0,721234656	1,3865113	1,182795699
NKAIN3	0,097915858	-0,473240576	0,098	0,158	1	0,720344744	1,388224192	0,620253165
MSH6	0,127318893	-0,473628435	0,073	0,126	1	0,72015111	1,388597458	0,579365079
RHEB	0,776453587	-0,474215687	0,646	0,467	1	0,71985803	1,389162804	1,383297645
SSBP2	0,937375584	-0,475004417	0,256	0,214	1	0,719464587	1,389922476	1,196261682
PTPN13	0,649200105	-0,475424855	0,159	0,158	1	0,719254948	1,390327593	1,006329114
USP1	0,226723731	-0,475471431	0,159	0,193	1	0,719231728	1,390372479	0,823834197
TJP1	0,444037947	-0,475477147	0,354	0,242	1	0,719228878	1,390377988	1,462809917
PCDH17	0,090188698	-0,475501642	0,037	0,091	1	0,719216666	1,390401595	0,406593407
AMOTL2	0,696714871	-0,475506222	0,159	0,158	1	0,719214383	1,390406009	1,006329114
GATAD2B	0,237135049	-0,476295749	0,22	0,249	1	0,718820895	1,391167129	0,883534137
ZNF644	0,956051209	-0,477518114	0,415	0,323	1	0,718212111	1,392346335	1,284829721
CCDC80	5,39915E-06	-0,479452453	0,61	0,253	0,113927393	0,717249791	1,394214419	2,411067194
C1S	0,016081655	-0,479853546	0,037	0,126	1	0,717050411	1,394602088	0,293650794
MAP3K4	0,030645728	-0,479927513	0,085	0,175	1	0,717013649	1,39467359	0,485714286
HLA-DMA	0,023107526	-0,479983874	0,024	0,102	1	0,716985638	1,394728077	0,235294118
SMC3	0,625387396	-0,480404257	0,293	0,214	1	0,716776748	1,395134542	1,369158879
MT2A	0,862470153	-0,480477741	0,756	0,646	1	0,71674024	1,395205605	1,170278638
AKAP13	0,989630672	-0,480971812	0,707	0,509	1	0,716494824	1,395683494	1,388998035
NEK1	0,769714518	-0,481030941	0,146	0,144	1	0,716465459	1,395740698	1,013888889
OLFM1	0,486537129	-0,483002949	0,22	0,218	1	0,715486797	1,397649829	1,009174312

Supplementary Table 2

Differentially expressed genes_keloid-XL_comparing SC-Keloid vs. (SC-Myel, SC-Nonmyel, SC-Nonmyel2)								
gene	p_val	avg_log2FC	pct.1	pct.2	p_val_adj	Foldchange_UP	Foldchange_DOWN	Ratio_pct1_pct2
ABLIM1	0,296201858	-0,483155496	0,134	0,168	1	0,715411148	1,397797621	0,797619048
CBX4	0,92011476	-0,483700109	0,232	0,193	1	0,715141133	1,398325385	1,202072539
RIOK3	0,950446905	-0,483705291	0,354	0,281	1	0,715138565	1,398330407	1,259786477
PRDM16-DT	0,014389586	-0,485367403	0,073	0,182	1	0,714315136	1,399942335	0,401098901
MRPS6	0,323805777	-0,485875573	0,195	0,218	1	0,714063573	1,400435533	0,894495413
ENTPD2	0,005772333	-0,486082582	0,012	0,109	1	0,71396112	1,400636493	0,110091743
NCL	0,61647577	-0,487282203	0,744	0,568	1	0,713367698	1,401801627	1,309859155
PHF3	0,741752527	-0,48747772	0,256	0,232	1	0,713271028	1,401991615	1,103448276
GPC4	0,004659124	-0,488098831	0	0,091	1	0,712964016	1,402595331	0
RASAL2	0,471606135	-0,48811268	0,134	0,151	1	0,712957172	1,402608796	0,887417219
ITGAV	0,964211107	-0,48880499	0,39	0,302	1	0,712615125	1,403282031	1,291390728
L1CAM	0,561502238	-0,489302978	0,854	0,632	1	0,712369188	1,403766497	1,351265823
SLITRK2	0,005858223	-0,489644291	0,012	0,109	1	0,712200675	1,40409864	0,110091743
C1R	0,459012479	-0,489751431	0,329	0,242	1	0,712147787	1,404202918	1,359504132
PRRC2C	0,62089158	-0,489797559	0,585	0,467	1	0,712125017	1,404247816	1,25267666
MED13L	0,831372624	-0,489844201	0,427	0,323	1	0,712101994	1,404293216	1,321981424
KAT6A	0,162906827	-0,489920274	0,232	0,27	1	0,712064447	1,404367265	0,859259259
PNISR	0,30812782	-0,489939399	0,732	0,586	1	0,712055008	1,404385882	1,249146758
TXNRD1	0,036200515	-0,490142948	0,244	0,126	1	0,711954551	1,40458404	1,936507937
PLXNA3	0,508686403	-0,490783792	0,256	0,182	1	0,711638371	1,405208095	1,406593407
LHPP	0,835225428	-0,490984571	0,171	0,14	1	0,71153934	1,40540367	1,221428571
SREBF1	0,378885114	-0,491421937	0,28	0,196	1	0,711323663	1,405829795	1,428571429
SERPINA3	0,033380767	-0,491485801	0,024	0,095	1	0,711292176	1,405892029	0,252631579
NID2	0,004332414	-0,491534721	0,024	0,133	1	0,711268057	1,405939702	0,180451128
REST	0,815113954	-0,491729972	0,293	0,253	1	0,711171802	1,406129992	1,158102767
PPM1K	0,520133059	-0,492165647	0,159	0,168	1	0,71095707	1,406554688	0,946428571
ICAM1	0,755785083	-0,492462624	0,11	0,112	1	0,710810735	1,406844256	0,982142857
KPNA2	0,410034121	-0,492877233	0,232	0,239	1	0,710606488	1,40724862	0,970711297
CNTN2	0,003231342	-0,492912794	0	0,098	1	0,710588973	1,407283307	0
KDM5B	0,969904035	-0,492977528	0,293	0,246	1	0,710557089	1,407346454	1,191056911

Supplementary Table 2

Differentially expressed genes_keloid-XL_comparing SC-Keloid vs. (SC-Myel, SC-Nonmyel, SC-Nonmyel2)								
gene	p_val	avg_log2FC	pct.1	pct.2	p_val_adj	Foldchange_UP	Foldchange_DOWN	Ratio_pct1_pct2
ANKRD37	0,925032943	-0,494115181	0,146	0,133	1	0,709996993	1,40845667	1,097744361
HIVEP2	0,656262097	-0,496385002	0,244	0,228	1	0,708880819	1,410674367	1,070175439
SAMD8	0,658597226	-0,496641109	0,159	0,158	1	0,708754989	1,410924812	1,006329114
THRA	0,857365726	-0,496660997	0,146	0,137	1	0,708745219	1,410944263	1,065693431
SDC2	0,918699328	-0,496690808	0,195	0,172	1	0,708730574	1,410973417	1,13372093
TP53BP2	0,294123261	-0,497407835	0,122	0,158	1	0,708378419	1,411674853	0,772151899
ALDH1A1	0,006707687	-0,498037014	0	0,084	1	0,708069553	1,412290638	0
GAB1	0,312614505	-0,498584368	0,268	0,281	1	0,707800964	1,412826558	0,953736655
THBS1	0,713406178	-0,498714054	0,305	0,281	1	0,707737342	1,412953565	1,085409253
ARHGAP5-AS1	0,379116422	-0,498770678	0,073	0,098	1	0,707709564	1,413009023	0,744897959
RGS11	0,100290152	-0,499104803	0,098	0,158	1	0,707545679	1,41333631	0,620253165
CPEB4	0,10699471	-0,499173756	0,085	0,144	1	0,707511863	1,413403862	0,590277778
FAM53B	0,018595318	-0,499334463	0,037	0,123	1	0,707433056	1,413561315	0,300813008
MRPS24	0,046268216	-0,500570721	0,573	0,337	1	0,70682711	1,414773127	1,700296736
PTMA	8,24976E-06	-0,501273085	0,976	0,982	0,174078154	0,70648308	1,415462065	0,99389002
NXF1	0,70391839	-0,501535099	0,268	0,207	1	0,706354785	1,415719157	1,29468599
ZBTB2	0,154641977	-0,502916854	0,098	0,147	1	0,70567859	1,417075725	0,666666667
CHORDC1	0,523273786	-0,503499303	0,268	0,253	1	0,70539375	1,417647946	1,059288538
SRGAP2	0,835118357	-0,504269713	0,524	0,382	1	0,705017164	1,418405183	1,371727749
KBTBD2	0,613067252	-0,504493711	0,195	0,189	1	0,704907709	1,418625427	1,031746032
PUM1	0,711780506	-0,50456776	0,427	0,312	1	0,70487153	1,418698242	1,368589744
STK32A	0,006213416	-0,507273319	0,012	0,109	1	0,703550887	1,421361295	0,110091743
NRBP2	0,794718849	-0,507303309	0,293	0,26	1	0,703536262	1,421390842	1,126923077
ID4	0,709436244	-0,508415459	0,39	0,354	1	0,702994126	1,422486992	1,101694915
H1-2	0,788232686	-0,50901324	0,134	0,112	1	0,702702901	1,423076521	1,196428571
RFX1	0,603730029	-0,509146552	0,183	0,182	1	0,702637971	1,423208026	1,005494505
RNF24	0,746091122	-0,509898189	0,256	0,228	1	0,702271996	1,423949704	1,122807018
NEU1	0,892680179	-0,510020655	0,256	0,207	1	0,702212384	1,424070584	1,236714976
HPS5	0,356362194	-0,510231847	0,098	0,126	1	0,702109597	1,424279064	0,777777778
TRIM28	0,477602902	-0,510729129	0,537	0,368	1	0,701867629	1,424770084	1,45923913

Supplementary Table 2

Differentially expressed genes_keloid-XL_comparing SC-Keloid vs. (SC-Myel, SC-Nonmyel, SC-Nonmyel2)								
gene	p_val	avg_log2FC	pct.1	pct.2	p_val_adj	Foldchange_UP	Foldchange_DOWN	Ratio_pct1_pct2
FSTL5	0,008044669	-0,511939371	0	0,081	1	0,701279096	1,42596579	0
SLC2A3	0,712688743	-0,512130176	0,195	0,186	1	0,701186354	1,426154395	1,048387097
PNPLA8	0,778770841	-0,512551483	0,256	0,221	1	0,700981618	1,426570932	1,158371041
TAB2	0,972143347	-0,512984237	0,293	0,239	1	0,700771381	1,426998914	1,225941423
NIPBL	0,894008154	-0,513087602	0,305	0,253	1	0,700721175	1,427101158	1,205533597
RSNB1	0,216054632	-0,513374415	0,146	0,182	1	0,700581883	1,427384899	0,802197802
PRELP	0,040452851	-0,514644815	0,037	0,109	1	0,69996524	1,428642371	0,339449541
CNOT6L	0,092149643	-0,51674773	0,098	0,161	1	0,698945693	1,430726321	0,608695652
ADNP	0,393705243	-0,517243002	0,22	0,225	1	0,698705789	1,431217568	0,977777778
SERPINB9	0,00388092	-0,518232044	0	0,095	1	0,698226954	1,432199078	0
CAPN7	0,351492746	-0,518315517	0,134	0,158	1	0,698186556	1,432281946	0,848101266
SRCIN1	0,313581269	-0,518777552	0,085	0,116	1	0,697962992	1,432740721	0,732758621
KIF19	0,017521927	-0,519395584	0,012	0,088	1	0,697664058	1,433354619	0,136363636
PLEKHB2	0,986455686	-0,52031031	0,341	0,274	1	0,697221851	1,434263711	1,244525547
LINC00632	0,086452046	-0,52032995	0,146	0,221	1	0,69721236	1,434283237	0,660633484
HECA	0,062588291	-0,520356031	0,085	0,154	1	0,697199756	1,434309166	0,551948052
BRD4	0,818581779	-0,520680886	0,439	0,344	1	0,697042783	1,434632169	1,276162791
ANKRD50	0,751959654	-0,52162021	0,22	0,2	1	0,696589093	1,435566548	1,1
CDC20B	0,468682361	-0,521667126	0,183	0,133	1	0,696566441	1,435613232	1,37593985
OAT	0,702851767	-0,52190004	0,585	0,396	1	0,696453994	1,435845022	1,477272727
BBX	0,51563381	-0,524541525	0,28	0,263	1	0,695179997	1,438476373	1,064638783
SIPA1L2	0,864222993	-0,524841859	0,585	0,446	1	0,695035292	1,43877586	1,311659193
PPTC7	0,989297867	-0,524892655	0,232	0,196	1	0,695010821	1,438826519	1,183673469
POU2F1	0,463539863	-0,525086437	0,171	0,182	1	0,694917474	1,439019795	0,93956044
UGT8	0,004659136	-0,526168628	0	0,091	1	0,694396399	1,440099633	0
TMEM132B	0,004392324	-0,527138648	0,024	0,133	1	0,693929667	1,441068234	0,180451128
WEE1	0,229110706	-0,527236321	0,159	0,196	1	0,693882688	1,4411658	0,81122449
FRMD3	0,018153029	-0,528609728	0,037	0,123	1	0,693222445	1,442538405	0,300813008
EIF1	5,57336E-06	-0,528762717	0,988	0,958	0,117603406	0,693148937	1,442691385	1,03131524
DYNLL2	0,916911058	-0,529502937	0,317	0,263	1	0,692793386	1,443431793	1,205323194

Supplementary Table 2

Differentially expressed genes_keloid-XL_comparing SC-Keloid vs. (SC-Myel, SC-Nonmyel, SC-Nonmyel2)								
gene	p_val	avg_log2FC	pct.1	pct.2	p_val_adj	Foldchange_UP	Foldchange_DOWN	Ratio_pct1_pct2
FNIP1	0,558467615	-0,53091851	0,341	0,309	1	0,692113951	1,444848784	1,103559871
TRAK1	0,80429231	-0,531434625	0,341	0,291	1	0,691866396	1,445365762	1,171821306
SRGAP1	0,251609611	-0,531471016	0,098	0,137	1	0,691848944	1,445402221	0,715328467
DDIT3	0,95055407	-0,531792327	0,476	0,379	1	0,691694875	1,445724171	1,255936675
H2AX	0,753638694	-0,531884598	0,39	0,333	1	0,691650638	1,445816639	1,171171171
KIF1B	0,806412534	-0,532624569	0,402	0,333	1	0,691295975	1,4465584	1,207207207
ZCCHC8	0,151949638	-0,532841008	0,085	0,133	1	0,691192272	1,446775435	0,639097744
ANKRD11	0,941499318	-0,532961384	0,488	0,358	1	0,691134602	1,446896157	1,363128492
IGFBP7	0,068061771	-0,533481668	0,854	0,772	1	0,690885401	1,44741805	1,106217617
KITLG	0,021054818	-0,534146379	0,012	0,084	1	0,690567154	1,448085091	0,142857143
CNOT4	0,937422527	-0,534436379	0,378	0,291	1	0,690428355	1,448376204	1,298969072
TERF1	0,779030565	-0,535054628	0,268	0,214	1	0,690132544	1,448997021	1,252336449
RNF168	0,294399497	-0,535149462	0,146	0,172	1	0,69008718	1,449092272	0,848837209
CREBRF	0,345753065	-0,535411669	0,329	0,326	1	0,68996177	1,449355666	1,009202454
SBDS	0,181716986	-0,535601487	0,683	0,561	1	0,689870996	1,449546372	1,217468806
SETD2	0,29553264	-0,536848058	0,256	0,27	1	0,689275166	1,450799404	0,948148148
PLEKHM2	0,676995913	-0,537307282	0,28	0,214	1	0,689055798	1,451261281	1,308411215
SBNO1	0,993507027	-0,539230508	0,256	0,211	1	0,688137844	1,453197217	1,213270142
ARRDC3	0,344543055	-0,539485561	0,366	0,246	1	0,688016199	1,453454149	1,487804878
ASPH	0,727317511	-0,539820302	0,415	0,344	1	0,687856581	1,453791426	1,206395349
TRIM8	0,573434379	-0,540652521	0,561	0,379	1	0,687459906	1,454630288	1,480211082
RBM6	0,510488169	-0,54327096	0,415	0,347	1	0,686213322	1,457272786	1,195965418
NPEPPS	0,449374292	-0,544314397	0,366	0,33	1	0,685717194	1,458327148	1,109090909
CLDN19	0,00964585	-0,546354409	0	0,077	1	0,684748256	1,460390722	0
SMURF1	0,07753822	-0,546423191	0,049	0,109	1	0,68471561	1,46046035	0,449541284
C1orf21	0,592735417	-0,549520143	0,415	0,295	1	0,683247346	1,463598805	1,406779661
CENPC	0,436752202	-0,549802779	0,171	0,186	1	0,683113506	1,463885564	0,919354839
PRDM16	0,013007156	-0,550136406	0,024	0,112	1	0,682955552	1,464224131	0,214285714
DAB2IP	0,07906665	-0,551819804	0,085	0,151	1	0,682159115	1,465933648	0,562913907
IGFBP4	0,644532455	-0,552631286	0,329	0,246	1	0,681775525	1,466758432	1,337398374

Supplementary Table 2

Differentially expressed genes_keloid-XL_comparing SC-Keloid vs. (SC-Myel, SC-Nonmyel, SC-Nonmyel2)								
gene	p_val	avg_log2FC	pct.1	pct.2	p_val_adj	Foldchange_UP	Foldchange_DOWN	Ratio_pct1_pct2
PGRMC1	0,278036653	-0,55477122	0,585	0,477	1	0,680765004	1,468935674	1,226415094
SCRN1	0,287946391	-0,554949625	0,159	0,189	1	0,680680825	1,469117335	0,841269841
MEG8	0,394697245	-0,555628431	0,159	0,109	1	0,680360632	1,469808736	1,458715596
MEX3C	0,549626603	-0,555742281	0,378	0,26	1	0,680306943	1,46992473	1,453846154
C7orf61	0,005125606	-0,556238508	0,024	0,13	1	0,680072986	1,47043041	0,184615385
VAPA	0,290900695	-0,556732666	0,72	0,568	1	0,679840085	1,470934154	1,267605634
HSPA9	0,736138416	-0,556885617	0,524	0,407	1	0,679768014	1,471090106	1,287469287
BMP2K	0,601968146	-0,557651798	0,256	0,239	1	0,679407101	1,471871575	1,071129707
PPM1D	0,115258234	-0,55787245	0,098	0,154	1	0,679303197	1,472096707	0,636363636
MECP2	0,413794224	-0,557891299	0,293	0,281	1	0,679294322	1,47211594	1,042704626
STON1	0,010822123	-0,558741827	0,037	0,137	1	0,678893969	1,472984069	0,270072993
TMPRSS5	0,012122532	-0,560062652	0,012	0,095	1	0,678272708	1,474333242	0,126315789
SYNM	0,023926293	-0,560145905	0,061	0,147	1	0,678233568	1,474418323	0,414965986
FGFR1OP2	0,678079399	-0,560456508	0,256	0,232	1	0,678087564	1,47473579	1,103448276
AGO2	0,733921324	-0,560529118	0,207	0,193	1	0,678053438	1,474810014	1,07253886
OSER1	0,178879819	-0,560836645	0,171	0,211	1	0,677908918	1,475124421	0,81042654
HMOX1	0,137185497	-0,56229402	0,024	0,067	1	0,677224457	1,476615308	0,358208955
SCN9A	0,643669271	-0,562512922	0,366	0,316	1	0,677121709	1,476839373	1,158227848
KCTD12	0,944101832	-0,563432117	0,415	0,33	1	0,676690427	1,477780623	1,257575758
ANKHD1	0,175049181	-0,563468439	0,207	0,246	1	0,67667339	1,477817829	0,841463415
ACKR3	0,005118559	-0,563787594	0,012	0,112	1	0,676523712	1,47814479	0,107142857
STOM	0,214434414	-0,56400107	0,195	0,221	1	0,676423614	1,478363527	0,882352941
PALS1	0,222541978	-0,564068123	0,11	0,147	1	0,676392176	1,47843224	0,74829932
TLE3	0,453998346	-0,565689892	0,402	0,358	1	0,675632254	1,480095117	1,122905028
MAN2A2	0,075800559	-0,565790664	0,195	0,263	1	0,675585063	1,480198505	0,741444867
ZFP91	0,300724936	-0,566225184	0,329	0,312	1	0,675381617	1,480644388	1,054487179
ERC1	0,293615706	-0,566458277	0,122	0,151	1	0,675272506	1,480883631	0,80794702
TGIF1	0,901258981	-0,566610114	0,341	0,267	1	0,67520144	1,481039495	1,277153558
ARID4B	0,658050018	-0,566622885	0,415	0,347	1	0,675195463	1,481052606	1,195965418
GTDC1	0,954977299	-0,56679692	0,146	0,133	1	0,675114018	1,481231279	1,097744361

Supplementary Table 2

Differentially expressed genes_keloid-XL_comparing SC-Keloid vs. (SC-Myel, SC-Nonmyel, SC-Nonmyel2)								
gene	p_val	avg_log2FC	pct.1	pct.2	p_val_adj	Foldchange_UP	Foldchange_DOWN	Ratio_pct1_pct2
SAV1	0,822883053	-0,566957686	0,244	0,193	1	0,675038791	1,481396349	1,264248705
G3BP1	0,910739808	-0,567348161	0,439	0,337	1	0,674856112	1,481797353	1,302670623
METRNL	0,095502125	-0,570419754	0,171	0,228	1	0,673420827	1,484955557	0,75
SRRM1	0,257453032	-0,571970171	0,622	0,505	1	0,672697513	1,486552249	1,231683168
JDP2	0,783634425	-0,573356194	0,244	0,218	1	0,67205155	1,487981092	1,119266055
DEPP1	0,384409212	-0,573718574	0,122	0,147	1	0,671882764	1,488354894	0,829931973
RNF103	0,17432741	-0,573805926	0,11	0,154	1	0,671842084	1,488445013	0,714285714
NNMT	0,085652226	-0,573987874	0,049	0,109	1	0,671757359	1,488632743	0,449541284
AHSA1	0,961560902	-0,574386222	0,476	0,347	1	0,671571903	1,489043831	1,371757925
ATP1B2	0,012921635	-0,575717161	0,024	0,112	1	0,670952639	1,490418163	0,214285714
CAMSAP2	0,241911663	-0,576951152	0,232	0,253	1	0,670378994	1,491693518	0,916996047
ASTN2	0,409938929	-0,577327434	0,122	0,144	1	0,670204169	1,492082631	0,847222222
APOLD1	0,029298609	-0,578098435	0,085	0,175	1	0,669846096	1,492880239	0,485714286
TUBB2B	0,216622886	-0,578630841	0,427	0,442	1	0,669598945	1,493431267	0,966063348
HIPK3	0,836722713	-0,579198708	0,354	0,277	1	0,669335432	1,49401922	1,277978339
HNRNPA0	0,168744397	-0,579435276	0,744	0,586	1	0,669225686	1,494264224	1,269624573
ANKRD28	0,906195085	-0,580068703	0,207	0,182	1	0,668931921	1,494920437	1,137362637
STAG2	0,279562156	-0,580608689	0,293	0,288	1	0,668681594	1,495480075	1,017361111
FERMT2	0,670288447	-0,581116512	0,634	0,474	1	0,668446262	1,496006571	1,337552743
LRRFIP2	0,321051414	-0,582052594	0,293	0,295	1	0,668012686	1,496977559	0,993220339
AHCTF1	0,16520594	-0,582344636	0,159	0,204	1	0,667877475	1,497280619	0,779411765
BCL3	0,294477843	-0,582555891	0,134	0,165	1	0,667779685	1,497499884	0,812121212
ODC1	0,130185178	-0,582942398	0,195	0,235	1	0,667600806	1,497901127	0,829787234
KIF1A	0,004659136	-0,58368643	0	0,091	1	0,667256597	1,498673829	0
SSPN	0,543575423	-0,583702841	0,195	0,196	1	0,667249007	1,498690878	0,994897959
MARCKS	0,000103749	-0,584480338	0,927	0,909	1	0,66688951	1,499498769	1,01980198
HNRNPDL	0,01481871	-0,584995908	0,829	0,719	1	0,666651229	1,500034735	1,152990264
JARID2	0,148022629	-0,58570571	0,159	0,207	1	0,666323319	1,500772929	0,768115942
ARHGAP24	0,109504233	-0,586202294	0,329	0,368	1	0,666094007	1,501289593	0,894021739
RBMS1	0,364396648	-0,586208127	0,537	0,333	1	0,666091313	1,501295663	1,612612613

Supplementary Table 2

Differentially expressed genes_keloid-XL_comparing SC-Keloid vs. (SC-Myel, SC-Nonmyel, SC-Nonmyel2)								
gene	p_val	avg_log2FC	pct.1	pct.2	p_val_adj	Foldchange_UP	Foldchange_DOWN	Ratio_pct1_pct2
SKI	0,146290779	-0,58798275	0,451	0,425	1	0,665272475	1,503143505	1,061176471
QKI	0,005926391	-0,588537316	0,829	0,74	1	0,665016796	1,503721418	1,12027027
EFNB2	0,188893431	-0,58959141	0,085	0,13	1	0,664531084	1,504820502	0,653846154
CLDND2	0,083976729	-0,589594382	0,049	0,109	1	0,664529715	1,504823603	0,449541284
TMED5	0,22983265	-0,590017137	0,232	0,249	1	0,664335016	1,505264627	0,931726908
TNFRSF25	0,03713082	-0,590865863	0,037	0,109	1	0,663944308	1,506150424	0,339449541
NAMPT	0,142142199	-0,590963951	0,232	0,274	1	0,663899168	1,506252829	0,846715328
STAT3	0,220722663	-0,590966724	0,488	0,432	1	0,663897892	1,506255724	1,12962963
APOE	0,692863907	-0,59135143	0,146	0,116	1	0,663720882	1,506657433	1,25862069
RAPGEF2	0,07030722	-0,592170568	0,183	0,249	1	0,663344139	1,50751313	0,734939759
RBM39	0,017170864	-0,593383075	0,768	0,639	1	0,662786869	1,508780646	1,201877934
PLPP3	0,024697395	-0,593481633	0,061	0,147	1	0,662741592	1,508883722	0,414965986
ZEB2-AS1	0,008924289	-0,593511775	0,024	0,119	1	0,662727745	1,508915248	0,201680672
SF1	0,181924005	-0,595131569	0,683	0,551	1	0,661984082	1,510610342	1,239564428
SYNE3	0,026811415	-0,595269834	0,098	0,196	1	0,661920642	1,510755123	0,5
ZBTB21	0,127181263	-0,596161829	0,122	0,175	1	0,661511513	1,511689487	0,697142857
MKNK2	0,067081276	-0,598415606	0,134	0,2	1	0,660478907	1,514052892	0,67
TMEM123	0,523486402	-0,598699565	0,39	0,337	1	0,660348921	1,514350926	1,15727003
DHRS3	0,001545518	-0,598724457	0	0,112	1	0,660337527	1,514377055	0
MYC	0,48260324	-0,599847102	0,183	0,193	1	0,659823881	1,515555938	0,948186528
HES4	0,475106315	-0,599971235	0,159	0,168	1	0,65976711	1,515686345	0,946428571
HERPUD1	0,810952256	-0,601107829	0,512	0,386	1	0,659247532	1,516880915	1,32642487
MOB4	0,943352747	-0,601250976	0,341	0,26	1	0,659182124	1,517031431	1,311538462
FOXO3	0,430286679	-0,602297806	0,305	0,288	1	0,65870399	1,518132599	1,059027778
IFIT2	0,038719661	-0,602653347	0,024	0,091	1	0,658541677	1,518506777	0,263736264
UBL3	0,800337556	-0,603980993	0,451	0,347	1	0,65793593	1,519904832	1,299711816
ADAM23	0,090931284	-0,604233346	0,085	0,147	1	0,657820856	1,520170714	0,578231293
ARL13B	0,904730411	-0,60565367	0,28	0,235	1	0,657173554	1,521668049	1,191489362
CASKIN2	0,620557994	-0,606409822	0,159	0,161	1	0,656829204	1,522465801	0,98757764
PROSER2	0,001991506	-0,607313118	0,024	0,147	1	0,65641808	1,523419342	0,163265306

Supplementary Table 2

Differentially expressed genes_keloid-XL_comparing SC-Keloid vs. (SC-Myel, SC-Nonmyel, SC-Nonmyel2)								
gene	p_val	avg_log2FC	pct.1	pct.2	p_val_adj	Foldchange_UP	Foldchange_DOWN	Ratio_pct1_pct2
USP53	0,704998042	-0,607671031	0,415	0,298	1	0,656255252	1,523797329	1,39261745
ABCA8	0,566415417	-0,609913224	0,195	0,196	1	0,655236112	1,526167409	0,994897959
TXNIP	0,611548794	-0,610981162	0,537	0,467	1	0,654751261	1,527297555	1,149892934
ANKRD33B	0,00223705	-0,611076168	0	0,105	1	0,654708145	1,527398136	0
KANK4	0,012210874	-0,611447978	0,012	0,095	1	0,654539436	1,527791826	0,126315789
ARC	0,845496012	-0,611845579	0,28	0,225	1	0,654359072	1,528212938	1,244444444
ADAMTS8	0,007407443	-0,612049972	0,024	0,123	1	0,654266373	1,528429461	0,195121951
ITSN1	0,130934433	-0,613755175	0,11	0,161	1	0,653493515	1,530237067	0,683229814
LPAR1	0,697993254	-0,614017212	0,305	0,267	1	0,653374832	1,530515029	1,142322097
KMT2E	0,544839707	-0,616507799	0,622	0,488	1	0,652247855	1,533159506	1,274590164
RTN4	0,073898102	-0,617050435	0,707	0,589	1	0,652002574	1,533736277	1,200339559
HBEGF	0,372434721	-0,617563259	0,61	0,565	1	0,651770853	1,534281559	1,079646018
TIMP3	0,004687679	-0,618965625	0,793	0,768	1	0,651137609	1,535773676	1,032552083
ZC3H12C	0,003643848	-0,619269175	0,049	0,168	1	0,651000621	1,536096844	0,291666667
EIF4E	0,676137919	-0,620226059	0,427	0,337	1	0,650568981	1,537116016	1,267062315
ARMCX1	0,115321438	-0,620544192	0,134	0,186	1	0,650425538	1,537455007	0,720430108
UBR5	0,252134312	-0,621031732	0,183	0,211	1	0,650205772	1,537974659	0,867298578
FGFR1	0,011915965	-0,622863832	0,049	0,147	1	0,64938059	1,539928996	0,333333333
GOS2	0,825889227	-0,623586675	0,049	0,053	1	0,649055308	1,540700751	0,924528302
KRT14	0,235372752	-0,62368219	0,195	0,232	1	0,649012338	1,540802757	0,840517241
RAB21	0,3319922	-0,625813145	0,28	0,277	1	0,648054412	1,543080305	1,010830325
ZMYM5	0,337821911	-0,626252083	0,305	0,298	1	0,647857272	1,543549857	1,023489933
PTPN12	0,67882035	-0,628524342	0,488	0,375	1	0,646837694	1,545982879	1,301333333
TAOK1	0,280901273	-0,628532673	0,512	0,421	1	0,646833959	1,545991806	1,216152019
JMJD6	0,304188239	-0,629917969	0,268	0,277	1	0,646213158	1,547477002	0,967509025
DLX2	0,022813074	-0,630574734	0,024	0,102	1	0,645919046	1,548181628	0,235294118
PLXDC2	0,036313962	-0,632101585	0,256	0,333	1	0,64523581	1,549820987	0,768768769
ELF1	0,90599295	-0,632170301	0,378	0,284	1	0,645205078	1,549894807	1,330985915
KHDRBS3	0,554296543	-0,63218399	0,61	0,467	1	0,645198956	1,549909513	1,30620985
OTUD7B	0,188399426	-0,633046928	0,232	0,256	1	0,644813151	1,550836857	0,90625

Supplementary Table 2

Differentially expressed genes_keloid-XL_comparing SC-Keloid vs. (SC-Myel, SC-Nonmyel, SC-Nonmyel2)								
gene	p_val	avg_log2FC	pct.1	pct.2	p_val_adj	Foldchange_UP	Foldchange_DOWN	Ratio_pct1_pct2
FGF7	0,001922541	-0,634707197	0,012	0,13	1	0,64407152	1,552622604	0,092307692
SNHG12	0,188984796	-0,635107437	0,183	0,214	1	0,643892862	1,553053401	0,855140187
GLS	0,576295667	-0,635815174	0,378	0,319	1	0,643577068	1,553815463	1,184952978
ADD3	0,017524954	-0,641169262	0,22	0,316	1	0,64119307	1,559592652	0,696202532
EGR3	0,623843473	-0,642313825	0,22	0,207	1	0,640684581	1,560830446	1,062801932
ING1	0,252397511	-0,642977094	0,402	0,382	1	0,640390098	1,561548192	1,052356021
ARAP2	0,006164805	-0,646434181	0,037	0,147	1	0,638857388	1,56529457	0,25170068
OGA	0,213048486	-0,647342739	0,366	0,347	1	0,638455185	1,566280647	1,054755043
SAMHD1	0,066632711	-0,647381834	0,195	0,256	1	0,638437884	1,566323092	0,76171875
HNRNPC	0,02169574	-0,647384177	0,732	0,646	1	0,638436847	1,566325635	1,133126935
PAXBP1	0,260100723	-0,648017	0,317	0,312	1	0,638156865	1,567012839	1,016025641
RSF1	0,222732696	-0,64901196	0,402	0,372	1	0,637716909	1,568093908	1,080645161
EGFLAM	0,001541711	-0,649246572	0,012	0,133	1	0,637613212	1,568348933	0,090225564
C11orf96	0,779457278	-0,649709498	0,341	0,309	1	0,63740865	1,568852259	1,103559871
PLK2	0,178224446	-0,650177097	0,268	0,309	1	0,63720209	1,56936083	0,867313916
RAB8B	0,40487943	-0,651684438	0,28	0,267	1	0,636536682	1,57100137	1,048689139
TANC1	0,281536204	-0,652228685	0,293	0,288	1	0,636296599	1,57159413	1,017361111
SPIRE1	0,003996392	-0,652851639	0,073	0,196	1	0,636021906	1,57227289	0,37244898
AZGP1	0,01007718	-0,653008935	0,012	0,098	1	0,635952565	1,572444323	0,12244898
EFNA1	0,065614949	-0,653240545	0,073	0,14	1	0,635850477	1,572696783	0,521428571
CCT4	0,358563923	-0,655195358	0,463	0,396	1	0,634989501	1,574829189	1,169191919
RXRG	0,004459885	-0,655532975	0,061	0,186	1	0,634840918	1,575197771	0,327956989
RSRP1	0,049540445	-0,65582911	0,537	0,523	1	0,634710621	1,575521138	1,026768642
NAV2	0,419039532	-0,656726801	0,244	0,246	1	0,634315807	1,576501782	0,991869919
IGSF1	0,000502359	-0,657334185	0	0,133	1	0,634048812	1,57716564	0
RAF1	0,471202953	-0,657697933	0,415	0,347	1	0,633888969	1,577563342	1,195965418
RNF213	0,487619154	-0,658168322	0,354	0,326	1	0,633682324	1,578077788	1,085889571
MIDN	0,571394657	-0,659215395	0,366	0,316	1	0,63322258	1,579223534	1,158227848
DNAJC3-DT	0,322506292	-0,660245103	0,098	0,126	1	0,632770785	1,580351091	0,777777778
RLF	0,316172057	-0,660814852	0,195	0,218	1	0,63252094	1,580975326	0,894495413

Supplementary Table 2

Differentially expressed genes_keloid-XL_comparing SC-Keloid vs. (SC-Myel, SC-Nonmyel, SC-Nonmyel2)								
gene	p_val	avg_log2FC	pct.1	pct.2	p_val_adj	Foldchange_UP	Foldchange_DOWN	Ratio_pct1_pct2
B4GALNT1	0,007930243	-0,662085449	0,061	0,168	1	0,631964118	1,582368321	0,363095238
UBE2D3	0,096051	-0,662193621	0,634	0,537	1	0,631916735	1,58248697	1,180633147
STARD13	0,095365233	-0,663093611	0,402	0,411	1	0,631522652	1,583474475	0,97810219
BAZ2A	0,245693698	-0,663450418	0,232	0,253	1	0,631366484	1,583866147	0,916996047
CORO1C	0,685478808	-0,663589775	0,341	0,295	1	0,6313055	1,584019148	1,155932203
CEP350	0,671001001	-0,66427894	0,268	0,239	1	0,631004002	1,584776003	1,121338912
AUTS2	0,067303014	-0,665185241	0,146	0,218	1	0,63060773	1,585771872	0,669724771
KCTD11	0,2643677	-0,666922095	0,098	0,133	1	0,629849001	1,587682125	0,736842105
AOPEP	0,152379808	-0,668121578	0,549	0,488	1	0,62932555	1,589002702	1,125
DCD	0,148409881	-0,669221986	0,232	0,281	1	0,628845719	1,590215168	0,825622776
CSF1	0,213413805	-0,671575624	0,146	0,182	1	0,627820645	1,59281159	0,802197802
MGP	0,95698874	-0,674301682	0,122	0,116	1	0,626635461	1,595824148	1,051724138
F3	0,006809183	-0,675470028	0,061	0,182	1	0,626128194	1,597117026	0,335164835
SERTAD1	0,085948038	-0,677803365	0,439	0,449	1	0,625116347	1,599702207	0,977728285
WTAP	0,644170057	-0,677927534	0,5	0,389	1	0,625062547	1,599839896	1,285347044
NFKBIZ	0,132933898	-0,678601907	0,22	0,27	1	0,624770436	1,600587899	0,814814815
CLEC2B	0,04938389	-0,679678046	0,073	0,151	1	0,62430458	1,601782259	0,483443709
SEMA3G	0,000107925	-0,682408227	0	0,161	1	0,623124252	1,604816369	0
MT1M	0,097025781	-0,683170573	0,159	0,084	1	0,622795069	1,605664607	1,892857143
GJC3	0,014577016	-0,683865559	0,012	0,091	1	0,622495124	1,606438286	0,131868132
KIF21A	0,007833771	-0,684248183	0,085	0,196	1	0,622330051	1,606864395	0,433673469
HLA-DQB1	0,026332727	-0,686099235	0,037	0,116	1	0,621532081	1,608927408	0,318965517
COL21A1	0,001879465	-0,686301299	0,012	0,13	1	0,621445036	1,609152769	0,092307692
MAP3K2	0,466843843	-0,687349302	0,268	0,253	1	0,620993769	1,610322116	1,059288538
RERE	0,04624853	-0,6879464	0,329	0,375	1	0,620736807	1,610988728	0,877333333
CDKN1B	0,025089816	-0,688315173	0,22	0,298	1	0,620578159	1,611400572	0,738255034
CTNND1	0,146949136	-0,689329413	0,378	0,365	1	0,620142035	1,612533814	1,035616438
GFRA3	0,795073821	-0,690974146	0,634	0,474	1	0,619435449	1,614373218	1,337552743
MBOAT2	0,258190455	-0,69112714	0,22	0,235	1	0,619369763	1,614544427	0,936170213
DEPDC7	0,003486677	-0,691568351	0,024	0,137	1	0,619180374	1,61503827	0,175182482

Supplementary Table 2

Differentially expressed genes_keloid-XL_comparing SC-Keloid vs. (SC-Myel, SC-Nonmyel, SC-Nonmyel2)								
gene	p_val	avg_log2FC	pct.1	pct.2	p_val_adj	Foldchange_UP	Foldchange_DOWN	Ratio_pct1_pct2
NUP153	0,013817663	-0,691932236	0,134	0,242	1	0,619024221	1,615445675	0,553719008
FOXD3	0,249346391	-0,695229501	0,72	0,66	1	0,617611062	1,619141982	1,090909091
FKBP4	0,026716527	-0,695301387	0,159	0,246	1	0,617580289	1,619222662	0,646341463
PHF13	0,2535945	-0,695908044	0,244	0,256	1	0,61732065	1,619903693	0,953125
HSPA8	0,001658443	-0,696649346	0,78	0,793	1	0,617003532	1,620736264	0,983606557
FTL	0,000693232	-0,698517774	0,963	0,937	1	0,616204971	1,622836632	1,027748132
AFF4	0,078645667	-0,699345859	0,415	0,407	1	0,61585138	1,623768383	1,01965602
KCNK12	0,00964585	-0,701756229	0	0,077	1	0,614823311	1,626483547	0
THSD7A	0,000608521	-0,702852969	0,085	0,253	1	0,614356099	1,627720473	0,335968379
SFRP1	0,025959751	-0,704088	0,11	0,207	1	0,613830399	1,629114494	0,531400966
ARHGAP5	0,20243409	-0,704809662	0,415	0,382	1	0,613523427	1,629929611	1,086387435
EIF5	0,003286173	-0,705883065	0,61	0,618	1	0,613067119	1,631142772	0,987055016
PHLDA1	0,969207977	-0,706405011	0,488	0,379	1	0,612845361	1,631733002	1,287598945
IFI16	0,408753023	-0,706513016	0,5	0,418	1	0,612799482	1,631855164	1,196172249
SYNE1	0,146240999	-0,706607967	0,232	0,263	1	0,612759153	1,631962568	0,882129278
PLSCR4	0,008349323	-0,706625869	0,11	0,225	1	0,612751549	1,631982819	0,488888889
PEG10	0,366448595	-0,707571067	0,524	0,368	1	0,612350229	1,633052381	1,423913043
NSD3	0,219160189	-0,711121031	0,451	0,396	1	0,610845303	1,637075696	1,138888889
SCML1	0,04898466	-0,712693702	0,195	0,267	1	0,610179788	1,638861232	0,730337079
ZBTB44	0,015462989	-0,713835226	0,134	0,232	1	0,609697178	1,640158485	0,577586207
GOLGA4	0,267220941	-0,714612877	0,378	0,365	1	0,609368624	1,641042813	1,035616438
LSMEM1	0,016663647	-0,715176403	0,073	0,172	1	0,609130647	1,64168394	0,424418605
ARHGEF26	0,060024453	-0,715466028	0,159	0,235	1	0,609008374	1,642013545	0,676595745
MT-ND2	0,000379166	-0,717066709	0,829	0,789	1	0,60833305	1,643836383	1,050697085
TM4SF1	0,157960915	-0,71762768	0,329	0,34	1	0,608096555	1,644475688	0,967647059
H2AZ1	0,205619363	-0,718165602	0,732	0,604	1	0,607869862	1,645088961	1,21192053
RPS6KA5	0,185323404	-0,719303813	0,134	0,175	1	0,607390474	1,646387362	0,765714286
IFITM2	0,07002714	-0,71956903	0,622	0,558	1	0,607278825	1,646690052	1,114695341
KLHL24	0,394322663	-0,72078548	0,232	0,232	1	0,606766996	1,648079092	1
KANSL1L	0,075412696	-0,721518553	0,146	0,211	1	0,606458759	1,64891674	0,691943128

Supplementary Table 2

Differentially expressed genes_keloid-XL_comparing SC-Keloid vs. (SC-Myel, SC-Nonmyel, SC-Nonmyel2)								
gene	p_val	avg_log2FC	pct.1	pct.2	p_val_adj	Foldchange_UP	Foldchange_DOWN	Ratio_pct1_pct2
RHOBTB3	0,748080174	-0,723633343	0,207	0,193	1	0,605570426	1,651335594	1,07253886
BAG3	0,935854937	-0,724247922	0,39	0,302	1	0,605312512	1,652039202	1,291390728
MID1	0,000221855	-0,725407067	0,012	0,168	1	0,604826364	1,653367081	0,071428571
ZBTB11	0,002890227	-0,726575905	0,098	0,232	1	0,604336546	1,654707143	0,422413793
KLF6	0,014039866	-0,727355744	0,768	0,754	1	0,604009965	1,655601825	1,018567639
BTG1	0,001318009	-0,727398466	0,829	0,761	1	0,603992079	1,655650852	1,08935611
NCAM1	0,006869029	-0,727600959	0,207	0,333	1	0,60390731	1,655883251	0,621621622
PLEKHA1	0,737546011	-0,730878345	0,427	0,333	1	0,602536964	1,659649216	1,282282282
FNDC3B	0,707237732	-0,731031309	0,415	0,33	1	0,602473082	1,659825192	1,257575758
NFAT5	0,013439697	-0,732048709	0,195	0,295	1	0,602048364	1,660996126	0,661016949
DYRK1A	0,01914096	-0,733650217	0,134	0,228	1	0,601380412	1,66284099	0,587719298
HSPE1	0,114138064	-0,733978132	0,671	0,568	1	0,601243738	1,663218986	1,181338028
SBSPON	0,001273364	-0,736872528	0,012	0,137	1	0,600038706	1,666559156	0,087591241
ARID1A	0,139965018	-0,737512175	0,293	0,319	1	0,599772726	1,667298222	0,918495298
RBMS3	0,00156455	-0,739073298	0,037	0,168	1	0,599124071	1,669103361	0,220238095
N4BP2L1	0,006452336	-0,739334824	0,122	0,239	1	0,599015474	1,669405957	0,510460251
CXCL14	0,0562275	-0,739797259	0,049	0,116	1	0,598823499	1,669941146	0,422413793
LAMB1	0,03211057	-0,742421682	0,72	0,607	1	0,597735162	1,67298172	1,18616145
EIF1B	0,042217557	-0,742926172	0,573	0,526	1	0,597526179	1,673566841	1,089353612
FAM102A	0,055170613	-0,743538745	0,244	0,295	1	0,597272521	1,674277594	0,827118644
FOSL2	0,111702711	-0,744732651	0,268	0,295	1	0,596778452	1,675663719	0,908474576
RDH10	0,01337224	-0,745112986	0,098	0,2	1	0,596621145	1,67610553	0,49
ZNF516	0,000798298	-0,745207822	0,085	0,239	1	0,596581927	1,676215713	0,355648536
PTEN	0,042977858	-0,745364625	0,39	0,407	1	0,596517089	1,676397907	0,958230958
EPHA2	0,024545008	-0,746834359	0,11	0,2	1	0,595909702	1,678106593	0,55
SPATA6	0,114494845	-0,749307571	0,378	0,379	1	0,594889009	1,680985839	0,997361478
WSB1	0,073120052	-0,750227466	0,659	0,558	1	0,594509815	1,682058015	1,181003584
JMJD1C	0,331591698	-0,752179756	0,537	0,432	1	0,593705854	1,684335758	1,243055556
RASGEF1B	0,002565299	-0,752442987	0,098	0,235	1	0,593597538	1,684643106	0,417021277
SRSF7	0,028523563	-0,753287341	0,646	0,604	1	0,59325023	1,685629352	1,069536424

Supplementary Table 2

Differentially expressed genes_keloid-XL_comparing SC-Keloid vs. (SC-Myel, SC-Nonmyel, SC-Nonmyel2)								
gene	p_val	avg_log2FC	pct.1	pct.2	p_val_adj	Foldchange_UP	Foldchange_DOWN	Ratio_pct1_pct2
HSPA2	0,228461577	-0,755042446	0,183	0,214	1	0,592528952	1,687681246	0,855140187
PRDM2	0,309832775	-0,756431792	0,159	0,179	1	0,591958609	1,689307302	0,888268156
ATP13A3	0,115724874	-0,75720093	0,22	0,263	1	0,591643104	1,690208155	0,836501901
GATM	0,996951439	-0,757517667	0,305	0,249	1	0,591513226	1,690579273	1,224899598
ANKRD12	0,293045618	-0,757599242	0,415	0,365	1	0,591479781	1,690674867	1,136986301
FTH1	0,000363863	-0,758189024	0,988	0,975	1	0,59123803	1,691366166	1,013333333
TGFBR3	9,96362E-05	-0,758927668	0,037	0,228	1	0,5909354	1,692232349	0,162280702
INF2	0,074190193	-0,758940895	0,268	0,312	1	0,590929983	1,692247863	0,858974359
KDM6B	0,072087145	-0,761628294	0,232	0,284	1	0,589830245	1,695403058	0,816901408
BTG3	0,921571545	-0,763146737	0,537	0,379	1	0,589209772	1,697188416	1,416886544
PPP1R12B	0,13355687	-0,76428524	0,159	0,207	1	0,58874498	1,698528282	0,768115942
CACYBP	0,418430216	-0,770167958	0,488	0,382	1	0,586349208	1,705468322	1,277486911
RBBP6	0,482252904	-0,772663646	0,402	0,34	1	0,585335772	1,708421129	1,182352941
PTGDS	0,088286982	-0,772927755	0,037	0,091	1	0,585228626	1,708733913	0,406593407
HNRNPH1	0,00119197	-0,773326043	0,793	0,712	1	0,585067083	1,709205712	1,113764045
SNHG8	0,028972244	-0,77372987	0,598	0,561	1	0,584903339	1,709684205	1,065953654
UBE2R2	0,435959414	-0,774333873	0,512	0,407	1	0,584658513	1,710400136	1,257985258
CDKN1C	0,065678794	-0,774413075	0,415	0,442	1	0,584626417	1,710494037	0,938914027
MAGI1	0,220315592	-0,776116436	0,11	0,147	1	0,583936568	1,712514776	0,74829932
PCDH10	0,041644213	-0,779530095	0,122	0,207	1	0,582556509	1,716571672	0,589371981
MXI1	0,054693096	-0,780666732	0,183	0,249	1	0,582097718	1,717924617	0,734939759
FXR1	0,034798357	-0,781038421	0,451	0,453	1	0,581947769	1,718367272	0,995584989
SH3BP5	0,125353071	-0,783431106	0,268	0,288	1	0,580983419	1,721219519	0,930555556
PPP1R18	0,043578026	-0,783460901	0,488	0,477	1	0,58097142	1,721255066	1,023060797
PFKFB3	0,000982404	-0,787936774	0,049	0,196	1	0,579171785	1,726603447	0,25
BPTF	0,045312783	-0,788597523	0,305	0,344	1	0,578906587	1,727394407	0,886627907
PRPF4B	0,342312069	-0,790430645	0,488	0,407	1	0,578171482	1,729590669	1,199017199
KDSR	0,103986978	-0,791418196	0,378	0,386	1	0,577775848	1,73077501	0,979274611
IER2	0,021562043	-0,792412855	0,756	0,702	1	0,577377641	1,731968697	1,076923077
CYTH3	0,076650548	-0,79320019	0,293	0,326	1	0,577062629	1,732914157	0,898773006

Supplementary Table 2

Differentially expressed genes_keloid-XL_comparing SC-Keloid vs. (SC-Myel, SC-Nonmyel, SC-Nonmyel2)								
gene	p_val	avg_log2FC	pct.1	pct.2	p_val_adj	Foldchange_UP	Foldchange_DOWN	Ratio_pct1_pct2
MYLIP	0,003256133	-0,795267297	0,11	0,239	1	0,576236401	1,735398872	0,460251046
TSC22D3	0,335574272	-0,799795899	0,366	0,249	1	0,574430437	1,740854827	1,469879518
LIMS2	0,013043675	-0,801628592	0,098	0,2	1	0,573701187	1,743067685	0,49
SLC5A3	0,008380523	-0,804107105	0,122	0,239	1	0,572716429	1,746064804	0,510460251
SFPQ	0,009446881	-0,805176926	0,72	0,618	1	0,572291893	1,747360068	1,165048544
CSKMT	0,480388842	-0,805190305	0,268	0,256	1	0,572286585	1,747376272	1,046875
SNHG32	0,460170594	-0,806552333	0,634	0,481	1	0,571746553	1,749026724	1,318087318
KMT2A	0,194734079	-0,806741342	0,5	0,442	1	0,571671652	1,749255881	1,131221719
STIP1	0,209488902	-0,807757764	0,439	0,382	1	0,571269034	1,750488719	1,14921466
SON	3,15662E-05	-0,811287328	0,841	0,775	0,666078685	0,569873129	1,754776545	1,08516129
PRIMA1	0,003322826	-0,811912308	0,049	0,172	1	0,569626311	1,755536885	0,284883721
SECISBP2L	0,628944386	-0,813931469	0,488	0,389	1	0,568829634	1,757995612	1,254498715
DUSP6	0,476012495	-0,814939476	0,171	0,179	1	0,568432333	1,759224347	0,955307263
SFRP5	0,008044669	-0,815981121	0	0,081	1	0,568022065	1,760494989	0
LRRC4C	0,004324109	-0,816596479	0,159	0,295	1	0,567779837	1,76124606	0,538983051
DOCK5	0,083253403	-0,817825113	0,317	0,351	1	0,567296507	1,762746619	0,903133903
MBNL1	0,186793467	-0,819082482	0,659	0,526	1	0,5668023	1,764283595	1,252851711
GADD45G	0,239919445	-0,819108048	0,171	0,207	1	0,566792256	1,764314861	0,826086957
ITGB4	0,087922522	-0,822342711	0,39	0,407	1	0,565522876	1,768275064	0,958230958
PELI1	0,161495042	-0,823006253	0,341	0,344	1	0,565262834	1,769088538	0,99127907
ZBTB7A	0,095027808	-0,823836454	0,512	0,463	1	0,564937646	1,770106855	1,105831533
FNBP4	0,106636739	-0,824834364	0,402	0,389	1	0,564547014	1,77133166	1,033419023
SIK3	0,003893828	-0,828007165	0,244	0,361	1	0,563306816	1,775231492	0,675900277
LPL	0,002881848	-0,830022029	0,024	0,14	1	0,562520653	1,777712506	0,171428571
SETD5	0,118708644	-0,833943129	0,39	0,389	1	0,560993854	1,782550723	1,002570694
PLEKHA5	0,102794439	-0,835136164	0,207	0,26	1	0,560530133	1,784025411	0,796153846
CHD2	0,189145495	-0,840606342	0,341	0,337	1	0,558408829	1,790802629	1,011869436
CEP85L	0,024149535	-0,842162993	0,183	0,267	1	0,557806638	1,792735928	0,685393258
TAF5	2,8877E-05	-0,843012163	0,012	0,204	0,609332944	0,557478409	1,793791443	0,058823529
ABCA2	0,116669954	-0,843927986	0,207	0,249	1	0,557124634	1,794930503	0,831325301

Supplementary Table 2

Differentially expressed genes_keloid-XL_comparing SC-Keloid vs. (SC-Myel, SC-Nonmyel, SC-Nonmyel2)								
gene	p_val	avg_log2FC	pct.1	pct.2	p_val_adj	Foldchange_UP	Foldchange_DOWN	Ratio_pct1_pct2
AC009041.2	0,00118293	-0,845046807	0,085	0,235	1	0,556692748	1,796323025	0,361702128
SEMA5A	0,000588254	-0,845825908	0,012	0,151	1	0,556392197	1,797293358	0,079470199
ARL4A	0,02099776	-0,846065659	0,195	0,277	1	0,556299742	1,797592062	0,703971119
CNKSR3	0,272548	-0,847431384	0,341	0,326	1	0,555773371	1,799294555	1,04601227
RAPGEF5	6,53104E-05	-0,847876636	0,024	0,207	1	0,555601872	1,799849949	0,115942029
NET1	0,34884716	-0,850739029	0,256	0,253	1	0,554500617	1,803424504	1,011857708
NEDD9	0,145012375	-0,85448301	0,232	0,267	1	0,553063482	1,808110702	0,868913858
MAFK	0,013113248	-0,854858067	0,207	0,305	1	0,552919721	1,808580817	0,678688525
HLA-DPA1	0,001722994	-0,855542417	0,049	0,186	1	0,552657502	1,80943893	0,26344086
ARHGAP19	5,98374E-05	-0,85652499	0	0,172	1	0,552281233	1,810671701	0
MSX1	0,201470073	-0,862608635	0,256	0,277	1	0,549957243	1,818323174	0,924187726
RETREG1	0,01229808	-0,863996502	0,146	0,249	1	0,549428441	1,820073235	0,586345382
ART3	7,10588E-05	-0,864445524	0,024	0,207	1	0,549257464	1,8206398	0,115942029
YME1L1	0,291401904	-0,865504336	0,402	0,365	1	0,548854505	1,821976481	1,101369863
YPEL2	0,004612794	-0,867453078	0,159	0,281	1	0,548113632	1,824439206	0,565836299
EIF4A2	1,41557E-05	-0,869129644	0,695	0,712	0,298698621	0,547477036	1,826560632	0,976123596
FOXO1	0,007706064	-0,870110989	0,183	0,288	1	0,547104759	1,827803511	0,635416667
GPM6B	1,56355E-09	-0,872799507	0,951	0,926	3,29925E-05	0,546086158	1,831212869	1,02699784
TLE1	0,044170723	-0,873116412	0,585	0,512	1	0,545966217	1,831615161	1,142578125
POLR1F	0,307133575	-0,874051646	0,207	0,221	1	0,545612406	1,832802899	0,936651584
ERF	0,090107691	-0,874468432	0,659	0,526	1	0,545454805	1,833332462	1,252851711
SMC5	0,129080495	-0,877764074	0,317	0,323	1	0,544210209	1,83752525	0,981424149
MTURN	0,034106341	-0,882141926	0,232	0,312	1	0,542561309	1,84310968	0,743589744
SQSTM1	0,015009446	-0,882244982	0,634	0,572	1	0,542522553	1,843241344	1,108391608
SOD1	6,06875E-05	-0,882286579	0,768	0,702	1	0,542506911	1,843294491	1,094017094
CAB39L	7,30416E-05	-0,88317814	0,049	0,242	1	0,542171754	1,844433968	0,202479339
TGFBR2	0,005625106	-0,888415093	0,451	0,502	1	0,54020725	1,851141391	0,898406375
DCUN1D3	0,005672689	-0,889169943	0,098	0,221	1	0,539924675	1,852110203	0,443438914
NCMAP	0,004659136	-0,889276698	0	0,091	1	0,539884724	1,852247258	0
HNRNPH3	0,001695773	-0,895891279	0,683	0,6	1	0,537415084	1,860759083	1,138333333

Supplementary Table 2

Differentially expressed genes_keloid-XL_comparing SC-Keloid vs. (SC-Myel, SC-Nonmyel, SC-Nonmyel2)								
gene	p_val	avg_log2FC	pct.1	pct.2	p_val_adj	Foldchange_UP	Foldchange_DOWN	Ratio_pct1_pct2
NRXN3	0,016006318	-0,896123022	0,11	0,211	1	0,537328765	1,861058006	0,521327014
UGCG	0,393631658	-0,89740889	0,305	0,281	1	0,53685006	1,862717498	1,085409253
ASH1L	0,010534061	-0,898198946	0,354	0,414	1	0,536556148	1,863737849	0,855072464
S1PR3	0,001073975	-0,900580028	0,134	0,288	1	0,535671324	1,866816376	0,465277778
NRP2	0,150280991	-0,900883231	0,268	0,295	1	0,535558757	1,867208755	0,908474576
NDRG2	0,009523129	-0,90479251	0,476	0,502	1	0,534109515	1,872275203	0,948207171
TRA2A	0,121988029	-0,905323811	0,402	0,382	1	0,533912855	1,872964832	1,052356021
SGK1	0,11742609	-0,905338581	0,122	0,175	1	0,533907389	1,872984007	0,697142857
UBC	9,37059E-09	-0,907302016	0,927	0,958	0,000197729	0,533181262	1,875534779	0,967640919
ARID5B	0,663481193	-0,908422976	0,439	0,358	1	0,532767146	1,876992618	1,226256983
ADAMTS1	0,972684986	-0,908907647	0,524	0,389	1	0,532588194	1,877623296	1,347043702
LINC00472	0,000172724	-0,919513371	0,037	0,211	1	0,52868732	1,89147718	0,17535545
MLIP	0,002689271	-0,919897681	0	0,102	1	0,528546505	1,891981105	0
PLEKHA4	0,129770819	-0,923775348	0,756	0,593	1	0,527127788	1,897073201	1,274873524
SOD3	0,000296301	-0,924476914	0,024	0,182	1	0,526871514	1,89799595	0,131868132
PIM3	0,162087503	-0,925671993	0,317	0,323	1	0,526435253	1,899568836	0,981424149
RASD1	0,119360831	-0,930094232	0,146	0,196	1	0,524824061	1,905400447	0,744897959
SRSF3	4,27164E-06	-0,930901245	0,744	0,754	0,090135889	0,524530568	1,906466585	0,986737401
ZBTB10	0,00019776	-0,934003421	0,049	0,221	1	0,5234039	1,910570403	0,221719457
CD44	0,666473177	-0,938437729	0,646	0,46	1	0,521797621	1,91645182	1,404347826
CDH19	1,75202E-06	-0,940589199	0,878	0,839	0,036969286	0,521020051	1,919311929	1,046483909
KCTD9	0,021552688	-0,941869776	0,244	0,316	1	0,520557785	1,921016321	0,772151899
MTUS1	0,000286244	-0,947081947	0,11	0,281	1	0,518680506	1,927969124	0,391459075
PCDH9	0,18821338	-0,947281042	0,232	0,263	1	0,518608931	1,928235206	0,882129278
FMNL2	0,000414543	-0,950464312	0,073	0,235	1	0,517465896	1,932494505	0,310638298
ZFAS1	0,000627272	-0,950474032	0,854	0,779	1	0,517462409	1,932507525	1,096277279
C1orf198	0,015972855	-0,956126046	0,549	0,526	1	0,515439124	1,940093317	1,043726236
HBP1	0,014028085	-0,956967206	0,268	0,347	1	0,515138686	1,941224813	0,772334294
SNHG15	0,047252309	-0,958445997	0,378	0,382	1	0,51461093	1,943215626	0,989528796
PER1	0,000423882	-0,964892351	0,171	0,333	1	0,512316637	1,951917871	0,513513514

Supplementary Table 2

Differentially expressed genes_keloid-XL_comparing SC-Keloid vs. (SC-Myel, SC-Nonmyel, SC-Nonmyel2)								
gene	p_val	avg_log2FC	pct.1	pct.2	p_val_adj	Foldchange_UP	Foldchange_DOWN	Ratio_pct1_pct2
ZSWIM6	0,000693805	-0,966505667	0,159	0,312	1	0,511744052	1,954101854	0,509615385
EPB41L2	6,05283E-05	-0,971728724	0,317	0,495	1	0,50989471	1,961189202	0,64040404
TRA2B	0,000429517	-0,97220628	0,695	0,649	1	0,509725954	1,961838497	1,070878274
TMEM176B	0,015413204	-0,972271163	0,244	0,333	1	0,509703031	1,961926729	0,732732733
BCAS1	0,013093178	-0,97275158	0,024	0,112	1	0,509533328	1,962580159	0,214285714
AHNAK	8,74123E-07	-0,974233928	0,829	0,804	0,018444863	0,509010059	1,964597717	1,031094527
IER3	3,9131E-08	-0,977143088	0,695	0,853	0,000825703	0,507984687	1,968563278	0,814771395
PRRG4	2,8877E-05	-0,982632065	0,012	0,204	0,609334608	0,506055645	1,976067276	0,058823529
TMEM176A	0,008193538	-0,983435796	0,171	0,284	1	0,505773798	1,977168458	0,602112676
PTTG1	0,002803135	-0,985455961	0,085	0,221	1	0,505066073	1,979938969	0,384615385
NIBAN1	0,005046841	-0,986275746	0,183	0,302	1	0,50477916	1,981064354	0,605960265
CD55	0,001442003	-0,987526241	0,061	0,2	1	0,504341818	1,982782239	0,305
RGCC	0,019409297	-0,988335115	0,317	0,4	1	0,504059129	1,983894236	0,7925
IVNS1ABP	0,001197649	-0,989904465	0,22	0,358	1	0,503511116	1,986053471	0,61452514
SORCS1	8,44887E-05	-0,99211631	0,195	0,404	1	0,502739758	1,989100692	0,482673267
MCL1	0,009230773	-0,992664566	0,585	0,537	1	0,502548742	1,989856738	1,089385475
NFIB	0,000138585	-0,99424114	0,159	0,344	1	0,501999857	1,992032438	0,462209302
DCN	0,004833607	-0,99442412	0,085	0,211	1	0,501936192	1,992285108	0,402843602
SOX8	0,00010852	-1,002615243	0,061	0,249	1	0,499094447	2,003628784	0,24497992
SOX4	0,001478087	-1,008401681	0,878	0,863	1	0,497096661	2,011681183	1,017381228
SPTBN1	7,8065E-07	-1,010781586	0,805	0,796	0,016472488	0,496277315	2,015002441	1,011306533
SPATA13	0,001791155	-1,010928003	0,098	0,235	1	0,496226951	2,01520695	0,417021277
ALCAM	0,001808764	-1,012715733	0,232	0,358	1	0,495612427	2,017705662	0,648044693
ATP1A1	0,028406087	-1,013686181	0,683	0,572	1	0,495279159	2,019063355	1,194055944
PMP22	0,000146011	-1,016212696	0,878	0,923	1	0,494412562	2,022602331	0,951245937
PLAAT3	0,02741831	-1,016874176	0,317	0,358	1	0,494185924	2,023529913	0,88547486
TRIP10	0,000298778	-1,018561964	0,134	0,302	1	0,493608121	2,025898596	0,443708609
SLIT2	9,21519E-05	-1,020502524	0,037	0,221	1	0,492944618	2,028625454	0,167420814
TLE4	0,031553452	-1,020964404	0,329	0,393	1	0,492786827	2,029275024	0,837150127
ZNF106	0,003640465	-1,023324938	0,22	0,337	1	0,49198119	2,032598037	0,652818991

Supplementary Table 2

Differentially expressed genes_keloid-XL_comparing SC-Keloid vs. (SC-Myel, SC-Nonmyel, SC-Nonmyel2)								
gene	p_val	avg_log2FC	pct.1	pct.2	p_val_adj	Foldchange_UP	Foldchange_DOWN	Ratio_pct1_pct2
ARHGAP15	0,000565562	-1,026296709	0,073	0,235	1	0,490968813	2,036789249	0,310638298
DNAJB6	0,00037992	-1,028128412	0,5	0,537	1	0,490345855	2,03937688	0,931098696
SORBS1	0,00112419	-1,028882144	0,244	0,375	1	0,490089742	2,040442624	0,650666667
SAMD4A	0,000822707	-1,029004143	0,098	0,253	1	0,4900483	2,040615178	0,387351779
ASPA	0,023707292	-1,029020961	0,5	0,477	1	0,490042588	2,040638967	1,048218029
PCF11	0,003988835	-1,038522032	0,317	0,4	1	0,486825947	2,054122231	0,7925
CADM3	0,000109261	-1,041476756	0,122	0,319	1	0,485829919	2,058333505	0,382445141
ARHGEF10	0,004282503	-1,043961258	0,183	0,302	1	0,484993979	2,061881267	0,605960265
NLGN4X	0,009461598	-1,046664784	0,146	0,253	1	0,48408598	2,065748735	0,577075099
FRMD6	0,058623489	-1,047971574	0,439	0,428	1	0,483647694	2,067620732	1,025700935
SLC25A25	0,000168578	-1,04881242	0,122	0,302	1	0,483365892	2,068826156	0,40397351
GBP2	0,043047461	-1,050450938	0,183	0,256	1	0,482817228	2,071177127	0,71484375
TUBB4B	0,00158914	-1,052244643	0,585	0,593	1	0,482217314	2,073753827	0,986509275
ITPRID2	0,007546254	-1,053439731	0,354	0,404	1	0,481818024	2,075472377	0,876237624
HMGB2	0,000262183	-1,06171006	0,171	0,344	1	0,479063877	2,087404305	0,497093023
NFE2L2	0,000975892	-1,062184533	0,61	0,582	1	0,478906349	2,088090923	1,048109966
CYLD	0,031247118	-1,063104749	0,268	0,326	1	0,478600978	2,089423226	0,82208589
PPP4R2	0,010474498	-1,063890516	0,415	0,432	1	0,478340378	2,090561544	0,960648148
CHD1	0,002928706	-1,064584656	0,244	0,354	1	0,478110284	2,091567642	0,689265537
EMP2	0,008679859	-1,06481433	0,598	0,558	1	0,478034176	2,091900642	1,071684588
CTSC	0,00820675	-1,066558087	0,354	0,411	1	0,477456735	2,09443061	0,861313869
JUND	7,05324E-11	-1,066916172	0,915	0,968	1,4883E-06	0,477338242	2,094950523	0,945247934
VASN	0,000228067	-1,068195459	0,024	0,186	1	0,476915158	2,096809011	0,129032258
RORB	0,001917069	-1,069490289	0,085	0,225	1	0,476487315	2,098691758	0,377777778
DNAJB1	0,001402413	-1,072583363	0,817	0,768	1	0,475466841	2,103196087	1,063802083
IRF2BP2	0,000791403	-1,077045418	0,378	0,46	1	0,47399856	2,109711049	0,82173913
MAL	0,00098012	-1,079548534	0,341	0,453	1	0,473176873	2,113374634	0,752759382
CLK1	9,33902E-05	-1,081319221	0,598	0,635	1	0,472596477	2,11597007	0,941732283
MAFF	0,00033854	-1,08511983	0,244	0,389	1	0,471353116	2,121551692	0,627249357
CCNL1	0,000681839	-1,088092357	0,561	0,572	1	0,47038294	2,12592744	0,980769231

Supplementary Table 2

Differentially expressed genes_keloid-XL_comparing SC-Keloid vs. (SC-Myel, SC-Nonmyel, SC-Nonmyel2)								
gene	p_val	avg_log2FC	pct.1	pct.2	p_val_adj	Foldchange_UP	Foldchange_DOWN	Ratio_pct1_pct2
C2orf88	6,58491E-06	-1,090579736	0,012	0,228	0,138948179	0,469572643	2,129595955	0,052631579
NRN1	0,00327573	-1,093133015	0,451	0,47	1	0,468742329	2,133368246	0,959574468
RSRC2	0,003261089	-1,097712806	0,683	0,604	1	0,46725668	2,14015132	1,130794702
ZEB2	6,79951E-09	-1,098214651	0,744	0,828	0,000143477	0,467094172	2,140895905	0,898550725
ASXL1	3,73311E-05	-1,098624422	0,5	0,582	0,787722732	0,466961521	2,141504074	0,859106529
PTX3	0,290496029	-1,099882467	0,207	0,228	1	0,466554503	2,143372302	0,907894737
BTG2	0,042149395	-1,100123896	0,232	0,295	1	0,466476434	2,143731017	0,786440678
TIPARP	9,50116E-05	-1,100922856	0,11	0,298	1	0,466218172	2,144918537	0,369127517
LIMCH1	0,091804719	-1,102490448	0,146	0,204	1	0,465711868	2,147250412	0,715686275
DKK3	0,000996512	-1,102559717	0,28	0,404	1	0,465689508	2,147353512	0,693069307
IER5	0,003903983	-1,102655419	0,354	0,442	1	0,465658617	2,147495963	0,800904977
CSRNP1	0,006094633	-1,105535538	0,378	0,446	1	0,464729928	2,151787391	0,847533632
KCNQ1OT1	0,051506743	-1,107030399	0,159	0,232	1	0,464248644	2,154018139	0,685344828
NUFIP2	0,000929622	-1,109018953	0,329	0,435	1	0,463609183	2,1569892	0,756321839
YY1	0,000420078	-1,109286518	0,488	0,53	1	0,463523209	2,157389276	0,920754717
DMD	3,7762E-05	-1,110962466	0,122	0,337	0,796816952	0,462985056	2,159896926	0,362017804
ADGRB3	1,9552E-05	-1,114194432	0,049	0,263	0,412566885	0,461949025	2,164741011	0,186311787
CCND2	1,05918E-05	-1,114912219	0,049	0,267	0,223497981	0,461719248	2,165818307	0,183520599
FOS	0,002876694	-1,115834211	0,854	0,828	1	0,461424268	2,167202873	1,031400966
SOWAHC	0,000915484	-1,117170316	0,122	0,274	1	0,460997133	2,169210886	0,445255474
SYNE2	0,002415436	-1,117270403	0,22	0,344	1	0,460965152	2,169361382	0,639534884
DDX3X	6,25341E-05	-1,118807252	0,683	0,681	1	0,460474365	2,171673551	1,002936858
SPEN	0,00031373	-1,121049447	0,256	0,414	1	0,459759265	2,175051329	0,618357488
HEXIM1	0,074616611	-1,129319237	0,451	0,428	1	0,45713138	2,187554919	1,053738318
IRF1	0,001650333	-1,129470976	0,244	0,379	1	0,457083303	2,187785014	0,643799472
SERPING1	2,28686E-05	-1,130390032	0,037	0,242	0,482550535	0,456792215	2,189179167	0,152892562
BRD2	3,86413E-05	-1,13517887	0,61	0,674	0,815369644	0,455278466	2,196457935	0,90504451
FADS3	0,002168807	-1,14490256	0,354	0,428	1	0,452220231	2,211311948	0,827102804
KLF4	0,001084534	-1,154160699	0,476	0,53	1	0,449327511	2,225548127	0,898113208
XIST	2,41601E-10	-1,156086962	0,829	0,87	5,09803E-06	0,448727976	2,228521627	0,952873563

Supplementary Table 2

Differentially expressed genes_keloid-XL_comparing SC-Keloid vs. (SC-Myel, SC-Nonmyel, SC-Nonmyel2)								
gene	p_val	avg_log2FC	pct.1	pct.2	p_val_adj	Foldchange_UP	Foldchange_DOWN	Ratio_pct1_pct2
CDKN1A	0,000111294	-1,156790532	0,22	0,414	1	0,448509195	2,229608692	0,531400966
ZBTB20	0,001523583	-1,158611844	0,549	0,558	1	0,447943338	2,232425211	0,983870968
TEAD1	0,002436266	-1,161386154	0,305	0,393	1	0,447082768	2,236722307	0,776081425
IRS2	0,004577856	-1,162817592	0,256	0,358	1	0,446639394	2,238942677	0,715083799
NFATC2	0,010085384	-1,162834125	0,183	0,295	1	0,446634275	2,238968335	0,620338983
PPP1R15B	0,000159377	-1,168144115	0,207	0,375	1	0,444993413	2,247224276	0,552
RYBP	0,003560602	-1,169513049	0,427	0,463	1	0,444571371	2,249357618	0,92224622
SLC3A2	0,000364396	-1,170885937	0,537	0,568	1	0,444148512	2,251499155	0,945422535
PLLP	9,15713E-06	-1,172560035	0,037	0,256	0,1932246	0,443633423	2,254113304	0,14453125
ZNF503	0,001977811	-1,176783899	0,354	0,442	1	0,44233647	2,260722475	0,800904977
TSPYL2	0,000165819	-1,178591515	0,22	0,386	1	0,441782594	2,26355681	0,569948187
LATS2	0,004588081	-1,181229306	0,22	0,323	1	0,440975587	2,267699231	0,681114551
BPGM	0,04335325	-1,184577655	0,305	0,34	1	0,439953314	2,272968444	0,897058824
RC3H1	0,000124599	-1,186149397	0,171	0,351	1	0,439474269	2,275446076	0,487179487
ZFP36	3,13483E-06	-1,188247694	0,561	0,73	0,066148022	0,438835549	2,278757958	0,768493151
SMTN	0,000394082	-1,188746545	0,122	0,288	1	0,438683836	2,279546036	0,423611111
SERTAD2	4,26626E-05	-1,198139379	0,329	0,498	0,900223754	0,435837012	2,294435703	0,66064257
SELENOP	1,76314E-05	-1,200250064	0,049	0,263	0,372039924	0,435199841	2,297794956	0,186311787
MAFG	0,017469533	-1,204915328	0,268	0,337	1	0,433794802	2,305237394	0,795252226
MALAT1	3,96845E-19	-1,205507326	0,976	0,993	8,37383E-15	0,433616835	2,306183524	0,982880161
NDRG1	5,4556E-06	-1,21133755	0,305	0,516	0,115118586	0,431868037	2,315522138	0,591085271
BHLHE40	0,010403459	-1,214456384	0,451	0,47	1	0,430935428	2,320533274	0,959574468
FOSB	0,000764419	-1,217622322	0,695	0,688	1	0,429990794	2,325631185	1,010174419
YBX3	0,020882093	-1,226035455	0,378	0,411	1	0,427490583	2,339232815	0,919708029
TSC22D4	0,005694514	-1,229027113	0,183	0,295	1	0,426605032	2,34408862	0,620338983
NFIA	6,56452E-08	-1,234528653	0,098	0,396	0,00138518	0,424981324	2,353044579	0,247474747
HSPH1	0,00121086	-1,236969562	0,537	0,533	1	0,424262902	2,357029086	1,00750469
GEM	0,028567994	-1,240077956	0,159	0,242	1	0,42334978	2,362112956	0,657024793
HSPA12A	1,24551E-05	-1,240662477	0,415	0,565	0,262814488	0,42317829	2,363070182	0,734513274
DNAJB4	0,000308234	-1,242910075	0,354	0,47	1	0,422519528	2,366754516	0,753191489

Supplementary Table 2

Differentially expressed genes_keloid-XL_comparing SC-Keloid vs. (SC-Myel, SC-Nonmyel, SC-Nonmyel2)								
gene	p_val	avg_log2FC	pct.1	pct.2	p_val_adj	Foldchange_UP	Foldchange_DOWN	Ratio_pct1_pct2
TAF1D	0,038238065	-1,24404445	0,646	0,544	1	0,422187436	2,368616201	1,1875
ZFAND5	9,6132E-05	-1,24466185	0,549	0,568	1	0,4220068	2,369630065	0,966549296
HSPA1A	6,77719E-09	-1,248843858	0,951	0,989	0,000143005	0,42078528	2,376508988	0,961577351
NR4A1	0,000256126	-1,251226616	0,78	0,719	1	0,420090884	2,380437277	1,084840056
GLDN	0,002689271	-1,255417271	0	0,102	1	0,418872399	2,387361883	0
ITIH5	0,006122625	-1,256012808	0,317	0,4	1	0,418699527	2,388347577	0,7925
HSPD1	6,30936E-05	-1,256210575	0,427	0,54	1	0,418642134	2,388674999	0,790740741
VGLL3	0,000152097	-1,258151423	0,085	0,27	1	0,418079317	2,391890629	0,314814815
KLHL21	0,00198904	-1,261487805	0,183	0,319	1	0,417113582	2,397428525	0,573667712
BCL6	7,55282E-05	-1,267157176	0,22	0,407	1	0,415477664	2,406868256	0,540540541
ZFP36L1	2,04988E-08	-1,271589458	0,732	0,804	0,000432546	0,414203182	2,414274064	0,910447761
ANGPTL4	2,24997E-05	-1,2896198	0,024	0,225	0,474765642	0,409058816	2,444636224	0,106666667
MEGF9	4,74474E-05	-1,297695527	0,317	0,47	1	0,406775438	2,458358856	0,674468085
SOCS3	0,721206689	-1,299251645	0,402	0,319	1	0,406336919	2,46101192	1,260188088
IL6ST	2,20169E-05	-1,29929372	0,451	0,544	0,464578301	0,406325068	2,461083693	0,829044118
AMD1	2,24116E-06	-1,310352447	0,463	0,586	0,047290693	0,403222361	2,48002119	0,790102389
TMOD2	9,5606E-06	-1,311084307	0,122	0,34	0,201738295	0,403017864	2,48127959	0,358823529
PMP2	0,000251226	-1,314924128	0,329	0,467	1	0,401946633	2,487892464	0,704496788
HLA-DPB1	0,000398747	-1,324203587	0,122	0,288	1	0,399369597	2,503946239	0,423611111
ETS1	0,001553021	-1,331115805	0,561	0,554	1	0,39746072	2,515971892	1,012635379
NR2F1	0,001952007	-1,331742774	0,232	0,347	1	0,397288028	2,517065526	0,668587896
HSPB1	3,65227E-05	-1,333690955	0,939	0,895	0,770664657	0,396751902	2,520466806	1,049162011
HSP90AB1	4,47197E-14	-1,335125262	0,902	0,916	9,43631E-10	0,396357653	2,522973865	0,984716157
ATP1A2	9,41013E-08	-1,336886774	0,012	0,295	0,001985632	0,395874001	2,526056265	0,040677966
HNRNPU	5,17449E-09	-1,345756287	0,744	0,765	0,000109187	0,393447682	2,541633986	0,97254902
ANK3	3,49009E-06	-1,352489352	0,232	0,456	0,073644445	0,391615738	2,553523528	0,50877193
CEBPB	1,66675E-06	-1,357678381	0,622	0,681	0,035170074	0,39020972	2,562724478	0,913362702
DUSP8	4,89803E-07	-1,370050582	0,183	0,435	0,010335333	0,386877684	2,584796284	0,420689655
ABCA1	0,000566005	-1,376216169	0,134	0,288	1	0,385227828	2,595866462	0,465277778
INTS6	3,27061E-05	-1,378887135	0,415	0,537	0,690131474	0,384515288	2,600676829	0,772811918

Supplementary Table 2

Differentially expressed genes_keloid-XL_comparing SC-Keloid vs. (SC-Myel, SC-Nonmyel, SC-Nonmyel2)								
gene	p_val	avg_log2FC	pct.1	pct.2	p_val_adj	Foldchange_UP	Foldchange_DOWN	Ratio_pct1_pct2
TENT5A	0,000744287	-1,384654075	0,476	0,523	1	0,382981318	2,61109342	0,910133843
PPP1R10	5,01829E-05	-1,386913785	0,317	0,463	1	0,38238192	2,615186409	0,684665227
GJC1	0,00010703	-1,389041068	0,11	0,295	1	0,381818505	2,6190454	0,372881356
GPBP1	1,53694E-07	-1,390048611	0,634	0,677	0,003243095	0,381551946	2,620875115	0,93648449
ITGB8	0,000115815	-1,395365153	0,549	0,604	1	0,380148459	2,630551241	0,908940397
HSPA1B	2,81771E-10	-1,396996146	0,89	0,954	5,94566E-06	0,379718937	2,63352681	0,932914046
SOX2	9,59828E-05	-1,399915488	0,439	0,558	1	0,37895134	2,638861234	0,786738351
TOB1	0,000186181	-1,403738645	0,232	0,386	1	0,377948444	2,645863519	0,601036269
DLC1	1,2224E-05	-1,412051162	0,512	0,593	0,257939526	0,375777043	2,661152452	0,863406408
HES1	6,38192E-10	-1,416591298	0,78	0,839	1,34665E-05	0,374596338	2,669540244	0,929678188
COL3A1	6,37512E-06	-1,425468877	0,561	0,66	0,134521476	0,372298349	2,686017822	0,85
RELN	1,65747E-08	-1,443994475	0,073	0,382	0,000349743	0,367548242	2,720731285	0,191099476
GLUL	1,19769E-05	-1,463820968	0,146	0,365	0,252724355	0,362531694	2,75837952	0,4
MT3	0,000502361	-1,469856906	0	0,133	1	0,361018105	2,769944185	0
GAS2L3	1,53798E-07	-1,475539079	0,073	0,354	0,003245296	0,359599002	2,78087535	0,206214689
CHL1	8,06882E-09	-1,481580601	0,024	0,344	0,00017026	0,358096271	2,79254514	0,069767442
GADD45A	0,009559458	-1,493560164	0,439	0,456	1	0,355135093	2,815829858	0,962719298
DDIT4	4,46027E-05	-1,496615424	0,293	0,47	0,941161438	0,354383804	2,821799386	0,623404255
IER5L	0,005543766	-1,50451314	0,695	0,621	1	0,352449108	2,837289063	1,119162641
FXYD1	6,28715E-10	-1,511111633	0,72	0,758	1,32665E-05	0,350840783	2,85029577	0,949868074
ID2	0,011030066	-1,513946166	0,378	0,418	1	0,350152146	2,855901389	0,90430622
SOD2	0,000918176	-1,559132568	0,305	0,411	1	0,339355061	2,946766134	0,742092457
HSPA6	0,31345034	-1,565095814	0,134	0,172	1	0,337955263	2,958971526	0,779069767
VMP1	4,24101E-05	-1,571952159	0,585	0,614	0,894896008	0,336352956	2,973067378	0,95276873
NEAT1	3,21094E-12	-1,594229614	0,866	0,902	6,77541E-08	0,331199038	3,019332445	0,960088692
NRXN1	8,83204E-14	-1,601394854	0,61	0,821	1,86365E-09	0,329558194	3,034365458	0,742996346
ABL2	0,000158701	-1,603953596	0,488	0,547	1	0,328974213	3,039751938	0,89213894
DST	2,95375E-14	-1,617157243	0,817	0,849	6,23271E-10	0,325977153	3,067699657	0,962308598
PLP1	9,96894E-12	-1,635483892	0,744	0,789	2,10355E-07	0,321862434	3,106917411	0,942965779
GADD45B	2,36262E-12	-1,642325033	0,634	0,895	4,98536E-08	0,320339802	3,121685143	0,708379888

Supplementary Table 2

Differentially expressed genes_keloid-XL_comparing SC-Keloid vs. (SC-Myel, SC-Nonmyel, SC-Nonmyel2)								
gene	p_val	avg_log2FC	pct.1	pct.2	p_val_adj	Foldchange_UP	Foldchange_DOWN	Ratio_pct1_pct2
JUNB	1,12974E-10	-1,659763695	0,866	0,891	2,38387E-06	0,316490984	3,159647672	0,971941639
COL14A1	5,83415E-07	-1,667159913	0,439	0,596	0,012310633	0,314872592	3,17588773	0,736577181
PNRC1	1,10575E-13	-1,668895572	0,634	0,796	2,33325E-09	0,314494006	3,179710836	0,796482412
KLF9	3,71439E-10	-1,674044994	0,329	0,614	7,83774E-06	0,313373482	3,191080479	0,535830619
SLC38A2	1,90144E-12	-1,696646353	0,524	0,74	4,01224E-08	0,308502406	3,241465803	0,708108108
CTNNAL1	8,968E-08	-1,70201682	0,244	0,488	0,001892338	0,307356133	3,253554725	0,5
MBNL2	1,27204E-06	-1,71780746	0,463	0,572	0,026841385	0,304010391	3,289361251	0,809440559
DNAJA1	2,80229E-13	-1,738385202	0,622	0,761	5,91312E-09	0,299704946	3,336614938	0,817345598
LTBP4	9,77851E-11	-1,763308105	0,476	0,73	2,06336E-06	0,294571936	3,39475652	0,652054795
SNCA	1,1646E-11	-1,764778363	0,098	0,488	2,45742E-07	0,294271889	3,398217899	0,200819672
IFRD1	1,1949E-08	-1,782705847	0,451	0,614	0,000252136	0,290637779	3,440708921	0,734527687
HSP90AA1	5,89236E-17	-1,782837355	0,963	0,979	1,24335E-12	0,290611288	3,441022571	0,983656793
NR4A2	4,42478E-07	-1,786638698	0,427	0,6	0,009336732	0,289846567	3,450101242	0,711666667
BCL2	3,12472E-10	-1,81571783	0,061	0,421	6,59347E-06	0,284062869	3,520347458	0,144893112
PCSK2	6,22968E-08	-1,830151157	0,085	0,386	0,001314524	0,281235154	3,555743254	0,220207254
PPP1R15A	5,70646E-20	-1,842238925	0,817	0,909	1,20412E-15	0,27888864	3,585660571	0,898789879
CADM2	8,46535E-10	-1,843247537	0,012	0,361	1,78627E-05	0,278693732	3,588168242	0,033240997
CRYAB	2,46617E-18	-1,851039933	0,939	0,975	5,20386E-14	0,277192488	3,607601368	0,963076923
JUN	4,28819E-16	-1,858418199	0,866	0,947	9,04851E-12	0,275778483	3,626098709	0,914466737
XKR4	1,58697E-08	-1,873910393	0,122	0,425	0,000334867	0,272832915	3,665246921	0,287058824
HLA-DRA	2,40197E-05	-1,874854415	0,122	0,34	0,5068407	0,272654446	3,667646046	0,358823529
AATK	2,43521E-05	-1,880261249	0,256	0,435	0,513853782	0,271634523	3,681417187	0,588505747
COL28A1	2,13645E-13	-1,884155571	0,037	0,505	4,50813E-09	0,270902278	3,691368003	0,073267327
MATN2	1,13263E-08	-1,888215803	0,366	0,589	0,000238997	0,270140939	3,701771393	0,62139219
NFKBIA	2,65177E-14	-1,891556174	0,585	0,846	5,5955E-10	0,269516187	3,710352289	0,691489362
RARRES2	2,62545E-10	-1,894729464	0,085	0,449	5,53997E-06	0,268924022	3,718522402	0,189309577
CCN1	5,61969E-09	-1,905220362	0,598	0,733	0,000118581	0,26697557	3,745661069	0,815825375
SCN7A	1,33597E-07	-1,914611499	0,378	0,582	0,002819024	0,265243353	3,770122757	0,649484536
NR2F2	1,32725E-09	-1,936088324	0,427	0,621	2,80062E-05	0,261324026	3,8266669	0,687600644
ADIRF	2,67054E-12	-1,95719281	0,098	0,533	5,6351E-08	0,257529069	3,883056797	0,183864916

Supplementary Table 2

Differentially expressed genes_keloid-XL_comparing SC-Keloid vs. (SC-Myel, SC-Nonmyel, SC-Nonmyel2)								
gene	p_val	avg_log2FC	pct.1	pct.2	p_val_adj	Foldchange_UP	Foldchange_DOWN	Ratio_pct1_pct2
ATF3	1,56431E-14	-1,959062089	0,61	0,804	3,30086E-10	0,257195608	3,88809128	0,758706468
TSC22D2	5,22856E-07	-1,976725423	0,329	0,519	0,011032783	0,254065886	3,935986911	0,633911368
ZFP36L2	1,14172E-09	-1,995961635	0,683	0,765	2,40914E-05	0,250700776	3,988818931	0,892810458
CEBPD	0,000644349	-2,053752922	0,256	0,386	1	0,24085672	4,151845969	0,663212435
SAT1	1,13365E-12	-2,060780688	0,439	0,705	2,39211E-08	0,239686293	4,172120099	0,622695035
BGN	8,30342E-12	-2,072024057	0,085	0,491	1,7521E-07	0,237825603	4,204761752	0,17311609
FGL2	4,76E-09	-2,29874962	0,024	0,354	0,000100441	0,20323917	4,920311384	0,06779661
PRX	0,000732524	-2,308527105	0	0,126	1	0,201866427	4,953770748	0
AHR	6,02994E-18	-2,405040415	0,524	0,789	1,27238E-13	0,188803784	5,296504015	0,664131812
HLA-DRB1	5,57028E-09	-2,444499209	0,049	0,386	0,000117539	0,183709838	5,443366625	0,126943005
CD74	4,67864E-07	-2,495629909	0,195	0,456	0,009872407	0,177312984	5,639744908	0,427631579
PDK4	2,2883E-12	-2,504317532	0,049	0,474	4,82853E-08	0,176248449	5,673808788	0,103375527
MPZ	0,000121653	-3,080526922	0,451	0,575	1	0,118214022	8,459233361	0,784347826
BIRC3	4,25981E-11	-3,196010323	0,146	0,505	8,98864E-07	0,109120168	9,16420876	0,289108911
MBP	4,00758E-05	-3,229516093	0,037	0,232	0,845640308	0,106615116	9,379532994	0,159482759
CCL2	3,20766E-08	-3,422990956	0,049	0,351	0,000676848	0,093234586	10,72563349	0,13960114

Supplementary Table 3

Differentially expressed genes_keloid-MD_comparing SC-Keloid vs. (SC-Myel+Nonmyel)								
gene	p_val	avg_log2FC	pct.1	pct.2	p_val_adj	Foldchange_UP	Foldchange_DOWN	Ratio_pct1_pct2
IGFBP3	2,22407E-10	3,826013826	0,558	0	4,69301E-06	14,1822431	0,070510708	#DIV/0!
TGFBI	1,18949E-11	3,072015943	0,665	0,073	2,50995E-07	8,409476203	0,11891347	9,109589041
IBSP	0,001347452	3,016370678	0,206	0	1	8,091295313	0,123589606	#DIV/0!
TNFAIP6	1,65361E-08	2,530897305	0,616	0,146	0,000348929	5,77931019	0,173031031	4,219178082
CSRP2	2,24514E-05	2,376098972	0,352	0,024	0,473747591	5,191311189	0,192629562	14,66666667
ELN	1,98271E-05	2,361032928	0,354	0,024	0,418372299	5,137380489	0,19465173	14,75
COL7A1	2,16879E-05	2,197332219	0,378	0,049	0,457635946	4,58630474	0,218040461	7,714285714
ENC1	0,000142734	2,154935498	0,271	0	1	4,453487356	0,224543132	#DIV/0!
TAGLN	0,000112532	2,154164283	0,364	0,073	1	4,451107312	0,224663197	4,98630137
TPM2	4,75012E-05	2,150011461	0,367	0,049	1	4,438313146	0,225310826	7,489795918
COL6A1	1,74493E-09	2,003241665	0,753	0,341	3,68197E-05	4,008997909	0,249438893	2,208211144
COL12A1	1,39165E-05	1,989216882	0,451	0,098	0,293653107	3,970214301	0,251875573	4,602040816
ABI2	0,000607262	1,924139098	0,26	0,024	1	3,79510315	0,263497449	10,83333333
PHLDA2	0,000170642	1,912549396	0,332	0,049	1	3,764737816	0,265622747	6,775510204
CALB2	0,001745422	1,823248491	0,198	0	1	3,53877121	0,282583965	#DIV/0!
CYTOR	0,000955647	1,812957228	0,247	0,024	1	3,513617702	0,284606945	10,29166667
RGS16	0,00545016	1,701067917	0,278	0,098	1	3,251415469	0,307558357	2,836734694
MIR4435-2HG	0,003052658	1,631515263	0,18	0	1	3,09838251	0,322749046	#DIV/0!
RPL22L1	0,000961423	1,622006838	0,381	0,146	1	3,078029029	0,324883226	2,609589041
APOD	0,010631937	1,601735768	0,351	0,171	1	3,035082575	0,329480327	2,052631579
CAV1	0,002760453	1,56530164	0,183	0	1	2,959393707	0,337907051	#DIV/0!
PDGFC	0,004117545	1,55989176	0,171	0	1	2,948317226	0,339176528	#DIV/0!
PEG10	0,012341638	1,558748519	0,199	0,049	1	2,945981803	0,33944541	4,06122449
SPARCL1	9,37615E-07	1,55499519	0,751	0,366	0,019784609	2,938327469	0,340329664	2,051912568
SCRG1	0,015608841	1,540000321	0,228	0,073	1	2,907945682	0,343885378	3,123287671
RAPH1	0,006100788	1,533475566	0,158	0	1	2,894823856	0,345444162	#DIV/0!
PPP1R14B	7,07426E-05	1,525258782	0,537	0,244	1	2,878383422	0,347417232	2,200819672
MACF1	0,006009828	1,512488868	0,226	0,049	1	2,853018037	0,350506021	4,612244898
SH3BGRL3	0,001371387	1,509299061	0,376	0,146	1	2,846716966	0,351281849	2,575342466
LRRFIP1	0,004775282	1,495976646	0,166	0	1	2,820550263	0,354540748	#DIV/0!

Supplementary Table 3

Differentially expressed genes_keloid-MD_comparing SC-Keloid vs. (SC-Myel+Nonmyel)								
gene	p_val	avg_log2FC	pct.1	pct.2	p_val_adj	Foldchange_UP	Foldchange_DOWN	Ratio_pct1_pct2
LOXL2	0,023882406	1,477865903	0,179	0,049	1	2,785364053	0,359019496	3,653061224
CALD1	0,000101058	1,475270444	0,56	0,293	1	2,78035759	0,359665967	1,911262799
KCNMA1	0,009886669	1,456354117	0,142	0	1	2,744140058	0,364412887	#DIV/0!
PLS3	0,000795191	1,439431984	0,354	0,098	1	2,712140623	0,368712445	3,612244898
ADAMTS16	0,008159464	1,439060091	0,148	0	1	2,711441588	0,368807502	#DIV/0!
MYLK	0,00815947	1,429016646	0,148	0	1	2,692631205	0,371383945	#DIV/0!
ITGB1	4,30687E-09	1,426912848	0,876	0,707	9,08792E-05	2,688707561	0,371925908	1,23903819
APOE	0,112629248	1,407990138	0,099	0,024	1	2,653672142	0,376836303	4,125
AKAP12	0,008955586	1,366435792	0,219	0,049	1	2,578327974	0,387848253	4,469387755
NES	0,000204704	1,364010214	0,48	0,171	1	2,573996718	0,388500884	2,807017544
MMP15	0,008773976	1,363518911	0,183	0,024	1	2,573120305	0,388633209	7,625
CTNNB1	0,04930284	1,351147335	0,241	0,122	1	2,551149306	0,391980194	1,975409836
MMP2	0,00856184	1,340157872	0,147	0	1	2,531790223	0,394977432	#DIV/0!
COL8A1	0,000397566	1,331335578	0,439	0,171	1	2,516355191	0,397400178	2,567251462
LYPD1	0,010003049	1,325757938	0,18	0,024	1	2,50664543	0,39893955	7,5
HMCN2	0,033207773	1,323767497	0,137	0,024	1	2,503189473	0,399490335	5,708333333
PPP1CB	0,012972156	1,313095515	0,204	0,049	1	2,484741063	0,402456423	4,163265306
SH3GLB1	0,030268881	1,311151416	0,295	0,171	1	2,481395013	0,402999117	1,725146199
SERPINE1	0,01445645	1,296813484	0,129	0	1	2,45685631	0,407024211	#DIV/0!
HNRNPH1	0,024018686	1,285157307	0,239	0,098	1	2,437086245	0,410326061	2,43877551
XIST	0,344454496	1,264273077	0,244	0,22	1	2,40206148	0,416309078	1,109090909
KIRREL3	0,025173188	1,255823166	0,147	0,024	1	2,38803365	0,418754568	6,125
ACTN1	0,025089605	1,254620454	0,211	0,073	1	2,386043679	0,419103811	2,890410959
POSTN	0,020035233	1,253101878	0,281	0,122	1	2,38353346	0,419545191	2,303278689
CCDC80	0,030078082	1,238996269	0,142	0,024	1	2,360342583	0,423667313	5,916666667
FHDC1	0,022039264	1,23851783	0,115	0	1	2,359559955	0,423807837	#DIV/0!
S100A11	3,85705E-07	1,235368003	0,848	0,634	0,008138763	2,354413963	0,424734144	1,337539432
ISLR	0,022683488	1,229794745	0,153	0,024	1	2,3453362	0,426378103	6,375
NDUFB11	0,014569115	1,227325425	0,262	0,098	1	2,341325351	0,427108518	2,673469388
PLAUR	0,013152811	1,197063285	0,132	0	1	2,292724942	0,43616222	#DIV/0!

Supplementary Table 3

Differentially expressed genes_keloid-MD_comparing SC-Keloid vs. (SC-Myel+Nonmyel)								
gene	p_val	avg_log2FC	pct.1	pct.2	p_val_adj	Foldchange_UP	Foldchange_DOWN	Ratio_pct1_pct2
ABHD2	0,01182678	1,192244487	0,247	0,073	1	2,285079703	0,437621497	3,383561644
ACTB	4,84305E-08	1,188098723	0,904	0,61	0,001021931	2,278522667	0,438880865	1,481967213
LIF	0,027795105	1,178603146	0,107	0	1	2,263575058	0,441779033	#DIV/0!
GPC1	0,014089135	1,176442897	0,314	0,146	1	2,260188185	0,442441035	2,150684932
MYL6	4,20785E-08	1,16278345	0,898	0,732	0,000887898	2,238889692	0,446649964	1,226775956
PXDC1	0,02203925	1,160429529	0,115	0	1	2,235239669	0,447379319	#DIV/0!
COL11A1	0,02940641	1,150976493	0,145	0,024	1	2,220641484	0,450320327	6,041666667
LPGAT1	0,04697897	1,141845792	0,126	0,024	1	2,206631604	0,453179406	5,25
S100A4	1,90244E-06	1,13735155	0,909	0,707	0,040143328	2,199768264	0,454593339	1,285714286
MXRA5	0,0277951	1,130121554	0,107	0	1	2,188771809	0,45687723	#DIV/0!
S100A16	0,003671536	1,123640251	0,507	0,341	1	2,178960813	0,458934366	1,486803519
COL1A1	3,52006E-05	1,11018316	0,834	0,78	0,742767886	2,158730521	0,463235216	1,069230769
SLC20A1	0,025335749	1,107707716	0,11	0	1	2,155029646	0,464030739	#DIV/0!
CSPG4	0,027795117	1,105888123	0,107	0	1	2,152313337	0,464616366	#DIV/0!
HNRNPU	0,034282811	1,104927644	0,254	0,122	1	2,150880904	0,464925788	2,081967213
MMP14	0,014630451	1,104514808	0,244	0,073	1	2,150265505	0,465058849	3,342465753
PTN	1,02669E-05	1,099170055	0,861	0,61	0,216642016	2,142314152	0,466784948	1,41147541
CMYA5	0,042381122	1,09544739	0,169	0,049	1	2,136793349	0,467990974	3,448979592
SPATS2L	0,074246738	1,095405315	0,169	0,073	1	2,136731031	0,468004623	2,315068493
IGFBP5	3,2973E-10	1,094847978	0,994	0,829	6,95764E-06	2,135905736	0,468185456	1,199034982
CD276	0,035516068	1,093631759	0,137	0,024	1	2,134105886	0,468580311	5,708333333
ANXA1	2,50564E-05	1,085487398	0,745	0,439	0,528714207	2,122092286	0,47123304	1,697038724
EIF1B	0,058384905	1,082729724	0,182	0,073	1	2,118039836	0,472134651	2,493150685
CCN2	0,018437781	1,064080484	0,228	0,073	1	2,090836839	0,478277397	3,123287671
TMEM263	0,033432902	1,062665483	0,1	0	1	2,088787144	0,478746723	#DIV/0!
GAPDH	0,00093486	1,062528657	0,62	0,415	1	2,088589051	0,47879213	1,493975904
PRRX1	0,018605839	1,052368121	0,203	0,049	1	2,073931322	0,482176044	4,142857143
SAR1A	0,024186905	1,047497077	0,112	0	1	2,066940812	0,48380679	#DIV/0!
ACSL3	0,043189113	1,046993834	0,131	0,024	1	2,066219945	0,483975582	5,458333333
TPM4	0,000442689	1,034535881	0,622	0,415	1	2,048454547	0,488172902	1,498795181

Supplementary Table 3

Differentially expressed genes_keloid-MD_comparing SC-Keloid vs. (SC-Myel+Nonmyel)								
gene	p_val	avg_log2FC	pct.1	pct.2	p_val_adj	Foldchange_UP	Foldchange_DOWN	Ratio_pct1_pct2
MYH9	0,033784575	1,031939588	0,207	0,073	1	2,044771435	0,489052215	2,835616438
TMSB10	4,55874E-10	1,031905121	0,982	0,951	9,6194E-06	2,044722586	0,489063899	1,032597266
COL4A1	0,001051648	1,0180855	0,612	0,39	1	2,025229635	0,493771167	1,569230769
RRBP1	0,030651585	1,012715817	0,241	0,098	1	2,01770578	0,495612398	2,459183673
CALR	0,013408544	1,008204488	0,453	0,293	1	2,011406238	0,497164611	1,546075085
SMS	0,056061412	1,005465385	0,12	0,024	1	2,007591002	0,498109425	5
WNK1	0,11870092	1,004788195	0,126	0,049	1	2,006648875	0,498343289	2,571428571
CCN3	0,000969321	1,002749862	0,52	0,22	1	2,003815753	0,499047878	2,363636364
NDUFS8	0,05386535	1,001640688	0,156	0,049	1	2,00227577	0,499431704	3,183673469
DSTN	0,030086565	1,000642355	0,34	0,195	1	2,000890691	0,499777426	1,743589744
CDH2	0,021485611	1,000617354	0,282	0,122	1	2,000856018	0,499786087	2,31147541
ARL4C	0,03048686	0,997378857	0,104	0	1	1,996369623	0,500909245	#DIV/0!
CYTL1	0,040141131	0,997194083	0,257	0,122	1	1,996113953	0,500973403	2,106557377
ARHGAP21	0,038382068	0,991922275	0,096	0	1	1,988833187	0,502807378	#DIV/0!
COL6A3	0,058233972	0,9918572	0,247	0,122	1	1,988743479	0,502830059	2,024590164
CDH6	0,024210887	0,991672303	0,357	0,195	1	1,988488617	0,502894506	1,830769231
TRAF1	0,044049806	0,979922243	0,091	0	1	1,972359102	0,507007065	#DIV/0!
PITPNB	0,068063798	0,977886848	0,115	0,024	1	1,969578404	0,50772287	4,791666667
OCIAD2	0,042074498	0,977706842	0,093	0	1	1,969332673	0,507786223	#DIV/0!
FAT1	0,042386265	0,974937656	0,136	0,024	1	1,965556257	0,508761831	5,666666667
COL6A2	0,006381882	0,974239662	0,423	0,22	1	1,964605526	0,509008036	1,922727273
SCX	0,124979823	0,967508172	0,093	0,024	1	1,955460198	0,511388573	3,875
EMC10	0,03681456	0,961704083	0,139	0,024	1	1,947609014	0,513450078	5,791666667
RGS3	0,108262296	0,959478327	0,131	0,049	1	1,944606606	0,514242828	2,673469388
MYL12A	0,000974968	0,953786324	0,66	0,488	1	1,936949478	0,516275727	1,352459016
PPFIBP1	0,018062746	0,948313232	0,349	0,171	1	1,929615274	0,51823802	2,040935673
RCN2	0,070064138	0,945930969	0,258	0,146	1	1,926431608	0,519094473	1,767123288
TUBA1C	0,031926643	0,942139757	0,102	0	1	1,921375847	0,520460378	#DIV/0!
VCAN	0,046997366	0,939925604	0,196	0,073	1	1,918429308	0,52125976	2,684931507
ACTR3	0,033728845	0,937572902	0,177	0,049	1	1,915303342	0,522110507	3,612244898

Supplementary Table 3

Differentially expressed genes_keloid-MD_comparing SC-Keloid vs. (SC-Myel+Nonmyel)								
gene	p_val	avg_log2FC	pct.1	pct.2	p_val_adj	Foldchange_UP	Foldchange_DOWN	Ratio_pct1_pct2
SVIP	0,125397768	0,936955116	0,093	0,024	1	1,914483354	0,522334132	3,875
HMGB1	0,000350938	0,936199902	0,758	0,61	1	1,913481432	0,522607632	1,242622951
C1orf56	0,058331147	0,934443185	0,124	0,024	1	1,911152874	0,52324438	5,166666667
HPF1	0,040186561	0,934249944	0,094	0	1	1,910896904	0,52331447	#DIV/0!
METAP2	0,094275321	0,932777478	0,166	0,073	1	1,908947568	0,523848856	2,273972603
ATP1B1	0,068236718	0,932305571	0,182	0,073	1	1,908323252	0,524020236	2,493150685
FNBP1L	0,052910279	0,9315141	0,085	0	1	1,907276622	0,524307795	#DIV/0!
GOLT1B	0,061491606	0,927837538	0,118	0,024	1	1,902422308	0,525645644	4,916666667
STK17A	0,202475227	0,92322439	0,187	0,122	1	1,896348857	0,527329134	1,532786885
SUB1	0,019890815	0,919997001	0,384	0,22	1	1,89211136	0,528510119	1,745454545
MRC2	0,05291029	0,917990052	0,085	0	1	1,889481054	0,529245847	#DIV/0!
LBH	0,050542167	0,91470832	0,086	0	1	1,885187891	0,530451105	#DIV/0!
STX8	0,099598284	0,913797926	0,136	0,049	1	1,883998643	0,530785945	2,775510204
TSC22D1	0,100522668	0,912468661	0,1	0,024	1	1,88226357	0,531275224	4,166666667
GLIPR1	0,038382068	0,910556189	0,096	0	1	1,879770049	0,531979962	#DIV/0!
PGAM1	0,060672542	0,90966939	0,152	0,049	1	1,878614944	0,532307061	3,102040816
UBE2D3	0,063619692	0,904888289	0,183	0,073	1	1,872399505	0,534074057	2,506849315
MAPK1	0,092439062	0,902725063	0,104	0,024	1	1,86959407	0,534875466	4,333333333
SSBP1	0,090157676	0,902165791	0,314	0,22	1	1,868869447	0,535082855	1,427272727
EMP3	0,0035053	0,898603122	0,614	0,415	1	1,864260054	0,536405851	1,479518072
PRKAR1A	0,230354105	0,898601059	0,183	0,122	1	1,864257388	0,536406618	1,5
SRGAP2	0,066513834	0,896824641	0,077	0	1	1,861963304	0,537067512	#DIV/0!
ADAMTSL1	0,304963959	0,893746917	0,144	0,098	1	1,857995384	0,53821447	1,469387755
RNF7	0,065902331	0,891736551	0,238	0,122	1	1,855408108	0,538964983	1,950819672
SF3B1	0,130229191	0,890320846	0,124	0,049	1	1,853588304	0,539494125	2,530612245
RNASEH2B	0,21173413	0,888884492	0,105	0,049	1	1,851743781	0,540031515	2,142857143
C9orf78	0,050542178	0,888472397	0,086	0	1	1,85121492	0,540185793	#DIV/0!
LAMC1	0,150504178	0,886749002	0,148	0,073	1	1,849004841	0,540831467	2,02739726
ACTN4	0,047028497	0,884718749	0,199	0,073	1	1,846404633	0,541593095	2,726027397
UBE2Q2	0,080814635	0,884311589	0,108	0,024	1	1,845883611	0,541745966	4,5

Supplementary Table 3

Differentially expressed genes_keloid-MD_comparing SC-Keloid vs. (SC-Myel+Nonmyel)								
gene	p_val	avg_log2FC	pct.1	pct.2	p_val_adj	Foldchange_UP	Foldchange_DOWN	Ratio_pct1_pct2
OPRD1	0,087553549	0,884233892	0,067	0	1	1,845784202	0,541775143	#DIV/0!
TRIO	0,055388557	0,879873053	0,083	0	1	1,840213368	0,543415246	#DIV/0!
PDIA4	0,139886207	0,879247739	0,206	0,122	1	1,839415929	0,543650832	1,68852459
ARGLU1	0,084352475	0,87770874	0,231	0,122	1	1,837454774	0,544231082	1,893442623
CRIP1	0,069628488	0,877345481	0,075	0	1	1,836992175	0,544368133	#DIV/0!
TMEM167A	0,049774001	0,875843311	0,254	0,122	1	1,835080448	0,544935238	2,081967213
TNFRSF12A	0,008287873	0,874363866	0,632	0,439	1	1,833199587	0,545494341	1,439635535
RBM33	0,063538949	0,872459033	0,078	0	1	1,830780756	0,546215049	#DIV/0!
PSMA2	0,133171828	0,872112725	0,091	0,024	1	1,830341345	0,546346179	3,791666667
PRICKLE2	0,069628459	0,861768258	0,075	0	1	1,8172643	0,550277689	#DIV/0!
TPGS1	0,121265357	0,861310186	0,094	0,024	1	1,81668739	0,550452436	3,916666667
PTPRE	0,052910268	0,860982625	0,085	0	1	1,816274961	0,55057743	#DIV/0!
CCT4	0,073039185	0,859663615	0,112	0,024	1	1,814615158	0,551081035	4,666666667
NCOR2	0,055388568	0,857075916	0,083	0	1	1,811363279	0,552070372	#DIV/0!
GNB1	0,061964333	0,851731853	0,27	0,146	1	1,804665999	0,554119156	1,849315068
COMMD2	0,060697175	0,850036341	0,08	0	1	1,80254633	0,554770761	#DIV/0!
SMURF2	0,079881743	0,848158418	0,07	0	1	1,800201523	0,555493364	#DIV/0!
EIF4E2	0,080028732	0,8479681	0,11	0,024	1	1,79996406	0,555566648	4,583333333
DTYMK	0,091815775	0,84601434	0,104	0,024	1	1,797528121	0,55631953	4,333333333
SEC23A	0,072889747	0,844703661	0,073	0	1	1,79589582	0,556825173	#DIV/0!
MICOS10	0,053769627	0,844027008	0,226	0,098	1	1,795053705	0,557086396	2,306122449
RAB32	0,113791335	0,843087541	0,096	0,024	1	1,793885166	0,557449283	4
PICALM	0,063538949	0,842298793	0,078	0	1	1,792904685	0,557754134	#DIV/0!
ARID5B	0,195333488	0,841360695	0,139	0,073	1	1,791739245	0,558116926	1,904109589
BTF3L4	0,077914411	0,83783684	0,112	0,024	1	1,787368172	0,559481821	4,666666667
C6orf62	0,199660813	0,837646644	0,077	0,024	1	1,787132553	0,559555584	3,208333333
PDCD5	0,093909907	0,83666399	0,33	0,244	1	1,785915709	0,559936841	1,352459016
ANO4	0,055388568	0,836033498	0,083	0	1	1,785135392	0,5601816	#DIV/0!
ADGRG1	0,095976694	0,83337706	0,064	0	1	1,781851441	0,561214014	#DIV/0!
CDKN2A	0,095976694	0,830491186	0,064	0	1	1,778290704	0,562337754	#DIV/0!

Supplementary Table 3

Differentially expressed genes_keloid-MD_ comparing SC-Keloid vs. (SC-Myel+Nonmyel)								
gene	p_val	avg_log2FC	pct.1	pct.2	p_val_adj	Foldchange_UP	Foldchange_DOWN	Ratio_pct1_pct2
MMP17	0,069628488	0,829597145	0,075	0	1	1,777189035	0,562686344	#DIV/0!
SDCCAG8	0,117421062	0,828969034	0,19	0,098	1	1,776415463	0,562931376	1,93877551
ICE1	0,057982323	0,827187405	0,081	0	1	1,774223066	0,563626986	#DIV/0!
HDLBP	0,17693256	0,824890622	0,169	0,098	1	1,771400735	0,564525	1,724489796
PDCL3	0,063538949	0,823316891	0,078	0	1	1,769469495	0,565141136	#DIV/0!
NUFIP2	0,087339057	0,819655885	0,108	0,024	1	1,764984954	0,566577068	4,5
ZFAND6	0,34655277	0,819441439	0,088	0,049	1	1,764722622	0,566661291	1,795918367
MMADHC	0,069628474	0,818893614	0,075	0	1	1,764052642	0,566876507	#DIV/0!
CEP170	0,110282783	0,818464305	0,134	0,049	1	1,763527783	0,56704522	2,734693878
MSI2	0,160582972	0,818246835	0,085	0,024	1	1,763261972	0,567130702	3,541666667
STMN1	0,137468561	0,817859933	0,241	0,146	1	1,762789164	0,567282816	1,650684932
RANBP9	0,079881743	0,816262882	0,07	0	1	1,76083885	0,567911141	#DIV/0!
RAB10	0,069137323	0,812516187	0,153	0,049	1	1,756271866	0,569387929	3,12244898
MRPL27	0,072202492	0,81047796	0,153	0,049	1	1,753792372	0,570192923	3,12244898
COX6A1	0,040738686	0,809545404	0,405	0,268	1	1,75265909	0,570561615	1,51119403
VCP	0,221454149	0,803961465	0,104	0,049	1	1,745888548	0,572774248	2,12244898
CCND1	0,045667773	0,802390147	0,375	0,244	1	1,743988041	0,573398427	1,536885246
MAML2	0,181159236	0,802304635	0,142	0,073	1	1,743884674	0,573432415	1,945205479
MORN2	0,131363803	0,801727057	0,093	0,024	1	1,743186654	0,573662033	3,875
P3H2	0,166890311	0,800819584	0,116	0,049	1	1,742090513	0,574022987	2,367346939
OSTC	0,068706736	0,79911735	0,297	0,171	1	1,740036236	0,574700675	1,736842105
IL7R	0,072889747	0,798251718	0,073	0	1	1,738992509	0,575045605	#DIV/0!
EGR1	0,168634497	0,796872806	0,177	0,098	1	1,737331193	0,57559549	1,806122449
APC	0,23222496	0,794988878	0,102	0,049	1	1,735063998	0,576347617	2,081632653
CDC42	0,038826896	0,793686216	0,397	0,244	1	1,733498053	0,576868257	1,62704918
COX8A	0,140101442	0,788560128	0,282	0,195	1	1,727349633	0,578921592	1,446153846
EIF4E	0,167724207	0,788121058	0,083	0,024	1	1,726824011	0,579097808	3,458333333
SEC61A1	0,246120141	0,78682032	0,1	0,049	1	1,725267802	0,57962016	2,040816327
HOXB2	0,13405794	0,785684919	0,091	0,024	1	1,723910551	0,580076501	3,791666667
IER2	0,137463312	0,784601614	0,183	0,098	1	1,72261657	0,580512238	1,867346939

Supplementary Table 3

Differentially expressed genes_keloid-MD_comparing SC-Keloid vs. (SC-Myel+Nonmyel)								
gene	p_val	avg_log2FC	pct.1	pct.2	p_val_adj	Foldchange_UP	Foldchange_DOWN	Ratio_pct1_pct2
G3BP2	0,095976714	0,784084553	0,064	0	1	1,721999296	0,58072033	#DIV/0!
TBCA	0,014376407	0,781077833	0,442	0,244	1	1,718414215	0,581931871	1,81147541
ATXN1	0,072889747	0,77734415	0,073	0	1	1,713972723	0,583439857	#DIV/0!
RTTN	0,069628502	0,776582343	0,075	0	1	1,713067909	0,58374802	#DIV/0!
FAM174C	0,069628474	0,776421392	0,075	0	1	1,712876804	0,583813148	#DIV/0!
EIF3H	0,302050805	0,772724081	0,12	0,073	1	1,708492697	0,585311252	1,643835616
PRPF40A	0,111860022	0,770065249	0,132	0,049	1	1,70534691	0,586390953	2,693877551
ATP2B4	0,087553567	0,769774756	0,067	0	1	1,705003566	0,586509037	#DIV/0!
CTHRC1	0,078554811	0,769192596	0,148	0,049	1	1,704315697	0,586745755	3,020408163
BLOC1S2	0,181795904	0,76806119	0,08	0,024	1	1,702979644	0,587206079	3,333333333
PARK7	0,06819946	0,766711939	0,455	0,39	1	1,701387711	0,587755509	1,166666667
HUWE1	0,148178913	0,766290434	0,088	0,024	1	1,700890697	0,587927256	3,666666667
FABP5	0,016197143	0,766045193	0,514	0,341	1	1,700601591	0,588027205	1,507331378
CRTAP	0,181025993	0,764363736	0,115	0,049	1	1,6986207	0,588712948	2,346938776
PYGB	0,100494807	0,763519887	0,062	0	1	1,697627448	0,589057394	#DIV/0!
HSPE1	0,081989549	0,7633339	0,34	0,22	1	1,697408609	0,589133338	1,545454545
COL1A2	0,0077298	0,762894352	0,799	0,732	1	1,696891536	0,589312857	1,091530055
LRRC75A	0,101190241	0,762517624	0,104	0,024	1	1,696448488	0,589466764	4,333333333
PSMC1	0,229426013	0,761804982	0,104	0,049	1	1,695610708	0,589758012	2,12244898
TXN	0,081882048	0,761001407	0,384	0,268	1	1,694666522	0,590086596	1,432835821
NT5E	0,060697175	0,758290364	0,08	0	1	1,691484977	0,591196501	#DIV/0!
TMEM141	0,105333015	0,756876018	0,102	0,024	1	1,689827543	0,591776365	4,25
ODF2L	0,09166642	0,756847039	0,065	0	1	1,6897936	0,591788252	#DIV/0!
SUMF2	0,105682642	0,753981558	0,102	0,024	1	1,686440662	0,59296483	4,25
PPP1R12A	0,365695191	0,751793405	0,187	0,146	1	1,683884756	0,593864869	1,280821918
XYLT1	0,095976714	0,751330036	0,064	0	1	1,683344008	0,594055639	#DIV/0!
EIF2AK1	0,219301764	0,751299169	0,073	0,024	1	1,683307993	0,594068349	3,041666667
DLG1	0,178645687	0,745029435	0,081	0,024	1	1,676008464	0,596655698	3,375
PAFAH1B1	0,223886045	0,742987406	0,187	0,122	1	1,673637875	0,597500818	1,532786885
UROS	0,072889747	0,74280142	0,073	0	1	1,673422132	0,59757785	#DIV/0!

Supplementary Table 3

Differentially expressed genes_keloid-MD_comparing SC-Keloid vs. (SC-Myel+Nonmyel)								
gene	p_val	avg_log2FC	pct.1	pct.2	p_val_adj	Foldchange_UP	Foldchange_DOWN	Ratio_pct1_pct2
ZMPSTE24	0,203575596	0,742536698	0,077	0,024	1	1,6731151	0,597687511	3,208333333
ANKLE2	0,083628404	0,742496071	0,069	0	1	1,673067986	0,597704342	#DIV/0!
KDELR2	0,049101819	0,740956548	0,26	0,122	1	1,671283581	0,598342503	2,131147541
TATDN1	0,095976714	0,739143031	0,064	0	1	1,66918404	0,599095112	#DIV/0!
CKS2	0,105231676	0,738643481	0,061	0	1	1,668606165	0,599302592	#DIV/0!
UBR4	0,261452711	0,733281066	0,099	0,049	1	1,662415564	0,60153431	2,020408163
PLEC	0,10615644	0,731454306	0,198	0,098	1	1,660311923	0,602296464	2,020408163
CPSF6	0,09166642	0,731164191	0,065	0	1	1,659978081	0,602417593	#DIV/0!
POLE4	0,23987969	0,730732209	0,102	0,049	1	1,659481112	0,602598001	2,081632653
S100A10	1,21656E-05	0,729949194	0,979	0,902	0,256706467	1,658580682	0,602925146	1,085365854
THUMPD3	0,076304917	0,728673049	0,072	0	1	1,657114222	0,603458703	#DIV/0!
ARPC5	0,031093359	0,728400425	0,526	0,415	1	1,65680111	0,603572749	1,26746988
MRPL23	0,079881726	0,727582984	0,07	0	1	1,655862621	0,603914834	#DIV/0!
MTCH2	0,079881743	0,727580358	0,07	0	1	1,655859606	0,603915934	#DIV/0!
GGCT	0,240907358	0,727104249	0,07	0,024	1	1,655313241	0,604115267	2,916666667
PRKAR1B	0,100494807	0,726727017	0,062	0	1	1,65488047	0,60427325	#DIV/0!
NOPCHAP1	0,128720137	0,724447841	0,094	0,024	1	1,652268147	0,605228638	3,916666667
PTPN14	0,295720575	0,722549913	0,121	0,073	1	1,650095945	0,606025367	1,657534247
TMBIM6	0,379015509	0,722034841	0,25	0,22	1	1,649506933	0,606241768	1,136363636
FBXO22	0,091666401	0,721642127	0,065	0	1	1,649057984	0,606406815	#DIV/0!
PGM3	0,169241516	0,721556501	0,116	0,049	1	1,648960113	0,606442807	2,367346939
FKBP9	0,225108449	0,721492277	0,104	0,049	1	1,648886707	0,606469805	2,12244898
ID4	0,145609743	0,721255445	0,049	0	1	1,64861605	0,606569371	#DIV/0!
MZT1	0,105231697	0,720893389	0,061	0	1	1,648202368	0,606721613	#DIV/0!
ARF4	0,126056933	0,720210328	0,215	0,122	1	1,647422192	0,607008941	1,762295082
PSMD7	0,235150366	0,720040266	0,156	0,098	1	1,647228009	0,607080498	1,591836735
B4GALT6	0,120876608	0,718560084	0,056	0	1	1,645538846	0,607703673	#DIV/0!
MFF	0,100494787	0,718184069	0,062	0	1	1,645110019	0,607862081	#DIV/0!
SLC25A3	0,058183594	0,717529998	0,285	0,146	1	1,644364348	0,608137729	1,952054795
TTL	0,115409678	0,716917603	0,057	0	1	1,643666497	0,608395926	#DIV/0!

Supplementary Table 3

Differentially expressed genes_keloid-MD_comparing SC-Keloid vs. (SC-Myel+Nonmyel)								
gene	p_val	avg_log2FC	pct.1	pct.2	p_val_adj	Foldchange_UP	Foldchange_DOWN	Ratio_pct1_pct2
TAF10	0,161297158	0,716307556	0,118	0,049	1	1,642971616	0,608653242	2,408163265
FRMD4A	0,112597491	0,715917117	0,284	0,171	1	1,642527035	0,608817985	1,660818713
UBE2V2	0,36086972	0,715069658	0,113	0,073	1	1,641562476	0,609175718	1,547945205
RAB14	0,343212076	0,714670827	0,19	0,146	1	1,64110873	0,609344147	1,301369863
MICAL2	0,120876633	0,712288132	0,056	0	1	1,638400581	0,610351346	#DIV/0!
GRB10	0,100494807	0,711438671	0,062	0	1	1,637436172	0,610710828	#DIV/0!
RIF1	0,110554622	0,70912542	0,1	0,024	1	1,634812772	0,611690841	4,166666667
LSM12	0,095976714	0,709102192	0,064	0	1	1,634786451	0,61170069	#DIV/0!
NDUFAB1	0,06430675	0,708878029	0,308	0,171	1	1,634532462	0,611795742	1,801169591
TIAL1	0,205553766	0,708574601	0,077	0,024	1	1,634188723	0,611924428	3,208333333
VPS4B	0,105231719	0,706598249	0,061	0	1	1,631951575	0,61276328	#DIV/0!
SMC6	0,087553567	0,705956737	0,067	0	1	1,63122607	0,613035813	#DIV/0!
APP	0,197053065	0,705604374	0,271	0,195	1	1,630827709	0,613185559	1,38974359
COTL1	0,182044114	0,704240212	0,172	0,098	1	1,629286384	0,61376564	1,755102041
PBDC1	0,140479232	0,7037118	0,089	0,024	1	1,628689738	0,613990484	3,708333333
TMED3	0,079881726	0,703530338	0,07	0	1	1,628484894	0,614067716	#DIV/0!
PSMD12	0,282603123	0,70232719	0,152	0,098	1	1,627127372	0,614580037	1,551020408
ST6GAL2	0,105231719	0,702325662	0,061	0	1	1,627125649	0,614580688	#DIV/0!
TNS3	0,178841896	0,701751347	0,174	0,098	1	1,626478043	0,614825392	1,775510204
TNIK	0,110199181	0,701490032	0,059	0	1	1,626183467	0,614936765	#DIV/0!
SLC38A2	0,36383004	0,70123361	0,086	0,049	1	1,625894458	0,615046072	1,755102041
NDUFS4	0,314719232	0,700122604	0,172	0,122	1	1,624642853	0,615519896	1,409836066
CHD1	0,105231719	0,699043081	0,061	0	1	1,623427639	0,615980642	#DIV/0!
XIAP	0,37524532	0,698967385	0,085	0,049	1	1,623342462	0,616012963	1,734693878
RAMP1	0,110199181	0,69705223	0,059	0	1	1,621188931	0,616831253	#DIV/0!
HBEGF	0,232733654	0,696210713	0,265	0,195	1	1,620243575	0,617191153	1,358974359
SAMD8	0,091666401	0,695840187	0,065	0	1	1,619827503	0,617349686	#DIV/0!
MAF	0,511959114	0,69554385	0,124	0,098	1	1,619494816	0,617476506	1,265306122
SNHG9	0,120876633	0,694225732	0,056	0	1	1,618015841	0,618040921	#DIV/0!
GULP1	0,206737466	0,693388391	0,139	0,073	1	1,617077016	0,618399736	1,904109589

Supplementary Table 3

Differentially expressed genes_keloid-MD_comparing SC-Keloid vs. (SC-Myel+Nonmyel)								
gene	p_val	avg_log2FC	pct.1	pct.2	p_val_adj	Foldchange_UP	Foldchange_DOWN	Ratio_pct1_pct2
ISG15	0,210405449	0,693203868	0,171	0,098	1	1,616870202	0,618478836	1,744897959
MAP1B	0,098304332	0,692409814	0,388	0,268	1	1,615980528	0,618819338	1,447761194
UBE2D2	0,063256798	0,691601269	0,123	0,024	1	1,61507512	0,619166246	5,125
ANXA5	0,003594845	0,691535755	0,727	0,659	1	1,61500178	0,619194364	1,103186646
EVA1B	0,132145609	0,690228852	0,094	0,024	1	1,61353945	0,619755532	3,916666667
CYFIP1	0,110199181	0,689481163	0,059	0	1	1,612703437	0,620076808	#DIV/0!
IL1RAP	0,032613042	0,684994702	0,222	0,073	1	1,607696077	0,622008111	3,04109589
DDX46	0,158020538	0,681756052	0,121	0,049	1	1,604091072	0,623406001	2,469387755
NF1	0,126614201	0,681507702	0,054	0	1	1,603814962	0,623513325	#DIV/0!
HOXB7	0,100494766	0,680320164	0,062	0	1	1,602495343	0,624026775	#DIV/0!
TMX1	0,141080542	0,67875521	0,091	0,024	1	1,600757989	0,624704051	3,791666667
RNF181	0,12237192	0,678469488	0,097	0,024	1	1,600440994	0,624827784	4,041666667
TMEM47	0,140417978	0,678018824	0,156	0,073	1	1,599941132	0,625022996	2,136986301
UFM1	0,066801754	0,677027427	0,161	0,049	1	1,598842056	0,625452649	3,285714286
NEDD8	0,080741086	0,676893408	0,317	0,195	1	1,598693539	0,625510754	1,625641026
CCDC6	0,100494766	0,676300226	0,062	0	1	1,59803635	0,625767993	#DIV/0!
COX17	0,178883699	0,675276906	0,26	0,171	1	1,596903247	0,626212015	1,520467836
SNRPA1	0,277470194	0,67422106	0,065	0,024	1	1,59573497	0,62667048	2,708333333
UBE2G2	0,149513217	0,674189139	0,089	0,024	1	1,595699664	0,626684346	3,708333333
IL11	0,120876633	0,674153677	0,056	0	1	1,595660442	0,62669975	#DIV/0!
VMP1	0,378026594	0,673874876	0,19	0,146	1	1,59535211	0,626820872	1,301369863
PHB2	0,271118559	0,672908966	0,097	0,049	1	1,59428435	0,62724068	1,979591837
RHEB	0,161068605	0,672741218	0,152	0,073	1	1,594098988	0,627313616	2,082191781
GASK1B	0,16517844	0,67273823	0,086	0,024	1	1,594095686	0,627314915	3,583333333
MRPL51	0,05943798	0,672227907	0,287	0,146	1	1,593531908	0,627536854	1,965753425
CHPF	0,211967748	0,67219846	0,075	0,024	1	1,593499383	0,627549663	3,125
RASSF4	0,210671427	0,671183417	0,195	0,122	1	1,592378632	0,627991346	1,598360656
TP53I3	0,396802126	0,670997677	0,083	0,049	1	1,592173634	0,628072202	1,693877551
PALLD	0,460062362	0,670984096	0,155	0,122	1	1,592158646	0,628078114	1,270491803
CNN2	0,095976714	0,670666498	0,064	0	1	1,591808183	0,628216396	#DIV/0!

Supplementary Table 3

Differentially expressed genes_keloid-MD_ comparing SC-Keloid vs. (SC-Myel+Nonmyel)								
gene	p_val	avg_log2FC	pct.1	pct.2	p_val_adj	Foldchange_UP	Foldchange_DOWN	Ratio_pct1_pct2
ATXN2	0,225009538	0,668227441	0,073	0,024	1	1,589119305	0,629279373	3,041666667
GDI2	0,381160023	0,667778086	0,164	0,122	1	1,58862442	0,629475405	1,344262295
BAZ1A	0,09166642	0,667385812	0,065	0	1	1,588192527	0,629646585	#DIV/0!
PDZD11	0,087553531	0,666161381	0,067	0	1	1,586845182	0,630181199	#DIV/0!
PSMA5	0,11789216	0,66608036	0,191	0,098	1	1,586756068	0,630216591	1,948979592
BACH1	0,31708468	0,666057604	0,174	0,122	1	1,58673104	0,630226532	1,426229508
THRAP3	0,043647766	0,666033016	0,175	0,049	1	1,586703997	0,630237273	3,571428571
TTC3	0,070572067	0,665161998	0,27	0,146	1	1,585746324	0,630617889	1,849315068
NCS1	0,087911188	0,664479257	0,11	0,024	1	1,584996063	0,630916393	4,583333333
POP7	0,083628404	0,663982688	0,069	0	1	1,584450609	0,631133589	#DIV/0!
DBNDD1	0,100494807	0,663669375	0,062	0	1	1,584106548	0,631270669	#DIV/0!
SLC25A13	0,110199158	0,662930238	0,059	0	1	1,58329517	0,631594171	#DIV/0!
MT-ND6	0,300156101	0,662000502	0,064	0,024	1	1,582275153	0,632001329	2,666666667
PRPS2	0,120876633	0,661737597	0,056	0	1	1,581986839	0,63211651	#DIV/0!
ZYX	0,154117216	0,660831129	0,088	0,024	1	1,580993164	0,632513804	3,666666667
ARPC4	0,39424641	0,660596771	0,11	0,073	1	1,58073636	0,632616561	1,506849315
DUSP10	0,145609774	0,660527718	0,049	0	1	1,580660702	0,632646841	#DIV/0!
CDC123	0,083628404	0,660443801	0,069	0	1	1,580568762	0,632683641	#DIV/0!
SRRM1	0,305158683	0,660089297	0,201	0,146	1	1,580180428	0,632839125	1,376712329
KLC1	0,156136374	0,659148731	0,088	0,024	1	1,579150564	0,63325184	3,666666667
EXOC5	0,126614227	0,658578532	0,054	0	1	1,578526556	0,633502171	#DIV/0!
MLF1	0,264689479	0,657686721	0,067	0,024	1	1,577551082	0,633893895	2,791666667
ARCN1	0,151125841	0,655975993	0,088	0,024	1	1,575681552	0,634646004	3,666666667
BIRC2	0,289985518	0,655236175	0,094	0,049	1	1,574873745	0,634971536	1,918367347
CDC26	0,226944183	0,654927016	0,107	0,049	1	1,574536298	0,63510762	2,183673469
CBX5	0,219311692	0,654707679	0,268	0,195	1	1,574296935	0,635204184	1,374358974
SELENON	0,180028006	0,654411894	0,115	0,049	1	1,573974202	0,635334429	2,346938776
WDR11	0,126614253	0,653878673	0,054	0	1	1,573392566	0,635569292	#DIV/0!
RHOC	0,306593887	0,652930395	0,222	0,171	1	1,572358722	0,635987187	1,298245614
CBFB	0,07383279	0,652258936	0,118	0,024	1	1,571627084	0,636283257	4,916666667

Supplementary Table 3

Differentially expressed genes_keloid-MD_ comparing SC-Keloid vs. (SC-Myel+Nonmyel)								
gene	p_val	avg_log2FC	pct.1	pct.2	p_val_adj	Foldchange_UP	Foldchange_DOWN	Ratio_pct1_pct2
RPL36A	0,250781094	0,651674532	0,1	0,049	1	1,570990582	0,636541053	2,040816327
TPM3	0,338798681	0,651018175	0,282	0,244	1	1,57027602	0,636830715	1,155737705
GNG7	0,200308816	0,649560092	0,078	0,024	1	1,568689797	0,637474663	3,25
LINC00511	0,163767782	0,647945966	0,085	0,024	1	1,566935685	0,638188286	3,541666667
PFKFB4	0,145609743	0,646562952	0,049	0	1	1,56543429	0,638800368	#DIV/0!
SLC4A7	0,152594689	0,643927648	0,048	0	1	1,562577395	0,639968301	#DIV/0!
COX7A2	0,024322344	0,6434674	0,592	0,463	1	1,562078981	0,640172496	1,278617711
RAB1B	0,186913784	0,642411479	0,081	0,024	1	1,5609361	0,640641215	3,375
ADAM19	0,188127171	0,64113318	0,115	0,049	1	1,559553646	0,641209107	2,346938776
SH3BGRL	0,47228077	0,640627239	0,175	0,146	1	1,559006819	0,641434013	1,198630137
SEC61G	0,135712796	0,64055818	0,512	0,439	1	1,558932195	0,641464718	1,166287016
DNM1	0,3868575	0,640398177	0,054	0,024	1	1,55875931	0,641535864	2,25
MRPL32	0,105231719	0,6395302	0,061	0	1	1,557821787	0,64192195	#DIV/0!
PSMG3	0,206216258	0,63869299	0,077	0,024	1	1,556918029	0,642294572	3,208333333
N4BP2L2	0,269802583	0,638058198	0,209	0,146	1	1,55623313	0,642577247	1,431506849
FLNA	0,104334177	0,63723843	0,348	0,22	1	1,555349099	0,642942476	1,581818182
UBAP2L	0,110199181	0,637158388	0,059	0	1	1,555262809	0,642978148	#DIV/0!
PLRG1	0,120876608	0,636459804	0,056	0	1	1,5545099	0,643289567	#DIV/0!
CPEB4	0,152594656	0,635442474	0,048	0	1	1,553414108	0,643743349	#DIV/0!
PPP1CC	0,222856836	0,634995753	0,073	0,024	1	1,552933178	0,643942711	3,041666667
A1BG	0,550559037	0,633873169	0,144	0,122	1	1,551725286	0,644443967	1,180327869
GTF2B	0,319769465	0,633156083	0,061	0,024	1	1,550954199	0,644764365	2,541666667
USP7	0,126614253	0,632225922	0,054	0	1	1,549954561	0,645180204	#DIV/0!
RSRC1	0,243228791	0,631642239	0,07	0,024	1	1,54932761	0,645441283	2,916666667
PPP2R3C	0,095976694	0,631383183	0,064	0	1	1,549049432	0,645557191	#DIV/0!
RSU1	0,27230422	0,631275136	0,129	0,073	1	1,548933424	0,64560554	1,767123288
ZMAT3	0,340557082	0,630972361	0,059	0,024	1	1,548608388	0,645741046	2,458333333
TNC	0,069611224	0,629675233	0,565	0,463	1	1,547216658	0,646321893	1,220302376
SECISBP2	0,132637849	0,629553781	0,053	0	1	1,547086413	0,646376306	#DIV/0!
PSMG1	0,132637821	0,629333261	0,053	0	1	1,546849955	0,646475113	#DIV/0!

Supplementary Table 3

Differentially expressed genes_keloid-MD_comparing SC-Keloid vs. (SC-Myel+Nonmyel)								
gene	p_val	avg_log2FC	pct.1	pct.2	p_val_adj	Foldchange_UP	Foldchange_DOWN	Ratio_pct1_pct2
AQP1	0,527910438	0,628179562	0,147	0,122	1	1,545613459	0,646992296	1,204918033
CMC1	0,147333764	0,627720396	0,126	0,049	1	1,545121615	0,647198247	2,571428571
EMP1	0,296476365	0,626438605	0,319	0,268	1	1,543749431	0,647773518	1,190298507
DYNLT2B	0,132637849	0,626132383	0,053	0	1	1,543421794	0,647911027	#DIV/0!
PCSK7	0,252512104	0,62582476	0,069	0,024	1	1,543092728	0,648049195	2,875
MARCKSL1	0,199685074	0,624729474	0,144	0,073	1	1,541921666	0,648541377	1,97260274
ADAM9	0,145609774	0,624518902	0,049	0	1	1,541696628	0,648636043	#DIV/0!
DHX36	0,394057722	0,624143704	0,137	0,098	1	1,541295735	0,648804754	1,397959184
ADGRL4	0,105231719	0,623083951	0,061	0	1	1,540163969	0,649281518	#DIV/0!
PIAS2	0,159939023	0,622808448	0,046	0	1	1,53986988	0,64940552	#DIV/0!
SMAD5	0,276324689	0,622598058	0,099	0,049	1	1,539645336	0,64950023	2,020408163
YWHAE	0,05090204	0,621535634	0,502	0,39	1	1,538511934	0,649978709	1,287179487
WSB2	0,353664434	0,621086248	0,088	0,049	1	1,538032776	0,650181203	1,795918367
DNM3	0,126614253	0,621001804	0,054	0	1	1,537942754	0,65021926	#DIV/0!
PRTFDC1	0,145609774	0,620888569	0,049	0	1	1,537822049	0,650270297	#DIV/0!
TASP1	0,132637849	0,619829139	0,053	0	1	1,536693177	0,650747992	#DIV/0!
AKAP11	0,159939023	0,619772405	0,046	0	1	1,536632748	0,650773584	#DIV/0!
EMC2	0,445001242	0,619620363	0,078	0,049	1	1,536470814	0,650842171	1,591836735
UQCRH	0,039008758	0,618913748	0,381	0,195	1	1,535718454	0,651161023	1,953846154
CKLF	0,390295542	0,618011866	0,112	0,073	1	1,534758719	0,651568215	1,534246575
H1-2	0,152594689	0,617979413	0,048	0	1	1,534724195	0,651582873	#DIV/0!
MRPL18	0,279821258	0,617683499	0,097	0,049	1	1,534409438	0,651716534	1,979591837
LRP1	0,503431883	0,615643859	0,126	0,098	1	1,532241668	0,652638563	1,285714286
JPT1	0,175544951	0,614895435	0,083	0,024	1	1,531446995	0,652977219	3,458333333
ATP1B3	0,20621628	0,614669079	0,077	0,024	1	1,531206733	0,653079678	3,208333333
STK32B	0,115409701	0,614569424	0,057	0	1	1,531100968	0,653124791	#DIV/0!
EEF1E1	0,376189758	0,614232571	0,085	0,049	1	1,530743515	0,653277306	1,734693878
DDX42	0,335311806	0,614151347	0,059	0,024	1	1,530657336	0,653314087	2,458333333
PRPF38A	0,167664901	0,614038116	0,045	0	1	1,530537206	0,653365365	#DIV/0!
PFDN4	0,270592529	0,612895269	0,099	0,049	1	1,529325254	0,65388314	2,020408163

Supplementary Table 3

Differentially expressed genes_keloid-MD_comparing SC-Keloid vs. (SC-Myel+Nonmyel)								
gene	p_val	avg_log2FC	pct.1	pct.2	p_val_adj	Foldchange_UP	Foldchange_DOWN	Ratio_pct1_pct2
KIF1B	0,181295579	0,612324338	0,083	0,024	1	1,528720159	0,654141959	3,458333333
CDC42SE1	0,178162579	0,612248204	0,179	0,098	1	1,528639488	0,65417648	1,826530612
SCOC	0,195658185	0,611662737	0,113	0,049	1	1,52801927	0,654442009	2,306122449
PSMB4	0,430648459	0,611325085	0,134	0,098	1	1,52766169	0,654595194	1,367346939
LRRCS9	0,095976714	0,610770887	0,064	0	1	1,527074965	0,654846699	#DIV/0!
MAP3K2	0,209321042	0,610605275	0,11	0,049	1	1,526899677	0,654921875	2,244897959
MTX2	0,152594689	0,610199127	0,048	0	1	1,526469884	0,655106275	#DIV/0!
PPP2R1A	0,233559343	0,609465774	0,072	0,024	1	1,525694144	0,655439365	3
PCGF3	0,138963816	0,608777667	0,051	0	1	1,524966624	0,655752057	#DIV/0!
TGS1	0,145609774	0,608219033	0,049	0	1	1,524376247	0,656006023	#DIV/0!
PLPP4	0,138963816	0,608049839	0,051	0	1	1,524197484	0,656082962	#DIV/0!
PRMT1	0,218852939	0,606455035	0,166	0,098	1	1,522513516	0,656808619	1,693877551
GNAS	0,044144352	0,605943925	0,557	0,415	1	1,521974223	0,657041351	1,342168675
GPATCH2L	0,132637821	0,605446733	0,053	0	1	1,521449799	0,657267825	#DIV/0!
ATF6	0,145609774	0,6052558	0,049	0	1	1,521248457	0,657354816	#DIV/0!
CREBZF	0,407079473	0,605077815	0,053	0,024	1	1,521060792	0,657435919	2,208333333
FRG1	0,34466749	0,604805515	0,089	0,049	1	1,520773729	0,657560018	1,816326531
DPM1	0,126614253	0,603943227	0,054	0	1	1,519865045	0,657953154	#DIV/0!
MRPS25	0,159939023	0,603266253	0,046	0	1	1,519152027	0,658261966	#DIV/0!
AGFG1	0,305932966	0,60174635	0,062	0,024	1	1,517552418	0,658955821	2,583333333
COL4A2	0,051850111	0,601616958	0,577	0,488	1	1,517416318	0,659014924	1,182377049
UBE2N	0,528518639	0,601601338	0,099	0,073	1	1,51739989	0,659022059	1,356164384
FBXW5	0,132637849	0,601516922	0,053	0	1	1,517311105	0,659060622	#DIV/0!
TCEAL4	0,345411353	0,601220348	0,281	0,244	1	1,516999225	0,659196118	1,151639344
PLGRKT	0,200496104	0,601162877	0,113	0,049	1	1,516938794	0,659222378	2,306122449
MINDY2	0,459184296	0,60104357	0,078	0,049	1	1,516813353	0,659276897	1,591836735
MRPL57	0,281465408	0,600699494	0,182	0,122	1	1,516451644	0,65943415	1,491803279
UBA52	0,062107083	0,600094599	0,595	0,488	1	1,515815956	0,659710696	1,219262295
PAFAH1B2	0,213314061	0,598168542	0,11	0,049	1	1,513793631	0,660592025	2,244897959
CAMTA1	0,382353335	0,597823576	0,14	0,098	1	1,513431707	0,66075	1,428571429

Supplementary Table 3

Differentially expressed genes_keloid-MD_comparing SC-Keloid vs. (SC-Myel+Nonmyel)								
gene	p_val	avg_log2FC	pct.1	pct.2	p_val_adj	Foldchange_UP	Foldchange_DOWN	Ratio_pct1_pct2
SFXN3	0,417378363	0,597477251	0,081	0,049	1	1,513068446	0,660908634	1,653061224
SLC35B1	0,335311776	0,597109856	0,059	0,024	1	1,512683178	0,661076962	2,458333333
RPS10	0,380126395	0,596541241	0,303	0,268	1	1,512087096	0,661337566	1,130597015
DRAP1	0,172837688	0,596243848	0,282	0,195	1	1,511775431	0,661473907	1,446153846
AFF4	0,213888886	0,595667771	0,11	0,049	1	1,51117189	0,66173809	2,244897959
ZNF217	0,132637849	0,595237036	0,053	0	1	1,510720778	0,66193569	#DIV/0!
FHL2	0,105231697	0,595102569	0,061	0	1	1,510579977	0,661997389	#DIV/0!
DSEL	0,218969605	0,594461235	0,199	0,122	1	1,509908615	0,662291737	1,631147541
PPIP5K2	0,159939023	0,594188926	0,046	0	1	1,509623646	0,662416757	#DIV/0!
S100A13	0,090488015	0,593891658	0,539	0,415	1	1,50931262	0,662553262	1,298795181
NFE2L1	0,126614253	0,59288283	0,054	0	1	1,508257577	0,663016726	#DIV/0!
STX7	0,152594689	0,592022429	0,048	0	1	1,507358343	0,663412257	#DIV/0!
SQLE	0,244006085	0,590923748	0,07	0,024	1	1,506210855	0,663917669	2,916666667
SOCS4	0,152594689	0,590570787	0,048	0	1	1,5058424	0,664080119	#DIV/0!
EMC6	0,119875675	0,590559414	0,134	0,049	1	1,505830529	0,664085354	2,734693878
VCL	0,268315494	0,590227069	0,306	0,244	1	1,50548368	0,664238353	1,254098361
MVP	0,175796304	0,58977514	0,043	0	1	1,505012156	0,66444646	#DIV/0!
UBA2	0,115409701	0,58936763	0,057	0	1	1,504587104	0,664634169	#DIV/0!
GLDC	0,145609774	0,589279979	0,049	0	1	1,504495695	0,66467455	#DIV/0!
TM2D3	0,184359294	0,5888628	0,041	0	1	1,504060709	0,66486678	#DIV/0!
SUGP2	0,205503946	0,588806827	0,078	0,024	1	1,504002356	0,664892575	3,25
G3BP1	0,379700349	0,587657612	0,113	0,073	1	1,502804782	0,665422423	1,547945205
PTAR1	0,262306507	0,586897002	0,069	0,024	1	1,502012691	0,665773336	2,875
MRPL43	0,448251928	0,586482085	0,078	0,049	1	1,501580775	0,665964839	1,591836735
RSL24D1	0,315238704	0,58604961	0,174	0,122	1	1,501130716	0,666164505	1,426229508
PTMS	0,086167334	0,585663704	0,472	0,366	1	1,500729233	0,666342721	1,289617486
ARF3	0,152594689	0,585158988	0,048	0	1	1,500204306	0,666575876	#DIV/0!
CERCAM	0,126614253	0,584869506	0,054	0	1	1,499903315	0,666709641	#DIV/0!
FHOD1	0,175796267	0,584305989	0,043	0	1	1,499317566	0,666970109	#DIV/0!
RAB8B	0,335061993	0,583286908	0,091	0,049	1	1,498258863	0,667441405	1,857142857

Supplementary Table 3

Differentially expressed genes_keloid-MD_comparing SC-Keloid vs. (SC-Myel+Nonmyel)								
gene	p_val	avg_log2FC	pct.1	pct.2	p_val_adj	Foldchange_UP	Foldchange_DOWN	Ratio_pct1_pct2
POLK	0,446830069	0,582962743	0,049	0,024	1	1,497922251	0,667591391	2,041666667
KPNA1	0,126614253	0,582494424	0,054	0	1	1,497436083	0,667808136	#DIV/0!
HSD17B12	0,120876633	0,582215904	0,056	0	1	1,497147023	0,667937073	#DIV/0!
PHTF2	0,175796304	0,580792191	0,043	0	1	1,495670303	0,668596547	#DIV/0!
PLEKHG1	0,298907334	0,580269586	0,096	0,049	1	1,495128606	0,668838785	1,959183673
TARS1	0,279949012	0,579268826	0,099	0,049	1	1,494091834	0,669302902	2,020408163
FAM98A	0,281885742	0,577669954	0,065	0,024	1	1,492436919	0,67004507	2,708333333
IFT22	0,132637849	0,577237861	0,053	0	1	1,491989994	0,670245782	#DIV/0!
SCARA3	0,46896141	0,577123402	0,048	0,024	1	1,49187163	0,670298959	2
TDG	0,132637849	0,576820795	0,053	0	1	1,491558741	0,670439569	#DIV/0!
OPTN	0,179555918	0,575650497	0,083	0,024	1	1,490349296	0,670983643	3,458333333
GIPC1	0,1747279	0,574695339	0,085	0,024	1	1,489362914	0,671428025	3,541666667
PSENN	0,175289942	0,574629421	0,085	0,024	1	1,489294865	0,671458704	3,541666667
HLA-B	0,035371625	0,574609226	0,541	0,366	1	1,489274018	0,671468103	1,478142077
ANO6	0,159717944	0,574532648	0,088	0,024	1	1,489194969	0,671503746	3,666666667
BCAP29	0,140092788	0,574148775	0,161	0,073	1	1,488798776	0,671682444	2,205479452
ARHGDI	0,398765836	0,57335744	0,163	0,122	1	1,487982377	0,67205097	1,336065574
AK2	0,138963787	0,573242964	0,051	0	1	1,487864312	0,672104299	#DIV/0!
SMC3	0,226336653	0,573049415	0,107	0,049	1	1,487664717	0,672194473	2,183673469
ZBED5	0,574546332	0,572881874	0,069	0,049	1	1,487491964	0,672272539	1,408163265
SH3KBP1	0,237224249	0,57233334	0,105	0,049	1	1,486926505	0,672528196	2,142857143
SMC4	0,145609774	0,572014832	0,049	0	1	1,486598268	0,672676688	#DIV/0!
SDHAF3	0,304974331	0,571874108	0,062	0,024	1	1,486453268	0,672742306	2,583333333
UGGT2	0,145609774	0,571073399	0,049	0	1	1,485628502	0,673115788	#DIV/0!
MYL9	0,137366474	0,570919221	0,389	0,293	1	1,485469744	0,673187727	1,327645051
KNOP1	0,369947755	0,570663239	0,056	0,024	1	1,485206196	0,673307183	2,333333333
ANAPC5	0,379700333	0,569506573	0,113	0,073	1	1,484015924	0,673847217	1,547945205
PAPSS1	0,175796304	0,569363067	0,043	0	1	1,483868315	0,673914248	#DIV/0!
CSNK1G3	0,167664901	0,568782798	0,045	0	1	1,483271606	0,674185359	#DIV/0!
LIN7C	0,446830036	0,568758474	0,049	0,024	1	1,483246598	0,674196726	2,041666667

Supplementary Table 3

Differentially expressed genes_keloid-MD_comparing SC-Keloid vs. (SC-Myel+Nonmyel)								
gene	p_val	avg_log2FC	pct.1	pct.2	p_val_adj	Foldchange_UP	Foldchange_DOWN	Ratio_pct1_pct2
HLA-A	0,122597131	0,568534438	0,451	0,366	1	1,483016283	0,67430143	1,232240437
ARL13B	0,152594689	0,567214519	0,048	0	1	1,481660095	0,674918629	#DIV/0!
MPV17	0,159938989	0,567210862	0,046	0	1	1,481656339	0,67492034	#DIV/0!
PKM	0,385214642	0,567108761	0,191	0,146	1	1,481551484	0,674968107	1,308219178
NHLRC2	0,184359294	0,566318336	0,041	0	1	1,480739993	0,67533801	#DIV/0!
ZNF451	0,175796304	0,566106243	0,043	0	1	1,480522323	0,6754373	#DIV/0!
CFAP20	0,126614253	0,565305721	0,054	0	1	1,479701039	0,67581219	#DIV/0!
FAM118A	0,167664901	0,563802435	0,045	0	1	1,478159996	0,676516752	#DIV/0!
AP3B1	0,368809289	0,5627482	0,056	0,024	1	1,477080239	0,677011291	2,333333333
AGRN	0,436909149	0,562087762	0,134	0,098	1	1,476404216	0,677321285	1,367346939
GBP1	0,159939023	0,561968418	0,046	0	1	1,476282089	0,677377317	#DIV/0!
HMGXB3	0,145609743	0,561943018	0,049	0	1	1,476256097	0,677389243	#DIV/0!
PTPRJ	0,175796304	0,561725239	0,043	0	1	1,476033269	0,677491504	#DIV/0!
CHD9	0,272029571	0,56145811	0,185	0,122	1	1,475759992	0,67761696	1,516393443
RBM3	0,136621547	0,561402038	0,349	0,244	1	1,475702637	0,677643297	1,430327869
ITPK1	0,299293423	0,560787163	0,096	0,049	1	1,475073827	0,67793217	1,959183673
RRP7A	0,138963816	0,559979269	0,051	0	1	1,474248033	0,678311911	#DIV/0!
COX6C	0,152293112	0,559478723	0,614	0,585	1	1,473736628	0,678547293	1,04957265
MAPK1IP1L	0,37337614	0,559283437	0,056	0,024	1	1,473537154	0,678639149	2,333333333
COL5A3	0,331971455	0,558658731	0,255	0,195	1	1,472899231	0,678933072	1,307692308
RICTOR	0,212935447	0,557108822	0,037	0	1	1,471317723	0,679662852	#DIV/0!
NAP1L1	0,170327079	0,557051422	0,284	0,195	1	1,471259185	0,679689894	1,456410256
PTBP1	0,218180253	0,556966079	0,075	0,024	1	1,471172155	0,679730103	3,125
FN1	0,202080975	0,556925735	0,593	0,537	1	1,471131016	0,679749111	1,104283054
AEBP2	0,425810682	0,556097408	0,051	0,024	1	1,470286604	0,680139503	2,125
PAXX	0,386857532	0,555699008	0,054	0,024	1	1,469880641	0,680327349	2,25
SMU1	0,268918195	0,555686031	0,067	0,024	1	1,469867419	0,680333469	2,791666667
U2AF2	0,516839263	0,555275198	0,045	0,024	1	1,469448908	0,680527234	1,875
EMILIN1	0,167664901	0,554795245	0,045	0	1	1,468960136	0,680753668	#DIV/0!
GNL3	0,335311837	0,554498533	0,059	0,024	1	1,468658053	0,680893689	2,458333333

Supplementary Table 3

Differentially expressed genes_keloid-MD_comparing SC-Keloid vs. (SC-Myel+Nonmyel)								
gene	p_val	avg_log2FC	pct.1	pct.2	p_val_adj	Foldchange_UP	Foldchange_DOWN	Ratio_pct1_pct2
SCARB2	0,255317507	0,554190423	0,287	0,22	1	1,468344432	0,68103912	1,304545455
NDUFS5	0,042314917	0,553470772	0,547	0,415	1	1,467612169	0,681378924	1,318072289
WDR43	0,226452941	0,553275691	0,073	0,024	1	1,467413732	0,681471066	3,041666667
SKIL	0,330436148	0,553268805	0,15	0,098	1	1,467406728	0,681474319	1,530612245
SF3B2	0,618110704	0,552458849	0,091	0,073	1	1,46658313	0,681857018	1,246575342
GNB4	0,431490231	0,552269503	0,08	0,049	1	1,466390661	0,681946515	1,632653061
C5orf15	0,34993221	0,552085956	0,089	0,049	1	1,466204112	0,68203328	1,816326531
PIH1D1	0,340557052	0,552078183	0,059	0,024	1	1,466196212	0,682036955	2,458333333
SHROOM4	0,184359294	0,551948377	0,041	0	1	1,466064297	0,682098324	#DIV/0!
PPP2R2D	0,159938989	0,551717085	0,046	0	1	1,465829277	0,682207686	#DIV/0!
CASD1	0,409565984	0,551563895	0,053	0,024	1	1,465673639	0,682280129	2,208333333
RARA	0,448179788	0,550743638	0,049	0,024	1	1,464840554	0,682668156	2,041666667
REEP3	0,317890286	0,549380129	0,152	0,098	1	1,463456769	0,683313659	1,551020408
SMARCC2	0,175796304	0,549036836	0,043	0	1	1,463108577	0,683476275	#DIV/0!
TMEM223	0,175796304	0,548923838	0,043	0	1	1,462993985	0,683529809	#DIV/0!
ATP5MK	0,182214746	0,548816358	0,359	0,268	1	1,462884997	0,683580734	1,339552239
AAK1	0,309787554	0,548545842	0,062	0,024	1	1,462610721	0,683708922	2,583333333
FAM177A1	0,326740079	0,54847987	0,15	0,098	1	1,462543839	0,683740188	1,530612245
GNA12	0,167664901	0,548432828	0,045	0	1	1,462496152	0,683762483	#DIV/0!
ZFC3H1	0,175796267	0,548358145	0,043	0	1	1,462420446	0,68379788	#DIV/0!
SPRYD7	0,293647206	0,547555643	0,064	0,024	1	1,461607197	0,68417835	2,666666667
TMED2	0,423409558	0,546965096	0,136	0,098	1	1,461009031	0,684458466	1,387755102
MAN2A1	0,322778256	0,546164543	0,061	0,024	1	1,46019854	0,684838378	2,541666667
PSMA4	0,135819617	0,545573709	0,301	0,195	1	1,459600661	0,6851189	1,543589744
TNFAIP3	0,295497189	0,544908524	0,064	0,024	1	1,458927836	0,685434862	2,666666667
DBNL	0,225730428	0,544592766	0,073	0,024	1	1,45860856	0,685584897	3,041666667
ATP5F1E	0,007606393	0,54269165	0,815	0,707	1	1,45668774	0,686488924	1,152758133
CTNNA1	0,363044837	0,542362538	0,303	0,268	1	1,456355474	0,686645546	1,130597015
PPP2R5E	0,132637821	0,541528589	0,053	0	1	1,455513871	0,687042576	#DIV/0!
KLF5	0,132637849	0,54147563	0,053	0	1	1,455460443	0,687067797	#DIV/0!

Supplementary Table 3

Differentially expressed genes_keloid-MD_ comparing SC-Keloid vs. (SC-Myel+Nonmyel)								
gene	p_val	avg_log2FC	pct.1	pct.2	p_val_adj	Foldchange_UP	Foldchange_DOWN	Ratio_pct1_pct2
CCT8	0,459392286	0,54045372	0,132	0,098	1	1,454429856	0,687554643	1,346938776
SCFD1	0,223811431	0,539448015	0,075	0,024	1	1,453416324	0,688034105	3,125
EXOSC10	0,425810682	0,539327478	0,051	0,024	1	1,453294896	0,688091593	2,125
DNAJC15	0,135220251	0,538945119	0,308	0,195	1	1,452909779	0,688273983	1,579487179
RABGGTB	0,46896141	0,538810622	0,048	0,024	1	1,452774336	0,688338151	2
ITGB5	0,568724929	0,538636374	0,07	0,049	1	1,452598881	0,688421293	1,428571429
CLOCK	0,184359294	0,538448655	0,041	0	1	1,452409885	0,688510874	#DIV/0!
TNIP1	0,159938989	0,538220876	0,046	0	1	1,452180591	0,688619588	#DIV/0!
FUNDC2	0,233768921	0,537419984	0,073	0,024	1	1,451374657	0,689001971	3,041666667
ACTR2	0,158997262	0,537144992	0,246	0,146	1	1,451098037	0,689133315	1,684931507
TUBB	0,311843915	0,537091385	0,34	0,293	1	1,451044119	0,689158921	1,160409556
HSP90B1	0,035475592	0,536158578	0,62	0,488	1	1,450106217	0,689604657	1,270491803
TIA1	0,302974919	0,536117335	0,064	0,024	1	1,450064762	0,689624371	2,666666667
STAG2	0,160234696	0,534993998	0,088	0,024	1	1,448936127	0,690161548	3,666666667
ASNSD1	0,254269863	0,534659477	0,07	0,024	1	1,448600198	0,690321596	2,916666667
SH3YL1	0,650068924	0,534486528	0,064	0,049	1	1,448426551	0,690404356	1,306122449
APRT	0,288267129	0,534381611	0,282	0,22	1	1,448321221	0,690454566	1,281818182
PTPRK	0,184359255	0,534104821	0,041	0	1	1,448043378	0,690587047	#DIV/0!
DYRK2	0,394411787	0,533934074	0,085	0,049	1	1,447872008	0,690668785	1,734693878
SLIRP	0,191948678	0,533347586	0,263	0,171	1	1,447283536	0,690949614	1,538011696
TSPAN5	0,558444252	0,533326369	0,07	0,049	1	1,447262251	0,690959776	1,428571429
ARNTL	0,193382275	0,531958621	0,04	0	1	1,445890823	0,691615151	#DIV/0!
HDAC9	0,2129354	0,531826616	0,037	0	1	1,445758532	0,691678436	#DIV/0!
CCL4L2	0,441492135	0,531710083	0,014	0	1	1,445641757	0,691734308	#DIV/0!
CAPZB	0,382279844	0,531613689	0,142	0,098	1	1,445545169	0,691780528	1,448979592
CMC2	0,214287413	0,53125122	0,077	0,024	1	1,445182029	0,691954356	3,208333333
TSIX	0,246599212	0,530836214	0,032	0	1	1,444766368	0,692153432	#DIV/0!
PKN1	0,132637821	0,53064589	0,053	0	1	1,444575783	0,692244749	#DIV/0!
STT3A	0,159939023	0,530118508	0,046	0	1	1,44404781	0,692497847	#DIV/0!
KDM1A	0,184359294	0,529987823	0,041	0	1	1,443917008	0,69256058	#DIV/0!

Supplementary Table 3

Differentially expressed genes_keloid-MD_ comparing SC-Keloid vs. (SC-Myel+Nonmyel)								
gene	p_val	avg_log2FC	pct.1	pct.2	p_val_adj	Foldchange_UP	Foldchange_DOWN	Ratio_pct1_pct2
FKBP1A	0,143397667	0,529769662	0,128	0,049	1	1,443698679	0,692665315	2,612244898
MTHFD2	0,145609774	0,52957345	0,049	0	1	1,443502344	0,692759526	#DIV/0!
OGT	0,159939023	0,529378309	0,046	0	1	1,443307107	0,692853236	#DIV/0!
SLC26A2	0,212935447	0,527535395	0,037	0	1	1,441464588	0,69373886	#DIV/0!
AC011043.1	0,184359294	0,52748941	0,041	0	1	1,441418643	0,693760973	#DIV/0!
ATP5MC1	0,28279636	0,526888273	0,3	0,244	1	1,440818163	0,694050107	1,229508197
ATP2B1	0,598348227	0,526766967	0,144	0,122	1	1,44069702	0,694108467	1,180327869
LEO1	0,152594689	0,526238726	0,048	0	1	1,440169607	0,694362661	#DIV/0!
HEBP2	0,531644509	0,526135997	0,072	0,049	1	1,440067061	0,694412105	1,469387755
CDV3	0,489781346	0,52579581	0,102	0,073	1	1,439727534	0,694575867	1,397260274
HNRNPA1	0,401313791	0,525505483	0,239	0,195	1	1,439437833	0,694715657	1,225641026
RAB2B	0,202896302	0,525427533	0,038	0	1	1,439360062	0,694753194	#DIV/0!
FRYL	0,184359294	0,525124956	0,041	0	1	1,439058216	0,69489892	#DIV/0!
MYO5A	0,377977804	0,524959454	0,056	0,024	1	1,438893141	0,694978641	2,333333333
BRD4	0,545020041	0,524306873	0,097	0,073	1	1,438242426	0,695293076	1,328767123
ACLY	0,277514251	0,523956313	0,067	0,024	1	1,437892991	0,695462045	2,791666667
SEMA4C	0,246599267	0,523261319	0,032	0	1	1,437200477	0,695797153	#DIV/0!
SMC5	0,275780244	0,523019001	0,067	0,024	1	1,436959102	0,69591403	2,791666667
MRT04	0,159939023	0,52299595	0,046	0	1	1,436936143	0,695925149	#DIV/0!
VEGFB	0,357118309	0,522971137	0,057	0,024	1	1,436911429	0,695937119	2,375
FAM126A	0,539087502	0,522810059	0,072	0,049	1	1,436751006	0,696014825	1,469387755
YKT6	0,159939023	0,522707509	0,046	0	1	1,436648882	0,696064301	#DIV/0!
CARNMT1	0,223537229	0,522081424	0,035	0	1	1,436025556	0,696366437	#DIV/0!
NID1	0,105023016	0,521700429	0,254	0,146	1	1,435646372	0,696550362	1,739726027
DNMT3A	0,175796304	0,520958341	0,043	0	1	1,4349081	0,696908743	#DIV/0!
DYNLT1	0,170830772	0,520718997	0,368	0,268	1	1,434670068	0,69702437	1,373134328
GPN3	0,351643454	0,52016264	0,057	0,024	1	1,434116912	0,697293221	2,375
NEK7	0,629338049	0,519845222	0,038	0,024	1	1,433801416	0,697446654	1,583333333
SPG11	0,193382275	0,519684239	0,04	0	1	1,433641434	0,697524483	#DIV/0!
WDR26	0,167664901	0,518646033	0,045	0	1	1,432610114	0,698026623	#DIV/0!

Supplementary Table 3

Differentially expressed genes_keloid-MD_comparing SC-Keloid vs. (SC-Myel+Nonmyel)								
gene	p_val	avg_log2FC	pct.1	pct.2	p_val_adj	Foldchange_UP	Foldchange_DOWN	Ratio_pct1_pct2
UBE4A	0,159939023	0,518541418	0,046	0	1	1,432506234	0,698077241	#DIV/0!
SAFB	0,193382275	0,518486712	0,04	0	1	1,432451916	0,698103712	#DIV/0!
DGCR6L	0,338452708	0,518456137	0,059	0,024	1	1,432421558	0,698118507	2,458333333
S100A6	2,22201E-05	0,518330371	0,998	1	0,468866548	1,432296694	0,698179368	0,998
TTC17	0,202896302	0,518103007	0,038	0	1	1,432070986	0,698289407	#DIV/0!
MRPL41	0,041705787	0,517555958	0,281	0,122	1	1,431528069	0,698554239	2,303278689
PMM2	0,202896302	0,517169531	0,038	0	1	1,431144684	0,698741372	#DIV/0!
PLN	0,159939023	0,516870227	0,046	0	1	1,430847807	0,698886349	#DIV/0!
OSBPL8	0,283411616	0,516850491	0,158	0,098	1	1,430828233	0,69889591	1,612244898
TSTD1	0,31562943	0,516570881	0,062	0,024	1	1,43055095	0,699031377	2,583333333
PRPF8	0,545329634	0,515956826	0,072	0,049	1	1,429942193	0,699328969	1,469387755
AP2S1	0,533812714	0,515918685	0,241	0,22	1	1,42990439	0,699347458	1,095454545
TOMM22	0,392468883	0,51584707	0,085	0,049	1	1,429833412	0,699382174	1,734693878
TADA3	0,152594656	0,515610184	0,048	0	1	1,429598657	0,69949702	#DIV/0!
DGUOK	0,406042428	0,515297717	0,166	0,122	1	1,42928906	0,699648537	1,360655738
ACSBG1	0,184359294	0,515295605	0,041	0	1	1,429286968	0,699649561	#DIV/0!
SET	0,288436131	0,514839266	0,456	0,439	1	1,428834941	0,699870903	1,038724374
RPAP3	0,184359294	0,514637954	0,041	0	1	1,428635577	0,699968569	#DIV/0!
COA5	0,31562943	0,513907584	0,062	0,024	1	1,427912508	0,70032302	2,583333333
RCOR3	0,184359294	0,51354219	0,041	0	1	1,427550903	0,700500415	#DIV/0!
UBE2K	0,317836688	0,513446177	0,124	0,073	1	1,427455901	0,700547035	1,698630137
ITGA5	0,138963816	0,513398231	0,051	0	1	1,427408463	0,700570317	#DIV/0!
PPM1B	0,184359294	0,513326401	0,041	0	1	1,427337396	0,700605199	#DIV/0!
SHFL	0,37337614	0,513167909	0,056	0,024	1	1,427180599	0,70068217	2,333333333
TAP1	0,145609774	0,512679022	0,049	0	1	1,426697051	0,700919652	#DIV/0!
AXL	0,710847028	0,512175297	0,061	0,049	1	1,426198999	0,701164424	1,244897959
UXT	0,289704622	0,512114367	0,155	0,098	1	1,426138768	0,701194037	1,581632653
LOXL1	0,159938989	0,511546968	0,046	0	1	1,42557799	0,701469865	#DIV/0!
SRA1	0,369080472	0,510894862	0,088	0,049	1	1,424933766	0,701787005	1,795918367
FSCN1	0,158474364	0,510754291	0,089	0,024	1	1,424794933	0,701855388	3,708333333

Supplementary Table 3

Differentially expressed genes_keloid-MD_comparing SC-Keloid vs. (SC-Myel+Nonmyel)								
gene	p_val	avg_log2FC	pct.1	pct.2	p_val_adj	Foldchange_UP	Foldchange_DOWN	Ratio_pct1_pct2
NNT	0,159939023	0,510559208	0,046	0	1	1,424602284	0,7019503	#DIV/0!
NCBP2	0,2163403	0,51026321	0,077	0,024	1	1,424310027	0,702094334	3,208333333
UFSP2	0,145609774	0,509730248	0,049	0	1	1,423783954	0,70235375	#DIV/0!
SWI5	0,457868417	0,509162214	0,159	0,122	1	1,423223477	0,702630343	1,303278689
RAP1B	0,298411817	0,509048904	0,231	0,171	1	1,423111701	0,70268553	1,350877193
RAB11A	0,292676629	0,508980847	0,065	0,024	1	1,423044569	0,702718679	2,708333333
HERC4	0,175796304	0,508856023	0,043	0	1	1,422921451	0,702779482	#DIV/0!
NUP50	0,193382275	0,508530705	0,04	0	1	1,422600628	0,702937972	#DIV/0!
ZFPL1	0,193382275	0,508492912	0,04	0	1	1,422563361	0,702956387	#DIV/0!
ABCC3	0,202896302	0,508431027	0,038	0	1	1,422502342	0,702986541	#DIV/0!
SLC30A7	0,159939023	0,507581547	0,046	0	1	1,421664997	0,703400591	#DIV/0!
SNX3	0,548507893	0,507100827	0,219	0,195	1	1,421191364	0,70363501	1,123076923
NIFK	0,468971713	0,506317079	0,158	0,122	1	1,420419507	0,704017366	1,295081967
DNAJC8	0,384080655	0,506316983	0,169	0,122	1	1,420419413	0,704017412	1,385245902
RB1	0,36880932	0,506200468	0,056	0,024	1	1,420304702	0,704074273	2,333333333
LIMK1	0,175796267	0,505725019	0,043	0	1	1,419836708	0,704306343	#DIV/0!
PLEKHF2	0,202896302	0,50569879	0,038	0	1	1,419810895	0,704319148	#DIV/0!
CISD3	0,599229448	0,505583865	0,067	0,049	1	1,419697798	0,704375256	1,367346939
LAYN	0,167664866	0,505350858	0,045	0	1	1,419468524	0,704489027	#DIV/0!
SPAG16	0,42969869	0,505237792	0,051	0,024	1	1,419357282	0,704544242	2,125
DNAJC24	0,223537229	0,504914523	0,035	0	1	1,419039278	0,704702129	#DIV/0!
QDPR	0,193382233	0,504531078	0,04	0	1	1,418662171	0,704889452	#DIV/0!
MYSM1	0,212935447	0,504469986	0,037	0	1	1,418602097	0,704919302	#DIV/0!
MLX	0,138963816	0,503467403	0,051	0	1	1,4176166	0,705409347	#DIV/0!
COX20	0,158353802	0,503338473	0,187	0,098	1	1,417489917	0,70547239	1,908163265
RGS20	0,202896302	0,503126595	0,038	0	1	1,417281756	0,705576005	#DIV/0!
C16orf87	0,194222901	0,503013786	0,081	0,024	1	1,417170939	0,705631179	3,375
LENG8	0,366938042	0,502745943	0,089	0,049	1	1,416907859	0,705762195	1,816326531
MFSD1	0,212935447	0,502024153	0,037	0	1	1,416199148	0,70611538	#DIV/0!
CAP1	0,489854792	0,501835598	0,246	0,22	1	1,416014068	0,706207673	1,118181818

Supplementary Table 3

Differentially expressed genes_keloid-MD_comparing SC-Keloid vs. (SC-Myel+Nonmyel)								
gene	p_val	avg_log2FC	pct.1	pct.2	p_val_adj	Foldchange_UP	Foldchange_DOWN	Ratio_pct1_pct2
WDFY1	0,167664901	0,501543355	0,045	0	1	1,415727259	0,706350742	#DIV/0!
SS18L2	0,468961377	0,501417967	0,048	0,024	1	1,415604219	0,706412136	2
NGFR	0,384318125	0,501325306	0,29	0,244	1	1,415513302	0,706457508	1,18852459
LCOR	0,493741572	0,501196557	0,046	0,024	1	1,415386984	0,706520557	1,916666667
PDIA3	0,102602298	0,500974003	0,378	0,244	1	1,415168659	0,706629555	1,549180328
KPNB1	0,455421966	0,500588618	0,107	0,073	1	1,414790678	0,706818341	1,465753425
BLOC1S6	0,115852356	0,500339396	0,102	0,024	1	1,414546298	0,706940453	4,25
FMR1	0,408321585	0,499627673	0,053	0,024	1	1,413848633	0,707289293	2,208333333
EI24	0,359323201	0,499592363	0,057	0,024	1	1,413814029	0,707306604	2,375
GPX7	0,175796267	0,498558071	0,043	0	1	1,412800806	0,707813866	#DIV/0!
ZNF32	0,175796304	0,498431444	0,043	0	1	1,412676808	0,707875994	#DIV/0!
VBP1	0,447866039	0,498276298	0,107	0,073	1	1,412524899	0,707952122	1,465753425
GMFG	0,23474314	0,497773406	0,033	0	1	1,412032609	0,708198942	#DIV/0!
MRPL42	0,346871778	0,497740273	0,12	0,073	1	1,412000181	0,708215207	1,643835616
STAM2	0,184359294	0,497206951	0,041	0	1	1,411478302	0,708477062	#DIV/0!
BMERB1	0,152594689	0,496912487	0,048	0	1	1,411190239	0,708621681	#DIV/0!
HINT1	0,113527073	0,496828463	0,485	0,39	1	1,411108052	0,708662953	1,243589744
NASP	0,758613942	0,496576784	0,128	0,122	1	1,410861905	0,708786591	1,049180328
DCTN5	0,193382275	0,496295788	0,04	0	1	1,410587136	0,708924656	#DIV/0!
TLE4	0,202896302	0,495751977	0,038	0	1	1,410055528	0,709191929	#DIV/0!
TMEM9B	0,430999272	0,495730112	0,051	0,024	1	1,410034157	0,709202678	2,125
WAPL	0,184359294	0,495534603	0,041	0	1	1,409843088	0,709298793	#DIV/0!
TTC14	0,193382275	0,495051325	0,04	0	1	1,409370894	0,709536435	#DIV/0!
MRPS21	0,544030246	0,495037643	0,199	0,171	1	1,409357527	0,709543165	1,16374269
KLHL9	0,212935447	0,495027121	0,037	0	1	1,409347249	0,709548339	#DIV/0!
CARD8	0,212935354	0,494868345	0,037	0	1	1,409192152	0,709626433	#DIV/0!
DEF8	0,153244537	0,494770596	0,091	0,024	1	1,409096676	0,709674515	3,791666667
DNAL1	0,193382192	0,494576247	0,04	0	1	1,408906865	0,709770124	#DIV/0!
AGK	0,452242808	0,494446936	0,049	0,024	1	1,408780589	0,709833744	2,041666667
NCLN	0,246599267	0,494028957	0,032	0	1	1,408372495	0,710039428	#DIV/0!

Supplementary Table 3

Differentially expressed genes_keloid-MD_comparing SC-Keloid vs. (SC-Myel+Nonmyel)								
gene	p_val	avg_log2FC	pct.1	pct.2	p_val_adj	Foldchange_UP	Foldchange_DOWN	Ratio_pct1_pct2
ZNF385A	0,159939023	0,493100779	0,046	0	1	1,40746669	0,710496388	#DIV/0!
XPOT	0,407079473	0,492668762	0,053	0,024	1	1,407045285	0,710709179	2,208333333
RUNX1	0,335228033	0,492304116	0,177	0,122	1	1,406689695	0,710888836	1,450819672
FNDC3A	0,235251999	0,491165005	0,073	0,024	1	1,405579451	0,711450355	3,041666667
LGI1	0,223537229	0,490923186	0,035	0	1	1,405343873	0,711569616	#DIV/0!
PFKL	0,223537229	0,490540922	0,035	0	1	1,404971555	0,711758182	#DIV/0!
ANO10	0,193382275	0,490078289	0,04	0	1	1,404521091	0,71198646	#DIV/0!
ZRANB2	0,57703005	0,490076585	0,121	0,098	1	1,404519433	0,711987301	1,234693878
RHOBTB3	0,159939023	0,489345799	0,046	0	1	1,403808164	0,712348044	#DIV/0!
MSANTD3	0,167664901	0,488916954	0,045	0	1	1,40339094	0,712559823	#DIV/0!
NAA25	0,193382275	0,488818249	0,04	0	1	1,403294927	0,712608576	#DIV/0!
SEPTIN11	0,464706069	0,488751601	0,078	0,049	1	1,403230102	0,712641497	1,591836735
ANAPC11	0,365239357	0,488596985	0,357	0,317	1	1,403079722	0,712717876	1,126182965
LSM4	0,386693037	0,487906526	0,115	0,073	1	1,402408384	0,713059057	1,575342466
PUS7L	0,495212277	0,487744224	0,046	0,024	1	1,402250623	0,71313928	1,916666667
ZBTB7A	0,430999272	0,487674058	0,051	0,024	1	1,402182426	0,713173965	2,125
NRBP1	0,253469835	0,487616126	0,07	0,024	1	1,402126121	0,713202603	2,916666667
RIOK2	0,246599212	0,487107909	0,032	0	1	1,401632283	0,713453887	#DIV/0!
ATP6V1E1	0,304734185	0,487008095	0,096	0,049	1	1,401535314	0,713503249	1,959183673
TXNL1	0,193567955	0,486729732	0,145	0,073	1	1,401264918	0,713640931	1,98630137
ZFR	0,65579605	0,486720721	0,064	0,049	1	1,401256165	0,713645388	1,306122449
CTSA	0,427104409	0,486436672	0,051	0,024	1	1,400980303	0,71378591	2,125
EIF6	0,399123332	0,486113664	0,113	0,073	1	1,400666669	0,713945739	1,547945205
DPH3	0,184359294	0,485960771	0,041	0	1	1,400518238	0,714021405	#DIV/0!
SDCBP	0,433944372	0,485836198	0,081	0,049	1	1,400397312	0,714083062	1,653061224
RBMX	0,908189415	0,48551861	0,096	0,098	1	1,40008907	0,714240274	0,979591837
PCED1A	0,223537181	0,485513426	0,035	0	1	1,400084039	0,71424284	#DIV/0!
NAPG	0,202896302	0,484866379	0,038	0	1	1,399456243	0,714563249	#DIV/0!
TRMT13	0,272474262	0,484348433	0,029	0	1	1,39895391	0,714819833	#DIV/0!
INTS1	0,212935447	0,484262116	0,037	0	1	1,398870214	0,714862601	#DIV/0!

Supplementary Table 3

Differentially expressed genes_keloid-MD_comparing SC-Keloid vs. (SC-Myel+Nonmyel)								
gene	p_val	avg_log2FC	pct.1	pct.2	p_val_adj	Foldchange_UP	Foldchange_DOWN	Ratio_pct1_pct2
ARL5A	0,470369259	0,483913295	0,048	0,024	1	1,398532029	0,715035465	2
CTSO	0,193382233	0,483825377	0,04	0	1	1,398446805	0,715079041	#DIV/0!
FLII	0,272474323	0,483611651	0,029	0	1	1,398239649	0,715184983	#DIV/0!
COQ4	0,320729886	0,483484406	0,094	0,049	1	1,398116331	0,715248065	1,918367347
PIM3	0,193382275	0,482829996	0,04	0	1	1,397482286	0,715572577	#DIV/0!
RREB1	0,202896302	0,482362366	0,038	0	1	1,397029384	0,715804557	#DIV/0!
ATP7A	0,223537229	0,482102291	0,035	0	1	1,396777564	0,715933607	#DIV/0!
NDUFS2	0,201038943	0,481862461	0,113	0,049	1	1,396545387	0,716052632	2,306122449
ZNF365	0,23474314	0,481810279	0,033	0	1	1,396494875	0,716078532	#DIV/0!
IFTAP	0,223537229	0,481292809	0,035	0	1	1,395994066	0,716335423	#DIV/0!
LYST	0,726839559	0,481211268	0,085	0,073	1	1,395915167	0,716375911	1,164383562
TMEM184B	0,202896302	0,48109947	0,038	0	1	1,395806998	0,716431427	#DIV/0!
FAM229B	0,586396023	0,480906671	0,069	0,049	1	1,395620478	0,716527176	1,408163265
CRCP	0,184359294	0,480882087	0,041	0	1	1,395596696	0,716539386	#DIV/0!
SNAPC2	0,175796304	0,480670893	0,043	0	1	1,395392411	0,716644287	#DIV/0!
ZNF431	0,202896302	0,480480235	0,038	0	1	1,395208017	0,716739001	#DIV/0!
SSR2	0,468102708	0,480386089	0,25	0,22	1	1,395116972	0,716785775	1,136363636
ULK1	0,193382275	0,480084976	0,04	0	1	1,394825821	0,716935394	#DIV/0!
DDX21	0,212122191	0,479479843	0,144	0,073	1	1,394240889	0,717236173	1,97260274
FOXP1	0,32915059	0,47902087	0,152	0,098	1	1,393797401	0,717464389	1,551020408
PTPN2	0,212935447	0,478856091	0,037	0	1	1,393638216	0,717546339	#DIV/0!
MRPL20	0,071902572	0,478764827	0,255	0,122	1	1,393550058	0,717591732	2,090163934
MAZ	0,340192386	0,478601476	0,091	0,049	1	1,393392281	0,717672987	1,857142857
ENO1	0,26018329	0,478531782	0,22	0,146	1	1,39332497	0,717707657	1,506849315
IFT57	0,347110747	0,47827205	0,091	0,049	1	1,393074149	0,71783688	1,857142857
PPIL2	0,212935447	0,477789714	0,037	0	1	1,39260848	0,718076914	#DIV/0!
FMN1	0,246599267	0,477664384	0,032	0	1	1,392487507	0,718139297	#DIV/0!
BMPR2	0,341612405	0,477501606	0,059	0,024	1	1,392330403	0,718220329	2,458333333
ATG12	0,197955137	0,47743876	0,081	0,024	1	1,392269752	0,718251616	3,375
RBL2	0,223537229	0,477242017	0,035	0	1	1,392079898	0,718349573	#DIV/0!

Supplementary Table 3

Differentially expressed genes_keloid-MD_comparing SC-Keloid vs. (SC-Myel+Nonmyel)								
gene	p_val	avg_log2FC	pct.1	pct.2	p_val_adj	Foldchange_UP	Foldchange_DOWN	Ratio_pct1_pct2
MED28	0,212935447	0,476943804	0,037	0	1	1,391792177	0,718498075	#DIV/0!
TGOLN2	0,174792039	0,476407737	0,153	0,073	1	1,391275121	0,718765099	2,095890411
CEBPG	0,202896302	0,476297467	0,038	0	1	1,391168785	0,718820039	#DIV/0!
SMNDC1	0,202896302	0,476030312	0,038	0	1	1,390911195	0,718953161	#DIV/0!
CFL1	0,141359854	0,47591195	0,539	0,463	1	1,390797086	0,719012148	1,164146868
TOB2	0,473192114	0,475807335	0,048	0,024	1	1,390696238	0,719064288	2
OTUD7B	0,341612345	0,475732597	0,059	0,024	1	1,390624196	0,719101539	2,458333333
NDUFB7	0,486123263	0,475687583	0,27	0,244	1	1,390580808	0,719123976	1,106557377
MAGED2	0,432868618	0,474978044	0,255	0,22	1	1,389897068	0,719477739	1,159090909
HMG20B	0,256569878	0,47470711	0,104	0,049	1	1,389636073	0,719612868	2,12244898
EXTL2	0,202896258	0,474682424	0,038	0	1	1,389612295	0,719625181	#DIV/0!
PALM2AKAP2	0,223537132	0,474295468	0,035	0	1	1,389239626	0,719818224	#DIV/0!
NDUFA4	0,069399431	0,47412791	0,745	0,659	1	1,389078287	0,719901829	1,130500759
NRP2	0,32063876	0,474028792	0,096	0,049	1	1,388982856	0,719951291	1,959183673
MED31	0,390428593	0,47303985	0,054	0,024	1	1,388031058	0,720444974	2,25
RAB12	0,193382275	0,472944497	0,04	0	1	1,387939322	0,720492592	#DIV/0!
MRPL34	0,560889734	0,472646198	0,097	0,073	1	1,387652374	0,720641581	1,328767123
SNX17	0,359323201	0,472430079	0,057	0,024	1	1,387444516	0,720749542	2,375
TRAF7	0,246599267	0,472387072	0,032	0	1	1,387403156	0,720771029	#DIV/0!
GLUD1	0,246599212	0,471734329	0,032	0	1	1,386775572	0,721097213	#DIV/0!
B2M	0,004795032	0,47135224	0,973	0,927	1	1,386408342	0,721288216	1,049622438
NDUFA2	0,630134067	0,471228264	0,163	0,146	1	1,386289207	0,721350202	1,116438356
ZCCHC14	0,246599267	0,471060324	0,032	0	1	1,386127843	0,721434177	#DIV/0!
KCND3	0,175796304	0,470940924	0,043	0	1	1,38601313	0,721493887	#DIV/0!
RTKN2	0,223537229	0,4709178	0,035	0	1	1,385990914	0,721505451	#DIV/0!
LASP1	0,629047722	0,470881983	0,065	0,049	1	1,385956505	0,721523364	1,326530612
PGGT1B	0,193382275	0,470508995	0,04	0	1	1,385598233	0,721709927	#DIV/0!
RAD54L2	0,223537229	0,470239806	0,035	0	1	1,385339721	0,721844602	#DIV/0!
CTSZ	0,285200223	0,470096037	0,161	0,098	1	1,385201675	0,72191654	1,642857143
EPB41L4A-AS1	0,23474314	0,469973022	0,033	0	1	1,385083567	0,721978098	#DIV/0!

Supplementary Table 3

Differentially expressed genes_keloid-MD_ comparing SC-Keloid vs. (SC-Myel+Nonmyel)								
gene	p_val	avg_log2FC	pct.1	pct.2	p_val_adj	Foldchange_UP	Foldchange_DOWN	Ratio_pct1_pct2
NDEL1	0,223537229	0,469934151	0,035	0	1	1,385046249	0,721997551	#DIV/0!
CYRIB	0,193382275	0,468793297	0,04	0	1	1,383951415	0,722568718	#DIV/0!
YWHAZ	0,231229701	0,4686001	0,416	0,341	1	1,383766097	0,722665487	1,219941349
TRAM2	0,345854599	0,468591587	0,059	0,024	1	1,383757932	0,722669751	2,458333333
UBE2M	0,485656954	0,468383406	0,104	0,073	1	1,383558271	0,722774039	1,424657534
OPA1	0,223537229	0,46767397	0,035	0	1	1,382878081	0,723129547	#DIV/0!
FIBP	0,462866615	0,46739762	0,132	0,098	1	1,382613215	0,723268076	1,346938776
MCM3	0,193382275	0,467369893	0,04	0	1	1,382586643	0,723281977	#DIV/0!
POLR2J	0,672241385	0,467219864	0,137	0,122	1	1,382442872	0,723357196	1,12295082
PDE1C	0,193382275	0,467211815	0,04	0	1	1,38243516	0,723361232	#DIV/0!
PHACTR2	0,368228052	0,466924448	0,057	0,024	1	1,382159823	0,723505331	2,375
CORO1C	0,879218738	0,466757393	0,075	0,073	1	1,381999786	0,723589113	1,02739726
IFI44L	0,41456612	0,466174751	0,053	0,024	1	1,381441769	0,723881399	2,208333333
TP53BP2	0,598891708	0,465823619	0,04	0,024	1	1,381105587	0,724057602	1,666666667
MRPS33	0,353049165	0,465747261	0,12	0,073	1	1,38103249	0,724095926	1,643835616
CAPS	0,636023144	0,465332835	0,091	0,073	1	1,380635834	0,724303958	1,246575342
CISD1	0,249617734	0,465276324	0,072	0,024	1	1,380581755	0,72433233	3
RGMB	0,372098431	0,465025837	0,118	0,073	1	1,380342073	0,724458103	1,616438356
OXCT1	0,23474314	0,464756676	0,033	0	1	1,380084569	0,724593277	#DIV/0!
MAGOHB	0,202175671	0,464746437	0,08	0,024	1	1,380074775	0,724598419	3,333333333
RRM2B	0,23474314	0,464606623	0,033	0	1	1,379941036	0,724668644	#DIV/0!
AHDC1	0,223537181	0,464504114	0,035	0	1	1,37984299	0,724720137	#DIV/0!
BMS1	0,175796304	0,46434966	0,043	0	1	1,379695272	0,724797729	#DIV/0!
PRRC2C	0,456267497	0,464316831	0,209	0,171	1	1,379663878	0,724814222	1,222222222
CNIH3	0,202896302	0,464294725	0,038	0	1	1,379642737	0,724825328	#DIV/0!
NOC2L	0,202896302	0,463414877	0,038	0	1	1,378801599	0,725267508	#DIV/0!
SLC12A4	0,246599267	0,463371073	0,032	0	1	1,378759735	0,72528953	#DIV/0!
BAZ1B	0,607355073	0,463323333	0,067	0,049	1	1,378714113	0,72531353	1,367346939
IQGAP1	0,276675388	0,463273549	0,131	0,073	1	1,378666537	0,72533856	1,794520548
GATAD2A	0,212935447	0,463262997	0,037	0	1	1,378656453	0,725343865	#DIV/0!

Supplementary Table 3

Differentially expressed genes_keloid-MD_ comparing SC-Keloid vs. (SC-Myel+Nonmyel)								
gene	p_val	avg_log2FC	pct.1	pct.2	p_val_adj	Foldchange_UP	Foldchange_DOWN	Ratio_pct1_pct2
PLPBP	0,23474314	0,463212056	0,033	0	1	1,378607775	0,725369477	#DIV/0!
GLS	0,574190235	0,463150081	0,097	0,073	1	1,378548554	0,725400638	1,328767123
SERPINE2	0,330919407	0,462650206	0,254	0,195	1	1,378070987	0,725652023	1,302564103
MARCHF5	0,2129354	0,462556737	0,037	0	1	1,377981708	0,725699038	#DIV/0!
CAPNS1	0,441480163	0,462440343	0,11	0,073	1	1,377870539	0,725757589	1,506849315
NEPRO	0,272474323	0,462376012	0,029	0	1	1,3778091	0,725789951	#DIV/0!
HMGCR	0,234743088	0,462330604	0,033	0	1	1,377765735	0,725812796	#DIV/0!
GNA13	0,212935447	0,462091953	0,037	0	1	1,377537843	0,72593287	#DIV/0!
SPTY2D1	0,193382275	0,46190973	0,04	0	1	1,377363861	0,726024566	#DIV/0!
HMGA1	0,194222901	0,461569171	0,081	0,024	1	1,377038763	0,72619597	3,375
POLR3GL	0,376824125	0,461484836	0,056	0,024	1	1,376958268	0,726238422	2,333333333
UCHL3	0,542739193	0,461231379	0,043	0,024	1	1,376716381	0,726366021	1,791666667
CYB5R3	0,317890324	0,460808063	0,152	0,098	1	1,376312484	0,726579183	1,551020408
DPCD	0,212935447	0,460800382	0,037	0	1	1,376305157	0,726583051	#DIV/0!
ZDHHC17	0,212935447	0,460623688	0,037	0	1	1,376136603	0,726672045	#DIV/0!
GTF3C1	0,449531819	0,46045349	0,049	0,024	1	1,375974268	0,726757777	2,041666667
TLK2	0,184359294	0,460331786	0,041	0	1	1,375858197	0,726819088	#DIV/0!
PWP1	0,372231166	0,460202295	0,056	0,024	1	1,375734711	0,726884327	2,333333333
STX12	0,566146278	0,460007954	0,07	0,049	1	1,375549402	0,72698225	1,428571429
LZIC	0,787823724	0,459813228	0,08	0,073	1	1,375363751	0,727080381	1,095890411
CCDC28B	0,159939023	0,459666968	0,046	0	1	1,375224325	0,727154095	#DIV/0!
TBC1D23	0,317592677	0,459477366	0,062	0,024	1	1,375043601	0,727249666	2,583333333
PGP	0,210462674	0,45901577	0,078	0,024	1	1,374603721	0,72748239	3,25
PLOD1	0,192317084	0,458986999	0,118	0,049	1	1,374576309	0,727496898	2,408163265
SAR1B	0,250096026	0,458532575	0,105	0,049	1	1,374143409	0,727726083	2,142857143
TPMT	0,23474314	0,458184683	0,033	0	1	1,373812088	0,727901588	#DIV/0!
RPL26L1	0,112576547	0,457964213	0,175	0,073	1	1,37360216	0,728012833	2,397260274
NOTCH3	0,246599267	0,45795631	0,032	0	1	1,373594635	0,728016821	#DIV/0!
DYNC2I1	0,571722516	0,4578295	0,041	0,024	1	1,373473904	0,728080815	1,708333333
ARID3B	0,246599267	0,457761545	0,032	0	1	1,373409212	0,72811511	#DIV/0!

Supplementary Table 3

Differentially expressed genes_keloid-MD_ comparing SC-Keloid vs. (SC-Myel+Nonmyel)								
gene	p_val	avg_log2FC	pct.1	pct.2	p_val_adj	Foldchange_UP	Foldchange_DOWN	Ratio_pct1_pct2
UBB	0,091484878	0,457496977	0,435	0,293	1	1,373157372	0,728248648	1,484641638
FRMD5	0,159938989	0,457288135	0,046	0	1	1,372958611	0,728354076	#DIV/0!
CTBP1	0,448179788	0,457282738	0,049	0,024	1	1,372953475	0,7283568	2,041666667
HSPB3	0,301657292	0,456358088	0,026	0	1	1,372073806	0,728823767	#DIV/0!
EXOSC6	0,193382275	0,45626191	0,04	0	1	1,371982339	0,728872356	#DIV/0!
TACC1	0,219793232	0,456214551	0,077	0,024	1	1,371937301	0,728896283	3,208333333
ARL6IP6	0,138963816	0,456191695	0,051	0	1	1,371915566	0,728907831	#DIV/0!
HS2ST1	0,474607012	0,456157036	0,048	0,024	1	1,371882609	0,728925342	2
GRK2	0,212935447	0,454996123	0,037	0	1	1,370779121	0,729512133	#DIV/0!
ATP6AP1	0,293588255	0,454825242	0,065	0,024	1	1,370616768	0,729598545	2,708333333
IRF1	0,302974891	0,454322579	0,064	0,024	1	1,370139301	0,729852796	2,666666667
CYP20A1	0,152594689	0,453911294	0,048	0	1	1,369748757	0,730060893	#DIV/0!
MTX3	0,570058968	0,453558559	0,041	0,024	1	1,369413898	0,730239412	1,708333333
FAM136A	0,25829635	0,453310741	0,07	0,024	1	1,369178687	0,73036486	2,916666667
KAT6B	0,549137741	0,453205311	0,043	0,024	1	1,369078633	0,730418236	1,791666667
HNRNPR	0,521931905	0,45292076	0,199	0,171	1	1,36880863	0,730562314	1,16374269
LINC01116	0,390428625	0,452858863	0,054	0,024	1	1,368749903	0,730593659	2,25
RSL1D1	0,202942163	0,452811753	0,115	0,049	1	1,368705208	0,730617516	2,346938776
NOP58	0,446830069	0,452447894	0,049	0,024	1	1,368360055	0,730801807	2,041666667
KRT10	0,105977541	0,452442289	0,541	0,415	1	1,368354738	0,730804646	1,303614458
TMEM106B	0,708326101	0,452294577	0,086	0,073	1	1,368214644	0,730879474	1,178082192
KLHL4	0,223537181	0,452135779	0,035	0	1	1,368064053	0,730959927	#DIV/0!
RPL7	0,072312877	0,452124976	0,574	0,463	1	1,368053809	0,7309654	1,239740821
TCAF1	0,526462569	0,452040257	0,073	0,049	1	1,367973475	0,731008326	1,489795918
RLF	0,223537229	0,451960598	0,035	0	1	1,367897944	0,73104869	#DIV/0!
ICAM3	0,2129354	0,451581523	0,037	0	1	1,36753857	0,731240802	#DIV/0!
KRTCAP2	0,787800166	0,45156334	0,15	0,146	1	1,367521334	0,731250018	1,02739726
BRD1	0,66150724	0,451086019	0,037	0,024	1	1,36706896	0,731491995	1,541666667
HBS1L	0,471779573	0,45103659	0,048	0,024	1	1,367022123	0,731517057	2
RNF115	0,269822412	0,450949599	0,069	0,024	1	1,366939697	0,731561167	2,875

Supplementary Table 3

Differentially expressed genes_keloid-MD_comparing SC-Keloid vs. (SC-Myel+Nonmyel)								
gene	p_val	avg_log2FC	pct.1	pct.2	p_val_adj	Foldchange_UP	Foldchange_DOWN	Ratio_pct1_pct2
TBCB	0,892711065	0,450556861	0,185	0,195	1	1,366567631	0,731760344	0,948717949
SPG21	0,212935447	0,450460536	0,037	0	1	1,366476393	0,731809203	#DIV/0!
PSMA1	0,434784271	0,449776202	0,163	0,122	1	1,365828366	0,732156415	1,336065574
DHX9	0,248835925	0,449466546	0,072	0,024	1	1,36553524	0,73231358	3
PSME4	0,259157012	0,449384959	0,03	0	1	1,365458019	0,732354994	#DIV/0!
UBXN6	0,184359294	0,449329836	0,041	0	1	1,365405848	0,732382977	#DIV/0!
SNX5	0,833459055	0,449188351	0,054	0,049	1	1,36527195	0,732454805	1,102040816
CCDC124	0,360428849	0,448844537	0,057	0,024	1	1,364946625	0,73262938	2,375
ZNF280D	0,23474314	0,448478765	0,033	0	1	1,364600609	0,73281515	#DIV/0!
EXOC1	0,202896258	0,448100553	0,038	0	1	1,364242917	0,733007288	#DIV/0!
RASA3	0,571722516	0,448036287	0,041	0,024	1	1,364182146	0,733039941	1,708333333
DIP2C	0,690945164	0,447920559	0,062	0,049	1	1,364072721	0,733098745	1,265306122
ASCC3	0,184359294	0,447800191	0,041	0	1	1,363958918	0,733159912	#DIV/0!
EIF2B3	0,184359294	0,447746161	0,041	0	1	1,363907837	0,73318737	#DIV/0!
UBXN7	0,394019678	0,447729941	0,054	0,024	1	1,363892503	0,733195613	2,25
KRT14	0,334790321	0,447503367	0,022	0	1	1,363678322	0,73331077	#DIV/0!
NUP58	0,212935447	0,447495311	0,037	0	1	1,363670707	0,733314865	#DIV/0!
MAGT1	0,377977773	0,447376376	0,056	0,024	1	1,363558291	0,733375322	2,333333333
VAMP7	0,223537229	0,446878237	0,035	0	1	1,363087558	0,733628587	#DIV/0!
CCDC50	0,612409728	0,446736168	0,145	0,122	1	1,362953336	0,733700835	1,18852459
CTBP2	0,223537229	0,446723607	0,035	0	1	1,362941469	0,733707223	#DIV/0!
FAM91A1	0,570059001	0,446722619	0,041	0,024	1	1,362940535	0,733707725	1,708333333
EHMT1	0,246599267	0,446276895	0,032	0	1	1,362519517	0,733934441	#DIV/0!
EXTL1	0,23474314	0,446096525	0,033	0	1	1,362349181	0,734026206	#DIV/0!
ATXN3	0,478865648	0,445681457	0,048	0,024	1	1,361957285	0,734237418	2
CCDC47	0,905966414	0,44566312	0,14	0,146	1	1,361939974	0,73424675	0,95890411
PDAP1	0,513959621	0,445587798	0,153	0,122	1	1,36186887	0,734285086	1,254098361
MAPRE1	0,734557207	0,445464278	0,108	0,098	1	1,361752275	0,734347956	1,102040816
LMNA	0,236435008	0,444929451	0,512	0,439	1	1,361247549	0,734620239	1,166287016
ARID1B	0,723942184	0,444724981	0,11	0,098	1	1,361054636	0,734724363	1,12244898

Supplementary Table 3

Differentially expressed genes_keloid-MD_ comparing SC-Keloid vs. (SC-Myel+Nonmyel)								
gene	p_val	avg_log2FC	pct.1	pct.2	p_val_adj	Foldchange_UP	Foldchange_DOWN	Ratio_pct1_pct2
RAP2C	0,202896302	0,4425452	0,038	0	1	1,358999758	0,735835304	#DIV/0!
CACUL1	0,184359294	0,442542355	0,041	0	1	1,358997079	0,735836755	#DIV/0!
FSTL1	0,158983873	0,442366432	0,126	0,049	1	1,358831372	0,735926488	2,571428571
ADAM10	0,694147987	0,442260452	0,112	0,098	1	1,358731557	0,735980551	1,142857143
GTF3A	0,446804613	0,442074271	0,163	0,122	1	1,358556223	0,736075536	1,336065574
KIAA1109	0,471779539	0,441881624	0,048	0,024	1	1,358374823	0,736173833	2
TOLLIP	0,246599267	0,441836809	0,032	0	1	1,358332628	0,736196701	#DIV/0!
GFM1	0,246599267	0,441717111	0,032	0	1	1,358219934	0,736257785	#DIV/0!
TRA2B	0,970128421	0,441681927	0,116	0,122	1	1,35818681	0,736275741	0,950819672
CAPRIN1	0,272156813	0,440882533	0,132	0,073	1	1,35743445	0,736683823	1,808219178
TMEM65	0,246599267	0,440275312	0,032	0	1	1,356863235	0,736993953	#DIV/0!
DCAF5	0,23474314	0,439982651	0,033	0	1	1,356588014	0,737143473	#DIV/0!
RUVBL1	0,45360176	0,439826735	0,049	0,024	1	1,356441412	0,737223142	2,041666667
NME1	0,426373946	0,439024611	0,167	0,122	1	1,355687453	0,737633145	1,368852459
DMXL1	0,246599267	0,438869643	0,032	0	1	1,355541839	0,737712383	#DIV/0!
EIF5A	0,74387017	0,438453639	0,177	0,171	1	1,355151023	0,737925134	1,035087719
MRPL40	0,469861132	0,437911924	0,134	0,098	1	1,354642275	0,738202268	1,367346939
INO80	0,23474314	0,437722865	0,033	0	1	1,354464766	0,738299013	#DIV/0!
PSMB6	0,210328596	0,437548314	0,236	0,146	1	1,3543009	0,738388345	1,616438356
SEC11A	0,114701617	0,436973011	0,386	0,268	1	1,353760953	0,738682851	1,440298507
TIMM10B	0,246599267	0,436947479	0,032	0	1	1,353736995	0,738695923	#DIV/0!
SLC15A4	0,223537181	0,436449056	0,035	0	1	1,353269386	0,738951173	#DIV/0!
PRKCSH	0,391623426	0,436428639	0,054	0,024	1	1,353250235	0,73896163	2,25
CLDN4	0,246599267	0,436348045	0,032	0	1	1,35317464	0,739002912	#DIV/0!
MED4	0,573633107	0,435832773	0,097	0,073	1	1,352691427	0,739266901	1,328767123
PLXNA3	0,193382233	0,435270188	0,04	0	1	1,352164042	0,739555238	#DIV/0!
ZNF91	0,272474323	0,435218695	0,029	0	1	1,352115782	0,739581634	#DIV/0!
ARID1A	0,801997177	0,435190157	0,056	0,049	1	1,352089035	0,739596265	1,142857143
CSTB	0,410512727	0,435105742	0,268	0,22	1	1,352009924	0,739639541	1,218181818
HBP1	0,570016345	0,434480995	0,07	0,049	1	1,351424575	0,739959905	1,428571429

Supplementary Table 3

Differentially expressed genes_keloid-MD_comparing SC-Keloid vs. (SC-Myel+Nonmyel)								
gene	p_val	avg_log2FC	pct.1	pct.2	p_val_adj	Foldchange_UP	Foldchange_DOWN	Ratio_pct1_pct2
COPS3	0,518370363	0,434346008	0,045	0,024	1	1,351298134	0,740029143	1,875
TM9SF2	0,352357903	0,433811604	0,091	0,049	1	1,350797678	0,740303316	1,857142857
PDGFA	0,456992444	0,433423471	0,38	0,341	1	1,350434317	0,740502509	1,114369501
PIGC	0,828464453	0,433399491	0,054	0,049	1	1,350411871	0,740514818	1,102040816
CTDNBP1	0,771594757	0,433343839	0,057	0,049	1	1,35035978	0,740543383	1,163265306
RALGAPB	0,223537229	0,433317203	0,035	0	1	1,350334848	0,740557056	#DIV/0!
CKAP5	0,2129354	0,433177916	0,037	0	1	1,350204485	0,740628558	#DIV/0!
ELP2	0,2129354	0,433069333	0,037	0	1	1,350102866	0,740684303	#DIV/0!
RBM18	0,202896302	0,43267015	0,038	0	1	1,349729355	0,740889272	#DIV/0!
AGPS	0,23474314	0,432407011	0,033	0	1	1,349483195	0,741024419	#DIV/0!
TWF2	0,73447319	0,432195649	0,059	0,049	1	1,349285503	0,74113299	1,204081633
POGZ	0,736022212	0,432053255	0,059	0,049	1	1,349152335	0,741206144	1,204081633
SACM1L	0,223537229	0,431775439	0,035	0	1	1,348892558	0,74134889	#DIV/0!
RALY	0,390428625	0,431752069	0,054	0,024	1	1,348870708	0,741360899	2,25
PIGF	0,695517811	0,431704167	0,035	0,024	1	1,348825922	0,741385515	1,458333333
PARP4	0,259157069	0,431629233	0,03	0	1	1,348755865	0,741424024	#DIV/0!
ATP6V1A	0,234743088	0,431338555	0,033	0	1	1,348484141	0,741573423	#DIV/0!
UBAP2	0,516839263	0,431236779	0,045	0,024	1	1,348389014	0,74162574	1,875
ZFYVE16	0,319830816	0,430429137	0,096	0,049	1	1,347634378	0,742041029	1,959183673
ENDOG	0,492273208	0,430302745	0,046	0,024	1	1,347516319	0,74210604	1,916666667
GGA1	0,259157069	0,43028197	0,03	0	1	1,347496915	0,742116727	#DIV/0!
FHL3	0,49668532	0,429900664	0,046	0,024	1	1,347140817	0,742312895	1,916666667
TRPC4AP	0,259157069	0,429747204	0,03	0	1	1,346997528	0,74239186	#DIV/0!
CCDC43	0,193382233	0,429727427	0,04	0	1	1,346979064	0,742402037	#DIV/0!
ATP10D	0,223537229	0,429652737	0,035	0	1	1,346909331	0,742440472	#DIV/0!
CCT2	0,606756196	0,429314793	0,215	0,195	1	1,346593861	0,742614406	1,102564103
SRP72	0,44419532	0,429313648	0,108	0,073	1	1,346592793	0,742614995	1,479452055
ACTL6A	0,350130179	0,429238279	0,059	0,024	1	1,346522445	0,742653792	2,458333333
SLFN5	0,33268481	0,429072617	0,094	0,049	1	1,346367836	0,742739074	1,918367347
MDH1	0,40558398	0,428786196	0,113	0,073	1	1,346100565	0,742886546	1,547945205

Supplementary Table 3

Differentially expressed genes_keloid-MD_comparing SC-Keloid vs. (SC-Myel+Nonmyel)								
gene	p_val	avg_log2FC	pct.1	pct.2	p_val_adj	Foldchange_UP	Foldchange_DOWN	Ratio_pct1_pct2
NEAT1	0,296541476	0,428235549	0,62	0,561	1	1,345586885	0,743170145	1,10516934
WDR33	0,34692037	0,428216097	0,059	0,024	1	1,345568743	0,743180165	2,458333333
BUD31	0,799000516	0,428124383	0,152	0,146	1	1,345483205	0,743227412	1,04109589
PRKDC	0,305500166	0,428067674	0,183	0,122	1	1,345430319	0,743256627	1,5
UBE2Q1	0,66150724	0,428049569	0,037	0,024	1	1,345413435	0,743265954	1,541666667
CDC42SE2	0,193382275	0,428023486	0,04	0	1	1,34538911	0,743279392	#DIV/0!
RARS1	0,413312722	0,427945116	0,053	0,024	1	1,345316028	0,743319769	2,208333333
BRD2	0,491780173	0,427536433	0,077	0,049	1	1,344934984	0,743530365	1,571428571
TAGLN2	0,329373326	0,427002981	0,49	0,463	1	1,344437772	0,743805344	1,058315335
OST4	0,345156952	0,426736406	0,458	0,439	1	1,344189375	0,743942794	1,043280182
MRPS23	0,691509509	0,42669113	0,088	0,073	1	1,344147192	0,743966142	1,205479452
SPEN	0,471779573	0,426592441	0,048	0,024	1	1,344055247	0,744017035	2
PPP3CB	0,23474314	0,42655323	0,033	0	1	1,344018718	0,744037257	#DIV/0!
EPS15	0,90485429	0,426473902	0,051	0,049	1	1,343944817	0,74407817	1,040816327
CDR2	0,246599267	0,426401706	0,032	0	1	1,343877565	0,744115406	#DIV/0!
SH3BP2	0,631143136	0,426393032	0,038	0,024	1	1,343869485	0,74411988	1,583333333
PCNX1	0,286616306	0,426258796	0,027	0	1	1,34374445	0,74418912	#DIV/0!
HP1BP3	0,676629799	0,425610508	0,23	0,22	1	1,343140762	0,744523603	1,045454545
TRIM13	0,336545295	0,425585098	0,061	0,024	1	1,343117106	0,744536717	2,541666667
TIMM17A	0,204107825	0,425348536	0,08	0,024	1	1,34289689	0,74465881	3,333333333
POMC	0,246599212	0,425286668	0,032	0	1	1,342839303	0,744690744	#DIV/0!
XRN2	0,155644485	0,425242141	0,124	0,049	1	1,342797858	0,744713729	2,530612245
COX5B	0,385695012	0,425204947	0,295	0,244	1	1,34276324	0,744732929	1,209016393
DARS1	0,359323201	0,425158626	0,057	0,024	1	1,342720129	0,74475684	2,375
NUDT15	0,23474314	0,424606982	0,033	0	1	1,34220681	0,745041668	#DIV/0!
HUS1	0,184359294	0,424407718	0,041	0	1	1,342021438	0,745144579	#DIV/0!
TPI1	0,892628014	0,424122263	0,204	0,22	1	1,341755928	0,74529203	0,927272727
NCL	0,513658928	0,423706516	0,278	0,244	1	1,341369325	0,745506835	1,139344262
VMA21	0,371955395	0,423471958	0,089	0,049	1	1,341151259	0,745628051	1,816326531
RBM39	0,818128078	0,423298081	0,215	0,22	1	1,34098963	0,745717922	0,977272727

Supplementary Table 3

Differentially expressed genes_keloid-MD_comparing SC-Keloid vs. (SC-Myel+Nonmyel)								
gene	p_val	avg_log2FC	pct.1	pct.2	p_val_adj	Foldchange_UP	Foldchange_DOWN	Ratio_pct1_pct2
FAM111A	0,212935447	0,423269394	0,037	0	1	1,340962966	0,74573275	#DIV/0!
IMMP1L	0,570059001	0,423250317	0,041	0,024	1	1,340945234	0,745742611	1,708333333
WDR61	0,394914891	0,422191073	0,086	0,049	1	1,339961057	0,746290345	1,755102041
IPO5	0,49668532	0,422136374	0,046	0,024	1	1,339910255	0,746318641	1,916666667
SNRPE	0,23704819	0,421834577	0,223	0,146	1	1,339629988	0,746474779	1,52739726
RAD23A	0,428400391	0,421668186	0,051	0,024	1	1,339475493	0,746560878	2,125
QSER1	0,193382275	0,421100898	0,04	0	1	1,338948896	0,746854494	#DIV/0!
PTRH2	0,272474323	0,421045521	0,029	0	1	1,338897502	0,746883162	#DIV/0!
DCAF16	0,259157069	0,42040865	0,03	0	1	1,338306583	0,747212943	#DIV/0!
S100A7	0,286616306	0,420337162	0,027	0	1	1,338240269	0,747249969	#DIV/0!
CKS1B	0,434914659	0,419919087	0,051	0,024	1	1,33785252	0,747466545	2,125
CS	0,498160694	0,419804249	0,046	0,024	1	1,337746032	0,747526045	1,916666667
MCUR1	0,442367817	0,419436612	0,081	0,049	1	1,337405181	0,747716559	1,653061224
RAB3GAP1	0,522977659	0,41942192	0,045	0,024	1	1,337391562	0,747724173	1,875
PRPF4B	0,621955982	0,419363047	0,144	0,122	1	1,337336987	0,747754687	1,180327869
CERS5	0,223537229	0,418988159	0,035	0	1	1,336989522	0,747949018	#DIV/0!
PEPD	0,657231016	0,418894937	0,064	0,049	1	1,336903133	0,747997349	1,306122449
LRPPRC	0,184359294	0,418453167	0,041	0	1	1,33649382	0,74822643	#DIV/0!
TTC19	0,32253574	0,418337122	0,062	0,024	1	1,336386322	0,748286617	2,583333333
HMCN1	0,297253656	0,417469519	0,065	0,024	1	1,335582893	0,748736754	2,708333333
ATP2A2	0,718426852	0,417327431	0,061	0,049	1	1,33545136	0,748810499	1,244897959
SLC3A2	0,601504176	0,417299169	0,096	0,073	1	1,335425199	0,748825169	1,315068493
TTI2	0,259157069	0,417234624	0,03	0	1	1,335365455	0,748858671	#DIV/0!
FAAP20	0,428092404	0,417173381	0,137	0,098	1	1,335308769	0,748890461	1,397959184
EIF2AK3	0,246599267	0,416647748	0,032	0	1	1,33482235	0,749163363	#DIV/0!
TOGARAM1	0,23474314	0,416056547	0,033	0	1	1,334275466	0,749470424	#DIV/0!
PAQR3	0,246599267	0,415755132	0,032	0	1	1,333996731	0,749627024	#DIV/0!
CCNC	0,212935447	0,415668228	0,037	0	1	1,333916378	0,749672181	#DIV/0!
PPP2CB	0,820375507	0,415375212	0,148	0,146	1	1,333645483	0,749824457	1,01369863
RBM15B	0,246599267	0,415317319	0,032	0	1	1,333591967	0,749854547	#DIV/0!

Supplementary Table 3

Differentially expressed genes_keloid-MD_comparing SC-Keloid vs. (SC-Myel+Nonmyel)								
gene	p_val	avg_log2FC	pct.1	pct.2	p_val_adj	Foldchange_UP	Foldchange_DOWN	Ratio_pct1_pct2
GPS2	0,259157012	0,414849954	0,03	0	1	1,333160016	0,750097503	#DIV/0!
TMEM267	0,246599267	0,414819908	0,032	0	1	1,333132252	0,750113126	#DIV/0!
TRIM38	0,259157069	0,414586329	0,03	0	1	1,332916429	0,750234582	#DIV/0!
NSMCE3	0,23474314	0,414229535	0,033	0	1	1,332586825	0,750420146	#DIV/0!
CALML5	0,301657223	0,414210421	0,026	0	1	1,33256917	0,750430088	#DIV/0!
TMEM50A	0,612331734	0,413856005	0,239	0,22	1	1,332241848	0,750614464	1,086363636
CUX1	0,622679374	0,413723697	0,118	0,098	1	1,332119675	0,750683305	1,204081633
FAM174A	0,223537181	0,413706268	0,035	0	1	1,332103581	0,750692374	#DIV/0!
GABPA	0,212935447	0,413667645	0,037	0	1	1,33206792	0,750712471	#DIV/0!
TIMM44	0,246599267	0,413448109	0,032	0	1	1,331865233	0,750826716	#DIV/0!
ARL14EP	0,600624894	0,412421378	0,04	0,024	1	1,330917715	0,751361252	1,666666667
RASL11B	0,23474314	0,411778318	0,033	0	1	1,33032461	0,751696234	#DIV/0!
PSMF1	0,23474314	0,41142541	0,033	0	1	1,329999229	0,751880135	#DIV/0!
PTPN9	0,246599212	0,411172287	0,032	0	1	1,3297659	0,752012065	#DIV/0!
RCN1	0,432162653	0,410495561	0,083	0,049	1	1,329142292	0,752364894	1,693877551
NAE1	0,414566088	0,41045131	0,053	0,024	1	1,329101524	0,752387972	2,208333333
UQCRCQ	0,546158054	0,409559554	0,386	0,39	1	1,328280236	0,75285318	0,98974359
GTF3C6	0,225893748	0,409404246	0,142	0,073	1	1,328137253	0,75293423	1,945205479
ALG14	0,679140502	0,409324259	0,062	0,049	1	1,328063619	0,752975976	1,265306122
NSMCE4A	0,259157069	0,409043983	0,03	0	1	1,327805638	0,753122273	#DIV/0!
PRNP	0,189954979	0,40852769	0,447	0,366	1	1,327330545	0,753391839	1,221311475
IST1	0,516839263	0,408137446	0,045	0,024	1	1,326971555	0,753595656	1,875
GALNT7	0,259157069	0,408072667	0,03	0	1	1,326911974	0,753629495	#DIV/0!
CCNY	0,246599267	0,407766768	0,032	0	1	1,326630655	0,753789306	#DIV/0!
PFDN6	0,189579745	0,407375943	0,083	0,024	1	1,32627132	0,753993534	3,458333333
UBE2A	0,185638573	0,406639703	0,085	0,024	1	1,325594666	0,754378412	3,541666667
VDAC1	0,123576256	0,406571807	0,247	0,146	1	1,325532283	0,754413916	1,691780822
GPBP1	0,62479868	0,406416966	0,118	0,098	1	1,325390024	0,75449489	1,204081633
F2R	0,643055639	0,406406563	0,065	0,049	1	1,325380467	0,75450033	1,326530612
ARL6IP5	0,645921332	0,406212041	0,187	0,171	1	1,325201775	0,754602068	1,093567251

Supplementary Table 3

Differentially expressed genes_keloid-MD_ comparing SC-Keloid vs. (SC-Myel+Nonmyel)								
gene	p_val	avg_log2FC	pct.1	pct.2	p_val_adj	Foldchange_UP	Foldchange_DOWN	Ratio_pct1_pct2
PPP2R5C	0,331914941	0,406137912	0,061	0,024	1	1,325133684	0,754640842	2,541666667
RPS27L	0,261191955	0,406033787	0,453	0,366	1	1,325038048	0,75469531	1,237704918
TRAPPC12	0,286616306	0,405755688	0,027	0	1	1,324782654	0,754840801	#DIV/0!
MAGOH	0,661509547	0,405528686	0,139	0,122	1	1,324574221	0,754959582	1,139344262
FUS	0,361378138	0,405486893	0,252	0,195	1	1,324535851	0,754981452	1,292307692
COL9A2	0,301657292	0,40531193	0,026	0	1	1,324375227	0,755073018	#DIV/0!
CARD19	0,539841164	0,405228428	0,1	0,073	1	1,324298576	0,755116722	1,369863014
NTAN1	0,897908053	0,405129058	0,051	0,049	1	1,324207363	0,755168735	1,040816327
RPL39	0,015266087	0,404964578	0,88	0,805	1	1,3240564	0,755254836	1,093167702
ARPC2	0,444337977	0,404340382	0,348	0,317	1	1,323483659	0,755581675	1,097791798
ZNF721	0,212935447	0,404090083	0,037	0	1	1,323254062	0,755712776	#DIV/0!
PFN1	0,363854528	0,404020374	0,293	0,244	1	1,323190126	0,755749291	1,200819672
RPLP0	0,179902999	0,403550703	0,589	0,512	1	1,32275943	0,755995366	1,150390625
RPS15A	0,147123179	0,403520178	0,764	0,805	1	1,322731443	0,756011362	0,949068323
ACYP1	0,246599267	0,403070529	0,032	0	1	1,322319248	0,756247027	#DIV/0!
BAZ2B	0,80362691	0,402991352	0,056	0,049	1	1,32224668	0,756288532	1,142857143
EFCAB2	0,259157069	0,402906386	0,03	0	1	1,322168809	0,756333074	#DIV/0!
LARGE1	0,246599267	0,402726083	0,032	0	1	1,322003579	0,756427604	#DIV/0!
MUS81	0,731498497	0,402660331	0,033	0,024	1	1,32194333	0,756462079	1,375
HIVEP2	0,480289805	0,402457805	0,048	0,024	1	1,321757767	0,75656828	2
MTRF1L	0,223537229	0,402209865	0,035	0	1	1,321530631	0,756698314	#DIV/0!
ACTG1	0,209901656	0,401478879	0,727	0,659	1	1,320861207	0,757081815	1,103186646
NUDT22	0,519903805	0,401070601	0,045	0,024	1	1,32048746	0,757296097	1,875
RP9	0,396424782	0,400845934	0,054	0,024	1	1,32028184	0,757414038	2,25
KCMF1	0,432302168	0,400542455	0,051	0,024	1	1,320004141	0,757573381	2,125
TRIP6	0,454963013	0,400452619	0,049	0,024	1	1,319921947	0,757620557	2,041666667
RPAP2	0,549137741	0,400141556	0,043	0,024	1	1,319637386	0,757783927	1,791666667
COPB2	0,492934246	0,400059402	0,077	0,049	1	1,319562242	0,75782708	1,571428571
SYNJ2BP	0,286616306	0,400046523	0,027	0	1	1,319550462	0,757833845	#DIV/0!
CNST	0,3347904	0,399705307	0,022	0	1	1,319238408	0,758013104	#DIV/0!

Supplementary Table 3

Differentially expressed genes_keloid-MD_ comparing SC-Keloid vs. (SC-Myel+Nonmyel)								
gene	p_val	avg_log2FC	pct.1	pct.2	p_val_adj	Foldchange_UP	Foldchange_DOWN	Ratio_pct1_pct2
RUFY3	0,246599267	0,399604952	0,032	0	1	1,319146644	0,758065833	#DIV/0!
LIX1L	0,524518128	0,399431784	0,045	0,024	1	1,318988316	0,75815683	1,875
KPNA2	0,246599267	0,399330033	0,032	0	1	1,318895292	0,758210304	#DIV/0!
NAV1	0,425974449	0,398998254	0,083	0,049	1	1,318592019	0,758384691	1,693877551
RAB1A	0,935074472	0,398897243	0,088	0,098	1	1,3184997	0,758437791	0,897959184
RNF13	0,274061149	0,39863733	0,069	0,024	1	1,318262183	0,758574442	2,875
TDP2	0,259157069	0,398382862	0,03	0	1	1,318029684	0,758708254	#DIV/0!
INIP	0,697473218	0,398381354	0,035	0,024	1	1,318028306	0,758709047	1,458333333
PABPC4	0,259157069	0,398247873	0,03	0	1	1,317906365	0,758779247	#DIV/0!
RAI14	0,23474314	0,39804579	0,033	0	1	1,317721775	0,75888554	#DIV/0!
SEC61B	0,141637519	0,397985235	0,571	0,537	1	1,317666466	0,758917393	1,063314711
EIF3J	0,739670556	0,397856678	0,156	0,146	1	1,317549055	0,758985023	1,068493151
DKC1	0,246599267	0,397772944	0,032	0	1	1,317472587	0,759029076	#DIV/0!
EIF3B	0,370475519	0,397661511	0,057	0,024	1	1,31737083	0,759087705	2,375
PLOD3	0,488498993	0,39762366	0,105	0,073	1	1,317336268	0,759107621	1,438356164
PDLIM5	0,570059001	0,397404628	0,041	0,024	1	1,317136283	0,759222878	1,708333333
METTL16	0,272474323	0,397353367	0,029	0	1	1,317089484	0,759249855	#DIV/0!
ACTR6	0,155720477	0,397333766	0,091	0,024	1	1,31707159	0,759260171	3,791666667
C3orf70	0,84743619	0,39725906	0,078	0,073	1	1,317003391	0,759299488	1,068493151
SND1	0,398838727	0,397108025	0,054	0,024	1	1,316865521	0,759378983	2,25
RAD17	0,301657223	0,397087067	0,026	0	1	1,316846392	0,759390014	#DIV/0!
CENPW	0,167664901	0,396826119	0,045	0	1	1,316608228	0,759527381	#DIV/0!
HTATSF1	0,350130209	0,396735105	0,059	0,024	1	1,316525171	0,759575298	2,458333333
C2orf76	0,246599212	0,396683358	0,032	0	1	1,31647795	0,759602544	#DIV/0!
GGH	0,401261501	0,396620868	0,054	0,024	1	1,316420928	0,759635447	2,25
RPS6KB1	0,259157069	0,396556453	0,03	0	1	1,316362153	0,759669364	#DIV/0!
CD2AP	0,193382275	0,395961156	0,04	0	1	1,315819096	0,75998289	#DIV/0!
SLC22A18	0,246599267	0,395680574	0,032	0	1	1,315563215	0,76013071	#DIV/0!
VEZT	0,49668532	0,395603813	0,046	0,024	1	1,31549322	0,760171155	1,916666667
OXLD1	0,598891708	0,395591243	0,04	0,024	1	1,315481759	0,760177778	1,666666667

Supplementary Table 3

Differentially expressed genes_keloid-MD_comparing SC-Keloid vs. (SC-Myel+Nonmyel)								
gene	p_val	avg_log2FC	pct.1	pct.2	p_val_adj	Foldchange_UP	Foldchange_DOWN	Ratio_pct1_pct2
ERGIC3	0,72683957	0,3950321	0,085	0,073	1	1,314972018	0,760472456	1,164383562
ANKFY1	0,23474314	0,394969627	0,033	0	1	1,314915077	0,760505387	#DIV/0!
NEU1	0,259157069	0,394766838	0,03	0	1	1,314730262	0,760612294	#DIV/0!
ADAMTS2	0,20998483	0,394682	0,08	0,024	1	1,314652952	0,760657023	3,333333333
PTTG1	0,193382233	0,394390433	0,04	0	1	1,314387289	0,760810766	#DIV/0!
RBM12	0,23474314	0,394081424	0,033	0	1	1,314105792	0,760973741	#DIV/0!
LRIF1	0,246599212	0,39404372	0,032	0	1	1,314071449	0,760993629	#DIV/0!
IDS	0,459363725	0,393868872	0,08	0,049	1	1,313912199	0,761085863	1,632653061
THUMPD2	0,223537229	0,393794533	0,035	0	1	1,313844497	0,761125081	#DIV/0!
PNN	0,321969445	0,393702715	0,155	0,098	1	1,313760882	0,761173524	1,581632653
EP400	0,272474323	0,393451595	0,029	0	1	1,313532226	0,761306027	#DIV/0!
UBE2W	0,286616306	0,393385668	0,027	0	1	1,313472202	0,761340817	#DIV/0!
WBP11	0,718426852	0,393366241	0,061	0,049	1	1,313454516	0,761351069	1,244897959
MRPL15	0,471779573	0,393069699	0,048	0,024	1	1,313184566	0,761507579	2
TAF2	0,272474323	0,392549428	0,029	0	1	1,312711085	0,761782247	#DIV/0!
CCDC167	0,359295665	0,39248089	0,12	0,073	1	1,312648723	0,761818438	1,643835616
NHLRC3	0,286616306	0,392380045	0,027	0	1	1,312556972	0,761871691	#DIV/0!
HSPA6	0,301657292	0,392314333	0,026	0	1	1,312497189	0,761906394	#DIV/0!
TPST2	0,248899845	0,392213686	0,073	0,024	1	1,312405628	0,761959548	3,041666667
EEF1AKMT1	0,259157069	0,392155676	0,03	0	1	1,312352858	0,761990187	#DIV/0!
UCK2	0,212935447	0,391874039	0,037	0	1	1,312096691	0,762138954	#DIV/0!
ATOX1	0,123156586	0,391716096	0,51	0,366	1	1,311953053	0,762222396	1,393442623
CIB1	0,469845083	0,391519476	0,136	0,098	1	1,311774264	0,762326284	1,387755102
RAB5A	0,576979871	0,391505508	0,097	0,073	1	1,311761564	0,762333664	1,328767123
ITPR3	0,423402649	0,391459182	0,053	0,024	1	1,311719443	0,762358144	2,208333333
PTPA	0,246599267	0,390291408	0,032	0	1	1,310658115	0,762975477	#DIV/0!
E2F4	0,246599267	0,390215983	0,032	0	1	1,310589595	0,763015366	#DIV/0!
VCPIP1	0,301657292	0,389945008	0,026	0	1	1,310343456	0,763158694	#DIV/0!
MFSD14C	0,259157012	0,389259886	0,03	0	1	1,309721334	0,763521196	#DIV/0!
CAPN1	0,23474314	0,389254391	0,033	0	1	1,309716345	0,763524105	#DIV/0!

Supplementary Table 3

Differentially expressed genes_keloid-MD_comparing SC-Keloid vs. (SC-Myel+Nonmyel)								
gene	p_val	avg_log2FC	pct.1	pct.2	p_val_adj	Foldchange_UP	Foldchange_DOWN	Ratio_pct1_pct2
KIAA2013	0,521439549	0,388773779	0,045	0,024	1	1,309280106	0,763778504	1,875
RPL36	0,055331486	0,388335067	0,738	0,61	1	1,308882025	0,764010797	1,209836066
TMEM41B	0,571722516	0,388313689	0,041	0,024	1	1,30886263	0,764022119	1,708333333
CEP68	0,259157069	0,388234306	0,03	0	1	1,308790613	0,76406416	#DIV/0!
DCTN1	0,955539094	0,38810681	0,067	0,073	1	1,308674955	0,764131686	0,917808219
TCEAL3	0,396849075	0,387988474	0,086	0,049	1	1,308567617	0,764194366	1,755102041
RBM6	0,573898963	0,387849498	0,07	0,049	1	1,308441567	0,764267985	1,428571429
FAHD1	0,23474314	0,387737132	0,033	0	1	1,308339662	0,764327513	#DIV/0!
FBLIM1	0,223537229	0,387707563	0,035	0	1	1,308312847	0,764343178	#DIV/0!
NDUFB10	0,481481816	0,387656683	0,322	0,293	1	1,308266707	0,764370135	1,098976109
WDR1	0,591646932	0,38755927	0,147	0,122	1	1,308178374	0,764421748	1,204918033
PIGS	0,202896302	0,387366785	0,038	0	1	1,308003848	0,764523745	#DIV/0!
CDK2AP1	0,259157069	0,387075633	0,03	0	1	1,307739905	0,76467805	#DIV/0!
DPP8	0,272474323	0,386925185	0,029	0	1	1,307603537	0,764757797	#DIV/0!
ACTR8	0,31768239	0,386765001	0,024	0	1	1,307458361	0,764842713	#DIV/0!
EXOC7	0,246599267	0,386654278	0,032	0	1	1,307358021	0,764901415	#DIV/0!
ITFG1	0,23474314	0,386559416	0,033	0	1	1,307272061	0,764951711	#DIV/0!
MDFIC	0,286616306	0,386488814	0,027	0	1	1,307208088	0,764989147	#DIV/0!
CHKA	0,272474323	0,386231382	0,029	0	1	1,306974852	0,765125663	#DIV/0!
GARRE1	0,286616306	0,386167631	0,027	0	1	1,306917099	0,765159474	#DIV/0!
ANKRD12	0,870164084	0,386046913	0,1	0,098	1	1,306807748	0,765223501	1,020408163
KLF6	0,743819773	0,385799192	0,246	0,244	1	1,306583379	0,765354907	1,008196721
AP1S1	0,946449349	0,385298777	0,072	0,073	1	1,306130254	0,765620425	0,98630137
RBM25	0,457363441	0,385080427	0,137	0,098	1	1,305932588	0,765736309	1,397959184
CALU	0,2279966	0,384904585	0,47	0,39	1	1,305773425	0,765829646	1,205128205
PCDH1	0,246599267	0,384884775	0,032	0	1	1,305755495	0,765840162	#DIV/0!
SLC25A24	0,32752869	0,384729665	0,062	0,024	1	1,305615115	0,765922505	2,583333333
SCAND1	0,356164178	0,384641303	0,211	0,146	1	1,305535152	0,765969418	1,445205479
ACTA2	0,530703027	0,384562948	0,045	0,024	1	1,305464248	0,76601102	1,875
MSMO1	0,436224413	0,384412347	0,051	0,024	1	1,305327979	0,766090987	2,125

Supplementary Table 3

Differentially expressed genes_keloid-MD_ comparing SC-Keloid vs. (SC-Myel+Nonmyel)								
gene	p_val	avg_log2FC	pct.1	pct.2	p_val_adj	Foldchange_UP	Foldchange_DOWN	Ratio_pct1_pct2
NUDT21	0,272474323	0,384307364	0,029	0	1	1,305232996	0,766146736	#DIV/0!
FNBP1	0,286616306	0,384269675	0,027	0	1	1,305198898	0,766166752	#DIV/0!
PLEKHO1	0,393654427	0,384000639	0,116	0,073	1	1,304955526	0,766309641	1,589041096
COL5A1	0,127942835	0,383984861	0,298	0,171	1	1,304941254	0,766318021	1,742690058
TXNL4A	0,151978339	0,383928064	0,257	0,146	1	1,304889881	0,766348191	1,760273973
UTRN	0,595119379	0,383452769	0,198	0,171	1	1,304460057	0,766600706	1,157894737
CCDC12	0,919532957	0,383398927	0,065	0,073	1	1,304411375	0,766629316	0,890410959
ST6GAL1	0,981962686	0,38314617	0,07	0,073	1	1,304182865	0,766763639	0,95890411
ABRACL	0,333937764	0,383136098	0,094	0,049	1	1,30417376	0,766768992	1,918367347
VPS36	0,274914326	0,383036805	0,069	0,024	1	1,304084004	0,766821767	2,875
CYB561D2	0,246599267	0,382888517	0,032	0	1	1,30394997	0,766900589	#DIV/0!
CBWD1	0,286616306	0,382827237	0,027	0	1	1,303894584	0,766933165	#DIV/0!
EPHA3	0,286616306	0,382256236	0,027	0	1	1,303378621	0,767236767	#DIV/0!
GEMIN6	0,246599267	0,382127843	0,032	0	1	1,303262631	0,767305051	#DIV/0!
DIS3	0,272474262	0,381373548	0,029	0	1	1,302581415	0,767706332	#DIV/0!
C18orf32	0,202896302	0,381182975	0,038	0	1	1,302409362	0,767807749	#DIV/0!
DNAAF4	0,272474323	0,381132357	0,029	0	1	1,302363667	0,767834688	#DIV/0!
FAM228B	0,259157012	0,381107038	0,03	0	1	1,302340811	0,767848164	#DIV/0!
DAAM1	0,138585163	0,380849226	0,096	0,024	1	1,302108101	0,767985392	4
CDC42BPA	0,339135672	0,380099498	0,061	0,024	1	1,301431608	0,768384596	2,541666667
FBXO7	0,2981748	0,379888953	0,065	0,024	1	1,301241693	0,768496741	2,708333333
EFTUD2	0,272474323	0,379656913	0,029	0	1	1,30103242	0,768620354	#DIV/0!
EIF2A	0,419602142	0,379629378	0,053	0,024	1	1,30100759	0,768635024	2,208333333
PCDHGA10	0,23474314	0,379522196	0,033	0	1	1,300910937	0,76869213	#DIV/0!
IPO9	0,223537181	0,379257943	0,035	0	1	1,300672676	0,768832942	#DIV/0!
MTF2	0,259157069	0,379244865	0,03	0	1	1,300660886	0,768839911	#DIV/0!
PHYH	0,259157012	0,378779331	0,03	0	1	1,300241251	0,769088044	#DIV/0!
TMTC2	0,286616306	0,378565656	0,027	0	1	1,30004869	0,76920196	#DIV/0!
EIF2AK4	0,611436271	0,378441443	0,067	0,049	1	1,299936763	0,76926819	1,367346939
ZXDC	0,301657292	0,378438926	0,026	0	1	1,299934495	0,769269532	#DIV/0!

Supplementary Table 3

Differentially expressed genes_keloid-MD_comparing SC-Keloid vs. (SC-Myel+Nonmyel)								
gene	p_val	avg_log2FC	pct.1	pct.2	p_val_adj	Foldchange_UP	Foldchange_DOWN	Ratio_pct1_pct2
PPME1	0,246599267	0,378324181	0,032	0	1	1,299831108	0,769330718	#DIV/0!
BTF3	0,491945751	0,378313652	0,327	0,293	1	1,299821622	0,769336333	1,116040956
RANBP1	0,498337942	0,378095916	0,182	0,146	1	1,299625464	0,769452452	1,246575342
MAPKAPK5	0,246599267	0,377997953	0,032	0	1	1,299537218	0,769504702	#DIV/0!
ELF2	0,781162874	0,377996742	0,057	0,049	1	1,299536128	0,769505348	1,163265306
CBWD5	0,301657292	0,377918367	0,026	0	1	1,299465532	0,769547153	#DIV/0!
PHF6	0,454963013	0,377858988	0,049	0,024	1	1,299412049	0,769578826	2,041666667
PSPC1	0,259157069	0,377635261	0,03	0	1	1,299210557	0,769698179	#DIV/0!
SIKE1	0,259157069	0,37753457	0,03	0	1	1,299119883	0,769751901	#DIV/0!
ZBTB43	0,286616306	0,37724728	0,027	0	1	1,29886121	0,7699052	#DIV/0!
MLH3	0,286616306	0,377093341	0,027	0	1	1,298722626	0,769987355	#DIV/0!
RILPL2	0,272474323	0,376827177	0,029	0	1	1,298483046	0,770129424	#DIV/0!
COMMD5	0,286616306	0,376669308	0,027	0	1	1,298340966	0,770213701	#DIV/0!
XRN1	0,526060884	0,376596012	0,045	0,024	1	1,298275005	0,770252832	1,875
RBFOX2	0,501118424	0,376184242	0,046	0,024	1	1,297904507	0,770472708	1,916666667
JMJD8	0,246599267	0,375751117	0,032	0	1	1,29751491	0,770704053	#DIV/0!
PARVB	0,436224413	0,375540019	0,051	0,024	1	1,297325069	0,770816832	2,125
UNK	0,23474314	0,375114577	0,033	0	1	1,296942552	0,771044175	#DIV/0!
PHKG1	0,570059001	0,375089454	0,041	0,024	1	1,296919967	0,771057602	1,708333333
TM9SF3	0,286591694	0,374824598	0,209	0,146	1	1,296681895	0,771199169	1,431506849
SCN9A	0,854483812	0,374512463	0,078	0,073	1	1,296401381	0,77136604	1,068493151
MIEN1	0,622378279	0,374329205	0,067	0,049	1	1,296236717	0,771464029	1,367346939
TMEM230	0,607750154	0,373994292	0,121	0,098	1	1,295935838	0,771643141	1,234693878
CACNA1D	0,571722483	0,373777872	0,041	0,024	1	1,295741448	0,771758904	1,708333333
ZBTB14	0,286616306	0,373742881	0,027	0	1	1,295710022	0,771777622	#DIV/0!
AKT3	0,848844758	0,373628459	0,078	0,073	1	1,295607262	0,771838836	1,068493151
NIPSNAP2	0,937940638	0,373317835	0,049	0,049	1	1,295328336	0,772005037	1
DCAF10	0,286616241	0,372935173	0,027	0	1	1,294984808	0,772209831	#DIV/0!
NFX1	0,301657292	0,37281672	0,026	0	1	1,294878487	0,772273237	#DIV/0!
GON7	0,259157069	0,372492781	0,03	0	1	1,294587771	0,77244666	#DIV/0!

Supplementary Table 3

Differentially expressed genes_keloid-MD_ comparing SC-Keloid vs. (SC-Myel+Nonmyel)								
gene	p_val	avg_log2FC	pct.1	pct.2	p_val_adj	Foldchange_UP	Foldchange_DOWN	Ratio_pct1_pct2
GAPVD1	0,49668532	0,372394898	0,046	0,024	1	1,294499939	0,772499071	1,916666667
TMEM131	0,259157069	0,371712254	0,03	0	1	1,293887563	0,772864682	#DIV/0!
FNIP2	0,3347904	0,371627737	0,022	0	1	1,293811766	0,77290996	#DIV/0!
SHMT2	0,246599267	0,371550154	0,032	0	1	1,293742191	0,772951525	#DIV/0!
ENSA	0,45921246	0,371233792	0,108	0,073	1	1,293458523	0,773121041	1,479452055
MORF4L2	0,254819288	0,370878053	0,139	0,073	1	1,293139622	0,7733117	1,904109589
KAT8	0,272474323	0,370854574	0,029	0	1	1,293118577	0,773324286	#DIV/0!
SRP19	0,481490838	0,370724743	0,078	0,049	1	1,293002212	0,773393882	1,591836735
UPF3B	0,259157069	0,370559457	0,03	0	1	1,292854084	0,773482493	#DIV/0!
DCBLD1	0,272474323	0,370142989	0,029	0	1	1,292480925	0,773705809	#DIV/0!
PIAS1	0,246599267	0,369997932	0,032	0	1	1,292350978	0,773783606	#DIV/0!
BSDC1	0,731498497	0,369940741	0,033	0,024	1	1,292299748	0,773814281	1,375
MRPL13	0,258521384	0,369710315	0,136	0,073	1	1,29209336	0,773937883	1,863013699
TMTC3	0,23474314	0,369587663	0,033	0	1	1,291983516	0,774003683	#DIV/0!
NSFL1C	0,317682464	0,369540299	0,024	0	1	1,2919411	0,774029094	#DIV/0!
SMARCD1	0,888695482	0,369334209	0,128	0,146	1	1,291756559	0,774139673	0,876712329
AP2A1	0,259157069	0,368919618	0,03	0	1	1,291385397	0,774362171	#DIV/0!
ABT1	0,286616306	0,368838161	0,027	0	1	1,291312485	0,774405894	#DIV/0!
FBXO11	0,604098048	0,368633034	0,04	0,024	1	1,291128895	0,77451601	1,666666667
KATNAL1	0,665867195	0,368519343	0,064	0,049	1	1,291027152	0,774577048	1,306122449
ETNK1	0,63295049	0,368441541	0,038	0,024	1	1,290957532	0,77461882	1,583333333
PIGT	0,504688253	0,368237371	0,075	0,049	1	1,290774848	0,774728452	1,530612245
ZNF407-AS1	0,769589184	0,368077004	0,032	0,024	1	1,290631377	0,774814574	1,333333333
REPIN1	0,317682464	0,368043675	0,024	0	1	1,290601561	0,774832474	#DIV/0!
DHX40	0,301657292	0,367760891	0,026	0	1	1,290348613	0,774984364	#DIV/0!
SYCP2	0,3347904	0,367455967	0,022	0	1	1,290075918	0,77514818	#DIV/0!
GCFC2	0,259157069	0,367385	0,03	0	1	1,29001246	0,775186311	#DIV/0!
RBFA	0,4774438	0,367132123	0,048	0,024	1	1,289786365	0,775322198	2
RECQL	0,631537249	0,366896117	0,094	0,073	1	1,28957539	0,775449041	1,287671233
KLF2	0,509421129	0,366783102	0,075	0,049	1	1,289474373	0,77550979	1,530612245

Supplementary Table 3

Differentially expressed genes_keloid-MD_comparing SC-Keloid vs. (SC-Myel+Nonmyel)								
gene	p_val	avg_log2FC	pct.1	pct.2	p_val_adj	Foldchange_UP	Foldchange_DOWN	Ratio_pct1_pct2
RAN	0,532987468	0,366436226	0,23	0,195	1	1,289164375	0,775696272	1,179487179
LIMD2	0,852721591	0,366291171	0,029	0,024	1	1,289034763	0,775774268	1,208333333
CDKN2B	0,3347904	0,365966931	0,022	0	1	1,28874509	0,77594864	#DIV/0!
FXR1	0,463783215	0,365923239	0,136	0,098	1	1,288706061	0,77597214	1,387755102
FKBP5	0,301657292	0,365842961	0,026	0	1	1,288634354	0,77601532	#DIV/0!
ERLEC1	0,673581738	0,365813116	0,14	0,122	1	1,288607696	0,776031374	1,147540984
ALKBH5	0,527605956	0,365744141	0,045	0,024	1	1,288546089	0,776068476	1,875
STARD4-AS1	0,286616306	0,365743225	0,027	0	1	1,288545271	0,776068969	#DIV/0!
EVA1A	0,259157069	0,36574115	0,03	0	1	1,288543418	0,776070085	#DIV/0!
THBS1	0,394700919	0,365729964	0,118	0,073	1	1,288533427	0,776076103	1,616438356
CUL4B	0,600624894	0,365680648	0,04	0,024	1	1,288489382	0,776102631	1,666666667
ZBTB8OS	0,393452236	0,365663447	0,088	0,049	1	1,288474019	0,776111885	1,795918367
BRMS1	0,223537181	0,365565018	0,035	0	1	1,288386115	0,776164838	#DIV/0!
RHOA	0,566497511	0,365226776	0,472	0,512	1	1,288084086	0,776346832	0,921875
CPNE8	0,272474323	0,365105231	0,029	0	1	1,287975572	0,776412241	#DIV/0!
CCDC92	0,317682464	0,364887514	0,024	0	1	1,287781218	0,776529418	#DIV/0!
TRIM24	0,742228981	0,364630732	0,059	0,049	1	1,287552029	0,776667643	1,204081633
SELENOK	0,400597092	0,364612282	0,273	0,22	1	1,287535564	0,776677576	1,240909091
CLIP1	0,255138083	0,364356296	0,072	0,024	1	1,287307129	0,776815398	3
RMDN1	0,413157832	0,364256219	0,085	0,049	1	1,287217833	0,776869287	1,734693878
SAMD1	0,23474314	0,364104831	0,033	0	1	1,287082768	0,776950811	#DIV/0!
GMPS	0,246599267	0,363770817	0,032	0	1	1,286784816	0,777130712	#DIV/0!
RPL35	0,099296261	0,363691754	0,659	0,585	1	1,286714299	0,777173302	1,126495726
TMEM60	0,23474314	0,363489058	0,033	0	1	1,286533531	0,777282501	#DIV/0!
C17orf75	0,286616241	0,363403447	0,027	0	1	1,286457189	0,777328627	#DIV/0!
RASSF3	0,286616306	0,362821394	0,027	0	1	1,285938274	0,777642302	#DIV/0!
PTP4A1	0,61978277	0,362571671	0,094	0,073	1	1,285715704	0,77777692	1,287671233
LARP4B	0,23474314	0,362111698	0,033	0	1	1,285305846	0,778024937	#DIV/0!
VASH1	0,272474323	0,361721707	0,029	0	1	1,284958448	0,778235282	#DIV/0!
TTC1	0,582578207	0,361671497	0,097	0,073	1	1,284913728	0,778262367	1,328767123

Supplementary Table 3

Differentially expressed genes_keloid-MD_ comparing SC-Keloid vs. (SC-Myel+Nonmyel)								
gene	p_val	avg_log2FC	pct.1	pct.2	p_val_adj	Foldchange_UP	Foldchange_DOWN	Ratio_pct1_pct2
THADA	0,301657292	0,361626204	0,026	0	1	1,284873389	0,778286801	#DIV/0!
RNF168	0,852721591	0,361596308	0,029	0,024	1	1,284846764	0,778302929	1,208333333
DDX5	0,213064266	0,361494629	0,611	0,561	1	1,284756213	0,778357785	1,08912656
ELOB	0,08866707	0,361349548	0,577	0,488	1	1,284627021	0,778436062	1,182377049
ATP8B2	0,632950459	0,361253256	0,038	0,024	1	1,284541282	0,77848802	1,583333333
UGGT1	0,272474323	0,361239427	0,029	0	1	1,28452897	0,778495483	#DIV/0!
NUP188	0,272474323	0,360828868	0,029	0	1	1,284163473	0,778717057	#DIV/0!
GNG5	0,329087807	0,360568592	0,47	0,39	1	1,283931818	0,778857557	1,205128205
DDR1	0,785959491	0,360468638	0,057	0,049	1	1,283842867	0,778911521	1,163265306
PNPLA2	0,272474323	0,36028955	0,029	0	1	1,283683508	0,779008217	#DIV/0!
CXorf38	0,23474314	0,36010958	0,033	0	1	1,283523384	0,7791054	#DIV/0!
UVSSA	0,272474323	0,359846811	0,029	0	1	1,283289627	0,779247318	#DIV/0!
JAK1	0,760435046	0,359709833	0,083	0,073	1	1,28316779	0,779321307	1,136986301
SNTB2	0,286616306	0,359687703	0,027	0	1	1,283148108	0,779333262	#DIV/0!
C4orf3	0,669140508	0,359643579	0,255	0,244	1	1,283108863	0,779357098	1,045081967
RNF19A	0,346027682	0,359595765	0,093	0,049	1	1,28306634	0,779382928	1,897959184
SPRED1	0,719946175	0,359309145	0,061	0,049	1	1,282811458	0,779537783	1,244897959
GRIK2	0,286616306	0,359247103	0,027	0	1	1,282756293	0,779571307	#DIV/0!
PMPCA	0,272474323	0,359083726	0,029	0	1	1,282611036	0,779659594	#DIV/0!
TACC2	0,286616306	0,359044197	0,027	0	1	1,282575894	0,779680957	#DIV/0!
SDC4	0,234743088	0,358748313	0,033	0	1	1,282312876	0,779840879	#DIV/0!
TMEM14B	0,718039898	0,358624384	0,161	0,146	1	1,282202728	0,779907871	1,102739726
RIPK1	0,301657292	0,358206203	0,026	0	1	1,281831122	0,780133968	#DIV/0!
NPEPL1	0,286616306	0,357641085	0,027	0	1	1,281329114	0,780439614	#DIV/0!
HPS4	0,286616306	0,357232057	0,027	0	1	1,280965887	0,780660914	#DIV/0!
FRA10AC1	0,272474323	0,357143327	0,029	0	1	1,280887107	0,780708928	#DIV/0!
ST3GAL2	0,259157069	0,356996991	0,03	0	1	1,28075719	0,780788121	#DIV/0!
TP53BP1	0,246599267	0,356989731	0,032	0	1	1,280750745	0,78079205	#DIV/0!
PGD	0,259157069	0,356953372	0,03	0	1	1,280718468	0,780811728	#DIV/0!
LUC7L2	0,907713174	0,356849873	0,043	0,049	1	1,280626592	0,780867746	0,87755102

Supplementary Table 3

Differentially expressed genes_keloid-MD_ comparing SC-Keloid vs. (SC-Myel+Nonmyel)								
gene	p_val	avg_log2FC	pct.1	pct.2	p_val_adj	Foldchange_UP	Foldchange_DOWN	Ratio_pct1_pct2
ERGIC1	0,217891216	0,356824629	0,078	0,024	1	1,280604185	0,780881409	3,25
SNRPB	0,668522209	0,356787622	0,14	0,122	1	1,280571335	0,78090144	1,147540984
GPR107	0,301657292	0,356506	0,026	0	1	1,280321386	0,781053891	#DIV/0!
TNFAIP8	0,259157069	0,356449707	0,03	0	1	1,280271429	0,781084368	#DIV/0!
HSPBP1	0,272474262	0,356135051	0,029	0	1	1,279992229	0,781254743	#DIV/0!
AMPH	0,23474314	0,355576081	0,033	0	1	1,279496394	0,781557498	#DIV/0!
ARL16	0,384945473	0,355543957	0,056	0,024	1	1,279467904	0,781574901	2,333333333
DNAJC4	0,246599267	0,35531745	0,032	0	1	1,279267039	0,78169762	#DIV/0!
ETV5	0,301657292	0,355280537	0,026	0	1	1,279234308	0,781717621	#DIV/0!
CNDP2	0,259157069	0,354871825	0,03	0	1	1,278871956	0,781939111	#DIV/0!
CD82	0,265406236	0,354554164	0,104	0,049	1	1,278590397	0,782111302	2,12244898
PALS1	0,301657292	0,35446202	0,026	0	1	1,278508737	0,782161256	#DIV/0!
IDI1	0,446614406	0,354387053	0,081	0,049	1	1,278442304	0,782201901	1,653061224
C19orf53	0,421914588	0,354163026	0,271	0,22	1	1,278243798	0,782323374	1,231818182
LEF1	0,524518128	0,35415717	0,045	0,024	1	1,278238609	0,782326549	1,875
FBXL15	0,317682464	0,354120903	0,024	0	1	1,278206477	0,782346215	#DIV/0!
AMMECR1L	0,353096361	0,353758833	0,021	0	1	1,277885728	0,782542584	#DIV/0!
CCP110	0,286616306	0,353497693	0,027	0	1	1,277654441	0,782684244	#DIV/0!
EIF2B1	0,246599267	0,352228408	0,032	0	1	1,276530854	0,783373153	#DIV/0!
AHI1	0,441485813	0,35107408	0,051	0,024	1	1,275509886	0,784000196	2,125
FBXW7	0,527605956	0,350819694	0,045	0,024	1	1,275284999	0,784138448	1,875
MRPS6	0,55074314	0,350590604	0,043	0,024	1	1,275082508	0,784262974	1,791666667
ZC3H7A	0,573388302	0,350535628	0,041	0,024	1	1,27503392	0,78429286	1,708333333
MAFG	0,272474323	0,350206563	0,029	0	1	1,27474313	0,78447177	#DIV/0!
ULK2	0,246599267	0,350179948	0,032	0	1	1,274719614	0,784486242	#DIV/0!
MAT2B	0,272474323	0,34996369	0,029	0	1	1,274528549	0,784603845	#DIV/0!
PLA2G12A	0,259157069	0,349719526	0,03	0	1	1,274312864	0,784736644	#DIV/0!
PAF1	0,286616306	0,349622833	0,027	0	1	1,27422746	0,78478924	#DIV/0!
KCTD10	0,286616306	0,349399988	0,027	0	1	1,274030652	0,784910472	#DIV/0!
QTRT2	0,301657292	0,349359764	0,026	0	1	1,273995131	0,784932356	#DIV/0!

Supplementary Table 3

Differentially expressed genes_keloid-MD_comparing SC-Keloid vs. (SC-Myel+Nonmyel)								
gene	p_val	avg_log2FC	pct.1	pct.2	p_val_adj	Foldchange_UP	Foldchange_DOWN	Ratio_pct1_pct2
DDOST	0,191020481	0,349084024	0,12	0,049	1	1,273751657	0,785082394	2,448979592
NFKB1	0,578399554	0,348683961	0,041	0,024	1	1,273398492	0,785300129	1,708333333
SP100	0,46593639	0,348621692	0,08	0,049	1	1,273343531	0,785334024	1,632653061
RTN3	0,326526131	0,348479054	0,062	0,024	1	1,273217643	0,785411674	2,583333333
POLR3D	0,202896302	0,348293422	0,038	0	1	1,273053829	0,785512739	#DIV/0!
POLR3G	0,272474323	0,348117102	0,029	0	1	1,272898251	0,785608747	#DIV/0!
NSD2	0,246599267	0,348115963	0,032	0	1	1,272897246	0,785609367	#DIV/0!
PITPNA-AS1	0,665267831	0,348008869	0,037	0,024	1	1,27280276	0,785667687	1,541666667
RNF145	0,465935494	0,34790272	0,049	0,024	1	1,272709115	0,785725496	2,041666667
CERK	0,272474323	0,347872887	0,029	0	1	1,272682797	0,785741744	#DIV/0!
POGLUT1	0,259157012	0,347853562	0,03	0	1	1,27266575	0,785752269	#DIV/0!
CNTLN	0,272474323	0,347566333	0,029	0	1	1,272412397	0,785908722	#DIV/0!
UNC5B	0,259157069	0,347063525	0,03	0	1	1,271969013	0,786182674	#DIV/0!
MAP3K7	0,301657292	0,346929881	0,026	0	1	1,27185119	0,786255505	#DIV/0!
MELTF	0,549137741	0,3469058	0,043	0,024	1	1,271829961	0,786268629	1,791666667
NAB2	0,259157069	0,346613113	0,03	0	1	1,271571964	0,78642816	#DIV/0!
PCOLCE	0,609324585	0,346518654	0,04	0,024	1	1,271488712	0,786479652	1,666666667
SLC2A13	0,372736722	0,346490145	0,019	0	1	1,271463586	0,786495194	#DIV/0!
PARP8	0,85499711	0,346487154	0,029	0,024	1	1,27146095	0,786496825	1,208333333
CRNDE	0,301657292	0,346032894	0,026	0	1	1,27106067	0,786744507	#DIV/0!
CLCN3	0,581701562	0,345731149	0,07	0,049	1	1,27079485	0,786909075	1,428571429
ETHE1	0,286616241	0,345508439	0,027	0	1	1,270598692	0,78703056	#DIV/0!
PRDX6	0,97557216	0,345426735	0,239	0,268	1	1,270526737	0,787075133	0,891791045
BET1	0,272474323	0,345351499	0,029	0	1	1,270460481	0,78711618	#DIV/0!
IFT81	0,259157069	0,345252084	0,03	0	1	1,270372937	0,787170421	#DIV/0!
SURF6	0,272474323	0,345240431	0,029	0	1	1,270362676	0,787176779	#DIV/0!
ST3GAL6	0,317682464	0,345163786	0,024	0	1	1,270295188	0,787218601	#DIV/0!
RGS5	0,393875079	0,345134855	0,018	0	1	1,270269714	0,787234387	#DIV/0!
UBXN4	0,505256641	0,345097772	0,271	0,244	1	1,270237064	0,787254622	1,110655738
FARP1	0,223537229	0,34498233	0,035	0	1	1,270135426	0,78731762	#DIV/0!

Supplementary Table 3

Differentially expressed genes_keloid-MD_comparing SC-Keloid vs. (SC-Myel+Nonmyel)								
gene	p_val	avg_log2FC	pct.1	pct.2	p_val_adj	Foldchange_UP	Foldchange_DOWN	Ratio_pct1_pct2
P3H1	0,461803682	0,344692465	0,049	0,024	1	1,269880257	0,787475823	2,041666667
FBXO17	0,272474323	0,344512386	0,029	0	1	1,269721759	0,787574122	#DIV/0!
CCNB1IP1	0,259157069	0,344450333	0,03	0	1	1,269667147	0,787607998	#DIV/0!
DUSP3	0,259157069	0,344147704	0,03	0	1	1,269400842	0,787773229	#DIV/0!
BID	0,223537229	0,344101081	0,035	0	1	1,269359819	0,787798688	#DIV/0!
SRPX	0,604949328	0,344050584	0,096	0,073	1	1,26931539	0,787826263	1,315068493
RO60	0,734703567	0,343987092	0,158	0,146	1	1,26925953	0,787860935	1,082191781
MIX23	0,286616306	0,343889125	0,027	0	1	1,269173343	0,787914437	#DIV/0!
ISCA2	0,301657292	0,343739011	0,026	0	1	1,269041291	0,787996425	#DIV/0!
FNIP1	0,41960211	0,343496992	0,053	0,024	1	1,268828421	0,788128626	2,208333333
TRAPPC6B	0,701390054	0,343244165	0,035	0,024	1	1,268606083	0,788266755	1,458333333
GSTZ1	0,403693089	0,343009755	0,054	0,024	1	1,268399976	0,788394843	2,25
CAPG	0,23474314	0,342998325	0,033	0	1	1,268389927	0,788401089	#DIV/0!
NUDCD1	0,769589184	0,342792609	0,032	0,024	1	1,268209078	0,788513517	1,333333333
GPCPD1	0,317682464	0,342463045	0,024	0	1	1,267919406	0,788693663	#DIV/0!
HMGCL	0,259157069	0,342410191	0,03	0	1	1,267872956	0,788722557	#DIV/0!
BCLAF1	0,915519446	0,341713509	0,121	0,122	1	1,267260844	0,789103526	0,991803279
APH1B	0,286616306	0,341696525	0,027	0	1	1,267245926	0,789112815	#DIV/0!
TMEM242	0,281804989	0,341287423	0,069	0,024	1	1,266886626	0,789336614	2,875
NIPSNAP3A	0,272474262	0,341077012	0,029	0	1	1,266701869	0,789451744	#DIV/0!
S100PBP	0,259157069	0,340795964	0,03	0	1	1,26645513	0,78960555	#DIV/0!
SLC39A13	0,246599267	0,340307181	0,032	0	1	1,26602613	0,789873113	#DIV/0!
MRE11	0,317682464	0,34025322	0,024	0	1	1,265978778	0,789902657	#DIV/0!
HDGFL2	0,259157069	0,340150896	0,03	0	1	1,26588899	0,789958683	#DIV/0!
MRPL9	0,301657292	0,340009856	0,026	0	1	1,265765241	0,790035915	#DIV/0!
POLR2K	0,578785523	0,339935538	0,147	0,195	1	1,265700039	0,790076613	0,753846154
MTERF4	0,600624894	0,339657457	0,04	0,024	1	1,265456097	0,790228916	1,666666667
NELFB	0,301657292	0,339603911	0,026	0	1	1,265409131	0,790258246	#DIV/0!
STING1	0,317682464	0,339302139	0,024	0	1	1,26514447	0,790423563	#DIV/0!
RNF217	0,667151297	0,339186752	0,037	0,024	1	1,265043287	0,790486784	1,541666667

Supplementary Table 3

Differentially expressed genes_keloid-MD_comparing SC-Keloid vs. (SC-Myel+Nonmyel)								
gene	p_val	avg_log2FC	pct.1	pct.2	p_val_adj	Foldchange_UP	Foldchange_DOWN	Ratio_pct1_pct2
YWHAG	0,862854676	0,339154275	0,124	0,122	1	1,26501481	0,790504579	1,016393443
DDIT3	0,816694959	0,338992175	0,056	0,049	1	1,264872682	0,790593405	1,142857143
PSMB3	0,422861972	0,338766141	0,169	0,122	1	1,264674524	0,79071728	1,385245902
RHOG	0,259157069	0,338748872	0,03	0	1	1,264659386	0,790726745	#DIV/0!
ZNF800	0,223537229	0,338671264	0,035	0	1	1,264591357	0,790769283	#DIV/0!
CCNH	0,301657292	0,338647321	0,026	0	1	1,264570369	0,790782407	#DIV/0!
SLC30A9	0,667151297	0,338630818	0,037	0,024	1	1,264555904	0,790791452	1,541666667
DRAM2	0,272474323	0,338504468	0,029	0	1	1,264445161	0,790860712	#DIV/0!
TCHP	0,301657292	0,338355695	0,026	0	1	1,264314775	0,790942271	#DIV/0!
STT3B	0,663386475	0,338312901	0,037	0,024	1	1,264277273	0,790965733	1,541666667
IQSEC1	0,78435971	0,338211605	0,057	0,049	1	1,264188508	0,791021271	1,163265306
BIRC6	0,746895108	0,338179172	0,059	0,049	1	1,264160088	0,791039054	1,204081633
UBP1	0,737604407	0,338112308	0,033	0,024	1	1,2641015	0,791075717	1,375
CSE1L	0,272474323	0,338055187	0,029	0	1	1,264051451	0,791107039	#DIV/0!
DCAF6	0,317682464	0,338023022	0,024	0	1	1,264023269	0,791124677	#DIV/0!
CDKAL1	0,353096361	0,337944251	0,021	0	1	1,263954255	0,791167873	#DIV/0!
CANT1	0,317682464	0,337696899	0,024	0	1	1,263737567	0,791303532	#DIV/0!
GABARAP	0,631143168	0,337491257	0,038	0,024	1	1,263557447	0,791416332	1,583333333
FANCL	0,317682464	0,337335325	0,024	0	1	1,263420884	0,791501876	#DIV/0!
SPOPL	0,946292034	0,336937299	0,026	0,024	1	1,263072366	0,791720274	1,083333333
MCM3AP	0,317682464	0,336754188	0,024	0	1	1,262912064	0,791820768	#DIV/0!
MKNK2	0,272474323	0,336734066	0,029	0	1	1,262894449	0,791831812	#DIV/0!
RNF170	0,301657292	0,33664382	0,026	0	1	1,262815453	0,791881345	#DIV/0!
POLR3K	0,476024264	0,336554584	0,048	0,024	1	1,262737346	0,791930328	2
SLC25A32	0,3347904	0,336406827	0,022	0	1	1,262608026	0,792011439	#DIV/0!
ATG7	0,286616306	0,336351186	0,027	0	1	1,262559332	0,792041986	#DIV/0!
RLIM	0,286616306	0,336299703	0,027	0	1	1,262514277	0,79207025	#DIV/0!
PIK3CA	0,911464155	0,33618816	0,043	0,049	1	1,262416669	0,792131492	0,87755102
SUZ12	0,445455658	0,336147793	0,051	0,024	1	1,262381347	0,792153657	2,125
METAP1	0,259157069	0,336113251	0,03	0	1	1,262351122	0,792172623	#DIV/0!

Supplementary Table 3

Differentially expressed genes_keloid-MD_ comparing SC-Keloid vs. (SC-Myel+Nonmyel)								
gene	p_val	avg_log2FC	pct.1	pct.2	p_val_adj	Foldchange_UP	Foldchange_DOWN	Ratio_pct1_pct2
TSPYL1	0,317682464	0,335714373	0,024	0	1	1,262002154	0,792391675	#DIV/0!
WRN	0,301657292	0,335553799	0,026	0	1	1,261861699	0,792479874	#DIV/0!
RBMS3	0,317682464	0,335294949	0,024	0	1	1,261635315	0,792622074	#DIV/0!
GID8	0,286616306	0,335023681	0,027	0	1	1,261398114	0,792771124	#DIV/0!
GPX8	0,282943116	0,334967558	0,1	0,049	1	1,261349044	0,792801964	2,040816327
OSBPL9	0,406605304	0,334802798	0,086	0,049	1	1,261205003	0,792892509	1,755102041
GPALPP1	0,731498497	0,334647797	0,033	0,024	1	1,261069508	0,792977702	1,375
KIFAP3	0,415161362	0,33447181	0,085	0,049	1	1,260915686	0,793074438	1,734693878
GSK3B	0,403693057	0,334283509	0,054	0,024	1	1,260751121	0,793177958	2,25
PHF2	0,852721591	0,334229661	0,029	0,024	1	1,260704066	0,793207563	1,208333333
RPL31	0,140704308	0,334027014	0,354	0,22	1	1,260526994	0,793318988	1,609090909
ZNF330	0,272474323	0,33382449	0,029	0	1	1,260350056	0,793430361	#DIV/0!
C3orf14	0,184359255	0,333773078	0,041	0	1	1,260305142	0,793458637	#DIV/0!
LTN1	0,529153339	0,333465886	0,045	0,024	1	1,260036815	0,793627605	1,875
LTBR	0,501118424	0,333388408	0,046	0,024	1	1,259969148	0,793670227	1,916666667
STX18	0,272474323	0,333046695	0,029	0	1	1,25967075	0,793858236	#DIV/0!
TAX1BP1	0,511365899	0,332034447	0,131	0,098	1	1,258787229	0,794415432	1,336734694
FKBP15	0,259157069	0,332021368	0,03	0	1	1,258775817	0,794422634	#DIV/0!
ARL4D	0,286616306	0,331976433	0,027	0	1	1,258736612	0,794447377	#DIV/0!
NEDD4	0,317682464	0,331963339	0,024	0	1	1,258725187	0,794454588	#DIV/0!
PPP6R2	0,246599267	0,331819703	0,032	0	1	1,258599874	0,794533689	#DIV/0!
SLC39A10	0,589553394	0,331757903	0,07	0,049	1	1,258545961	0,794567724	1,428571429
GOT2	0,286616306	0,331693317	0,027	0	1	1,25848962	0,794603296	#DIV/0!
PHLDB2	0,667151266	0,331625663	0,037	0,024	1	1,258430605	0,794640559	1,541666667
TSPAN4	0,505572404	0,3315982	0,046	0,024	1	1,258406651	0,794655686	1,916666667
COG5	0,301657292	0,331355585	0,026	0	1	1,258195044	0,794789333	#DIV/0!
RUNX2	0,317682464	0,331274304	0,024	0	1	1,25812416	0,794834113	#DIV/0!
ZC3H15	0,99790415	0,331093635	0,158	0,171	1	1,257966615	0,794933656	0,923976608
DALRD3	0,3347904	0,331038672	0,022	0	1	1,257918691	0,794963941	#DIV/0!
BAG4	0,317682464	0,33096543	0,024	0	1	1,257854831	0,795004301	#DIV/0!

Supplementary Table 3

Differentially expressed genes_keloid-MD_comparing SC-Keloid vs. (SC-Myel+Nonmyel)								
gene	p_val	avg_log2FC	pct.1	pct.2	p_val_adj	Foldchange_UP	Foldchange_DOWN	Ratio_pct1_pct2
RAP2B	0,502600771	0,330895322	0,046	0,024	1	1,257793707	0,795042935	1,916666667
SP1	0,286616306	0,330873434	0,027	0	1	1,257774624	0,795054997	#DIV/0!
KIF22	0,3347904	0,330773501	0,022	0	1	1,257687503	0,795110071	#DIV/0!
SFT2D1	0,756255092	0,330689712	0,057	0,073	1	1,257614461	0,795156251	0,780821918
SEC23IP	0,3347904	0,330682054	0,022	0	1	1,257607785	0,795160472	#DIV/0!
VPS25	0,391991111	0,330452924	0,056	0,024	1	1,257408067	0,79528677	2,333333333
CARHSP1	0,576726861	0,330346371	0,041	0,024	1	1,257315202	0,79534551	1,708333333
NAA35	0,353096361	0,33016474	0,021	0	1	1,25715692	0,795445648	#DIV/0!
DIDO1	0,697473218	0,330139335	0,035	0,024	1	1,257134782	0,795459655	1,458333333
ALDH1L2	0,301657292	0,329870554	0,026	0	1	1,256900594	0,795607867	#DIV/0!
CYCS	0,208646017	0,329594059	0,116	0,049	1	1,25665973	0,795760361	2,367346939
RAP2A	0,301657292	0,329449053	0,026	0	1	1,256533429	0,795840347	#DIV/0!
ACAA1	0,576726861	0,32914493	0,041	0,024	1	1,256268577	0,796008129	1,708333333
TRNAU1AP	0,272474323	0,329122249	0,029	0	1	1,256248827	0,796020644	#DIV/0!
NPTN	0,398715149	0,329093309	0,116	0,073	1	1,256223627	0,796036612	1,589041096
GET3	0,55074314	0,329005142	0,043	0,024	1	1,256146859	0,796085261	1,791666667
ADAMTS4	0,558804806	0,328909466	0,043	0,024	1	1,256063557	0,796138057	1,791666667
RPS6KC1	0,301657292	0,328822797	0,026	0	1	1,255988102	0,796185886	#DIV/0!
MSANTD4	0,31768239	0,328706895	0,024	0	1	1,255887203	0,796249852	#DIV/0!
SETD5	0,605050652	0,328601482	0,069	0,049	1	1,255795443	0,796308034	1,408163265
PNPLA8	0,375170281	0,328584294	0,089	0,049	1	1,255780481	0,796317521	1,816326531
KCTD20	0,834636898	0,328480713	0,104	0,098	1	1,255690324	0,796374696	1,06122449
TMEM51	0,317682464	0,328189533	0,024	0	1	1,255436913	0,796535445	#DIV/0!
YJU2B	0,301657292	0,328126879	0,026	0	1	1,255382392	0,796570038	#DIV/0!
CSAD	0,286616306	0,328071319	0,027	0	1	1,255334047	0,796600716	#DIV/0!
USO1	0,990980764	0,327984187	0,07	0,073	1	1,255258233	0,796648828	0,95890411
SRP54	0,284428919	0,327630088	0,102	0,049	1	1,254950176	0,796844384	2,081632653
LMBRD2	0,3347904	0,327545125	0,022	0	1	1,254876272	0,796891313	#DIV/0!
SMPD4	0,317682464	0,327480641	0,024	0	1	1,254820184	0,796926932	#DIV/0!
TGFB1I1	0,765151587	0,327459602	0,108	0,098	1	1,254801885	0,796938554	1,102040816

Supplementary Table 3

Differentially expressed genes_keloid-MD_comparing SC-Keloid vs. (SC-Myel+Nonmyel)								
gene	p_val	avg_log2FC	pct.1	pct.2	p_val_adj	Foldchange_UP	Foldchange_DOWN	Ratio_pct1_pct2
MFSD14B	0,769589184	0,327207692	0,032	0,024	1	1,254582803	0,79707772	1,333333333
MCCC2	0,353096277	0,327142578	0,021	0	1	1,25452618	0,797113696	#DIV/0!
MIDN	0,581701562	0,327099587	0,07	0,049	1	1,254488797	0,79713745	1,428571429
UTP11	0,439447705	0,327064058	0,083	0,049	1	1,254457903	0,797157081	1,693877551
NIN	0,425947475	0,326699546	0,053	0,024	1	1,254140991	0,797358516	2,208333333
VAMP4	0,317682464	0,326600045	0,024	0	1	1,254054498	0,797413511	#DIV/0!
DRAXIN	0,301657292	0,32641872	0,026	0	1	1,253896892	0,79751374	#DIV/0!
TUT7	0,301657292	0,326298578	0,026	0	1	1,253792477	0,797580157	#DIV/0!
MRPL16	0,973889212	0,326186321	0,048	0,049	1	1,253694922	0,79764222	0,979591837
RIC8B	0,3347904	0,326115457	0,022	0	1	1,253633343	0,7976814	#DIV/0!
CDC5L	0,803311251	0,326054557	0,105	0,098	1	1,253580425	0,797715073	1,071428571
CSGALNACT2	0,733531942	0,325672631	0,033	0,024	1	1,253248607	0,797926281	1,375
PDLIM3	0,609324617	0,325545879	0,04	0,024	1	1,253138505	0,797996387	1,666666667
PDPK1	0,317682464	0,325364033	0,024	0	1	1,252980561	0,798096979	#DIV/0!
PPIA	0,489908135	0,325286374	0,356	0,317	1	1,252913117	0,79813994	1,123028391
TRAPPC13	0,3347904	0,325157056	0,022	0	1	1,252800815	0,798211486	#DIV/0!
H2AZ1	0,801178891	0,325069956	0,407	0,439	1	1,252725182	0,798259678	0,927107062
LEPROTL1	0,461172504	0,325062446	0,134	0,098	1	1,25271866	0,798263834	1,367346939
FAM50A	0,805743193	0,324761196	0,105	0,098	1	1,252457107	0,798430537	1,071428571
LYPLAL1	0,521439583	0,324735331	0,045	0,024	1	1,252434653	0,798444851	1,875
EMG1	0,259157069	0,324718053	0,03	0	1	1,252419653	0,798454414	#DIV/0!
PSMD11	0,533052106	0,324648588	0,102	0,073	1	1,252359351	0,79849286	1,397260274
RFC1	0,394700873	0,324389075	0,118	0,073	1	1,252134096	0,798636506	1,616438356
CCT5	0,600316413	0,324257429	0,148	0,122	1	1,252019845	0,798709385	1,213114754
ZNHIT6	0,393172943	0,324242284	0,056	0,024	1	1,252006701	0,79871777	2,333333333
CDK6	0,954540052	0,324150193	0,134	0,146	1	1,251926784	0,798768756	0,917808219
NPTXR	0,301657292	0,324109276	0,026	0	1	1,251891279	0,79879141	#DIV/0!
ZSCAN18	0,317682464	0,323913787	0,024	0	1	1,251721656	0,798899656	#DIV/0!
UHMK1	0,429781401	0,32337403	0,053	0,024	1	1,251253435	0,799198605	2,208333333
RAB23	0,3347904	0,323239959	0,022	0	1	1,251137161	0,799272879	#DIV/0!

Supplementary Table 3

Differentially expressed genes_keloid-MD_comparing SC-Keloid vs. (SC-Myel+Nonmyel)								
gene	p_val	avg_log2FC	pct.1	pct.2	p_val_adj	Foldchange_UP	Foldchange_DOWN	Ratio_pct1_pct2
SNX9	0,272474323	0,323184535	0,029	0	1	1,251089097	0,799303585	#DIV/0!
C11orf49	0,246599267	0,323166732	0,032	0	1	1,251073658	0,799313449	#DIV/0!
CRYZ	0,301657292	0,323149715	0,026	0	1	1,251058902	0,799322876	#DIV/0!
CDC16	0,301657292	0,323104251	0,026	0	1	1,251019477	0,799348066	#DIV/0!
TFAP2B	0,3347904	0,323092939	0,022	0	1	1,251009668	0,799354334	#DIV/0!
KDSR	0,410547541	0,322935126	0,086	0,049	1	1,250872831	0,799441778	1,755102041
ELOVL5	0,286616306	0,322926435	0,027	0	1	1,250865295	0,799446594	#DIV/0!
MTERF3	0,286616306	0,322901087	0,027	0	1	1,250843318	0,79946064	#DIV/0!
UBR3	0,301657292	0,322812432	0,026	0	1	1,250766454	0,79950977	#DIV/0!
TSPAN31	0,769589184	0,322703622	0,032	0,024	1	1,250672124	0,799570072	1,333333333
INSYN2A	0,301657292	0,322312592	0,026	0	1	1,250333185	0,799786818	#DIV/0!
NQO2	0,272474323	0,322174306	0,029	0	1	1,250213343	0,799863483	#DIV/0!
METTL14	0,3347904	0,321940412	0,022	0	1	1,250010672	0,79999317	#DIV/0!
GJA1	0,372736722	0,321864911	0,019	0	1	1,249945257	0,800035037	#DIV/0!
THBS3	0,286616306	0,321854521	0,027	0	1	1,249936255	0,800040799	#DIV/0!
BTBD1	0,3347904	0,321808403	0,022	0	1	1,249896299	0,800066374	#DIV/0!
MYDGF	0,274009348	0,321731119	0,293	0,22	1	1,249829407	0,800109195	1,331818182
SOX11	0,353096361	0,321571285	0,021	0	1	1,249690886	0,800197882	#DIV/0!
HSPB11	0,395366456	0,32141899	0,088	0,049	1	1,249558972	0,800282358	1,795918367
FBXO25	0,286616306	0,321417655	0,027	0	1	1,249557816	0,800283098	#DIV/0!
RPS27A	0,059779339	0,321301239	0,89	0,878	1	1,249456988	0,800347678	1,013667426
NFXL1	0,301657292	0,321125996	0,026	0	1	1,249305227	0,800444902	#DIV/0!
DUSP14	0,669036862	0,321047829	0,037	0,024	1	1,24923754	0,800488272	1,541666667
DNMT1	0,777844648	0,321011194	0,083	0,073	1	1,249205818	0,800508599	1,136986301
ENTPD4	0,634759975	0,320873351	0,038	0,024	1	1,249086468	0,800585088	1,583333333
TTC9C	0,317682464	0,320798613	0,024	0	1	1,249021761	0,800626563	#DIV/0!
ZBTB6	0,317682464	0,320705443	0,024	0	1	1,248941102	0,800678269	#DIV/0!
BAG3	0,286616241	0,320654045	0,027	0	1	1,248896607	0,800706795	#DIV/0!
UBR5	0,773817043	0,320599999	0,032	0,024	1	1,248849822	0,800736792	1,333333333
ARMT1	0,3347904	0,320563118	0,022	0	1	1,248817897	0,800757262	#DIV/0!

Supplementary Table 3

Differentially expressed genes_keloid-MD_comparing SC-Keloid vs. (SC-Myel+Nonmyel)								
gene	p_val	avg_log2FC	pct.1	pct.2	p_val_adj	Foldchange_UP	Foldchange_DOWN	Ratio_pct1_pct2
TLL7	0,335621266	0,319927172	0,062	0,024	1	1,248267534	0,801110317	2,583333333
SMAD2	0,871109437	0,319898658	0,053	0,049	1	1,248242863	0,801126151	1,081632653
CMIP	0,272474323	0,319780648	0,029	0	1	1,248140763	0,801191684	#DIV/0!
STK17B	0,317682464	0,319763882	0,024	0	1	1,248126258	0,801200995	#DIV/0!
INTS11	0,301657292	0,319715661	0,026	0	1	1,248084541	0,801227775	#DIV/0!
NFATC3	0,272474323	0,319318287	0,029	0	1	1,247740818	0,801448495	#DIV/0!
SLFN12	0,372736722	0,318954751	0,019	0	1	1,247426447	0,801650472	#DIV/0!
C2orf49	0,301657292	0,318838452	0,026	0	1	1,247325893	0,801715098	#DIV/0!
HYOU1	0,576726861	0,318663013	0,041	0,024	1	1,247174221	0,801812596	1,708333333
CZIB	0,711798768	0,318523418	0,088	0,073	1	1,247053551	0,801890183	1,205479452
NBR1	0,865315819	0,318516896	0,041	0,049	1	1,247047913	0,801893808	0,836734694
SYTL2	0,31768239	0,318443333	0,024	0	1	1,246984327	0,801934698	#DIV/0!
COBLL1	0,301657292	0,318396488	0,026	0	1	1,246943838	0,801960737	#DIV/0!
TMC7	0,272474323	0,318131344	0,029	0	1	1,246714691	0,802108138	#DIV/0!
APOM	0,353096361	0,318060051	0,021	0	1	1,246653084	0,802147777	#DIV/0!
CALM1	0,135122184	0,31800634	0,756	0,732	1	1,246606672	0,802177641	1,032786885
ZNF267	0,286616306	0,317751867	0,027	0	1	1,246386806	0,802319147	#DIV/0!
RPLP1	0,013588084	0,317746411	0,971	1	1	1,246382093	0,802322182	0,971
SLK	0,727559287	0,317541405	0,061	0,049	1	1,246204996	0,802436199	1,244897959
LPP	0,39335826	0,317513376	0,177	0,122	1	1,246180784	0,802451789	1,450819672
MMP16	0,301657292	0,317271632	0,026	0	1	1,245971986	0,802586263	#DIV/0!
TWF1	0,793971781	0,317123189	0,057	0,049	1	1,245843791	0,802668847	1,163265306
DTX3L	0,31768239	0,317064077	0,024	0	1	1,245792746	0,802701736	#DIV/0!
GALC	0,286616306	0,317045642	0,027	0	1	1,245776827	0,802711993	#DIV/0!
ZMIZ2	0,301657292	0,316922116	0,026	0	1	1,245670166	0,802780726	#DIV/0!
NOVA1	0,372736722	0,316386476	0,019	0	1	1,245207763	0,803078835	#DIV/0!
MKRN1	0,699430636	0,31629354	0,035	0,024	1	1,245127551	0,80313057	1,458333333
PHTF1	0,353096361	0,316149183	0,021	0	1	1,24500297	0,803210936	#DIV/0!
SEC16A	0,731498497	0,315754871	0,033	0,024	1	1,244662736	0,803430496	1,375
STAT5B	0,317682464	0,315685157	0,024	0	1	1,244602593	0,803469321	#DIV/0!

Supplementary Table 3

Differentially expressed genes_keloid-MD_ comparing SC-Keloid vs. (SC-Myel+Nonmyel)								
gene	p_val	avg_log2FC	pct.1	pct.2	p_val_adj	Foldchange_UP	Foldchange_DOWN	Ratio_pct1_pct2
INHBA	0,317682464	0,31568241	0,024	0	1	1,244600223	0,803470851	#DIV/0!
TYW5	0,372736722	0,315515453	0,019	0	1	1,244456199	0,803563839	#DIV/0!
BCLAF3	0,353096361	0,315488383	0,021	0	1	1,244432849	0,803578916	#DIV/0!
MPDU1	0,259157069	0,315457054	0,03	0	1	1,244405825	0,803596367	#DIV/0!
ARL3	0,998001518	0,315266682	0,177	0,195	1	1,24424163	0,803702412	0,907692308
SF3B6	0,67674459	0,315214023	0,287	0,268	1	1,244196215	0,803731749	1,070895522
RNF128	0,663386475	0,314984449	0,037	0,024	1	1,243998244	0,803859656	1,541666667
TLE5	0,69826546	0,314692888	0,155	0,195	1	1,243746864	0,804022128	0,794871795
RIOK1	0,286616241	0,314450275	0,027	0	1	1,243537725	0,804157349	#DIV/0!
MNS1	0,286616306	0,314221419	0,027	0	1	1,243340477	0,804284923	#DIV/0!
UNC93B1	0,317682464	0,314175322	0,024	0	1	1,24330075	0,804310622	#DIV/0!
CREB3L1	0,4167109	0,3140162	0,016	0	1	1,243163628	0,804399338	#DIV/0!
ZNF75A	0,372736722	0,31382357	0,019	0	1	1,242997651	0,804506749	#DIV/0!
DIP2B	0,636571708	0,313608283	0,038	0,024	1	1,242812178	0,804626811	1,583333333
CCZ1B	0,3347904	0,313586513	0,022	0	1	1,242793424	0,804638953	#DIV/0!
SETX	0,40758874	0,313574795	0,086	0,049	1	1,24278333	0,804645489	1,755102041
WWC2	0,259157069	0,313242032	0,03	0	1	1,24249671	0,804831105	#DIV/0!
GSS	0,272474323	0,313198931	0,029	0	1	1,242459591	0,80485515	#DIV/0!
AKT2	0,729085139	0,312991984	0,061	0,049	1	1,24228138	0,80497061	1,244897959
PEDS1	0,286616306	0,312899622	0,027	0	1	1,24220185	0,805022147	#DIV/0!
XPO6	0,317682464	0,312810565	0,024	0	1	1,242125172	0,805071842	#DIV/0!
FAM174B	0,353096361	0,312602973	0,021	0	1	1,241946454	0,805187693	#DIV/0!
PLCE1	0,353096361	0,312313368	0,021	0	1	1,241697171	0,805349342	#DIV/0!
SENP7	0,769589159	0,312296236	0,032	0,024	1	1,241682427	0,805358905	1,333333333
NCOA1	0,663386475	0,312181019	0,037	0,024	1	1,241583266	0,805423226	1,541666667
RFC4	0,272474262	0,312176674	0,029	0	1	1,241579527	0,805425652	#DIV/0!
VPS13A	0,353096361	0,312105607	0,021	0	1	1,241518369	0,805465328	#DIV/0!
DLD	0,286616306	0,31209301	0,027	0	1	1,241507528	0,805472361	#DIV/0!
ANKRD13D	0,317682464	0,311941599	0,024	0	1	1,241377239	0,8055569	#DIV/0!
ZPR1	0,286616306	0,311514432	0,027	0	1	1,241009734	0,805795452	#DIV/0!

Supplementary Table 3

Differentially expressed genes_keloid-MD_comparing SC-Keloid vs. (SC-Myel+Nonmyel)								
gene	p_val	avg_log2FC	pct.1	pct.2	p_val_adj	Foldchange_UP	Foldchange_DOWN	Ratio_pct1_pct2
DNAJC13	0,3347904	0,31139924	0,022	0	1	1,24091065	0,805859793	#DIV/0!
RNF146	0,872813248	0,311241302	0,053	0,049	1	1,24077481	0,805948019	1,081632653
SYNRG	0,629338049	0,311240107	0,038	0,024	1	1,240773782	0,805948687	1,583333333
GTF2H3	0,272474323	0,311157472	0,029	0	1	1,240702715	0,805994851	#DIV/0!
PITPNM3	0,317682464	0,310885952	0,024	0	1	1,240469232	0,806146557	#DIV/0!
NABP2	0,663386475	0,310737643	0,037	0,024	1	1,240341719	0,806229433	1,541666667
IGFBP6	0,272474323	0,310591077	0,029	0	1	1,240215717	0,806311343	#DIV/0!
POLR2M	0,3347904	0,310221787	0,022	0	1	1,239898296	0,806517763	#DIV/0!
RASSF8	0,301614389	0,310174342	0,18	0,122	1	1,239857521	0,806544287	1,475409836
UBR1	0,286616241	0,310064677	0,027	0	1	1,239763278	0,806605598	#DIV/0!
STX2	0,395366517	0,310059169	0,088	0,049	1	1,239758545	0,806608677	1,795918367
CLIC1	0,269311705	0,309982122	0,491	0,439	1	1,239692338	0,806651755	1,118451025
CPEB2	0,4167109	0,309962736	0,016	0	1	1,23967568	0,806662594	#DIV/0!
NDUFV3	0,987201093	0,309904754	0,046	0,049	1	1,239625858	0,806695015	0,93877551
PSMB2	0,698287718	0,309717946	0,136	0,171	1	1,239465354	0,806799477	0,795321637
COP1	0,353096361	0,309678594	0,021	0	1	1,239431547	0,806821484	#DIV/0!
C12orf75	0,389633919	0,309600434	0,056	0,024	1	1,2393644	0,806865196	2,333333333
DHRS1	0,3347904	0,309550944	0,022	0	1	1,239321886	0,806892875	#DIV/0!
YES1	0,55396095	0,309491014	0,043	0,024	1	1,239270406	0,806926394	1,791666667
NDUFS6	0,666048102	0,309390622	0,281	0,268	1	1,239184172	0,806982548	1,048507463
NDUFB4	0,679274599	0,309250964	0,346	0,341	1	1,23906422	0,80706067	1,014662757
PAPOLA	0,397970876	0,30922873	0,142	0,098	1	1,239045125	0,807073108	1,448979592
NGRN	0,317682464	0,309093202	0,024	0	1	1,238928733	0,807148929	#DIV/0!
IQCG	0,272474323	0,309038398	0,029	0	1	1,238881671	0,807179591	#DIV/0!
NDN	0,353096361	0,308988345	0,021	0	1	1,238838689	0,807207596	#DIV/0!
NOL9	0,317682464	0,308977551	0,024	0	1	1,238829421	0,807213635	#DIV/0!
SPOCK1	0,286616306	0,308966869	0,027	0	1	1,238820249	0,807219612	#DIV/0!
KHDRBS1	0,449339497	0,308966845	0,164	0,122	1	1,238820228	0,807219625	1,344262295
B3GNT2	0,353096361	0,308789854	0,021	0	1	1,238668258	0,807318662	#DIV/0!
ACIN1	0,815058583	0,308695482	0,056	0,049	1	1,238587235	0,807371473	1,142857143

Supplementary Table 3

Differentially expressed genes_keloid-MD_comparing SC-Keloid vs. (SC-Myel+Nonmyel)								
gene	p_val	avg_log2FC	pct.1	pct.2	p_val_adj	Foldchange_UP	Foldchange_DOWN	Ratio_pct1_pct2
IDH1	0,272474323	0,308521024	0,029	0	1	1,238437467	0,807469111	#DIV/0!
ALKBH2	0,605837969	0,30836898	0,04	0,024	1	1,238306956	0,807554213	1,666666667
PUS7	0,301657292	0,308316472	0,026	0	1	1,238261888	0,807583606	#DIV/0!
SELENOI	0,301657292	0,308222558	0,026	0	1	1,238181285	0,807636177	#DIV/0!
TOPORS	0,80994187	0,308202983	0,03	0,024	1	1,238164485	0,807647136	1,25
STIM2	0,286616306	0,308130102	0,027	0	1	1,238101938	0,807687937	#DIV/0!
TFDP1	0,484576096	0,308053671	0,048	0,024	1	1,238036348	0,807730728	2
C14orf132	0,335621266	0,307908033	0,062	0,024	1	1,237911375	0,807812271	2,583333333
KRR1	0,657775266	0,307854528	0,093	0,073	1	1,237865466	0,807842231	1,273972603
ZNF736	0,286616306	0,307624141	0,027	0	1	1,237667805	0,807971247	#DIV/0!
TRAP1	0,259157069	0,307569685	0,03	0	1	1,237621088	0,808001746	#DIV/0!
TFAP2C	0,393875079	0,30744701	0,018	0	1	1,237515856	0,808070454	#DIV/0!
SLC35A5	0,317682464	0,307402086	0,024	0	1	1,237477321	0,808095617	#DIV/0!
PPP1R12C	0,353096361	0,307335454	0,021	0	1	1,237420169	0,808132941	#DIV/0!
ARAP3	0,301657292	0,30729051	0,026	0	1	1,23738162	0,808158117	#DIV/0!
VARS1	0,852721591	0,307259375	0,029	0,024	1	1,237354917	0,808175558	1,208333333
ANKRD13A	0,317682464	0,307218406	0,024	0	1	1,23731978	0,808198508	#DIV/0!
RNF141	0,631143168	0,30720223	0,038	0,024	1	1,237305906	0,80820757	1,583333333
RPS24	0,144478753	0,307181753	0,863	0,78	1	1,237288345	0,808219042	1,106410256
IKZF5	0,3347904	0,306968552	0,022	0	1	1,237105512	0,808338489	#DIV/0!
HEXB	0,883048237	0,306912548	0,053	0,049	1	1,23705749	0,808369868	1,081632653
SLC19A1	0,317682464	0,306865184	0,024	0	1	1,237016877	0,808396408	#DIV/0!
PCYT1A	0,695517811	0,306718879	0,035	0,024	1	1,236891436	0,808478392	1,458333333
FBXO28	0,286616306	0,306530472	0,027	0	1	1,236729917	0,808583981	#DIV/0!
PEA15	0,614332945	0,306337628	0,145	0,122	1	1,236564615	0,808692071	1,18852459
STK19	0,3347904	0,306218251	0,022	0	1	1,236462299	0,80875899	#DIV/0!
CENPJ	0,353096361	0,306196766	0,021	0	1	1,236443885	0,808771034	#DIV/0!
ZNF480	0,317682464	0,306168505	0,024	0	1	1,236419665	0,808786877	#DIV/0!
DMPK	0,317682464	0,306010449	0,024	0	1	1,236284215	0,80887549	#DIV/0!
CNTRL	0,317682464	0,305772034	0,024	0	1	1,236079927	0,809009173	#DIV/0!

Supplementary Table 3

Differentially expressed genes_keloid-MD_comparing SC-Keloid vs. (SC-Myel+Nonmyel)								
gene	p_val	avg_log2FC	pct.1	pct.2	p_val_adj	Foldchange_UP	Foldchange_DOWN	Ratio_pct1_pct2
PARP1	0,674944812	0,305676448	0,091	0,073	1	1,235998033	0,809062776	1,246575342
SLC35E4	0,301657223	0,305636274	0,026	0	1	1,235963616	0,809085306	#DIV/0!
SNRPN	0,532255015	0,305571769	0,045	0,024	1	1,235908355	0,809121482	1,875
THYN1	0,286616306	0,305365324	0,027	0	1	1,235731513	0,809237273	#DIV/0!
SBF1	0,372736722	0,305139936	0,019	0	1	1,235538473	0,809363708	#DIV/0!
ATRN	0,301657292	0,30506847	0,026	0	1	1,235477271	0,809403801	#DIV/0!
LRRC40	0,317682316	0,304747714	0,024	0	1	1,235202617	0,809583777	#DIV/0!
NDUFB6	0,936319894	0,304688246	0,196	0,22	1	1,235151702	0,809617149	0,890909091
CPNE1	0,517550788	0,304655062	0,046	0,024	1	1,235123293	0,809635772	1,916666667
PLPP1	0,36455836	0,304307983	0,338	0,268	1	1,234826186	0,809830575	1,26119403
CHMP7	0,317682464	0,30410381	0,024	0	1	1,234651444	0,809945191	#DIV/0!
VPS39	0,317682464	0,30404026	0,024	0	1	1,234597059	0,80998087	#DIV/0!
PDCD6IP	0,26813959	0,303979405	0,07	0,024	1	1,234544984	0,810015037	2,916666667
MRM3	0,372736722	0,303907593	0,019	0	1	1,234483534	0,810055357	#DIV/0!
KCNMB1	0,272474323	0,303325144	0,029	0	1	1,233985245	0,810382461	#DIV/0!
MAPK9	0,3347904	0,303311553	0,022	0	1	1,23397362	0,810390096	#DIV/0!
RAB5B	0,89810723	0,30323063	0,027	0,024	1	1,233904407	0,810435553	1,125
ARMC9	0,353096361	0,303226428	0,021	0	1	1,233900813	0,810437913	#DIV/0!
COA1	0,959823805	0,30312201	0,072	0,073	1	1,23381151	0,810496573	0,98630137
RANGRF	0,301657292	0,302724366	0,026	0	1	1,233471487	0,810719997	#DIV/0!
IFNAR1	0,514672769	0,302674783	0,105	0,073	1	1,233429095	0,810747861	1,438356164
ARFGAP1	0,372736722	0,302640425	0,019	0	1	1,233399721	0,810767169	#DIV/0!
SIRT1	0,372736722	0,302621495	0,019	0	1	1,233383538	0,810777807	#DIV/0!
FDFT1	0,246599267	0,30250337	0,032	0	1	1,233282554	0,810844195	#DIV/0!
SAP30L	0,3347904	0,302426381	0,022	0	1	1,233216743	0,810887467	#DIV/0!
FEZ2	0,695244379	0,302127334	0,116	0,146	1	1,232961144	0,811055567	0,794520548
HADHA	0,692754897	0,302052918	0,166	0,146	1	1,232897547	0,811097404	1,136986301
PCNX4	0,827520293	0,301758882	0,04	0,049	1	1,232646296	0,811262731	0,816326531
DHX38	0,301657292	0,301501801	0,026	0	1	1,232426664	0,811407307	#DIV/0!
MRTFB	0,372736631	0,301430107	0,019	0	1	1,232365421	0,81144763	#DIV/0!

Supplementary Table 3

Differentially expressed genes_keloid-MD_comparing SC-Keloid vs. (SC-Myel+Nonmyel)								
gene	p_val	avg_log2FC	pct.1	pct.2	p_val_adj	Foldchange_UP	Foldchange_DOWN	Ratio_pct1_pct2
GOLGA3	0,433635297	0,301408324	0,053	0,024	1	1,232346813	0,811459882	2,208333333
TMEM45A	0,301657292	0,30133102	0,026	0	1	1,232280782	0,811503364	#DIV/0!
CTSB	0,58693069	0,301217216	0,07	0,049	1	1,23218358	0,81156738	1,428571429
PARD3	0,372736722	0,301143519	0,019	0	1	1,232120638	0,811608838	#DIV/0!
LYAR	0,3347904	0,301069819	0,022	0	1	1,232057697	0,8116503	#DIV/0!
NUP54	0,634760007	0,301020301	0,038	0,024	1	1,232015409	0,811678159	1,583333333
CENPQ	0,3347904	0,301016846	0,022	0	1	1,232012459	0,811680103	#DIV/0!
COL5A2	0,688861863	0,300863492	0,416	0,415	1	1,231881507	0,811766387	1,002409639
NAGK	0,733669239	0,300798135	0,061	0,049	1	1,231825702	0,811803162	1,244897959
LDLR	0,3347904	0,300772786	0,022	0	1	1,231804058	0,811817426	#DIV/0!
MICU2	0,88646433	0,300674221	0,053	0,049	1	1,231719904	0,811872891	1,081632653
FAHD2B	0,3347904	0,300131129	0,022	0	1	1,231256319	0,812178573	#DIV/0!
TNFAIP1	0,852721591	0,300003259	0,029	0,024	1	1,231147195	0,812250561	1,208333333
EEF2KMT	0,286616306	0,299978458	0,027	0	1	1,23112603	0,812264525	#DIV/0!
AKAP9	0,555391097	0,299867882	0,069	0,098	1	1,231031674	0,812326784	0,704081633
SMC2	0,527605956	0,299845474	0,045	0,024	1	1,231012554	0,812339401	1,875
YWHAQ	0,530295073	0,299593219	0,206	0,171	1	1,23079733	0,81248145	1,204678363
ACTG2	0,317682464	0,299224889	0,024	0	1	1,230483139	0,812688909	#DIV/0!
SIRT2	0,911807829	0,299191213	0,051	0,049	1	1,230454417	0,81270788	1,040816327
PLEKHG4	0,317682464	0,299066576	0,024	0	1	1,230348121	0,812778094	#DIV/0!
CINP	0,511543309	0,298858159	0,046	0,024	1	1,230170392	0,812895519	1,916666667
ACER3	0,353096361	0,298852859	0,021	0	1	1,230165873	0,812898506	#DIV/0!
EMC1	0,317682464	0,298793221	0,024	0	1	1,230115022	0,81293211	#DIV/0!
TCTN3	0,3347904	0,298667293	0,022	0	1	1,230007654	0,813003071	#DIV/0!
DDX24	0,450511927	0,2985333	0,164	0,122	1	1,22989342	0,813078584	1,344262295
IFIT5	0,334790321	0,298513911	0,022	0	1	1,229876891	0,813089511	#DIV/0!
POMGNT1	0,669036832	0,29834776	0,037	0,024	1	1,229735257	0,813183158	1,541666667
PLA2G4A	0,733531942	0,298280344	0,033	0,024	1	1,229677795	0,813221158	1,375
IL32	0,246599267	0,298060628	0,032	0	1	1,229490534	0,813345017	#DIV/0!
ANGPTL2	0,738800261	0,298045411	0,112	0,098	1	1,229477566	0,813353596	1,142857143

Supplementary Table 3

Differentially expressed genes_keloid-MD_comparing SC-Keloid vs. (SC-Myel+Nonmyel)								
gene	p_val	avg_log2FC	pct.1	pct.2	p_val_adj	Foldchange_UP	Foldchange_DOWN	Ratio_pct1_pct2
STXBP6	0,636571708	0,298031034	0,038	0,024	1	1,229465314	0,813361702	1,583333333
TRIM22	0,317682464	0,297983242	0,024	0	1	1,229424587	0,813388646	#DIV/0!
CC2D1B	0,3347904	0,29782784	0,022	0	1	1,229292164	0,813476266	#DIV/0!
KPNA4	0,683272199	0,297614589	0,064	0,049	1	1,22911047	0,813596519	1,306122449
ARHGAP23	0,317682464	0,297507689	0,024	0	1	1,2290194	0,813656806	#DIV/0!
GXYLT2	0,286616241	0,297390329	0,027	0	1	1,228919426	0,813722998	#DIV/0!
RPS16	0,510132444	0,297285132	0,416	0,39	1	1,228829821	0,813782334	1,066666667
LIMD1	0,317682464	0,297200545	0,024	0	1	1,228757775	0,813830049	#DIV/0!
NDUFV1	0,71028789	0,296914237	0,062	0,049	1	1,228513948	0,813991572	1,265306122
GABBR1	0,353096361	0,296860555	0,021	0	1	1,228468236	0,814021861	#DIV/0!
CENPK	0,301657292	0,296780482	0,026	0	1	1,228400055	0,814067043	#DIV/0!
RPS2	0,275482796	0,296687881	0,636	0,561	1	1,228321211	0,814119296	1,13368984
CSDE1	0,293091415	0,296668733	0,187	0,122	1	1,228304909	0,814130102	1,532786885
PLEKHJ1	0,769589184	0,296452415	0,032	0,024	1	1,228120751	0,814252181	1,333333333
TMEM87A	0,509242529	0,29628703	0,077	0,049	1	1,227979971	0,81434553	1,571428571
DNM1L	0,44280686	0,296134718	0,051	0,024	1	1,227850335	0,814431508	2,125
CPQ	0,805257498	0,296042075	0,056	0,049	1	1,227771491	0,814483809	1,142857143
USP5	0,272474323	0,296038646	0,029	0	1	1,227768572	0,814485745	#DIV/0!
C1GALT1	0,997483596	0,295963086	0,024	0,024	1	1,22770427	0,814528404	1
SPA17	0,301657292	0,295059722	0,026	0	1	1,226935766	0,815038592	#DIV/0!
VPS35L	0,3347904	0,294997172	0,022	0	1	1,226882572	0,81507393	#DIV/0!
RNF121	0,353096361	0,294876189	0,021	0	1	1,226779691	0,815142285	#DIV/0!
ARPC3	0,414665019	0,294866942	0,354	0,317	1	1,226771829	0,815147509	1,116719243
SNW1	0,952389764	0,294853777	0,096	0,098	1	1,226760634	0,815154948	0,979591837
ZFX	0,353876931	0,294806495	0,061	0,024	1	1,226720429	0,815181663	2,541666667
ATP6V1B2	0,950688894	0,294803555	0,022	0,024	1	1,22671793	0,815183324	0,916666667
EDEM2	0,246599267	0,294771224	0,032	0	1	1,226690439	0,815201593	#DIV/0!
IRAK4	0,353096361	0,294611397	0,021	0	1	1,226554549	0,815291909	#DIV/0!
IL13RA1	0,372736722	0,294397396	0,019	0	1	1,226372623	0,815412854	#DIV/0!
MYO1B	0,272474323	0,294210762	0,029	0	1	1,226213983	0,815518346	#DIV/0!

Supplementary Table 3

Differentially expressed genes_keloid-MD_comparing SC-Keloid vs. (SC-Myel+Nonmyel)								
gene	p_val	avg_log2FC	pct.1	pct.2	p_val_adj	Foldchange_UP	Foldchange_DOWN	Ratio_pct1_pct2
BEX1	0,393875079	0,293947796	0,018	0	1	1,225990497	0,815667008	#DIV/0!
DMKN	0,775933499	0,29356299	0,032	0,024	1	1,225663536	0,815884597	1,333333333
ITGA4	0,317682464	0,293507556	0,024	0	1	1,225616441	0,815915947	#DIV/0!
LRRC58	0,638385585	0,293419499	0,038	0,024	1	1,225541637	0,815965749	1,583333333
EMC8	0,552350912	0,29335756	0,043	0,024	1	1,225489022	0,816000782	1,791666667
PRR14	0,3347904	0,293172542	0,022	0	1	1,225331869	0,816105437	#DIV/0!
MCAM	0,498505722	0,293125139	0,316	0,268	1	1,225291608	0,816132252	1,179104478
NUP155	0,353096361	0,293112768	0,021	0	1	1,225281102	0,81613925	#DIV/0!
BDNF	0,317682464	0,29296459	0,024	0	1	1,225155261	0,81622308	#DIV/0!
ULK3	0,317682464	0,29288704	0,024	0	1	1,225089406	0,816266956	#DIV/0!
PSMB8	0,675374938	0,29276746	0,116	0,098	1	1,224987867	0,816334616	1,183673469
NMD3	0,301657292	0,292733285	0,026	0	1	1,224958849	0,816353954	#DIV/0!
NLN	0,3347904	0,292655121	0,022	0	1	1,224892484	0,816398184	#DIV/0!
GEMIN2	0,3347904	0,292447777	0,022	0	1	1,224716455	0,816515526	#DIV/0!
MIR22HG	0,353096361	0,292396451	0,021	0	1	1,224672885	0,816544575	#DIV/0!
KCTD5	0,3347904	0,292319481	0,022	0	1	1,224607549	0,81658814	#DIV/0!
LFNG	0,301657292	0,292298887	0,026	0	1	1,224590068	0,816599797	#DIV/0!
PTTG1IP	0,580723382	0,292254722	0,177	0,146	1	1,22455258	0,816624795	1,212328767
RAB2A	0,409764151	0,292105358	0,289	0,22	1	1,224425807	0,816709346	1,313636364
C11orf1	0,317682464	0,292058407	0,024	0	1	1,22438596	0,816735925	#DIV/0!
FBXO4	0,773817043	0,291962352	0,032	0,024	1	1,224304443	0,816790305	1,333333333
MDC1	0,286616306	0,291808109	0,027	0	1	1,224173556	0,816877636	#DIV/0!
FAM193A	0,670924516	0,291774746	0,037	0,024	1	1,224145247	0,816896526	1,541666667
ZNF544	0,353096361	0,291719973	0,021	0	1	1,224098772	0,816927541	#DIV/0!
GDI1	0,547375304	0,291542564	0,073	0,049	1	1,223948253	0,817028005	1,489795918
NLRP1	0,754692567	0,291519591	0,059	0,049	1	1,223928763	0,817041016	1,204081633
TNFRSF10B	0,353096361	0,291440717	0,021	0	1	1,223861852	0,817085685	#DIV/0!
DCXR	0,665267831	0,29129757	0,037	0,024	1	1,223740424	0,817166762	1,541666667
CDH13	0,735567259	0,290976723	0,033	0,024	1	1,223468301	0,817348516	1,375
TET3	0,353096361	0,290824912	0,021	0	1	1,223339565	0,817434528	#DIV/0!

Supplementary Table 3

Differentially expressed genes_keloid-MD_ comparing SC-Keloid vs. (SC-Myel+Nonmyel)								
gene	p_val	avg_log2FC	pct.1	pct.2	p_val_adj	Foldchange_UP	Foldchange_DOWN	Ratio_pct1_pct2
TTYH3	0,612820128	0,290707686	0,04	0,024	1	1,223240167	0,817500951	1,666666667
RTF1	0,742939576	0,290562725	0,136	0,122	1	1,223117263	0,817583097	1,114754098
SAMD9	0,89810723	0,290494384	0,027	0,024	1	1,223059325	0,817621827	1,125
SYNJ2	0,301657292	0,290260528	0,026	0	1	1,222861087	0,817754372	#DIV/0!
ERCC3	0,393875079	0,290177666	0,018	0	1	1,222790853	0,817801341	#DIV/0!
MARCHF7	0,445455658	0,29011533	0,051	0,024	1	1,22273802	0,817836677	2,125
ANKRA2	0,3347904	0,290008072	0,022	0	1	1,222647118	0,817897483	#DIV/0!
MTMR2	0,372736722	0,289987034	0,019	0	1	1,222629289	0,81790941	#DIV/0!
TIPIN	0,317682464	0,289964604	0,024	0	1	1,222610281	0,817922126	#DIV/0!
ATG13	0,317682464	0,289942598	0,024	0	1	1,222591632	0,817934602	#DIV/0!
FLNC	0,3347904	0,289928067	0,022	0	1	1,222579318	0,81794284	#DIV/0!
ISOC2	0,623751984	0,289901193	0,067	0,049	1	1,222556545	0,817958077	1,367346939
TMEM185A	0,317682464	0,289776356	0,024	0	1	1,222450761	0,818028858	#DIV/0!
MAML1	0,286616306	0,289723985	0,027	0	1	1,222406386	0,818058554	#DIV/0!
OXTR	0,353096361	0,289630525	0,021	0	1	1,222327199	0,818111551	#DIV/0!
SNUPN	0,301657292	0,289620109	0,026	0	1	1,222318374	0,818117457	#DIV/0!
LAPTM4B	0,739643453	0,289445968	0,033	0,024	1	1,222170842	0,818216215	1,375
D2HGDH	0,393875079	0,289371445	0,018	0	1	1,222107713	0,81825848	#DIV/0!
ARPP19	0,30870413	0,289366549	0,161	0,098	1	1,222103565	0,818261257	1,642857143
METTL5	0,753037527	0,2893052	0,11	0,098	1	1,222051598	0,818296054	1,12244898
RCC2	0,9640001	0,288900487	0,091	0,098	1	1,221708829	0,818525639	0,928571429
BANF1	0,784945631	0,288618745	0,132	0,122	1	1,221470266	0,818685503	1,081967213
JMJD6	0,317682464	0,288560269	0,024	0	1	1,221420758	0,818718687	#DIV/0!
SPEF2	0,353096361	0,288347825	0,021	0	1	1,221240911	0,818839257	#DIV/0!
SGTB	0,353096361	0,288316787	0,021	0	1	1,221214637	0,818856874	#DIV/0!
SCRIB	0,372736722	0,288155425	0,019	0	1	1,221078055	0,818948466	#DIV/0!
ARRDC4	0,372736722	0,288131415	0,019	0	1	1,221057733	0,818962096	#DIV/0!
CDYL	0,670924516	0,288084602	0,037	0,024	1	1,221018113	0,818988669	1,541666667
SLC38A10	0,317682464	0,288000842	0,024	0	1	1,220947225	0,81903622	#DIV/0!
TMEM218	0,353096361	0,287952804	0,021	0	1	1,220906571	0,819063492	#DIV/0!

Supplementary Table 3

Differentially expressed genes_keloid-MD_ comparing SC-Keloid vs. (SC-Myel+Nonmyel)								
gene	p_val	avg_log2FC	pct.1	pct.2	p_val_adj	Foldchange_UP	Foldchange_DOWN	Ratio_pct1_pct2
FAM78B	0,317682464	0,287682598	0,024	0	1	1,220677926	0,819216911	#DIV/0!
CCDC25	0,952389766	0,287607317	0,096	0,098	1	1,220614232	0,819259659	0,979591837
NOM1	0,3347904	0,287592248	0,022	0	1	1,220601483	0,819268217	#DIV/0!
MAPK8IP3	0,372736722	0,287586418	0,019	0	1	1,220596551	0,819271527	#DIV/0!
TNFSF4	0,317682464	0,287344742	0,024	0	1	1,220392096	0,819408781	#DIV/0!
CRLF1	0,218962072	0,287328892	0,177	0,098	1	1,220378689	0,819417783	1,806122449
DCBLD2	0,553840054	0,287295094	0,207	0,171	1	1,2203501	0,81943698	1,210526316
FKBP14	0,82981415	0,28722449	0,056	0,049	1	1,220290379	0,819477083	1,142857143
TNRC18	0,286616306	0,287133927	0,027	0	1	1,220213779	0,819528527	#DIV/0!
PPIL1	0,31768239	0,287055282	0,024	0	1	1,220147264	0,819573202	#DIV/0!
ZNF394	0,393875079	0,286924638	0,018	0	1	1,220036778	0,819647422	#DIV/0!
TES	0,353096277	0,286629452	0,021	0	1	1,219787174	0,819815146	#DIV/0!
TLN1	0,850611944	0,286571001	0,26	0,268	1	1,219737756	0,819848361	0,970149254
DHX29	0,758370512	0,286405392	0,085	0,073	1	1,219597749	0,819942478	1,164383562
ATP6VOB	0,158838917	0,286236704	0,305	0,195	1	1,219455154	0,820038356	1,564102564
EFS	0,635569838	0,286115074	0,053	0,073	1	1,219352349	0,820107494	0,726027397
RTN1	0,317682464	0,286086283	0,024	0	1	1,219328016	0,820123861	#DIV/0!
HELLS	0,552350912	0,285532337	0,043	0,024	1	1,218859925	0,820438821	1,791666667
INTS10	0,703351459	0,285447245	0,035	0,024	1	1,218788038	0,820487213	1,458333333
PAPOLG	0,393875079	0,285439717	0,018	0	1	1,218781678	0,820491494	#DIV/0!
DACT1	0,3347904	0,285338181	0,022	0	1	1,218695904	0,820549242	#DIV/0!
ZBED4	0,393875079	0,285298178	0,018	0	1	1,218662112	0,820571995	#DIV/0!
PSMB10	0,372736722	0,285266088	0,019	0	1	1,218635006	0,820590247	#DIV/0!
ZNF84	0,3347904	0,285161857	0,022	0	1	1,218546966	0,820649534	#DIV/0!
CCT6A	0,637859641	0,285087813	0,12	0,098	1	1,218484428	0,820691654	1,224489796
N4BP1	0,286616306	0,285054048	0,027	0	1	1,21845591	0,820710862	#DIV/0!
HPS1	0,3347904	0,285048106	0,022	0	1	1,218450891	0,820714242	#DIV/0!
ELK1	0,393875079	0,284930187	0,018	0	1	1,218351306	0,820781326	#DIV/0!
GOSR1	0,630640081	0,284909608	0,067	0,049	1	1,218333927	0,820793034	1,367346939
VRK1	0,286616306	0,284903575	0,027	0	1	1,218328832	0,820796466	#DIV/0!

Supplementary Table 3

Differentially expressed genes_keloid-MD_comparing SC-Keloid vs. (SC-Myel+Nonmyel)								
gene	p_val	avg_log2FC	pct.1	pct.2	p_val_adj	Foldchange_UP	Foldchange_DOWN	Ratio_pct1_pct2
DPP9	0,3347904	0,28486917	0,022	0	1	1,218299778	0,82081604	#DIV/0!
SSU72	0,764188993	0,284673192	0,11	0,098	1	1,218134293	0,820927549	1,12244898
AP2B1	0,666351432	0,284496288	0,091	0,073	1	1,217984934	0,821028218	1,246575342
EHD4	0,878877608	0,284324144	0,077	0,073	1	1,217839611	0,82112619	1,054794521
PSMD8	0,89666555	0,284111245	0,231	0,244	1	1,217659908	0,821247372	0,946721311
RASA1	0,769589184	0,28397235	0,032	0,024	1	1,217542684	0,821326442	1,333333333
FGFR1	0,353096361	0,283935258	0,021	0	1	1,217511381	0,821347558	#DIV/0!
GOLGA2	0,585208114	0,283877183	0,089	0,122	1	1,217462371	0,821380622	0,729508197
P3H4	0,317682464	0,283734143	0,024	0	1	1,217341668	0,821462064	#DIV/0!
TRIM27	0,89810723	0,283210468	0,027	0,024	1	1,216899874	0,821760296	1,125
ADAMTS12	0,3347904	0,283195056	0,022	0	1	1,216886873	0,821769075	#DIV/0!
ZNF148	0,519058384	0,28312119	0,046	0,024	1	1,216824571	0,82181115	1,916666667
AC147651.4	0,846810353	0,28303802	0,054	0,049	1	1,216754424	0,821858528	1,102040816
ZNF518B	0,393875079	0,282858916	0,018	0	1	1,216603379	0,821960564	#DIV/0!
MRPS35	0,532255015	0,282720873	0,045	0,024	1	1,216486975	0,822039217	1,875
CYP27C1	0,372736722	0,282713694	0,019	0	1	1,216480922	0,822043307	#DIV/0!
CLU	0,794326939	0,282669563	0,085	0,073	1	1,216443711	0,822068453	1,164383562
KIF3B	0,259157069	0,282625257	0,03	0	1	1,216406354	0,8220937	#DIV/0!
ZNF107	0,4167109	0,282378188	0,016	0	1	1,216198056	0,8222345	#DIV/0!
NDUFAF7	0,353096361	0,282072594	0,021	0	1	1,215940466	0,822408686	#DIV/0!
IWS1	0,301657292	0,282028327	0,026	0	1	1,215903157	0,82243392	#DIV/0!
WDR83	0,334790321	0,28193704	0,022	0	1	1,215826222	0,822485962	#DIV/0!
VPS37A	0,353096361	0,281779376	0,021	0	1	1,215693359	0,822575851	#DIV/0!
CTNBP1	0,530703027	0,281687179	0,045	0,024	1	1,215615672	0,822628421	1,875
FAM220A	0,353096361	0,28165508	0,021	0	1	1,215588626	0,822646724	#DIV/0!
TNS1	0,560423984	0,281635463	0,043	0,024	1	1,215572097	0,82265791	1,791666667
CPNE2	0,614571199	0,281486462	0,04	0,024	1	1,215446559	0,822742878	1,666666667
DENND10	0,353096361	0,281439717	0,021	0	1	1,215407178	0,822769536	#DIV/0!
SOCS5	0,3347904	0,281421434	0,022	0	1	1,215391776	0,822779963	#DIV/0!
WDR55	0,372736722	0,281354388	0,019	0	1	1,215335294	0,822818201	#DIV/0!

Supplementary Table 3

Differentially expressed genes_keloid-MD_ comparing SC-Keloid vs. (SC-Myel+Nonmyel)								
gene	p_val	avg_log2FC	pct.1	pct.2	p_val_adj	Foldchange_UP	Foldchange_DOWN	Ratio_pct1_pct2
ENOPH1	0,667151297	0,281330992	0,037	0,024	1	1,215315585	0,822831545	1,541666667
EEF1D	0,353188845	0,281315501	0,506	0,463	1	1,215302536	0,82284038	1,09287257
TMEM183A	0,731498497	0,281171754	0,033	0,024	1	1,215181452	0,82292237	1,375
FAM131A	0,3347904	0,281106453	0,022	0	1	1,21512645	0,822959619	#DIV/0!
TTC23	0,372736722	0,281088445	0,019	0	1	1,215111283	0,822969891	#DIV/0!
ZNF354A	0,4167109	0,281048982	0,016	0	1	1,215078045	0,822992403	#DIV/0!
ATF2	0,667151297	0,280999521	0,037	0,024	1	1,215036389	0,823020619	1,541666667
IFT80	0,353096361	0,280940687	0,021	0	1	1,21498684	0,823054182	#DIV/0!
LIMK2	0,301657292	0,280805479	0,026	0	1	1,214872978	0,823131322	#DIV/0!
PEF1	0,301657292	0,280734802	0,026	0	1	1,214813463	0,823171648	#DIV/0!
NPB	0,372736722	0,280588606	0,019	0	1	1,214690366	0,823255068	#DIV/0!
EGR3	0,286616306	0,280585361	0,027	0	1	1,214687633	0,82325692	#DIV/0!
MBD1	0,3347904	0,280457289	0,022	0	1	1,214579807	0,823330006	#DIV/0!
METTL2B	0,353096361	0,280448331	0,021	0	1	1,214572266	0,823335118	#DIV/0!
UPF3A	0,416625054	0,280444389	0,115	0,073	1	1,214568947	0,823337368	1,575342466
BRWD3	0,950688894	0,280200484	0,022	0,024	1	1,214363626	0,823476575	0,916666667
RFC5	0,317682464	0,280195202	0,024	0	1	1,21435918	0,82347959	#DIV/0!
VPS4A	0,667151297	0,28003426	0,037	0,024	1	1,214223718	0,82357146	1,541666667
PYCR1	0,393875079	0,280002627	0,018	0	1	1,214197095	0,823589518	#DIV/0!
ERRFI1	0,353096361	0,279905192	0,021	0	1	1,214115095	0,823645142	#DIV/0!
UBN2	0,353096361	0,279630629	0,021	0	1	1,213884056	0,823801907	#DIV/0!
SNX1	0,711783759	0,279488511	0,062	0,049	1	1,213764484	0,823883062	1,265306122
USP14	0,510418125	0,279392519	0,077	0,049	1	1,213683726	0,823937883	1,571428571
ZNF407	0,372736722	0,279081593	0,019	0	1	1,213422185	0,824115475	#DIV/0!
ST8SIA2	0,273156646	0,279042537	0,07	0,024	1	1,213389336	0,824137785	2,916666667
DAB2	0,301657292	0,278581929	0,026	0	1	1,213002	0,824400949	#DIV/0!
PRPF4	0,3347904	0,278524823	0,022	0	1	1,212953987	0,824433582	#DIV/0!
APOBEC3C	0,771702241	0,278468205	0,032	0,024	1	1,212906385	0,824465937	1,333333333
XPNPEP3	0,701390025	0,278405015	0,035	0,024	1	1,212853262	0,824502049	1,458333333
YPEL5	0,589553394	0,278332468	0,07	0,049	1	1,212792274	0,824543511	1,428571429

Supplementary Table 3

Differentially expressed genes_keloid-MD_comparing SC-Keloid vs. (SC-Myel+Nonmyel)								
gene	p_val	avg_log2FC	pct.1	pct.2	p_val_adj	Foldchange_UP	Foldchange_DOWN	Ratio_pct1_pct2
LPIN2	0,3347904	0,277737858	0,022	0	1	1,212292522	0,824883419	#DIV/0!
NSUN5	0,353096361	0,277483557	0,021	0	1	1,212078853	0,825028832	#DIV/0!
NDUFAF6	0,353096361	0,277271108	0,021	0	1	1,211900376	0,825150334	#DIV/0!
USP38	0,372736722	0,277254213	0,019	0	1	1,211886184	0,825159997	#DIV/0!
PLBD2	0,317682464	0,277164846	0,024	0	1	1,211811117	0,825211112	#DIV/0!
COMMD4	0,532255015	0,27698866	0,045	0,024	1	1,211663136	0,825311896	1,875
ZNF652	0,394356932	0,276925484	0,056	0,024	1	1,211610079	0,825348037	2,333333333
THAP11	0,317682464	0,276848415	0,024	0	1	1,211545356	0,825392128	#DIV/0!
TAF6	0,372736722	0,276799024	0,019	0	1	1,211503879	0,825420386	#DIV/0!
ACP2	0,372736722	0,276786935	0,019	0	1	1,211493727	0,825427303	#DIV/0!
KANSL1L	0,353096361	0,276762547	0,021	0	1	1,211473248	0,825441257	#DIV/0!
LIPA	0,812135813	0,276752323	0,03	0,024	1	1,211464663	0,825447106	1,25
IGF2R	0,372736722	0,276591951	0,019	0	1	1,211330002	0,825538869	#DIV/0!
HAS2	0,946292034	0,276577732	0,026	0,024	1	1,211318063	0,825547006	1,083333333
RBM19	0,353096361	0,276340296	0,021	0	1	1,211118723	0,825682884	#DIV/0!
C21orf91	0,372736722	0,276167483	0,019	0	1	1,210973659	0,825781794	#DIV/0!
BZW1	0,820741008	0,276091669	0,241	0,244	1	1,210910023	0,82582519	0,987704918
TUSC3	0,523758072	0,276084838	0,075	0,049	1	1,210904289	0,825829101	1,530612245
TNPO3	0,317682464	0,276043904	0,024	0	1	1,210869933	0,825852532	#DIV/0!
FAM104B	0,317682464	0,275903514	0,024	0	1	1,210752108	0,825932901	#DIV/0!
NOL4L	0,393875079	0,275540174	0,018	0	1	1,21044722	0,826140937	#DIV/0!
KLHDC10	0,699430636	0,275494367	0,035	0,024	1	1,210408788	0,826167168	1,458333333
GAS7	0,279667573	0,275056869	0,392	0,317	1	1,210041787	0,826417741	1,23659306
RRP1B	0,246599267	0,274581918	0,032	0	1	1,209643493	0,826689852	#DIV/0!
ZNF814	0,353096361	0,274541423	0,021	0	1	1,20960954	0,826713056	#DIV/0!
TAF12	0,711783759	0,274489181	0,062	0,049	1	1,209565739	0,826742993	1,265306122
MYO19	0,317682464	0,274446375	0,024	0	1	1,20952985	0,826767524	#DIV/0!
LYPLA2	0,852721591	0,274359793	0,029	0,024	1	1,209457265	0,826817143	1,208333333
SSR3	0,614397863	0,27425012	0,225	0,195	1	1,209365325	0,82688	1,153846154
TRPV2	0,372736722	0,27422764	0,019	0	1	1,209346481	0,826892884	#DIV/0!

Supplementary Table 3

Differentially expressed genes_keloid-MD_comparing SC-Keloid vs. (SC-Myel+Nonmyel)								
gene	p_val	avg_log2FC	pct.1	pct.2	p_val_adj	Foldchange_UP	Foldchange_DOWN	Ratio_pct1_pct2
API5	0,731498497	0,274213904	0,033	0,024	1	1,209334967	0,826900757	1,375
TMEM14A	0,500905628	0,274109432	0,078	0,049	1	1,209247396	0,826960639	1,591836735
GAN	0,372736722	0,273709123	0,019	0	1	1,20891191	0,82719013	#DIV/0!
ETS2	0,701390054	0,273576795	0,035	0,024	1	1,20880103	0,827266006	1,458333333
TUBGCP2	0,45078022	0,273498541	0,051	0,024	1	1,208735464	0,827310879	2,125
ZDHHC24	0,317682464	0,273489517	0,024	0	1	1,208727904	0,827316054	#DIV/0!
AP3M2	0,317682464	0,273432032	0,024	0	1	1,208679743	0,82734902	#DIV/0!
SERTAD3	0,317682464	0,27329807	0,024	0	1	1,208567515	0,827425847	#DIV/0!
ERG28	0,301657292	0,273291223	0,026	0	1	1,208561779	0,827429774	#DIV/0!
HSPA13	0,511595097	0,273218088	0,077	0,049	1	1,208500515	0,82747172	1,571428571
SFT2D3	0,317682464	0,273185094	0,024	0	1	1,208472877	0,827490645	#DIV/0!
ARL8B	0,286616306	0,272733112	0,027	0	1	1,208094334	0,82774993	#DIV/0!
MAP1A	0,317682464	0,272652142	0,024	0	1	1,208026533	0,827796388	#DIV/0!
AGAP3	0,393875079	0,272489905	0,018	0	1	1,207890693	0,827889482	#DIV/0!
SPRYD3	0,317682464	0,272464192	0,024	0	1	1,207869165	0,827904238	#DIV/0!
EFNB2	0,353096361	0,272396138	0,021	0	1	1,20781219	0,827943292	#DIV/0!
ABHD6	0,353096361	0,272379651	0,021	0	1	1,207798387	0,827952754	#DIV/0!
SIN3B	0,317682464	0,272378913	0,024	0	1	1,207797768	0,827953177	#DIV/0!
ABHD14A	0,301657292	0,272313702	0,026	0	1	1,207743177	0,827990602	#DIV/0!
ZSWIM8	0,353096361	0,272265624	0,021	0	1	1,207702929	0,828018195	#DIV/0!
UCHL1	0,317682464	0,272135016	0,024	0	1	1,2075936	0,82809316	#DIV/0!
NDUFA11	0,847469848	0,271912622	0,174	0,171	1	1,207407461	0,828220822	1,01754386
H2AJ	0,757421449	0,271714041	0,33	0,317	1	1,207241278	0,828334831	1,041009464
HDAC7	0,3347904	0,271649579	0,022	0	1	1,207187338	0,828371843	#DIV/0!
MOB4	0,585113027	0,27151487	0,041	0,024	1	1,207074625	0,828449194	1,708333333
RABL2B	0,393875079	0,271480949	0,018	0	1	1,207046244	0,828468673	#DIV/0!
TMCC1	0,317682464	0,271468213	0,024	0	1	1,207035588	0,828475987	#DIV/0!
VPS26B	0,3347904	0,271426793	0,022	0	1	1,207000934	0,828499773	#DIV/0!
ZNF785	0,372736722	0,271404763	0,019	0	1	1,206982504	0,828512424	#DIV/0!
OSER1	0,301657292	0,271311822	0,026	0	1	1,20690475	0,8285658	#DIV/0!

Supplementary Table 3

Differentially expressed genes_keloid-MD_ comparing SC-Keloid vs. (SC-Myel+Nonmyel)								
gene	p_val	avg_log2FC	pct.1	pct.2	p_val_adj	Foldchange_UP	Foldchange_DOWN	Ratio_pct1_pct2
EFR3A	0,414743942	0,271253016	0,054	0,024	1	1,206855557	0,828599574	2,25
RBM22	0,429781369	0,271243161	0,053	0,024	1	1,206847312	0,828605234	2,208333333
PRR16	0,372736722	0,271231356	0,019	0	1	1,206837438	0,828612014	#DIV/0!
PPP1R15B	0,353096361	0,270819445	0,021	0	1	1,206492916	0,82884863	#DIV/0!
ZBTB38	0,604079581	0,270732518	0,097	0,073	1	1,206420224	0,828898571	1,328767123
WAC-AS1	0,55396095	0,270429934	0,043	0,024	1	1,206167221	0,829072439	1,791666667
NTN1	0,441492135	0,270326736	0,014	0	1	1,206080945	0,829131746	#DIV/0!
SEH1L	0,393874981	0,270311238	0,018	0	1	1,206067989	0,829140653	#DIV/0!
SMG7	0,3347904	0,270295329	0,022	0	1	1,206054689	0,829149796	#DIV/0!
FXR2	0,372736722	0,270164694	0,019	0	1	1,205945487	0,829224878	#DIV/0!
ATP1A1	0,387260925	0,27012837	0,089	0,049	1	1,205915125	0,829245757	1,816326531
GPD2	0,372736722	0,270104595	0,019	0	1	1,205895252	0,829259422	#DIV/0!
CELSR1	0,393875079	0,269684502	0,018	0	1	1,205544162	0,829500927	#DIV/0!
NDUFS3	0,588201752	0,2696175	0,097	0,073	1	1,205488176	0,829539451	1,328767123
ITPK1-AS1	0,393875079	0,269467115	0,018	0	1	1,205362523	0,829625926	#DIV/0!
TMEM167B	0,372736722	0,269225539	0,019	0	1	1,205160705	0,829764857	#DIV/0!
ADAT1	0,3347904	0,268976264	0,022	0	1	1,204952491	0,829908239	#DIV/0!
SRBD1	0,857273836	0,268882941	0,029	0,024	1	1,204874549	0,829961925	1,208333333
C4orf33	0,372736722	0,268706563	0,019	0	1	1,204727255	0,830063399	#DIV/0!
PSME3IP1	0,309376833	0,268638702	0,065	0,024	1	1,204670589	0,830102444	2,708333333
DLGAP4	0,325130163	0,268606808	0,128	0,073	1	1,204643957	0,830120796	1,753424658
SORCS2	0,733531942	0,26860374	0,033	0,024	1	1,204641395	0,830122561	1,375
HSCB	0,353096361	0,26860324	0,021	0	1	1,204640977	0,830122849	#DIV/0!
ARHGEF17	0,353096361	0,268525493	0,021	0	1	1,204576061	0,830167585	#DIV/0!
LAMA5	0,353096361	0,268383514	0,021	0	1	1,204457522	0,830249288	#DIV/0!
ZNF738	0,3347904	0,268323014	0,022	0	1	1,204407014	0,830284106	#DIV/0!
ARSK	0,317682464	0,268306613	0,024	0	1	1,204393321	0,830293545	#DIV/0!
SRSF6	0,748075526	0,268268996	0,112	0,098	1	1,204361918	0,830315194	1,142857143
AC005523.2	0,3347904	0,268178332	0,022	0	1	1,204286234	0,830367376	#DIV/0!
EXOSC4	0,555573283	0,268073536	0,043	0,024	1	1,204198759	0,830427695	1,791666667

Supplementary Table 3

Differentially expressed genes_keloid-MD_comparing SC-Keloid vs. (SC-Myel+Nonmyel)								
gene	p_val	avg_log2FC	pct.1	pct.2	p_val_adj	Foldchange_UP	Foldchange_DOWN	Ratio_pct1_pct2
SLC35A4	0,852721591	0,268059595	0,029	0,024	1	1,204187123	0,83043572	1,208333333
DERL1	0,614571199	0,267922191	0,04	0,024	1	1,20407244	0,830514815	1,666666667
TRIM44	0,89672578	0,267851375	0,1	0,098	1	1,204013338	0,830555583	1,020408163
COPS8	0,292552949	0,267540459	0,067	0,024	1	1,203753889	0,830734596	2,791666667
PSMB9	0,573152984	0,267523829	0,126	0,098	1	1,203740014	0,830744171	1,285714286
KDM4B	0,317682464	0,26751821	0,024	0	1	1,203735325	0,830747407	#DIV/0!
UQCR10	0,269887878	0,267416734	0,311	0,22	1	1,20365066	0,830805842	1,413636364
HS3ST1	0,372736722	0,26741645	0,019	0	1	1,203650423	0,830806005	#DIV/0!
TMEM109	0,667151297	0,267185717	0,037	0,024	1	1,203457936	0,830938889	1,541666667
RPE	0,393875079	0,267074172	0,018	0	1	1,203364892	0,831003137	#DIV/0!
USP47	0,93564492	0,266826021	0,067	0,073	1	1,203157925	0,831146086	0,917808219
MYEOV	0,3347904	0,266797851	0,022	0	1	1,203134433	0,831162315	#DIV/0!
THOC3	0,372736722	0,266756093	0,019	0	1	1,203099609	0,831186373	#DIV/0!
EIF5A2	0,372736722	0,266580964	0,019	0	1	1,202953573	0,831287277	#DIV/0!
CDK12	0,85182868	0,266557756	0,054	0,049	1	1,202934222	0,83130065	1,102040816
USP19	0,393875079	0,26646317	0,018	0	1	1,202855358	0,831355153	#DIV/0!
TAF9	0,37613146	0,26645958	0,057	0,024	1	1,202852365	0,831357222	2,375
RPL18A	0,432572513	0,266440193	0,678	0,659	1	1,202836201	0,831368394	1,028831563
PHYKPL	0,393875079	0,266417812	0,018	0	1	1,202817541	0,831381291	#DIV/0!
GTF2H2	0,372736722	0,266078119	0,019	0	1	1,202534362	0,831577069	#DIV/0!
ZNF524	0,353096361	0,266008618	0,021	0	1	1,202476432	0,831617131	#DIV/0!
DDX19A	0,301657292	0,265869416	0,026	0	1	1,202360414	0,831697375	#DIV/0!
KDM6A	0,353096361	0,265742836	0,021	0	1	1,202254925	0,83177035	#DIV/0!
CCNT1	0,372736722	0,265641872	0,019	0	1	1,202170791	0,831828562	#DIV/0!
SAYSD1	0,89810723	0,265608693	0,027	0,024	1	1,202143144	0,831847692	1,125
CEP104	0,353096361	0,265588903	0,021	0	1	1,202126653	0,831859103	#DIV/0!
SLC17A9	0,393875079	0,265571857	0,018	0	1	1,20211245	0,831868932	#DIV/0!
SMARCA1	0,471476374	0,265508488	0,049	0,024	1	1,202059649	0,831905472	2,041666667
TRIM8	0,986492653	0,265264306	0,048	0,049	1	1,201856213	0,832046287	0,979591837
HDAC1	0,667151297	0,265236124	0,037	0,024	1	1,201832736	0,832062541	1,541666667

Supplementary Table 3

Differentially expressed genes_keloid-MD_comparing SC-Keloid vs. (SC-Myel+Nonmyel)								
gene	p_val	avg_log2FC	pct.1	pct.2	p_val_adj	Foldchange_UP	Foldchange_DOWN	Ratio_pct1_pct2
MT-ND4L	0,597332167	0,264970712	0,089	0,122	1	1,201611656	0,832215629	0,729508197
ZNF791	0,3347904	0,264929475	0,022	0	1	1,20157731	0,832239417	#DIV/0!
TRAPPC4	0,520152763	0,264928295	0,104	0,073	1	1,201576328	0,832240098	1,424657534
C1orf131	0,698717218	0,26490122	0,056	0,073	1	1,201553778	0,832255716	0,767123288
GLRX3	0,790764234	0,264750531	0,057	0,049	1	1,201428282	0,83234265	1,163265306
ARNT2	0,334790321	0,26469958	0,022	0	1	1,201385852	0,832372046	#DIV/0!
EID2	0,4167109	0,264539224	0,016	0	1	1,201252326	0,832464569	#DIV/0!
COX7B	0,442245873	0,26444655	0,4	0,366	1	1,201175163	0,832518046	1,092896175
STK39	0,441492135	0,264439234	0,014	0	1	1,201169072	0,832522268	#DIV/0!
POM121C	0,946292034	0,264325155	0,026	0,024	1	1,201074095	0,832588101	1,083333333
COA6	0,553603467	0,264261623	0,073	0,049	1	1,201021205	0,832624766	1,489795918
GTPBP8	0,852721591	0,264193769	0,029	0,024	1	1,200964719	0,832663928	1,208333333
FMC1	0,766791004	0,264143659	0,059	0,073	1	1,200923006	0,83269285	0,808219178
PARG	0,372736722	0,26388036	0,019	0	1	1,200703851	0,832844834	#DIV/0!
POU3F2	0,259157069	0,263784604	0,03	0	1	1,20062416	0,832900114	#DIV/0!
ZNF566	0,441492135	0,263741924	0,014	0	1	1,200588641	0,832924755	#DIV/0!
KLF4	0,935991717	0,263722008	0,045	0,049	1	1,200572068	0,832936253	0,918367347
CARS2	0,3347904	0,263710898	0,022	0	1	1,200562823	0,832942668	#DIV/0!
MCPH1	0,393875079	0,263627423	0,018	0	1	1,200493359	0,832990864	#DIV/0!
NARS1	0,926710642	0,263390321	0,11	0,122	1	1,200296079	0,833127774	0,901639344
SPECC1L	0,353096361	0,263374763	0,021	0	1	1,200283134	0,833136759	#DIV/0!
MINDY3	0,3347904	0,263326005	0,022	0	1	1,20024257	0,833164916	#DIV/0!
CYHR1	0,817995719	0,263317745	0,04	0,049	1	1,200235698	0,833169686	0,816326531
B4GALT5	0,301657292	0,263307295	0,026	0	1	1,200227005	0,833175721	#DIV/0!
CLCN7	0,372736722	0,263016164	0,019	0	1	1,199984827	0,833343871	#DIV/0!
C9orf64	0,441492135	0,262980901	0,014	0	1	1,199955497	0,833364239	#DIV/0!
RTN4	0,833001495	0,262965227	0,198	0,195	1	1,19994246	0,833373293	1,015384615
PMEPA1	0,385274249	0,262930373	0,77	0,756	1	1,199913471	0,833393427	1,018518519
THOC7	0,745173223	0,262896915	0,137	0,122	1	1,199885644	0,833412755	1,12295082
LCLAT1	0,372736722	0,262892931	0,019	0	1	1,19988233	0,833415056	#DIV/0!

Supplementary Table 3

Differentially expressed genes_keloid-MD_comparing SC-Keloid vs. (SC-Myel+Nonmyel)								
gene	p_val	avg_log2FC	pct.1	pct.2	p_val_adj	Foldchange_UP	Foldchange_DOWN	Ratio_pct1_pct2
AKAP10	0,353096361	0,262891912	0,021	0	1	1,199881482	0,833415645	#DIV/0!
KAT7	0,372736722	0,26226225	0,019	0	1	1,199357911	0,833779467	#DIV/0!
NDUFB2	0,768498251	0,262082157	0,443	0,439	1	1,199208203	0,833883555	1,009111617
COL27A1	0,467317281	0,261980317	0,049	0,024	1	1,199123554	0,833942421	2,041666667
DNAJC7	0,481473815	0,261976911	0,08	0,049	1	1,199120723	0,83394439	1,632653061
MVB12A	0,665750794	0,261954296	0,054	0,073	1	1,199101926	0,833957463	0,739726027
R3HDM2	0,528582598	0,261836422	0,075	0,049	1	1,199003959	0,834025603	1,530612245
C15orf61	0,533809299	0,261191846	0,045	0,024	1	1,19846838	0,834398317	1,875
CHMP2B	0,589553374	0,260678734	0,07	0,049	1	1,198042206	0,834695134	1,428571429
RPGRIP1L	0,353096361	0,260526377	0,021	0	1	1,197915693	0,834783287	#DIV/0!
MPZL1	0,301657292	0,260470857	0,026	0	1	1,197869594	0,834815413	#DIV/0!
SLC25A16	0,3347904	0,260455359	0,022	0	1	1,197856725	0,834824382	#DIV/0!
WDR5	0,4167109	0,260275365	0,016	0	1	1,197707287	0,834928543	#DIV/0!
STON2	0,812135813	0,260048987	0,03	0,024	1	1,197519366	0,835059564	1,25
RNF150	0,393875079	0,259999033	0,018	0	1	1,197477902	0,835088479	#DIV/0!
N4BP2	0,372736722	0,259979997	0,019	0	1	1,197462102	0,835099498	#DIV/0!
PGM2	0,372736722	0,25990209	0,019	0	1	1,197397439	0,835144595	#DIV/0!
DESI2	0,787560176	0,259880229	0,057	0,049	1	1,197379295	0,835157251	1,163265306
WWC1	0,372736722	0,25983509	0,019	0	1	1,197341832	0,835183381	#DIV/0!
PLA2G4C	0,393875079	0,259356116	0,018	0	1	1,196944381	0,835460708	#DIV/0!
GCSH	0,597649235	0,259345586	0,15	0,122	1	1,196935645	0,835466806	1,229508197
PIP5K1A	0,814331231	0,259216767	0,03	0,024	1	1,196828775	0,835541408	1,25
PRKAA1	0,737604434	0,259073941	0,033	0,024	1	1,196710295	0,83562413	1,375
SPRY2	0,711080569	0,258890861	0,056	0,073	1	1,196558441	0,835730179	0,767123288
PHRF1	0,393875079	0,258777527	0,018	0	1	1,196464446	0,835795834	#DIV/0!
SEC14L2	0,857273836	0,258776773	0,029	0,024	1	1,196463821	0,835796271	1,208333333
SEMA7A	0,353096361	0,258399013	0,021	0	1	1,196150576	0,836015147	#DIV/0!
PIN4	0,558641653	0,258388185	0,156	0,122	1	1,196141599	0,836021422	1,278688525
PTPN4	0,353096277	0,258280305	0,021	0	1	1,196052158	0,836083939	#DIV/0!
SLC20A2	0,739643453	0,258034603	0,033	0,024	1	1,195848479	0,836226343	1,375

Supplementary Table 3

Differentially expressed genes_keloid-MD_ comparing SC-Keloid vs. (SC-Myel+Nonmyel)								
gene	p_val	avg_log2FC	pct.1	pct.2	p_val_adj	Foldchange_UP	Foldchange_DOWN	Ratio_pct1_pct2
EPS8	0,380694346	0,257962417	0,057	0,024	1	1,195788645	0,836268185	2,375
DMWD	0,812135813	0,257840916	0,03	0,024	1	1,195687943	0,836338617	1,25
PINK1	0,317682464	0,257723982	0,024	0	1	1,195591033	0,836406407	#DIV/0!
TSPO	0,255539745	0,25768821	0,351	0,268	1	1,195561388	0,836427146	1,309701493
MDM1	0,441492135	0,257522416	0,014	0	1	1,195424003	0,836523273	#DIV/0!
AGO3	0,775933499	0,257406897	0,032	0,024	1	1,195328287	0,836590258	1,333333333
UBE4B	0,393875079	0,257343344	0,018	0	1	1,195275632	0,836627112	#DIV/0!
RNF220	0,353096361	0,257317853	0,021	0	1	1,195254513	0,836641894	#DIV/0!
SACS	0,535365871	0,257193635	0,045	0,024	1	1,195151604	0,836713934	1,875
NKAIN4	0,498250693	0,257169088	0,011	0	1	1,195131269	0,83672817	#DIV/0!
SLC38A6	0,372736722	0,257160894	0,019	0	1	1,195124481	0,836732923	#DIV/0!
BCKDK	0,353096361	0,257036453	0,021	0	1	1,1950214	0,836805099	#DIV/0!
ZFP62	0,4167109	0,257031975	0,016	0	1	1,19501769	0,836807696	#DIV/0!
HPS3	0,372736722	0,256823112	0,019	0	1	1,194844697	0,836928852	#DIV/0!
IFT74	0,372736722	0,256821135	0,019	0	1	1,19484306	0,836929998	#DIV/0!
RPS20	0,327573298	0,256738734	0,388	0,341	1	1,194774817	0,836977802	1,137829912
CNEP1R1	0,4167109	0,256616638	0,016	0	1	1,194673707	0,837048639	#DIV/0!
FAM135A	0,372736722	0,256605771	0,019	0	1	1,194664708	0,837054944	#DIV/0!
VPS13C	0,679849573	0,25658377	0,118	0,098	1	1,194646489	0,837067709	1,204081633
SIPA1L1	0,697473218	0,256551558	0,035	0,024	1	1,194619816	0,837086399	1,458333333
TBC1D16	0,353096361	0,256492456	0,021	0	1	1,194570878	0,837120692	#DIV/0!
APEX1	0,879499051	0,256457174	0,124	0,122	1	1,194541664	0,837141165	1,016393443
DAZAP2	0,811127793	0,256396106	0,083	0,098	1	1,194491102	0,837176601	0,846938776
MARCHF6	0,339715378	0,256351856	0,062	0,024	1	1,194454464	0,837202279	2,583333333
CDK8	0,416710794	0,256301516	0,016	0	1	1,194412787	0,837231492	#DIV/0!
UBR7	0,372736722	0,256219638	0,019	0	1	1,194345002	0,837279009	#DIV/0!
ZNF507	0,4167109	0,256213603	0,016	0	1	1,194340006	0,837282512	#DIV/0!
PMS2	0,353096361	0,256207664	0,021	0	1	1,194335089	0,837285959	#DIV/0!
HOXB3	0,372736722	0,256204349	0,019	0	1	1,194332345	0,837287882	#DIV/0!
TJAP1	0,416710794	0,256166893	0,016	0	1	1,194301338	0,837309621	#DIV/0!

Supplementary Table 3

Differentially expressed genes_keloid-MD_ comparing SC-Keloid vs. (SC-Myel+Nonmyel)								
gene	p_val	avg_log2FC	pct.1	pct.2	p_val_adj	Foldchange_UP	Foldchange_DOWN	Ratio_pct1_pct2
ARHGAP18	0,493210511	0,256121133	0,048	0,024	1	1,194263457	0,837336179	2
POMT2	0,393875079	0,25602381	0,018	0	1	1,194182895	0,837392667	#DIV/0!
DYRK1A	0,814331231	0,255730645	0,03	0,024	1	1,193940254	0,837562848	1,25
ANGEL2	0,997483596	0,255690564	0,024	0,024	1	1,193907085	0,837586118	1
EMB	0,3347904	0,255685573	0,022	0	1	1,193902954	0,837589016	#DIV/0!
TRIM73	0,441492135	0,255585825	0,014	0	1	1,193820411	0,837646928	#DIV/0!
TMEM106C	0,701390054	0,255574317	0,035	0,024	1	1,193810888	0,83765361	1,458333333
SYNM	0,372736722	0,255518147	0,019	0	1	1,193764409	0,837686224	#DIV/0!
HSPA9	0,885414806	0,255328291	0,11	0,122	1	1,193607322	0,837796469	0,901639344
VDAC2	0,600748239	0,255298644	0,177	0,146	1	1,193582794	0,837813686	1,212328767
FUBP3	0,705314812	0,25528025	0,035	0,024	1	1,193567576	0,837824368	1,458333333
TSPAN14	0,735567259	0,255232108	0,033	0,024	1	1,193527748	0,837852326	1,375
SART1	0,4167109	0,255223725	0,016	0	1	1,193520813	0,837857195	#DIV/0!
ATG5	0,449445736	0,255209725	0,051	0,024	1	1,193509231	0,837865325	2,125
NELFA	0,946292034	0,255029886	0,026	0,024	1	1,193360463	0,837969776	1,083333333
NPHP1	0,372736722	0,254860624	0,019	0	1	1,193220462	0,838068095	#DIV/0!
TEX264	0,563669143	0,254628585	0,043	0,024	1	1,193028564	0,838202898	1,791666667
SLC1A4	0,372736722	0,254609224	0,019	0	1	1,193012553	0,838214147	#DIV/0!
RRN3	0,286616306	0,254580966	0,027	0	1	1,192989187	0,838230565	#DIV/0!
RBM43	0,915287163	0,254271929	0,051	0,049	1	1,192733666	0,83841014	1,040816327
DENND4C	0,353096361	0,254173329	0,021	0	1	1,192652152	0,838467443	#DIV/0!
MLYCD	0,4167109	0,254144955	0,016	0	1	1,192628696	0,838483933	#DIV/0!
TMUB2	0,393875079	0,254105888	0,018	0	1	1,1925964	0,838506639	#DIV/0!
MICALL1	0,372736722	0,254033023	0,019	0	1	1,192536169	0,83854899	#DIV/0!
MPRIP	0,308432845	0,253997254	0,065	0,024	1	1,192506603	0,83856978	2,708333333
TUBG1	0,3347904	0,253903302	0,022	0	1	1,192428946	0,838624392	#DIV/0!
ZNF675	0,393875079	0,253811661	0,018	0	1	1,192353205	0,838677664	#DIV/0!
RILPL1	0,393875079	0,253509318	0,018	0	1	1,192103351	0,838853442	#DIV/0!
SRRD	0,317682464	0,253484022	0,024	0	1	1,19208245	0,838868151	#DIV/0!
DGKI	0,393875079	0,253454122	0,018	0	1	1,192057743	0,838885537	#DIV/0!

Supplementary Table 3

Differentially expressed genes_keloid-MD_comparing SC-Keloid vs. (SC-Myel+Nonmyel)								
gene	p_val	avg_log2FC	pct.1	pct.2	p_val_adj	Foldchange_UP	Foldchange_DOWN	Ratio_pct1_pct2
AP5M1	0,3347904	0,253379357	0,022	0	1	1,191995969	0,838929012	#DIV/0!
GPATCH4	0,449445736	0,253370272	0,051	0,024	1	1,191988462	0,838934295	2,125
ENAH	0,317682464	0,253323168	0,024	0	1	1,191949545	0,838961686	#DIV/0!
SLC35A3	0,705314841	0,25294965	0,035	0,024	1	1,191640985	0,839178924	1,458333333
PYM1	0,3347904	0,252873023	0,022	0	1	1,191577695	0,839223497	#DIV/0!
RPS6KA3	0,372736722	0,252700122	0,019	0	1	1,191434898	0,83932408	#DIV/0!
LDHB	0,966096634	0,252670958	0,206	0,22	1	1,191410813	0,839341048	0,936363636
FZD6	0,393875079	0,252661623	0,018	0	1	1,191403104	0,839346478	#DIV/0!
SPATC1L	0,3347904	0,252451236	0,022	0	1	1,191229375	0,839468889	#DIV/0!
CRISPLD1	0,372736722	0,252271446	0,019	0	1	1,191080933	0,839573511	#DIV/0!
TSPAN9	0,4167109	0,252154396	0,016	0	1	1,1909843	0,839641631	#DIV/0!
CLINT1	0,850146834	0,252118941	0,08	0,073	1	1,190955032	0,839662266	1,095890411
MAPK14	0,393875079	0,252096511	0,018	0	1	1,190936516	0,83967532	#DIV/0!
TLK1	0,739643453	0,252038826	0,033	0,024	1	1,190888898	0,839708894	1,375
ANKS3	0,353096361	0,252016872	0,021	0	1	1,190870777	0,839721672	#DIV/0!
SS18	0,338688882	0,251956029	0,062	0,024	1	1,190820555	0,839757087	2,583333333
POFUT2	0,317682464	0,251770746	0,024	0	1	1,190667629	0,839864943	#DIV/0!
SEPSECS	0,372736722	0,251764506	0,019	0	1	1,190662479	0,839868575	#DIV/0!
GRINA	0,699430636	0,251717021	0,035	0,024	1	1,190623291	0,839896219	1,458333333
GABPB1	0,353096361	0,251672653	0,021	0	1	1,190586675	0,839922049	#DIV/0!
SP2	0,393875079	0,251658226	0,018	0	1	1,190574769	0,839930449	#DIV/0!
CNN3	0,454583465	0,25138651	0,507	0,463	1	1,190350558	0,840088656	1,095032397
PDXK	0,396731373	0,251360059	0,056	0,024	1	1,190328734	0,840104058	2,333333333
DCSTAMP	0,441492135	0,251309409	0,014	0	1	1,190286945	0,840133553	#DIV/0!
EPHA2	0,4167109	0,251063178	0,016	0	1	1,190083811	0,840276954	#DIV/0!
PPT1	0,979161456	0,251059686	0,072	0,073	1	1,19008093	0,840278988	0,98630137
VPS33A	0,393875079	0,250963753	0,018	0	1	1,190001797	0,840334865	#DIV/0!
TBC1D2B	0,353096361	0,250931749	0,021	0	1	1,189975399	0,840353507	#DIV/0!
ANKRD28	0,915287163	0,250915875	0,051	0,049	1	1,189962306	0,840362753	1,040816327
PPP4R1	0,533809299	0,250801987	0,045	0,024	1	1,189868373	0,840429095	1,875

Supplementary Table 3

Differentially expressed genes_keloid-MD_comparing SC-Keloid vs. (SC-Myel+Nonmyel)								
gene	p_val	avg_log2FC	pct.1	pct.2	p_val_adj	Foldchange_UP	Foldchange_DOWN	Ratio_pct1_pct2
ELK4	0,457331705	0,250615925	0,081	0,049	1	1,189714928	0,84053749	1,653061224
AGGF1	0,393875079	0,250598518	0,018	0	1	1,189700573	0,840547632	#DIV/0!
RPL24	0,322532063	0,250544267	0,748	0,707	1	1,189655837	0,840579241	1,057991513
XPNPEP1	0,372736722	0,250300195	0,019	0	1	1,18945459	0,84072146	#DIV/0!
HNRNPA2B1	0,23991973	0,250230505	0,584	0,512	1	1,189397135	0,840762072	1,140625
DNAAF5	0,4167109	0,250205011	0,016	0	1	1,189376117	0,84077693	#DIV/0!
C1orf109	0,372736722	0,250160506	0,019	0	1	1,189339427	0,840802867	#DIV/0!
PLEKHA8	0,393875079	0,250132315	0,018	0	1	1,189316187	0,840819297	#DIV/0!
MYOF	0,607580193	0,249851239	0,04	0,024	1	1,189084499	0,840983127	1,666666667
MEA1	0,560423984	0,249696119	0,043	0,024	1	1,188956654	0,841073556	1,791666667
PBX3	0,3347904	0,249621255	0,022	0	1	1,188894958	0,841117201	#DIV/0!
SV2A	0,4167109	0,249490854	0,016	0	1	1,188787502	0,841193231	#DIV/0!
ANKH	0,665267831	0,248859523	0,037	0,024	1	1,188267396	0,841561422	1,541666667
ZMYM4	0,540049274	0,24878529	0,045	0,024	1	1,188206257	0,841604725	1,875
PXMP2	0,3347904	0,248742712	0,022	0	1	1,18817119	0,841629564	#DIV/0!
S100A3	0,301657292	0,248622071	0,026	0	1	1,188071837	0,841699945	#DIV/0!
ZNF680	0,353096361	0,248507966	0,021	0	1	1,187977874	0,841766519	#DIV/0!
DCUN1D1	0,896472903	0,248260127	0,043	0,049	1	1,18777381	0,841911138	0,87755102
FKBP7	0,559623075	0,24813343	0,049	0,073	1	1,187669504	0,841985078	0,671232877
SNX18	0,4167109	0,247919421	0,016	0	1	1,187493339	0,842109987	#DIV/0!
KDM5C	0,733531915	0,247876771	0,033	0,024	1	1,187458234	0,842134882	1,375
CORO1B	0,678495791	0,247867468	0,037	0,024	1	1,187450577	0,842140313	1,541666667
FHIP2A	0,393875079	0,247780601	0,018	0	1	1,187379081	0,842191021	#DIV/0!
SIPA1L3	0,393875079	0,247690161	0,018	0	1	1,187304649	0,842243818	#DIV/0!
FGF1	0,3347904	0,247553698	0,022	0	1	1,187192348	0,842323488	#DIV/0!
CHML	0,699430636	0,247440787	0,035	0,024	1	1,187099437	0,842389415	1,458333333
CEP89	0,353096361	0,247399153	0,021	0	1	1,18706518	0,842413725	#DIV/0!
GATC	0,353096361	0,247312342	0,021	0	1	1,186993753	0,842464417	#DIV/0!
PDCD11	0,317682464	0,247258016	0,024	0	1	1,186949056	0,842496141	#DIV/0!
PLCB3	0,393875079	0,247229752	0,018	0	1	1,186925803	0,842512647	#DIV/0!

Supplementary Table 3

Differentially expressed genes_keloid-MD_ comparing SC-Keloid vs. (SC-Myel+Nonmyel)								
gene	p_val	avg_log2FC	pct.1	pct.2	p_val_adj	Foldchange_UP	Foldchange_DOWN	Ratio_pct1_pct2
AARD	0,393875079	0,247040265	0,018	0	1	1,186769919	0,842623312	#DIV/0!
SLC15A3	0,755638693	0,24702343	0,112	0,098	1	1,186756071	0,842633145	1,142857143
CFAP298	0,338688853	0,247015651	0,062	0,024	1	1,186749672	0,842637688	2,583333333
DEK	0,817139147	0,246995782	0,177	0,171	1	1,186733328	0,842649293	1,035087719
SLC50A1	0,353096361	0,246981148	0,021	0	1	1,186721291	0,84265784	#DIV/0!
GSN-AS1	0,393875079	0,246980042	0,018	0	1	1,18672038	0,842658487	#DIV/0!
DIP2C-AS1	0,393875079	0,246942269	0,018	0	1	1,18668931	0,842680549	#DIV/0!
KRIT1	0,670924516	0,246896836	0,037	0,024	1	1,18665194	0,842707088	1,541666667
MUC12	0,393875079	0,24683667	0,018	0	1	1,186602453	0,842742233	#DIV/0!
KDELRL1	0,709476385	0,246627243	0,118	0,146	1	1,186430213	0,842864577	0,808219178
FBN1	0,868613398	0,246626943	0,078	0,073	1	1,186429967	0,842864752	1,068493151
HDAC6	0,3347904	0,246377845	0,022	0	1	1,186225134	0,843010295	#DIV/0!
MIS18BP1	0,317682464	0,246281652	0,024	0	1	1,186146044	0,843066505	#DIV/0!
ERMARD	0,393875079	0,246031247	0,018	0	1	1,185940185	0,843212847	#DIV/0!
TTC31	0,353096361	0,246000573	0,021	0	1	1,18591497	0,843230775	#DIV/0!
RNF41	0,372736722	0,245923878	0,019	0	1	1,185851928	0,843275603	#DIV/0!
SLC9A3R2	0,722660405	0,245890818	0,112	0,098	1	1,185824754	0,843294928	1,142857143
PHF21A	0,859551749	0,245856943	0,029	0,024	1	1,18579691	0,843314729	1,208333333
ETAA1	0,393875079	0,245844425	0,018	0	1	1,185786622	0,843322046	#DIV/0!
CHDH	0,4167109	0,245737624	0,016	0	1	1,185698842	0,843384479	#DIV/0!
ECRG4	0,441492135	0,245652929	0,014	0	1	1,185629237	0,843433992	#DIV/0!
KIF4A	0,441492135	0,245429845	0,014	0	1	1,185445917	0,843564422	#DIV/0!
C8orf76	0,393875079	0,245354462	0,018	0	1	1,185383977	0,843608501	#DIV/0!
SLC39A9	0,372736722	0,245203562	0,019	0	1	1,185259998	0,843696743	#DIV/0!
COMMD10	0,536924729	0,245152439	0,045	0,024	1	1,185217998	0,843726641	1,875
SETD1B	0,393875079	0,245132883	0,018	0	1	1,185201932	0,843738078	#DIV/0!
ZNF557	0,441492135	0,244914069	0,014	0	1	1,185022185	0,843866058	#DIV/0!
KDM1B	0,353096361	0,244830384	0,021	0	1	1,184953449	0,843915008	#DIV/0!
EXOG	0,372736722	0,244610292	0,019	0	1	1,184772691	0,844043763	#DIV/0!
HIKESHI	0,584619122	0,244603738	0,126	0,098	1	1,184767309	0,844047597	1,285714286

Supplementary Table 3

Differentially expressed genes_keloid-MD_comparing SC-Keloid vs. (SC-Myel+Nonmyel)								
gene	p_val	avg_log2FC	pct.1	pct.2	p_val_adj	Foldchange_UP	Foldchange_DOWN	Ratio_pct1_pct2
ANAPC10	0,737604407	0,24456074	0,033	0,024	1	1,184731998	0,844072754	1,375
ZNF444	0,393875079	0,244532518	0,018	0	1	1,184708823	0,844089265	#DIV/0!
GMFB	0,767645944	0,244502524	0,085	0,073	1	1,184684193	0,844106814	1,164383562
CMTR2	0,4167109	0,24434747	0,016	0	1	1,184556875	0,84419754	#DIV/0!
VSIG10	0,353096361	0,243932772	0,021	0	1	1,184216427	0,844440237	#DIV/0!
LAPTM5	0,441492135	0,243815913	0,014	0	1	1,184120509	0,844508639	#DIV/0!
ME2	0,992483923	0,243800248	0,07	0,073	1	1,184107652	0,844517809	0,95890411
NAB1	0,4167109	0,243738951	0,016	0	1	1,184057343	0,844553692	#DIV/0!
STK38	0,393875079	0,243667696	0,018	0	1	1,183998863	0,844595406	#DIV/0!
ITFG2	0,4167109	0,243614781	0,016	0	1	1,183955437	0,844626384	#DIV/0!
CENATAC	0,3347904	0,243388057	0,022	0	1	1,18376939	0,84475913	#DIV/0!
BMI1	0,393875079	0,243263452	0,018	0	1	1,183667153	0,844832095	#DIV/0!
ZBED1	0,372736722	0,243107834	0,019	0	1	1,183539482	0,844923228	#DIV/0!
MKLN1	0,711216725	0,243015082	0,035	0,024	1	1,183463394	0,844977551	1,458333333
PSMB7	0,207189302	0,242942991	0,118	0,049	1	1,183404258	0,845019775	2,408163265
TOX2	0,372736722	0,242915676	0,019	0	1	1,183381852	0,845035775	#DIV/0!
CDC73	0,364795264	0,242909321	0,091	0,049	1	1,183376639	0,845039497	1,857142857
EDEM1	0,353096361	0,242834695	0,021	0	1	1,183315429	0,845083209	#DIV/0!
NUFIP1	0,353096361	0,242796219	0,021	0	1	1,183283871	0,845105747	#DIV/0!
NOP10	0,673020095	0,242598994	0,242	0,22	1	1,18312212	0,845221286	1,1
INSIG2	0,393875079	0,242541008	0,018	0	1	1,183074568	0,845255259	#DIV/0!
LSM10	0,380721334	0,242476532	0,089	0,049	1	1,183021696	0,845293035	1,816326531
PTPRZ1	0,944036913	0,242455925	0,442	0,488	1	1,183004798	0,845305109	0,905737705
MIS12	0,393875079	0,242333135	0,018	0	1	1,182904115	0,845377057	#DIV/0!
VPS45	0,701390054	0,242289769	0,035	0,024	1	1,182868558	0,845402469	1,458333333
MKKS	0,393875079	0,242165832	0,018	0	1	1,182766947	0,845475098	#DIV/0!
PIGG	0,372736722	0,242129581	0,019	0	1	1,182737228	0,845496342	#DIV/0!
AKAP8	0,4167109	0,242057007	0,016	0	1	1,182677732	0,845538876	#DIV/0!
MRPL24	0,701390054	0,242045373	0,035	0,024	1	1,182668195	0,845545694	1,458333333
ZNF654	0,393875079	0,241965071	0,018	0	1	1,182602368	0,84559276	#DIV/0!

Supplementary Table 3

Differentially expressed genes_keloid-MD_comparing SC-Keloid vs. (SC-Myel+Nonmyel)								
gene	p_val	avg_log2FC	pct.1	pct.2	p_val_adj	Foldchange_UP	Foldchange_DOWN	Ratio_pct1_pct2
TNK2	0,393875079	0,241835227	0,018	0	1	1,182495937	0,845668867	#DIV/0!
FAM89B	0,687650321	0,241801741	0,064	0,049	1	1,182468491	0,845688496	1,306122449
MMUT	0,393875079	0,24178568	0,018	0	1	1,182455327	0,845697911	#DIV/0!
TMEM126B	0,868210642	0,241740593	0,064	0,073	1	1,182418374	0,845724341	0,876712329
TNKS	0,670924516	0,241678047	0,037	0,024	1	1,182367113	0,845761007	1,541666667
RYK	0,861830832	0,241635436	0,029	0,024	1	1,182332191	0,845785988	1,208333333
MTPAP	0,441492135	0,241572501	0,014	0	1	1,182280616	0,845822884	#DIV/0!
CYBC1	0,441492135	0,241460336	0,014	0	1	1,1821887	0,845888647	#DIV/0!
SUPT3H	0,393875079	0,241320145	0,018	0	1	1,182073829	0,845970848	#DIV/0!
RELA	0,535365839	0,241284115	0,045	0,024	1	1,182044308	0,845991976	1,875
SRSF7	0,505309542	0,241106101	0,14	0,195	1	1,181898465	0,846096369	0,717948718
TBPL1	0,372736722	0,241082537	0,019	0	1	1,18187916	0,846110189	#DIV/0!
RFLNB	0,353096361	0,241007635	0,021	0	1	1,181817802	0,846154118	#DIV/0!
C16orf91	0,611071265	0,2409924	0,04	0,024	1	1,181805321	0,846163054	1,666666667
SMAP1	0,451567573	0,240948787	0,083	0,049	1	1,181769596	0,846188634	1,693877551
ITGAE	0,850720801	0,240920064	0,104	0,098	1	1,181746068	0,846205481	1,06122449
MAP2	0,393875079	0,240909247	0,018	0	1	1,181737208	0,846211826	#DIV/0!
CASP7	0,819898546	0,240864593	0,04	0,049	1	1,181700631	0,846238018	0,816326531
DENR	0,656306193	0,240854123	0,145	0,122	1	1,181692055	0,84624416	1,18852459
MRPL14	0,85326852	0,240720875	0,152	0,146	1	1,181582918	0,846322323	1,04109589
COPS4	0,670924516	0,240677035	0,037	0,024	1	1,181547013	0,846348041	1,541666667
TMEM161B	0,353096361	0,240631034	0,021	0	1	1,18150934	0,846375028	#DIV/0!
ANAPC7	0,948097145	0,240484236	0,022	0,024	1	1,181389124	0,846461153	0,916666667
TMEM259	0,573213825	0,240351348	0,072	0,049	1	1,181280311	0,846539124	1,469387755
TMEM250	0,393875079	0,240335057	0,018	0	1	1,181266972	0,846548684	#DIV/0!
SMARCD3	0,393875079	0,240320885	0,018	0	1	1,181255368	0,846557	#DIV/0!
SOS1	0,372736722	0,240319363	0,019	0	1	1,181254121	0,846557893	#DIV/0!
DNAJC17	0,353096361	0,240311568	0,021	0	1	1,181247739	0,846562467	#DIV/0!
PI4KA	0,831366235	0,24026874	0,019	0,024	1	1,181212673	0,846587599	0,791666667
CBX6	0,991895345	0,240152822	0,048	0,049	1	1,181117769	0,846655623	0,979591837

Supplementary Table 3

Differentially expressed genes_keloid-MD_comparing SC-Keloid vs. (SC-Myel+Nonmyel)								
gene	p_val	avg_log2FC	pct.1	pct.2	p_val_adj	Foldchange_UP	Foldchange_DOWN	Ratio_pct1_pct2
RNF38	0,286616306	0,239954486	0,027	0	1	1,180955404	0,846772026	#DIV/0!
HIRIP3	0,372736722	0,239797154	0,019	0	1	1,180826623	0,846864375	#DIV/0!
CACNA2D4	0,353096361	0,239791723	0,021	0	1	1,180822178	0,846867563	#DIV/0!
RPL27A	0,556546556	0,239566538	0,435	0,439	1	1,180637882	0,846999758	0,990888383
PXDN	0,900566997	0,239509935	0,11	0,122	1	1,180591561	0,84703299	0,901639344
ASCC1	0,353096361	0,239259265	0,021	0	1	1,18038645	0,847180175	#DIV/0!
LRRC15	0,441492135	0,23908527	0,014	0	1	1,180244099	0,847282355	#DIV/0!
REEP4	0,468534179	0,239045812	0,013	0	1	1,18021182	0,847305529	#DIV/0!
ARMCX5	0,4167109	0,238991461	0,016	0	1	1,180167358	0,84733745	#DIV/0!
PTPN21	0,372736722	0,238986474	0,019	0	1	1,180163278	0,847340379	#DIV/0!
RBM28	0,454797234	0,23881177	0,051	0,024	1	1,180020375	0,847442994	2,125
TXNDC17	0,400311764	0,238603535	0,309	0,244	1	1,179850066	0,847565321	1,266393443
SLC39A14	0,317682464	0,238516518	0,024	0	1	1,179778905	0,847616444	#DIV/0!
TIMP2	0,652750934	0,238469288	0,325	0,293	1	1,179740282	0,847644194	1,109215017
FASN	0,393875079	0,238403312	0,018	0	1	1,179686333	0,847682958	#DIV/0!
CEP78	0,4167109	0,238297086	0,016	0	1	1,179599476	0,847745375	#DIV/0!
CREBBP	0,861533059	0,238269716	0,041	0,049	1	1,179577097	0,847761458	0,836734694
SERPINB1	0,946792011	0,238153645	0,049	0,049	1	1,179482199	0,847829667	1
ZNF775	0,353096361	0,238054596	0,021	0	1	1,179401224	0,847887877	#DIV/0!
CGGBP1	0,714439797	0,237928696	0,115	0,098	1	1,179298305	0,847961873	1,173469388
EIF3E	0,261580146	0,237615466	0,172	0,098	1	1,17904229	0,848145998	1,755102041
UPF1	0,353096361	0,237414736	0,021	0	1	1,178878254	0,848264014	#DIV/0!
PRKAR2B	0,393875079	0,237266253	0,018	0	1	1,17875693	0,848351322	#DIV/0!
TUBGCP5	0,393875079	0,237230258	0,018	0	1	1,178727521	0,848372488	#DIV/0!
MFSB8	0,372736722	0,237112664	0,019	0	1	1,178631447	0,848441642	#DIV/0!
PIGP	0,683580784	0,237073722	0,091	0,073	1	1,178599633	0,848464544	1,246575342
PTPRS	0,3347904	0,237002218	0,022	0	1	1,17854122	0,848506597	#DIV/0!
SLC25A40	0,4167109	0,236789	0,016	0	1	1,178367055	0,848632008	#DIV/0!
AGTRAP	0,681343498	0,236667531	0,035	0,049	1	1,178267845	0,848703463	0,714285714
UBTD1	0,733531942	0,23658066	0,033	0,024	1	1,178196898	0,848754569	1,375

Supplementary Table 3

Differentially expressed genes_keloid-MD_comparing SC-Keloid vs. (SC-Myel+Nonmyel)								
gene	p_val	avg_log2FC	pct.1	pct.2	p_val_adj	Foldchange_UP	Foldchange_DOWN	Ratio_pct1_pct2
GADD45G	0,468534305	0,236415706	0,013	0	1	1,178062194	0,848851619	#DIV/0!
NDUFA6	0,326630508	0,23622899	0,193	0,122	1	1,177909737	0,848961485	1,581967213
ARL15	0,353096361	0,236057719	0,021	0	1	1,177769909	0,849062277	#DIV/0!
GDAP1	0,353096361	0,236029224	0,021	0	1	1,177746646	0,849079047	#DIV/0!
SESTD1	0,372736722	0,236019145	0,019	0	1	1,177738418	0,849084979	#DIV/0!
PMM1	0,555573283	0,235992223	0,043	0,024	1	1,177716441	0,849100824	1,791666667
PRCC	0,353096361	0,235964242	0,021	0	1	1,177693599	0,849117292	#DIV/0!
PSMA7	0,501086792	0,235561384	0,624	0,61	1	1,177364786	0,849354433	1,02295082
EIF4G1	0,628053268	0,235545267	0,069	0,049	1	1,177351633	0,849363921	1,408163265
ATG4B	0,778051622	0,235491551	0,032	0,024	1	1,177307798	0,849395546	1,333333333
FBXL5	0,43234845	0,235396093	0,053	0,024	1	1,177229902	0,84945175	2,208333333
MIA2	0,441492135	0,235341416	0,014	0	1	1,177185287	0,849483944	#DIV/0!
B4GALNT3	0,3347904	0,235322551	0,022	0	1	1,177169894	0,849495052	#DIV/0!
RPL27	0,455494327	0,235173785	0,541	0,512	1	1,177048514	0,849582654	1,056640625
ABHD18	0,4167109	0,235065642	0,016	0	1	1,176960287	0,84964634	#DIV/0!
SESN1	0,393875079	0,234891167	0,018	0	1	1,176817958	0,8497491	#DIV/0!
MAP2K3	0,3347904	0,234883481	0,022	0	1	1,176811688	0,849753627	#DIV/0!
NAGLU	0,353096361	0,234840221	0,021	0	1	1,176776402	0,849779107	#DIV/0!
PRRG1	0,393875079	0,234769081	0,018	0	1	1,176718376	0,849821011	#DIV/0!
FAP	0,393875079	0,234740361	0,018	0	1	1,176694951	0,849837929	#DIV/0!
TATDN2	0,353096361	0,234685354	0,021	0	1	1,176650086	0,849870332	#DIV/0!
MAP3K13	0,918338373	0,234644019	0,075	0,073	1	1,176616375	0,849894682	1,02739726
KLHL12	0,441492135	0,234577993	0,014	0	1	1,176562527	0,849933579	#DIV/0!
DRG1	0,372736722	0,23456857	0,019	0	1	1,176554842	0,849939131	#DIV/0!
CSPP1	0,393875079	0,234562379	0,018	0	1	1,176549794	0,849942778	#DIV/0!
BRPF3	0,393875079	0,234518263	0,018	0	1	1,176513817	0,849968769	#DIV/0!
MEAK7	0,441492135	0,234465967	0,014	0	1	1,17647117	0,84999958	#DIV/0!
RFX7	0,393875079	0,234465952	0,018	0	1	1,176471158	0,849999588	#DIV/0!
ANTXR1	0,976185351	0,234421192	0,072	0,073	1	1,176434658	0,850025961	0,98630137
THOC2	0,522251653	0,234360013	0,077	0,049	1	1,176384771	0,850062007	1,571428571

Supplementary Table 3

Differentially expressed genes_keloid-MD_comparing SC-Keloid vs. (SC-Myel+Nonmyel)								
gene	p_val	avg_log2FC	pct.1	pct.2	p_val_adj	Foldchange_UP	Foldchange_DOWN	Ratio_pct1_pct2
OSGEP	0,707280187	0,234328941	0,035	0,024	1	1,176359435	0,850080316	1,458333333
CLPTM1	0,558804806	0,234219615	0,043	0,024	1	1,176270295	0,850144737	1,791666667
INSIG1	0,393875079	0,234022456	0,018	0	1	1,176109557	0,850260925	#DIV/0!
GGT7	0,393875079	0,233991895	0,018	0	1	1,176084643	0,850278937	#DIV/0!
AIG1	0,922250631	0,23394626	0,051	0,049	1	1,176047442	0,850305833	1,040816327
GABARAPL1	0,4167109	0,233794512	0,016	0	1	1,175923748	0,850395276	#DIV/0!
ZNF445	0,4167109	0,233699108	0,016	0	1	1,175845987	0,850451514	#DIV/0!
GSE1	0,372736722	0,233645646	0,019	0	1	1,175802415	0,850483303	#DIV/0!
YLPM1	0,737604434	0,233360833	0,033	0,024	1	1,175570314	0,850650947	1,375
RPS7	0,243919817	0,233251111	0,831	0,805	1	1,175480911	0,850715644	1,032298137
ZNF529	0,441492135	0,232974735	0,014	0	1	1,175255746	0,85087863	#DIV/0!
ITGA2	0,61853608	0,23282295	0,069	0,049	1	1,175132105	0,850968156	1,408163265
ASL	0,950688894	0,232798962	0,022	0,024	1	1,175112566	0,850982305	0,916666667
ALDH1A3	0,561383869	0,232636695	0,1	0,073	1	1,174980403	0,851078024	1,369863014
DUSP5	0,353096361	0,232586806	0,021	0	1	1,174939773	0,851107455	#DIV/0!
RBM27	0,468534305	0,232535571	0,013	0	1	1,174898047	0,851137681	#DIV/0!
PLSCR4	0,4167109	0,232515127	0,016	0	1	1,174881398	0,851149743	#DIV/0!
XPO5	0,372736722	0,232512551	0,019	0	1	1,1748793	0,851151263	#DIV/0!
CD164	0,658205347	0,232502389	0,12	0,098	1	1,174871025	0,851157258	1,224489796
EIF4ENIF1	0,4167109	0,232499329	0,016	0	1	1,174868533	0,851159063	#DIV/0!
PPM1M	0,393875079	0,232266515	0,018	0	1	1,174678954	0,85129643	#DIV/0!
ATL3	0,71627796	0,232186965	0,062	0,049	1	1,174614185	0,851343371	1,265306122
THUMPD3-AS1	0,583972395	0,232134583	0,07	0,098	1	1,174571537	0,851374283	0,714285714
DCUN1D5	0,766318817	0,231985315	0,085	0,073	1	1,174450017	0,851462374	1,164383562
PABIR1	0,441492135	0,231705902	0,014	0	1	1,174222578	0,851627297	#DIV/0!
ACSS2	0,441492135	0,231642222	0,014	0	1	1,174170749	0,851664888	#DIV/0!
MNAT1	0,263170687	0,23160149	0,072	0,024	1	1,174137599	0,851688934	3
FAM219A	0,372736722	0,231562537	0,019	0	1	1,174105897	0,85171193	#DIV/0!
PIGN	0,372736722	0,23151574	0,019	0	1	1,174067813	0,851739558	#DIV/0!
ARFGAP2	0,85499711	0,231493249	0,029	0,024	1	1,17404951	0,851752836	1,208333333

Supplementary Table 3

Differentially expressed genes_keloid-MD_ comparing SC-Keloid vs. (SC-Myel+Nonmyel)								
gene	p_val	avg_log2FC	pct.1	pct.2	p_val_adj	Foldchange_UP	Foldchange_DOWN	Ratio_pct1_pct2
CWF19L1	0,4167109	0,231463963	0,016	0	1	1,174025678	0,851770127	#DIV/0!
ERBIN	0,573213845	0,231448481	0,072	0,049	1	1,174013079	0,851779267	1,469387755
CBLB	0,393875079	0,231400218	0,018	0	1	1,173973805	0,851807762	#DIV/0!
IDE	0,4167109	0,231346227	0,016	0	1	1,173929871	0,851839641	#DIV/0!
GPATCH8	0,556674696	0,231253484	0,049	0,073	1	1,173854408	0,851894403	0,671232877
ICA1L	0,441492135	0,231117957	0,014	0	1	1,173744141	0,851974434	#DIV/0!
UBA3	0,674706052	0,231067983	0,037	0,024	1	1,173703485	0,852003946	1,541666667
AGL	0,4167109	0,231044828	0,016	0	1	1,173684647	0,85201762	#DIV/0!
ZDHC21	0,739643453	0,230860917	0,033	0,024	1	1,173535038	0,85212624	1,375
VPS35	0,882785065	0,230849057	0,078	0,073	1	1,173525391	0,852133246	1,068493151
BICC1	0,393875079	0,230793827	0,018	0	1	1,173480466	0,852165868	#DIV/0!
HK1	0,615828502	0,23069835	0,069	0,049	1	1,173402808	0,852222266	1,408163265
POLR3A	0,441492135	0,230667677	0,014	0	1	1,173377861	0,852240385	#DIV/0!
DPY19L3	0,737604434	0,230456123	0,033	0,024	1	1,173205812	0,852365365	1,375
TMA7	0,763753583	0,230296583	0,502	0,512	1	1,17307608	0,852459629	0,98046875
CAMK1	0,393875079	0,230184343	0,018	0	1	1,17298482	0,852525951	#DIV/0!
PXK	0,372736722	0,230132414	0,019	0	1	1,172942599	0,852556639	#DIV/0!
MLEC	0,395033085	0,230041735	0,121	0,073	1	1,172868878	0,852610226	1,657534247
CENPF	0,468534305	0,229978398	0,013	0	1	1,172817388	0,852647658	#DIV/0!
KIFC3	0,61632447	0,229898359	0,04	0,024	1	1,172752324	0,852694964	1,666666667
NSUN3	0,441492135	0,229881603	0,014	0	1	1,172738703	0,852704867	#DIV/0!
BLZF1	0,353096361	0,22973542	0,021	0	1	1,17261988	0,852791273	#DIV/0!
LATS1	0,590171772	0,229603774	0,041	0,024	1	1,172512882	0,852869094	1,708333333
MAP9	0,578355394	0,229585976	0,072	0,049	1	1,172498418	0,852879615	1,469387755
CLASP1	0,393875079	0,229433646	0,018	0	1	1,172374624	0,852969673	#DIV/0!
ERI1	0,393875079	0,229429287	0,018	0	1	1,172371081	0,852972251	#DIV/0!
CAPN2	0,640143725	0,22939092	0,053	0,073	1	1,172339904	0,852994935	0,726027397
S100A9	0,393875079	0,229326697	0,018	0	1	1,172287717	0,853032908	#DIV/0!
ECM1	0,702200606	0,229319405	0,097	0,122	1	1,172281792	0,853037219	0,795081967
CDK5RAP1	0,441492135	0,229318111	0,014	0	1	1,17228074	0,853037985	#DIV/0!

Supplementary Table 3

Differentially expressed genes_keloid-MD_comparing SC-Keloid vs. (SC-Myel+Nonmyel)								
gene	p_val	avg_log2FC	pct.1	pct.2	p_val_adj	Foldchange_UP	Foldchange_DOWN	Ratio_pct1_pct2
MTREX	0,514542475	0,229191683	0,046	0,024	1	1,172178014	0,853112742	1,916666667
CIBAR1	0,312220211	0,229133464	0,065	0,024	1	1,172130713	0,85314717	2,708333333
ITGA3	0,35559266	0,22899664	0,093	0,049	1	1,172019554	0,853228085	1,897959184
PTPRG	0,4167109	0,228804577	0,016	0	1	1,171863536	0,853341681	#DIV/0!
GRK6	0,441492135	0,228783592	0,014	0	1	1,17184649	0,853354094	#DIV/0!
HS1BP3	0,393875079	0,228642529	0,018	0	1	1,171731916	0,853437537	#DIV/0!
NAA30	0,4167109	0,228529966	0,016	0	1	1,171640498	0,853504127	#DIV/0!
LCTL	0,950688894	0,228364403	0,022	0,024	1	1,171506049	0,85360208	0,916666667
LHPP	0,372736631	0,228340235	0,019	0	1	1,171486424	0,85361638	#DIV/0!
FADD	0,372736722	0,22832551	0,019	0	1	1,171474467	0,853625092	#DIV/0!
NT5C2	0,393875079	0,228257612	0,018	0	1	1,171419335	0,853665267	#DIV/0!
NDFIP1	0,638120351	0,228147012	0,121	0,098	1	1,171329535	0,853730714	1,234693878
LINC00900	0,76591327	0,228062711	0,018	0,024	1	1,171261093	0,853780601	0,75
NCOA2	0,4167109	0,228019687	0,016	0	1	1,171226163	0,853806063	#DIV/0!
SEMA4D	0,369782927	0,227977584	0,059	0,024	1	1,171191984	0,85383098	2,458333333
ABHD13	0,4167109	0,227954958	0,016	0	1	1,171173616	0,853844372	#DIV/0!
DPP3	0,353096361	0,227738795	0,021	0	1	1,170998149	0,853972315	#DIV/0!
ARHGDI3	0,317682464	0,227487845	0,024	0	1	1,170794477	0,854120873	#DIV/0!
MCM4	0,353096361	0,227461401	0,021	0	1	1,170773017	0,854136528	#DIV/0!
B3GALNT2	0,353096361	0,227268023	0,021	0	1	1,170616098	0,854251024	#DIV/0!
ATPAF1	0,393875079	0,227154445	0,018	0	1	1,170523943	0,854318279	#DIV/0!
RNF169	0,778051622	0,227058821	0,032	0,024	1	1,170446362	0,854374906	1,333333333
NGDN	0,4167109	0,226802601	0,016	0	1	1,17023851	0,854526655	#DIV/0!
BRSK1	0,64111043	0,226791795	0,038	0,024	1	1,170229746	0,854533055	1,583333333
OGFR	0,857273836	0,226677446	0,029	0,024	1	1,170136996	0,854600789	1,208333333
TESK1	0,393875079	0,226641393	0,018	0	1	1,170107755	0,854622145	#DIV/0!
ADK	0,683580772	0,22655299	0,091	0,073	1	1,170036057	0,854674516	1,246575342
B4GALT4	0,393875079	0,226439514	0,018	0	1	1,16994403	0,854741743	#DIV/0!
MSRB3	0,893302787	0,226356067	0,053	0,049	1	1,169876362	0,854791184	1,081632653
NSUN6	0,393875079	0,22628806	0,018	0	1	1,169821216	0,854831479	#DIV/0!

Supplementary Table 3

Differentially expressed genes_keloid-MD_comparing SC-Keloid vs. (SC-Myel+Nonmyel)								
gene	p_val	avg_log2FC	pct.1	pct.2	p_val_adj	Foldchange_UP	Foldchange_DOWN	Ratio_pct1_pct2
LSG1	0,372736722	0,226067358	0,019	0	1	1,169642272	0,85496226	#DIV/0!
LONP1	0,393875079	0,22603981	0,018	0	1	1,169619938	0,854978585	#DIV/0!
NDUFB8	0,692929193	0,225960317	0,239	0,22	1	1,169555494	0,855025696	1,086363636
SLC41A1	0,393875079	0,225946285	0,018	0	1	1,169544118	0,855034012	#DIV/0!
TADA2A	0,4167109	0,22580322	0,016	0	1	1,169428146	0,855118806	#DIV/0!
TNPO2	0,372736722	0,225616478	0,019	0	1	1,169276785	0,8552295	#DIV/0!
RPS18	0,284807074	0,225550841	0,805	0,756	1	1,169223589	0,85526841	1,064814815
TUBE1	0,393875079	0,225506387	0,018	0	1	1,169187563	0,855294764	#DIV/0!
SRSF11	0,414990531	0,225429905	0,204	0,146	1	1,169125582	0,855340107	1,397260274
KIAA1328	0,441492135	0,225370006	0,014	0	1	1,169077042	0,85537562	#DIV/0!
KIAA1217	0,962740311	0,225354376	0,049	0,049	1	1,169064376	0,855384888	1
SYVN1	0,816528109	0,225274501	0,03	0,024	1	1,168999653	0,855432247	1,25
MEG8	0,4167109	0,225127452	0,016	0	1	1,168880506	0,855519443	#DIV/0!
BSG	0,8123864	0,225123335	0,132	0,122	1	1,168877171	0,855521884	1,081967213
ARSI	0,4167109	0,225107369	0,016	0	1	1,168864235	0,855531352	#DIV/0!
PHPT1	0,288927043	0,225103864	0,48	0,366	1	1,168861395	0,855533431	1,31147541
POLG	0,4167109	0,225091509	0,016	0	1	1,168851385	0,855540758	#DIV/0!
AASDHPPT	0,821050045	0,224933744	0,081	0,073	1	1,168723574	0,85563432	1,109589041
TOP3B	0,393875079	0,224907012	0,018	0	1	1,168701918	0,855650174	#DIV/0!
GENE	0,441492135	0,224906237	0,014	0	1	1,16870129	0,855650634	#DIV/0!
BCKDHB	0,393874981	0,224894034	0,018	0	1	1,168691405	0,855657872	#DIV/0!
BIVM	0,441492135	0,224877039	0,014	0	1	1,168677638	0,855667951	#DIV/0!
COL22A1	0,441492135	0,224847044	0,014	0	1	1,16865334	0,855685741	#DIV/0!
FARS2	0,498250693	0,224605073	0,011	0	1	1,168457349	0,85582927	#DIV/0!
ACSL1	0,441492135	0,22432102	0,014	0	1	1,168227312	0,855997792	#DIV/0!
HDGFL3	0,493210511	0,224317886	0,048	0,024	1	1,168224775	0,855999651	2
NECTIN3	0,353096361	0,224050612	0,021	0	1	1,16800837	0,856158248	#DIV/0!
EXTL3	0,946292034	0,224031004	0,026	0,024	1	1,167992495	0,856169885	1,083333333
ANKRD39	0,707280187	0,223863711	0,035	0,024	1	1,167857064	0,856269171	1,458333333
GREB1	0,468534305	0,223774468	0,013	0	1	1,167784824	0,85632214	#DIV/0!

Supplementary Table 3

Differentially expressed genes_keloid-MD_comparing SC-Keloid vs. (SC-Myel+Nonmyel)								
gene	p_val	avg_log2FC	pct.1	pct.2	p_val_adj	Foldchange_UP	Foldchange_DOWN	Ratio_pct1_pct2
GRWD1	0,3347904	0,223626705	0,022	0	1	1,167665224	0,85640985	#DIV/0!
ING5	0,773817043	0,22361544	0,032	0,024	1	1,167656106	0,856416538	1,333333333
ADARB1	0,545761008	0,223563442	0,102	0,073	1	1,167614022	0,856447406	1,397260274
FKBP4	0,372736722	0,223465322	0,019	0	1	1,167534614	0,856505656	#DIV/0!
PHF12	0,372736722	0,223392785	0,019	0	1	1,167475913	0,856548721	#DIV/0!
GOPC	0,977162731	0,223380791	0,096	0,098	1	1,167466207	0,856555842	0,979591837
CLIP4	0,441492135	0,223359424	0,014	0	1	1,167448917	0,856568528	#DIV/0!
GJC1	0,3347904	0,223332875	0,022	0	1	1,167427433	0,856584291	#DIV/0!
CRAT	0,393875079	0,223236385	0,018	0	1	1,167349356	0,856641583	#DIV/0!
STXBP5	0,4167109	0,223212393	0,016	0	1	1,167329943	0,856655829	#DIV/0!
TMEM214	0,353096361	0,223042599	0,021	0	1	1,167192565	0,856756657	#DIV/0!
SAAL1	0,441492135	0,222928206	0,014	0	1	1,167100021	0,856824592	#DIV/0!
GGA2	0,4167109	0,222872237	0,016	0	1	1,167054744	0,856857834	#DIV/0!
PDHB	0,624330303	0,222828875	0,072	0,098	1	1,167019668	0,856883588	0,734693878
FIP1L1	0,997483596	0,222793092	0,024	0,024	1	1,166990723	0,856904841	1
SPAG7	0,897974641	0,222738936	0,065	0,073	1	1,166946917	0,856937008	0,890410959
AP5S1	0,4167109	0,222605721	0,016	0	1	1,166839169	0,85701614	#DIV/0!
TMEM129	0,441492135	0,222528124	0,014	0	1	1,16677641	0,857062237	#DIV/0!
SEC24C	0,393875079	0,222216408	0,018	0	1	1,166524339	0,857247437	#DIV/0!
YTHDF3-DT	0,441492135	0,222200755	0,014	0	1	1,166511682	0,857256739	#DIV/0!
NOLC1	0,735567259	0,222165877	0,033	0,024	1	1,166483481	0,857277464	1,375
SNRNP27	0,350684525	0,222141244	0,061	0,024	1	1,166463564	0,857292101	2,541666667
GRPEL2	0,441492135	0,2221335	0,014	0	1	1,166457303	0,857296703	#DIV/0!
LCA5	0,441492135	0,222007959	0,014	0	1	1,166355804	0,857371307	#DIV/0!
INTU	0,372736722	0,221957416	0,019	0	1	1,166314943	0,857401344	#DIV/0!
GTF2H1	0,892879868	0,221905339	0,021	0,024	1	1,166272843	0,857432294	0,875
FAM3A	0,393875079	0,221797337	0,018	0	1	1,166185538	0,857496485	#DIV/0!
PIP5K1C	0,393875079	0,221728535	0,018	0	1	1,166129924	0,85753738	#DIV/0!
SMIM15	0,845958065	0,221722631	0,08	0,073	1	1,166125152	0,85754089	1,095890411
SEM1	0,710647213	0,221707672	0,582	0,634	1	1,166113061	0,857549781	0,917981073

Supplementary Table 3

Differentially expressed genes_keloid-MD_comparing SC-Keloid vs. (SC-Myel+Nonmyel)								
gene	p_val	avg_log2FC	pct.1	pct.2	p_val_adj	Foldchange_UP	Foldchange_DOWN	Ratio_pct1_pct2
SRF	0,4167109	0,221707128	0,016	0	1	1,166112621	0,857550105	#DIV/0!
H1-0	0,872152537	0,221560867	0,078	0,073	1	1,165994406	0,857637048	1,068493151
PLPP3	0,4167109	0,221538256	0,016	0	1	1,165976132	0,857650489	#DIV/0!
RNF187	0,618079932	0,221431922	0,04	0,024	1	1,165890196	0,857713705	1,666666667
FIGNL1	0,4167109	0,221343784	0,016	0	1	1,165818972	0,857766106	#DIV/0!
FKBP10	0,628139269	0,221303295	0,096	0,073	1	1,165786253	0,85779018	1,315068493
FAM102B	0,393875079	0,221241141	0,018	0	1	1,16573603	0,857827136	#DIV/0!
DDX55	0,393875079	0,221207042	0,018	0	1	1,165708477	0,857847412	#DIV/0!
ZDHC12	0,4167109	0,221114704	0,016	0	1	1,16563387	0,857902319	#DIV/0!
PDLIM1	0,776288788	0,221073209	0,085	0,073	1	1,165600345	0,857926994	1,164383562
SH3RF3	0,4167109	0,221029794	0,016	0	1	1,165565268	0,857952812	#DIV/0!
PSME3	0,950688894	0,220940634	0,022	0,024	1	1,165493238	0,858005836	0,916666667
RPAP1	0,4167109	0,220932068	0,016	0	1	1,165486318	0,858010931	#DIV/0!
SNAI2	0,393875079	0,220897695	0,018	0	1	1,16545855	0,858031373	#DIV/0!
DOP1A	0,892879868	0,220728737	0,021	0,024	1	1,165322068	0,858131865	0,875
MYBBP1A	0,4167109	0,220639791	0,016	0	1	1,165250225	0,858184773	#DIV/0!
PPAT	0,393875079	0,220537145	0,018	0	1	1,165167322	0,858245834	#DIV/0!
EHBP1	0,953344238	0,220481041	0,091	0,098	1	1,165122011	0,858279211	0,928571429
LMLN	0,393875079	0,220286983	0,018	0	1	1,1649653	0,858394666	#DIV/0!
COMTD1	0,4167109	0,220237769	0,016	0	1	1,164925561	0,858423949	#DIV/0!
SENP6	0,838798603	0,219931929	0,085	0,098	1	1,164678632	0,858605947	0,867346939
ZFP14	0,372736722	0,219903845	0,019	0	1	1,16465596	0,858622661	#DIV/0!
SMAP2	0,521062004	0,219772556	0,077	0,049	1	1,164549979	0,858700802	1,571428571
PSMB5	0,576465812	0,219690651	0,18	0,146	1	1,164483866	0,858749553	1,232876712
VKORC1L1	0,688959443	0,219535046	0,035	0,049	1	1,164358275	0,858842181	0,714285714
PRR7	0,393875079	0,219456672	0,018	0	1	1,164295023	0,858888838	#DIV/0!
TSEN15	0,619837545	0,219278865	0,04	0,024	1	1,164151537	0,8589947	1,666666667
MYCBP2	0,52318976	0,219226488	0,067	0,098	1	1,164109273	0,859025886	0,683673469
ACAP2	0,789289046	0,218983078	0,081	0,098	1	1,163912882	0,859170833	0,826530612
MXD1	0,372736722	0,218842352	0,019	0	1	1,163799355	0,859254643	#DIV/0!

Supplementary Table 3

Differentially expressed genes_keloid-MD_comparing SC-Keloid vs. (SC-Myel+Nonmyel)								
gene	p_val	avg_log2FC	pct.1	pct.2	p_val_adj	Foldchange_UP	Foldchange_DOWN	Ratio_pct1_pct2
FAM120A	0,717778223	0,218687062	0,062	0,049	1	1,163674092	0,859347137	1,265306122
ZFY	0,393875079	0,218571513	0,018	0	1	1,163580894	0,859415968	#DIV/0!
BTN2A2	0,393875079	0,218446458	0,018	0	1	1,163480038	0,859490466	#DIV/0!
PAFAH1B3	0,514542508	0,218357172	0,046	0,024	1	1,163408034	0,85954366	1,916666667
PSMC2	0,672509108	0,21835055	0,075	0,098	1	1,163402694	0,859547606	0,765306122
SLC25A1	0,4167109	0,21822885	0,016	0	1	1,163304558	0,859620117	#DIV/0!
MMRN1	0,498250693	0,218165783	0,011	0	1	1,163253706	0,859657696	#DIV/0!
UCHL5	0,773817043	0,218070689	0,032	0,024	1	1,163177033	0,859714361	1,333333333
CCDC57	0,393875079	0,218064503	0,018	0	1	1,163172046	0,859718047	#DIV/0!
GINM1	0,482594278	0,218051853	0,08	0,049	1	1,163161847	0,859725586	1,632653061
NKTR	0,829220728	0,217946878	0,107	0,122	1	1,163077214	0,859788144	0,87704918
DHX15	0,707280159	0,217832181	0,035	0,024	1	1,162984752	0,859856502	1,458333333
SUPV3L1	0,468534305	0,217791605	0,013	0	1	1,162952043	0,859880686	#DIV/0!
USP4	0,393875079	0,21772828	0,018	0	1	1,162900998	0,85991843	#DIV/0!
KLHL28	0,4167109	0,217714222	0,016	0	1	1,162889667	0,859926809	#DIV/0!
SLC43A3	0,317682464	0,217644618	0,024	0	1	1,162833563	0,859968298	#DIV/0!
AASDH	0,441492019	0,217635406	0,014	0	1	1,162826138	0,859973789	#DIV/0!
AGTPBP1	0,441492135	0,217597345	0,014	0	1	1,162795461	0,859996477	#DIV/0!
DYNLT3	0,965734108	0,217281384	0,12	0,122	1	1,162540828	0,860184843	0,983606557
AGPAT1	0,767220359	0,217125103	0,059	0,049	1	1,162414902	0,860278029	1,204081633
NUDT16L1	0,638385585	0,216970436	0,038	0,024	1	1,162290289	0,860370261	1,583333333
POGLUT3	0,731642281	0,216961441	0,037	0,049	1	1,162283043	0,860375626	0,755102041
CCAR1	0,9234215	0,216723591	0,067	0,073	1	1,162091438	0,860517483	0,917808219
RASD1	0,468534305	0,216698715	0,013	0	1	1,162071401	0,860532321	#DIV/0!
TRMT5	0,393875079	0,216494622	0,018	0	1	1,161907019	0,860654066	#DIV/0!
SDC1	0,353096361	0,216440669	0,021	0	1	1,161863567	0,860686253	#DIV/0!
SPNS1	0,737604434	0,216438118	0,033	0,024	1	1,161861513	0,860687775	1,375
TAF9B	0,353096361	0,216437438	0,021	0	1	1,161860965	0,86068818	#DIV/0!
ASB8	0,857273836	0,216281142	0,029	0,024	1	1,1617351	0,860781429	1,208333333
TECR	0,776571338	0,216238135	0,11	0,098	1	1,16170047	0,860807089	1,12244898

Supplementary Table 3

Differentially expressed genes_keloid-MD_ comparing SC-Keloid vs. (SC-Myel+Nonmyel)								
gene	p_val	avg_log2FC	pct.1	pct.2	p_val_adj	Foldchange_UP	Foldchange_DOWN	Ratio_pct1_pct2
POMP	0,982649173	0,216166778	0,394	0,439	1	1,161643012	0,860849667	0,897494305
IKBKG	0,372736722	0,216010251	0,019	0	1	1,161516985	0,860943071	#DIV/0!
TP53I13	0,883048237	0,215806572	0,053	0,049	1	1,161353015	0,861064627	1,081632653
SRI	0,986646016	0,215728165	0,182	0,195	1	1,161289899	0,861111425	0,933333333
LRP11	0,4167109	0,215576575	0,016	0	1	1,161167884	0,86120191	#DIV/0!
ZNF484	0,468534305	0,215575318	0,013	0	1	1,161166872	0,861202661	#DIV/0!
RABEPK	0,372736722	0,215562544	0,019	0	1	1,161156591	0,861210286	#DIV/0!
SMCR5	0,468534305	0,215533715	0,013	0	1	1,161133388	0,861227496	#DIV/0!
ZNF622	0,393875079	0,215419276	0,018	0	1	1,161041287	0,861295814	#DIV/0!
NFKBIE	0,372736722	0,215407163	0,019	0	1	1,161031539	0,861303045	#DIV/0!
COQ10B	0,649314029	0,215361015	0,038	0,024	1	1,160994401	0,861330596	1,583333333
HEATR1	0,4167109	0,215341098	0,016	0	1	1,160978373	0,861342488	#DIV/0!
ARHGAP5	0,910812494	0,215328691	0,112	0,122	1	1,160968389	0,861349895	0,918032787
PLEKHH3	0,4167109	0,215184878	0,016	0	1	1,160852665	0,861435762	#DIV/0!
NRBF2	0,824028932	0,215167063	0,062	0,073	1	1,160838331	0,861446399	0,849315068
CTPS1	0,393875079	0,215144408	0,018	0	1	1,160820102	0,861459927	#DIV/0!
ZFP1	0,4167109	0,21495867	0,016	0	1	1,160670663	0,861570841	#DIV/0!
RASGEF1B	0,498250693	0,214649229	0,011	0	1	1,16042174	0,861755658	#DIV/0!
ZNF568	0,4167109	0,214646512	0,016	0	1	1,160419555	0,861757281	#DIV/0!
ACP6	0,441492135	0,214569454	0,014	0	1	1,160357575	0,861803311	#DIV/0!
ERN1	0,441492135	0,214554473	0,014	0	1	1,160345526	0,86181226	#DIV/0!
DEDD	0,393875079	0,214443732	0,018	0	1	1,160256462	0,861878415	#DIV/0!
IL1R1	0,4167109	0,214281564	0,016	0	1	1,160126049	0,861975301	#DIV/0!
CCDC149	0,468534305	0,214257753	0,013	0	1	1,160106901	0,861989528	#DIV/0!
ANKRD27	0,468534305	0,214150588	0,013	0	1	1,160020731	0,862053559	#DIV/0!
BAG6	0,816528109	0,213993188	0,03	0,024	1	1,159894178	0,862147616	1,25
RNF6	0,737604434	0,21385952	0,033	0,024	1	1,159786717	0,862227499	1,375
RXRA	0,814193336	0,213849466	0,04	0,049	1	1,159778635	0,862233507	0,816326531
NRM	0,393875079	0,213717831	0,018	0	1	1,159672818	0,862312183	#DIV/0!
CCDC191	0,468534305	0,213716943	0,013	0	1	1,159672105	0,862312714	#DIV/0!

Supplementary Table 3

Differentially expressed genes_keloid-MD_ comparing SC-Keloid vs. (SC-Myel+Nonmyel)								
gene	p_val	avg_log2FC	pct.1	pct.2	p_val_adj	Foldchange_UP	Foldchange_DOWN	Ratio_pct1_pct2
E2F6	0,372736722	0,213675608	0,019	0	1	1,159638879	0,862337421	#DIV/0!
SPRTN	0,372736722	0,213469908	0,019	0	1	1,159473549	0,862460382	#DIV/0!
MYC	0,393875079	0,213417672	0,018	0	1	1,159431568	0,86249161	#DIV/0!
EPC2	0,639736679	0,213413352	0,033	0,049	1	1,159428097	0,862494192	0,673469388
SLC16A3	0,372736722	0,213363917	0,019	0	1	1,159388369	0,862523747	#DIV/0!
TIGAR	0,441492135	0,213251839	0,014	0	1	1,159298303	0,862590756	#DIV/0!
TTLL1	0,468534305	0,213174948	0,013	0	1	1,159236518	0,862636731	#DIV/0!
GINS3	0,4167109	0,213005462	0,016	0	1	1,15910034	0,862738078	#DIV/0!
CDH11	0,4167109	0,212976372	0,016	0	1	1,159076969	0,862755474	#DIV/0!
CTR9	0,4167109	0,212820359	0,016	0	1	1,158951633	0,862848778	#DIV/0!
NIP7	0,739643453	0,212653574	0,033	0,024	1	1,158817658	0,862948535	1,375
NPRL3	0,441492135	0,212612826	0,014	0	1	1,158784928	0,862972909	#DIV/0!
KIAA1586	0,372736722	0,212435923	0,019	0	1	1,158642848	0,863078732	#DIV/0!
CAMK1D	0,890218621	0,21217637	0,021	0,024	1	1,158434417	0,863234021	0,875
CYTH1	0,946292034	0,21217435	0,026	0,024	1	1,158432794	0,86323523	1,083333333
THAP1	0,861830832	0,212123638	0,029	0,024	1	1,158392076	0,863265574	1,208333333
METTL4	0,441492135	0,212115535	0,014	0	1	1,158385569	0,863270423	#DIV/0!
UBE3B	0,393875079	0,212011819	0,018	0	1	1,158302296	0,863332486	#DIV/0!
EPS8L1	0,468534305	0,211947379	0,013	0	1	1,158250559	0,863371049	#DIV/0!
SHROOM2	0,4167109	0,211882423	0,016	0	1	1,158198412	0,863409922	#DIV/0!
GMPPB	0,393875079	0,211798649	0,018	0	1	1,158131159	0,86346006	#DIV/0!
ATP6V1D	0,698481502	0,211438817	0,091	0,073	1	1,157842338	0,863675448	1,246575342
MARK4	0,4167109	0,211429262	0,016	0	1	1,15783467	0,863681168	#DIV/0!
MAP3K20	0,441492135	0,211251943	0,014	0	1	1,157692372	0,863787328	#DIV/0!
RAD51D	0,4167109	0,211229865	0,016	0	1	1,157674655	0,863800547	#DIV/0!
RAB3IP	0,4167109	0,211159437	0,016	0	1	1,157618142	0,863842716	#DIV/0!
DHRS4-AS1	0,4167109	0,211139502	0,016	0	1	1,157602147	0,863854652	#DIV/0!
RGPD5	0,4167109	0,211115962	0,016	0	1	1,157583258	0,863868748	#DIV/0!
CLASP2	0,722107714	0,211057242	0,037	0,049	1	1,157536144	0,863903909	0,755102041
IL1RAPL1	0,780171394	0,210973815	0,032	0,024	1	1,157469209	0,863953868	1,333333333

Supplementary Table 3

Differentially expressed genes_keloid-MD_comparing SC-Keloid vs. (SC-Myel+Nonmyel)								
gene	p_val	avg_log2FC	pct.1	pct.2	p_val_adj	Foldchange_UP	Foldchange_DOWN	Ratio_pct1_pct2
TPST1	0,441492135	0,21091089	0,014	0	1	1,157418725	0,863991551	#DIV/0!
PDE4A	0,393875079	0,210781886	0,018	0	1	1,157315235	0,864068812	#DIV/0!
DNAH14	0,468534305	0,210711245	0,013	0	1	1,157258569	0,864111121	#DIV/0!
METTL1	0,441492135	0,210533549	0,014	0	1	1,157116038	0,864217561	#DIV/0!
RPS6KB2	0,353096361	0,210505356	0,021	0	1	1,157093426	0,864234449	#DIV/0!
PTPN11	0,439647866	0,210466601	0,085	0,049	1	1,157062344	0,864257665	1,734693878
TTN-AS1	0,441492135	0,210301842	0,014	0	1	1,156930212	0,864356371	#DIV/0!
DBT	0,4167109	0,21027041	0,016	0	1	1,156905007	0,864375203	#DIV/0!
NAA16	0,468534305	0,210134495	0,013	0	1	1,156796021	0,864456639	#DIV/0!
PSMC3IP	0,393875079	0,210132519	0,018	0	1	1,156794436	0,864457823	#DIV/0!
PHF13	0,4167109	0,210132043	0,016	0	1	1,156794055	0,864458108	#DIV/0!
SFXN1	0,353096361	0,210065083	0,021	0	1	1,156740366	0,864498231	#DIV/0!
DZIP1L	0,468534305	0,210009151	0,013	0	1	1,156695521	0,864531748	#DIV/0!
PIGM	0,468534305	0,209947848	0,013	0	1	1,156646372	0,864568484	#DIV/0!
RPRD1A	0,544753088	0,209901394	0,045	0,024	1	1,156609129	0,864596323	1,875
ELK3	0,378421325	0,20966772	0,091	0,049	1	1,156421808	0,864736373	1,857142857
GRAMD4	0,393875079	0,209604713	0,018	0	1	1,156371304	0,86477414	#DIV/0!
NUS1	0,474957726	0,209416087	0,049	0,024	1	1,156220123	0,864887213	2,041666667
MOB2	0,817995719	0,209324682	0,04	0,049	1	1,156146871	0,864942011	0,816326531
RCHY1	0,393875079	0,2092781	0,018	0	1	1,156109542	0,864969939	#DIV/0!
BRIX1	0,284418948	0,209211677	0,069	0,024	1	1,156056314	0,865009764	2,875
HMGB3	0,563669111	0,209204449	0,043	0,024	1	1,156050522	0,865014098	1,791666667
COX10	0,393875079	0,209133766	0,018	0	1	1,155993885	0,865056479	#DIV/0!
ERAP2	0,4167109	0,209129493	0,016	0	1	1,155990461	0,865059041	#DIV/0!
MED8	0,456140696	0,209089149	0,051	0,024	1	1,155958135	0,865083232	2,125
TRAF3IP1	0,468534305	0,209062721	0,013	0	1	1,15593696	0,86509908	#DIV/0!
MTSS2	0,353096361	0,209050368	0,021	0	1	1,155927062	0,865106487	#DIV/0!
DOCK2	0,372736722	0,209048238	0,019	0	1	1,155925355	0,865107764	#DIV/0!
KHNYN	0,468534305	0,20904476	0,013	0	1	1,155922569	0,86510985	#DIV/0!
HNRNPUL2	0,65114288	0,208990503	0,038	0,024	1	1,155879098	0,865142385	1,583333333

Supplementary Table 3

Differentially expressed genes_keloid-MD_comparing SC-Keloid vs. (SC-Myel+Nonmyel)								
gene	p_val	avg_log2FC	pct.1	pct.2	p_val_adj	Foldchange_UP	Foldchange_DOWN	Ratio_pct1_pct2
ECSIT	0,393875079	0,208979869	0,018	0	1	1,155870578	0,865148762	#DIV/0!
KIF5A	0,441492135	0,208953313	0,014	0	1	1,155849302	0,865164688	#DIV/0!
COPS7B	0,948729862	0,208932739	0,026	0,024	1	1,155832818	0,865177026	1,083333333
LAMP2	0,974640484	0,208896347	0,207	0,22	1	1,155803663	0,86519885	0,940909091
DDX3X	0,446038769	0,208831998	0,12	0,171	1	1,155752111	0,865237442	0,701754386
GANC	0,4167109	0,208773415	0,016	0	1	1,155705181	0,865272577	#DIV/0!
HMGXB4	0,412796632	0,208772979	0,061	0,098	1	1,155704832	0,865272838	0,62244898
SYNGAP1	0,468534305	0,208719633	0,013	0	1	1,155662099	0,865304834	#DIV/0!
ITGA6	0,411148007	0,208715281	0,351	0,293	1	1,155658612	0,865307444	1,197952218
MPRIIP-AS1	0,441492135	0,208714188	0,014	0	1	1,155657737	0,8653081	#DIV/0!
KAZN	0,372736722	0,208521636	0,019	0	1	1,155503505	0,865423597	#DIV/0!
IFT27	0,516045527	0,208194009	0,046	0,024	1	1,155241127	0,865620152	1,916666667
PUM1	0,437509098	0,208105411	0,053	0,024	1	1,155170184	0,865673313	2,208333333
ALDH9A1	0,739643453	0,208060298	0,033	0,024	1	1,155134063	0,865700383	1,375
TSM	0,857273836	0,208037893	0,029	0,024	1	1,155116124	0,865713827	1,208333333
MSC	0,441492135	0,207872657	0,014	0	1	1,154983832	0,865812985	#DIV/0!
NXF1	0,4167109	0,20764091	0,016	0	1	1,154798317	0,865952076	#DIV/0!
ZDHHC5	0,893302787	0,2075896	0,053	0,049	1	1,154757247	0,865982875	1,081632653
RNF11	0,9234215	0,207556934	0,067	0,073	1	1,1547311	0,866002483	0,917808219
HIPK3	0,715160978	0,20754504	0,035	0,024	1	1,15472158	0,866009623	1,458333333
HTRA2	0,857273836	0,207493822	0,029	0,024	1	1,154680587	0,866040367	1,208333333
CASC15	0,55485326	0,207173009	0,073	0,049	1	1,154423848	0,866232971	1,489795918
DLAT	0,393875079	0,207166174	0,018	0	1	1,15441838	0,866237075	#DIV/0!
NEFM	0,4167109	0,207131576	0,016	0	1	1,154390695	0,866257849	#DIV/0!
PCDHGA12	0,393875079	0,207078599	0,018	0	1	1,154348306	0,866289659	#DIV/0!
STK16	0,372736722	0,207054264	0,019	0	1	1,154328834	0,866304271	#DIV/0!
SPRY4	0,441492135	0,20698754	0,014	0	1	1,154275448	0,866344339	#DIV/0!
RUNX1T1	0,393875079	0,206906478	0,018	0	1	1,154210594	0,866393018	#DIV/0!
KCTD17	0,950688894	0,206746836	0,022	0,024	1	1,154082881	0,866488895	0,916666667
CIAO3	0,441492135	0,206706138	0,014	0	1	1,154050325	0,866513338	#DIV/0!

Supplementary Table 3

Differentially expressed genes_keloid-MD_ comparing SC-Keloid vs. (SC-Myel+Nonmyel)								
gene	p_val	avg_log2FC	pct.1	pct.2	p_val_adj	Foldchange_UP	Foldchange_DOWN	Ratio_pct1_pct2
ZNF93	0,441492135	0,206671228	0,014	0	1	1,154022401	0,866534306	#DIV/0!
HEATR6	0,4167109	0,206663019	0,016	0	1	1,154015834	0,866539237	#DIV/0!
ANKRD10	0,856542922	0,206349811	0,276	0,317	1	1,153765326	0,866727382	0,870662461
PLEKHO2	0,950688894	0,206324998	0,022	0,024	1	1,153745482	0,866742289	0,916666667
DCP1A	0,81872643	0,206270288	0,03	0,024	1	1,15370173	0,866775159	1,25
PGAM5	0,441492135	0,206112579	0,014	0	1	1,15357562	0,866869916	#DIV/0!
BANP	0,393875079	0,206106232	0,018	0	1	1,153570544	0,866873729	#DIV/0!
KDM2B	0,441492135	0,206095507	0,014	0	1	1,153561969	0,866880174	#DIV/0!
CHCHD5	0,425480286	0,205955945	0,116	0,073	1	1,153450382	0,866964037	1,589041096
SCAI	0,393875079	0,205624628	0,018	0	1	1,153185521	0,86716316	#DIV/0!
ATP6V1H	0,696310026	0,205614298	0,016	0,024	1	1,153177264	0,867169369	0,666666667
SOGA1	0,493210479	0,205385166	0,048	0,024	1	1,152994128	0,867307105	2
SDSL	0,441492135	0,205382772	0,014	0	1	1,152992215	0,867308545	#DIV/0!
ZNF780A	0,498250693	0,205314139	0,011	0	1	1,152937365	0,867349806	#DIV/0!
GABRA2	0,682104412	0,20530343	0,118	0,146	1	1,152928807	0,867356244	0,808219178
KLHL7	0,857273836	0,205297781	0,029	0,024	1	1,152924293	0,86735964	1,208333333
CYP7B1	0,441492135	0,205192208	0,014	0	1	1,152839928	0,867423114	#DIV/0!
LRRC27	0,441492135	0,205178551	0,014	0	1	1,152829014	0,867431325	#DIV/0!
ILDR2	0,4167109	0,205118985	0,016	0	1	1,152781417	0,867467141	#DIV/0!
DDX6	0,53628252	0,205045441	0,132	0,098	1	1,152722654	0,867511362	1,346938776
MNT	0,441492135	0,205042536	0,014	0	1	1,152720333	0,867513109	#DIV/0!
MAN1C1	0,468534305	0,204874953	0,013	0	1	1,152586441	0,867613885	#DIV/0!
GMNN	0,4167109	0,204751128	0,016	0	1	1,15248752	0,867688354	#DIV/0!
BCHE	0,658110548	0,204608712	0,054	0,073	1	1,152373758	0,867774013	0,739726027
ITPA	0,760888528	0,204534337	0,112	0,098	1	1,152314351	0,86781875	1,142857143
TYMS	0,3347904	0,204425311	0,022	0	1	1,152227272	0,867884335	#DIV/0!
CPSF2	0,713187893	0,204359458	0,035	0,024	1	1,15217468	0,867923951	1,458333333
ZMYM1	0,4167109	0,204260192	0,016	0	1	1,152095406	0,867983671	#DIV/0!
GABPB2	0,441492135	0,204128051	0,014	0	1	1,151989886	0,868063176	#DIV/0!
TIAM1	0,4167109	0,203995144	0,016	0	1	1,151883765	0,86814315	#DIV/0!

Supplementary Table 3

Differentially expressed genes_keloid-MD_comparing SC-Keloid vs. (SC-Myel+Nonmyel)								
gene	p_val	avg_log2FC	pct.1	pct.2	p_val_adj	Foldchange_UP	Foldchange_DOWN	Ratio_pct1_pct2
THAP9-AS1	0,441492135	0,203648424	0,014	0	1	1,151606968	0,868351814	#DIV/0!
FICD	0,441492135	0,203548839	0,014	0	1	1,151527479	0,868411756	#DIV/0!
PAWR	0,4167109	0,203540448	0,016	0	1	1,151520781	0,868416807	#DIV/0!
ANKRD46	0,441492135	0,203536006	0,014	0	1	1,151517236	0,86841948	#DIV/0!
SLC35E1	0,950688894	0,203453752	0,022	0,024	1	1,151451585	0,868468994	0,916666667
KPNA3	0,737604434	0,203340985	0,033	0,024	1	1,151361586	0,86853688	1,375
PRICKLE1	0,353096361	0,203157555	0,021	0	1	1,151215208	0,868647316	#DIV/0!
LRFN4	0,857273836	0,203118917	0,029	0,024	1	1,151184376	0,86867058	1,208333333
DNM3OS	0,468534305	0,203103345	0,013	0	1	1,15117195	0,868679957	#DIV/0!
XPO4	0,468534305	0,203100604	0,013	0	1	1,151169763	0,868681607	#DIV/0!
FBXO38	0,498250693	0,202860279	0,011	0	1	1,150978017	0,868826325	#DIV/0!
SNRPG	0,389847059	0,202763549	0,271	0,22	1	1,150900848	0,86888458	1,231818182
PLAGL1	0,4167109	0,202636515	0,016	0	1	1,150799513	0,868961091	#DIV/0!
CUTC	0,864111066	0,202628268	0,029	0,024	1	1,150792934	0,868966059	1,208333333
ELOVL1	0,976233096	0,202468653	0,046	0,049	1	1,150665621	0,869062203	0,93877551
PPP2R1B	0,4167109	0,202357844	0,016	0	1	1,150577246	0,869128956	#DIV/0!
NUP88	0,393875079	0,20219372	0,018	0	1	1,150446361	0,869227835	#DIV/0!
CFH	0,4167109	0,202172903	0,016	0	1	1,150429761	0,869240378	#DIV/0!
COL3A1	0,573778909	0,202066959	0,451	0,537	1	1,150345282	0,869304213	0,839851024
FOXS1	0,393875079	0,201868535	0,018	0	1	1,150187078	0,869423782	#DIV/0!
GOLGA8A	0,4167109	0,201736708	0,016	0	1	1,150081984	0,86950323	#DIV/0!
MED16	0,4167109	0,201667164	0,016	0	1	1,150026547	0,869545145	#DIV/0!
ETFDH	0,468534305	0,201643625	0,013	0	1	1,150007783	0,869559333	#DIV/0!
CEP95	0,393875079	0,20146886	0,018	0	1	1,149868482	0,869664676	#DIV/0!
IDH3B	0,32418213	0,201393685	0,064	0,024	1	1,149808567	0,869709993	2,666666667
EEF2	0,763005409	0,201048606	0,321	0,317	1	1,149533576	0,869918044	1,012618297
XPR1	0,393875079	0,200993442	0,018	0	1	1,149489623	0,869951307	#DIV/0!
DFFB	0,531202783	0,200935586	0,01	0	1	1,149443526	0,869986195	#DIV/0!
ST3GAL3	0,4167109	0,200906397	0,016	0	1	1,149420271	0,870003797	#DIV/0!
LYPLA1	0,478453273	0,200860938	0,049	0,024	1	1,149384053	0,870031212	2,041666667

Supplementary Table 3

Differentially expressed genes_keloid-MD_comparing SC-Keloid vs. (SC-Myel+Nonmyel)								
gene	p_val	avg_log2FC	pct.1	pct.2	p_val_adj	Foldchange_UP	Foldchange_DOWN	Ratio_pct1_pct2
C1orf52	0,946292034	0,200632797	0,026	0,024	1	1,14920231	0,870168805	1,083333333
NAT10	0,4167109	0,200631558	0,016	0	1	1,149201322	0,870169552	#DIV/0!
SGSM2	0,696310026	0,200624908	0,016	0,024	1	1,149196025	0,870173563	0,666666667
CD40	0,441492135	0,200590035	0,014	0	1	1,149168247	0,870194597	#DIV/0!
STRN4	0,441492135	0,200497304	0,014	0	1	1,149094385	0,870250532	#DIV/0!
RPA1	0,773817043	0,200483767	0,032	0,024	1	1,149083603	0,870258698	1,333333333
GAREM1	0,441492135	0,200469107	0,014	0	1	1,149071927	0,870267541	#DIV/0!
ETV6	0,593609897	0,200430021	0,032	0,049	1	1,149040796	0,870291119	0,653061224
INO80C	0,393875079	0,200358418	0,018	0	1	1,148983769	0,870334314	#DIV/0!
H4C5	0,468534305	0,200174715	0,013	0	1	1,148837474	0,870445143	#DIV/0!
DPY30	0,877913993	0,200086618	0,102	0,098	1	1,148767324	0,870498298	1,040816327
TBC1D1	0,393875079	0,200075453	0,018	0	1	1,148758434	0,870505035	#DIV/0!
AACS	0,468534305	0,199992584	0,013	0	1	1,14869245	0,870555038	#DIV/0!
EREG	0,498250693	0,199961215	0,011	0	1	1,148667474	0,870573967	#DIV/0!
DMAC2	0,441492135	0,199883848	0,014	0	1	1,148605876	0,870620655	#DIV/0!
KIN	0,798716335	0,199813965	0,061	0,073	1	1,14855024	0,870662828	0,835616438
KCNQ1OT1	0,865540993	0,199717667	0,08	0,073	1	1,148473579	0,870720945	1,095890411
CSTF2	0,441492135	0,199653581	0,014	0	1	1,148422563	0,870759624	#DIV/0!
UVRAG	0,4167109	0,199639006	0,016	0	1	1,148410962	0,870768421	#DIV/0!
SLTM	0,904773289	0,199500009	0,112	0,122	1	1,148300323	0,87085232	0,918032787
MTLN	0,666307824	0,199360539	0,12	0,098	1	1,148189318	0,870936512	1,224489796
PDLIM7	0,734646948	0,199285519	0,239	0,22	1	1,148129614	0,870981802	1,086363636
COQ6	0,441492135	0,199229301	0,014	0	1	1,148084875	0,871015742	#DIV/0!
RAB18	0,762225436	0,199128521	0,086	0,073	1	1,148004678	0,87107659	1,178082192
UPRT	0,468534305	0,199111556	0,013	0	1	1,147991178	0,871086833	#DIV/0!
CHCHD3	0,368673416	0,19908932	0,059	0,024	1	1,147973485	0,871100259	2,458333333
MGAT2	0,4167109	0,199067383	0,016	0	1	1,147956029	0,871113505	#DIV/0!
PML	0,441492135	0,199041408	0,014	0	1	1,147935361	0,871129189	#DIV/0!
LNPK	0,517550821	0,199012471	0,046	0,024	1	1,147912337	0,871146662	1,916666667
VAC14	0,498250693	0,198879439	0,011	0	1	1,147806492	0,871226994	#DIV/0!

Supplementary Table 3

Differentially expressed genes_keloid-MD_comparing SC-Keloid vs. (SC-Myel+Nonmyel)								
gene	p_val	avg_log2FC	pct.1	pct.2	p_val_adj	Foldchange_UP	Foldchange_DOWN	Ratio_pct1_pct2
RP2	0,861830832	0,198814375	0,029	0,024	1	1,147754728	0,871266287	1,208333333
MRAS	0,4167109	0,198734745	0,016	0	1	1,147691379	0,871314378	#DIV/0!
ZNF302	0,816528109	0,198635488	0,03	0,024	1	1,147612421	0,871374326	1,25
TRAF4	0,393875079	0,198624385	0,018	0	1	1,147603589	0,871381032	#DIV/0!
LENG9	0,498250693	0,198555224	0,011	0	1	1,147548575	0,871422806	#DIV/0!
CCDC136	0,468534305	0,198537902	0,013	0	1	1,147534798	0,871433269	#DIV/0!
TXLNG	0,4167109	0,198424763	0,016	0	1	1,147444809	0,871501611	#DIV/0!
MED1	0,743726974	0,198372599	0,033	0,024	1	1,147403321	0,871533123	1,375
EVC	0,468534305	0,198211491	0,013	0	1	1,147275196	0,871630454	#DIV/0!
WWP2	0,468534305	0,198064529	0,013	0	1	1,147158334	0,871719248	#DIV/0!
HEXD	0,441492135	0,198030045	0,014	0	1	1,147130914	0,871740085	#DIV/0!
MYL12B	0,606076319	0,197998494	0,537	0,537	1	1,147105826	0,87175915	1
CPE	0,393875079	0,197949655	0,018	0	1	1,147066995	0,871788661	#DIV/0!
TRIM4	0,441492135	0,197913907	0,014	0	1	1,147038573	0,871810263	#DIV/0!
NPDC1	0,407522619	0,19785184	0,056	0,024	1	1,146989226	0,871847771	2,333333333
MDP1	0,441492135	0,197837553	0,014	0	1	1,146977868	0,871856405	#DIV/0!
UHRF2	0,896472903	0,197833639	0,043	0,049	1	1,146974756	0,87185877	0,87755102
CSK	0,948729862	0,197751247	0,026	0,024	1	1,146909255	0,871908563	1,083333333
RBBP5	0,4167109	0,19772493	0,016	0	1	1,146888333	0,871924468	#DIV/0!
EPB41	0,441492135	0,197455308	0,014	0	1	1,146674014	0,872087435	#DIV/0!
BNIP1	0,393875079	0,197434836	0,018	0	1	1,146657743	0,87209981	#DIV/0!
TRMT2A	0,372736722	0,197384848	0,019	0	1	1,146618013	0,872130028	#DIV/0!
FHIP2B	0,4167109	0,197364937	0,016	0	1	1,146602188	0,872142065	#DIV/0!
AP4E1	0,468534305	0,197132396	0,013	0	1	1,146417388	0,872282653	#DIV/0!
NSMAF	0,393875079	0,197105303	0,018	0	1	1,146395859	0,872299034	#DIV/0!
BOLA3	0,603196414	0,197047507	0,099	0,073	1	1,146349933	0,87233398	1,356164384
FHIP1B	0,441492135	0,196976436	0,014	0	1	1,146293462	0,872376955	#DIV/0!
SLC38A9	0,4167109	0,196893277	0,016	0	1	1,146227391	0,872427241	#DIV/0!
E2F3	0,892879868	0,196873509	0,021	0,024	1	1,146211685	0,872439195	0,875
PPP1R2	0,718967219	0,196800929	0,115	0,098	1	1,146154022	0,872483087	1,173469388

Supplementary Table 3

Differentially expressed genes_keloid-MD_comparing SC-Keloid vs. (SC-Myel+Nonmyel)								
gene	p_val	avg_log2FC	pct.1	pct.2	p_val_adj	Foldchange_UP	Foldchange_DOWN	Ratio_pct1_pct2
ANAPC1	0,372736722	0,196793337	0,019	0	1	1,146147991	0,872487679	#DIV/0!
NIPBL	0,656586737	0,196766655	0,054	0,073	1	1,146126793	0,872503815	0,739726027
IPO7	0,512773547	0,196691521	0,077	0,049	1	1,146067106	0,872549255	1,571428571
ZMYND19	0,372736722	0,196684314	0,019	0	1	1,146061381	0,872553614	#DIV/0!
KLHDC2	0,993696336	0,196663474	0,048	0,049	1	1,146044825	0,872566219	0,979591837
THG1L	0,441492135	0,196657796	0,014	0	1	1,146040315	0,872569653	#DIV/0!
DEAF1	0,950688894	0,196617943	0,022	0,024	1	1,146008658	0,872593757	0,916666667
H1-4	0,393875079	0,196598191	0,018	0	1	1,145992967	0,872605704	#DIV/0!
MTHFS	0,468534305	0,196489172	0,013	0	1	1,145906373	0,872671646	#DIV/0!
STK11IP	0,468534305	0,196476406	0,013	0	1	1,145896232	0,872679368	#DIV/0!
ZNF599	0,468534305	0,196417144	0,013	0	1	1,145849163	0,872715216	#DIV/0!
HIBADH	0,441492135	0,196297957	0,014	0	1	1,145754504	0,872787317	#DIV/0!
MAD1L1	0,831366235	0,196293723	0,019	0,024	1	1,145751142	0,872789879	0,791666667
LINC01137	0,441492135	0,196050464	0,014	0	1	1,145557968	0,872937056	#DIV/0!
TRDMT1	0,816528109	0,195996905	0,03	0,024	1	1,145515441	0,872969464	1,25
MACIR	0,833441088	0,1959675	0,081	0,073	1	1,145492093	0,872987257	1,109589041
CXCL2	0,468534305	0,195902032	0,013	0	1	1,145440113	0,873026873	#DIV/0!
UBTF	0,988091349	0,19587603	0,072	0,073	1	1,145419469	0,873042608	0,98630137
ZBTB40	0,441492135	0,195857251	0,014	0	1	1,145404559	0,873053972	#DIV/0!
INVS	0,468534305	0,195844275	0,013	0	1	1,145394257	0,873061825	#DIV/0!
RAB30	0,441492135	0,1957098	0,014	0	1	1,145287499	0,873143207	#DIV/0!
LOX	0,393875079	0,195709383	0,018	0	1	1,145287168	0,87314346	#DIV/0!
NUP37	0,393875079	0,195652954	0,018	0	1	1,145242372	0,873177612	#DIV/0!
ASXL2	0,468534305	0,195620436	0,013	0	1	1,145216559	0,873197294	#DIV/0!
CLCC1	0,905181209	0,195615089	0,027	0,024	1	1,145212315	0,87320053	1,125
AKT1S1	0,4167109	0,195561661	0,016	0	1	1,145169904	0,873232868	#DIV/0!
CDKL5	0,4167109	0,195306639	0,016	0	1	1,144967493	0,873387241	#DIV/0!
ZNF608	0,4167109	0,195231137	0,016	0	1	1,144907574	0,87343295	#DIV/0!
L1TD1	0,468534305	0,195176734	0,013	0	1	1,144864401	0,873465887	#DIV/0!
MBTD1	0,4167109	0,195149461	0,016	0	1	1,144842759	0,8734824	#DIV/0!

Supplementary Table 3

Differentially expressed genes_keloid-MD_comparing SC-Keloid vs. (SC-Myel+Nonmyel)								
gene	p_val	avg_log2FC	pct.1	pct.2	p_val_adj	Foldchange_UP	Foldchange_DOWN	Ratio_pct1_pct2
EXOSC9	0,643840181	0,195042077	0,038	0,024	1	1,144757548	0,873547418	1,583333333
FN3KRP	0,441492135	0,195008149	0,014	0	1	1,144730626	0,873567962	#DIV/0!
MFSD3	0,372736722	0,194988528	0,019	0	1	1,144715058	0,873579842	#DIV/0!
FCF1	0,864111049	0,194968642	0,029	0,024	1	1,14469928	0,873591884	1,208333333
DHPS	0,771495695	0,19464065	0,038	0,049	1	1,144439065	0,873790515	0,775510204
PRELID2	0,498250693	0,194533531	0,011	0	1	1,144354094	0,873855396	#DIV/0!
VEGFC	0,468534305	0,194468405	0,013	0	1	1,144302437	0,873894844	#DIV/0!
OTUD6B	0,951168171	0,194289337	0,026	0,024	1	1,144160415	0,874003319	1,083333333
TMEM67	1	0,194222728	0,024	0,024	1	1,144107591	0,874043672	1
UBE2S	0,94398204	0,194169355	0,158	0,171	1	1,144065265	0,874076008	0,923976608
FARSB	0,441492135	0,194061297	0,014	0	1	1,143979577	0,874141479	#DIV/0!
SNRNP48	0,393875079	0,194046047	0,018	0	1	1,143967485	0,87415072	#DIV/0!
MAP1S	0,393875079	0,194031327	0,018	0	1	1,143955813	0,874159639	#DIV/0!
PLAG1	0,498250693	0,193975564	0,011	0	1	1,143911598	0,874193427	#DIV/0!
PEX19	0,393875079	0,193958733	0,018	0	1	1,143898253	0,874203626	#DIV/0!
NDUFA4L2	0,441492135	0,193939672	0,014	0	1	1,14388314	0,874215176	#DIV/0!
MAP2K4	0,441492135	0,193935391	0,014	0	1	1,143879745	0,87421777	#DIV/0!
ZNF688	0,372736722	0,193860321	0,019	0	1	1,143820225	0,874263261	#DIV/0!
TOP3A	0,468534305	0,193648527	0,013	0	1	1,143652319	0,874391616	#DIV/0!
ZNF805	0,441492135	0,193622089	0,014	0	1	1,143631362	0,874407639	#DIV/0!
FUCA1	0,468534305	0,193590705	0,013	0	1	1,143606484	0,874426661	#DIV/0!
MROH1	0,498250693	0,193505903	0,011	0	1	1,143539265	0,874478062	#DIV/0!
FAM13A	0,441492135	0,193494822	0,014	0	1	1,143530482	0,874484779	#DIV/0!
GEM	0,441492135	0,193468021	0,014	0	1	1,143509238	0,874501024	#DIV/0!
LINC00592	0,498250693	0,193457442	0,011	0	1	1,143500853	0,874507437	#DIV/0!
VPS11	0,441492135	0,193447148	0,014	0	1	1,143492694	0,874513677	#DIV/0!
TXNIP	0,876309075	0,193314474	0,174	0,171	1	1,14338754	0,874594103	1,01754386
C20orf27	0,4167109	0,193299607	0,016	0	1	1,143375758	0,874603116	#DIV/0!
MRTFA	0,441492135	0,19313313	0,014	0	1	1,143243827	0,874704045	#DIV/0!
GAB2	0,531202783	0,193129561	0,01	0	1	1,143240999	0,874706209	#DIV/0!

Supplementary Table 3

Differentially expressed genes_keloid-MD_comparing SC-Keloid vs. (SC-Myel+Nonmyel)								
gene	p_val	avg_log2FC	pct.1	pct.2	p_val_adj	Foldchange_UP	Foldchange_DOWN	Ratio_pct1_pct2
SUSD6	0,441492135	0,193124622	0,014	0	1	1,143237086	0,874709203	#DIV/0!
SLC25A51	0,468534305	0,193113618	0,013	0	1	1,143228366	0,874715875	#DIV/0!
GCNT1	0,441492135	0,193094535	0,014	0	1	1,143213244	0,874727445	#DIV/0!
MTAP	0,3103227	0,192995262	0,065	0,024	1	1,143134581	0,874787638	2,708333333
GK	0,441492135	0,192973619	0,014	0	1	1,143117433	0,874800761	#DIV/0!
ASNS	0,372736722	0,192806134	0,019	0	1	1,142984733	0,874902325	#DIV/0!
NEMP1	0,468534305	0,192642091	0,013	0	1	1,142854777	0,875001811	#DIV/0!
ITGB3	0,468534305	0,19253896	0,013	0	1	1,142773083	0,875064363	#DIV/0!
ANKRD11	0,921513844	0,19253537	0,089	0,098	1	1,142770239	0,875066541	0,908163265
PXMP4	0,468534305	0,192377284	0,013	0	1	1,142645024	0,875162433	#DIV/0!
STXBP4	0,441492135	0,192263525	0,014	0	1	1,142554929	0,875231444	#DIV/0!
PCSK5	0,468534305	0,192207655	0,013	0	1	1,142510683	0,875265339	#DIV/0!
GHITM	0,783224406	0,19214836	0,081	0,098	1	1,142463727	0,875301313	0,826530612
ZNF347	0,498250693	0,192048736	0,011	0	1	1,142384838	0,875361758	#DIV/0!
SPATA20	0,468534305	0,191864652	0,013	0	1	1,142239082	0,875473459	#DIV/0!
USPL1	0,4167109	0,191857448	0,016	0	1	1,142233378	0,875477831	#DIV/0!
FAM216A	0,372736722	0,191841456	0,019	0	1	1,142220716	0,875487536	#DIV/0!
DNAJA3	0,441492135	0,191789149	0,014	0	1	1,142179304	0,875519278	#DIV/0!
FLVCR1	0,393875079	0,19168929	0,018	0	1	1,142100249	0,875579881	#DIV/0!
WASHC5	0,4167109	0,191684019	0,016	0	1	1,142096076	0,87558308	#DIV/0!
USP15	0,8689834	0,191406539	0,064	0,073	1	1,141876433	0,875751501	0,876712329
TEAD4	0,441492135	0,191295279	0,014	0	1	1,141788375	0,875819041	#DIV/0!
LARP1B	0,543182859	0,191291073	0,045	0,024	1	1,141785046	0,875821595	1,875
DLST	1	0,191142945	0,024	0,024	1	1,14166782	0,875911524	1
CENPP	0,468534305	0,191072414	0,013	0	1	1,141612008	0,875954346	#DIV/0!
ERVMER34-1	0,468534305	0,191046423	0,013	0	1	1,14159144	0,875970128	#DIV/0!
AAAS	0,441492135	0,190965365	0,014	0	1	1,141527302	0,876019346	#DIV/0!
MEX3A	0,4167109	0,190911838	0,016	0	1	1,14148495	0,876051848	#DIV/0!
SMUG1	1	0,190874487	0,024	0,024	1	1,141455398	0,876074529	1
NEK4	0,4167109	0,190870336	0,016	0	1	1,141452113	0,87607705	#DIV/0!

Supplementary Table 3

Differentially expressed genes_keloid-MD_comparing SC-Keloid vs. (SC-Myel+Nonmyel)								
gene	p_val	avg_log2FC	pct.1	pct.2	p_val_adj	Foldchange_UP	Foldchange_DOWN	Ratio_pct1_pct2
NIPA2	0,565295112	0,190868089	0,043	0,024	1	1,141450335	0,876078415	1,791666667
ACADSB	0,4167109	0,190823726	0,016	0	1	1,141415237	0,876105354	#DIV/0!
RPL5	0,409002306	0,19076602	0,737	0,756	1	1,141369582	0,876140398	0,974867725
ENO2	0,468534305	0,190619111	0,013	0	1	1,141253363	0,87622962	#DIV/0!
FANCF	0,468534305	0,190519739	0,013	0	1	1,141174756	0,876289976	#DIV/0!
ZCWPW1	0,498250693	0,190508508	0,011	0	1	1,141165873	0,876296798	#DIV/0!
GMDS	0,441492135	0,190503251	0,014	0	1	1,141161715	0,876299991	#DIV/0!
TRMT10A	0,498250693	0,190490544	0,011	0	1	1,141151663	0,876307709	#DIV/0!
CKMT2-AS1	0,468534305	0,190445533	0,013	0	1	1,141116061	0,87633505	#DIV/0!
LIMA1	0,426177566	0,19039619	0,22	0,171	1	1,141077033	0,876365023	1,286549708
GEN1	0,468534305	0,190175634	0,013	0	1	1,140902601	0,87649901	#DIV/0!
NOA1	0,4167109	0,190159117	0,016	0	1	1,140889539	0,876509045	#DIV/0!
PRMT7	0,468534305	0,190128711	0,013	0	1	1,140865494	0,876527518	#DIV/0!
CORO7	0,4167109	0,190085711	0,016	0	1	1,140831491	0,876553644	#DIV/0!
MEDAG	0,393875079	0,19001012	0,018	0	1	1,140771718	0,876599572	#DIV/0!
ELP4	0,441492135	0,189975949	0,014	0	1	1,140744698	0,876620335	#DIV/0!
TCEAL9	0,808980536	0,189946864	0,254	0,244	1	1,140721701	0,876638008	1,040983607
YTHDC1	0,666260974	0,189907209	0,093	0,073	1	1,140690347	0,876662104	1,273972603
ALG3	0,372736722	0,189820985	0,019	0	1	1,140622175	0,8767145	#DIV/0!
RFXAP	0,468534305	0,189424197	0,013	0	1	1,14030851	0,876955659	#DIV/0!
CHST6	0,498250693	0,189179743	0,011	0	1	1,140115309	0,877104265	#DIV/0!
WWTR1	0,580561009	0,189175018	0,129	0,098	1	1,140111575	0,877107137	1,316326531
TOMM70	0,823127312	0,189135344	0,03	0,024	1	1,140080222	0,877131258	1,25
FYN	0,77939996	0,189111915	0,108	0,098	1	1,140061708	0,877145503	1,102040816
COX19	0,898107217	0,189071768	0,027	0,024	1	1,140029983	0,877169912	1,125
GLT8D1	0,864379241	0,189061955	0,104	0,098	1	1,140022229	0,877175878	1,06122449
MEF2A	0,901173873	0,189061084	0,11	0,122	1	1,14002154	0,877176408	0,901639344
SRPX2	0,588623777	0,18896284	0,051	0,073	1	1,139943911	0,877236143	0,698630137
RPL4	0,827796832	0,188917747	0,234	0,268	1	1,139908281	0,877263563	0,873134328
ABR	0,542398606	0,18891713	0,045	0,024	1	1,139907793	0,877263938	1,875

Supplementary Table 3

Differentially expressed genes_keloid-MD_comparing SC-Keloid vs. (SC-Myel+Nonmyel)								
gene	p_val	avg_log2FC	pct.1	pct.2	p_val_adj	Foldchange_UP	Foldchange_DOWN	Ratio_pct1_pct2
CALM2	0,306644379	0,188911269	0,738	0,634	1	1,139903162	0,877267502	1,164037855
DHTKD1	0,441492135	0,188910053	0,014	0	1	1,139902202	0,877268242	#DIV/0!
TRAPPC9	0,468534305	0,188909739	0,013	0	1	1,139901954	0,877268432	#DIV/0!
ASCC2	0,441492135	0,188776062	0,014	0	1	1,139796338	0,877349722	#DIV/0!
INO80E	0,892879868	0,188682143	0,021	0,024	1	1,139722139	0,877406839	0,875
TRIP12	0,60673112	0,188627721	0,07	0,049	1	1,139679147	0,877439938	1,428571429
RAPGEF1	0,468534305	0,188577746	0,013	0	1	1,139639669	0,877470333	#DIV/0!
ZNF25	0,864111066	0,188472014	0,029	0,024	1	1,139556151	0,877534643	1,208333333
TGFB2	0,468534305	0,188464753	0,013	0	1	1,139550416	0,877539059	#DIV/0!
ZNF24	0,935066304	0,188430369	0,075	0,073	1	1,139523257	0,877559974	1,02739726
C10orf88	0,498250693	0,188404445	0,011	0	1	1,13950278	0,877575744	#DIV/0!
HINT2	0,683475205	0,188161653	0,096	0,122	1	1,139311029	0,877723444	0,786885246
AKAP17A	0,900464352	0,188080801	0,027	0,024	1	1,139247181	0,877772635	1,125
GOLGA7	0,85852906	0,188035245	0,054	0,049	1	1,139211207	0,877800353	1,102040816
TIMM23	0,498250693	0,188012729	0,011	0	1	1,139193428	0,877814053	#DIV/0!
SCYL1	0,4167109	0,18781786	0,016	0	1	1,139039564	0,87793263	#DIV/0!
TCERG1	0,707280187	0,187697288	0,035	0,024	1	1,138944375	0,878006005	1,458333333
KIAA0100	0,820926176	0,187678784	0,03	0,024	1	1,138929766	0,878017266	1,25
BRCC3	0,441492135	0,187407155	0,014	0	1	1,13871535	0,878182594	#DIV/0!
MED17	0,441492135	0,187266517	0,014	0	1	1,13860435	0,878268206	#DIV/0!
PIGQ	0,4167109	0,187189502	0,016	0	1	1,13854357	0,878315091	#DIV/0!
ARRDC3	0,722107714	0,187072514	0,037	0,049	1	1,13845125	0,878386317	0,755102041
MRPS15	0,650538652	0,186961618	0,094	0,073	1	1,138363743	0,878453839	1,287671233
ARHGAP42	0,647487289	0,186955109	0,038	0,024	1	1,138358608	0,878457802	1,583333333
NAPEPLD	0,902822352	0,186940542	0,027	0,024	1	1,138347113	0,878466672	1,125
PLEKHM3	0,468534305	0,186791866	0,013	0	1	1,138229808	0,878557206	#DIV/0!
CGRRF1	0,857273836	0,1866531	0,029	0,024	1	1,138120332	0,878641714	1,208333333
HSPA2	0,531202783	0,186639064	0,01	0	1	1,138109259	0,878650263	#DIV/0!
ANKRD17	0,728287957	0,186636149	0,057	0,073	1	1,13810696	0,878652038	0,780821918
ACSL4	0,896472895	0,186561216	0,043	0,049	1	1,138047849	0,878697676	0,87755102

Supplementary Table 3

Differentially expressed genes_keloid-MD_comparing SC-Keloid vs. (SC-Myel+Nonmyel)								
gene	p_val	avg_log2FC	pct.1	pct.2	p_val_adj	Foldchange_UP	Foldchange_DOWN	Ratio_pct1_pct2
ARFGEF1	0,780171394	0,186448697	0,032	0,024	1	1,137959093	0,878766211	1,333333333
WDR77	0,393875079	0,186360762	0,018	0	1	1,137889735	0,878819774	#DIV/0!
BRI3BP	0,441492135	0,186146031	0,014	0	1	1,137720383	0,878950588	#DIV/0!
DPY19L1	0,522080298	0,186119239	0,046	0,024	1	1,137699255	0,878966911	1,916666667
PAR6B	0,468534305	0,186070471	0,013	0	1	1,137660797	0,878996624	#DIV/0!
MFAP5	0,498250693	0,186041937	0,011	0	1	1,137638297	0,879014009	#DIV/0!
MLH1	0,441492135	0,185962471	0,014	0	1	1,137575635	0,879062428	#DIV/0!
NUAK1	0,393875079	0,185946062	0,018	0	1	1,137562697	0,879072426	#DIV/0!
LINC00672	0,498250693	0,185886075	0,011	0	1	1,137515399	0,879108978	#DIV/0!
VPS13D	0,441492135	0,185867846	0,014	0	1	1,137501025	0,879120087	#DIV/0!
TAPBP	0,565101863	0,185838101	0,102	0,073	1	1,137477573	0,879138212	1,397260274
SLX4	0,441492135	0,185812921	0,014	0	1	1,13745772	0,879153556	#DIV/0!
RBPMS	1	0,185800005	0,024	0,024	1	1,137447537	0,879161427	1
MAX	0,676599912	0,185783475	0,037	0,024	1	1,137434505	0,8791715	1,541666667
UBE2T	0,393875079	0,185724	0,018	0	1	1,137387615	0,879207745	#DIV/0!
PKDCC	0,393875079	0,185630005	0,018	0	1	1,137313514	0,879265029	#DIV/0!
WDR91	0,468534305	0,18555634	0,013	0	1	1,137255443	0,879309926	#DIV/0!
SFI1	0,441492135	0,185545892	0,014	0	1	1,137247207	0,879316294	#DIV/0!
DNASE1	0,531202783	0,185434591	0,01	0	1	1,137159475	0,879384134	#DIV/0!
ATP2B1-AS1	0,890218621	0,185191788	0,021	0,024	1	1,136968109	0,879532146	0,875
C1orf174	0,441492135	0,185146674	0,014	0	1	1,136932555	0,87955965	#DIV/0!
KMT2C	0,808448437	0,185141625	0,057	0,049	1	1,136928577	0,879562727	1,163265306
GGCX	0,543182891	0,185091559	0,045	0,024	1	1,136889123	0,879593252	1,875
ATAD1	0,84959238	0,184999566	0,085	0,098	1	1,136816631	0,879649341	0,867346939
PIGU	0,498250693	0,184809404	0,011	0	1	1,136666797	0,879765295	#DIV/0!
ATG16L2	0,498250693	0,184773748	0,011	0	1	1,136638705	0,879787039	#DIV/0!
IMMT	0,626689809	0,184740825	0,069	0,049	1	1,136612766	0,879807116	1,408163265
BCAT1	0,498250693	0,184599301	0,011	0	1	1,136501274	0,879893427	#DIV/0!
TEDC1	0,441492135	0,184309774	0,014	0	1	1,136273218	0,880070025	#DIV/0!
ERCC6L2	0,951168171	0,184291078	0,026	0,024	1	1,136258493	0,88008143	1,083333333

Supplementary Table 3

Differentially expressed genes_keloid-MD_comparing SC-Keloid vs. (SC-Myel+Nonmyel)								
gene	p_val	avg_log2FC	pct.1	pct.2	p_val_adj	Foldchange_UP	Foldchange_DOWN	Ratio_pct1_pct2
CCZ1	0,831366235	0,184194048	0,019	0,024	1	1,136182076	0,880140623	0,791666667
ZNF432	0,441492135	0,184165648	0,014	0	1	1,13615971	0,880157949	#DIV/0!
UNC13B	0,498250693	0,184153329	0,011	0	1	1,136150008	0,880165465	#DIV/0!
SLC25A23	0,441492135	0,184146995	0,014	0	1	1,13614502	0,880169329	#DIV/0!
NUDT12	0,468534305	0,18412007	0,013	0	1	1,136123816	0,880185756	#DIV/0!
HSF2	0,468534305	0,184095531	0,013	0	1	1,136104492	0,880200727	#DIV/0!
CUL7	0,468534305	0,183926212	0,013	0	1	1,135971163	0,880304037	#DIV/0!
TIMM9	0,956046136	0,18381741	0,026	0,024	1	1,135885496	0,880370428	1,083333333
ZFP90	0,543233108	0,18367405	0,03	0,049	1	1,135772629	0,880457914	0,612244898
ELOC	0,933328359	0,183616377	0,193	0,195	1	1,135727227	0,880493112	0,98974359
HOXB6	0,441492135	0,183540406	0,014	0	1	1,135667422	0,880539479	#DIV/0!
TRUB2	0,375671348	0,183522039	0,091	0,049	1	1,135652964	0,880550689	1,857142857
WDR36	0,951168171	0,183508328	0,026	0,024	1	1,13564217	0,880559058	1,083333333
YIF1A	0,930776589	0,183471016	0,112	0,122	1	1,135612801	0,880581832	0,918032787
HNRNPAB	0,804262197	0,183463959	0,209	0,195	1	1,135607245	0,880586139	1,071794872
RBM42	0,647487289	0,183392817	0,038	0,024	1	1,135551248	0,880629563	1,583333333
MARK2	0,4167109	0,183352131	0,016	0	1	1,135519224	0,880654399	#DIV/0!
HOXC6	0,441492019	0,183335344	0,014	0	1	1,135506012	0,880664646	#DIV/0!
ZBTB33	0,441492135	0,183186906	0,014	0	1	1,135389186	0,880755262	#DIV/0!
TMED8	0,884899866	0,183145761	0,021	0,024	1	1,135356806	0,880780381	0,875
NME2	0,393875079	0,183105539	0,018	0	1	1,135325152	0,880804938	#DIV/0!
ARF1	0,662315576	0,182907911	0,223	0,195	1	1,13516964	0,880925603	1,143589744
ZNF496	0,441492135	0,182904251	0,014	0	1	1,135166761	0,880927838	#DIV/0!
TRPV4	0,441492135	0,182886983	0,014	0	1	1,135153174	0,880938382	#DIV/0!
CRABP1	0,468534305	0,182864606	0,013	0	1	1,135135567	0,880952046	#DIV/0!
ROCK2	0,810520881	0,182850377	0,108	0,098	1	1,135124371	0,880960735	1,102040816
ABCF3	0,4167109	0,182812841	0,016	0	1	1,135094838	0,880983655	#DIV/0!
NINL	0,498250693	0,182797777	0,011	0	1	1,135082986	0,880992854	#DIV/0!
KLF16	0,3347904	0,18275221	0,022	0	1	1,135047136	0,881020681	#DIV/0!
ABHD4	0,441492135	0,182699962	0,014	0	1	1,135006029	0,881052588	#DIV/0!

Supplementary Table 3

Differentially expressed genes_keloid-MD_comparing SC-Keloid vs. (SC-Myel+Nonmyel)								
gene	p_val	avg_log2FC	pct.1	pct.2	p_val_adj	Foldchange_UP	Foldchange_DOWN	Ratio_pct1_pct2
LRRC75B	0,498250693	0,182699722	0,011	0	1	1,135005841	0,881052734	#DIV/0!
PYGL	0,956046136	0,182626871	0,026	0,024	1	1,134948529	0,881097226	1,083333333
MGMT	0,772961273	0,182616732	0,085	0,073	1	1,134940553	0,881103418	1,164383562
NUP62	0,498250693	0,182565532	0,011	0	1	1,134900276	0,881134688	#DIV/0!
LSM14A	0,31412538	0,182541573	0,065	0,024	1	1,134881428	0,881149321	2,708333333
GOLGA5	0,81872643	0,182482352	0,03	0,024	1	1,134834843	0,881185493	1,25
RDH11	0,544753088	0,18230839	0,045	0,024	1	1,134698011	0,881291753	1,875
SH3RF1	0,676599912	0,1821577	0,037	0,024	1	1,134579498	0,881383809	1,541666667
RABGGTA	0,441492135	0,182117497	0,014	0	1	1,134547882	0,881408371	#DIV/0!
SKAP1	0,468534305	0,182078863	0,013	0	1	1,1345175	0,881431974	#DIV/0!
CSRNP2	0,498250693	0,181982477	0,011	0	1	1,134441706	0,881490864	#DIV/0!
SLC29A1	0,468534305	0,181955164	0,013	0	1	1,134420229	0,881507553	#DIV/0!
GFUS	0,643840181	0,181832793	0,038	0,024	1	1,13432401	0,881582326	1,583333333
STX17	0,588013025	0,181817187	0,032	0,049	1	1,13431174	0,881591863	0,653061224
CCS	0,634048282	0,181769889	0,053	0,073	1	1,134274553	0,881620766	0,726027397
FAR1	0,724011232	0,181724621	0,037	0,049	1	1,134238963	0,88164843	0,755102041
MCAT	0,441492135	0,18170876	0,014	0	1	1,134226493	0,881658122	#DIV/0!
NUP205	0,441492135	0,18167342	0,014	0	1	1,134198709	0,88167972	#DIV/0!
MLLT10	0,441492135	0,18162178	0,014	0	1	1,134158112	0,881711279	#DIV/0!
VAT1	0,999099467	0,181407448	0,048	0,049	1	1,133989631	0,881842279	0,979591837
ZNF74	0,441492135	0,181395704	0,014	0	1	1,133980399	0,881849458	#DIV/0!
EZH1	0,864111066	0,181344499	0,029	0,024	1	1,133940152	0,881880757	1,208333333
BMT2	0,441492135	0,181336004	0,014	0	1	1,133933475	0,88188595	#DIV/0!
COPG2	0,441492135	0,18128489	0,014	0	1	1,133893301	0,881917195	#DIV/0!
SLC16A1	0,441492135	0,180949361	0,014	0	1	1,133629621	0,882122327	#DIV/0!
NDRG3	0,441492135	0,180848825	0,014	0	1	1,133550626	0,882183801	#DIV/0!
USP25	0,441492135	0,180810611	0,014	0	1	1,133520601	0,882207169	#DIV/0!
RABGEF1	0,468534305	0,180808085	0,013	0	1	1,133518616	0,882208713	#DIV/0!
PDE4D	0,468534305	0,180779192	0,013	0	1	1,133495915	0,882226382	#DIV/0!
LINC00665	0,498250693	0,180554683	0,011	0	1	1,133319537	0,882363683	#DIV/0!

Supplementary Table 3

Differentially expressed genes_keloid-MD_comparing SC-Keloid vs. (SC-Myel+Nonmyel)								
gene	p_val	avg_log2FC	pct.1	pct.2	p_val_adj	Foldchange_UP	Foldchange_DOWN	Ratio_pct1_pct2
IRAK1BP1	0,4167109	0,180538545	0,016	0	1	1,13330686	0,882373553	#DIV/0!
ASB1	0,441492135	0,180453988	0,014	0	1	1,133240438	0,882425271	#DIV/0!
TMEM158	0,498250693	0,180397131	0,011	0	1	1,133195778	0,882460048	#DIV/0!
SIAH1	0,865315807	0,180369231	0,041	0,049	1	1,133173863	0,882477114	0,836734694
COA3	0,816392855	0,180339905	0,083	0,073	1	1,133150829	0,882495052	1,136986301
AVEN	0,393875079	0,180329708	0,018	0	1	1,13314282	0,88250129	#DIV/0!
C11orf80	0,498250693	0,180325298	0,011	0	1	1,133139356	0,882503988	#DIV/0!
KIF20B	0,468534305	0,180277571	0,013	0	1	1,13310187	0,882533183	#DIV/0!
EIF3I	0,719227882	0,180182915	0,12	0,146	1	1,133027529	0,882591088	0,821917808
PPFIA1	0,345494556	0,180086207	0,096	0,049	1	1,132951582	0,882650253	1,959183673
SPIRE1	0,780171394	0,179949834	0,032	0,024	1	1,132844493	0,882733691	1,333333333
CCDC88B	0,468534305	0,179935547	0,013	0	1	1,132833274	0,882742432	#DIV/0!
TRAPPC2	0,745771449	0,179788248	0,033	0,024	1	1,132717618	0,882832565	1,375
TMED7	0,789425724	0,179755972	0,061	0,073	1	1,132692277	0,882852316	0,835616438
METTL13	0,892879868	0,179747465	0,021	0,024	1	1,132685599	0,882857521	0,875
PFKP	0,441492135	0,17974665	0,014	0	1	1,132684959	0,88285802	#DIV/0!
PDE12	0,498250693	0,179716474	0,011	0	1	1,132661267	0,882876487	#DIV/0!
TMEM175	0,498250693	0,1796485	0,011	0	1	1,132607901	0,882918086	#DIV/0!
NADK	0,441492135	0,179569077	0,014	0	1	1,132545552	0,882966693	#DIV/0!
DZIP1	0,441492135	0,179548879	0,014	0	1	1,132529696	0,882979055	#DIV/0!
RABIF	0,953606936	0,179406424	0,026	0,024	1	1,132417873	0,883066246	1,083333333
SFPQ	0,720018769	0,179169108	0,183	0,22	1	1,132231611	0,883211518	0,831818182
PNPO	0,468534305	0,179159479	0,013	0	1	1,132224054	0,883217413	#DIV/0!
SULF1	0,4167109	0,179098309	0,016	0	1	1,132176049	0,883254862	#DIV/0!
LAMB2	0,587133413	0,179082185	0,051	0,073	1	1,132163395	0,883264734	0,698630137
MRRF	0,4167109	0,179080421	0,016	0	1	1,132162011	0,883265814	#DIV/0!
KITLG	0,4167109	0,178983993	0,016	0	1	1,132086341	0,883324852	#DIV/0!
RHNO1	0,4167109	0,178681563	0,016	0	1	1,131849048	0,883510042	#DIV/0!
PGAP3	0,498250693	0,178637745	0,011	0	1	1,131814672	0,883536876	#DIV/0!
DHX16	0,997483596	0,178586423	0,024	0,024	1	1,13177441	0,883568308	1

Supplementary Table 3

Differentially expressed genes_keloid-MD_comparing SC-Keloid vs. (SC-Myel+Nonmyel)								
gene	p_val	avg_log2FC	pct.1	pct.2	p_val_adj	Foldchange_UP	Foldchange_DOWN	Ratio_pct1_pct2
RUSF1	0,441492135	0,178571914	0,014	0	1	1,131763028	0,883577194	#DIV/0!
BRD9	0,80522554	0,178571086	0,057	0,049	1	1,131762379	0,8835777	1,163265306
ZNF439	0,468534305	0,178533045	0,013	0	1	1,131732537	0,883600999	#DIV/0!
MSL2	0,441492135	0,178524457	0,014	0	1	1,131725799	0,883606259	#DIV/0!
CDC23	0,948097145	0,178501142	0,022	0,024	1	1,13170751	0,883620539	0,916666667
SGO2	0,498250693	0,17841154	0,011	0	1	1,131637225	0,88367542	#DIV/0!
TRIM41	0,468534305	0,178394982	0,013	0	1	1,131624237	0,883685562	#DIV/0!
NRP1	0,726744375	0,178346762	0,057	0,073	1	1,131586415	0,883715099	0,780821918
TBK1	0,588013025	0,178129072	0,032	0,049	1	1,131415681	0,883848454	0,653061224
PET100	0,915835393	0,178088784	0,203	0,22	1	1,131384086	0,883873136	0,922727273
PTCD2	0,498250693	0,178071811	0,011	0	1	1,131370776	0,883883534	#DIV/0!
SELENOH	0,992484915	0,178028132	0,207	0,22	1	1,131336523	0,883910295	0,940909091
KDM4A	0,441492135	0,177995857	0,014	0	1	1,131311214	0,883930069	#DIV/0!
B3GALT2	0,905181209	0,177913023	0,027	0,024	1	1,13124626	0,883980823	1,125
RARRES1	0,498250693	0,177887693	0,011	0	1	1,131226399	0,883996343	#DIV/0!
STRADA	0,441492135	0,177863043	0,014	0	1	1,131207071	0,884011448	#DIV/0!
ZNF821	0,4167109	0,177854242	0,016	0	1	1,13120017	0,88401684	#DIV/0!
RBM48	0,468534305	0,177812061	0,013	0	1	1,131167097	0,884042687	#DIV/0!
BBC3	0,468534305	0,177801946	0,013	0	1	1,131159166	0,884048885	#DIV/0!
NECAB1	0,468534305	0,177723589	0,013	0	1	1,131097731	0,884096902	#DIV/0!
MTG1	0,441492135	0,177660232	0,014	0	1	1,13104806	0,884135728	#DIV/0!
EPHB3	0,468534305	0,177575318	0,013	0	1	1,13098149	0,884187769	#DIV/0!
XXYL1	0,372736722	0,177458459	0,019	0	1	1,130889884	0,884259391	#DIV/0!
CISD2	0,611145784	0,17744685	0,099	0,073	1	1,130880784	0,884266507	1,356164384
GPANK1	0,4167109	0,177442536	0,016	0	1	1,130877402	0,884269151	#DIV/0!
SART3	0,905181209	0,177424848	0,027	0,024	1	1,130863538	0,884279992	1,125
ZNF528	0,4167109	0,177304875	0,016	0	1	1,1307695	0,884353531	#DIV/0!
CRLF3	0,531202783	0,177290274	0,01	0	1	1,130758056	0,884362481	#DIV/0!
CYP4V2	0,441492135	0,177222106	0,014	0	1	1,130704628	0,884404269	#DIV/0!
PPCDC	0,441492135	0,177188783	0,014	0	1	1,130678512	0,884424697	#DIV/0!

Supplementary Table 3

Differentially expressed genes_keloid-MD_comparing SC-Keloid vs. (SC-Myel+Nonmyel)								
gene	p_val	avg_log2FC	pct.1	pct.2	p_val_adj	Foldchange_UP	Foldchange_DOWN	Ratio_pct1_pct2
PKNOX2	0,498250693	0,177181726	0,011	0	1	1,130672981	0,884429023	#DIV/0!
RSRP1	0,822450119	0,177162821	0,156	0,146	1	1,130658165	0,884440613	1,068493151
SSNA1	0,735216852	0,176945491	0,123	0,146	1	1,130487854	0,884573856	0,842465753
RRP12	0,468534305	0,176828613	0,013	0	1	1,130396272	0,884645522	#DIV/0!
CARM1	0,866392432	0,176784141	0,029	0,024	1	1,130361428	0,884672792	1,208333333
GDE1	0,593105318	0,17675774	0,051	0,073	1	1,130340743	0,884688981	0,698630137
RND2	0,468534305	0,176585246	0,013	0	1	1,130205603	0,884794764	#DIV/0!
MED6	0,905181209	0,176489933	0,027	0,024	1	1,130130937	0,884853221	1,125
SRSF2	0,650285813	0,176462086	0,174	0,146	1	1,130109123	0,884870301	1,191780822
COPA	0,740030428	0,176410008	0,088	0,073	1	1,130068329	0,884902243	1,205479452
RNF152	0,441492135	0,176276379	0,014	0	1	1,129963663	0,884984211	#DIV/0!
SREBF1	0,67849582	0,176260188	0,037	0,024	1	1,129950981	0,884994143	1,541666667
SSX2IP	0,468534305	0,176220369	0,013	0	1	1,129919795	0,885018569	#DIV/0!
C11orf54	0,546325504	0,176141142	0,045	0,024	1	1,129857746	0,885067172	1,875
RYBP	0,833313679	0,176092288	0,062	0,073	1	1,129819486	0,885097144	0,849315068
FPGS	0,4167109	0,176013465	0,016	0	1	1,129757759	0,885145503	#DIV/0!
ZNRF1	0,4167109	0,176008257	0,016	0	1	1,129753681	0,885148698	#DIV/0!
SENP1	0,441492135	0,176007407	0,014	0	1	1,129753015	0,88514922	#DIV/0!
IMPDH2	0,544753088	0,175836611	0,045	0,024	1	1,129619275	0,885254016	1,875
OXR1	0,54641521	0,175758047	0,049	0,073	1	1,129557761	0,885302226	0,671232877
MTMR14	0,393875079	0,175619755	0,018	0	1	1,129449491	0,885387092	#DIV/0!
TDP1	0,468534305	0,175613133	0,013	0	1	1,129444307	0,885391155	#DIV/0!
ZBTB11	0,81872643	0,175606869	0,03	0,024	1	1,129439403	0,885395	1,25
ERV3-1	0,441492135	0,175419025	0,014	0	1	1,129292356	0,885510289	#DIV/0!
IP6K2	0,418466935	0,175415968	0,054	0,024	1	1,129289963	0,885512165	2,25
CARD10	0,353096361	0,175222784	0,021	0	1	1,129138755	0,885630748	#DIV/0!
ADGRA3	0,498250693	0,175142584	0,011	0	1	1,129075988	0,885679982	#DIV/0!
CST6	0,4167109	0,175130197	0,016	0	1	1,129066294	0,885687586	#DIV/0!
GIGYF1	0,441492135	0,174990182	0,014	0	1	1,128956722	0,885773547	#DIV/0!
LKAAEAR1	0,372736722	0,174980632	0,019	0	1	1,128949249	0,88577941	#DIV/0!

Supplementary Table 3

Differentially expressed genes_keloid-MD_comparing SC-Keloid vs. (SC-Myel+Nonmyel)								
gene	p_val	avg_log2FC	pct.1	pct.2	p_val_adj	Foldchange_UP	Foldchange_DOWN	Ratio_pct1_pct2
SUPT6H	0,689913676	0,174718297	0,037	0,024	1	1,128743983	0,885940492	1,541666667
TBRG4	0,468534305	0,174690664	0,013	0	1	1,128722363	0,885957462	#DIV/0!
VWA8	0,468534305	0,174664979	0,013	0	1	1,128702269	0,885973235	#DIV/0!
DECR2	0,468534305	0,174607671	0,013	0	1	1,128657434	0,886008429	#DIV/0!
ZBTB1	0,328636331	0,174506572	0,064	0,024	1	1,128578344	0,88607052	2,666666667
NOTCH2NLA	0,498250693	0,174496893	0,011	0	1	1,128570773	0,886076464	#DIV/0!
WDR7	0,4167109	0,174482205	0,016	0	1	1,128559283	0,886085485	#DIV/0!
RNFT1	0,4167109	0,174454642	0,016	0	1	1,128537722	0,886102414	#DIV/0!
DAPL1	0,498250693	0,1744015	0,011	0	1	1,128496153	0,886135054	#DIV/0!
NCKIPSD	0,468534305	0,174352086	0,013	0	1	1,128457501	0,886165406	#DIV/0!
FAAP100	0,441492135	0,174343702	0,014	0	1	1,128450943	0,886170556	#DIV/0!
DCTN4	0,953606936	0,174298565	0,026	0,024	1	1,128415638	0,886198282	1,083333333
ZRANB1	0,892879868	0,174277592	0,021	0,024	1	1,128399235	0,886211165	0,875
ITGB3BP	0,816528088	0,174229984	0,03	0,024	1	1,128361999	0,88624041	1,25
TBC1D19	0,468534305	0,174172402	0,013	0	1	1,128316963	0,886275783	#DIV/0!
STN1	0,498250693	0,173971281	0,011	0	1	1,12815968	0,886399344	#DIV/0!
SKA2	0,574204735	0,173970581	0,108	0,146	1	1,128159132	0,886399774	0,739726027
SUCO	0,905181209	0,173962921	0,027	0,024	1	1,128153142	0,886404481	1,125
AMOTL1	0,937978649	0,173796666	0,075	0,073	1	1,128023142	0,886506635	1,02739726
PHLPP2	0,498250693	0,17378462	0,011	0	1	1,128013723	0,886514037	#DIV/0!
IPO8	0,468534305	0,173761831	0,013	0	1	1,127995905	0,886528041	#DIV/0!
UTP18	0,468534305	0,173741988	0,013	0	1	1,127980391	0,886540234	#DIV/0!
POFUT1	0,441492135	0,173580598	0,014	0	1	1,127854214	0,886639414	#DIV/0!
DCAF8	0,997483596	0,17355845	0,024	0,024	1	1,1278369	0,886653026	1
JRKL	0,441492135	0,173531824	0,014	0	1	1,127816085	0,88666939	#DIV/0!
RPRD2	0,4167109	0,173366698	0,016	0	1	1,127687006	0,886770881	#DIV/0!
CEP43	0,468534305	0,173296783	0,013	0	1	1,127632358	0,886813856	#DIV/0!
EPSTI1	0,468534305	0,173277552	0,013	0	1	1,127617327	0,886825677	#DIV/0!
TVP23B	0,441492135	0,173169674	0,014	0	1	1,127533012	0,886891993	#DIV/0!
HYPK	0,498250693	0,17313279	0,011	0	1	1,127504187	0,886914667	#DIV/0!

Supplementary Table 3

Differentially expressed genes_keloid-MD_comparing SC-Keloid vs. (SC-Myel+Nonmyel)								
gene	p_val	avg_log2FC	pct.1	pct.2	p_val_adj	Foldchange_UP	Foldchange_DOWN	Ratio_pct1_pct2
LTBP2	0,707280187	0,173052301	0,035	0,024	1	1,127441284	0,88696415	1,458333333
LIG4	0,393875079	0,172972149	0,018	0	1	1,127378648	0,887013428	#DIV/0!
USP13	0,468534305	0,172956152	0,013	0	1	1,127366147	0,887023264	#DIV/0!
WDR46	0,782292802	0,172896044	0,032	0,024	1	1,127319178	0,887060222	1,333333333
G6PD	0,393875079	0,172870971	0,018	0	1	1,127299586	0,887075638	#DIV/0!
ERO1A	0,393875079	0,172817601	0,018	0	1	1,127257885	0,887108455	#DIV/0!
MKNK1	0,4167109	0,172814019	0,016	0	1	1,127255086	0,887110657	#DIV/0!
PISD	0,468534305	0,172743485	0,013	0	1	1,127199975	0,887154029	#DIV/0!
PRMT3	0,441492135	0,172694665	0,014	0	1	1,127161832	0,887184051	#DIV/0!
APMAP	0,896725017	0,172640392	0,053	0,049	1	1,12711943	0,887217427	1,081632653
GNAQ	0,623359383	0,172606953	0,04	0,024	1	1,127093306	0,887237991	1,666666667
DCAF17	0,498250693	0,172586722	0,011	0	1	1,127077501	0,887250433	#DIV/0!
CD302	0,4167109	0,172569278	0,016	0	1	1,127063873	0,887261161	#DIV/0!
CAPRIN2	0,948097145	0,172545043	0,022	0,024	1	1,12704494	0,887276066	0,916666667
WVOX	0,4167109	0,172474098	0,016	0	1	1,126989519	0,887319699	#DIV/0!
PEX10	0,441492135	0,172334887	0,014	0	1	1,126880777	0,887405323	#DIV/0!
KCTD7	0,498250693	0,172193368	0,011	0	1	1,126770242	0,887492377	#DIV/0!
RBM14	0,948729862	0,17209629	0,026	0,024	1	1,126694425	0,887552097	1,083333333
GFM2	0,441492135	0,172002362	0,014	0	1	1,126621073	0,887609884	#DIV/0!
FADS2	0,468534305	0,171925714	0,013	0	1	1,126561219	0,887657043	#DIV/0!
MICAL3	0,855093738	0,171900294	0,064	0,073	1	1,12654137	0,887672683	0,876712329
CEP63	0,986492653	0,171769702	0,048	0,049	1	1,1264394	0,887753038	0,979591837
MBOAT7	0,468534305	0,171701952	0,013	0	1	1,126386503	0,887794729	#DIV/0!
ANKRD49	0,763143412	0,171665592	0,018	0,024	1	1,126358115	0,887817104	0,75
GFOD2	0,468534305	0,171604574	0,013	0	1	1,126310477	0,887854655	#DIV/0!
FOXJ2	0,498250693	0,171572162	0,011	0	1	1,126285174	0,887874602	#DIV/0!
SASS6	0,441492135	0,171552664	0,014	0	1	1,126269952	0,887886601	#DIV/0!
PER2	0,531202783	0,171548738	0,01	0	1	1,126266887	0,887889018	#DIV/0!
IGF1	0,498250693	0,171482349	0,011	0	1	1,12621506	0,887929877	#DIV/0!
CCNYL1	0,468534305	0,171452643	0,013	0	1	1,126191871	0,88794816	#DIV/0!

Supplementary Table 3

Differentially expressed genes_keloid-MD_comparing SC-Keloid vs. (SC-Myel+Nonmyel)								
gene	p_val	avg_log2FC	pct.1	pct.2	p_val_adj	Foldchange_UP	Foldchange_DOWN	Ratio_pct1_pct2
SNX29	0,441492135	0,171390158	0,014	0	1	1,126143096	0,887986619	#DIV/0!
SNRK	0,441492019	0,171377679	0,014	0	1	1,126133355	0,8879943	#DIV/0!
SLC25A12	0,468534305	0,171277746	0,013	0	1	1,126055352	0,888055812	#DIV/0!
PANK3	0,327147246	0,171140332	0,064	0,024	1	1,125948103	0,888140402	2,666666667
MAP3K12	0,865239683	0,17106886	0,054	0,049	1	1,125892324	0,888184402	1,102040816
TRIM66	0,498250693	0,17070586	0,011	0	1	1,125609071	0,888407908	#DIV/0!
NSA2	0,779763445	0,170585655	0,231	0,22	1	1,125515289	0,888481933	1,05
SIGMAR1	0,441492135	0,170484987	0,014	0	1	1,125436756	0,888543932	#DIV/0!
PANX1	0,468534305	0,170473137	0,013	0	1	1,125427512	0,88855123	#DIV/0!
PRKCI	0,907540903	0,170433035	0,027	0,024	1	1,125396229	0,888575929	1,125
PPP5C	0,468534305	0,1703421	0,013	0	1	1,125325296	0,888631939	#DIV/0!
RBM10	0,531202783	0,170326343	0,01	0	1	1,125313006	0,888641644	#DIV/0!
FRY	0,531202783	0,170296813	0,01	0	1	1,125289972	0,888659834	#DIV/0!
MTRES1	0,820926176	0,170208178	0,03	0,024	1	1,12522084	0,888714432	1,25
CLSPN	0,4167109	0,170196543	0,016	0	1	1,125211765	0,888721599	#DIV/0!
HNRNPA3	0,476702521	0,170178093	0,359	0,317	1	1,125197376	0,888732965	1,132492114
FAM120C	0,544157477	0,17014132	0,013	0,024	1	1,125168696	0,888755618	0,541666667
LPCAT4	0,498250693	0,170032371	0,011	0	1	1,125083729	0,888822738	#DIV/0!
ZNF559	0,498250693	0,169849435	0,011	0	1	1,124941076	0,888935449	#DIV/0!
UBA5	0,519058384	0,169773207	0,046	0,024	1	1,124881638	0,888982419	1,916666667
COG7	0,393875079	0,169761571	0,018	0	1	1,124872566	0,888989589	#DIV/0!
SDHAF1	0,468534305	0,169742249	0,013	0	1	1,124857501	0,889001495	#DIV/0!
HLTF	0,997298407	0,169671078	0,048	0,049	1	1,12480201	0,889045353	0,979591837
KANSL3	0,498250693	0,169561828	0,011	0	1	1,124716836	0,88911268	#DIV/0!
TGFB3	0,498250693	0,169330356	0,011	0	1	1,124536397	0,889255344	#DIV/0!
UCK1	0,441492135	0,169311246	0,014	0	1	1,124521501	0,889267123	#DIV/0!
PIGO	0,468534305	0,169158895	0,013	0	1	1,124402756	0,889361036	#DIV/0!
TAFAZZIN	0,498250693	0,169147837	0,011	0	1	1,124394138	0,889367853	#DIV/0!
NFE2L3	0,861830832	0,169128326	0,029	0,024	1	1,124378931	0,889379881	1,208333333
LAP3	0,703792334	0,169062888	0,064	0,049	1	1,124327933	0,889420223	1,306122449

Supplementary Table 3

Differentially expressed genes_keloid-MD_comparing SC-Keloid vs. (SC-Myel+Nonmyel)								
gene	p_val	avg_log2FC	pct.1	pct.2	p_val_adj	Foldchange_UP	Foldchange_DOWN	Ratio_pct1_pct2
WBP2	0,674706052	0,169045045	0,037	0,024	1	1,124314027	0,889431223	1,541666667
WASHC2C	0,468534305	0,169042537	0,013	0	1	1,124312073	0,889432769	#DIV/0!
MAP3K6	0,498250693	0,169019332	0,011	0	1	1,124293989	0,889447075	#DIV/0!
IFITM10	0,468534305	0,168939423	0,013	0	1	1,124231718	0,889496341	#DIV/0!
RPLP2	0,442646455	0,168927573	0,732	0,78	1	1,124222483	0,889503648	0,938461538
CCAR2	0,498250693	0,168874758	0,011	0	1	1,124181328	0,889536212	#DIV/0!
ACOT8	0,498250693	0,168840726	0,011	0	1	1,12415481	0,889557196	#DIV/0!
CSKMT	0,441492135	0,168788068	0,014	0	1	1,124113779	0,889589665	#DIV/0!
TRMT112	0,844123989	0,168736022	0,179	0,171	1	1,124073227	0,889621758	1,046783626
SLC35C1	0,441492135	0,168726791	0,014	0	1	1,124066035	0,88962745	#DIV/0!
PPP1R35	0,892879868	0,168660313	0,021	0,024	1	1,12401424	0,889668444	0,875
ATP13A1	0,498250693	0,168480851	0,011	0	1	1,123874428	0,88977912	#DIV/0!
TMEM251	0,948729855	0,168445672	0,026	0,024	1	1,123847024	0,889800817	1,083333333
HPCAL1	0,952959176	0,168410969	0,069	0,073	1	1,123819991	0,889822221	0,945205479
CDK11B	0,4167109	0,168337642	0,016	0	1	1,123762873	0,889867448	#DIV/0!
MANF	0,870025765	0,168294162	0,201	0,195	1	1,123729006	0,889894267	1,030769231
LRWD1	0,498250693	0,168244044	0,011	0	1	1,123689969	0,889925182	#DIV/0!
MUL1	0,441492135	0,168240614	0,014	0	1	1,123687297	0,889927298	#DIV/0!
PPP4R3A	0,968060041	0,168179398	0,049	0,049	1	1,123639618	0,88996506	1
SLC37A4	0,468534305	0,168162248	0,013	0	1	1,123626261	0,889975639	#DIV/0!
CDK5R1	0,498250693	0,168078049	0,011	0	1	1,123560685	0,890027582	#DIV/0!
GEMIN7	0,468534305	0,168056588	0,013	0	1	1,123543972	0,890040822	#DIV/0!
SNX7	0,85509373	0,168019573	0,064	0,073	1	1,123515146	0,890063657	0,876712329
MAP3K3	0,441492135	0,167998599	0,014	0	1	1,123498812	0,890076598	#DIV/0!
CEP135	0,498250693	0,167987532	0,011	0	1	1,123490194	0,890083425	#DIV/0!
CHAMP1	0,531202783	0,167981049	0,01	0	1	1,123485145	0,890087425	#DIV/0!
TBP	0,498250693	0,167965384	0,011	0	1	1,123472946	0,89009709	#DIV/0!
MAPKAPK3	0,4167109	0,167947975	0,016	0	1	1,12345939	0,890107831	#DIV/0!
PIGX	0,786540441	0,167799204	0,032	0,024	1	1,123343544	0,890199624	1,333333333
MYL6B	0,892003002	0,167784553	0,088	0,098	1	1,123332136	0,890208664	0,897959184

Supplementary Table 3

Differentially expressed genes_keloid-MD_comparing SC-Keloid vs. (SC-Myel+Nonmyel)								
gene	p_val	avg_log2FC	pct.1	pct.2	p_val_adj	Foldchange_UP	Foldchange_DOWN	Ratio_pct1_pct2
MIR4458HG	0,498250693	0,167713294	0,011	0	1	1,123276653	0,890252635	#DIV/0!
KCTD11	0,468534305	0,167577506	0,013	0	1	1,123170934	0,89033643	#DIV/0!
COG1	0,498250693	0,167520828	0,011	0	1	1,123126809	0,890371409	#DIV/0!
GCLC	0,498250693	0,167309161	0,011	0	1	1,12296204	0,890502051	#DIV/0!
CHFR	0,531202783	0,167276817	0,01	0	1	1,122936864	0,890522016	#DIV/0!
VPS37C	0,498250693	0,167244907	0,011	0	1	1,122912027	0,890541713	#DIV/0!
TCTA	0,468534305	0,167114852	0,013	0	1	1,122810805	0,890621996	#DIV/0!
PAN3	0,478453273	0,167110959	0,049	0,024	1	1,122807775	0,890624399	2,041666667
TTC4	0,468534305	0,167024265	0,013	0	1	1,122740306	0,89067792	#DIV/0!
ITGAV	0,993415623	0,167016506	0,142	0,146	1	1,122734267	0,89068271	0,97260274
ZBTB46	0,531202783	0,166995161	0,01	0	1	1,122717657	0,890695888	#DIV/0!
IFT46	0,441492135	0,166927049	0,014	0	1	1,122664653	0,89073794	#DIV/0!
E2F7	0,393875079	0,166879101	0,018	0	1	1,122627341	0,890767544	#DIV/0!
PPP2R5A	0,468534305	0,166809858	0,013	0	1	1,122573461	0,890810299	#DIV/0!
FITM2	0,498250693	0,16678881	0,011	0	1	1,122557083	0,890823295	#DIV/0!
FBXO9	0,584157914	0,166788274	0,051	0,073	1	1,122556667	0,890823626	0,698630137
HECTD2	0,441492135	0,166623847	0,014	0	1	1,122428734	0,89092516	#DIV/0!
FAM199X	0,816093994	0,166584167	0,04	0,049	1	1,122397863	0,890949665	0,816326531
OS9	0,976698036	0,166491675	0,116	0,122	1	1,122325907	0,891006786	0,950819672
ZMYM6	0,468534305	0,166471237	0,013	0	1	1,122310008	0,891019409	#DIV/0!
EHBP1L1	0,892879868	0,166356377	0,021	0,024	1	1,122220659	0,89109035	0,875
USP37	0,942915322	0,166319796	0,022	0,024	1	1,122192204	0,891112945	0,916666667
MPG	0,783198472	0,166282561	0,159	0,146	1	1,122163241	0,891135944	1,089041096
HIF1AN	0,76591327	0,166255801	0,018	0,024	1	1,122142427	0,891152474	0,75
RPRD1B	0,468534305	0,166207123	0,013	0	1	1,122104566	0,891182543	#DIV/0!
RRAS2	0,498250554	0,166206923	0,011	0	1	1,12210441	0,891182666	#DIV/0!
ARFGF2	0,498250693	0,166199566	0,011	0	1	1,122098688	0,891187211	#DIV/0!
CCNI	0,737666561	0,166167503	0,244	0,22	1	1,12207375	0,891207017	1,109090909
PSMD3	0,812293772	0,16603073	0,04	0,049	1	1,121967379	0,891291511	0,816326531
KCTD13	0,441492135	0,165989428	0,014	0	1	1,121935259	0,891317028	#DIV/0!

Supplementary Table 3

Differentially expressed genes_keloid-MD_comparing SC-Keloid vs. (SC-Myel+Nonmyel)								
gene	p_val	avg_log2FC	pct.1	pct.2	p_val_adj	Foldchange_UP	Foldchange_DOWN	Ratio_pct1_pct2
POMT1	0,498250693	0,165977675	0,011	0	1	1,121926119	0,891324288	#DIV/0!
HELB	0,531202783	0,165936557	0,01	0	1	1,121894144	0,891349693	#DIV/0!
WHAMM	0,441492135	0,165801314	0,014	0	1	1,121788979	0,891433254	#DIV/0!
PRR3	0,498250693	0,165749767	0,011	0	1	1,121748898	0,891465105	#DIV/0!
SMARCB1	0,719279574	0,165638849	0,062	0,049	1	1,121662659	0,891533646	1,265306122
FLYWCH1	0,468534305	0,165627203	0,013	0	1	1,121653604	0,891540843	#DIV/0!
PPP2R3B	0,441492135	0,165489683	0,014	0	1	1,121546692	0,89162583	#DIV/0!
CTU2	0,498250693	0,165447263	0,011	0	1	1,121513715	0,891652047	#DIV/0!
SNX19	0,468534305	0,165281669	0,013	0	1	1,121384994	0,891754398	#DIV/0!
KCNC2	0,531202783	0,165266658	0,01	0	1	1,121373326	0,891763676	#DIV/0!
MRPS9	0,857273836	0,165236345	0,029	0,024	1	1,121349764	0,891782414	1,208333333
MTHFSD	0,498250693	0,165210994	0,011	0	1	1,121330061	0,891798084	#DIV/0!
YTHDF1	0,4167109	0,165154039	0,016	0	1	1,121285794	0,891833292	#DIV/0!
RWDD2A	0,468534305	0,165048841	0,013	0	1	1,121204034	0,891898325	#DIV/0!
HLCS	0,890218621	0,164999156	0,021	0,024	1	1,121165422	0,891929041	0,875
TTC39C	0,950688894	0,164936502	0,022	0,024	1	1,121116733	0,891967777	0,916666667
RTL10	0,468534305	0,164841061	0,013	0	1	1,121042568	0,892026787	#DIV/0!
MTFMT	0,4167109	0,164782387	0,016	0	1	1,120996976	0,892063066	#DIV/0!
DR1	0,898436868	0,16477964	0,053	0,049	1	1,120994842	0,892064765	1,081632653
LRR47	0,498250693	0,164770785	0,011	0	1	1,120987962	0,89207024	#DIV/0!
ITSN2	0,902822352	0,16456984	0,027	0,024	1	1,120831836	0,8921945	1,125
GMPPA	0,393875079	0,164517241	0,018	0	1	1,120790973	0,892227029	#DIV/0!
HOXB-AS1	0,468534305	0,164459853	0,013	0	1	1,12074639	0,892262521	#DIV/0!
RNF34	0,956046136	0,164396637	0,026	0,024	1	1,120697282	0,892301619	1,083333333
TRAFD1	0,468534305	0,164295145	0,013	0	1	1,120618445	0,892364394	#DIV/0!
DNPEP	0,892879868	0,164239204	0,021	0,024	1	1,120574994	0,892398996	0,875
NENF	0,7712228	0,164202405	0,166	0,195	1	1,120546412	0,892421759	0,851282051
LPCAT3	0,498250693	0,164099555	0,011	0	1	1,120466531	0,892485382	#DIV/0!
YAE1	0,942915322	0,16405355	0,022	0,024	1	1,120430801	0,892513843	0,916666667
SETD6	0,468534305	0,164013832	0,013	0	1	1,120399956	0,892538414	#DIV/0!

Supplementary Table 3

Differentially expressed genes_keloid-MD_comparing SC-Keloid vs. (SC-Myel+Nonmyel)								
gene	p_val	avg_log2FC	pct.1	pct.2	p_val_adj	Foldchange_UP	Foldchange_DOWN	Ratio_pct1_pct2
OTULIN	1	0,163886337	0,024	0,024	1	1,120300948	0,892617294	1
SEPTIN8	0,468534305	0,16374266	0,013	0	1	1,120189383	0,892706193	#DIV/0!
MTERF2	0,468534305	0,163682509	0,013	0	1	1,12014268	0,892743414	#DIV/0!
MAMLD1	0,498250693	0,163601524	0,011	0	1	1,120079803	0,892793529	#DIV/0!
PAK1	0,441492135	0,163516477	0,014	0	1	1,120013776	0,892846161	#DIV/0!
PRDX5	0,27489098	0,16338206	0,252	0,171	1	1,119909428	0,892929352	1,473684211
HACL1	0,498250693	0,163350021	0,011	0	1	1,119884558	0,892949182	#DIV/0!
PTK7	0,696310026	0,16332906	0,016	0,024	1	1,119868287	0,892962156	0,666666667
B4GALT2	0,790794466	0,163324586	0,032	0,024	1	1,119864814	0,892964925	1,333333333
MOB1A	0,933388445	0,163191345	0,091	0,098	1	1,119761393	0,8930474	0,928571429
ZNF697	0,831366235	0,163160606	0,019	0,024	1	1,119737535	0,893066427	0,791666667
RPP38	0,680393765	0,163121535	0,037	0,024	1	1,119707211	0,893090614	1,541666667
TFRC	0,372736722	0,163045236	0,019	0	1	1,119647995	0,893137847	#DIV/0!
PDGFB	0,914935357	0,163043502	0,113	0,122	1	1,119646649	0,893138921	0,926229508
TEF	0,468534305	0,162999399	0,013	0	1	1,119612422	0,893166225	#DIV/0!
LACTB2	0,468534305	0,162883277	0,013	0	1	1,119522308	0,893238118	#DIV/0!
TRIM16	0,441492135	0,162873272	0,014	0	1	1,119514545	0,893244312	#DIV/0!
KIF16B	0,441492135	0,162829305	0,014	0	1	1,119480427	0,893271535	#DIV/0!
GSTM4	0,468534305	0,16281038	0,013	0	1	1,119465743	0,893283253	#DIV/0!
IPP	0,95604613	0,162696275	0,026	0,024	1	1,119377205	0,893353907	1,083333333
PREB	0,393875079	0,162634912	0,018	0	1	1,119329596	0,893391905	#DIV/0!
TUSC2	0,741684304	0,162596949	0,033	0,024	1	1,119300142	0,893415414	1,375
RNF180	0,498250693	0,162450033	0,011	0	1	1,119186164	0,893506399	#DIV/0!
ZFAND2A	0,468534305	0,162418366	0,013	0	1	1,119161599	0,893526012	#DIV/0!
SLC16A1-AS1	0,468534305	0,162197084	0,013	0	1	1,118989954	0,893663072	#DIV/0!
MAFG-DT	0,531202783	0,162191543	0,01	0	1	1,118985656	0,893666505	#DIV/0!
PLAAT4	0,498250693	0,162026154	0,011	0	1	1,118857384	0,89376896	#DIV/0!
GHDC	0,441492135	0,161902954	0,014	0	1	1,118761843	0,893845287	#DIV/0!
ZBTB4	0,722107714	0,161893854	0,037	0,049	1	1,118754786	0,893850925	0,755102041
ISYNA1	0,416710794	0,161883523	0,016	0	1	1,118746774	0,893857326	#DIV/0!

Supplementary Table 3

Differentially expressed genes_keloid-MD_comparing SC-Keloid vs. (SC-Myel+Nonmyel)								
gene	p_val	avg_log2FC	pct.1	pct.2	p_val_adj	Foldchange_UP	Foldchange_DOWN	Ratio_pct1_pct2
COL19A1	0,468534305	0,161872338	0,013	0	1	1,118738101	0,893864255	#DIV/0!
INPP5A	0,441492135	0,161781869	0,014	0	1	1,118667949	0,89392031	#DIV/0!
TFE3	0,468534305	0,161781449	0,013	0	1	1,118667624	0,89392057	#DIV/0!
BUD13	0,468534305	0,161704037	0,013	0	1	1,1186076	0,893968537	#DIV/0!
CPOX	0,441492135	0,161684755	0,014	0	1	1,118592649	0,893980486	#DIV/0!
CAMKMT	0,498250693	0,161664103	0,011	0	1	1,118576637	0,893993283	#DIV/0!
LUC7L3	0,871690703	0,161643218	0,155	0,171	1	1,118560444	0,894006225	0,906432749
PAXIP1-DT	0,441492135	0,161564755	0,014	0	1	1,118499612	0,894054848	#DIV/0!
SSUH2	0,441492135	0,161468028	0,014	0	1	1,118424623	0,894114793	#DIV/0!
MYCBP	0,468534305	0,16140184	0,013	0	1	1,118373313	0,894155814	#DIV/0!
ZSCAN16	0,531202783	0,161364049	0,01	0	1	1,118344018	0,894179236	#DIV/0!
BVES	0,76591327	0,161209532	0,018	0,024	1	1,118224246	0,894275011	0,75
ME3	0,468534305	0,161201542	0,013	0	1	1,118218053	0,894279964	#DIV/0!
MINK1	0,468534305	0,161175567	0,013	0	1	1,118197921	0,894296065	#DIV/0!
EIF3G	0,870496033	0,161102296	0,128	0,122	1	1,118141131	0,894341485	1,049180328
CRKL	0,468534305	0,161046702	0,013	0	1	1,118098044	0,894375949	#DIV/0!
UTP14C	0,905181209	0,161009456	0,027	0,024	1	1,118069179	0,89439904	1,125
MRGBP	0,715160978	0,160978105	0,035	0,024	1	1,118044883	0,894418476	1,458333333
DONSON	0,531202783	0,160865904	0,01	0	1	1,117957934	0,894488039	#DIV/0!
JPX	0,728310263	0,160850709	0,062	0,049	1	1,117946159	0,89449746	1,265306122
CLPTM1L	0,596098937	0,160843732	0,041	0,024	1	1,117940752	0,894501786	1,708333333
FNTA	0,864139323	0,160833288	0,08	0,073	1	1,11793266	0,894508262	1,095890411
TUBGCP3	0,498250693	0,16080157	0,011	0	1	1,117908082	0,894527928	#DIV/0!
ARMC7	0,531202783	0,160790858	0,01	0	1	1,117899781	0,89453457	#DIV/0!
PPM1G	0,658924658	0,16072099	0,094	0,073	1	1,117845644	0,894577892	1,287671233
ITPR2	0,4167109	0,160660415	0,016	0	1	1,11779871	0,894615454	#DIV/0!
ZNF880	0,531202783	0,160648751	0,01	0	1	1,117789673	0,894622686	#DIV/0!
YY1AP1	0,907540903	0,160540928	0,027	0,024	1	1,117706135	0,894689551	1,125
ZNF414	0,498250693	0,160515628	0,011	0	1	1,117686535	0,894705241	#DIV/0!
PRH1	0,468534305	0,160336828	0,013	0	1	1,117548023	0,894816132	#DIV/0!

Supplementary Table 3

Differentially expressed genes_keloid-MD_comparing SC-Keloid vs. (SC-Myel+Nonmyel)								
gene	p_val	avg_log2FC	pct.1	pct.2	p_val_adj	Foldchange_UP	Foldchange_DOWN	Ratio_pct1_pct2
TCP11L2	0,498250693	0,160131112	0,011	0	1	1,117388682	0,894943735	#DIV/0!
GSKIP	0,945505945	0,159990776	0,022	0,024	1	1,117279995	0,895030793	0,916666667
PSEN1	1	0,159892526	0,024	0,024	1	1,117203909	0,895091748	1
BBIP1	0,792317058	0,159774705	0,083	0,098	1	1,117112674	0,895164851	0,846938776
SLC26A11	0,531202783	0,159765913	0,01	0	1	1,117105866	0,895170306	#DIV/0!
AHCTF1	0,948097145	0,159731379	0,022	0,024	1	1,117079125	0,895191735	0,916666667
PRMT5	0,468534305	0,159718356	0,013	0	1	1,117069042	0,895199815	#DIV/0!
PAM	0,623359383	0,15958855	0,04	0,024	1	1,116968538	0,895280365	1,666666667
ABITRAM	0,468534305	0,159583967	0,013	0	1	1,11696499	0,895283209	#DIV/0!
UMPS	0,441492135	0,159474694	0,014	0	1	1,116880392	0,895351022	#DIV/0!
GEMIN4	0,498250693	0,159474133	0,011	0	1	1,116879958	0,89535137	#DIV/0!
SCUBE3	0,441492135	0,159459387	0,014	0	1	1,116868542	0,895360521	#DIV/0!
FAS	0,468534305	0,159378421	0,013	0	1	1,116805864	0,895410772	#DIV/0!
UBAP1	0,902822352	0,159365104	0,027	0,024	1	1,116795555	0,895419037	1,125
C15orf39	0,468534305	0,159357698	0,013	0	1	1,116789822	0,895423634	#DIV/0!
RELCH	0,498250693	0,159253077	0,011	0	1	1,116708837	0,89548857	#DIV/0!
SRGN	0,940325302	0,159163657	0,022	0,024	1	1,116639624	0,895544075	0,916666667
OXSRI	0,674706022	0,159128683	0,037	0,024	1	1,116612555	0,895565786	1,541666667
APOC1	0,441492135	0,159105557	0,014	0	1	1,116594657	0,895580141	#DIV/0!
ZFAND2B	0,859551749	0,159078548	0,029	0,024	1	1,116573752	0,895596908	1,208333333
PSMG3-AS1	0,441492135	0,159022136	0,014	0	1	1,116530093	0,895631928	#DIV/0!
FER	0,897580873	0,158913716	0,053	0,049	1	1,116446188	0,895699238	1,081632653
WDR59	0,468534305	0,158848566	0,013	0	1	1,116395772	0,895739688	#DIV/0!
TBL1X	0,468534305	0,158839678	0,013	0	1	1,116388894	0,895745206	#DIV/0!
TTLL3	0,498250554	0,158757235	0,011	0	1	1,1163251	0,895796394	#DIV/0!
C12orf4	0,498250693	0,158753432	0,011	0	1	1,116322158	0,895798756	#DIV/0!
IQCK	0,498250693	0,158637659	0,011	0	1	1,116232579	0,895870645	#DIV/0!
ZNF512B	0,498250693	0,158600535	0,011	0	1	1,116203856	0,895893698	#DIV/0!
SRP14	0,898114128	0,158529138	0,644	0,756	1	1,116148618	0,895938036	0,851851852
MRPL19	0,804844863	0,158519319	0,083	0,073	1	1,116141021	0,895944133	1,136986301

Supplementary Table 3

Differentially expressed genes_keloid-MD_comparing SC-Keloid vs. (SC-Myel+Nonmyel)								
gene	p_val	avg_log2FC	pct.1	pct.2	p_val_adj	Foldchange_UP	Foldchange_DOWN	Ratio_pct1_pct2
AC012313.1	0,498250693	0,158458692	0,011	0	1	1,116094118	0,895981785	#DIV/0!
GCAT	0,498250693	0,158290194	0,011	0	1	1,115963772	0,896086436	#DIV/0!
ZNF692	0,498250554	0,158199465	0,011	0	1	1,115893593	0,896142792	#DIV/0!
AHNAK2	0,441492135	0,158165357	0,014	0	1	1,115867212	0,896163978	#DIV/0!
ELOA	0,782292802	0,158141965	0,032	0,024	1	1,115849119	0,896178509	1,333333333
SYNE3	0,532291913	0,157984239	0,03	0,049	1	1,115727133	0,896276491	0,612244898
CCNJL	0,441492135	0,157958939	0,014	0	1	1,115707568	0,896292209	#DIV/0!
TGIF1	0,62843294	0,157943561	0,033	0,049	1	1,115695675	0,896301763	0,673469388
NECAP1	1	0,157831922	0,024	0,024	1	1,115609343	0,896371123	1
FOXK2	0,905181209	0,157796317	0,027	0,024	1	1,115581811	0,896393245	1,125
GPSM3	0,531202783	0,157752449	0,01	0	1	1,11554789	0,896420502	#DIV/0!
PKP1	0,372736722	0,157748713	0,019	0	1	1,115545001	0,896422824	#DIV/0!
TFG	0,942353855	0,15768963	0,069	0,073	1	1,115499317	0,896459536	0,945205479
APEH	0,907540903	0,157559304	0,027	0,024	1	1,115398553	0,896540522	1,125
TUBA1B	0,900382804	0,157458505	0,418	0,463	1	1,115320624	0,896603164	0,902807775
WDHD1	0,468534305	0,157452347	0,013	0	1	1,115315863	0,896606991	#DIV/0!
ATAD2	0,441492135	0,157404053	0,014	0	1	1,115278529	0,896637005	#DIV/0!
RABEP2	0,441492019	0,15738785	0,014	0	1	1,115266003	0,896647075	#DIV/0!
CENPC	0,715160978	0,157340969	0,035	0,024	1	1,115229763	0,896676213	1,458333333
MORN4	0,4167109	0,157288392	0,016	0	1	1,115189121	0,896708891	#DIV/0!
CCDC9B	0,448124727	0,157258137	0,045	0,073	1	1,115165734	0,896727697	0,616438356
PIDD1	0,498250693	0,157175938	0,011	0	1	1,115102198	0,89677879	#DIV/0!
MPPE1	0,441492135	0,157132629	0,014	0	1	1,115068724	0,896805711	#DIV/0!
TMEM126A	0,644825643	0,157069469	0,113	0,146	1	1,115019908	0,896844973	0,773972603
FAM221A	0,498250693	0,157061511	0,011	0	1	1,115013757	0,896849921	#DIV/0!
OFD1	0,68324445	0,157060284	0,035	0,049	1	1,11501281	0,896850683	0,714285714
ARHGEF6	0,696310026	0,156816581	0,016	0,024	1	1,114824475	0,897002194	0,666666667
STARD3NL	0,74986576	0,156752841	0,033	0,024	1	1,114775222	0,897041826	1,375
RHOF	0,531202783	0,1566365	0,01	0	1	1,114685328	0,897114167	#DIV/0!
PLCD3	0,531202783	0,156562085	0,01	0	1	1,114627834	0,897160442	#DIV/0!

Supplementary Table 3

Differentially expressed genes_keloid-MD_comparing SC-Keloid vs. (SC-Myel+Nonmyel)								
gene	p_val	avg_log2FC	pct.1	pct.2	p_val_adj	Foldchange_UP	Foldchange_DOWN	Ratio_pct1_pct2
CIAO2B	0,927806097	0,156501847	0,357	0,366	1	1,114581295	0,897197903	0,975409836
MRPL47	0,749204168	0,156478896	0,115	0,098	1	1,114563564	0,897212176	1,173469388
RHBDD1	0,441492135	0,156396723	0,014	0	1	1,114500082	0,897263281	#DIV/0!
HRAS	0,529418887	0,156346073	0,077	0,049	1	1,114460955	0,897294782	1,571428571
NDUFS7	0,648114485	0,156301559	0,094	0,122	1	1,114426569	0,897322468	0,770491803
SPACA9	0,468534305	0,156254658	0,013	0	1	1,114390341	0,89735164	#DIV/0!
AP001816.1	0,531202783	0,156239322	0,01	0	1	1,114378495	0,897361179	#DIV/0!
TOMM40	0,676599912	0,156196208	0,037	0,024	1	1,114345193	0,897387997	1,541666667
TAF1	0,570186496	0,156039173	0,043	0,024	1	1,114223904	0,897485681	1,791666667
INPP4B	0,441492135	0,155850891	0,014	0	1	1,1140785	0,897602817	#DIV/0!
ZNF571	0,441492135	0,155835855	0,014	0	1	1,114066889	0,897612172	#DIV/0!
POGLUT2	0,76591327	0,155748011	0,018	0,024	1	1,113999057	0,897666828	0,75
HARS1	0,57182143	0,155600594	0,043	0,024	1	1,113885232	0,897758558	1,791666667
NACC1	0,4167109	0,155569036	0,016	0	1	1,113860867	0,897778196	#DIV/0!
ZNF10	0,531202783	0,15522102	0,01	0	1	1,113592207	0,89799479	#DIV/0!
TTC8	0,531202783	0,155197531	0,01	0	1	1,113574076	0,898009411	#DIV/0!
TCF7	0,4167109	0,155182545	0,016	0	1	1,113562509	0,898018739	#DIV/0!
DCAF15	0,441492135	0,155172464	0,014	0	1	1,113554728	0,898025014	#DIV/0!
PROCR	0,441492135	0,155133188	0,014	0	1	1,113524413	0,898049462	#DIV/0!
SRD5A3	0,498250693	0,155124557	0,011	0	1	1,113517751	0,898054835	#DIV/0!
RHOT1	1	0,155100874	0,024	0,024	1	1,113499472	0,898069577	1
OGFRL1	0,441492135	0,154978994	0,014	0	1	1,113405407	0,89814545	#DIV/0!
ARF5	0,60432919	0,154713263	0,099	0,073	1	1,113200346	0,898310895	1,356164384
WDR53	0,531202783	0,154691019	0,01	0	1	1,113183183	0,898324746	#DIV/0!
ARC	0,441492135	0,154594748	0,014	0	1	1,113108903	0,898384693	#DIV/0!
KANK1	0,468534305	0,154580515	0,013	0	1	1,113097922	0,898393556	#DIV/0!
CRAMP1	0,531202783	0,154562711	0,01	0	1	1,113084185	0,898404643	#DIV/0!
GAA	0,725916459	0,154491193	0,037	0,049	1	1,113029008	0,89844918	0,755102041
DHODH	0,498250693	0,154489553	0,011	0	1	1,113027743	0,898450202	#DIV/0!
OTUD3	0,498250693	0,154464597	0,011	0	1	1,11300849	0,898465743	#DIV/0!

Supplementary Table 3

Differentially expressed genes_keloid-MD_ comparing SC-Keloid vs. (SC-Myel+Nonmyel)								
gene	p_val	avg_log2FC	pct.1	pct.2	p_val_adj	Foldchange_UP	Foldchange_DOWN	Ratio_pct1_pct2
QPCT	0,997298407	0,154418929	0,048	0,049	1	1,112973258	0,898494185	0,979591837
PRDM2	0,813288836	0,154305463	0,057	0,049	1	1,112885728	0,898564853	1,163265306
CCPG1	0,92408929	0,154216457	0,091	0,098	1	1,112817072	0,89862029	0,928571429
LRIG1	0,498250693	0,15410242	0,011	0	1	1,112729113	0,898691324	#DIV/0!
SMARCAD1	0,82592442	0,154084363	0,019	0,024	1	1,112715186	0,898702573	0,791666667
RSPH3	0,498250693	0,154020693	0,011	0	1	1,11266608	0,898742236	#DIV/0!
RPL28	0,430088917	0,153943602	0,75	0,634	1	1,112606626	0,898790261	1,1829653
ZNF562	0,468534305	0,153866902	0,013	0	1	1,112547476	0,898838047	#DIV/0!
FURIN	0,539573649	0,153832827	0,03	0,049	1	1,1125212	0,898859276	0,612244898
LMO7	0,441492135	0,153806693	0,014	0	1	1,112501046	0,898875559	#DIV/0!
MRPL46	0,997483596	0,153763616	0,024	0,024	1	1,112467829	0,898902399	1
ZNF277	0,531202783	0,153703771	0,01	0	1	1,112421683	0,898939687	#DIV/0!
AHCYL2	0,498250693	0,153667159	0,011	0	1	1,112393453	0,8989625	#DIV/0!
TMEM120B	0,498250693	0,15366112	0,011	0	1	1,112388797	0,898966263	#DIV/0!
GALNT10	0,468534305	0,153495412	0,013	0	1	1,112261035	0,899069525	#DIV/0!
GTF2IRD1	0,468534305	0,153494364	0,013	0	1	1,112260227	0,899070177	#DIV/0!
ANKRD42	0,498250693	0,15333711	0,011	0	1	1,112138997	0,899168182	#DIV/0!
FASTKD5	0,531202783	0,153312194	0,01	0	1	1,11211979	0,899183711	#DIV/0!
NIPAL3	0,622403257	0,153223276	0,014	0,024	1	1,112051249	0,899239132	0,583333333
COQ2	0,498250693	0,153128244	0,011	0	1	1,111977999	0,899298368	#DIV/0!
PCIF1	1	0,152947711	0,024	0,024	1	1,111838859	0,89941091	1
BLMH	0,441492135	0,152839028	0,014	0	1	1,111755104	0,899478668	#DIV/0!
ZFP69B	0,498250693	0,152838612	0,011	0	1	1,111754783	0,899478927	#DIV/0!
PRR5	0,498250693	0,152758931	0,011	0	1	1,111693382	0,899528607	#DIV/0!
RPS21	0,979428831	0,152749881	0,467	0,537	1	1,111686408	0,89953425	0,869646182
KLHL13	0,468534305	0,152747463	0,013	0	1	1,111684545	0,899535758	#DIV/0!
DDX3Y	0,441492135	0,152721539	0,014	0	1	1,11166457	0,899551922	#DIV/0!
TMEM135	0,531202783	0,152559369	0,01	0	1	1,111539617	0,899653044	#DIV/0!
YEATS4	0,936194942	0,152360934	0,051	0,049	1	1,111386741	0,899776795	1,040816327
CD44	0,761065804	0,152332436	0,121	0,146	1	1,111364788	0,899794569	0,828767123

Supplementary Table 3

Differentially expressed genes_keloid-MD_comparing SC-Keloid vs. (SC-Myel+Nonmyel)								
gene	p_val	avg_log2FC	pct.1	pct.2	p_val_adj	Foldchange_UP	Foldchange_DOWN	Ratio_pct1_pct2
GOT1	0,468534305	0,152132822	0,013	0	1	1,111211028	0,899919075	#DIV/0!
KAT2B	0,441492135	0,152095239	0,014	0	1	1,111182081	0,899942518	#DIV/0!
CSNK1G2	0,997483596	0,152042861	0,024	0,024	1	1,111141739	0,899975192	1
SEC14L1	0,391084448	0,151897017	0,057	0,024	1	1,111029418	0,900066177	2,375
UTY	0,468534305	0,151894253	0,013	0	1	1,111027289	0,900067901	#DIV/0!
TMEM178B	0,52359464	0,151892638	0,046	0,024	1	1,111026046	0,900068908	1,916666667
LPAR6	0,498250693	0,151869606	0,011	0	1	1,111008309	0,900083277	#DIV/0!
WDR74	0,498250693	0,151694601	0,011	0	1	1,110873547	0,900192468	#DIV/0!
BAK1	0,441492135	0,15167689	0,014	0	1	1,11085991	0,900203519	#DIV/0!
P4HA2	0,885837904	0,151670617	0,198	0,195	1	1,11085508	0,900207433	1,015384615
ATG4C	0,441492135	0,151581377	0,014	0	1	1,110786368	0,900263119	#DIV/0!
ZMAT5	0,831366235	0,151576125	0,019	0,024	1	1,110782324	0,900266396	0,791666667
RAB7A	0,906493159	0,151404491	0,126	0,122	1	1,110650185	0,900373505	1,032786885
BCL2L1	0,745771449	0,151354635	0,033	0,024	1	1,110611804	0,90040462	1,375
CD58	0,783248487	0,151339829	0,061	0,073	1	1,110600406	0,900413861	0,835616438
KMT5B	0,746708604	0,151324294	0,059	0,073	1	1,110588448	0,900423557	0,808219178
ZNF469	0,498250693	0,151307283	0,011	0	1	1,110575352	0,900434174	#DIV/0!
HOXC9	0,896472903	0,151245979	0,043	0,049	1	1,110528162	0,900472437	0,87755102
SLC7A5	0,441492019	0,151215185	0,014	0	1	1,110504459	0,900491657	#DIV/0!
PIK3C3	0,498250693	0,15115952	0,011	0	1	1,110461611	0,900526403	#DIV/0!
OSBPL3	0,468534305	0,151149183	0,013	0	1	1,110453655	0,900532855	#DIV/0!
IGF1R	0,945505945	0,151061321	0,022	0,024	1	1,110386029	0,9005877	0,916666667
SLC35F2	0,498250693	0,151059619	0,011	0	1	1,110384719	0,900588763	#DIV/0!
CDKN2AIP	0,997483595	0,15099218	0,024	0,024	1	1,110332815	0,900630862	1
LOXL1-AS1	0,4167109	0,150937963	0,016	0	1	1,110291089	0,900664708	#DIV/0!
FAM189B	0,531202783	0,150880091	0,01	0	1	1,110246552	0,900700838	#DIV/0!
ENDOV	0,786540464	0,150845246	0,032	0,024	1	1,110219737	0,900722593	1,333333333
GUCY1A1	0,531202783	0,150572713	0,01	0	1	1,11001003	0,90089276	#DIV/0!
WDR90	0,531202783	0,150448072	0,01	0	1	1,109914136	0,900970596	#DIV/0!
LSM3	0,94138683	0,150407737	0,183	0,195	1	1,109883105	0,900995786	0,938461538

Supplementary Table 3

Differentially expressed genes_keloid-MD_comparing SC-Keloid vs. (SC-Myel+Nonmyel)								
gene	p_val	avg_log2FC	pct.1	pct.2	p_val_adj	Foldchange_UP	Foldchange_DOWN	Ratio_pct1_pct2
MEN1	0,498250693	0,150337799	0,011	0	1	1,109829302	0,901039465	#DIV/0!
SGMS2	0,468534305	0,150267993	0,013	0	1	1,109775603	0,901083063	#DIV/0!
GYPC	0,498250693	0,150215811	0,011	0	1	1,109735464	0,901115656	#DIV/0!
GUK1	0,60793601	0,150154772	0,388	0,366	1	1,109688513	0,901153782	1,06010929
SLC30A6	0,531202783	0,150089683	0,01	0	1	1,109638449	0,901194439	#DIV/0!
TMEM17	0,531202783	0,150051126	0,01	0	1	1,109608793	0,901218525	#DIV/0!
ASB6	0,441492135	0,149944572	0,014	0	1	1,109526843	0,901285089	#DIV/0!
PROSER1	0,468534305	0,149797013	0,013	0	1	1,109413367	0,901377277	#DIV/0!
GFPT1	0,932706865	0,149794208	0,051	0,049	1	1,10941121	0,90137903	1,040816327
UBA6	0,597602426	0,149632449	0,051	0,073	1	1,109286826	0,901480101	0,698630137
SELENOS	0,573515223	0,149599395	0,239	0,195	1	1,109261412	0,901500755	1,225641026
EPM2A	0,498250693	0,149531605	0,011	0	1	1,10920929	0,901543116	#DIV/0!
KRT16	0,531202783	0,149442114	0,01	0	1	1,109140487	0,901599041	#DIV/0!
BAIAP2-DT	0,498250693	0,149400734	0,011	0	1	1,109108675	0,901624902	#DIV/0!
ZCCHC8	0,953606936	0,149395402	0,026	0,024	1	1,109104576	0,901628234	1,083333333
GINS2	0,498250693	0,149363722	0,011	0	1	1,109080222	0,901648032	#DIV/0!
NREP	0,706857577	0,149332351	0,078	0,098	1	1,109056105	0,901667639	0,795918367
BOP1	0,91226272	0,149325667	0,027	0,024	1	1,109050967	0,901671816	1,125
KLF10	0,999099467	0,149277215	0,048	0,049	1	1,109013721	0,901702099	0,979591837
DOCK7	0,689496655	0,149211256	0,056	0,073	1	1,108963019	0,901743325	0,767123288
PPP1R14A	0,498250693	0,14907428	0,011	0	1	1,108857734	0,901828945	#DIV/0!
TMEM248	0,835569002	0,148911664	0,056	0,049	1	1,108732754	0,901930602	1,142857143
EFHD2	0,761568531	0,14879331	0,086	0,073	1	1,108641801	0,902004596	1,178082192
PHLPP1	0,498250693	0,148761518	0,011	0	1	1,108617371	0,902024473	#DIV/0!
ERCC2	0,531202783	0,148727782	0,01	0	1	1,108591447	0,902045566	#DIV/0!
TCOF1	0,441492135	0,148676287	0,014	0	1	1,108551878	0,902077764	#DIV/0!
ALDH2	0,468534305	0,14858484	0,013	0	1	1,108481613	0,902134946	#DIV/0!
PCYT2	0,945505945	0,148453392	0,022	0,024	1	1,108380621	0,902217146	0,916666667
ZHX3	0,531202783	0,148408732	0,01	0	1	1,10834631	0,902245075	#DIV/0!
MACROD2	0,531202783	0,148338223	0,01	0	1	1,108292143	0,902289172	#DIV/0!

Supplementary Table 3

Differentially expressed genes_keloid-MD_ comparing SC-Keloid vs. (SC-Myel+Nonmyel)								
gene	p_val	avg_log2FC	pct.1	pct.2	p_val_adj	Foldchange_UP	Foldchange_DOWN	Ratio_pct1_pct2
VAMP8	0,531202783	0,148138067	0,01	0	1	1,108138392	0,902414362	#DIV/0!
CCDC77	0,531202783	0,148100419	0,01	0	1	1,108109475	0,902437911	#DIV/0!
LARP7	0,909000183	0,148063399	0,112	0,122	1	1,108081041	0,902461068	0,918032787
PUS1	0,468534305	0,148057828	0,013	0	1	1,108076762	0,902464553	#DIV/0!
B3GNT7	0,468534305	0,147915151	0,013	0	1	1,107967183	0,902553808	#DIV/0!
MED24	0,441492135	0,147901393	0,014	0	1	1,107956617	0,902562415	#DIV/0!
HOXB5	0,468534305	0,147824456	0,013	0	1	1,107897533	0,902610548	#DIV/0!
DMAC2L	0,685147471	0,147790402	0,035	0,049	1	1,107871382	0,902631854	0,714285714
ZC3H8	0,953606936	0,147733477	0,026	0,024	1	1,107827669	0,902667471	1,083333333
MR1	0,531202783	0,147685503	0,01	0	1	1,107790832	0,902697487	#DIV/0!
USP49	0,531202783	0,147587107	0,01	0	1	1,107715279	0,902759056	#DIV/0!
SHLD1	0,498250693	0,147439873	0,011	0	1	1,107602237	0,902851192	#DIV/0!
PEX2	0,786335412	0,147436648	0,061	0,073	1	1,107599761	0,90285321	0,835616438
ZNF513	0,498250693	0,14741431	0,011	0	1	1,107582612	0,902867189	#DIV/0!
TPRA1	0,531202783	0,147181783	0,01	0	1	1,107404111	0,903012721	#DIV/0!
ATL2	1	0,147178694	0,024	0,024	1	1,10740174	0,903014655	1
CDK2	0,531202783	0,147066371	0,01	0	1	1,107315525	0,903084963	#DIV/0!
TRPS1	0,846434546	0,146897213	0,041	0,049	1	1,107185698	0,903190857	0,836734694
SVIL	0,393875079	0,146896459	0,018	0	1	1,10718512	0,903191329	#DIV/0!
PITRM1	0,468534305	0,146831553	0,013	0	1	1,107135309	0,903231964	#DIV/0!
PPWD1	0,350351273	0,146782592	0,024	0,049	1	1,107097737	0,903262618	0,489795918
COPZ1	0,901050166	0,14652628	0,065	0,073	1	1,106901065	0,903423107	0,890410959
APOBEC3G	0,890218621	0,146515307	0,021	0,024	1	1,106892646	0,903429979	0,875
CHST1	0,531202783	0,146301193	0,01	0	1	1,106728382	0,903564069	#DIV/0!
GADD45GIP1	0,783826085	0,146275089	0,276	0,317	1	1,106708357	0,903580418	0,870662461
PGBD1	0,531202783	0,146241818	0,01	0	1	1,106682835	0,903601256	#DIV/0!
ZNF789	0,531202783	0,14609927	0,01	0	1	1,106573493	0,903690543	#DIV/0!
ALYREF	0,810061102	0,146068527	0,057	0,049	1	1,106549912	0,9037098	1,163265306
CYBA	0,669768476	0,145991214	0,257	0,317	1	1,106490615	0,903758231	0,810725552
UTP14A	0,531202783	0,145987401	0,01	0	1	1,10648769	0,903760619	#DIV/0!

Supplementary Table 3

Differentially expressed genes_keloid-MD_comparing SC-Keloid vs. (SC-Myel+Nonmyel)								
gene	p_val	avg_log2FC	pct.1	pct.2	p_val_adj	Foldchange_UP	Foldchange_DOWN	Ratio_pct1_pct2
BRD8	0,945505945	0,145889672	0,022	0,024	1	1,106412739	0,903821842	0,916666667
VIPAS39	0,441492135	0,145810442	0,014	0	1	1,106351979	0,90387148	#DIV/0!
DNAL4	0,498250693	0,145786755	0,011	0	1	1,106333813	0,903886321	#DIV/0!
CHD1L	0,4167109	0,145779501	0,016	0	1	1,106328251	0,903890865	#DIV/0!
STRAP	0,701730154	0,145717808	0,099	0,122	1	1,106280942	0,903929519	0,81147541
PODN	0,468534305	0,145680777	0,013	0	1	1,106252547	0,903952721	#DIV/0!
NADK2	0,531202783	0,145677896	0,01	0	1	1,106250338	0,903954526	#DIV/0!
CAPZA1	0,833042884	0,145658212	0,107	0,098	1	1,106235245	0,903966859	1,091836735
BTRC	0,531202783	0,145635017	0,01	0	1	1,106217459	0,903981393	#DIV/0!
DNAJC16	0,760376583	0,145555934	0,018	0,024	1	1,106156822	0,904030947	0,75
TMEM115	0,441492135	0,145534274	0,014	0	1	1,106140215	0,90404452	#DIV/0!
RPL19	0,453225718	0,145503728	0,85	0,902	1	1,106116795	0,904063661	0,942350333
CGAS	0,498250693	0,145464393	0,011	0	1	1,106086637	0,904088311	#DIV/0!
FBXO33	0,531202783	0,14535146	0,01	0	1	1,106000057	0,904159085	#DIV/0!
DCLRE1C	0,531202783	0,145255025	0,01	0	1	1,10592613	0,904219525	#DIV/0!
KIF3C	0,468534305	0,14516219	0,013	0	1	1,105854969	0,904277711	#DIV/0!
THEM4	0,997483596	0,145113444	0,024	0,024	1	1,105817604	0,904308266	1
ADAL	0,468534305	0,145099906	0,013	0	1	1,105807227	0,904316752	#DIV/0!
CTNS	0,531202783	0,14492254	0,01	0	1	1,105671287	0,904427936	#DIV/0!
MAN2C1	0,441492135	0,144873963	0,014	0	1	1,105634058	0,90445839	#DIV/0!
SULF2	0,498250554	0,144848476	0,011	0	1	1,105614526	0,904474368	#DIV/0!
B3GLCT	0,441492135	0,144794504	0,014	0	1	1,105573165	0,904508206	#DIV/0!
C6orf120	0,498250693	0,144791261	0,011	0	1	1,10557068	0,904510239	#DIV/0!
TK2	1	0,144747573	0,024	0,024	1	1,105537202	0,90453763	1
RRP9	0,468534305	0,144739627	0,013	0	1	1,105531113	0,904542612	#DIV/0!
TRIM69	0,468534305	0,144185692	0,013	0	1	1,105106716	0,904889985	#DIV/0!
KIF2A	0,969833612	0,144160956	0,049	0,049	1	1,105087768	0,9049055	1
GPATCH2	0,784545255	0,144147779	0,059	0,049	1	1,105077675	0,904913765	1,204081633
NCSTN	0,630310951	0,144141961	0,033	0,049	1	1,105073218	0,904917415	0,673469388
SRP9	0,76470303	0,144109449	0,187	0,171	1	1,105048315	0,904937808	1,093567251

Supplementary Table 3

Differentially expressed genes_keloid-MD_comparing SC-Keloid vs. (SC-Myel+Nonmyel)								
gene	p_val	avg_log2FC	pct.1	pct.2	p_val_adj	Foldchange_UP	Foldchange_DOWN	Ratio_pct1_pct2
WASHC4	0,356015471	0,144101176	0,061	0,024	1	1,105041978	0,904942997	2,541666667
NLGN3	0,948097145	0,144083121	0,022	0,024	1	1,105028149	0,904954322	0,916666667
FAM117B	0,498250693	0,144031504	0,011	0	1	1,104988614	0,9049867	#DIV/0!
NRDC	0,870450133	0,14402957	0,08	0,073	1	1,104987133	0,904987913	1,095890411
POLE3	0,920858794	0,143981986	0,1	0,098	1	1,104950688	0,905017763	1,020408163
CNOT7	0,864111066	0,14394862	0,029	0,024	1	1,104925133	0,905038695	1,208333333
GNL3L	0,468534305	0,143898766	0,013	0	1	1,104886952	0,90506997	#DIV/0!
AP3S2	0,498250693	0,143859075	0,011	0	1	1,104856555	0,90509487	#DIV/0!
ABCC1	0,498250693	0,143856643	0,011	0	1	1,104854692	0,905096396	#DIV/0!
MOAP1	0,823206629	0,143841907	0,019	0,024	1	1,104843408	0,90510564	0,791666667
ZSCAN5A	0,531202783	0,143796794	0,01	0	1	1,104808859	0,905133944	#DIV/0!
NDUFAF2	0,581094919	0,143736687	0,128	0,098	1	1,104762831	0,905171655	1,306122449
FAM162A	0,583967018	0,143733415	0,091	0,122	1	1,104760325	0,905173708	0,745901639
RNGTT	0,498250693	0,143620787	0,011	0	1	1,104674083	0,905244375	#DIV/0!
ATP13A3	0,442705017	0,143604517	0,053	0,024	1	1,104661624	0,905254585	2,208333333
PRRT2	0,468534305	0,143520941	0,013	0	1	1,104597633	0,905307028	#DIV/0!
GPNMB	0,696310026	0,143509345	0,016	0,024	1	1,104588754	0,905314305	0,666666667
MTM1	0,468534305	0,143500793	0,013	0	1	1,104582207	0,905319671	#DIV/0!
SYAP1	0,934717672	0,143497996	0,091	0,098	1	1,104580065	0,905321426	0,928571429
POLB	0,531202783	0,143495494	0,01	0	1	1,104578149	0,905322996	#DIV/0!
FKBP2	0,579055962	0,14341005	0,332	0,293	1	1,104512733	0,905376615	1,133105802
KRBA1	0,498250693	0,143362006	0,011	0	1	1,104475951	0,905406767	#DIV/0!
ZCCHC9	0,907540903	0,143251051	0,027	0,024	1	1,104391011	0,905476403	1,125
PLEKHA3	0,882620873	0,143204329	0,065	0,073	1	1,104355246	0,905505727	0,890410959
HOXB4	0,441492135	0,143162155	0,014	0	1	1,104322963	0,905532198	#DIV/0!
RDH14	0,823127332	0,143133131	0,03	0,024	1	1,104300747	0,905550416	1,25
SDHD	0,726802487	0,143097217	0,062	0,049	1	1,104273257	0,905572959	1,265306122
PPM1D	0,468534305	0,143094378	0,013	0	1	1,104271084	0,90557474	#DIV/0!
AGPAT4	0,790794489	0,142989568	0,032	0,024	1	1,104190863	0,905640532	1,333333333
FOXRED2	0,498250693	0,142968945	0,011	0	1	1,104175078	0,905653478	#DIV/0!

Supplementary Table 3

Differentially expressed genes_keloid-MD_ comparing SC-Keloid vs. (SC-Myel+Nonmyel)								
gene	p_val	avg_log2FC	pct.1	pct.2	p_val_adj	Foldchange_UP	Foldchange_DOWN	Ratio_pct1_pct2
TP53TG1	0,902822352	0,142915831	0,027	0,024	1	1,104134429	0,90568682	1,125
PAIP1	0,813288836	0,142812568	0,057	0,049	1	1,104055401	0,905751649	1,163265306
CMSS1	0,702225201	0,142800946	0,091	0,073	1	1,104046507	0,905758945	1,246575342
PSMD2	0,689108836	0,142659834	0,077	0,098	1	1,103938525	0,905847543	0,785714286
MYO18A	0,468534305	0,142655793	0,013	0	1	1,103935432	0,905850081	#DIV/0!
GNPNAT1	0,625123529	0,142551686	0,04	0,024	1	1,103855773	0,90591545	1,666666667
SPNS2	0,498250693	0,142424612	0,011	0	1	1,103758549	0,905995248	#DIV/0!
ZDHHC18	0,468534305	0,142363627	0,013	0	1	1,103711892	0,906033547	#DIV/0!
TELO2	0,531202783	0,142204209	0,01	0	1	1,103589938	0,906133669	#DIV/0!
STARD4	0,531202783	0,142175333	0,01	0	1	1,10356785	0,906151805	#DIV/0!
TRPC1	0,531202783	0,142153452	0,01	0	1	1,103551113	0,906165549	#DIV/0!
CYSTM1	0,863756112	0,142115806	0,15	0,146	1	1,103522317	0,906189195	1,02739726
PHAF1	0,531202783	0,142112614	0,01	0	1	1,103519875	0,9061912	#DIV/0!
HAUS4	0,531202783	0,141924164	0,01	0	1	1,103375739	0,906309578	#DIV/0!
USP18	0,531202783	0,141893311	0,01	0	1	1,103352143	0,90632896	#DIV/0!
CA11	0,531202628	0,141882868	0,01	0	1	1,103344156	0,90633552	#DIV/0!
TPRN	0,441492135	0,14181922	0,014	0	1	1,103295481	0,906375506	#DIV/0!
CD47	0,69854934	0,141773205	0,116	0,146	1	1,103260292	0,906404416	0,794520548
DDX58	0,498250693	0,14169252	0,011	0	1	1,103198592	0,906455109	#DIV/0!
RNF214	0,953606936	0,14164556	0,026	0,024	1	1,103162683	0,906484615	1,083333333
KLHL18	0,468534305	0,141603808	0,013	0	1	1,103130758	0,906510849	#DIV/0!
LSM14B	0,468534305	0,14155173	0,013	0	1	1,103090938	0,906543573	#DIV/0!
PSME2	0,622310828	0,141494494	0,152	0,122	1	1,103047176	0,906579539	1,245901639
ARHGEF28	0,468534305	0,141412642	0,013	0	1	1,102984595	0,906630976	#DIV/0!
SGPL1	1	0,141398738	0,024	0,024	1	1,102973965	0,906639714	1
MEF2C	0,656925728	0,141371415	0,26	0,244	1	1,102953077	0,906656884	1,06557377
NIF3L1	0,531202783	0,141330445	0,01	0	1	1,102921755	0,906682632	#DIV/0!
MLPH	0,531202783	0,141323045	0,01	0	1	1,102916098	0,906687283	#DIV/0!
CEP126	0,890218621	0,141269869	0,021	0,024	1	1,102875447	0,906720703	0,875
DUT	0,956349541	0,141234329	0,161	0,171	1	1,102848278	0,90674304	0,941520468

Supplementary Table 3

Differentially expressed genes_keloid-MD_comparing SC-Keloid vs. (SC-Myel+Nonmyel)								
gene	p_val	avg_log2FC	pct.1	pct.2	p_val_adj	Foldchange_UP	Foldchange_DOWN	Ratio_pct1_pct2
HOOK2	0,531202783	0,14103744	0,01	0	1	1,102697779	0,906866794	#DIV/0!
SEPTIN6	0,531202783	0,140971736	0,01	0	1	1,102647561	0,906908096	#DIV/0!
CA13	0,531202628	0,140962061	0,01	0	1	1,102640166	0,906914178	#DIV/0!
USP11	0,875323687	0,140947797	0,054	0,049	1	1,102629264	0,906923145	1,102040816
SEL1L	0,560775542	0,140847248	0,102	0,073	1	1,102552419	0,906986355	1,397260274
SLC7A6	0,468534305	0,140717142	0,013	0	1	1,102452993	0,907068153	#DIV/0!
MRPS28	0,81872643	0,140706981	0,03	0,024	1	1,102445228	0,907074542	1,25
PSMD14	0,54319075	0,140682697	0,075	0,049	1	1,102426671	0,907089811	1,530612245
NME4	0,53015651	0,140577776	0,107	0,073	1	1,102346499	0,907155782	1,465753425
TAF8	0,468534305	0,140570719	0,013	0	1	1,102341107	0,907160219	#DIV/0!
TUFT1	0,531202783	0,140456914	0,01	0	1	1,102254154	0,907231782	#DIV/0!
NACAD	0,945505945	0,140444386	0,022	0,024	1	1,102244583	0,90723966	0,916666667
SGK1	0,531202783	0,140402033	0,01	0	1	1,102212225	0,907266294	#DIV/0!
FAM86C1P	0,441492135	0,140319059	0,014	0	1	1,102148834	0,907318476	#DIV/0!
ABCC10	0,498250693	0,140291651	0,011	0	1	1,102127897	0,907335712	#DIV/0!
BLVRA	0,901861966	0,140230624	0,053	0,049	1	1,102081277	0,907374094	1,081632653
GALNT5	0,531202783	0,140207167	0,01	0	1	1,102063358	0,907388848	#DIV/0!
MTHFD2L	0,468534305	0,140156559	0,013	0	1	1,102024699	0,907420678	#DIV/0!
ZNF384	0,531202783	0,140154341	0,01	0	1	1,102023005	0,907422073	#DIV/0!
TFB2M	0,441492135	0,140018157	0,014	0	1	1,101918984	0,907507734	#DIV/0!
FDX2	0,531202783	0,139988751	0,01	0	1	1,101896524	0,907526231	#DIV/0!
SYNCRIP	0,703061848	0,139959376	0,159	0,195	1	1,101874089	0,90754471	0,815384615
ECT2	0,498250693	0,139839785	0,011	0	1	1,101782753	0,907619943	#DIV/0!
ZKSCAN5	0,498250693	0,139819288	0,011	0	1	1,1017671	0,907632838	#DIV/0!
LZTFL1	0,531202783	0,139810942	0,01	0	1	1,101760726	0,907638089	#DIV/0!
PDLIM4	0,98048708	0,139805855	0,404	0,415	1	1,101756842	0,907641289	0,973493976
HARS2	0,498250693	0,139664983	0,011	0	1	1,101649265	0,907729921	#DIV/0!
PCDHGA6	0,498250693	0,139611829	0,011	0	1	1,101608677	0,907763365	#DIV/0!
DDX60	0,531202783	0,139566368	0,01	0	1	1,101573965	0,90779197	#DIV/0!
KNSTRN	0,498250693	0,139560542	0,011	0	1	1,101569517	0,907795636	#DIV/0!

Supplementary Table 3

Differentially expressed genes_keloid-MD_ comparing SC-Keloid vs. (SC-Myel+Nonmyel)								
gene	p_val	avg_log2FC	pct.1	pct.2	p_val_adj	Foldchange_UP	Foldchange_DOWN	Ratio_pct1_pct2
ELL2	0,498250693	0,139317254	0,011	0	1	1,10138377	0,907948734	#DIV/0!
ALG1	0,498250693	0,139176591	0,011	0	1	1,10127639	0,908037264	#DIV/0!
H2AX	0,953606936	0,139129064	0,026	0,024	1	1,101240111	0,908067178	1,083333333
FUCA2	0,864348798	0,139083556	0,064	0,073	1	1,101205374	0,908095822	0,876712329
H1-3	0,531202783	0,139070252	0,01	0	1	1,10119522	0,908104196	#DIV/0!
BLOC1S5	0,544157477	0,13903799	0,013	0,024	1	1,101170594	0,908124504	0,541666667
PEX16	0,890218621	0,139019852	0,021	0,024	1	1,10115675	0,908135921	0,875
PET117	0,531202783	0,138887105	0,01	0	1	1,101055434	0,908219486	#DIV/0!
PNO1	0,759820886	0,138542304	0,061	0,049	1	1,100792315	0,908436574	1,244897959
RAC2	0,498250693	0,138537592	0,011	0	1	1,10078872	0,908439542	#DIV/0!
DUSP15	0,441492135	0,138406471	0,014	0	1	1,100688678	0,90852211	#DIV/0!
ERCC8	0,498250693	0,138348281	0,011	0	1	1,100644283	0,908558755	#DIV/0!
HMGCS1	0,873641567	0,138289083	0,054	0,049	1	1,100599122	0,908596037	1,102040816
MAP4K4	0,550493944	0,138232957	0,128	0,171	1	1,100556306	0,908631385	0,748538012
DDT	0,470252337	0,138118536	0,201	0,146	1	1,100469023	0,908703452	1,376712329
UBE2L3	0,744909537	0,138110496	0,185	0,22	1	1,10046289	0,908708516	0,840909091
EPM2AIP1	0,852090203	0,138045443	0,041	0,049	1	1,10041327	0,908749492	0,836734694
BBS4	0,441492135	0,137947005	0,014	0	1	1,10033819	0,908811499	#DIV/0!
SGTA	0,827533785	0,137945086	0,03	0,024	1	1,100336726	0,908812708	1,25
CLDN1	0,531202783	0,137881446	0,01	0	1	1,100288189	0,908852799	#DIV/0!
CFAP20DC	0,468534305	0,137829503	0,013	0	1	1,100248575	0,908885522	#DIV/0!
TSR1	0,882242416	0,137711511	0,021	0,024	1	1,100158593	0,908959859	0,875
FZR1	0,441492135	0,137700757	0,014	0	1	1,100150393	0,908966634	#DIV/0!
RPS6	0,53784936	0,137591408	0,649	0,659	1	1,100067011	0,909035532	0,984825493
BLOC1S4	0,870958486	0,137574391	0,029	0,024	1	1,100054035	0,909046254	1,208333333
TSPYL5	0,498250693	0,137538054	0,011	0	1	1,100026329	0,90906915	#DIV/0!
BMP2	0,441492135	0,137507487	0,014	0	1	1,100003022	0,909088412	#DIV/0!
RNF111	0,498250693	0,137489818	0,011	0	1	1,09998955	0,909099546	#DIV/0!
SDE2	0,468534305	0,137473856	0,013	0	1	1,09997738	0,909109604	#DIV/0!
SHOC2	0,691759345	0,137449642	0,077	0,098	1	1,099958918	0,909124862	0,785714286

Supplementary Table 3

Differentially expressed genes_keloid-MD_ comparing SC-Keloid vs. (SC-Myel+Nonmyel)								
gene	p_val	avg_log2FC	pct.1	pct.2	p_val_adj	Foldchange_UP	Foldchange_DOWN	Ratio_pct1_pct2
YIPF5	0,62820347	0,13736776	0,073	0,098	1	1,09989649	0,909176462	0,744897959
ELP3	0,498250693	0,137284832	0,011	0	1	1,099833269	0,909228725	#DIV/0!
ADCY3	0,441492135	0,1372804	0,014	0	1	1,09982989	0,909231518	#DIV/0!
KIF3A	0,890218621	0,137246219	0,021	0,024	1	1,099803832	0,90925306	0,875
RAPGEF6	0,531202783	0,137216663	0,01	0	1	1,099781301	0,909271688	#DIV/0!
TTBK2	0,942915322	0,137197292	0,022	0,024	1	1,099766535	0,909283896	0,916666667
CLIP3	0,498250693	0,137169765	0,011	0	1	1,099745551	0,909301246	#DIV/0!
APLNR	0,948729862	0,137080665	0,026	0,024	1	1,099677634	0,909357406	1,083333333
BORCS5	0,76591327	0,137080167	0,018	0,024	1	1,099677254	0,90935772	0,75
METTL2A	0,498250693	0,136997107	0,011	0	1	1,099613944	0,909410075	#DIV/0!
KIAA0930	0,945505945	0,136963845	0,022	0,024	1	1,099588592	0,909431043	0,916666667
CUBN	0,696310026	0,136938333	0,016	0,024	1	1,099569148	0,909447125	0,666666667
NANP	0,498250693	0,136931934	0,011	0	1	1,099564271	0,909451159	#DIV/0!
SUSD1	0,531202783	0,136836926	0,01	0	1	1,099491862	0,909511052	#DIV/0!
BDP1	0,459572794	0,136769147	0,083	0,049	1	1,099440208	0,909553783	1,693877551
PLEK2	0,468534305	0,13668899	0,013	0	1	1,099379124	0,90960432	#DIV/0!
EBF1	0,468534305	0,13668508	0,013	0	1	1,099376145	0,909606784	#DIV/0!
PLXNA1	0,531202783	0,136560521	0,01	0	1	1,099281231	0,909685321	#DIV/0!
SMIM27	0,831366235	0,13653775	0,019	0,024	1	1,099263881	0,90969968	0,791666667
ADPGK	0,946292034	0,136516824	0,026	0,024	1	1,099247936	0,909712875	1,083333333
PRECSIT	0,498250693	0,136504896	0,011	0	1	1,099238848	0,909720396	#DIV/0!
NEO1	0,531202783	0,136466271	0,01	0	1	1,099209419	0,909744752	#DIV/0!
CAND1	0,503216649	0,136434285	0,078	0,049	1	1,099185048	0,909764922	1,591836735
NUP93	0,468534305	0,136433669	0,013	0	1	1,099184579	0,909765311	#DIV/0!
UTP3	0,864111066	0,136426352	0,029	0,024	1	1,099179004	0,909769925	1,208333333
PYROXD1	0,937735913	0,136331643	0,022	0,024	1	1,099106848	0,909829651	0,916666667
PDCD2	0,751915569	0,136125153	0,033	0,024	1	1,098949547	0,909959882	1,375
RPA2	0,747817715	0,136124151	0,033	0,024	1	1,098948783	0,909960514	1,375
MOB1B	0,786540464	0,136072978	0,032	0,024	1	1,098909804	0,909992792	1,333333333
MRPL35	0,586152837	0,136033451	0,032	0,049	1	1,098879696	0,910017724	0,653061224

Supplementary Table 3

Differentially expressed genes_keloid-MD_comparing SC-Keloid vs. (SC-Myel+Nonmyel)								
gene	p_val	avg_log2FC	pct.1	pct.2	p_val_adj	Foldchange_UP	Foldchange_DOWN	Ratio_pct1_pct2
VPS9D1	0,498250693	0,135971962	0,011	0	1	1,098832862	0,91005651	#DIV/0!
KLHL8	0,468534305	0,13571742	0,013	0	1	1,098639007	0,91021709	#DIV/0!
SPOCD1	0,751915569	0,135668038	0,033	0,024	1	1,098601402	0,910248247	1,375
SNAPC3	0,468534305	0,135580696	0,013	0	1	1,098534894	0,910303356	#DIV/0!
CIAO1	0,909901414	0,135561774	0,027	0,024	1	1,098520486	0,910315295	1,125
SMDT1	0,64691369	0,135377654	0,179	0,146	1	1,098380299	0,910431479	1,226027397
RNF113A	0,498250693	0,135255534	0,011	0	1	1,098287328	0,910508547	#DIV/0!
DENND4B	0,498250693	0,135252332	0,011	0	1	1,098284891	0,910510568	#DIV/0!
METTL6	0,498250693	0,13521688	0,011	0	1	1,098257902	0,910532943	#DIV/0!
ZNF780B	0,531202783	0,135155922	0,01	0	1	1,098211499	0,910571417	#DIV/0!
THAP4	0,76591327	0,135107029	0,018	0,024	1	1,098174281	0,910602276	0,75
ZDHHC9	0,498250693	0,135079408	0,011	0	1	1,098153256	0,91061971	#DIV/0!
FILIP1L	0,669794828	0,135063268	0,067	0,049	1	1,098140971	0,910629898	1,367346939
ANP32E	0,766015602	0,135049022	0,061	0,049	1	1,098130127	0,91063889	1,244897959
CIAPIN1	0,82532988	0,134979617	0,03	0,024	1	1,0980773	0,9106827	1,25
ZNF140	0,531202783	0,134835146	0,01	0	1	1,097967344	0,9107739	#DIV/0!
PIAS4	0,531202783	0,134763052	0,01	0	1	1,097912478	0,910819414	#DIV/0!
CALHM2	1	0,134728074	0,024	0,024	1	1,097885859	0,910841497	1
PEMT	0,74986576	0,134608383	0,033	0,024	1	1,097794779	0,910917067	1,375
ADCY1	0,531202783	0,134567221	0,01	0	1	1,097763458	0,910943057	#DIV/0!
FBXO31	0,531202783	0,134552328	0,01	0	1	1,097752126	0,910952461	#DIV/0!
DUSP12	0,792923849	0,134268227	0,032	0,024	1	1,097535973	0,911131867	1,333333333
CNTROB	0,531202783	0,13402206	0,01	0	1	1,097348717	0,911287346	#DIV/0!
PGAP6	0,994967217	0,133796042	0,024	0,024	1	1,097176815	0,911430123	1
SPTLC2	0,683244479	0,13379167	0,035	0,049	1	1,097173491	0,911432885	0,714285714
MRPS5	0,729819075	0,133765695	0,062	0,049	1	1,097153737	0,911449295	1,265306122
OGN	0,498250693	0,133697876	0,011	0	1	1,097102162	0,911492142	#DIV/0!
SIAH2	0,498250693	0,133621194	0,011	0	1	1,097043851	0,911540591	#DIV/0!
ANAPC13	0,999099467	0,133606032	0,048	0,049	1	1,097032322	0,911550171	0,979591837
FYCO1	0,498250693	0,133581106	0,011	0	1	1,097013368	0,91156592	#DIV/0!

Supplementary Table 3

Differentially expressed genes_keloid-MD_ comparing SC-Keloid vs. (SC-Myel+Nonmyel)								
gene	p_val	avg_log2FC	pct.1	pct.2	p_val_adj	Foldchange_UP	Foldchange_DOWN	Ratio_pct1_pct2
MCTP2	0,531202783	0,133561922	0,01	0	1	1,09699878	0,911578042	#DIV/0!
COX41	0,737119742	0,133449017	0,514	0,512	1	1,096912933	0,911649384	1,00390625
NRAS	0,61741197	0,133431548	0,07	0,049	1	1,096899651	0,911660423	1,428571429
POLR1A	0,531202783	0,133429365	0,01	0	1	1,096897991	0,911661803	#DIV/0!
CNFN	0,531202783	0,133427019	0,01	0	1	1,096896208	0,911663285	#DIV/0!
FAM32A	0,815539468	0,133341222	0,062	0,073	1	1,096830977	0,911717503	0,849315068
CD83	0,498250693	0,133311316	0,011	0	1	1,096808241	0,911736402	#DIV/0!
RNF182	0,531202783	0,133297126	0,01	0	1	1,096797453	0,91174537	#DIV/0!
ANKRD37	0,4167109	0,133282167	0,016	0	1	1,09678608	0,911754824	#DIV/0!
FBRSL1	0,531202783	0,133274194	0,01	0	1	1,096780019	0,911759863	#DIV/0!
HCG11	0,468534305	0,133232779	0,013	0	1	1,096748535	0,911786037	#DIV/0!
ACOT2	0,531202783	0,133097082	0,01	0	1	1,096645382	0,911871802	#DIV/0!
SAV1	0,953606936	0,132867036	0,026	0,024	1	1,096470529	0,912017216	1,083333333
EML3	0,531202783	0,132798334	0,01	0	1	1,096418316	0,912060648	#DIV/0!
BMP1	0,712452802	0,132704713	0,099	0,122	1	1,096347169	0,912119836	0,81147541
PDE4DIP	0,713187893	0,132696778	0,035	0,024	1	1,096341138	0,912124854	1,458333333
ABHD14B	0,441492135	0,132322918	0,014	0	1	1,096057069	0,912361252	#DIV/0!
ROPN1B	0,531202783	0,132289554	0,01	0	1	1,096031721	0,912382352	#DIV/0!
PDRG1	0,75396713	0,132258629	0,033	0,024	1	1,096008228	0,91240191	1,375
LIG3	0,950688894	0,131860332	0,022	0,024	1	1,095705686	0,912653839	0,916666667
PRMT9	0,544157477	0,131842677	0,013	0,024	1	1,095692277	0,912665008	0,541666667
PPP3CC	0,461761449	0,131802763	0,011	0,024	1	1,095661964	0,912690258	0,458333333
H4C8	0,531202783	0,13178844	0,01	0	1	1,095651086	0,912699319	#DIV/0!
B3GALT4	0,696310026	0,131776806	0,016	0,024	1	1,095642251	0,912706679	0,666666667
SEPTIN7	0,522945202	0,131766486	0,514	0,463	1	1,095634413	0,912713208	1,110151188
GLO1	0,966938241	0,131739699	0,07	0,073	1	1,095614071	0,912730155	0,95890411
PLA2G15	0,498250693	0,131737613	0,011	0	1	1,095612486	0,912731475	#DIV/0!
OAT	0,811127793	0,131540105	0,083	0,098	1	1,095462505	0,912856438	0,846938776
TRIM26	0,441492135	0,131410734	0,014	0	1	1,095364276	0,9129383	#DIV/0!
BTN3A1	0,498250693	0,131285254	0,011	0	1	1,095269009	0,913017708	#DIV/0!

Supplementary Table 3

Differentially expressed genes_keloid-MD_comparing SC-Keloid vs. (SC-Myel+Nonmyel)								
gene	p_val	avg_log2FC	pct.1	pct.2	p_val_adj	Foldchange_UP	Foldchange_DOWN	Ratio_pct1_pct2
ANKDD1A	0,8286443	0,131211271	0,019	0,024	1	1,095212844	0,91306453	0,791666667
SAMD9L	0,951168171	0,131180234	0,026	0,024	1	1,095189283	0,913084172	1,083333333
NME6	0,531202783	0,131152321	0,01	0	1	1,095168093	0,913101839	#DIV/0!
TMEM258	0,806269235	0,13114528	0,305	0,293	1	1,095162749	0,913106295	1,040955631
GNL2	0,445527121	0,131106169	0,027	0,049	1	1,09513306	0,913131049	0,551020408
ZNF251	0,531202783	0,131094708	0,01	0	1	1,095124359	0,913138304	#DIV/0!
FAR2	0,531202783	0,1310243	0,01	0	1	1,095070916	0,913182868	#DIV/0!
DIRAS1	0,531202783	0,13094737	0,01	0	1	1,095012523	0,913231565	#DIV/0!
ACOT13	0,813288847	0,130926112	0,057	0,049	1	1,094996388	0,913245021	1,163265306
MDFI	0,468534305	0,13089627	0,013	0	1	1,094973739	0,913263911	#DIV/0!
NSUN2	0,531202783	0,130846085	0,01	0	1	1,094935651	0,91329568	#DIV/0!
SAMD5	0,679444539	0,130821261	0,035	0,049	1	1,094916811	0,913311395	0,714285714
ZNF783	0,531202783	0,130750404	0,01	0	1	1,094863035	0,913356253	#DIV/0!
VASN	0,468534305	0,130745639	0,013	0	1	1,09485942	0,91335927	#DIV/0!
RNASEL	0,531202783	0,130737401	0,01	0	1	1,094853168	0,913364485	#DIV/0!
GFPT2	0,531202783	0,130667873	0,01	0	1	1,094800405	0,913408504	#DIV/0!
RAB29	0,468534305	0,130650626	0,013	0	1	1,094787317	0,913419424	#DIV/0!
RRP15	0,90700302	0,130636686	0,053	0,049	1	1,094776738	0,91342825	1,081632653
USP46-DT	0,498250693	0,130576261	0,011	0	1	1,094730886	0,913466508	#DIV/0!
SETD9	0,498250693	0,130182793	0,011	0	1	1,09443236	0,913715673	#DIV/0!
MEIS1	0,531202783	0,130086483	0,01	0	1	1,094359302	0,913776672	#DIV/0!
SLC23A2	0,905181209	0,130062435	0,027	0,024	1	1,09434106	0,913791903	1,125
TOR4A	0,375818168	0,130018073	0,01	0,024	1	1,09430741	0,913820003	0,416666667
BROX	0,357087731	0,129760086	0,061	0,024	1	1,09411174	0,913983429	2,541666667
SASH1	0,853553112	0,129554512	0,064	0,073	1	1,093955848	0,914113674	0,876712329
IL15	0,696310026	0,129431581	0,016	0,024	1	1,093862637	0,914191569	0,666666667
OTUD6B-AS1	0,868345594	0,129427052	0,08	0,073	1	1,093859202	0,914194439	1,095890411
BTBD10	0,688005704	0,129423301	0,037	0,024	1	1,093856359	0,914196816	1,541666667
SLC35C2	0,490845434	0,129411478	0,029	0,049	1	1,093847394	0,914204308	0,591836735
E2F1	0,498250693	0,129386452	0,011	0	1	1,09382842	0,914220166	#DIV/0!

Supplementary Table 3

Differentially expressed genes_keloid-MD_ comparing SC-Keloid vs. (SC-Myel+Nonmyel)								
gene	p_val	avg_log2FC	pct.1	pct.2	p_val_adj	Foldchange_UP	Foldchange_DOWN	Ratio_pct1_pct2
CDK18	0,751915569	0,128967295	0,033	0,024	1	1,093510668	0,91448582	1,375
CEP57	0,968060043	0,128908198	0,049	0,049	1	1,093465876	0,914523281	1
SLC35A2	0,953606936	0,128907879	0,026	0,024	1	1,093465634	0,914523483	1,083333333
ORMDL2	0,907540903	0,12885876	0,027	0,024	1	1,093428405	0,91455462	1,125
MTERF1	0,531202783	0,128824253	0,01	0	1	1,093402253	0,914576495	#DIV/0!
ANKHD1	0,441492135	0,128813265	0,014	0	1	1,093393925	0,914583461	#DIV/0!
ALG8	0,868674911	0,12874181	0,029	0,024	1	1,093339772	0,91462876	1,208333333
TMSB15A	0,531202783	0,128706453	0,01	0	1	1,093312977	0,914651176	#DIV/0!
UNC119B	0,468534305	0,128612783	0,013	0	1	1,093241994	0,914710563	#DIV/0!
ZNF354B	0,531202783	0,128573532	0,01	0	1	1,093212251	0,91473545	#DIV/0!
CIC	0,942915322	0,128551477	0,022	0,024	1	1,093195538	0,914749434	0,916666667
HSD17B8	0,531202783	0,12845609	0,01	0	1	1,093123262	0,914809917	#DIV/0!
NFIL3	0,612061228	0,128329184	0,07	0,049	1	1,09302711	0,914890391	1,428571429
CAMTA2	0,498250693	0,128307718	0,011	0	1	1,093010847	0,914904004	#DIV/0!
WWP1	0,958485748	0,128172451	0,026	0,024	1	1,092908371	0,914989789	1,083333333
MAU2	0,531202783	0,128168835	0,01	0	1	1,092905632	0,914992083	#DIV/0!
PIGW	0,531202783	0,128151466	0,01	0	1	1,092892474	0,915003099	#DIV/0!
SMIM8	0,945505945	0,128139964	0,022	0,024	1	1,092883761	0,915010394	0,916666667
LXN	0,468534305	0,128125208	0,013	0	1	1,092872583	0,915019752	#DIV/0!
MSRB1	0,531202783	0,128113997	0,01	0	1	1,09286409	0,915026863	#DIV/0!
TMEM150A	0,531202783	0,12810861	0,01	0	1	1,09286001	0,915030279	#DIV/0!
MRPS16	0,903598224	0,128078678	0,067	0,073	1	1,092837336	0,915049264	0,917808219
DHRS12	0,531202783	0,128009294	0,01	0	1	1,092784779	0,915093273	#DIV/0!
TNKS1BP1	0,831366235	0,127978518	0,019	0,024	1	1,092761467	0,915112794	0,791666667
MEX3B	0,498250693	0,127871591	0,011	0	1	1,092680479	0,915180622	#DIV/0!
GALM	0,531202783	0,127802972	0,01	0	1	1,092628509	0,915224152	#DIV/0!
POLR1B	0,498250693	0,127786541	0,011	0	1	1,092616065	0,915234575	#DIV/0!
DLX5	0,531202783	0,127781055	0,01	0	1	1,09261191	0,915238055	#DIV/0!
PDSS2	0,531202783	0,12774104	0,01	0	1	1,092581606	0,915263441	#DIV/0!
PIP4K2C	0,498250693	0,127725371	0,011	0	1	1,09256974	0,915273381	#DIV/0!

Supplementary Table 3

Differentially expressed genes_keloid-MD_comparing SC-Keloid vs. (SC-Myel+Nonmyel)								
gene	p_val	avg_log2FC	pct.1	pct.2	p_val_adj	Foldchange_UP	Foldchange_DOWN	Ratio_pct1_pct2
ZNF326	0,72981909	0,127700176	0,062	0,049	1	1,09255066	0,915289366	1,265306122
CCDC144A	0,498250693	0,127549803	0,011	0	1	1,092436788	0,915384772	#DIV/0!
PHKG2	0,531202783	0,127426466	0,01	0	1	1,092343398	0,915463032	#DIV/0!
ABCD1	0,531202783	0,127406945	0,01	0	1	1,092328619	0,915475419	#DIV/0!
INTS9	0,531202783	0,127361532	0,01	0	1	1,092294235	0,915504237	#DIV/0!
SLC17A5	0,468534305	0,127282067	0,013	0	1	1,092234072	0,915554665	#DIV/0!
PRIM1	0,498250693	0,127148567	0,011	0	1	1,092133006	0,91563939	#DIV/0!
ZNF322	0,750557745	0,126908034	0,061	0,049	1	1,091950936	0,915792063	1,244897959
PCGF1	0,498250693	0,12689322	0,011	0	1	1,091939724	0,915801466	#DIV/0!
WDR12	0,958485748	0,126840534	0,026	0,024	1	1,091899848	0,915834911	1,083333333
TBC1D4	0,498250693	0,126784663	0,011	0	1	1,091857563	0,915870379	#DIV/0!
STXBP1	0,468534305	0,126730312	0,013	0	1	1,09181643	0,915904884	#DIV/0!
LYSMD4	0,441492135	0,126674273	0,014	0	1	1,091774021	0,915940461	#DIV/0!
NFKB2	0,498250693	0,126665484	0,011	0	1	1,09176737	0,915946041	#DIV/0!
TMOD3	0,376124955	0,126532764	0,093	0,049	1	1,091666938	0,916030307	1,897959184
NLK	0,441492135	0,126435712	0,014	0	1	1,091593502	0,916091932	#DIV/0!
GFOD1	0,531202783	0,126146659	0,01	0	1	1,091374817	0,916275495	#DIV/0!
GON4L	0,461536803	0,126009445	0,051	0,024	1	1,091271021	0,916362646	2,125
TRIM25	0,531202783	0,125964336	0,01	0	1	1,091236901	0,916391298	#DIV/0!
RPS6KA4	0,468534305	0,125916858	0,013	0	1	1,09120099	0,916421456	#DIV/0!
CIPC	0,531202783	0,125884444	0,01	0	1	1,091176473	0,916442046	#DIV/0!
TMEM138	0,531202783	0,125836729	0,01	0	1	1,091140385	0,916472357	#DIV/0!
APAF1	0,82592442	0,125774919	0,019	0,024	1	1,091093638	0,916511622	0,791666667
AP1B1	0,531202783	0,125729593	0,01	0	1	1,091059359	0,916540417	#DIV/0!
RIPOR2	0,531202783	0,125693214	0,01	0	1	1,091031847	0,916563529	#DIV/0!
CASP3	0,700847225	0,125515966	0,064	0,049	1	1,090897812	0,916676144	1,306122449
ATP5MC3	0,906643586	0,12544596	0,391	0,39	1	1,090844878	0,916720626	1,002564103
RAB4B	0,531202783	0,125423615	0,01	0	1	1,090827983	0,916734825	#DIV/0!
PACSIN2	0,720581252	0,125406039	0,057	0,073	1	1,090814693	0,916745994	0,780821918
PARP11	0,531202783	0,125351598	0,01	0	1	1,090773532	0,916780588	#DIV/0!

Supplementary Table 3

Differentially expressed genes_keloid-MD_ comparing SC-Keloid vs. (SC-Myel+Nonmyel)								
gene	p_val	avg_log2FC	pct.1	pct.2	p_val_adj	Foldchange_UP	Foldchange_DOWN	Ratio_pct1_pct2
PDIK1L	0,531202783	0,125311179	0,01	0	1	1,090742973	0,916806273	#DIV/0!
MFN1	0,521741037	0,125307222	0,048	0,073	1	1,090739981	0,916808788	0,657534247
HCCS	0,498250693	0,125304788	0,011	0	1	1,090738141	0,916810335	#DIV/0!
S100A8	0,666966446	0,125146471	0,067	0,049	1	1,090618453	0,916910948	1,367346939
TWIST2	0,498250693	0,12505642	0,011	0	1	1,09055038	0,916968182	#DIV/0!
ZNF264	0,914624801	0,125049167	0,027	0,024	1	1,090544898	0,916972792	1,125
ZNF415	0,531202783	0,125010134	0,01	0	1	1,090515393	0,916997602	#DIV/0!
RIMKLB	0,531202783	0,124944946	0,01	0	1	1,090466119	0,917039037	#DIV/0!
MORC2	0,531202783	0,124883202	0,01	0	1	1,090419451	0,917078285	#DIV/0!
MTHFD1	0,531202783	0,124861623	0,01	0	1	1,090403141	0,917092003	#DIV/0!
CAMSAP2	0,76007963	0,124815414	0,038	0,049	1	1,090368217	0,917121377	0,775510204
UBE2O	0,531202783	0,124589819	0,01	0	1	1,090197728	0,917264799	#DIV/0!
MRPL52	0,754066485	0,124516547	0,244	0,22	1	1,090142361	0,917311386	1,109090909
C4orf46	0,498250693	0,124491218	0,011	0	1	1,090123221	0,917327492	#DIV/0!
ATP11B	0,609917149	0,124455971	0,053	0,073	1	1,090096589	0,917349903	0,726027397
HEATR5A	0,531202783	0,124364635	0,01	0	1	1,090027577	0,917407982	#DIV/0!
ATP5PD	0,71005271	0,12432023	0,223	0,195	1	1,089994028	0,917436219	1,143589744
HEMK1	0,531202783	0,124319417	0,01	0	1	1,089993413	0,917436737	#DIV/0!
GPR176	0,498250693	0,124275437	0,011	0	1	1,089960186	0,917464705	#DIV/0!
RBM45	0,531202783	0,124126589	0,01	0	1	1,089847737	0,917559368	#DIV/0!
ZNF891	0,468534305	0,124027092	0,013	0	1	1,089772576	0,91762265	#DIV/0!
NPRL2	0,531202783	0,123934053	0,01	0	1	1,0897023	0,917681829	#DIV/0!
ORC6	0,441492135	0,123833102	0,014	0	1	1,089626052	0,917746045	#DIV/0!
ZNF317	0,531202783	0,123703233	0,01	0	1	1,08952797	0,917828663	#DIV/0!
HES4	0,531202783	0,123579225	0,01	0	1	1,089434323	0,917907559	#DIV/0!
NBL1	0,994967217	0,123573193	0,024	0,024	1	1,089429767	0,917911397	1
SLC16A2	0,531202783	0,123540994	0,01	0	1	1,089405453	0,917931884	#DIV/0!
LACTB	0,902822352	0,123502616	0,027	0,024	1	1,089376473	0,917956303	1,125
HMCES	0,531202783	0,123479615	0,01	0	1	1,089359106	0,917970938	#DIV/0!
YPEL1	0,498250693	0,123421334	0,011	0	1	1,0893151	0,918008022	#DIV/0!

Supplementary Table 3

Differentially expressed genes_keloid-MD_ comparing SC-Keloid vs. (SC-Myel+Nonmyel)								
gene	p_val	avg_log2FC	pct.1	pct.2	p_val_adj	Foldchange_UP	Foldchange_DOWN	Ratio_pct1_pct2
LAS1L	0,531202783	0,123299958	0,01	0	1	1,089223458	0,918085259	#DIV/0!
S100A1	0,831392232	0,12328973	0,041	0,049	1	1,089215736	0,918091767	0,836734694
VSTM4	0,498250693	0,123277289	0,011	0	1	1,089206343	0,918099684	#DIV/0!
ARID5A	0,866392432	0,123180865	0,029	0,024	1	1,089133547	0,918161049	1,208333333
DNAJC11	0,468534305	0,123118948	0,013	0	1	1,089086805	0,918200455	#DIV/0!
COX6B1	0,946267541	0,123096963	0,308	0,317	1	1,089070209	0,918214447	0,971608833
SCG2	0,864111066	0,123058542	0,029	0,024	1	1,089041206	0,918238901	1,208333333
LOXL3	0,538498816	0,123053754	0,131	0,098	1	1,089037591	0,918241949	1,336734694
DNTTIP1	0,971607333	0,122979266	0,049	0,049	1	1,088981365	0,918289359	1
MYLIP	0,531202783	0,122941461	0,01	0	1	1,088952829	0,918313423	#DIV/0!
GIT2	0,531202783	0,122804092	0,01	0	1	1,088849147	0,918400866	#DIV/0!
NUP35	0,468534305	0,122655987	0,013	0	1	1,088737373	0,918495153	#DIV/0!
GNB5	0,622403257	0,122541377	0,014	0,024	1	1,088650885	0,918568123	0,583333333
TMEM19	0,831366118	0,122199832	0,019	0,024	1	1,088393188	0,918785611	0,791666667
LRCH2	0,531202783	0,122180911	0,01	0	1	1,088378914	0,918797661	#DIV/0!
ZNF506	0,82592442	0,121972648	0,019	0,024	1	1,08822181	0,918930305	0,791666667
KRCC1	0,821994604	0,121906495	0,085	0,098	1	1,088171912	0,918972443	0,867346939
RGS1	0,531202783	0,121855216	0,01	0	1	1,088133235	0,919005107	#DIV/0!
MINPP1	0,531202783	0,121826988	0,01	0	1	1,088111944	0,919023089	#DIV/0!
CDC42EP4	0,498250693	0,121822784	0,011	0	1	1,088108774	0,919025767	#DIV/0!
ZCCHC3	0,468534305	0,121526647	0,013	0	1	1,087885445	0,919214431	#DIV/0!
MTA2	0,531202783	0,121475851	0,01	0	1	1,087847142	0,919246796	#DIV/0!
REXO4	0,831366235	0,121444184	0,019	0,024	1	1,087823264	0,919266974	0,791666667
MID1IP1	0,677547611	0,121428102	0,035	0,049	1	1,087811138	0,919277221	0,714285714
FBXO8	0,940325302	0,12137464	0,022	0,024	1	1,087770827	0,919311288	0,916666667
IFRD1	0,579707937	0,121304537	0,051	0,073	1	1,087717972	0,919355596	0,698630137
VASP	0,686099717	0,121202353	0,037	0,024	1	1,087640933	0,919421079	1,541666667
ZDHHC13	0,498250693	0,121196911	0,011	0	1	1,08763683	0,919424547	#DIV/0!
POLR2G	0,89668853	0,121106415	0,128	0,122	1	1,087568609	0,919482221	1,049180328
DTD2	0,531202783	0,121063488	0,01	0	1	1,087536249	0,919509581	#DIV/0!

Supplementary Table 3

Differentially expressed genes_keloid-MD_comparing SC-Keloid vs. (SC-Myel+Nonmyel)								
gene	p_val	avg_log2FC	pct.1	pct.2	p_val_adj	Foldchange_UP	Foldchange_DOWN	Ratio_pct1_pct2
ARRDC2	0,531202783	0,12104902	0,01	0	1	1,087525342	0,919518802	#DIV/0!
B9D2	0,531202783	0,121030958	0,01	0	1	1,087511727	0,919530314	#DIV/0!
DNAAF2	0,88755861	0,121010529	0,021	0,024	1	1,087496328	0,919543335	0,875
CENPH	0,498250693	0,121000492	0,011	0	1	1,087488761	0,919549733	#DIV/0!
POP4	0,649314029	0,120815316	0,038	0,024	1	1,087349187	0,919667768	1,583333333
DAP3	0,885253373	0,120764242	0,043	0,049	1	1,087310694	0,919700327	0,87755102
SPCS3	0,823564295	0,120654338	0,217	0,244	1	1,087227866	0,919770392	0,889344262
NKAPL	0,531202783	0,120624897	0,01	0	1	1,087205679	0,919789162	#DIV/0!
CHMP6	0,909901414	0,120617014	0,027	0,024	1	1,087199739	0,919794187	1,125
CCDC122	0,498250693	0,120424106	0,011	0	1	1,087054375	0,919917185	#DIV/0!
RPL12	0,854770061	0,120418199	0,895	0,927	1	1,087049924	0,919920951	0,965480043
ENTPD3-AS1	0,498250554	0,12040975	0,011	0	1	1,087043558	0,919926339	#DIV/0!
SP140L	0,88755861	0,120346777	0,021	0,024	1	1,086996109	0,919966494	0,875
RBMX2	0,630428831	0,120341524	0,04	0,024	1	1,086992151	0,919969844	1,666666667
DLX1	0,531202783	0,120318337	0,01	0	1	1,086974682	0,919984629	#DIV/0!
DYNC1L1	0,848641765	0,120300462	0,081	0,073	1	1,086961215	0,919996028	1,109589041
ING2	0,842668501	0,120289873	0,041	0,049	1	1,086953237	0,920002781	0,836734694
SETDB1	0,531202783	0,120214587	0,01	0	1	1,086896516	0,920050792	#DIV/0!
CLUAP1	0,552637731	0,120210969	0,045	0,024	1	1,08689379	0,920053099	1,875
CAB39	0,62843294	0,120186578	0,033	0,049	1	1,086875414	0,920068654	0,673469388
LMNB1	0,531202783	0,119992332	0,01	0	1	1,086729086	0,920192542	#DIV/0!
RNF216	0,761978757	0,119976631	0,038	0,049	1	1,08671726	0,920202556	0,775510204
SLC39A6	0,76007963	0,119912501	0,038	0,049	1	1,086668954	0,920243461	0,775510204
UBE2Z	0,936194942	0,119861536	0,051	0,049	1	1,086630567	0,920275971	1,040816327
POLR2I	0,726066199	0,119859335	0,144	0,171	1	1,08662891	0,920277375	0,842105263
LMAN2	0,876769227	0,119858494	0,08	0,073	1	1,086628276	0,920277911	1,095890411
STAU1	0,490334636	0,119801361	0,081	0,049	1	1,086585245	0,920314356	1,653061224
TPX2	0,498250693	0,1196752	0,011	0	1	1,086490229	0,92039484	#DIV/0!
LRRC37B	0,531202783	0,119637983	0,01	0	1	1,086462201	0,920418584	#DIV/0!
SPAG9	0,517123605	0,119600741	0,124	0,171	1	1,086434156	0,920442343	0,725146199

Supplementary Table 3

Differentially expressed genes_keloid-MD_comparing SC-Keloid vs. (SC-Myel+Nonmyel)								
gene	p_val	avg_log2FC	pct.1	pct.2	p_val_adj	Foldchange_UP	Foldchange_DOWN	Ratio_pct1_pct2
LLGL1	0,531202783	0,1195546	0,01	0	1	1,086399409	0,920471782	#DIV/0!
NPL	0,700847209	0,119528783	0,064	0,049	1	1,086379969	0,920488254	1,306122449
ZNF853	0,498250693	0,119400385	0,011	0	1	1,086283286	0,92057018	#DIV/0!
TEAD3	0,531202783	0,119354561	0,01	0	1	1,086248783	0,92059942	#DIV/0!
WDR3	0,531202783	0,119284952	0,01	0	1	1,086196374	0,92064384	#DIV/0!
RAB21	0,73106453	0,119182639	0,08	0,098	1	1,086119345	0,920709132	0,816326531
CTTN	0,854915034	0,119172472	0,152	0,171	1	1,086111691	0,920715621	0,888888889
DUSP22	0,696310026	0,118774994	0,016	0,024	1	1,085812497	0,920969322	0,666666667
BCL2L12	0,76591327	0,118659046	0,018	0,024	1	1,085725235	0,921043343	0,75
ZBTB2	0,531202783	0,118457021	0,01	0	1	1,085573208	0,921172329	#DIV/0!
NAA40	0,531202783	0,118419296	0,01	0	1	1,085544822	0,921196416	#DIV/0!
TRIB3	0,498250693	0,118403611	0,011	0	1	1,08553302	0,921206432	#DIV/0!
SCHIP1	0,696310026	0,118339472	0,016	0,024	1	1,085484761	0,921247388	0,666666667
LCA5L	0,531202783	0,118326073	0,01	0	1	1,085474679	0,921255944	#DIV/0!
ARHGAP29	0,498250693	0,11825218	0,011	0	1	1,085419084	0,92130313	#DIV/0!
UTP23	0,975155189	0,118196049	0,049	0,049	1	1,085376855	0,921338976	1
EP300	0,751915569	0,118046443	0,033	0,024	1	1,085264308	0,921434523	1,375
NABP1	0,531202783	0,118045596	0,01	0	1	1,085263671	0,921435064	#DIV/0!
USP46	0,490845484	0,117829456	0,029	0,049	1	1,085101092	0,921573121	0,591836735
FOXC2	0,531202783	0,117676904	0,01	0	1	1,084986359	0,921670574	#DIV/0!
HELZ2	0,531202783	0,117673637	0,01	0	1	1,084983901	0,921672661	#DIV/0!
NCOA7	0,823127332	0,117656034	0,03	0,024	1	1,084970664	0,921683907	1,25
SLC27A5	0,498250693	0,117655026	0,011	0	1	1,084969905	0,921684551	#DIV/0!
JMJD1C	0,816024357	0,117629118	0,105	0,122	1	1,084950422	0,921701103	0,860655738
MCRS1	0,994967217	0,117617213	0,024	0,024	1	1,084941469	0,921708708	1
ZBTB34	0,531202783	0,117594902	0,01	0	1	1,08492469	0,921722963	#DIV/0!
ZNF561	0,498250693	0,117527181	0,011	0	1	1,084873764	0,92176623	#DIV/0!
UAP1	0,503387237	0,117471098	0,048	0,024	1	1,084831592	0,921802063	2
RPUSD1	0,498250693	0,117304068	0,011	0	1	1,084706001	0,921908793	#DIV/0!
RGP1	0,498250693	0,117233858	0,011	0	1	1,084653215	0,921953659	#DIV/0!

Supplementary Table 3

Differentially expressed genes_keloid-MD_comparing SC-Keloid vs. (SC-Myel+Nonmyel)								
gene	p_val	avg_log2FC	pct.1	pct.2	p_val_adj	Foldchange_UP	Foldchange_DOWN	Ratio_pct1_pct2
EXOSC7	0,445316153	0,117172364	0,053	0,024	1	1,084606983	0,921992958	2,208333333
ASB2	0,531202783	0,117161779	0,01	0	1	1,084599025	0,921999722	#DIV/0!
H1-5	0,531202783	0,117118142	0,01	0	1	1,08456622	0,92202761	#DIV/0!
PKNOX1	0,619599159	0,117021099	0,014	0,024	1	1,084493269	0,922089633	0,583333333
DNAJA4	0,531202783	0,116942461	0,01	0	1	1,084434158	0,922139895	#DIV/0!
ATP5MF	0,589639198	0,116930729	0,362	0,341	1	1,084425339	0,922147393	1,061583578
ATF5	0,531202783	0,11690935	0,01	0	1	1,08440927	0,922161059	#DIV/0!
ATP5PF	0,736656509	0,116588479	0,419	0,488	1	1,084168112	0,92236618	0,858606557
DCAF11	0,8286443	0,116465356	0,019	0,024	1	1,08407559	0,922444901	0,791666667
NAF1	0,531202783	0,116450782	0,01	0	1	1,084064639	0,922454219	#DIV/0!
HILPDA	0,693510359	0,11644415	0,016	0,024	1	1,084059655	0,92245846	0,666666667
GMCL1	0,960703279	0,116443781	0,046	0,049	1	1,084059378	0,922458695	0,93877551
DOP1B	0,498250693	0,116184007	0,011	0	1	1,083864198	0,92262481	#DIV/0!
ABHD17A	0,74172287	0,116105709	0,08	0,098	1	1,083805376	0,922674884	0,816326531
RFT1	0,531202783	0,116058573	0,01	0	1	1,083769967	0,92270503	#DIV/0!
RASL12	0,950688894	0,11586292	0,022	0,024	1	1,083622999	0,922830173	0,916666667
MTOR	0,696310026	0,115861147	0,016	0,024	1	1,083621668	0,922831307	0,666666667
LCP1	0,531202783	0,115755792	0,01	0	1	1,083542538	0,9228987	#DIV/0!
SLC25A53	0,531202783	0,115712554	0,01	0	1	1,083510064	0,922926361	#DIV/0!
HRH1	0,531202783	0,115682009	0,01	0	1	1,083487124	0,922945901	#DIV/0!
SRGAP3	0,531202783	0,11551217	0,01	0	1	1,08335958	0,92305456	#DIV/0!
UBXN1	0,762197856	0,115501293	0,137	0,122	1	1,083351412	0,923061519	1,12295082
PTMA	0,843044458	0,115490027	0,933	0,927	1	1,083342952	0,923068727	1,006472492
ADAMTS1	0,89103105	0,115420991	0,182	0,195	1	1,083291113	0,923112899	0,933333333
RBBP6	0,755956956	0,11539757	0,059	0,073	1	1,083273527	0,923127885	0,808219178
STEAP4	0,531202783	0,115348242	0,01	0	1	1,083236489	0,923159449	#DIV/0!
DHDDS	0,622403257	0,11530748	0,014	0,024	1	1,083205883	0,923185532	0,583333333
CACNA2D1	0,693510359	0,115272823	0,016	0,024	1	1,083179863	0,923207709	0,666666667
AZIN1	0,810148279	0,11516936	0,062	0,073	1	1,083102185	0,92327392	0,849315068
CBLL1	0,8286443	0,115165213	0,019	0,024	1	1,083099072	0,923276574	0,791666667

Supplementary Table 3

Differentially expressed genes_keloid-MD_ comparing SC-Keloid vs. (SC-Myel+Nonmyel)								
gene	p_val	avg_log2FC	pct.1	pct.2	p_val_adj	Foldchange_UP	Foldchange_DOWN	Ratio_pct1_pct2
LIN52	0,498250693	0,115137828	0,011	0	1	1,083078512	0,9232941	#DIV/0!
TMEM70	0,905181209	0,115125894	0,027	0,024	1	1,083069553	0,923301737	1,125
PTPMT1	0,358162082	0,114970792	0,061	0,024	1	1,082953121	0,923401005	2,541666667
TXN2	0,507388688	0,114736385	0,048	0,073	1	1,082777178	0,92355105	0,657534247
NVL	0,531202783	0,114660813	0,01	0	1	1,082720461	0,923599429	#DIV/0!
PAG1	0,498250693	0,114609713	0,011	0	1	1,082682112	0,923632144	#DIV/0!
CCDC102B	0,531202783	0,114510522	0,01	0	1	1,082607676	0,923695649	#DIV/0!
SSBP4	0,289986158	0,114435129	0,054	0,098	1	1,082551102	0,923743921	0,551020408
QSOX2	0,88755861	0,1143828	0,021	0,024	1	1,082511837	0,923777428	0,875
AADAT	0,531202783	0,114097849	0,01	0	1	1,082298048	0,923959904	#DIV/0!
KHSRP	0,868674911	0,113810514	0,029	0,024	1	1,082082513	0,924143943	1,208333333
ANLN	0,498250693	0,113751503	0,011	0	1	1,082038253	0,924181745	#DIV/0!
EBLN2	0,468534305	0,113651894	0,013	0	1	1,081963547	0,924245556	#DIV/0!
CYB561	0,531202783	0,113603995	0,01	0	1	1,081927626	0,924276242	#DIV/0!
RNF20	0,997483596	0,113541122	0,024	0,024	1	1,081880476	0,924316523	1
CANX	0,900813178	0,113506673	0,271	0,293	1	1,081854643	0,924338594	0,924914676
DNAJC10	0,620429263	0,113492695	0,073	0,098	1	1,081844162	0,92434755	0,744897959
LSR	0,531202783	0,113322071	0,01	0	1	1,081716222	0,924456877	#DIV/0!
TMEM216	0,498250693	0,113267528	0,011	0	1	1,081675327	0,924491828	#DIV/0!
SLC25A14	0,544157477	0,113234966	0,013	0,024	1	1,081650913	0,924512694	0,541666667
CHIC2	0,88712176	0,113215139	0,043	0,049	1	1,081636048	0,9245254	0,87755102
NDUFA10	0,920748419	0,113092684	0,102	0,098	1	1,081544243	0,924603877	1,040816327
ZNF605	0,763143412	0,113037692	0,018	0,024	1	1,081503019	0,924639121	0,75
ZNF121	0,882242416	0,112788814	0,021	0,024	1	1,081316466	0,924798643	0,875
SUCLG1	0,927723315	0,112771728	0,077	0,073	1	1,081303659	0,924809596	1,054794521
BRF1	0,498250693	0,112748487	0,011	0	1	1,08128624	0,924824494	#DIV/0!
ARID4B	0,573802288	0,1126277	0,102	0,073	1	1,081195715	0,924901926	1,397260274
SDF2	0,753641525	0,112621272	0,061	0,049	1	1,081190898	0,924906047	1,244897959
CTSS	0,498250693	0,112594844	0,011	0	1	1,081171093	0,92492299	#DIV/0!
HSPB2	0,23952967	0,11256286	0,035	0,073	1	1,081147124	0,924943496	0,479452055

Supplementary Table 3

Differentially expressed genes_keloid-MD_ comparing SC-Keloid vs. (SC-Myel+Nonmyel)								
gene	p_val	avg_log2FC	pct.1	pct.2	p_val_adj	Foldchange_UP	Foldchange_DOWN	Ratio_pct1_pct2
ICAM1	0,531202783	0,112505138	0,01	0	1	1,081103868	0,924980503	#DIV/0!
PDE7A	0,498250693	0,112048793	0,011	0	1	1,080761954	0,925273134	#DIV/0!
RNMT	0,943555822	0,112007529	0,115	0,122	1	1,080731042	0,925299599	0,942622951
RAB8A	0,486899481	0,112001434	0,049	0,024	1	1,080726477	0,925303508	2,041666667
NRXN2	0,743633828	0,111895158	0,059	0,073	1	1,080646867	0,925371673	0,808219178
C18orf25	0,958485748	0,111827281	0,026	0,024	1	1,080596026	0,925415212	1,083333333
TMEM177	0,696310026	0,111816355	0,016	0,024	1	1,080587842	0,92542222	0,666666667
CROT	0,531202783	0,11169756	0,01	0	1	1,080498867	0,925498425	#DIV/0!
KANSL2	0,531202783	0,111647994	0,01	0	1	1,080461746	0,925530223	#DIV/0!
MTMR4	0,498250693	0,111643977	0,011	0	1	1,080458737	0,9255328	#DIV/0!
BHLHE41	0,498250693	0,111314766	0,011	0	1	1,080212214	0,925744023	#DIV/0!
DUSP7	0,498250693	0,111133956	0,011	0	1	1,080076842	0,925860051	#DIV/0!
CC2D2A	0,498250693	0,111047995	0,011	0	1	1,080012489	0,925915219	#DIV/0!
TMEM161A	0,890218621	0,11102254	0,021	0,024	1	1,079993433	0,925931556	0,875
ARMCX3	0,370116414	0,110988854	0,152	0,22	1	1,079968216	0,925953176	0,690909091
FKBPL	0,498250693	0,110944531	0,011	0	1	1,079935037	0,925981624	#DIV/0!
TMCO1	0,502480058	0,110710889	0,225	0,171	1	1,079760158	0,926131598	1,315789474
AFF2	0,531202783	0,110592397	0,01	0	1	1,079671479	0,926207666	#DIV/0!
LIN7A	0,531202783	0,11058743	0,01	0	1	1,079667761	0,926210855	#DIV/0!
S1PR2	0,395207964	0,110468303	0,026	0,049	1	1,079578614	0,926287338	0,530612245
CECR2	0,531202783	0,110422453	0,01	0	1	1,079544305	0,926316776	#DIV/0!
TRIP13	0,531202783	0,110419976	0,01	0	1	1,079542451	0,926318367	#DIV/0!
ZNF92	0,622403257	0,110339815	0,014	0,024	1	1,07948247	0,926369838	0,583333333
NDUFA1	0,811141186	0,110304276	0,402	0,39	1	1,079455878	0,926392658	1,030769231
PLK3	0,696310026	0,11021469	0,016	0,024	1	1,07938885	0,926450185	0,666666667
CFDP1	0,959677628	0,110070509	0,123	0,122	1	1,079280983	0,926542778	1,008196721
C11orf96	0,605467522	0,109993477	0,041	0,024	1	1,079223357	0,926592251	1,708333333
ZNF226	0,626889824	0,109772485	0,04	0,024	1	1,079058054	0,926734197	1,666666667
AHSA1	0,686433289	0,109766248	0,056	0,073	1	1,079053389	0,926738204	0,767123288
LYSMD3	0,62843294	0,109747777	0,033	0,049	1	1,079039574	0,926750069	0,673469388

Supplementary Table 3

Differentially expressed genes_keloid-MD_comparing SC-Keloid vs. (SC-Myel+Nonmyel)								
gene	p_val	avg_log2FC	pct.1	pct.2	p_val_adj	Foldchange_UP	Foldchange_DOWN	Ratio_pct1_pct2
SCRN2	0,892879868	0,109677749	0,021	0,024	1	1,078987199	0,926795055	0,875
C5orf63	0,531202783	0,109491646	0,01	0	1	1,078848022	0,926914616	#DIV/0!
RMND1	0,498250693	0,109485658	0,011	0	1	1,078843544	0,926918463	#DIV/0!
HDHD2	0,531202783	0,109393272	0,01	0	1	1,078774461	0,926977822	#DIV/0!
CHD2	0,714510935	0,109292679	0,037	0,049	1	1,078699245	0,927042458	0,755102041
EPB41L4A	0,622403257	0,109236809	0,014	0,024	1	1,078657472	0,92707836	0,583333333
RNASEK	0,275985056	0,109055389	0,037	0,073	1	1,078521838	0,927194948	0,506849315
ERLIN1	0,890218621	0,109041725	0,021	0,024	1	1,078511623	0,92720373	0,875
MED13	0,374241566	0,108894906	0,059	0,024	1	1,078401872	0,927298094	2,458333333
SNRNP70	0,680474888	0,10882478	0,121	0,098	1	1,078349455	0,927343168	1,234693878
PDIA5	0,531202783	0,108807443	0,01	0	1	1,078336496	0,927354312	#DIV/0!
TXNDC5	0,531202783	0,108772095	0,01	0	1	1,078310076	0,927377034	#DIV/0!
TMEM59L	0,991895345	0,108637143	0,048	0,049	1	1,078209214	0,927463786	0,979591837
FBXO45	0,622403257	0,108498024	0,014	0,024	1	1,078105247	0,927553226	0,583333333
C6orf89	0,714510935	0,108170418	0,037	0,049	1	1,07786046	0,927763878	0,755102041
BPTF	0,992556925	0,108134941	0,072	0,073	1	1,077833954	0,927786693	0,98630137
AAGAB	0,498250693	0,108119384	0,011	0	1	1,077822332	0,927796698	#DIV/0!
POC1B	0,544157477	0,108077736	0,013	0,024	1	1,077791217	0,927823482	0,541666667
KTN1	0,989641777	0,108069338	0,163	0,171	1	1,077784943	0,927828883	0,953216374
TMEM87B	0,531202783	0,107901063	0,01	0	1	1,077659239	0,92793711	#DIV/0!
ABCA2	0,498250693	0,107741044	0,011	0	1	1,077539715	0,92804004	#DIV/0!
MIB1	0,273178504	0,107724543	0,053	0,098	1	1,077527391	0,928050654	0,540816327
AKAP8L	0,529674458	0,107653815	0,046	0,024	1	1,077474567	0,928096153	1,916666667
CNPPD1	0,945505945	0,107617029	0,022	0,024	1	1,077447093	0,928119818	0,916666667
ISG20L2	0,498250693	0,10743027	0,011	0	1	1,077307625	0,928239972	#DIV/0!
MYO10	0,749737704	0,107346728	0,088	0,073	1	1,077245243	0,928293726	1,205479452
KDEL3	0,900814547	0,107332361	0,089	0,098	1	1,077234516	0,92830297	0,908163265
METTL17	0,75396713	0,107322504	0,033	0,024	1	1,077227156	0,928309312	1,375
RTL8C	0,683819292	0,107254668	0,077	0,098	1	1,077176505	0,928352963	0,785714286
BTBD2	0,531202783	0,107181488	0,01	0	1	1,077121868	0,928400054	#DIV/0!

Supplementary Table 3

Differentially expressed genes_keloid-MD_comparing SC-Keloid vs. (SC-Myel+Nonmyel)								
gene	p_val	avg_log2FC	pct.1	pct.2	p_val_adj	Foldchange_UP	Foldchange_DOWN	Ratio_pct1_pct2
FAM110B	0,531202783	0,107086263	0,01	0	1	1,077050774	0,928461335	#DIV/0!
TMEM199	0,498250693	0,107064097	0,011	0	1	1,077034226	0,928475601	#DIV/0!
SPSB1	0,531202783	0,106892149	0,01	0	1	1,076905868	0,928586268	#DIV/0!
TEP1	0,498250693	0,106884826	0,011	0	1	1,076900401	0,928590981	#DIV/0!
DOCK8	0,88755861	0,106807012	0,021	0,024	1	1,076842318	0,928641067	0,875
PI4K2B	0,531202783	0,106753902	0,01	0	1	1,076802677	0,928675254	#DIV/0!
FAM118B	0,531202783	0,10666443	0,01	0	1	1,076735899	0,92873285	#DIV/0!
PITPNA	0,748247493	0,10647628	0,059	0,073	1	1,076595485	0,928853979	0,808219178
TMEM18	0,989579838	0,10640253	0,072	0,073	1	1,076540451	0,928901463	0,98630137
ANK2	0,729735818	0,106042433	0,08	0,098	1	1,07627178	0,929133346	0,816326531
ACO2	0,76591327	0,105964246	0,018	0,024	1	1,076213453	0,929183702	0,75
HLA-DRB5	0,531202783	0,105833723	0,01	0	1	1,07611609	0,92926777	#DIV/0!
PWWP2A	0,971607333	0,105820447	0,049	0,049	1	1,076106188	0,929276322	1
FOXJ3	0,338303853	0,105607342	0,04	0,073	1	1,075947245	0,929413598	0,547945205
PRKD3	0,39601304	0,105544093	0,061	0,098	1	1,075900075	0,929454345	0,62244898
REL	0,407522681	0,105512387	0,056	0,024	1	1,07587643	0,929474772	2,333333333
TRIM33	0,65847921	0,105503976	0,038	0,024	1	1,075870158	0,929480191	1,583333333
CRLS1	0,870958486	0,105480002	0,029	0,024	1	1,07585228	0,929495637	1,208333333
NAXE	0,953606936	0,105445521	0,026	0,024	1	1,075826567	0,929517853	1,083333333
HES6	0,528151113	0,105397382	0,046	0,024	1	1,07579067	0,929548869	1,916666667
PTGR2	0,375818168	0,105362504	0,01	0,024	1	1,075764662	0,929571341	0,416666667
STX16	0,581189503	0,105227292	0,051	0,073	1	1,075663844	0,929658467	0,698630137
MAP1LC3B	0,595081264	0,105108602	0,171	0,22	1	1,075575354	0,929734952	0,777272727
ALDH16A1	0,531202783	0,104942096	0,01	0	1	1,075451225	0,929842262	#DIV/0!
HIC2	0,531202783	0,104923134	0,01	0	1	1,07543709	0,929854484	#DIV/0!
GALK1	0,788666689	0,104923013	0,032	0,024	1	1,075437	0,929854562	1,333333333
MED25	0,498250693	0,104762565	0,011	0	1	1,075317403	0,92995798	#DIV/0!
SLC39A4	0,498250693	0,104635395	0,011	0	1	1,075222621	0,930039957	#DIV/0!
BCAS4	0,441492135	0,104592089	0,014	0	1	1,075190346	0,930067875	#DIV/0!
BATF3	0,531202783	0,104452295	0,01	0	1	1,075086167	0,930158001	#DIV/0!

Supplementary Table 3

Differentially expressed genes_keloid-MD_ comparing SC-Keloid vs. (SC-Myel+Nonmyel)								
gene	p_val	avg_log2FC	pct.1	pct.2	p_val_adj	Foldchange_UP	Foldchange_DOWN	Ratio_pct1_pct2
AFAP1L1	0,675652726	0,104154621	0,035	0,049	1	1,074864365	0,930349942	0,714285714
DPH7	0,531202783	0,104112279	0,01	0	1	1,074832819	0,930377248	#DIV/0!
PTGES2	0,884899866	0,104022938	0,021	0,024	1	1,074766261	0,930434864	0,875
MSH6	0,829739068	0,104016867	0,03	0,024	1	1,074761738	0,930438779	1,25
SEMA3A	0,531202783	0,103953684	0,01	0	1	1,07471467	0,930479529	#DIV/0!
SAP30BP	0,936298134	0,103561084	0,069	0,073	1	1,074422248	0,930732775	0,945205479
DAZAP1	0,462891379	0,103552836	0,051	0,024	1	1,074416105	0,930738096	2,125
HAUS8	0,531202783	0,103505879	0,01	0	1	1,074381136	0,93076839	#DIV/0!
RECQL5	0,531202783	0,103263674	0,01	0	1	1,07420078	0,930924664	#DIV/0!
ATP5MJ	0,64249705	0,103166438	0,262	0,317	1	1,074128382	0,930987409	0,826498423
ACTR10	0,900147881	0,103160911	0,089	0,098	1	1,074124268	0,930990976	0,908163265
PTPRF	0,996397881	0,103140065	0,048	0,049	1	1,074108747	0,931004428	0,979591837
CCDC113	0,531202783	0,10302555	0,01	0	1	1,074023493	0,93107833	#DIV/0!
TMEM41A	0,498250693	0,102985435	0,011	0	1	1,073993629	0,93110422	#DIV/0!
TANC1	0,734351833	0,102853452	0,062	0,049	1	1,07389538	0,931189405	1,265306122
ARL4A	0,846279737	0,102821593	0,056	0,049	1	1,073871666	0,931209968	1,142857143
USP10	0,212712819	0,102702124	0,033	0,073	1	1,073782743	0,931287085	0,452054795
SLC44A2	0,588012986	0,10268769	0,032	0,049	1	1,073772	0,931296402	0,653061224
SYCE1L	0,531202783	0,102586774	0,01	0	1	1,073696892	0,931361549	#DIV/0!
HCFC2	0,958485748	0,102565688	0,026	0,024	1	1,0736812	0,931375161	1,083333333
EFCAB7	0,622403257	0,102142403	0,014	0,024	1	1,073366229	0,931648465	0,583333333
BCL7B	0,675652696	0,102035876	0,035	0,049	1	1,073286976	0,93171726	0,714285714
DBI	0,90116077	0,101788376	0,544	0,561	1	1,073102865	0,931877113	0,96969697
JADE1	0,942915322	0,10167803	0,022	0,024	1	1,073020791	0,931948391	0,916666667
PCNX3	0,498250693	0,101623315	0,011	0	1	1,072980096	0,931983737	#DIV/0!
ATP5MC2	0,352803943	0,101482392	0,396	0,317	1	1,072875292	0,932074778	1,249211356
NKAPD1	0,549477165	0,10145116	0,045	0,024	1	1,072852067	0,932094956	1,875
MTRNR2L8	0,760376583	0,101432335	0,018	0,024	1	1,072838068	0,932107119	0,75
HMGB2	0,539573649	0,101331104	0,03	0,049	1	1,072762792	0,932172525	0,612244898
RNF139	0,498250693	0,101301322	0,011	0	1	1,072740646	0,932191768	#DIV/0!

Supplementary Table 3

Differentially expressed genes_keloid-MD_comparing SC-Keloid vs. (SC-Myel+Nonmyel)								
gene	p_val	avg_log2FC	pct.1	pct.2	p_val_adj	Foldchange_UP	Foldchange_DOWN	Ratio_pct1_pct2
FAM53C	0,795054755	0,101240812	0,032	0,024	1	1,072695654	0,932230867	1,333333333
ATP6V0A2	0,634074104	0,101104174	0,033	0,049	1	1,072594064	0,932319163	0,673469388
SBF2	0,864111066	0,101033306	0,029	0,024	1	1,072541377	0,932364961	1,208333333
HIVEP1	0,605467522	0,100923706	0,041	0,024	1	1,072459901	0,932435795	1,708333333
STOML1	0,531202783	0,100570837	0,01	0	1	1,07219762	0,932663887	#DIV/0!
CREBL2	0,82592442	0,100555872	0,019	0,024	1	1,072186498	0,932673562	0,791666667
PRELID3B	0,52359464	0,10052557	0,046	0,024	1	1,072163978	0,932693152	1,916666667
SNIP1	0,760376583	0,100406265	0,018	0,024	1	1,072075318	0,932770285	0,75
MCOLN1	0,531202783	0,100183621	0,01	0	1	1,071909882	0,932914246	#DIV/0!
REX1BD	0,806524744	0,100156535	0,191	0,22	1	1,071889758	0,932931761	0,868181818
FEM1B	0,942915322	0,100020095	0,022	0,024	1	1,071788391	0,933019995	0,916666667
FAM171A1	0,531202783	0,099943181	0,01	0	1	1,071731253	0,933069739	#DIV/0!
EEF1AKMT2	0,635959294	0,099924296	0,033	0,049	1	1,071717224	0,933081953	0,673469388
USB1	0,576739524	0,099751398	0,043	0,024	1	1,071588792	0,933193784	1,791666667
ELOF1	0,844551086	0,099710358	0,041	0,049	1	1,07155831	0,933220331	0,836734694
PDGFRA	0,531202783	0,099507879	0,01	0	1	1,07140793	0,933351315	#DIV/0!
CYFIP2	0,88755861	0,099484558	0,021	0,024	1	1,071390611	0,933366403	0,875
VPS54	0,820490956	0,099478861	0,019	0,024	1	1,07138638	0,933370088	0,791666667
THAP6	0,76591327	0,099418134	0,018	0,024	1	1,071341283	0,933409377	0,75
COMMD6	0,912931812	0,099235871	0,375	0,415	1	1,071205944	0,933527307	0,903614458
PRPF39	0,531202783	0,09922241	0,01	0	1	1,071195949	0,933536017	#DIV/0!
IFT43	0,902075673	0,099218129	0,067	0,073	1	1,071192771	0,933538787	0,917808219
TUBGCP4	0,763143368	0,099068132	0,018	0,024	1	1,071081404	0,933635852	0,75
MORF4L1	0,823091035	0,098890499	0,458	0,537	1	1,070949535	0,933750814	0,852886406
FREM2	0,997483596	0,098793067	0,024	0,024	1	1,070877211	0,933813877	1
NISCH	0,675652726	0,098613646	0,035	0,049	1	1,07074404	0,933930018	0,714285714
TDRD7	0,531202783	0,098443853	0,01	0	1	1,070618029	0,93403994	#DIV/0!
MSRA	0,945505945	0,09839115	0,022	0,024	1	1,070578919	0,934074062	0,916666667
GOLPH3	0,997298407	0,098295275	0,048	0,049	1	1,070507776	0,934136138	0,979591837
UBASH3B	0,498250693	0,098202848	0,011	0	1	1,070439195	0,934195986	#DIV/0!

Supplementary Table 3

Differentially expressed genes_keloid-MD_comparing SC-Keloid vs. (SC-Myel+Nonmyel)								
gene	p_val	avg_log2FC	pct.1	pct.2	p_val_adj	Foldchange_UP	Foldchange_DOWN	Ratio_pct1_pct2
TRAF5	0,531202783	0,098161728	0,01	0	1	1,070408686	0,934222613	#DIV/0!
ANP32A	0,967185008	0,098041797	0,099	0,098	1	1,070319707	0,934300279	1,010204082
ZNF276	0,535926531	0,097923555	0,03	0,049	1	1,070231988	0,934376856	0,612244898
ANKRD9	0,531202783	0,097828307	0,01	0	1	1,070161332	0,934438547	#DIV/0!
BCAR1	0,462891379	0,097821547	0,051	0,024	1	1,070156318	0,934442925	2,125
LARP6	0,973381196	0,097583271	0,049	0,049	1	1,069979585	0,93459727	1
PTP4A2	0,976233954	0,097568812	0,118	0,122	1	1,069968862	0,934606637	0,967213115
SGSH	0,531202783	0,097532368	0,01	0	1	1,069941833	0,934630247	#DIV/0!
TRAPPC10	0,884899866	0,09723884	0,021	0,024	1	1,069724167	0,934820424	0,875
UBA1	0,65847921	0,096978603	0,038	0,024	1	1,069531226	0,934989064	1,583333333
TMCO3	0,656642008	0,096968884	0,038	0,024	1	1,06952402	0,934995363	1,583333333
UQCRC2	0,472867249	0,096941659	0,046	0,073	1	1,069503838	0,935013008	0,630136986
PRKG1	0,531202783	0,096582453	0,01	0	1	1,069237582	0,935245839	#DIV/0!
HERPUD2	0,940325293	0,096553644	0,022	0,024	1	1,069216232	0,935264515	0,916666667
SNX11	0,461761449	0,096514628	0,011	0,024	1	1,069187316	0,935289809	0,458333333
ZER1	0,461761449	0,096417885	0,011	0,024	1	1,069115622	0,935352529	0,458333333
ASH1L	0,998511364	0,09604257	0,072	0,073	1	1,068837529	0,935595891	0,98630137
VPS13B	0,76591327	0,095898026	0,018	0,024	1	1,068730448	0,935689633	0,75
KCTD18	0,531202783	0,095865363	0,01	0	1	1,068706252	0,935710817	#DIV/0!
SEPTIN9	0,638058236	0,095764516	0,153	0,122	1	1,06863155	0,935776227	1,254098361
MBD4	0,792923849	0,095636289	0,032	0,024	1	1,068536574	0,935859403	1,333333333
PLCG1	0,531202783	0,095593396	0,01	0	1	1,068504805	0,935887228	#DIV/0!
ARHGAP22	0,498250693	0,095488931	0,011	0	1	1,068427438	0,935954998	#DIV/0!
ZC3H6	0,75396713	0,095426691	0,033	0,024	1	1,068381345	0,935995377	1,375
SOX18	0,531202783	0,095353263	0,01	0	1	1,06832697	0,936043017	#DIV/0!
PSMC4	0,620429229	0,095343997	0,073	0,098	1	1,068320109	0,936049029	0,744897959
ATG4A	0,531202783	0,095240942	0,01	0	1	1,068243799	0,936115895	#DIV/0!
MIEF1	0,531202783	0,095200664	0,01	0	1	1,068213975	0,936142031	#DIV/0!
RAB28	0,531202783	0,094888361	0,01	0	1	1,067982762	0,936344701	#DIV/0!
RPS13	0,663780255	0,094785446	0,85	0,829	1	1,06790658	0,936411498	1,025331725

Supplementary Table 3

Differentially expressed genes_keloid-MD_comparing SC-Keloid vs. (SC-Myel+Nonmyel)								
gene	p_val	avg_log2FC	pct.1	pct.2	p_val_adj	Foldchange_UP	Foldchange_DOWN	Ratio_pct1_pct2
TMEM42	0,8286443	0,094767927	0,019	0,024	1	1,067893612	0,936422869	0,791666667
TK1	0,498250693	0,09460542	0,011	0	1	1,06777333	0,936528355	#DIV/0!
ZNF207	0,873251381	0,094340552	0,088	0,098	1	1,067577313	0,93670031	0,897959184
RANBP3	0,531202783	0,09411341	0,01	0	1	1,067409244	0,936847799	#DIV/0!
STYX	0,693510359	0,09383808	0,016	0,024	1	1,067205554	0,937026608	0,666666667
SH3GL1	0,786125697	0,093793225	0,059	0,049	1	1,067172374	0,937055741	1,204081633
PRPF3	0,887558592	0,093770763	0,021	0,024	1	1,067155759	0,937070331	0,875
CDK1	0,498250693	0,093667598	0,011	0	1	1,067079451	0,937137342	#DIV/0!
ALDH18A1	0,919351205	0,093657623	0,027	0,024	1	1,067072073	0,937143821	1,125
TRPA1	0,531202783	0,093614711	0,01	0	1	1,067040334	0,937171697	#DIV/0!
MRPS10	0,583102324	0,093605349	0,072	0,098	1	1,06703341	0,937177778	0,734693878
ACTR1B	0,788666689	0,093313111	0,032	0,024	1	1,066817289	0,937367636	1,333333333
CCDC22	0,498250693	0,093151636	0,011	0	1	1,066697891	0,937472557	#DIV/0!
HELZ	0,978703534	0,093136517	0,049	0,049	1	1,066686713	0,937482382	1
MIPEP	0,531202783	0,093071157	0,01	0	1	1,066638389	0,937524854	#DIV/0!
DIRAS3	0,531202783	0,092976942	0,01	0	1	1,066568735	0,937586081	#DIV/0!
PFDN2	0,785397591	0,092931795	0,281	0,317	1	1,066535358	0,937615422	0,886435331
SLC4A1AP	0,531202783	0,092761794	0,01	0	1	1,06640969	0,937725913	#DIV/0!
RWDD4	0,987576088	0,092470098	0,049	0,049	1	1,066194096	0,93791553	1
TAF4	0,531202783	0,092443974	0,01	0	1	1,066174789	0,937932514	#DIV/0!
NSRP1	0,959469845	0,092401518	0,099	0,098	1	1,066143414	0,937960116	1,010204082
ARFIP2	0,909901414	0,092206334	0,027	0,024	1	1,065999184	0,938087022	1,125
SYS1	0,498250554	0,091957289	0,011	0	1	1,065815182	0,938248973	#DIV/0!
ARAP1	0,531202783	0,091918786	0,01	0	1	1,065786738	0,938274014	#DIV/0!
SH3BP4	0,531202783	0,091839451	0,01	0	1	1,065728131	0,938325611	#DIV/0!
GBA2	0,760376539	0,091707781	0,018	0,024	1	1,06563087	0,938411253	0,75
NONO	0,913022038	0,091502494	0,152	0,146	1	1,065479248	0,938544793	1,04109589
FASTKD1	0,375818168	0,09144422	0,01	0,024	1	1,065436211	0,938582704	0,416666667
MED27	0,76591327	0,091422998	0,018	0,024	1	1,065420539	0,93859651	0,75
PABIR2	0,531202783	0,091376935	0,01	0	1	1,065386522	0,938626479	#DIV/0!

Supplementary Table 3

Differentially expressed genes_keloid-MD_comparing SC-Keloid vs. (SC-Myel+Nonmyel)								
gene	p_val	avg_log2FC	pct.1	pct.2	p_val_adj	Foldchange_UP	Foldchange_DOWN	Ratio_pct1_pct2
RPP21	0,622403178	0,091302297	0,014	0,024	1	1,065331406	0,93867504	0,583333333
PHACTR1	0,56547333	0,091229643	0,075	0,049	1	1,065277757	0,938722313	1,530612245
HMG3	0,920107101	0,09117414	0,314	0,341	1	1,065236775	0,938758428	0,920821114
GNPTG	0,881518523	0,091128967	0,043	0,049	1	1,065203421	0,938787822	0,87755102
EXOC6B	0,823206629	0,0911211	0,019	0,024	1	1,065197613	0,938792941	0,791666667
CADM1	0,831765102	0,091106077	0,356	0,341	1	1,065186521	0,938802717	1,04398827
MCFD2	0,900553502	0,0909248	0,067	0,073	1	1,065052687	0,938920687	0,917808219
FZD8	0,531202783	0,090850045	0,01	0	1	1,064997501	0,938969339	#DIV/0!
GRAMD1A	0,882242416	0,090845091	0,021	0,024	1	1,064993844	0,938972564	0,875
DNASE2	0,88755861	0,090838214	0,021	0,024	1	1,064988768	0,938977039	0,875
C1QTNF4	0,622403257	0,090531517	0,014	0,024	1	1,064762389	0,939176674	0,583333333
SKA3	0,531202783	0,090397512	0,01	0	1	1,064663493	0,939263914	#DIV/0!
ANP32B	0,776237594	0,09036944	0,113	0,098	1	1,064642778	0,93928219	1,153061224
DHFR	0,531202783	0,090308589	0,01	0	1	1,064597873	0,939321809	#DIV/0!
TASOR	0,582672839	0,090227887	0,051	0,073	1	1,064538323	0,939374355	0,698630137
HSD17B11	0,942915322	0,090167557	0,022	0,024	1	1,064493807	0,939413638	0,916666667
NOTCH2	0,671869124	0,090073062	0,035	0,049	1	1,064424086	0,93947517	0,714285714
CSTF1	0,531202783	0,090036507	0,01	0	1	1,064397116	0,939498975	#DIV/0!
MBD3	0,393554634	0,090032941	0,026	0,049	1	1,064394485	0,939501298	0,530612245
CBL	0,749787402	0,090018983	0,059	0,073	1	1,064384188	0,939510387	0,808219178
CD109	0,760376583	0,08981087	0,018	0,024	1	1,064230658	0,939645924	0,75
CAV2	0,991895345	0,089716043	0,048	0,049	1	1,064160709	0,939707688	0,979591837
PTDSS1	0,763143412	0,089656736	0,018	0,024	1	1,064116964	0,939746319	0,75
CERS1	0,696310026	0,089637933	0,016	0,024	1	1,064103095	0,939758567	0,666666667
GPR108	0,348773914	0,089493383	0,024	0,049	1	1,063996484	0,93985273	0,489795918
SEZ6L2	0,82592442	0,089404666	0,019	0,024	1	1,063931056	0,939910527	0,791666667
KLF12	0,531202783	0,089395315	0,01	0	1	1,06392416	0,93991662	#DIV/0!
BRAT1	0,531202783	0,089353005	0,01	0	1	1,063892959	0,939944185	#DIV/0!
RBBP7	0,84449029	0,089227823	0,081	0,073	1	1,06380065	0,940025747	1,109589041
NMB	0,375818168	0,089168573	0,01	0,024	1	1,063756961	0,940064353	0,416666667

Supplementary Table 3

Differentially expressed genes_keloid-MD_comparing SC-Keloid vs. (SC-Myel+Nonmyel)								
gene	p_val	avg_log2FC	pct.1	pct.2	p_val_adj	Foldchange_UP	Foldchange_DOWN	Ratio_pct1_pct2
NAA15	0,837026181	0,089161573	0,041	0,049	1	1,0637518	0,940068914	0,836734694
MTIF2	0,8286443	0,089125899	0,019	0,024	1	1,063725497	0,94009216	0,791666667
TANGO6	0,498250693	0,08904466	0,011	0	1	1,063665599	0,940145099	#DIV/0!
SLC25A37	0,671869124	0,088953808	0,035	0,049	1	1,063598618	0,940204306	0,714285714
THAP12	0,634074138	0,088930338	0,033	0,049	1	1,063581316	0,940219601	0,673469388
GDF11	0,940325302	0,088901336	0,022	0,024	1	1,063559935	0,940238502	0,916666667
AP2M1	0,716570926	0,088611801	0,116	0,098	1	1,06334651	0,940427218	1,183673469
CEP164	0,823206629	0,088594377	0,019	0,024	1	1,063333668	0,940438576	0,791666667
HMGN1	0,983042775	0,088518606	0,238	0,244	1	1,063277823	0,940487969	0,975409836
SLC31A1	0,760376583	0,088431889	0,018	0,024	1	1,063213913	0,940544502	0,75
MTHFD1L	0,827533805	0,088088235	0,03	0,024	1	1,062960683	0,940768569	1,25
ZNF570	0,763143412	0,088013503	0,018	0,024	1	1,062905623	0,940817302	0,75
NCBP1	0,531202783	0,088005442	0,01	0	1	1,062899684	0,940822559	#DIV/0!
METTL26	0,964185125	0,087982479	0,14	0,146	1	1,062882766	0,940837534	0,95890411
RNF14	0,945505945	0,087942802	0,022	0,024	1	1,062853535	0,940863409	0,916666667
ZADH2	0,758075453	0,087445117	0,033	0,024	1	1,062486947	0,941188033	1,375
RELB	0,498250693	0,087362677	0,011	0	1	1,062426235	0,941241817	#DIV/0!
HNRNPK	0,959298732	0,087111637	0,274	0,268	1	1,062241381	0,941405615	1,02238806
SF3A1	0,7971379	0,087036849	0,04	0,049	1	1,062186316	0,941454418	0,816326531
SMOX	0,544157477	0,086984314	0,013	0,024	1	1,062147638	0,941488701	0,541666667
AP3M1	0,884899847	0,086976359	0,021	0,024	1	1,062141781	0,941493892	0,875
ZNF593	0,534224625	0,086969344	0,077	0,049	1	1,062136617	0,941498471	1,571428571
YARS1	0,76007963	0,086836845	0,038	0,049	1	1,062039074	0,941584942	0,775510204
ALG10B	0,892879868	0,08679289	0,021	0,024	1	1,062006716	0,941613631	0,875
DHX8	0,989934634	0,086765024	0,024	0,024	1	1,061986203	0,941631819	1
THOC5	0,531202783	0,086711354	0,01	0	1	1,061946697	0,941666849	#DIV/0!
XRCC5	0,649468108	0,086660282	0,223	0,268	1	1,061909104	0,941700185	0,832089552
KMT2B	0,693510359	0,086630638	0,016	0,024	1	1,061887285	0,941719535	0,666666667
PTRHD1	0,940163457	0,086399318	0,075	0,073	1	1,061717037	0,941870541	1,02739726
SETDB2	0,531202783	0,086384668	0,01	0	1	1,061706255	0,941880106	#DIV/0!

Supplementary Table 3

Differentially expressed genes_keloid-MD_ comparing SC-Keloid vs. (SC-Myel+Nonmyel)								
gene	p_val	avg_log2FC	pct.1	pct.2	p_val_adj	Foldchange_UP	Foldchange_DOWN	Ratio_pct1_pct2
GBA	0,622403257	0,086337821	0,014	0,024	1	1,06167178	0,941910691	0,583333333
CETN3	0,88755861	0,086026409	0,021	0,024	1	1,061442639	0,942114028	0,875
ZCCHC10	0,630428831	0,086016762	0,04	0,024	1	1,061435541	0,942120328	1,666666667
PRXL2C	0,729819075	0,085863588	0,062	0,049	1	1,061322852	0,94222036	1,265306122
HSDL2	0,958485748	0,085561239	0,026	0,024	1	1,061100452	0,942417844	1,083333333
ATP5IF1	0,946822482	0,085485831	0,303	0,317	1	1,061044991	0,942467104	0,955835962
RRAGA	0,917497413	0,085445814	0,045	0,049	1	1,06101556	0,942493247	0,918367347
TRIM37	0,80849795	0,085190002	0,04	0,049	1	1,060827442	0,94266038	0,816326531
CDC37L1	0,930246096	0,085106809	0,069	0,073	1	1,060766272	0,94271474	0,945205479
TIMM13	0,715570834	0,085087805	0,244	0,22	1	1,060752299	0,942727158	1,109090909
TNFRSF14	0,82592442	0,084972786	0,019	0,024	1	1,060667734	0,94280232	0,791666667
NUDT5	0,552889969	0,084928389	0,089	0,122	1	1,060635093	0,942831334	0,729508197
AKTIP	0,622403257	0,084502715	0,014	0,024	1	1,060322194	0,943109562	0,583333333
GBF1	0,989934634	0,084386442	0,024	0,024	1	1,060236742	0,943185574	1
ANXA4	0,746708589	0,084372085	0,059	0,073	1	1,060226191	0,943194961	0,808219178
CHN1	0,8286443	0,084235457	0,019	0,024	1	1,060125789	0,943284288	0,791666667
RESF1	0,870958486	0,084171491	0,029	0,024	1	1,060078786	0,943326112	1,208333333
LINC00623	0,802462224	0,084102497	0,062	0,073	1	1,060028091	0,943371226	0,849315068
POLR1C	0,622403257	0,084096521	0,014	0,024	1	1,0600237	0,943375134	0,583333333
WDR54	0,884899866	0,084036089	0,021	0,024	1	1,059979298	0,943414651	0,875
PRPSAP2	0,960925749	0,084006365	0,026	0,024	1	1,05995746	0,943434089	1,083333333
AP1M1	0,8286443	0,083959079	0,019	0,024	1	1,059922719	0,943465011	0,791666667
RPL26	0,741318853	0,083594447	0,684	0,707	1	1,059654864	0,943703496	0,967468175
RUNDC1	0,461761449	0,083334019	0,011	0,024	1	1,059463598	0,943873864	0,458333333
NSF	0,756020429	0,083150929	0,033	0,024	1	1,059329151	0,943993657	1,375
PFKFB3	0,544157477	0,083076734	0,013	0,024	1	1,059274674	0,944042206	0,541666667
ADRM1	0,412158249	0,082901591	0,08	0,122	1	1,059146086	0,94415682	0,655737705
ZC3H18	0,395207964	0,08267053	0,026	0,049	1	1,058976467	0,944308047	0,530612245
HMBOX1	0,578383352	0,082547828	0,043	0,024	1	1,058886404	0,944388365	1,791666667
DNM2	0,873243137	0,082531507	0,029	0,024	1	1,058874426	0,944399048	1,208333333

Supplementary Table 3

Differentially expressed genes_keloid-MD_comparing SC-Keloid vs. (SC-Myel+Nonmyel)								
gene	p_val	avg_log2FC	pct.1	pct.2	p_val_adj	Foldchange_UP	Foldchange_DOWN	Ratio_pct1_pct2
VPS50	0,763143412	0,082396718	0,018	0,024	1	1,058775501	0,944487287	0,75
FAN1	0,375818168	0,082180971	0,01	0,024	1	1,058617179	0,94462854	0,416666667
CUL2	0,792923849	0,082061389	0,032	0,024	1	1,058529436	0,944706841	1,333333333
ZDHHC7	0,882242416	0,081982628	0,021	0,024	1	1,058471649	0,944758417	0,875
MRPS18A	0,632201526	0,081936776	0,04	0,024	1	1,058438009	0,944788444	1,666666667
S100A2	0,490845484	0,081726586	0,029	0,049	1	1,058283814	0,944926103	0,591836735
MRPS34	0,928349299	0,081626039	0,161	0,171	1	1,058210061	0,944991961	0,941520468
VTI1B	0,870578147	0,081395232	0,088	0,098	1	1,058040778	0,945143156	0,897959184
EIF2B2	0,440354126	0,081188529	0,027	0,049	1	1,057889198	0,945278581	0,551020408
EIF3L	0,913169051	0,080974539	0,102	0,098	1	1,057732296	0,945418802	1,040816327
TRIP10	0,544157477	0,080764543	0,013	0,024	1	1,057578346	0,945556425	0,541666667
NGLY1	0,919351205	0,080704497	0,027	0,024	1	1,05753433	0,94559578	1,125
IRF2	0,76007963	0,080284718	0,038	0,049	1	1,057226665	0,94587096	0,775510204
TGFBR1	0,80849795	0,080241055	0,04	0,049	1	1,057194669	0,945899587	0,816326531
RNF2	0,831366235	0,080071589	0,019	0,024	1	1,057070493	0,946010703	0,791666667
PIK3C2A	0,988293494	0,079592746	0,048	0,049	1	1,056719701	0,946324744	0,979591837
TMEM170A	0,91462479	0,079534531	0,027	0,024	1	1,056677061	0,946362931	1,125
PHF3	0,338176366	0,079403906	0,057	0,098	1	1,056581391	0,94644862	0,581632653
FAM89A	0,994967217	0,079178566	0,024	0,024	1	1,056416373	0,946596461	1
ASF1A	0,82592442	0,079047503	0,019	0,024	1	1,056320406	0,94668246	0,791666667
AMZ2	0,760376583	0,078953295	0,018	0,024	1	1,05625143	0,94674428	0,75
CYREN	0,992450888	0,078770104	0,024	0,024	1	1,056117318	0,946864503	1
PLK2	0,919351205	0,078677817	0,027	0,024	1	1,056049762	0,946925075	1,125
PPP3CA	0,927578432	0,078541261	0,128	0,122	1	1,055949808	0,947014709	1,049180328
LRRC23	0,914624801	0,077831662	0,027	0,024	1	1,05543056	0,947480619	1,125
TTC5	0,544157477	0,077814092	0,013	0,024	1	1,055417706	0,947492158	0,541666667
MZF1	0,622403257	0,077658809	0,014	0,024	1	1,055304113	0,947594146	0,583333333
ZNF621	0,348773914	0,077512094	0,024	0,049	1	1,0551968	0,947690516	0,489795918
UTP15	0,544157477	0,077364726	0,013	0,024	1	1,055089019	0,947787326	0,541666667
UBN1	0,866392432	0,077339253	0,029	0,024	1	1,05507039	0,947804061	1,208333333

Supplementary Table 3

Differentially expressed genes_keloid-MD_comparing SC-Keloid vs. (SC-Myel+Nonmyel)								
gene	p_val	avg_log2FC	pct.1	pct.2	p_val_adj	Foldchange_UP	Foldchange_DOWN	Ratio_pct1_pct2
GART	0,752497679	0,077313049	0,038	0,049	1	1,055051227	0,947821276	0,775510204
TLCD5	0,071078164	0,077166898	0,013	0,049	1	1,054944351	0,947917299	0,265306122
ARHGEF19	0,287685455	0,077023154	0,008	0,024	1	1,054839246	0,94801175	0,333333333
EIF1AX	0,788001126	0,076744317	0,172	0,195	1	1,054635392	0,948194995	0,882051282
AGA	0,967147605	0,076659877	0,094	0,098	1	1,054573667	0,948250494	0,959183673
CAAP1	0,689913676	0,076630019	0,037	0,024	1	1,054551841	0,948270119	1,541666667
THRA	0,763143412	0,076416794	0,018	0,024	1	1,054395994	0,94841028	0,75
CEBPB	0,698169015	0,076371232	0,099	0,122	1	1,054362695	0,948440232	0,81147541
CSNK2A2	0,572326808	0,076279297	0,051	0,073	1	1,054295509	0,948500674	0,698630137
SSB	0,955526619	0,07627255	0,233	0,244	1	1,054290578	0,948505109	0,954918033
SLU7	0,605438345	0,076249067	0,053	0,073	1	1,054273417	0,948520549	0,726027397
GORASP2	0,882057725	0,076174861	0,054	0,049	1	1,054219191	0,948569338	1,102040816
CCDC117	0,400192902	0,076046054	0,026	0,049	1	1,054125073	0,948654031	0,530612245
MACO1	0,584295384	0,076003588	0,032	0,049	1	1,054094045	0,948681956	0,653061224
FADS3	0,82592442	0,075875013	0,019	0,024	1	1,054000106	0,948766508	0,791666667
GNG12	0,78148869	0,075863364	0,137	0,122	1	1,053991596	0,948774169	1,12295082
CRIP1	0,356797452	0,075809471	0,077	0,122	1	1,053952224	0,948809611	0,631147541
HSPD1	0,857116944	0,075537832	0,155	0,171	1	1,053753799	0,948988275	0,906432749
SLC35F5	0,8286443	0,075031889	0,019	0,024	1	1,05338432	0,949321137	0,791666667
ZNF521	0,760376583	0,075021233	0,018	0,024	1	1,053376539	0,949328149	0,75
NCBP2AS2	0,681847869	0,074966421	0,056	0,073	1	1,053336519	0,949364218	0,767123288
CDKN3	0,498250693	0,074809415	0,011	0	1	1,053221892	0,949467541	#DIV/0!
LAMA2	0,950425096	0,074768577	0,07	0,073	1	1,05319208	0,949494417	0,95890411
CAMK2N1	0,982462478	0,074410721	0,123	0,122	1	1,052930871	0,949729966	1,008196721
MED15	0,741926943	0,074307495	0,062	0,049	1	1,052855536	0,949797922	1,265306122
FAM98B	0,882242416	0,074171506	0,021	0,024	1	1,052756298	0,949887455	0,875
STEEP1	0,693510359	0,07390531	0,016	0,024	1	1,052562069	0,950062737	0,666666667
HLA-F	0,721091616	0,073541167	0,035	0,024	1	1,05229643	0,950302568	1,458333333
ANXA7	0,416005035	0,073452116	0,081	0,122	1	1,052231479	0,950361228	0,663934426
FASTKD2	0,817777402	0,073419965	0,019	0,024	1	1,05220803	0,950382407	0,791666667

Supplementary Table 3

Differentially expressed genes_keloid-MD_comparing SC-Keloid vs. (SC-Myel+Nonmyel)								
gene	p_val	avg_log2FC	pct.1	pct.2	p_val_adj	Foldchange_UP	Foldchange_DOWN	Ratio_pct1_pct2
EXOSC1	0,914624801	0,073368984	0,027	0,024	1	1,052170848	0,950415991	1,125
RPS3A	0,576284167	0,073308496	0,818	0,829	1	1,052126735	0,950455841	0,986731001
FARP2	0,440354071	0,073250866	0,027	0,049	1	1,052084707	0,950493808	0,551020408
CDKL1	0,544157477	0,073233681	0,013	0,024	1	1,052072175	0,95050513	0,541666667
SPRING1	0,919351205	0,073146465	0,027	0,024	1	1,052008576	0,950562594	1,125
MIB2	0,461761449	0,072994064	0,011	0,024	1	1,051897451	0,950663013	0,458333333
ATP5F1C	0,144961875	0,072977773	0,25	0,146	1	1,051885573	0,950673748	1,712328767
PLEKHA2	0,461761449	0,07286963	0,011	0,024	1	1,051806728	0,950745012	0,458333333
INTS12	0,393554695	0,072774725	0,026	0,049	1	1,051737539	0,950807557	0,530612245
FHL1	0,709839556	0,072733822	0,057	0,073	1	1,051707721	0,950834514	0,780821918
PPT2	0,619599159	0,072727811	0,014	0,024	1	1,051703339	0,950838476	0,583333333
COL9A3	0,712569869	0,072727595	0,231	0,268	1	1,051703181	0,950838619	0,861940299
IRAK1	0,79718719	0,072671408	0,032	0,024	1	1,051662223	0,95087565	1,333333333
JAG1	0,684579851	0,072654012	0,099	0,122	1	1,051649542	0,950887116	0,81147541
RALBP1	0,4804695	0,072461621	0,14	0,098	1	1,051509308	0,95101393	1,428571429
C12orf73	0,994967217	0,072388167	0,024	0,024	1	1,051455772	0,951062352	1
COX15	0,443798953	0,072305949	0,027	0,049	1	1,051395853	0,951116554	0,551020408
NPM3	0,792923849	0,072182203	0,032	0,024	1	1,051305674	0,951198139	1,333333333
TRPM7	0,792456218	0,072038595	0,059	0,049	1	1,051201031	0,951292827	1,204081633
SMARCA2	0,72307225	0,071547282	0,035	0,024	1	1,050843103	0,951616847	1,458333333
ENY2	0,710052689	0,071514718	0,219	0,268	1	1,050819383	0,951638327	0,817164179
ALG6	0,375818168	0,071401424	0,01	0,024	1	1,050736867	0,951713061	0,416666667
DERL2	0,654297771	0,07080689	0,067	0,049	1	1,050303948	0,952105343	1,367346939
MAD2L1	0,940325302	0,070656267	0,022	0,024	1	1,050194297	0,952204752	0,916666667
EAPP	0,87290699	0,070634755	0,131	0,122	1	1,050178638	0,95221895	1,073770492
NDUFB9	0,756430338	0,070590563	0,142	0,122	1	1,05014647	0,952248118	1,163934426
MOSPD3	0,531202783	0,070483088	0,01	0	1	1,050068241	0,95231906	#DIV/0!
MAN1A2	0,966938239	0,070429532	0,07	0,073	1	1,050029261	0,952354413	0,95890411
NTMT1	0,986730129	0,070318967	0,073	0,073	1	1,049948792	0,952427402	1
SYPL1	0,835931546	0,07031713	0,129	0,146	1	1,049947455	0,952428614	0,883561644

Supplementary Table 3

Differentially expressed genes_keloid-MD_ comparing SC-Keloid vs. (SC-Myel+Nonmyel)								
gene	p_val	avg_log2FC	pct.1	pct.2	p_val_adj	Foldchange_UP	Foldchange_DOWN	Ratio_pct1_pct2
NAA50	0,895989176	0,070311135	0,067	0,073	1	1,049943092	0,952432572	0,917808219
RPL35A	0,645191837	0,07028865	0,804	0,732	1	1,049926729	0,952447416	1,098360656
FUT11	0,757612816	0,070219724	0,018	0,024	1	1,049876569	0,952492921	0,75
SORBS2	0,28046268	0,070213176	0,107	0,171	1	1,049871804	0,952497244	0,625730994
OGDH	0,635959294	0,069936421	0,033	0,049	1	1,049670424	0,952679981	0,673469388
AKT1	0,822711124	0,069901062	0,086	0,098	1	1,049644698	0,952703331	0,87755102
PSMC6	0,869748527	0,069882456	0,08	0,073	1	1,049631161	0,952715618	1,095890411
TBC1D12	0,875528845	0,069755531	0,029	0,024	1	1,049538821	0,952799439	1,208333333
NUB1	0,827852217	0,069690115	0,057	0,049	1	1,049491233	0,952842643	1,163265306
QRICH1	0,544157477	0,06966658	0,013	0,024	1	1,049474112	0,952858187	0,541666667
UNKL	0,287685455	0,069582345	0,008	0,024	1	1,049412839	0,952913823	0,333333333
RNF213	0,833578091	0,069529828	0,064	0,073	1	1,049374638	0,952948512	0,876712329
RPS11	0,742287008	0,069261155	0,555	0,634	1	1,049179231	0,953125996	0,875394322
GNAI3	0,73106453	0,069231751	0,08	0,098	1	1,049157848	0,953145422	0,816326531
TRIM62	0,544157477	0,069086906	0,013	0,024	1	1,049052519	0,953241122	0,541666667
SCLT1	0,760132187	0,069040387	0,033	0,024	1	1,049018694	0,953271859	1,375
LENG1	0,485519363	0,068870215	0,029	0,049	1	1,048894964	0,953384308	0,591836735
LPAR4	0,375818168	0,068805449	0,01	0,024	1	1,048847878	0,953427109	0,416666667
MSL1	0,607014362	0,068800987	0,072	0,049	1	1,048844635	0,953430057	1,469387755
POPDC3	0,914624801	0,068733007	0,027	0,024	1	1,048795214	0,953474984	1,125
ZNF677	0,209830716	0,068605487	0,019	0,049	1	1,048702515	0,953559266	0,387755102
LRRC42	0,544157477	0,068534921	0,013	0,024	1	1,048651221	0,953605908	0,541666667
DAPK3	0,884899866	0,068504054	0,021	0,024	1	1,048628785	0,953626311	0,875
MED19	0,605467522	0,068412972	0,041	0,024	1	1,048562584	0,953686518	1,708333333
USP16	0,790248863	0,068369664	0,112	0,098	1	1,048531108	0,953715147	1,142857143
PGK1	0,545667643	0,067907343	0,11	0,146	1	1,048195153	0,95402082	0,753424658
TM2D2	0,576739556	0,067832825	0,043	0,024	1	1,048141013	0,954070099	1,791666667
PFDN1	0,873792767	0,067824201	0,155	0,146	1	1,048134747	0,954075802	1,061643836
ABI1	0,905536106	0,06760998	0,078	0,073	1	1,047979125	0,95421748	1,068493151
CYBRD1	0,935147182	0,067373129	0,022	0,024	1	1,04780709	0,95437415	0,916666667

Supplementary Table 3

Differentially expressed genes_keloid-MD_ comparing SC-Keloid vs. (SC-Myel+Nonmyel)								
gene	p_val	avg_log2FC	pct.1	pct.2	p_val_adj	Foldchange_UP	Foldchange_DOWN	Ratio_pct1_pct2
RPS25	0,73952409	0,067348604	0,509	0,488	1	1,047789278	0,954390373	1,043032787
NDUFC2	0,670237934	0,06722763	0,309	0,366	1	1,047701421	0,954470405	0,844262295
ABLIM3	0,532727737	0,06722676	0,046	0,024	1	1,04770079	0,95447098	1,916666667
FXVD3	0,911034414	0,067170707	0,045	0,049	1	1,047660084	0,954508065	0,918367347
MGST2	0,683244479	0,067074641	0,035	0,049	1	1,047590325	0,954571626	0,714285714
UACA	0,974937655	0,06699062	0,073	0,073	1	1,047529316	0,954627221	1
MED14	0,756020429	0,066689317	0,033	0,024	1	1,047310565	0,954826613	1,375
PSMA6	0,879586292	0,066616646	0,021	0,024	1	1,047257812	0,954874711	0,875
TMEM101	0,916987636	0,066541755	0,027	0,024	1	1,047203449	0,95492428	1,125
TMEM179B	0,563640088	0,066509706	0,07	0,098	1	1,047180187	0,954945493	0,714285714
ZYG11B	0,950662154	0,066508565	0,046	0,049	1	1,047179358	0,954946249	0,93877551
SH2B3	0,41062975	0,066187337	0,062	0,098	1	1,046946221	0,955158899	0,632653061
ERCC6	0,763143412	0,066087515	0,018	0,024	1	1,046873784	0,95522499	0,75
SRPRB	0,793360595	0,065996117	0,04	0,049	1	1,046807465	0,955285507	0,816326531
NMRK1	0,760132187	0,06576006	0,033	0,024	1	1,046636198	0,955441826	1,375
PPP6R1	0,624684133	0,065448007	0,033	0,049	1	1,046409836	0,955648509	0,673469388
PPARA	0,544157477	0,065356272	0,013	0,024	1	1,046343301	0,955709277	0,541666667
MAP2K2	0,951180169	0,065326469	0,124	0,122	1	1,046321686	0,95572902	1,016393443
PARP12	0,622403257	0,065270817	0,014	0,024	1	1,046281326	0,955765888	0,583333333
GSTT2B	0,868674911	0,065170162	0,029	0,024	1	1,04620833	0,955832573	1,208333333
EPB41L3	0,947451778	0,064868326	0,116	0,122	1	1,045989468	0,95603257	0,950819672
TYMP	0,758075453	0,064848502	0,033	0,024	1	1,045975096	0,956045707	1,375
RANBP6	0,300183592	0,064711895	0,022	0,049	1	1,045876058	0,956136238	0,448979592
AP1AR	0,823206629	0,064468552	0,019	0,024	1	1,045699663	0,956297526	0,791666667
RBM26	0,778624485	0,064453212	0,061	0,073	1	1,045688544	0,956307694	0,835616438
TOR1AIP2	0,983626147	0,064327491	0,072	0,073	1	1,045597423	0,956391033	0,98630137
OGFOD1	0,616800584	0,064142988	0,014	0,024	1	1,045463713	0,956513351	0,583333333
FGD5-AS1	0,628926281	0,064117544	0,126	0,098	1	1,045445274	0,956530222	1,285714286
KANSL1-AS1	0,622403257	0,063737726	0,014	0,024	1	1,045170077	0,95678208	0,583333333
CCDC14	0,674231619	0,063694659	0,056	0,073	1	1,045138877	0,956810642	0,767123288

Supplementary Table 3

Differentially expressed genes_keloid-MD_comparing SC-Keloid vs. (SC-Myel+Nonmyel)								
gene	p_val	avg_log2FC	pct.1	pct.2	p_val_adj	Foldchange_UP	Foldchange_DOWN	Ratio_pct1_pct2
PPIE	0,7971379	0,063562249	0,04	0,049	1	1,045042959	0,956898462	0,816326531
CRNKL1	0,831945713	0,063351753	0,03	0,024	1	1,044890494	0,957038088	1,25
SERPINB8	0,723072223	0,063324262	0,035	0,024	1	1,044870583	0,957056325	1,458333333
RNF149	0,831945713	0,063321257	0,03	0,024	1	1,044868406	0,957058318	1,25
LYRM7	0,940325302	0,063222709	0,022	0,024	1	1,044797036	0,957123696	0,916666667
CHD8	0,846434546	0,063141634	0,041	0,049	1	1,044738323	0,957177484	0,836734694
POLR1H	0,425971637	0,062760903	0,054	0,024	1	1,044462651	0,957430119	2,25
TFCP2	0,760376583	0,062682943	0,018	0,024	1	1,044406212	0,957481858	0,75
PITHD1	0,902075683	0,062521019	0,067	0,073	1	1,044288997	0,957589329	0,917808219
IFFO1	0,690714871	0,062473695	0,016	0,024	1	1,044254742	0,957620741	0,666666667
POLR2H	0,644938554	0,062417345	0,075	0,098	1	1,044213956	0,957658145	0,765306122
DYNC2H1	0,942915322	0,062290525	0,022	0,024	1	1,044122168	0,957742332	0,916666667
CHD4	0,947197558	0,062220676	0,148	0,146	1	1,044071617	0,957788703	1,01369863
MSANTD2	0,690714871	0,061874159	0,016	0,024	1	1,043820874	0,958018779	0,666666667
RBPJ	0,916941953	0,061789863	0,078	0,073	1	1,043759887	0,958074757	1,068493151
RFNG	0,443798953	0,061291314	0,027	0,049	1	1,043399259	0,958405894	0,551020408
CABIN1	0,820490956	0,061057914	0,019	0,024	1	1,043230471	0,958560959	0,791666667
TBC1D32	0,690714871	0,061003795	0,016	0,024	1	1,043191338	0,958596917	0,666666667
SLC35F6	0,300183592	0,060809175	0,022	0,049	1	1,04305062	0,958726241	0,448979592
ZNF195	0,622403257	0,060776561	0,014	0,024	1	1,043027041	0,958747914	0,583333333
UTP25	0,690714871	0,060619716	0,016	0,024	1	1,042913653	0,958852151	0,666666667
VIM-AS1	0,817777434	0,060571723	0,019	0,024	1	1,042878959	0,95888405	0,791666667
KLHL21	0,8286443	0,060522506	0,019	0,024	1	1,042843383	0,958916762	0,791666667
CCNT2	0,470087757	0,060498937	0,046	0,073	1	1,042826346	0,958932428	0,630136986
GOLM1	0,710723073	0,06032035	0,037	0,049	1	1,042697266	0,959051139	0,755102041
GBP2	0,82592439	0,060294314	0,019	0,024	1	1,042678449	0,959068447	0,791666667
DYNC1H1	0,717943562	0,06028684	0,209	0,244	1	1,042673047	0,959073415	0,856557377
TAF15	0,6062866	0,06025232	0,073	0,098	1	1,042648099	0,959096363	0,744897959
L3MBTL2	0,693510359	0,059859918	0,016	0,024	1	1,042364545	0,959357266	0,666666667
SUPT7L	0,348773849	0,059671618	0,024	0,049	1	1,042228505	0,959482489	0,489795918

Supplementary Table 3

Differentially expressed genes_keloid-MD_comparing SC-Keloid vs. (SC-Myel+Nonmyel)								
gene	p_val	avg_log2FC	pct.1	pct.2	p_val_adj	Foldchange_UP	Foldchange_DOWN	Ratio_pct1_pct2
PSMD10	0,280604995	0,059670924	0,054	0,098	1	1,042228004	0,95948295	0,551020408
CFAP36	0,970640415	0,059571304	0,096	0,098	1	1,042156039	0,959549207	0,979591837
IARS2	0,61526983	0,05956385	0,073	0,098	1	1,042150654	0,959554164	0,744897959
NEDD1	0,96336611	0,059390021	0,026	0,024	1	1,042025094	0,959669787	1,083333333
SLC12A2	0,554221352	0,059246646	0,045	0,024	1	1,041921543	0,959765164	1,875
TULP3	0,852885231	0,05921605	0,056	0,049	1	1,041899447	0,959785518	1,142857143
USF2	0,471476341	0,058763007	0,046	0,073	1	1,041572314	0,960086963	0,630136986
CDKN2D	0,576893101	0,058586985	0,032	0,049	1	1,041445241	0,960204109	0,653061224
CDK14	0,461761449	0,058538618	0,011	0,024	1	1,041410327	0,960236301	0,458333333
PSMC3	0,339979559	0,058483097	0,129	0,073	1	1,04137025	0,960273255	1,767123288
ROGDI	0,817777434	0,058303365	0,019	0,024	1	1,041240523	0,960392894	0,791666667
DTNBP1	0,823206629	0,058295819	0,019	0,024	1	1,041235077	0,960397918	0,791666667
ZMYM5	0,624684098	0,058203806	0,033	0,049	1	1,041168671	0,960459173	0,673469388
SLC35B4	0,989934634	0,058129762	0,024	0,024	1	1,041115236	0,960508468	1
TMEM161B-DT	0,994967217	0,058123696	0,024	0,024	1	1,041110858	0,960512507	1
RAB11FIP1	0,619599159	0,05801941	0,014	0,024	1	1,041035603	0,96058194	0,583333333
RPL29	0,808001814	0,057878922	0,636	0,683	1	1,040934234	0,960675485	0,931185944
AIFM1	0,758075428	0,057820403	0,033	0,024	1	1,040892012	0,960714453	1,375
BUD23	0,908167953	0,057663085	0,067	0,073	1	1,040778514	0,96081922	0,917808219
PAQR4	0,690714871	0,057599222	0,016	0,024	1	1,040732444	0,960861753	0,666666667
EHMT2	0,687923594	0,057590782	0,016	0,024	1	1,040726356	0,960867374	0,666666667
LZTS2	0,622403257	0,057576002	0,014	0,024	1	1,040715693	0,960877218	0,583333333
TET1	0,8286443	0,057452881	0,019	0,024	1	1,040626882	0,960959223	0,791666667
NFRKB	0,461761449	0,057081574	0,011	0,024	1	1,04035909	0,961206578	0,458333333
WIPI1	0,696310026	0,05704247	0,016	0,024	1	1,040330891	0,961232631	0,666666667
BICD2	0,408732391	0,05691139	0,056	0,024	1	1,040236374	0,96131997	2,333333333
SNU13	0,766038566	0,056908141	0,236	0,268	1	1,040234031	0,961322135	0,880597015
MFSD12	0,930246092	0,056905132	0,069	0,073	1	1,040231861	0,961324141	0,945205479
IBTK	0,827852217	0,056893842	0,057	0,049	1	1,040223721	0,961331664	1,163265306
RPS4X	0,990278733	0,056791856	0,772	0,78	1	1,040150189	0,961399624	0,98974359

Supplementary Table 3

Differentially expressed genes_keloid-MD_comparing SC-Keloid vs. (SC-Myel+Nonmyel)								
gene	p_val	avg_log2FC	pct.1	pct.2	p_val_adj	Foldchange_UP	Foldchange_DOWN	Ratio_pct1_pct2
THOC6	0,541384208	0,056702381	0,013	0,024	1	1,040085681	0,961459251	0,541666667
OBI1	0,760376583	0,056182146	0,018	0,024	1	1,039710694	0,961806015	0,75
DYRK1B	0,287685455	0,056176994	0,008	0,024	1	1,039706981	0,96180945	0,333333333
ABRAXAS1	0,831366235	0,056158136	0,019	0,024	1	1,039693392	0,961822022	0,791666667
FAM104A	0,706942342	0,056142702	0,037	0,049	1	1,039682268	0,961832312	0,755102041
UBL7-DT	0,619599159	0,05610242	0,014	0,024	1	1,03965324	0,961859168	0,583333333
CHORDC1	0,264077938	0,056031005	0,037	0,073	1	1,039601777	0,961906782	0,506849315
CORO2B	0,461761449	0,056001121	0,011	0,024	1	1,039580243	0,961926708	0,458333333
SAMD12	0,666209301	0,055973641	0,035	0,049	1	1,039560442	0,96194503	0,714285714
DPAGT1	0,693510359	0,055971533	0,016	0,024	1	1,039558922	0,961946436	0,666666667
KBTBD2	0,877815593	0,055866319	0,029	0,024	1	1,039483112	0,962016592	1,208333333
ARFIP1	0,490310188	0,055790991	0,067	0,098	1	1,039428838	0,962066823	0,683673469
USP33	0,716407514	0,055732505	0,037	0,049	1	1,039386701	0,962105826	0,755102041
UQCC1	0,461761449	0,05563713	0,011	0,024	1	1,039317991	0,962169431	0,458333333
ACYP2	0,569386907	0,055576244	0,051	0,073	1	1,039274129	0,962210038	0,698630137
HECTD4	0,992450888	0,055565219	0,024	0,024	1	1,039266187	0,962217392	1
ADAM15	0,690714871	0,055356385	0,016	0,024	1	1,039115762	0,962356685	0,666666667
OBSL1	0,616800584	0,055243909	0,014	0,024	1	1,039034753	0,962431716	0,583333333
MRPL44	0,345632755	0,055209265	0,024	0,049	1	1,039009802	0,962454828	0,489795918
STX5	0,98741848	0,055018745	0,024	0,024	1	1,038872601	0,962581936	1
ARMC1	0,716407514	0,054925335	0,037	0,049	1	1,03880534	0,962644262	0,755102041
KCTD3	0,619599159	0,054889751	0,014	0,024	1	1,038779718	0,962668006	0,583333333
PDGFRB	0,994967217	0,054868054	0,024	0,024	1	1,038764096	0,962682484	1
AUTS2	0,483750966	0,054862679	0,029	0,049	1	1,038760225	0,962686071	0,591836735
CHST11	0,689913676	0,054359588	0,037	0,024	1	1,038398057	0,963021833	1,541666667
OTUD4	0,829739088	0,053829108	0,03	0,024	1	1,038016307	0,963376003	1,25
MAML3	0,664003134	0,05378713	0,038	0,024	1	1,037986104	0,963404034	1,583333333
USP8	0,642358991	0,053679931	0,118	0,146	1	1,03790898	0,963475622	0,808219178
AP5Z1	0,20008191	0,053603082	0,006	0,024	1	1,037853695	0,963526945	0,25
DESI1	0,795054755	0,053534438	0,032	0,024	1	1,037804314	0,963572792	1,333333333

Supplementary Table 3

Differentially expressed genes_keloid-MD_ comparing SC-Keloid vs. (SC-Myel+Nonmyel)								
gene	p_val	avg_log2FC	pct.1	pct.2	p_val_adj	Foldchange_UP	Foldchange_DOWN	Ratio_pct1_pct2
ID1	0,721091616	0,053512062	0,035	0,024	1	1,037788218	0,963587737	1,458333333
JKAMP	0,735199369	0,053345325	0,059	0,073	1	1,037668284	0,963699108	0,808219178
PRSS23	0,571528413	0,053326404	0,234	0,195	1	1,037654675	0,963711747	1,2
KRTDAP	0,895608877	0,053272591	0,105	0,098	1	1,037615971	0,963747694	1,071428571
MACROH2A1	0,906526217	0,053265116	0,113	0,122	1	1,037610595	0,963752688	0,926229508
TSC2	0,481986069	0,053030875	0,029	0,049	1	1,037442138	0,963909179	0,591836735
HINT3	0,461761449	0,052983522	0,011	0,024	1	1,037408088	0,963940817	0,458333333
RETSAT	0,690714871	0,052599929	0,016	0,024	1	1,037132291	0,964197151	0,666666667
NCK1	0,435879468	0,052385024	0,045	0,073	1	1,036977811	0,964340788	0,616438356
EIF2AK2	0,871134101	0,052356361	0,065	0,073	1	1,036957209	0,964359948	0,890410959
FTSJ1	0,763143412	0,051959936	0,018	0,024	1	1,036672312	0,964624972	0,75
NET1	0,261951653	0,05191477	0,037	0,073	1	1,036639858	0,964655171	0,506849315
WDFY2	0,795054755	0,051884129	0,032	0,024	1	1,036617841	0,96467566	1,333333333
PCCB	0,757612816	0,051773653	0,018	0,024	1	1,036538464	0,964749534	0,75
CCDC115	0,375818168	0,05170035	0,01	0,024	1	1,036485799	0,964798554	0,416666667
VAMP5	0,930174379	0,051541388	0,285	0,268	1	1,036371601	0,964904865	1,063432836
METTL8	0,693510359	0,051499725	0,016	0,024	1	1,036341673	0,964932731	0,666666667
CLTC	0,874685269	0,051478297	0,107	0,098	1	1,03632628	0,964947063	1,091836735
DGCR8	0,461761449	0,051448003	0,011	0,024	1	1,03630452	0,964967325	0,458333333
CYB5R4	0,619599159	0,051378309	0,014	0,024	1	1,036254458	0,965013942	0,583333333
SCAF8	0,91226272	0,051325443	0,027	0,024	1	1,036216487	0,965049305	1,125
PARP9	0,693510359	0,051304554	0,016	0,024	1	1,036201484	0,965063278	0,666666667
NUP133	0,690714871	0,050956267	0,016	0,024	1	1,03595136	0,965296286	0,666666667
MON1B	0,693510359	0,050352496	0,016	0,024	1	1,035517903	0,965700349	0,666666667
SLC25A46	0,727039075	0,050327291	0,035	0,024	1	1,035499811	0,965717221	1,458333333
TRAF2	0,531202783	0,049861639	0,01	0	1	1,035165642	0,966028971	#DIV/0!
SNRPF	0,506467856	0,049789344	0,211	0,268	1	1,03511377	0,966077381	0,787313433
NDUFAF5	0,877815593	0,049488756	0,029	0,024	1	1,034898125	0,966278686	1,208333333
DPT	0,992450888	0,049414287	0,024	0,024	1	1,034844707	0,966328564	1
GLB1	0,664003163	0,049295792	0,038	0,024	1	1,034759714	0,966407937	1,583333333

Supplementary Table 3

Differentially expressed genes_keloid-MD_comparing SC-Keloid vs. (SC-Myel+Nonmyel)								
gene	p_val	avg_log2FC	pct.1	pct.2	p_val_adj	Foldchange_UP	Foldchange_DOWN	Ratio_pct1_pct2
SCAMP3	0,98741848	0,049245871	0,024	0,024	1	1,034723909	0,966441377	1
LTA4H	0,760376583	0,049129981	0,018	0,024	1	1,034640794	0,966519014	0,75
ARHGEF10	0,391905621	0,049065055	0,026	0,049	1	1,034594233	0,966562511	0,530612245
STK25	0,390260747	0,049056331	0,026	0,049	1	1,034587977	0,966568356	0,530612245
ORAI1	0,477053396	0,049031298	0,046	0,073	1	1,034570025	0,966585128	0,630136986
PYGO2	0,118110366	0,048986629	0,005	0,024	1	1,034537993	0,966615056	0,208333333
EXOSC8	0,572493431	0,048794788	0,073	0,049	1	1,034400435	0,966743599	1,489795918
ARSD	0,873243137	0,048754175	0,029	0,024	1	1,034371317	0,966770814	1,208333333
NUBP2	0,789588166	0,04846755	0,04	0,049	1	1,034165835	0,966962905	0,816326531
FMNL3	0,60673112	0,048374173	0,07	0,049	1	1,034098902	0,967025493	1,428571429
NFATC2IP	0,881518523	0,048346268	0,043	0,049	1	1,034078901	0,967044197	0,87755102
APTX	0,91462479	0,048159943	0,027	0,024	1	1,033945357	0,967169099	1,125
PCDHGC3	0,963492785	0,048096051	0,075	0,073	1	1,033899568	0,967211933	1,02739726
RCAN1	0,922869212	0,04803922	0,352	0,366	1	1,033858842	0,967250034	0,961748634
MALSU1	0,537696513	0,047772425	0,049	0,073	1	1,03366767	0,967428922	0,671232877
FAM20B	0,17226174	0,046736479	0,018	0,049	1	1,032925697	0,968123847	0,367346939
ABCE1	0,581677535	0,046497625	0,043	0,024	1	1,032754699	0,968284144	1,791666667
NAGPA	0,541384208	0,046471628	0,013	0,024	1	1,03273609	0,968301592	0,541666667
SAE1	0,620945014	0,046418849	0,033	0,049	1	1,032698309	0,968337017	0,673469388
SNRPD2	0,473680284	0,046399696	0,265	0,341	1	1,032684599	0,968349873	0,7771261
TMEM260	0,541384208	0,046381001	0,013	0,024	1	1,032671217	0,968362421	0,541666667
VCPKMT	0,375818168	0,046301762	0,01	0,024	1	1,0326145	0,968415609	0,416666667
LMAN1	0,690406632	0,046145189	0,193	0,171	1	1,032502439	0,968520715	1,128654971
CD46	0,925805371	0,046118923	0,102	0,098	1	1,032483641	0,968538348	1,040816327
ADSS2	0,786125697	0,045993743	0,059	0,049	1	1,032394058	0,96862239	1,204081633
CTNND1	0,233503292	0,045953601	0,085	0,146	1	1,032365333	0,968649342	0,582191781
RFTN2	0,485519363	0,045887998	0,029	0,049	1	1,03231839	0,96869339	0,591836735
IFNGR2	0,926784504	0,045812492	0,115	0,122	1	1,032264363	0,968744089	0,942622951
GNPAT	0,989934634	0,045715512	0,024	0,024	1	1,032194975	0,968809212	1
NR3C1	0,695863383	0,045705685	0,166	0,195	1	1,032187944	0,968815811	0,851282051

Supplementary Table 3

Differentially expressed genes_keloid-MD_comparing SC-Keloid vs. (SC-Myel+Nonmyel)								
gene	p_val	avg_log2FC	pct.1	pct.2	p_val_adj	Foldchange_UP	Foldchange_DOWN	Ratio_pct1_pct2
ZDHHC6	0,544157477	0,045347755	0,013	0,024	1	1,031931892	0,969056202	0,541666667
TINF2	0,820490956	0,045311396	0,019	0,024	1	1,031905885	0,969080625	0,791666667
SCAMP2	0,525060358	0,044737956	0,03	0,049	1	1,031495807	0,96946589	0,612244898
ANGPTL7	0,171167093	0,044724727	0,018	0,049	1	1,031486348	0,96947478	0,367346939
RGS9	0,375818168	0,044688996	0,01	0,024	1	1,031460801	0,969498791	0,416666667
PES1	0,693510359	0,044668092	0,016	0,024	1	1,031445856	0,969512839	0,666666667
RPS14	0,915347689	0,044415151	0,767	0,854	1	1,031265033	0,969682834	0,898126464
MLLT1	0,43863748	0,043977751	0,027	0,049	1	1,030952419	0,969976869	0,551020408
PLXNB2	0,632201526	0,043739187	0,04	0,024	1	1,030781956	0,970137277	1,666666667
HIBCH	0,948837288	0,04359635	0,046	0,049	1	1,030679906	0,970233333	0,93877551
ZNF333	0,693510359	0,043579032	0,016	0,024	1	1,030667533	0,97024498	0,666666667
SURF4	0,889141638	0,043558802	0,113	0,122	1	1,030653081	0,970258585	0,926229508
FAM217B	0,882242416	0,043496572	0,021	0,024	1	1,030608626	0,970300437	0,875
ESYT2	0,389416667	0,043445036	0,061	0,098	1	1,030571811	0,970335099	0,62244898
MEX3C	0,851232871	0,043444928	0,056	0,049	1	1,030571734	0,970335171	1,142857143
VRK2	0,760376583	0,04327835	0,018	0,024	1	1,030452748	0,970447216	0,75
PRDX3	0,825250845	0,043269031	0,083	0,073	1	1,030446092	0,970453484	1,136986301
ATP5MG	0,874552259	0,043222572	0,407	0,39	1	1,030412908	0,970484737	1,043589744
HECA	0,541384208	0,043113299	0,013	0,024	1	1,030334865	0,970558246	0,541666667
PHF1	0,459067691	0,042975601	0,011	0,024	1	1,03023653	0,970650885	0,458333333
MOSPD2	0,932559137	0,042929694	0,022	0,024	1	1,030203748	0,970681773	0,916666667
CETN2	0,662159797	0,0429289	0,038	0,024	1	1,030203181	0,970682307	1,583333333
PDHA1	0,260473072	0,042590038	0,053	0,098	1	1,029961234	0,970910328	0,540816327
RAD51C	0,485486209	0,042495466	0,049	0,024	1	1,02989372	0,970973976	2,041666667
FCHO2	0,836362923	0,042463005	0,03	0,024	1	1,029870547	0,970995823	1,25
CCDC74A	0,375818168	0,04231096	0,01	0,024	1	1,029762015	0,971098162	0,416666667
KIF13A	0,616800504	0,042276525	0,014	0,024	1	1,029737437	0,97112134	0,583333333
CORO2A	0,541384208	0,04216791	0,013	0,024	1	1,029659915	0,971194455	0,541666667
TMEM11	0,622403257	0,042156318	0,014	0,024	1	1,029651642	0,971202259	0,583333333
NUDT2	0,873243137	0,042070019	0,029	0,024	1	1,029590052	0,971260356	1,208333333

Supplementary Table 3

Differentially expressed genes_keloid-MD_comparing SC-Keloid vs. (SC-Myel+Nonmyel)								
gene	p_val	avg_log2FC	pct.1	pct.2	p_val_adj	Foldchange_UP	Foldchange_DOWN	Ratio_pct1_pct2
DNAJC27	0,461761449	0,041964138	0,011	0,024	1	1,029514492	0,97133164	0,458333333
VPS29	0,51833571	0,041667601	0,199	0,146	1	1,029302903	0,971531312	1,363013699
PNKP	0,87552883	0,041575936	0,029	0,024	1	1,029237506	0,971593042	1,208333333
POLR3F	0,754852144	0,041539062	0,018	0,024	1	1,0292112	0,971617876	0,75
PLXND1	0,951703412	0,041487068	0,093	0,098	1	1,029174108	0,971652893	0,948979592
CNOT3	0,690714871	0,041450085	0,016	0,024	1	1,029147726	0,971677802	0,666666667
RPS19	0,938136477	0,040924569	0,729	0,756	1	1,028772918	0,972031809	0,964285714
CASK	0,919351205	0,040899203	0,027	0,024	1	1,028754829	0,9720489	1,125
MYO9B	0,442977999	0,040621758	0,083	0,122	1	1,028557008	0,972235853	0,680327869
GNS	0,466968348	0,040412078	0,051	0,024	1	1,028407529	0,972377167	2,125
SPG7	0,988293494	0,040393684	0,048	0,049	1	1,028394418	0,972389564	0,979591837
ABCA3	0,690714871	0,040233332	0,016	0,024	1	1,02828012	0,972497649	0,666666667
GFER	0,459067691	0,040228977	0,011	0,024	1	1,028277016	0,972500585	0,458333333
CCT7	0,320350723	0,039769999	0,093	0,146	1	1,027949933	0,972810025	0,636986301
XAF1	0,693510359	0,039655801	0,016	0,024	1	1,027868568	0,972887032	0,666666667
LSM6	0,826231031	0,038889435	0,057	0,049	1	1,027322705	0,973403971	1,163265306
DNAJC9	0,838573473	0,038582273	0,03	0,024	1	1,027104002	0,973611239	1,25
RAB3GAP2	0,530479341	0,038545592	0,03	0,049	1	1,027077888	0,973635993	0,612244898
NCAPD3	0,932559137	0,038408326	0,022	0,024	1	1,026980171	0,973728635	0,916666667
PIN1	0,60082345	0,037940381	0,131	0,098	1	1,026647119	0,97404452	1,336734694
MYL5	0,763143412	0,037904043	0,018	0,024	1	1,02662126	0,974069054	0,75
H1-10	0,445316153	0,037806623	0,053	0,024	1	1,026551939	0,974134831	2,208333333
TMF1	0,738893851	0,037704978	0,062	0,049	1	1,026479616	0,974203467	1,265306122
SMIM12	0,756285721	0,037650282	0,038	0,049	1	1,0264407	0,974240402	0,775510204
RPL41	0,749967397	0,037513459	0,963	0,951	1	1,026343359	0,974332801	1,012618297
INTS13	0,375818168	0,037422552	0,01	0,024	1	1,026278689	0,974394198	0,416666667
TAF7	0,71913572	0,037294758	0,08	0,098	1	1,026187785	0,974480514	0,816326531
MSN	0,721173874	0,037052133	0,169	0,146	1	1,02601522	0,974644411	1,157534247
TCEAL1	0,393554695	0,03697939	0,026	0,049	1	1,025963489	0,974693555	0,530612245
NOSIP	0,55739524	0,036757896	0,045	0,024	1	1,025805987	0,974843209	1,875

Supplementary Table 3

Differentially expressed genes_keloid-MD_ comparing SC-Keloid vs. (SC-Myel+Nonmyel)								
gene	p_val	avg_log2FC	pct.1	pct.2	p_val_adj	Foldchange_UP	Foldchange_DOWN	Ratio_pct1_pct2
TCEA1	0,896122684	0,03674801	0,279	0,268	1	1,025798958	0,974849889	1,041044776
PSMB8-AS1	0,375818168	0,036681345	0,01	0,024	1	1,025751558	0,974894937	0,416666667
CHMP5	0,858790805	0,036382067	0,182	0,195	1	1,025538794	0,975097194	0,933333333
SETD2	0,977489667	0,036291904	0,048	0,049	1	1,025474704	0,975158136	0,979591837
MED21	0,760132187	0,036196872	0,033	0,024	1	1,025407157	0,975222372	1,375
NOB1	0,619599159	0,036089247	0,014	0,024	1	1,025330664	0,975295127	0,583333333
AGPAT2	0,332270268	0,036067897	0,04	0,073	1	1,025315491	0,97530956	0,547945205
SETD7	0,795248656	0,03598777	0,04	0,049	1	1,025258547	0,97536373	0,816326531
RPS5	0,876395448	0,035969363	0,603	0,683	1	1,025245466	0,975376174	0,882869693
LTBP1	0,968247855	0,0359604	0,026	0,024	1	1,025239096	0,975382234	1,083333333
EEF2K	0,461761449	0,035904513	0,011	0,024	1	1,025199381	0,975420019	0,458333333
CYB5A	0,971043787	0,035862562	0,099	0,098	1	1,025169571	0,975448383	1,010204082
MCTS1	0,97977211	0,035697701	0,096	0,098	1	1,025052428	0,975559856	0,979591837
CALCOCO1	0,490845484	0,03565518	0,029	0,049	1	1,025022217	0,97558861	0,591836735
LINC00667	0,535926576	0,035641088	0,03	0,049	1	1,025012204	0,97559814	0,612244898
CNP	0,54063855	0,035399611	0,129	0,171	1	1,024840653	0,975761448	0,754385965
ETFA	0,612697234	0,035301221	0,073	0,098	1	1,024770763	0,975827996	0,744897959
CCL4	0,608438325	0,035274024	0,014	0,024	1	1,024751445	0,975846392	0,583333333
TCF12	0,681154823	0,035263642	0,067	0,049	1	1,02474407	0,975853414	1,367346939
CLDN12	0,690714871	0,035253839	0,016	0,024	1	1,024737107	0,975860046	0,666666667
ZHX1	0,799321141	0,035135918	0,032	0,024	1	1,024653353	0,975939812	1,333333333
LCORL	0,693510359	0,035126676	0,016	0,024	1	1,024646788	0,975946064	0,666666667
N6AMT1	0,937735913	0,034937938	0,022	0,024	1	1,024512749	0,976073749	0,916666667
SEMA3C	0,815594305	0,034790712	0,293	0,317	1	1,024408204	0,976173362	0,924290221
CLSTN3	0,287685455	0,034676355	0,008	0,024	1	1,024327007	0,976250742	0,333333333
ATP11C	0,287685455	0,034669708	0,008	0,024	1	1,024322287	0,97625524	0,333333333
SH3GLB2	0,108029643	0,034618575	0,027	0,073	1	1,024285983	0,976289841	0,369863014
CEP350	0,882392792	0,034534353	0,08	0,073	1	1,024226188	0,976346838	1,095890411
COA8	0,945991764	0,034100389	0,075	0,073	1	1,023918146	0,976640568	1,02739726
ESRRA	0,459067691	0,034085938	0,011	0,024	1	1,023907891	0,97665035	0,458333333

Supplementary Table 3

Differentially expressed genes_keloid-MD_comparing SC-Keloid vs. (SC-Myel+Nonmyel)								
gene	p_val	avg_log2FC	pct.1	pct.2	p_val_adj	Foldchange_UP	Foldchange_DOWN	Ratio_pct1_pct2
RABL3	0,693510359	0,033892479	0,016	0,024	1	1,023770598	0,976781324	0,666666667
NOP16	0,836362923	0,033848279	0,03	0,024	1	1,023739233	0,97681125	1,25
MAK16	0,879586292	0,033670362	0,021	0,024	1	1,023612991	0,97693172	0,875
ATF7	0,832720112	0,03361584	0,057	0,049	1	1,023574308	0,976968641	1,163265306
SLC25A45	0,20008191	0,033194835	0,006	0,024	1	1,023275653	0,97725378	0,25
TRIM47	0,879586292	0,03301515	0,021	0,024	1	1,023148214	0,977375503	0,875
DEPDC5	0,622403257	0,032930407	0,014	0,024	1	1,023088117	0,977432915	0,583333333
CREB3	0,468331793	0,032692108	0,051	0,024	1	1,02291914	0,977594377	2,125
USF3	0,929971805	0,032514785	0,022	0,024	1	1,02279342	0,977714541	0,916666667
LYRM4	0,635405677	0,032492849	0,054	0,073	1	1,022777869	0,977729407	0,739726027
MAN1B1	0,954739545	0,032431938	0,075	0,073	1	1,022734688	0,977770689	1,02739726
MAST2	0,373270628	0,032394932	0,01	0,024	1	1,022708455	0,977795769	0,416666667
ZFHX4	0,992450888	0,032366244	0,024	0,024	1	1,022688119	0,977815213	1
WDR45	0,697565184	0,032097431	0,037	0,024	1	1,022497581	0,977997423	1,541666667
C7orf26	0,541384208	0,03202912	0,013	0,024	1	1,022449168	0,978043732	0,541666667
DUSP2	0,757612816	0,031480367	0,018	0,024	1	1,022060337	0,978415818	0,75
CREM	0,53769657	0,031397185	0,049	0,073	1	1,022001409	0,978472232	0,671232877
LGALS7B	0,757612816	0,03120446	0,018	0,024	1	1,021864892	0,978602952	0,75
RIC1	0,541384208	0,031115791	0,013	0,024	1	1,02180209	0,978663099	0,541666667
L3HYPDH	0,932559127	0,031082029	0,022	0,024	1	1,021778178	0,978686002	0,916666667
DPH6	0,438637424	0,030946412	0,027	0,049	1	1,021682132	0,978778006	0,551020408
MFAP2	0,776892216	0,030906873	0,061	0,049	1	1,021654132	0,978804831	1,244897959
PHAX	0,496313984	0,03077843	0,067	0,098	1	1,021563178	0,978891978	0,683673469
CWF19L2	0,253399298	0,030739479	0,053	0,098	1	1,021535598	0,978918407	0,540816327
AP1G1	0,872193095	0,030633268	0,043	0,049	1	1,021460395	0,978990477	0,87755102
MTMR11	0,287685455	0,030565859	0,008	0,024	1	1,021412669	0,979036221	0,333333333
GTF2A2	0,727607125	0,03040477	0,188	0,22	1	1,021298627	0,979145545	0,854545455
ZMIZ1	0,911957355	0,03020667	0,045	0,049	1	1,021158399	0,979280003	0,918367347
GPR17	0,731328965	0,030012565	0,062	0,049	1	1,021021018	0,979411767	1,265306122
DIRC3	0,764250734	0,029955152	0,033	0,024	1	1,020980387	0,979450744	1,375

Supplementary Table 3

Differentially expressed genes_keloid-MD_comparing SC-Keloid vs. (SC-Myel+Nonmyel)								
gene	p_val	avg_log2FC	pct.1	pct.2	p_val_adj	Foldchange_UP	Foldchange_DOWN	Ratio_pct1_pct2
UBE2D4	0,489066629	0,029925981	0,029	0,049	1	1,020959743	0,979470549	0,591836735
DNAJC3	0,749692998	0,02980369	0,145	0,122	1	1,020873205	0,979553578	1,18852459
IL17RC	0,992450888	0,029653355	0,024	0,024	1	1,020766831	0,979655657	1
ECD	0,994967217	0,029538003	0,024	0,024	1	1,020685217	0,979733399	1
PDCD10	0,993519635	0,029467347	0,097	0,098	1	1,02063523	0,979781973	0,989795918
MGME1	0,79718719	0,029457554	0,032	0,024	1	1,020628302	0,979788624	1,333333333
TEFM	0,882242416	0,029363222	0,021	0,024	1	1,02056157	0,97985269	0,875
CEMIP2	0,619599159	0,029103101	0,014	0,024	1	1,020377577	0,980029376	0,583333333
EMC9	0,757612816	0,02909162	0,018	0,024	1	1,020369457	0,980037175	0,75
LTO1	0,696310026	0,029087317	0,016	0,024	1	1,020366414	0,980040098	0,666666667
TRMT11	0,756285721	0,029067276	0,038	0,049	1	1,02035224	0,980053712	0,775510204
PNISR	0,524542198	0,028916733	0,207	0,268	1	1,020245772	0,980155985	0,77238806
ST7-AS1	0,20008191	0,028889285	0,006	0,024	1	1,020226362	0,980174633	0,25
RBBP4	0,678028425	0,028682323	0,096	0,073	1	1,020080016	0,980315254	1,315068493
RPL7L1	0,901551251	0,02817639	0,091	0,098	1	1,019722351	0,980659097	0,928571429
AFAP1	0,697565184	0,028032171	0,037	0,024	1	1,019620419	0,980757134	1,541666667
AKAP13	0,620537418	0,027977479	0,179	0,22	1	1,019581767	0,980794315	0,813636364
NDUFA8	0,478697035	0,027604258	0,105	0,146	1	1,019318038	0,981048076	0,719178082
KHK	0,287685455	0,027537138	0,008	0,024	1	1,019270617	0,981093719	0,333333333
SLC10A3	0,544157477	0,027528689	0,013	0,024	1	1,019264647	0,981099465	0,541666667
SP3	0,639920194	0,027401673	0,054	0,073	1	1,019174914	0,981185846	0,739726027
RRAD	0,255984018	0,02733222	0,021	0,049	1	1,019125852	0,981233082	0,428571429
TECPR2	0,876931522	0,027110113	0,021	0,024	1	1,018968966	0,981384157	0,875
GDAP2	0,287685455	0,027083262	0,008	0,024	1	1,018950001	0,981402423	0,333333333
PRPF18	0,823206629	0,026875955	0,019	0,024	1	1,018803594	0,981543455	0,791666667
HAX1	0,822522885	0,026687941	0,083	0,073	1	1,018670831	0,981671379	1,136986301
FLYWCH2	0,500291052	0,02662505	0,048	0,073	1	1,018626426	0,981714174	0,657534247
LGALS1	0,809852509	0,026484251	0,927	0,951	1	1,018527018	0,981809988	0,974763407
SLC25A21-AS1	0,20008191	0,026293858	0,006	0,024	1	1,018392612	0,981939566	0,25
ZKSCAN1	0,562068859	0,026070789	0,051	0,073	1	1,01823516	0,982091406	0,698630137

Supplementary Table 3

Differentially expressed genes_keloid-MD_comparing SC-Keloid vs. (SC-Myel+Nonmyel)								
gene	p_val	avg_log2FC	pct.1	pct.2	p_val_adj	Foldchange_UP	Foldchange_DOWN	Ratio_pct1_pct2
KIFBP	0,668093817	0,026001066	0,035	0,049	1	1,018185952	0,982138869	0,714285714
ANKRD36C	0,375818168	0,02599609	0,01	0,024	1	1,01818244	0,982142257	0,416666667
NDUFA5	0,746565383	0,025811151	0,126	0,146	1	1,018051928	0,982268166	0,863013699
MYO1E	0,964586419	0,025653952	0,026	0,024	1	1,017941005	0,982375202	1,083333333
CSNK1D	0,566454234	0,025508939	0,051	0,073	1	1,017838691	0,98247395	0,698630137
EIF4G2	0,942603481	0,025341373	0,322	0,317	1	1,017720479	0,982588069	1,015772871
NAALADL2	0,760376583	0,025274219	0,018	0,024	1	1,017673107	0,982633808	0,75
LBX2-AS1	0,20008191	0,025134148	0,006	0,024	1	1,017574306	0,982729216	0,25
MIER3	0,118110366	0,024999404	0,005	0,024	1	1,017479272	0,982821005	0,208333333
STK3	0,760376583	0,024922257	0,018	0,024	1	1,017424864	0,982873561	0,75
TAOK3	0,907589684	0,024798174	0,069	0,073	1	1,017337361	0,9829581	0,945205479
PBX2	0,875528845	0,024720348	0,029	0,024	1	1,017282483	0,983011127	1,208333333
BCAS3	0,287685455	0,02461835	0,008	0,024	1	1,017210564	0,983080628	0,333333333
SRC	0,375818168	0,024548726	0,01	0,024	1	1,017161475	0,983128072	0,416666667
DPYD	0,541384208	0,024547463	0,013	0,024	1	1,017160585	0,983128933	0,541666667
KCTD15	0,987418478	0,024303291	0,024	0,024	1	1,016988447	0,983295339	1
RAB38	0,20008191	0,024090777	0,006	0,024	1	1,016838653	0,983440192	0,25
ARHGEF40	0,831251633	0,023993087	0,11	0,122	1	1,016769801	0,983506786	0,901639344
AREG	0,461761449	0,023899884	0,011	0,024	1	1,016704117	0,983570327	0,458333333
SAMM50	0,531200001	0,023815167	0,046	0,024	1	1,016644416	0,983628085	1,916666667
ANKRD26	0,171167093	0,023622824	0,018	0,049	1	1,016508884	0,983759233	0,367346939
FAM207A	0,714436245	0,023518628	0,057	0,073	1	1,016435471	0,983830285	0,780821918
MPC1	0,606363457	0,023376823	0,094	0,122	1	1,016335569	0,983926993	0,770491803
SPATA33	0,921715487	0,02318648	0,027	0,024	1	1,016201487	0,984056816	1,125
HM13	0,20572129	0,022987567	0,118	0,195	1	1,016061387	0,984192504	0,605128205
SLC35B2	0,772225315	0,022951024	0,061	0,049	1	1,01603565	0,984217433	1,244897959
POLR3C	0,118110366	0,022937133	0,005	0,024	1	1,016025868	0,98422691	0,208333333
PAK2	0,669869237	0,022832324	0,222	0,195	1	1,015952058	0,984298415	1,138461538
UBXN2B	0,614007565	0,022818973	0,014	0,024	1	1,015942656	0,984307523	0,583333333
CNOT10	0,685136562	0,022765148	0,016	0,024	1	1,015904754	0,984344247	0,666666667

Supplementary Table 3

Differentially expressed genes_keloid-MD_comparing SC-Keloid vs. (SC-Myel+Nonmyel)								
gene	p_val	avg_log2FC	pct.1	pct.2	p_val_adj	Foldchange_UP	Foldchange_DOWN	Ratio_pct1_pct2
TAOK2	0,757612816	0,022738491	0,018	0,024	1	1,015885983	0,984362435	0,75
FBXL20	0,875528845	0,022733859	0,029	0,024	1	1,015882721	0,984365596	1,208333333
GLIS3	0,7178368	0,022642724	0,1	0,122	1	1,01581855	0,98442778	0,819672131
ARMC6	0,817777434	0,022085405	0,019	0,024	1	1,01542621	0,984808142	0,791666667
BEX4	0,794041007	0,021800008	0,059	0,049	1	1,015225356	0,985002979	1,204081633
C9orf50	0,20008191	0,021455782	0,006	0,024	1	1,014983153	0,985238027	0,25
DIP2A	0,566454234	0,021091678	0,051	0,073	1	1,014727026	0,985486711	0,698630137
LCAT	0,538618014	0,020997797	0,013	0,024	1	1,014660997	0,985550842	0,541666667
ACOX1	0,696310026	0,020989892	0,016	0,024	1	1,014655438	0,985556242	0,666666667
PTDSS2	0,876931522	0,020808896	0,021	0,024	1	1,01452815	0,985679894	0,875
ATRIP	0,20008191	0,020551161	0,006	0,024	1	1,014346923	0,985856	0,25
COIL	0,706942316	0,020524395	0,037	0,049	1	1,014328104	0,985874291	0,755102041
INPP4A	0,984902451	0,020486484	0,024	0,024	1	1,014301449	0,985900198	1
MAGED1	0,602460685	0,020325498	0,053	0,073	1	1,014188273	0,986010218	0,726027397
NSD1	0,922448722	0,020285462	0,053	0,049	1	1,014160129	0,986037581	1,081632653
TRNT1	0,250575068	0,020208503	0,021	0,049	1	1,014106031	0,986090181	0,428571429
NUDT16	0,829516157	0,020036085	0,041	0,049	1	1,013984841	0,986208037	0,836734694
BAG1	0,553069501	0,019924713	0,112	0,146	1	1,013906567	0,986284173	0,767123288
RBM7	0,134211055	0,019811582	0,016	0,049	1	1,013827064	0,986361516	0,326530612
BRD7	0,352165855	0,019689113	0,077	0,122	1	1,013741005	0,986445251	0,631147541
MSH2	0,98741848	0,019624434	0,024	0,024	1	1,013695557	0,986489477	1
E2F5	0,687923594	0,019601684	0,016	0,024	1	1,013679573	0,986505033	0,666666667
LRCH3	0,130723313	0,019291269	0,073	0,146	1	1,01346149	0,986717315	0,5
FBXL17	0,842998363	0,019221533	0,03	0,024	1	1,013412503	0,986765012	1,25
HSD17B4	0,835147254	0,018995206	0,041	0,049	1	1,013253533	0,986919825	0,836734694
TMCO4	0,20008191	0,018948759	0,006	0,024	1	1,013220912	0,9869516	0,25
CTDSP1	0,727039049	0,01885834	0,035	0,024	1	1,013157412	0,987013457	1,458333333
PCBP4	0,820638761	0,01878299	0,108	0,122	1	1,013104498	0,987065009	0,885245902
KBTBD4	0,375818168	0,018754892	0,01	0,024	1	1,013084766	0,987084233	0,416666667
PKD1	0,608890546	0,018387835	0,041	0,024	1	1,012827046	0,987335404	1,708333333

Supplementary Table 3

Differentially expressed genes_keloid-MD_ comparing SC-Keloid vs. (SC-Myel+Nonmyel)								
gene	p_val	avg_log2FC	pct.1	pct.2	p_val_adj	Foldchange_UP	Foldchange_DOWN	Ratio_pct1_pct2
RAB22A	0,879580256	0,018341503	0,08	0,073	1	1,012794519	0,987367113	1,095890411
MAP4K3	0,535858926	0,018151743	0,013	0,024	1	1,012661314	0,987496991	0,541666667
WDR13	0,978703534	0,017993043	0,049	0,049	1	1,012549925	0,987605624	1
CREG1	0,544157477	0,017981666	0,013	0,024	1	1,01254194	0,987613412	0,541666667
PLEKHG2	0,984902451	0,017722351	0,024	0,024	1	1,012359958	0,987790945	1
ERIS	0,88010336	0,017563463	0,029	0,024	1	1,01224847	0,98789974	1,208333333
PBX1	0,687923594	0,017489332	0,016	0,024	1	1,012196459	0,987950502	0,666666667
DEXI	0,238516217	0,0172443	0,035	0,073	1	1,012024559	0,988118313	0,479452055
CLCN5	0,817777402	0,017103703	0,019	0,024	1	1,011925937	0,988214615	0,791666667
ATF4	0,860299397	0,017083815	0,158	0,171	1	1,011911987	0,988228238	0,923976608
FNBP4	0,304033574	0,016797195	0,056	0,098	1	1,011710971	0,988424588	0,571428571
NUPR1	0,528669863	0,016608891	0,03	0,049	1	1,011578929	0,988553608	0,612244898
IRF2BPL	0,984026821	0,01642664	0,049	0,049	1	1,011451147	0,988678497	1
ST3GAL5	0,965806825	0,016268404	0,026	0,024	1	1,011340216	0,988786942	1,083333333
SCO1	0,395207964	0,016166714	0,026	0,049	1	1,011268934	0,98885664	0,530612245
PCCA	0,538618014	0,015986334	0,013	0,024	1	1,011142503	0,988980285	0,541666667
RASSF8-AS1	0,885427968	0,015963383	0,054	0,049	1	1,011126417	0,988996018	1,102040816
MFS11	0,98741848	0,015515662	0,024	0,024	1	1,010812676	0,989302987	1
CSGALNACT1	0,287685455	0,015449644	0,008	0,024	1	1,010766422	0,989348259	0,333333333
DYNLL2	0,908266335	0,015439924	0,045	0,049	1	1,010759613	0,989354924	0,918367347
B3GAT3	0,569386907	0,015362815	0,051	0,073	1	1,010705591	0,989407805	0,698630137
WDR70	0,984902451	0,015198674	0,024	0,024	1	1,010590606	0,98952038	1
CBX7	0,459067691	0,015111935	0,011	0,024	1	1,010529848	0,989579875	0,458333333
APBB3	0,20008191	0,015101083	0,006	0,024	1	1,010522246	0,989587318	0,25
ZNF720	0,712616118	0,015007871	0,037	0,049	1	1,010456959	0,989651257	0,755102041
SPSB3	0,789588166	0,014307877	0,04	0,049	1	1,009966806	0,990131551	0,816326531
RER1	0,86658713	0,013866182	0,183	0,171	1	1,009657642	0,990434736	1,070175439
PRPF40B	0,375818168	0,013803594	0,01	0,024	1	1,009613841	0,990477704	0,416666667
RPL17	0,957146825	0,013732757	0,051	0,049	1	1,00956427	0,990526339	1,040816327
ZNRD2	0,735864816	0,01371272	0,062	0,049	1	1,009550248	0,990540096	1,265306122

Supplementary Table 3

Differentially expressed genes_keloid-MD_comparing SC-Keloid vs. (SC-Myel+Nonmyel)								
gene	p_val	avg_log2FC	pct.1	pct.2	p_val_adj	Foldchange_UP	Foldchange_DOWN	Ratio_pct1_pct2
BEND6	0,877815593	0,013474263	0,029	0,024	1	1,009383398	0,990703831	1,208333333
MVB12B	0,921715487	0,013473401	0,027	0,024	1	1,009382795	0,990704423	1,125
BOLA3-AS1	0,459067691	0,013432438	0,011	0,024	1	1,009354136	0,990732553	0,458333333
MAD2L1BP	0,61959908	0,013236212	0,014	0,024	1	1,009216859	0,990867316	0,583333333
MRPL11	0,768973753	0,013208593	0,083	0,098	1	1,009197539	0,990886285	0,846938776
TRAPPC1	0,937076034	0,012954409	0,118	0,122	1	1,009019747	0,991060882	0,967213115
CDK10	0,754852144	0,012843504	0,018	0,024	1	1,008942183	0,991137071	0,75
SDF4	0,94300162	0,01266042	0,118	0,122	1	1,008814153	0,991262858	0,967213115
PKP4	0,544157477	0,012649702	0,013	0,024	1	1,008806658	0,991270222	0,541666667
SF1	0,684255322	0,012533162	0,121	0,146	1	1,00872517	0,9913503	0,828767123
JARID2	0,842998381	0,012480548	0,03	0,024	1	1,008688383	0,991386454	1,25
MB21D2	0,616800504	0,012473283	0,014	0,024	1	1,008683304	0,991391447	0,583333333
ZNF581	0,619599159	0,012271204	0,014	0,024	1	1,008542027	0,991530321	0,583333333
BACE2	0,608890546	0,012043325	0,041	0,024	1	1,008382737	0,991686949	1,708333333
ACVR1	0,754852144	0,012002167	0,018	0,024	1	1,008353969	0,991715241	0,75
BBS5	0,461761449	0,011969728	0,011	0,024	1	1,008331297	0,99173754	0,458333333
FBXO30	0,98741848	0,011923982	0,024	0,024	1	1,008299324	0,991768988	1
PGLS	0,865124303	0,011900866	0,183	0,171	1	1,008283169	0,991784878	1,070175439
UBLCP1	0,827452846	0,011800784	0,064	0,073	1	1,008213225	0,991853683	0,876712329
TPP1	0,701284799	0,011711149	0,037	0,049	1	1,008150587	0,991915308	0,755102041
SUPT20H	0,862885395	0,011652389	0,043	0,049	1	1,008109526	0,991955709	0,87755102
TMEM220	0,690714871	0,011455753	0,016	0,024	1	1,007972132	0,99209092	0,666666667
STARD7	0,608890546	0,011278813	0,041	0,024	1	1,007848517	0,992212603	1,708333333
RSF1	0,778658679	0,011261035	0,105	0,122	1	1,007836098	0,992224829	0,860655738
OGG1	0,757612816	0,011182451	0,018	0,024	1	1,007781201	0,992278878	0,75
ADCY6	0,253269486	0,010890925	0,021	0,049	1	1,00757758	0,992479408	0,428571429
NSD3	0,367812809	0,010597617	0,097	0,146	1	1,007372754	0,992681205	0,664383562
UQCC2	0,542412385	0,010564369	0,167	0,122	1	1,007349539	0,992704083	1,368852459
SH3PXD2A	0,889795263	0,010454891	0,349	0,39	1	1,0072731	0,992779416	0,894871795
MAGI3	0,461761449	0,01029966	0,011	0,024	1	1,007164725	0,992886243	0,458333333

Supplementary Table 3

Differentially expressed genes_keloid-MD_comparing SC-Keloid vs. (SC-Myel+Nonmyel)								
gene	p_val	avg_log2FC	pct.1	pct.2	p_val_adj	Foldchange_UP	Foldchange_DOWN	Ratio_pct1_pct2
TBC1D10A	0,929971805	0,010173011	0,022	0,024	1	1,007076314	0,992973409	0,916666667
ZNF43	0,490845484	0,010165535	0,029	0,049	1	1,007071095	0,992978554	0,591836735
EXOC3	0,541384208	0,010008065	0,013	0,024	1	1,006961179	0,993086944	0,541666667
CIAO2A	0,984902451	-0,010002758	0,024	0,024	1	0,993090597	1,006957475	1
CES2	0,118110366	-0,010204813	0,005	0,024	1	0,992951521	1,007098513	0,208333333
GNA11	0,17744375	-0,010314196	0,032	0,073	1	0,992876239	1,007174873	0,438356164
UTP20	0,716407514	-0,010514674	0,037	0,049	1	0,992738278	1,00731484	0,755102041
H4C3	0,302879042	-0,010643579	0,075	0,122	1	0,992649581	1,007404848	0,614754098
FBXO34	0,760376583	-0,010781346	0,018	0,024	1	0,992554795	1,007501052	0,75
ACSF3	0,616800504	-0,010951092	0,014	0,024	1	0,992438018	1,007619601	0,583333333
SSBP3	0,045584188	-0,01105948	0,033	0,098	1	0,99236346	1,007695305	0,336734694
TBL1XR1	0,60465015	-0,011308864	0,094	0,122	1	0,992191935	1,00786951	0,770491803
MAP7D3	0,754099011	-0,011371662	0,062	0,049	1	0,992148748	1,007913382	1,265306122
POLA1	0,616800584	-0,011385191	0,014	0,024	1	0,992139444	1,007922834	0,583333333
GRB14	0,373270628	-0,011510617	0,01	0,024	1	0,992053192	1,008010465	0,416666667
COA7	0,614007565	-0,011655448	0,014	0,024	1	0,991953606	1,008111664	0,583333333
ZNF28	0,20008191	-0,011966566	0,006	0,024	1	0,991739714	1,008329087	0,25
EZH2	0,817777434	-0,012240137	0,019	0,024	1	0,991551673	1,008520309	0,791666667
LINC01550	0,118110366	-0,012258754	0,005	0,024	1	0,991538878	1,008533324	0,208333333
RPL36AL	0,827421282	-0,012403301	0,539	0,561	1	0,991439538	1,008634376	0,960784314
LETM1	0,884681879	-0,012409379	0,029	0,024	1	0,991435361	1,008638625	1,208333333
STMP1	0,687677458	-0,012653412	0,18	0,146	1	0,991267674	1,008809252	1,232876712
BLCAP	0,478466805	-0,012686519	0,029	0,049	1	0,991244926	1,008832403	0,591836735
OSBP	0,107410446	-0,012873207	0,027	0,073	1	0,991116665	1,008962956	0,369863014
EIF4E3	0,071078164	-0,012889444	0,013	0,049	1	0,99110551	1,008974312	0,265306122
CYP2U1	0,20008191	-0,013161113	0,006	0,024	1	0,990918896	1,009164326	0,25
LRP12	0,902733559	-0,013454822	0,045	0,049	1	0,990717182	1,009369796	0,918367347
ELP1	0,45638276	-0,013584558	0,011	0,024	1	0,990628095	1,009460569	0,458333333
TPPP3	0,582225779	-0,013659766	0,072	0,049	1	0,990576454	1,009513194	1,469387755
SRPK2	0,152070172	-0,01385543	0,045	0,098	1	0,990442117	1,009650118	0,459183673

Supplementary Table 3

Differentially expressed genes_keloid-MD_comparing SC-Keloid vs. (SC-Myel+Nonmyel)								
gene	p_val	avg_log2FC	pct.1	pct.2	p_val_adj	Foldchange_UP	Foldchange_DOWN	Ratio_pct1_pct2
IFFO2	0,884681879	-0,014021064	0,029	0,024	1	0,990328413	1,00976604	1,208333333
GLMP	0,616800584	-0,014107686	0,014	0,024	1	0,990268953	1,00982667	0,583333333
SLC35D2	0,690714871	-0,014235862	0,016	0,024	1	0,990180977	1,009916393	0,666666667
PHF14	0,823955342	-0,014262523	0,085	0,073	1	0,990162678	1,009935056	1,164383562
KATNBL1	0,406176626	-0,014273321	0,062	0,098	1	0,990155267	1,009942615	0,632653061
GSPT1	0,894936662	-0,014538294	0,091	0,098	1	0,989973427	1,010128123	0,928571429
PPP1R11	0,342509686	-0,014916271	0,024	0,049	1	0,989714094	1,010392805	0,489795918
ZNF574	0,050627188	-0,015349958	0,003	0,024	1	0,989416622	1,010696584	0,125
ALG2	0,619599159	-0,015510587	0,014	0,024	1	0,989306467	1,01080912	0,583333333
THOC1	0,973130786	-0,015574659	0,026	0,024	1	0,989262531	1,010854013	1,083333333
SNX12	0,879586272	-0,015596514	0,021	0,024	1	0,989247546	1,010869326	0,875
SUN2	0,827641054	-0,015673846	0,041	0,049	1	0,989194521	1,010923513	0,836734694
WRNIP1	0,459067691	-0,015715465	0,011	0,024	1	0,989165985	1,010952676	0,458333333
GBE1	0,805731929	-0,015730918	0,032	0,024	1	0,98915539	1,010963505	1,333333333
TMED1	0,795626646	-0,015850777	0,059	0,049	1	0,989073215	1,011047499	1,204081633
SLC36A4	0,932559137	-0,015882438	0,022	0,024	1	0,989051509	1,011069687	0,916666667
LURAP1	0,535858926	-0,015920596	0,013	0,024	1	0,989025349	1,01109643	0,541666667
ZMAT2	0,675465578	-0,015940543	0,067	0,049	1	0,989011675	1,011110409	1,367346939
SAMD4A	0,7520946	-0,01595583	0,018	0,024	1	0,989001195	1,011121124	0,75
HEXIM2	0,118110366	-0,016004795	0,005	0,024	1	0,98896763	1,011155441	0,208333333
PANK2	0,383723316	-0,016270418	0,026	0,049	1	0,988785562	1,011341628	0,530612245
NFKBIL1	0,973130786	-0,016279662	0,026	0,024	1	0,988779226	1,011348109	1,083333333
VWA5A	0,050627188	-0,016350494	0,003	0,024	1	0,988730681	1,011397764	0,125
LG MN	0,212288248	-0,016377931	0,019	0,049	1	0,988711878	1,011416999	0,387755102
ROBO3	0,373270628	-0,016420887	0,01	0,024	1	0,988682439	1,011447114	0,416666667
SMC1A	0,423829417	-0,016441168	0,045	0,073	1	0,988668541	1,011461333	0,616438356
HS3ST3A1	0,069844092	-0,016607375	0,013	0,049	1	0,988554647	1,011577866	0,265306122
FAM168A	0,533363571	-0,016611649	0,049	0,073	1	0,988551718	1,011580863	0,671232877
ZRSR2	0,817777434	-0,016655923	0,019	0,024	1	0,988521381	1,011611907	0,791666667
DCAKD	0,541384208	-0,016902768	0,013	0,024	1	0,98835226	1,011785008	0,541666667

Supplementary Table 3

Differentially expressed genes_keloid-MD_comparing SC-Keloid vs. (SC-Myel+Nonmyel)								
gene	p_val	avg_log2FC	pct.1	pct.2	p_val_adj	Foldchange_UP	Foldchange_DOWN	Ratio_pct1_pct2
GM2A	0,370733807	-0,017120983	0,01	0,024	1	0,988202778	1,011938058	0,416666667
ING1	0,639313385	-0,017293072	0,04	0,024	1	0,988084909	1,012058772	1,666666667
PGRMC1	0,713358792	-0,01738816	0,123	0,146	1	0,988019787	1,012125478	0,842465753
RRS1	0,461761449	-0,017472818	0,011	0,024	1	0,987961811	1,012184873	0,458333333
KLHL2	0,118110366	-0,017720188	0,005	0,024	1	0,987792426	1,012358441	0,208333333
RABL2A	0,285374202	-0,017765042	0,008	0,024	1	0,987761716	1,012389915	0,333333333
CCL5	0,373270628	-0,018109303	0,01	0,024	1	0,987526041	1,012631524	0,416666667
ST3GAL4	0,62940734	-0,018202126	0,054	0,073	1	0,987462505	1,01269668	0,739726027
SEPHS1	0,815066093	-0,018239097	0,019	0,024	1	0,987437201	1,012722631	0,791666667
TEX10	0,616800584	-0,018409728	0,014	0,024	1	0,987320421	1,012842416	0,583333333
PELI1	0,749340217	-0,018422087	0,018	0,024	1	0,987311963	1,012851092	0,75
MEGF8	0,96309133	-0,018529114	0,048	0,049	1	0,987238721	1,012926234	0,979591837
ZDHHC3	0,666209301	-0,018540947	0,035	0,049	1	0,987230624	1,012934542	0,714285714
PPAN	0,614007565	-0,018578363	0,014	0,024	1	0,987205021	1,012960812	0,583333333
CCDC71L	0,440354126	-0,018619277	0,027	0,049	1	0,987177025	1,01298954	0,551020408
IP6K1	0,481986069	-0,018634687	0,029	0,049	1	0,98716648	1,01300036	0,591836735
CCDC171	0,375818168	-0,018646327	0,01	0,024	1	0,987158516	1,013008533	0,416666667
ARHGEF10L	0,45638276	-0,019070795	0,011	0,024	1	0,986868118	1,013306623	0,458333333
LINC00324	0,050627188	-0,019128658	0,003	0,024	1	0,986828538	1,013347265	0,125
HOXC4	0,118110366	-0,019251479	0,005	0,024	1	0,986744529	1,013433538	0,208333333
PRDM16	0,118110366	-0,019265486	0,005	0,024	1	0,986734949	1,013443378	0,208333333
DNTTIP2	0,99733763	-0,019321701	0,049	0,049	1	0,986696502	1,013482867	1
SH2B1	0,541384208	-0,019369566	0,013	0,024	1	0,986663766	1,013516493	0,541666667
IL17RA	0,459067691	-0,019434769	0,011	0,024	1	0,986619175	1,0135623	0,458333333
GCDH	0,118110366	-0,019528679	0,005	0,024	1	0,986554954	1,013628278	0,208333333
IRF2BP1	0,118110366	-0,019561634	0,005	0,024	1	0,986532419	1,013651433	0,208333333
TRAK2	0,998225085	-0,019634331	0,049	0,049	1	0,986482709	1,013702512	1
GK5	0,699482913	-0,019792691	0,037	0,024	1	0,986374432	1,013813789	1,541666667
SUSD4	0,116646669	-0,020007786	0,005	0,024	1	0,986227382	1,013964952	0,208333333
EDIL3	0,973130786	-0,020114983	0,026	0,024	1	0,986154104	1,014040296	1,083333333

Supplementary Table 3

Differentially expressed genes_keloid-MD_comparing SC-Keloid vs. (SC-Myel+Nonmyel)								
gene	p_val	avg_log2FC	pct.1	pct.2	p_val_adj	Foldchange_UP	Foldchange_DOWN	Ratio_pct1_pct2
MEGF6	0,116646669	-0,020130391	0,005	0,024	1	0,986143573	1,014051126	0,208333333
RBMS2	0,345632755	-0,020218889	0,024	0,049	1	0,986083082	1,014113332	0,489795918
JMY	0,476712453	-0,020382821	0,029	0,049	1	0,985971041	1,014228571	0,591836735
LLPH	0,613496118	-0,020617973	0,033	0,049	1	0,985810346	1,014393898	0,673469388
GATD1	0,933546859	-0,020664222	0,027	0,024	1	0,985778744	1,014426418	1,125
TAF13	0,757612816	-0,020711623	0,018	0,024	1	0,985746356	1,014459749	0,75
MTG2	0,459067691	-0,020872354	0,011	0,024	1	0,985636539	1,014572776	0,458333333
MGST3	0,327464188	-0,021034958	0,482	0,659	1	0,985525456	1,014687133	0,731411229
ARMCX2	0,461761449	-0,021040396	0,011	0,024	1	0,985521742	1,014690958	0,458333333
METAP1D	0,614007565	-0,021231522	0,014	0,024	1	0,98539119	1,014825392	0,583333333
GOLM2	0,240771496	-0,021254456	0,086	0,146	1	0,985375526	1,014841524	0,589041096
ABL1	0,687923594	-0,021396219	0,016	0,024	1	0,985278705	1,01494125	0,666666667
TMEM209	0,7520946	-0,021475825	0,018	0,024	1	0,98522434	1,014997254	0,75
MAN1A1	0,20008191	-0,021720397	0,006	0,024	1	0,985057335	1,015169336	0,25
RERE	0,180867153	-0,021851979	0,032	0,073	1	0,984967496	1,015261929	0,438356164
SEPHS2	0,478466805	-0,021977915	0,029	0,049	1	0,98488152	1,015350557	0,591836735
ERICH1	0,768375961	-0,02199776	0,033	0,024	1	0,984867972	1,015364524	1,375
B3GALT6	0,982386573	-0,022057767	0,024	0,024	1	0,984827009	1,015406758	1
BMP2K	0,383723316	-0,022145365	0,026	0,049	1	0,984767213	1,015468414	0,530612245
DENND4A	0,370733807	-0,02214924	0,01	0,024	1	0,984764568	1,015471141	0,416666667
NCEH1	0,459067691	-0,022151116	0,011	0,024	1	0,984763288	1,015472462	0,458333333
PPARD	0,287685455	-0,022374348	0,008	0,024	1	0,984610924	1,015629601	0,333333333
PEX13	0,533106974	-0,022428912	0,013	0,024	1	0,984573687	1,015668013	0,541666667
TXNRD1	0,927604088	-0,022433931	0,053	0,049	1	0,984570261	1,015671547	1,081632653
ZNF587	0,685136562	-0,022460044	0,016	0,024	1	0,984552441	1,015689931	0,666666667
CREB3L2	0,819560358	-0,022618931	0,131	0,146	1	0,984444016	1,015801797	0,897260274
RPL6	0,723277895	-0,022674712	0,705	0,732	1	0,984405953	1,015841073	0,963114754
TCF7L1	0,118110366	-0,022742479	0,005	0,024	1	0,984359714	1,015888791	0,208333333
PPP4C	0,841276503	-0,022755698	0,088	0,098	1	0,984350695	1,015898099	0,897959184
COMP	0,820490956	-0,022764787	0,019	0,024	1	0,984344493	1,0159045	0,791666667

Supplementary Table 3

Differentially expressed genes_keloid-MD_comparing SC-Keloid vs. (SC-Myel+Nonmyel)								
gene	p_val	avg_log2FC	pct.1	pct.2	p_val_adj	Foldchange_UP	Foldchange_DOWN	Ratio_pct1_pct2
DLG5	0,982386573	-0,022791539	0,024	0,024	1	0,984326241	1,015923338	1
CYTH2	0,617215661	-0,022833523	0,033	0,049	1	0,984297596	1,015952902	0,673469388
POU5F2	0,622403257	-0,022955291	0,014	0,024	1	0,984214522	1,016038655	0,583333333
SREBF2	0,749340217	-0,023036312	0,018	0,024	1	0,984159251	1,016095717	0,75
URB1	0,968247851	-0,023214165	0,026	0,024	1	0,984037933	1,016220987	1,083333333
TRAPPC14	0,050627188	-0,023226679	0,003	0,024	1	0,984029397	1,016229803	0,125
TSSC4	0,970289289	-0,023357459	0,048	0,049	1	0,983940199	1,016321928	0,979591837
HSPA5	0,842718397	-0,02345222	0,386	0,415	1	0,983875573	1,016388685	0,930120482
RARG	0,45638276	-0,023513208	0,011	0,024	1	0,983833982	1,016431653	0,458333333
BRCA1	0,373270628	-0,02379389	0,01	0,024	1	0,983642592	1,016629422	0,416666667
AKIRIN2	0,478466805	-0,024021977	0,029	0,049	1	0,983487092	1,016790163	0,591836735
TMEM64	0,921715487	-0,024209463	0,027	0,024	1	0,983359291	1,016922308	1,125
SLC36A1	0,287685455	-0,024306054	0,008	0,024	1	0,983293456	1,016990395	0,333333333
PIK3R3	0,535858926	-0,024333502	0,013	0,024	1	0,983274748	1,017009744	0,541666667
ATXN7L1	0,616800584	-0,024453775	0,014	0,024	1	0,983192779	1,017094533	0,583333333
EMC3	0,925507723	-0,024719715	0,078	0,073	1	0,983011558	1,017282037	1,068493151
FNTB	0,342509686	-0,025168517	0,024	0,049	1	0,982705805	1,017598548	0,489795918
ZNF250	0,20008191	-0,025425127	0,006	0,024	1	0,982531028	1,017779563	0,25
GLOD4	0,705253435	-0,025570263	0,057	0,073	1	0,982432189	1,017881957	0,780821918
C1QTNF1	0,538618014	-0,025766691	0,013	0,024	1	0,982298437	1,018020555	0,541666667
CLK2	0,614007565	-0,025778582	0,014	0,024	1	0,982290341	1,018028946	0,583333333
PCBD2	0,375818168	-0,025882147	0,01	0,024	1	0,982219829	1,018102028	0,416666667
STOX2	0,817777434	-0,025912386	0,019	0,024	1	0,982199242	1,018123368	0,791666667
SIVA1	0,888758675	-0,025991525	0,159	0,146	1	0,982145365	1,018179219	1,089041096
SERAC1	0,287685455	-0,026029319	0,008	0,024	1	0,982119636	1,018205892	0,333333333
ETV1	0,817777434	-0,026061313	0,019	0,024	1	0,982097856	1,018228472	0,791666667
TST	0,685136562	-0,026079781	0,016	0,024	1	0,982085285	1,018241507	0,666666667
CSF1	0,375818168	-0,026210708	0,01	0,024	1	0,981996163	1,018333918	0,416666667
RNF135	0,461761449	-0,026331591	0,011	0,024	1	0,981913885	1,018419248	0,458333333
MITD1	0,53480596	-0,026723112	0,049	0,073	1	0,981647448	1,018695665	0,671232877

Supplementary Table 3

Differentially expressed genes_keloid-MD_comparing SC-Keloid vs. (SC-Myel+Nonmyel)								
gene	p_val	avg_log2FC	pct.1	pct.2	p_val_adj	Foldchange_UP	Foldchange_DOWN	Ratio_pct1_pct2
CHTF8	0,970689183	-0,026739332	0,026	0,024	1	0,981636411	1,018707119	1,083333333
CSTF3	0,733003026	-0,026773409	0,035	0,024	1	0,981613225	1,018731181	1,458333333
RNF40	0,764250734	-0,026838546	0,033	0,024	1	0,981568906	1,018777178	1,375
ATP5F1B	0,214890318	-0,026928409	0,155	0,244	1	0,981507768	1,018840638	0,635245902
FMNL2	0,198124435	-0,026939521	0,006	0,024	1	0,981500208	1,018848485	0,25
GORASP1	0,538618014	-0,027097511	0,013	0,024	1	0,98139273	1,018960066	0,541666667
BCL9L	0,149845514	-0,027231009	0,03	0,073	1	0,981301922	1,019054358	0,410958904
GTF2E2	0,569535318	-0,027301992	0,032	0,049	1	0,981253641	1,019104499	0,653061224
LEMD2	0,345632755	-0,027311303	0,024	0,049	1	0,981247308	1,019111076	0,489795918
ACADS	0,370733807	-0,027448806	0,01	0,024	1	0,98115379	1,019208212	0,416666667
ZNF787	0,373270628	-0,027495936	0,01	0,024	1	0,981121739	1,019241507	0,416666667
HAUS5	0,45638276	-0,027561445	0,011	0,024	1	0,981077189	1,01928779	0,458333333
PDE5A	0,198124435	-0,027623338	0,006	0,024	1	0,981035101	1,019331519	0,25
ADCK5	0,050627188	-0,027691708	0,003	0,024	1	0,980988611	1,019379827	0,125
RPF1	0,936071274	-0,027848238	0,046	0,049	1	0,980882181	1,019490434	0,93877551
ARL1	0,646453188	-0,028188936	0,139	0,171	1	0,980650569	1,019731219	0,812865497
ZNF583	0,285374202	-0,028442563	0,008	0,024	1	0,980478185	1,019910504	0,333333333
CHCHD4	0,050627188	-0,028460651	0,003	0,024	1	0,980465892	1,019923291	0,125
DDX52	0,707612334	-0,028595167	0,065	0,049	1	0,980374479	1,020018393	1,326530612
DNAJC2	0,859167552	-0,028731907	0,043	0,049	1	0,980281562	1,020115076	0,87755102
NPM1	0,816244294	-0,028781953	0,364	0,39	1	0,980247558	1,020150463	0,933333333
TNFSF12	0,541384208	-0,028875896	0,013	0,024	1	0,980183729	1,020216894	0,541666667
KIAA1549L	0,20008191	-0,02914228	0,006	0,024	1	0,980002762	1,020405288	0,25
LMF2	0,768375961	-0,029165466	0,033	0,024	1	0,979987012	1,020421687	1,375
NAA20	0,95760211	-0,029230014	0,096	0,098	1	0,979943167	1,020467343	0,979591837
SLC25A17	0,815066093	-0,029230497	0,019	0,024	1	0,979942839	1,020467685	0,791666667
SRGAP1	0,212288248	-0,029247387	0,019	0,049	1	0,979931366	1,020479632	0,387755102
ECHDC1	0,639887292	-0,029469417	0,097	0,122	1	0,979780567	1,020636695	0,795081967
ZNF511	0,65494676	-0,029898604	0,035	0,049	1	0,979489136	1,020940369	0,714285714
POP5	0,821250773	-0,029900123	0,085	0,073	1	0,979488104	1,020941444	1,164383562

Supplementary Table 3

Differentially expressed genes_keloid-MD_ comparing SC-Keloid vs. (SC-Myel+Nonmyel)								
gene	p_val	avg_log2FC	pct.1	pct.2	p_val_adj	Foldchange_UP	Foldchange_DOWN	Ratio_pct1_pct2
EIF4A1	0,576532627	-0,030004255	0,132	0,098	1	0,979417409	1,021015137	1,346938776
AMPD2	0,198124435	-0,030112722	0,006	0,024	1	0,979343776	1,021091903	0,25
ACADM	0,78299827	-0,030203938	0,04	0,049	1	0,979281857	1,021156465	0,816326531
ENG	0,468331793	-0,030388768	0,051	0,024	1	0,979156405	1,021287299	2,125
SCML1	0,744939532	-0,030437994	0,038	0,049	1	0,979122996	1,021322146	0,775510204
PPM1A	0,57320861	-0,030548247	0,032	0,049	1	0,979048173	1,0214002	0,653061224
DUSP1	0,458265617	-0,030615392	0,104	0,146	1	0,979002608	1,021447739	0,712328767
USP32	0,874278136	-0,030791611	0,021	0,024	1	0,978883034	1,021572512	0,875
ZNF493	0,616800584	-0,030868281	0,014	0,024	1	0,978831014	1,021626804	0,583333333
KLHL5	0,070458912	-0,031137251	0,013	0,049	1	0,978648542	1,021817289	0,265306122
SRSF3	0,517329982	-0,031289466	0,215	0,171	1	0,978545293	1,021925104	1,257309942
SYNGR1	0,509060582	-0,031574725	0,089	0,122	1	0,978351827	1,022127186	0,729508197
SGMS1	0,100838432	-0,031581428	0,014	0,049	1	0,978347282	1,022131934	0,285714286
SF3B5	0,925579634	-0,031606068	0,266	0,268	1	0,978330573	1,022149392	0,992537313
MS4A6A	0,050627188	-0,031637332	0,003	0,024	1	0,978309372	1,022171543	0,125
SUCLA2	0,989350819	-0,031770232	0,049	0,049	1	0,978219255	1,022265709	1
POLR2F	0,959067463	-0,031851946	0,226	0,22	1	0,97816385	1,022323611	1,027272727
RAE1	0,433510677	-0,031987009	0,027	0,049	1	0,978072281	1,022419324	0,551020408
RNPEP	0,871626162	-0,032132275	0,021	0,024	1	0,977973802	1,022522278	0,875
MFSD5	0,287685455	-0,032153465	0,008	0,024	1	0,977959439	1,022537296	0,333333333
PIZO1	0,861156576	-0,032242176	0,056	0,049	1	0,977899306	1,022600174	1,142857143
PORCN	0,118110366	-0,032522104	0,005	0,024	1	0,977709581	1,022798609	0,208333333
DCLRE1A	0,118110366	-0,033072248	0,005	0,024	1	0,977336821	1,023188709	0,208333333
TUBG2	0,287685273	-0,033083458	0,008	0,024	1	0,977329228	1,023196658	0,333333333
BCL10	0,948412442	-0,033221576	0,051	0,049	1	0,977235666	1,02329462	1,040816327
TCF3	0,664326889	-0,033644456	0,035	0,049	1	0,976949263	1,023594611	0,714285714
TMPO	0,32394079	-0,033770399	0,04	0,073	1	0,976863982	1,023683971	0,547945205
ZNF26	0,535858926	-0,033830855	0,013	0,024	1	0,976823047	1,023726869	0,541666667
CBX3	0,885056034	-0,033881387	0,281	0,268	1	0,976788834	1,023762727	1,048507463
NAT14	0,858148677	-0,033886971	0,065	0,073	1	0,976785053	1,02376669	0,890410959

Supplementary Table 3

Differentially expressed genes_keloid-MD_ comparing SC-Keloid vs. (SC-Myel+Nonmyel)								
gene	p_val	avg_log2FC	pct.1	pct.2	p_val_adj	Foldchange_UP	Foldchange_DOWN	Ratio_pct1_pct2
UBE2H	0,606713635	-0,033992565	0,159	0,195	1	0,976713562	1,023841624	0,815384615
LPCAT1	0,373270628	-0,034042952	0,01	0,024	1	0,976679451	1,023877383	0,416666667
TIMM10	0,921223701	-0,034093611	0,078	0,073	1	0,976645156	1,023913336	1,068493151
ZNF362	0,388620075	-0,034125551	0,026	0,049	1	0,976623534	1,023936005	0,530612245
RPF2	0,860096721	-0,034133762	0,043	0,049	1	0,976617976	1,023941832	0,87755102
MRPL3	0,535947135	-0,034327882	0,091	0,122	1	0,976486577	1,024079617	0,745901639
MXD4	0,648848565	-0,034339305	0,075	0,098	1	0,976478845	1,024087726	0,765306122
CEP250	0,45638276	-0,034347663	0,011	0,024	1	0,976473189	1,024093658	0,458333333
TMEM63B	0,180867109	-0,034428225	0,032	0,073	1	0,976418662	1,024150847	0,438356164
GAL3ST4	0,373270628	-0,034660478	0,01	0,024	1	0,976261486	1,024315733	0,416666667
WASL	0,627911575	-0,034829463	0,054	0,073	1	0,976147142	1,02443572	0,739726027
PBRM1	0,652825814	-0,034893	0,097	0,073	1	0,976104153	1,024480838	1,328767123
RGS14	0,009951995	-0,035006675	0,002	0,024	1	0,976027245	1,024561563	0,083333333
BAZ2A	0,823893804	-0,035116289	0,041	0,049	1	0,975953091	1,024639411	0,836734694
TRRAP	0,932559127	-0,035201824	0,022	0,024	1	0,97589523	1,024700162	0,916666667
GOLGB1	0,876067263	-0,035636328	0,108	0,098	1	0,975601359	1,025008823	1,102040816
ZNF430	0,687923594	-0,035858402	0,016	0,024	1	0,975451196	1,025166615	0,666666667
UFL1	0,491660274	-0,035989007	0,069	0,098	1	0,975362894	1,025259426	0,704081633
KDM7A	0,285374202	-0,036210036	0,008	0,024	1	0,975213474	1,025416513	0,333333333
BCAR3	0,254624236	-0,036297268	0,021	0,049	1	0,975154509	1,025478517	0,428571429
NCBP3	0,486255282	-0,036319505	0,048	0,073	1	0,975139479	1,025494323	0,657534247
MICOS13	0,786463482	-0,036465061	0,217	0,244	1	0,975041101	1,025597792	0,889344262
ZNF197	0,287685455	-0,036478332	0,008	0,024	1	0,975032132	1,025607226	0,333333333
SERGEF	0,687923594	-0,036492016	0,016	0,024	1	0,975022884	1,025616954	0,666666667
CNIH4	0,736391909	-0,036552311	0,12	0,098	1	0,974982135	1,025659819	1,224489796
C1QBP	0,641746342	-0,036600305	0,182	0,22	1	0,974949701	1,02569394	0,827272727
SRSF10	0,130670697	-0,036764859	0,091	0,171	1	0,974838504	1,025810938	0,532163743
PIKFYVE	0,685136562	-0,037056767	0,016	0,024	1	0,97464128	1,026018516	0,666666667
CHMP3	0,671384471	-0,03706898	0,121	0,146	1	0,974633029	1,026027202	0,828767123
ZNF575	0,009951995	-0,037090655	0,002	0,024	1	0,974618387	1,026042617	0,083333333

Supplementary Table 3

Differentially expressed genes_keloid-MD_ comparing SC-Keloid vs. (SC-Myel+Nonmyel)								
gene	p_val	avg_log2FC	pct.1	pct.2	p_val_adj	Foldchange_UP	Foldchange_DOWN	Ratio_pct1_pct2
SLC25A29	0,287685455	-0,037276266	0,008	0,024	1	0,974493005	1,026174632	0,333333333
RFWD3	0,453706681	-0,037297495	0,011	0,024	1	0,974478665	1,026189732	0,458333333
PPP1CA	0,783569972	-0,037320021	0,107	0,122	1	0,97446345	1,026205755	0,87704918
NFAT5	0,938428497	-0,037364446	0,07	0,073	1	0,974433444	1,026237355	0,95890411
TFEB	0,287685455	-0,037369233	0,008	0,024	1	0,97443021	1,02624076	0,333333333
NELFCD	0,744939532	-0,037981179	0,038	0,049	1	0,974016975	1,026676152	0,775510204
UBFD1	0,510723655	-0,038020909	0,048	0,024	1	0,973990152	1,026704426	2
ARHGAP31	0,754852144	-0,038030661	0,018	0,024	1	0,973983569	1,026711366	0,75
PLOD2	0,734994618	-0,03805595	0,035	0,024	1	0,973966496	1,026729363	1,458333333
MTF1	0,373270628	-0,0380648	0,01	0,024	1	0,973960521	1,026735662	0,416666667
PXN-AS1	0,817777434	-0,038731406	0,019	0,024	1	0,973510601	1,027210181	0,791666667
C1S	0,300183592	-0,038856468	0,022	0,049	1	0,973426214	1,02729923	0,448979592
SGCD	0,538618014	-0,038922994	0,013	0,024	1	0,973381328	1,027346602	0,541666667
IMPA1	0,48022468	-0,039005837	0,029	0,049	1	0,973325436	1,027405596	0,591836735
MYO6	0,749340217	-0,039360853	0,018	0,024	1	0,973085951	1,027658449	0,75
CLDN15	0,287685455	-0,039361248	0,008	0,024	1	0,973085685	1,027658731	0,333333333
IKZF1	0,009951995	-0,039560728	0,002	0,024	1	0,972951147	1,027800834	0,083333333
USP34	0,467407878	-0,039671078	0,065	0,098	1	0,972876729	1,027879453	0,663265306
NUDT8	0,685136562	-0,039819575	0,016	0,024	1	0,972776596	1,027985258	0,666666667
POM121	0,687923594	-0,039940508	0,016	0,024	1	0,972695057	1,028071432	0,666666667
DTX3	0,874278136	-0,04002465	0,021	0,024	1	0,972638329	1,028131393	0,875
B3GAT2	0,754852144	-0,040075694	0,018	0,024	1	0,972603916	1,02816777	0,75
PPRC1	0,285374202	-0,04032129	0,008	0,024	1	0,97243836	1,028342814	0,333333333
CENPB	0,392939578	-0,040630691	0,043	0,073	1	0,972229833	1,028563377	0,589041096
ZNF500	0,20008191	-0,040642176	0,006	0,024	1	0,972222093	1,028571565	0,25
ZNF776	0,541384208	-0,040699158	0,013	0,024	1	0,972183694	1,028612191	0,541666667
ARFRP1	0,92073098	-0,040725603	0,053	0,049	1	0,972165874	1,028631046	1,081632653
DCP1B	0,20008191	-0,040792367	0,006	0,024	1	0,972120886	1,02867865	0,25
SLC2A4RG	0,922448717	-0,041001924	0,053	0,049	1	0,971979691	1,02882808	1,081632653
GANAB	0,398612997	-0,041552134	0,12	0,171	1	0,971609072	1,029220526	0,701754386

Supplementary Table 3

Differentially expressed genes_keloid-MD_comparing SC-Keloid vs. (SC-Myel+Nonmyel)								
gene	p_val	avg_log2FC	pct.1	pct.2	p_val_adj	Foldchange_UP	Foldchange_DOWN	Ratio_pct1_pct2
CERS2	0,510842663	-0,041594411	0,069	0,098	1	0,9715806	1,029250687	0,704081633
TMED9	0,748916296	-0,041669473	0,22	0,244	1	0,971530051	1,029304239	0,901639344
DPYSL3	0,135157373	-0,041717238	0,016	0,049	1	0,971497886	1,029338318	0,326530612
ARMC8	0,130651429	-0,041993797	0,029	0,073	1	0,971311672	1,029535657	0,397260274
ATG101	0,344280633	-0,042121765	0,059	0,098	1	0,97122552	1,029626981	0,602040816
ABCB7	0,1323338	-0,042139512	0,016	0,049	1	0,971213572	1,029639647	0,326530612
HERC3	0,20008191	-0,042199067	0,006	0,024	1	0,971173481	1,029682152	0,25
ZNF71	0,198124435	-0,042207592	0,006	0,024	1	0,971167742	1,029688237	0,25
SMARCA5	0,642489108	-0,042324473	0,139	0,171	1	0,971089066	1,029771661	0,812865497
TBCD	0,368207718	-0,042369585	0,01	0,024	1	0,971058701	1,029803861	0,416666667
EMD	0,945188371	-0,042370758	0,046	0,049	1	0,971057911	1,029804699	0,93877551
SF3A2	0,614007565	-0,042400252	0,014	0,024	1	0,971038059	1,029825752	0,583333333
MTA1	0,746589028	-0,042543396	0,018	0,024	1	0,970941718	1,029927936	0,75
PARP10	0,198124435	-0,042571724	0,006	0,024	1	0,970922653	1,02994816	0,25
SNRNP40	0,478466805	-0,042606498	0,029	0,049	1	0,970899251	1,029972985	0,591836735
SLF2	0,757151733	-0,042778431	0,061	0,073	1	0,970783551	1,030095739	0,835616438
NPLOC4	0,521463509	-0,042931492	0,03	0,049	1	0,970680563	1,030205032	0,612244898
DDA1	0,486255282	-0,04310213	0,048	0,073	1	0,97056576	1,030326889	0,657534247
KIAA0895L	0,687923594	-0,04313654	0,016	0,024	1	0,970542611	1,030351464	0,666666667
PPID	0,613496118	-0,043275718	0,033	0,049	1	0,970448986	1,030450868	0,673469388
CAVIN3	0,993826851	-0,04335037	0,459	0,463	1	0,970398772	1,030504189	0,991360691
ERAP1	0,344068959	-0,043354634	0,024	0,049	1	0,970395904	1,030507235	0,489795918
NEDD9	0,206131125	-0,043448749	0,033	0,073	1	0,970332602	1,030574463	0,452054795
EIF4G3	0,853596691	-0,043498758	0,043	0,049	1	0,970298967	1,030610187	0,87755102
FAM214B	0,476712453	-0,043797199	0,029	0,049	1	0,970098268	1,030823405	0,591836735
CNPY4	0,295791334	-0,043923695	0,022	0,049	1	0,970013214	1,030913791	0,448979592
NIBAN2	0,952588445	-0,044055688	0,126	0,122	1	0,969924471	1,031008115	1,032786885
PLAA	0,68235381	-0,044154481	0,016	0,024	1	0,969858054	1,031078719	0,666666667
GPSM1	0,749340217	-0,044228855	0,018	0,024	1	0,969808057	1,031131874	0,75
TCEAL7	0,906081716	-0,044617252	0,069	0,073	1	0,969547004	1,031409509	0,945205479

Supplementary Table 3

Differentially expressed genes_keloid-MD_ comparing SC-Keloid vs. (SC-Myel+Nonmyel)								
gene	p_val	avg_log2FC	pct.1	pct.2	p_val_adj	Foldchange_UP	Foldchange_DOWN	Ratio_pct1_pct2
ETV3	0,733003026	-0,044776219	0,035	0,024	1	0,969440178	1,031523164	1,458333333
SLC25A28	0,1323338	-0,045009445	0,016	0,049	1	0,969283472	1,031689933	0,326530612
DNAJC3-DT	0,283075535	-0,0454129	0,008	0,024	1	0,969012445	1,03197849	0,333333333
WWC3	0,47321434	-0,045456422	0,029	0,049	1	0,968983214	1,032009622	0,591836735
SLC25A33	0,285374202	-0,045685315	0,008	0,024	1	0,96882949	1,03217337	0,333333333
ISG20	0,118110366	-0,045729113	0,005	0,024	1	0,968800079	1,032204706	0,208333333
CAPN10	0,050627188	-0,046013898	0,003	0,024	1	0,968608858	1,032408481	0,125
PGF	0,118110366	-0,046037864	0,005	0,024	1	0,968592768	1,032425631	0,208333333
PLEKHB2	0,264077938	-0,046078257	0,037	0,073	1	0,968565649	1,032454538	0,506849315
RCOR1	0,251919765	-0,046328843	0,021	0,049	1	0,968397431	1,032633884	0,428571429
SLC2A6	0,20008191	-0,046482913	0,006	0,024	1	0,968294018	1,032744168	0,25
SPPL2A	0,856711396	-0,046484457	0,262	0,293	1	0,968292982	1,032745273	0,894197952
TFAM	0,494651088	-0,046505772	0,048	0,073	1	0,968278676	1,032760531	0,657534247
REV1	0,253269486	-0,046537219	0,021	0,049	1	0,96825757	1,032783043	0,428571429
ZNF33A	0,342509621	-0,046635187	0,024	0,049	1	0,968191822	1,032853178	0,489795918
SPIN2B	0,009951995	-0,046886715	0,002	0,024	1	0,968023036	1,033033267	0,083333333
LSP1	0,285374202	-0,047131298	0,008	0,024	1	0,967858939	1,033208415	0,333333333
NDUFA12	0,888789623	-0,047255308	0,306	0,293	1	0,967775748	1,03329723	1,044368601
UQCRCF1	0,351499061	-0,047390513	0,059	0,098	1	0,967685056	1,033394072	0,602040816
AGO2	0,791733921	-0,047575069	0,062	0,073	1	0,967561273	1,033526277	0,849315068
RAB5IF	0,25515508	-0,047659182	0,053	0,098	1	0,967504863	1,033586536	0,540816327
MRPL55	0,647238323	-0,047664469	0,077	0,098	1	0,967501318	1,033590324	0,785714286
LTC4S	0,287685455	-0,047710354	0,008	0,024	1	0,967470546	1,033623198	0,333333333
TMEM50B	0,63615714	-0,047930338	0,054	0,073	1	0,967323036	1,033780818	0,739726027
UNC50	0,639313385	-0,04800242	0,04	0,024	1	0,967274707	1,03383247	1,666666667
MAPK8	0,973130782	-0,048049007	0,026	0,024	1	0,967243473	1,033865855	1,083333333
FOXN3	0,7520946	-0,048110199	0,018	0,024	1	0,967202448	1,033909708	0,75
CRBN	0,559154418	-0,048177367	0,051	0,073	1	0,967157419	1,033957845	0,698630137
DIAPH2	0,453706681	-0,048203374	0,011	0,024	1	0,967139984	1,033976484	0,458333333
LSM7	0,945418718	-0,048330453	0,544	0,561	1	0,967054798	1,034067565	0,96969697

Supplementary Table 3

Differentially expressed genes_keloid-MD_ comparing SC-Keloid vs. (SC-Myel+Nonmyel)								
gene	p_val	avg_log2FC	pct.1	pct.2	p_val_adj	Foldchange_UP	Foldchange_DOWN	Ratio_pct1_pct2
TP53	0,70140256	-0,048385174	0,037	0,024	1	0,967018118	1,034106788	1,541666667
PCNA	0,321586141	-0,048520196	0,04	0,073	1	0,966927619	1,034203574	0,547945205
YIF1B	0,929971805	-0,048541421	0,022	0,024	1	0,966913394	1,03421879	0,916666667
ANKZF1	0,287685455	-0,048615823	0,008	0,024	1	0,96686353	1,034272127	0,333333333
TMEM243	0,653077191	-0,048639732	0,035	0,049	1	0,966847507	1,034289268	0,714285714
RNF19B	0,285374202	-0,048811274	0,008	0,024	1	0,966732552	1,034412256	0,333333333
MAEA	0,173361616	-0,048948198	0,018	0,049	1	0,966640805	1,034510435	0,367346939
CCDC174	0,207996287	-0,048975518	0,033	0,073	1	0,9666225	1,034530026	0,452054795
ZNF846	0,287685455	-0,049035847	0,008	0,024	1	0,96658208	1,034573288	0,333333333
UBE3D	0,287685455	-0,049173448	0,008	0,024	1	0,966489894	1,034671967	0,333333333
GAS1	0,370733807	-0,049235686	0,01	0,024	1	0,9664482	1,034716605	0,416666667
NOP53	0,696113365	-0,049317335	0,057	0,073	1	0,966393506	1,034775166	0,780821918
PRPF6	0,949370949	-0,049490955	0,077	0,073	1	0,966277213	1,034899702	1,054794521
ZMYND8	0,737405863	-0,049504431	0,038	0,049	1	0,966268187	1,034909369	0,775510204
RWDD2B	0,459067691	-0,049582213	0,011	0,024	1	0,966216093	1,034965167	0,458333333
PTS	0,718042606	-0,049604876	0,093	0,073	1	0,966200915	1,034981425	1,273972603
ZNF655	0,900890334	-0,049855564	0,045	0,049	1	0,966033039	1,035161283	0,918367347
TIMM23B	0,375818014	-0,050000096	0,01	0,024	1	0,965936264	1,035264993	0,416666667
FUBP1	0,471477621	-0,050061824	0,081	0,049	1	0,965894937	1,035309289	1,653061224
RBM12B	0,923506759	-0,05008959	0,022	0,024	1	0,965876347	1,035329215	0,916666667
SLC30A5	0,613496154	-0,050122464	0,033	0,049	1	0,965854338	1,035352807	0,673469388
SMCHD1	0,731376006	-0,050460613	0,059	0,073	1	0,965627981	1,035595508	0,808219178
WDR41	0,655882326	-0,050521322	0,035	0,049	1	0,965587348	1,035639087	0,714285714
DMAP1	0,611220134	-0,050624561	0,014	0,024	1	0,965518253	1,0357132	0,583333333
DYRK4	0,982386573	-0,050816837	0,024	0,024	1	0,965389582	1,035851245	1
KLF3	0,800908072	-0,050826552	0,108	0,122	1	0,965383081	1,03585822	0,885245902
ALKBH1	0,050627188	-0,050862244	0,003	0,024	1	0,965359198	1,035883847	0,125
SNAPC5	0,482086424	-0,050909061	0,048	0,073	1	0,965327872	1,035917463	0,657534247
HAUS6	0,874278136	-0,050964165	0,021	0,024	1	0,965291002	1,035957031	0,875
NACC2	0,970689183	-0,050967453	0,026	0,024	1	0,965288801	1,035959392	1,083333333

Supplementary Table 3

Differentially expressed genes_keloid-MD_comparing SC-Keloid vs. (SC-Myel+Nonmyel)								
gene	p_val	avg_log2FC	pct.1	pct.2	p_val_adj	Foldchange_UP	Foldchange_DOWN	Ratio_pct1_pct2
AARS1	0,174908036	-0,051000239	0,032	0,073	1	0,965266865	1,035982935	0,438356164
PHYHIPL	0,050627188	-0,051031092	0,003	0,024	1	0,965246222	1,036005091	0,125
HGSNAT	0,45360176	-0,051121165	0,046	0,073	1	0,96518596	1,036069775	0,630136986
ESCO1	0,613496154	-0,051187289	0,033	0,049	1	0,965141723	1,036117263	0,673469388
ATN1	0,586635189	-0,051250289	0,043	0,024	1	0,965099578	1,036162509	1,791666667
NMNAT3	0,009951995	-0,051257472	0,002	0,024	1	0,965094773	1,036167668	0,083333333
CSNK1A1	0,427346442	-0,051354956	0,246	0,317	1	0,965029563	1,036237685	0,776025237
SFMBT1	0,118110366	-0,051493879	0,005	0,024	1	0,96493664	1,036337473	0,208333333
POLR2A	0,859501049	-0,051549217	0,056	0,049	1	0,964899629	1,036377225	1,142857143
THAP2	0,676801274	-0,051916493	0,016	0,024	1	0,964654019	1,036641096	0,666666667
GTF3C4	0,336317863	-0,051949187	0,024	0,049	1	0,964632159	1,036664588	0,489795918
SMAD4	0,92932323	-0,05199837	0,053	0,049	1	0,964599274	1,03669993	1,081632653
MDH2	0,489114133	-0,052055619	0,067	0,098	1	0,964560998	1,036741069	0,683673469
BBS9	0,982386573	-0,052103357	0,024	0,024	1	0,964529081	1,036775375	1
DDX23	0,100054015	-0,052309416	0,014	0,049	1	0,964391329	1,036923467	0,285714286
ACAP3	0,884681865	-0,052664279	0,029	0,024	1	0,964154144	1,037178553	1,208333333
MLXIP	0,989350819	-0,052674751	0,049	0,049	1	0,964147146	1,037186082	1
WBP2NL	0,009951995	-0,053092804	0,002	0,024	1	0,963867803	1,037486673	0,083333333
PTPRA	0,689483621	-0,053220878	0,1	0,122	1	0,963782241	1,037578779	0,819672131
BORCS8	0,453706681	-0,053382198	0,011	0,024	1	0,963674478	1,037694805	0,458333333
TM2D1	0,733648417	-0,053407863	0,038	0,049	1	0,963657334	1,037713266	0,775510204
TXLNA	0,413283703	-0,053443682	0,045	0,073	1	0,963633409	1,037739031	0,616438356
USP22	0,624391573	-0,053459246	0,1	0,073	1	0,963623014	1,037750226	1,369863014
BCS1L	0,480224629	-0,053511141	0,029	0,049	1	0,963588352	1,037787555	0,591836735
CNOT6L	0,38698361	-0,053625348	0,026	0,049	1	0,963512075	1,037869713	0,530612245
ZSCAN29	0,285374202	-0,053687344	0,008	0,024	1	0,963470671	1,037914313	0,333333333
NFKBIZ	0,872193095	-0,053691473	0,043	0,049	1	0,963467914	1,037917284	0,87755102
OPA3	0,924799387	-0,053808684	0,022	0,024	1	0,963389641	1,038001612	0,916666667
GNRH1	0,009951995	-0,053929964	0,002	0,024	1	0,963308657	1,038088875	0,083333333
SH3BGR	0,900890334	-0,054000068	0,045	0,049	1	0,963261849	1,038139319	0,918367347

Supplementary Table 3

Differentially expressed genes_keloid-MD_ comparing SC-Keloid vs. (SC-Myel+Nonmyel)								
gene	p_val	avg_log2FC	pct.1	pct.2	p_val_adj	Foldchange_UP	Foldchange_DOWN	Ratio_pct1_pct2
NAA60	0,171167093	-0,054039909	0,018	0,049	1	0,963235248	1,038167989	0,367346939
RSPH9	0,749340217	-0,054079906	0,018	0,024	1	0,963208544	1,038196771	0,75
ARV1	0,535858926	-0,0541761	0,013	0,024	1	0,963144323	1,038265997	0,541666667
KCTD2	0,287685455	-0,05420787	0,008	0,024	1	0,963123113	1,038288861	0,333333333
PAICS	0,732904563	-0,054214629	0,059	0,073	1	0,9631186	1,038293726	0,808219178
INF2	0,733003026	-0,054383687	0,035	0,024	1	0,963005747	1,038415402	1,458333333
RING1	0,294336857	-0,054389064	0,022	0,049	1	0,963002158	1,038419272	0,448979592
TFAP4	0,009951995	-0,054416674	0,002	0,024	1	0,962983728	1,038439145	0,083333333
PCDHB11	0,009951995	-0,054470639	0,002	0,024	1	0,962947708	1,03847799	0,083333333
FAM241A	0,459067691	-0,054793758	0,011	0,024	1	0,962732062	1,038710603	0,458333333
CD63	0,777989555	-0,054995987	0,794	0,756	1	0,962597121	1,038856213	1,05026455
CRABP2	0,68235381	-0,055113384	0,016	0,024	1	0,962518794	1,038940752	0,666666667
IAH1	0,475804951	-0,055182981	0,169	0,22	1	0,962472363	1,038990873	0,768181818
TIMP1	0,83330907	-0,055309313	0,632	0,61	1	0,962388086	1,039081858	1,036065574
PSMB1	0,385661592	-0,055344404	0,4	0,317	1	0,962364677	1,039107132	1,261829653
SGPP1	0,050627188	-0,055465056	0,003	0,024	1	0,962284199	1,039194036	0,125
CFLAR	0,874422089	-0,055478096	0,056	0,049	1	0,962275501	1,039203429	1,142857143
NACA2	0,459067691	-0,055503976	0,011	0,024	1	0,962258239	1,039222071	0,458333333
MCRIP2	0,535858926	-0,055608752	0,013	0,024	1	0,962188358	1,039297547	0,541666667
TRIM2	0,734994593	-0,055824281	0,035	0,024	1	0,962044624	1,039452823	1,458333333
VEGFA	0,702713435	-0,055842105	0,094	0,073	1	0,962032738	1,039465665	1,287671233
ZNF816	0,009951995	-0,055846806	0,002	0,024	1	0,962029603	1,039469052	0,083333333
ASPSCR1	0,478466805	-0,055875748	0,029	0,049	1	0,962010304	1,039489905	0,591836735
DVL2	0,287685455	-0,05598147	0,008	0,024	1	0,96193981	1,039566083	0,333333333
ATP5F1A	0,869783828	-0,056541687	0,175	0,171	1	0,961566349	1,039969838	1,023391813
MTRF1L	0,746589028	-0,05654338	0,018	0,024	1	0,961565221	1,039971058	0,75
RBL1	0,45638276	-0,056916594	0,011	0,024	1	0,961316503	1,040240125	0,458333333
ZNF781	0,198124435	-0,057031152	0,006	0,024	1	0,961240172	1,04032273	0,25
RAD9A	0,20008191	-0,057057911	0,006	0,024	1	0,961222344	1,040342026	0,25
FLAD1	0,538618014	-0,057100578	0,013	0,024	1	0,961193916	1,040372794	0,541666667

Supplementary Table 3

Differentially expressed genes_keloid-MD_comparing SC-Keloid vs. (SC-Myel+Nonmyel)								
gene	p_val	avg_log2FC	pct.1	pct.2	p_val_adj	Foldchange_UP	Foldchange_DOWN	Ratio_pct1_pct2
BHLHE40	0,326936686	-0,057149632	0,077	0,122	1	0,961161234	1,040408169	0,631147541
C9orf72	0,20008191	-0,057254765	0,006	0,024	1	0,961091195	1,040483989	0,25
MKRN2	0,9288124	-0,057450187	0,027	0,024	1	0,960961018	1,040624939	1,125
TLN2	0,743053794	-0,057490253	0,038	0,049	1	0,960934331	1,040653839	0,775510204
MIF4GD	0,611220134	-0,057651489	0,014	0,024	1	0,960826942	1,040770149	0,583333333
PLEKHM1	0,538618014	-0,057912428	0,013	0,024	1	0,960653174	1,040958409	0,541666667
TTC7B	0,538618014	-0,058000027	0,013	0,024	1	0,960594846	1,041021617	0,541666667
SOX4	0,783148124	-0,058279515	0,499	0,488	1	0,960408771	1,04122331	1,022540984
SLC6A8	0,20008191	-0,058472189	0,006	0,024	1	0,960280516	1,041362376	0,25
MRPL10	0,535858926	-0,058554162	0,013	0,024	1	0,960225955	1,041421547	0,541666667
MTMR10	0,815066093	-0,058762382	0,019	0,024	1	0,960087378	1,041571864	0,791666667
PARVA	0,895363895	-0,058795284	0,045	0,049	1	0,960065483	1,041595618	0,918367347
PLIN2	0,927385212	-0,058921961	0,022	0,024	1	0,959981188	1,04168708	0,916666667
LARP1	0,988204446	-0,059222288	0,073	0,073	1	0,959781368	1,041903952	1
FBXO48	0,009951995	-0,059257897	0,002	0,024	1	0,959757679	1,041929668	0,083333333
RNF10	0,926446105	-0,059260447	0,027	0,024	1	0,959755983	1,04193151	1,125
NCAPH2	0,535858926	-0,059563486	0,013	0,024	1	0,959554406	1,042150391	0,541666667
AGAP1	0,560610721	-0,059655276	0,051	0,073	1	0,959493357	1,042216699	0,698630137
JAM3	0,55533563	-0,059870176	0,093	0,122	1	0,959350444	1,042371957	0,762295082
ZNF48	0,285374202	-0,059988657	0,008	0,024	1	0,959271661	1,042457565	0,333333333
GSK3A	0,929971805	-0,060083146	0,022	0,024	1	0,959208836	1,042525843	0,916666667
HNRNPDL	0,635120763	-0,060177431	0,257	0,293	1	0,959146151	1,042593977	0,877133106
ZNF638	0,627911575	-0,060185197	0,054	0,073	1	0,959140988	1,042599589	0,739726027
PLTP	0,476712453	-0,060414218	0,029	0,049	1	0,95898874	1,042765111	0,591836735
DDI2	0,535858926	-0,060542638	0,013	0,024	1	0,958903381	1,042857935	0,541666667
POLR1G	0,050627188	-0,060647277	0,003	0,024	1	0,958833834	1,042933576	0,125
COPRS	0,867784262	-0,060828922	0,083	0,073	1	0,958713118	1,043064897	1,136986301
FBXL7	0,283075535	-0,061073718	0,008	0,024	1	0,958550458	1,043241899	0,333333333
NBN	0,950815635	-0,061163019	0,077	0,073	1	0,958491126	1,043306477	1,054794521
RPL8	0,665785126	-0,061178219	0,681	0,756	1	0,958481028	1,043317469	0,900793651

Supplementary Table 3

Differentially expressed genes_keloid-MD_comparing SC-Keloid vs. (SC-Myel+Nonmyel)								
gene	p_val	avg_log2FC	pct.1	pct.2	p_val_adj	Foldchange_UP	Foldchange_DOWN	Ratio_pct1_pct2
NUBPL	0,749340217	-0,061216236	0,018	0,024	1	0,958455771	1,043344962	0,75
NUP153	0,974840088	-0,061373082	0,024	0,024	1	0,958351576	1,043458397	1
UBE3C	0,452242808	-0,061382162	0,046	0,073	1	0,958345544	1,043464965	0,630136986
TBC1D20	0,471470594	-0,061492468	0,029	0,049	1	0,958272273	1,04354475	0,591836735
CEP44	0,979870869	-0,061528484	0,024	0,024	1	0,958248351	1,043570801	1
GGNBP2	0,684006303	-0,061622511	0,067	0,049	1	0,9581859	1,043638818	1,367346939
EXOSC3	0,924799387	-0,061700657	0,022	0,024	1	0,958134	1,04369535	0,916666667
TP53RK	0,340954939	-0,06172606	0,024	0,049	1	0,958117129	1,043713727	0,489795918
CDC40	0,701284799	-0,061841634	0,037	0,049	1	0,958040377	1,043797343	0,755102041
HOXD-AS2	0,430112146	-0,061876043	0,027	0,049	1	0,958017528	1,043822238	0,551020408
GAMT	0,517879382	-0,061899684	0,03	0,049	1	0,958001829	1,043839343	0,612244898
CPT1A	0,20008191	-0,061910342	0,006	0,024	1	0,957994752	1,043847054	0,25
RAP1A	0,541276384	-0,06191207	0,132	0,171	1	0,957993605	1,043848304	0,771929825
ZNF623	0,20008191	-0,061959303	0,006	0,024	1	0,957962241	1,04388248	0,25
VMO1	0,009951995	-0,062084307	0,002	0,024	1	0,957879241	1,043972933	0,083333333
RPS12	0,721964134	-0,062173357	0,868	0,878	1	0,957820118	1,044037373	0,988610478
ACAT2	0,734994618	-0,062294497	0,035	0,024	1	0,957739695	1,044125043	1,458333333
FBLN1	0,974840088	-0,062331619	0,024	0,024	1	0,957715052	1,044151909	1
MSX1	0,812356965	-0,062518325	0,019	0,024	1	0,957591117	1,044287047	0,791666667
REXO2	0,931174607	-0,062554009	0,158	0,146	1	0,957567432	1,044312877	1,082191781
UQCC3	0,985197757	-0,062639031	0,099	0,098	1	0,957511002	1,044374423	1,010204082
FIGN	0,150043617	-0,062708705	0,11	0,195	1	0,957464761	1,044424861	0,564102564
HNRNPM	0,333126427	-0,063213431	0,171	0,244	1	0,957129851	1,044790317	0,700819672
ZNF234	0,198124435	-0,063238211	0,006	0,024	1	0,957113411	1,044808262	0,25
CBY1	0,965886356	-0,063351902	0,051	0,049	1	0,957037989	1,044890602	1,040816327
PRXL2A	0,817777402	-0,063557606	0,019	0,024	1	0,956901541	1,045039596	0,791666667
SOS2	0,812676447	-0,063561949	0,041	0,049	1	0,956898661	1,045042742	0,836734694
CRYZL1	0,100054015	-0,063739112	0,014	0,049	1	0,956781161	1,045171081	0,285714286
RPL34	0,542765259	-0,063767847	0,802	0,878	1	0,956762104	1,045191898	0,913439636
AIP	0,856766002	-0,063768491	0,083	0,073	1	0,956761677	1,045192365	1,136986301

Supplementary Table 3

Differentially expressed genes_keloid-MD_comparing SC-Keloid vs. (SC-Myel+Nonmyel)								
gene	p_val	avg_log2FC	pct.1	pct.2	p_val_adj	Foldchange_UP	Foldchange_DOWN	Ratio_pct1_pct2
PHLDA3	0,424751006	-0,063833574	0,083	0,122	1	0,956718517	1,045239517	0,680327869
SLC7A2	0,20008191	-0,063971329	0,006	0,024	1	0,956627169	1,045339326	0,25
TRAPPC11	0,611220134	-0,064183405	0,014	0,024	1	0,956486555	1,045493002	0,583333333
TIPRL	0,53748307	-0,064258566	0,07	0,098	1	0,956436726	1,045547471	0,714285714
SLC10A7	0,285374202	-0,064340027	0,008	0,024	1	0,956382723	1,045606509	0,333333333
ZNF248	0,483750966	-0,064352645	0,029	0,049	1	0,956374359	1,045615654	0,591836735
SNTB1	0,285374202	-0,06435691	0,008	0,024	1	0,956371531	1,045618745	0,333333333
TLNRD1	0,749340217	-0,064478397	0,018	0,024	1	0,956291	1,045706799	0,75
PIGH	0,842998381	-0,064657737	0,03	0,024	1	0,956172132	1,045836797	1,25
ISCA1	0,430273345	-0,0648846	0,083	0,122	1	0,956021786	1,046001268	0,680327869
C2orf68	0,685136562	-0,064989214	0,016	0,024	1	0,955952465	1,046077119	0,666666667
LPCAT2	0,375355658	-0,065000596	0,061	0,098	1	0,955944923	1,046085372	0,62244898
ARL6	0,285374202	-0,06510097	0,008	0,024	1	0,955878416	1,046158155	0,333333333
TMX2	0,380479892	-0,065268869	0,026	0,049	1	0,955767178	1,046279913	0,530612245
ZNF117	0,538618014	-0,065291218	0,013	0,024	1	0,955752373	1,046296121	0,541666667
TGFBRAP1	0,373270628	-0,065397427	0,01	0,024	1	0,955682015	1,04637315	0,416666667
PTBP3	0,7669823	-0,065421674	0,083	0,098	1	0,955665952	1,046390737	0,846938776
NAMPT	0,63087744	-0,065519901	0,07	0,049	1	0,955600887	1,046461983	1,428571429
EHD1	0,198124435	-0,065582508	0,006	0,024	1	0,95555942	1,046507396	0,25
HSP90AB1	0,810768126	-0,06568265	0,581	0,61	1	0,955493094	1,04658004	0,952459016
GAS2L1	0,340954939	-0,06578605	0,024	0,049	1	0,955424614	1,046655053	0,489795918
NDUFB5	0,699406818	-0,065800989	0,08	0,098	1	0,955414721	1,046665891	0,816326531
SPOUT1	0,541384208	-0,065838505	0,013	0,024	1	0,955389876	1,046693109	0,541666667
PHLDB1	0,813509796	-0,065930944	0,088	0,098	1	0,955328663	1,046760176	0,897959184
ELAVL1	0,977673364	-0,065985598	0,072	0,073	1	0,955292473	1,046799832	0,98630137
CEP295	0,45638276	-0,066449442	0,011	0,024	1	0,954985384	1,047136445	0,458333333
RPA3	0,956487541	-0,066515207	0,104	0,098	1	0,954941852	1,04718418	1,06122449
GTF3C5	0,608438325	-0,066519937	0,014	0,024	1	0,954938721	1,047187613	0,583333333
ARHGEF11	0,342509686	-0,066552017	0,024	0,049	1	0,954917487	1,047210899	0,489795918
RAPGEF2	0,97557264	-0,066917911	0,026	0,024	1	0,954675334	1,047476524	1,083333333

Supplementary Table 3

Differentially expressed genes_keloid-MD_comparing SC-Keloid vs. (SC-Myel+Nonmyel)								
gene	p_val	avg_log2FC	pct.1	pct.2	p_val_adj	Foldchange_UP	Foldchange_DOWN	Ratio_pct1_pct2
ZC3H12C	0,20008191	-0,066923502	0,006	0,024	1	0,954671633	1,047480584	0,25
SRR	0,614007565	-0,067016201	0,014	0,024	1	0,954610294	1,047547891	0,583333333
MAVS	0,929971805	-0,067071398	0,022	0,024	1	0,954573772	1,04758797	0,916666667
UBE2V1	0,780178765	-0,067129327	0,04	0,049	1	0,954535443	1,047630035	0,816326531
RUBCN	0,749340217	-0,067190922	0,018	0,024	1	0,954494691	1,047674764	0,75
SMIM14	0,845732107	-0,067194119	0,057	0,049	1	0,954492575	1,047677086	1,163265306
CDC14A	0,538618014	-0,067205581	0,013	0,024	1	0,954484992	1,047685409	0,541666667
DMTF1	0,697522234	-0,067483859	0,037	0,049	1	0,954300902	1,047887515	0,755102041
P4HA1	0,82534913	-0,067612428	0,086	0,073	1	0,954215861	1,047980903	1,178082192
USP31	0,285374202	-0,067685263	0,008	0,024	1	0,954167688	1,048033812	0,333333333
MLST8	0,9288124	-0,067697907	0,027	0,024	1	0,954159326	1,048042998	1,125
DBF4	0,746588981	-0,067795667	0,018	0,024	1	0,954094672	1,048114017	0,75
KCTD14	0,009700686	-0,06780939	0,002	0,024	1	0,954085597	1,048123987	0,083333333
COL18A1	0,376441483	-0,067814742	0,638	0,683	1	0,954082057	1,048127876	0,934114202
RPL14	0,327036209	-0,068035662	0,638	0,805	1	0,95393597	1,048288388	0,792546584
DDX19B	0,118110366	-0,068056112	0,005	0,024	1	0,953922448	1,048303247	0,208333333
NUCKS1	0,833676748	-0,068070825	0,499	0,488	1	0,953912719	1,048313939	1,022540984
PPP2R5D	0,685136562	-0,068418313	0,016	0,024	1	0,953682988	1,048566466	0,666666667
RRP1	0,246571074	-0,068516753	0,021	0,049	1	0,953617917	1,048638015	0,428571429
FTSJ3	0,133269869	-0,068533527	0,016	0,049	1	0,953606829	1,048650208	0,326530612
ANKRD40	0,327027176	-0,068597577	0,057	0,098	1	0,953564494	1,048696765	0,581632653
CDC27	0,699482913	-0,068605103	0,037	0,024	1	0,95355952	1,048702236	1,541666667
RNF185	0,611220134	-0,068872011	0,014	0,024	1	0,953383121	1,048896271	0,583333333
CD68	0,118110366	-0,068905948	0,005	0,024	1	0,953360695	1,048920944	0,208333333
LUM	0,732140121	-0,069115043	0,059	0,073	1	0,953222531	1,049072979	0,808219178
EXT2	0,807871786	-0,069160497	0,032	0,024	1	0,953192498	1,049106032	1,333333333
IMPDH1	0,071078164	-0,069360858	0,013	0,049	1	0,953060129	1,049251741	0,265306122
CEP20	0,385351356	-0,069423936	0,026	0,049	1	0,95301846	1,049297618	0,530612245
CDK19	0,749340217	-0,069496805	0,018	0,024	1	0,952970325	1,049350619	0,75
DGKZ	0,565873297	-0,069509266	0,032	0,049	1	0,952962094	1,049359682	0,653061224

Supplementary Table 3

Differentially expressed genes_keloid-MD_ comparing SC-Keloid vs. (SC-Myel+Nonmyel)								
gene	p_val	avg_log2FC	pct.1	pct.2	p_val_adj	Foldchange_UP	Foldchange_DOWN	Ratio_pct1_pct2
PATZ1	0,676801274	-0,069550795	0,016	0,024	1	0,952934662	1,04938989	0,666666667
ELOVL4	0,533106974	-0,06959856	0,013	0,024	1	0,952903113	1,049424634	0,541666667
CLPX	0,660568421	-0,069701048	0,035	0,049	1	0,952835422	1,049499186	0,714285714
NBPF1	0,285374202	-0,069715713	0,008	0,024	1	0,952825737	1,049509854	0,333333333
NARF	0,874278136	-0,070039058	0,021	0,024	1	0,952612208	1,049745103	0,875
IKZF2	0,285374202	-0,070051107	0,008	0,024	1	0,952604252	1,04975387	0,333333333
DNAJB14	0,84292095	-0,070102609	0,065	0,073	1	0,952570246	1,049791345	0,890410959
MRPL12	0,691892397	-0,070240845	0,037	0,049	1	0,952478977	1,049891939	0,755102041
DHRS7B	0,560401558	-0,070339355	0,032	0,049	1	0,952413942	1,04996363	0,653061224
FKBP1B	0,874278136	-0,070354629	0,021	0,024	1	0,952403859	1,049974746	0,875
GLYR1	0,474961629	-0,070359818	0,029	0,049	1	0,952400433	1,049978523	0,591836735
LY6G5C	0,118110366	-0,070519523	0,005	0,024	1	0,95229501	1,050094761	0,208333333
RAP1GDS1	0,763878606	-0,07056531	0,089	0,073	1	0,952264787	1,050128088	1,219178082
ADIPOR2	0,7520946	-0,070769296	0,018	0,024	1	0,952130153	1,050276579	0,75
COMMD9	0,874278136	-0,070801154	0,021	0,024	1	0,952109128	1,050299772	0,875
MYD88	0,616800584	-0,070814361	0,014	0,024	1	0,952100412	1,050309386	0,583333333
HIF1A	0,791481517	-0,071049162	0,115	0,098	1	0,951945469	1,05048034	1,173469388
YWHAH	0,592868675	-0,071088764	0,139	0,171	1	0,951919339	1,050509176	0,812865497
TWIST1	0,285374202	-0,071139815	0,008	0,024	1	0,951885655	1,05054635	0,333333333
PLSCR1	0,453706681	-0,07119186	0,011	0,024	1	0,951851316	1,050584249	0,458333333
AFG3L2	0,44145438	-0,071210883	0,046	0,073	1	0,951838765	1,050598102	0,630136986
TTPAL	0,20008191	-0,071275293	0,006	0,024	1	0,951796271	1,050645007	0,25
LRFN3	0,198124435	-0,071465044	0,006	0,024	1	0,951671094	1,050783203	0,25
CHST14	0,871626162	-0,071609173	0,021	0,024	1	0,951576024	1,050888184	0,875
DHRS4	0,60566217	-0,071619761	0,014	0,024	1	0,95156904	1,050895897	0,583333333
EBP	0,886972594	-0,071636913	0,029	0,024	1	0,951557727	1,050908391	1,208333333
SHLD2	0,291442309	-0,071687975	0,022	0,049	1	0,951524049	1,050945587	0,448979592
POLR1D	0,952260474	-0,071716355	0,077	0,073	1	0,951505331	1,05096626	1,054794521
ADAMTS13	9,44793E-05	-0,072062554	0	0,024	1	0,951277029	1,051218488	0
ARHGDI3	9,44793E-05	-0,072062554	0	0,024	1	0,951277029	1,051218488	0

Supplementary Table 3

Differentially expressed genes_keloid-MD_comparing SC-Keloid vs. (SC-Myel+Nonmyel)								
gene	p_val	avg_log2FC	pct.1	pct.2	p_val_adj	Foldchange_UP	Foldchange_DOWN	Ratio_pct1_pct2
C6orf132	9,44793E-05	-0,072062554	0	0,024	1	0,951277029	1,051218488	0
CACHD1	9,44793E-05	-0,072062554	0	0,024	1	0,951277029	1,051218488	0
FAM124A	9,44793E-05	-0,072062554	0	0,024	1	0,951277029	1,051218488	0
IGFBP7-AS1	9,44793E-05	-0,072062554	0	0,024	1	0,951277029	1,051218488	0
TTC9	9,44793E-05	-0,072062554	0	0,024	1	0,951277029	1,051218488	0
WFDC2	9,44793E-05	-0,072062554	0	0,024	1	0,951277029	1,051218488	0
ZNF416	9,44793E-05	-0,072062554	0	0,024	1	0,951277029	1,051218488	0
TMEM169	0,45638276	-0,072254161	0,011	0,024	1	0,951150696	1,051358111	0,458333333
ZNF354C	0,046010032	-0,072339306	0,011	0,049	1	0,951094563	1,051420162	0,224489796
FMOD	0,198124435	-0,072347754	0,006	0,024	1	0,951088994	1,051426319	0,25
COLGALT1	0,820150565	-0,072421473	0,041	0,049	1	0,951040396	1,051480046	0,836734694
F13A1	0,116646669	-0,07244799	0,005	0,024	1	0,951022916	1,051499373	0,208333333
VIM	0,12521782	-0,072466634	0,978	0,976	1	0,951010626	1,051512962	1,00204918
CRISPLD2	0,541384208	-0,072487237	0,013	0,024	1	0,950997045	1,051527979	0,541666667
PACRGL	0,373270628	-0,072564253	0,01	0,024	1	0,950946279	1,051584114	0,416666667
DNAJB1	0,426002514	-0,072603539	0,187	0,244	1	0,950920384	1,05161275	0,766393443
TTC33	0,68235381	-0,072895009	0,016	0,024	1	0,950728287	1,05182523	0,666666667
KIAA0753	0,373270628	-0,073030588	0,01	0,024	1	0,950638945	1,051924082	0,416666667
OSTM1	0,291032113	-0,073436417	0,073	0,122	1	0,950371569	1,052220029	0,598360656
RASA4	0,285374202	-0,073951934	0,008	0,024	1	0,950032034	1,052596085	0,333333333
CLTB	0,647238323	-0,074050648	0,077	0,098	1	0,949967032	1,05266811	0,785714286
RPL30	0,983666275	-0,074146196	0,909	0,927	1	0,949904119	1,052737829	0,980582524
ACAD9	0,285374202	-0,074224549	0,008	0,024	1	0,949852531	1,052795005	0,333333333
SDR39U1	0,927385212	-0,07423526	0,022	0,024	1	0,949845479	1,052802821	0,916666667
LRRC28	0,980457013	-0,074262503	0,026	0,024	1	0,949827543	1,052822702	1,083333333
LIAS	0,370733807	-0,074277789	0,01	0,024	1	0,949817479	1,052833857	0,416666667
RBMXL1	0,685136562	-0,074493393	0,016	0,024	1	0,949675544	1,05299121	0,666666667
IQCE	0,535858926	-0,074607814	0,013	0,024	1	0,949600228	1,053074726	0,541666667
DHX35	0,285374202	-0,074738489	0,008	0,024	1	0,94951422	1,053170115	0,333333333
FAM210B	0,941687421	-0,074812617	0,182	0,195	1	0,949465434	1,05322423	0,933333333

Supplementary Table 3

Differentially expressed genes_keloid-MD_comparing SC-Keloid vs. (SC-Myel+Nonmyel)								
gene	p_val	avg_log2FC	pct.1	pct.2	p_val_adj	Foldchange_UP	Foldchange_DOWN	Ratio_pct1_pct2
ELAC2	0,171167093	-0,074843914	0,018	0,049	1	0,949444837	1,053247078	0,367346939
TMEM132A	0,614007565	-0,074883278	0,014	0,024	1	0,949418931	1,053275817	0,583333333
PCGF2	0,24923539	-0,074931292	0,021	0,049	1	0,949387334	1,053310871	0,428571429
RETREG3	0,209830716	-0,074969398	0,019	0,049	1	0,949362258	1,053338692	0,387755102
SEMA3D	0,116646669	-0,075031989	0,005	0,024	1	0,949321071	1,053384393	0,208333333
MLLT11	0,60566217	-0,075204875	0,014	0,024	1	0,949207316	1,053510633	0,583333333
SLC27A3	0,20008191	-0,075316022	0,006	0,024	1	0,94913419	1,0535918	0,25
LPAR1	0,224645465	-0,075326087	0,035	0,073	1	0,949127569	1,05359915	0,479452055
ZNF827	0,64934456	-0,075568676	0,035	0,049	1	0,948967987	1,053776327	0,714285714
LPL	0,198124435	-0,075646439	0,006	0,024	1	0,948916838	1,053833129	0,25
CRK	0,093865594	-0,075718209	0,054	0,122	1	0,948869633	1,053885555	0,442622951
C12orf76	0,898929107	-0,075909117	0,054	0,049	1	0,94874408	1,054025022	1,102040816
SHC1	0,800024072	-0,076114283	0,064	0,073	1	0,948609168	1,054174926	0,876712329
TXNDC9	0,862940087	-0,076120515	0,089	0,098	1	0,94860507	1,05417948	0,908163265
ZBTB10	0,294336857	-0,076469857	0,022	0,049	1	0,948375398	1,054434776	0,448979592
TPRG1L	0,069844092	-0,076841922	0,013	0,049	1	0,948130847	1,054706745	0,265306122
LMBR1L	0,285374202	-0,07707171	0,008	0,024	1	0,947979844	1,054874749	0,333333333
FABP7	0,515517076	-0,077108966	0,089	0,122	1	0,947955364	1,05490199	0,729508197
UCN2	0,812356965	-0,07751555	0,019	0,024	1	0,947688246	1,055199327	0,791666667
PYCR2	0,474961629	-0,077837802	0,029	0,049	1	0,947476587	1,055435052	0,591836735
CTDSPL2	0,593567549	-0,077856865	0,053	0,073	1	0,947464067	1,055448997	0,726027397
SYNPO2	0,198124435	-0,077900126	0,006	0,024	1	0,947435657	1,055480647	0,25
MEMO1	0,285374202	-0,07792505	0,008	0,024	1	0,947419289	1,055498881	0,333333333
ZUP1	0,538618014	-0,077966827	0,013	0,024	1	0,947391855	1,055529447	0,541666667
SUMO3	0,301141346	-0,078087344	0,056	0,098	1	0,947312716	1,055617626	0,571428571
PLIN3	0,794071977	-0,078223922	0,061	0,049	1	0,94722304	1,055717564	1,244897959
LACC1	0,871626162	-0,078479023	0,021	0,024	1	0,947055564	1,055904255	0,875
TMEM80	0,20008191	-0,078489448	0,006	0,024	1	0,947048721	1,055911885	0,25
LINC00920	0,611220134	-0,078568879	0,014	0,024	1	0,94699658	1,055970022	0,583333333
MOK	0,614007565	-0,078678048	0,014	0,024	1	0,946924924	1,05604993	0,583333333

Supplementary Table 3

Differentially expressed genes_keloid-MD_comparing SC-Keloid vs. (SC-Myel+Nonmyel)								
gene	p_val	avg_log2FC	pct.1	pct.2	p_val_adj	Foldchange_UP	Foldchange_DOWN	Ratio_pct1_pct2
CYP27A1	0,100838432	-0,078764344	0,014	0,049	1	0,946868284	1,056113101	0,285714286
IQCB1	0,20008191	-0,078837451	0,006	0,024	1	0,946820304	1,05616662	0,25
C11orf24	0,849645004	-0,078841616	0,03	0,024	1	0,946817571	1,056169669	1,25
GCC2	0,808156245	-0,079036371	0,134	0,146	1	0,946689765	1,056312255	0,917808219
NPIPA1	0,614007565	-0,079132185	0,014	0,024	1	0,946626894	1,05638241	0,583333333
PSMD1	0,823487604	-0,079304058	0,112	0,098	1	0,946514126	1,056508268	1,142857143
HIPK2	0,204977577	-0,079318949	0,019	0,049	1	0,946504356	1,056519173	0,387755102
CLIC4	0,6529479	-0,079414064	0,282	0,317	1	0,946441956	1,056588831	0,889589905
PIGA	0,285374202	-0,079726693	0,008	0,024	1	0,946236887	1,056817816	0,333333333
TMED4	0,295125746	-0,079893028	0,11	0,171	1	0,946127797	1,056939668	0,643274854
CHID1	0,959486964	-0,080133144	0,077	0,073	1	0,945970341	1,057115595	1,054794521
IKBIP	0,835300088	-0,080331071	0,132	0,146	1	0,945840569	1,057260634	0,904109589
IL27RA	0,20008191	-0,080554878	0,006	0,024	1	0,945693851	1,057424661	0,25
TRIB1	0,676801274	-0,080598144	0,016	0,024	1	0,945665491	1,057456373	0,666666667
PDPN	0,530362187	-0,080605434	0,013	0,024	1	0,945660713	1,057461716	0,541666667
THY1	0,699402607	-0,080627158	0,037	0,049	1	0,945646473	1,05747764	0,755102041
AZIN2	0,611220134	-0,080723346	0,014	0,024	1	0,945583426	1,057548147	0,583333333
FYTTD1	0,322855631	-0,080993655	0,113	0,171	1	0,945406275	1,057746311	0,660818713
CDKN1B	0,9288124	-0,081275133	0,027	0,024	1	0,945221839	1,057952704	1,125
CLTA	0,568489608	-0,081302551	0,241	0,293	1	0,945203875	1,05797281	0,822525597
TGDS	0,538618014	-0,081344811	0,013	0,024	1	0,945176188	1,058003801	0,541666667
GAR1	0,351499061	-0,08145939	0,059	0,098	1	0,945101125	1,058087831	0,602040816
CDK7	0,611220134	-0,081476088	0,014	0,024	1	0,945090186	1,058100078	0,583333333
TMEM203	0,295791265	-0,081514182	0,022	0,049	1	0,945065232	1,058128017	0,448979592
RHOQ	0,673140407	-0,081611935	0,1	0,122	1	0,945001199	1,058199716	0,819672131
SUDS3	0,994675291	-0,081796851	0,049	0,049	1	0,944880082	1,058335358	1
CMTM3	0,140677824	-0,081805075	0,11	0,195	1	0,944874696	1,058341391	0,564102564
APOO	0,68235381	-0,082042206	0,016	0,024	1	0,944719403	1,058515361	0,666666667
TIMM22	0,614007565	-0,082149041	0,014	0,024	1	0,944649447	1,05859375	0,583333333
UTP4	0,370733807	-0,082207938	0,01	0,024	1	0,944610883	1,058636967	0,416666667

Supplementary Table 3

Differentially expressed genes_keloid-MD_comparing SC-Keloid vs. (SC-Myel+Nonmyel)								
gene	p_val	avg_log2FC	pct.1	pct.2	p_val_adj	Foldchange_UP	Foldchange_DOWN	Ratio_pct1_pct2
PPIC	0,97557264	-0,082336052	0,026	0,024	1	0,944527003	1,05873098	1,083333333
LINC01560	0,118110366	-0,082482814	0,005	0,024	1	0,944430924	1,058838688	0,208333333
ATP10B	0,7520946	-0,082527693	0,018	0,024	1	0,944401545	1,058871626	0,75
TMX3	0,433809177	-0,082644128	0,083	0,122	1	0,944325329	1,058957088	0,680327869
IFI44	0,563094259	-0,082723819	0,093	0,122	1	0,944273168	1,059015584	0,762295082
SNX24	0,116646669	-0,082911352	0,005	0,024	1	0,944150432	1,059153252	0,208333333
TMEM104	0,198124435	-0,083016654	0,006	0,024	1	0,944081521	1,059230562	0,25
MFSD6	0,871626162	-0,083221461	0,021	0,024	1	0,943947507	1,059380943	0,875
SMG9	0,927385212	-0,083239659	0,022	0,024	1	0,943935601	1,059394305	0,916666667
GALNT17	0,978014724	-0,083306918	0,026	0,024	1	0,943891595	1,059443696	1,083333333
SMIM26	0,470409098	-0,083310005	0,107	0,146	1	0,943889575	1,059445963	0,732876712
ECE1	0,683629624	-0,083411403	0,1	0,122	1	0,943823238	1,059520427	0,819672131
INSC	0,018781715	-0,083511927	0,018	0,073	1	0,943757476	1,059594255	0,246575342
ATP13A2	0,280789447	-0,083574415	0,008	0,024	1	0,9437166	1,059640151	0,333333333
SORT1	0,687017218	-0,083639421	0,057	0,073	1	0,943674078	1,059687898	0,780821918
BICRA	0,118110366	-0,083729444	0,005	0,024	1	0,943615195	1,059754024	0,208333333
SNHG7	0,189535638	-0,083753685	0,081	0,146	1	0,943599341	1,05977183	0,554794521
ENPP2	0,196181004	-0,083802167	0,006	0,024	1	0,943567631	1,059807445	0,25
MSH3	0,208609703	-0,083976291	0,019	0,049	1	0,943453756	1,059935364	0,387755102
SRRT	0,558583316	-0,084312338	0,032	0,049	1	0,943234022	1,060182284	0,653061224
NANS	0,62557569	-0,084376849	0,072	0,049	1	0,943191846	1,060229692	1,469387755
NBPF11	0,538617911	-0,084491236	0,013	0,024	1	0,943117066	1,060313758	0,541666667
CEP162	0,7520946	-0,08464959	0,018	0,024	1	0,943013553	1,060430147	0,75
MEAF6	0,880258701	-0,084733512	0,115	0,122	1	0,942958699	1,060491834	0,942622951
CDIPT	0,043430515	-0,084742561	0,033	0,098	1	0,942952784	1,060498486	0,336734694
MYO15B	0,118110366	-0,084917464	0,005	0,024	1	0,942838474	1,060627062	0,208333333
AP2A2	0,733648417	-0,084976772	0,038	0,049	1	0,942799715	1,060670664	0,775510204
RNF167	0,208609703	-0,085077833	0,019	0,049	1	0,942733675	1,060744966	0,387755102
CDK4	0,105016396	-0,085100379	0,056	0,122	1	0,942718942	1,060761544	0,459016393
PAQR7	0,131402831	-0,085522631	0,016	0,049	1	0,942443065	1,061072056	0,326530612

Supplementary Table 3

Differentially expressed genes_keloid-MD_comparing SC-Keloid vs. (SC-Myel+Nonmyel)								
gene	p_val	avg_log2FC	pct.1	pct.2	p_val_adj	Foldchange_UP	Foldchange_DOWN	Ratio_pct1_pct2
GLRX5	0,975317556	-0,085567898	0,121	0,122	1	0,942413494	1,061105349	0,991803279
BTN3A2	0,749340217	-0,08562115	0,018	0,024	1	0,942378709	1,061144517	0,75
COPS7A	0,350053601	-0,085668813	0,041	0,073	1	0,942347576	1,061179575	0,561643836
BAX	0,800787208	-0,085731509	0,203	0,22	1	0,942306624	1,061225693	0,922727273
SORBS3	0,927385212	-0,085844282	0,022	0,024	1	0,942232968	1,06130865	0,916666667
MRPS36	0,595293864	-0,086100957	0,099	0,073	1	0,942065347	1,061497488	1,356164384
RIOK3	0,250365639	-0,0862654	0,07	0,122	1	0,941957974	1,061618488	0,573770492
PLP2	0,707657708	-0,086360538	0,081	0,098	1	0,941895859	1,061688498	0,826530612
DCTD	0,289377348	-0,086634423	0,073	0,122	1	0,941717064	1,061890071	0,598360656
KRBOX1	0,212288248	-0,086644041	0,019	0,049	1	0,941710786	1,06189715	0,387755102
MCCC1	0,198124435	-0,086729035	0,006	0,024	1	0,941655308	1,061959712	0,25
GSTO1	0,4404839	-0,087100917	0,206	0,268	1	0,94141261	1,062233487	0,768656716
WNT16	0,685136562	-0,08712908	0,016	0,024	1	0,941394233	1,062254224	0,666666667
LDHA	0,387965485	-0,087274226	0,161	0,22	1	0,941299526	1,0623611	0,731818182
TMEM185B	0,20008191	-0,087314235	0,006	0,024	1	0,941273422	1,062390562	0,25
COPE	0,554705038	-0,087323718	0,155	0,195	1	0,941267235	1,062397545	0,794871795
CD151	0,298941545	-0,087410364	0,402	0,512	1	0,941210706	1,062461353	0,78515625
FAM219B	0,868975631	-0,087612316	0,021	0,024	1	0,941078962	1,062610089	0,875
ANKRD29	0,118110366	-0,087622878	0,005	0,024	1	0,941072073	1,062617868	0,208333333
LY6E	0,119658907	-0,087679525	0,073	0,146	1	0,941035123	1,062659593	0,5
ANXA2	0,804070476	-0,087855278	0,713	0,732	1	0,94092049	1,062789057	0,974043716
TOP1	0,718961978	-0,088025707	0,104	0,122	1	0,940809343	1,062914614	0,852459016
REEP5	0,630299779	-0,08809627	0,142	0,171	1	0,940763329	1,062966603	0,830409357
CCDC137	0,125117108	-0,088646184	0,029	0,073	1	0,940404806	1,063371852	0,397260274
P2RX7	0,098499781	-0,088664496	0,014	0,049	1	0,940392869	1,06338535	0,285714286
TADA1	0,050627188	-0,089548811	0,003	0,024	1	0,939816622	1,064037363	0,125
NXPH3	0,679575369	-0,089600233	0,016	0,024	1	0,939783125	1,064075289	0,666666667
NPIP15	0,285374202	-0,08962281	0,008	0,024	1	0,939768418	1,064091941	0,333333333
TRIM5	0,616800584	-0,089634027	0,014	0,024	1	0,939761111	1,064100215	0,583333333
TIPARP	0,165771877	-0,08966967	0,018	0,049	1	0,939737894	1,064126505	0,367346939

Supplementary Table 3

Differentially expressed genes_keloid-MD_comparing SC-Keloid vs. (SC-Myel+Nonmyel)								
gene	p_val	avg_log2FC	pct.1	pct.2	p_val_adj	Foldchange_UP	Foldchange_DOWN	Ratio_pct1_pct2
NR2C2AP	0,208609703	-0,089824835	0,019	0,049	1	0,939636828	1,06424096	0,387755102
MCU	0,368207718	-0,090204446	0,01	0,024	1	0,939389618	1,064521026	0,416666667
TAB3	0,45638276	-0,090213136	0,011	0,024	1	0,93938396	1,064527438	0,458333333
SERPINH1	0,834503783	-0,090365275	0,233	0,22	1	0,939284902	1,064639704	1,059090909
PIGZ	0,287685455	-0,090382	0,008	0,024	1	0,939274013	1,064652046	0,333333333
POLE	0,118110366	-0,090393957	0,005	0,024	1	0,939266229	1,06466087	0,208333333
MAGEF1	0,348835149	-0,090580315	0,041	0,073	1	0,939144908	1,064798405	0,561643836
UTP6	0,847428251	-0,090623809	0,03	0,024	1	0,939116596	1,064830506	1,25
RUVBL2	0,978014724	-0,090786088	0,026	0,024	1	0,939010966	1,064950289	1,083333333
XRCC4	0,336317863	-0,090835686	0,024	0,049	1	0,938978685	1,064986901	0,489795918
CYB5B	0,857309812	-0,09091734	0,043	0,049	1	0,938925542	1,065047179	0,87755102
PRKD2	0,196181004	-0,090980493	0,006	0,024	1	0,938884442	1,065093802	0,25
NRIP1	0,549012036	-0,091197123	0,051	0,073	1	0,938743473	1,065253745	0,698630137
KCNN4	0,778300716	-0,091295339	0,04	0,049	1	0,938679567	1,065326268	0,816326531
CD55	0,533106974	-0,09151877	0,013	0,024	1	0,938534205	1,065491268	0,541666667
PEX3	0,535858926	-0,091523948	0,013	0,024	1	0,938530836	1,065495093	0,541666667
EIF4A2	0,410053524	-0,091683661	0,081	0,122	1	0,938426942	1,065613054	0,663934426
TMEM170B	0,050627188	-0,091991944	0,003	0,024	1	0,938226436	1,065840784	0,125
PDE6D	0,749340217	-0,092090359	0,018	0,024	1	0,938162436	1,065913494	0,75
FBL	0,902309131	-0,092174019	0,054	0,049	1	0,938108034	1,065975307	1,102040816
ITPRIPL2	0,363566559	-0,092240096	0,097	0,146	1	0,938065069	1,066024131	0,664383562
BBS2	0,293611351	-0,092274015	0,022	0,049	1	0,938043015	1,066049194	0,448979592
TPM1	0,514438027	-0,092497911	0,089	0,122	1	0,937897448	1,066214651	0,729508197
HVCN1	0,050627188	-0,092509656	0,003	0,024	1	0,937889813	1,06622333	0,125
PYCARD	0,251919765	-0,092586751	0,021	0,049	1	0,937839695	1,06628031	0,428571429
SMTN	0,611220134	-0,092677378	0,014	0,024	1	0,937780784	1,066347293	0,583333333
RPS17	0,354454415	-0,092757469	0,118	0,171	1	0,937728725	1,066406492	0,69005848
RPL15	0,758285245	-0,092942416	0,699	0,756	1	0,937608519	1,06654321	0,924603175
PARD6A	0,287685455	-0,09302052	0,008	0,024	1	0,937557761	1,066600951	0,333333333
RNASET2	0,196181004	-0,093046854	0,006	0,024	1	0,937540648	1,066620421	0,25

Supplementary Table 3

Differentially expressed genes_keloid-MD_comparing SC-Keloid vs. (SC-Myel+Nonmyel)								
gene	p_val	avg_log2FC	pct.1	pct.2	p_val_adj	Foldchange_UP	Foldchange_DOWN	Ratio_pct1_pct2
VSIR	0,116646669	-0,093096311	0,005	0,024	1	0,937508508	1,066656986	0,208333333
BACH2	0,166840557	-0,093304048	0,018	0,049	1	0,937373524	1,066810587	0,367346939
LRRC57	0,517879382	-0,09362386	0,03	0,049	1	0,937165754	1,067047101	0,612244898
RETREG2	0,173232649	-0,093750476	0,032	0,073	1	0,937083508	1,067140753	0,438356164
ERMAP	0,198124435	-0,093762606	0,006	0,024	1	0,937075629	1,067149725	0,25
PRR12	0,198124435	-0,093762766	0,006	0,024	1	0,937075525	1,067149843	0,25
PDP2	0,198124435	-0,093912359	0,006	0,024	1	0,936978365	1,067260502	0,25
SPATA13	0,129556135	-0,094020157	0,016	0,049	1	0,936908357	1,06734025	0,326530612
EPRS1	0,723640466	-0,094049511	0,123	0,098	1	0,936889294	1,067361967	1,255102041
RELL1	0,20008191	-0,094405224	0,006	0,024	1	0,936658322	1,06762517	0,25
POLR3H	0,886972594	-0,094519858	0,029	0,024	1	0,936583899	1,067710005	1,208333333
BBX	0,385959009	-0,094631081	0,062	0,098	1	0,936511697	1,067792323	0,632653061
XPC	0,476712453	-0,094649855	0,029	0,049	1	0,93649951	1,067806218	0,591836735
SLC35A1	0,453706681	-0,094665282	0,011	0,024	1	0,936489496	1,067817636	0,458333333
TADA2B	0,050627188	-0,094786469	0,003	0,024	1	0,936410834	1,067907337	0,125
EML4	0,564046536	-0,094902265	0,032	0,049	1	0,936335677	1,067993054	0,653061224
BFAR	0,026878214	-0,095021309	0,019	0,073	1	0,936258419	1,068081184	0,260273973
UBALD2	0,319070354	-0,095266834	0,057	0,098	1	0,936099095	1,068262971	0,581632653
ATP10A	0,050627188	-0,095614528	0,003	0,024	1	0,935873519	1,068520457	0,125
EMC7	0,404096295	-0,095777248	0,142	0,195	1	0,935767969	1,068640981	0,728205128
IREB2	0,609786569	-0,095938239	0,033	0,049	1	0,935663552	1,068760237	0,673469388
MBLAC2	0,196181004	-0,096013582	0,006	0,024	1	0,93561469	1,068816053	0,25
NAP1L2	0,009951995	-0,096160349	0,002	0,024	1	0,935519513	1,068924791	0,083333333
COLEC12	0,050627188	-0,096170424	0,003	0,024	1	0,93551298	1,068932256	0,125
MRPS18C	0,994153741	-0,096238547	0,123	0,122	1	0,935468807	1,068982731	1,008196721
RANBP17	0,050627188	-0,096355606	0,003	0,024	1	0,935392907	1,069069471	0,125
SNAP29	0,565873256	-0,096390171	0,032	0,049	1	0,935370496	1,069095085	0,653061224
FKBP11	0,48973268	-0,09654532	0,049	0,024	1	0,935269911	1,069210063	2,041666667
URI1	0,141538461	-0,096563373	0,093	0,171	1	0,935258208	1,069223442	0,543859649
PRR13	0,606086984	-0,096572921	0,033	0,049	1	0,935252018	1,069230519	0,673469388

Supplementary Table 3

Differentially expressed genes_keloid-MD_comparing SC-Keloid vs. (SC-Myel+Nonmyel)								
gene	p_val	avg_log2FC	pct.1	pct.2	p_val_adj	Foldchange_UP	Foldchange_DOWN	Ratio_pct1_pct2
YIPF1	0,285374202	-0,096610194	0,008	0,024	1	0,935227855	1,069258143	0,333333333
STK24	0,746589028	-0,096642213	0,018	0,024	1	0,9352071	1,069281874	0,75
DCAF13	0,625537208	-0,096733114	0,075	0,098	1	0,935148176	1,069349249	0,765306122
SMIM29	0,428418642	-0,096766054	0,027	0,049	1	0,935126825	1,069373665	0,551020408
CASP4	0,207393847	-0,09683875	0,019	0,049	1	0,935079706	1,069427552	0,387755102
KPNA5	0,425043464	-0,096903785	0,027	0,049	1	0,935037554	1,069475761	0,551020408
EIF5AL1	0,370733807	-0,096986235	0,01	0,024	1	0,934984118	1,069536883	0,416666667
KEAP1	0,166840557	-0,096987584	0,018	0,049	1	0,934983244	1,069537883	0,367346939
NCKAP1	0,201827521	-0,09733393	0,049	0,098	1	0,934758811	1,069794677	0,5
NUCB2	0,557584551	-0,097379787	0,18	0,22	1	0,9347291	1,069828681	0,818181818
NCKAP5L	0,375818168	-0,097386082	0,01	0,024	1	0,934725021	1,069833349	0,416666667
C17orf67	0,118110366	-0,097412488	0,005	0,024	1	0,934707913	1,069852931	0,208333333
GINS1	0,198124435	-0,097586115	0,006	0,024	1	0,934595428	1,069981694	0,25
DVL3	0,853596691	-0,097810594	0,043	0,049	1	0,934450019	1,070148193	0,87755102
CCSAP	0,116646669	-0,098193114	0,005	0,024	1	0,93420229	1,070431973	0,208333333
MLLT3	0,050627188	-0,098248287	0,003	0,024	1	0,934166564	1,07047291	0,125
COX16	0,474961578	-0,098306088	0,029	0,049	1	0,934129137	1,070515799	0,591836735
CAMK2G	0,608438325	-0,098373937	0,014	0,024	1	0,934085207	1,070566146	0,583333333
SLMAP	0,931179325	-0,098399425	0,027	0,024	1	0,934068704	1,07058506	1,125
LAMTOR2	0,975829929	-0,098720771	0,128	0,122	1	0,933860673	1,070823548	1,049180328
BPHL	0,428418698	-0,098729094	0,027	0,049	1	0,933855286	1,070829726	0,551020408
MMS19	0,68235381	-0,098742489	0,016	0,024	1	0,933846615	1,070839669	0,666666667
TRNP1	0,430112146	-0,098903958	0,027	0,049	1	0,933742103	1,070959526	0,551020408
ADNP	0,549012036	-0,098931365	0,051	0,073	1	0,933724365	1,070979871	0,698630137
RBM41	0,133269869	-0,099146908	0,016	0,049	1	0,933584874	1,07113989	0,326530612
ITGA7	0,737405863	-0,09922726	0,038	0,049	1	0,933532879	1,07119955	0,775510204
ZBTB21	0,866326572	-0,099232402	0,021	0,024	1	0,933529552	1,071203368	0,875
SNAPC4	0,116646669	-0,099492051	0,005	0,024	1	0,933361555	1,071396176	0,208333333
ALAD	0,071078164	-0,099533754	0,013	0,049	1	0,933334575	1,071427146	0,265306122
ST6GALNAC4	0,116646669	-0,099656914	0,005	0,024	1	0,933254902	1,071518615	0,208333333

Supplementary Table 3

Differentially expressed genes_keloid-MD_ comparing SC-Keloid vs. (SC-Myel+Nonmyel)								
gene	p_val	avg_log2FC	pct.1	pct.2	p_val_adj	Foldchange_UP	Foldchange_DOWN	Ratio_pct1_pct2
CPLANE1	0,428418698	-0,099799386	0,027	0,049	1	0,933162744	1,071624437	0,551020408
PHETA2	0,287685455	-0,099939528	0,008	0,024	1	0,933072102	1,071728539	0,333333333
WDR20	0,380479892	-0,100017126	0,026	0,049	1	0,933021916	1,071786186	0,530612245
RMC1	0,530362187	-0,100088098	0,013	0,024	1	0,932976017	1,071838913	0,541666667
CBR1	0,786944905	-0,100104289	0,182	0,195	1	0,932965547	1,071850941	0,933333333
STARD5	0,050627188	-0,100166156	0,003	0,024	1	0,93292554	1,071896906	0,125
ASPN	0,925141918	-0,10040428	0,046	0,049	1	0,932771568	1,072073843	0,93877551
CNNM2	0,118110366	-0,100620418	0,005	0,024	1	0,932631836	1,072234468	0,208333333
NPHP3	0,871626162	-0,1009439	0,021	0,024	1	0,932422743	1,072474912	0,875
MZT2B	0,595720618	-0,100978243	0,289	0,244	1	0,932400548	1,072500442	1,18442623
LINC00662	0,433510677	-0,101057571	0,027	0,049	1	0,93234928	1,072559417	0,551020408
PCMTD1	0,938689033	-0,101063587	0,1	0,098	1	0,932345392	1,072563889	1,020408163
LSM1	0,460362462	-0,101153414	0,086	0,122	1	0,932287343	1,072630673	0,704918033
WTAP	0,202884881	-0,101166048	0,083	0,146	1	0,932279179	1,072640066	0,568493151
ESYT1	0,868975631	-0,101226984	0,021	0,024	1	0,932239802	1,072685373	0,875
KANSL1	0,396810025	-0,101342911	0,062	0,098	1	0,932164896	1,072771571	0,632653061
ZNF90	0,116646669	-0,101558938	0,005	0,024	1	0,932025325	1,072932218	0,208333333
ATP6AP2	0,373659276	-0,101589641	0,203	0,268	1	0,93200549	1,072955053	0,757462687
GCH1	0,118110366	-0,101989233	0,005	0,024	1	0,931747383	1,073252277	0,208333333
GUF1	0,931179325	-0,102020765	0,027	0,024	1	0,931727019	1,073275734	1,125
TRADD	0,806945473	-0,102058596	0,019	0,024	1	0,931702587	1,073303879	0,791666667
TAMALIN	0,917863394	-0,102127676	0,046	0,049	1	0,931657976	1,073355272	0,93877551
CCNG2	0,93354685	-0,102455939	0,027	0,024	1	0,931446015	1,073599526	1,125
SMARCC1	0,96309133	-0,102600869	0,048	0,049	1	0,931352449	1,073707382	0,979591837
PPP2R2B	0,050627188	-0,102694626	0,003	0,024	1	0,931291925	1,073777162	0,125
ZNF211	0,049781231	-0,102741359	0,003	0,024	1	0,931261758	1,073811945	0,125
TEN1	0,891556838	-0,102846485	0,029	0,024	1	0,931193901	1,073890195	1,208333333
APOBEC3F	0,118110366	-0,102857299	0,005	0,024	1	0,931186922	1,073898244	0,208333333
CUEDC1	0,973130786	-0,102902901	0,026	0,024	1	0,931157488	1,073932189	1,083333333
SERBP1	0,982928659	-0,103074446	0,29	0,268	1	0,931046775	1,074059894	1,082089552

Supplementary Table 3

Differentially expressed genes_keloid-MD_comparing SC-Keloid vs. (SC-Myel+Nonmyel)								
gene	p_val	avg_log2FC	pct.1	pct.2	p_val_adj	Foldchange_UP	Foldchange_DOWN	Ratio_pct1_pct2
CMTR1	0,535858926	-0,103148719	0,013	0,024	1	0,930998843	1,07411519	0,541666667
YBX1	0,915885123	-0,103365308	0,589	0,61	1	0,930859085	1,074276457	0,96557377
MCUB	0,746589028	-0,103462603	0,018	0,024	1	0,93079631	1,074348908	0,75
PRKAB2	0,171167093	-0,103499528	0,018	0,049	1	0,930772487	1,074376407	0,367346939
STX10	0,815477266	-0,103600932	0,041	0,049	1	0,930707068	1,074451924	0,836734694
RBM23	0,651209798	-0,103695551	0,035	0,049	1	0,930646029	1,074522395	0,714285714
GBP3	0,673250327	-0,103896434	0,038	0,024	1	0,930516454	1,074672023	1,583333333
TSC1	0,812356965	-0,104111327	0,019	0,024	1	0,930377861	1,07483211	0,791666667
B4GALT7	0,741096359	-0,104199254	0,018	0,024	1	0,93032116	1,07489762	0,75
EMILIN2	0,45638276	-0,104208369	0,011	0,024	1	0,930315282	1,074904411	0,458333333
ZFAND5	0,585347663	-0,104441968	0,073	0,098	1	0,930164659	1,075078472	0,744897959
HMBS	0,60566217	-0,104548202	0,014	0,024	1	0,930096168	1,075157638	0,583333333
HSD17B10	0,667465091	-0,10464667	0,057	0,073	1	0,930032689	1,075231024	0,780821918
ZNF143	0,135157373	-0,104671061	0,016	0,049	1	0,930016965	1,075249203	0,326530612
HSPA8	0,603208503	-0,104736674	0,324	0,366	1	0,92997467	1,075298105	0,885245902
CSTF2T	0,535858926	-0,104783872	0,013	0,024	1	0,929944246	1,075333284	0,541666667
TENT4A	0,339404719	-0,104832195	0,024	0,049	1	0,929913098	1,075369303	0,489795918
SNTA1	0,453706553	-0,105011957	0,011	0,024	1	0,929797237	1,075503304	0,458333333
SNX2	0,203356142	-0,105057561	0,033	0,073	1	0,929767846	1,075537302	0,452054795
PCDHB6	0,009951995	-0,105086714	0,002	0,024	1	0,929749058	1,075559035	0,083333333
YIPF4	0,94123334	-0,10509144	0,078	0,073	1	0,929746012	1,075562559	1,068493151
ERH	0,614595772	-0,105103602	0,233	0,268	1	0,929738174	1,075571626	0,869402985
LINC00839	0,453706681	-0,105250527	0,011	0,024	1	0,929643494	1,075681168	0,458333333
CUL5	0,917469655	-0,105522779	0,07	0,073	1	0,929468077	1,07588418	0,95890411
TMEM33	0,616543444	-0,105618346	0,077	0,098	1	0,929406509	1,075955451	0,785714286
TMEM238	0,049781231	-0,105698545	0,003	0,024	1	0,929354845	1,076015265	0,125
DIMT1	0,886972594	-0,105757473	0,029	0,024	1	0,929316886	1,076059216	1,208333333
PRKAR2A	0,41853701	-0,105773668	0,045	0,073	1	0,929306453	1,076071296	0,616438356
FECH	0,050627188	-0,105913034	0,003	0,024	1	0,929216686	1,076175251	0,125
XPO1	0,834668395	-0,105936904	0,108	0,098	1	0,929201312	1,076193057	1,102040816

Supplementary Table 3

Differentially expressed genes_keloid-MD_comparing SC-Keloid vs. (SC-Myel+Nonmyel)								
gene	p_val	avg_log2FC	pct.1	pct.2	p_val_adj	Foldchange_UP	Foldchange_DOWN	Ratio_pct1_pct2
PKN3	0,118110366	-0,106004182	0,005	0,024	1	0,929157981	1,076243245	0,208333333
CHST3	0,382237974	-0,106026713	0,1	0,146	1	0,92914347	1,076260053	0,684931507
PFN2	0,936071274	-0,106465616	0,046	0,049	1	0,928860845	1,076587527	0,93877551
APBB1	0,198124435	-0,106571674	0,006	0,024	1	0,928792563	1,076666674	0,25
XBP1	0,380933899	-0,106591026	0,08	0,122	1	0,928780105	1,076681116	0,655737705
GAS6	0,283075535	-0,106629526	0,008	0,024	1	0,92875532	1,076709849	0,333333333
PEX26	0,871626162	-0,106772331	0,021	0,024	1	0,928663391	1,076816432	0,875
GNPDA1	0,56222262	-0,106832238	0,032	0,049	1	0,92862483	1,076861148	0,653061224
C1orf35	0,389736093	-0,106963615	0,062	0,098	1	0,92854027	1,076959215	0,632653061
PPP6R3	0,932426714	-0,106978445	0,046	0,049	1	0,928530725	1,076970285	0,93877551
HDHD5	0,60566217	-0,107126297	0,014	0,024	1	0,928435571	1,077080663	0,583333333
SOCS7	0,812356965	-0,107206036	0,019	0,024	1	0,928384257	1,077140195	0,791666667
TSEN54	0,050627188	-0,107356955	0,003	0,024	1	0,928287145	1,077252879	0,125
TMEM186	0,370733807	-0,107617338	0,01	0,024	1	0,92811962	1,077447324	0,416666667
GOLGA1	0,806945473	-0,107748962	0,019	0,024	1	0,928034946	1,077545629	0,791666667
CD2BP2	0,581804423	-0,107756586	0,053	0,073	1	0,928030042	1,077551323	0,726027397
MSRB2	0,21854105	-0,107871088	0,085	0,146	1	0,92795639	1,077636848	0,582191781
SREK1IP1	0,31658015	-0,107878023	0,075	0,122	1	0,927951929	1,077642029	0,614754098
TMLHE	0,283075535	-0,108004556	0,008	0,024	1	0,927870546	1,077736548	0,333333333
DIAPH1	0,469730397	-0,108006464	0,029	0,049	1	0,927869319	1,077737974	0,591836735
THAP5	0,814543406	-0,108338398	0,041	0,049	1	0,92765586	1,077985968	0,836734694
EMC4	0,838363791	-0,108551536	0,065	0,073	1	0,927518822	1,078145236	0,890410959
LONP2	0,47321434	-0,108861704	0,029	0,049	1	0,927319434	1,078377054	0,591836735
HNRNPC	0,43380161	-0,10895141	0,183	0,244	1	0,927261776	1,078444109	0,75
BTN3A3	0,049781231	-0,109027109	0,003	0,024	1	0,927213124	1,078500697	0,125
ACBD5	0,973889212	-0,109131195	0,048	0,049	1	0,927146231	1,07857851	0,979591837
EIF1AD	0,167914406	-0,109193827	0,018	0,049	1	0,927105981	1,078625336	0,367346939
GEMIN8	0,535858926	-0,109275288	0,013	0,024	1	0,927053634	1,078686242	0,541666667
SEC24B	0,198124435	-0,109337713	0,006	0,024	1	0,927013522	1,078732917	0,25
TEX2	0,933546859	-0,109387906	0,027	0,024	1	0,92698127	1,078770448	1,125

Supplementary Table 3

Differentially expressed genes_keloid-MD_comparing SC-Keloid vs. (SC-Myel+Nonmyel)								
gene	p_val	avg_log2FC	pct.1	pct.2	p_val_adj	Foldchange_UP	Foldchange_DOWN	Ratio_pct1_pct2
PPHLN1	0,805731929	-0,109443363	0,032	0,024	1	0,926945638	1,078811917	1,333333333
PRDM15	0,050627188	-0,10945993	0,003	0,024	1	0,926934993	1,078824305	0,125
THAP3	0,608438325	-0,109520729	0,014	0,024	1	0,926895931	1,07886977	0,583333333
PPIL3	0,098499781	-0,109580041	0,014	0,049	1	0,926857825	1,078914126	0,285714286
MMD	0,365692371	-0,109804861	0,01	0,024	1	0,926713401	1,07908227	0,416666667
WRAP53	0,050627188	-0,109888574	0,003	0,024	1	0,926659629	1,079144886	0,125
NKD1	0,118110366	-0,109906438	0,005	0,024	1	0,926648155	1,079158248	0,208333333
SDHB	0,287887207	-0,109967234	0,056	0,098	1	0,926609107	1,079203725	0,571428571
RCC1L	0,68235381	-0,110041993	0,016	0,024	1	0,926561092	1,079259651	0,666666667
ZNF678	0,453706681	-0,110044393	0,011	0,024	1	0,92655955	1,079261446	0,458333333
CEP97	0,778300697	-0,110220635	0,04	0,049	1	0,926446367	1,079393298	0,816326531
ACP1	0,881574599	-0,110222007	0,108	0,098	1	0,926445486	1,079394325	1,102040816
ZNF181	0,013972402	-0,110234376	0,008	0,049	1	0,926437544	1,079403579	0,163265306
ZDHHC8	0,924799387	-0,110376024	0,022	0,024	1	0,926346587	1,079509563	0,916666667
LATS2-AS1	0,050627188	-0,110451159	0,003	0,024	1	0,926298345	1,079565785	0,125
BBS10	0,809650081	-0,110519233	0,019	0,024	1	0,926254638	1,079616726	0,791666667
LRRC45	0,45638276	-0,110687897	0,011	0,024	1	0,926146357	1,079742951	0,458333333
DDX60L	0,679575369	-0,110732519	0,016	0,024	1	0,926117712	1,079776347	0,666666667
TKT	0,851110944	-0,110991928	0,085	0,073	1	0,925951203	1,079970517	1,164383562
QKI	0,589055446	-0,111031478	0,397	0,439	1	0,92592582	1,080000124	0,904328018
DOK5	0,166840557	-0,111203234	0,018	0,049	1	0,925815593	1,080128708	0,367346939
LSM5	0,794975478	-0,111233952	0,112	0,098	1	0,92579588	1,080151706	1,142857143
NAIP	0,746589028	-0,111347364	0,018	0,024	1	0,925723105	1,080236622	0,75
DSTYK	0,980457013	-0,111423917	0,026	0,024	1	0,925673986	1,080293943	1,083333333
UBE2F	0,97232506	-0,111611299	0,024	0,024	1	0,925553764	1,080434265	1
PEX11A	0,050627188	-0,112143186	0,003	0,024	1	0,925212597	1,080832668	0,125
CTSG	0,050627188	-0,112153653	0,003	0,024	1	0,925205885	1,08084051	0,125
PCMT1	0,386449056	-0,112274776	0,14	0,195	1	0,925128211	1,080931257	0,717948718
NMT1	0,414593356	-0,112370813	0,045	0,073	1	0,925066629	1,081003214	0,616438356
OSBPL5	0,370733807	-0,112493248	0,01	0,024	1	0,924988127	1,081094958	0,416666667

Supplementary Table 3

Differentially expressed genes_keloid-MD_comparing SC-Keloid vs. (SC-Myel+Nonmyel)								
gene	p_val	avg_log2FC	pct.1	pct.2	p_val_adj	Foldchange_UP	Foldchange_DOWN	Ratio_pct1_pct2
AMD1	0,288015289	-0,112520649	0,038	0,073	1	0,924970559	1,081115491	0,520547945
PCDHGB6	0,749340217	-0,112543094	0,018	0,024	1	0,924956168	1,081132311	0,75
PCNX2	0,527624595	-0,112660603	0,013	0,024	1	0,924880832	1,081220375	0,541666667
PIP4K2B	0,431809474	-0,112836153	0,027	0,049	1	0,924768298	1,081351947	0,551020408
ZDHC16	0,368207718	-0,11311445	0,01	0,024	1	0,924589927	1,081560561	0,416666667
MED30	0,409369473	-0,113174214	0,045	0,073	1	0,924551626	1,081605366	0,616438356
STIM1	0,287136479	-0,113252307	0,022	0,049	1	0,924501582	1,081663915	0,448979592
F8A1	0,050627188	-0,113321877	0,003	0,024	1	0,924457001	1,081716076	0,125
SMARCAL1	0,118110366	-0,113354522	0,005	0,024	1	0,924436083	1,081740553	0,208333333
RDH5	0,050627188	-0,113524485	0,003	0,024	1	0,924327182	1,081868	0,125
CNOT8	0,9288124	-0,113533736	0,027	0,024	1	0,924321255	1,081874938	1,125
GSTCD	0,611220134	-0,113542214	0,014	0,024	1	0,924315823	1,081881295	0,583333333
MAPRE3	0,673250327	-0,113662128	0,038	0,024	1	0,924238999	1,081971223	1,583333333
CHD3	0,162466472	-0,113799453	0,062	0,122	1	0,924151029	1,082074216	0,508196721
LRRC37A2	0,050627188	-0,114064406	0,003	0,024	1	0,923981323	1,082272959	0,125
CAPN12	0,050627188	-0,114300932	0,003	0,024	1	0,923829851	1,082450409	0,125
RAB11FIP2	0,516092109	-0,114362606	0,03	0,049	1	0,923790358	1,082496684	0,612244898
ACO1	0,370733807	-0,114398221	0,01	0,024	1	0,923767554	1,082523407	0,416666667
RPL23	0,846683302	-0,114655882	0,435	0,488	1	0,923602586	1,08271676	0,891393443
C17orf80	0,806945473	-0,114995878	0,019	0,024	1	0,923384949	1,082971952	0,791666667
DDR2	0,798800451	-0,115066883	0,059	0,049	1	0,923339504	1,083025253	1,204081633
MTPN	0,963792482	-0,11513171	0,23	0,22	1	0,923298015	1,083073919	1,045454545
WDR24	0,530362187	-0,115155347	0,013	0,024	1	0,923282888	1,083091665	0,541666667
ITPKB	0,809650081	-0,115283706	0,019	0,024	1	0,923200746	1,083188033	0,791666667
UBAC2	0,066149683	-0,115310543	0,024	0,073	1	0,923183572	1,083208183	0,328767123
SPHK1	0,350053601	-0,115608455	0,041	0,073	1	0,922992957	1,083431886	0,561643836
TIMM50	0,382099494	-0,115742374	0,026	0,049	1	0,922907284	1,08353246	0,530612245
SPRED3	0,116646669	-0,115924953	0,005	0,024	1	0,922790494	1,083669594	0,208333333
DGKA	0,009951995	-0,116105154	0,002	0,024	1	0,922675239	1,083804959	0,083333333
AAMDC	0,334265023	-0,116236868	0,096	0,146	1	0,922591005	1,083903912	0,657534247

Supplementary Table 3

Differentially expressed genes_keloid-MD_comparing SC-Keloid vs. (SC-Myel+Nonmyel)								
gene	p_val	avg_log2FC	pct.1	pct.2	p_val_adj	Foldchange_UP	Foldchange_DOWN	Ratio_pct1_pct2
UROD	0,53578996	-0,116239759	0,046	0,024	1	0,922589156	1,083906084	1,916666667
BCAT2	0,365692371	-0,116364101	0,01	0,024	1	0,922509645	1,083999507	0,416666667
GOLGA4	0,345000315	-0,116367527	0,137	0,195	1	0,922507454	1,084002081	0,702564103
MYPOP	0,116646669	-0,116405687	0,005	0,024	1	0,922483053	1,084030754	0,208333333
CCM2	0,737405863	-0,116451846	0,038	0,049	1	0,922453539	1,084065438	0,775510204
ENTPD5	0,196181004	-0,116459235	0,006	0,024	1	0,922448814	1,084070991	0,25
INPP1	0,977355366	-0,116549506	0,024	0,024	1	0,922391098	1,084138824	1
KMT2A	0,63693645	-0,116654961	0,077	0,098	1	0,922323677	1,084218073	0,785714286
FUNDC1	0,28359514	-0,116711996	0,038	0,073	1	0,922287215	1,084260937	0,520547945
KBTBD7	0,049781231	-0,116944193	0,003	0,024	1	0,922138788	1,08443546	0,125
KDM5B	0,426729135	-0,117150877	0,027	0,049	1	0,922006689	1,08459083	0,551020408
KIAA0319L	0,250575068	-0,117283147	0,021	0,049	1	0,921922161	1,084690272	0,428571429
STON1	0,050627188	-0,117332014	0,003	0,024	1	0,921890935	1,084727013	0,125
IGFBP2	0,352534271	-0,117342791	0,211	0,293	1	0,921884048	1,084735116	0,720136519
DNAJB5	0,45638276	-0,117644187	0,011	0,024	1	0,921691475	1,084961754	0,458333333
EFEMP2	0,506917944	-0,117891238	0,089	0,122	1	0,921533656	1,085147561	0,729508197
SLC66A2	0,426729135	-0,117947937	0,027	0,049	1	0,92149744	1,08519021	0,551020408
LINC00472	0,009951995	-0,11816146	0,002	0,024	1	0,921361066	1,085350832	0,083333333
AKAP1	0,283075535	-0,118199733	0,008	0,024	1	0,921336623	1,085379626	0,333333333
AFTPH	0,292887183	-0,118420548	0,022	0,049	1	0,921195617	1,085545764	0,448979592
CDC42EP3	0,305363567	-0,118565515	0,094	0,146	1	0,921103057	1,085654849	0,643835616
NOTCH4	0,45638276	-0,118692084	0,011	0,024	1	0,921022251	1,085750099	0,458333333
TMEM254	0,099274471	-0,118865025	0,014	0,049	1	0,920911852	1,085880259	0,285714286
HEY1	0,527624595	-0,118876872	0,013	0,024	1	0,920904289	1,085889176	0,541666667
PBXIP1	0,804243171	-0,118900075	0,019	0,024	1	0,920889478	1,085906641	0,791666667
DHX37	0,049781231	-0,118940329	0,003	0,024	1	0,920863784	1,08593694	0,125
EGLN1	0,294336857	-0,118961845	0,022	0,049	1	0,92085005	1,085953136	0,448979592
C10orf82	0,009951995	-0,119148889	0,002	0,024	1	0,920730671	1,086093937	0,083333333
BOLA1	0,292887183	-0,119177195	0,022	0,049	1	0,920712606	1,086115247	0,448979592
DENND5B	0,050627188	-0,119278845	0,003	0,024	1	0,920647736	1,086191776	0,125

Supplementary Table 3

Differentially expressed genes_keloid-MD_comparing SC-Keloid vs. (SC-Myel+Nonmyel)								
gene	p_val	avg_log2FC	pct.1	pct.2	p_val_adj	Foldchange_UP	Foldchange_DOWN	Ratio_pct1_pct2
RPL37	0,417442148	-0,119280176	0,66	0,707	1	0,920646887	1,086192778	0,933521924
KLHDC4	0,118110366	-0,119290101	0,005	0,024	1	0,920640554	1,086200251	0,208333333
WARS1	0,816411419	-0,119397434	0,041	0,049	1	0,920572063	1,086281064	0,836734694
USP48	0,787812744	-0,119458246	0,061	0,049	1	0,92053326	1,086326853	1,244897959
RRM1	0,290002235	-0,119653277	0,022	0,049	1	0,920408826	1,086473719	0,448979592
ASH2L	0,097729926	-0,119654329	0,014	0,049	1	0,920408155	1,086474511	0,285714286
DDX54	0,931179325	-0,119854963	0,027	0,024	1	0,920280163	1,086625617	1,125
ATF1	0,246571074	-0,119978749	0,021	0,049	1	0,920201205	1,086718855	0,428571429
NOTCH1	0,288015331	-0,120030349	0,038	0,073	1	0,920168293	1,086757724	0,520547945
BECN1	0,325122316	-0,120110886	0,04	0,073	1	0,920116928	1,086818392	0,547945205
DZIP3	0,679575369	-0,120127969	0,016	0,024	1	0,920106032	1,086831262	0,666666667
PAK1IP1	0,767059846	-0,12054349	0,04	0,049	1	0,919841064	1,087144333	0,816326531
CSNK2A1	0,77247132	-0,120574356	0,062	0,049	1	0,919821385	1,087167592	1,265306122
ENTR1	0,933546859	-0,120854018	0,027	0,024	1	0,919643098	1,087378356	1,125
HOOK3	0,799813268	-0,120940532	0,152	0,171	1	0,919587951	1,087443566	0,888888889
IDH3G	0,417219976	-0,12101329	0,045	0,073	1	0,919541576	1,087498409	0,616438356
ZNF558	0,116646669	-0,12123181	0,005	0,024	1	0,919402306	1,087663141	0,208333333
RPL18	0,680887012	-0,121315889	0,758	0,829	1	0,919348725	1,087726531	0,914354644
SLIT3	0,373270628	-0,121516037	0,01	0,024	1	0,919221191	1,087877444	0,416666667
LRP3	0,009951995	-0,121542878	0,002	0,024	1	0,91920409	1,087897683	0,083333333
CFAP97	0,463301852	-0,121709218	0,128	0,171	1	0,919098113	1,088023123	0,748538012
ASMTL	0,809650081	-0,121743153	0,019	0,024	1	0,919076494	1,088048716	0,791666667
MRPL4	0,530123235	-0,121767952	0,07	0,098	1	0,919060697	1,088067419	0,714285714
SCP2	0,978171888	-0,122046252	0,153	0,146	1	0,918883424	1,088277331	1,047945205
MAP2K7	0,208609703	-0,122164542	0,019	0,049	1	0,918808086	1,088366565	0,387755102
USP1	0,383797971	-0,122245874	0,08	0,122	1	0,91875629	1,088427923	0,655737705
DNAJC5	0,741096359	-0,122254226	0,018	0,024	1	0,918750971	1,088434224	0,75
PABPC1	0,515000209	-0,122313839	0,171	0,22	1	0,918713008	1,0884792	0,777272727
ASF1B	0,115197258	-0,122366166	0,005	0,024	1	0,918679686	1,088518681	0,208333333
TMUB1	0,809650049	-0,122485233	0,019	0,024	1	0,91860387	1,088608521	0,791666667

Supplementary Table 3

Differentially expressed genes_keloid-MD_comparing SC-Keloid vs. (SC-Myel+Nonmyel)								
gene	p_val	avg_log2FC	pct.1	pct.2	p_val_adj	Foldchange_UP	Foldchange_DOWN	Ratio_pct1_pct2
AHCY	0,124438362	-0,12266109	0,029	0,073	1	0,918491904	1,088741224	0,397260274
PRMT2	0,213906502	-0,122759041	0,191	0,293	1	0,918429546	1,088815146	0,651877133
LBR	0,690019535	-0,122827907	0,037	0,049	1	0,918385706	1,088867121	0,755102041
PREX2	0,009951995	-0,122977455	0,002	0,024	1	0,918290512	1,088979998	0,083333333
SERF2	0,257856148	-0,123360529	0,724	0,805	1	0,918046714	1,089269189	0,899378882
RASD2	0,050627188	-0,123383866	0,003	0,024	1	0,918031864	1,089286809	0,125
PGM2L1	0,752389961	-0,123427863	0,085	0,098	1	0,918003868	1,089320029	0,867346939
ZNF667-AS1	0,027409798	-0,1234584	0,01	0,049	1	0,917984437	1,089343087	0,204081633
THOP1	0,370733807	-0,123469256	0,01	0,024	1	0,917977529	1,089351284	0,416666667
CHST12	0,935914981	-0,123498034	0,027	0,024	1	0,917959218	1,089373014	1,125
MOCS3	0,118110366	-0,12366868	0,005	0,024	1	0,917850646	1,089501875	0,208333333
CCDC88A	0,874422081	-0,123668862	0,056	0,049	1	0,91785053	1,089502013	1,142857143
CCDC18	0,050627188	-0,123691417	0,003	0,024	1	0,917836181	1,089519046	0,125
IPCEF1	0,009951995	-0,12369487	0,002	0,024	1	0,917833984	1,089521654	0,083333333
MRPL54	0,502054846	-0,123953058	0,152	0,195	1	0,917669741	1,089716655	0,779487179
FAM120AOS	0,104961924	-0,1241072	0,027	0,073	1	0,917571699	1,089833089	0,369863014
TRIT1	0,20008191	-0,124348038	0,006	0,024	1	0,917418536	1,090015037	0,25
PGGHG	0,116646669	-0,124424129	0,005	0,024	1	0,917370151	1,090072529	0,208333333
MRPL21	0,774208317	-0,124521556	0,108	0,122	1	0,917308202	1,090146145	0,885245902
ZNF830	0,099274471	-0,124687684	0,014	0,049	1	0,917202579	1,090271684	0,285714286
B3GNT5	0,676801274	-0,124773892	0,016	0,024	1	0,917147773	1,090336835	0,666666667
HDAC5	0,614007565	-0,12491461	0,014	0,024	1	0,91705832	1,09044319	0,583333333
ZSCAN25	0,009951995	-0,125076759	0,002	0,024	1	0,916955255	1,090565755	0,083333333
AC019117.2	0,009951995	-0,125304476	0,002	0,024	1	0,916810533	1,090737905	0,083333333
LATS2	0,069233684	-0,125317239	0,013	0,049	1	0,916802422	1,090747554	0,265306122
CPD	0,286905962	-0,125537704	0,038	0,073	1	0,916662332	1,09091425	0,520547945
CPEB1	0,009951995	-0,126065657	0,002	0,024	1	0,916326941	1,091313542	0,083333333
ITGB1BP1	0,630299816	-0,126120413	0,142	0,171	1	0,916292164	1,091354962	0,830409357
PRKAG1	0,431809474	-0,126167425	0,027	0,049	1	0,916262306	1,091390526	0,551020408
SAT2	0,66402773	-0,126282258	0,145	0,171	1	0,916189378	1,091477399	0,847953216

Supplementary Table 3

Differentially expressed genes_keloid-MD_comparing SC-Keloid vs. (SC-Myel+Nonmyel)								
gene	p_val	avg_log2FC	pct.1	pct.2	p_val_adj	Foldchange_UP	Foldchange_DOWN	Ratio_pct1_pct2
CCNL1	0,161882915	-0,126347581	0,062	0,122	1	0,916147896	1,091526821	0,508196721
DDX10	0,152151875	-0,126417498	0,03	0,073	1	0,916103497	1,091579721	0,410958904
ARHGAP10	0,606086984	-0,126614841	0,033	0,049	1	0,915978194	1,091729046	0,673469388
CDC25B	0,451039476	-0,126621121	0,011	0,024	1	0,915974207	1,091733798	0,458333333
GSPT2	0,194251578	-0,126818439	0,006	0,024	1	0,915848937	1,091883125	0,25
ZMYM2	0,861121253	-0,126833452	0,067	0,073	1	0,915839407	1,091894488	0,917808219
DYNC2L1	0,283075535	-0,127074462	0,008	0,024	1	0,915686424	1,09207691	0,333333333
ZNF358	0,0674287	-0,127075025	0,013	0,049	1	0,915686066	1,092077336	0,265306122
SYNE1	0,513379208	-0,12709956	0,049	0,073	1	0,915670494	1,092095909	0,671232877
ARIH2	0,445482666	-0,12712823	0,046	0,073	1	0,915652297	1,092117611	0,630136986
CD99	0,51903525	-0,127130331	0,306	0,366	1	0,915650964	1,092119201	0,836065574
TNFSF10	0,194251578	-0,127188166	0,006	0,024	1	0,915614258	1,092162984	0,25
PHF19	0,691892397	-0,127200382	0,037	0,049	1	0,915606505	1,092172232	0,755102041
DNAJC25	0,196181004	-0,12727201	0,006	0,024	1	0,915561048	1,092226458	0,25
MIS18A	0,917046786	-0,127502252	0,022	0,024	1	0,915414943	1,092400782	0,916666667
LDB1	0,100838432	-0,12750231	0,014	0,049	1	0,915414907	1,092400826	0,285714286
ODF3B	0,009951995	-0,127646932	0,002	0,024	1	0,915323146	1,092510338	0,083333333
BRD3OS	0,198124435	-0,127651133	0,006	0,024	1	0,915320481	1,09251352	0,25
MGST1	0,116646669	-0,127676097	0,005	0,024	1	0,915304642	1,092532424	0,208333333
RORA	0,099274471	-0,127716031	0,014	0,049	1	0,915279307	1,092562666	0,285714286
STIP1	0,849886809	-0,127838532	0,043	0,049	1	0,915201593	1,092655441	0,87755102
TRAF3IP2-AS1	0,741096359	-0,127899096	0,018	0,024	1	0,915163174	1,092701311	0,75
STK32C	0,339404719	-0,128064691	0,024	0,049	1	0,915058136	1,092826741	0,489795918
TTC38	0,050627188	-0,128194915	0,003	0,024	1	0,914975542	1,092925389	0,125
RNF215	0,116646669	-0,128417269	0,005	0,024	1	0,914834534	1,093093847	0,208333333
CCT3	0,446560854	-0,128435775	0,105	0,146	1	0,914822798	1,09310787	0,719178082
SLC22A5	0,009951995	-0,1286965	0,002	0,024	1	0,914657486	1,093305435	0,083333333
TBC1D22A	0,608438325	-0,128741169	0,014	0,024	1	0,914629166	1,093339286	0,583333333
SH3PXD2B	0,51430804	-0,128897803	0,03	0,049	1	0,91452987	1,093457997	0,612244898
ST3GAL1	0,368207718	-0,128952438	0,01	0,024	1	0,914495238	1,093499407	0,416666667

Supplementary Table 3

Differentially expressed genes_keloid-MD_comparing SC-Keloid vs. (SC-Myel+Nonmyel)								
gene	p_val	avg_log2FC	pct.1	pct.2	p_val_adj	Foldchange_UP	Foldchange_DOWN	Ratio_pct1_pct2
PTHLH	0,049781231	-0,129035134	0,003	0,024	1	0,91444282	1,093562089	0,125
POU2F1	0,774548473	-0,129108042	0,04	0,049	1	0,914396609	1,093617354	0,816326531
TOR1AIP1	0,469730397	-0,129157084	0,029	0,049	1	0,914365526	1,09365453	0,591836735
MRI1	0,005730439	-0,129256581	0,006	0,049	1	0,914302468	1,093729958	0,12244898
IGF2BP2	0,891556824	-0,129368401	0,029	0,024	1	0,914231605	1,093814734	1,208333333
PHACTR3	0,368207718	-0,129811137	0,01	0,024	1	0,913951088	1,094150457	0,416666667
GPR157	0,009951995	-0,130138906	0,002	0,024	1	0,913743468	1,094399068	0,083333333
MTCH1	0,721311886	-0,13016608	0,128	0,146	1	0,913726258	1,094419681	0,876712329
LANCL1	0,170742101	-0,130231961	0,032	0,073	1	0,913684533	1,09446966	0,438356164
PDK4	0,049781231	-0,130321739	0,003	0,024	1	0,913627677	1,09453777	0,125
ABRAXAS2	0,530362187	-0,130371333	0,013	0,024	1	0,913596271	1,094575396	0,541666667
UBC	0,336480518	-0,130553	0,539	0,61	1	0,913481236	1,094713236	0,883606557
MRPL39	0,202581839	-0,130599778	0,019	0,049	1	0,913451618	1,094748732	0,387755102
KCNH8	0,009951995	-0,13065807	0,002	0,024	1	0,913414711	1,094792965	0,083333333
YTHDF2	0,483473901	-0,130659219	0,048	0,073	1	0,913413983	1,094793837	0,657534247
SLC5A3	0,611220134	-0,130969704	0,014	0,024	1	0,913217427	1,095029476	0,583333333
PPP1R13L	0,050627188	-0,131053233	0,003	0,024	1	0,913164555	1,095092877	0,125
KIF5C	0,009951995	-0,131122274	0,002	0,024	1	0,913120856	1,095145285	0,083333333
EFNA1	0,116646669	-0,131133959	0,005	0,024	1	0,913113461	1,095154155	0,208333333
PURB	0,818587952	-0,131240223	0,112	0,122	1	0,913046206	1,095234823	0,918032787
GNL1	0,56222262	-0,131280031	0,032	0,049	1	0,913021013	1,095265044	0,653061224
ARSB	0,749340217	-0,13130785	0,018	0,024	1	0,913003408	1,095286164	0,75
HHIPL1	0,050627188	-0,131393279	0,003	0,024	1	0,912949346	1,095351023	0,125
GRIPAP1	0,04646789	-0,131594556	0,011	0,049	1	0,912821985	1,095503851	0,224489796
HEG1	0,045555981	-0,131689142	0,011	0,049	1	0,912762141	1,095575677	0,224489796
DSE	0,453706681	-0,131790263	0,011	0,024	1	0,912698166	1,09565247	0,458333333
SLIT2	0,116646669	-0,131953865	0,005	0,024	1	0,912594672	1,095776724	0,208333333
CPSF1	0,283075535	-0,132083002	0,008	0,024	1	0,912512988	1,095874813	0,333333333
HOMER3	0,972089177	-0,13216892	0,048	0,049	1	0,912458645	1,095940079	0,979591837
ZNF7	0,922214356	-0,13217891	0,022	0,024	1	0,912452327	1,095947668	0,916666667

Supplementary Table 3

Differentially expressed genes_keloid-MD_comparing SC-Keloid vs. (SC-Myel+Nonmyel)								
gene	p_val	avg_log2FC	pct.1	pct.2	p_val_adj	Foldchange_UP	Foldchange_DOWN	Ratio_pct1_pct2
CD69	0,196181004	-0,132352457	0,006	0,024	1	0,912342572	1,096079511	0,25
EIF4EBP2	0,380479892	-0,132390934	0,026	0,049	1	0,91231824	1,096108744	0,530612245
ZNF34	0,445731781	-0,132785417	0,011	0,024	1	0,912068815	1,096408499	0,458333333
PCBP1	0,265940807	-0,132890473	0,167	0,244	1	0,9120024	1,096488342	0,68442623
RAD21	0,434424945	-0,133005557	0,085	0,122	1	0,911929653	1,096575812	0,696721311
NUDCD3	0,519669852	-0,133129177	0,03	0,049	1	0,911851516	1,096669779	0,612244898
NECTIN1	0,194251578	-0,133156744	0,006	0,024	1	0,911834092	1,096690734	0,25
TSC22D2	0,690019507	-0,133263603	0,037	0,049	1	0,911766556	1,096771968	0,755102041
SHARPIN	0,64934456	-0,133353498	0,035	0,049	1	0,911709746	1,09684031	0,714285714
HLA-DQB1	0,60566217	-0,133677916	0,014	0,024	1	0,911504753	1,097086984	0,583333333
BAIAP2	0,608438325	-0,133694515	0,014	0,024	1	0,911494265	1,097099607	0,583333333
NCOA6	0,741096359	-0,133794025	0,018	0,024	1	0,911431397	1,097175281	0,75
SIK2	0,071078164	-0,133811709	0,013	0,049	1	0,911420226	1,09718873	0,265306122
TDRD3	0,123089492	-0,134018713	0,029	0,073	1	0,911289461	1,097346171	0,397260274
FAHD2A	0,602891701	-0,134030653	0,014	0,024	1	0,911281918	1,097355253	0,583333333
WDR82	0,807620021	-0,134206008	0,064	0,073	1	0,911171161	1,097488641	0,876712329
PHF10	0,998225085	-0,134253774	0,049	0,049	1	0,911140994	1,097524978	1
ZNF438	0,116646669	-0,134291369	0,005	0,024	1	0,911117251	1,097553579	0,208333333
AUH	0,097729926	-0,134333841	0,014	0,049	1	0,911090429	1,097585891	0,285714286
WDR81	0,368207718	-0,134361664	0,01	0,024	1	0,911072858	1,097607058	0,416666667
RFC3	0,334781231	-0,134451335	0,024	0,049	1	0,911016232	1,097675282	0,489795918
TYK2	0,749340217	-0,134614379	0,018	0,024	1	0,910913281	1,097799342	0,75
SLCO3A1	0,746589028	-0,135097727	0,018	0,024	1	0,910608148	1,0981672	0,75
ZNF254	0,922214356	-0,135187829	0,022	0,024	1	0,910551278	1,098235787	0,916666667
ARHGAP17	0,128640375	-0,135210703	0,016	0,049	1	0,910536841	1,0982532	0,326530612
METTL25	0,001799447	-0,135286711	0,011	0,073	1	0,910488872	1,098311063	0,150684932
ITGA1	0,597962766	-0,135375993	0,236	0,293	1	0,910432527	1,098379035	0,805460751
KRT6A	0,009700686	-0,135398765	0,002	0,024	1	0,910418157	1,098396372	0,083333333
KIF23	0,050627188	-0,135776306	0,003	0,024	1	0,910179939	1,09868385	0,125
NEMP2	0,283075535	-0,135934958	0,008	0,024	1	0,910079853	1,098804678	0,333333333

Supplementary Table 3

Differentially expressed genes_keloid-MD_comparing SC-Keloid vs. (SC-Myel+Nonmyel)								
gene	p_val	avg_log2FC	pct.1	pct.2	p_val_adj	Foldchange_UP	Foldchange_DOWN	Ratio_pct1_pct2
TBC1D7	0,311128865	-0,136007016	0,04	0,073	1	0,910034399	1,098859561	0,547945205
TNFAIP8L1	0,009951995	-0,136084758	0,002	0,024	1	0,909985361	1,098918777	0,083333333
UBE2D1	0,510749547	-0,136316528	0,03	0,049	1	0,909839183	1,099095333	0,612244898
HEY2	0,050627188	-0,136449031	0,003	0,024	1	0,909755624	1,099196283	0,125
KXD1	0,121087629	-0,136515279	0,029	0,073	1	0,909713849	1,099246759	0,397260274
TACO1	0,038553062	-0,137021732	0,021	0,073	1	0,909394553	1,099632713	0,287671233
ATP2C1	0,85174134	-0,137165355	0,043	0,049	1	0,909304026	1,099742189	0,87755102
ZNF626	0,168993438	-0,137295718	0,018	0,049	1	0,909221864	1,099841567	0,367346939
KDM4C	0,04646789	-0,137594781	0,011	0,049	1	0,909033406	1,100069583	0,224489796
HIGD2A	0,892421765	-0,137834507	0,093	0,098	1	0,908882369	1,100252391	0,948979592
PLK4	0,009951995	-0,137836257	0,002	0,024	1	0,908881267	1,100253726	0,083333333
MRPS30	0,851862947	-0,138006793	0,03	0,024	1	0,908773838	1,10038379	1,25
JAK2	0,285374202	-0,138037444	0,008	0,024	1	0,90875453	1,100407169	0,333333333
NXT2	0,049781231	-0,138038236	0,003	0,024	1	0,908754031	1,100407773	0,125
RHOU	0,009951995	-0,138065939	0,002	0,024	1	0,908736581	1,100428904	0,083333333
RPS6KA5	0,674031557	-0,13815798	0,016	0,024	1	0,908678607	1,100499111	0,666666667
IMPACT	0,889264253	-0,138178066	0,029	0,024	1	0,908665956	1,100514433	1,208333333
CHCHD1	0,943001512	-0,13824362	0,105	0,098	1	0,908624669	1,10056444	1,071428571
SERINC5	0,160415045	-0,138293942	0,046	0,098	1	0,908592976	1,100602829	0,469387755
DHRS4L2	0,776423942	-0,138341725	0,04	0,049	1	0,908562883	1,100639282	0,816326531
TEAD1	0,898547087	-0,138367229	0,069	0,073	1	0,908546822	1,10065874	0,945205479
FOXD1	0,049781231	-0,138862107	0,003	0,024	1	0,908235223	1,101036356	0,125
ORAI2	0,196537849	-0,139425356	0,033	0,073	1	0,907880704	1,1014663	0,452054795
CAPN7	0,377253366	-0,139433811	0,026	0,049	1	0,907875383	1,101472756	0,530612245
SLC41A3	0,330198527	-0,139434509	0,024	0,049	1	0,907874944	1,101473289	0,489795918
LRRC41	0,889264253	-0,139512352	0,029	0,024	1	0,907825959	1,101532722	1,208333333
SPTSSA	0,12238158	-0,139672672	0,23	0,366	1	0,907725082	1,101655137	0,628415301
CTTNBP2NL	0,889842537	-0,139825161	0,045	0,049	1	0,907629143	1,101771585	0,918367347
DERA	0,859167563	-0,139982152	0,043	0,049	1	0,907530382	1,101891484	0,87755102
IFT88	0,342509686	-0,140151645	0,024	0,049	1	0,907423769	1,102020946	0,489795918

Supplementary Table 3

Differentially expressed genes_keloid-MD_ comparing SC-Keloid vs. (SC-Myel+Nonmyel)								
gene	p_val	avg_log2FC	pct.1	pct.2	p_val_adj	Foldchange_UP	Foldchange_DOWN	Ratio_pct1_pct2
YBX3	0,285099022	-0,140170138	0,056	0,098	1	0,907412137	1,102035072	0,571428571
IFT52	0,804243171	-0,140301634	0,019	0,024	1	0,907329434	1,102135523	0,791666667
ABCD4	0,611220134	-0,140303419	0,014	0,024	1	0,907328311	1,102136886	0,583333333
SERP1	0,295595113	-0,140325078	0,187	0,268	1	0,90731469	1,102153433	0,697761194
UXS1	0,737405863	-0,140362145	0,038	0,049	1	0,907291379	1,10218175	0,775510204
REXO1	0,011375116	-0,140641898	0,016	0,073	1	0,907115463	1,102395495	0,219178082
RAB33B	0,891556838	-0,140702501	0,029	0,024	1	0,907077358	1,102441805	1,208333333
TMEM208	0,94372937	-0,140987084	0,147	0,146	1	0,906898448	1,102659291	1,006849315
PPP1R18	0,848991835	-0,141015777	0,057	0,049	1	0,906880411	1,102681222	1,163265306
FGGY	0,118110366	-0,141109427	0,005	0,024	1	0,906821545	1,102752802	0,208333333
SMARCA4	0,550455373	-0,141491644	0,051	0,073	1	0,90658133	1,103044997	0,698630137
MMP28	0,099274471	-0,141540401	0,014	0,049	1	0,906550692	1,103082275	0,285714286
PRDX4	0,385461999	-0,141612803	0,282	0,366	1	0,906505198	1,103137635	0,770491803
KHDC4	0,514086134	-0,141676868	0,049	0,073	1	0,906464944	1,103186623	0,671232877
ZNF786	0,009951995	-0,141914253	0,002	0,024	1	0,906315804	1,103368159	0,083333333
ETFB	0,532712482	-0,142047037	0,115	0,146	1	0,906232392	1,103469716	0,787671233
RNPS1	0,596419916	-0,142176639	0,096	0,122	1	0,906150985	1,103568849	0,786885246
SERPINF1	0,130476948	-0,142208578	0,016	0,049	1	0,906130925	1,103593281	0,326530612
COPZ2	0,55758808	-0,142385284	0,094	0,122	1	0,906019946	1,103728461	0,770491803
B4GALT1	0,635177885	-0,142401378	0,056	0,073	1	0,906009838	1,103740774	0,767123288
DISP2	9,44793E-05	-0,142463462	0	0,024	1	0,905970851	1,103788272	0
ITK	9,44793E-05	-0,142463462	0	0,024	1	0,905970851	1,103788272	0
NRIP3	9,44793E-05	-0,142463462	0	0,024	1	0,905970851	1,103788272	0
PYCARD-AS1	9,44793E-05	-0,142463462	0	0,024	1	0,905970851	1,103788272	0
RYR1	9,44793E-05	-0,142463462	0	0,024	1	0,905970851	1,103788272	0
TUT4	0,929254309	-0,142546382	0,105	0,098	1	0,905918781	1,103851715	1,071428571
TEAD2	0,451039476	-0,142739944	0,011	0,024	1	0,905797244	1,103999826	0,458333333
PHF5A	0,774576085	-0,142940102	0,033	0,024	1	0,905671584	1,104153004	1,375
SNAPIN	0,640051691	-0,143308612	0,035	0,049	1	0,905440276	1,104435075	0,714285714
GGA3	0,533106974	-0,143491668	0,013	0,024	1	0,905325397	1,10457522	0,541666667

Supplementary Table 3

Differentially expressed genes_keloid-MD_comparing SC-Keloid vs. (SC-Myel+Nonmyel)								
gene	p_val	avg_log2FC	pct.1	pct.2	p_val_adj	Foldchange_UP	Foldchange_DOWN	Ratio_pct1_pct2
GXYLT1	0,533106974	-0,143569021	0,013	0,024	1	0,905276858	1,104634446	0,541666667
EZR	0,788950318	-0,143617963	0,086	0,098	1	0,905246147	1,10467192	0,87755102
STOML2	0,23607669	-0,143647958	0,086	0,146	1	0,905227327	1,104694887	0,589041096
MAPKAPK2	0,334781231	-0,143676248	0,024	0,049	1	0,905209576	1,10471655	0,489795918
NDUFAF8	0,678493927	-0,143774682	0,148	0,171	1	0,905147817	1,104791926	0,865497076
PPP2CA	0,619262568	-0,143791831	0,097	0,122	1	0,905137058	1,104805059	0,795081967
MALAT1	0,176387223	-0,143928401	0,994	0,976	1	0,905051378	1,104909648	1,018442623
PRELID3A	0,453706681	-0,144184015	0,011	0,024	1	0,904891037	1,105105431	0,458333333
ZNF790	0,20008191	-0,144203207	0,006	0,024	1	0,904879	1,105120133	0,25
ALG13	0,891556838	-0,144270233	0,029	0,024	1	0,904836961	1,105171476	1,208333333
IVD	0,198791742	-0,144379839	0,033	0,073	1	0,90476822	1,105255443	0,452054795
JCAD	0,196181004	-0,144389063	0,006	0,024	1	0,904762435	1,10526251	0,25
ATAD3C	0,009951995	-0,144665252	0,002	0,024	1	0,904589245	1,105474121	0,083333333
RPL11	0,523250668	-0,145072227	0,917	0,976	1	0,904334102	1,105786012	0,93954918
EXOC4	0,917046786	-0,145281855	0,022	0,024	1	0,904202709	1,105946698	0,916666667
CHCHD2	0,434452813	-0,145382184	0,408	0,463	1	0,904139831	1,106023611	0,881209503
PCYOX1	0,507741841	-0,145686936	0,049	0,073	1	0,903948862	1,10625727	0,671232877
DGKH	0,24923539	-0,145780135	0,021	0,049	1	0,903890468	1,106328737	0,428571429
NRG2	0,049781231	-0,146009673	0,003	0,024	1	0,903746668	1,106504772	0,125
G2E3	0,383723316	-0,14609507	0,026	0,049	1	0,903693174	1,106570271	0,530612245
RABL6	0,926445848	-0,146168174	0,07	0,073	1	0,903647383	1,106626344	0,95890411
AURKAIP1	0,413420037	-0,146247614	0,188	0,244	1	0,903597626	1,106687281	0,770491803
CCDC28A	0,370733807	-0,146268746	0,01	0,024	1	0,903584391	1,106703491	0,416666667
TMSB4X	0,260943329	-0,146374692	0,876	0,878	1	0,903518038	1,106784766	0,997722096
PGRMC2	0,591921588	-0,146428144	0,096	0,122	1	0,903484563	1,106825773	0,786885246
COMMD8	0,510556457	-0,146461694	0,049	0,073	1	0,903463553	1,106851513	0,671232877
RHOBTB2	0,280789447	-0,146814851	0,008	0,024	1	0,903242421	1,107122492	0,333333333
DCAF4	0,196181004	-0,146914953	0,006	0,024	1	0,903179751	1,107199313	0,25
MRGPRF	0,050627188	-0,146954396	0,003	0,024	1	0,903155059	1,107229584	0,125
CLK1	0,223101927	-0,147069466	0,069	0,122	1	0,903083025	1,107317901	0,56557377

Supplementary Table 3

Differentially expressed genes_keloid-MD_comparing SC-Keloid vs. (SC-Myel+Nonmyel)								
gene	p_val	avg_log2FC	pct.1	pct.2	p_val_adj	Foldchange_UP	Foldchange_DOWN	Ratio_pct1_pct2
CRIM1	0,064842572	-0,147089516	0,024	0,073	1	0,903070475	1,10733329	0,328767123
BRMS1L	0,60566217	-0,147338849	0,014	0,024	1	0,902914415	1,107524681	0,583333333
ZNF808	0,451039476	-0,147378537	0,011	0,024	1	0,902889577	1,107555149	0,458333333
RPL39L	0,777084882	-0,147420105	0,062	0,049	1	0,902863563	1,107587061	1,265306122
SLC39A1	0,974629988	-0,147422648	0,051	0,049	1	0,902861972	1,107589013	1,040816327
PSMA3	0,340241907	-0,147442379	0,196	0,268	1	0,902849624	1,107604161	0,731343284
PDS5B	0,125830702	-0,14745897	0,059	0,122	1	0,902839241	1,107616898	0,483606557
LAPTM4A	0,417500901	-0,147557582	0,34	0,415	1	0,902777532	1,10769261	0,819277108
RTCA	0,292887183	-0,147566838	0,022	0,049	1	0,902771739	1,107699717	0,448979592
ZNF766	0,283075535	-0,147702864	0,008	0,024	1	0,902686625	1,107804162	0,333333333
DPYSL2	0,40954783	-0,14791909	0,064	0,098	1	0,902551343	1,107970209	0,653061224
ERGIC2	0,685576993	-0,147924785	0,102	0,122	1	0,902547781	1,107974582	0,836065574
NUTM2A-AS1	0,165771877	-0,148012386	0,018	0,049	1	0,902492979	1,108041861	0,367346939
LARP4	0,418536974	-0,148059564	0,045	0,073	1	0,902463467	1,108078096	0,616438356
DGAT1	0,377253366	-0,148171952	0,026	0,049	1	0,902393167	1,10816442	0,530612245
SMAGP	0,009951995	-0,148288004	0,002	0,024	1	0,90232058	1,108253566	0,083333333
WDR45B	0,415804345	-0,148323673	0,083	0,122	1	0,902298271	1,108280966	0,680327869
EPAS1	0,368207718	-0,148372197	0,01	0,024	1	0,902267924	1,108318243	0,416666667
SLC33A1	0,51430804	-0,148590504	0,03	0,049	1	0,902131404	1,108485965	0,612244898
STAG1	0,810810552	-0,148669655	0,041	0,049	1	0,902081911	1,108546782	0,836734694
VIRMA	0,453706681	-0,148893605	0,011	0,024	1	0,901941892	1,108718876	0,458333333
FGD1	0,196181004	-0,14890438	0,006	0,024	1	0,901935155	1,108727156	0,25
EIF3J-DT	0,863679013	-0,149137766	0,021	0,024	1	0,901789261	1,10890653	0,875
DNAJB9	0,73898314	-0,149205921	0,035	0,024	1	0,90174666	1,108958918	1,458333333
NR2F2	0,337276686	-0,149413365	0,078	0,122	1	0,901617008	1,109118385	0,639344262
ARHGEF16	9,44793E-05	-0,149426662	0	0,024	1	0,901608698	1,109128608	0
GALNT3	9,44793E-05	-0,149426662	0	0,024	1	0,901608698	1,109128608	0
KCNC3	9,44793E-05	-0,149426662	0	0,024	1	0,901608698	1,109128608	0
MERTK	9,44793E-05	-0,149426662	0	0,024	1	0,901608698	1,109128608	0
TLCD1	9,44793E-05	-0,149426662	0	0,024	1	0,901608698	1,109128608	0

Supplementary Table 3

Differentially expressed genes_keloid-MD_ comparing SC-Keloid vs. (SC-Myel+Nonmyel)								
gene	p_val	avg_log2FC	pct.1	pct.2	p_val_adj	Foldchange_UP	Foldchange_DOWN	Ratio_pct1_pct2
ZMYND15	9,44793E-05	-0,149426662	0	0,024	1	0,901608698	1,109128608	0
GSDMD	0,053516997	-0,149500673	0,035	0,098	1	0,901562446	1,109185508	0,357142857
CDS2	0,917046786	-0,149542021	0,022	0,024	1	0,901536607	1,109217299	0,916666667
CDK11A	0,027100643	-0,149602448	0,01	0,049	1	0,901498847	1,109263759	0,204081633
UNG	0,280789447	-0,149799212	0,008	0,024	1	0,901375903	1,109415058	0,333333333
SQSTM1	0,530355556	-0,149873472	0,136	0,171	1	0,901329508	1,109472164	0,795321637
SLITRK2	0,026491352	-0,1498769	0,01	0,049	1	0,901327367	1,1094748	0,204081633
MAST3	0,009951995	-0,150074178	0,002	0,024	1	0,901204125	1,109626523	0,083333333
ATF7IP2	0,747964175	-0,150191234	0,018	0,024	1	0,901131007	1,109716559	0,75
FLNB	0,467993756	-0,150268729	0,029	0,049	1	0,901082603	1,109776169	0,591836735
TMEM8B	0,280789447	-0,15029088	0,008	0,024	1	0,901068769	1,109793209	0,333333333
SF3A3	0,651209798	-0,150381068	0,035	0,049	1	0,901012441	1,109862588	0,714285714
PSAT1	0,53310687	-0,150430462	0,013	0,024	1	0,900981593	1,109900588	0,541666667
CAMK2D	0,665970164	-0,150513466	0,057	0,073	1	0,900929758	1,109964446	0,780821918
JAZF1	0,743841064	-0,150523245	0,018	0,024	1	0,900923651	1,10997197	0,75
TSR3	0,97812835	-0,150553955	0,051	0,049	1	0,900904474	1,109995598	1,040816327
TFPT	0,083320067	-0,15079033	0,026	0,073	1	0,900756879	1,110177478	0,356164384
NECAP2	0,88616459	-0,150791357	0,045	0,049	1	0,900756238	1,110178267	0,918367347
RB1CC1	0,484345645	-0,150806264	0,067	0,098	1	0,900746931	1,110189739	0,683673469
ZFP91	0,849886809	-0,150965122	0,043	0,049	1	0,900647753	1,110311991	0,87755102
CAND2	0,009951995	-0,150968246	0,002	0,024	1	0,900645803	1,110314395	0,083333333
DNPH1	0,431875092	-0,151043136	0,123	0,171	1	0,900599052	1,110372033	0,719298246
SCMH1	0,068627663	-0,151055586	0,013	0,049	1	0,90059128	1,110381615	0,265306122
SEPTIN10	0,205492835	-0,151088609	0,085	0,146	1	0,900570666	1,110407031	0,582191781
CD200	0,889264239	-0,151095915	0,029	0,024	1	0,900566105	1,110412655	1,208333333
FRS2	0,547570515	-0,151182382	0,051	0,073	1	0,900512132	1,110479209	0,698630137
RSPRY1	0,512527184	-0,151191909	0,03	0,049	1	0,900506186	1,110486542	0,612244898
GTPBP3	0,863679013	-0,151244451	0,021	0,024	1	0,90047339	1,110526986	0,875
YPEL3	0,380173608	-0,151285646	0,043	0,073	1	0,900447678	1,110558697	0,589041096
CWC25	0,294336857	-0,151345297	0,022	0,049	1	0,900410448	1,110604616	0,448979592

Supplementary Table 3

Differentially expressed genes_keloid-MD_comparing SC-Keloid vs. (SC-Myel+Nonmyel)								
gene	p_val	avg_log2FC	pct.1	pct.2	p_val_adj	Foldchange_UP	Foldchange_DOWN	Ratio_pct1_pct2
SLC41A2	0,337859026	-0,151423379	0,024	0,049	1	0,900361717	1,110664726	0,489795918
TRMT61A	0,674031557	-0,151579213	0,016	0,024	1	0,900264469	1,110784702	0,666666667
ILF3	0,351840937	-0,151600018	0,097	0,146	1	0,900251487	1,11080072	0,664383562
SYBU	0,009951995	-0,151831027	0,002	0,024	1	0,900107347	1,110978599	0,083333333
OGA	0,314162236	-0,151984767	0,057	0,098	1	0,900011432	1,111096997	0,581632653
IFRD2	0,404184947	-0,152002642	0,045	0,073	1	0,900000282	1,111110763	0,616438356
ARIH1	0,716149938	-0,152176974	0,059	0,073	1	0,899891534	1,111245035	0,808219178
DUOXA1	9,44793E-05	-0,152208554	0	0,024	1	0,899871836	1,111269361	0
EHHADH	9,44793E-05	-0,152208554	0	0,024	1	0,899871836	1,111269361	0
NBPF9	9,44793E-05	-0,152208554	0	0,024	1	0,899871836	1,111269361	0
SIGLEC10	9,44793E-05	-0,152208554	0	0,024	1	0,899871836	1,111269361	0
GALNT18	0,009951995	-0,152660732	0,002	0,024	1	0,899589837	1,111617716	0,083333333
ATG2B	0,602891701	-0,152708534	0,014	0,024	1	0,899560031	1,111654549	0,583333333
NR1D1	0,287685455	-0,152780623	0,008	0,024	1	0,899515082	1,111710098	0,333333333
CDKN2AIPNL	0,288566959	-0,152896517	0,022	0,049	1	0,899442826	1,111799406	0,448979592
GUCD1	0,097729926	-0,15323191	0,014	0,049	1	0,89923375	1,112057904	0,285714286
PLEKHA4	0,189718983	-0,153407197	0,153	0,244	1	0,899124501	1,112193027	0,62704918
RINT1	0,280789447	-0,153478844	0,008	0,024	1	0,899079849	1,112248262	0,333333333
KIAA1549	0,049781231	-0,153690459	0,003	0,024	1	0,898947982	1,112411419	0,125
IRF3	0,342783368	-0,153976839	0,041	0,073	1	0,898769555	1,112632258	0,561643836
MAP2K1	0,863679013	-0,154035597	0,021	0,024	1	0,898732951	1,112677574	0,875
FBLN2	0,943087568	-0,15408355	0,053	0,049	1	0,898703079	1,112714558	1,081632653
TIMP4	0,578302256	-0,154277967	0,113	0,146	1	0,898581979	1,112864517	0,773972603
TMEM237	0,749340217	-0,154847184	0,018	0,024	1	0,898227512	1,113303686	0,75
EBNA1BP2	0,504935391	-0,155032258	0,049	0,073	1	0,898112291	1,113446514	0,671232877
SARNP	0,448381168	-0,155131307	0,011	0,024	1	0,898050633	1,113522961	0,458333333
CLIP2	0,804243171	-0,155181703	0,019	0,024	1	0,898019263	1,113561859	0,791666667
AIDA	0,46785628	-0,155381993	0,067	0,098	1	0,897894599	1,113716466	0,683673469
PIM1	0,009951995	-0,155392931	0,002	0,024	1	0,897887792	1,11372491	0,083333333
ELOVL6	0,285374202	-0,155489121	0,008	0,024	1	0,897827928	1,113799169	0,333333333

Supplementary Table 3

Differentially expressed genes_keloid-MD_comparing SC-Keloid vs. (SC-Myel+Nonmyel)								
gene	p_val	avg_log2FC	pct.1	pct.2	p_val_adj	Foldchange_UP	Foldchange_DOWN	Ratio_pct1_pct2
PRELID1	0,504744247	-0,15570864	0,198	0,244	1	0,897691326	1,113968656	0,81147541
NECTIN2	0,649344591	-0,155939523	0,035	0,049	1	0,897547675	1,114146946	0,714285714
SEPTIN1	0,451039476	-0,156003487	0,011	0,024	1	0,897507882	1,114196344	0,458333333
AKIP1	0,246571001	-0,156079739	0,021	0,049	1	0,897460446	1,114255235	0,428571429
FXYD7	9,44793E-05	-0,156198723	0	0,024	1	0,897386432	1,114347135	0
GIPR	9,44793E-05	-0,156198723	0	0,024	1	0,897386432	1,114347135	0
KCNH2	9,44793E-05	-0,156198723	0	0,024	1	0,897386432	1,114347135	0
MPP2	9,44793E-05	-0,156198723	0	0,024	1	0,897386432	1,114347135	0
SCGB2A2	9,44793E-05	-0,156198723	0	0,024	1	0,897386432	1,114347135	0
THSD1	9,44793E-05	-0,156198723	0	0,024	1	0,897386432	1,114347135	0
TMEM139	9,44793E-05	-0,156198723	0	0,024	1	0,897386432	1,114347135	0
NOL3	0,746589028	-0,156473159	0,018	0,024	1	0,897215743	1,114559132	0,75
COG4	0,530362187	-0,156483166	0,013	0,024	1	0,89720952	1,114566863	0,541666667
ADGRB3	0,048947161	-0,156681802	0,003	0,024	1	0,897085997	1,114720331	0,125
JOSD1	0,835525655	-0,15670173	0,059	0,049	1	0,897073606	1,114735729	1,204081633
TOX4	0,741926928	-0,156761715	0,061	0,073	1	0,897036308	1,114782079	0,835616438
RBSN	0,743841064	-0,156872185	0,018	0,024	1	0,896967622	1,114867443	0,75
ABHD5	0,368207718	-0,156993943	0,01	0,024	1	0,896891925	1,114961538	0,416666667
FBXL6	0,448381168	-0,157002062	0,011	0,024	1	0,896886878	1,114967812	0,458333333
ZNF644	0,230315525	-0,157071388	0,104	0,171	1	0,89684378	1,115021391	0,608187135
ODC1	0,477937139	-0,157126365	0,048	0,073	1	0,896809605	1,115063883	0,657534247
ZNF281	0,380479892	-0,157262716	0,026	0,049	1	0,89672485	1,115169274	0,530612245
LDOC1	0,048947161	-0,15730402	0,003	0,024	1	0,896699178	1,115201201	0,125
SMG8	0,009951995	-0,15731113	0,002	0,024	1	0,896694759	1,115206697	0,083333333
MAP3K10	0,116646669	-0,157428012	0,005	0,024	1	0,896622114	1,115297051	0,208333333
AAMP	0,676963166	-0,157621269	0,037	0,049	1	0,896502015	1,115446461	0,755102041
PSMD6	0,376394081	-0,157626292	0,043	0,073	1	0,896498894	1,115450344	0,589041096
NDUFA13	0,578651024	-0,157675253	0,158	0,195	1	0,89646847	1,1154882	0,81025641
FKBP8	0,241344348	-0,15771237	0,053	0,098	1	0,896445406	1,1155169	0,540816327
CAMLG	0,100768619	-0,157807452	0,088	0,171	1	0,896386327	1,115590421	0,514619883

Supplementary Table 3

Differentially expressed genes_keloid-MD_ comparing SC-Keloid vs. (SC-Myel+Nonmyel)								
gene	p_val	avg_log2FC	pct.1	pct.2	p_val_adj	Foldchange_UP	Foldchange_DOWN	Ratio_pct1_pct2
ZFAND3	0,957694802	-0,158044551	0,048	0,049	1	0,896239023	1,115773777	0,979591837
KLF7	0,845212704	-0,158254664	0,03	0,024	1	0,896108505	1,115936289	1,25
FARSA	0,208609703	-0,158550156	0,019	0,049	1	0,895924983	1,116164878	0,387755102
YIPF2	0,334781231	-0,158793621	0,024	0,049	1	0,895773802	1,116353255	0,489795918
ILRUN	0,149082682	-0,158847612	0,03	0,073	1	0,895740279	1,116395034	0,410958904
C1R	0,228548381	-0,159142935	0,035	0,073	1	0,895556938	1,116623586	0,479452055
DUSP18	0,451039476	-0,159547248	0,011	0,024	1	0,895305995	1,116936562	0,458333333
TAF1D	0,701035945	-0,159701858	0,059	0,073	1	0,895210053	1,117056267	0,808219178
CUL3	0,737378808	-0,15973847	0,061	0,073	1	0,895187335	1,117084616	0,835616438
KDM2A	0,179866792	-0,159932978	0,048	0,098	1	0,895066651	1,117235235	0,489795918
COPB1	0,781061333	-0,159960097	0,086	0,098	1	0,895049826	1,117256236	0,87755102
HYAL2	0,974629988	-0,160062671	0,051	0,049	1	0,894986192	1,117335674	1,040816327
WDR47	0,207393847	-0,160139062	0,019	0,049	1	0,894938803	1,117394839	0,387755102
CRTC3	0,227568155	-0,16046852	0,035	0,073	1	0,894734456	1,11765004	0,479452055
DOT1L	0,974840088	-0,160659879	0,024	0,024	1	0,894615786	1,117798295	1
RAB35	0,866326572	-0,160803612	0,021	0,024	1	0,894526662	1,117909664	0,875
KIF1C	0,166840557	-0,160862591	0,018	0,049	1	0,894490093	1,117955366	0,367346939
U2SURP	0,232086598	-0,161146208	0,124	0,195	1	0,894314264	1,118175165	0,635897436
LAGE3	0,740581072	-0,161357721	0,083	0,098	1	0,894183159	1,118339113	0,846938776
NFIX	0,603700323	-0,161525079	0,137	0,171	1	0,894079436	1,118468851	0,801169591
CWC15	0,657223962	-0,161879817	0,124	0,146	1	0,893859622	1,118743901	0,849315068
MARK3	0,239927202	-0,162017434	0,088	0,146	1	0,893774362	1,118850621	0,602739726
MICAL1	0,196181004	-0,162079127	0,006	0,024	1	0,893736143	1,118898467	0,25
AMN1	0,452371839	-0,162271647	0,011	0,024	1	0,893616886	1,119047788	0,458333333
IQCN	0,009951995	-0,162297873	0,002	0,024	1	0,893600641	1,119068131	0,083333333
CXCL16	0,096204645	-0,162378455	0,014	0,049	1	0,893550731	1,119130638	0,285714286
ZNHIT3	0,446473118	-0,16239662	0,065	0,098	1	0,89353948	1,119144729	0,663265306
LRR1	0,676801274	-0,162618756	0,016	0,024	1	0,89340191	1,119317061	0,666666667
IDH3A	0,863679013	-0,162627012	0,021	0,024	1	0,893396797	1,119323466	0,875
HEXIM1	0,112676848	-0,162852979	0,057	0,122	1	0,893256877	1,119498798	0,467213115

Supplementary Table 3

Differentially expressed genes_keloid-MD_comparing SC-Keloid vs. (SC-Myel+Nonmyel)								
gene	p_val	avg_log2FC	pct.1	pct.2	p_val_adj	Foldchange_UP	Foldchange_DOWN	Ratio_pct1_pct2
SARS1	0,341169856	-0,16292359	0,097	0,146	1	0,893213158	1,119553592	0,664383562
UBE2L6	0,41335313	-0,163190032	0,027	0,049	1	0,893048212	1,119760374	0,551020408
AC079354.3	0,009700686	-0,163639399	0,002	0,024	1	0,892770091	1,120109209	0,083333333
MSL3	0,551900576	-0,163738965	0,051	0,073	1	0,89270848	1,120186514	0,698630137
ASB7	0,45638276	-0,163831632	0,011	0,024	1	0,892651141	1,120258468	0,458333333
SNRPC	0,97113211	-0,163928164	0,051	0,049	1	0,892591415	1,120333428	1,040816327
CRIP2	0,479558905	-0,164042094	0,215	0,268	1	0,892520929	1,120421905	0,802238806
YBEY	0,772674319	-0,164107535	0,04	0,049	1	0,892480446	1,120472728	0,816326531
ZNF576	0,116646669	-0,164140834	0,005	0,024	1	0,892459846	1,120498591	0,208333333
KIAA2026	0,646550869	-0,164259348	0,035	0,049	1	0,892386536	1,12059064	0,714285714
B9D1	0,674031557	-0,164306251	0,016	0,024	1	0,892357524	1,120627072	0,666666667
PDE8A	0,199698613	-0,164354565	0,033	0,073	1	0,892327641	1,120664601	0,452054795
POLD3	0,280789447	-0,164483871	0,008	0,024	1	0,892247667	1,120765049	0,333333333
TMEM181	0,935914981	-0,164631335	0,027	0,024	1	0,892156471	1,120879613	1,125
ADAMTS17	9,44793E-05	-0,164764853	0	0,024	1	0,892073908	1,120983353	0
ANG	9,44793E-05	-0,164764853	0	0,024	1	0,892073908	1,120983353	0
CCR10	9,44793E-05	-0,164764853	0	0,024	1	0,892073908	1,120983353	0
FGFR3	9,44793E-05	-0,164764853	0	0,024	1	0,892073908	1,120983353	0
KIRREL2	9,44793E-05	-0,164764853	0	0,024	1	0,892073908	1,120983353	0
PIEZO2	9,44793E-05	-0,164764853	0	0,024	1	0,892073908	1,120983353	0
RAB42	9,44793E-05	-0,164764853	0	0,024	1	0,892073908	1,120983353	0
RBMS3-AS3	9,44793E-05	-0,164764853	0	0,024	1	0,892073908	1,120983353	0
ZNF653	9,44793E-05	-0,164764853	0	0,024	1	0,892073908	1,120983353	0
APEX2	0,196181004	-0,165052662	0,006	0,024	1	0,891895962	1,121207004	0,25
IRF7	0,198124435	-0,165125165	0,006	0,024	1	0,891851141	1,121263352	0,25
CLK4	0,741096359	-0,165134473	0,018	0,024	1	0,891845387	1,121270587	0,75
COX5A	0,830759678	-0,165271612	0,161	0,171	1	0,891760614	1,121377177	0,941520468
ZBTB25	0,530362187	-0,165454053	0,013	0,024	1	0,891647851	1,121518993	0,541666667
MARCHF2	0,368207718	-0,165564342	0,01	0,024	1	0,89157969	1,121604732	0,416666667
PPP3R1	0,519669852	-0,165614001	0,03	0,049	1	0,891549001	1,12164334	0,612244898

Supplementary Table 3

Differentially expressed genes_keloid-MD_comparing SC-Keloid vs. (SC-Myel+Nonmyel)								
gene	p_val	avg_log2FC	pct.1	pct.2	p_val_adj	Foldchange_UP	Foldchange_DOWN	Ratio_pct1_pct2
ROM1	0,009700686	-0,165964936	0,002	0,024	1	0,891332159	1,121916213	0,083333333
TIGD6	0,116646669	-0,166010975	0,005	0,024	1	0,891303716	1,121952015	0,208333333
SF3B3	0,914464287	-0,16628817	0,022	0,024	1	0,891132479	1,122167605	0,916666667
ALPK1	0,283075535	-0,16635827	0,008	0,024	1	0,891089181	1,122222131	0,333333333
NAT9	0,451039476	-0,166432773	0,011	0,024	1	0,891043165	1,122280087	0,458333333
EIF2D	0,533106974	-0,166464854	0,013	0,024	1	0,891023351	1,122305043	0,541666667
H6PD	0,125117108	-0,166543371	0,029	0,073	1	0,89097486	1,122366124	0,397260274
ORC5	0,280789447	-0,16678703	0,008	0,024	1	0,890824394	1,122555699	0,333333333
PXN	0,169096698	-0,167060152	0,032	0,073	1	0,890655765	1,122768234	0,438356164
ANKRD13B	0,050627188	-0,167135314	0,003	0,024	1	0,890609364	1,12282673	0,125
FUT8	0,955896378	-0,167188082	0,048	0,049	1	0,89057679	1,122867799	0,979591837
QRSL1	0,285374202	-0,167267245	0,008	0,024	1	0,890527924	1,122929414	0,333333333
MFGE8	0,088212316	-0,167284694	0,167	0,293	1	0,890517153	1,122942996	0,56996587
TRIR	0,450725816	-0,16758896	0,171	0,22	1	0,890329362	1,123179851	0,777272727
WIPI2	0,47106522	-0,16763867	0,048	0,073	1	0,890298685	1,123218553	0,657534247
YIPF3	0,371390924	-0,167665572	0,043	0,073	1	0,890282084	1,123239497	0,589041096
CCDC97	0,044659199	-0,167674484	0,011	0,049	1	0,890276584	1,123246436	0,224489796
KIAA1614	0,116646669	-0,167678514	0,005	0,024	1	0,890274097	1,123249573	0,208333333
EEA1	0,251368408	-0,167740605	0,166	0,244	1	0,890235783	1,123297917	0,680327869
IKZF3	0,050627188	-0,167943112	0,003	0,024	1	0,890110831	1,123455602	0,125
ZNF670	0,009700686	-0,168158771	0,002	0,024	1	0,889977784	1,123623553	0,083333333
ELP5	0,919234569	-0,16822068	0,054	0,049	1	0,889939594	1,123671771	1,102040816
HLA-DPA1	0,285374202	-0,1683009	0,008	0,024	1	0,889890111	1,123734253	0,333333333
ANKRD52	0,804243171	-0,168450454	0,019	0,024	1	0,889797868	1,123850749	0,791666667
BOD1	0,168278471	-0,168521701	0,032	0,073	1	0,889753926	1,123906251	0,438356164
ST8SIA1	0,000264836	-0,168580133	0,003	0,049	1	0,88971789	1,123951773	0,06122449
ARHGAP20	0,050627188	-0,168639666	0,003	0,024	1	0,889681176	1,123998154	0,125
CRYL1	0,206183141	-0,168663622	0,019	0,049	1	0,889666404	1,124016818	0,387755102
RBM4	0,679575369	-0,168823794	0,016	0,024	1	0,889567636	1,124141616	0,666666667
PHLDA1	0,363706226	-0,168902707	0,061	0,098	1	0,889518979	1,124203107	0,62244898

Supplementary Table 3

Differentially expressed genes_keloid-MD_comparing SC-Keloid vs. (SC-Myel+Nonmyel)								
gene	p_val	avg_log2FC	pct.1	pct.2	p_val_adj	Foldchange_UP	Foldchange_DOWN	Ratio_pct1_pct2
GYG1	0,368207718	-0,168912426	0,01	0,024	1	0,889512987	1,12421068	0,416666667
ZNF138	0,448381168	-0,168932743	0,011	0,024	1	0,88950046	1,124226512	0,458333333
TTC28	0,370733807	-0,168961879	0,01	0,024	1	0,889482496	1,124249217	0,416666667
BTN2A1	0,891556838	-0,169053482	0,029	0,024	1	0,889426021	1,124320602	1,208333333
TPRKB	0,927837306	-0,169106734	0,107	0,098	1	0,889393192	1,124362104	1,091836735
ETFRF1	0,297907478	-0,169597859	0,112	0,171	1	0,889090474	1,124744926	0,65497076
EEF1B2	0,134871452	-0,16966395	0,415	0,561	1	0,889049745	1,124796453	0,739750446
NAALADL1	0,026794459	-0,16967223	0,01	0,049	1	0,889044643	1,124802908	0,204081633
RPL13	0,260452125	-0,169935931	0,829	0,878	1	0,888882155	1,125008522	0,944191344
AFMID	0,203777145	-0,169944109	0,019	0,049	1	0,888877116	1,1250149	0,387755102
ACTR3C	0,009951995	-0,17005425	0,002	0,024	1	0,888809258	1,125100791	0,083333333
PSTK	0,533106974	-0,170082094	0,013	0,024	1	0,888792105	1,125122506	0,541666667
ATR	0,674031557	-0,17027702	0,016	0,024	1	0,888672026	1,125274535	0,666666667
TRIM14	0,861032984	-0,17028388	0,021	0,024	1	0,8886678	1,125279885	0,875
POC5	0,050627188	-0,170284568	0,003	0,024	1	0,888667376	1,125280422	0,125
SIPA1	0,608438325	-0,170307349	0,014	0,024	1	0,888653344	1,125298191	0,583333333
MOSMO	0,980457013	-0,170558496	0,026	0,024	1	0,888498659	1,125494101	1,083333333
PQBP1	0,889842546	-0,170884669	0,045	0,049	1	0,888297805	1,125748589	0,918367347
SLF1	0,893850316	-0,1709601	0,029	0,024	1	0,888251361	1,12580745	1,208333333
GDNF	0,009951995	-0,170961671	0,002	0,024	1	0,888250394	1,125808676	0,083333333
MAP7D1	0,122419352	-0,171207175	0,029	0,073	1	0,888099253	1,126000271	0,397260274
PSMD5	0,123089492	-0,171461326	0,029	0,073	1	0,887942815	1,12619865	0,397260274
GNB2	0,301202612	-0,171619073	0,131	0,195	1	0,887845732	1,126321797	0,671794872
FAM114A2	0,026432918	-0,171879583	0,019	0,073	1	0,887685426	1,126525197	0,260273973
RAD23B	0,408520125	-0,172045491	0,091	0,049	1	0,88758335	1,126654754	1,857142857
BCL2L13	0,470381007	-0,172155467	0,048	0,073	1	0,887515692	1,126740641	0,657534247
ATF6B	0,343988324	-0,172274201	0,041	0,073	1	0,887442652	1,126833376	0,561643836
OLA1	0,700283249	-0,172339813	0,059	0,073	1	0,887402293	1,126884624	0,808219178
RABGAP1	0,147565917	-0,172448386	0,03	0,073	1	0,887335513	1,126969433	0,410958904
MCM2	0,196181004	-0,172739278	0,006	0,024	1	0,887156617	1,127196688	0,25

Supplementary Table 3

Differentially expressed genes_keloid-MD_comparing SC-Keloid vs. (SC-Myel+Nonmyel)								
gene	p_val	avg_log2FC	pct.1	pct.2	p_val_adj	Foldchange_UP	Foldchange_DOWN	Ratio_pct1_pct2
CCDC15	0,050627188	-0,17289332	0,003	0,024	1	0,887061896	1,12731705	0,125
CCDC157	0,116646669	-0,173026627	0,005	0,024	1	0,886979934	1,12742122	0,208333333
APOA1	9,44793E-05	-0,173038811	0	0,024	1	0,886972444	1,127430741	0
CNTNAP1	9,44793E-05	-0,173038811	0	0,024	1	0,886972444	1,127430741	0
HLF	9,44793E-05	-0,173038811	0	0,024	1	0,886972444	1,127430741	0
PREX1	9,44793E-05	-0,173038811	0	0,024	1	0,886972444	1,127430741	0
PRKCZ	9,44793E-05	-0,173038811	0	0,024	1	0,886972444	1,127430741	0
RAB3D	9,44793E-05	-0,173038811	0	0,024	1	0,886972444	1,127430741	0
GET1	0,44145438	-0,173097719	0,046	0,073	1	0,886936228	1,127476777	0,630136986
EXOC2	0,368207718	-0,173113567	0,01	0,024	1	0,886926485	1,127489163	0,416666667
GRB2	0,243576495	-0,17332147	0,07	0,122	1	0,886798681	1,127651654	0,573770492
BTG2	0,645620743	-0,173779442	0,035	0,049	1	0,886517219	1,128009675	0,714285714
RFX3	0,466260678	-0,173822462	0,029	0,049	1	0,886490784	1,128043312	0,591836735
TRMT10B	0,749340217	-0,173875706	0,018	0,024	1	0,886458068	1,128084944	0,75
MFAP1	0,033962939	-0,173901909	0,032	0,098	1	0,886441968	1,128105433	0,326530612
PTEN	0,442516958	-0,173906493	0,086	0,122	1	0,886439151	1,128109018	0,704918033
SKP1	0,313072855	-0,174025912	0,526	0,634	1	0,886365779	1,128202401	0,829652997
OSM	9,44793E-05	-0,17458606	0	0,024	1	0,886021701	1,128640527	0
PTPRN2	9,44793E-05	-0,17458606	0	0,024	1	0,886021701	1,128640527	0
TMEM201	9,44793E-05	-0,17458606	0	0,024	1	0,886021701	1,128640527	0
ST13	0,402940268	-0,174601383	0,164	0,22	1	0,886012291	1,128652514	0,745454545
HEATR3	0,530362187	-0,174729238	0,013	0,024	1	0,885933774	1,128752543	0,541666667
CCDC112	0,129303481	-0,17477692	0,059	0,122	1	0,885904493	1,12878985	0,483606557
ACOT7	0,900890326	-0,174861183	0,045	0,049	1	0,885852752	1,128855781	0,918367347
ERC1	0,558583358	-0,175316652	0,032	0,049	1	0,885573126	1,129212225	0,653061224
COPS2	0,646985447	-0,175463256	0,124	0,098	1	0,885483141	1,129326978	1,265306122
SCD5	0,009700686	-0,175687051	0,002	0,024	1	0,885345793	1,129502177	0,083333333
KIF21A	0,005641332	-0,176016015	0,006	0,049	1	0,885143939	1,129759756	0,12244898
SMAD1	0,847428251	-0,176131519	0,03	0,024	1	0,885073076	1,129850209	1,25
MDM4	0,069044211	-0,176167914	0,081	0,171	1	0,885050748	1,129878712	0,473684211

Supplementary Table 3

Differentially expressed genes_keloid-MD_comparing SC-Keloid vs. (SC-Myel+Nonmyel)								
gene	p_val	avg_log2FC	pct.1	pct.2	p_val_adj	Foldchange_UP	Foldchange_DOWN	Ratio_pct1_pct2
TET2	0,690019535	-0,176430352	0,037	0,049	1	0,884889765	1,130084266	0,755102041
SLC48A1	0,194251578	-0,176671265	0,006	0,024	1	0,884742011	1,130272992	0,25
FBXW4	0,451039476	-0,176765638	0,011	0,024	1	0,884684138	1,130346931	0,458333333
SPARC	0,246736283	-0,176839663	0,938	0,927	1	0,884638746	1,13040493	1,011866235
SFR1	0,005730439	-0,176852738	0,006	0,049	1	0,884630729	1,130415175	0,12244898
TRA2A	0,63750543	-0,1769069	0,1	0,122	1	0,884597519	1,130457614	0,819672131
INPPL1	0,51430804	-0,176994798	0,03	0,049	1	0,884543625	1,130526491	0,612244898
TNFRSF11B	0,009951995	-0,177206581	0,002	0,024	1	0,884413786	1,13069246	0,083333333
NAV3	0,806945473	-0,177256011	0,019	0,024	1	0,884383485	1,130731201	0,791666667
SEC24A	0,553146021	-0,177473871	0,032	0,049	1	0,884249945	1,130901965	0,653061224
BPNT1	0,33324913	-0,177501456	0,024	0,049	1	0,884233038	1,130923589	0,489795918
WNT3	0,009951995	-0,177620758	0,002	0,024	1	0,88415992	1,131017113	0,083333333
ATP5PO	0,261786057	-0,177900693	0,166	0,244	1	0,883988378	1,131236592	0,680327869
MTURN	0,380173608	-0,178169919	0,043	0,073	1	0,883823429	1,131447716	0,589041096
CGREF1	0,009700686	-0,178204311	0,002	0,024	1	0,88380236	1,131474688	0,083333333
SARM1	0,194251578	-0,178313092	0,006	0,024	1	0,883735723	1,131560006	0,25
MOCS1	0,000264836	-0,17846436	0,003	0,049	1	0,883643067	1,131678657	0,06122449
YEATS2	0,743841064	-0,178465782	0,018	0,024	1	0,883642196	1,131679773	0,75
TNIP2	0,728024215	-0,178525273	0,038	0,049	1	0,883605759	1,13172644	0,775510204
SNRPD3	0,757664895	-0,178607414	0,185	0,195	1	0,883555452	1,131790877	0,948717949
PRADC1	0,026794502	-0,178862962	0,01	0,049	1	0,883398959	1,131991372	0,204081633
URM1	0,722414622	-0,178880886	0,038	0,049	1	0,883387984	1,132005436	0,775510204
MRPS7	0,497612942	-0,17905912	0,069	0,098	1	0,883278855	1,132145295	0,704081633
VAV2	0,009951995	-0,179128937	0,002	0,024	1	0,883236111	1,132200085	0,083333333
SLC39A3	0,529003585	-0,179757845	0,051	0,073	1	0,882851169	1,132693748	0,698630137
RHBDF2	0,283075535	-0,179891983	0,008	0,024	1	0,882769088	1,132799067	0,333333333
GALNT15	0,196181004	-0,180111451	0,006	0,024	1	0,882634808	1,132971406	0,25
MTO1	0,280789447	-0,180198939	0,008	0,024	1	0,882581285	1,133040114	0,333333333
RAB40B	0,026794502	-0,180497548	0,01	0,049	1	0,882398627	1,133274655	0,204081633
SMCO4	0,448381168	-0,180561082	0,011	0,024	1	0,882359769	1,133324564	0,458333333

Supplementary Table 3

Differentially expressed genes_keloid-MD_comparing SC-Keloid vs. (SC-Myel+Nonmyel)								
gene	p_val	avg_log2FC	pct.1	pct.2	p_val_adj	Foldchange_UP	Foldchange_DOWN	Ratio_pct1_pct2
LRRN1	0,049781231	-0,1808201	0,003	0,024	1	0,882201366	1,133528056	0,125
RPP40	0,049781231	-0,181181476	0,003	0,024	1	0,881980414	1,133812026	0,125
LPIN1	0,129556135	-0,181216913	0,016	0,049	1	0,88195875	1,133839876	0,326530612
NPW	0,116646669	-0,181352845	0,005	0,024	1	0,881875656	1,133946712	0,208333333
TMX4	0,824061986	-0,181430081	0,088	0,098	1	0,881828445	1,13400742	0,897959184
TERF2	0,33324913	-0,181452339	0,024	0,049	1	0,88181484	1,134024916	0,489795918
EBAG9	0,794067056	-0,18174668	0,041	0,049	1	0,881634949	1,134256306	0,836734694
CXCL14	0,173232649	-0,181769966	0,032	0,073	1	0,881620719	1,134274614	0,438356164
LRRTM2	0,73898314	-0,182170385	0,035	0,024	1	0,88137606	1,134589474	1,458333333
ZNF563	0,050627188	-0,182191236	0,003	0,024	1	0,881363322	1,134605872	0,125
COMMD3	0,712877513	-0,182346874	0,081	0,098	1	0,881268245	1,134728281	0,826530612
PPP2R3A	0,282497361	-0,182551178	0,038	0,073	1	0,881143455	1,134888984	0,520547945
OGFOD3	0,222711966	-0,182566461	0,035	0,073	1	0,881134121	1,134901006	0,479452055
C17orf58	0,283075535	-0,182568511	0,008	0,024	1	0,881132869	1,134902619	0,333333333
NEK8	0,049781231	-0,182574504	0,003	0,024	1	0,881129208	1,134907333	0,125
CASP2	0,530362187	-0,18260247	0,013	0,024	1	0,881112128	1,134929333	0,541666667
NID2	0,674031557	-0,18268201	0,016	0,024	1	0,881063551	1,134991907	0,666666667
TANC2	0,673457881	-0,183122182	0,057	0,073	1	0,880794776	1,13533825	0,780821918
COG2	0,861032984	-0,183184128	0,021	0,024	1	0,880756958	1,135387	0,875
HLA-E	0,45077078	-0,183216532	0,128	0,171	1	0,880737176	1,135412502	0,748538012
SFT2D2	0,374043763	-0,183410073	0,026	0,049	1	0,880619031	1,13556483	0,530612245
DCP2	0,743841064	-0,183847479	0,018	0,024	1	0,880352079	1,135909171	0,75
EDF1	0,228025026	-0,183958112	0,359	0,463	1	0,880284572	1,135996281	0,77537797
NIFK-AS1	0,285374202	-0,183990291	0,008	0,024	1	0,880264937	1,13602162	0,333333333
BOC	0,048947161	-0,183993356	0,003	0,024	1	0,880263067	1,136024033	0,125
ODF2	0,196181004	-0,184018422	0,006	0,024	1	0,880247774	1,136043771	0,25
ZNF768	0,013789213	-0,184108025	0,008	0,049	1	0,880193105	1,136114331	0,163265306
SUMF1	0,982899486	-0,184149476	0,026	0,024	1	0,880167816	1,136146973	1,083333333
BTBD3	0,891556838	-0,184198654	0,029	0,024	1	0,880137813	1,136185703	1,208333333
PPP1R8	0,06802601	-0,18438892	0,013	0,049	1	0,880021746	1,136335556	0,265306122

Supplementary Table 3

Differentially expressed genes_keloid-MD_ comparing SC-Keloid vs. (SC-Myel+Nonmyel)								
gene	p_val	avg_log2FC	pct.1	pct.2	p_val_adj	Foldchange_UP	Foldchange_DOWN	Ratio_pct1_pct2
CCDC106	0,363187776	-0,184448981	0,01	0,024	1	0,879985111	1,136382864	0,416666667
CLASRP	0,116646669	-0,184574976	0,005	0,024	1	0,879908262	1,136482112	0,208333333
STARD10	0,194251578	-0,1847088	0,006	0,024	1	0,879826646	1,136587536	0,25
SLC35E2B	0,365692371	-0,184837839	0,01	0,024	1	0,879747955	1,136689201	0,416666667
VPS41	0,810013082	-0,184906527	0,032	0,024	1	0,879706071	1,136743321	1,333333333
AC144450.1	9,44793E-05	-0,185262506	0	0,024	1	0,879489034	1,137023842	0
AXIN2	9,44793E-05	-0,185262506	0	0,024	1	0,879489034	1,137023842	0
KCNIP4	9,44793E-05	-0,185262506	0	0,024	1	0,879489034	1,137023842	0
MAK	9,44793E-05	-0,185262506	0	0,024	1	0,879489034	1,137023842	0
C8orf48	0,368207718	-0,185502988	0,01	0,024	1	0,879342444	1,137213388	0,416666667
TMEM14C	0,37360233	-0,185518994	0,185	0,244	1	0,879332689	1,137226004	0,758196721
OSBPL10	0,688148569	-0,18556989	0,037	0,049	1	0,879301667	1,137266125	0,755102041
CHURC1	0,464538686	-0,18558807	0,172	0,22	1	0,879290587	1,137280456	0,781818182
ELAC1	0,096964887	-0,185903011	0,014	0,049	1	0,879098659	1,137528752	0,285714286
GLRX2	0,697337529	-0,185969845	0,104	0,122	1	0,879057935	1,13758145	0,852459016
FCRLA	0,009951995	-0,185987241	0,002	0,024	1	0,879047335	1,137595167	0,083333333
CD40LG	0,009951995	-0,186055307	0,002	0,024	1	0,879005863	1,13764884	0,083333333
BEX3	0,281675611	-0,186055682	0,384	0,463	1	0,879005635	1,137649135	0,82937365
DGKD	0,050627188	-0,18635686	0,003	0,024	1	0,878822152	1,137886656	0,125
DYNC112	0,165019177	-0,186467189	0,169	0,268	1	0,878754947	1,137973679	0,630597015
WDR37	0,283075535	-0,186474989	0,008	0,024	1	0,878750196	1,137979832	0,333333333
C4orf48	0,656686916	-0,186843246	0,265	0,293	1	0,878525918	1,138270345	0,90443686
UBE2J2	0,30769352	-0,186870712	0,04	0,073	1	0,878509193	1,138292015	0,547945205
FLOT2	0,423361688	-0,187143488	0,027	0,049	1	0,878343105	1,138507257	0,551020408
OSGEPL1	0,198124435	-0,187153839	0,006	0,024	1	0,878336804	1,138515426	0,25
ILVBL	0,082804735	-0,187281974	0,026	0,073	1	0,878258796	1,13861655	0,356164384
MAP4	0,869598541	-0,18730018	0,329	0,317	1	0,878247713	1,138630918	1,03785489
LRPAP1	0,400532776	-0,187390614	0,145	0,195	1	0,878192663	1,138702294	0,743589744
CEP85L	0,380479892	-0,187467018	0,026	0,049	1	0,878146156	1,138762601	0,530612245
SUFU	0,198124435	-0,187526314	0,006	0,024	1	0,878110064	1,138809406	0,25

Supplementary Table 3

Differentially expressed genes_keloid-MD_ comparing SC-Keloid vs. (SC-Myel+Nonmyel)								
gene	p_val	avg_log2FC	pct.1	pct.2	p_val_adj	Foldchange_UP	Foldchange_DOWN	Ratio_pct1_pct2
C1D	0,831284772	-0,187559771	0,089	0,098	1	0,8780897	1,138835816	0,908163265
PRPF38B	0,579632226	-0,187571621	0,096	0,122	1	0,878082488	1,13884517	0,786885246
SMIM19	0,576856031	-0,187572184	0,096	0,122	1	0,878082145	1,138845615	0,786885246
SSR4	0,4577207	-0,187604213	0,397	0,439	1	0,878062651	1,138870898	0,904328018
OCRL	0,009951995	-0,187635583	0,002	0,024	1	0,878043559	1,138895662	0,083333333
ATXN10	0,816411419	-0,187685854	0,041	0,049	1	0,878012964	1,138935348	0,836734694
LGR4	0,919630147	-0,18785076	0,022	0,024	1	0,877912609	1,13906554	0,916666667
CEP112	0,368207718	-0,18787501	0,01	0,024	1	0,877897852	1,139084687	0,416666667
MYO1C	0,769480397	-0,187910126	0,091	0,073	1	0,877876484	1,139112413	1,246575342
CEP76	0,115197258	-0,188040903	0,005	0,024	1	0,87779691	1,139215675	0,208333333
FAM50B	0,280789447	-0,188139354	0,008	0,024	1	0,87773701	1,13929342	0,333333333
ATXN7L3	0,741096359	-0,188155707	0,018	0,024	1	0,877727061	1,139306334	0,75
CLN5	0,064908909	-0,188244792	0,037	0,098	1	0,877672864	1,139376687	0,37755102
OLFML3	0,524894226	-0,188253068	0,013	0,024	1	0,87766783	1,139383223	0,541666667
LRR8A	0,922214356	-0,188286034	0,022	0,024	1	0,877647775	1,139409258	0,916666667
C10orf143	0,050627188	-0,188355504	0,003	0,024	1	0,877605514	1,139464126	0,125
DOCK9	0,196181004	-0,188427381	0,006	0,024	1	0,877561792	1,139520897	0,25
CUL4A	0,969810307	-0,188506496	0,024	0,024	1	0,877513669	1,139583388	1
BST1	0,116646669	-0,188578512	0,005	0,024	1	0,877469867	1,139640275	0,208333333
TEKT3	0,009951995	-0,188621018	0,002	0,024	1	0,877444015	1,139673852	0,083333333
TMEM38A	0,009951995	-0,188726172	0,002	0,024	1	0,877380062	1,139756923	0,083333333
NDP	0,000258468	-0,18872995	0,003	0,049	1	0,877377765	1,139759907	0,06122449
CEP152	0,448381168	-0,188784656	0,011	0,024	1	0,877344496	1,139803127	0,458333333
HCG18	0,83877741	-0,188877564	0,043	0,049	1	0,877287998	1,139876532	0,87755102
IFIT1	0,280789447	-0,188893989	0,008	0,024	1	0,87727801	1,139889509	0,333333333
PCDH20	0,684412367	-0,188998733	0,037	0,049	1	0,877214319	1,139972272	0,755102041
IKZF4	0,368207718	-0,189061886	0,01	0,024	1	0,87717592	1,140022175	0,416666667
SERTAD1	0,115029195	-0,189577008	0,073	0,146	1	0,876862776	1,140429298	0,5
HSDL1	0,738354944	-0,189604272	0,018	0,024	1	0,876846205	1,14045085	0,75
ADPRS	0,969810307	-0,189652513	0,024	0,024	1	0,876816886	1,140488985	1

Supplementary Table 3

Differentially expressed genes_keloid-MD_comparing SC-Keloid vs. (SC-Myel+Nonmyel)								
gene	p_val	avg_log2FC	pct.1	pct.2	p_val_adj	Foldchange_UP	Foldchange_DOWN	Ratio_pct1_pct2
ICMT	0,245246426	-0,189759993	0,021	0,049	1	0,876751566	1,140573954	0,428571429
LINC00685	0,285374202	-0,190391138	0,008	0,024	1	0,876368092	1,141073037	0,333333333
EIF3M	0,514845504	-0,190431052	0,091	0,122	1	0,876343846	1,141104607	0,745901639
CNOT4	0,639635186	-0,19077222	0,056	0,073	1	0,876136633	1,141374487	0,767123288
SLC35D1	0,602891701	-0,190782681	0,014	0,024	1	0,87613028	1,141382763	0,583333333
LZTS1	0,741096359	-0,190784822	0,018	0,024	1	0,87612898	1,141384457	0,75
NUMB	0,179866822	-0,190877025	0,048	0,098	1	0,876072988	1,141457405	0,489795918
GSTA4	0,168993438	-0,190904076	0,018	0,049	1	0,876056562	1,141478808	0,367346939
HMG2	0,339784309	-0,191034908	0,182	0,244	1	0,875977119	1,141582329	0,745901639
CHADL	0,0674287	-0,191071764	0,013	0,049	1	0,875954741	1,141611493	0,265306122
PTRH1	0,8121558	-0,191127185	0,032	0,024	1	0,875921092	1,141655348	1,333333333
ASXL1	0,280310372	-0,191266994	0,038	0,073	1	0,875836213	1,141765989	0,520547945
FBXW2	0,19341397	-0,191310786	0,033	0,073	1	0,875809627	1,141800648	0,452054795
NRIP2	1,27911E-05	-0,191335301	0,002	0,049	0,269904161	0,875794745	1,14182005	0,040816327
ASPHD1	0,194251578	-0,191477093	0,006	0,024	1	0,875708674	1,141932277	0,25
SMIM5	0,075221017	-0,191924429	0,038	0,098	1	0,875437185	1,142286411	0,387755102
PICK1	0,448381168	-0,191977301	0,011	0,024	1	0,875405103	1,142328273	0,458333333
ZBTB22	0,20008191	-0,192038949	0,006	0,024	1	0,875367697	1,142377088	0,25
FXYS5	0,317354631	-0,192148544	0,077	0,122	1	0,875301202	1,142463872	0,631147541
NOMO1	0,451039476	-0,192243033	0,011	0,024	1	0,875243876	1,1425387	0,458333333
MACROD1	0,52217111	-0,192278959	0,013	0,024	1	0,875222081	1,142567152	0,541666667
ING4	0,600556524	-0,192343414	0,033	0,049	1	0,875182979	1,142618199	0,673469388
SLC7A6OS	0,741096359	-0,192477506	0,018	0,024	1	0,875101639	1,142724406	0,75
SEC13	0,55056947	-0,192520014	0,072	0,098	1	0,875075855	1,142758075	0,734693878
PAAF1	0,068627663	-0,192680903	0,013	0,049	1	0,874978272	1,142885522	0,265306122
PDCD4	0,218453516	-0,192684125	0,051	0,098	1	0,874976318	1,142888075	0,520408163
ANTXR2	0,010490919	-0,193064726	0,026	0,098	1	0,874745519	1,143189623	0,265306122
EXOC6	0,128640375	-0,19307827	0,016	0,049	1	0,874737307	1,143200355	0,326530612
RPL13A	0,42276419	-0,193152889	0,563	0,634	1	0,874692065	1,143259486	0,888012618
CSNK1E	0,381063387	-0,193175275	0,081	0,122	1	0,874678493	1,143277225	0,663934426

Supplementary Table 3

Differentially expressed genes_keloid-MD_comparing SC-Keloid vs. (SC-Myel+Nonmyel)								
gene	p_val	avg_log2FC	pct.1	pct.2	p_val_adj	Foldchange_UP	Foldchange_DOWN	Ratio_pct1_pct2
HERC2	0,378911182	-0,193346146	0,043	0,073	1	0,874574903	1,143412641	0,589041096
ACAA2	0,116996211	-0,19336401	0,043	0,098	1	0,874564074	1,1434268	0,43877551
NORAD	0,318699823	-0,193426545	0,258	0,341	1	0,874526166	1,143476364	0,75659824
EDEM3	0,360568724	-0,193565962	0,061	0,098	1	0,874441659	1,143586871	0,62244898
MANBA	0,363187776	-0,193579153	0,01	0,024	1	0,874433663	1,143597327	0,416666667
MRPS26	0,810132145	-0,193756736	0,136	0,146	1	0,874326035	1,143738102	0,931506849
USP3-AS1	0,049781231	-0,193797725	0,003	0,024	1	0,874301194	1,143770598	0,125
TCF20	0,368207718	-0,19381576	0,01	0,024	1	0,874290265	1,143784897	0,416666667
MTA3	0,530362187	-0,193832788	0,013	0,024	1	0,874279946	1,143798396	0,541666667
ZNF512	0,096964887	-0,194201086	0,014	0,049	1	0,874056784	1,144090428	0,285714286
ADAMTS15	0,368207718	-0,194239583	0,01	0,024	1	0,874033461	1,144120957	0,416666667
THAP7	0,466260678	-0,194407099	0,029	0,049	1	0,87393198	1,144253813	0,591836735
SEMA4B	0,026794502	-0,194544505	0,01	0,049	1	0,873848748	1,1443628	0,204081633
ERCC1	0,423941925	-0,194590965	0,085	0,122	1	0,873820608	1,144399652	0,696721311
KIAA1143	0,948253802	-0,194688703	0,053	0,049	1	0,873761411	1,144477185	1,081632653
CTIF	0,045555981	-0,194816882	0,011	0,049	1	0,873683783	1,144578873	0,224489796
ZNF592	0,527624595	-0,19498684	0,013	0,024	1	0,873580864	1,144713719	0,541666667
SENP5	0,260698511	-0,195003326	0,054	0,098	1	0,873570882	1,1447268	0,551020408
TPK1	0,283075535	-0,195022624	0,008	0,024	1	0,873559197	1,144742112	0,333333333
PRKRA	0,774548473	-0,195144239	0,04	0,049	1	0,873485562	1,144838614	0,816326531
BABAM2	0,365692371	-0,195160631	0,01	0,024	1	0,873475637	1,144851623	0,416666667
RNASEH1-AS1	0,861032984	-0,195629893	0,021	0,024	1	0,87319157	1,145224066	0,875
ZCCHC17	0,540898597	-0,195738584	0,116	0,146	1	0,873125787	1,145310349	0,794520548
GPKOW	0,679575369	-0,195854137	0,016	0,024	1	0,873055856	1,145402087	0,666666667
TNFAIP2	0,026191169	-0,196116127	0,01	0,049	1	0,872897326	1,145610108	0,204081633
LDLRAP1	0,767059846	-0,196285913	0,04	0,049	1	0,872794604	1,145744939	0,816326531
JTB	0,430964735	-0,196452219	0,105	0,146	1	0,872693999	1,145877022	0,719178082
STRN3	0,096370963	-0,196515969	0,072	0,146	1	0,872655437	1,145927657	0,493150685
CYSLTR1	0,009951995	-0,196577059	0,002	0,024	1	0,872618485	1,145976182	0,083333333
HSPA14	0,050627188	-0,19676859	0,003	0,024	1	0,872502645	1,146128331	0,125

Supplementary Table 3

Differentially expressed genes_keloid-MD_ comparing SC-Keloid vs. (SC-Myel+Nonmyel)								
gene	p_val	avg_log2FC	pct.1	pct.2	p_val_adj	Foldchange_UP	Foldchange_DOWN	Ratio_pct1_pct2
EVL	0,206183141	-0,19681678	0,019	0,049	1	0,872473502	1,146166615	0,387755102
ALKBH4	0,128640375	-0,197055602	0,016	0,049	1	0,872329085	1,146356366	0,326530612
CCNG1	0,600126951	-0,197105225	0,014	0,024	1	0,872299081	1,146395797	0,583333333
AKR1B1	0,157780712	-0,197155034	0,046	0,098	1	0,872268965	1,146435377	0,469387755
RPN1	0,765846908	-0,197196972	0,062	0,073	1	0,87224361	1,146468703	0,849315068
SOCS6	0,129556135	-0,197318693	0,016	0,049	1	0,872170021	1,146565436	0,326530612
FERMT3	0,448381168	-0,197356867	0,011	0,024	1	0,872146944	1,146595774	0,458333333
SFMBT2	0,445731781	-0,197426465	0,011	0,024	1	0,872104871	1,146651089	0,458333333
FLOT1	0,540800099	-0,197443921	0,113	0,146	1	0,872094319	1,146664963	0,773972603
CACFD1	0,283075535	-0,197534597	0,008	0,024	1	0,872039508	1,146737036	0,333333333
DGCR2	0,06802601	-0,197561363	0,013	0,049	1	0,872023329	1,14675831	0,265306122
SURF1	0,105953965	-0,197609661	0,041	0,098	1	0,871994137	1,146796702	0,418367347
SMARCE1	0,846041221	-0,197652458	0,067	0,073	1	0,871968269	1,146830722	0,917808219
ITSN1	0,216038595	-0,197698296	0,035	0,073	1	0,871940565	1,14686716	0,479452055
PRPF31	0,497955188	-0,197987446	0,049	0,073	1	0,871765825	1,147097042	0,671232877
SDHAF4	0,281930738	-0,19803403	0,008	0,024	1	0,871737677	1,147134082	0,333333333
CTSL	0,310271684	-0,198097076	0,057	0,098	1	0,871699582	1,147184214	0,581632653
C20orf96	0,049781231	-0,198150635	0,003	0,024	1	0,871667222	1,147226803	0,125
GTF2E1	0,050627188	-0,198445298	0,003	0,024	1	0,871489207	1,147461142	0,125
MDN1	0,28785105	-0,19849892	0,022	0,049	1	0,871456816	1,147503791	0,448979592
ATXN7L2	0,050627188	-0,198548644	0,003	0,024	1	0,871426781	1,147543341	0,125
SNRPA	0,891556838	-0,198585413	0,029	0,024	1	0,871404571	1,147572589	1,208333333
RAB31	0,728355846	-0,198613939	0,124	0,146	1	0,871387341	1,14759528	0,849315068
LRR8B	0,027103281	-0,198667866	0,019	0,073	1	0,871354771	1,147638176	0,260273973
CHUK	0,676801274	-0,198801076	0,016	0,024	1	0,871274318	1,147744148	0,666666667
TUBA1A	0,299597691	-0,198828672	0,512	0,585	1	0,871257653	1,147766102	0,875213675
CYB5D2	0,245246426	-0,199187365	0,021	0,049	1	0,871041062	1,148051503	0,428571429
DNAJC19	0,29792394	-0,199227834	0,131	0,195	1	0,871016628	1,148083708	0,671794872
SYNPO	0,197887971	-0,199229356	0,033	0,073	1	0,87101571	1,148084919	0,452054795
FADS1	0,50914813	-0,199663122	0,049	0,073	1	0,870753866	1,148430159	0,671232877

Supplementary Table 3

Differentially expressed genes_keloid-MD_comparing SC-Keloid vs. (SC-Myel+Nonmyel)								
gene	p_val	avg_log2FC	pct.1	pct.2	p_val_adj	Foldchange_UP	Foldchange_DOWN	Ratio_pct1_pct2
ZNF717	0,049781231	-0,199674834	0,003	0,024	1	0,870746797	1,148439481	0,125
SMG6	0,776423942	-0,199815861	0,04	0,049	1	0,870661683	1,14855175	0,816326531
BET1L	0,804243171	-0,199936085	0,019	0,024	1	0,870589131	1,148647466	0,791666667
TARS2	0,005730439	-0,200021505	0,006	0,049	1	0,870537587	1,148715478	0,12244898
PRPS1	0,203777145	-0,200141935	0,019	0,049	1	0,870464921	1,148811371	0,387755102
MTX1	0,426863733	-0,200191363	0,046	0,073	1	0,870435099	1,148850731	0,630136986
TWSG1	0,944809391	-0,200343382	0,053	0,049	1	0,870343384	1,148971794	1,081632653
IL6R	0,365692371	-0,200347923	0,01	0,024	1	0,870340645	1,14897541	0,416666667
HNRNPLL	0,919630147	-0,200492047	0,022	0,024	1	0,870253703	1,149090198	0,916666667
STRADB	0,049781231	-0,20098441	0,003	0,024	1	0,869956753	1,149482427	0,125
MARCHF1	0,365692371	-0,201005455	0,01	0,024	1	0,869944063	1,149499195	0,416666667
PDIA6	0,426840415	-0,20128846	0,349	0,415	1	0,869773428	1,149724707	0,840963855
ZC3H7B	0,404184911	-0,201298458	0,045	0,073	1	0,869767401	1,149732675	0,616438356
IFITM1	0,280789447	-0,201497252	0,008	0,024	1	0,869647561	1,149891111	0,333333333
MCM6	0,448381168	-0,201554082	0,011	0,024	1	0,869613304	1,149936409	0,458333333
TMEM30A	0,395701072	-0,20156006	0,142	0,195	1	0,869609701	1,149941173	0,728205128
MORC2-AS1	0,365692371	-0,201642621	0,01	0,024	1	0,869559938	1,150006983	0,416666667
PHKB	0,285710793	-0,201909186	0,022	0,049	1	0,869399285	1,150219488	0,448979592
URGCP	0,674031557	-0,20210788	0,016	0,024	1	0,869279556	1,150377911	0,666666667
NRBP2	0,438780487	-0,20214603	0,046	0,073	1	0,869256569	1,150408332	0,630136986
ARL5B	0,228548381	-0,202279751	0,035	0,073	1	0,869176003	1,150514966	0,479452055
CELF2	0,182170008	-0,202344256	0,1	0,171	1	0,869137142	1,150566409	0,584795322
DNAJB12	0,969810307	-0,202379661	0,024	0,024	1	0,869115812	1,150594645	1
HLA-C	0,917210489	-0,202600114	0,423	0,463	1	0,868983017	1,150770476	0,913606911
DCD	1,27911E-05	-0,20280217	0,002	0,049	0,269904161	0,86886132	1,150931659	0,040816327
SDC2	0,045105711	-0,202939247	0,011	0,049	1	0,868778769	1,151041019	0,224489796
GIT1	0,107980172	-0,203273565	0,041	0,098	1	0,868577469	1,151307783	0,418367347
NDFIP2	0,116996211	-0,203483441	0,043	0,098	1	0,868451122	1,151475281	0,43877551
AMIGO1	9,44793E-05	-0,203504636	0	0,024	1	0,868438363	1,151492198	0
CEP85	9,44793E-05	-0,203504636	0	0,024	1	0,868438363	1,151492198	0

Supplementary Table 3

Differentially expressed genes_keloid-MD_comparing SC-Keloid vs. (SC-Myel+Nonmyel)								
gene	p_val	avg_log2FC	pct.1	pct.2	p_val_adj	Foldchange_UP	Foldchange_DOWN	Ratio_pct1_pct2
DGKG	9,44793E-05	-0,203504636	0	0,024	1	0,868438363	1,151492198	0
GKAP1	9,44793E-05	-0,203504636	0	0,024	1	0,868438363	1,151492198	0
HPX	9,44793E-05	-0,203504636	0	0,024	1	0,868438363	1,151492198	0
NRG1	9,44793E-05	-0,203504636	0	0,024	1	0,868438363	1,151492198	0
RGR	9,44793E-05	-0,203504636	0	0,024	1	0,868438363	1,151492198	0
USP54	9,44793E-05	-0,203504636	0	0,024	1	0,868438363	1,151492198	0
CEBPD	0,073270243	-0,203602951	0,038	0,098	1	0,868379184	1,151570671	0,387755102
RAMAC	0,917863394	-0,203651347	0,046	0,049	1	0,868350054	1,151609302	0,93877551
LRIG2	0,451039476	-0,203898165	0,011	0,024	1	0,868201509	1,151806337	0,458333333
NPC2	0,6817101	-0,204103021	0,104	0,122	1	0,868078237	1,1519699	0,852459016
DEPP1	0,917046786	-0,204122733	0,022	0,024	1	0,868066376	1,15198564	0,916666667
PMS1	0,098499781	-0,204157386	0,014	0,049	1	0,868045526	1,15201331	0,285714286
MMP24OS	0,140886079	-0,204162468	0,03	0,073	1	0,868042468	1,152017369	0,410958904
PCDHGB7	0,096204645	-0,204429475	0,014	0,049	1	0,86788183	1,152230598	0,285714286
RPIA	0,200206568	-0,204451639	0,019	0,049	1	0,867868497	1,1522483	0,387755102
KATNIP	0,115197258	-0,204466747	0,005	0,024	1	0,867859409	1,152260366	0,208333333
CPPED1	0,041111012	-0,204489084	0,033	0,098	1	0,867845972	1,152278207	0,336734694
UQCR11	0,35423392	-0,204654939	0,317	0,39	1	0,867746208	1,152410683	0,812820513
CD320	0,328139444	-0,204812003	0,059	0,098	1	0,867651743	1,152536151	0,602040816
RFK	0,461082882	-0,20481443	0,029	0,049	1	0,867650283	1,15253809	0,591836735
BRAF	0,195641553	-0,20485783	0,033	0,073	1	0,867624182	1,152572762	0,452054795
FZD3	0,287136479	-0,20488882	0,022	0,049	1	0,867605546	1,152597519	0,448979592
FOXP4	0,027100643	-0,205203025	0,01	0,049	1	0,86741661	1,152848572	0,204081633
NUCB1	0,291015201	-0,205370771	0,093	0,146	1	0,867315759	1,152982624	0,636986301
ZNF532	0,338587259	-0,205485682	0,041	0,073	1	0,86724668	1,153074463	0,561643836
ADAM17	0,117773524	-0,205553178	0,057	0,122	1	0,867206107	1,153128411	0,467213115
NT5DC2	0,429495474	-0,205633266	0,046	0,073	1	0,867157968	1,153192425	0,630136986
ZNF44	0,005381463	-0,205698215	0,006	0,049	1	0,86711893	1,153244342	0,12244898
DDX56	0,050033658	-0,205754578	0,022	0,073	1	0,867085054	1,153289398	0,301369863
DAD1	0,476996617	-0,205914082	0,427	0,488	1	0,866989195	1,153416912	0,875

Supplementary Table 3

Differentially expressed genes_keloid-MD_comparing SC-Keloid vs. (SC-Myel+Nonmyel)								
gene	p_val	avg_log2FC	pct.1	pct.2	p_val_adj	Foldchange_UP	Foldchange_DOWN	Ratio_pct1_pct2
TSPAN6	0,121752067	-0,206005154	0,029	0,073	1	0,866934466	1,153489726	0,397260274
UBQLN2	0,451039476	-0,206231299	0,011	0,024	1	0,866798583	1,153670552	0,458333333
SLC35E3	0,8121558	-0,206392087	0,032	0,024	1	0,866701984	1,153799135	1,333333333
POLR1E	0,046010032	-0,206578301	0,011	0,049	1	0,866590123	1,15394807	0,224489796
PIK3C2B	0,049781231	-0,206675204	0,003	0,024	1	0,866531918	1,154025581	0,125
USP9Y	0,049781231	-0,207206478	0,003	0,024	1	0,866212875	1,154450631	0,125
HMGN3-AS1	0,196181004	-0,20728186	0,006	0,024	1	0,866167616	1,154510953	0,25
TRMT1	0,198124435	-0,207428616	0,006	0,024	1	0,866079511	1,1546284	0,25
MIA	0,358072657	-0,207491409	0,285	0,341	1	0,866041816	1,154678655	0,835777126
MCM7	0,806945473	-0,207629293	0,019	0,024	1	0,865959049	1,154789019	0,791666667
ACSS3	0,198124435	-0,207716499	0,006	0,024	1	0,865906707	1,154858823	0,25
MPHOSPH10	0,330129831	-0,207832704	0,059	0,098	1	0,865836963	1,154951847	0,602040816
UGP2	0,120790205	-0,207949066	0,043	0,098	1	0,865767131	1,155045005	0,43877551
EXOSC5	0,049321705	-0,207959056	0,022	0,073	1	0,865761135	1,155053004	0,301369863
RAB13	0,330470967	-0,208046458	0,285	0,366	1	0,865708687	1,155122982	0,778688525
CAPN5	0,247900727	-0,208185358	0,021	0,049	1	0,865625343	1,1552342	0,428571429
ASAP1	0,118610563	-0,208452994	0,043	0,098	1	0,865464774	1,155448529	0,43877551
RSBN1	0,372445254	-0,208536448	0,026	0,049	1	0,865414712	1,155515369	0,530612245
INSR	0,113762049	-0,208632106	0,005	0,024	1	0,865357333	1,155591988	0,208333333
GALK2	0,288566959	-0,208704932	0,022	0,049	1	0,865313651	1,155650322	0,448979592
ZDHHC2	0,049781231	-0,20875375	0,003	0,024	1	0,865284371	1,155689428	0,125
ARHGEF12	0,160462029	-0,208801184	0,169	0,268	1	0,865255922	1,155727426	0,630597015
TIMM29	0,801543206	-0,208818221	0,019	0,024	1	0,865245704	1,155741074	0,791666667
TRIQQ	0,869645238	-0,208832646	0,045	0,049	1	0,865237053	1,15575263	0,918367347
BBLN	0,534857641	-0,208932671	0,225	0,268	1	0,865177067	1,155832764	0,839552239
PPP2R2A	0,599787395	-0,208954149	0,054	0,073	1	0,865164187	1,155849971	0,739726027
NF2	0,982899486	-0,208962341	0,026	0,024	1	0,865159274	1,155856534	1,083333333
PSKH1	0,198124435	-0,209261443	0,006	0,024	1	0,864979926	1,156096194	0,25
RPS19BP1	0,386854854	-0,209289636	0,158	0,22	1	0,864963023	1,156118786	0,718181818
ANXA6	0,880830033	-0,209426781	0,094	0,098	1	0,864880802	1,156228694	0,959183673

Supplementary Table 3

Differentially expressed genes_keloid-MD_comparing SC-Keloid vs. (SC-Myel+Nonmyel)								
gene	p_val	avg_log2FC	pct.1	pct.2	p_val_adj	Foldchange_UP	Foldchange_DOWN	Ratio_pct1_pct2
PACRG	0,049781231	-0,209576295	0,003	0,024	1	0,864791174	1,156348526	0,125
NUDT4	0,695005998	-0,210002104	0,164	0,146	1	0,86453597	1,156689871	1,123287671
VAPA	0,178558069	-0,21003155	0,215	0,317	1	0,864518325	1,156713479	0,678233438
FBXW8	0,113762049	-0,210070173	0,005	0,024	1	0,864495181	1,156744447	0,208333333
ZNF146	0,254602952	-0,21016657	0,037	0,073	1	0,86443742	1,15682174	0,506849315
ZNF397	0,598718119	-0,210188096	0,033	0,049	1	0,864424522	1,156839001	0,673469388
PPP1R9A	0,109519807	-0,210255753	0,041	0,098	1	0,864383984	1,156893253	0,418367347
ANKRD16	0,113762049	-0,210469589	0,005	0,024	1	0,864255875	1,15706474	0,208333333
CLEC11A	0,2615816	-0,210660549	0,054	0,098	1	0,864141487	1,157217903	0,551020408
RBX1	0,381462628	-0,210682065	0,415	0,488	1	0,8641286	1,157235162	0,850409836
MAFF	0,68627951	-0,210701909	0,037	0,049	1	0,864116714	1,15725108	0,755102041
TCF7L2	0,246571074	-0,211057602	0,021	0,049	1	0,863903694	1,157536433	0,428571429
P4HA3	0,448381168	-0,211278577	0,011	0,024	1	0,863771381	1,157713744	0,458333333
PPP1R10	0,705247568	-0,211285067	0,037	0,024	1	0,863767496	1,157718952	1,541666667
MED13L	0,4869258	-0,211388644	0,069	0,098	1	0,863705485	1,157802072	0,704081633
SZRD1	0,848299759	-0,211751453	0,067	0,073	1	0,863488307	1,158093273	0,917808219
BCAS2	0,238394721	-0,211897831	0,053	0,098	1	0,863400701	1,158210781	0,540816327
PFDN5	0,379257236	-0,212121076	0,523	0,659	1	0,863267107	1,158390018	0,793626707
IQCH-AS1	0,049781231	-0,212199015	0,003	0,024	1	0,863220472	1,1584526	0,125
CHRAC1	0,722269122	-0,212227232	0,065	0,049	1	0,863203589	1,158475258	1,326530612
IL6	0,115197258	-0,212347306	0,005	0,024	1	0,863131748	1,15857168	0,208333333
SLAIN2	0,489948506	-0,212417831	0,089	0,122	1	0,863089556	1,158628318	0,729508197
PRDX1	0,636369786	-0,212449087	0,244	0,268	1	0,863070857	1,15865342	0,910447761
C8orf33	0,236303504	-0,212451914	0,053	0,098	1	0,863069166	1,15865569	0,540816327
ZNF620	0,049781231	-0,212775787	0,003	0,024	1	0,862875436	1,158915828	0,125
KARS1	0,95050249	-0,213172834	0,048	0,049	1	0,862637995	1,159234819	0,979591837
PTGES3	0,924006253	-0,213227219	0,223	0,195	1	0,862605476	1,15927852	1,143589744
RPL23A	0,319862116	-0,213230963	0,547	0,561	1	0,862603238	1,159281528	0,975044563
YAF2	0,212913632	-0,213371477	0,051	0,098	1	0,862519227	1,159394444	0,520408163
SLC25A36	0,109080757	-0,213378786	0,057	0,122	1	0,862514857	1,159400318	0,467213115

Supplementary Table 3

Differentially expressed genes_keloid-MD_ comparing SC-Keloid vs. (SC-Myel+Nonmyel)								
gene	p_val	avg_log2FC	pct.1	pct.2	p_val_adj	Foldchange_UP	Foldchange_DOWN	Ratio_pct1_pct2
GNPDA2	0,558583358	-0,21365732	0,032	0,049	1	0,862348352	1,159624179	0,653061224
MGAT4B	0,253708033	-0,213931862	0,054	0,098	1	0,862184265	1,159844874	0,551020408
CHMP4A	0,249110138	-0,21396747	0,072	0,122	1	0,862162985	1,159873501	0,590163934
TAF1B	0,199026585	-0,213987246	0,019	0,049	1	0,862151167	1,1598894	0,387755102
NT5C3B	0,585921384	-0,214200407	0,033	0,049	1	0,862023791	1,160060789	0,673469388
ABHD17B	0,049781231	-0,214436478	0,003	0,024	1	0,861882748	1,160250628	0,125
MTMR3	0,863679013	-0,214484448	0,021	0,024	1	0,861854091	1,160289207	0,875
SELENOF	0,399628804	-0,214890992	0,166	0,22	1	0,861611259	1,160616217	0,754545455
ZNF160	0,985342118	-0,215030937	0,026	0,024	1	0,861527685	1,160728805	1,083333333
PRDX2	0,045183708	-0,215032488	0,077	0,171	1	0,861526759	1,160730052	0,450292398
RASAL2	0,378864515	-0,215087269	0,026	0,049	1	0,861494046	1,160774128	0,530612245
RPS23	0,248828077	-0,215161873	0,901	1	1	0,861449498	1,160834155	0,901
RHBDD2	0,026191169	-0,215243979	0,01	0,049	1	0,861400473	1,160900222	0,204081633
CXXC5	0,34602189	-0,215350141	0,175	0,244	1	0,861337088	1,160985651	0,717213115
GPX4	0,212159608	-0,215420571	0,357	0,463	1	0,861295041	1,161042329	0,771058315
ESPL1	0,009951995	-0,215500567	0,002	0,024	1	0,861247284	1,16110671	0,083333333
HOXC8	0,00163192	-0,215548949	0,005	0,049	1	0,861218401	1,161145649	0,102040816
MBD6	0,201391649	-0,215733999	0,019	0,049	1	0,861107943	1,161294595	0,387755102
AIMP1	0,357940224	-0,215742099	0,099	0,146	1	0,861103108	1,161301116	0,678082192
TM7SF3	0,013608147	-0,21617638	0,008	0,049	1	0,860843937	1,161650744	0,163265306
METTL21A	0,130015836	-0,216279705	0,016	0,049	1	0,860782286	1,161733944	0,326530612
PHC1	0,467993705	-0,216361357	0,029	0,049	1	0,860733357	1,161799696	0,591836735
ABCA1	0,530362187	-0,21644595	0,013	0,024	1	0,860683102	1,16186782	0,541666667
ZNF701	0,674031557	-0,216737079	0,016	0,024	1	0,860509438	1,162102303	0,666666667
EID1	0,37043283	-0,21673927	0,589	0,634	1	0,860508131	1,162104068	0,929022082
RARS2	0,774576085	-0,216949423	0,033	0,024	1	0,860382793	1,16227336	1,375
FAIM	0,117532409	-0,217221219	0,043	0,098	1	0,860220716	1,162492348	0,43877551
ZNF514	0,370733807	-0,217241645	0,01	0,024	1	0,860208537	1,162508806	0,416666667
RNPEPL1	0,510749547	-0,217266331	0,03	0,049	1	0,860193819	1,162528698	0,612244898
HNRNPD	0,304029767	-0,217340398	0,175	0,244	1	0,860149658	1,162588383	0,717213115

Supplementary Table 3

Differentially expressed genes_keloid-MD_comparing SC-Keloid vs. (SC-Myel+Nonmyel)								
gene	p_val	avg_log2FC	pct.1	pct.2	p_val_adj	Foldchange_UP	Foldchange_DOWN	Ratio_pct1_pct2
PACSIN3	0,026191169	-0,21736334	0,01	0,049	1	0,86013598	1,162606871	0,204081633
BTD	0,013608147	-0,217414906	0,008	0,049	1	0,860105236	1,162648427	0,163265306
MRPS22	0,014574696	-0,217423415	0,027	0,098	1	0,860100164	1,162655284	0,275510204
AGER	0,196181004	-0,217455435	0,006	0,024	1	0,860081074	1,162681089	0,25
CEP55	0,113762049	-0,217498051	0,005	0,024	1	0,860055669	1,162715434	0,208333333
NRXN3	0,013608147	-0,217525188	0,008	0,049	1	0,860039491	1,162737304	0,163265306
ITGBL1	0,363187776	-0,218105827	0,01	0,024	1	0,859693422	1,163205364	0,416666667
CYB5R1	0,524894226	-0,218258958	0,013	0,024	1	0,859602177	1,163328836	0,541666667
CREB1	0,537532987	-0,218370791	0,051	0,073	1	0,859535546	1,163419017	0,698630137
BPGM	0,028171458	-0,218590895	0,03	0,098	1	0,859404421	1,163596527	0,306122449
PRKAB1	0,118110366	-0,218594381	0,005	0,024	1	0,859402345	1,163599338	0,208333333
ZFYVE19	0,013608147	-0,218681668	0,008	0,049	1	0,85935035	1,163669742	0,163265306
ATM	0,573054256	-0,218717145	0,053	0,073	1	0,859329219	1,163698357	0,726027397
NFYB	0,538961273	-0,218786529	0,051	0,073	1	0,859287892	1,163754324	0,698630137
SMIM20	0,196987167	-0,218907811	0,033	0,073	1	0,859215657	1,163852161	0,452054795
NCDN	0,365692371	-0,219040344	0,01	0,024	1	0,859136729	1,163959083	0,416666667
CRTC2	0,280789447	-0,219227569	0,008	0,024	1	0,859025243	1,164110145	0,333333333
ACSS1	0,198124435	-0,219260953	0,006	0,024	1	0,859005365	1,164137083	0,25
DEDD2	0,203777145	-0,21950694	0,019	0,049	1	0,858858913	1,164335592	0,387755102
HACD2	0,241956599	-0,219584234	0,021	0,049	1	0,858812899	1,164397974	0,428571429
DNAJA2	0,870240606	-0,219652682	0,057	0,049	1	0,858772154	1,16445322	1,163265306
ERAL1	0,001663452	-0,219759352	0,005	0,049	1	0,858708661	1,16453932	0,102040816
ZNF730	0,009951995	-0,219802563	0,002	0,024	1	0,858682941	1,164574201	0,083333333
RANGAP1	0,026491352	-0,219852507	0,01	0,049	1	0,858653216	1,164614517	0,204081633
HIGD1A	0,173197521	-0,219881972	0,048	0,098	1	0,858635679	1,164638302	0,489795918
ABCF1	0,818680564	-0,219912853	0,065	0,073	1	0,8586173	1,164663232	0,890410959
SSR1	0,519138591	-0,219956893	0,091	0,122	1	0,85859109	1,164698786	0,745901639
TNFRSF25	0,116646669	-0,220159549	0,005	0,024	1	0,858470492	1,164862403	0,208333333
BABAM1	0,598718082	-0,220214698	0,033	0,049	1	0,858437677	1,164906932	0,673469388
CBR4	0,919630147	-0,220316952	0,022	0,024	1	0,858376835	1,1649895	0,916666667

Supplementary Table 3

Differentially expressed genes_keloid-MD_ comparing SC-Keloid vs. (SC-Myel+Nonmyel)								
gene	p_val	avg_log2FC	pct.1	pct.2	p_val_adj	Foldchange_UP	Foldchange_DOWN	Ratio_pct1_pct2
NUDT9	0,678822541	-0,220359086	0,037	0,049	1	0,858351767	1,165023524	0,755102041
IRGQ	0,287136479	-0,220499904	0,022	0,049	1	0,858267989	1,165137245	0,448979592
MAP3K1	0,254602952	-0,220624365	0,037	0,073	1	0,85819395	1,165237765	0,506849315
STK32A	3,19985E-08	-0,221030232	0	0,049	0,000675201	0,857952551	1,165565623	0
HDDC2	0,140813834	-0,221284803	0,061	0,122	1	0,857801175	1,165771311	0,5
XRCC1	0,608438325	-0,221286038	0,014	0,024	1	0,857800441	1,165772309	0,583333333
TRANK1	0,009700686	-0,221341558	0,002	0,024	1	0,85776743	1,165817173	0,083333333
DNAJB4	0,945110868	-0,221388205	0,048	0,049	1	0,857739696	1,165854868	0,979591837
PERP	0,681710078	-0,221394809	0,104	0,122	1	0,85773577	1,165860204	0,852459016
ZNF268	0,026794502	-0,221693224	0,01	0,049	1	0,857558369	1,166101382	0,204081633
VRK3	0,194251578	-0,221913484	0,006	0,024	1	0,857427454	1,166279428	0,25
UBAC1	0,370851108	-0,22218039	0,026	0,049	1	0,85726884	1,166495215	0,530612245
EDC3	0,365692371	-0,222206968	0,01	0,024	1	0,857253047	1,166516705	0,416666667
CMTM7	0,013608147	-0,222327184	0,008	0,049	1	0,857181617	1,166613912	0,163265306
MBNL1	0,523022005	-0,222624303	0,152	0,195	1	0,857005101	1,166854198	0,779487179
MEPCE	0,196181004	-0,222663781	0,006	0,024	1	0,856981651	1,166886128	0,25
STX4	0,260698511	-0,222688358	0,054	0,098	1	0,856967052	1,166906007	0,551020408
HSPH1	0,041266766	-0,223116239	0,061	0,146	1	0,856712926	1,167252144	0,417808219
FAM53B	0,044659199	-0,223258	0,011	0,049	1	0,856628748	1,167366846	0,224489796
TRIM3	0,196181004	-0,223489951	0,006	0,024	1	0,856491034	1,167554546	0,25
GARS1	0,167478502	-0,223494162	0,064	0,122	1	0,856488534	1,167557953	0,524590164
EHD2	0,595048988	-0,223506283	0,033	0,049	1	0,856481338	1,167567763	0,673469388
SNAP23	0,790933902	-0,223870159	0,064	0,073	1	0,856265344	1,167862284	0,876712329
PJA1	0,720548051	-0,2239987	0,038	0,049	1	0,856189056	1,167966342	0,775510204
CCL27	0,009951995	-0,224061035	0,002	0,024	1	0,856152063	1,168016808	0,083333333
ZNF577	0,524894226	-0,224077165	0,013	0,024	1	0,856142491	1,168029867	0,541666667
CLPP	0,235470691	-0,224111316	0,053	0,098	1	0,856122225	1,168057516	0,540816327
GPR137B	0,019788634	-0,224149607	0,029	0,098	1	0,856099502	1,168088519	0,295918367
BYSL	0,048947161	-0,224282434	0,003	0,024	1	0,856020686	1,168196068	0,125
RPGR	0,680683845	-0,224287297	0,037	0,049	1	0,856017801	1,168200006	0,755102041

Supplementary Table 3

Differentially expressed genes_keloid-MD_comparing SC-Keloid vs. (SC-Myel+Nonmyel)								
gene	p_val	avg_log2FC	pct.1	pct.2	p_val_adj	Foldchange_UP	Foldchange_DOWN	Ratio_pct1_pct2
PLCG2	0,506027128	-0,224432762	0,226	0,268	1	0,855931494	1,1683178	0,843283582
C1orf43	0,121472932	-0,224489881	0,059	0,122	1	0,855897607	1,168364056	0,483606557
WDR75	0,676801274	-0,224640969	0,016	0,024	1	0,855807977	1,168486421	0,666666667
NTAQ1	0,026191169	-0,224738314	0,01	0,049	1	0,855750234	1,168565267	0,204081633
CNNM3	0,280789447	-0,225048345	0,008	0,024	1	0,855566355	1,168816415	0,333333333
ARSA	0,018112928	-0,225108268	0,018	0,073	1	0,855530819	1,168864963	0,246575342
PATL1	0,738354944	-0,225229346	0,018	0,024	1	0,855459022	1,168963065	0,75
LYSMD1	0,196181004	-0,225260788	0,006	0,024	1	0,855440379	1,168988541	0,25
SESN2	0,001600938	-0,225340512	0,005	0,049	1	0,855393108	1,169053142	0,102040816
HYI	0,53221582	-0,225405522	0,072	0,098	1	0,855354563	1,169105822	0,734693878
ATIC	0,16364998	-0,225499131	0,018	0,049	1	0,855299066	1,169181681	0,367346939
CD96	9,44793E-05	-0,225594722	0	0,024	1	0,855242397	1,169259153	0
CHST7	9,44793E-05	-0,225594722	0	0,024	1	0,855242397	1,169259153	0
CSF2	9,44793E-05	-0,225594722	0	0,024	1	0,855242397	1,169259153	0
MAP3K5	9,44793E-05	-0,225594722	0	0,024	1	0,855242397	1,169259153	0
COL16A1	0,723479867	-0,225915579	0,107	0,122	1	0,855052211	1,169519226	0,87704918
COQ7	0,196181004	-0,226052835	0,006	0,024	1	0,854970866	1,169630498	0,25
MIPOL1	0,204977577	-0,226070882	0,019	0,049	1	0,854960172	1,169645129	0,387755102
NAXD	0,276254967	-0,226077187	0,008	0,024	1	0,854956435	1,169650241	0,333333333
PPP1R3D	0,116646669	-0,226283029	0,005	0,024	1	0,854834459	1,169817137	0,208333333
EID3	0,280789447	-0,226574714	0,008	0,024	1	0,854661646	1,170053675	0,333333333
YPEL2	0,050800475	-0,226778766	0,035	0,098	1	0,854540772	1,170219178	0,357142857
NCAPG2	0,445731781	-0,227049687	0,011	0,024	1	0,854380315	1,170438951	0,458333333
UBE2B	0,436910352	-0,227108342	0,172	0,22	1	0,85434558	1,170486538	0,781818182
CYC1	0,265643856	-0,227239022	0,072	0,122	1	0,854268196	1,170592566	0,590163934
PAXBP1	0,960205063	-0,22738045	0,073	0,073	1	0,854184456	1,170707326	1
DNAJB2	0,305453413	-0,227382973	0,057	0,098	1	0,854182962	1,170709373	0,581632653
RALA	0,559238183	-0,227420784	0,096	0,122	1	0,854160576	1,170740056	0,786885246
MDM2	0,330129859	-0,227456341	0,059	0,098	1	0,854139524	1,17076891	0,602040816
ZBTB37	0,420009788	-0,227762257	0,027	0,049	1	0,853958427	1,171017192	0,551020408

Supplementary Table 3

Differentially expressed genes_keloid-MD_comparing SC-Keloid vs. (SC-Myel+Nonmyel)								
gene	p_val	avg_log2FC	pct.1	pct.2	p_val_adj	Foldchange_UP	Foldchange_DOWN	Ratio_pct1_pct2
NDUFC1	0,293053126	-0,227763424	0,351	0,415	1	0,853957736	1,17101814	0,845783133
CDC42EP5	0,169856556	-0,227875348	0,134	0,22	1	0,853891489	1,17110899	0,609090909
RIN2	0,280789447	-0,227891059	0,008	0,024	1	0,853882191	1,171121744	0,333333333
ECHDC3	0,048947161	-0,227960324	0,003	0,024	1	0,853841196	1,171177972	0,125
GUSB	0,235470691	-0,228251342	0,053	0,098	1	0,853668978	1,171414244	0,540816327
AMMECR1	0,60566217	-0,228323347	0,014	0,024	1	0,853626372	1,171472711	0,583333333
NEK1	0,165771877	-0,228330762	0,018	0,049	1	0,853621985	1,171478732	0,367346939
CAMSAP1	0,674031557	-0,228486218	0,016	0,024	1	0,853530009	1,17160497	0,666666667
NDUFAF1	0,202581839	-0,228569828	0,019	0,049	1	0,853480544	1,171672871	0,387755102
WDFY3	0,285710793	-0,22860092	0,022	0,049	1	0,853462151	1,171698122	0,448979592
NOC4L	0,027100643	-0,228834645	0,01	0,049	1	0,853323897	1,171887959	0,204081633
FAM161A	0,451039476	-0,228992657	0,011	0,024	1	0,853230441	1,172016318	0,458333333
SHPRH	0,836928887	-0,229015823	0,043	0,049	1	0,85321674	1,172035138	0,87755102
BRPF1	0,044216422	-0,22901866	0,011	0,049	1	0,853215062	1,172037443	0,224489796
PDZD2	0,009700686	-0,229061168	0,002	0,024	1	0,853189924	1,172071976	0,083333333
PHF20L1	0,526154072	-0,229103527	0,091	0,122	1	0,853164873	1,17210639	0,745901639
NUDT6	0,448381168	-0,229402556	0,011	0,024	1	0,852988055	1,17234936	0,458333333
BRD3	0,765191034	-0,229453122	0,04	0,049	1	0,852958158	1,172390451	0,816326531
AFF1	0,243926778	-0,229518775	0,021	0,049	1	0,852919344	1,172443804	0,428571429
PTPRB	0,048947161	-0,229578142	0,003	0,024	1	0,852884247	1,172492051	0,125
SSRP1	0,135383661	-0,229779211	0,045	0,098	1	0,852765389	1,172655473	0,459183673
RGL1	0,198124435	-0,229876283	0,006	0,024	1	0,852708012	1,172734378	0,25
GRAMD2B	0,327147218	-0,230002909	0,059	0,098	1	0,852633172	1,172837314	0,602040816
TRUB1	0,465395425	-0,230061214	0,029	0,049	1	0,852598715	1,172884714	0,591836735
TNFSF9	0,192336114	-0,230105906	0,006	0,024	1	0,852572303	1,172921048	0,25
FAM204A	0,35488028	-0,230200728	0,163	0,22	1	0,85251627	1,172998142	0,740909091
RIPK2	0,861032984	-0,230298413	0,021	0,024	1	0,852458548	1,173077568	0,875
PGAP2	0,001663452	-0,230376158	0,005	0,049	1	0,852412611	1,173140785	0,102040816
QSOX1	0,010692527	-0,230445441	0,037	0,122	1	0,852371676	1,173197125	0,303278689
ZNF672	0,000264836	-0,230482583	0,003	0,049	1	0,852349732	1,17322733	0,06122449

Supplementary Table 3

Differentially expressed genes_keloid-MD_comparing SC-Keloid vs. (SC-Myel+Nonmyel)								
gene	p_val	avg_log2FC	pct.1	pct.2	p_val_adj	Foldchange_UP	Foldchange_DOWN	Ratio_pct1_pct2
UBE2E1	0,64190582	-0,230515867	0,035	0,049	1	0,852330068	1,173254397	0,714285714
ZNF836	0,00163192	-0,230586444	0,005	0,049	1	0,852288373	1,173311794	0,102040816
POLR1F	0,283250411	-0,230723651	0,056	0,098	1	0,85220732	1,173423387	0,571428571
BOD1L1	0,051175381	-0,230808454	0,078	0,171	1	0,852157228	1,173492364	0,456140351
LMF1	0,196181004	-0,230963852	0,006	0,024	1	0,852065444	1,173618772	0,25
ADAR	0,054145001	-0,230999718	0,078	0,171	1	0,852044262	1,173647949	0,456140351
CEBPZOS	0,468331793	-0,231075891	0,048	0,073	1	0,851999276	1,173709918	0,657534247
EFNB1	0,194251578	-0,231174443	0,006	0,024	1	0,851941076	1,173790098	0,25
BAG5	0,920929257	-0,231849593	0,054	0,049	1	0,85154248	1,174339535	1,102040816
PNPT1	0,507203964	-0,231880261	0,03	0,049	1	0,851524378	1,174364499	0,612244898
CCSER2	0,536713624	-0,231914799	0,093	0,122	1	0,851503993	1,174392613	0,762295082
PFKFB2	0,194251578	-0,231916036	0,006	0,024	1	0,851503264	1,17439362	0,25
LRP10	0,156134089	-0,231971167	0,062	0,122	1	0,851470725	1,174438499	0,508196721
ACBD6	0,358486585	-0,232077117	0,061	0,098	1	0,851408196	1,174524752	0,62244898
CPT1C	0,009951995	-0,2320908	0,002	0,024	1	0,851400121	1,174535891	0,083333333
RILP	0,005553478	-0,232154086	0,006	0,049	1	0,851362774	1,174587415	0,12244898
TGFB1	0,75959289	-0,23222457	0,04	0,049	1	0,851321181	1,174644802	0,816326531
MALL	0,009951995	-0,232225546	0,002	0,024	1	0,851320605	1,174645597	0,083333333
KLF11	0,093952504	-0,232245236	0,014	0,049	1	0,851308986	1,174661629	0,285714286
C18orf54	0,09544918	-0,232409219	0,014	0,049	1	0,851212228	1,174795154	0,285714286
TPSAB1	0,009700686	-0,232445416	0,002	0,024	1	0,851190871	1,17482463	0,083333333
CALM3	0,54319075	-0,232479628	0,072	0,098	1	0,851170687	1,174852489	0,734693878
TRIM28	0,772674319	-0,232502854	0,04	0,049	1	0,851156984	1,174871403	0,816326531
DUSP11	0,967295855	-0,232554484	0,024	0,024	1	0,851126524	1,17491345	1
MRPL50	0,274893326	-0,232831204	0,038	0,073	1	0,850963287	1,175138828	0,520547945
HPRT1	0,143825623	-0,233126371	0,03	0,073	1	0,850789202	1,17537928	0,410958904
RGS12	0,801543206	-0,233167506	0,019	0,024	1	0,850764945	1,175412793	0,791666667
NEK5	0,196181004	-0,233373791	0,006	0,024	1	0,850643306	1,175580873	0,25
RPL22	0,119067167	-0,233563836	0,673	0,805	1	0,850531259	1,175735741	0,836024845
SLBP	0,339184709	-0,233678374	0,041	0,073	1	0,850463736	1,175829089	0,561643836

Supplementary Table 3

Differentially expressed genes_keloid-MD_comparing SC-Keloid vs. (SC-Myel+Nonmyel)								
gene	p_val	avg_log2FC	pct.1	pct.2	p_val_adj	Foldchange_UP	Foldchange_DOWN	Ratio_pct1_pct2
MX1	0,045555981	-0,233898674	0,011	0,049	1	0,85033388	1,176008652	0,224489796
ATG16L1	0,530362187	-0,233912556	0,013	0,024	1	0,850325698	1,176019968	0,541666667
STAT6	0,421683813	-0,23411522	0,027	0,049	1	0,850206256	1,176185182	0,551020408
CEP290	0,835081291	-0,23426656	0,043	0,049	1	0,850117074	1,176308571	0,87755102
NAP1L4	0,126364706	-0,234959788	0,112	0,195	1	0,849708683	1,176873934	0,574358974
ZCCHC7	0,061432982	-0,234994777	0,037	0,098	1	0,849688075	1,176902476	0,37755102
SRPRA	0,381135764	-0,235521724	0,062	0,098	1	0,849377782	1,177332421	0,632653061
BICD1	0,644792837	-0,235543054	0,102	0,122	1	0,849365224	1,177349828	0,836065574
CCDC180	0,001663452	-0,23593626	0,005	0,049	1	0,849133762	1,177670757	0,102040816
DLGAP1-AS1	0,365692371	-0,236082655	0,01	0,024	1	0,849047602	1,177790265	0,416666667
KRI1	0,365692371	-0,236108162	0,01	0,024	1	0,84903259	1,17781109	0,416666667
PIGK	0,59688227	-0,236133272	0,033	0,049	1	0,849017813	1,177831589	0,673469388
LINS1	0,280789447	-0,236220861	0,008	0,024	1	0,848966269	1,1779031	0,333333333
G6PC3	0,126823956	-0,236547852	0,016	0,049	1	0,84877387	1,178170106	0,326530612
AZI2	0,558583358	-0,236637436	0,032	0,049	1	0,848721167	1,178243266	0,653061224
RUFY1	0,593939955	-0,236775172	0,054	0,073	1	0,848640143	1,17835576	0,739726027
COQ8B	0,096204645	-0,236858991	0,014	0,049	1	0,848590839	1,178424223	0,285714286
CRPPA	0,118110366	-0,237080342	0,005	0,024	1	0,848460651	1,178605041	0,208333333
ATMIN	0,558583316	-0,237300815	0,032	0,049	1	0,848330999	1,17878517	0,653061224
AHCYL1	0,183467291	-0,237423422	0,065	0,122	1	0,848258907	1,178885352	0,532786885
FKTN	0,369261143	-0,237559495	0,026	0,049	1	0,848178903	1,178996549	0,530612245
C1QL1	0,982471828	-0,237701919	0,075	0,073	1	0,848095175	1,179112946	1,02739726
NCK2	0,243346971	-0,23789123	0,037	0,073	1	0,847983895	1,17926768	0,506849315
IFT172	0,009700686	-0,238012263	0,002	0,024	1	0,847912758	1,179366617	0,083333333
CKB	0,627778305	-0,238050749	0,056	0,073	1	0,847890139	1,179398078	0,767123288
ANKRD13C	0,861032984	-0,238098096	0,021	0,024	1	0,847862313	1,179436785	0,875
CDR2L	0,985342118	-0,238255394	0,026	0,024	1	0,847769874	1,179565387	1,083333333
AKR7A2	0,118399687	-0,239340922	0,059	0,122	1	0,847132226	1,180453263	0,483606557
COQ9	0,32565663	-0,239518794	0,024	0,049	1	0,847027789	1,180598811	0,489795918
SEMA6A	0,97232506	-0,2395675	0,024	0,024	1	0,846999193	1,180638669	1

Supplementary Table 3

Differentially expressed genes_keloid-MD_comparing SC-Keloid vs. (SC-Myel+Nonmyel)								
gene	p_val	avg_log2FC	pct.1	pct.2	p_val_adj	Foldchange_UP	Foldchange_DOWN	Ratio_pct1_pct2
AP3S1	0,226174026	-0,239696696	0,088	0,146	1	0,846923346	1,180744403	0,602739726
PDK3	0,116646669	-0,240026725	0,005	0,024	1	0,846729627	1,181014539	0,208333333
THBS2	0,935367531	-0,240114406	0,148	0,146	1	0,846678168	1,181086318	1,01369863
TP53INP1	0,861032984	-0,240401301	0,021	0,024	1	0,846509814	1,181321213	0,875
ARHGAP35	0,070608912	-0,240553352	0,038	0,098	1	0,846420602	1,181445724	0,387755102
NUP43	0,738354944	-0,240618592	0,018	0,024	1	0,846382326	1,181499151	0,75
TOR1B	0,198124435	-0,240701717	0,006	0,024	1	0,846333562	1,181567228	0,25
DTWD1	0,7797991	-0,240719736	0,091	0,073	1	0,846322991	1,181581985	1,246575342
MRPL45	0,201391649	-0,240725785	0,019	0,049	1	0,846319442	1,18158694	0,387755102
HIPK1	0,687533554	-0,240957853	0,059	0,073	1	0,846183317	1,181777022	0,808219178
SCRN3	0,674031557	-0,241213509	0,016	0,024	1	0,84603338	1,18198646	0,666666667
AZGP1	0,00163192	-0,241265082	0,005	0,049	1	0,846003137	1,182028714	0,102040816
NBPF14	0,009700686	-0,241333792	0,002	0,024	1	0,845962846	1,18208501	0,083333333
SRRM2	0,197896324	-0,241418425	0,263	0,366	1	0,84591322	1,182154358	0,718579235
GTF2F2	0,459729697	-0,241815193	0,067	0,098	1	0,845680611	1,182479517	0,683673469
OCIAD1	0,199608763	-0,241893546	0,121	0,195	1	0,845634683	1,182543739	0,620512821
FBH1	0,280789447	-0,241937298	0,008	0,024	1	0,845609038	1,182579603	0,333333333
TERF2IP	0,451445335	-0,241954216	0,152	0,195	1	0,845599122	1,18259347	0,779487179
PFKM	0,196181004	-0,242123075	0,006	0,024	1	0,845500156	1,182731893	0,25
SDF2L1	0,49597224	-0,242350495	0,134	0,171	1	0,845366885	1,182918349	0,783625731
DENND6A	0,801543206	-0,242414573	0,019	0,024	1	0,845329338	1,18297089	0,791666667
NDUFB3	0,538880226	-0,242455567	0,179	0,22	1	0,845305319	1,183004504	0,813636364
CDK5RAP2	0,674031557	-0,242481071	0,016	0,024	1	0,845290376	1,183025418	0,666666667
PCM1	0,503112518	-0,242482937	0,113	0,146	1	0,845289282	1,183026948	0,773972603
RBBP8	0,096204645	-0,242511823	0,014	0,049	1	0,845272358	1,183050635	0,285714286
ECH1	0,142944801	-0,24252474	0,061	0,122	1	0,84526479	1,183061227	0,5
ARIH2OS	0,194251578	-0,242571003	0,006	0,024	1	0,845237685	1,183099165	0,25
CRELD1	0,011603552	-0,242740354	0,016	0,073	1	0,845138473	1,183238052	0,219178082
CAVIN1	0,315020435	-0,242804592	0,156	0,22	1	0,845100843	1,183290738	0,709090909
ABCD3	0,406772282	-0,242845759	0,045	0,073	1	0,845076728	1,183324504	0,616438356

Supplementary Table 3

Differentially expressed genes_keloid-MD_comparing SC-Keloid vs. (SC-Myel+Nonmyel)								
gene	p_val	avg_log2FC	pct.1	pct.2	p_val_adj	Foldchange_UP	Foldchange_DOWN	Ratio_pct1_pct2
MVD	0,066835713	-0,242851366	0,013	0,049	1	0,845073444	1,183329103	0,265306122
TFAP2A	0,605660801	-0,243319736	0,054	0,073	1	0,844799136	1,183713332	0,739726027
CDR1	0,741096311	-0,243336299	0,018	0,024	1	0,844789437	1,183726922	0,75
WTIP	0,164178451	-0,243375459	0,018	0,049	1	0,844766507	1,183759053	0,367346939
SLC25A11	0,853574549	-0,243439592	0,067	0,073	1	0,844728955	1,183811677	0,917808219
SLC11A2	0,026191169	-0,243681818	0,01	0,049	1	0,844587138	1,184010453	0,204081633
IRF2BP2	0,227528431	-0,243738461	0,07	0,122	1	0,844553978	1,184056941	0,573770492
PHIP	0,46696838	-0,243780846	0,048	0,073	1	0,844529167	1,184091727	0,657534247
MAN2B2	0,917046786	-0,244152331	0,022	0,024	1	0,844311733	1,184396663	0,916666667
PPIL4	0,633516194	-0,244282986	0,078	0,098	1	0,844235273	1,184503931	0,795918367
CIZ1	0,081781673	-0,244293784	0,026	0,073	1	0,844228955	1,184512796	0,356164384
HAGH	0,298791616	-0,244361988	0,057	0,098	1	0,844189044	1,184568796	0,581632653
AL035681.1	9,44793E-05	-0,244442251	0	0,024	1	0,84414208	1,1846347	0
C20orf203	9,44793E-05	-0,244442251	0	0,024	1	0,84414208	1,1846347	0
PRR14L	0,331721562	-0,244818421	0,024	0,049	1	0,843922006	1,184943623	0,489795918
TRAK1	0,18641081	-0,244867063	0,033	0,073	1	0,843893553	1,184983576	0,452054795
GRHPR	0,434991648	-0,244992075	0,086	0,122	1	0,843820431	1,185086261	0,704918033
SYP	0,001663452	-0,245167755	0,005	0,049	1	0,843717684	1,18523058	0,102040816
AKAP6	0,194251578	-0,245188156	0,006	0,024	1	0,843705753	1,185247341	0,25
PSMD9	0,188143779	-0,245437317	0,033	0,073	1	0,843560053	1,185452057	0,452054795
UQCRB	0,140035442	-0,245547441	0,335	0,463	1	0,843495665	1,185542549	0,723542117
SCN1B	0,018112928	-0,245607287	0,018	0,073	1	0,843460676	1,185591728	0,246575342
ID3	0,174165114	-0,245672115	0,22	0,317	1	0,843422775	1,185645004	0,694006309
TMEM205	0,401868561	-0,245744781	0,064	0,098	1	0,843380295	1,185704724	0,653061224
PI4KB	0,418339787	-0,246069668	0,027	0,049	1	0,843190391	1,185971769	0,551020408
NUMA1	0,37014661	-0,246127763	0,043	0,073	1	0,843156438	1,186019527	0,589041096
ZNF219	0,162596738	-0,246268187	0,018	0,049	1	0,843074374	1,186134973	0,367346939
RNF157	0,196181004	-0,246555438	0,006	0,024	1	0,842906529	1,186371164	0,25
MOSPD1	0,761457575	-0,246673631	0,04	0,049	1	0,842837476	1,186468362	0,816326531
SCAF11	0,215334017	-0,24681453	0,126	0,195	1	0,842755165	1,186584243	0,646153846

Supplementary Table 3

Differentially expressed genes_keloid-MD_ comparing SC-Keloid vs. (SC-Myel+Nonmyel)								
gene	p_val	avg_log2FC	pct.1	pct.2	p_val_adj	Foldchange_UP	Foldchange_DOWN	Ratio_pct1_pct2
CLDN14	0,009700686	-0,246915833	0,002	0,024	1	0,842695991	1,186667565	0,083333333
ZKSCAN8	0,368207718	-0,246950515	0,01	0,024	1	0,842675733	1,186696093	0,416666667
EXPH5	9,44793E-05	-0,247196469	0	0,024	1	0,842532084	1,186898421	0
FAM83F	9,44793E-05	-0,247196469	0	0,024	1	0,842532084	1,186898421	0
LINC02875	9,44793E-05	-0,247196469	0	0,024	1	0,842532084	1,186898421	0
LINC02897	9,44793E-05	-0,247196469	0	0,024	1	0,842532084	1,186898421	0
RIC8A	0,455937379	-0,247250813	0,029	0,049	1	0,842500348	1,18694313	0,591836735
LDAH	0,360693945	-0,247462952	0,01	0,024	1	0,842376473	1,187117676	0,416666667
CYB5R2	0,917046786	-0,247470562	0,022	0,024	1	0,842372029	1,187123937	0,916666667
PRRC1	0,308835794	-0,247514075	0,04	0,073	1	0,842346623	1,187159743	0,547945205
MRPS14	0,250468681	-0,247762368	0,037	0,073	1	0,842201664	1,187364075	0,506849315
AC093323.1	0,001600938	-0,247883095	0,005	0,049	1	0,842131191	1,187463439	0,102040816
MTMR12	0,238698091	-0,24795437	0,021	0,049	1	0,842089587	1,187522106	0,428571429
ACBD3	0,862331946	-0,247980875	0,093	0,098	1	0,842074116	1,187543923	0,948979592
CSNK1G1	0,743841064	-0,248000448	0,018	0,024	1	0,842062692	1,187560035	0,75
MON2	0,142350025	-0,248047268	0,03	0,073	1	0,842035365	1,187598576	0,410958904
PIP4K2A	0,598718119	-0,24841878	0,033	0,049	1	0,841818558	1,187904436	0,673469388
NEK6	0,011375116	-0,248490957	0,016	0,073	1	0,841776443	1,187963868	0,219178082
SNX21	0,026491352	-0,248503466	0,01	0,049	1	0,841769145	1,187974169	0,204081633
SIMC1	0,049781231	-0,249024892	0,003	0,024	1	0,841464964	1,188403609	0,125
SFXN5	0,634502811	-0,24905544	0,035	0,049	1	0,841447146	1,188428773	0,714285714
EPC1	0,242386832	-0,249120694	0,089	0,146	1	0,841409088	1,188482528	0,609589041
CTSK	0,262987891	-0,249219798	0,073	0,122	1	0,841351291	1,188564172	0,598360656
LAMP1	0,614179973	-0,249552879	0,121	0,146	1	0,841157067	1,188838612	0,828767123
WASHC3	0,211349601	-0,249592417	0,051	0,098	1	0,841134015	1,188871194	0,520408163
COG6	0,858388491	-0,249657555	0,021	0,024	1	0,841096038	1,188924872	0,875
RUFY2	0,547734758	-0,249734331	0,032	0,049	1	0,841051279	1,188988146	0,653061224
EVI5	0,421043803	-0,249817617	0,105	0,146	1	0,841002727	1,189056787	0,719178082
C16orf72	0,958592581	-0,249916926	0,053	0,049	1	0,840944837	1,18913864	1,081632653
ZNF579	0,026491352	-0,24999872	0,01	0,049	1	0,840897161	1,18920606	0,204081633

Supplementary Table 3

Differentially expressed genes_keloid-MD_comparing SC-Keloid vs. (SC-Myel+Nonmyel)								
gene	p_val	avg_log2FC	pct.1	pct.2	p_val_adj	Foldchange_UP	Foldchange_DOWN	Ratio_pct1_pct2
GPD1L	0,116646669	-0,250038144	0,005	0,024	1	0,840874183	1,189238557	0,208333333
P2RY1	0,048618272	-0,250097246	0,022	0,073	1	0,840839736	1,189287277	0,301369863
H2AC6	0,096204645	-0,250272098	0,014	0,049	1	0,840737834	1,189431426	0,285714286
ADIPOR1	0,251497827	-0,250889494	0,037	0,073	1	0,84037812	1,189940547	0,506849315
CEP57L1	0,081781673	-0,250922296	0,026	0,073	1	0,840359013	1,189967602	0,356164384
ABI3BP	0,026794502	-0,250949767	0,01	0,049	1	0,840343012	1,189990261	0,204081633
ACOT9	0,593218243	-0,251223017	0,033	0,049	1	0,840183864	1,19021567	0,673469388
ESF1	0,603196401	-0,251360535	0,096	0,122	1	0,840103781	1,190329127	0,786885246
CCDC126	0,554955581	-0,251574502	0,032	0,049	1	0,839979193	1,190505679	0,653061224
CLEC2B	0,863679013	-0,251714717	0,021	0,024	1	0,839897561	1,190621389	0,875
PABPC5	0,115197258	-0,251804299	0,005	0,024	1	0,83984541	1,190695321	0,208333333
UQCRC1	0,194183592	-0,251821097	0,085	0,146	1	0,839835631	1,190709185	0,582191781
DPM3	0,182841234	-0,251895954	0,065	0,122	1	0,839792056	1,190770969	0,532786885
SUMO1	0,347744087	-0,251941877	0,161	0,22	1	0,839765325	1,190808873	0,731818182
POLM	0,115197258	-0,251978586	0,005	0,024	1	0,839743957	1,190839173	0,208333333
HEYL	1,27911E-05	-0,251988807	0,002	0,049	0,269904161	0,839738008	1,19084761	0,040816327
PCBP2	0,395944589	-0,252041748	0,225	0,293	1	0,839707194	1,19089131	0,767918089
DENND5A	0,400322462	-0,25240439	0,045	0,073	1	0,839496148	1,191190695	0,616438356
COL21A1	0,116646669	-0,252481416	0,005	0,024	1	0,839451328	1,191254295	0,208333333
MTRR	0,050627188	-0,252645634	0,003	0,024	1	0,839355781	1,1913899	0,125
SRSF1	0,246577744	-0,252686429	0,07	0,122	1	0,839332047	1,19142359	0,573770492
ZNF131	0,143086364	-0,252690182	0,03	0,073	1	0,839329864	1,191426689	0,410958904
ITPRID2	0,374762564	-0,252712904	0,062	0,098	1	0,839316644	1,191445454	0,632653061
GSDMB	9,44793E-05	-0,252895881	0	0,024	1	0,839210201	1,191596574	0
GYG2	9,44793E-05	-0,252895881	0	0,024	1	0,839210201	1,191596574	0
LINC01011	9,44793E-05	-0,252895881	0	0,024	1	0,839210201	1,191596574	0
PODNL1	9,44793E-05	-0,252895881	0	0,024	1	0,839210201	1,191596574	0
SMIM1	9,44793E-05	-0,252895881	0	0,024	1	0,839210201	1,191596574	0
LHFPL6	0,586105677	-0,252991753	0,097	0,122	1	0,839154434	1,191675762	0,795081967
SSC5D	0,800567588	-0,253028727	0,041	0,049	1	0,839132928	1,191706303	0,836734694

Supplementary Table 3

Differentially expressed genes_keloid-MD_comparing SC-Keloid vs. (SC-Myel+Nonmyel)								
gene	p_val	avg_log2FC	pct.1	pct.2	p_val_adj	Foldchange_UP	Foldchange_DOWN	Ratio_pct1_pct2
NUTF2	0,381135737	-0,253104227	0,062	0,098	1	0,839089015	1,19176867	0,632653061
SEC61A2	0,198124435	-0,253203906	0,006	0,024	1	0,839031042	1,191851015	0,25
WDCP	0,115197258	-0,253387456	0,005	0,024	1	0,838924302	1,192002661	0,208333333
EEF1AKMT3	0,194251578	-0,253408939	0,006	0,024	1	0,838911809	1,192020411	0,25
HMOX2	0,497955188	-0,253442479	0,049	0,073	1	0,838892307	1,192048123	0,671232877
PHGDH	0,798845609	-0,253569734	0,019	0,024	1	0,838818314	1,192153275	0,791666667
MCM5	0,281462479	-0,253574987	0,022	0,049	1	0,83881526	1,192157615	0,448979592
RPS26	0,288980247	-0,253603091	0,638	0,707	1	0,83879892	1,192180838	0,902404526
TRIP11	0,401868561	-0,253655266	0,064	0,098	1	0,838768586	1,192223954	0,653061224
MCEE	0,30998095	-0,253727414	0,04	0,073	1	0,838726641	1,192283578	0,547945205
ODR4	0,595048988	-0,253933306	0,033	0,049	1	0,838606951	1,192453745	0,673469388
SLC35B3	0,065275888	-0,254100644	0,024	0,073	1	0,838509687	1,192592066	0,328767123
FGF2	0,019887807	-0,254158966	0,081	0,195	1	0,838475791	1,192640278	0,415384615
CRELD2	0,452254876	-0,254629339	0,067	0,098	1	0,83820246	1,193029188	0,683673469
GAS8	0,851862947	-0,254638869	0,03	0,024	1	0,838196924	1,193037068	1,25
FBXW11	0,722044411	-0,254730643	0,081	0,098	1	0,838143605	1,193112963	0,826530612
CENPS	0,196181004	-0,255210476	0,006	0,024	1	0,837864889	1,193509852	0,25
TMEM63A	0,527624595	-0,255516515	0,013	0,024	1	0,837687172	1,193763059	0,541666667
CCDC51	0,192336114	-0,255525161	0,006	0,024	1	0,837682151	1,193770213	0,25
ORC2	0,203777145	-0,255610363	0,019	0,049	1	0,837632681	1,193840716	0,387755102
IFT20	0,711783759	-0,25572685	0,061	0,073	1	0,837565051	1,193937114	0,835616438
SMURF1	0,451039476	-0,256254448	0,011	0,024	1	0,837258807	1,19437382	0,458333333
IGSF8	0,967295855	-0,256282901	0,024	0,024	1	0,837242295	1,194397376	1
SPATA7	0,451039476	-0,256315471	0,011	0,024	1	0,837223394	1,194424341	0,458333333
MCC	0,013789213	-0,256679765	0,008	0,049	1	0,837012014	1,194725982	0,163265306
ZNF205	0,451039476	-0,256912935	0,011	0,024	1	0,836876745	1,194919091	0,458333333
SLC35G1	0,527624595	-0,257121152	0,013	0,024	1	0,836755972	1,19509156	0,541666667
MED29	0,64190582	-0,257250467	0,035	0,049	1	0,836680974	1,195198686	0,714285714
PDS5A	0,632657687	-0,257303956	0,035	0,049	1	0,836649953	1,195243	0,714285714
PAIP2	0,342797809	-0,257332226	0,136	0,195	1	0,836633559	1,195266421	0,697435897

Supplementary Table 3

Differentially expressed genes_keloid-MD_ comparing SC-Keloid vs. (SC-Myel+Nonmyel)								
gene	p_val	avg_log2FC	pct.1	pct.2	p_val_adj	Foldchange_UP	Foldchange_DOWN	Ratio_pct1_pct2
BNIP3L	0,192068131	-0,257396312	0,049	0,098	1	0,836596396	1,195319517	0,5
TSGA10	0,001663452	-0,257439611	0,005	0,049	1	0,836571288	1,195355393	0,102040816
DAP	0,531003349	-0,2574601	0,072	0,098	1	0,836559407	1,195372369	0,734693878
WIZ	0,600126951	-0,257494772	0,014	0,024	1	0,836539303	1,195401097	0,583333333
CHD6	0,632657719	-0,257572705	0,035	0,049	1	0,836494115	1,195465673	0,714285714
C19orf54	0,009951995	-0,257655818	0,002	0,024	1	0,836445926	1,195534546	0,083333333
MRPL49	0,735616852	-0,257760703	0,018	0,024	1	0,836385118	1,195621465	0,75
WDR35	0,197150764	-0,257830928	0,006	0,024	1	0,836344407	1,195679664	0,25
DAGLA	0,196181004	-0,258102397	0,006	0,024	1	0,836187048	1,195904675	0,25
TMEM100	0,025893931	-0,258489944	0,01	0,049	1	0,835962456	1,19622597	0,204081633
EIF3D	0,205176523	-0,258582225	0,051	0,098	1	0,835908986	1,196302489	0,520408163
DIXDC1	0,864151038	-0,258898789	0,045	0,049	1	0,835725587	1,196565016	0,918367347
MOGS	0,917046786	-0,258938609	0,022	0,024	1	0,83570252	1,196598043	0,916666667
EPHX1	0,049781231	-0,259063259	0,003	0,024	1	0,835630318	1,196701434	0,125
ARSL	0,203777072	-0,259064349	0,019	0,049	1	0,835629686	1,196702339	0,387755102
ATP9B	0,551339358	-0,259199312	0,032	0,049	1	0,835551518	1,196814295	0,653061224
GCLM	0,013972402	-0,25920401	0,008	0,049	1	0,835548797	1,196818192	0,163265306
ZNF639	0,328680026	-0,259244896	0,024	0,049	1	0,835525117	1,19685211	0,489795918
TNFRSF1A	0,171658534	-0,259287137	0,064	0,122	1	0,835500654	1,196887154	0,524590164
MANBAL	0,064842572	-0,259361885	0,024	0,073	1	0,835457367	1,196949168	0,328767123
SPTAN1	0,215241613	-0,259363836	0,142	0,22	1	0,835456237	1,196950786	0,645454545
BCOR	0,277051506	-0,259380558	0,038	0,073	1	0,835446554	1,19696466	0,520547945
IMPA2	0,009951995	-0,259396617	0,002	0,024	1	0,835437254	1,196977984	0,083333333
BRWD1	0,551339358	-0,259426102	0,032	0,049	1	0,83542018	1,197002447	0,653061224
PPIG	0,790982569	-0,259619644	0,156	0,171	1	0,835308113	1,19716304	0,912280702
CKAP4	0,554312655	-0,259634223	0,053	0,073	1	0,835299672	1,197175138	0,726027397
PLEKHA1	0,050557095	-0,259724888	0,078	0,171	1	0,83524718	1,197250376	0,456140351
SPPL3	0,75959291	-0,259788773	0,04	0,049	1	0,835210195	1,197303393	0,816326531
TRAPPC6A	0,548634772	-0,259921339	0,032	0,049	1	0,835133452	1,197413416	0,653061224
SCD	0,206290612	-0,26003923	0,123	0,195	1	0,835065212	1,197511267	0,630769231

Supplementary Table 3

Differentially expressed genes_keloid-MD_comparing SC-Keloid vs. (SC-Myel+Nonmyel)								
gene	p_val	avg_log2FC	pct.1	pct.2	p_val_adj	Foldchange_UP	Foldchange_DOWN	Ratio_pct1_pct2
UGDH	0,303540047	-0,2601418	0,057	0,098	1	0,835005844	1,197596408	0,581632653
UIMC1	0,798845609	-0,260191946	0,019	0,024	1	0,834976821	1,197638036	0,791666667
COMT	0,40420616	-0,260661052	0,225	0,293	1	0,834705364	1,198027523	0,767918089
POGK	0,098456396	-0,260870378	0,027	0,073	1	0,834584263	1,198201361	0,369863014
MGAT1	0,600556524	-0,26104522	0,033	0,049	1	0,834483124	1,198346582	0,673469388
RTL6	0,201391649	-0,26113015	0,019	0,049	1	0,834434001	1,198417129	0,387755102
REV3L	0,508975138	-0,261225457	0,03	0,049	1	0,834378878	1,198496302	0,612244898
CDK2AP2	0,725295753	-0,261351232	0,061	0,073	1	0,83430614	1,198600792	0,835616438
CMTM6	0,27238501	-0,261406636	0,073	0,122	1	0,8342741	1,198646823	0,598360656
BAG2	0,115197258	-0,261454698	0,005	0,024	1	0,834246308	1,198686755	0,208333333
KBTBD3	0,044659199	-0,261558172	0,011	0,049	1	0,834186476	1,198772731	0,224489796
ZFP28	0,194251578	-0,261648104	0,006	0,024	1	0,834134478	1,19884746	0,25
ELP6	0,582288623	-0,261727968	0,033	0,049	1	0,834088303	1,198913827	0,673469388
USP53	0,149441454	-0,262042294	0,062	0,122	1	0,833906597	1,199175068	0,508196721
SEC22A	0,194251578	-0,262167166	0,006	0,024	1	0,833834421	1,199278867	0,25
SNX14	0,074435688	-0,262327077	0,038	0,098	1	0,833742003	1,199411805	0,387755102
NT5C	0,06064553	-0,262394691	0,112	0,22	1	0,833702929	1,199468018	0,509090909
HNRNPF	0,335269806	-0,262462484	0,118	0,171	1	0,833663754	1,199524383	0,69005848
MTIF3	0,210489979	-0,262724498	0,086	0,146	1	0,833512363	1,199742253	0,589041096
C19orf12	0,284289899	-0,262833534	0,022	0,049	1	0,83344937	1,199832931	0,448979592
IMP4	0,274893326	-0,263116051	0,038	0,073	1	0,833286175	1,200067912	0,520547945
LNPEP	0,077279019	-0,263173385	0,069	0,146	1	0,83325306	1,200115605	0,47260274
LMAN2L	0,113762049	-0,263427507	0,005	0,024	1	0,8331063	1,200327017	0,208333333
KIAA0586	0,524894226	-0,263558429	0,013	0,024	1	0,833030701	1,200435949	0,541666667
MEF2D	0,243346971	-0,263594123	0,037	0,073	1	0,833010091	1,20046565	0,506849315
YDJC	0,049781231	-0,263856263	0,003	0,024	1	0,832858745	1,200683796	0,125
CCDC85B	0,452476743	-0,263943843	0,153	0,195	1	0,832808187	1,200756687	0,784615385
SCAPER	0,333249065	-0,263991909	0,024	0,049	1	0,832780441	1,200796693	0,489795918
GTPBP4	0,500151774	-0,26401638	0,03	0,049	1	0,832766316	1,200817061	0,612244898
SP110	0,061875376	-0,264498693	0,024	0,073	1	0,832487957	1,201218578	0,328767123

Supplementary Table 3

Differentially expressed genes_keloid-MD_comparing SC-Keloid vs. (SC-Myel+Nonmyel)								
gene	p_val	avg_log2FC	pct.1	pct.2	p_val_adj	Foldchange_UP	Foldchange_DOWN	Ratio_pct1_pct2
DOK1	0,201391649	-0,26453247	0,019	0,049	1	0,832468467	1,201246702	0,387755102
CCDC181	0,115197258	-0,264535474	0,005	0,024	1	0,832466733	1,201249203	0,208333333
CHERP	0,668505389	-0,264612739	0,016	0,024	1	0,832422151	1,201313539	0,666666667
SCPEP1	0,83138881	-0,264637709	0,043	0,049	1	0,832407743	1,201334331	0,87755102
STK40	0,455937379	-0,26473858	0,029	0,049	1	0,832349545	1,201418329	0,591836735
ADGRE5	0,520543566	-0,264804692	0,051	0,073	1	0,832311403	1,201473386	0,698630137
ZDHHC4	0,331721562	-0,264815211	0,024	0,049	1	0,832305334	1,201482147	0,489795918
UBL7	0,196181004	-0,264994201	0,006	0,024	1	0,83220208	1,201631219	0,25
EBPL	0,316361088	-0,265003511	0,059	0,098	1	0,832196709	1,201638974	0,602040816
TIMP3	0,58410924	-0,265094818	0,478	0,561	1	0,832144042	1,201715027	0,852049911
KRT17	0,280789447	-0,265317748	0,008	0,024	1	0,832015467	1,201900734	0,333333333
NTPCR	0,330198527	-0,265357779	0,024	0,049	1	0,831992381	1,201934084	0,489795918
FAF1	0,985342118	-0,265366942	0,026	0,024	1	0,831987096	1,201941719	1,083333333
SLC37A3	0,09544918	-0,265378564	0,014	0,049	1	0,831980394	1,201951401	0,285714286
CREB3L4	0,050627188	-0,265416794	0,003	0,024	1	0,831958348	1,201983252	0,125
CARD6	0,276254967	-0,265447537	0,008	0,024	1	0,831940619	1,202008866	0,333333333
DIS3L	0,096204645	-0,265556272	0,014	0,049	1	0,831877919	1,202099464	0,285714286
ZNF682	0,113762049	-0,265607664	0,005	0,024	1	0,831848286	1,202142286	0,208333333
DDX39B	0,917046786	-0,265935408	0,022	0,024	1	0,831659332	1,202415413	0,916666667
ZFPM1	0,410671689	-0,266430946	0,045	0,073	1	0,831373723	1,202828491	0,616438356
SPECC1	0,985342118	-0,266700778	0,026	0,024	1	0,831218243	1,203053481	1,083333333
SLC9A6	0,196181004	-0,266742888	0,006	0,024	1	0,831193981	1,203088597	0,25
ACVR2B	0,115197258	-0,267226121	0,005	0,024	1	0,830915618	1,203491641	0,208333333
TRAF3IP2	0,195214341	-0,267370763	0,006	0,024	1	0,830832316	1,203612306	0,25
SMC5-DT	0,049781231	-0,267437202	0,003	0,024	1	0,830794055	1,203667737	0,125
SSH2	0,127729654	-0,267458218	0,016	0,049	1	0,830781953	1,203685271	0,326530612
SYDE1	0,035688029	-0,267487881	0,021	0,073	1	0,830764872	1,20371002	0,287671233
NKRF	0,115197258	-0,267582366	0,005	0,024	1	0,830710465	1,203788856	0,208333333
MAPKBP1	0,448381168	-0,268045294	0,011	0,024	1	0,830443951	1,204175186	0,458333333
IGIP	0,524894121	-0,268508511	0,013	0,024	1	0,830177358	1,204561882	0,541666667

Supplementary Table 3

Differentially expressed genes_keloid-MD_comparing SC-Keloid vs. (SC-Myel+Nonmyel)								
gene	p_val	avg_log2FC	pct.1	pct.2	p_val_adj	Foldchange_UP	Foldchange_DOWN	Ratio_pct1_pct2
TMEM132B	0,000258468	-0,268517005	0,003	0,049	1	0,83017247	1,204568974	0,06122449
NDUFA7	0,454229416	-0,268522393	0,029	0,049	1	0,830169369	1,204573473	0,591836735
TBC1D5	0,430814737	-0,268575016	0,046	0,073	1	0,830139089	1,204617411	0,630136986
SLC44A1	0,156475882	-0,268689676	0,046	0,098	1	0,830073115	1,204713153	0,469387755
MARS2	0,049781231	-0,268690926	0,003	0,024	1	0,830072396	1,204714197	0,125
PRUNE1	0,115197258	-0,268983601	0,005	0,024	1	0,829904019	1,204958619	0,208333333
USP3	0,52217111	-0,269275781	0,013	0,024	1	0,829735961	1,205202676	0,541666667
EIF4H	0,062074976	-0,269386963	0,113	0,22	1	0,829672019	1,205295558	0,513636364
RPS4Y1	0,417706321	-0,269401275	0,215	0,268	1	0,829663789	1,205307516	0,802238806
MGRN1	0,416673646	-0,2694552	0,027	0,049	1	0,829632778	1,205352569	0,551020408
SLC27A1	0,068627663	-0,269534964	0,013	0,049	1	0,82958691	1,205419212	0,265306122
PMF1	0,41335313	-0,269543813	0,027	0,049	1	0,829581822	1,205426605	0,551020408
MRFAP1	0,253775692	-0,269603298	0,171	0,244	1	0,829547618	1,205476308	0,700819672
SUPT16H	0,85256089	-0,269666045	0,093	0,098	1	0,829511539	1,205528739	0,948979592
CXXC1	0,094698473	-0,269729456	0,014	0,049	1	0,82947508	1,205581727	0,285714286
RPN2	0,311266281	-0,269750122	0,177	0,244	1	0,829463198	1,205598997	0,725409836
PCDHB4	0,000252244	-0,26977243	0,003	0,049	1	0,829450373	1,205617639	0,06122449
TBX3	0,284289899	-0,269953776	0,022	0,049	1	0,829346118	1,205769194	0,448979592
PREPL	0,222711966	-0,26995718	0,035	0,073	1	0,829344161	1,20577204	0,479452055
GADD45A	0,299737342	-0,270265896	0,057	0,098	1	0,829166712	1,206030085	0,581632653
INTS7	0,115197258	-0,270624651	0,005	0,024	1	0,828960549	1,206330025	0,208333333
IGSF3	0,045105711	-0,270659435	0,011	0,049	1	0,828940562	1,206359111	0,224489796
CCDC186	0,209793864	-0,270842972	0,051	0,098	1	0,828835113	1,206512592	0,520408163
PRLR	0,063556845	-0,271083677	0,024	0,073	1	0,828696839	1,206713907	0,328767123
TRIB2	0,582323977	-0,271119557	0,054	0,073	1	0,828676229	1,206743919	0,739726027
LINC01588	0,192336114	-0,271120513	0,006	0,024	1	0,82867568	1,206744719	0,25
TAPT1	0,443091335	-0,271228539	0,011	0,024	1	0,828613633	1,20683508	0,458333333
PJA2	0,224312438	-0,271267024	0,164	0,244	1	0,828591529	1,206867274	0,672131148
ZFAND1	0,001799447	-0,271271171	0,011	0,073	1	0,828589147	1,206870743	0,150684932
SPRYD4	0,050627188	-0,271272813	0,003	0,024	1	0,828588204	1,206872117	0,125

Supplementary Table 3

Differentially expressed genes_keloid-MD_comparing SC-Keloid vs. (SC-Myel+Nonmyel)								
gene	p_val	avg_log2FC	pct.1	pct.2	p_val_adj	Foldchange_UP	Foldchange_DOWN	Ratio_pct1_pct2
CCND3	0,139433735	-0,271339887	0,03	0,073	1	0,828549682	1,206928229	0,410958904
HSP90AA1	0,246966068	-0,271365204	0,571	0,585	1	0,828535143	1,206949408	0,976068376
ZNF865	0,009700686	-0,271465625	0,002	0,024	1	0,828477473	1,207033423	0,083333333
MCRIP1	0,202941807	-0,271618034	0,142	0,22	1	0,828389956	1,207160943	0,645454545
MLF2	0,248734413	-0,271666138	0,072	0,122	1	0,828362335	1,207201194	0,590163934
HNRNPA0	0,102569665	-0,271748388	0,124	0,22	1	0,82831511	1,20727002	0,563636364
XPA	0,119152582	-0,271762733	0,043	0,098	1	0,828306874	1,207282024	0,43877551
SORD	0,113762049	-0,27184958	0,005	0,024	1	0,828257013	1,207354703	0,208333333
ATE1	0,455082842	-0,271934223	0,029	0,049	1	0,828208421	1,20742554	0,591836735
ECHDC2	0,115197258	-0,272088284	0,005	0,024	1	0,828119984	1,207554484	0,208333333
GIGYF2	0,120426031	-0,272170068	0,029	0,073	1	0,828073041	1,20762294	0,397260274
LYRM1	0,001570499	-0,272216529	0,005	0,049	1	0,828046374	1,207661831	0,102040816
SPART	0,119152582	-0,27228833	0,043	0,098	1	0,828005164	1,207721937	0,43877551
POMGNT2	0,026491352	-0,272329235	0,01	0,049	1	0,827981688	1,20775618	0,204081633
PTGDS	0,026191169	-0,272533962	0,01	0,049	1	0,8278642	1,20792758	0,204081633
TSHZ1	0,125923264	-0,272596134	0,016	0,049	1	0,827828525	1,207979636	0,326530612
EYA3	0,128640375	-0,272606771	0,016	0,049	1	0,827822421	1,207988542	0,326530612
EIF4EBP1	0,684341422	-0,272694056	0,081	0,098	1	0,827772339	1,208061629	0,826530612
RTF2	0,313916323	-0,272987619	0,077	0,122	1	0,827603918	1,208307474	0,631147541
PGM1	0,162596738	-0,273019776	0,018	0,049	1	0,827585472	1,208334407	0,367346939
RGS10	0,145312922	-0,273077635	0,03	0,073	1	0,827552282	1,208382867	0,410958904
TMEM160	0,183313216	-0,273385262	0,201	0,293	1	0,827375841	1,20864056	0,686006826
CSNK2B	0,071206179	-0,273407654	0,067	0,146	1	0,827363	1,208659319	0,45890411
CERS4	0,026491352	-0,273412944	0,01	0,049	1	0,827359966	1,208663751	0,204081633
RCAN3	0,108196068	-0,273772147	0,057	0,122	1	0,827153995	1,208964722	0,467213115
GPR153	0,798845609	-0,274146018	0,019	0,024	1	0,826939668	1,209278063	0,791666667
MT-ND4	0,041662408	-0,274388664	0,75	0,805	1	0,826800597	1,209481468	0,931677019
AKR1A1	0,096586482	-0,27444143	0,056	0,122	1	0,826770358	1,209525705	0,459016393
C22orf39	0,086309506	-0,274474461	0,04	0,098	1	0,826751429	1,209553398	0,408163265
ANKS1A	0,524894226	-0,274482988	0,013	0,024	1	0,826746542	1,209560547	0,541666667

Supplementary Table 3

Differentially expressed genes_keloid-MD_comparing SC-Keloid vs. (SC-Myel+Nonmyel)								
gene	p_val	avg_log2FC	pct.1	pct.2	p_val_adj	Foldchange_UP	Foldchange_DOWN	Ratio_pct1_pct2
TM7SF2	0,000264836	-0,27450365	0,003	0,049	1	0,826734702	1,20957787	0,06122449
ZNF483	0,048947161	-0,274546711	0,003	0,024	1	0,826710026	1,209613974	0,125
HCFC1	0,003700002	-0,27479237	0,013	0,073	1	0,826569268	1,209819962	0,178082192
RC3H1	0,5877417	-0,274864158	0,033	0,049	1	0,826528139	1,209880164	0,673469388
IFNGR1	0,097881314	-0,274989454	0,027	0,073	1	0,82645636	1,209985244	0,369863014
FOXO1	0,505436034	-0,274998811	0,03	0,049	1	0,826450999	1,209993092	0,612244898
ABCB8	0,801543206	-0,275145419	0,019	0,024	1	0,826367019	1,210116059	0,791666667
TMEM231	0,049781231	-0,275263405	0,003	0,024	1	0,82629944	1,210215028	0,125
C12orf43	0,671266251	-0,275552773	0,016	0,024	1	0,826133722	1,210457791	0,666666667
GRIK4	0,049781231	-0,275733284	0,003	0,024	1	0,826030362	1,210609254	0,125
NUDC	0,465393618	-0,275737847	0,11	0,146	1	0,826027749	1,210613083	0,753424658
SNX4	0,678822541	-0,276078612	0,037	0,049	1	0,825832665	1,210899063	0,755102041
OTUD1	0,363187776	-0,276095986	0,01	0,024	1	0,825822719	1,210913646	0,416666667
MGAT4A	0,049781231	-0,276391899	0,003	0,024	1	0,825653351	1,211162044	0,125
RAB6A	0,978551022	-0,276527948	0,104	0,098	1	0,825575494	1,211276264	1,06122449
BTA1F1	0,600126951	-0,276642198	0,014	0,024	1	0,825510117	1,211372192	0,583333333
NACA	0,06176923	-0,276670006	0,764	0,902	1	0,825494206	1,211395541	0,847006652
GLIPR2	0,084589173	-0,27695655	0,04	0,098	1	0,825330265	1,211636169	0,408163265
SRSF4	0,348448268	-0,276997304	0,099	0,146	1	0,825306951	1,211670396	0,678082192
ACAP1	0,280789447	-0,277061689	0,008	0,024	1	0,82527012	1,211724472	0,333333333
CHM	0,284289899	-0,277069414	0,022	0,049	1	0,825265701	1,21173096	0,448979592
ZC3H14	0,75959289	-0,277090938	0,04	0,049	1	0,825253388	1,211749039	0,816326531
ID2	0,284289899	-0,277435478	0,022	0,049	1	0,825056327	1,21203846	0,448979592
NELFE	0,045384169	-0,277596153	0,048	0,122	1	0,824964445	1,212173453	0,393442623
PKD2	0,073657071	-0,277614166	0,038	0,098	1	0,824954145	1,212188588	0,387755102
NAA38	0,255830812	-0,277628141	0,236	0,317	1	0,824946153	1,212200331	0,744479495
MAPK10	0,009700686	-0,277657751	0,002	0,024	1	0,824929222	1,21222521	0,083333333
FKRP	0,113762049	-0,277846412	0,005	0,024	1	0,824821354	1,212383743	0,208333333
FGF7	0,013252307	-0,277873257	0,008	0,049	1	0,824806006	1,212406302	0,163265306
IVNS1ABP	0,795922918	-0,277927839	0,041	0,049	1	0,824774801	1,212452173	0,836734694

Supplementary Table 3

Differentially expressed genes_keloid-MD_comparing SC-Keloid vs. (SC-Myel+Nonmyel)								
gene	p_val	avg_log2FC	pct.1	pct.2	p_val_adj	Foldchange_UP	Foldchange_DOWN	Ratio_pct1_pct2
LMBR1	0,600126951	-0,277984518	0,014	0,024	1	0,824742399	1,212499807	0,583333333
SDHC	0,068089922	-0,278055571	0,083	0,171	1	0,824701781	1,212559525	0,485380117
EIF3F	0,254031023	-0,278057341	0,072	0,122	1	0,82470077	1,212561012	0,590163934
COG3	0,738354944	-0,278067245	0,018	0,024	1	0,824695108	1,212569337	0,75
SKI	0,342783368	-0,278074862	0,041	0,073	1	0,824690754	1,212575738	0,561643836
RAC1	0,143025391	-0,278385182	0,3	0,415	1	0,824513384	1,212836588	0,722891566
DUS1L	0,245246426	-0,278446474	0,021	0,049	1	0,824478356	1,212888116	0,428571429
JAGN1	0,273818551	-0,278585975	0,038	0,073	1	0,824398637	1,213005402	0,520547945
ANKRD44	0,469697407	-0,278809422	0,048	0,073	1	0,824270963	1,213193289	0,657534247
WARS2	0,005553478	-0,278829018	0,006	0,049	1	0,824259767	1,213209768	0,12244898
MARVELD1	0,075208027	-0,278914193	0,053	0,122	1	0,824211105	1,213281396	0,43442623
SLC4A3	0,009951995	-0,279013018	0,002	0,024	1	0,824154648	1,213364509	0,083333333
DYNC2I2	0,938283669	-0,279055539	0,027	0,024	1	0,824130358	1,213400271	1,125
CFAP410	0,591463759	-0,279672404	0,077	0,098	1	0,823778053	1,213919206	0,785714286
LAMTOR1	0,276792213	-0,279757274	0,152	0,22	1	0,823729594	1,213990619	0,690909091
RBCK1	0,082021608	-0,279911136	0,054	0,122	1	0,823641749	1,214120097	0,442622951
SFSWAP	0,895077609	-0,279924539	0,07	0,073	1	0,823634097	1,214131377	0,95890411
TIMM8A	0,162596738	-0,280076587	0,018	0,049	1	0,823547297	1,214259343	0,367346939
POU3F1	0,088456559	-0,280304778	0,07	0,146	1	0,823417047	1,214451418	0,479452055
SLFN11	0,508975138	-0,280333832	0,03	0,049	1	0,823400465	1,214475875	0,612244898
SOX10	0,224000736	-0,280366893	0,167	0,244	1	0,823381596	1,214503707	0,68442623
PDPR	0,445731781	-0,280367564	0,011	0,024	1	0,823381213	1,214504272	0,458333333
SNRNP25	0,945110868	-0,280392945	0,048	0,049	1	0,823366728	1,214525638	0,979591837
BAP1	0,013252307	-0,280564203	0,008	0,049	1	0,823268994	1,214669819	0,163265306
SGCE	0,194815178	-0,280736222	0,195	0,293	1	0,823170837	1,214814659	0,66552901
ZNF141	0,115197258	-0,280797381	0,005	0,024	1	0,823135943	1,214866158	0,208333333
NRSN2	0,199026585	-0,281042531	0,019	0,049	1	0,822996083	1,215072612	0,387755102
C11orf68	0,416673646	-0,281071448	0,027	0,049	1	0,822979587	1,215096967	0,551020408
FCHSD2	0,049781231	-0,281150882	0,003	0,024	1	0,822934275	1,215163871	0,125
TALDO1	0,4797172	-0,281212316	0,134	0,171	1	0,822899233	1,215215618	0,783625731

Supplementary Table 3

Differentially expressed genes_keloid-MD_ comparing SC-Keloid vs. (SC-Myel+Nonmyel)								
gene	p_val	avg_log2FC	pct.1	pct.2	p_val_adj	Foldchange_UP	Foldchange_DOWN	Ratio_pct1_pct2
NADSYN1	0,096204645	-0,281415227	0,014	0,049	1	0,822783503	1,215386546	0,285714286
TRABD	0,094698473	-0,281648653	0,014	0,049	1	0,822650389	1,21558321	0,285714286
LAMB1	0,452554558	-0,281829958	0,088	0,122	1	0,822547012	1,215735983	0,721311475
CELSR2	0,013789213	-0,282060952	0,008	0,049	1	0,822415322	1,215930654	0,163265306
SLFN13	0,009951995	-0,28210364	0,002	0,024	1	0,822390988	1,215966633	0,083333333
LGALS3BP	0,137418655	-0,282241444	0,096	0,171	1	0,822312438	1,216082786	0,561403509
CCDC61	0,365692371	-0,282283347	0,01	0,024	1	0,822288554	1,216118107	0,416666667
METTL27	0,113762049	-0,282323498	0,005	0,024	1	0,82226567	1,216151952	0,208333333
CAST	0,470196552	-0,282739069	0,158	0,195	1	0,822028849	1,216502318	0,81025641
RFXANK	0,512197616	-0,282880489	0,048	0,024	1	0,821948274	1,216621571	2
RPL10	0,058003976	-0,282904155	0,928	0,951	1	0,821934791	1,216641529	0,975814932
MTMR9	0,369261143	-0,283049328	0,026	0,049	1	0,821852086	1,216763961	0,530612245
LGALS8	0,545936837	-0,28310822	0,032	0,049	1	0,821818539	1,216813631	0,653061224
ASPH	0,766473258	-0,283337439	0,104	0,122	1	0,821687976	1,217006977	0,852459016
UBQLN4	0,858388514	-0,283412383	0,021	0,024	1	0,821645293	1,217070199	0,875
WDR25	0,115197258	-0,283420848	0,005	0,024	1	0,821640472	1,21707734	0,208333333
SPIDR	0,026878214	-0,283429719	0,019	0,073	1	0,82163542	1,217084823	0,260273973
RIOX2	0,238698091	-0,283490045	0,021	0,049	1	0,821601064	1,217135717	0,428571429
SP4	0,009951995	-0,283710379	0,002	0,024	1	0,821475595	1,217321617	0,083333333
SLC27A4	0,127729654	-0,283811164	0,016	0,049	1	0,82141821	1,217406661	0,326530612
RXRB	0,003567901	-0,283859673	0,013	0,073	1	0,821390591	1,217447595	0,178082192
ZNF706	0,341771159	-0,284079942	0,301	0,39	1	0,821265192	1,217633488	0,771794872
TMEM245	0,119111328	-0,284096989	0,029	0,073	1	0,821255488	1,217647876	0,397260274
PTPN12	0,404226873	-0,284129114	0,105	0,146	1	0,821237201	1,217674989	0,719178082
SLC25A39	0,328680026	-0,284354577	0,024	0,049	1	0,821108869	1,217865302	0,489795918
PEX11B	0,115197258	-0,284562408	0,005	0,024	1	0,82099059	1,218040757	0,208333333
ZNF35	0,448381168	-0,284687371	0,011	0,024	1	0,820919481	1,218146266	0,458333333
SHTN1	0,649735737	-0,284747461	0,104	0,122	1	0,82088529	1,218197003	0,852459016
GNG10	0,285710793	-0,285029995	0,022	0,049	1	0,820724545	1,218435596	0,448979592
DPM2	0,222426889	-0,285319306	0,053	0,098	1	0,820559977	1,21867996	0,540816327

Supplementary Table 3

Differentially expressed genes_keloid-MD_ comparing SC-Keloid vs. (SC-Myel+Nonmyel)								
gene	p_val	avg_log2FC	pct.1	pct.2	p_val_adj	Foldchange_UP	Foldchange_DOWN	Ratio_pct1_pct2
RGS2	0,333249065	-0,285410825	0,024	0,049	1	0,820507926	1,21875727	0,489795918
FKBP3	0,232333439	-0,285686638	0,167	0,244	1	0,820351077	1,218990294	0,68442623
THTPA	0,010930188	-0,285723047	0,016	0,073	1	0,820330374	1,219021057	0,219178082
TENM4	0,000252244	-0,285837519	0,003	0,049	1	0,820265287	1,219117786	0,06122449
MRPL58	0,893850329	-0,285894887	0,029	0,024	1	0,82023267	1,219166264	1,208333333
NR4A1	0,381173063	-0,286034382	0,124	0,171	1	0,820153365	1,219284152	0,725146199
NARS2	0,363187776	-0,286046055	0,01	0,024	1	0,820146729	1,219294017	0,416666667
ALG11	0,009951995	-0,286181251	0,002	0,024	1	0,820069876	1,219408283	0,083333333
RPL7A	0,052480286	-0,286293525	0,826	0,927	1	0,820006059	1,219503184	0,891046386
KLHL42	0,268753967	-0,28642902	0,056	0,098	1	0,819929049	1,219617723	0,571428571
C16orf74	9,44793E-05	-0,286564107	0	0,024	1	0,819852279	1,219731927	0
GPR37L1	9,44793E-05	-0,286564107	0	0,024	1	0,819852279	1,219731927	0
H2AC19	9,44793E-05	-0,286564107	0	0,024	1	0,819852279	1,219731927	0
LINC00052	9,44793E-05	-0,286564107	0	0,024	1	0,819852279	1,219731927	0
RERG	9,44793E-05	-0,286564107	0	0,024	1	0,819852279	1,219731927	0
ARL2	0,132853973	-0,286685296	0,113	0,195	1	0,819783413	1,219834391	0,579487179
NOL10	0,201391649	-0,286695891	0,019	0,049	1	0,819777392	1,21984335	0,387755102
RTP4	0,113762049	-0,287076921	0,005	0,024	1	0,819560909	1,220165565	0,208333333
KLHL29	0,303152258	-0,287116722	0,04	0,073	1	0,8195383	1,220199227	0,547945205
ZNF334	0,048947161	-0,287117747	0,003	0,024	1	0,819537718	1,220200094	0,125
PKIA	0,636350177	-0,287447751	0,035	0,049	1	0,819350277	1,220479236	0,714285714
PELO	0,234225295	-0,287473509	0,053	0,098	1	0,819335648	1,220501027	0,540816327
NAV2-AS3	0,524894226	-0,287548883	0,013	0,024	1	0,819292843	1,220564794	0,541666667
SLC39A7	0,752245129	-0,288434867	0,062	0,073	1	0,818789855	1,221314594	0,849315068
FLT3LG	0,194251578	-0,288595776	0,006	0,024	1	0,818698538	1,22145082	0,25
UGCG	0,392249439	-0,289109119	0,057	0,024	1	0,818407278	1,221885517	2,375
FAM71E1	0,009700686	-0,289478971	0,002	0,024	1	0,818197497	1,222198802	0,083333333
C1QB	9,44793E-05	-0,289880161	0	0,024	1	0,817970001	1,222538722	0
RALGDS	0,524894226	-0,289934213	0,013	0,024	1	0,817939356	1,222584527	0,541666667
SNRNP200	0,567066037	-0,289986594	0,075	0,098	1	0,817909659	1,222628916	0,765306122

Supplementary Table 3

Differentially expressed genes_keloid-MD_comparing SC-Keloid vs. (SC-Myel+Nonmyel)								
gene	p_val	avg_log2FC	pct.1	pct.2	p_val_adj	Foldchange_UP	Foldchange_DOWN	Ratio_pct1_pct2
CCDC93	0,094698473	-0,290026826	0,014	0,049	1	0,81788685	1,222663012	0,285714286
PRAF2	0,503671353	-0,29005698	0,03	0,049	1	0,817869756	1,222688567	0,612244898
FAM200B	0,458834271	-0,290126172	0,048	0,073	1	0,817830532	1,222747209	0,657534247
AP4M1	0,162596738	-0,290133229	0,018	0,049	1	0,817826531	1,22275319	0,367346939
MRPL30	0,162596738	-0,290162469	0,018	0,049	1	0,817809956	1,222777973	0,367346939
ADO	0,600126951	-0,290291862	0,014	0,024	1	0,817736611	1,222887647	0,583333333
STAMBP	0,772955202	-0,290657136	0,088	0,098	1	0,817529596	1,223197307	0,897959184
TMEM256	0,162795388	-0,290720237	0,064	0,122	1	0,817493839	1,223250809	0,524590164
HMG20A	0,967295855	-0,290809353	0,024	0,024	1	0,817443344	1,223326372	1
TDRKH	0,280789447	-0,290809963	0,008	0,024	1	0,817442998	1,22332689	0,333333333
UBE2I	0,544950653	-0,29113544	0,159	0,195	1	0,817258601	1,223602907	0,815384615
COA4	0,381005345	-0,2911836	0,102	0,146	1	0,817231319	1,223643754	0,698630137
ZNF224	0,129556135	-0,291325325	0,016	0,049	1	0,817151042	1,223763966	0,326530612
TCP1	0,187539114	-0,291355438	0,102	0,171	1	0,817133986	1,22378951	0,596491228
SLC9B2	0,009700686	-0,291543398	0,002	0,024	1	0,817027533	1,22394896	0,083333333
INPP5K	0,001681787	-0,291591445	0,011	0,073	1	0,817000324	1,223989723	0,150684932
DTX2	0,280789447	-0,291633582	0,008	0,024	1	0,816976462	1,224025473	0,333333333
MIA3	0,937490598	-0,292036298	0,08	0,073	1	0,816748442	1,224367197	1,095890411
PHF23	0,035966113	-0,292057301	0,021	0,073	1	0,816736551	1,224385022	0,287671233
RRAGB	0,093211256	-0,292265484	0,014	0,049	1	0,816618703	1,224561715	0,285714286
RASA2	0,202581839	-0,29233697	0,019	0,049	1	0,816578241	1,224622393	0,387755102
WDTC1	0,59736795	-0,292457883	0,014	0,024	1	0,816509806	1,224725034	0,583333333
EIF5	0,185830441	-0,292513853	0,22	0,317	1	0,816478129	1,224772549	0,694006309
ASAP2	0,106064225	-0,292614935	0,089	0,171	1	0,816420925	1,224858366	0,520467836
STUB1	0,282600638	-0,292762051	0,132	0,195	1	0,816337676	1,224983275	0,676923077
MYLPF	0,115197258	-0,293012042	0,005	0,024	1	0,816196234	1,225195558	0,208333333
MARCKS	0,281494241	-0,293091292	0,67	0,756	1	0,816151399	1,225262863	0,886243386
DNAH1	0,009700686	-0,293281148	0,002	0,024	1	0,816044003	1,225424115	0,083333333
MAGI2	0,462805234	-0,29328148	0,029	0,049	1	0,816043815	1,225424397	0,591836735
POLR2B	0,398604068	-0,293317636	0,064	0,098	1	0,816023364	1,225455109	0,653061224

Supplementary Table 3

Differentially expressed genes_keloid-MD_ comparing SC-Keloid vs. (SC-Myel+Nonmyel)								
gene	p_val	avg_log2FC	pct.1	pct.2	p_val_adj	Foldchange_UP	Foldchange_DOWN	Ratio_pct1_pct2
DTNA	0,52217111	-0,293326932	0,013	0,024	1	0,816018105	1,225463005	0,541666667
H2AZ2	0,077073176	-0,293457791	0,19	0,317	1	0,815944093	1,225574165	0,599369085
CLUH	0,738354944	-0,293585112	0,018	0,024	1	0,815872087	1,22568233	0,75
DCUN1D4	0,202581692	-0,293615345	0,019	0,049	1	0,81585499	1,225708015	0,387755102
WIPF2	0,116461935	-0,293654884	0,043	0,098	1	0,81583263	1,225741608	0,43877551
ARMH4	0,009951995	-0,293961182	0,002	0,024	1	0,81565944	1,226001872	0,083333333
KLK11	9,44793E-05	-0,294011805	0	0,024	1	0,815630819	1,226044893	0
MRC1	9,44793E-05	-0,294011805	0	0,024	1	0,815630819	1,226044893	0
MROH8	9,44793E-05	-0,294011805	0	0,024	1	0,815630819	1,226044893	0
ZNF214	9,44793E-05	-0,294011805	0	0,024	1	0,815630819	1,226044893	0
MXRA7	0,92481763	-0,294085579	0,116	0,122	1	0,815589112	1,226107589	0,950819672
SYMPK	0,801543206	-0,29426112	0,019	0,024	1	0,815489881	1,226256786	0,791666667
FTX	0,163956813	-0,2946136	0,064	0,122	1	0,815290664	1,226556422	0,524590164
TIMMDC1	0,658004456	-0,29496724	0,08	0,098	1	0,815090841	1,226857118	0,816326531
ZBTB41	0,459364066	-0,294982078	0,029	0,049	1	0,815082458	1,226869737	0,591836735
ZFYVE9	0,0674287	-0,29498459	0,013	0,049	1	0,815081038	1,226871873	0,265306122
GCA	0,671266251	-0,295005856	0,016	0,024	1	0,815069024	1,226889957	0,666666667
ZNF596	0,048947161	-0,295182604	0,003	0,024	1	0,814969174	1,227040276	0,125
DTD1	0,42273788	-0,295353728	0,065	0,098	1	0,814872513	1,227185829	0,663265306
NUBP1	0,282873795	-0,295632758	0,022	0,049	1	0,814714925	1,2274232	0,448979592
FBXL3	0,492408216	-0,295713027	0,049	0,073	1	0,814669596	1,227491494	0,671232877
FRRS1	0,009700686	-0,296017653	0,002	0,024	1	0,814497597	1,227750706	0,083333333
CPSF7	0,001023014	-0,29614237	0,018	0,098	1	0,814427189	1,227856847	0,183673469
SLC2A8	0,668505389	-0,29617228	0,016	0,024	1	0,814410304	1,227882303	0,666666667
MRPL33	0,14731824	-0,296219021	0,298	0,415	1	0,814383919	1,227922086	0,718072289
TMC6	0,000233465	-0,296315076	0,008	0,073	1	0,814329699	1,228003843	0,109589041
WSB1	0,117290047	-0,296315647	0,158	0,268	1	0,814329377	1,228004329	0,589552239
GTPBP2	0,044216422	-0,296357562	0,011	0,049	1	0,814305718	1,228040008	0,224489796
HEATR5B	0,026794502	-0,296545524	0,01	0,049	1	0,814199633	1,228200013	0,204081633
RALGAPA1	0,335610379	-0,296549658	0,041	0,073	1	0,8141973	1,228203533	0,561643836

Supplementary Table 3

Differentially expressed genes_keloid-MD_comparing SC-Keloid vs. (SC-Myel+Nonmyel)								
gene	p_val	avg_log2FC	pct.1	pct.2	p_val_adj	Foldchange_UP	Foldchange_DOWN	Ratio_pct1_pct2
OSMR	0,025599615	-0,296928941	0,01	0,049	1	0,813983277	1,228526468	0,204081633
SBNO1	0,221749697	-0,296948505	0,035	0,073	1	0,813972238	1,228543129	0,479452055
KCNG1	0,044216422	-0,296957353	0,011	0,049	1	0,813967246	1,228550663	0,224489796
LHFPL2	0,07877384	-0,29706758	0,026	0,073	1	0,813905059	1,228644532	0,356164384
TMEM192	0,59736795	-0,297232512	0,014	0,024	1	0,813812016	1,228785002	0,583333333
PI4K2A	0,125027562	-0,297404793	0,016	0,049	1	0,81371484	1,228931748	0,326530612
CRY1	0,445731781	-0,297455025	0,011	0,024	1	0,813686508	1,228974537	0,458333333
TMEM234	0,160505608	-0,297637574	0,018	0,049	1	0,813583557	1,229130053	0,367346939
SGCB	0,0570022	-0,297771779	0,161	0,293	1	0,813507877	1,229244397	0,549488055
ZFH3	0,493791846	-0,297849102	0,049	0,073	1	0,813464278	1,229310281	0,671232877
NTNG1	0,001663452	-0,298122856	0,005	0,049	1	0,813309936	1,229543567	0,102040816
SMG1	0,371686675	-0,298373862	0,081	0,122	1	0,813168445	1,229757507	0,663934426
ALG12	0,001570499	-0,298522733	0,005	0,049	1	0,813084539	1,229884412	0,102040816
PPP1R7	0,129596905	-0,298539383	0,094	0,171	1	0,813075155	1,229898606	0,549707602
CCDC90B	0,356354243	-0,298708237	0,144	0,195	1	0,812979998	1,230042562	0,738461538
TBC1D8B	0,938283669	-0,29874189	0,027	0,024	1	0,812961034	1,230071255	1,125
TRAPPC3	0,513547187	-0,298888015	0,051	0,073	1	0,812878697	1,23019585	0,698630137
MT-CO3	0,117826745	-0,298896637	0,809	0,854	1	0,812873839	1,230203203	0,947306792
DDB1	0,394276312	-0,29903824	0,064	0,098	1	0,812794058	1,230323956	0,653061224
MPC2	0,110157927	-0,299045665	0,126	0,22	1	0,812789874	1,230330288	0,572727273
DHX32	0,287136479	-0,299325461	0,022	0,049	1	0,812632258	1,23056892	0,448979592
HACD3	0,962934771	-0,299344489	0,1	0,098	1	0,81262154	1,230585151	1,020408163
FHOD3	1,27911E-05	-0,299517853	0,002	0,049	0,269904161	0,812523896	1,230733035	0,040816327
DICER1	0,160491237	-0,299656112	0,064	0,122	1	0,812446032	1,230850986	0,524590164
AOPEP	0,627941455	-0,299666086	0,166	0,195	1	0,812440415	1,230859496	0,851282051
HLA-DMA	0,000264836	-0,299758448	0,003	0,049	1	0,812388404	1,230938299	0,06122449
CASC3	0,344630415	-0,299983191	0,061	0,098	1	0,81226186	1,23113007	0,62244898
STX6	0,863679013	-0,300145293	0,021	0,024	1	0,812170599	1,231268407	0,875
ZNF771	0,280789447	-0,300385879	0,008	0,024	1	0,812035172	1,231473752	0,333333333
COX14	0,344904699	-0,30044607	0,08	0,122	1	0,812001293	1,231525132	0,655737705

Supplementary Table 3

Differentially expressed genes_keloid-MD_comparing SC-Keloid vs. (SC-Myel+Nonmyel)								
gene	p_val	avg_log2FC	pct.1	pct.2	p_val_adj	Foldchange_UP	Foldchange_DOWN	Ratio_pct1_pct2
NEDD4L	0,013608147	-0,300673887	0,008	0,049	1	0,81187308	1,231719619	0,163265306
MRPL53	0,278515928	-0,30098557	0,008	0,024	1	0,811697699	1,231985751	0,333333333
CCDC34	0,322651378	-0,301028707	0,024	0,049	1	0,81167343	1,232022588	0,489795918
ZNF236	0,044216422	-0,301134735	0,011	0,049	1	0,81161378	1,232113137	0,224489796
VAPB	0,143086364	-0,301240359	0,03	0,073	1	0,811554361	1,232203347	0,410958904
DDIT4	0,162217041	-0,301582879	0,064	0,122	1	0,811361707	1,232495927	0,524590164
TMBIM1	0,410048335	-0,301616874	0,027	0,049	1	0,811342589	1,23252497	0,551020408
YWHAB	0,274595314	-0,301699119	0,359	0,439	1	0,811296338	1,232595235	0,817767654
TOMM5	0,57631776	-0,301720434	0,075	0,098	1	0,811284351	1,232613446	0,765306122
PCGF5	0,186410768	-0,301759793	0,033	0,073	1	0,811262218	1,232647074	0,452054795
COMMD7	0,289444279	-0,301799186	0,057	0,098	1	0,811240067	1,232680732	0,581632653
TRAF3	0,735616804	-0,30186726	0,018	0,024	1	0,81120179	1,232738898	0,75
PRAG1	0,000692755	-0,301885562	0,01	0,073	1	0,811191498	1,232754537	0,136986301
KIDINS220	0,086324858	-0,301919595	0,086	0,171	1	0,811172363	1,232783617	0,502923977
GPN1	0,125923264	-0,302138278	0,016	0,049	1	0,811049415	1,232970496	0,326530612
TMEM165	0,569444123	-0,302217541	0,099	0,122	1	0,811004857	1,233038238	0,81147541
PRDM1	0,025019654	-0,302351668	0,01	0,049	1	0,810929461	1,233152879	0,204081633
LYSMD2	0,047923282	-0,302668767	0,022	0,073	1	0,810751241	1,233423952	0,301369863
IFIH1	0,049781231	-0,302720229	0,003	0,024	1	0,810722322	1,23346795	0,125
KLHL22	0,278515928	-0,302773476	0,008	0,024	1	0,810692401	1,233513475	0,333333333
SEPTIN2	0,159816631	-0,302793063	0,257	0,366	1	0,810681394	1,233530223	0,702185792
FAM76A	0,632657687	-0,302890989	0,035	0,049	1	0,810626369	1,233613954	0,714285714
DDX39A	0,519140372	-0,303219209	0,051	0,073	1	0,810441968	1,233894639	0,698630137
CRYBG3	0,18641081	-0,303545696	0,033	0,073	1	0,810258584	1,234173904	0,452054795
VAMP3	0,438325329	-0,303592188	0,107	0,146	1	0,810232472	1,234213678	0,732876712
ZBTB24	0,168993438	-0,303650905	0,018	0,049	1	0,810199497	1,234263911	0,367346939
DCAF7	0,295312779	-0,303761231	0,04	0,073	1	0,810137542	1,234358301	0,547945205
HAUS2	0,025135067	-0,303791398	0,019	0,073	1	0,810120602	1,234384112	0,260273973
MPHOSPH8	0,426625266	-0,304226349	0,153	0,195	1	0,8098764	1,234756316	0,784615385
HKDC1	0,52217111	-0,304333205	0,013	0,024	1	0,809816417	1,234847775	0,541666667

Supplementary Table 3

Differentially expressed genes_keloid-MD_comparing SC-Keloid vs. (SC-Myel+Nonmyel)								
gene	p_val	avg_log2FC	pct.1	pct.2	p_val_adj	Foldchange_UP	Foldchange_DOWN	Ratio_pct1_pct2
ACVR2A	0,524894226	-0,304581642	0,013	0,024	1	0,809676976	1,235060438	0,541666667
MAPK3	0,011039945	-0,30474313	0,016	0,073	1	0,809586349	1,235198692	0,219178082
YTHDF3	0,400322462	-0,304748273	0,045	0,073	1	0,809583463	1,235203095	0,616438356
RBIS	0,31447487	-0,304883127	0,252	0,317	1	0,809507792	1,23531856	0,794952681
TFPI	0,242612126	-0,305044423	0,021	0,049	1	0,809417293	1,235456678	0,428571429
NOL7	0,30611245	-0,305153758	0,226	0,293	1	0,809355954	1,235550311	0,771331058
IDH2	0,411698765	-0,305334526	0,027	0,049	1	0,809254548	1,235705134	0,551020408
PIGL	0,026191169	-0,305396442	0,01	0,049	1	0,809219818	1,235758168	0,204081633
TOPBP1	0,49839689	-0,305418383	0,03	0,049	1	0,809207511	1,235776962	0,612244898
ADNP2	0,005553478	-0,305560214	0,006	0,049	1	0,809127963	1,235898457	0,12244898
BAD	0,404871	-0,305708741	0,085	0,122	1	0,809044666	1,236025701	0,696721311
MAP3K11	0,578666376	-0,305749072	0,033	0,049	1	0,80902205	1,236060254	0,673469388
WRAP73	0,59736795	-0,305931701	0,014	0,024	1	0,808919643	1,236216736	0,583333333
EEF1A1	0,143532466	-0,306229762	0,89	0,902	1	0,808752537	1,236472164	0,986696231
TRABD2B	3,19985E-08	-0,306331484	0	0,049	0,000675201	0,808695515	1,236559349	0
LEAP2	0,00546686	-0,306352251	0,006	0,049	1	0,808683875	1,236577149	0,12244898
GAS2L3	0,006257301	-0,306496063	0,014	0,073	1	0,808603266	1,236700421	0,191780822
C1GALT1C1	0,240338747	-0,306542545	0,037	0,073	1	0,808577215	1,236740267	0,506849315
AP3D1	0,222711923	-0,306546362	0,035	0,073	1	0,808575075	1,236743539	0,479452055
TSEN34	0,237403369	-0,306763818	0,021	0,049	1	0,808453209	1,236929965	0,428571429
STAU2	0,094698473	-0,306965387	0,014	0,049	1	0,808340262	1,237102798	0,285714286
STARD3	0,736985433	-0,306977159	0,018	0,024	1	0,808333666	1,237112892	0,75
SMIM30	0,07169603	-0,307171738	0,053	0,122	1	0,808224652	1,237279756	0,43442623
SAFB2	0,508975138	-0,307211785	0,03	0,049	1	0,808202217	1,237314101	0,612244898
GPR180	0,59736795	-0,307500622	0,014	0,024	1	0,808040426	1,237561844	0,583333333
MAPKAP1	0,192962894	-0,307608146	0,067	0,122	1	0,807980205	1,237654083	0,549180328
SCNM1	0,372445316	-0,307872639	0,026	0,049	1	0,80783209	1,237881006	0,530612245
BACH1-AS1	0,009700686	-0,308037969	0,002	0,024	1	0,807739519	1,238022873	0,083333333
GID4	0,025893931	-0,308174933	0,01	0,049	1	0,807662839	1,238140412	0,204081633
TRIOBP	0,065058898	-0,308356494	0,024	0,073	1	0,807561202	1,238296239	0,328767123

Supplementary Table 3

Differentially expressed genes_keloid-MD_ comparing SC-Keloid vs. (SC-Myel+Nonmyel)								
gene	p_val	avg_log2FC	pct.1	pct.2	p_val_adj	Foldchange_UP	Foldchange_DOWN	Ratio_pct1_pct2
OTUB1	0,295312779	-0,308493268	0,04	0,073	1	0,807484646	1,238413641	0,547945205
MIR99AHG	0,048947161	-0,308539966	0,003	0,024	1	0,807458509	1,238453727	0,125
ZNF462	0,228068494	-0,30858671	0,053	0,098	1	0,807432347	1,238493855	0,540816327
CCNDBP1	0,019788634	-0,308666699	0,029	0,098	1	0,807387581	1,238562524	0,295918367
RNF5	0,01639729	-0,30880737	0,04	0,122	1	0,80730886	1,238683297	0,327868852
NOL11	0,142350025	-0,308824529	0,03	0,073	1	0,807299258	1,238698029	0,410958904
SIN3A	0,094698473	-0,308830467	0,014	0,049	1	0,807295935	1,238703128	0,285714286
ZNF12	0,201391649	-0,309440733	0,019	0,049	1	0,806954518	1,239227215	0,387755102
KIF9	0,326197875	-0,309500421	0,041	0,073	1	0,806921133	1,239278486	0,561643836
NCOA3	0,060756626	-0,309656109	0,037	0,098	1	0,806834059	1,23941223	0,37755102
SSPN	0,941540603	-0,309820384	0,046	0,049	1	0,806742192	1,239553366	0,93877551
IGSF10	0,194251578	-0,310105471	0,006	0,024	1	0,806582791	1,239798334	0,25
ALMS1	0,009700686	-0,310357808	0,002	0,024	1	0,806441726	1,240015202	0,083333333
HIP1	0,462805234	-0,310656039	0,029	0,049	1	0,806275037	1,240271562	0,591836735
CNTN1	9,44793E-05	-0,310686756	0	0,024	1	0,806257871	1,240297969	0
GPR162	9,44793E-05	-0,310686756	0	0,024	1	0,806257871	1,240297969	0
MIEF2	9,44793E-05	-0,310686756	0	0,024	1	0,806257871	1,240297969	0
NKAIN2	9,44793E-05	-0,310686756	0	0,024	1	0,806257871	1,240297969	0
CADM2	1,19732E-05	-0,310705042	0,002	0,049	0,252647346	0,806247651	1,240313691	0,040816327
SNF8	0,573900816	-0,310797752	0,139	0,171	1	0,806195842	1,240393397	0,812865497
ITM2B	0,034714965	-0,310890545	0,404	0,61	1	0,80614399	1,240473182	0,662295082
GAL3ST1	0,445731781	-0,310946994	0,011	0,024	1	0,806112448	1,240521719	0,458333333
IRS1	0,360693945	-0,311009953	0,01	0,024	1	0,80607727	1,240575856	0,416666667
SUPT4H1	0,070879974	-0,311148335	0,053	0,122	1	0,805999956	1,240694857	0,43442623
RNF31	0,049781231	-0,311437666	0,003	0,024	1	0,805838329	1,240943702	0,125
CERT1	0,420009788	-0,311494887	0,027	0,049	1	0,805806369	1,240992922	0,551020408
ZNF516	0,52217111	-0,312038825	0,013	0,024	1	0,805502614	1,2414609	0,541666667
KMT5A	0,100537136	-0,312269176	0,041	0,098	1	0,805374011	1,241659137	0,418367347
PRMT6	0,001600938	-0,312425008	0,005	0,049	1	0,805287024	1,241793261	0,102040816
CHMP2A	0,269122596	-0,312604804	0,239	0,317	1	0,805186672	1,241948029	0,753943218

Supplementary Table 3

Differentially expressed genes_keloid-MD_comparing SC-Keloid vs. (SC-Myel+Nonmyel)								
gene	p_val	avg_log2FC	pct.1	pct.2	p_val_adj	Foldchange_UP	Foldchange_DOWN	Ratio_pct1_pct2
HDAC3	0,078281439	-0,312729306	0,026	0,073	1	0,805117188	1,242055212	0,356164384
RWDD1	0,295487936	-0,312970272	0,207	0,268	1	0,804982725	1,242262684	0,77238806
CKAP2	0,281462479	-0,313202619	0,022	0,049	1	0,804853092	1,242462767	0,448979592
ER12	0,278515928	-0,313255458	0,008	0,024	1	0,804823615	1,242508273	0,333333333
PROSER2	0,009700686	-0,313629231	0,002	0,024	1	0,804615129	1,242830223	0,083333333
CD34	0,009700686	-0,31405289	0,002	0,024	1	0,804378882	1,243195244	0,083333333
TNS2	0,412525399	-0,314383063	0,027	0,049	1	0,804194814	1,243479793	0,551020408
PCMTD2	0,421468024	-0,314580857	0,085	0,122	1	0,804084566	1,243650286	0,696721311
PHACTR4	0,307113605	-0,314982971	0,077	0,122	1	0,803860479	1,243996969	0,631147541
APBB2	0,52217111	-0,315107206	0,013	0,024	1	0,803791259	1,244104098	0,541666667
RSBN1L	0,417197499	-0,315258346	0,065	0,098	1	0,803707057	1,244234441	0,663265306
UFD1	0,324967989	-0,315262148	0,078	0,122	1	0,803704939	1,244237719	0,639344262
NDUFS1	0,131875181	-0,315280561	0,045	0,098	1	0,803694681	1,244253599	0,459183673
ATP8A1	0,118110366	-0,315298276	0,005	0,024	1	0,803684812	1,244268879	0,208333333
UBE3A	0,78866572	-0,315470675	0,064	0,073	1	0,80358878	1,244417574	0,876712329
MYADM	0,151869527	-0,315926061	0,08	0,146	1	0,803335167	1,244810436	0,547945205
GTDC1	0,036527829	-0,316140312	0,021	0,073	1	0,803215874	1,244995314	0,287671233
ENDOD1	0,294713739	-0,316144101	0,096	0,146	1	0,803213765	1,244998584	0,657534247
ZNF708	0,096204645	-0,316391246	0,014	0,049	1	0,80307618	1,24521188	0,285714286
GIN1	0,005553478	-0,316398454	0,006	0,049	1	0,803072168	1,245218101	0,12244898
KMT2E	0,142756349	-0,316676849	0,152	0,244	1	0,802917215	1,245458412	0,62295082
FAM168B	0,402894981	-0,31692417	0,045	0,073	1	0,802779583	1,24567194	0,616438356
SCYL2	0,418339787	-0,316961537	0,027	0,049	1	0,802758791	1,245704204	0,551020408
DCTN2	0,169387817	-0,317120415	0,1	0,171	1	0,802670391	1,245841395	0,584795322
GJB2	0,009951995	-0,317153826	0,002	0,024	1	0,802651802	1,245870248	0,083333333
DOHH	0,005381463	-0,317305691	0,006	0,049	1	0,802567316	1,246001402	0,12244898
MSTO1	0,013252307	-0,317380729	0,008	0,049	1	0,802525573	1,246066211	0,163265306
TCEAL8	0,660958757	-0,317417735	0,126	0,146	1	0,802504988	1,246098173	0,863013699
TUBD1	0,06802601	-0,317687887	0,013	0,049	1	0,802354729	1,246331533	0,265306122
GPS1	0,165035267	-0,317752921	0,032	0,073	1	0,802318561	1,246387717	0,438356164

Supplementary Table 3

Differentially expressed genes_keloid-MD_comparing SC-Keloid vs. (SC-Myel+Nonmyel)								
gene	p_val	avg_log2FC	pct.1	pct.2	p_val_adj	Foldchange_UP	Foldchange_DOWN	Ratio_pct1_pct2
ABCA10	9,44793E-05	-0,318016216	0	0,024	1	0,80217215	1,246615206	0
C17orf107	9,44793E-05	-0,318016216	0	0,024	1	0,80217215	1,246615206	0
OR2AT4	9,44793E-05	-0,318016216	0	0,024	1	0,80217215	1,246615206	0
SEMG2	9,44793E-05	-0,318016216	0	0,024	1	0,80217215	1,246615206	0
GJB1	9,44793E-05	-0,318305059	0	0,024	1	0,802011563	1,246864817	0
LINC01556	9,44793E-05	-0,318305059	0	0,024	1	0,802011563	1,246864817	0
PLPP7	9,44793E-05	-0,318305059	0	0,024	1	0,802011563	1,246864817	0
STX1B	9,44793E-05	-0,318305059	0	0,024	1	0,802011563	1,246864817	0
SYT14	9,44793E-05	-0,318305059	0	0,024	1	0,802011563	1,246864817	0
WFIKKN1	9,44793E-05	-0,318305059	0	0,024	1	0,802011563	1,246864817	0
HDAC2	0,498343753	-0,31842817	0,093	0,122	1	0,801943127	1,246971221	0,762295082
WDR19	0,443091335	-0,318582807	0,011	0,024	1	0,801857174	1,247104887	0,458333333
USP24	0,044216422	-0,318617241	0,011	0,049	1	0,801838036	1,247134653	0,224489796
SDAD1	0,046558331	-0,318653641	0,022	0,073	1	0,801817805	1,247166119	0,301369863
CDKN2C	0,099576395	-0,318677612	0,041	0,098	1	0,801804482	1,247186842	0,418367347
ZC3HAV1	0,146330194	-0,318735558	0,046	0,098	1	0,801772279	1,247236936	0,469387755
GAB1	0,073657071	-0,318738367	0,038	0,098	1	0,801770717	1,247239365	0,387755102
TMED10	0,291698434	-0,318854948	0,25	0,317	1	0,801705931	1,247340155	0,788643533
DMXL2	0,125923264	-0,318857524	0,016	0,049	1	0,801704499	1,247342383	0,326530612
C18orf21	0,52217111	-0,31891334	0,013	0,024	1	0,801673483	1,247390641	0,541666667
SEC11C	0,518947125	-0,318995104	0,116	0,146	1	0,80162805	1,247461339	0,794520548
LRRC14	0,360693945	-0,319019974	0,01	0,024	1	0,801614231	1,247482843	0,416666667
PALM	5,34856E-07	-0,319050089	0,003	0,073	0,011286001	0,801597498	1,247508884	0,04109589
IK	0,045089706	-0,319228009	0,077	0,171	1	0,801498648	1,247662741	0,450292398
NOL6	0,276254967	-0,31945008	0,008	0,024	1	0,801375284	1,247854807	0,333333333
IFI27L1	0,754007335	-0,319788644	0,04	0,049	1	0,801187243	1,248147681	0,816326531
ARAF	0,668505389	-0,31979169	0,016	0,024	1	0,801185552	1,248150316	0,666666667
CHMP1A	0,201391649	-0,319855621	0,019	0,049	1	0,80115005	1,248205627	0,387755102
DHRS11	0,066835713	-0,319934017	0,013	0,049	1	0,801106516	1,248273457	0,265306122
PUSL1	0,200206568	-0,320015163	0,019	0,049	1	0,801061458	1,248343669	0,387755102

Supplementary Table 3

Differentially expressed genes_keloid-MD_comparing SC-Keloid vs. (SC-Myel+Nonmyel)								
gene	p_val	avg_log2FC	pct.1	pct.2	p_val_adj	Foldchange_UP	Foldchange_DOWN	Ratio_pct1_pct2
MT3	3,19985E-08	-0,32009655	0	0,049	0,000675201	0,801016269	1,248414094	0
CUL1	0,196681885	-0,320170468	0,019	0,049	1	0,800975229	1,24847806	0,387755102
MTRNR2L12	0,422388699	-0,320213158	0,105	0,146	1	0,800951529	1,248515003	0,719178082
CYTH3	0,327166061	-0,320246258	0,024	0,049	1	0,800933152	1,248543648	0,489795918
CIR1	0,281467684	-0,320393519	0,075	0,122	1	0,800851402	1,248671098	0,614754098
SMIM4	0,103463743	-0,320918961	0,041	0,098	1	0,800559778	1,249125958	0,418367347
BTG1	0,099039161	-0,320934618	0,244	0,39	1	0,80055109	1,249139514	0,625641026
ALKBH8	0,798845609	-0,320991969	0,019	0,024	1	0,800519267	1,249189172	0,791666667
WAC	0,442484058	-0,32108971	0,088	0,122	1	0,800465034	1,249273806	0,721311475
R3HDM4	0,967295855	-0,321362051	0,024	0,024	1	0,800313943	1,249509657	1
NDUFB1	0,435223725	-0,321940049	0,292	0,317	1	0,799993371	1,250010358	0,921135647
H3-3A	0,100117258	-0,322210032	0,774	0,829	1	0,799843676	1,250244304	0,933655006
GFRA1	0,098456396	-0,322227884	0,027	0,073	1	0,799833779	1,250259775	0,369863014
PCNT	0,59736795	-0,322340825	0,014	0,024	1	0,799771167	1,250357654	0,583333333
DLX2	9,44793E-05	-0,322404892	0	0,024	1	0,799735651	1,250413182	0
FAM87B	9,44793E-05	-0,322404892	0	0,024	1	0,799735651	1,250413182	0
FMN2	9,44793E-05	-0,322404892	0	0,024	1	0,799735651	1,250413182	0
HOXD8	9,44793E-05	-0,322404892	0	0,024	1	0,799735651	1,250413182	0
LINC00893	9,44793E-05	-0,322404892	0	0,024	1	0,799735651	1,250413182	0
LPP-AS1	9,44793E-05	-0,322404892	0	0,024	1	0,799735651	1,250413182	0
SDCBP2	9,44793E-05	-0,322404892	0	0,024	1	0,799735651	1,250413182	0
SNRPD1	0,103814489	-0,32245012	0,265	0,39	1	0,79971058	1,250452382	0,679487179
RRAGC	0,321155557	-0,322665751	0,024	0,049	1	0,799591061	1,250639294	0,489795918
NKIRAS1	0,005381463	-0,322797205	0,006	0,049	1	0,799518208	1,250753254	0,12244898
SERTAD2	0,461082882	-0,322918867	0,029	0,049	1	0,799450788	1,250858734	0,591836735
ZFYVE1	0,524894226	-0,323152599	0,013	0,024	1	0,799321279	1,251061403	0,541666667
TMEM38B	0,327166061	-0,323555624	0,024	0,049	1	0,799098015	1,251410942	0,489795918
TCTN1	0,580476195	-0,324023923	0,033	0,049	1	0,79883867	1,251817216	0,673469388
GALT	0,003567901	-0,32417574	0,013	0,073	1	0,798754611	1,251948954	0,178082192
EAF1	0,443091335	-0,324340372	0,011	0,024	1	0,798663467	1,252091827	0,458333333

Supplementary Table 3

Differentially expressed genes_keloid-MD_ comparing SC-Keloid vs. (SC-Myel+Nonmyel)								
gene	p_val	avg_log2FC	pct.1	pct.2	p_val_adj	Foldchange_UP	Foldchange_DOWN	Ratio_pct1_pct2
DDX49	0,798845609	-0,324354957	0,019	0,024	1	0,798655393	1,252104485	0,791666667
IL17RE	0,013972402	-0,324463899	0,008	0,049	1	0,798595087	1,252199039	0,163265306
GORAB	0,668505389	-0,324755311	0,016	0,024	1	0,798433794	1,252451998	0,666666667
TEX9	0,443091335	-0,325107117	0,011	0,024	1	0,798239116	1,25275745	0,458333333
ZNF292	0,306554006	-0,325199176	0,04	0,073	1	0,798188182	1,252837391	0,547945205
RABAC1	0,244219391	-0,325203475	0,324	0,415	1	0,798185804	1,252841125	0,780722892
FBXO32	0,237403369	-0,325258687	0,021	0,049	1	0,798155258	1,252889072	0,428571429
ERCC4	0,001659122	-0,325328228	0,011	0,073	1	0,798116786	1,252949465	0,150684932
DHX30	0,08384551	-0,325453112	0,054	0,122	1	0,798047702	1,253057929	0,442622951
TRIAP1	0,044231226	-0,325472785	0,048	0,122	1	0,798036819	1,253075016	0,393442623
POLR3E	0,366093953	-0,325494994	0,026	0,049	1	0,798024534	1,253094306	0,530612245
TRMT61B	0,735616852	-0,325630024	0,018	0,024	1	0,797949846	1,253211596	0,75
RPE65	0,503671353	-0,325877872	0,03	0,049	1	0,797812774	1,25342691	0,612244898
SYNGR2	0,276254967	-0,325937804	0,008	0,024	1	0,797779632	1,253478981	0,333333333
PLEKHM2	0,239997787	-0,326050126	0,021	0,049	1	0,797717523	1,253576575	0,428571429
TCF4	0,169581576	-0,326108135	0,276	0,39	1	0,797685448	1,253626981	0,707692308
NPC1	0,600126951	-0,326459522	0,014	0,024	1	0,797491186	1,253932355	0,583333333
USP39	0,065662619	-0,326576478	0,013	0,049	1	0,797426537	1,254034012	0,265306122
BUB3	0,166650938	-0,326763095	0,032	0,073	1	0,797323394	1,254196236	0,438356164
VPS26A	0,337082225	-0,326874007	0,061	0,098	1	0,7972621	1,25429266	0,62244898
SAP18	0,531576558	-0,326915575	0,313	0,366	1	0,797239129	1,2543288	0,855191257
INTS3	0,161548618	-0,326987577	0,018	0,049	1	0,797199341	1,254391403	0,367346939
MRPL28	0,234639927	-0,327102215	0,053	0,098	1	0,797135997	1,254491082	0,540816327
PCDHB5	0,009951995	-0,327335421	0,002	0,024	1	0,797007154	1,254693882	0,083333333
TULP4	0,148791414	-0,327486025	0,097	0,171	1	0,796923958	1,254824867	0,567251462
GMEB1	0,52217111	-0,327563245	0,013	0,024	1	0,796881304	1,254892034	0,541666667
SPAST	0,120426031	-0,327649803	0,029	0,073	1	0,796833495	1,254967326	0,397260274
CDC34	0,985342118	-0,327822675	0,026	0,024	1	0,796738019	1,255117712	1,083333333
TUBB6	0,433531246	-0,32797313	0,088	0,122	1	0,796654933	1,255248613	0,721311475
PSD3	0,443091335	-0,328205397	0,011	0,024	1	0,796526687	1,255450717	0,458333333

Supplementary Table 3

Differentially expressed genes_keloid-MD_comparing SC-Keloid vs. (SC-Myel+Nonmyel)								
gene	p_val	avg_log2FC	pct.1	pct.2	p_val_adj	Foldchange_UP	Foldchange_DOWN	Ratio_pct1_pct2
FAM133B	0,362537739	-0,328232811	0,169	0,22	1	0,796511551	1,255474573	0,768181818
KLHL36	0,237403369	-0,328311788	0,021	0,049	1	0,796467949	1,255543303	0,428571429
DARS2	0,194251578	-0,329027856	0,006	0,024	1	0,796072728	1,256166635	0,25
SF3B4	0,06023086	-0,329867907	0,024	0,073	1	0,795609326	1,256898288	0,328767123
CBARP	0,524894226	-0,330077741	0,013	0,024	1	0,795493616	1,257081112	0,541666667
MT-ATP8	0,201391649	-0,330195738	0,019	0,049	1	0,795428557	1,257183931	0,387755102
TRPM3	0,009700686	-0,33033522	0,002	0,024	1	0,795351657	1,257305484	0,083333333
PARP6	0,360693945	-0,330393044	0,01	0,024	1	0,79531978	1,257355878	0,416666667
FSD1L	0,194251578	-0,330431712	0,006	0,024	1	0,795298463	1,25738958	0,25
SLC25A25	0,125923264	-0,330503935	0,016	0,049	1	0,79525865	1,257452528	0,326530612
ILF2	0,239723086	-0,330683873	0,089	0,146	1	0,795159469	1,257609371	0,609589041
FSTL5	9,44793E-05	-0,330931202	0	0,024	1	0,795023162	1,257824988	0
GFAP	9,44793E-05	-0,330931202	0	0,024	1	0,795023162	1,257824988	0
NAGS	9,44793E-05	-0,330931202	0	0,024	1	0,795023162	1,257824988	0
OPN3	0,445731781	-0,331344805	0,011	0,024	1	0,794795271	1,258185643	0,458333333
TM9SF4	0,285710793	-0,331528875	0,022	0,049	1	0,794693872	1,258346182	0,448979592
TIGD7	0,005641332	-0,331701182	0,006	0,049	1	0,794598964	1,25849648	0,12244898
CILK1	0,458834303	-0,331824082	0,048	0,073	1	0,794531277	1,258603693	0,657534247
CCDC152	0,671266251	-0,332166015	0,016	0,024	1	0,794342988	1,258902031	0,666666667
PDCL	0,90877498	-0,332386074	0,046	0,049	1	0,794221833	1,25909407	0,93877551
GRN	0,264150117	-0,332576261	0,073	0,122	1	0,794117139	1,259260064	0,598360656
CHRN1	0,16364998	-0,332662032	0,018	0,049	1	0,794069929	1,259334931	0,367346939
HGS	0,303152258	-0,332744889	0,04	0,073	1	0,794024326	1,25940726	0,547945205
FOXK1	0,025347466	-0,333062954	0,019	0,073	1	0,793849289	1,259684947	0,260273973
TMEM98	0,065082467	-0,333130371	0,013	0,049	1	0,793812194	1,259743813	0,265306122
MESD	0,109104244	-0,333457053	0,108	0,195	1	0,793632464	1,260029101	0,553846154
ATRX	0,298658492	-0,333693523	0,158	0,22	1	0,793502392	1,260235647	0,718181818
RCN3	0,012817271	-0,334220439	0,038	0,122	1	0,793212633	1,260696007	0,31147541
TNNC2	0,048947161	-0,334733726	0,003	0,024	1	0,792930472	1,261144622	0,125
FAM193B	0,005641332	-0,334923132	0,006	0,049	1	0,792826378	1,261310203	0,12244898

Supplementary Table 3

Differentially expressed genes_keloid-MD_comparing SC-Keloid vs. (SC-Myel+Nonmyel)								
gene	p_val	avg_log2FC	pct.1	pct.2	p_val_adj	Foldchange_UP	Foldchange_DOWN	Ratio_pct1_pct2
PCDH17	0,009700686	-0,335128301	0,002	0,024	1	0,792713636	1,26148959	0,083333333
RBM5	0,781157727	-0,335207412	0,065	0,073	1	0,792670168	1,261558767	0,890410959
ACTR1A	0,077791509	-0,33521031	0,026	0,073	1	0,792668577	1,2615613	0,356164384
ARFGAP3	0,213300051	-0,335551677	0,088	0,146	1	0,792481039	1,261859843	0,602739726
ADGRG6	0,205321572	-0,336216016	0,086	0,146	1	0,792116198	1,262441045	0,589041096
TEX261	0,59736795	-0,33627285	0,014	0,024	1	0,792084994	1,262490778	0,583333333
MAP1LC3A	0,435646629	-0,336361237	0,108	0,146	1	0,792036468	1,262568127	0,739726027
RPUSD3	0,037097002	-0,336576174	0,021	0,073	1	0,791918476	1,262756243	0,287671233
PIP4P1	0,443091335	-0,336623914	0,011	0,024	1	0,791892272	1,262798029	0,458333333
ISCU	0,155954285	-0,336633503	0,116	0,195	1	0,791887009	1,262806422	0,594871795
LDLRAD3	0,009700686	-0,336646993	0,002	0,024	1	0,791879604	1,262818231	0,083333333
RFC2	0,043341977	-0,336794276	0,011	0,049	1	0,791798766	1,262947157	0,224489796
MAGI1	0,043777355	-0,336850058	0,011	0,049	1	0,791768151	1,26299599	0,224489796
SOX13	0,138711898	-0,336889659	0,03	0,073	1	0,791746418	1,263030659	0,410958904
VEZF1	0,007128679	-0,337081553	0,07	0,195	1	0,791641115	1,263198666	0,358974359
MOV10	0,013429186	-0,337285654	0,008	0,049	1	0,791529128	1,263377386	0,163265306
ATXN1L	0,276254967	-0,337463991	0,008	0,024	1	0,791431289	1,263533567	0,333333333
PDCD6	0,316659017	-0,337834313	0,164	0,22	1	0,791228165	1,263857942	0,745454545
HACE1	0,013789213	-0,337919719	0,008	0,049	1	0,791181326	1,263932763	0,163265306
CCNQ	0,798845609	-0,338124132	0,019	0,024	1	0,791069233	1,26411186	0,791666667
ANKRD50	0,165035267	-0,338209383	0,032	0,073	1	0,791022489	1,264186561	0,438356164
FRMD6	0,082173205	-0,338474117	0,104	0,195	1	0,79087735	1,26441856	0,533333333
ANKRD54	0,369261143	-0,33851398	0,026	0,049	1	0,790855498	1,264453497	0,530612245
METTL23	0,287943443	-0,338719581	0,075	0,122	1	0,7907428	1,264633709	0,614754098
PAQR8	0,010821401	-0,338791813	0,016	0,073	1	0,79070321	1,264697028	0,219178082
GDPD3	0,009700686	-0,338821456	0,002	0,024	1	0,790686964	1,264723014	0,083333333
H2AW	0,026794502	-0,339052419	0,01	0,049	1	0,790560392	1,264925501	0,204081633
RAD1	0,061875376	-0,339077825	0,024	0,073	1	0,79054647	1,264947777	0,328767123
AGO1	0,370851108	-0,339144708	0,026	0,049	1	0,790509821	1,265006421	0,530612245
ATP9A	0,113762049	-0,339386601	0,005	0,024	1	0,79037729	1,265218539	0,208333333

Supplementary Table 3

Differentially expressed genes_keloid-MD_comparing SC-Keloid vs. (SC-Myel+Nonmyel)								
gene	p_val	avg_log2FC	pct.1	pct.2	p_val_adj	Foldchange_UP	Foldchange_DOWN	Ratio_pct1_pct2
GATAD2B	0,072885127	-0,339616172	0,038	0,098	1	0,79025153	1,265419885	0,387755102
HNRNPL	0,133620512	-0,339736816	0,045	0,098	1	0,790185449	1,265525709	0,459183673
SUGT1	0,10082838	-0,33981551	0,089	0,171	1	0,790142348	1,265594741	0,520467836
ST6GALNAC5	3,19985E-08	-0,339894879	0	0,049	0,000675201	0,79009888	1,265664369	0
CERS6	0,162596738	-0,340024871	0,018	0,049	1	0,790027692	1,265778415	0,367346939
CNOT6	0,096739202	-0,340422067	0,027	0,073	1	0,789810216	1,266126951	0,369863014
NKIRAS2	0,001691453	-0,340605606	0,019	0,098	1	0,789709743	1,266288037	0,193877551
MICA	0,668505389	-0,340874101	0,016	0,024	1	0,789562786	1,266523723	0,666666667
IDNK	0,276254967	-0,340927589	0,008	0,024	1	0,789533513	1,266570681	0,333333333
SEC62	0,094909774	-0,340991197	0,311	0,463	1	0,789498704	1,266626525	0,671706263
SNHG32	0,043103088	-0,341016115	0,048	0,122	1	0,789485068	1,266648402	0,393442623
RND3	0,405008545	-0,341138394	0,212	0,268	1	0,789418156	1,266755765	0,791044776
GLMN	0,194251578	-0,341197161	0,006	0,024	1	0,789386	1,266807366	0,25
EIF4B	0,185346234	-0,341298617	0,067	0,122	1	0,78933049	1,266896456	0,549180328
PTCD3	0,9144643	-0,341315838	0,022	0,024	1	0,789321068	1,266911578	0,916666667
DIS3L2	0,121494347	-0,341362806	0,016	0,049	1	0,789295372	1,266952824	0,326530612
OSR1	0,194251578	-0,341437864	0,006	0,024	1	0,789254308	1,267018741	0,25
DNAH9	0,009700686	-0,341479653	0,002	0,024	1	0,789231447	1,267055442	0,083333333
TRPV1	0,278515928	-0,341722733	0,008	0,024	1	0,789098481	1,267268946	0,333333333
ALDH6A1	0,006538836	-0,341792624	0,014	0,073	1	0,789060254	1,26733034	0,191780822
ZNF66	1,27911E-05	-0,341811266	0,002	0,049	0,269904161	0,789050058	1,267346716	0,040816327
RSAD1	0,042057731	-0,341871866	0,011	0,049	1	0,789016915	1,267399952	0,224489796
TFB1M	0,048947161	-0,341880342	0,003	0,024	1	0,789012279	1,267407398	0,125
NBEAL2	0,050627188	-0,34201159	0,003	0,024	1	0,788940503	1,267522705	0,125
BCL9	0,09174284	-0,342183992	0,014	0,049	1	0,78884623	1,267674183	0,285714286
ACD	0,443091335	-0,342444293	0,011	0,024	1	0,788703914	1,267902926	0,458333333
KYAT3	0,284289899	-0,342648239	0,022	0,049	1	0,788592427	1,268082175	0,448979592
NUP160	0,138711898	-0,343168917	0,03	0,073	1	0,78830787	1,268539917	0,410958904
BZW2	0,488958228	-0,343213707	0,049	0,073	1	0,788283397	1,2685793	0,671232877
CIT	0,2670516	-0,343494863	0,093	0,146	1	0,788129789	1,268826548	0,636986301

Supplementary Table 3

Differentially expressed genes_keloid-MD_comparing SC-Keloid vs. (SC-Myel+Nonmyel)								
gene	p_val	avg_log2FC	pct.1	pct.2	p_val_adj	Foldchange_UP	Foldchange_DOWN	Ratio_pct1_pct2
C8orf88	0,735616852	-0,343680603	0,018	0,024	1	0,788028328	1,268989914	0,75
SLC31A2	0,278515928	-0,343741662	0,008	0,024	1	0,787994977	1,269043623	0,333333333
INPP5F	0,367488605	-0,343839411	0,102	0,146	1	0,787941588	1,269129609	0,698630137
SPATA5	0,445731781	-0,344089314	0,011	0,024	1	0,787805113	1,269349466	0,458333333
UPF2	0,082790336	-0,344102286	0,07	0,146	1	0,78779803	1,26936088	0,479452055
PCDHB2	0,115197258	-0,344251454	0,005	0,024	1	0,78771658	1,269492132	0,208333333
HSBP1	0,09485119	-0,34428858	0,45	0,634	1	0,787696309	1,269524801	0,70977918
MRPS2	0,093952504	-0,344444535	0,014	0,049	1	0,787611163	1,269662044	0,285714286
TBC1D15	0,428178427	-0,344626601	0,046	0,073	1	0,787511774	1,269822284	0,630136986
RBM8A	0,975522094	-0,344846463	0,308	0,293	1	0,787391769	1,270015816	1,051194539
EPB41L4B	9,44793E-05	-0,344944781	0	0,024	1	0,787338111	1,270102369	0
ROR2	9,44793E-05	-0,344944781	0	0,024	1	0,787338111	1,270102369	0
WWC2-AS1	9,44793E-05	-0,344944781	0	0,024	1	0,787338111	1,270102369	0
SMN2	0,009700686	-0,345110655	0,002	0,024	1	0,787247592	1,270248407	0,083333333
TUBB2A	0,487256192	-0,3451437	0,112	0,146	1	0,78722956	1,270277503	0,767123288
TSHZ3	0,043341977	-0,345169871	0,011	0,049	1	0,78721528	1,270300546	0,224489796
BTBD9	0,009700686	-0,345175783	0,002	0,024	1	0,787212054	1,270305751	0,083333333
GTF2I	0,333897576	-0,345582067	0,182	0,244	1	0,786990395	1,270663539	0,745901639
ZSCAN16-AS1	0,314425409	-0,345728193	0,059	0,098	1	0,786910687	1,270792246	0,602040816
TTY14	0,115197258	-0,346057536	0,005	0,024	1	0,786731069	1,27108238	0,208333333
CCDC82	0,182877478	-0,346210268	0,102	0,171	1	0,786647786	1,271216951	0,596491228
DAAM2	0,665848564	-0,34641461	0,037	0,049	1	0,786536374	1,271397018	0,755102041
PCTP	0,443091335	-0,346440304	0,011	0,024	1	0,786522366	1,271419662	0,458333333
DHRS3	0,009951995	-0,346729145	0,002	0,024	1	0,786364912	1,271674237	0,083333333
ZNF142	0,116646669	-0,346900612	0,005	0,024	1	0,786271457	1,271825387	0,208333333
EIF3A	0,322637655	-0,346957964	0,115	0,171	1	0,7862402	1,271875948	0,67251462
ZNF331	0,735616852	-0,347020421	0,018	0,024	1	0,786206164	1,27193101	0,75
ATG14	0,32565663	-0,34715654	0,024	0,049	1	0,786131988	1,272051024	0,489795918
PCDH7	0,02621267	-0,347186382	0,019	0,073	1	0,786115727	1,272077336	0,260273973
FBXO44	0,026191169	-0,347264037	0,01	0,049	1	0,786073414	1,272145809	0,204081633

Supplementary Table 3

Differentially expressed genes_keloid-MD_comparing SC-Keloid vs. (SC-Myel+Nonmyel)								
gene	p_val	avg_log2FC	pct.1	pct.2	p_val_adj	Foldchange_UP	Foldchange_DOWN	Ratio_pct1_pct2
MLKL	0,001663452	-0,347295724	0,005	0,049	1	0,786056149	1,272173751	0,102040816
RSRC2	0,799973134	-0,347384231	0,212	0,22	1	0,786007928	1,272251799	0,963636364
MPDZ	0,063684296	-0,347694245	0,051	0,122	1	0,785839044	1,272525217	0,418032787
EIF2S1	0,181667396	-0,347771477	0,085	0,146	1	0,785796977	1,272593341	0,582191781
NPAT	0,735616852	-0,347829891	0,018	0,024	1	0,785765161	1,272644868	0,75
MMS22L	0,276254967	-0,348177993	0,008	0,024	1	0,78557559	1,272951977	0,333333333
ILK	0,139123511	-0,348322954	0,096	0,171	1	0,78549666	1,273079888	0,561403509
TRAPPC2L	0,264797514	-0,348423701	0,11	0,171	1	0,785441809	1,273168793	0,643274854
RPP30	0,459364118	-0,348487105	0,029	0,049	1	0,785407291	1,273224748	0,591836735
TAX1BP3	0,219826418	-0,348517528	0,088	0,146	1	0,785390728	1,273251598	0,602739726
RPL37A	0,099889727	-0,348547486	0,708	0,732	1	0,78537442	1,273278037	0,967213115
TPD52L2	0,100055846	-0,348614902	0,041	0,098	1	0,785337721	1,273337538	0,418367347
REPS1	0,005381463	-0,349382665	0,006	0,049	1	0,784919896	1,274015355	0,12244898
TMEM54	0,119111328	-0,349497652	0,029	0,073	1	0,784857339	1,274116901	0,397260274
SCRN1	0,158434867	-0,349561356	0,018	0,049	1	0,784822683	1,274173162	0,367346939
TRPT1	0,620720672	-0,349929701	0,035	0,049	1	0,78462233	1,274498523	0,714285714
RRAS	0,110862398	-0,350085173	0,075	0,146	1	0,78453778	1,274635876	0,51369863
STK38L	0,363187776	-0,350184041	0,01	0,024	1	0,784484017	1,27472323	0,416666667
TRMT6	0,798845609	-0,350191336	0,019	0,024	1	0,78448005	1,274729676	0,791666667
DYNC1L12	0,155907879	-0,350214501	0,177	0,268	1	0,784467454	1,274750144	0,660447761
ARAP2	0,00546686	-0,350243356	0,006	0,049	1	0,784451764	1,274775641	0,12244898
GOLIM4	0,193193464	-0,350301392	0,104	0,171	1	0,784420208	1,274826923	0,608187135
LETMD1	0,194357478	-0,350690543	0,019	0,049	1	0,784208648	1,275170839	0,387755102
LTBP3	0,009085351	-0,350700472	0,061	0,171	1	0,784203251	1,275179616	0,356725146
ATP6V1F	0,085234742	-0,350714714	0,123	0,22	1	0,784195509	1,275192204	0,559090909
SLC12A6	0,192336114	-0,350749574	0,006	0,024	1	0,784176561	1,275223017	0,25
USP6NL	0,324151736	-0,350884019	0,024	0,049	1	0,784103487	1,27534186	0,489795918
EPS15L1	0,360693945	-0,351155228	0,01	0,024	1	0,783956099	1,275581632	0,416666667
PCDHB14	0,115197258	-0,35138567	0,005	0,024	1	0,783830888	1,275785396	0,208333333
INKA2	0,115197258	-0,351668084	0,005	0,024	1	0,783677464	1,276035162	0,208333333

Supplementary Table 3

Differentially expressed genes_keloid-MD_comparing SC-Keloid vs. (SC-Myel+Nonmyel)								
gene	p_val	avg_log2FC	pct.1	pct.2	p_val_adj	Foldchange_UP	Foldchange_DOWN	Ratio_pct1_pct2
TSR2	0,270611476	-0,352222304	0,038	0,073	1	0,783376468	1,276525453	0,520547945
DROSHA	0,196181004	-0,35232595	0,006	0,024	1	0,78332019	1,276617164	0,25
SCAF1	0,443091335	-0,352801518	0,011	0,024	1	0,78306202	1,277038056	0,458333333
CCDC140	0,009700686	-0,353238486	0,002	0,024	1	0,78282488	1,277424908	0,083333333
SERPING1	0,006610977	-0,353248411	0,014	0,073	1	0,782819495	1,277433696	0,191780822
FXN	0,194251578	-0,353537179	0,006	0,024	1	0,782662822	1,277689411	0,25
SRSF9	0,124317872	-0,353578783	0,171	0,268	1	0,782640252	1,277726257	0,638059701
RBMS1	0,139610622	-0,353855619	0,097	0,171	1	0,782490087	1,277971461	0,567251462
CTBP1-DT	0,194251578	-0,353969723	0,006	0,024	1	0,782428202	1,278072541	0,25
MYO9A	0,461536771	-0,354233954	0,048	0,073	1	0,782284912	1,278306643	0,657534247
THNSL2	0,001614632	-0,354234871	0,011	0,073	1	0,782284416	1,278307455	0,150684932
ELF1	0,881681242	-0,354395861	0,07	0,073	1	0,782197125	1,278450109	0,95890411
MFSD4B	0,001600938	-0,354459065	0,005	0,049	1	0,782162858	1,278506119	0,102040816
ARHGAP39	7,54298E-06	-0,354523736	0,005	0,073	0,159164324	0,782127797	1,278563431	0,068493151
CAMKK2	0,080266293	-0,354766242	0,026	0,073	1	0,781996339	1,278778366	0,356164384
CHCHD7	0,070608935	-0,354836783	0,038	0,098	1	0,781958104	1,278840894	0,387755102
LMBRD1	0,038004746	-0,3550104	0,046	0,122	1	0,781864007	1,278994801	0,37704918
PEAK1	0,671396882	-0,355045779	0,037	0,049	1	0,781844833	1,279026167	0,755102041
CLMN	0,000943332	-0,355068581	0,018	0,098	1	0,781832477	1,279046381	0,183673469
MEX3D	0,01040074	-0,355248017	0,037	0,122	1	0,781735242	1,279205473	0,303278689
CAB39L	0,000264836	-0,355430246	0,003	0,049	1	0,781636506	1,279367062	0,06122449
TMEM53	0,025599615	-0,35548217	0,01	0,049	1	0,781608374	1,279413109	0,204081633
RAB9A	0,040215867	-0,355630504	0,061	0,146	1	0,781528016	1,279544661	0,417808219
DBN1	0,731240299	-0,355786907	0,062	0,073	1	0,781443294	1,279683385	0,849315068
HEXA	0,744726689	-0,355865164	0,04	0,049	1	0,781400907	1,279752801	0,816326531
PSMD4	0,013101509	-0,356013233	0,105	0,244	1	0,781320713	1,279884154	0,430327869
SMYD4	0,360693945	-0,356238523	0,01	0,024	1	0,781198713	1,280084035	0,416666667
COX7C	0,132106299	-0,356359382	0,416	0,537	1	0,781133272	1,280191275	0,774674115
SLITRK5	0,026191169	-0,356459477	0,01	0,049	1	0,781079079	1,280280099	0,204081633
RIPOR1	0,09544918	-0,35659181	0,014	0,049	1	0,781007437	1,280397539	0,285714286

Supplementary Table 3

Differentially expressed genes_keloid-MD_comparing SC-Keloid vs. (SC-Myel+Nonmyel)								
gene	p_val	avg_log2FC	pct.1	pct.2	p_val_adj	Foldchange_UP	Foldchange_DOWN	Ratio_pct1_pct2
POLR2L	0,077349009	-0,356889113	0,351	0,512	1	0,780846507	1,280661425	0,685546875
FBXL4	0,158434867	-0,356896331	0,018	0,049	1	0,780842601	1,280667832	0,367346939
OAZ2	0,941540603	-0,356943786	0,046	0,049	1	0,780816916	1,280709958	0,93877551
TMEM219	0,13950247	-0,35732271	0,115	0,195	1	0,780611862	1,281046381	0,58974359
SNX27	0,315392301	-0,357344052	0,059	0,098	1	0,780600314	1,281065332	0,602040816
APOOL	0,115234642	-0,357544642	0,029	0,073	1	0,780491788	1,281243462	0,397260274
SUMO4	0,00163192	-0,357666247	0,005	0,049	1	0,780426003	1,281351462	0,102040816
DTWD2	0,005297272	-0,357793867	0,006	0,049	1	0,78035697	1,281464814	0,12244898
SOX6	0,063684313	-0,357897032	0,051	0,122	1	0,78030117	1,281556453	0,418032787
JMJD4	0,52217111	-0,358067362	0,013	0,024	1	0,78020905	1,281707768	0,541666667
GLRX	0,160505534	-0,358206699	0,018	0,049	1	0,7801337	1,281831563	0,367346939
MCL1	0,411765385	-0,358335254	0,123	0,171	1	0,780064188	1,281945789	0,719298246
UBE2E3	0,003852663	-0,35837814	0,067	0,195	1	0,780041	1,281983896	0,343589744
NFATC2	0,500151774	-0,358415703	0,03	0,049	1	0,78002069	1,282017276	0,612244898
BIN1	0,513547187	-0,358567301	0,051	0,073	1	0,77993873	1,282151997	0,698630137
TRAPPC8	0,52217111	-0,358764857	0,013	0,024	1	0,779831936	1,282327581	0,541666667
PLEKHG5	0,115197258	-0,35888045	0,005	0,024	1	0,779769456	1,282430329	0,208333333
LEMD3	0,239997787	-0,358938921	0,021	0,049	1	0,779737854	1,282482305	0,428571429
NR1H2	0,59736795	-0,359016428	0,014	0,024	1	0,779695964	1,282551207	0,583333333
IL6ST	0,070934396	-0,359257648	0,136	0,244	1	0,779565609	1,282765669	0,557377049
POR	0,127729654	-0,359274494	0,016	0,049	1	0,779556506	1,282780648	0,326530612
MRPS27	0,200206568	-0,359453563	0,019	0,049	1	0,779459753	1,282939878	0,387755102
GNG11	0,175867622	-0,359949342	0,183	0,268	1	0,779191939	1,283380833	0,682835821
DNAJC1	0,588074331	-0,360103824	0,099	0,122	1	0,779108509	1,283518263	0,81147541
PLPP5	0,098149031	-0,360231341	0,041	0,098	1	0,779039648	1,283631715	0,418367347
SNX8	0,445731781	-0,360687034	0,011	0,024	1	0,778793618	1,284037231	0,458333333
EPB41L2	0,541474392	-0,360705117	0,073	0,098	1	0,778783856	1,284053326	0,744897959
PIBF1	0,165035267	-0,360865719	0,032	0,073	1	0,778697166	1,284196275	0,438356164
HDAC11	0,094698473	-0,360868018	0,014	0,049	1	0,778695925	1,284198321	0,285714286
SMIM17	9,44793E-05	-0,360946942	0	0,024	1	0,778653327	1,284268577	0

Supplementary Table 3

Differentially expressed genes_keloid-MD_comparing SC-Keloid vs. (SC-Myel+Nonmyel)								
gene	p_val	avg_log2FC	pct.1	pct.2	p_val_adj	Foldchange_UP	Foldchange_DOWN	Ratio_pct1_pct2
RXYLT1	0,070235299	-0,36131573	0,038	0,098	1	0,77845431	1,284596909	0,387755102
GALNT1	0,095607774	-0,361528232	0,027	0,073	1	0,778339656	1,284786137	0,369863014
SNAPC1	0,238698091	-0,361569022	0,021	0,049	1	0,77831765	1,284822463	0,428571429
FUOM	0,011375116	-0,362047919	0,016	0,073	1	0,778059333	1,285249026	0,219178082
AUP1	0,112265861	-0,362087102	0,075	0,146	1	0,778038202	1,285283933	0,51369863
TARDBP	0,209793894	-0,362223162	0,051	0,098	1	0,777964829	1,285405154	0,520408163
RPS29	0,108556106	-0,362342239	0,566	0,61	1	0,77790062	1,285511252	0,927868852
MBIP	0,281462479	-0,362662233	0,022	0,049	1	0,777728098	1,285796414	0,448979592
BMP8B	0,072189358	-0,362743828	0,053	0,122	1	0,777684113	1,285869138	0,43442623
ASB3	0,360693945	-0,362907013	0,01	0,024	1	0,777596153	1,286014593	0,416666667
ABCB4	0,000264836	-0,362909481	0,003	0,049	1	0,777594823	1,286016793	0,06122449
DISC1	0,234828829	-0,363017914	0,021	0,049	1	0,777536381	1,286113453	0,428571429
CLYBL	0,115197258	-0,363040267	0,005	0,024	1	0,777524334	1,28613338	0,208333333
YARS2	0,524894226	-0,363042995	0,013	0,024	1	0,777522864	1,286135812	0,541666667
DEPDC7	0,00163192	-0,363100198	0,005	0,049	1	0,777492036	1,286186808	0,102040816
TSPAN3	0,158800054	-0,363136654	0,099	0,171	1	0,777472389	1,28621931	0,578947368
FAM13B	0,296424314	-0,363570998	0,04	0,073	1	0,777238355	1,286606603	0,547945205
ZNF684	0,044659199	-0,363652881	0,011	0,049	1	0,777194243	1,286679629	0,224489796
ARRDC1	0,001663452	-0,363686439	0,005	0,049	1	0,777176165	1,286709558	0,102040816
CCNL2	0,021014784	-0,363706747	0,041	0,122	1	0,777165225	1,286727671	0,336065574
SIDT2	0,025599615	-0,363984717	0,01	0,049	1	0,7770155	1,286975614	0,204081633
IER3IP1	0,846041213	-0,364013629	0,067	0,073	1	0,776999929	1,287001405	0,917808219
MRPL48	0,281462479	-0,364030027	0,022	0,049	1	0,776991097	1,287016034	0,448979592
EPDR1	0,052716698	-0,3644432	0,049	0,122	1	0,776768606	1,287384675	0,401639344
MX2	0,04757893	-0,364635272	0,022	0,073	1	0,776665199	1,287556081	0,301369863
PNMA1	0,85683569	-0,364746736	0,045	0,049	1	0,776605195	1,287655563	0,918367347
ARHGEF9	0,167463219	-0,364829844	0,032	0,073	1	0,776560459	1,287729742	0,438356164
LZTR1	0,043341977	-0,364959444	0,011	0,049	1	0,776490703	1,287845426	0,224489796
EML2	0,192336114	-0,365138467	0,006	0,024	1	0,776394355	1,288005244	0,25
IFI27	0,451654015	-0,365148735	0,107	0,146	1	0,776388829	1,288014411	0,732876712

Supplementary Table 3

Differentially expressed genes_keloid-MD_comparing SC-Keloid vs. (SC-Myel+Nonmyel)								
gene	p_val	avg_log2FC	pct.1	pct.2	p_val_adj	Foldchange_UP	Foldchange_DOWN	Ratio_pct1_pct2
TOB1	0,010606711	-0,365195468	0,016	0,073	1	0,77636368	1,288056134	0,219178082
CNOT1	0,150705251	-0,365233624	0,046	0,098	1	0,776343147	1,2880902	0,469387755
DDX1	0,05265236	-0,365300087	0,08	0,171	1	0,776307383	1,288149543	0,467836257
APPBP2	0,163431416	-0,365455479	0,032	0,073	1	0,776223771	1,288288296	0,438356164
USP51	0,115197258	-0,365597571	0,005	0,024	1	0,776147325	1,288415187	0,208333333
TBC1D25	0,00546686	-0,365607617	0,006	0,049	1	0,77614192	1,288424158	0,12244898
AGAP2-AS1	0,199026585	-0,365728611	0,019	0,049	1	0,77607683	1,288532218	0,387755102
TMEM127	0,32565663	-0,365776383	0,024	0,049	1	0,776051133	1,288574886	0,489795918
PRPSAP1	0,421628507	-0,365883864	0,046	0,073	1	0,775993319	1,288670889	0,630136986
EIF2S2	0,120564031	-0,365974387	0,23	0,341	1	0,77594463	1,288751751	0,674486804
STYXL1	0,59736795	-0,366207466	0,014	0,024	1	0,77581928	1,288959975	0,583333333
KLHL24	0,536991365	-0,366227962	0,032	0,049	1	0,775808258	1,288978287	0,653061224
FAM214A	0,59736795	-0,366892592	0,014	0,024	1	0,775450936	1,289572239	0,583333333
CTDSPL	0,064411599	-0,366938398	0,024	0,073	1	0,775426315	1,289613184	0,328767123
SPTLC1	0,020628971	-0,366976926	0,054	0,146	1	0,775405608	1,289647624	0,369863014
NSL1	0,519140372	-0,367272958	0,051	0,073	1	0,775246516	1,289912279	0,698630137
AKIRIN1	0,189014708	-0,367553258	0,033	0,073	1	0,775095909	1,290162919	0,452054795
KRT1	0,049054394	-0,367566612	0,035	0,098	1	0,775088734	1,290174862	0,357142857
BCAP31	0,044945715	-0,367690649	0,062	0,146	1	0,775022098	1,29028579	0,424657534
OSTF1	0,152620555	-0,368118833	0,064	0,122	1	0,774792109	1,290668797	0,524590164
IFNAR2	0,081274001	-0,368124732	0,026	0,073	1	0,774788942	1,290674074	0,356164384
SEMA5A	0,005381463	-0,368182997	0,006	0,049	1	0,774757652	1,2907262	0,12244898
PCNP	0,034054787	-0,368435305	0,121	0,244	1	0,774622169	1,290951951	0,495901639
ACBD4	0,001540594	-0,368581697	0,005	0,049	1	0,774543571	1,291082953	0,102040816
C6orf226	0,165035225	-0,36863273	0,032	0,073	1	0,774516173	1,291128623	0,438356164
DUSP4	0,122370244	-0,368736407	0,016	0,049	1	0,774460516	1,291221411	0,326530612
HSPA4	0,948907021	-0,368954557	0,075	0,073	1	0,774343418	1,291416671	1,02739726
FNDC3B	0,357549727	-0,369016638	0,102	0,146	1	0,774310098	1,291472244	0,698630137
KMT2E-AS1	0,360693945	-0,369059226	0,01	0,024	1	0,774287241	1,291510369	0,416666667
SMARCD2	0,524894226	-0,369375903	0,013	0,024	1	0,774117301	1,291793891	0,541666667

Supplementary Table 3

Differentially expressed genes_keloid-MD_ comparing SC-Keloid vs. (SC-Myel+Nonmyel)								
gene	p_val	avg_log2FC	pct.1	pct.2	p_val_adj	Foldchange_UP	Foldchange_DOWN	Ratio_pct1_pct2
NDRG4	0,003567901	-0,369466781	0,013	0,073	1	0,774068539	1,291875266	0,178082192
SATB1	0,216510394	-0,369601399	0,035	0,073	1	0,773996314	1,291995817	0,479452055
HSF1	0,281462479	-0,369926447	0,022	0,049	1	0,773821947	1,292286944	0,448979592
TTC12	0,194251578	-0,370018936	0,006	0,024	1	0,77377234	1,292369794	0,25
ADH5	0,10243146	-0,370035933	0,144	0,244	1	0,773763225	1,292385019	0,590163934
MIOS	0,011039945	-0,370036243	0,016	0,073	1	0,773763058	1,292385297	0,219178082
TARBP1	0,043777355	-0,370161424	0,011	0,049	1	0,773695923	1,292497441	0,224489796
CBR3	0,369261143	-0,37038629	0,026	0,049	1	0,77357534	1,292698912	0,530612245
HDGF	0,184409964	-0,370431781	0,067	0,122	1	0,773550948	1,292739674	0,549180328
MYNN	0,125027562	-0,370496538	0,016	0,049	1	0,773516227	1,292797702	0,326530612
PTGES	0,194251578	-0,370977698	0,006	0,024	1	0,773258291	1,293228941	0,25
CFD	0,239997787	-0,37108227	0,021	0,049	1	0,773202244	1,293322682	0,428571429
TSPYL4	0,321155557	-0,371086191	0,024	0,049	1	0,773200143	1,293326197	0,489795918
RTRAF	0,346352201	-0,371140067	0,257	0,317	1	0,773171269	1,293374496	0,810725552
PPIH	0,269644845	-0,371281418	0,056	0,098	1	0,773095519	1,293501223	0,571428571
MED11	0,061094029	-0,371508163	0,037	0,098	1	0,772974024	1,293704535	0,37755102
SERPINB6	0,10800287	-0,371723703	0,112	0,195	1	0,772858549	1,29389783	0,574358974
AEN	0,668505389	-0,371916371	0,016	0,024	1	0,772755343	1,294070638	0,666666667
GSR	0,237403369	-0,372331162	0,021	0,049	1	0,772533199	1,294442752	0,428571429
ZNF318	0,192336114	-0,372619127	0,006	0,024	1	0,772379015	1,294701152	0,25
PLCD1	0,049781231	-0,372689504	0,003	0,024	1	0,772341338	1,29476431	0,125
RNF44	0,043341977	-0,372910237	0,011	0,049	1	0,772223179	1,294962425	0,224489796
PRKRIP1	0,278654203	-0,373005644	0,022	0,049	1	0,772172112	1,295048065	0,448979592
FIBIN	0,066027921	-0,373311648	0,134	0,244	1	0,772008347	1,295322782	0,549180328
C5orf51	0,187275815	-0,373524297	0,033	0,073	1	0,771894564	1,295513723	0,452054795
ELMOD3	0,113762049	-0,373575145	0,005	0,024	1	0,771867359	1,295559384	0,208333333
TTL11	0,050627188	-0,373691445	0,003	0,024	1	0,771805139	1,295663827	0,125
EIF3K	0,527771496	-0,373976018	0,289	0,317	1	0,771652915	1,295919423	0,911671924
FLRT1	0,000631925	-0,374003592	0,01	0,073	1	0,771638166	1,295944192	0,136986301
GSAP	3,19985E-08	-0,374095806	0	0,049	0,000675201	0,771588846	1,296027029	0

Supplementary Table 3

Differentially expressed genes_keloid-MD_ comparing SC-Keloid vs. (SC-Myel+Nonmyel)								
gene	p_val	avg_log2FC	pct.1	pct.2	p_val_adj	Foldchange_UP	Foldchange_DOWN	Ratio_pct1_pct2
MRS2	0,59736795	-0,374363694	0,014	0,024	1	0,771445587	1,296267705	0,583333333
ATP6V1C1	0,159467695	-0,37457911	0,018	0,049	1	0,771330407	1,296461272	0,367346939
TSLP	0,048947161	-0,374582107	0,003	0,024	1	0,771328804	1,296463965	0,125
UBL5	0,281840637	-0,374867846	0,478	0,537	1	0,771176051	1,296720767	0,890130354
CENPU	0,192336114	-0,374903365	0,006	0,024	1	0,771157065	1,296752692	0,25
DGKB	0,117160397	-0,374951343	0,029	0,073	1	0,77113142	1,296795817	0,397260274
CD14	1,27911E-05	-0,374998574	0,002	0,049	0,269904161	0,771106175	1,296838273	0,040816327
ELMOD2	0,660318477	-0,37535833	0,037	0,049	1	0,770913913	1,297161698	0,755102041
MT-ND5	0,130057568	-0,375790647	0,242	0,366	1	0,770682936	1,297550463	0,661202186
HABP4	0,188143779	-0,375858511	0,033	0,073	1	0,770646684	1,2976115	0,452054795
CREB5	0,119611253	-0,37598583	0,131	0,22	1	0,770578677	1,297726021	0,595454545
VPS33B	0,049781231	-0,376244336	0,003	0,024	1	0,770440615	1,297958571	0,125
MT1X	0,048539111	-0,376290639	0,094	0,195	1	0,770415888	1,29800023	0,482051282
OXA1L	0,095607774	-0,376395879	0,027	0,073	1	0,770359691	1,298094918	0,369863014
TENM3	0,559961889	-0,376895703	0,171	0,195	1	0,770092845	1,298544723	0,876923077
STMN3	0,13373938	-0,376960645	0,03	0,073	1	0,77005818	1,298603178	0,410958904
MAPK6	0,516339853	-0,377232142	0,051	0,073	1	0,769913279	1,298847581	0,698630137
NR2C2	0,454229416	-0,377275167	0,029	0,049	1	0,769890318	1,298886317	0,591836735
ATL1	0,034593957	-0,377429373	0,021	0,073	1	0,769808031	1,299025159	0,287671233
FAM234A	0,291297819	-0,377527138	0,057	0,098	1	0,769755866	1,299113192	0,581632653
DCK	0,322651378	-0,378235868	0,024	0,049	1	0,769377813	1,299751543	0,489795918
IMMP2L	0,048947161	-0,378881484	0,003	0,024	1	0,769033588	1,300333321	0,125
SMIM10	0,002775486	-0,378900399	0,021	0,098	1	0,769023506	1,300350369	0,214285714
UBE2R2	0,050551177	-0,378991158	0,064	0,146	1	0,768975128	1,300432177	0,438356164
LIMS1	0,235703581	-0,379121297	0,244	0,317	1	0,768905766	1,300549488	0,769716088
TMEM121	0,536991365	-0,379497899	0,032	0,049	1	0,768705076	1,300889028	0,653061224
SLC9A1	0,065662619	-0,379599263	0,013	0,049	1	0,768651069	1,300980432	0,265306122
KLHDC3	0,239997787	-0,37970829	0,021	0,049	1	0,768592983	1,301078753	0,428571429
RCCD1	0,192336114	-0,37972205	0,006	0,024	1	0,768585653	1,301091162	0,25
RPS15	0,010090135	-0,37984863	0,853	0,927	1	0,768518221	1,301205323	0,9201726

Supplementary Table 3

Differentially expressed genes_keloid-MD_comparing SC-Keloid vs. (SC-Myel+Nonmyel)								
gene	p_val	avg_log2FC	pct.1	pct.2	p_val_adj	Foldchange_UP	Foldchange_DOWN	Ratio_pct1_pct2
TAF3	0,124136836	-0,379998602	0,016	0,049	1	0,768438335	1,301340595	0,326530612
CCDC127	0,209510424	-0,380188435	0,035	0,073	1	0,768337229	1,301511839	0,479452055
PLVAP	0,113762049	-0,380191519	0,005	0,024	1	0,768335587	1,301514621	0,208333333
VPS72	0,411698765	-0,380554839	0,027	0,049	1	0,768142118	1,301842429	0,551020408
CHSY1	0,208589615	-0,38063441	0,035	0,073	1	0,768099753	1,301914232	0,479452055
ZMYND11	0,362215296	-0,380874906	0,062	0,098	1	0,767971722	1,302131279	0,632653061
HPS5	0,281462479	-0,380899703	0,022	0,049	1	0,767958522	1,30215366	0,448979592
CFL2	0,265323761	-0,3812356	0,038	0,073	1	0,767779742	1,30245687	0,520547945
ARL6IP1	0,112256398	-0,381491144	0,043	0,098	1	0,767643758	1,302687594	0,43877551
POLR2C	0,024590262	-0,381562482	0,03	0,098	1	0,7676058	1,302752011	0,306122449
PGPEP1	0,735616852	-0,38170423	0,018	0,024	1	0,767530385	1,302880015	0,75
TP53INP2	0,524894226	-0,381950469	0,013	0,024	1	0,767399394	1,30310241	0,541666667
GNAI2	0,028490946	-0,382049269	0,252	0,439	1	0,767346842	1,303191654	0,574031891
DDX17	0,168119357	-0,382187959	0,29	0,39	1	0,767273079	1,303316938	0,743589744
PCGF6	0,042057731	-0,382364765	0,011	0,049	1	0,767179053	1,303476673	0,224489796
HECTD1	0,079522324	-0,382373217	0,054	0,122	1	0,767174559	1,30348431	0,442622951
NEK9	0,161548618	-0,382602804	0,018	0,049	1	0,767052482	1,30369176	0,367346939
HAT1	0,188143779	-0,382789357	0,033	0,073	1	0,766953302	1,303860349	0,452054795
SRSF5	0,018673256	-0,382796374	0,175	0,341	1	0,766949572	1,303866691	0,513196481
LAMTOR3	0,44912723	-0,382981419	0,029	0,049	1	0,766851206	1,30403394	0,591836735
PPM1F	0,097881314	-0,383202255	0,027	0,073	1	0,766733832	1,304233566	0,369863014
SCAMP1	0,16104771	-0,383415762	0,032	0,073	1	0,76662037	1,304426597	0,438356164
TRIM23	0,127729654	-0,383424042	0,016	0,049	1	0,76661597	1,304434083	0,326530612
NNT-AS1	0,774576062	-0,383526595	0,033	0,024	1	0,766561478	1,304526811	1,375
PCF11	0,267865229	-0,383667461	0,056	0,098	1	0,766486634	1,304654192	0,571428571
ITPR1	0,010930188	-0,3837911	0,016	0,073	1	0,766420948	1,304766006	0,219178082
BMPR1A	0,158434867	-0,383898546	0,018	0,049	1	0,766363871	1,304863183	0,367346939
MESP1	0,02492421	-0,384087599	0,019	0,073	1	0,766263452	1,305034185	0,260273973
TM4SF1	0,668505389	-0,384148748	0,016	0,024	1	0,766230974	1,305089501	0,666666667
SUPT5H	0,039623694	-0,384581971	0,033	0,098	1	0,76600092	1,305481462	0,336734694

Supplementary Table 3

Differentially expressed genes_keloid-MD_comparing SC-Keloid vs. (SC-Myel+Nonmyel)								
gene	p_val	avg_log2FC	pct.1	pct.2	p_val_adj	Foldchange_UP	Foldchange_DOWN	Ratio_pct1_pct2
ANAPC16	0,108311924	-0,384589576	0,166	0,268	1	0,765996882	1,305488343	0,619402985
PIAS3	0,281462479	-0,385303065	0,022	0,049	1	0,765618149	1,306134136	0,448979592
MBNL2	0,170416461	-0,385329979	0,083	0,146	1	0,765603867	1,306158503	0,568493151
PSMG2	0,038636416	-0,385440459	0,061	0,146	1	0,76554524	1,306258531	0,417808219
PIP4P2	0,096172157	-0,385457367	0,027	0,073	1	0,765536268	1,30627384	0,369863014
EWSR1	0,038091748	-0,385460044	0,061	0,146	1	0,765534847	1,306276264	0,417808219
ZNF124	0,012904719	-0,385992554	0,008	0,049	1	0,765252334	1,30675851	0,163265306
ALG5	0,581564843	-0,386022194	0,077	0,098	1	0,765236612	1,306785357	0,785714286
SNHG8	0,030415174	-0,386451023	0,153	0,293	1	0,765009186	1,307173846	0,5221843
SMPD1	0,195517149	-0,38664582	0,019	0,049	1	0,7649059	1,307350356	0,387755102
STOM	0,002947161	-0,386690972	0,021	0,098	1	0,764881961	1,307391273	0,214285714
CAHM	0,278515928	-0,387025455	0,008	0,024	1	0,764704646	1,307694421	0,333333333
COASY	0,066247027	-0,387509683	0,013	0,049	1	0,764448023	1,308133411	0,265306122
IRS2	0,59736795	-0,387538864	0,014	0,024	1	0,764432561	1,308159871	0,583333333
VGLL4	0,114005448	-0,387644119	0,185	0,293	1	0,764376792	1,308255314	0,631399317
YME1L1	0,452214911	-0,387781253	0,069	0,098	1	0,764304139	1,308379674	0,704081633
R3HCC1	0,163377097	-0,388047462	0,048	0,098	1	0,76416312	1,308621122	0,489795918
PACS2	0,009746979	-0,388389945	0,026	0,098	1	0,763981736	1,308931814	0,265306122
UNC45A	0,59736795	-0,388764171	0,014	0,024	1	0,76378359	1,309271387	0,583333333
PARL	0,109689443	-0,38889289	0,043	0,098	1	0,763715447	1,309388207	0,43877551
DENND2A	0,278515928	-0,388958348	0,008	0,024	1	0,763680797	1,309447618	0,333333333
MEIS3	0,445731781	-0,38927077	0,011	0,024	1	0,763515436	1,309731215	0,458333333
OAF	0,112265878	-0,389322515	0,075	0,146	1	0,763488052	1,309778192	0,51369863
FAM3C	0,142931156	-0,389658675	0,134	0,22	1	0,763310174	1,310083416	0,609090909
JAKMIP2	0,121494347	-0,389971002	0,016	0,049	1	0,763144944	1,310367065	0,326530612
ROCK1	0,214541692	-0,389980666	0,126	0,195	1	0,763139832	1,310375843	0,646153846
SHMT1	9,55558E-09	-0,390031636	0,002	0,073	0,000201632	0,763112871	1,310422139	0,02739726
NIT1	0,09174284	-0,390730145	0,014	0,049	1	0,762743484	1,311056759	0,285714286
GCC1	0,113762049	-0,39075686	0,005	0,024	1	0,76272936	1,311081037	0,208333333
NFKBIB	0,025893931	-0,390804204	0,01	0,049	1	0,76270433	1,311124062	0,204081633

Supplementary Table 3

Differentially expressed genes_keloid-MD_comparing SC-Keloid vs. (SC-Myel+Nonmyel)								
gene	p_val	avg_log2FC	pct.1	pct.2	p_val_adj	Foldchange_UP	Foldchange_DOWN	Ratio_pct1_pct2
GLUL	0,183833515	-0,391156302	0,033	0,073	1	0,762518211	1,311444088	0,452054795
AIFM2	0,066247027	-0,391478221	0,013	0,049	1	0,762348084	1,311736753	0,265306122
PMVK	0,017740221	-0,391725489	0,067	0,171	1	0,762217434	1,311961595	0,391812865
ZNRF2	0,45448456	-0,391873435	0,069	0,098	1	0,762139273	1,312096142	0,704081633
ZNF22	0,534913819	-0,392028291	0,096	0,122	1	0,762057471	1,312236987	0,786885246
MYG1	0,016925987	-0,39222348	0,04	0,122	1	0,761954376	1,312414538	0,327868852
ZEB1	0,030428627	-0,392431775	0,045	0,122	1	0,761844373	1,312604037	0,368852459
KCNE4	0,536991322	-0,392456396	0,032	0,049	1	0,761831372	1,312626437	0,653061224
GRM7	0,048947161	-0,3925652	0,003	0,024	1	0,761773919	1,312725436	0,125
FBRS	0,013918574	-0,392792204	0,027	0,098	1	0,761654065	1,312932006	0,275510204
CALHM5	0,048947161	-0,393157427	0,003	0,024	1	0,761461275	1,313264421	0,125
STAT1	0,135145817	-0,393301764	0,03	0,073	1	0,761385097	1,313395816	0,410958904
RGS19	4,73768E-05	-0,393550368	0,006	0,073	0,999698382	0,761253907	1,313622158	0,082191781
SNX13	0,390131515	-0,393649695	0,045	0,073	1	0,761201498	1,313712602	0,616438356
FGD4	0,046896464	-0,393723324	0,022	0,073	1	0,76116265	1,31377965	0,301369863
COMMD1	0,39222359	-0,394064693	0,129	0,171	1	0,760982566	1,314090552	0,754385965
LDAF1	0,360693945	-0,394747963	0,01	0,024	1	0,760622245	1,314713061	0,416666667
RAB4A	0,082896638	-0,394900631	0,04	0,098	1	0,760541759	1,314852193	0,408163265
MAP6	0,012904719	-0,395429811	0,008	0,049	1	0,760262844	1,315334569	0,163265306
TIGD5	0,278515928	-0,395468513	0,008	0,024	1	0,760242449	1,315369855	0,333333333
CCDC59	0,844403846	-0,39559514	0,083	0,073	1	0,760175724	1,315485312	1,136986301
USP42	0,013077492	-0,395598053	0,008	0,049	1	0,76017419	1,315487968	0,163265306
RABEP1	0,761737901	-0,39596116	0,062	0,049	1	0,759982888	1,3158191	1,265306122
NT5C3A	0,080230018	-0,396508377	0,054	0,122	1	0,75969468	1,316318288	0,442622951
CEP83	0,093952504	-0,396520896	0,014	0,049	1	0,759688087	1,31632971	0,285714286
TUSC1	0,187275815	-0,396646884	0,033	0,073	1	0,759621748	1,316444668	0,452054795
C12orf29	0,184689665	-0,396874877	0,033	0,073	1	0,759501713	1,316652725	0,452054795
HDAC4	0,365692371	-0,39688556	0,01	0,024	1	0,759496088	1,316662476	0,416666667
ZBTB20	0,237993681	-0,396922056	0,196	0,268	1	0,759476876	1,316695783	0,731343284
C1QTNF2	0,048947161	-0,397136132	0,003	0,024	1	0,759364189	1,316891177	0,125

Supplementary Table 3

Differentially expressed genes_keloid-MD_comparing SC-Keloid vs. (SC-Myel+Nonmyel)								
gene	p_val	avg_log2FC	pct.1	pct.2	p_val_adj	Foldchange_UP	Foldchange_DOWN	Ratio_pct1_pct2
PDK2	0,000714212	-0,397156675	0,01	0,073	1	0,759353375	1,316909929	0,136986301
DPP7	0,048564322	-0,397306156	0,064	0,146	1	0,759274701	1,317046385	0,438356164
CYB561A3	0,445731781	-0,397671484	0,011	0,024	1	0,759082457	1,317379937	0,458333333
PTER	0,443091335	-0,397750817	0,011	0,024	1	0,759040717	1,317452381	0,458333333
TUFM	0,221444386	-0,397973508	0,11	0,171	1	0,758923562	1,317655756	0,643274854
DCPS	0,067379238	-0,398096231	0,053	0,122	1	0,758859007	1,317767847	0,43442623
ARPC1A	0,508527262	-0,398246943	0,096	0,122	1	0,758779737	1,317905516	0,786885246
LMO4	0,049829903	-0,399015727	0,29	0,439	1	0,758375506	1,318607988	0,660592255
PGBD2	0,113762049	-0,399431022	0,005	0,024	1	0,75815723	1,318987619	0,208333333
CDK17	0,195517149	-0,399723224	0,019	0,049	1	0,75800369	1,319254792	0,387755102
AGPAT5	0,277257237	-0,39974824	0,022	0,049	1	0,757990546	1,319277668	0,448979592
CASKIN2	0,366093953	-0,399759666	0,026	0,049	1	0,757984543	1,319288117	0,530612245
RPL3	0,033847028	-0,399877732	0,577	0,756	1	0,757922514	1,319396088	0,763227513
RHOB	0,575274872	-0,400144098	0,375	0,39	1	0,757782592	1,319639711	0,961538462
RABGAP1L	0,280055949	-0,400297723	0,022	0,049	1	0,757701903	1,319780241	0,448979592
PPA2	0,735616852	-0,400390573	0,018	0,024	1	0,75765314	1,319865183	0,75
EPHA5	0,113762049	-0,400426932	0,005	0,024	1	0,757634046	1,319898446	0,208333333
MYH10	0,057788941	-0,400570112	0,037	0,098	1	0,757558858	1,320029446	0,37755102
QPRT	0,009700686	-0,400679988	0,002	0,024	1	0,757501165	1,320129984	0,083333333
PDHX	0,043341977	-0,400823758	0,011	0,049	1	0,757425681	1,320261546	0,224489796
TNRC6A	0,031848043	-0,401123478	0,059	0,146	1	0,757268342	1,320535859	0,404109589
INTS8	0,522171111	-0,401201739	0,013	0,024	1	0,757227264	1,320607495	0,541666667
MRNIP	0,062292253	-0,401208997	0,024	0,073	1	0,757223454	1,320614139	0,328767123
SAC3D1	0,159467695	-0,401438494	0,018	0,049	1	0,757103008	1,320824232	0,367346939
ARL2BP	0,05651152	-0,401664518	0,081	0,171	1	0,756984404	1,321031179	0,473684211
SLC2A3	0,269548195	-0,401741622	0,038	0,073	1	0,756943949	1,321101783	0,520547945
PEX5	0,276254967	-0,401743533	0,008	0,024	1	0,756942946	1,321103533	0,333333333
CDCA4	0,443091335	-0,401936868	0,011	0,024	1	0,756841515	1,321280586	0,458333333
SDHAF2	0,445743914	-0,402068379	0,029	0,049	1	0,756772527	1,321401034	0,591836735
VPS28	0,038537326	-0,402297849	0,195	0,341	1	0,756652167	1,321611229	0,571847507

Supplementary Table 3

Differentially expressed genes_keloid-MD_comparing SC-Keloid vs. (SC-Myel+Nonmyel)								
gene	p_val	avg_log2FC	pct.1	pct.2	p_val_adj	Foldchange_UP	Foldchange_DOWN	Ratio_pct1_pct2
CARS1	0,158434867	-0,402299704	0,018	0,049	1	0,756651194	1,321612928	0,367346939
KIRREL1	0,096271356	-0,402385107	0,041	0,098	1	0,756606404	1,321691166	0,418367347
CD99L2	0,065662619	-0,402458644	0,013	0,049	1	0,756567839	1,321758536	0,265306122
PTPN18	0,006326643	-0,402501745	0,014	0,073	1	0,756545237	1,321798025	0,191780822
RNASEH1	0,359810603	-0,402626666	0,026	0,049	1	0,756479731	1,321912483	0,530612245
CDCA7	0,113762049	-0,402966358	0,005	0,024	1	0,756301635	1,322223772	0,208333333
PSAP	0,059690441	-0,403105496	0,407	0,585	1	0,756228698	1,322351297	0,695726496
METRNL	0,016819058	-0,403235612	0,04	0,122	1	0,756160497	1,322470565	0,327868852
BLOC1S1	0,125267933	-0,403251139	0,247	0,366	1	0,756152359	1,322484799	0,674863388
SLC4A2	0,735616852	-0,403303344	0,018	0,024	1	0,756124998	1,322532654	0,75
MICALL2	0,048343323	-0,403367398	0,078	0,171	1	0,756091427	1,322591375	0,456140351
DDX50	0,068635414	-0,403383739	0,053	0,122	1	0,756082863	1,322606356	0,43442623
LRRC1	0,278515928	-0,403755713	0,008	0,024	1	0,755887946	1,32294741	0,333333333
HAUS1	0,240338789	-0,403858235	0,037	0,073	1	0,755834232	1,323041426	0,506849315
ARID4A	0,388868829	-0,403866984	0,045	0,073	1	0,755829648	1,323049449	0,616438356
FLRT3	0,221231127	-0,40415245	0,053	0,098	1	0,755680107	1,323311268	0,540816327
WDSUB1	0,360693945	-0,404358523	0,01	0,024	1	0,755572174	1,323500301	0,416666667
SREK1	0,581280957	-0,40529651	0,075	0,098	1	0,755081089	1,324361072	0,765306122
EDRF1	0,360693945	-0,405322882	0,01	0,024	1	0,755067286	1,324385281	0,416666667
ATRAID	0,165600199	-0,405685095	0,163	0,244	1	0,754877737	1,324717832	0,668032787
TMEM123	0,184098714	-0,405736907	0,067	0,122	1	0,754850628	1,324765408	0,549180328
TMEM134	0,199274313	-0,405905781	0,069	0,122	1	0,754762274	1,324920487	0,56557377
PEX1	0,52217111	-0,406107691	0,013	0,024	1	0,75465665	1,325105927	0,541666667
TYRO3	9,55558E-09	-0,406598002	0,002	0,073	0,000201632	0,754400218	1,325556351	0,02739726
NCAPG	0,009700686	-0,406633837	0,002	0,024	1	0,75438148	1,325589276	0,083333333
RPS28	0,008235563	-0,406800613	0,783	0,976	1	0,754294278	1,325742524	0,802254098
ATAD2B	0,367675424	-0,406875591	0,026	0,049	1	0,754255078	1,325811426	0,530612245
IQSEC2	0,009700686	-0,406993544	0,002	0,024	1	0,754193413	1,325919827	0,083333333
CDK13	0,531819005	-0,407785808	0,073	0,098	1	0,753779358	1,326648163	0,744897959
GNAL	0,009700686	-0,407846672	0,002	0,024	1	0,753747558	1,326704132	0,083333333

Supplementary Table 3

Differentially expressed genes_keloid-MD_comparing SC-Keloid vs. (SC-Myel+Nonmyel)								
gene	p_val	avg_log2FC	pct.1	pct.2	p_val_adj	Foldchange_UP	Foldchange_DOWN	Ratio_pct1_pct2
COL15A1	0,026120539	-0,407966348	0,086	0,195	1	0,753685035	1,326814191	0,441025641
KLF9	0,020568889	-0,408445947	0,083	0,195	1	0,753434527	1,327255341	0,425641026
TRAM2-AS1	0,125923264	-0,408691677	0,016	0,049	1	0,753306208	1,327481427	0,326530612
RAB5C	0,388740893	-0,408707371	0,102	0,146	1	0,753298013	1,327495869	0,698630137
C19orf25	0,061875376	-0,409042069	0,024	0,073	1	0,753123272	1,327803876	0,328767123
STK10	0,322651378	-0,409065448	0,024	0,049	1	0,753111068	1,327825393	0,489795918
SUCLG2	0,111317375	-0,409111136	0,059	0,122	1	0,753087218	1,327867445	0,483606557
NMI	0,438850599	-0,409584261	0,048	0,073	1	0,752840287	1,328302985	0,657534247
ATP11A	5,19512E-07	-0,409700023	0,003	0,073	0,01096223	0,752779882	1,328409571	0,04109589
NSMCE2	0,274477641	-0,409911521	0,022	0,049	1	0,752669533	1,328604329	0,448979592
NUP98	0,062292253	-0,410799205	0,024	0,073	1	0,752206561	1,329422065	0,328767123
NOL8	0,362943767	-0,411625545	0,026	0,049	1	0,751775839	1,330183744	0,530612245
REST	0,32903423	-0,41174234	0,08	0,122	1	0,751714981	1,330291434	0,655737705
PPP1R3E	0,280789447	-0,411824014	0,008	0,024	1	0,751672426	1,330366747	0,333333333
CUTA	0,09791226	-0,411828502	0,107	0,195	1	0,751670087	1,330370886	0,548717949
ORMDL3	0,443091335	-0,411834532	0,011	0,024	1	0,751666945	1,330376447	0,458333333
ANAPC15	0,214541997	-0,411944906	0,053	0,098	1	0,751609441	1,330478231	0,540816327
ANKRD35	0,278515928	-0,412053488	0,008	0,024	1	0,751552875	1,330578371	0,333333333
ERO1B	0,360693945	-0,412286746	0,01	0,024	1	0,751431372	1,33079352	0,416666667
ARVCF	0,113762049	-0,412425399	0,005	0,024	1	0,751359157	1,330921425	0,208333333
STXBP5-AS1	0,009700686	-0,41261606	0,002	0,024	1	0,751259867	1,331097325	0,083333333
AGO4	0,278515928	-0,412810871	0,008	0,024	1	0,75115843	1,331277079	0,333333333
DCTPP1	0,147570216	-0,412831908	0,046	0,098	1	0,751147476	1,331296492	0,469387755
SHISA5	0,354206959	-0,41350851	0,043	0,073	1	0,750795282	1,331920996	0,589041096
MANEA	0,010257514	-0,413919906	0,037	0,122	1	0,750581218	1,332300858	0,303278689
DCTN3	0,228194345	-0,413975788	0,129	0,195	1	0,750552145	1,332352465	0,661538462
ARL6IP4	0,088741459	-0,413992928	0,27	0,39	1	0,750543228	1,332368294	0,692307692
TSTD2	0,07730408	-0,4143805	0,026	0,073	1	0,750341626	1,332726275	0,356164384
DAXX	0,52217111	-0,414670226	0,013	0,024	1	0,750190955	1,332993944	0,541666667
IFI27L2	0,072930944	-0,414760631	0,279	0,415	1	0,750143947	1,333077477	0,672289157

Supplementary Table 3

Differentially expressed genes_keloid-MD_comparing SC-Keloid vs. (SC-Myel+Nonmyel)								
gene	p_val	avg_log2FC	pct.1	pct.2	p_val_adj	Foldchange_UP	Foldchange_DOWN	Ratio_pct1_pct2
MON1A	0,59736795	-0,41491634	0,014	0,024	1	0,750062988	1,333221363	0,583333333
PA2G4	0,203324046	-0,415046993	0,187	0,268	1	0,749995065	1,333342107	0,697761194
AP4B1-AS1	0,048947161	-0,415118697	0,003	0,024	1	0,74995779	1,333408378	0,125
NIT2	0,196997934	-0,415144443	0,069	0,122	1	0,749944406	1,333432174	0,56557377
AKAP7	0,000703408	-0,415239464	0,01	0,073	1	0,749895014	1,333520001	0,136986301
MRFAP1L1	0,061875376	-0,415283108	0,024	0,073	1	0,749872329	1,333560343	0,328767123
CADPS2	0,048947161	-0,415958327	0,003	0,024	1	0,749521451	1,33418463	0,125
KCTD1	7,54298E-06	-0,41643967	0,005	0,073	0,159164324	0,749271421	1,334629844	0,068493151
RASGEF1C	0,039138181	-0,416739885	0,033	0,098	1	0,749115519	1,3349076	0,336734694
MRPL36	0,689855308	-0,416893197	0,128	0,146	1	0,749035917	1,335049465	0,876712329
POLDIP3	0,449127177	-0,416973573	0,029	0,049	1	0,748994187	1,335123846	0,591836735
CHP1	0,05942242	-0,417070693	0,037	0,098	1	0,748943768	1,335213728	0,37755102
NCOA4	0,268487785	-0,417705316	0,038	0,073	1	0,748614389	1,335801201	0,520547945
RDH10	0,057466743	-0,417770117	0,037	0,098	1	0,748580765	1,335861202	0,37755102
LRIG3	0,278515928	-0,417984473	0,008	0,024	1	0,748469549	1,336059699	0,333333333
SERINC1	0,123664728	-0,417997317	0,164	0,268	1	0,748462885	1,336071594	0,611940299
NOC3L	0,037599888	-0,418475703	0,046	0,122	1	0,748214742	1,336514698	0,37704918
PRKACB	0,148541404	-0,418610335	0,099	0,171	1	0,748144922	1,336639427	0,578947368
FOSB	0,239391812	-0,418675068	0,112	0,171	1	0,748111354	1,336699403	0,65497076
M6PR	0,143265198	-0,418802935	0,046	0,098	1	0,748045051	1,33681788	0,469387755
DIPK1B	9,44793E-05	-0,419374681	0	0,024	1	0,747748657	1,337347772	0
JSRP1	9,44793E-05	-0,419374681	0	0,024	1	0,747748657	1,337347772	0
S100A14	9,44793E-05	-0,419374681	0	0,024	1	0,747748657	1,337347772	0
SEPTIN3	9,44793E-05	-0,419374681	0	0,024	1	0,747748657	1,337347772	0
H2AC20	0,52217111	-0,419467942	0,013	0,024	1	0,747700321	1,337434225	0,541666667
SUMO2	0,04640657	-0,419596391	0,411	0,561	1	0,747633753	1,337553308	0,732620321
FRMD8	0,034864728	-0,419660974	0,021	0,073	1	0,747600286	1,337613186	0,287671233
CEPT1	0,360693945	-0,419753816	0,01	0,024	1	0,747552177	1,337699268	0,416666667
YTHDC2	0,851862947	-0,419865483	0,03	0,024	1	0,747494318	1,337802812	1,25
ECI2	0,069124115	-0,419935538	0,038	0,098	1	0,747458021	1,337867776	0,387755102

Supplementary Table 3

Differentially expressed genes_keloid-MD_comparing SC-Keloid vs. (SC-Myel+Nonmyel)								
gene	p_val	avg_log2FC	pct.1	pct.2	p_val_adj	Foldchange_UP	Foldchange_DOWN	Ratio_pct1_pct2
VANGL2	0,043341977	-0,420116894	0,011	0,049	1	0,747364067	1,338035964	0,224489796
RASSF1	0,355417468	-0,420208124	0,043	0,073	1	0,747316808	1,338120579	0,589041096
SFN	0,013252307	-0,420462023	0,008	0,049	1	0,7471853	1,338356095	0,163265306
MTRFR	0,015641886	-0,420781024	0,018	0,073	1	0,747020105	1,338652057	0,246575342
MGA	0,125027562	-0,420878938	0,016	0,049	1	0,746969407	1,338742913	0,326530612
ING3	0,016683922	-0,420966285	0,018	0,073	1	0,746924184	1,338823969	0,246575342
VPS37B	0,039138181	-0,42156442	0,033	0,098	1	0,746614576	1,339379154	0,336734694
GLI4	0,009588188	-0,421622393	0,026	0,098	1	0,746584575	1,339432977	0,265306122
NMT2	0,443091335	-0,421689777	0,011	0,024	1	0,746549705	1,339495539	0,458333333
INTS6	0,283019551	-0,421695448	0,057	0,098	1	0,74654677	1,339500805	0,581632653
SELENOO	0,000252244	-0,422697198	0,003	0,049	1	0,746028578	1,340431224	0,06122449
STAT5A	0,276254967	-0,422776548	0,008	0,024	1	0,745987547	1,340504951	0,333333333
ZNF395	1,27911E-05	-0,422827961	0,002	0,049	0,269904161	0,745960963	1,340552723	0,040816327
TSC22D3	0,178503134	-0,422851207	0,065	0,122	1	0,745948943	1,340574324	0,532786885
SPP1	1,23757E-05	-0,422888324	0,002	0,049	0,261139758	0,745929752	1,340608813	0,040816327
EFCAB14	0,005291963	-0,422905425	0,045	0,146	1	0,74592091	1,340624705	0,308219178
LYRM2	0,068405179	-0,423396502	0,085	0,171	1	0,74566705	1,341081116	0,497076023
ATP6VOE2	0,04757893	-0,423438871	0,022	0,073	1	0,745645152	1,341120502	0,301369863
KLHDC8B	0,360693945	-0,423486801	0,01	0,024	1	0,74562038	1,341165057	0,416666667
MTR	0,240121148	-0,423489726	0,054	0,098	1	0,745618868	1,341167777	0,551020408
SRD5A1	0,024733964	-0,423848658	0,01	0,049	1	0,745433387	1,341501491	0,204081633
PCBD1	0,198389748	-0,423860828	0,051	0,098	1	0,745427099	1,341512807	0,520408163
ANKIB1	0,422933797	-0,423939721	0,046	0,073	1	0,745386337	1,341586169	0,630136986
CXCL12	0,469858947	-0,423996015	0,128	0,171	1	0,745357252	1,341638519	0,748538012
CEBPZ	0,069073082	-0,424113774	0,102	0,195	1	0,745296416	1,341748034	0,523076923
ZZEF1	0,238698091	-0,424288114	0,021	0,049	1	0,745206357	1,341910184	0,428571429
PRRC2A	0,540560695	-0,424443988	0,032	0,049	1	0,745125846	1,342055177	0,653061224
CEP192	0,192336114	-0,424804939	0,006	0,024	1	0,744939445	1,342390991	0,25
MYO1G	0,009700686	-0,425125906	0,002	0,024	1	0,744773731	1,342689676	0,083333333
COX7A1	0,068174708	-0,425388152	0,155	0,268	1	0,744638362	1,342933766	0,578358209

Supplementary Table 3

Differentially expressed genes_keloid-MD_comparing SC-Keloid vs. (SC-Myel+Nonmyel)								
gene	p_val	avg_log2FC	pct.1	pct.2	p_val_adj	Foldchange_UP	Foldchange_DOWN	Ratio_pct1_pct2
ROMO1	0,067480133	-0,42541451	0,324	0,463	1	0,744624758	1,342958301	0,699784017
HHEX	0,048947161	-0,425645667	0,003	0,024	1	0,744505459	1,343173496	0,125
HOPX	0,360693945	-0,425726977	0,01	0,024	1	0,744463501	1,343249198	0,416666667
EIPR1	0,239997787	-0,425854965	0,021	0,049	1	0,744397459	1,343368369	0,428571429
COX11	0,060230893	-0,42586336	0,024	0,073	1	0,744393127	1,343376187	0,328767123
MAF1	0,004037322	-0,425891276	0,022	0,098	1	0,744378723	1,34340218	0,224489796
DECR1	0,088126613	-0,42592513	0,124	0,22	1	0,744361256	1,343433705	0,563636364
IKBKB	0,238698091	-0,426160743	0,021	0,049	1	0,744239701	1,343653126	0,428571429
TMEM168	0,137992943	-0,426237115	0,03	0,073	1	0,744200304	1,343724256	0,410958904
USE1	0,129442959	-0,426377358	0,062	0,122	1	0,744127964	1,343854885	0,508196721
SINHCAF	0,010713578	-0,426785062	0,016	0,073	1	0,743917705	1,34423471	0,219178082
ATP6V1G1	0,150820497	-0,427125394	0,255	0,366	1	0,743742235	1,344551852	0,696721311
NBAS	0,009667293	-0,427125665	0,026	0,098	1	0,743742095	1,344552105	0,265306122
CBX4	0,59736795	-0,427186204	0,014	0,024	1	0,743710886	1,344608528	0,583333333
LRRC7	0,192336114	-0,427204074	0,006	0,024	1	0,743701675	1,344625182	0,25
POLR2E	0,112211985	-0,427510084	0,059	0,122	1	0,743543945	1,344910421	0,483606557
BTBD6	0,04757893	-0,427728165	0,022	0,073	1	0,743431558	1,345113736	0,301369863
RPAIN	0,126935167	-0,427836554	0,078	0,146	1	0,743375706	1,345214797	0,534246575
NIPA1	0,192336114	-0,427912158	0,006	0,024	1	0,743336751	1,345285295	0,25
ATG3	0,140848865	-0,428142247	0,046	0,098	1	0,743218209	1,345499866	0,469387755
AC093157.1	0,093211256	-0,428465682	0,014	0,049	1	0,743051607	1,345801544	0,285714286
SIRT7	0,005381463	-0,428752383	0,006	0,049	1	0,742903958	1,346069017	0,12244898
SNRNP35	0,05942242	-0,428857446	0,037	0,098	1	0,742849859	1,346167046	0,37755102
SAMD4B	0,366368165	-0,429338204	0,062	0,098	1	0,742602355	1,346615712	0,632653061
RHOT2	0,159467695	-0,429396929	0,018	0,049	1	0,742572128	1,346670528	0,367346939
CXCR4	0,094698473	-0,429444169	0,014	0,049	1	0,742547814	1,346714624	0,285714286
C19orf73	0,276254967	-0,429659501	0,008	0,024	1	0,742436992	1,346915646	0,333333333
DCAF12	0,487936714	-0,429862457	0,03	0,049	1	0,742332554	1,347105141	0,612244898
LENG8-AS1	0,276254967	-0,429892276	0,008	0,024	1	0,742317211	1,347132985	0,333333333
DDHD2	0,115234642	-0,42996912	0,029	0,073	1	0,742277673	1,34720474	0,397260274

Supplementary Table 3

Differentially expressed genes_keloid-MD_comparing SC-Keloid vs. (SC-Myel+Nonmyel)								
gene	p_val	avg_log2FC	pct.1	pct.2	p_val_adj	Foldchange_UP	Foldchange_DOWN	Ratio_pct1_pct2
EED	0,668505389	-0,430139037	0,016	0,024	1	0,742190254	1,347363421	0,666666667
CCDC138	0,066247027	-0,43028678	0,013	0,049	1	0,742114253	1,347501407	0,265306122
FAM98C	0,237403369	-0,430340693	0,021	0,049	1	0,74208652	1,347551764	0,428571429
WDR6	0,59736795	-0,431204667	0,014	0,024	1	0,741642247	1,348359002	0,583333333
OSBPL2	0,093952504	-0,431281275	0,014	0,049	1	0,741602866	1,348430603	0,285714286
RRP8	0,160505608	-0,431301543	0,018	0,049	1	0,741592448	1,348449547	0,367346939
ERBB2	0,058112616	-0,43168935	0,037	0,098	1	0,741393129	1,348812069	0,37755102
SCCPDH	0,098544396	-0,431706367	0,163	0,268	1	0,741384384	1,348827978	0,608208955
TSPYL2	0,031633651	-0,431714225	0,032	0,098	1	0,741380346	1,348835325	0,326530612
RGL2	0,093211256	-0,433006196	0,014	0,049	1	0,740716718	1,350043784	0,285714286
LARS1	0,391437642	-0,433054302	0,129	0,171	1	0,740692019	1,3500888	0,754385965
RNPC3	0,001540594	-0,433285175	0,005	0,049	1	0,740573496	1,350304872	0,102040816
PM20D2	0,360693945	-0,433474401	0,01	0,024	1	0,740476368	1,350481991	0,416666667
BEND5	0,197851694	-0,434005561	0,019	0,049	1	0,740203796	1,350979292	0,387755102
MRPL2	0,070608935	-0,43409861	0,038	0,098	1	0,740156057	1,351066429	0,387755102
TTF2	0,278515928	-0,43419584	0,008	0,024	1	0,740106176	1,351157486	0,333333333
GPR173	0,001570499	-0,434217415	0,005	0,049	1	0,740095108	1,351177693	0,102040816
SEC31A	0,662075438	-0,434253806	0,134	0,146	1	0,74007644	1,351211775	0,917808219
STXBP3	0,014028385	-0,43432782	0,051	0,146	1	0,740038473	1,351281098	0,349315068
CTDSP2	0,031946387	-0,434616325	0,073	0,171	1	0,739890497	1,351551349	0,426900585
NKAP	0,710265924	-0,434646978	0,081	0,098	1	0,739874777	1,351580066	0,826530612
MBNL3	0,009700686	-0,434827654	0,002	0,024	1	0,739782125	1,351749342	0,083333333
TRMT10C	0,092825526	-0,434899871	0,027	0,073	1	0,739745094	1,351817008	0,369863014
MBTPS1	0,159925889	-0,435016513	0,065	0,122	1	0,739685288	1,351926307	0,532786885
CYP3A5	9,44793E-05	-0,435043473	0	0,024	1	0,739671465	1,351951571	0
HSPB7	9,44793E-05	-0,435043473	0	0,024	1	0,739671465	1,351951571	0
TRHDE	9,44793E-05	-0,435043473	0	0,024	1	0,739671465	1,351951571	0
CUEDC2	0,042536567	-0,43514891	0,062	0,146	1	0,73961741	1,35205038	0,424657534
PEX7	0,278515928	-0,4352768	0,008	0,024	1	0,739551848	1,35217024	0,333333333
CNR1	1,20272E-11	-0,435590239	0	0,073	2,53785E-07	0,739391191	1,352464044	0

Supplementary Table 3

Differentially expressed genes_keloid-MD_comparing SC-Keloid vs. (SC-Myel+Nonmyel)								
gene	p_val	avg_log2FC	pct.1	pct.2	p_val_adj	Foldchange_UP	Foldchange_DOWN	Ratio_pct1_pct2
RAD18	0,443091335	-0,435955959	0,011	0,024	1	0,739203781	1,352806934	0,458333333
THEMIS2	0,009700686	-0,436161811	0,002	0,024	1	0,739098314	1,352999974	0,083333333
LSM2	0,028624124	-0,436230535	0,088	0,195	1	0,739063108	1,353064426	0,451282051
EIF5B	0,100283799	-0,436849964	0,206	0,317	1	0,738745855	1,353645496	0,649842271
LUC7L	0,240537821	-0,436879724	0,054	0,098	1	0,738730617	1,35367342	0,551020408
EIF1AY	0,207671743	-0,437148592	0,035	0,073	1	0,738592955	1,353925721	0,479452055
ZNF227	0,443091335	-0,437487856	0,011	0,024	1	0,738419289	1,354244147	0,458333333
GNPTAB	0,09118762	-0,437882952	0,027	0,073	1	0,738217093	1,354615071	0,369863014
TGIF2	0,281462479	-0,437900924	0,022	0,049	1	0,738207897	1,354631946	0,448979592
CTSF	0,006326643	-0,438453237	0,014	0,073	1	0,73792534	1,355150645	0,191780822
EIF2S3	0,045082546	-0,438550023	0,078	0,171	1	0,737875837	1,35524156	0,456140351
MAFB	0,050327106	-0,438613405	0,064	0,146	1	0,73784342	1,355301101	0,438356164
ATP1B2	1,23757E-05	-0,438657577	0,002	0,049	0,261139758	0,737820829	1,355342599	0,040816327
SIRT6	0,360693789	-0,438781323	0,01	0,024	1	0,737757546	1,355458857	0,416666667
PRXL2B	0,59736795	-0,438925915	0,014	0,024	1	0,737683609	1,355594713	0,583333333
CYLD	0,320403048	-0,439026638	0,041	0,073	1	0,737632108	1,355689359	0,561643836
CLEC2D	0,048947161	-0,439188486	0,003	0,024	1	0,737549362	1,355841454	0,125
TARS3	0,316958653	-0,439855846	0,041	0,073	1	0,737208267	1,356468783	0,561643836
DCTN6	0,026683422	-0,440337278	0,086	0,195	1	0,736962299	1,356921516	0,441025641
ZSWIM4	0,093211256	-0,440619998	0,014	0,049	1	0,736817893	1,357187454	0,285714286
RECK	0,041636868	-0,440911542	0,011	0,049	1	0,73666901	1,357461745	0,224489796
PARN	0,44912723	-0,441092091	0,029	0,049	1	0,736576824	1,357631638	0,591836735
WDPCP	0,192336114	-0,441319726	0,006	0,024	1	0,736460612	1,357845869	0,25
PPP1R16A	0,012904719	-0,441746032	0,008	0,049	1	0,736243026	1,358247161	0,163265306
GMPR2	0,005297272	-0,441844039	0,006	0,049	1	0,736193012	1,358339435	0,12244898
NT5DC1	0,276254967	-0,442162737	0,008	0,024	1	0,736030402	1,358639531	0,333333333
ZMYM3	0,025308197	-0,442167593	0,01	0,049	1	0,736027924	1,358644104	0,204081633
MGAT3	0,009700686	-0,44225585	0,002	0,024	1	0,735982899	1,358727222	0,083333333
ZNF33B	0,113762049	-0,442890588	0,005	0,024	1	0,735659162	1,359325149	0,208333333
C2orf74	0,714633421	-0,442928024	0,059	0,073	1	0,735640073	1,359360422	0,808219178

Supplementary Table 3

Differentially expressed genes_keloid-MD_comparing SC-Keloid vs. (SC-Myel+Nonmyel)								
gene	p_val	avg_log2FC	pct.1	pct.2	p_val_adj	Foldchange_UP	Foldchange_DOWN	Ratio_pct1_pct2
HDDC3	0,016683922	-0,442957745	0,018	0,073	1	0,735624918	1,359388426	0,246575342
DST	0,092923145	-0,443001822	0,327	0,463	1	0,735602444	1,359429958	0,706263499
STARD9	0,065662619	-0,443150904	0,013	0,049	1	0,735526434	1,359570443	0,265306122
PIK3IP1	0,026191169	-0,443164812	0,01	0,049	1	0,735519343	1,359583551	0,204081633
ARHGAP5-AS1	1,19732E-05	-0,443243625	0,002	0,049	0,252647346	0,735479164	1,359657825	0,040816327
SRM	0,013558626	-0,443303937	0,078	0,195	1	0,735448417	1,359714667	0,4
CPT2	0,276254967	-0,443789224	0,008	0,024	1	0,735201072	1,360172118	0,333333333
MOCS2	0,017305056	-0,444021292	0,096	0,22	1	0,73508282	1,360390929	0,436363636
GRID2	1,27911E-05	-0,444581721	0,002	0,049	0,269904161	0,734797325	1,360919489	0,040816327
AQR	0,091730987	-0,444616615	0,027	0,073	1	0,734779553	1,360952406	0,369863014
HSD17B7	0,276254967	-0,444950489	0,008	0,024	1	0,734609527	1,361267399	0,333333333
EMSY	0,034593957	-0,444997309	0,021	0,073	1	0,734585687	1,361311577	0,287671233
OPHN1	0,042910262	-0,445373501	0,011	0,049	1	0,734394164	1,361666594	0,224489796
ZC2HC1A	0,125117868	-0,445904371	0,061	0,122	1	0,734123978	1,36216774	0,5
TMEM97	0,00546686	-0,446182725	0,006	0,049	1	0,73398235	1,362430582	0,12244898
NFIA	0,000641705	-0,446843968	0,01	0,073	1	0,733646014	1,36305518	0,136986301
NUP42	0,017148854	-0,44703258	0,018	0,073	1	0,733550106	1,363233393	0,246575342
MCMBP	0,40185536	-0,447113584	0,027	0,049	1	0,73350892	1,363309937	0,551020408
ADSL	0,360693945	-0,447231177	0,01	0,024	1	0,733449135	1,363421064	0,416666667
VHL	0,047638065	-0,447482201	0,035	0,098	1	0,733321528	1,363658316	0,357142857
TCF25	0,082962059	-0,447707045	0,177	0,293	1	0,733207249	1,363870858	0,604095563
ADGRB1	9,44793E-05	-0,449031381	0	0,024	1	0,732534503	1,365123412	0
RN7SL832P	9,44793E-05	-0,449031381	0	0,024	1	0,732534503	1,365123412	0
TRPV6	9,44793E-05	-0,449031381	0	0,024	1	0,732534503	1,365123412	0
TMEM200B	0,009700686	-0,449247087	0,002	0,024	1	0,732424986	1,365327534	0,083333333
MBOAT2	0,493151946	-0,449322555	0,03	0,049	1	0,732386673	1,365398957	0,612244898
CHCHD6	0,192053221	-0,449442187	0,019	0,049	1	0,732325944	1,365512184	0,387755102
MDK	0,257357136	-0,449772263	0,056	0,098	1	0,732158414	1,365824637	0,571428571
UBQLN1	0,229029922	-0,450109759	0,072	0,122	1	0,731987157	1,366144187	0,590163934
SLC2A10	0,113762049	-0,45061038	0,005	0,024	1	0,731733199	1,366618327	0,208333333

Supplementary Table 3

Differentially expressed genes_keloid-MD_comparing SC-Keloid vs. (SC-Myel+Nonmyel)								
gene	p_val	avg_log2FC	pct.1	pct.2	p_val_adj	Foldchange_UP	Foldchange_DOWN	Ratio_pct1_pct2
ECT2L	0,009700686	-0,450647082	0,002	0,024	1	0,731714584	1,366653094	0,083333333
ATAT1	0,52217111	-0,451017871	0,013	0,024	1	0,731526549	1,367004386	0,541666667
NBEAL1	0,034069709	-0,451511112	0,14	0,268	1	0,731276491	1,367471828	0,52238806
SHC4	0,00137919	-0,451697012	0,027	0,122	1	0,731182267	1,367648047	0,221311475
RACK1	0,039070293	-0,45189689	0,498	0,659	1	0,731080973	1,36783754	0,75569044
ANKRD6	0,016230095	-0,451976296	0,018	0,073	1	0,731040735	1,367912829	0,246575342
CTNBL1	0,288702237	-0,452016664	0,04	0,073	1	0,73102028	1,367951104	0,547945205
NEGR1	0,018139715	-0,452133375	0,029	0,098	1	0,730961145	1,368061774	0,295918367
PGS1	1,23757E-05	-0,452189613	0,002	0,049	0,261139758	0,730932652	1,368115103	0,040816327
RNF114	0,551806552	-0,452317822	0,075	0,098	1	0,730867698	1,36823669	0,765306122
MED7	0,275865051	-0,452878302	0,022	0,049	1	0,730583815	1,368768346	0,448979592
MXI1	0,061048548	-0,453635463	0,024	0,073	1	0,730200487	1,369486898	0,328767123
ZNF573	0,192336114	-0,45393599	0,006	0,024	1	0,730048396	1,369772204	0,25
LAMTOR5	0,113236082	-0,454474248	0,276	0,39	1	0,729776071	1,37028335	0,707692308
VKORC1	0,11922021	-0,454910442	0,113	0,195	1	0,729555459	1,370697713	0,579487179
SLC52A2	0,445743914	-0,455105312	0,029	0,049	1	0,729456922	1,370882871	0,591836735
ST7L	0,065662619	-0,455293527	0,013	0,049	1	0,729361763	1,371061729	0,265306122
PPM1K	0,321155557	-0,455717898	0,024	0,049	1	0,729147252	1,371465088	0,489795918
ZFP36L2	0,057827265	-0,4560319	0,139	0,244	1	0,72898857	1,371763619	0,569672131
SLC16A4	0,576859289	-0,456508995	0,033	0,049	1	0,728747536	1,372217333	0,673469388
ZFP57	9,44793E-05	-0,456669637	0	0,024	1	0,728666395	1,372370136	0
ZNF106	0,359962272	-0,456911716	0,083	0,122	1	0,728544138	1,372600434	0,680327869
OSGIN2	0,006396675	-0,457559893	0,014	0,073	1	0,72821689	1,373217258	0,191780822
TMOD2	0,531665802	-0,457575707	0,053	0,073	1	0,728208907	1,37323231	0,726027397
IGFN1	9,44793E-05	-0,458168673	0	0,024	1	0,727909666	1,373796841	0
ZNFX1	0,190908763	-0,458361641	0,019	0,049	1	0,72781231	1,373980607	0,387755102
ESS2	0,192336114	-0,459301228	0,006	0,024	1	0,727338461	1,374875734	0,25
PON3	9,44793E-05	-0,459677665	0	0,024	1	0,727148704	1,375234522	0
KCNAB1	0,049781231	-0,460158487	0,003	0,024	1	0,7269064	1,375692936	0,125
FTO	0,001636738	-0,460398701	0,011	0,073	1	0,726785378	1,375922013	0,150684932

Supplementary Table 3

Differentially expressed genes_keloid-MD_comparing SC-Keloid vs. (SC-Myel+Nonmyel)								
gene	p_val	avg_log2FC	pct.1	pct.2	p_val_adj	Foldchange_UP	Foldchange_DOWN	Ratio_pct1_pct2
EGFLAM	0,013252307	-0,460517644	0,008	0,049	1	0,72672546	1,376035456	0,163265306
CCT6B	0,113762049	-0,460658056	0,005	0,024	1	0,726654735	1,376169386	0,208333333
PHC2	0,21089718	-0,460753869	0,07	0,122	1	0,726606477	1,376260784	0,573770492
SELENOT	0,01299887	-0,460952785	0,093	0,22	1	0,726506301	1,376450554	0,422727273
CWC27	0,076336687	-0,461121558	0,026	0,073	1	0,726421316	1,376611586	0,356164384
ZCCHC24	0,005552737	-0,461219016	0,11	0,268	1	0,726372245	1,376704584	0,410447761
BCCIP	0,043214795	-0,461249451	0,048	0,122	1	0,726356922	1,376733627	0,393442623
SMIM13	0,09029307	-0,461467135	0,014	0,049	1	0,726247333	1,376941374	0,285714286
P4HTM	0,094422534	-0,461765273	0,041	0,098	1	0,726097267	1,377225953	0,418367347
PAPSS2	0,048947161	-0,463173888	0,003	0,024	1	0,725388667	1,378571302	0,125
ZW10	0,113762049	-0,463205521	0,005	0,024	1	0,725372763	1,37860153	0,208333333
NRDE2	0,060638578	-0,463338522	0,024	0,073	1	0,725305894	1,378728628	0,328767123
PPP6C	0,157407112	-0,463411872	0,018	0,049	1	0,725269019	1,378798727	0,367346939
NR6A1	0,276254967	-0,463604442	0,008	0,024	1	0,725172217	1,37898278	0,333333333
ZNF649	0,066247027	-0,463831099	0,013	0,049	1	0,725058296	1,379199445	0,265306122
ZNF486	0,000264836	-0,463851594	0,003	0,049	1	0,725047996	1,379219038	0,06122449
EPN1	0,060638578	-0,464313045	0,024	0,073	1	0,724816124	1,379660257	0,328767123
ADAMTS7	0,024993722	-0,464415903	0,043	0,122	1	0,72476445	1,379758624	0,352459016
ABHD3	0,001600938	-0,464428335	0,005	0,049	1	0,724758204	1,379770514	0,102040816
CHMP1B	0,185548762	-0,464507768	0,033	0,073	1	0,724718301	1,379846484	0,452054795
CAT	0,094486966	-0,464598264	0,027	0,073	1	0,724672843	1,37993304	0,369863014
PTGR1	0,366844989	-0,464705836	0,064	0,098	1	0,724618811	1,380035936	0,653061224
CLEC16A	0,009700686	-0,465333144	0,002	0,024	1	0,724303804	1,38063613	0,083333333
F8	9,44793E-05	-0,465815235	0	0,024	1	0,72406181	1,381097561	0
ZNF329	9,44793E-05	-0,465815235	0	0,024	1	0,72406181	1,381097561	0
FOXD3	0,771877993	-0,465858156	0,166	0,171	1	0,72404027	1,381138649	0,970760234
COPS6	0,253711864	-0,466332783	0,116	0,171	1	0,723802109	1,3815931	0,678362573
NR2F6	0,073961348	-0,466409754	0,026	0,073	1	0,723763494	1,381666813	0,356164384
SELE	0,048947161	-0,467148963	0,003	0,024	1	0,723392746	1,382374934	0,125
NRCAM	0,005381463	-0,467226888	0,006	0,049	1	0,723353675	1,382449602	0,12244898

Supplementary Table 3

Differentially expressed genes_keloid-MD_comparing SC-Keloid vs. (SC-Myel+Nonmyel)								
gene	p_val	avg_log2FC	pct.1	pct.2	p_val_adj	Foldchange_UP	Foldchange_DOWN	Ratio_pct1_pct2
CHTOP	0,480049611	-0,467231494	0,049	0,073	1	0,723351365	1,382454016	0,671232877
INPP5B	0,001614632	-0,467391179	0,011	0,073	1	0,723271305	1,382607043	0,150684932
SCAP	0,013077492	-0,467478571	0,008	0,049	1	0,723227494	1,382690797	0,163265306
DMAC1	0,172555948	-0,467631374	0,067	0,122	1	0,723150897	1,382837252	0,549180328
RGS4	9,44793E-05	-0,468002628	0	0,024	1	0,72296483	1,383193149	0
PNKD	0,042183165	-0,468013313	0,126	0,244	1	0,722959476	1,383203393	0,516393443
CPSF4	0,192336114	-0,468385744	0,006	0,024	1	0,722772868	1,383560513	0,25
INAFM1	0,268975707	-0,46849363	0,022	0,049	1	0,722718821	1,38366398	0,448979592
SETD4	0,232274121	-0,468563755	0,021	0,049	1	0,722683692	1,383731237	0,428571429
FAM172A	0,20138556	-0,468706513	0,051	0,098	1	0,722612185	1,383868168	0,520408163
RNF8	0,095607774	-0,468864394	0,027	0,073	1	0,72253311	1,384019619	0,369863014
GOSR2	0,193202863	-0,469087976	0,019	0,049	1	0,722421144	1,384234124	0,387755102
TSNAX	0,119610881	-0,470949345	0,045	0,098	1	0,721489675	1,38602122	0,459183673
LSAMP	0,116801394	-0,471210567	0,077	0,146	1	0,721359051	1,386272202	0,52739726
HSPBAP1	0,192336114	-0,471706792	0,006	0,024	1	0,721110977	1,386749103	0,25
CNPY3	0,131650991	-0,471797056	0,03	0,073	1	0,721065861	1,386835869	0,410958904
AFAP1L2	0,034164176	-0,471842412	0,107	0,22	1	0,721043192	1,38687947	0,486363636
ALDH3A2	0,033266744	-0,471972183	0,021	0,073	1	0,720978337	1,387004226	0,287671233
AK3	0,217671448	-0,472332142	0,053	0,098	1	0,720798472	1,387350333	0,540816327
EFCAB11	0,271717138	-0,472419888	0,022	0,049	1	0,720754634	1,387434715	0,448979592
ZNF737	0,048947161	-0,473176607	0,003	0,024	1	0,720376684	1,38816264	0,125
AMFR	0,092276953	-0,473554242	0,027	0,073	1	0,720188146	1,388526049	0,369863014
ANGPTL4	0,276254967	-0,473612778	0,008	0,024	1	0,720158925	1,388582388	0,333333333
SPCS2	0,061590419	-0,474096348	0,4	0,561	1	0,719917579	1,389047898	0,713012478
BRI3	0,032529631	-0,474934133	0,175	0,317	1	0,719499639	1,389854764	0,552050473
AGPAT3	0,075856706	-0,475126498	0,026	0,073	1	0,719403709	1,390040096	0,356164384
ELAVL4	0,113762049	-0,47533563	0,005	0,024	1	0,719299432	1,39024161	0,208333333
FRMPD4	0,049781231	-0,475425884	0,003	0,024	1	0,719254435	1,390328584	0,125
MALT1	0,113762049	-0,477143087	0,005	0,024	1	0,718398834	1,391984443	0,208333333
ZNF549	0,113762049	-0,477421495	0,005	0,024	1	0,718260212	1,39225309	0,208333333

Supplementary Table 3

Differentially expressed genes_keloid-MD_comparing SC-Keloid vs. (SC-Myel+Nonmyel)								
gene	p_val	avg_log2FC	pct.1	pct.2	p_val_adj	Foldchange_UP	Foldchange_DOWN	Ratio_pct1_pct2
MT1F	0,139652494	-0,477556094	0,046	0,098	1	0,718193204	1,392382989	0,469387755
FOSL2	0,014993355	-0,478358022	0,04	0,122	1	0,717794104	1,393157166	0,327868852
STAT2	0,055878208	-0,478851535	0,037	0,098	1	0,717548605	1,393633815	0,37755102
JOSD2	0,402310302	-0,479472489	0,132	0,171	1	0,71723983	1,394233781	0,771929825
HNRNPH3	0,162697324	-0,479531108	0,142	0,22	1	0,717210688	1,394290433	0,645454545
CNPY2	0,050116622	-0,47958647	0,201	0,341	1	0,717183166	1,394343938	0,589442815
PHC3	0,205844796	-0,479719268	0,035	0,073	1	0,717117153	1,394472291	0,479452055
RNASE1	0,276254967	-0,479732557	0,008	0,024	1	0,717110548	1,394485136	0,333333333
LRP6	0,251361233	-0,479743391	0,056	0,098	1	0,717105162	1,394495609	0,571428571
ALAS1	0,065662619	-0,480045014	0,013	0,049	1	0,716955254	1,394787185	0,265306122
PDLIM2	0,015367343	-0,481153452	0,053	0,146	1	0,716404621	1,395859227	0,363013699
TPT1	0,030690725	-0,481504513	0,671	0,756	1	0,716230315	1,396198932	0,887566138
FAM107B	0,027159491	-0,482120981	0,088	0,195	1	0,715924333	1,396795659	0,451282051
WBP4	0,447694863	-0,482138491	0,069	0,098	1	0,715915643	1,396812613	0,704081633
GASK1A	0,009700686	-0,48220318	0,002	0,024	1	0,715883543	1,396875245	0,083333333
ARID2	0,383843012	-0,482836261	0,045	0,073	1	0,715569469	1,397488355	0,616438356
AIMP2	0,034593957	-0,482952243	0,021	0,073	1	0,715511945	1,397600707	0,287671233
CABLES1	0,048947161	-0,48299389	0,003	0,024	1	0,71549129	1,397641052	0,125
STX3	0,000210269	-0,483205717	0,008	0,073	1	0,715386244	1,39784628	0,109589041
ZNF8	0,443091335	-0,483254877	0,011	0,024	1	0,715361868	1,397893912	0,458333333
GTF3C3	0,092474707	-0,483274513	0,014	0,049	1	0,715352132	1,397912938	0,285714286
DCUN1D3	0,025019654	-0,483329228	0,01	0,049	1	0,715325002	1,397965956	0,204081633
TXNDC15	0,080578396	-0,483335166	0,088	0,171	1	0,715322058	1,39797171	0,514619883
DIPK2A	0,276254967	-0,483353379	0,008	0,024	1	0,715313027	1,397989358	0,333333333
ZEB2-AS1	0,005214273	-0,484062862	0,006	0,049	1	0,71496134	1,398677025	0,12244898
SWT1	0,009700686	-0,484461437	0,002	0,024	1	0,714763844	1,399063493	0,083333333
CCNF	0,048947161	-0,484760664	0,003	0,024	1	0,714615611	1,399353701	0,125
RGS11	5,24294E-05	-0,485130289	0,006	0,073	1	0,714432547	1,399712268	0,082191781
FBXO21	0,173787979	-0,485727498	0,033	0,073	1	0,714136866	1,400291803	0,452054795
FGFR1OP2	0,19690412	-0,485791045	0,051	0,098	1	0,714105411	1,400353484	0,520408163

Supplementary Table 3

Differentially expressed genes_keloid-MD_comparing SC-Keloid vs. (SC-Myel+Nonmyel)								
gene	p_val	avg_log2FC	pct.1	pct.2	p_val_adj	Foldchange_UP	Foldchange_DOWN	Ratio_pct1_pct2
RTCB	0,154934793	-0,486171164	0,048	0,098	1	0,713917285	1,400722495	0,489795918
DDB2	0,65114288	-0,486349714	0,037	0,049	1	0,713828934	1,400895862	0,755102041
ZCRB1	0,055461943	-0,486621112	0,15	0,268	1	0,713694662	1,401159421	0,559701493
RMND5A	0,013252307	-0,48679586	0,008	0,049	1	0,713608221	1,401329148	0,163265306
BCL2	0,042910262	-0,487017359	0,011	0,049	1	0,713498668	1,401544313	0,224489796
SOX15	0,048947161	-0,4874571	0,003	0,024	1	0,713281223	1,401971576	0,125
KDM6B	0,020138334	-0,487550349	0,041	0,122	1	0,713235121	1,402062195	0,336065574
DYM	0,010188663	-0,487775325	0,016	0,073	1	0,713123907	1,402280853	0,219178082
ZNF154	0,048947161	-0,487844358	0,003	0,024	1	0,713089785	1,402347953	0,125
AC012613.2	0,009700686	-0,487984788	0,002	0,024	1	0,713020377	1,402484462	0,083333333
ARL8A	0,01881179	-0,488099164	0,054	0,146	1	0,712963851	1,402595655	0,369863014
ETS1	0,558608603	-0,488752952	0,12	0,146	1	0,71264083	1,403231415	0,821917808
GLA	0,017617487	-0,488792832	0,029	0,098	1	0,712621131	1,403270204	0,295918367
AVL9	0,9144643	-0,489119261	0,022	0,024	1	0,712459909	1,403587749	0,916666667
KMT2D	0,024451103	-0,489272807	0,01	0,049	1	0,712384086	1,403737141	0,204081633
WASF2	0,352752883	-0,489651514	0,166	0,22	1	0,71219711	1,40410567	0,754545455
RMDN3	0,260107653	-0,490380064	0,038	0,073	1	0,711837547	1,404814911	0,520547945
MT-CYB	0,083678144	-0,49162946	0,766	0,732	1	0,711221351	1,40603203	1,046448087
PHYHD1	0,000252244	-0,49196562	0,003	0,049	1	0,71105565	1,406359685	0,06122449
TMED5	0,03965515	-0,491972594	0,048	0,122	1	0,711052213	1,406366484	0,393442623
ZNF420	0,005381463	-0,492955146	0,006	0,049	1	0,710568113	1,407324621	0,12244898
KIF5B	0,021424655	-0,493284827	0,22	0,39	1	0,710405755	1,407646255	0,564102564
ST7	0,005297272	-0,493429004	0,006	0,049	1	0,710334763	1,407786937	0,12244898
DDX27	0,0252873	-0,493494051	0,043	0,122	1	0,710302737	1,407850411	0,352459016
TNFRSF19	0,182978698	-0,494299087	0,123	0,195	1	0,709906492	1,408636223	0,630769231
SPIN1	0,09488205	-0,494820338	0,041	0,098	1	0,709650047	1,40914526	0,418367347
TTC37	0,13316633	-0,495888746	0,062	0,122	1	0,7091247	1,410189209	0,508196721
KCNA2	0,009746979	-0,496836452	0,026	0,098	1	0,708659029	1,411115866	0,265306122
RAB27A	0,048947161	-0,497062238	0,003	0,024	1	0,708548131	1,411336727	0,125
BTG3	0,012320841	-0,497100534	0,123	0,268	1	0,708529323	1,411374191	0,458955224

Supplementary Table 3

Differentially expressed genes_keloid-MD_comparing SC-Keloid vs. (SC-Myel+Nonmyel)								
gene	p_val	avg_log2FC	pct.1	pct.2	p_val_adj	Foldchange_UP	Foldchange_DOWN	Ratio_pct1_pct2
SLC46A1	0,009700686	-0,497277726	0,002	0,024	1	0,708442307	1,411547547	0,083333333
CADM4	0,030617158	-0,497455601	0,073	0,171	1	0,708354966	1,411721592	0,426900585
ATF7IP	0,004467583	-0,497598352	0,056	0,171	1	0,708284879	1,411861286	0,32748538
DDX51	0,048947161	-0,497656065	0,003	0,024	1	0,708256546	1,411917766	0,125
ARNT	0,033528665	-0,49780626	0,021	0,073	1	0,708182815	1,412064765	0,287671233
BCL6	0,024507087	-0,49782446	0,019	0,073	1	0,708173881	1,412082579	0,260273973
ZDHC20	0,05942242	-0,498475127	0,037	0,098	1	0,707854561	1,412719583	0,37755102
KDM3A	0,124136836	-0,498481888	0,016	0,049	1	0,707851244	1,412726204	0,326530612
TMEM39A	0,104694764	-0,498561412	0,043	0,098	1	0,707812227	1,412804078	0,43877551
ZNF273	0,009700686	-0,498603789	0,002	0,024	1	0,707791436	1,412845578	0,083333333
DDX59	0,001636738	-0,49874812	0,011	0,073	1	0,70772063	1,412986929	0,150684932
TOM1L2	2,91909E-05	-0,499088078	0,011	0,098	0,615956684	0,707553882	1,413319926	0,112244898
ENKD1	0,065662619	-0,500233777	0,013	0,049	1	0,70699221	1,414442743	0,265306122
DBF4B	0,009700686	-0,500513434	0,002	0,024	1	0,706855177	1,41471695	0,083333333
CNIH1	0,370986003	-0,500609925	0,064	0,098	1	0,706807903	1,414811572	0,653061224
ZNF274	0,192336114	-0,500618391	0,006	0,024	1	0,706803755	1,414819875	0,25
ZNF530	0,048947161	-0,500726761	0,003	0,024	1	0,706750664	1,414926155	0,125
SHISA4	0,128044318	-0,500881111	0,061	0,122	1	0,706675055	1,415077543	0,5
KIAA1191	0,079593912	-0,500927392	0,04	0,098	1	0,706652386	1,415122938	0,408163265
SMYD2	0,034864728	-0,501022873	0,021	0,073	1	0,706605619	1,415216597	0,287671233
LUZP1	0,419206994	-0,501209647	0,067	0,098	1	0,706514147	1,415399826	0,683673469
RPL9	0,024824425	-0,501248235	0,512	0,707	1	0,70649525	1,415437684	0,724186704
LINC00327	0,00546686	-0,501472471	0,006	0,049	1	0,706385448	1,415657701	0,12244898
QTRT1	0,313744509	-0,501533697	0,024	0,049	1	0,706355471	1,415717781	0,489795918
SEMA6D	0,115234602	-0,502671792	0,029	0,073	1	0,70579847	1,416835035	0,397260274
UBE2J1	0,444849252	-0,502798633	0,067	0,098	1	0,705736419	1,416959608	0,683673469
GTPBP1	0,276254967	-0,503111914	0,008	0,024	1	0,705583185	1,417267334	0,333333333
CCDC91	0,029008278	-0,503326547	0,045	0,122	1	0,705478222	1,417478199	0,368852459
BBOX1	0,005381463	-0,503446367	0,006	0,049	1	0,705419632	1,41759593	0,12244898
VPS8	0,612514492	-0,503655044	0,035	0,049	1	0,705317605	1,417800991	0,714285714

Supplementary Table 3

Differentially expressed genes_keloid-MD_comparing SC-Keloid vs. (SC-Myel+Nonmyel)								
gene	p_val	avg_log2FC	pct.1	pct.2	p_val_adj	Foldchange_UP	Foldchange_DOWN	Ratio_pct1_pct2
AHR	0,052897203	-0,503799182	0,097	0,195	1	0,705247141	1,417942649	0,497435897
TNPO1	0,123412261	-0,504125121	0,045	0,098	1	0,705087827	1,418263033	0,459183673
TNRC6B	0,189974774	-0,504304258	0,148	0,22	1	0,705000283	1,418439146	0,672727273
MYEF2	0,065524015	-0,504647023	0,038	0,098	1	0,704832805	1,418776189	0,387755102
NME7	0,403604369	-0,504840154	0,046	0,073	1	0,704738456	1,418966131	0,630136986
C8orf82	0,012983268	-0,50490439	0,027	0,098	1	0,704707078	1,419029311	0,275510204
UBE2G1	0,03432496	-0,505074967	0,021	0,073	1	0,704623762	1,4191971	0,287671233
PLAT	0,021624154	-0,505192751	0,265	0,439	1	0,704566238	1,419312971	0,603644647
GAK	0,798845609	-0,505389572	0,019	0,024	1	0,704470123	1,419506615	0,791666667
CDK5RAP3	0,036785729	-0,505610912	0,033	0,098	1	0,704362051	1,419724414	0,336734694
FBLN5	0,001600938	-0,5057877	0,005	0,049	1	0,704275744	1,419898397	0,102040816
CCDC66	0,229739309	-0,50610216	0,072	0,122	1	0,704122251	1,420207923	0,590163934
PUS3	0,025308197	-0,506428358	0,01	0,049	1	0,703963065	1,420529073	0,204081633
FDX1	0,343031327	-0,506467749	0,083	0,122	1	0,703943845	1,420567859	0,680327869
OAZ1	0,064360939	-0,506622369	0,45	0,585	1	0,703868404	1,420720115	0,769230769
RNH1	0,004720369	-0,506681954	0,158	0,341	1	0,703839334	1,420778794	0,463343109
PAQR6	0,065082467	-0,507702162	0,013	0,049	1	0,703341787	1,421783859	0,265306122
HNRNPUL1	0,033315318	-0,507917252	0,061	0,146	1	0,703236934	1,421995848	0,417808219
NCOR1	0,139784285	-0,507946167	0,081	0,146	1	0,703222839	1,422024348	0,554794521
CDC37	0,201547602	-0,508008794	0,129	0,195	1	0,703192314	1,422086079	0,661538462
ABLIM2	0,009700686	-0,508135402	0,002	0,024	1	0,703130606	1,422210883	0,083333333
SPDYE3	0,009700686	-0,508827393	0,002	0,024	1	0,702793429	1,422893213	0,083333333
SOCS3	0,028679046	-0,508840398	0,032	0,098	1	0,702787093	1,42290604	0,326530612
CDADC1	0,006188645	-0,509583262	0,014	0,073	1	0,702425311	1,423638903	0,191780822
SPTBN1	0,132452793	-0,510140571	0,287	0,39	1	0,702154019	1,424188957	0,735897436
SRP68	0,06450655	-0,51050282	0,013	0,049	1	0,701977736	1,424546604	0,265306122
RGCC	0,565810436	-0,511470921	0,053	0,073	1	0,701506841	1,425502848	0,726027397
NDUFV2	0,089231349	-0,511882153	0,188	0,293	1	0,701306909	1,425909237	0,641638225
TRAM1	0,084535321	-0,512441629	0,108	0,195	1	0,701034996	1,42646231	0,553846154
ZNF428	0,124319505	-0,512732058	0,188	0,293	1	0,700893885	1,426749501	0,641638225

Supplementary Table 3

Differentially expressed genes_keloid-MD_ comparing SC-Keloid vs. (SC-Myel+Nonmyel)								
gene	p_val	avg_log2FC	pct.1	pct.2	p_val_adj	Foldchange_UP	Foldchange_DOWN	Ratio_pct1_pct2
SDC3	0,081222215	-0,512984986	0,177	0,293	1	0,700771017	1,426999655	0,604095563
TBRG1	0,258041216	-0,513473382	0,038	0,073	1	0,700533825	1,42748282	0,520547945
SS18L1	0,042057731	-0,513520397	0,011	0,049	1	0,700510997	1,427529339	0,224489796
NAPA	0,019175889	-0,513702407	0,041	0,122	1	0,700422626	1,427709447	0,336065574
ARMCX1	0,016230095	-0,513743326	0,018	0,073	1	0,70040276	1,427749942	0,246575342
PEX5L	0,009700686	-0,514427501	0,002	0,024	1	0,700070684	1,42842719	0,083333333
AK1	0,012904719	-0,514784242	0,008	0,049	1	0,699897596	1,428780447	0,163265306
DENND2B	0,0316918	-0,514832278	0,059	0,146	1	0,699874293	1,42882802	0,404109589
RAB34	0,052874751	-0,515416136	0,099	0,195	1	0,699591111	1,429406383	0,507692308
SKIV2L	0,012733968	-0,515451896	0,008	0,049	1	0,699573771	1,429441814	0,163265306
RAB11B	0,179134308	-0,515586349	0,049	0,098	1	0,699508576	1,429575038	0,5
OLFM1	0,010291777	-0,515611249	0,016	0,073	1	0,699496503	1,429599712	0,219178082
PSMD13	0,226409134	-0,515931745	0,093	0,146	1	0,699341127	1,429917335	0,636986301
CNOT9	0,003357237	-0,516760611	0,013	0,073	1	0,698939453	1,430739095	0,178082192
GPATCH1	0,00066169	-0,516920779	0,01	0,073	1	0,698861861	1,430897945	0,136986301
FIS1	0,006763367	-0,517157346	0,289	0,512	1	0,698747273	1,431132597	0,564453125
MOB3A	0,048947161	-0,51749107	0,003	0,024	1	0,698585658	1,431463684	0,125
AC005498.3	9,44793E-05	-0,517714844	0	0,024	1	0,69847731	1,431685733	0
UNC5CL	9,44793E-05	-0,517714844	0	0,024	1	0,69847731	1,431685733	0
ZNF429	9,44793E-05	-0,517714844	0	0,024	1	0,69847731	1,431685733	0
RBM4B	0,155366769	-0,518392682	0,018	0,049	1	0,698149214	1,432358556	0,367346939
KCTD9	0,006759141	-0,518518579	0,046	0,146	1	0,698088292	1,432483557	0,315068493
CDC14B	0,31081185	-0,518544074	0,024	0,049	1	0,698075956	1,432508872	0,489795918
WDR18	0,000255806	-0,518551424	0,022	0,122	1	0,698072399	1,43251617	0,180327869
DPF2	0,017876937	-0,518747625	0,029	0,098	1	0,697977471	1,432711	0,295918367
PRRC2B	0,314425465	-0,519000031	0,059	0,098	1	0,697855367	1,432961682	0,602040816
VPS26C	0,343429792	-0,519199496	0,043	0,073	1	0,697758889	1,433159814	0,589041096
H2BC11	0,009700686	-0,519300693	0,002	0,024	1	0,697709947	1,433260346	0,083333333
MAN2A2	0,023759144	-0,519449726	0,03	0,098	1	0,697637876	1,433408412	0,306122449
PIK3R1	0,004872389	-0,5195488	0,211	0,415	1	0,697589969	1,433506851	0,508433735

Supplementary Table 3

Differentially expressed genes_keloid-MD_comparing SC-Keloid vs. (SC-Myel+Nonmyel)								
gene	p_val	avg_log2FC	pct.1	pct.2	p_val_adj	Foldchange_UP	Foldchange_DOWN	Ratio_pct1_pct2
SOWAHC	0,000199509	-0,519634342	0,014	0,098	1	0,697548608	1,433591851	0,142857143
YRDC	0,315217644	-0,519715001	0,024	0,049	1	0,69750961	1,433672004	0,489795918
HSBP1L1	0,276254967	-0,519775191	0,008	0,024	1	0,69748051	1,433731819	0,333333333
ASPA	0,076236838	-0,520068478	0,053	0,122	1	0,697338733	1,434023313	0,43442623
CLDN11	0,005381463	-0,520346014	0,006	0,049	1	0,697204596	1,434299207	0,12244898
GPR183	0,048947161	-0,520592087	0,003	0,024	1	0,697085688	1,434543869	0,125
RHBDF1	0,006928114	-0,520951333	0,035	0,122	1	0,696912128	1,434901129	0,286885246
NUP214	0,01699263	-0,521255711	0,018	0,073	1	0,69676511	1,435203895	0,246575342
ADD1	0,019879942	-0,521419007	0,085	0,195	1	0,696686249	1,435366352	0,435897436
MIER1	0,041834056	-0,521579795	0,078	0,171	1	0,696608608	1,435526332	0,456140351
ACOX2	0,048947161	-0,521589217	0,003	0,024	1	0,696604058	1,435535708	0,125
CCDC65	9,44793E-05	-0,521593601	0	0,024	1	0,696601942	1,43554007	0
RND1	9,44793E-05	-0,521593601	0	0,024	1	0,696601942	1,43554007	0
SLC35F4	9,44793E-05	-0,521593601	0	0,024	1	0,696601942	1,43554007	0
ABCC5	0,313744509	-0,522111462	0,024	0,049	1	0,696351939	1,436055455	0,489795918
KLHL20	0,00988482	-0,522375386	0,016	0,073	1	0,696224561	1,436318188	0,219178082
ARMCX6	0,023708808	-0,522592291	0,043	0,122	1	0,696119893	1,436534151	0,352459016
ATP5ME	0,280076009	-0,522760759	0,415	0,488	1	0,69603861	1,436701909	0,850409836
DNAJC30	0,025308197	-0,52313049	0,01	0,049	1	0,695860253	1,437070152	0,204081633
MID2	9,44793E-05	-0,523161604	0	0,024	1	0,695845246	1,437101145	0
WNK3	0,005381463	-0,523769093	0,006	0,049	1	0,695552302	1,437706406	0,12244898
ICE2	0,111457882	-0,523970004	0,029	0,073	1	0,695455445	1,437906636	0,397260274
CD81	0,03661663	-0,524018191	0,536	0,659	1	0,695432217	1,437954664	0,813353566
SLC25A4	0,056192959	-0,524074823	0,037	0,098	1	0,695404919	1,438011111	0,37755102
AVPI1	0,000217749	-0,524308295	0,008	0,073	1	0,69529239	1,438243844	0,109589041
METTL9	0,050891335	-0,524429968	0,081	0,171	1	0,695233754	1,438365146	0,473684211
RHOJ	0,259073007	-0,524725055	0,038	0,073	1	0,695091566	1,438659378	0,520547945
RC3H2	0,493537897	-0,524735599	0,051	0,073	1	0,695086486	1,438669893	0,698630137
ZSCAN30	0,045226252	-0,524922405	0,022	0,073	1	0,694996489	1,43885619	0,301369863
FCGR2B	7,54298E-06	-0,52502608	0,005	0,073	0,159164324	0,694946547	1,438959592	0,068493151

Supplementary Table 3

Differentially expressed genes_keloid-MD_ comparing SC-Keloid vs. (SC-Myel+Nonmyel)								
gene	p_val	avg_log2FC	pct.1	pct.2	p_val_adj	Foldchange_UP	Foldchange_DOWN	Ratio_pct1_pct2
LIN37	0,009700686	-0,525357037	0,002	0,024	1	0,694787143	1,439289731	0,083333333
HGH1	3,19985E-08	-0,525428996	0	0,049	0,000675201	0,694752489	1,439361521	0
ADAMTS9-AS2	5,24294E-05	-0,525454462	0,006	0,073	1	0,694740226	1,439386929	0,082191781
LIN9	0,009700686	-0,525679611	0,002	0,024	1	0,694631812	1,439611579	0,083333333
AIF1L	0,004192283	-0,526112906	0,022	0,098	1	0,69442322	1,440044013	0,224489796
ESD	0,239850408	-0,526600632	0,132	0,195	1	0,694188499	1,440530925	0,676923077
NSMCE1	0,181282705	-0,526760893	0,033	0,073	1	0,694111389	1,440690955	0,452054795
CTCF	0,003659483	-0,526806492	0,032	0,122	1	0,694089451	1,440736491	0,262295082
KPTN	2,37674E-07	-0,52738187	0,006	0,098	0,00501515	0,693812689	1,441311202	0,06122449
LIMCH1	0,233421859	-0,527396506	0,037	0,073	1	0,69380565	1,441325824	0,506849315
ARHGAP1	0,045175259	-0,528098591	0,035	0,098	1	0,693468093	1,442027413	0,357142857
SSBP2	0,006397304	-0,528353807	0,024	0,098	1	0,693345428	1,442282534	0,244897959
MRPL37	0,313744509	-0,528509272	0,024	0,049	1	0,693270716	1,442437963	0,489795918
TCEA2	0,039219546	-0,528837388	0,062	0,146	1	0,693113062	1,442766057	0,424657534
SAP30	0,000929933	-0,528981739	0,046	0,171	1	0,693043715	1,442910423	0,269005848
NFE2L2	0,001997074	-0,530074681	0,1	0,268	1	0,692518885	1,444003942	0,373134328
AATF	0,001152809	-0,530102583	0,027	0,122	1	0,692505492	1,44403187	0,221311475
SCAF4	0,063934846	-0,530133903	0,013	0,049	1	0,692490458	1,444063219	0,265306122
MIGA1	0,001208795	-0,531056925	0,027	0,122	1	0,692047551	1,444987412	0,221311475
KANK2	0,146233503	-0,531575168	0,083	0,146	1	0,691798999	1,445506572	0,568493151
SCFD2	0,009700686	-0,532273103	0,002	0,024	1	0,691464408	1,446206036	0,083333333
CNTN4	3,19985E-08	-0,532542765	0	0,049	0,000675201	0,691335174	1,44647638	0
NUDT1	0,246287952	-0,532556071	0,134	0,195	1	0,691328798	1,44648972	0,687179487
HEPH	5,13797E-05	-0,532567858	0,006	0,073	1	0,69132315	1,446501538	0,082191781
ALCAM	0,019412652	-0,53391787	0,041	0,122	1	0,690676542	1,447855746	0,336065574
KBTBD8	9,44793E-05	-0,535232582	0	0,024	1	0,690047423	1,449175762	0
SMO	9,44793E-05	-0,535232582	0	0,024	1	0,690047423	1,449175762	0
ZNF541	9,44793E-05	-0,535232582	0	0,024	1	0,690047423	1,449175762	0
ORC3	0,000849329	-0,535827737	0,018	0,098	1	0,689762816	1,449773715	0,183673469
ADHFE1	0,009700686	-0,536244964	0,002	0,024	1	0,689563366	1,450193049	0,083333333

Supplementary Table 3

Differentially expressed genes_keloid-MD_comparing SC-Keloid vs. (SC-Myel+Nonmyel)								
gene	p_val	avg_log2FC	pct.1	pct.2	p_val_adj	Foldchange_UP	Foldchange_DOWN	Ratio_pct1_pct2
IGBP1	0,07718773	-0,536292964	0,04	0,098	1	0,689540424	1,450241299	0,408163265
ZNF260	0,016531424	-0,536905692	0,018	0,073	1	0,689247631	1,450857363	0,246575342
PPCS	0,380672611	-0,536938857	0,065	0,098	1	0,689231786	1,450890716	0,663265306
SMIM7	0,04616336	-0,537324551	0,113	0,22	1	0,68904755	1,451278653	0,513636364
R3HDM1	0,057832235	-0,537478315	0,024	0,073	1	0,688974114	1,45143334	0,328767123
ZNF567	0,042910262	-0,538008258	0,011	0,049	1	0,688721081	1,451966591	0,224489796
BCL2L2	0,012733968	-0,538056615	0,008	0,049	1	0,688697996	1,452015259	0,163265306
TOR1A	0,045713083	-0,53897372	0,035	0,098	1	0,688260338	1,452938583	0,357142857
LTV1	0,016735226	-0,539333073	0,029	0,098	1	0,688088924	1,453300532	0,295918367
TAF11	0,110541513	-0,539712467	0,073	0,146	1	0,687907997	1,453682766	0,5
CCN5	0,001487667	-0,539754857	0,011	0,073	1	0,687887785	1,453725479	0,150684932
MTCO2P12	0,091314481	-0,540565649	0,737	0,707	1	0,687501302	1,4545427	1,042432815
GTF2F1	0,342245436	-0,540838714	0,043	0,073	1	0,687371188	1,454818033	0,589041096
ADI1	0,146609842	-0,540999407	0,121	0,195	1	0,68729463	1,454980086	0,620512821
SELENOP	8,48295E-05	-0,54112335	0,013	0,098	1	0,687235587	1,45510509	0,132653061
VDAC3	0,210206176	-0,54143156	0,11	0,171	1	0,687088785	1,455415984	0,643274854
IL11RA	0,003357237	-0,54150436	0,013	0,073	1	0,687054115	1,455489427	0,178082192
PSD4	0,113762049	-0,541898596	0,005	0,024	1	0,686866394	1,455887214	0,208333333
PEG3	9,44793E-05	-0,542749488	0	0,024	1	0,686461403	1,45674614	0
SLC7A7	9,44793E-05	-0,542749488	0	0,024	1	0,686461403	1,45674614	0
ZSCAN32	1,19732E-05	-0,542889646	0,002	0,049	0,252647346	0,686394717	1,45688767	0,040816327
CALML3	1,27911E-05	-0,542970122	0,002	0,049	0,269904161	0,68635643	1,45696894	0,040816327
DFFA	0,566072795	-0,543117365	0,033	0,049	1	0,686286383	1,457117648	0,673469388
COBL	0,236148807	-0,543344589	0,073	0,122	1	0,686178302	1,457347161	0,598360656
SAMHD1	0,004773625	-0,543517221	0,033	0,122	1	0,686096199	1,457521556	0,270491803
AQP7	0,000252244	-0,543676945	0,003	0,049	1	0,686020244	1,457682932	0,06122449
DNAJC6	1,23757E-05	-0,543810073	0,002	0,049	0,261139758	0,685956943	1,457817449	0,040816327
CCDC159	0,001540594	-0,543884214	0,005	0,049	1	0,685921692	1,457892368	0,102040816
LRRCC1	0,019636091	-0,543985171	0,056	0,146	1	0,685873694	1,457994392	0,383561644
LAMTOR4	0,221470358	-0,544081049	0,252	0,317	1	0,685828114	1,45809129	0,794952681

Supplementary Table 3

Differentially expressed genes_keloid-MD_comparing SC-Keloid vs. (SC-Myel+Nonmyel)								
gene	p_val	avg_log2FC	pct.1	pct.2	p_val_adj	Foldchange_UP	Foldchange_DOWN	Ratio_pct1_pct2
ZHX2	3,19985E-08	-0,544318331	0	0,049	0,000675201	0,685715324	1,458331125	0
PPTC7	0,006120667	-0,544383292	0,014	0,073	1	0,685684449	1,458396791	0,191780822
TRPV3	0,012904719	-0,544404414	0,008	0,049	1	0,685674441	1,458418143	0,163265306
KCNK7	9,44793E-05	-0,544449015	0	0,024	1	0,685653213	1,458463231	0
LCP2	9,44793E-05	-0,544449015	0	0,024	1	0,685653213	1,458463231	0
PLA2G5	9,44793E-05	-0,544449015	0	0,024	1	0,685653213	1,458463231	0
SERPINB4	9,44793E-05	-0,544449015	0	0,024	1	0,685653213	1,458463231	0
TPD52	9,44793E-05	-0,544449015	0	0,024	1	0,685653213	1,458463231	0
CIB2	0,016531424	-0,544952549	0,018	0,073	1	0,685413946	1,458972357	0,246575342
MED10	0,103563599	-0,545835072	0,094	0,171	1	0,684994794	1,45986511	0,549707602
MYBL1	0,443091335	-0,545944364	0,011	0,024	1	0,684942903	1,459975708	0,458333333
DNAJC14	0,06450649	-0,546034652	0,013	0,049	1	0,684900039	1,460067079	0,265306122
SRPK1	0,425810682	-0,54639396	0,048	0,073	1	0,684729484	1,46043076	0,657534247
ERP29	0,105285771	-0,546497075	0,094	0,171	1	0,684680545	1,460535146	0,549707602
VTI1A	0,073028287	-0,547564931	0,026	0,073	1	0,684173945	1,461616607	0,356164384
TAP2	0,001637633	-0,548207184	0,019	0,098	1	0,683869435	1,462267428	0,193877551
KPNA6	0,038020898	-0,549215798	0,048	0,122	1	0,683391497	1,463290083	0,393442623
NCAM2	0,005080862	-0,549490375	0,045	0,146	1	0,683261444	1,463568606	0,308219178
TAOK1	0,050912451	-0,550312235	0,134	0,244	1	0,682872322	1,464402595	0,549180328
CCDC32	0,03326677	-0,550434104	0,021	0,073	1	0,68281464	1,464526302	0,287671233
FOXO3	0,482751383	-0,550502286	0,03	0,049	1	0,682782371	1,464595518	0,612244898
NFYC	0,155587981	-0,551314007	0,032	0,073	1	0,682398317	1,465419793	0,438356164
APIP	0,157910369	-0,55140124	0,032	0,073	1	0,682357056	1,465508403	0,438356164
ADGRL3	3,19985E-08	-0,552222476	0	0,049	0,000675201	0,681968744	1,466342862	0
HNRNPH2	0,017361345	-0,553475749	0,029	0,098	1	0,681376573	1,467617232	0,295918367
AXIN1	0,025019654	-0,55431992	0,01	0,049	1	0,680977993	1,468476237	0,204081633
RAB20	3,19985E-08	-0,554747658	0	0,049	0,000675201	0,680776122	1,468911684	0
MGAT4C	9,44793E-05	-0,554876775	0	0,024	1	0,680715198	1,469043152	0
POLD2	0,067304257	-0,554891116	0,038	0,098	1	0,680708431	1,469057755	0,387755102
MPST	0,009109312	-0,555253752	0,037	0,122	1	0,68053735	1,469427064	0,303278689

Supplementary Table 3

Differentially expressed genes_keloid-MD_ comparing SC-Keloid vs. (SC-Myel+Nonmyel)								
gene	p_val	avg_log2FC	pct.1	pct.2	p_val_adj	Foldchange_UP	Foldchange_DOWN	Ratio_pct1_pct2
ZNF83	0,016230095	-0,555505842	0,018	0,073	1	0,680418446	1,469683847	0,246575342
CHCHD10	0,060692441	-0,555875745	0,069	0,146	1	0,680244011	1,470060719	0,47260274
PAX3	6,69941E-05	-0,555988751	0,019	0,122	1	0,68019073	1,470175873	0,155737705
ZSWIM6	0,04544351	-0,556211863	0,035	0,098	1	0,680085547	1,470403253	0,357142857
EFHC1	0,173787979	-0,556595215	0,033	0,073	1	0,679904859	1,470794019	0,452054795
GRPEL1	0,906958691	-0,556603537	0,046	0,049	1	0,679900937	1,470802503	0,93877551
FBXL12	0,005381463	-0,556636324	0,006	0,049	1	0,679885485	1,47083593	0,12244898
ALKBH3	0,00988482	-0,557059503	0,016	0,073	1	0,679686087	1,471267426	0,219178082
RNF4	0,023892748	-0,55727347	0,019	0,073	1	0,67958529	1,471485647	0,260273973
PPA1	0,11638979	-0,558789958	0,078	0,146	1	0,67887132	1,473033211	0,534246575
TSN	0,033749261	-0,558975241	0,046	0,122	1	0,678784139	1,473222403	0,37704918
ANKRD65	0,000217749	-0,559106673	0,008	0,073	1	0,678722303	1,473356622	0,109589041
MEG3	0,471838284	-0,559459121	0,136	0,171	1	0,678556513	1,473716604	0,795321637
SCAMP4	0,023490648	-0,55950442	0,019	0,073	1	0,678535207	1,473762878	0,260273973
RDX	0,09837223	-0,559529107	0,225	0,341	1	0,678523596	1,473788097	0,659824047
HBB	0,000869435	-0,559789143	0,018	0,098	1	0,678401308	1,474053762	0,183673469
IFI35	1,18138E-05	-0,560267215	0,016	0,122	0,24928273	0,67817654	1,474542306	0,131147541
MTMR6	0,161047668	-0,560764936	0,032	0,073	1	0,677942614	1,475051102	0,438356164
RPL38	0,100412575	-0,560995841	0,466	0,537	1	0,677834117	1,475287205	0,867783985
PTPN1	0,336362711	-0,562350304	0,043	0,073	1	0,677198037	1,476672917	0,589041096
DHH	9,20921E-09	-0,562468811	0,002	0,073	0,000194324	0,677142412	1,47679422	0,02739726
NXPE3	0,009354324	-0,563031774	0,026	0,098	1	0,676878232	1,477370601	0,265306122
NHP2	0,207637254	-0,563354553	0,105	0,171	1	0,676726808	1,477701175	0,614035088
ZNF37A	0,043606468	-0,563373314	0,022	0,073	1	0,676718008	1,477720391	0,301369863
RPSA	0,025726061	-0,563859507	0,351	0,512	1	0,67648999	1,478218472	0,685546875
COQ5	0,062803989	-0,563964945	0,013	0,049	1	0,676440552	1,47832651	0,265306122
MAP3K4	0,12062336	-0,56428014	0,016	0,049	1	0,676292781	1,478649525	0,326530612
GALNT2	0,052640705	-0,564418308	0,081	0,171	1	0,676228015	1,478791143	0,473684211
FAM184B	0,09029307	-0,565432559	0,014	0,049	1	0,675752777	1,479831136	0,285714286
DPY19L4	0,03326677	-0,565807462	0,021	0,073	1	0,675577197	1,48021574	0,287671233

Supplementary Table 3

Differentially expressed genes_keloid-MD_comparing SC-Keloid vs. (SC-Myel+Nonmyel)								
gene	p_val	avg_log2FC	pct.1	pct.2	p_val_adj	Foldchange_UP	Foldchange_DOWN	Ratio_pct1_pct2
ZFP37	0,005214273	-0,56698076	0,006	0,049	1	0,675027995	1,481420042	0,12244898
DDHD1	0,000718795	-0,567396735	0,026	0,122	1	0,674833391	1,481847244	0,213114754
APLP2	0,091662649	-0,5678964	0,131	0,22	1	0,674599708	1,482360558	0,595454545
MRPL22	0,113701892	-0,568276896	0,112	0,195	1	0,674421813	1,482751567	0,574358974
ARHGAP19	0,001570499	-0,568736546	0,005	0,049	1	0,674206973	1,483224054	0,102040816
ADAMTS9	0,004434856	-0,570249835	0,022	0,098	1	0,673500147	1,484780672	0,224489796
SH3D19	0,640051691	-0,570876055	0,035	0,049	1	0,673207869	1,485425299	0,714285714
TERF1	0,124154057	-0,57098157	0,061	0,122	1	0,673158634	1,485533943	0,5
ANAPC4	0,016837655	-0,571003683	0,018	0,073	1	0,673148316	1,485556713	0,246575342
JUND	0,035661529	-0,571380562	0,493	0,659	1	0,672972491	1,485944839	0,748103187
DCN	0,013519471	-0,571388594	0,08	0,195	1	0,672968744	1,485953112	0,41025641
SOX5	0,079594694	-0,572047751	0,056	0,122	1	0,67266134	1,486632188	0,459016393
YIPF6	0,040494448	-0,572224044	0,048	0,122	1	0,672579147	1,486813862	0,393442623
MXRA8	0,026514952	-0,572355608	0,14	0,268	1	0,672517816	1,486949455	0,52238806
STARD13	0,01085889	-0,572406638	0,064	0,171	1	0,672494028	1,487002052	0,374269006
NME3	0,010122936	-0,572682953	0,185	0,366	1	0,67236524	1,48728688	0,505464481
TAB2	0,204595577	-0,572904998	0,053	0,098	1	0,672261764	1,487515806	0,540816327
YJU2	0,025308197	-0,573044073	0,01	0,049	1	0,672196962	1,487659208	0,204081633
LIMS2	0,001549953	-0,573716669	0,011	0,073	1	0,671883651	1,488352928	0,150684932
NAV2	0,197767964	-0,573953214	0,035	0,073	1	0,671773498	1,48859698	0,479452055
OARD1	0,07210488	-0,574297663	0,026	0,073	1	0,671613128	1,488952431	0,356164384
ZBED3	4,90088E-07	-0,574514436	0,003	0,073	0,010341346	0,671512222	1,489176171	0,04109589
GPSM2	0,108783591	-0,574663702	0,077	0,146	1	0,671442749	1,489330254	0,52739726
BARD1	0,092825526	-0,575661679	0,027	0,073	1	0,670978442	1,490360847	0,369863014
OCEL1	0,024171051	-0,576193316	0,01	0,049	1	0,670731231	1,49091015	0,204081633
TXNRD2	1,63698E-06	-0,576832447	0,008	0,098	0,034541966	0,670434155	1,491570787	0,081632653
FAH	0,024733964	-0,577312942	0,01	0,049	1	0,670210901	1,492067643	0,204081633
VOPP1	4,83489E-05	-0,577600368	0,006	0,073	1	0,670077389	1,492364936	0,082191781
FMO5	3,19985E-08	-0,577602288	0	0,049	0,000675201	0,670076498	1,492366922	0
RNF166	0,012904719	-0,577755809	0,008	0,049	1	0,670005197	1,492525737	0,163265306

Supplementary Table 3

Differentially expressed genes_keloid-MD_ comparing SC-Keloid vs. (SC-Myel+Nonmyel)								
gene	p_val	avg_log2FC	pct.1	pct.2	p_val_adj	Foldchange_UP	Foldchange_DOWN	Ratio_pct1_pct2
CRTC1	0,042057731	-0,577835292	0,011	0,049	1	0,669968285	1,492607967	0,224489796
ARSG	0,009700686	-0,577877253	0,002	0,024	1	0,669948799	1,49265138	0,083333333
SAMD15	0,009700686	-0,577941265	0,002	0,024	1	0,669919074	1,492717611	0,083333333
PHB	0,297398466	-0,578037035	0,14	0,195	1	0,669874605	1,492816705	0,717948718
GJC3	9,44793E-05	-0,578919043	0	0,024	1	0,669465195	1,493729634	0
PRIMPOL	0,000641705	-0,578925607	0,01	0,073	1	0,669462149	1,49373643	0,136986301
KHDRBS3	0,006746303	-0,579150138	0,1	0,244	1	0,669357966	1,493968923	0,409836066
SEC63	0,057646101	-0,57936272	0,067	0,146	1	0,669259343	1,494189077	0,45890411
ATPAF2	0,001540594	-0,579417152	0,005	0,049	1	0,669234093	1,494245452	0,102040816
MTDH	0,003610108	-0,580303209	0,233	0,463	1	0,668823197	1,495163452	0,503239741
RBM11	2,87083E-05	-0,580544734	0,011	0,098	0,605774103	0,668711237	1,495413782	0,112244898
SLC30A4	0,001570499	-0,580736967	0,005	0,049	1	0,66862214	1,495613052	0,102040816
H3-3B	0,00171367	-0,580758314	0,777	0,829	1	0,668612247	1,495635182	0,937273824
DMD	0,000230522	-0,581254751	0,014	0,098	1	0,668382214	1,496149926	0,142857143
CLDND1	0,32355984	-0,581619442	0,081	0,122	1	0,668213279	1,496528177	0,663934426
ALDH7A1	0,001741977	-0,582133614	0,029	0,122	1	0,667975172	1,497061629	0,237704918
WLS	0,109833053	-0,58252381	0,147	0,244	1	0,667794534	1,497466585	0,602459016
RNF126	0,107175871	-0,583244568	0,029	0,073	1	0,667460993	1,498214893	0,397260274
NTHL1	0,007842866	-0,583449416	0,048	0,146	1	0,667366227	1,498427639	0,328767123
SNX6	0,036369272	-0,583662133	0,145	0,268	1	0,667267835	1,49864859	0,541044776
CSRNP1	0,107175871	-0,583847961	0,029	0,073	1	0,667181892	1,498841638	0,397260274
GLCE	0,006742807	-0,58407656	0,024	0,098	1	0,667076184	1,499079152	0,244897959
GGPS1	0,393761395	-0,584133331	0,027	0,049	1	0,667049935	1,499138143	0,551020408
UBL3	0,071060102	-0,584234999	0,067	0,146	1	0,667002928	1,499243792	0,45890411
WDR76	7,36447E-06	-0,585402092	0,005	0,073	0,155397639	0,666463564	1,500457121	0,068493151
ZNHIT1	0,123392827	-0,5856538	0,198	0,293	1	0,666347295	1,500718931	0,675767918
CACNA2D2	9,44793E-05	-0,585757076	0	0,024	1	0,666299596	1,500826363	0
COX7A2L	0,113472928	-0,586318084	0,18	0,268	1	0,666040548	1,50141009	0,671641791
SVBP	0,655543259	-0,586769485	0,057	0,073	1	0,665832185	1,501879936	0,780821918
MOXD1	0,070737719	-0,587021878	0,026	0,073	1	0,665715711	1,502142706	0,356164384

Supplementary Table 3

Differentially expressed genes_keloid-MD_ comparing SC-Keloid vs. (SC-Myel+Nonmyel)								
gene	p_val	avg_log2FC	pct.1	pct.2	p_val_adj	Foldchange_UP	Foldchange_DOWN	Ratio_pct1_pct2
UBL4A	0,024451103	-0,58715085	0,01	0,049	1	0,665656201	1,502276998	0,204081633
LINC00957	1,23757E-05	-0,587329095	0,002	0,049	0,261139758	0,665573964	1,502462617	0,040816327
ERP44	0,07855429	-0,589050447	0,056	0,122	1	0,664780308	1,50425635	0,459016393
SPATA6	0,223056554	-0,589178751	0,115	0,171	1	0,66472119	1,504390135	0,67251462
HSPB1	0,01834427	-0,590296583	0,321	0,488	1	0,664206348	1,505556222	0,657786885
ARHGEF26	0,005063609	-0,590408645	0,045	0,146	1	0,664154758	1,505673171	0,308219178
IFI16	0,00433567	-0,590483929	0,14	0,317	1	0,664120101	1,505751744	0,441640379
SPATS2	0,033006626	-0,591507943	0,021	0,073	1	0,663648881	1,506820893	0,287671233
ERF	0,023498528	-0,592457018	0,088	0,195	1	0,663212444	1,50781248	0,451282051
POLN	9,44793E-05	-0,592760871	0	0,024	1	0,663072776	1,508130081	0
CTSD	0,282200439	-0,592810822	0,156	0,22	1	0,663049819	1,508182299	0,709090909
DNAAF9	0,091730987	-0,593388738	0,027	0,073	1	0,662784267	1,508786568	0,369863014
NMRAL1	0,088861793	-0,593597235	0,014	0,049	1	0,662688489	1,509004633	0,285714286
WDR73	0,154859762	-0,594215541	0,018	0,049	1	0,662404537	1,509651496	0,367346939
F3	8,61198E-05	-0,594405466	0,013	0,098	1	0,66231734	1,509850249	0,132653061
IPO9-AS1	1,27911E-05	-0,594603724	0,002	0,049	0,269904161	0,662226329	1,510057749	0,040816327
MEGF9	0,002147216	-0,595053915	0,051	0,171	1	0,662019714	1,510529034	0,298245614
FOXRED1	0,025019654	-0,595253297	0,01	0,049	1	0,661928229	1,510737805	0,204081633
CAPZA2	0,106542526	-0,59526157	0,115	0,195	1	0,661924433	1,510746469	0,58974359
SDHA	0,30935226	-0,595365627	0,024	0,049	1	0,661876692	1,510855438	0,489795918
APCDD1	0,001570499	-0,595786377	0,005	0,049	1	0,66168369	1,51129613	0,102040816
NUP107	0,000839439	-0,596012876	0,018	0,098	1	0,661579816	1,511533418	0,183673469
ACACA	0,001508168	-0,596192942	0,011	0,073	1	0,661497247	1,511722088	0,150684932
SPOP	0,009900678	-0,596728774	0,049	0,146	1	0,661251606	1,512283662	0,335616438
LINC01006	0,006396675	-0,597124475	0,014	0,073	1	0,661070263	1,512698507	0,191780822
NDUFA3	0,025846158	-0,597285441	0,121	0,244	1	0,66099651	1,512867292	0,495901639
PURA	0,044413349	-0,597437644	0,08	0,171	1	0,660926779	1,513026907	0,467836257
YAP1	0,134945066	-0,597951375	0,046	0,098	1	0,66069147	1,513565779	0,469387755
TRIP4	0,023690958	-0,598496982	0,019	0,073	1	0,660441653	1,514138296	0,260273973
HLA-DMB	0,048947161	-0,599471236	0,003	0,024	1	0,659995807	1,515161142	0,125

Supplementary Table 3

Differentially expressed genes_keloid-MD_comparing SC-Keloid vs. (SC-Myel+Nonmyel)								
gene	p_val	avg_log2FC	pct.1	pct.2	p_val_adj	Foldchange_UP	Foldchange_DOWN	Ratio_pct1_pct2
GRSF1	0,011170949	-0,600023379	0,038	0,122	1	0,659743264	1,515741129	0,31147541
TMA16	0,027488717	-0,600068933	0,045	0,122	1	0,659722433	1,51578899	0,368852459
TUBB4B	0,048797837	-0,600406146	0,081	0,171	1	0,659568248	1,51614333	0,473684211
FBXO42	0,042057731	-0,600643355	0,011	0,049	1	0,65945981	1,516392636	0,224489796
YY1	0,065000992	-0,601161477	0,121	0,22	1	0,659223018	1,516937323	0,55
MORC3	0,196885054	-0,601258616	0,035	0,073	1	0,659178633	1,517039464	0,479452055
RNF130	0,000218623	-0,60237461	0,061	0,22	1	0,658668924	1,518213421	0,277272727
PRPF19	0,012009632	-0,602887442	0,027	0,098	1	0,65843483	1,518753193	0,275510204
EIF2B4	0,041636868	-0,603813109	0,011	0,049	1	0,658012498	1,519727974	0,224489796
ACAT1	0,088509484	-0,605455099	0,027	0,073	1	0,657264013	1,521458623	0,369863014
BNIP3	0,001568324	-0,606185781	0,019	0,098	1	0,656931213	1,522229391	0,193877551
STAM	0,028679046	-0,606308495	0,032	0,098	1	0,656875337	1,522358876	0,326530612
TOMM20	0,111574787	-0,606531548	0,234	0,341	1	0,656773787	1,522594263	0,686217009
DEGS1	0,009035509	-0,606563074	0,088	0,22	1	0,656759435	1,522627536	0,4
DDRGK1	0,085601227	-0,607060637	0,041	0,098	1	0,656532968	1,523152757	0,418367347
ATP5PB	0,140043494	-0,607572194	0,124	0,195	1	0,656300213	1,523692939	0,635897436
MAFK	0,005214273	-0,607939664	0,006	0,049	1	0,656133067	1,52408109	0,12244898
ZNF337	0,025308197	-0,608147314	0,01	0,049	1	0,656038636	1,524300469	0,204081633
SLC6A6	0,225691035	-0,608554508	0,037	0,073	1	0,655853498	1,524730756	0,506849315
MECP2	0,027748485	-0,609111386	0,032	0,098	1	0,655600388	1,525319414	0,326530612
PARP2	0,023094435	-0,610324255	0,019	0,073	1	0,655049459	1,526602284	0,260273973
ATAD3A	0,001549953	-0,610612238	0,011	0,073	1	0,654918714	1,526907046	0,150684932
NUDCD2	0,153829239	-0,61083724	0,126	0,195	1	0,654816581	1,527145201	0,646153846
FOXN2	0,002666165	-0,610900848	0,021	0,098	1	0,654787711	1,527212534	0,214285714
NEURL1B	0,032748226	-0,610905486	0,021	0,073	1	0,654785607	1,527217443	0,287671233
BPNT2	0,111923472	-0,611237845	0,061	0,122	1	0,654634779	1,527569314	0,5
PPP1R15A	0,051568108	-0,611538318	0,156	0,268	1	0,654498451	1,527887497	0,582089552
ANTKMT	0,030874278	-0,611641623	0,108	0,22	1	0,654451586	1,527996907	0,490909091
MIF	0,031514594	-0,612009545	0,126	0,244	1	0,654284707	1,528386633	0,516393443
MAT2A	0,104205392	-0,61214599	0,043	0,098	1	0,65422283	1,528531189	0,43877551

Supplementary Table 3

Differentially expressed genes_keloid-MD_ comparing SC-Keloid vs. (SC-Myel+Nonmyel)								
gene	p_val	avg_log2FC	pct.1	pct.2	p_val_adj	Foldchange_UP	Foldchange_DOWN	Ratio_pct1_pct2
CIRBP	0,010329636	-0,612294678	0,372	0,561	1	0,654155407	1,528688731	0,663101604
ZC3H13	0,093662732	-0,612462904	0,093	0,171	1	0,654079134	1,528866996	0,543859649
PUF60	0,087572835	-0,612940682	0,112	0,195	1	0,653862558	1,529373395	0,574358974
MT-ATP6	0,009340507	-0,61294921	0,777	0,854	1	0,653858693	1,529382435	0,909836066
SPRY1	0,061668235	-0,613018168	0,053	0,122	1	0,65382744	1,529455539	0,43442623
ACAD8	0,392154527	-0,613766419	0,027	0,049	1	0,653488422	1,530248993	0,551020408
SNHG15	0,020824985	-0,615454089	0,056	0,146	1	0,652724416	1,532040131	0,383561644
STK11	0,107175871	-0,615460272	0,029	0,073	1	0,652721618	1,532046698	0,397260274
COG8	0,01256522	-0,615482392	0,008	0,049	1	0,652711611	1,532070187	0,163265306
CCDC86	0,012733968	-0,615635814	0,008	0,049	1	0,652642203	1,532233123	0,163265306
SMG5	0,001614632	-0,615729117	0,011	0,073	1	0,652599996	1,532332219	0,150684932
HYKK	0,005381463	-0,616865391	0,006	0,049	1	0,652086207	1,533539568	0,12244898
ZNF460	0,024451103	-0,617161481	0,01	0,049	1	0,651952391	1,533854334	0,204081633
TANK	0,108171648	-0,617197643	0,043	0,098	1	0,651936049	1,533892782	0,43877551
RBM34	0,00148235	-0,617559039	0,005	0,049	1	0,651772759	1,534277071	0,102040816
MECR	0,024733964	-0,617560229	0,01	0,049	1	0,651772222	1,534278336	0,204081633
IL1RAPL2	0,005986726	-0,618893921	0,014	0,073	1	0,651169972	1,535697348	0,191780822
LRMDA	0,035211582	-0,619528782	0,033	0,098	1	0,650883487	1,536373283	0,336734694
DAB2IP	0,005297272	-0,621441492	0,006	0,049	1	0,650021124	1,538411543	0,12244898
SYNJ1	0,005214273	-0,621498332	0,006	0,049	1	0,649995515	1,538472155	0,12244898
AMOTL2	0,024451103	-0,62161585	0,01	0,049	1	0,64994257	1,538597479	0,204081633
PER3	0,003541465	-0,621903567	0,043	0,146	1	0,649812965	1,538904353	0,294520548
RIDA	0,005297272	-0,622015646	0,006	0,049	1	0,649762485	1,53902391	0,12244898
P4HB	0,045184897	-0,622031926	0,246	0,39	1	0,649755152	1,539041278	0,630769231
XRR1	0,227224025	-0,622372255	0,021	0,049	1	0,649601894	1,539404378	0,428571429
STRN	0,002608809	-0,622417807	0,03	0,122	1	0,649581384	1,539452983	0,245901639
PTPDC1	0,00327619	-0,622521499	0,013	0,073	1	0,649534698	1,539563634	0,178082192
ENTPD1	1,70667E-06	-0,623944904	0,008	0,098	0,036012446	0,648894164	1,541083363	0,081632653
TMEM59	0,164077307	-0,624532234	0,301	0,39	1	0,648630049	1,541710875	0,771794872
SLC7A1	0,668505389	-0,625382421	0,016	0,024	1	0,648247921	1,542619679	0,666666667

Supplementary Table 3

Differentially expressed genes_keloid-MD_comparing SC-Keloid vs. (SC-Myel+Nonmyel)								
gene	p_val	avg_log2FC	pct.1	pct.2	p_val_adj	Foldchange_UP	Foldchange_DOWN	Ratio_pct1_pct2
USP40	0,003707499	-0,625524696	0,022	0,098	1	0,648183996	1,542771816	0,224489796
UBXN2A	0,051420515	-0,626265266	0,1	0,195	1	0,647851352	1,543563962	0,512820513
GLG1	0,188621685	-0,626779927	0,131	0,195	1	0,647620282	1,544114705	0,671794872
SIK3	0,002586772	-0,627034193	0,021	0,098	1	0,647506153	1,544386869	0,214285714
PCDH9	5,3724E-06	-0,627178218	0,029	0,171	0,113363028	0,647441515	1,544541054	0,169590643
TPP2	0,116515691	-0,627941465	0,029	0,073	1	0,647099082	1,545358398	0,397260274
TXNDC12	0,014239591	-0,628187656	0,04	0,122	1	0,646988666	1,545622131	0,327868852
MIDEAS	0,074072035	-0,628421568	0,04	0,098	1	0,646883775	1,545872751	0,408163265
ARPC5L	0,138380206	-0,629360398	0,102	0,171	1	0,646462954	1,546879051	0,596491228
PABPN1	0,18787004	-0,62950884	0,107	0,171	1	0,646396441	1,54703822	0,625730994
CDC42BPB	0,060518458	-0,63144959	0,053	0,122	1	0,645527477	1,549120736	0,43442623
PSMG4	0,064822874	-0,631973907	0,038	0,098	1	0,645292916	1,549683834	0,387755102
WDR48	0,154354157	-0,632288191	0,018	0,049	1	0,645152358	1,550021461	0,367346939
GSN	0,056241969	-0,632627093	0,368	0,512	1	0,645000823	1,550385618	0,71875
DAB1	0,000641705	-0,633069738	0,01	0,073	1	0,644802956	1,550861377	0,136986301
MRPL1	0,110838028	-0,633219196	0,029	0,073	1	0,64473616	1,551022049	0,397260274
CITED2	0,056662974	-0,635325113	0,024	0,073	1	0,643795718	1,553287746	0,328767123
STK35	1,23757E-05	-0,635406201	0,002	0,049	0,261139758	0,643759534	1,553375052	0,040816327
CTNNA1	0,002553887	-0,635584397	0,041	0,146	1	0,643680024	1,553566931	0,280821918
MBP	0,52217111	-0,63627719	0,013	0,024	1	0,643370999	1,554313144	0,541666667
LRR4	0,000252244	-0,636718076	0,003	0,049	1	0,643174415	1,554788214	0,06122449
TBC1D10B	0,225973824	-0,637433234	0,021	0,049	1	0,642855667	1,555559128	0,428571429
GPAA1	0,116426106	-0,637485854	0,045	0,098	1	0,64283222	1,555615865	0,459183673
MBD2	0,002720291	-0,637511652	0,041	0,146	1	0,642820725	1,555643684	0,280821918
LAMA4	0,009394905	-0,637698673	0,108	0,244	1	0,642737399	1,555845359	0,442622951
SPON2	0,008975842	-0,637809066	0,026	0,098	1	0,64268822	1,555964415	0,265306122
CNOT11	0,012398455	-0,638190621	0,008	0,049	1	0,642518268	1,556375981	0,163265306
LMCD1	0,022636604	-0,638517649	0,03	0,098	1	0,64237264	1,556728818	0,306122449
PTPRM	0,005920751	-0,638794217	0,014	0,073	1	0,642249507	1,557027275	0,191780822
BIN3	0,062803989	-0,638941859	0,013	0,049	1	0,642183784	1,557186625	0,265306122

Supplementary Table 3

Differentially expressed genes_keloid-MD_comparing SC-Keloid vs. (SC-Myel+Nonmyel)								
gene	p_val	avg_log2FC	pct.1	pct.2	p_val_adj	Foldchange_UP	Foldchange_DOWN	Ratio_pct1_pct2
METTL3	0,118896054	-0,638992549	0,016	0,049	1	0,642161221	1,55724134	0,326530612
SYF2	0,162259447	-0,639473503	0,144	0,22	1	0,641947178	1,557760567	0,654545455
DDX18	0,005990081	-0,63947501	0,166	0,341	1	0,641946508	1,557762193	0,486803519
PDXDC1	0,064127934	-0,63993629	0,038	0,098	1	0,641741288	1,558260344	0,387755102
ALKBH7	0,213533429	-0,639974246	0,11	0,171	1	0,641724404	1,558301341	0,643274854
SETD3	0,150269897	-0,63998205	0,032	0,073	1	0,641720933	1,558309771	0,438356164
PSMC5	0,109576707	-0,640152337	0,152	0,244	1	0,641645192	1,558493715	0,62295082
GLTP	0,031604804	-0,640500376	0,046	0,122	1	0,64149042	1,558869734	0,37704918
MT-ND1	0,001165889	-0,640556648	0,456	0,634	1	0,641465399	1,558930539	0,719242902
A2M	0,002630998	-0,640674246	0,041	0,146	1	0,641413113	1,559057618	0,280821918
MARCHF3	0,000612778	-0,641150844	0,01	0,073	1	0,641201256	1,559572741	0,136986301
MYLK-AS1	3,19985E-08	-0,64142508	0	0,049	0,000675201	0,641079384	1,559869222	0
ITM2C	0,016674048	-0,641556253	0,115	0,244	1	0,641021098	1,560011055	0,471311475
LCMT1	0,192513775	-0,641864325	0,035	0,073	1	0,64088423	1,560344215	0,479452055
SHF	1,20272E-11	-0,642184857	0	0,073	2,53785E-07	0,640741857	1,560690924	0
FEZ1	0,040200975	-0,642365369	0,078	0,171	1	0,640661691	1,560886212	0,456140351
PLEKHB1	0,004153045	-0,642624601	0,022	0,098	1	0,640546584	1,561166706	0,224489796
WEE1	0,27034404	-0,642781867	0,022	0,049	1	0,640476762	1,561336896	0,448979592
KLK6	4,64233E-05	-0,64314113	0,006	0,073	0,979578521	0,640317289	1,561725752	0,082191781
ILF3-DT	0,001571243	-0,644018611	0,011	0,073	1	0,639927952	1,562675919	0,150684932
KRT10-AS1	0,153346567	-0,644253439	0,018	0,049	1	0,639823799	1,562930297	0,367346939
PDZD8	0,088174758	-0,644493519	0,041	0,098	1	0,639717334	1,563190407	0,418367347
SLITRK6	0,033982764	-0,645592919	0,108	0,22	1	0,639230026	1,564382084	0,490909091
TOR3A	0,001469411	-0,645875722	0,019	0,098	1	0,639104734	1,56468877	0,193877551
SECISBP2L	0,018092934	-0,647270953	0,085	0,195	1	0,638486954	1,566202713	0,435897436
GALNS	0,118039703	-0,647407034	0,016	0,049	1	0,638426732	1,566350452	0,326530612
CSRP1	0,108043009	-0,647963956	0,246	0,341	1	0,638180328	1,566955225	0,721407625
C1orf198	0,011048645	-0,648266295	0,078	0,195	1	0,638046602	1,567283638	0,4
FAM8A1	0,015787152	-0,648544694	0,018	0,073	1	0,637923489	1,567586109	0,246575342
SYNC	0,087310071	-0,650492865	0,041	0,098	1	0,637062638	1,569704359	0,418367347

Supplementary Table 3

Differentially expressed genes_keloid-MD_comparing SC-Keloid vs. (SC-Myel+Nonmyel)								
gene	p_val	avg_log2FC	pct.1	pct.2	p_val_adj	Foldchange_UP	Foldchange_DOWN	Ratio_pct1_pct2
PRCP	0,092831254	-0,650679497	0,057	0,122	1	0,636980231	1,569907434	0,467213115
ABL2	0,03502394	-0,651449821	0,077	0,171	1	0,636640207	1,570745907	0,450292398
NFIC	0,194116959	-0,651519037	0,195	0,268	1	0,636609664	1,570821268	0,72761194
PPP4R3B	0,011208755	-0,65162027	0,038	0,122	1	0,636564995	1,570931496	0,31147541
ITGB4	0,003542378	-0,652755596	0,032	0,122	1	0,636064249	1,572168224	0,262295082
KLF15	0,000240215	-0,65317725	0,003	0,049	1	0,635878374	1,572627786	0,06122449
RRP36	0,001437857	-0,656129579	0,049	0,171	1	0,634578444	1,575849304	0,286549708
DUSP8	0,124871903	-0,656633169	0,03	0,073	1	0,634356976	1,576399469	0,410958904
DOCK6	0,062244792	-0,65697009	0,013	0,049	1	0,634208848	1,576767658	0,265306122
ZNF770	0,043288461	-0,656991277	0,022	0,073	1	0,634199534	1,576790815	0,301369863
CCL2	0,041636868	-0,657443085	0,011	0,049	1	0,634000954	1,577284694	0,224489796
COPS9	0,02141186	-0,657521972	0,25	0,415	1	0,633966287	1,577370943	0,602409639
XPO7	0,09174284	-0,657775175	0,014	0,049	1	0,633855031	1,577647807	0,285714286
MT1M	1,86568E-05	-0,658318316	0,024	0,146	0,393676124	0,633616445	1,578241866	0,164383562
ZNF609	0,00319693	-0,658380465	0,013	0,073	1	0,63358915	1,578309856	0,178082192
C6orf47	0,01256522	-0,658551237	0,008	0,049	1	0,633514156	1,578496692	0,163265306
NDST1	0,006175897	-0,658623522	0,024	0,098	1	0,633482416	1,578575783	0,244897959
SCG5	0,08745614	-0,659611042	0,027	0,073	1	0,633048947	1,579656683	0,369863014
HTATIP2	0,00327619	-0,659646826	0,013	0,073	1	0,633033246	1,579695864	0,178082192
SLC22A17	0,018366979	-0,661160437	0,041	0,122	1	0,632369444	1,581354081	0,336065574
CTBS	0,006175897	-0,661181519	0,024	0,098	1	0,632360203	1,581377189	0,244897959
SOD1	0,041895412	-0,661287363	0,316	0,488	1	0,632313811	1,581493211	0,647540984
ISY1	0,12062336	-0,661949082	0,016	0,049	1	0,632023855	1,582218759	0,326530612
CCDC107	0,009088617	-0,663411985	0,091	0,22	1	0,631383303	1,583823954	0,413636364
THSD7B	3,19985E-08	-0,663538616	0	0,049	0,000675201	0,631327887	1,583962978	0
UBE2E2	0,062803989	-0,663563424	0,013	0,049	1	0,631317031	1,583990216	0,265306122
ERLIN2	0,077584593	-0,664022498	0,04	0,098	1	0,631116174	1,584494331	0,408163265
GALNT11	0,088706787	-0,66458518	0,056	0,122	1	0,630870073	1,585112438	0,459016393
TIMM17B	0,011915922	-0,665051632	0,027	0,098	1	0,630666133	1,58562502	0,275510204
TMEM43	0,02195414	-0,665078385	0,043	0,122	1	0,630654439	1,585654423	0,352459016

Supplementary Table 3

Differentially expressed genes_keloid-MD_comparing SC-Keloid vs. (SC-Myel+Nonmyel)								
gene	p_val	avg_log2FC	pct.1	pct.2	p_val_adj	Foldchange_UP	Foldchange_DOWN	Ratio_pct1_pct2
MRPS12	0,082880275	-0,665122102	0,073	0,146	1	0,630635328	1,585702473	0,5
ZNF664	0,007313048	-0,665313449	0,048	0,146	1	0,630551692	1,585912801	0,328767123
ZBTB7B	6,85286E-06	-0,665565966	0,005	0,073	0,144602248	0,630441335	1,58619041	0,068493151
AEBP1	0,003513342	-0,665764953	0,096	0,244	1	0,630354386	1,586409204	0,393442623
LYRM9	0,012233654	-0,666088267	0,008	0,049	1	0,630213137	1,586764765	0,163265306
SERINC3	0,009345779	-0,66723304	0,077	0,195	1	0,629713264	1,588024356	0,394871795
C12orf57	0,05291305	-0,667416464	0,262	0,39	1	0,629633207	1,588226271	0,671794872
ARMC10	0,035677024	-0,668124826	0,048	0,122	1	0,629324134	1,589006279	0,393442623
CDC42EP1	0,012581882	-0,668685037	0,04	0,122	1	0,629079809	1,589623424	0,327868852
MAP4K5	0,213604734	-0,669300206	0,089	0,146	1	0,628811625	1,590301388	0,609589041
SUN1	0,000413814	-0,669309331	0,043	0,171	1	0,628807648	1,590311447	0,251461988
GLI3	0,014147762	-0,669605702	0,04	0,122	1	0,628678486	1,590638176	0,327868852
NFATC4	7,19E-06	-0,670129759	0,005	0,073	0,151716284	0,628450161	1,591216078	0,068493151
MPHOSPH9	0,032748226	-0,670326114	0,021	0,073	1	0,628364633	1,591432662	0,287671233
CRADD	0,032748201	-0,670704755	0,021	0,073	1	0,628199738	1,591850394	0,287671233
APPL2	0,000696322	-0,671250695	0,035	0,146	1	0,627962061	1,592452892	0,239726027
ITCH	0,087310071	-0,672156104	0,041	0,098	1	0,627568087	1,593452599	0,418367347
HERPUD1	0,021824703	-0,672706616	0,072	0,171	1	0,627328662	1,594060755	0,421052632
EIF4A3	0,017518215	-0,674331309	0,054	0,146	1	0,626622592	1,59585692	0,369863014
DVL1	0,008755374	-0,674449669	0,026	0,098	1	0,626571186	1,595987851	0,265306122
XRCC6	0,11266943	-0,675538306	0,075	0,146	1	0,626098562	1,597192615	0,51369863
ATP5F1D	0,004242685	-0,676246564	0,23	0,439	1	0,625791269	1,597976912	0,523917995
THSD7A	1,11647E-06	-0,676817646	0,013	0,122	0,02355858	0,625543602	1,598609587	0,106557377
VGLL3	0,015497797	-0,677081008	0,018	0,073	1	0,625429421	1,598901437	0,246575342
SLC66A3	2,51395E-05	-0,677223692	0,018	0,122	0,530468292	0,625367568	1,599059578	0,147540984
HTRA1	0,053725617	-0,677666191	0,139	0,244	1	0,625175787	1,599550112	0,569672131
RPL10A	0,026671352	-0,677720437	0,396	0,537	1	0,62515228	1,599610257	0,737430168
HMGNS	0,200206494	-0,678392008	0,019	0,049	1	0,624861341	1,600355045	0,387755102
GATM	5,2213E-05	-0,679127592	0,035	0,171	1	0,624542826	1,601171222	0,204678363
FGL2	4,83489E-05	-0,679554765	0,006	0,073	1	0,62435793	1,601645389	0,082191781

Supplementary Table 3

Differentially expressed genes_keloid-MD_ comparing SC-Keloid vs. (SC-Myel+Nonmyel)								
gene	p_val	avg_log2FC	pct.1	pct.2	p_val_adj	Foldchange_UP	Foldchange_DOWN	Ratio_pct1_pct2
IFIT3	0,00585671	-0,679680826	0,024	0,098	1	0,624303377	1,601785346	0,244897959
UPP1	0,453802752	-0,679916159	0,07	0,098	1	0,624201548	1,602046651	0,714285714
MFAP4	0,52217111	-0,68017995	0,013	0,024	1	0,624087426	1,602339605	0,541666667
NTRK3	0,000210269	-0,683697574	0,008	0,073	1	0,62256761	1,606251247	0,109589041
LRRFIP2	0,019531008	-0,685367743	0,056	0,146	1	0,621847298	1,608111836	0,383561644
EGFL8	0,022898514	-0,685424639	0,019	0,073	1	0,621822774	1,608175258	0,260273973
TFDP2	0,019012928	-0,685448027	0,056	0,146	1	0,621812693	1,608201329	0,383561644
B4GALNT4	0,000631925	-0,68570621	0,01	0,073	1	0,621701425	1,608489156	0,136986301
PTPN13	0,182130039	-0,686270461	0,033	0,073	1	0,621458319	1,609118374	0,452054795
PMP22	0,00091272	-0,686926912	0,4	0,659	1	0,621175609	1,609850717	0,606980273
NFU1	0,01122513	-0,68710135	0,051	0,146	1	0,621100507	1,610045378	0,349315068
NEK3	0,000203031	-0,687571809	0,008	0,073	1	0,620898001	1,610570495	0,109589041
SYT11	0,140981527	-0,687595526	0,161	0,244	1	0,620887793	1,610596972	0,659836066
NDUFA9	0,193540755	-0,687639093	0,053	0,098	1	0,620869044	1,61064561	0,540816327
NLGN4X	0,000676604	-0,688262664	0,026	0,122	1	0,620600746	1,611341924	0,213114754
CELF1	0,093322066	-0,689270586	0,072	0,146	1	0,620167322	1,612468063	0,493150685
DHRS7	0,066644132	-0,689859821	0,142	0,244	1	0,619914081	1,613126772	0,581967213
TSPAN15	0,002394737	-0,691137747	0,03	0,122	1	0,61936521	1,614556297	0,245901639
KRAS	0,045291125	-0,691893438	0,099	0,195	1	0,619040868	1,615402232	0,507692308
RALB	0,049047881	-0,692276821	0,051	0,122	1	0,618876385	1,615831567	0,418032787
PLXDC2	0,005294836	-0,693326395	0,046	0,146	1	0,618426311	1,617007528	0,315068493
DNAJB6	0,215211182	-0,693398373	0,11	0,171	1	0,618395457	1,617088205	0,643274854
C1orf21	0,002833505	-0,693562122	0,08	0,22	1	0,618325272	1,617271757	0,363636364
PRDM16-DT	1,19732E-05	-0,695298083	0,002	0,049	0,252647346	0,617581703	1,619218954	0,040816327
SOX8	7,36447E-06	-0,695868641	0,005	0,073	0,155397639	0,61733751	1,619859451	0,068493151
BRK1	0,025380223	-0,697302922	0,278	0,439	1	0,616724078	1,621470664	0,633257403
DNAJA1	0,924200276	-0,69761172	0,223	0,22	1	0,616592087	1,621817764	1,013636364
TVP23A	3,19985E-08	-0,698103023	0	0,049	0,000675201	0,616382145	1,622370161	0
CHIC1	0,023094435	-0,698260508	0,019	0,073	1	0,616314864	1,622547269	0,260273973
AATK	0,000441173	-0,698411069	0,024	0,122	1	0,616250548	1,622716608	0,196721311

Supplementary Table 3

Differentially expressed genes_keloid-MD_comparing SC-Keloid vs. (SC-Myel+Nonmyel)								
gene	p_val	avg_log2FC	pct.1	pct.2	p_val_adj	Foldchange_UP	Foldchange_DOWN	Ratio_pct1_pct2
MT1E	0,001546637	-0,699322135	0,1	0,268	1	0,615861508	1,623741681	0,373134328
HTT	0,010402762	-0,700417867	0,038	0,122	1	0,615393936	1,624975388	0,31147541
ARHGAP26	0,001551423	-0,701359589	0,019	0,098	1	0,614992368	1,62603644	0,193877551
TRIM56	0,005908853	-0,702226818	0,024	0,098	1	0,614622796	1,627014172	0,244897959
TTF1	0,001008547	-0,702282962	0,027	0,122	1	0,614598878	1,62707749	0,221311475
TMEM128	0,016248693	-0,702521636	0,029	0,098	1	0,614497209	1,627346691	0,295918367
SELENOW	0,014864142	-0,703124292	0,273	0,463	1	0,614240569	1,628026623	0,589632829
BGN	0,000181306	-0,70333769	0,04	0,171	1	0,61414972	1,628267452	0,233918129
TGFBR3	1,47452E-06	-0,705698025	0,008	0,098	0,031113926	0,613145756	1,630933575	0,081632653
CALCOCO2	0,041808027	-0,705921754	0,035	0,098	1	0,613050679	1,631186515	0,357142857
TRIM58	0,042482188	-0,706418146	0,011	0,049	1	0,612839781	1,631747858	0,224489796
MGP	0,502646842	-0,706966701	0,089	0,122	1	0,612606806	1,632368415	0,729508197
FAF2	0,171341894	-0,707132021	0,033	0,073	1	0,61253661	1,632555481	0,452054795
ZNF641	0,000651626	-0,707275638	0,01	0,073	1	0,612475637	1,632718005	0,136986301
RPS9	0,000537668	-0,707845658	0,522	0,732	1	0,612233691	1,633363232	0,713114754
GATAD1	0,087776979	-0,709100895	0,073	0,146	1	0,61170124	1,634784981	0,5
PCID2	0,026313742	-0,709880306	0,032	0,098	1	0,61137086	1,635668407	0,326530612
CNBD2	9,55558E-09	-0,71204929	0,002	0,073	0,000201632	0,6104524	1,638129361	0,02739726
TLCD2	1,84072E-08	-0,712694275	0,005	0,098	0,000388411	0,610179546	1,638861884	0,051020408
ARHGEF1	9,5746E-06	-0,713423765	0,016	0,122	0,202033719	0,609871091	1,639690773	0,131147541
FRMD3	2,6748E-11	-0,713476702	0,005	0,122	5,6441E-07	0,609848713	1,63975094	0,040983607
ARHGAP12	0,006623192	-0,714194797	0,073	0,195	1	0,609545239	1,640567322	0,374358974
GAP43	0,444621531	-0,715166891	0,093	0,122	1	0,609134663	1,641673115	0,762295082
PLD3	0,011653522	-0,715911629	0,065	0,171	1	0,608820301	1,642520788	0,380116959
DLC1	0,007769135	-0,716148663	0,091	0,22	1	0,60872028	1,642790675	0,413636364
USP9X	0,110760758	-0,717863829	0,045	0,098	1	0,607997026	1,644744888	0,459183673
TAF5	9,20921E-09	-0,719199388	0,002	0,073	0,000194324	0,60743444	1,646268197	0,02739726
ILKAP	0,002177923	-0,720528465	0,03	0,122	1	0,6068751	1,647785515	0,245901639
DHX33	0,22472854	-0,723186497	0,021	0,049	1	0,605758019	1,650824206	0,428571429
RPL21	0,012102602	-0,723651155	0,48	0,61	1	0,60556295	1,651355982	0,786885246

Supplementary Table 3

Differentially expressed genes_keloid-MD_comparing SC-Keloid vs. (SC-Myel+Nonmyel)								
gene	p_val	avg_log2FC	pct.1	pct.2	p_val_adj	Foldchange_UP	Foldchange_DOWN	Ratio_pct1_pct2
PYURF	0,129073854	-0,72409568	0,102	0,171	1	0,605376392	1,651864878	0,596491228
PLEKHA5	0,001372048	-0,724937023	0,049	0,171	1	0,605023455	1,652828485	0,286549708
IMP3	0,034737414	-0,726378771	0,048	0,122	1	0,60441913	1,654481054	0,393442623
MAD2L2	0,060777188	-0,726536334	0,088	0,171	1	0,604353123	1,654661757	0,514619883
NDE1	0,003318345	-0,727648546	0,032	0,122	1	0,603887391	1,655937871	0,262295082
NOP56	0,005294836	-0,728079221	0,046	0,146	1	0,603707144	1,656432278	0,315068493
DPP4	1,19732E-05	-0,728280874	0,002	0,049	0,252647346	0,603622767	1,656663823	0,040816327
PPP4R2	0,061436044	-0,729034286	0,105	0,195	1	0,603307622	1,6575292	0,538461538
IER5L	0,112171546	-0,729407656	0,08	0,146	1	0,603151506	1,657958225	0,547945205
MAPKAPK5-AS1	0,005961414	-0,729719795	0,024	0,098	1	0,603021023	1,658316977	0,244897959
RHPN1	1,23757E-05	-0,729728093	0,002	0,049	0,261139758	0,603017555	1,658326515	0,040816327
POLI	0,043606468	-0,730024617	0,022	0,073	1	0,602893626	1,658667394	0,301369863
ECI1	0,002884485	-0,730421612	0,054	0,171	1	0,602727748	1,659123881	0,315789474
DRAM1	0,023893783	-0,730627049	0,01	0,049	1	0,602641926	1,659360155	0,204081633
FAM76B	0,010617301	-0,731278152	0,038	0,122	1	0,602370009	1,66010921	0,31147541
SIX5	5,04593E-07	-0,731808064	0,003	0,073	0,010647424	0,602148795	1,660719091	0,04109589
RAD54B	0,000240215	-0,732408316	0,003	0,049	1	0,601898315	1,661410199	0,06122449
SNHG18	1,23757E-05	-0,732420571	0,002	0,049	0,261139758	0,601893202	1,661424312	0,040816327
TLE3	0,026630998	-0,732430135	0,075	0,171	1	0,601889213	1,661435326	0,438596491
HES1	0,024138028	-0,732744958	0,089	0,195	1	0,601757883	1,661797922	0,456410256
MT-ND2	0,000189324	-0,733150049	0,41	0,659	1	0,601588941	1,662264599	0,62215478
GTPBP6	0,14509156	-0,733745195	0,032	0,073	1	0,601340822	1,662950465	0,438356164
NINJ1	0,032676682	-0,734090333	0,061	0,146	1	0,60119698	1,663348343	0,417808219
KLF13	0,015767971	-0,736934978	0,054	0,146	1	0,600012733	1,666631298	0,369863014
MRPS31	0,10597668	-0,737256483	0,029	0,073	1	0,599879035	1,667002749	0,397260274
TOMM7	0,004413505	-0,737407277	0,472	0,683	1	0,599816337	1,667176997	0,691068814
SLC25A6	0,015336489	-0,738858736	0,225	0,39	1	0,599213181	1,668855146	0,576923077
APPL1	0,026570676	-0,740151476	0,075	0,171	1	0,598676491	1,670351209	0,438596491
TMEM9	0,04111683	-0,746412615	0,022	0,073	1	0,59608393	1,677616104	0,301369863
AP1S2	0,001067775	-0,746517186	0,319	0,561	1	0,596040726	1,677737706	0,568627451

Supplementary Table 3

Differentially expressed genes_keloid-MD_comparing SC-Keloid vs. (SC-Myel+Nonmyel)								
gene	p_val	avg_log2FC	pct.1	pct.2	p_val_adj	Foldchange_UP	Foldchange_DOWN	Ratio_pct1_pct2
GALR1	0,004163489	-0,746848086	0,145	0,317	1	0,595904032	1,678122561	0,457413249
C15orf40	0,004773625	-0,746923295	0,033	0,122	1	0,595872968	1,678210045	0,270491803
PRRG4	9,20921E-09	-0,747178476	0,002	0,073	0,000194324	0,59576758	1,678506909	0,02739726
RTKN	0,003924529	-0,748464515	0,022	0,098	1	0,595236741	1,680003822	0,224489796
ASTN2	4,93398E-05	-0,748543389	0,006	0,073	1	0,5952042	1,680095673	0,082191781
ARPIN	0,040805833	-0,748762539	0,011	0,049	1	0,595113793	1,680350903	0,224489796
LGI4	0,006015092	-0,749058684	0,118	0,268	1	0,594991645	1,680695868	0,440298507
BIRC3	0,022319389	-0,7508833	0,019	0,073	1	0,594239619	1,682822835	0,260273973
TLE1	7,24906E-05	-0,753447765	0,046	0,195	1	0,593184265	1,6858168	0,235897436
FBXO3	0,002121997	-0,75374633	0,03	0,122	1	0,593061519	1,686165715	0,245901639
C5orf24	0,016961688	-0,754560691	0,102	0,22	1	0,592726847	1,687117777	0,463636364
DDAH2	0,019845213	-0,75517968	0,1	0,22	1	0,592472592	1,687841791	0,454545455
GPBP1L1	0,016422599	-0,756396489	0,041	0,122	1	0,591973094	1,689265964	0,336065574
RALGPS2	0,268487785	-0,756554143	0,038	0,073	1	0,591908408	1,689450573	0,520547945
TATDN3	0,113762049	-0,757186346	0,005	0,024	1	0,591649086	1,690191068	0,208333333
ERBB3	0,001021535	-0,757462538	0,225	0,463	1	0,59153583	1,690514672	0,485961123
CLSTN1	0,002972796	-0,75773121	0,067	0,195	1	0,591425679	1,690829525	0,343589744
RNASEH2C	0,024103231	-0,757960575	0,187	0,317	1	0,591331659	1,691098361	0,589905363
EPN2	0,005658778	-0,759079165	0,088	0,22	1	0,59087335	1,692410058	0,4
PHF20	0,000550638	-0,760201023	0,045	0,171	1	0,590414057	1,69372661	0,263157895
IFIT2	0,000421192	-0,760455716	0,016	0,098	1	0,590309835	1,694025646	0,163265306
MFSD10	0,003897006	-0,760500628	0,069	0,195	1	0,590291459	1,694078383	0,353846154
NDUFAF4	0,000623926	-0,760798805	0,026	0,122	1	0,590169469	1,694428553	0,213114754
PACS1	0,435681552	-0,761037805	0,029	0,049	1	0,590071709	1,694709278	0,591836735
CASP6	1,53756E-06	-0,761883027	0,008	0,098	0,032443949	0,589726109	1,695702437	0,081632653
PTOV1	0,010019702	-0,762330349	0,051	0,146	1	0,589543287	1,696228287	0,349315068
ARHGAP24	6,09814E-05	-0,76307617	0,027	0,146	1	0,589238593	1,697105404	0,184931507
PDCD7	0,000419115	-0,764844385	0,033	0,146	1	0,588516845	1,699186707	0,226027397
ARHGEF2	0,141408454	-0,764941517	0,048	0,098	1	0,588477223	1,699301112	0,489795918
USP36	0,009985192	-0,765367572	0,016	0,073	1	0,588303461	1,699803021	0,219178082

Supplementary Table 3

Differentially expressed genes_keloid-MD_comparing SC-Keloid vs. (SC-Myel+Nonmyel)								
gene	p_val	avg_log2FC	pct.1	pct.2	p_val_adj	Foldchange_UP	Foldchange_DOWN	Ratio_pct1_pct2
PPP1R12B	0,008682967	-0,765538324	0,026	0,098	1	0,588233835	1,700004216	0,265306122
KDM3B	0,087448854	-0,766728215	0,014	0,049	1	0,587748878	1,701406906	0,285714286
LEPROT	0,000180313	-0,767856926	0,152	0,39	1	0,587289225	1,702738545	0,38974359
CPXM2	9,44793E-05	-0,768843329	0	0,024	1	0,586887819	1,703903143	0
BHLHB9	0,00024616	-0,76938908	0,003	0,049	1	0,58666585	1,704547827	0,06122449
EIF1	0,001003828	-0,769817453	0,643	0,78	1	0,58649168	1,705054027	0,824358974
ABHD11	0,012233654	-0,77128919	0,008	0,049	1	0,585893687	1,70679429	0,163265306
ACADVL	0,037161563	-0,771320729	0,062	0,146	1	0,585880879	1,706831604	0,424657534
ZDHHC1	0,000240215	-0,772349753	0,003	0,049	1	0,585463139	1,708049462	0,06122449
SEC22C	0,020100408	-0,773217754	0,03	0,098	1	0,585111	1,709077423	0,306122449
CIDEB	1,20272E-11	-0,773707299	0	0,073	2,53785E-07	0,58491249	1,709657458	0
RCBTB2	4,73768E-05	-0,774458439	0,006	0,073	0,999698382	0,584608034	1,710547822	0,082191781
VPS53	9,91879E-05	-0,77455152	0,029	0,146	1	0,584570317	1,710658189	0,198630137
PKIB	1,20272E-11	-0,775231761	0	0,073	2,53785E-07	0,584294753	1,711464967	0
CD59	0,047142318	-0,775544346	0,206	0,317	1	0,584168169	1,711835826	0,649842271
TMBIM4	0,005434861	-0,77654234	0,155	0,317	1	0,583764207	1,713020409	0,488958991
LINC00682	1,19732E-05	-0,777918751	0,002	0,049	0,252647346	0,583207529	1,714655506	0,040816327
NXT1	0,034122752	-0,778207781	0,033	0,098	1	0,5830907	1,714999054	0,336734694
SSH1	0,021199242	-0,77872299	0,019	0,073	1	0,582882507	1,715611617	0,260273973
RANBP2	0,008229732	-0,778795845	0,049	0,146	1	0,582853072	1,715698256	0,335616438
AC007364.1	7,19E-06	-0,779763331	0,005	0,073	0,151716284	0,582462336	1,716849207	0,068493151
SRFBP1	0,00094177	-0,784892844	0,037	0,146	1	0,580395065	1,722964341	0,253424658
TBC1D9B	0,001479757	-0,786680447	0,029	0,122	1	0,579676359	1,725100541	0,237704918
SIGIRR	0,000232245	-0,787743495	0,062	0,22	1	0,579249382	1,726372149	0,281818182
BLVRB	0,00115867	-0,788157419	0,073	0,22	1	0,579083213	1,726867533	0,331818182
SLC9A3R1	0,003081313	-0,788192008	0,013	0,073	1	0,57906933	1,726908936	0,178082192
EMP2	0,000673197	-0,788196777	0,137	0,341	1	0,579067415	1,726914645	0,401759531
CLSTN2	3,19985E-08	-0,789575356	0	0,049	0,000675201	0,578514347	1,7285656	0
KATNA1	0,015774634	-0,790545496	0,029	0,098	1	0,578125456	1,729728365	0,295918367
LRCH1	0,001400776	-0,790755017	0,029	0,122	1	0,578041502	1,72997959	0,237704918

Supplementary Table 3

Differentially expressed genes_keloid-MD_ comparing SC-Keloid vs. (SC-Myel+Nonmyel)								
gene	p_val	avg_log2FC	pct.1	pct.2	p_val_adj	Foldchange_UP	Foldchange_DOWN	Ratio_pct1_pct2
TVP23C	9,44793E-05	-0,790977856	0	0,024	1	0,577952224	1,730246823	0
RTL8A	0,002958966	-0,791016997	0,043	0,146	1	0,577936544	1,730293766	0,294520548
ADGRA2	0,06168972	-0,791494167	0,013	0,049	1	0,577745424	1,730866154	0,265306122
MICU1	0,030455829	-0,792138955	0,094	0,195	1	0,577487268	1,731639908	0,482051282
IER3	0,181411876	-0,79259872	0,145	0,22	1	0,577303261	1,732191843	0,659090909
BTC	0,057780508	-0,792829404	0,054	0,122	1	0,577210959	1,732468839	0,442622951
ARPC1B	0,006663035	-0,793990974	0,198	0,366	1	0,576746411	1,733864279	0,540983607
SELENOM	0,005793972	-0,794275483	0,278	0,463	1	0,576632684	1,734206243	0,600431965
HSPG2	0,01794725	-0,794326605	0,155	0,293	1	0,576612251	1,734267696	0,529010239
DOCK1	0,00848938	-0,794345129	0,049	0,146	1	0,576604847	1,734289964	0,335616438
PHF11	0,022129198	-0,794396727	0,019	0,073	1	0,576584226	1,734351991	0,260273973
ASAH1	0,014805081	-0,794844806	0,1	0,22	1	0,576405175	1,734890738	0,454545455
MPLKIP	0,011712675	-0,795959169	0,067	0,171	1	0,575960122	1,736231316	0,391812865
CHMP4B	0,086411494	-0,797666957	0,075	0,146	1	0,575278733	1,738287795	0,51369863
APH1A	0,035738195	-0,798659831	0,064	0,146	1	0,574882958	1,739484509	0,438356164
GNG2	0,004934051	-0,799509718	0,171	0,341	1	0,574544396	1,740509536	0,501466276
PLCB1	0,025449963	-0,799959038	0,032	0,098	1	0,574365485	1,741051693	0,326530612
KIAA0232	0,062111771	-0,800963056	0,054	0,122	1	0,573965905	1,742263768	0,442622951
CLEC14A	6,85286E-06	-0,801686902	0,005	0,073	0,144602248	0,573678	1,743138137	0,068493151
PCSK2	4,60164E-13	-0,801858799	0,003	0,122	9,70992E-09	0,57360965	1,743345844	0,024590164
UCKL1	0,022319389	-0,803560035	0,019	0,073	1	0,572933644	1,745402822	0,260273973
ARTN	5,035E-05	-0,80366333	0,006	0,073	1	0,572892625	1,745527795	0,082191781
SARAF	0,012258391	-0,803957047	0,15	0,293	1	0,572776002	1,745883202	0,511945392
C1orf122	0,003254697	-0,804000823	0,164	0,341	1	0,572758622	1,745936178	0,480938416
SIPA1L2	0,007382339	-0,804141503	0,077	0,195	1	0,572702774	1,746106437	0,394871795
SBNO2	0,192336114	-0,804768751	0,006	0,024	1	0,572453831	1,746865765	0,25
MTHFR	0,000189251	-0,805524182	0,008	0,073	1	0,572154159	1,747780707	0,109589041
ABHD12	0,002299985	-0,806852109	0,041	0,146	1	0,571627763	1,74939019	0,280821918
CNOT2	0,006521675	-0,806915766	0,061	0,171	1	0,571602541	1,749467382	0,356725146
CLK3	0,000641705	-0,808049826	0,01	0,073	1	0,571153397	1,750843126	0,136986301

Supplementary Table 3

Differentially expressed genes_keloid-MD_comparing SC-Keloid vs. (SC-Myel+Nonmyel)								
gene	p_val	avg_log2FC	pct.1	pct.2	p_val_adj	Foldchange_UP	Foldchange_DOWN	Ratio_pct1_pct2
FEM1C	0,010617301	-0,809663346	0,038	0,122	1	0,570514972	1,752802377	0,31147541
RSPO3	3,07853E-05	-0,811244648	0,026	0,146	0,649599658	0,569889988	1,754724633	0,178082192
TTC32	7,54999E-06	-0,812353629	0,022	0,146	0,159312315	0,569452089	1,756073986	0,150684932
SON	0,026223298	-0,812648704	0,273	0,415	1	0,569335631	1,756433193	0,657831325
SETD1A	0,000622283	-0,813577923	0,01	0,073	1	0,568969048	1,757564851	0,136986301
KIAA1755	0,014933055	-0,814544784	0,018	0,073	1	0,568587866	1,758743126	0,246575342
C9orf85	0,005552464	-0,814883938	0,024	0,098	1	0,568454216	1,759156626	0,244897959
BDH2	0,000988998	-0,815470149	0,048	0,171	1	0,568223282	1,75987157	0,280701754
FERMT2	0,005031856	-0,816689709	0,134	0,293	1	0,567743147	1,761359879	0,457337884
CMPK1	0,002864122	-0,819351909	0,11	0,268	1	0,566696458	1,764613111	0,410447761
RBM17	0,035238895	-0,819883418	0,064	0,146	1	0,566487718	1,765263338	0,438356164
TENT5A	0,005274668	-0,820023355	0,059	0,171	1	0,566432773	1,765434572	0,34502924
ATP6V0D1	0,000583566	-0,823201816	0,035	0,146	1	0,565186215	1,769328362	0,239726027
GABARAPL2	0,002052299	-0,824142182	0,246	0,463	1	0,56481794	1,770482007	0,531317495
SLC25A5	0,003921296	-0,824455382	0,228	0,415	1	0,564695335	1,770866409	0,54939759
CNBP	0,061197858	-0,826025582	0,19	0,293	1	0,564081066	1,772794834	0,648464164
PKN2	0,059011306	-0,827030901	0,054	0,122	1	0,563688132	1,774030608	0,442622951
DSC3	0,113762049	-0,827116909	0,005	0,024	1	0,563654528	1,774136372	0,208333333
ZFP36L1	0,006500448	-0,829432859	0,144	0,293	1	0,562750423	1,77698667	0,491467577
TCIM	0,000491298	-0,830919525	0,124	0,317	1	0,562170819	1,778818761	0,391167192
NR4A2	2,79918E-05	-0,83103592	0,053	0,22	0,590655059	0,562125466	1,778962279	0,240909091
C11orf58	0,043544782	-0,832863507	0,289	0,439	1	0,561413824	1,781217272	0,658314351
THUMPD1	0,012536894	-0,833020745	0,067	0,171	1	0,561352639	1,781411417	0,391812865
CLNS1A	0,003178998	-0,833562361	0,069	0,195	1	0,561141936	1,782080319	0,353846154
CDH19	7,78291E-05	-0,833988924	0,341	0,634	1	0,560976047	1,782607306	0,53785489
LAMP5	3,7483E-16	-0,834048017	0,003	0,146	7,90928E-12	0,56095307	1,782680323	0,020547945
NPEPPS	0,010122715	-0,83625403	0,038	0,122	1	0,560095977	1,78540829	0,31147541
METTL15	0,014453845	-0,837921668	0,018	0,073	1	0,559448925	1,78747327	0,246575342
CNKS3	0,03692674	-0,839032366	0,064	0,146	1	0,559018384	1,788849935	0,438356164
CMAS	7,82931E-05	-0,839200528	0,029	0,146	1	0,558953228	1,789058457	0,198630137

Supplementary Table 3

Differentially expressed genes_keloid-MD_comparing SC-Keloid vs. (SC-Myel+Nonmyel)								
gene	p_val	avg_log2FC	pct.1	pct.2	p_val_adj	Foldchange_UP	Foldchange_DOWN	Ratio_pct1_pct2
LINC00632	0,00570276	-0,840729492	0,024	0,098	1	0,558361165	1,790955501	0,244897959
JDP2	4,92358E-05	-0,840940897	0,027	0,146	1	0,558279352	1,791217957	0,184931507
BTBD7	0,007977213	-0,845463301	0,049	0,146	1	0,556532058	1,796841683	0,335616438
PTBP2	0,12783641	-0,84683438	0,046	0,098	1	0,556003404	1,79855014	0,469387755
AC009041.2	6,85286E-06	-0,847515986	0,005	0,073	0,144602248	0,55574078	1,799400073	0,068493151
SLC43A2	3,19985E-08	-0,848900179	0	0,049	0,000675201	0,555207831	1,801127334	0
ADAMTS8	9,20921E-09	-0,851069332	0,002	0,073	0,000194324	0,554373679	1,803837442	0,02739726
CMTM5	0,000233812	-0,852304064	0,041	0,171	1	0,553899421	1,805381919	0,239766082
C14orf119	0,008715663	-0,852858725	0,051	0,146	1	0,553686509	1,806076152	0,349315068
ANXA3	6,77092E-06	-0,853219532	0,005	0,073	0,142873101	0,553548053	1,806527895	0,068493151
DBP	2,7329E-15	-0,85501267	0,002	0,122	5,7667E-11	0,552860471	1,80877464	0,016393443
ZNF503	0,00482015	-0,85543476	0,046	0,146	1	0,552698744	1,809303911	0,315068493
CREBRF	0,0016918	-0,855512914	0,04	0,146	1	0,552668804	1,809401928	0,273972603
NR2F1	0,083343493	-0,856354189	0,027	0,073	1	0,552346622	1,810457348	0,369863014
HLA-DPB1	9,01333E-06	-0,857144452	0,016	0,122	0,190190222	0,552044146	1,811449331	0,131147541
FST	0,00055285	-0,857690119	0,045	0,171	1	0,551835388	1,812134601	0,263157895
STAT3	0,088724987	-0,861110091	0,075	0,146	1	0,550528787	1,816435441	0,51369863
PSME1	0,003343127	-0,864477193	0,142	0,317	1	0,549245408	1,820679766	0,447949527
ATF3	9,30193E-05	-0,866097765	0,029	0,146	1	0,548628789	1,822726075	0,198630137
TMEM222	0,009125562	-0,866850484	0,026	0,098	1	0,54834262	1,823677321	0,265306122
OTUD5	0,010840928	-0,866877675	0,027	0,098	1	0,548332285	1,823711693	0,275510204
TPGS2	0,018952476	-0,870405156	0,043	0,122	1	0,546993216	1,82817624	0,352459016
FXVD6	0,000189251	-0,870628458	0,008	0,073	1	0,546908558	1,82845923	0,109589041
TSC22D4	1,47452E-06	-0,872999232	0,008	0,098	0,031113926	0,546010563	1,831466398	0,081632653
MTUS1	0,00229035	-0,873570184	0,021	0,098	1	0,545794521	1,832191351	0,214285714
RNF103	0,030018296	-0,877127747	0,021	0,073	1	0,544450296	1,836714954	0,287671233
TIMM8B	0,068184026	-0,877322581	0,217	0,317	1	0,544376773	1,836963017	0,684542587
PON2	0,010740394	-0,879342028	0,116	0,244	1	0,543615302	1,83953615	0,475409836
USP12	0,053272784	-0,879897766	0,024	0,073	1	0,543405937	1,840244891	0,328767123
FSTL3	0,022858535	-0,88194838	0,091	0,195	1	0,542634101	1,842862433	0,466666667

Supplementary Table 3

Differentially expressed genes_keloid-MD_comparing SC-Keloid vs. (SC-Myel+Nonmyel)								
gene	p_val	avg_log2FC	pct.1	pct.2	p_val_adj	Foldchange_UP	Foldchange_DOWN	Ratio_pct1_pct2
PTK2	0,000526359	-0,882010059	0,08	0,244	1	0,542610903	1,842941222	0,327868852
ZEB2	0,00156488	-0,882464256	0,308	0,537	1	0,542440102	1,843521519	0,573556797
IGFBP4	1,13557E-07	-0,885455371	0,029	0,195	0,002396159	0,541316635	1,847347625	0,148717949
NR1D2	0,005583711	-0,891112566	0,035	0,122	1	0,539198143	1,854605793	0,286885246
UHRF1BP1L	0,065905535	-0,891868337	0,026	0,073	1	0,538915753	1,855577602	0,356164384
GRIK3	8,5527E-09	-0,893060437	0,002	0,073	0,00018047	0,53847063	1,8571115	0,02739726
ORMDL1	0,000171793	-0,897642876	0,086	0,268	1	0,536762997	1,86301963	0,320895522
ABCA8	0,000367698	-0,901638719	0,024	0,122	1	0,535278377	1,868186802	0,196721311
ITGB8	0,001107663	-0,9025381	0,225	0,463	1	0,534944787	1,8693518	0,485961123
ZBTB44	0,044115661	-0,905865753	0,035	0,098	1	0,53371233	1,873668536	0,357142857
KCTD12	0,019512391	-0,906876264	0,086	0,195	1	0,533338631	1,874981375	0,441025641
SOCS2	0,000145416	-0,90747059	0,126	0,341	1	0,533118965	1,875753941	0,369501466
MAGEH1	1,27463E-06	-0,907491698	0,019	0,146	0,026895928	0,533111165	1,875781386	0,130136986
FH	0,004484998	-0,907661601	0,033	0,122	1	0,533048386	1,876002305	0,270491803
PRIMA1	4,73768E-05	-0,909153225	0,006	0,073	0,999698382	0,532497544	1,877942935	0,082191781
MYOT	0,000190527	-0,909567277	0,086	0,268	1	0,532344739	1,87848198	0,320895522
BICRAL	0,021017392	-0,911692961	0,019	0,073	1	0,531560953	1,881251799	0,260273973
CACYBP	0,000124635	-0,911988802	0,061	0,22	1	0,531451962	1,88163761	0,277272727
C2orf88	4,76504E-13	-0,912839769	0,003	0,122	1,00547E-08	0,53113858	1,882747812	0,024590164
NCAM1	6,42006E-05	-0,915919643	0,037	0,171	1	0,530005912	1,886771407	0,216374269
NKAIN3	1,4154E-06	-0,91664091	0,019	0,146	0,029866352	0,529741005	1,887714923	0,130136986
RAP1GAP	1,20272E-11	-0,918584509	0	0,073	2,53785E-07	0,529027818	1,890259767	0
MORC4	0,000375706	-0,919853424	0,024	0,122	1	0,528562719	1,891923066	0,196721311
MAPRE2	9,37297E-05	-0,923698027	0,07	0,244	1	0,52715604	1,89697153	0,286885246
NTM	0,001588724	-0,924414541	0,346	0,561	1	0,526894293	1,897913895	0,616755793
TJP1	0,000342908	-0,925383079	0,093	0,268	1	0,526540687	1,899188467	0,347014925
FOS	0,041675509	-0,92759998	0,287	0,415	1	0,525732205	1,902109077	0,691566265
NIBAN1	0,000237168	-0,928171761	0,032	0,146	1	0,525523884	1,902863086	0,219178082
PLAC9	6,21639E-05	-0,931570844	0,271	0,561	1	0,524287173	1,90735164	0,483065954
PKIG	0,014885299	-0,932937942	0,086	0,195	1	0,523790594	1,909159904	0,441025641

Supplementary Table 3

Differentially expressed genes_keloid-MD_ comparing SC-Keloid vs. (SC-Myel+Nonmyel)								
gene	p_val	avg_log2FC	pct.1	pct.2	p_val_adj	Foldchange_UP	Foldchange_DOWN	Ratio_pct1_pct2
CD4	6,86488E-09	-0,935176873	0,008	0,122	0,000144856	0,522978349	1,912125045	0,06557377
DYNLRB1	0,002885558	-0,935786925	0,18	0,366	1	0,522757252	1,912933769	0,491803279
SH3BP5	2,38967E-05	-0,938514957	0,043	0,195	0,504244622	0,521769689	1,916554412	0,220512821
TUBB2B	0,002221276	-0,93929608	0,021	0,098	1	0,521487262	1,917592378	0,214285714
TPR	0,019345539	-0,941091905	0,123	0,244	1	0,520838534	1,919980827	0,504098361
SFRP2	0,874995474	-0,941355739	0,07	0,073	1	0,520743294	1,920331978	0,95890411
ATG10	0,000773141	-0,941987979	0,018	0,098	1	0,520515136	1,92117372	0,183673469
CCN1	0,003637605	-0,944337493	0,167	0,341	1	0,519668136	1,924305014	0,48973607
NFIB	0,00051042	-0,945319993	0,035	0,146	1	0,519314354	1,925615944	0,239726027
CHPT1	0,000568198	-0,946317328	0,035	0,146	1	0,518955476	1,926947583	0,239726027
ADD3	2,45688E-09	-0,949449713	0,022	0,195	5,18427E-05	0,51782994	1,931135924	0,112820513
IGFBP7	0,155292056	-0,949669873	0,367	0,415	1	0,517750924	1,931430644	0,884337349
MRPS11	0,752148317	-0,950263683	0,04	0,049	1	0,517537862	1,932225781	0,816326531
MT2A	0,001094023	-0,951910746	0,482	0,659	1	0,516947349	1,93443298	0,731411229
JUNB	0,038270009	-0,952210673	0,158	0,268	1	0,51683989	1,934835178	0,589552239
ABTB1	6,85286E-06	-0,952550641	0,005	0,073	0,144602248	0,516718112	1,935291171	0,068493151
PRKCA	0,000137168	-0,957645132	0,049	0,195	1	0,514896678	1,942137214	0,251282051
DOCK5	0,00122171	-0,959839813	0,049	0,171	1	0,514113994	1,945093913	0,286549708
LONRF1	0,009785348	-0,960835268	0,016	0,073	1	0,513759379	1,946436484	0,219178082
PEBP1	0,000324593	-0,961824964	0,501	0,756	1	0,513407059	1,947772207	0,662698413
ATP6VOE1	0,000801368	-0,962226009	0,29	0,512	1	0,51326436	1,948313731	0,56640625
OSBPL1A	1,27266E-09	-0,96239947	0,011	0,146	2,68545E-05	0,513202652	1,948547999	0,075342466
WIPF1	0,000461317	-0,962486687	0,124	0,317	1	0,513171628	1,9486658	0,391167192
GSTK1	0,000219007	-0,964786332	0,064	0,22	1	0,512354287	1,951774436	0,290909091
TNKS2	0,011779976	-0,968677961	0,04	0,122	1	0,510974089	1,957046399	0,327868852
FAM102A	3,30559E-06	-0,971048668	0,014	0,122	0,069751183	0,51013512	1,960264958	0,114754098
SYDE2	1,23757E-05	-0,974131747	0,002	0,049	0,261139758	0,509046112	1,964458576	0,040816327
LRRC4C	1,41677E-09	-0,97666544	0,016	0,171	2,98954E-05	0,508152898	1,967911634	0,093567251
IGSF1	4,90088E-07	-0,97701807	0,003	0,073	0,010341346	0,508028708	1,968392698	0,04109589
SRCIN1	1,49855E-07	-0,985012486	0,016	0,146	0,003162093	0,505221351	1,979330443	0,109589041

Supplementary Table 3

Differentially expressed genes_keloid-MD_ comparing SC-Keloid vs. (SC-Myel+Nonmyel)								
gene	p_val	avg_log2FC	pct.1	pct.2	p_val_adj	Foldchange_UP	Foldchange_DOWN	Ratio_pct1_pct2
CBX1	0,00059729	-0,985962347	0,07	0,22	1	0,504888826	1,980634051	0,318181818
TMEM107	0,002932731	-0,986652059	0,032	0,122	1	0,50464751	1,981581163	0,262295082
L1CAM	0,002681265	-0,989805168	0,129	0,293	1	0,503545773	1,98591678	0,440273038
KCNMB4	8,39955E-07	-0,990754831	0,08	0,317	0,017723894	0,50321442	1,987224453	0,252365931
NNMT	0,021108127	-0,990959291	0,019	0,073	1	0,503143109	1,987506104	0,260273973
B4GALNT1	1,44395E-06	-0,991107063	0,008	0,098	0,030468731	0,503091576	1,98770969	0,081632653
RAPGEF5	2,6748E-11	-0,992818127	0,005	0,122	5,6441E-07	0,502495253	1,990068551	0,040983607
FCGRT	2,83649E-06	-0,993578136	0,045	0,22	0,059852674	0,502230609	1,99111719	0,204545455
SOX2	0,000712943	-0,995801397	0,059	0,195	1	0,501457244	1,994187961	0,302564103
NEMF	0,001389182	-0,996880002	0,04	0,146	1	0,501082479	1,995679437	0,273972603
SES3	6,30989E-06	-0,997603838	0,038	0,195	0,133145016	0,500831136	1,996680972	0,194871795
DUSP23	0,000643868	-1,000947601	0,059	0,195	1	0,499671694	2,001314085	0,302564103
TENT2	0,009648749	-1,002431147	0,038	0,122	1	0,499158138	2,003373126	0,31147541
ABLIM1	0,000177322	-1,003908192	0,014	0,098	1	0,498647357	2,00542525	0,142857143
CDKN1C	1,33323E-06	-1,004083067	0,019	0,146	0,028132413	0,498586917	2,005668351	0,130136986
MMP19	4,45706E-05	-1,006320095	0,006	0,073	0,940485029	0,497814413	2,008780731	0,082191781
SEMA3G	8,5527E-09	-1,010084663	0,002	0,073	0,00018047	0,496517109	2,014029288	0,02739726
KCNS3	0,009722285	-1,01348624	0,051	0,146	1	0,495347803	2,018783556	0,349315068
PTX3	0,000340908	-1,014169058	0,024	0,122	1	0,495113414	2,019739259	0,196721311
INO80D	0,000149279	-1,01863544	0,04	0,171	1	0,493582982	2,026001778	0,233918129
STEAP1B	4,65208E-05	-1,029581798	0,019	0,122	0,981635404	0,489852124	2,041432404	0,155737705
SURF2	3,40544E-05	-1,034289613	0,045	0,195	0,718582677	0,48825624	2,048104905	0,230769231
BRAP	0,000172449	-1,036023999	0,014	0,098	1	0,487669618	2,050568586	0,142857143
SHISA9	2,41617E-15	-1,041389346	0,002	0,122	5,09836E-11	0,485859356	2,058208798	0,016393443
PSIP1	0,001903322	-1,041686941	0,041	0,146	1	0,485759144	2,058633403	0,280821918
CCNK	4,86813E-05	-1,043846218	0,027	0,146	1	0,485032654	2,06171686	0,184931507
TSPAN11	8,20955E-08	-1,04528617	0,07	0,317	0,001732298	0,484548785	2,063775684	0,220820189
NDRG1	0,000921006	-1,045361944	0,038	0,146	1	0,484523336	2,063884082	0,260273973
PLAAT3	5,75522E-07	-1,050371313	0,067	0,293	0,012144097	0,482843877	2,071062818	0,228668942
FAM181B	2,52657E-07	-1,051753753	0,011	0,122	0,005331316	0,482381421	2,073048332	0,090163934

Supplementary Table 3

Differentially expressed genes_keloid-MD_comparing SC-Keloid vs. (SC-Myel+Nonmyel)								
gene	p_val	avg_log2FC	pct.1	pct.2	p_val_adj	Foldchange_UP	Foldchange_DOWN	Ratio_pct1_pct2
OLFML2A	0,00023685	-1,053874601	0,115	0,317	1	0,481672812	2,076098079	0,362776025
ARHGEF7	0,002860699	-1,058820868	0,032	0,122	1	0,480024229	2,083228178	0,262295082
HADHB	0,001258384	-1,062511387	0,051	0,171	1	0,478797861	2,08856405	0,298245614
NDRG2	2,90111E-07	-1,063788004	0,038	0,22	0,006121627	0,478374368	2,090413003	0,172727273
GFRA2	0,010545355	-1,065603313	0,038	0,122	1	0,47777282	2,093044975	0,31147541
CCND2	6,2601E-06	-1,068621904	0,01	0,098	0,132094472	0,476774208	2,097428896	0,102040816
MMGT1	0,001017386	-1,071917883	0,038	0,146	1	0,475686213	2,102226157	0,260273973
ZFP36	7,96442E-05	-1,086282422	0,096	0,293	1	0,47097343	2,123262028	0,327645051
GADD45B	0,007456628	-1,087980325	0,128	0,268	1	0,470419469	2,125762358	0,47761194
FTH1	3,18472E-11	-1,08940806	0,831	1	6,72008E-07	0,469954158	2,127867118	0,831
CADM3	1,24529E-09	-1,09318455	0,011	0,146	2,62768E-05	0,468725585	2,133444455	0,075342466
JUN	0,000945817	-1,102055107	0,329	0,561	1	0,46585242	2,146602566	0,586452763
TYW3	0,002992104	-1,103735528	0,045	0,146	1	0,465310121	2,149104339	0,308219178
MYH14	5,10086E-10	-1,115042736	0,006	0,122	1,07633E-05	0,461677479	2,166014253	0,049180328
PROS1	0,00019516	-1,120302913	0,077	0,244	1	0,459997233	2,173926122	0,31557377
RXRG	4,93413E-13	-1,124899784	0,003	0,122	1,04115E-08	0,458533872	2,180863968	0,024590164
MLLT6	4,64985E-08	-1,126763886	0,027	0,195	0,000981165	0,457941785	2,183683677	0,138461538
FAM20C	4,3908E-08	-1,13902522	0,027	0,195	0,000926502	0,454066271	2,202321695	0,138461538
TRIM52	1,91852E-07	-1,139489478	0,006	0,098	0,004048264	0,453920177	2,203030514	0,06122449
GPR155	1,43273E-05	-1,140596057	0,085	0,293	0,302320337	0,453572143	2,204720936	0,290102389
RPS27	2,62559E-08	-1,140944967	0,608	0,927	0,000554025	0,453462462	2,205254203	0,65587918
C7orf50	1,11693E-05	-1,146369671	0,085	0,293	0,235683993	0,451760591	2,213561828	0,290102389
IFI6	0,009221589	-1,148585052	0,064	0,171	1	0,451067407	2,216963552	0,374269006
SYNE2	8,21374E-07	-1,164448349	0,041	0,22	0,017331803	0,446134818	2,241474908	0,186363636
AHNAK	4,05593E-05	-1,167980827	0,276	0,537	0,855841975	0,445043781	2,246969944	0,51396648
COL28A1	3,48327E-16	-1,184530924	0,003	0,146	7,35005E-12	0,439967565	2,272894821	0,020547945
S1PR3	6,23714E-10	-1,191476668	0,021	0,195	1,3161E-05	0,437854466	2,283863881	0,107692308
NFKBIA	0,00051598	-1,195244096	0,158	0,366	1	0,436712552	2,289835716	0,431693989
GSTM3	4,51512E-06	-1,195658375	0,048	0,22	0,095273602	0,436587165	2,290493352	0,218181818
RAB30-DT	5,13372E-09	-1,205445317	0,018	0,171	0,000108327	0,433635472	2,306084404	0,105263158

Supplementary Table 3

Differentially expressed genes_keloid-MD_comparing SC-Keloid vs. (SC-Myel+Nonmyel)								
gene	p_val	avg_log2FC	pct.1	pct.2	p_val_adj	Foldchange_UP	Foldchange_DOWN	Ratio_pct1_pct2
TNRC6C	0,000124338	-1,206447076	0,04	0,171	1	0,433334475	2,307686227	0,233918129
NUDT3	1,51247E-05	-1,209836045	0,086	0,293	0,319145745	0,432317743	2,31311348	0,293515358
HSPA1B	1,85628E-05	-1,214050542	0,118	0,341	0,391692977	0,431056671	2,319880579	0,346041056
SBDS	1,45314E-05	-1,216899068	0,195	0,463	0,306627834	0,430206412	2,324465587	0,421166307
HCFC1R1	3,9349E-06	-1,21737787	0,088	0,317	0,083030395	0,430063659	2,325237159	0,277602524
HSPA12A	7,12388E-06	-1,217800855	0,107	0,341	0,150321	0,429937586	2,325918998	0,313782991
ADAM23	6,09248E-13	-1,227961231	0,01	0,171	1,28557E-08	0,42692033	2,342357416	0,058479532
TOP2B	0,000998014	-1,239317283	0,051	0,171	1	0,423573053	2,36086784	0,298245614
IFITM3	1,75937E-06	-1,245375	0,442	0,707	0,03712442	0,421798246	2,370801704	0,625176803
FTL	3,32754E-09	-1,261440778	0,751	0,976	7,02144E-05	0,417127179	2,397350379	0,769467213
METRN	5,7176E-07	-1,268525434	0,236	0,561	0,012064706	0,41508381	2,409152024	0,420677362
SNCA	7,5769E-13	-1,286370337	0,035	0,293	1,5988E-08	0,409981201	2,43913623	0,119453925
LGALS3	1,75678E-07	-1,291812105	0,456	0,78	0,003706979	0,408437687	2,448353893	0,584615385
MT-ND3	0,000113898	-1,299972061	0,38	0,61	1	0,406134063	2,462241142	0,62295082
CST3	3,81343E-08	-1,304526052	0,603	0,829	0,000804672	0,404854087	2,470025699	0,727382388
ZNF536	1,26513E-05	-1,304967144	0,024	0,146	0,266954591	0,404730325	2,470781005	0,164383562
TGFBR2	1,18892E-06	-1,310382045	0,174	0,463	0,025087356	0,403214089	2,48007207	0,375809935
ZFYVE21	5,82564E-08	-1,320712818	0,043	0,244	0,001229268	0,400337088	2,497894972	0,176229508
SOD2	1,74114E-06	-1,332784817	0,045	0,22	0,036739766	0,397001175	2,518884232	0,204545455
CD9	7,54731E-07	-1,350583166	0,407	0,683	0,015925586	0,392133509	2,550151868	0,595900439
DUSP6	5,82965E-06	-1,365423748	0,04	0,195	0,123011398	0,388120422	2,576519923	0,205128205
ARHGAP15	4,36146E-12	-1,366193516	0,011	0,171	9,20312E-08	0,387913391	2,577895025	0,064327485
ADIRF	7,81319E-08	-1,376840686	0,043	0,244	0,00164866	0,385061106	2,596990409	0,176229508
PNRC1	5,78133E-08	-1,385025233	0,163	0,488	0,001219919	0,382882803	2,611765254	0,334016393
VAMP2	2,57157E-07	-1,411330789	0,078	0,317	0,005426273	0,375964725	2,659824005	0,246056782
LITAF	4,78668E-10	-1,419589044	0,057	0,317	1,01004E-05	0,37381878	2,675092992	0,179810726
SORCS1	5,55773E-13	-1,432179713	0,029	0,268	1,17274E-08	0,370570589	2,698541198	0,108208955
PLL	1,11022E-15	-1,44187816	0,01	0,195	2,34268E-11	0,3680878	2,716743122	0,051282051
RETREG1	3,01166E-07	-1,460805972	0,018	0,146	0,006354904	0,363290118	2,752620979	0,123287671
IFITM2	1,79967E-06	-1,486108715	0,128	0,39	0,037974916	0,356974094	2,801323729	0,328205128

Supplementary Table 3

Differentially expressed genes_keloid-MD_comparing SC-Keloid vs. (SC-Myel+Nonmyel)								
gene	p_val	avg_log2FC	pct.1	pct.2	p_val_adj	Foldchange_UP	Foldchange_DOWN	Ratio_pct1_pct2
LTBP4	1,34436E-10	-1,51529628	0,045	0,293	2,83673E-06	0,349824617	2,858575273	0,153583618
S100B	2,95964E-12	-1,519857271	0,85	1	6,24514E-08	0,348720415	2,867626781	0,85
TTYH1	8,80318E-16	-1,540709208	0,027	0,293	1,85756E-11	0,343716447	2,90937489	0,092150171
CRYAB	1,89446E-05	-1,546950391	0,381	0,61	0,399749585	0,342232721	2,921988279	0,624590164
IQGAP2	9,60288E-13	-1,547710957	0,043	0,317	2,0263E-08	0,342052349	2,923529112	0,135646688
ANK3	5,63694E-17	-1,56942002	0,024	0,293	1,18945E-12	0,336943822	2,96785379	0,081911263
TMEM176A	3,05486E-15	-1,569593631	0,014	0,22	6,44605E-11	0,336903277	2,968210958	0,063636364
VWA1	1,47265E-07	-1,581976879	0,156	0,463	0,003107436	0,334023873	2,993797995	0,336933045
SCN7A	6,30515E-15	-1,585607694	0,024	0,268	1,33045E-10	0,333184295	3,001341942	0,089552239
RBP1	8,90566E-13	-1,599958998	0,006	0,146	1,87918E-08	0,329886353	3,03134698	0,04109589
FXD1	7,24941E-11	-1,605555924	0,102	0,439	1,5297E-06	0,32860904	3,043129912	0,232346241
ATP1A2	6,89571E-26	-1,617596307	0,008	0,268	1,45506E-21	0,325877961	3,06863341	0,029850746
CD74	3,19572E-05	-1,627469134	0,035	0,171	0,67432957	0,323655487	3,089705076	0,204678363
DKK3	1,17623E-13	-1,690691303	0,013	0,195	2,48197E-09	0,309778451	3,228113497	0,066666667
CHL1	3,88905E-32	-1,727079828	0	0,22	8,20629E-28	0,302062746	3,310570442	0
HLA-DRA	1,54573E-09	-1,774819636	0,029	0,22	3,26165E-05	0,292230844	3,421952267	0,131818182
MPZ	2,0858E-11	-1,785756358	0,065	0,366	4,40124E-07	0,290023889	3,447991834	0,177595628
EDNRB	3,06015E-13	-1,858126174	0,094	0,463	6,45723E-09	0,27583431	3,625364803	0,203023758
SORBS1	4,25043E-16	-1,873818743	0,027	0,293	8,96883E-12	0,272850247	3,665014085	0,092150171
NRN1	8,62781E-19	-1,898695819	0,078	0,512	1,82055E-14	0,268185693	3,728759683	0,15234375
RELN	1,28061E-24	-1,988846649	0,01	0,268	2,70221E-20	0,251940219	3,969195571	0,037313433
MATN2	9,95581E-23	-1,995184607	0,043	0,439	2,10077E-18	0,250835838	3,986671151	0,097949886
PMP2	5,41329E-10	-1,999150432	0,093	0,39	1,14226E-05	0,250147262	3,99764519	0,238461538
TMEM176B	1,29279E-20	-2,015899251	0,014	0,268	2,72793E-16	0,247259996	4,044325881	0,052238806
MAL	1,66876E-33	-2,018604417	0,005	0,293	3,52125E-29	0,246796798	4,051916424	0,017064846
GPM6B	1,92496E-16	-2,118662376	0,348	0,854	4,06187E-12	0,230260304	4,342910965	0,407494145
HLA-DRB1	1,95767E-14	-2,189114858	0,032	0,293	4,13087E-10	0,219285928	4,560256133	0,109215017
SFRP1	1,16207E-20	-2,20802637	0,014	0,268	2,45208E-16	0,216430185	4,620427591	0,052238806
CTSC	3,68766E-15	-2,213092144	0,043	0,341	7,78132E-11	0,215671561	4,63667994	0,126099707
PLP1	5,68979E-22	-2,355647819	0,163	0,732	1,2006E-17	0,195379659	5,118240073	0,222677596

Supplementary Table 3

Differentially expressed genes_keloid-MD_ comparing SC-Keloid vs. (SC-Myel+Nonmyel)								
gene	p_val	avg_log2FC	pct.1	pct.2	p_val_adj	Foldchange_UP	Foldchange_DOWN	Ratio_pct1_pct2
RARRES2	9,43064E-34	-2,387601209	0,022	0,439	1,98996E-29	0,191099882	5,232865612	0,050113895
XKR4	9,55545E-33	-2,505286079	0,008	0,317	2,0163E-28	0,176130165	5,677619157	0,025236593
NRXN1	7,48626E-23	-2,518763318	0,107	0,634	1,57967E-18	0,17449247	5,73090634	0,168769716
GFRA3	1,07626E-23	-2,530542662	0,094	0,61	2,27102E-19	0,173073571	5,777889695	0,154098361
ITIH5	8,40829E-22	-2,641291554	0,193	0,78	1,77423E-17	0,16028468	6,238899434	0,247435897
COL14A1	2,6818E-32	-3,241808881	0,083	0,683	5,65886E-28	0,105710539	9,459794746	0,121522694

Supplementary Table 4

Differentially expressed genes_keloid-CCD_ comparing SC-Keloid vs. (SC-Myel, SC-Nonmyel)								
gene	p_val	avg_log2FC	pct.1	pct.2	p_val_adj	Foldchange_UP	Foldchange_DOWN	Ratio_pct1_pct2
TGFBI	3,3958E-29	3,029870367	0,975	0,14	7,16547E-25	8,167363097	0,122438538	6,964285714
IGFBP3	6,21642E-20	2,225248255	0,875	0,15	1,31173E-15	4,675913543	0,213861952	5,833333333
SPARCL1	5,90085E-17	2,144847772	0,95	0,46	1,24514E-12	4,422455947	0,226118702	2,065217391
CALB2	2,05172E-20	2,118389279	0,725	0,05	4,32934E-16	4,342088945	0,230303896	14,5
COL1A1	1,63999E-24	2,093393801	1	0,81	3,46053E-20	4,267507831	0,234328803	1,234567901
COL7A1	6,3641E-26	2,067868872	0,988	0,16	1,34289E-21	4,192668807	0,238511565	6,175
TAGLN	5,87919E-16	2,052665699	0,825	0,22	1,24057E-11	4,148718293	0,241038299	3,75
TPM2	3,5852E-21	1,999061802	0,887	0,21	7,56513E-17	3,997399608	0,25016263	4,223809524
CCN3	8,75885E-16	1,990677492	0,9	0,28	1,8482E-11	3,974235852	0,251620698	3,214285714
SH3BGR13	1,45349E-21	1,86491222	0,975	0,39	3,06702E-17	3,642457705	0,274539907	2,5
S100A16	3,44511E-25	1,835382546	0,988	0,48	7,26952E-21	3,568660221	0,280217207	2,058333333
GAPDH	7,72324E-24	1,805821795	1	0,88	1,62968E-19	3,496282587	0,286018071	1,136363636
MYL9	4,00764E-17	1,803266166	0,912	0,45	8,45653E-13	3,490094659	0,28652518	2,026666667
MMP15	6,83522E-27	1,76026051	0,925	0,08	1,4423E-22	3,387592898	0,295194857	11,5625
TUBB	4,19036E-15	1,691825785	0,925	0,52	8,84208E-11	3,230652965	0,309534949	1,778846154
TMSB10	2,3336E-28	1,682307007	1	0,99	4,92412E-24	3,209407559	0,311583986	1,01010101
ACTB	1,47582E-19	1,633679244	1	0,98	3,11414E-15	3,103033439	0,322265299	1,020408163
ACTG1	1,97276E-22	1,573185619	1	0,99	4,16273E-18	2,975610346	0,336065507	1,01010101
LYPD1	2,83443E-23	1,563763486	0,875	0,12	5,98092E-19	2,956240181	0,338267508	7,291666667
MYL6	2,71876E-24	1,557423071	1	0,96	5,73685E-20	2,943276483	0,339757412	1,041666667
DYNLT1	1,34649E-23	1,557257959	0,95	0,22	2,84123E-19	2,942939654	0,339796298	4,318181818
ELN	3,06905E-18	1,547271244	0,887	0,2	6,476E-14	2,922638197	0,342156618	4,435
COL6A1	3,31601E-18	1,540858142	0,975	0,59	6,99711E-14	2,909675248	0,343680966	1,652542373
PFN1	5,70664E-20	1,52880683	0,988	0,71	1,20416E-15	2,885470996	0,346563872	1,391549296
PPP1R14B	1,41925E-18	1,522643659	0,988	0,5	2,99477E-14	2,873170601	0,348047554	1,976
TNC	8,27834E-20	1,502706938	1	0,48	1,74681E-15	2,833739103	0,352890638	2,083333333
CSR2	1,6932E-14	1,49962749	0,863	0,27	3,57281E-10	2,827696907	0,353644691	3,196296296
LGALS1	6,26133E-22	1,470354423	1	1	1,3212E-17	2,770899573	0,360893628	1
PKM	2,16474E-16	1,453166298	0,925	0,46	4,56782E-12	2,738083224	0,365218994	2,010869565
PDLIM7	2,77723E-19	1,450864861	0,963	0,31	5,86023E-15	2,73371882	0,365802069	3,106451613

Supplementary Table 4

Differentially expressed genes_keloid-CCD_ comparing SC-Keloid vs. (SC-Myel, SC-Nonmyel)								
gene	p_val	avg_log2FC	pct.1	pct.2	p_val_adj	Foldchange_UP	Foldchange_DOWN	Ratio_pct1_pct2
IBSP	6,70661E-08	1,444980941	0,362	0,04	0,001415162	2,722592266	0,36729701	9,05
GPC1	1,83699E-17	1,414195724	0,975	0,47	3,87624E-13	2,66511119	0,375218867	2,074468085
ATOX1	2,74785E-19	1,401377359	0,963	0,37	5,79824E-15	2,641536526	0,378567546	2,602702703
TPST2	1,75159E-22	1,393029391	0,825	0,06	3,69602E-18	2,626295754	0,380764428	13,75
COL6A2	1,94339E-16	1,375468894	1	0,67	4,10075E-12	2,594522224	0,385427417	1,492537313
S100A11	5,04646E-20	1,370548241	1	0,88	1,06485E-15	2,585688066	0,386744253	1,136363636
PHLDA2	3,91637E-15	1,358169141	0,9	0,31	8,26392E-11	2,563596386	0,390077005	2,903225806
MYL12A	6,50073E-18	1,350758895	0,988	0,75	1,37172E-13	2,550462512	0,392085747	1,317333333
MMP2	5,11286E-16	1,342596902	0,838	0,18	1,07886E-11	2,536074105	0,394310244	4,655555556
LOXL2	1,4314E-19	1,341531332	0,85	0,12	3,0204E-15	2,53420166	0,394601588	7,083333333
AP2S1	4,52551E-19	1,336250654	0,963	0,28	9,54928E-15	2,524942709	0,39604859	3,439285714
LSM7	6,58724E-19	1,321361836	0,988	0,51	1,38997E-14	2,499018941	0,400157031	1,937254902
FLNA	1,78529E-15	1,317363949	0,912	0,37	3,76714E-11	2,492103435	0,401267454	2,464864865
PHPT1	2,12461E-17	1,279498574	0,925	0,38	4,48315E-13	2,4275459	0,411938658	2,434210526
IGFBP5	5,05386E-14	1,277428875	1	0,88	1,06642E-09	2,424065824	0,412530052	1,136363636
FABP5	1,83518E-14	1,249814978	0,938	0,34	3,87242E-10	2,378109223	0,420502133	2,758823529
COL5A3	7,93283E-15	1,248370564	0,925	0,35	1,67391E-10	2,375729472	0,420923347	2,642857143
TUBA1B	3,97747E-10	1,236175943	1	0,81	8,39286E-06	2,355732853	0,424496351	1,234567901
FRMD4A	1,50205E-15	1,228656547	0,887	0,21	3,16948E-11	2,343486603	0,426714622	4,223809524
CLIC1	3,08113E-18	1,226160735	1	0,74	6,50148E-14	2,339435957	0,427453462	1,351351351
CCND1	6,8291E-11	1,212947256	0,95	0,48	1,44101E-06	2,318107154	0,431386443	1,979166667
CYTL1	1,39178E-17	1,21098016	0,863	0,16	2,9368E-13	2,314948598	0,431975034	5,39375
ENC1	4,11531E-16	1,200181374	0,75	0,11	8,68371E-12	2,297685554	0,435220563	6,818181818
MYH9	5,24561E-16	1,185638328	0,8	0,18	1,10688E-11	2,274640151	0,439629978	4,444444444
RAB13	4,97563E-15	1,184904613	1	0,51	1,04991E-10	2,273483626	0,439853619	1,960784314
SLC15A3	5,15643E-15	1,1559317	0,863	0,24	1,08806E-10	2,228281808	0,448776271	3,595833333
TXNDC17	1,16656E-16	1,150631405	0,887	0,23	2,46156E-12	2,220110377	0,450428055	3,856521739
S100A6	1,61011E-20	1,147988244	1	1	3,3975E-16	2,216046638	0,451254041	1
NES	4,2088E-13	1,143989489	0,988	0,53	8,881E-09	2,209912869	0,452506528	1,864150943
P4HB	6,92769E-14	1,138376339	0,938	0,53	1,46181E-09	2,201331379	0,454270543	1,769811321

Supplementary Table 4

Differentially expressed genes_keloid-CCD_ comparing SC-Keloid vs. (SC-Myel, SC-Nonmyel)								
gene	p_val	avg_log2FC	pct.1	pct.2	p_val_adj	Foldchange_UP	Foldchange_DOWN	Ratio_pct1_pct2
POLR2L	1,95998E-15	1,138189398	0,988	0,52	4,13575E-11	2,201046154	0,45432941	1,9
HYI	2,28524E-15	1,135694735	0,85	0,2	4,82209E-11	2,197243463	0,455115701	4,25
CAPG	3,37153E-17	1,135563323	0,625	0,03	7,11427E-13	2,197043331	0,455157159	20,83333333
RGS16	1,13933E-13	1,118747254	0,988	0,44	2,4041E-09	2,171583239	0,460493516	2,245454545
ATP5MC2	1,24947E-16	1,096272223	1	0,51	2,63651E-12	2,138015368	0,467723486	1,960784314
ATP5F1E	4,98831E-19	1,088301205	1	0,79	1,05258E-14	2,126235217	0,470314851	1,265822785
PRDX4	4,1054E-13	1,077380062	0,875	0,34	8,66281E-09	2,11020047	0,473888625	2,573529412
RGS3	3,78097E-15	1,073800841	0,875	0,19	7,97822E-11	2,104971706	0,475065768	4,605263158
COL4A2	1,27818E-14	1,071202259	1	0,74	2,69708E-10	2,101183644	0,475922227	1,351351351
S100A13	5,83955E-13	1,071143079	1	0,64	1,2322E-08	2,101097453	0,475941751	1,5625
S100A4	8,79212E-07	1,068093632	0,988	0,86	0,018552263	2,096661022	0,47694882	1,148837209
PSMA7	1,11621E-15	1,067484655	0,988	0,64	2,35532E-11	2,095776185	0,477150188	1,54375
CD82	4,03895E-13	1,064633263	0,825	0,23	8,52258E-09	2,091638111	0,478094176	3,586956522
ATP5MC3	6,15585E-15	1,059149606	0,963	0,42	1,29895E-10	2,083702925	0,479914861	2,292857143
ITGB1	6,62582E-15	1,059129923	1	0,96	1,39812E-10	2,083674497	0,479921409	1,041666667
ATP5MF	2,12975E-14	1,050576404	0,938	0,43	4,49398E-10	2,071357258	0,482775241	2,181395349
OCIAD2	2,99432E-17	1,045330164	0,6	0,02	6,31832E-13	2,063838618	0,484534009	30
COPE	1,99576E-16	1,044921562	0,975	0,45	4,21126E-12	2,063254178	0,484671259	2,166666667
AKAP12	5,63076E-11	1,035610985	0,787	0,25	1,18815E-06	2,049981635	0,487809248	3,148
MYDGF	1,06628E-13	1,027666891	0,963	0,53	2,24995E-09	2,038724583	0,490502743	1,816981132
CD151	1,71636E-13	1,025258533	0,988	0,72	3,6217E-09	2,035324085	0,491322246	1,372222222
CENPF	1,86541E-06	1,02475982	0,325	0,05	0,039361992	2,034620632	0,491492116	6,5
NAA10	8,99326E-15	1,020914526	0,863	0,24	1,89767E-10	2,029204868	0,492803864	3,595833333
COL5A1	4,26394E-14	1,019889266	0,9	0,26	8,99734E-10	2,027763312	0,493154203	3,461538462
DTYMK	4,1941E-14	1,019487704	0,7	0,12	8,84997E-10	2,027198981	0,493291487	5,833333333
SEM1	5,37376E-16	1,008045867	0,975	0,55	1,13392E-11	2,0111851	0,497219276	1,772727273
RPLP0	3,10005E-15	1,00746981	1	0,83	6,54141E-11	2,01038221	0,497417852	1,204819277
DBNDD1	1,27797E-19	1,005609943	0,713	0,04	2,69664E-15	2,007792172	0,498059517	17,825
MMP14	2,95402E-15	1,002467136	0,875	0,19	6,23328E-11	2,003423103	0,499145686	4,605263158
OSTC	1,91829E-13	0,994174677	0,95	0,43	4,04779E-09	1,991940669	0,502022985	2,209302326

Supplementary Table 4

Differentially expressed genes_keloid-CCD_ comparing SC-Keloid vs. (SC-Myel, SC-Nonmyel)								
gene	p_val	avg_log2FC	pct.1	pct.2	p_val_adj	Foldchange_UP	Foldchange_DOWN	Ratio_pct1_pct2
TPM4	4,78989E-12	0,991834718	0,975	0,59	1,01071E-07	1,988712488	0,502837894	1,652542373
NDUFB2	5,16805E-14	0,980552255	0,963	0,56	1,09051E-09	1,973220601	0,506785708	1,719642857
MPG	4,74855E-12	0,976328602	0,912	0,36	1,00199E-07	1,967452223	0,508271555	2,533333333
ISLR	4,04736E-16	0,975019948	0,637	0,05	8,54033E-12	1,965668376	0,508732812	12,74
HINT1	1,83393E-14	0,973651185	1	0,66	3,86978E-10	1,963804324	0,509215703	1,515151515
NPL	1,24293E-17	0,972811448	0,662	0,04	2,62271E-13	1,962661603	0,509512184	16,55
HLA-A	3,53098E-13	0,959540939	1	0,85	7,45072E-09	1,944691002	0,514220511	1,176470588
PPIB	5,76542E-16	0,958489347	1	0,83	1,21656E-11	1,943274017	0,514595467	1,204819277
ANAPC11	3,03694E-13	0,957185954	0,938	0,43	6,40826E-09	1,941519173	0,515060584	2,181395349
OST4	1,02526E-12	0,956171899	0,975	0,56	2,1634E-08	1,940154979	0,515422742	1,741071429
PTN	3,65096E-11	0,953967406	1	0,89	7,7039E-07	1,937192611	0,51621093	1,123595506
RPS2	1,45372E-18	0,953436001	1	0,99	3,06749E-14	1,936479194	0,516401107	1,01010101
MDH2	5,10244E-15	0,952800001	0,838	0,19	1,07666E-10	1,935625702	0,516628808	4,410526316
COL8A1	1,78603E-12	0,94464964	0,95	0,42	3,76871E-08	1,924721409	0,519555711	2,261904762
UBE2C	3,06402E-06	0,943442983	0,225	0,01	0,064653977	1,923112262	0,519990445	22,5
PDLIM4	2,45394E-13	0,942756451	1	0,8	5,17806E-09	1,922197333	0,52023795	1,25
CAVIN3	5,4541E-12	0,937565707	1	0,71	1,15087E-07	1,915293791	0,522113111	1,408450704
PLOD1	3,39935E-18	0,932512246	0,825	0,11	7,17296E-14	1,908596651	0,523945172	7,5
NDUFA4	6,3537E-15	0,926000747	1	0,8	1,34069E-10	1,90000175	0,526315305	1,25
CDK2AP1	6,55931E-14	0,925404801	0,825	0,2	1,38408E-09	1,899217062	0,526532759	4,125
COL1A2	1,26869E-07	0,925132586	0,988	0,89	0,002677054	1,898858742	0,526632117	1,11011236
GLIPR1	1,69335E-17	0,924960456	0,637	0,03	3,57314E-13	1,898632201	0,526694954	21,23333333
HMCN2	2,43395E-13	0,924485157	0,7	0,13	5,13589E-09	1,898006794	0,526868504	5,384615385
PLP2	2,22196E-12	0,92389857	0,825	0,23	4,68856E-08	1,897235239	0,527082767	3,586956522
RPS18	9,71405E-18	0,923803981	1	1	2,04976E-13	1,897110853	0,527117326	1
BBLN	2,36145E-12	0,923117572	0,988	0,41	4,98291E-08	1,896208455	0,527368179	2,409756098
GUK1	1,30816E-12	0,919674781	0,963	0,64	2,76036E-08	1,891688813	0,528628172	1,5046875
ANXA2	2,73749E-11	0,917872872	1	0,97	5,77639E-07	1,88932759	0,529288836	1,030927835
MRPL41	1,79376E-13	0,917188681	0,9	0,27	3,78501E-09	1,888431798	0,529539908	3,333333333
FIBP	1,11679E-13	0,912215436	0,762	0,16	2,35653E-09	1,88193322	0,531368483	4,7625

Supplementary Table 4

Differentially expressed genes_keloid-CCD_ comparing SC-Keloid vs. (SC-Myel, SC-Nonmyel)								
gene	p_val	avg_log2FC	pct.1	pct.2	p_val_adj	Foldchange_UP	Foldchange_DOWN	Ratio_pct1_pct2
KCNN4	4,28184E-13	0,910064582	0,575	0,07	9,03511E-09	1,879129615	0,532161269	8,214285714
PSMB1	1,91753E-11	0,909584232	0,975	0,52	4,04617E-07	1,878504058	0,532338483	1,875
MRPL52	3,8742E-13	0,906273021	0,825	0,22	8,17496E-09	1,87419754	0,533561686	3,75
RPS27L	1,12997E-08	0,905206343	0,9	0,45	0,000238435	1,872812336	0,533956329	2
CRLF1	3,81803E-08	0,902386951	0,5	0,11	0,000805642	1,86915596	0,535000835	4,545454545
CALR	1,4241E-11	0,901747135	0,988	0,76	3,00499E-07	1,868327199	0,535238153	1,3
RPL36	2,75197E-15	0,895209107	1	0,89	5,80694E-11	1,859879441	0,537669259	1,123595506
NME1	1,45606E-10	0,893896639	0,8	0,28	3,07244E-06	1,858188216	0,538158617	2,857142857
HOXB2	1,08738E-12	0,893718654	0,7	0,14	2,29448E-08	1,857958985	0,538225014	5
NDUFA12	1,21017E-11	0,891467085	0,863	0,33	2,55359E-07	1,855061587	0,539065661	2,615151515
MGST3	9,02006E-12	0,889468609	0,925	0,51	1,90332E-07	1,852493665	0,539812912	1,81372549
S100A10	2,29261E-14	0,889299694	1	0,98	4,83764E-10	1,852276783	0,539876119	1,020408163
MICOS10	1,15987E-11	0,879452929	0,912	0,36	2,44743E-07	1,839677562	0,543573516	2,533333333
SERPINE1	9,37923E-11	0,879202432	0,588	0,1	1,97911E-06	1,839358164	0,543667905	5,88
UQCR11	1,89671E-13	0,878999046	1	0,46	4,00224E-09	1,839098877	0,543744555	2,173913043
TGFB1I1	3,83194E-13	0,878429591	0,938	0,38	8,08577E-09	1,838373098	0,543959222	2,468421053
NT5E	8,93941E-20	0,874817546	0,637	0,01	1,8863E-15	1,833776159	0,545322827	63,7
NDUFS8	9,15028E-12	0,868337725	0,812	0,24	1,9308E-07	1,825558277	0,547777637	3,383333333
BMP1	7,05266E-12	0,867650052	0,762	0,19	1,48818E-07	1,824688316	0,548038803	4,010526316
PARK7	1,16785E-11	0,86760244	1	0,57	2,46428E-07	1,8246281	0,548056889	1,754385965
ARL4C	6,16744E-14	0,864817572	0,7	0,11	1,30139E-09	1,821109375	0,549115838	6,363636364
MICOS13	1,42203E-13	0,855737892	0,95	0,33	3,00063E-09	1,809684114	0,552582626	2,878787879
COX7A2	3,73194E-11	0,853839792	0,988	0,59	7,87477E-07	1,807304746	0,553310117	1,674576271
EEF1B2	3,60748E-11	0,851781368	0,975	0,71	7,61214E-07	1,804727938	0,554100138	1,373239437
ERCC1	5,33282E-14	0,85112822	0,887	0,22	1,12528E-09	1,803911072	0,554351052	4,031818182
ARPC4	2,96255E-15	0,850046654	0,775	0,13	6,25127E-11	1,802559215	0,554766796	5,961538462
SSR4	6,65058E-12	0,848875119	0,988	0,76	1,40334E-07	1,801096048	0,555217475	1,3
VAMP5	6,49432E-10	0,84875443	1	0,49	1,37037E-05	1,800945383	0,555263924	2,040816327
LOXL1	4,35814E-15	0,84402633	0,637	0,06	9,19612E-11	1,795052862	0,557086658	10,61666667
TAF10	3,2723E-13	0,841941347	0,775	0,17	6,90487E-09	1,792460525	0,557892342	4,558823529

Supplementary Table 4

Differentially expressed genes_keloid-CCD_ comparing SC-Keloid vs. (SC-Myel, SC-Nonmyel)								
gene	p_val	avg_log2FC	pct.1	pct.2	p_val_adj	Foldchange_UP	Foldchange_DOWN	Ratio_pct1_pct2
TMED9	5,47359E-10	0,839058279	0,988	0,56	1,15498E-05	1,788882066	0,559008343	1,764285714
COX6B1	2,97107E-10	0,837122523	1	0,56	6,26926E-06	1,786483418	0,559758904	1,785714286
PAFAH1B3	1,6972E-15	0,836269583	0,688	0,08	3,58125E-11	1,785427538	0,560089938	8,6
APRT	6,37213E-10	0,83515384	0,95	0,38	1,34458E-05	1,784047269	0,560523265	2,5
ADAMTS16	8,73596E-15	0,834733136	0,625	0,06	1,84337E-10	1,783527098	0,560686743	10,41666667
MFSD12	1,60196E-14	0,83190798	0,775	0,14	3,3803E-10	1,780037926	0,561785783	5,535714286
COL12A1	1,01888E-07	0,831668534	0,912	0,45	0,002149935	1,779742515	0,561879031	2,026666667
CHST3	3,77376E-14	0,831011194	0,762	0,15	7,963E-10	1,77893179	0,5621351	5,08
MKI67	6,74984E-06	0,829071885	0,188	0	0,142428329	1,776542109	0,562891245	#DIV/0!
CDH2	1,74827E-10	0,827491426	0,787	0,23	3,68902E-06	1,77459699	0,563508225	3,42173913
MCRIP1	8,38829E-10	0,825862144	0,925	0,42	1,77001E-05	1,772594011	0,564144973	2,202380952
HLA-C	3,9692E-11	0,82513055	0,988	0,84	8,37541E-07	1,771695352	0,564431125	1,176190476
NIBAN2	4,10414E-13	0,824598984	0,887	0,26	8,66015E-09	1,771042685	0,564639129	3,411538462
URM1	1,90238E-13	0,82052394	0,75	0,15	4,0142E-09	1,766047247	0,566236267	5
MRPL57	4,58064E-13	0,819927799	0,713	0,15	9,66561E-09	1,765317643	0,566470292	4,753333333
CYBA	1,06971E-09	0,819627479	0,988	0,59	2,25719E-05	1,764950203	0,566588223	1,674576271
ATP5MJ	7,7273E-11	0,819032234	0,9	0,37	1,63054E-06	1,764222148	0,566822042	2,432432432
RPS19	8,72468E-14	0,814921011	1	0,97	1,84099E-09	1,759201831	0,568439608	1,030927835
POLR2E	3,50573E-14	0,811431026	0,812	0,16	7,39743E-10	1,754951336	0,56981637	5,075
HLA-B	4,71958E-11	0,810626999	0,988	0,87	9,95879E-07	1,753973559	0,570134022	1,135632184
DCTN3	1,03843E-10	0,810238967	0,925	0,35	2,19118E-06	1,753501867	0,570287388	2,642857143
ZCRB1	6,67113E-13	0,80893704	0,863	0,22	1,40767E-08	1,751920173	0,570802263	3,922727273
ABHD2	2,79164E-12	0,80861527	0,775	0,18	5,89064E-08	1,75152948	0,570929585	4,305555556
PLGRKT	6,00421E-13	0,808599469	0,675	0,11	1,26695E-08	1,751510296	0,570935839	6,136363636
RPL28	1,83032E-18	0,808221115	1	0,99	3,86216E-14	1,751051014	0,571085589	1,01010101
TRAPPC1	1,03188E-13	0,806683863	0,75	0,14	2,17737E-09	1,74918619	0,571694429	5,357142857
PRELID1	5,48506E-10	0,805422038	0,9	0,42	1,1574E-05	1,747656967	0,572194669	2,142857143
COL9A3	2,43549E-09	0,803195516	0,963	0,53	5,13914E-05	1,744961875	0,573078423	1,816981132
SNRPE	2,90371E-12	0,800438786	0,887	0,26	6,12712E-08	1,741630751	0,57417452	3,411538462
ATP5F1D	3,02856E-10	0,799167523	0,925	0,49	6,39056E-06	1,740096751	0,574680689	1,887755102

Supplementary Table 4

Differentially expressed genes_keloid-CCD_ comparing SC-Keloid vs. (SC-Myel, SC-Nonmyel)								
gene	p_val	avg_log2FC	pct.1	pct.2	p_val_adj	Foldchange_UP	Foldchange_DOWN	Ratio_pct1_pct2
NDUFB7	7,76949E-10	0,798589617	0,95	0,49	1,63944E-05	1,739399852	0,574910938	1,93877551
PGLS	1,58142E-10	0,798240326	0,9	0,31	3,33696E-06	1,738978778	0,575050146	2,903225806
ANXA5	7,82129E-13	0,797485929	1	0,91	1,65037E-08	1,738069689	0,575350923	1,098901099
ATP5MC1	2,7126E-09	0,796007841	0,887	0,37	5,72387E-05	1,736289892	0,575940691	2,397297297
DAD1	1,85631E-12	0,795551352	1	0,74	3,91701E-08	1,735740593	0,576122955	1,351351351
POMP	5,10265E-10	0,795122578	0,963	0,5	1,07671E-05	1,735224801	0,576294207	1,926
CALD1	1,55978E-09	0,793894347	0,988	0,73	3,2913E-05	1,733748155	0,576785041	1,353424658
PIN1	6,47685E-13	0,791700474	0,875	0,24	1,36668E-08	1,731113687	0,577662812	3,645833333
P4HA2	1,74433E-10	0,788037595	0,875	0,33	3,68071E-06	1,726724113	0,579131311	2,651515152
RRBP1	4,19119E-11	0,787744204	0,825	0,23	8,84383E-07	1,726372997	0,579249097	3,586956522
SDCCAG8	2,20216E-11	0,787041052	0,75	0,18	4,64677E-07	1,725531788	0,579531485	4,166666667
COX8A	3,46281E-10	0,786816186	0,988	0,63	7,30688E-06	1,725262859	0,579621821	1,568253968
ARPC3	1,32637E-10	0,786303554	0,925	0,51	2,79877E-06	1,724649932	0,579827814	1,81372549
MRPL20	7,88632E-11	0,786262855	0,775	0,22	1,66409E-06	1,724601278	0,579844172	3,522727273
RASSF4	4,43022E-09	0,785490047	0,8	0,26	9,34822E-05	1,723677709	0,58015486	3,076923077
LOXL3	6,20163E-13	0,785206868	0,713	0,13	1,30861E-08	1,723339411	0,580268747	5,484615385
MAGED2	2,32466E-08	0,784908694	0,988	0,62	0,000490526	1,722983271	0,580388688	1,593548387
RSU1	5,55256E-14	0,783229991	0,8	0,17	1,17165E-09	1,720979593	0,581064415	4,705882353
MT2A	6,40702E-06	0,776919989	0,925	0,59	0,135194601	1,713468879	0,583611417	1,56779661
RHOC	6,71905E-08	0,775914758	0,988	0,7	0,001417787	1,712275395	0,584018203	1,411428571
TOP2A	0,000598316	0,774467826	0,162	0,02	1	1,710558953	0,58460423	8,1
BANF1	8,1148E-11	0,773238247	0,938	0,35	1,7123E-06	1,7091017	0,585102689	2,68
IL7R	1,13606E-13	0,773196627	0,475	0,01	2,3972E-09	1,709052395	0,585119569	47,5
SCRG1	7,64518E-09	0,771158189	0,6	0,14	0,000161321	1,706639316	0,58594689	4,285714286
LRRFIP1	6,96948E-10	0,770727316	0,725	0,2	1,47063E-05	1,70612969	0,586121914	3,625
PHC2	2,8529E-11	0,770113469	0,8	0,22	6,0199E-07	1,70540391	0,586371354	3,636363636
LAMTOR2	1,34915E-13	0,769944732	0,887	0,22	2,84685E-09	1,705204458	0,58643994	4,031818182
PDCD5	1,56303E-09	0,768909511	0,787	0,28	3,29816E-05	1,703981309	0,586860897	2,810714286
NGFR	4,77754E-08	0,768512412	0,975	0,64	0,001008108	1,703512357	0,587022452	1,5234375
PSMB9	1,70976E-10	0,764826311	0,688	0,17	3,60777E-06	1,69916542	0,588524218	4,047058824

Supplementary Table 4

Differentially expressed genes_keloid-CCD_ comparing SC-Keloid vs. (SC-Myel, SC-Nonmyel)								
gene	p_val	avg_log2FC	pct.1	pct.2	p_val_adj	Foldchange_UP	Foldchange_DOWN	Ratio_pct1_pct2
TNFAIP6	1,65079E-05	0,764670905	0,975	0,74	0,348333862	1,698982397	0,588587617	1,317567568
CIAO2B	2,5692E-08	0,763308732	0,925	0,53	0,000542126	1,697378998	0,589143616	1,745283019
PSMB2	6,56055E-12	0,761930696	0,812	0,21	1,38434E-07	1,695758467	0,589706624	3,866666667
FHL3	3,17561E-15	0,761272787	0,75	0,11	6,70086E-11	1,69498533	0,589975608	6,818181818
EIF4EBP1	1,52982E-13	0,760045071	0,675	0,11	3,22807E-09	1,693543532	0,590477883	6,136363636
SPCS1	7,22645E-09	0,756404237	0,975	0,63	0,000152485	1,689275036	0,591969915	1,547619048
SSBP1	1,20949E-11	0,755201925	0,863	0,27	2,55214E-07	1,687867816	0,592463456	3,196296296
UBE2L3	4,83051E-10	0,754749305	0,838	0,3	1,01929E-05	1,687338361	0,59264936	2,793333333
REEP3	2,13907E-09	0,752779462	0,838	0,27	4,51366E-05	1,685036056	0,593459111	3,103703704
DPM2	1,69443E-15	0,752298349	0,688	0,07	3,57542E-11	1,68447422	0,593657052	9,828571429
COL11A1	1,03273E-09	0,751952898	0,45	0,05	2,17915E-05	1,684070923	0,59379922	9
SRM	1,46359E-11	0,75163257	0,738	0,17	3,08832E-07	1,683697044	0,593931078	4,341176471
CD276	5,74348E-11	0,747507971	0,762	0,2	1,21193E-06	1,678890306	0,595631529	3,81
BIRC5	2,98457E-06	0,747006728	0,225	0,01	0,062977491	1,678307101	0,595838509	22,5
SNF8	1,22537E-11	0,744691752	0,9	0,28	2,58566E-07	1,675616217	0,59679537	3,214285714
UQCRH	1,4365E-09	0,743918368	0,975	0,62	3,03116E-05	1,674718212	0,597115379	1,572580645
FSCN1	1,48639E-11	0,740183179	0,787	0,19	3,13643E-07	1,670387915	0,598663335	4,142105263
FHL2	1,38371E-12	0,739270341	0,525	0,04	2,91977E-08	1,669331343	0,599042248	13,125
C1orf122	1,7749E-08	0,739261943	0,9	0,41	0,000374521	1,669321626	0,599045735	2,195121951
PLPP4	1,00513E-14	0,739093059	0,5	0,01	2,12093E-10	1,669126224	0,599115864	50
ANGPTL2	2,56822E-10	0,736338374	0,825	0,22	5,41921E-06	1,665942231	0,60026091	3,75
MZT2B	6,93628E-08	0,734969275	0,963	0,6	0,001463625	1,664362024	0,60083082	1,605
ZYX	1,24226E-11	0,734744887	0,725	0,16	2,6213E-07	1,664103178	0,600924277	4,53125
CFL1	4,33894E-13	0,734604475	1	0,94	9,1556E-09	1,663941226	0,600982766	1,063829787
PDIA4	9,15403E-11	0,734119369	0,887	0,29	1,93159E-06	1,66338182	0,60118488	3,05862069
ETFB	4,42621E-12	0,733117713	0,85	0,22	9,33974E-08	1,662227343	0,601602425	3,863636364
RNF7	7,89221E-11	0,731749431	0,825	0,27	1,66533E-06	1,660651599	0,602173268	3,055555556
NUDT1	3,70055E-12	0,731630966	0,762	0,17	7,80852E-08	1,660515243	0,602222716	4,482352941
SEPTIN9	5,88772E-10	0,731481165	0,887	0,32	1,24237E-05	1,660342833	0,602285251	2,771875
TIMP1	2,2839E-08	0,73135287	0,988	0,87	0,000481927	1,660195191	0,602338813	1,135632184

Supplementary Table 4

Differentially expressed genes_keloid-CCD_ comparing SC-Keloid vs. (SC-Myel, SC-Nonmyel)								
gene	p_val	avg_log2FC	pct.1	pct.2	p_val_adj	Foldchange_UP	Foldchange_DOWN	Ratio_pct1_pct2
YIF1A	2,10625E-09	0,731233827	0,838	0,29	4,44441E-05	1,660058206	0,602388516	2,889655172
CUTA	1,241E-09	0,730913816	1	0,5	2,61864E-05	1,659690022	0,60252215	2
HSD17B10	7,52602E-11	0,7303658	0,787	0,22	1,58807E-06	1,659059698	0,602751065	3,577272727
TIMM10	5,49496E-13	0,728396456	0,688	0,12	1,15949E-08	1,656796552	0,603574409	5,733333333
ATP5PF	7,68357E-10	0,726441793	0,975	0,65	1,62131E-05	1,654553329	0,604392728	1,5
FABP7	4,07959E-13	0,725483663	0,613	0,07	8,60834E-09	1,653454864	0,604794254	8,757142857
PDGFC	2,0907E-13	0,724659614	0,6	0,06	4,41158E-09	1,652510701	0,605139803	10
CTHRC1	2,96624E-08	0,723815401	0,512	0,11	0,000625907	1,651543994	0,605494013	4,654545455
ARPC5	3,88146E-09	0,722022539	0,963	0,72	8,19028E-05	1,649492867	0,606246938	1,3375
NDUFA3	2,56988E-15	0,721547214	0,762	0,11	5,4227E-11	1,648949498	0,606446711	6,927272727
MAZ	4,72465E-11	0,721390815	0,8	0,22	9,96948E-07	1,648770749	0,606512458	3,636363636
PDLIM1	5,25389E-12	0,716661494	0,8	0,18	1,10862E-07	1,643374737	0,608503939	4,444444444
TRUB2	2,0051E-13	0,71426114	0,65	0,09	4,23097E-09	1,640642766	0,609517209	7,222222222
FN1	6,31793E-07	0,709975133	0,95	0,7	0,013331466	1,635775922	0,611330676	1,357142857
RPS10	4,19895E-11	0,709966181	1	0,93	8,8602E-07	1,635765772	0,611334469	1,075268817
CALU	8,86088E-08	0,709390031	0,963	0,64	0,001869734	1,635112648	0,611578659	1,5046875
UBA52	3,60638E-12	0,707546463	1	0,88	7,60982E-08	1,633024531	0,612360672	1,136363636
SSR2	2,61667E-09	0,707023024	0,975	0,64	5,52143E-05	1,632432144	0,61258289	1,5234375
TMEM208	8,77295E-11	0,706906088	0,775	0,21	1,85118E-06	1,632299835	0,612632544	3,69047619
COX5B	2,1742E-09	0,705887493	0,95	0,5	4,58778E-05	1,631147778	0,613065238	1,9
CCDC167	2,03444E-12	0,705563941	0,588	0,07	4,29287E-08	1,630782003	0,613202744	8,4
UBTD1	1,69443E-15	0,705505011	0,688	0,07	3,57542E-11	1,630715391	0,613227793	9,828571429
RPL26L1	6,70264E-11	0,703814126	0,738	0,17	1,41432E-06	1,628805261	0,613946937	4,341176471
COX6A1	1,02737E-08	0,697580825	0,963	0,6	0,000216785	1,621783034	0,616605291	1,605
UQCRCQ	3,73629E-09	0,697359756	0,963	0,48	7,88394E-05	1,621534542	0,616699783	2,00625
TWF2	2,43633E-14	0,697081898	0,662	0,07	5,14089E-10	1,621222269	0,616818569	9,457142857
RPL39L	2,88054E-12	0,696537241	0,662	0,11	6,07823E-08	1,620610329	0,617051479	6,018181818
SEPTIN2	2,21891E-07	0,696059595	0,963	0,53	0,004682119	1,620073869	0,617255805	1,816981132
MRPS34	1,19543E-10	0,695632353	0,762	0,2	2,52247E-06	1,619594167	0,617438628	3,81
GTF3C6	4,74993E-12	0,695356718	0,775	0,19	1,00228E-07	1,619284765	0,617556604	4,078947368

Supplementary Table 4

Differentially expressed genes_keloid-CCD_ comparing SC-Keloid vs. (SC-Myel, SC-Nonmyel)								
gene	p_val	avg_log2FC	pct.1	pct.2	p_val_adj	Foldchange_UP	Foldchange_DOWN	Ratio_pct1_pct2
TIMM13	2,57458E-09	0,695142159	0,887	0,35	5,43261E-05	1,619043961	0,617648454	2,534285714
TMEM160	6,26326E-10	0,691729011	0,8	0,24	1,32161E-05	1,615218132	0,619111425	3,333333333
GAP43	3,74993E-10	0,690732722	0,488	0,06	7,91274E-06	1,614103087	0,619539116	8,133333333
COL6A3	7,17129E-07	0,690316364	0,362	0,06	0,015132129	1,613637329	0,619717939	6,033333333
NAA38	1,54525E-08	0,689095958	0,875	0,35	0,000326064	1,612272897	0,620242393	2,5
TIMM8B	6,26326E-10	0,688754538	0,8	0,24	1,32161E-05	1,611891391	0,620389194	3,333333333
AURKAIP1	8,04097E-09	0,687875159	0,925	0,4	0,000169672	1,610909178	0,620767461	2,3125
PPIA	5,84397E-10	0,686862239	1	0,88	1,23314E-05	1,609778553	0,621203456	1,136363636
ECM1	3,9993E-09	0,686738984	0,863	0,29	8,43892E-05	1,609641028	0,62125653	2,975862069
EIF5A	2,16859E-07	0,686363598	0,912	0,52	0,004575944	1,609222258	0,6214182	1,753846154
APOD	3,37913E-07	0,685706401	0,775	0,28	0,007130296	1,608489369	0,621701342	2,767857143
MRPL51	4,2315E-08	0,68451428	0,95	0,43	0,000892889	1,607160799	0,622215276	2,209302326
C12orf75	1,48344E-11	0,684176447	0,512	0,05	3,13021E-07	1,606784497	0,622360996	10,24
BAX	2,10799E-08	0,683128087	0,85	0,31	0,000444808	1,605617322	0,62281341	2,741935484
RABAC1	1,42935E-08	0,682813134	0,988	0,69	0,000301608	1,60526684	0,622949391	1,431884058
MZT2A	1,95741E-11	0,681933228	0,725	0,17	4,13033E-07	1,60428808	0,623329446	4,264705882
VCAN	2,8388E-09	0,681325643	0,7	0,19	5,99016E-05	1,603612583	0,623592014	3,684210526
BEX3	2,08454E-07	0,678121163	0,963	0,53	0,004398586	1,60005463	0,624978661	1,816981132
FKBP3	1,345E-11	0,678106802	0,812	0,22	2,83808E-07	1,600038703	0,624984882	3,690909091
PLOD3	2,27591E-09	0,677291447	0,762	0,24	4,80239E-05	1,599134678	0,625338199	3,175
H4C3	0,008001191	0,676945773	0,3	0,13	1	1,598751566	0,62548805	2,307692308
RPA3	5,56811E-15	0,675997539	0,625	0,05	1,17493E-10	1,597701107	0,625899297	12,5
GANAB	2,39845E-11	0,675337084	0,7	0,15	5,06096E-07	1,59696986	0,626185894	4,666666667
TMEM147	3,14139E-14	0,673667086	0,787	0,14	6,62866E-10	1,595122349	0,626911159	5,621428571
SSBP4	4,51599E-14	0,673390441	0,775	0,13	9,5292E-10	1,594816505	0,627031384	5,961538462
CLDN4	8,4445E-14	0,672905265	0,512	0,02	1,78187E-09	1,594280261	0,627242289	25,6
SSNA1	9,91267E-10	0,672018104	0,775	0,23	2,09167E-05	1,593300186	0,62762812	3,369565217
ITGA3	1,65253E-11	0,67169584	0,762	0,18	3,48701E-07	1,592944321	0,627768332	4,233333333
CHCHD2	1,07578E-09	0,671243224	0,988	0,8	2,27001E-05	1,592444645	0,627965313	1,235
ARL6IP4	2,88367E-09	0,669952819	0,975	0,61	6,08482E-05	1,591020935	0,628527242	1,598360656

Supplementary Table 4

Differentially expressed genes_keloid-CCD_ comparing SC-Keloid vs. (SC-Myel, SC-Nonmyel)								
gene	p_val	avg_log2FC	pct.1	pct.2	p_val_adj	Foldchange_UP	Foldchange_DOWN	Ratio_pct1_pct2
DYNC2I2	8,82356E-12	0,668825586	0,55	0,07	1,86186E-07	1,589778294	0,629018526	7,857142857
C1QL1	1,17062E-09	0,668144165	0,65	0,15	2,47011E-05	1,58902758	0,629315698	4,333333333
CENPW	2,57469E-11	0,667800149	0,45	0,03	5,43284E-07	1,588648716	0,629465778	15
ANO4	7,66242E-13	0,667512962	0,588	0,07	1,61685E-08	1,588332506	0,629591094	8,4
CCNB1	1,65991E-06	0,666592285	0,238	0,01	0,035025807	1,587319212	0,629993005	23,8
FKBP10	9,7299E-11	0,666468524	0,725	0,18	2,05311E-06	1,58718305	0,630047051	4,027777778
RPL35	1,59459E-12	0,666196354	1	0,95	3,36475E-08	1,58688365	0,630165923	1,052631579
EIF6	2,65041E-09	0,664925153	0,812	0,25	5,59263E-05	1,585486016	0,630721425	3,248
EDF1	2,32969E-09	0,663394692	0,975	0,73	4,91588E-05	1,583804969	0,631390872	1,335616438
ACTN1	4,0222E-08	0,662423979	0,887	0,37	0,000848725	1,582739669	0,631815844	2,397297297
PARVB	1,13065E-11	0,659550655	0,65	0,11	2,38579E-07	1,579590564	0,633075445	5,909090909
UQCRC1	2,14523E-10	0,659416305	0,762	0,19	4,52664E-06	1,579443473	0,633134403	4,010526316
PSMB3	1,39761E-09	0,658048569	0,938	0,36	2,94909E-05	1,577946803	0,633734926	2,605555556
KRT10	1,42228E-08	0,657934728	0,988	0,61	0,000300116	1,577822294	0,633784935	1,619672131
LAMTOR4	1,16003E-07	0,657414577	0,963	0,46	0,002447782	1,577253527	0,634013482	2,093478261
PLAUR	2,53242E-08	0,655630352	0,825	0,29	0,000534367	1,575304096	0,63479807	2,844827586
MACF1	1,91364E-08	0,654148737	0,775	0,25	0,000403796	1,573687124	0,635450329	3,1
ITPA	5,03629E-09	0,653606563	0,775	0,25	0,000106271	1,573095833	0,63568918	3,1
EFEMP2	8,0824E-11	0,651580335	0,75	0,19	1,70547E-06	1,570888012	0,636582616	3,947368421
ARHGDI1	8,21228E-09	0,651217058	0,9	0,38	0,000173287	1,570492505	0,63674293	2,368421053
MRPL17	1,10044E-12	0,650709432	0,637	0,09	2,32203E-08	1,569940009	0,636967014	7,077777778
SCX	1,63257E-05	0,650240329	0,425	0,12	0,344488831	1,569429615	0,637174162	3,541666667
CAPS	7,60408E-08	0,650071749	0,662	0,21	0,001604537	1,569246236	0,637248621	3,152380952
GADD45GIP1	7,76617E-09	0,649927732	0,9	0,35	0,000163874	1,569089594	0,637312237	2,571428571
PRDX5	6,81244E-09	0,649608256	1	0,5	0,000143749	1,568742168	0,637453382	2
LSM5	5,18901E-09	0,647875057	0,65	0,18	0,000109493	1,566858672	0,638219654	3,611111111
NME4	2,15664E-11	0,646598587	0,75	0,17	4,55072E-07	1,565472958	0,638784589	4,411764706
RPL12	2,1305E-12	0,645794912	1	0,96	4,49557E-08	1,56460113	0,639140533	1,041666667
PGAM1	3,96213E-08	0,645416965	0,887	0,39	0,000836049	1,564191301	0,639307992	2,274358974
TMEM167A	7,90846E-10	0,644526828	0,812	0,24	1,66876E-05	1,563226498	0,639702565	3,383333333

Supplementary Table 4

Differentially expressed genes_keloid-CCD_ comparing SC-Keloid vs. (SC-Myel, SC-Nonmyel)								
gene	p_val	avg_log2FC	pct.1	pct.2	p_val_adj	Foldchange_UP	Foldchange_DOWN	Ratio_pct1_pct2
TSPO	2,26148E-08	0,643940604	0,975	0,68	0,000477195	1,562591426	0,639962554	1,433823529
HSP90B1	6,54362E-08	0,643912307	1	0,86	0,00138077	1,562560779	0,639975106	1,162790698
CYTOR	1,27827E-09	0,643794653	0,912	0,35	2,69728E-05	1,562433355	0,640027299	2,605714286
TMED3	3,60398E-10	0,643481296	0,738	0,18	7,60476E-06	1,562094027	0,64016633	4,1
GSTO1	8,01729E-11	0,642715135	0,838	0,25	1,69173E-06	1,561264678	0,640506388	3,352
STX8	1,10906E-09	0,642463678	0,787	0,23	2,34023E-05	1,560992578	0,640618036	3,42173913
RPS7	2,19164E-13	0,642052945	1	0,97	4,62458E-09	1,56054823	0,640800445	1,030927835
SNRPD1	2,8627E-09	0,640138313	0,838	0,28	6,04059E-05	1,558478565	0,64165143	2,992857143
NDUFS3	3,93745E-12	0,639865979	0,8	0,18	8,30842E-08	1,558184403	0,641772564	4,444444444
PLS3	1,7879E-08	0,639783989	0,887	0,35	0,000377265	1,558095852	0,641809038	2,534285714
ECH1	2,59627E-10	0,638401971	0,738	0,19	5,4784E-06	1,556604002	0,642424148	3,884210526
NHP2	7,75609E-10	0,635781103	0,75	0,21	1,63661E-05	1,553778768	0,643592267	3,571428571
TECR	3,22354E-07	0,635292483	0,912	0,48	0,006801986	1,553252615	0,643810279	1,9
SERF2	4,46836E-09	0,634952549	1	0,91	9,42869E-05	1,552886674	0,643961995	1,098901099
PDGFA	1,06144E-05	0,634071011	0,975	0,62	0,223974895	1,551938095	0,644355599	1,572580645
RBM3	3,12692E-08	0,634021745	0,988	0,7	0,00065981	1,551885099	0,644377603	1,411428571
PSMD13	1,9915E-09	0,633576216	0,738	0,22	4,20227E-05	1,551405924	0,644576629	3,354545455
UQCC2	8,02075E-11	0,6334952	0,738	0,18	1,69246E-06	1,551318806	0,644612826	4,1
NDUFB3	1,09855E-09	0,633464015	0,825	0,26	2,31804E-05	1,551285273	0,64462676	3,173076923
COA4	3,73232E-11	0,632791166	0,7	0,14	7,87557E-07	1,550561948	0,644927474	5
SF3B5	6,53891E-09	0,627077245	0,988	0,45	0,000137978	1,544432957	0,64748683	2,195555556
MRPS21	9,26529E-09	0,625548039	0,912	0,34	0,000195507	1,542796778	0,648173508	2,682352941
FAM114A1	2,91098E-10	0,624157297	0,875	0,29	6,14246E-06	1,541310257	0,648798641	3,017241379
PSMA4	1,19472E-06	0,623215428	0,787	0,33	0,025209824	1,540304334	0,64922235	2,384848485
MCTS1	4,18545E-13	0,62180247	0,688	0,11	8,83171E-09	1,538796517	0,649858502	6,254545455
CD320	1,20759E-11	0,621329187	0,625	0,1	2,54813E-07	1,538291791	0,650071726	6,25
ARPC2	6,02366E-07	0,620811379	0,925	0,64	0,012710525	1,537739771	0,65030509	1,4453125
ORMDL2	1,23099E-13	0,62002027	0,512	0,03	2,59751E-09	1,536896774	0,650661786	17,06666667
KDEL2	3,99556E-08	0,61970175	0,875	0,4	0,000843104	1,536557494	0,650805456	2,1875
NDUFAB1	2,15534E-07	0,619475592	0,9	0,38	0,00454798	1,536316641	0,650907484	2,368421053

Supplementary Table 4

Differentially expressed genes_keloid-CCD_ comparing SC-Keloid vs. (SC-Myel, SC-Nonmyel)								
gene	p_val	avg_log2FC	pct.1	pct.2	p_val_adj	Foldchange_UP	Foldchange_DOWN	Ratio_pct1_pct2
RPL8	3,01886E-11	0,618960642	1	0,97	6,37009E-07	1,535768372	0,651139858	1,030927835
TKT	2,92245E-10	0,617489024	0,762	0,21	6,16667E-06	1,534202613	0,651804391	3,628571429
ECHS1	6,79921E-08	0,616799774	0,75	0,27	0,001434701	1,533469821	0,652115866	2,777777778
PSME2	2,75072E-09	0,616335226	0,812	0,27	5,8043E-05	1,532976122	0,652325881	3,007407407
IFI27L2	1,3443E-06	0,61585267	0,925	0,46	0,028366024	1,532463455	0,652544109	2,010869565
MRPL12	3,45434E-13	0,614974936	0,6	0,06	7,289E-09	1,53153139	0,652941237	10
PSMD8	1,7308E-07	0,61332939	0,975	0,59	0,00365217	1,529785512	0,65368641	1,652542373
GASK1B	1,44884E-11	0,613179534	0,45	0,03	3,05719E-07	1,529626618	0,653754314	15
CLPP	5,45679E-13	0,612763764	0,637	0,09	1,15144E-08	1,529185859	0,653942746	7,077777778
CHCHD5	9,91296E-11	0,612277844	0,738	0,18	2,09173E-06	1,528670895	0,65416304	4,1
MRPS12	8,77795E-13	0,611738142	0,7	0,12	1,85223E-08	1,528099136	0,654407804	5,833333333
LAMTOR1	6,97156E-09	0,611706247	0,887	0,32	0,000147107	1,528065354	0,654422272	2,771875
NUCB2	1,28569E-06	0,6116237	0,8	0,35	0,027129365	1,527977924	0,654459717	2,285714286
DDOST	9,51292E-08	0,611594247	0,825	0,36	0,002007322	1,52794673	0,654473078	2,291666667
CDK6	9,80189E-08	0,611138781	0,65	0,2	0,002068296	1,527464426	0,654679731	3,25
TRAF1	9,77744E-09	0,610564906	0,625	0,16	0,000206314	1,526856953	0,654940201	3,90625
RBIS	2,96671E-07	0,609289062	0,912	0,43	0,006260064	1,525507277	0,655519652	2,120930233
PSMB6	1,22637E-07	0,608831032	0,9	0,46	0,002587768	1,525023033	0,655727801	1,956521739
RPL6	7,79152E-11	0,607968073	1	0,99	1,64409E-06	1,524111101	0,656120147	1,01010101
PHB2	2,06733E-09	0,607638975	0,887	0,28	4,36227E-05	1,523763471	0,656269834	3,167857143
COL4A1	3,25559E-06	0,607006422	0,988	0,76	0,068696172	1,52309552	0,65655764	1,3
COPS9	9,73359E-09	0,604150317	0,963	0,52	0,000205388	1,520083228	0,657858716	1,851923077
PTMS	2,33698E-07	0,603909408	1	0,85	0,004931261	1,519829418	0,657968578	1,176470588
UROS	2,36817E-12	0,60347406	0,613	0,09	4,99708E-08	1,519370863	0,658167156	6,811111111
TMSB4X	4,8883E-07	0,603467475	1	0,98	0,010314806	1,519363928	0,65817016	1,020408163
HYAL2	6,57744E-12	0,603212027	0,65	0,11	1,38791E-07	1,519094929	0,658286708	5,909090909
IKBIP	1,6802E-09	0,603191841	0,588	0,13	3,54539E-05	1,519073674	0,658295919	4,523076923
MYLK	5,45899E-08	0,602261359	0,525	0,12	0,001151901	1,518094246	0,658720631	4,375
COL5A2	1,41466E-07	0,600874427	0,975	0,61	0,002985067	1,516635531	0,659354195	1,598360656
LSM4	1,02185E-10	0,599659389	0,787	0,21	2,1562E-06	1,515358758	0,659909737	3,747619048

Supplementary Table 4

Differentially expressed genes_keloid-CCD_ comparing SC-Keloid vs. (SC-Myel, SC-Nonmyel)								
gene	p_val	avg_log2FC	pct.1	pct.2	p_val_adj	Foldchange_UP	Foldchange_DOWN	Ratio_pct1_pct2
TBCA	2,91069E-08	0,599609743	0,975	0,6	0,000614184	1,515306613	0,659932446	1,625
SNRPD2	1,43216E-08	0,597681424	0,938	0,4	0,000302201	1,513282593	0,660815108	2,345
NDUFB4	8,6828E-07	0,5970541	0,925	0,49	0,018321585	1,512624719	0,661102511	1,887755102
KDELR3	2,18373E-10	0,596331119	0,65	0,14	4,6079E-06	1,511866884	0,661433894	4,642857143
SEC61G	3,42781E-07	0,596192574	0,963	0,62	0,007233029	1,511721703	0,661497416	1,553225806
POLD2	3,00579E-13	0,59615855	0,688	0,1	6,34252E-09	1,511686051	0,661513017	6,88
COMMD6	1,07509E-06	0,595757836	0,95	0,51	0,022685424	1,511266233	0,66169678	1,862745098
SEC61B	7,28109E-08	0,595221614	1	0,69	0,001536383	1,510704629	0,661942766	1,449275362
MELTF	1,70935E-11	0,594763387	0,438	0,02	3,60689E-07	1,510224877	0,662153044	21,9
ACTR3	2,46081E-09	0,59457268	0,812	0,26	5,19256E-05	1,510025257	0,662240579	3,123076923
MRPS33	4,19071E-13	0,592514464	0,512	0,03	8,84282E-09	1,50787252	0,663186037	17,06666667
PPFIBP1	2,51789E-07	0,591911182	0,938	0,4	0,00531301	1,507242115	0,663463414	2,345
MAD2L2	2,59842E-08	0,59154164	0,725	0,23	0,000548292	1,506856089	0,66363338	3,152173913
MORN2	1,20026E-12	0,589910359	0,713	0,12	2,53267E-08	1,505153223	0,664384187	5,941666667
RPSA	2,59569E-08	0,589673589	1	0,89	0,000547717	1,504906223	0,664493232	1,123595506
SHTN1	7,84464E-10	0,589240698	0,613	0,13	1,6553E-05	1,504454733	0,664692648	4,715384615
UBXN4	5,6805E-07	0,589158431	0,912	0,47	0,011986429	1,504368946	0,664730552	1,940425532
PMEPA1	1,12935E-07	0,588046247	1	0,9	0,002383041	1,503209665	0,665243195	1,111111111
ADAMTSL1	1,77045E-10	0,587364555	0,688	0,15	3,73582E-06	1,502499546	0,665557606	4,586666667
SWI5	3,04479E-10	0,586849651	0,8	0,22	6,42481E-06	1,501963393	0,665795188	3,636363636
ENO1	1,85998E-06	0,584419164	0,9	0,53	0,039247527	1,499435188	0,666917789	1,698113208
LY6E	7,9039E-07	0,584361585	0,787	0,31	0,016678016	1,499375345	0,666944407	2,538709677
PDIA6	7,00343E-06	0,584161893	0,963	0,61	0,147779369	1,499167823	0,667036729	1,578688525
CSPG4	1,23648E-09	0,583796743	0,575	0,11	2,60909E-05	1,498788427	0,667205579	5,227272727
CYB5R3	3,65402E-09	0,583652257	0,8	0,24	7,71035E-05	1,498638331	0,667272403	3,333333333
VPS25	2,39983E-12	0,58302289	0,6	0,08	5,06389E-08	1,497984702	0,66756356	7,5
MAP2K2	2,63263E-08	0,583008644	0,912	0,35	0,000555512	1,49796991	0,667570152	2,605714286
CTSA	3,64215E-10	0,582437812	0,725	0,17	7,68529E-06	1,497377324	0,667834342	4,264705882
DSTN	1,09351E-05	0,581575536	0,9	0,52	0,230742534	1,496482633	0,668233615	1,730769231
CAV1	1,34992E-08	0,580521512	0,662	0,21	0,000284847	1,495389712	0,668722001	3,152380952

Supplementary Table 4

Differentially expressed genes_keloid-CCD_ comparing SC-Keloid vs. (SC-Myel, SC-Nonmyel)								
gene	p_val	avg_log2FC	pct.1	pct.2	p_val_adj	Foldchange_UP	Foldchange_DOWN	Ratio_pct1_pct2
NOP10	1,11993E-08	0,580100648	0,85	0,28	0,000236316	1,494953539	0,66891711	3,035714286
NDUFB9	3,84314E-09	0,579684088	0,825	0,28	8,1094E-05	1,494521952	0,669110279	2,946428571
RPS26	1,07662E-07	0,579283008	0,963	0,81	0,002271776	1,494106522	0,669296322	1,188888889
PHB	5,0894E-08	0,57804758	0,8	0,29	0,001073914	1,492827616	0,669869708	2,75862069
WASF2	5,8101E-07	0,577570442	0,875	0,38	0,012259895	1,49233398	0,670091289	2,302631579
WDR1	1,46642E-06	0,577157466	0,863	0,46	0,030942896	1,491906855	0,670283132	1,876086957
PERP	5,17595E-08	0,576410026	0,787	0,28	0,001092177	1,491134119	0,670630487	2,810714286
MAD2L1	3,49814E-06	0,576388479	0,312	0,05	0,07381417	1,491111849	0,670640503	6,24
CSRP1	9,09945E-05	0,576275603	0,963	0,66	1	1,490995189	0,670692976	1,459090909
COX5A	1,03471E-07	0,573620333	0,887	0,36	0,00218335	1,488253548	0,671928518	2,463888889
METTL5	9,28696E-09	0,572693778	0,675	0,18	0,000195964	1,48729804	0,672360195	3,75
TUSC3	3,92738E-12	0,572451384	0,625	0,09	8,28717E-08	1,487048172	0,672473171	6,944444444
CDH6	7,18192E-08	0,572069175	0,85	0,3	0,001515457	1,486654266	0,672651351	2,833333333
COPZ1	1,51936E-12	0,57191649	0,637	0,09	3,206E-08	1,486496936	0,672722544	7,077777778
PSMB7	2,34246E-08	0,571863429	0,9	0,32	0,000494282	1,486442265	0,672747286	2,8125
CHPF	9,3585E-10	0,571475976	0,775	0,21	1,97474E-05	1,486043117	0,672927985	3,69047619
THOC7	3,58965E-09	0,57097958	0,713	0,18	7,57451E-05	1,485531894	0,673159563	3,961111111
ELOB	6,70142E-08	0,570309946	1	0,77	0,001414068	1,484842537	0,673472085	1,298701299
SELENON	2,04729E-10	0,570209494	0,75	0,18	4,31999E-06	1,484739154	0,67351898	4,166666667
GTF3A	6,74392E-08	0,56971986	0,738	0,25	0,001423035	1,484235336	0,673747603	2,952
RPL29	2,67217E-12	0,569206717	1	0,98	5,63854E-08	1,483707512	0,673987287	1,020408163
ANAPC15	3,62486E-12	0,569061854	0,613	0,08	7,64882E-08	1,483558538	0,674054966	7,6625
IL11	4,71279E-09	0,568098366	0,488	0,08	9,94447E-05	1,482568091	0,674505276	6,1
HM13	2,74475E-07	0,567422397	0,787	0,29	0,005791695	1,481873602	0,674821387	2,713793103
FXYS5	1,39527E-06	0,567001016	0,662	0,23	0,029441491	1,481440841	0,675018517	2,87826087
PIGT	1,87553E-09	0,566917684	0,688	0,17	3,95755E-05	1,481355274	0,675057508	4,047058824
KIFC3	1,11023E-12	0,566875609	0,662	0,09	2,34269E-08	1,481312072	0,675077196	7,355555556
GNAS	2,96176E-06	0,566046869	1	0,76	0,062496121	1,480461393	0,675465098	1,315789474
RER1	2,49709E-08	0,566009712	0,8	0,29	0,000526911	1,480423264	0,675482495	2,75862069
TRAPPC2L	9,08587E-10	0,56553238	0,738	0,2	1,91721E-05	1,479933531	0,675706023	3,69

Supplementary Table 4

Differentially expressed genes_keloid-CCD_ comparing SC-Keloid vs. (SC-Myel, SC-Nonmyel)								
gene	p_val	avg_log2FC	pct.1	pct.2	p_val_adj	Foldchange_UP	Foldchange_DOWN	Ratio_pct1_pct2
COX4I1	3,58268E-07	0,563902813	0,938	0,69	0,007559804	1,478262845	0,676469684	1,35942029
RPL7	6,68893E-07	0,563856147	1	0,85	0,014114302	1,478215029	0,676491566	1,176470588
THY1	5,80834E-09	0,563849246	0,425	0,05	0,000122562	1,478207958	0,676494802	8,5
COA8	2,08545E-09	0,559999311	0,588	0,12	4,40052E-05	1,474268514	0,678302487	4,9
FIS1	5,88951E-07	0,559740321	0,988	0,59	0,012427456	1,474003879	0,678424266	1,674576271
SRI	1,20632E-06	0,559359073	0,875	0,38	0,025454652	1,473614409	0,678603571	2,302631579
ATP5F1C	7,2744E-06	0,55863911	0,9	0,52	0,153497194	1,472879199	0,678942306	1,730769231
DDT	4,02868E-07	0,557971533	0,825	0,3	0,008500918	1,472197813	0,679256545	2,75
PSMB5	6,08048E-07	0,557889325	0,762	0,29	0,012830416	1,472113926	0,679295252	2,627586207
PSMC5	7,70692E-08	0,557457209	0,812	0,29	0,001626238	1,471673064	0,679498745	2,8
GSTZ1	1,5906E-10	0,556881187	0,688	0,15	3,35633E-06	1,471085589	0,679770101	4,586666667
SNRPB	1,55184E-05	0,555412212	0,9	0,53	0,327453315	1,46958847	0,680462606	1,698113208
THBS2	8,63369E-06	0,555301112	0,525	0,17	0,182179438	1,469475302	0,68051501	3,088235294
NDUFA11	2,63753E-06	0,554933025	0,925	0,52	0,055654431	1,469100431	0,680688658	1,778846154
LIF	2,55776E-06	0,554527252	0,338	0,06	0,053971315	1,468687289	0,680880135	5,633333333
SELENOH	2,08694E-06	0,553421719	0,9	0,45	0,044036435	1,467562269	0,681402092	2
GRN	7,62926E-07	0,553193719	0,825	0,34	0,01609851	1,467330358	0,681509787	2,426470588
NEDD8	2,58226E-06	0,553151126	0,963	0,52	0,054488232	1,467287039	0,681529908	1,851923077
RPL27	1,95981E-08	0,5530984	1	0,9	0,000413539	1,467233414	0,681554816	1,111111111
DTD1	3,56008E-12	0,551941545	0,688	0,12	7,51213E-08	1,466057355	0,682101554	5,733333333
ACTN4	1,41546E-06	0,55120204	0,912	0,5	0,029867666	1,465306067	0,682451279	1,824
GSTP1	1,00235E-06	0,551093728	0,988	0,72	0,021150633	1,465196062	0,682502517	1,372222222
AP1S1	5,18181E-11	0,55077326	0,738	0,17	1,09341E-06	1,464870632	0,682654139	4,341176471
BRK1	6,96295E-06	0,550714136	0,95	0,56	0,146925237	1,464810599	0,682682116	1,696428571
LMF2	3,06506E-12	0,549776259	0,65	0,11	6,46758E-08	1,463858655	0,683126063	5,909090909
NT5DC2	2,19573E-07	0,549755609	0,738	0,26	0,004633208	1,463837703	0,683135841	2,838461538
EVA1B	2,37928E-07	0,549670559	0,8	0,29	0,005020518	1,463751409	0,683176114	2,75862069
SDF2L1	8,29973E-09	0,549532589	0,787	0,24	0,000175133	1,463611432	0,683241452	3,279166667
TMEM14C	7,59316E-08	0,548810754	0,887	0,33	0,001602232	1,462879314	0,68358339	2,687878788
ATP5ME	1,74937E-06	0,547342028	0,988	0,59	0,036913448	1,461390798	0,684279661	1,674576271

Supplementary Table 4

Differentially expressed genes_keloid-CCD_ comparing SC-Keloid vs. (SC-Myel, SC-Nonmyel)								
gene	p_val	avg_log2FC	pct.1	pct.2	p_val_adj	Foldchange_UP	Foldchange_DOWN	Ratio_pct1_pct2
RPS6	6,11176E-09	0,546329618	1	0,98	0,000128964	1,460365627	0,684760023	1,020408163
RPL7A	7,94212E-11	0,546310866	1	1	1,67587E-06	1,460346646	0,684768923	1
PSMA5	1,05598E-08	0,546231172	0,812	0,26	0,000222822	1,46026598	0,68480675	3,123076923
TOMM22	8,44134E-12	0,545843088	0,688	0,12	1,78121E-07	1,459873222	0,684990988	5,733333333
AGTRAP	3,03174E-11	0,545029438	0,675	0,13	6,39728E-07	1,459050116	0,685377417	5,192307692
TXNL4A	1,36638E-07	0,544158512	0,85	0,34	0,00288319	1,458169582	0,685791291	2,5
NUDT22	6,97442E-12	0,542777625	0,537	0,05	1,47167E-07	1,456774551	0,686448016	10,74
COQ4	5,16856E-09	0,541231892	0,662	0,15	0,000109062	1,455214569	0,687183884	4,413333333
UBL5	6,37374E-07	0,540535632	0,963	0,62	0,01344922	1,454512436	0,687515607	1,553225806
NDUFS2	2,46348E-09	0,539919962	0,8	0,22	5,19818E-05	1,453891856	0,687809066	3,636363636
NCS1	3,32167E-10	0,538052953	0,637	0,14	7,00905E-06	1,452011574	0,688699745	4,55
ADAMTS2	2,25825E-12	0,53792192	0,512	0,04	4,76514E-08	1,451879701	0,688762299	12,8
DUSP23	3,87254E-11	0,537432986	0,75	0,16	8,17144E-07	1,451387738	0,688995762	4,6875
PRTFDC1	4,7327E-12	0,537064467	0,488	0,03	9,98646E-08	1,451017045	0,68917178	16,26666667
NDUFC2	2,04546E-07	0,535524247	0,963	0,58	0,004316119	1,449468767	0,689907932	1,660344828
AGPAT2	2,33424E-10	0,535261552	0,637	0,13	4,92547E-06	1,449204863	0,690033566	4,9
UFD1	7,16269E-10	0,535085041	0,762	0,2	1,5114E-05	1,449027567	0,690117996	3,81
TUBA1C	0,0021001	0,535055827	0,812	0,48	1	1,448998224	0,690131971	1,691666667
MSC	3,63267E-09	0,534063358	0,462	0,06	7,6653E-05	1,448001762	0,690606894	7,7
NDUFAF8	3,66596E-08	0,532773904	0,825	0,27	0,000773555	1,446708143	0,691224422	3,055555556
RPLP2	4,6377E-12	0,532216934	1	0,98	9,78601E-08	1,446149732	0,691491329	1,020408163
TENM3	2,24226E-07	0,531729267	0,787	0,28	0,004731392	1,445660979	0,69172511	2,810714286
CRIP1	0,000156943	0,531423728	0,75	0,36	1	1,445354845	0,691871621	2,083333333
MRPS23	5,54674E-12	0,530720261	0,637	0,09	1,17042E-07	1,444650253	0,692209065	7,077777778
GIPC1	2,66928E-07	0,529616169	0,825	0,31	0,005632451	1,443545088	0,692739014	2,661290323
SCARB2	1,76742E-05	0,52921503	0,938	0,55	0,372944114	1,443143767	0,692931656	1,705454545
CDKN2A	5,52286E-08	0,529097412	0,438	0,07	0,001165379	1,443026118	0,69298815	6,257142857
BOLA3	2,58433E-13	0,52901927	0,6	0,06	5,4532E-09	1,44294796	0,693025686	10
RPL13	6,95096E-12	0,528746184	1	1	1,46672E-07	1,442674852	0,693156881	1
NIFK	8,72294E-10	0,528454803	0,65	0,14	1,84063E-05	1,442383505	0,693296891	4,642857143

Supplementary Table 4

Differentially expressed genes_keloid-CCD_ comparing SC-Keloid vs. (SC-Myel, SC-Nonmyel)								
gene	p_val	avg_log2FC	pct.1	pct.2	p_val_adj	Foldchange_UP	Foldchange_DOWN	Ratio_pct1_pct2
NOL7	9,40082E-08	0,526335886	0,775	0,28	0,001983667	1,4402666	0,6943159	2,767857143
GPX8	1,89551E-07	0,525817703	0,562	0,15	0,00399971	1,439749382	0,694565327	3,746666667
NAP1L4	3,93102E-09	0,525744506	0,725	0,19	8,29485E-05	1,439676336	0,694600567	3,815789474
ARHGAP21	7,86415E-12	0,524816388	0,75	0,15	1,65941E-07	1,438750458	0,695047563	5
ISG15	2,68291E-09	0,524632848	0,838	0,29	5,66121E-05	1,438567432	0,695135993	2,889655172
CDC123	8,70907E-11	0,524031656	0,613	0,1	1,8377E-06	1,437968085	0,695425726	6,13
EMP3	2,45348E-06	0,522759368	1	0,79	0,051770797	1,436700525	0,696039281	1,265822785
NDUFS6	2,20669E-07	0,521865764	0,975	0,53	0,004656339	1,435810909	0,696470541	1,839622642
TYMS	3,77687E-06	0,521588499	0,225	0,01	0,079695817	1,435534993	0,696604405	22,5
DGUOK	9,32572E-09	0,521346982	0,863	0,28	0,000196782	1,435294695	0,696721031	3,082142857
RPLP1	2,07953E-11	0,521070462	1	1	4,38801E-07	1,43501962	0,696854584	1
ARF5	8,36706E-06	0,520375229	0,863	0,4	0,176553365	1,434328252	0,697190478	2,1575
SELENOS	2,72794E-06	0,520242432	0,863	0,4	0,057562229	1,434196231	0,697254656	2,1575
SH3GL1	3,59291E-11	0,520154936	0,812	0,19	7,5814E-07	1,434109254	0,697296944	4,273684211
DNAJC15	4,83077E-10	0,52007159	0,85	0,25	1,01934E-05	1,434026406	0,697337229	3,4
NDUFB11	7,2169E-06	0,51993273	0,963	0,58	0,152283758	1,433888388	0,697404351	1,660344828
DNPH1	8,09108E-08	0,519605346	0,863	0,31	0,001707298	1,433563039	0,697562627	2,783870968
HMGN2	0,005868792	0,519214822	0,875	0,54	1	1,433175039	0,697751477	1,62037037
STMP1	7,92478E-10	0,51816966	0,875	0,29	1,67221E-05	1,432137149	0,698257147	3,017241379
TPX2	3,79582E-06	0,517224886	0,25	0,02	0,080095558	1,431199597	0,698714562	12,5
FAM174C	9,9254E-10	0,516951641	0,713	0,19	2,09436E-05	1,430928554	0,698846911	3,752631579
TK1	1,66287E-07	0,516626989	0,275	0,01	0,003508824	1,430606587	0,699004191	27,5
TUBA1A	0,000121061	0,515629004	1	0,81	1	1,429617306	0,699487895	1,234567901
CDK4	2,15214E-09	0,515231314	0,762	0,2	4,54123E-05	1,429223275	0,699680741	3,81
RPL22L1	1,10997E-06	0,513520337	0,838	0,36	0,023421423	1,42752928	0,700511026	2,327777778
MICAL2	9,31758E-11	0,513115195	0,412	0,02	1,9661E-06	1,427128453	0,700707773	20,6
TPGS1	3,23799E-08	0,51283415	0,812	0,26	0,000683249	1,426850468	0,700844288	3,123076923
RANBP1	2,84637E-05	0,511957113	0,825	0,44	0,600612835	1,425983327	0,701270472	1,875
DPCD	1,20801E-12	0,510535185	0,525	0,04	2,54902E-08	1,424578562	0,701961988	13,125
SLC16A3	2,46109E-10	0,509323348	0,4	0,02	5,19315E-06	1,423382445	0,702551871	20

Supplementary Table 4

Differentially expressed genes_keloid-CCD_ comparing SC-Keloid vs. (SC-Myel, SC-Nonmyel)								
gene	p_val	avg_log2FC	pct.1	pct.2	p_val_adj	Foldchange_UP	Foldchange_DOWN	Ratio_pct1_pct2
SRPX	1,26033E-09	0,508684685	0,688	0,16	2,65943E-05	1,422752471	0,702862951	4,3
SNRPD3	4,64154E-07	0,50814234	0,887	0,37	0,009794111	1,422217724	0,703127224	2,397297297
RHBDF1	1,55217E-10	0,507748408	0,65	0,13	3,27523E-06	1,421829436	0,703319241	5
DMAC1	2,40792E-12	0,506994677	0,6	0,07	5,08096E-08	1,421086799	0,703686784	8,571428571
MRPL3	8,65559E-10	0,506708599	0,662	0,15	1,82642E-05	1,420805035	0,703826335	4,413333333
ADARB1	6,98456E-12	0,505148766	0,5	0,04	1,47381E-07	1,419269699	0,704587719	12,5
ZNHIT1	4,33791E-06	0,504510209	0,938	0,52	0,091534218	1,418641649	0,704899649	1,803846154
CIAPIN1	3,12252E-12	0,504234175	0,512	0,04	6,58884E-08	1,418370243	0,705034531	12,8
RPL37A	1,9982E-08	0,504188562	1	0,98	0,00042164	1,4183254	0,705056822	1,020408163
NUTF2	2,88151E-09	0,504096449	0,65	0,15	6,08028E-05	1,418234846	0,70510184	4,333333333
RNASEH2C	9,22399E-09	0,503382692	0,85	0,26	0,000194636	1,417533364	0,705450768	3,269230769
RPS14	6,54689E-09	0,502173634	1	0,99	0,000138146	1,416345891	0,706042222	1,01010101
CNN2	3,94338E-11	0,501208348	0,4	0,01	8,32092E-07	1,415398552	0,706514783	40
MIF	2,68011E-07	0,500423851	0,938	0,49	0,005655295	1,414629107	0,70689907	1,914285714
EIF2AK4	1,5034E-09	0,50037892	0,688	0,17	3,17232E-05	1,41458505	0,706921086	4,047058824
CHID1	5,96767E-08	0,500104937	0,662	0,19	0,001259238	1,414316431	0,707055351	3,484210526
HMG20B	2,28739E-08	0,500047309	0,875	0,31	0,000482663	1,414259938	0,707083594	2,822580645
S100A1	0,018419727	0,499471886	0,4	0,21	1	1,413695969	0,707365672	1,904761905
CYC1	4,73265E-07	0,499275795	0,8	0,3	0,009986369	1,413503832	0,707461824	2,666666667
RCAN1	0,028144543	0,499134273	0,912	0,73	1	1,413365181	0,707531226	1,249315068
HDDC2	9,48617E-11	0,497978242	0,6	0,1	2,00168E-06	1,412233105	0,708098398	6
CD63	2,17135E-08	0,497884195	1	0,99	0,000458177	1,412141048	0,708144559	1,01010101
JOSD2	1,06852E-06	0,497577775	0,75	0,28	0,022546833	1,411841149	0,708294981	2,678571429
VDAC1	2,28612E-07	0,497463149	0,925	0,43	0,00482394	1,411728979	0,708351259	2,151162791
AGRN	9,53819E-07	0,496832199	0,775	0,28	0,020126542	1,411111706	0,708661119	2,767857143
B3GAT3	3,15518E-08	0,496562155	0,713	0,2	0,000665774	1,410847599	0,708793778	3,565
TPM3	4,22356E-05	0,495879911	0,875	0,49	0,891213648	1,410180573	0,709129043	1,785714286
RPN2	2,07559E-06	0,495686229	0,875	0,41	0,043796974	1,409991268	0,70922425	2,134146341
ABCC3	2,34916E-08	0,495406577	0,325	0,02	0,000495697	1,409717983	0,709361739	16,25
MFAP2	1,771E-10	0,495359273	0,4	0,02	3,737E-06	1,409671761	0,709384998	20

Supplementary Table 4

Differentially expressed genes_keloid-CCD_ comparing SC-Keloid vs. (SC-Myel, SC-Nonmyel)								
gene	p_val	avg_log2FC	pct.1	pct.2	p_val_adj	Foldchange_UP	Foldchange_DOWN	Ratio_pct1_pct2
PLD3	3,21315E-08	0,495167075	0,713	0,2	0,000678007	1,409483974	0,70947951	3,565
GGH	4,19837E-08	0,494709622	0,5	0,1	0,000885898	1,409037124	0,709704509	5
SPOCD1	4,36849E-10	0,494116664	0,362	0,01	9,21795E-06	1,408458118	0,709996263	36,2
RCN3	3,87995E-08	0,493246334	0,613	0,17	0,000818708	1,407608698	0,710424709	3,605882353
PCYT1A	1,01405E-10	0,490644435	0,462	0,04	2,13975E-06	1,405072365	0,711707115	11,55
TRMT112	1,10167E-06	0,490643013	0,975	0,45	0,023246347	1,40507098	0,711707817	2,166666667
FBXW5	1,438E-09	0,490065974	0,6	0,13	3,03433E-05	1,404509102	0,711992538	4,615384615
UFC1	2,11042E-07	0,48887416	0,825	0,28	0,004453193	1,403349313	0,71258096	2,946428571
TMEM141	9,23074E-12	0,487349793	0,7	0,12	1,94778E-07	1,401867302	0,713334278	5,833333333
SH3KBP1	1,5325E-08	0,486812749	0,625	0,16	0,000323373	1,401345553	0,713599867	3,90625
SLC2A4RG	8,10594E-08	0,48581492	0,725	0,23	0,001710435	1,400376658	0,714093593	3,152173913
HMGB3	2,90782E-06	0,485636618	0,362	0,07	0,06135791	1,400203597	0,714181853	5,171428571
HPCAL1	3,52142E-08	0,485458784	0,65	0,18	0,000743054	1,400031012	0,714269892	3,611111111
SSR3	8,54559E-06	0,484501494	0,775	0,33	0,180320402	1,399102339	0,714743999	2,348484848
DAAM1	1,63358E-07	0,484229899	0,65	0,19	0,003447009	1,398838975	0,714878565	3,421052632
CENPE	1,85402E-05	0,484046134	0,225	0,02	0,391217778	1,398660808	0,71496963	11,25
COA3	2,86367E-11	0,482288278	0,613	0,1	6,04262E-07	1,396957644	0,715841317	6,13
GFUS	5,24695E-11	0,482111697	0,55	0,07	1,10716E-06	1,396786671	0,715928939	7,857142857
AHCY	6,54923E-10	0,481812972	0,588	0,1	1,38195E-05	1,396497482	0,716077195	5,88
CRIP2	3,64973E-05	0,481056447	0,925	0,58	0,770129529	1,395765374	0,716452792	1,594827586
RTRAF	9,90449E-06	0,481018003	0,95	0,56	0,208994738	1,395728181	0,716471884	1,696428571
CENPK	8,10377E-08	0,480505641	0,288	0,01	0,001709977	1,395232587	0,716726379	28,8
EIF3I	1,52678E-06	0,480452972	0,863	0,37	0,032216528	1,395181651	0,716752546	2,332432432
NDUFAF3	5,24854E-06	0,479706421	0,8	0,34	0,110749376	1,394459874	0,717123539	2,352941176
CHD9	3,95483E-06	0,479542574	0,787	0,3	0,083450877	1,394301514	0,717204987	2,623333333
MRPS16	1,37971E-09	0,479501647	0,537	0,09	2,91132E-05	1,39426196	0,717225334	5,966666667
ANAPC5	9,29538E-09	0,478839687	0,75	0,21	0,000196142	1,39362237	0,717554498	3,571428571
TPRKB	1,10878E-08	0,477909247	0,6	0,13	0,000233964	1,392723869	0,718017421	4,615384615
LMAN2	2,70215E-06	0,477817531	0,812	0,33	0,057018019	1,392635332	0,718063068	2,460606061
PDAP1	4,885E-07	0,477413445	0,875	0,34	0,010307843	1,392245322	0,71826422	2,573529412

Supplementary Table 4

Differentially expressed genes_keloid-CCD_ comparing SC-Keloid vs. (SC-Myel, SC-Nonmyel)								
gene	p_val	avg_log2FC	pct.1	pct.2	p_val_adj	Foldchange_UP	Foldchange_DOWN	Ratio_pct1_pct2
CTSD	7,2557E-05	0,477370569	0,95	0,62	1	1,392203946	0,718285566	1,532258065
BTC	7,7325E-08	0,476093482	0,362	0,04	0,001631634	1,390972099	0,718921681	9,05
TALDO1	1,42598E-06	0,475233522	0,912	0,41	0,030089512	1,390143218	0,719350343	2,224390244
RPL26	2,32775E-06	0,474988806	1	0,95	0,049117913	1,389907436	0,719472372	1,052631579
PSMD3	3,68959E-09	0,47476857	0,6	0,13	7,7854E-05	1,389695274	0,719582212	4,615384615
C1QBP	1,31476E-06	0,473259828	0,85	0,37	0,027742654	1,388242718	0,720335131	2,297297297
COX6C	1,68742E-05	0,472696573	0,975	0,73	0,356061498	1,387700828	0,720616418	1,335616438
MRPL54	5,90045E-08	0,472650985	0,8	0,25	0,001245055	1,387656979	0,720639189	3,2
PLEC	1,46507E-05	0,472348009	0,85	0,4	0,30914355	1,387365591	0,720790545	2,125
HMGNI	0,00016028	0,471836802	0,938	0,67	1	1,386874076	0,721045996	1,4
ABHD17A	4,93188E-09	0,471722174	0,725	0,18	0,000104068	1,386763888	0,721103288	4,027777778
CCDC80	7,75492E-07	0,471520263	0,725	0,25	0,016363657	1,386569818	0,721204217	2,9
WDR18	2,02074E-09	0,470169191	0,625	0,14	4,26396E-05	1,385271916	0,721879935	4,464285714
SNRPF	1,4215E-05	0,469648128	0,9	0,44	0,299951473	1,384771683	0,722140706	2,045454545
ATP5MK	3,71965E-06	0,469342368	0,938	0,6	0,07848842	1,384478229	0,72229377	1,563333333
CFAP410	4,11068E-07	0,469324403	0,65	0,2	0,008673943	1,384460989	0,722302765	3,25
CCDC34	1,66602E-07	0,469148363	0,35	0,04	0,003515468	1,384292066	0,722390906	8,75
KRTCAP2	2,608E-07	0,469081946	0,912	0,39	0,005503139	1,384228339	0,722424164	2,338461538
NECAP2	3,00915E-09	0,468351789	0,537	0,1	6,34961E-05	1,38352795	0,72278988	5,37
DOK1	3,58971E-08	0,468233137	0,512	0,1	0,000757465	1,383414169	0,722849327	5,12
CKS1B	0,004947074	0,466730975	0,588	0,31	1	1,381974481	0,723602363	1,896774194
ACP1	2,27973E-07	0,466373704	0,688	0,21	0,004810469	1,381632289	0,723781579	3,276190476
ADGRE5	2,46168E-08	0,466157	0,537	0,11	0,000519439	1,381424772	0,723890305	4,881818182
TCF12	7,20287E-08	0,466069006	0,575	0,14	0,001519878	1,381340518	0,723934458	4,107142857
ERGIC1	2,29803E-08	0,465546419	0,55	0,12	0,000484908	1,380840246	0,724196737	4,583333333
RPS5	3,50611E-07	0,464602397	0,988	0,98	0,007398252	1,379936994	0,724670767	1,008163265
NDUFB10	6,99994E-05	0,463814518	0,95	0,52	1	1,379183593	0,72506663	1,826923077
ADGRL4	1,94461E-09	0,463107466	0,45	0,05	4,10332E-05	1,378507834	0,725422066	9
PCLAF	3,88952E-06	0,463053666	0,25	0,02	0,082072811	1,378456429	0,725449118	12,5
IFI27L1	2,36119E-09	0,462290246	0,575	0,11	4,98235E-05	1,377727194	0,7258331	5,227272727

Supplementary Table 4

Differentially expressed genes_keloid-CCD_ comparing SC-Keloid vs. (SC-Myel, SC-Nonmyel)								
gene	p_val	avg_log2FC	pct.1	pct.2	p_val_adj	Foldchange_UP	Foldchange_DOWN	Ratio_pct1_pct2
GPR17	1,00259E-08	0,462213295	0,488	0,08	0,000211557	1,37765371	0,725871816	6,1
DCTN2	3,712E-07	0,461722362	0,863	0,35	0,007832682	1,37718499	0,726118864	2,465714286
SH2B3	3,50344E-09	0,461563488	0,537	0,1	7,39261E-05	1,377033338	0,726198831	5,37
DYNLT2B	1,98476E-08	0,461526364	0,475	0,08	0,000418804	1,376997904	0,726217518	5,9375
MRPL33	2,67408E-06	0,460859371	0,938	0,39	0,056425685	1,376361432	0,726553343	2,405128205
SUCLG1	8,91366E-11	0,459511823	0,637	0,11	1,88087E-06	1,375076443	0,727232297	5,790909091
PKP1	1,19866E-11	0,45929129	0,388	0	2,52929E-07	1,374866263	0,727343471	#DIV/0!
SMAP2	5,87626E-11	0,458308837	0,488	0,05	1,23995E-06	1,373930318	0,72783895	9,76
ARL1	1,9603E-07	0,457194683	0,812	0,29	0,004136427	1,372869679	0,728401257	2,8
ARFRP1	9,07316E-09	0,456553554	0,625	0,14	0,000191453	1,372259716	0,728725028	4,464285714
DEF8	3,35813E-11	0,456333774	0,65	0,11	7,08599E-07	1,372050682	0,72883605	5,909090909
NDUFV2	3,70009E-06	0,455712382	0,875	0,4	0,078075692	1,371459845	0,72915004	2,1875
NKTR	2,6663E-08	0,45549939	0,8	0,24	0,000562616	1,371257385	0,729257695	3,333333333
GNG5	6,23969E-05	0,454963049	1	0,7	1	1,370747696	0,729528857	1,428571429
PRKCSH	9,17248E-08	0,454919094	0,562	0,14	0,001935485	1,370705934	0,729551084	4,014285714
DNM3	3,66561E-09	0,454789199	0,438	0,05	7,7348E-05	1,370582526	0,729616773	8,76
TMA7	1,98713E-05	0,45456594	1	0,73	0,419304079	1,370370443	0,729729691	1,369863014
SEPTIN7	1,41736E-05	0,454482772	1	0,7	0,2990762	1,370291447	0,729771759	1,428571429
SLC20A1	3,2945E-08	0,454467731	0,588	0,13	0,000695173	1,37027716	0,729779368	4,523076923
RPL4	6,97173E-05	0,454461303	1	0,74	1	1,370271055	0,72978262	1,351351351
ARPC1A	2,92229E-07	0,453797841	0,85	0,33	0,006166322	1,369641045	0,730118307	2,575757576
VPS29	2,8508E-05	0,452998123	0,8	0,36	0,601548162	1,368882032	0,73052314	2,222222222
ERH	0,000247159	0,452800326	0,8	0,45	1	1,368694368	0,730623303	1,777777778
SLC15A4	2,80856E-10	0,452381156	0,425	0,03	5,92634E-06	1,368296756	0,730835614	14,16666667
FDPS	4,86825E-07	0,451590956	0,8	0,28	0,010272489	1,367547511	0,731236021	2,857142857
DBNL	4,88668E-10	0,451327544	0,65	0,13	1,03114E-05	1,367297843	0,731369544	5
CDC20	3,97851E-06	0,451274409	0,225	0,01	0,083950588	1,367247485	0,731396481	22,5
PYCR1	1,72314E-09	0,4505838	0,45	0,05	3,63599E-05	1,366593149	0,73174668	9
SPNS1	8,28716E-09	0,450325787	0,55	0,11	0,000174867	1,366348768	0,731877558	5
AGK	1,54027E-09	0,450301561	0,4	0,03	3,25013E-05	1,366325825	0,731889848	13,33333333

Supplementary Table 4

Differentially expressed genes_keloid-CCD_ comparing SC-Keloid vs. (SC-Myel, SC-Nonmyel)								
gene	p_val	avg_log2FC	pct.1	pct.2	p_val_adj	Foldchange_UP	Foldchange_DOWN	Ratio_pct1_pct2
ZNF593	9,14664E-08	0,449730853	0,613	0,17	0,001930032	1,365785434	0,73217943	3,605882353
SMARCD1	3,89595E-10	0,449422491	0,637	0,12	8,22085E-06	1,365493542	0,732335942	5,308333333
EBPL	2,6168E-09	0,448700578	0,662	0,15	5,52171E-05	1,364810431	0,732702489	4,413333333
DCBLD2	2,51614E-05	0,448234007	0,75	0,33	0,530930929	1,364369119	0,732939485	2,272727273
ADAM19	1,93814E-10	0,447770904	0,713	0,16	4,08968E-06	1,363931229	0,733174796	4,45625
AP2B1	7,02517E-10	0,447770799	0,562	0,09	1,48238E-05	1,363931129	0,733174849	6,244444444
RPL32	4,40116E-09	0,447574155	1	1	9,28688E-05	1,363745234	0,73327479	1
NDUFB5	3,74699E-07	0,447543173	0,812	0,28	0,007906514	1,363715948	0,733290537	2,9
YWHAB	4,07607E-05	0,447356338	0,975	0,68	0,860091552	1,363539352	0,733385508	1,433823529
SRPX2	1,31052E-08	0,446514335	0,475	0,08	0,000276532	1,362743779	0,73381366	5,9375
ADH5	8,73251E-06	0,44603357	0,662	0,26	0,184264752	1,362289733	0,734058237	2,546153846
YBEY	1,05598E-08	0,444748141	0,525	0,1	0,000222823	1,361076485	0,734712568	5,25
NDUFS7	1,1814E-06	0,44447967	0,787	0,28	0,024928628	1,360823226	0,734849304	2,810714286
SSRP1	1,42848E-10	0,444394215	0,662	0,13	3,01423E-06	1,360742623	0,734892832	5,092307692
COX7A2L	1,98631E-06	0,444306636	0,9	0,39	0,041913121	1,360660022	0,734937445	2,307692308
ATRAID	2,2892E-05	0,443790933	0,9	0,48	0,483044752	1,36017373	0,735200201	1,875
CHMP6	5,9238E-11	0,442911746	0,55	0,07	1,24998E-06	1,359345084	0,735648373	7,857142857
EEF1E1	1,16232E-09	0,442505952	0,675	0,15	2,45261E-05	1,358962788	0,735855322	4,5
SLC39A3	5,01837E-10	0,441413631	0,5	0,07	1,05893E-05	1,357934254	0,736412678	7,142857143
P3H2	4,63131E-09	0,441087486	0,588	0,12	9,77252E-05	1,357627305	0,736579175	4,9
CISD3	7,95472E-11	0,441058377	0,537	0,07	1,67852E-06	1,357599913	0,736594037	7,671428571
LMAN1	5,99278E-06	0,440144974	0,838	0,34	0,126453692	1,356740657	0,737060539	2,464705882
CDKN3	8,67798E-05	0,439316302	0,175	0,01	1	1,355961581	0,737484022	17,5
RPS29	2,09232E-06	0,439298459	1	0,94	0,044150103	1,35594481	0,737493143	1,063829787
ENSA	2,36735E-06	0,438989522	0,688	0,24	0,049953411	1,355654481	0,737651086	2,866666667
ATP5PD	4,58397E-06	0,43857455	0,887	0,46	0,09672634	1,355264601	0,737863292	1,92826087
MRPL23	1,08924E-08	0,437620583	0,637	0,15	0,000229841	1,354368742	0,738351358	4,246666667
AGPAT1	6,06342E-08	0,437073436	0,575	0,14	0,001279442	1,353855192	0,738631433	4,107142857
TOMM40	1,95058E-08	0,43663034	0,637	0,16	0,000411591	1,353439445	0,738858324	3,98125
ZWINT	3,22815E-09	0,435825023	0,338	0,01	6,81171E-05	1,352684161	0,739270873	33,8

Supplementary Table 4

Differentially expressed genes_keloid-CCD_ comparing SC-Keloid vs. (SC-Myel, SC-Nonmyel)								
gene	p_val	avg_log2FC	pct.1	pct.2	p_val_adj	Foldchange_UP	Foldchange_DOWN	Ratio_pct1_pct2
RNF128	6,0843E-12	0,435752725	0,425	0,01	1,28385E-07	1,352616376	0,739307921	42,5
COPZ2	3,12795E-06	0,435330662	0,762	0,3	0,066002892	1,352220723	0,739524238	2,54
LTBP2	5,47254E-07	0,434608981	0,375	0,06	0,011547597	1,351544469	0,739894264	6,25
SEPTIN11	1,1724E-06	0,434044111	0,662	0,22	0,024738799	1,351015392	0,740184017	3,009090909
SSB	4,42272E-06	0,433689117	0,863	0,38	0,093323853	1,350682997	0,740366172	2,271052632
EPRS1	3,94649E-08	0,432755616	0,613	0,15	0,000832749	1,349809316	0,740845383	4,086666667
RBX1	0,000109454	0,43264366	0,938	0,61	1	1,349704573	0,740902876	1,537704918
ACTG2	0,000138823	0,431963946	0,138	0	1	1,34906882	0,741252029	#DIV/0!
IRF3	5,70922E-07	0,431952786	0,438	0,09	0,012047027	1,349058384	0,741257763	4,866666667
AIMP1	1,40993E-08	0,43082547	0,75	0,2	0,000297509	1,348004647	0,741837205	3,75
SNRPC	2,13704E-09	0,429780461	0,662	0,15	4,50936E-05	1,34702858	0,742374746	4,413333333
FAM207A	3,8106E-10	0,429555749	0,438	0,04	8,04076E-06	1,346818785	0,742490386	10,95
ATP5MG	4,17911E-05	0,429345002	0,975	0,68	0,881833079	1,346622059	0,742598856	1,433823529
RNASEH2B	5,50249E-10	0,429272294	0,637	0,12	1,16108E-05	1,346554194	0,742636282	5,308333333
LGALS3BP	0,000759589	0,429270674	0,95	0,56	1	1,346552682	0,742637116	1,696428571
MTPN	5,44361E-05	0,429177528	0,762	0,38	1	1,346465746	0,742685065	2,005263158
PBK	7,4916E-06	0,429096098	0,212	0,01	0,158080155	1,346389749	0,742726986	21,2
KDELR1	3,52101E-05	0,428799823	0,9	0,49	0,742968494	1,34611328	0,742879529	1,836734694
TMEM14B	1,73737E-07	0,428706606	0,875	0,29	0,003666034	1,346026307	0,74292753	3,017241379
PMVK	6,29579E-09	0,427368527	0,713	0,17	0,000132847	1,344778465	0,743616905	4,194117647
SMARCB1	3,496E-10	0,427364044	0,725	0,16	7,37692E-06	1,344774286	0,743619216	4,53125
KMT5A	5,04191E-08	0,427195506	0,562	0,13	0,001063893	1,344617197	0,743706091	4,323076923
LAGE3	3,42115E-09	0,426064379	0,625	0,13	7,21897E-05	1,343563379	0,744289414	4,807692308
PRR16	4,11821E-07	0,426024222	0,288	0,02	0,008689834	1,343525982	0,744310131	14,4
DUT	0,000606283	0,425963112	0,787	0,4	1	1,343469074	0,744341659	1,9675
RAMP1	3,3745E-08	0,425961282	0,425	0,06	0,000712054	1,34346737	0,744342603	7,083333333
ABHD11	9,41239E-10	0,425936657	0,325	0	1,98611E-05	1,343444439	0,744355308	#DIV/0!
PMM2	1,92764E-07	0,425064229	0,325	0,03	0,004067505	1,342632275	0,744805572	10,83333333
P3H1	4,44074E-09	0,424619409	0,562	0,11	9,37041E-05	1,342218372	0,74503525	5,109090909
PSMA1	1,30013E-07	0,424399429	0,875	0,31	0,002743401	1,342013727	0,745148861	2,822580645

Supplementary Table 4

Differentially expressed genes_keloid-CCD_ comparing SC-Keloid vs. (SC-Myel, SC-Nonmyel)								
gene	p_val	avg_log2FC	pct.1	pct.2	p_val_adj	Foldchange_UP	Foldchange_DOWN	Ratio_pct1_pct2
PRKDC	5,39712E-09	0,423511065	0,675	0,16	0,000113885	1,341187614	0,74560784	4,21875
CCNB2	6,74984E-06	0,423288898	0,188	0	0,142428329	1,340981095	0,745722668	#DIV/0!
SRP72	3,93929E-07	0,42293559	0,787	0,25	0,008312294	1,340652736	0,745905314	3,148
TMA16	3,86291E-09	0,422696409	0,45	0,06	8,15113E-05	1,340430491	0,746028986	7,5
BCKDK	3,98547E-13	0,420630984	0,525	0,03	8,40974E-09	1,338512845	0,747097799	17,5
RASSF8-AS1	9,02362E-07	0,419351646	0,512	0,13	0,019040732	1,337326419	0,747760596	3,938461538
MAP1B	0,001747955	0,418855031	0,938	0,74	1	1,336866154	0,74801804	1,267567568
PRRX1	5,4953E-07	0,41884909	0,675	0,21	0,011595623	1,336860649	0,74802112	3,214285714
MYEOV	2,92079E-11	0,414797131	0,375	0	6,16317E-07	1,333111205	0,750124968	#DIV/0!
HRAS	2,05794E-07	0,414379038	0,775	0,26	0,004342464	1,332724924	0,750342386	2,980769231
SURF4	2,04238E-07	0,413576737	0,8	0,3	0,004309616	1,331983986	0,750759777	2,666666667
SDHC	8,2535E-08	0,413395865	0,637	0,18	0,001741572	1,331817004	0,750853906	3,538888889
SUPT16H	9,458E-09	0,412749395	0,725	0,19	0,000199573	1,331220352	0,751190439	3,815789474
CLUAP1	1,66322E-09	0,412679909	0,412	0,04	3,50956E-05	1,331156237	0,75122662	10,3
ELOVL1	4,59643E-10	0,412048163	0,55	0,08	9,69892E-06	1,330573461	0,751555648	6,875
SMC2	4,1232E-07	0,411737372	0,5	0,12	0,008700373	1,330286854	0,751717569	4,166666667
CHST11	9,15813E-10	0,410925192	0,4	0,03	1,93246E-05	1,329538166	0,752140875	13,33333333
REXO2	1,43184E-05	0,410814651	0,738	0,29	0,302131816	1,329436299	0,752198508	2,544827586
EIF4A1	8,46004E-05	0,41080487	0,938	0,65	1	1,329427286	0,752203607	1,443076923
ITGAE	4,88855E-06	0,410680925	0,637	0,23	0,103153273	1,329313076	0,752268234	2,769565217
ACOT7	5,07924E-07	0,410611897	0,512	0,12	0,010717698	1,329249475	0,752304228	4,266666667
MTCH2	2,60329E-07	0,410579232	0,588	0,17	0,00549321	1,32921938	0,752321261	3,458823529
CRELD2	1,98296E-07	0,409861102	0,65	0,19	0,004184237	1,328557899	0,752695837	3,421052632
ECE1	3,98748E-07	0,409441307	0,688	0,22	0,00841398	1,328171372	0,752914888	3,127272727
MRPL28	1,19488E-08	0,408868873	0,713	0,19	0,000252133	1,327644483	0,75321369	3,752631579
PSMC1	2,17603E-05	0,408529681	0,8	0,34	0,459163181	1,327332377	0,753390799	2,352941176
KIF20B	7,34588E-05	0,408508952	0,288	0,06	1	1,327313306	0,753401624	4,8
HIGD2A	1,01694E-05	0,408118601	0,75	0,31	0,214583667	1,326954223	0,7536055	2,419354839
MRPL34	4,97382E-08	0,406785067	0,675	0,17	0,001049525	1,325728238	0,754302406	3,970588235
PPCS	3,41401E-09	0,406449394	0,537	0,09	7,2039E-05	1,325419816	0,75447793	5,966666667

Supplementary Table 4

Differentially expressed genes_keloid-CCD_ comparing SC-Keloid vs. (SC-Myel, SC-Nonmyel)								
gene	p_val	avg_log2FC	pct.1	pct.2	p_val_adj	Foldchange_UP	Foldchange_DOWN	Ratio_pct1_pct2
NUBP2	1,18513E-08	0,406038957	0,725	0,19	0,000250074	1,325042797	0,754692605	3,815789474
PGP	4,10879E-07	0,405981153	0,637	0,2	0,008669968	1,324989707	0,754722844	3,185
C3orf14	1,41361E-09	0,405792509	0,375	0,02	2,98285E-05	1,324816466	0,754821536	18,75
PTTG1IP	3,98352E-07	0,405474402	0,738	0,26	0,008405622	1,324524383	0,754987989	2,838461538
MRPL40	6,98572E-09	0,40453043	0,725	0,19	0,000147406	1,323658015	0,755482148	3,815789474
DBI	0,000625675	0,404336892	0,988	0,76	1	1,323480458	0,755583503	1,3
PLXNB2	1,1689E-08	0,403374125	0,488	0,08	0,00024665	1,322597542	0,756087902	6,1
PSMC3	4,71975E-05	0,402893633	0,825	0,4	0,99591521	1,322157122	0,75633976	2,0625
SYT11	9,75327E-07	0,402685076	0,8	0,3	0,020580366	1,321966004	0,756449105	2,666666667
RPL41	6,55591E-11	0,402153969	1	1	1,38336E-06	1,321479431	0,756727632	1
HMBS	1,37617E-09	0,400079155	0,375	0,02	2,90386E-05	1,319580309	0,757816704	18,75
SMC6	4,81277E-08	0,399356429	0,55	0,12	0,001015543	1,318919424	0,758196431	4,583333333
RPS24	2,29545E-06	0,399270638	1	0,97	0,048436389	1,318840995	0,758241519	1,030927835
EIF3F	6,63093E-06	0,39849212	0,963	0,48	0,139919151	1,318129504	0,758650798	2,00625
SLC27A4	1,31877E-09	0,398372326	0,4	0,03	2,78274E-05	1,318020058	0,758713795	13,33333333
COMMD9	1,72264E-09	0,398010188	0,425	0,04	3,63494E-05	1,317689257	0,758904267	10,625
MPDU1	2,8007E-09	0,397989898	0,575	0,11	5,90975E-05	1,317670725	0,75891494	5,227272727
RPL10A	6,99226E-07	0,397640004	1	0,96	0,014754371	1,317351192	0,759099021	1,041666667
HAGH	4,33284E-10	0,397417455	0,75	0,17	9,14273E-06	1,317147994	0,759216128	4,411764706
CCDC28B	2,79933E-07	0,397311134	0,425	0,08	0,005906867	1,317050928	0,759272082	5,3125
PCBP4	2,02671E-05	0,397307905	0,812	0,35	0,427656218	1,317047981	0,759273781	2,32
SMC4	0,002120996	0,397158014	0,412	0,18	1	1,316911151	0,759352671	2,288888889
HOXB7	9,60985E-08	0,397135652	0,488	0,1	0,002027774	1,316890739	0,759364441	4,88
NUF2	1,44967E-05	0,396827887	0,175	0	0,305894872	1,316609841	0,759526451	#DIV/0!
CAPNS1	1,04374E-06	0,396542206	0,812	0,3	0,022023871	1,316349154	0,759676866	2,706666667
ANTKMT	8,98768E-07	0,395076197	0,775	0,26	0,018964912	1,315012212	0,760449212	2,980769231
CZIB	1,32893E-06	0,394774588	0,637	0,2	0,028041691	1,314737325	0,760608208	3,185
MLEC	2,46439E-06	0,394539411	0,825	0,36	0,052001103	1,314523024	0,760732206	2,291666667
SNRPG	1,5532E-05	0,394153994	0,9	0,47	0,327741635	1,314171895	0,760935463	1,914893617
MRPS15	5,97659E-09	0,393778327	0,725	0,18	0,000126112	1,313829739	0,761133631	4,027777778

Supplementary Table 4

Differentially expressed genes_keloid-CCD_ comparing SC-Keloid vs. (SC-Myel, SC-Nonmyel)								
gene	p_val	avg_log2FC	pct.1	pct.2	p_val_adj	Foldchange_UP	Foldchange_DOWN	Ratio_pct1_pct2
ELK3	1,88325E-06	0,39376848	0,412	0,09	0,039738418	1,313820772	0,761138826	4,577777778
ASPM	0,00033132	0,393479342	0,175	0,02	1	1,313557488	0,761291385	8,75
NDUFV1	8,50414E-08	0,393073201	0,787	0,24	0,001794459	1,313187754	0,761505731	3,279166667
DCPS	8,90827E-09	0,392780905	0,512	0,09	0,000187973	1,312921723	0,761660031	5,688888889
SHC1	4,58768E-09	0,391980588	0,662	0,15	9,68047E-05	1,312193598	0,762082669	4,413333333
OXTR	1,16317E-08	0,391176177	0,288	0	0,00024544	1,311462156	0,762507706	#DIV/0!
SMIM7	4,53824E-07	0,391102796	0,738	0,24	0,009576137	1,311395451	0,762546491	3,075
MT1E	3,10335E-07	0,390302789	0,425	0,08	0,006548383	1,310668455	0,762969458	5,3125
IDH2	4,76442E-09	0,389366901	0,475	0,07	0,000100534	1,309818489	0,763464563	6,785714286
MRPL36	1,07832E-06	0,389362703	0,562	0,16	0,022753568	1,309814678	0,763466784	3,5125
HACD3	1,23089E-06	0,389356571	0,675	0,21	0,025972977	1,30980911	0,763470029	3,214285714
TIMM17B	9,30368E-09	0,389257487	0,575	0,12	0,000196317	1,309719156	0,763522466	4,791666667
SLC38A10	7,5637E-13	0,389165468	0,6	0,06	1,59602E-08	1,309635621	0,763571167	10
RBCK1	3,2615E-09	0,389132725	0,65	0,14	6,88208E-05	1,309605898	0,763588497	4,642857143
SCG5	1,00006E-08	0,38908262	0,45	0,06	0,000211023	1,309560417	0,763615017	7,5
ACSBG1	7,66324E-10	0,389031545	0,475	0,06	1,61702E-05	1,309514056	0,763642052	7,916666667
TRAPPC4	1,13805E-06	0,38847222	0,637	0,19	0,024013904	1,309006463	0,763938169	3,352631579
CDK1	0,001160868	0,388360566	0,175	0,03	1	1,308905159	0,763997294	5,833333333
RPS21	7,04744E-05	0,387658103	0,988	0,83	1	1,308267995	0,764369383	1,190361446
LIMK1	3,22815E-09	0,387535516	0,338	0,01	6,81171E-05	1,308156835	0,764434335	33,8
KNOP1	8,55292E-08	0,387330266	0,288	0,01	0,001804752	1,307970738	0,764543098	28,8
TTYH3	1,4461E-10	0,387277984	0,412	0,02	3,05142E-06	1,30792334	0,764570804	20,6
RPL15	2,46688E-07	0,387270801	1	0,97	0,005205369	1,307916828	0,764574611	1,030927835
AGAP2-AS1	9,56151E-08	0,387062059	0,362	0,04	0,002017574	1,307727601	0,764685244	9,05
LAYN	1,77464E-08	0,386039646	0,412	0,05	0,000374467	1,306801165	0,765227356	8,24
PDGFB	2,40759E-08	0,385662456	0,637	0,16	0,000508025	1,306459549	0,765427449	3,98125
CARD19	1,05079E-05	0,385401136	0,725	0,28	0,221727671	1,306222927	0,765566106	2,589285714
GINS2	6,55355E-07	0,384763573	0,225	0	0,013828644	1,305645802	0,765904504	#DIV/0!
FAAP20	6,60474E-07	0,384708004	0,825	0,31	0,013936668	1,305595513	0,765934005	2,661290323
RPS23	2,4638E-06	0,384693007	1	1	0,051988641	1,305581941	0,765941967	1

Supplementary Table 4

Differentially expressed genes_keloid-CCD_ comparing SC-Keloid vs. (SC-Myel, SC-Nonmyel)								
gene	p_val	avg_log2FC	pct.1	pct.2	p_val_adj	Foldchange_UP	Foldchange_DOWN	Ratio_pct1_pct2
CLTC	4,20601E-06	0,38442169	0,637	0,22	0,08875098	1,305336433	0,766086026	2,895454545
ANP32B	0,000934431	0,382988358	0,9	0,57	1	1,304040212	0,766847518	1,578947368
TCEAL4	0,000205881	0,382970658	0,875	0,41	1	1,304024213	0,766856926	2,134146341
CDC42	0,000193428	0,382579263	0,988	0,7	1	1,303670487	0,767064998	1,411428571
SRPRB	1,88534E-08	0,382494693	0,488	0,08	0,000397826	1,303594068	0,767109965	6,1
PDIA3	0,001328996	0,382045586	0,963	0,7	1	1,303188327	0,767348801	1,375714286
MAGOHB	1,28326E-07	0,381623033	0,425	0,07	0,002707802	1,302806689	0,767573584	6,071428571
COMMD4	1,32854E-06	0,381611154	0,75	0,26	0,028033519	1,302795963	0,767579904	2,884615385
NT5C	1,50521E-06	0,381343154	0,75	0,28	0,031761332	1,302553973	0,767722506	2,678571429
SKA2	5,6683E-06	0,381201192	0,688	0,24	0,119606878	1,302425807	0,767798054	2,866666667
MAN1B1	6,82955E-08	0,381133723	0,637	0,17	0,001441104	1,3023649	0,767833961	3,747058824
CHCHD1	3,3678E-08	0,380594823	0,637	0,17	0,000710639	1,301878509	0,768120829	3,747058824
SPCS3	1,13689E-05	0,380495683	0,738	0,27	0,239895787	1,301789049	0,768173615	2,733333333
NDUFS5	0,000177221	0,380089608	0,988	0,73	1	1,301422687	0,768389863	1,353424658
MVP	5,66669E-08	0,379668353	0,562	0,13	0,001195727	1,301042737	0,76861426	4,323076923
SCARA3	4,59989E-07	0,378228607	0,537	0,13	0,009706237	1,299745001	0,769381686	4,130769231
DPP7	2,98437E-05	0,378105182	0,8	0,32	0,629732303	1,299633811	0,76944751	2,5
SNU13	8,60846E-05	0,378092562	0,887	0,46	1	1,299622443	0,769454241	1,92826087
ARF3	2,04221E-07	0,377821963	0,65	0,18	0,004309261	1,299378701	0,769598577	3,611111111
DRAXIN	1,20392E-06	0,377653499	0,512	0,13	0,025403816	1,299226981	0,769688449	3,938461538
STK32B	8,54394E-07	0,377624019	0,388	0,07	0,018028564	1,299200433	0,769704177	5,542857143
RPL18A	1,37144E-05	0,377198417	1	0,97	0,289387231	1,29881722	0,769931277	1,030927835
QSOX1	9,16953E-08	0,376730228	0,537	0,12	0,001934862	1,298395791	0,770181178	4,475
RPL11	1,23012E-06	0,376380215	1	1	0,025956819	1,298080824	0,770368055	1
PSMB4	6,81196E-06	0,376340664	0,713	0,26	0,143739171	1,298045239	0,770389175	2,742307692
PGK1	3,83418E-05	0,375515473	0,812	0,35	0,809050591	1,297302997	0,770829947	2,32
RNPEPL1	8,98597E-10	0,375508506	0,562	0,09	1,89613E-05	1,297296732	0,770833669	6,244444444
APEX1	7,77066E-06	0,375304363	0,825	0,34	0,163968714	1,297113176	0,770942751	2,426470588
TPPP3	0,001400194	0,37500692	0,588	0,28	1	1,296845775	0,771101714	2,1
SNX7	7,86969E-09	0,374864869	0,6	0,13	0,000166058	1,296718091	0,771177642	4,615384615

Supplementary Table 4

Differentially expressed genes_keloid-CCD_ comparing SC-Keloid vs. (SC-Myel, SC-Nonmyel)								
gene	p_val	avg_log2FC	pct.1	pct.2	p_val_adj	Foldchange_UP	Foldchange_DOWN	Ratio_pct1_pct2
BCAP29	6,10056E-05	0,374810051	0,725	0,31	1	1,296668821	0,771206945	2,338709677
ADAM12	1,16076E-08	0,374414266	0,4	0,04	0,000244932	1,296313145	0,771418545	10
ZC3H13	1,86834E-05	0,374321547	0,7	0,27	0,394238727	1,296229836	0,771468124	2,592592593
SMS	1,81329E-05	0,37418611	0,7	0,28	0,382621716	1,296108155	0,771540551	2,5
TP53I3	1,2914E-09	0,37368866	0,575	0,11	2,72498E-05	1,295661326	0,771806629	5,227272727
CCDC124	6,38838E-07	0,373556037	0,787	0,25	0,013480131	1,295542224	0,771877582	3,148
SEC61A1	6,5944E-08	0,373130106	0,675	0,18	0,001391485	1,295159794	0,772105499	3,75
DGCR6L	2,34475E-08	0,373110599	0,7	0,18	0,000494766	1,295142282	0,772115939	3,888888889
CREB3L1	8,23973E-09	0,372809715	0,35	0,02	0,000173866	1,2948722	0,772276986	17,5
UBE2F	1,1996E-07	0,372764256	0,488	0,1	0,002531284	1,2948314	0,772301321	4,88
IER3IP1	3,59402E-06	0,372744435	0,7	0,23	0,07583739	1,29481361	0,772311931	3,043478261
ISOC2	1,38869E-06	0,371462222	0,738	0,26	0,029302844	1,29366334	0,772998638	2,838461538
HMGB1	0,001849544	0,371374118	1	0,99	1	1,293584339	0,773045846	1,01010101
OPRD1	4,03077E-08	0,371076377	0,35	0,03	0,000850532	1,293317399	0,773205403	11,66666667
IFI27	1,44794E-05	0,370740533	0,488	0,15	0,305528895	1,293016363	0,773385418	3,253333333
TSR3	1,1799E-08	0,370633301	0,65	0,15	0,00024897	1,292920261	0,773442903	4,333333333
FUCA2	1,80565E-08	0,370589731	0,488	0,08	0,00038101	1,292881214	0,773466262	6,1
TMEM134	1,4952E-07	0,370580453	0,662	0,18	0,00315502	1,292872899	0,773471236	3,677777778
DLGAP4	5,97786E-05	0,370525106	0,775	0,34	1	1,292823301	0,77350091	2,279411765
BLOC1S1	0,000212988	0,370432853	0,925	0,47	1	1,292740635	0,773550373	1,968085106
ATP6V0B	6,24753E-05	0,370092833	0,975	0,67	1	1,292435992	0,773732708	1,455223881
ITGA6	0,000261736	0,369930285	0,938	0,63	1	1,292290382	0,773819889	1,488888889
R3HDM1	6,09731E-08	0,369567558	0,362	0,04	0,001286594	1,291965511	0,77401447	9,05
NID1	1,01982E-08	0,369474301	0,725	0,19	0,000215192	1,291882	0,774064505	3,815789474
PFKFB4	6,78945E-09	0,369261093	0,4	0,04	0,000143264	1,291691094	0,774178908	10
GSTT2B	1,15696E-09	0,369094314	0,462	0,05	2,44131E-05	1,29154178	0,774268409	9,24
IFI6	1,29237E-05	0,368990795	0,812	0,35	0,272703331	1,291449111	0,774323968	2,32
MMP17	4,12347E-07	0,368657174	0,7	0,21	0,008700932	1,291150499	0,77450305	3,333333333
NELFB	1,08894E-08	0,368166646	0,438	0,06	0,000229777	1,290711572	0,774766432	7,3
C14orf119	3,12252E-08	0,368071092	0,525	0,1	0,000658883	1,290626088	0,774817749	5,25

Supplementary Table 4

Differentially expressed genes_keloid-CCD_comparing SC-Keloid vs. (SC-Myel, SC-Nonmyel)								
gene	p_val	avg_log2FC	pct.1	pct.2	p_val_adj	Foldchange_UP	Foldchange_DOWN	Ratio_pct1_pct2
OLA1	2,19657E-07	0,368023264	0,713	0,24	0,004634983	1,290583301	0,774843436	2,970833333
ITGB5	3,10583E-07	0,367254503	0,45	0,09	0,006553612	1,289895778	0,775256433	5
PIMREG	3,09504E-05	0,36723218	0,162	0	0,653084942	1,28987582	0,775268428	#DIV/0!
ASPCR1	1,37053E-08	0,367151393	0,412	0,05	0,000289195	1,289803592	0,775311843	8,24
GTF2A2	0,000143731	0,366817643	0,875	0,42	1	1,289505247	0,775491222	2,083333333
CIBAR1	8,35664E-08	0,366571192	0,525	0,11	0,001763334	1,289284983	0,775623708	4,772727273
MARCKSL1	0,000208745	0,366438898	0,9	0,56	1	1,289166762	0,775694836	1,607142857
COA1	9,07182E-09	0,365954719	0,613	0,13	0,000191424	1,288734181	0,775955208	4,715384615
MRPL15	2,99688E-08	0,365756181	0,525	0,1	0,000632372	1,288556843	0,776062	5,25
PPIH	1,0404E-13	0,365099137	0,613	0,06	2,19535E-09	1,287970131	0,776415521	10,21666667
DHX29	2,52591E-09	0,364849563	0,588	0,11	5,32991E-05	1,287747343	0,776549845	5,345454545
TMEM54	1,50028E-07	0,364634858	0,375	0,05	0,003165745	1,287555712	0,776665422	7,5
GALK1	1,2835E-09	0,364580277	0,5	0,07	2,70832E-05	1,287507001	0,776694806	7,142857143
CENPU	1,43556E-06	0,364175338	0,212	0	0,030291787	1,287145671	0,776912841	#DIV/0!
SNRNP25	4,43287E-09	0,363340491	0,537	0,09	9,35381E-05	1,286401052	0,777362549	5,966666667
DBN1	4,71833E-07	0,362583616	0,6	0,16	0,009956146	1,28572635	0,77777048	3,75
RCN1	1,83951E-05	0,362029759	0,775	0,32	0,388155157	1,285232848	0,778069127	2,421875
RPL37	2,75284E-05	0,361702662	1	0,94	0,580876918	1,284941485	0,778245556	1,063829787
PIEZO1	2,61657E-09	0,361188892	0,462	0,06	5,52122E-05	1,284483976	0,778522752	7,7
RPS17	4,1592E-07	0,360451636	0,825	0,3	0,008776333	1,283827737	0,7789207	2,75
ETFA	1,45364E-06	0,359297646	0,725	0,24	0,030673283	1,282801234	0,779543996	3,020833333
PCDH20	2,67761E-08	0,358907099	0,45	0,07	0,000565002	1,282454018	0,779755053	6,428571429
FNBP1L	1,81665E-08	0,358753173	0,412	0,05	0,000383331	1,282317196	0,779838252	8,24
PPIL1	7,67492E-09	0,358547977	0,4	0,04	0,000161949	1,282134824	0,779949177	10
UQCRB	0,001030026	0,358285867	0,975	0,72	1	1,281901905	0,780090891	1,354166667
NUDT9	1,72147E-07	0,357741415	0,4	0,06	0,003632481	1,281418225	0,780385342	6,666666667
CCDC88A	1,43863E-09	0,357018986	0,575	0,1	3,03566E-05	1,280776716	0,780776218	5,75
SMARCA4	1,67603E-08	0,356516745	0,55	0,11	0,000353659	1,280330921	0,781048074	5
CISD2	1,40662E-08	0,356422754	0,588	0,13	0,00029681	1,28024751	0,781098961	4,523076923
MYO5A	9,15076E-08	0,356325999	0,412	0,06	0,001930902	1,280161653	0,781151347	6,866666667

Supplementary Table 4

Differentially expressed genes_keloid-CCD_ comparing SC-Keloid vs. (SC-Myel, SC-Nonmyel)								
gene	p_val	avg_log2FC	pct.1	pct.2	p_val_adj	Foldchange_UP	Foldchange_DOWN	Ratio_pct1_pct2
HAX1	4,4658E-08	0,355239147	0,75	0,22	0,000942329	1,279197609	0,781740048	3,409090909
POLR2G	3,08161E-06	0,355056588	0,787	0,28	0,065024953	1,279035749	0,781838976	2,810714286
BSG	0,00067774	0,3550136	0,975	0,71	1	1,278997638	0,781862273	1,373239437
MANF	0,000236802	0,35498723	0,863	0,42	1	1,27897426	0,781876564	2,054761905
C4orf48	0,000250315	0,354274303	0,662	0,33	1	1,278342395	0,782263034	2,006060606
FAM50A	2,9433E-06	0,353686711	0,762	0,29	0,062106579	1,277821847	0,782581705	2,627586207
GLRX5	4,12494E-05	0,35366382	0,7	0,29	0,870404637	1,277801573	0,782594122	2,413793103
HYOU1	1,28584E-08	0,35347234	0,462	0,07	0,000271326	1,277631989	0,782697998	6,6
RUVBL2	7,62144E-09	0,35297666	0,55	0,1	0,00016082	1,277193096	0,782966963	5,5
FHDC1	9,49626E-09	0,352711268	0,575	0,12	0,000200381	1,276958172	0,783111007	4,791666667
JKAMP	1,51367E-07	0,352490713	0,6	0,15	0,003193992	1,276762968	0,783230736	4
MSI2	1,05355E-08	0,352152178	0,4	0,04	0,000222309	1,276463405	0,783414547	10
SHARPIN	1,35814E-07	0,351715554	0,65	0,18	0,002865817	1,276077149	0,783651679	3,611111111
PSMD7	9,01648E-06	0,35166647	0,863	0,39	0,190256739	1,276033734	0,783678341	2,212820513
UBE2T	0,000148084	0,351541548	0,238	0,04	1	1,275923248	0,783746202	5,95
MAP7D3	1,32655E-07	0,351453764	0,362	0,04	0,002799157	1,275845614	0,783793893	9,05
SLC25A11	3,61029E-09	0,351014742	0,662	0,15	7,61807E-05	1,275457425	0,784032442	4,413333333
PAICS	1,44219E-08	0,350670776	0,4	0,04	0,000304316	1,275153367	0,784219393	10
B4GALT2	1,24812E-08	0,350379769	0,488	0,08	0,000263366	1,274896181	0,784377595	6,1
DRAP1	0,000485843	0,348962136	0,975	0,59	1	1,273644048	0,785148725	1,652542373
MRT04	3,25327E-08	0,348283643	0,525	0,1	0,000686472	1,273045199	0,785518064	5,25
ST3GAL4	1,01869E-05	0,348153915	0,825	0,33	0,214953776	1,272930732	0,785588701	2,5
CIB2	1,68765E-10	0,348116835	0,35	0	3,56111E-06	1,272898016	0,785608892	#DIV/0!
NCOR2	1,0488E-05	0,34799828	0,65	0,23	0,22130825	1,272793418	0,785673453	2,826086957
SPAG7	1,23046E-06	0,347861937	0,688	0,23	0,025963833	1,272673137	0,785747708	2,991304348
C6orf89	5,26708E-09	0,347785165	0,462	0,06	0,000111141	1,272605415	0,785789522	7,7
RAPH1	2,8787E-08	0,347220171	0,562	0,12	0,000607435	1,272107129	0,786097316	4,683333333
TP53	6,1286E-08	0,346819828	0,45	0,07	0,001293195	1,271754173	0,786315486	6,428571429
UQCR10	0,000210702	0,346585818	0,775	0,38	1	1,271547907	0,786443039	2,039473684
PDZD11	3,25335E-07	0,345714888	0,512	0,11	0,0068649	1,270780527	0,786917944	4,654545455

Supplementary Table 4

Differentially expressed genes_keloid-CCD_ comparing SC-Keloid vs. (SC-Myel, SC-Nonmyel)								
gene	p_val	avg_log2FC	pct.1	pct.2	p_val_adj	Foldchange_UP	Foldchange_DOWN	Ratio_pct1_pct2
B3GALT6	7,52552E-08	0,345061333	0,462	0,08	0,001587959	1,270204982	0,787274506	5,775
TUBB6	0,000136145	0,344945536	0,575	0,23	1	1,270103033	0,787337699	2,5
MZT1	3,36679E-06	0,344920262	0,512	0,14	0,071042607	1,270080783	0,787351493	3,657142857
SLIRP	0,001261795	0,344483075	0,8	0,42	1	1,269695962	0,787590124	1,904761905
ALG3	5,31757E-10	0,343971496	0,388	0,02	1,12206E-05	1,269245808	0,787869452	19,4
NAT14	1,19616E-07	0,343915162	0,775	0,25	0,002524014	1,269196248	0,787900218	3,1
GOLIM4	1,28732E-06	0,343830854	0,688	0,21	0,027163773	1,269122081	0,787946262	3,276190476
POSTN	0,159512137	0,343807382	0,3	0,2	1	1,269101434	0,787959081	1,5
STAT1	1,8278E-08	0,343513144	0,388	0,04	0,000385685	1,268842627	0,788119802	9,7
LDHB	0,000158105	0,343445034	0,85	0,44	1	1,268782725	0,788157011	1,931818182
NTAN1	2,19206E-08	0,343167286	0,488	0,08	0,000462546	1,268538482	0,788308762	6,1
CCT7	1,02112E-05	0,343126786	0,775	0,3	0,215466811	1,268502873	0,788330891	2,583333333
SH3GLB1	3,40373E-06	0,342945839	0,887	0,37	0,071822027	1,268343783	0,788429772	2,397297297
DAP	3,97564E-06	0,34287306	0,662	0,22	0,083890034	1,268279801	0,788469547	3,009090909
MICAL1	3,05375E-09	0,342756251	0,338	0,01	6,44371E-05	1,268177118	0,788533389	33,8
WDR61	1,60023E-07	0,342504113	0,7	0,2	0,00337665	1,267955499	0,788671212	3,5
SF3B6	8,5583E-05	0,341356518	0,938	0,53	1	1,266947302	0,789298812	1,769811321
NDUFB1	3,86433E-05	0,341327613	0,838	0,36	0,81541225	1,266921919	0,789314625	2,327777778
EMC9	7,53099E-07	0,341288284	0,375	0,06	0,015891137	1,266887382	0,789336143	6,25
TMEM126A	1,15108E-07	0,340679736	0,675	0,18	0,0024289	1,266353104	0,789669166	3,75
ZDHC12	4,54546E-09	0,340296585	0,438	0,05	9,59137E-05	1,266016831	0,789878914	8,76
WDR54	1,37025E-07	0,339874687	0,375	0,05	0,002891362	1,265646655	0,790109938	7,5
SUPT20H	6,64963E-07	0,339695153	0,4	0,07	0,014031384	1,265489163	0,790208268	5,714285714
MXRA5	1,04255E-05	0,339464364	0,325	0,06	0,219989223	1,265286738	0,790334689	5,416666667
MAEA	7,1634E-09	0,338688696	0,475	0,07	0,000151155	1,264606637	0,790759728	6,785714286
CERCAM	2,99688E-08	0,338599791	0,525	0,1	0,000632372	1,264528708	0,79080846	5,25
ELOF1	1,08836E-08	0,338472311	0,525	0,09	0,000229654	1,264416977	0,79087834	5,833333333
TNIK	4,51395E-08	0,337888715	0,375	0,04	0,000952488	1,263905601	0,791198329	9,375
PSMD2	3,27425E-06	0,337456822	0,75	0,28	0,069089945	1,263527288	0,791435222	2,678571429
ZMAT5	7,84927E-10	0,337292137	0,512	0,07	1,65627E-05	1,263383063	0,791525571	7,314285714

Supplementary Table 4

Differentially expressed genes_keloid-CCD_ comparing SC-Keloid vs. (SC-Myel, SC-Nonmyel)								
gene	p_val	avg_log2FC	pct.1	pct.2	p_val_adj	Foldchange_UP	Foldchange_DOWN	Ratio_pct1_pct2
CTSB	1,10092E-07	0,337032531	0,662	0,19	0,002323046	1,263155744	0,791668014	3,484210526
PPP1CA	1,7572E-06	0,336584208	0,7	0,23	0,037078757	1,262763275	0,791914066	3,043478261
NDUFA7	2,45088E-09	0,336527376	0,475	0,06	5,17159E-05	1,262713532	0,791945263	7,916666667
NAE1	3,15339E-07	0,336512958	0,475	0,1	0,006653979	1,262700913	0,791953177	4,75
PRAF2	1,03734E-09	0,336511966	0,512	0,07	2,18889E-05	1,262700044	0,791953722	7,314285714
ST6GAL2	3,67977E-06	0,336305425	0,225	0,01	0,077646725	1,262519285	0,792067109	22,5
DESI1	1,84007E-07	0,336269002	0,438	0,08	0,003882733	1,262487411	0,792087106	5,475
MRPS25	1,12754E-08	0,336254348	0,425	0,05	0,000237923	1,262474587	0,792095152	8,5
SFXN3	5,48145E-08	0,335969062	0,462	0,08	0,00115664	1,262224964	0,7922518	5,775
ZNF385A	3,86142E-06	0,335897788	0,325	0,05	0,08147984	1,262162607	0,792290941	6,5
UCHL1	1,03261E-06	0,335831877	0,325	0,04	0,02178916	1,262104945	0,792327139	8,125
SLC22A18	9,68967E-08	0,335652384	0,388	0,05	0,002044618	1,261947931	0,792425722	7,76
MTCH1	0,000124937	0,335207588	0,825	0,39	1	1,261558921	0,792670072	2,115384615
RAB1B	3,28352E-09	0,334483908	0,625	0,13	6,92856E-05	1,26092626	0,793067788	4,807692308
CALM1	0,000105419	0,333980196	0,988	0,95	1	1,260486088	0,793344734	1,04
GNG7	3,98655E-05	0,333972101	0,275	0,05	0,841202703	1,260479016	0,793349185	5,5
TMCO1	4,14103E-05	0,332840232	0,9	0,42	0,873798084	1,259490493	0,793971852	2,142857143
RTN1	1,84366E-06	0,332415228	0,238	0,01	0,038903004	1,259119513	0,794205784	23,8
SLN	0,009057333	0,332086435	0,175	0,05	1	1,258832591	0,794386805	3,5
IFI44L	3,34871E-08	0,332002325	0,4	0,05	0,000706611	1,258759202	0,79443312	8
MACROD1	1,73624E-08	0,331863717	0,312	0,01	0,000366363	1,258638272	0,794509449	31,2
EPB41L3	1,91761E-07	0,330786534	0,588	0,15	0,004046352	1,257698865	0,795102888	3,92
RTKN2	1,00006E-08	0,330618167	0,45	0,06	0,000211023	1,257552096	0,795195685	7,5
PHYH	1,74156E-08	0,330539206	0,388	0,04	0,000367487	1,25748327	0,795239208	9,7
EMC10	0,000211629	0,330289492	0,85	0,42	1	1,257265633	0,795376867	2,023809524
TOPBP1	2,30706E-07	0,329807211	0,35	0,04	0,004868128	1,25684541	0,795642799	8,75
NDUFA8	1,26847E-08	0,329695824	0,675	0,16	0,000267659	1,256748376	0,795704231	4,21875
OTUB1	4,75831E-09	0,32964549	0,512	0,08	0,000100405	1,256704529	0,795731993	6,4
GSTK1	3,88953E-05	0,329581498	0,7	0,27	0,820730588	1,256648789	0,795767289	2,592592593
CCDC85B	0,000311886	0,329492013	0,9	0,46	1	1,256570845	0,79581665	1,956521739

Supplementary Table 4

Differentially expressed genes_keloid-CCD_ comparing SC-Keloid vs. (SC-Myel, SC-Nonmyel)								
gene	p_val	avg_log2FC	pct.1	pct.2	p_val_adj	Foldchange_UP	Foldchange_DOWN	Ratio_pct1_pct2
ACAA2	1,0418E-06	0,329301017	0,525	0,13	0,021983059	1,256404501	0,795922013	4,038461538
MMP11	3,35032E-07	0,328844336	0,312	0,03	0,00706952	1,256006853	0,796174	10,4
MRPS11	1,98837E-08	0,328572303	0,537	0,1	0,000419567	1,255770045	0,796324139	5,37
S100A2	6,16762E-05	0,328303026	0,275	0,05	1	1,255535678	0,796472786	5,5
CDV3	0,000140464	0,327753291	0,775	0,36	1	1,255057351	0,796776338	2,152777778
RABL6	8,34458E-06	0,327613586	0,688	0,25	0,176078915	1,254935822	0,796853499	2,752
EIF3D	5,39649E-06	0,326732641	0,762	0,28	0,113871376	1,254169761	0,797340225	2,721428571
DNMT3A	1,00215E-07	0,326015237	0,362	0,04	0,002114636	1,253546259	0,797736815	9,05
PET100	1,16726E-05	0,325380024	0,725	0,26	0,246303421	1,25299445	0,798088132	2,788461538
TTC1	4,4402E-06	0,325158795	0,588	0,19	0,093692588	1,252802325	0,798210524	3,094736842
TADA3	2,22729E-06	0,325110725	0,675	0,21	0,046998033	1,252760583	0,79823712	3,214285714
XPO1	2,82585E-06	0,325041814	0,675	0,22	0,059628188	1,252700745	0,798275249	3,068181818
SRP9	0,001571726	0,324403574	0,875	0,49	1	1,25214668	0,79862848	1,785714286
LSM3	5,16077E-05	0,324365119	0,85	0,4	1	1,252113305	0,798649768	2,125
ATL3	8,26596E-07	0,324216096	0,462	0,1	0,017442008	1,251983974	0,798732269	4,62
NBPF15	1,3367E-07	0,323994148	0,25	0	0,002820574	1,251791381	0,798855157	#DIV/0!
FLYWCH2	1,97381E-06	0,323993844	0,625	0,19	0,041649416	1,251791117	0,798855325	3,289473684
RPS4Y1	0,005056052	0,323589371	0,963	0,75	1	1,251440215	0,799079323	1,284
ZMPSTE24	3,0561E-08	0,323507417	0,613	0,14	0,000644867	1,251369127	0,799124717	4,378571429
TMEM222	3,75403E-08	0,323407799	0,525	0,1	0,000792138	1,251282724	0,799179898	5,25
FARP1	3,04164E-07	0,322436121	0,312	0,03	0,006418169	1,250440248	0,79971834	10,4
IDH3G	3,25417E-06	0,322243894	0,625	0,19	0,068666152	1,250273649	0,799824903	3,289473684
RPS6KB2	4,06083E-08	0,32215671	0,5	0,09	0,000856876	1,250198096	0,799873239	5,555555556
POLR2J	0,000100645	0,322139579	0,8	0,34	1	1,25018325	0,799882737	2,352941176
NIPSNAP3A	6,48791E-09	0,322138608	0,438	0,05	0,000136901	1,250182409	0,799883275	8,76
MRPL16	1,9012E-08	0,322116565	0,525	0,1	0,000401172	1,250163307	0,799895497	5,25
SMIM20	4,43527E-07	0,321867892	0,438	0,08	0,009358856	1,249947839	0,800033384	5,475
SPA17	3,97679E-07	0,321375553	0,262	0,01	0,008391435	1,249521351	0,800306453	26,2
CEP55	8,25503E-05	0,32091505	0,175	0,01	1	1,249122572	0,800561948	17,5
CDC16	1,96015E-08	0,320830475	0,338	0,02	0,000413611	1,249049346	0,800608881	16,9

Supplementary Table 4

Differentially expressed genes_keloid-CCD_ comparing SC-Keloid vs. (SC-Myel, SC-Nonmyel)								
gene	p_val	avg_log2FC	pct.1	pct.2	p_val_adj	Foldchange_UP	Foldchange_DOWN	Ratio_pct1_pct2
ADAM9	8,6683E-08	0,320780683	0,488	0,09	0,001829097	1,249006238	0,800636513	5,422222222
ROGDI	1,48189E-07	0,32003926	0,35	0,04	0,003126926	1,24836452	0,801048078	8,75
MRPL55	2,48474E-06	0,31938642	0,65	0,2	0,052430539	1,247799746	0,801410646	3,25
LUM	0,000716299	0,318734814	0,25	0,06	1	1,247236293	0,801772692	4,166666667
UQCC3	4,35849E-07	0,31870582	0,562	0,14	0,009196847	1,247211227	0,801788805	4,014285714
MANBAL	1,94458E-06	0,318206824	0,512	0,13	0,041032637	1,246779919	0,802066175	3,938461538
TLN1	0,000651016	0,318078572	0,825	0,45	1	1,246669088	0,802137479	1,833333333
PTPRK	1,01037E-06	0,317839276	0,475	0,11	0,021319804	1,246462324	0,802270538	4,318181818
PIGX	3,3355E-07	0,317500094	0,412	0,07	0,00703823	1,246169311	0,802459177	5,885714286
ZCCHC17	0,000149783	0,317207666	0,675	0,27	1	1,245916744	0,802621849	2,5
TAPBP	5,66333E-05	0,317202326	0,838	0,37	1	1,245912132	0,802624819	2,264864865
DCTPP1	7,26393E-07	0,317064814	0,525	0,13	0,015327612	1,245793382	0,802701326	4,038461538
PTPMT1	5,4716E-09	0,316946651	0,6	0,12	0,000115456	1,245691351	0,802767074	5
ABLIM3	8,6097E-08	0,316619853	0,475	0,09	0,001816733	1,24540921	0,802948936	5,277777778
AKR7A2	8,55308E-08	0,316604124	0,75	0,22	0,001804785	1,245395632	0,80295769	3,409090909
UFL1	3,2594E-07	0,315794122	0,562	0,14	0,006877655	1,2446966	0,803408638	4,014285714
PPIP5K2	1,88015E-08	0,31568841	0,512	0,09	0,00039673	1,244605399	0,803467509	5,688888889
SUMF2	9,94344E-06	0,315481831	0,588	0,2	0,209816578	1,244427197	0,803582566	2,94
OPTN	0,000158099	0,31546472	0,738	0,32	1	1,244412438	0,803592096	2,30625
CIB1	4,17332E-05	0,314592097	0,912	0,42	0,880612879	1,243659976	0,804078301	2,171428571
CAV2	8,03044E-07	0,314353133	0,688	0,21	0,016945042	1,243453996	0,804211497	3,276190476
NRDC	3,30102E-08	0,314271566	0,613	0,14	0,000696547	1,243383696	0,804256967	4,378571429
PGAP6	2,47293E-08	0,314245895	0,438	0,06	0,000521813	1,243361571	0,804271278	7,3
ACTR1A	3,69317E-08	0,314016792	0,537	0,11	0,000779296	1,243164139	0,804399008	4,881818182
SLC35C2	5,99743E-07	0,313687476	0,4	0,07	0,012655178	1,242880401	0,804582645	5,714285714
INSYN2A	6,55355E-07	0,313494328	0,225	0	0,013828644	1,242714015	0,80469037	#DIV/0!
EIF3K	0,002391517	0,313189522	0,95	0,65	1	1,242451488	0,804860399	1,461538462
MTX1	3,47569E-06	0,312918565	0,488	0,13	0,073340573	1,242218161	0,805011577	3,753846154
GNB4	1,92843E-06	0,312614514	0,575	0,17	0,040691764	1,241956389	0,805181252	3,382352941
GTSE1	8,89706E-05	0,311849518	0,175	0,01	1	1,24129801	0,805608317	17,5

Supplementary Table 4

Differentially expressed genes_keloid-CCD_ comparing SC-Keloid vs. (SC-Myel, SC-Nonmyel)								
gene	p_val	avg_log2FC	pct.1	pct.2	p_val_adj	Foldchange_UP	Foldchange_DOWN	Ratio_pct1_pct2
SNRPB2	2,11771E-05	0,31168881	0,787	0,33	0,446857677	1,241159744	0,805698062	2,384848485
ZNF511	9,20115E-07	0,311228093	0,488	0,11	0,019415354	1,240763449	0,805955398	4,436363636
MRPS18A	3,85994E-07	0,31120788	0,412	0,07	0,008144865	1,240746066	0,805966669	5,885714286
CHMP1A	3,40384E-10	0,310949918	0,562	0,09	7,18245E-06	1,240524234	0,806110814	6,244444444
RTTN	9,76453E-08	0,310895107	0,338	0,03	0,002060414	1,240477104	0,806141441	11,26666667
PMM1	1,26731E-05	0,310444696	0,488	0,14	0,267415569	1,240089886	0,806393159	3,485714286
PEX10	1,8926E-08	0,31030544	0,575	0,12	0,000399357	1,239970192	0,806470999	4,791666667
RBFA	4,87533E-06	0,310032007	0,362	0,07	0,102874275	1,239735203	0,806623864	5,171428571
GRB10	5,47138E-07	0,309977889	0,512	0,12	0,011545162	1,239688701	0,806654122	4,266666667
MTX2	4,14277E-06	0,309734081	0,537	0,16	0,087416559	1,239479217	0,806790454	3,35625
RRM2	0,000357268	0,30963915	0,15	0,01	1	1,239397661	0,806843543	15
AFAP1	6,8122E-09	0,309328993	0,488	0,07	0,000143744	1,239131238	0,807017021	6,971428571
DHRS7	2,32395E-07	0,309150257	0,675	0,2	0,004903767	1,238977731	0,807117009	3,375
FOXS1	3,55308E-05	0,309047607	0,188	0,01	0,749736388	1,238889578	0,807174439	18,8
MRPL19	3,30967E-06	0,308399796	0,512	0,14	0,069837328	1,238333407	0,807536964	3,657142857
CXXC5	0,002482666	0,307758456	0,963	0,65	1	1,237783037	0,807896029	1,481538462
AKT1	5,71422E-05	0,307423696	0,738	0,3	1	1,237495857	0,808083513	2,46
HSPB11	1,7779E-05	0,307361106	0,65	0,23	0,375154332	1,237442171	0,808118572	2,826086957
BCL2L12	2,29351E-08	0,306986773	0,412	0,05	0,000483953	1,237121136	0,80832828	8,24
CYB561D2	3,64996E-08	0,306869792	0,35	0,03	0,000770179	1,237020828	0,808393826	11,66666667
TUFM	3,55546E-05	0,306708707	0,863	0,43	0,75023746	1,236882716	0,808484092	2,006976744
PRR13	2,21697E-07	0,306655492	0,438	0,08	0,004678031	1,236837093	0,808513914	5,475
CNIH3	6,41814E-08	0,306433287	0,412	0,06	0,001354292	1,236646609	0,808638452	6,866666667
CRAT	4,98791E-08	0,306388666	0,325	0,02	0,001052499	1,236608361	0,808663463	16,25
LSM10	5,75313E-07	0,306273226	0,662	0,2	0,012139676	1,236509416	0,808728172	3,31
MSRB2	1,46687E-08	0,305926128	0,6	0,13	0,000309524	1,23621196	0,808922767	4,615384615
TRIO	3,12667E-06	0,305874823	0,5	0,13	0,06597582	1,236167999	0,808951535	3,846153846
CHTF8	2,29045E-08	0,305570042	0,338	0,02	0,000483309	1,235906875	0,809122451	16,9
USP16	1,61694E-06	0,305248366	0,65	0,19	0,034119058	1,235631338	0,80930288	3,421052632
MCRS1	1,4137E-07	0,305087828	0,4	0,06	0,002983053	1,235493848	0,809392941	6,666666667

Supplementary Table 4

Differentially expressed genes_keloid-CCD_ comparing SC-Keloid vs. (SC-Myel, SC-Nonmyel)								
gene	p_val	avg_log2FC	pct.1	pct.2	p_val_adj	Foldchange_UP	Foldchange_DOWN	Ratio_pct1_pct2
NDUFA1	0,000346399	0,305038884	0,938	0,49	1	1,235451935	0,809420401	1,914285714
EMC8	6,3389E-08	0,304993918	0,55	0,12	0,001337572	1,235413429	0,809445629	4,583333333
TRPV2	4,4754E-07	0,304810098	0,338	0,04	0,009443535	1,23525603	0,80954877	8,45
BRMS1	2,30187E-07	0,304458226	0,5	0,11	0,004857183	1,234954788	0,809746243	4,545454545
CACNA2D4	1,4667E-07	0,304282933	0,375	0,05	0,003094878	1,234804746	0,809844636	7,5
MRPS7	1,34407E-07	0,30412208	0,65	0,19	0,002836127	1,23466708	0,809934934	3,421052632
PPP4C	5,2229E-07	0,303896912	0,688	0,21	0,011020849	1,234474394	0,810061354	3,276190476
SIVA1	5,70371E-05	0,303236124	0,812	0,37	1	1,233909106	0,810432467	2,194594595
RAB31	6,97972E-05	0,30292296	0,65	0,26	1	1,233641292	0,810608405	2,5
SEC11A	0,001145883	0,302589349	0,975	0,67	1	1,233356056	0,810795873	1,455223881
NAGLU	5,72092E-08	0,302321101	0,375	0,04	0,001207171	1,233126753	0,810946643	9,375
DDX19B	2,01179E-08	0,301360769	0,338	0,02	0,000424508	1,232306193	0,81148663	16,9
TMEM219	1,08113E-05	0,300942081	0,838	0,34	0,22812889	1,231948615	0,811722168	2,464705882
PTPA	2,23254E-06	0,300841443	0,475	0,12	0,047108734	1,23186268	0,811778793	3,958333333
VASP	6,16613E-07	0,300509532	0,525	0,13	0,013011152	1,231579307	0,811965575	4,038461538
RPS9	0,000215045	0,300248845	1	0,99	1	1,231356787	0,812112306	1,01010101
COPS7A	5,15708E-08	0,300162912	0,45	0,07	0,001088195	1,231283444	0,812160681	6,428571429
UBE2I	0,000662571	0,299338254	0,775	0,37	1	1,230579833	0,812625052	2,094594595
RIC8A	3,28578E-07	0,299161529	0,488	0,1	0,006933327	1,2304291	0,812724601	4,88
G6PC3	2,96102E-07	0,29884688	0,362	0,05	0,006248046	1,230160775	0,812901874	7,24
ARL2	0,001058676	0,298539847	0,825	0,44	1	1,229899001	0,813074894	1,875
RACK1	0,000677703	0,29852747	1	0,94	1	1,22988845	0,813081869	1,063829787
LSM2	7,77943E-05	0,297906454	0,775	0,32	1	1,229359152	0,81343194	2,421875
ABR	1,17977E-06	0,297254291	0,3	0,03	0,024894341	1,228803552	0,813799731	10
SRPRA	4,76379E-08	0,296845638	0,488	0,09	0,001005208	1,228455534	0,814030278	5,422222222
HDLBP	0,000739558	0,296769595	0,8	0,38	1	1,228390786	0,814073186	2,105263158
RPS12	7,87313E-05	0,296619039	1	1	1	1,2282626	0,814158145	1
TMEM161A	8,91558E-07	0,296356432	0,375	0,06	0,018812771	1,228039045	0,814306356	6,25
POLR3G	4,68715E-07	0,296185154	0,312	0,03	0,009890357	1,227893261	0,814403037	10,4
SPARC	0,000870663	0,295809211	1	0,98	1	1,227573333	0,814615285	1,020408163

Supplementary Table 4

Differentially expressed genes_keloid-CCD_ comparing SC-Keloid vs. (SC-Myel, SC-Nonmyel)								
gene	p_val	avg_log2FC	pct.1	pct.2	p_val_adj	Foldchange_UP	Foldchange_DOWN	Ratio_pct1_pct2
GTF2H3	1,13019E-07	0,295713424	0,338	0,03	0,002384805	1,227491832	0,814669372	11,26666667
FAM136A	6,36894E-08	0,29568463	0,488	0,09	0,001343909	1,227467333	0,814685632	5,422222222
VIM	8,46092E-05	0,295578133	1	1	1	1,227376727	0,814745773	1
MGMT	2,34817E-07	0,295464826	0,662	0,19	0,004954866	1,227280335	0,814809764	3,484210526
NFU1	5,73664E-09	0,295131536	0,575	0,11	0,000121049	1,226996842	0,814998023	5,227272727
REX1BD	0,00015323	0,295043571	0,875	0,41	1	1,226922031	0,815047716	2,134146341
NAP1L1	0,001791437	0,294756133	0,975	0,73	1	1,226677608	0,81521012	1,335616438
USP5	7,53099E-07	0,294592719	0,375	0,06	0,015891137	1,226538669	0,815302465	6,25
RTL8C	4,64694E-06	0,294140829	0,688	0,23	0,09805511	1,226154546	0,815557878	2,991304348
YIF1B	2,0495E-08	0,294092787	0,462	0,07	0,000432465	1,226113715	0,815585037	6,6
DENR	8,08108E-09	0,293624914	0,588	0,12	0,000170519	1,225716145	0,815849578	4,9
NCLN	1,26069E-06	0,293373954	0,388	0,07	0,026601913	1,225502947	0,81599151	5,542857143
NAV1	4,18356E-09	0,293332116	0,6	0,12	8,82774E-05	1,225467408	0,816015174	5
TUBB3	5,07299E-09	0,292772716	0,3	0	0,000107045	1,22499233	0,816331642	#DIV/0!
ELMOD2	1,47289E-08	0,292649158	0,45	0,06	0,000310794	1,224887421	0,816401559	7,5
FAM162A	1,74508E-06	0,292566153	0,65	0,2	0,03682301	1,22481695	0,816448531	3,25
MRPL14	1,52589E-06	0,292499804	0,8	0,28	0,032197827	1,224760622	0,81648608	2,857142857
RRAS	0,000133507	0,292295345	0,863	0,37	1	1,224587061	0,816601801	2,332432432
CEP89	1,74933E-07	0,292173725	0,325	0,03	0,003691267	1,224483832	0,816670644	10,83333333
BRD9	6,22703E-07	0,292128783	0,5	0,12	0,013139661	1,224445689	0,816696085	4,166666667
PGM2	3,64996E-08	0,291920184	0,35	0,03	0,000770179	1,224268659	0,816814179	11,66666667
PTRHD1	6,95394E-06	0,291549007	0,525	0,15	0,146735116	1,223953719	0,817024357	3,5
SLC17A9	1,1147E-06	0,291409696	0,275	0,02	0,023521258	1,223835536	0,817103255	13,75
RFNG	6,38485E-07	0,291362427	0,575	0,15	0,01347268	1,223795439	0,817130027	3,833333333
ARPC5L	1,66966E-05	0,291106789	0,738	0,28	0,352314517	1,223578608	0,817274831	2,635714286
PA2G4	0,006858629	0,290921327	0,825	0,46	1	1,223421323	0,817379901	1,793478261
CDK11B	1,07718E-07	0,290837824	0,438	0,07	0,00227296	1,223350514	0,817427212	6,257142857
B4GALT7	5,74245E-08	0,290761646	0,512	0,1	0,001211715	1,22328592	0,817470375	5,12
EIF4E2	4,15552E-08	0,290724337	0,613	0,14	0,000876857	1,223254286	0,817491516	4,378571429
BACE1	8,16413E-07	0,290699888	0,575	0,15	0,017227139	1,223233555	0,81750537	3,833333333

Supplementary Table 4

Differentially expressed genes_keloid-CCD_ comparing SC-Keloid vs. (SC-Myel, SC-Nonmyel)								
gene	p_val	avg_log2FC	pct.1	pct.2	p_val_adj	Foldchange_UP	Foldchange_DOWN	Ratio_pct1_pct2
XRN2	5,64412E-06	0,290592072	0,713	0,25	0,11909653	1,223142143	0,817566466	2,852
RRP1	5,71176E-07	0,289974707	0,375	0,06	0,012052379	1,222618842	0,817916398	6,25
BCAP31	6,42861E-07	0,289432817	0,8	0,26	0,013565019	1,222159702	0,818223673	3,076923077
IRAK1	5,54029E-08	0,28912265	0,475	0,08	0,001169057	1,221896977	0,818399603	5,9375
TMEM230	0,000437419	0,28905846	0,912	0,46	1	1,221842611	0,818436017	1,982608696
ANLN	0,000898421	0,28887051	0,238	0,06	1	1,221683444	0,818542647	3,966666667
COMMD3	5,15495E-06	0,288855052	0,562	0,17	0,108774599	1,221670354	0,818551418	3,305882353
ANXA6	2,57921E-06	0,288680695	0,75	0,26	0,054423865	1,221522718	0,818650349	2,884615385
PFDN6	1,10146E-07	0,288316154	0,475	0,09	0,002324183	1,221214102	0,818857233	5,277777778
GAMT	8,33128E-06	0,288306449	0,375	0,08	0,175798289	1,221205887	0,818862741	4,6875
DNAJB11	1,10151E-05	0,288284834	0,775	0,28	0,232429425	1,22118759	0,81887501	2,767857143
PARP1	1,75215E-05	0,288201298	0,562	0,18	0,369721494	1,221116882	0,818922426	3,122222222
SAE1	4,78195E-08	0,287933199	0,512	0,1	0,00100904	1,220889981	0,819074623	5,12
NELFE	2,37099E-07	0,287656327	0,637	0,17	0,005003036	1,220655699	0,819231828	3,747058824
AKR1A1	7,17044E-07	0,287554549	0,6	0,16	0,015130348	1,220569588	0,819289625	3,75
LIMA1	0,003105885	0,287430569	0,887	0,49	1	1,220464701	0,819360035	1,810204082
SCAND1	0,001688449	0,287397901	0,838	0,45	1	1,220437065	0,819378589	1,862222222
IGSF8	4,34907E-07	0,287392138	0,537	0,12	0,009176972	1,22043219	0,819381862	4,475
ATP5F1B	0,004438641	0,287291858	0,938	0,58	1	1,220347362	0,819438818	1,617241379
COMMD10	1,16076E-08	0,287140597	0,4	0,04	0,000244932	1,22021942	0,819524737	10
MANEA	2,06285E-06	0,28704612	0,262	0,02	0,043528179	1,220139515	0,819578407	13,1
GNA11	1,20727E-06	0,286924186	0,462	0,1	0,025474613	1,220036395	0,819647679	4,62
LYPLA1	1,30529E-07	0,286877088	0,5	0,1	0,002754294	1,219996567	0,819674438	5
TMEM50A	0,000380699	0,286865247	0,887	0,52	1	1,219986554	0,819681165	1,705769231
CHST1	3,5304E-06	0,28685192	0,275	0,03	0,074495069	1,219975284	0,819688737	9,166666667
CHMP2A	0,001419954	0,286813921	0,925	0,5	1	1,219943151	0,819710327	1,85
DMAC2	1,10673E-05	0,286695742	0,325	0,06	0,233531527	1,219843224	0,819777477	5,416666667
CENPN	7,53534E-06	0,286622807	0,262	0,03	0,15900314	1,219781556	0,819818922	8,733333333
KIF23	8,55292E-08	0,286389711	0,288	0,01	0,001804752	1,219584492	0,81995139	28,8
PRKAR1B	5,94679E-07	0,286366088	0,613	0,17	0,012548313	1,219564522	0,819964817	3,605882353

Supplementary Table 4

Differentially expressed genes_keloid-CCD_ comparing SC-Keloid vs. (SC-Myel, SC-Nonmyel)								
gene	p_val	avg_log2FC	pct.1	pct.2	p_val_adj	Foldchange_UP	Foldchange_DOWN	Ratio_pct1_pct2
RANGRF	1,94226E-07	0,28629576	0,475	0,09	0,004098369	1,219505073	0,820004789	5,277777778
HGSNAT	6,81911E-07	0,285773346	0,438	0,09	0,01438901	1,219063559	0,820301774	4,866666667
RALBP1	0,000296504	0,285538726	0,738	0,32	1	1,218865323	0,820435188	2,30625
NRSN2	1,95286E-07	0,285092957	0,275	0,01	0,004120739	1,218488772	0,820688728	27,5
STOML2	9,3899E-06	0,284974415	0,738	0,26	0,198136308	1,218388656	0,820756164	2,838461538
XPA	1,12163E-05	0,284930451	0,438	0,12	0,236674593	1,218351528	0,820781176	3,65
MRPS26	4,46444E-07	0,284644953	0,713	0,21	0,009420423	1,21811045	0,820943618	3,395238095
IFRD2	4,26595E-06	0,284605311	0,5	0,13	0,090015732	1,21807698	0,820966176	3,846153846
MRPS10	2,6728E-06	0,284577588	0,5	0,13	0,056398658	1,218053573	0,820981952	3,846153846
NDUFA10	5,23873E-06	0,284407796	0,65	0,22	0,110542529	1,217910228	0,82107858	2,954545455
SMIM19	6,05523E-05	0,284347228	0,8	0,32	1	1,217859098	0,821113051	2,5
TRADD	3,45304E-07	0,284284152	0,462	0,09	0,007286265	1,217805853	0,821148952	5,133333333
POP5	5,85113E-07	0,284245783	0,462	0,1	0,012346459	1,217773465	0,821170791	4,62
TAF9	1,69343E-06	0,284196705	0,55	0,15	0,03573303	1,21773204	0,821198726	3,666666667
BTF3L4	2,8087E-06	0,283985594	0,7	0,23	0,059266417	1,217553861	0,821318902	3,043478261
TMEM106C	0,00012367	0,283770357	0,488	0,17	1	1,217372226	0,821441445	2,870588235
GMPPB	5,96968E-08	0,283688761	0,262	0	0,001259663	1,217303376	0,821487905	#DIV/0!
ALDH1L2	1,09968E-06	0,283493524	0,3	0,03	0,023204244	1,217138652	0,821599083	10
VEGFC	1,3367E-07	0,283362255	0,25	0	0,002820574	1,217027911	0,821673843	#DIV/0!
AK2	1,26683E-05	0,283330509	0,525	0,16	0,267312812	1,217001131	0,821691923	3,28125
C19orf48	8,03499E-07	0,283112662	0,425	0,08	0,016954624	1,216817377	0,821816008	5,3125
CNIH4	5,62259E-05	0,283031553	0,725	0,3	1	1,21674897	0,821862212	2,416666667
OXCT1	2,53029E-07	0,282833066	0,35	0,04	0,005339163	1,21658158	0,821975293	8,75
SMARCE1	4,86295E-08	0,282784087	0,575	0,13	0,001026132	1,216540278	0,822003199	4,423076923
MIS18BP1	4,20302E-06	0,282433838	0,338	0,06	0,088687906	1,216244969	0,822202784	5,633333333
ERGIC3	2,53879E-06	0,282404158	0,762	0,26	0,053571068	1,216219949	0,822219699	2,930769231
PXDN	1,07984E-05	0,281949147	0,537	0,16	0,227857251	1,215836426	0,82247906	3,35625
SPATC1L	4,28237E-07	0,281735816	0,412	0,07	0,009036221	1,215656654	0,822600688	5,885714286
COPS5	9,60792E-07	0,281280046	0,6	0,16	0,020273665	1,21527267	0,822860602	3,75
TMPO	0,002169778	0,280495796	0,312	0,11	1	1,214612226	0,823308031	2,836363636

Supplementary Table 4

Differentially expressed genes_keloid-CCD_ comparing SC-Keloid vs. (SC-Myel, SC-Nonmyel)								
gene	p_val	avg_log2FC	pct.1	pct.2	p_val_adj	Foldchange_UP	Foldchange_DOWN	Ratio_pct1_pct2
PFDN2	0,002057162	0,280149245	0,887	0,55	1	1,214320498	0,823505822	1,612727273
TUBG1	2,01851E-06	0,279714222	0,338	0,05	0,042592528	1,213954393	0,823754175	6,76
KCTD17	1,85289E-06	0,27960629	0,338	0,05	0,039097815	1,213863577	0,823815805	6,76
KIF22	3,41942E-05	0,279430781	0,35	0,08	0,721532815	1,213715915	0,823916031	4,375
SHROOM2	9,20801E-06	0,279383716	0,212	0,01	0,194298207	1,213676321	0,82394291	21,2
WASHC3	1,29294E-07	0,279198294	0,562	0,13	0,002728227	1,213520343	0,824048814	4,323076923
MRPS5	2,68313E-07	0,279166349	0,525	0,12	0,005661674	1,213493473	0,824067061	4,375
TRAPPC6A	7,67858E-07	0,278965792	0,4	0,07	0,01620258	1,213324791	0,824181627	5,714285714
NDUFC1	0,000128027	0,278902558	0,887	0,4	1	1,213271611	0,824217752	2,2175
SLC35B1	3,49041E-05	0,278505527	0,55	0,19	0,736511709	1,212937764	0,824444609	2,894736842
JMJD8	1,97574E-06	0,278399071	0,55	0,15	0,041690036	1,212848265	0,824505446	3,666666667
PLK1	0,000291957	0,278179479	0,125	0	1	1,212663672	0,824630954	#DIV/0!
ATIC	5,25099E-07	0,278025691	0,338	0,04	0,011080122	1,212534411	0,824718862	8,45
DYRK4	8,89566E-07	0,277818009	0,3	0,03	0,018770734	1,212359874	0,824837593	10
MRPS2	1,2586E-06	0,277547358	0,412	0,08	0,026557774	1,212132456	0,824992347	5,15
TCEAL8	3,49357E-05	0,27742408	0,675	0,25	0,737178347	1,212028883	0,825062846	2,7
ITPR3	7,24922E-07	0,277194282	0,537	0,13	0,015296569	1,211835843	0,825194275	4,130769231
LKAAEAR1	4,30649E-07	0,276835753	0,262	0,01	0,009087133	1,211534723	0,825399373	26,2
RAB5C	6,00404E-05	0,276666572	0,725	0,3	1	1,211392658	0,82549617	2,416666667
MLX	1,26069E-06	0,276575784	0,388	0,07	0,026601913	1,211316427	0,825548121	5,542857143
TAP1	6,20156E-07	0,276537723	0,5	0,11	0,013085911	1,211284471	0,8255699	4,545454545
RPL24	0,000306223	0,276418921	1	0,99	1	1,21118473	0,825637886	1,01010101
CDK10	1,18918E-08	0,276285092	0,4	0,04	0,000250929	1,211072381	0,825714479	10
COA6	4,28237E-07	0,276282535	0,412	0,07	0,009036221	1,211070235	0,825715942	5,885714286
GPX7	2,51417E-08	0,27621833	0,362	0,03	0,000530515	1,211016339	0,825752691	12,06666667
RGS19	2,97062E-07	0,276139813	0,238	0	0,006268295	1,210950433	0,825797632	#DIV/0!
GLRX2	2,32252E-06	0,275879925	0,575	0,16	0,049007584	1,210732311	0,825946405	3,59375
CRTAP	1,04562E-05	0,275790627	0,675	0,22	0,220635778	1,210657373	0,82599753	3,068181818
CCT6A	0,000238615	0,275681395	0,787	0,37	1	1,210565713	0,826060072	2,127027027
CTPS1	1,85115E-07	0,275431863	0,275	0,01	0,003906118	1,210356349	0,826202962	27,5

Supplementary Table 4

Differentially expressed genes_keloid-CCD_ comparing SC-Keloid vs. (SC-Myel, SC-Nonmyel)								
gene	p_val	avg_log2FC	pct.1	pct.2	p_val_adj	Foldchange_UP	Foldchange_DOWN	Ratio_pct1_pct2
DDX54	5,153E-07	0,274481051	0,362	0,05	0,010873344	1,209558923	0,826747652	7,24
SCOC	4,91129E-06	0,274323076	0,625	0,19	0,103633194	1,209426483	0,826838186	3,289473684
IGFBP6	2,77119E-07	0,274153492	0,4	0,06	0,005847494	1,209284328	0,826935384	6,666666667
MLLT10	1,46681E-05	0,27406787	0,3	0,05	0,309512171	1,20921256	0,826984463	6
EEF1D	0,003364021	0,273890486	1	0,89	1	1,209063893	0,82708615	1,123595506
PICALM	1,07371E-07	0,273874251	0,462	0,08	0,002265626	1,209050287	0,827095457	5,775
IFT22	5,41765E-07	0,273419225	0,45	0,09	0,011431778	1,208669013	0,827356364	5
IMPDH2	0,000206465	0,273291429	0,675	0,28	1	1,208561952	0,827429656	2,410714286
PDHA1	2,05375E-07	0,272709479	0,488	0,1	0,004333624	1,208074544	0,827763489	4,88
EIF3H	0,0029386	0,272510923	0,875	0,45	1	1,20790829	0,827877421	1,944444444
VAMP4	6,74984E-06	0,27240258	0,188	0	0,142428329	1,207817583	0,827939595	#DIV/0!
PHGDH	2,56747E-06	0,272393458	0,375	0,07	0,054176194	1,207809945	0,82794483	5,357142857
HSD17B4	3,46305E-05	0,272264169	0,4	0,11	0,730737943	1,207701711	0,828019031	3,636363636
KCNMB1	1,43556E-06	0,27196552	0,212	0	0,030291787	1,207451734	0,828190454	#DIV/0!
NME3	0,001153983	0,271487588	0,875	0,47	1	1,207051798	0,828464861	1,861702128
BLOC1S2	7,11876E-07	0,271482367	0,662	0,19	0,015021303	1,20704743	0,828467859	3,484210526
C20orf27	3,58342E-07	0,271407876	0,5	0,11	0,007561385	1,206985108	0,828510636	4,545454545
CAPZB	0,000119734	0,27117828	0,812	0,36	1	1,206793039	0,828642499	2,255555556
RAB5IF	2,83479E-05	0,271155589	0,625	0,23	0,598168646	1,206774059	0,828655532	2,717391304
RPL14	0,001269457	0,270855366	1	0,96	1	1,206522956	0,828827993	1,041666667
IMP4	1,45319E-06	0,270751116	0,438	0,09	0,030663846	1,206435775	0,828887886	4,866666667
ATP5F1A	0,001500316	0,270692296	0,85	0,47	1	1,206386589	0,828921682	1,808510638
HAUS1	3,94367E-06	0,270596998	0,325	0,05	0,083215321	1,206306903	0,828976438	6,5
GATD1	3,04768E-05	0,270536131	0,212	0,02	0,643090303	1,20625601	0,829011413	10,6
KIFAP3	2,57166E-06	0,270366644	0,488	0,12	0,054264587	1,206114308	0,829108811	4,066666667
CKAP5	3,80515E-05	0,2699898	0,325	0,07	0,802925313	1,205799303	0,829325409	4,642857143
PPFIA1	8,92954E-06	0,269931735	0,462	0,12	0,188422162	1,205750773	0,829358788	3,85
GTF2H5	0,000282018	0,269873228	0,812	0,37	1	1,205701876	0,829392423	2,194594595
MYL6B	1,69104E-05	0,26965695	0,7	0,25	0,356826835	1,20552114	0,829516768	2,8
MTLN	1,84509E-06	0,269656398	0,55	0,15	0,038933286	1,205520679	0,829517085	3,666666667

Supplementary Table 4

Differentially expressed genes_keloid-CCD_ comparing SC-Keloid vs. (SC-Myel, SC-Nonmyel)								
gene	p_val	avg_log2FC	pct.1	pct.2	p_val_adj	Foldchange_UP	Foldchange_DOWN	Ratio_pct1_pct2
NRP1	4,92874E-05	0,269430195	0,525	0,17	1	1,205331678	0,829647157	3,088235294
MLST8	2,51362E-07	0,269365334	0,375	0,05	0,005303993	1,205277489	0,829684458	7,5
HMMR	6,57145E-05	0,269345068	0,15	0	1	1,205260559	0,829696112	#DIV/0!
CANX	0,005197244	0,269314382	0,9	0,6	1	1,205234923	0,82971376	1,5
YKT6	6,04866E-09	0,268273471	0,462	0,06	0,000127633	1,204365654	0,830312619	7,7
EBNA1BP2	1,83221E-06	0,268247706	0,637	0,19	0,038661527	1,204344145	0,830327448	3,352631579
ACSL3	8,62817E-06	0,268151657	0,6	0,2	0,182063111	1,204263968	0,830382729	3
GPATCH4	3,35557E-06	0,267977393	0,388	0,08	0,070805958	1,204118512	0,830483038	4,85
CIAO2A	2,1492E-07	0,267897538	0,45	0,08	0,004535035	1,204051865	0,830529007	5,625
NDUFAF2	2,16773E-06	0,267827779	0,575	0,17	0,045741343	1,203993647	0,830569167	3,382352941
CTU2	3,92176E-08	0,267717268	0,3	0,01	0,00082753	1,203901424	0,830632791	30
ABCE1	9,45066E-07	0,267342052	0,588	0,16	0,019941833	1,203588354	0,83084885	3,675
NSA2	0,000224386	0,267317006	0,825	0,36	1	1,203567459	0,830863274	2,291666667
CTTN	0,001915583	0,267268081	0,863	0,45	1	1,203526644	0,830891451	1,917777778
C19orf25	4,43527E-07	0,26726558	0,438	0,08	0,009358856	1,203524558	0,830892892	5,475
PTGES2	3,06706E-06	0,267228137	0,4	0,08	0,06471809	1,203493323	0,830914456	5
RPL39	0,000542502	0,267060619	1	0,98	1	1,203353587	0,831010943	1,020408163
ANKFY1	9,29829E-07	0,266965898	0,375	0,06	0,019620313	1,203274583	0,831065506	6,25
NOB1	5,38404E-07	0,266635704	0,362	0,05	0,011360854	1,202999218	0,831255736	7,24
HINT2	6,51294E-08	0,266540676	0,762	0,23	0,001374295	1,20291998	0,831310492	3,313043478
SAMM50	7,02253E-06	0,266393046	0,462	0,12	0,148182408	1,202796893	0,831395563	3,85
MYL12B	0,006049749	0,266217741	1	0,91	1	1,202650747	0,831496594	1,098901099
ETV4	1,3367E-07	0,266162912	0,25	0	0,002820574	1,202605042	0,831528195	#DIV/0!
CBX1	2,56085E-05	0,266094149	0,5	0,15	0,540365286	1,202547724	0,831567829	3,333333333
RRM1	5,13275E-07	0,266087577	0,338	0,04	0,010830611	1,202542246	0,831571617	8,45
BRD7	0,000513185	0,26601526	0,6	0,25	1	1,202481968	0,831613302	2,4
COPS6	0,000488803	0,265799913	0,713	0,33	1	1,202302491	0,831737444	2,160606061
DCXR	6,09521E-07	0,265639978	0,525	0,12	0,012861495	1,202169212	0,831829654	4,375
RFC4	4,08316E-06	0,265489116	0,225	0,01	0,086158787	1,202043509	0,831916643	22,5
RPN1	7,57019E-05	0,265437041	0,55	0,2	1	1,202000121	0,831946672	2,75

Supplementary Table 4

Differentially expressed genes_keloid-CCD_ comparing SC-Keloid vs. (SC-Myel, SC-Nonmyel)								
gene	p_val	avg_log2FC	pct.1	pct.2	p_val_adj	Foldchange_UP	Foldchange_DOWN	Ratio_pct1_pct2
ALG5	5,6691E-06	0,265073272	0,637	0,2	0,11962377	1,20169708	0,83215647	3,185
SLC39A13	1,19602E-06	0,26466234	0,575	0,15	0,025237156	1,201354842	0,832393532	3,833333333
CDK5	5,96968E-08	0,264469549	0,262	0	0,001259663	1,201194312	0,832504774	#DIV/0!
LSAMP	1,79097E-05	0,264066125	0,713	0,26	0,377912492	1,200858467	0,832737602	2,742307692
SDC1	5,96968E-08	0,263997968	0,262	0	0,001259663	1,200801737	0,832776944	#DIV/0!
AP2A1	4,33428E-06	0,263949361	0,412	0,09	0,091457699	1,200761279	0,832805002	4,577777778
C1orf131	4,98791E-08	0,26379006	0,325	0,02	0,001052499	1,2006287	0,832896964	16,25
CYBC1	5,2589E-07	0,263737799	0,388	0,06	0,011096799	1,200585209	0,832927137	6,466666667
SRR	6,55355E-07	0,263636823	0,225	0	0,013828644	1,200501181	0,832985436	#DIV/0!
PTPRF	5,31205E-07	0,262996254	0,45	0,09	0,011208961	1,199968266	0,833355371	5
DNMT1	6,82729E-09	0,262835066	0,675	0,16	0,000144063	1,199834205	0,833448484	4,21875
PSMD1	6,08312E-06	0,262772088	0,675	0,23	0,128359851	1,19978183	0,833484868	2,934782609
SNX17	9,88473E-07	0,262730851	0,7	0,21	0,020857766	1,199747537	0,833508692	3,333333333
YIPF2	1,30247E-05	0,262645522	0,425	0,11	0,274833874	1,199676579	0,833557992	3,863636364
NUDT16L1	9,32527E-07	0,262560238	0,438	0,09	0,019677254	1,199605663	0,833607268	4,866666667
RALA	8,49246E-06	0,26212427	0,725	0,26	0,179199457	1,199243209	0,833859214	2,788461538
ARSI	5,66846E-07	0,261623854	0,312	0,03	0,011961023	1,198827309	0,834148498	10,4
ICE1	2,06282E-05	0,261492099	0,45	0,13	0,435276197	1,198717831	0,834224681	3,461538462
DAP3	1,69287E-06	0,261351401	0,45	0,1	0,03572123	1,198600932	0,834306043	4,5
HSBP1	0,009810685	0,261057201	0,988	0,77	1	1,198356533	0,834476195	1,283116883
OPA1	1,48838E-05	0,261016121	0,325	0,06	0,314062787	1,198322412	0,834499956	5,416666667
NENF	0,000196044	0,260097834	0,812	0,39	1	1,197559913	0,835031291	2,082051282
ITGA7	0,000214822	0,259727443	0,312	0,08	1	1,197252496	0,835245701	3,9
FBXW9	5,27925E-07	0,259680715	0,312	0,03	0,011139747	1,197213718	0,835272755	10,4
TSPAN4	2,22651E-05	0,259676698	0,525	0,16	0,469816887	1,197210384	0,83527508	3,28125
CYRIB	3,19527E-06	0,259334902	0,375	0,07	0,067423343	1,196926781	0,835472993	5,357142857
USP14	1,09502E-05	0,259113494	0,462	0,13	0,231059398	1,196743105	0,835601221	3,553846154
AGPS	1,11967E-06	0,258771319	0,462	0,1	0,02362609	1,196459298	0,83579943	4,62
MRPL37	2,72934E-07	0,258650708	0,525	0,11	0,005759177	1,196359277	0,835869307	4,772727273
TMEM63A	1,43556E-06	0,2586398	0,212	0	0,030291787	1,196350231	0,835875627	#DIV/0!

Supplementary Table 4

Differentially expressed genes_keloid-CCD_ comparing SC-Keloid vs. (SC-Myel, SC-Nonmyel)								
gene	p_val	avg_log2FC	pct.1	pct.2	p_val_adj	Foldchange_UP	Foldchange_DOWN	Ratio_pct1_pct2
ERLIN2	1,3367E-07	0,258403328	0,25	0	0,002820574	1,196154154	0,836012647	#DIV/0!
CXCL12	6,50025E-06	0,258164848	0,637	0,21	0,137161878	1,195956444	0,836150853	3,033333333
NTPCR	1,60588E-05	0,258075093	0,462	0,13	0,33885715	1,195882041	0,836202874	3,553846154
SFT2D1	2,50049E-06	0,258060075	0,762	0,26	0,052762835	1,195869593	0,836211578	2,930769231
MCUB	3,38611E-08	0,257551539	0,325	0,02	0,000714504	1,195448134	0,836506387	16,25
TMEM45A	1,02827E-05	0,257439247	0,4	0,09	0,216974611	1,19535509	0,836571499	4,444444444
COX7C	0,00203141	0,257399351	0,975	0,61	1	1,195322035	0,836594634	1,598360656
LOXL4	1,47731E-05	0,257292327	0,2	0,01	0,311726706	1,195233365	0,836656698	20
POP7	4,78514E-05	0,257276124	0,525	0,17	1	1,195219942	0,836666094	3,088235294
TEX264	1,22721E-05	0,257108598	0,525	0,16	0,258954423	1,19508116	0,836763253	3,28125
LAPTM4B	0,00011883	0,256850423	0,512	0,18	1	1,194867316	0,836913008	2,844444444
JPT1	1,89457E-05	0,256819976	0,625	0,22	0,399773285	1,194842099	0,836930671	2,840909091
C19orf53	0,00379791	0,256675272	0,9	0,5	1	1,194722261	0,83701462	1,8
SMARCD1	3,56542E-05	0,256473492	0,238	0,03	0,752338877	1,194555175	0,837131696	7,933333333
DCBLD1	1,57276E-06	0,256463462	0,262	0,02	0,03318682	1,19454687	0,837137516	13,1
KXD1	3,47535E-06	0,256404442	0,525	0,14	0,073333446	1,194498003	0,837171764	3,75
RASSF8	0,00012739	0,256249994	0,775	0,34	1	1,194370133	0,837261392	2,279411765
MAGED1	1,68738E-06	0,256173543	0,575	0,16	0,035605492	1,194306843	0,837305761	3,59375
COTL1	0,00054687	0,256138621	0,9	0,5	1	1,194277933	0,83732603	1,8
PSMB8	0,000543651	0,255875516	0,675	0,31	1	1,194060152	0,837478747	2,177419355
RPL36A	0,000618634	0,255674942	0,912	0,53	1	1,193894157	0,837595187	1,720754717
TAF6	4,54913E-06	0,255546276	0,3	0,04	0,095991137	1,193787685	0,837669891	7,5
IFT43	6,3979E-08	0,25533755	0,45	0,07	0,001350022	1,193614983	0,837791092	6,428571429
GPSM3	9,42407E-07	0,255246756	0,25	0,01	0,019885724	1,193539866	0,837843819	25
SYDE1	5,72092E-08	0,255183687	0,375	0,04	0,001207171	1,193487691	0,837880447	9,375
MRPL4	0,000192438	0,25511058	0,662	0,27	1	1,193427213	0,837922907	2,451851852
ASCC3	1,20075E-05	0,255004204	0,35	0,07	0,253370628	1,19333922	0,837984693	5
ARHGAP22	2,11405E-06	0,254520672	0,262	0,02	0,044608552	1,192939329	0,838265598	13,1
CYB5B	1,30253E-05	0,254475107	0,388	0,09	0,274846789	1,192901653	0,838292073	4,311111111
E2F1	1,57477E-06	0,253790979	0,238	0,01	0,033229259	1,192336112	0,838689687	23,8

Supplementary Table 4

Differentially expressed genes_keloid-CCD_ comparing SC-Keloid vs. (SC-Myel, SC-Nonmyel)								
gene	p_val	avg_log2FC	pct.1	pct.2	p_val_adj	Foldchange_UP	Foldchange_DOWN	Ratio_pct1_pct2
GNA12	8,17173E-06	0,253696958	0,488	0,13	0,172431779	1,192258409	0,838744347	3,753846154
MYBL2	6,74984E-06	0,253689027	0,188	0	0,142428329	1,192251854	0,838748958	#DIV/0!
SURF2	1,15974E-06	0,253421017	0,525	0,13	0,024471714	1,19203039	0,838904786	4,038461538
ADRM1	2,52567E-05	0,25330087	0,75	0,29	0,532942252	1,191931123	0,838974653	2,586206897
LINC01116	0,000130036	0,253251239	0,525	0,2	1	1,191890119	0,839003516	2,625
NDUFA13	0,006120286	0,252404618	0,963	0,63	1	1,191190884	0,839496015	1,528571429
CHCHD6	8,61909E-07	0,252357105	0,325	0,04	0,018187133	1,191151654	0,839523663	8,125
RDH11	1,97161E-06	0,252295383	0,525	0,14	0,041602971	1,191100695	0,839559581	3,75
CYTH2	2,57763E-07	0,252230942	0,662	0,18	0,005439065	1,191047493	0,839597082	3,677777778
HNRNPD	0,007912444	0,252230574	0,825	0,52	1	1,19104719	0,839597296	1,586538462
CD109	1,73624E-08	0,252202237	0,312	0,01	0,000366363	1,191023796	0,839613787	31,2
CCT2	0,012666523	0,252164889	0,9	0,56	1	1,190992963	0,839635523	1,607142857
SUMO1	0,007442679	0,25212821	0,85	0,5	1	1,190962683	0,839656871	1,7
TMEM126B	7,61779E-06	0,252042307	0,575	0,18	0,160743077	1,190891772	0,839706868	3,194444444
SUGP2	3,08018E-05	0,251985042	0,475	0,14	0,649949483	1,190844502	0,8397402	3,392857143
CMC1	7,04194E-05	0,251923329	0,425	0,13	1	1,190793564	0,839776121	3,269230769
TRIM44	0,000210456	0,251750386	0,588	0,23	1	1,190650826	0,839876795	2,556521739
KCNMA1	0,000628761	0,251702849	0,762	0,33	1	1,190611595	0,83990447	2,309090909
SHISA4	8,53769E-07	0,251579502	0,688	0,22	0,018015389	1,190509805	0,839976283	3,127272727
CCS	5,41491E-05	0,251501102	0,537	0,18	1	1,190445111	0,84002193	2,983333333
DLGAP5	0,000291957	0,251193654	0,125	0	1	1,190191446	0,840200964	#DIV/0!
STX2	5,30582E-05	0,251142017	0,525	0,17	1	1,190148847	0,840231037	3,088235294
COPG1	5,87644E-07	0,250937327	0,362	0,05	0,012399868	1,18998	0,840350258	7,24
UGP2	7,13317E-05	0,250415032	0,5	0,17	1	1,189549274	0,840654542	2,941176471
GPS1	5,50119E-06	0,250274581	0,512	0,14	0,116080622	1,189433472	0,840736387	3,657142857
IFI44	5,93983E-07	0,250106309	0,537	0,13	0,012533638	1,189294748	0,840834454	4,130769231
TRPT1	1,15336E-07	0,249805991	0,362	0,04	0,002433714	1,189047205	0,841009504	9,05
ARMCX6	6,96169E-07	0,249771366	0,55	0,14	0,014689871	1,189018668	0,841029689	3,928571429
ASS1	6,57145E-05	0,249758801	0,15	0	1	1,189008313	0,841037013	#DIV/0!
CENPH	0,000180973	0,249474682	0,162	0,01	1	1,188774176	0,841202661	16,2

Supplementary Table 4

Differentially expressed genes_keloid-CCD_ comparing SC-Keloid vs. (SC-Myel, SC-Nonmyel)								
gene	p_val	avg_log2FC	pct.1	pct.2	p_val_adj	Foldchange_UP	Foldchange_DOWN	Ratio_pct1_pct2
HS3ST1	9,01318E-06	0,249424043	0,312	0,05	0,190187052	1,188732451	0,841232187	6,24
DENND4B	2,43503E-06	0,249398389	0,288	0,03	0,051381536	1,188711313	0,841247146	9,6
PNKD	5,55273E-05	0,249131796	0,688	0,26	1	1,188491674	0,841402613	2,646153846
UBE2Q2	4,29105E-05	0,249072886	0,613	0,22	0,905453637	1,188443144	0,841436971	2,786363636
CENPA	0,000291957	0,248683885	0,125	0	1	1,188122742	0,841663882	#DIV/0!
CWC15	7,21495E-06	0,248679595	0,662	0,22	0,152242685	1,188119209	0,841666385	3,009090909
GARS1	7,83021E-06	0,248426975	0,55	0,16	0,165225161	1,187911184	0,841813776	3,4375
RASA1	1,06354E-05	0,248211523	0,325	0,06	0,224417759	1,187733794	0,841939503	5,416666667
LTV1	2,77431E-07	0,248114421	0,35	0,04	0,005854081	1,187653856	0,841996172	8,75
RFXANK	3,61555E-07	0,247894083	0,55	0,13	0,00762917	1,187472484	0,842124777	4,230769231
BABAM1	1,05526E-05	0,247795866	0,562	0,17	0,222670462	1,187391644	0,84218211	3,305882353
PAM	5,07281E-06	0,24774998	0,3	0,04	0,107041321	1,187353879	0,842208896	7,5
SDF2	0,000275409	0,247442208	0,575	0,23	1	1,187100606	0,842388585	2,5
DALRD3	2,56747E-06	0,246710098	0,375	0,07	0,054176194	1,186498353	0,842816172	5,357142857
RARS1	5,52286E-08	0,246225766	0,438	0,07	0,001165379	1,186100097	0,843099164	6,257142857
PCDHGC3	2,90076E-05	0,246065503	0,312	0,06	0,6120893	1,185968345	0,843192826	5,2
TOR3A	3,12652E-07	0,245895598	0,462	0,09	0,006597278	1,185828683	0,843292134	5,133333333
TUSC2	3,9025E-06	0,245820017	0,462	0,11	0,082346748	1,18576656	0,843336314	4,2
PIP5K1A	1,41187E-06	0,245749888	0,362	0,06	0,029791801	1,185708922	0,843377309	6,033333333
LDLRAP1	5,2673E-07	0,245742296	0,362	0,05	0,011114522	1,185702683	0,843381747	7,24
APEH	2,90079E-06	0,245727604	0,438	0,1	0,061209649	1,185690608	0,843390336	4,38
TROAP	1,44967E-05	0,245549664	0,175	0	0,305894872	1,185544375	0,843494365	#DIV/0!
LRWD1	1,28028E-09	0,245465977	0,438	0,04	2,70152E-05	1,185475607	0,843543296	10,95
TMX1	0,000160048	0,245430481	0,588	0,23	1	1,185446439	0,843564051	2,556521739
AQP1	0,027662004	0,245392102	0,512	0,29	1	1,185414904	0,843586491	1,765517241
CENPB	6,34071E-06	0,245329746	0,438	0,11	0,133795305	1,185363669	0,843622954	3,981818182
UBAP2L	1,72292E-06	0,245294464	0,412	0,08	0,036355287	1,185334681	0,843643585	5,15
NUSAP1	0,049692385	0,245133252	0,212	0,1	1	1,185202235	0,843737862	2,12
CAP1	0,009809838	0,245082843	0,875	0,66	1	1,185160824	0,843767343	1,325757576
GOLT1B	8,9712E-07	0,244888527	0,6	0,16	0,018930138	1,185001206	0,843880998	3,75

Supplementary Table 4

Differentially expressed genes_keloid-CCD_ comparing SC-Keloid vs. (SC-Myel, SC-Nonmyel)								
gene	p_val	avg_log2FC	pct.1	pct.2	p_val_adj	Foldchange_UP	Foldchange_DOWN	Ratio_pct1_pct2
COX7A1	0,000252755	0,244842015	0,675	0,29	1	1,184963002	0,843908205	2,327586207
UBE2M	0,002055484	0,244729677	0,95	0,47	1	1,184870737	0,843973919	2,021276596
FAM204A	2,43008E-05	0,244641752	0,787	0,29	0,512772183	1,184798527	0,844025357	2,713793103
PHLDA3	0,00017931	0,244582832	0,8	0,4	1	1,18475014	0,844059828	2
MTFR1L	9,50835E-07	0,244551483	0,438	0,09	0,020063576	1,184724397	0,844078169	4,866666667
SCFD1	7,46187E-06	0,244229439	0,55	0,16	0,157452839	1,184459967	0,844266609	3,4375
CLTA	0,012850054	0,244168629	0,9	0,61	1	1,184410044	0,844302195	1,475409836
TLN2	1,42381E-06	0,244168155	0,388	0,07	0,030043735	1,184409654	0,844302473	5,542857143
MVB12A	5,23443E-07	0,243755161	0,725	0,22	0,01104518	1,184070647	0,844544202	3,295454545
COA5	5,604E-07	0,243714468	0,388	0,06	0,011824994	1,184037249	0,844568024	6,466666667
UPP1	0,000108807	0,243662179	0,75	0,29	1	1,183994335	0,844598635	2,586206897
PKDCC	1,82421E-06	0,243376073	0,262	0,02	0,038492635	1,183759557	0,844766147	13,1
ASL	9,27986E-08	0,24323321	0,462	0,08	0,001958143	1,183642341	0,844849804	5,775
PFDN4	6,02715E-05	0,242832576	0,675	0,25	1	1,183313691	0,84508445	2,7
FOXM1	1,44967E-05	0,242738048	0,175	0	0,305894872	1,18323616	0,845139824	#DIV/0!
STX18	1,89454E-06	0,242592776	0,425	0,09	0,039976674	1,183117021	0,845224929	4,722222222
GXYLT2	9,6443E-09	0,242501364	0,35	0,02	0,000203504	1,183042059	0,845278486	17,5
HARS1	7,71677E-06	0,242249264	0,488	0,14	0,162831464	1,182835349	0,845426205	3,485714286
NACC1	1,84366E-06	0,242223543	0,238	0,01	0,038903004	1,182814261	0,845441277	23,8
GOT2	7,029E-06	0,241855419	0,312	0,05	0,148318842	1,182512488	0,845657031	6,24
LSM6	1,16363E-06	0,241783137	0,5	0,12	0,02455379	1,182453243	0,845699402	4,166666667
GTPBP6	2,98132E-06	0,241714196	0,525	0,14	0,06290884	1,18239674	0,845739815	3,75
MXD3	0,000138823	0,241607234	0,138	0	1	1,182309079	0,845802521	#DIV/0!
CCPG1	4,45247E-05	0,241489587	0,825	0,32	0,939515016	1,182212669	0,845871497	2,578125
ELAVL1	4,32902E-05	0,241432406	0,637	0,22	0,913467089	1,182165814	0,845905023	2,895454545
MRPL43	5,16813E-06	0,240952482	0,787	0,28	0,109052784	1,181772623	0,846186467	2,810714286
FBL	5,05649E-06	0,240916318	0,55	0,16	0,106696985	1,181742999	0,846207679	3,4375
DCUN1D5	1,60107E-07	0,240893253	0,55	0,12	0,003378415	1,181724106	0,846221207	4,583333333
SPRYD7	2,36836E-06	0,240845101	0,362	0,06	0,049974762	1,181684665	0,846249452	6,033333333
LMLN	6,55355E-07	0,240791265	0,225	0	0,013828644	1,18164057	0,846281031	#DIV/0!

Supplementary Table 4

Differentially expressed genes_keloid-CCD_ comparing SC-Keloid vs. (SC-Myel, SC-Nonmyel)								
gene	p_val	avg_log2FC	pct.1	pct.2	p_val_adj	Foldchange_UP	Foldchange_DOWN	Ratio_pct1_pct2
RNF181	1,01069E-05	0,240576961	0,725	0,26	0,213265882	1,181465057	0,846406751	2,788461538
RPL3	0,003866621	0,240505133	1	1	1	1,181406236	0,846448892	1
NDUFB8	0,007529394	0,240277676	0,95	0,56	1	1,181219989	0,846582355	1,696428571
MGME1	3,21275E-05	0,240152412	0,288	0,05	0,677923407	1,181117433	0,846655863	5,76
CAMK1	1,34829E-05	0,24009707	0,425	0,11	0,284502254	1,181072126	0,846688342	3,863636364
PPA1	4,52534E-05	0,239996609	0,762	0,3	0,954890953	1,180989886	0,846747302	2,54
PTS	5,69319E-06	0,239888644	0,537	0,15	0,120131971	1,180901509	0,846810672	3,58
MRPL13	7,49874E-06	0,239592705	0,575	0,18	0,158230963	1,180659296	0,846984395	3,194444444
COMMD8	2,06287E-07	0,239472458	0,45	0,08	0,004352855	1,180560893	0,847054994	5,625
COX7B	0,010179535	0,239450755	0,875	0,56	1	1,180543134	0,847067736	1,5625
ITGB3BP	1,00479E-05	0,238947681	0,375	0,08	0,212020023	1,180131545	0,847363164	4,6875
CLCC1	3,78401E-06	0,238939141	0,275	0,03	0,079846406	1,18012456	0,84736818	9,166666667
GLRX3	0,000127477	0,238840938	0,625	0,25	1	1,180044232	0,847425861	2,5
PPIL2	1,08753E-06	0,238831934	0,275	0,02	0,022948034	1,180036867	0,84743115	13,75
VEGFB	6,55154E-05	0,23869638	0,625	0,23	1	1,179925998	0,847510778	2,717391304
MMAB	3,94367E-06	0,238687867	0,325	0,05	0,083215321	1,179919035	0,847515779	6,5
CCDC25	1,65211E-07	0,238681762	0,562	0,13	0,003486116	1,179914042	0,847519365	4,323076923
HP1BP3	0,000707651	0,238442465	0,825	0,41	1	1,179718348	0,847659953	2,012195122
TOR1A	2,82014E-08	0,238230921	0,537	0,1	0,000595077	1,179545378	0,847784256	5,37
TBC1D7	2,33924E-06	0,23822768	0,4	0,08	0,049360311	1,179542728	0,84778616	5
SCAMP4	3,59514E-06	0,238139942	0,412	0,09	0,075860945	1,179470996	0,84783772	4,577777778
CDIPT	1,33712E-06	0,238065107	0,525	0,13	0,02821457	1,179409817	0,8478817	4,038461538
LBH	6,04865E-06	0,237874298	0,55	0,16	0,127632515	1,179253839	0,847993847	3,4375
MRPL2	1,93299E-06	0,237757651	0,488	0,12	0,040788049	1,179158496	0,848062413	4,066666667
RGS20	6,07415E-05	0,23745654	0,225	0,03	1	1,178912415	0,848239435	7,5
DPP3	2,4726E-07	0,237403836	0,35	0,04	0,005217436	1,178869348	0,848270422	8,75
SLC25A24	4,66484E-06	0,237226065	0,325	0,05	0,098432866	1,178724095	0,848374954	6,5
CPD	3,20697E-07	0,23701769	0,438	0,08	0,006767034	1,178553859	0,848497498	5,475
MXRA8	0,003304108	0,237008228	0,887	0,48	1	1,178546129	0,848503063	1,847916667
ACYP2	1,19146E-06	0,236732664	0,35	0,05	0,025140913	1,178321041	0,848665148	7

Supplementary Table 4

Differentially expressed genes_keloid-CCD_ comparing SC-Keloid vs. (SC-Myel, SC-Nonmyel)								
gene	p_val	avg_log2FC	pct.1	pct.2	p_val_adj	Foldchange_UP	Foldchange_DOWN	Ratio_pct1_pct2
SPATS2L	9,67783E-05	0,236696879	0,775	0,31	1	1,178291814	0,848686198	2,5
COL9A2	1,40003E-05	0,236690923	0,275	0,04	0,295421051	1,178286949	0,848689702	6,875
PRC1	2,2927E-05	0,236645518	0,225	0,02	0,483782912	1,178249867	0,848716412	11,25
GLDC	1,30976E-08	0,236556157	0,4	0,04	0,000276372	1,178176887	0,848768984	10
DNAJC1	5,06443E-05	0,236309635	0,625	0,22	1	1,177975582	0,848914031	2,840909091
ATP5PO	0,00086506	0,236218301	0,925	0,46	1	1,17790101	0,848967775	2,010869565
CNPY3	2,68706E-05	0,236058625	0,438	0,12	0,566996675	1,177770648	0,849061744	3,65
PWP1	4,9685E-06	0,235942394	0,562	0,16	0,104840344	1,177675765	0,849130151	3,5125
SPC25	0,000291957	0,235932178	0,125	0	1	1,177667425	0,849136164	#DIV/0!
POLR3D	1,0237E-05	0,235391401	0,375	0,08	0,216010948	1,177226073	0,849454512	4,6875
NEMF	1,21469E-05	0,235322579	0,55	0,17	0,256312154	1,177169917	0,849495035	3,235294118
MVD	8,79794E-07	0,235219688	0,35	0,05	0,018564538	1,177085965	0,849555622	7
SH3PXD2A	0,00792579	0,23468869	0,887	0,56	1	1,176652808	0,849868367	1,583928571
MMP24OS	2,93106E-07	0,234568361	0,613	0,16	0,006184821	1,176554672	0,849939254	3,83125
MDH1	0,000688268	0,234314526	0,75	0,33	1	1,176347681	0,85008881	2,272727273
MRPL1	8,68115E-07	0,234154834	0,4	0,07	0,018318097	1,176217478	0,850182911	5,714285714
CHSY1	8,98127E-06	0,233867036	0,375	0,08	0,189513876	1,175982862	0,850352528	4,6875
UNC5B	1,96778E-05	0,233826549	0,275	0,04	0,415221864	1,175949861	0,850376392	6,875
UBAC1	1,41925E-05	0,233717349	0,412	0,1	0,299476423	1,175860854	0,850440761	4,12
ST3GAL2	6,74984E-06	0,233538154	0,188	0	0,142428329	1,175714812	0,8505464	#DIV/0!
MSRA	6,04523E-06	0,233528523	0,4	0,09	0,127560366	1,175706963	0,850552078	4,444444444
IGFBP2	0,964110154	0,233509812	0,375	0,36	1	1,175691714	0,850563109	1,041666667
PAQR4	1,23532E-06	0,233460399	0,388	0,07	0,026066465	1,175651447	0,850592242	5,542857143
STX4	6,14154E-07	0,233437586	0,55	0,14	0,012959264	1,175632857	0,850605692	3,928571429
KEAP1	6,18325E-06	0,233413061	0,338	0,06	0,13047273	1,175612872	0,850620152	5,633333333
ABRACL	3,15936E-05	0,233251834	0,325	0,07	0,666656268	1,1754815	0,850715218	4,642857143
PIGC	9,04251E-07	0,232999606	0,4	0,07	0,019080606	1,175276008	0,850863962	5,714285714
TSEN15	2,44473E-06	0,232950739	0,338	0,05	0,051586179	1,175236199	0,850892783	6,76
EI24	3,34772E-05	0,232854463	0,713	0,26	0,706401611	1,175157775	0,850949568	2,742307692
BLVRA	3,77738E-05	0,232713557	0,475	0,14	0,797064475	1,175043004	0,851032683	3,392857143

Supplementary Table 4

Differentially expressed genes_keloid-CCD_ comparing SC-Keloid vs. (SC-Myel, SC-Nonmyel)								
gene	p_val	avg_log2FC	pct.1	pct.2	p_val_adj	Foldchange_UP	Foldchange_DOWN	Ratio_pct1_pct2
FAT1	2,02064E-05	0,232609451	0,4	0,1	0,42637448	1,174958215	0,851094096	4
FAM50B	1,76169E-05	0,232325126	0,3	0,05	0,371733492	1,174726678	0,851261846	6
CMYA5	0,000207898	0,231995267	0,512	0,2	1	1,174458118	0,851456501	2,56
NR2C2AP	4,46871E-07	0,231629351	0,312	0,03	0,009429427	1,174160274	0,851672486	10,4
NIPA2	2,22646E-06	0,231600691	0,475	0,11	0,046980553	1,174136949	0,851689406	4,318181818
EIF2B3	8,12883E-06	0,231566926	0,312	0,05	0,171526402	1,17410947	0,851709339	6,24
C14orf132	5,40767E-06	0,231551939	0,4	0,09	0,114107165	1,174097273	0,851718187	4,444444444
PTGDS	0,1696289	0,231489195	0,125	0,06	1	1,174046212	0,851755229	2,083333333
MED8	2,30078E-05	0,231350647	0,412	0,11	0,485488438	1,173933468	0,851837031	3,745454545
RANGAP1	5,4889E-05	0,23110045	0,3	0,06	1	1,173729898	0,851984772	5
RPS15A	0,000926243	0,231046064	1	0,98	1	1,173685652	0,852016891	1,020408163
STK11	8,29381E-05	0,23076796	0,338	0,08	1	1,173459427	0,852181147	4,225
RPL10	0,000907361	0,230646454	1	1	1	1,1733606	0,852252922	1
SYNC	2,90171E-07	0,230600509	0,325	0,03	0,006122899	1,173323233	0,852280064	10,83333333
MIF4GD	0,000158523	0,230567809	0,4	0,12	1	1,173296639	0,852299382	3,333333333
B9D1	4,08316E-06	0,230360486	0,225	0,01	0,086158787	1,173128042	0,852421871	22,5
SMIM15	6,89069E-08	0,230137245	0,637	0,16	0,001454004	1,172946528	0,852553783	3,98125
MECR	7,19883E-06	0,230073496	0,262	0,03	0,151902586	1,172894699	0,852591456	8,733333333
RRP36	2,94601E-05	0,22998906	0,5	0,15	0,6216381	1,172826056	0,852641357	3,333333333
AC147651.4	4,5424E-05	0,229961418	0,388	0,1	0,958491169	1,172803584	0,852657694	3,88
FAHD1	5,21685E-06	0,229742555	0,275	0,03	0,110080775	1,172625679	0,852787056	9,166666667
ZNF365	5,26865E-05	0,229469004	0,275	0,05	1	1,172403357	0,852948769	5,5
A1BG	2,56604E-05	0,229459566	0,738	0,28	0,541460195	1,172395687	0,852954349	2,635714286
BMP8B	0,001047073	0,229301252	0,475	0,19	1	1,172267042	0,853047953	2,5
COX17	1,5416E-05	0,228921297	0,675	0,25	0,325292262	1,171958349	0,853272645	2,7
ZMAT3	5,51016E-05	0,22882511	0,4	0,11	1	1,171880215	0,853329536	3,636363636
NAGK	8,31658E-06	0,22879224	0,562	0,16	0,175488068	1,171853515	0,853348979	3,5125
SCG2	0,000357268	0,228572777	0,15	0,01	1	1,171675266	0,8534788	15
RUVBL1	9,44907E-06	0,228400908	0,412	0,1	0,199384915	1,171535692	0,853580482	4,12
RTCB	7,53414E-06	0,228383572	0,45	0,11	0,158977953	1,171521614	0,853590738	4,090909091

Supplementary Table 4

Differentially expressed genes_keloid-CCD_ comparing SC-Keloid vs. (SC-Myel, SC-Nonmyel)								
gene	p_val	avg_log2FC	pct.1	pct.2	p_val_adj	Foldchange_UP	Foldchange_DOWN	Ratio_pct1_pct2
PPP1R7	2,52939E-05	0,228358621	0,738	0,27	0,533727488	1,171501353	0,853605501	2,733333333
BCCIP	5,41851E-06	0,228090664	0,388	0,08	0,11433606	1,171283786	0,853764059	4,85
CDC42BPB	2,36152E-05	0,228008178	0,4	0,1	0,498304585	1,17121682	0,853812875	4
DNAJC2	3,34964E-05	0,227976319	0,462	0,14	0,706806513	1,171190957	0,853831729	3,3
RND2	4,11362E-05	0,227794958	0,262	0,04	0,868014931	1,171043735	0,853939071	6,55
CDR2L	2,35354E-06	0,227701012	0,312	0,04	0,049662114	1,170967481	0,85399468	7,8
REEP4	7,65697E-05	0,227184594	0,175	0,01	1	1,170548405	0,854300425	17,5
NDUFA2	0,000558964	0,227098927	0,75	0,32	1	1,1704789	0,854351155	2,34375
BOP1	1,14615E-06	0,227064923	0,375	0,06	0,024184898	1,170451312	0,854371292	6,25
ZMAT2	3,11755E-08	0,226955448	0,562	0,12	0,000657834	1,170362499	0,854436127	4,683333333
COX20	0,000322102	0,226812097	0,738	0,32	1	1,170246213	0,85452103	2,30625
RPF1	4,97007E-05	0,226609469	0,375	0,1	1	1,170081863	0,854641057	3,75
RELA	7,78931E-05	0,226437101	0,412	0,12	1	1,169942074	0,854743173	3,433333333
EIF3L	0,000837551	0,226337516	0,825	0,39	1	1,169861319	0,854802175	2,115384615
S100A3	1,32123E-06	0,22574382	0,325	0,04	0,02787937	1,169379998	0,855154015	8,125
ATP5IF1	0,004864555	0,225246387	0,912	0,5	1	1,168976872	0,855448918	1,824
SLC35B2	4,56842E-06	0,225223109	0,5	0,13	0,096398144	1,168958011	0,85546272	3,846153846
SLC52A2	5,56729E-09	0,225214337	0,613	0,12	0,000117475	1,168950904	0,855467922	5,108333333
SMAP1	8,15194E-05	0,224878021	0,45	0,14	1	1,168678433	0,855667369	3,214285714
FLII	1,74778E-05	0,224713041	0,312	0,06	0,368798947	1,168544796	0,855765225	5,2
MFSD3	7,10004E-05	0,224628834	0,175	0,01	1	1,168476592	0,855815176	17,5
MRPS14	5,48661E-07	0,224476357	0,388	0,06	0,011577288	1,168353104	0,85590563	6,466666667
KCNC2	0,002744062	0,224412587	0,112	0,01	1	1,168301461	0,855943464	11,2
ST8SIA2	3,73255E-06	0,224299383	0,412	0,09	0,078760617	1,168209792	0,85601063	4,577777778
AP3B1	6,79448E-06	0,22395161	0,362	0,07	0,143370428	1,16792822	0,856217003	5,171428571
LZIC	1,38894E-06	0,223936185	0,412	0,08	0,029308002	1,167915732	0,856226158	5,15
TEN1	0,000140337	0,223918934	0,375	0,11	1	1,167901767	0,856236396	3,409090909
ACAP3	9,56327E-06	0,223881377	0,4	0,09	0,201794612	1,167871364	0,856258686	4,444444444
ATP5PB	0,0001477	0,223809508	0,7	0,29	1	1,167813188	0,856301342	2,413793103
KNL1	0,000138823	0,223791352	0,138	0	1	1,167798491	0,856312119	#DIV/0!

Supplementary Table 4

Differentially expressed genes_keloid-CCD_ comparing SC-Keloid vs. (SC-Myel, SC-Nonmyel)								
gene	p_val	avg_log2FC	pct.1	pct.2	p_val_adj	Foldchange_UP	Foldchange_DOWN	Ratio_pct1_pct2
CBX3	0,004107626	0,223620022	0,838	0,47	1	1,167659815	0,856413818	1,782978723
RPL18	0,008580912	0,223442398	1	1	1	1,167516062	0,856519265	1
HLA-F	4,8427E-05	0,223327177	0,362	0,09	1	1,167422822	0,856587674	4,022222222
M6PR	3,96597E-07	0,223026907	0,462	0,09	0,008368583	1,16717987	0,856765975	5,133333333
EDEM1	0,000298005	0,222991351	0,262	0,06	1	1,167151104	0,856787091	4,366666667
TUBGCP2	9,24442E-06	0,222967188	0,5	0,14	0,195066546	1,167131557	0,856801441	3,571428571
SLC9A3R2	0,001919761	0,222887738	0,887	0,48	1	1,167067284	0,856848627	1,847916667
PPM1G	0,000409623	0,222521182	0,725	0,31	1	1,166770797	0,857066636	2,338709677
QPCT	0,000142582	0,22245217	0,488	0,17	1	1,166714985	0,857107359	2,870588235
NUDT8	2,13652E-05	0,221957633	0,225	0,02	0,45082786	1,166315118	0,857401215	11,25
MCAM	0,00143602	0,221904173	0,963	0,58	1	1,166271901	0,857432987	1,660344828
GDI1	2,64179E-05	0,22185164	0,725	0,26	0,557445028	1,166229434	0,85746421	2,788461538
MRPL45	4,95697E-06	0,221697729	0,25	0,02	0,104597055	1,166105024	0,857555691	12,5
DIP2A	1,89639E-05	0,22169574	0,438	0,12	0,400157527	1,166103416	0,857556874	3,65
SVBP	5,34688E-05	0,2213801	0,338	0,08	1	1,165848318	0,857744515	4,225
C7orf50	0,000894001	0,221375074	0,75	0,35	1	1,165844256	0,857747503	2,142857143
POMGNT1	9,32527E-07	0,220663648	0,438	0,09	0,019677254	1,165269494	0,858170582	4,866666667
CISD1	2,62806E-06	0,220323067	0,312	0,04	0,05545465	1,164994438	0,858373197	7,8
RRP7A	6,54574E-06	0,220209165	0,388	0,08	0,138121659	1,164902465	0,858440969	4,85
KCTD20	8,51306E-07	0,220168459	0,512	0,12	0,017963402	1,164869597	0,85846519	4,266666667
CNIH1	0,000202435	0,220088471	0,625	0,24	1	1,164805014	0,858512788	2,604166667
PRKAR2B	6,74984E-06	0,219974298	0,188	0	0,142428329	1,164712837	0,858580732	#DIV/0!
BCAR1	0,001002803	0,219885396	0,537	0,23	1	1,164641067	0,858633641	2,334782609
PIP4K2B	8,0543E-05	0,219802087	0,225	0,03	1	1,164573816	0,858683225	7,5
SNRNP35	2,10618E-05	0,219791328	0,338	0,07	0,444426069	1,164565131	0,858689629	4,828571429
FAM214B	8,02319E-06	0,219758072	0,338	0,06	0,169297438	1,164538286	0,858709423	5,633333333
FKBP2	0,002054127	0,219579815	0,887	0,46	1	1,164394407	0,85881553	1,92826087
CEP44	4,64688E-05	0,219528022	0,212	0,02	0,98053888	1,164352606	0,858846362	10,6
HSPBP1	6,2298E-08	0,219267412	0,4	0,05	0,00131455	1,164142295	0,859001519	8
COMMD1	8,18762E-05	0,219265755	0,625	0,22	1	1,164140958	0,859002506	2,840909091

Supplementary Table 4

Differentially expressed genes_keloid-CCD_ comparing SC-Keloid vs. (SC-Myel, SC-Nonmyel)								
gene	p_val	avg_log2FC	pct.1	pct.2	p_val_adj	Foldchange_UP	Foldchange_DOWN	Ratio_pct1_pct2
OGFOD3	2,09385E-06	0,219148795	0,362	0,06	0,044182308	1,164046585	0,859072148	6,033333333
DVL1	4,38072E-06	0,218874859	0,325	0,05	0,092437639	1,163825578	0,859235283	6,5
DCAF12	1,18781E-07	0,218829648	0,388	0,05	0,002506404	1,163789107	0,85926221	7,76
CCNY	2,52642E-06	0,218559032	0,488	0,12	0,053310004	1,163570828	0,859423403	4,066666667
CD2BP2	0,000175418	0,218512546	0,5	0,17	1	1,163533337	0,859451095	2,941176471
RCC2	4,01756E-07	0,218473427	0,5	0,11	0,008477445	1,163501788	0,859474399	4,545454545
IL32	0,001102057	0,218280937	0,238	0,06	1	1,163346559	0,859589082	3,966666667
KLF16	1,34625E-05	0,217793396	0,35	0,07	0,284072359	1,162953487	0,859879618	5
PPP1R35	1,96408E-06	0,217659813	0,388	0,07	0,041444071	1,16284581	0,859959241	5,542857143
MNS1	4,63604E-05	0,217351402	0,238	0,03	0,978251361	1,162597251	0,860143097	7,933333333
BTBD6	7,667E-05	0,217319465	0,412	0,12	1	1,162571515	0,860162138	3,433333333
MRM2	8,2229E-05	0,21708476	0,288	0,06	1	1,162382397	0,860302086	4,8
FGF5	3,12312E-06	0,217013433	0,2	0	0,065900895	1,16232493	0,86034462	#DIV/0!
EXTL2	4,87124E-05	0,216925767	0,412	0,11	1	1,162254303	0,8603969	3,745454545
PRPF31	0,000114524	0,216795449	0,625	0,22	1	1,162149322	0,860474623	2,840909091
ACYP1	4,23439E-05	0,216724136	0,212	0,02	0,893498367	1,162091877	0,860517158	10,6
MAP9	5,89306E-06	0,21648521	0,45	0,11	0,124349556	1,161899438	0,860659681	4,090909091
OSR1	0,002666059	0,216173023	0,088	0	1	1,161648041	0,86084594	#DIV/0!
ARMC1	5,1055E-05	0,216028355	0,325	0,07	1	1,16153156	0,860932268	4,642857143
HOMER3	6,63205E-06	0,215932329	0,7	0,24	0,139942836	1,161454252	0,860989573	2,916666667
B2M	0,001644308	0,215920221	1	1	1	1,161444504	0,860996799	1
ETV5	6,93518E-05	0,215869829	0,275	0,05	1	1,161403937	0,861026873	5,5
TMEM203	2,64187E-06	0,215534202	0,45	0,1	0,055746122	1,16113378	0,861227205	4,5
MBD3	4,69468E-05	0,215125046	0,475	0,14	0,990624258	1,160804523	0,861471488	3,392857143
LIAS	2,08675E-05	0,215044635	0,225	0,02	0,440326004	1,160739825	0,861519505	11,25
RAMAC	3,80779E-05	0,214868743	0,35	0,08	0,803481547	1,160598318	0,861624547	4,375
PSMD4	0,000199487	0,2148649	0,838	0,38	1	1,160595226	0,861626843	2,205263158
RPS6KC1	9,42407E-07	0,214850004	0,25	0,01	0,019885724	1,160583243	0,861635739	25
WSB2	6,66279E-05	0,214807508	0,575	0,2	1	1,160549058	0,861661119	2,875
NABP2	6,53973E-05	0,21468514	0,412	0,12	1	1,160450625	0,861734208	3,433333333

Supplementary Table 4

Differentially expressed genes_keloid-CCD_ comparing SC-Keloid vs. (SC-Myel, SC-Nonmyel)								
gene	p_val	avg_log2FC	pct.1	pct.2	p_val_adj	Foldchange_UP	Foldchange_DOWN	Ratio_pct1_pct2
ANKRD39	1,54894E-05	0,21463341	0,412	0,1	0,326841344	1,160409016	0,861765107	4,12
AARD	0,000191176	0,214564486	0,212	0,03	1	1,16035358	0,861806278	7,066666667
DFFA	1,01181E-05	0,214370836	0,262	0,03	0,213502713	1,160197838	0,861921965	8,733333333
ICAM3	2,39341E-06	0,214326562	0,338	0,05	0,050503349	1,160162234	0,861948416	6,76
PRKAR2A	0,000286799	0,214243296	0,475	0,17	1	1,160095276	0,861998165	2,794117647
HOXD-AS2	4,56081E-05	0,21418469	0,262	0,04	0,962376421	1,160048151	0,862033183	6,55
RPUSD1	1,01181E-05	0,214043431	0,262	0,03	0,213502713	1,159934572	0,862117592	8,733333333
PRRC1	3,00858E-06	0,214031732	0,4	0,08	0,063484083	1,159925167	0,862124582	5
G3BP2	2,02318E-05	0,21373508	0,5	0,15	0,426911978	1,159686683	0,862301874	3,333333333
MCM5	4,73785E-05	0,213721604	0,238	0,03	0,99973414	1,159675851	0,862309928	7,933333333
RRP1B	3,41084E-05	0,213529644	0,288	0,05	0,71972226	1,159521559	0,862424672	5,76
GAR1	1,27888E-05	0,213484337	0,375	0,08	0,269856639	1,159485145	0,862451756	4,6875
TIMP2	0,009855116	0,213418612	0,988	0,69	1	1,159432324	0,862491048	1,431884058
CFAP36	1,38792E-05	0,213356149	0,662	0,22	0,292864184	1,159382126	0,862528391	3,009090909
ACOT13	6,12846E-09	0,212998264	0,537	0,09	0,000129317	1,159094557	0,862742383	5,966666667
RUSF1	1,59154E-05	0,212960484	0,3	0,05	0,335829821	1,159064204	0,862764976	6
ALG13	6,43732E-06	0,212948768	0,338	0,06	0,135833858	1,159054792	0,862771982	5,633333333
HGS	6,54946E-06	0,212546415	0,45	0,11	0,138200254	1,158731588	0,863012634	4,090909091
METTL6	3,12312E-06	0,212347193	0,2	0	0,065900895	1,15857159	0,863131816	#DIV/0!
COG4	1,76169E-05	0,212015527	0,3	0,05	0,371733492	1,158305272	0,863330267	6
TP53TG1	2,35742E-05	0,212001273	0,338	0,07	0,49744	1,158293828	0,863338797	4,828571429
BUD23	1,12299E-05	0,211544536	0,662	0,21	0,23696216	1,157927187	0,863612161	3,152380952
EREG	0,001336698	0,211450357	0,15	0,02	1	1,1578516	0,863668539	7,5
DDX41	9,7681E-05	0,211276341	0,312	0,07	1	1,15771195	0,86377272	4,457142857
RNF170	1,12285E-05	0,211168158	0,238	0,02	0,236932166	1,15762514	0,863837494	11,9
PRR5	0,000370381	0,211162195	0,175	0,02	1	1,157620355	0,863841065	8,75
RHBDF2	2,44785E-06	0,210961137	0,262	0,02	0,051652011	1,157459037	0,86396146	13,1
FAM177A1	0,002883166	0,210830451	0,762	0,37	1	1,157354194	0,864039726	2,059459459
PDCD6	0,001413282	0,210829644	0,787	0,37	1	1,157353547	0,864040209	2,127027027
RAB11B	1,16332E-05	0,210748602	0,662	0,22	0,245473068	1,157288535	0,864088747	3,009090909

Supplementary Table 4

Differentially expressed genes_keloid-CCD_ comparing SC-Keloid vs. (SC-Myel, SC-Nonmyel)								
gene	p_val	avg_log2FC	pct.1	pct.2	p_val_adj	Foldchange_UP	Foldchange_DOWN	Ratio_pct1_pct2
CTSZ	0,004294074	0,21020664	0,887	0,48	1	1,15685387	0,864413411	1,847916667
NBN	2,60116E-05	0,21016017	0,5	0,15	0,54886973	1,156816608	0,864441254	3,333333333
THAP12	2,08526E-06	0,21015693	0,388	0,07	0,044001082	1,15681401	0,864443196	5,542857143
RAB18	0,000129293	0,209977634	0,575	0,22	1	1,156670252	0,864550635	2,613636364
AIMP2	2,27508E-06	0,209968782	0,262	0,02	0,048006395	1,156663155	0,864555939	13,1
RXRA	7,36991E-07	0,209552426	0,4	0,07	0,015551247	1,156329395	0,864805482	5,714285714
CCNA2	6,57145E-05	0,209459253	0,15	0	1	1,156254718	0,864861336	#DIV/0!
SACS	5,37792E-06	0,209451125	0,362	0,07	0,113479511	1,156248204	0,864866208	5,171428571
NUDT5	3,74981E-06	0,209302427	0,55	0,15	0,079124707	1,156129037	0,864955354	3,666666667
ERP29	0,000344435	0,209217199	0,775	0,34	1	1,156060739	0,865006453	2,279411765
CCDC50	0,000153632	0,209151335	0,675	0,27	1	1,156007963	0,865045945	2,5
PAXX	0,000176807	0,209077809	0,725	0,29	1	1,155949049	0,865090032	2,5
TCF3	6,27235E-06	0,208860472	0,412	0,09	0,132352778	1,155774922	0,865220365	4,577777778
FASN	3,96269E-06	0,208855656	0,275	0,03	0,083616632	1,155771064	0,865223253	9,166666667
CUEDC2	3,6517E-05	0,208563985	0,75	0,3	0,770545584	1,155537424	0,865398194	2,5
MLF2	9,86124E-05	0,208534734	0,875	0,39	1	1,155513996	0,86541574	2,243589744
SDHB	1,90529E-05	0,208462465	0,6	0,19	0,402035336	1,155456114	0,865459093	3,157894737
MAPKAP1	3,7151E-06	0,208443918	0,4	0,08	0,078392404	1,15544126	0,865470219	5
MPHOSPH10	0,000101043	0,208394191	0,5	0,17	1	1,155401435	0,86550005	2,941176471
C12orf73	4,85676E-06	0,207768878	0,3	0,04	0,102482437	1,154900753	0,865875269	7,5
BCAT1	1,44967E-05	0,207687682	0,175	0	0,305894872	1,154835756	0,865924002	#DIV/0!
CENPS	8,97452E-06	0,207610327	0,212	0,01	0,189371452	1,154773837	0,865970433	21,2
DUSP10	0,000157749	0,20739722	0,3	0,07	1	1,154603273	0,866098359	4,285714286
TMEM223	9,78611E-06	0,207259389	0,312	0,05	0,206496762	1,154492971	0,866181108	6,24
METTL23	2,13608E-06	0,207244196	0,575	0,16	0,045073393	1,154480813	0,866190229	3,59375
HLA-DQB1	0,001587262	0,20683847	0,25	0,07	1	1,154156186	0,86643386	3,571428571
IARS2	3,12652E-07	0,206819941	0,462	0,09	0,006597278	1,154141363	0,866444988	5,133333333
MT-CO1	0,164831158	0,206803092	1	0,99	1	1,154127884	0,866455107	1,01010101
RNH1	0,020599176	0,20677248	0,9	0,56	1	1,154103395	0,866473493	1,607142857
DCTN1	1,35462E-05	0,206746107	0,475	0,13	0,28583876	1,154082298	0,866489333	3,653846154

Supplementary Table 4

Differentially expressed genes_keloid-CCD_ comparing SC-Keloid vs. (SC-Myel, SC-Nonmyel)								
gene	p_val	avg_log2FC	pct.1	pct.2	p_val_adj	Foldchange_UP	Foldchange_DOWN	Ratio_pct1_pct2
TPGS2	3,51037E-07	0,206659673	0,512	0,11	0,007407231	1,154013158	0,866541246	4,654545455
ALDH1A3	0,00022537	0,206573145	0,525	0,19	1	1,153943945	0,86659322	2,763157895
ALKBH2	1,08144E-05	0,206306709	0,288	0,04	0,228194015	1,153730856	0,866753277	7,2
DNTTIP1	6,32326E-06	0,206286142	0,45	0,11	0,133427037	1,153714408	0,866765633	4,090909091
SPOCK1	1,04548E-05	0,206261748	0,238	0,02	0,220607332	1,153694901	0,866780289	11,9
NF2	0,00012613	0,206030399	0,325	0,08	1	1,15350991	0,866919297	4,0625
FKBP11	9,32418E-06	0,205813842	0,375	0,08	0,196749419	1,153336775	0,867049436	4,6875
CINP	2,51475E-06	0,205609728	0,312	0,04	0,053063791	1,153173611	0,867172116	7,8
DECR1	0,000930956	0,205546554	0,637	0,28	1	1,153123116	0,867210089	2,275
TBC1D9B	4,37205E-07	0,205522328	0,412	0,07	0,009225452	1,153103753	0,867224651	5,885714286
EMILIN1	0,000115743	0,205499655	0,325	0,08	1	1,153085631	0,867238281	4,0625
ITM2C	0,001256712	0,205420765	0,863	0,42	1	1,153022579	0,867285705	2,054761905
ALKBH7	0,003010384	0,205244479	0,812	0,39	1	1,152881697	0,867391687	2,082051282
MRPL58	2,17538E-05	0,205009881	0,362	0,08	0,459027058	1,152694241	0,867532746	4,525
FARSA	1,60711E-06	0,204823238	0,388	0,07	0,033911678	1,152545126	0,867644986	5,542857143
UBL4A	3,5758E-06	0,204817903	0,4	0,08	0,075453031	1,152540864	0,867648195	5
PHF6	6,031E-05	0,204768423	0,3	0,06	1	1,152501336	0,867677953	5
PFDN5	0,007132281	0,204684429	1	0,88	1	1,152434239	0,867728471	1,136363636
DEPDC1	0,000291957	0,20455794	0,125	0	1	1,152333203	0,867804553	#DIV/0!
LPP	0,000408517	0,204249772	0,725	0,32	1	1,152087084	0,867989941	2,265625
MT1F	0,000834081	0,204059558	0,388	0,14	1	1,151935196	0,868104389	2,771428571
SUSD6	2,18742E-05	0,204001012	0,225	0,02	0,461567883	1,15188845	0,868139619	11,25
KIRREL3	4,59369E-05	0,203900869	0,625	0,22	0,969315365	1,151808496	0,868199882	2,840909091
RFC5	1,04548E-05	0,203842584	0,238	0,02	0,220607332	1,151761964	0,868234958	11,9
CDC42EP1	0,003460464	0,20369113	0,762	0,36	1	1,151641059	0,868326109	2,116666667
RPS3	0,010709855	0,203687837	1	1	1	1,15163843	0,868328092	1
NSL1	1,03589E-06	0,203473447	0,475	0,1	0,021858347	1,151467304	0,868457138	4,75
KCTD10	4,08363E-06	0,203430926	0,25	0,02	0,086168584	1,151433368	0,868482735	12,5
RABEP2	1,82244E-05	0,203370837	0,25	0,03	0,38455339	1,151385411	0,868518908	8,333333333
PLEKHG4	0,00013667	0,203083263	0,262	0,05	1	1,151155927	0,868692048	5,24

Supplementary Table 4

Differentially expressed genes_keloid-CCD_ comparing SC-Keloid vs. (SC-Myel, SC-Nonmyel)								
gene	p_val	avg_log2FC	pct.1	pct.2	p_val_adj	Foldchange_UP	Foldchange_DOWN	Ratio_pct1_pct2
PSMG3	3,56698E-06	0,203022167	0,55	0,15	0,075266916	1,151107178	0,868728837	3,666666667
ARL3	0,008613213	0,203018485	0,7	0,37	1	1,15110424	0,868731054	1,891891892
N4BP2	6,25725E-05	0,202980346	0,25	0,04	1	1,15107381	0,86875402	6,25
FKBP8	0,005959551	0,202947494	0,875	0,49	1	1,151047599	0,868773803	1,785714286
CLPTM1L	1,02759E-06	0,202859645	0,438	0,09	0,021683163	1,150977511	0,868826706	4,866666667
GTF2H2	0,00036224	0,202747259	0,175	0,02	1	1,150887853	0,868894391	8,75
GNB1	0,000728197	0,202725627	0,887	0,45	1	1,150870597	0,868907419	1,971111111
SHCBP1	4,41317E-06	0,202621942	0,225	0,01	0,093122364	1,150787888	0,868969869	22,5
HOOK3	0,000290675	0,20261652	0,7	0,29	1	1,150783563	0,868973135	2,413793103
TNFAIP8	5,07281E-06	0,202515855	0,3	0,04	0,107041321	1,150703269	0,86903377	7,5
CENPM	1,95796E-05	0,202494964	0,2	0,01	0,413149116	1,150686607	0,869046354	20
ITGA5	5,73993E-05	0,202460326	0,338	0,08	1	1,15065898	0,86906722	4,225
NAT9	0,000242479	0,202406153	0,25	0,05	1	1,150615773	0,869099853	5
MYO10	0,000193177	0,202272139	0,512	0,18	1	1,150508896	0,869180589	2,844444444
ORMDL3	1,1321E-05	0,202213718	0,262	0,03	0,238884378	1,150462308	0,869215787	8,733333333
RPA2	4,11362E-05	0,202127631	0,262	0,04	0,868014931	1,150393661	0,869267655	6,55
H2AZ2	0,036589252	0,202046696	0,75	0,48	1	1,150329126	0,869316422	1,5625
CD58	0,000128787	0,20204177	0,5	0,17	1	1,150325198	0,869319391	2,941176471
CERK	4,02759E-06	0,201853664	0,325	0,05	0,0849862	1,150175222	0,869432744	6,5
CRNDE	8,44366E-06	0,201738935	0,262	0,03	0,178169623	1,150083759	0,869501888	8,733333333
NPM3	8,29878E-06	0,201600904	0,312	0,05	0,175112594	1,149973729	0,869585082	6,24
NMI	2,90076E-05	0,201490621	0,312	0,06	0,6120893	1,149885826	0,869651558	5,2
H1-3	0,001278066	0,201365742	0,1	0	1	1,149786297	0,869726838	#DIV/0!
POLR2B	1,59874E-06	0,201329671	0,438	0,09	0,033735097	1,14975755	0,869748583	4,866666667
ARMC6	5,20178E-06	0,201314925	0,25	0,02	0,109762778	1,149745798	0,869757473	12,5
TBL3	1,03485E-05	0,201224964	0,262	0,03	0,218363508	1,149674106	0,86981171	8,733333333
FBLIM1	2,43758E-05	0,200835217	0,312	0,06	0,514352911	1,149363562	0,870046723	5,2
UCN2	4,98426E-06	0,200711159	0,275	0,03	0,105172973	1,149264732	0,870121541	9,166666667
TUBGCP3	4,98426E-06	0,200561665	0,275	0,03	0,105172973	1,149145649	0,870211709	9,166666667
MED11	9,09454E-05	0,200499839	0,312	0,07	1	1,149096404	0,870249003	4,457142857

Supplementary Table 4

Differentially expressed genes_keloid-CCD_ comparing SC-Keloid vs. (SC-Myel, SC-Nonmyel)								
gene	p_val	avg_log2FC	pct.1	pct.2	p_val_adj	Foldchange_UP	Foldchange_DOWN	Ratio_pct1_pct2
MLLT11	1,94908E-05	0,200424111	0,3	0,05	0,411276284	1,149036089	0,870294684	6
CKLF	0,0004818	0,200322268	0,588	0,24	1	1,148954979	0,870356122	2,45
ETV2	6,74984E-06	0,200032482	0,188	0	0,142428329	1,148724218	0,870530963	#DIV/0!
ZNHIT3	7,38711E-06	0,200021804	0,488	0,13	0,155875503	1,148715716	0,870537406	3,753846154
SERP2	9,35923E-05	0,199954007	0,225	0,03	1	1,148661735	0,870578317	7,5
PYGB	1,04652E-06	0,199948875	0,6	0,16	0,022082515	1,148657649	0,870581414	3,75
RIOX2	3,83377E-05	0,199775788	0,188	0,01	0,808964604	1,148519848	0,870685867	18,8
FDX2	0,000211238	0,199528712	0,312	0,08	1	1,148323169	0,870834994	3,9
PXMP2	0,000197069	0,19933302	0,25	0,05	1	1,148167417	0,870953125	5
EFTUD2	5,09929E-06	0,199137053	0,275	0,03	0,107600082	1,148011467	0,871071438	9,166666667
VKORC1	0,0111013	0,199007958	0,775	0,4	1	1,147908746	0,871149387	1,9375
HPF1	6,56E-06	0,198928044	0,537	0,16	0,138422527	1,147845163	0,871197643	3,35625
COL18A1	0,111067322	0,19879671	1	0,95	1	1,147740674	0,871276955	1,052631579
SEC13	5,96027E-06	0,198761315	0,588	0,17	0,125767671	1,147712516	0,871298331	3,458823529
PIP4K2A	0,000511735	0,198708215	0,275	0,07	1	1,147670274	0,871330401	3,928571429
RPS28	0,011723071	0,198462114	1	0,96	1	1,147474516	0,871479049	1,041666667
TIMM9	1,01913E-06	0,198224018	0,425	0,08	0,021504608	1,147285158	0,871622885	5,3125
ATP6V1D	0,000106483	0,198173645	0,675	0,25	1	1,1472451	0,871653319	2,7
AMPH	2,2259E-05	0,198111444	0,25	0,03	0,469687388	1,147195638	0,871690902	8,333333333
CAPRIN1	0,000118858	0,197991051	0,537	0,19	1	1,147099908	0,871763647	2,826315789
EHD2	4,9225E-05	0,197828625	0,325	0,07	1	1,14697077	0,8718618	4,642857143
MACROH2A1	7,65762E-05	0,197729936	0,675	0,26	1	1,146892312	0,871921443	2,596153846
HDAC2	0,0001593	0,197697499	0,738	0,31	1	1,146866527	0,871941047	2,380645161
DAG1	0,028887566	0,197692378	0,875	0,54	1	1,146862456	0,871944142	1,62037037
EXOSC7	2,94797E-05	0,197551633	0,338	0,07	0,62205018	1,146750577	0,872029211	4,828571429
GUCD1	6,43732E-06	0,197537957	0,338	0,06	0,135833858	1,146739706	0,872037477	5,633333333
AASDHPPT	6,09521E-07	0,197526667	0,525	0,12	0,012861495	1,146730732	0,872044301	4,375
DNAL4	1,07663E-06	0,197262087	0,375	0,06	0,022717868	1,146520449	0,872204242	6,25
FUNDC1	2,31294E-05	0,19719136	0,375	0,09	0,488054222	1,146464243	0,872247003	4,166666667
TMEM214	5,23975E-05	0,196957392	0,35	0,08	1	1,146278331	0,87238847	4,375

Supplementary Table 4

Differentially expressed genes_keloid-CCD_ comparing SC-Keloid vs. (SC-Myel, SC-Nonmyel)								
gene	p_val	avg_log2FC	pct.1	pct.2	p_val_adj	Foldchange_UP	Foldchange_DOWN	Ratio_pct1_pct2
GART	1,37945E-05	0,196929966	0,3	0,05	0,291077166	1,146256541	0,872405054	6
CARS2	0,000204403	0,196882039	0,375	0,11	1	1,146218462	0,872434037	3,409090909
SDHAF3	7,0379E-05	0,196791811	0,462	0,15	1	1,146146779	0,872488602	3,08
SLC39A10	0,001568881	0,196719691	0,325	0,11	1	1,146089484	0,872532218	2,954545455
PDCD2	5,39303E-06	0,196597694	0,55	0,15	0,113798273	1,145992572	0,872606005	3,666666667
PRKACA	3,23121E-06	0,19657999	0,45	0,1	0,068181759	1,14597851	0,872616713	4,5
SPRY4	0,005562134	0,196490558	0,075	0	1	1,145907474	0,872670807	#DIV/0!
BTBD1	1,02995E-05	0,1964605	0,35	0,07	0,21733056	1,145883599	0,87268899	5
ZFYVE19	0,000570786	0,196356623	0,188	0,03	1	1,145801096	0,872751827	6,266666667
PSKH1	6,57145E-05	0,196305753	0,15	0	1	1,145760695	0,872782601	#DIV/0!
C17orf75	4,30649E-07	0,196211737	0,262	0,01	0,009087133	1,145686032	0,87283948	26,2
RNF40	3,91913E-05	0,196187154	0,288	0,05	0,826974994	1,14566651	0,872854353	5,76
UBE2V2	9,5091E-06	0,196110194	0,588	0,18	0,200651478	1,145605397	0,872900916	3,266666667
EXOC7	9,7581E-06	0,196107178	0,425	0,1	0,205905712	1,145603002	0,872902741	4,25
EIF5A1	2,27508E-06	0,196102071	0,262	0,02	0,048006395	1,145598946	0,872905831	13,1
MIR4435-2HG	7,78651E-05	0,196080239	0,613	0,22	1	1,14558161	0,87291904	2,786363636
METTL26	0,000699292	0,196068888	0,8	0,34	1	1,145572597	0,872925908	2,352941176
ZSWIM7	1,50714E-05	0,195996117	0,575	0,18	0,318021386	1,145514815	0,87296994	3,194444444
RPL19	0,003902183	0,195704736	1	0,99	1	1,145283479	0,873146272	1,01010101
JTB	0,005397541	0,195647147	0,887	0,48	1	1,145237762	0,873181127	1,847916667
TIMMDC1	0,000103618	0,195462159	0,713	0,27	1	1,145090925	0,873293097	2,640740741
IFT81	8,46503E-05	0,195369476	0,312	0,07	1	1,145017364	0,873349201	4,457142857
NEIL2	2,70754E-05	0,195363419	0,262	0,04	0,571317791	1,145012556	0,873352868	6,55
METTL17	0,000108385	0,195285912	0,35	0,09	1	1,144951044	0,873399789	3,888888889
RPS25	0,019036087	0,195246826	1	0,93	1	1,144920025	0,873423452	1,075268817
SLC37A4	1,86072E-05	0,195049523	0,2	0,01	0,392631437	1,144763456	0,873542909	20
TMEM51	2,1295E-05	0,194751388	0,25	0,03	0,449345203	1,144526913	0,873723447	8,333333333
ZPR1	7,88831E-07	0,194741713	0,35	0,05	0,016645113	1,144519238	0,873729306	7
PPM1F	0,00014515	0,194627821	0,238	0,04	1	1,144428889	0,873798285	5,95
RWDD4	0,000179747	0,194478551	0,338	0,09	1	1,144310485	0,873888698	3,755555556

Supplementary Table 4

Differentially expressed genes_keloid-CCD_ comparing SC-Keloid vs. (SC-Myel, SC-Nonmyel)								
gene	p_val	avg_log2FC	pct.1	pct.2	p_val_adj	Foldchange_UP	Foldchange_DOWN	Ratio_pct1_pct2
DELE1	9,40434E-06	0,194424669	0,338	0,06	0,198440955	1,144267748	0,873921337	5,633333333
GPAA1	0,000151563	0,19441583	0,762	0,32	1	1,144260737	0,873926691	2,38125
RAI14	6,43541E-06	0,19431769	0,45	0,11	0,135793581	1,144182901	0,873986142	4,090909091
C12orf43	1,04548E-05	0,193968962	0,238	0,02	0,220607332	1,143906363	0,874197427	11,9
ACTR2	0,000510379	0,193753091	0,787	0,37	1	1,143735212	0,874328244	2,127027027
PSMA3	0,001479477	0,193597607	0,812	0,4	1	1,143611955	0,874422478	2,03
NCK2	1,59874E-06	0,193408242	0,438	0,09	0,033735097	1,143461857	0,87453726	4,866666667
RNF187	2,35582E-06	0,192966132	0,725	0,22	0,049710112	1,1431115	0,874805301	3,295454545
MED31	2,24983E-05	0,192896489	0,425	0,11	0,474737127	1,14305632	0,874847531	3,863636364
RHNO1	2,04686E-06	0,192865159	0,238	0,01	0,043190826	1,143031497	0,87486653	23,8
PRICKLE1	0,014967807	0,192720721	0,162	0,05	1	1,142917066	0,874954124	3,24
SLC39A7	4,80094E-05	0,192681413	0,625	0,21	1	1,142885926	0,874977963	2,976190476
UBN1	2,6731E-07	0,192663463	0,475	0,09	0,005640508	1,142871707	0,87498885	5,277777778
CDH11	0,000168027	0,192612997	0,162	0,01	1	1,14283173	0,875019457	16,2
NECAB3	0,00020859	0,192607195	0,25	0,05	1	1,142827134	0,875022976	5
CKB	0,029502323	0,19254065	0,7	0,42	1	1,142774421	0,875063338	1,666666667
C5orf15	0,000183657	0,192338747	0,738	0,3	1	1,142614503	0,875185811	2,46
HIRIP3	1,73612E-05	0,19233039	0,388	0,09	0,366339049	1,142607884	0,87519088	4,311111111
PLXNA4	0,000432336	0,192220599	0,275	0,07	1	1,142520933	0,875257486	3,928571429
ARHGAP11A	0,000366117	0,192216266	0,15	0,01	1	1,142517503	0,875260114	15
TAX1BP3	0,000865109	0,192204908	0,95	0,49	1	1,142508507	0,875267005	1,93877551
RPAP2	0,000699359	0,192186023	0,188	0,03	1	1,142493552	0,875278463	6,266666667
CCDC137	5,41422E-06	0,1919595	0,3	0,04	0,114245529	1,142314179	0,875415904	7,5
FPGS	2,73269E-06	0,191934008	0,288	0,03	0,057662584	1,142293995	0,875431373	9,6
POU3F2	4,05503E-06	0,191917178	0,275	0,03	0,085565155	1,142280669	0,875441585	9,166666667
NAXE	2,07452E-06	0,19187828	0,562	0,15	0,043774546	1,142249871	0,87546519	3,746666667
AP2A2	2,18695E-05	0,191766923	0,338	0,07	0,461469291	1,142161708	0,875532766	4,828571429
KCNK6	3,09504E-05	0,191692383	0,162	0	0,653084942	1,142102697	0,875578004	#DIV/0!
WAC-AS1	1,18394E-05	0,191269708	0,262	0,03	0,249822886	1,141768138	0,875834565	8,733333333
CDK16	3,53485E-06	0,191128974	0,525	0,14	0,07458894	1,141656765	0,875920006	3,75

Supplementary Table 4

Differentially expressed genes_keloid-CCD_ comparing SC-Keloid vs. (SC-Myel, SC-Nonmyel)								
gene	p_val	avg_log2FC	pct.1	pct.2	p_val_adj	Foldchange_UP	Foldchange_DOWN	Ratio_pct1_pct2
STAMBP	6,47808E-05	0,190987743	0,575	0,2	1	1,141545008	0,876005758	2,875
CHMP7	8,42761E-06	0,19093812	0,238	0,02	0,177830922	1,141505745	0,876035889	11,9
IKBKG	4,19045E-06	0,190878046	0,225	0,01	0,088422589	1,141458214	0,876072368	22,5
PSMA6	4,34292E-05	0,190767697	0,238	0,03	0,91639895	1,141370908	0,87613938	7,933333333
CTNNBIP1	5,3151E-06	0,190668432	0,412	0,09	0,112153866	1,141292379	0,876199665	4,577777778
DDR1	0,000157406	0,190576336	0,488	0,17	1	1,141219526	0,8762556	2,870588235
ER13	3,75906E-05	0,19051138	0,512	0,16	0,793199936	1,141168145	0,876295053	3,2
CD81	0,017889929	0,190373791	1	0,92	1	1,141059317	0,876378629	1,086956522
LHFPL6	0,000213576	0,190342007	0,525	0,19	1	1,141034179	0,876397937	2,763157895
SCN1B	0,000106695	0,19017291	0,288	0,06	1	1,140900447	0,876500665	4,8
NKAP	0,000377809	0,190097278	0,462	0,17	1	1,140840638	0,876546616	2,717647059
SGO1	6,57145E-05	0,190061699	0,15	0	1	1,140812503	0,876568233	#DIV/0!
ENDOV	1,62286E-05	0,189816875	0,362	0,08	0,3424402	1,140618925	0,876716998	4,525
GSTA4	1,06726E-05	0,189758741	0,488	0,13	0,225202118	1,140572964	0,876752327	3,753846154
DDX60L	3,09504E-05	0,189754735	0,162	0	0,653084942	1,140569797	0,876754761	#DIV/0!
CHP1	0,000173424	0,189644492	0,438	0,14	1	1,140482645	0,87682176	3,128571429
TRIB2	0,001194591	0,189416405	0,3	0,09	1	1,14030235	0,876960395	3,333333333
GSS	1,64373E-05	0,189323866	0,488	0,14	0,346843571	1,14022921	0,877016648	3,485714286
GOLGB1	0,018547995	0,189026227	0,688	0,39	1	1,139993997	0,877197602	1,764102564
MED10	0,000723255	0,188962841	0,7	0,3	1	1,139943911	0,877236143	2,333333333
LINC00926	0,000138823	0,188906754	0,138	0	1	1,139899595	0,877270248	#DIV/0!
UBE3C	1,47773E-05	0,188893693	0,388	0,09	0,311815291	1,139889275	0,87727819	4,311111111
EIPR1	3,29198E-05	0,188826359	0,188	0,01	0,694641332	1,139836075	0,877319136	18,8
NDUFA6	0,007354642	0,188811479	0,725	0,38	1	1,139824319	0,877328184	1,907894737
EBP	5,78099E-06	0,188769564	0,475	0,12	0,121984759	1,139791203	0,877353674	3,958333333
CFAP298	1,18252E-06	0,18857466	0,512	0,13	0,024952421	1,139637231	0,87747221	3,938461538
LIMD2	1,68984E-05	0,188538048	0,412	0,1	0,356573699	1,139608311	0,877494478	4,12
FAM32A	0,000624551	0,18847795	0,5	0,19	1	1,139560839	0,877531033	2,631578947
GOLM1	8,25786E-05	0,188253729	0,275	0,05	1	1,139383745	0,877667427	5,5
LCMT1	2,2972E-05	0,188227946	0,362	0,08	0,484731561	1,139363383	0,877683112	4,525

Supplementary Table 4

Differentially expressed genes_keloid-CCD_ comparing SC-Keloid vs. (SC-Myel, SC-Nonmyel)								
gene	p_val	avg_log2FC	pct.1	pct.2	p_val_adj	Foldchange_UP	Foldchange_DOWN	Ratio_pct1_pct2
ERLIN1	2,08675E-05	0,188063822	0,225	0,02	0,440326004	1,139233774	0,877782965	11,25
DOCK2	3,09504E-05	0,18805615	0,162	0	0,653084942	1,139227715	0,877787633	#DIV/0!
EMG1	2,60509E-06	0,18790258	0,338	0,05	0,05497004	1,139106455	0,877881076	6,76
RUNX2	2,44785E-06	0,187847401	0,262	0,02	0,051652011	1,139062888	0,877914653	13,1
GLOD4	1,59692E-05	0,187761408	0,475	0,13	0,336966297	1,138994995	0,877966983	3,653846154
PSME1	0,002574919	0,187640223	0,825	0,46	1	1,138899325	0,878040735	1,793478261
TMEM132A	4,01733E-05	0,187505004	0,35	0,08	0,847697081	1,138792585	0,878123034	4,375
CBFB	9,96263E-06	0,187385163	0,6	0,18	0,210221427	1,138697992	0,878195981	3,333333333
ZNF688	0,000215114	0,18723394	0,338	0,09	1	1,13857864	0,878288038	3,755555556
SLC39A4	2,14076E-05	0,187207692	0,275	0,04	0,451721615	1,138557925	0,878304018	6,875
SPTLC2	2,32298E-06	0,187147616	0,375	0,07	0,049017097	1,138510515	0,878340592	5,357142857
ANPEP	3,12312E-06	0,187131326	0,2	0	0,065900895	1,13849766	0,87835051	#DIV/0!
SMDT1	0,000773065	0,187063486	0,812	0,36	1	1,138444125	0,878391814	2,255555556
TIMM22	6,13398E-06	0,187009792	0,425	0,1	0,129433068	1,138401756	0,878424506	4,25
RAB34	0,027265459	0,186850206	0,812	0,45	1	1,138275836	0,87852168	1,804444444
URB1	3,09504E-05	0,186826391	0,162	0	0,653084942	1,138257047	0,878536182	#DIV/0!
STARD7	1,88548E-05	0,186707617	0,45	0,12	0,397854214	1,13816334	0,878608513	3,75
CARM1	6,12514E-08	0,186698584	0,35	0,03	0,001292465	1,138156215	0,878614014	11,66666667
MSANTD4	1,02085E-05	0,18668505	0,238	0,02	0,215408588	1,138145537	0,878622257	11,9
CEP152	4,86715E-05	0,186641569	0,212	0,02	1	1,138111235	0,878648737	10,6
RWDD1	0,000963989	0,186621599	0,887	0,43	1	1,138095481	0,8786609	2,062790698
CSK	4,04749E-06	0,186615326	0,375	0,07	0,085406131	1,138090533	0,87866472	5,357142857
UCHL3	3,99349E-05	0,186537759	0,512	0,16	0,842666117	1,138029345	0,878711963	3,2
LIPA	5,5114E-06	0,186520376	0,325	0,05	0,116296016	1,138015633	0,878722551	6,5
GRK6	0,000524966	0,186509755	0,212	0,04	1	1,138007255	0,87872902	5,3
MGA	0,000301636	0,186461076	0,2	0,03	1	1,137968857	0,87875867	6,666666667
TNIP1	3,07116E-05	0,18634981	0,6	0,2	0,648045516	1,137881096	0,878826446	3
MOGS	1,26355E-06	0,186264972	0,325	0,04	0,026662136	1,137814185	0,878878127	8,125
URI1	0,000132129	0,186247371	0,738	0,29	1	1,137800303	0,87888885	2,544827586
METTL9	0,000100591	0,186244674	0,637	0,24	1	1,137798176	0,878890493	2,654166667

Supplementary Table 4

Differentially expressed genes_keloid-CCD_ comparing SC-Keloid vs. (SC-Myel, SC-Nonmyel)								
gene	p_val	avg_log2FC	pct.1	pct.2	p_val_adj	Foldchange_UP	Foldchange_DOWN	Ratio_pct1_pct2
LPAR6	0,000754972	0,186232894	0,138	0,01	1	1,137788886	0,878897669	13,8
COP1	9,42407E-07	0,18621762	0,25	0,01	0,019885724	1,137776841	0,878906974	25
DKC1	1,24646E-06	0,186193071	0,438	0,09	0,026301493	1,13775748	0,87892193	4,866666667
UGGT1	5,9038E-06	0,18602893	0,3	0,04	0,124576006	1,13762804	0,879021934	7,5
MPV17L2	1,59586E-05	0,185952894	0,2	0,01	0,336742784	1,137568084	0,879068263	20
RASSF3	7,46689E-05	0,185933673	0,175	0,01	1	1,137552929	0,879079975	17,5
FRMD5	1,68987E-05	0,185538113	0,412	0,1	0,356580072	1,137241076	0,879321035	4,12
RPS16	0,004121561	0,185475958	1	0,96	1	1,137192081	0,87935892	1,041666667
POLR3GL	0,000159632	0,185469673	0,588	0,22	1	1,137187127	0,87936275	2,672727273
PIGP	7,61086E-05	0,185238823	0,55	0,19	1	1,137005177	0,879503471	2,894736842
CIP2A	1,44967E-05	0,185072931	0,175	0	0,305894872	1,136874443	0,879604609	#DIV/0!
LINC00667	0,000176411	0,184950195	0,4	0,12	1	1,136777728	0,879679444	3,333333333
YBX1	0,012769089	0,184938698	0,988	0,97	1	1,13676867	0,879686454	1,018556701
GNB2	0,020988638	0,184808669	0,875	0,57	1	1,136666218	0,879765743	1,535087719
KIF4A	0,000138823	0,18472121	0,138	0	1	1,136597313	0,879819078	#DIV/0!
PPDPF	0,020864743	0,184670244	0,975	0,77	1	1,136557161	0,87985016	1,266233766
SIRT6	4,89926E-05	0,184617145	0,3	0,06	1	1,136515331	0,879882543	5
MED16	2,93593E-07	0,184456088	0,375	0,05	0,006195097	1,136388462	0,879980776	7,5
KPNB1	0,006019643	0,184397665	0,725	0,37	1	1,136342443	0,880016412	1,959459459
TBC1D10B	0,000494842	0,18428822	0,275	0,07	1	1,136256242	0,880083174	3,928571429
ERLEC1	0,000149982	0,184111764	0,7	0,27	1	1,136117275	0,880190824	2,592592593
NUP107	8,51672E-06	0,184021781	0,338	0,06	0,179711211	1,136046416	0,880245724	5,633333333
SNX8	4,37667E-05	0,18360306	0,262	0,04	0,923520168	1,135716743	0,880501239	6,55
TOR4A	2,00837E-05	0,183536099	0,2	0,01	0,423786989	1,135664031	0,880542108	20
RNF150	2,27565E-05	0,183341156	0,25	0,03	0,480184272	1,135510586	0,880661098	8,333333333
GMPPA	4,53631E-05	0,183319321	0,238	0,03	0,95720682	1,1354934	0,880674427	7,933333333
FLNC	3,12312E-06	0,183133136	0,2	0	0,065900895	1,13534687	0,880788089	#DIV/0!
AAMDC	1,39401E-05	0,183126496	0,613	0,2	0,294149061	1,135341645	0,880792142	3,065
QTRT1	2,27062E-06	0,183006627	0,488	0,12	0,047912262	1,135247317	0,880865328	4,066666667
VDAC2	0,044270132	0,182956349	0,912	0,6	1	1,135207754	0,880896027	1,52

Supplementary Table 4

Differentially expressed genes_keloid-CCD_ comparing SC-Keloid vs. (SC-Myel, SC-Nonmyel)								
gene	p_val	avg_log2FC	pct.1	pct.2	p_val_adj	Foldchange_UP	Foldchange_DOWN	Ratio_pct1_pct2
WDR12	3,85679E-05	0,182793501	0,212	0,02	0,813821874	1,135079622	0,880995466	10,6
COG6	6,62354E-05	0,182741197	0,3	0,06	1	1,135038471	0,881027406	5
TM9SF2	0,000181712	0,18245878	0,537	0,19	1	1,134816302	0,88119989	2,826315789
POP4	5,39805E-06	0,182321321	0,325	0,05	0,113904202	1,134708182	0,881283854	6,5
RSPRY1	0,00134371	0,182316082	0,325	0,11	1	1,134704062	0,881287054	2,954545455
NR2F6	5,49985E-05	0,182278597	0,562	0,19	1	1,134674579	0,881309953	2,957894737
PIKFYVE	0,000133953	0,182158024	0,238	0,04	1	1,134579753	0,881383611	5,95
PDHB	7,88002E-05	0,182115029	0,575	0,2	1	1,134545941	0,881409878	2,875
EPHA3	0,000331906	0,182040713	0,15	0,01	1	1,1344875	0,881455283	15
OXA1L	2,21968E-06	0,18195969	0,537	0,14	0,046837511	1,134423788	0,881504788	3,835714286
PTPN9	1,83449E-05	0,181909294	0,3	0,05	0,387095152	1,134384161	0,88153558	6
COX14	0,00014051	0,181618863	0,6	0,23	1	1,134155819	0,881713062	2,608695652
ZDHHC5	3,69306E-05	0,181227155	0,288	0,05	0,779272992	1,133847925	0,881952489	5,76
CCT8	0,001574338	0,181107417	0,75	0,35	1	1,133753824	0,882025691	2,142857143
PSMG1	1,52213E-05	0,180913359	0,412	0,1	0,321184413	1,133601332	0,882144341	4,12
CYREN	5,39805E-06	0,180824182	0,325	0,05	0,113904202	1,133531264	0,88219887	6,5
FDXR	0,000291957	0,180691089	0,125	0	1	1,133426697	0,882280259	#DIV/0!
TYMP	0,000906469	0,18063227	0,262	0,07	1	1,133380487	0,882316231	3,742857143
BCL7C	0,002025926	0,180607947	0,85	0,43	1	1,13336138	0,882331106	1,976744186
CLNS1A	3,48558E-06	0,180536214	0,75	0,24	0,073549135	1,133305028	0,882374979	3,125
AP001816.1	9,56592E-05	0,180472657	0,2	0,02	1	1,133255103	0,882413852	10
ANAPC16	0,000160817	0,18022347	0,8	0,32	1	1,13305938	0,882566278	2,5
SNAPC2	2,6728E-06	0,180202174	0,5	0,13	0,056398658	1,133042655	0,882579306	3,846153846
HIGD1A	3,11598E-05	0,180163428	0,6	0,2	0,657502085	1,133012226	0,882603009	3
PCCB	1,86357E-05	0,180114287	0,25	0,03	0,393231119	1,132973634	0,882633073	8,333333333
MRPL35	1,04921E-06	0,180082185	0,3	0,03	0,022139454	1,132948423	0,882652713	10
XRCC4	1,02085E-05	0,179904228	0,238	0,02	0,215408588	1,132808682	0,882761596	11,9
TRAPPC9	6,57145E-05	0,179825707	0,15	0	1	1,132747029	0,882809643	#DIV/0!
ATP13A1	0,000356018	0,179820772	0,2	0,03	1	1,132743155	0,882812662	6,666666667
MBOAT7	4,63604E-05	0,179698628	0,238	0,03	0,978251361	1,132647256	0,882887408	7,933333333

Supplementary Table 4

Differentially expressed genes_keloid-CCD_comparing SC-Keloid vs. (SC-Myel, SC-Nonmyel)								
gene	p_val	avg_log2FC	pct.1	pct.2	p_val_adj	Foldchange_UP	Foldchange_DOWN	Ratio_pct1_pct2
IBTK	2,82287E-05	0,179271396	0,438	0,12	0,595653949	1,13231189	0,8831489	3,65
UTRN	0,002695105	0,17923344	0,75	0,4	1	1,1322821	0,883172135	1,875
ST6GAL1	1,84183E-06	0,179176477	0,562	0,15	0,038864361	1,132237394	0,883207007	3,746666667
HGH1	8,25503E-05	0,178910799	0,175	0,01	1	1,132028907	0,883369668	17,5
CDCA4	4,53631E-05	0,178890642	0,238	0,03	0,95720682	1,132013091	0,883382011	7,933333333
GTPBP3	2,00837E-05	0,178727913	0,2	0,01	0,423786989	1,131885413	0,883481657	20
ESYT1	2,23213E-05	0,178719751	0,375	0,09	0,471002448	1,131879009	0,883486655	4,166666667
LPGAT1	0,00026219	0,178701492	0,688	0,28	1	1,131864684	0,883497837	2,457142857
CDCA3	0,000138823	0,1785871	0,138	0	1	1,131774941	0,883567893	#DIV/0!
WDR5	2,0828E-05	0,178529519	0,25	0,03	0,439491369	1,131729771	0,883603158	8,333333333
AMDHD2	0,00922558	0,178527217	0,138	0,03	1	1,131727965	0,883604569	4,6
RAD23B	0,000119936	0,17824878	0,625	0,23	1	1,131509565	0,883775119	2,717391304
RGMB	0,002680769	0,178239644	0,45	0,19	1	1,1315024	0,883780715	2,368421053
NOL8	2,18621E-05	0,178230893	0,275	0,04	0,461312778	1,131495536	0,883786076	6,875
TCTA	0,000112764	0,178083717	0,288	0,06	1	1,131380113	0,88387624	4,8
NEDD1	0,000780217	0,178050848	0,25	0,06	1	1,131354337	0,883896377	4,166666667
PITPNM3	0,000384434	0,177961706	0,15	0,01	1	1,131284434	0,883950994	15
NSUN5	7,99929E-05	0,177948033	0,25	0,04	1	1,131273712	0,883959372	6,25
DPH6	4,64688E-05	0,177914751	0,212	0,02	0,98053888	1,131247615	0,883979764	10,6
TOLLIP	4,19033E-06	0,177909286	0,462	0,11	0,088420109	1,13124333	0,883983112	4,2
GTF3C3	0,000505149	0,177860821	0,212	0,04	1	1,131205329	0,884012809	5,3
ANKRD40	2,33874E-05	0,177718465	0,637	0,21	0,493497393	1,131093714	0,884100042	3,033333333
THNSL2	9,1613E-05	0,177534092	0,225	0,03	1	1,130949172	0,884213035	7,5
SDHAF1	0,000783776	0,177371274	0,288	0,08	1	1,130821544	0,88431283	3,6
MRPL21	1,50005E-05	0,177288923	0,675	0,23	0,316525564	1,130756997	0,884363309	2,934782609
AAAS	4,95697E-06	0,177209818	0,25	0,02	0,104597055	1,130694997	0,884411802	12,5
TCIRG1	9,59217E-06	0,17719439	0,338	0,06	0,202404314	1,130682906	0,88442126	5,633333333
SEMA3A	0,000611714	0,177154433	0,112	0	1	1,130651591	0,884445755	#DIV/0!
CDK2	4,13543E-05	0,17704763	0,188	0,01	0,872616559	1,130567892	0,884511233	18,8
GEMIN7	0,000182593	0,176894594	0,188	0,02	1	1,130447971	0,884605064	9,4

Supplementary Table 4

Differentially expressed genes_keloid-CCD_ comparing SC-Keloid vs. (SC-Myel, SC-Nonmyel)								
gene	p_val	avg_log2FC	pct.1	pct.2	p_val_adj	Foldchange_UP	Foldchange_DOWN	Ratio_pct1_pct2
BLVRB	7,42871E-05	0,176889218	0,65	0,24	1	1,130443759	0,88460836	2,708333333
LIMD1	0,000159367	0,176817909	0,188	0,02	1	1,130387885	0,884652085	9,4
KHDRBS1	0,003514067	0,176778896	0,812	0,39	1	1,130357318	0,884676008	2,082051282
STXBP5	1,12285E-05	0,176766258	0,238	0,02	0,236932166	1,130347416	0,884683758	11,9
SNAPC5	3,64962E-05	0,1767212	0,312	0,06	0,770106607	1,130312114	0,884711389	5,2
AURKB	0,000138823	0,176670541	0,138	0	1	1,130272425	0,884742455	#DIV/0!
SEC24D	9,32178E-07	0,176198949	0,537	0,13	0,019669882	1,129903018	0,88503171	4,130769231
MEF2C	0,006377112	0,176150426	0,863	0,47	1	1,129865016	0,885061477	1,836170213
RBM43	0,000485145	0,176050617	0,238	0,05	1	1,129786852	0,88512271	4,76
POPDC3	7,27088E-05	0,17599959	0,3	0,06	1	1,129746893	0,885154016	5
YDJC	9,44729E-06	0,175964343	0,212	0,01	0,199347284	1,129719292	0,885175642	21,2
PIGQ	7,79251E-05	0,175928264	0,275	0,05	1	1,129691041	0,885197778	5,5
RWDD2B	3,80858E-05	0,175870621	0,238	0,03	0,803648485	1,129645905	0,885233148	7,933333333
PHF14	1,48283E-05	0,175729194	0,7	0,24	0,31289251	1,129535171	0,885319931	2,916666667
ATE1	6,62354E-05	0,175685394	0,3	0,06	1	1,129500879	0,88534681	5
GPATCH2	7,00531E-05	0,175649172	0,475	0,15	1	1,129472521	0,885369038	3,166666667
FAM104A	7,26085E-06	0,175581591	0,338	0,06	0,153211206	1,129419614	0,885410513	5,633333333
NME2	5,71358E-06	0,175517918	0,275	0,03	0,120562212	1,129369768	0,885449592	9,166666667
ATP6V1F	0,00784483	0,17528724	0,875	0,44	1	1,129189203	0,885591181	1,988636364
FAM89B	0,000175715	0,175225536	0,662	0,26	1	1,129140909	0,885629058	2,546153846
MPC2	0,001375264	0,175220878	0,8	0,37	1	1,129137264	0,885631917	2,162162162
PUF60	0,003849699	0,175174977	0,938	0,54	1	1,129101339	0,885660096	1,737037037
MRPS27	4,28726E-05	0,175157501	0,262	0,04	0,90465467	1,129087662	0,885670824	6,55
SYCP2	4,33413E-05	0,175064534	0,212	0,02	0,914544097	1,129014906	0,885727898	10,6
PLPP5	2,70525E-05	0,174929594	0,462	0,13	0,570835842	1,128909311	0,885810747	3,553846154
DUSP15	2,18742E-05	0,174923966	0,225	0,02	0,461567883	1,128904907	0,885814203	11,25
IWS1	0,000180544	0,174893477	0,275	0,06	1	1,128881049	0,885832923	4,583333333
ARFGAP1	8,89882E-06	0,174886775	0,362	0,07	0,187773921	1,128875805	0,885837038	5,171428571
GAS8	1,10477E-05	0,174847128	0,288	0,04	0,233117523	1,128844783	0,885861382	7,2
LRRC28	3,4065E-05	0,174836231	0,375	0,09	0,718805772	1,128836257	0,885868074	4,166666667

Supplementary Table 4

Differentially expressed genes_keloid-CCD_ comparing SC-Keloid vs. (SC-Myel, SC-Nonmyel)								
gene	p_val	avg_log2FC	pct.1	pct.2	p_val_adj	Foldchange_UP	Foldchange_DOWN	Ratio_pct1_pct2
TRIP6	0,001053992	0,174774114	0,637	0,28	1	1,128787654	0,885906217	2,275
BST1	1,90875E-05	0,174725983	0,2	0,01	0,402765855	1,128749997	0,885935772	20
ARL16	1,30704E-06	0,174555526	0,562	0,15	0,027579746	1,12861664	0,886040454	3,746666667
PLOD2	1,94908E-05	0,174539762	0,3	0,05	0,411276284	1,128604308	0,886050135	6
FKBP9	8,52793E-06	0,174527065	0,588	0,18	0,179947936	1,128594376	0,886057933	3,266666667
CAMK1D	0,0001393	0,174517229	0,262	0,05	1	1,128586681	0,886063974	5,24
TM9SF4	3,11144E-07	0,174319444	0,35	0,04	0,006565443	1,128431969	0,886185457	8,75
MARF1	4,11362E-05	0,174232213	0,262	0,04	0,868014931	1,128363742	0,886239041	6,55
CREB3	1,07385E-06	0,174120525	0,65	0,18	0,022659281	1,128276391	0,886307653	3,611111111
BID	2,96559E-05	0,174055373	0,288	0,05	0,625768651	1,128225439	0,886347679	5,76
ITPK1	0,000618177	0,174012052	0,713	0,31	1	1,128191562	0,886374295	2,3
NEK2	0,001441587	0,173933904	0,125	0,01	1	1,128130452	0,886422309	12,5
DRG2	3,98263E-05	0,173907082	0,375	0,09	0,840375196	1,128109478	0,886438789	4,166666667
RPS4X	0,023653503	0,173603586	1	0,99	1	1,127872186	0,88625286	1,01010101
SIGMAR1	0,000157749	0,17356793	0,3	0,07	1	1,127844311	0,8866472	4,285714286
PLIN3	0,000277413	0,173424648	0,675	0,28	1	1,127732304	0,886735262	2,410714286
BBIP1	5,88999E-05	0,173419486	0,55	0,19	1	1,127728269	0,886738435	2,894736842
EPS8L1	4,64688E-05	0,173149394	0,212	0,02	0,98053888	1,127517163	0,88690446	10,6
CTXN1	0,00073694	0,173081689	0,138	0,01	1	1,127464251	0,886946082	13,8
COQ6	2,27565E-05	0,172963449	0,25	0,03	0,480184272	1,127371849	0,887018778	8,333333333
ANKRA2	0,005670079	0,172963404	0,125	0,02	1	1,127371814	0,887018805	6,25
THOC2	4,66833E-05	0,172648308	0,613	0,22	0,985065059	1,127125614	0,887212559	2,786363636
RFC3	9,13811E-05	0,172445689	0,2	0,02	1	1,126967327	0,887337172	10
H6PD	0,017470544	0,172064208	0,125	0,03	1	1,126669371	0,887571834	4,166666667
CWC27	1,66074E-05	0,172043873	0,412	0,1	0,350433319	1,12665349	0,887584345	4,12
PUSL1	9,6443E-09	0,171990465	0,35	0,02	0,000203504	1,126611783	0,887617204	17,5
TMEM250	0,000232417	0,171963057	0,275	0,06	1	1,12659038	0,887634066	4,583333333
PDRG1	6,59441E-05	0,171855549	0,362	0,09	1	1,126506431	0,887700214	4,022222222
BAK1	4,41317E-06	0,171832305	0,225	0,01	0,093122364	1,126488281	0,887714517	22,5
LMNB2	0,000129061	0,171710436	0,262	0,05	1	1,126393127	0,887789508	5,24

Supplementary Table 4

Differentially expressed genes_keloid-CCD_ comparing SC-Keloid vs. (SC-Myel, SC-Nonmyel)								
gene	p_val	avg_log2FC	pct.1	pct.2	p_val_adj	Foldchange_UP	Foldchange_DOWN	Ratio_pct1_pct2
DOCK7	1,38797E-06	0,171489193	0,512	0,12	0,029287647	1,126220404	0,887925664	4,266666667
ATAD3A	2,51826E-06	0,171291868	0,362	0,06	0,053137822	1,126066375	0,888047119	6,033333333
DIAPH3	0,000291957	0,171259053	0,125	0	1	1,126040762	0,888067318	#DIV/0!
VPS41	4,54963E-05	0,171161757	0,35	0,08	0,960016377	1,125964824	0,888127212	4,375
FAF2	6,92552E-06	0,171080639	0,388	0,08	0,146135399	1,125901516	0,88817715	4,85
PML	0,000503135	0,170906143	0,238	0,05	1	1,125765345	0,888284583	4,76
EIF4ENIF1	0,000291957	0,17090482	0,125	0	1	1,125764313	0,888285398	#DIV/0!
NEDD4	0,000173649	0,170576473	0,238	0,04	1	1,125508126	0,888487588	5,95
ZBTB8OS	3,189E-06	0,170562423	0,475	0,11	0,067290985	1,125497165	0,888496241	4,318181818
SPDL1	5,05615E-05	0,170486798	0,238	0,03	1	1,125438169	0,888542816	7,933333333
C3orf70	0,000252793	0,170447564	0,388	0,12	1	1,125407563	0,88856698	3,233333333
TTL7	2,77389E-06	0,170338477	0,55	0,15	0,05853182	1,12532247	0,88863417	3,666666667
GBF1	6,3802E-05	0,17018513	0,3	0,06	1	1,125202864	0,88872863	5
ERAP1	0,000232417	0,170117614	0,275	0,06	1	1,125150207	0,888770222	4,583333333
GDE1	9,71251E-06	0,169923703	0,5	0,14	0,204943665	1,124998987	0,888889689	3,571428571
C11orf1	9,72594E-05	0,169801083	0,288	0,06	1	1,124903374	0,888965242	4,8
PKD1	3,41708E-05	0,16966996	0,338	0,07	0,721037878	1,124801138	0,889046042	4,828571429
RALB	5,24545E-05	0,169655332	0,4	0,11	1	1,124789734	0,889055056	3,636363636
NCAPG	0,000138823	0,169627729	0,138	0	1	1,124768214	0,889072066	#DIV/0!
PFKM	0,000138823	0,169555827	0,138	0	1	1,124712158	0,889116378	#DIV/0!
THOP1	5,07796E-06	0,169528806	0,25	0,02	0,107150111	1,124691093	0,889133031	12,5
PAWR	0,000166895	0,169418088	0,238	0,04	1	1,124604783	0,889201269	5,95
MED29	8,40118E-06	0,16934504	0,362	0,07	0,177273209	1,124547843	0,889246293	5,171428571
CPTP	4,44544E-06	0,169318487	0,275	0,03	0,093803315	1,124527145	0,88926266	9,166666667
NDUFV3	6,26172E-05	0,169250282	0,3	0,06	1	1,124473983	0,889304702	5
PLEKHJ1	3,22393E-07	0,169236239	0,562	0,13	0,006802824	1,124463038	0,889313358	4,323076923
CMTM3	0,00066468	0,169223375	0,688	0,29	1	1,124453012	0,889321287	2,372413793
AFAP1L1	1,91785E-05	0,169071293	0,325	0,06	0,404685147	1,124334483	0,889415041	5,416666667
HMGCL	0,000160388	0,168989764	0,238	0,04	1	1,124270947	0,889465305	5,95
MAPRE3	0,002663337	0,16892375	0,312	0,11	1	1,124219504	0,889506005	2,836363636

Supplementary Table 4

Differentially expressed genes_keloid-CCD_ comparing SC-Keloid vs. (SC-Myel, SC-Nonmyel)								
gene	p_val	avg_log2FC	pct.1	pct.2	p_val_adj	Foldchange_UP	Foldchange_DOWN	Ratio_pct1_pct2
RITA1	6,74984E-06	0,168921164	0,188	0	0,142428329	1,124217489	0,889507599	#DIV/0!
PIGW	3,09504E-05	0,168864017	0,162	0	0,653084942	1,124172958	0,889542835	#DIV/0!
IQCG	0,000363426	0,168814079	0,2	0,03	1	1,124134047	0,889573626	6,666666667
ZDHHC24	3,78669E-06	0,168747757	0,4	0,08	0,079902949	1,12408237	0,889614521	5
ERI1	1,86072E-05	0,16859559	0,2	0,01	0,392631437	1,123963815	0,889708358	20
ABRAXAS2	4,53631E-05	0,168543491	0,238	0,03	0,95720682	1,123923227	0,889740487	7,933333333
PRKRA	1,02857E-05	0,168427215	0,637	0,2	0,217038006	1,123832646	0,889812201	3,185
SNUPN	0,000112829	0,168399231	0,262	0,05	1	1,123810848	0,88982946	5,24
PIP5K1C	0,000324278	0,168267831	0,225	0,04	1	1,123708496	0,889910509	5,625
CSKMT	6,04779E-05	0,168076342	0,275	0,05	1	1,123559356	0,890028635	5,5
PLN	0,040690206	0,167973714	0,088	0,02	1	1,123479433	0,890091951	4,4
NUCKS1	0,199068854	0,167907499	0,95	0,79	1	1,12342787	0,890132804	1,202531646
ZRANB2	0,000376611	0,167707252	0,6	0,23	1	1,123271948	0,890256364	2,608695652
SIL1	6,13103E-07	0,167678062	0,562	0,14	0,012937081	1,123249222	0,890274376	4,014285714
SSX2IP	6,57145E-05	0,167515235	0,15	0	1	1,123122455	0,890374861	#DIV/0!
HELZ2	6,57145E-05	0,167475281	0,15	0	1	1,123091352	0,890399519	#DIV/0!
EDEM3	0,000285676	0,167458035	0,288	0,07	1	1,123077927	0,890410163	4,114285714
UHMK1	0,000359105	0,167226401	0,362	0,11	1	1,122897624	0,890553136	3,290909091
STRADA	0,011660059	0,167135208	0,15	0,04	1	1,122826648	0,890609429	3,75
ERFE	0,000155955	0,166988337	0,162	0,01	1	1,122712346	0,890700101	16,2
TM2D2	1,52213E-05	0,166950638	0,412	0,1	0,321184413	1,122683009	0,890723376	4,12
ZCCHC9	0,000348751	0,166906287	0,2	0,03	1	1,122648496	0,890750759	6,666666667
NDC80	0,000180973	0,166722404	0,162	0,01	1	1,122505414	0,8908643	16,2
TMEM242	4,23758E-05	0,166671974	0,438	0,12	0,894172513	1,122466177	0,890895441	3,65
GALNS	9,34971E-05	0,166586207	0,2	0,02	1	1,12239945	0,890948405	10
NREP	0,000194195	0,166380057	0,488	0,17	1	1,122239079	0,891075724	2,870588235
MRPS9	5,80834E-05	0,166312001	0,3	0,06	1	1,122186142	0,891117759	5
NUDT16	0,000112764	0,166283177	0,288	0,06	1	1,122163721	0,891135564	4,8
FAM114A2	0,00016852	0,166231105	0,212	0,03	1	1,122123219	0,891167729	7,066666667
UXT	0,000210906	0,16610046	0,762	0,33	1	1,122021608	0,891248433	2,309090909

Supplementary Table 4

Differentially expressed genes_keloid-CCD_ comparing SC-Keloid vs. (SC-Myel, SC-Nonmyel)								
gene	p_val	avg_log2FC	pct.1	pct.2	p_val_adj	Foldchange_UP	Foldchange_DOWN	Ratio_pct1_pct2
NSD2	1,40222E-05	0,165906284	0,375	0,08	0,295882118	1,121870603	0,891368396	4,6875
PDCD11	0,00016852	0,165787472	0,212	0,03	1	1,121778215	0,891441808	7,066666667
MIA	0,0884957	0,165614541	1	0,84	1	1,12164376	0,891548668	1,19047619
ZBTB14	0,000375171	0,165503559	0,15	0,01	1	1,121557479	0,891617255	15
KIF2C	0,001278066	0,165438685	0,1	0	1	1,121507047	0,891657349	#DIV/0!
EIF4G1	2,22811E-05	0,165313134	0,462	0,13	0,47015304	1,121409451	0,891734949	3,553846154
DNAJC17	4,54853E-06	0,165265083	0,275	0,03	0,095978629	1,121372102	0,89176465	9,166666667
SPATA20	0,000582576	0,165168412	0,188	0,03	1	1,121296964	0,891824407	6,266666667
ARHGEF1	5,58759E-06	0,165124892	0,438	0,1	0,117903745	1,12126314	0,89185131	4,38
TAGLN2	0,010358843	0,164929078	1	0,93	1	1,121110963	0,891972367	1,075268817
FMN1	0,000611714	0,164825979	0,112	0	1	1,121030849	0,892036112	#DIV/0!
ITGA2	1,48342E-05	0,164806452	0,5	0,14	0,313016505	1,121015675	0,892048186	3,571428571
KIF11	0,003313746	0,164723035	0,112	0,01	1	1,12095086	0,892099766	11,2
ALG8	2,04686E-06	0,16462739	0,238	0,01	0,043190826	1,120876548	0,892158911	23,8
TMEM177	3,09504E-05	0,164612439	0,162	0	0,653084942	1,120864932	0,892168157	#DIV/0!
TWIST1	0,005670079	0,164604245	0,125	0,02	1	1,120858566	0,892173224	6,25
VRK1	0,00045095	0,164546907	0,238	0,05	1	1,12081402	0,892208683	4,76
GOLGA3	0,000410376	0,164442651	0,438	0,15	1	1,120733027	0,89227316	2,92
TRAPPC3	0,000206139	0,164324182	0,525	0,18	1	1,120641001	0,892346433	2,916666667
CDKN2AIPNL	2,47158E-06	0,164299033	0,425	0,09	0,052152812	1,120621466	0,892361989	4,722222222
SLC25A39	3,87164E-05	0,164241613	0,4	0,1	0,816954001	1,120576865	0,892397506	4
MNAT1	8,13246E-05	0,164188548	0,4	0,11	1	1,120535649	0,892430331	3,636363636
TRIP13	6,57145E-05	0,164182003	0,15	0	1	1,120530565	0,89243438	#DIV/0!
OGFR	0,000106594	0,16401454	0,412	0,12	1	1,120400506	0,892537976	3,433333333
PJA1	0,000144173	0,164012087	0,362	0,1	1	1,120398601	0,892539493	3,62
ATM	0,000122612	0,164009345	0,362	0,1	1	1,120396471	0,89254119	3,62
MFS10	0,000628255	0,164002389	0,738	0,31	1	1,120391069	0,892545494	2,380645161
XPNPEP1	2,45987E-06	0,164000923	0,312	0,04	0,051905779	1,120389931	0,8925464	7,8
TXN2	3,14612E-05	0,163876093	0,675	0,23	0,663863472	1,120292993	0,892623632	2,934782609
NDUFA9	2,62902E-05	0,163860657	0,475	0,14	0,554749807	1,120281007	0,892633182	3,392857143

Supplementary Table 4

Differentially expressed genes_keloid-CCD_ comparing SC-Keloid vs. (SC-Myel, SC-Nonmyel)								
gene	p_val	avg_log2FC	pct.1	pct.2	p_val_adj	Foldchange_UP	Foldchange_DOWN	Ratio_pct1_pct2
RAD51C	5,7981E-05	0,163744945	0,325	0,07	1	1,120191157	0,89270478	4,642857143
CEP164	0,000300478	0,16368958	0,325	0,09	1	1,12014817	0,892739038	3,611111111
RMND1	0,000346457	0,163668414	0,175	0,02	1	1,120131736	0,892752136	8,75
DNAJC30	8,67798E-05	0,163588155	0,175	0,01	1	1,120069423	0,892801802	17,5
DNAJC4	2,76382E-06	0,163531416	0,475	0,11	0,0583193	1,120025374	0,892836916	4,318181818
ACBD3	0,003174214	0,163472712	0,688	0,33	1	1,1199798	0,892873246	2,084848485
COMMD5	1,2475E-05	0,163318823	0,35	0,07	0,26323448	1,119860341	0,892968492	5
TMC7	0,006187597	0,163047948	0,162	0,04	1	1,119650099	0,893136169	4,05
ARFGAP3	0,001264011	0,162889577	0,675	0,3	1	1,119527197	0,893234218	2,25
DNAJC24	0,00027602	0,162881377	0,288	0,07	1	1,119520834	0,893239294	4,114285714
ERAL1	9,1613E-05	0,162836072	0,225	0,03	1	1,119485678	0,893267345	7,5
B3GNT9	8,93105E-05	0,162787498	0,2	0,02	1	1,119447987	0,893297421	10
SDAD1	0,000406859	0,162730987	0,3	0,08	1	1,119404139	0,893332413	3,75
LINC00623	5,0016E-06	0,162423339	0,462	0,11	0,1055388	1,119165457	0,893522932	4,2
CCDC14	2,71594E-06	0,162333331	0,425	0,09	0,05730897	1,119095636	0,893578679	4,722222222
WDR46	5,44292E-05	0,162329793	0,438	0,13	1	1,119092891	0,893580871	3,369230769
PHF5A	0,000224234	0,162164359	0,275	0,06	1	1,118964572	0,893683344	4,583333333
CUL5	0,000677138	0,162067869	0,425	0,15	1	1,118889736	0,893743117	2,833333333
MTHFD1	0,000232417	0,162026482	0,275	0,06	1	1,118857639	0,893768756	4,583333333
DHRS4L2	0,000127567	0,161993364	0,462	0,15	1	1,118831955	0,893789273	3,08
METTL8	4,24089E-05	0,161950618	0,188	0,01	0,894869854	1,118798805	0,893815756	18,8
METTL21A	1,92667E-05	0,161851356	0,275	0,04	0,406545813	1,118721831	0,893877256	6,875
PRKAG1	1,4802E-05	0,161818244	0,35	0,07	0,31233741	1,118696155	0,893897772	5
NCAPG2	6,57145E-05	0,16179709	0,15	0	1	1,118679752	0,893910879	#DIV/0!
RTL6	0,000266675	0,16179495	0,225	0,04	1	1,118678092	0,893912205	5,625
FAM234A	0,000197507	0,161772638	0,412	0,13	1	1,118660791	0,89392603	3,169230769
RPS15	0,015052321	0,161664387	1	0,99	1	1,118576857	0,893993107	1,01010101
CILK1	0,000233613	0,161613263	0,312	0,08	1	1,118537219	0,894024788	3,9
B3GNT7	0,000163611	0,161556042	0,238	0,04	1	1,118492856	0,894060248	5,95
EXOC5	5,93713E-05	0,161532779	0,388	0,1	1	1,118474821	0,894074664	3,88

Supplementary Table 4

Differentially expressed genes_keloid-CCD_ comparing SC-Keloid vs. (SC-Myel, SC-Nonmyel)								
gene	p_val	avg_log2FC	pct.1	pct.2	p_val_adj	Foldchange_UP	Foldchange_DOWN	Ratio_pct1_pct2
CNPY2	0,036874509	0,161527801	0,975	0,73	1	1,118470962	0,894077749	1,335616438
DYNC2I1	9,66395E-05	0,161301346	0,438	0,13	1	1,118295413	0,894218101	3,369230769
PPP6R1	2,15371E-05	0,161183024	0,325	0,06	0,454454589	1,1182037	0,894291443	5,416666667
RNF4	2,84063E-05	0,161141444	0,338	0,07	0,599402379	1,118171473	0,894317217	4,828571429
CDH15	0,001425758	0,161092335	0,15	0,02	1	1,118133411	0,89434766	7,5
MSRB1	8,17839E-06	0,161049761	0,288	0,04	0,172572148	1,118100415	0,894374053	7,2
PIGF	6,72476E-05	0,160877747	0,375	0,1	1	1,117967111	0,894480696	3,75
THRAP3	0,000616016	0,160852236	0,775	0,34	1	1,117947343	0,894496513	2,279411765
UBE3B	2,50819E-06	0,160845696	0,262	0,02	0,052925218	1,117942275	0,894500568	13,1
ZNF32	0,000160048	0,16067481	0,575	0,22	1	1,117809863	0,894606527	2,613636364
SRRD	2,59401E-06	0,160591279	0,388	0,07	0,054736273	1,117745145	0,894658326	5,542857143
NOMO1	7,9448E-05	0,160552013	0,275	0,05	1	1,117714723	0,894682677	5,5
SPCS2	0,177451765	0,160462925	0,963	0,74	1	1,117645706	0,894737925	1,301351351
SPOUT1	0,000323985	0,160301969	0,175	0,02	1	1,11752102	0,894837754	8,75
AC002454.1	0,000611714	0,160299681	0,112	0	1	1,117519249	0,894839173	#DIV/0!
EIF2AK1	0,000128382	0,160287751	0,388	0,11	1	1,117510008	0,894846572	3,527272727
NFE2L3	0,000906469	0,160259734	0,262	0,07	1	1,117488306	0,89486395	3,742857143
UBA3	7,47148E-05	0,160074938	0,338	0,08	1	1,117345175	0,894978582	4,225
RPL23A	0,021682567	0,160070728	1	0,93	1	1,117341914	0,894981194	1,075268817
LAP3	0,0002528	0,159934156	0,45	0,15	1	1,117236147	0,89506592	3
PPP2R5B	0,001142385	0,159888571	0,2	0,04	1	1,117200846	0,895094202	5
POLD3	0,009057333	0,159822906	0,175	0,05	1	1,117149997	0,895134944	3,5
RIN1	4,54033E-05	0,15976564	0,212	0,02	0,958054417	1,117105654	0,895170476	10,6
NTN1	0,001548751	0,159748789	0,125	0,01	1	1,117092606	0,895180932	12,5
SLC25A26	2,27067E-05	0,159733893	0,338	0,07	0,479133493	1,117081072	0,895190175	4,828571429
LYRM2	5,21089E-05	0,159669724	0,537	0,17	1	1,117031387	0,895229993	3,158823529
CDCA5	3,09504E-05	0,159659636	0,162	0	0,653084942	1,117023577	0,895236252	#DIV/0!
TRO	0,006281588	0,159596211	0,1	0,01	1	1,11697447	0,89527561	10
YIPF1	0,000138823	0,159525721	0,138	0	1	1,116919896	0,895319354	#DIV/0!
RASL11B	0,000370979	0,159523818	0,2	0,03	1	1,116918423	0,895320535	6,666666667

Supplementary Table 4

Differentially expressed genes_keloid-CCD_ comparing SC-Keloid vs. (SC-Myel, SC-Nonmyel)								
gene	p_val	avg_log2FC	pct.1	pct.2	p_val_adj	Foldchange_UP	Foldchange_DOWN	Ratio_pct1_pct2
PYROXD1	1,95796E-05	0,159409813	0,2	0,01	0,413149116	1,116830164	0,895391289	20
GMDS	8,53014E-05	0,159356247	0,2	0,02	1	1,116788698	0,895424534	10
NSD1	3,27857E-05	0,159294532	0,462	0,13	0,691811451	1,116740926	0,895462839	3,553846154
NSMCE1	0,000187422	0,159259933	0,525	0,18	1	1,116714144	0,895484315	2,916666667
CRADD	4,64688E-05	0,159040067	0,212	0,02	0,98053888	1,116543971	0,895620796	10,6
GALNT7	9,21767E-05	0,158955815	0,25	0,04	1	1,116478768	0,895673101	6,25
ABHD6	0,000138823	0,158873049	0,138	0	1	1,116414718	0,895724487	#DIV/0!
ECI1	0,000515991	0,15844252	0,613	0,25	1	1,116081607	0,895991829	2,452
MRPL32	8,86884E-06	0,15838165	0,575	0,17	0,187141487	1,116034519	0,896029633	3,382352941
MRPL11	1,51189E-06	0,158344106	0,688	0,21	0,031902291	1,116005476	0,896052951	3,276190476
EMC6	0,000364899	0,15822716	0,7	0,29	1	1,115915015	0,896125589	2,413793103
GOS2	0,874019543	0,158221179	0,013	0,01	1	1,115910389	0,896129304	1,3
ERG28	5,39805E-06	0,158128297	0,325	0,05	0,113904202	1,115838548	0,896186999	6,5
UBE4A	1,25013E-07	0,158032486	0,438	0,07	0,002637898	1,115764446	0,896246518	6,257142857
FEZ2	0,000261004	0,15788626	0,625	0,25	1	1,115651362	0,896337363	2,5
TMEM33	0,000150222	0,157828726	0,388	0,11	1	1,115606872	0,896373109	3,527272727
ECRG4	2,04686E-06	0,157692531	0,238	0,01	0,043190826	1,11550156	0,896457733	23,8
CSTB	0,009570402	0,157662473	0,775	0,42	1	1,115478319	0,896476411	1,845238095
MICALL1	5,4889E-05	0,157622572	0,3	0,06	1	1,115447468	0,896501205	5
ZDHHC3	6,44026E-07	0,157580312	0,338	0,04	0,013589599	1,115414795	0,896527466	8,45
FMNL1	0,000180973	0,157564606	0,162	0,01	1	1,115402652	0,896537226	16,2
COMMD7	1,82661E-05	0,157415731	0,637	0,21	0,385433504	1,115287557	0,896629747	3,033333333
HTATSF1	1,0851E-05	0,157380381	0,488	0,13	0,22896748	1,11526023	0,896651717	3,753846154
PHTF2	7,79885E-06	0,157097416	0,312	0,05	0,164563512	1,115041508	0,8968276	6,24
PPP5C	4,07707E-05	0,157064258	0,288	0,05	0,860302139	1,11501588	0,896848213	5,76
EIF3B	0,000483522	0,156900393	0,5	0,19	1	1,114889242	0,896950085	2,631578947
TMEM256	0,001170847	0,156844822	0,575	0,25	1	1,114846298	0,896984635	2,3
DTX3	0,00027602	0,156554141	0,288	0,07	1	1,114621696	0,897165382	4,114285714
RPS6KA1	0,000395843	0,156507471	0,175	0,02	1	1,114585639	0,897194405	8,75
ZNF598	4,95137E-05	0,156381004	0,262	0,04	1	1,114487939	0,897273057	6,55

Supplementary Table 4

Differentially expressed genes_keloid-CCD_ comparing SC-Keloid vs. (SC-Myel, SC-Nonmyel)								
gene	p_val	avg_log2FC	pct.1	pct.2	p_val_adj	Foldchange_UP	Foldchange_DOWN	Ratio_pct1_pct2
RUFY2	6,12958E-05	0,156294691	0,25	0,04	1	1,114421264	0,89732674	6,25
RAF1	1,99762E-05	0,156195532	0,525	0,16	0,42151761	1,114344671	0,897388417	3,28125
NPEPL1	7,83402E-05	0,156157944	0,425	0,12	1	1,114315638	0,897411798	3,541666667
RPL38	0,034413362	0,156154111	1	0,84	1	1,114312677	0,897414182	1,19047619
DPYSL3	0,000204342	0,156145081	0,188	0,02	1	1,114305703	0,897419799	9,4
PCYOX1L	4,64688E-05	0,156057076	0,212	0,02	0,98053888	1,114237731	0,897474544	10,6
CMTR2	0,000409923	0,155806408	0,262	0,06	1	1,11404415	0,897630494	4,366666667
DNAJC9	1,01718E-05	0,155751793	0,362	0,07	0,214635945	1,114001977	0,897664475	5,171428571
MND1	0,000138823	0,155674136	0,138	0	1	1,113942015	0,897712796	#DIV/0!
KNSTRN	0,00613773	0,155350878	0,1	0,01	1	1,113692446	0,897913965	10
EEF2KMT	4,13543E-05	0,155230442	0,188	0,01	0,872616559	1,113599479	0,897988926	18,8
ABCB8	0,000386526	0,155103669	0,2	0,03	1	1,113501629	0,898067837	6,666666667
MYEF2	0,003885837	0,154964355	0,262	0,09	1	1,113394109	0,898154563	2,911111111
ABCD4	1,03595E-05	0,154850324	0,438	0,11	0,218596031	1,11330611	0,898225556	3,981818182
EXOSC5	0,000212465	0,15478038	0,275	0,06	1	1,113252136	0,898269105	4,583333333
STRADB	4,24089E-05	0,154778915	0,188	0,01	0,894869854	1,113251005	0,898270017	18,8
PTCD3	0,000704114	0,154738932	0,25	0,06	1	1,113220153	0,898294912	4,166666667
EIF2S1	0,00039432	0,154658596	0,55	0,2	1	1,113158166	0,898344935	2,75
NTHL1	0,000123867	0,154497388	0,525	0,18	1	1,113033787	0,898445323	2,916666667
TBCD	0,000131283	0,154383699	0,238	0,04	1	1,112946081	0,898516125	5,95
ALDH16A1	7,49618E-05	0,154369538	0,275	0,05	1	1,112935156	0,898524945	5,5
DDX55	0,000659913	0,154323173	0,212	0,04	1	1,112899389	0,898553822	5,3
ATAT1	8,89706E-05	0,154160627	0,175	0,01	1	1,112774008	0,898655066	17,5
LYPLAL1	0,000254117	0,154144553	0,275	0,06	1	1,11276161	0,898665079	4,583333333
OGG1	0,001185544	0,154141865	0,2	0,04	1	1,112759537	0,898666753	5
UBE4B	0,000174798	0,154134578	0,262	0,05	1	1,112753916	0,898671292	5,24
LRRC45	9,21767E-05	0,154128717	0,25	0,04	1	1,112749395	0,898674943	6,25
CYB561A3	0,000128215	0,153999387	0,288	0,06	1	1,112649648	0,898755509	4,8
ATG7	0,00151088	0,153997169	0,212	0,05	1	1,112647937	0,898756891	4,24
ATP2B1	0,000572369	0,153993297	0,688	0,29	1	1,112644951	0,898759302	2,372413793

Supplementary Table 4

Differentially expressed genes_keloid-CCD_ comparing SC-Keloid vs. (SC-Myel, SC-Nonmyel)								
gene	p_val	avg_log2FC	pct.1	pct.2	p_val_adj	Foldchange_UP	Foldchange_DOWN	Ratio_pct1_pct2
CORO2A	0,000138823	0,153990533	0,138	0	1	1,112642819	0,898761024	#DIV/0!
ACTL6A	0,000195632	0,153990158	0,45	0,15	1	1,11264253	0,898761258	3
CBY1	0,000307976	0,153892177	0,425	0,14	1	1,112566968	0,898822299	3,035714286
CKAP2L	0,001278066	0,153794865	0,1	0	1	1,112491926	0,898882928	#DIV/0!
MAVS	3,85679E-05	0,153689327	0,212	0,02	0,813821874	1,112410546	0,898948687	10,6
UBA1	0,000121855	0,153523085	0,537	0,18	1	1,11228237	0,899052279	2,983333333
LARS1	0,001947357	0,153477096	0,6	0,27	1	1,112246914	0,899080939	2,222222222
NRM	1,7745E-05	0,153361505	0,325	0,06	0,374437964	1,112157803	0,899152978	5,416666667
TMEM59L	0,002656888	0,153316329	0,562	0,25	1	1,112122978	0,899181134	2,248
BLCAP	0,000153175	0,153161695	0,262	0,05	1	1,112003782	0,899277517	5,24
PTRH1	2,73235E-06	0,153067746	0,362	0,06	0,057655315	1,111931371	0,89933608	6,033333333
R3HCC1	4,6134E-06	0,152948603	0,575	0,17	0,097347413	1,111839547	0,899410354	3,382352941
PRPF19	1,12934E-05	0,1529298	0,312	0,05	0,238302731	1,111825056	0,899422076	6,24
DCTN5	0,000160388	0,15288948	0,238	0,04	1	1,111793983	0,899447213	5,95
FAM118B	4,43609E-05	0,15284903	0,212	0,02	0,9360595	1,111762812	0,899472432	10,6
PPP2R3B	2,23258E-05	0,152773818	0,275	0,04	0,471097584	1,111704854	0,899519325	6,875
MRPS22	3,12273E-06	0,152672134	0,438	0,1	0,065892762	1,111626501	0,899582728	4,38
PIGS	4,54913E-06	0,152608148	0,3	0,04	0,095991137	1,1115772	0,899622626	7,5
BPHL	4,07707E-05	0,152265515	0,288	0,05	0,860302139	1,111313237	0,899836308	5,76
MAPKAPK3	0,000505149	0,152255049	0,212	0,04	1	1,111305175	0,899842836	5,3
ARFIP2	2,30514E-05	0,152178776	0,388	0,09	0,486407168	1,111246424	0,89989041	4,311111111
CFAP97	0,000338908	0,152175468	0,762	0,33	1	1,111243876	0,899892474	2,309090909
TSFM	7,64299E-05	0,151910951	0,275	0,05	1	1,111040149	0,900057483	5,5
ZWILCH	0,000378693	0,151809196	0,175	0,02	1	1,110961789	0,900120967	8,75
GET3	9,69847E-05	0,151771591	0,688	0,27	1	1,110932831	0,90014443	2,548148148
MACIR	0,000330677	0,151655071	0,425	0,14	1	1,110843109	0,900217134	3,035714286
ZNF121	0,023011948	0,151611553	0,138	0,04	1	1,110809602	0,900244289	3,45
PLEK2	3,09504E-05	0,151609225	0,162	0	0,653084942	1,110807809	0,900245741	#DIV/0!
L3MBTL2	1,09647E-05	0,151517925	0,238	0,02	0,231366484	1,110737515	0,900302715	11,9
MINDY3	9,56592E-05	0,151426505	0,2	0,02	1	1,110667133	0,900359766	10

Supplementary Table 4

Differentially expressed genes_keloid-CCD_comparing SC-Keloid vs. (SC-Myel, SC-Nonmyel)								
gene	p_val	avg_log2FC	pct.1	pct.2	p_val_adj	Foldchange_UP	Foldchange_DOWN	Ratio_pct1_pct2
MCM4	1,84687E-05	0,15140256	0,275	0,04	0,38970895	1,110648698	0,90037471	6,875
STT3A	2,73235E-06	0,151316424	0,362	0,06	0,057655315	1,110582389	0,900428469	6,033333333
TRIQK	0,001125039	0,151309749	0,3	0,09	1	1,110577251	0,900432635	3,333333333
TBC1D8B	0,000387179	0,151285009	0,175	0,02	1	1,110558206	0,900448076	8,75
DHRXS	0,000124212	0,151236518	0,262	0,05	1	1,110520879	0,900478342	5,24
SDSL	0,000375171	0,151172668	0,15	0,01	1	1,110471731	0,900518196	15
FXD3	0,001036853	0,151100676	0,338	0,11	1	1,11041632	0,900563133	3,072727273
C6orf226	8,40843E-05	0,151073239	0,225	0,03	1	1,110395202	0,90058026	7,5
RAC2	6,57145E-05	0,151043831	0,15	0	1	1,110372567	0,900598618	#DIV/0!
SNRPA	6,30961E-05	0,151031967	0,45	0,13	1	1,110363437	0,900606024	3,461538462
FOXD1	0,000611714	0,150857775	0,112	0	1	1,110229379	0,900714771	#DIV/0!
RAB14	0,002020681	0,150833546	0,725	0,33	1	1,110210733	0,900729898	2,196969697
PEMT	9,41893E-06	0,150827817	0,425	0,1	0,198748944	1,110206324	0,900733475	4,25
GTF2F2	0,000156255	0,150744291	0,525	0,19	1	1,11014205	0,900785625	2,763157895
SH3YL1	0,000225689	0,15063072	0,45	0,15	1	1,110054662	0,900856538	3
PARN	0,000378693	0,150625277	0,175	0,02	1	1,110050474	0,900859937	8,75
LEF1	5,91868E-05	0,150292502	0,3	0,06	1	1,109794456	0,901067756	5
DERL2	5,81778E-06	0,150196694	0,575	0,16	0,122761056	1,109720759	0,901127596	3,59375
CDC27	0,000439662	0,150029855	0,462	0,16	1	1,109592434	0,901231812	2,8875
PHF21A	0,000286753	0,149967635	0,25	0,05	1	1,109544581	0,901270681	5
MARS1	0,000166273	0,14944027	0,3	0,07	1	1,10913907	0,901600193	4,285714286
PCSK7	8,54877E-05	0,149382099	0,438	0,13	1	1,109094349	0,901636548	3,369230769
IMMP1L	8,46503E-05	0,149131547	0,312	0,07	1	1,10890175	0,901793148	4,457142857
TMEM234	0,001858958	0,149112018	0,188	0,04	1	1,10888674	0,901805355	4,7
SEMA6A	0,001219163	0,149012385	0,238	0,06	1	1,108810162	0,901867636	3,966666667
DDX50	4,31379E-05	0,148921787	0,35	0,08	0,910252278	1,108740534	0,901924273	4,375
HDAC8	0,000366117	0,148903677	0,15	0,01	1	1,108726616	0,901935595	15
FAM210B	0,00067127	0,148678435	0,762	0,34	1	1,108553529	0,902076421	2,241176471
CLINT1	0,000987059	0,148593954	0,562	0,23	1	1,108488616	0,902129247	2,443478261
IREB2	0,000119534	0,148460452	0,262	0,05	1	1,108386045	0,90221273	5,24

Supplementary Table 4

Differentially expressed genes_keloid-CCD_ comparing SC-Keloid vs. (SC-Myel, SC-Nonmyel)								
gene	p_val	avg_log2FC	pct.1	pct.2	p_val_adj	Foldchange_UP	Foldchange_DOWN	Ratio_pct1_pct2
CDC25B	0,000611706	0,148386235	0,212	0,04	1	1,108329027	0,902259144	5,3
GMFG	0,009201256	0,148361424	0,175	0,05	1	1,108309967	0,902274661	3,5
HDDC3	9,27729E-06	0,148353274	0,238	0,02	0,195760072	1,108303706	0,902279758	11,9
ZYG11B	4,69797E-05	0,148237745	0,388	0,1	0,991319578	1,108214958	0,902352015	3,88
SLC16A2	0,003162024	0,148217753	0,112	0,01	1	1,108199602	0,902364519	11,2
STOML1	3,84235E-05	0,148081122	0,288	0,05	0,810774541	1,108094654	0,902449982	5,76
DNM1	6,87564E-05	0,148077554	0,3	0,06	1	1,108091913	0,902452213	5
ACBD5	0,002453744	0,148012083	0,438	0,18	1	1,108041628	0,902493169	2,433333333
UEVLD	0,000387179	0,147958327	0,175	0,02	1	1,108000343	0,902526797	8,75
TRIM16	8,47213E-06	0,14781836	0,312	0,05	0,178770387	1,107892852	0,902614362	6,24
NOL4L	0,000151074	0,147612205	0,238	0,04	1	1,10773455	0,902743351	5,95
METAP2	0,000265266	0,147559543	0,812	0,35	1	1,107694116	0,902776304	2,32
CCDC51	0,000176556	0,147489263	0,162	0,01	1	1,107640156	0,902820284	16,2
MGAT2	2,34713E-05	0,147417241	0,225	0,02	0,495268417	1,107584862	0,902865355	11,25
CCDC152	0,000370979	0,147140703	0,2	0,03	1	1,107372579	0,903038435	6,666666667
EIF1AY	4,42095E-05	0,147069121	0,488	0,15	0,932864414	1,107317636	0,903083241	3,253333333
C7orf26	2,34713E-05	0,147050719	0,225	0,02	0,495268417	1,107303512	0,90309476	11,25
CDT1	3,09504E-05	0,147048095	0,162	0	0,653084942	1,107301498	0,903096403	#DIV/0!
RSRC1	1,32271E-05	0,147025627	0,488	0,13	0,279106011	1,107284254	0,903110468	3,753846154
ENOSF1	0,000378678	0,146978488	0,2	0,03	1	1,107248074	0,903139977	6,666666667
POMGNT2	6,57145E-05	0,146896675	0,15	0	1	1,107185286	0,903191194	#DIV/0!
TFPT	8,96733E-05	0,146892537	0,225	0,03	1	1,10718211	0,903193785	7,5
IMPACT	0,000332935	0,146839065	0,362	0,11	1	1,107141074	0,903227261	3,290909091
CBWD5	0,000324278	0,146795693	0,225	0,04	1	1,107107791	0,903254415	5,625
THOC3	2,00837E-05	0,146544837	0,2	0,01	0,423786989	1,106915304	0,903411487	20
DAB2	0,000761806	0,146418982	0,162	0,02	1	1,106818744	0,903490301	8,1
GPR180	2,73703E-05	0,146249134	0,338	0,07	0,57753988	1,106688447	0,903596674	4,828571429
NIPSNAP1	0,000185492	0,146199191	0,162	0,01	1	1,106650136	0,903627955	16,2
ENTPD6	2,2927E-05	0,146150895	0,225	0,02	0,483782912	1,10661309	0,903658206	11,25
FBXO4	0,002821773	0,146149922	0,275	0,09	1	1,106612344	0,903658815	3,055555556

Supplementary Table 4

Differentially expressed genes_keloid-CCD_ comparing SC-Keloid vs. (SC-Myel, SC-Nonmyel)								
gene	p_val	avg_log2FC	pct.1	pct.2	p_val_adj	Foldchange_UP	Foldchange_DOWN	Ratio_pct1_pct2
ANKRD6	0,006858718	0,14614712	0,162	0,04	1	1,106610195	0,90366057	4,05
SLC25A38	8,67798E-05	0,146081931	0,175	0,01	1	1,106560193	0,903701404	17,5
YWHAE	0,126883646	0,145777735	0,963	0,85	1	1,106326896	0,903891972	1,132941176
ATP6V1H	0,000439631	0,14573587	0,262	0,06	1	1,106294793	0,903918202	4,366666667
IFITM10	0,000291957	0,145679484	0,125	0	1	1,106251556	0,903953531	#DIV/0!
UBE2J1	2,29576E-05	0,145525412	0,55	0,18	0,484427747	1,10613342	0,904050074	3,055555556
FAHD2B	0,002987596	0,145465028	0,275	0,09	1	1,106087124	0,904087913	3,055555556
FYCO1	0,003162024	0,145378425	0,112	0,01	1	1,106020729	0,904142186	11,2
TSTD1	0,0041405	0,145319292	0,175	0,04	1	1,105975397	0,904179246	4,375
PAK4	8,33612E-05	0,145310289	0,2	0,02	1	1,105968495	0,904184888	10
SEC24C	2,34713E-05	0,145266235	0,225	0,02	0,495268417	1,105934723	0,904212499	11,25
SCAP	0,000204342	0,145129374	0,188	0,02	1	1,105829814	0,904298281	9,4
UBE2Q1	6,15981E-05	0,14477893	0,362	0,09	1	1,105561231	0,90451797	4,022222222
FAM217B	0,001360356	0,144719748	0,175	0,03	1	1,10551588	0,904555076	5,833333333
RPUSD3	1,12285E-05	0,144622043	0,238	0,02	0,236932166	1,105441012	0,904616338	11,9
HIKESHI	0,003571374	0,144602734	0,713	0,32	1	1,105426217	0,904628445	2,228125
FAM228B	0,000556348	0,144370799	0,275	0,07	1	1,105248517	0,90477389	3,928571429
DDX27	0,000120511	0,144330977	0,45	0,14	1	1,105218011	0,904798864	3,214285714
CCDC61	0,000395843	0,144300737	0,175	0,02	1	1,105194844	0,90481783	8,75
CYFIP1	0,001468044	0,144206362	0,362	0,13	1	1,10512255	0,90487702	2,784615385
TYSND1	0,001256963	0,143857347	0,175	0,03	1	1,104855232	0,905095954	5,833333333
SMYD2	0,000208673	0,143665581	0,275	0,06	1	1,104708382	0,905216269	4,583333333
DHRS12	0,001121354	0,143593315	0,2	0,04	1	1,104653048	0,905261613	5
CEP63	1,42516E-05	0,14354703	0,35	0,07	0,300723722	1,104617608	0,905290657	5
CCDC18	0,000611714	0,143416599	0,112	0	1	1,104517746	0,905372506	#DIV/0!
FERMT3	0,000384434	0,143379916	0,15	0,01	1	1,104489663	0,905395527	15
SCO1	4,19959E-05	0,142981506	0,262	0,04	0,886155152	1,104184693	0,905645592	6,55
RGS5	0,750137552	0,142968683	0,05	0,04	1	1,104174878	0,905653642	1,25
MSH2	0,000156102	0,14296738	0,262	0,05	1	1,104173881	0,90565446	5,24
PXN-AS1	0,000138823	0,142925463	0,138	0	1	1,1041418	0,905680774	#DIV/0!

Supplementary Table 4

Differentially expressed genes_keloid-CCD_ comparing SC-Keloid vs. (SC-Myel, SC-Nonmyel)								
gene	p_val	avg_log2FC	pct.1	pct.2	p_val_adj	Foldchange_UP	Foldchange_DOWN	Ratio_pct1_pct2
MCUR1	0,001554605	0,142925361	0,575	0,25	1	1,104141722	0,905680838	2,3
DMAP1	4,68731E-05	0,14287845	0,45	0,13	0,989068461	1,10410582	0,905710287	3,461538462
TRABD	1,53726E-05	0,142789929	0,35	0,07	0,324378008	1,104038076	0,905765862	5
RAI1	6,57145E-05	0,142783985	0,15	0	1	1,104033528	0,905769594	#DIV/0!
RNF166	0,000281484	0,142741339	0,25	0,05	1	1,104000893	0,905796369	5
UGGT2	1,56464E-05	0,142708504	0,438	0,11	0,330153749	1,103975767	0,905816985	3,981818182
RPL27A	0,004052912	0,142683957	0,988	0,85	1	1,103956983	0,905832397	1,162352941
PSPH	0,001553021	0,142341216	0,15	0,02	1	1,103694747	0,906047621	7,5
SANBR	2,00837E-05	0,142090236	0,2	0,01	0,423786989	1,103502759	0,906205256	20
CKAP2	0,001440167	0,141988419	0,238	0,06	1	1,103424882	0,906269213	3,966666667
KIF5A	0,000185492	0,141813712	0,162	0,01	1	1,103291269	0,906378967	16,2
SLC25A3	0,104068025	0,141720179	1	0,86	1	1,103219742	0,906437731	1,162790698
SLC2A6	6,57145E-05	0,141571862	0,15	0	1	1,103106331	0,906530923	#DIV/0!
CBWD2	0,000521745	0,141563944	0,238	0,05	1	1,103100277	0,906535898	4,76
SHROOM4	0,002228881	0,141489872	0,188	0,04	1	1,103043642	0,906582444	4,7
LEPROTL1	0,000396576	0,141480164	0,562	0,22	1	1,10303622	0,906588544	2,554545455
WDR41	5,02834E-06	0,141383156	0,412	0,09	0,106103056	1,102962053	0,906649506	4,577777778
CENPJ	0,000199343	0,141373662	0,212	0,03	1	1,102954795	0,906655472	7,066666667
RPP38	0,007218215	0,141324709	0,162	0,04	1	1,10291737	0,906686237	4,05
ZNF280D	0,000271971	0,141220392	0,225	0,04	1	1,102837624	0,906751799	5,625
AP1B1	0,00046759	0,141175159	0,212	0,04	1	1,102803048	0,906780229	5,3
PEDS1	2,69086E-06	0,141067769	0,45	0,1	0,056779884	1,102720961	0,90684773	4,5
NAPA	3,59966E-05	0,141051335	0,6	0,2	0,759563508	1,1027084	0,90685806	3
PRDX2	0,004216906	0,141045217	0,65	0,32	1	1,102703723	0,906861906	2,03125
TTLL12	3,09504E-05	0,14100012	0,162	0	0,653084942	1,102669255	0,906890254	#DIV/0!
AP3D1	1,19135E-05	0,140994217	0,462	0,12	0,251387052	1,102664743	0,906893964	3,85
NEFM	0,00031643	0,140953005	0,45	0,15	1	1,102633245	0,906919871	3
NAGA	4,24089E-05	0,140874757	0,188	0,01	0,894869854	1,102573442	0,906969061	18,8
SMIM29	0,000108981	0,140780311	0,537	0,18	1	1,102501265	0,907028438	2,983333333
NDRG4	0,000795661	0,140744823	0,162	0,02	1	1,102474146	0,907050749	8,1

Supplementary Table 4

Differentially expressed genes_keloid-CCD_ comparing SC-Keloid vs. (SC-Myel, SC-Nonmyel)								
gene	p_val	avg_log2FC	pct.1	pct.2	p_val_adj	Foldchange_UP	Foldchange_DOWN	Ratio_pct1_pct2
HDAC1	6,1743E-06	0,140635386	0,462	0,11	0,130283925	1,10239052	0,907119557	4,2
JADE2	0,000682932	0,14056121	0,162	0,02	1	1,102333842	0,907166198	8,1
FKBP7	2,84703E-05	0,140557291	0,525	0,16	0,600751359	1,102330847	0,907168662	3,28125
CHPF2	3,6205E-05	0,140545427	0,288	0,05	0,763961407	1,102321783	0,907176122	5,76
ANKRD65	0,013924832	0,140527003	0,2	0,07	1	1,102307705	0,907187708	2,857142857
SRA1	3,6407E-05	0,14049227	0,575	0,18	0,768224936	1,102281167	0,907209549	3,194444444
NOL3	0,000100126	0,140470819	0,2	0,02	1	1,102264778	0,907223038	10
ZDHHC1	0,003088561	0,140469409	0,112	0,01	1	1,102263701	0,907223924	11,2
TBC1D22A	0,0041405	0,140448473	0,175	0,04	1	1,102247705	0,90723709	4,375
C1orf35	0,006492531	0,14038307	0,362	0,15	1	1,102197736	0,90727822	2,413333333
DEAF1	0,000286414	0,140342935	0,375	0,11	1	1,102167075	0,90730346	3,409090909
HPS4	0,003726334	0,140327932	0,25	0,08	1	1,102155613	0,907312895	3,125
MKRN2	2,24357E-05	0,140310046	0,3	0,05	0,47341608	1,102141949	0,907324144	6
SLC25A46	0,00063016	0,140271482	0,325	0,1	1	1,102112488	0,907348397	3,25
EVA1A	0,000773413	0,140163835	0,138	0,01	1	1,102030258	0,907416101	13,8
SMUG1	0,000321047	0,140127524	0,2	0,03	1	1,10200252	0,907438941	6,666666667
FAHD2A	0,000117816	0,139714721	0,35	0,09	1	1,101687246	0,907698626	3,888888889
NNT	1,17769E-05	0,139694486	0,288	0,04	0,248503909	1,101671795	0,907711357	7,2
TSEN54	0,004809313	0,139680936	0,125	0,02	1	1,101661447	0,907719883	6,25
HMG3	0,013992342	0,139642681	0,925	0,6	1	1,101632236	0,907743953	1,541666667
APH1A	0,001574841	0,13944428	0,713	0,32	1	1,101480749	0,907868795	2,228125
C1QTNF6	0,002619134	0,139413568	0,162	0,03	1	1,1014573	0,907888122	5,4
DR1	0,001147876	0,139401625	0,5	0,2	1	1,101448183	0,907895638	2,5
TMEM18	0,000136287	0,139278539	0,5	0,17	1	1,101354214	0,9079731	2,941176471
VPS13C	0,000133617	0,139217481	0,55	0,2	1	1,101307604	0,908011528	2,75
MPHOSPH9	4,86715E-05	0,139184303	0,212	0,02	1	1,101282277	0,90803241	10,6
MAK16	4,75229E-05	0,139137886	0,262	0,04	1	1,101246845	0,908061625	6,55
TACC2	0,000294158	0,13907831	0,225	0,04	1	1,10120137	0,908099124	5,625
HERC1	0,000134532	0,138785387	0,35	0,09	1	1,100977806	0,908283523	3,888888889
ELAC2	0,000556055	0,138661517	0,212	0,04	1	1,10088328	0,908361511	5,3

Supplementary Table 4

Differentially expressed genes_keloid-CCD_ comparing SC-Keloid vs. (SC-Myel, SC-Nonmyel)								
gene	p_val	avg_log2FC	pct.1	pct.2	p_val_adj	Foldchange_UP	Foldchange_DOWN	Ratio_pct1_pct2
BTBD2	0,000142156	0,138603669	0,325	0,08	1	1,100839139	0,908397934	4,0625
ZNF512B	0,000384434	0,138541869	0,15	0,01	1	1,100791984	0,908436848	15
LCTL	7,7143E-05	0,13853459	0,225	0,03	1	1,10078643	0,908441431	7,5
GRHPR	0,001663966	0,138522792	0,725	0,34	1	1,100777428	0,908448861	2,132352941
LINC00839	0,000195366	0,138511011	0,188	0,02	1	1,100768439	0,908456279	9,4
RNF121	0,000156247	0,138455368	0,362	0,1	1	1,100725984	0,908491318	3,62
UBXN11	0,000180973	0,138383458	0,162	0,01	1	1,100671121	0,908536602	16,2
RRP9	4,85676E-06	0,138187414	0,3	0,04	0,102482437	1,100521564	0,908660069	7,5
PFN2	0,000324518	0,138163628	0,4	0,13	1	1,10050342	0,90867505	3,076923077
PRICKLE2	0,001148726	0,138163187	0,375	0,13	1	1,100503083	0,908675328	2,884615385
ECSIT	0,000483565	0,138049822	0,375	0,12	1	1,10041661	0,908746733	3,125
SMPDL3A	8,89706E-05	0,138032982	0,175	0,01	1	1,100403766	0,908757341	17,5
SPAST	0,001737905	0,13793788	0,288	0,09	1	1,10033123	0,908817248	3,2
PROSER1	1,95796E-05	0,13768683	0,2	0,01	0,413149116	1,100139773	0,908975409	20
SMC1A	0,003495158	0,137365692	0,4	0,16	1	1,099894914	0,909177766	2,5
ANXA4	0,000106537	0,137292327	0,562	0,19	1	1,099838982	0,909224001	2,957894737
DDX49	5,17638E-06	0,137217356	0,488	0,12	0,109226862	1,09978183	0,909271251	4,066666667
APCDD1L	0,000138823	0,137201566	0,138	0	1	1,099769793	0,909281203	#DIV/0!
PRELID3B	0,000314487	0,137070143	0,475	0,16	1	1,099669613	0,909364038	2,96875
PHKG2	0,000169209	0,13701059	0,3	0,07	1	1,099624221	0,909401576	4,285714286
UBALD1	1,18394E-05	0,136927338	0,262	0,03	0,249822886	1,099560768	0,909454056	8,733333333
SFT2D3	0,000754972	0,136882445	0,138	0,01	1	1,099526553	0,909482356	13,8
CNDP2	4,86715E-05	0,136845162	0,212	0,02	1	1,099498138	0,90950586	10,6
MOB3A	0,000384434	0,13682123	0,15	0,01	1	1,0994799	0,909520947	15
DNAAF5	0,000119534	0,13681749	0,262	0,05	1	1,099477049	0,909523305	5,24
AXIN1	0,000350427	0,136701824	0,225	0,04	1	1,099388904	0,909596228	5,625
SYNJ1	0,002744062	0,136699382	0,112	0,01	1	1,099387043	0,909597767	11,2
POGLUT1	2,79628E-06	0,136636127	0,288	0,03	0,0590043	1,099338842	0,909637649	9,6
DGKZ	0,000126371	0,136634228	0,388	0,11	1	1,099337395	0,909638847	3,527272727
ETS2	0,002403383	0,136524666	0,325	0,11	1	1,099253912	0,90970793	2,954545455

Supplementary Table 4

Differentially expressed genes_keloid-CCD_ comparing SC-Keloid vs. (SC-Myel, SC-Nonmyel)								
gene	p_val	avg_log2FC	pct.1	pct.2	p_val_adj	Foldchange_UP	Foldchange_DOWN	Ratio_pct1_pct2
ERCC8	0,001586071	0,136507107	0,125	0,01	1	1,099240533	0,909719002	12,5
SPACA9	0,000384434	0,136450635	0,15	0,01	1	1,099197505	0,909754612	15
JAGN1	0,000225689	0,136220805	0,45	0,15	1	1,09902241	0,909899553	3
TLCD5	0,000163908	0,136191762	0,162	0,01	1	1,099000286	0,90991787	16,2
JPX	0,000225838	0,136081536	0,338	0,09	1	1,098916323	0,909987393	3,755555556
PGGT1B	2,89504E-06	0,135903341	0,338	0,05	0,061088249	1,098780598	0,910099798	6,76
MICU2	0,000635705	0,135826282	0,375	0,12	1	1,09872191	0,91014841	3,125
HPRT1	0,000348934	0,135800823	0,4	0,13	1	1,098702521	0,910164472	3,076923077
APC	2,91701E-05	0,135677308	0,438	0,12	0,615518129	1,098608461	0,910242398	3,65
ZNF720	0,004397335	0,135667953	0,3	0,11	1	1,098601337	0,910248301	2,727272727
RTF2	0,001647184	0,135644908	0,575	0,24	1	1,098583788	0,910262841	2,395833333
UNC93B1	4,84178E-05	0,13558714	0,238	0,03	1	1,098539801	0,910299289	7,933333333
DARS1	0,000159001	0,135326484	0,525	0,18	1	1,098341342	0,910463771	2,916666667
HERC2	8,76272E-05	0,135274979	0,375	0,1	1	1,098302131	0,910496275	3,75
TMEM179B	4,89337E-05	0,135211404	0,713	0,26	1	1,098253733	0,910536399	2,742307692
ARPC1B	0,012165194	0,135184254	1	0,73	1	1,098233066	0,910553535	1,369863014
CCDC90B	0,000470753	0,135028523	0,625	0,25	1	1,098114524	0,910651829	2,5
GABPB2	0,001586071	0,134988712	0,125	0,01	1	1,098084222	0,910676959	12,5
SLC35G1	0,001624218	0,134963736	0,125	0,01	1	1,098065212	0,910692725	12,5
TSG101	0,000717289	0,134841559	0,6	0,24	1	1,097972225	0,910769851	2,5
PPP1CB	0,01855066	0,134693071	0,812	0,46	1	1,097859223	0,910863596	1,765217391
RNF14	1,203E-05	0,134643544	0,288	0,04	0,253844696	1,097821534	0,910894867	7,2
TULP4	0,000131728	0,134602083	0,45	0,14	1	1,097789985	0,910921044	3,214285714
SLC4A1AP	8,19547E-06	0,134550009	0,388	0,08	0,172932543	1,097750361	0,910953925	4,85
ALG1	0,000327773	0,134315407	0,2	0,03	1	1,097571867	0,91110207	6,666666667
SGCB	0,006487017	0,134286509	0,812	0,42	1	1,097549882	0,911120321	1,933333333
TMEM53	4,24918E-05	0,134249606	0,238	0,03	0,896619246	1,097521807	0,911143627	7,933333333
PARP10	0,000199343	0,134145588	0,212	0,03	1	1,097442679	0,911209322	7,066666667
PCDHGB6	0,001278066	0,13412433	0,1	0	1	1,097426509	0,911222749	#DIV/0!
PYCARD	2,48541E-05	0,133993598	0,25	0,03	0,524447068	1,097327068	0,911305325	8,333333333

Supplementary Table 4

Differentially expressed genes_keloid-CCD_ comparing SC-Keloid vs. (SC-Myel, SC-Nonmyel)								
gene	p_val	avg_log2FC	pct.1	pct.2	p_val_adj	Foldchange_UP	Foldchange_DOWN	Ratio_pct1_pct2
SMURF2	0,000202462	0,13398151	0,488	0,17	1	1,097317874	0,91131296	2,870588235
ARHGAP29	0,079510298	0,133856383	0,075	0,02	1	1,097222706	0,911392003	3,75
WNT10A	0,000611714	0,133743993	0,112	0	1	1,097137233	0,911463006	#DIV/0!
DOLPP1	3,09504E-05	0,133678706	0,162	0	0,653084942	1,097087584	0,911504254	#DIV/0!
SPATA2L	0,000344691	0,133516905	0,288	0,07	1	1,096964551	0,911606487	4,114285714
DHODH	0,000611714	0,133461989	0,112	0	1	1,096922796	0,911641187	#DIV/0!
DRD2	0,000291957	0,133402578	0,125	0	1	1,096877625	0,91167873	#DIV/0!
HDAC6	0,000370979	0,133300565	0,2	0,03	1	1,096800068	0,911743197	6,666666667
PSMG2	6,93252E-05	0,133202344	0,688	0,25	1	1,096725398	0,911805272	2,752
RB1	4,65046E-05	0,133175455	0,375	0,09	0,981292999	1,096704957	0,911822267	4,166666667
TAF15	3,32256E-06	0,133161005	0,462	0,11	0,070109424	1,096693973	0,911831399	4,2
COQ2	0,000404687	0,133091804	0,175	0,02	1	1,09664137	0,911875138	8,75
PPME1	0,001596665	0,133067322	0,312	0,1	1	1,09662276	0,911890612	3,12
HADH	0,000467756	0,133027131	0,238	0,05	1	1,09659221	0,911916016	4,76
DPH2	0,000185492	0,133021841	0,162	0,01	1	1,09658819	0,91191936	16,2
PITPNA-AS1	0,008104914	0,13276684	0,175	0,05	1	1,096394381	0,912080559	3,5
APAF1	0,010591248	0,132735982	0,175	0,05	1	1,096370931	0,912100068	3,5
CEP19	0,001278066	0,132716797	0,1	0	1	1,096356351	0,912112197	#DIV/0!
CC2D1A	0,00456268	0,132665382	0,212	0,06	1	1,09631728	0,912144703	3,533333333
B3GNT5	0,000201558	0,132574446	0,338	0,09	1	1,096248179	0,9122022	3,755555556
MMGT1	5,52326E-05	0,13238485	0,35	0,08	1	1,096104122	0,912322087	4,375
DIRAS1	8,89706E-05	0,132330659	0,175	0,01	1	1,09606295	0,912356357	17,5
CPNE2	0,000390848	0,132254774	0,488	0,18	1	1,096005299	0,912404348	2,711111111
CRABP1	0,000185492	0,132117285	0,162	0,01	1	1,095900855	0,912491304	16,2
EEF2	0,131169016	0,131970902	0,988	0,81	1	1,095789665	0,912583894	1,219753086
NDUFAF1	0,000156102	0,131862964	0,262	0,05	1	1,095707684	0,912652174	5,24
SPPL3	0,000311239	0,131766656	0,475	0,17	1	1,095634542	0,9127131	2,794117647
BORCS8	0,000139047	0,131760039	0,35	0,09	1	1,095629517	0,912717287	3,888888889
BUB1	0,000611714	0,131671094	0,112	0	1	1,095561971	0,912773559	#DIV/0!
POLDIP2	8,3552E-05	0,131653271	0,362	0,09	1	1,095548437	0,912784836	4,022222222

Supplementary Table 4

Differentially expressed genes_keloid-CCD_ comparing SC-Keloid vs. (SC-Myel, SC-Nonmyel)								
gene	p_val	avg_log2FC	pct.1	pct.2	p_val_adj	Foldchange_UP	Foldchange_DOWN	Ratio_pct1_pct2
ZNRD2	2,03655E-06	0,131623646	0,537	0,14	0,042973271	1,095525941	0,912803579	3,835714286
BICD2	8,38165E-05	0,131594883	0,475	0,15	1	1,095504099	0,912821778	3,166666667
RPS3A	0,096703485	0,131516599	1	0,98	1	1,095444657	0,912871311	1,020408163
COX16	1,7403E-05	0,131339182	0,325	0,06	0,367219824	1,095309951	0,91298358	5,416666667
C8orf76	0,000164999	0,131214005	0,212	0,03	1	1,095214919	0,913062799	7,066666667
NOTCH3	0,011264251	0,131149844	0,112	0,02	1	1,095166213	0,913103406	5,6
MRPL10	0,000116989	0,131124933	0,288	0,06	1	1,095147303	0,913119173	4,8
KIF14	0,000291957	0,131079696	0,125	0	1	1,095112964	0,913147805	#DIV/0!
ZNF524	0,000215789	0,131066062	0,3	0,07	1	1,095102615	0,913156435	4,285714286
PNO1	0,000279732	0,131050267	0,35	0,1	1	1,095090626	0,913166432	3,5
LAMTOR5	0,034354064	0,130985939	0,912	0,59	1	1,095041798	0,913207151	1,545762712
ARHGAP11B	0,001278066	0,130985288	0,1	0	1	1,095041304	0,913207562	#DIV/0!
ACACA	0,000191018	0,130864448	0,188	0,02	1	1,094949587	0,913284056	9,4
AFDN	0,002424934	0,130692705	0,162	0,03	1	1,094819248	0,913392783	5,4
CDK5R1	0,006578444	0,130659772	0,1	0,01	1	1,094794257	0,913413633	10
CDC40	5,60653E-05	0,130659485	0,462	0,14	1	1,09479404	0,913413815	3,3
RINL	0,012163923	0,130639419	0,088	0,01	1	1,094778812	0,91342652	8,8
TECPR2	0,002036225	0,130554538	0,188	0,04	1	1,094714403	0,913480263	4,7
ATL1	0,007241172	0,130393293	0,238	0,08	1	1,094592057	0,913582365	2,975
SAAL1	0,000384434	0,130361505	0,15	0,01	1	1,094567939	0,913602495	15
NFE2L1	0,000115446	0,130354228	0,425	0,13	1	1,094562418	0,913607103	3,269230769
TMEM104	0,000180973	0,130144822	0,162	0,01	1	1,094403556	0,913739721	16,2
ZDHC13	0,001278066	0,130049821	0,1	0	1	1,094331491	0,913799893	#DIV/0!
INPP5E	2,37833E-05	0,130039267	0,25	0,03	0,501851556	1,094323486	0,913806578	8,333333333
WNT16	0,011634754	0,129984931	0,062	0	1	1,094282271	0,913840996	#DIV/0!
PILRB	0,002036225	0,129957768	0,188	0,04	1	1,094261669	0,913858201	4,7
ANKRD9	0,000224234	0,129900546	0,275	0,06	1	1,094218268	0,913894448	4,583333333
WDR77	2,43131E-05	0,129858512	0,25	0,03	0,513030975	1,094186387	0,913921076	8,333333333
SAC3D1	0,000275913	0,129596958	0,312	0,08	1	1,093988034	0,914086781	3,9
TEX30	4,75229E-05	0,129529223	0,262	0,04	1	1,093936672	0,914129698	6,55

Supplementary Table 4

Differentially expressed genes_keloid-CCD_ comparing SC-Keloid vs. (SC-Myel, SC-Nonmyel)								
gene	p_val	avg_log2FC	pct.1	pct.2	p_val_adj	Foldchange_UP	Foldchange_DOWN	Ratio_pct1_pct2
PPAN	2,00837E-05	0,129361544	0,2	0,01	0,423786989	1,093809536	0,91423595	20
CTBS	0,001002534	0,12931536	0,375	0,13	1	1,09377452	0,914265218	2,884615385
AAGAB	6,57145E-05	0,129285694	0,15	0	1	1,09375203	0,914284018	#DIV/0!
TCERG1	0,000360927	0,129236125	0,488	0,18	1	1,09371445	0,914315432	2,711111111
PLA2G12A	0,002195191	0,129211317	0,225	0,06	1	1,093695643	0,914331154	3,75
STAU2	1,15289E-05	0,129202797	0,288	0,04	0,243270477	1,093689184	0,914336554	7,2
ORAI1	0,003532013	0,129137784	0,613	0,28	1	1,0936399	0,914377758	2,189285714
GNPAT	0,000118715	0,129097269	0,312	0,07	1	1,093609188	0,914403437	4,457142857
NACA	0,048778888	0,129054752	1	0,97	1	1,093576959	0,914430385	1,030927835
ASF1B	0,000413716	0,129027831	0,175	0,02	1	1,093556553	0,914447449	8,75
TFCP2	0,000204342	0,128969124	0,188	0,02	1	1,093512054	0,914484661	9,4
CGGBP1	0,000139658	0,128904388	0,637	0,24	1	1,093462988	0,914525696	2,654166667
GLO1	9,6728E-05	0,128894183	0,613	0,22	1	1,093455253	0,914532165	2,786363636
ENTPD1-AS1	0,003237075	0,12888303	0,112	0,01	1	1,0934468	0,914539235	11,2
MCM3	9,03348E-05	0,128846743	0,25	0,04	1	1,093419298	0,914562238	6,25
RETREG2	0,00045817	0,12880988	0,338	0,1	1	1,093391359	0,914585607	3,38
PKMYT1	0,000291957	0,128795311	0,125	0	1	1,093380318	0,914594843	#DIV/0!
ATAD5	8,67798E-05	0,128783106	0,175	0,01	1	1,093371069	0,91460258	17,5
BRCA1	0,000713524	0,128706156	0,162	0,02	1	1,093312752	0,914651364	8,1
SLX1A	0,011634754	0,128597345	0,062	0	1	1,093230295	0,914720352	#DIV/0!
MLYCD	0,000138823	0,128342261	0,138	0	1	1,093037018	0,914882098	#DIV/0!
VEGFA	0,000212942	0,128332567	0,675	0,27	1	1,093029673	0,914888246	2,5
ESRRA	0,000446909	0,128278919	0,325	0,09	1	1,092989029	0,914922267	3,611111111
GAL3ST4	0,000384434	0,128210367	0,15	0,01	1	1,092937094	0,914965743	15
FAM111B	0,001278066	0,128082394	0,1	0	1	1,092840151	0,915046907	#DIV/0!
EXOC3	0,001038827	0,12804158	0,275	0,08	1	1,092809234	0,915072795	3,4375
TRIM22	0,001586071	0,128030205	0,125	0,01	1	1,092800619	0,915080009	12,5
ANKRD36	0,003112143	0,12790745	0,2	0,05	1	1,092707639	0,915157874	4
OCIAD1	0,01363394	0,127893655	0,85	0,46	1	1,092697191	0,915166625	1,847826087
CHM	0,001730325	0,127869883	0,388	0,14	1	1,092679186	0,915181705	2,771428571

Supplementary Table 4

Differentially expressed genes_keloid-CCD_ comparing SC-Keloid vs. (SC-Myel, SC-Nonmyel)								
gene	p_val	avg_log2FC	pct.1	pct.2	p_val_adj	Foldchange_UP	Foldchange_DOWN	Ratio_pct1_pct2
TOMM5	1,69497E-07	0,127869441	0,55	0,12	0,003576562	1,092678851	0,915181985	4,583333333
AUP1	0,001489356	0,127797418	0,662	0,3	1	1,092624303	0,915227674	2,206666667
VASH1	0,000177122	0,127778579	0,238	0,04	1	1,092610035	0,915239626	5,95
TMEM101	0,001567171	0,1277303	0,288	0,09	1	1,092573472	0,915270255	3,2
VPS51	0,000686961	0,127642488	0,55	0,22	1	1,092506973	0,915325965	2,5
NTNG1	8,89706E-05	0,12760286	0,175	0,01	1	1,092476964	0,915351108	17,5
TCTN1	1,59408E-05	0,12751467	0,375	0,08	0,336367345	1,092410185	0,915407064	4,6875
TGOLN2	0,001753715	0,127450749	0,85	0,42	1	1,092361785	0,915447623	2,023809524
DNAAF9	0,003009105	0,127382897	0,138	0,02	1	1,092310411	0,915490679	6,9
DLX5	0,00480575	0,127288914	0,15	0,03	1	1,092239255	0,91555032	5
CPNE8	0,005223699	0,127267626	0,125	0,02	1	1,092223139	0,91556383	6,25
SRD5A3	0,000308769	0,127237466	0,25	0,05	1	1,092200306	0,91558297	5
DBF4	0,000281484	0,127198898	0,25	0,05	1	1,092171108	0,915607447	5
PSMG3-AS1	0,002721473	0,127184975	0,162	0,03	1	1,092160568	0,915616283	5,4
FKBP1A	0,098771878	0,127137041	0,875	0,58	1	1,092124281	0,915646705	1,50862069
GEMIN2	4,24089E-05	0,127090986	0,188	0,01	0,894869854	1,092089418	0,915675936	18,8
ZBTB8A	0,002619134	0,127086098	0,162	0,03	1	1,092085718	0,915679039	5,4
TPRN	4,95137E-05	0,127068936	0,262	0,04	1	1,092072727	0,915689931	6,55
SIRT5	0,001586071	0,127058828	0,125	0,01	1	1,092065075	0,915696347	12,5
AQP3	0,001440167	0,127031827	0,238	0,06	1	1,092044637	0,915713485	3,966666667
DPP9	0,002073488	0,127031182	0,188	0,04	1	1,092044149	0,915713894	4,7
SCAF1	0,000299964	0,127005797	0,225	0,04	1	1,092024933	0,915730007	5,625
SLC25A12	0,000375171	0,127005181	0,15	0,01	1	1,092024468	0,915730398	15
POM121C	0,000604562	0,126999698	0,275	0,07	1	1,092020317	0,915733878	3,928571429
HMOX2	0,000219116	0,126987952	0,412	0,13	1	1,092011427	0,915741334	3,169230769
LENG8	0,000355806	0,126980957	0,388	0,12	1	1,092006132	0,915745774	3,233333333
TRMT2A	0,000540996	0,126980204	0,238	0,05	1	1,092005562	0,915746252	4,76
CHFR	4,94786E-05	0,126774325	0,238	0,03	1	1,091849739	0,915876942	7,933333333
TIMM29	0,000565694	0,126705653	0,275	0,07	1	1,091797768	0,915920539	3,928571429
NIT2	7,77412E-06	0,126577919	0,6	0,18	0,164041645	1,091701106	0,916001636	3,333333333

Supplementary Table 4

Differentially expressed genes_keloid-CCD_ comparing SC-Keloid vs. (SC-Myel, SC-Nonmyel)								
gene	p_val	avg_log2FC	pct.1	pct.2	p_val_adj	Foldchange_UP	Foldchange_DOWN	Ratio_pct1_pct2
WDFY2	4,00412E-05	0,126438179	0,4	0,1	0,844910207	1,091595369	0,916090365	4
GEMIN6	2,34713E-05	0,126356341	0,225	0,02	0,495268417	1,091533449	0,916142333	11,25
PEF1	4,11615E-06	0,126189055	0,525	0,14	0,086854803	1,091406889	0,916248569	3,75
MDM2	0,000870262	0,126185457	0,362	0,12	1	1,091404167	0,916250854	3,016666667
MDM4	0,000954423	0,126019712	0,475	0,18	1	1,091278788	0,916356124	2,638888889
INO80B	0,00152026	0,125963385	0,15	0,02	1	1,091236181	0,916391902	7,5
SERPINB1	8,84954E-05	0,125897058	0,462	0,14	1	1,091186014	0,916434033	3,3
IQGAP3	0,001278066	0,125865283	0,1	0	1	1,091161981	0,916454218	#DIV/0!
EXOSC1	1,07966E-05	0,125778503	0,338	0,06	0,227819631	1,091096348	0,916509346	5,633333333
TMEM19	0,002520324	0,125754245	0,162	0,03	1	1,091078003	0,916524756	5,4
METTL2A	4,06743E-05	0,125753123	0,238	0,03	0,85826845	1,091077154	0,916525469	7,933333333
TWF1	5,22707E-05	0,125630375	0,488	0,15	1	1,090984326	0,916603452	3,253333333
HOXC9	0,007220354	0,125609445	0,537	0,26	1	1,090968499	0,91661675	2,065384615
TATDN1	1,26166E-05	0,125558499	0,5	0,14	0,266222232	1,090929974	0,916649119	3,571428571
PSMB10	5,07281E-06	0,12553296	0,3	0,04	0,107041321	1,090910662	0,916665346	7,5
CDC37	0,011070699	0,125524903	0,637	0,32	1	1,09090457	0,916670465	1,990625
ANKH	0,000320903	0,125500395	0,388	0,12	1	1,090886038	0,916686038	3,233333333
C15orf61	1,2107E-05	0,12539347	0,262	0,03	0,255469827	1,09080519	0,916753981	8,733333333
SUGT1	2,18911E-05	0,125234302	0,775	0,29	0,46192345	1,090684852	0,916855128	2,672413793
MCOLN1	0,000584827	0,124946826	0,275	0,07	1	1,09046754	0,917037842	3,928571429
TNFSF12	0,003859321	0,124876243	0,55	0,24	1	1,090414191	0,917082709	2,291666667
EXT2	9,79681E-07	0,1248428	0,425	0,08	0,020672243	1,090388915	0,917103968	5,3125
TRAF5	0,000291957	0,124742322	0,125	0	1	1,090312976	0,917167843	#DIV/0!
ANKRD52	0,001121354	0,124684942	0,2	0,04	1	1,090269612	0,917204322	5
CD99	0,04549987	0,124606174	1	0,84	1	1,090210087	0,9172544	1,19047619
AIFM1	0,000395843	0,124587054	0,175	0,02	1	1,090195639	0,917266557	8,75
TUFT1	4,49877E-05	0,124565784	0,288	0,05	0,949284452	1,090179566	0,917280081	5,76
ZNF71	0,000792271	0,124364641	0,138	0,01	1	1,090027582	0,917407978	13,8
EXOSC9	5,69398E-05	0,124267268	0,325	0,07	1	1,089954014	0,9174699	4,642857143
MTMR2	0,000307177	0,124264647	0,35	0,1	1	1,089952034	0,917471567	3,5

Supplementary Table 4

Differentially expressed genes_keloid-CCD_ comparing SC-Keloid vs. (SC-Myel, SC-Nonmyel)								
gene	p_val	avg_log2FC	pct.1	pct.2	p_val_adj	Foldchange_UP	Foldchange_DOWN	Ratio_pct1_pct2
AIP	0,000197541	0,124177829	0,7	0,27	1	1,089886445	0,91752678	2,592592593
NIF3L1	0,000757951	0,124075712	0,188	0,03	1	1,089809303	0,917591726	6,266666667
ATP2A2	0,000846023	0,123975329	0,625	0,26	1	1,089733477	0,917655575	2,403846154
LPP-AS2	0,001278066	0,123574439	0,1	0	1	1,089430709	0,917910604	#DIV/0!
CLPB	0,000395843	0,123561184	0,175	0,02	1	1,089420699	0,917919038	8,75
CCDC97	0,001624218	0,123544337	0,125	0,01	1	1,089407978	0,917929757	12,5
COX18	0,000384434	0,123258066	0,15	0,01	1	1,08919183	0,918111918	15
HDGFL2	0,004894485	0,1232279	0,35	0,14	1	1,089169056	0,918131115	2,5
KIF2A	1,90784E-05	0,123226807	0,412	0,1	0,402574344	1,089168231	0,918131811	4,12
MAPK3	0,000965109	0,12320963	0,338	0,11	1	1,089155263	0,918142742	3,072727273
HOXB8	0,000728108	0,123118222	0,188	0,03	1	1,089086257	0,918200917	6,266666667
MYCBP	0,000395843	0,12306743	0,175	0,02	1	1,089047915	0,918233244	8,75
RMDN1	0,000363509	0,122964057	0,45	0,15	1	1,088969885	0,91829904	3
SFXN1	0,001063603	0,122799411	0,225	0,05	1	1,088845614	0,918403846	4,5
RPL21	0,034231565	0,12274545	1	0,98	1	1,088804889	0,918438198	1,020408163
HDAC10	0,004628886	0,122697589	0,15	0,03	1	1,088768769	0,918468667	5
RCCD1	0,002228881	0,122649315	0,188	0,04	1	1,088732338	0,918499401	4,7
ZDHHC16	0,000395843	0,122612155	0,175	0,02	1	1,088704296	0,918523059	8,75
ASB7	0,011043276	0,122600658	0,112	0,02	1	1,08869562	0,918530379	5,6
IMPA2	0,000291957	0,12253414	0,125	0	1	1,088645425	0,91857273	#DIV/0!
SKIV2L	4,24089E-05	0,122452809	0,188	0,01	0,894869854	1,088584054	0,918624516	18,8
ETV3	0,000344691	0,122393989	0,288	0,07	1	1,088539673	0,91866197	4,114285714
NCAPD3	0,001816182	0,12235372	0,288	0,09	1	1,08850929	0,918687612	3,2
ARL6	0,000773413	0,122237839	0,138	0,01	1	1,088421861	0,918761406	13,8
TRAK2	2,33923E-05	0,122211462	0,362	0,08	0,493599997	1,088401962	0,918778204	4,525
OBI1	0,000685384	0,122150553	0,188	0,03	1	1,088356012	0,918816995	6,266666667
C8orf33	0,000100109	0,122150127	0,475	0,15	1	1,08835569	0,918817267	3,166666667
KIFBP	0,009402428	0,122140154	0,262	0,1	1	1,088348167	0,918823618	2,62
PNPT1	0,000417905	0,122072857	0,275	0,07	1	1,0882974	0,918866479	3,928571429
RPS19BP1	0,001690506	0,122047136	0,812	0,4	1	1,088277998	0,918882861	2,03

Supplementary Table 4

Differentially expressed genes_keloid-CCD_ comparing SC-Keloid vs. (SC-Myel, SC-Nonmyel)								
gene	p_val	avg_log2FC	pct.1	pct.2	p_val_adj	Foldchange_UP	Foldchange_DOWN	Ratio_pct1_pct2
CDC45	0,000291957	0,122006746	0,125	0	1	1,08824753	0,918908587	#DIV/0!
CAST	0,02732195	0,121982364	0,775	0,44	1	1,088229138	0,918924117	1,761363636
SNRNP200	9,86046E-05	0,121929182	0,412	0,12	1	1,088189024	0,918957992	3,433333333
INO80C	0,000378678	0,121891614	0,2	0,03	1	1,088160688	0,918981921	6,666666667
UNG	0,000378678	0,121774573	0,2	0,03	1	1,088072413	0,919056479	6,666666667
MRGBP	0,000353107	0,121690195	0,35	0,1	1	1,088008777	0,919110232	3,5
BBS7	0,000286753	0,121661128	0,25	0,05	1	1,087986856	0,919128751	5
STK25	2,32693E-05	0,121548322	0,425	0,11	0,491006085	1,087901789	0,919200621	3,863636364
CCDC102B	0,013319742	0,121438628	0,088	0,01	1	1,087819074	0,919270515	8,8
GLI4	0,002041761	0,121416142	0,25	0,07	1	1,087802119	0,919284843	3,571428571
PPCDC	0,011043276	0,121396932	0,112	0,02	1	1,087787635	0,919297083	5,6
PRRT2	0,003237075	0,121336286	0,112	0,01	1	1,087741909	0,919335728	11,2
DNAJC19	0,001802871	0,121330828	0,55	0,23	1	1,087737794	0,919339206	2,391304348
POLR2I	0,00144234	0,121305346	0,762	0,35	1	1,087718582	0,919355444	2,177142857
SIDT2	0,000544521	0,121127553	0,3	0,08	1	1,087584543	0,91946875	3,75
TRAPPC14	0,005858881	0,12108477	0,1	0,01	1	1,087552291	0,919496017	10
KLHL35	0,000611714	0,121054844	0,112	0	1	1,087529733	0,91951509	#DIV/0!
MRC2	6,43732E-06	0,120997798	0,338	0,06	0,135833858	1,087486731	0,919551449	5,633333333
VSTM4	0,001278066	0,120993892	0,1	0	1	1,087483787	0,919553939	#DIV/0!
FAM210A	0,000212465	0,120976464	0,275	0,06	1	1,08747065	0,919565048	4,583333333
ARSD	0,013300727	0,12096746	0,15	0,04	1	1,087463863	0,919570787	3,75
RASSF7	0,002946286	0,120949885	0,112	0,01	1	1,087450616	0,919581989	11,2
VPS45	0,000973921	0,120941464	0,225	0,05	1	1,087444268	0,919587357	4,5
NOPCHAP1	4,74396E-06	0,120868638	0,35	0,06	0,100102334	1,087389376	0,919633778	5,833333333
TIMM50	1,36489E-05	0,120868098	0,438	0,11	0,288005658	1,087388969	0,919634122	3,981818182
C2orf74	0,00569537	0,120859239	0,188	0,05	1	1,087382292	0,919639769	3,76
PIAS3	0,000318032	0,120830119	0,225	0,04	1	1,087360344	0,919658332	5,625
URB2	0,042211625	0,120774257	0,088	0,02	1	1,087318242	0,919693942	4,4
SPEF2	0,003237075	0,120751293	0,112	0,01	1	1,087300934	0,919708582	11,2
AP5M1	0,000830908	0,120747917	0,162	0,02	1	1,08729839	0,919710734	8,1

Supplementary Table 4

Differentially expressed genes_keloid-CCD_ comparing SC-Keloid vs. (SC-Myel, SC-Nonmyel)								
gene	p_val	avg_log2FC	pct.1	pct.2	p_val_adj	Foldchange_UP	Foldchange_DOWN	Ratio_pct1_pct2
ARCN1	9,55931E-05	0,1206401	0,637	0,23	1	1,087217136	0,919779469	2,769565217
PRECSIT	0,000375171	0,120621285	0,15	0,01	1	1,087202957	0,919791464	15
TTC13	8,67798E-05	0,12059413	0,175	0,01	1	1,087182493	0,919808777	17,5
SNX19	0,000195366	0,120586905	0,188	0,02	1	1,087177048	0,919813384	9,4
PDLIM2	0,001321527	0,120412752	0,45	0,17	1	1,08704582	0,919924424	2,647058824
DERA	3,65204E-05	0,120395497	0,375	0,09	0,770616878	1,087032818	0,919935427	4,166666667
MAN2B1	0,005996845	0,120344323	0,1	0,01	1	1,086994261	0,919968059	10
PEG10	0,000523368	0,120341534	0,762	0,35	1	1,086992159	0,919969837	2,177142857
TP53I13	0,011254691	0,120205886	0,5	0,24	1	1,086889961	0,920056341	2,083333333
XXYL1	0,0041405	0,120188502	0,175	0,04	1	1,086876864	0,920067427	4,375
RABGEF1	0,00074289	0,120071662	0,188	0,03	1	1,086788844	0,920141944	6,266666667
USB1	0,000132495	0,120017983	0,388	0,11	1	1,086748408	0,920176181	3,527272727
ARHGAP18	0,000859816	0,119962957	0,338	0,11	1	1,08670696	0,920211278	3,072727273
NSF	0,003963442	0,119935186	0,212	0,06	1	1,086686041	0,920228992	3,533333333
DNAAF4	0,002036225	0,119797822	0,188	0,04	1	1,086582579	0,920316614	4,7
TTC37	1,30644E-06	0,119777359	0,537	0,13	0,027567195	1,086567167	0,920329668	4,130769231
RMI1	0,000138823	0,119641494	0,138	0	1	1,086464845	0,920416343	#DIV/0!
SLC36A1	0,001548751	0,119395132	0,125	0,01	1	1,086279331	0,920573532	12,5
CHAF1A	0,000795661	0,119350605	0,162	0,02	1	1,086245805	0,920601944	8,1
TTC27	0,002666059	0,119175306	0,088	0	1	1,086113825	0,920713812	#DIV/0!
SLCO3A1	0,000531289	0,119144031	0,238	0,05	1	1,086090281	0,920733771	4,76
LRR1	0,000171543	0,119096874	0,262	0,05	1	1,08605478	0,920763868	5,24
DHX33	1,97589E-06	0,119092378	0,288	0,03	0,041693235	1,086051396	0,920766737	9,6
GFER	7,00538E-05	0,118989367	0,388	0,1	1	1,085973852	0,920832484	3,88
CEP57L1	2,24357E-05	0,118942587	0,3	0,05	0,47341608	1,08593864	0,920862343	6
CCNL2	0,000919668	0,118849572	0,562	0,23	1	1,085868628	0,920921716	2,443478261
UQCC1	0,000611714	0,118838495	0,112	0	1	1,085860291	0,920928786	#DIV/0!
CNIH2	0,001278066	0,118817754	0,1	0	1	1,08584468	0,920942026	#DIV/0!
DECR2	3,97935E-05	0,118790197	0,238	0,03	0,839681846	1,08582394	0,920959617	7,933333333
TTK	0,000291957	0,118599684	0,125	0	1	1,085680562	0,921081242	#DIV/0!

Supplementary Table 4

Differentially expressed genes_keloid-CCD_ comparing SC-Keloid vs. (SC-Myel, SC-Nonmyel)								
gene	p_val	avg_log2FC	pct.1	pct.2	p_val_adj	Foldchange_UP	Foldchange_DOWN	Ratio_pct1_pct2
BRAP	0,006027137	0,118450492	0,125	0,02	1	1,085568295	0,921176498	6,25
CARHSP1	0,000458787	0,1183916	0,6	0,23	1	1,085523983	0,921214101	2,608695652
ZNF655	0,001564881	0,1183605	0,4	0,15	1	1,085500582	0,92123396	2,666666667
H2BC15	0,003237075	0,118299898	0,112	0,01	1	1,085454986	0,921272658	11,2
HEATR6	0,000795661	0,118135446	0,162	0,02	1	1,085331262	0,921377679	8,1
MRPL24	0,000186727	0,118051085	0,388	0,11	1	1,0852678	0,921431558	3,527272727
CXCL1	0,052279021	0,118044677	0,038	0	1	1,08526298	0,921435651	#DIV/0!
FRG1	0,000106371	0,117972618	0,5	0,16	1	1,085208775	0,921481675	3,125
MINPP1	0,000199807	0,117966067	0,188	0,02	1	1,085203847	0,92148586	9,4
CEP295	4,24089E-05	0,117948423	0,188	0,01	0,894869854	1,085190575	0,921497129	18,8
TMEM260	0,000375171	0,117941538	0,15	0,01	1	1,085185397	0,921501527	15
PCDHGA10	0,001624218	0,11785412	0,125	0,01	1	1,085119643	0,921557366	12,5
HIBADH	0,000348751	0,117853144	0,2	0,03	1	1,085118909	0,921557989	6,666666667
LRPAP1	0,022168883	0,117767918	0,8	0,42	1	1,085054809	0,921612431	1,904761905
PCMTD2	0,00049195	0,117711243	0,4	0,13	1	1,085012183	0,921648637	3,076923077
DCAF13	1,8136E-05	0,117597343	0,537	0,16	0,382687969	1,084926526	0,921721403	3,35625
MEX3D	0,000700329	0,117462912	0,35	0,11	1	1,084825437	0,921807293	3,181818182
GBA	0,000623441	0,117455544	0,212	0,04	1	1,084819896	0,921812002	5,3
MYG1	0,000489586	0,117397615	0,562	0,21	1	1,084776338	0,921849016	2,676190476
WDR55	0,000409923	0,1173191	0,262	0,06	1	1,084717304	0,921899187	4,366666667
TMEM237	2,34713E-05	0,117242559	0,225	0,02	0,495268417	1,084659756	0,921948098	11,25
CAPZA1	0,002793298	0,117223186	0,613	0,27	1	1,084645191	0,921960479	2,27037037
SLC35E2B	0,000778563	0,117213993	0,162	0,02	1	1,08463828	0,921966354	8,1
USO1	3,92385E-05	0,117132799	0,488	0,14	0,827971892	1,084577239	0,922018243	3,485714286
AP4M1	0,000164999	0,117118552	0,212	0,03	1	1,084566528	0,922027348	7,066666667
ZCCHC8	7,06901E-05	0,117101307	0,375	0,1	1	1,084553564	0,922038369	3,75
RNF34	6,60959E-05	0,117063286	0,338	0,08	1	1,084524982	0,92206267	4,225
DNAJC13	0,000299964	0,11704142	0,225	0,04	1	1,084508545	0,922076645	5,625
PRMT1	0,007445672	0,116920542	0,863	0,48	1	1,084417682	0,922153905	1,797916667
INPPL1	0,000195315	0,116822919	0,362	0,1	1	1,084344305	0,922216307	3,62

Supplementary Table 4

Differentially expressed genes_keloid-CCD_ comparing SC-Keloid vs. (SC-Myel, SC-Nonmyel)								
gene	p_val	avg_log2FC	pct.1	pct.2	p_val_adj	Foldchange_UP	Foldchange_DOWN	Ratio_pct1_pct2
SRSF9	0,025822879	0,116705259	0,9	0,52	1	1,084255874	0,922291522	1,730769231
NDUFB6	0,0034272	0,116497655	0,725	0,35	1	1,08409986	0,922424249	2,071428571
SPC24	0,000611714	0,116497333	0,112	0	1	1,084099618	0,922424455	#DIV/0!
FGFR4	0,002666059	0,116495624	0,088	0	1	1,084098335	0,922425548	#DIV/0!
U2SURP	0,006708043	0,116450431	0,713	0,35	1	1,084064375	0,922454443	2,037142857
LSM12	0,000106361	0,116424968	0,65	0,24	1	1,084045242	0,922470725	2,708333333
MAPKAPK5-AS1	0,000521745	0,116381523	0,238	0,05	1	1,084012597	0,922498505	4,76
PRKRIP1	1,24042E-06	0,116368105	0,425	0,08	0,026174082	1,084002516	0,922507084	5,3125
TMEM192	0,001002505	0,116296768	0,2	0,04	1	1,083948916	0,922552701	5
CDKN2D	0,002232852	0,116235406	0,388	0,15	1	1,083902814	0,92259194	2,586666667
NLGN4Y	0,005562134	0,116193237	0,075	0	1	1,083871132	0,922618907	#DIV/0!
TSTD3	0,011634754	0,116143439	0,062	0	1	1,083833721	0,922650754	#DIV/0!
NAA20	0,001712681	0,116111474	0,675	0,29	1	1,083809707	0,922671197	2,327586207
TMEM199	4,73785E-05	0,116083808	0,238	0,03	0,99973414	1,083788924	0,922688891	7,933333333
RANBP9	0,00023279	0,115971241	0,525	0,18	1	1,083704364	0,922760887	2,916666667
TRAPPC10	0,000215789	0,115922346	0,3	0,07	1	1,083667636	0,922792161	4,285714286
CEP41	0,000291957	0,115851189	0,125	0	1	1,083614189	0,922837676	#DIV/0!
SPATA33	0,001382953	0,115835622	0,312	0,1	1	1,083602496	0,922847634	3,12
FLNB	3,61063E-05	0,115696827	0,338	0,07	0,761879183	1,083498253	0,922936422	4,828571429
PACRGL	0,002563331	0,115668908	0,262	0,08	1	1,083477285	0,922954282	3,275
BMPR2	0,00066655	0,115597328	0,562	0,22	1	1,083423529	0,923000076	2,554545455
VWF	0,108976957	0,115592483	0,05	0,01	1	1,083419891	0,923003176	5
HOXC8	2,28895E-05	0,115526088	0,3	0,05	0,482991248	1,083370031	0,923045655	6
ZMYM1	0,001548751	0,115520357	0,125	0,01	1	1,083365728	0,923049322	12,5
FNTA	0,006965183	0,115280751	0,562	0,27	1	1,083185815	0,923202636	2,081481481
ZNF512	0,002669855	0,115184362	0,162	0,03	1	1,083113448	0,923264319	5,4
ARHGAP1	4,57835E-05	0,115159472	0,4	0,1	0,966077777	1,083094762	0,923280248	4
LINC01137	0,001553021	0,115136726	0,15	0,02	1	1,083077685	0,923294805	7,5
MRTFA	0,000540996	0,115048518	0,238	0,05	1	1,083011467	0,923351258	4,76
MIA3	4,23986E-05	0,115029734	0,537	0,17	0,894652138	1,082997366	0,92336328	3,158823529

Supplementary Table 4

Differentially expressed genes_keloid-CCD_ comparing SC-Keloid vs. (SC-Myel, SC-Nonmyel)								
gene	p_val	avg_log2FC	pct.1	pct.2	p_val_adj	Foldchange_UP	Foldchange_DOWN	Ratio_pct1_pct2
MTERF4	0,000159081	0,114989578	0,262	0,05	1	1,082967222	0,923388981	5,24
LINC00665	0,001827473	0,114975966	0,212	0,05	1	1,082957004	0,923397694	4,24
CBARP	0,001624218	0,114962035	0,125	0,01	1	1,082946547	0,92340661	12,5
SDC3	0,021807929	0,114921657	0,863	0,48	1	1,082916238	0,923432455	1,797916667
MRPS35	5,1159E-05	0,114912329	0,412	0,11	1	1,082909236	0,923438426	3,745454545
COLGALT1	1,45243E-05	0,114862407	0,35	0,07	0,306478111	1,082871765	0,92347038	5
UBAP2	0,000241638	0,114856531	0,388	0,12	1	1,082867354	0,923474141	3,233333333
TSPYL5	0,022138642	0,114629347	0,1	0,02	1	1,082696846	0,923619574	5
DHX36	0,067947106	0,114527873	0,725	0,41	1	1,082620696	0,92368454	1,768292683
H1-5	0,002666059	0,114487987	0,088	0	1	1,082590765	0,923710078	#DIV/0!
OTUD6B	0,000100126	0,114439327	0,2	0,02	1	1,082554252	0,923741234	10
SNAP29	5,91868E-05	0,114402474	0,3	0,06	1	1,082526599	0,92376483	5
LGALS8	0,000647541	0,114211195	0,212	0,04	1	1,082383082	0,923887315	5,3
C1GALT1C1	0,000263893	0,114192141	0,438	0,14	1	1,082368787	0,923899518	3,128571429
FBXO16	0,000185492	0,114184123	0,162	0,01	1	1,082362771	0,923904652	16,2
TBRG4	0,001488577	0,114181284	0,238	0,06	1	1,082360642	0,92390647	3,966666667
ICMT	0,000505169	0,114136409	0,262	0,06	1	1,082326976	0,923935209	4,366666667
UBL7-DT	0,004988707	0,11400725	0,15	0,03	1	1,082230083	0,924017929	5
ENGASE	0,002666059	0,113979892	0,088	0	1	1,082209561	0,924035452	#DIV/0!
TFB1M	0,000291957	0,113956841	0,125	0	1	1,08219227	0,924050215	#DIV/0!
EID1	0,04675824	0,113816888	1	0,84	1	1,082087293	0,92413986	1,19047619
AP2M1	0,054810985	0,113816618	0,875	0,55	1	1,082087091	0,924140033	1,590909091
STIL	0,001586071	0,113790178	0,125	0,01	1	1,08206726	0,92415697	12,5
AMPD2	0,00074289	0,11377082	0,188	0,03	1	1,082052741	0,92416937	6,266666667
TMEM175	0,001488577	0,113569657	0,238	0,06	1	1,081901875	0,924298241	3,966666667
ZNF469	0,000291957	0,113564763	0,125	0	1	1,081898205	0,924301377	#DIV/0!
RPS27A	0,04039544	0,113369313	1	1	1	1,081751644	0,924426605	1
NT5M	0,006428475	0,11332401	0,1	0,01	1	1,081717676	0,924455634	10
TMEM167B	0,000467756	0,113310166	0,238	0,05	1	1,081707296	0,924464505	4,76
PGM1	0,000343711	0,113288773	0,225	0,04	1	1,081691256	0,924478214	5,625

Supplementary Table 4

Differentially expressed genes_keloid-CCD_ comparing SC-Keloid vs. (SC-Myel, SC-Nonmyel)								
gene	p_val	avg_log2FC	pct.1	pct.2	p_val_adj	Foldchange_UP	Foldchange_DOWN	Ratio_pct1_pct2
FAM118A	0,004146983	0,113229201	0,325	0,12	1	1,081646591	0,924516389	2,708333333
STYX	0,000386526	0,113207514	0,2	0,03	1	1,081630332	0,924530286	6,666666667
RRS1	0,000404687	0,113105606	0,175	0,02	1	1,081553931	0,924595595	8,75
THYN1	0,000111801	0,11303762	0,488	0,16	1	1,081502964	0,924639167	3,05
NADK2	0,005082527	0,112955332	0,15	0,03	1	1,08144128	0,924691908	5
RABL3	0,000386526	0,112916163	0,2	0,03	1	1,08141192	0,924717013	6,666666667
BFAR	2,5792E-05	0,112900685	0,45	0,12	0,544237713	1,081400317	0,924726934	3,75
BICC1	0,000611714	0,112888656	0,112	0	1	1,081391301	0,924734644	#DIV/0!
PRADC1	3,54499E-05	0,112743113	0,338	0,07	0,748027343	1,081282213	0,924827939	4,828571429
DHRS4-AS1	0,000658209	0,112690794	0,188	0,03	1	1,081243001	0,924861478	6,266666667
YEATS4	0,001486273	0,112556892	0,312	0,1	1	1,081142652	0,924947322	3,12
GRSF1	0,000665353	0,112406823	0,5	0,19	1	1,081030197	0,92504354	2,631578947
COMT	0,165307855	0,112310911	0,925	0,67	1	1,080958331	0,92510504	1,380597015
CD99L2	0,002309471	0,112225719	0,262	0,08	1	1,080894502	0,925159669	3,275
ADGRG1	1,97141E-05	0,112163637	0,625	0,2	0,415987979	1,08084799	0,925199482	3,125
PRRC2A	0,000180364	0,112118945	0,5	0,17	1	1,080814507	0,925228143	2,941176471
SLC22A23	0,01362345	0,112091254	0,088	0,01	1	1,080793763	0,925245902	8,8
SCAI	0,003202904	0,112053699	0,138	0,02	1	1,080765629	0,925269988	6,9
CD164	0,005286629	0,112000897	0,713	0,36	1	1,080726074	0,925303853	1,980555556
BRCA2	0,000185492	0,111976469	0,162	0,01	1	1,080707775	0,92531952	16,2
RADX	0,002666059	0,111967305	0,088	0	1	1,08070091	0,925325398	#DIV/0!
WDR59	0,035511223	0,111966403	0,162	0,06	1	1,080700235	0,925325976	2,7
EXOSC4	2,68793E-05	0,111914171	0,412	0,1	0,567181055	1,08066111	0,925359478	4,12
CHRNE	0,001278066	0,111860422	0,1	0	1	1,080620849	0,925393954	#DIV/0!
DACT3	0,001459059	0,111726162	0,212	0,05	1	1,080520289	0,925480077	4,24
CHTF18	0,001278066	0,111537011	0,1	0	1	1,080378632	0,925601424	#DIV/0!
NSUN2	9,76726E-05	0,111526939	0,225	0,03	1	1,080371089	0,925607886	7,5
ACAD8	4,95137E-05	0,111471675	0,262	0,04	1	1,080329705	0,925643343	6,55
GSPT2	0,015197958	0,111255679	0,162	0,05	1	1,080167973	0,925781938	3,24
GFM2	0,005442759	0,111217886	0,125	0,02	1	1,080139678	0,92580619	6,25

Supplementary Table 4

Differentially expressed genes_keloid-CCD_ comparing SC-Keloid vs. (SC-Myel, SC-Nonmyel)								
gene	p_val	avg_log2FC	pct.1	pct.2	p_val_adj	Foldchange_UP	Foldchange_DOWN	Ratio_pct1_pct2
SHISA5	0,000426751	0,111214924	0,4	0,13	1	1,08013746	0,925808091	3,076923077
POLR3H	0,000386526	0,111173459	0,2	0,03	1	1,080106416	0,925834701	6,666666667
SRP14	0,02898884	0,111143308	1	0,92	1	1,080083843	0,92585405	1,086956522
RAD51AP1	0,001387402	0,111110537	0,175	0,03	1	1,080059309	0,925875081	5,833333333
PYCR3	0,00074289	0,111071573	0,188	0,03	1	1,08003014	0,925900087	6,266666667
GID8	0,000410988	0,111051551	0,462	0,16	1	1,080015151	0,925912937	2,8875
ER12	0,005562134	0,111028031	0,075	0	1	1,079997543	0,925928032	#DIV/0!
DNAJC5	0,001207685	0,111005207	0,2	0,04	1	1,079980458	0,92594268	5
FBXO9	2,85786E-05	0,110837245	0,475	0,13	0,603036742	1,079854731	0,926050488	3,653846154
INPP5A	4,86715E-05	0,110790218	0,212	0,02	1	1,079819532	0,926080674	10,6
HMCN1	0,002073795	0,11077115	0,25	0,07	1	1,07980526	0,926092914	3,571428571
POLR3K	8,01064E-05	0,110756667	0,338	0,08	1	1,07979442	0,926102211	4,225
GPR107	0,000118715	0,110751529	0,312	0,07	1	1,079790575	0,926105509	4,457142857
CACNA1A	0,001586071	0,110729532	0,125	0,01	1	1,079774111	0,92611963	12,5
PEA15	0,005400319	0,110710819	0,787	0,45	1	1,079760106	0,926131642	1,748888889
WDR70	0,001647937	0,110644672	0,212	0,05	1	1,0797106	0,926174106	4,24
RAD9A	0,000678618	0,11053462	0,275	0,07	1	1,079628241	0,926244759	3,928571429
B3GALT4	0,002774001	0,110522691	0,162	0,03	1	1,079619314	0,926252418	5,4
TAF9B	0,000378678	0,110472145	0,2	0,03	1	1,079581489	0,926284871	6,666666667
B4GALNT3	0,000291957	0,110411602	0,125	0	1	1,079536185	0,926323743	#DIV/0!
INSIG2	0,000204342	0,110345869	0,188	0,02	1	1,079487	0,92636595	9,4
GUF1	0,000795661	0,110332921	0,162	0,02	1	1,079477311	0,926374264	8,1
KARS1	2,94139E-05	0,110233541	0,425	0,11	0,620662309	1,079402954	0,92643808	3,863636364
SNX5	2,44665E-05	0,110092603	0,588	0,19	0,51626814	1,079297512	0,926528588	3,094736842
SSR1	0,001344056	0,109988738	0,575	0,24	1	1,079219812	0,926595295	2,395833333
RPS8	0,066260916	0,10988041	1	1	1	1,07913878	0,926664873	1
PIF1	0,001278066	0,109809826	0,1	0	1	1,079085983	0,926710212	#DIV/0!
DHFR	0,00239488	0,109761583	0,188	0,04	1	1,0790499	0,926741201	4,7
STN1	0,000449802	0,109759347	0,212	0,04	1	1,079048228	0,926742637	5,3
ACTR8	1,29534E-06	0,10959297	0,3	0,03	0,027332886	1,078923795	0,926849519	10

Supplementary Table 4

Differentially expressed genes_keloid-CCD_ comparing SC-Keloid vs. (SC-Myel, SC-Nonmyel)								
gene	p_val	avg_log2FC	pct.1	pct.2	p_val_adj	Foldchange_UP	Foldchange_DOWN	Ratio_pct1_pct2
PIK3CD	0,005562134	0,109545876	0,075	0	1	1,078888576	0,926879774	#DIV/0!
TMEM94	0,001620501	0,109532361	0,15	0,02	1	1,078878469	0,926888457	7,5
MSTO1	0,000138823	0,109416701	0,138	0	1	1,07879198	0,926962768	#DIV/0!
NUDCD2	0,00300973	0,109341787	0,662	0,3	1	1,078735964	0,927010903	2,206666667
USP10	0,000718901	0,109287344	0,4	0,14	1	1,078695256	0,927045887	2,857142857
EXD3	0,001620501	0,109262611	0,15	0,02	1	1,078676763	0,92706178	7,5
FOXK1	0,002189063	0,109241519	0,188	0,04	1	1,078660994	0,927075333	4,7
GPAM	0,003137076	0,109151394	0,138	0,02	1	1,078593612	0,927133249	6,9
MYBBP1A	0,000611714	0,1091151	0,112	0	1	1,078566478	0,927156574	#DIV/0!
CENPP	0,001476524	0,108763765	0,125	0,01	1	1,07830385	0,927382389	12,5
DSCC1	0,001655244	0,108747743	0,15	0,02	1	1,078291875	0,927392688	7,5
PKIG	0,000127025	0,108714688	0,662	0,25	1	1,078267169	0,927413937	2,648
NUDT15	0,000757951	0,108645442	0,188	0,03	1	1,078215416	0,927458451	6,266666667
FXN	0,000611714	0,108576736	0,112	0	1	1,078164069	0,927502621	#DIV/0!
BTBD10	0,000118715	0,108544305	0,312	0,07	1	1,078139833	0,927523471	4,457142857
ZNF623	0,017169065	0,108494789	0,125	0,03	1	1,07810283	0,927555306	4,166666667
ACOX3	0,003313746	0,108438426	0,112	0,01	1	1,078060711	0,927591545	11,2
RPGRIP1L	0,000611714	0,108346073	0,112	0	1	1,077991702	0,927650925	#DIV/0!
MAN2B2	1,15774E-05	0,108297638	0,262	0,03	0,244295199	1,077955512	0,92768207	8,733333333
TRMT13	0,001548751	0,108121857	0,125	0,01	1	1,077824179	0,927795107	12,5
ARMC7	0,000611714	0,108112109	0,112	0	1	1,077816897	0,927801376	#DIV/0!
AP1M1	0,000147094	0,108064041	0,375	0,1	1	1,077780987	0,927832289	3,75
TCAIM	0,000413716	0,108026138	0,175	0,02	1	1,077752671	0,927856666	8,75
LMBR1	0,000404687	0,107970529	0,175	0,02	1	1,077711113	0,927892431	8,75
STARD3	0,00025694	0,107918953	0,338	0,09	1	1,077672602	0,927925604	3,755555556
ELMOD1	0,022138642	0,107826834	0,1	0,02	1	1,077603793	0,927984855	5
GOPC	0,003546983	0,107723071	0,55	0,24	1	1,077526291	0,928051601	2,291666667
WDR90	0,013319742	0,107716468	0,088	0,01	1	1,07752136	0,928055849	8,8
ZNF883	0,000611714	0,107711415	0,112	0	1	1,077517586	0,928059099	#DIV/0!
UBA5	0,006549445	0,10770632	0,288	0,11	1	1,07751378	0,928062377	2,618181818

Supplementary Table 4

Differentially expressed genes_keloid-CCD_ comparing SC-Keloid vs. (SC-Myel, SC-Nonmyel)								
gene	p_val	avg_log2FC	pct.1	pct.2	p_val_adj	Foldchange_UP	Foldchange_DOWN	Ratio_pct1_pct2
COMMD2	0,000100074	0,107583806	0,4	0,11	1	1,077422281	0,928141192	3,636363636
THG1L	4,24104E-05	0,10752143	0,288	0,05	0,894901148	1,0773757	0,928181321	5,76
POLR2F	0,027420488	0,107450606	0,925	0,5	1	1,07732281	0,928226888	1,85
ZNF518B	0,00555537	0,107447657	0,125	0,02	1	1,077320609	0,928228785	6,25
TMED7	0,000173309	0,107413585	0,613	0,22	1	1,077295166	0,928250708	2,786363636
BLOC1S4	0,001925595	0,10734686	0,288	0,09	1	1,077245341	0,928293641	3,2
BTD	0,000147476	0,107328393	0,262	0,05	1	1,077231553	0,928305523	5,24
SFMBT2	0,051893599	0,107306087	0,062	0,01	1	1,077214897	0,928319876	6,2
EIF4G3	0,000685539	0,107206039	0,462	0,17	1	1,077140198	0,928384255	2,717647059
ORC2	0,002946922	0,107202801	0,138	0,02	1	1,07713778	0,928386339	6,9
EPS15L1	0,000973921	0,107072503	0,225	0,05	1	1,077040502	0,928470191	4,5
BORCS5	0,000757951	0,107071613	0,188	0,03	1	1,077039838	0,928470763	6,266666667
PEX16	0,00304726	0,107066956	0,312	0,11	1	1,077036361	0,92847376	2,836363636
SOX11	0,066331021	0,107015164	0,162	0,07	1	1,076997696	0,928507093	2,314285714
RNF168	0,000215114	0,106907547	0,338	0,09	1	1,076917362	0,928576357	3,755555556
TRIM14	0,000341622	0,10686183	0,2	0,03	1	1,076883236	0,928605783	6,666666667
PCDHGA12	0,006150583	0,106801572	0,125	0,02	1	1,076838258	0,928644569	6,25
TSPAN9	5,05615E-05	0,106667668	0,238	0,03	1	1,076738315	0,928730766	7,933333333
ATRX	0,030003395	0,106632224	0,838	0,47	1	1,076711863	0,928753583	1,782978723
PPA2	0,000808962	0,106581578	0,288	0,08	1	1,076674065	0,928786187	3,6
TELO2	0,000327555	0,106456938	0,288	0,07	1	1,076581051	0,928866432	4,114285714
C16orf91	4,49346E-05	0,106429241	0,375	0,09	0,948164747	1,076560383	0,928884265	4,166666667
TXNDC9	6,01722E-05	0,106390582	0,438	0,12	1	1,076531536	0,928909156	3,65
MAGOH	0,027853765	0,106382191	0,65	0,34	1	1,076525274	0,928914558	1,911764706
HAUS7	0,000291957	0,106301051	0,125	0	1	1,07646473	0,928966804	#DIV/0!
GUSB	0,00232206	0,106272815	0,637	0,29	1	1,076443662	0,928984986	2,196551724
CATSPER1	0,001278066	0,106195468	0,1	0	1	1,076385953	0,929034792	#DIV/0!
STXBP4	0,00922558	0,106188933	0,138	0,03	1	1,076381077	0,929039001	4,6
WDR13	0,00941356	0,106185083	0,675	0,33	1	1,076378204	0,92904148	2,045454545
KIAA1586	0,002669855	0,106082704	0,162	0,03	1	1,076301823	0,92910741	5,4

Supplementary Table 4

Differentially expressed genes_keloid-CCD_ comparing SC-Keloid vs. (SC-Myel, SC-Nonmyel)								
gene	p_val	avg_log2FC	pct.1	pct.2	p_val_adj	Foldchange_UP	Foldchange_DOWN	Ratio_pct1_pct2
RABGGTA	0,001080362	0,106034167	0,2	0,04	1	1,076265613	0,92913867	5
DUS3L	0,02194873	0,106020065	0,138	0,04	1	1,076255093	0,929147751	3,45
NDRG3	0,000556055	0,106000811	0,212	0,04	1	1,07624073	0,929160152	5,3
KIFC1	0,001278066	0,105952904	0,1	0	1	1,076204992	0,929191006	#DIV/0!
MOV10	0,000792271	0,105898518	0,138	0,01	1	1,076164423	0,929226035	13,8
TVP23C	0,002885914	0,105881894	0,138	0,02	1	1,076152022	0,929236743	6,9
RBM28	1,27428E-05	0,105844039	0,462	0,12	0,268886025	1,076123785	0,929261126	3,85
GTF2E1	0,000611714	0,105735372	0,112	0	1	1,076042732	0,929331123	#DIV/0!
TMED8	0,001990104	0,105560881	0,225	0,06	1	1,075912595	0,92944353	3,75
KAT14	0,006428475	0,105520306	0,1	0,01	1	1,075882336	0,92946967	10
C6orf47	0,003137076	0,105503969	0,138	0,02	1	1,075870153	0,929480195	6,9
WASHC5	0,004287523	0,105490545	0,175	0,04	1	1,075860142	0,929488844	4,375
MGST2	0,002073488	0,105439138	0,188	0,04	1	1,075821807	0,929521965	4,7
CALM3	0,01798681	0,105365729	0,537	0,27	1	1,075767067	0,929569263	1,988888889
KLHL4	0,000795661	0,105362474	0,162	0,02	1	1,07576464	0,92957136	8,1
ASPHD2	0,002666059	0,105357884	0,088	0	1	1,075761218	0,929574318	#DIV/0!
UQCRC2	0,001555469	0,105353449	0,6	0,26	1	1,07575791	0,929577176	2,307692308
TSN	0,002180363	0,105339947	0,412	0,16	1	1,075747843	0,929585875	2,575
ZNF146	0,003691659	0,105330984	0,275	0,09	1	1,075741159	0,929591651	3,055555556
REP15	0,003313746	0,105330582	0,112	0,01	1	1,075740859	0,92959191	11,2
GMPS	4,02922E-05	0,105244879	0,462	0,13	0,850204997	1,075676957	0,929647133	3,553846154
ACSF3	0,001564391	0,105214954	0,212	0,05	1	1,075654646	0,929666417	4,24
CCZ1B	0,000550867	0,105178469	0,238	0,05	1	1,075627443	0,929689928	4,76
IPO4	0,003072483	0,105162671	0,138	0,02	1	1,075615665	0,929700108	6,9
HR	0,001488577	0,10514294	0,238	0,06	1	1,075600954	0,929712823	3,966666667
UBXN1	0,018526975	0,105127191	0,9	0,49	1	1,075589213	0,929722973	1,836734694
TBRG1	0,000152636	0,105126335	0,45	0,14	1	1,075588574	0,929723524	3,214285714
DHRS7B	9,37294E-05	0,105124574	0,438	0,13	1	1,075587261	0,929724659	3,369230769
DCN	0,049463005	0,105114162	0,262	0,12	1	1,075579499	0,929731369	2,183333333
ME3	0,00029757	0,105048191	0,25	0,05	1	1,075530317	0,929773884	5

Supplementary Table 4

Differentially expressed genes_keloid-CCD_ comparing SC-Keloid vs. (SC-Myel, SC-Nonmyel)								
gene	p_val	avg_log2FC	pct.1	pct.2	p_val_adj	Foldchange_UP	Foldchange_DOWN	Ratio_pct1_pct2
ZBP1	0,011634754	0,105025491	0,062	0	1	1,075513394	0,929788514	#DIV/0!
CCDC113	0,001278066	0,105014451	0,1	0	1	1,075505163	0,929795629	#DIV/0!
CCZ1	4,19033E-06	0,104872108	0,462	0,11	0,088420109	1,075399054	0,929887372	4,2
SRD5A1	0,000204342	0,104858301	0,188	0,02	1	1,075388763	0,929896271	9,4
MED6	0,000344691	0,104853767	0,288	0,07	1	1,075385383	0,929899193	4,114285714
TRPM4	0,013319742	0,104852695	0,088	0,01	1	1,075384584	0,929899884	8,8
PRDX6	0,280674548	0,104765816	0,887	0,65	1	1,075319826	0,929955885	1,364615385
SNX18	2,3352E-05	0,104710446	0,3	0,05	0,492750538	1,075278557	0,929991576	6
MRPL30	0,001207685	0,104709997	0,2	0,04	1	1,075278222	0,929991866	5
ZNF700	0,024497883	0,104685763	0,05	0	1	1,07526016	0,930007488	#DIV/0!
POLA2	0,000291957	0,104651484	0,125	0	1	1,075234612	0,930029585	#DIV/0!
HPS3	0,000375171	0,104645971	0,15	0,01	1	1,075230503	0,930033139	15
TTI1	0,001278066	0,104643106	0,1	0	1	1,075228367	0,930034986	#DIV/0!
PROCR	0,000100126	0,104566342	0,2	0,02	1	1,075171158	0,930084473	10
AHNAK2	4,86715E-05	0,104412341	0,212	0,02	1	1,075056394	0,930183761	10,6
NPIP5	0,009268119	0,104276067	0,212	0,07	1	1,074954851	0,930271628	3,028571429
ULBP2	0,001307717	0,104236294	0,175	0,03	1	1,074925217	0,930297275	5,833333333
LYRM1	0,000343711	0,103984352	0,225	0,04	1	1,074737516	0,93045975	5,625
NAPEPLD	0,001080362	0,103918715	0,2	0,04	1	1,074688621	0,930502083	5
SLC41A3	0,001232124	0,103901914	0,262	0,07	1	1,074676105	0,930512919	3,742857143
NAPG	1,35332E-06	0,103830541	0,375	0,06	0,028556308	1,07462294	0,930558955	6,25
BMP2	0,012170454	0,103758346	0,188	0,06	1	1,074569166	0,930605523	3,133333333
TK2	0,005208404	0,103743519	0,225	0,07	1	1,074558122	0,930615087	3,214285714
MAPK8IP3	0,000404687	0,103673283	0,175	0,02	1	1,07450581	0,930660394	8,75
NUP50	0,001816182	0,103548656	0,288	0,09	1	1,074412993	0,930740792	3,2
CETN2	0,000289662	0,103534119	0,475	0,16	1	1,074402166	0,930750171	2,96875
ACADVL	0,046597706	0,103503856	0,825	0,45	1	1,074379629	0,930769695	1,833333333
DROSHA	0,003137076	0,103483337	0,138	0,02	1	1,074364349	0,930782933	6,9
ZC3HC1	8,89706E-05	0,1034063	0,175	0,01	1	1,074306981	0,930832637	17,5
CNOT10	0,006150583	0,103372027	0,125	0,02	1	1,07428146	0,93085475	6,25

Supplementary Table 4

Differentially expressed genes_keloid-CCD_ comparing SC-Keloid vs. (SC-Myel, SC-Nonmyel)								
gene	p_val	avg_log2FC	pct.1	pct.2	p_val_adj	Foldchange_UP	Foldchange_DOWN	Ratio_pct1_pct2
FBXL6	0,000208673	0,103329469	0,275	0,06	1	1,074249771	0,930882209	4,583333333
CDK20	0,002666059	0,103192572	0,088	0	1	1,07414784	0,930970545	#DIV/0!
ILRUN	0,01373349	0,103138191	0,2	0,07	1	1,074107352	0,931005638	2,857142857
CEP170	3,61072E-05	0,103081797	0,775	0,29	0,761898454	1,074065367	0,93104203	2,672413793
TNFRSF12A	0,108473021	0,103056383	0,988	0,9	1	1,074046446	0,931058432	1,097777778
GLRX	0,012252992	0,103029121	0,15	0,04	1	1,074026151	0,931076025	3,75
MAP4K4	0,001474365	0,103024251	0,738	0,33	1	1,074022525	0,931079169	2,236363636
SLC7A6OS	0,00906008	0,103008644	0,138	0,03	1	1,074010907	0,931089241	4,6
CANT1	0,000671669	0,102869512	0,188	0,03	1	1,073907335	0,931179039	6,266666667
IMPDH1	0,000245218	0,102834719	0,275	0,06	1	1,073881436	0,931201496	4,583333333
RPE65	1,59154E-05	0,102726595	0,3	0,05	0,335829821	1,073800956	0,931271288	6
NAXD	0,001442989	0,102694014	0,175	0,03	1	1,073776707	0,93129232	5,833333333
TAB1	0,000375171	0,102531036	0,15	0,01	1	1,073655411	0,931397532	15
KCTD13	0,002520324	0,102501414	0,162	0,03	1	1,073633367	0,931416656	5,4
PDS5A	0,001356884	0,102488458	0,338	0,11	1	1,073623725	0,93142502	3,072727273
RRP12	0,011043276	0,102454498	0,112	0,02	1	1,073598453	0,931446945	5,6
USP7	3,03878E-05	0,102434423	0,5	0,15	0,641213936	1,073583514	0,931459907	3,333333333
SUCLG2	3,48587E-06	0,10241066	0,475	0,11	0,073555286	1,073565831	0,931475249	4,318181818
FBXO7	0,001903946	0,102408865	0,575	0,24	1	1,073564495	0,931476408	2,395833333
PRPF38A	0,000426751	0,102287151	0,4	0,13	1	1,073473927	0,931554996	3,076923077
UQCERS1	0,002673465	0,102268011	0,75	0,33	1	1,073459686	0,931567355	2,272727273
NUDT18	0,001586431	0,102234758	0,15	0,02	1	1,073434944	0,931588827	7,5
AATF	3,2117E-05	0,102234597	0,388	0,09	0,67770053	1,073434824	0,931588931	4,311111111
CUL4A	3,7454E-05	0,102201339	0,338	0,07	0,79031687	1,073410079	0,931610407	4,828571429
DLL1	0,114652585	0,10212729	0,025	0	1	1,073354985	0,931658225	#DIV/0!
HPS1	0,000808962	0,102125811	0,288	0,08	1	1,073353884	0,93165918	3,6
APOL2	0,001471545	0,102091282	0,175	0,03	1	1,073328196	0,931681478	5,833333333
RAP2C	5,19941E-05	0,101916455	0,325	0,07	1	1,073198137	0,931794387	4,642857143
CDS2	0,000370102	0,101911883	0,362	0,11	1	1,073194736	0,93179734	3,290909091
RFC1	0,000125058	0,101748391	0,438	0,13	1	1,073073124	0,931902941	3,369230769

Supplementary Table 4

Differentially expressed genes_keloid-CCD_comparing SC-Keloid vs. (SC-Myel, SC-Nonmyel)								
gene	p_val	avg_log2FC	pct.1	pct.2	p_val_adj	Foldchange_UP	Foldchange_DOWN	Ratio_pct1_pct2
CMAS	1,42516E-05	0,101728927	0,35	0,07	0,300723722	1,073058647	0,931915514	5
PARPBP	0,003137076	0,101704461	0,138	0,02	1	1,073040449	0,931931318	6,9
GLRB	0,011264251	0,101661572	0,112	0,02	1	1,07300855	0,931959023	5,6
MPLKIP	0,000608893	0,101627389	0,5	0,19	1	1,072983127	0,931981105	2,631578947
MRPL22	0,001401636	0,101611253	0,6	0,24	1	1,072971126	0,931991529	2,5
PMF1	7,62366E-05	0,101584394	0,562	0,19	1	1,07295115	0,93200888	2,957894737
RBM33	0,001837893	0,101570624	0,438	0,17	1	1,072940909	0,932017776	2,576470588
CLSPN	0,004354382	0,101542516	0,212	0,06	1	1,072920006	0,932035934	3,533333333
ERCC6L2	0,002840361	0,101479771	0,225	0,06	1	1,072873344	0,932076471	3,75
TMEM121	0,000743648	0,101335387	0,325	0,1	1	1,072765976	0,932169758	3,25
RPE	0,000592056	0,101298146	0,238	0,05	1	1,072738285	0,93219382	4,76
EHMT1	9,6372E-05	0,101280619	0,35	0,09	1	1,072725253	0,932205145	3,888888889
ZNF484	0,001278066	0,101267015	0,1	0	1	1,072715138	0,932213935	#DIV/0!
MRPL46	1,12285E-05	0,101224882	0,238	0,02	0,236932166	1,07268381	0,932241161	11,9
SCNM1	0,001066334	0,101144375	0,262	0,07	1	1,072623952	0,932293184	3,742857143
SOX5	0,003004954	0,101065115	0,388	0,15	1	1,072565025	0,932344405	2,586666667
PCK2	0,001586071	0,101055358	0,125	0,01	1	1,072557771	0,93235071	12,5
DCTD	0,000524159	0,100958966	0,475	0,17	1	1,072486112	0,932413006	2,794117647
SLC35F2	0,020504361	0,10094126	0,1	0,02	1	1,07247295	0,93242445	5
GNPNAT1	0,000166585	0,1009131	0,362	0,1	1	1,072452017	0,93244265	3,62
CHMP4A	7,86052E-05	0,100911855	0,613	0,21	1	1,072451091	0,932443455	2,919047619
DIRC3	0,006976722	0,100892006	0,162	0,04	1	1,072436336	0,932456283	4,05
STARD5	0,001624218	0,100803301	0,125	0,01	1	1,072370399	0,932513618	12,5
ZC3H4	0,002438112	0,100793083	0,188	0,04	1	1,072362803	0,932520223	4,7
STK16	2,03719E-05	0,100770107	0,35	0,07	0,429868303	1,072345725	0,932535074	5
TMTC3	0,000947859	0,100726453	0,35	0,11	1	1,072313278	0,932563291	3,181818182
MMP16	0,001624218	0,100663646	0,125	0,01	1	1,072266596	0,932603891	12,5
RNF8	0,000624065	0,100645475	0,25	0,06	1	1,072253091	0,932615637	4,166666667
NUP43	0,001278066	0,100510099	0,1	0	1	1,07215248	0,932703154	#DIV/0!
COX19	0,002980513	0,100509215	0,3	0,1	1	1,072151824	0,932703725	3

Supplementary Table 4

Differentially expressed genes_keloid-CCD_ comparing SC-Keloid vs. (SC-Myel, SC-Nonmyel)								
gene	p_val	avg_log2FC	pct.1	pct.2	p_val_adj	Foldchange_UP	Foldchange_DOWN	Ratio_pct1_pct2
GALE	0,000830908	0,100490507	0,162	0,02	1	1,072137921	0,93271582	8,1
CYB5R4	0,002149898	0,100401023	0,188	0,04	1	1,072071422	0,932773674	4,7
PPP2R5D	0,000394526	0,100334325	0,2	0,03	1	1,07202186	0,932816799	6,666666667
BUB1B	0,005562134	0,100219309	0,075	0	1	1,071936399	0,932891168	#DIV/0!
MCAT	0,000384434	0,100215693	0,15	0,01	1	1,071933712	0,932893507	15
ABI2	0,003218072	0,100107454	0,762	0,35	1	1,071853293	0,9329635	2,177142857
CPOX	0,000378678	0,100084288	0,2	0,03	1	1,071836081	0,932978482	6,666666667
SLMAP	0,00011259	0,100067877	0,312	0,07	1	1,07182389	0,932989094	4,457142857
MRPS36	0,000756585	0,100065861	0,537	0,2	1	1,071822392	0,932990398	2,685
JAM3	0,001383111	0,100042239	0,7	0,31	1	1,071804842	0,933005674	2,258064516
ALDH7A1	0,005074821	0,099954461	0,35	0,14	1	1,071739632	0,933062443	2,5
SCFD2	0,002666059	0,099945546	0,088	0	1	1,071733009	0,933068209	#DIV/0!
TEX261	4,41125E-05	0,09993505	0,288	0,05	0,930817568	1,071725212	0,933074998	5,76
IFTAP	0,000308577	0,099832064	0,438	0,14	1	1,071648711	0,933141607	3,128571429
R3HDM4	0,00263251	0,099784644	0,3	0,1	1	1,071613487	0,933172279	3
NOTCH2NLA	0,000611714	0,099650359	0,112	0	1	1,071513747	0,933259142	#DIV/0!
RAB11FIP3	0,000778563	0,09964654	0,162	0,02	1	1,07151091	0,933261613	8,1
PEAK1	0,006297273	0,09958795	0,238	0,08	1	1,071467396	0,933299514	2,975
GHDC	0,001655244	0,099512077	0,15	0,02	1	1,071411047	0,933348599	7,5
ZBTB22	0,007988348	0,099504125	0,162	0,04	1	1,071405142	0,933353744	4,05
SLC31A1	0,000187937	0,099496407	0,238	0,04	1	1,07139941	0,933358736	5,95
DPY19L1	0,000103782	0,099435737	0,338	0,08	1	1,071354356	0,933397988	4,225
CIRBP-AS1	0,005562134	0,099237519	0,075	0	1	1,071207168	0,933526241	#DIV/0!
TRIM5	0,016579771	0,099203606	0,125	0,03	1	1,071181987	0,933548185	4,166666667
SIPA1L3	0,000611714	0,099086749	0,112	0	1	1,071095226	0,933623805	#DIV/0!
NOA1	0,000299964	0,09891866	0,225	0,04	1	1,07097044	0,933732588	5,625
EXTL1	9,79177E-05	0,098900426	0,25	0,04	1	1,070956904	0,933744389	6,25
THBS3	0,003928532	0,098889455	0,175	0,04	1	1,07094876	0,93375149	4,375
MIEN1	0,01259108	0,098871604	0,65	0,33	1	1,070935509	0,933763043	1,96969697
METAP1D	0,002189063	0,098840471	0,188	0,04	1	1,070912398	0,933783194	4,7

Supplementary Table 4

Differentially expressed genes_keloid-CCD_ comparing SC-Keloid vs. (SC-Myel, SC-Nonmyel)								
gene	p_val	avg_log2FC	pct.1	pct.2	p_val_adj	Foldchange_UP	Foldchange_DOWN	Ratio_pct1_pct2
SF3A3	9,65936E-06	0,09883617	0,488	0,13	0,203822053	1,070909206	0,933785978	3,753846154
FBXW4	0,010591248	0,098802875	0,175	0,05	1	1,070884491	0,933807528	3,5
GSKIP	0,006717164	0,098761575	0,275	0,1	1	1,070853836	0,933834261	2,75
C14orf28	0,009914883	0,098721289	0,138	0,03	1	1,070823933	0,933860338	4,6
H1-1	0,002666059	0,098714996	0,088	0	1	1,070819262	0,933864411	#DIV/0!
SLCO2A1	0,268357209	0,098691028	0,013	0	1	1,070801473	0,933879926	#DIV/0!
GORASP1	0,005082527	0,098685437	0,15	0,03	1	1,070797323	0,933883545	5
CELSR1	0,000384434	0,098616272	0,15	0,01	1	1,070745988	0,933928318	15
LRIF1	0,003695206	0,098573415	0,325	0,12	1	1,070714181	0,933956062	2,708333333
RABEPK	0,000955834	0,098564521	0,25	0,06	1	1,07070758	0,93396182	4,166666667
CLSTN1	0,000828032	0,098465553	0,562	0,22	1	1,070634133	0,934025891	2,554545455
CCDC74A	0,002669855	0,098455336	0,162	0,03	1	1,070626551	0,934032506	5,4
SMPD1	9,24609E-06	0,09844799	0,362	0,07	0,195101813	1,070621099	0,934037262	5,171428571
RPAIN	0,00051179	0,098331952	0,738	0,31	1	1,070534991	0,934112391	2,380645161
DDRGK1	0,000581038	0,098312118	0,55	0,21	1	1,070520274	0,934125233	2,619047619
SEZ6L2	0,00151334	0,098248627	0,238	0,06	1	1,070473163	0,934166343	3,966666667
CHST8	0,024497883	0,098232451	0,05	0	1	1,07046116	0,934176818	#DIV/0!
MPV17	2,39377E-05	0,098195636	0,5	0,14	0,505109956	1,070433844	0,934200657	3,571428571
SNTA1	0,000669713	0,098184775	0,3	0,08	1	1,070425786	0,93420769	3,75
PRR7	0,000251725	0,098169515	0,25	0,05	1	1,070414463	0,934217571	5
MIX23	0,001553021	0,098101641	0,15	0,02	1	1,070364105	0,934261524	7,5
LAMB2	0,000273202	0,098091617	0,575	0,22	1	1,070356668	0,934268015	2,613636364
NUP133	0,001500621	0,098005825	0,175	0,03	1	1,07029302	0,934323575	5,833333333
MAN1C1	0,00074289	0,097983347	0,188	0,03	1	1,070276344	0,934338132	6,266666667
DYNC1I2	0,026426944	0,097965727	0,75	0,4	1	1,070263273	0,934349543	1,875
ZNF449	0,053019982	0,097951847	0,062	0,01	1	1,070252976	0,934358532	6,2
PGBD2	0,002666059	0,097913912	0,088	0	1	1,070224834	0,934383102	#DIV/0!
RMC1	0,002669855	0,097907386	0,162	0,03	1	1,070219993	0,934387328	5,4
DHX30	0,002093387	0,097879471	0,4	0,15	1	1,070199286	0,934405408	2,666666667
NTAQ1	0,001442989	0,097863905	0,175	0,03	1	1,070187739	0,93441549	5,833333333

Supplementary Table 4

Differentially expressed genes_keloid-CCD_comparing SC-Keloid vs. (SC-Myel, SC-Nonmyel)								
gene	p_val	avg_log2FC	pct.1	pct.2	p_val_adj	Foldchange_UP	Foldchange_DOWN	Ratio_pct1_pct2
PSMG4	0,004645866	0,097830918	0,288	0,1	1	1,070163269	0,934436855	2,88
AP3M1	0,002073795	0,097827104	0,25	0,07	1	1,07016044	0,934439326	3,571428571
PXMP4	0,001442989	0,097810555	0,175	0,03	1	1,070148165	0,934450044	5,833333333
TRAP1	9,20117E-05	0,097772998	0,338	0,08	1	1,070120307	0,934474371	4,225
ANGPT2	0,104582322	0,097738364	0,05	0,01	1	1,070094617	0,934496804	5
AGGF1	0,002569294	0,097726338	0,162	0,03	1	1,070085697	0,934504594	5,4
BRF2	0,003137076	0,097661777	0,138	0,02	1	1,070037811	0,934546415	6,9
FGD1	0,000384434	0,097586511	0,15	0,01	1	1,069981988	0,934595171	15
PPP3CB	1,61007E-05	0,097530648	0,462	0,12	0,339741923	1,069940558	0,934631361	3,85
TMEM131	0,002458846	0,097518282	0,225	0,06	1	1,069931387	0,934639372	3,75
ZNF778	0,000611714	0,097517073	0,112	0	1	1,06993049	0,934640156	#DIV/0!
ISCA2	0,000268034	0,097516185	0,275	0,06	1	1,069929832	0,934640731	4,583333333
C19orf12	0,000505169	0,097440343	0,262	0,06	1	1,069873587	0,934689866	4,366666667
EEF1AKMT2	0,002273097	0,097391205	0,375	0,14	1	1,069837148	0,934721702	2,678571429
NOL6	0,004988707	0,09733468	0,15	0,03	1	1,069795233	0,934758325	5
SEC14L2	0,00095689	0,097318578	0,325	0,1	1	1,069783293	0,934768758	3,25
EIF3M	0,004192454	0,09702419	0,65	0,31	1	1,069565021	0,934959521	2,096774194
LRRC29	0,005562134	0,0968869	0,075	0	1	1,069463244	0,935048498	#DIV/0!
ZFP62	0,003313746	0,096869336	0,112	0,01	1	1,069450224	0,935059882	11,2
SLC38A6	0,006578444	0,096810239	0,1	0,01	1	1,069406417	0,935098185	10
OIP5	0,000291957	0,096801518	0,125	0	1	1,069399953	0,935103838	#DIV/0!
ADCK5	0,026889313	0,096638861	0,075	0,01	1	1,06927939	0,935209273	7,5
MRPL44	0,00180138	0,096633422	0,25	0,07	1	1,069275359	0,935212798	3,571428571
TRPV4	0,006404327	0,096577931	0,125	0,02	1	1,069234231	0,93524877	6,25
NOVA1	0,021927553	0,096497374	0,238	0,1	1	1,06917453	0,935300994	2,38
SLC10A3	0,00072868	0,096482344	0,25	0,06	1	1,06916339	0,935310738	4,166666667
MIR99AHG	0,193555421	0,096468113	0,088	0,04	1	1,069152844	0,935319964	2,2
TLR3	0,011634754	0,096236308	0,062	0	1	1,068981072	0,935470259	#DIV/0!
ARL2BP	0,007336435	0,096133901	0,675	0,32	1	1,068905195	0,935536664	2,109375
RNASEH1	0,000149574	0,096117799	0,412	0,12	1	1,068893265	0,935547105	3,433333333

Supplementary Table 4

Differentially expressed genes_keloid-CCD_ comparing SC-Keloid vs. (SC-Myel, SC-Nonmyel)								
gene	p_val	avg_log2FC	pct.1	pct.2	p_val_adj	Foldchange_UP	Foldchange_DOWN	Ratio_pct1_pct2
ACKR1	0,523092318	0,096113584	0,075	0,1	1	1,068890142	0,935549839	0,75
STYXL1	0,000394526	0,096110286	0,2	0,03	1	1,068887698	0,935551978	6,666666667
VPS33B	0,013319742	0,096047451	0,088	0,01	1	1,068841145	0,935592725	8,8
ZNF382	0,054166721	0,09589107	0,062	0,01	1	1,068725295	0,935694144	6,2
FAIM	0,001807718	0,095832576	0,275	0,08	1	1,068681964	0,935732083	3,4375
GCSH	0,029507872	0,095783542	0,812	0,46	1	1,068645642	0,935763887	1,765217391
UBE2A	0,001851031	0,095706886	0,762	0,35	1	1,068588863	0,935813609	2,177142857
GON7	0,003895696	0,095644328	0,238	0,07	1	1,068542527	0,935854189	3,4
RWDD2A	0,001655244	0,095636539	0,15	0,02	1	1,068536759	0,935859241	7,5
SDHAF2	9,04251E-07	0,095578871	0,4	0,07	0,019080606	1,068494048	0,93589665	5,714285714
EFR3B	0,001278066	0,095517061	0,1	0	1	1,068448271	0,935936748	#DIV/0!
METTL3	0,00068532	0,095505506	0,212	0,04	1	1,068439713	0,935944245	5,3
MCM6	0,033133318	0,095473016	0,112	0,03	1	1,068415652	0,935965322	3,733333333
CD68	0,00922558	0,095444581	0,138	0,03	1	1,068394594	0,93598377	4,6
EMC4	0,007925909	0,095435707	0,775	0,39	1	1,068388022	0,935989527	1,987179487
SMYD5	0,000792271	0,09542182	0,138	0,01	1	1,068377738	0,935998537	13,8
BLM	0,005562134	0,095258813	0,075	0	1	1,068257031	0,936104299	#DIV/0!
SLC36A4	0,007051107	0,095254151	0,2	0,06	1	1,06825358	0,936107324	3,333333333
ALDH18A1	0,000602791	0,095167922	0,238	0,05	1	1,068189732	0,936163277	4,76
CCDC86	0,000792271	0,095164386	0,138	0,01	1	1,068187114	0,936165571	13,8
MCEE	0,004287523	0,095159563	0,175	0,04	1	1,068183543	0,936168701	4,375
SETX	0,000504535	0,095085794	0,45	0,15	1	1,068128926	0,936216571	3
METTL1	0,001586431	0,095034827	0,15	0,02	1	1,068091192	0,936249646	7,5
NCAPH	0,002666059	0,094995791	0,088	0	1	1,068062292	0,936274979	#DIV/0!
ZNF880	0,053466886	0,094981	0,1	0,03	1	1,068051342	0,936284578	3,333333333
DCLRE1B	0,001278066	0,094884611	0,1	0	1	1,067979986	0,936347135	#DIV/0!
RPL9	0,116329808	0,094874678	1	0,99	1	1,067972633	0,936353582	1,01010101
NBEAL2	0,024497883	0,09487206	0,05	0	1	1,067970695	0,936355281	#DIV/0!
PSMD14	0,00080903	0,094835035	0,613	0,25	1	1,067943287	0,936379311	2,452
GLIPR2	0,001044791	0,094800943	0,325	0,1	1	1,067918051	0,93640144	3,25

Supplementary Table 4

Differentially expressed genes_keloid-CCD_ comparing SC-Keloid vs. (SC-Myel, SC-Nonmyel)								
gene	p_val	avg_log2FC	pct.1	pct.2	p_val_adj	Foldchange_UP	Foldchange_DOWN	Ratio_pct1_pct2
HPS6	0,003313746	0,094774339	0,112	0,01	1	1,067898358	0,936418707	11,2
PDE4B	0,002827454	0,094697291	0,162	0,03	1	1,067841328	0,936468718	5,4
CEP76	0,001624218	0,094650915	0,125	0,01	1	1,067807002	0,936498822	12,5
AP5Z1	0,01010845	0,094571236	0,175	0,05	1	1,06774803	0,936550546	3,5
SLC35A4	6,24022E-05	0,09453034	0,388	0,1	1	1,067717763	0,936577095	3,88
NRAV	0,001278066	0,094367827	0,1	0	1	1,067597496	0,936682602	#DIV/0!
SREK1IP1	9,00371E-05	0,094353583	0,512	0,16	1	1,067586956	0,936691849	3,2
QSOX2	0,003072483	0,094344958	0,138	0,02	1	1,067580573	0,93669745	6,9
CUL2	0,000149595	0,094313186	0,325	0,08	1	1,067557062	0,936718078	4,0625
PSMD11	0,017023239	0,094216668	0,675	0,35	1	1,067485644	0,936780748	1,928571429
NME6	0,000611714	0,094216502	0,112	0	1	1,067485521	0,936780856	#DIV/0!
CIAO1	0,000107511	0,094109875	0,438	0,13	1	1,067406628	0,936850094	3,369230769
PLA2G15	0,000550867	0,094082938	0,238	0,05	1	1,067386699	0,936867586	4,76
TMEM60	0,001230206	0,094058903	0,2	0,04	1	1,067368916	0,936883194	5
MARVELD1	0,006490174	0,094057927	0,588	0,28	1	1,067368194	0,936883829	2,1
SNHG9	0,001254518	0,094048521	0,488	0,19	1	1,067361235	0,936889937	2,568421053
VAR51	3,12483E-05	0,093994176	0,35	0,08	0,65936981	1,067321029	0,936925229	4,375
RHBDD2	0,000108317	0,093945038	0,4	0,11	1	1,067284677	0,936957141	3,636363636
EPG5	0,005996845	0,093908577	0,1	0,01	1	1,067257704	0,936980821	10
FANCI	0,001624218	0,093877239	0,125	0,01	1	1,067234521	0,937001175	12,5
SCYL1	0,000457746	0,093857285	0,412	0,13	1	1,067219761	0,937014134	3,169230769
MFSD8	0,003237075	0,093827537	0,112	0,01	1	1,067197755	0,937033455	11,2
NSUN6	0,002073488	0,093726792	0,188	0,04	1	1,067123234	0,937098892	4,7
RNF113A	0,000571116	0,093715508	0,238	0,05	1	1,067114888	0,937106221	4,76
KHK	0,011950918	0,093703837	0,112	0,02	1	1,067106255	0,937113802	5,6
SKAP1	0,039947093	0,093694741	0,088	0,02	1	1,067099527	0,93711971	4,4
TEDC1	0,000487981	0,093680645	0,262	0,06	1	1,067089101	0,937128867	4,366666667
NBPF20	0,011634754	0,09366717	0,062	0	1	1,067079135	0,937137619	#DIV/0!
CNOT9	9,87561E-05	0,093614844	0,362	0,09	1	1,067040432	0,93717161	4,022222222
DAPL1	0,002666059	0,09348938	0,088	0	1	1,066947641	0,937253115	#DIV/0!

Supplementary Table 4

Differentially expressed genes_keloid-CCD_comparing SC-Keloid vs. (SC-Myel, SC-Nonmyel)								
gene	p_val	avg_log2FC	pct.1	pct.2	p_val_adj	Foldchange_UP	Foldchange_DOWN	Ratio_pct1_pct2
ABCB4	0,10676172	0,093414902	0,05	0,01	1	1,066892562	0,937301501	5
PREB	0,00038799	0,093373674	0,288	0,07	1	1,066862074	0,937328287	4,114285714
CSNK1G2	0,001079188	0,093340288	0,312	0,1	1	1,066837386	0,937349978	3,12
ZNF629	0,026889313	0,093253257	0,075	0,01	1	1,06677303	0,937406526	7,5
ASB6	0,000402795	0,093225845	0,262	0,06	1	1,066752761	0,937424337	4,366666667
XIRP1	0,011634754	0,093209991	0,062	0	1	1,066741039	0,937434639	#DIV/0!
HJURP	0,005562134	0,093142483	0,075	0	1	1,066691124	0,937478505	#DIV/0!
DGCR6	0,006731552	0,093129509	0,1	0,01	1	1,066681531	0,937486936	10
SLC25A17	7,64299E-05	0,093128424	0,275	0,05	1	1,066680729	0,93748764	5,5
ITGB1BP1	0,005503564	0,093107443	0,762	0,39	1	1,066665216	0,937501275	1,953846154
BPNT1	0,020902746	0,093070648	0,1	0,02	1	1,066638013	0,937525185	5
RNF6	0,082799575	0,092898779	0,188	0,09	1	1,06651095	0,93763688	2,088888889
PGD	0,000148311	0,092871683	0,288	0,06	1	1,06649092	0,93765449	4,8
CC2D2A	0,01362345	0,092835274	0,088	0,01	1	1,066464006	0,937678154	8,8
VAX2	0,005562134	0,092828811	0,075	0	1	1,066459228	0,937682355	#DIV/0!
DENND1A	0,001278066	0,09277704	0,1	0	1	1,066420959	0,937716004	#DIV/0!
TMEM107	0,000732596	0,092758569	0,325	0,1	1	1,066407305	0,93772801	3,25
SC5D	0,006150583	0,092651304	0,125	0,02	1	1,066328021	0,937797732	6,25
EOLA2	0,000308769	0,092634653	0,25	0,05	1	1,066315713	0,937808556	5
EEF2K	0,003313746	0,092467978	0,112	0,01	1	1,066192529	0,937916908	11,2
SCRN3	0,00074289	0,092425924	0,188	0,03	1	1,066161451	0,937944248	6,266666667
ST6GALNAC4	0,000409923	0,092395047	0,262	0,06	1	1,066138632	0,937964323	4,366666667
TTC23	0,023011948	0,092326991	0,138	0,04	1	1,066088341	0,93800857	3,45
ZNF579	0,003350835	0,092298973	0,238	0,07	1	1,066067637	0,938026787	3,4
XPO5	0,002774001	0,0922961	0,162	0,03	1	1,066065514	0,938028655	5,4
TES	0,000402681	0,092276992	0,2	0,03	1	1,066051394	0,938041079	6,666666667
LMCD1	0,000311254	0,092154893	0,412	0,13	1	1,065961176	0,938120471	3,169230769
GTF3C2	0,000386526	0,092148817	0,2	0,03	1	1,065956686	0,938124422	6,666666667
HSDL2	0,003153046	0,092138935	0,238	0,07	1	1,065949385	0,938130848	3,4
TANGO2	0,054329933	0,092134213	0,1	0,03	1	1,065945895	0,938133919	3,333333333

Supplementary Table 4

Differentially expressed genes_keloid-CCD_ comparing SC-Keloid vs. (SC-Myel, SC-Nonmyel)								
gene	p_val	avg_log2FC	pct.1	pct.2	p_val_adj	Foldchange_UP	Foldchange_DOWN	Ratio_pct1_pct2
SFI1	0,006027137	0,092121184	0,125	0,02	1	1,065936269	0,938142391	6,25
FURIN	8,24087E-07	0,09210679	0,512	0,13	0,017389056	1,065925634	0,938151751	3,938461538
SLC46A3	0,024497883	0,092074932	0,05	0	1	1,065902096	0,938172468	#DIV/0!
ZFTA	0,001425758	0,092061771	0,15	0,02	1	1,065892373	0,938181026	7,5
IL1RAP	0,02312145	0,092023541	0,675	0,38	1	1,065864128	0,938205887	1,776315789
CES2	0,000788927	0,091898097	0,188	0,03	1	1,065771454	0,938287469	6,266666667
PITRM1	0,000199343	0,091829816	0,212	0,03	1	1,065721013	0,938331878	7,066666667
SMIM26	0,004651405	0,091824794	0,787	0,37	1	1,065717304	0,938335145	2,127027027
PCNA	0,024396035	0,091822471	0,35	0,17	1	1,065715588	0,938336655	2,058823529
MFN2	0,007955766	0,09174402	0,2	0,06	1	1,065657638	0,938387681	3,333333333
DDA1	8,28487E-06	0,091696836	0,537	0,15	0,174818991	1,065622786	0,938418372	3,58
UTY	0,102836599	0,09162734	0,138	0,06	1	1,065571455	0,938463578	2,3
SYNRG	0,001007414	0,091623459	0,288	0,08	1	1,065568588	0,938466103	3,6
PAQR7	0,009393773	0,091597956	0,138	0,03	1	1,065549752	0,938482693	4,6
CACNA2D1	0,006150583	0,091562056	0,125	0,02	1	1,065523237	0,938506046	6,25
SACM1L	0,000432021	0,091531758	0,262	0,06	1	1,06550086	0,938525756	4,366666667
TRIM38	6,80127E-05	0,091478117	0,275	0,05	1	1,065461244	0,938560652	5,5
LMNB1	0,000773295	0,091471625	0,188	0,03	1	1,06545645	0,938564875	6,266666667
KLC2	0,002881846	0,091461901	0,162	0,03	1	1,065449268	0,938571202	5,4
PRRC2B	0,000335667	0,091448782	0,488	0,17	1	1,06543958	0,938579736	2,870588235
LINC00862	0,024497883	0,091418019	0,05	0	1	1,065416862	0,93859975	#DIV/0!
HOGA1	0,003237075	0,091361423	0,112	0,01	1	1,065375067	0,938636571	11,2
CYB5D2	0,002073795	0,091326425	0,25	0,07	1	1,065349223	0,938659342	3,571428571
AURKA	0,012444222	0,091287497	0,088	0,01	1	1,065320477	0,93868467	8,8
C2orf27A	0,006276301	0,091271758	0,125	0,02	1	1,065308855	0,93869491	6,25
ZBTB48	0,000830908	0,091212456	0,162	0,02	1	1,065265067	0,938733496	8,1
PPHLN1	0,00177383	0,091211222	0,462	0,18	1	1,065264155	0,938734299	2,566666667
CPNE1	0,008887753	0,09116827	0,688	0,33	1	1,06523244	0,938762248	2,084848485
ZNF805	0,001624218	0,091149963	0,125	0,01	1	1,065218923	0,93877416	12,5
TPM1	3,85607E-05	0,091122268	0,512	0,15	0,813669619	1,065198475	0,938792181	3,413333333

Supplementary Table 4

Differentially expressed genes_keloid-CCD_ comparing SC-Keloid vs. (SC-Myel, SC-Nonmyel)								
gene	p_val	avg_log2FC	pct.1	pct.2	p_val_adj	Foldchange_UP	Foldchange_DOWN	Ratio_pct1_pct2
CARS1	0,000411862	0,091043124	0,388	0,12	1	1,065140041	0,938843684	3,233333333
SLC25A45	0,012730227	0,091009711	0,088	0,01	1	1,065115373	0,938865428	8,8
DNMBP	0,016579771	0,090950153	0,125	0,03	1	1,065071403	0,938904187	4,166666667
AVEN	0,001655244	0,090896524	0,15	0,02	1	1,065031812	0,93893909	7,5
SUPT3H	0,002937191	0,090889895	0,162	0,03	1	1,065026918	0,938943404	5,4
DIDO1	0,001737905	0,090808527	0,288	0,09	1	1,064966853	0,938996361	3,2
CDC42BPA	4,55179E-05	0,090768428	0,475	0,14	0,960473588	1,064937253	0,939022461	3,392857143
TBP	0,001278066	0,090735193	0,1	0	1	1,064912721	0,939044093	#DIV/0!
NVL	0,039215525	0,090686088	0,088	0,02	1	1,064876475	0,939076056	4,4
ATP2C1	0,000575104	0,090521752	0,375	0,12	1	1,064755183	0,939183031	3,125
FLOT1	0,005892862	0,090518334	0,838	0,43	1	1,06475266	0,939185256	1,948837209
ZNF827	0,003928532	0,090516711	0,175	0,04	1	1,064751462	0,939186313	4,375
DGCR8	0,001530226	0,090492551	0,175	0,03	1	1,064733632	0,939202041	5,833333333
DIS3L2	0,000757951	0,090458837	0,188	0,03	1	1,06470875	0,93922399	6,266666667
TPD52L2	8,01271E-06	0,090420807	0,462	0,11	0,169076102	1,064680685	0,939248748	4,2
FAM220A	0,002666059	0,090403409	0,088	0	1	1,064667845	0,939260075	#DIV/0!
DOHH	0,000471339	0,090366116	0,262	0,06	1	1,064640324	0,939284355	4,366666667
GRPEL2	0,001624218	0,090318484	0,125	0,01	1	1,064605174	0,939315367	12,5
OS9	0,010040323	0,090274238	0,688	0,36	1	1,064572525	0,939344175	1,911111111
CACTIN	0,000199343	0,090196014	0,212	0,03	1	1,064514805	0,939395108	7,066666667
SNX14	4,49828E-05	0,090129053	0,462	0,13	0,949181281	1,064465397	0,93943871	3,553846154
NOP56	0,005782442	0,090083404	0,65	0,31	1	1,064431717	0,939468436	2,096774194
PCGF3	0,001249338	0,09002274	0,3	0,09	1	1,06438696	0,93950794	3,333333333
METTL15	0,000394526	0,090015528	0,2	0,03	1	1,064381638	0,939512637	6,666666667
FAM171B	0,013022034	0,090010787	0,088	0,01	1	1,064378141	0,939515724	8,8
USP22	0,001355624	0,089966798	0,713	0,31	1	1,064345687	0,939544372	2,3
KIAA1143	0,000268419	0,089911345	0,388	0,12	1	1,064304778	0,939580485	3,233333333
GALM	0,001624218	0,089874777	0,125	0,01	1	1,064277801	0,939604302	12,5
MIAT	0,024497883	0,089776686	0,05	0	1	1,064205442	0,939668189	#DIV/0!
UBA6-DT	0,042211625	0,089717755	0,088	0,02	1	1,064161972	0,939706573	4,4

Supplementary Table 4

Differentially expressed genes_keloid-CCD_ comparing SC-Keloid vs. (SC-Myel, SC-Nonmyel)								
gene	p_val	avg_log2FC	pct.1	pct.2	p_val_adj	Foldchange_UP	Foldchange_DOWN	Ratio_pct1_pct2
CASP3	0,000239654	0,089606582	0,362	0,1	1	1,064079972	0,939778989	3,62
CDCA7L	0,002666059	0,089517557	0,088	0	1	1,064014313	0,939836982	#DIV/0!
BAG6	0,000118445	0,08950454	0,488	0,16	1	1,064004712	0,939845462	3,05
TERF2	0,002111376	0,089490469	0,188	0,04	1	1,063994335	0,939854628	4,7
CSAD	0,001261858	0,089436528	0,4	0,14	1	1,063954554	0,939889769	2,857142857
CARNMT1	0,001624218	0,08935987	0,125	0,01	1	1,063898021	0,939939712	12,5
VIPAS39	0,001471545	0,089347823	0,175	0,03	1	1,063889138	0,939947561	5,833333333
DSN1	0,000729293	0,089224785	0,162	0,02	1	1,06379841	0,940027726	8,1
CCDC71	0,012429073	0,089220386	0,112	0,02	1	1,063795166	0,940030592	5,6
DGKI	0,026889313	0,089194563	0,075	0,01	1	1,063776125	0,940047418	7,5
PSMA2	0,026203023	0,089175738	0,812	0,49	1	1,063762244	0,940059685	1,657142857
FSD1	0,01082616	0,089150617	0,112	0,02	1	1,063743722	0,940076053	5,6
PDZD8	0,00058626	0,089045273	0,362	0,11	1	1,063666051	0,9401447	3,290909091
TMUB1	0,000122688	0,08901956	0,425	0,13	1	1,063647094	0,940161456	3,269230769
PCDHGA6	0,005562134	0,088988786	0,075	0	1	1,063624406	0,94018151	#DIV/0!
CAMKK2	0,001393212	0,088910436	0,238	0,06	1	1,063566644	0,940232571	3,966666667
ARNTL2	0,001624218	0,088789856	0,125	0,01	1	1,063477755	0,940311159	12,5
ZMYND8	0,004817547	0,088750641	0,3	0,11	1	1,063448848	0,940336719	2,727272727
ZNF514	0,003009105	0,088716078	0,138	0,02	1	1,063423371	0,940359247	6,9
R3HDM2	0,000289773	0,088533042	0,512	0,18	1	1,063288462	0,940478558	2,844444444
MICU1	1,98172E-05	0,088417251	0,45	0,12	0,418161865	1,063203126	0,940554044	3,75
INTS12	0,000475763	0,08839317	0,325	0,09	1	1,063185379	0,940569744	3,611111111
PACS1	0,001212592	0,088346284	0,262	0,07	1	1,063150827	0,940600312	3,742857143
SLC2A11	0,022997455	0,08823097	0,1	0,02	1	1,063065854	0,940675497	5
PLAGL1	0,042211625	0,088213665	0,088	0,02	1	1,063053102	0,94068678	4,4
ZMYND10	0,00613773	0,08817302	0,1	0,01	1	1,063023153	0,940713283	10
SLC25A40	0,002666059	0,088148482	0,088	0	1	1,063005073	0,940729283	#DIV/0!
AREL1	0,001278066	0,088091734	0,1	0	1	1,062963261	0,940766287	#DIV/0!
KRT80	0,000138823	0,088044178	0,138	0	1	1,062928223	0,940797298	#DIV/0!
STX10	0,000700036	0,087990125	0,613	0,24	1	1,062888399	0,940832547	2,554166667

Supplementary Table 4

Differentially expressed genes_keloid-CCD_ comparing SC-Keloid vs. (SC-Myel, SC-Nonmyel)								
gene	p_val	avg_log2FC	pct.1	pct.2	p_val_adj	Foldchange_UP	Foldchange_DOWN	Ratio_pct1_pct2
DGKH	0,002149898	0,087960394	0,188	0,04	1	1,062866495	0,940851936	4,7
TMLHE	0,005858881	0,087909612	0,1	0,01	1	1,062829084	0,940885054	10
RRAGA	0,002564978	0,087874866	0,65	0,28	1	1,062803487	0,940907715	2,321428571
MTFR1	0,010591248	0,087774924	0,175	0,05	1	1,062729864	0,940972898	3,5
PKP4	0,001393212	0,087774752	0,238	0,06	1	1,062729737	0,94097301	3,966666667
ADAM10	0,0015463	0,087766792	0,613	0,27	1	1,062723874	0,940978202	2,27037037
PCNT	0,002937191	0,087679948	0,162	0,03	1	1,062659904	0,941034847	5,4
MAN1A2	0,001979096	0,087672691	0,562	0,25	1	1,062654559	0,94103958	2,248
BCL10	0,000279732	0,087540994	0,35	0,1	1	1,062557559	0,941125487	3,5
THNSL1	0,011634754	0,087521689	0,062	0	1	1,06254334	0,941138081	#DIV/0!
GPN1	3,6205E-05	0,087474454	0,288	0,05	0,763961407	1,062508553	0,941168895	5,76
SNRNP40	7,47336E-05	0,087459641	0,425	0,12	1	1,062497643	0,941178559	3,541666667
TUBGCP5	0,001647937	0,087440679	0,212	0,05	1	1,062483678	0,941190929	4,24
NONO	0,000772045	0,087338534	0,675	0,27	1	1,062408456	0,941257569	2,5
STK19	0,001789088	0,087271125	0,312	0,1	1	1,062358816	0,94130155	3,12
YPEL1	0,022652675	0,087233256	0,138	0,04	1	1,062330931	0,941326258	3,45
SLC35A2	0,001289409	0,087219284	0,35	0,12	1	1,062320643	0,941335375	2,916666667
SLC19A1	0,000611714	0,087198915	0,112	0	1	1,062305644	0,941348665	#DIV/0!
RAP1B	0,003787389	0,087176248	0,863	0,49	1	1,062288954	0,941363455	1,76122449
ECT2	0,024662875	0,087161744	0,238	0,1	1	1,062278274	0,941372919	2,38
HDAC9	0,012656091	0,087120422	0,225	0,08	1	1,062247848	0,941399883	2,8125
PPP1R11	0,002876772	0,087066099	0,35	0,13	1	1,062207852	0,94143533	2,692307692
SLC35E1	0,001538482	0,087034328	0,238	0,06	1	1,06218446	0,941456063	3,966666667
SLC9A7	0,006731552	0,0869083	0,1	0,01	1	1,062091676	0,941538308	10
PIGM	0,000830908	0,086818585	0,162	0,02	1	1,062025631	0,94159686	8,1
BCAS4	0,000611714	0,086817235	0,112	0	1	1,062024637	0,941597742	#DIV/0!
STAM2	8,12671E-05	0,086759543	0,3	0,06	1	1,061982169	0,941635396	5
ALG12	0,003497059	0,086723274	0,2	0,05	1	1,061955471	0,941659069	4
ESCO2	0,000611714	0,086713265	0,112	0	1	1,061948104	0,941665602	#DIV/0!
WWTR1	0,00279334	0,086701778	0,675	0,3	1	1,061939648	0,941673099	2,25

Supplementary Table 4

Differentially expressed genes_keloid-CCD_ comparing SC-Keloid vs. (SC-Myel, SC-Nonmyel)								
gene	p_val	avg_log2FC	pct.1	pct.2	p_val_adj	Foldchange_UP	Foldchange_DOWN	Ratio_pct1_pct2
GTPBP2	0,003269989	0,086571862	0,138	0,02	1	1,061844024	0,941757902	6,9
REEP2	0,001589924	0,086569472	0,238	0,06	1	1,061842265	0,941759462	3,966666667
MTAP	0,002461445	0,086466342	0,288	0,09	1	1,061766362	0,941826785	3,2
PBX3	1,03799E-05	0,086354545	0,338	0,06	0,219027024	1,061684087	0,941899772	5,633333333
CDCA2	0,003313746	0,086292768	0,112	0,01	1	1,061638627	0,941940106	11,2
CCNQ	6,12138E-05	0,086235339	0,325	0,07	1	1,061596367	0,941977602	4,642857143
AZI2	0,004082305	0,086180739	0,438	0,18	1	1,061556191	0,942013252	2,433333333
GLE1	0,000813108	0,086129295	0,162	0,02	1	1,061518338	0,942046844	8,1
TMEM42	0,006731552	0,086102517	0,1	0,01	1	1,061498636	0,942064329	10
TRIOBP	0,000763713	0,085890848	0,425	0,15	1	1,061342907	0,942202557	2,833333333
TRIM36	0,005562134	0,08578376	0,075	0	1	1,061264128	0,942272497	#DIV/0!
PACS2	5,1055E-05	0,08568243	0,325	0,07	1	1,061189591	0,942338681	4,642857143
STRAP	0,027251733	0,085625347	0,812	0,47	1	1,061147604	0,942375967	1,727659574
ZADH2	0,002380703	0,08562012	0,225	0,06	1	1,06114376	0,942379382	3,75
TMEM47	0,014429042	0,085600327	0,787	0,42	1	1,061129201	0,942392311	1,873809524
CD248	0,002666059	0,085564692	0,088	0	1	1,061102991	0,942415589	#DIV/0!
ZNF85	0,003237075	0,085505921	0,112	0,01	1	1,061059766	0,94245398	11,2
EFHD2	0,000443537	0,085456966	0,713	0,29	1	1,061023762	0,942485961	2,45862069
FGF1	0,002666059	0,085397286	0,088	0	1	1,060979871	0,94252495	#DIV/0!
STAT5B	0,013300727	0,085346414	0,15	0,04	1	1,06094246	0,942558186	3,75
IQCK	0,003269989	0,08533048	0,138	0,02	1	1,060930742	0,942568596	6,9
HSD3B7	0,013022034	0,085239528	0,088	0,01	1	1,06086386	0,94262802	8,8
FLAD1	0,001300119	0,085194197	0,2	0,04	1	1,060830527	0,942657639	5
TIMM21	0,000792271	0,085178824	0,138	0,01	1	1,060819223	0,942667684	13,8
MGAT4B	0,00069675	0,085007679	0,812	0,35	1	1,060693387	0,942779518	2,32
GALNT6	0,011634754	0,084993326	0,062	0	1	1,060682835	0,942788897	#DIV/0!
PGPEP1	0,013085057	0,084979869	0,15	0,04	1	1,060672941	0,942797691	3,75
TOR1B	9,97753E-05	0,084913852	0,225	0,03	1	1,060624406	0,942840835	7,5
ABHD4	0,007988348	0,084888418	0,162	0,04	1	1,060605708	0,942857457	4,05
ADSS2	2,27591E-05	0,084831102	0,462	0,12	0,480239445	1,060563573	0,942894915	3,85

Supplementary Table 4

Differentially expressed genes_keloid-CCD_ comparing SC-Keloid vs. (SC-Myel, SC-Nonmyel)								
gene	p_val	avg_log2FC	pct.1	pct.2	p_val_adj	Foldchange_UP	Foldchange_DOWN	Ratio_pct1_pct2
TYK2	0,002920793	0,084793625	0,238	0,07	1	1,060536022	0,94291941	3,4
OSCP1	0,020902746	0,084740888	0,1	0,02	1	1,060497256	0,942953878	5
KIF18B	0,001278066	0,084737931	0,1	0	1	1,060495083	0,94295581	#DIV/0!
LRFN4	0,00109149	0,084696972	0,325	0,1	1	1,060464974	0,942982582	3,25
ZMIZ2	0,000893589	0,084658127	0,25	0,06	1	1,060436422	0,943007972	4,166666667
MKS1	0,006578444	0,084633701	0,1	0,01	1	1,060418468	0,943023938	10
RNF141	4,58793E-05	0,084631213	0,288	0,05	0,968098455	1,060416639	0,943025565	5,76
SHISAL1	0,003237075	0,084610247	0,112	0,01	1	1,060401229	0,943039269	11,2
SLC9A3	0,005562134	0,084493829	0,075	0	1	1,060315663	0,943115371	#DIV/0!
GPC2	0,005562134	0,084358893	0,075	0	1	1,060216496	0,943203585	#DIV/0!
ADPGK	9,2385E-05	0,084315849	0,362	0,09	1	1,060184864	0,943231727	4,022222222
LRRC23	0,005242842	0,084303137	0,212	0,06	1	1,060175523	0,943240038	3,533333333
HECTD2	0,002932167	0,084240285	0,225	0,06	1	1,060129336	0,943281132	3,75
CUL4B	0,000487981	0,084236536	0,262	0,06	1	1,060126581	0,943283583	4,366666667
PACC1	0,000521745	0,084218245	0,238	0,05	1	1,060113141	0,943295542	4,76
SSC5D	0,001446769	0,084216725	0,562	0,23	1	1,060112024	0,943296536	2,443478261
PHKA2	0,011634754	0,084191769	0,062	0	1	1,060093686	0,943312854	#DIV/0!
CENPO	0,001624218	0,084156192	0,125	0,01	1	1,060067545	0,943336116	12,5
PIH1D1	0,00546756	0,084122344	0,525	0,24	1	1,060042674	0,943358248	2,1875
DDX19A	0,00018066	0,08410045	0,238	0,04	1	1,060026587	0,943372565	5,95
MED12	0,023011948	0,084034717	0,138	0,04	1	1,059978291	0,943415548	3,45
ZMYM4	0,015534175	0,08394717	0,338	0,15	1	1,05991397	0,943472799	2,253333333
TIMP4	0,000389389	0,083946265	0,775	0,36	1	1,059913305	0,943473391	2,152777778
PRCC	0,000502967	0,083937805	0,412	0,14	1	1,059907089	0,943478924	2,942857143
ACCS	0,024497883	0,083758813	0,05	0	1	1,059775597	0,943595986	#DIV/0!
AP3S2	0,027487357	0,083752489	0,075	0,01	1	1,059770952	0,943600122	7,5
USP27X	0,013319742	0,083746571	0,088	0,01	1	1,059766605	0,943603993	8,8
ORC3	0,001782697	0,08366376	0,238	0,06	1	1,059705776	0,943658158	3,966666667
TIAL1	0,000256825	0,083647391	0,7	0,28	1	1,059693752	0,943668865	2,5
RREB1	0,003895696	0,083612616	0,238	0,07	1	1,059668209	0,943691612	3,4

Supplementary Table 4

Differentially expressed genes_keloid-CCD_ comparing SC-Keloid vs. (SC-Myel, SC-Nonmyel)								
gene	p_val	avg_log2FC	pct.1	pct.2	p_val_adj	Foldchange_UP	Foldchange_DOWN	Ratio_pct1_pct2
TFB2M	0,003998067	0,083540734	0,175	0,04	1	1,059615413	0,943738632	4,375
SLC7A5	4,86715E-05	0,083495665	0,212	0,02	1	1,059582311	0,943768114	10,6
ACVR2A	0,014426885	0,083478913	0,15	0,04	1	1,059570008	0,943779073	3,75
CSTF3	0,001538482	0,083455397	0,238	0,06	1	1,059552738	0,943794456	3,966666667
KIF15	0,005562134	0,083408788	0,075	0	1	1,059518507	0,943824948	#DIV/0!
IFNGR2	0,077957743	0,083338563	0,863	0,54	1	1,059466935	0,943870891	1,598148148
ZBED4	0,003137076	0,083300953	0,138	0,02	1	1,059439316	0,943895497	6,9
ATMIN	0,003393672	0,083271968	0,275	0,09	1	1,059418031	0,943914461	3,055555556
ADAT1	0,001278066	0,083254221	0,1	0	1	1,059404999	0,943926073	#DIV/0!
BECN1	0,002698587	0,083206633	0,438	0,17	1	1,059370054	0,943957209	2,576470588
FAM83D	0,002666059	0,083199469	0,088	0	1	1,059364794	0,943961896	#DIV/0!
CNFN	0,003313746	0,083180159	0,112	0,01	1	1,059350615	0,943974531	11,2
CDPF1	0,024497883	0,083153587	0,05	0	1	1,059331103	0,943991918	#DIV/0!
CDC26	0,004851274	0,083118933	0,55	0,24	1	1,059305658	0,944014593	2,291666667
GAS7	0,190345267	0,083103524	0,975	0,69	1	1,059294344	0,944024676	1,413043478
ARV1	0,001160873	0,083077747	0,225	0,05	1	1,059275418	0,944041543	4,5
RUBCN	0,001101569	0,08307679	0,225	0,05	1	1,059274715	0,94404217	4,5
CSNK2B	0,003396242	0,083070671	0,75	0,34	1	1,059270222	0,944046174	2,205882353
FAM86C1P	0,002666059	0,083043328	0,088	0	1	1,059250146	0,944064066	#DIV/0!
SLC39A9	0,010523115	0,083038012	0,212	0,07	1	1,059246243	0,944067545	3,028571429
ABCB9	0,001278066	0,083009165	0,1	0	1	1,059225063	0,944086422	#DIV/0!
ENAH	0,000560907	0,082975545	0,238	0,05	1	1,05920038	0,944108423	4,76
FAM167B	0,001278066	0,08296715	0,1	0	1	1,059194216	0,944113917	#DIV/0!
OSBPL3	0,006150583	0,082926555	0,125	0,02	1	1,059164413	0,944140483	6,25
CAMTA2	0,012187918	0,082896811	0,112	0,02	1	1,059142577	0,944159948	5,6
USP48	0,001722898	0,082769761	0,475	0,2	1	1,059049308	0,944243098	2,375
ARHGEF12	0,069795155	0,082695594	0,775	0,45	1	1,058994865	0,944291642	1,722222222
POLI	0,000413716	0,082643193	0,175	0,02	1	1,058956401	0,944325941	8,75
CAMK2B	0,024497883	0,082615448	0,05	0	1	1,058936037	0,944344102	#DIV/0!
PAXIP1-DT	0,065149494	0,082578311	0,112	0,04	1	1,058908779	0,94436841	2,8

Supplementary Table 4

Differentially expressed genes_keloid-CCD_comparing SC-Keloid vs. (SC-Myel, SC-Nonmyel)								
gene	p_val	avg_log2FC	pct.1	pct.2	p_val_adj	Foldchange_UP	Foldchange_DOWN	Ratio_pct1_pct2
LRRC15	0,003313746	0,082526924	0,112	0,01	1	1,058871062	0,944402048	11,2
DNLZ	0,017470544	0,08250948	0,125	0,03	1	1,058858259	0,944413468	4,166666667
SRFBP1	0,000287405	0,082473655	0,338	0,09	1	1,058831966	0,94443692	3,755555556
CDKL3	0,055204571	0,082336749	0,1	0,03	1	1,058731492	0,944526547	3,333333333
SYCE1L	0,003088561	0,082308976	0,112	0,01	1	1,058711111	0,94454473	11,2
CMC4	0,001624218	0,082297142	0,125	0,01	1	1,058702426	0,944552478	12,5
MED25	0,001538482	0,082249913	0,238	0,06	1	1,058667768	0,9445834	3,966666667
SEC11C	3,20293E-06	0,082244692	0,65	0,2	0,06758494	1,058663937	0,944586818	3,25
MRPS18C	0,000353557	0,082230592	0,512	0,18	1	1,05865359	0,94459605	2,844444444
PRPSAP2	0,002669254	0,082187115	0,3	0,1	1	1,058621687	0,944624517	3
AKT2	5,69398E-05	0,082084452	0,325	0,07	1	1,058546358	0,94469174	4,642857143
SEC22A	0,004516944	0,081948955	0,175	0,04	1	1,058446945	0,944780468	4,375
LSM1	0,003486707	0,081918505	0,65	0,29	1	1,058424605	0,944800409	2,24137931
C11orf49	0,000647541	0,08185999	0,212	0,04	1	1,058381677	0,944838731	5,3
C2CD5	0,000792271	0,081792911	0,138	0,01	1	1,058332468	0,944882663	13,8
PDSS1	0,000291957	0,081637182	0,125	0	1	1,058218234	0,944984662	#DIV/0!
EFCAB7	0,00578692	0,081606423	0,125	0,02	1	1,058195673	0,945004809	6,25
RHOG	0,003027035	0,081577904	0,488	0,21	1	1,058174755	0,94502349	2,323809524
DOCK6	0,005274968	0,081574256	0,15	0,03	1	1,058172078	0,94502588	5
B3GLCT	0,003162024	0,081536719	0,112	0,01	1	1,058144547	0,945050469	11,2
STK10	0,002979078	0,081532695	0,225	0,06	1	1,058141595	0,945053105	3,75
NPB	0,000455227	0,081511157	0,262	0,06	1	1,058125799	0,945067213	4,366666667
TLCD1	0,005562134	0,081466014	0,075	0	1	1,05809269	0,945096786	#DIV/0!
CYB5R1	0,000658631	0,081457565	0,338	0,1	1	1,058086493	0,945102321	3,38
H2AC11	0,001278066	0,081441275	0,1	0	1	1,058074546	0,945112992	#DIV/0!
WARS2	0,001624218	0,081401117	0,125	0,01	1	1,058045094	0,9451393	12,5
SLC5A6	0,011950918	0,081338838	0,112	0,02	1	1,057999421	0,945180101	5,6
ILVBL	5,83924E-05	0,081319915	0,388	0,1	1	1,057985544	0,945192499	3,88
NFYA	0,054166721	0,081269893	0,062	0,01	1	1,057948862	0,945225272	6,2
BCL2A1	0,013319742	0,081218668	0,088	0,01	1	1,057911298	0,945258834	8,8

Supplementary Table 4

Differentially expressed genes_keloid-CCD_ comparing SC-Keloid vs. (SC-Myel, SC-Nonmyel)								
gene	p_val	avg_log2FC	pct.1	pct.2	p_val_adj	Foldchange_UP	Foldchange_DOWN	Ratio_pct1_pct2
SP140L	0,016777178	0,081161077	0,238	0,09	1	1,057869068	0,945296568	2,644444444
PEX11B	0,006404327	0,081148252	0,125	0,02	1	1,057859664	0,945304972	6,25
MTIF2	2,47883E-05	0,081132836	0,275	0,04	0,523057667	1,057848361	0,945315073	6,875
ZNF837	0,005562134	0,081090297	0,075	0	1	1,057817169	0,945342947	#DIV/0!
RSL1D1	0,000919624	0,081078448	0,812	0,34	1	1,057808481	0,945350711	2,388235294
RNF135	0,000698362	0,081077701	0,212	0,04	1	1,057807934	0,9453512	5,3
JMJD4	0,00141651	0,081062952	0,238	0,06	1	1,057797119	0,945360865	3,966666667
TBC1D9	0,042211625	0,080878013	0,088	0,02	1	1,057661529	0,945482059	4,4
TIMELESS	0,001278066	0,080858594	0,1	0	1	1,057647293	0,945494785	#DIV/0!
EDEM2	0,001075714	0,080788068	0,325	0,1	1	1,057595591	0,945541007	3,25
ZNF605	0,012187918	0,080749993	0,112	0,02	1	1,05756768	0,945565962	5,6
CBR4	0,008266568	0,080718165	0,212	0,07	1	1,057544349	0,945586822	3,028571429
CAD	0,001624218	0,080708006	0,125	0,01	1	1,057536902	0,94559348	12,5
USP1	0,006222951	0,080691732	0,537	0,25	1	1,057524973	0,945604147	2,148
BCAT2	4,67876E-05	0,080637475	0,288	0,05	0,987265702	1,057485202	0,94563971	5,76
PTPRG	0,013319742	0,080592937	0,088	0,01	1	1,057452557	0,945668904	8,8
PKN3	0,006281588	0,080579667	0,1	0,01	1	1,05744283	0,945677602	10
DNA2	0,024497883	0,080533741	0,05	0	1	1,057409169	0,945707707	#DIV/0!
PUS1	0,026302537	0,080501542	0,075	0,01	1	1,057385569	0,945728814	7,5
HSCB	0,000580505	0,080457833	0,3	0,08	1	1,057353534	0,945757467	3,75
ACSL4	0,000189221	0,080401951	0,362	0,1	1	1,057312579	0,945794101	3,62
HS1BP3	0,005788164	0,080271882	0,188	0,05	1	1,057217259	0,945879375	3,76
ITCH	0,000163845	0,080260741	0,35	0,09	1	1,057209095	0,945886679	3,888888889
GFPT2	0,003137076	0,080176767	0,138	0,02	1	1,05714756	0,945941738	6,9
GMNN	0,001393212	0,080153242	0,238	0,06	1	1,057130322	0,945957163	3,966666667
ZNF879	0,005562134	0,080105395	0,075	0	1	1,057095263	0,945988536	#DIV/0!
ZFPL1	0,000358805	0,080103643	0,312	0,08	1	1,057093979	0,945989684	3,9
BNC2	0,011634754	0,080086534	0,062	0	1	1,057081443	0,946000903	#DIV/0!
SLC16A8	0,024497883	0,080083563	0,05	0	1	1,057079267	0,946002851	#DIV/0!
LYPLA2	7,40734E-05	0,080067874	0,3	0,06	1	1,057067771	0,946013139	5

Supplementary Table 4

Differentially expressed genes_keloid-CCD_ comparing SC-Keloid vs. (SC-Myel, SC-Nonmyel)								
gene	p_val	avg_log2FC	pct.1	pct.2	p_val_adj	Foldchange_UP	Foldchange_DOWN	Ratio_pct1_pct2
BCL2L1	0,009808401	0,080064716	0,212	0,07	1	1,057065457	0,94601521	3,028571429
COQ5	1,08415E-05	0,080049255	0,312	0,05	0,228767372	1,057054128	0,946025348	6,24
NUP214	0,001121018	0,080023227	0,225	0,05	1	1,057035059	0,946042415	4,5
IRAK1BP1	0,002666059	0,080014505	0,088	0	1	1,057028668	0,946048135	#DIV/0!
RCBTB1	0,00613773	0,080005358	0,1	0,01	1	1,057021966	0,946054133	10
RPL5	0,246576921	0,079890725	1	0,98	1	1,056937981	0,946129307	1,020408163
CHAMP1	0,002569294	0,079860368	0,162	0,03	1	1,056915741	0,946149216	5,4
PCED1A	0,001530226	0,079841889	0,175	0,03	1	1,056902204	0,946161335	5,833333333
TMPO-AS1	0,003313746	0,079815539	0,112	0,01	1	1,0568829	0,946178616	11,2
LPCAT1	0,001278066	0,079575704	0,1	0	1	1,056707218	0,946335923	#DIV/0!
NLE1	0,01687216	0,079572357	0,125	0,03	1	1,056704766	0,946338118	4,166666667
PUS7L	0,005275521	0,079313352	0,262	0,09	1	1,056515074	0,946508028	2,911111111
ZBTB37	0,000830908	0,079311585	0,162	0,02	1	1,05651378	0,946509188	8,1
RBL1	0,001624218	0,07926921	0,125	0,01	1	1,056482749	0,946536989	12,5
THOC5	0,002774001	0,079214039	0,162	0,03	1	1,056442348	0,946573187	5,4
MT1G	0,052279021	0,07919178	0,038	0	1	1,056426049	0,946587791	#DIV/0!
IFFO1	0,002498791	0,079155214	0,225	0,06	1	1,056399273	0,946611783	3,75
BDNF	0,005562134	0,079153445	0,075	0	1	1,056397978	0,946612944	#DIV/0!
BAALC	0,042972899	0,079109012	0,125	0,04	1	1,056365442	0,946642099	3,125
TNFSF4	0,012187918	0,079024889	0,112	0,02	1	1,056303848	0,946697299	5,6
USP8	0,000990997	0,078993809	0,5	0,19	1	1,056281093	0,946717694	2,631578947
BRI3BP	0,005373635	0,078958818	0,15	0,03	1	1,056255474	0,946740656	5
NUP62	0,001519921	0,078915309	0,35	0,12	1	1,056223619	0,946769208	2,916666667
PQBP1	0,001767596	0,078908325	0,525	0,22	1	1,056218507	0,946773791	2,386363636
RAC3	0,002666059	0,078847595	0,088	0	1	1,056174046	0,946813647	#DIV/0!
UNC119B	0,001891202	0,078839319	0,212	0,05	1	1,056167987	0,946819078	4,24
PHF11	8,47213E-06	0,078724531	0,312	0,05	0,178770387	1,056083957	0,946894414	6,24
VRK2	0,002774001	0,07871458	0,162	0,03	1	1,056076672	0,946900946	5,4
LY75	0,024497883	0,078696324	0,05	0	1	1,056063309	0,946912928	#DIV/0!
LSS	0,000191176	0,078656318	0,212	0,03	1	1,056034024	0,946939187	7,066666667

Supplementary Table 4

Differentially expressed genes_keloid-CCD_ comparing SC-Keloid vs. (SC-Myel, SC-Nonmyel)								
gene	p_val	avg_log2FC	pct.1	pct.2	p_val_adj	Foldchange_UP	Foldchange_DOWN	Ratio_pct1_pct2
JARID2	0,008528398	0,078582073	0,288	0,11	1	1,05597968	0,94698792	2,618181818
ABCD1	0,002666059	0,078550127	0,088	0	1	1,055956297	0,947008889	#DIV/0!
NFX1	0,010591248	0,078441644	0,175	0,05	1	1,055876898	0,947080102	3,5
ASCC1	0,001212592	0,078295447	0,262	0,07	1	1,055769905	0,94717608	3,742857143
LETM1	0,000580505	0,078254673	0,3	0,08	1	1,055740067	0,94720285	3,75
LTBP1	0,00026532	0,078223544	0,338	0,09	1	1,055717287	0,947223288	3,755555556
GRWD1	0,000258679	0,078195746	0,275	0,06	1	1,055696946	0,947241539	4,583333333
ABCG2	0,011634754	0,078155756	0,062	0	1	1,055667684	0,947267796	#DIV/0!
SPSB3	0,015655839	0,078146434	0,425	0,2	1	1,055660862	0,947273917	2,125
ZMYM6	0,032588088	0,078136602	0,112	0,03	1	1,055653668	0,947280373	3,733333333
DLX6-AS1	0,052279021	0,078106784	0,038	0	1	1,05563185	0,947299952	#DIV/0!
ZNF765	0,104582322	0,078061765	0,05	0,01	1	1,055598909	0,947329513	5
PVR	0,002666059	0,078047579	0,088	0	1	1,055588529	0,947338828	#DIV/0!
FARP2	0,014897309	0,078029007	0,188	0,06	1	1,055574941	0,947351023	3,133333333
CBR1	0,003411084	0,077869185	0,8	0,39	1	1,055458011	0,947455976	2,051282051
RAB30-DT	0,002275874	0,077753592	0,25	0,07	1	1,055373448	0,947531892	3,571428571
MTHFS	0,000486505	0,077749242	0,3	0,08	1	1,055370266	0,947534749	3,75
CASTOR1	0,011634754	0,077720202	0,062	0	1	1,055349022	0,947553823	#DIV/0!
ZNF160	0,000813108	0,077681463	0,162	0,02	1	1,055320684	0,947579267	8,1
PLAAT1	0,021719793	0,07758007	0,1	0,02	1	1,055246519	0,947645865	5
GRK2	1,65774E-05	0,077548293	0,35	0,07	0,349799713	1,055223276	0,947666738	5
IFT172	0,024497883	0,077383212	0,05	0	1	1,055102539	0,947775181	#DIV/0!
DNAJC14	0,000413716	0,077381887	0,175	0,02	1	1,05510157	0,947776052	8,75
LYL1	0,001655244	0,077313158	0,15	0,02	1	1,055051306	0,947821205	7,5
KIAA1755	0,029558861	0,077171178	0,15	0,05	1	1,05494748	0,947914487	3
MTMR11	0,009738387	0,077147495	0,138	0,03	1	1,054930163	0,947930048	4,6
SPATA22	0,011634754	0,077123937	0,062	0	1	1,054912937	0,947945527	#DIV/0!
NAPRT	0,003895696	0,0771032	0,238	0,07	1	1,054897774	0,947959153	3,4
POLR1A	0,002666059	0,077006191	0,088	0	1	1,054826844	0,948022897	#DIV/0!
MTFMT	0,007594534	0,076985519	0,162	0,04	1	1,054811729	0,948036481	4,05

Supplementary Table 4

Differentially expressed genes_keloid-CCD_ comparing SC-Keloid vs. (SC-Myel, SC-Nonmyel)								
gene	p_val	avg_log2FC	pct.1	pct.2	p_val_adj	Foldchange_UP	Foldchange_DOWN	Ratio_pct1_pct2
DCP1B	0,001324227	0,07698461	0,2	0,04	1	1,054811065	0,948037078	5
DHCR24	0,022138642	0,076977282	0,1	0,02	1	1,054805707	0,948041894	5
PSMC2	0,000267819	0,076970413	0,488	0,16	1	1,054800685	0,948046407	3,05
AP4E1	0,000384434	0,076940175	0,15	0,01	1	1,054778577	0,948066278	15
CTIF	0,006731552	0,076906475	0,1	0,01	1	1,054753939	0,948088425	10
ADGRA2	0,03205056	0,076843962	0,112	0,03	1	1,054708236	0,948129507	3,733333333
PIH1D2	0,011634754	0,076785291	0,062	0	1	1,054665345	0,948168066	#DIV/0!
INTS11	0,000532575	0,076731976	0,5	0,18	1	1,05462637	0,948203106	2,777777778
WDR83OS	0,416865403	0,076663425	0,9	0,61	1	1,05457626	0,948248162	1,475409836
ABHD10	0,006578444	0,076584476	0,1	0,01	1	1,054518552	0,948300054	10
IL15	0,003201469	0,076547621	0,238	0,07	1	1,054491613	0,94832428	3,4
TPMT	0,00075311	0,076437843	0,35	0,11	1	1,054411377	0,948396443	3,181818182
OXLD1	0,00242649	0,076361294	0,288	0,09	1	1,054355432	0,948446766	3,2
KRBA1	0,014426885	0,076257157	0,15	0,04	1	1,054279329	0,948515229	3,75
LRRC37B	0,006150583	0,076256499	0,125	0,02	1	1,054278849	0,948515662	6,25
TLR6	0,024497883	0,076254018	0,05	0	1	1,054277036	0,948517293	#DIV/0!
SPIDR	0,002721473	0,076245106	0,162	0,03	1	1,054270523	0,948523152	5,4
LRRC49	0,012187918	0,076240116	0,112	0,02	1	1,054266876	0,948526433	5,6
ZNF787	0,000311989	0,076236323	0,35	0,1	1	1,054264105	0,948528927	3,5
TET3	0,013343495	0,07623465	0,225	0,08	1	1,054262882	0,948530027	2,8125
GOLGA7B	0,005562134	0,076170525	0,075	0	1	1,054216023	0,948572188	#DIV/0!
MDM1	0,004439263	0,076087339	0,175	0,04	1	1,054155239	0,948626884	4,375
NUDT14	0,022997455	0,076059399	0,1	0,02	1	1,054134824	0,948645256	5
SELENBP1	0,00906008	0,076020759	0,138	0,03	1	1,054106591	0,948670665	4,6
SYNCRIP	0,026523208	0,075996662	0,812	0,48	1	1,054088984	0,94868651	1,691666667
DGUOK-AS1	0,054166721	0,075959826	0,062	0,01	1	1,054062071	0,948710733	6,2
SERPINB6	0,030632279	0,075948803	0,8	0,47	1	1,054054017	0,948717982	1,70212766
IDE	0,001655244	0,075926947	0,15	0,02	1	1,054038049	0,948732354	7,5
ETAA1	0,051893599	0,075798244	0,062	0,01	1	1,053944022	0,948816995	6,2
KPTN	0,041445004	0,075638434	0,088	0,02	1	1,053827282	0,948922103	4,4

Supplementary Table 4

Differentially expressed genes_keloid-CCD_ comparing SC-Keloid vs. (SC-Myel, SC-Nonmyel)								
gene	p_val	avg_log2FC	pct.1	pct.2	p_val_adj	Foldchange_UP	Foldchange_DOWN	Ratio_pct1_pct2
ALG6	0,003148253	0,075542458	0,3	0,1	1	1,053757177	0,948985232	3
PASK	0,005562134	0,075539674	0,075	0	1	1,053755144	0,948987063	#DIV/0!
SMAD5	0,000157127	0,075458326	0,512	0,18	1	1,053695728	0,949040575	2,844444444
GTF2A1	5,37217E-05	0,075442863	0,412	0,11	1	1,053684435	0,949050747	3,745454545
SLC24A1	0,024497883	0,075404807	0,05	0	1	1,053656641	0,949075782	#DIV/0!
CEP43	0,006276301	0,075329272	0,125	0,02	1	1,053601476	0,949125474	6,25
INIP	0,002041761	0,075295811	0,25	0,07	1	1,05357704	0,949147487	3,571428571
TRDMT1	0,004988707	0,075291848	0,15	0,03	1	1,053574146	0,949150095	5
VAV3	0,024497883	0,075274906	0,05	0	1	1,053561773	0,949161241	#DIV/0!
DDX11	0,001624218	0,075241738	0,125	0,01	1	1,053537552	0,949183063	12,5
CHRN1	0,01419515	0,075229489	0,15	0,04	1	1,053528607	0,949191122	3,75
NMRAL1	0,017090697	0,075206131	0,2	0,07	1	1,05351155	0,949206489	2,857142857
MAP3K13	0,00082017	0,075012229	0,512	0,19	1	1,053369965	0,949334074	2,694736842
PYCR2	0,000186273	0,075000218	0,325	0,08	1	1,053361195	0,949341977	4,0625
EPHB4	0,03152065	0,074934643	0,112	0,03	1	1,053313317	0,949385129	3,733333333
DCTN4	0,013893107	0,074927184	0,238	0,09	1	1,053307872	0,949390037	2,644444444
FGD6	0,005562134	0,074748281	0,075	0	1	1,053177263	0,949507775	#DIV/0!
PSENE1	0,000274652	0,07470985	0,613	0,23	1	1,053149209	0,949533068	2,665217391
RDH8	0,013022034	0,07466933	0,088	0,01	1	1,05311963	0,949559738	8,8
MLPH	0,002666059	0,074622603	0,088	0	1	1,053085521	0,949590494	#DIV/0!
MTM1	0,030418025	0,074608882	0,15	0,05	1	1,053075506	0,949599524	3
CORO1B	0,000774147	0,074584033	0,662	0,27	1	1,053057368	0,949615881	2,451851852
SHMT2	0,000588268	0,074565977	0,475	0,18	1	1,053044189	0,949627765	2,638888889
MSANTD2	0,002311257	0,074494457	0,25	0,07	1	1,052991986	0,949674844	3,571428571
FAM199X	0,001103192	0,0744791	0,362	0,12	1	1,052980778	0,949684953	3,016666667
GOLGA5	0,013279713	0,074477354	0,188	0,06	1	1,052979503	0,949686102	3,133333333
ADAM15	0,000470775	0,074372273	0,438	0,15	1	1,052902811	0,949755276	2,92
NCKIPSD	0,003313746	0,074345521	0,112	0,01	1	1,052883287	0,949772888	11,2
ALAD	0,005274968	0,074335789	0,15	0,03	1	1,052876184	0,949779295	5
HDHD5	0,000494424	0,074273039	0,3	0,08	1	1,052830391	0,949820606	3,75

Supplementary Table 4

Differentially expressed genes_keloid-CCD_comparing SC-Keloid vs. (SC-Myel, SC-Nonmyel)								
gene	p_val	avg_log2FC	pct.1	pct.2	p_val_adj	Foldchange_UP	Foldchange_DOWN	Ratio_pct1_pct2
RAB4B	0,01362345	0,07422177	0,088	0,01	1	1,052792977	0,949854361	8,8
LRFN3	0,002666059	0,074193291	0,088	0	1	1,052772194	0,949873111	#DIV/0!
TRIM65	0,021307859	0,074156869	0,1	0,02	1	1,052745617	0,949897092	5
PDCD1LG2	0,002666059	0,074137775	0,088	0	1	1,052731684	0,949909664	#DIV/0!
URB1-AS1	0,058821317	0,074123786	0,1	0,03	1	1,052721477	0,949918874	3,333333333
LAMB3	0,011634754	0,074088212	0,062	0	1	1,052695519	0,949942298	#DIV/0!
TRUB1	0,003313746	0,074081057	0,112	0,01	1	1,052690298	0,949947009	11,2
HK1	0,000199013	0,074080605	0,475	0,16	1	1,052689968	0,949947307	2,96875
PSME3IP1	0,004714406	0,074064234	0,412	0,17	1	1,052678023	0,949958086	2,423529412
NRG2	0,025726858	0,073974601	0,075	0,01	1	1,052612623	0,950017108	7,5
CUTC	0,001017692	0,073968297	0,35	0,11	1	1,052608023	0,95002126	3,181818182
TPK1	0,024497883	0,073948685	0,05	0	1	1,052593714	0,950034174	#DIV/0!
U2AF2	0,000697782	0,073916365	0,4	0,13	1	1,052570134	0,950055457	3,076923077
RBM4	0,008114611	0,073882342	0,288	0,11	1	1,052545312	0,950077863	2,618181818
CD6	0,002666059	0,073854513	0,088	0	1	1,052525009	0,950096189	#DIV/0!
SKA3	0,013319742	0,073774803	0,088	0,01	1	1,052466857	0,950148685	8,8
ZXDC	0,002881846	0,073751766	0,162	0,03	1	1,052450052	0,950163857	5,4
LZTS1	0,004362795	0,073715212	0,175	0,04	1	1,052423386	0,950187932	4,375
HEXA	0,002706022	0,073710111	0,45	0,18	1	1,052419665	0,950191291	2,5
ZNF691	0,011634754	0,073593819	0,062	0	1	1,052334835	0,950267887	#DIV/0!
MSRB3	0,001253115	0,073580395	0,2	0,04	1	1,052325044	0,950276729	5
EXOC6	0,001278066	0,073553741	0,1	0	1	1,052305602	0,950294285	#DIV/0!
DYNC2L1	0,000364229	0,073520556	0,225	0,04	1	1,052281397	0,950316144	5,625
FAM104B	9,0437E-05	0,073507083	0,338	0,08	1	1,05227157	0,95032502	4,225
PEX14	0,001586071	0,073505311	0,125	0,01	1	1,052270278	0,950326186	12,5
CHAF1B	0,026889313	0,073493932	0,075	0,01	1	1,052261978	0,950333682	7,5
MIA2	0,016190044	0,07330707	0,2	0,07	1	1,052125695	0,95045678	2,857142857
PXN	0,000342377	0,073304503	0,35	0,1	1	1,052123822	0,950458471	3,5
TYW1	0,000602791	0,073177289	0,238	0,05	1	1,052031052	0,950542285	4,76
LRIG2	0,011634754	0,073152856	0,062	0	1	1,052013236	0,950558383	#DIV/0!

Supplementary Table 4

Differentially expressed genes_keloid-CCD_ comparing SC-Keloid vs. (SC-Myel, SC-Nonmyel)								
gene	p_val	avg_log2FC	pct.1	pct.2	p_val_adj	Foldchange_UP	Foldchange_DOWN	Ratio_pct1_pct2
TTC8	0,012349427	0,073141152	0,188	0,06	1	1,052004701	0,950566094	3,133333333
EPM2A	0,006027137	0,073123113	0,125	0,02	1	1,051991547	0,95057798	6,25
PES1	0,00068532	0,073059098	0,212	0,04	1	1,05194487	0,950620159	5,3
MPI	0,001624218	0,073005975	0,125	0,01	1	1,051906136	0,950655164	12,5
TAP2	7,62789E-05	0,072937261	0,288	0,06	1	1,051856036	0,950700444	4,8
NINJ2	0,002666059	0,072877223	0,088	0	1	1,051812264	0,950740008	#DIV/0!
PAM16	0,011634754	0,072877015	0,062	0	1	1,051812112	0,950740145	#DIV/0!
ZNF83	0,005623161	0,072793202	0,3	0,11	1	1,051751009	0,95079538	2,727272727
TBL2	0,000788927	0,072781071	0,188	0,03	1	1,051742165	0,950803375	6,266666667
APOO	0,000100126	0,072767083	0,2	0,02	1	1,051731968	0,950812593	10
CFAP300	0,268357209	0,072746557	0,013	0	1	1,051717005	0,950826121	#DIV/0!
MSL3	0,001181554	0,072682362	0,4	0,14	1	1,051670208	0,950868431	2,857142857
CRYBG1	0,003088561	0,072624546	0,112	0,01	1	1,051628063	0,950906537	11,2
LIN52	0,018403004	0,072532622	0,125	0,03	1	1,051561058	0,950967128	4,166666667
UTP14A	0,006150583	0,072506581	0,125	0,02	1	1,051542078	0,950984293	6,25
RAB40C	0,000773295	0,072496306	0,188	0,03	1	1,051534589	0,950991066	6,266666667
SMIM30	0,002215522	0,072474199	0,325	0,11	1	1,051518475	0,951005639	2,954545455
OSGEP	0,000517311	0,072468833	0,425	0,14	1	1,051514564	0,951009177	3,035714286
SDF4	0,002468583	0,072454636	0,787	0,36	1	1,051504217	0,951018535	2,186111111
ECI2	7,72116E-05	0,072451763	0,488	0,15	1	1,051502123	0,951020429	3,253333333
ABCA3	0,001956967	0,072449525	0,212	0,05	1	1,051500492	0,951021904	4,24
CLCN2	0,021719793	0,0724458	0,1	0,02	1	1,051497777	0,951024359	5
ITFG2	0,022564497	0,072428618	0,1	0,02	1	1,051485254	0,951035686	5
NAALADL1	0,002937191	0,072422047	0,162	0,03	1	1,051480465	0,951040018	5,4
CEP250	0,03205056	0,072354806	0,112	0,03	1	1,051431459	0,951084345	3,733333333
SNX11	0,011489144	0,072303015	0,112	0,02	1	1,051393714	0,951118488	5,6
EMB	0,005082527	0,072178631	0,15	0,03	1	1,051303071	0,951200494	5
TOR2A	0,005562134	0,07215519	0,075	0	1	1,051285989	0,951215949	#DIV/0!
SHFL	0,001514254	0,072080864	0,562	0,23	1	1,05123183	0,951264956	2,443478261
NMNAT1	0,01362345	0,072057021	0,088	0,01	1	1,051214456	0,951280677	8,8

Supplementary Table 4

Differentially expressed genes_keloid-CCD_ comparing SC-Keloid vs. (SC-Myel, SC-Nonmyel)								
gene	p_val	avg_log2FC	pct.1	pct.2	p_val_adj	Foldchange_UP	Foldchange_DOWN	Ratio_pct1_pct2
CDC48	0,011634754	0,072022268	0,062	0	1	1,051189134	0,951303593	#DIV/0!
NCAPD2	0,006276301	0,071921632	0,125	0,02	1	1,05111581	0,951369954	6,25
TATDN2	0,01362345	0,071918362	0,088	0,01	1	1,051113428	0,95137211	8,8
SCAMP3	2,26774E-05	0,071896157	0,438	0,11	0,478514964	1,05109725	0,951386753	3,981818182
SH3PXD2B	0,000593028	0,071864084	0,338	0,1	1	1,051073883	0,951407904	3,38
FAM102B	0,041445004	0,071755691	0,088	0,02	1	1,050994916	0,951479389	4,4
PAGR1	0,001278066	0,071745186	0,1	0	1	1,050987264	0,951486316	#DIV/0!
FAM222B	0,006731552	0,071700489	0,1	0,01	1	1,050954703	0,951515795	10
ADPRS	0,002612825	0,071656502	0,338	0,12	1	1,05092266	0,951544807	2,816666667
TARBP1	0,001655244	0,071560639	0,15	0,02	1	1,050852832	0,951608036	7,5
TMEM62	0,011634754	0,071422826	0,062	0	1	1,050752454	0,951698943	#DIV/0!
ASH2L	0,000955834	0,071395613	0,25	0,06	1	1,050732634	0,951716895	4,166666667
MOCS1	0,003088561	0,071278052	0,112	0,01	1	1,050647017	0,95179445	11,2
CMTR1	0,002669855	0,071194837	0,162	0,03	1	1,050586417	0,951849352	5,4
TRIM62	0,003313746	0,071141045	0,112	0,01	1	1,050547246	0,951884843	11,2
C10orf62	0,025726858	0,071141036	0,075	0,01	1	1,050547239	0,951884849	7,5
HLCS	0,000830908	0,071128052	0,162	0,02	1	1,050537784	0,951893416	8,1
ZNF510	0,021719793	0,07112563	0,1	0,02	1	1,050536021	0,951895014	5
ADAT2	0,021719793	0,071073641	0,1	0,02	1	1,050498164	0,951929317	5
CPSF2	0,003149114	0,071069832	0,262	0,08	1	1,050495391	0,95193183	3,275
ZFP14	0,01362345	0,071050345	0,088	0,01	1	1,050481201	0,951944688	8,8
PAXIP1-AS2	0,052279021	0,071007384	0,038	0	1	1,050449921	0,951973036	#DIV/0!
USP40	0,000479592	0,070947255	0,262	0,06	1	1,05040614	0,952012713	4,366666667
YIPF5	0,000859503	0,070809395	0,45	0,16	1	1,050305771	0,95210369	2,8125
ZNF408	0,010276447	0,070802359	0,138	0,03	1	1,050300649	0,952108333	4,6
STX1A	0,024497883	0,070799322	0,05	0	1	1,050298438	0,952110337	#DIV/0!
SETD1B	0,006578444	0,070730087	0,1	0,01	1	1,050248035	0,95215603	10
VPS18	0,005562134	0,070683526	0,075	0	1	1,050214141	0,95218676	#DIV/0!
ATG4C	0,012187918	0,070672904	0,112	0,02	1	1,050206408	0,952193771	5,6
COQ8B	0,000924226	0,070662587	0,25	0,06	1	1,050198898	0,95220058	4,166666667

Supplementary Table 4

Differentially expressed genes_keloid-CCD_ comparing SC-Keloid vs. (SC-Myel, SC-Nonmyel)								
gene	p_val	avg_log2FC	pct.1	pct.2	p_val_adj	Foldchange_UP	Foldchange_DOWN	Ratio_pct1_pct2
KAT2A	0,001624218	0,070631703	0,125	0,01	1	1,050176417	0,952220964	12,5
SF3B4	0,000411862	0,070609201	0,388	0,12	1	1,050160037	0,952235816	3,233333333
CTNS	0,006578444	0,0704968	0,1	0,01	1	1,050078222	0,952310008	10
FLOT2	0,000773541	0,070419709	0,275	0,07	1	1,050022112	0,952360897	3,928571429
ACAD9	0,001063603	0,070332142	0,225	0,05	1	1,049958381	0,952418704	4,5
MVK	0,000659913	0,070294187	0,212	0,04	1	1,049930758	0,952443761	5,3
JOSD1	0,000561928	0,070286217	0,412	0,14	1	1,049924958	0,952449022	2,942857143
RAB23	0,00097654	0,070229392	0,288	0,08	1	1,049883605	0,952486538	3,6
MAPK14	0,004634092	0,0702217	0,212	0,06	1	1,049878007	0,952491616	3,533333333
HCN3	0,005562134	0,070211868	0,075	0	1	1,049870852	0,952498108	#DIV/0!
ZNF407	0,002881846	0,070196103	0,162	0,03	1	1,049859379	0,952508517	5,4
TMEM44	0,01362345	0,070189569	0,088	0,01	1	1,049854625	0,95251283	8,8
TNFAIP1	0,000889098	0,070172792	0,288	0,08	1	1,049842416	0,952523907	3,6
DHRS4	0,000773295	0,070059205	0,188	0,03	1	1,049759762	0,952598905	6,266666667
FAM200B	6,9569E-05	0,070040049	0,488	0,15	1	1,049745824	0,952611553	3,253333333
ZNF641	0,051893599	0,069990621	0,062	0,01	1	1,049709859	0,952644191	6,2
ANAPC1	0,018403004	0,069964044	0,125	0,03	1	1,049690522	0,952661741	4,166666667
ATP6VOE2	0,000345104	0,069943771	0,575	0,21	1	1,049675772	0,952675128	2,738095238
MYSM1	0,002536608	0,069942421	0,325	0,11	1	1,049674789	0,952676019	2,954545455
GPATCH11	0,000371319	0,069797223	0,225	0,04	1	1,049569152	0,952771905	5,625
GLCE	0,005575985	0,069784555	0,15	0,03	1	1,049559936	0,952780271	5
KPNA1	4,66579E-05	0,069776162	0,438	0,12	0,984527549	1,04955383	0,952785814	3,65
LAPTM4A	0,208295578	0,069745242	0,975	0,77	1	1,049531336	0,952806234	1,266233766
LRIG3	0,001278066	0,069732923	0,1	0	1	1,049522374	0,95281437	#DIV/0!
SZRD1	0,000372965	0,069706592	0,688	0,27	1	1,049503219	0,952831761	2,548148148
CCDC57	0,003313746	0,069661068	0,112	0,01	1	1,049470103	0,952861827	11,2
NELFCD	6,9569E-05	0,069651274	0,488	0,15	1	1,049462979	0,952868296	3,253333333
PIGV	0,018087455	0,069560882	0,125	0,03	1	1,049397227	0,952928	4,166666667
PPP1R8	0,00421343	0,069489333	0,175	0,04	1	1,049345184	0,95297526	4,375
CASTOR3	0,052846969	0,069482247	0,138	0,05	1	1,04934003	0,952979941	2,76

Supplementary Table 4

Differentially expressed genes_keloid-CCD_ comparing SC-Keloid vs. (SC-Myel, SC-Nonmyel)								
gene	p_val	avg_log2FC	pct.1	pct.2	p_val_adj	Foldchange_UP	Foldchange_DOWN	Ratio_pct1_pct2
MRS2	0,005473966	0,069432912	0,15	0,03	1	1,049304147	0,95301253	5
NDUFS4	0,049742266	0,069428886	0,775	0,44	1	1,049301219	0,95301519	1,761363636
ETHE1	0,005848981	0,069424057	0,388	0,16	1	1,049297706	0,95301838	2,425
ROBO1	0,001624218	0,069420465	0,125	0,01	1	1,049295094	0,953020753	12,5
HEATR3	0,00578692	0,069381008	0,125	0,02	1	1,049266397	0,953046817	6,25
PDCL3	6,41082E-06	0,069373315	0,475	0,12	0,135274774	1,049260801	0,9530519	3,958333333
GRIK4	0,052279021	0,069357434	0,038	0	1	1,049249251	0,953062391	#DIV/0!
RPA1	0,000711896	0,06934802	0,312	0,09	1	1,049242405	0,95306861	3,466666667
EVI5L	0,006731552	0,069336862	0,1	0,01	1	1,04923429	0,953075981	10
ZFYVE27	0,032200864	0,069335922	0,15	0,05	1	1,049233606	0,953076602	3
TSNAXIP1	0,011634754	0,069317233	0,062	0	1	1,049220015	0,953088948	#DIV/0!
NUBPL	0,006276301	0,069300575	0,125	0,02	1	1,049207899	0,953099953	6,25
PARP9	0,005084234	0,069278082	0,212	0,06	1	1,049191542	0,953114813	3,533333333
FAM98A	0,00032976	0,06923896	0,412	0,13	1	1,049163091	0,953140659	3,169230769
C2orf69	0,00152026	0,069193426	0,15	0,02	1	1,049129978	0,953170742	7,5
EML2	0,000830908	0,069172453	0,162	0,02	1	1,049114726	0,9531846	8,1
EPN1	0,000432975	0,069086811	0,562	0,22	1	1,04905245	0,953241185	2,554545455
PPP1R14A	0,053019982	0,069010975	0,062	0,01	1	1,048997307	0,953291293	6,2
SRP19	0,000455126	0,069005549	0,688	0,28	1	1,048993362	0,953294879	2,457142857
ODF2	0,018087455	0,068975295	0,125	0,03	1	1,048971365	0,95331487	4,166666667
NUCB1	0,003930773	0,068941501	0,738	0,36	1	1,048946793	0,953337201	2,05
WWC1	0,001282108	0,068930421	0,175	0,03	1	1,048938738	0,953344522	5,833333333
PDIK1L	0,011634754	0,068911966	0,062	0	1	1,04892532	0,953356718	#DIV/0!
SDHAF4	0,021719793	0,068890887	0,1	0,02	1	1,048909994	0,953370647	5
DHX32	0,002438112	0,068886383	0,188	0,04	1	1,048906719	0,953373624	4,7
METTL27	0,010094224	0,068858491	0,138	0,03	1	1,048886441	0,953392056	4,6
SEPTIN6	0,011634754	0,068845219	0,062	0	1	1,048876792	0,953400827	#DIV/0!
ACTR10	0,001373404	0,068823985	0,762	0,34	1	1,048861354	0,953414859	2,241176471
SCAF8	0,022452473	0,068769654	0,238	0,1	1	1,048821855	0,953450765	2,38
ADK	0,001765487	0,068761419	0,613	0,26	1	1,048815869	0,953456207	2,357692308

Supplementary Table 4

Differentially expressed genes_keloid-CCD_ comparing SC-Keloid vs. (SC-Myel, SC-Nonmyel)								
gene	p_val	avg_log2FC	pct.1	pct.2	p_val_adj	Foldchange_UP	Foldchange_DOWN	Ratio_pct1_pct2
ZNF446	0,006731552	0,068682451	0,1	0,01	1	1,048758461	0,953508398	10
NGLY1	0,008910714	0,068682362	0,25	0,09	1	1,048758397	0,953508456	2,777777778
RBM12	0,000780217	0,068653323	0,25	0,06	1	1,048737287	0,953527649	4,166666667
MOG	0,011634754	0,068598609	0,062	0	1	1,048697515	0,953563812	#DIV/0!
LAMC3	0,024497883	0,068517129	0,05	0	1	1,048638289	0,953617668	#DIV/0!
SF3B3	0,004759791	0,068478957	0,25	0,08	1	1,048610543	0,9536429	3,125
SEMA4C	0,061518369	0,068391254	0,2	0,09	1	1,0485468	0,953700875	2,222222222
RNASEH2A	0,003313746	0,068216561	0,112	0,01	1	1,048419841	0,953816363	11,2
DLD	0,000712215	0,068192508	0,375	0,12	1	1,048402361	0,953832266	3,125
SP110	0,030693302	0,068192198	0,2	0,08	1	1,048402136	0,953832471	2,5
ADPRH	0,024497883	0,068162902	0,05	0	1	1,048380847	0,95385184	#DIV/0!
USF1	0,043780897	0,068113112	0,088	0,02	1	1,048344666	0,95388476	4,4
GNG11	0,008855668	0,068103445	0,675	0,35	1	1,048337642	0,953891151	1,928571429
CCT5	0,007091961	0,068103395	0,725	0,38	1	1,048337605	0,953891185	1,907894737
SART1	0,001461501	0,068056996	0,275	0,08	1	1,04830389	0,953921863	3,4375
CST6	0,052279021	0,067959897	0,038	0	1	1,048233337	0,953986068	#DIV/0!
VPS37C	0,001307717	0,067858925	0,175	0,03	1	1,048159975	0,954052839	5,833333333
FUZ	0,004854445	0,06784597	0,212	0,06	1	1,048150563	0,954061406	3,533333333
PYROXD2	0,079510298	0,067815429	0,075	0,02	1	1,048128375	0,954081603	3,75
STK39	0,003313746	0,06769993	0,112	0,01	1	1,048044467	0,954157988	11,2
ANO10	0,002010182	0,067461465	0,25	0,07	1	1,047871249	0,954315715	3,571428571
SND1	2,53633E-05	0,067416584	0,462	0,13	0,535191228	1,047838651	0,954345403	3,553846154
VPS26B	9,52391E-05	0,067407689	0,338	0,08	1	1,047832191	0,954351287	4,225
TMEM43	0,002173267	0,067387432	0,4	0,15	1	1,047817478	0,954364688	2,666666667
ETNK2	0,002937191	0,067375143	0,162	0,03	1	1,047808553	0,954372817	5,4
MMP28	0,064919686	0,067249773	0,2	0,09	1	1,047717502	0,954455755	2,222222222
EXOSC8	0,001658878	0,067241642	0,512	0,21	1	1,047711597	0,954461135	2,438095238
UNC119	0,043780897	0,067239908	0,088	0,02	1	1,047710338	0,954462282	4,4
POC1A	8,89706E-05	0,067215645	0,175	0,01	1	1,047692718	0,954478334	17,5
C14orf93	0,052279021	0,067055111	0,038	0	1	1,047576144	0,954584548	#DIV/0!

Supplementary Table 4

Differentially expressed genes_keloid-CCD_ comparing SC-Keloid vs. (SC-Myel, SC-Nonmyel)								
gene	p_val	avg_log2FC	pct.1	pct.2	p_val_adj	Foldchange_UP	Foldchange_DOWN	Ratio_pct1_pct2
RTL8A	0,002730089	0,067025924	0,462	0,19	1	1,04755495	0,954603861	2,431578947
BEND6	0,001082432	0,066951985	0,225	0,05	1	1,047501264	0,954652786	4,5
TAOK2	0,000635384	0,066835843	0,212	0,04	1	1,04741694	0,954729642	5,3
OGFOD1	0,002024826	0,06680595	0,212	0,05	1	1,047395237	0,954749424	4,24
KLHL9	0,021871795	0,06680195	0,175	0,06	1	1,047392334	0,954752071	2,916666667
FAU	0,177432767	0,066759056	1	0,99	1	1,047361193	0,954780458	1,01010101
SEMA7A	0,002881846	0,066757785	0,162	0,03	1	1,04736027	0,9547813	5,4
FBN1	0,00034914	0,066747368	0,462	0,16	1	1,047352708	0,954788193	2,8875
SLC38A9	0,023437611	0,066678199	0,1	0,02	1	1,047302494	0,954833971	5
EYA3	0,006276301	0,06660118	0,125	0,02	1	1,047246585	0,954884947	6,25
THUMPD3	0,000295231	0,066578523	0,375	0,11	1	1,047230139	0,954899943	3,409090909
NEK11	0,003313746	0,06657145	0,112	0,01	1	1,047225004	0,954904625	11,2
SLC7A6	0,011618772	0,066559155	0,175	0,05	1	1,04721608	0,954912763	3,5
SKA1	0,000291957	0,066552394	0,125	0	1	1,047211172	0,954917238	#DIV/0!
ZC3H18	0,015536025	0,066500175	0,3	0,13	1	1,047173269	0,954951802	2,307692308
NAGPA	0,024883489	0,066484939	0,138	0,04	1	1,04716221	0,954961887	3,45
PEX11A	0,011634754	0,066480382	0,062	0	1	1,047158902	0,954964904	#DIV/0!
NCOA6	0,018409207	0,066479407	0,25	0,1	1	1,047158194	0,954965549	2,5
HSDL1	0,133573518	0,066474352	0,112	0,05	1	1,047154526	0,954968895	2,24
HAUS5	0,003237075	0,066460567	0,112	0,01	1	1,04714452	0,95497802	11,2
ATXN10	0,000139969	0,066451703	0,537	0,18	1	1,047138086	0,954983887	2,983333333
TMEM258	0,226098999	0,066430658	0,95	0,66	1	1,047122811	0,954997818	1,439393939
MTHFSD	0,005562134	0,06642803	0,075	0	1	1,047120904	0,954999558	#DIV/0!
PIP4P2	0,000126373	0,06640277	0,412	0,12	1	1,04710257	0,955016279	3,433333333
STAB1	0,011634754	0,066401747	0,062	0	1	1,047101828	0,955016956	#DIV/0!
MAFG-DT	0,001278066	0,066399668	0,1	0	1	1,047100319	0,955018332	#DIV/0!
GALNT5	0,042211625	0,066275736	0,088	0,02	1	1,047010374	0,955100374	4,4
SUSD5	0,024497883	0,066271413	0,05	0	1	1,047007236	0,955103237	#DIV/0!
TAF13	0,022431734	0,066264515	0,325	0,15	1	1,04700223	0,955107804	2,166666667
CBX5	0,104430812	0,066258483	0,85	0,52	1	1,046997853	0,955111797	1,634615385

Supplementary Table 4

Differentially expressed genes_keloid-CCD_ comparing SC-Keloid vs. (SC-Myel, SC-Nonmyel)								
gene	p_val	avg_log2FC	pct.1	pct.2	p_val_adj	Foldchange_UP	Foldchange_DOWN	Ratio_pct1_pct2
PRR14L	0,011489144	0,066238118	0,112	0,02	1	1,046983073	0,955125279	5,6
RNASEL	0,079510298	0,06619137	0,075	0,02	1	1,046949148	0,955156229	3,75
GIN51	0,002666059	0,066142743	0,088	0	1	1,04691386	0,955188424	#DIV/0!
WDFY3	0,005803812	0,066125616	0,262	0,09	1	1,046901432	0,955199763	2,911111111
VPS28	0,094530686	0,066061093	0,875	0,53	1	1,046854611	0,955242485	1,650943396
TSEN34	7,27524E-05	0,066053041	0,488	0,15	1	1,046848769	0,955247816	3,253333333
SYVN1	0,001538482	0,066010757	0,238	0,06	1	1,046818087	0,955275814	3,966666667
MED18	0,024497883	0,065997046	0,05	0	1	1,046808139	0,955284892	#DIV/0!
GTF3C4	4,24104E-05	0,065982194	0,288	0,05	0,894901148	1,046797362	0,955294727	5,76
DNPEP	0,000235934	0,065865545	0,362	0,1	1	1,046712727	0,95537197	3,62
DYNC111	0,475894584	0,065841447	0,038	0,02	1	1,046695243	0,955387928	1,9
FREM1	0,005562134	0,06583131	0,075	0	1	1,046687888	0,955394642	#DIV/0!
RMRP	0,11122839	0,06581063	0,05	0,01	1	1,046672885	0,955408336	5
ZSCAN16-AS1	0,000138014	0,065774369	0,475	0,15	1	1,046646579	0,95543235	3,166666667
BDP1	0,004976764	0,065754145	0,562	0,26	1	1,046631907	0,955445743	2,161538462
SNAP47	0,002707566	0,065685062	0,225	0,06	1	1,04658179	0,955491496	3,75
AGBL5	0,005562134	0,065659686	0,075	0	1	1,046563381	0,955508302	#DIV/0!
VPS13B	0,041626859	0,065564237	0,175	0,07	1	1,046494143	0,955571521	2,5
ZNF287	0,002666059	0,065557919	0,088	0	1	1,04648956	0,955575706	#DIV/0!
UBA6	0,001069721	0,065427108	0,388	0,13	1	1,046394678	0,955662353	2,984615385
ZDHHC7	0,030418025	0,065417358	0,15	0,05	1	1,046387606	0,955668812	3
TRPM8	0,024497883	0,065411468	0,05	0	1	1,046383334	0,955672714	#DIV/0!
TACO1	0,002269362	0,065401638	0,188	0,04	1	1,046376205	0,955679225	4,7
DYM	0,015111249	0,065385778	0,188	0,06	1	1,046364701	0,955689731	3,133333333
FOLR1	0,005562134	0,065331339	0,075	0	1	1,046325218	0,955725794	#DIV/0!
MIPOL1	0,043780897	0,06531449	0,088	0,02	1	1,046312999	0,955736956	4,4
QRSL1	0,002937191	0,065298626	0,162	0,03	1	1,046301493	0,955747466	5,4
LIG4	0,006731552	0,065294884	0,1	0,01	1	1,046298779	0,955749944	10
ORAI2	0,003785517	0,065254726	0,375	0,14	1	1,046269656	0,955776548	2,678571429
MASTL	0,003202904	0,065205617	0,138	0,02	1	1,046234041	0,955809083	6,9

Supplementary Table 4

Differentially expressed genes_keloid-CCD_ comparing SC-Keloid vs. (SC-Myel, SC-Nonmyel)								
gene	p_val	avg_log2FC	pct.1	pct.2	p_val_adj	Foldchange_UP	Foldchange_DOWN	Ratio_pct1_pct2
THAP1	0,006272896	0,065197055	0,188	0,05	1	1,046227833	0,955814756	3,76
ZP3	0,114652585	0,065185612	0,025	0	1	1,046219534	0,955822337	#DIV/0!
SLC25A51	0,027487357	0,065177646	0,075	0,01	1	1,046213757	0,955827614	7,5
GSDMD	0,00425288	0,065125776	0,537	0,24	1	1,046176143	0,955861981	2,2375
MFAP4	0,185993644	0,065108992	0,075	0,03	1	1,046163972	0,955873101	2,5
PSIP1	0,003389153	0,065012804	0,438	0,19	1	1,046094224	0,955936834	2,305263158
PKP3	0,024497883	0,064961641	0,05	0	1	1,046057126	0,955970735	#DIV/0!
TMEM8B	0,004197268	0,06495319	0,238	0,07	1	1,046050999	0,955976335	3,4
MUL1	0,002094837	0,064952102	0,212	0,05	1	1,04605021	0,955977056	4,24
LPAR4	0,108976957	0,064926068	0,05	0,01	1	1,046031334	0,955994307	5
SMIM27	0,002526724	0,064750609	0,188	0,04	1	1,045904124	0,956110581	4,7
TMEM115	0,001117998	0,064713914	0,375	0,13	1	1,045877522	0,9561349	2,884615385
LTC4S	0,01362345	0,064643652	0,088	0,01	1	1,045826587	0,956181467	8,8
RTN2	0,000384434	0,064634873	0,15	0,01	1	1,045820223	0,956187285	15
TEDC2	0,002666059	0,064630652	0,088	0	1	1,045817163	0,956190083	#DIV/0!
PTGR1	0,002017359	0,064598748	0,525	0,21	1	1,045794036	0,956211228	2,5
CYB5R2	0,000870262	0,064582706	0,362	0,12	1	1,045782408	0,956221861	3,016666667
PTK7	0,003313746	0,064575806	0,112	0,01	1	1,045777406	0,956226434	11,2
MTHFD1L	0,002041761	0,064453966	0,25	0,07	1	1,04568909	0,956307194	3,571428571
ERGIC2	0,008618408	0,064447777	0,7	0,33	1	1,045684604	0,956311297	2,121212121
STK24	0,002760013	0,064421225	0,262	0,08	1	1,04566536	0,956328897	3,275
RC3H2	0,000502464	0,064276888	0,3	0,08	1	1,045560749	0,95642458	3,75
SNX13	0,001798489	0,064247126	0,388	0,14	1	1,04553918	0,956444311	2,771428571
SEC23IP	0,001272061	0,064226808	0,262	0,07	1	1,045524456	0,95645778	3,742857143
SNX6	0,017921483	0,064179112	0,725	0,35	1	1,045489891	0,956489402	2,071428571
CALCRL	0,108976957	0,064172181	0,05	0,01	1	1,045484868	0,956493997	5
SGTA	0,002474307	0,064172008	0,512	0,21	1	1,045484742	0,956494112	2,438095238
MTX3	0,01466195	0,064168173	0,15	0,04	1	1,045481964	0,956496654	3,75
ZNF230	0,006731552	0,064148696	0,1	0,01	1	1,045467849	0,956509568	10
FANCD2	0,000611714	0,064133502	0,112	0	1	1,045456838	0,956519641	#DIV/0!

Supplementary Table 4

Differentially expressed genes_keloid-CCD_ comparing SC-Keloid vs. (SC-Myel, SC-Nonmyel)								
gene	p_val	avg_log2FC	pct.1	pct.2	p_val_adj	Foldchange_UP	Foldchange_DOWN	Ratio_pct1_pct2
MAGT1	0,001196277	0,064117885	0,525	0,21	1	1,045445522	0,956529995	2,5
MTO1	0,009564696	0,0641162	0,138	0,03	1	1,045444301	0,956531113	4,6
CNTNAP3B	0,114652585	0,063930805	0,025	0	1	1,045309963	0,95665404	#DIV/0!
CCDC74B	0,003269989	0,063899542	0,138	0,02	1	1,045287312	0,956674771	6,9
FBF1	0,052279021	0,063890598	0,038	0	1	1,045280832	0,956680702	#DIV/0!
PTBP3	0,003285933	0,063883206	0,412	0,16	1	1,045275476	0,956685604	2,575
ASB8	0,00043633	0,063831697	0,288	0,07	1	1,045238157	0,956719761	4,114285714
DLG5	0,008260951	0,063828506	0,162	0,04	1	1,045235845	0,956721878	4,05
C20orf96	0,006404327	0,063816473	0,125	0,02	1	1,045227127	0,956729857	6,25
TAF12	0,006819572	0,06375782	0,488	0,22	1	1,045184634	0,956768754	2,218181818
ANKRD36C	0,009670762	0,063690181	0,212	0,07	1	1,045135633	0,956813612	3,028571429
NEMP1	0,01362345	0,063686501	0,088	0,01	1	1,045132967	0,956816052	8,8
PMPCA	7,05791E-05	0,063671503	0,362	0,09	1	1,045122102	0,956825999	4,022222222
NCKAP5	0,10676172	0,063662959	0,05	0,01	1	1,045115913	0,956831666	5
KRBA2	0,052279021	0,063641386	0,038	0	1	1,045100285	0,956845974	#DIV/0!
VANGL1	0,044922833	0,063578099	0,125	0,04	1	1,04505444	0,956887949	3,125
ALG11	0,052279021	0,063572908	0,038	0	1	1,04505068	0,956891392	#DIV/0!
TICAM2	0,052279021	0,063567756	0,038	0	1	1,045046948	0,956894809	#DIV/0!
DTL	0,024497883	0,063525284	0,05	0	1	1,045016183	0,95692298	#DIV/0!
HAUS4	0,006731552	0,063501206	0,1	0,01	1	1,044998742	0,956938951	10
GCDH	0,005256041	0,063485803	0,25	0,08	1	1,044987586	0,956949167	3,125
TMEM216	0,005473966	0,063444379	0,15	0,03	1	1,044957581	0,956976645	5
PSMD9	0,001306906	0,063426777	0,75	0,3	1	1,044944832	0,956988321	2,5
SCAMP2	0,005679321	0,063389639	0,375	0,15	1	1,044917933	0,957012956	2,5
WRAP73	0,001082432	0,063374413	0,225	0,05	1	1,044906905	0,957023056	4,5
MRTFB	0,002827454	0,063294335	0,162	0,03	1	1,044848908	0,957076178	5,4
ACTA2	0,001026851	0,063276245	0,225	0,05	1	1,044835807	0,957088179	4,5
S100PBP	0,010428083	0,063187896	0,175	0,05	1	1,044771824	0,957146792	3,5
BCAS3	0,044583831	0,063186581	0,088	0,02	1	1,044770872	0,957147664	4,4
NRBP2	0,003101944	0,063118272	0,4	0,16	1	1,044721405	0,957192985	2,5

Supplementary Table 4

Differentially expressed genes_keloid-CCD_ comparing SC-Keloid vs. (SC-Myel, SC-Nonmyel)								
gene	p_val	avg_log2FC	pct.1	pct.2	p_val_adj	Foldchange_UP	Foldchange_DOWN	Ratio_pct1_pct2
LMCD1-AS1	0,114652585	0,063112634	0,025	0	1	1,044717322	0,957196725	#DIV/0!
CUX1	4,36856E-05	0,063109755	0,65	0,22	0,921810605	1,044715238	0,957198635	2,954545455
RILPL1	0,001088034	0,063061065	0,362	0,12	1	1,04467998	0,95723094	3,016666667
SENP3	0,011634754	0,063002899	0,062	0	1	1,044637862	0,957269535	#DIV/0!
PTPRB	0,219108376	0,062896435	0,038	0,01	1	1,044560776	0,957340179	3,8
ARHGDI1	0,002881846	0,06287206	0,162	0,03	1	1,044543127	0,957356354	5,4
RAE1	0,00034156	0,062867529	0,325	0,09	1	1,044539847	0,95735936	3,611111111
EXOC2	0,017776655	0,062860548	0,125	0,03	1	1,044534792	0,957363993	4,166666667
POLR1D	0,009439432	0,062816604	0,762	0,37	1	1,044502977	0,957393154	2,059459459
SLC43A3	0,006730803	0,062811797	0,262	0,09	1	1,044499497	0,957396345	2,911111111
RBM42	0,000588268	0,062722642	0,55	0,21	1	1,044434951	0,957455511	2,619047619
PLXND1	1,64376E-05	0,062676541	0,55	0,16	0,346850675	1,044401577	0,957486107	3,4375
XRCC1	0,017676384	0,062624829	0,162	0,05	1	1,044364142	0,957520428	3,24
WDR35	0,004676011	0,062619704	0,175	0,04	1	1,044360432	0,957523829	4,375
PLEKHB1	0,019407902	0,062616492	0,4	0,19	1	1,044358107	0,957525961	2,105263158
LBR	0,002245867	0,062465003	0,325	0,11	1	1,044248451	0,95762651	2,954545455
ZSCAN5A	0,011634754	0,0623844	0,062	0	1	1,04419011	0,957680015	#DIV/0!
PTGS1	0,052279021	0,062379509	0,038	0	1	1,04418657	0,957683261	#DIV/0!
MOSPD3	0,013088848	0,062307839	0,188	0,06	1	1,044134699	0,957730838	3,133333333
THEM6	0,050823809	0,062295517	0,188	0,08	1	1,044125781	0,957739018	2,35
ZNF333	0,123254101	0,062282956	0,1	0,04	1	1,04411669	0,957747356	2,5
CDC42SE2	0,000156585	0,062256353	0,288	0,06	1	1,044097437	0,957765017	4,8
RBM45	0,003269989	0,062204244	0,138	0,02	1	1,044059726	0,957799612	6,9
CRYBB1	0,024497883	0,062203982	0,05	0	1	1,044059536	0,957799786	#DIV/0!
FAS	0,003009105	0,062189076	0,138	0,02	1	1,044048749	0,957809682	6,9
NANS	0,000240834	0,062163685	0,662	0,27	1	1,044030374	0,957826539	2,451851852
PPP2R1A	0,000470151	0,062076577	0,675	0,28	1	1,043967339	0,957884373	2,410714286
COG2	0,008123626	0,062063234	0,162	0,04	1	1,043957683	0,957893233	4,05
E2F4	0,000638651	0,062006139	0,3	0,08	1	1,04391637	0,957931142	3,75
UFSP2	0,003493081	0,061977646	0,425	0,17	1	1,043895752	0,957950061	2,5

Supplementary Table 4

Differentially expressed genes_keloid-CCD_ comparing SC-Keloid vs. (SC-Myel, SC-Nonmyel)								
gene	p_val	avg_log2FC	pct.1	pct.2	p_val_adj	Foldchange_UP	Foldchange_DOWN	Ratio_pct1_pct2
FAM131B	0,011634754	0,061972731	0,062	0	1	1,043892196	0,957953325	#DIV/0!
FOCAD	0,002666059	0,061953106	0,088	0	1	1,043877996	0,957966356	#DIV/0!
ELAVL4	0,011634754	0,061948781	0,062	0	1	1,043874866	0,957969228	#DIV/0!
RGS8	0,052279021	0,061914143	0,038	0	1	1,043849805	0,957992228	#DIV/0!
MESP1	0,054166721	0,061767506	0,062	0,01	1	1,043743712	0,958089604	6,2
POC1B	0,010094224	0,061741954	0,138	0,03	1	1,043725226	0,958106574	4,6
C5orf22	0,005562134	0,061713315	0,075	0	1	1,043704507	0,958125593	#DIV/0!
C2orf81	0,006731552	0,061711687	0,1	0,01	1	1,04370333	0,958126674	10
PROSER3	0,006731552	0,061586696	0,1	0,01	1	1,04361291	0,958209687	10
AC002553.1	0,053019982	0,061558921	0,062	0,01	1	1,043592818	0,958228135	6,2
CPXM1	0,093220017	0,061552888	0,125	0,05	1	1,043588454	0,958232142	2,5
SPG11	0,003327079	0,061538757	0,2	0,05	1	1,043578233	0,958241528	4
CLUH	0,002424934	0,061506443	0,162	0,03	1	1,043554858	0,958262991	5,4
SELENOF	0,044107695	0,061421219	0,95	0,61	1	1,043493214	0,9583196	1,557377049
PUS7	0,001500621	0,061417752	0,175	0,03	1	1,043490707	0,958321903	5,833333333
ZNF212	0,054166721	0,061408005	0,062	0,01	1	1,043483657	0,958328378	6,2
MTRR	0,012730227	0,061371812	0,088	0,01	1	1,043457479	0,95835242	8,8
TTC14	0,019669925	0,061331201	0,262	0,11	1	1,043428107	0,958379397	2,381818182
ANAPC4	0,010924402	0,061325119	0,175	0,05	1	1,043423708	0,958383437	3,5
NME5	0,042211625	0,061323529	0,088	0,02	1	1,043422558	0,958384494	4,4
ECPAS	0,001253115	0,06130947	0,2	0,04	1	1,04341239	0,958393833	5
TTC33	0,001142385	0,061266905	0,2	0,04	1	1,043381606	0,95842211	5
AQP7	0,053019982	0,061245255	0,062	0,01	1	1,043365948	0,958436493	6,2
ATPCKMT	0,001655244	0,061215331	0,15	0,02	1	1,043344308	0,958456372	7,5
TRAIP	0,005562134	0,061172415	0,075	0	1	1,043313271	0,958484884	#DIV/0!
CYHR1	0,002956588	0,061101267	0,488	0,2	1	1,04326182	0,958532154	2,44
ATP6AP1	0,028749524	0,061032533	0,65	0,34	1	1,043212118	0,958577822	1,911764706
WRAP53	0,015387523	0,060983302	0,15	0,04	1	1,04317652	0,958610533	3,75
ING4	0,000522921	0,060975677	0,262	0,06	1	1,043171006	0,9586156	4,366666667
LMOD3	0,024497883	0,06094438	0,05	0	1	1,043148376	0,958636396	#DIV/0!

Supplementary Table 4

Differentially expressed genes_keloid-CCD_ comparing SC-Keloid vs. (SC-Myel, SC-Nonmyel)								
gene	p_val	avg_log2FC	pct.1	pct.2	p_val_adj	Foldchange_UP	Foldchange_DOWN	Ratio_pct1_pct2
FBLN7	0,011634754	0,06094264	0,062	0	1	1,043147118	0,958637552	#DIV/0!
RECQL	0,007627662	0,060940393	0,525	0,24	1	1,043145494	0,958639045	2,1875
CRLS1	3,93796E-05	0,060921229	0,45	0,13	0,830948445	1,043131637	0,95865178	3,461538462
SPAG5	0,003313746	0,060892602	0,112	0,01	1	1,043110939	0,958670802	11,2
MITD1	0,000400308	0,060887791	0,325	0,09	1	1,04310746	0,958673999	3,611111111
INTS7	0,041445004	0,060877281	0,088	0,02	1	1,043099861	0,958680983	4,4
SH3BP4	0,002827454	0,060785159	0,162	0,03	1	1,043033257	0,958742201	5,4
HOXB4	0,007837267	0,060767349	0,2	0,06	1	1,043020381	0,958754036	3,333333333
STING1	0,002339201	0,060744075	0,325	0,11	1	1,043003555	0,958769503	2,954545455
NOC4L	0,000505169	0,060729587	0,262	0,06	1	1,042993081	0,958779131	4,366666667
SLC6A6	0,000619581	0,060668501	0,312	0,09	1	1,04294892	0,958819728	3,466666667
NDUFA4L2	0,082314814	0,060619058	0,075	0,02	1	1,042913177	0,958852589	3,75
SCP2	0,130073736	0,0605978	0,863	0,49	1	1,04289781	0,958866718	1,76122449
CHCHD4	0,000813108	0,060535764	0,162	0,02	1	1,042852966	0,95890795	8,1
DNASE1L1	0,01362345	0,060515361	0,088	0,01	1	1,042838218	0,958921511	8,8
PEX11G	0,012429073	0,060496283	0,112	0,02	1	1,042824428	0,958934192	5,6
LIN7B	0,054650935	0,060389434	0,15	0,06	1	1,042747197	0,959005215	2,5
LCAT	0,014897309	0,060369103	0,188	0,06	1	1,042732502	0,95901873	3,133333333
ST8SIA4	0,025726858	0,060331968	0,075	0,01	1	1,042705663	0,959043415	7,5
UST	0,052279021	0,060317304	0,038	0	1	1,042695065	0,959053163	#DIV/0!
ZNF737	0,104582322	0,06030162	0,05	0,01	1	1,042683729	0,95906359	5
ZNF343	0,011634754	0,060272595	0,062	0	1	1,042662752	0,959082885	#DIV/0!
MUC12	0,014068004	0,060215053	0,188	0,06	1	1,042621166	0,959121139	3,133333333
PSME3	0,002194246	0,060153209	0,288	0,09	1	1,042576472	0,959162255	3,2
NFKBIL1	0,028060342	0,060152695	0,288	0,13	1	1,042576101	0,959162596	2,215384615
CCDC69	0,052279021	0,060142901	0,038	0	1	1,042569024	0,959169107	#DIV/0!
EXOC4	0,002482056	0,060122161	0,188	0,04	1	1,042554036	0,959182897	4,7
WWP2	0,006404327	0,060113798	0,125	0,02	1	1,042547993	0,959188457	6,25
DDX59	0,000672505	0,060103894	0,212	0,04	1	1,042540835	0,959195042	5,3
IFT122	0,006276301	0,060088976	0,125	0,02	1	1,042530056	0,95920496	6,25

Supplementary Table 4

Differentially expressed genes_keloid-CCD_ comparing SC-Keloid vs. (SC-Myel, SC-Nonmyel)								
gene	p_val	avg_log2FC	pct.1	pct.2	p_val_adj	Foldchange_UP	Foldchange_DOWN	Ratio_pct1_pct2
DYRK2	4,41241E-05	0,060044737	0,55	0,17	0,931062217	1,042498088	0,959234374	3,235294118
BEND5	0,006686666	0,060018015	0,188	0,05	1	1,042478778	0,959252141	3,76
LACTB2	0,011094447	0,059993141	0,175	0,05	1	1,042460804	0,95926868	3,5
DGKA	0,023437611	0,059984186	0,1	0,02	1	1,042454334	0,959274634	5
CHMP5	0,008073589	0,059954651	0,838	0,42	1	1,042432993	0,959294273	1,995238095
TMEM69	0,010276447	0,059936514	0,138	0,03	1	1,042419888	0,959306333	4,6
SRPK3	0,10676172	0,059904499	0,05	0,01	1	1,042396756	0,959327621	5
IPO5	0,004917598	0,059894041	0,45	0,2	1	1,0423892	0,959334575	2,25
UTP14C	0,001276418	0,059838599	0,2	0,04	1	1,042349142	0,959371443	5
RAB8B	0,000689958	0,059823632	0,462	0,16	1	1,042338328	0,959381396	2,8875
TMBIM4	0,082071579	0,059746968	0,925	0,56	1	1,04228294	0,959432378	1,651785714
PDGFRB	0,041626859	0,059735472	0,175	0,07	1	1,042274635	0,959440023	2,5
AGA	0,000910567	0,059610671	0,537	0,21	1	1,042184476	0,959523024	2,557142857
KDM1A	0,00027283	0,059596681	0,275	0,06	1	1,042174371	0,959532328	4,583333333
DNAAF11	0,011634754	0,059535771	0,062	0	1	1,042130371	0,95957284	#DIV/0!
L3MBTL1	0,052279021	0,059529575	0,038	0	1	1,042125895	0,959576961	#DIV/0!
ZNF45	0,026889313	0,059518567	0,075	0,01	1	1,042117944	0,959584283	7,5
TRAF3IP2-AS1	0,018723361	0,059504308	0,125	0,03	1	1,042107644	0,959593767	4,166666667
CNTROB	0,006276301	0,059458325	0,125	0,02	1	1,04207443	0,959624352	6,25
DPH1	0,024497883	0,059453516	0,05	0	1	1,042070956	0,959627552	#DIV/0!
SEL1L3	0,011634754	0,059435204	0,062	0	1	1,042057729	0,959639732	#DIV/0!
LINC00920	0,022467781	0,05938453	0,225	0,09	1	1,042021128	0,95967344	2,5
JAKMIP2	0,006276301	0,059305884	0,125	0,02	1	1,041964326	0,959725756	6,25
TPTE2	0,052279021	0,059255062	0,038	0	1	1,041927621	0,959759565	#DIV/0!
TTC4	0,013319742	0,059180341	0,088	0,01	1	1,041873658	0,959809275	8,8
FBXO45	0,006211613	0,059117079	0,225	0,07	1	1,041827973	0,959851363	3,214285714
IBA57	0,108976957	0,059071017	0,05	0,01	1	1,041794711	0,959882009	5
ABITRAM	0,002482056	0,059065992	0,188	0,04	1	1,041791081	0,959885353	4,7
ATG4D	0,000698362	0,059048947	0,212	0,04	1	1,041778773	0,959896694	5,3
POLB	0,007988348	0,059030064	0,162	0,04	1	1,041765138	0,959909257	4,05

Supplementary Table 4

Differentially expressed genes_keloid-CCD_comparing SC-Keloid vs. (SC-Myel, SC-Nonmyel)								
gene	p_val	avg_log2FC	pct.1	pct.2	p_val_adj	Foldchange_UP	Foldchange_DOWN	Ratio_pct1_pct2
FJX1	0,268623818	0,058992619	0,05	0,02	1	1,041738099	0,959934172	2,5
TUBGCP6	0,003313746	0,058978123	0,112	0,01	1	1,041727632	0,959943818	11,2
PRKAB1	0,099725503	0,058927702	0,088	0,03	1	1,041691225	0,959977368	2,933333333
GGA3	0,011634754	0,058896436	0,062	0	1	1,04166865	0,959998172	#DIV/0!
ERVMER34-1	0,005562134	0,058889747	0,075	0	1	1,04166382	0,960002623	#DIV/0!
RAD18	0,002827454	0,058810765	0,162	0,03	1	1,041606795	0,960055181	5,4
KCNC4	0,006731552	0,058745667	0,1	0,01	1	1,041559796	0,960098502	10
LYRM4	0,000127043	0,058736029	0,537	0,18	1	1,041552838	0,960104916	2,983333333
H2AJ	0,031210925	0,058700684	0,975	0,57	1	1,041527321	0,960128439	1,710526316
MARS2	0,005562134	0,05861907	0,075	0	1	1,041468403	0,960182755	#DIV/0!
SETD4	0,033686337	0,05861602	0,112	0,03	1	1,041466201	0,960184784	3,733333333
H2BC18	0,011634754	0,058381973	0,062	0	1	1,041297259	0,960340567	#DIV/0!
C1QC	0,114652585	0,058302272	0,025	0	1	1,041239734	0,960393622	#DIV/0!
HOXB5	0,027487357	0,058280946	0,075	0,01	1	1,041224343	0,960407819	7,5
TBC1D32	0,027487357	0,05828054	0,075	0,01	1	1,04122405	0,960408089	7,5
FN3KRP	2,48541E-05	0,058274031	0,25	0,03	0,524447068	1,041219352	0,960412422	8,333333333
KLHDC1	0,10676172	0,058262071	0,05	0,01	1	1,04121072	0,960420384	5
PSEN2	0,032588088	0,058095011	0,112	0,03	1	1,041090158	0,960531604	3,733333333
S100A14	0,01362345	0,058073399	0,088	0,01	1	1,041074562	0,960545994	8,8
AGL	0,003860939	0,058065793	0,2	0,05	1	1,041069074	0,960551058	4
ADAMTS15	0,006404327	0,058061129	0,125	0,02	1	1,041065708	0,960554163	6,25
CYSTM1	0,070131397	0,058042301	0,875	0,52	1	1,041052122	0,960566699	1,682692308
PHF19	0,02639823	0,058007673	0,462	0,23	1	1,041027135	0,960589755	2,008695652
TRIB1	0,005517553	0,057998259	0,288	0,1	1	1,041020341	0,960596023	2,88
TOP3A	0,101227022	0,057979326	0,088	0,03	1	1,04100668	0,960608629	2,933333333
TXNDC5	0,034247231	0,057924955	0,112	0,03	1	1,040967448	0,960644833	3,733333333
MILR1	0,011634754	0,057920964	0,062	0	1	1,040964569	0,96064749	#DIV/0!
RPS6KA4	0,005690097	0,057884152	0,225	0,07	1	1,040938007	0,960672003	3,214285714
PDE6D	0,005242842	0,057853006	0,212	0,06	1	1,040915535	0,960692742	3,533333333
AL441883.1	0,024497883	0,057845431	0,05	0	1	1,04091007	0,960697786	#DIV/0!

Supplementary Table 4

Differentially expressed genes_keloid-CCD_ comparing SC-Keloid vs. (SC-Myel, SC-Nonmyel)								
gene	p_val	avg_log2FC	pct.1	pct.2	p_val_adj	Foldchange_UP	Foldchange_DOWN	Ratio_pct1_pct2
EPB41	0,101227022	0,057815175	0,088	0,03	1	1,04088824	0,960717934	2,933333333
VXN	0,011634754	0,05773236	0,062	0	1	1,040828492	0,960773084	#DIV/0!
H2BC9	0,011634754	0,057721892	0,062	0	1	1,040820939	0,960780056	#DIV/0!
CCDC15	0,002666059	0,057719675	0,088	0	1	1,04081934	0,960781532	#DIV/0!
PTCD2	0,011634754	0,057714785	0,062	0	1	1,040815812	0,960784788	#DIV/0!
LETM2	0,027487357	0,057705455	0,075	0,01	1	1,040809081	0,960791002	7,5
SAMD10	0,011634754	0,057699623	0,062	0	1	1,040804873	0,960794886	#DIV/0!
HELQ	0,135186374	0,057670294	0,112	0,05	1	1,040783716	0,960814418	2,24
PSME4	0,002753631	0,057641275	0,338	0,12	1	1,040762781	0,960833745	2,816666667
PTPN21	0,005690097	0,057633731	0,225	0,07	1	1,040757339	0,960838769	3,214285714
MYOM2	0,011634754	0,057610704	0,062	0	1	1,040740727	0,960854105	#DIV/0!
RAB12	0,010376573	0,057575318	0,212	0,07	1	1,0407152	0,960877673	3,028571429
RNF20	0,001345757	0,057519334	0,3	0,09	1	1,040674816	0,960914961	3,333333333
PHEX	0,054166721	0,05749219	0,062	0,01	1	1,040655236	0,960933041	6,2
ZBTB18	0,070958552	0,057457023	0,112	0,04	1	1,04062987	0,960956464	2,8
TRIM24	0,000364668	0,057423379	0,5	0,18	1	1,040605602	0,960978875	2,777777778
MBIP	0,001666473	0,057397579	0,312	0,1	1	1,040586993	0,96099606	3,12
SHLD1	0,033686337	0,057386107	0,112	0,03	1	1,040578718	0,961003702	3,733333333
VEZT	1,83662E-06	0,0573835	0,525	0,13	0,038754442	1,040576838	0,961005438	4,038461538
RAMP2	0,298327182	0,057325264	0,062	0,03	1	1,040534835	0,961044231	2,066666667
NINL	0,052279021	0,057297429	0,038	0	1	1,040514759	0,961062773	#DIV/0!
GMEB2	0,011634754	0,05729314	0,062	0	1	1,040511666	0,961065631	#DIV/0!
TXNDC11	0,000402681	0,057191445	0,2	0,03	1	1,040438323	0,961133378	6,666666667
OAF	0,009117106	0,0571484	0,738	0,35	1	1,04040728	0,961162055	2,108571429
MORN4	0,001530226	0,057129463	0,175	0,03	1	1,040393624	0,961174671	5,833333333
SIMC1	0,024497883	0,057126227	0,05	0	1	1,04039129	0,961176828	#DIV/0!
PLK4	0,002666059	0,057120475	0,088	0	1	1,040387142	0,96118066	#DIV/0!
GGCT	0,014037086	0,05710617	0,475	0,23	1	1,040376826	0,96119019	2,065217391
CS	0,001062831	0,057090906	0,4	0,14	1	1,040365819	0,96120036	2,857142857
KDM4A	0,033133318	0,057087451	0,112	0,03	1	1,040363328	0,961202662	3,733333333

Supplementary Table 4

Differentially expressed genes_keloid-CCD_comparing SC-Keloid vs. (SC-Myel, SC-Nonmyel)								
gene	p_val	avg_log2FC	pct.1	pct.2	p_val_adj	Foldchange_UP	Foldchange_DOWN	Ratio_pct1_pct2
ZNF747	0,104284051	0,057076921	0,088	0,03	1	1,040355734	0,961209678	2,933333333
ZCCHC4	0,011634754	0,057053343	0,062	0	1	1,040338732	0,961225387	#DIV/0!
CSNK1D	0,006224095	0,057016141	0,425	0,18	1	1,040311906	0,961250174	2,361111111
CTDSPL2	0,002927179	0,057006886	0,262	0,08	1	1,040305232	0,96125634	3,275
NOP58	0,000821118	0,056953607	0,462	0,17	1	1,040266814	0,96129184	2,717647059
C2CD3	0,011950918	0,056879725	0,112	0,02	1	1,040213542	0,96134107	5,6
LRRCS9	0,001755828	0,056787722	0,688	0,29	1	1,040147208	0,961402378	2,372413793
KIAA0513	0,08090269	0,056725372	0,075	0,02	1	1,040102256	0,961443929	3,75
LRCH4	0,010094224	0,056544874	0,138	0,03	1	1,039972136	0,961564224	4,6
FAM216A	0,005562134	0,05653281	0,075	0	1	1,039963439	0,961572265	#DIV/0!
NUDT2	9,86705E-06	0,056504667	0,388	0,08	0,208204536	1,039943152	0,961591023	4,85
FCHSD1	0,023885059	0,056478257	0,1	0,02	1	1,039924115	0,961608626	5
CBWD1	1,12163E-05	0,056398059	0,45	0,11	0,236674593	1,039866309	0,961662082	4,090909091
PHETA2	0,003735992	0,056302643	0,2	0,05	1	1,039797537	0,961725686	4
ARMC9	0,121642688	0,056301873	0,1	0,04	1	1,039796982	0,9617262	2,5
ZNF273	0,013319742	0,056256359	0,088	0,01	1	1,039764179	0,961756541	8,8
RPP25	0,005788164	0,05624272	0,188	0,05	1	1,039754349	0,961765633	3,76
EXOC3-AS1	0,033686337	0,056238841	0,112	0,03	1	1,039751554	0,961768219	3,733333333
HPS5	0,001082432	0,056206629	0,225	0,05	1	1,039728339	0,961789693	4,5
MDN1	0,058821317	0,056191892	0,1	0,03	1	1,039717719	0,961799517	3,333333333
NCKAP1	0,000253423	0,056152283	0,512	0,18	1	1,039689173	0,961825924	2,844444444
DPY30	0,003323547	0,05613506	0,588	0,26	1	1,039676762	0,961837406	2,261538462
PICK1	0,006374119	0,05613504	0,188	0,05	1	1,039676747	0,96183742	3,76
NLGN2	0,001348746	0,056123892	0,2	0,04	1	1,039668713	0,961844852	5
RNF139-AS1	0,011634754	0,056123332	0,062	0	1	1,03966831	0,961845226	#DIV/0!
KRTCAP3	0,114652585	0,056109665	0,025	0	1	1,03965846	0,961854338	#DIV/0!
FANCF	0,024497883	0,056094304	0,05	0	1	1,039647391	0,961864579	#DIV/0!
SUPT4H1	0,000630919	0,056086817	0,512	0,19	1	1,039641996	0,961869571	2,694736842
BHLHB9	0,027487357	0,056039855	0,075	0,01	1	1,039608154	0,961900881	7,5
FKBP1B	0,005575985	0,056030029	0,15	0,03	1	1,039601074	0,961907433	5

Supplementary Table 4

Differentially expressed genes_keloid-CCD_ comparing SC-Keloid vs. (SC-Myel, SC-Nonmyel)								
gene	p_val	avg_log2FC	pct.1	pct.2	p_val_adj	Foldchange_UP	Foldchange_DOWN	Ratio_pct1_pct2
PRSS23	0,052550172	0,05597551	0,887	0,61	1	1,039561788	0,961943784	1,454098361
ALYREF	0,00035151	0,055971753	0,637	0,24	1	1,039559081	0,961946289	2,654166667
SLC30A6	0,027487357	0,055971321	0,075	0,01	1	1,03955877	0,961946577	7,5
TM9SF3	0,002067686	0,055958472	0,688	0,32	1	1,039549512	0,961955144	2,15
NFXL1	0,009738387	0,055941662	0,138	0,03	1	1,039537399	0,961966352	4,6
LINC00592	0,005562134	0,0558894	0,075	0	1	1,039499742	0,962001201	#DIV/0!
RHOA	0,396537685	0,055859109	0,988	0,94	1	1,039477917	0,962021399	1,05106383
ZNF678	0,010094224	0,055825836	0,138	0,03	1	1,039453943	0,962043587	4,6
TLK1	0,002041031	0,055819774	0,288	0,09	1	1,039449576	0,962047629	3,2
POU2F2	0,114652585	0,055808824	0,025	0	1	1,039441686	0,962054931	#DIV/0!
ANKRD17	0,000952794	0,055776674	0,45	0,16	1	1,039418523	0,96207637	2,8125
GSTO2	0,011634754	0,055772346	0,062	0	1	1,039415405	0,962079257	#DIV/0!
NBAS	0,010756678	0,055767562	0,175	0,05	1	1,039411958	0,962082447	3,5
FAM161A	0,004595855	0,055743842	0,175	0,04	1	1,039394869	0,962098265	4,375
ZNF839	0,024497883	0,055731782	0,05	0	1	1,03938618	0,962106307	#DIV/0!
TMC6	0,005513797	0,055712948	0,188	0,05	1	1,039372612	0,962118867	3,76
MYNN	0,00569537	0,055672035	0,188	0,05	1	1,039343136	0,962146153	3,76
MELK	0,003313746	0,055661302	0,112	0,01	1	1,039335404	0,962153311	11,2
FUT10	0,01362345	0,055660125	0,088	0,01	1	1,039334556	0,962154096	8,8
HS2ST1	0,00079721	0,055617478	0,375	0,12	1	1,039303834	0,962182538	3,125
AGPAT3	0,000157399	0,055605526	0,325	0,08	1	1,039295223	0,962190509	4,0625
FAM72A	0,027487357	0,055600805	0,075	0,01	1	1,039291822	0,962193658	7,5
DNAH14	0,11122839	0,055569218	0,05	0,01	1	1,039269068	0,962214724	5
SNAPC4	0,01362345	0,055548568	0,088	0,01	1	1,039254192	0,962228498	8,8
DAXX	0,00096721	0,055515375	0,3	0,09	1	1,039230282	0,962250636	3,333333333
OSBPL7	0,055334082	0,055478102	0,062	0,01	1	1,039203433	0,962275497	6,2
GNPDA2	0,055714781	0,055473557	0,188	0,08	1	1,039200159	0,962278528	2,35
SAPCD2	0,023885059	0,055451438	0,1	0,02	1	1,039184226	0,962293282	5
EML1	0,002347143	0,055432337	0,25	0,07	1	1,039170468	0,962306022	3,571428571
MBLAC2	0,006731552	0,055350142	0,1	0,01	1	1,039111265	0,96236085	10

Supplementary Table 4

Differentially expressed genes_keloid-CCD_ comparing SC-Keloid vs. (SC-Myel, SC-Nonmyel)								
gene	p_val	avg_log2FC	pct.1	pct.2	p_val_adj	Foldchange_UP	Foldchange_DOWN	Ratio_pct1_pct2
SBF1	0,002669855	0,055319365	0,162	0,03	1	1,039089098	0,96238138	5,4
STK36	0,054166721	0,055309928	0,062	0,01	1	1,039082301	0,962387675	6,2
MEF2A	0,000301087	0,05519345	0,588	0,22	1	1,038998412	0,962465378	2,672727273
SMC5-DT	0,114652585	0,055174231	0,025	0	1	1,038984571	0,9624782	#DIV/0!
FAM149A	0,054166721	0,05516318	0,062	0,01	1	1,038976613	0,962485573	6,2
MTRF1	0,024497883	0,055136558	0,05	0	1	1,038957441	0,962503333	#DIV/0!
CBWD3	0,022997455	0,055091671	0,1	0,02	1	1,038925116	0,96253328	5
ZFP57	0,005562134	0,055081634	0,075	0	1	1,038917888	0,962539977	#DIV/0!
LYZ	0,439855668	0,055023648	0,025	0,01	1	1,038876132	0,962578665	2,5
TRIM61	0,024497883	0,054996103	0,05	0	1	1,038856297	0,962597043	#DIV/0!
ENTPD5	0,043780897	0,054993023	0,088	0,02	1	1,038854079	0,962599098	4,4
HOXD10	0,052279021	0,054944948	0,038	0	1	1,038819462	0,962631176	#DIV/0!
LCLAT1	0,006027137	0,054925389	0,125	0,02	1	1,038805379	0,962644226	6,25
ZNF558	0,082314814	0,054872239	0,075	0,02	1	1,038767109	0,962679691	3,75
ACO2	0,006999556	0,054847048	0,312	0,12	1	1,038748971	0,962696501	2,6
ZNF470	0,024497883	0,054832586	0,05	0	1	1,038738559	0,962706151	#DIV/0!
DPAGT1	0,008320951	0,054794559	0,2	0,06	1	1,038711179	0,962731527	3,333333333
PAR6G	0,005562134	0,054773048	0,075	0	1	1,038695692	0,962745882	#DIV/0!
PCNX2	0,01362345	0,054756915	0,088	0,01	1	1,038684077	0,962756648	8,8
PNKP	0,000859579	0,054721008	0,338	0,1	1	1,038658226	0,96278061	3,38
CCAR1	0,001332712	0,054655932	0,488	0,19	1	1,038611376	0,962824039	2,568421053
FBXL13	0,024497883	0,054608404	0,05	0	1	1,03857716	0,962855759	#DIV/0!
RTL8B	0,029952607	0,054564846	0,188	0,07	1	1,038545804	0,96288483	2,685714286
C1orf94	0,079510298	0,054539734	0,075	0,02	1	1,038527727	0,962901591	3,75
UBXN2B	0,026889313	0,054490298	0,075	0,01	1	1,03849214	0,962934587	7,5
P4HA3	0,003313746	0,054407821	0,112	0,01	1	1,038432773	0,962989638	11,2
MYO18A	0,006731552	0,054370376	0,1	0,01	1	1,038405821	0,963014633	10
ST7	0,018212547	0,05431701	0,162	0,05	1	1,03836741	0,963050256	3,24
AC073342.1	0,114652585	0,054279833	0,025	0	1	1,038340654	0,963075072	#DIV/0!
RPF2	0,0003172	0,054278893	0,462	0,16	1	1,038339976	0,9630757	2,8875

Supplementary Table 4

Differentially expressed genes_keloid-CCD_ comparing SC-Keloid vs. (SC-Myel, SC-Nonmyel)								
gene	p_val	avg_log2FC	pct.1	pct.2	p_val_adj	Foldchange_UP	Foldchange_DOWN	Ratio_pct1_pct2
HMGA1	0,012351868	0,054249804	0,713	0,41	1	1,038319041	0,963095119	1,73902439
ASTE1	0,005562134	0,05422107	0,075	0	1	1,038298361	0,963114301	#DIV/0!
BRSK1	0,003836312	0,054204821	0,25	0,08	1	1,038286667	0,963125148	3,125
MRPL42	0,011026368	0,054194751	0,575	0,29	1	1,038279419	0,963131871	1,982758621
MORN3	0,024497883	0,05414167	0,05	0	1	1,038241219	0,963167308	#DIV/0!
PHACTR3	0,055334082	0,054124531	0,062	0,01	1	1,038228885	0,96317875	6,2
MEIS1	0,052279021	0,054060098	0,038	0	1	1,038182517	0,963221769	#DIV/0!
ANKRD2	0,052279021	0,054008559	0,038	0	1	1,038145429	0,96325618	#DIV/0!
MIS18A	0,014426885	0,053977713	0,15	0,04	1	1,038123233	0,963276775	3,75
CCDC43	0,000734073	0,053975238	0,438	0,15	1	1,038121452	0,963278428	2,92
LARS2	0,024497883	0,053961091	0,05	0	1	1,038111272	0,963287873	#DIV/0!
SLC25A20	0,026302537	0,05392816	0,075	0,01	1	1,038087577	0,963309861	7,5
ZNF841	0,024497883	0,05389546	0,05	0	1	1,038064048	0,963331696	#DIV/0!
CD4	0,191734257	0,053890544	0,162	0,09	1	1,038060511	0,963334979	1,8
PPIL3	0,000471019	0,053805847	0,3	0,08	1	1,037999571	0,963391535	3,75
MRI1	0,004287523	0,053766168	0,175	0,04	1	1,037971023	0,963418032	4,375
FDFT1	0,00029757	0,053763886	0,25	0,05	1	1,037969381	0,963419556	5
FZD6	0,054329933	0,053759564	0,1	0,03	1	1,037966271	0,963422442	3,333333333
XYLT1	0,002379545	0,05374065	0,262	0,08	1	1,037952663	0,963435073	3,275
AC092687.3	0,052279021	0,0537331	0,038	0	1	1,037947232	0,963440115	#DIV/0!
PARP11	0,034247231	0,053732664	0,112	0,03	1	1,037946918	0,963440406	3,733333333
TWINK	0,108976957	0,053700054	0,05	0,01	1	1,037923457	0,963462183	5
PRRX2	0,052279021	0,053688165	0,038	0	1	1,037914904	0,963470123	#DIV/0!
CLEC11A	0,003479946	0,053681602	0,537	0,24	1	1,037910182	0,963474506	2,2375
NCAPH2	0,000414962	0,053647418	0,288	0,07	1	1,03788559	0,963497335	4,114285714
TTC38	0,012429073	0,053642977	0,112	0,02	1	1,037882394	0,963500302	5,6
CDIN1	0,052279021	0,053628584	0,038	0	1	1,03787204	0,963509914	#DIV/0!
CCDC32	0,01983744	0,053580751	0,212	0,08	1	1,03783763	0,96354186	2,65
EPB41L4A-DT	0,024497883	0,05356401	0,05	0	1	1,037825587	0,96355304	#DIV/0!
MRM1	0,108976957	0,053549583	0,05	0,01	1	1,037815208	0,963562677	5

Supplementary Table 4

Differentially expressed genes_keloid-CCD_comparing SC-Keloid vs. (SC-Myel, SC-Nonmyel)								
gene	p_val	avg_log2FC	pct.1	pct.2	p_val_adj	Foldchange_UP	Foldchange_DOWN	Ratio_pct1_pct2
SYT5	0,052279021	0,053495061	0,038	0	1	1,037775989	0,963599092	#DIV/0!
MTOR	0,034247231	0,053404997	0,112	0,03	1	1,037711204	0,963659249	3,733333333
RSKR	0,052279021	0,053338524	0,038	0	1	1,037663393	0,963703651	#DIV/0!
H3C8	0,024497883	0,05333137	0,05	0	1	1,037658247	0,96370843	#DIV/0!
SPDYA	0,024497883	0,053315127	0,05	0	1	1,037646564	0,96371928	#DIV/0!
HSPA13	3,83223E-05	0,05329864	0,625	0,2	0,808638195	1,037634706	0,963730294	3,125
IFT46	0,004439263	0,053266102	0,175	0,04	1	1,037611304	0,96375203	4,375
VPS36	0,01576223	0,053247941	0,238	0,09	1	1,037598242	0,963764162	2,644444444
APLNR	0,152427848	0,053188014	0,062	0,02	1	1,037555143	0,963804195	3,1
LIN7A	0,001655244	0,053126683	0,15	0,02	1	1,037511036	0,963845169	7,5
LARP1	0,000153961	0,053117474	0,575	0,21	1	1,037504414	0,963851321	2,738095238
MFS6	0,003202904	0,053110111	0,138	0,02	1	1,037499119	0,96385624	6,9
ZNF142	0,10676172	0,053054697	0,05	0,01	1	1,037459269	0,963893263	5
MAGI2	0,056519276	0,053035057	0,138	0,05	1	1,037445146	0,963906385	2,76
SLC27A1	0,004368619	0,053031726	0,25	0,08	1	1,037442751	0,96390861	3,125
KCNH1	0,005562134	0,052935403	0,075	0	1	1,037373487	0,963972969	#DIV/0!
AC019117.2	0,052279021	0,05292909	0,038	0	1	1,037368948	0,963977187	#DIV/0!
GLYATL2	0,052279021	0,0529233	0,038	0	1	1,037364784	0,963981056	#DIV/0!
ADCK1	0,011634754	0,052882544	0,062	0	1	1,037335479	0,964008289	#DIV/0!
ABHD16A	0,055334082	0,052820718	0,062	0,01	1	1,037291025	0,964049602	6,2
ZFYVE16	0,003323547	0,052775698	0,588	0,26	1	1,037258657	0,964079686	2,261538462
MTMR10	0,011266838	0,05276696	0,175	0,05	1	1,037252375	0,964085525	3,5
AKR1B1	0,003186289	0,052725069	0,562	0,25	1	1,037222257	0,964113519	2,248
CTBP1-DT	0,022138642	0,052713325	0,1	0,02	1	1,037213813	0,964121367	5
COL22A1	0,011634754	0,052707943	0,062	0	1	1,037209944	0,964124964	#DIV/0!
JADE3	0,024497883	0,052691602	0,05	0	1	1,037198196	0,964135884	#DIV/0!
CHST12	0,001621978	0,052673047	0,388	0,14	1	1,037184856	0,964148284	2,771428571
EVI2A	0,052279021	0,052618628	0,038	0	1	1,037145734	0,964184653	#DIV/0!
ZFAT	0,055334082	0,05260524	0,062	0,01	1	1,03713611	0,964193601	6,2
KIAA0895L	0,024497883	0,05257014	0,05	0	1	1,037110877	0,96421706	#DIV/0!

Supplementary Table 4

Differentially expressed genes_keloid-CCD_comparing SC-Keloid vs. (SC-Myel, SC-Nonmyel)								
gene	p_val	avg_log2FC	pct.1	pct.2	p_val_adj	Foldchange_UP	Foldchange_DOWN	Ratio_pct1_pct2
FLVCR1-DT	0,027487357	0,052558297	0,075	0,01	1	1,037102363	0,964224975	7,5
PAIP1	0,018356832	0,052489098	0,6	0,29	1	1,03705262	0,964271225	2,068965517
TMEM209	0,001530226	0,05237638	0,175	0,03	1	1,036971598	0,964346566	5,833333333
EPS8L2	0,024497883	0,052357773	0,05	0	1	1,036958224	0,964359004	#DIV/0!
ALKBH6	0,027487357	0,05235493	0,075	0,01	1	1,03695618	0,964360904	7,5
GPD1L	0,024497883	0,052352156	0,05	0	1	1,036954187	0,964362759	#DIV/0!
DHPS	0,00025002	0,052340609	0,488	0,16	1	1,036945887	0,964370477	3,05
STAP2	0,01362345	0,052273166	0,088	0,01	1	1,036897413	0,964415561	8,8
DUSP7	0,082194744	0,052264681	0,175	0,08	1	1,036891315	0,964421233	2,1875
GABRA2	0,005197269	0,052249801	0,613	0,29	1	1,03688062	0,96443118	2,113793103
DPH7	0,004286889	0,052241432	0,212	0,06	1	1,036874606	0,964436774	3,533333333
DNAJC11	0,006404327	0,052233326	0,125	0,02	1	1,036868779	0,964442194	6,25
MITF	0,005562134	0,052159218	0,075	0	1	1,036815519	0,964491736	#DIV/0!
FNDC10	0,024497883	0,05211132	0,05	0	1	1,036781097	0,964523758	#DIV/0!
FAM184B	0,18346989	0,052036944	0,075	0,03	1	1,036727649	0,964573484	2,5
ELAC1	0,010276447	0,051994407	0,138	0,03	1	1,036697082	0,964601924	4,6
FAM43A	0,005562134	0,051971683	0,075	0	1	1,036680753	0,964617118	#DIV/0!
PEX7	0,231562119	0,051959107	0,1	0,05	1	1,036671716	0,964625527	2
RFT1	0,025668223	0,051909235	0,138	0,04	1	1,036635881	0,964658873	3,45
NHLRC3	0,025668223	0,051900552	0,138	0,04	1	1,036629641	0,964664679	3,45
NRAS	4,54963E-05	0,051875766	0,35	0,08	0,960016377	1,036611832	0,964681252	4,375
ZNF783	0,027487357	0,051752343	0,075	0,01	1	1,036523153	0,964763784	7,5
SEMA4D	0,083993367	0,051750734	0,175	0,08	1	1,036521997	0,964764861	2,1875
FZR1	0,01023185	0,051739704	0,212	0,07	1	1,036514073	0,964772236	3,028571429
RALYL	0,027487357	0,05173038	0,075	0,01	1	1,036507374	0,964778472	7,5
SLC35B4	0,000187937	0,051709892	0,238	0,04	1	1,036492654	0,964792173	5,95
AARS1	0,000358805	0,051673649	0,312	0,08	1	1,036466616	0,964816411	3,9
SPATA5L1	0,003202904	0,051652134	0,138	0,02	1	1,036451159	0,964830799	6,9
EEFSEC	0,003269989	0,05162297	0,138	0,02	1	1,036430208	0,964850303	6,9
CTNBL1	0,010910007	0,051600817	0,338	0,14	1	1,036414293	0,964865119	2,414285714

Supplementary Table 4

Differentially expressed genes_keloid-CCD_ comparing SC-Keloid vs. (SC-Myel, SC-Nonmyel)								
gene	p_val	avg_log2FC	pct.1	pct.2	p_val_adj	Foldchange_UP	Foldchange_DOWN	Ratio_pct1_pct2
RTL10	0,024497883	0,051587158	0,05	0	1	1,036404481	0,964874254	#DIV/0!
HOXC4	0,045383468	0,05156555	0,175	0,07	1	1,036388958	0,964888705	2,5
SNRNP48	0,00242045	0,05153565	0,25	0,07	1	1,036367479	0,964908703	3,571428571
HHLA3	0,024497883	0,051513708	0,05	0	1	1,036351717	0,964923378	#DIV/0!
RNASEH2B-AS1	0,052279021	0,051420807	0,038	0	1	1,036284984	0,964985516	#DIV/0!
KIF18A	0,006731552	0,05131672	0,1	0,01	1	1,036210222	0,96505514	10
ZDHHC8	0,014068004	0,051231615	0,188	0,06	1	1,036149097	0,96511207	3,133333333
APPL2	0,006582803	0,051207419	0,225	0,07	1	1,036131719	0,965128257	3,214285714
PCBD1	0,000539484	0,051204971	0,5	0,18	1	1,036129961	0,965129894	2,777777778
NAT1	0,272650094	0,05115739	0,05	0,02	1	1,03609579	0,965161725	2,5
UGDH-AS1	0,052279021	0,051155512	0,038	0	1	1,036094441	0,965162982	#DIV/0!
HBS1L	2,22763E-05	0,051146494	0,412	0,1	0,470051205	1,036087964	0,965169015	4,12
RAD17	0,001421443	0,051144107	0,262	0,07	1	1,03608625	0,965170612	3,742857143
TTC31	0,010756678	0,051129567	0,175	0,05	1	1,036075808	0,965180339	3,5
KSR2	0,011634754	0,051079139	0,062	0	1	1,036039594	0,965214077	#DIV/0!
ZNF891	0,011634754	0,051063434	0,062	0	1	1,036028316	0,965224584	#DIV/0!
EXOC8	0,01362345	0,05101427	0,088	0,01	1	1,035993011	0,965257477	8,8
MEDAG	0,024497883	0,050932894	0,05	0	1	1,035934577	0,965311925	#DIV/0!
NACC2	2,28895E-05	0,050859678	0,3	0,05	0,482991248	1,035882005	0,965360915	6
LZTS2	0,000535159	0,05084688	0,375	0,12	1	1,035872816	0,965369479	3,125
MAML3	0,008540154	0,050820076	0,238	0,08	1	1,03585357	0,965387414	2,975
ULK2	0,062770707	0,050813005	0,15	0,06	1	1,035848494	0,965392146	2,5
TEFM	0,053019982	0,050800515	0,062	0,01	1	1,035839526	0,965400504	6,2
ADAMTS12	0,012187918	0,050774701	0,112	0,02	1	1,035820991	0,965417778	5,6
HMSD	0,005562134	0,050698586	0,075	0	1	1,035766344	0,965468714	#DIV/0!
SMAD1	0,001655244	0,050650404	0,15	0,02	1	1,035731753	0,965500958	7,5
SEC31A	0,007634285	0,050594226	0,762	0,38	1	1,035691423	0,965538555	2,005263158
CHKB	0,003026673	0,050544184	0,225	0,06	1	1,035655499	0,965572047	3,75
MTRES1	0,005977851	0,050521976	0,188	0,05	1	1,035639557	0,96558691	3,76
BHMT2	0,052279021	0,050423881	0,038	0	1	1,035569141	0,965652567	#DIV/0!

Supplementary Table 4

Differentially expressed genes_keloid-CCD_comparing SC-Keloid vs. (SC-Myel, SC-Nonmyel)								
gene	p_val	avg_log2FC	pct.1	pct.2	p_val_adj	Foldchange_UP	Foldchange_DOWN	Ratio_pct1_pct2
FBXO42	0,001160873	0,050416947	0,225	0,05	1	1,035564164	0,965657208	4,5
EHMT2	0,001500621	0,050255185	0,175	0,03	1	1,035448059	0,965765488	5,833333333
ADAMTSL5	0,268357209	0,05024519	0,013	0	1	1,035440885	0,96577218	#DIV/0!
ZNF777	0,010094224	0,050237142	0,138	0,03	1	1,035435109	0,965777567	4,6
ZNF485	0,052279021	0,050227451	0,038	0	1	1,035428153	0,965784054	#DIV/0!
CSF2RA	0,268357209	0,050189249	0,013	0	1	1,035400736	0,965809628	#DIV/0!
ARF1	0,215817871	0,050158875	0,95	0,7	1	1,035378937	0,965829962	1,357142857
KAZN	0,001530226	0,050144466	0,175	0,03	1	1,035368597	0,965839609	5,833333333
ZNF660	0,027487357	0,050142287	0,075	0,01	1	1,035367033	0,965841067	7,5
FOXK2	0,015371623	0,050065994	0,238	0,09	1	1,035312282	0,965892145	2,644444444
SGSM3	0,001990631	0,050013326	0,212	0,05	1	1,035274487	0,965927407	4,24
TP63	0,005562134	0,049925711	0,075	0	1	1,035211616	0,965986069	#DIV/0!
MROH6	0,011634754	0,04991918	0,062	0	1	1,03520693	0,965990443	#DIV/0!
LINC01117	0,055334082	0,04987672	0,062	0,01	1	1,035176463	0,966018873	6,2
ZNF410	0,024497883	0,049849065	0,05	0	1	1,03515662	0,966037391	#DIV/0!
EARS2	0,054166721	0,049841492	0,062	0,01	1	1,035151186	0,966042462	6,2
ZNF34	0,012187918	0,049754565	0,112	0,02	1	1,035088817	0,96610067	5,6
CRABP2	0,042211625	0,049750093	0,088	0,02	1	1,035085608	0,966103665	4,4
KCNAB2	0,024497883	0,049746896	0,05	0	1	1,035083315	0,966105806	#DIV/0!
APBB3	0,082314814	0,049730793	0,075	0,02	1	1,035071761	0,966116589	3,75
ADGRE2	0,024497883	0,049729771	0,05	0	1	1,035071028	0,966117274	#DIV/0!
REM1	0,013085057	0,049701995	0,15	0,04	1	1,0350511	0,966135874	3,75
ATL2	0,001137292	0,049649497	0,262	0,07	1	1,035013436	0,966171032	3,742857143
TAMM41	0,009914883	0,04955432	0,138	0,03	1	1,034945158	0,966234774	4,6
NCDN	0,006731552	0,049547504	0,1	0,01	1	1,034940268	0,966239339	10
TACC3	0,006731552	0,04950457	0,1	0,01	1	1,034909469	0,966268094	10
RFTN1	0,027487357	0,049405436	0,075	0,01	1	1,034838358	0,966334493	7,5
TBCB	0,115088558	0,049360908	0,912	0,52	1	1,034806418	0,966364319	1,753846154
LYSMD2	0,01418037	0,049346252	0,262	0,1	1	1,034795907	0,966374136	2,62
NUDT6	0,082314814	0,049332409	0,075	0,02	1	1,034785977	0,966383409	3,75

Supplementary Table 4

Differentially expressed genes_keloid-CCD_ comparing SC-Keloid vs. (SC-Myel, SC-Nonmyel)								
gene	p_val	avg_log2FC	pct.1	pct.2	p_val_adj	Foldchange_UP	Foldchange_DOWN	Ratio_pct1_pct2
BBS9	0,152427848	0,049249516	0,062	0,02	1	1,034726523	0,966438936	3,1
DPF1	0,005562134	0,049246254	0,075	0	1	1,034724184	0,966441121	#DIV/0!
LRRC20	0,011634754	0,049239732	0,062	0	1	1,034719506	0,96644549	#DIV/0!
RAB29	0,044282066	0,049237089	0,175	0,07	1	1,034717611	0,96644726	2,5
TEP1	0,219108376	0,049221213	0,038	0,01	1	1,034706224	0,966457896	3,8
ARMC2	0,051893599	0,049205252	0,062	0,01	1	1,034694777	0,966468588	6,2
ZKSCAN4	0,052279021	0,049065539	0,038	0	1	1,03459458	0,966562187	#DIV/0!
BBS10	0,005562134	0,0490451	0,075	0	1	1,034579923	0,96657588	#DIV/0!
FBXO31	0,044583831	0,049040017	0,088	0,02	1	1,034576278	0,966579286	4,4
DLG1	0,00446477	0,049014126	0,45	0,19	1	1,034557711	0,966596633	2,368421053
EPCAM	0,011634754	0,049009011	0,062	0	1	1,034554043	0,96660006	#DIV/0!
ACSF2	0,011634754	0,048963988	0,062	0	1	1,034521758	0,966630225	#DIV/0!
GGACT	0,011634754	0,048955169	0,062	0	1	1,034515434	0,966636134	#DIV/0!
PRRT1	0,041713085	0,048954641	0,125	0,04	1	1,034515055	0,966636488	3,125
SPATA7	0,075062254	0,048896498	0,112	0,04	1	1,034473363	0,966675446	2,8
ME2	0,000790231	0,048872727	0,512	0,19	1	1,034456319	0,966691374	2,694736842
RHOD	0,024497883	0,048861314	0,05	0	1	1,034448135	0,966699021	#DIV/0!
ZNF154	0,052279021	0,048860592	0,038	0	1	1,034447618	0,966699505	#DIV/0!
EMC7	0,068283172	0,048832317	0,85	0,46	1	1,034427344	0,966718452	1,847826087
BBOF1	0,062632651	0,048829846	0,1	0,03	1	1,034425573	0,966720107	3,333333333
C1QTNF2	0,011634754	0,048804955	0,062	0	1	1,034407725	0,966736786	#DIV/0!
PBLD	0,052279021	0,048799259	0,038	0	1	1,034403641	0,966740603	#DIV/0!
CPSF3	0,009008069	0,048789285	0,212	0,07	1	1,03439649	0,966747287	3,028571429
FADS2	0,022997455	0,048767378	0,1	0,02	1	1,034380783	0,966761967	5
PCDH19	0,114652585	0,048731427	0,025	0	1	1,034355007	0,966786058	#DIV/0!
DCAF11	0,003350835	0,048710453	0,238	0,07	1	1,03433997	0,966800113	3,4
SLC38A7	0,241331026	0,048656027	0,125	0,07	1	1,03430095	0,966836587	1,785714286
TSR1	0,012391459	0,048642125	0,262	0,1	1	1,034290983	0,966845903	2,62
ST20-AS1	0,027487357	0,04861623	0,075	0,01	1	1,034272419	0,966863257	7,5
MATN3	0,012429073	0,04857393	0,112	0,02	1	1,034242095	0,966891606	5,6

Supplementary Table 4

Differentially expressed genes_keloid-CCD_ comparing SC-Keloid vs. (SC-Myel, SC-Nonmyel)								
gene	p_val	avg_log2FC	pct.1	pct.2	p_val_adj	Foldchange_UP	Foldchange_DOWN	Ratio_pct1_pct2
VPS33A	0,009393773	0,048537123	0,138	0,03	1	1,034215709	0,966916275	4,6
ILDR2	0,272650094	0,048471214	0,05	0,02	1	1,034168462	0,966960448	2,5
LRRC34	0,006731552	0,048447807	0,1	0,01	1	1,034151683	0,966976138	10
IL1B	0,114652585	0,048446631	0,025	0	1	1,03415084	0,966976926	#DIV/0!
LINC01465	0,024497883	0,048290106	0,05	0	1	1,034038646	0,967081843	#DIV/0!
BSDC1	0,000340602	0,048262864	0,438	0,14	1	1,034019121	0,967100105	3,128571429
FAH	0,108976957	0,04822232	0,05	0,01	1	1,033990062	0,967127284	5
MMS19	0,023117849	0,04821089	0,175	0,06	1	1,03398187	0,967134946	2,916666667
SLC50A1	8,01064E-05	0,048209508	0,338	0,08	1	1,03398088	0,967135872	4,225
SERINC2	0,027487357	0,048171478	0,075	0,01	1	1,033953624	0,967161366	7,5
CDCA7	0,005562134	0,048169321	0,075	0	1	1,033952078	0,967162813	#DIV/0!
GNPTAB	0,009017324	0,048128659	0,238	0,08	1	1,033922937	0,967190072	2,975
RAD54B	0,011634754	0,048063039	0,062	0	1	1,033875911	0,967234065	#DIV/0!
YJU2	0,009096611	0,048040461	0,2	0,06	1	1,033859731	0,967249203	3,333333333
IGSF6	0,114652585	0,048021675	0,025	0	1	1,033846268	0,967261798	#DIV/0!
RHOBTB2	0,044583831	0,048012069	0,088	0,02	1	1,033839385	0,967268238	4,4
CHD1L	0,003797999	0,048001617	0,2	0,05	1	1,033831895	0,967275246	4
CSTF1	0,003313746	0,047983918	0,112	0,01	1	1,033819212	0,967287112	11,2
TLCD3A	0,00239488	0,047956469	0,188	0,04	1	1,033799542	0,967305516	4,7
PBX4	0,011634754	0,047930762	0,062	0	1	1,033781122	0,967322752	#DIV/0!
RANBP6	0,002937191	0,047867995	0,162	0,03	1	1,033736146	0,967364838	5,4
MAP3K10	0,006276301	0,047850742	0,125	0,02	1	1,033723784	0,967376407	6,25
BRAT1	0,019279445	0,047810242	0,2	0,07	1	1,033694765	0,967403564	2,857142857
STARD4-AS1	0,114652585	0,04780235	0,025	0	1	1,033689111	0,967408856	#DIV/0!
ATP8B2	4,95137E-05	0,047771563	0,262	0,04	1	1,033667052	0,967429501	6,55
OR7C1	0,052279021	0,047729628	0,038	0	1	1,033637006	0,967457622	#DIV/0!
SLC7A11	0,268357209	0,047701999	0,013	0	1	1,033617212	0,967476149	#DIV/0!
HECTD4	0,022487321	0,047699054	0,175	0,06	1	1,033615102	0,967478124	2,916666667
RFESD	0,052279021	0,04760638	0,038	0	1	1,033548708	0,967540274	#DIV/0!
MR1	0,07611791	0,047602948	0,112	0,04	1	1,033546249	0,967542576	2,8

Supplementary Table 4

Differentially expressed genes_keloid-CCD_ comparing SC-Keloid vs. (SC-Myel, SC-Nonmyel)								
gene	p_val	avg_log2FC	pct.1	pct.2	p_val_adj	Foldchange_UP	Foldchange_DOWN	Ratio_pct1_pct2
ARL10	0,023885059	0,047548221	0,1	0,02	1	1,033507043	0,967579279	5
MGAT5	0,10741396	0,04752469	0,088	0,03	1	1,033490187	0,967595061	2,933333333
AASS	0,024883489	0,047519996	0,138	0,04	1	1,033486824	0,967598209	3,45
VMO1	0,052279021	0,047510341	0,038	0	1	1,033479907	0,967604685	#DIV/0!
PRDM4	0,013741513	0,04738561	0,15	0,04	1	1,03339056	0,967688344	3,75
PCBD2	0,006731552	0,047374718	0,1	0,01	1	1,033382758	0,96769565	10
PDCD2L	0,108976957	0,047339572	0,05	0,01	1	1,033357584	0,967719224	5
NPHP3	0,013867154	0,04731176	0,188	0,06	1	1,033337663	0,967737881	3,133333333
LRRC32	0,054166721	0,047255946	0,062	0,01	1	1,033297687	0,967775321	6,2
UTP3	0,000371319	0,047245578	0,225	0,04	1	1,033290261	0,967782275	5,625
TYW5	0,055334082	0,047245135	0,062	0,01	1	1,033289944	0,967782573	6,2
DOLK	0,012429073	0,047235648	0,112	0,02	1	1,033283149	0,967788937	5,6
DZANK1	0,114652585	0,047233827	0,025	0	1	1,033281845	0,967790158	#DIV/0!
MTRNR2L1	0,108976957	0,047216243	0,05	0,01	1	1,033269251	0,967801954	5
NOP14	0,021569568	0,047200344	0,175	0,06	1	1,033257864	0,967812619	2,916666667
CASTOR2	0,214910006	0,047172011	0,038	0,01	1	1,033237572	0,967831626	3,8
CPLANE2	0,055334082	0,047163192	0,062	0,01	1	1,033231256	0,967837543	6,2
XRCC3	0,011634754	0,047160313	0,062	0	1	1,033229194	0,967839474	#DIV/0!
TBC1D2	0,052279021	0,047079806	0,038	0	1	1,033171539	0,967893484	#DIV/0!
CDC25C	0,002666059	0,047054644	0,088	0	1	1,033153519	0,967910365	#DIV/0!
THUMP2	0,001664649	0,047053908	0,25	0,07	1	1,033152992	0,967910859	3,571428571
DNAJC3-DT	0,052279021	0,047032233	0,038	0	1	1,03313747	0,967925401	#DIV/0!
F11R	0,432207887	0,047022126	0,025	0,01	1	1,033130232	0,967932182	2,5
LYRM7	0,014900385	0,047006147	0,15	0,04	1	1,03311879	0,967942903	3,75
TMSB15A	0,083746858	0,046990521	0,075	0,02	1	1,0331076	0,967953387	3,75
ZNF319	0,114652585	0,046980017	0,025	0	1	1,033100078	0,967960434	#DIV/0!
GYS1	0,024497883	0,046955217	0,05	0	1	1,033082319	0,967977074	#DIV/0!
ASB16-AS1	0,114652585	0,046910859	0,025	0	1	1,033050556	0,968006836	#DIV/0!
C16orf46	0,052279021	0,046893858	0,038	0	1	1,033038382	0,968018244	#DIV/0!
STPG1	0,024497883	0,046871201	0,05	0	1	1,033022159	0,968033446	#DIV/0!

Supplementary Table 4

Differentially expressed genes_keloid-CCD_ comparing SC-Keloid vs. (SC-Myel, SC-Nonmyel)								
gene	p_val	avg_log2FC	pct.1	pct.2	p_val_adj	Foldchange_UP	Foldchange_DOWN	Ratio_pct1_pct2
LARP6	0,001644167	0,046868441	0,412	0,15	1	1,033020182	0,968035298	2,746666667
GMEB1	0,006476809	0,046851403	0,188	0,05	1	1,033007983	0,96804673	3,76
HLA-DQA1	0,439855668	0,046822007	0,025	0,01	1	1,032986935	0,968066455	2,5
ZNF197	0,053019982	0,046768702	0,062	0,01	1	1,032948768	0,968102224	6,2
METTL13	0,012429073	0,046744845	0,112	0,02	1	1,032931687	0,968118233	5,6
HILPDA	0,001990631	0,04672388	0,212	0,05	1	1,032916677	0,968132302	4,24
PPFIA2	0,052279021	0,046710741	0,038	0	1	1,03290727	0,968141119	#DIV/0!
P2RX6	0,024497883	0,046709596	0,05	0	1	1,032906451	0,968141887	#DIV/0!
LRP8	0,011634754	0,046682718	0,062	0	1	1,032887207	0,968159924	#DIV/0!
INF2	0,000326708	0,046649137	0,525	0,19	1	1,032863165	0,96818246	2,763157895
ATG4A	0,095853273	0,046631549	0,138	0,06	1	1,032850573	0,968194263	2,3
ADAMTS6	0,024497883	0,04655033	0,05	0	1	1,032792429	0,968248771	#DIV/0!
FAAP24	0,005562134	0,046455272	0,075	0	1	1,032724382	0,96831257	#DIV/0!
PDP2	0,024497883	0,046401815	0,05	0	1	1,032686116	0,96834845	#DIV/0!
H2AC20	0,005473966	0,046318392	0,15	0,03	1	1,032626404	0,968404446	5
HRH1	0,022564497	0,046296608	0,1	0,02	1	1,032610811	0,968419068	5
FAM185A	0,078137452	0,046210461	0,075	0,02	1	1,032549154	0,968476897	3,75
TMCO6	0,052279021	0,046106129	0,038	0	1	1,032474484	0,968546938	#DIV/0!
FAM71E1	0,108976957	0,046096536	0,05	0,01	1	1,032467619	0,968553378	5
TBC1D19	0,044583831	0,046032058	0,088	0,02	1	1,032421477	0,968596666	4,4
MYL5	0,002760013	0,046019716	0,262	0,08	1	1,032412644	0,968604952	3,275
ERCC4	0,019043486	0,045986199	0,162	0,05	1	1,03238866	0,968627455	3,24
VAMP7	0,006715258	0,045962727	0,3	0,11	1	1,032371863	0,968643214	2,727272727
PTCHD1	0,013319742	0,045927936	0,088	0,01	1	1,032346968	0,968666574	8,8
BMS1	0,004584278	0,045905386	0,288	0,1	1	1,032330831	0,968681715	2,88
CCT6B	0,055334082	0,045887369	0,062	0,01	1	1,03231794	0,968693812	6,2
ZNF7	0,011094447	0,045864593	0,175	0,05	1	1,032301642	0,968709105	3,5
TRAF3IP1	0,008963012	0,045839559	0,2	0,06	1	1,03228373	0,968725914	3,333333333
B3GAT2	0,024497883	0,045833672	0,05	0	1	1,032279517	0,968729868	#DIV/0!
LRCH1	0,004988707	0,045831692	0,15	0,03	1	1,032278101	0,968731197	5

Supplementary Table 4

Differentially expressed genes_keloid-CCD_ comparing SC-Keloid vs. (SC-Myel, SC-Nonmyel)								
gene	p_val	avg_log2FC	pct.1	pct.2	p_val_adj	Foldchange_UP	Foldchange_DOWN	Ratio_pct1_pct2
CCDC24	0,01362345	0,045795921	0,088	0,01	1	1,032252506	0,968755216	8,8
RNGTT	0,002024826	0,045768302	0,212	0,05	1	1,032232744	0,968773763	4,24
POU5F2	0,024497883	0,04561091	0,05	0	1	1,032120138	0,968879458	#DIV/0!
XKR8	0,005562134	0,04560868	0,075	0	1	1,032118543	0,968880955	#DIV/0!
TMEM138	0,006476809	0,045601093	0,188	0,05	1	1,032113115	0,968886051	3,76
ZNF816	0,052279021	0,04557209	0,038	0	1	1,032092367	0,968905529	#DIV/0!
PYM1	0,004779962	0,04552998	0,212	0,06	1	1,032062242	0,96893381	3,533333333
SLC6A9	0,024497883	0,045501384	0,05	0	1	1,032041786	0,968953015	#DIV/0!
TWIST2	0,052279021	0,045488363	0,038	0	1	1,032032471	0,968961761	#DIV/0!
AGBL4	0,052279021	0,045464799	0,038	0	1	1,032015614	0,968977587	#DIV/0!
ATXN7	0,045399153	0,045401197	0,088	0,02	1	1,031970118	0,969020306	4,4
ZNF91	0,014426885	0,045376838	0,15	0,04	1	1,031952695	0,969036667	3,75
NAA40	0,023437611	0,045375413	0,1	0,02	1	1,031951675	0,969037624	5
PPIC	0,10741396	0,045253603	0,088	0,03	1	1,031864549	0,969119446	2,933333333
FBXO5	0,008897236	0,045221916	0,138	0,03	1	1,031841886	0,969140732	4,6
ZNF461	0,114652585	0,045204971	0,025	0	1	1,031829766	0,969152115	#DIV/0!
GLT8D1	0,000608073	0,045143105	0,65	0,27	1	1,03178552	0,969193675	2,407407407
SUV39H1	0,011634754	0,045084267	0,062	0	1	1,031743441	0,969233203	#DIV/0!
NEK8	0,052279021	0,045078846	0,038	0	1	1,031739564	0,969236845	#DIV/0!
LDLRAD3	0,024497883	0,045074391	0,05	0	1	1,031736378	0,969239838	#DIV/0!
NAGS	0,024497883	0,045022396	0,05	0	1	1,031699195	0,96927477	#DIV/0!
HMCES	0,006276301	0,045020134	0,125	0,02	1	1,031697578	0,96927629	6,25
PIK3CA	0,000158574	0,044963713	0,35	0,09	1	1,031657231	0,969314197	3,888888889
GINS4	0,011634754	0,044949211	0,062	0	1	1,03164686	0,969323941	#DIV/0!
E2F8	0,011634754	0,044930807	0,062	0	1	1,0316337	0,969336306	#DIV/0!
YARS1	0,002069357	0,044927049	0,325	0,11	1	1,031631013	0,969338831	2,954545455
RPL22	0,304754385	0,044906578	1	0,95	1	1,031616375	0,969352586	1,052631579
POLQ	0,011634754	0,044894579	0,062	0	1	1,031607795	0,969360648	#DIV/0!
KLHL11	0,219108376	0,044886299	0,038	0,01	1	1,031601874	0,969366211	3,8
SLC25A32	0,010671495	0,044856841	0,212	0,07	1	1,03158081	0,969386005	3,028571429

Supplementary Table 4

Differentially expressed genes_keloid-CCD_ comparing SC-Keloid vs. (SC-Myel, SC-Nonmyel)								
gene	p_val	avg_log2FC	pct.1	pct.2	p_val_adj	Foldchange_UP	Foldchange_DOWN	Ratio_pct1_pct2
RHBDD3	0,004595855	0,044844425	0,175	0,04	1	1,031571932	0,969394347	4,375
ZNF569	0,024497883	0,044801606	0,05	0	1	1,031541316	0,969423119	#DIV/0!
PPAT	0,018403004	0,044800317	0,125	0,03	1	1,031540395	0,969423985	4,166666667
KATNIP	0,026889313	0,044779337	0,075	0,01	1	1,031525393	0,969438083	7,5
NDE1	0,009017324	0,044758197	0,238	0,08	1	1,031510278	0,969452289	2,975
ZNF347	0,012429073	0,044729701	0,112	0,02	1	1,031489904	0,969471438	5,6
ZNF90	0,14756181	0,044681607	0,062	0,02	1	1,031455519	0,969503756	3,1
PLPP6	0,052279021	0,044643115	0,038	0	1	1,031427999	0,969529624	#DIV/0!
EFNA3	0,11122839	0,044580652	0,05	0,01	1	1,031383343	0,969571601	5
ICA1	0,024497883	0,04454865	0,05	0	1	1,031360466	0,969593109	#DIV/0!
EEA1	0,009638096	0,044528638	0,838	0,44	1	1,03134616	0,969606558	1,904545455
OPRL1	0,052279021	0,044466386	0,038	0	1	1,031301658	0,969648398	#DIV/0!
APOE	0,821771454	0,044457238	0,238	0,23	1	1,031295118	0,969654546	1,034782609
TRIT1	0,026302537	0,04445218	0,075	0,01	1	1,031291503	0,969657946	7,5
TCEANC2	0,01362345	0,044440631	0,088	0,01	1	1,031283248	0,969665707	8,8
ANGPTL6	0,114652585	0,044439077	0,025	0	1	1,031282136	0,969666752	#DIV/0!
SUMO3	0,018170877	0,044401628	0,725	0,36	1	1,031255367	0,969691923	2,013888889
GCAT	0,01362345	0,044368669	0,088	0,01	1	1,031231808	0,969714076	8,8
NPTN	0,000500806	0,044331164	0,7	0,28	1	1,031205	0,969739286	2,5
GPR108	0,003006713	0,04430438	0,312	0,11	1	1,031185856	0,969757289	2,836363636
WDR91	0,338191155	0,044299918	0,1	0,06	1	1,031182666	0,969760288	1,666666667
ITGB3	0,104582322	0,044249193	0,05	0,01	1	1,03114641	0,969794386	5
C17orf100	0,272650094	0,044243559	0,05	0,02	1	1,031142384	0,969798173	2,5
PRLR	0,295469238	0,04413754	0,175	0,11	1	1,031066611	0,969869443	1,590909091
LRRC46	0,024497883	0,044128299	0,05	0	1	1,031060007	0,969875655	#DIV/0!
F2R	0,005825673	0,044123205	0,338	0,13	1	1,031056366	0,96987908	2,6
POLR3A	0,01362345	0,044087442	0,088	0,01	1	1,031030808	0,969903122	8,8
EPSTI1	0,052279021	0,044067931	0,038	0	1	1,031016864	0,96991624	#DIV/0!
ZNF28	0,006404327	0,04406486	0,125	0,02	1	1,03101467	0,969918304	6,25
OAS3	0,043780897	0,044059666	0,088	0,02	1	1,031010958	0,969921796	4,4

Supplementary Table 4

Differentially expressed genes_keloid-CCD_ comparing SC-Keloid vs. (SC-Myel, SC-Nonmyel)								
gene	p_val	avg_log2FC	pct.1	pct.2	p_val_adj	Foldchange_UP	Foldchange_DOWN	Ratio_pct1_pct2
SPAG1	0,012429073	0,044055066	0,112	0,02	1	1,03100767	0,969924889	5,6
SETDB1	0,11122839	0,044048104	0,05	0,01	1	1,031002695	0,969929569	5
SLC26A2	0,005323811	0,043996201	0,212	0,06	1	1,030965604	0,969964465	3,533333333
FBXO38	0,01362345	0,043972337	0,088	0,01	1	1,03094855	0,969980509	8,8
LINC00324	0,027487357	0,04396923	0,075	0,01	1	1,03094633	0,969982598	7,5
CHN1	0,003574259	0,043956286	0,312	0,11	1	1,030937081	0,969991301	2,836363636
C11orf24	0,001449001	0,043945164	0,3	0,09	1	1,030929133	0,969998779	3,333333333
ABCC1	0,075062254	0,043941249	0,112	0,04	1	1,030926335	0,970001411	2,8
WDPCP	0,012429073	0,043940702	0,112	0,02	1	1,030925945	0,970001779	5,6
ZNF428	0,11906324	0,043932109	0,875	0,57	1	1,030919804	0,970007556	1,535087719
PLXNC1	0,114652585	0,043926436	0,025	0	1	1,03091575	0,970011371	#DIV/0!
GIN1	0,024497883	0,043909594	0,05	0	1	1,030903716	0,970022694	#DIV/0!
POGLUT2	0,000371319	0,043908828	0,225	0,04	1	1,030903168	0,97002321	5,625
SLC27A3	0,052279021	0,043806131	0,038	0	1	1,030829787	0,970092262	#DIV/0!
UBE3D	0,052279021	0,043782209	0,038	0	1	1,030812694	0,970108348	#DIV/0!
CEP104	0,00840035	0,043723442	0,162	0,04	1	1,030770706	0,970147865	4,05
USP49	0,08090269	0,043716051	0,075	0,02	1	1,030765425	0,970152835	3,75
MDFIC	0,000145646	0,043700053	0,288	0,06	1	1,030753995	0,970163593	4,8
SCT	0,052279021	0,043651172	0,038	0	1	1,030719072	0,970196465	#DIV/0!
ABRAXAS1	0,002937191	0,043638544	0,162	0,03	1	1,03071005	0,970204957	5,4
ERMP1	0,024497883	0,04360414	0,05	0	1	1,030685471	0,970228094	#DIV/0!
FBXO36	0,052279021	0,043587321	0,038	0	1	1,030673456	0,970239405	#DIV/0!
ANGPT1	0,114652585	0,043577197	0,025	0	1	1,030666222	0,970246214	#DIV/0!
AC019171.1	0,024497883	0,043509645	0,05	0	1	1,030617964	0,970291645	#DIV/0!
MED4	0,012922533	0,043489536	0,575	0,27	1	1,030603599	0,97030517	2,12962963
TANGO6	0,024497883	0,043394915	0,05	0	1	1,030536008	0,97036881	#DIV/0!
PDK2	0,014068004	0,043355568	0,188	0,06	1	1,030507902	0,970395276	3,133333333
RGS14	0,114652585	0,04330372	0,025	0	1	1,030470868	0,970430151	#DIV/0!
IGF2BP2	0,001977984	0,043292461	0,275	0,08	1	1,030462827	0,970437724	3,4375
AUNIP	0,055334082	0,043282965	0,062	0,01	1	1,030456044	0,970444112	6,2

Supplementary Table 4

Differentially expressed genes_keloid-CCD_comparing SC-Keloid vs. (SC-Myel, SC-Nonmyel)								
gene	p_val	avg_log2FC	pct.1	pct.2	p_val_adj	Foldchange_UP	Foldchange_DOWN	Ratio_pct1_pct2
ATPAF1	0,022487321	0,043191769	0,175	0,06	1	1,030390908	0,970505457	2,916666667
CREB3L4	0,052279021	0,04315919	0,038	0	1	1,03036764	0,970527374	#DIV/0!
EMILIN2	0,007720352	0,043093771	0,2	0,06	1	1,030320919	0,970571384	3,333333333
IL3RA	0,214910006	0,043092237	0,038	0,01	1	1,030319824	0,970572415	3,8
OXNAD1	0,01362345	0,043077612	0,088	0,01	1	1,030309379	0,970582255	8,8
DERL3	0,024497883	0,043049085	0,05	0	1	1,030289007	0,970601446	#DIV/0!
BTBD8	0,268357209	0,043048159	0,013	0	1	1,030288345	0,97060207	#DIV/0!
GRPR	0,268357209	0,043048159	0,013	0	1	1,030288345	0,97060207	#DIV/0!
UTS2B	0,268357209	0,043048159	0,013	0	1	1,030288345	0,97060207	#DIV/0!
PRMT7	0,001655244	0,04303987	0,15	0,02	1	1,030282426	0,970607646	7,5
MAMLD1	0,00239488	0,043011892	0,188	0,04	1	1,030262446	0,970626469	4,7
ZNF561	0,059755621	0,042993686	0,1	0,03	1	1,030249445	0,970638718	3,333333333
NSUN4	0,005562134	0,042966944	0,075	0	1	1,030230348	0,97065671	#DIV/0!
SYTL2	0,000239742	0,042962251	0,425	0,13	1	1,030226997	0,970659867	3,269230769
HOXB9	0,053019982	0,042955944	0,062	0,01	1	1,030222493	0,970664111	6,2
INTS9	0,011634754	0,042938878	0,062	0	1	1,030210306	0,970675593	#DIV/0!
ZNF398	0,01362345	0,042894827	0,088	0,01	1	1,030178851	0,970705232	8,8
PCYT2	0,002482056	0,042889977	0,188	0,04	1	1,030175387	0,970708495	4,7
ITGA4	0,108976957	0,042878485	0,05	0,01	1	1,030167182	0,970716227	5
PEX13	0,007594534	0,042864352	0,162	0,04	1	1,030157089	0,970725737	4,05
FCF1	0,006731552	0,042784839	0,1	0,01	1	1,030100315	0,970779239	10
CHI3L1	0,268357209	0,042768115	0,013	0	1	1,030088374	0,970790493	#DIV/0!
BOD1L1	0,004438432	0,042754065	0,688	0,33	1	1,030078342	0,970799947	2,084848485
ALOX5AP	0,108976957	0,042730786	0,05	0,01	1	1,030061721	0,970815612	5
IFIT5	0,152427848	0,042697669	0,062	0,02	1	1,030038077	0,970837897	3,1
RDH13	0,082314814	0,04268871	0,075	0,02	1	1,03003168	0,970843926	3,75
RBBP9	0,178498648	0,042580889	0,075	0,03	1	1,029954702	0,970916486	2,5
VPS72	0,000908236	0,042580222	0,312	0,09	1	1,029954226	0,970916935	3,466666667
USP31	0,00922558	0,042560806	0,138	0,03	1	1,029940365	0,970930001	4,6
SNAI3-AS1	0,052279021	0,042502296	0,038	0	1	1,029898596	0,970969379	#DIV/0!

Supplementary Table 4

Differentially expressed genes_keloid-CCD_ comparing SC-Keloid vs. (SC-Myel, SC-Nonmyel)								
gene	p_val	avg_log2FC	pct.1	pct.2	p_val_adj	Foldchange_UP	Foldchange_DOWN	Ratio_pct1_pct2
SPRED3	0,042990209	0,042458867	0,088	0,02	1	1,029867593	0,970998608	4,4
ZNF625	0,052279021	0,042456782	0,038	0	1	1,029866105	0,971000011	#DIV/0!
TMEM102	0,011634754	0,042435774	0,062	0	1	1,029851108	0,971014151	#DIV/0!
SLC12A7	0,055334082	0,042435148	0,062	0,01	1	1,029850662	0,971014572	6,2
PPP1R3F	0,045399153	0,042430213	0,088	0,02	1	1,029847139	0,971017894	4,4
CFAP20DC	0,042211625	0,04242	0,088	0,02	1	1,029839849	0,971024768	4,4
POLE2	0,024497883	0,042318302	0,05	0	1	1,029767256	0,971093219	#DIV/0!
THAP8	0,023885059	0,042285656	0,1	0,02	1	1,029743954	0,971115194	5
SCUBE2	0,052279021	0,042249534	0,038	0	1	1,029718172	0,971139509	#DIV/0!
MIEF2	0,011634754	0,042174729	0,062	0	1	1,029664782	0,971189864	#DIV/0!
WDR31	0,024497883	0,042120793	0,05	0	1	1,029626288	0,971226174	#DIV/0!
OSGEPL1	0,011634754	0,042076738	0,062	0	1	1,029594847	0,971255832	#DIV/0!
SAMD15	0,223365318	0,042059767	0,038	0,01	1	1,029582735	0,971267258	3,8
MCCC2	0,000326309	0,042008914	0,25	0,05	1	1,029546445	0,971301494	5
TBC1D24	0,223365318	0,042001074	0,038	0,01	1	1,02954085	0,971306773	3,8
ZNF740	0,019048586	0,041988506	0,125	0,03	1	1,029531881	0,971315234	4,166666667
PTGES	0,052279021	0,041945452	0,038	0	1	1,029501158	0,971344221	#DIV/0!
TFAP2A-AS1	0,114652585	0,041938415	0,025	0	1	1,029496136	0,971348959	#DIV/0!
GDF15	0,114652585	0,041893966	0,025	0	1	1,029464418	0,971378886	#DIV/0!
FAM229A	0,074018584	0,04185481	0,112	0,04	1	1,029436477	0,971405251	2,8
ZSCAN25	0,054166721	0,041794885	0,062	0,01	1	1,029393719	0,971445601	6,2
ATG13	0,002101099	0,041783091	0,288	0,09	1	1,029385304	0,971453542	3,2
ARHGEF19	0,000830908	0,0417763	0,162	0,02	1	1,029380458	0,971458116	8,1
CDCP1	0,024497883	0,041735604	0,05	0	1	1,029351422	0,971485519	#DIV/0!
RMI2	0,024497883	0,041650147	0,05	0	1	1,02929045	0,971543066	#DIV/0!
PPM1L	0,005562134	0,041631389	0,075	0	1	1,029277068	0,971555698	#DIV/0!
LINC00954	0,052279021	0,041619812	0,038	0	1	1,029268808	0,971563494	#DIV/0!
DDIAS	0,005562134	0,041619126	0,075	0	1	1,029268319	0,971563956	#DIV/0!
CACNA1C	0,114652585	0,041612196	0,025	0	1	1,029263375	0,971568623	#DIV/0!
NEK4	0,027487357	0,041589135	0,075	0,01	1	1,029246923	0,971584153	7,5

Supplementary Table 4

Differentially expressed genes_keloid-CCD_ comparing SC-Keloid vs. (SC-Myel, SC-Nonmyel)								
gene	p_val	avg_log2FC	pct.1	pct.2	p_val_adj	Foldchange_UP	Foldchange_DOWN	Ratio_pct1_pct2
E2F3	0,001655244	0,041574309	0,15	0,02	1	1,029236345	0,971594138	7,5
VTA1	0,00034705	0,041536743	0,325	0,09	1	1,029209546	0,971619438	3,611111111
ABLIM2	0,052279021	0,041506202	0,038	0	1	1,029187758	0,971640006	#DIV/0!
GALC	0,014686042	0,041488659	0,188	0,06	1	1,029175244	0,971651821	3,133333333
MFNG	0,024497883	0,041381875	0,05	0	1	1,029099069	0,971723743	#DIV/0!
EXD2	0,027487357	0,041359498	0,075	0,01	1	1,029083108	0,971738815	7,5
TTLL11	0,052279021	0,041318689	0,038	0	1	1,029053999	0,971766303	#DIV/0!
FUCA1	0,005242842	0,041289109	0,212	0,06	1	1,0290329	0,971786227	3,533333333
LRRC41	0,000280517	0,04127179	0,312	0,08	1	1,029020548	0,971797893	3,9
FKBP14	0,001014693	0,041264457	0,325	0,1	1	1,029015317	0,971802833	3,25
EVC	0,055334082	0,041258756	0,062	0,01	1	1,02901125	0,971806673	6,2
KCTD2	0,018723361	0,041251303	0,125	0,03	1	1,029005934	0,971811694	4,166666667
NFYC	0,000956847	0,041245428	0,225	0,05	1	1,029001744	0,971815651	4,5
FANCM	0,033686337	0,041223969	0,112	0,03	1	1,028986439	0,971830106	3,733333333
ABHD17C	0,01362345	0,041186117	0,088	0,01	1	1,028959442	0,971855604	8,8
POLR2K	0,084548836	0,041099861	0,787	0,46	1	1,028897924	0,971913712	1,710869565
FIG4	0,018723361	0,041096405	0,125	0,03	1	1,028895459	0,97191604	4,166666667
TIGD5	0,034816087	0,041075881	0,112	0,03	1	1,028880822	0,971929866	3,733333333
LINC00900	0,024497883	0,041073337	0,05	0	1	1,028879008	0,97193158	#DIV/0!
TTN	0,114652585	0,041060837	0,025	0	1	1,028870094	0,971940001	#DIV/0!
XIAP	0,02593618	0,041052914	0,462	0,23	1	1,028864443	0,971945339	2,008695652
PRKACB	0,000391642	0,04100322	0,412	0,13	1	1,028829004	0,971978819	3,169230769
SOCS7	0,082314814	0,040965619	0,075	0,02	1	1,02880219	0,972004152	3,75
CPVL	0,268357209	0,04093491	0,013	0	1	1,028780291	0,972024842	#DIV/0!
ANAPC10	0,000470107	0,040933835	0,362	0,11	1	1,028779525	0,972025566	3,290909091
ZNRF1	0,006874159	0,040909863	0,225	0,07	1	1,02876243	0,972041718	3,214285714
SARM1	0,149979778	0,040881917	0,062	0,02	1	1,028742503	0,972060547	3,1
CHCHD10	0,006034881	0,040824001	0,625	0,29	1	1,028701206	0,97209957	2,155172414
REEP6	0,006731552	0,040789559	0,1	0,01	1	1,028676648	0,972122778	10
VPS8	0,034247231	0,040758127	0,112	0,03	1	1,028654236	0,972143958	3,733333333

Supplementary Table 4

Differentially expressed genes_keloid-CCD_ comparing SC-Keloid vs. (SC-Myel, SC-Nonmyel)								
gene	p_val	avg_log2FC	pct.1	pct.2	p_val_adj	Foldchange_UP	Foldchange_DOWN	Ratio_pct1_pct2
NSMCE2	0,043064206	0,040754132	0,275	0,13	1	1,028651387	0,97214665	2,115384615
GNS	0,000658631	0,040708128	0,338	0,1	1	1,028618586	0,97217765	3,38
SLC8A1	0,114652585	0,04067027	0,025	0	1	1,028591595	0,972203161	#DIV/0!
FGD5	0,114652585	0,040668066	0,025	0	1	1,028590024	0,972204646	#DIV/0!
PPIF	0,009767966	0,040654209	0,262	0,1	1	1,028580144	0,972213984	2,62
HES6	0,004947074	0,040649257	0,613	0,29	1	1,028576613	0,972217322	2,113793103
DYNLRB2	0,114652585	0,040601786	0,025	0	1	1,028542769	0,972249312	#DIV/0!
NPTXR	0,010461593	0,040555942	0,138	0,03	1	1,028510086	0,972280207	4,6
IK	0,002542254	0,040545038	0,75	0,33	1	1,028502313	0,972287556	2,272727273
HS3ST3A1	0,032625407	0,040542136	0,2	0,08	1	1,028500244	0,972289512	2,5
DNAJC9-AS1	0,052279021	0,04053514	0,038	0	1	1,028495257	0,972294226	#DIV/0!
LYSMD1	0,055334082	0,040512967	0,062	0,01	1	1,028479449	0,97230917	6,2
KATNAL2	0,052279021	0,040505888	0,038	0	1	1,028474403	0,972313941	#DIV/0!
C2orf76	0,014319279	0,040477295	0,312	0,13	1	1,02845402	0,972333211	2,4
TNFSF10	0,023885059	0,040475703	0,1	0,02	1	1,028452884	0,972334285	5
FAM227A	0,272650094	0,040450289	0,05	0,02	1	1,028434768	0,972351413	2,5
BAIAP2L2	0,006731552	0,040444272	0,1	0,01	1	1,028430479	0,972355468	10
NKX6-1	0,11122839	0,04044098	0,05	0,01	1	1,028428132	0,972357687	5
CCDC107	0,039655907	0,040427077	0,675	0,36	1	1,028418222	0,972367057	1,875
SGO2	0,04823838	0,040414384	0,175	0,07	1	1,028409173	0,972375613	2,5
BRIP1	0,011634754	0,040404784	0,062	0	1	1,02840233	0,972382083	#DIV/0!
SV2A	0,024119616	0,040388998	0,138	0,04	1	1,028391077	0,972392723	3,45
HYDIN	0,114652585	0,040375402	0,025	0	1	1,028381386	0,972401887	#DIV/0!
FASTKD3	0,044264725	0,040351519	0,125	0,04	1	1,028364362	0,972417985	3,125
CTU1	0,01010845	0,04034232	0,175	0,05	1	1,028357804	0,972424185	3,5
TMEM128	0,010024565	0,040335606	0,25	0,09	1	1,028353019	0,972428711	2,777777778
OGDH	0,000353701	0,040320564	0,375	0,11	1	1,028342297	0,972438849	3,409090909
DNAH5	0,024497883	0,040288156	0,05	0	1	1,028319197	0,972460694	#DIV/0!
GASK1A	0,052279021	0,040271289	0,038	0	1	1,028307175	0,972472064	#DIV/0!
SMG9	0,001092261	0,040178	0,35	0,11	1	1,028240684	0,972534948	3,181818182

Supplementary Table 4

Differentially expressed genes_keloid-CCD_comparing SC-Keloid vs. (SC-Myel, SC-Nonmyel)								
gene	p_val	avg_log2FC	pct.1	pct.2	p_val_adj	Foldchange_UP	Foldchange_DOWN	Ratio_pct1_pct2
CTSK	0,028038106	0,04009088	0,325	0,15	1	1,028178593	0,972593679	2,166666667
NRG4	0,114652585	0,040060724	0,025	0	1	1,028157101	0,972614009	#DIV/0!
PNPO	0,006731552	0,040050376	0,1	0,01	1	1,028149727	0,972620985	10
PKD1L1	0,024497883	0,040046183	0,05	0	1	1,028146739	0,972623811	#DIV/0!
ASRGL1	0,027487357	0,040019982	0,075	0,01	1	1,028128067	0,972641476	7,5
FASTKD1	0,03205056	0,039971458	0,112	0,03	1	1,028093487	0,97267419	3,733333333
WDCP	0,055334082	0,039954193	0,062	0,01	1	1,028081183	0,972685831	6,2
GTPBP10	0,082314814	0,039937652	0,075	0,02	1	1,028069396	0,972696983	3,75
C9orf40	0,002937191	0,039916183	0,162	0,03	1	1,028054098	0,972711458	5,4
KLHL23	0,027487357	0,039885168	0,075	0,01	1	1,028031997	0,972732369	7,5
HMGXB3	0,000145861	0,039859137	0,4	0,11	1	1,028013448	0,972749921	3,636363636
C9orf116	0,055334082	0,039853644	0,062	0,01	1	1,028009534	0,972753624	6,2
PUS10	0,052279021	0,03983909	0,038	0	1	1,027999163	0,972763438	#DIV/0!
MPPE1	0,008909192	0,039808238	0,275	0,1	1	1,02797718	0,97278424	2,75
RANBP17	0,052279021	0,039744877	0,038	0	1	1,027932033	0,972826965	#DIV/0!
ARVCF	0,152427848	0,039725513	0,062	0,02	1	1,027918237	0,972840022	3,1
GLT8D2	0,114652585	0,039718476	0,025	0	1	1,027913223	0,972844767	#DIV/0!
ZBTB6	0,01362345	0,03971733	0,088	0,01	1	1,027912406	0,97284554	8,8
HIVEP3	0,015828814	0,039695271	0,312	0,13	1	1,027896689	0,972860415	2,4
PLA2G4A	0,019048586	0,039616533	0,125	0,03	1	1,027840591	0,972913513	4,166666667
MFN1	0,004579961	0,039592523	0,312	0,11	1	1,027823486	0,972929704	2,836363636
SLC37A3	0,005473966	0,039561597	0,15	0,03	1	1,027801453	0,97295056	5
IPO8	0,010821733	0,039500739	0,212	0,07	1	1,027758098	0,972991604	3,028571429
TCF19	0,044264725	0,039468341	0,125	0,04	1	1,027735018	0,973013455	3,125
SAMD14	0,052279021	0,039444179	0,038	0	1	1,027717806	0,973029751	#DIV/0!
CBLN3	0,114652585	0,039400292	0,025	0	1	1,027686543	0,97305935	#DIV/0!
C2orf42	0,024497883	0,039386226	0,05	0	1	1,027676524	0,973068837	#DIV/0!
ZNF586	0,114652585	0,039342951	0,025	0	1	1,027645698	0,973098026	#DIV/0!
ZNF318	0,027487357	0,039328723	0,075	0,01	1	1,027635563	0,973107623	7,5
SASS6	0,015387523	0,039304887	0,15	0,04	1	1,027618585	0,973123701	3,75

Supplementary Table 4

Differentially expressed genes_keloid-CCD_ comparing SC-Keloid vs. (SC-Myel, SC-Nonmyel)								
gene	p_val	avg_log2FC	pct.1	pct.2	p_val_adj	Foldchange_UP	Foldchange_DOWN	Ratio_pct1_pct2
MYCT1	0,114652585	0,039254023	0,025	0	1	1,027582355	0,97315801	#DIV/0!
ZNF544	0,002482056	0,039249226	0,188	0,04	1	1,027578938	0,973161246	4,7
LCP1	0,114652585	0,039197404	0,025	0	1	1,027542029	0,973196202	#DIV/0!
LRRTM2	0,126526887	0,039082141	0,1	0,04	1	1,027459937	0,973273959	2,5
INHBA	0,185993644	0,039071015	0,075	0,03	1	1,027452013	0,973281465	2,5
TGDS	0,030855593	0,039053922	0,15	0,05	1	1,02743984	0,973292996	3
UBE2N	0,006927295	0,039019288	0,7	0,35	1	1,027415175	0,973316361	2
KDM5D	0,152427848	0,039005776	0,062	0,02	1	1,027405553	0,973325477	3,1
ELOVL6	0,024497883	0,038969711	0,05	0	1	1,027379869	0,973349809	#DIV/0!
CLMP	0,027487357	0,038960566	0,075	0,01	1	1,027373357	0,973355979	7,5
PAXIP1	0,024497883	0,038943712	0,05	0	1	1,027361355	0,97336735	#DIV/0!
JAG2	0,214910006	0,03891316	0,038	0,01	1	1,027339599	0,973387963	3,8
TTC30A	0,052279021	0,038904904	0,038	0	1	1,02733372	0,973393533	#DIV/0!
CERS5	0,000477128	0,038896081	0,362	0,11	1	1,027327437	0,973399487	3,290909091
GLYR1	0,000804525	0,038870462	0,312	0,09	1	1,027309195	0,973416772	3,466666667
WFIKKN1	0,052279021	0,038865591	0,038	0	1	1,027305726	0,973420059	#DIV/0!
APOL1	0,114652585	0,038796031	0,025	0	1	1,027256195	0,973466993	#DIV/0!
AC098828.2	0,114652585	0,038790905	0,025	0	1	1,027252545	0,973470452	#DIV/0!
NHSL1	0,10676172	0,038745455	0,05	0,01	1	1,027220183	0,973501121	5
KAT8	0,013699415	0,038726281	0,225	0,08	1	1,027206532	0,973514059	2,8125
ADCK2	0,00068532	0,038720695	0,212	0,04	1	1,027202555	0,973517828	5,3
F12	0,114652585	0,038698295	0,025	0	1	1,027186606	0,973532944	#DIV/0!
ZNF43	0,032588088	0,038693417	0,112	0,03	1	1,027183132	0,973536236	3,733333333
CAMK2N2	0,023885059	0,038669244	0,1	0,02	1	1,027165921	0,973552548	5
THADA	0,082314814	0,038668027	0,075	0,02	1	1,027165055	0,973553369	3,75
FNTB	0,00707478	0,038610021	0,225	0,07	1	1,027123757	0,973592513	3,214285714
ZNF350	0,044583831	0,038607542	0,088	0,02	1	1,027121992	0,973594186	4,4
SPESP1	0,114652585	0,038597718	0,025	0	1	1,027114998	0,973600816	#DIV/0!
TOM1L1	0,005575985	0,03858427	0,15	0,03	1	1,027105424	0,973609891	5
ING5	0,014626144	0,038501828	0,225	0,08	1	1,027046732	0,973665529	2,8125

Supplementary Table 4

Differentially expressed genes_keloid-CCD_ comparing SC-Keloid vs. (SC-Myel, SC-Nonmyel)								
gene	p_val	avg_log2FC	pct.1	pct.2	p_val_adj	Foldchange_UP	Foldchange_DOWN	Ratio_pct1_pct2
FAM110D	0,219108376	0,038498453	0,038	0,01	1	1,027044329	0,973667807	3,8
IAH1	0,016438588	0,038468237	0,875	0,45	1	1,027022819	0,9736882	1,944444444
TMEM169	0,10676172	0,038406024	0,05	0,01	1	1,026978532	0,973730189	5
NEURL1	0,055334082	0,038396641	0,062	0,01	1	1,026971853	0,973736521	6,2
GLMP	3,29356E-05	0,038370066	0,338	0,07	0,694975	1,026952935	0,973754459	4,828571429
COPS8	0,000580258	0,038322025	0,65	0,27	1	1,026918739	0,973786885	2,407407407
DPY19L4	0,000939907	0,038277342	0,25	0,06	1	1,026886934	0,973817045	4,166666667
BNIP1	0,018762896	0,03825213	0,162	0,05	1	1,026868989	0,973834063	3,24
LINC00847	0,114652585	0,03825188	0,025	0	1	1,026868811	0,973834232	#DIV/0!
BCL2L2	0,005373635	0,03824524	0,15	0,03	1	1,026864085	0,973838714	5
APOL6	0,001735571	0,038197776	0,212	0,05	1	1,026830302	0,973870754	4,24
ACADM	0,001304174	0,038196023	0,425	0,15	1	1,026829054	0,973871937	2,833333333
MSH3	0,020805297	0,038178116	0,162	0,05	1	1,026816309	0,973884025	3,24
PABIR3	0,114652585	0,038174208	0,025	0	1	1,026813528	0,973886663	#DIV/0!
MCF2L2	0,052279021	0,038171935	0,038	0	1	1,02681191	0,973888197	#DIV/0!
ZC3H12D	0,052279021	0,038120431	0,038	0	1	1,026775253	0,973922966	#DIV/0!
IFI30	0,114652585	0,038113343	0,025	0	1	1,026770209	0,973927751	#DIV/0!
IMMT	0,000662027	0,038069292	0,5	0,18	1	1,026738859	0,973957488	2,777777778
POLL	0,018723361	0,03805063	0,125	0,03	1	1,026725577	0,973970087	4,166666667
MBNL3	0,260694249	0,038026939	0,05	0,02	1	1,026708717	0,973986081	2,5
TMEM143	0,114652585	0,038013507	0,025	0	1	1,026699158	0,97399515	#DIV/0!
C1orf54	0,024497883	0,037997111	0,05	0	1	1,02668749	0,974006219	#DIV/0!
BTBD19	0,083746858	0,037990385	0,075	0,02	1	1,026682703	0,97401076	3,75
PTPN23	0,06355593	0,037984577	0,15	0,06	1	1,02667857	0,974014681	2,5
GYPC	0,024497883	0,037960738	0,05	0	1	1,026661605	0,974030776	#DIV/0!
BICD1	0,002551635	0,037952876	0,637	0,29	1	1,026656011	0,974036083	2,196551724
TOLLIP-DT	0,01362345	0,037939143	0,088	0,01	1	1,026646238	0,974045356	8,8
MYO1D	0,055334082	0,037877502	0,062	0,01	1	1,026602374	0,974086974	6,2
INCENP	0,024497883	0,03785732	0,05	0	1	1,026588013	0,974100601	#DIV/0!
ARIH2OS	0,033686337	0,0378304	0,112	0,03	1	1,026568858	0,974118777	3,733333333

Supplementary Table 4

Differentially expressed genes_keloid-CCD_ comparing SC-Keloid vs. (SC-Myel, SC-Nonmyel)								
gene	p_val	avg_log2FC	pct.1	pct.2	p_val_adj	Foldchange_UP	Foldchange_DOWN	Ratio_pct1_pct2
PIFO	0,114652585	0,037775467	0,025	0	1	1,02652977	0,974155869	#DIV/0!
CTBP1	0,000978591	0,037757188	0,475	0,18	1	1,026516764	0,974168212	2,638888889
GPR82	0,114652585	0,03775057	0,025	0	1	1,026512055	0,97417268	#DIV/0!
RIC1	0,039465782	0,037692501	0,162	0,06	1	1,026470738	0,974211892	2,7
MIGA2	0,042990209	0,037582972	0,088	0,02	1	1,026392812	0,974285857	4,4
TMEM184B	0,000348442	0,037568135	0,375	0,11	1	1,026382257	0,974295876	3,409090909
RAD54L	0,011634754	0,037466739	0,062	0	1	1,026310122	0,974364355	#DIV/0!
LRRC8E	0,052279021	0,037458287	0,038	0	1	1,02630411	0,974370063	#DIV/0!
SMARCAL1	0,035392992	0,037410708	0,112	0,03	1	1,026270264	0,974402197	3,733333333
SEMA3E	0,10741396	0,037397134	0,088	0,03	1	1,026260608	0,974411365	2,933333333
AP001437.1	0,268357209	0,03727331	0,013	0	1	1,026172529	0,974495001	#DIV/0!
FSCN2	0,268357209	0,03727331	0,013	0	1	1,026172529	0,974495001	#DIV/0!
LDHD	0,268357209	0,03727331	0,013	0	1	1,026172529	0,974495001	#DIV/0!
PCDHA3	0,268357209	0,03727331	0,013	0	1	1,026172529	0,974495001	#DIV/0!
TTLL9	0,268357209	0,03727331	0,013	0	1	1,026172529	0,974495001	#DIV/0!
POLDIP3	0,000635922	0,03719312	0,412	0,14	1	1,026115493	0,974549168	2,942857143
TIMM23	0,004439263	0,037181906	0,175	0,04	1	1,026107516	0,974556744	4,375
MRPS17	0,005977851	0,037174455	0,188	0,05	1	1,026102217	0,974561777	3,76
TMEM185A	0,004422837	0,037159516	0,212	0,06	1	1,026091592	0,974571869	3,533333333
KLHDC9	0,114652585	0,037110264	0,025	0	1	1,026056563	0,97460514	#DIV/0!
DUS4L	0,061661173	0,037096797	0,1	0,03	1	1,026046985	0,974614237	3,333333333
CAPN5	0,001891091	0,037035773	0,275	0,08	1	1,026003586	0,974655463	3,4375
L3MBTL3	0,219108376	0,0370329	0,038	0,01	1	1,026001543	0,974657404	3,8
SF3A1	0,001055422	0,03697321	0,288	0,08	1	1,025959094	0,97469773	3,6
DIPK2B	0,432207887	0,036972797	0,025	0,01	1	1,0259588	0,974698009	2,5
PPM1A	0,000608997	0,036961832	0,438	0,15	1	1,025951002	0,974705418	2,92
MCM10	0,024497883	0,036907029	0,05	0	1	1,025912031	0,974742444	#DIV/0!
PEBP4	0,223365318	0,036906977	0,038	0,01	1	1,025911994	0,974742479	3,8
POLR2H	0,006212225	0,036887971	0,637	0,28	1	1,025898479	0,97475532	2,275
APEX2	0,005575985	0,036842812	0,15	0,03	1	1,025866367	0,974785832	5

Supplementary Table 4

Differentially expressed genes_keloid-CCD_ comparing SC-Keloid vs. (SC-Myel, SC-Nonmyel)								
gene	p_val	avg_log2FC	pct.1	pct.2	p_val_adj	Foldchange_UP	Foldchange_DOWN	Ratio_pct1_pct2
AC023590.1	0,268357209	0,036831752	0,013	0	1	1,025858502	0,974793305	#DIV/0!
MALRD1	0,268357209	0,036831752	0,013	0	1	1,025858502	0,974793305	#DIV/0!
PIPOX	0,268357209	0,036831752	0,013	0	1	1,025858502	0,974793305	#DIV/0!
H2AC17	0,114652585	0,036823439	0,025	0	1	1,025852591	0,974798922	#DIV/0!
ERCC2	0,027487357	0,036821748	0,075	0,01	1	1,025851388	0,974800065	7,5
SPATA5	0,02527322	0,03680652	0,138	0,04	1	1,025840561	0,974810354	3,45
STC1	0,439855668	0,036800386	0,025	0,01	1	1,025836199	0,974814499	2,5
H2AC14	0,052279021	0,036797981	0,038	0	1	1,025834489	0,974816124	#DIV/0!
AAR2	0,023437611	0,03678568	0,1	0,02	1	1,025825742	0,974824436	5
KRT6B	0,268357209	0,036735461	0,013	0	1	1,025790035	0,974858369	#DIV/0!
TENM2	0,268357209	0,036735461	0,013	0	1	1,025790035	0,974858369	#DIV/0!
LIMK2	0,006404327	0,036729763	0,125	0,02	1	1,025785983	0,974862219	6,25
LRRC73	0,052279021	0,03666807	0,038	0	1	1,025742119	0,974903907	#DIV/0!
SLC2A13	0,000863896	0,036603327	0,25	0,06	1	1,025696088	0,974947659	4,166666667
ZNF480	0,034816087	0,036588178	0,112	0,03	1	1,025685319	0,974957896	3,733333333
AKR1C3	0,052279021	0,036506502	0,038	0	1	1,025627252	0,975013093	#DIV/0!
RBSN	0,001500621	0,036486846	0,175	0,03	1	1,025613279	0,975026378	5,833333333
RGMA	0,114652585	0,036437994	0,025	0	1	1,02557855	0,975059394	#DIV/0!
ESPL1	0,052279021	0,036414733	0,038	0	1	1,025562015	0,975075115	#DIV/0!
APOC1	0,114652585	0,036411485	0,025	0	1	1,025559706	0,975077311	#DIV/0!
CFAP46	0,052279021	0,036377542	0,038	0	1	1,025535578	0,975100252	#DIV/0!
ZNF134	0,055334082	0,036372467	0,062	0,01	1	1,02553197	0,975103682	6,2
SNRPA1	0,000139541	0,036336268	0,512	0,17	1	1,025506239	0,975128149	3,011764706
GPS2	0,001368256	0,036309246	0,375	0,13	1	1,025487031	0,975146413	2,884615385
AARSD1	0,003313746	0,036284067	0,112	0,01	1	1,025469133	0,975163433	11,2
CPT1C	0,114652585	0,036282967	0,025	0	1	1,025468351	0,975164176	#DIV/0!
NBPF10	0,052279021	0,036274501	0,038	0	1	1,025462334	0,975169898	#DIV/0!
RNF123	0,023885059	0,036272265	0,1	0,02	1	1,025460744	0,97517141	5
SPICE1	0,019378739	0,03625235	0,125	0,03	1	1,025446589	0,975184872	4,166666667
EDC4	0,052279021	0,036231983	0,038	0	1	1,025432113	0,975198638	#DIV/0!

Supplementary Table 4

Differentially expressed genes_keloid-CCD_ comparing SC-Keloid vs. (SC-Myel, SC-Nonmyel)								
gene	p_val	avg_log2FC	pct.1	pct.2	p_val_adj	Foldchange_UP	Foldchange_DOWN	Ratio_pct1_pct2
CBX2	0,10741396	0,036203325	0,088	0,03	1	1,025411744	0,97521801	2,933333333
ZNF674-AS1	0,114652585	0,03616815	0,025	0	1	1,025386742	0,975241788	#DIV/0!
RECK	0,010276447	0,036161524	0,138	0,03	1	1,025382033	0,975246267	4,6
PHKG1	0,101645395	0,036143687	0,138	0,06	1	1,025369356	0,975258325	2,3
PGA5	0,052279021	0,036117208	0,038	0	1	1,025350537	0,975276224	#DIV/0!
NKRF	0,019378739	0,036115259	0,125	0,03	1	1,025349151	0,975277542	4,166666667
HOMEZ	0,114652585	0,036058656	0,025	0	1	1,025308923	0,975315807	#DIV/0!
AURKC	0,052279021	0,036045363	0,038	0	1	1,025299476	0,975324794	#DIV/0!
DAPP1	0,268357209	0,036026739	0,013	0	1	1,02528624	0,975337385	#DIV/0!
LAMP3	0,268357209	0,036026739	0,013	0	1	1,02528624	0,975337385	#DIV/0!
TCTN2	0,027487357	0,036018795	0,075	0,01	1	1,025280595	0,975342755	7,5
RPP30	0,000498534	0,035980965	0,325	0,09	1	1,025253711	0,97536833	3,611111111
UTS2	0,114652585	0,035966427	0,025	0	1	1,025243379	0,975378159	#DIV/0!
VASH2	0,108976957	0,035953716	0,05	0,01	1	1,025234346	0,975386753	5
ADGRB2	0,055334082	0,035915634	0,062	0,01	1	1,025207284	0,9754125	6,2
MAN2C1	0,038142655	0,035914427	0,2	0,08	1	1,025206426	0,975413316	2,5
SERTAD4	0,268357209	0,035900505	0,013	0	1	1,025196533	0,975422729	#DIV/0!
MGLL	0,013300727	0,035898698	0,15	0,04	1	1,025195249	0,975423951	3,75
PDZRN4	0,874019543	0,035788354	0,013	0,01	1	1,02511684	0,975498558	1,3
SDK1	0,055334082	0,035778245	0,062	0,01	1	1,025109658	0,975505394	6,2
CCDC191	0,146900788	0,035758927	0,112	0,05	1	1,025095931	0,975518456	2,24
TNKS2	0,002460136	0,035722903	0,4	0,15	1	1,025070334	0,975542815	2,666666667
RFLNB	0,000623441	0,0356255	0,212	0,04	1	1,02500113	0,975608681	5,3
TRIM21	0,108976957	0,035614865	0,05	0,01	1	1,024993574	0,975615873	5
RPL34	0,587372622	0,035601339	1	0,99	1	1,024983964	0,975625019	1,01010101
C9orf72	0,027487357	0,035587671	0,075	0,01	1	1,024974253	0,975634263	7,5
MTA2	0,002937191	0,035561394	0,162	0,03	1	1,024955585	0,975652033	5,4
WDR4	0,055334082	0,035526684	0,062	0,01	1	1,024930926	0,975675506	6,2
ARHGEF39	0,024497883	0,035510002	0,05	0	1	1,024919074	0,975686788	#DIV/0!
ENOX2	0,011634754	0,035468626	0,062	0	1	1,024889681	0,975714771	#DIV/0!

Supplementary Table 4

Differentially expressed genes_keloid-CCD_ comparing SC-Keloid vs. (SC-Myel, SC-Nonmyel)								
gene	p_val	avg_log2FC	pct.1	pct.2	p_val_adj	Foldchange_UP	Foldchange_DOWN	Ratio_pct1_pct2
GCNT1	0,006404327	0,035457876	0,125	0,02	1	1,024882044	0,975722041	6,25
TMEM254	0,01362345	0,035421793	0,088	0,01	1	1,024856411	0,975746446	8,8
ALKAL2	0,114652585	0,035419629	0,025	0	1	1,024854874	0,975747909	#DIV/0!
ZNF239	0,11122839	0,035393411	0,05	0,01	1	1,024836249	0,975765642	5
EOLA1	0,044583831	0,035340293	0,088	0,02	1	1,024798517	0,975801569	4,4
POMK	0,024497883	0,035319931	0,05	0	1	1,024784053	0,975815341	#DIV/0!
MED24	0,006580985	0,035267607	0,188	0,05	1	1,024746887	0,975850732	3,76
ZNF155	0,223365318	0,035254616	0,038	0,01	1	1,024737659	0,97585952	3,8
ZNF577	0,035392992	0,035251423	0,112	0,03	1	1,024735391	0,97586168	3,733333333
PTCD1	0,082314814	0,035251285	0,075	0,02	1	1,024735293	0,975861773	3,75
TMEM97	0,000788927	0,035246399	0,188	0,03	1	1,024731823	0,975865078	6,266666667
OGN	0,268357209	0,035228958	0,013	0	1	1,024719434	0,975876876	#DIV/0!
CSTF2T	0,027487357	0,035165393	0,075	0,01	1	1,024674287	0,975919873	7,5
OTOGL	0,114652585	0,035154621	0,025	0	1	1,024666636	0,97592716	#DIV/0!
TMEM14A	0,000792745	0,035131879	0,575	0,22	1	1,024650483	0,975942545	2,613636364
ZNF721	0,009096611	0,035120509	0,2	0,06	1	1,024642408	0,975950236	3,333333333
LDAH	0,010461593	0,035118654	0,138	0,03	1	1,024641091	0,975951491	4,6
SFXN4	0,012429073	0,035041477	0,112	0,02	1	1,024586279	0,976003701	5,6
CDK8	0,044922833	0,035039021	0,125	0,04	1	1,024584535	0,976005362	3,125
CACNA1B	0,268357209	0,034988014	0,013	0	1	1,024548311	0,97603987	#DIV/0!
CYP3A5	0,268357209	0,034988014	0,013	0	1	1,024548311	0,97603987	#DIV/0!
MST1R	0,268357209	0,034988014	0,013	0	1	1,024548311	0,97603987	#DIV/0!
MTRNR2L8	0,268357209	0,034988014	0,013	0	1	1,024548311	0,97603987	#DIV/0!
SLC2A1-AS1	0,268357209	0,034988014	0,013	0	1	1,024548311	0,97603987	#DIV/0!
UBE2D4	0,002884543	0,034953481	0,262	0,08	1	1,024523787	0,976063233	3,275
DCAF15	0,001442989	0,034939549	0,175	0,03	1	1,024513893	0,976072659	5,833333333
GIMAP7	0,874019543	0,034933717	0,013	0,01	1	1,024509752	0,976076604	1,3
TRIM69	0,003103537	0,034920942	0,262	0,08	1	1,02450068	0,976085247	3,275
CCNB1IP1	0,006224095	0,034909919	0,425	0,18	1	1,024492852	0,976092706	2,361111111
MAPK12	0,024497883	0,034859973	0,05	0	1	1,024457385	0,976126498	#DIV/0!

Supplementary Table 4

Differentially expressed genes_keloid-CCD_ comparing SC-Keloid vs. (SC-Myel, SC-Nonmyel)								
gene	p_val	avg_log2FC	pct.1	pct.2	p_val_adj	Foldchange_UP	Foldchange_DOWN	Ratio_pct1_pct2
FAM98B	0,023117849	0,034857304	0,175	0,06	1	1,02445549	0,976128304	2,916666667
TLE5	0,159144059	0,034851312	0,925	0,62	1	1,024451235	0,976132359	1,491935484
ITGA11	0,475894584	0,034825277	0,038	0,02	1	1,024432747	0,976149974	1,9
PATJ	0,21076993	0,034784504	0,038	0,01	1	1,024403796	0,976177562	3,8
C1orf109	0,011601478	0,034745225	0,212	0,07	1	1,024375906	0,97620414	3,028571429
IL17RD	0,114652585	0,034713835	0,025	0	1	1,024353618	0,97622538	#DIV/0!
H3C2	0,052279021	0,034701987	0,038	0	1	1,024345205	0,976233398	#DIV/0!
CMTM8	0,024497883	0,034699317	0,05	0	1	1,024343309	0,976235204	#DIV/0!
TMED1	0,001002904	0,034686545	0,525	0,2	1	1,024334241	0,976243847	2,625
HIC1	0,214910006	0,034608814	0,038	0,01	1	1,024279053	0,976296447	3,8
RAPGEFL1	0,024497883	0,034540444	0,05	0	1	1,024230513	0,976342716	#DIV/0!
POLR2C	0,001086563	0,034512664	0,488	0,18	1	1,024210791	0,976361516	2,711111111
EXOC3L4	0,432207887	0,034486207	0,025	0,01	1	1,024192009	0,976379421	2,5
CCT3	0,001935915	0,034445576	0,825	0,38	1	1,024163164	0,976406919	2,171052632
TMEM131L	0,024497883	0,03443247	0,05	0	1	1,024153861	0,976415789	#DIV/0!
CALHM2	0,003797999	0,034413385	0,2	0,05	1	1,024140312	0,976428707	4
ASNSD1	0,005652438	0,034297384	0,35	0,14	1	1,024057969	0,97650722	2,5
AP4B1	0,01362345	0,034259526	0,088	0,01	1	1,024031097	0,976532845	8,8
TRPC1	0,154906213	0,034224429	0,062	0,02	1	1,024006185	0,976556602	3,1
CTPS2	0,108976957	0,034101586	0,05	0,01	1	1,023918996	0,976639757	5
MTDH	0,354884857	0,03409401	0,887	0,62	1	1,023913619	0,976644886	1,430645161
HOXB3	0,010276447	0,034087638	0,138	0,03	1	1,023909097	0,9766492	4,6
BRF1	0,014426885	0,034087171	0,15	0,04	1	1,023908765	0,976649516	3,75
CLPX	0,001279733	0,034074321	0,325	0,1	1	1,023899645	0,976658215	3,25
FANCB	0,000830908	0,034052652	0,162	0,02	1	1,023884267	0,976672884	8,1
PC	0,024497883	0,034036845	0,05	0	1	1,023873048	0,976683585	#DIV/0!
PMS2	0,018403004	0,034028692	0,125	0,03	1	1,023867263	0,976689104	4,166666667
TAS2R14	0,024497883	0,034010662	0,05	0	1	1,023854467	0,976701311	#DIV/0!
KANSL1-AS1	0,085199008	0,034008948	0,075	0,02	1	1,023853251	0,976702471	3,75
PJKK	0,114652585	0,033987025	0,025	0	1	1,023837693	0,976717313	#DIV/0!

Supplementary Table 4

Differentially expressed genes_keloid-CCD_comparing SC-Keloid vs. (SC-Myel, SC-Nonmyel)								
gene	p_val	avg_log2FC	pct.1	pct.2	p_val_adj	Foldchange_UP	Foldchange_DOWN	Ratio_pct1_pct2
GGT1	0,024497883	0,033956401	0,05	0	1	1,02381596	0,976738046	#DIV/0!
ATXN7L3	0,00840035	0,033938298	0,162	0,04	1	1,023803113	0,976750303	4,05
FAM200A	0,01362345	0,033925664	0,088	0,01	1	1,023794148	0,976758856	8,8
DPT	0,027487357	0,033920706	0,075	0,01	1	1,023790629	0,976762213	7,5
ZNF595	0,439855668	0,03391905	0,025	0,01	1	1,023789454	0,976763334	2,5
ANKRD13C	0,002719325	0,033908498	0,288	0,09	1	1,023781965	0,976770478	3,2
PHAX	0,004268928	0,033894004	0,4	0,16	1	1,02377168	0,976780291	2,5
ZNF300	0,045399153	0,03385725	0,088	0,02	1	1,023745599	0,976805176	4,4
H4C1	0,052279021	0,033839931	0,038	0	1	1,02373331	0,976816902	#DIV/0!
N4BP1	0,000810535	0,033835136	0,338	0,1	1	1,023729907	0,976820149	3,38
SF3A2	0,000119055	0,033764874	0,4	0,11	1	1,02368005	0,976867723	3,636363636
CSMD2	0,082314814	0,033697309	0,075	0,02	1	1,02363211	0,976913473	3,75
MAGIX	0,114652585	0,033681408	0,025	0	1	1,023620828	0,97692424	#DIV/0!
TIGD1	0,024497883	0,033673993	0,05	0	1	1,023615567	0,976929262	#DIV/0!
LRCH2	0,052279021	0,033656723	0,038	0	1	1,023603314	0,976940956	#DIV/0!
DNAJC16	0,105839829	0,033650004	0,088	0,03	1	1,023598547	0,976945506	2,933333333
DDX20	0,020502146	0,033623649	0,162	0,05	1	1,023579848	0,976963353	3,24
RECQL4	0,011634754	0,033618909	0,062	0	1	1,023576485	0,976966563	#DIV/0!
NEK5	0,11122839	0,033612786	0,05	0,01	1	1,023572141	0,976970709	5
TRMO	0,006686666	0,033595154	0,188	0,05	1	1,023559631	0,976982649	3,76
RIOK2	0,000208467	0,033594791	0,3	0,07	1	1,023559373	0,976982895	4,285714286
SYT1	0,052279021	0,033586162	0,038	0	1	1,023553251	0,976988739	#DIV/0!
MYOZ3	0,052279021	0,033578432	0,038	0	1	1,023547767	0,976993973	#DIV/0!
ATP8B3	0,052279021	0,033539436	0,038	0	1	1,023520101	0,977020382	#DIV/0!
MTCO2P12	0,975885982	0,033536788	1	0,99	1	1,023518223	0,977022175	1,01010101
RGMB-AS1	0,024497883	0,033518048	0,05	0	1	1,023504927	0,977034867	#DIV/0!
BTN2A2	0,01466195	0,033488696	0,15	0,04	1	1,023484104	0,977054745	3,75
FBXW8	0,055334082	0,033436944	0,062	0,01	1	1,023447391	0,977089794	6,2
SH3D21	0,114652585	0,033433604	0,025	0	1	1,023445021	0,977092056	#DIV/0!
TMEM200C	0,052279021	0,033426497	0,038	0	1	1,02343998	0,977096869	#DIV/0!

Supplementary Table 4

Differentially expressed genes_keloid-CCD_ comparing SC-Keloid vs. (SC-Myel, SC-Nonmyel)								
gene	p_val	avg_log2FC	pct.1	pct.2	p_val_adj	Foldchange_UP	Foldchange_DOWN	Ratio_pct1_pct2
ZNF713	0,052279021	0,033425949	0,038	0	1	1,023439591	0,97709724	#DIV/0!
PGAP2	0,026474273	0,033392073	0,138	0,04	1	1,023415559	0,977120184	3,45
GZF1	0,023885059	0,033369639	0,1	0,02	1	1,023399646	0,977135378	5
TBC1D1	0,024761742	0,033335204	0,175	0,06	1	1,023375219	0,977158701	2,916666667
POLR1H	8,90777E-05	0,033322257	0,375	0,1	1	1,023366035	0,977167471	3,75
ESD	0,001349116	0,033313911	0,775	0,37	1	1,023360115	0,977173123	2,094594595
KRT8	0,11122839	0,033297538	0,05	0,01	1	1,023348501	0,977184213	5
FRMPD4	0,052279021	0,03327806	0,038	0	1	1,023334685	0,977197407	#DIV/0!
TTF2	0,005575985	0,033241452	0,15	0,03	1	1,023308718	0,977222203	5
ZBTB7B	0,002827454	0,033240192	0,162	0,03	1	1,023307825	0,977223056	5,4
GREB1	0,023885059	0,033238078	0,1	0,02	1	1,023306325	0,977224488	5
PPOX	0,014068004	0,033203442	0,188	0,06	1	1,023281758	0,97724795	3,133333333
ACIN1	0,00674799	0,033202378	0,35	0,14	1	1,023281003	0,977248671	2,5
DMXL1	0,003289532	0,033183423	0,262	0,08	1	1,023267559	0,97726151	3,275
PDCD10	0,001899298	0,033167593	0,588	0,24	1	1,023256331	0,977272233	2,45
FGF9	0,114652585	0,033114054	0,025	0	1	1,023218358	0,977308501	#DIV/0!
MYPOP	0,11122839	0,033099365	0,05	0,01	1	1,02320794	0,977318452	5
ZUP1	0,010756678	0,033081688	0,175	0,05	1	1,023195403	0,977330426	3,5
ZRANB3	0,024497883	0,033073956	0,05	0	1	1,023189919	0,977335665	#DIV/0!
PRPF18	0,00297039	0,033070064	0,262	0,08	1	1,023187159	0,977338301	3,275
EPB41L4A	0,116907177	0,033067795	0,1	0,04	1	1,02318555	0,977339839	2,5
TASOR	0,004936069	0,033043849	0,375	0,15	1	1,023168567	0,97735606	2,5
CASP9	0,027487357	0,033036695	0,075	0,01	1	1,023163494	0,977360907	7,5
RMND5B	0,002139249	0,033033391	0,25	0,07	1	1,023161151	0,977363145	3,571428571
DMP1	0,114652585	0,0329924	0,025	0	1	1,02313208	0,977390915	#DIV/0!
ZNF726	0,024497883	0,032984038	0,05	0	1	1,02312615	0,97739658	#DIV/0!
KDM4C	0,083746858	0,032959124	0,075	0,02	1	1,023108481	0,977413459	3,75
SZT2	0,268623818	0,032944678	0,05	0,02	1	1,023098237	0,977423246	2,5
KLF12	0,023885059	0,032930054	0,1	0,02	1	1,023087866	0,977433154	5
AC112721.2	0,268357209	0,032906614	0,013	0	1	1,023071244	0,977449035	#DIV/0!

Supplementary Table 4

Differentially expressed genes_keloid-CCD_ comparing SC-Keloid vs. (SC-Myel, SC-Nonmyel)								
gene	p_val	avg_log2FC	pct.1	pct.2	p_val_adj	Foldchange_UP	Foldchange_DOWN	Ratio_pct1_pct2
ADRB2	0,024497883	0,032871474	0,05	0	1	1,023046325	0,977472843	#DIV/0!
HOXC11	0,114652585	0,032824915	0,025	0	1	1,02301331	0,977504389	#DIV/0!
ZNF789	0,11122839	0,032671703	0,05	0,01	1	1,022904673	0,977608204	5
BIRC6	0,016239359	0,032662298	0,388	0,18	1	1,022898005	0,977614577	2,155555556
ANKRD23	0,114652585	0,032639116	0,025	0	1	1,022881568	0,977630286	#DIV/0!
SLC25A37	0,001253437	0,032616232	0,475	0,18	1	1,022865343	0,977645793	2,638888889
ZNF565	0,284975754	0,032607588	0,05	0,02	1	1,022859215	0,977651651	2,5
ACHE	0,011634754	0,032605991	0,062	0	1	1,022858083	0,977652733	#DIV/0!
SLC45A3	0,024497883	0,032593552	0,05	0	1	1,022849264	0,977661162	#DIV/0!
C19orf47	0,024497883	0,032591303	0,05	0	1	1,022847669	0,977662687	#DIV/0!
CROT	0,000602791	0,03255156	0,238	0,05	1	1,022819492	0,977689619	4,76
LAPTM5	0,052279021	0,032538631	0,038	0	1	1,022810326	0,977698381	#DIV/0!
MESD	0,000109174	0,032522612	0,637	0,23	1	1,022798969	0,977709237	2,769565217
ZFP37	0,052279021	0,032477383	0,038	0	1	1,022766905	0,977739889	#DIV/0!
SBNO2	0,023117849	0,032437473	0,175	0,06	1	1,022738612	0,977766937	2,916666667
TRAPPC12	0,006488182	0,032430836	0,225	0,07	1	1,022733907	0,977771435	3,214285714
MFAP3	0,11122839	0,032417451	0,05	0,01	1	1,022724418	0,977780507	5
PLAG1	0,052279021	0,032412255	0,038	0	1	1,022720735	0,977784029	#DIV/0!
LINC00663	0,219108376	0,032397229	0,038	0,01	1	1,022710083	0,977794213	3,8
PAFAH2	0,082314814	0,032384284	0,075	0,02	1	1,022700906	0,977802986	3,75
SENP6	0,000860503	0,032377539	0,588	0,23	1	1,022696125	0,977807557	2,556521739
RNPS1	0,011560443	0,032356211	0,713	0,37	1	1,022681006	0,977822013	1,927027027
THAP9-AS1	0,004764565	0,03234743	0,375	0,15	1	1,022674782	0,977827964	2,5
SLC49A3	0,02527322	0,032307304	0,138	0,04	1	1,022646338	0,977855162	3,45
TCEA2	0,016689919	0,032290612	0,6	0,29	1	1,022634506	0,977866475	2,068965517
SAMD9L	0,059755621	0,032284379	0,1	0,03	1	1,022630088	0,9778707	3,333333333
TMTC2	0,014686042	0,032227349	0,188	0,06	1	1,022589664	0,977909356	3,133333333
DIP2C-AS1	0,114652585	0,032185276	0,025	0	1	1,022559843	0,977937875	#DIV/0!
MC5R	0,268357209	0,032149807	0,013	0	1	1,022534703	0,977961918	#DIV/0!
MYOM1	0,268357209	0,032149807	0,013	0	1	1,022534703	0,977961918	#DIV/0!

Supplementary Table 4

Differentially expressed genes_keloid-CCD_ comparing SC-Keloid vs. (SC-Myel, SC-Nonmyel)								
gene	p_val	avg_log2FC	pct.1	pct.2	p_val_adj	Foldchange_UP	Foldchange_DOWN	Ratio_pct1_pct2
LY6G5C	0,114652585	0,032148455	0,025	0	1	1,022533745	0,977962835	#DIV/0!
NHLRC2	0,002580467	0,032124198	0,225	0,06	1	1,022516553	0,977979278	3,75
TNXB	0,052279021	0,032123255	0,038	0	1	1,022515884	0,977979917	#DIV/0!
TRIM45	0,114652585	0,032092624	0,025	0	1	1,022494175	0,978000682	#DIV/0!
LINC02872	0,219108376	0,032072815	0,038	0,01	1	1,022480135	0,97801411	3,8
WDR43	0,000837543	0,032048464	0,45	0,16	1	1,022462878	0,978030618	2,8125
BVES-AS1	0,052279021	0,031954285	0,038	0	1	1,022396133	0,978094466	#DIV/0!
LAMC2	0,114652585	0,031944249	0,025	0	1	1,022389021	0,97810127	#DIV/0!
MDP1	0,024883489	0,031914635	0,138	0,04	1	1,022368035	0,978121347	3,45
ANGEL1	0,052279021	0,031912977	0,038	0	1	1,02236686	0,978122472	#DIV/0!
JAK2	0,082314814	0,031903095	0,075	0,02	1	1,022359857	0,978129172	3,75
PHYHIP	0,052279021	0,03190165	0,038	0	1	1,022358833	0,978130152	#DIV/0!
ETFRF1	0,000221025	0,031880822	0,688	0,26	1	1,022344073	0,978144273	2,646153846
ROPN1B	0,027487357	0,03186355	0,075	0,01	1	1,022331834	0,978155983	7,5
NIPSNAP3B	0,268357209	0,031848866	0,013	0	1	1,022321429	0,978165939	#DIV/0!
SLC13A3	0,268357209	0,031848866	0,013	0	1	1,022321429	0,978165939	#DIV/0!
NEIL3	0,024497883	0,031831376	0,05	0	1	1,022309035	0,978177797	#DIV/0!
GUCY1B1	0,024497883	0,031823876	0,05	0	1	1,02230372	0,978182883	#DIV/0!
TTN-AS1	0,027487357	0,031809303	0,075	0,01	1	1,022293394	0,978192763	7,5
VPS52	0,075062254	0,031786961	0,112	0,04	1	1,022277562	0,978207912	2,8
PLEKHS1	0,223365318	0,031785818	0,038	0,01	1	1,022276753	0,978208687	3,8
FAM86B1	0,114652585	0,031775277	0,025	0	1	1,022269283	0,978215834	#DIV/0!
TMEM267	0,022517254	0,031748764	0,212	0,08	1	1,022250497	0,978233812	2,65
GAREM1	0,034816087	0,03173834	0,112	0,03	1	1,022243111	0,97824088	3,733333333
RWDD3	0,11122839	0,031701799	0,05	0,01	1	1,022217219	0,978265658	5
DNAJC22	0,219108376	0,031682171	0,038	0,01	1	1,022203312	0,978278967	3,8
BRIX1	0,003333959	0,031679824	0,613	0,27	1	1,022201649	0,978280558	2,27037037
MPDZ	0,002326877	0,031668282	0,362	0,13	1	1,022193472	0,978288385	2,784615385
HADHA	0,017401188	0,031654376	0,762	0,39	1	1,022183618	0,978297815	1,953846154
OLFML3	0,055334082	0,031647517	0,062	0,01	1	1,022178759	0,978302465	6,2

Supplementary Table 4

Differentially expressed genes_keloid-CCD_ comparing SC-Keloid vs. (SC-Myel, SC-Nonmyel)								
gene	p_val	avg_log2FC	pct.1	pct.2	p_val_adj	Foldchange_UP	Foldchange_DOWN	Ratio_pct1_pct2
ERCC6L	0,011634754	0,03164236	0,062	0	1	1,022175105	0,978305963	#DIV/0!
ENO4	0,027487357	0,031613079	0,075	0,01	1	1,022154359	0,978325819	7,5
ACADS	0,004518236	0,031570416	0,35	0,13	1	1,022124133	0,97835475	2,692307692
FCSK	0,108976957	0,031522161	0,05	0,01	1	1,022089946	0,978387474	5
CSPP1	0,009508138	0,031486046	0,2	0,06	1	1,02206436	0,978411966	3,333333333
BVES	0,001500621	0,031425956	0,175	0,03	1	1,02202179	0,978452719	5,833333333
C18orf21	0,009738387	0,031397337	0,138	0,03	1	1,022001517	0,978472129	4,6
OTUB2	0,114652585	0,031395309	0,025	0	1	1,02200008	0,978473505	#DIV/0!
RPS20	0,110850688	0,031322279	0,925	0,61	1	1,021948347	0,978523037	1,516393443
ZNF573	0,219108376	0,031297825	0,038	0,01	1	1,021931025	0,978539623	3,8
RNFT1	0,096787055	0,03128035	0,125	0,05	1	1,021918647	0,978551476	2,5
ABCA7	0,052279021	0,031265606	0,038	0	1	1,021908203	0,978561477	#DIV/0!
TAF1C	0,109006576	0,031264456	0,088	0,03	1	1,021907389	0,978562256	2,933333333
BEST1	0,052279021	0,031263193	0,038	0	1	1,021906494	0,978563113	#DIV/0!
ABCC10	0,114652585	0,031226471	0,025	0	1	1,021880482	0,978588022	#DIV/0!
MFSD13A	0,214910006	0,031203893	0,038	0,01	1	1,02186449	0,978603337	3,8
POC5	0,082314814	0,031196575	0,075	0,02	1	1,021859307	0,9786083	3,75
VAC14	0,002937191	0,031188984	0,162	0,03	1	1,02185393	0,97861345	5,4
EIF2B1	0,001690359	0,031133467	0,312	0,1	1	1,021814609	0,978651109	3,12
LSG1	0,018485929	0,031129701	0,162	0,05	1	1,021811941	0,978653664	3,24
TMEM116	0,055334082	0,031103415	0,062	0,01	1	1,021793324	0,978671495	6,2
STRA6	0,052279021	0,031097086	0,038	0	1	1,021788842	0,978675788	#DIV/0!
SUN1	0,001197227	0,031095193	0,4	0,14	1	1,021787501	0,978677073	2,857142857
VTI1A	0,029195518	0,031075264	0,188	0,07	1	1,021773386	0,978690592	2,685714286
BTN3A2	0,006580985	0,031023022	0,188	0,05	1	1,021736387	0,978726032	3,76
DIMT1	0,000308934	0,031004383	0,375	0,11	1	1,021723187	0,978738677	3,409090909
FANCA	0,012429073	0,030965657	0,112	0,02	1	1,021695761	0,978764949	5,6
TACC1	0,002041652	0,030943909	0,738	0,32	1	1,02168036	0,978779704	2,30625
LINC00271	0,268357209	0,030931102	0,013	0	1	1,02167129	0,978788393	#DIV/0!
NRIP2	0,268357209	0,030931102	0,013	0	1	1,02167129	0,978788393	#DIV/0!

Supplementary Table 4

Differentially expressed genes_keloid-CCD_ comparing SC-Keloid vs. (SC-Myel, SC-Nonmyel)								
gene	p_val	avg_log2FC	pct.1	pct.2	p_val_adj	Foldchange_UP	Foldchange_DOWN	Ratio_pct1_pct2
P2RY12	0,268357209	0,030931102	0,013	0	1	1,02167129	0,978788393	#DIV/0!
RAB17	0,268357209	0,030931102	0,013	0	1	1,02167129	0,978788393	#DIV/0!
ZNF699	0,154906213	0,030888555	0,062	0,02	1	1,02164116	0,978817259	3,1
GDAP1	0,010461593	0,030864702	0,138	0,03	1	1,021624269	0,978833442	4,6
CDK17	0,01491727	0,030857128	0,2	0,07	1	1,021618905	0,978838581	2,857142857
MEAF6	0,003583059	0,030828628	0,613	0,27	1	1,021598724	0,978857918	2,27037037
PECR	0,010094224	0,030822491	0,138	0,03	1	1,021594378	0,978862082	4,6
MAP3K6	0,003269989	0,030795231	0,138	0,02	1	1,021575075	0,978880578	6,9
RRP15	0,003343383	0,030762918	0,488	0,2	1	1,021552194	0,978902503	2,44
KIF9	2,74662E-05	0,030760338	0,388	0,09	0,579564765	1,021550368	0,978904253	4,311111111
DENND6A	0,023763673	0,030750839	0,175	0,06	1	1,021543642	0,978910699	2,916666667
MMS22L	0,034247231	0,030728964	0,112	0,03	1	1,021528153	0,978925542	3,733333333
SNED1	0,024497883	0,030726485	0,05	0	1	1,021526397	0,978927224	#DIV/0!
FAM225A	0,027487357	0,030703867	0,075	0,01	1	1,021510382	0,978942571	7,5
ANGEL2	0,011980425	0,030694856	0,175	0,05	1	1,021504002	0,978948686	3,5
SERPINB5	0,268357209	0,030677475	0,013	0	1	1,021491696	0,978960479	#DIV/0!
HTRA3	0,114652585	0,030674985	0,025	0	1	1,021489932	0,978962169	#DIV/0!
PABPC1L	0,080462265	0,030664181	0,112	0,04	1	1,021482283	0,9789695	2,8
MAL2	0,052279021	0,030661555	0,038	0	1	1,021480423	0,978971282	#DIV/0!
RAD54L2	0,001370268	0,030643809	0,238	0,06	1	1,021467858	0,978983325	3,966666667
MIR4458HG	0,006272896	0,030627496	0,188	0,05	1	1,021456309	0,978994394	3,76
CDK5RAP2	0,002347143	0,030605242	0,25	0,07	1	1,021440552	0,979009496	3,571428571
KRT5	0,185993644	0,030585556	0,075	0,03	1	1,021426614	0,979022855	2,5
CABLES2	0,024497883	0,030536756	0,05	0	1	1,021392065	0,979055971	#DIV/0!
MON2	0,003659162	0,030523336	0,35	0,13	1	1,021382564	0,979065078	2,692307692
COL2A1	0,114652585	0,030502547	0,025	0	1	1,021367846	0,979079187	#DIV/0!
ENTR1	0,007149283	0,030474164	0,3	0,11	1	1,021347752	0,979098449	2,727272727
PDPR	0,079357729	0,030437422	0,112	0,04	1	1,021321741	0,979123385	2,8
COL11A2	0,114652585	0,030406813	0,025	0	1	1,021300073	0,979144158	#DIV/0!
PRR11	0,023885059	0,030378434	0,1	0,02	1	1,021279983	0,979163419	5

Supplementary Table 4

Differentially expressed genes_keloid-CCD_ comparing SC-Keloid vs. (SC-Myel, SC-Nonmyel)								
gene	p_val	avg_log2FC	pct.1	pct.2	p_val_adj	Foldchange_UP	Foldchange_DOWN	Ratio_pct1_pct2
TMEM241	0,482174949	0,030325039	0,038	0,02	1	1,021242185	0,979199659	1,9
CCDC189	0,01362345	0,030324395	0,088	0,01	1	1,02124173	0,979200096	8,8
ZNF836	0,027487357	0,030308056	0,075	0,01	1	1,021230164	0,979211186	7,5
TNFAIP8L3	0,052279021	0,030301948	0,038	0	1	1,02122584	0,979215332	#DIV/0!
ATR	0,019378739	0,030300975	0,125	0,03	1	1,021225152	0,979215992	4,166666667
LRATD1	0,114652585	0,030293697	0,025	0	1	1,02122	0,979220932	#DIV/0!
HNRNPA1L2	0,045399153	0,030285335	0,088	0,02	1	1,021214081	0,979226608	4,4
METRNL	0,027938118	0,03027179	0,963	0,69	1	1,021204493	0,979235802	1,395652174
LYPD6	0,052279021	0,030260482	0,038	0	1	1,021196488	0,979243477	#DIV/0!
GPR19	0,114652585	0,030235528	0,025	0	1	1,021178825	0,979260415	#DIV/0!
ZHX2	0,052279021	0,030180406	0,038	0	1	1,021139809	0,97929783	#DIV/0!
ZNF780B	0,114652585	0,030178634	0,025	0	1	1,021138555	0,979299033	#DIV/0!
ARHGEF28	0,085199008	0,030068977	0,075	0,02	1	1,021060943	0,979373471	3,75
MRRF	0,078265554	0,030061027	0,112	0,04	1	1,021055316	0,979378868	2,8
MUS81	0,000268034	0,030021393	0,275	0,06	1	1,021027266	0,979405774	4,583333333
DDX10	0,004854445	0,029979239	0,212	0,06	1	1,020997433	0,979434392	3,533333333
MPST	0,002111071	0,029960734	0,525	0,21	1	1,020984337	0,979446955	2,5
NEU3	0,027487357	0,029956044	0,075	0,01	1	1,020981018	0,979450139	7,5
AMH	0,268357209	0,029905205	0,013	0	1	1,02094504	0,979484655	#DIV/0!
CHI3L2	0,268357209	0,029905205	0,013	0	1	1,02094504	0,979484655	#DIV/0!
H3C6	0,268357209	0,029905205	0,013	0	1	1,02094504	0,979484655	#DIV/0!
ID12	0,268357209	0,029905205	0,013	0	1	1,02094504	0,979484655	#DIV/0!
SPIN2A	0,268357209	0,029905205	0,013	0	1	1,02094504	0,979484655	#DIV/0!
TTC23L	0,268357209	0,029905205	0,013	0	1	1,02094504	0,979484655	#DIV/0!
HENMT1	0,439855668	0,029901838	0,025	0,01	1	1,020942658	0,97948694	2,5
INKA1	0,055334082	0,02983402	0,062	0,01	1	1,020894667	0,979532985	6,2
FAM228A	0,114652585	0,029819663	0,025	0	1	1,020884507	0,979542733	#DIV/0!
MMP23B	0,114652585	0,029787802	0,025	0	1	1,020861962	0,979564366	#DIV/0!
RINT1	0,001348746	0,029768458	0,2	0,04	1	1,020848274	0,9795775	5
IQCH	0,052279021	0,0297587	0,038	0	1	1,020841369	0,979584126	#DIV/0!

Supplementary Table 4

Differentially expressed genes_keloid-CCD_ comparing SC-Keloid vs. (SC-Myel, SC-Nonmyel)								
gene	p_val	avg_log2FC	pct.1	pct.2	p_val_adj	Foldchange_UP	Foldchange_DOWN	Ratio_pct1_pct2
ROMO1	0,009741748	0,029736774	0,85	0,46	1	1,020825855	0,979599013	1,847826087
RIMKLA	0,114652585	0,029731555	0,025	0	1	1,020822162	0,979602557	#DIV/0!
CHST2	0,052279021	0,02972183	0,038	0	1	1,02081528	0,979609161	#DIV/0!
PAK1	0,001624218	0,029644324	0,125	0,01	1	1,020760441	0,979661789	12,5
HSPB3	0,019327738	0,029621091	0,162	0,05	1	1,020744003	0,979677566	3,24
TCP11L1	0,001655244	0,029605332	0,15	0,02	1	1,020732853	0,979688268	7,5
JRKL	0,012429073	0,029576588	0,112	0,02	1	1,020712516	0,979707787	5,6
LRTOMT	0,223365318	0,029553221	0,038	0,01	1	1,020695984	0,979723655	3,8
C18orf54	0,027487357	0,029530283	0,075	0,01	1	1,020679756	0,979739232	7,5
EPHA4	0,219108376	0,029519485	0,038	0,01	1	1,020672116	0,979746565	3,8
NEK9	0,031119861	0,02946222	0,188	0,07	1	1,020631603	0,979785455	2,685714286
LRRC47	0,004244853	0,029454948	0,25	0,08	1	1,020626459	0,979790394	3,125
DUS2	0,052279021	0,029382161	0,038	0	1	1,020574968	0,979839827	#DIV/0!
TAFAZZIN	0,004287291	0,029377745	0,288	0,1	1	1,020571843	0,979842827	2,88
RNF215	0,019378739	0,02934471	0,125	0,03	1	1,020548475	0,979865263	4,166666667
MAP2	0,012429073	0,029328322	0,112	0,02	1	1,020536882	0,979876394	5,6
PIGB	0,052279021	0,029310093	0,038	0	1	1,020523987	0,979888776	#DIV/0!
KRI1	0,309705255	0,029300759	0,062	0,03	1	1,020517385	0,979895115	2,066666667
PIWIL4	0,114652585	0,029277313	0,025	0	1	1,0205008	0,97991104	#DIV/0!
POLRMT	0,128188456	0,029277253	0,1	0,04	1	1,020500758	0,97991108	2,5
OXSM	0,488500108	0,02927503	0,038	0,02	1	1,020499185	0,97991259	1,9
ASPHD1	0,010461593	0,02919532	0,138	0,03	1	1,020442803	0,979966733	4,6
FAM171A2	0,114652585	0,029182229	0,025	0	1	1,020433543	0,979975626	#DIV/0!
RNF32	0,052279021	0,029172307	0,038	0	1	1,020426526	0,979982365	#DIV/0!
POLA1	0,027487357	0,029166489	0,075	0,01	1	1,02042241	0,979986317	7,5
CLEC3B	0,024497883	0,029157869	0,05	0	1	1,020416314	0,979992172	#DIV/0!
MYO1E	0,000788927	0,029147762	0,188	0,03	1	1,020409165	0,979999038	6,266666667
CAND2	0,223365318	0,029143898	0,038	0,01	1	1,020406432	0,980001662	3,8
LONP2	0,01219729	0,029104932	0,275	0,11	1	1,020378872	0,980028132	2,5
ELMOD3	0,126526887	0,029094725	0,1	0,04	1	1,020371653	0,980035066	2,5

Supplementary Table 4

Differentially expressed genes_keloid-CCD_comparing SC-Keloid vs. (SC-Myel, SC-Nonmyel)								
gene	p_val	avg_log2FC	pct.1	pct.2	p_val_adj	Foldchange_UP	Foldchange_DOWN	Ratio_pct1_pct2
KRBOX4	0,023885059	0,02907952	0,1	0,02	1	1,020360899	0,980045395	5
TDRD7	0,027487357	0,029073636	0,075	0,01	1	1,020356738	0,980049392	7,5
CORO1A	0,052279021	0,029040744	0,038	0	1	1,020333475	0,980071736	#DIV/0!
ADAMTSL4	0,114652585	0,029029026	0,025	0	1	1,020325187	0,980079697	#DIV/0!
TLR2	0,114652585	0,0290271	0,025	0	1	1,020323825	0,980081005	#DIV/0!
KDM4A-AS1	0,114652585	0,02902457	0,025	0	1	1,020322036	0,980082724	#DIV/0!
LANCL2	0,154906213	0,029016102	0,062	0,02	1	1,020316047	0,980088477	3,1
LTBR	0,001699428	0,029014385	0,5	0,2	1	1,020314832	0,980089643	2,5
HMGN4	0,11122839	0,028970459	0,05	0,01	1	1,020283768	0,980119484	5
PRKCZ	0,488500108	0,028925448	0,038	0,02	1	1,020251936	0,980150064	1,9
TCHP	0,019048586	0,028905396	0,125	0,03	1	1,020237756	0,980163687	4,166666667
SPATA24	0,11122839	0,028904895	0,05	0,01	1	1,020237401	0,980164027	5
LSP1	0,268357209	0,028893004	0,013	0	1	1,020228992	0,980172106	#DIV/0!
DSG2	0,055334082	0,028862399	0,062	0,01	1	1,020207349	0,9801929	6,2
RALGDS	0,027232781	0,028832409	0,175	0,06	1	1,020186142	0,980213275	2,916666667
RBM48	0,055334082	0,028787818	0,062	0,01	1	1,02015461	0,980243573	6,2
COCH	0,114652585	0,028769286	0,025	0	1	1,020141507	0,980256164	#DIV/0!
ZNF341	0,052279021	0,028766526	0,038	0	1	1,020139555	0,980258039	#DIV/0!
ZNF528	0,055334082	0,028706685	0,062	0,01	1	1,020097242	0,9802987	6,2
BPNT2	0,028705781	0,028686506	0,6	0,31	1	1,020082974	0,980312411	1,935483871
TDRKH	0,024497883	0,028682326	0,05	0	1	1,020080018	0,980315252	#DIV/0!
ABHD13	0,043614772	0,028654191	0,125	0,04	1	1,020060125	0,98033437	3,125
TRIM52	0,010276447	0,028650687	0,138	0,03	1	1,020057647	0,980336751	4,6
MATN1	0,114652585	0,028594604	0,025	0	1	1,020017995	0,980374861	#DIV/0!
TMEM251	0,002980513	0,028571206	0,3	0,1	1	1,020001452	0,980390761	3
UNC5B-AS1	0,114652585	0,028558598	0,025	0	1	1,019992538	0,980399329	#DIV/0!
HOMER2	0,114652585	0,028532254	0,025	0	1	1,019973913	0,980417231	#DIV/0!
PTPRQ	0,268357209	0,028519452	0,013	0	1	1,019964862	0,980425932	#DIV/0!
SPIRE2	0,268357209	0,028519452	0,013	0	1	1,019964862	0,980425932	#DIV/0!
KAZALD1	0,024497883	0,028498637	0,05	0	1	1,019950146	0,980440077	#DIV/0!

Supplementary Table 4

Differentially expressed genes_keloid-CCD_ comparing SC-Keloid vs. (SC-Myel, SC-Nonmyel)								
gene	p_val	avg_log2FC	pct.1	pct.2	p_val_adj	Foldchange_UP	Foldchange_DOWN	Ratio_pct1_pct2
AP000253.1	0,114652585	0,028486257	0,025	0	1	1,019941394	0,98044849	#DIV/0!
SDR42E2	0,114652585	0,028486257	0,025	0	1	1,019941394	0,98044849	#DIV/0!
LECT2	0,114652585	0,028485974	0,025	0	1	1,019941194	0,980448683	#DIV/0!
ZBTB45	0,052279021	0,028456171	0,038	0	1	1,019920124	0,980468937	#DIV/0!
ZNF749	0,052279021	0,028440086	0,038	0	1	1,019908753	0,980479869	#DIV/0!
PPM1N	0,874019543	0,028382443	0,013	0,01	1	1,019868003	0,980519044	1,3
CCDC180	0,114652585	0,028366977	0,025	0	1	1,01985707	0,980529556	#DIV/0!
GPATCH2L	0,009622928	0,028365037	0,438	0,19	1	1,019855699	0,980530875	2,305263158
ANKRD54	0,002123327	0,028361411	0,388	0,14	1	1,019853136	0,980533339	2,771428571
ALDOC	0,178498648	0,028340752	0,075	0,03	1	1,019838531	0,98054738	2,5
RBM47	0,024497883	0,028335328	0,05	0	1	1,019834697	0,980551066	#DIV/0!
BAHD1	0,11122839	0,028317442	0,05	0,01	1	1,019822054	0,980563223	5
SCN8A	0,052279021	0,028222065	0,038	0	1	1,019754636	0,98062805	#DIV/0!
TDP2	0,0138805	0,028199324	0,225	0,08	1	1,019738561	0,980643508	2,8125
ECSCR	0,082314814	0,028183847	0,075	0,02	1	1,019727622	0,980654028	3,75
CSTF2	0,034816087	0,028167719	0,112	0,03	1	1,019716222	0,980664991	3,733333333
GENE	0,18346989	0,028166682	0,075	0,03	1	1,019715489	0,980665696	2,5
KCNRG	0,114652585	0,028138344	0,025	0	1	1,01969546	0,980684959	#DIV/0!
ENO3	0,114652585	0,028137278	0,025	0	1	1,019694706	0,980685683	#DIV/0!
HSF1	0,000654081	0,028126302	0,375	0,12	1	1,019686949	0,980693144	3,125
ZNF311	0,114652585	0,028066515	0,025	0	1	1,019644693	0,980733786	#DIV/0!
RAB11B-AS1	0,10741396	0,028036897	0,088	0,03	1	1,019623759	0,980753921	2,933333333
UBOX5	0,052279021	0,027998354	0,038	0	1	1,01959652	0,980780123	#DIV/0!
ATP13A2	0,005575985	0,027972687	0,15	0,03	1	1,01957838	0,980797572	5
FEM1A	0,027302098	0,027972678	0,138	0,04	1	1,019578374	0,980797578	3,45
ELP4	0,024883489	0,027956483	0,138	0,04	1	1,019566929	0,980808588	3,45
CORO1C	0,000592136	0,027941923	0,6	0,23	1	1,019556639	0,980818487	2,608695652
PCCA	0,023885059	0,027917821	0,1	0,02	1	1,019539606	0,980834873	5
TTC12	0,055334082	0,027888956	0,062	0,01	1	1,019519208	0,980854497	6,2
LMBRD2	0,00819759	0,027869929	0,2	0,06	1	1,019505762	0,980867433	3,333333333

Supplementary Table 4

Differentially expressed genes_keloid-CCD_comparing SC-Keloid vs. (SC-Myel, SC-Nonmyel)								
gene	p_val	avg_log2FC	pct.1	pct.2	p_val_adj	Foldchange_UP	Foldchange_DOWN	Ratio_pct1_pct2
ZNF334	0,114652585	0,027770986	0,025	0	1	1,019435845	0,980934706	#DIV/0!
WDR62	0,052279021	0,027770259	0,038	0	1	1,019435331	0,9809352	#DIV/0!
TKFC	0,035392992	0,027760474	0,112	0,03	1	1,019428417	0,980941853	3,733333333
SHKBP1	0,000471943	0,027743538	0,35	0,1	1	1,01941645	0,980953368	3,5
TIGD2	0,108976957	0,02774114	0,05	0,01	1	1,019414755	0,980954999	5
GCK	0,114652585	0,027728794	0,025	0	1	1,019406031	0,980963394	#DIV/0!
ZNF385D	0,223365318	0,02769708	0,038	0,01	1	1,019383623	0,980984958	3,8
PARP14	0,001356884	0,027652088	0,338	0,11	1	1,019351832	0,981015552	3,072727273
ETFBKMT	0,055334082	0,027650236	0,062	0,01	1	1,019350523	0,981016811	6,2
RARS2	0,00036444	0,027647965	0,375	0,11	1	1,019348919	0,981018355	3,409090909
FAM149B1	0,023885059	0,027607995	0,1	0,02	1	1,019320678	0,981045535	5
RBM26-AS1	0,219108376	0,02758952	0,038	0,01	1	1,019307625	0,981058098	3,8
GOLGA1	0,001530226	0,02755377	0,175	0,03	1	1,019282367	0,981082409	5,833333333
ZNF346	0,01362345	0,02755232	0,088	0,01	1	1,019281343	0,981083395	8,8
H2BC5	0,108976957	0,027537467	0,05	0,01	1	1,019270849	0,981093496	5
TMCC2	0,052279021	0,027462772	0,038	0	1	1,019218078	0,981144292	#DIV/0!
TBR1	0,052279021	0,02745742	0,038	0	1	1,019214297	0,981147933	#DIV/0!
FNDC7	0,114652585	0,027425132	0,025	0	1	1,019191487	0,981169891	#DIV/0!
PHKB	0,000219539	0,027369315	0,3	0,07	1	1,019152056	0,981207853	4,285714286
GAREM2	0,114652585	0,027369036	0,025	0	1	1,019151859	0,981208042	#DIV/0!
DHX34	0,024497883	0,027361387	0,05	0	1	1,019146455	0,981213245	#DIV/0!
GPR158	0,052279021	0,027350426	0,038	0	1	1,019138712	0,9812207	#DIV/0!
POLR2J2	0,11122839	0,027325821	0,05	0,01	1	1,019121331	0,981237435	5
XG	0,114652585	0,027286483	0,025	0	1	1,019093543	0,98126419	#DIV/0!
NBL1	0,050629588	0,027262624	0,175	0,07	1	1,019076689	0,981280418	2,5
CCDC144NL	0,223365318	0,027245254	0,038	0,01	1	1,01906442	0,981292233	3,8
KIF24	0,052279021	0,027233857	0,038	0	1	1,019056369	0,981299985	#DIV/0!
GABBR2	0,114652585	0,027191388	0,025	0	1	1,019026372	0,981328872	#DIV/0!
TRMT61A	0,000546739	0,027149571	0,438	0,15	1	1,018996836	0,981357316	2,92
SLC29A1	0,054291236	0,027130609	0,138	0,05	1	1,018983443	0,981370215	2,76

Supplementary Table 4

Differentially expressed genes_keloid-CCD_ comparing SC-Keloid vs. (SC-Myel, SC-Nonmyel)								
gene	p_val	avg_log2FC	pct.1	pct.2	p_val_adj	Foldchange_UP	Foldchange_DOWN	Ratio_pct1_pct2
KIAA2013	0,00044203	0,027080568	0,375	0,11	1	1,018948099	0,981404255	3,409090909
ZFYVE9	0,044264725	0,027035754	0,125	0,04	1	1,018916448	0,981434741	3,125
SIPA1	0,005686216	0,027035542	0,338	0,13	1	1,018916298	0,981434885	2,6
DHRS1	0,065150727	0,027033214	0,15	0,06	1	1,018914654	0,981436469	2,5
OGFOD2	0,055334082	0,027024335	0,062	0,01	1	1,018908383	0,981442509	6,2
PPP1R9B	0,011266838	0,026984238	0,175	0,05	1	1,018880065	0,981469787	3,5
ZBTB24	0,009096611	0,02698363	0,2	0,06	1	1,018879635	0,9814702	3,333333333
DRC3	0,055334082	0,02689908	0,062	0,01	1	1,018819925	0,981527722	6,2
POGK	0,01532789	0,026868003	0,188	0,06	1	1,018797979	0,981548865	3,133333333
CCL19	0,052279021	0,026860915	0,038	0	1	1,018792974	0,981553687	#DIV/0!
C1orf112	0,11122839	0,026825622	0,05	0,01	1	1,018768051	0,9815777	5
TAF11	0,000125704	0,02679846	0,525	0,17	1	1,018748871	0,98159618	3,088235294
ZNF324B	0,052279021	0,026776115	0,038	0	1	1,018733092	0,981611384	#DIV/0!
RPRD1B	0,00517794	0,026773326	0,15	0,03	1	1,018731123	0,981613281	5
CAPN15	0,019378739	0,026759941	0,125	0,03	1	1,018721671	0,981622388	4,166666667
ZNF772	0,114652585	0,026748071	0,025	0	1	1,018713289	0,981630465	#DIV/0!
HACE1	0,152427848	0,026740558	0,062	0,02	1	1,018707985	0,981635577	3,1
PTOV1-AS1	0,11122839	0,026632227	0,05	0,01	1	1,018631493	0,98170929	5
DNAAF10	0,774132462	0,026611482	0,038	0,03	1	1,018616846	0,981723407	1,266666667
HSD17B8	0,044922833	0,026603409	0,125	0,04	1	1,018611146	0,9817289	3,125
ATP6V1E1	0,000790037	0,026513096	0,475	0,18	1	1,018547383	0,981790358	2,638888889
STEAP1	0,268357209	0,026502038	0,013	0	1	1,018539576	0,981797884	#DIV/0!
KIAA0232	0,001447513	0,026496089	0,438	0,16	1	1,018535376	0,981801932	2,7375
GPX3	0,788345827	0,02647422	0,038	0,03	1	1,018519937	0,981816815	1,266666667
FBXO15	0,114652585	0,026467109	0,025	0	1	1,018514917	0,981821654	#DIV/0!
ZNF793	0,052279021	0,02645806	0,038	0	1	1,018508528	0,981827813	#DIV/0!
G6PD	0,125732054	0,026447381	0,162	0,08	1	1,018500989	0,98183508	2,025
TRAPPC2	0,010461593	0,026444518	0,138	0,03	1	1,018498968	0,981837028	4,6
DNAJA3	0,000849395	0,026429039	0,25	0,06	1	1,01848804	0,981847563	4,166666667
KIF3B	0,000821068	0,026332399	0,25	0,06	1	1,018419818	0,981913335	4,166666667

Supplementary Table 4

Differentially expressed genes_keloid-CCD_ comparing SC-Keloid vs. (SC-Myel, SC-Nonmyel)								
gene	p_val	avg_log2FC	pct.1	pct.2	p_val_adj	Foldchange_UP	Foldchange_DOWN	Ratio_pct1_pct2
H2AC12	0,114652585	0,026241942	0,025	0	1	1,018355965	0,981974903	#DIV/0!
CAMKK1	0,052279021	0,026199869	0,038	0	1	1,018326267	0,982003541	#DIV/0!
CFAP299	0,052279021	0,026181402	0,038	0	1	1,018313233	0,98201611	#DIV/0!
CRYBA4	0,114652585	0,026146858	0,025	0	1	1,018288851	0,982039624	#DIV/0!
HEY2	0,055334082	0,026142609	0,062	0,01	1	1,018285852	0,982042516	6,2
COL19A1	0,045399153	0,026121508	0,088	0,02	1	1,018270958	0,98205688	4,4
TMEM161B	0,057278664	0,026103278	0,138	0,05	1	1,018258091	0,98206929	2,76
AQP5	0,268357209	0,026081682	0,013	0	1	1,018242849	0,98208399	#DIV/0!
ATP6V0E2-AS1	0,268357209	0,026081682	0,013	0	1	1,018242849	0,98208399	#DIV/0!
C6orf223	0,268357209	0,026081682	0,013	0	1	1,018242849	0,98208399	#DIV/0!
C9	0,268357209	0,026081682	0,013	0	1	1,018242849	0,98208399	#DIV/0!
CCN4	0,268357209	0,026081682	0,013	0	1	1,018242849	0,98208399	#DIV/0!
GAS8-AS1	0,268357209	0,026081682	0,013	0	1	1,018242849	0,98208399	#DIV/0!
MIR9-1HG	0,268357209	0,026081682	0,013	0	1	1,018242849	0,98208399	#DIV/0!
POT1-AS1	0,268357209	0,026081682	0,013	0	1	1,018242849	0,98208399	#DIV/0!
PPP1R3G	0,268357209	0,026081682	0,013	0	1	1,018242849	0,98208399	#DIV/0!
PEPD	0,005582919	0,025996629	0,675	0,32	1	1,018182821	0,98214189	2,109375
RUNX1T1	0,034816087	0,025963194	0,112	0,03	1	1,018159224	0,982164652	3,733333333
NAP1L3	0,11122839	0,025947491	0,05	0,01	1	1,018148142	0,982175342	5
PRMT6	0,009738387	0,02592041	0,138	0,03	1	1,01812903	0,982193779	4,6
EGOT	0,268357209	0,025913029	0,013	0	1	1,018123822	0,982198804	#DIV/0!
RPS6KL1	0,219108376	0,025887065	0,038	0,01	1	1,018105499	0,982216481	3,8
CD93	0,439855668	0,025872845	0,025	0,01	1	1,018095464	0,982226162	2,5
SRBD1	0,004516944	0,025835561	0,175	0,04	1	1,018069153	0,982251546	4,375
USP46-DT	0,052279021	0,025808113	0,038	0	1	1,018049784	0,982270235	#DIV/0!
TICRR	0,052279021	0,025803279	0,038	0	1	1,018046373	0,982273526	#DIV/0!
TRAM1L1	0,114652585	0,025767117	0,025	0	1	1,018020855	0,982298147	#DIV/0!
TEX22	0,114652585	0,0257669	0,025	0	1	1,018020702	0,982298295	#DIV/0!
ILF3	0,021041106	0,025728414	0,588	0,3	1	1,017993546	0,982324499	1,96
ZNF554	0,114652585	0,025727531	0,025	0	1	1,017992923	0,9823251	#DIV/0!

Supplementary Table 4

Differentially expressed genes_keloid-CCD_ comparing SC-Keloid vs. (SC-Myel, SC-Nonmyel)								
gene	p_val	avg_log2FC	pct.1	pct.2	p_val_adj	Foldchange_UP	Foldchange_DOWN	Ratio_pct1_pct2
RCOR2	0,052279021	0,025718481	0,038	0	1	1,017986536	0,982331263	#DIV/0!
FKBP15	0,010094224	0,025673681	0,138	0,03	1	1,017954926	0,982361768	4,6
DUSP18	0,044583831	0,025659465	0,088	0,02	1	1,017944895	0,982371448	4,4
FAM13C	0,81721858	0,025634722	0,025	0,02	1	1,017927436	0,982388296	1,25
MOCOS	0,052279021	0,025630743	0,038	0	1	1,017924629	0,982391006	#DIV/0!
CDC20B	0,114652585	0,025581972	0,025	0	1	1,017890218	0,982424217	#DIV/0!
ULK3	0,140115285	0,025573169	0,112	0,05	1	1,017884007	0,982430211	2,24
CARD16	0,052279021	0,025547659	0,038	0	1	1,017866009	0,982447582	#DIV/0!
RNF182	0,027487357	0,025517611	0,075	0,01	1	1,01784481	0,982468045	7,5
PIP	0,052279021	0,025517604	0,038	0	1	1,017844805	0,98246805	#DIV/0!
SRCAP	0,045399153	0,025482094	0,088	0,02	1	1,017819752	0,982492232	4,4
ZNF527	0,052279021	0,025479498	0,038	0	1	1,017817921	0,982494	#DIV/0!
MYH11	0,268357209	0,02547809	0,013	0	1	1,017816928	0,982494959	#DIV/0!
TRMT5	0,055334082	0,025434251	0,062	0,01	1	1,017786	0,982524814	6,2
LINC00893	0,114652585	0,025432969	0,025	0	1	1,017785095	0,982525687	#DIV/0!
ZNF283	0,11122839	0,025420912	0,05	0,01	1	1,017776589	0,982533898	5
SLC35A3	0,003218652	0,02541939	0,338	0,12	1	1,017775515	0,982534935	2,816666667
ZNF551	0,114652585	0,025418027	0,025	0	1	1,017774554	0,982535863	#DIV/0!
NRGN	0,114652585	0,025415787	0,025	0	1	1,017772974	0,982537389	#DIV/0!
DCAF4	0,052279021	0,02537211	0,038	0	1	1,017742161	0,982567135	#DIV/0!
SPRYD4	0,055334082	0,025255456	0,062	0,01	1	1,017659871	0,982646588	6,2
EGFR	0,268357209	0,025250838	0,013	0	1	1,017656614	0,982649733	#DIV/0!
IRX3	0,268357209	0,025250838	0,013	0	1	1,017656614	0,982649733	#DIV/0!
HLTF	0,000888926	0,025233369	0,325	0,1	1	1,017644292	0,982661631	3,25
CRYGS	0,052279021	0,02522759	0,038	0	1	1,017640215	0,982665568	#DIV/0!
ZNF69	0,052279021	0,025215367	0,038	0	1	1,017631594	0,982673893	#DIV/0!
TM7SF2	0,223365318	0,025211035	0,038	0,01	1	1,017628538	0,982676844	3,8
NUDCD1	0,02343883	0,025183477	0,175	0,06	1	1,0176091	0,982695615	2,916666667
ZNF284	0,114652585	0,025182086	0,025	0	1	1,017608119	0,982696562	#DIV/0!
C9orf50	0,026474273	0,025136509	0,138	0,04	1	1,017575971	0,982727608	3,45

Supplementary Table 4

Differentially expressed genes_keloid-CCD_ comparing SC-Keloid vs. (SC-Myel, SC-Nonmyel)								
gene	p_val	avg_log2FC	pct.1	pct.2	p_val_adj	Foldchange_UP	Foldchange_DOWN	Ratio_pct1_pct2
LYAR	0,000143127	0,025097309	0,438	0,13	1	1,017548323	0,98275431	3,369230769
PCDHGB1	0,114652585	0,025086387	0,025	0	1	1,01754062	0,98276175	#DIV/0!
LINC00662	0,021569568	0,025080117	0,175	0,06	1	1,017536197	0,982766021	2,916666667
SLC35C1	0,208200632	0,025033587	0,088	0,04	1	1,01750338	0,982797718	2,2
ATP10D	0,008831168	0,02499569	0,2	0,06	1	1,017476653	0,982823534	3,333333333
ZNF502	0,114652585	0,024984041	0,025	0	1	1,017468437	0,98283147	#DIV/0!
ATP5MGL	0,268357209	0,024983222	0,013	0	1	1,017467859	0,982832029	#DIV/0!
CRYBB2	0,268357209	0,024983222	0,013	0	1	1,017467859	0,982832029	#DIV/0!
CTF1	0,268357209	0,024983222	0,013	0	1	1,017467859	0,982832029	#DIV/0!
WDR75	0,003272114	0,024964985	0,2	0,05	1	1,017454997	0,982844453	4
ZNF853	0,022235805	0,024932561	0,212	0,08	1	1,017432131	0,982866542	2,65
VCAM1	0,114652585	0,02492604	0,025	0	1	1,017427532	0,982870984	#DIV/0!
VIM-AS1	0,488500108	0,024876217	0,038	0,02	1	1,017392396	0,982904928	1,9
NUFIP1	0,030337439	0,024857209	0,188	0,07	1	1,017378992	0,982917878	2,685714286
SYNJ2	0,219108376	0,024853459	0,038	0,01	1	1,017376347	0,982920433	3,8
AGAP1	0,015794214	0,024833482	0,362	0,16	1	1,01736226	0,982934043	2,2625
MT-ND6	0,007280643	0,024816008	0,225	0,07	1	1,017349937	0,982945949	3,214285714
IKBKE	0,11122839	0,024810991	0,05	0,01	1	1,017346399	0,982949368	5
RPL35A	0,613401932	0,024809317	1	1	1	1,017345219	0,982950508	1
COL18A1-AS1	0,268357209	0,024797706	0,013	0	1	1,017337032	0,982958419	#DIV/0!
SP140	0,268357209	0,024797706	0,013	0	1	1,017337032	0,982958419	#DIV/0!
ZNF214	0,268357209	0,024797706	0,013	0	1	1,017337032	0,982958419	#DIV/0!
OPLAH	0,114652585	0,024796284	0,025	0	1	1,017336029	0,982959387	#DIV/0!
RNF43	0,114652585	0,024788517	0,025	0	1	1,017330552	0,98296468	#DIV/0!
PLD6	0,055334082	0,024716169	0,062	0,01	1	1,017279536	0,983013975	6,2
CRACR2B	0,114652585	0,024714809	0,025	0	1	1,017278577	0,983014901	#DIV/0!
GHR	0,114652585	0,024687689	0,025	0	1	1,017259454	0,98303338	#DIV/0!
DIRAS3	0,006033178	0,024664638	0,225	0,07	1	1,017243201	0,983049087	3,214285714
SIX2	0,114652585	0,024641875	0,025	0	1	1,017227151	0,983064597	#DIV/0!
SPIN2B	0,152427848	0,02463548	0,062	0,02	1	1,017222642	0,983068955	3,1

Supplementary Table 4

Differentially expressed genes_keloid-CCD_comparing SC-Keloid vs. (SC-Myel, SC-Nonmyel)								
gene	p_val	avg_log2FC	pct.1	pct.2	p_val_adj	Foldchange_UP	Foldchange_DOWN	Ratio_pct1_pct2
FAM71F2	0,052279021	0,024615792	0,038	0	1	1,01720876	0,983082371	#DIV/0!
TRIM73	0,439855668	0,024607788	0,025	0,01	1	1,017203117	0,983087825	2,5
DSC2	0,268357209	0,024593945	0,013	0	1	1,017193356	0,983097258	#DIV/0!
BICDL2	0,114652585	0,024590474	0,025	0	1	1,01719091	0,983099623	#DIV/0!
PRDX3	0,012813899	0,024585146	0,625	0,29	1	1,017187153	0,983103254	2,155172414
IPPK	0,219108376	0,024583584	0,038	0,01	1	1,017186052	0,983104318	3,8
TRAM2	0,000228605	0,024543653	0,438	0,14	1	1,017157898	0,983131529	3,128571429
ARL17A	0,439855668	0,024466675	0,025	0,01	1	1,017103627	0,983183988	2,5
PDLIM5	0,009254506	0,024420304	0,325	0,13	1	1,017070936	0,98321559	2,5
AGBL5-AS1	0,268357209	0,024418277	0,013	0	1	1,017069507	0,983216971	#DIV/0!
LINC00352	0,268357209	0,024418277	0,013	0	1	1,017069507	0,983216971	#DIV/0!
SH3TC2	0,268357209	0,024418277	0,013	0	1	1,017069507	0,983216971	#DIV/0!
MRPL49	0,019307376	0,024399196	0,25	0,1	1	1,017056055	0,983229975	2,5
RAB36	0,223365318	0,024398308	0,038	0,01	1	1,017055429	0,983230581	3,8
GNMT	0,114652585	0,024352511	0,025	0	1	1,017023145	0,983261792	#DIV/0!
SKIDA1	0,052279021	0,024337503	0,038	0	1	1,017012565	0,983272021	#DIV/0!
FAP	0,219108376	0,024261018	0,038	0,01	1	1,016958649	0,983324151	3,8
PHF2	0,002837219	0,024190485	0,288	0,09	1	1,016908931	0,983372227	3,2
IVD	0,001272061	0,024189461	0,262	0,07	1	1,016908209	0,983372925	3,742857143
ANKRD42	0,008260951	0,024183758	0,162	0,04	1	1,01690419	0,983376812	4,05
STK38L	0,012429073	0,024174989	0,112	0,02	1	1,016898008	0,98338279	5,6
NRL	0,439855668	0,024151326	0,025	0,01	1	1,01688133	0,983398918	2,5
GRIA3	0,268357209	0,024150129	0,013	0	1	1,016880486	0,983399734	#DIV/0!
SLC18A2	0,268357209	0,024150129	0,013	0	1	1,016880486	0,983399734	#DIV/0!
ZNF658	0,268357209	0,024150129	0,013	0	1	1,016880486	0,983399734	#DIV/0!
PARP3	0,027302098	0,024117511	0,138	0,04	1	1,016857495	0,983421969	3,45
NDST3	0,114652585	0,024110106	0,025	0	1	1,016852276	0,983427016	#DIV/0!
UFSP1	0,114652585	0,024076504	0,025	0	1	1,016828593	0,983449922	#DIV/0!
LAS1L	0,001616235	0,024046283	0,238	0,06	1	1,016807293	0,983470523	3,966666667
NBR1	0,026747286	0,024037671	0,275	0,12	1	1,016801223	0,983476394	2,291666667

Supplementary Table 4

Differentially expressed genes_keloid-CCD_ comparing SC-Keloid vs. (SC-Myel, SC-Nonmyel)								
gene	p_val	avg_log2FC	pct.1	pct.2	p_val_adj	Foldchange_UP	Foldchange_DOWN	Ratio_pct1_pct2
PPP1R3B	0,223365318	0,024035808	0,038	0,01	1	1,01679991	0,983477664	3,8
AGAP5	0,223365318	0,024021469	0,038	0,01	1	1,016789804	0,983487439	3,8
PLCL1	0,114652585	0,023981233	0,025	0	1	1,016761447	0,983514868	#DIV/0!
HOXB6	0,154906213	0,023947647	0,062	0,02	1	1,016737777	0,983537765	3,1
KRT18	0,005473966	0,023793537	0,15	0,03	1	1,016629174	0,983642832	5
ECM2	0,052279021	0,023790522	0,038	0	1	1,016627049	0,983644888	#DIV/0!
NTSR1	0,114652585	0,023782235	0,025	0	1	1,01662121	0,983650538	#DIV/0!
NKAIN4	0,153278583	0,023781714	0,212	0,12	1	1,016620842	0,983650894	1,766666667
APOM	0,034247231	0,023759936	0,112	0,03	1	1,016605496	0,983665742	3,733333333
MRPL47	0,003333959	0,023756926	0,613	0,27	1	1,016603375	0,983667795	2,27037037
TNIP2	0,002847788	0,023752084	0,412	0,16	1	1,016599964	0,983671095	2,575
GAS2L1	0,000504296	0,023718745	0,388	0,12	1	1,016576471	0,983693827	3,233333333
PLXNA2	0,114652585	0,023668431	0,025	0	1	1,016541018	0,983728135	#DIV/0!
KRTAP5-AS1	0,223365318	0,023608617	0,038	0,01	1	1,016498874	0,983768921	3,8
CEMIP	0,114652585	0,023593314	0,025	0	1	1,016488092	0,983779356	#DIV/0!
LMF1	0,031919537	0,023581478	0,188	0,07	1	1,016479752	0,983787427	2,685714286
VOPP1	0,031517523	0,023573392	0,188	0,07	1	1,016474056	0,98379294	2,685714286
ABCC4	0,114652585	0,023571331	0,025	0	1	1,016472603	0,983794346	#DIV/0!
HSD17B14	0,114652585	0,02356978	0,025	0	1	1,016471511	0,983795404	#DIV/0!
AC004448.2	0,268357209	0,023547807	0,013	0	1	1,016456029	0,983810387	#DIV/0!
HROB	0,268357209	0,023547807	0,013	0	1	1,016456029	0,983810387	#DIV/0!
IL24	0,268357209	0,023547807	0,013	0	1	1,016456029	0,983810387	#DIV/0!
KCNH3	0,268357209	0,023547807	0,013	0	1	1,016456029	0,983810387	#DIV/0!
SLC9B2	0,01362345	0,023534219	0,088	0,01	1	1,016446455	0,983819654	8,8
NTMT1	0,002371417	0,023531436	0,575	0,24	1	1,016444495	0,983821551	2,395833333
COX4I2	0,874019543	0,023529318	0,013	0,01	1	1,016443003	0,983822996	1,3
AGT	0,268357209	0,023504838	0,013	0	1	1,016425756	0,98383969	#DIV/0!
BOLA2	0,268357209	0,023504838	0,013	0	1	1,016425756	0,98383969	#DIV/0!
EPHX2	0,268357209	0,023504838	0,013	0	1	1,016425756	0,98383969	#DIV/0!
HCAR1	0,268357209	0,023504838	0,013	0	1	1,016425756	0,98383969	#DIV/0!

Supplementary Table 4

Differentially expressed genes_keloid-CCD_ comparing SC-Keloid vs. (SC-Myel, SC-Nonmyel)								
gene	p_val	avg_log2FC	pct.1	pct.2	p_val_adj	Foldchange_UP	Foldchange_DOWN	Ratio_pct1_pct2
IL12A-AS1	0,268357209	0,023504838	0,013	0	1	1,016425756	0,98383969	#DIV/0!
NAT16	0,268357209	0,023504838	0,013	0	1	1,016425756	0,98383969	#DIV/0!
OR5AU1	0,268357209	0,023504838	0,013	0	1	1,016425756	0,98383969	#DIV/0!
SLC26A10	0,268357209	0,023504838	0,013	0	1	1,016425756	0,98383969	#DIV/0!
SLC4A1	0,268357209	0,023504838	0,013	0	1	1,016425756	0,98383969	#DIV/0!
IL15RA	0,114652585	0,023416912	0,025	0	1	1,016363811	0,983899652	#DIV/0!
NPIPA1	0,157415062	0,023379233	0,062	0,02	1	1,016337267	0,983925349	3,1
NFS1	0,002482056	0,023377731	0,188	0,04	1	1,016335912	0,983926661	4,7
CCDC183	0,223365318	0,023358652	0,038	0,01	1	1,016322768	0,983939386	3,8
PLCD1	0,219108376	0,023348525	0,038	0,01	1	1,016315634	0,983946293	3,8
INO80E	0,002421923	0,023342245	0,375	0,14	1	1,01631121	0,983950576	2,678571429
ZNF557	0,11122839	0,023271566	0,05	0,01	1	1,016261421	0,983998782	5
FGF22	0,114652585	0,023270188	0,025	0	1	1,016260451	0,983999721	#DIV/0!
CARMIL2	0,114652585	0,023233622	0,025	0	1	1,016234693	0,984024662	#DIV/0!
MPND	0,006404327	0,023233013	0,125	0,02	1	1,016234264	0,984025077	6,25
HACD1	0,033686337	0,023227967	0,112	0,03	1	1,01623071	0,984028519	3,733333333
MRPL38	0,023437611	0,023197445	0,1	0,02	1	1,016209211	0,984049337	5
PPP5D1P	0,052279021	0,023192373	0,038	0	1	1,016205638	0,984052797	#DIV/0!
GPN2	0,035392992	0,023138583	0,112	0,03	1	1,016167749	0,984089488	3,733333333
HMBOX1	0,033833954	0,023117086	0,2	0,08	1	1,016152608	0,984104151	2,5
RGPD2	0,114652585	0,023100228	0,025	0	1	1,016140735	0,98411565	#DIV/0!
FBXO43	0,114652585	0,023093079	0,025	0	1	1,016135699	0,984120527	#DIV/0!
AMOTL1	0,004687554	0,023059498	0,35	0,13	1	1,016112048	0,984143434	2,692307692
CD72	0,268357209	0,023015852	0,013	0	1	1,016081307	0,984173208	#DIV/0!
DCST2	0,268357209	0,023015852	0,013	0	1	1,016081307	0,984173208	#DIV/0!
DOCK8-AS1	0,268357209	0,023015852	0,013	0	1	1,016081307	0,984173208	#DIV/0!
EGR4	0,268357209	0,023015852	0,013	0	1	1,016081307	0,984173208	#DIV/0!
INSM2	0,268357209	0,023015852	0,013	0	1	1,016081307	0,984173208	#DIV/0!
KIF26B	0,268357209	0,023015852	0,013	0	1	1,016081307	0,984173208	#DIV/0!
MRPL48	0,002162785	0,023011516	0,288	0,09	1	1,016078254	0,984176166	3,2

Supplementary Table 4

Differentially expressed genes_keloid-CCD_ comparing SC-Keloid vs. (SC-Myel, SC-Nonmyel)								
gene	p_val	avg_log2FC	pct.1	pct.2	p_val_adj	Foldchange_UP	Foldchange_DOWN	Ratio_pct1_pct2
SLC39A11	0,055334082	0,02300033	0,062	0,01	1	1,016070375	0,984183797	6,2
ANKMY1	0,114652585	0,022999678	0,025	0	1	1,016069916	0,984184242	#DIV/0!
PRELID2	0,061661173	0,022992742	0,1	0,03	1	1,016065031	0,984188973	3,333333333
NMD3	0,000775487	0,022979338	0,338	0,1	1	1,016055591	0,984198118	3,38
SPHK2	0,019378739	0,022897308	0,125	0,03	1	1,015997821	0,984254079	4,166666667
SKP2	0,055334082	0,022888895	0,062	0,01	1	1,015991897	0,984259819	6,2
AVPR1A	0,874019543	0,022851901	0,013	0,01	1	1,015965844	0,984285058	1,3
HIGD1B	0,114652585	0,022836613	0,025	0	1	1,015955078	0,984295489	#DIV/0!
SFMBT1	0,027487357	0,022814538	0,075	0,01	1	1,015939533	0,984310549	7,5
OSTM1	0,00078565	0,022797511	0,488	0,18	1	1,015927543	0,984322167	2,711111111
TRERF1	0,114652585	0,022791206	0,025	0	1	1,015923103	0,984326469	#DIV/0!
WARS1	0,001260506	0,022773113	0,462	0,17	1	1,015910362	0,984338813	2,717647059
MIR497HG	0,114652585	0,022751645	0,025	0	1	1,015895245	0,98435346	#DIV/0!
ZNF407-AS1	0,046263823	0,022744436	0,125	0,04	1	1,015890169	0,984358379	3,125
PAFAH1B2	0,005570565	0,022727956	0,588	0,27	1	1,015878564	0,984369624	2,177777778
YEATS2	0,129866939	0,022725456	0,1	0,04	1	1,015876804	0,98437133	2,5
ARMT1	0,033125374	0,022723318	0,15	0,05	1	1,015875299	0,984372788	3
C9orf153	0,114652585	0,022686841	0,025	0	1	1,015849614	0,984397677	#DIV/0!
TNFRSF9	0,114652585	0,022667362	0,025	0	1	1,015835898	0,984410969	#DIV/0!
NHLRC1	0,488500108	0,02265482	0,038	0,02	1	1,015827067	0,984419527	1,9
DMRTA1	0,223365318	0,022654187	0,038	0,01	1	1,015826621	0,984419958	3,8
GFOD2	0,001670062	0,022647903	0,238	0,06	1	1,015822196	0,984424246	3,966666667
PCBP2	0,168509154	0,022606657	0,912	0,66	1	1,015793155	0,984452391	1,381818182
DACH1	0,114652585	0,022604663	0,025	0	1	1,015791751	0,984453751	#DIV/0!
SHISA2	0,114652585	0,022604663	0,025	0	1	1,015791751	0,984453751	#DIV/0!
FAM126B	0,148848497	0,022603972	0,188	0,1	1	1,015791264	0,984454223	1,88
SIN3B	0,011441655	0,022591008	0,212	0,07	1	1,015782136	0,98446307	3,028571429
EOGT	0,045399153	0,022581012	0,088	0,02	1	1,015775098	0,984469891	4,4
CARD14	0,268357209	0,022566547	0,013	0	1	1,015764914	0,984479762	#DIV/0!
LRRC55	0,268357209	0,022566547	0,013	0	1	1,015764914	0,984479762	#DIV/0!

Supplementary Table 4

Differentially expressed genes_keloid-CCD_ comparing SC-Keloid vs. (SC-Myel, SC-Nonmyel)								
gene	p_val	avg_log2FC	pct.1	pct.2	p_val_adj	Foldchange_UP	Foldchange_DOWN	Ratio_pct1_pct2
MYB	0,268357209	0,022566547	0,013	0	1	1,015764914	0,984479762	#DIV/0!
NEFH	0,268357209	0,022566547	0,013	0	1	1,015764914	0,984479762	#DIV/0!
PPP1R1B	0,268357209	0,022566547	0,013	0	1	1,015764914	0,984479762	#DIV/0!
PSD	0,268357209	0,022566547	0,013	0	1	1,015764914	0,984479762	#DIV/0!
SORL1	0,268357209	0,022566547	0,013	0	1	1,015764914	0,984479762	#DIV/0!
APOBEC3B	0,052279021	0,022559365	0,038	0	1	1,015759857	0,984484662	#DIV/0!
PHETA1	0,001624218	0,02255476	0,125	0,01	1	1,015756615	0,984487805	12,5
ZBTB3	0,114652585	0,022537193	0,025	0	1	1,015744247	0,984499792	#DIV/0!
LHX6	0,114652585	0,022514379	0,025	0	1	1,015728185	0,984515361	#DIV/0!
MTMR14	0,001782697	0,022498841	0,238	0,06	1	1,015717245	0,984525964	3,966666667
CACNA1D	0,059755621	0,022480182	0,1	0,03	1	1,015704109	0,984538697	3,333333333
ILK	0,148038307	0,022429811	0,812	0,5	1	1,015668646	0,984573073	1,624
REPIN1	0,000745011	0,022381902	0,45	0,16	1	1,015634919	0,984605769	2,8125
C17orf97	0,114652585	0,022363247	0,025	0	1	1,015621785	0,984618501	#DIV/0!
LINC00460	0,114652585	0,02229677	0,025	0	1	1,015574988	0,984663872	#DIV/0!
ADGRB1	0,114652585	0,022288522	0,025	0	1	1,015569183	0,984669501	#DIV/0!
COL16A1	0,0027636	0,022279791	0,725	0,32	1	1,015563036	0,98467546	2,265625
MANEA-DT	0,114652585	0,022278507	0,025	0	1	1,015562132	0,984676336	#DIV/0!
SRRM5	0,114652585	0,022273356	0,025	0	1	1,015558507	0,984679852	#DIV/0!
TMEM25	0,085199008	0,022266793	0,075	0,02	1	1,015553887	0,984684331	3,75
TCN2	0,114652585	0,0222575	0,025	0	1	1,015547345	0,984690674	#DIV/0!
REXO4	0,009017324	0,022197796	0,238	0,08	1	1,015505319	0,984731425	2,975
IL4R	0,023885059	0,02216389	0,1	0,02	1	1,015481453	0,984754568	5
RAB33A	0,114652585	0,022135818	0,025	0	1	1,015461694	0,98477373	#DIV/0!
CCDC134	0,114652585	0,02212815	0,025	0	1	1,015456296	0,984778964	#DIV/0!
TMEM217	0,035392992	0,022071676	0,112	0,03	1	1,015416547	0,984817514	3,733333333
RAPGEF1	0,004068718	0,022066155	0,175	0,04	1	1,015412661	0,984821283	4,375
ZNF695	0,052279021	0,021995782	0,038	0	1	1,015363132	0,984869322	#DIV/0!
ACP2	0,002937191	0,021979895	0,162	0,03	1	1,015351951	0,984880168	5,4
SPIN4	0,152427848	0,021972678	0,062	0,02	1	1,015346872	0,984885094	3,1

Supplementary Table 4

Differentially expressed genes_keloid-CCD_ comparing SC-Keloid vs. (SC-Myel, SC-Nonmyel)								
gene	p_val	avg_log2FC	pct.1	pct.2	p_val_adj	Foldchange_UP	Foldchange_DOWN	Ratio_pct1_pct2
GSN-AS1	0,114652585	0,021936057	0,025	0	1	1,015321099	0,984910095	#DIV/0!
ZNF770	0,005638626	0,021927134	0,25	0,08	1	1,015314819	0,984916187	3,125
MFSD11	0,015657851	0,021901155	0,275	0,11	1	1,015296536	0,984933922	2,5
ZNF419	0,114652585	0,021898102	0,025	0	1	1,015294388	0,984936007	#DIV/0!
ORC1	0,052279021	0,02188969	0,038	0	1	1,015288468	0,98494175	#DIV/0!
ZBED5-AS1	0,276717465	0,021880431	0,05	0,02	1	1,015281952	0,984948071	2,5
RASGRP3	0,214910006	0,021877005	0,038	0,01	1	1,015279541	0,98495041	3,8
SALL2	0,114652585	0,021872498	0,025	0	1	1,015276369	0,984953487	#DIV/0!
SLC1A2	0,114652585	0,021823332	0,025	0	1	1,01524177	0,984987054	#DIV/0!
S100A7	0,114652585	0,02181008	0,025	0	1	1,015232444	0,984996102	#DIV/0!
FBXO46	0,108976957	0,021792911	0,05	0,01	1	1,015220363	0,985007824	5
GPATCH1	0,060702201	0,021781655	0,1	0,03	1	1,015212441	0,985015509	3,333333333
GBGT1	0,114652585	0,021778276	0,025	0	1	1,015210064	0,985017816	#DIV/0!
CLDN7	0,114652585	0,021748918	0,025	0	1	1,015189406	0,98503786	#DIV/0!
CCL22	0,268357209	0,021723819	0,013	0	1	1,015171744	0,985054998	#DIV/0!
PLEK	0,268357209	0,021723819	0,013	0	1	1,015171744	0,985054998	#DIV/0!
SIAE	0,114652585	0,021719382	0,025	0	1	1,015168622	0,985058027	#DIV/0!
AGO4	0,085199008	0,021687398	0,075	0,02	1	1,015146116	0,985079866	3,75
TLE6	0,114652585	0,021668288	0,025	0	1	1,01513267	0,985092914	#DIV/0!
WASHC4	0,000561904	0,021652093	0,45	0,15	1	1,015121274	0,985103973	3
CD79A	0,114652585	0,021639989	0,025	0	1	1,015112757	0,985112238	#DIV/0!
FBXO48	0,11122839	0,021628685	0,05	0,01	1	1,015104804	0,985119956	5
CHRNA5	0,114652585	0,021624413	0,025	0	1	1,015101798	0,985122873	#DIV/0!
TNPO3	0,006211613	0,02158996	0,225	0,07	1	1,015077556	0,9851464	3,214285714
RNASE4	0,027487357	0,021523447	0,075	0,01	1	1,015030759	0,985191819	7,5
ZNF507	0,011441604	0,021523249	0,175	0,05	1	1,01503062	0,985191954	3,5
SSC4D	0,114652585	0,021509548	0,025	0	1	1,015020981	0,98520131	#DIV/0!
LRRC75B	0,008320951	0,021485979	0,2	0,06	1	1,015004398	0,985217406	3,333333333
AJM1	0,114652585	0,021466982	0,025	0	1	1,014991033	0,985230379	#DIV/0!
ZNF253	0,223365318	0,02144965	0,038	0,01	1	1,01497884	0,985242215	3,8

Supplementary Table 4

Differentially expressed genes_keloid-CCD_ comparing SC-Keloid vs. (SC-Myel, SC-Nonmyel)								
gene	p_val	avg_log2FC	pct.1	pct.2	p_val_adj	Foldchange_UP	Foldchange_DOWN	Ratio_pct1_pct2
SKAP2	0,052279021	0,021436056	0,038	0	1	1,014969276	0,985251499	#DIV/0!
FGF10-AS1	0,268357209	0,021432075	0,013	0	1	1,014966475	0,985254217	#DIV/0!
HCG27	0,268357209	0,021432075	0,013	0	1	1,014966475	0,985254217	#DIV/0!
POPDC2	0,114652585	0,021422801	0,025	0	1	1,014959951	0,985260551	#DIV/0!
SPNS2	0,825988348	0,02141856	0,025	0,02	1	1,014956967	0,985263447	1,25
CENPI	0,052279021	0,021409498	0,038	0	1	1,014950592	0,985269636	#DIV/0!
B4GALT3	0,001071889	0,021401171	0,288	0,08	1	1,014944733	0,985275323	3,6
AC123768.4	0,114652585	0,021323234	0,025	0	1	1,014889906	0,98532855	#DIV/0!
PIGL	0,063616753	0,021299389	0,1	0,03	1	1,014873132	0,985344836	3,333333333
RPH3AL	0,114652585	0,021296759	0,025	0	1	1,014871282	0,985346633	#DIV/0!
SIRT7	0,009852533	0,021277209	0,275	0,1	1	1,014857529	0,985359985	2,75
CD34	0,223365318	0,021253896	0,038	0,01	1	1,01484113	0,985375908	3,8
NCR3LG1	0,052279021	0,021246509	0,038	0	1	1,014835934	0,985380953	#DIV/0!
GLB1L	0,114652585	0,02122703	0,025	0	1	1,014822232	0,985394258	#DIV/0!
MORC2	0,083746858	0,021192579	0,075	0,02	1	1,014797998	0,985417789	3,75
MTBP	0,114652585	0,021182292	0,025	0	1	1,014790762	0,985424816	#DIV/0!
SLC25A10	0,023885059	0,021176909	0,1	0,02	1	1,014786976	0,985428492	5
REPS1	0,046263823	0,02117522	0,125	0,04	1	1,014785788	0,985429646	3,125
ZMYND19	0,002827454	0,021155121	0,162	0,03	1	1,014771651	0,985443375	5,4
CYP2J2	0,114652585	0,021151527	0,025	0	1	1,014769123	0,985445829	#DIV/0!
MAGEE1	0,114652585	0,021122677	0,025	0	1	1,01474883	0,985465536	#DIV/0!
SLC4A8	0,052279021	0,021095125	0,038	0	1	1,014729451	0,985484357	#DIV/0!
FIGNL1	0,488500108	0,021085467	0,038	0,02	1	1,014722658	0,985490954	1,9
TRNAU1AP	0,002916894	0,02100855	0,412	0,16	1	1,01466856	0,985543496	2,575
GJA3	0,114652585	0,021005474	0,025	0	1	1,014666397	0,985545597	#DIV/0!
STON2	0,066778386	0,02094606	0,15	0,06	1	1,01462461	0,985586186	2,5
TBC1D16	0,230847465	0,02092168	0,112	0,06	1	1,014607465	0,985602841	1,866666667
AFF1	0,047655629	0,020913481	0,175	0,07	1	1,014601699	0,985608442	2,5
MEN1	0,023437611	0,020859097	0,1	0,02	1	1,014563453	0,985645597	5
PRMT5	0,005182399	0,020846097	0,25	0,08	1	1,014554311	0,985654479	3,125

Supplementary Table 4

Differentially expressed genes_keloid-CCD_ comparing SC-Keloid vs. (SC-Myel, SC-Nonmyel)								
gene	p_val	avg_log2FC	pct.1	pct.2	p_val_adj	Foldchange_UP	Foldchange_DOWN	Ratio_pct1_pct2
CSF2RB	0,874019543	0,020842679	0,013	0,01	1	1,014551907	0,985656814	1,3
CHEK1	0,005788164	0,020839957	0,188	0,05	1	1,014549993	0,985658673	3,76
DPY19L2	0,052279021	0,020823138	0,038	0	1	1,014538165	0,985670165	#DIV/0!
DMXL2	0,221706325	0,020813694	0,1	0,05	1	1,014531524	0,985676616	2
HSD11B1L	0,019378739	0,020813135	0,125	0,03	1	1,014531131	0,985676998	4,166666667
MEA1	0,001018499	0,020811387	0,412	0,14	1	1,014529902	0,985678193	2,942857143
PPIP5K1	0,052279021	0,020778738	0,038	0	1	1,014506943	0,985700499	#DIV/0!
MN1	0,114652585	0,020778583	0,025	0	1	1,014506834	0,985700605	#DIV/0!
SPRED2	0,075380872	0,020749721	0,162	0,07	1	1,014486538	0,985720325	2,314285714
DHX57	0,09439712	0,020741607	0,125	0,05	1	1,014480832	0,985725869	2,5
ZNF718	0,114652585	0,020680237	0,025	0	1	1,014437679	0,985767801	#DIV/0!
WDHD1	0,114652585	0,020652221	0,025	0	1	1,01441798	0,985786944	#DIV/0!
CAAP1	0,002347143	0,020645247	0,25	0,07	1	1,014413076	0,985791709	3,571428571
H2AC16	0,114652585	0,02063908	0,025	0	1	1,014408739	0,985795923	#DIV/0!
LAT2	0,114652585	0,020618091	0,025	0	1	1,014393981	0,985810265	#DIV/0!
CACNG8	0,268357209	0,020612635	0,013	0	1	1,014390146	0,985813993	#DIV/0!
CCL14	0,268357209	0,020612635	0,013	0	1	1,014390146	0,985813993	#DIV/0!
BCDIN3D	0,052279021	0,020583973	0,038	0	1	1,014369992	0,985833579	#DIV/0!
IL27RA	0,276717465	0,020581998	0,05	0,02	1	1,014368604	0,985834928	2,5
JPH1	0,114652585	0,020558824	0,025	0	1	1,014352311	0,985850764	#DIV/0!
LRP4-AS1	0,114652585	0,020534359	0,025	0	1	1,014335109	0,985867482	#DIV/0!
ZNF696	0,052279021	0,0205331	0,038	0	1	1,014334224	0,985868342	#DIV/0!
TFR2	0,114652585	0,020511969	0,025	0	1	1,014319367	0,985882782	#DIV/0!
ZBTB42	0,11122839	0,020470117	0,05	0,01	1	1,014289943	0,985911383	5
CCDC157	0,154906213	0,020450753	0,062	0,02	1	1,014276329	0,985924616	3,1
ABCB10	0,045399153	0,02040996	0,088	0,02	1	1,01424765	0,985952494	4,4
GFM1	0,257655929	0,020346523	0,125	0,07	1	1,014203053	0,985995848	1,785714286
AGBL2	0,114652585	0,020338899	0,025	0	1	1,014197694	0,986001059	#DIV/0!
ZBTB39	0,439855668	0,020330701	0,025	0,01	1	1,014191931	0,986006662	2,5
SH2B1	0,002024826	0,020298273	0,212	0,05	1	1,014169135	0,986028825	4,24

Supplementary Table 4

Differentially expressed genes_keloid-CCD_ comparing SC-Keloid vs. (SC-Myel, SC-Nonmyel)								
gene	p_val	avg_log2FC	pct.1	pct.2	p_val_adj	Foldchange_UP	Foldchange_DOWN	Ratio_pct1_pct2
STK11IP	0,003269989	0,020265429	0,138	0,02	1	1,014146046	0,986051273	6,9
LIG1	0,01419515	0,020264935	0,15	0,04	1	1,014145699	0,986051611	3,75
LZTFL1	0,005575985	0,020208465	0,15	0,03	1	1,014106004	0,986090207	5
FSIP1	0,11122839	0,020199903	0,05	0,01	1	1,014099986	0,98609606	5
TTPAL	0,026474273	0,020185847	0,138	0,04	1	1,014090106	0,986105667	3,45
MFSD4B	0,045399153	0,020154429	0,088	0,02	1	1,014068022	0,986127142	4,4
ARFGEF3	0,114652585	0,020135862	0,025	0	1	1,014054971	0,986139833	#DIV/0!
GPSM1	0,001580031	0,020121379	0,425	0,16	1	1,014044791	0,986149733	2,65625
ALDH4A1	0,149979778	0,020111142	0,062	0,02	1	1,014037596	0,98615673	3,1
GTF2H1	0,017794508	0,020104185	0,275	0,11	1	1,014032706	0,986161486	2,5
COX6B2	0,114652585	0,020048672	0,025	0	1	1,013993688	0,986199433	#DIV/0!
PAX8	0,114652585	0,020028428	0,025	0	1	1,01397946	0,986213271	#DIV/0!
SYN3	0,276717465	0,019953373	0,05	0,02	1	1,013926709	0,98626458	2,5
XPO7	0,006582803	0,019935773	0,225	0,07	1	1,01391434	0,986276611	3,214285714
TMSB15B	0,052279021	0,019928498	0,038	0	1	1,013909228	0,986281584	#DIV/0!
KNTC1	0,062632651	0,019902887	0,1	0,03	1	1,013891229	0,986299093	3,333333333
PARD6A	0,011601478	0,01989408	0,212	0,07	1	1,01388504	0,986305114	3,028571429
STK32C	0,022801795	0,019891696	0,212	0,08	1	1,013883364	0,986306745	2,65
DYSF	0,114652585	0,019886782	0,025	0	1	1,013879911	0,986310104	#DIV/0!
TMEM184C	0,017776655	0,01986058	0,125	0,03	1	1,013861497	0,986328017	4,166666667
MBTPS1	0,003026636	0,019851073	0,462	0,19	1	1,013854816	0,986334517	2,431578947
DUS1L	2,15946E-05	0,019818056	0,488	0,14	0,455667922	1,013831613	0,98635709	3,485714286
ZBTB25	0,128188456	0,019802595	0,1	0,04	1	1,013820748	0,986367661	2,5
ORC6	0,000711633	0,019769528	0,212	0,04	1	1,013797512	0,986390269	5,3
HFM1	0,268357209	0,019762172	0,013	0	1	1,013792342	0,986395298	#DIV/0!
NKAPL	0,268357209	0,019762172	0,013	0	1	1,013792342	0,986395298	#DIV/0!
PAX6	0,268357209	0,019762172	0,013	0	1	1,013792342	0,986395298	#DIV/0!
CYB561D1	0,052279021	0,019747309	0,038	0	1	1,013781898	0,98640546	#DIV/0!
LINC02693	0,284975754	0,019725048	0,05	0,02	1	1,013766255	0,986420681	2,5
TBC1D31	0,052279021	0,019686911	0,038	0	1	1,013739458	0,986446757	#DIV/0!

Supplementary Table 4

Differentially expressed genes_keloid-CCD_ comparing SC-Keloid vs. (SC-Myel, SC-Nonmyel)								
gene	p_val	avg_log2FC	pct.1	pct.2	p_val_adj	Foldchange_UP	Foldchange_DOWN	Ratio_pct1_pct2
PCDHB10	0,432207887	0,019636728	0,025	0,01	1	1,013704196	0,98648107	2,5
TRMT6	0,060702201	0,019635846	0,1	0,03	1	1,013703576	0,986481673	3,333333333
ASNS	0,000180127	0,019621302	0,325	0,08	1	1,013693357	0,986491618	4,0625
KDM2B	0,053565038	0,01961219	0,138	0,05	1	1,013686955	0,986497849	2,76
DAPK1	0,114652585	0,019599277	0,025	0	1	1,013677882	0,986506678	#DIV/0!
ATG16L2	0,108960046	0,019596767	0,138	0,06	1	1,013676118	0,986508395	2,3
FBXL2	0,006731552	0,019592811	0,1	0,01	1	1,013673339	0,9865111	10
LGALS9	0,114652585	0,019571241	0,025	0	1	1,013658183	0,98652585	#DIV/0!
RTP4	0,114652585	0,019549161	0,025	0	1	1,013642669	0,986540948	#DIV/0!
TM6SF2	0,114652585	0,019549161	0,025	0	1	1,013642669	0,986540948	#DIV/0!
FLT3LG	0,223365318	0,019466281	0,038	0,01	1	1,013584439	0,986597625	3,8
GSTM4	0,026867238	0,019465954	0,175	0,06	1	1,013584209	0,986597848	2,916666667
P2RX4	0,004260066	0,019453199	0,238	0,07	1	1,013575248	0,986606571	3,4
VCP	0,004994359	0,019403689	0,725	0,36	1	1,013540465	0,98664043	2,013888889
BBS4	0,005405907	0,019331578	0,212	0,06	1	1,013489806	0,986689747	3,533333333
TPD52L1	0,114652585	0,019312443	0,025	0	1	1,013476364	0,986702834	#DIV/0!
C19orf18	0,268357209	0,01930004	0,013	0	1	1,013467651	0,986711317	#DIV/0!
BTBD16	0,114652585	0,019294878	0,025	0	1	1,013464025	0,986714847	#DIV/0!
ACADSB	0,003269989	0,019290061	0,138	0,02	1	1,013460641	0,986718142	6,9
GLB1L2	0,052279021	0,019283047	0,038	0	1	1,013455714	0,986722938	#DIV/0!
UCK2	0,000908788	0,019272733	0,25	0,06	1	1,013448469	0,986729993	4,166666667
MRPL9	0,001790347	0,019256655	0,338	0,11	1	1,013437174	0,986740989	3,072727273
ALDH3B1	0,060702201	0,019253794	0,1	0,03	1	1,013435165	0,986742946	3,333333333
HIF1AN	0,058821317	0,019230654	0,1	0,03	1	1,01341891	0,986758773	3,333333333
SLC41A2	0,063616753	0,019226728	0,1	0,03	1	1,013416152	0,986761458	3,333333333
BAP1	0,003382884	0,019182366	0,2	0,05	1	1,013384991	0,986791801	4
YTHDF3	0,005637319	0,01913125	0,388	0,15	1	1,013349086	0,986826765	2,586666667
HERC6	0,052279021	0,019129143	0,038	0	1	1,013347606	0,986828206	#DIV/0!
DTX2	0,272650094	0,019120059	0,05	0,02	1	1,013341225	0,98683442	2,5
CHCHD3	0,00064106	0,01908524	0,488	0,18	1	1,013316769	0,986858237	2,711111111

Supplementary Table 4

Differentially expressed genes_keloid-CCD_comparing SC-Keloid vs. (SC-Myel, SC-Nonmyel)								
gene	p_val	avg_log2FC	pct.1	pct.2	p_val_adj	Foldchange_UP	Foldchange_DOWN	Ratio_pct1_pct2
VSIG8	0,223365318	0,019069288	0,038	0,01	1	1,013305565	0,986869148	3,8
CAMKV	0,114652585	0,019056131	0,025	0	1	1,013296324	0,986878149	#DIV/0!
LONRF1	0,034245219	0,019019172	0,2	0,08	1	1,013270365	0,986903431	2,5
INPP4B	0,044922833	0,019018656	0,125	0,04	1	1,013270003	0,986903784	3,125
CPT2	0,157415062	0,01898176	0,062	0,02	1	1,01324409	0,986929023	3,1
ZP1	0,114652585	0,018980511	0,025	0	1	1,013243212	0,986929878	#DIV/0!
UBTF	0,000140161	0,018942601	0,462	0,14	1	1,013216588	0,986955812	3,3
IQCC	0,052279021	0,018921178	0,038	0	1	1,013201542	0,986970468	#DIV/0!
ZCWPW1	0,11122839	0,01890073	0,05	0,01	1	1,013187182	0,986984457	5
AP000265.1	0,114652585	0,018883281	0,025	0	1	1,013174927	0,986996394	#DIV/0!
SPG21	0,000709555	0,018874106	0,338	0,1	1	1,013168484	0,987002671	3,38
CFAP418	0,114652585	0,018865464	0,025	0	1	1,013162415	0,987008584	#DIV/0!
TIGD7	0,223365318	0,018843062	0,038	0,01	1	1,013146683	0,98702391	3,8
XRCC2	0,11122839	0,018821678	0,05	0,01	1	1,013131666	0,98703854	5
ACAD10	0,114652585	0,018819422	0,025	0	1	1,013130082	0,987040083	#DIV/0!
EDARADD	0,114652585	0,01881453	0,025	0	1	1,013126646	0,98704343	#DIV/0!
GLI2	0,114652585	0,01881453	0,025	0	1	1,013126646	0,98704343	#DIV/0!
GPRIN1	0,114652585	0,01881453	0,025	0	1	1,013126646	0,98704343	#DIV/0!
GPR157	0,11122839	0,018787045	0,05	0,01	1	1,013107345	0,987062234	5
MYOF	0,001077043	0,018777665	0,4	0,14	1	1,013100759	0,987068652	2,857142857
SF3B2	0,022665666	0,018750395	0,787	0,42	1	1,013081608	0,98708731	1,873809524
EEF1AKMT1	0,00033236	0,018739164	0,25	0,05	1	1,013073722	0,987094994	5
C19orf73	0,223365318	0,018700245	0,038	0,01	1	1,013046393	0,987121623	3,8
TBX1	0,223365318	0,018663764	0,038	0,01	1	1,013020777	0,987146584	3,8
ZNF555	0,223365318	0,018596352	0,038	0,01	1	1,012973444	0,987192711	3,8
HAS2-AS1	0,052279021	0,01859177	0,038	0	1	1,012970226	0,987195847	#DIV/0!
TRAM2-AS1	0,109006576	0,01857743	0,088	0,03	1	1,012960157	0,987205659	2,933333333
PRKAR2A-AS1	0,114652585	0,018553946	0,025	0	1	1,012943669	0,987221729	#DIV/0!
ANKRD26	0,008729247	0,018542938	0,325	0,13	1	1,01293594	0,987229261	2,5
STAT6	0,000187937	0,018529769	0,238	0,04	1	1,012926694	0,987238273	5,95

Supplementary Table 4

Differentially expressed genes_keloid-CCD_ comparing SC-Keloid vs. (SC-Myel, SC-Nonmyel)								
gene	p_val	avg_log2FC	pct.1	pct.2	p_val_adj	Foldchange_UP	Foldchange_DOWN	Ratio_pct1_pct2
POLR2J3	0,223365318	0,018526997	0,038	0,01	1	1,012924748	0,98724017	3,8
ZKSCAN3	0,114652585	0,018511791	0,025	0	1	1,012914071	0,987250576	#DIV/0!
CCL4	0,268357209	0,018493498	0,013	0	1	1,012901228	0,987263094	#DIV/0!
CCL4L2	0,268357209	0,018493498	0,013	0	1	1,012901228	0,987263094	#DIV/0!
DYNLT5	0,268357209	0,018493498	0,013	0	1	1,012901228	0,987263094	#DIV/0!
LINC00852	0,268357209	0,018493498	0,013	0	1	1,012901228	0,987263094	#DIV/0!
RAB15	0,268357209	0,018493498	0,013	0	1	1,012901228	0,987263094	#DIV/0!
SLC2A12	0,268357209	0,018493498	0,013	0	1	1,012901228	0,987263094	#DIV/0!
TMEM106A	0,268357209	0,018493498	0,013	0	1	1,012901228	0,987263094	#DIV/0!
ZNF221	0,268357209	0,018493498	0,013	0	1	1,012901228	0,987263094	#DIV/0!
LGR5	0,268357209	0,018484652	0,013	0	1	1,012895017	0,987269147	#DIV/0!
PPP1R14C	0,268357209	0,018484652	0,013	0	1	1,012895017	0,987269147	#DIV/0!
ZNF513	0,014900385	0,018479762	0,15	0,04	1	1,012891584	0,987272494	3,75
OASL	0,114652585	0,018479194	0,025	0	1	1,012891186	0,987272882	#DIV/0!
TARS2	0,061661173	0,018476155	0,1	0,03	1	1,012889052	0,987274962	3,333333333
PCDH12	0,223365318	0,018440289	0,038	0,01	1	1,012863871	0,987299507	3,8
ASB1	0,106476927	0,018433536	0,138	0,06	1	1,01285913	0,987304128	2,3
RNF25	0,01419515	0,0184132	0,15	0,04	1	1,012844853	0,987318045	3,75
DGAT1	0,000562245	0,018411331	0,3	0,08	1	1,012843541	0,987319324	3,75
TEC	0,114652585	0,018408872	0,025	0	1	1,012841815	0,987321007	#DIV/0!
RN7SL832P	0,114652585	0,01836179	0,025	0	1	1,012808761	0,987353228	#DIV/0!
CLHC1	0,188542969	0,018355101	0,075	0,03	1	1,012804065	0,987357806	2,5
VSIG2	0,114652585	0,018350141	0,025	0	1	1,012800584	0,9873612	#DIV/0!
CDK11A	0,006999556	0,01834512	0,312	0,12	1	1,012797059	0,987364637	2,6
SUPT7L	0,071149537	0,018334092	0,162	0,07	1	1,012789317	0,987372184	2,314285714
CEP78	0,026474273	0,018293875	0,138	0,04	1	1,012761084	0,987399709	3,45
SDCBP2	0,114652585	0,018264585	0,025	0	1	1,012740523	0,987419756	#DIV/0!
DNAAF3	0,114652585	0,018253799	0,025	0	1	1,012732952	0,987427138	#DIV/0!
PPRC1	0,038951864	0,018230317	0,162	0,06	1	1,012716468	0,98744321	2,7
CRACD	0,114652585	0,018212649	0,025	0	1	1,012704066	0,987455303	#DIV/0!

Supplementary Table 4

Differentially expressed genes_keloid-CCD_ comparing SC-Keloid vs. (SC-Myel, SC-Nonmyel)								
gene	p_val	avg_log2FC	pct.1	pct.2	p_val_adj	Foldchange_UP	Foldchange_DOWN	Ratio_pct1_pct2
ZRSR2	0,106476927	0,018190464	0,138	0,06	1	1,012688493	0,987470487	2,3
SLC45A1	0,114652585	0,018179257	0,025	0	1	1,012680626	0,987478158	#DIV/0!
USP13	0,007855091	0,018167812	0,162	0,04	1	1,012672593	0,987485992	4,05
RAPGEF3	0,494869729	0,018166474	0,038	0,02	1	1,012671654	0,987486908	1,9
C8orf82	0,001416128	0,018164557	0,475	0,18	1	1,012670308	0,98748822	2,638888889
TTC26	0,157415062	0,018157853	0,062	0,02	1	1,012665603	0,987492808	3,1
MTMR8	0,114652585	0,01815241	0,025	0	1	1,012661782	0,987496534	#DIV/0!
RABGGTB	3,29088E-05	0,01814736	0,537	0,17	0,694408356	1,012658237	0,987499991	3,158823529
GPR162	0,223365318	0,018093852	0,038	0,01	1	1,01262068	0,987536617	3,8
CMTM4	0,11122839	0,018066668	0,05	0,01	1	1,0126016	0,987555224	5
IRX2	0,223365318	0,01806327	0,038	0,01	1	1,012599214	0,987557551	3,8
NME7	0,004323714	0,018037537	0,238	0,07	1	1,012581153	0,987575166	3,4
CFI	0,447580525	0,018013105	0,025	0,01	1	1,012564005	0,987591891	2,5
DOCK1	0,008601516	0,017979753	0,4	0,17	1	1,012540597	0,987614722	2,352941176
ZNF773	0,223365318	0,017958941	0,038	0,01	1	1,012525991	0,987628969	3,8
ZNF286A	0,055334082	0,017946128	0,062	0,01	1	1,012516998	0,987637741	6,2
UNC5C	0,052279021	0,017886234	0,038	0	1	1,012474964	0,987678743	#DIV/0!
ZNF571	0,439855668	0,017879146	0,025	0,01	1	1,01246999	0,987683596	2,5
DHTKD1	0,062632651	0,01784233	0,1	0,03	1	1,012444153	0,987708801	3,333333333
GPAT4	0,000151858	0,017806063	0,375	0,1	1	1,012418702	0,987733631	3,75
LBX2-AS1	0,157415062	0,017783271	0,062	0,02	1	1,012402708	0,987749235	3,1
CNNM2	0,276717465	0,01777318	0,05	0,02	1	1,012395626	0,987756144	2,5
CCL21	0,114652585	0,017767574	0,025	0	1	1,012391693	0,987759982	#DIV/0!
IRAG1	0,114652585	0,017767574	0,025	0	1	1,012391693	0,987759982	#DIV/0!
MAML1	0,076251316	0,017738046	0,162	0,07	1	1,012370972	0,987780199	2,314285714
DPP4	0,268357209	0,017722007	0,013	0	1	1,012359717	0,98779118	#DIV/0!
ESR1	0,268357209	0,017722007	0,013	0	1	1,012359717	0,98779118	#DIV/0!
LRRC17	0,268357209	0,017722007	0,013	0	1	1,012359717	0,98779118	#DIV/0!
ZFYVE26	0,188542969	0,017698532	0,075	0,03	1	1,012343244	0,987807254	2,5
RUNDC1	0,063616753	0,017685561	0,1	0,03	1	1,012334143	0,987816135	3,333333333

Supplementary Table 4

Differentially expressed genes_keloid-CCD_ comparing SC-Keloid vs. (SC-Myel, SC-Nonmyel)								
gene	p_val	avg_log2FC	pct.1	pct.2	p_val_adj	Foldchange_UP	Foldchange_DOWN	Ratio_pct1_pct2
NANOS1	0,188542969	0,017677809	0,075	0,03	1	1,012328703	0,987821443	2,5
GSAP	0,154906213	0,017648621	0,062	0,02	1	1,012308222	0,987841429	3,1
CNEP1R1	0,002438112	0,017647929	0,188	0,04	1	1,012307736	0,987841902	4,7
PRAG1	0,007341753	0,017647101	0,162	0,04	1	1,012307155	0,987842469	4,05
ABHD14A	0,014714397	0,017646585	0,375	0,17	1	1,012306793	0,987842823	2,205882353
C19orf38	0,114652585	0,017619584	0,025	0	1	1,012287848	0,987861311	#DIV/0!
IGSF10	0,114652585	0,017619584	0,025	0	1	1,012287848	0,987861311	#DIV/0!
FAAP100	0,022801795	0,017619463	0,212	0,08	1	1,012287763	0,987861394	2,65
ADD1	0,001051076	0,017602285	0,662	0,27	1	1,01227571	0,987873156	2,451851852
AK4	0,114652585	0,017568951	0,025	0	1	1,012252321	0,987895981	#DIV/0!
NOSTRIN	0,114652585	0,017568951	0,025	0	1	1,012252321	0,987895981	#DIV/0!
UTP20	0,002482056	0,017549661	0,188	0,04	1	1,012238786	0,98790919	4,7
SH3RF2	0,114652585	0,01753942	0,025	0	1	1,012231601	0,987916203	#DIV/0!
MAP7	0,268357209	0,017517154	0,013	0	1	1,012215978	0,987931451	#DIV/0!
SYTL1	0,268357209	0,017505251	0,013	0	1	1,012207627	0,987939602	#DIV/0!
CCDC68	0,114652585	0,017471602	0,025	0	1	1,012184019	0,987962644	#DIV/0!
PDE2A	0,219108376	0,017470624	0,038	0,01	1	1,012183333	0,987963314	3,8
AKAP3	0,268357209	0,017467101	0,013	0	1	1,012180861	0,987965726	#DIV/0!
ASPRV1	0,268357209	0,017467101	0,013	0	1	1,012180861	0,987965726	#DIV/0!
DISP2	0,268357209	0,017467101	0,013	0	1	1,012180861	0,987965726	#DIV/0!
DQX1	0,268357209	0,017467101	0,013	0	1	1,012180861	0,987965726	#DIV/0!
FAM71F1	0,268357209	0,017467101	0,013	0	1	1,012180861	0,987965726	#DIV/0!
IL23A	0,268357209	0,017467101	0,013	0	1	1,012180861	0,987965726	#DIV/0!
LINC00853	0,268357209	0,017467101	0,013	0	1	1,012180861	0,987965726	#DIV/0!
LRRC37A	0,268357209	0,017467101	0,013	0	1	1,012180861	0,987965726	#DIV/0!
PCDHGA5	0,268357209	0,017467101	0,013	0	1	1,012180861	0,987965726	#DIV/0!
WIPF3	0,268357209	0,017467101	0,013	0	1	1,012180861	0,987965726	#DIV/0!
IRF6	0,114652585	0,017437457	0,025	0	1	1,012160064	0,987986027	#DIV/0!
ZNF414	0,029195518	0,017426963	0,188	0,07	1	1,012152701	0,987993213	2,685714286
RBPM5-AS1	0,223365318	0,017380039	0,038	0,01	1	1,012119781	0,988025349	3,8

Supplementary Table 4

Differentially expressed genes_keloid-CCD_ comparing SC-Keloid vs. (SC-Myel, SC-Nonmyel)								
gene	p_val	avg_log2FC	pct.1	pct.2	p_val_adj	Foldchange_UP	Foldchange_DOWN	Ratio_pct1_pct2
GNAL	0,052279021	0,017321614	0,038	0	1	1,012078794	0,988065362	#DIV/0!
EDNRA	0,223365318	0,017313035	0,038	0,01	1	1,012072776	0,988071237	3,8
KRBOX1	0,085199008	0,01729875	0,075	0,02	1	1,012062755	0,98808102	3,75
TONSL	0,114652585	0,017249936	0,025	0	1	1,012028512	0,988114453	#DIV/0!
SCARB1	0,81721858	0,017232563	0,025	0,02	1	1,012016326	0,988126352	1,25
DRD4	0,114652585	0,017226268	0,025	0	1	1,01201191	0,988130664	#DIV/0!
ZNF182	0,114652585	0,017215144	0,025	0	1	1,012004106	0,988138283	#DIV/0!
SVIL	0,075062254	0,017175043	0,112	0,04	1	1,011975977	0,98816575	2,8
SHROOM1	0,114652585	0,017155444	0,025	0	1	1,01196223	0,988179174	#DIV/0!
ANO7	0,268357209	0,017151458	0,013	0	1	1,011959434	0,988181904	#DIV/0!
CASC2	0,268357209	0,017151458	0,013	0	1	1,011959434	0,988181904	#DIV/0!
FAM83B	0,268357209	0,017151458	0,013	0	1	1,011959434	0,988181904	#DIV/0!
KCNQ3	0,268357209	0,017151458	0,013	0	1	1,011959434	0,988181904	#DIV/0!
MYH7B	0,268357209	0,017151458	0,013	0	1	1,011959434	0,988181904	#DIV/0!
RAPSN	0,268357209	0,017151458	0,013	0	1	1,011959434	0,988181904	#DIV/0!
ST14	0,268357209	0,017151458	0,013	0	1	1,011959434	0,988181904	#DIV/0!
TEX14	0,268357209	0,017151458	0,013	0	1	1,011959434	0,988181904	#DIV/0!
WFDC3	0,268357209	0,017151458	0,013	0	1	1,011959434	0,988181904	#DIV/0!
KIRREL3-AS3	0,114652585	0,017134731	0,025	0	1	1,011947701	0,988193361	#DIV/0!
CHRNA1	0,114652585	0,017132264	0,025	0	1	1,01194597	0,988195051	#DIV/0!
USP21	0,114652585	0,017106731	0,025	0	1	1,011928061	0,98821254	#DIV/0!
CASP8	0,268357209	0,017104282	0,013	0	1	1,011926343	0,988214218	#DIV/0!
LY6K	0,268357209	0,017104282	0,013	0	1	1,011926343	0,988214218	#DIV/0!
PLCG2	0,268357209	0,017104282	0,013	0	1	1,011926343	0,988214218	#DIV/0!
S100A5	0,268357209	0,017104282	0,013	0	1	1,011926343	0,988214218	#DIV/0!
STK31	0,268357209	0,017104282	0,013	0	1	1,011926343	0,988214218	#DIV/0!
TMCO2	0,268357209	0,017104282	0,013	0	1	1,011926343	0,988214218	#DIV/0!
WNT5B	0,268357209	0,017104282	0,013	0	1	1,011926343	0,988214218	#DIV/0!
FAXC	0,062632651	0,017088344	0,1	0,03	1	1,011915164	0,988225135	3,333333333
ZNF416	0,874019543	0,017081024	0,013	0,01	1	1,01191003	0,988230149	1,3

Supplementary Table 4

Differentially expressed genes_keloid-CCD_ comparing SC-Keloid vs. (SC-Myel, SC-Nonmyel)								
gene	p_val	avg_log2FC	pct.1	pct.2	p_val_adj	Foldchange_UP	Foldchange_DOWN	Ratio_pct1_pct2
EFCAB11	0,019378739	0,017052119	0,125	0,03	1	1,011889756	0,988249949	4,166666667
CENPQ	0,029952607	0,017024215	0,188	0,07	1	1,011870185	0,988269064	2,685714286
VSNL1	0,114652585	0,016995142	0,025	0	1	1,011849793	0,98828898	#DIV/0!
THAP11	0,014729299	0,016994283	0,35	0,15	1	1,011849191	0,988289568	2,333333333
RACGAP1	0,026474273	0,016983899	0,138	0,04	1	1,011841908	0,988296681	3,45
ARMCX5	0,185993644	0,016959576	0,075	0,03	1	1,01182485	0,988313343	2,5
COX10	0,062632651	0,016918186	0,1	0,03	1	1,011795822	0,988341698	3,333333333
ADAM22	0,114652585	0,016915745	0,025	0	1	1,011794109	0,98834337	#DIV/0!
ENTPD4	0,026214728	0,016910135	0,312	0,14	1	1,011790175	0,988347213	2,228571429
UBXN6	0,000391642	0,016880064	0,412	0,13	1	1,011769086	0,988367815	3,169230769
ZSCAN32	0,083746858	0,016835461	0,075	0,02	1	1,011737806	0,988398371	3,75
KCNIP2	0,268357209	0,016828155	0,013	0	1	1,011732683	0,988403377	#DIV/0!
TLDC2	0,268357209	0,016828155	0,013	0	1	1,011732683	0,988403377	#DIV/0!
DNM3OS	0,114652585	0,016817641	0,025	0	1	1,011725309	0,98841058	#DIV/0!
ARHGEF4	0,114652585	0,016806508	0,025	0	1	1,011717502	0,988418208	#DIV/0!
COG8	0,109006576	0,016751238	0,088	0,03	1	1,011678744	0,988456075	2,933333333
GIMAP4	0,432207887	0,016708435	0,025	0,01	1	1,011648729	0,988485402	2,5
TACR1	0,432207887	0,016708435	0,025	0,01	1	1,011648729	0,988485402	2,5
ACOT11	0,114652585	0,016671882	0,025	0	1	1,011623097	0,988510447	#DIV/0!
TSEN2	0,055334082	0,016670751	0,062	0,01	1	1,011622304	0,988511222	6,2
CPT1B	0,268357209	0,01664641	0,013	0	1	1,011605236	0,9885279	#DIV/0!
GHRL	0,268357209	0,01664641	0,013	0	1	1,011605236	0,9885279	#DIV/0!
RNF223	0,268357209	0,01664641	0,013	0	1	1,011605236	0,9885279	#DIV/0!
SLC25A18	0,268357209	0,01664641	0,013	0	1	1,011605236	0,9885279	#DIV/0!
ZNF486	0,268357209	0,01664641	0,013	0	1	1,011605236	0,9885279	#DIV/0!
VPS37D	0,045399153	0,01662173	0,088	0,02	1	1,011587931	0,988544811	4,4
TRAF7	0,004590026	0,016605996	0,325	0,12	1	1,011576899	0,988555592	2,708333333
MMUT	0,00307496	0,01659325	0,225	0,06	1	1,011567962	0,988564326	3,75
STARD4	0,152427848	0,016582088	0,062	0,02	1	1,011560136	0,988571974	3,1
BDH1	0,114652585	0,016542283	0,025	0	1	1,011532226	0,98859925	#DIV/0!

Supplementary Table 4

Differentially expressed genes_keloid-CCD_ comparing SC-Keloid vs. (SC-Myel, SC-Nonmyel)								
gene	p_val	avg_log2FC	pct.1	pct.2	p_val_adj	Foldchange_UP	Foldchange_DOWN	Ratio_pct1_pct2
EIF2A	0,001166074	0,016528774	0,613	0,24	1	1,011522755	0,988608507	2,554166667
VGLL2	0,439855668	0,01650056	0,025	0,01	1	1,011502973	0,988627841	2,5
LEAP2	0,043614772	0,016482002	0,125	0,04	1	1,011489962	0,988640558	3,125
ANGPTL7	0,590999446	0,016452748	0,05	0,07	1	1,011469451	0,988660605	0,714285714
MYO16	0,114652585	0,016449973	0,025	0	1	1,011467506	0,988662507	#DIV/0!
ZNF628	0,033596086	0,016430125	0,15	0,05	1	1,011453591	0,988676108	3
PGBD1	0,034072508	0,016396091	0,15	0,05	1	1,01142973	0,988699432	3
THAP9	0,223365318	0,016377601	0,038	0,01	1	1,011416767	0,988712104	3,8
PELI3	0,052279021	0,016373679	0,038	0	1	1,011414018	0,988714792	#DIV/0!
TMEM129	0,014885283	0,016367946	0,262	0,1	1	1,011409998	0,988718721	2,62
MED15	0,001290527	0,016365377	0,55	0,22	1	1,011408198	0,988720481	2,5
ARAP3	0,047638359	0,01636017	0,125	0,04	1	1,011404547	0,98872405	3,125
OPA3	0,088113826	0,01635026	0,188	0,09	1	1,0113976	0,988730841	2,088888889
EME2	0,439855668	0,016293018	0,025	0,01	1	1,011357471	0,988770072	2,5
MAPK7	0,045399153	0,016281793	0,088	0,02	1	1,011349603	0,988777765	4,4
ACTR5	0,104284051	0,016276828	0,088	0,03	1	1,011346122	0,988781168	2,933333333
MELTF-AS1	0,439855668	0,016255723	0,025	0,01	1	1,011331327	0,988795633	2,5
GALNT10	0,086402669	0,016246036	0,125	0,05	1	1,011324537	0,988802272	2,5
AC092171.4	0,114652585	0,016225919	0,025	0	1	1,011310435	0,988816061	#DIV/0!
CCNP	0,114652585	0,016225919	0,025	0	1	1,011310435	0,988816061	#DIV/0!
AOC3	0,114652585	0,016222549	0,025	0	1	1,011308072	0,98881837	#DIV/0!
SUOX	0,055334082	0,016217758	0,062	0,01	1	1,011304714	0,988821654	6,2
C5orf34	0,11122839	0,016214731	0,05	0,01	1	1,011302592	0,988823729	5
SEC23B	0,00242045	0,016092256	0,25	0,07	1	1,011216743	0,988907677	3,571428571
ARHGEF33	0,268357209	0,016076554	0,013	0	1	1,011205737	0,98891844	#DIV/0!
BSN	0,268357209	0,016076554	0,013	0	1	1,011205737	0,98891844	#DIV/0!
C1orf162	0,268357209	0,016076554	0,013	0	1	1,011205737	0,98891844	#DIV/0!
HRCT1	0,268357209	0,016076554	0,013	0	1	1,011205737	0,98891844	#DIV/0!
INSYN1	0,268357209	0,016076554	0,013	0	1	1,011205737	0,98891844	#DIV/0!
MSH4	0,268357209	0,016076554	0,013	0	1	1,011205737	0,98891844	#DIV/0!

Supplementary Table 4

Differentially expressed genes_keloid-CCD_comparing SC-Keloid vs. (SC-Myel, SC-Nonmyel)								
gene	p_val	avg_log2FC	pct.1	pct.2	p_val_adj	Foldchange_UP	Foldchange_DOWN	Ratio_pct1_pct2
RUSC1-AS1	0,268357209	0,016076554	0,013	0	1	1,011205737	0,98891844	#DIV/0!
SPTLC3	0,268357209	0,016076554	0,013	0	1	1,011205737	0,98891844	#DIV/0!
VLDLR	0,268357209	0,016076554	0,013	0	1	1,011205737	0,98891844	#DIV/0!
BEX1	0,079683367	0,015961273	0,238	0,12	1	1,011124938	0,988997464	1,983333333
CLEC7A	0,268357209	0,015944363	0,013	0	1	1,011113087	0,989009057	#DIV/0!
IL1RL2	0,268357209	0,015944363	0,013	0	1	1,011113087	0,989009057	#DIV/0!
PCDHGA9	0,268357209	0,015944363	0,013	0	1	1,011113087	0,989009057	#DIV/0!
TMEM190	0,268357209	0,015944363	0,013	0	1	1,011113087	0,989009057	#DIV/0!
ACTL7B	0,268357209	0,015896576	0,013	0	1	1,011079596	0,989041816	#DIV/0!
ARPP21	0,268357209	0,015896576	0,013	0	1	1,011079596	0,989041816	#DIV/0!
DOK2	0,268357209	0,015896576	0,013	0	1	1,011079596	0,989041816	#DIV/0!
FMO4	0,268357209	0,015896576	0,013	0	1	1,011079596	0,989041816	#DIV/0!
PAXBP1-AS1	0,268357209	0,015896576	0,013	0	1	1,011079596	0,989041816	#DIV/0!
PICSAR	0,268357209	0,015896576	0,013	0	1	1,011079596	0,989041816	#DIV/0!
UMAD1	0,075062254	0,015867084	0,112	0,04	1	1,011058928	0,989062035	2,8
FLT1	0,439855668	0,015856938	0,025	0,01	1	1,011051817	0,98906899	2,5
C1orf220	0,268357209	0,015846289	0,013	0	1	1,011044354	0,989076291	#DIV/0!
CLIC6	0,268357209	0,015846289	0,013	0	1	1,011044354	0,989076291	#DIV/0!
PCDHGA11	0,268357209	0,015846289	0,013	0	1	1,011044354	0,989076291	#DIV/0!
PCDHGC4	0,268357209	0,015846289	0,013	0	1	1,011044354	0,989076291	#DIV/0!
ALDH8A1	0,268357209	0,015824041	0,013	0	1	1,011028763	0,989091544	#DIV/0!
CC2D2B	0,268357209	0,015824041	0,013	0	1	1,011028763	0,989091544	#DIV/0!
ERICH4	0,268357209	0,015824041	0,013	0	1	1,011028763	0,989091544	#DIV/0!
FOXD4L5	0,268357209	0,015824041	0,013	0	1	1,011028763	0,989091544	#DIV/0!
EIF2B2	0,000108349	0,015809122	0,375	0,1	1	1,011018307	0,989101773	3,75
FZD8	0,023885059	0,01576942	0,1	0,02	1	1,010990485	0,989128992	5
UCKL1	0,010631879	0,015733267	0,325	0,13	1	1,010965151	0,989153779	2,5
ADORA2B	0,11122839	0,015688966	0,05	0,01	1	1,010934107	0,989184154	5
MED19	0,001562784	0,015658431	0,375	0,13	1	1,010912711	0,98920509	2,884615385
CXCL14	0,199160536	0,01565472	0,175	0,1	1	1,010910111	0,989207635	1,75

Supplementary Table 4

Differentially expressed genes_keloid-CCD_comparing SC-Keloid vs. (SC-Myel, SC-Nonmyel)								
gene	p_val	avg_log2FC	pct.1	pct.2	p_val_adj	Foldchange_UP	Foldchange_DOWN	Ratio_pct1_pct2
SPEF1	0,114652585	0,015647379	0,025	0	1	1,010904967	0,989212669	#DIV/0!
MTPAP	0,057278664	0,015625766	0,138	0,05	1	1,010889823	0,989227488	2,76
POLG	0,164257965	0,015622271	0,125	0,06	1	1,010887374	0,989229884	2,083333333
RAPGEF4	0,114652585	0,015613882	0,025	0	1	1,010881496	0,989235637	#DIV/0!
ZNF782	0,114652585	0,015613882	0,025	0	1	1,010881496	0,989235637	#DIV/0!
SERPINF1	0,077185646	0,015605846	0,112	0,04	1	1,010875865	0,989241147	2,8
ANKRD20A1	0,268357209	0,015603603	0,013	0	1	1,010874293	0,989242685	#DIV/0!
ZNF730	0,268357209	0,015603603	0,013	0	1	1,010874293	0,989242685	#DIV/0!
SLC30A9	0,00017206	0,015593867	0,35	0,09	1	1,010867471	0,989249361	3,888888889
HOXD9	0,114652585	0,015577634	0,025	0	1	1,010856098	0,989260492	#DIV/0!
NXP3	0,128188456	0,015571114	0,1	0,04	1	1,010851529	0,989264962	2,5
PEAR1	0,223365318	0,015558811	0,038	0,01	1	1,010842909	0,989273399	3,8
STIMATE	0,154906213	0,015541815	0,062	0,02	1	1,010831	0,989285054	3,1
NPAT	0,044583831	0,015539538	0,088	0,02	1	1,010829405	0,989286615	4,4
PIGA	0,154906213	0,015538983	0,062	0,02	1	1,010829016	0,989286995	3,1
DNAI4	0,268357209	0,015467096	0,013	0	1	1,01077865	0,989336291	#DIV/0!
LDHC	0,268357209	0,015467096	0,013	0	1	1,01077865	0,989336291	#DIV/0!
PRR18	0,268357209	0,015467096	0,013	0	1	1,01077865	0,989336291	#DIV/0!
TTC9B	0,268357209	0,015467096	0,013	0	1	1,01077865	0,989336291	#DIV/0!
FBXL8	0,157415062	0,015436292	0,062	0,02	1	1,010757068	0,989357415	3,1
ACTRT3	0,268357209	0,015422123	0,013	0	1	1,010747141	0,989367132	#DIV/0!
KHDC1	0,268357209	0,015422123	0,013	0	1	1,010747141	0,989367132	#DIV/0!
NOMO2	0,268357209	0,015422123	0,013	0	1	1,010747141	0,989367132	#DIV/0!
TADA1	0,085199008	0,015416519	0,075	0,02	1	1,010743215	0,989370975	3,75
PODXL	0,114652585	0,015410159	0,025	0	1	1,010738759	0,989375336	#DIV/0!
ACER3	0,09321393	0,015408743	0,2	0,1	1	1,010737767	0,989376307	2
ELOVL2	0,223365318	0,015403403	0,038	0,01	1	1,010734026	0,98937997	3,8
ADORA3	0,268357209	0,015351231	0,013	0	1	1,010697475	0,989415749	#DIV/0!
ALKBH3-AS1	0,268357209	0,015351231	0,013	0	1	1,010697475	0,989415749	#DIV/0!
FAM81A	0,268357209	0,015351231	0,013	0	1	1,010697475	0,989415749	#DIV/0!

Supplementary Table 4

Differentially expressed genes_keloid-CCD_comparing SC-Keloid vs. (SC-Myel, SC-Nonmyel)								
gene	p_val	avg_log2FC	pct.1	pct.2	p_val_adj	Foldchange_UP	Foldchange_DOWN	Ratio_pct1_pct2
HBA1	0,268357209	0,015351231	0,013	0	1	1,010697475	0,989415749	#DIV/0!
MAEL	0,268357209	0,015351231	0,013	0	1	1,010697475	0,989415749	#DIV/0!
SLC25A15	0,268357209	0,015351231	0,013	0	1	1,010697475	0,989415749	#DIV/0!
VGF	0,268357209	0,015351231	0,013	0	1	1,010697475	0,989415749	#DIV/0!
ASMTL-AS1	0,268357209	0,015339479	0,013	0	1	1,010689242	0,989423809	#DIV/0!
CGNL1	0,268357209	0,015339479	0,013	0	1	1,010689242	0,989423809	#DIV/0!
NEB	0,268357209	0,015339479	0,013	0	1	1,010689242	0,989423809	#DIV/0!
OR7D2	0,268357209	0,015339479	0,013	0	1	1,010689242	0,989423809	#DIV/0!
PDZK1	0,268357209	0,015339479	0,013	0	1	1,010689242	0,989423809	#DIV/0!
SYK	0,268357209	0,015339479	0,013	0	1	1,010689242	0,989423809	#DIV/0!
AGPAT4	0,001835126	0,015325672	0,275	0,08	1	1,01067957	0,989433278	3,4375
MAPK13	0,114652585	0,015313348	0,025	0	1	1,010670936	0,98944173	#DIV/0!
RALGAPA2	0,34027224	0,015289951	0,075	0,04	1	1,010654546	0,989457776	1,875
DLX1	0,114652585	0,015286448	0,025	0	1	1,010652092	0,989460179	#DIV/0!
GNB5	0,014426885	0,01526568	0,15	0,04	1	1,010637544	0,989474422	3,75
STEEP1	0,11122839	0,015254774	0,05	0,01	1	1,010629904	0,989481903	5
ZNF277	0,131562433	0,015226671	0,1	0,04	1	1,010610218	0,989501177	2,5
DHCR7	0,027487357	0,015199168	0,075	0,01	1	1,010590952	0,989520041	7,5
GRAMD1C	0,268357209	0,015178096	0,013	0	1	1,010576191	0,989534494	#DIV/0!
SOX30	0,268357209	0,015178096	0,013	0	1	1,010576191	0,989534494	#DIV/0!
C17orf58	0,026885434	0,015127929	0,138	0,04	1	1,010541051	0,989568904	3,45
STUB1	0,122803632	0,015093069	0,863	0,5	1	1,010516634	0,989592815	1,726
IL4I1	0,114652585	0,015089261	0,025	0	1	1,010513966	0,989595427	#DIV/0!
SMCO4	0,023885059	0,01505804	0,1	0,02	1	1,010492098	0,989616843	5
ATP7B	0,268357209	0,015055184	0,013	0	1	1,010490097	0,989618802	#DIV/0!
KCNS1	0,268357209	0,015055184	0,013	0	1	1,010490097	0,989618802	#DIV/0!
LINC00159	0,268357209	0,015055184	0,013	0	1	1,010490097	0,989618802	#DIV/0!
LINC01546	0,268357209	0,015055184	0,013	0	1	1,010490097	0,989618802	#DIV/0!
SMCO3	0,114652585	0,015044992	0,025	0	1	1,010482959	0,989625793	#DIV/0!
LRRC56	0,114652585	0,015038194	0,025	0	1	1,010478198	0,989630456	#DIV/0!

Supplementary Table 4

Differentially expressed genes_keloid-CCD_ comparing SC-Keloid vs. (SC-Myel, SC-Nonmyel)								
gene	p_val	avg_log2FC	pct.1	pct.2	p_val_adj	Foldchange_UP	Foldchange_DOWN	Ratio_pct1_pct2
MAP3K9	0,114652585	0,015038194	0,025	0	1	1,010478198	0,989630456	#DIV/0!
VAMP8	0,027487357	0,015035369	0,075	0,01	1	1,010476219	0,989632394	7,5
UPK3BL1	0,055334082	0,015034676	0,062	0,01	1	1,010475734	0,98963287	6,2
PTPN18	0,006476809	0,014931824	0,188	0,05	1	1,010403698	0,989703425	3,76
EEF1AKMT3	0,11122839	0,01490219	0,05	0,01	1	1,010382944	0,989723754	5
ADIPOR1	0,000793159	0,014880685	0,512	0,18	1	1,010367883	0,989738507	2,844444444
TBKBP1	0,114652585	0,014880614	0,025	0	1	1,010367833	0,989738556	#DIV/0!
ARHGAP28	0,114652585	0,014871085	0,025	0	1	1,01036116	0,989745093	#DIV/0!
ROBO2	0,114652585	0,014871085	0,025	0	1	1,01036116	0,989745093	#DIV/0!
GCKR	0,114652585	0,014864951	0,025	0	1	1,010356864	0,989749301	#DIV/0!
ADCY4	0,447580525	0,014863183	0,025	0,01	1	1,010355625	0,989750514	2,5
EXOG	0,025102405	0,014856494	0,175	0,06	1	1,010350941	0,989755103	2,916666667
MLH3	0,032230861	0,014798032	0,2	0,08	1	1,010309999	0,989795212	2,5
SELPLG	0,11122839	0,014788279	0,05	0,01	1	1,01030317	0,989801903	5
GPR89B	0,082314814	0,014782337	0,075	0,02	1	1,010299009	0,98980598	3,75
LY6G5B	0,114652585	0,014776927	0,025	0	1	1,01029522	0,989809691	#DIV/0!
TDP1	0,019048586	0,014760977	0,125	0,03	1	1,010284051	0,989820634	4,166666667
COLGALT2	0,114652585	0,01475164	0,025	0	1	1,010277512	0,989827041	#DIV/0!
B3GNTL1	0,223365318	0,014723687	0,038	0,01	1	1,010257937	0,989846219	3,8
NNT-AS1	0,074518557	0,014707321	0,162	0,07	1	1,010246477	0,989857448	2,314285714
RELL1	0,08090269	0,014706558	0,075	0,02	1	1,010245943	0,989857972	3,75
CDC25A	0,052279021	0,014680262	0,038	0	1	1,01022753	0,989876014	#DIV/0!
ENKUR	0,114652585	0,014667884	0,025	0	1	1,010218862	0,989884507	#DIV/0!
DOP1B	0,157415062	0,014652044	0,062	0,02	1	1,010207771	0,989895375	3,1
H1-10-AS1	0,268357209	0,014637859	0,013	0	1	1,010197838	0,989905108	#DIV/0!
SLC31A2	0,087209492	0,014625879	0,188	0,09	1	1,010189449	0,989913328	2,088888889
DDX60	0,027487357	0,014597103	0,075	0,01	1	1,0101693	0,989933074	7,5
GOLGA8N	0,223365318	0,014594532	0,038	0,01	1	1,0101675	0,989934838	3,8
MSH5	0,114652585	0,014581472	0,025	0	1	1,010158355	0,989943799	#DIV/0!
ZNF732	0,114652585	0,014581472	0,025	0	1	1,010158355	0,989943799	#DIV/0!

Supplementary Table 4

Differentially expressed genes_keloid-CCD_ comparing SC-Keloid vs. (SC-Myel, SC-Nonmyel)								
gene	p_val	avg_log2FC	pct.1	pct.2	p_val_adj	Foldchange_UP	Foldchange_DOWN	Ratio_pct1_pct2
ADAM8	0,268357209	0,014518831	0,013	0	1	1,010114496	0,989986783	#DIV/0!
CCR6	0,268357209	0,014518831	0,013	0	1	1,010114496	0,989986783	#DIV/0!
CD1C	0,268357209	0,014518831	0,013	0	1	1,010114496	0,989986783	#DIV/0!
CD1E	0,268357209	0,014518831	0,013	0	1	1,010114496	0,989986783	#DIV/0!
CFP	0,268357209	0,014518831	0,013	0	1	1,010114496	0,989986783	#DIV/0!
CIITA	0,268357209	0,014518831	0,013	0	1	1,010114496	0,989986783	#DIV/0!
GPR132	0,268357209	0,014518831	0,013	0	1	1,010114496	0,989986783	#DIV/0!
GPR183	0,268357209	0,014518831	0,013	0	1	1,010114496	0,989986783	#DIV/0!
MPZL2	0,268357209	0,014518831	0,013	0	1	1,010114496	0,989986783	#DIV/0!
RAB3C	0,268357209	0,014518831	0,013	0	1	1,010114496	0,989986783	#DIV/0!
SYT15	0,268357209	0,014518831	0,013	0	1	1,010114496	0,989986783	#DIV/0!
TMTC1	0,268357209	0,014518831	0,013	0	1	1,010114496	0,989986783	#DIV/0!
ZNF467	0,268357209	0,014518831	0,013	0	1	1,010114496	0,989986783	#DIV/0!
ASAH2B	0,114652585	0,014494112	0,025	0	1	1,010097189	0,990003745	#DIV/0!
DET1	0,11122839	0,014444431	0,05	0,01	1	1,010062406	0,990037838	5
MARK3	0,008339364	0,014440564	0,625	0,29	1	1,010059698	0,990040492	2,155172414
TUBA4A	0,162496421	0,014433181	0,125	0,06	1	1,010054529	0,990045558	2,083333333
TMEM233	0,223365318	0,014348216	0,038	0,01	1	1,009995046	0,990103867	3,8
MEST	0,114652585	0,014345812	0,025	0	1	1,009993362	0,990105517	#DIV/0!
RAD51	0,114652585	0,014345812	0,025	0	1	1,009993362	0,990105517	#DIV/0!
C9orf135	0,114652585	0,01432694	0,025	0	1	1,009980151	0,990118468	#DIV/0!
MCM3AP	0,005690097	0,014300135	0,225	0,07	1	1,009961386	0,990136865	3,214285714
CIZ1	0,010024565	0,014271103	0,25	0,09	1	1,009941062	0,99015679	2,777777778
ZNF490	0,223365318	0,014223122	0,038	0,01	1	1,009907474	0,990189721	3,8
SAYSD1	0,008831168	0,01420759	0,2	0,06	1	1,009896602	0,990200381	3,333333333
NQO1	0,002580467	0,014207554	0,225	0,06	1	1,009896576	0,990200406	3,75
VPS37A	0,002147709	0,014138675	0,312	0,1	1	1,009848362	0,990247682	3,12
VTI1B	1,63383E-05	0,014082292	0,5	0,14	0,344753648	1,009808896	0,990286384	3,571428571
OSBPL6	0,11122839	0,014077018	0,05	0,01	1	1,009805205	0,990290004	5
LSM11	0,223365318	0,014066896	0,038	0,01	1	1,00979812	0,990296952	3,8

Supplementary Table 4

Differentially expressed genes_keloid-CCD_ comparing SC-Keloid vs. (SC-Myel, SC-Nonmyel)								
gene	p_val	avg_log2FC	pct.1	pct.2	p_val_adj	Foldchange_UP	Foldchange_DOWN	Ratio_pct1_pct2
ARFGEF2	0,033686337	0,014007639	0,112	0,03	1	1,009756644	0,990337628	3,733333333
BSDL2	0,447580525	0,013993523	0,025	0,01	1	1,009746765	0,990347318	2,5
EMX2	0,114652585	0,013988493	0,025	0	1	1,009743244	0,990350771	#DIV/0!
TSPAN17	0,009645348	0,013985832	0,175	0,05	1	1,009741381	0,990352598	3,5
FAM71D	0,114652585	0,013964929	0,025	0	1	1,009726752	0,990366947	#DIV/0!
TRIM37	0,000972011	0,013962445	0,25	0,06	1	1,009725013	0,990368652	4,166666667
REEP5	0,094767798	0,013955387	0,775	0,46	1	1,009720073	0,990373497	1,684782609
POLD4	0,043203308	0,013953104	0,175	0,07	1	1,009718475	0,990375065	2,5
LINC01547	0,114652585	0,01394419	0,025	0	1	1,009712237	0,990381183	#DIV/0!
MFSD2B	0,447580525	0,013917599	0,025	0,01	1	1,009693626	0,990399438	2,5
GET1	0,001551825	0,013913589	0,362	0,12	1	1,00969082	0,990402191	3,016666667
A1BG-AS1	0,055334082	0,013905716	0,062	0,01	1	1,00968531	0,990407596	6,2
TRAPPC11	0,003269989	0,013767369	0,138	0,02	1	1,009588491	0,990502575	6,9
LTK	0,114652585	0,013724021	0,025	0	1	1,009558156	0,990532337	#DIV/0!
PARP2	0,015547261	0,013710568	0,188	0,06	1	1,009548743	0,990541573	3,133333333
PHF8	0,229069481	0,013681554	0,1	0,05	1	1,00952844	0,990561494	2
ADAMTS9	0,136266726	0,013680385	0,162	0,08	1	1,009527622	0,990562297	2,025
SEMA6B	0,874019543	0,013673494	0,013	0,01	1	1,0095228	0,990567028	1,3
ATP9B	0,024761742	0,013658555	0,175	0,06	1	1,009512347	0,990577286	2,916666667
SMOC2	0,223365318	0,013620115	0,038	0,01	1	1,009485449	0,990603679	3,8
KIF27	0,188542969	0,013607779	0,075	0,03	1	1,009476817	0,99061215	2,5
FCER1G	0,114652585	0,013605008	0,025	0	1	1,009474878	0,990614053	#DIV/0!
C1orf115	0,114652585	0,013570684	0,025	0	1	1,009450861	0,990637621	#DIV/0!
LIPT1	0,447580525	0,013551866	0,025	0,01	1	1,009437695	0,990650543	2,5
MYCNOS	0,439855668	0,013545601	0,025	0,01	1	1,009433311	0,990654845	2,5
NCBP1	0,023437611	0,013537066	0,1	0,02	1	1,009427339	0,990660706	5
CSF1R	0,268357209	0,013535348	0,013	0	1	1,009426137	0,990661886	#DIV/0!
DCSTAMP	0,268357209	0,013535348	0,013	0	1	1,009426137	0,990661886	#DIV/0!
EMX2OS	0,268357209	0,013535348	0,013	0	1	1,009426137	0,990661886	#DIV/0!
FBXO27	0,268357209	0,013535348	0,013	0	1	1,009426137	0,990661886	#DIV/0!

Supplementary Table 4

Differentially expressed genes_keloid-CCD_ comparing SC-Keloid vs. (SC-Myel, SC-Nonmyel)								
gene	p_val	avg_log2FC	pct.1	pct.2	p_val_adj	Foldchange_UP	Foldchange_DOWN	Ratio_pct1_pct2
SERPINA9	0,268357209	0,013535348	0,013	0	1	1,009426137	0,990661886	#DIV/0!
SIX4	0,114652585	0,013523622	0,025	0	1	1,009417933	0,990669937	#DIV/0!
HIP1R	0,055334082	0,013481686	0,062	0,01	1	1,009388592	0,990698734	6,2
LINC00342	0,157415062	0,013477926	0,062	0,02	1	1,009385961	0,990701316	3,1
AK8	0,268357209	0,013465611	0,013	0	1	1,009377344	0,990709773	#DIV/0!
BMP6	0,268357209	0,013465611	0,013	0	1	1,009377344	0,990709773	#DIV/0!
CALHM5	0,268357209	0,013465611	0,013	0	1	1,009377344	0,990709773	#DIV/0!
CRB2	0,268357209	0,013465611	0,013	0	1	1,009377344	0,990709773	#DIV/0!
HOATZ	0,268357209	0,013465611	0,013	0	1	1,009377344	0,990709773	#DIV/0!
KCNV2	0,268357209	0,013465611	0,013	0	1	1,009377344	0,990709773	#DIV/0!
TAS2R31	0,268357209	0,013465611	0,013	0	1	1,009377344	0,990709773	#DIV/0!
TRPA1	0,268357209	0,013465611	0,013	0	1	1,009377344	0,990709773	#DIV/0!
H3C3	0,114652585	0,01345216	0,025	0	1	1,009367934	0,99071901	#DIV/0!
NEK10	0,114652585	0,013444015	0,025	0	1	1,009362235	0,990724603	#DIV/0!
MYO1G	0,114652585	0,013434513	0,025	0	1	1,009355587	0,990731129	#DIV/0!
ELP6	0,003659657	0,013396493	0,338	0,12	1	1,009328988	0,990757238	2,816666667
ANK1	0,268357209	0,013348001	0,013	0	1	1,009295062	0,99079054	#DIV/0!
ATG9A	0,268357209	0,013348001	0,013	0	1	1,009295062	0,99079054	#DIV/0!
CFAP97D1	0,268357209	0,013348001	0,013	0	1	1,009295062	0,99079054	#DIV/0!
COLEC11	0,268357209	0,013348001	0,013	0	1	1,009295062	0,99079054	#DIV/0!
ELAPOR1	0,268357209	0,013348001	0,013	0	1	1,009295062	0,99079054	#DIV/0!
HOTAIR	0,268357209	0,013348001	0,013	0	1	1,009295062	0,99079054	#DIV/0!
LINC02584	0,268357209	0,013348001	0,013	0	1	1,009295062	0,99079054	#DIV/0!
NAPA-AS1	0,268357209	0,013348001	0,013	0	1	1,009295062	0,99079054	#DIV/0!
TMEM139	0,268357209	0,013348001	0,013	0	1	1,009295062	0,99079054	#DIV/0!
ZCCHC12	0,268357209	0,013348001	0,013	0	1	1,009295062	0,99079054	#DIV/0!
ZNF627	0,268357209	0,013348001	0,013	0	1	1,009295062	0,99079054	#DIV/0!
ARMC10	0,000909363	0,013323201	0,462	0,17	1	1,009277713	0,990807572	2,717647059
AC226118.1	0,268357209	0,013321378	0,013	0	1	1,009276438	0,990808824	#DIV/0!
BHLHE40-AS1	0,268357209	0,013321378	0,013	0	1	1,009276438	0,990808824	#DIV/0!

Supplementary Table 4

Differentially expressed genes_keloid-CCD_ comparing SC-Keloid vs. (SC-Myel, SC-Nonmyel)								
gene	p_val	avg_log2FC	pct.1	pct.2	p_val_adj	Foldchange_UP	Foldchange_DOWN	Ratio_pct1_pct2
FMO1	0,268357209	0,013321378	0,013	0	1	1,009276438	0,990808824	#DIV/0!
RNLS	0,268357209	0,013321378	0,013	0	1	1,009276438	0,990808824	#DIV/0!
TMCC1-DT	0,268357209	0,013321378	0,013	0	1	1,009276438	0,990808824	#DIV/0!
TSSK3	0,268357209	0,013321378	0,013	0	1	1,009276438	0,990808824	#DIV/0!
ZGPAT	0,268357209	0,013321378	0,013	0	1	1,009276438	0,990808824	#DIV/0!
AIFM2	0,002526724	0,013303811	0,188	0,04	1	1,009264148	0,990820889	4,7
MIER2	0,01362345	0,013272099	0,088	0,01	1	1,009241963	0,990842668	8,8
BACH1-IT2	0,114652585	0,013267218	0,025	0	1	1,009238549	0,99084602	#DIV/0!
JAK3	0,114652585	0,013267218	0,025	0	1	1,009238549	0,99084602	#DIV/0!
ZDHC11	0,114652585	0,013258538	0,025	0	1	1,009232477	0,990851982	#DIV/0!
NEXN	0,11122839	0,013248209	0,05	0,01	1	1,009225251	0,990859076	5
BTF3	0,49233118	0,013210807	1	0,93	1	1,009199088	0,990884764	1,075268817
C16orf86	0,343957066	0,013160599	0,075	0,04	1	1,009163966	0,990919249	1,875
BTN3A1	0,223365318	0,013133995	0,038	0,01	1	1,009145357	0,990937522	3,8
ZEB2-AS1	0,711389334	0,01312774	0,013	0,02	1	1,009140982	0,990941819	0,65
THAP6	0,061661173	0,013088995	0,1	0,03	1	1,009113881	0,990968432	3,333333333
ADSL	0,001325941	0,013077029	0,3	0,09	1	1,009105511	0,990976651	3,333333333
PFAS	0,034247231	0,013072956	0,112	0,03	1	1,009102662	0,990979449	3,733333333
CENPBD1	0,488500108	0,01303837	0,038	0,02	1	1,009078471	0,991003206	1,9
LRRC14	0,11061781	0,013019768	0,088	0,03	1	1,00906546	0,991015984	2,933333333
ALG1L	0,268357209	0,013014694	0,013	0	1	1,009061911	0,99101947	#DIV/0!
LINC02603	0,268357209	0,013014694	0,013	0	1	1,009061911	0,99101947	#DIV/0!
LTB	0,268357209	0,013014694	0,013	0	1	1,009061911	0,99101947	#DIV/0!
MMP8	0,268357209	0,013014694	0,013	0	1	1,009061911	0,99101947	#DIV/0!
PTPN7	0,268357209	0,013014694	0,013	0	1	1,009061911	0,99101947	#DIV/0!
SOGA3	0,268357209	0,013014694	0,013	0	1	1,009061911	0,99101947	#DIV/0!
STK33	0,268357209	0,013014694	0,013	0	1	1,009061911	0,99101947	#DIV/0!
GEN1	0,11122839	0,012966786	0,05	0,01	1	1,009028404	0,991052379	5
NUP37	0,016861507	0,012961252	0,2	0,07	1	1,009024533	0,991056181	2,857142857
NOL10	0,003195301	0,012936867	0,262	0,08	1	1,009007478	0,991072932	3,275

Supplementary Table 4

Differentially expressed genes_keloid-CCD_comparing SC-Keloid vs. (SC-Myel, SC-Nonmyel)								
gene	p_val	avg_log2FC	pct.1	pct.2	p_val_adj	Foldchange_UP	Foldchange_DOWN	Ratio_pct1_pct2
AGMAT	0,268357209	0,012923293	0,013	0	1	1,008997984	0,991082257	#DIV/0!
C2CD6	0,268357209	0,012923293	0,013	0	1	1,008997984	0,991082257	#DIV/0!
SPATA18	0,268357209	0,012923293	0,013	0	1	1,008997984	0,991082257	#DIV/0!
TNFRSF18	0,268357209	0,012923293	0,013	0	1	1,008997984	0,991082257	#DIV/0!
MMACHC	0,114652585	0,01290614	0,025	0	1	1,008985988	0,991094041	#DIV/0!
RCE1	0,010376573	0,012897739	0,212	0,07	1	1,008980113	0,991099812	3,028571429
THAP4	0,004420445	0,012880922	0,275	0,09	1	1,008968352	0,991111365	3,055555556
C17orf49	0,001530226	0,012873197	0,175	0,03	1	1,008962949	0,991116672	5,833333333
NARS1	0,006488348	0,012812916	0,6	0,26	1	1,008920792	0,991158085	2,307692308
TMED10	0,064354742	0,012765081	0,938	0,6	1	1,00888734	0,991190949	1,563333333
ZNF845	0,447580525	0,012757096	0,025	0,01	1	1,008881756	0,991196435	2,5
CCDC190	0,268357209	0,012754203	0,013	0	1	1,008879733	0,991198423	#DIV/0!
DSPP	0,268357209	0,012754203	0,013	0	1	1,008879733	0,991198423	#DIV/0!
ELL3	0,268357209	0,012754203	0,013	0	1	1,008879733	0,991198423	#DIV/0!
LCMT2	0,268357209	0,012754203	0,013	0	1	1,008879733	0,991198423	#DIV/0!
OOEP	0,268357209	0,012754203	0,013	0	1	1,008879733	0,991198423	#DIV/0!
QPCTL	0,268357209	0,012754203	0,013	0	1	1,008879733	0,991198423	#DIV/0!
MAPKAPK5	0,011406156	0,012710627	0,25	0,09	1	1,008849261	0,991228362	2,777777778
CCT4	0,03226889	0,0127039	0,713	0,38	1	1,008844557	0,991232984	1,876315789
FOXD2-AS1	0,447580525	0,012688068	0,025	0,01	1	1,008833485	0,991243862	2,5
AC007563.1	0,268357209	0,012680662	0,013	0	1	1,008828307	0,99124895	#DIV/0!
CGN	0,268357209	0,012680662	0,013	0	1	1,008828307	0,99124895	#DIV/0!
CTSG	0,268357209	0,012680662	0,013	0	1	1,008828307	0,99124895	#DIV/0!
EBF3	0,268357209	0,012680662	0,013	0	1	1,008828307	0,99124895	#DIV/0!
FBN2	0,268357209	0,012680662	0,013	0	1	1,008828307	0,99124895	#DIV/0!
FNDC1	0,268357209	0,012680662	0,013	0	1	1,008828307	0,99124895	#DIV/0!
GP6	0,268357209	0,012680662	0,013	0	1	1,008828307	0,99124895	#DIV/0!
GPD1	0,268357209	0,012680662	0,013	0	1	1,008828307	0,99124895	#DIV/0!
GRAMD2A	0,268357209	0,012680662	0,013	0	1	1,008828307	0,99124895	#DIV/0!
HNMT	0,268357209	0,012680662	0,013	0	1	1,008828307	0,99124895	#DIV/0!

Supplementary Table 4

Differentially expressed genes_keloid-CCD_comparing SC-Keloid vs. (SC-Myel, SC-Nonmyel)								
gene	p_val	avg_log2FC	pct.1	pct.2	p_val_adj	Foldchange_UP	Foldchange_DOWN	Ratio_pct1_pct2
HOXA10	0,268357209	0,012680662	0,013	0	1	1,008828307	0,99124895	#DIV/0!
KCNC3	0,268357209	0,012680662	0,013	0	1	1,008828307	0,99124895	#DIV/0!
KCNN1	0,268357209	0,012680662	0,013	0	1	1,008828307	0,99124895	#DIV/0!
MPIG6B	0,268357209	0,012680662	0,013	0	1	1,008828307	0,99124895	#DIV/0!
PAPOLB	0,268357209	0,012680662	0,013	0	1	1,008828307	0,99124895	#DIV/0!
PDE3A	0,268357209	0,012680662	0,013	0	1	1,008828307	0,99124895	#DIV/0!
REM2	0,268357209	0,012680662	0,013	0	1	1,008828307	0,99124895	#DIV/0!
SCN3A	0,268357209	0,012680662	0,013	0	1	1,008828307	0,99124895	#DIV/0!
SLC12A5	0,268357209	0,012680662	0,013	0	1	1,008828307	0,99124895	#DIV/0!
TEX26-AS1	0,268357209	0,012680662	0,013	0	1	1,008828307	0,99124895	#DIV/0!
ATP6V1E2	0,200780598	0,012622948	0,088	0,04	1	1,00878795	0,991288605	2,2
PET117	0,079357729	0,012588201	0,112	0,04	1	1,008763654	0,991312481	2,8
CABYR	0,223365318	0,01258486	0,038	0,01	1	1,008761318	0,991314776	3,8
GNL3L	0,080462265	0,012566699	0,112	0,04	1	1,008748619	0,991327255	2,8
C6orf52	0,055334082	0,012532446	0,062	0,01	1	1,00872467	0,991350792	6,2
ATF6B	0,005437688	0,012517046	0,4	0,16	1	1,008713902	0,991361374	2,5
HID1	0,114652585	0,012489842	0,025	0	1	1,008694882	0,991380068	#DIV/0!
APOL3	0,439855668	0,012444383	0,025	0,01	1	1,008663098	0,991411306	2,5
IRX5	0,114652585	0,012400541	0,025	0	1	1,008632447	0,991441435	#DIV/0!
APLF	0,112247794	0,012379065	0,088	0,03	1	1,008617432	0,991456194	2,933333333
ICOSLG	0,114652585	0,012355467	0,025	0	1	1,008600935	0,991472411	#DIV/0!
BARX2	0,268357209	0,012349379	0,013	0	1	1,008596678	0,991476595	#DIV/0!
L3MBTL4	0,268357209	0,012349379	0,013	0	1	1,008596678	0,991476595	#DIV/0!
RIC3	0,268357209	0,012349379	0,013	0	1	1,008596678	0,991476595	#DIV/0!
TP53AIP1	0,268357209	0,012349379	0,013	0	1	1,008596678	0,991476595	#DIV/0!
BICDL1	0,268357209	0,012337973	0,013	0	1	1,008588704	0,991484434	#DIV/0!
CILP2	0,268357209	0,012337973	0,013	0	1	1,008588704	0,991484434	#DIV/0!
LINC00642	0,268357209	0,012337973	0,013	0	1	1,008588704	0,991484434	#DIV/0!
RFX4	0,268357209	0,012337973	0,013	0	1	1,008588704	0,991484434	#DIV/0!
RIPK3	0,268357209	0,012337973	0,013	0	1	1,008588704	0,991484434	#DIV/0!

Supplementary Table 4

Differentially expressed genes_keloid-CCD_comparing SC-Keloid vs. (SC-Myel, SC-Nonmyel)								
gene	p_val	avg_log2FC	pct.1	pct.2	p_val_adj	Foldchange_UP	Foldchange_DOWN	Ratio_pct1_pct2
SH3BP1	0,152152734	0,012318486	0,112	0,05	1	1,008575081	0,991497826	2,24
C3orf33	0,447580525	0,012316035	0,025	0,01	1	1,008573368	0,99149951	2,5
CISH	0,447580525	0,012272306	0,025	0,01	1	1,008542797	0,991529564	2,5
SUSD1	0,11122839	0,012226968	0,05	0,01	1	1,008511103	0,991560724	5
CD226	0,268357209	0,012214295	0,013	0	1	1,008502245	0,991569434	#DIV/0!
CFAP157	0,268357209	0,012214295	0,013	0	1	1,008502245	0,991569434	#DIV/0!
IGF1	0,268357209	0,012214295	0,013	0	1	1,008502245	0,991569434	#DIV/0!
KIAA1958	0,268357209	0,012214295	0,013	0	1	1,008502245	0,991569434	#DIV/0!
MYRFL	0,268357209	0,012214295	0,013	0	1	1,008502245	0,991569434	#DIV/0!
PCDHGA4	0,268357209	0,012214295	0,013	0	1	1,008502245	0,991569434	#DIV/0!
PCOLCE2	0,268357209	0,012214295	0,013	0	1	1,008502245	0,991569434	#DIV/0!
SLC16A10	0,268357209	0,012214295	0,013	0	1	1,008502245	0,991569434	#DIV/0!
SPNS3	0,268357209	0,012214295	0,013	0	1	1,008502245	0,991569434	#DIV/0!
EXO1	0,11122839	0,012204731	0,05	0,01	1	1,008495559	0,991576007	5
CENATAC	0,029571979	0,012186013	0,188	0,07	1	1,008482475	0,991588873	2,685714286
EVC2	0,027487357	0,012185593	0,075	0,01	1	1,008482181	0,991589161	7,5
PRPF39	0,009369154	0,012158317	0,2	0,06	1	1,008463115	0,991607909	3,333333333
APMAP	0,000322452	0,012108768	0,525	0,19	1	1,00842848	0,991641966	2,763157895
FITM2	0,055334082	0,012099951	0,062	0,01	1	1,008422317	0,991648026	6,2
ZNF738	0,034816087	0,012076414	0,112	0,03	1	1,008405865	0,991664205	3,733333333
CELF4	0,268357209	0,01206637	0,013	0	1	1,008398844	0,991671109	#DIV/0!
GLYATL1	0,268357209	0,01206637	0,013	0	1	1,008398844	0,991671109	#DIV/0!
KRT16	0,268357209	0,01206637	0,013	0	1	1,008398844	0,991671109	#DIV/0!
NACA2	0,268357209	0,01206637	0,013	0	1	1,008398844	0,991671109	#DIV/0!
NTF3	0,268357209	0,01206637	0,013	0	1	1,008398844	0,991671109	#DIV/0!
SERF1A	0,268357209	0,01206637	0,013	0	1	1,008398844	0,991671109	#DIV/0!
SRARP	0,268357209	0,01206637	0,013	0	1	1,008398844	0,991671109	#DIV/0!
BORA	0,223365318	0,012061726	0,038	0,01	1	1,008395599	0,991674301	3,8
EDA2R	0,114652585	0,0120162	0,025	0	1	1,008363778	0,991705595	#DIV/0!
MPP4	0,114652585	0,0120162	0,025	0	1	1,008363778	0,991705595	#DIV/0!

Supplementary Table 4

Differentially expressed genes_keloid-CCD_comparing SC-Keloid vs. (SC-Myel, SC-Nonmyel)								
gene	p_val	avg_log2FC	pct.1	pct.2	p_val_adj	Foldchange_UP	Foldchange_DOWN	Ratio_pct1_pct2
SMG6	0,00297039	0,012002428	0,262	0,08	1	1,008354152	0,991715062	3,275
SAXO2	0,223365318	0,011890328	0,038	0,01	1	1,008275804	0,991792123	3,8
ZNF101	0,223365318	0,011888365	0,038	0,01	1	1,008274432	0,991793472	3,8
KLHDC4	0,001348746	0,011834537	0,2	0,04	1	1,008236813	0,991830477	5
ELL	0,085199008	0,011801887	0,075	0,02	1	1,008213996	0,991852924	3,75
KRCC1	0,001943097	0,011796874	0,537	0,22	1	1,008210493	0,99185637	2,440909091
GJB1	0,447580525	0,01177804	0,025	0,01	1	1,008197331	0,991869319	2,5
ZNF771	0,012429073	0,011725805	0,112	0,02	1	1,008160828	0,991905232	5,6
ATP2A1	0,114652585	0,011610185	0,025	0	1	1,008080036	0,991984728	#DIV/0!
UMPS	0,009369154	0,011606292	0,2	0,06	1	1,008077316	0,991987405	3,333333333
S1PR1	0,439855668	0,011597826	0,025	0,01	1	1,0080714	0,991993226	2,5
HMG3-AS1	0,81721858	0,011576682	0,025	0,02	1	1,008056626	0,992007764	1,25
STEAP3	0,114652585	0,011573837	0,025	0	1	1,008054638	0,992009721	#DIV/0!
VEPH1	0,223365318	0,011556201	0,038	0,01	1	1,008042315	0,992021847	3,8
SMG1	0,014740305	0,011555995	0,5	0,23	1	1,008042171	0,992021989	2,173913043
NECAP1	0,123200185	0,011531744	0,162	0,08	1	1,008025227	0,992038665	2,025
FRMD4B	0,439855668	0,011514858	0,025	0,01	1	1,008013428	0,992050276	2,5
TRIB3	4,24089E-05	0,011481308	0,188	0,01	0,894869854	1,007989988	0,992073346	18,8
ENKD1	0,047655629	0,011477913	0,175	0,07	1	1,007987615	0,992075681	2,5
CTSS	0,11122839	0,011474519	0,05	0,01	1	1,007985244	0,992078015	5
TRIAP1	0,000718898	0,011450434	0,412	0,14	1	1,007968416	0,992094577	2,942857143
ZNF674	0,114652585	0,011403997	0,025	0	1	1,007935973	0,992126511	#DIV/0!
CPSF1	0,010461593	0,011391136	0,138	0,03	1	1,007926987	0,992135356	4,6
SPINT2	0,114652585	0,011297719	0,025	0	1	1,007861725	0,9921996	#DIV/0!
PFKL	0,000217701	0,011293641	0,488	0,16	1	1,007858876	0,992202405	3,05
PRDM5	0,112247794	0,011278913	0,088	0,03	1	1,007848586	0,992212534	2,933333333
ASB2	0,268357209	0,011253177	0,013	0	1	1,007830608	0,992230234	#DIV/0!
GOLGA8R	0,268357209	0,011253177	0,013	0	1	1,007830608	0,992230234	#DIV/0!
IL20RB	0,268357209	0,011253177	0,013	0	1	1,007830608	0,992230234	#DIV/0!
SPACA6P-AS	0,268357209	0,011253177	0,013	0	1	1,007830608	0,992230234	#DIV/0!

Supplementary Table 4

Differentially expressed genes_keloid-CCD_ comparing SC-Keloid vs. (SC-Myel, SC-Nonmyel)								
gene	p_val	avg_log2FC	pct.1	pct.2	p_val_adj	Foldchange_UP	Foldchange_DOWN	Ratio_pct1_pct2
TSKU	0,268357209	0,011253177	0,013	0	1	1,007830608	0,992230234	#DIV/0!
SLC25A19	0,284975754	0,011225565	0,05	0,02	1	1,007811319	0,992249225	2,5
IQSEC2	0,085199008	0,011190516	0,075	0,02	1	1,007786836	0,992273331	3,75
DCAF4L1	0,223365318	0,011164507	0,038	0,01	1	1,007768668	0,992291219	3,8
ZNF324	0,062632651	0,01115925	0,1	0,03	1	1,007764995	0,992294835	3,333333333
C17orf80	0,062632651	0,011157595	0,1	0,03	1	1,007763839	0,992295974	3,333333333
IL1RAPL1	0,080727289	0,011152474	0,162	0,07	1	1,007760262	0,992299496	2,314285714
TRIM59	0,11122839	0,011140143	0,05	0,01	1	1,007751649	0,992307977	5
CSRNP3	0,114652585	0,011130177	0,025	0	1	1,007744687	0,992314832	#DIV/0!
H2BC3	0,114652585	0,011101975	0,025	0	1	1,007724988	0,99233423	#DIV/0!
HSF2BP	0,114652585	0,011101975	0,025	0	1	1,007724988	0,99233423	#DIV/0!
ASAP1	0,007905101	0,011090279	0,312	0,12	1	1,007716818	0,992342275	2,6
GMIP	0,276717465	0,011049785	0,05	0,02	1	1,007688533	0,992370129	2,5
AKR1C2	0,280825998	0,010964993	0,05	0,02	1	1,00762931	0,992428455	2,5
FHIP2A	0,093220017	0,01085851	0,125	0,05	1	1,007554941	0,992501708	2,5
SRPK1	0,001538322	0,010822292	0,338	0,11	1	1,007529648	0,992526624	3,072727273
LINC00857	0,447580525	0,010815528	0,025	0,01	1	1,007524924	0,992531278	2,5
MRPL53	0,045399153	0,01081449	0,088	0,02	1	1,007524199	0,992531992	4,4
HKDC1	0,005482675	0,010803353	0,25	0,08	1	1,007516422	0,992539654	3,125
PCGF6	0,031119861	0,01073679	0,188	0,07	1	1,007469937	0,992585449	2,685714286
DISC1	0,123264423	0,010725198	0,225	0,12	1	1,007461842	0,992593424	1,875
BOC	0,157415062	0,01061003	0,062	0,02	1	1,007381422	0,992672664	3,1
PIP5KL1	0,223365318	0,010542612	0,038	0,01	1	1,007334347	0,992719054	3,8
NIPAL2	0,114652585	0,01051209	0,025	0	1	1,007313036	0,992740056	#DIV/0!
LBX2	0,447580525	0,01051169	0,025	0,01	1	1,007312757	0,992740332	2,5
FPGT	0,061661173	0,010502704	0,1	0,03	1	1,007306483	0,992746515	3,333333333
SYP	0,078265554	0,010482766	0,112	0,04	1	1,007292562	0,992760235	2,8
QRICH2	0,268357209	0,010457995	0,013	0	1	1,007275267	0,99277728	#DIV/0!
VILL	0,223365318	0,010435078	0,038	0,01	1	1,007259266	0,992793051	3,8
CASP6	0,051861952	0,010377776	0,175	0,07	1	1,00721926	0,992832484	2,5

Supplementary Table 4

Differentially expressed genes_keloid-CCD_ comparing SC-Keloid vs. (SC-Myel, SC-Nonmyel)								
gene	p_val	avg_log2FC	pct.1	pct.2	p_val_adj	Foldchange_UP	Foldchange_DOWN	Ratio_pct1_pct2
N6AMT1	0,035392992	0,010360884	0,112	0,03	1	1,007207467	0,992844109	3,733333333
GTF2F1	0,00035434	0,010347431	0,412	0,13	1	1,007198075	0,992853367	3,169230769
AC062029.1	0,268357209	0,010343131	0,013	0	1	1,007195073	0,992856326	#DIV/0!
AGMO	0,268357209	0,010343131	0,013	0	1	1,007195073	0,992856326	#DIV/0!
AL627171.1	0,268357209	0,010343131	0,013	0	1	1,007195073	0,992856326	#DIV/0!
CWH43	0,268357209	0,010343131	0,013	0	1	1,007195073	0,992856326	#DIV/0!
DNAH1	0,268357209	0,010343131	0,013	0	1	1,007195073	0,992856326	#DIV/0!
INMT	0,268357209	0,010343131	0,013	0	1	1,007195073	0,992856326	#DIV/0!
KL	0,268357209	0,010343131	0,013	0	1	1,007195073	0,992856326	#DIV/0!
MEOX2	0,268357209	0,010343131	0,013	0	1	1,007195073	0,992856326	#DIV/0!
MEPE	0,268357209	0,010343131	0,013	0	1	1,007195073	0,992856326	#DIV/0!
MIMT1	0,268357209	0,010343131	0,013	0	1	1,007195073	0,992856326	#DIV/0!
MYORG	0,268357209	0,010343131	0,013	0	1	1,007195073	0,992856326	#DIV/0!
NPIP11	0,268357209	0,010343131	0,013	0	1	1,007195073	0,992856326	#DIV/0!
PCSK6	0,268357209	0,010343131	0,013	0	1	1,007195073	0,992856326	#DIV/0!
ROBO4	0,268357209	0,010343131	0,013	0	1	1,007195073	0,992856326	#DIV/0!
ST6GALNAC1	0,268357209	0,010343131	0,013	0	1	1,007195073	0,992856326	#DIV/0!
TSPAN1	0,268357209	0,010343131	0,013	0	1	1,007195073	0,992856326	#DIV/0!
MYD88	0,055334082	0,010337273	0,062	0,01	1	1,007190983	0,992860358	6,2
ADORA1	0,114652585	0,010323431	0,025	0	1	1,00718132	0,992869884	#DIV/0!
DCAF17	0,083746858	0,010269428	0,075	0,02	1	1,00714362	0,992907049	3,75
TMEM238	0,180971596	0,010268479	0,075	0,03	1	1,007142957	0,992907703	2,5
RIPOR3	0,509666892	0,010257088	0,062	0,04	1	1,007135005	0,992915542	1,55
CD163L1	0,268357209	0,010245292	0,013	0	1	1,007126771	0,99292366	#DIV/0!
GNAZ	0,268357209	0,010245292	0,013	0	1	1,007126771	0,99292366	#DIV/0!
PLCB4	0,268357209	0,010245292	0,013	0	1	1,007126771	0,99292366	#DIV/0!
MTUS2-AS1	0,114652585	0,010217074	0,025	0	1	1,007107072	0,992943082	#DIV/0!
KCNQ1	0,268357209	0,010188854	0,013	0	1	1,007087373	0,992962504	#DIV/0!
CEP135	0,02338026	0,010161523	0,212	0,08	1	1,007068295	0,992981316	2,65
ANG	0,439855668	0,010160096	0,025	0,01	1	1,007067298	0,992982298	2,5

Supplementary Table 4

Differentially expressed genes_keloid-CCD_ comparing SC-Keloid vs. (SC-Myel, SC-Nonmyel)								
gene	p_val	avg_log2FC	pct.1	pct.2	p_val_adj	Foldchange_UP	Foldchange_DOWN	Ratio_pct1_pct2
DND1	0,268357209	0,01015958	0,013	0	1	1,007066938	0,992982653	#DIV/0!
GSTM5	0,268357209	0,01015958	0,013	0	1	1,007066938	0,992982653	#DIV/0!
GYG2	0,268357209	0,01015958	0,013	0	1	1,007066938	0,992982653	#DIV/0!
PGA4	0,268357209	0,01015958	0,013	0	1	1,007066938	0,992982653	#DIV/0!
TMEM26	0,268357209	0,01015958	0,013	0	1	1,007066938	0,992982653	#DIV/0!
TRIM68	0,268357209	0,01015958	0,013	0	1	1,007066938	0,992982653	#DIV/0!
MTERF3	0,019378739	0,010156213	0,125	0,03	1	1,007064588	0,992984971	4,166666667
UVSSA	0,017198953	0,01011478	0,238	0,09	1	1,007035666	0,993013489	2,644444444
RHBDL1	0,874019543	0,010071264	0,013	0,01	1	1,007005292	0,993043441	1,3
EHD3	0,11122839	0,010058191	0,05	0,01	1	1,006996167	0,99305244	5
LINC00987	0,886527564	-0,010013907	0,013	0,01	1	0,993082923	1,006965257	1,3
PUDP	0,223365318	-0,010023383	0,038	0,01	1	0,9930764	1,006971871	3,8
EFCAB13	0,83477988	-0,010048104	0,025	0,02	1	0,993059383	1,006989126	1,25
CTDP1	0,112247794	-0,010084502	0,088	0,03	1	0,993034329	1,007014532	2,933333333
RAVER1	0,157415062	-0,010095206	0,062	0,02	1	0,993026962	1,007022003	3,1
CCDC8	0,447580525	-0,010146117	0,025	0,01	1	0,99299192	1,00705754	2,5
GPR137C	0,447580525	-0,01015307	0,025	0,01	1	0,992987134	1,007062394	2,5
ANKRD27	0,157415062	-0,010157313	0,062	0,02	1	0,992984213	1,007065356	3,1
DACT1	0,016222035	-0,010170817	0,188	0,06	1	0,992974919	1,007074782	3,133333333
CAB39	0,009209816	-0,01019113	0,35	0,14	1	0,992960938	1,007088962	2,5
SLC35G2	0,11061781	-0,010221556	0,088	0,03	1	0,992939997	1,007110201	2,933333333
AC040977.1	0,447580525	-0,010234395	0,025	0,01	1	0,992931161	1,007119163	2,5
RBM41	0,284975754	-0,01030422	0,05	0,02	1	0,992883105	1,007167908	2,5
SLC46A1	0,501283468	-0,010305035	0,038	0,02	1	0,992882544	1,007168478	1,9
LIPE-AS1	0,886527564	-0,010328534	0,013	0,01	1	0,992866372	1,007184883	1,3
ZNF420	0,058821317	-0,010346396	0,1	0,03	1	0,992854079	1,007197353	3,333333333
DSC3	0,886527564	-0,010404316	0,013	0,01	1	0,99281422	1,00723779	1,3
SLC66A2	0,000217296	-0,010415301	0,462	0,15	1	0,99280666	1,007245459	3,08
HOXC5	0,154906213	-0,010427437	0,062	0,02	1	0,992798309	1,007253932	3,1
HEYL	0,501283468	-0,010459908	0,038	0,02	1	0,992775964	1,007276602	1,9

Supplementary Table 4

Differentially expressed genes_keloid-CCD_ comparing SC-Keloid vs. (SC-Myel, SC-Nonmyel)								
gene	p_val	avg_log2FC	pct.1	pct.2	p_val_adj	Foldchange_UP	Foldchange_DOWN	Ratio_pct1_pct2
SULT1A3	0,501283468	-0,010540831	0,038	0,02	1	0,992720279	1,007333104	1,9
FAM91A1	0,010428083	-0,010560498	0,175	0,05	1	0,992706746	1,007346836	3,5
ADAM32	0,886527564	-0,010591409	0,013	0,01	1	0,992685477	1,007368419	1,3
LIPE	0,223365318	-0,010595466	0,038	0,01	1	0,992682685	1,007371252	3,8
ERCC5	0,886527564	-0,010635148	0,013	0,01	1	0,992655382	1,007398961	1,3
INPP5B	0,886527564	-0,010640062	0,013	0,01	1	0,992652001	1,007402392	1,3
MBLAC1	0,501283468	-0,01070653	0,038	0,02	1	0,992606268	1,007448806	1,9
SGPL1	0,006211613	-0,010708064	0,225	0,07	1	0,992605213	1,007449877	3,214285714
HIRA	0,186285832	-0,010724242	0,138	0,07	1	0,992594082	1,007461175	1,971428571
KATNB1	0,003797999	-0,010728172	0,2	0,05	1	0,992591378	1,007463919	4
ACY1	0,223365318	-0,010742572	0,038	0,01	1	0,992581471	1,007473975	3,8
QTRT2	0,01645261	-0,010764438	0,188	0,06	1	0,992566427	1,007489245	3,133333333
INO80	0,016806221	-0,010764657	0,362	0,16	1	0,992566276	1,007489398	2,2625
MAP3K20	0,011618772	-0,010786711	0,175	0,05	1	0,992551103	1,0075048	3,5
TCEA3	0,886527564	-0,010799739	0,013	0,01	1	0,99254214	1,007513898	1,3
PTCH2	0,501283468	-0,010853021	0,038	0,02	1	0,992505484	1,007551108	1,9
PLEKHG2	0,044929041	-0,010880484	0,162	0,06	1	0,992486591	1,007570287	2,7
PDIA5	0,023117849	-0,010886855	0,175	0,06	1	0,992482208	1,007574737	2,916666667
FAM72C	0,886527564	-0,010907313	0,013	0,01	1	0,992468134	1,007589025	1,3
MIR1915HG	0,886527564	-0,010907313	0,013	0,01	1	0,992468134	1,007589025	1,3
UBE2K	0,000767374	-0,010911457	0,588	0,22	1	0,992465283	1,00759192	2,672727273
ELAPOR2	0,886527564	-0,010924237	0,013	0,01	1	0,992456492	1,007600845	1,3
IL12A	0,886527564	-0,011011276	0,013	0,01	1	0,992396618	1,007661636	1,3
ZNF547	0,886527564	-0,01102456	0,013	0,01	1	0,992387481	1,007670914	1,3
DPH3	0,004639993	-0,011128896	0,475	0,19	1	0,992315713	1,007743792	2,5
PTGER4	0,701739822	-0,011133431	0,013	0,02	1	0,992312594	1,00774696	0,65
SEMA4F	0,886527564	-0,011154367	0,013	0,01	1	0,992298194	1,007761584	1,3
PRRT3	0,157415062	-0,011217136	0,062	0,02	1	0,992255022	1,007805431	3,1
FLVCR1	0,053565038	-0,011239896	0,138	0,05	1	0,992239368	1,00782133	2,76
ATP23	0,284975754	-0,011279948	0,05	0,02	1	0,992211822	1,00784931	2,5

Supplementary Table 4

Differentially expressed genes_keloid-CCD_ comparing SC-Keloid vs. (SC-Myel, SC-Nonmyel)								
gene	p_val	avg_log2FC	pct.1	pct.2	p_val_adj	Foldchange_UP	Foldchange_DOWN	Ratio_pct1_pct2
PARP4	0,188020793	-0,011281779	0,15	0,08	1	0,992210563	1,007850589	1,875
IRAK3	0,83477988	-0,011326559	0,025	0,02	1	0,992179766	1,007881872	1,25
ICA1L	0,34786644	-0,011328532	0,088	0,05	1	0,992178409	1,007883251	1,76
CLSTN2	0,886527564	-0,011384696	0,013	0,01	1	0,992139784	1,007922488	1,3
PRDM8	0,886527564	-0,011384696	0,013	0,01	1	0,992139784	1,007922488	1,3
ABAT	0,284975754	-0,011400141	0,05	0,02	1	0,992129163	1,007933279	2,5
NEURL2	0,886527564	-0,011401415	0,013	0,01	1	0,992128287	1,007934169	1,3
DDB2	0,008657281	-0,011439356	0,238	0,08	1	0,992102195	1,007960676	2,975
FAM151B	0,223365318	-0,011457802	0,038	0,01	1	0,992089511	1,007973564	3,8
ORC4	0,012313988	-0,011478742	0,25	0,09	1	0,992075111	1,007988194	2,777777778
C5orf38	0,886527564	-0,011511927	0,013	0,01	1	0,992052292	1,00801138	1,3
CENPV	0,501283468	-0,011541942	0,038	0,02	1	0,992031652	1,008032352	1,9
DNASE1L3	0,886527564	-0,011550143	0,013	0,01	1	0,992026014	1,008038082	1,3
COQ7	0,027302098	-0,011586608	0,138	0,04	1	0,99200094	1,008063561	3,45
GSN	0,06687059	-0,011664138	1	0,89	1	0,991947631	1,008117736	1,123595506
OBSCN	0,886527564	-0,011680064	0,013	0,01	1	0,991936681	1,008128865	1,3
DRC1	0,83477988	-0,01168228	0,025	0,02	1	0,991935157	1,008130413	1,25
KIF21B	0,886527564	-0,011723268	0,013	0,01	1	0,991906976	1,008159055	1,3
GABRE	0,223365318	-0,011754339	0,038	0,01	1	0,991885614	1,008180768	3,8
POLR1B	0,447580525	-0,01178524	0,025	0,01	1	0,991864369	1,008202362	2,5
SETDB2	0,188542969	-0,011786594	0,075	0,03	1	0,991863438	1,008203309	2,5
LOXL1-AS1	0,223365318	-0,011905013	0,038	0,01	1	0,991782028	1,008286067	3,8
ACOT2	0,009264722	-0,011918833	0,238	0,08	1	0,991772527	1,008295726	2,975
TNFAIP8L1	0,045399153	-0,011928074	0,088	0,02	1	0,991766174	1,008302184	4,4
SEC31B	0,447580525	-0,0119446	0,025	0,01	1	0,991754814	1,008313734	2,5
AL645728.1	0,223365318	-0,011962827	0,038	0,01	1	0,991742284	1,008326474	3,8
ZNF846	0,135004841	-0,012030147	0,1	0,04	1	0,991696008	1,008373526	2,5
MTRF1L	0,014643295	-0,012056849	0,312	0,13	1	0,991677653	1,008392189	2,4
SMPD2	0,284975754	-0,012068648	0,05	0,02	1	0,991669543	1,008400437	2,5
SLC9A6	0,188542969	-0,012141619	0,075	0,03	1	0,991619386	1,008451442	2,5

Supplementary Table 4

Differentially expressed genes_keloid-CCD_ comparing SC-Keloid vs. (SC-Myel, SC-Nonmyel)								
gene	p_val	avg_log2FC	pct.1	pct.2	p_val_adj	Foldchange_UP	Foldchange_DOWN	Ratio_pct1_pct2
RNASET2	0,148635808	-0,012181604	0,112	0,05	1	0,991591903	1,008479393	2,24
ZNF254	0,164257965	-0,012188904	0,125	0,06	1	0,991586886	1,008484495	2,083333333
MEG9	0,886527564	-0,012218831	0,013	0,01	1	0,991566317	1,008505415	1,3
SFRP5	0,447580525	-0,01222878	0,025	0,01	1	0,991559478	1,00851237	2,5
E2F7	0,004676011	-0,012291698	0,175	0,04	1	0,991516236	1,008556354	4,375
LYG2	0,886527564	-0,012311453	0,013	0,01	1	0,991502659	1,008570164	1,3
NUPR1	0,34786644	-0,012333008	0,088	0,05	1	0,991487845	1,008585233	1,76
LIX1L	0,011331849	-0,012358938	0,3	0,12	1	0,991470025	1,008603361	2,5
ACAA1	0,001754892	-0,012373669	0,512	0,2	1	0,991459902	1,00861366	2,56
PGGHG	0,284975754	-0,012375035	0,05	0,02	1	0,991458963	1,008614614	2,5
GPN3	0,000251149	-0,012404329	0,362	0,1	1	0,991438831	1,008635095	3,62
TMEM80	0,076650075	-0,012450349	0,262	0,13	1	0,991407207	1,00866727	2,015384615
RCN2	0,406935025	-0,012500648	0,887	0,62	1	0,991372642	1,008702437	1,430645161
TOMM40L	0,501283468	-0,012501781	0,038	0,02	1	0,991371863	1,008703229	1,9
ADORA2A-AS1	0,886527564	-0,012517582	0,013	0,01	1	0,991361005	1,008714277	1,3
ZNF473	0,447580525	-0,012526727	0,025	0,01	1	0,991354722	1,008720671	2,5
DMRT3	0,886527564	-0,012568089	0,013	0,01	1	0,9913263	1,008749591	1,3
EGFL6	0,886527564	-0,012568089	0,013	0,01	1	0,9913263	1,008749591	1,3
EN1	0,886527564	-0,012568089	0,013	0,01	1	0,9913263	1,008749591	1,3
APOBEC3C	0,025655397	-0,012568091	0,225	0,09	1	0,991326299	1,008749593	2,5
COG1	0,027302098	-0,012654483	0,138	0,04	1	0,991266937	1,008810001	3,45
HLA-DMA	0,317447852	-0,01267909	0,062	0,03	1	0,99125003	1,008827207	2,066666667
LEMD2	0,012158375	-0,012721937	0,25	0,09	1	0,991220592	1,008857169	2,777777778
GSTCD	0,047638359	-0,012725921	0,125	0,04	1	0,991217854	1,008859955	3,125
BIN1	0,000683948	-0,012747219	0,7	0,28	1	0,991203221	1,008874849	2,5
TMEM178B	0,00840035	-0,012747572	0,162	0,04	1	0,991202978	1,008875096	4,05
DCLRE1A	0,447580525	-0,012750573	0,025	0,01	1	0,991200917	1,008877194	2,5
IKZF4	0,035392992	-0,012758529	0,112	0,03	1	0,99119545	1,008882758	3,733333333
CCDC9	0,193718766	-0,012798399	0,075	0,03	1	0,991168059	1,008910639	2,5
FAM133A	0,447580525	-0,012801446	0,025	0,01	1	0,991165965	1,00891277	2,5

Supplementary Table 4

Differentially expressed genes_keloid-CCD_ comparing SC-Keloid vs. (SC-Myel, SC-Nonmyel)								
gene	p_val	avg_log2FC	pct.1	pct.2	p_val_adj	Foldchange_UP	Foldchange_DOWN	Ratio_pct1_pct2
NCF4	0,886527564	-0,012805229	0,013	0,01	1	0,991163366	1,008915416	1,3
KTI12	0,343957066	-0,012834151	0,075	0,04	1	0,991143497	1,008935642	1,875
ERG	0,84359211	-0,012859648	0,025	0,02	1	0,99112598	1,008953473	1,25
GRK5	0,085199008	-0,012908283	0,075	0,02	1	0,991092568	1,008987487	3,75
ZNF468	0,11122839	-0,01293329	0,05	0,01	1	0,991075389	1,009004977	5
DHX8	0,019688996	-0,012986095	0,238	0,09	1	0,991039115	1,009041909	2,644444444
KANSL3	0,025447117	-0,012997172	0,175	0,06	1	0,991031506	1,009049656	2,916666667
CDC7	0,11061781	-0,013007533	0,088	0,03	1	0,991024388	1,009056903	2,933333333
ZNF829	0,447580525	-0,01301199	0,025	0,01	1	0,991021327	1,00906002	2,5
POLR3B	0,223365318	-0,013016505	0,038	0,01	1	0,991018226	1,009063178	3,8
WDR6	0,003536285	-0,013030045	0,262	0,08	1	0,991008925	1,009072648	3,275
BEX2	0,886527564	-0,013058581	0,013	0,01	1	0,990989323	1,009092607	1,3
STEAP4	0,501283468	-0,01309794	0,038	0,02	1	0,990962288	1,009120138	1,9
POLH	0,157415062	-0,013118044	0,062	0,02	1	0,990948479	1,009134199	3,1
LMO2	0,494869729	-0,013294804	0,038	0,02	1	0,990827075	1,009257847	1,9
MOB3C	0,093220017	-0,013301479	0,125	0,05	1	0,99082249	1,009262517	2,5
CENPL	0,163880441	-0,013364559	0,175	0,09	1	0,990779169	1,009306646	1,944444444
TRPV1	0,886527564	-0,013379605	0,013	0,01	1	0,990768836	1,009317173	1,3
NOX4	0,447580525	-0,013389814	0,025	0,01	1	0,990761824	1,009324315	2,5
CWF19L1	0,157415062	-0,013396521	0,062	0,02	1	0,990757219	1,009329007	3,1
RBM22	0,001284525	-0,01342752	0,475	0,18	1	0,990735931	1,009350695	2,638888889
ZKSCAN5	0,488500108	-0,013428834	0,038	0,02	1	0,990735028	1,009351614	1,9
DCLRE1C	0,081579256	-0,013432355	0,112	0,04	1	0,99073261	1,009354078	2,8
FANCL	0,020202855	-0,01344995	0,162	0,05	1	0,990720528	1,009366387	3,24
ATG12	0,001970019	-0,013468864	0,512	0,2	1	0,990707539	1,00937962	2,56
VAR52	0,317447852	-0,013480756	0,062	0,03	1	0,990699373	1,009387941	2,066666667
MARK4	0,221005633	-0,013495393	0,088	0,04	1	0,990689322	1,009398181	2,2
VPS11	0,021426774	-0,013578713	0,2	0,07	1	0,990632108	1,009456479	2,857142857
FANCE	0,019378739	-0,013606188	0,125	0,03	1	0,990613243	1,009475703	4,166666667
HCG17	0,886527564	-0,01360622	0,013	0,01	1	0,990613221	1,009475726	1,3

Supplementary Table 4

Differentially expressed genes_keloid-CCD_ comparing SC-Keloid vs. (SC-Myel, SC-Nonmyel)								
gene	p_val	avg_log2FC	pct.1	pct.2	p_val_adj	Foldchange_UP	Foldchange_DOWN	Ratio_pct1_pct2
NUP188	0,009096611	-0,013684016	0,2	0,06	1	0,990559804	1,009530163	3,333333333
CPNE5	0,692138165	-0,013763372	0,013	0,02	1	0,99050532	1,009585694	0,65
PPP1R21	0,063616753	-0,013822303	0,1	0,03	1	0,99046486	1,009626934	3,333333333
ZNF112	0,447580525	-0,013851989	0,025	0,01	1	0,99044448	1,009647709	2,5
ZNF436-AS1	0,84359211	-0,013852982	0,025	0,02	1	0,990443798	1,009648404	1,25
B3GALT2	0,079357729	-0,013868411	0,112	0,04	1	0,990433205	1,009659202	2,8
GALK2	0,001140163	-0,013871199	0,288	0,08	1	0,990431292	1,009661153	3,6
LHPP	0,099566196	-0,013883792	0,188	0,09	1	0,990422646	1,009669966	2,088888889
FICD	0,280825998	-0,013923582	0,05	0,02	1	0,99039533	1,009697814	2,5
TCEAL3	0,018186552	-0,013928593	0,637	0,32	1	0,990391891	1,00970132	1,990625
KLHL12	0,218400487	-0,013931366	0,088	0,04	1	0,990389987	1,009703261	2,2
UBL7	0,049421853	-0,013933232	0,175	0,07	1	0,990388706	1,009704567	2,5
PITX3	0,447580525	-0,013957327	0,025	0,01	1	0,990372165	1,009721431	2,5
ZNF687	0,284975754	-0,013960372	0,05	0,02	1	0,990370075	1,009723562	2,5
DGKE	0,501283468	-0,013967663	0,038	0,02	1	0,99036507	1,009728665	1,9
RASGRP2	0,84359211	-0,013995182	0,025	0,02	1	0,990346179	1,009747925	1,25
DSEL	0,001133475	-0,014012638	0,675	0,29	1	0,990334196	1,009760143	2,327586207
SEH1L	0,097578995	-0,014021858	0,188	0,09	1	0,990327867	1,009766597	2,088888889
NUP155	0,09439712	-0,01403013	0,125	0,05	1	0,990322189	1,009772386	2,5
ACTR3B	0,193718766	-0,0140474	0,075	0,03	1	0,990310335	1,009784474	2,5
MAGI3	0,032660317	-0,014080002	0,15	0,05	1	0,990287956	1,009807293	3
SLC25A30	0,825988348	-0,01410643	0,025	0,02	1	0,990269816	1,009825791	1,25
ME1	0,447580525	-0,014147586	0,025	0,01	1	0,990241566	1,009854599	2,5
NCBP2AS2	0,000800597	-0,01415369	0,4	0,13	1	0,990237376	1,009858872	3,076923077
ASAP3	0,377102913	-0,014158063	0	0,01	1	0,990234375	1,009861933	0
C1QA	0,377102913	-0,014158063	0	0,01	1	0,990234375	1,009861933	0
CASP1	0,377102913	-0,014158063	0	0,01	1	0,990234375	1,009861933	0
CHRM1	0,377102913	-0,014158063	0	0,01	1	0,990234375	1,009861933	0
EEPD1	0,377102913	-0,014158063	0	0,01	1	0,990234375	1,009861933	0
GABRQ	0,377102913	-0,014158063	0	0,01	1	0,990234375	1,009861933	0

Supplementary Table 4

Differentially expressed genes_keloid-CCD_comparing SC-Keloid vs. (SC-Myel, SC-Nonmyel)								
gene	p_val	avg_log2FC	pct.1	pct.2	p_val_adj	Foldchange_UP	Foldchange_DOWN	Ratio_pct1_pct2
MAMSTR	0,377102913	-0,014158063	0	0,01	1	0,990234375	1,009861933	0
NHLRC4	0,377102913	-0,014158063	0	0,01	1	0,990234375	1,009861933	0
PROX1	0,377102913	-0,014158063	0	0,01	1	0,990234375	1,009861933	0
SCN5A	0,377102913	-0,014158063	0	0,01	1	0,990234375	1,009861933	0
USP2-AS1	0,377102913	-0,014158063	0	0,01	1	0,990234375	1,009861933	0
BMP8A	0,377102913	-0,014183117	0	0,01	1	0,990217179	1,00987947	0
CKMT2	0,377102913	-0,014183117	0	0,01	1	0,990217179	1,00987947	0
FZD10	0,377102913	-0,014183117	0	0,01	1	0,990217179	1,00987947	0
ITPKB-AS1	0,377102913	-0,014183117	0	0,01	1	0,990217179	1,00987947	0
KLHL41	0,377102913	-0,014183117	0	0,01	1	0,990217179	1,00987947	0
LAIR1	0,377102913	-0,014183117	0	0,01	1	0,990217179	1,00987947	0
LINC01142	0,377102913	-0,014183117	0	0,01	1	0,990217179	1,00987947	0
LLGL1	0,377102913	-0,014183117	0	0,01	1	0,990217179	1,00987947	0
MZB1	0,377102913	-0,014183117	0	0,01	1	0,990217179	1,00987947	0
PM20D1	0,377102913	-0,014183117	0	0,01	1	0,990217179	1,00987947	0
SCN4B	0,377102913	-0,014183117	0	0,01	1	0,990217179	1,00987947	0
SMTNL2	0,377102913	-0,014183117	0	0,01	1	0,990217179	1,00987947	0
SOBP	0,377102913	-0,014183117	0	0,01	1	0,990217179	1,00987947	0
TJP2	0,377102913	-0,014183117	0	0,01	1	0,990217179	1,00987947	0
TMEM154	0,377102913	-0,014183117	0	0,01	1	0,990217179	1,00987947	0
TNNT3	0,377102913	-0,014183117	0	0,01	1	0,990217179	1,00987947	0
TP53TG5	0,377102913	-0,014183117	0	0,01	1	0,990217179	1,00987947	0
TFDP1	0,003567291	-0,014198492	0,338	0,12	1	0,990206625	1,009890233	2,816666667
FMOD	0,886527564	-0,014214718	0,013	0,01	1	0,990195489	1,009901591	1,3
FADD	0,002573388	-0,014223368	0,25	0,07	1	0,990189552	1,009907646	3,571428571
IFNAR1	0,000569058	-0,014348971	0,537	0,2	1	0,990103349	1,009995574	2,685
NPTX1	0,886527564	-0,014364435	0,013	0,01	1	0,990092736	1,0100064	1,3
ECHDC3	0,063616753	-0,014465269	0,1	0,03	1	0,990023538	1,010076995	3,333333333
MLH1	0,058303671	-0,014485849	0,188	0,08	1	0,990009416	1,010091403	2,35
XPO6	0,010422501	-0,014496283	0,25	0,09	1	0,990002256	1,010098709	2,777777778

Supplementary Table 4

Differentially expressed genes_keloid-CCD_ comparing SC-Keloid vs. (SC-Myel, SC-Nonmyel)								
gene	p_val	avg_log2FC	pct.1	pct.2	p_val_adj	Foldchange_UP	Foldchange_DOWN	Ratio_pct1_pct2
MIR503HG	0,157415062	-0,014551296	0,062	0,02	1	0,989964505	1,010137227	3,1
PPFIA3	0,51950331	-0,014556729	0,062	0,04	1	0,989960777	1,010141031	1,55
LRAT	0,223365318	-0,014558346	0,038	0,01	1	0,989959668	1,010142163	3,8
PRKN	0,284975754	-0,014572386	0,05	0,02	1	0,989950034	1,010151994	2,5
MRPS30	0,09917201	-0,014575562	0,25	0,13	1	0,989947854	1,010154218	1,923076923
CEP170B	0,035392992	-0,014579935	0,112	0,03	1	0,989944853	1,010157279	3,733333333
POLE4	0,00520137	-0,014581276	0,5	0,21	1	0,989943933	1,010158218	2,380952381
NBPF1	0,1451813	-0,014581794	0,112	0,05	1	0,989943578	1,010158581	2,24
SLC1A5	0,00405127	-0,014595651	0,338	0,12	1	0,989934069	1,010168284	2,816666667
SCAMP5	0,447580525	-0,014621526	0,025	0,01	1	0,989916315	1,010186401	2,5
TPP2	0,198713285	-0,014630015	0,162	0,09	1	0,98991049	1,010192346	1,8
C2CD2L	0,284975754	-0,014674306	0,05	0,02	1	0,989880101	1,010223359	2,5
SH3BGR2	0,501283468	-0,014679281	0,038	0,02	1	0,989876687	1,010226843	1,9
DLG2	0,447580525	-0,014679967	0,025	0,01	1	0,989876216	1,010227323	2,5
ACSL6	0,377102913	-0,014682551	0	0,01	1	0,989874443	1,010229133	0
C17orf64	0,377102913	-0,014682551	0	0,01	1	0,989874443	1,010229133	0
CLYBL	0,377102913	-0,014682551	0	0,01	1	0,989874443	1,010229133	0
EFHB	0,377102913	-0,014682551	0	0,01	1	0,989874443	1,010229133	0
IGF2BP3	0,377102913	-0,014682551	0	0,01	1	0,989874443	1,010229133	0
MAP3K15	0,377102913	-0,014682551	0	0,01	1	0,989874443	1,010229133	0
PTK6	0,377102913	-0,014682551	0	0,01	1	0,989874443	1,010229133	0
RASGRF1	0,377102913	-0,014682551	0	0,01	1	0,989874443	1,010229133	0
SV2B	0,377102913	-0,014682551	0	0,01	1	0,989874443	1,010229133	0
VPS16	0,004013881	-0,014739098	0,238	0,07	1	0,989835646	1,010268729	3,4
DNAJC6	0,516405835	-0,014739749	0,05	0,03	1	0,989835199	1,010269185	1,666666667
MED14OS	0,84359211	-0,014797179	0,025	0,02	1	0,989795797	1,010309402	1,25
LST1	0,886527564	-0,014838656	0,013	0,01	1	0,989767341	1,010338449	1,3
VSIG10	0,035392992	-0,014851277	0,112	0,03	1	0,989758682	1,010347288	3,733333333
AC127496.1	0,886527564	-0,01485548	0,013	0,01	1	0,989755799	1,010350231	1,3
NDST2	0,447580525	-0,014855929	0,025	0,01	1	0,989755491	1,010350545	2,5

Supplementary Table 4

Differentially expressed genes_keloid-CCD_ comparing SC-Keloid vs. (SC-Myel, SC-Nonmyel)								
gene	p_val	avg_log2FC	pct.1	pct.2	p_val_adj	Foldchange_UP	Foldchange_DOWN	Ratio_pct1_pct2
H3C1	0,701739822	-0,014866006	0,013	0,02	1	0,989748577	1,010357603	0,65
C3	0,447580525	-0,014878387	0,025	0,01	1	0,989740084	1,010366273	2,5
CFAP44	0,886527564	-0,014885833	0,013	0,01	1	0,989734976	1,010371488	1,3
MANBA	0,045589173	-0,014896911	0,125	0,04	1	0,989727376	1,010379246	3,125
SLC22A4	0,059755621	-0,01490245	0,1	0,03	1	0,989723576	1,010383126	3,333333333
POLE	0,284975754	-0,014981023	0,05	0,02	1	0,989669675	1,010438155	2,5
TTLL3	0,089759246	-0,015004721	0,125	0,05	1	0,989653418	1,010454753	2,5
C15orf40	0,007708566	-0,015021963	0,225	0,07	1	0,98964159	1,010466829	3,214285714
NRF1	0,317447852	-0,015076105	0,062	0,03	1	0,989604451	1,010504751	2,066666667
POMT1	0,246922691	-0,015094985	0,1	0,05	1	0,989591501	1,010517975	2
SOX17	0,223365318	-0,015124424	0,038	0,01	1	0,989571308	1,010538595	3,8
CFAP69	0,447580525	-0,015124563	0,025	0,01	1	0,989571213	1,010538693	2,5
SETD1A	0,112247794	-0,01514695	0,088	0,03	1	0,989555857	1,010554375	2,933333333
NAB1	0,009855385	-0,015189028	0,35	0,14	1	0,989526996	1,010583849	2,5
PSPN	0,886527564	-0,01520402	0,013	0,01	1	0,989516713	1,01059435	1,3
DGLUCY	0,284975754	-0,015261198	0,05	0,02	1	0,989477497	1,010634404	2,5
IPO13	0,047638359	-0,015297312	0,125	0,04	1	0,989452728	1,010659703	3,125
PYGO2	0,120687358	-0,01535488	0,15	0,07	1	0,989413247	1,010700032	2,142857143
TAF2	0,007005721	-0,015366288	0,262	0,09	1	0,989405423	1,010708024	2,911111111
FAM120B	0,080462265	-0,015459964	0,112	0,04	1	0,989341181	1,010773653	2,8
UBFD1	0,034711404	-0,015483816	0,238	0,1	1	0,989324825	1,010790364	2,38
GORAB	0,160749168	-0,015485494	0,125	0,06	1	0,989323674	1,01079154	2,083333333
AMOT	0,84359211	-0,01549062	0,025	0,02	1	0,989320159	1,010795131	1,25
PGS1	0,105839829	-0,015497282	0,088	0,03	1	0,989315591	1,010799799	2,933333333
ZC2HC1A	0,208492388	-0,015516488	0,262	0,16	1	0,98930242	1,010813255	1,6375
ANKRD13D	0,000171588	-0,015527623	0,488	0,16	1	0,989294785	1,010821057	3,05
BACH1-AS1	0,886527564	-0,015542782	0,013	0,01	1	0,98928439	1,010831678	1,3
TNK1	0,886527564	-0,015631857	0,013	0,01	1	0,989223312	1,010894091	1,3
CRLF3	0,284975754	-0,015639514	0,05	0,02	1	0,989218061	1,010899456	2,5
KPNA6	0,005077312	-0,015639855	0,4	0,16	1	0,989217827	1,010899695	2,5

Supplementary Table 4

Differentially expressed genes_keloid-CCD_ comparing SC-Keloid vs. (SC-Myel, SC-Nonmyel)								
gene	p_val	avg_log2FC	pct.1	pct.2	p_val_adj	Foldchange_UP	Foldchange_DOWN	Ratio_pct1_pct2
CUL7	0,325316267	-0,015649389	0,062	0,03	1	0,98921129	1,010906375	2,066666667
CDYL	0,000717307	-0,015672716	0,4	0,13	1	0,989195296	1,010922721	3,076923077
DCP2	0,008396097	-0,015683349	0,312	0,12	1	0,989188005	1,010930172	2,6
TMEM79	0,886527564	-0,015708025	0,013	0,01	1	0,989171086	1,010947463	1,3
C3orf62	0,336612809	-0,015728636	0,075	0,04	1	0,989156954	1,010961906	1,875
TMEM191C	0,501283468	-0,015739187	0,038	0,02	1	0,989149721	1,010969299	1,9
TBC1D14	0,070134189	-0,015762561	0,15	0,06	1	0,989133695	1,010985679	2,5
TPP1	0,067707728	-0,015841737	0,362	0,2	1	0,989079412	1,011041164	1,81
EFHC2	0,377102913	-0,015841765	0	0,01	1	0,989079393	1,011041184	0
IL17C	0,377102913	-0,015841765	0	0,01	1	0,989079393	1,011041184	0
NPNT	0,377102913	-0,015841765	0	0,01	1	0,989079393	1,011041184	0
MTFP1	0,157415062	-0,015843316	0,062	0,02	1	0,989078329	1,011042271	3,1
IFT140	0,886527564	-0,015863043	0,013	0,01	1	0,989064805	1,011056095	1,3
CDKL5	0,390582533	-0,015874578	0,1	0,06	1	0,989056897	1,011064179	1,666666667
CRYBG3	0,015142229	-0,015899861	0,15	0,04	1	0,989039565	1,011081898	3,75
MCPH1	0,108960046	-0,015900294	0,138	0,06	1	0,989039268	1,011082201	2,3
ZNF222	0,223365318	-0,015916568	0,038	0,01	1	0,989028111	1,011093607	3,8
ASF1A	0,004760342	-0,015922945	0,312	0,11	1	0,989023739	1,011098076	2,836363636
GCHFR	0,84359211	-0,015933918	0,025	0,02	1	0,989016217	1,011105767	1,25
FECH	0,01362345	-0,015934413	0,088	0,01	1	0,989015877	1,011106114	8,8
LRRN1	0,84359211	-0,015955015	0,025	0,02	1	0,989001754	1,011120553	1,25
TTC7B	0,063616753	-0,015957991	0,1	0,03	1	0,988999714	1,011122638	3,333333333
BRD1	0,066269967	-0,015996799	0,25	0,13	1	0,98897311	1,011149838	1,923076923
FSCB	0,377102913	-0,016033673	0	0,01	1	0,988947834	1,011175682	0
IL10RB-DT	0,377102913	-0,016033673	0	0,01	1	0,988947834	1,011175682	0
ITGA9	0,377102913	-0,016033673	0	0,01	1	0,988947834	1,011175682	0
NBPF9	0,377102913	-0,016033673	0	0,01	1	0,988947834	1,011175682	0
NXNL2	0,377102913	-0,016033673	0	0,01	1	0,988947834	1,011175682	0
PCOLCE-AS1	0,377102913	-0,016033673	0	0,01	1	0,988947834	1,011175682	0
TLR5	0,377102913	-0,016033673	0	0,01	1	0,988947834	1,011175682	0

Supplementary Table 4

Differentially expressed genes_keloid-CCD_ comparing SC-Keloid vs. (SC-Myel, SC-Nonmyel)								
gene	p_val	avg_log2FC	pct.1	pct.2	p_val_adj	Foldchange_UP	Foldchange_DOWN	Ratio_pct1_pct2
CDH26	0,377102913	-0,016055978	0	0,01	1	0,988932544	1,011191316	0
KCNK7	0,377102913	-0,016055978	0	0,01	1	0,988932544	1,011191316	0
SEMA3F	0,377102913	-0,016055978	0	0,01	1	0,988932544	1,011191316	0
GMPR2	0,037245412	-0,01605643	0,2	0,08	1	0,988932234	1,011191632	2,5
AKNA	0,223365318	-0,016071009	0,038	0,01	1	0,988922241	1,011201851	3,8
ARHGAP5-AS1	0,268623818	-0,016114739	0,05	0,02	1	0,988892266	1,011232502	2,5
RGP1	0,012429073	-0,016124914	0,112	0,02	1	0,988885292	1,011239634	5,6
TXNDC12	0,038162541	-0,016151711	0,6	0,32	1	0,988866924	1,011258417	1,875
ADGRF5	0,84359211	-0,016202764	0,025	0,02	1	0,988831931	1,011294203	1,25
LEPR	0,11122839	-0,016220268	0,05	0,01	1	0,988819933	1,011306474	5
SNX29	0,006775778	-0,016231435	0,225	0,07	1	0,98881228	1,011314301	3,214285714
GOLPH3L	0,11122839	-0,016237328	0,05	0,01	1	0,988808241	1,011318432	5
RNFT2	0,447580525	-0,016278995	0,025	0,01	1	0,988779683	1,011347641	2,5
ANKRD35	0,886527564	-0,016288344	0,013	0,01	1	0,988773276	1,011354195	1,3
CCDC96	0,501283468	-0,016333302	0,038	0,02	1	0,988742463	1,011385712	1,9
STS	0,886527564	-0,016356422	0,013	0,01	1	0,988726619	1,01140192	1,3
APOBEC3F	0,223365318	-0,016368729	0,038	0,01	1	0,988718184	1,011410547	3,8
RNPEP	0,003218652	-0,016454894	0,338	0,12	1	0,988659135	1,011470956	2,816666667
SIK1	0,886527564	-0,01647404	0,013	0,01	1	0,988646014	1,011484379	1,3
DNAH10OS	0,447580525	-0,016504239	0,025	0,01	1	0,98862532	1,011505552	2,5
GTPBP4	0,003561563	-0,016512263	0,375	0,14	1	0,988619821	1,011511178	2,678571429
ARHGAP25	0,377102913	-0,016516437	0	0,01	1	0,988616961	1,011514105	0
HCG25	0,377102913	-0,016516437	0	0,01	1	0,988616961	1,011514105	0
HLA-DOA	0,377102913	-0,016516437	0	0,01	1	0,988616961	1,011514105	0
HPGD	0,377102913	-0,016516437	0	0,01	1	0,988616961	1,011514105	0
ITGB6	0,377102913	-0,016516437	0	0,01	1	0,988616961	1,011514105	0
LCT	0,377102913	-0,016516437	0	0,01	1	0,988616961	1,011514105	0
MAOB	0,377102913	-0,016516437	0	0,01	1	0,988616961	1,011514105	0
RARRES1	0,377102913	-0,016516437	0	0,01	1	0,988616961	1,011514105	0
SHH	0,377102913	-0,016516437	0	0,01	1	0,988616961	1,011514105	0

Supplementary Table 4

Differentially expressed genes_keloid-CCD_ comparing SC-Keloid vs. (SC-Myel, SC-Nonmyel)								
gene	p_val	avg_log2FC	pct.1	pct.2	p_val_adj	Foldchange_UP	Foldchange_DOWN	Ratio_pct1_pct2
SLC47A1	0,377102913	-0,016516437	0	0,01	1	0,988616961	1,011514105	0
ZNF367	0,11061781	-0,016573549	0,088	0,03	1	0,988577825	1,011554148	2,933333333
MAMDC2-AS1	0,886527564	-0,016584134	0,013	0,01	1	0,988570572	1,01156157	1,3
CITED1	0,447580525	-0,016602601	0,025	0,01	1	0,988557918	1,011574518	2,5
APLP1	0,447580525	-0,016611597	0,025	0,01	1	0,988551754	1,011580826	2,5
SCNN1D	0,886527564	-0,016639517	0,013	0,01	1	0,988532623	1,011600403	1,3
ABTB1	0,525777494	-0,016680518	0,075	0,05	1	0,988504529	1,011629153	1,5
EPHA7	0,886527564	-0,016699855	0,013	0,01	1	0,988491281	1,011642712	1,3
RASA4B	0,886527564	-0,016699855	0,013	0,01	1	0,988491281	1,011642712	1,3
ORAI3	0,098000042	-0,016705606	0,125	0,05	1	0,98848734	1,011646745	2,5
PEX6	0,171448164	-0,016719428	0,125	0,06	1	0,98847787	1,011656437	2,083333333
MTHFD2L	0,004519867	-0,01673998	0,238	0,07	1	0,988463789	1,011670849	3,4
CFAP53	0,886527564	-0,016764188	0,013	0,01	1	0,988447203	1,011687825	1,3
INPP5J	0,886527564	-0,016764188	0,013	0,01	1	0,988447203	1,011687825	1,3
PLPPR4	0,701739822	-0,01676711	0,013	0,02	1	0,9884452	1,011689874	0,65
USP9Y	0,055334082	-0,016771426	0,062	0,01	1	0,988442243	1,011692901	6,2
EPHX1	0,035536568	-0,016787521	0,15	0,05	1	0,988431216	1,011704187	3
SLC11A1	0,886527564	-0,016819091	0,013	0,01	1	0,988409587	1,011726326	1,3
XAB2	0,003614731	-0,01682214	0,2	0,05	1	0,988407498	1,011728465	4
TSNARE1	0,886527564	-0,016852912	0,013	0,01	1	0,988386416	1,011750044	1,3
FAT4	0,447580525	-0,016943384	0,025	0,01	1	0,988324436	1,011813493	2,5
MCCC1	0,347667268	-0,016956667	0,075	0,04	1	0,988315336	1,011822809	1,875
ASGR1	0,223365318	-0,017000439	0,038	0,01	1	0,988285351	1,011853509	3,8
VPS50	0,325316267	-0,017100723	0,062	0,03	1	0,988216656	1,011923847	2,066666667
PRKAG2	0,84359211	-0,017161129	0,025	0,02	1	0,98817528	1,011966217	1,25
NDC1	0,045399153	-0,017163333	0,088	0,02	1	0,988173771	1,011967763	4,4
CHAC2	0,276717465	-0,017168284	0,05	0,02	1	0,988170379	1,011971236	2,5
FAM13A	0,065960419	-0,017193315	0,15	0,06	1	0,988153234	1,011988794	2,5
LINC02875	0,692138165	-0,017217511	0,013	0,02	1	0,988136662	1,012005767	0,65
ICE2	0,041579387	-0,017267974	0,162	0,06	1	0,988102099	1,012041166	2,7

Supplementary Table 4

Differentially expressed genes_keloid-CCD_ comparing SC-Keloid vs. (SC-Myel, SC-Nonmyel)								
gene	p_val	avg_log2FC	pct.1	pct.2	p_val_adj	Foldchange_UP	Foldchange_DOWN	Ratio_pct1_pct2
LINC00511	0,002144097	-0,017283408	0,562	0,23	1	0,988091528	1,012051992	2,443478261
C11orf80	0,123292651	-0,017285846	0,15	0,07	1	0,988089859	1,012053703	2,142857143
PTPN4	0,081579256	-0,017296116	0,112	0,04	1	0,988082825	1,012060907	2,8
CCDC3	0,501283468	-0,017333258	0,038	0,02	1	0,988057387	1,012086963	1,9
ATAD3B	0,136266726	-0,017435283	0,162	0,08	1	0,987987515	1,012158539	2,025
ZBTB46	0,505356819	-0,017450235	0,05	0,03	1	0,987977276	1,012169029	1,666666667
DTD2	0,447580525	-0,017458326	0,025	0,01	1	0,987971735	1,012174705	2,5
SRRT	0,001475578	-0,017481038	0,4	0,14	1	0,987956182	1,01219064	2,857142857
IL33	0,84359211	-0,017521901	0,025	0,02	1	0,9879282	1,012219309	1,25
CIR1	0,057006827	-0,017566665	0,462	0,24	1	0,987897547	1,012250717	1,925
FAM124A	0,207484841	-0,017643125	0	0,02	1	0,987845192	1,012304366	0
ADAMTSL3	0,377102913	-0,01769983	0	0,01	1	0,987806365	1,012344155	0
ANKRD30B	0,377102913	-0,01769983	0	0,01	1	0,987806365	1,012344155	0
DACT3-AS1	0,377102913	-0,01769983	0	0,01	1	0,987806365	1,012344155	0
FTCDNL1	0,377102913	-0,01769983	0	0,01	1	0,987806365	1,012344155	0
HOXA3	0,377102913	-0,01769983	0	0,01	1	0,987806365	1,012344155	0
LDB3	0,377102913	-0,01769983	0	0,01	1	0,987806365	1,012344155	0
LLGL2	0,377102913	-0,01769983	0	0,01	1	0,987806365	1,012344155	0
NYNRIN	0,377102913	-0,01769983	0	0,01	1	0,987806365	1,012344155	0
RARB	0,377102913	-0,01769983	0	0,01	1	0,987806365	1,012344155	0
TCF15	0,377102913	-0,01769983	0	0,01	1	0,987806365	1,012344155	0
TM4SF19-AS1	0,377102913	-0,01769983	0	0,01	1	0,987806365	1,012344155	0
CDK9	0,005798568	-0,0177017	0,25	0,08	1	0,987805084	1,012345468	3,125
CLIC2	0,701739822	-0,01770221	0,013	0,02	1	0,987804735	1,012345825	0,65
NRBP1	0,041850478	-0,017705886	0,537	0,28	1	0,987802219	1,012348404	1,917857143
C5orf49	0,886527564	-0,01771248	0,013	0,01	1	0,987797704	1,012353032	1,3
SPX	0,886527564	-0,017723434	0,013	0,01	1	0,987790204	1,012360718	1,3
ZNF506	0,11415313	-0,017810742	0,2	0,1	1	0,987730427	1,012421985	2
ZBTB26	0,447580525	-0,017829799	0,025	0,01	1	0,98771738	1,012435359	2,5
PCAT6	0,84359211	-0,017878403	0,025	0,02	1	0,987684104	1,012469468	1,25

Supplementary Table 4

Differentially expressed genes_keloid-CCD_ comparing SC-Keloid vs. (SC-Myel, SC-Nonmyel)								
gene	p_val	avg_log2FC	pct.1	pct.2	p_val_adj	Foldchange_UP	Foldchange_DOWN	Ratio_pct1_pct2
CEP112	0,131562433	-0,017908553	0,1	0,04	1	0,987663464	1,012490627	2,5
CYP2R1	0,11122839	-0,017909586	0,05	0,01	1	0,987662757	1,012491352	5
KCTD14	0,886527564	-0,017917977	0,013	0,01	1	0,987657012	1,012497241	1,3
CDK3	0,501283468	-0,017926356	0,038	0,02	1	0,987651276	1,012503122	1,9
SWSAP1	0,886527564	-0,017957768	0,013	0,01	1	0,987629772	1,012525168	1,3
HCG18	0,062334572	-0,017967171	0,25	0,12	1	0,987623335	1,012531767	2,083333333
EXOSC6	0,002045077	-0,018004754	0,438	0,16	1	0,987597607	1,012558144	2,7375
PDE4DIP	0,020805297	-0,01801154	0,162	0,05	1	0,987592962	1,012562907	3,24
TYROBP	0,886527564	-0,018055632	0,013	0,01	1	0,987562779	1,012593854	1,3
PCOLCE	0,218566967	-0,018070105	0,175	0,1	1	0,987552872	1,012604011	1,75
STIM2	0,004481577	-0,018145173	0,275	0,09	1	0,987501488	1,012656702	3,055555556
PLEKHH1	0,157415062	-0,018207312	0,062	0,02	1	0,987458956	1,012700319	3,1
HADHB	0,063058729	-0,018212195	0,713	0,39	1	0,987455613	1,012703747	1,828205128
KCND3	0,003706651	-0,018227821	0,338	0,12	1	0,987444918	1,012714716	2,816666667
GPALPP1	0,038598126	-0,018232827	0,2	0,08	1	0,987441492	1,01271823	2,5
NEURL4	0,085199008	-0,018270414	0,075	0,02	1	0,987415766	1,012744615	3,75
AC147651.1	0,886527564	-0,018280288	0,013	0,01	1	0,987409008	1,012751547	1,3
DDB1	0,045421874	-0,018281016	0,425	0,23	1	0,98740851	1,012752058	1,847826087
TRIM11	0,015994304	-0,018396351	0,188	0,06	1	0,987329576	1,012833024	3,133333333
EFCAB2	0,099566196	-0,018446654	0,188	0,09	1	0,98729515	1,01286834	2,088888889
LRP5	0,692138165	-0,018455612	0,013	0,02	1	0,987289021	1,012874629	0,65
GANC	0,527578779	-0,018531914	0,05	0,03	1	0,987236806	1,0129282	1,666666667
RAD9B	0,886527564	-0,018638073	0,013	0,01	1	0,987164163	1,013002738	1,3
SPEN	0,126988161	-0,01865259	0,462	0,26	1	0,98715423	1,013012931	1,776923077
ITCH-AS1	0,377102913	-0,018654191	0	0,01	1	0,987153135	1,013014055	0
CYP20A1	0,006649267	-0,018665037	0,338	0,13	1	0,987145713	1,013021671	2,6
GORASP2	0,006966289	-0,018677531	0,462	0,2	1	0,987137165	1,013030444	2,31
JCAD	0,886527564	-0,018689455	0,013	0,01	1	0,987129006	1,013038817	1,3
CLCN7	0,023293876	-0,018717114	0,25	0,1	1	0,987110081	1,013058239	2,5
RPP40	0,035392992	-0,018725071	0,112	0,03	1	0,987104637	1,013063826	3,733333333

Supplementary Table 4

Differentially expressed genes_keloid-CCD_ comparing SC-Keloid vs. (SC-Myel, SC-Nonmyel)								
gene	p_val	avg_log2FC	pct.1	pct.2	p_val_adj	Foldchange_UP	Foldchange_DOWN	Ratio_pct1_pct2
ARL17B	0,284975754	-0,018749889	0,05	0,02	1	0,987087656	1,013081253	2,5
KRR1	0,029394084	-0,018749972	0,5	0,26	1	0,987087599	1,013081312	1,923076923
CHD3	0,011629278	-0,018781775	0,5	0,23	1	0,98706584	1,013103645	2,173913043
DDO	0,447580525	-0,018825438	0,025	0,01	1	0,987035967	1,013134306	2,5
ISOC1	0,03588589	-0,018827289	0,25	0,11	1	0,9870347	1,013135607	2,272727273
PCDHGA7	0,886527564	-0,018829435	0,013	0,01	1	0,987033232	1,013137114	1,3
ATP6V1G2	0,447580525	-0,018937339	0,025	0,01	1	0,986959412	1,013212892	2,5
ZDHHC18	0,111488744	-0,018945534	0,138	0,06	1	0,986953805	1,013218648	2,3
C2orf72	0,447580525	-0,018961723	0,025	0,01	1	0,986942731	1,013230017	2,5
HINT3	0,082194744	-0,018984344	0,175	0,08	1	0,986927256	1,013245904	2,1875
FAM219A	0,044922833	-0,01901579	0,125	0,04	1	0,986905745	1,01326799	3,125
SLC35A1	0,085199008	-0,01905275	0,075	0,02	1	0,986880462	1,013293949	3,75
RTL5	0,223365318	-0,019058137	0,038	0,01	1	0,986876776	1,013297733	3,8
H4C11	0,447580525	-0,019092238	0,025	0,01	1	0,98685345	1,013321685	2,5
CYP51A1	0,84359211	-0,01913725	0,025	0,02	1	0,986822661	1,0133533	1,25
ARMC12	0,886527564	-0,019149715	0,013	0,01	1	0,986814134	1,013362056	1,3
RSPH9	0,085199008	-0,019163947	0,075	0,02	1	0,9868044	1,013372053	3,75
CFB	0,886527564	-0,019213976	0,013	0,01	1	0,98677018	1,013407195	1,3
FBRSL1	0,257586641	-0,019219399	0,112	0,06	1	0,986766471	1,013411004	1,866666667
PRPH2	0,377102913	-0,019246484	0	0,01	1	0,986747946	1,01343003	0
ZFP41	0,377102913	-0,019246484	0	0,01	1	0,986747946	1,01343003	0
MEF2C-AS1	0,447580525	-0,019281051	0,025	0,01	1	0,986724303	1,013454312	2,5
UBR1	0,028212795	-0,019284338	0,225	0,09	1	0,986722056	1,01345662	2,5
CRYZ	0,035392992	-0,019358409	0,112	0,03	1	0,986671397	1,013508655	3,733333333
IMPA1	0,006972677	-0,019375818	0,3	0,11	1	0,98665949	1,013520885	2,727272727
AVL9	0,058046518	-0,019402312	0,138	0,05	1	0,986641371	1,013539498	2,76
LYSMD3	0,011117029	-0,019446982	0,25	0,09	1	0,986610823	1,01357088	2,777777778
CHGA	0,377102913	-0,019496176	0	0,01	1	0,986577181	1,013605442	0
F8A3	0,377102913	-0,019496176	0	0,01	1	0,986577181	1,013605442	0
PITX1	0,377102913	-0,019496176	0	0,01	1	0,986577181	1,013605442	0

Supplementary Table 4

Differentially expressed genes_keloid-CCD_ comparing SC-Keloid vs. (SC-Myel, SC-Nonmyel)								
gene	p_val	avg_log2FC	pct.1	pct.2	p_val_adj	Foldchange_UP	Foldchange_DOWN	Ratio_pct1_pct2
RPRM	0,377102913	-0,019496176	0	0,01	1	0,986577181	1,013605442	0
WWC2-AS2	0,377102913	-0,019496176	0	0,01	1	0,986577181	1,013605442	0
EIF3G	0,88808849	-0,019524335	0,887	0,64	1	0,986557925	1,013625226	1,3859375
ALDH5A1	0,886527564	-0,019526098	0,013	0,01	1	0,986556719	1,013626465	1,3
PIK3IP1	0,930291946	-0,019552635	0,088	0,09	1	0,986538572	1,01364511	0,977777778
TPI1	0,373277403	-0,01955593	0,963	0,81	1	0,986536319	1,013647425	1,188888889
DESI2	0,016481483	-0,019603905	0,488	0,23	1	0,986503514	1,013681133	2,12173913
DDX39A	0,014128469	-0,019672045	0,613	0,29	1	0,986456921	1,013729012	2,113793103
MCM9	0,193718766	-0,019684578	0,075	0,03	1	0,986448352	1,013737818	2,5
AMIGO2	0,83477988	-0,019710152	0,025	0,02	1	0,986430866	1,013755788	1,25
SPPL2A	0,175181954	-0,019737201	0,938	0,59	1	0,986412371	1,013774796	1,589830508
NAF1	0,003860939	-0,019832072	0,2	0,05	1	0,986347508	1,013841463	4
OSBPL2	0,175130448	-0,019862492	0,125	0,06	1	0,98632671	1,01386284	2,083333333
RAB27A	0,063616753	-0,019882282	0,1	0,03	1	0,98631318	1,013876749	3,333333333
PMS1	0,014271418	-0,019903794	0,188	0,06	1	0,986298474	1,013891866	3,133333333
ZNF614	0,188542969	-0,01991026	0,075	0,03	1	0,986294053	1,01389641	2,5
DFFB	0,447580525	-0,019930265	0,025	0,01	1	0,986280377	1,013910469	2,5
CAMK2A	0,223365318	-0,019934635	0,038	0,01	1	0,98627739	1,013913541	3,8
COL17A1	0,501283468	-0,01998799	0,038	0,02	1	0,986240915	1,013951039	1,9
PDSS2	0,057278664	-0,020044877	0,138	0,05	1	0,986202027	1,013991021	2,76
AC009506.1	0,284975754	-0,020069181	0,05	0,02	1	0,986185413	1,014008103	2,5
SEL1L	0,005257399	-0,020086794	0,475	0,2	1	0,986173374	1,014020482	2,375
TCOF1	0,003587612	-0,020087416	0,262	0,08	1	0,986172948	1,01402092	3,275
RGS17	0,886527564	-0,02009305	0,013	0,01	1	0,986169097	1,014024879	1,3
HSPA1L	0,501283468	-0,02009955	0,038	0,02	1	0,986164654	1,014029448	1,9
THAP7	0,002439309	-0,02016259	0,388	0,14	1	0,986121564	1,014073758	2,771428571
RBM18	0,001670062	-0,020172928	0,238	0,06	1	0,986114497	1,014081025	3,966666667
BICRAL	0,11061781	-0,020199901	0,088	0,03	1	0,986096061	1,014099984	2,933333333
TSPOAP1	0,886527564	-0,02021353	0,013	0,01	1	0,986086745	1,014109565	1,3
AP000462.3	0,377102913	-0,020234484	0	0,01	1	0,986072423	1,014124294	0

Supplementary Table 4

Differentially expressed genes_keloid-CCD_ comparing SC-Keloid vs. (SC-Myel, SC-Nonmyel)								
gene	p_val	avg_log2FC	pct.1	pct.2	p_val_adj	Foldchange_UP	Foldchange_DOWN	Ratio_pct1_pct2
ATP6AP1L	0,377102913	-0,020234484	0	0,01	1	0,986072423	1,014124294	0
C7orf25	0,377102913	-0,020234484	0	0,01	1	0,986072423	1,014124294	0
DSG1	0,377102913	-0,020234484	0	0,01	1	0,986072423	1,014124294	0
FRMPD1	0,377102913	-0,020234484	0	0,01	1	0,986072423	1,014124294	0
MBOAT1	0,377102913	-0,020234484	0	0,01	1	0,986072423	1,014124294	0
PIANP	0,377102913	-0,020234484	0	0,01	1	0,986072423	1,014124294	0
WDR5B	0,377102913	-0,020234484	0	0,01	1	0,986072423	1,014124294	0
ZC3H11A	0,377102913	-0,020234484	0	0,01	1	0,986072423	1,014124294	0
ZNF41	0,377102913	-0,020234484	0	0,01	1	0,986072423	1,014124294	0
NAAA	0,193718766	-0,020246142	0,075	0,03	1	0,986064455	1,014132489	2,5
LIN9	0,11122839	-0,020328816	0,05	0,01	1	0,98600795	1,014190606	5
GLUD2	0,84359211	-0,020370315	0,025	0,02	1	0,985979588	1,014219779	1,25
DPYSL4	0,886527564	-0,02038614	0,013	0,01	1	0,985968773	1,014230904	1,3
TIMM8A	0,047638359	-0,020411516	0,125	0,04	1	0,985951431	1,014248744	3,125
TOE1	0,010094224	-0,020436141	0,138	0,03	1	0,985934601	1,014266056	4,6
SLC25A6	0,488930303	-0,020442137	0,963	0,68	1	0,985930504	1,014270272	1,416176471
TRAPPC8	0,7367096	-0,020448942	0,075	0,06	1	0,985925853	1,014275056	1,25
EMC1	0,026694518	-0,020451971	0,262	0,11	1	0,985923783	1,014277185	2,381818182
DGKQ	0,193718766	-0,020460176	0,075	0,03	1	0,985918176	1,014282954	2,5
SLF1	0,005880063	-0,020488652	0,25	0,08	1	0,985898716	1,014302974	3,125
TUT7	0,077844856	-0,020515983	0,212	0,1	1	0,985880039	1,01432219	2,12
MDFI	0,110218666	-0,020526777	0,138	0,06	1	0,985872663	1,014329779	2,3
INTS10	0,006414854	-0,020542827	0,338	0,13	1	0,985861695	1,014341063	2,6
SNAI2	0,045508871	-0,020546188	0,162	0,06	1	0,985859399	1,014343426	2,7
ZNF18	0,501283468	-0,020552249	0,038	0,02	1	0,985855257	1,014347687	1,9
FAM78B	0,027229122	-0,020600714	0,225	0,09	1	0,985822139	1,014381763	2,5
BYSL	0,069512445	-0,020602394	0,162	0,07	1	0,985820991	1,014382945	2,314285714
USP11	0,017130738	-0,020648428	0,6	0,29	1	0,985789536	1,014415312	2,068965517
LINC01023	0,84359211	-0,020672959	0,025	0,02	1	0,985772774	1,014432561	1,25
FAF1	0,003567291	-0,020692976	0,338	0,12	1	0,985759097	1,014446637	2,816666667

Supplementary Table 4

Differentially expressed genes_keloid-CCD_ comparing SC-Keloid vs. (SC-Myel, SC-Nonmyel)								
gene	p_val	avg_log2FC	pct.1	pct.2	p_val_adj	Foldchange_UP	Foldchange_DOWN	Ratio_pct1_pct2
OCRL	0,223365318	-0,020761697	0,038	0,01	1	0,985712143	1,014494959	3,8
AL592183.1	0,84359211	-0,020789962	0,025	0,02	1	0,985692831	1,014514836	1,25
UBAC2	0,030455085	-0,020793876	0,262	0,11	1	0,985690157	1,014517588	2,381818182
EIF4H	0,248089259	-0,020813143	0,713	0,42	1	0,985676993	1,014531137	1,697619048
KLHDC8A	0,223365318	-0,02082471	0,038	0,01	1	0,98566909	1,014539271	3,8
SCARF1	0,447580525	-0,020830714	0,025	0,01	1	0,985664988	1,014543493	2,5
SAMD1	0,029657115	-0,02084889	0,4	0,19	1	0,98565257	1,014556275	2,105263158
USP18	0,284975754	-0,020883249	0,05	0,02	1	0,985629097	1,014580438	2,5
NR2F2-AS1	0,098000042	-0,02090616	0,125	0,05	1	0,985613444	1,01459655	2,5
SULF2	0,521976935	-0,02095245	0,05	0,03	1	0,98558182	1,014629105	1,666666667
TTLL4	0,221005633	-0,020968292	0,088	0,04	1	0,985570998	1,014640246	2,2
POT1	0,063616753	-0,020992391	0,1	0,03	1	0,985554535	1,014657195	3,333333333
PIEZO2	0,886527564	-0,020997117	0,013	0,01	1	0,985551306	1,014660519	1,3
PLAA	0,054291236	-0,02100665	0,138	0,05	1	0,985544794	1,014667224	2,76
EXTL3	0,080462265	-0,021013314	0,112	0,04	1	0,985540242	1,014671911	2,8
BTRC	0,112247794	-0,021057213	0,088	0,03	1	0,985510254	1,014702786	2,933333333
VPS35L	0,005575985	-0,021057595	0,15	0,03	1	0,985509993	1,014703054	5
CAPN1	0,029113694	-0,021100428	0,412	0,2	1	0,985480734	1,014733181	2,06
NCSTN	0,006968553	-0,021117593	0,462	0,19	1	0,985469008	1,014745255	2,431578947
FHOD1	0,000133691	-0,021121133	0,45	0,14	1	0,985466591	1,014747744	3,214285714
FGR	0,886527564	-0,021122848	0,013	0,01	1	0,985465419	1,01474895	1,3
NDUFAF7	0,063616753	-0,021131082	0,1	0,03	1	0,985459795	1,014754742	3,333333333
TCTN3	0,003536285	-0,021173859	0,262	0,08	1	0,985430576	1,014784831	3,275
SEPSECS	0,928093507	-0,021174389	0,038	0,04	1	0,985430214	1,014785203	0,95
UHRF1BP1	0,35516371	-0,021215451	0,075	0,04	1	0,985402167	1,014814087	1,875
PCBP3	0,501283468	-0,021237002	0,038	0,02	1	0,985387447	1,014829246	1,9
ADARB2	0,377102913	-0,02123835	0	0,01	1	0,985386526	1,014830194	0
C1RL-AS1	0,377102913	-0,02123835	0	0,01	1	0,985386526	1,014830194	0
CTRC	0,377102913	-0,02123835	0	0,01	1	0,985386526	1,014830194	0
FAM161B	0,377102913	-0,02123835	0	0,01	1	0,985386526	1,014830194	0

Supplementary Table 4

Differentially expressed genes_keloid-CCD_ comparing SC-Keloid vs. (SC-Myel, SC-Nonmyel)								
gene	p_val	avg_log2FC	pct.1	pct.2	p_val_adj	Foldchange_UP	Foldchange_DOWN	Ratio_pct1_pct2
NAV2-AS2	0,377102913	-0,02123835	0	0,01	1	0,985386526	1,014830194	0
SNORC	0,377102913	-0,02123835	0	0,01	1	0,985386526	1,014830194	0
ZNF549	0,377102913	-0,02123835	0	0,01	1	0,985386526	1,014830194	0
FUT4	0,284975754	-0,021238719	0,05	0,02	1	0,985386274	1,014830454	2,5
AC005523.2	0,886527564	-0,021251925	0,013	0,01	1	0,985377254	1,014839744	1,3
DAAM2	0,036366201	-0,021274022	0,2	0,08	1	0,985362162	1,014855288	2,5
FOXO6	0,701739822	-0,021304865	0,013	0,02	1	0,985341096	1,014876984	0,65
ZNF280C	0,447580525	-0,021325744	0,025	0,01	1	0,985326836	1,014891672	2,5
SLC25A13	0,009021176	-0,021337585	0,312	0,12	1	0,985318749	1,014900001	2,6
SARS2	0,223632981	-0,021339291	0,088	0,04	1	0,985317584	1,014901201	2,2
CLDN15	0,284975754	-0,021348379	0,05	0,02	1	0,985311377	1,014907595	2,5
WIPI2	0,001521664	-0,021352866	0,438	0,16	1	0,985308313	1,014910751	2,7375
MSI1	0,886527564	-0,021384261	0,013	0,01	1	0,985286871	1,014932837	1,3
TRMT2B	0,886527564	-0,021388234	0,013	0,01	1	0,985284158	1,014935632	1,3
VPS26C	0,018868743	-0,021459698	0,288	0,12	1	0,985235353	1,014985908	2,4
SENP8	0,886527564	-0,021467466	0,013	0,01	1	0,985230048	1,014991374	1,3
ESR2	0,447580525	-0,02147768	0,025	0,01	1	0,985223073	1,014998559	2,5
PRSS12	0,701739822	-0,021550636	0,013	0,02	1	0,985173252	1,015049889	0,65
PCNX3	0,026068555	-0,021566049	0,138	0,04	1	0,985162727	1,015060733	3,45
RAB28	0,001157848	-0,021567832	0,288	0,08	1	0,98516151	1,015061987	3,6
SUDS3	0,017079096	-0,021577173	0,412	0,19	1	0,985155131	1,01506856	2,168421053
APTX	0,00360591	-0,021589424	0,3	0,1	1	0,985146766	1,015077179	3
SART3	0,046618416	-0,021594815	0,275	0,13	1	0,985143084	1,015080973	2,115384615
NOLC1	0,001763987	-0,021606352	0,35	0,12	1	0,985135206	1,01508909	2,916666667
EGFL7	0,213256546	-0,021619951	0,088	0,04	1	0,98512592	1,015098658	2,2
ZNF667	0,447580525	-0,021621476	0,025	0,01	1	0,985124879	1,015099731	2,5
ATG16L1	0,063616753	-0,021659464	0,1	0,03	1	0,98509894	1,015126461	3,333333333
MAPK15	0,886527564	-0,021717683	0,013	0,01	1	0,985059188	1,015167426	1,3
RPS6KA2	0,886527564	-0,021746605	0,013	0,01	1	0,98503944	1,015187778	1,3
B3GNT8	0,377102913	-0,02181976	0	0,01	1	0,984989493	1,015239256	0

Supplementary Table 4

Differentially expressed genes_keloid-CCD_ comparing SC-Keloid vs. (SC-Myel, SC-Nonmyel)								
gene	p_val	avg_log2FC	pct.1	pct.2	p_val_adj	Foldchange_UP	Foldchange_DOWN	Ratio_pct1_pct2
CFHR1	0,377102913	-0,02181976	0	0,01	1	0,984989493	1,015239256	0
FBXL22	0,377102913	-0,02181976	0	0,01	1	0,984989493	1,015239256	0
MAP3K5	0,377102913	-0,02181976	0	0,01	1	0,984989493	1,015239256	0
MUC5B	0,377102913	-0,02181976	0	0,01	1	0,984989493	1,015239256	0
RIBC1	0,377102913	-0,02181976	0	0,01	1	0,984989493	1,015239256	0
SLC25A21	0,377102913	-0,02181976	0	0,01	1	0,984989493	1,015239256	0
UNC79	0,377102913	-0,02181976	0	0,01	1	0,984989493	1,015239256	0
VIP	0,377102913	-0,02181976	0	0,01	1	0,984989493	1,015239256	0
RUNX1	0,028762639	-0,021821953	0,75	0,4	1	0,984987996	1,015240799	1,875
SLC4A7	0,014081004	-0,021822305	0,275	0,11	1	0,984987756	1,015241047	2,5
NAA30	0,07981542	-0,021837589	0,162	0,07	1	0,98497732	1,015251803	2,314285714
TMEM170B	0,809797238	-0,021859319	0,038	0,03	1	0,984962484	1,015267095	1,266666667
CAPN3	0,377102913	-0,021862747	0	0,01	1	0,984960144	1,015269507	0
SLC6A4	0,377102913	-0,021862747	0	0,01	1	0,984960144	1,015269507	0
MKNK1-AS1	0,377102913	-0,021895929	0	0,01	1	0,984937491	1,015292858	0
RAB11FIP4	0,377102913	-0,021895929	0	0,01	1	0,984937491	1,015292858	0
CTSH	0,701739822	-0,021912788	0,013	0,02	1	0,984925981	1,015304723	0,65
FAM131A	0,042671641	-0,021974073	0,162	0,06	1	0,984884142	1,015347854	2,7
ZNF781	0,701739822	-0,021991829	0,013	0,02	1	0,984872021	1,01536035	0,65
ZNF624	0,280825998	-0,022066945	0,05	0,02	1	0,984820743	1,015413218	2,5
ZNF417	0,447580525	-0,022085265	0,025	0,01	1	0,984808238	1,015426112	2,5
CCDC160	0,207484841	-0,022129989	0	0,02	1	0,984777709	1,015457591	0
MAPKBP1	0,034816087	-0,022171809	0,112	0,03	1	0,984749163	1,015487027	3,733333333
PTPRJ	0,026108427	-0,02219063	0,262	0,11	1	0,984736317	1,015500274	2,381818182
MORC2-AS1	0,157415062	-0,022243349	0,062	0,02	1	0,984700333	1,015537384	3,1
MEAK7	0,085199008	-0,022244532	0,075	0,02	1	0,984699526	1,015538217	3,75
LANCL1	0,012164967	-0,022308386	0,175	0,05	1	0,984655944	1,015583165	3,5
LINC00323	0,886527564	-0,022324533	0,013	0,01	1	0,984644923	1,015594533	1,3
CPNE9	0,377102913	-0,022399069	0	0,01	1	0,984594053	1,015647004	0
FBXO24	0,377102913	-0,022399069	0	0,01	1	0,984594053	1,015647004	0

Supplementary Table 4

Differentially expressed genes_keloid-CCD_ comparing SC-Keloid vs. (SC-Myel, SC-Nonmyel)								
gene	p_val	avg_log2FC	pct.1	pct.2	p_val_adj	Foldchange_UP	Foldchange_DOWN	Ratio_pct1_pct2
MGAT5B	0,377102913	-0,022399069	0	0,01	1	0,984594053	1,015647004	0
SOX1	0,377102913	-0,022399069	0	0,01	1	0,984594053	1,015647004	0
DDR2	0,001047073	-0,022403334	0,488	0,18	1	0,984591142	1,015650007	2,711111111
IDNK	0,325316267	-0,022429587	0,062	0,03	1	0,984573226	1,015668489	2,066666667
USP33	0,007576091	-0,022497717	0,338	0,13	1	0,984526731	1,015716453	2,6
ACOT8	0,058822906	-0,022510179	0,138	0,05	1	0,984518227	1,015725227	2,76
AP5S1	0,223632981	-0,022523116	0,088	0,04	1	0,984509399	1,015734336	2,2
ZNF710	0,284975754	-0,022637955	0,05	0,02	1	0,984431034	1,015815192	2,5
BEAN1	0,928093507	-0,022641324	0,038	0,04	1	0,984428736	1,015817564	0,95
PARP6	0,086750908	-0,022644856	0,175	0,08	1	0,984426326	1,015820051	2,1875
CACNA1G	0,886527564	-0,022751102	0,013	0,01	1	0,984353831	1,015894862	1,3
RAD23A	0,001033909	-0,022771736	0,7	0,3	1	0,984339752	1,015909393	2,333333333
NPRL3	0,065618236	-0,022782184	0,2	0,09	1	0,984332624	1,015916749	2,222222222
DOC2B	0,701739822	-0,022789196	0,013	0,02	1	0,98432784	1,015921688	0,65
GRIPAP1	0,007385577	-0,022799923	0,225	0,07	1	0,984320521	1,015929241	3,214285714
ANKMY2	0,026867238	-0,022807298	0,175	0,06	1	0,984315489	1,015934435	2,916666667
KCNA2	0,150386432	-0,022832971	0,112	0,05	1	0,984297973	1,015952514	2,24
KREMEN1	0,223365318	-0,022850168	0,038	0,01	1	0,98428624	1,015964624	3,8
FOXJ3	0,054804787	-0,022861929	0,238	0,11	1	0,984278216	1,015972906	2,163636364
ANO8	0,84359211	-0,022867614	0,025	0,02	1	0,984274338	1,015976909	1,25
POLD1	0,157415062	-0,02289818	0,062	0,02	1	0,984253484	1,015998435	3,1
ADCY1	0,447580525	-0,022928348	0,025	0,01	1	0,984232903	1,016019681	2,5
BCR	0,309705255	-0,022943774	0,062	0,03	1	0,984222379	1,016030545	2,066666667
SGK3	0,809797238	-0,022995539	0,038	0,03	1	0,984187065	1,016067001	1,266666667
MOXD1	0,01334076	-0,023029823	0,262	0,1	1	0,984163677	1,016091147	2,62
PGM3	0,000786927	-0,023068302	0,738	0,33	1	0,984137429	1,016118248	2,236363636
ZNF165	0,692138165	-0,023069573	0,013	0,02	1	0,984136561	1,016119144	0,65
GGT5	0,886527564	-0,023096415	0,013	0,01	1	0,984118251	1,016138049	1,3
ILF3-DT	0,107824067	-0,023097985	0,2	0,1	1	0,98411718	1,016139155	2
PCSK5	0,046946859	-0,0231004	0,125	0,04	1	0,984115533	1,016140856	3,125

Supplementary Table 4

Differentially expressed genes_keloid-CCD_ comparing SC-Keloid vs. (SC-Myel, SC-Nonmyel)								
gene	p_val	avg_log2FC	pct.1	pct.2	p_val_adj	Foldchange_UP	Foldchange_DOWN	Ratio_pct1_pct2
ZNF568	0,055768288	-0,023102743	0,138	0,05	1	0,984113935	1,016142506	2,76
UBP1	0,006130779	-0,023126508	0,25	0,08	1	0,984097724	1,016159245	3,125
ZHX3	0,354747305	-0,023153517	0,088	0,05	1	0,9840793	1,016178269	1,76
TIGD4	0,84359211	-0,023236734	0,025	0,02	1	0,984022539	1,016236885	1,25
CACNB3	0,157415062	-0,02324641	0,062	0,02	1	0,984015939	1,016243701	3,1
ZSCAN21	0,023885059	-0,02325484	0,1	0,02	1	0,984010189	1,016249639	5
ANAPC7	0,009648959	-0,023363779	0,2	0,06	1	0,983935889	1,01632638	3,333333333
ADAM33	0,692138165	-0,023369032	0,013	0,02	1	0,983932306	1,01633008	0,65
OAZ3	0,701739822	-0,023376248	0,013	0,02	1	0,983927385	1,016335164	0,65
KLHL17	0,223365318	-0,023395253	0,038	0,01	1	0,983914424	1,016348552	3,8
NSUN3	0,11061781	-0,023396176	0,088	0,03	1	0,983913794	1,016349203	2,933333333
RHOT2	0,014087523	-0,02340335	0,438	0,2	1	0,983908902	1,016354256	2,19
RAP1GAP	0,692138165	-0,023427361	0,013	0,02	1	0,983892526	1,016371172	0,65
CARMIL3	0,886527564	-0,023473174	0,013	0,01	1	0,983861283	1,016403447	1,3
ENG	0,001932147	-0,02349416	0,45	0,17	1	0,983846972	1,016418232	2,647058824
TTC17	0,076882284	-0,023574161	0,325	0,17	1	0,983792416	1,016474597	1,911764706
SGIP1	0,802630013	-0,023598124	0,038	0,03	1	0,983776075	1,016491481	1,266666667
VDAC3	0,021443614	-0,02362964	0,625	0,31	1	0,983754585	1,016513686	2,016129032
C19orf54	0,799526327	-0,023743821	0,05	0,04	1	0,98367673	1,016594141	1,25
SCGB1B2P	0,501283468	-0,02375571	0,038	0,02	1	0,983668624	1,016602518	1,9
ZNF471	0,692138165	-0,023771287	0,013	0,02	1	0,983658003	1,016613495	0,65
LASP1	0,013125445	-0,023809574	0,462	0,21	1	0,983631898	1,016640475	2,2
CSGALNACT1	0,84359211	-0,023842149	0,025	0,02	1	0,983609689	1,01666343	1,25
TRIM35	0,055334082	-0,023900206	0,062	0,01	1	0,983570107	1,016704344	6,2
RHOA	0,84359211	-0,023958881	0,025	0,02	1	0,983530106	1,016745694	1,25
ZNF525	0,701739822	-0,023969905	0,013	0,02	1	0,98352259	1,016753463	0,65
SLC22A15	0,377102913	-0,023977534	0	0,01	1	0,983517389	1,01675884	0
BRCC3	0,026867238	-0,024001118	0,175	0,06	1	0,983501312	1,016775461	2,916666667
TIAM1	0,35516371	-0,024002199	0,075	0,04	1	0,983500575	1,016776223	1,875
CMTM7	0,157415062	-0,024030718	0,062	0,02	1	0,983481133	1,016796323	3,1

Supplementary Table 4

Differentially expressed genes_keloid-CCD_ comparing SC-Keloid vs. (SC-Myel, SC-Nonmyel)								
gene	p_val	avg_log2FC	pct.1	pct.2	p_val_adj	Foldchange_UP	Foldchange_DOWN	Ratio_pct1_pct2
SERHL2	0,501283468	-0,024090582	0,038	0,02	1	0,983440325	1,016838515	1,9
MUTYH	0,325316267	-0,02409114	0,062	0,03	1	0,983439945	1,016838908	2,066666667
KCNAB3	0,447580525	-0,024103616	0,025	0,01	1	0,98343144	1,016847702	2,5
SNX1	0,038275302	-0,024129579	0,3	0,14	1	0,983413743	1,016866001	2,142857143
ZNF276	0,100465202	-0,024142202	0,138	0,06	1	0,983405138	1,016874898	2,3
KAT6B	0,006452998	-0,024151902	0,412	0,17	1	0,983398526	1,016881735	2,423529412
ZNF597	0,886527564	-0,024161678	0,013	0,01	1	0,983391862	1,016888626	1,3
GPR153	0,072740841	-0,024172893	0,15	0,06	1	0,983384218	1,016896531	2,5
GSK3B	0,004504435	-0,024194199	0,412	0,16	1	0,983369695	1,016911549	2,575
B3GNT4	0,447580525	-0,024206762	0,025	0,01	1	0,983361132	1,016920404	2,5
IPP	0,001530226	-0,024212794	0,175	0,03	1	0,983357021	1,016924656	5,833333333
PDE1A	0,886527564	-0,024232864	0,013	0,01	1	0,983343341	1,016938803	1,3
CHEK2	0,501283468	-0,024264903	0,038	0,02	1	0,983321503	1,016961387	1,9
ZNF432	0,84359211	-0,024320405	0,025	0,02	1	0,983283674	1,017000512	1,25
GSR	0,150386432	-0,024342694	0,112	0,05	1	0,983268483	1,017016224	2,24
WDR25	0,047638359	-0,024353298	0,125	0,04	1	0,983261256	1,017023699	3,125
CCDC159	0,053119313	-0,024357094	0,175	0,07	1	0,983258669	1,017026375	2,5
SWT1	0,325316267	-0,024357397	0,062	0,03	1	0,983258463	1,017026588	2,066666667
H2BC12	0,284975754	-0,024395414	0,05	0,02	1	0,983232553	1,017053389	2,5
FBXO10	0,692138165	-0,024433161	0,013	0,02	1	0,983206828	1,01708	0,65
CRISPLD1	0,321366333	-0,024443183	0,062	0,03	1	0,983199997	1,017087066	2,066666667
OMD	0,886527564	-0,024447256	0,013	0,01	1	0,983197221	1,017089937	1,3
MAP3K12	0,389844265	-0,024461217	0,125	0,08	1	0,983187708	1,017099779	1,5625
LINC00630	0,886527564	-0,024550309	0,013	0,01	1	0,983126994	1,017162591	1,3
ZNF440	0,527578779	-0,024563444	0,05	0,03	1	0,983118043	1,017171852	1,666666667
UNK	0,0322029	-0,024642105	0,325	0,15	1	0,983064441	1,017227313	2,166666667
FBXL14	0,377102913	-0,024657839	0	0,01	1	0,98305372	1,017238407	0
H3C10	0,377102913	-0,024657839	0	0,01	1	0,98305372	1,017238407	0
LINC00937	0,377102913	-0,024657839	0	0,01	1	0,98305372	1,017238407	0
MYO7B	0,377102913	-0,024657839	0	0,01	1	0,98305372	1,017238407	0

Supplementary Table 4

Differentially expressed genes_keloid-CCD_comparing SC-Keloid vs. (SC-Myel, SC-Nonmyel)								
gene	p_val	avg_log2FC	pct.1	pct.2	p_val_adj	Foldchange_UP	Foldchange_DOWN	Ratio_pct1_pct2
NAV2-AS1	0,377102913	-0,024657839	0	0,01	1	0,98305372	1,017238407	0
SUN3	0,377102913	-0,024657839	0	0,01	1	0,98305372	1,017238407	0
UGT2B7	0,377102913	-0,024657839	0	0,01	1	0,98305372	1,017238407	0
RCAN2	0,494869729	-0,024680406	0,038	0,02	1	0,983038342	1,017254319	1,9
ARFGEF1	0,031382456	-0,024686842	0,238	0,1	1	0,983033957	1,017258857	2,38
UTP6	0,008123601	-0,024700834	0,35	0,14	1	0,983024424	1,017268723	2,5
TAL1	0,886527564	-0,024712435	0,013	0,01	1	0,983016519	1,017276903	1,3
CCDC106	0,02922694	-0,024725126	0,225	0,09	1	0,983007872	1,017285852	2,5
GLYCTK	0,223632981	-0,024735302	0,088	0,04	1	0,983000938	1,017293028	2,2
NKX3-1	0,501283468	-0,024777169	0,038	0,02	1	0,982972411	1,01732255	1,9
DCUN1D2	0,11122839	-0,024864431	0,05	0,01	1	0,982912958	1,017384085	5
PSMD10	0,006746681	-0,024864949	0,312	0,12	1	0,982912605	1,01738445	2,6
ANXA2R	0,105839829	-0,024869674	0,088	0,03	1	0,982909386	1,017387782	2,933333333
NOMO3	0,447580525	-0,024880704	0,025	0,01	1	0,982901871	1,01739556	2,5
MIR210HG	0,223365318	-0,02489622	0,038	0,01	1	0,9828913	1,017406503	3,8
NUP85	0,005575985	-0,024925475	0,15	0,03	1	0,982871369	1,017427134	5
ZNF552	0,84359211	-0,024974456	0,025	0,02	1	0,982838	1,017461677	1,25
ANKRD16	0,027302098	-0,025020587	0,138	0,04	1	0,982806574	1,017494211	3,45
PITPNM1	0,034425078	-0,025026467	0,188	0,07	1	0,982802568	1,017498358	2,685714286
RABEP1	0,002375537	-0,025026571	0,5	0,2	1	0,982802498	1,017498432	2,5
STRBP	0,321366333	-0,025040918	0,062	0,03	1	0,982792724	1,01750855	2,066666667
ABL1	0,062495522	-0,025055664	0,238	0,11	1	0,982782679	1,01751895	2,163636364
NDST1	0,094462831	-0,02510584	0,175	0,08	1	0,982748498	1,01755434	2,1875
BAIAP2L1	0,886527564	-0,025120889	0,013	0,01	1	0,982738248	1,017564954	1,3
OSBP	0,004428937	-0,025155037	0,375	0,14	1	0,982714987	1,01758904	2,678571429
PTP4A3	0,447580525	-0,025164909	0,025	0,01	1	0,982708263	1,017596003	2,5
C7orf57	0,447580525	-0,025179513	0,025	0,01	1	0,982698315	1,017606304	2,5
DEPDC1B	0,055334082	-0,025237403	0,062	0,01	1	0,982658883	1,017647138	6,2
ACLY	0,011849784	-0,025277439	0,288	0,11	1	0,982631614	1,017675378	2,618181818
PREPL	0,064391675	-0,025321654	0,238	0,11	1	0,9826015	1,017706568	2,163636364

Supplementary Table 4

Differentially expressed genes_keloid-CCD_ comparing SC-Keloid vs. (SC-Myel, SC-Nonmyel)								
gene	p_val	avg_log2FC	pct.1	pct.2	p_val_adj	Foldchange_UP	Foldchange_DOWN	Ratio_pct1_pct2
HDHD3	0,223365318	-0,02532518	0,038	0,01	1	0,982599098	1,017709055	3,8
BNIP1	0,377102913	-0,025333312	0	0,01	1	0,98259356	1,017714792	0
CDKL4	0,377102913	-0,025333312	0	0,01	1	0,98259356	1,017714792	0
OR7A5	0,377102913	-0,025333312	0	0,01	1	0,98259356	1,017714792	0
SLC22A5	0,377102913	-0,025333312	0	0,01	1	0,98259356	1,017714792	0
RIDA	0,024271833	-0,025338635	0,212	0,08	1	0,982589934	1,017718547	2,65
RAB30	0,041931842	-0,025340797	0,212	0,09	1	0,982588462	1,017720072	2,355555556
CMIP	0,004293039	-0,025365032	0,312	0,11	1	0,982571956	1,017737168	2,836363636
LNPK	0,00169461	-0,025385763	0,338	0,11	1	0,982557837	1,017751793	3,072727273
TMX3	0,00087464	-0,025395905	0,613	0,24	1	0,982550929	1,017758948	2,554166667
ALDH1B1	0,447580525	-0,02539629	0,025	0,01	1	0,982550667	1,017759219	2,5
C5orf63	0,325316267	-0,025417325	0,062	0,03	1	0,982536341	1,017774059	2,066666667
TPH1	0,692138165	-0,025423023	0,013	0,02	1	0,982532461	1,017778079	0,65
ZNF785	0,317447852	-0,025447666	0,062	0,03	1	0,982515678	1,017795464	2,066666667
WDR11	0,00310553	-0,025550497	0,3	0,1	1	0,98244565	1,017868011	3
CNTN4	0,501283468	-0,025594804	0,038	0,02	1	0,982415478	1,017899272	1,9
ZNF235	0,886527564	-0,025619551	0,013	0,01	1	0,982398627	1,017916733	1,3
LRRIQ3	0,886527564	-0,025730561	0,013	0,01	1	0,982323038	1,01799506	1,3
RHOJ	0,022235506	-0,025798665	0,25	0,1	1	0,982276667	1,018043117	2,5
TMEM273	0,84359211	-0,025810535	0,025	0,02	1	0,982268585	1,018051493	1,25
PPP2R1B	0,073271566	-0,025879042	0,212	0,1	1	0,982221943	1,018099837	2,12
MAN2A1	0,001831985	-0,025882299	0,438	0,16	1	0,982219725	1,018102136	2,7375
ZNF526	0,886527564	-0,025903696	0,013	0,01	1	0,982205158	1,018117235	1,3
FAM53B-AS1	0,377102913	-0,025967134	0	0,01	1	0,982161969	1,018162005	0
PON3	0,377102913	-0,025967134	0	0,01	1	0,982161969	1,018162005	0
ZNF563	0,886527564	-0,025968901	0,013	0,01	1	0,982160767	1,018163251	1,3
PTPRN2	0,827884433	-0,026011529	0,025	0,03	1	0,982131746	1,018193337	0,833333333
PCDHB16	0,886527564	-0,026026608	0,013	0,01	1	0,982121481	1,018203979	1,3
BTBD3	0,001538322	-0,026058474	0,338	0,11	1	0,982099789	1,018226469	3,072727273
MAPK11	0,284975754	-0,026086538	0,05	0,02	1	0,982080684	1,018246276	2,5

Supplementary Table 4

Differentially expressed genes_keloid-CCD_comparing SC-Keloid vs. (SC-Myel, SC-Nonmyel)								
gene	p_val	avg_log2FC	pct.1	pct.2	p_val_adj	Foldchange_UP	Foldchange_DOWN	Ratio_pct1_pct2
F8A1	0,057278664	-0,026102171	0,138	0,05	1	0,982070043	1,018257309	2,76
CFLAR-AS1	0,886527564	-0,026107535	0,013	0,01	1	0,982066392	1,018261095	1,3
ACAD11	0,501283468	-0,026154656	0,038	0,02	1	0,982034316	1,018294354	1,9
MED27	0,009231985	-0,026189683	0,2	0,06	1	0,982010474	1,018319078	3,333333333
TMEM120B	0,046946859	-0,026192671	0,125	0,04	1	0,98200844	1,018321187	3,125
LAD1	0,886527564	-0,026212567	0,013	0,01	1	0,981994897	1,01833523	1,3
RUSC1	0,044362225	-0,026273902	0,212	0,09	1	0,98195315	1,018378525	2,355555556
DDX1	0,002338827	-0,026386446	0,512	0,21	1	0,981876551	1,018457971	2,438095238
TPRG1L	0,155592577	-0,026396093	0,125	0,06	1	0,981869985	1,018464782	2,083333333
ZNF181	0,284975754	-0,026434142	0,05	0,02	1	0,98184409	1,018491642	2,5
SETBP1	0,692138165	-0,026468078	0,013	0,02	1	0,981820995	1,0185156	0,65
CXCL10	0,377102913	-0,026491656	0	0,01	1	0,981804949	1,018532246	0
LRRC71	0,377102913	-0,026491656	0	0,01	1	0,981804949	1,018532246	0
NAPSA	0,377102913	-0,026491656	0	0,01	1	0,981804949	1,018532246	0
SRP14-DT	0,377102913	-0,026491656	0	0,01	1	0,981804949	1,018532246	0
ATXN7L3B	0,019626227	-0,026495045	0,438	0,21	1	0,981802643	1,018534639	2,085714286
ZFP69B	0,447580525	-0,02649669	0,025	0,01	1	0,981801523	1,0185358	2,5
AL139099.1	0,377102913	-0,026516002	0	0,01	1	0,981788381	1,018549434	0
ISL2	0,377102913	-0,026516002	0	0,01	1	0,981788381	1,018549434	0
TBC1D4	0,900822541	-0,02652351	0,038	0,04	1	0,981783272	1,018554735	0,95
SAMD13	0,886527564	-0,026536078	0,013	0,01	1	0,981774719	1,018563608	1,3
PGRMC2	0,017468958	-0,026538172	0,662	0,32	1	0,981773294	1,018565086	2,06875
LRP11	0,809797238	-0,026555288	0,038	0,03	1	0,981761646	1,018577171	1,266666667
LRRC3	0,377102913	-0,026579511	0	0,01	1	0,981745162	1,018594273	0
CCDC88C	0,207484841	-0,026601379	0	0,02	1	0,981730281	1,018609713	0
MYO5C	0,207484841	-0,026601379	0	0,02	1	0,981730281	1,018609713	0
DNAJC27-AS1	0,701739822	-0,026623928	0,013	0,02	1	0,981714937	1,018625633	0,65
FBXL19	0,35516371	-0,026638769	0,075	0,04	1	0,981704838	1,018636112	1,875
FGF13	0,886527564	-0,026712287	0,013	0,01	1	0,981654814	1,018688022	1,3
ECHDC1	0,00111263	-0,026734628	0,625	0,26	1	0,981639612	1,018703797	2,403846154

Supplementary Table 4

Differentially expressed genes_keloid-CCD_ comparing SC-Keloid vs. (SC-Myel, SC-Nonmyel)								
gene	p_val	avg_log2FC	pct.1	pct.2	p_val_adj	Foldchange_UP	Foldchange_DOWN	Ratio_pct1_pct2
ZNF888	0,886527564	-0,02675164	0,013	0,01	1	0,981628036	1,01871581	1,3
CCAR2	0,098000042	-0,026805611	0,125	0,05	1	0,981591315	1,01875392	2,5
CDH23	0,447580525	-0,026819834	0,025	0,01	1	0,981581638	1,018763964	2,5
KCNAB1	0,886527564	-0,026843329	0,013	0,01	1	0,981565652	1,018780555	1,3
CD1D	0,886527564	-0,026858373	0,013	0,01	1	0,981555417	1,018791179	1,3
EMD	0,001078023	-0,0268882	0,525	0,2	1	0,981535124	1,018812242	2,625
XRN1	0,004803603	-0,026914324	0,35	0,13	1	0,981517351	1,01883069	2,692307692
FAM162B	0,84359211	-0,02693923	0,025	0,02	1	0,981500407	1,018848279	1,25
CDON	0,447580525	-0,026958556	0,025	0,01	1	0,981487259	1,018861927	2,5
SLC44A4	0,886527564	-0,026986314	0,013	0,01	1	0,981468375	1,018881531	1,3
AC139887.4	0,377102913	-0,027012492	0	0,01	1	0,981450566	1,018900019	0
TAS2R30	0,377102913	-0,027012492	0	0,01	1	0,981450566	1,018900019	0
C15orf39	0,09439712	-0,027025464	0,125	0,05	1	0,981441741	1,01890918	2,5
TPCN1	0,023885059	-0,027056649	0,1	0,02	1	0,981420526	1,018931206	5
AC132192.1	0,886527564	-0,027071826	0,013	0,01	1	0,981410202	1,018941924	1,3
ARHGAP4	0,843678119	-0,027089376	0,025	0,03	1	0,981398264	1,01895432	0,833333333
DBT	0,529436792	-0,02710564	0,062	0,04	1	0,9813872	1,018965806	1,55
KIAA0825	0,501283468	-0,027145628	0,038	0,02	1	0,981359999	1,01899405	1,9
LTB4R	0,886527564	-0,027147569	0,013	0,01	1	0,981358679	1,018995421	1,3
SYTL4	0,063616753	-0,027184132	0,1	0,03	1	0,981333808	1,019021247	3,333333333
PSAT1	0,018035013	-0,027205051	0,2	0,07	1	0,981319578	1,019036023	2,857142857
HYAL3	0,886527564	-0,027219357	0,013	0,01	1	0,981309847	1,019046128	1,3
NSDHL	0,35516371	-0,027225424	0,075	0,04	1	0,981305721	1,019050413	1,875
MFSD4A	0,886527564	-0,027238397	0,013	0,01	1	0,981296897	1,019059576	1,3
TEX9	0,447580525	-0,0272406	0,025	0,01	1	0,981295399	1,019061132	2,5
LTO1	0,027302098	-0,027351064	0,138	0,04	1	0,981220265	1,019139163	3,45
NBPF3	0,157415062	-0,02736093	0,062	0,02	1	0,981213555	1,019146132	3,1
CSNK1E	0,005803981	-0,027393868	0,725	0,33	1	0,981191154	1,0191694	2,196969697
PAPLN	0,501283468	-0,027403476	0,038	0,02	1	0,981184619	1,019176188	1,9
PCK1	0,886527564	-0,027432647	0,013	0,01	1	0,98116478	1,019196796	1,3

Supplementary Table 4

Differentially expressed genes_keloid-CCD_ comparing SC-Keloid vs. (SC-Myel, SC-Nonmyel)								
gene	p_val	avg_log2FC	pct.1	pct.2	p_val_adj	Foldchange_UP	Foldchange_DOWN	Ratio_pct1_pct2
GAK	0,000314515	-0,027437194	0,25	0,05	1	0,981161688	1,019200008	5
SLC4A5	0,886527564	-0,027463035	0,013	0,01	1	0,981144114	1,019218264	1,3
IPO11	0,284975754	-0,027481751	0,05	0,02	1	0,981131385	1,019231486	2,5
ANO5	0,377102913	-0,02749121	0	0,01	1	0,981124953	1,019238169	0
CCDC13	0,377102913	-0,02749121	0	0,01	1	0,981124953	1,019238169	0
SLC3A1	0,377102913	-0,02749121	0	0,01	1	0,981124953	1,019238169	0
TC2N	0,886527564	-0,027496119	0,013	0,01	1	0,981121615	1,019241636	1,3
PTDSS2	0,001917005	-0,027509174	0,338	0,11	1	0,981112736	1,01925086	3,072727273
MTARC2	0,787095147	-0,027513426	0,05	0,04	1	0,981109844	1,019253864	1,25
CAMKMT	0,35516371	-0,027550626	0,075	0,04	1	0,981084547	1,019280146	1,875
BCL2L13	0,028227555	-0,027558646	0,275	0,12	1	0,981079093	1,019285812	2,291666667
ZNF582-DT	0,886527564	-0,027565218	0,013	0,01	1	0,981074624	1,019290455	1,3
ZMYM3	0,035392992	-0,027577437	0,112	0,03	1	0,981066315	1,019299088	3,733333333
FEN1	0,009017324	-0,027644657	0,238	0,08	1	0,981020605	1,019346582	2,975
ZSCAN16	0,447580525	-0,027645081	0,025	0,01	1	0,981020316	1,019346881	2,5
HAUS2	0,274731417	-0,027681691	0,125	0,07	1	0,980995422	1,019372749	1,785714286
HAUS6	0,046910421	-0,027824705	0,212	0,09	1	0,980898181	1,019473804	2,355555556
RAD52	0,692138165	-0,027857793	0,013	0,02	1	0,980875685	1,019497186	0,65
SEC61A2	0,055334082	-0,027876026	0,062	0,01	1	0,980863288	1,019510071	6,2
TINF2	0,000192245	-0,027899757	0,362	0,1	1	0,980847154	1,019526841	3,62
H1-2	0,025963694	-0,027911661	0,225	0,09	1	0,98083906	1,019535253	2,5
SUPV3L1	0,032736765	-0,027912695	0,188	0,07	1	0,980838358	1,019535983	2,685714286
PTTG1	0,631924746	-0,027921605	0,5	0,38	1	0,9808323	1,01954228	1,315789474
CHST10	0,112247794	-0,027930702	0,088	0,03	1	0,980826116	1,019548709	2,933333333
MC1R	0,023885059	-0,02797475	0,1	0,02	1	0,98079617	1,019579838	5
STXBP6	0,037726642	-0,027997647	0,362	0,18	1	0,980780604	1,01959602	2,011111111
POLG2	0,018980462	-0,028020181	0,238	0,09	1	0,980765285	1,019611945	2,644444444
TMEM135	0,921266572	-0,028022146	0,038	0,04	1	0,980763949	1,019613334	0,95
FOXC2	0,84359211	-0,028037485	0,025	0,02	1	0,980753521	1,019624175	1,25
RPRD1A	0,046391154	-0,028087908	0,212	0,09	1	0,980719244	1,019659812	2,355555556

Supplementary Table 4

Differentially expressed genes_keloid-CCD_ comparing SC-Keloid vs. (SC-Myel, SC-Nonmyel)								
gene	p_val	avg_log2FC	pct.1	pct.2	p_val_adj	Foldchange_UP	Foldchange_DOWN	Ratio_pct1_pct2
CD300LG	0,377102913	-0,028107163	0	0,01	1	0,980706155	1,019673421	0
MYLPF	0,377102913	-0,028107163	0	0,01	1	0,980706155	1,019673421	0
RGR	0,377102913	-0,028107163	0	0,01	1	0,980706155	1,019673421	0
TMEFF1	0,377102913	-0,028107163	0	0,01	1	0,980706155	1,019673421	0
WDR27	0,527578779	-0,028130415	0,05	0,03	1	0,980690349	1,019689856	1,666666667
NAP1L5	0,252571592	-0,028130956	0,112	0,06	1	0,980689981	1,019690238	1,866666667
RPS13	0,761348993	-0,02813758	1	1	1	0,980685478	1,01969492	1
CCL27	0,886527564	-0,028161386	0,013	0,01	1	0,980669296	1,019711746	1,3
GNG12-AS1	0,84359211	-0,028170645	0,025	0,02	1	0,980663002	1,01971829	1,25
AP4S1	0,061661173	-0,028171668	0,1	0,03	1	0,980662307	1,019719014	3,333333333
PNPLA6	0,021112347	-0,028174062	0,162	0,05	1	0,98066068	1,019720705	3,24
HSDL2-AS1	0,377102913	-0,028228156	0	0,01	1	0,98062391	1,019758941	0
LRRC10B	0,377102913	-0,028228156	0	0,01	1	0,98062391	1,019758941	0
TDO2	0,377102913	-0,028228156	0	0,01	1	0,98062391	1,019758941	0
RBBP7	0,016323106	-0,028242584	0,713	0,35	1	0,980614103	1,019769139	2,037142857
MTFR2	0,063616753	-0,028252412	0,1	0,03	1	0,980607423	1,019776086	3,333333333
COG5	0,016646758	-0,028256101	0,225	0,08	1	0,980604916	1,019778693	2,8125
EGLN3	0,309705255	-0,028264561	0,062	0,03	1	0,980599165	1,019784674	2,066666667
EML3	0,153934784	-0,028291123	0,112	0,05	1	0,980581112	1,019803449	2,24
ZNF697	0,365228501	-0,028315528	0,088	0,05	1	0,980564524	1,019820701	1,76
DLX6	0,886527564	-0,028358506	0,013	0,01	1	0,980535313	1,019851082	1,3
CACFD1	0,521976935	-0,028373822	0,05	0,03	1	0,980524904	1,019861909	1,666666667
HDHD2	0,050022665	-0,028423971	0,175	0,07	1	0,98049082	1,019897361	2,5
DDAH1	0,058822906	-0,028431548	0,138	0,05	1	0,980485671	1,019902717	2,76
QDPR	0,011810261	-0,028433044	0,488	0,22	1	0,980484654	1,019903775	2,218181818
LIMS1	0,178328629	-0,028488996	0,925	0,69	1	0,980446629	1,01994333	1,34057971
EIF2S3	0,024518831	-0,028548945	0,537	0,26	1	0,980405889	1,019985713	2,065384615
STK35	0,046263823	-0,02862922	0,125	0,04	1	0,980351338	1,020042469	3,125
GAB2	0,521976935	-0,028789492	0,05	0,03	1	0,980242435	1,020155795	1,666666667
SEMA6C	0,447580525	-0,028940634	0,025	0,01	1	0,980139747	1,020262675	2,5

Supplementary Table 4

Differentially expressed genes_keloid-CCD_ comparing SC-Keloid vs. (SC-Myel, SC-Nonmyel)								
gene	p_val	avg_log2FC	pct.1	pct.2	p_val_adj	Foldchange_UP	Foldchange_DOWN	Ratio_pct1_pct2
APC2	0,447580525	-0,028941087	0,025	0,01	1	0,980139439	1,020262996	2,5
ARHGAP45	0,886527564	-0,029000195	0,013	0,01	1	0,980099283	1,020304797	1,3
DHX9	0,000675349	-0,029080403	0,65	0,25	1	0,980044795	1,020361524	2,6
TNRC18	0,086377611	-0,029127841	0,162	0,07	1	0,98001257	1,020395075	2,314285714
RGL2	0,001782497	-0,029148195	0,375	0,13	1	0,979998744	1,020409471	2,884615385
TMEM44-AS1	0,886527564	-0,029215818	0,013	0,01	1	0,97995281	1,020457302	1,3
IRF8	0,377102913	-0,02921718	0	0,01	1	0,979951885	1,020458265	0
TATDN3	0,223632981	-0,029225581	0,088	0,04	1	0,979946178	1,020464208	2,2
CCNA1	0,447580525	-0,029232957	0,025	0,01	1	0,979941168	1,020469424	2,5
ZNF589	0,84359211	-0,029241546	0,025	0,02	1	0,979935334	1,0204755	1,25
TRAF2	0,030337439	-0,029259771	0,188	0,07	1	0,979922955	1,020488391	2,685714286
RPP14	0,136751946	-0,029292828	0,1	0,04	1	0,979900502	1,020511775	2,5
PLEKHO1	0,113666046	-0,029342059	0,8	0,48	1	0,979867064	1,020546599	1,666666667
GRHL1	0,447580525	-0,029349264	0,025	0,01	1	0,97986217	1,020551696	2,5
ATAD2	0,043788058	-0,029356815	0,162	0,06	1	0,979857042	1,020557038	2,7
LATS2-AS1	0,886527564	-0,029368818	0,013	0,01	1	0,97984889	1,020565529	1,3
PRKAG2-AS1	0,886527564	-0,029368818	0,013	0,01	1	0,97984889	1,020565529	1,3
FASTK	0,002249843	-0,029389464	0,462	0,18	1	0,979834867	1,020580134	2,566666667
PIGZ	0,521976935	-0,029409294	0,05	0,03	1	0,979821399	1,020594162	1,666666667
AF186192.1	0,377102913	-0,02941976	0	0,01	1	0,979814291	1,020601566	0
CNTFR	0,377102913	-0,02941976	0	0,01	1	0,979814291	1,020601566	0
DIO2	0,377102913	-0,02941976	0	0,01	1	0,979814291	1,020601566	0
LRRC4B	0,377102913	-0,02941976	0	0,01	1	0,979814291	1,020601566	0
ZNF540	0,377102913	-0,02941976	0	0,01	1	0,979814291	1,020601566	0
TMOD3	0,010771516	-0,029436143	0,438	0,19	1	0,979803165	1,020613156	2,305263158
HSPA14	0,058822906	-0,029446565	0,138	0,05	1	0,979796087	1,020620528	2,76
POLR2D	0,005323811	-0,029500191	0,212	0,06	1	0,979759668	1,020658467	3,533333333
CCDC168	0,84359211	-0,029506252	0,025	0,02	1	0,979755552	1,020662754	1,25
NT5DC3	0,02343883	-0,02959638	0,175	0,06	1	0,979694346	1,020726519	2,916666667
MSR1	0,377102913	-0,029619087	0	0,01	1	0,979678927	1,020742585	0

Supplementary Table 4

Differentially expressed genes_keloid-CCD_ comparing SC-Keloid vs. (SC-Myel, SC-Nonmyel)								
gene	p_val	avg_log2FC	pct.1	pct.2	p_val_adj	Foldchange_UP	Foldchange_DOWN	Ratio_pct1_pct2
TMEM240	0,377102913	-0,029619087	0	0,01	1	0,979678927	1,020742585	0
MAPT	0,886527564	-0,029670376	0,013	0,01	1	0,979644099	1,020778874	1,3
TMEM39A	0,020420521	-0,029719224	0,238	0,09	1	0,97961093	1,020813437	2,644444444
HOOK2	0,004260066	-0,029719761	0,238	0,07	1	0,979610565	1,020813817	3,4
HES5	0,429993123	-0,029734212	0,013	0,03	1	0,979600753	1,020824042	0,433333333
TSGA10	0,827884433	-0,02976419	0,025	0,03	1	0,979580398	1,020845254	0,833333333
SORD	0,020805297	-0,029771692	0,162	0,05	1	0,979575304	1,020850562	3,24
SYPL2	0,701739822	-0,02979868	0,013	0,02	1	0,97955698	1,020869659	0,65
KLHL13	0,133275036	-0,029817162	0,1	0,04	1	0,979544431	1,020882737	2,5
RSPH3	0,351402824	-0,029883318	0,075	0,04	1	0,979499514	1,020929552	1,875
PDK3	0,21581748	-0,029885288	0,088	0,04	1	0,979498177	1,020930946	2,2
CEP85	0,223365318	-0,029896272	0,038	0,01	1	0,979490719	1,020938719	3,8
ARHGEF5	0,284975754	-0,029912315	0,05	0,02	1	0,979479827	1,020950072	2,5
PTGER1	0,429993123	-0,029931248	0,013	0,03	1	0,979466973	1,02096347	0,433333333
LIN54	0,060401558	-0,0299389	0,138	0,05	1	0,979461778	1,020968885	2,76
AP5B1	0,501283468	-0,029963607	0,038	0,02	1	0,979445005	1,02098637	1,9
TCAF2	0,886527564	-0,029965572	0,013	0,01	1	0,97944367	1,020987761	1,3
SLC2A1	0,116684893	-0,029993304	0,138	0,06	1	0,979424844	1,021007387	2,3
ENY2	0,121850339	-0,030011118	0,912	0,54	1	0,979412749	1,021019994	1,688888889
PKD2L2	0,886527564	-0,030023212	0,013	0,01	1	0,979404539	1,021028554	1,3
LENG9	0,521263547	-0,030117818	0,075	0,05	1	0,979340316	1,02109551	1,5
GLB1	0,003536285	-0,030138367	0,262	0,08	1	0,979326367	1,021110054	3,275
EMCN	0,802630013	-0,030162728	0,038	0,03	1	0,979309831	1,021127297	1,266666667
KLHDC3	0,007060515	-0,030177923	0,3	0,11	1	0,979299516	1,021138052	2,727272727
COMTD1	0,00058984	-0,03024511	0,3	0,08	1	0,979253911	1,021185607	3,75
BIRC7	0,377102913	-0,03025263	0	0,01	1	0,979248807	1,02119093	0
MGAT4A	0,377102913	-0,03025263	0	0,01	1	0,979248807	1,02119093	0
RASAL2-AS1	0,377102913	-0,03025263	0	0,01	1	0,979248807	1,02119093	0
SEMG2	0,377102913	-0,03025263	0	0,01	1	0,979248807	1,02119093	0
SYCP3	0,377102913	-0,03025263	0	0,01	1	0,979248807	1,02119093	0

Supplementary Table 4

Differentially expressed genes_keloid-CCD_ comparing SC-Keloid vs. (SC-Myel, SC-Nonmyel)								
gene	p_val	avg_log2FC	pct.1	pct.2	p_val_adj	Foldchange_UP	Foldchange_DOWN	Ratio_pct1_pct2
TFF3	0,377102913	-0,03025263	0	0,01	1	0,979248807	1,02119093	0
TMEM225B	0,377102913	-0,03025263	0	0,01	1	0,979248807	1,02119093	0
ZNF233	0,377102913	-0,03025263	0	0,01	1	0,979248807	1,02119093	0
CSNK2A2	0,003023724	-0,030273635	0,488	0,2	1	0,979234549	1,021205799	2,44
IGHMBP2	0,135004841	-0,030286946	0,1	0,04	1	0,979225515	1,021215221	2,5
NUDT12	0,244314206	-0,030318609	0,1	0,05	1	0,979204023	1,021237634	2
ADPRHL1	0,377102913	-0,030322576	0	0,01	1	0,979201331	1,021240442	0
DNASE1L2	0,377102913	-0,030322576	0	0,01	1	0,979201331	1,021240442	0
KIAA1522	0,377102913	-0,030322576	0	0,01	1	0,979201331	1,021240442	0
KNDC1	0,377102913	-0,030322576	0	0,01	1	0,979201331	1,021240442	0
VPREB3	0,377102913	-0,030322576	0	0,01	1	0,979201331	1,021240442	0
CCR10	0,284975754	-0,03038071	0,05	0,02	1	0,979161874	1,021281594	2,5
ZNF79	0,447580525	-0,030440187	0,025	0,01	1	0,979121508	1,021323699	2,5
BCL7A	0,11061781	-0,030441898	0,088	0,03	1	0,979120347	1,02132491	2,933333333
MAN1A1	0,692138165	-0,030442543	0,013	0,02	1	0,979119909	1,021325367	0,65
LRRC37A3	0,84359211	-0,030444232	0,025	0,02	1	0,979118763	1,021326563	1,25
CHUK	0,153934784	-0,030445279	0,112	0,05	1	0,979118052	1,021327303	2,24
SYS1	0,053817177	-0,030462824	0,225	0,1	1	0,979106145	1,021339724	2,25
NUDT19	0,157415062	-0,030476952	0,062	0,02	1	0,979096557	1,021349726	3,1
WBP1	0,447580525	-0,030499016	0,025	0,01	1	0,979081583	1,021365347	2,5
PDE7A	0,155732654	-0,030535672	0,112	0,05	1	0,979056707	1,021391297	2,24
MYCL	0,447580525	-0,030595571	0,025	0,01	1	0,979016058	1,021433706	2,5
USP30	0,501283468	-0,030609619	0,038	0,02	1	0,979006525	1,021443652	1,9
SMPD4	0,008775841	-0,030627054	0,238	0,08	1	0,978994694	1,021455995	2,975
POLR3C	0,081579256	-0,030705882	0,112	0,04	1	0,978941204	1,021511809	2,8
PNMA8A	0,886527564	-0,030706153	0,013	0,01	1	0,97894102	1,021512001	1,3
RGPD5	0,23407396	-0,030724491	0,1	0,05	1	0,978928577	1,021524986	2
PIP4K2C	0,539465965	-0,030725019	0,062	0,04	1	0,978928219	1,021525359	1,55
SLC35E3	0,001334213	-0,030728543	0,262	0,07	1	0,978925827	1,021527854	3,742857143
CCDC150	0,191117973	-0,030804464	0,075	0,03	1	0,978874313	1,021581613	2,5

Supplementary Table 4

Differentially expressed genes_keloid-CCD_ comparing SC-Keloid vs. (SC-Myel, SC-Nonmyel)								
gene	p_val	avg_log2FC	pct.1	pct.2	p_val_adj	Foldchange_UP	Foldchange_DOWN	Ratio_pct1_pct2
PTCH1	0,501283468	-0,030851834	0,038	0,02	1	0,978842173	1,021615156	1,9
HOXC10	0,284975754	-0,030858914	0,05	0,02	1	0,978837369	1,02162017	2,5
PRIM2	0,008541848	-0,030891802	0,162	0,04	1	0,978815056	1,021643459	4,05
MINK1	0,188542969	-0,030914089	0,075	0,03	1	0,978799935	1,021659242	2,5
ASIC3	0,701739822	-0,03095748	0,013	0,02	1	0,978770497	1,02168997	0,65
RNF122	0,701739822	-0,030975659	0,013	0,02	1	0,978758164	1,021702845	0,65
POLR3F	0,284975754	-0,031055748	0,05	0,02	1	0,978703831	1,021759564	2,5
KHNYN	0,152152734	-0,031068795	0,112	0,05	1	0,97869498	1,021768805	2,24
MAP2K6	0,510865718	-0,031074711	0,05	0,03	1	0,978690967	1,021772994	1,666666667
SNRK	0,015994304	-0,03108709	0,188	0,06	1	0,978682569	1,021781762	3,133333333
ASPN	0,133275036	-0,031100289	0,1	0,04	1	0,978673615	1,02179111	2,5
MYT1	0,447580525	-0,031159481	0,025	0,01	1	0,978633462	1,021833034	2,5
FNDC11	0,886527564	-0,031188092	0,013	0,01	1	0,978614055	1,021853299	1,3
PAOX	0,816980451	-0,031233293	0,038	0,03	1	0,978583395	1,021885314	1,266666667
PEX1	0,021112347	-0,031304428	0,162	0,05	1	0,978535145	1,021935702	3,24
PDE7B	0,886527564	-0,031306058	0,013	0,01	1	0,978534039	1,021936856	1,3
RASD2	0,692138165	-0,031311214	0,013	0,02	1	0,978530542	1,021940509	0,65
GSE1	0,001753902	-0,031326583	0,238	0,06	1	0,978520117	1,021951396	3,966666667
PODN	0,447580525	-0,03137898	0,025	0,01	1	0,97848458	1,021988513	2,5
KANK3	0,886527564	-0,031392353	0,013	0,01	1	0,97847551	1,021997986	1,3
NEO1	0,325316267	-0,031394801	0,062	0,03	1	0,978473849	1,02199972	2,066666667
SURF6	0,013750247	-0,031398792	0,275	0,11	1	0,978471143	1,022002547	2,5
ZDBF2	0,157415062	-0,031429906	0,062	0,02	1	0,97845004	1,022024589	3,1
EXTL3-AS1	0,377102913	-0,031439358	0	0,01	1	0,97844363	1,022031284	0
F2RL2	0,377102913	-0,031439358	0	0,01	1	0,97844363	1,022031284	0
MADCAM1	0,377102913	-0,031439358	0	0,01	1	0,97844363	1,022031284	0
STAG3	0,377102913	-0,031439358	0	0,01	1	0,97844363	1,022031284	0
LRP10	0,019996792	-0,031446018	0,588	0,3	1	0,978439113	1,022036003	1,96
COQ8A	0,325316267	-0,031471593	0,062	0,03	1	0,978421768	1,022054121	2,066666667
MTARC1	0,692138165	-0,0315131	0,013	0,02	1	0,978393619	1,022083526	0,65

Supplementary Table 4

Differentially expressed genes_keloid-CCD_ comparing SC-Keloid vs. (SC-Myel, SC-Nonmyel)								
gene	p_val	avg_log2FC	pct.1	pct.2	p_val_adj	Foldchange_UP	Foldchange_DOWN	Ratio_pct1_pct2
PIWIL2	0,377102913	-0,031549367	0	0,01	1	0,978369024	1,02210922	0
ZNF596	0,377102913	-0,031549367	0	0,01	1	0,978369024	1,02210922	0
MED22	0,157415062	-0,031559656	0,062	0,02	1	0,978362047	1,022116509	3,1
NFATC2IP	0,016508297	-0,031590502	0,4	0,18	1	0,978341129	1,022138363	2,222222222
THBS4	0,223365318	-0,031599963	0,038	0,01	1	0,978334713	1,022145067	3,8
CPXM2	0,835772999	-0,031609378	0,025	0,03	1	0,978328329	1,022151737	0,833333333
C12orf42	0,377102913	-0,031639317	0	0,01	1	0,978308026	1,022172949	0
CSTA	0,377102913	-0,031639317	0	0,01	1	0,978308026	1,022172949	0
DIO3	0,377102913	-0,031639317	0	0,01	1	0,978308026	1,022172949	0
TRIM17	0,377102913	-0,031639317	0	0,01	1	0,978308026	1,022172949	0
TMOD4	0,886527564	-0,031661574	0,013	0,01	1	0,978292934	1,022188718	1,3
USP2	0,207484841	-0,031686089	0	0,02	1	0,97827631	1,022206088	0
GALNT16	0,207484841	-0,03171084	0	0,02	1	0,978259527	1,022223626	0
ALDH9A1	0,004013649	-0,031745658	0,388	0,15	1	0,978235918	1,022248296	2,586666667
PLXNA1	0,111488744	-0,031787593	0,138	0,06	1	0,978207484	1,02227801	2,3
ZNF180	0,692138165	-0,031798825	0,013	0,02	1	0,978199868	1,022285969	0,65
SCN2B	0,886527564	-0,031799659	0,013	0,01	1	0,978199303	1,02228656	1,3
SLFN13	0,84359211	-0,031847514	0,025	0,02	1	0,978166855	1,022320471	1,25
ACAT1	0,000748718	-0,03185401	0,275	0,07	1	0,978162451	1,022325074	3,928571429
ERAP2	0,321366333	-0,031873143	0,062	0,03	1	0,978149479	1,022338632	2,066666667
ALK	0,377102913	-0,031891109	0	0,01	1	0,978137298	1,022351363	0
MUC1	0,377102913	-0,031891109	0	0,01	1	0,978137298	1,022351363	0
PTGES3L	0,207484841	-0,031897245	0	0,02	1	0,978133138	1,022355712	0
XPOT	0,003098566	-0,031928306	0,325	0,11	1	0,978112079	1,022377723	2,954545455
CLCN4	0,527578779	-0,03193159	0,05	0,03	1	0,978109852	1,02238005	1,666666667
AKAP11	0,005890356	-0,031952899	0,288	0,1	1	0,978095405	1,022395151	2,88
ADAT3	0,692138165	-0,031987909	0,013	0,02	1	0,978071671	1,022419962	0,65
C6orf163	0,377102913	-0,031990114	0	0,01	1	0,978070175	1,022421525	0
GCM1	0,377102913	-0,031990114	0	0,01	1	0,978070175	1,022421525	0
KIF4B	0,377102913	-0,031990114	0	0,01	1	0,978070175	1,022421525	0

Supplementary Table 4

Differentially expressed genes_keloid-CCD_ comparing SC-Keloid vs. (SC-Myel, SC-Nonmyel)								
gene	p_val	avg_log2FC	pct.1	pct.2	p_val_adj	Foldchange_UP	Foldchange_DOWN	Ratio_pct1_pct2
LINC01068	0,377102913	-0,031990114	0	0,01	1	0,978070175	1,022421525	0
LXN	0,377102913	-0,031990114	0	0,01	1	0,978070175	1,022421525	0
PCSK1	0,377102913	-0,031990114	0	0,01	1	0,978070175	1,022421525	0
SPAG16	0,024575502	-0,032009132	0,212	0,08	1	0,978057282	1,022435003	2,65
ARNT2	0,034425078	-0,03201547	0,188	0,07	1	0,978052986	1,022439494	2,685714286
C16orf95	0,692138165	-0,032025355	0,013	0,02	1	0,978046284	1,0224465	0,65
SSH3	0,447580525	-0,032050593	0,025	0,01	1	0,978029175	1,022464386	2,5
BCAN	0,377102913	-0,032089736	0	0,01	1	0,97800264	1,022492128	0
DCLK1	0,377102913	-0,032089736	0	0,01	1	0,97800264	1,022492128	0
ENTHD1	0,377102913	-0,032089736	0	0,01	1	0,97800264	1,022492128	0
HCN1	0,377102913	-0,032089736	0	0,01	1	0,97800264	1,022492128	0
IL16	0,377102913	-0,032089736	0	0,01	1	0,97800264	1,022492128	0
KIAA0408	0,377102913	-0,032089736	0	0,01	1	0,97800264	1,022492128	0
PACRG	0,377102913	-0,032089736	0	0,01	1	0,97800264	1,022492128	0
STXBP5-AS1	0,377102913	-0,032089736	0	0,01	1	0,97800264	1,022492128	0
SV2C	0,377102913	-0,032089736	0	0,01	1	0,97800264	1,022492128	0
TMEM215	0,377102913	-0,032089736	0	0,01	1	0,97800264	1,022492128	0
TTC9	0,377102913	-0,032089736	0	0,01	1	0,97800264	1,022492128	0
WBP2NL	0,377102913	-0,032089736	0	0,01	1	0,97800264	1,022492128	0
CLP1	0,191117973	-0,032107924	0,075	0,03	1	0,97799031	1,022505018	2,5
CLN5	0,010474996	-0,032123113	0,45	0,2	1	0,977980014	1,022515783	2,25
H4C8	0,284975754	-0,032134284	0,05	0,02	1	0,977972441	1,022523701	2,5
USP24	0,011159527	-0,032145325	0,288	0,11	1	0,977964957	1,022531526	2,618181818
MEIS3	0,246922691	-0,032171627	0,1	0,05	1	0,977947127	1,022550169	2
ZC3H7B	0,053757482	-0,032209474	0,175	0,07	1	0,977921472	1,022576995	2,5
ZNF329	0,529436792	-0,032225	0,062	0,04	1	0,977910949	1,022587999	1,55
ITPKA	0,284975754	-0,032250184	0,05	0,02	1	0,977893878	1,022605849	2,5
ALKBH4	0,112247794	-0,032280839	0,088	0,03	1	0,977873099	1,022627579	2,933333333
C3orf18	0,802630013	-0,032284413	0,038	0,03	1	0,977870677	1,022630112	1,266666667
MPP3	0,447580525	-0,032288983	0,025	0,01	1	0,977867579	1,022633352	2,5

Supplementary Table 4

Differentially expressed genes_keloid-CCD_ comparing SC-Keloid vs. (SC-Myel, SC-Nonmyel)								
gene	p_val	avg_log2FC	pct.1	pct.2	p_val_adj	Foldchange_UP	Foldchange_DOWN	Ratio_pct1_pct2
AREG	0,343957066	-0,032301298	0,075	0,04	1	0,977859232	1,022642081	1,875
GTF2H4	0,84359211	-0,032317555	0,025	0,02	1	0,977848213	1,022653604	1,25
MROH8	0,447580525	-0,032400023	0,025	0,01	1	0,977792319	1,022712063	2,5
MRGPRF	0,83477988	-0,032403487	0,025	0,02	1	0,977789971	1,022714519	1,25
ITPRIP	0,10741396	-0,032441385	0,088	0,03	1	0,977764286	1,022741385	2,933333333
ENTPD2	0,377102913	-0,032443351	0	0,01	1	0,977762953	1,022742779	0
UTF1	0,377102913	-0,032443351	0	0,01	1	0,977762953	1,022742779	0
CCNJ	0,692138165	-0,032455493	0,013	0,02	1	0,977754724	1,022751386	0,65
SLC45A4	0,527578779	-0,032466397	0,05	0,03	1	0,977747335	1,022759116	1,666666667
POMC	0,157415062	-0,032467542	0,062	0,02	1	0,977746559	1,022759928	3,1
DOCK11	0,325316267	-0,032469471	0,062	0,03	1	0,977745251	1,022761296	2,066666667
CD274	0,84359211	-0,03252524	0,025	0,02	1	0,977707456	1,022800832	1,25
INTS3	0,052487485	-0,032544486	0,175	0,07	1	0,977694413	1,022814477	2,5
ZBTB11-AS1	0,84359211	-0,032548752	0,025	0,02	1	0,977691522	1,022817501	1,25
BUD31	0,119296796	-0,032561335	0,875	0,51	1	0,977682995	1,022826423	1,715686275
KBTBD3	0,365228501	-0,032589817	0,088	0,05	1	0,977663693	1,022846616	1,76
PSORS1C1	0,527578779	-0,032610645	0,05	0,03	1	0,977649579	1,022861382	1,666666667
ZNF70	0,84359211	-0,032641185	0,025	0,02	1	0,977628884	1,022883035	1,25
HSD11B1	0,377102913	-0,032671121	0	0,01	1	0,977608598	1,02290426	0
PTF1A	0,377102913	-0,032671121	0	0,01	1	0,977608598	1,02290426	0
GBP3	0,009022522	-0,03269127	0,275	0,1	1	0,977594945	1,022918546	2,75
PCDHA10	0,886527564	-0,032759457	0,013	0,01	1	0,977548741	1,022966894	1,3
SDR16C5	0,886527564	-0,032795691	0,013	0,01	1	0,97752419	1,022992587	1,3
PTRH2	0,026467531	-0,032821252	0,212	0,08	1	0,977506871	1,023010712	2,65
AKT3	0,015732674	-0,032864869	0,488	0,23	1	0,977477318	1,023041641	2,12173913
CXXC1	0,020243607	-0,032883228	0,25	0,1	1	0,97746488	1,02305466	2,5
TCAF1	0,003481004	-0,03288729	0,475	0,19	1	0,977462127	1,02305754	2,5
HIPK1	0,002976131	-0,032891204	0,388	0,14	1	0,977459476	1,023060316	2,771428571
GOT1	0,023971422	-0,032900659	0,212	0,08	1	0,977453069	1,023067021	2,65
CLASP1	0,048387935	-0,03294955	0,225	0,1	1	0,977419945	1,023101692	2,25

Supplementary Table 4

Differentially expressed genes_keloid-CCD_ comparing SC-Keloid vs. (SC-Myel, SC-Nonmyel)								
gene	p_val	avg_log2FC	pct.1	pct.2	p_val_adj	Foldchange_UP	Foldchange_DOWN	Ratio_pct1_pct2
ZCCHC2	0,820013192	-0,032966132	0,025	0,03	1	0,977408711	1,023113451	0,833333333
TP53BP1	0,019295101	-0,033008694	0,288	0,12	1	0,977379876	1,023143635	2,4
CDH3	0,886527564	-0,033028837	0,013	0,01	1	0,97736623	1,023157921	1,3
NIPAL1	0,501283468	-0,03309983	0,038	0,02	1	0,977318137	1,02320827	1,9
GOLM2	0,004567046	-0,033106364	0,65	0,29	1	0,97731371	1,023212904	2,24137931
ZNF606	0,692138165	-0,033129732	0,013	0,02	1	0,97729788	1,023229478	0,65
AC087239.1	0,521976935	-0,033161541	0,05	0,03	1	0,977276333	1,023252039	1,666666667
ZNF2	0,501283468	-0,033228966	0,038	0,02	1	0,977230661	1,023299862	1,9
PPARA	0,09439712	-0,033236355	0,125	0,05	1	0,977225656	1,023305103	2,5
AGER	0,377102913	-0,033273962	0	0,01	1	0,977200182	1,023331778	0
CLNK	0,377102913	-0,033273962	0	0,01	1	0,977200182	1,023331778	0
SLC16A9	0,377102913	-0,033273962	0	0,01	1	0,977200182	1,023331778	0
ZFP69	0,377102913	-0,033273962	0	0,01	1	0,977200182	1,023331778	0
BAMBI	0,112247794	-0,033328829	0,088	0,03	1	0,97716302	1,023370697	2,933333333
CLDN14	0,377102913	-0,033335472	0	0,01	1	0,97715852	1,023375409	0
GNAO1	0,377102913	-0,033335472	0	0,01	1	0,97715852	1,023375409	0
PCDHB7	0,377102913	-0,033335472	0	0,01	1	0,97715852	1,023375409	0
HOXD1	0,692138165	-0,033351466	0,013	0,02	1	0,977147687	1,023386754	0,65
CHMP3	0,01494077	-0,033401936	0,787	0,41	1	0,977113504	1,023422556	1,919512195
CORO2B	0,404468101	-0,033452377	0,138	0,09	1	0,977079342	1,023458339	1,533333333
CMC2	0,013816109	-0,033455463	0,713	0,33	1	0,977077252	1,023460528	2,160606061
EXOC1	0,029149181	-0,033464329	0,275	0,12	1	0,977071247	1,023466818	2,291666667
GIMD1	0,377102913	-0,033474705	0	0,01	1	0,97706422	1,023474178	0
GRIN2B	0,377102913	-0,033474705	0	0,01	1	0,97706422	1,023474178	0
CYB5RL	0,83477988	-0,033481281	0,025	0,02	1	0,977059767	1,023478844	1,25
HOXD4	0,377102913	-0,033490247	0	0,01	1	0,977053694	1,023485204	0
NEUROD2	0,377102913	-0,033490247	0	0,01	1	0,977053694	1,023485204	0
REPS2	0,377102913	-0,033490247	0	0,01	1	0,977053694	1,023485204	0
RIMS2	0,377102913	-0,033490247	0	0,01	1	0,977053694	1,023485204	0
ADA	0,84359211	-0,033498976	0,025	0,02	1	0,977047783	1,023491397	1,25

Supplementary Table 4

Differentially expressed genes_keloid-CCD_ comparing SC-Keloid vs. (SC-Myel, SC-Nonmyel)								
gene	p_val	avg_log2FC	pct.1	pct.2	p_val_adj	Foldchange_UP	Foldchange_DOWN	Ratio_pct1_pct2
HEXB	0,003915847	-0,033521631	0,512	0,22	1	0,97703244	1,02350747	2,327272727
CAPN7	0,004798886	-0,033632418	0,275	0,09	1	0,976957415	1,023586069	3,055555556
SGSM2	0,063616753	-0,033652998	0,1	0,03	1	0,976943479	1,023600671	3,333333333
CLBA1	0,193718766	-0,03377163	0,075	0,03	1	0,976863149	1,023684844	2,5
ZNF813	0,84359211	-0,033774478	0,025	0,02	1	0,97686122	1,023686865	1,25
HCG11	0,155732654	-0,033811585	0,112	0,05	1	0,976836095	1,023713195	2,24
MFS5	0,252571592	-0,033829925	0,112	0,06	1	0,976823677	1,023726209	1,866666667
ELK1	0,031919537	-0,033836262	0,188	0,07	1	0,976819386	1,023730706	2,685714286
HSPBAP1	0,527485192	-0,033897874	0,088	0,06	1	0,976777671	1,023774427	1,466666667
UFM1	0,051591715	-0,033905413	0,675	0,36	1	0,976772567	1,023779776	1,875
ZMYND15	0,84359211	-0,033920523	0,025	0,02	1	0,976762337	1,023790499	1,25
CDR2	0,05967179	-0,033948476	0,312	0,16	1	0,976743411	1,023810336	1,95
EFEMP1	0,886527564	-0,033956452	0,013	0,01	1	0,976738011	1,023815996	1,3
NF1	0,004813664	-0,033979388	0,425	0,17	1	0,976722484	1,023832273	2,5
VWA5A	0,692138165	-0,034083498	0,013	0,02	1	0,976652002	1,023906159	0,65
CFAP70	0,886527564	-0,034084999	0,013	0,01	1	0,976650986	1,023907224	1,3
TMEFF2	0,886527564	-0,034113318	0,013	0,01	1	0,976631815	1,023927323	1,3
SMARCD2	0,015208331	-0,034131078	0,225	0,08	1	0,976619793	1,023939927	2,8125
TEK	0,701739822	-0,034152326	0,013	0,02	1	0,976605409	1,023955009	0,65
RAB20	0,193718766	-0,034178707	0,075	0,03	1	0,976587552	1,023973732	2,5
CCDC140	0,377102913	-0,034204899	0	0,01	1	0,976569822	1,023992322	0
PCDH8	0,377102913	-0,034204899	0	0,01	1	0,976569822	1,023992322	0
MYO1F	0,886527564	-0,034252868	0,013	0,01	1	0,976537351	1,024026371	1,3
IFT20	0,026521822	-0,034257075	0,5	0,24	1	0,976534504	1,024029357	2,083333333
CCDC171	0,24172513	-0,034267766	0,1	0,05	1	0,976527267	1,024036945	2
DLX4	0,377102913	-0,034286192	0	0,01	1	0,976514796	1,024050024	0
LINC01556	0,377102913	-0,034286192	0	0,01	1	0,976514796	1,024050024	0
LYG1	0,377102913	-0,034286192	0	0,01	1	0,976514796	1,024050024	0
ZNF23	0,377102913	-0,034286192	0	0,01	1	0,976514796	1,024050024	0
ZNF211	0,84359211	-0,034290037	0,025	0,02	1	0,976512193	1,024052754	1,25

Supplementary Table 4

Differentially expressed genes_keloid-CCD_ comparing SC-Keloid vs. (SC-Myel, SC-Nonmyel)								
gene	p_val	avg_log2FC	pct.1	pct.2	p_val_adj	Foldchange_UP	Foldchange_DOWN	Ratio_pct1_pct2
MMRN2	0,886527564	-0,034357626	0,013	0,01	1	0,976466445	1,024100731	1,3
PIGG	0,260119902	-0,034374225	0,112	0,06	1	0,97645521	1,024112514	1,866666667
TEF	0,155732654	-0,034389298	0,112	0,05	1	0,976445008	1,024123214	2,24
MTRNR2L12	0,886527564	-0,034397989	0,013	0,01	1	0,976439127	1,024129383	1,3
TNNI3K	0,886527564	-0,034397989	0,013	0,01	1	0,976439127	1,024129383	1,3
PIGO	0,047638359	-0,034413368	0,125	0,04	1	0,976428718	1,0241403	3,125
WDFY1	0,003743575	-0,034453006	0,275	0,09	1	0,976401891	1,024168439	3,055555556
TRIM66	0,284975754	-0,03445463	0,05	0,02	1	0,976400792	1,024169592	2,5
TVP23A	0,886527564	-0,034457804	0,013	0,01	1	0,976398644	1,024171844	1,3
FXYD7	0,501283468	-0,034480135	0,038	0,02	1	0,97638353	1,024187698	1,9
AL118506.1	0,692138165	-0,034481588	0,013	0,02	1	0,976382547	1,02418873	0,65
DKAKD	0,521976935	-0,034543256	0,05	0,03	1	0,976340812	1,024232509	1,666666667
LINC00311	0,692138165	-0,03461665	0,013	0,02	1	0,976291144	1,024284616	0,65
DENND2C	0,35516371	-0,034711341	0,075	0,04	1	0,976227068	1,024351847	1,875
KRTAP2-3	0,447580525	-0,03472327	0,025	0,01	1	0,976218996	1,024360317	2,5
DOCK9	0,83477988	-0,034741177	0,025	0,02	1	0,976206879	1,024373032	1,25
ARHGAP6	0,692138165	-0,034766729	0,013	0,02	1	0,976189589	1,024391175	0,65
GAST	0,377102913	-0,034773798	0	0,01	1	0,976184806	1,024396194	0
MTCP1	0,377102913	-0,034773798	0	0,01	1	0,976184806	1,024396194	0
PILRA	0,377102913	-0,034773798	0	0,01	1	0,976184806	1,024396194	0
PLAAT5	0,377102913	-0,034773798	0	0,01	1	0,976184806	1,024396194	0
FEM1B	0,021269707	-0,034811599	0,338	0,15	1	0,976159229	1,024423035	2,253333333
RHBDL2	0,84359211	-0,034843932	0,025	0,02	1	0,976137352	1,024445994	1,25
RFWD3	0,031746961	-0,034881687	0,15	0,05	1	0,976111807	1,024472805	3
C17orf107	0,886527564	-0,034889329	0,013	0,01	1	0,976106637	1,024478231	1,3
CUBN	0,17887143	-0,034900263	0,125	0,06	1	0,976099239	1,024485995	2,083333333
THOC6	0,008703623	-0,034994785	0,312	0,12	1	0,976035289	1,024553119	2,6
MAD1L1	0,051042135	-0,035003212	0,225	0,1	1	0,976029587	1,024559104	2,25
OSGIN1	0,193718766	-0,035012822	0,075	0,03	1	0,976023086	1,024565929	2,5
MTA3	0,015769389	-0,035023898	0,188	0,06	1	0,976015593	1,024573795	3,133333333

Supplementary Table 4

Differentially expressed genes_keloid-CCD_ comparing SC-Keloid vs. (SC-Myel, SC-Nonmyel)								
gene	p_val	avg_log2FC	pct.1	pct.2	p_val_adj	Foldchange_UP	Foldchange_DOWN	Ratio_pct1_pct2
AGPAT5	0,021426774	-0,035045381	0,2	0,07	1	0,97600106	1,024589052	2,857142857
ACVRL1	0,377102913	-0,035185137	0	0,01	1	0,975906517	1,02468831	0
SLC2A4	0,377102913	-0,035185137	0	0,01	1	0,975906517	1,02468831	0
SLC35F6	0,07981542	-0,03519191	0,162	0,07	1	0,975901936	1,024693121	2,314285714
IFT80	0,321366333	-0,035223568	0,062	0,03	1	0,975880521	1,024715607	2,066666667
INTU	0,193718766	-0,03528003	0,075	0,03	1	0,97584233	1,024755711	2,5
GTF3C5	0,033196366	-0,035298898	0,238	0,1	1	0,975829567	1,024769113	2,38
ZKSCAN2	0,223365318	-0,035309103	0,038	0,01	1	0,975822664	1,024776362	3,8
CDRT4	0,377102913	-0,035327305	0	0,01	1	0,975810353	1,024789291	0
KCNE1	0,377102913	-0,035327305	0	0,01	1	0,975810353	1,024789291	0
SAMD11	0,377102913	-0,035327305	0	0,01	1	0,975810353	1,024789291	0
CNRIP1	0,031888759	-0,035358838	0,325	0,15	1	0,975789025	1,02481169	2,166666667
MAT2B	0,037691762	-0,035415758	0,2	0,08	1	0,975750527	1,024852124	2,5
BMT2	0,343957066	-0,035467713	0,075	0,04	1	0,975715388	1,024889032	1,875
ABHD14B	0,043441377	-0,035524348	0,3	0,14	1	0,975677086	1,024929266	2,142857143
NSMCE4A	0,067617601	-0,035553501	0,3	0,15	1	0,97565737	1,024949978	2
CLK2	0,284975754	-0,035605704	0,05	0,02	1	0,975622067	1,024987066	2,5
MTMR12	0,059607897	-0,035655146	0,138	0,05	1	0,975588633	1,025022193	2,76
PCTP	0,112247794	-0,035702007	0,088	0,03	1	0,975556945	1,025055488	2,933333333
ZNF680	0,047638359	-0,035741894	0,125	0,04	1	0,975529974	1,025083828	3,125
RELCH	0,221005633	-0,035755366	0,088	0,04	1	0,975520864	1,025093401	2,2
ZW10	0,082576405	-0,035759877	0,162	0,07	1	0,975517814	1,025096606	2,314285714
C19orf81	0,835772999	-0,035763688	0,025	0,03	1	0,975515237	1,025099314	0,833333333
GSTM2	0,284975754	-0,035779826	0,05	0,02	1	0,975504325	1,025110781	2,5
C1orf116	0,377102913	-0,035782961	0	0,01	1	0,975502205	1,025113009	0
SYT2	0,377102913	-0,035782961	0	0,01	1	0,975502205	1,025113009	0
UPK1B	0,377102913	-0,035782961	0	0,01	1	0,975502205	1,025113009	0
DIAPH1	0,009782284	-0,035795779	0,4	0,17	1	0,975493538	1,025122116	2,352941176
MIEF1	0,010461593	-0,03580228	0,138	0,03	1	0,975489142	1,025126736	4,6
STK3	0,049580658	-0,035813197	0,212	0,09	1	0,97548176	1,025134493	2,355555556

Supplementary Table 4

Differentially expressed genes_keloid-CCD_ comparing SC-Keloid vs. (SC-Myel, SC-Nonmyel)								
gene	p_val	avg_log2FC	pct.1	pct.2	p_val_adj	Foldchange_UP	Foldchange_DOWN	Ratio_pct1_pct2
ATP10B	0,157415062	-0,035827025	0,062	0,02	1	0,975472411	1,025144319	3,1
OSTF1	0,01057143	-0,035862617	0,512	0,23	1	0,975448346	1,02516961	2,226086957
FBXO6	0,501283468	-0,035905801	0,038	0,02	1	0,975419148	1,025200296	1,9
PPP6R2	0,040785121	-0,035994287	0,25	0,11	1	0,975359324	1,025263178	2,272727273
TTC19	0,000491071	-0,036024646	0,45	0,15	1	0,975338799	1,025284753	3
SLX4	0,692138165	-0,036031593	0,013	0,02	1	0,975334103	1,02528969	0,65
SNX27	0,004158184	-0,036043464	0,475	0,19	1	0,975326078	1,025298126	2,5
CCHCR1	0,072740841	-0,036085844	0,15	0,06	1	0,975297427	1,025328245	2,5
ACO1	0,006173123	-0,036096268	0,188	0,05	1	0,97529038	1,025335654	3,76
NPR2	0,534439505	-0,036120058	0,062	0,04	1	0,975274298	1,025352562	1,55
PABPC4	0,06129234	-0,036121198	0,637	0,35	1	0,975273527	1,025353372	1,82
AC009120.4	0,377102913	-0,036141545	0	0,01	1	0,975259772	1,025367834	0
AC079354.3	0,377102913	-0,036141545	0	0,01	1	0,975259772	1,025367834	0
ANKRD24	0,377102913	-0,036141545	0	0,01	1	0,975259772	1,025367834	0
C8B	0,377102913	-0,036141545	0	0,01	1	0,975259772	1,025367834	0
CD53	0,377102913	-0,036141545	0	0,01	1	0,975259772	1,025367834	0
FOXH1	0,377102913	-0,036141545	0	0,01	1	0,975259772	1,025367834	0
SALL4	0,377102913	-0,036141545	0	0,01	1	0,975259772	1,025367834	0
ANKLE2	0,003950386	-0,036193206	0,45	0,18	1	0,97522485	1,025404551	2,5
BCL11A	0,886527564	-0,036234884	0,013	0,01	1	0,975196678	1,025434174	1,3
TRIM29	0,886527564	-0,036234884	0,013	0,01	1	0,975196678	1,025434174	1,3
MAPK1	0,010579022	-0,036250122	0,725	0,34	1	0,975186377	1,025445005	2,132352941
WNT11	0,692138165	-0,036276166	0,013	0,02	1	0,975168773	1,025463517	0,65
IHO1	0,377102913	-0,036277874	0	0,01	1	0,975167619	1,025464731	0
OR51B5	0,377102913	-0,036277874	0	0,01	1	0,975167619	1,025464731	0
ZNF263	0,539438221	-0,036286423	0,075	0,05	1	0,97516184	1,025470808	1,5
ARSL	0,02338026	-0,036294916	0,212	0,08	1	0,975156099	1,025476845	2,65
FHIT	0,447580525	-0,036342423	0,025	0,01	1	0,975123989	1,025510614	2,5
EDN1	0,157415062	-0,036391713	0,062	0,02	1	0,975090674	1,025545651	3,1
FAM193B	0,314887306	-0,036472869	0,162	0,1	1	0,975035824	1,025603342	1,62

Supplementary Table 4

Differentially expressed genes_keloid-CCD_ comparing SC-Keloid vs. (SC-Myel, SC-Nonmyel)								
gene	p_val	avg_log2FC	pct.1	pct.2	p_val_adj	Foldchange_UP	Foldchange_DOWN	Ratio_pct1_pct2
GDPD5	0,207484841	-0,036480443	0	0,02	1	0,975030705	1,025608727	0
OSBPL5	0,223632981	-0,036493261	0,088	0,04	1	0,975022042	1,025617839	2,2
SCYL2	0,021722183	-0,036565515	0,25	0,1	1	0,974973212	1,025669206	2,5
RBM15B	0,031400868	-0,036593158	0,275	0,12	1	0,974954531	1,025688859	2,291666667
CNTD1	0,886527564	-0,036603742	0,013	0,01	1	0,974947378	1,025696384	1,3
FBXL19-AS1	0,377102913	-0,036646498	0	0,01	1	0,974918485	1,025726782	0
LRRTM1	0,377102913	-0,036646498	0	0,01	1	0,974918485	1,025726782	0
SHOX2	0,377102913	-0,036646498	0	0,01	1	0,974918485	1,025726782	0
EPB41L1	0,84359211	-0,036716053	0,025	0,02	1	0,974871484	1,025776235	1,25
C12orf60	0,692138165	-0,036776365	0,013	0,02	1	0,974830729	1,025819119	0,65
ARL14EP	0,037862628	-0,036823031	0,25	0,11	1	0,974799198	1,025852301	2,272727273
HSPB8	0,84359211	-0,036834292	0,025	0,02	1	0,974791589	1,025860309	1,25
TENT5C	0,112247794	-0,036838414	0,088	0,03	1	0,974788804	1,02586324	2,933333333
FBLL1	0,501283468	-0,036850237	0,038	0,02	1	0,974780815	1,025871647	1,9
CMBL	0,447580525	-0,036857761	0,025	0,01	1	0,974775732	1,025876997	2,5
PRKX	0,539465965	-0,036884863	0,062	0,04	1	0,97475742	1,025896268	1,55
MARCHF10	0,886527564	-0,036932319	0,013	0,01	1	0,974725357	1,025930015	1,3
FGFBP3	0,534439505	-0,036968608	0,062	0,04	1	0,97470084	1,025955821	1,55
MYOZ2	0,692138165	-0,037001899	0,013	0,02	1	0,974678348	1,025979496	0,65
EGLN2	0,501283468	-0,037012287	0,038	0,02	1	0,97467133	1,025986883	1,9
DEPP1	0,159577739	-0,037016858	0,2	0,11	1	0,974668242	1,025990134	1,818181818
KIAA0895	0,843678119	-0,03705832	0,025	0,03	1	0,974640231	1,02601962	0,833333333
CREG1	0,070134189	-0,03713954	0,15	0,06	1	0,974585363	1,026077384	2,5
LENG1	0,040785121	-0,037142185	0,25	0,11	1	0,974583576	1,026079266	2,272727273
CLN3	0,701739822	-0,037160102	0,013	0,02	1	0,974571472	1,026092009	0,65
KDM5A	0,015315005	-0,037191409	0,462	0,21	1	0,974550324	1,026114276	2,2
DPH5	0,112247794	-0,037193827	0,088	0,03	1	0,974548691	1,026115996	2,933333333
XPO4	0,193718766	-0,037209849	0,075	0,03	1	0,974537868	1,026127391	2,5
B3GALNT1	0,501283468	-0,037224501	0,038	0,02	1	0,974527971	1,026137812	1,9
PLCG1	0,223632981	-0,037273671	0,088	0,04	1	0,974494757	1,026172786	2,2

Supplementary Table 4

Differentially expressed genes_keloid-CCD_ comparing SC-Keloid vs. (SC-Myel, SC-Nonmyel)								
gene	p_val	avg_log2FC	pct.1	pct.2	p_val_adj	Foldchange_UP	Foldchange_DOWN	Ratio_pct1_pct2
ZFAND3	0,011797869	-0,037288541	0,338	0,14	1	0,974484713	1,026183363	2,414285714
SYT10	0,321366333	-0,037309874	0,062	0,03	1	0,974470303	1,026198537	2,066666667
PRRG2	0,886527564	-0,037318991	0,013	0,01	1	0,974464146	1,026205022	1,3
TMCC1	0,397766935	-0,037348329	0,112	0,07	1	0,974444433	1,02622589	1,6
ZBED6	0,84359211	-0,037377622	0,025	0,02	1	0,974424544	1,026246728	1,25
HCFC1	0,01874929	-0,03738693	0,238	0,09	1	0,974418257	1,026253349	2,644444444
MED26	0,035392992	-0,037398038	0,112	0,03	1	0,974410755	1,026261251	3,733333333
CDHR3	0,843678119	-0,037441572	0,025	0,03	1	0,974381352	1,026292219	0,833333333
SHC2	0,886527564	-0,03745475	0,013	0,01	1	0,974372452	1,026301594	1,3
ZNF141	0,35516371	-0,037497024	0,075	0,04	1	0,974343901	1,026331667	1,875
ADTRP	0,207484841	-0,037500363	0	0,02	1	0,974341646	1,026334042	0
ATG101	0,02659626	-0,037547449	0,775	0,41	1	0,974309847	1,026367539	1,890243902
NPW	0,081579256	-0,037553456	0,112	0,04	1	0,97430579	1,026371813	2,8
LGI2	0,84359211	-0,037561093	0,025	0,02	1	0,974300632	1,026377246	1,25
ALG10	0,84359211	-0,037570242	0,025	0,02	1	0,974294454	1,026383755	1,25
GNA15	0,447580525	-0,037606936	0,025	0,01	1	0,974269673	1,026409861	2,5
LYSMD4	0,501283468	-0,037633855	0,038	0,02	1	0,974251495	1,026429013	1,9
POU2F3	0,886527564	-0,037692553	0,013	0,01	1	0,974211857	1,026470775	1,3
FANCC	0,886527564	-0,037697886	0,013	0,01	1	0,974208255	1,02647457	1,3
COPG2	0,501283468	-0,037784804	0,038	0,02	1	0,974149564	1,026536414	1,9
RFXAP	0,325316267	-0,037828714	0,062	0,03	1	0,974119915	1,026567658	2,066666667
SMYD4	0,193718766	-0,037836249	0,075	0,03	1	0,974114828	1,02657302	2,5
FGF10	0,581767801	-0,037875639	0,025	0,04	1	0,974088232	1,026601048	0,625
APOBEC3D	0,886527564	-0,037972155	0,013	0,01	1	0,974023068	1,02666973	1,3
TTLL5	0,264881668	-0,037990389	0,125	0,07	1	0,974010757	1,026682706	1,785714286
STX17	0,060401558	-0,037997803	0,138	0,05	1	0,974005752	1,026687982	2,76
ZNF195	0,539438221	-0,038123616	0,075	0,05	1	0,973920815	1,026777521	1,5
CCNO	0,377102913	-0,038148575	0	0,01	1	0,973903967	1,026795284	0
FBP1	0,377102913	-0,038148575	0	0,01	1	0,973903967	1,026795284	0
ZBED3-AS1	0,377102913	-0,038148575	0	0,01	1	0,973903967	1,026795284	0

Supplementary Table 4

Differentially expressed genes_keloid-CCD_ comparing SC-Keloid vs. (SC-Myel, SC-Nonmyel)								
gene	p_val	avg_log2FC	pct.1	pct.2	p_val_adj	Foldchange_UP	Foldchange_DOWN	Ratio_pct1_pct2
NOTCH2	0,011294651	-0,038174588	0,288	0,11	1	0,973886407	1,026813798	2,618181818
INVS	0,223365318	-0,038234152	0,038	0,01	1	0,973846199	1,026856193	3,8
TMEM86A	0,377102913	-0,038239584	0	0,01	1	0,973842532	1,026860059	0
ACOX2	0,54403098	-0,038275143	0,075	0,05	1	0,97381853	1,026885369	1,5
KCNB1	0,223365318	-0,038319195	0,038	0,01	1	0,973788795	1,026916725	3,8
ZBTB34	0,84359211	-0,038320126	0,025	0,02	1	0,973788167	1,026917387	1,25
TRMU	0,040466505	-0,038416531	0,2	0,08	1	0,973723097	1,026986012	2,5
PBX2	0,043629222	-0,038471981	0,312	0,15	1	0,973685673	1,027025484	2,08
ZNF282	0,223632981	-0,03849158	0,088	0,04	1	0,973672446	1,027039436	2,2
MRM3	0,110952483	-0,038510834	0,2	0,1	1	0,973659451	1,027053143	2
USP4	0,155732654	-0,038542298	0,112	0,05	1	0,973638217	1,027075543	2,24
PRUNE1	0,321366333	-0,038607296	0,062	0,03	1	0,973594352	1,027121817	2,066666667
SECTM1	0,886527564	-0,03862003	0,013	0,01	1	0,973585759	1,027130883	1,3
ZNF616	0,157415062	-0,038626846	0,062	0,02	1	0,973581159	1,027135736	3,1
TBX19	0,494869729	-0,038645895	0,038	0,02	1	0,973568304	1,027149298	1,9
ZNF423	0,447580525	-0,038657293	0,025	0,01	1	0,973560612	1,027157413	2,5
SUFU	0,223632981	-0,038677768	0,088	0,04	1	0,973546795	1,027171991	2,2
NPEPPS	0,004040329	-0,038680154	0,45	0,18	1	0,973545186	1,027173689	2,5
TTC21A	0,692138165	-0,038725127	0,013	0,02	1	0,973514838	1,02720571	0,65
PPP1R12A	0,114793425	-0,038752226	0,825	0,52	1	0,973496552	1,027225005	1,586538462
FAM174B	0,112247794	-0,038778217	0,088	0,03	1	0,973479014	1,027243511	2,933333333
TMEM119	0,447580525	-0,038797933	0,025	0,01	1	0,973465711	1,027257549	2,5
ATP6VOC	0,447580525	-0,038806972	0,025	0,01	1	0,973459611	1,027263986	2,5
TMEM168	0,035536568	-0,038820758	0,15	0,05	1	0,973450309	1,027273802	3
PLRG1	0,000246835	-0,038824529	0,425	0,13	1	0,973447765	1,027276487	3,269230769
PTPRA	0,005295194	-0,038854407	0,55	0,25	1	0,973427605	1,027297762	2,2
FTSJ1	0,003860939	-0,03888663	0,2	0,05	1	0,973405864	1,027320707	4
THEM4	0,022235506	-0,038888573	0,25	0,1	1	0,973404552	1,027322091	2,5
ZNF445	0,34027224	-0,038908766	0,075	0,04	1	0,973390928	1,02733647	1,875
ABCC9	0,692138165	-0,038912799	0,013	0,02	1	0,973388207	1,027339342	0,65

Supplementary Table 4

Differentially expressed genes_keloid-CCD_ comparing SC-Keloid vs. (SC-Myel, SC-Nonmyel)								
gene	p_val	avg_log2FC	pct.1	pct.2	p_val_adj	Foldchange_UP	Foldchange_DOWN	Ratio_pct1_pct2
SIKE1	0,192979942	-0,038937674	0,225	0,13	1	0,973371424	1,027357055	1,730769231
AKNAD1	0,377102913	-0,038983594	0	0,01	1	0,973340443	1,027389756	0
C7orf31	0,377102913	-0,038983594	0	0,01	1	0,973340443	1,027389756	0
DYNLT4	0,377102913	-0,038983594	0	0,01	1	0,973340443	1,027389756	0
THSD1	0,701739822	-0,038987291	0,013	0,02	1	0,973337949	1,027392389	0,65
ZNF200	0,223365318	-0,039003752	0,038	0,01	1	0,973326843	1,027404112	3,8
SPATA6L	0,692138165	-0,039026344	0,013	0,02	1	0,973311601	1,0274202	0,65
CCDC17	0,501283468	-0,039027159	0,038	0,02	1	0,973311051	1,027420781	1,9
TMEM38A	0,423434047	-0,039076878	0,013	0,03	1	0,973277509	1,027456189	0,433333333
LRP2BP	0,692138165	-0,039098918	0,013	0,02	1	0,97326264	1,027471885	0,65
BLID	0,377102913	-0,039184784	0	0,01	1	0,973204716	1,02753304	0
DTX4	0,377102913	-0,039184784	0	0,01	1	0,973204716	1,02753304	0
TP53I11	0,377102913	-0,039184784	0	0,01	1	0,973204716	1,02753304	0
WDR38	0,377102913	-0,039184784	0	0,01	1	0,973204716	1,02753304	0
ZSCAN2	0,377102913	-0,039184784	0	0,01	1	0,973204716	1,02753304	0
CD160	0,377102913	-0,03921674	0	0,01	1	0,973183159	1,0275558	0
HSD17B6	0,377102913	-0,03921674	0	0,01	1	0,973183159	1,0275558	0
ITGAM	0,377102913	-0,03921674	0	0,01	1	0,973183159	1,0275558	0
TMEM213	0,377102913	-0,03921674	0	0,01	1	0,973183159	1,0275558	0
WFDC1	0,447580525	-0,039218311	0,025	0,01	1	0,9731821	1,027556919	2,5
CHST15	0,886527564	-0,039303442	0,013	0,01	1	0,973124675	1,027617556	1,3
DNALI1	0,110952974	-0,0393036	0,2	0,1	1	0,973124569	1,027617668	2
IDH1	0,004183399	-0,039339949	0,275	0,09	1	0,973100051	1,027643559	3,055555556
POLN	0,284975754	-0,039428608	0,05	0,02	1	0,973040252	1,027706714	2,5
SPINK9	0,377102913	-0,039452692	0	0,01	1	0,973024009	1,02772387	0
SYT17	0,377102913	-0,039452692	0	0,01	1	0,973024009	1,02772387	0
TRHDE	0,377102913	-0,039452692	0	0,01	1	0,973024009	1,02772387	0
LRSAM1	0,321366333	-0,039458094	0,062	0,03	1	0,973020365	1,027727718	2,066666667
COX15	0,387170302	-0,039486495	0,1	0,06	1	0,973001211	1,027747951	1,666666667
LTN1	0,004904576	-0,039539009	0,388	0,15	1	0,972965794	1,027785361	2,586666667

Supplementary Table 4

Differentially expressed genes_keloid-CCD_ comparing SC-Keloid vs. (SC-Myel, SC-Nonmyel)								
gene	p_val	avg_log2FC	pct.1	pct.2	p_val_adj	Foldchange_UP	Foldchange_DOWN	Ratio_pct1_pct2
TGFBR1	0,119729162	-0,039542971	0,288	0,16	1	0,972963122	1,027788184	1,8
ACOT9	0,00522082	-0,039549731	0,462	0,19	1	0,972958563	1,027793	2,431578947
VMAC	0,325316267	-0,039565559	0,062	0,03	1	0,972947889	1,027804276	2,066666667
SETMAR	0,193718766	-0,039582723	0,075	0,03	1	0,972936314	1,027816503	2,5
PHYHD1	0,53440538	-0,039587619	0,112	0,08	1	0,972933012	1,027819992	1,4
SEZ6	0,377102913	-0,039647866	0	0,01	1	0,972892383	1,027862914	0
TMEM9B-AS1	0,377102913	-0,039647866	0	0,01	1	0,972892383	1,027862914	0
VCX	0,377102913	-0,039647866	0	0,01	1	0,972892383	1,027862914	0
TMEM187	0,193718766	-0,039659771	0,075	0,03	1	0,972884355	1,027871396	2,5
STK40	0,110112699	-0,03966182	0,25	0,13	1	0,972882973	1,027872856	1,923076923
RALY	0,004031303	-0,039729214	0,7	0,31	1	0,972837526	1,027920874	2,258064516
ANKRD20A4P	0,886527564	-0,039760649	0,013	0,01	1	0,97281633	1,027943271	1,3
DENND3	0,325316267	-0,039762885	0,062	0,03	1	0,972814822	1,027944864	2,066666667
LHCGR	0,377102913	-0,039801008	0	0,01	1	0,972789116	1,027972028	0
LINC00958	0,377102913	-0,039801008	0	0,01	1	0,972789116	1,027972028	0
TSPAN12	0,377102913	-0,039809795	0	0,01	1	0,972783191	1,027978289	0
TADA2A	0,239155423	-0,039833503	0,1	0,05	1	0,972767205	1,027995182	2
GABPA	0,008193937	-0,039844413	0,3	0,11	1	0,972759849	1,028002956	2,727272727
NRP2	0,009288094	-0,039870587	0,625	0,3	1	0,972742201	1,028021606	2,083333333
KLHL29	0,101585549	-0,039893465	0,188	0,09	1	0,972726775	1,028037909	2,088888889
ADO	0,010461593	-0,039904994	0,138	0,03	1	0,972719002	1,028046124	4,6
CNTNAP1	0,692138165	-0,039910396	0,013	0,02	1	0,97271536	1,028049974	0,65
SLPI	0,886527564	-0,039959879	0,013	0,01	1	0,972681997	1,028085236	1,3
STAT5A	0,112247794	-0,039961208	0,088	0,03	1	0,972681101	1,028086183	2,933333333
AGBL3	0,501283468	-0,039974256	0,038	0,02	1	0,972672304	1,028095481	1,9
PANX2	0,494869729	-0,039979212	0,038	0,02	1	0,972668963	1,028099012	1,9
RFX8	0,692138165	-0,040042653	0,013	0,02	1	0,972626192	1,028144223	0,65
LRRC4	0,84359211	-0,040112066	0,025	0,02	1	0,972579396	1,028193692	1,25
RBP5	0,447580525	-0,040115435	0,025	0,01	1	0,972577125	1,028196093	2,5
TMEM220	0,180764063	-0,040140674	0,125	0,06	1	0,972560111	1,02821408	2,083333333

Supplementary Table 4

Differentially expressed genes_keloid-CCD_ comparing SC-Keloid vs. (SC-Myel, SC-Nonmyel)								
gene	p_val	avg_log2FC	pct.1	pct.2	p_val_adj	Foldchange_UP	Foldchange_DOWN	Ratio_pct1_pct2
FDXACB1	0,377102913	-0,040144355	0	0,01	1	0,972557629	1,028216704	0
SCG3	0,377102913	-0,040144355	0	0,01	1	0,972557629	1,028216704	0
STXBP2	0,377102913	-0,040144355	0	0,01	1	0,972557629	1,028216704	0
VN1R1	0,377102913	-0,040144355	0	0,01	1	0,972557629	1,028216704	0
ATG5	0,002966424	-0,040177244	0,362	0,13	1	0,972535458	1,028240145	2,784615385
AL035681.1	0,377102913	-0,040177897	0	0,01	1	0,972535018	1,02824061	0
HSPA12B	0,377102913	-0,040177897	0	0,01	1	0,972535018	1,02824061	0
LEKR1	0,377102913	-0,040177897	0	0,01	1	0,972535018	1,02824061	0
PDZD3	0,377102913	-0,040177897	0	0,01	1	0,972535018	1,02824061	0
STAC2	0,207484841	-0,040205416	0	0,02	1	0,972516467	1,028260224	0
PCDHB15	0,207484841	-0,04023816	0	0,02	1	0,972494395	1,028283562	0
RDH5	0,347667268	-0,040281473	0,075	0,04	1	0,972465199	1,028314434	1,875
HAGHL	0,347667268	-0,040375387	0,075	0,04	1	0,972401897	1,028381375	1,875
SLC25A1	0,083471342	-0,040381785	0,212	0,1	1	0,972397585	1,028385936	2,12
PCDHB3	0,207484841	-0,040389083	0	0,02	1	0,972392666	1,028391138	0
H2AZ1	0,292382453	-0,040392157	0,95	0,84	1	0,972390594	1,028393329	1,130952381
TIPRL	0,008222752	-0,040408306	0,55	0,26	1	0,972379709	1,028404841	2,115384615
CTNND2	0,886527564	-0,040414826	0,013	0,01	1	0,972375315	1,028409488	1,3
PINK1	0,039252555	-0,040416033	0,35	0,17	1	0,972374501	1,028410349	2,058823529
PLXDC1	0,521976935	-0,040428475	0,05	0,03	1	0,972366116	1,028419218	1,666666667
CAPN12	0,377102913	-0,040470958	0	0,01	1	0,972337483	1,028449502	0
SIX3	0,377102913	-0,040470958	0	0,01	1	0,972337483	1,028449502	0
SLC5A12	0,377102913	-0,040470958	0	0,01	1	0,972337483	1,028449502	0
SLC6A12	0,377102913	-0,040470958	0	0,01	1	0,972337483	1,028449502	0
TMEM68	0,080462265	-0,040471838	0,112	0,04	1	0,972336889	1,02845013	2,8
NETO2	0,447580525	-0,040473905	0,025	0,01	1	0,972335496	1,028451603	2,5
ELOA	0,007514457	-0,040501727	0,3	0,11	1	0,972316745	1,028471437	2,727272727
ELF4	0,501283468	-0,040504619	0,038	0,02	1	0,972314796	1,028473498	1,9
KMT2E-AS1	0,34027224	-0,040566309	0,075	0,04	1	0,972273221	1,028517477	1,875
AKAP5	0,692138165	-0,040618916	0,013	0,02	1	0,972237768	1,028554982	0,65

Supplementary Table 4

Differentially expressed genes_keloid-CCD_ comparing SC-Keloid vs. (SC-Myel, SC-Nonmyel)								
gene	p_val	avg_log2FC	pct.1	pct.2	p_val_adj	Foldchange_UP	Foldchange_DOWN	Ratio_pct1_pct2
GDAP2	0,060401558	-0,04067433	0,138	0,05	1	0,972200425	1,028594489	2,76
TRMT1	0,073627148	-0,040680747	0,15	0,06	1	0,972196101	1,028599065	2,5
RP9	0,000403134	-0,040730434	0,512	0,18	1	0,972162619	1,028634449	2,844444444
PIDD1	0,914445434	-0,040738046	0,038	0,04	1	0,972157489	1,028639918	0,95
SCRN2	0,164243104	-0,040858341	0,188	0,1	1	0,972076432	1,028725692	1,88
SLC29A3	0,447580525	-0,040860967	0,025	0,01	1	0,972074663	1,028727564	2,5
C2CD2	0,539465965	-0,040892806	0,062	0,04	1	0,97205321	1,028750268	1,55
TRAPPC13	0,053119313	-0,040898224	0,175	0,07	1	0,97204956	1,028754131	2,5
NCAM2	0,020912502	-0,040899344	0,3	0,13	1	0,972048805	1,02875493	2,307692308
ASIC1	0,207484841	-0,040909192	0	0,02	1	0,97204217	1,028761952	0
C1RL	0,501283468	-0,040940462	0,038	0,02	1	0,972021101	1,02878425	1,9
LINC00702	0,501283468	-0,040961422	0,038	0,02	1	0,972006979	1,028799197	1,9
GIPC3	0,83477988	-0,041066533	0,025	0,02	1	0,971936164	1,028874156	1,25
C16orf82	0,377102913	-0,041081792	0	0,01	1	0,971925884	1,028885038	0
LINC00682	0,377102913	-0,041081792	0	0,01	1	0,971925884	1,028885038	0
PNMA8B	0,377102913	-0,041081792	0	0,01	1	0,971925884	1,028885038	0
RASGRP4	0,377102913	-0,041081792	0	0,01	1	0,971925884	1,028885038	0
UBA7	0,539438221	-0,04109806	0,075	0,05	1	0,971914924	1,02889664	1,5
DBF4B	0,501283468	-0,041116898	0,038	0,02	1	0,971902234	1,028910075	1,9
SMCR5	0,501283468	-0,041183782	0,038	0,02	1	0,971857177	1,028957777	1,9
RBM38	0,002449956	-0,041470005	0,362	0,13	1	0,971664385	1,029161936	2,784615385
IVL	0,886527564	-0,041470988	0,013	0,01	1	0,971663723	1,029162638	1,3
H3-3A	0,326977149	-0,041472796	1	0,98	1	0,971662506	1,029163927	1,020408163
PSTK	0,317447852	-0,041482365	0,062	0,03	1	0,971656061	1,029170753	2,066666667
PRORP	0,886527564	-0,041488479	0,013	0,01	1	0,971651943	1,029175115	1,3
AQP8	0,377102913	-0,041531223	0	0,01	1	0,971623156	1,029205607	0
C6orf118	0,377102913	-0,041531223	0	0,01	1	0,971623156	1,029205607	0
ZNF587B	0,377102913	-0,041531223	0	0,01	1	0,971623156	1,029205607	0
BRME1	0,447580525	-0,041612562	0,025	0,01	1	0,971568377	1,029263636	2,5
SBK1	0,692138165	-0,041614401	0,013	0,02	1	0,971567138	1,029264948	0,65

Supplementary Table 4

Differentially expressed genes_keloid-CCD_ comparing SC-Keloid vs. (SC-Myel, SC-Nonmyel)								
gene	p_val	avg_log2FC	pct.1	pct.2	p_val_adj	Foldchange_UP	Foldchange_DOWN	Ratio_pct1_pct2
CHAC1	0,692138165	-0,041621789	0,013	0,02	1	0,971562163	1,029270219	0,65
DNAH6	0,377102913	-0,041735483	0	0,01	1	0,9714856	1,029351335	0
FAM135B	0,377102913	-0,041735483	0	0,01	1	0,9714856	1,029351335	0
KLHL33	0,377102913	-0,041735483	0	0,01	1	0,9714856	1,029351335	0
LAMB4	0,377102913	-0,041735483	0	0,01	1	0,9714856	1,029351335	0
MCF2	0,377102913	-0,041735483	0	0,01	1	0,9714856	1,029351335	0
MFAP5	0,377102913	-0,041735483	0	0,01	1	0,9714856	1,029351335	0
TSIX	0,377102913	-0,041735483	0	0,01	1	0,9714856	1,029351335	0
ENHO	0,207484841	-0,041752603	0	0,02	1	0,971474072	1,02936355	0
LDB1	0,054387037	-0,041769633	0,225	0,1	1	0,971462605	1,029375701	2,25
NCOA5	0,191117973	-0,041779488	0,075	0,03	1	0,971455969	1,029382733	2,5
ABCF3	0,135004841	-0,041824187	0,1	0,04	1	0,971425871	1,029414627	2,5
AC104532.2	0,692138165	-0,041840326	0,013	0,02	1	0,971415003	1,029426143	0,65
GTF2IRD2B	0,281533808	-0,04184302	0,138	0,08	1	0,971413189	1,029428065	1,725
SLC9A8	0,081579256	-0,041851274	0,112	0,04	1	0,971407632	1,029433955	2,8
TOMM70	0,010288321	-0,041879496	0,25	0,09	1	0,971388629	1,029454093	2,777777778
MEX3A	0,057139363	-0,041880547	0,275	0,13	1	0,971387922	1,029454843	2,115384615
ZBTB33	0,539465965	-0,041900185	0,062	0,04	1	0,971374699	1,029468856	1,55
KLHDC8B	0,373704119	-0,041940837	0,1	0,06	1	0,971347328	1,029497864	1,666666667
EIF2AK2	0,057266477	-0,042006343	0,475	0,25	1	0,971303225	1,02954461	1,9
GNPDA1	0,031517523	-0,042017593	0,188	0,07	1	0,971295651	1,029552638	2,685714286
NOP14-AS1	0,343957066	-0,042031715	0,075	0,04	1	0,971286143	1,029562716	1,875
AGAP3	0,002840361	-0,042051705	0,225	0,06	1	0,971272685	1,029576982	3,75
GPR4	0,692138165	-0,042124863	0,013	0,02	1	0,971223434	1,029629193	0,65
ARF4	0,139108007	-0,042134351	0,9	0,62	1	0,971217047	1,029635964	1,451612903
TSPAN11	0,047653806	-0,042186799	0,613	0,33	1	0,97118174	1,029673396	1,857575758
ARHGAP35	0,021793783	-0,042260713	0,288	0,12	1	0,971131984	1,029726151	2,4
PMEL	0,692138165	-0,0422792	0,013	0,02	1	0,97111954	1,029739346	0,65
PYGO1	0,701739822	-0,042306782	0,013	0,02	1	0,971100974	1,029759033	0,65
ZBED3	0,521976935	-0,042348177	0,05	0,03	1	0,97107311	1,029788581	1,666666667

Supplementary Table 4

Differentially expressed genes_keloid-CCD_ comparing SC-Keloid vs. (SC-Myel, SC-Nonmyel)								
gene	p_val	avg_log2FC	pct.1	pct.2	p_val_adj	Foldchange_UP	Foldchange_DOWN	Ratio_pct1_pct2
METTL25	0,534439505	-0,04237136	0,062	0,04	1	0,971057506	1,029805129	1,55
DAPK2	0,447580525	-0,042380822	0,025	0,01	1	0,971051137	1,029811883	2,5
PPIE	0,001598093	-0,042388858	0,475	0,18	1	0,971045729	1,029817619	2,638888889
METTL25B	0,157546415	-0,042392233	0,112	0,05	1	0,971043457	1,029820028	2,24
GSPT1	0,072371489	-0,042406079	0,637	0,35	1	0,971034138	1,029829911	1,82
DNAH10	0,377102913	-0,042422787	0	0,01	1	0,971022892	1,029841838	0
FMO5	0,377102913	-0,042422787	0	0,01	1	0,971022892	1,029841838	0
PCDHB6	0,377102913	-0,042422787	0	0,01	1	0,971022892	1,029841838	0
ZFPM2	0,377102913	-0,042422787	0	0,01	1	0,971022892	1,029841838	0
TRIM39	0,501283468	-0,04246018	0,038	0,02	1	0,970997725	1,029868531	1,9
CPM	0,692138165	-0,042461313	0,013	0,02	1	0,970996962	1,029869339	0,65
PLVAP	0,343957066	-0,042468009	0,075	0,04	1	0,970992456	1,029874119	1,875
DCAF5	0,049463005	-0,042516927	0,262	0,12	1	0,970959532	1,029909041	2,183333333
NUP35	0,035392992	-0,042531384	0,112	0,03	1	0,970949803	1,029919361	3,733333333
XPR1	0,112247794	-0,042579636	0,088	0,03	1	0,970917329	1,029953808	2,933333333
TMEM229B	0,085199008	-0,042592118	0,075	0,02	1	0,970908928	1,029962719	3,75
RBM14	0,104675576	-0,042632924	0,188	0,09	1	0,970881467	1,029991851	2,088888889
ZSCAN12	0,820013192	-0,04266485	0,025	0,03	1	0,970859982	1,030014645	0,833333333
ZCCHC18	0,223365318	-0,042695218	0,038	0,01	1	0,970839546	1,030036327	3,8
DMPK	0,233526772	-0,042716473	0,188	0,11	1	0,970825244	1,030051502	1,709090909
DDHD2	0,042890126	-0,042717684	0,212	0,09	1	0,970824429	1,030052366	2,355555556
STK17B	0,025795918	-0,042730808	0,175	0,06	1	0,970815597	1,030061736	2,916666667
CETN3	0,024271833	-0,042758761	0,212	0,08	1	0,970796787	1,030081695	2,65
RANBP2	0,010760513	-0,042775933	0,4	0,17	1	0,970785232	1,030093956	2,352941176
SLC35E4	0,00297039	-0,042794483	0,262	0,08	1	0,97077275	1,030107201	3,275
ZNF251	0,501283468	-0,042799902	0,038	0,02	1	0,970769103	1,03011107	1,9
NEURL1B	0,548643101	-0,042840461	0,075	0,05	1	0,970741813	1,03014003	1,5
ANXA11	0,00841767	-0,042868195	0,625	0,29	1	0,970723152	1,030159833	2,155172414
ZNF124	0,246922691	-0,042905268	0,1	0,05	1	0,970698207	1,030186306	2
CRYZL1	0,057312365	-0,042910186	0,225	0,1	1	0,970694898	1,030189818	2,25

Supplementary Table 4

Differentially expressed genes_keloid-CCD_ comparing SC-Keloid vs. (SC-Myel, SC-Nonmyel)								
gene	p_val	avg_log2FC	pct.1	pct.2	p_val_adj	Foldchange_UP	Foldchange_DOWN	Ratio_pct1_pct2
PPP1R12C	0,020174087	-0,042924439	0,238	0,09	1	0,970685308	1,030199995	2,644444444
DCLK2	0,155732654	-0,042963568	0,112	0,05	1	0,970658981	1,030227937	2,24
ARHGEF6	0,249550622	-0,042963991	0,1	0,05	1	0,970658697	1,030228239	2
ST7L	0,024425091	-0,042995622	0,175	0,06	1	0,970637415	1,030250827	2,916666667
PAN2	0,193718766	-0,043042015	0,075	0,03	1	0,970606203	1,030283958	2,5
EMID1	0,501283468	-0,043088822	0,038	0,02	1	0,970574713	1,030317385	1,9
ZNF296	0,223632981	-0,043124238	0,088	0,04	1	0,970550887	1,030342678	2,2
BUB3	0,149162752	-0,043153035	0,537	0,31	1	0,970531515	1,030363244	1,732258065
FRZB	0,501283468	-0,043197278	0,038	0,02	1	0,970501751	1,030394843	1,9
GRIK5	0,377102913	-0,043210629	0	0,01	1	0,970492771	1,030404378	0
IMPG2	0,377102913	-0,043210629	0	0,01	1	0,970492771	1,030404378	0
SLC19A3	0,377102913	-0,043210629	0	0,01	1	0,970492771	1,030404378	0
TEX29	0,377102913	-0,043210629	0	0,01	1	0,970492771	1,030404378	0
TOR1AIP2	0,019398333	-0,043220081	0,525	0,25	1	0,970486412	1,030411129	2,1
HGF	0,886527564	-0,043233913	0,013	0,01	1	0,970477107	1,030421009	1,3
ARRB1	0,207484841	-0,04324578	0	0,02	1	0,970469125	1,030429484	0
TMEM87B	0,027602607	-0,043249854	0,175	0,06	1	0,970466385	1,030432394	2,916666667
PRKD2	0,793304172	-0,043297718	0,05	0,04	1	0,970434188	1,030466582	1,25
ADAMTS17	0,377102913	-0,043314422	0	0,01	1	0,970422952	1,030478513	0
ACKR4	0,377102913	-0,043405652	0	0,01	1	0,970361589	1,030543677	0
ELF3	0,377102913	-0,043405652	0	0,01	1	0,970361589	1,030543677	0
GDNF-AS1	0,377102913	-0,043405652	0	0,01	1	0,970361589	1,030543677	0
NPAS3	0,377102913	-0,043405652	0	0,01	1	0,970361589	1,030543677	0
SNX22	0,377102913	-0,043405652	0	0,01	1	0,970361589	1,030543677	0
PRDM1	0,84359211	-0,043428144	0,025	0,02	1	0,970346461	1,030559744	1,25
MYO9B	0,131124386	-0,043429903	0,537	0,32	1	0,970345277	1,030561001	1,678125
MZF1	0,774717987	-0,043444688	0,05	0,04	1	0,970335333	1,030571562	1,25
TRIM4	0,06378163	-0,043448665	0,188	0,08	1	0,970332658	1,030574403	2,35
TUT4	0,004827486	-0,043518018	0,575	0,25	1	0,970286014	1,030623946	2,3
TBC1D22B	0,820013192	-0,04352771	0,025	0,03	1	0,970279495	1,03063087	0,833333333

Supplementary Table 4

Differentially expressed genes_keloid-CCD_ comparing SC-Keloid vs. (SC-Myel, SC-Nonmyel)								
gene	p_val	avg_log2FC	pct.1	pct.2	p_val_adj	Foldchange_UP	Foldchange_DOWN	Ratio_pct1_pct2
UBD	0,377102913	-0,043606837	0	0,01	1	0,97022628	1,030687398	0
OTUD7A	0,447580525	-0,043623208	0,025	0,01	1	0,970215271	1,030699094	2,5
TIGD3	0,207484841	-0,043625919	0	0,02	1	0,970213447	1,03070103	0
C4orf47	0,692138165	-0,043685634	0,013	0,02	1	0,97017329	1,030743694	0,65
BCL9	0,081579256	-0,043711148	0,112	0,04	1	0,970156133	1,030761922	2,8
RGS12	0,096787055	-0,043783918	0,125	0,05	1	0,970107199	1,030813915	2,5
GRB14	0,692138165	-0,043785792	0,013	0,02	1	0,970105939	1,030815254	0,65
CSF3	0,886527564	-0,043816422	0,013	0,01	1	0,970085342	1,03083714	1,3
NSMF	0,080462265	-0,043853534	0,112	0,04	1	0,970060388	1,030863658	2,8
KRT23	0,84359211	-0,043857973	0,025	0,02	1	0,970057404	1,030866829	1,25
MGAT1	0,006999801	-0,043865643	0,562	0,25	1	0,970052246	1,03087231	2,248
COG7	0,35516371	-0,043971228	0,075	0,04	1	0,969981255	1,030947758	1,875
NXPE3	0,011553207	-0,043973601	0,25	0,09	1	0,969979659	1,030949454	2,777777778
NARS2	0,133275036	-0,04398353	0,1	0,04	1	0,969972984	1,030956549	2,5
HPDL	0,447580525	-0,043984755	0,025	0,01	1	0,96997216	1,030957425	2,5
PNPLA7	0,207484841	-0,044004755	0	0,02	1	0,969958713	1,030971717	0
CRIP1	0,009273782	-0,044015077	0,4	0,17	1	0,969951774	1,030979093	2,352941176
CLN6	0,886527564	-0,044127376	0,013	0,01	1	0,969876276	1,031059347	1,3
TIGAR	0,035490814	-0,044147441	0,238	0,1	1	0,969862787	1,031073688	2,38
WDR19	0,527578779	-0,044176087	0,05	0,03	1	0,96984353	1,03109416	1,666666667
SP2	0,050129728	-0,044183197	0,212	0,09	1	0,96983875	1,031099242	2,355555556
KCNF1	0,692138165	-0,044218962	0,013	0,02	1	0,969814707	1,031124804	0,65
CYP2U1	0,223632981	-0,044232002	0,088	0,04	1	0,969805942	1,031134124	2,2
MATN1-AS1	0,84359211	-0,04424965	0,025	0,02	1	0,969794078	1,031146737	1,25
FBXO8	0,045508871	-0,044255024	0,162	0,06	1	0,969790466	1,031150578	2,7
ZGRF1	0,816980451	-0,044264453	0,038	0,03	1	0,969784128	1,031157317	1,266666667
PLEKHH3	0,046910421	-0,044265777	0,212	0,09	1	0,969783238	1,031158264	2,355555556
KLHL18	0,057312365	-0,044282531	0,225	0,1	1	0,969771976	1,031170239	2,25
JAZF1	0,534439505	-0,044315728	0,062	0,04	1	0,969749661	1,031193967	1,55
ERICH1	0,010558235	-0,044316166	0,25	0,09	1	0,969749367	1,03119428	2,777777778

Supplementary Table 4

Differentially expressed genes_keloid-CCD_ comparing SC-Keloid vs. (SC-Myel, SC-Nonmyel)								
gene	p_val	avg_log2FC	pct.1	pct.2	p_val_adj	Foldchange_UP	Foldchange_DOWN	Ratio_pct1_pct2
SORBS3	0,006998481	-0,044326506	0,362	0,14	1	0,969742416	1,031201671	2,585714286
SLC43A1	0,886527564	-0,044331281	0,013	0,01	1	0,969739207	1,031205084	1,3
HFE	0,84359211	-0,044346802	0,025	0,02	1	0,969728774	1,031216178	1,25
ITPRIPL2	0,036253755	-0,04437604	0,475	0,24	1	0,969709122	1,031237077	1,979166667
WDR89	0,793304172	-0,04437812	0,05	0,04	1	0,969707723	1,031238564	1,25
PTPN14	0,013383076	-0,044448441	0,462	0,21	1	0,969660458	1,031288831	2,2
ADCY5	0,377102913	-0,044503684	0	0,01	1	0,969623329	1,031328321	0
LINC02897	0,377102913	-0,044503684	0	0,01	1	0,969623329	1,031328321	0
MFSD14A	0,423434047	-0,044512359	0,013	0,03	1	0,969617499	1,031334522	0,433333333
IDH1-AS1	0,886527564	-0,044521864	0,013	0,01	1	0,969611111	1,031341317	1,3
ZNF618	0,501283468	-0,044581845	0,038	0,02	1	0,9695708	1,031384196	1,9
LOX	0,157415062	-0,04458981	0,062	0,02	1	0,969565447	1,031389891	3,1
WDR76	0,35516371	-0,044590958	0,075	0,04	1	0,969564675	1,031390711	1,875
MAOA	0,886527564	-0,044619021	0,013	0,01	1	0,969545815	1,031410774	1,3
MAMDC2	0,081579256	-0,044698	0,112	0,04	1	0,96949274	1,031467239	2,8
OTUD3	0,060401558	-0,044726645	0,138	0,05	1	0,969473491	1,031487719	2,76
VPS54	0,111488744	-0,044744645	0,138	0,06	1	0,969461395	1,031500589	2,3
AMY2B	0,692138165	-0,044790488	0,013	0,02	1	0,96943059	1,031533366	0,65
CIPC	0,501283468	-0,044802622	0,038	0,02	1	0,969422436	1,031542042	1,9
SAP25	0,377102913	-0,044807795	0	0,01	1	0,96941896	1,031545741	0
RUSC2	0,527578779	-0,044820035	0,05	0,03	1	0,969410736	1,031554493	1,666666667
ST6GALNAC2	0,447580525	-0,044825306	0,025	0,01	1	0,969407194	1,031558262	2,5
SERPINA5	0,309705255	-0,044859568	0,062	0,03	1	0,969384172	1,03158276	2,066666667
FOXD2	0,84359211	-0,04487078	0,025	0,02	1	0,969376639	1,031590777	1,25
THTPA	0,075951038	-0,044905758	0,262	0,13	1	0,969353136	1,031615788	2,015384615
C5orf58	0,886527564	-0,044928472	0,013	0,01	1	0,969337875	1,03163203	1,3
C5orf24	0,027307651	-0,044950208	0,7	0,36	1	0,969323271	1,031647573	1,944444444
AGAP4	0,447580525	-0,044952476	0,025	0,01	1	0,969321747	1,031649195	2,5
RCVRN	0,84359211	-0,04497704	0,025	0,02	1	0,969305243	1,03166676	1,25
MFSD1	0,046391154	-0,045018767	0,212	0,09	1	0,969277208	1,0316966	2,355555556

Supplementary Table 4

Differentially expressed genes_keloid-CCD_ comparing SC-Keloid vs. (SC-Myel, SC-Nonmyel)								
gene	p_val	avg_log2FC	pct.1	pct.2	p_val_adj	Foldchange_UP	Foldchange_DOWN	Ratio_pct1_pct2
RBM46	0,377102913	-0,045059723	0	0,01	1	0,969249692	1,031725888	0
RYR3	0,377102913	-0,045059723	0	0,01	1	0,969249692	1,031725888	0
TUBB1	0,377102913	-0,045059723	0	0,01	1	0,969249692	1,031725888	0
VWA3B	0,377102913	-0,045059723	0	0,01	1	0,969249692	1,031725888	0
ZBTB20-AS1	0,377102913	-0,045059723	0	0,01	1	0,969249692	1,031725888	0
ZNF322	0,108225763	-0,045084602	0,25	0,13	1	0,969232978	1,031743681	1,923076923
RCL1	0,404307785	-0,045125448	0,112	0,07	1	0,969205537	1,031772892	1,6
ZNF550	0,914445434	-0,045155301	0,038	0,04	1	0,969185482	1,031794243	0,95
HTR7	0,886527564	-0,045246808	0,013	0,01	1	0,969124011	1,031859689	1,3
TMEM52	0,84359211	-0,045262178	0,025	0,02	1	0,969113686	1,031870682	1,25
WFS1	0,085199008	-0,045269586	0,075	0,02	1	0,96910871	1,03187598	3,75
EPHA1-AS1	0,692138165	-0,045276873	0,013	0,02	1	0,969103815	1,031881192	0,65
TRMT12	0,809797238	-0,045377057	0,038	0,03	1	0,96903652	1,031952851	1,266666667
AMBRA1	0,809797238	-0,045411516	0,038	0,03	1	0,969013375	1,0319775	1,266666667
SYMPK	0,037061088	-0,0454451	0,25	0,11	1	0,968990818	1,032001523	2,272727273
PEX19	0,026143714	-0,045521378	0,212	0,08	1	0,968939587	1,032056089	2,65
MIB1	0,011219966	-0,045593913	0,425	0,19	1	0,968890873	1,032107979	2,236842105
CDC42EP2	0,539465965	-0,045622721	0,062	0,04	1	0,968871526	1,032128588	1,55
TLCD4	0,820013192	-0,045662744	0,025	0,03	1	0,968844647	1,032157222	0,833333333
SMIM8	0,060401558	-0,04568057	0,138	0,05	1	0,968832677	1,032169976	2,76
CD2AP	0,002126659	-0,045690678	0,35	0,12	1	0,968825889	1,032177207	2,916666667
RIC8B	0,012092898	-0,045726945	0,212	0,07	1	0,968801534	1,032203155	3,028571429
ZFHX4	0,255070547	-0,04575098	0,112	0,06	1	0,968785394	1,032220351	1,866666667
PREP	0,112247794	-0,045759965	0,088	0,03	1	0,968779361	1,032226779	2,933333333
TRNP1	0,069280947	-0,04583639	0,312	0,16	1	0,968728042	1,032281462	1,95
PCNX1	0,004323714	-0,045898788	0,238	0,07	1	0,968686145	1,03232611	3,4
CCDC127	0,030627815	-0,04592649	0,225	0,09	1	0,968667544	1,032345933	2,5
WDR81	0,780899628	-0,045928904	0,05	0,04	1	0,968665924	1,03234766	1,25
TRMT10C	0,026430865	-0,045939958	0,35	0,16	1	0,968658502	1,03235557	2,1875
ZNF140	0,193718766	-0,045971334	0,075	0,03	1	0,968637436	1,032378022	2,5

Supplementary Table 4

Differentially expressed genes_keloid-CCD_ comparing SC-Keloid vs. (SC-Myel, SC-Nonmyel)								
gene	p_val	avg_log2FC	pct.1	pct.2	p_val_adj	Foldchange_UP	Foldchange_DOWN	Ratio_pct1_pct2
CACNB1	0,501283468	-0,045974662	0,038	0,02	1	0,968635201	1,032380404	1,9
SLC26A6	0,827884433	-0,046072956	0,025	0,03	1	0,968569208	1,032450745	0,833333333
BAG2	0,052487485	-0,046107405	0,175	0,07	1	0,968546081	1,032475398	2,5
BAZ1B	0,003194596	-0,046121158	0,55	0,23	1	0,968536848	1,032485241	2,391304348
TAB3	0,692138165	-0,046175459	0,013	0,02	1	0,968500394	1,032524103	0,65
ZNF626	0,429993123	-0,046180183	0,013	0,03	1	0,968497223	1,032527483	0,433333333
DNAAF2	0,020598276	-0,0461883	0,2	0,07	1	0,968491774	1,032533292	2,857142857
TXLNA	0,02099844	-0,046217861	0,388	0,18	1	0,96847193	1,032554449	2,155555556
CRHBP	0,886527564	-0,046240398	0,013	0,01	1	0,968456801	1,032570579	1,3
SLC25A21-AS1	0,284975754	-0,046255698	0,05	0,02	1	0,96844653	1,03258153	2,5
C11orf71	0,529436792	-0,046299355	0,062	0,04	1	0,968417225	1,032612777	1,55
GPI	0,055015543	-0,046317812	0,375	0,19	1	0,968404835	1,032625988	1,973684211
MON1A	0,079357729	-0,046350821	0,112	0,04	1	0,968382678	1,032649615	2,8
FGFBP1	0,886527564	-0,046357441	0,013	0,01	1	0,968378235	1,032654353	1,3
TESK2	0,284975754	-0,046429439	0,05	0,02	1	0,968329909	1,032705889	2,5
PRXL2A	0,244314206	-0,046508935	0,1	0,05	1	0,968276553	1,032762796	2
ANKS3	0,000624809	-0,046588871	0,238	0,05	1	0,968222905	1,03282002	4,76
EPHA10	0,377102913	-0,046602729	0	0,01	1	0,968213605	1,032829941	0
HAND1	0,377102913	-0,046602729	0	0,01	1	0,968213605	1,032829941	0
NR2C1	0,096474278	-0,046630187	0,175	0,08	1	0,968195177	1,032849598	2,1875
H4C5	0,84359211	-0,046631444	0,025	0,02	1	0,968194333	1,032850499	1,25
ZNF684	0,062632651	-0,046720814	0,1	0,03	1	0,96813436	1,032914481	3,333333333
KLK6	0,071863285	-0,046803453	0,15	0,06	1	0,968078905	1,03297365	2,5
MYH10	0,014436496	-0,046863942	0,225	0,08	1	0,968038316	1,033016961	2,8125
MMP19	0,080462265	-0,046893221	0,112	0,04	1	0,968018671	1,033037926	2,8
ZNF260	0,0816476	-0,047015742	0,162	0,07	1	0,967936465	1,033125661	2,314285714
ANKDD1A	0,0138805	-0,047028272	0,225	0,08	1	0,967928059	1,033134633	2,8125
MGARP	0,207484841	-0,047050293	0	0,02	1	0,967913284	1,033150403	0
AMFR	0,003195301	-0,047076262	0,262	0,08	1	0,967895862	1,033169	3,275
ANP32A	0,010026072	-0,047097686	0,613	0,29	1	0,967881489	1,033184343	2,113793103

Supplementary Table 4

Differentially expressed genes_keloid-CCD_ comparing SC-Keloid vs. (SC-Myel, SC-Nonmyel)								
gene	p_val	avg_log2FC	pct.1	pct.2	p_val_adj	Foldchange_UP	Foldchange_DOWN	Ratio_pct1_pct2
SPTBN5	0,84359211	-0,047117303	0,025	0,02	1	0,967868328	1,033198392	1,25
PARD3	0,080727289	-0,047146517	0,162	0,07	1	0,96784873	1,033219314	2,314285714
TIAM2	0,284975754	-0,0471478	0,05	0,02	1	0,967847869	1,033220232	2,5
LINC00632	0,54403098	-0,047156026	0,075	0,05	1	0,96784235	1,033226124	1,5
ZNF613	0,886527564	-0,047180185	0,013	0,01	1	0,967826143	1,033243426	1,3
UCP3	0,207484841	-0,047229664	0	0,02	1	0,967792951	1,033278863	0
PWP2	0,886527564	-0,047290979	0,013	0,01	1	0,96775182	1,033322779	1,3
AXL	0,012014971	-0,047319011	0,637	0,31	1	0,967733017	1,033342857	2,05483871
TMEM158	0,136751946	-0,04733006	0,1	0,04	1	0,967725605	1,033350771	2,5
IPMK	0,046507869	-0,047331612	0,175	0,07	1	0,967724564	1,033351882	2,5
PPP1R13L	0,284975754	-0,047347948	0,05	0,02	1	0,967713606	1,033363583	2,5
MYBL1	0,012776783	-0,047350253	0,212	0,07	1	0,96771206	1,033365235	3,028571429
HLA-DMB	0,886527564	-0,047459116	0,013	0,01	1	0,967639041	1,033443213	1,3
AC010336.1	0,377102913	-0,047508245	0	0,01	1	0,96760609	1,033478406	0
BMPER	0,377102913	-0,047508245	0	0,01	1	0,96760609	1,033478406	0
CR1L	0,377102913	-0,047508245	0	0,01	1	0,96760609	1,033478406	0
EN2	0,377102913	-0,047508245	0	0,01	1	0,96760609	1,033478406	0
NIPAL3	0,193718766	-0,047559076	0,075	0,03	1	0,967571999	1,03351482	2,5
SH3BGRL	0,040482741	-0,047565254	0,887	0,47	1	0,967567856	1,033519245	1,887234043
ESAM	0,820013192	-0,047575652	0,025	0,03	1	0,967560882	1,033526694	0,833333333
C19orf44	0,11122839	-0,047590735	0,05	0,01	1	0,967550766	1,0335375	5
NFRKB	0,774717987	-0,04769991	0,05	0,04	1	0,96747755	1,033615715	1,25
GNL2	0,00514052	-0,047726859	0,312	0,11	1	0,967459479	1,033635023	2,836363636
CHST9	0,207484841	-0,047822169	0	0,02	1	0,967395566	1,033703311	0
DYRK1B	0,17197478	-0,047830732	0,138	0,07	1	0,967389824	1,033709446	1,971428571
RHOV	0,501283468	-0,047842232	0,038	0,02	1	0,967382113	1,033717686	1,9
POU2F1	0,008093617	-0,04796197	0,3	0,11	1	0,967301828	1,033803484	2,727272727
CXCR4	0,698151432	-0,047970287	0,1	0,08	1	0,967296251	1,033809444	1,25
PDCL	0,002363426	-0,047977579	0,35	0,12	1	0,967291362	1,03381467	2,916666667
LAMA1	0,692138165	-0,048007835	0,013	0,02	1	0,967271076	1,033836351	0,65

Supplementary Table 4

Differentially expressed genes_keloid-CCD_ comparing SC-Keloid vs. (SC-Myel, SC-Nonmyel)								
gene	p_val	avg_log2FC	pct.1	pct.2	p_val_adj	Foldchange_UP	Foldchange_DOWN	Ratio_pct1_pct2
NFATC3	0,119647686	-0,048053614	0,2	0,1	1	0,967240384	1,033869157	2
YTHDF3-DT	0,218400487	-0,048100317	0,088	0,04	1	0,967209073	1,033902625	2,2
CWC22	0,157103042	-0,048110664	0,188	0,1	1	0,967202136	1,033910041	1,88
CEP83	0,106476927	-0,048166434	0,138	0,06	1	0,967164748	1,033950009	2,3
ATP6V0E1	0,226046289	-0,048201026	0,938	0,55	1	0,967141558	1,033974801	1,705454545
CSPG5	0,886527564	-0,048208901	0,013	0,01	1	0,967136279	1,033980445	1,3
FAM66C	0,886527564	-0,048228784	0,013	0,01	1	0,96712295	1,033994695	1,3
GPATCH3	0,213256546	-0,048241955	0,088	0,04	1	0,967114121	1,034004135	2,2
ARHGAP32	0,816980451	-0,0482872	0,038	0,03	1	0,967083791	1,034036563	1,266666667
SLCO4A1	0,692138165	-0,048298581	0,013	0,02	1	0,967076162	1,03404472	0,65
ZNF707	0,744169851	-0,048374672	0,062	0,05	1	0,967025158	1,03409926	1,24
ZZEF1	0,159016148	-0,04839058	0,125	0,06	1	0,967014495	1,034110663	2,083333333
PABPC5	0,809797238	-0,048409773	0,038	0,03	1	0,96700163	1,03412442	1,266666667
ANKRD29	0,820013192	-0,048440691	0,025	0,03	1	0,966980907	1,034146583	0,833333333
AHRR	0,692138165	-0,048441355	0,013	0,02	1	0,966980462	1,034147058	0,65
KIAA0930	0,377043193	-0,048444428	0,1	0,06	1	0,966978402	1,034149261	1,666666667
KLHL25	0,84359211	-0,048493496	0,025	0,02	1	0,966945514	1,034184435	1,25
ADCY9	0,820013192	-0,048508148	0,025	0,03	1	0,966935694	1,034194938	0,833333333
SLC35G5	0,692138165	-0,048525366	0,013	0,02	1	0,966924155	1,03420728	0,65
RNF213	0,000859503	-0,048628635	0,45	0,16	1	0,966854944	1,034281312	2,8125
KMT2D	0,032660317	-0,04863011	0,15	0,05	1	0,966853955	1,03428237	3
AC144652.1	0,562875304	-0,048676972	0,025	0,04	1	0,96682255	1,034315966	0,625
WDR36	0,01961569	-0,048687166	0,162	0,05	1	0,966815718	1,034323275	3,24
RBM4B	0,063616753	-0,048692243	0,1	0,03	1	0,966812316	1,034326914	3,333333333
ARTN	0,255070547	-0,048747127	0,112	0,06	1	0,966775537	1,034366264	1,866666667
OXCT2	0,886527564	-0,048758835	0,013	0,01	1	0,966767691	1,034374658	1,3
ZNF266	0,112247794	-0,048798674	0,088	0,03	1	0,966740995	1,034403222	2,933333333
PRR7-AS1	0,84359211	-0,048823527	0,025	0,02	1	0,966724341	1,034421042	1,25
NKIRAS1	0,501283468	-0,048855863	0,038	0,02	1	0,966702674	1,034444227	1,9
GET4	0,377102913	-0,048876458	0	0,01	1	0,966688874	1,034458994	0

Supplementary Table 4

Differentially expressed genes_keloid-CCD_ comparing SC-Keloid vs. (SC-Myel, SC-Nonmyel)								
gene	p_val	avg_log2FC	pct.1	pct.2	p_val_adj	Foldchange_UP	Foldchange_DOWN	Ratio_pct1_pct2
SLC2A9	0,377102913	-0,048876458	0	0,01	1	0,966688874	1,034458994	0
ZNF225	0,377102913	-0,048876458	0	0,01	1	0,966688874	1,034458994	0
ATF7	0,000650747	-0,048922852	0,45	0,15	1	0,966657787	1,034492261	3
TIGD6	0,886527564	-0,048950002	0,013	0,01	1	0,966639596	1,034511729	1,3
SSTR2	0,820013192	-0,048958118	0,025	0,03	1	0,966634158	1,034517549	0,833333333
EXOC6B	0,325316267	-0,048961178	0,062	0,03	1	0,966632108	1,034519743	2,066666667
POLM	0,799526327	-0,048981868	0,05	0,04	1	0,966618246	1,034534579	1,25
UCP2	0,84359211	-0,049010854	0,025	0,02	1	0,966598825	1,034555365	1,25
SLC25A42	0,363797175	-0,049011315	0,1	0,06	1	0,966598516	1,034555696	1,666666667
LZTR1	0,083513756	-0,049028153	0,162	0,07	1	0,966587235	1,03456777	2,314285714
MAGEF1	0,017808249	-0,04906596	0,475	0,22	1	0,966561905	1,034594882	2,159090909
LMTK2	0,501283468	-0,049079365	0,038	0,02	1	0,966552924	1,034604496	1,9
PPP1R26	0,569139823	-0,049118841	0,025	0,04	1	0,966526477	1,034632805	0,625
GJC2	0,207484841	-0,049144524	0	0,02	1	0,966509271	1,034651224	0
DOCK10	0,207484841	-0,049168978	0	0,02	1	0,966492889	1,034668761	0
MKKS	0,058966282	-0,04917393	0,188	0,08	1	0,966489571	1,034672313	2,35
NXN	0,343957066	-0,049192848	0,075	0,04	1	0,966476898	1,034685881	1,875
CDKL1	0,548643101	-0,049241302	0,075	0,05	1	0,966444438	1,034720632	1,5
ZNF383	0,221005633	-0,049242792	0,088	0,04	1	0,96644344	1,034721701	2,2
ZNF736	0,501283468	-0,049243395	0,038	0,02	1	0,966443036	1,034722133	1,9
HOXD8	0,246922691	-0,04930989	0,1	0,05	1	0,966398493	1,034769826	2
ALKBH3	0,069974895	-0,049319681	0,25	0,12	1	0,966391935	1,034776848	2,083333333
ANAPC2	0,270425091	-0,049334135	0,112	0,06	1	0,966382252	1,034787215	1,866666667
MANEAL	0,692138165	-0,049343593	0,013	0,02	1	0,966375917	1,034793999	0,65
B3GAT1	0,886527564	-0,04937892	0,013	0,01	1	0,966352254	1,034819338	1,3
GRK7	0,377102913	-0,049463022	0	0,01	1	0,966295922	1,034879665	0
LINC00598	0,377102913	-0,049463022	0	0,01	1	0,966295922	1,034879665	0
TSPOAP1-AS1	0,377102913	-0,049463022	0	0,01	1	0,966295922	1,034879665	0
ZNF709	0,377102913	-0,049463022	0	0,01	1	0,966295922	1,034879665	0
ZPLD1	0,377102913	-0,049463022	0	0,01	1	0,966295922	1,034879665	0

Supplementary Table 4

Differentially expressed genes_keloid-CCD_ comparing SC-Keloid vs. (SC-Myel, SC-Nonmyel)								
gene	p_val	avg_log2FC	pct.1	pct.2	p_val_adj	Foldchange_UP	Foldchange_DOWN	Ratio_pct1_pct2
STRIP1	0,184450278	-0,049543058	0,138	0,07	1	0,966242317	1,034937078	1,971428571
UBE2V1	0,026794807	-0,049569925	0,212	0,08	1	0,966224322	1,034956352	2,65
PIN4	0,02414417	-0,049656778	0,525	0,25	1	0,966166156	1,03501866	2,1
ZNF706	0,175878194	-0,049662366	0,912	0,62	1	0,966162414	1,035022669	1,470967742
CATSPERG	0,501283468	-0,049670626	0,038	0,02	1	0,966156882	1,035028595	1,9
CNKSRI	0,886527564	-0,049687077	0,013	0,01	1	0,966145865	1,035040398	1,3
HSD17B7	0,173281996	-0,049697817	0,125	0,06	1	0,966138672	1,035048103	2,083333333
RTN3	0,011401354	-0,049718544	0,65	0,32	1	0,966124792	1,035062973	2,03125
ZNF530	0,692138165	-0,049754162	0,013	0,02	1	0,96610094	1,035088528	0,65
RBBP8	0,206340263	-0,049849176	0,15	0,08	1	0,966037316	1,035156699	1,875
FAM83H	0,83477988	-0,04990212	0,025	0,02	1	0,966001865	1,035194688	1,25
CXADR	0,343957066	-0,049904858	0,075	0,04	1	0,966000032	1,035196653	1,875
FBXL18	0,820013192	-0,04992679	0,025	0,03	1	0,965985347	1,035212391	0,833333333
OTUD5	0,077066889	-0,049940801	0,212	0,1	1	0,965975965	1,035222444	2,12
CGAS	0,432445254	-0,049984892	0,188	0,13	1	0,965946444	1,035254083	1,446153846
RFC2	0,004606146	-0,050061	0,275	0,09	1	0,965895488	1,035308698	3,055555556
KCNN2	0,447580525	-0,05008034	0,025	0,01	1	0,96588254	1,035322577	2,5
AQP6	0,207484841	-0,050086036	0	0,02	1	0,965878726	1,035326664	0
HCN2	0,84359211	-0,05009165	0,025	0,02	1	0,965874968	1,035330693	1,25
LIFR	0,095586107	-0,050097362	0,125	0,05	1	0,965871144	1,035334792	2,5
PAPOLG	0,557924866	-0,050148901	0,075	0,05	1	0,965836639	1,03537178	1,5
CNOT8	0,184155255	-0,050168536	0,225	0,13	1	0,965823494	1,035385871	1,730769231
BRPF3	0,198713285	-0,050168988	0,162	0,09	1	0,965823192	1,035386195	1,8
PJA2	0,230642574	-0,050173559	0,8	0,47	1	0,965820132	1,035389476	1,70212766
ZNF776	0,575437444	-0,050209264	0,025	0,04	1	0,965796229	1,035415101	0,625
ANTXR1	0,001229645	-0,050228828	0,338	0,11	1	0,965783133	1,035429142	3,072727273
WIZ	0,092485138	-0,050229262	0,175	0,08	1	0,965782842	1,035429453	2,1875
ZSCAN9	0,527578779	-0,050258097	0,05	0,03	1	0,965763539	1,035450148	1,666666667
ALS2	0,347667268	-0,050261134	0,075	0,04	1	0,965761506	1,035452328	1,875
MST1	0,692138165	-0,050261175	0,013	0,02	1	0,965761479	1,035452358	0,65

Supplementary Table 4

Differentially expressed genes_keloid-CCD_ comparing SC-Keloid vs. (SC-Myel, SC-Nonmyel)								
gene	p_val	avg_log2FC	pct.1	pct.2	p_val_adj	Foldchange_UP	Foldchange_DOWN	Ratio_pct1_pct2
PEX26	0,003860939	-0,050278469	0,2	0,05	1	0,965749902	1,03546477	4
SAMD9	0,046391154	-0,050324304	0,212	0,09	1	0,96571922	1,035497667	2,355555556
GOLGA7	0,038492143	-0,050325715	0,662	0,34	1	0,965718276	1,03549868	1,947058824
PLEKHF1	0,787095147	-0,050347701	0,05	0,04	1	0,965703559	1,035514461	1,25
NECTIN3-AS1	0,377102913	-0,050378549	0	0,01	1	0,96568291	1,035536603	0
SLC9B1	0,377102913	-0,050378549	0	0,01	1	0,96568291	1,035536603	0
TMEM178A	0,377102913	-0,050378549	0	0,01	1	0,96568291	1,035536603	0
TPCN2	0,35516371	-0,050401737	0,075	0,04	1	0,965667389	1,035553247	1,875
RAMP3	0,795479351	-0,050427874	0,038	0,03	1	0,965649894	1,035572008	1,266666667
RFX5	0,972636504	-0,050433779	0,05	0,05	1	0,965645942	1,035576246	1
LINC00957	0,207484841	-0,050462644	0	0,02	1	0,965626622	1,035596966	0
FAM20B	0,015371623	-0,050468007	0,238	0,09	1	0,965623032	1,035600816	2,644444444
MOCS3	0,827884433	-0,050519371	0,025	0,03	1	0,965588654	1,035637687	0,833333333
FBXO22	0,007893406	-0,050576261	0,425	0,18	1	0,965550578	1,035678526	2,361111111
DIS3L	0,136751946	-0,05061333	0,1	0,04	1	0,96552577	1,035705137	2,5
PIGU	0,026143714	-0,0507028	0,212	0,08	1	0,965465893	1,03576937	2,65
TMEM117	0,325316267	-0,050715746	0,062	0,03	1	0,96545723	1,035778664	2,066666667
BAG5	0,041165933	-0,050764935	0,462	0,23	1	0,965424313	1,03581398	2,008695652
ATPAF2	0,019327738	-0,050779386	0,162	0,05	1	0,965414643	1,035824355	3,24
BANP	0,218400487	-0,050782932	0,088	0,04	1	0,96541227	1,035826901	2,2
ARHGAP26	0,262457732	-0,050801005	0,125	0,07	1	0,965400176	1,035839878	1,785714286
MTERF1	0,556644247	-0,050804501	0,025	0,04	1	0,965397837	1,035842388	0,625
ZNF543	0,84359211	-0,050828963	0,025	0,02	1	0,965381468	1,035859951	1,25
DNAJC3	0,034988896	-0,050842628	0,787	0,39	1	0,965372324	1,035869763	2,017948718
HUWE1	0,017763047	-0,050844021	0,45	0,21	1	0,965371392	1,035870763	2,142857143
SP4	0,960483369	-0,050848427	0,05	0,05	1	0,965368443	1,035873927	1
PPP2R3C	0,010161972	-0,050883905	0,45	0,2	1	0,965344704	1,0358994	2,25
SULF1	0,060401558	-0,050897952	0,138	0,05	1	0,965335305	1,035909487	2,76
WEE1	0,044148151	-0,050935018	0,4	0,2	1	0,965310503	1,035936102	2
NOSIP	0,016178283	-0,050939633	0,488	0,23	1	0,965307415	1,035939416	2,12173913

Supplementary Table 4

Differentially expressed genes_keloid-CCD_ comparing SC-Keloid vs. (SC-Myel, SC-Nonmyel)								
gene	p_val	avg_log2FC	pct.1	pct.2	p_val_adj	Foldchange_UP	Foldchange_DOWN	Ratio_pct1_pct2
TOMM20	0,374559284	-0,050960622	0,938	0,67	1	0,965293372	1,035954487	1,4
BATF3	0,527578779	-0,051013533	0,05	0,03	1	0,96525797	1,035992482	1,666666667
TMUB2	0,061873827	-0,051021986	0,238	0,11	1	0,965252315	1,035998551	2,163636364
WDR45	0,028440775	-0,051027887	0,562	0,28	1	0,965248367	1,036002789	2,007142857
MYLK-AS1	0,501283468	-0,051041804	0,038	0,02	1	0,965239055	1,036012783	1,9
AP3M2	0,171448164	-0,051087924	0,125	0,06	1	0,965208199	1,036045903	2,083333333
PAAF1	0,139003994	-0,051124544	0,162	0,08	1	0,9651837	1,036072201	2,025
NADK	0,007514457	-0,051137154	0,3	0,11	1	0,965175263	1,036081257	2,727272727
FOXC1	0,320180857	-0,051141463	0,15	0,09	1	0,96517238	1,036084352	1,666666667
HHIPL1	0,120814239	-0,051163963	0	0,03	1	0,965157328	1,03610051	0
MTIF3	0,000917946	-0,051180288	0,438	0,15	1	0,965146407	1,036112234	2,92
ADPRM	0,527578779	-0,051185508	0,05	0,03	1	0,965142915	1,036115983	1,666666667
WBP4	0,001621766	-0,05124276	0,537	0,21	1	0,965104614	1,036157102	2,557142857
TANC2	0,1136224	-0,051277732	0,35	0,19	1	0,96508122	1,036182219	1,842105263
MID2	0,84359211	-0,051288506	0,025	0,02	1	0,965074013	1,036189957	1,25
ACE	0,692138165	-0,051306185	0,013	0,02	1	0,965062187	1,036202655	0,65
PBDC1	0,019487629	-0,051338517	0,588	0,28	1	0,965040559	1,036225877	2,1
PRMT3	0,390582533	-0,051370519	0,1	0,06	1	0,965019153	1,036248863	1,666666667
RIPK1	0,053119313	-0,051374645	0,175	0,07	1	0,965016393	1,036251827	2,5
FAM229B	0,040785639	-0,051386958	0,412	0,21	1	0,965008157	1,036260671	1,961904762
TMX2	0,009597897	-0,051410842	0,5	0,22	1	0,964992181	1,036277826	2,272727273
PAK1IP1	0,033641113	-0,051492608	0,3	0,14	1	0,964937491	1,03633656	2,142857143
MTF2	0,00870096	-0,051623193	0,35	0,14	1	0,964850154	1,036430368	2,5
HDAC7	0,162795876	-0,051623821	0,188	0,1	1	0,964849734	1,036430819	1,88
RPL30	0,664829901	-0,05164198	1	1	1	0,964837589	1,036443865	1
MT1M	0,107712821	-0,051718523	0,138	0,06	1	0,964786401	1,036498855	2,3
UPF3B	0,033813678	-0,051817947	0,325	0,15	1	0,964719915	1,036570288	2,166666667
LSMEM2	0,886527564	-0,05182525	0,013	0,01	1	0,964715031	1,036575535	1,3
DNASE1	0,501283468	-0,05191516	0,038	0,02	1	0,964654911	1,036640138	1,9
LDOC1	0,223632981	-0,051929476	0,088	0,04	1	0,964645339	1,036650424	2,2

Supplementary Table 4

Differentially expressed genes_keloid-CCD_ comparing SC-Keloid vs. (SC-Myel, SC-Nonmyel)								
gene	p_val	avg_log2FC	pct.1	pct.2	p_val_adj	Foldchange_UP	Foldchange_DOWN	Ratio_pct1_pct2
LYNX1	0,207484841	-0,051963335	0	0,02	1	0,964622699	1,036674754	0
TESK1	0,036036368	-0,051967358	0,15	0,05	1	0,964620009	1,036677646	3
SNX3	0,568232774	-0,052077768	0,938	0,7	1	0,96454619	1,036756985	1,34
RORA	0,575437444	-0,052119026	0,025	0,04	1	0,964518606	1,036786635	0,625
MCM8	0,280825998	-0,05216874	0,05	0,02	1	0,96448537	1,036822362	2,5
ANXA1	0,121750436	-0,052237404	1	0,9	1	0,964439468	1,03687171	1,111111111
RUFY1	0,000894627	-0,05230507	0,312	0,09	1	0,964394234	1,036920343	3,466666667
NBPF11	0,325316267	-0,052339709	0,062	0,03	1	0,964371079	1,03694524	2,066666667
CD302	0,000711633	-0,052346102	0,212	0,04	1	0,964366806	1,036949835	5,3
CHCHD7	0,000282855	-0,052398815	0,338	0,09	1	0,96433157	1,036987724	3,755555556
COASY	0,012630518	-0,052541793	0,25	0,09	1	0,964236005	1,0370905	2,777777778
KIF9-AS1	0,377102913	-0,052553435	0	0,01	1	0,964228224	1,037098868	0
ZNF14	0,84359211	-0,052590283	0,025	0,02	1	0,964203597	1,037125357	1,25
NOG	0,886527564	-0,052619919	0,013	0,01	1	0,96418379	1,037146662	1,3
TRMT9B	0,692138165	-0,052629517	0,013	0,02	1	0,964177376	1,037153562	0,65
PCDH18	0,793304172	-0,052684819	0,05	0,04	1	0,964140417	1,03719332	1,25
CCDC122	0,516405835	-0,052705053	0,05	0,03	1	0,964126895	1,037207866	1,666666667
EIF2B5	0,003386287	-0,052748841	0,262	0,08	1	0,964097633	1,037239347	3,275
DNMT3B	0,84359211	-0,052783888	0,025	0,02	1	0,964074213	1,037264545	1,25
PRELID3A	0,325316267	-0,05279439	0,062	0,03	1	0,964067195	1,037272096	2,066666667
BCHE	0,657393155	-0,05279917	0,188	0,15	1	0,964064001	1,037275533	1,253333333
KLHL2	0,365228501	-0,052816405	0,088	0,05	1	0,964052484	1,037287925	1,76
HEXD	0,029195518	-0,052833306	0,188	0,07	1	0,96404119	1,037300076	2,685714286
LMAN2L	0,325316267	-0,052840272	0,062	0,03	1	0,964036535	1,037305085	2,066666667
PATZ1	0,033996173	-0,052847336	0,188	0,07	1	0,964031815	1,037310164	2,685714286
FOXRED2	0,284975754	-0,052886888	0,05	0,02	1	0,964005386	1,037338603	2,5
LDAF1	0,218859405	-0,053054839	0,162	0,09	1	0,963893168	1,037459371	1,8
TRAPPC6B	0,010037231	-0,053139829	0,325	0,13	1	0,963836386	1,03752049	2,5
AIG1	0,02425116	-0,053159829	0,45	0,22	1	0,963823025	1,037534873	2,045454545
TBC1D5	0,046597046	-0,053160844	0,312	0,15	1	0,963822347	1,037535603	2,08

Supplementary Table 4

Differentially expressed genes_keloid-CCD_ comparing SC-Keloid vs. (SC-Myel, SC-Nonmyel)								
gene	p_val	avg_log2FC	pct.1	pct.2	p_val_adj	Foldchange_UP	Foldchange_DOWN	Ratio_pct1_pct2
ANXA3	0,249550622	-0,053264223	0,1	0,05	1	0,963753285	1,037609952	2
LINC01106	0,377102913	-0,05330104	0	0,01	1	0,963728691	1,037636432	0
PRPH	0,377102913	-0,05330104	0	0,01	1	0,963728691	1,037636432	0
SRSF12	0,377102913	-0,05330104	0	0,01	1	0,963728691	1,037636432	0
GNB1L	0,521976935	-0,053321044	0,05	0,03	1	0,963715328	1,03765082	1,666666667
ZBTB20-AS2	0,886527564	-0,053324701	0,013	0,01	1	0,963712884	1,037653451	1,3
GPRASP2	0,886527564	-0,053410184	0,013	0,01	1	0,963655784	1,037714936	1,3
LINC02901	0,377102913	-0,053419469	0	0,01	1	0,963649582	1,037721614	0
MBTPS2	0,071863285	-0,053450139	0,15	0,06	1	0,963629097	1,037743675	2,5
IL17B	0,886527564	-0,053458457	0,013	0,01	1	0,963623541	1,037749658	1,3
SMO	0,377102913	-0,053478882	0	0,01	1	0,963609898	1,03776435	0
TEKT2	0,377102913	-0,053478882	0	0,01	1	0,963609898	1,03776435	0
DHX35	0,816980451	-0,053525517	0,038	0,03	1	0,96357875	1,037797897	1,266666667
HAAO	0,207484841	-0,053540794	0	0,02	1	0,963568546	1,037808886	0
CTNNA2	0,207484841	-0,053556178	0	0,02	1	0,963558272	1,037819953	0
POLE3	0,000207437	-0,053621394	0,6	0,21	1	0,963514715	1,037866868	2,857142857
NAIF1	0,894021778	-0,053711586	0,038	0,04	1	0,963454482	1,037931754	0,95
WNT6	0,157415062	-0,053735635	0,062	0,02	1	0,963438422	1,037949055	3,1
HERC3	0,501283468	-0,053774668	0,038	0,02	1	0,963412356	1,037977138	1,9
AC008937.3	0,377102913	-0,053777938	0	0,01	1	0,963410172	1,037979491	0
CD69	0,377102913	-0,053777938	0	0,01	1	0,963410172	1,037979491	0
IQANK1	0,377102913	-0,053777938	0	0,01	1	0,963410172	1,037979491	0
SLC26A4	0,377102913	-0,053777938	0	0,01	1	0,963410172	1,037979491	0
DICER1	0,014003904	-0,053798907	0,613	0,29	1	0,96339617	1,037994577	2,113793103
PAQR3	0,262670353	-0,05386549	0,112	0,06	1	0,963351708	1,038042484	1,866666667
ZC3H3	0,085199008	-0,053878661	0,075	0,02	1	0,963342913	1,038051961	3,75
EIF2B4	0,012608097	-0,053883155	0,325	0,13	1	0,963339912	1,038055194	2,5
ZBTB47	0,886527564	-0,053923974	0,013	0,01	1	0,963312656	1,038084565	1,3
GIMAP1	0,692138165	-0,053959362	0,013	0,02	1	0,963289028	1,038110028	0,65
SLIT3	0,207484841	-0,053970912	0	0,02	1	0,963281316	1,03811834	0

Supplementary Table 4

Differentially expressed genes_keloid-CCD_ comparing SC-Keloid vs. (SC-Myel, SC-Nonmyel)								
gene	p_val	avg_log2FC	pct.1	pct.2	p_val_adj	Foldchange_UP	Foldchange_DOWN	Ratio_pct1_pct2
CRKL	0,003639615	-0,05397773	0,262	0,08	1	0,963276763	1,038123246	3,275
ZNF250	0,325316267	-0,054006231	0,062	0,03	1	0,963257734	1,038143754	2,066666667
PI4KA	0,012164967	-0,05404537	0,175	0,05	1	0,963231602	1,038171919	3,5
TAPBPL	0,051861952	-0,054081518	0,175	0,07	1	0,963207468	1,038197931	2,5
BBOX1	0,539465965	-0,054130902	0,062	0,04	1	0,963174497	1,03823347	1,55
TPR	0,140811328	-0,05415953	0,738	0,42	1	0,963155385	1,038254072	1,757142857
DNAH9	0,692138165	-0,054166633	0,013	0,02	1	0,963150643	1,038259184	0,65
STEAP1B	0,115368355	-0,054223054	0,138	0,06	1	0,963112976	1,038299789	2,3
PABPC1L2B	0,207484841	-0,054229423	0	0,02	1	0,963108724	1,038304373	0
COPS7B	0,075529963	-0,054238903	0,212	0,1	1	0,963102396	1,038311195	2,12
RPUSD4	0,079357729	-0,054244092	0,112	0,04	1	0,963098932	1,03831493	2,8
LINC01001	0,447580525	-0,05425499	0,025	0,01	1	0,963091657	1,038322773	2,5
FBXW2	0,027184267	-0,054312193	0,388	0,18	1	0,963053471	1,038363944	2,155555556
AKAP6	0,447580525	-0,054342155	0,025	0,01	1	0,963033471	1,038385508	2,5
TMEM255A	0,35516371	-0,054344605	0,075	0,04	1	0,963031835	1,038387272	1,875
SRGAP2	0,00741395	-0,054360195	0,512	0,23	1	0,963021428	1,038398493	2,226086957
RASIP1	0,692138165	-0,054377095	0,013	0,02	1	0,963010147	1,038410658	0,65
ZNF503-AS1	0,766215557	-0,054468282	0,062	0,05	1	0,962949281	1,038476293	1,24
TMEM67	0,020398022	-0,054483527	0,288	0,12	1	0,962939106	1,038487267	2,4
MCTP1	0,157415062	-0,054556364	0,062	0,02	1	0,962890491	1,038539698	3,1
ATP9A	0,207484841	-0,054572431	0	0,02	1	0,962879768	1,038551264	0
ARAP1	0,046263823	-0,054635746	0,125	0,04	1	0,962837511	1,038596844	3,125
TRIM27	0,024395708	-0,05468348	0,25	0,1	1	0,962805655	1,038631208	2,5
CLSTN3	0,423434047	-0,054686438	0,013	0,03	1	0,962803681	1,038633337	0,433333333
ZNF487	0,539465965	-0,054691509	0,062	0,04	1	0,962800296	1,038636988	1,55
LPCAT4	0,239155423	-0,054695785	0,1	0,05	1	0,962797443	1,038640066	2
LAT	0,692138165	-0,054714687	0,013	0,02	1	0,962784829	1,038653674	0,65
EFNA2	0,377102913	-0,054778602	0	0,01	1	0,962742176	1,03869969	0
HPR	0,377102913	-0,054778602	0	0,01	1	0,962742176	1,03869969	0
MCF2L	0,377102913	-0,054778602	0	0,01	1	0,962742176	1,03869969	0

Supplementary Table 4

Differentially expressed genes_keloid-CCD_ comparing SC-Keloid vs. (SC-Myel, SC-Nonmyel)								
gene	p_val	avg_log2FC	pct.1	pct.2	p_val_adj	Foldchange_UP	Foldchange_DOWN	Ratio_pct1_pct2
ZNF256	0,377102913	-0,054778602	0	0,01	1	0,962742176	1,03869969	0
ZDHHC4	0,014159656	-0,054791346	0,312	0,13	1	0,962733671	1,038708866	2,4
SAR1B	0,00165306	-0,054800095	0,613	0,26	1	0,962727833	1,038715165	2,357692308
ZFX	0,024454169	-0,054817466	0,425	0,2	1	0,962716241	1,038727672	2,125
ERO1A	0,024291708	-0,05484787	0,3	0,13	1	0,962695953	1,038749563	2,307692308
C6orf136	0,003928532	-0,05496555	0,175	0,04	1	0,962617429	1,038834297	4,375
PBX1	0,423434047	-0,055013937	0,013	0,03	1	0,962585144	1,038869139	0,433333333
NUAK1	0,11632663	-0,055134892	0,2	0,1	1	0,962504445	1,038956241	2
KCNN3	0,907630591	-0,055179223	0,038	0,04	1	0,96247487	1,038988166	0,95
MED9	0,112247794	-0,055235286	0,088	0,03	1	0,962437468	1,039028543	2,933333333
BNIP2	0,044918126	-0,055248951	0,525	0,27	1	0,962428353	1,039038384	1,944444444
TNFRSF11B	0,207484841	-0,055249246	0	0,02	1	0,962428156	1,039038596	0
TSTD2	0,372322273	-0,055249836	0,088	0,05	1	0,962427762	1,039039021	1,76
H4-16	0,907630591	-0,055264691	0,038	0,04	1	0,962417852	1,03904972	0,95
ARHGEF17	0,060310265	-0,055317783	0,188	0,08	1	0,962382435	1,039087958	2,35
SUPT6H	0,005358655	-0,05534398	0,35	0,13	1	0,96236496	1,039106827	2,692307692
TRMT44	0,809797238	-0,055401609	0,038	0,03	1	0,962326519	1,039148335	1,266666667
PLAC8L1	0,886527564	-0,055434996	0,013	0,01	1	0,962304249	1,039172383	1,3
EXOSC3	0,12999802	-0,055435805	0,15	0,07	1	0,962303709	1,039172966	2,142857143
CCNT1	0,139003994	-0,055491618	0,162	0,08	1	0,962266482	1,039213169	2,025
SLC49A4	0,047638359	-0,055500686	0,125	0,04	1	0,962260433	1,039219701	3,125
TMEM231	0,063616753	-0,05556175	0,1	0,03	1	0,962219705	1,039263688	3,333333333
ZNF438	0,501283468	-0,055577591	0,038	0,02	1	0,96220914	1,0392751	1,9
DNAJC25	0,09955554	-0,055588197	0,175	0,08	1	0,962202067	1,03928274	2,1875
DENND1B	0,159376137	-0,05562775	0,112	0,05	1	0,962175687	1,039311234	2,24
NHS	0,207484841	-0,055685637	0	0,02	1	0,962137082	1,039352935	0
SUGCT	0,886527564	-0,055753135	0,013	0,01	1	0,962092068	1,039401564	1,3
CDIP1	0,816980451	-0,055770517	0,038	0,03	1	0,962080476	1,039414087	1,266666667
RNF180	0,527578779	-0,055777104	0,05	0,03	1	0,962076084	1,039418833	1,666666667
SMARCC2	0,089495642	-0,055822469	0,338	0,18	1	0,962045832	1,039451517	1,877777778

Supplementary Table 4

Differentially expressed genes_keloid-CCD_ comparing SC-Keloid vs. (SC-Myel, SC-Nonmyel)								
gene	p_val	avg_log2FC	pct.1	pct.2	p_val_adj	Foldchange_UP	Foldchange_DOWN	Ratio_pct1_pct2
SLC35E2A	0,928093507	-0,055841773	0,038	0,04	1	0,96203296	1,039465426	0,95
EXT1	0,180819392	-0,05584712	0,138	0,07	1	0,962029394	1,039469278	1,971428571
ICAM2	0,263816781	-0,055890429	0,013	0,04	1	0,962000515	1,039500483	0,325
ITIH4	0,692138165	-0,055892694	0,013	0,02	1	0,961999004	1,039502116	0,65
PRXL2B	0,430690217	-0,055905726	0,125	0,08	1	0,961990315	1,039511505	1,5625
NIPA1	0,54451599	-0,055958006	0,062	0,04	1	0,961955455	1,039549176	1,55
SLC19A2	0,680945235	-0,055979281	0,038	0,05	1	0,961941269	1,039564506	0,76
ZER1	0,046263823	-0,055988505	0,125	0,04	1	0,961935119	1,039571152	3,125
LYRM9	0,199514022	-0,055994446	0,138	0,07	1	0,961931158	1,039575433	1,971428571
USP54	0,84359211	-0,055995403	0,025	0,02	1	0,96193052	1,039576122	1,25
GDPD3	0,84359211	-0,056025473	0,025	0,02	1	0,96191047	1,039597791	1,25
MYOZ1	0,692138165	-0,056051215	0,013	0,02	1	0,961893307	1,039616341	0,65
SBSN	0,886527564	-0,056109139	0,013	0,01	1	0,961854689	1,039658081	1,3
DHX38	0,057505302	-0,056127781	0,3	0,15	1	0,96184226	1,039671516	2
MRE11	0,080727289	-0,056141873	0,162	0,07	1	0,961832865	1,039681671	2,314285714
SPINDOC	0,018278116	-0,05616316	0,2	0,07	1	0,961818673	1,039697012	2,857142857
NRDE2	0,128634778	-0,056169863	0,15	0,07	1	0,961814204	1,039701843	2,142857143
RNF126	0,002319146	-0,056174156	0,637	0,27	1	0,961811342	1,039704936	2,359259259
NECTIN3	0,042501942	-0,056277882	0,262	0,12	1	0,961742193	1,039779691	2,183333333
TCF7L2	0,008497508	-0,056335632	0,312	0,12	1	0,961703696	1,039821314	2,6
DBR1	0,325316267	-0,056344335	0,062	0,03	1	0,961697894	1,039827586	2,066666667
DOCK4	0,423434047	-0,056359554	0,013	0,03	1	0,961687749	1,039838556	0,433333333
TTC28	0,375900964	-0,056448899	0,088	0,05	1	0,961628195	1,039902954	1,76
PLEKHA6	0,377102913	-0,056517021	0	0,01	1	0,961582789	1,039952058	0
RADIL	0,377102913	-0,056517021	0	0,01	1	0,961582789	1,039952058	0
WASF3	0,377102913	-0,056517021	0	0,01	1	0,961582789	1,039952058	0
YY1AP1	0,047475849	-0,056578365	0,312	0,15	1	0,961541903	1,039996278	2,08
RAI2	0,377102913	-0,056583528	0	0,01	1	0,961538462	1,04	0
SLC6A16	0,377102913	-0,056583528	0	0,01	1	0,961538462	1,04	0
SPINK2	0,377102913	-0,056583528	0	0,01	1	0,961538462	1,04	0

Supplementary Table 4

Differentially expressed genes_keloid-CCD_ comparing SC-Keloid vs. (SC-Myel, SC-Nonmyel)								
gene	p_val	avg_log2FC	pct.1	pct.2	p_val_adj	Foldchange_UP	Foldchange_DOWN	Ratio_pct1_pct2
SRRM2-AS1	0,377102913	-0,056583528	0	0,01	1	0,961538462	1,04	0
ARID3B	0,039615109	-0,056591628	0,212	0,09	1	0,961533063	1,040005839	2,355555556
ANKAR	0,827884433	-0,056605606	0,025	0,03	1	0,961523747	1,040015915	0,833333333
ATP6VOA2	0,242895857	-0,056621736	0,188	0,11	1	0,961512997	1,040027543	1,709090909
VDR	0,325316267	-0,05662271	0,062	0,03	1	0,961512348	1,040028245	2,066666667
RASA4	0,809797238	-0,056652934	0,038	0,03	1	0,961492204	1,040050034	1,266666667
RNF144A	0,692138165	-0,056659806	0,013	0,02	1	0,961487625	1,040054988	0,65
MMD	0,544388138	-0,056669953	0,088	0,06	1	0,961480862	1,040062303	1,466666667
GIGYF2	0,014885283	-0,056680785	0,262	0,1	1	0,961473644	1,040070112	2,62
ZNF236	0,115368355	-0,056740201	0,138	0,06	1	0,961434047	1,040112947	2,3
ICAM4	0,501283468	-0,056743496	0,038	0,02	1	0,961431851	1,040115323	1,9
SYNJ2BP	0,043379317	-0,056767158	0,262	0,12	1	0,961416083	1,040132382	2,183333333
SERPINH1	0,035304265	-0,05679385	0,875	0,5	1	0,961398295	1,040151627	1,75
HTRA2	0,014254612	-0,056863827	0,375	0,16	1	0,961351664	1,040202079	2,34375
RICTOR	0,105471775	-0,05687056	0,262	0,14	1	0,961347177	1,040206934	1,871428571
C2orf68	0,527578779	-0,056892214	0,05	0,03	1	0,961332749	1,040222547	1,666666667
NDUFAF5	0,038337391	-0,056893902	0,238	0,1	1	0,961331624	1,040223764	2,38
HAS1	0,886527564	-0,056904575	0,013	0,01	1	0,961324512	1,040231459	1,3
ULK1	0,404468101	-0,056987623	0,138	0,09	1	0,961269175	1,040291342	1,533333333
HELLS	0,015842303	-0,056999119	0,275	0,11	1	0,961261516	1,040299631	2,5
BANK1	0,692138165	-0,056999471	0,013	0,02	1	0,961261281	1,040299885	0,65
ZFP30	0,207484841	-0,057022073	0	0,02	1	0,961246221	1,040316183	0
DCAF10	0,027925979	-0,057271003	0,275	0,12	1	0,961080377	1,0404957	2,291666667
GTF2H2C	0,249550622	-0,057271289	0,1	0,05	1	0,961080187	1,040495907	2
FKTN	0,099225142	-0,057303411	0,125	0,05	1	0,961058788	1,040519073	2,5
MTF1	0,404307785	-0,057370776	0,112	0,07	1	0,961013914	1,040567661	1,6
IGDCC4	0,886527564	-0,057393309	0,013	0,01	1	0,960998904	1,040583913	1,3
BBS5	0,019378739	-0,057393905	0,125	0,03	1	0,960998507	1,040584343	4,166666667
KRIT1	0,017794508	-0,057443025	0,275	0,11	1	0,960965788	1,040619772	2,5
PLTP	0,020539582	-0,05745133	0,475	0,23	1	0,960960256	1,040625763	2,065217391

Supplementary Table 4

Differentially expressed genes_keloid-CCD_ comparing SC-Keloid vs. (SC-Myel, SC-Nonmyel)								
gene	p_val	avg_log2FC	pct.1	pct.2	p_val_adj	Foldchange_UP	Foldchange_DOWN	Ratio_pct1_pct2
ZNF213	0,218400487	-0,057475933	0,088	0,04	1	0,960943869	1,040643509	2,2
ALG10B	0,534439505	-0,057532039	0,062	0,04	1	0,960906499	1,04068398	1,55
ZNF75A	0,132758116	-0,057558374	0,15	0,07	1	0,960888958	1,040702978	2,142857143
ZNF780A	0,112247794	-0,057695508	0,088	0,03	1	0,960797626	1,040801905	2,933333333
STRIP2	0,207484841	-0,057720293	0	0,02	1	0,96078112	1,040819786	0
CCDC85C	0,325316267	-0,057736318	0,062	0,03	1	0,960770449	1,040831347	2,066666667
ARL8B	0,038399599	-0,057866405	0,412	0,21	1	0,96068382	1,040925202	1,961904762
GALNT12	0,120814239	-0,057886719	0	0,03	1	0,960670293	1,04093986	0
TFAM	0,013339639	-0,057924133	0,325	0,14	1	0,96064538	1,040966855	2,321428571
BAZ2A	0,006324057	-0,057926902	0,525	0,23	1	0,960643536	1,040968853	2,282608696
ACTN1-DT	0,886527564	-0,057972193	0,013	0,01	1	0,960613379	1,041001533	1,3
KRT7	0,207484841	-0,058089804	0	0,02	1	0,960535071	1,041086401	0
INTS14	0,390582533	-0,058101294	0,1	0,06	1	0,960527422	1,041094692	1,666666667
WSCD1	0,207484841	-0,058153353	0	0,02	1	0,960492762	1,04113226	0
VAMP1	0,423434047	-0,058202331	0,013	0,03	1	0,960460155	1,041167606	0,433333333
TADA2B	0,112247794	-0,058217313	0,088	0,03	1	0,960450181	1,041178418	2,933333333
CABCOC01	0,741735351	-0,0582298	0,075	0,06	1	0,960441868	1,04118743	1,25
PLPP7	0,692138165	-0,05823443	0,013	0,02	1	0,960438785	1,041190772	0,65
ZNF564	0,447580525	-0,058237861	0,025	0,01	1	0,960436501	1,041193248	2,5
SERPINI1	0,280825998	-0,058258202	0,05	0,02	1	0,96042296	1,041207928	2,5
EPHB6	0,692138165	-0,058347362	0,013	0,02	1	0,960363606	1,041272278	0,65
RBPMS2	0,84359211	-0,058418876	0,025	0,02	1	0,960316003	1,041323894	1,25
COPRS	0,098716573	-0,058444649	0,688	0,37	1	0,960298847	1,041342498	1,859459459
SUSD4	0,914445434	-0,058553117	0,038	0,04	1	0,960226651	1,041420793	0,95
CNNM3	0,552939414	-0,058613611	0,088	0,06	1	0,960186388	1,041464462	1,466666667
LBHD1	0,120814239	-0,0586491	0	0,03	1	0,960162768	1,041490082	0
ANO3	0,207484841	-0,058714665	0	0,02	1	0,960119134	1,041537414	0
ZNF575	0,816980451	-0,058761286	0,038	0,03	1	0,960088108	1,041571072	1,266666667
CRTC1	0,372322273	-0,058800513	0,088	0,05	1	0,960062003	1,041599393	1,76
GRID2	0,207484841	-0,058860631	0	0,02	1	0,960021998	1,041642798	0

Supplementary Table 4

Differentially expressed genes_keloid-CCD_ comparing SC-Keloid vs. (SC-Myel, SC-Nonmyel)								
gene	p_val	avg_log2FC	pct.1	pct.2	p_val_adj	Foldchange_UP	Foldchange_DOWN	Ratio_pct1_pct2
SLC35B3	0,003587612	-0,05889611	0,262	0,08	1	0,959998389	1,041668415	3,275
FOXRED1	0,213224933	-0,059013479	0,162	0,09	1	0,959920293	1,041753162	1,8
OSBPL8	0,055772965	-0,059015512	0,725	0,37	1	0,95991894	1,04175463	1,959459459
ZNF135	0,207484841	-0,059043547	0	0,02	1	0,959900287	1,041774874	0
RNF111	0,058046518	-0,05913472	0,138	0,05	1	0,959839626	1,041840713	2,76
PRR12	0,501283468	-0,059166511	0,038	0,02	1	0,959818476	1,04186367	1,9
USP19	0,54451599	-0,05922293	0,062	0,04	1	0,959780941	1,041904415	1,55
EID3	0,223632981	-0,059230281	0,088	0,04	1	0,95977605	1,041909724	2,2
OMA1	0,894021778	-0,05924594	0,038	0,04	1	0,959765634	1,041921033	0,95
ARSG	0,799526327	-0,059299159	0,05	0,04	1	0,959730229	1,041959469	1,25
LRR8D	0,787095147	-0,059360068	0,05	0,04	1	0,959689712	1,04200346	1,25
PPIL6	0,94227175	-0,059390566	0,05	0,05	1	0,959669424	1,042025488	1
IL17RE	0,006902615	-0,05940997	0,188	0,05	1	0,959656517	1,042039503	3,76
STIM1	0,024116098	-0,059425798	0,25	0,1	1	0,959645988	1,042050935	2,5
EIF2D	0,001055288	-0,059507831	0,312	0,09	1	0,959591424	1,042110189	3,466666667
PIM1	0,070994421	-0,059674175	0,15	0,06	1	0,959480789	1,042230352	2,5
FASTKD2	0,189997377	-0,059780948	0,138	0,07	1	0,95940978	1,04230749	1,971428571
KCTD21	0,886527564	-0,059791419	0,013	0,01	1	0,959402817	1,042315055	1,3
APOC2	0,692138165	-0,0598138	0,013	0,02	1	0,959387934	1,042331224	0,65
ZSCAN31	0,692138165	-0,059920305	0,013	0,02	1	0,959317111	1,042408176	0,65
MEGF8	0,016004888	-0,060022061	0,312	0,13	1	0,959249451	1,042481702	2,4
UTP15	0,124611661	-0,060042256	0,15	0,07	1	0,959236023	1,042496295	2,142857143
HSD17B12	0,075654202	-0,060098179	0,462	0,25	1	0,959198841	1,042536705	1,848
YLPM1	0,047519147	-0,060123746	0,262	0,12	1	0,959181843	1,042555181	2,183333333
BAIAP2-DT	0,325316267	-0,060204782	0,062	0,03	1	0,959127967	1,042613743	2,066666667
ARHGEF9	0,011992293	-0,060214705	0,288	0,11	1	0,95912137	1,042620914	2,618181818
GALNT15	0,207484841	-0,06024706	0	0,02	1	0,959099861	1,042644297	0
RAB3D	0,827884433	-0,060278868	0,025	0,03	1	0,959078715	1,042667285	0,833333333
TTYH2	0,221005633	-0,060318655	0,088	0,04	1	0,959052265	1,042696041	2,2
RAB10	0,050290268	-0,060337917	0,725	0,38	1	0,959039461	1,042709963	1,907894737

Supplementary Table 4

Differentially expressed genes_keloid-CCD_ comparing SC-Keloid vs. (SC-Myel, SC-Nonmyel)								
gene	p_val	avg_log2FC	pct.1	pct.2	p_val_adj	Foldchange_UP	Foldchange_DOWN	Ratio_pct1_pct2
NDUFA5	0,009058118	-0,060355542	0,662	0,31	1	0,959027745	1,042722701	2,135483871
ABCG1	0,207484841	-0,060375405	0	0,02	1	0,959014541	1,042737057	0
A4GALT	0,692138165	-0,060381915	0,013	0,02	1	0,959010213	1,042741762	0,65
ACTC1	0,377102913	-0,060423196	0	0,01	1	0,958982773	1,0427716	0
H3-5	0,377102913	-0,060423196	0	0,01	1	0,958982773	1,0427716	0
OAS1	0,377102913	-0,060423196	0	0,01	1	0,958982773	1,0427716	0
OAS2	0,377102913	-0,060423196	0	0,01	1	0,958982773	1,0427716	0
RHOXF1	0,377102913	-0,060423196	0	0,01	1	0,958982773	1,0427716	0
TMEM196	0,377102913	-0,060423196	0	0,01	1	0,958982773	1,0427716	0
FTX	0,107839769	-0,060502717	0,188	0,09	1	0,958929916	1,042829078	2,088888889
ZNF746	0,793304172	-0,060517949	0,05	0,04	1	0,958919791	1,042840089	1,25
ZC3H15	0,147717146	-0,060584847	0,65	0,39	1	0,958875327	1,042888447	1,666666667
PLAAT4	0,84359211	-0,060591628	0,025	0,02	1	0,95887082	1,042893349	1,25
ATAD2B	0,279748933	-0,060597657	0,125	0,07	1	0,958866813	1,042897707	1,785714286
FUT11	0,015208331	-0,060607664	0,225	0,08	1	0,958860162	1,04290494	2,8125
PLEKHG1	0,016543484	-0,060617401	0,312	0,13	1	0,95885369	1,042911979	2,4
MACO1	0,005149697	-0,060670915	0,425	0,17	1	0,958818124	1,042950665	2,5
LRRC27	0,390582533	-0,060722328	0,1	0,06	1	0,958783955	1,042987833	1,666666667
ARHGAP17	0,159376137	-0,060736816	0,112	0,05	1	0,958774327	1,042998307	2,24
KRT15	0,569139823	-0,060744635	0,025	0,04	1	0,958769131	1,04300396	0,625
MAST3	0,54451599	-0,060787357	0,062	0,04	1	0,95874074	1,043034846	1,55
HYKK	0,799526327	-0,060831902	0,05	0,04	1	0,958711138	1,043067052	1,25
CLEC4A	0,377102913	-0,060856557	0	0,01	1	0,958694754	1,043084877	0
IL19	0,377102913	-0,060856557	0	0,01	1	0,958694754	1,043084877	0
ZC3H12B	0,377102913	-0,060856557	0	0,01	1	0,958694754	1,043084877	0
MACROD2	0,529436792	-0,060968554	0,062	0,04	1	0,958620333	1,043165855	1,55
KLF7	0,057732576	-0,060986387	0,212	0,1	1	0,958608484	1,04317875	2,12
SPRTN	0,147971932	-0,060997941	0,175	0,09	1	0,958600807	1,043187105	1,944444444
MIOS	0,552939414	-0,061001927	0,088	0,06	1	0,958598158	1,043189987	1,466666667
LRRC8C	0,746914545	-0,061049158	0,05	0,06	1	0,958566776	1,043224139	0,833333333

Supplementary Table 4

Differentially expressed genes_keloid-CCD_ comparing SC-Keloid vs. (SC-Myel, SC-Nonmyel)								
gene	p_val	avg_log2FC	pct.1	pct.2	p_val_adj	Foldchange_UP	Foldchange_DOWN	Ratio_pct1_pct2
PRKAA2	0,886527564	-0,061058539	0,013	0,01	1	0,958560543	1,043230923	1,3
PSMC4	0,165674987	-0,06119168	0,675	0,37	1	0,958472085	1,043327203	1,824324324
OPN3	0,098519846	-0,061202405	0,175	0,08	1	0,95846496	1,043334959	2,1875
TXNDC16	0,793304172	-0,061218361	0,05	0,04	1	0,958454359	1,043346499	1,25
BRD3OS	0,325316267	-0,061240025	0,062	0,03	1	0,958439967	1,043362166	2,066666667
LINC00562	0,692138165	-0,061287574	0,013	0,02	1	0,958408379	1,043396554	0,65
DHX58	0,816980451	-0,061335962	0,038	0,03	1	0,958376234	1,043431551	1,266666667
STX7	0,002108176	-0,061342279	0,338	0,11	1	0,958372038	1,043436119	3,072727273
FAM193A	0,01728634	-0,061347014	0,312	0,13	1	0,958368893	1,043439544	2,4
ZNF584	0,104675576	-0,061367088	0,188	0,09	1	0,958355557	1,043454063	2,088888889
ACTL10	0,284975754	-0,061397587	0,05	0,02	1	0,958335298	1,043476122	2,5
HARS2	0,284975754	-0,061455165	0,05	0,02	1	0,958297052	1,043517767	2,5
PHYHIPL	0,207484841	-0,061534494	0	0,02	1	0,958244359	1,043575149	0
TNFRSF10A	0,207484841	-0,061534494	0	0,02	1	0,958244359	1,043575149	0
SLX4IP	0,777311081	-0,061540642	0,062	0,05	1	0,958240276	1,043579596	1,24
SNTB1	0,561556035	-0,061553248	0,088	0,06	1	0,958231903	1,043588715	1,466666667
NRCAM	0,692138165	-0,061577491	0,013	0,02	1	0,958215801	1,043606251	0,65
KAT7	0,034425078	-0,061720324	0,188	0,07	1	0,958120939	1,043709577	2,685714286
GOSR2	0,029624103	-0,061722264	0,312	0,14	1	0,95811965	1,043710981	2,228571429
FUOM	0,254483648	-0,061733913	0,188	0,11	1	0,958111914	1,043719409	1,709090909
IZUMO4	0,84359211	-0,061739156	0,025	0,02	1	0,958108432	1,043723201	1,25
NCBP2	0,004329404	-0,061752637	0,537	0,23	1	0,958099479	1,043732955	2,334782609
HDX	0,25008975	-0,061769007	0,112	0,06	1	0,958088608	1,043744798	1,866666667
TMEM232	0,692138165	-0,061781784	0,013	0,02	1	0,958080122	1,043754042	0,65
PPL	0,423434047	-0,061833837	0,013	0,03	1	0,958045555	1,043791702	0,433333333
SMC3	0,058964508	-0,061876991	0,713	0,38	1	0,958016899	1,043822924	1,876315789
LAMA5	0,083513756	-0,061953416	0,162	0,07	1	0,95796615	1,04387822	2,314285714
STAT2	0,08183115	-0,061953566	0,212	0,1	1	0,95796605	1,043878329	2,12
TECPR1	0,816980451	-0,061999434	0,038	0,03	1	0,957935594	1,043911518	1,266666667
CASZ1	0,795479351	-0,062140929	0,038	0,03	1	0,957841647	1,044013907	1,266666667

Supplementary Table 4

Differentially expressed genes_keloid-CCD_ comparing SC-Keloid vs. (SC-Myel, SC-Nonmyel)								
gene	p_val	avg_log2FC	pct.1	pct.2	p_val_adj	Foldchange_UP	Foldchange_DOWN	Ratio_pct1_pct2
NEMP2	0,325316267	-0,062165084	0,062	0,03	1	0,95782561	1,044031387	2,066666667
CKMT2-AS1	0,894021778	-0,062184201	0,038	0,04	1	0,957812918	1,044045221	0,95
NPRL2	0,193385958	-0,062199782	0,15	0,08	1	0,957802574	1,044056497	1,875
SOCS6	0,087686168	-0,062238613	0,175	0,08	1	0,957776795	1,044084598	2,1875
MAPK10	0,692138165	-0,062244379	0,013	0,02	1	0,957772967	1,044088771	0,65
CEBPA	0,207484841	-0,062253249	0	0,02	1	0,957767078	1,04409519	0
FAM110A	0,54403098	-0,062272463	0,075	0,05	1	0,957754323	1,044109096	1,5
C16orf89	0,377102913	-0,062302213	0	0,01	1	0,957734573	1,044130627	0
FRMD1	0,377102913	-0,062302213	0	0,01	1	0,957734573	1,044130627	0
KIF1A	0,377102913	-0,062302213	0	0,01	1	0,957734573	1,044130627	0
MED12L	0,377102913	-0,062302213	0	0,01	1	0,957734573	1,044130627	0
SHROOM3	0,377102913	-0,062302213	0	0,01	1	0,957734573	1,044130627	0
WDR86	0,377102913	-0,062302213	0	0,01	1	0,957734573	1,044130627	0
ZNF792	0,377102913	-0,062302213	0	0,01	1	0,957734573	1,044130627	0
SLC17A7	0,692138165	-0,062312807	0,013	0,02	1	0,95772754	1,044138294	0,65
ZNF26	0,244314206	-0,062365399	0,1	0,05	1	0,957692628	1,044176358	2
DOP1A	0,692138165	-0,062372747	0,013	0,02	1	0,95768775	1,044181676	0,65
SLC30A7	0,010895886	-0,062394346	0,312	0,12	1	0,957673412	1,044197309	2,6
PRIM1	0,112247794	-0,062535509	0,088	0,03	1	0,957579711	1,044299486	2,933333333
H2BC21	0,423434047	-0,06255612	0,013	0,03	1	0,957566031	1,044314405	0,433333333
MFGE8	0,15952923	-0,062584405	0,85	0,52	1	0,957547257	1,04433488	1,634615385
E4F1	0,291293364	-0,062681238	0,138	0,08	1	0,957482989	1,044404977	1,725
TRAF3	0,032085969	-0,062908957	0,225	0,09	1	0,95733187	1,044569842	2,5
EML4	0,069974895	-0,062994642	0,25	0,12	1	0,957275014	1,044631883	2,083333333
CLCN6	0,325316267	-0,063014054	0,062	0,03	1	0,957262133	1,044645939	2,066666667
OTULINL	0,692138165	-0,063067806	0,013	0,02	1	0,957226468	1,044684861	0,65
FAM209B	0,377102913	-0,063092478	0	0,01	1	0,957210098	1,044702727	0
IPO9-AS1	0,377102913	-0,063092478	0	0,01	1	0,957210098	1,044702727	0
ZC3H10	0,54451599	-0,063156845	0,062	0,04	1	0,957167392	1,044749339	1,55
XRCC6	0,06765685	-0,063212431	0,738	0,39	1	0,957130514	1,044789593	1,892307692

Supplementary Table 4

Differentially expressed genes_keloid-CCD_comparing SC-Keloid vs. (SC-Myel, SC-Nonmyel)								
gene	p_val	avg_log2FC	pct.1	pct.2	p_val_adj	Foldchange_UP	Foldchange_DOWN	Ratio_pct1_pct2
MTMR9	0,015012041	-0,063247838	0,225	0,08	1	0,957107025	1,044815234	2,8125
VAT1	0,014702768	-0,063290728	0,55	0,26	1	0,957078571	1,044846296	2,115384615
TRMT61B	0,064495341	-0,063350915	0,188	0,08	1	0,957038644	1,044889886	2,35
PLEKHM3	0,816980451	-0,063420535	0,038	0,03	1	0,956992462	1,044940311	1,266666667
THRA	0,003386287	-0,063425162	0,262	0,08	1	0,956989392	1,044943662	3,275
SMG8	0,423434047	-0,063450268	0,013	0,03	1	0,956972738	1,044961847	0,433333333
LRP1B	0,377102913	-0,063481206	0	0,01	1	0,956952217	1,044984256	0
LCORL	0,029326105	-0,063551391	0,312	0,14	1	0,956905664	1,045035094	2,228571429
PARG	0,063616753	-0,063552484	0,1	0,03	1	0,956904938	1,045035886	3,333333333
VPS39	0,184450278	-0,063584358	0,138	0,07	1	0,956883798	1,045058974	1,971428571
PI16	0,692138165	-0,06359969	0,013	0,02	1	0,956873628	1,045070081	0,65
EDA	0,692138165	-0,063615538	0,013	0,02	1	0,956863118	1,04508156	0,65
DIS3	0,031467327	-0,063655709	0,312	0,14	1	0,956836474	1,045110661	2,228571429
ZNF337-AS1	0,692138165	-0,063659024	0,013	0,02	1	0,956834276	1,045113062	0,65
KIAA0319L	0,107839769	-0,063676907	0,188	0,09	1	0,956822415	1,045126017	2,088888889
DTNBP1	0,041579387	-0,06368857	0,162	0,06	1	0,95681468	1,045134466	2,7
DDX23	0,033603221	-0,063761644	0,225	0,09	1	0,956766218	1,045187405	2,5
MED14	0,074775991	-0,063768459	0,25	0,12	1	0,956761699	1,045192342	2,083333333
YIPF3	0,037806843	-0,063817804	0,65	0,32	1	0,956728974	1,045228092	2,03125
AGTPBP1	0,098000042	-0,063821314	0,125	0,05	1	0,956726647	1,045230635	2,5
KLHL34	0,809797238	-0,063905319	0,038	0,03	1	0,956670941	1,045291497	1,266666667
SPATA2	0,54451599	-0,063927621	0,062	0,04	1	0,956656152	1,045307657	1,55
MALL	0,423434047	-0,063986498	0,013	0,03	1	0,956617111	1,045350317	0,433333333
DDX43	0,207484841	-0,064066654	0	0,02	1	0,956563963	1,045408398	0
OTULIN	0,012471364	-0,064097885	0,25	0,09	1	0,956543256	1,045431029	2,777777778
CENPC	0,064176808	-0,064118354	0,25	0,12	1	0,956529685	1,045445861	2,083333333
SIRT3	0,35516371	-0,064167246	0,075	0,04	1	0,956497269	1,045481292	1,875
DLX3	0,377102913	-0,064173134	0	0,01	1	0,956493365	1,045485558	0
SLC25A43	0,136751946	-0,064250223	0,1	0,04	1	0,956442257	1,045541425	2,5
CDK18	0,002995205	-0,064265235	0,45	0,17	1	0,956432304	1,045552304	2,647058824

Supplementary Table 4

Differentially expressed genes_keloid-CCD_ comparing SC-Keloid vs. (SC-Myel, SC-Nonmyel)								
gene	p_val	avg_log2FC	pct.1	pct.2	p_val_adj	Foldchange_UP	Foldchange_DOWN	Ratio_pct1_pct2
ATF6	0,007149283	-0,064281505	0,3	0,11	1	0,956421519	1,045564095	2,727272727
N4BP3	0,207484841	-0,064325055	0	0,02	1	0,956392648	1,045595658	0
DPY19L3	0,012000221	-0,06433298	0,225	0,08	1	0,956387394	1,045601402	2,8125
ORC5	0,527578779	-0,064371904	0,05	0,03	1	0,956361591	1,045629612	1,666666667
ITPKC	0,050022665	-0,064392277	0,175	0,07	1	0,956348087	1,045644378	2,5
TOMM34	0,368764775	-0,06439722	0,088	0,05	1	0,956344809	1,045647961	1,76
SLC9A5	0,11061781	-0,064399174	0,088	0,03	1	0,956343514	1,045649377	2,933333333
C3orf38	0,028836189	-0,064412729	0,262	0,11	1	0,956334529	1,045659202	2,381818182
PTOV1	0,001449741	-0,064417816	0,6	0,24	1	0,956331157	1,045662889	2,5
TXNDC15	0,040091598	-0,06443531	0,725	0,37	1	0,956319561	1,045675568	1,959459459
ZSCAN22	0,692138165	-0,064437147	0,013	0,02	1	0,956318343	1,0456769	0,65
GNG10	0,035536568	-0,064450917	0,15	0,05	1	0,956309215	1,04568688	3
MT1A	0,325316267	-0,064464535	0,062	0,03	1	0,956300188	1,045696751	2,066666667
TTC9C	0,092485138	-0,064515309	0,175	0,08	1	0,956266533	1,045733554	2,1875
ISYNA1	0,124553535	-0,064528113	0,288	0,16	1	0,956258046	1,045742835	1,8
NUBP1	0,001996898	-0,064538836	0,338	0,11	1	0,956250939	1,045750607	3,072727273
TMEM17	0,948339409	-0,064597369	0,05	0,05	1	0,956212143	1,045793036	1
CNR1	0,423434047	-0,064603642	0,013	0,03	1	0,956207984	1,045797584	0,433333333
ARRDC1	0,267822926	-0,06463323	0,112	0,06	1	0,956188374	1,045819032	1,866666667
SSU72	0,000334406	-0,064708986	0,662	0,25	1	0,956138166	1,045873949	2,648
MEX3B	0,050964298	-0,06472191	0,262	0,12	1	0,956129601	1,045883319	2,183333333
BAD	0,005238519	-0,064763622	0,688	0,32	1	0,956101957	1,045913558	2,15
AGAP9	0,207484841	-0,064833815	0	0,02	1	0,95605544	1,045964448	0
KIF5C	0,84359211	-0,064858865	0,025	0,02	1	0,95603884	1,045982609	1,25
POMZP3	0,527578779	-0,064885346	0,05	0,03	1	0,956021291	1,046001809	1,666666667
SEPTIN4	0,84359211	-0,06491087	0,025	0,02	1	0,956004378	1,046020314	1,25
RAN	0,594556265	-0,064925096	0,95	0,75	1	0,955994951	1,046030629	1,266666667
SYNGR3	0,223365318	-0,064925691	0,038	0,01	1	0,955994557	1,046031061	3,8
MPV17L	0,207484841	-0,06492899	0	0,02	1	0,955992371	1,046033453	0
ALDH1A2	0,377102913	-0,065026556	0	0,01	1	0,955927721	1,046104195	0

Supplementary Table 4

Differentially expressed genes_keloid-CCD_ comparing SC-Keloid vs. (SC-Myel, SC-Nonmyel)								
gene	p_val	avg_log2FC	pct.1	pct.2	p_val_adj	Foldchange_UP	Foldchange_DOWN	Ratio_pct1_pct2
C9orf152	0,377102913	-0,065026556	0	0,01	1	0,955927721	1,046104195	0
EPHX3	0,377102913	-0,065026556	0	0,01	1	0,955927721	1,046104195	0
LINC02915	0,377102913	-0,065026556	0	0,01	1	0,955927721	1,046104195	0
CCDC22	0,020871284	-0,065075167	0,2	0,07	1	0,955895512	1,046139444	2,857142857
GGA2	0,820013192	-0,065077309	0,025	0,03	1	0,955894093	1,046140998	0,833333333
CALM2	0,725429742	-0,065080227	0,988	0,97	1	0,95589216	1,046143113	1,018556701
ATG2B	0,086377611	-0,06511837	0,162	0,07	1	0,955866888	1,046170772	2,314285714
COX11	0,000856629	-0,065123905	0,412	0,14	1	0,95586322	1,046174786	2,942857143
EPN2	0,008808638	-0,065137018	0,45	0,2	1	0,955854532	1,046184295	2,25
SH3RF3-AS1	0,207484841	-0,065223978	0	0,02	1	0,955796919	1,046247357	0
RBM24	0,84359211	-0,065333454	0,025	0,02	1	0,955724393	1,046326752	1,25
ZSWIM9	0,223632981	-0,065376228	0,088	0,04	1	0,955696057	1,046357775	2,2
TMEM200B	0,692138165	-0,065380015	0,013	0,02	1	0,955693549	1,046360521	0,65
PCDHB13	0,377102913	-0,065380242	0	0,01	1	0,955693398	1,046360686	0
ZDHC14	0,793304172	-0,065436462	0,05	0,04	1	0,955656157	1,046401462	1,25
TRAF6	0,562875304	-0,065444484	0,025	0,04	1	0,955650843	1,046407281	0,625
ZSCAN30	0,191873449	-0,065450552	0,138	0,07	1	0,955646824	1,046411682	1,971428571
ADM5	0,669162239	-0,065460805	0,038	0,05	1	0,955640032	1,046419118	0,76
MAMDC4	0,207484841	-0,065649624	0	0,02	1	0,955514966	1,046556083	0
C21orf58	0,035392992	-0,065654096	0,112	0,03	1	0,955512005	1,046559326	3,733333333
AC104695.3	0,816980451	-0,065673864	0,038	0,03	1	0,955498912	1,046573667	1,266666667
MDC1	0,236605047	-0,065697585	0,1	0,05	1	0,955483202	1,046590875	2
SLC17A5	0,015387523	-0,065698511	0,15	0,04	1	0,955482588	1,046591547	3,75
LARP4	0,012200269	-0,065729063	0,5	0,23	1	0,955462354	1,046613711	2,173913043
TSPAN13	0,036036368	-0,065736166	0,15	0,05	1	0,955457651	1,046618863	3
ANO1	0,663300924	-0,065746562	0,038	0,05	1	0,955450765	1,046626405	0,76
ZNF717	0,501283468	-0,065763825	0,038	0,02	1	0,955439333	1,046638929	1,9
DSP	0,820013192	-0,065784897	0,025	0,03	1	0,955425378	1,046654216	0,833333333
TTC5	0,070134189	-0,065794168	0,15	0,06	1	0,955419238	1,046660942	2,5
CNOT6	0,372322273	-0,065995823	0,088	0,05	1	0,955285702	1,046807251	1,76

Supplementary Table 4

Differentially expressed genes_keloid-CCD_ comparing SC-Keloid vs. (SC-Myel, SC-Nonmyel)								
gene	p_val	avg_log2FC	pct.1	pct.2	p_val_adj	Foldchange_UP	Foldchange_DOWN	Ratio_pct1_pct2
FANCG	0,24172513	-0,066164968	0,1	0,05	1	0,955173709	1,046929989	2
DENND11	0,692138165	-0,0661662	0,013	0,02	1	0,955172893	1,046930883	0,65
GRIK2	0,013279713	-0,066175604	0,188	0,06	1	0,955166667	1,046937707	3,133333333
NRBF2	0,000157122	-0,066198802	0,475	0,15	1	0,955151308	1,046954541	3,166666667
MEGF10	0,120814239	-0,066219336	0	0,03	1	0,955137714	1,046969443	0
ANKS1B	0,377102913	-0,066281525	0	0,01	1	0,955096542	1,047014575	0
CDH1	0,377102913	-0,066281525	0	0,01	1	0,955096542	1,047014575	0
CYS1	0,692138165	-0,066298801	0,013	0,02	1	0,955085105	1,047027113	0,65
B4GALT6	0,023034112	-0,066300095	0,3	0,13	1	0,955084249	1,047028052	2,307692308
CEP131	0,249550622	-0,066322818	0,1	0,05	1	0,955069206	1,047044543	2
ZNF281	0,178308386	-0,066360387	0,238	0,14	1	0,955044336	1,047071809	1,7
GPT2	0,54451599	-0,066371344	0,062	0,04	1	0,955037082	1,047079761	1,55
TNS2	0,188910738	-0,066492006	0,2	0,11	1	0,954957209	1,047167339	1,818181818
RAD1	0,010378529	-0,066544816	0,288	0,11	1	0,954922254	1,047205671	2,618181818
CNTRL	0,02992033	-0,066563557	0,225	0,09	1	0,954909849	1,047219275	2,5
TMEM86B	0,284975754	-0,06657624	0,05	0,02	1	0,954901454	1,047228481	2,5
SPECC1L	0,552939414	-0,06657936	0,088	0,06	1	0,954899389	1,047230746	1,466666667
AMMECR1	0,1696289	-0,066579742	0,125	0,06	1	0,954899136	1,047231024	2,083333333
FRY	0,423434047	-0,066618568	0,013	0,03	1	0,954873438	1,047259207	0,433333333
RBM19	0,273044537	-0,066619394	0,112	0,06	1	0,954872891	1,047259807	1,866666667
CNTLN	0,145473921	-0,06665479	0,238	0,13	1	0,954849464	1,047285501	1,830769231
RAD51B	0,527578779	-0,066674832	0,05	0,03	1	0,9548362	1,04730005	1,666666667
BST2	0,246922691	-0,06669381	0,1	0,05	1	0,95482364	1,047313827	2
PGAP1	0,078063885	-0,066695176	0,262	0,13	1	0,954822735	1,047314819	2,015384615
PRH1	0,550114966	-0,066719168	0,1	0,07	1	0,954806857	1,047332236	1,428571429
AEN	0,12999802	-0,066775522	0,15	0,07	1	0,954769561	1,047373147	2,142857143
PINLYP	0,429993123	-0,066815301	0,013	0,03	1	0,954743236	1,047402027	0,433333333
MARCHF1	0,701739822	-0,066827448	0,013	0,02	1	0,954735197	1,047410845	0,65
SMARCA1	0,023708941	-0,066933863	0,35	0,16	1	0,954664778	1,047488106	2,1875
HOPX	0,521976935	-0,066954699	0,05	0,03	1	0,95465099	1,047503235	1,666666667

Supplementary Table 4

Differentially expressed genes_keloid-CCD_ comparing SC-Keloid vs. (SC-Myel, SC-Nonmyel)								
gene	p_val	avg_log2FC	pct.1	pct.2	p_val_adj	Foldchange_UP	Foldchange_DOWN	Ratio_pct1_pct2
NIN	0,095635346	-0,067016	0,288	0,15	1	0,954610427	1,047547745	1,92
FBXW11	0,046219881	-0,067022823	0,35	0,17	1	0,954605912	1,047552699	2,058823529
NBPF14	0,110218666	-0,067063645	0,138	0,06	1	0,954578902	1,04758234	2,3
PPP1R3E	0,527578779	-0,067087732	0,05	0,03	1	0,954562964	1,047599831	1,666666667
RCBTB2	0,54403098	-0,067093631	0,075	0,05	1	0,954559061	1,047604114	1,5
TENT5B	0,325316267	-0,06710666	0,062	0,03	1	0,95455044	1,047613576	2,066666667
GCNA	0,274731417	-0,06711634	0,125	0,07	1	0,954544036	1,047620605	1,785714286
RIMKLB	0,133571255	-0,06711791	0,162	0,08	1	0,954542997	1,047621745	2,025
MT-ATP8	0,010486377	-0,067174739	0,275	0,1	1	0,954505398	1,047663012	2,75
CTDSP1	0,006452998	-0,067180386	0,412	0,17	1	0,954501661	1,047667113	2,423529412
TDRD3	0,012471364	-0,067183683	0,25	0,09	1	0,95449948	1,047669507	2,777777778
SPATA17	0,894021778	-0,067223806	0,038	0,04	1	0,954472935	1,047698645	0,95
ST3GAL3	0,033125374	-0,067274203	0,15	0,05	1	0,954439593	1,047735244	3
RPS6KB1	0,005234792	-0,067300077	0,288	0,1	1	0,954422476	1,047754035	2,88
GOLGA6L4	0,816980451	-0,067306993	0,038	0,03	1	0,954417901	1,047759057	1,266666667
CACNG4	0,527578779	-0,067346956	0,05	0,03	1	0,954391463	1,047788081	1,666666667
LINC01140	0,527578779	-0,067352754	0,05	0,03	1	0,954387628	1,047792292	1,666666667
DNASE2	0,041792483	-0,067404869	0,3	0,14	1	0,954353153	1,047830143	2,142857143
LLPH	0,009105969	-0,06744408	0,35	0,14	1	0,954327215	1,047858622	2,5
TIPARP-AS1	0,207484841	-0,067478444	0	0,02	1	0,954304483	1,047883582	0
LRP6	0,091704244	-0,067511616	0,35	0,19	1	0,954282542	1,047907676	1,842105263
PDCD6IP	0,061926395	-0,067514352	0,388	0,2	1	0,954280731	1,047909663	1,94
DENND4C	0,547263769	-0,06754867	0,125	0,09	1	0,954258032	1,04793459	1,388888889
DDX25	0,377102913	-0,067649291	0	0,01	1	0,95419148	1,048007681	0
IDI2-AS1	0,377102913	-0,067649291	0	0,01	1	0,95419148	1,048007681	0
SLC16A7	0,692138165	-0,067650554	0,013	0,02	1	0,954190644	1,048008599	0,65
SAR1A	0,0834881	-0,067691253	0,7	0,38	1	0,954163727	1,048038164	1,842105263
DENND2A	0,54451599	-0,067739026	0,062	0,04	1	0,954132131	1,048072869	1,55
ZNF570	0,799526327	-0,067769328	0,05	0,04	1	0,954112091	1,048094882	1,25
FKRP	0,223632981	-0,067781077	0,088	0,04	1	0,954104321	1,048103418	2,2

Supplementary Table 4

Differentially expressed genes_keloid-CCD_ comparing SC-Keloid vs. (SC-Myel, SC-Nonmyel)								
gene	p_val	avg_log2FC	pct.1	pct.2	p_val_adj	Foldchange_UP	Foldchange_DOWN	Ratio_pct1_pct2
CCL28	0,84359211	-0,067818176	0,025	0,02	1	0,954079786	1,048130371	1,25
SELENOI	0,021426774	-0,067871905	0,2	0,07	1	0,954044255	1,048169406	2,857142857
KLHDC2	0,016344706	-0,067898855	0,4	0,18	1	0,954026434	1,048188986	2,222222222
FBRS	0,120229317	-0,067949725	0,4	0,22	1	0,953992794	1,048225947	1,818181818
SEC24B	0,081579256	-0,067981927	0,112	0,04	1	0,953971501	1,048249344	2,8
MPRIP-AS1	0,816980451	-0,068016726	0,038	0,03	1	0,953948491	1,048274629	1,266666667
NPHP4	0,827884433	-0,068029571	0,025	0,03	1	0,953939997	1,048283962	0,833333333
RHAG	0,207484841	-0,068057948	0	0,02	1	0,953921234	1,048304582	0
CNOT3	0,042909298	-0,068063455	0,2	0,08	1	0,953917593	1,048308583	2,5
ZDHHC15	0,207484841	-0,068063479	0	0,02	1	0,953917577	1,048308601	0
TNN	0,207484841	-0,068140032	0	0,02	1	0,953866961	1,048364228	0
MBD6	0,597159626	-0,068145551	0,188	0,14	1	0,953863312	1,048368238	1,342857143
EPPK1	0,207484841	-0,068173457	0	0,02	1	0,953844862	1,048388517	0
ALKBH8	0,799526327	-0,068247537	0,05	0,04	1	0,953795885	1,048442351	1,25
TESC	0,827884433	-0,068267018	0,025	0,03	1	0,953783006	1,048456509	0,833333333
EPB41L5	0,351402824	-0,068315386	0,075	0,04	1	0,953751029	1,04849166	1,875
KLC4	0,556644247	-0,068346001	0,025	0,04	1	0,953730791	1,04851391	0,625
CDK19	0,012430676	-0,068346331	0,212	0,07	1	0,953730572	1,04851415	3,028571429
CLDN1	0,539465965	-0,068364187	0,062	0,04	1	0,953718768	1,048527127	1,55
TUBE1	0,213256546	-0,068393007	0,088	0,04	1	0,953699716	1,048548073	2,2
PMPCB	0,002331604	-0,068409431	0,412	0,15	1	0,953688859	1,04856001	2,746666667
SLC35D1	0,081579256	-0,068435648	0,112	0,04	1	0,953671529	1,048579065	2,8
CCDC92	0,042909298	-0,068440564	0,2	0,08	1	0,953668279	1,048582638	2,5
RMDN3	0,05851858	-0,068440712	0,225	0,1	1	0,953668181	1,048582746	2,25
TAF5	0,35516371	-0,068473004	0,075	0,04	1	0,953646835	1,048606217	1,875
NOTCH1	0,002460136	-0,06854152	0,4	0,15	1	0,953601546	1,048656018	2,666666667
C15orf65	0,54451599	-0,068544203	0,062	0,04	1	0,953599773	1,048657968	1,55
UIMC1	0,069204528	-0,068582533	0,2	0,09	1	0,953574438	1,048685829	2,222222222
NANOS3	0,193718766	-0,068621111	0,075	0,03	1	0,953548939	1,048713872	2,5
CES1	0,268162956	-0,068667373	0,013	0,04	1	0,953518363	1,048747501	0,325

Supplementary Table 4

Differentially expressed genes_keloid-CCD_ comparing SC-Keloid vs. (SC-Myel, SC-Nonmyel)								
gene	p_val	avg_log2FC	pct.1	pct.2	p_val_adj	Foldchange_UP	Foldchange_DOWN	Ratio_pct1_pct2
SLC12A6	0,820013192	-0,068699075	0,025	0,03	1	0,95349741	1,048770546	0,833333333
FRRS1L	0,377102913	-0,06872912	0	0,01	1	0,953477553	1,048792388	0
ZFPM1	0,020871284	-0,068738337	0,2	0,07	1	0,953471462	1,048799088	2,857142857
RNASEH1-AS1	0,930603417	-0,068784872	0,088	0,08	1	0,953440707	1,048832919	1,1
PIBF1	0,320451839	-0,068843287	0,175	0,11	1	0,953402103	1,048875387	1,590909091
ZNF442	0,423434047	-0,068865673	0,013	0,03	1	0,95338731	1,048891662	0,433333333
CARF	0,816979494	-0,068888441	0,038	0,03	1	0,953372264	1,048908215	1,266666667
RAB33B	0,240432156	-0,068944586	0,162	0,09	1	0,953335163	1,048949036	1,8
KCTD21-AS1	0,207484841	-0,068945823	0	0,02	1	0,953334345	1,048949936	0
DENND6B	0,521976935	-0,068947819	0,05	0,03	1	0,953333026	1,048951388	1,666666667
NLGN1	0,900822541	-0,069060596	0,038	0,04	1	0,953258506	1,049033388	0,95
ATRIP	0,501283468	-0,069076491	0,038	0,02	1	0,953248003	1,049044946	1,9
MEMO1	0,25527802	-0,069081638	0,125	0,07	1	0,953244602	1,049048689	1,785714286
FARSB	0,056352854	-0,069195085	0,188	0,08	1	0,953169646	1,049131184	2,35
SHC3	0,820013192	-0,069195783	0,025	0,03	1	0,953169185	1,049131692	0,833333333
COPB1	0,023664173	-0,069218572	0,6	0,29	1	0,953154129	1,049148264	2,068965517
ZNF689	0,971855722	-0,069272829	0,075	0,07	1	0,953118284	1,049187721	1,071428571
SMN1	0,351402824	-0,069320977	0,075	0,04	1	0,953086475	1,049222737	1,875
EBF4	0,820013192	-0,069580154	0,025	0,03	1	0,95291527	1,049411245	0,833333333
BLMH	0,015657851	-0,069617899	0,275	0,11	1	0,95289034	1,049438701	2,5
GPRASP1	0,569139823	-0,069643194	0,025	0,04	1	0,952873632	1,049457101	0,625
ZNF443	0,84359211	-0,069660067	0,025	0,02	1	0,952862488	1,049469375	1,25
SLC35D2	0,004862597	-0,069664058	0,35	0,13	1	0,952859852	1,049472278	2,692307692
KBTBD8	0,207484841	-0,069683751	0	0,02	1	0,952846846	1,049486603	0
AJUBA	0,816980451	-0,069715127	0,038	0,03	1	0,952826123	1,049509428	1,266666667
ZSWIM3	0,207484841	-0,06972245	0	0,02	1	0,952821287	1,049514755	0
TMEM9B	0,004155701	-0,069724124	0,625	0,27	1	0,952820181	1,049515973	2,314814815
FAM184A	0,816980451	-0,069761336	0,038	0,03	1	0,952795605	1,049543044	1,266666667
HNRNPR	0,515659859	-0,069843401	0,8	0,58	1	0,952741409	1,049602747	1,379310345
PRPF8	0,023221859	-0,06988343	0,362	0,16	1	0,952714975	1,04963187	2,2625

Supplementary Table 4

Differentially expressed genes_keloid-CCD_ comparing SC-Keloid vs. (SC-Myel, SC-Nonmyel)								
gene	p_val	avg_log2FC	pct.1	pct.2	p_val_adj	Foldchange_UP	Foldchange_DOWN	Ratio_pct1_pct2
FBN3	0,377102913	-0,069911693	0	0,01	1	0,95269631	1,049652433	0
RDH12	0,377102913	-0,069911693	0	0,01	1	0,95269631	1,049652433	0
HCFC2	0,019693225	-0,069981062	0,312	0,13	1	0,952650503	1,049702904	2,4
CROCC	0,761946743	-0,069984399	0,075	0,06	1	0,9526483	1,049705332	1,25
LPXN	0,207484841	-0,069987717	0	0,02	1	0,952646109	1,049707746	0
ROR1	0,207484841	-0,069987717	0	0,02	1	0,952646109	1,049707746	0
CCP110	0,030272297	-0,070005682	0,225	0,09	1	0,952634246	1,049720818	2,5
ZNF395	0,429993123	-0,070007262	0,013	0,03	1	0,952633203	1,049721967	0,433333333
APP	0,353734307	-0,070062954	0,938	0,66	1	0,952596429	1,049762491	1,421212121
TNFRSF10B	0,235427418	-0,070073287	0,175	0,1	1	0,952589606	1,04977001	1,75
RRP8	0,228486406	-0,07011985	0,162	0,09	1	0,952558862	1,049803891	1,8
SMG5	0,073627148	-0,070138691	0,15	0,06	1	0,952546422	1,049817601	2,5
WVOX	0,539438221	-0,070139637	0,075	0,05	1	0,952545798	1,049818289	1,5
KLHL42	0,005092259	-0,070198807	0,425	0,17	1	0,952506731	1,049861347	2,5
NDUFAF4	0,018656908	-0,070304937	0,312	0,13	1	0,952436664	1,049938582	2,4
FLYWCH1	0,17887143	-0,070321878	0,125	0,06	1	0,95242548	1,049950911	2,083333333
GLMN	0,527578779	-0,070382644	0,05	0,03	1	0,952385365	1,049995135	1,666666667
SLC7A1	0,036354514	-0,070431426	0,275	0,12	1	0,952353162	1,050030639	2,291666667
HDAC3	0,019692831	-0,070485409	0,325	0,14	1	0,952317528	1,05006993	2,321428571
DDIT4L	0,207484841	-0,070538406	0	0,02	1	0,952282545	1,050108505	0
TRPM7	0,002249843	-0,070578967	0,462	0,18	1	0,952255772	1,050138029	2,566666667
TBC1D25	0,54403098	-0,070580789	0,075	0,05	1	0,95225457	1,050139355	1,5
GEMIN4	0,423434047	-0,070618982	0,013	0,03	1	0,952229361	1,050167156	0,433333333
KIF7	0,447580525	-0,070640668	0,025	0,01	1	0,952215047	1,050182943	2,5
ZNF567	0,279748933	-0,070673746	0,125	0,07	1	0,952193215	1,050207021	1,785714286
TTL1	0,529436792	-0,07085111	0,062	0,04	1	0,95207616	1,050336141	1,55
USP46	0,140388411	-0,070913516	0,162	0,08	1	0,952034977	1,050381576	2,025
LRRC61	0,159376137	-0,070921804	0,112	0,05	1	0,952029508	1,05038761	2,24
PIGN	0,058822906	-0,070932867	0,138	0,05	1	0,952022208	1,050395665	2,76
PXYLP1	0,54451599	-0,070949408	0,062	0,04	1	0,952011293	1,050407708	1,55

Supplementary Table 4

Differentially expressed genes_keloid-CCD_ comparing SC-Keloid vs. (SC-Myel, SC-Nonmyel)								
gene	p_val	avg_log2FC	pct.1	pct.2	p_val_adj	Foldchange_UP	Foldchange_DOWN	Ratio_pct1_pct2
PTPRM	0,689351211	-0,070961406	0,138	0,11	1	0,952003376	1,050416443	1,254545455
TIMM17A	0,018033434	-0,070992674	0,65	0,31	1	0,951982743	1,05043921	2,096774194
ABT1	0,069204528	-0,071038857	0,2	0,09	1	0,951952268	1,050472837	2,222222222
WIPF2	0,039182769	-0,07105973	0,375	0,18	1	0,951938496	1,050488035	2,083333333
FMN2	0,120814239	-0,071080829	0	0,03	1	0,951924574	1,050503399	0
TUBD1	0,157546415	-0,071265547	0,112	0,05	1	0,951802701	1,05063791	2,24
CTSO	0,040551261	-0,071313747	0,288	0,13	1	0,951770902	1,050673012	2,215384615
LURAP1	0,820013192	-0,071411134	0,025	0,03	1	0,951706656	1,050743938	0,833333333
GATC	0,284828372	-0,071448225	0,125	0,07	1	0,951682188	1,050770953	1,785714286
STRN	0,098558657	-0,071455983	0,238	0,12	1	0,951677071	1,050776603	1,983333333
MRPS31	0,232420437	-0,071488577	0,162	0,09	1	0,95165557	1,050800343	1,8
NIFK-AS1	0,894021778	-0,071501443	0,038	0,04	1	0,951647084	1,050809714	0,95
ZFP82	0,820013192	-0,071552708	0,025	0,03	1	0,951613268	1,050847055	0,833333333
NAT10	0,136751946	-0,071556565	0,1	0,04	1	0,951610724	1,050849864	2,5
LGALS7	0,207484841	-0,071575882	0	0,02	1	0,951597982	1,050863935	0
MTMR1	0,816980451	-0,071605434	0,038	0,03	1	0,95157849	1,050885461	1,266666667
CCNK	0,08183115	-0,071610863	0,212	0,1	1	0,951574909	1,050889416	2,12
ZNF202	0,820013192	-0,071622187	0,025	0,03	1	0,95156744	1,050897664	0,833333333
NCALD	0,207484841	-0,071754786	0	0,02	1	0,951479985	1,050994257	0
TBCC	0,009238586	-0,071782127	0,312	0,12	1	0,951461954	1,051014175	2,6
TGS1	0,014529057	-0,071875403	0,262	0,1	1	0,95140044	1,051082129	2,62
APBA3	0,284828372	-0,071884126	0,125	0,07	1	0,951394687	1,051088485	1,785714286
HSD17B11	0,008808346	-0,071920006	0,312	0,12	1	0,951371026	1,051114626	2,6
LINC00482	0,377102913	-0,072005714	0	0,01	1	0,951314508	1,051177073	0
SEMA6A-AS1	0,377102913	-0,072005714	0	0,01	1	0,951314508	1,051177073	0
SPTBN4	0,377102913	-0,072005714	0	0,01	1	0,951314508	1,051177073	0
XKR6	0,692138165	-0,072012159	0,013	0,02	1	0,951310259	1,051181768	0,65
TM2D3	0,006939364	-0,072107121	0,412	0,18	1	0,951247643	1,051250962	2,288888889
RGN	0,423434047	-0,072133203	0,013	0,03	1	0,951230446	1,051269968	0,433333333
ARHGAP20	0,569139823	-0,072159958	0,025	0,04	1	0,951212805	1,051289464	0,625

Supplementary Table 4

Differentially expressed genes_keloid-CCD_ comparing SC-Keloid vs. (SC-Myel, SC-Nonmyel)								
gene	p_val	avg_log2FC	pct.1	pct.2	p_val_adj	Foldchange_UP	Foldchange_DOWN	Ratio_pct1_pct2
ABHD18	0,816980451	-0,072193434	0,038	0,03	1	0,951190734	1,051313858	1,266666667
CYTH1	0,132758116	-0,072231346	0,15	0,07	1	0,951165738	1,051341485	2,142857143
C8orf48	0,379500814	-0,072280642	0,088	0,05	1	0,951133238	1,05137741	1,76
RTN4IP1	0,84359211	-0,07230404	0,025	0,02	1	0,951117813	1,051394461	1,25
C20orf204	0,207484841	-0,072317373	0	0,02	1	0,951109022	1,051404178	0
PTK2B	0,207484841	-0,07232733	0	0,02	1	0,951102458	1,051411435	0
SNX4	0,004922204	-0,072465324	0,35	0,13	1	0,951011489	1,051512007	2,692307692
AFG3L2	0,001223505	-0,072508331	0,388	0,13	1	0,95098314	1,051543353	2,984615385
PIK3C2B	0,207484841	-0,07272303	0	0,02	1	0,950841627	1,051699853	0
DHX16	0,005489145	-0,072758874	0,212	0,06	1	0,950818003	1,051725984	3,533333333
KCTD5	0,014249019	-0,072885099	0,225	0,08	1	0,950734818	1,051818006	2,8125
CPEB3	0,907630591	-0,072892263	0,038	0,04	1	0,950730097	1,051823229	0,95
NQO2	0,02979839	-0,072902973	0,262	0,11	1	0,950723039	1,051831037	2,381818182
GPR146	0,207484841	-0,073074834	0	0,02	1	0,950609791	1,051956344	0
CCDC149	0,212080942	-0,073083913	0,15	0,08	1	0,950603809	1,051962964	1,875
USP3	0,284828372	-0,073155622	0,125	0,07	1	0,95055656	1,052015253	1,785714286
CHTOP	0,027001335	-0,073166886	0,45	0,22	1	0,950549138	1,052023467	2,045454545
MRO	0,120814239	-0,073269157	0	0,03	1	0,950481758	1,052098046	0
KYAT3	0,015301983	-0,073296073	0,3	0,12	1	0,950464025	1,052117675	2,5
MIR181A1HG	0,016646758	-0,07330128	0,225	0,08	1	0,950460595	1,052121472	2,8125
MCM7	0,028854758	-0,073316503	0,35	0,16	1	0,950450566	1,052132574	2,1875
TAF3	0,076882284	-0,073391985	0,325	0,17	1	0,950400839	1,052187623	1,911764706
SLC4A2	0,013493118	-0,073518247	0,3	0,12	1	0,950317665	1,052279713	2,5
TRMT1L	0,894021778	-0,073564863	0,038	0,04	1	0,95028696	1,052313714	0,95
PPM1M	0,552939414	-0,073571503	0,088	0,06	1	0,950282586	1,052318558	1,466666667
IL1A	0,207484841	-0,073604761	0	0,02	1	0,95026068	1,052342817	0
CFAP45	0,207484841	-0,073627243	0	0,02	1	0,950245871	1,052359216	0
KIAA1328	0,368764775	-0,073669632	0,088	0,05	1	0,950217952	1,052390136	1,76
QPRT	0,820013192	-0,073800026	0,025	0,03	1	0,950132073	1,052485258	0,833333333
RGS7	0,120814239	-0,07381263	0	0,03	1	0,950123772	1,052494453	0

Supplementary Table 4

Differentially expressed genes_keloid-CCD_ comparing SC-Keloid vs. (SC-Myel, SC-Nonmyel)								
gene	p_val	avg_log2FC	pct.1	pct.2	p_val_adj	Foldchange_UP	Foldchange_DOWN	Ratio_pct1_pct2
DAGLB	0,223632981	-0,073818213	0,088	0,04	1	0,950120095	1,052498526	2,2
DMTN	0,207484841	-0,073838274	0	0,02	1	0,950106884	1,052513161	0
BCL2L11	0,422547341	-0,073909331	0,138	0,09	1	0,950060089	1,052565002	1,533333333
FOXJ2	0,068439382	-0,074027182	0,15	0,06	1	0,949982484	1,052650988	2,5
GABBR1	0,035933268	-0,074066094	0,2	0,08	1	0,949956862	1,05267938	2,5
CEP192	0,136751946	-0,074132447	0,1	0,04	1	0,949913172	1,052727797	2,5
ZFAND4	0,120814239	-0,074141814	0	0,03	1	0,949907005	1,052734631	0
SH3BP5L	0,379500814	-0,074143663	0,088	0,05	1	0,949905787	1,05273598	1,76
EMC3	0,021375562	-0,074196772	0,525	0,25	1	0,94987082	1,052774735	2,1
ACOXL	0,207484841	-0,074244666	0	0,02	1	0,949839286	1,052809685	0
MED1	0,032852317	-0,074277807	0,262	0,11	1	0,949817467	1,05283387	2,381818182
BLOC1S3	0,816980451	-0,074338935	0,038	0,03	1	0,949777224	1,052878481	1,266666667
LMO7DN	0,207484841	-0,074363634	0	0,02	1	0,949760964	1,052896506	0
TRIM25	0,799526327	-0,074376665	0,05	0,04	1	0,949752385	1,052906016	1,25
TRIM7	0,501283468	-0,074471122	0,038	0,02	1	0,949690204	1,052974955	1,9
NUP88	0,212080942	-0,074500763	0,15	0,08	1	0,949670693	1,052996589	1,875
KSR1	0,207484841	-0,074502382	0	0,02	1	0,949669627	1,052997771	0
SMAD6	0,692138165	-0,074509679	0,013	0,02	1	0,949664824	1,053003096	0,65
SMYD3	0,051807603	-0,074518214	0,212	0,09	1	0,949659205	1,053009326	2,355555556
NUDCD3	0,127282673	-0,074651948	0,15	0,07	1	0,949571178	1,053106942	2,142857143
PIK3R4	0,54451599	-0,074669053	0,062	0,04	1	0,94955992	1,053119428	1,55
TCAP	0,423434047	-0,074682082	0,013	0,03	1	0,949551345	1,053128939	0,433333333
IL6R	0,36171348	-0,074695148	0,088	0,05	1	0,949542745	1,053138476	1,76
CABIN1	0,074494291	-0,074739573	0,2	0,09	1	0,949513506	1,053170906	2,222222222
SMOX	0,050122327	-0,074800181	0,3	0,14	1	0,949473618	1,053215151	2,142857143
ATP8B1	0,907630591	-0,074802044	0,038	0,04	1	0,949472392	1,053216511	0,95
SERPINE2	0,040441878	-0,074826415	0,825	0,45	1	0,949456353	1,053234303	1,833333333
KCNJ2	0,207484841	-0,074830585	0	0,02	1	0,949453608	1,053237347	0
MYCN	0,820013192	-0,074884756	0,025	0,03	1	0,949417958	1,053276896	0,833333333
POLR1E	0,24172513	-0,074984214	0,1	0,05	1	0,949352509	1,05334951	2

Supplementary Table 4

Differentially expressed genes_keloid-CCD_ comparing SC-Keloid vs. (SC-Myel, SC-Nonmyel)								
gene	p_val	avg_log2FC	pct.1	pct.2	p_val_adj	Foldchange_UP	Foldchange_DOWN	Ratio_pct1_pct2
RABIF	0,057356257	-0,075053181	0,262	0,12	1	0,949307127	1,053399866	2,183333333
SHLD3	0,816980451	-0,075067248	0,038	0,03	1	0,94929787	1,053410137	1,266666667
FN3K	0,11122839	-0,075071113	0,05	0,01	1	0,949295328	1,053412959	5
ALG2	0,044362225	-0,075147373	0,212	0,09	1	0,949245149	1,053468644	2,355555556
SDK2	0,423434047	-0,075187152	0,013	0,03	1	0,949218976	1,053497691	0,433333333
RAC1	0,906036424	-0,075201427	0,988	0,91	1	0,949209584	1,053508115	1,085714286
MYO15B	0,84359211	-0,075244294	0,025	0,02	1	0,949181381	1,053539418	1,25
PRDM15	0,692138165	-0,075275985	0,013	0,02	1	0,949160531	1,053562561	0,65
PITPNM2	0,377102913	-0,075314335	0	0,01	1	0,9491353	1,053590568	0
CCDC112	0,017305456	-0,075353603	0,35	0,16	1	0,949109467	1,053619245	2,1875
DMTF1	0,162383012	-0,075358729	0,175	0,09	1	0,949106094	1,053622989	1,944444444
C1orf50	0,816980451	-0,075379305	0,038	0,03	1	0,949092558	1,053638016	1,266666667
WDR24	0,193718766	-0,075383236	0,075	0,03	1	0,949089972	1,053640887	2,5
ATXN7L2	0,816980451	-0,075393266	0,038	0,03	1	0,949083374	1,053648212	1,266666667
UBE2G1	0,022073169	-0,075429008	0,462	0,22	1	0,949059861	1,053674316	2,1
DIPK1B	0,692138165	-0,075439618	0,013	0,02	1	0,949052881	1,053682065	0,65
AVIL	0,78287608	-0,075478344	0,062	0,05	1	0,949027407	1,053710349	1,24
ANKRD46	0,799526327	-0,075530609	0,05	0,04	1	0,948993026	1,053748523	1,25
RECQL5	0,820013192	-0,075631943	0,025	0,03	1	0,948926372	1,05382254	0,833333333
GPANK1	0,137934467	-0,075640614	0,262	0,15	1	0,948920669	1,053828874	1,746666667
SLC25A34	0,423434047	-0,075707213	0,013	0,03	1	0,948876865	1,053877523	0,433333333
FHIP1B	0,379500814	-0,075721626	0,088	0,05	1	0,948867385	1,053888052	1,76
THAP3	0,246716509	-0,075752432	0,188	0,11	1	0,948847124	1,053910555	1,709090909
C1QTNF3	0,799526327	-0,075771402	0,05	0,04	1	0,948834648	1,053924414	1,25
MGRN1	0,124795967	-0,075771411	0,275	0,15	1	0,948834642	1,05392442	1,833333333
SLC40A1	0,799526327	-0,075809095	0,05	0,04	1	0,948809859	1,053951949	1,25
RARA	0,009272966	-0,075826825	0,562	0,25	1	0,948798198	1,053964902	2,248
KIF3C	0,548643101	-0,075886028	0,075	0,05	1	0,948759263	1,054008154	1,5
RBP7	0,501283468	-0,075977591	0,038	0,02	1	0,948699051	1,054075051	1,9
APBB2	0,021112347	-0,076022203	0,162	0,05	1	0,948669715	1,054107646	3,24

Supplementary Table 4

Differentially expressed genes_keloid-CCD_ comparing SC-Keloid vs. (SC-Myel, SC-Nonmyel)								
gene	p_val	avg_log2FC	pct.1	pct.2	p_val_adj	Foldchange_UP	Foldchange_DOWN	Ratio_pct1_pct2
AJAP1	0,816980451	-0,076095552	0,038	0,03	1	0,948621485	1,05416124	1,266666667
CIDEB	0,120814239	-0,076262875	0	0,03	1	0,94851147	1,054283508	0
CORO7	0,128634778	-0,076290632	0,15	0,07	1	0,948493221	1,054303792	2,142857143
AR	0,820013192	-0,076319081	0,025	0,03	1	0,948474518	1,054324583	0,833333333
NOCT	0,263816781	-0,076355667	0,013	0,04	1	0,948450465	1,05435132	0,325
SOGA1	0,027208698	-0,076366763	0,325	0,15	1	0,948443171	1,054359429	2,166666667
SULT1A1	0,820013192	-0,07636743	0,025	0,03	1	0,948442732	1,054359916	0,833333333
LGR4	0,02583629	-0,076497436	0,25	0,1	1	0,948357269	1,054454933	2,5
HEPH	0,249550622	-0,076540355	0,1	0,05	1	0,948329056	1,054486303	2
HINFP	0,404307785	-0,076553987	0,112	0,07	1	0,948320095	1,054496267	1,6
UXS1	0,001594516	-0,076584798	0,4	0,14	1	0,948299843	1,054518787	2,857142857
MARCHF2	0,022223541	-0,076635355	0,375	0,17	1	0,948266612	1,054555742	2,205882353
ACACB	0,774717987	-0,076640082	0,05	0,04	1	0,948263505	1,054559197	1,25
C10orf88	0,816980451	-0,076691219	0,038	0,03	1	0,948229893	1,054596577	1,266666667
RAB3A	0,501283468	-0,076843948	0,038	0,02	1	0,948129516	1,054708226	1,9
TAF8	0,026143714	-0,07693545	0,212	0,08	1	0,948069384	1,054775122	2,65
FRAS1	0,377102913	-0,076941454	0	0,01	1	0,948065438	1,054779512	0
UBIAD1	0,976971284	-0,076950017	0,075	0,07	1	0,948059811	1,054785773	1,071428571
ADGRL2	0,663300924	-0,076954106	0,038	0,05	1	0,948057124	1,054788762	0,76
SSUH2	0,249550622	-0,077095052	0,1	0,05	1	0,947964506	1,054891816	2
TMOD1	0,207484841	-0,077129847	0	0,02	1	0,947941643	1,054917259	0
FGF12	0,207484841	-0,07713742	0	0,02	1	0,947936668	1,054922796	0
UCK1	0,010397311	-0,077169499	0,312	0,12	1	0,94791559	1,054946253	2,6
IL17RA	0,047638359	-0,077207284	0,125	0,04	1	0,947890764	1,054973883	3,125
ADAP1	0,180764063	-0,077291051	0,125	0,06	1	0,947835728	1,05503514	2,083333333
IFITM1	0,756260013	-0,077358417	0,05	0,04	1	0,947791471	1,055084405	1,25
DUOXA1	0,207484841	-0,077381515	0	0,02	1	0,947776296	1,055101297	0
SAFB2	0,07898015	-0,077431282	0,4	0,21	1	0,947743602	1,055137695	1,904761905
CLEC2D	0,900822541	-0,07745773	0,038	0,04	1	0,947726229	1,055157038	0,95
MBTD1	0,091508834	-0,077500741	0,175	0,08	1	0,947697974	1,055188496	2,1875

Supplementary Table 4

Differentially expressed genes_keloid-CCD_ comparing SC-Keloid vs. (SC-Myel, SC-Nonmyel)								
gene	p_val	avg_log2FC	pct.1	pct.2	p_val_adj	Foldchange_UP	Foldchange_DOWN	Ratio_pct1_pct2
TSHZ2	0,54451599	-0,077531965	0,062	0,04	1	0,947677464	1,055211333	1,55
PLXNB1	0,966558966	-0,077551298	0,05	0,05	1	0,947664764	1,055225474	1
C9orf78	0,010026072	-0,077586172	0,613	0,29	1	0,947641857	1,055250982	2,113793103
SEPTIN1	0,107824067	-0,077630349	0,2	0,1	1	0,947612839	1,055283296	2
ZNF175	0,423434047	-0,07767549	0,013	0,03	1	0,94758319	1,055316315	0,433333333
KIAA1614	0,84359211	-0,077692313	0,025	0,02	1	0,94757214	1,055328621	1,25
HOXC-AS1	0,157415062	-0,077727172	0,062	0,02	1	0,947549245	1,055354121	3,1
VAV2	0,816980451	-0,077759487	0,038	0,03	1	0,947528021	1,05537776	1,266666667
P3H4	0,000350587	-0,077831782	0,288	0,07	1	0,94748054	1,055430648	4,114285714
BLZF1	0,120771062	-0,077862266	0,2	0,1	1	0,94746052	1,055452949	2
DENND10	0,185304814	-0,077915494	0,212	0,12	1	0,947425565	1,05549189	1,766666667
INPP4A	0,557924866	-0,078050273	0,075	0,05	1	0,947337059	1,0555905	1,5
MRFAP1	0,722263514	-0,078071041	0,912	0,62	1	0,947323422	1,055605696	1,470967742
DRG1	0,01728634	-0,078096582	0,312	0,13	1	0,94730665	1,055624385	2,4
CBLB	0,114063525	-0,078133495	0,138	0,06	1	0,947282413	1,055651394	2,3
RNF41	0,013505078	-0,078136629	0,262	0,1	1	0,947280355	1,055653687	2,62
UBTD2	0,019588999	-0,07820711	0,362	0,16	1	0,947234078	1,055705261	2,2625
ACD	0,049580658	-0,078209134	0,212	0,09	1	0,947232749	1,055706743	2,355555556
RPS27	0,387790825	-0,078216182	1	0,99	1	0,947228122	1,0557119	1,01010101
FLVCR2	0,377102913	-0,078235217	0	0,01	1	0,947215624	1,055725829	0
PLXNA3	0,044362225	-0,078249852	0,212	0,09	1	0,947206016	1,055736538	2,355555556
SOCS4	0,01213632	-0,078331912	0,288	0,11	1	0,94715214	1,055796591	2,618181818
RALGPS1	0,907630591	-0,078337695	0,038	0,04	1	0,947148343	1,055800822	0,95
PACSIN3	0,558096179	-0,078404272	0,125	0,09	1	0,947104636	1,055849546	1,388888889
LY96	0,207484841	-0,078431003	0	0,02	1	0,947087088	1,05586911	0
SLC4A3	0,820013192	-0,078436175	0,025	0,03	1	0,947083692	1,055872895	0,833333333
CRCP	0,080217199	-0,078466163	0,212	0,1	1	0,947064006	1,055894843	2,12
C12orf29	0,030726511	-0,078472334	0,188	0,07	1	0,947059956	1,055899359	2,685714286
NR1H3	0,651640212	-0,078492058	0,038	0,05	1	0,947047007	1,055913795	0,76
PALMD	0,569139823	-0,078508321	0,025	0,04	1	0,947036332	1,055925698	0,625

Supplementary Table 4

Differentially expressed genes_keloid-CCD_comparing SC-Keloid vs. (SC-Myel, SC-Nonmyel)								
gene	p_val	avg_log2FC	pct.1	pct.2	p_val_adj	Foldchange_UP	Foldchange_DOWN	Ratio_pct1_pct2
R3HCC1L	0,501283468	-0,078508996	0,038	0,02	1	0,947035889	1,055926193	1,9
SFRP4	0,84359211	-0,078520355	0,025	0,02	1	0,947028432	1,055934506	1,25
ARHGAP23	0,040792161	-0,078576861	0,262	0,12	1	0,946991341	1,055975865	2,183333333
NATD1	0,954410066	-0,078656651	0,05	0,05	1	0,946938968	1,056034268	1
CAP2	0,207484841	-0,078665081	0	0,02	1	0,946933435	1,056040439	0
PCDH1	0,001117558	-0,078724635	0,425	0,15	1	0,946894346	1,056084033	2,833333333
GTPBP8	0,00951816	-0,078752735	0,238	0,08	1	0,946875904	1,056104603	2,975
LAMP1	0,622102424	-0,078761163	0,775	0,55	1	0,946870372	1,056110773	1,409090909
SLC2A3	0,044724041	-0,078875167	0,262	0,12	1	0,946795552	1,056194232	2,183333333
MAFA	0,557924866	-0,078894781	0,075	0,05	1	0,94678268	1,056208591	1,5
NUP205	0,136751946	-0,078896336	0,1	0,04	1	0,946781659	1,05620973	2,5
KIAA1549L	0,259519439	-0,078903683	0,013	0,04	1	0,946776838	1,056215108	0,325
RETREG3	0,246922691	-0,078957546	0,1	0,05	1	0,946741491	1,056254542	2
YJEFN3	0,799526327	-0,078981952	0,05	0,04	1	0,946725474	1,056272412	1,25
MPP2	0,692138165	-0,07898406	0,013	0,02	1	0,946724091	1,056273955	0,65
ELMO1	0,263816781	-0,079001737	0,013	0,04	1	0,946712491	1,056286897	0,325
MEOX1	0,556644247	-0,079038441	0,025	0,04	1	0,946688406	1,05631377	0,625
BTN2A1	0,031124172	-0,079067815	0,262	0,11	1	0,946669131	1,056335278	2,381818182
CCDC40	0,207484841	-0,079075896	0	0,02	1	0,946663829	1,056341195	0
FOXO4	0,816980451	-0,079090616	0,038	0,03	1	0,94665417	1,056351973	1,266666667
FXR2	0,030418212	-0,079206745	0,275	0,12	1	0,946577972	1,056437007	2,291666667
IL1R1	0,793304172	-0,079258779	0,05	0,04	1	0,946543833	1,05647511	1,25
NT5C3B	0,042252884	-0,079276971	0,388	0,19	1	0,946531897	1,056488433	2,042105263
SMG7	0,024575502	-0,07929811	0,212	0,08	1	0,946518028	1,056503913	2,65
FBXL5	0,034280914	-0,079304211	0,35	0,16	1	0,946514025	1,05650838	2,1875
YWHAZ	0,832206141	-0,079355485	0,95	0,79	1	0,946480386	1,05654593	1,202531646
FUBP1	0,067532306	-0,079404265	0,4	0,21	1	0,946448385	1,056581654	1,904761905
DMWD	0,005077312	-0,079418784	0,4	0,16	1	0,94643886	1,056592287	2,5
BCKDHB	0,037504931	-0,079425408	0,238	0,1	1	0,946434514	1,056597139	2,38
GPD2	0,189997377	-0,079506882	0,138	0,07	1	0,946381067	1,05665681	1,971428571

Supplementary Table 4

Differentially expressed genes_keloid-CCD_ comparing SC-Keloid vs. (SC-Myel, SC-Nonmyel)								
gene	p_val	avg_log2FC	pct.1	pct.2	p_val_adj	Foldchange_UP	Foldchange_DOWN	Ratio_pct1_pct2
UBASH3B	0,271998551	-0,079527639	0,138	0,08	1	0,946367452	1,056672013	1,725
CPSF4	0,047638359	-0,079540677	0,125	0,04	1	0,946358899	1,056681562	3,125
VPS4A	0,005755563	-0,079615394	0,338	0,13	1	0,946309888	1,056736289	2,6
CHD4	0,134242905	-0,079651057	0,812	0,47	1	0,946286496	1,056762412	1,727659574
ZNF248	0,771757484	-0,079653177	0,062	0,05	1	0,946285106	1,056763965	1,24
TUT1	0,085199008	-0,079653522	0,075	0,02	1	0,946284879	1,056764218	3,75
EZR	0,504356998	-0,079715091	0,713	0,53	1	0,946244496	1,056809317	1,345283019
ACVR2B	0,948339409	-0,079745492	0,05	0,05	1	0,946224557	1,056831587	1
HMGA2	0,207484841	-0,079853827	0	0,02	1	0,946153506	1,05691095	0
KLF11	0,012004506	-0,079997523	0,25	0,09	1	0,946059271	1,057016225	2,777777778
ETV7	0,894021778	-0,080018368	0,038	0,04	1	0,946045602	1,057031498	0,95
METTL4	0,132758116	-0,080048314	0,15	0,07	1	0,946025965	1,05705344	2,142857143
DGKD	0,081579256	-0,080065127	0,112	0,04	1	0,94601494	1,057065758	2,8
LINC00461	0,54451599	-0,080068875	0,062	0,04	1	0,946012483	1,057068504	1,55
POMT2	0,097492774	-0,080166606	0,175	0,08	1	0,9459484	1,057140114	2,1875
ZCCHC24	0,009846058	-0,080172996	0,738	0,34	1	0,94594421	1,057144797	2,170588235
TRIM32	0,820013192	-0,080225097	0,025	0,03	1	0,94591005	1,057182975	0,833333333
PITPNC1	0,373709887	-0,080225851	0,025	0,05	1	0,945909555	1,057183528	0,5
ZNF22-AS1	0,207484841	-0,080235529	0	0,02	1	0,945903209	1,05719062	0
ITIH3	0,207484841	-0,080247869	0	0,02	1	0,945895119	1,057199662	0
MPC1	0,05481009	-0,080284611	0,675	0,35	1	0,94587103	1,057226587	1,928571429
ADSS1	0,423434047	-0,080315179	0,013	0,03	1	0,945850989	1,057248988	0,433333333
CEBPZOS	0,021644791	-0,080386639	0,325	0,14	1	0,945804139	1,057301357	2,321428571
PODXL2	0,894021778	-0,080395117	0,038	0,04	1	0,945798582	1,05730757	0,95
FAM8A1	0,139003994	-0,080437677	0,162	0,08	1	0,945770681	1,057338761	2,025
COL8A2	0,692138165	-0,080483083	0,013	0,02	1	0,945740915	1,05737204	0,65
LIN7C	0,046964166	-0,080511111	0,325	0,16	1	0,945722542	1,057392582	2,03125
HDAC11	0,747189097	-0,080514801	0,088	0,07	1	0,945720122	1,057395287	1,257142857
AAK1	0,092652465	-0,080515903	0,462	0,26	1	0,9457194	1,057396095	1,776923077
ZNF426	0,260119902	-0,080674569	0,112	0,06	1	0,945615396	1,057512392	1,866666667

Supplementary Table 4

Differentially expressed genes_keloid-CCD_ comparing SC-Keloid vs. (SC-Myel, SC-Nonmyel)								
gene	p_val	avg_log2FC	pct.1	pct.2	p_val_adj	Foldchange_UP	Foldchange_DOWN	Ratio_pct1_pct2
CHD8	0,066867459	-0,080804729	0,288	0,14	1	0,945530087	1,057607805	2,057142857
LINC00518	0,120814239	-0,080873192	0	0,03	1	0,945485218	1,057657995	0
STX12	0,014619154	-0,080914646	0,613	0,27	1	0,945458051	1,057688386	2,27037037
LINS1	0,249550622	-0,080955198	0,1	0,05	1	0,945431476	1,057718117	2
RNPC3	0,966741317	-0,081001104	0,075	0,07	1	0,945401393	1,057751773	1,071428571
FKBP5	0,432747448	-0,081014815	0,162	0,11	1	0,945392409	1,057761825	1,472727273
RNF157	0,249550622	-0,08106336	0,1	0,05	1	0,945360598	1,057797419	2
IMMP2L	0,735955373	-0,081067397	0,05	0,06	1	0,945357952	1,057800379	0,833333333
RBMX2	0,004917084	-0,081084481	0,362	0,14	1	0,945346757	1,057812905	2,585714286
MIPEP	0,552939414	-0,0811395	0,088	0,06	1	0,945310706	1,057853247	1,466666667
LRRC7	0,402043166	-0,081152518	0,025	0,05	1	0,945302177	1,057862792	0,5
DZIP1	0,015547261	-0,081173946	0,188	0,06	1	0,945288136	1,057878505	3,133333333
DZIP1L	0,539438221	-0,081313627	0,075	0,05	1	0,945196618	1,057980933	1,5
ZNF548	0,960483369	-0,081557407	0,05	0,05	1	0,945036917	1,058159721	1
SERP1	0,168561094	-0,081698048	0,787	0,47	1	0,944944794	1,05826288	1,674468085
USP15	0,010295327	-0,081720074	0,412	0,18	1	0,944930368	1,058279037	2,288888889
LONP1	0,024271833	-0,081802495	0,212	0,08	1	0,944876386	1,058339498	2,65
FGF14-AS2	0,777311081	-0,081807828	0,062	0,05	1	0,944872893	1,058343411	1,24
TMEM218	0,005686216	-0,081827091	0,338	0,13	1	0,944860277	1,058357542	2,6
ZNF799	0,423434047	-0,081927005	0,013	0,03	1	0,944794843	1,058430841	0,433333333
ABI3BP	0,081579256	-0,082048422	0,112	0,04	1	0,944715332	1,058519922	2,8
SLC16A4	0,043226804	-0,082049351	0,162	0,06	1	0,944714724	1,058520604	2,7
GDF10	0,527578779	-0,082081686	0,05	0,03	1	0,944693551	1,058544328	1,666666667
UTP25	0,136751946	-0,082110929	0,1	0,04	1	0,944674402	1,058565785	2,5
GUCY1A2	0,820013192	-0,082120734	0,025	0,03	1	0,944667982	1,058572979	0,833333333
MTCL1	0,423434047	-0,082230475	0,013	0,03	1	0,944596127	1,058653504	0,433333333
CAPN2	0,030522753	-0,082258005	0,613	0,31	1	0,944578102	1,058673706	1,977419355
DISP1	0,816980451	-0,082381124	0,038	0,03	1	0,944497495	1,058764057	1,266666667
ZNHIT2	0,379500814	-0,082388148	0,088	0,05	1	0,944492897	1,058769212	1,76
ZC3H7A	0,008350455	-0,082392799	0,475	0,21	1	0,944489852	1,058772625	2,261904762

Supplementary Table 4

Differentially expressed genes_keloid-CCD_ comparing SC-Keloid vs. (SC-Myel, SC-Nonmyel)								
gene	p_val	avg_log2FC	pct.1	pct.2	p_val_adj	Foldchange_UP	Foldchange_DOWN	Ratio_pct1_pct2
TMEM164	0,54451599	-0,082408039	0,062	0,04	1	0,944479875	1,05878381	1,55
IRF4	0,692138165	-0,082423729	0,013	0,02	1	0,944469603	1,058795324	0,65
AHDC1	0,054716305	-0,08242753	0,425	0,22	1	0,944467115	1,058798114	1,931818182
ZNF764	0,527578779	-0,08247137	0,05	0,03	1	0,944438416	1,058830288	1,666666667
AMN1	0,212080942	-0,08251717	0,15	0,08	1	0,944408434	1,058863903	1,875
GBA2	0,099225142	-0,082548602	0,125	0,05	1	0,944387858	1,058886972	2,5
GALNT1	0,001594151	-0,08260801	0,362	0,12	1	0,944348971	1,058930577	3,016666667
C1orf216	0,087349671	-0,082676082	0,162	0,07	1	0,944304413	1,058980543	2,314285714
SUGP1	0,566262724	-0,082724754	0,1	0,07	1	0,944272556	1,05901627	1,428571429
DUSP12	0,028816691	-0,082990575	0,362	0,17	1	0,944098587	1,059211415	2,129411765
LEMD3	0,197507075	-0,083007477	0,225	0,13	1	0,944087526	1,059223824	1,730769231
PRMT2	0,042425675	-0,08302091	0,787	0,43	1	0,944078736	1,059233687	1,830232558
TOP1MT	0,173281996	-0,083038362	0,125	0,06	1	0,944067316	1,0592465	2,083333333
RBMS3-AS3	0,423434047	-0,083087577	0,013	0,03	1	0,944035111	1,059282635	0,433333333
ARRDC2	0,25008975	-0,083089698	0,112	0,06	1	0,944033723	1,059284192	1,866666667
DAZAP1	0,010606039	-0,08310297	0,462	0,2	1	0,944025039	1,059293937	2,31
SMARCC1	0,044522006	-0,083132627	0,388	0,19	1	0,944005633	1,059315713	2,042105263
FAM227B	0,423434047	-0,083149735	0,013	0,03	1	0,943994438	1,059328275	0,433333333
NUDT17	0,820013192	-0,083153722	0,025	0,03	1	0,943991829	1,059331203	0,833333333
XRRA1	0,402154152	-0,083180247	0,125	0,08	1	0,943974474	1,059350679	1,5625
MARCHF8	0,663300924	-0,083200723	0,038	0,05	1	0,943961076	1,059365714	0,76
ADAMTS10	0,820013192	-0,083343736	0,025	0,03	1	0,943867507	1,059470734	0,833333333
SREBF2	0,098519846	-0,083348303	0,175	0,08	1	0,943864519	1,059474087	2,1875
CLCN5	0,377043193	-0,083363645	0,1	0,06	1	0,943854482	1,059485355	1,666666667
CMPK2	0,692138165	-0,083459124	0,013	0,02	1	0,943792018	1,059555475	0,65
RABL2B	0,221005633	-0,083466013	0,088	0,04	1	0,943787512	1,059560534	2,2
DNAJA2	0,109661353	-0,08360794	0,55	0,31	1	0,94369467	1,059664775	1,774193548
LINC00115	0,816980451	-0,083625119	0,038	0,03	1	0,943683433	1,059677393	1,266666667
SBF2	0,142905766	-0,083671674	0,212	0,11	1	0,943652981	1,059711589	1,927272727
MTREX	0,334386894	-0,083703369	0,162	0,1	1	0,94363225	1,05973487	1,62

Supplementary Table 4

Differentially expressed genes_keloid-CCD_ comparing SC-Keloid vs. (SC-Myel, SC-Nonmyel)								
gene	p_val	avg_log2FC	pct.1	pct.2	p_val_adj	Foldchange_UP	Foldchange_DOWN	Ratio_pct1_pct2
TMEM205	0,032316754	-0,083708471	0,6	0,3	1	0,943628913	1,059738618	2
RSAD1	0,173130631	-0,083742422	0,188	0,1	1	0,943606707	1,059763557	1,88
PTGER3	0,886527564	-0,083792105	0,013	0,01	1	0,943574212	1,059800053	1,3
GK	0,246922691	-0,083831131	0,1	0,05	1	0,943548688	1,059828722	2
IFIH1	0,894021778	-0,083915507	0,038	0,04	1	0,943493506	1,059890708	0,95
AC144831.1	0,692138165	-0,083942027	0,013	0,02	1	0,943476163	1,059910191	0,65
ITGA10	0,816980451	-0,084024647	0,038	0,03	1	0,943422133	1,059970892	1,266666667
CEP120	0,027302098	-0,084034959	0,138	0,04	1	0,94341539	1,059978468	3,45
SPRYD3	0,045508871	-0,084095396	0,162	0,06	1	0,943375869	1,060022874	2,7
NXT2	0,180764063	-0,084116709	0,125	0,06	1	0,943361933	1,060038534	2,083333333
NAV3	0,437187509	-0,084168293	0,125	0,08	1	0,943328203	1,060076436	1,5625
C4orf33	0,425605922	-0,084190526	0,138	0,09	1	0,943313666	1,060092773	1,533333333
MPP1	0,799526327	-0,084232119	0,05	0,04	1	0,943286471	1,060123336	1,25
IRF2BPL	0,031577249	-0,0843354	0,325	0,15	1	0,943218944	1,060199232	2,166666667
GPCPD1	0,108155171	-0,084389402	0,212	0,11	1	0,943183639	1,060238917	1,927272727
HUS1	0,002612979	-0,084414208	0,25	0,07	1	0,943167422	1,060257147	3,571428571
ZNF30	0,423434047	-0,084566022	0,013	0,03	1	0,943068178	1,060368723	0,433333333
SIX1	0,072136391	-0,084667003	0	0,04	1	0,943002171	1,060442946	0
CNPY4	0,028547421	-0,084676403	0,225	0,09	1	0,942996026	1,060449856	2,5
CFAP91	0,820013192	-0,084757807	0,025	0,03	1	0,94294282	1,060509693	0,833333333
PSRC1	0,015387523	-0,084839217	0,15	0,04	1	0,942889612	1,060569538	3,75
ZNF621	0,319690695	-0,084882158	0,162	0,1	1	0,942861548	1,060601106	1,62
KLRG1	0,423434047	-0,084888136	0,013	0,03	1	0,94285764	1,060605501	0,433333333
BABAM2	0,03680357	-0,084953746	0,2	0,08	1	0,942814763	1,060653735	2,5
WDR17	0,692138165	-0,084954615	0,013	0,02	1	0,942814195	1,060654374	0,65
S1PR2	0,014008811	-0,084966404	0,262	0,1	1	0,94280649	1,060663042	2,62
ARHGEF10L	0,08867837	-0,084991862	0,225	0,11	1	0,942789854	1,060681758	2,045454545
AZIN2	0,069310146	-0,085004279	0,25	0,12	1	0,942781739	1,060690888	2,083333333
SOX15	0,369110746	-0,085045866	0,025	0,05	1	0,942754564	1,060721463	0,5
UPF1	0,006678664	-0,085098194	0,225	0,07	1	0,942720369	1,060759938	3,214285714

Supplementary Table 4

Differentially expressed genes_keloid-CCD_ comparing SC-Keloid vs. (SC-Myel, SC-Nonmyel)								
gene	p_val	avg_log2FC	pct.1	pct.2	p_val_adj	Foldchange_UP	Foldchange_DOWN	Ratio_pct1_pct2
CNOT11	0,54451599	-0,085131648	0,062	0,04	1	0,94269851	1,060784535	1,55
SMAD9	0,377102913	-0,085164589	0	0,01	1	0,942676985	1,060808756	0
RRAGB	0,568521789	-0,085325943	0,112	0,08	1	0,94257156	1,060927406	1,4
LRBA	0,711142928	-0,085423545	0,1	0,08	1	0,942507795	1,060999183	1,25
NLRX1	0,820013192	-0,08543017	0,025	0,03	1	0,942503466	1,061004055	0,833333333
C9orf64	0,086377611	-0,085441368	0,162	0,07	1	0,942496151	1,061012291	2,314285714
KIAA1671	0,787095147	-0,08547181	0,05	0,04	1	0,942476264	1,061034679	1,25
KDM3B	0,008686338	-0,08567357	0,275	0,1	1	0,942344468	1,061183074	2,75
PAN3	0,091921423	-0,085694308	0,438	0,24	1	0,942330923	1,061198328	1,825
OCLN	0,259519439	-0,085694547	0,013	0,04	1	0,942330767	1,061198504	0,325
ST3GAL5	0,104675576	-0,085708971	0,188	0,09	1	0,942321346	1,061209114	2,088888889
MAP1LC3B2	0,207484841	-0,085722569	0	0,02	1	0,942312464	1,061219116	0
ZNF622	0,127235361	-0,085787559	0,3	0,16	1	0,942270015	1,061266923	1,875
TTC30B	0,820013192	-0,085799829	0,025	0,03	1	0,942262002	1,061275949	0,833333333
PLAU	0,390582533	-0,085801646	0,1	0,06	1	0,942260815	1,061277286	1,666666667
RPUSD2	0,78287608	-0,085817191	0,062	0,05	1	0,942250663	1,06128872	1,24
ANKS1A	0,368764775	-0,085845166	0,088	0,05	1	0,942232391	1,0613093	1,76
KANTR	0,387170302	-0,085871622	0,1	0,06	1	0,942215113	1,061328763	1,666666667
ZNF582	0,207484841	-0,085926363	0	0,02	1	0,942179363	1,061369034	0
PCGF2	0,064176808	-0,086013037	0,25	0,12	1	0,94212276	1,061432801	2,083333333
NDUFS1	0,012455492	-0,0860226	0,4	0,17	1	0,942116516	1,061439836	2,352941176
KLHL3	0,548643101	-0,086048866	0,05	0,07	1	0,942099363	1,061459162	0,714285714
SMCR8	0,249550622	-0,086061449	0,1	0,05	1	0,942091146	1,061468419	2
PGAP3	0,379500814	-0,086109774	0,088	0,05	1	0,942059591	1,061503975	1,76
CYP27C1	0,379500814	-0,086155951	0,088	0,05	1	0,942029438	1,061537952	1,76
SH3GLB2	0,104068581	-0,086195374	0,55	0,31	1	0,942003696	1,06156696	1,774193548
SGSH	0,557924866	-0,086289785	0,075	0,05	1	0,941942053	1,061636432	1,5
CD8A	0,207484841	-0,08631304	0	0,02	1	0,94192687	1,061653544	0
RASA3	0,003404663	-0,086335299	0,412	0,16	1	0,941912337	1,061669924	2,575
PRPS1	0,030227918	-0,086411096	0,312	0,14	1	0,941862852	1,061725705	2,228571429

Supplementary Table 4

Differentially expressed genes_keloid-CCD_ comparing SC-Keloid vs. (SC-Myel, SC-Nonmyel)								
gene	p_val	avg_log2FC	pct.1	pct.2	p_val_adj	Foldchange_UP	Foldchange_DOWN	Ratio_pct1_pct2
SNX21	0,052137428	-0,086626806	0,225	0,1	1	0,941722036	1,061884464	2,25
PEX3	0,063616753	-0,086627544	0,1	0,03	1	0,941721554	1,061885008	3,333333333
KIAA0100	0,279748933	-0,086630889	0,125	0,07	1	0,941719371	1,061887469	1,785714286
DNAJB5	0,270425091	-0,086725528	0,112	0,06	1	0,941657597	1,061957131	1,866666667
ZNF433	0,787095147	-0,086758374	0,05	0,04	1	0,941636159	1,061981309	1,25
CCDC30	0,35516371	-0,086808031	0,075	0,04	1	0,941603749	1,062017862	1,875
TMEM11	0,052844959	-0,086920782	0,362	0,18	1	0,941530162	1,062100865	2,011111111
LSM14B	0,292563852	-0,0869512	0,125	0,07	1	0,941510311	1,062123259	1,785714286
WLS	0,102314916	-0,08695539	0,525	0,3	1	0,941507576	1,062126344	1,75
STX5	0,019328294	-0,087009727	0,4	0,18	1	0,941472117	1,062166348	2,222222222
CHST7	0,578520911	-0,087076256	0,1	0,07	1	0,941428702	1,06221533	1,428571429
CAPN10	0,249550622	-0,087083932	0,1	0,05	1	0,941423693	1,062220982	2
ZNF74	0,966558966	-0,087172828	0,05	0,05	1	0,941365687	1,062286435	1
ZNF521	0,383013985	-0,087239161	0,025	0,05	1	0,941322405	1,062335279	0,5
MICAL3	0,017705938	-0,087265661	0,325	0,14	1	0,941305115	1,062354793	2,321428571
YTHDF1	0,215224371	-0,087348205	0,238	0,14	1	0,941251259	1,062415578	1,7
ADAR	0,160693949	-0,08736818	0,462	0,27	1	0,941238227	1,062430287	1,711111111
DPP8	0,011553207	-0,087407828	0,25	0,09	1	0,94121236	1,062459485	2,777777778
FAM110B	0,072136391	-0,087537436	0	0,04	1	0,941127808	1,062554938	0
PGBD5	0,84359211	-0,087580476	0,025	0,02	1	0,941099732	1,062586638	1,25
PSMD6	0,032808465	-0,087585849	0,55	0,28	1	0,941096227	1,062590595	1,964285714
DMC1	0,692138165	-0,087592924	0,013	0,02	1	0,941091612	1,062595806	0,65
NSMCE3	0,014416454	-0,087622973	0,325	0,13	1	0,94107201	1,062617939	2,5
ZBTB17	0,30635456	-0,087623817	0,138	0,08	1	0,94107146	1,06261856	1,725
AZU1	0,207484841	-0,08768222	0	0,02	1	0,941033364	1,062661578	0
FAM241B	0,207484841	-0,087683978	0	0,02	1	0,941032218	1,062662873	0
ESS2	0,23407396	-0,087741321	0,1	0,05	1	0,940994815	1,062705112	2
CDC5L	0,024872471	-0,087753216	0,6	0,29	1	0,940987056	1,062713874	2,068965517
SLC39A14	0,054804787	-0,087884707	0,238	0,11	1	0,940901296	1,062810737	2,163636364
TNFRSF1B	0,692138165	-0,087958592	0,013	0,02	1	0,940853111	1,062865168	0,65

Supplementary Table 4

Differentially expressed genes_keloid-CCD_ comparing SC-Keloid vs. (SC-Myel, SC-Nonmyel)								
gene	p_val	avg_log2FC	pct.1	pct.2	p_val_adj	Foldchange_UP	Foldchange_DOWN	Ratio_pct1_pct2
SECISBP2	0,004571519	-0,088006772	0,388	0,15	1	0,940821691	1,062900664	2,586666667
EGFL8	0,115368355	-0,088062162	0,138	0,06	1	0,940785571	1,062941473	2,3
C12orf4	0,54403098	-0,088085871	0,075	0,05	1	0,94077011	1,062958941	1,5
BMI1	0,065456956	-0,088121247	0,262	0,13	1	0,940747042	1,062985006	2,015384615
LNX2	0,556644247	-0,088265998	0,025	0,04	1	0,940652658	1,063091665	0,625
HLA-DPA1	0,715492362	-0,088304907	0,1	0,08	1	0,940627289	1,063120337	1,25
YWHAG	0,306518853	-0,088384039	0,688	0,43	1	0,940575697	1,06317865	1,6
GTF2IRD1	0,56588856	-0,088396601	0,088	0,06	1	0,940567507	1,063187908	1,466666667
AUH	0,379500814	-0,088473547	0,088	0,05	1	0,940517343	1,063244614	1,76
HNRNPUL2	0,056538268	-0,088607514	0,312	0,15	1	0,940430012	1,06334335	2,08
WDR45B	0,013422487	-0,088629577	0,562	0,26	1	0,94041563	1,063359612	2,161538462
C1orf174	0,043788058	-0,088670805	0,162	0,06	1	0,940388757	1,06339	2,7
PRPF40A	0,380039256	-0,088784251	0,812	0,51	1	0,940314812	1,063473623	1,592156863
RPAP3	0,002162859	-0,088841518	0,275	0,08	1	0,940277487	1,063515838	3,4375
TBX3	0,230447453	-0,088895583	0,162	0,09	1	0,940242251	1,063555694	1,8
NCBP3	0,182018225	-0,088931503	0,362	0,21	1	0,940218842	1,063582175	1,723809524
TTC32	0,061257259	-0,089028181	0,238	0,11	1	0,940155837	1,06365345	2,163636364
GCLM	0,075380872	-0,089047752	0,162	0,07	1	0,940143084	1,063667879	2,314285714
NIT1	0,287391344	-0,089058658	0,125	0,07	1	0,940135977	1,06367592	1,785714286
CUEDC1	0,000203617	-0,089063213	0,438	0,14	1	0,940133009	1,063679278	3,128571429
CCDC6	0,171345481	-0,089081287	0,25	0,14	1	0,940121231	1,063692603	1,785714286
EAF1	0,187128905	-0,089114738	0,188	0,1	1	0,940099433	1,063717267	1,88
GATB	0,262670353	-0,089124721	0,112	0,06	1	0,940092928	1,063724628	1,866666667
IQSEC1	0,007938912	-0,089125962	0,35	0,14	1	0,940092119	1,063725543	2,5
A2M-AS1	0,207484841	-0,089136999	0	0,02	1	0,940084928	1,06373368	0
BRD3	0,008952362	-0,089242423	0,45	0,19	1	0,940016234	1,063811415	2,368421053
VRK3	0,080462265	-0,089313087	0,112	0,04	1	0,939970192	1,063863523	2,8
SNX30	0,54451599	-0,08948672	0,062	0,04	1	0,93985707	1,06399157	1,55
SMARCA5	0,033880042	-0,089525437	0,725	0,38	1	0,939831849	1,064020124	1,907894737
C1orf167	0,84359211	-0,08952868	0,025	0,02	1	0,939829736	1,064022516	1,25

Supplementary Table 4

Differentially expressed genes_keloid-CCD_comparing SC-Keloid vs. (SC-Myel, SC-Nonmyel)								
gene	p_val	avg_log2FC	pct.1	pct.2	p_val_adj	Foldchange_UP	Foldchange_DOWN	Ratio_pct1_pct2
SS18L2	0,002695532	-0,089617636	0,388	0,14	1	0,939771788	1,064088125	2,771428571
ZFP1	0,027302098	-0,089623878	0,138	0,04	1	0,939767722	1,064092729	3,45
MIIP	0,035608435	-0,089642247	0,275	0,12	1	0,939755757	1,064106278	2,291666667
NPM1	0,987365086	-0,089655962	0,988	0,88	1	0,939746823	1,064116394	1,122727273
BOLA1	0,043376169	-0,089694177	0,212	0,09	1	0,93972193	1,064144581	2,355555556
ZNF117	0,553274445	-0,089707184	0,075	0,05	1	0,939713458	1,064154175	1,5
SLC43A2	0,552939414	-0,089716982	0,088	0,06	1	0,939707076	1,064161402	1,466666667
PLXNB3	0,120814239	-0,089810899	0	0,03	1	0,939645905	1,06423068	0
CEP126	0,595756728	-0,089834626	0,112	0,08	1	0,939630452	1,064248182	1,4
NPIP15	0,556644247	-0,089996564	0,025	0,04	1	0,939524987	1,064367647	0,625
DYNC2H1	0,096474278	-0,090009337	0,175	0,08	1	0,939516669	1,064377071	2,1875
CCDC184	0,556644247	-0,090042619	0,025	0,04	1	0,939494995	1,064401626	0,625
FBXL12	0,199100998	-0,090102085	0,212	0,12	1	0,939456271	1,06444455	1,766666667
VPS26A	0,012023036	-0,090239465	0,525	0,24	1	0,939366816	1,064546866	2,1875
CAPN10-DT	0,54451599	-0,090387645	0,062	0,04	1	0,939270338	1,064656212	1,55
TPBG	0,894021778	-0,090419386	0,038	0,04	1	0,939249674	1,064679635	0,95
LNP1	0,423434047	-0,090473844	0,013	0,03	1	0,939214219	1,064719826	0,433333333
ENDOD1	0,071389578	-0,090499377	0,637	0,35	1	0,939197598	1,064738669	1,82
DGKG	0,556644247	-0,090511993	0,025	0,04	1	0,939189384	1,06474798	0,625
ENDOG	0,006426337	-0,09056896	0,438	0,18	1	0,9391523	1,064790024	2,433333333
ZNF620	0,423434047	-0,090571842	0,013	0,03	1	0,939150424	1,064792151	0,433333333
GPHN	0,193718766	-0,090575497	0,075	0,03	1	0,939148044	1,064794849	2,5
SLC25A16	0,201458433	-0,090625577	0,138	0,07	1	0,939115445	1,064831811	1,971428571
LY6G6C	0,84359211	-0,090685437	0,025	0,02	1	0,93907648	1,064875994	1,25
RSAD2	0,207484841	-0,090691974	0	0,02	1	0,939072225	1,064880819	0
MATN4	0,207484841	-0,090701619	0	0,02	1	0,939065947	1,064887938	0
GTPBP1	0,051807603	-0,090710414	0,212	0,09	1	0,939060222	1,06489443	2,355555556
METTL2B	0,241246991	-0,090823797	0,175	0,1	1	0,938986423	1,064978125	1,75
SNAPIN	1,20094E-06	-0,090877731	0,4	0,07	0,025341068	0,938951321	1,065017939	5,714285714
DUSP22	0,295173407	-0,090881767	0,125	0,07	1	0,938948694	1,065020918	1,785714286

Supplementary Table 4

Differentially expressed genes_keloid-CCD_ comparing SC-Keloid vs. (SC-Myel, SC-Nonmyel)								
gene	p_val	avg_log2FC	pct.1	pct.2	p_val_adj	Foldchange_UP	Foldchange_DOWN	Ratio_pct1_pct2
ATP7A	0,414238845	-0,090988205	0,112	0,07	1	0,938879423	1,065099496	1,6
CTSV	0,501283468	-0,091124813	0,038	0,02	1	0,938790525	1,065200354	1,9
FAM27C	0,816980451	-0,091176288	0,038	0,03	1	0,93875703	1,065238361	1,266666667
FAM168B	0,35790565	-0,091332155	0,225	0,15	1	0,938655613	1,065353454	1,5
RRAS2	0,013285257	-0,091359123	0,25	0,09	1	0,938638068	1,065373368	2,777777778
FRYL	0,092309077	-0,091445851	0,3	0,16	1	0,938581643	1,065437416	1,875
POU6F1	0,207484841	-0,091533961	0	0,02	1	0,938524322	1,065502488	0
SVIP	0,011433879	-0,091551279	0,438	0,2	1	0,938513056	1,065515278	2,19
ANKIB1	0,007514457	-0,091583852	0,3	0,11	1	0,938491867	1,065539335	2,727272727
PTGFRN	0,347667268	-0,091621311	0,075	0,04	1	0,9384675	1,065567001	1,875
AKAP10	0,578520911	-0,09167819	0,1	0,07	1	0,938430501	1,065609013	1,428571429
EGLN1	0,020398022	-0,091701478	0,288	0,12	1	0,938415353	1,065626214	2,4
ERCC6	0,900822541	-0,091731043	0,038	0,04	1	0,938396122	1,065648053	0,95
ADGRL1	0,900822541	-0,091803388	0,038	0,04	1	0,938349067	1,065701491	0,95
RALGAPB	0,303809155	-0,091828019	0,138	0,08	1	0,938333047	1,065719686	1,725
FZD4	0,240774098	-0,091845122	0,025	0,06	1	0,938321923	1,06573232	0,416666667
HAT1	0,004178647	-0,091944507	0,525	0,22	1	0,938257285	1,06580574	2,386363636
LYPD3	0,556644247	-0,091949534	0,025	0,04	1	0,938254016	1,065809453	0,625
EED	0,04995926	-0,091961205	0,262	0,12	1	0,938246426	1,065818075	2,183333333
IL17D	0,799526327	-0,091978907	0,05	0,04	1	0,938234914	1,065831153	1,25
NFKBIE	0,103922346	-0,092010462	0,338	0,18	1	0,938214393	1,065854465	1,877777778
UGDH	0,100465772	-0,092137085	0,4	0,22	1	0,938132051	1,065948018	1,818181818
TRAF4	0,242895857	-0,092204865	0,188	0,11	1	0,938087977	1,065998099	1,709090909
TMEM81	0,259519439	-0,092289553	0,013	0,04	1	0,938032912	1,066060676	0,325
CKS2	0,338324351	-0,092325587	0,475	0,34	1	0,938009483	1,066087303	1,397058824
LRRTM3	0,207484841	-0,092437069	0	0,02	1	0,937937003	1,066169686	0
PUM3	0,005281946	-0,092451987	0,362	0,14	1	0,937927304	1,066180711	2,585714286
RPL7L1	0,032258041	-0,092466564	0,5	0,25	1	0,937917827	1,066191484	2
LPIN3	0,907630591	-0,092488676	0,038	0,04	1	0,937903452	1,066207826	0,95
MRPL50	0,023335894	-0,092526519	0,375	0,17	1	0,93787885	1,066235793	2,205882353

Supplementary Table 4

Differentially expressed genes_keloid-CCD_ comparing SC-Keloid vs. (SC-Myel, SC-Nonmyel)								
gene	p_val	avg_log2FC	pct.1	pct.2	p_val_adj	Foldchange_UP	Foldchange_DOWN	Ratio_pct1_pct2
FAM3A	0,018058465	-0,092554982	0,362	0,16	1	0,937860347	1,066256829	2,2625
SEPHS1	0,001891091	-0,092618288	0,275	0,08	1	0,937819194	1,066303618	3,4375
ZKSCAN1	0,027291937	-0,092618914	0,262	0,11	1	0,937818787	1,066304081	2,381818182
ANKRD13B	0,976971284	-0,092648306	0,075	0,07	1	0,937799681	1,066325805	1,071428571
PABIR2	0,155050367	-0,092656471	0,175	0,09	1	0,937794374	1,06633184	1,944444444
ARMH3	0,40839555	-0,092662319	0,125	0,08	1	0,937790572	1,066336162	1,5625
SAMD5	0,21401991	-0,092685047	0,15	0,08	1	0,937775799	1,066352961	1,875
TMEM127	0,073627148	-0,09271619	0,15	0,06	1	0,937755556	1,06637598	2,5
ZNF143	0,770781378	-0,092794527	0,088	0,07	1	0,937704637	1,066433886	1,257142857
FAN1	0,954410066	-0,092890883	0,05	0,05	1	0,937642012	1,066505114	1
CNTN2	0,207484841	-0,092893679	0	0,02	1	0,937640195	1,06650718	0
GLIPR1L2	0,692138165	-0,092928291	0,013	0,02	1	0,9376177	1,066532768	0,65
INAFM1	0,062495522	-0,092968402	0,238	0,11	1	0,937591631	1,066562421	2,163636364
CLK3	0,241246991	-0,092989601	0,175	0,1	1	0,937577854	1,066578093	1,75
YJU2B	0,031153457	-0,093001511	0,312	0,14	1	0,937570115	1,066586898	2,228571429
CYP4V2	0,037691762	-0,093089429	0,2	0,08	1	0,937512981	1,066651898	2,5
GLG1	0,118360673	-0,093147732	0,775	0,43	1	0,937475094	1,066695005	1,802325581
RNF208	0,282280906	-0,09322978	0,125	0,07	1	0,93742178	1,066755671	1,785714286
MAK	0,207484841	-0,093269572	0	0,02	1	0,937395925	1,066785094	0
ZBTB40	0,98616928	-0,093369818	0,062	0,06	1	0,937330792	1,066859223	1,033333333
CCNJL	0,351402824	-0,093448045	0,075	0,04	1	0,937279969	1,066917072	1,875
PLCD3	0,042671641	-0,093461668	0,162	0,06	1	0,937271118	1,066927147	2,7
HUS1B	0,207484841	-0,093471715	0	0,02	1	0,937264591	1,066934577	0
TCF4	0,2444484	-0,093507588	0,85	0,54	1	0,937241286	1,066961107	1,574074074
RNF38	0,016388293	-0,093524178	0,262	0,1	1	0,937230509	1,066973376	2,62
RLIM	0,232420437	-0,093577279	0,162	0,09	1	0,937196012	1,067012649	1,8
ZNF431	0,073627148	-0,093588916	0,15	0,06	1	0,937188453	1,067021256	2,5
PCDHB2	0,692138165	-0,093664351	0,013	0,02	1	0,937139451	1,06707705	0,65
ZNF189	0,657460147	-0,093669559	0,038	0,05	1	0,937136068	1,067080901	0,76
UGT8	0,325316267	-0,093720029	0,062	0,03	1	0,937103284	1,067118232	2,066666667

Supplementary Table 4

Differentially expressed genes_keloid-CCD_ comparing SC-Keloid vs. (SC-Myel, SC-Nonmyel)								
gene	p_val	avg_log2FC	pct.1	pct.2	p_val_adj	Foldchange_UP	Foldchange_DOWN	Ratio_pct1_pct2
FBH1	0,458522483	-0,093861127	0,15	0,1	1	0,937011638	1,067222603	1,5
IARS1	0,068088326	-0,093915512	0,312	0,16	1	0,936976317	1,067262834	1,95
NLK	1	-0,094033698	0,062	0,06	1	0,936899563	1,067350269	1,033333333
CDK5RAP1	0,221903616	-0,09403601	0,15	0,08	1	0,936898062	1,067351979	1,875
LTA4H	0,54451599	-0,094040323	0,062	0,04	1	0,936895261	1,06735517	1,55
GM2A	0,006902615	-0,094047603	0,188	0,05	1	0,936890533	1,067360556	3,76
GNAI2	0,827711092	-0,094085533	0,95	0,79	1	0,936865901	1,067388618	1,202531646
RETSAT	0,982087794	-0,094157252	0,075	0,07	1	0,936819329	1,067441681	1,071428571
GRK4	0,228486406	-0,094159816	0,162	0,09	1	0,936817664	1,067443579	1,8
POLR2A	0,022913478	-0,094188781	0,525	0,26	1	0,936798856	1,06746501	2,019230769
NCMAP	0,377102913	-0,094204152	0	0,01	1	0,936788875	1,067476383	0
C8orf58	0,223632981	-0,094313436	0,088	0,04	1	0,936717916	1,067557247	2,2
TCF25	0,284798701	-0,094406428	0,9	0,54	1	0,93665754	1,067626061	1,666666667
GPRC5A	0,521976935	-0,094416604	0,05	0,03	1	0,936650933	1,067633592	1,666666667
SAMD12	0,940155952	-0,09445488	0,088	0,08	1	0,936626083	1,067661918	1,1
BOLA3-AS1	0,820013192	-0,094466464	0,025	0,03	1	0,936618563	1,06767049	0,833333333
HERC5	0,120814239	-0,094466825	0	0,03	1	0,936618328	1,067670757	0
ZNF92	0,296257455	-0,094486642	0,138	0,08	1	0,936605463	1,067685423	1,725
SMNDC1	0,017758691	-0,094564088	0,412	0,19	1	0,936555186	1,067742739	2,168421053
ZNF10	0,966558966	-0,094687795	0,05	0,05	1	0,936474883	1,067834299	1
TMEM150A	0,244314206	-0,094716171	0,1	0,05	1	0,936456463	1,067855303	2
RPP21	0,155050367	-0,094754283	0,175	0,09	1	0,936431725	1,067883513	1,944444444
LSM14A	0,054873903	-0,09476729	0,525	0,27	1	0,936423282	1,067893141	1,944444444
RHPN1	0,566262724	-0,094860593	0,1	0,07	1	0,936362723	1,067962206	1,428571429
SIAH2	0,031124172	-0,094886799	0,262	0,11	1	0,936345715	1,067981606	2,381818182
KANK1	0,767025058	-0,094941751	0,075	0,06	1	0,936310051	1,068022285	1,25
ZNF184	0,991701302	-0,095120226	0,062	0,06	1	0,936194227	1,068154418	1,033333333
ZNF84	0,284828372	-0,095243622	0,125	0,07	1	0,936114156	1,068245783	1,785714286
TOM1	0,557924866	-0,095299378	0,075	0,05	1	0,936077979	1,068287068	1,5
BORCS6	0,330339657	-0,095500726	0,15	0,09	1	0,935947346	1,068436173	1,666666667

Supplementary Table 4

Differentially expressed genes_keloid-CCD_ comparing SC-Keloid vs. (SC-Myel, SC-Nonmyel)								
gene	p_val	avg_log2FC	pct.1	pct.2	p_val_adj	Foldchange_UP	Foldchange_DOWN	Ratio_pct1_pct2
VPS53	0,157546415	-0,095585512	0,112	0,05	1	0,935892342	1,068498966	2,24
C21orf91	0,223632981	-0,095611564	0,088	0,04	1	0,935875442	1,068518261	2,2
TAF6L	0,894021778	-0,095661725	0,038	0,04	1	0,935842903	1,068555413	0,95
ARNT	0,073627148	-0,095685124	0,15	0,06	1	0,935827725	1,068572744	2,5
PLEKHA7	0,207484841	-0,095716958	0	0,02	1	0,935807075	1,068596323	0
CPSF6	0,02420741	-0,095719003	0,438	0,2	1	0,935805749	1,068597837	2,19
MGAT3	0,562875304	-0,095772185	0,025	0,04	1	0,935771253	1,06863723	0,625
FIZ1	0,561556035	-0,095858131	0,088	0,06	1	0,935715508	1,068700894	1,466666667
CPT1A	0,94227175	-0,09588153	0,05	0,05	1	0,935700332	1,068718227	1
NCOA2	0,292563852	-0,095886187	0,125	0,07	1	0,935697311	1,068721677	1,785714286
LINC01003	0,151352208	-0,095928643	0,225	0,12	1	0,935669776	1,068753129	1,875
PSD4	0,948339409	-0,096129316	0,05	0,05	1	0,935539637	1,068901798	1
ZNF664	0,018243186	-0,09613406	0,425	0,19	1	0,935536561	1,068905313	2,236842105
RCC1	0,037245412	-0,096136515	0,2	0,08	1	0,935534969	1,068907132	2,5
SH3BGR	0,005279552	-0,096161098	0,412	0,17	1	0,935519028	1,068925346	2,423529412
UPF3A	0,013756102	-0,096249855	0,675	0,32	1	0,935461475	1,06899111	2,109375
PPT2	0,032753346	-0,096359585	0,275	0,12	1	0,935390327	1,069072419	2,291666667
SCRIB	0,042193602	-0,096383921	0,288	0,13	1	0,935374548	1,069090453	2,215384615
OBSL1	0,14460532	-0,096529705	0,162	0,08	1	0,935280034	1,06919849	2,025
AHCYL1	0,281638582	-0,096541681	0,537	0,33	1	0,93527227	1,069207365	1,627272727
DLAT	0,049580658	-0,096575768	0,212	0,09	1	0,935250172	1,069232628	2,355555556
ZNF100	0,325316267	-0,096598401	0,062	0,03	1	0,9352355	1,069249403	2,066666667
CLDN11	0,289969834	-0,096656423	0,125	0,07	1	0,935197888	1,069292406	1,785714286
LRRC24	0,94227175	-0,096661051	0,05	0,05	1	0,935194888	1,069295836	1
UBALD2	0,104548113	-0,096758171	0,713	0,4	1	0,935131934	1,069367822	1,7825
TGFB1	0,010010111	-0,096818838	0,675	0,32	1	0,935092611	1,069412792	2,109375
METTL18	0,373709887	-0,096841191	0,025	0,05	1	0,935078123	1,069429361	0,5
PTPRU	0,207484841	-0,096945523	0	0,02	1	0,935010503	1,069506702	0
OTUD6B-AS1	0,015222348	-0,097008121	0,5	0,24	1	0,934969935	1,069553108	2,083333333
ARHGEF37	0,120814239	-0,097120495	0	0,03	1	0,934897111	1,069636421	0

Supplementary Table 4

Differentially expressed genes_keloid-CCD_ comparing SC-Keloid vs. (SC-Myel, SC-Nonmyel)								
gene	p_val	avg_log2FC	pct.1	pct.2	p_val_adj	Foldchange_UP	Foldchange_DOWN	Ratio_pct1_pct2
CYP1B1	0,799526327	-0,097143159	0,05	0,04	1	0,934882425	1,069653224	1,25
TTY14	0,771757484	-0,097143238	0,062	0,05	1	0,934882373	1,069653283	1,24
ABTB2	0,372322273	-0,097167418	0,088	0,05	1	0,934866704	1,069671211	1,76
TNKS	0,023019688	-0,097178178	0,288	0,12	1	0,934859732	1,069679189	2,4
KLF15	0,207484841	-0,097218814	0	0,02	1	0,9348334	1,069709319	0
SETD6	0,782321833	-0,097276301	0,075	0,06	1	0,934796151	1,069751944	1,25
ZNF821	0,401029352	-0,097292464	0,112	0,07	1	0,934785678	1,069763929	1,6
WIPI1	0,132758116	-0,097418256	0,15	0,07	1	0,934704176	1,069857208	2,142857143
TSR2	0,014127768	-0,097470791	0,3	0,12	1	0,93467014	1,069896167	2,5
LARP4B	0,00900317	-0,097538121	0,35	0,14	1	0,93462652	1,0699461	2,5
CPE	0,54403098	-0,097543279	0,075	0,05	1	0,934623178	1,069949926	1,5
NR1H2	0,009055259	-0,0975827	0,475	0,21	1	0,934597641	1,069979162	2,261904762
STT3B	0,111187605	-0,097650865	0,4	0,22	1	0,934553483	1,070029718	1,818181818
NAA25	0,049580658	-0,097700961	0,212	0,09	1	0,934521032	1,070066874	2,355555556
NOL11	0,036396632	-0,097715549	0,338	0,16	1	0,934511583	1,070077694	2,1125
TMCO4	0,582634513	-0,097739974	0,1	0,07	1	0,934495762	1,070095811	1,428571429
MIER1	0,07588115	-0,097779239	0,512	0,28	1	0,934470328	1,070124936	1,828571429
ALG14	0,003096404	-0,097795734	0,412	0,16	1	0,934459645	1,07013717	2,575
PISD	0,273044537	-0,097814031	0,112	0,06	1	0,934447793	1,070150743	1,866666667
ATRN	0,35516371	-0,09783326	0,075	0,04	1	0,934435338	1,070165006	1,875
SLTM	0,035693631	-0,097833427	0,675	0,36	1	0,93443523	1,070165131	1,875
UHRF2	0,00310553	-0,097853512	0,3	0,1	1	0,934422221	1,070180029	3
SLC7A8	0,259519439	-0,097882744	0,013	0,04	1	0,934403288	1,070201714	0,325
DICER1-AS1	0,54451599	-0,09805873	0,062	0,04	1	0,934289313	1,070332269	1,55
PGBD4	0,556644247	-0,098075492	0,025	0,04	1	0,934278458	1,070344705	0,625
GLI1	0,423434047	-0,098161998	0,013	0,03	1	0,934222438	1,070408887	0,433333333
MYO19	0,788452212	-0,09818143	0,062	0,05	1	0,934209856	1,070423304	1,24
SNX33	0,94227175	-0,098185608	0,05	0,05	1	0,93420715	1,070426404	1
MSN	0,311828258	-0,098207793	0,812	0,59	1	0,934192784	1,070442864	1,376271186
SLC25A53	0,762397813	-0,098265775	0,05	0,04	1	0,93415524	1,070485887	1,25

Supplementary Table 4

Differentially expressed genes_keloid-CCD_ comparing SC-Keloid vs. (SC-Myel, SC-Nonmyel)								
gene	p_val	avg_log2FC	pct.1	pct.2	p_val_adj	Foldchange_UP	Foldchange_DOWN	Ratio_pct1_pct2
ZNF844	0,651640212	-0,098374653	0,038	0,05	1	0,934084743	1,070566678	0,76
NUDT21	0,000312973	-0,098382822	0,438	0,14	1	0,934079454	1,070572739	3,128571429
PRMT9	0,766215557	-0,098465907	0,062	0,05	1	0,934025662	1,070634395	1,24
KATNAL1	0,021090711	-0,098498347	0,462	0,22	1	0,93400466	1,07065847	2,1
ROBO3	0,262670353	-0,09851324	0,112	0,06	1	0,933995018	1,070669522	1,866666667
CDK14	0,059607897	-0,098561804	0,138	0,05	1	0,933963578	1,070705564	2,76
DUBR	0,799526327	-0,09873054	0,05	0,04	1	0,93385435	1,070830799	1,25
CEP20	0,029571887	-0,098857032	0,225	0,09	1	0,933772475	1,070924692	2,5
SLC25A5	0,991936037	-0,098899816	0,925	0,73	1	0,933744784	1,070956451	1,267123288
MLLT3	0,423434047	-0,098993192	0,013	0,03	1	0,933684351	1,071025769	0,433333333
PUM2	0,008765774	-0,099013552	0,438	0,19	1	0,933671174	1,071040884	2,305263158
MIR4500HG	0,120814239	-0,09903776	0	0,03	1	0,933655508	1,071058856	0
MAF	0,038375363	-0,099153511	0,725	0,4	1	0,933580602	1,071144793	1,8125
UBE2Z	0,069642826	-0,099176446	0,588	0,31	1	0,93356576	1,071161821	1,896774194
PPP6R3	0,099957672	-0,099276462	0,338	0,18	1	0,933501042	1,071236083	1,877777778
CLIP3	0,45301972	-0,099370583	0,162	0,11	1	0,933440142	1,071305973	1,472727273
TMEM74	0,423434047	-0,099520824	0,013	0,03	1	0,93334294	1,071417543	0,433333333
UNC13B	0,09439712	-0,099528853	0,125	0,05	1	0,933337746	1,071423506	2,5
BTBD7	0,049213438	-0,099530531	0,425	0,22	1	0,93333666	1,071424752	1,931818182
DNAJB14	0,013574167	-0,099538759	0,438	0,19	1	0,933331337	1,071430863	2,305263158
HECTD3	0,777311081	-0,099542252	0,062	0,05	1	0,933329078	1,071433457	1,24
REC8	0,249550622	-0,099779949	0,1	0,05	1	0,933175316	1,07161	2
ARL6IP5	0,26874227	-0,09980357	0,838	0,53	1	0,933160037	1,071627545	1,581132075
PDE9A	0,120814239	-0,099808954	0	0,03	1	0,933156555	1,071631545	0
TBCEL	0,260119902	-0,099898031	0,112	0,06	1	0,93309894	1,071697713	1,866666667
TGFB3	0,556644247	-0,10002926	0,025	0,04	1	0,933014069	1,0717952	0,625
SRP54	0,02230735	-0,100111089	0,537	0,26	1	0,93296115	1,071855993	2,065384615
L2HGDH	0,423434047	-0,100130495	0,013	0,03	1	0,9329486	1,071870412	0,433333333
ACTR6	0,029992036	-0,1002711	0,35	0,16	1	0,93285768	1,071974881	2,1875
ATP6V0D1	0,13304907	-0,100294946	0,65	0,35	1	0,932842261	1,071992599	1,857142857

Supplementary Table 4

Differentially expressed genes_keloid-CCD_comparing SC-Keloid vs. (SC-Myel, SC-Nonmyel)								
gene	p_val	avg_log2FC	pct.1	pct.2	p_val_adj	Foldchange_UP	Foldchange_DOWN	Ratio_pct1_pct2
EPB41L4B	0,207484841	-0,100296213	0	0,02	1	0,932841441	1,071993541	0
PPP1R3C	0,816980451	-0,10035815	0,038	0,03	1	0,932801394	1,072039564	1,266666667
MAST4	0,112247794	-0,10037323	0,088	0,03	1	0,932791644	1,07205077	2,933333333
TPD52	0,423434047	-0,100404476	0,013	0,03	1	0,932771442	1,072073988	0,433333333
FZD1	0,61908997	-0,100437501	0,062	0,08	1	0,93275009	1,07209853	0,775
ZFP90	0,042122519	-0,100492566	0,162	0,06	1	0,932714489	1,072139451	2,7
COPS4	0,001226474	-0,100498456	0,512	0,19	1	0,932710681	1,072143828	2,694736842
NUP93	0,026068555	-0,100532959	0,138	0,04	1	0,932688375	1,072169469	3,45
GPR176	0,548655551	-0,100541187	0,088	0,06	1	0,932683056	1,072175584	1,466666667
WNK3	0,249550622	-0,100587865	0,1	0,05	1	0,93265288	1,072210274	2
CENPT	0,010275884	-0,100634168	0,312	0,12	1	0,932622946	1,072244688	2,6
TNS3	0,055384334	-0,10070612	0,713	0,38	1	0,932576435	1,072298165	1,876315789
NOL9	0,071432528	-0,100746923	0,2	0,09	1	0,93255006	1,072328493	2,222222222
LRIG1	0,247167114	-0,100773328	0,175	0,1	1	0,932532992	1,072348119	1,75
CFDP1	0,052445096	-0,100839535	0,562	0,29	1	0,932490198	1,072397332	1,937931034
RAB2A	0,70710568	-0,100855483	0,938	0,6	1	0,93247989	1,072409187	1,563333333
ZNF205	0,032459669	-0,100865271	0,225	0,09	1	0,932473563	1,072416462	2,5
CCDC9B	0,310228526	-0,100920132	0,15	0,09	1	0,932438105	1,072457244	1,666666667
THAP7-AS1	0,820013192	-0,100963479	0,025	0,03	1	0,93241009	1,072489467	0,833333333
KMT2B	0,077793862	-0,100965257	0,3	0,15	1	0,932408941	1,072490789	2
LDHA	0,121419549	-0,10099244	0,85	0,6	1	0,932391373	1,072510996	1,416666667
BRI3	0,596115231	-0,101203188	0,812	0,57	1	0,932255179	1,07266768	1,424561404
SEC16A	0,054387037	-0,101275578	0,225	0,1	1	0,932208403	1,072721504	2,25
PYCARD-AS1	0,820013192	-0,101319666	0,025	0,03	1	0,932179915	1,072754287	0,833333333
SYNGR1	0,191866182	-0,101363498	0,637	0,37	1	0,932151594	1,07278688	1,721621622
TNFSF9	0,777311081	-0,101389623	0,062	0,05	1	0,932134714	1,072806307	1,24
AGAP6	0,663300924	-0,101421609	0,038	0,05	1	0,932114049	1,072830091	0,76
COG3	0,277232442	-0,101427206	0,125	0,07	1	0,932110432	1,072834254	1,785714286
RAD51D	0,086377611	-0,101446083	0,162	0,07	1	0,932098236	1,072848292	2,314285714
IGBP1	0,05916428	-0,101668326	0,525	0,27	1	0,93195466	1,073013573	1,944444444

Supplementary Table 4

Differentially expressed genes_keloid-CCD_ comparing SC-Keloid vs. (SC-Myel, SC-Nonmyel)								
gene	p_val	avg_log2FC	pct.1	pct.2	p_val_adj	Foldchange_UP	Foldchange_DOWN	Ratio_pct1_pct2
CLASRP	0,341895761	-0,101672108	0,162	0,1	1	0,931952217	1,073016386	1,62
OSER1-DT	0,730495711	-0,101680491	0,05	0,06	1	0,931946801	1,073022622	0,833333333
CACNA2D2	0,207484841	-0,101702085	0	0,02	1	0,931932853	1,073038682	0
RAB5B	0,070590553	-0,101837406	0,288	0,14	1	0,931845444	1,073139335	2,057142857
ZNF646	0,259519439	-0,101858479	0,013	0,04	1	0,931831833	1,07315501	0,325
MRPS18B	0,093001495	-0,101893008	0,425	0,23	1	0,931809531	1,073180695	1,847826087
ACOX1	0,064591925	-0,10189382	0,275	0,13	1	0,931809006	1,073181299	2,115384615
ARID3A	0,978438529	-0,101932688	0,088	0,08	1	0,931783903	1,073210212	1,1
ALDH1A1	0,423434047	-0,10207899	0,013	0,03	1	0,931689416	1,073319051	0,433333333
LEO1	0,013767783	-0,102112037	0,338	0,14	1	0,931668075	1,073343637	2,414285714
ALPK3	0,556644247	-0,102116138	0,025	0,04	1	0,931665427	1,073346688	0,625
GK-AS1	0,207484841	-0,102154884	0	0,02	1	0,931640406	1,073375515	0
ARSB	0,157546415	-0,102190247	0,112	0,05	1	0,93161757	1,073401825	2,24
BTBD9	0,788452212	-0,102197441	0,062	0,05	1	0,931612924	1,073407178	1,24
NFIC	0,471341607	-0,102215838	0,938	0,62	1	0,931601045	1,073420866	1,512903226
FCRLA	0,569139823	-0,10234239	0,025	0,04	1	0,931519329	1,07351503	0,625
INTS4	0,17887143	-0,102433587	0,125	0,06	1	0,931460446	1,073582892	2,083333333
FGF18	0,379500814	-0,102505826	0,088	0,05	1	0,931413807	1,07363665	1,76
CASKIN1	0,120814239	-0,102509466	0	0,03	1	0,931411458	1,073639359	0
ARHGEF7	0,029092623	-0,102551725	0,362	0,17	1	0,931384175	1,073670808	2,129411765
TTPA	0,120814239	-0,102558842	0	0,03	1	0,931379581	1,073676104	0
TMED2	0,506033518	-0,102561846	0,713	0,48	1	0,931377641	1,07367834	1,485416667
DAGLA	0,098000042	-0,102611453	0,125	0,05	1	0,931345616	1,07371526	2,5
ARAF	0,119647686	-0,102616338	0,2	0,1	1	0,931342463	1,073718895	2
SCLY	0,820013192	-0,102621856	0,025	0,03	1	0,931338901	1,073723002	0,833333333
IFT57	0,239333511	-0,102701642	0,613	0,36	1	0,931287396	1,073782384	1,702777778
ERBB2	0,069392584	-0,102845631	0,425	0,22	1	0,931194453	1,073889559	1,931818182
MRPS28	0,015514047	-0,102858372	0,338	0,14	1	0,931186229	1,073899043	2,414285714
SEMA3D	0,948339409	-0,102898862	0,05	0,05	1	0,931160095	1,073929183	1
B9D2	0,249550622	-0,102923404	0,1	0,05	1	0,931144255	1,073947452	2

Supplementary Table 4

Differentially expressed genes_keloid-CCD_ comparing SC-Keloid vs. (SC-Myel, SC-Nonmyel)								
gene	p_val	avg_log2FC	pct.1	pct.2	p_val_adj	Foldchange_UP	Foldchange_DOWN	Ratio_pct1_pct2
GTF3C1	0,070683419	-0,102977424	0,2	0,09	1	0,93110939	1,073987665	2,222222222
DHX40	0,074770934	-0,102980389	0,212	0,1	1	0,931107477	1,073989872	2,12
APTR	0,390582533	-0,10326168	0,1	0,06	1	0,930925951	1,074199295	1,666666667
ZMYND11	0,182462539	-0,103307796	0,425	0,26	1	0,930896194	1,074233633	1,634615385
EID2B	0,809797238	-0,103324256	0,038	0,03	1	0,930885573	1,074245889	1,266666667
MTMR4	0,012429073	-0,103606299	0,112	0,02	1	0,930703605	1,074455922	5,6
GBX1	0,377102913	-0,103611995	0	0,01	1	0,930699931	1,074460164	0
TUBB4A	0,377102913	-0,103611995	0	0,01	1	0,930699931	1,074460164	0
CCNYL1	0,315178881	-0,103636775	0,15	0,09	1	0,930683945	1,074478619	1,666666667
NRIP3	0,24172513	-0,103674677	0,1	0,05	1	0,930659494	1,074506848	2
NEK3	0,246922691	-0,10368563	0,1	0,05	1	0,930652429	1,074515005	2
BDH2	0,099753733	-0,103696092	0,425	0,24	1	0,930645681	1,074522797	1,770833333
KLHDC10	0,030788068	-0,103768889	0,262	0,11	1	0,930598722	1,074577018	2,381818182
DNAL1	0,109192206	-0,103816739	0,288	0,15	1	0,930567857	1,07461266	1,92
NELFA	0,210339451	-0,103850426	0,212	0,12	1	0,930546128	1,074637752	1,766666667
SPG7	0,018665877	-0,10388701	0,512	0,24	1	0,930522532	1,074665003	2,133333333
EBLN2	0,159376137	-0,103908042	0,112	0,05	1	0,930508967	1,07468067	2,24
AMIGO1	0,207484841	-0,103927921	0	0,02	1	0,930496145	1,074695478	0
AMMECR1L	0,949717105	-0,103982902	0,088	0,08	1	0,930460685	1,074736436	1,1
BDNF-AS	0,378344325	-0,104000754	0,025	0,05	1	0,930449171	1,074749734	0,5
CREB3L2	0,298558165	-0,104037664	0,812	0,5	1	0,930425367	1,074777232	1,624
PHF12	0,019537146	-0,104097136	0,2	0,07	1	0,930387013	1,074821537	2,857142857
PLCB3	0,292563852	-0,10413071	0,125	0,07	1	0,930365362	1,074846551	1,785714286
KATNBL1	0,043227377	-0,104178715	0,5	0,26	1	0,930334405	1,074882317	1,923076923
ARHGEF3	0,461984728	-0,104189267	0,038	0,06	1	0,9303276	1,074890178	0,633333333
ATXN3	0,186363823	-0,104237803	0,275	0,16	1	0,930296302	1,074926341	1,71875
EDRF1	0,770781378	-0,104327789	0,088	0,07	1	0,930238278	1,07499339	1,257142857
BHLHE41	0,157415062	-0,104408328	0,062	0,02	1	0,930186349	1,075053404	3,1
ABHD8	0,580120923	-0,104454308	0,112	0,08	1	0,930156703	1,075087667	1,4
PLPBP	0,450535664	-0,104463731	0,138	0,09	1	0,930150628	1,075094689	1,533333333

Supplementary Table 4

Differentially expressed genes_keloid-CCD_ comparing SC-Keloid vs. (SC-Myel, SC-Nonmyel)								
gene	p_val	avg_log2FC	pct.1	pct.2	p_val_adj	Foldchange_UP	Foldchange_DOWN	Ratio_pct1_pct2
TAF5L	0,284828372	-0,104522411	0,125	0,07	1	0,930112796	1,075138418	1,785714286
MAST2	0,098519846	-0,104636642	0,175	0,08	1	0,930039154	1,07522355	2,1875
MTERF2	0,582336511	-0,104637041	0,138	0,1	1	0,930038896	1,075223847	1,38
FNDC4	0,109990974	-0,10474035	0,188	0,09	1	0,9299723	1,075300845	2,08888889
RTN4RL2	0,207484841	-0,104773639	0	0,02	1	0,929950842	1,075325657	0
STON1-GTF2A1L	0,377102913	-0,104931369	0	0,01	1	0,929849176	1,075443229	0
PEX5L	0,207484841	-0,104952455	0	0,02	1	0,929835585	1,075458947	0
WWC3	0,006704797	-0,105010594	0,288	0,1	1	0,929798115	1,075502288	2,88
DLST	0,031510821	-0,105017255	0,3	0,13	1	0,929793822	1,075507254	2,307692308
PCGF1	0,289969834	-0,105207904	0,125	0,07	1	0,92967096	1,075649389	1,785714286
MYO1B	0,227823552	-0,105226156	0,175	0,1	1	0,929659198	1,075662998	1,75
GCFC2	0,225950237	-0,105252977	0,175	0,1	1	0,929641916	1,075682995	1,75
MAP1S	0,026867238	-0,105264752	0,175	0,06	1	0,929634328	1,075691775	2,916666667
KIF3A	0,134392272	-0,105274169	0,212	0,11	1	0,92962826	1,075698796	1,927272727
ARSA	0,008797135	-0,105291781	0,275	0,1	1	0,929616911	1,075711928	2,75
ROCK1	0,143262206	-0,105294438	0,725	0,43	1	0,929615199	1,07571391	1,686046512
ZNF136	0,424249303	-0,105354662	0,125	0,08	1	0,929576394	1,075758815	1,5625
KBTBD6	0,379500814	-0,105389874	0,088	0,05	1	0,929553706	1,075785071	1,76
SLC12A9	0,073627148	-0,10542156	0,15	0,06	1	0,92953329	1,075808699	2,5
BUD13	0,557924866	-0,105462701	0,075	0,05	1	0,929506783	1,075839378	1,5
RBL2	0,044355454	-0,105507931	0,162	0,06	1	0,929477643	1,075873107	2,7
FRA10AC1	0,025823328	-0,10556967	0,212	0,08	1	0,929437867	1,07591915	2,65
LINC00327	0,207484841	-0,105578953	0	0,02	1	0,929431887	1,075926073	0
DGCR2	0,171624919	-0,105581426	0,188	0,1	1	0,929430294	1,075927917	1,88
RPRD2	0,440457202	-0,105595819	0,125	0,08	1	0,929421021	1,075938651	1,5625
CAVIN4	0,894021778	-0,10561015	0,038	0,04	1	0,929411789	1,075949339	0,95
RO60	0,212277094	-0,105655355	0,688	0,42	1	0,929382668	1,075983052	1,638095238
ADAMTS13	0,207484841	-0,105673621	0	0,02	1	0,929370901	1,075996676	0
WDR37	0,94227175	-0,105753828	0,05	0,05	1	0,929319234	1,076056498	1
SERTAD4-AS1	0,120814239	-0,105828347	0	0,03	1	0,929271233	1,076112081	0

Supplementary Table 4

Differentially expressed genes_keloid-CCD_ comparing SC-Keloid vs. (SC-Myel, SC-Nonmyel)								
gene	p_val	avg_log2FC	pct.1	pct.2	p_val_adj	Foldchange_UP	Foldchange_DOWN	Ratio_pct1_pct2
SEPTIN3	0,120814239	-0,105837117	0	0,03	1	0,929265584	1,076118622	0
MPHOSPH6	0,223632981	-0,105918284	0,088	0,04	1	0,929213304	1,076179167	2,2
LINC00462	0,120814239	-0,105947971	0	0,03	1	0,929194184	1,076201312	0
MARK1	0,98616928	-0,105983067	0,062	0,06	1	0,92917158	1,076227493	1,033333333
CSNK1A1	0,804266932	-0,106067538	0,912	0,64	1	0,929117178	1,076290509	1,425
OGT	0,026427677	-0,106212717	0,3	0,13	1	0,929023685	1,076398822	2,307692308
SYBU	0,423434047	-0,106324267	0,013	0,03	1	0,928951855	1,076482053	0,433333333
CIART	0,378344325	-0,106325523	0,025	0,05	1	0,928951046	1,07648299	0,5
ZNF599	0,766045137	-0,106366951	0,088	0,07	1	0,928924371	1,076513902	1,257142857
NR6A1	0,221005633	-0,106477566	0,088	0,04	1	0,928853151	1,076596445	2,2
FHOD3	0,58376991	-0,106495283	0,125	0,09	1	0,928841745	1,076609665	1,388888889
NAP1L2	0,423434047	-0,106502551	0,013	0,03	1	0,928837065	1,07661509	0,433333333
GRAMD1A	0,065196986	-0,1065164	0,275	0,13	1	0,928828149	1,076625424	2,115384615
WDR44	0,136266726	-0,10665067	0,162	0,08	1	0,928741708	1,07672563	2,025
RGL1	0,57023707	-0,106661826	0,088	0,06	1	0,928734526	1,076733955	1,466666667
ZXDB	0,120814239	-0,106680892	0	0,03	1	0,928722253	1,076748185	0
GJA4	0,84359211	-0,106694837	0,025	0,02	1	0,928713276	1,076758593	1,25
UTP4	0,143189031	-0,106730061	0,162	0,08	1	0,928690601	1,076784883	2,025
IGIP	0,94227175	-0,106799482	0,05	0,05	1	0,928645914	1,076836698	1
GPR37L1	0,207484841	-0,106869193	0	0,02	1	0,928601043	1,076888732	0
PPARD	0,557239614	-0,107170848	0,088	0,06	1	0,928406901	1,077113924	1,466666667
VWA8	0,35516371	-0,107174306	0,075	0,04	1	0,928404676	1,077116505	1,875
DDX39B	0,068248006	-0,107197321	0,388	0,2	1	0,928389866	1,077133688	1,94
COL27A1	0,008319654	-0,107296473	0,438	0,19	1	0,928326062	1,077207719	2,305263158
PUS3	0,157546415	-0,107305233	0,112	0,05	1	0,928320426	1,077214259	2,24
WHRN	0,651640212	-0,107340257	0,038	0,05	1	0,928297889	1,077240411	0,76
GOLGA8B	0,755038102	-0,107385324	0,1	0,08	1	0,928268891	1,077274063	1,25
LRRC57	0,580002352	-0,107586863	0,15	0,11	1	0,928139225	1,077424565	1,363636364
C6orf120	0,400928338	-0,107621387	0,1	0,06	1	0,928117015	1,077450347	1,666666667
GPR83	0,207484841	-0,107798849	0	0,02	1	0,928002856	1,077582891	0

Supplementary Table 4

Differentially expressed genes_keloid-CCD_ comparing SC-Keloid vs. (SC-Myel, SC-Nonmyel)								
gene	p_val	avg_log2FC	pct.1	pct.2	p_val_adj	Foldchange_UP	Foldchange_DOWN	Ratio_pct1_pct2
NOM1	0,120771062	-0,107814556	0,2	0,1	1	0,927992753	1,077594622	2
GREM1	0,816980451	-0,108029132	0,038	0,03	1	0,92785474	1,077754908	1,266666667
ZNF397	0,375900964	-0,108070256	0,088	0,05	1	0,927828292	1,07778563	1,76
B4GALT4	0,168642935	-0,108109065	0,188	0,1	1	0,927803333	1,077814623	1,88
UBR7	0,136266726	-0,108220504	0,162	0,08	1	0,927731669	1,07789788	2,025
TLR1	0,072136391	-0,108279751	0	0,04	1	0,927693571	1,077942147	0
EIF4EBP3	0,259519439	-0,10834629	0,013	0,04	1	0,927650786	1,077991864	0,325
APOOL	0,427462694	-0,108505457	0,125	0,08	1	0,927548447	1,078110802	1,5625
ZNF496	0,568521789	-0,108579487	0,112	0,08	1	0,927500853	1,078166124	1,4
PDE4A	0,006902615	-0,108686946	0,188	0,05	1	0,92743177	1,078246435	3,76
SNX12	0,231603324	-0,108787419	0,175	0,1	1	0,927367184	1,07832153	1,75
TEX41	0,556644247	-0,108884254	0,025	0,04	1	0,92730494	1,07839391	0,625
TMEM38B	0,113281194	-0,108938934	0,188	0,09	1	0,927269795	1,078434783	2,088888889
LINC01006	0,755038102	-0,1090212	0,1	0,08	1	0,927216921	1,07849628	1,25
NECTIN1	0,397461587	-0,109023526	0,1	0,06	1	0,927215426	1,078498019	1,666666667
GPR137	0,093838244	-0,109096148	0,312	0,16	1	0,927168754	1,078552309	1,95
TJAP1	0,21401991	-0,109190837	0,15	0,08	1	0,927107902	1,078623101	1,875
LY6D	0,692138165	-0,109238739	0,013	0,02	1	0,92707712	1,078658915	0,65
ELOVL3	0,120814239	-0,109391517	0	0,03	1	0,92697895	1,078773148	0
LARP7	0,014234461	-0,109454099	0,588	0,29	1	0,92693874	1,078819945	2,027586207
NPIP4	0,894021778	-0,1094794	0,038	0,04	1	0,926922484	1,078838865	0,95
NCEH1	0,35516371	-0,109486965	0,075	0,04	1	0,926917624	1,078844521	1,875
USP6NL	0,248853164	-0,109528735	0,212	0,13	1	0,926890787	1,078875758	1,630769231
SOS1	0,098519846	-0,10954499	0,175	0,08	1	0,926880343	1,078887914	2,1875
SLC35F1	0,135820238	-0,109573647	0,537	0,3	1	0,926861933	1,078909344	1,79
NUMBL	0,128634778	-0,109745302	0,15	0,07	1	0,926751659	1,079037723	2,142857143
C4orf3	0,274487321	-0,109827713	0,912	0,55	1	0,926698722	1,079099363	1,658181818
SRC	0,222674651	-0,109841527	0,162	0,09	1	0,926689848	1,079109695	1,8
OLFML2B	0,375900964	-0,10993226	0,088	0,05	1	0,92663157	1,079177564	1,76
CAVIN2	0,799526327	-0,110019855	0,05	0,04	1	0,92657531	1,079243089	1,25

Supplementary Table 4

Differentially expressed genes_keloid-CCD_ comparing SC-Keloid vs. (SC-Myel, SC-Nonmyel)								
gene	p_val	avg_log2FC	pct.1	pct.2	p_val_adj	Foldchange_UP	Foldchange_DOWN	Ratio_pct1_pct2
SMIM1	0,556644247	-0,110034486	0,025	0,04	1	0,926565913	1,079254034	0,625
ZNF532	0,126158422	-0,110061446	0,25	0,13	1	0,926548599	1,079274203	1,923076923
CYFIP2	0,930603417	-0,110299196	0,088	0,08	1	0,92639592	1,079452077	1,1
ARL6IP6	0,016785313	-0,110387761	0,5	0,23	1	0,926339051	1,079518346	2,173913043
GPR89A	0,0405109	-0,11044418	0,162	0,06	1	0,926302826	1,079560563	2,7
CTBP2	0,074009884	-0,110468555	0,375	0,19	1	0,926287176	1,079578802	1,973684211
VCPKMT	0,026867238	-0,110512512	0,175	0,06	1	0,926258954	1,079611696	2,916666667
ZNF354A	0,397461587	-0,110529758	0,1	0,06	1	0,926247881	1,079624602	1,666666667
CXCL3	0,208241149	-0,110531639	0,15	0,08	1	0,926246673	1,07962601	1,875
RHPN2	0,072136391	-0,110619345	0	0,04	1	0,926190366	1,079691645	0
LRRC75A	0,115707496	-0,110696281	0,262	0,14	1	0,926140975	1,079749225	1,871428571
CCDC138	0,539465965	-0,110708114	0,062	0,04	1	0,926133379	1,079758081	1,55
ZNF317	0,894021778	-0,11073442	0,038	0,04	1	0,926116492	1,07977777	0,95
UBE2Q2L	0,645841423	-0,110736076	0,038	0,05	1	0,926115429	1,079779009	0,76
ZNF436	0,98616928	-0,1107714	0,062	0,06	1	0,926092753	1,079805447	1,033333333
TCF20	0,799526327	-0,110805896	0,05	0,04	1	0,92607061	1,079831267	1,25
PPP3CC	0,021432695	-0,110865395	0,238	0,09	1	0,926032418	1,079875801	2,644444444
PPP2R5E	0,002800618	-0,11100035	0,525	0,22	1	0,925945798	1,079976822	2,386363636
USP37	0,570334915	-0,111007337	0,1	0,07	1	0,925941313	1,079982053	1,428571429
SMIM13	0,177098321	-0,11104336	0,325	0,19	1	0,925918194	1,080009019	1,710526316
KDM7A	0,30635456	-0,111121697	0,138	0,08	1	0,925867918	1,080067664	1,725
IRF2BP1	0,045876736	-0,111140679	0,212	0,09	1	0,925855737	1,080081875	2,355555556
MTSS1	0,423434047	-0,111230676	0,013	0,03	1	0,925797983	1,080149254	0,433333333
SESN1	0,14603232	-0,111244404	0,162	0,08	1	0,925789173	1,080159532	2,025
RAP1GDS1	0,094572554	-0,1112592	0,575	0,31	1	0,925779678	1,08017061	1,85483871
USF2	0,015024438	-0,111274262	0,613	0,28	1	0,925770013	1,080181887	2,189285714
AC083843.3	0,692138165	-0,111295561	0,013	0,02	1	0,925756346	1,080197834	0,65
ATXN7L1	0,19376311	-0,111300402	0,138	0,07	1	0,92575324	1,080201459	1,971428571
PRKD3	0,003431287	-0,11130871	0,425	0,16	1	0,925747909	1,080207679	2,65625
MFSD14B	0,016645653	-0,111320557	0,375	0,16	1	0,925740306	1,08021655	2,34375

Supplementary Table 4

Differentially expressed genes_keloid-CCD_ comparing SC-Keloid vs. (SC-Myel, SC-Nonmyel)								
gene	p_val	avg_log2FC	pct.1	pct.2	p_val_adj	Foldchange_UP	Foldchange_DOWN	Ratio_pct1_pct2
SPSB2	0,975107496	-0,111351206	0,062	0,06	1	0,92572064	1,080239499	1,033333333
BMERB1	0,035240319	-0,111366105	0,275	0,12	1	0,92571108	1,080250654	2,291666667
ZNF600	0,423434047	-0,111371835	0,013	0,03	1	0,925707403	1,080254945	0,433333333
ZNF823	0,820013192	-0,111402053	0,025	0,03	1	0,925688014	1,080277572	0,833333333
MAU2	0,097492774	-0,111470076	0,175	0,08	1	0,925644369	1,080328508	2,1875
SORCS2	0,267822926	-0,111490439	0,112	0,06	1	0,925631304	1,080343757	1,866666667
ADM	0,911771084	-0,111621981	0,088	0,09	1	0,925546911	1,080442264	0,977777778
STRN4	0,59568146	-0,11162969	0,175	0,13	1	0,925541965	1,080448038	1,346153846
TMCO3	0,062010094	-0,111690122	0,325	0,16	1	0,925503197	1,080493297	2,03125
SFRP2	0,039185507	-0,111810912	0,238	0,1	1	0,925425712	1,080583765	2,38
FAM178B	0,816980451	-0,111830139	0,038	0,03	1	0,925413378	1,080598167	1,266666667
EEF1G	0,100599901	-0,112209196	0,175	0,08	1	0,925170265	1,080882122	2,1875
IRF9	0,333924134	-0,112337528	0,188	0,12	1	0,925087972	1,080978275	1,566666667
IL10RB	0,78027938	-0,112339947	0,088	0,07	1	0,925086421	1,080980087	1,257142857
ENO2	0,034858598	-0,112348945	0,188	0,07	1	0,925080651	1,080986829	2,685714286
SCD	0,030436505	-0,112364497	0,55	0,26	1	0,925070679	1,080998482	2,115384615
PTPN11	0,007135701	-0,112530563	0,488	0,21	1	0,924964202	1,081122921	2,323809524
YAE1	0,095464312	-0,112630191	0,175	0,08	1	0,924900329	1,081197582	2,1875
SLC25A14	0,112247794	-0,112642009	0,088	0,03	1	0,924892753	1,081206439	2,933333333
SPHK1	0,089544639	-0,112653212	0,713	0,39	1	0,924885571	1,081214835	1,828205128
RHEBL1	0,556644247	-0,112661726	0,025	0,04	1	0,924880113	1,081221216	0,625
LRRC37A2	0,120814239	-0,112692116	0	0,03	1	0,924860631	1,081243991	0
ACSM5	0,120814239	-0,112732513	0	0,03	1	0,924834734	1,081274269	0
MOK	0,29729086	-0,112758475	0,212	0,13	1	0,924818091	1,081293726	1,630769231
POLR2M	0,252526099	-0,112830235	0,188	0,11	1	0,924772092	1,081347511	1,709090909
NAIP	0,556644247	-0,112894513	0,025	0,04	1	0,92473089	1,081395691	0,625
PREX2	0,120814239	-0,112895342	0	0,03	1	0,924730359	1,081396312	0
COPA	0,128682398	-0,113031496	0,525	0,29	1	0,924643092	1,081498374	1,810344828
POR	0,000574333	-0,113067315	0,4	0,13	1	0,924620135	1,081525225	3,076923077
CXorf38	0,103007193	-0,113110661	0,225	0,11	1	0,924592355	1,081557721	2,045454545

Supplementary Table 4

Differentially expressed genes_keloid-CCD_ comparing SC-Keloid vs. (SC-Myel, SC-Nonmyel)								
gene	p_val	avg_log2FC	pct.1	pct.2	p_val_adj	Foldchange_UP	Foldchange_DOWN	Ratio_pct1_pct2
RAB8A	0,013865941	-0,113114822	0,425	0,19	1	0,924589689	1,08156084	2,236842105
RNASE1	0,298760607	-0,113166401	0,138	0,08	1	0,924556633	1,081599508	1,725
GCC2	0,028878458	-0,113186447	0,512	0,26	1	0,924543787	1,081614537	1,969230769
ZNF608	0,151848267	-0,11318883	0,162	0,08	1	0,924542259	1,081616324	2,025
SULT1C4	0,207484841	-0,113198707	0	0,02	1	0,92453593	1,081623729	0
KDM1B	0,401029352	-0,113293924	0,112	0,07	1	0,924474913	1,081695117	1,6
CAMK2N1	0,117066949	-0,113315799	0,688	0,41	1	0,924460896	1,081711519	1,67804878
PPP1R13B	0,162161236	-0,113353596	0,013	0,05	1	0,924436676	1,081739859	0,26
PRDM2	0,079062628	-0,113366412	0,488	0,26	1	0,924428465	1,081749468	1,876923077
SGF29	0,560851138	-0,113374773	0,112	0,08	1	0,924423107	1,081755738	1,4
DHX37	0,072136391	-0,113430784	0	0,04	1	0,924387218	1,081797737	0
DEDD	0,407602202	-0,113484892	0,112	0,07	1	0,92435255	1,08183831	1,6
PANK2	0,17913775	-0,113576378	0,262	0,15	1	0,924293935	1,081906915	1,746666667
ARPIN	0,232420437	-0,113618581	0,162	0,09	1	0,924266897	1,081938564	1,8
TMEM201	0,270425091	-0,113661568	0,112	0,06	1	0,924239358	1,081970802	1,866666667
ACP6	0,223632981	-0,113673525	0,088	0,04	1	0,924231698	1,08197977	2,2
CHST14	0,045144897	-0,113723543	0,3	0,14	1	0,924199655	1,082017283	2,142857143
ZFYVE28	0,980637923	-0,113798155	0,062	0,06	1	0,92415186	1,082073243	1,033333333
C1orf159	0,527578779	-0,113845583	0,05	0,03	1	0,92412148	1,082108816	1,666666667
VHL	0,017630001	-0,113867657	0,238	0,09	1	0,92410734	1,082125373	2,644444444
ZNF714	0,975107496	-0,113941411	0,062	0,06	1	0,924060098	1,082180695	1,033333333
TEAD3	0,094462831	-0,113944587	0,175	0,08	1	0,924058064	1,082183078	2,1875
ZNF274	0,54451599	-0,11396341	0,062	0,04	1	0,924046008	1,082197197	1,55
ITGAV	0,020500438	-0,113967459	0,787	0,41	1	0,924043414	1,082200235	1,919512195
C3orf52	0,249550622	-0,113971932	0,1	0,05	1	0,92404055	1,08220359	2
EDIL3	0,793304172	-0,113974633	0,05	0,04	1	0,92403882	1,082205616	1,25
SLC27A5	0,76702568	-0,114033892	0,075	0,06	1	0,924000865	1,082250069	1,25
LDLR	0,404307785	-0,11408142	0,112	0,07	1	0,923970426	1,082285723	1,6
HK2	0,259519439	-0,114101391	0,013	0,04	1	0,923957636	1,082300704	0,325
ALDOA	0,568521789	-0,114129083	0,112	0,08	1	0,923939901	1,082321479	1,4

Supplementary Table 4

Differentially expressed genes_keloid-CCD_ comparing SC-Keloid vs. (SC-Myel, SC-Nonmyel)								
gene	p_val	avg_log2FC	pct.1	pct.2	p_val_adj	Foldchange_UP	Foldchange_DOWN	Ratio_pct1_pct2
TRMT11	0,020112788	-0,114200825	0,325	0,14	1	0,923893956	1,082375302	2,321428571
PIK3R2	0,249550622	-0,114203738	0,1	0,05	1	0,923892091	1,082377487	2
MALSU1	0,033373425	-0,114211682	0,4	0,19	1	0,923887003	1,082383448	2,105263158
TIMM44	0,007673306	-0,114233426	0,362	0,14	1	0,923873079	1,082399761	2,585714286
ARHGEF11	0,00819759	-0,114313756	0,2	0,06	1	0,923821639	1,082460031	3,333333333
DDX42	0,006272998	-0,114348393	0,525	0,22	1	0,923799459	1,08248602	2,386363636
DNAJC8	0,625578341	-0,114367602	0,713	0,47	1	0,923787159	1,082500433	1,517021277
ZNF444	0,29523991	-0,114487573	0,212	0,13	1	0,923710343	1,082590455	1,630769231
SNAPC3	0,26523802	-0,114496166	0,112	0,06	1	0,923704841	1,082596903	1,866666667
TAF4	0,045399153	-0,114501805	0,088	0,02	1	0,92370123	1,082601135	4,4
FAM76A	0,008310142	-0,114529826	0,238	0,08	1	0,92368329	1,082622162	2,975
HSPA4L	0,645841423	-0,114671804	0,038	0,05	1	0,923592393	1,08272871	0,76
RAB11FIP5	0,975107496	-0,114678446	0,062	0,06	1	0,923588141	1,082733695	1,033333333
TSC2	0,024279869	-0,114774545	0,338	0,15	1	0,923526622	1,082805818	2,253333333
PRDM11	0,120814239	-0,114823318	0	0,03	1	0,923495401	1,082842426	0
COL15A1	0,191340232	-0,114857321	0,625	0,38	1	0,923473636	1,082867947	1,644736842
ZNF234	0,369110746	-0,11489808	0,025	0,05	1	0,923447546	1,082898541	0,5
AFG1L	0,423434047	-0,114945384	0,013	0,03	1	0,923417268	1,082934048	0,433333333
MTHFR	0,267822926	-0,115064781	0,112	0,06	1	0,923340849	1,083023675	1,866666667
FBXO44	0,975107496	-0,115074288	0,062	0,06	1	0,923334765	1,083030812	1,033333333
AKTIP	0,425485075	-0,115241891	0,15	0,1	1	0,923227504	1,083156639	1,5
GLS	0,026030148	-0,115279449	0,662	0,33	1	0,923203469	1,083184838	2,006060606
LRPPRC	0,015129144	-0,115310304	0,3	0,12	1	0,923183725	1,083208004	2,5
SLC35A5	0,580120923	-0,115357651	0,112	0,08	1	0,923153428	1,083243554	1,4
VBP1	0,01216146	-0,115368978	0,588	0,27	1	0,92314618	1,083252058	2,177777778
ZDHHC2	0,94227175	-0,11552636	0,05	0,05	1	0,923045481	1,083370235	1
WBP2	0,044522006	-0,115550951	0,388	0,19	1	0,923029748	1,083388702	2,042105263
MMP1	0,556644247	-0,115558536	0,025	0,04	1	0,923024895	1,083394398	0,625
PHTF1	0,095041076	-0,115569603	0,238	0,12	1	0,923017814	1,083402709	1,983333333
ZFR	0,062971416	-0,115571581	0,438	0,23	1	0,923016549	1,083404194	1,904347826

Supplementary Table 4

Differentially expressed genes_keloid-CCD_ comparing SC-Keloid vs. (SC-Myel, SC-Nonmyel)								
gene	p_val	avg_log2FC	pct.1	pct.2	p_val_adj	Foldchange_UP	Foldchange_DOWN	Ratio_pct1_pct2
TMEM186	0,900822541	-0,115596283	0,038	0,04	1	0,923000745	1,083422744	0,95
PRPF3	0,226537271	-0,115605647	0,162	0,09	1	0,922994754	1,083429777	1,8
B3GNT2	0,163880441	-0,115655087	0,175	0,09	1	0,922963124	1,083466906	1,944444444
GCA	0,045508871	-0,115703739	0,162	0,06	1	0,922932	1,083503444	2,7
MOCS2	0,021686044	-0,115816229	0,688	0,35	1	0,922860039	1,08358793	1,965714286
HES7	0,501283468	-0,11603729	0,038	0,02	1	0,922718642	1,083753979	1,9
UBR4	0,074315962	-0,116126518	0,838	0,45	1	0,922661576	1,083821009	1,862222222
RNASEK	0,428792605	-0,116396142	0,338	0,23	1	0,922489157	1,084023582	1,469565217
TP53RK	0,052377718	-0,116449718	0,325	0,16	1	0,922454899	1,084063839	2,03125
API5	0,013527847	-0,116513617	0,375	0,16	1	0,922414043	1,084111855	2,34375
CTH	0,94227175	-0,116521334	0,05	0,05	1	0,92240911	1,084117654	1
ZNF800	0,063407232	-0,116620221	0,375	0,19	1	0,922345887	1,084191965	1,973684211
KIAA0040	0,043652221	-0,116657978	0	0,05	1	0,922321749	1,08422034	0
GPC6	0,259519439	-0,116660012	0,013	0,04	1	0,922320448	1,084221869	0,325
DDX18	0,377213573	-0,116700311	0,713	0,45	1	0,922294685	1,084252155	1,584444444
CYB561	0,147470072	-0,116766274	0,162	0,08	1	0,922252517	1,084301731	2,025
FAM221A	0,975107496	-0,116827464	0,062	0,06	1	0,922213402	1,084347721	1,033333333
SMIM14	0,090982269	-0,116849964	0,425	0,23	1	0,922199019	1,084364632	1,847826087
TMEM39B	0,025192728	-0,116862544	0,212	0,08	1	0,922190978	1,084374088	2,65
ST3GAL1	0,784879574	-0,116979108	0,062	0,07	1	0,922116471	1,084461704	0,885714286
PALM	0,452756248	-0,117088242	0,038	0,06	1	0,92204672	1,084543743	0,633333333
PSMC3IP	0,055710507	-0,117125356	0,175	0,07	1	0,922023	1,084571643	2,5
PDPN	0,570334915	-0,117128629	0,1	0,07	1	0,922020908	1,084574104	1,428571429
KBTBD7	0,136751946	-0,117146786	0,1	0,04	1	0,922009304	1,084587754	2,5
ZNF519	0,390582533	-0,11718867	0,1	0,06	1	0,921982537	1,084619242	1,666666667
TMEM88	0,553274445	-0,117292607	0,075	0,05	1	0,921916116	1,084697384	1,5
SUZ12	0,023432075	-0,117311429	0,5	0,23	1	0,921904089	1,084711536	2,173913043
MIGA1	0,069940765	-0,117383987	0,2	0,09	1	0,921857724	1,084766091	2,222222222
ARHGEF40	0,113830631	-0,117418861	0,6	0,33	1	0,921835441	1,084792313	1,818181818
NUDT7	0,562875304	-0,1174491	0,025	0,04	1	0,921816119	1,084815051	0,625

Supplementary Table 4

Differentially expressed genes_keloid-CCD_ comparing SC-Keloid vs. (SC-Myel, SC-Nonmyel)								
gene	p_val	avg_log2FC	pct.1	pct.2	p_val_adj	Foldchange_UP	Foldchange_DOWN	Ratio_pct1_pct2
ZNF585A	0,263816781	-0,117481256	0,013	0,04	1	0,921795573	1,084839231	0,325
RHBDD1	0,193718766	-0,117482978	0,075	0,03	1	0,921794473	1,084840525	2,5
IQGAP1	0,161537873	-0,117535174	0,662	0,39	1	0,921761123	1,084879775	1,697435897
SRP68	0,049463005	-0,117553641	0,262	0,12	1	0,921749324	1,084893662	2,183333333
TMEM74B	0,423434047	-0,117567041	0,013	0,03	1	0,921740763	1,084903739	0,433333333
SLC44A2	0,134047011	-0,117580849	0,325	0,18	1	0,921731941	1,084914122	1,805555556
DHDDS	0,01645261	-0,117599861	0,188	0,06	1	0,921719794	1,08492842	3,133333333
WDR73	0,002877542	-0,117637397	0,288	0,09	1	0,921695813	1,084956648	3,2
FAM120AOS	0,001494816	-0,117643292	0,4	0,14	1	0,921692048	1,084961081	2,857142857
CCNE1	0,980637923	-0,11783837	0,062	0,06	1	0,921567427	1,085107797	1,033333333
ALDH6A1	0,17887143	-0,117844894	0,125	0,06	1	0,921563259	1,085112704	2,083333333
COBL1	0,09037644	-0,11786191	0,225	0,11	1	0,92155239	1,085125502	2,045454545
TLK2	0,090059147	-0,118004235	0,312	0,16	1	0,921461481	1,085232558	1,95
SETD7	0,05912955	-0,118019131	0,225	0,1	1	0,921451967	1,085243763	2,25
PARVA	0,082714144	-0,118044568	0,425	0,22	1	0,921435721	1,085262897	1,931818182
YES1	0,027843343	-0,11817375	0,3	0,13	1	0,921353217	1,085360078	2,307692308
PLSCR1	0,047963631	-0,118176732	0,212	0,09	1	0,921351313	1,085362322	2,355555556
NOP16	0,033603221	-0,118182182	0,225	0,09	1	0,921347832	1,085366422	2,5
TSPAN7	0,801768127	-0,118209599	0,075	0,08	1	0,921330323	1,085387049	0,9375
ARL5B	0,134940671	-0,118224229	0,4	0,23	1	0,92132098	1,085398055	1,739130435
CDK2AP2	0,043770435	-0,118236363	0,713	0,38	1	0,921313231	1,085407184	1,876315789
ARHGAP36	0,207484841	-0,118440791	0	0,02	1	0,921182691	1,085560996	0
ZNF275	0,811368091	-0,118515887	0,075	0,08	1	0,921134743	1,085617504	0,9375
ZNF415	0,820013192	-0,118608495	0,025	0,03	1	0,921075616	1,085687193	0,833333333
ZNF76	0,437968774	-0,118629901	0,138	0,09	1	0,92106195	1,085703302	1,533333333
ZNF224	0,317673416	-0,118708434	0,15	0,09	1	0,921011813	1,085762404	1,666666667
PRKAA1	0,056596999	-0,118726885	0,275	0,13	1	0,921000034	1,08577629	2,115384615
JHY	0,423434047	-0,118789308	0,013	0,03	1	0,920960185	1,08582327	0,433333333
TIMM10B	0,228486406	-0,118832945	0,162	0,09	1	0,920932329	1,085856114	1,8
ITM2A	0,907630591	-0,118841146	0,038	0,04	1	0,920927094	1,085862286	0,95

Supplementary Table 4

Differentially expressed genes_keloid-CCD_ comparing SC-Keloid vs. (SC-Myel, SC-Nonmyel)								
gene	p_val	avg_log2FC	pct.1	pct.2	p_val_adj	Foldchange_UP	Foldchange_DOWN	Ratio_pct1_pct2
PCIF1	0,02913554	-0,118926355	0,35	0,16	1	0,920872704	1,085926422	2,1875
CASP4	0,112025533	-0,119038946	0,25	0,13	1	0,92080084	1,086011173	1,923076923
SLC39A1	0,165140129	-0,119069789	0,725	0,42	1	0,920781154	1,086034391	1,726190476
METTL16	0,177707002	-0,119200574	0,188	0,1	1	0,920697686	1,086132848	1,88
SNRNP70	0,011233752	-0,119261115	0,725	0,35	1	0,920659051	1,086178427	2,071428571
HEXIM2	0,471317277	-0,11931248	0,038	0,06	1	0,920626273	1,0862171	0,633333333
SYNPO	0,129706591	-0,119324285	0,212	0,11	1	0,92061874	1,086225988	1,927272727
AHCTF1	0,116624124	-0,119448841	0,312	0,17	1	0,920539261	1,086319772	1,835294118
TRPV3	0,714199457	-0,11953522	0,05	0,06	1	0,920484147	1,086384815	0,833333333
NTRK3	0,092485138	-0,119819824	0,175	0,08	1	0,920302578	1,086599151	2,1875
CDC23	0,006465621	-0,119848717	0,262	0,09	1	0,920284148	1,086620912	2,911111111
C10orf67	0,159398678	-0,119870531	0,013	0,05	1	0,920270233	1,086637342	0,26
SH3RF3	0,748411721	-0,119875881	0,112	0,09	1	0,92026682	1,086641372	1,244444444
LINC00685	0,56588856	-0,119950678	0,088	0,06	1	0,92021911	1,086697711	1,466666667
NDP	0,645841423	-0,120109484	0,038	0,05	1	0,920117822	1,086817336	0,76
ELK4	0,055018268	-0,120111001	0,312	0,15	1	0,920116854	1,086818479	2,08
ABCB7	0,110952483	-0,120217594	0,2	0,1	1	0,920048874	1,086898781	2
PRKAB2	0,102606878	-0,120246585	0,188	0,09	1	0,920030386	1,086920623	2,088888889
TMEM165	0,019904875	-0,120499005	0,7	0,34	1	0,919869427	1,087110812	2,058823529
CAMK2G	0,289969834	-0,120586271	0,125	0,07	1	0,919813788	1,087176571	1,785714286
MSL2	0,10363738	-0,120587299	0,188	0,09	1	0,919813133	1,087177346	2,088888889
ARPP19	0,296293396	-0,120677827	0,762	0,47	1	0,919755417	1,087245567	1,621276596
ZNF37A	0,314887306	-0,121310909	0,162	0,1	1	0,919351899	1,087722776	1,62
BMP7	0,072136391	-0,121409645	0	0,04	1	0,919288982	1,087797221	0
ATAD3C	0,816980451	-0,121426617	0,038	0,03	1	0,919278168	1,087810018	1,266666667
FTO	0,260419539	-0,121649253	0,188	0,11	1	0,919136316	1,087977901	1,709090909
FMNL3	0,075143083	-0,12165092	0,475	0,25	1	0,919135254	1,087979159	1,9
SETD3	0,301251116	-0,121784575	0,2	0,12	1	0,919050107	1,088079956	1,666666667
GTF2E2	0,063395703	-0,121970746	0,275	0,13	1	0,918931517	1,088220375	2,115384615
ZEB1	0,042724921	-0,122065461	0,425	0,22	1	0,91887119	1,088291821	1,931818182

Supplementary Table 4

Differentially expressed genes_keloid-CCD_ comparing SC-Keloid vs. (SC-Myel, SC-Nonmyel)								
gene	p_val	avg_log2FC	pct.1	pct.2	p_val_adj	Foldchange_UP	Foldchange_DOWN	Ratio_pct1_pct2
GATAD2A	0,045549626	-0,122176052	0,375	0,19	1	0,918800756	1,088375248	1,973684211
TUBGCP4	0,199514022	-0,122405975	0,138	0,07	1	0,918654338	1,088548716	1,971428571
GIMAP6	0,556644247	-0,122460072	0,025	0,04	1	0,918619891	1,088589535	0,625
FTSJ3	0,100599901	-0,122509899	0,175	0,08	1	0,918588165	1,088627133	2,1875
PPP1R16A	0,245182539	-0,122567599	0,175	0,1	1	0,918551427	1,088670673	1,75
LRP1	0,035051064	-0,122798658	0,575	0,29	1	0,918404326	1,088845046	1,982758621
C17orf67	0,556644247	-0,122845251	0,025	0,04	1	0,918374665	1,088880212	0,625
PUM1	0,361640739	-0,122891824	0,488	0,32	1	0,918345019	1,088915364	1,525
CTDNBP1	0,176931646	-0,122912681	0,637	0,36	1	0,918331742	1,088931106	1,769444444
PAK2	0,042696724	-0,122934439	0,9	0,49	1	0,918317893	1,088947529	1,836734694
PLD2	0,372322273	-0,123085399	0,088	0,05	1	0,918221807	1,089061479	1,76
USPL1	0,335496445	-0,123118613	0,15	0,09	1	0,918200668	1,089086553	1,666666667
DIXDC1	0,127793196	-0,123329472	0,412	0,23	1	0,918066477	1,089245741	1,791304348
ZNF439	0,112247794	-0,12336074	0,088	0,03	1	0,91804658	1,089269349	2,933333333
CCL3	0,120814239	-0,123411094	0	0,03	1	0,918014538	1,089307368	0
UBQLN1	0,087224919	-0,123413629	0,412	0,22	1	0,918012925	1,089309282	1,872727273
THAP2	0,078471401	-0,123450578	0,2	0,09	1	0,917989414	1,089337181	2,222222222
NKD2	0,423434047	-0,123520505	0,013	0,03	1	0,91794492	1,089389982	0,433333333
AKR1C1	0,162161236	-0,123536389	0,013	0,05	1	0,917934814	1,089401976	0,26
IPCEF1	0,259519439	-0,123714864	0,013	0,04	1	0,917821264	1,089536753	0,325
CHURC1	0,183238904	-0,123721743	0,8	0,46	1	0,917816887	1,089541949	1,739130435
BROX	0,180770945	-0,12372417	0,325	0,19	1	0,917815344	1,089543781	1,710526316
HYLS1	0,249550622	-0,123742349	0,1	0,05	1	0,917803779	1,08955751	2
TBCE	0,390582533	-0,123742441	0,1	0,06	1	0,91780372	1,08955758	1,666666667
EPOR	0,221005633	-0,123951429	0,088	0,04	1	0,917670777	1,089715425	2,2
SERGEF	0,946204603	-0,124075799	0,112	0,1	1	0,917591671	1,089809369	1,12
TNK2	0,582634513	-0,124089583	0,1	0,07	1	0,917582904	1,089819781	1,428571429
HEBP2	0,058300234	-0,124092753	0,338	0,17	1	0,917580888	1,089822176	1,988235294
IDS	0,014747006	-0,124125076	0,688	0,32	1	0,91756033	1,089846594	2,15
NUP42	0,070672894	-0,12412919	0,3	0,15	1	0,917557713	1,089849702	2

Supplementary Table 4

Differentially expressed genes_keloid-CCD_ comparing SC-Keloid vs. (SC-Myel, SC-Nonmyel)								
gene	p_val	avg_log2FC	pct.1	pct.2	p_val_adj	Foldchange_UP	Foldchange_DOWN	Ratio_pct1_pct2
ZNF345	0,94227175	-0,124132436	0,05	0,05	1	0,917555649	1,089852154	1
RAPGEF6	0,772114645	-0,124163471	0,075	0,06	1	0,917535911	1,089875598	1,25
S100B	0,419382033	-0,124168478	1	0,99	1	0,917532727	1,089879381	1,01010101
KIF19	0,377102913	-0,124286456	0	0,01	1	0,917457697	1,089968511	0
PHLPP1	0,740044706	-0,12433456	0,112	0,09	1	0,917427107	1,090004854	1,244444444
DNAJC28	0,120814239	-0,124464518	0	0,03	1	0,917344469	1,090103047	0
UBAP1L	0,556644247	-0,124557014	0,025	0,04	1	0,917285657	1,090172938	0,625
CLOCK	0,028768456	-0,124682129	0,338	0,15	1	0,91720611	1,090267486	2,253333333
IFI35	0,029628398	-0,124814431	0,3	0,13	1	0,917122002	1,090367473	2,307692308
WASHC2C	0,131256313	-0,124847422	0,2	0,1	1	0,91710103	1,090392407	2
RNF220	0,051473134	-0,124876946	0,262	0,12	1	0,917082262	1,090414722	2,183333333
CBFA2T2	0,289969834	-0,124897178	0,125	0,07	1	0,917069401	1,090430014	1,785714286
PHF20	0,028840237	-0,124916969	0,525	0,26	1	0,917056821	1,090444973	2,019230769
WDR83	0,26645055	-0,124925393	0,188	0,11	1	0,917051466	1,09045134	1,709090909
LUZP1	0,055535814	-0,125005506	0,588	0,32	1	0,917000543	1,090511895	1,8375
SOCS5	0,030455085	-0,125026925	0,262	0,11	1	0,916986929	1,090528085	2,381818182
TEAD4	0,316677143	-0,125164912	0,138	0,08	1	0,916899228	1,090632394	1,725
CCL8	0,120814239	-0,125251849	0	0,03	1	0,916843978	1,090698117	0
C1D	0,022168435	-0,125310305	0,637	0,3	1	0,916806829	1,090742312	2,123333333
ZSWIM4	0,604011909	-0,125354758	0,15	0,11	1	0,91677858	1,090775921	1,363636364
P4HA1	0,033756905	-0,125360663	0,613	0,29	1	0,916774828	1,090780385	2,113793103
OSBPL11	0,124190753	-0,125445771	0,2	0,1	1	0,916720747	1,090844735	2
NBPF12	0,78027938	-0,125564465	0,088	0,07	1	0,916645329	1,090934485	1,257142857
SERPINB8	0,170029609	-0,125567291	0,25	0,14	1	0,916643533	1,090936623	1,785714286
ALDH2	0,458522483	-0,125689849	0,15	0,1	1	0,916565667	1,091029302	1,5
ASXL2	0,303809155	-0,125817288	0,138	0,08	1	0,916484706	1,091125682	1,725
FGFBP2	0,207484841	-0,125843097	0	0,02	1	0,916468311	1,091145201	0
KCNS3	0,144596578	-0,125849315	0,45	0,26	1	0,916464362	1,091149904	1,730769231
DDX56	0,011992293	-0,126105164	0,288	0,11	1	0,91630185	1,091343426	2,618181818
SOX7	0,777213432	-0,126119776	0,075	0,06	1	0,916292569	1,09135448	1,25

Supplementary Table 4

Differentially expressed genes_keloid-CCD_ comparing SC-Keloid vs. (SC-Myel, SC-Nonmyel)								
gene	p_val	avg_log2FC	pct.1	pct.2	p_val_adj	Foldchange_UP	Foldchange_DOWN	Ratio_pct1_pct2
TUBG2	0,332911605	-0,126160475	0,15	0,09	1	0,91626672	1,091385268	1,666666667
PTGES3	0,702140438	-0,126211191	0,912	0,65	1	0,916234511	1,091423635	1,403076923
SINHCAF	0,132758116	-0,12625226	0,15	0,07	1	0,916208429	1,091454704	2,142857143
ZNF585B	0,894021778	-0,126396528	0,038	0,04	1	0,916116813	1,091563855	0,95
TTC39B	0,501283468	-0,12655468	0,038	0,02	1	0,916016391	1,091683522	1,9
ELP1	0,806564466	-0,126564842	0,075	0,08	1	0,91600994	1,091691211	0,9375
KCTD7	0,466638056	-0,12656706	0,038	0,06	1	0,916008531	1,091692889	0,633333333
CFH	0,57023707	-0,126601259	0,088	0,06	1	0,915986818	1,091718768	1,466666667
ARGLU1	0,880238203	-0,126658942	0,825	0,57	1	0,915950194	1,091762419	1,447368421
FAAH	0,120814239	-0,126752471	0	0,03	1	0,915890816	1,091833199	0
CD79B	0,369110746	-0,126762452	0,025	0,05	1	0,915884479	1,091840753	0,5
PCDH7	0,894021778	-0,126809744	0,038	0,04	1	0,915854457	1,091876545	0,95
TASP1	0,050604224	-0,126831353	0,362	0,18	1	0,915840739	1,091892899	2,011111111
PPP4R3A	0,115925375	-0,126836253	0,45	0,25	1	0,915837629	1,091896608	1,8
AP3S1	0,007825248	-0,126846545	0,65	0,29	1	0,915831095	1,091904397	2,24137931
RARG	0,578520911	-0,126885413	0,1	0,07	1	0,915806422	1,091933814	1,428571429
ZNF93	0,788452212	-0,126943773	0,062	0,05	1	0,915769377	1,091977987	1,24
IFT27	0,093073558	-0,127457943	0,362	0,19	1	0,915443059	1,092367232	1,905263158
SHQ1	0,54451599	-0,127563729	0,062	0,04	1	0,915375936	1,092447333	1,55
ZNF529	0,586816454	-0,127574062	0,15	0,11	1	0,91536938	1,092455158	1,363636364
TSHZ3	0,361699145	-0,127650933	0,175	0,11	1	0,915320608	1,092513368	1,590909091
KLHL20	0,031510821	-0,127697399	0,3	0,13	1	0,915291127	1,092548557	2,307692308
IDH3B	0,024548059	-0,127777928	0,525	0,26	1	0,915240039	1,092609542	2,019230769
ASAH1	0,041601699	-0,127882538	0,775	0,41	1	0,915173677	1,09268877	1,890243902
ULK4	0,770781378	-0,127926179	0,088	0,07	1	0,915145994	1,092721824	1,257142857
WASHC2A	0,421050079	-0,12804375	0,125	0,08	1	0,915071418	1,092810878	1,5625
MME	0,207484841	-0,128215674	0	0,02	1	0,914962377	1,092941115	0
WDR20	0,075483326	-0,128245488	0,25	0,12	1	0,914943469	1,092963701	2,083333333
IQCB1	0,975107496	-0,128264502	0,062	0,06	1	0,91493141	1,092978106	1,033333333
CERS6	0,074494291	-0,128412094	0,2	0,09	1	0,914837815	1,093089927	2,22222222

Supplementary Table 4

Differentially expressed genes_keloid-CCD_ comparing SC-Keloid vs. (SC-Myel, SC-Nonmyel)								
gene	p_val	avg_log2FC	pct.1	pct.2	p_val_adj	Foldchange_UP	Foldchange_DOWN	Ratio_pct1_pct2
PGF	0,987205041	-0,128518661	0,075	0,07	1	0,914770242	1,093170672	1,071428571
FBXO28	0,2296854	-0,128646304	0,225	0,13	1	0,914689311	1,093267395	1,730769231
CALCOCO1	0,464840503	-0,128713707	0,162	0,11	1	0,914646577	1,093318474	1,472727273
MTA1	0,013663066	-0,128724273	0,288	0,11	1	0,914639878	1,093326482	2,618181818
MRFAP1L1	0,09588886	-0,128742473	0,325	0,17	1	0,91462834	1,093340274	1,911764706
OSBPL9	0,044768141	-0,128794093	0,45	0,22	1	0,914595615	1,093379395	2,045454545
RNF185	0,78027938	-0,128803033	0,088	0,07	1	0,914589948	1,09338617	1,257142857
TNFRSF10D	0,954410066	-0,128808799	0,05	0,05	1	0,914586292	1,09339054	1
C1orf56	0,111940508	-0,128848463	0,412	0,23	1	0,914561147	1,093420602	1,791304348
OSMR	0,35516371	-0,12892385	0,075	0,04	1	0,914513359	1,093477738	1,875
TULP3	0,102170514	-0,128992573	0,425	0,23	1	0,914469797	1,093529828	1,847826087
VAPB	0,166072177	-0,129037502	0,388	0,22	1	0,914441319	1,093563884	1,763636364
CSNK1G1	0,361699145	-0,129194853	0,175	0,11	1	0,914341589	1,093683162	1,590909091
CLN8	0,746061822	-0,129239898	0,138	0,11	1	0,91431304	1,093717311	1,254545455
OR2A1-AS1	0,816980451	-0,129247823	0,038	0,03	1	0,914308018	1,093723318	1,266666667
TIMM23B	0,58376991	-0,129265526	0,125	0,09	1	0,914296799	1,093736739	1,388888889
SLFN12	0,742233962	-0,129359388	0,138	0,11	1	0,914237316	1,093807901	1,254545455
CDK12	0,02719318	-0,129589483	0,412	0,19	1	0,914091517	1,093982366	2,168421053
TBC1D12	0,02583629	-0,129599959	0,25	0,1	1	0,91408488	1,093990309	2,5
SFR1	0,775526182	-0,129642296	0,088	0,07	1	0,914058055	1,094022414	1,257142857
HEPN1	0,377102913	-0,129651177	0	0,01	1	0,914052428	1,094029149	0
CYP27A1	0,107808177	-0,129909803	0,238	0,12	1	0,913888584	1,094225289	1,983333333
MAPK9	0,192049609	-0,129942414	0,2	0,11	1	0,913867927	1,094250023	1,818181818
STX6	0,476562724	-0,12998144	0,2	0,14	1	0,913843207	1,094279623	1,428571429
MFHAS1	0,274731417	-0,130016478	0,125	0,07	1	0,913821013	1,0943062	1,785714286
AACS	0,173281996	-0,13018318	0,125	0,06	1	0,913715428	1,094432653	2,083333333
NFIX	0,125602533	-0,130280541	0,662	0,36	1	0,913653767	1,094506514	1,838888889
SS18L1	0,387170302	-0,130358461	0,1	0,06	1	0,913604422	1,09456563	1,666666667
SEC23A	0,031360011	-0,130363008	0,475	0,23	1	0,913601542	1,09456908	2,065217391
ARHGEF16	0,072136391	-0,130414214	0	0,04	1	0,913569117	1,09460793	0

Supplementary Table 4

Differentially expressed genes_keloid-CCD_ comparing SC-Keloid vs. (SC-Myel, SC-Nonmyel)								
gene	p_val	avg_log2FC	pct.1	pct.2	p_val_adj	Foldchange_UP	Foldchange_DOWN	Ratio_pct1_pct2
TNRC6A	0,068322626	-0,130563931	0,425	0,22	1	0,913474315	1,094721531	1,931818182
NUAK2	0,467776152	-0,130617094	0,15	0,1	1	0,913440654	1,094761871	1,5
KMT5C	0,74525199	-0,130682809	0,162	0,13	1	0,913399048	1,094811739	1,246153846
SUMF1	0,042193602	-0,130695406	0,288	0,13	1	0,913391073	1,094821298	2,215384615
MADD	0,8246177	-0,130735528	0,088	0,09	1	0,913365671	1,094851746	0,977777778
PWWP2A	0,073395478	-0,130754336	0,338	0,17	1	0,913353764	1,094866019	1,988235294
MBD4	0,004401787	-0,130809023	0,412	0,16	1	0,913319143	1,094907523	2,575
ANKZF1	0,375900964	-0,130840167	0,088	0,05	1	0,913299427	1,094931159	1,76
MCU	0,180764063	-0,130920125	0,125	0,06	1	0,913248811	1,094991845	2,083333333
SLC25A44	0,245182539	-0,130968967	0,175	0,1	1	0,913217894	1,095028916	1,75
SLC2A8	0,132463628	-0,131068976	0,2	0,1	1	0,91315459	1,095104827	2
TENM4	0,556644247	-0,131186848	0,025	0,04	1	0,913079987	1,095194304	0,625
ZNHIT6	0,00892789	-0,131227336	0,3	0,11	1	0,913054362	1,095225039	2,727272727
KRT17	0,772114645	-0,131287036	0,075	0,06	1	0,91301658	1,095270362	1,25
TTF1	0,197532019	-0,131288469	0,212	0,12	1	0,913015673	1,09527145	1,766666667
C12orf76	0,050122327	-0,13128906	0,3	0,14	1	0,913015299	1,095271899	2,142857143
C9orf85	0,116684893	-0,131546175	0,138	0,06	1	0,912852597	1,095467114	2,3
PCMTD1	0,135475738	-0,131550245	0,45	0,26	1	0,912850022	1,095470205	1,730769231
APH1B	0,757573928	-0,13171206	0,125	0,1	1	0,912747641	1,095593081	1,25
ATP6VOA1	0,634779817	-0,131718735	0,175	0,13	1	0,912743418	1,09559815	1,346153846
KIF1C	0,215293939	-0,131808032	0,212	0,12	1	0,912686925	1,095665965	1,766666667
CSE1L	0,002068527	-0,131812694	0,275	0,08	1	0,912683975	1,095669506	3,4375
GPX4	0,83690405	-0,131901486	1	0,89	1	0,912627805	1,095736941	1,123595506
HACD2	0,083471342	-0,131975838	0,212	0,1	1	0,912580772	1,095793414	2,12
ITPK1-AS1	0,730495711	-0,131986592	0,05	0,06	1	0,91257397	1,095801582	0,833333333
RPS11	0,657466886	-0,132034033	1	0,87	1	0,912543961	1,095837617	1,149425287
TTL	0,004905346	-0,132082332	0,4	0,16	1	0,912513412	1,095874304	2,5
SLC12A2	0,061343122	-0,132146172	0,375	0,19	1	0,912473033	1,095922798	1,973684211
ATG3	0,074011236	-0,132201568	0,438	0,23	1	0,912437997	1,09596488	1,904347826
UBR2	0,172668962	-0,132333331	0,25	0,14	1	0,912354667	1,09606498	1,785714286

Supplementary Table 4

Differentially expressed genes_keloid-CCD_ comparing SC-Keloid vs. (SC-Myel, SC-Nonmyel)								
gene	p_val	avg_log2FC	pct.1	pct.2	p_val_adj	Foldchange_UP	Foldchange_DOWN	Ratio_pct1_pct2
RBM15	0,719617502	-0,132412048	0,05	0,06	1	0,912304888	1,096124786	0,833333333
ATG4B	0,036510779	-0,13253267	0,312	0,14	1	0,912228614	1,096216435	2,228571429
DEPTOR	0,378344325	-0,132605702	0,025	0,05	1	0,912182437	1,09627193	0,5
CCDC47	0,089532427	-0,132608042	0,7	0,37	1	0,912180958	1,096273707	1,891891892
TOX4	0,006023104	-0,132610207	0,575	0,25	1	0,912179588	1,096275353	2,3
AKAP8	0,059745805	-0,132892518	0,225	0,1	1	0,912001108	1,096489896	2,25
UBE2G2	0,049432277	-0,132951328	0,5	0,26	1	0,911963932	1,096534594	1,923076923
HS3ST3B1	0,259519439	-0,133101176	0,013	0,04	1	0,911869214	1,096648494	0,325
CCNC	0,001722223	-0,133261948	0,4	0,14	1	0,911767602	1,096770709	2,857142857
VPS13D	0,430690217	-0,133438129	0,125	0,08	1	0,911656265	1,096904654	1,5625
SLC24A4	0,120814239	-0,133562992	0	0,03	1	0,911577366	1,096999594	0
KIF16B	0,284828372	-0,133626407	0,125	0,07	1	0,911537297	1,097047815	1,785714286
CYP19A1	0,120814239	-0,133689547	0	0,03	1	0,911497404	1,097095829	0
CERS4	0,137400427	-0,133746279	0,262	0,14	1	0,911461562	1,097138971	1,871428571
TST	0,102271795	-0,133774708	0,275	0,14	1	0,911443601	1,097160591	1,964285714
ZDHHC6	0,13799162	-0,13377779	0,212	0,11	1	0,911441654	1,097162935	1,927272727
NAV2-AS3	0,369110746	-0,133927813	0,025	0,05	1	0,91134688	1,097277032	0,5
GPR161	0,557924866	-0,134066443	0,075	0,05	1	0,911259312	1,097382476	1,5
LAMTOR3	0,073497584	-0,134283343	0,35	0,18	1	0,91112232	1,097547473	1,944444444
KIAA0586	0,127685525	-0,134313891	0,2	0,1	1	0,911103028	1,097570713	2
UPRT	0,772829449	-0,134359781	0,1	0,08	1	0,911074047	1,097605626	1,25
AFF4	0,03555789	-0,134577244	0,65	0,32	1	0,910936728	1,097771084	2,03125
C18orf32	0,175701606	-0,134580889	0,3	0,17	1	0,910934427	1,097773858	1,764705882
PLEKHM2	0,080125972	-0,13461949	0,312	0,16	1	0,910910054	1,097803231	1,95
RCC1L	0,030822746	-0,134866831	0,288	0,13	1	0,910753898	1,097991458	2,215384615
PHRF1	0,267822926	-0,134939045	0,112	0,06	1	0,910708311	1,09804642	1,866666667
NT5C2	0,750610084	-0,135061294	0,1	0,08	1	0,910631144	1,098139468	1,25
CCDC120	0,072136391	-0,135103239	0	0,04	1	0,910604669	1,098171396	0
RASGEF1A	0,422547341	-0,135155776	0,138	0,09	1	0,910571509	1,098211388	1,533333333
G2E3	0,326985175	-0,135172201	0,162	0,1	1	0,910561142	1,098223891	1,62

Supplementary Table 4

Differentially expressed genes_keloid-CCD_ comparing SC-Keloid vs. (SC-Myel, SC-Nonmyel)								
gene	p_val	avg_log2FC	pct.1	pct.2	p_val_adj	Foldchange_UP	Foldchange_DOWN	Ratio_pct1_pct2
ATXN1L	0,590237357	-0,135174656	0,15	0,11	1	0,910559592	1,09822576	1,363636364
BMF	0,316940453	-0,135211309	0,038	0,07	1	0,910536459	1,098253661	0,542857143
NSMAF	0,407602202	-0,135217115	0,112	0,07	1	0,910532795	1,098258081	1,6
FXYD6	0,143189031	-0,135231867	0,162	0,08	1	0,910523484	1,098269311	2,025
DMAC2L	0,084975235	-0,135280775	0,312	0,16	1	0,910492618	1,098306544	1,95
TMEM185B	0,180764063	-0,135403017	0,125	0,06	1	0,910415474	1,098399609	2,083333333
LPCAT3	0,108911171	-0,135412333	0,188	0,09	1	0,910409594	1,098406702	2,088888889
PIP4P1	0,072686409	-0,135487123	0,25	0,12	1	0,9103624	1,098463645	2,083333333
CCDC91	0,300278349	-0,135672004	0,475	0,3	1	0,910245745	1,098604422	1,583333333
KLHL15	0,779340817	-0,135732836	0,15	0,12	1	0,910207364	1,098650747	1,25
WDTC1	0,915022375	-0,135831227	0,138	0,12	1	0,910145291	1,098725676	1,15
PRKCD	0,015994304	-0,135854953	0,188	0,06	1	0,910130323	1,098743745	3,133333333
CARD8	0,557924866	-0,136073204	0,075	0,05	1	0,909992649	1,098909976	1,5
TAF1A	0,94227175	-0,13630365	0,05	0,05	1	0,909847305	1,099085522	1
ARHGAP10	0,140432162	-0,136624712	0,212	0,11	1	0,909644846	1,099330144	1,927272727
MPZL1	0,580120923	-0,136672672	0,112	0,08	1	0,909614608	1,09936669	1,4
ATF7IP2	0,779340817	-0,136742542	0,15	0,12	1	0,909570556	1,099419933	1,25
NUDT4	0,250702492	-0,136758836	0,812	0,5	1	0,909560283	1,09943235	1,624
ZXDA	0,072136391	-0,136780616	0	0,04	1	0,909546552	1,099448949	0
PPP3R1	0,017874712	-0,136903703	0,362	0,16	1	0,909468955	1,099542755	2,2625
EIF4E3	0,384878062	-0,136974918	0,112	0,07	1	0,909424063	1,099597032	1,6
SYNGAP1	0,424249303	-0,136981378	0,125	0,08	1	0,909419991	1,099601956	1,5625
POM121	0,759550473	-0,137007103	0,162	0,13	1	0,909403774	1,099621563	1,246153846
VIRMA	0,103620317	-0,137170457	0,25	0,13	1	0,90930081	1,099746078	1,923076923
ANAPC13	0,044749764	-0,137306438	0,362	0,18	1	0,909215108	1,09984974	2,011111111
DNM1L	0,035876747	-0,137346475	0,438	0,21	1	0,909189876	1,099880263	2,085714286
GLIS2	0,399676527	-0,137347924	0,05	0,08	1	0,909188963	1,099881368	0,625
TFRC	0,266010223	-0,137439978	0,225	0,14	1	0,909130952	1,09995155	1,607142857
ZNF875	0,816178828	-0,137617119	0,075	0,08	1	0,909019332	1,100086616	0,9375
FCHO2	0,316677143	-0,137962907	0,138	0,08	1	0,908801482	1,100350318	1,725

Supplementary Table 4

Differentially expressed genes_keloid-CCD_ comparing SC-Keloid vs. (SC-Myel, SC-Nonmyel)								
gene	p_val	avg_log2FC	pct.1	pct.2	p_val_adj	Foldchange_UP	Foldchange_DOWN	Ratio_pct1_pct2
YRDC	0,16831921	-0,138020229	0,3	0,17	1	0,908765374	1,100394038	1,764705882
RND1	0,240774098	-0,138054285	0,025	0,06	1	0,908743922	1,100420015	0,416666667
BAG4	0,190475413	-0,13833202	0,2	0,11	1	0,908568995	1,100631878	1,818181818
PTPRE	0,130168369	-0,138402863	0,525	0,3	1	0,908524382	1,100685926	1,75
RCAN3	0,096200318	-0,138537053	0,3	0,16	1	0,908439881	1,100788309	1,875
RNF152	0,771757484	-0,13857722	0,062	0,05	1	0,908414588	1,100818957	1,24
ARHGAP12	0,07179435	-0,13859725	0,438	0,23	1	0,908401976	1,100834241	1,904347826
CDKN2B	0,031715962	-0,138609783	0,225	0,09	1	0,908394085	1,100843804	2,5
CCDC174	0,097431952	-0,13878147	0,225	0,11	1	0,908285989	1,100974817	2,045454545
ETV1	0,583377297	-0,138784399	0,062	0,08	1	0,908284144	1,100977052	0,775
KCNK12	0,83477988	-0,138906348	0,025	0,02	1	0,908207372	1,10107012	1,25
ZNF587	0,549439969	-0,138979595	0,112	0,08	1	0,908161262	1,101126024	1,4
HELZ	0,004998674	-0,13900731	0,462	0,19	1	0,908143816	1,101147178	2,431578947
CPLANE1	0,339380907	-0,139013902	0,162	0,1	1	0,908139667	1,101152209	1,62
COMP	0,968859771	-0,139110912	0,088	0,08	1	0,908078603	1,101226256	1,1
GGA1	0,044821556	-0,139116679	0,25	0,11	1	0,908074974	1,101230657	2,272727273
ZNRF3	0,975107496	-0,139214723	0,062	0,06	1	0,908013264	1,101305498	1,033333333
MICU3	0,470814625	-0,139279128	0,162	0,11	1	0,907972729	1,101354664	1,472727273
C18orf25	0,193633351	-0,139291987	0,2	0,11	1	0,907964636	1,101364481	1,818181818
FBXO2	0,259519439	-0,139319093	0,013	0,04	1	0,907947577	1,101385174	0,325
C1orf43	0,010565891	-0,139403776	0,738	0,34	1	0,907894284	1,101449825	2,170588235
EID2	0,099262928	-0,139408335	0,225	0,11	1	0,907891415	1,101453305	2,045454545
NPC1	0,453709	-0,13941699	0,138	0,09	1	0,907885968	1,101459913	1,533333333
THBD	0,793304172	-0,1394929	0,05	0,04	1	0,907838199	1,10151787	1,25
LMBR1L	0,651385102	-0,140022491	0,175	0,13	1	0,907505008	1,101922294	1,346153846
CCDC88B	0,527578779	-0,14003356	0,05	0,03	1	0,907498045	1,101930749	1,666666667
KBTBD4	0,59120503	-0,140055902	0,125	0,09	1	0,907483991	1,101947814	1,388888889
MAP3K7CL	0,421050079	-0,140100959	0,125	0,08	1	0,90745565	1,101982229	1,5625
NDEL1	0,108843766	-0,140104109	0,338	0,18	1	0,907453669	1,101984635	1,877777778
HOMER1	0,085981454	-0,140107821	0,212	0,1	1	0,907451334	1,10198747	2,12

Supplementary Table 4

Differentially expressed genes_keloid-CCD_ comparing SC-Keloid vs. (SC-Myel, SC-Nonmyel)								
gene	p_val	avg_log2FC	pct.1	pct.2	p_val_adj	Foldchange_UP	Foldchange_DOWN	Ratio_pct1_pct2
CYRIA	0,772114645	-0,140149424	0,075	0,06	1	0,907425166	1,102019249	1,25
SCAPER	0,322701203	-0,140175073	0,15	0,09	1	0,907409033	1,102038842	1,666666667
TSPYL4	0,623582215	-0,140246611	0,162	0,12	1	0,907364039	1,102093489	1,35
ABI1	0,03201651	-0,140278782	0,462	0,22	1	0,907343806	1,102118065	2,1
SLC48A1	0,253950987	-0,140324328	0,025	0,06	1	0,907315162	1,10215286	0,416666667
ARHGEF25	0,772114645	-0,140326233	0,075	0,06	1	0,907313963	1,102154315	1,25
GIT1	0,045918588	-0,140436686	0,425	0,21	1	0,907244502	1,102238699	2,023809524
TARS1	0,007797617	-0,140510181	0,6	0,26	1	0,907198286	1,102294852	2,307692308
TPRA1	0,750610084	-0,140523796	0,1	0,08	1	0,907189724	1,102305255	1,25
ASCC2	0,020669575	-0,140547552	0,238	0,09	1	0,907174786	1,102323406	2,644444444
RBM17	0,29007948	-0,14067481	0,713	0,43	1	0,907094769	1,102420645	1,658139535
CEP162	0,219913458	-0,140720107	0,15	0,08	1	0,907066289	1,102455258	1,875
TP53INP1	0,57023707	-0,140756183	0,062	0,08	1	0,907043608	1,102482826	0,775
ZNF358	0,131343112	-0,140772558	0,412	0,23	1	0,907033312	1,10249534	1,791304348
AIDA	0,008090733	-0,140800525	0,512	0,22	1	0,907015729	1,102516713	2,327272727
GGCX	0,060645788	-0,140807043	0,238	0,11	1	0,907011631	1,102521694	2,163636364
C2orf49	0,014626144	-0,140917281	0,225	0,08	1	0,906942328	1,102605942	2,8125
RBAK	0,387170302	-0,140938974	0,1	0,06	1	0,906928691	1,102622521	1,666666667
RNF19B	0,199100998	-0,140963298	0,212	0,12	1	0,906913401	1,102641112	1,766666667
PELP1	0,284499401	-0,140964987	0,2	0,12	1	0,906912338	1,102642403	1,666666667
SETD9	0,33687795	-0,140966771	0,162	0,1	1	0,906911217	1,102643766	1,62
AASDH	0,458908782	-0,140982223	0,162	0,11	1	0,906901504	1,102655576	1,472727273
ANGPTL1	0,424249303	-0,141016154	0,125	0,08	1	0,906880174	1,10268151	1,5625
MPP7	0,072136391	-0,141236417	0	0,04	1	0,906741727	1,102849874	0
DYNC1L1	0,020873987	-0,14130253	0,5	0,23	1	0,906700176	1,102900415	2,173913043
GABRB1	0,774132462	-0,141438654	0,038	0,03	1	0,906614629	1,103004483	1,266666667
KLHL7	0,036510779	-0,141576276	0,312	0,14	1	0,906528149	1,103109706	2,228571429
CTNND1	0,044723908	-0,141637941	0,525	0,26	1	0,906489403	1,103156857	2,019230769
HIC2	0,756599002	-0,141689499	0,088	0,07	1	0,906457008	1,103196281	1,257142857
SAP130	0,761946743	-0,141729034	0,075	0,06	1	0,906432167	1,103226514	1,25

Supplementary Table 4

Differentially expressed genes_keloid-CCD_ comparing SC-Keloid vs. (SC-Myel, SC-Nonmyel)								
gene	p_val	avg_log2FC	pct.1	pct.2	p_val_adj	Foldchange_UP	Foldchange_DOWN	Ratio_pct1_pct2
ATP2B1-AS1	0,557924866	-0,14175337	0,075	0,05	1	0,906416878	1,103245123	1,5
HMGCR	0,133208758	-0,141760102	0,212	0,11	1	0,906412648	1,103250271	1,927272727
SRGN	0,601113876	-0,141801441	0,062	0,08	1	0,906386676	1,103281884	0,775
CAHM	0,842824122	-0,141985731	0,088	0,09	1	0,906270902	1,103422826	0,977777778
PHYKPL	0,458309153	-0,142038192	0,175	0,12	1	0,906237948	1,103462951	1,458333333
ACSL1	0,400928338	-0,142290839	0,1	0,06	1	0,906079259	1,103656208	1,666666667
JUP	0,309977712	-0,142464829	0,038	0,07	1	0,905969992	1,103789318	0,542857143
ABHD17B	0,143189031	-0,14250754	0,162	0,08	1	0,905943171	1,103821996	2,025
DIAPH2	0,561556035	-0,142521445	0,088	0,06	1	0,90593444	1,103832635	1,466666667
GAS6	0,57023707	-0,14252916	0,088	0,06	1	0,905929595	1,103838538	1,466666667
DTNA	0,159376137	-0,142546544	0,112	0,05	1	0,905918679	1,103851839	2,24
PIGK	0,003235468	-0,14260239	0,425	0,16	1	0,905883612	1,10389457	2,65625
E2F5	0,04965159	-0,142628365	0,3	0,14	1	0,905867302	1,103914445	2,142857143
UBE2D2	0,816384995	-0,142645579	0,825	0,59	1	0,905856494	1,103927616	1,398305085
SLITRK5	0,383013985	-0,142680849	0,025	0,05	1	0,905834348	1,103954605	0,5
SCGB1D2	0,120814239	-0,1427643	0	0,03	1	0,905781953	1,104018464	0
RASA2	0,595756728	-0,142878811	0,112	0,08	1	0,905710061	1,104106097	1,4
SNRNP27	0,011386446	-0,142952987	0,475	0,21	1	0,905663495	1,104162866	2,261904762
SYNGR2	0,034858598	-0,143027152	0,188	0,07	1	0,905616939	1,104219629	2,685714286
ZDHHC17	0,061873827	-0,143047155	0,238	0,11	1	0,905604383	1,104234939	2,163636364
LINC00672	0,708795782	-0,143148952	0,05	0,06	1	0,905540485	1,104312857	0,833333333
EFNA4	0,799526327	-0,143267135	0,05	0,04	1	0,905466308	1,104403324	1,25
CPEB4	0,13202834	-0,143339025	0,338	0,19	1	0,905421189	1,104458358	1,778947368
ABCA5	0,556644247	-0,143409834	0,025	0,04	1	0,905376751	1,104512568	0,625
DCAF1	0,997233723	-0,143411353	0,062	0,06	1	0,905375798	1,10451373	1,033333333
VPS9D1	0,134155073	-0,143438669	0,15	0,07	1	0,905358656	1,104534643	2,142857143
PURB	0,061508803	-0,143613381	0,562	0,3	1	0,905249023	1,104668412	1,873333333
ANKHD1	0,165388252	-0,143704676	0,175	0,09	1	0,90519174	1,104738318	1,944444444
WTIP	0,159083509	-0,143812319	0,225	0,12	1	0,905124203	1,104820749	1,875
CREBZF	0,202002705	-0,143932531	0,3	0,18	1	0,905048787	1,104912811	1,666666667

Supplementary Table 4

Differentially expressed genes_keloid-CCD_ comparing SC-Keloid vs. (SC-Myel, SC-Nonmyel)								
gene	p_val	avg_log2FC	pct.1	pct.2	p_val_adj	Foldchange_UP	Foldchange_DOWN	Ratio_pct1_pct2
ACSS3	0,820013192	-0,144056725	0,025	0,03	1	0,90497088	1,105007931	0,833333333
IKBKB	0,807094574	-0,144099181	0,175	0,14	1	0,904944248	1,105040451	1,25
PNN	0,303926502	-0,144341739	0,75	0,48	1	0,904792115	1,105226254	1,5625
KCNK5	0,556644247	-0,144430232	0,025	0,04	1	0,904736617	1,10529405	0,625
ZNF207	0,188779452	-0,144505638	0,762	0,43	1	0,90468933	1,105351823	1,772093023
ARSJ	0,582634513	-0,144541362	0,1	0,07	1	0,904666929	1,105379193	1,428571429
ZFC3H1	0,304936112	-0,144598405	0,225	0,14	1	0,90463116	1,1054229	1,607142857
DNAJC10	0,064785224	-0,14469222	0,362	0,18	1	0,904572336	1,105494785	2,011111111
DYNLT2	0,072136391	-0,144838694	0	0,04	1	0,904480501	1,10560703	0
SENP2	0,219913458	-0,144879065	0,15	0,08	1	0,904455191	1,105637969	1,875
CDKAL1	0,708795782	-0,144898919	0,05	0,06	1	0,904442744	1,105653184	0,833333333
BZW1	0,605074269	-0,145050985	0,75	0,51	1	0,904347417	1,105769731	1,470588235
ZNF559	0,853031596	-0,145149065	0,1	0,1	1	0,904285938	1,105844908	1
MYH14	0,324004993	-0,145157982	0,038	0,07	1	0,904280349	1,105851743	0,542857143
SPTY2D1	0,093607079	-0,145228295	0,325	0,17	1	0,904236278	1,10590564	1,911764706
ZFY	0,155273405	-0,145323212	0,238	0,13	1	0,904176789	1,105978401	1,830769231
USP25	0,400617752	-0,145356659	0,175	0,12	1	0,904155827	1,106004043	1,458333333
FGFRL1	0,259519439	-0,145433354	0,013	0,04	1	0,904107763	1,10606284	0,325
TMEM70	0,082361656	-0,145539166	0,35	0,18	1	0,904041455	1,106143966	1,944444444
TFPI2	0,000395783	-0,145639594	0,262	0,06	1	0,903978525	1,106220969	4,366666667
NOC2L	0,053532491	-0,14567944	0,312	0,15	1	0,903953559	1,106251522	2,08
ALMS1	0,397461587	-0,145720917	0,1	0,06	1	0,903927571	1,106283327	1,666666667
UBR3	0,022759346	-0,145837114	0,25	0,1	1	0,90385477	1,106372432	2,5
TTI2	0,938943315	-0,145841775	0,1	0,09	1	0,90385185	1,106376007	1,111111111
ADAL	0,947974804	-0,146006182	0,1	0,09	1	0,903748854	1,106502094	1,111111111
EIF3E	0,998836598	-0,146008556	0,875	0,57	1	0,903747367	1,106503915	1,535087719
DHH	0,442085721	-0,14607461	0,062	0,09	1	0,90370599	1,106554578	0,688888889
C4orf46	0,201458433	-0,146190747	0,138	0,07	1	0,903633244	1,106643659	1,971428571
RAB40B	0,367396668	-0,146361204	0,188	0,12	1	0,903526485	1,106774419	1,566666667
EFR3A	0,129220518	-0,146369772	0,3	0,16	1	0,903521119	1,106780992	1,875

Supplementary Table 4

Differentially expressed genes_keloid-CCD_ comparing SC-Keloid vs. (SC-Myel, SC-Nonmyel)								
gene	p_val	avg_log2FC	pct.1	pct.2	p_val_adj	Foldchange_UP	Foldchange_DOWN	Ratio_pct1_pct2
NIPSNAP2	0,277290709	-0,146528438	0,325	0,21	1	0,903421756	1,106902721	1,547619048
SURF1	0,007311623	-0,146545837	0,438	0,18	1	0,903410861	1,10691607	2,433333333
AP1G2	0,369110746	-0,146709415	0,025	0,05	1	0,903308435	1,107041584	0,5
SCHIP1	0,847389289	-0,146830372	0,088	0,09	1	0,903232704	1,107134403	0,977777778
RNF2	0,163879797	-0,146967538	0,175	0,09	1	0,903146832	1,10723967	1,944444444
SMAD3	0,369110746	-0,14722408	0,025	0,05	1	0,902986247	1,107436579	0,5
SF3B1	0,631084772	-0,147317484	0,85	0,67	1	0,902927787	1,10750828	1,268656716
PAPSS2	0,259519439	-0,147411994	0,013	0,04	1	0,902868639	1,107580834	0,325
HMGXB4	0,022681557	-0,147418333	0,462	0,22	1	0,902864672	1,1075857	2,1
ZNF227	0,452754618	-0,147620989	0,038	0,06	1	0,902737855	1,107741294	0,633333333
CHDH	0,159398678	-0,147663464	0,013	0,05	1	0,902711277	1,107773909	0,26
MCMBP	0,044162313	-0,147740282	0,325	0,15	1	0,902663213	1,107832895	2,166666667
WDR33	0,103633433	-0,147741527	0,475	0,25	1	0,902662434	1,107833851	1,9
SCMH1	0,772829449	-0,147799026	0,1	0,08	1	0,902626459	1,107878005	1,25
HNRNPAB	0,258981362	-0,147956558	0,875	0,52	1	0,902527904	1,107998984	1,682692308
CABLES1	0,072136391	-0,148216393	0	0,04	1	0,902365369	1,108198557	0
CRY2	0,452756248	-0,148348298	0,038	0,06	1	0,90228287	1,108299883	0,633333333
TTC7A	0,788452212	-0,14854404	0,062	0,05	1	0,902160459	1,108450265	1,24
TET1	0,779340817	-0,148598121	0,15	0,12	1	0,902126641	1,108491818	1,25
L1TD1	0,043652221	-0,148730131	0	0,05	1	0,902044098	1,108593252	0
CCDC7	0,651640212	-0,148839226	0,038	0,05	1	0,901975889	1,108677086	0,76
ENTPD3-AS1	0,240774098	-0,148910005	0,025	0,06	1	0,901931639	1,108731479	0,416666667
THBS1	0,190049883	-0,148971078	0,5	0,31	1	0,901893459	1,108778415	1,612903226
BBS2	0,289969834	-0,149039411	0,125	0,07	1	0,901850742	1,108830934	1,785714286
WRN	0,078471401	-0,149100939	0,2	0,09	1	0,901812281	1,108878224	2,222222222
BCL9L	0,063307568	-0,149112234	0,288	0,14	1	0,90180522	1,108886906	2,057142857
VANGL2	0,758027222	-0,149119186	0,175	0,14	1	0,901800875	1,108892249	1,25
SEC62	0,454101374	-0,14916049	0,95	0,63	1	0,901775056	1,108923997	1,507936508
CELF1	0,04935731	-0,149236145	0,488	0,24	1	0,901727768	1,108982151	2,033333333
SUB1	0,420994107	-0,149381836	0,938	0,7	1	0,901636712	1,109094147	1,34

Supplementary Table 4

Differentially expressed genes_keloid-CCD_ comparing SC-Keloid vs. (SC-Myel, SC-Nonmyel)								
gene	p_val	avg_log2FC	pct.1	pct.2	p_val_adj	Foldchange_UP	Foldchange_DOWN	Ratio_pct1_pct2
CMSS1	0,000828134	-0,149622107	0,55	0,21	1	0,901486563	1,109278874	2,619047619
ADAMTS7	0,058562765	-0,149671964	0,362	0,18	1	0,90145541	1,10931721	2,011111111
ZNF703	0,598897429	-0,149684302	0,175	0,13	1	0,901447701	1,109326697	1,346153846
ESPN	0,120814239	-0,149834633	0	0,03	1	0,901353773	1,109442296	0
ID1	0,015917587	-0,149952967	0,688	0,37	1	0,901279845	1,1095333	1,859459459
DEXI	0,061469136	-0,149989109	0,325	0,16	1	0,901257266	1,109561096	2,03125
INSR	0,452756248	-0,150025588	0,038	0,06	1	0,901234478	1,109589152	0,633333333
PLBD2	0,007994399	-0,150068046	0,3	0,11	1	0,901207955	1,109621807	2,727272727
SBNO1	0,143045068	-0,150098141	0,438	0,24	1	0,901189156	1,109644954	1,825
FRAT2	0,548643101	-0,150302511	0,075	0,05	1	0,901061504	1,109802156	1,5
ZBTB11	0,171102229	-0,150344161	0,312	0,18	1	0,901035491	1,109834196	1,733333333
ZNF669	0,770781378	-0,150553992	0,088	0,07	1	0,900904451	1,109995626	1,257142857
PEBP1	0,72650655	-0,150566109	1	0,94	1	0,900896884	1,110004949	1,063829787
KDM5B	0,050568332	-0,150581215	0,4	0,2	1	0,900887451	1,110016572	2
GNA13	0,103002223	-0,150617566	0,325	0,17	1	0,900864752	1,110044541	1,911764706
TSSC4	0,054873903	-0,15105627	0,525	0,27	1	0,900590853	1,110382142	1,944444444
UBN2	0,104801472	-0,151081541	0,288	0,15	1	0,900575078	1,110401592	1,92
DNM2	0,05398973	-0,15110367	0,338	0,16	1	0,900561264	1,110418624	2,1125
CRTC2	0,524816327	-0,151216337	0,088	0,11	1	0,900490938	1,110505345	0,8
MICA	0,040487527	-0,151291841	0,238	0,1	1	0,900443812	1,110563465	2,38
ADRA2A	0,369110746	-0,151386349	0,025	0,05	1	0,900384827	1,110636219	0,5
PI4KB	0,154934868	-0,151436998	0,35	0,2	1	0,900353218	1,110675211	1,75
GTF2IRD2	0,276364478	-0,15144508	0,2	0,12	1	0,900348174	1,110681432	1,666666667
CDC14B	0,01698539	-0,151522523	0,262	0,1	1	0,900299845	1,110741055	2,62
PTPN3	0,369110746	-0,15157905	0,025	0,05	1	0,900264571	1,110784576	0,5
CRK	0,063522786	-0,151588577	0,613	0,32	1	0,900258626	1,110791912	1,915625
OLFM2	0,580120923	-0,151590886	0,112	0,08	1	0,900257185	1,110793689	1,4
SEPTIN8	0,427462694	-0,151618129	0,125	0,08	1	0,900240185	1,110814665	1,5625
HNRNPA3	0,876762827	-0,151623961	0,887	0,66	1	0,900236546	1,110819156	1,343939394
RAB11A	0,045236612	-0,151923838	0,637	0,31	1	0,900049444	1,111050073	2,05483871

Supplementary Table 4

Differentially expressed genes_keloid-CCD_ comparing SC-Keloid vs. (SC-Myel, SC-Nonmyel)								
gene	p_val	avg_log2FC	pct.1	pct.2	p_val_adj	Foldchange_UP	Foldchange_DOWN	Ratio_pct1_pct2
HECTD1	0,124893054	-0,152014368	0,45	0,25	1	0,899992967	1,111119794	1,8
ANP32E	0,289315307	-0,152117024	0,438	0,29	1	0,899928929	1,111198859	1,510344828
TACSTD2	0,84359211	-0,152202958	0,025	0,02	1	0,899875327	1,11126505	1,25
AC016831.7	0,799526327	-0,152244929	0,05	0,04	1	0,899849148	1,111297379	1,25
SLC1A4	0,954410066	-0,152291737	0,05	0,05	1	0,899819953	1,111333436	1
NPLOC4	0,100552673	-0,152346204	0,275	0,14	1	0,899785982	1,111375394	1,964285714
TMCC3	0,369110746	-0,152378903	0,025	0,05	1	0,899765588	1,111400584	0,5
EIF2S2	0,232209719	-0,152400661	0,887	0,51	1	0,899752018	1,111417346	1,739215686
UVRAG	0,165150393	-0,152447947	0,2	0,11	1	0,899722529	1,111453774	1,818181818
COQ10A	0,55816045	-0,152458909	0,1	0,07	1	0,899715692	1,111462219	1,428571429
ZCCHC14	0,119617561	-0,152528753	0,262	0,14	1	0,899672136	1,111516029	1,871428571
SLC16A1-AS1	0,044922833	-0,152593609	0,125	0,04	1	0,899631692	1,111565998	3,125
MICALL2	0,050734051	-0,152903377	0,625	0,32	1	0,899438549	1,111804693	1,953125
SLF2	0,017515648	-0,152964519	0,3	0,12	1	0,899400431	1,111851813	2,5
MARCHF9	0,037795883	-0,152969195	0,362	0,17	1	0,899397516	1,111855416	2,129411765
PON2	0,214899948	-0,152997753	0,675	0,41	1	0,899379713	1,111877426	1,646341463
DENND5A	0,025707788	-0,153014057	0,462	0,23	1	0,899369549	1,111889991	2,008695652
TBC1D17	0,787424549	-0,153019543	0,075	0,08	1	0,899366129	1,111894219	0,9375
COQ9	0,06163574	-0,153103863	0,275	0,13	1	0,899313566	1,111959207	2,115384615
HS6ST1	0,180764063	-0,15342512	0,125	0,06	1	0,899113331	1,112206844	2,083333333
PCDHB4	0,072136391	-0,153435218	0	0,04	1	0,899107038	1,112214629	0
ZHX1	0,064992473	-0,153504661	0,375	0,19	1	0,899063761	1,112268166	1,973684211
HYPK	0,447374936	-0,153528508	0,138	0,09	1	0,8990489	1,112286551	1,533333333
POGLUT3	0,023526569	-0,153559185	0,288	0,12	1	0,899029783	1,112310203	2,4
NXF1	0,008914194	-0,153771542	0,312	0,12	1	0,89889746	1,112473941	2,6
FBXO34	0,927992019	-0,153836853	0,125	0,11	1	0,898856768	1,112524304	1,136363636
AKAP17A	0,005604488	-0,154155281	0,362	0,14	1	0,898658397	1,112769884	2,585714286
ACBD4	0,708795782	-0,154224316	0,05	0,06	1	0,898615396	1,112823133	0,833333333
FAM89A	0,046391154	-0,15431806	0,212	0,09	1	0,898557006	1,112895445	2,355555556
CCDC117	0,40204505	-0,154418271	0,212	0,14	1	0,898494595	1,11297275	1,514285714

Supplementary Table 4

Differentially expressed genes_keloid-CCD_ comparing SC-Keloid vs. (SC-Myel, SC-Nonmyel)								
gene	p_val	avg_log2FC	pct.1	pct.2	p_val_adj	Foldchange_UP	Foldchange_DOWN	Ratio_pct1_pct2
KAT5	0,187273034	-0,154435266	0,262	0,15	1	0,89848401	1,112985862	1,746666667
USP47	0,436550703	-0,154443929	0,575	0,36	1	0,898478615	1,112992545	1,597222222
PRELP	0,072136391	-0,154548599	0	0,04	1	0,898413431	1,113073297	0
SESTD1	0,475609891	-0,154554737	0,175	0,12	1	0,898409609	1,113078033	1,458333333
NSD3	0,219980294	-0,154720218	0,662	0,38	1	0,898306565	1,113205713	1,742105263
ZFHX2	0,240774098	-0,154731856	0,025	0,06	1	0,898299318	1,113214694	0,416666667
OPHN1	0,997440903	-0,154775861	0,075	0,07	1	0,898271919	1,113248649	1,071428571
TXN	0,541352705	-0,15488319	0,9	0,63	1	0,898205095	1,113331472	1,428571429
MIS12	0,944420389	-0,154977033	0,125	0,11	1	0,898146671	1,113403893	1,136363636
LRMDA	0,336907397	-0,155034333	0,262	0,17	1	0,898111	1,113448116	1,541176471
CEP95	0,066993503	-0,155116186	0,238	0,11	1	0,898060046	1,11351129	2,163636364
WASF1	0,894021778	-0,155122797	0,038	0,04	1	0,89805593	1,113516393	0,95
OCEL1	0,198442087	-0,155186026	0,2	0,11	1	0,898016572	1,113565196	1,818181818
ARMH4	0,259519439	-0,155267431	0,013	0,04	1	0,897965903	1,113628031	0,325
CFAP20	0,022861543	-0,155286136	0,613	0,29	1	0,89795426	1,11364247	2,113793103
ENTPD1	0,457357417	-0,15540489	0,038	0,06	1	0,897880349	1,113734142	0,633333333
MDK	0,143162878	-0,155429693	0,562	0,33	1	0,897864913	1,113753289	1,703030303
RNF214	0,056717055	-0,155471202	0,225	0,1	1	0,89783908	1,113785335	2,25
HAUS8	0,78287608	-0,155667429	0,062	0,05	1	0,897716969	1,113936836	1,24
BARD1	0,152777774	-0,155670026	0,238	0,13	1	0,897715353	1,113938841	1,830769231
NRARP	0,657460147	-0,155860422	0,038	0,05	1	0,897596887	1,11408586	0,76
SP100	0,047791172	-0,155905261	0,537	0,27	1	0,89756899	1,114120486	1,988888889
TMEM98	0,048497645	-0,155993065	0,212	0,09	1	0,897514365	1,114188295	2,355555556
ODR4	0,134122184	-0,156013076	0,262	0,14	1	0,897501916	1,114203749	1,871428571
TNFRSF25	0,556644247	-0,156014405	0,025	0,04	1	0,897501089	1,114204776	0,625
EPDR1	0,86959804	-0,156192856	0,175	0,15	1	0,897390082	1,114342604	1,166666667
ARHGAP42	0,111306152	-0,156229275	0,3	0,16	1	0,897367428	1,114370734	1,875
NCOR1	0,147788851	-0,15625755	0,713	0,4	1	0,897349842	1,114392574	1,7825
KANSL2	0,114395004	-0,156328604	0,188	0,09	1	0,897305647	1,114447461	2,088888889
RENBP	0,240774098	-0,156399546	0,025	0,06	1	0,897261525	1,114502263	0,416666667

Supplementary Table 4

Differentially expressed genes_keloid-CCD_ comparing SC-Keloid vs. (SC-Myel, SC-Nonmyel)								
gene	p_val	avg_log2FC	pct.1	pct.2	p_val_adj	Foldchange_UP	Foldchange_DOWN	Ratio_pct1_pct2
RPL31	0,9340227	-0,156664094	0,863	0,64	1	0,897097008	1,114706649	1,3484375
CYP46A1	0,423434047	-0,156696255	0,013	0,03	1	0,89707701	1,114731499	0,433333333
YWHAQ	0,841021692	-0,156712656	0,925	0,75	1	0,897066812	1,114744171	1,233333333
TET2	0,159953433	-0,156797471	0,262	0,15	1	0,897014076	1,114809708	1,746666667
XAF1	0,833709766	-0,156866579	0,088	0,09	1	0,896971108	1,114863111	0,977777778
PFDN1	0,767906305	-0,156892163	0,812	0,54	1	0,896955202	1,114882882	1,503703704
PLEKHF2	0,245017897	-0,157037468	0,238	0,14	1	0,896864867	1,114995176	1,7
STAG1	0,273311642	-0,157088893	0,362	0,22	1	0,896832899	1,115034921	1,645454545
PRCP	0,190001807	-0,157140277	0,4	0,24	1	0,896800957	1,115074635	1,666666667
PORCN	0,045399153	-0,157162137	0,088	0,02	1	0,896787369	1,115091531	4,4
TMED4	0,075619154	-0,157213882	0,613	0,32	1	0,896755204	1,115131527	1,915625
UBB	0,003256295	-0,157488978	1	0,6	1	0,896584225	1,115344183	1,666666667
FBLN2	0,106382952	-0,157587938	0,462	0,27	1	0,896522728	1,115420691	1,711111111
MLLT6	0,280411902	-0,157618822	0,2	0,12	1	0,896503536	1,115444569	1,666666667
URGCP	0,57023707	-0,15765631	0,088	0,06	1	0,896480241	1,115473554	1,466666667
SP1	0,115691837	-0,157734147	0,238	0,12	1	0,896431874	1,115533738	1,983333333
SOX6	0,065468103	-0,157758102	0,438	0,23	1	0,89641699	1,115552261	1,904347826
DYNLRB1	0,314727473	-0,157772259	0,975	0,73	1	0,896408193	1,115563208	1,335616438
MGST1	0,159398678	-0,15805428	0,013	0,05	1	0,896232979	1,115781302	0,26
OSGIN2	0,614614008	-0,158390852	0,138	0,1	1	0,896023918	1,116041637	1,38
COIL	0,027602607	-0,158397233	0,175	0,06	1	0,896019955	1,116046573	2,916666667
AP1G1	0,066067735	-0,158632425	0,375	0,19	1	0,895873895	1,116228529	1,973684211
THUMPD1	0,180133727	-0,158729903	0,425	0,25	1	0,895813366	1,116303952	1,7
HUNK	0,78027938	-0,15880576	0,088	0,07	1	0,895766265	1,116362648	1,257142857
PBRM1	0,169032409	-0,158866191	0,575	0,33	1	0,895728745	1,116409411	1,742424242
TSPAN31	0,008901407	-0,158903481	0,35	0,14	1	0,895705592	1,116438268	2,5
SLC25A28	0,361699145	-0,159027458	0,175	0,11	1	0,895628624	1,116534212	1,590909091
EIF4G2	0,7305671	-0,159265141	0,963	0,8	1	0,895481082	1,116718175	1,20375
NCKAP5L	0,041518589	-0,159422002	0,388	0,19	1	0,895383723	1,116839601	2,042105263
UBE2E3	0,6337167	-0,159498088	0,762	0,51	1	0,895336503	1,116898503	1,494117647

Supplementary Table 4

Differentially expressed genes_keloid-CCD_ comparing SC-Keloid vs. (SC-Myel, SC-Nonmyel)								
gene	p_val	avg_log2FC	pct.1	pct.2	p_val_adj	Foldchange_UP	Foldchange_DOWN	Ratio_pct1_pct2
IPO7	0,080543709	-0,159535395	0,475	0,26	1	0,895313351	1,116927385	1,826923077
ZNF562	0,988020397	-0,159578022	0,088	0,08	1	0,895286898	1,116960388	1,1
PTHLH	0,252571592	-0,159664864	0,112	0,06	1	0,895233008	1,117027624	1,866666667
AEBP2	0,17913775	-0,159678794	0,262	0,15	1	0,895224364	1,11703841	1,746666667
SMARCA2	0,025105754	-0,159739716	0,288	0,12	1	0,895186562	1,117085581	2,4
DPYD	0,197583358	-0,159741551	0,138	0,07	1	0,895185423	1,117087001	1,971428571
ABCA2	0,727551928	-0,159827148	0,112	0,09	1	0,895132312	1,117153282	1,244444444
TCP11L2	0,707546132	-0,159904395	0,1	0,11	1	0,895084385	1,1172131	0,909090909
GLCC1	0,782321833	-0,160131274	0,075	0,06	1	0,894943634	1,117388807	1,25
NOD1	0,525777494	-0,160216212	0,05	0,07	1	0,894890946	1,117454595	0,714285714
ZNF768	0,78027938	-0,160270946	0,088	0,07	1	0,894856996	1,117496991	1,257142857
PIAS4	0,591829794	-0,160351003	0,112	0,08	1	0,894807341	1,117559004	1,4
ANKRD44	0,131961359	-0,160379853	0,275	0,15	1	0,894789447	1,117581352	1,833333333
ZBTB5	0,833709766	-0,160407758	0,088	0,09	1	0,89477214	1,117602969	0,977777778
RING1	0,162828767	-0,160487008	0,312	0,18	1	0,89472299	1,117664362	1,733333333
IPO9	0,076914382	-0,160500874	0,25	0,12	1	0,894714391	1,117675105	2,083333333
PARP12	0,427462694	-0,160672516	0,125	0,08	1	0,89460795	1,117808085	1,5625
PRXL2C	0,003750976	-0,160718491	0,575	0,24	1	0,894579441	1,117843708	2,395833333
PKD2	0,634944317	-0,160750785	0,2	0,15	1	0,894559417	1,11786873	1,333333333
DOCK8	0,098032255	-0,160771477	0,013	0,06	1	0,894546587	1,117884764	0,216666667
ST6GALNAC5	0,043652221	-0,160796263	0	0,05	1	0,894531218	1,11790397	0
GPKOW	0,582634513	-0,160885313	0,1	0,07	1	0,894476005	1,117972974	1,428571429
FAM117A	0,788452212	-0,16105141	0,062	0,05	1	0,894373031	1,118101693	1,24
CAPRN2	0,28114898	-0,161132793	0,212	0,13	1	0,89432258	1,118164768	1,630769231
ZC3H8	0,770781378	-0,161134045	0,088	0,07	1	0,894321804	1,118165738	1,257142857
WHAMM	0,312697251	-0,161148239	0,15	0,09	1	0,894313005	1,118176739	1,666666667
H2AW	0,528261596	-0,161313395	0,212	0,15	1	0,894210632	1,118304753	1,413333333
RILP	0,847389289	-0,161374231	0,088	0,09	1	0,894172926	1,118351911	0,977777778
PCSK1N	0,259519439	-0,161419063	0,013	0,04	1	0,89414514	1,118386664	0,325
ZNF574	0,861714631	-0,161500152	0,1	0,1	1	0,894094884	1,118449527	1

Supplementary Table 4

Differentially expressed genes_keloid-CCD_ comparing SC-Keloid vs. (SC-Myel, SC-Nonmyel)								
gene	p_val	avg_log2FC	pct.1	pct.2	p_val_adj	Foldchange_UP	Foldchange_DOWN	Ratio_pct1_pct2
TMEM170A	0,147969173	-0,161516733	0,375	0,21	1	0,894084608	1,118462381	1,785714286
CACUL1	0,009141212	-0,161632707	0,375	0,15	1	0,894012739	1,118552294	2,5
RBBP5	0,240432156	-0,161742101	0,162	0,09	1	0,893944951	1,118637114	1,8
TNFRSF19	0,18626954	-0,16183725	0,412	0,25	1	0,893885995	1,118710893	1,648
SMIM4	0,06117553	-0,161941727	0,35	0,17	1	0,893821265	1,11879191	2,058823529
ZNF609	0,289969834	-0,16225907	0,125	0,07	1	0,893624676	1,119038033	1,785714286
CAMK2D	0,064246657	-0,162265254	0,362	0,18	1	0,893620846	1,11904283	2,011111111
CYGB	0,799526327	-0,162348012	0,05	0,04	1	0,893569587	1,119107023	1,25
GID4	0,992322814	-0,162621964	0,075	0,07	1	0,893399923	1,11931955	1,071428571
GCC1	0,645841423	-0,162687259	0,038	0,05	1	0,89335949	1,11937021	0,76
SIRT2	0,155675443	-0,162776197	0,7	0,39	1	0,893304418	1,119439219	1,794871795
P2RY1	0,359832279	-0,162778337	0,162	0,1	1	0,893303094	1,119440879	1,62
YAP1	0,402113906	-0,16284485	0,325	0,22	1	0,89326191	1,11949249	1,477272727
NUMA1	0,04886311	-0,162904693	0,375	0,18	1	0,893224859	1,119538927	2,083333333
RIOK3	0,152180052	-0,162949614	0,488	0,28	1	0,893197046	1,119573787	1,742857143
TRRAP	0,354188038	-0,162967878	0,175	0,11	1	0,893185739	1,119587961	1,590909091
CDR1	0,423434047	-0,163055926	0,013	0,03	1	0,89313123	1,119656291	0,433333333
STAU1	0,28049562	-0,163339073	0,662	0,38	1	0,892955959	1,119876059	1,742105263
FOSL1	0,369864999	-0,163499644	0,188	0,12	1	0,892856579	1,120000708	1,566666667
MIB2	0,427069697	-0,163558603	0,212	0,14	1	0,892820091	1,12004648	1,514285714
OARD1	0,232420437	-0,163715717	0,162	0,09	1	0,892722865	1,120168464	1,8
TPT1	0,037533844	-0,163850061	1	1	1	0,892639738	1,120272779	1
CAT	0,097608138	-0,163872486	0,4	0,21	1	0,892625863	1,120290192	1,904761905
PDZD2	0,155137097	-0,16402037	0,025	0,07	1	0,892534369	1,120405034	0,357142857
SPSB1	0,058250268	-0,164082045	0,238	0,11	1	0,892496214	1,120452932	2,163636364
IQCJ-SCHIP1	0,295173407	-0,164130192	0,125	0,07	1	0,89246643	1,120490325	1,785714286
ATP6V1A	0,054616207	-0,164216218	0,262	0,12	1	0,892413215	1,12055714	2,183333333
FBXL15	0,15898437	-0,164320914	0,338	0,19	1	0,892348455	1,120638462	1,778947368
ZNF335	0,296257455	-0,164352451	0,138	0,08	1	0,892328948	1,12066296	1,725
LATS1	0,344327725	-0,164448424	0,175	0,11	1	0,89226959	1,120737512	1,590909091

Supplementary Table 4

Differentially expressed genes_keloid-CCD_ comparing SC-Keloid vs. (SC-Myel, SC-Nonmyel)								
gene	p_val	avg_log2FC	pct.1	pct.2	p_val_adj	Foldchange_UP	Foldchange_DOWN	Ratio_pct1_pct2
ATP2B2	0,250610641	-0,164665277	0,025	0,06	1	0,892135482	1,120905984	0,416666667
RRAD	0,301570476	-0,164668855	0,525	0,35	1	0,892133269	1,120908764	1,5
FAR1	0,036768125	-0,164679961	0,362	0,17	1	0,892126402	1,120917393	2,129411765
EIF5A2	0,453709	-0,164824045	0,138	0,09	1	0,892037308	1,121029346	1,533333333
CFL2	0,07435354	-0,164829909	0,438	0,22	1	0,892033682	1,121033903	1,990909091
CAMSAP1	0,180807571	-0,164883778	0,188	0,1	1	0,892000375	1,121075762	1,88
RNF167	0,191441548	-0,164895144	0,262	0,15	1	0,891993348	1,121084594	1,746666667
DTX3L	0,582634513	-0,165038638	0,1	0,07	1	0,891904632	1,121196105	1,428571429
STMN3	0,110087567	-0,165136724	0,288	0,15	1	0,891843995	1,121272336	1,92
FAM172A	0,003529641	-0,16516416	0,438	0,17	1	0,891827035	1,12129366	2,576470588
SDE2	0,047963631	-0,165335517	0,212	0,09	1	0,891721114	1,12142685	2,355555556
AMZ2	0,099701433	-0,165370497	0,275	0,14	1	0,891699494	1,12145404	1,964285714
AQP11	0,788452212	-0,165404596	0,062	0,05	1	0,891678418	1,121480547	1,24
EPS15	0,226502582	-0,165467948	0,338	0,2	1	0,891639263	1,121529795	1,69
ZNF592	0,992812065	-0,165471407	0,088	0,08	1	0,891637126	1,121532484	1,1
DYRK3	0,105059654	-0,165502665	0,025	0,08	1	0,891617807	1,121556783	0,3125
CPEB2	0,422058966	-0,165596833	0,2	0,13	1	0,891559611	1,121629993	1,538461538
YPEL4	0,043652221	-0,165739774	0	0,05	1	0,891471281	1,121741128	0
TICAM1	0,651933786	-0,165805916	0,088	0,1	1	0,891430411	1,121792557	0,88
PREX1	0,369110746	-0,16587732	0,025	0,05	1	0,891386292	1,12184808	0,5
TNPO2	0,299121949	-0,166001736	0,2	0,12	1	0,891309423	1,12194483	1,666666667
ZNF766	0,373709887	-0,166069887	0,025	0,05	1	0,89126732	1,121997831	0,5
MLLT1	0,242464775	-0,166086743	0,25	0,15	1	0,891256907	1,12201094	1,666666667
SEMA4A	0,874770255	-0,166120136	0,1	0,1	1	0,891236278	1,122036911	1
SPOPL	0,114682274	-0,16622056	0,238	0,12	1	0,891174242	1,122115017	1,983333333
XPC	0,08169145	-0,166312838	0,262	0,13	1	0,891117243	1,122186792	2,015384615
SLC30A1	0,200064246	-0,166498328	0,2	0,11	1	0,891002678	1,122331083	1,818181818
RAB3IP	0,7858269	-0,166540027	0,125	0,1	1	0,890976925	1,122363523	1,25
SUMO2	0,269575941	-0,166737623	1	0,93	1	0,890854902	1,122517256	1,075268817
JAG1	0,694143245	-0,166860495	0,575	0,4	1	0,890779032	1,122612863	1,4375

Supplementary Table 4

Differentially expressed genes_keloid-CCD_ comparing SC-Keloid vs. (SC-Myel, SC-Nonmyel)								
gene	p_val	avg_log2FC	pct.1	pct.2	p_val_adj	Foldchange_UP	Foldchange_DOWN	Ratio_pct1_pct2
ATG10	0,221903616	-0,166871855	0,15	0,08	1	0,890772018	1,122621703	1,875
DYNLT3	0,042567802	-0,166957882	0,688	0,36	1	0,890718904	1,122688646	1,911111111
CNNM4	0,829160873	-0,166980212	0,088	0,09	1	0,890705117	1,122706023	0,977777778
PHLDB2	0,792612874	-0,167092175	0,288	0,23	1	0,890635995	1,122793156	1,252173913
PKNOX1	0,564753457	-0,167114275	0,138	0,1	1	0,890622352	1,122810356	1,38
IL17RC	0,09553318	-0,167545947	0,275	0,14	1	0,890355907	1,123146365	1,964285714
SGPP1	0,043652221	-0,167566829	0	0,05	1	0,89034302	1,123162621	0
IRF2	0,058100188	-0,167610022	0,35	0,17	1	0,890316364	1,123196248	2,058823529
DVL2	0,060994302	-0,167774932	0,225	0,1	1	0,8902146	1,123324645	2,25
THOC1	0,132463628	-0,168006052	0,2	0,1	1	0,890071999	1,123504616	2
YIPF4	0,392009109	-0,16803867	0,362	0,24	1	0,890051876	1,123530018	1,508333333
PAQR8	0,557924866	-0,168128256	0,075	0,05	1	0,889996609	1,123599787	1,5
CCN2	0,427772032	-0,168326588	0,787	0,54	1	0,889874266	1,123754263	1,457407407
EPS8	0,041647302	-0,168442216	0,4	0,19	1	0,889802949	1,123844332	2,105263158
SPATA6	0,078624514	-0,16848401	0,75	0,4	1	0,889777171	1,12387689	1,875
FLCN	0,437968774	-0,168496573	0,138	0,09	1	0,889769424	1,123886676	1,533333333
ITFG1	0,20593513	-0,168583018	0,462	0,27	1	0,889716111	1,12395402	1,711111111
APBA1	0,072136391	-0,168672981	0	0,04	1	0,889660632	1,12402411	0
ANKRD50	0,246753499	-0,168715451	0,238	0,14	1	0,889634443	1,124057199	1,7
MUCL1	0,788452212	-0,168759401	0,062	0,05	1	0,889607342	1,124091443	1,24
LRRTM4	0,452756248	-0,168941228	0,038	0,06	1	0,889495229	1,124233124	0,633333333
HVCN1	0,026616038	-0,169094026	0	0,06	1	0,889401026	1,1243522	0
AC011043.1	0,128867295	-0,169099262	0,2	0,1	1	0,889397798	1,12435628	2
SNHG10	0,150386432	-0,169102944	0,112	0,05	1	0,889395528	1,12435915	2,24
ECEL1	0,043652221	-0,169296859	0	0,05	1	0,889275991	1,124510287	0
PRICKLE3	0,820013192	-0,169447229	0,025	0,03	1	0,889183308	1,124627499	0,833333333
DKK1	0,207484841	-0,169516928	0	0,02	1	0,889140351	1,124681833	0
PLEKHA8	0,768369996	-0,169619224	0,1	0,08	1	0,889077308	1,124761583	1,25
MAX	0,124225581	-0,169714829	0,375	0,21	1	0,889018392	1,124836121	1,785714286
APOLD1	0,548643101	-0,169777715	0,075	0,05	1	0,888979641	1,124885153	1,5

Supplementary Table 4

Differentially expressed genes_keloid-CCD_ comparing SC-Keloid vs. (SC-Myel, SC-Nonmyel)								
gene	p_val	avg_log2FC	pct.1	pct.2	p_val_adj	Foldchange_UP	Foldchange_DOWN	Ratio_pct1_pct2
CSNK2A1	0,036261436	-0,170023711	0,562	0,28	1	0,888828073	1,125076976	2,007142857
REV3L	0,21401991	-0,170172485	0,15	0,08	1	0,88873642	1,125193002	1,875
BRMS1L	0,761017704	-0,17046979	0,112	0,09	1	0,888553291	1,125424901	1,244444444
ELOVL4	0,980637923	-0,170509675	0,062	0,06	1	0,888528726	1,125456015	1,033333333
ATN1	0,347637898	-0,170518438	0,45	0,29	1	0,88852333	1,125462851	1,551724138
BOD1	0,182392377	-0,170563311	0,45	0,27	1	0,888495693	1,125497858	1,666666667
HMG20A	0,591829794	-0,17075695	0,112	0,08	1	0,888376448	1,125648932	1,4
ODF2L	0,012927543	-0,171036818	0,475	0,21	1	0,888204128	1,125867319	2,261904762
C22orf39	0,44634996	-0,171089317	0,225	0,15	1	0,888171808	1,125908288	1,5
PTDSS1	0,576242237	-0,171120396	0,112	0,08	1	0,888152674	1,125932544	1,4
SLC41A1	0,909603257	-0,171188447	0,162	0,14	1	0,888110782	1,125985654	1,157142857
CCDC102A	0,780784386	-0,171402634	0,138	0,11	1	0,88797894	1,126152834	1,254545455
ABCC8	0,120814239	-0,171481318	0	0,03	1	0,887930511	1,126214256	0
PPWD1	0,78027938	-0,17152932	0,088	0,07	1	0,887900968	1,126251728	1,257142857
TOMM7	0,485796574	-0,171678264	0,975	0,84	1	0,887809306	1,126368009	1,160714286
TIA1	0,149217904	-0,171706921	0,338	0,19	1	0,887791671	1,126390383	1,778947368
SNX9	0,48288899	-0,171806794	0,162	0,11	1	0,887730214	1,126468361	1,472727273
RNF146	0,092856238	-0,17182693	0,325	0,17	1	0,887717824	1,126484084	1,911764706
ADNP2	0,631984607	-0,172027487	0,15	0,11	1	0,887594426	1,126640693	1,363636364
BCORL1	0,521263547	-0,17207132	0,05	0,07	1	0,887567459	1,126674924	0,714285714
ROPN1	0,816980451	-0,172083904	0,038	0,03	1	0,887559717	1,126684752	1,266666667
PEX2	0,076417262	-0,172124886	0,375	0,19	1	0,887534505	1,126716758	1,973684211
ATAD1	0,063750894	-0,172127068	0,412	0,21	1	0,887533162	1,126718462	1,961904762
ARMC8	0,173862124	-0,172137477	0,262	0,15	1	0,887526759	1,126726591	1,746666667
SARS1	0,004649195	-0,172302508	0,7	0,3	1	0,88742524	1,126855485	2,333333333
FAM120C	0,975104768	-0,172449244	0,1	0,09	1	0,887334985	1,126970104	1,111111111
TMEM248	0,026772124	-0,172463692	0,525	0,24	1	0,887326099	1,12698139	2,1875
BIN3	0,425875403	-0,172531835	0,312	0,21	1	0,887284189	1,127034622	1,485714286
CCM2	0,01974507	-0,172696678	0,537	0,26	1	0,887182813	1,127163404	2,065384615
UBE2E1	0,00892789	-0,172702241	0,3	0,11	1	0,887179392	1,127167751	2,727272727

Supplementary Table 4

Differentially expressed genes_keloid-CCD_ comparing SC-Keloid vs. (SC-Myel, SC-Nonmyel)								
gene	p_val	avg_log2FC	pct.1	pct.2	p_val_adj	Foldchange_UP	Foldchange_DOWN	Ratio_pct1_pct2
DCAF8	0,238282551	-0,172786671	0,225	0,13	1	0,887127473	1,127233718	1,730769231
SATB1	0,04979276	-0,17286837	0,388	0,19	1	0,887077237	1,127297554	2,042105263
ITPKB	0,787424549	-0,172974357	0,075	0,08	1	0,887012071	1,127380373	0,9375
BEND7	0,975107496	-0,172984723	0,062	0,06	1	0,887005698	1,127388474	1,033333333
INPP5F	0,093310235	-0,173049357	0,475	0,25	1	0,88696596	1,127438983	1,9
GGT7	0,019482029	-0,173074691	0,312	0,13	1	0,886950385	1,127458782	2,4
RNF24	0,056120777	-0,173115775	0,362	0,18	1	0,886925128	1,127490888	2,011111111
WBP1L	0,051242668	-0,17319447	0,175	0,07	1	0,886876749	1,127552392	2,5
FRMD8	0,183533164	-0,173207876	0,25	0,14	1	0,886868508	1,12756287	1,785714286
KANK4	0,259519439	-0,173349795	0,013	0,04	1	0,88678127	1,127673794	0,325
AGO1	0,133208758	-0,173756645	0,212	0,11	1	0,886531227	1,127991851	1,927272727
AKT1S1	0,150645974	-0,173837603	0,325	0,18	1	0,88648148	1,128055151	1,805555556
PHF20L1	0,120112192	-0,173901292	0,637	0,35	1	0,886442347	1,128104951	1,82
KIAA1109	0,085454592	-0,17398692	0,262	0,13	1	0,886389736	1,128171909	2,015384615
MAP6	0,098981434	-0,173994576	0,025	0,08	1	0,886385032	1,128177896	0,3125
INTS13	0,334386894	-0,17399945	0,162	0,1	1	0,886382037	1,128181708	1,62
SARNP	0,1355839	-0,174102113	0,212	0,11	1	0,886318964	1,128261992	1,927272727
ZNF672	0,86591923	-0,174140896	0,112	0,11	1	0,886295138	1,128292323	1,018181818
PACSIN2	0,030929941	-0,174241166	0,438	0,21	1	0,886233541	1,128370744	2,085714286
RBM6	0,064935597	-0,174267644	0,537	0,28	1	0,886217276	1,128391453	1,917857143
CHRAC1	0,026042167	-0,17432449	0,438	0,2	1	0,886182357	1,128435916	2,19
LZTS3	0,309977712	-0,174359416	0,038	0,07	1	0,886160904	1,128463234	0,542857143
MAP2K4	0,528261596	-0,174593849	0,212	0,15	1	0,886016918	1,128646621	1,413333333
SUCO	0,180770945	-0,174767703	0,325	0,19	1	0,885910153	1,128782638	1,710526316
AFTPH	0,082067672	-0,174845211	0,375	0,19	1	0,88586256	1,128843283	1,973684211
SDC4	0,081659842	-0,175018258	0,375	0,2	1	0,885756309	1,128978692	1,875
SUMO4	0,576609269	-0,175157175	0,15	0,11	1	0,885671024	1,129087407	1,363636364
TENT4A	0,149235989	-0,175229546	0,212	0,11	1	0,885626596	1,129144048	1,927272727
VPS35	0,335408567	-0,175332491	0,525	0,32	1	0,885563404	1,129224622	1,640625
DNAJC27	0,98415605	-0,175391901	0,1	0,09	1	0,885526938	1,129271124	1,111111111

Supplementary Table 4

Differentially expressed genes_keloid-CCD_ comparing SC-Keloid vs. (SC-Myel, SC-Nonmyel)								
gene	p_val	avg_log2FC	pct.1	pct.2	p_val_adj	Foldchange_UP	Foldchange_DOWN	Ratio_pct1_pct2
SERTAD3	0,181019946	-0,175424376	0,475	0,27	1	0,885507004	1,129296544	1,759259259
SHPRH	0,340983366	-0,175505369	0,262	0,17	1	0,885457293	1,129359945	1,541176471
DDX28	0,101572036	-0,175602099	0,013	0,06	1	0,885397927	1,129435669	0,216666667
FGGY	0,730495711	-0,175738784	0,05	0,06	1	0,885314046	1,12954268	0,833333333
DENND5B	0,313446358	-0,175747025	0,038	0,07	1	0,885308989	1,129549132	0,542857143
MAP1LC3A	0,23941227	-0,175806401	0,8	0,48	1	0,885272554	1,129595621	1,666666667
CDK7	0,740044706	-0,175841565	0,112	0,09	1	0,885250977	1,129623154	1,244444444
DUSP6	0,531067445	-0,175897956	0,238	0,17	1	0,885216375	1,129667308	1,4
PTER	0,782321833	-0,176070027	0,075	0,06	1	0,885110801	1,129802053	1,25
MAP2K7	0,260108429	-0,176236495	0,312	0,19	1	0,885008677	1,129932424	1,642105263
CSRNP2	0,399041491	-0,176273118	0,2	0,13	1	0,884986211	1,129961108	1,538461538
TRIP11	0,01930521	-0,176293267	0,5	0,24	1	0,884973851	1,12997689	2,083333333
FAM135A	0,645841423	-0,176342212	0,038	0,05	1	0,884943828	1,130015226	0,76
MAF1	0,385746605	-0,176361311	0,637	0,4	1	0,884932113	1,130030186	1,5925
ZNF302	0,897335015	-0,17644381	0,125	0,12	1	0,88488151	1,130094808	1,041666667
KIF13B	0,167233364	-0,176512458	0,475	0,27	1	0,884839406	1,130148582	1,759259259
TBCCD1	0,181587071	-0,176557695	0,05	0,1	1	0,884811661	1,13018402	0,5
FBXL20	0,168721326	-0,176619493	0,25	0,14	1	0,884773761	1,130232432	1,785714286
CTDSPL	0,203223572	-0,176692511	0,312	0,18	1	0,884728982	1,130289637	1,733333333
OSMR-DT	0,072136391	-0,176728071	0	0,04	1	0,884707175	1,130317497	0
ZNF25	0,308914059	-0,177062658	0,138	0,08	1	0,884502019	1,130579669	1,725
TMEM71	0,98322916	-0,177181974	0,088	0,08	1	0,884428871	1,130673175	1,1
FBXO33	0,163059514	-0,177211667	0,225	0,12	1	0,884410668	1,130696447	1,875
ABHD12	0,31165357	-0,177307408	0,488	0,3	1	0,884351979	1,130771485	1,626666667
ABCC5	0,338094174	-0,177312805	0,15	0,09	1	0,88434867	1,130775715	1,666666667
LRRCC1	0,323538308	-0,177371974	0,475	0,29	1	0,884312401	1,130822093	1,637931034
AXIN2	0,980637923	-0,177389514	0,062	0,06	1	0,88430165	1,130835841	1,033333333
NKAPD1	0,251193864	-0,177481501	0,325	0,2	1	0,884245268	1,130907946	1,625
SNHG18	0,578520911	-0,1774949	0,1	0,07	1	0,884237056	1,130918449	1,428571429
NAALADL2	0,970307235	-0,177596037	0,138	0,12	1	0,884175071	1,130997732	1,15

Supplementary Table 4

Differentially expressed genes_keloid-CCD_ comparing SC-Keloid vs. (SC-Myel, SC-Nonmyel)								
gene	p_val	avg_log2FC	pct.1	pct.2	p_val_adj	Foldchange_UP	Foldchange_DOWN	Ratio_pct1_pct2
CCDC66	0,075254292	-0,177673612	0,338	0,17	1	0,884127529	1,131058549	1,988235294
SPATS2	0,099341486	-0,177779602	0,312	0,16	1	0,884062577	1,131141647	1,95
CWF19L2	0,034875456	-0,177857411	0,275	0,12	1	0,884014899	1,131202655	2,291666667
VKORC1L1	0,295541305	-0,177902964	0,325	0,2	1	0,883986986	1,131238373	1,625
PARL	0,080826193	-0,178029361	0,4	0,21	1	0,883909542	1,131337487	1,904761905
PCDH10	0,098981434	-0,17805421	0,025	0,08	1	0,883894318	1,131356973	0,3125
TMEM140	0,155137097	-0,178080711	0,025	0,07	1	0,883878081	1,131377756	0,357142857
PRIMPOL	0,786827279	-0,178108065	0,15	0,12	1	0,883861323	1,131399207	1,25
ZNF331	0,549439969	-0,17813954	0,112	0,08	1	0,88384204	1,131423891	1,4
PDE5A	0,369110746	-0,178140565	0,025	0,05	1	0,883841412	1,131424695	0,5
GALT	0,8246177	-0,178171861	0,088	0,09	1	0,883822239	1,131449239	0,977777778
NISCH	0,13799162	-0,178308585	0,212	0,11	1	0,883738484	1,131556471	1,927272727
EPHB3	0,959285503	-0,17833223	0,088	0,08	1	0,883724	1,131575017	1,1
SHMT1	0,379500814	-0,178396866	0,088	0,05	1	0,883684408	1,131625715	1,76
TFAP2B	0,162161236	-0,178667673	0,013	0,05	1	0,883518548	1,131838151	0,26
CMTM5	0,087034824	-0,178729442	0,625	0,34	1	0,883480721	1,131886612	1,838235294
SRSF1	0,036826967	-0,178769624	0,537	0,26	1	0,883456114	1,131918138	2,065384615
EGR2	0,806564466	-0,178953671	0,075	0,08	1	0,883343418	1,132062548	0,9375
SMN2	0,259519439	-0,179091579	0,013	0,04	1	0,883258982	1,132170768	0,325
NAB2	0,03414397	-0,179245924	0,325	0,15	1	0,883164493	1,132291898	2,166666667
DSE	0,440457202	-0,179328241	0,125	0,08	1	0,883114103	1,132356506	1,5625
PRKCE	0,369110746	-0,179338533	0,025	0,05	1	0,883107803	1,132364584	0,5
ARHGAP31	0,602438582	-0,17946944	0,125	0,09	1	0,883027675	1,132467337	1,388888889
BRPF1	0,54403098	-0,179480714	0,075	0,05	1	0,883020775	1,132476187	1,5
RUFY3	0,948461203	-0,179668703	0,15	0,13	1	0,882905721	1,132623763	1,153846154
DRAM2	0,246099159	-0,179705764	0,262	0,16	1	0,882883041	1,132652858	1,6375
SHISA9	0,788452212	-0,179727829	0,062	0,05	1	0,882869538	1,132670182	1,24
JAK1	0,277745642	-0,17979134	0,475	0,3	1	0,882830673	1,132720045	1,583333333
NIM1K	0,262983184	-0,179880134	0,05	0,09	1	0,882776339	1,132789763	0,555555556
FMR1	0,119700981	-0,180109744	0,35	0,19	1	0,882635853	1,132970066	1,842105263

Supplementary Table 4

Differentially expressed genes_keloid-CCD_ comparing SC-Keloid vs. (SC-Myel, SC-Nonmyel)								
gene	p_val	avg_log2FC	pct.1	pct.2	p_val_adj	Foldchange_UP	Foldchange_DOWN	Ratio_pct1_pct2
TMEM30A	0,704902125	-0,180131185	0,562	0,4	1	0,882622735	1,132986904	1,405
UBE2E2	0,322701203	-0,180138487	0,15	0,09	1	0,882618268	1,132992638	1,666666667
MXRA7	0,139380562	-0,180165457	0,738	0,4	1	0,882601768	1,133013819	1,845
HDAC5	0,194257763	-0,180249421	0,262	0,15	1	0,882550403	1,133079762	1,746666667
C11orf58	0,753363576	-0,180260041	0,912	0,66	1	0,882543907	1,133088102	1,381818182
DDAH2	0,459056223	-0,180302295	0,887	0,54	1	0,882518058	1,133121289	1,642592593
DNAJC21	0,027891632	-0,180320139	0,637	0,32	1	0,882507143	1,133135304	1,990625
GXYLT1	0,180807571	-0,18039163	0,188	0,1	1	0,882463413	1,133191457	1,88
ODF3L1	0,84359211	-0,180518382	0,025	0,02	1	0,882385885	1,13329102	1,25
PIK3C3	0,946204603	-0,180523597	0,112	0,1	1	0,882382695	1,133295117	1,12
TRIM23	0,197583358	-0,180619165	0,138	0,07	1	0,882324246	1,133370193	1,971428571
SNAPC1	0,133208758	-0,180932112	0,212	0,11	1	0,882132874	1,133616068	1,927272727
GTDC1	0,165566109	-0,180969663	0,238	0,13	1	0,882109914	1,133645574	1,830769231
B4GALT1	0,198597244	-0,181061756	0,412	0,24	1	0,882053607	1,133717942	1,716666667
SGMS2	0,647481942	-0,181089827	0,162	0,12	1	0,882036445	1,133740001	1,35
UACA	0,05916428	-0,181095776	0,512	0,28	1	0,882032808	1,133744676	1,828571429
SGCD	0,287391344	-0,181223862	0,125	0,07	1	0,881954502	1,133845337	1,785714286
HNRNPLL	0,315230407	-0,181232104	0,225	0,14	1	0,881949464	1,133851815	1,607142857
DIP2C	0,154193073	-0,181378143	0,275	0,15	1	0,881860191	1,133966597	1,833333333
NT5C3A	0,130828337	-0,181553005	0,312	0,17	1	0,881753312	1,134104047	1,835294118
PDE1C	0,181955859	-0,181685869	0,238	0,13	1	0,881672111	1,134208497	1,830769231
RPL23	0,481367189	-0,181710106	0,975	0,86	1	0,881657299	1,134227552	1,13372093
RANBP10	0,343957066	-0,181749015	0,075	0,04	1	0,881633522	1,134258142	1,875
REG	0,320459999	-0,181863569	0,038	0,07	1	0,881563521	1,134348208	0,542857143
ZNF264	0,259310772	-0,182054583	0,175	0,1	1	0,881446808	1,134498407	1,75
MAN2A2	0,609702351	-0,182194041	0,188	0,14	1	0,881361608	1,134608078	1,342857143
CUL1	0,12885238	-0,182348252	0,275	0,15	1	0,881267403	1,134729364	1,833333333
MAP3K7	0,040356262	-0,182375608	0,25	0,11	1	0,881250693	1,134750881	2,272727273
GJA1	0,997440903	-0,182556332	0,075	0,07	1	0,881140307	1,134893038	1,071428571
FSD1L	0,8246177	-0,182681764	0,088	0,09	1	0,881063701	1,134991713	0,977777778

Supplementary Table 4

Differentially expressed genes_keloid-CCD_ comparing SC-Keloid vs. (SC-Myel, SC-Nonmyel)								
gene	p_val	avg_log2FC	pct.1	pct.2	p_val_adj	Foldchange_UP	Foldchange_DOWN	Ratio_pct1_pct2
SHOC2	0,285048406	-0,182843325	0,338	0,21	1	0,880965041	1,135118823	1,60952381
BMP4	0,061423181	-0,183049448	0,013	0,07	1	0,880839183	1,135281013	0,185714286
GAS1	0,54451599	-0,183156569	0,062	0,04	1	0,880773783	1,135365311	1,55
CD200	0,374832486	-0,183255647	0,188	0,12	1	0,880713297	1,135443286	1,566666667
ELP5	0,090729879	-0,183315858	0,462	0,25	1	0,880676541	1,135490674	1,848
RBMS2	0,755038102	-0,183372401	0,1	0,08	1	0,880642026	1,135535179	1,25
GAL3ST1	0,371512477	-0,183414361	0,075	0,11	1	0,880616413	1,135568206	0,681818182
DDX51	0,185533477	-0,1835998	0,188	0,1	1	0,880503229	1,135714177	1,88
ATP11B	0,127159848	-0,183702238	0,4	0,22	1	0,880440712	1,135794821	1,818181818
UBA2	0,181534236	-0,183875662	0,55	0,31	1	0,880334881	1,135931361	1,774193548
ATP8A1	0,159398678	-0,183954103	0,013	0,05	1	0,880287018	1,135993124	0,26
RAD21	0,43775413	-0,183956112	0,675	0,44	1	0,880285792	1,135994706	1,534090909
KPNA3	0,218031514	-0,183994395	0,338	0,2	1	0,880262434	1,136024851	1,69
NKAIN2	0,043652221	-0,184088426	0	0,05	1	0,880205062	1,136098897	0
TYW3	0,019906417	-0,184444293	0,312	0,13	1	0,87998797	1,136379171	2,4
GYG1	0,419468588	-0,184656462	0,212	0,14	1	0,879858565	1,136546304	1,514285714
MFF	0,026637265	-0,184797253	0,55	0,26	1	0,879772705	1,136657224	2,115384615
AK9	0,754347587	-0,184837646	0,062	0,07	1	0,879748073	1,136689049	0,885714286
GCH1	0,708795782	-0,184905696	0,05	0,06	1	0,879706577	1,136742666	0,833333333
MIER3	0,477132378	-0,184961324	0,15	0,1	1	0,879672658	1,136786498	1,5
NLRP1	0,386121915	-0,18497552	0,575	0,37	1	0,879664002	1,136797684	1,554054054
KCTD15	0,931136168	-0,18532661	0,2	0,18	1	0,879449956	1,137074365	1,111111111
EIF4EBP2	0,423762976	-0,185330106	0,225	0,15	1	0,879447825	1,137077121	1,5
TRIM41	0,857370956	-0,185343765	0,1	0,1	1	0,879439499	1,137087886	1
DDX52	0,267019037	-0,185431584	0,362	0,22	1	0,879385967	1,137157105	1,645454545
USP34	0,100689774	-0,185575441	0,562	0,3	1	0,879298284	1,137270501	1,873333333
ILKAP	0,132667515	-0,18574642	0,388	0,21	1	0,879194082	1,137405291	1,847619048
SSH2	0,128867295	-0,185774028	0,2	0,1	1	0,879177257	1,137427057	2
DLGAP1-AS1	0,94227175	-0,185791756	0,05	0,05	1	0,879166454	1,137441034	1
HDAC4	0,592215116	-0,185795244	0,062	0,08	1	0,879164328	1,137443784	0,775

Supplementary Table 4

Differentially expressed genes_keloid-CCD_ comparing SC-Keloid vs. (SC-Myel, SC-Nonmyel)								
gene	p_val	avg_log2FC	pct.1	pct.2	p_val_adj	Foldchange_UP	Foldchange_DOWN	Ratio_pct1_pct2
TMBIM1	0,045684804	-0,185894556	0,4	0,2	1	0,879103811	1,137522085	2
VAMP3	0,249241725	-0,185952465	0,562	0,33	1	0,879068525	1,137567745	1,703030303
GOLPH3	0,126075627	-0,186175381	0,425	0,23	1	0,878932707	1,137743529	1,847826087
LINC01588	0,787424549	-0,186202683	0,075	0,08	1	0,878916074	1,13776506	0,9375
WFDC2	0,208200632	-0,186344902	0,038	0,08	1	0,878829436	1,137877226	0,475
IRS1	0,320459999	-0,186355626	0,038	0,07	1	0,878822903	1,137885684	0,542857143
LINC00844	0,244022269	-0,186390678	0,025	0,06	1	0,878801552	1,13791333	0,416666667
NUP54	0,035265235	-0,186485715	0,35	0,16	1	0,878743663	1,137988292	2,1875
C6orf62	0,665797969	-0,186504715	0,637	0,41	1	0,87873209	1,138003279	1,553658537
KCNJ14	0,259519439	-0,18665897	0,013	0,04	1	0,878638139	1,138124963	0,325
ARRB2	0,240432156	-0,186728588	0,162	0,09	1	0,878595741	1,138179885	1,8
HSBP1L1	0,609980615	-0,186829434	0,125	0,09	1	0,878534329	1,138259448	1,388888889
ASB3	0,61602397	-0,186834315	0,075	0,09	1	0,878531356	1,138263299	0,833333333
CLU	0,242362686	-0,186941594	0,55	0,35	1	0,878466032	1,138347943	1,571428571
KCNH8	0,534864963	-0,186955342	0,05	0,07	1	0,87845766	1,138358791	0,714285714
DAB2IP	0,796979246	-0,187155322	0,075	0,08	1	0,8783359	1,138516597	0,9375
SH3BP2	0,302904331	-0,187257929	0,225	0,14	1	0,878273434	1,138597572	1,607142857
TLE4	0,001514195	-0,187267593	0,45	0,17	1	0,878267551	1,1386052	2,647058824
IGF1R	0,775526182	-0,187375545	0,088	0,07	1	0,878201835	1,138690401	1,257142857
ARL5A	0,238212718	-0,187445071	0,412	0,25	1	0,878159514	1,138745278	1,648
METAP1	0,0161934	-0,187549128	0,262	0,1	1	0,878096178	1,138827415	2,62
GSK3A	0,276169507	-0,18776788	0,388	0,24	1	0,877963044	1,139000105	1,616666667
PPP4R1	0,006108134	-0,188012656	0,488	0,21	1	0,877814097	1,139193371	2,323809524
GLUD1	0,039761817	-0,188017897	0,438	0,21	1	0,877810908	1,13919751	2,085714286
HCCS	0,180807571	-0,188032944	0,188	0,1	1	0,877801753	1,13920939	1,88
UAP1L1	0,570334915	-0,188073167	0,1	0,07	1	0,877777279	1,139241153	1,428571429
PHC3	0,387461813	-0,188249825	0,212	0,14	1	0,877669802	1,139380662	1,514285714
USP36	0,051587349	-0,188257333	0,225	0,1	1	0,877665235	1,139386591	2,25
AUTS2	0,394711483	-0,188264353	0,225	0,15	1	0,877660964	1,139392135	1,5
ENOPH1	0,48183304	-0,188334059	0,5	0,31	1	0,877618559	1,139447188	1,612903226

Supplementary Table 4

Differentially expressed genes_keloid-CCD_ comparing SC-Keloid vs. (SC-Myel, SC-Nonmyel)								
gene	p_val	avg_log2FC	pct.1	pct.2	p_val_adj	Foldchange_UP	Foldchange_DOWN	Ratio_pct1_pct2
BMP2K	0,038832121	-0,188802975	0,375	0,18	1	0,877333355	1,139817601	2,083333333
RAB35	0,201696066	-0,188853283	0,2	0,11	1	0,877302763	1,139857348	1,818181818
HACL1	0,992812065	-0,188886945	0,088	0,08	1	0,877282293	1,139883943	1,1
NKD1	0,159398678	-0,189269715	0,013	0,05	1	0,877049567	1,140186413	0,26
AC093323.1	0,773687452	-0,189282253	0,112	0,09	1	0,877041945	1,140196322	1,244444444
LONRF3	0,259519439	-0,189760786	0,013	0,04	1	0,876751084	1,140574581	0,325
DCAF7	0,066829766	-0,189833178	0,4	0,2	1	0,876707091	1,140631815	2
FYTTD1	0,056576417	-0,190105891	0,625	0,32	1	0,876541383	1,140847449	1,953125
LCA5	0,960872433	-0,190182859	0,125	0,11	1	0,87649462	1,140908315	1,136363636
ATXN2	0,200718479	-0,190303252	0,562	0,33	1	0,876421479	1,141003528	1,703030303
CCDC186	0,192574261	-0,190319926	0,412	0,24	1	0,87641135	1,141016715	1,716666667
INTS8	0,035392992	-0,190444226	0,112	0,03	1	0,876335843	1,141115027	3,733333333
RAB24	0,218400487	-0,190830488	0,038	0,08	1	0,876101248	1,141420586	0,475
FBXL4	0,116684893	-0,19094804	0,138	0,06	1	0,876029865	1,141513594	2,3
RTF1	0,71786857	-0,191037624	0,838	0,56	1	0,87597547	1,141584478	1,496428571
ESYT2	0,065193866	-0,191060101	0,425	0,22	1	0,875961823	1,141602264	1,931818182
PROSER2	0,438413571	-0,191130862	0,062	0,09	1	0,87591886	1,141658259	0,688888889
CDC37L1	0,383399916	-0,191401606	0,412	0,27	1	0,875754496	1,141872528	1,525925926
CBLL1	0,104920995	-0,19156983	0,225	0,11	1	0,875652385	1,142005683	2,045454545
SFT2D2	0,227992786	-0,191577614	0,225	0,13	1	0,875647661	1,142011844	1,730769231
TMEM91	0,992812065	-0,191712979	0,088	0,08	1	0,875565504	1,142119002	1,1
FBXO21	0,209814665	-0,191969312	0,35	0,21	1	0,875409951	1,142321948	1,666666667
LRATD2	0,369110746	-0,192010742	0,025	0,05	1	0,875384812	1,142354752	0,5
CAPZA2	0,066130002	-0,192054587	0,7	0,38	1	0,875358208	1,142389471	1,842105263
PSEN1	0,268578087	-0,192434439	0,25	0,15	1	0,875127763	1,142690293	1,666666667
TDRP	0,556644247	-0,192446963	0,025	0,04	1	0,875120165	1,142700214	0,625
MTMR3	0,98415605	-0,192482107	0,1	0,09	1	0,875098848	1,14272805	1,111111111
TMEM9	0,109671813	-0,192490771	0,325	0,17	1	0,875093593	1,142734912	1,911764706
ZFAND2A	0,736493671	-0,192516329	0,475	0,34	1	0,87507809	1,142755157	1,397058824
PPP2R5C	0,263936258	-0,192559564	0,338	0,21	1	0,875051866	1,142789404	1,60952381

Supplementary Table 4

Differentially expressed genes_keloid-CCD_ comparing SC-Keloid vs. (SC-Myel, SC-Nonmyel)								
gene	p_val	avg_log2FC	pct.1	pct.2	p_val_adj	Foldchange_UP	Foldchange_DOWN	Ratio_pct1_pct2
EHBP1L1	0,096741019	-0,19276108	0,262	0,13	1	0,874929647	1,14294904	2,015384615
DGKB	0,156473881	-0,192885165	0,225	0,12	1	0,874854398	1,143047348	1,875
GON4L	0,093682509	-0,192885613	0,425	0,23	1	0,874854127	1,143047703	1,847826087
PTPN2	0,619185505	-0,192921154	0,188	0,14	1	0,874832575	1,143075862	1,342857143
CCDC93	0,642614654	-0,192996518	0,15	0,11	1	0,874786876	1,143135577	1,363636364
CCNE2	0,574601445	-0,19301693	0,062	0,08	1	0,874774499	1,14315175	0,775
SDR39U1	0,082861266	-0,193060898	0,25	0,12	1	0,87474784	1,14318659	2,083333333
INAFM2	0,853031596	-0,193076039	0,1	0,1	1	0,87473866	1,143198587	1
MFAP3L	0,369110746	-0,193141755	0,025	0,05	1	0,874698816	1,143250662	0,5
LRR42	0,100552673	-0,193197438	0,275	0,14	1	0,874665056	1,143294789	1,964285714
ANXA7	0,165652039	-0,193245838	0,613	0,33	1	0,874635713	1,143333145	1,857575758
AGFG1	0,290078323	-0,193263775	0,338	0,21	1	0,874624838	1,14334736	1,60952381
SAP30L	0,332276253	-0,193542307	0,238	0,15	1	0,874455997	1,14356812	1,586666667
TGFB2	0,046017564	-0,193848487	0,3	0,14	1	0,874270432	1,143810843	2,142857143
CNBD2	0,75188944	-0,19392591	0,088	0,07	1	0,874223515	1,143872228	1,257142857
ZNF330	0,507295223	-0,194117584	0,2	0,14	1	0,874107375	1,144024211	1,428571429
OXR1	0,203442678	-0,194263297	0,3	0,17	1	0,874019094	1,144139764	1,764705882
CYP7B1	0,217936139	-0,194334157	0,15	0,08	1	0,873976167	1,144195961	1,875
SRGAP3	0,155137097	-0,19438245	0,025	0,07	1	0,873946911	1,144234263	0,357142857
MCC	0,236402297	-0,194391225	0,162	0,09	1	0,873941596	1,144241223	1,8
RSL24D1	0,761841165	-0,19441477	0,825	0,56	1	0,873927333	1,144259897	1,473214286
KRT1	0,788452212	-0,19465101	0,062	0,05	1	0,87378424	1,144447284	1,24
PCNX4	0,174742847	-0,194676664	0,312	0,18	1	0,873768702	1,144467635	1,733333333
FCGR2A	0,774662824	-0,194759846	0,062	0,07	1	0,873718325	1,144533623	0,885714286
EMSY	0,006130779	-0,194803968	0,25	0,08	1	0,873691604	1,144568627	3,125
TRPS1	0,224853187	-0,194815067	0,3	0,18	1	0,873684883	1,144577433	1,666666667
CRTC3	0,275856362	-0,194856268	0,25	0,15	1	0,873659932	1,14461012	1,666666667
UROD	0,204465244	-0,194880589	0,362	0,21	1	0,873645204	1,144629416	1,723809524
CYB5D1	0,975107496	-0,194881211	0,062	0,06	1	0,873644827	1,14462991	1,033333333
ESCO1	0,767311984	-0,194899824	0,2	0,16	1	0,873633556	1,144644678	1,25

Supplementary Table 4

Differentially expressed genes_keloid-CCD_ comparing SC-Keloid vs. (SC-Myel, SC-Nonmyel)								
gene	p_val	avg_log2FC	pct.1	pct.2	p_val_adj	Foldchange_UP	Foldchange_DOWN	Ratio_pct1_pct2
FRS2	0,366165637	-0,194937331	0,4	0,26	1	0,873610844	1,144674436	1,538461538
RPL13A	0,656425927	-0,195085167	1	0,87	1	0,873521328	1,144791739	1,149425287
ZDHHC20	0,972273643	-0,195314929	0,162	0,14	1	0,873382223	1,144974072	1,157142857
CA11	0,788452212	-0,195742375	0,062	0,05	1	0,873123493	1,145313359	1,24
CNN1	0,825820939	-0,195778292	0,075	0,08	1	0,873101756	1,145341873	0,9375
MLIP	0,072136391	-0,195810395	0	0,04	1	0,873082328	1,145367359	0
RIPK4	0,556644247	-0,195870609	0,025	0,04	1	0,873045889	1,145415164	0,625
ILF2	0,600868651	-0,195889211	0,838	0,54	1	0,873034632	1,145429933	1,551851852
CNPPD1	0,037886699	-0,19588958	0,275	0,12	1	0,873034408	1,145430227	2,291666667
CBX7	0,164186676	-0,195898209	0,025	0,07	1	0,873029186	1,145437078	0,357142857
KHSRP	0,067004906	-0,196332004	0,438	0,23	1	0,87276672	1,145781543	1,904347826
SOX13	0,080588934	-0,196426263	0,25	0,12	1	0,8727097	1,145856406	2,083333333
TRIM58	0,915690467	-0,196434133	0,125	0,11	1	0,872704939	1,145862657	1,136363636
LSMEM1	0,25914837	-0,196480807	0,238	0,14	1	0,872676706	1,145899728	1,7
PHF13	0,178424696	-0,196578576	0,388	0,22	1	0,872617568	1,145977387	1,763636364
SUCLA2	0,14972815	-0,196598362	0,35	0,19	1	0,8726056	1,145993104	1,842105263
OTUD4	0,060931852	-0,196734797	0,325	0,16	1	0,872523082	1,146101485	2,03125
ACSS1	0,769645162	-0,196749926	0,125	0,1	1	0,872513933	1,146113503	1,25
SLC10A7	0,223632981	-0,196871088	0,088	0,04	1	0,872440659	1,146209762	2,2
TAOK3	0,016933633	-0,196875618	0,525	0,24	1	0,87243792	1,146213361	2,1875
GNRH1	0,213256546	-0,19689612	0,038	0,08	1	0,872425521	1,14622965	0,475
YAF2	0,064773978	-0,196930662	0,412	0,21	1	0,872404633	1,146257094	1,961904762
TBCK	0,782321833	-0,197050755	0,075	0,06	1	0,872332016	1,146352514	1,25
CTDSP2	0,082145331	-0,197096167	0,525	0,28	1	0,872304558	1,146388599	1,875
SKP1	0,707123689	-0,19718352	1	0,89	1	0,872251743	1,146458013	1,123595506
ARL8A	0,349864878	-0,197206218	0,575	0,35	1	0,872238019	1,146476051	1,642857143
PDXDC1	0,43018274	-0,197225416	0,25	0,17	1	0,872226413	1,146491307	1,470588235
ZNF3	0,779340817	-0,197279235	0,15	0,12	1	0,872193875	1,146534077	1,25
GGPS1	0,038338272	-0,197427988	0,312	0,14	1	0,87210395	1,1466523	2,228571429
TRIM3	0,607373353	-0,197459229	0,138	0,1	1	0,872085065	1,14667713	1,38

Supplementary Table 4

Differentially expressed genes_keloid-CCD_ comparing SC-Keloid vs. (SC-Myel, SC-Nonmyel)								
gene	p_val	avg_log2FC	pct.1	pct.2	p_val_adj	Foldchange_UP	Foldchange_DOWN	Ratio_pct1_pct2
APBB1	0,8246177	-0,197504293	0,088	0,09	1	0,872057825	1,146712948	0,977777778
SRRM2	0,695223101	-0,197602598	0,9	0,71	1	0,871998406	1,146791087	1,267605634
KRAS	0,343866666	-0,197711811	0,662	0,39	1	0,871932397	1,146877904	1,697435897
TMEM106B	0,024253566	-0,197786957	0,562	0,27	1	0,871886982	1,146937643	2,081481481
SMIM5	0,301020509	-0,198227366	0,325	0,21	1	0,871620863	1,14728782	1,547619048
RXRB	0,495677083	-0,198384506	0,238	0,16	1	0,87152593	1,147412791	1,4875
PDE4D	0,309977712	-0,198469951	0,038	0,07	1	0,871474315	1,147480749	0,542857143
CASD1	0,034162828	-0,198571462	0,288	0,13	1	0,871412998	1,147561492	2,215384615
GFPT1	0,073455554	-0,198583729	0,412	0,21	1	0,871405588	1,14757125	1,961904762
FKBPL	0,065942542	-0,198607489	0,188	0,08	1	0,871391238	1,147590149	2,35
EFS	0,028180084	-0,198627225	0,5	0,25	1	0,871379317	1,147605848	2
SMCHD1	0,088139097	-0,198646957	0,362	0,19	1	0,871367399	1,147621544	1,905263158
ELL2	0,257909868	-0,198847971	0,25	0,15	1	0,871245998	1,147781456	1,666666667
GMFB	0,004593857	-0,198856576	0,488	0,2	1	0,871240802	1,147788302	2,44
TNS1	0,63513191	-0,198961721	0,188	0,14	1	0,871177307	1,147871957	1,342857143
ZNF581	0,765615049	-0,199067465	0,125	0,1	1	0,871113455	1,147956095	1,25
MBD1	0,625545592	-0,199285381	0,138	0,1	1	0,870981885	1,148129504	1,38
C8orf88	0,111079219	-0,199576904	0,188	0,09	1	0,870805905	1,148361528	2,088888889
FLRT1	0,359832279	-0,199650511	0,162	0,1	1	0,870761477	1,14842012	1,62
ZNF775	0,647481942	-0,199758541	0,162	0,12	1	0,870696277	1,148506117	1,35
SYNM	0,157799385	-0,199787177	0,238	0,13	1	0,870678994	1,148528915	1,830769231
DSTYK	0,596584402	-0,199789613	0,138	0,1	1	0,870677524	1,148530854	1,38
FAM20C	0,119026579	-0,199905037	0,362	0,2	1	0,870607868	1,148622746	1,81
DDX21	0,569869251	-0,200075064	0,775	0,48	1	0,87050527	1,148758124	1,614583333
BCAR3	0,041792483	-0,20016119	0,3	0,14	1	0,870453304	1,148826704	2,142857143
FZD2	0,369110746	-0,200179235	0,025	0,05	1	0,870442416	1,148841074	0,5
CLDN5	0,159398678	-0,20027468	0,013	0,05	1	0,870384832	1,148917081	0,26
TXNRD2	0,093400937	-0,200480901	0,262	0,13	1	0,870260426	1,149081321	2,015384615
FAR2	0,009998483	-0,200547978	0	0,08	1	0,870219965	1,149134748	0
TRIP12	0,146850903	-0,200642987	0,438	0,24	1	0,870162658	1,149210427	1,825

Supplementary Table 4

Differentially expressed genes_keloid-CCD_ comparing SC-Keloid vs. (SC-Myel, SC-Nonmyel)								
gene	p_val	avg_log2FC	pct.1	pct.2	p_val_adj	Foldchange_UP	Foldchange_DOWN	Ratio_pct1_pct2
H2AC6	0,963404212	-0,200745514	0,112	0,1	1	0,870100822	1,149292099	1,12
CFLAR	0,301874914	-0,200751094	0,362	0,23	1	0,870097456	1,149296545	1,573913043
HAUS3	0,294893811	-0,20095245	0,2	0,12	1	0,869976026	1,149456963	1,666666667
TBC1D20	0,318543654	-0,2010779	0,288	0,18	1	0,86990038	1,149556918	1,6
UTP18	0,404008853	-0,201117016	0,25	0,16	1	0,869876795	1,149588086	1,5625
MMADHC	0,102560644	-0,201148344	0,412	0,22	1	0,869857906	1,14961305	1,872727273
OGFRL1	0,410912567	-0,20118813	0,112	0,07	1	0,869833917	1,149644754	1,6
RASL11A	0,098032255	-0,201254884	0,013	0,06	1	0,869793671	1,14969795	0,216666667
MERTK	0,060312926	-0,201346957	0,013	0,07	1	0,869738162	1,149771326	0,185714286
TM9SF1	0,98415605	-0,201573301	0,1	0,09	1	0,86960172	1,149951727	1,111111111
EVA1C	0,811023975	-0,20160636	0,088	0,09	1	0,869581794	1,149978078	0,977777778
TEX10	0,33687795	-0,201826009	0,162	0,1	1	0,869449411	1,150153175	1,62
KCTD6	0,478592611	-0,20185249	0,075	0,1	1	0,869433452	1,150174287	0,75
ANKRD49	0,357234345	-0,201867858	0,162	0,1	1	0,86942419	1,150186539	1,62
DPM3	0,139930642	-0,20221913	0,537	0,29	1	0,869212526	1,150466623	1,851724138
POLK	0,110259666	-0,20228198	0,35	0,19	1	0,86917466	1,150516744	1,842105263
TNKS1BP1	0,340753443	-0,202512799	0,238	0,15	1	0,86903561	1,150700832	1,586666667
FNBP4	0,20106872	-0,202610623	0,438	0,26	1	0,868976686	1,150778859	1,684615385
ATF5	0,022277155	-0,20272836	0,288	0,12	1	0,868905773	1,150872777	2,4
C1QTNF4	0,58588356	-0,202765131	0,138	0,1	1	0,868883627	1,150902111	1,38
FSTL5	0,026616038	-0,202898926	0	0,06	1	0,868803051	1,15100885	0
MAP3K1	0,664262251	-0,20295675	0,188	0,14	1	0,868768229	1,151054984	1,342857143
LIMS2	0,499224199	-0,203056909	0,175	0,12	1	0,868707917	1,151134898	1,458333333
SENP1	0,966056691	-0,20311237	0,1	0,09	1	0,868674523	1,151179152	1,111111111
FAM219B	0,561208484	-0,203446863	0,238	0,17	1	0,868473141	1,151446087	1,4
NABP1	0,874227192	-0,20386364	0,112	0,11	1	0,868222286	1,151778774	1,018181818
ARFIP1	0,160674792	-0,203879118	0,388	0,22	1	0,868212971	1,151791131	1,763636364
RDH14	0,366098344	-0,203923479	0,262	0,17	1	0,868186275	1,151826547	1,541176471
FBXL17	0,299121949	-0,203996131	0,2	0,12	1	0,868142556	1,151884553	1,666666667
PDZD4	0,366993983	-0,204104533	0,05	0,08	1	0,868077327	1,151971108	0,625

Supplementary Table 4

Differentially expressed genes_keloid-CCD_ comparing SC-Keloid vs. (SC-Myel, SC-Nonmyel)								
gene	p_val	avg_log2FC	pct.1	pct.2	p_val_adj	Foldchange_UP	Foldchange_DOWN	Ratio_pct1_pct2
CAND1	0,228330236	-0,204411921	0,65	0,37	1	0,86789239	1,152216579	1,756756757
NEIL1	0,060312926	-0,204915523	0,013	0,07	1	0,867589487	1,152618853	0,185714286
RRN3	0,479854721	-0,204942401	0,162	0,11	1	0,867573324	1,152640327	1,472727273
GNL1	0,053161388	-0,205018195	0,5	0,25	1	0,867527746	1,152700884	2
KLHL8	0,556644247	-0,205076613	0,025	0,04	1	0,867492618	1,152747561	0,625
DTWD1	0,249493209	-0,20518689	0,3	0,18	1	0,867426311	1,152835678	1,666666667
CASC3	0,229972517	-0,205295303	0,388	0,23	1	0,86736113	1,152922312	1,686956522
C10orf82	0,208200632	-0,205296822	0,038	0,08	1	0,867360217	1,152923526	0,475
TSLP	0,155137097	-0,20529841	0,025	0,07	1	0,867359262	1,152924796	0,357142857
ZFX3	0,158841429	-0,205324322	0,3	0,17	1	0,867343684	1,152945503	1,764705882
SMAD2	0,300313345	-0,20545509	0,575	0,34	1	0,86726507	1,153050013	1,691176471
DOT1L	0,416952671	-0,205537248	0,212	0,14	1	0,867215683	1,153115678	1,514285714
PCYOX1	0,066483395	-0,20568779	0,325	0,16	1	0,867125195	1,153236009	2,03125
FAM120A	0,051367466	-0,205694823	0,438	0,22	1	0,867120968	1,153241631	1,990909091
SMU1	0,103770394	-0,205717736	0,35	0,19	1	0,867107197	1,153259947	1,842105263
ERN1	0,044881092	-0,205868995	0,312	0,15	1	0,86701629	1,153380866	2,08
TCF7L1	0,516769632	-0,20590005	0,05	0,07	1	0,866997627	1,153405695	0,714285714
AC007952.4	0,78027938	-0,205982534	0,088	0,07	1	0,866948059	1,15347164	1,257142857
USP39	0,461595582	-0,206026859	0,15	0,1	1	0,866921423	1,15350708	1,5
ADAMTS9-AS2	0,244022269	-0,206079024	0,025	0,06	1	0,866890078	1,153548789	0,416666667
EP400	0,377331621	-0,206210321	0,188	0,12	1	0,866811188	1,153653776	1,566666667
CFD	0,274640379	-0,206339485	0,188	0,11	1	0,866733586	1,153757067	1,709090909
MIR181A2HG	0,039215525	-0,206411119	0,013	0,08	1	0,866690551	1,153814356	0,1625
USP9X	0,179015188	-0,206476303	0,425	0,25	1	0,866651393	1,153866489	1,7
SNX24	0,894021778	-0,206532171	0,038	0,04	1	0,866617833	1,153911173	0,95
LGMN	0,050077094	-0,206560923	0,35	0,17	1	0,866600562	1,15393417	2,058823529
AIF1L	0,679227562	-0,206595841	0,2	0,15	1	0,866579588	1,153962099	1,333333333
LHFPL2	0,077123248	-0,206598102	0,3	0,15	1	0,86657823	1,153963908	2
PITPNA	0,483887016	-0,206705917	0,412	0,27	1	0,866513471	1,154050149	1,525925926
TMEM100	0,982087794	-0,207041585	0,075	0,07	1	0,866311885	1,15431869	1,071428571

Supplementary Table 4

Differentially expressed genes_keloid-CCD_ comparing SC-Keloid vs. (SC-Myel, SC-Nonmyel)								
gene	p_val	avg_log2FC	pct.1	pct.2	p_val_adj	Foldchange_UP	Foldchange_DOWN	Ratio_pct1_pct2
MAP2K1	0,197532019	-0,207043894	0,212	0,12	1	0,866310499	1,154320537	1,766666667
WDR74	0,305589718	-0,207172188	0,212	0,13	1	0,866233464	1,154423192	1,630769231
SLC11A2	0,472701791	-0,207501304	0,175	0,12	1	0,866035876	1,154686575	1,458333333
ZNF430	0,364224873	-0,20752331	0,175	0,11	1	0,866022666	1,154704188	1,590909091
ZNF665	0,457357417	-0,207584601	0,038	0,06	1	0,865985875	1,154753246	0,633333333
L1CAM	0,783491852	-0,207668668	0,812	0,59	1	0,865935415	1,154820536	1,376271186
IFNGR1	0,186189487	-0,207713629	0,4	0,23	1	0,865908429	1,154856526	1,739130435
OFD1	0,106540644	-0,207836337	0,288	0,15	1	0,865834782	1,154954756	1,92
STON1	0,210717619	-0,207945584	0,038	0,08	1	0,86576922	1,155042218	0,475
APPBP2	0,114010703	-0,208019617	0,325	0,17	1	0,865724794	1,155101491	1,911764706
SLAIN2	0,094337477	-0,208080203	0,45	0,24	1	0,865688439	1,15515	1,875
IDUA	0,574601445	-0,208116979	0,062	0,08	1	0,865666371	1,155179447	0,775
TMX4	0,105461612	-0,208125304	0,613	0,33	1	0,865661376	1,155186113	1,857575758
RNF44	0,092208146	-0,20822367	0,038	0,1	1	0,865602355	1,155264879	0,38
PLEKHM1	0,58376991	-0,208375535	0,125	0,09	1	0,865511243	1,155386494	1,388888889
SESN2	0,78674158	-0,208448103	0,188	0,15	1	0,865467708	1,155444611	1,253333333
RANBP3	0,245182539	-0,208504678	0,175	0,1	1	0,86543377	1,155489923	1,75
XIST	0,072136391	-0,208720678	0	0,04	1	0,865304207	1,155662936	0
PLEKHG3	0,155137097	-0,208721492	0,025	0,07	1	0,865303719	1,155663587	0,357142857
LAMC1	0,256588988	-0,208844579	0,713	0,41	1	0,865229896	1,15576219	1,73902439
MT-ND4	0,056496848	-0,209271965	1	0,99	1	0,864973617	1,156104625	1,01010101
CDH13	0,136502224	-0,209310284	0,35	0,19	1	0,864950644	1,156135332	1,842105263
CLIP4	0,86177074	-0,209429468	0,112	0,11	1	0,864879191	1,156230847	1,018181818
NEPRO	0,338621268	-0,209460639	0,238	0,15	1	0,864860505	1,156255829	1,586666667
PAFAH1B1	0,522192118	-0,209549995	0,787	0,5	1	0,864806939	1,156327447	1,574
JAM2	0,366993983	-0,209699756	0,05	0,08	1	0,864717172	1,156447487	0,625
CEP57	0,045576718	-0,210002859	0,488	0,24	1	0,864535518	1,156690476	2,033333333
FOXJ1	0,043652221	-0,210043162	0	0,05	1	0,864511367	1,156722789	0
NINJ1	0,363499158	-0,210178973	0,75	0,46	1	0,864429988	1,156831686	1,630434783
MBD5	0,51988086	-0,210320413	0,188	0,13	1	0,864345245	1,156945105	1,446153846

Supplementary Table 4

Differentially expressed genes_keloid-CCD_ comparing SC-Keloid vs. (SC-Myel, SC-Nonmyel)								
gene	p_val	avg_log2FC	pct.1	pct.2	p_val_adj	Foldchange_UP	Foldchange_DOWN	Ratio_pct1_pct2
RNF10	0,058444233	-0,210537465	0,45	0,23	1	0,864215215	1,15711918	1,956521739
BASP1	0,997233723	-0,21060261	0,062	0,06	1	0,864176192	1,157171431	1,033333333
ZNF791	0,17126824	-0,210656745	0,262	0,15	1	0,864143765	1,157214853	1,746666667
PPID	0,17114305	-0,21071408	0,325	0,18	1	0,864109424	1,157260843	1,805555556
ADAMTS4	0,093099767	-0,210959366	0,275	0,14	1	0,863962521	1,157457617	1,964285714
RHOBTB1	0,96770709	-0,21097397	0,112	0,1	1	0,863953775	1,157469333	1,12
CCNH	0,257909868	-0,211137676	0,25	0,15	1	0,863855746	1,157600681	1,666666667
ZNF292	0,048305466	-0,211158761	0,412	0,21	1	0,863843121	1,1576176	1,961904762
PITHD1	0,197640496	-0,211293069	0,675	0,39	1	0,863762705	1,157725373	1,730769231
NR1D1	0,216357796	-0,211412729	0,262	0,15	1	0,863691066	1,157821401	1,746666667
ZFAND6	0,342798203	-0,211421975	0,5	0,3	1	0,86368553	1,157828822	1,666666667
MED21	0,1604001	-0,212136613	0,225	0,12	1	0,86325781	1,158402494	1,875
STMN1	0,74894945	-0,212179056	0,938	0,79	1	0,863232414	1,158436573	1,187341772
MAML2	0,121202152	-0,212300332	0,462	0,26	1	0,863159852	1,158533958	1,776923077
NFASC	0,120814239	-0,212409447	0	0,03	1	0,863094572	1,158621584	0
ETV6	0,13799162	-0,212459532	0,212	0,11	1	0,863064609	1,158661808	1,927272727
MBNL1-AS1	0,714199457	-0,212621217	0,05	0,06	1	0,862967889	1,158791668	0,833333333
AC012368.1	0,162161236	-0,212627981	0,013	0,05	1	0,862963843	1,158797101	0,26
ADGRG6	0,435142137	-0,212740548	0,438	0,29	1	0,862896513	1,15888752	1,510344828
DNAJB2	0,596640652	-0,212758449	0,512	0,33	1	0,862885806	1,1589019	1,551515152
HSF2	0,274355776	-0,213011669	0,2	0,12	1	0,862734367	1,159105327	1,666666667
CHADL	0,63734541	-0,213063039	0,212	0,16	1	0,862703647	1,1591466	1,325
AKAP1	0,759474185	-0,213413331	0,1	0,08	1	0,862494205	1,15942808	1,25
PLCB1	0,34951164	-0,213593112	0,162	0,1	1	0,862386732	1,15957257	1,62
RBM12B	0,587482027	-0,213595481	0,125	0,09	1	0,862385317	1,159574474	1,388888889
NUTM2A-AS1	0,548223221	-0,21361327	0,212	0,15	1	0,862374683	1,159588773	1,413333333
WDR47	0,363962378	-0,213735812	0,262	0,17	1	0,862301436	1,159687272	1,541176471
REXO1	0,715807256	-0,214014942	0,112	0,12	1	0,862134616	1,159911668	0,933333333
QRICH1	0,038338272	-0,214163828	0,312	0,14	1	0,862045648	1,160031377	2,228571429
SUPT5H	0,409068244	-0,214223658	0,325	0,21	1	0,862009899	1,160079485	1,547619048

Supplementary Table 4

Differentially expressed genes_keloid-CCD_ comparing SC-Keloid vs. (SC-Myel, SC-Nonmyel)								
gene	p_val	avg_log2FC	pct.1	pct.2	p_val_adj	Foldchange_UP	Foldchange_DOWN	Ratio_pct1_pct2
HMOX1	0,377698246	-0,214548037	0,05	0,08	1	0,861816105	1,160340349	0,625
TM7SF3	0,033800162	-0,214590802	0,275	0,12	1	0,861790559	1,160374745	2,291666667
IDH3A	0,136300461	-0,214700248	0,262	0,14	1	0,861725184	1,160462777	1,871428571
RASL12	0,506041503	-0,214724351	0,138	0,16	1	0,861710787	1,160482165	0,8625
FGD4	0,891259862	-0,214740268	0,162	0,14	1	0,86170128	1,160494968	1,157142857
INPP5K	0,395111724	-0,214774661	0,188	0,12	1	0,861680738	1,160522634	1,566666667
WDR82	0,311455307	-0,214796328	0,512	0,32	1	0,861667797	1,160540064	1,6
PER3	0,345894104	-0,21484389	0,35	0,22	1	0,86163939	1,160578325	1,590909091
DONSON	0,800033309	-0,215049189	0,175	0,14	1	0,861516786	1,16074349	1,25
ARSK	0,168435158	-0,215063026	0,175	0,09	1	0,861508523	1,160754623	1,944444444
YTHDF2	0,646797573	-0,21512635	0,512	0,35	1	0,861470709	1,160805572	1,462857143
BCAM	0,975107496	-0,215185229	0,062	0,06	1	0,861435552	1,160852948	1,033333333
DYRK1A	0,366006065	-0,215234709	0,275	0,18	1	0,861406008	1,160892762	1,527777778
SERBP1	0,547904524	-0,216323356	0,85	0,71	1	0,860756242	1,161769094	1,197183099
TWSG1	0,227818564	-0,21640156	0,488	0,29	1	0,860709585	1,161832071	1,682758621
RAB3GAP2	0,687597822	-0,216515863	0,225	0,17	1	0,860641395	1,161924126	1,323529412
GNAI3	0,200998947	-0,21658166	0,65	0,37	1	0,860602144	1,161977118	1,756756757
SLC23A2	0,074224167	-0,216748344	0,312	0,16	1	0,860502719	1,162111377	1,95
BRWD1	0,182018225	-0,216969642	0,362	0,21	1	0,860370735	1,16228965	1,723809524
MAP4K3	0,846248052	-0,217069113	0,212	0,17	1	0,860311416	1,16236979	1,247058824
EXOSC10	0,145558438	-0,21710694	0,35	0,19	1	0,860288859	1,162400267	1,842105263
DNAJC18	0,7005631	-0,217177336	0,188	0,14	1	0,860246883	1,162456988	1,342857143
RNF216	0,119363398	-0,217207175	0,288	0,15	1	0,860229091	1,162481031	1,92
APIP	0,277676083	-0,217508632	0,3	0,18	1	0,860049361	1,162723961	1,666666667
LRRC1	0,164186676	-0,217529373	0,025	0,07	1	0,860036996	1,162740678	0,357142857
AP1AR	0,210339451	-0,217540025	0,212	0,12	1	0,860030646	1,162749263	1,766666667
ACAP1	0,556644247	-0,217858999	0,025	0,04	1	0,859840518	1,16300637	0,625
TTC3	0,857332612	-0,218038185	0,825	0,58	1	0,859733731	1,163150827	1,422413793
DMKN	0,309977712	-0,218053586	0,038	0,07	1	0,859724553	1,163163244	0,542857143
RNF145	0,090244498	-0,218100076	0,575	0,31	1	0,859696849	1,163200727	1,85483871

Supplementary Table 4

Differentially expressed genes_keloid-CCD_ comparing SC-Keloid vs. (SC-Myel, SC-Nonmyel)								
gene	p_val	avg_log2FC	pct.1	pct.2	p_val_adj	Foldchange_UP	Foldchange_DOWN	Ratio_pct1_pct2
MEG8	0,053025215	-0,218265285	0,262	0,12	1	0,859598407	1,163333938	2,183333333
NMRK1	0,805628417	-0,218299063	0,15	0,12	1	0,859578282	1,163361175	1,25
USP32	0,654727359	-0,218660926	0,175	0,13	1	0,859362706	1,163653011	1,346153846
SREK1	0,44895726	-0,218851416	0,8	0,47	1	0,859249245	1,163806667	1,70212766
DAB1	0,108207949	-0,219013466	0,025	0,08	1	0,859152736	1,163937398	0,3125
BBS12	0,060312926	-0,219252564	0,013	0,07	1	0,85901036	1,164130314	0,185714286
SNW1	0,191866182	-0,219338048	0,637	0,37	1	0,858959462	1,164199294	1,721621622
NRTN	0,01629666	-0,219438912	0	0,07	1	0,858899412	1,164280691	0
ZNF639	0,069204031	-0,219456729	0,338	0,17	1	0,858888804	1,164295069	1,988235294
CA2	0,420317856	-0,219462562	0,062	0,09	1	0,858885332	1,164299776	0,688888889
RASD1	0,133208758	-0,219503043	0,212	0,11	1	0,858861233	1,164332446	1,927272727
WWP1	0,1355839	-0,219712059	0,212	0,11	1	0,858736811	1,164501146	1,927272727
FBXO25	0,796508759	-0,219959285	0,175	0,14	1	0,858589667	1,164700716	1,25
CLIP2	0,647481942	-0,220008131	0,162	0,12	1	0,858560598	1,164740151	1,35
CRISPLD2	0,766731003	-0,220175161	0,162	0,13	1	0,858461203	1,164875008	1,246153846
SASH1	0,976063954	-0,220272042	0,338	0,28	1	0,858403556	1,164953235	1,207142857
ZBED5	0,542482072	-0,220382962	0,212	0,15	1	0,858337561	1,165042805	1,413333333
DDI2	0,602438582	-0,220568847	0,125	0,09	1	0,858226976	1,165192925	1,388888889
TRIR	0,192882315	-0,220611616	0,925	0,7	1	0,858201534	1,165227468	1,321428571
RBM10	0,068708284	-0,22069352	0,288	0,14	1	0,858152813	1,165293622	2,057142857
COPB2	0,164185804	-0,221022399	0,537	0,3	1	0,85795721	1,165559294	1,79
PXK	0,651249389	-0,221053201	0,188	0,14	1	0,857938892	1,16558418	1,342857143
SEC63	0,127704474	-0,221111758	0,637	0,35	1	0,85790407	1,16563149	1,82
FBXO3	0,089938214	-0,2211626	0,3	0,15	1	0,857873838	1,165672569	2
TFDP2	0,071047597	-0,221247963	0,362	0,19	1	0,85782308	1,165741542	1,905263158
NRXN3	0,470883549	-0,221324989	0,15	0,1	1	0,857777281	1,165803784	1,5
KHDC4	0,809498638	-0,221534085	0,225	0,18	1	0,857652969	1,165972761	1,25
MTSS2	0,382212252	-0,221669081	0,175	0,11	1	0,857572721	1,166081868	1,590909091
MT-ATP6	0,009453385	-0,221770735	1	0,99	1	0,857512297	1,166164035	1,01010101
PRR14	0,049812701	-0,222123874	0,338	0,16	1	0,857302423	1,16644952	2,1125

Supplementary Table 4

Differentially expressed genes_keloid-CCD_ comparing SC-Keloid vs. (SC-Myel, SC-Nonmyel)								
gene	p_val	avg_log2FC	pct.1	pct.2	p_val_adj	Foldchange_UP	Foldchange_DOWN	Ratio_pct1_pct2
UTP11	0,671308357	-0,222253222	0,475	0,32	1	0,857225563	1,166554106	1,484375
ERP44	0,39740994	-0,222401863	0,6	0,37	1	0,857137248	1,166674302	1,621621622
EBAG9	0,327725311	-0,222469633	0,312	0,2	1	0,857096985	1,166729107	1,56
PANK3	0,068332687	-0,222594937	0,438	0,22	1	0,857022545	1,166830447	1,990909091
SETD5	0,392742425	-0,222678838	0,662	0,39	1	0,856972706	1,166898307	1,697435897
REV1	0,230639585	-0,222725926	0,288	0,17	1	0,856944736	1,166936393	1,694117647
MAP1A	0,03285471	-0,222768359	0,462	0,22	1	0,856919532	1,166970716	2,1
FNBP1	0,533193313	-0,222862287	0,2	0,14	1	0,856863743	1,167046696	1,428571429
TRIM33	0,71110582	-0,222961086	0,262	0,2	1	0,856805065	1,16712662	1,31
KRTDAP	0,452756248	-0,222979133	0,038	0,06	1	0,856794347	1,167141221	0,633333333
ARG2	0,962856666	-0,222982274	0,175	0,16	1	0,856792482	1,167143761	1,09375
ATXN1	0,489544471	-0,223051028	0,25	0,17	1	0,856751651	1,167199385	1,470588235
STOX2	0,123434762	-0,223128653	0,05	0,11	1	0,856705554	1,167262189	0,454545455
EAPP	0,020574975	-0,223164849	0,562	0,26	1	0,856684061	1,167291474	2,161538462
CREBL2	0,240789682	-0,22317637	0,25	0,15	1	0,856677219	1,167300796	1,666666667
THUMPD3-AS1	0,617488072	-0,223252755	0,438	0,32	1	0,856631863	1,167362602	1,36875
MAD2L1BP	0,081020912	-0,223387606	0,212	0,1	1	0,856551796	1,167471722	2,12
CERS1	0,240004298	-0,223504245	0,288	0,17	1	0,856482548	1,167566113	1,694117647
RNF115	0,348264688	-0,223594204	0,438	0,28	1	0,856429144	1,167638919	1,564285714
CAMSAP2	0,09591823	-0,22362978	0,425	0,22	1	0,856408025	1,167667713	1,931818182
NEK6	0,973819052	-0,223675141	0,188	0,16	1	0,856381099	1,167704427	1,175
LETMD1	0,082433126	-0,223807267	0,262	0,13	1	0,856302673	1,167811373	2,015384615
NIPBL	0,043876782	-0,223869921	0,537	0,27	1	0,856265485	1,167862091	1,988888889
ZDHHC21	0,504458992	-0,224154306	0,2	0,14	1	0,856096714	1,168092323	1,428571429
SPTLC1	0,208661412	-0,2243093	0,388	0,23	1	0,856004746	1,168217822	1,686956522
STXBP1	0,866062491	-0,224544751	0,1	0,1	1	0,855865055	1,168408493	1
ZNF790	0,42093899	-0,224662931	0,112	0,07	1	0,855794949	1,168504209	1,6
MED30	0,399804018	-0,224853153	0,35	0,23	1	0,855682118	1,168658288	1,52173913
SCAMP1	0,073688366	-0,224912844	0,325	0,16	1	0,855646715	1,168706643	2,03125
PBXIP1	0,641400506	-0,225008051	0,175	0,13	1	0,855590251	1,168783771	1,346153846

Supplementary Table 4

Differentially expressed genes_keloid-CCD_ comparing SC-Keloid vs. (SC-Myel, SC-Nonmyel)								
gene	p_val	avg_log2FC	pct.1	pct.2	p_val_adj	Foldchange_UP	Foldchange_DOWN	Ratio_pct1_pct2
HAS2	0,907500453	-0,225411636	0,125	0,11	1	0,855350938	1,169110777	1,136363636
DPF2	0,372593594	-0,225510226	0,312	0,2	1	0,855292488	1,169190674	1,56
BCO2	0,159613383	-0,225749362	0,025	0,07	1	0,855150729	1,169384491	0,357142857
ZNF677	0,940310804	-0,225830064	0,125	0,11	1	0,855102895	1,169449905	1,136363636
DEK	0,981449618	-0,226025139	0,863	0,63	1	0,854987279	1,169608045	1,36984127
DENND4A	0,81386775	-0,226071423	0,162	0,13	1	0,854959851	1,169645567	1,246153846
DCUN1D1	0,229330367	-0,226202622	0,325	0,19	1	0,854882104	1,16975194	1,710526316
ANKRD11	0,904468389	-0,226295325	0,775	0,49	1	0,854827174	1,169827107	1,581632653
GBP4	0,043652221	-0,226304951	0	0,05	1	0,85482147	1,169834913	0
NAA15	0,198134968	-0,226471576	0,438	0,25	1	0,854722747	1,169970032	1,752
RFX2	0,82484874	-0,226581386	0,162	0,13	1	0,854657693	1,170059087	1,246153846
STARD9	0,757573928	-0,226768112	0,125	0,1	1	0,854547083	1,170210536	1,25
MORC4	0,801768127	-0,226840973	0,075	0,08	1	0,854503927	1,170269637	0,9375
NLGN3	0,817524131	-0,22694678	0,162	0,13	1	0,85444126	1,170355467	1,246153846
MRNIP	0,598683385	-0,227059716	0,125	0,09	1	0,854374376	1,170447088	1,388888889
BZW2	0,040258957	-0,227392842	0,613	0,3	1	0,854177119	1,170717381	2,043333333
EPAS1	0,437043885	-0,227659802	0,1	0,13	1	0,854019075	1,170934034	0,769230769
OGA	0,470534637	-0,227792779	0,45	0,3	1	0,853940361	1,171041967	1,5
SS18	0,170470658	-0,227978315	0,375	0,21	1	0,853830548	1,171192577	1,785714286
TMEM41A	0,46468015	-0,227989383	0,15	0,1	1	0,853823998	1,171201562	1,5
EIF1AD	0,286558196	-0,228154256	0,2	0,12	1	0,853726427	1,171335416	1,666666667
RASGEF1C	0,708877906	-0,228440557	0,412	0,35	1	0,853557023	1,17156789	1,177142857
SDHA	0,15704844	-0,228554391	0,45	0,25	1	0,853489677	1,171660334	1,8
WNK1	0,494530296	-0,228565054	0,662	0,4	1	0,853483369	1,171668994	1,655
LCOR	0,4841321	-0,228773667	0,35	0,24	1	0,853359965	1,171838429	1,458333333
CRELD1	0,454028574	-0,228820963	0,225	0,15	1	0,853331989	1,171876846	1,5
ETF1	0,183900264	-0,229058507	0,575	0,32	1	0,853191497	1,172069815	1,796875
UHRF1BP1L	0,029324253	-0,229061319	0,3	0,13	1	0,853189834	1,172072099	2,307692308
KATNA1	0,331393156	-0,229194844	0,338	0,22	1	0,853110873	1,172180583	1,536363636
STARD10	0,48594818	-0,229260688	0,088	0,11	1	0,853071938	1,172234081	0,8

Supplementary Table 4

Differentially expressed genes_keloid-CCD_ comparing SC-Keloid vs. (SC-Myel, SC-Nonmyel)								
gene	p_val	avg_log2FC	pct.1	pct.2	p_val_adj	Foldchange_UP	Foldchange_DOWN	Ratio_pct1_pct2
INTS6L	0,098981434	-0,229481546	0,025	0,08	1	0,852941354	1,172413549	0,3125
TBL1X	0,671759233	-0,229491234	0,1	0,11	1	0,852935626	1,172421422	0,909090909
GDI2	0,617542152	-0,229648238	0,7	0,55	1	0,852842809	1,17254902	1,272727273
CBR3	0,236747679	-0,229875855	0,325	0,19	1	0,852708265	1,17273403	1,710526316
SUN2	0,004820368	-0,229929896	0,588	0,25	1	0,852676324	1,17277796	2,352
CLCN3	0,125992967	-0,230011399	0,438	0,24	1	0,852628155	1,172844216	1,825
NAA60	0,029628398	-0,230051866	0,3	0,13	1	0,852604239	1,172877115	2,307692308
ABCA8	0,761094326	-0,230169086	0,138	0,14	1	0,852534967	1,172972415	0,985714286
SKI	0,503231557	-0,230615246	0,438	0,29	1	0,852271358	1,173335218	1,510344828
RIPOR1	0,370094388	-0,230878432	0,25	0,16	1	0,852115895	1,173549286	1,5625
KDM2A	0,321461505	-0,230931875	0,55	0,34	1	0,85208433	1,173592759	1,617647059
CALCOCO2	0,13641461	-0,231138874	0,388	0,21	1	0,851962081	1,173761159	1,847619048
SOX10	0,203194189	-0,231578465	0,838	0,48	1	0,851702527	1,174118861	1,745833333
CELF2	0,141568097	-0,231718627	0,65	0,37	1	0,851619786	1,174232935	1,756756757
TMEM59	0,096275123	-0,231723873	0,988	0,84	1	0,851616689	1,174237204	1,176190476
FADS1	0,90421718	-0,232136762	0,188	0,16	1	0,851372997	1,174573311	1,175
MAP3K4	0,74881861	-0,232407562	0,162	0,13	1	0,851213206	1,174793804	1,246153846
NUP98	0,523447233	-0,232641884	0,175	0,12	1	0,851074963	1,174984629	1,458333333
HNRNPDL	0,288722479	-0,232688102	0,9	0,76	1	0,851047699	1,175022271	1,184210526
GALNT18	0,026616038	-0,232917388	0	0,06	1	0,850912453	1,175209032	0
HSPA5	0,244148997	-0,232968828	0,975	0,89	1	0,850882114	1,175250934	1,095505618
AKAP7	0,773027647	-0,233306749	0,138	0,11	1	0,850682836	1,175526245	1,254545455
USP42	0,684999087	-0,233439678	0,238	0,18	1	0,850604459	1,175634562	1,322222222
THAP5	0,053523305	-0,233464294	0,3	0,14	1	0,850589945	1,175654622	2,142857143
NID2	0,874891879	-0,233491585	0,175	0,16	1	0,850573855	1,175676861	1,09375
CA13	0,782321833	-0,23356068	0,075	0,06	1	0,850533119	1,17573317	1,25
CXCL2	0,582634513	-0,233735545	0,1	0,07	1	0,850430035	1,175875685	1,428571429
GIGYF1	0,74525199	-0,233906344	0,162	0,13	1	0,850329359	1,176014904	1,246153846
GATD3A	0,787424549	-0,233938812	0,075	0,08	1	0,850310223	1,17604137	0,9375
DCUN1D4	0,255217793	-0,234351015	0,175	0,1	1	0,850067309	1,176377434	1,75

Supplementary Table 4

Differentially expressed genes_keloid-CCD_ comparing SC-Keloid vs. (SC-Myel, SC-Nonmyel)								
gene	p_val	avg_log2FC	pct.1	pct.2	p_val_adj	Foldchange_UP	Foldchange_DOWN	Ratio_pct1_pct2
HELB	0,453621677	-0,234356965	0,075	0,1	1	0,850063804	1,176382285	0,75
ADIPOR2	0,320872028	-0,234534762	0,275	0,17	1	0,849959048	1,176527272	1,617647059
ING3	0,559794814	-0,234628864	0,212	0,15	1	0,84990361	1,176604015	1,413333333
RIOK1	0,290705906	-0,234632253	0,2	0,12	1	0,849901614	1,176606779	1,666666667
IRAK2	0,591829794	-0,234688969	0,112	0,08	1	0,849868203	1,176653035	1,4
SLC9A1	0,811023975	-0,234721026	0,088	0,09	1	0,849849318	1,176679181	0,977777778
PLAGL2	0,366993983	-0,234789422	0,05	0,08	1	0,849809029	1,176734967	0,625
DBP	0,786827279	-0,235291545	0,15	0,12	1	0,849513309	1,177144595	1,25
P2RX7	0,87094902	-0,235436554	0,15	0,14	1	0,849427926	1,177262919	1,071428571
MX2	0,651640212	-0,235588443	0,038	0,05	1	0,849338502	1,177386869	0,76
DENND2B	0,349636635	-0,235798407	0,362	0,23	1	0,849214902	1,177558234	1,573913043
CMPK1	0,406154984	-0,235926345	0,7	0,4	1	0,849139597	1,177662664	1,75
TBX2	0,647849813	-0,235973921	0,088	0,1	1	0,849111596	1,1777015	0,88
NUP160	0,495129612	-0,236129253	0,162	0,11	1	0,849020178	1,177828308	1,472727273
TRIM28	0,038904263	-0,236208944	0,613	0,31	1	0,848973282	1,17789337	1,977419355
IL1RAPL2	0,073060928	-0,236234479	0,025	0,09	1	0,848958255	1,177914219	0,277777778
IKZF5	0,625545592	-0,236377804	0,138	0,1	1	0,84887392	1,178031245	1,38
FEZ1	0,600463501	-0,236521692	0,775	0,48	1	0,848789261	1,178148742	1,614583333
TLCD2	0,775526182	-0,236576325	0,088	0,07	1	0,848757119	1,178193358	1,257142857
UBQLN4	0,733391963	-0,236697973	0,15	0,15	1	0,848685555	1,178292708	1
MPHOSPH8	0,31118662	-0,236698231	0,713	0,43	1	0,848685403	1,178292918	1,658139535
PYURF	0,865782677	-0,236828908	0,8	0,54	1	0,848608534	1,178399651	1,481481481
ZSCAN18	0,457143319	-0,236873344	0,075	0,1	1	0,848582397	1,178435947	0,75
PSAP	0,058173431	-0,236908617	0,988	0,91	1	0,848561649	1,17846476	1,085714286
GOLGA4	0,381204683	-0,237082761	0,65	0,41	1	0,848459228	1,178607017	1,585365854
MALAT1	0,003761763	-0,23718382	1	1	1	0,848399796	1,17868958	1
MFAP1	0,189742956	-0,237190173	0,35	0,2	1	0,84839606	1,178694771	1,75
RNF11	0,225895473	-0,237420847	0,462	0,27	1	0,848260421	1,178883248	1,711111111
PAPPA	0,861114948	-0,237468076	0,088	0,09	1	0,848232652	1,178921842	0,977777778
PTBP1	0,965076225	-0,237574599	0,65	0,47	1	0,848170024	1,179008892	1,382978723

Supplementary Table 4

Differentially expressed genes_keloid-CCD_ comparing SC-Keloid vs. (SC-Myel, SC-Nonmyel)								
gene	p_val	avg_log2FC	pct.1	pct.2	p_val_adj	Foldchange_UP	Foldchange_DOWN	Ratio_pct1_pct2
GKAP1	0,099789628	-0,237615004	0,013	0,06	1	0,84814627	1,179041912	0,216666667
FAM76B	0,590719108	-0,237706813	0,35	0,24	1	0,848092298	1,179116946	1,458333333
GATAD1	0,221537566	-0,237832501	0,288	0,17	1	0,848018415	1,179219675	1,694117647
MEF2D	0,646888668	-0,237922057	0,288	0,21	1	0,847965776	1,179292878	1,371428571
AZGP1	0,525777494	-0,237937297	0,05	0,07	1	0,847956818	1,179305335	0,714285714
FBXO32	0,40204505	-0,237972276	0,212	0,14	1	0,847936259	1,179333929	1,514285714
TBC1D10A	0,315259225	-0,23817358	0,388	0,24	1	0,847817952	1,179498497	1,616666667
PPARG	0,072136391	-0,23827117	0	0,04	1	0,847760604	1,179578286	0
EIF3J-DT	0,857444576	-0,238459897	0,125	0,12	1	0,847649711	1,179732603	1,041666667
SLC66A3	0,817524131	-0,238472348	0,162	0,13	1	0,847642395	1,179742785	1,246153846
PER2	0,76159127	-0,238561155	0,125	0,1	1	0,847590219	1,179815408	1,25
VPS4B	0,152749571	-0,238780798	0,488	0,27	1	0,847461188	1,179995042	1,807407407
GLA	0,020489583	-0,23878183	0,4	0,18	1	0,847460582	1,179995886	2,222222222
PALM2AKAP2	0,143129348	-0,238818586	0,312	0,17	1	0,847438991	1,18002595	1,835294118
SLC26A11	0,366993983	-0,238972735	0,05	0,08	1	0,847348448	1,18015204	0,625
NLN	0,614614008	-0,239069793	0,138	0,1	1	0,847291445	1,180231438	1,38
GPC4	0,026616038	-0,239109475	0	0,06	1	0,84726814	1,180263901	0
ARMCX2	0,621430091	-0,239340069	0,15	0,11	1	0,847132727	1,180452564	1,363636364
WRNIP1	0,371502667	-0,239349724	0,238	0,15	1	0,847127058	1,180460464	1,586666667
ZBTB38	0,073512867	-0,239420914	0,488	0,26	1	0,847085257	1,180518716	1,876923077
MDGA1	0,94227175	-0,239468199	0,05	0,05	1	0,847057494	1,180557409	1
HOXC6	0,076196114	-0,2395617	0,25	0,12	1	0,847002598	1,180633922	2,083333333
WDR48	0,241147577	-0,239593036	0,275	0,16	1	0,846984201	1,180659567	1,71875
ATG14	0,389980727	-0,239658241	0,188	0,12	1	0,846945921	1,18071293	1,566666667
SIN3A	0,18857444	-0,239790546	0,375	0,22	1	0,846868254	1,180821215	1,704545455
SNRPN	0,137893931	-0,23985004	0,7	0,39	1	0,846833332	1,18086991	1,794871795
HNRNPUL1	0,047912497	-0,23991028	0,6	0,3	1	0,846797972	1,180919219	2
HHEX	0,670807151	-0,239935005	0,188	0,14	1	0,84678346	1,180939458	1,342857143
SLC44A3	0,098032255	-0,239938925	0,013	0,06	1	0,846781159	1,180942667	0,216666667
ORMDL1	0,080017984	-0,239977024	0,625	0,33	1	0,846758797	1,180973854	1,893939394

Supplementary Table 4

Differentially expressed genes_keloid-CCD_ comparing SC-Keloid vs. (SC-Myel, SC-Nonmyel)								
gene	p_val	avg_log2FC	pct.1	pct.2	p_val_adj	Foldchange_UP	Foldchange_DOWN	Ratio_pct1_pct2
NFKBID	0,806564466	-0,240119915	0,075	0,08	1	0,846674935	1,181090828	0,9375
PPP6C	0,191523652	-0,240299225	0,425	0,24	1	0,84656971	1,181237633	1,770833333
MYCBP2	0,034818489	-0,240721661	0,412	0,2	1	0,846321861	1,181583562	2,06
STRN3	0,138671774	-0,241094675	0,412	0,23	1	0,84610307	1,181889104	1,791304348
TXNRD1	0,084911822	-0,241120812	0,325	0,17	1	0,846087742	1,181910517	1,911764706
TSPAN14	0,83218863	-0,241180115	0,162	0,13	1	0,846052963	1,181959101	1,246153846
DCK	0,292794831	-0,241278361	0,2	0,12	1	0,84599535	1,182039594	1,666666667
MAP3K3	0,556890841	-0,241324292	0,212	0,15	1	0,845968417	1,182077227	1,413333333
TXNL4B	0,61180457	-0,241352997	0,075	0,09	1	0,845951585	1,182100747	0,833333333
CCDC173	0,141196013	-0,241487044	0,038	0,09	1	0,845872987	1,182210586	0,422222222
PIAS1	0,272200574	-0,241491543	0,25	0,15	1	0,84587035	1,182214272	1,666666667
FYN	0,026582561	-0,24164011	0,65	0,32	1	0,845783247	1,182336022	2,03125
NUB1	0,216941057	-0,241763526	0,45	0,26	1	0,845710898	1,182437169	1,730769231
NORAD	0,945362879	-0,241813003	0,863	0,58	1	0,845681895	1,182477722	1,487931034
SCRN1	0,414238845	-0,242165997	0,112	0,07	1	0,845475001	1,182767082	1,6
TTC39C	0,038759478	-0,24216999	0,238	0,1	1	0,845472661	1,182770356	2,38
WDR26	0,175042059	-0,242307599	0,288	0,16	1	0,845392021	1,182883178	1,8
MOB2	0,026862107	-0,242365709	0,55	0,26	1	0,845357971	1,182930823	2,115384615
GINS3	0,642614654	-0,242398546	0,15	0,11	1	0,84533873	1,182957748	1,363636364
GAA	0,204000817	-0,242445228	0,325	0,19	1	0,845311377	1,182996027	1,710526316
UNC45A	0,846432179	-0,242722125	0,238	0,19	1	0,845149151	1,183223101	1,252631579
LTBP3	0,393401856	-0,242998862	0,512	0,32	1	0,844987051	1,183450088	1,6
PDPK1	0,562732711	-0,243429294	0,2	0,14	1	0,844734984	1,183803227	1,428571429
BHLHE40	0,383090506	-0,243452993	0,45	0,29	1	0,844721108	1,183822673	1,551724138
MALT1	0,754347587	-0,243459161	0,062	0,07	1	0,844717497	1,183827734	0,885714286
TOX	0,01629666	-0,2436957	0	0,07	1	0,844579011	1,184021846	0
SNX2	0,26546158	-0,243732029	0,362	0,22	1	0,844557744	1,184051661	1,645454545
PPP1R9A	0,849623158	-0,244149643	0,2	0,19	1	0,844313307	1,184394457	1,052631579
HABP4	0,203513912	-0,244340552	0,412	0,24	1	0,844201588	1,184551195	1,716666667
C11orf54	0,470883549	-0,2444156	0,15	0,1	1	0,844157674	1,184612817	1,5

Supplementary Table 4

Differentially expressed genes_keloid-CCD_ comparing SC-Keloid vs. (SC-Myel, SC-Nonmyel)								
gene	p_val	avg_log2FC	pct.1	pct.2	p_val_adj	Foldchange_UP	Foldchange_DOWN	Ratio_pct1_pct2
VCL	0,824370199	-0,244503191	0,8	0,54	1	0,844106424	1,18468474	1,481481481
PHACTR2	0,941817101	-0,244680181	0,15	0,14	1	0,844002875	1,184830087	1,071428571
OAZ1	0,329821854	-0,24479177	1	0,95	1	0,843937596	1,184921734	1,052631579
KMT5B	0,396967957	-0,244810422	0,375	0,24	1	0,843926686	1,184937053	1,5625
SCAF4	0,257909868	-0,24497591	0,25	0,15	1	0,843829886	1,185072983	1,666666667
ELOVL5	0,326748811	-0,245242456	0,275	0,17	1	0,843673999	1,185291951	1,617647059
PLK3	0,519009503	-0,245909012	0,288	0,2	1	0,843284293	1,185839708	1,44
IFIT1	0,213256546	-0,246017031	0,038	0,08	1	0,843221156	1,185928499	0,475
EPC2	0,829011659	-0,246137515	0,275	0,24	1	0,843150739	1,186027544	1,145833333
PI4K2A	0,609356609	-0,246184814	0,238	0,17	1	0,843123096	1,186066429	1,4
DRAM1	0,501113728	-0,24622672	0,1	0,12	1	0,843098607	1,186100881	0,833333333
DVL3	0,337168252	-0,246971027	0,312	0,2	1	0,842663752	1,186712965	1,56
DIPK2A	0,479052381	-0,24723976	0,088	0,11	1	0,842506803	1,186934036	0,8
BRWD3	0,46820885	-0,247394066	0,125	0,15	1	0,842416695	1,187060994	0,833333333
NCL	0,124488739	-0,247482272	0,9	0,84	1	0,842365192	1,187133573	1,071428571
SEC22C	0,024879918	-0,24771204	0,362	0,16	1	0,842231045	1,187322654	2,2625
ABCF1	0,042799107	-0,247873314	0,625	0,3	1	0,8421369	1,187455389	2,083333333
NPR3	0,039215525	-0,247937852	0,013	0,08	1	0,842099229	1,18750851	0,1625
PITPNB	0,481371001	-0,248004635	0,6	0,38	1	0,842060248	1,187563481	1,578947368
ZNF22	0,012132713	-0,248178277	0,562	0,26	1	0,841958904	1,187706424	2,161538462
SLITRK6	0,318736578	-0,248358902	0,588	0,37	1	0,841853498	1,187855135	1,589189189
LRRC40	0,082861266	-0,248483848	0,25	0,12	1	0,841780592	1,187958014	2,083333333
E2F6	0,536111605	-0,249089536	0,2	0,14	1	0,84142726	1,18845686	1,428571429
STAG2	0,119004482	-0,249154242	0,65	0,34	1	0,841389523	1,188510164	1,911764706
KIAA1217	0,666322177	-0,24920353	0,112	0,12	1	0,841360778	1,18855077	0,933333333
BAZ2B	0,306956434	-0,249252867	0,362	0,23	1	0,841332006	1,188591416	1,573913043
RAP1A	0,474600819	-0,249262334	0,812	0,61	1	0,841326485	1,188599216	1,331147541
GPBP1L1	0,556037053	-0,249279919	0,3	0,21	1	0,84131623	1,188613703	1,428571429
TDG	0,387889341	-0,249566172	0,5	0,3	1	0,841149317	1,188849566	1,666666667
EPM2AIP1	0,810533432	-0,249742973	0,2	0,16	1	0,841046241	1,188995267	1,25

Supplementary Table 4

Differentially expressed genes_keloid-CCD_comparing SC-Keloid vs. (SC-Myel, SC-Nonmyel)								
gene	p_val	avg_log2FC	pct.1	pct.2	p_val_adj	Foldchange_UP	Foldchange_DOWN	Ratio_pct1_pct2
FREM2	0,731288812	-0,249884826	0,112	0,12	1	0,840963549	1,189112182	0,933333333
AHI1	0,160901167	-0,250068602	0,575	0,32	1	0,84085643	1,189263665	1,796875
TMEM263	0,017233583	-0,250199306	0,662	0,31	1	0,840780255	1,189371413	2,135483871
PIK3R1	0,661185398	-0,250321726	0,7	0,53	1	0,840708913	1,189472342	1,320754717
APCDD1	0,525777494	-0,250716061	0,05	0,07	1	0,840479152	1,189797508	0,714285714
FBXO11	0,268310167	-0,25076286	0,45	0,27	1	0,840451888	1,189836104	1,666666667
SOCS1	0,973222796	-0,250780638	0,125	0,11	1	0,840441532	1,189850766	1,136363636
PFKFB2	0,175582854	-0,250796801	0,05	0,1	1	0,840432116	1,189864096	0,5
TRIM9	0,754347587	-0,251299929	0,062	0,07	1	0,840139074	1,190279123	0,885714286
RBM5	0,421087235	-0,251321476	0,5	0,31	1	0,840126526	1,190296901	1,612903226
GIT2	0,970307235	-0,251553576	0,138	0,12	1	0,839991377	1,190488411	1,15
PLEKHB2	0,186541372	-0,251570875	0,475	0,27	1	0,839981305	1,190502686	1,759259259
SCPEP1	0,274507778	-0,251759683	0,412	0,25	1	0,839871383	1,190658499	1,648
SENP7	0,280882741	-0,251761078	0,262	0,16	1	0,839870571	1,19065965	1,6375
AAMP	0,253041948	-0,251836207	0,45	0,26	1	0,839826835	1,190721656	1,730769231
TMEM183A	0,076514722	-0,251920139	0,338	0,17	1	0,839777978	1,190790931	1,988235294
RFK	0,011252508	-0,251924368	0,362	0,15	1	0,839775516	1,190794421	2,413333333
SRF	0,654727359	-0,252432485	0,175	0,13	1	0,839479799	1,191213893	1,346153846
GFOD1	0,303003786	-0,252833291	0,062	0,1	1	0,83924661	1,191544879	0,62
ERRFI1	0,524201744	-0,252879883	0,275	0,19	1	0,839219506	1,191583361	1,447368421
FUNDC2	0,359644549	-0,252900904	0,738	0,44	1	0,839207279	1,191600723	1,677272727
ZMAT1	0,173614722	-0,252949707	0,05	0,1	1	0,839178891	1,191641032	0,5
NSRP1	0,086376598	-0,252996074	0,512	0,27	1	0,839151921	1,191679331	1,896296296
MARCHF7	0,367119808	-0,253188576	0,388	0,24	1	0,839039958	1,19183835	1,616666667
SQOR	0,607598011	-0,253197346	0,075	0,09	1	0,839034858	1,191845595	0,833333333
CASKIN2	0,217936139	-0,253289042	0,15	0,08	1	0,838981532	1,19192135	1,875
HEATR5A	0,933685367	-0,253317204	0,175	0,15	1	0,838965154	1,191944618	1,166666667
MOSPD1	0,382212252	-0,253444375	0,175	0,11	1	0,838891204	1,19204969	1,590909091
RRM2B	0,034513824	-0,253652881	0,275	0,12	1	0,838769972	1,192221984	2,291666667
SHB	0,666322177	-0,253937064	0,112	0,12	1	0,838604767	1,192456852	0,933333333

Supplementary Table 4

Differentially expressed genes_keloid-CCD_ comparing SC-Keloid vs. (SC-Myel, SC-Nonmyel)								
gene	p_val	avg_log2FC	pct.1	pct.2	p_val_adj	Foldchange_UP	Foldchange_DOWN	Ratio_pct1_pct2
SYT14	0,01629666	-0,254575818	0	0,07	1	0,838233556	1,192984929	0
C1GALT1	0,640614856	-0,254708257	0,162	0,12	1	0,83815661	1,19309445	1,35
SDHD	0,215884581	-0,254992595	0,438	0,26	1	0,837991436	1,193329618	1,684615385
RCHY1	0,495129612	-0,255254592	0,162	0,11	1	0,837839268	1,193546349	1,472727273
ATF4	0,645595362	-0,25549408	0,9	0,63	1	0,837700198	1,193744495	1,428571429
VPS13A	0,614436593	-0,255826191	0,15	0,11	1	0,83750738	1,194019329	1,363636364
SEMA4B	0,975107496	-0,255889466	0,062	0,06	1	0,837470649	1,194071699	1,033333333
WAPL	0,386971272	-0,256127927	0,312	0,2	1	0,837332236	1,194269081	1,56
TTC21B	0,530375301	-0,25621297	0,112	0,13	1	0,837282879	1,194339482	0,861538462
SAP30	0,386107477	-0,256231835	0,388	0,25	1	0,837271931	1,194355099	1,552
PM20D2	0,106207588	-0,25631872	0,088	0,16	1	0,837221508	1,19442703	0,55
FAM241A	0,460093343	-0,256329415	0,138	0,09	1	0,837215301	1,194435886	1,533333333
PSMD12	0,508748489	-0,256397384	0,525	0,33	1	0,837175859	1,194492159	1,590909091
H2AX	0,933299132	-0,257241681	0,613	0,46	1	0,836686069	1,195191407	1,332608696
CERT1	0,594763023	-0,257300625	0,3	0,21	1	0,836651885	1,19524024	1,428571429
LRRK2	0,060312926	-0,257310481	0,013	0,07	1	0,83664617	1,195248405	0,185714286
FBLN5	0,366993983	-0,257456838	0,05	0,08	1	0,836561298	1,195369666	0,625
HSPB2	0,829005304	-0,257461307	0,525	0,39	1	0,836558707	1,195373368	1,346153846
CNST	0,240028894	-0,257594668	0,225	0,13	1	0,83648138	1,195483873	1,730769231
LRRC8B	0,293746322	-0,258541471	0,1	0,14	1	0,8359326	1,196268695	0,714285714
TOP2B	0,026696426	-0,258546734	0,412	0,19	1	0,83592955	1,196273059	2,168421053
DDX58	0,03798271	-0,258660693	0,038	0,12	1	0,835863522	1,196367557	0,316666667
ZFAND1	0,983362042	-0,258671563	0,162	0,14	1	0,835857224	1,196376571	1,157142857
ACTR1B	0,683698954	-0,258719778	0,212	0,16	1	0,83582929	1,196416555	1,325
TUBB2A	0,868927899	-0,258965259	0,8	0,61	1	0,835687083	1,196620147	1,31147541
B3GALNT2	0,216392995	-0,259350901	0,225	0,13	1	0,835463727	1,196940055	1,730769231
MBD2	0,258163927	-0,259445196	0,425	0,26	1	0,835409123	1,19701829	1,634615385
TNFRSF1A	0,00227052	-0,25977919	0,637	0,27	1	0,835215743	1,19729544	2,359259259
SAMD8	0,506598769	-0,260371793	0,362	0,25	1	0,834872739	1,197787343	1,448
ANKRD33B	0,139405247	-0,260645549	0,038	0,09	1	0,834714334	1,198014649	0,422222222

Supplementary Table 4

Differentially expressed genes_keloid-CCD_ comparing SC-Keloid vs. (SC-Myel, SC-Nonmyel)								
gene	p_val	avg_log2FC	pct.1	pct.2	p_val_adj	Foldchange_UP	Foldchange_DOWN	Ratio_pct1_pct2
SGTB	0,641197673	-0,260655844	0,25	0,18	1	0,834708378	1,198023198	1,388888889
DERL1	0,152302116	-0,260774227	0,462	0,26	1	0,834639887	1,198121508	1,776923077
BAZ1A	0,229581041	-0,260926963	0,625	0,37	1	0,83455153	1,198248358	1,689189189
CCDC28A	0,424527118	-0,260981827	0,212	0,14	1	0,834519793	1,198293927	1,514285714
TTYH1	0,744402054	-0,26123651	0,375	0,29	1	0,834372486	1,198505484	1,293103448
GPSM2	0,05874719	-0,261352842	0,488	0,26	1	0,834305209	1,198602129	1,876923077
PXDC1	0,613826672	-0,261536474	0,775	0,5	1	0,834199022	1,198754702	1,55
CSNK1G3	0,320941167	-0,261715853	0,312	0,19	1	0,834095307	1,19890376	1,642105263
STK32A	0,061423181	-0,261857395	0,013	0,07	1	0,834013479	1,199021389	0,185714286
STX16	0,593149253	-0,261931893	0,412	0,28	1	0,833970413	1,199083306	1,471428571
ZNF566	0,516769632	-0,262023009	0,05	0,07	1	0,833917744	1,199159039	0,714285714
NFYB	0,29418871	-0,262145643	0,375	0,23	1	0,833846861	1,199260976	1,630434783
HMGCS1	0,775554615	-0,262420924	0,3	0,23	1	0,83368777	1,199489829	1,304347826
ATP1B2	0,831403993	-0,262503306	0,1	0,1	1	0,833640165	1,199558325	1
PPM1D	0,609356609	-0,2625196	0,238	0,17	1	0,83363075	1,199571873	1,4
TARDBP	0,11376215	-0,262565924	0,4	0,21	1	0,833603983	1,199610391	1,904761905
USF3	0,817524131	-0,262625846	0,162	0,13	1	0,83356936	1,199660218	1,246153846
RAB6A	0,56159795	-0,26276103	0,688	0,42	1	0,833491257	1,199772634	1,638095238
EFHC1	0,096446656	-0,262919275	0,425	0,23	1	0,833399838	1,199904241	1,847826087
PIM2	0,175582854	-0,262955197	0,05	0,1	1	0,833379087	1,199934118	0,5
CYBRD1	0,392336069	-0,26315199	0,262	0,17	1	0,833265417	1,200097808	1,541176471
CHKA	0,58646948	-0,263240104	0,238	0,17	1	0,833214526	1,200171107	1,4
U2AF1L4	0,828516813	-0,263648731	0,162	0,13	1	0,832978561	1,20051109	1,246153846
LINC00472	0,240774098	-0,26377532	0,025	0,06	1	0,832905474	1,200616433	0,416666667
ATP11A	0,144830522	-0,263799526	0,038	0,09	1	0,8328915	1,200636578	0,422222222
ZNF148	0,211054137	-0,263821421	0,412	0,24	1	0,832878859	1,2006548	1,716666667
SCML1	0,45318222	-0,264009612	0,3	0,2	1	0,832770222	1,200811428	1,5
CNKS2	0,037088726	-0,264230455	0,013	0,08	1	0,832642755	1,200995258	0,1625
IRF2BP2	0,522200053	-0,264326684	0,475	0,31	1	0,832587218	1,201075368	1,532258065
FAM98C	0,857505295	-0,264435088	0,225	0,2	1	0,83252466	1,201165621	1,125

Supplementary Table 4

Differentially expressed genes_keloid-CCD_ comparing SC-Keloid vs. (SC-Myel, SC-Nonmyel)								
gene	p_val	avg_log2FC	pct.1	pct.2	p_val_adj	Foldchange_UP	Foldchange_DOWN	Ratio_pct1_pct2
GARRE1	0,765615049	-0,264552083	0,125	0,1	1	0,832457149	1,201263033	1,25
MARK2	0,283468475	-0,264560149	0,275	0,17	1	0,832452496	1,201269749	1,617647059
TYRO3	0,078696762	-0,264763259	0,05	0,12	1	0,832335307	1,201438882	0,416666667
PSMC6	0,246702033	-0,265297369	0,637	0,38	1	0,832027219	1,201883756	1,676315789
NDN	0,96767157	-0,265575712	0,2	0,17	1	0,83186671	1,202115662	1,176470588
FAM111A	0,133823903	-0,265927109	0,312	0,17	1	0,831664117	1,202408496	1,835294118
NR2C2	0,827320099	-0,266228568	0,2	0,16	1	0,831490354	1,202659773	1,25
SFSWAP	0,62363758	-0,266335775	0,5	0,33	1	0,831428568	1,202749146	1,515151515
LMO7	0,479302051	-0,266344835	0,188	0,13	1	0,831423347	1,202756699	1,446153846
ARMCX4	0,062632651	-0,266808084	0,025	0,09	1	0,83115642	1,203142966	0,277777778
NAA16	0,478527776	-0,266950395	0,175	0,12	1	0,831074437	1,203261653	1,458333333
PABIR1	0,244405995	-0,267112628	0,075	0,12	1	0,830980986	1,203396969	0,625
HSPA9	0,202087119	-0,267158635	0,675	0,36	1	0,830954487	1,203435345	1,875
MLXIP	0,230409801	-0,267344313	0,5	0,29	1	0,830847548	1,20359024	1,724137931
FZD5	0,260257508	-0,267935109	0,05	0,09	1	0,830507378	1,204083222	0,555555556
GATAD2B	0,190935229	-0,268005145	0,4	0,23	1	0,830467063	1,204141675	1,739130435
CCN5	0,16651002	-0,268006116	0,025	0,07	1	0,830466503	1,204142486	0,357142857
SIK2	0,781151744	-0,268301786	0,162	0,13	1	0,830296323	1,204389291	1,246153846
APOA1	0,060312926	-0,268706145	0,013	0,07	1	0,830063639	1,204726906	0,185714286
WBP11	0,713176474	-0,268917286	0,637	0,41	1	0,829942167	1,204903233	1,553658537
NCOA4	0,036397947	-0,269023289	0,462	0,22	1	0,829881189	1,204991767	2,1
FOXN2	0,147606314	-0,269108158	0,262	0,14	1	0,829832371	1,205062655	1,871428571
YOD1	0,360221401	-0,269131329	0,088	0,12	1	0,829819043	1,205082009	0,733333333
HDGFL3	0,399334797	-0,269186909	0,288	0,19	1	0,829787075	1,205128436	1,515789474
C7orf61	0,060312926	-0,269275871	0,013	0,07	1	0,829735909	1,205202751	0,185714286
PDE12	0,303390351	-0,269328893	0,2	0,12	1	0,829705415	1,205247045	1,666666667
THSD7B	0,026616038	-0,269398821	0	0,06	1	0,8296652	1,205305465	0
BCAS1	0,120814239	-0,269794591	0	0,03	1	0,829437631	1,205636159	0
CDH7	0,120814239	-0,269794591	0	0,03	1	0,829437631	1,205636159	0
SLC12A4	0,241278638	-0,269981068	0,325	0,19	1	0,829330429	1,205792005	1,710526316

Supplementary Table 4

Differentially expressed genes_keloid-CCD_ comparing SC-Keloid vs. (SC-Myel, SC-Nonmyel)								
gene	p_val	avg_log2FC	pct.1	pct.2	p_val_adj	Foldchange_UP	Foldchange_DOWN	Ratio_pct1_pct2
ARRDC4	0,564733986	-0,270252725	0,312	0,22	1	0,829174282	1,206019075	1,418181818
TFPI	0,305831808	-0,270426953	0,062	0,1	1	0,829074152	1,206164729	0,62
UNC50	0,490339185	-0,270603931	0,412	0,27	1	0,828972455	1,2063127	1,525925926
JADE1	0,070469605	-0,271006913	0,388	0,2	1	0,828740934	1,206649701	1,94
H2BC11	0,366993983	-0,271483758	0,05	0,08	1	0,82846706	1,207048594	0,625
PIK3C2A	0,208074748	-0,271633295	0,325	0,19	1	0,828381193	1,207173712	1,710526316
PLIN2	0,242465135	-0,271729229	0,162	0,09	1	0,82832611	1,207253988	1,8
ZC3H14	0,282265224	-0,271740529	0,338	0,2	1	0,828319623	1,207263444	1,69
SIGIRR	0,876393314	-0,272083998	0,637	0,43	1	0,828122444	1,207550896	1,481395349
SH3BP5	0,751475829	-0,272544943	0,525	0,36	1	0,827857899	1,207936774	1,458333333
C11orf68	0,638311988	-0,272769709	0,25	0,18	1	0,827728932	1,20812498	1,388888889
STARD3NL	0,060069866	-0,273134221	0,362	0,18	1	0,827519824	1,208430264	2,011111111
ATP11C	0,516924734	-0,273258789	0,188	0,13	1	0,827448376	1,208534609	1,446153846
ZBED1	0,715271924	-0,273261471	0,125	0,13	1	0,827446837	1,208536857	0,961538462
KCNIP4	0,01629666	-0,273360505	0	0,07	1	0,827390039	1,20861982	0
SPRED1	0,936062401	-0,273481443	0,312	0,25	1	0,827320684	1,208721139	1,248
TEX2	0,574423817	-0,273636087	0,212	0,15	1	0,827232007	1,208850711	1,413333333
TAOK1	0,381849593	-0,273785794	0,688	0,42	1	0,827146171	1,208976158	1,638095238
CELSR2	0,631984607	-0,273786642	0,15	0,11	1	0,827145685	1,208976869	1,363636364
PCGF5	0,227834443	-0,273985333	0,3	0,18	1	0,827031777	1,209143383	1,666666667
KPNA5	0,539037915	-0,274049127	0,2	0,14	1	0,826995207	1,209196851	1,428571429
KLF3	0,511983037	-0,274238476	0,588	0,4	1	0,826886673	1,209355565	1,47
CSDE1	0,415200444	-0,274444177	0,887	0,62	1	0,826768784	1,209528008	1,430645161
SMARCD3	0,075276258	-0,274553671	0,2	0,09	1	0,826706038	1,209619809	2,222222222
MEPCE	0,590126887	-0,274792182	0,25	0,18	1	0,826569376	1,209819804	1,388888889
ERBB3	0,968572506	-0,274804672	0,85	0,58	1	0,82656222	1,209830278	1,465517241
BACE2	0,324579644	-0,274895254	0,562	0,34	1	0,826510324	1,209906242	1,652941176
CDC14A	0,377476254	-0,274999218	0,088	0,12	1	0,826450766	1,209993433	0,733333333
MT-ND1	0,009734105	-0,275006387	1	0,99	1	0,826446659	1,209999446	1,01010101
PPP2R5A	0,486986103	-0,275156638	0,25	0,17	1	0,826360592	1,21012547	1,470588235

Supplementary Table 4

Differentially expressed genes_keloid-CCD_ comparing SC-Keloid vs. (SC-Myel, SC-Nonmyel)								
gene	p_val	avg_log2FC	pct.1	pct.2	p_val_adj	Foldchange_UP	Foldchange_DOWN	Ratio_pct1_pct2
ZNF670	0,659988904	-0,275167213	0,1	0,11	1	0,826354536	1,210134339	0,909090909
GLTP	0,486144088	-0,275218867	0,338	0,23	1	0,826324949	1,210177668	1,469565217
SLC30A4	0,060312926	-0,275238307	0,013	0,07	1	0,826313815	1,210193975	0,185714286
RIN2	0,806564466	-0,275255827	0,075	0,08	1	0,82630378	1,210208672	0,9375
FIBIN	0,106757145	-0,275444241	0,588	0,33	1	0,826195873	1,210366734	1,781818182
CNOT2	0,129338038	-0,275511793	0,537	0,31	1	0,826157189	1,210423408	1,732258065
CITED4	0,765234025	-0,275618751	0,112	0,09	1	0,826095941	1,21051315	1,244444444
RAB11FIP2	0,518643875	-0,275706254	0,162	0,18	1	0,826045838	1,210586572	0,9
CNTN1	0,259519439	-0,275728276	0,013	0,04	1	0,826033229	1,210605051	0,325
MXD1	0,983645631	-0,276215571	0,288	0,24	1	0,82575427	1,211014023	1,2
DNTTIP2	0,099400181	-0,276434198	0,475	0,25	1	0,825629144	1,211197555	1,9
DYNLL1	0,184467207	-0,276716405	1	0,95	1	0,825467657	1,211434502	1,052631579
FA2H	0,259519439	-0,27674112	0,013	0,04	1	0,825453516	1,211455255	0,325
ZNRF2	0,144785252	-0,276761379	0,512	0,29	1	0,825441925	1,211472267	1,765517241
GAPVD1	0,359666372	-0,277014962	0,388	0,24	1	0,825296849	1,211685227	1,616666667
POLR1C	0,696619079	-0,277020182	0,112	0,12	1	0,825293863	1,211689611	0,933333333
C10orf90	0,026616038	-0,277156861	0	0,06	1	0,82521568	1,21180441	0
DUSP16	0,853102583	-0,277245743	0,138	0,13	1	0,825164841	1,211879069	1,061538462
ASTN2	0,08696236	-0,277344789	0,05	0,12	1	0,825108193	1,211962272	0,416666667
ALAS1	0,864582938	-0,277390672	0,138	0,13	1	0,825081952	1,212000817	1,061538462
NCK1	0,393905151	-0,277681479	0,362	0,23	1	0,824915655	1,212245148	1,573913043
SWAP70	0,79564814	-0,277788923	0,162	0,13	1	0,824854222	1,212335433	1,246153846
TRIM26	0,717298573	-0,277805083	0,162	0,16	1	0,824844983	1,212349012	1,0125
ZCCHC7	0,297575643	-0,277873606	0,262	0,16	1	0,824805807	1,212406596	1,6375
CAVIN1	0,600067736	-0,27797593	0,85	0,65	1	0,824747309	1,212492589	1,307692308
EFCAB14	0,098981833	-0,277987819	0,362	0,19	1	0,824740512	1,212502582	1,905263158
PDS5B	0,429994286	-0,278404376	0,4	0,26	1	0,824502415	1,212852725	1,538461538
ADCY6	0,482493585	-0,27843606	0,088	0,11	1	0,824484308	1,212879361	0,8
ANKRD13A	1	-0,27869021	0,175	0,15	1	0,824339076	1,213093045	1,166666667
TMEM132B	0,00613773	-0,278823048	0	0,09	1	0,824263178	1,213204747	0

Supplementary Table 4

Differentially expressed genes_keloid-CCD_ comparing SC-Keloid vs. (SC-Myel, SC-Nonmyel)								
gene	p_val	avg_log2FC	pct.1	pct.2	p_val_adj	Foldchange_UP	Foldchange_DOWN	Ratio_pct1_pct2
SMURF1	0,431761706	-0,279061356	0,138	0,09	1	0,824127035	1,213405164	1,533333333
CLIP1	0,101026878	-0,27925973	0,475	0,26	1	0,824013723	1,213572022	1,826923077
SERPINB9	0,788452212	-0,279737961	0,062	0,05	1	0,823740621	1,213974368	1,24
GALNT11	0,87042042	-0,279866092	0,262	0,21	1	0,823667465	1,21408219	1,247619048
FGFR1OP2	0,241429114	-0,28009055	0,537	0,31	1	0,823539327	1,214271095	1,732258065
ETNK1	0,834660686	-0,280598264	0,388	0,28	1	0,823249557	1,214698497	1,385714286
RFLNA	0,00613773	-0,28065501	0	0,09	1	0,823217177	1,214746276	0
NFATC4	0,327702143	-0,280776447	0,075	0,11	1	0,823147886	1,21484853	0,681818182
DNAJA4	0,781151744	-0,281083677	0,162	0,13	1	0,822972611	1,215107267	1,246153846
STXBP3	0,060561878	-0,281250418	0,475	0,24	1	0,822877501	1,215247712	1,979166667
PHACTR1	0,615680259	-0,281297695	0,388	0,28	1	0,822850535	1,215287537	1,385714286
NMT1	0,083964192	-0,281398938	0,425	0,22	1	0,822792793	1,215372824	1,931818182
PNMA1	0,209230521	-0,281645492	0,462	0,26	1	0,822652191	1,215580547	1,776923077
KIF13A	0,841807645	-0,281790813	0,188	0,15	1	0,822569331	1,215702997	1,253333333
SLC7A2	0,56588856	-0,282200244	0,062	0,08	1	0,822335922	1,216048057	0,775
BMPR1A	0,297400058	-0,282494102	0,062	0,1	1	0,82216844	1,216295776	0,62
PARD3B	0,024013059	-0,282536115	0,038	0,13	1	0,822144497	1,216331196	0,292307692
MSANTD3	0,306400944	-0,282592392	0,35	0,22	1	0,822112428	1,216378643	1,590909091
TLNRD1	0,264837351	-0,283052251	0,262	0,16	1	0,821850422	1,216766426	1,6375
ZNF131	0,441692976	-0,283231248	0,338	0,22	1	0,821748459	1,216917402	1,536363636
CHD6	0,443701629	-0,283313927	0,425	0,28	1	0,821701368	1,216987143	1,517857143
KIN	0,42306216	-0,283451065	0,275	0,18	1	0,821623263	1,217102832	1,527777778
NUDC	0,888957582	-0,283631043	0,825	0,52	1	0,821520771	1,217254676	1,586538462
FGD5-AS1	0,391772808	-0,284193831	0,588	0,37	1	0,821200362	1,217729614	1,589189189
MOB1A	0,081169213	-0,28463467	0,637	0,34	1	0,82094947	1,218101768	1,873529412
GOLGA2	0,897352001	-0,284673213	0,575	0,4	1	0,820927537	1,218134311	1,4375
PIK3R3	0,958439341	-0,284697666	0,138	0,12	1	0,820913623	1,218154958	1,15
RBBP4	0,461206275	-0,284751384	0,512	0,32	1	0,820883057	1,218200316	1,6
LAMA4	0,29069698	-0,284794727	0,637	0,38	1	0,820858396	1,218236915	1,676315789
SYDE2	0,058665095	-0,284868739	0,038	0,11	1	0,820816286	1,218299414	0,345454545

Supplementary Table 4

Differentially expressed genes_keloid-CCD_ comparing SC-Keloid vs. (SC-Myel, SC-Nonmyel)								
gene	p_val	avg_log2FC	pct.1	pct.2	p_val_adj	Foldchange_UP	Foldchange_DOWN	Ratio_pct1_pct2
CLASP2	0,965917611	-0,285232122	0,175	0,15	1	0,820609567	1,218606315	1,166666667
RPL36AL	0,084249407	-0,285323174	0,975	0,85	1	0,820557778	1,218683227	1,147058824
TAX1BP1	0,691242379	-0,285651767	0,65	0,43	1	0,820370906	1,21896083	1,511627907
PCDHB14	0,024553368	-0,286105948	0,025	0,11	1	0,820112682	1,219344637	0,227272727
PTP4A1	0,977558347	-0,286151441	0,562	0,39	1	0,820086821	1,219383087	1,441025641
MAPRE1	0,719493892	-0,286252176	0,637	0,42	1	0,820029562	1,219468232	1,516666667
SLK	0,058242378	-0,286346985	0,488	0,25	1	0,819975674	1,219548374	1,952
TNFRSF14	0,731276496	-0,286348991	0,212	0,16	1	0,819974533	1,219550071	1,325
LPIN2	0,682435767	-0,286658639	0,2	0,15	1	0,81979856	1,219811852	1,333333333
CYB5A	0,146319626	-0,286765495	0,512	0,28	1	0,819737842	1,219902203	1,828571429
TP53BP2	0,224960157	-0,286772648	0,325	0,19	1	0,819733778	1,219908252	1,710526316
AFMID	0,56588856	-0,286919268	0,062	0,08	1	0,819650473	1,220032237	0,775
DUOX1	0,098981434	-0,28700445	0,025	0,08	1	0,819602079	1,220104274	0,3125
IQCIN	0,308677275	-0,287190325	0,062	0,1	1	0,81949649	1,220261481	0,62
PNP	0,359713881	-0,287374968	0,262	0,17	1	0,819391613	1,220417666	1,541176471
FOXN3	0,465277388	-0,287725824	0,125	0,15	1	0,819192366	1,220714501	0,833333333
G3BP1	0,48577686	-0,287755771	0,7	0,4	1	0,819175361	1,220739841	1,75
FBXO17	0,713596568	-0,288009102	0,275	0,2	1	0,819031531	1,220954216	1,375
PTP4A2	0,618673703	-0,288046922	0,787	0,56	1	0,81901006	1,220986223	1,405357143
ITSN2	0,520072938	-0,288087557	0,3	0,2	1	0,818986992	1,221020614	1,5
C1orf53	0,055334082	-0,288425443	0,062	0,01	1	0,818795204	1,221306617	6,2
VCPIP1	0,889364971	-0,288495516	0,212	0,17	1	0,818755435	1,221365938	1,247058824
MT-ND5	0,054965522	-0,288543432	1	0,86	1	0,818728242	1,221406504	1,162790698
SNHG7	0,526988744	-0,288801691	0,675	0,45	1	0,818581694	1,221625169	1,5
SAT2	0,873721043	-0,289048593	0,875	0,57	1	0,818441614	1,221834255	1,535087719
MAPK1IP1L	0,062906399	-0,289412531	0,512	0,25	1	0,818235178	1,222142517	2,048
SNAI1	0,329196618	-0,289427943	0,212	0,13	1	0,818226437	1,222155573	1,630769231
CD55	0,842824122	-0,289457349	0,088	0,09	1	0,81820976	1,222180484	0,977777778
PRPSAP1	0,498950768	-0,289490505	0,438	0,29	1	0,818190956	1,222208572	1,510344828
SYNPO2	0,191930521	-0,289644881	0,05	0,1	1	0,818103409	1,222339362	0,5

Supplementary Table 4

Differentially expressed genes_keloid-CCD_ comparing SC-Keloid vs. (SC-Myel, SC-Nonmyel)								
gene	p_val	avg_log2FC	pct.1	pct.2	p_val_adj	Foldchange_UP	Foldchange_DOWN	Ratio_pct1_pct2
LRP12	0,123417626	-0,289811755	0,375	0,2	1	0,818008786	1,222480757	1,875
AKAP9	0,131789811	-0,290169614	0,575	0,32	1	0,817805905	1,222784029	1,796875
FZD3	0,771734375	-0,290243568	0,162	0,16	1	0,817763985	1,222846712	1,0125
CCSAP	0,327702143	-0,2903701	0,075	0,11	1	0,817692266	1,222953966	0,681818182
PAR6B	0,953805937	-0,290404027	0,162	0,14	1	0,817673037	1,222982727	1,157142857
RBFOX2	0,960519411	-0,290476726	0,388	0,3	1	0,817631834	1,223044356	1,293333333
FXR1	0,80163669	-0,290492363	0,713	0,44	1	0,817622973	1,223057611	1,620454545
HEG1	0,317316352	-0,290704785	0,225	0,14	1	0,817502595	1,223237708	1,607142857
TAF5	0,003765792	-0,290799885	0	0,1	1	0,817448708	1,223318344	0
ZC3H12C	0,100511066	-0,290946027	0,062	0,13	1	0,817365907	1,223442269	0,476923077
FAM171A1	0,703460316	-0,291120903	0,138	0,14	1	0,817266836	1,223590578	0,985714286
RAP1GAP2	0,208200632	-0,291225673	0,038	0,08	1	0,817207487	1,22367944	0,475
MORC3	0,513676394	-0,291263837	0,262	0,18	1	0,81718587	1,223711811	1,455555556
TASOR2	0,412744151	-0,291549225	0,262	0,17	1	0,817024233	1,223953904	1,541176471
RSBN1	0,566998161	-0,291582074	0,338	0,23	1	0,81700563	1,223981773	1,469565217
KLHL26	0,145568838	-0,291615044	0,062	0,12	1	0,81698696	1,224009745	0,516666667
NOP2	0,815549105	-0,291780497	0,088	0,09	1	0,81689327	1,224150127	0,977777778
ZNF12	0,865396949	-0,291809161	0,125	0,12	1	0,81687704	1,224174448	1,041666667
EFNB1	0,933222072	-0,291925693	0,15	0,13	1	0,816811061	1,224273333	1,153846154
SMTN	0,096441167	-0,292087478	0,288	0,15	1	0,816719468	1,224410633	1,92
NRXN2	0,947430005	-0,292164134	0,212	0,19	1	0,816676073	1,224475692	1,115789474
DYNLL2	0,946362044	-0,292295797	0,375	0,29	1	0,816601545	1,224587445	1,293103448
TNPO1	0,185427248	-0,292727396	0,475	0,27	1	0,816357286	1,224953849	1,759259259
CCNT2	0,913249376	-0,292794882	0,238	0,19	1	0,816319099	1,225011151	1,252631579
CDC42SE1	0,646534723	-0,292852065	0,537	0,37	1	0,816286744	1,225059707	1,451351351
LPIN1	0,582634513	-0,292917408	0,1	0,07	1	0,816249774	1,225115194	1,428571429
MFSD14C	0,236402297	-0,292990183	0,162	0,09	1	0,8162086	1,225176995	1,8
KLC1	0,270659169	-0,29313355	0,512	0,3	1	0,816127494	1,225298752	1,706666667
PHLDB1	0,386529241	-0,293167908	0,637	0,37	1	0,816108058	1,225327933	1,721621622
YPEL3	0,987084579	-0,293319026	0,325	0,26	1	0,816022578	1,225456289	1,25

Supplementary Table 4

Differentially expressed genes_keloid-CCD_ comparing SC-Keloid vs. (SC-Myel, SC-Nonmyel)								
gene	p_val	avg_log2FC	pct.1	pct.2	p_val_adj	Foldchange_UP	Foldchange_DOWN	Ratio_pct1_pct2
TRIM56	0,502219168	-0,293440723	0,175	0,12	1	0,815953746	1,225559666	1,458333333
GALR1	0,522912207	-0,293497585	0,425	0,38	1	0,815921586	1,225607971	1,118421053
CLCF1	0,41320422	-0,293627438	0,062	0,09	1	0,815848151	1,225718289	0,688888889
AVPI1	0,372343608	-0,293679865	0,188	0,12	1	0,815818504	1,225762832	1,566666667
CCNG1	0,982471481	-0,293751139	0,238	0,2	1	0,815778201	1,22582339	1,19
RAB11FIP1	0,566957555	-0,294384972	0,125	0,14	1	0,815419876	1,226362062	0,892857143
MYO1C	0,985986827	-0,294678494	0,5	0,37	1	0,815253992	1,226611595	1,351351351
FER	0,902627089	-0,294712865	0,25	0,22	1	0,81523457	1,226640819	1,136363636
UBE2W	0,376895094	-0,295303657	0,262	0,17	1	0,814900795	1,227143238	1,541176471
PPFIBP2	0,090974834	-0,295549402	0,038	0,1	1	0,814761999	1,227352284	0,38
ID3	0,99654813	-0,295633562	0,938	0,77	1	0,814714471	1,227423884	1,218181818
IP6K2	0,088102812	-0,295830466	0,488	0,25	1	0,814603283	1,227591418	1,952
TMEM259	0,674292105	-0,295853238	0,637	0,42	1	0,814590425	1,227610795	1,516666667
MAG	0,120814239	-0,296461268	0	0,03	1	0,814247185	1,228128287	0
CEBPZ	0,427969852	-0,296729015	0,4	0,26	1	0,814096085	1,228356233	1,538461538
SFN	0,158548126	-0,297187952	0,062	0,12	1	0,813837153	1,228747049	0,516666667
MXD4	0,750948271	-0,29758276	0,625	0,46	1	0,813614469	1,229083354	1,358695652
ZNF267	0,44891287	-0,297771296	0,35	0,24	1	0,81350815	1,229243986	1,458333333
KPNA4	0,430839241	-0,297778507	0,55	0,34	1	0,813504084	1,22925013	1,617647059
NBEA	0,026616038	-0,297863183	0	0,06	1	0,813456338	1,22932228	0
RAB3GAP1	0,566776308	-0,29848734	0,238	0,17	1	0,813104486	1,22985424	1,4
TANK	0,441749763	-0,298614545	0,4	0,25	1	0,813032797	1,229962683	1,6
RHEB	0,137947911	-0,298638256	0,825	0,68	1	0,813019434	1,229982898	1,213235294
CKAP4	0,423660524	-0,29865314	0,288	0,19	1	0,813011047	1,229995588	1,515789474
ANGPTL4	0,474002304	-0,298743402	0,15	0,1	1	0,812960182	1,230072544	1,5
CCDC115	0,532938243	-0,298884314	0,338	0,23	1	0,812880782	1,230192695	1,469565217
NPDC1	0,348505979	-0,299075969	0,338	0,35	1	0,812772802	1,230356131	0,965714286
TENT2	0,568550534	-0,299232799	0,212	0,15	1	0,812684453	1,230489885	1,413333333
HNRNPM	0,590006412	-0,299375723	0,838	0,66	1	0,812603947	1,230611793	1,26969697
TANC1	0,559612544	-0,299539581	0,338	0,23	1	0,812511659	1,230751571	1,469565217

Supplementary Table 4

Differentially expressed genes_keloid-CCD_ comparing SC-Keloid vs. (SC-Myel, SC-Nonmyel)								
gene	p_val	avg_log2FC	pct.1	pct.2	p_val_adj	Foldchange_UP	Foldchange_DOWN	Ratio_pct1_pct2
SORBS2	0,702159929	-0,299638877	0,5	0,34	1	0,812455738	1,230836283	1,470588235
CHIC1	0,754347587	-0,299926618	0,062	0,07	1	0,812293712	1,231081794	0,885714286
PLAT	0,295117189	-0,299965667	0,963	0,75	1	0,812271726	1,231115115	1,284
NMT2	0,303390351	-0,300224978	0,2	0,12	1	0,812125741	1,231336417	1,666666667
NBEAL1	0,571004643	-0,300675081	0,35	0,24	1	0,811872408	1,231720638	1,458333333
ATP2B4	0,505572427	-0,300794477	0,412	0,27	1	0,811805221	1,231822578	1,525925926
ANKRD10	0,23561589	-0,301056541	0,925	0,82	1	0,81165777	1,232046358	1,12804878
RNF139	0,577990742	-0,301093091	0,238	0,17	1	0,811637208	1,232077571	1,4
GABARAP	0,149809754	-0,301179735	0,462	0,25	1	0,811588465	1,232151569	1,848
PLAC9	0,427670833	-0,301357863	0,688	0,57	1	0,811488265	1,232303711	1,207017544
TVP23B	0,639063024	-0,301736885	0,15	0,11	1	0,8112751	1,232627501	1,363636364
SMIM10	0,9838519	-0,301799534	0,175	0,15	1	0,811239871	1,23268103	1,166666667
PIAS2	0,9677544	-0,301895244	0,262	0,22	1	0,811186055	1,232762809	1,190909091
SEMA5A	0,057841954	-0,301929117	0,038	0,11	1	0,811167009	1,232791754	0,345454545
NIP7	0,135953058	-0,3023105	0,25	0,13	1	0,810952602	1,233117691	1,923076923
TCEAL7	0,001831985	-0,302472392	0,438	0,16	1	0,810861606	1,233256073	2,7375
ACKR3	0,062632651	-0,30249717	0,025	0,09	1	0,810847679	1,233277255	0,277777778
UBAP1	0,492110056	-0,3025527	0,25	0,17	1	0,81081647	1,233324725	1,470588235
FAM13B	0,838427261	-0,302644152	0,25	0,22	1	0,810765074	1,233402907	1,136363636
PRDM16-DT	0,205689194	-0,302672877	0,062	0,11	1	0,810748932	1,233427466	0,563636364
ZNF451	0,636336295	-0,302824271	0,412	0,28	1	0,810663858	1,233556906	1,471428571
BCOR	0,418835999	-0,30294392	0,225	0,15	1	0,810596628	1,233659215	1,5
MED13L	0,960471804	-0,303148304	0,438	0,33	1	0,810481801	1,233833997	1,327272727
SLC5A3	0,553675182	-0,303562766	0,225	0,16	1	0,810248996	1,234188508	1,40625
WWC2	0,510139807	-0,303973338	0,2	0,14	1	0,810018443	1,234539792	1,428571429
TOX2	0,864417722	-0,304160215	0,175	0,16	1	0,809913526	1,234699716	1,09375
BNIP3	0,702220199	-0,30422417	0,15	0,15	1	0,809877623	1,234754452	1
FOXP4	0,696832148	-0,304370101	0,125	0,13	1	0,809795706	1,234879355	0,961538462
AGO2	0,183397011	-0,304499286	0,425	0,24	1	0,809723197	1,234989937	1,770833333
TMBIM6	0,105797188	-0,30483833	0,95	0,85	1	0,809532929	1,235280202	1,117647059

Supplementary Table 4

Differentially expressed genes_keloid-CCD_ comparing SC-Keloid vs. (SC-Myel, SC-Nonmyel)								
gene	p_val	avg_log2FC	pct.1	pct.2	p_val_adj	Foldchange_UP	Foldchange_DOWN	Ratio_pct1_pct2
TAF4B	0,496391762	-0,305189811	0,088	0,11	1	0,809335728	1,235581188	0,8
NUMB	0,921324088	-0,305247849	0,3	0,23	1	0,80930317	1,235630895	1,304347826
NECTIN2	0,532002894	-0,305515399	0,6	0,37	1	0,809153097	1,235860066	1,621621622
SAMD4B	0,128158442	-0,305633976	0,588	0,31	1	0,809086594	1,235961647	1,896774194
MBOAT2	0,159274096	-0,306153545	0,35	0,2	1	0,808795264	1,236406844	1,75
ESF1	0,25294756	-0,306326359	0,488	0,29	1	0,808698388	1,236554956	1,682758621
HECA	0,685852828	-0,306337957	0,125	0,13	1	0,808691887	1,236564897	0,961538462
SIPA1L1	0,305539659	-0,306606945	0,2	0,12	1	0,808541122	1,236795474	1,666666667
TMEM245	0,009345289	-0,306702743	0,375	0,15	1	0,808487435	1,236877602	2,5
SAP30BP	0,592764624	-0,306876993	0,6	0,39	1	0,808389791	1,237027003	1,538461538
FAXDC2	0,022780083	-0,307036546	0,013	0,09	1	0,808300393	1,237163818	0,144444444
HNRNPL	0,553596531	-0,307871749	0,537	0,34	1	0,807832588	1,237880243	1,579411765
ISCU	0,504203349	-0,308090466	0,625	0,39	1	0,807710127	1,238067923	1,602564103
RYR1	0,003765792	-0,308177357	0	0,1	1	0,807661482	1,238142492	0
NEK1	0,715399575	-0,308611932	0,225	0,17	1	0,807418231	1,238515507	1,323529412
HSPA4	0,1757534	-0,308811019	0,512	0,28	1	0,807306818	1,238686429	1,828571429
TSC1	0,354581591	-0,309145194	0,088	0,12	1	0,807119841	1,238973383	0,733333333
FIP1L1	0,282265224	-0,30914988	0,338	0,2	1	0,80711722	1,238977407	1,69
SEPHS2	0,278301215	-0,309219231	0,312	0,19	1	0,807078422	1,239036967	1,642105263
PRDM16	0,009998483	-0,309301463	0	0,08	1	0,807032421	1,239107593	0
TRIM2	0,556890841	-0,309441122	0,212	0,15	1	0,8069543	1,239227549	1,413333333
CNOT6L	0,409452825	-0,309859408	0,275	0,18	1	0,806720371	1,239586895	1,527777778
SAFB	0,697766651	-0,309865427	0,325	0,24	1	0,806717005	1,239592067	1,354166667
GALNT17	0,311723274	-0,30989921	0,312	0,19	1	0,806698115	1,239621094	1,642105263
BAIAP2	0,364784663	-0,310276945	0,338	0,21	1	0,806486928	1,239945702	1,60952381
PCMT1	0,592831457	-0,310411171	0,85	0,6	1	0,806411898	1,240061069	1,416666667
DAZAP2	0,984149424	-0,310607993	0,625	0,43	1	0,806301889	1,240230259	1,453488372
TIMP3	0,020084993	-0,310705725	0,938	0,85	1	0,80624727	1,240314278	1,103529412
TM2D1	0,619535195	-0,311139586	0,375	0,26	1	0,806004844	1,240687333	1,442307692
OLFML2A	0,782990134	-0,311352145	0,775	0,54	1	0,8058861	1,240870142	1,435185185

Supplementary Table 4

Differentially expressed genes_keloid-CCD_ comparing SC-Keloid vs. (SC-Myel, SC-Nonmyel)								
gene	p_val	avg_log2FC	pct.1	pct.2	p_val_adj	Foldchange_UP	Foldchange_DOWN	Ratio_pct1_pct2
MRPS24	0,173614722	-0,311870876	0,05	0,1	1	0,80559639	1,241316387	0,5
SEC14L1	0,656344044	-0,312139128	0,35	0,25	1	0,805446613	1,241547216	1,4
POLR3E	0,666322177	-0,312580224	0,112	0,12	1	0,80520039	1,24192687	0,933333333
PPP2R3A	0,540401985	-0,312622011	0,325	0,22	1	0,805177068	1,241962843	1,477272727
ZCCHC10	0,365862855	-0,312632671	0,425	0,26	1	0,805171119	1,241972019	1,634615385
CHPT1	0,693420458	-0,312840067	0,275	0,2	1	0,805055379	1,242150573	1,375
TFE3	0,879828793	-0,313053992	0,188	0,17	1	0,804936013	1,242334775	1,105882353
PTPRZ1	0,372727831	-0,313069334	0,863	0,62	1	0,804927453	1,242347986	1,391935484
RPS6KA3	0,336645171	-0,313076975	0,35	0,22	1	0,80492319	1,242354565	1,590909091
YIPF6	0,880021785	-0,313160162	0,35	0,26	1	0,804876779	1,242426203	1,346153846
PLA2G4C	0,089754822	-0,313209325	0,038	0,1	1	0,804849351	1,242468542	0,38
FOXO3	0,762481269	-0,313623727	0,25	0,23	1	0,804618198	1,242825482	1,086956522
VGLL4	0,348468767	-0,313908027	0,812	0,62	1	0,804459654	1,24307042	1,309677419
CDKN2C	0,561945637	-0,314197969	0,438	0,31	1	0,804297996	1,243320267	1,412903226
HIBCH	0,714825442	-0,31422794	0,2	0,15	1	0,804281288	1,243346097	1,333333333
CMTM6	0,533947303	-0,314592916	0,662	0,4	1	0,804077844	1,243660682	1,655
CCNI	0,158156488	-0,31470015	0,963	0,85	1	0,80401808	1,243753125	1,132941176
MINDY2	0,608555968	-0,314837845	0,462	0,31	1	0,803941347	1,243871838	1,490322581
GNAQ	0,943108238	-0,315411136	0,288	0,23	1	0,803621944	1,244366219	1,252173913
PLBD1	0,205689194	-0,315577378	0,062	0,11	1	0,803529348	1,244509616	0,563636364
ZNF711	0,673847896	-0,315623219	0,112	0,12	1	0,803503816	1,244549161	0,933333333
ZNF516	0,057841954	-0,315785859	0,038	0,11	1	0,80341324	1,244689471	0,345454545
CREB1	0,261916005	-0,316357035	0,35	0,21	1	0,803095224	1,245182352	1,666666667
UBE3A	0,866182617	-0,316698992	0,438	0,33	1	0,802904892	1,245477528	1,327272727
ST13	0,312865228	-0,316927393	0,875	0,69	1	0,802777789	1,245674723	1,268115942
SYAP1	0,201132084	-0,316961998	0,425	0,24	1	0,802758534	1,245704602	1,770833333
MT-CYB	0,002677242	-0,317083117	1	0,99	1	0,802691142	1,245809187	1,01010101
RASSF1	0,832187953	-0,317142617	0,512	0,39	1	0,802658039	1,245860568	1,312820513
SLC16A1	0,681987017	-0,317167953	0,275	0,2	1	0,802643943	1,245882448	1,375
RALGAPA1	0,664973596	-0,317178385	0,275	0,2	1	0,802638139	1,245891457	1,375

Supplementary Table 4

Differentially expressed genes_keloid-CCD_ comparing SC-Keloid vs. (SC-Myel, SC-Nonmyel)								
gene	p_val	avg_log2FC	pct.1	pct.2	p_val_adj	Foldchange_UP	Foldchange_DOWN	Ratio_pct1_pct2
RBM27	0,631620652	-0,317235354	0,088	0,1	1	0,802606445	1,245940655	0,88
FBXO30	0,860752852	-0,317241177	0,138	0,13	1	0,802603205	1,245945684	1,061538462
GJC3	0,423434047	-0,318265804	0,013	0,03	1	0,802033385	1,246830891	0,433333333
GNAI1	0,137632016	-0,318416564	0,038	0,09	1	0,801949578	1,24696119	0,422222222
PKN2	0,598357326	-0,318639436	0,4	0,28	1	0,8018257	1,24715384	1,428571429
ATG2A	0,982181708	-0,318792996	0,138	0,12	1	0,801740358	1,247286593	1,15
ARC	0,18471922	-0,318804415	0,412	0,23	1	0,801734012	1,247296466	1,791304348
PATL1	0,429901086	-0,318936731	0,2	0,13	1	0,801660485	1,247410866	1,538461538
RAB38	0,828370675	-0,318955307	0,175	0,14	1	0,801650163	1,247426928	1,25
CEP97	0,788589009	-0,319039796	0,35	0,26	1	0,801603217	1,247499983	1,346153846
TMEM123	0,426659238	-0,319204631	0,5	0,32	1	0,801511636	1,247642524	1,5625
PLEKHO2	0,534231312	-0,319206869	0,138	0,15	1	0,801510392	1,247644459	0,92
EIF5B	0,487108096	-0,319807747	0,725	0,47	1	0,801176635	1,248164208	1,542553191
DCAF6	0,642260686	-0,320393105	0,325	0,23	1	0,800851632	1,24867074	1,413043478
FUBP3	0,754259903	-0,320700596	0,288	0,21	1	0,80068096	1,248936905	1,371428571
RCOR3	0,2014323	-0,320712248	0,262	0,15	1	0,800674493	1,248946992	1,746666667
TENT4B	0,318002754	-0,320982379	0,438	0,26	1	0,800524588	1,249180868	1,684615385
NTM	0,310944438	-0,321154189	0,975	0,77	1	0,80042926	1,249329641	1,266233766
HIVEP2	0,22129208	-0,321620242	0,4	0,23	1	0,800170728	1,249733295	1,739130435
TAMALIN	0,838765176	-0,321760766	0,5	0,36	1	0,800092792	1,249855029	1,388888889
EZH1	0,060340572	-0,321762354	0,038	0,11	1	0,800091912	1,249856404	0,345454545
KCTD1	0,374565595	-0,321820324	0,088	0,12	1	0,800059763	1,249906627	0,733333333
GBE1	0,71851291	-0,321974431	0,225	0,17	1	0,799974306	1,250040148	1,323529412
ING2	0,603275353	-0,322361022	0,412	0,29	1	0,79975997	1,250375159	1,420689655
HIPK2	0,81386775	-0,323118428	0,162	0,13	1	0,799340211	1,251031771	1,246153846
UBR5	0,728071435	-0,323369801	0,362	0,26	1	0,799200948	1,251249767	1,392307692
ZMIZ1	0,785322539	-0,323622049	0,262	0,2	1	0,799061223	1,251468562	1,31
TAB2	0,166716093	-0,32383253	0,512	0,29	1	0,798944654	1,251651157	1,765517241
FERMT2	0,566447222	-0,324142968	0,812	0,65	1	0,798772756	1,251920515	1,249230769
UBE2H	0,814426674	-0,324409809	0,775	0,52	1	0,798625028	1,252152092	1,490384615

Supplementary Table 4

Differentially expressed genes_keloid-CCD_ comparing SC-Keloid vs. (SC-Myel, SC-Nonmyel)								
gene	p_val	avg_log2FC	pct.1	pct.2	p_val_adj	Foldchange_UP	Foldchange_DOWN	Ratio_pct1_pct2
FAM222A	0,133321936	-0,324440198	0,075	0,14	1	0,798608206	1,252178467	0,535714286
NXT1	0,807600587	-0,32482328	0,537	0,37	1	0,798396178	1,252511006	1,451351351
NOP53	0,382876484	-0,324890708	0,838	0,59	1	0,798358864	1,252569546	1,420338983
AFAP1L2	0,666724499	-0,325279193	0,613	0,46	1	0,798143913	1,25290688	1,332608696
ELP2	0,523409171	-0,325455383	0,325	0,22	1	0,798046445	1,253059902	1,477272727
TSPAN3	0,449730451	-0,325571892	0,6	0,37	1	0,797981999	1,2531611	1,621621622
SPON2	0,137632016	-0,325666606	0,038	0,09	1	0,797929613	1,253243374	0,422222222
PPP1CC	0,722918206	-0,325712527	0,662	0,42	1	0,797904215	1,253283265	1,576190476
MSL1	0,301601464	-0,32574832	0,5	0,31	1	0,79788442	1,253314359	1,612903226
RBP1	0,028946756	-0,325945266	0,025	0,11	1	0,797775506	1,253485464	0,227272727
IER5L	0,226559124	-0,325989509	0,65	0,42	1	0,797751041	1,253523905	1,547619048
UBXN2A	0,717992286	-0,326066119	0,488	0,34	1	0,79770868	1,253590472	1,435294118
ADGRL3	0,062632651	-0,326122545	0,025	0,09	1	0,797677481	1,253639503	0,277777778
CIC	0,431871372	-0,326305761	0,388	0,25	1	0,797576186	1,253798719	1,552
RNMT	0,472187573	-0,326415108	0,475	0,31	1	0,797515737	1,253893752	1,532258065
BCLAF1	0,529908044	-0,326483927	0,738	0,54	1	0,797477695	1,253953567	1,366666667
PALLD	0,742518455	-0,326794162	0,738	0,53	1	0,797306225	1,254223244	1,39245283
PANX1	0,994616967	-0,326870566	0,175	0,15	1	0,797264001	1,254289669	1,166666667
SENP5	0,953542528	-0,327188057	0,262	0,21	1	0,797088568	1,254565728	1,247619048
TFIP11	0,857626058	-0,327278893	0,112	0,11	1	0,797038383	1,254644722	1,018181818
LRRC58	0,237348089	-0,32729251	0,425	0,25	1	0,79703086	1,254656564	1,7
MID1IP1	0,578602644	-0,327579156	0,475	0,32	1	0,796872515	1,254905873	1,484375
CDC42EP5	0,427771783	-0,327641155	0,725	0,59	1	0,796838271	1,254959803	1,228813559
CLDN19	0,259519439	-0,327896127	0,013	0,04	1	0,796697456	1,255181616	0,325
KTN1	0,447105853	-0,32794134	0,85	0,58	1	0,796672488	1,255220953	1,465517241
RABGAP1L	0,621892414	-0,327992179	0,138	0,1	1	0,796644415	1,255265186	1,38
KDM6A	0,479052381	-0,328119151	0,088	0,11	1	0,796574305	1,255375667	0,8
TRABD2B	0,479052381	-0,328314744	0,088	0,11	1	0,796466317	1,255545876	0,8
PHLPP2	0,482493585	-0,328348399	0,088	0,11	1	0,796447737	1,255575166	0,8
EFNA1	0,992322814	-0,328622849	0,075	0,07	1	0,796296241	1,255814041	1,071428571

Supplementary Table 4

Differentially expressed genes_keloid-CCD_ comparing SC-Keloid vs. (SC-Myel, SC-Nonmyel)								
gene	p_val	avg_log2FC	pct.1	pct.2	p_val_adj	Foldchange_UP	Foldchange_DOWN	Ratio_pct1_pct2
SLC6A8	0,698561998	-0,328654835	0,175	0,17	1	0,796278586	1,255841884	1,029411765
LYST	0,898675406	-0,32889215	0,35	0,29	1	0,796147613	1,25604848	1,206896552
DLX2	0,602438582	-0,329781277	0,125	0,09	1	0,795657102	1,256822817	1,388888889
ARIH2	0,656345258	-0,329971335	0,45	0,3	1	0,79555229	1,256988399	1,5
ELOC	0,552880034	-0,330093779	0,85	0,59	1	0,795484773	1,257095087	1,440677966
AK5	0,00613773	-0,330211071	0	0,09	1	0,795420103	1,257197293	0
FBXW7	0,649386162	-0,330761528	0,425	0,29	1	0,79511667	1,257677065	1,465517241
MT-ND4L	0,849050558	-0,330910466	0,838	0,55	1	0,795034589	1,25780691	1,523636364
KDM3A	0,65372576	-0,331207452	0,275	0,2	1	0,794870945	1,258065862	1,375
OXR1	0,222079933	-0,331403761	0,325	0,19	1	0,794762793	1,25823706	1,710526316
KANK2	0,51553591	-0,33173281	0,488	0,33	1	0,794581544	1,258524071	1,478787879
ST6GALNAC3	0,173614722	-0,331764033	0,05	0,1	1	0,794564348	1,258551308	0,5
LMBRD1	0,493523947	-0,33178006	0,45	0,29	1	0,794555522	1,258565289	1,551724138
ARNTL	0,705807067	-0,331912587	0,225	0,21	1	0,794482537	1,258680907	1,071428571
ATP6V1G1	0,119389694	-0,332565847	0,887	0,69	1	0,794122872	1,259250974	1,285507246
VPS37B	0,352308712	-0,332829565	0,388	0,24	1	0,793977723	1,25948118	1,616666667
WNT2B	0,303003786	-0,332876978	0,062	0,1	1	0,79395163	1,259522573	0,62
COL20A1	0,634726592	-0,332960291	0,15	0,12	1	0,793905782	1,25959531	1,25
ARHGAP19	0,119106912	-0,33300969	0,05	0,11	1	0,793878599	1,25963844	0,454545455
KAT6A	0,940155226	-0,333244314	0,262	0,22	1	0,793749501	1,259843311	1,190909091
HIVEP1	0,572674783	-0,333458365	0,325	0,22	1	0,793631743	1,260030246	1,477272727
UBQLN2	0,422058966	-0,333467071	0,2	0,13	1	0,793626953	1,26003785	1,538461538
PPP2CB	0,743122499	-0,333856427	0,812	0,49	1	0,793412798	1,260377956	1,657142857
CHML	0,562732711	-0,333858625	0,2	0,14	1	0,793411589	1,260379876	1,428571429
CNOT1	0,248965249	-0,333907597	0,325	0,19	1	0,793384657	1,26042266	1,710526316
RDX	0,971240574	-0,334240406	0,95	0,76	1	0,793201656	1,260713455	1,25
CPNE3	0,550790027	-0,335177929	0,425	0,29	1	0,792686368	1,261532985	1,465517241
CCDC12	0,465453357	-0,335552451	0,5	0,32	1	0,792480614	1,26186052	1,5625
MT1X	0,002415434	-0,335611116	0,588	0,24	1	0,79244839	1,261911833	2,45
PPP1R18	0,85391269	-0,335636794	0,625	0,45	1	0,792434285	1,261934294	1,388888889

Supplementary Table 4

Differentially expressed genes_keloid-CCD_comparing SC-Keloid vs. (SC-Myel, SC-Nonmyel)								
gene	p_val	avg_log2FC	pct.1	pct.2	p_val_adj	Foldchange_UP	Foldchange_DOWN	Ratio_pct1_pct2
FEM1C	0,949776693	-0,336044842	0,275	0,22	1	0,792210187	1,262291266	1,25
RASAL2	0,525819825	-0,336421142	0,325	0,22	1	0,792003581	1,262620554	1,477272727
RCOR1	0,869416171	-0,336992876	0,212	0,17	1	0,791689775	1,263121025	1,247058824
TBL1XR1	0,993586051	-0,337073303	0,488	0,36	1	0,791645641	1,263191443	1,355555556
SOCS2	0,115326996	-0,337557026	0,725	0,39	1	0,791380254	1,263615051	1,858974359
RGS2	0,423179546	-0,338774143	0,2	0,22	1	0,790712894	1,264681539	0,909090909
PPP1R2	0,598899862	-0,33968313	0,613	0,4	1	0,790214854	1,265478617	1,5325
EWSR1	0,86088673	-0,34039556	0,5	0,35	1	0,789824727	1,266103689	1,428571429
GULP1	0,342579045	-0,340652047	0,75	0,47	1	0,789684322	1,2663288	1,595744681
PPP2R2B	0,003765792	-0,340717091	0	0,1	1	0,78964872	1,266385894	0
KIDINS220	0,727699176	-0,341380689	0,488	0,34	1	0,789285587	1,266968529	1,435294118
H1-10	0,40206258	-0,34155653	0,7	0,43	1	0,789189393	1,267122961	1,627906977
HNRNPA2B1	0,02201719	-0,341663471	1	0,96	1	0,789130896	1,267216891	1,041666667
PPIG	0,381640155	-0,341897374	0,762	0,55	1	0,789002965	1,267422361	1,385454545
GTF2I	0,220818349	-0,342576405	0,775	0,61	1	0,788631693	1,268019037	1,270491803
ABCD3	0,084977171	-0,344317071	0,412	0,21	1	0,787680753	1,269549873	1,961904762
ZNF654	0,853102583	-0,344499434	0,138	0,13	1	0,787581193	1,26971036	1,061538462
PKIB	0,039345205	-0,34453873	0,025	0,1	1	0,787559741	1,269744945	0,25
EIF4B	0,868526695	-0,344743265	0,525	0,39	1	0,787448094	1,269924973	1,346153846
GDNF	0,01629666	-0,3451187	0	0,07	1	0,787243202	1,27025549	0
ZNF649	0,254864966	-0,345257356	0,05	0,09	1	0,787167545	1,27037758	0,555555556
ZNF394	0,395696839	-0,345658189	0,15	0,18	1	0,786948872	1,270730585	0,833333333
RSF1	0,311335541	-0,346235892	0,725	0,55	1	0,786633814	1,27123953	1,318181818
EFNB2	0,58861907	-0,346600883	0,15	0,16	1	0,786434827	1,271561185	0,9375
RC3H1	0,558844311	-0,347100551	0,35	0,24	1	0,786162497	1,272001658	1,458333333
MAP3K11	0,081605313	-0,347109967	0,438	0,23	1	0,786157366	1,27200996	1,904347826
B4GALNT1	0,120536116	-0,347270226	0,05	0,11	1	0,786070042	1,272151266	0,454545455
SRSF4	0,76465831	-0,347387433	0,713	0,44	1	0,786006183	1,272254623	1,620454545
PTAR1	0,565052003	-0,347566493	0,362	0,25	1	0,785908634	1,272412538	1,448
RABGAP1	0,79051385	-0,347711589	0,25	0,19	1	0,785829597	1,272540515	1,315789474

Supplementary Table 4

Differentially expressed genes_keloid-CCD_ comparing SC-Keloid vs. (SC-Myel, SC-Nonmyel)								
gene	p_val	avg_log2FC	pct.1	pct.2	p_val_adj	Foldchange_UP	Foldchange_DOWN	Ratio_pct1_pct2
KRT14	0,538754027	-0,347777751	0,1	0,12	1	0,78579356	1,272598875	0,833333333
H1-0	0,14782312	-0,347901617	0,4	0,22	1	0,785726097	1,272708141	1,818181818
BAG1	0,417449003	-0,34814509	0,662	0,48	1	0,785593506	1,272922945	1,379166667
MEX3C	0,590316067	-0,348267673	0,425	0,28	1	0,785526759	1,273031107	1,517857143
KLHL36	0,67744427	-0,348279231	0,188	0,18	1	0,785520466	1,273041306	1,044444444
RNF169	0,547407877	-0,348786819	0,288	0,27	1	0,785244142	1,273489284	1,066666667
KLHL5	0,798093809	-0,348910939	0,15	0,12	1	0,785176588	1,273598851	1,25
MEG3	0,176671128	-0,348929109	0,8	0,48	1	0,785166699	1,273614891	1,666666667
EHBP1	0,275921821	-0,348940127	0,575	0,34	1	0,785160703	1,273624618	1,691176471
KCTD3	0,989339843	-0,349217674	0,275	0,22	1	0,785009667	1,273869663	1,25
CEP85L	0,182257235	-0,349467829	0,425	0,24	1	0,784873563	1,274090563	1,770833333
DHX15	0,6547013	-0,349483049	0,338	0,24	1	0,784865283	1,274104004	1,408333333
PHF23	0,452389852	-0,349686366	0,35	0,23	1	0,784754681	1,274283575	1,52173913
RBPJ	0,839070916	-0,349811674	0,575	0,41	1	0,784686522	1,27439426	1,402439024
PLCE1	0,59520323	-0,349993507	0,212	0,15	1	0,784587629	1,274554891	1,413333333
TFG	0,989216167	-0,35034274	0,7	0,46	1	0,784397727	1,27486346	1,52173913
TOB2	0,898341315	-0,350391759	0,438	0,32	1	0,784371076	1,274906777	1,36875
CDK13	0,527637455	-0,350572952	0,45	0,3	1	0,78427257	1,275066907	1,5
HMGB2	0,411603664	-0,350646142	0,412	0,4	1	0,784232784	1,275131594	1,03
TARS3	0,759780304	-0,350718322	0,338	0,25	1	0,784193548	1,275195393	1,352
EEF1A1	4,01596E-05	-0,350738835	1	1	0,847407879	0,784182399	1,275213524	1
SPOP	0,47038166	-0,351031531	0,375	0,25	1	0,784023318	1,275472268	1,5
ATP1B3	0,733561097	-0,351116059	0,6	0,38	1	0,783977384	1,275547	1,578947368
FDX1	0,187213582	-0,351193273	0,7	0,37	1	0,783935426	1,27561527	1,891891892
SPTAN1	0,381536327	-0,351374332	0,7	0,53	1	0,783837048	1,275775371	1,320754717
MKLN1	0,564872344	-0,351532143	0,225	0,22	1	0,783751312	1,27591493	1,022727273
SCD5	0,022780083	-0,351634914	0,013	0,09	1	0,783695482	1,276005825	0,144444444
DYNC1H1	0,898039238	-0,352051521	0,8	0,52	1	0,783469207	1,276374349	1,538461538
RNF114	0,581031176	-0,352091753	0,55	0,36	1	0,783447359	1,276409944	1,527777778
SLBP	0,445996129	-0,352307982	0,5	0,31	1	0,783329946	1,276601265	1,612903226

Supplementary Table 4

Differentially expressed genes_keloid-CCD_ comparing SC-Keloid vs. (SC-Myel, SC-Nonmyel)								
gene	p_val	avg_log2FC	pct.1	pct.2	p_val_adj	Foldchange_UP	Foldchange_DOWN	Ratio_pct1_pct2
CLTB	0,513062369	-0,352483297	0,7	0,51	1	0,783234763	1,276756405	1,37254902
RAP2B	0,631708508	-0,35251285	0,288	0,2	1	0,783218718	1,27678256	1,44
ATP13A3	0,733447585	-0,352537868	0,462	0,32	1	0,783205137	1,276804701	1,44375
RFTN2	0,469607029	-0,352776504	0,175	0,19	1	0,783075597	1,277015914	0,921052632
LNPEP	0,807146957	-0,353572156	0,225	0,2	1	0,782643847	1,277720388	1,125
NDFIP1	0,797284893	-0,353708093	0,738	0,55	1	0,782570106	1,277840786	1,341818182
PEG3	0,452756248	-0,353899759	0,038	0,06	1	0,782466147	1,278010562	0,633333333
DOK5	0,237748085	-0,35410094	0,075	0,12	1	0,782357041	1,27818879	0,625
LPL	0,003765792	-0,354115515	0	0,1	1	0,782349137	1,278201703	0
ARID1A	0,295411248	-0,354300584	0,462	0,28	1	0,782248784	1,278365681	1,65
MGP	0,136752643	-0,354374244	0,225	0,12	1	0,782208845	1,278430953	1,875
PDCD7	0,575355106	-0,354679942	0,537	0,35	1	0,782043118	1,278701873	1,534285714
SYNE3	0,878125521	-0,354726795	0,2	0,16	1	0,782017721	1,278743401	1,25
CSGALNACT2	0,756779942	-0,355145544	0,438	0,3	1	0,78179077	1,279114616	1,46
TMEM64	0,546641459	-0,355174877	0,188	0,19	1	0,781774874	1,279140624	0,989473684
NAA35	0,847985424	-0,355380957	0,162	0,15	1	0,78166321	1,279323354	1,08
ITSN1	0,722306167	-0,355651016	0,275	0,2	1	0,781516904	1,279562854	1,375
ATP1B1	0,42148212	-0,35568113	0,762	0,63	1	0,781500592	1,279589562	1,20952381
ST3GAL6	0,10125731	-0,355919954	0,125	0,2	1	0,781371232	1,279801404	0,625
CD47	0,378645448	-0,356380366	0,562	0,34	1	0,781121911	1,280209896	1,652941176
ZC3H12A	0,776241164	-0,356518593	0,338	0,29	1	0,781047073	1,280332561	1,165517241
TOGARAM1	0,748106362	-0,357146181	0,275	0,24	1	0,780707384	1,28088964	1,145833333
ZNF830	0,647368961	-0,357547351	0,238	0,17	1	0,780490322	1,281245867	1,4
RHOQ	0,864055121	-0,357660063	0,613	0,4	1	0,780429348	1,28134597	1,5325
CTNNB1	0,674989938	-0,358095266	0,762	0,56	1	0,78019396	1,281732558	1,360714286
PRKD1	0,089754822	-0,358619106	0,038	0,1	1	0,779910724	1,282198038	0,38
MYO6	0,049955767	-0,358673219	0,05	0,13	1	0,779881471	1,282246132	0,384615385
SRSF6	0,246793203	-0,359711296	0,588	0,36	1	0,779320518	1,283169091	1,633333333
PHF3	0,582690872	-0,359793941	0,388	0,26	1	0,779275875	1,2832426	1,492307692
ABHD3	0,089754822	-0,359919024	0,038	0,1	1	0,779208314	1,283353863	0,38

Supplementary Table 4

Differentially expressed genes_keloid-CCD_ comparing SC-Keloid vs. (SC-Myel, SC-Nonmyel)								
gene	p_val	avg_log2FC	pct.1	pct.2	p_val_adj	Foldchange_UP	Foldchange_DOWN	Ratio_pct1_pct2
EZH2	0,8821324	-0,359948515	0,35	0,29	1	0,779192386	1,283380097	1,206896552
AK1	0,036096258	-0,360303702	0,362	0,17	1	0,779000575	1,2836961	2,129411765
NGF	0,997440903	-0,361130214	0,075	0,07	1	0,778554417	1,284431733	1,071428571
EIF3J	0,466950812	-0,361179396	0,738	0,45	1	0,778527877	1,284475521	1,64
SSPN	0,976028847	-0,36145023	0,288	0,23	1	0,778381739	1,284716676	1,252173913
PRKCI	0,552548692	-0,361627057	0,175	0,18	1	0,778286341	1,284874149	0,972222222
SP3	0,620958797	-0,361982023	0,438	0,29	1	0,778094872	1,285190323	1,510344828
OAZ2	0,131073984	-0,362482575	0,488	0,27	1	0,777824954	1,285636305	1,807407407
PALS1	0,4425104	-0,362735201	0,212	0,14	1	0,777688763	1,285861449	1,514285714
PAF1	0,683653075	-0,362972402	0,262	0,19	1	0,77756091	1,286072882	1,378947368
CBL	0,343246649	-0,36302029	0,388	0,24	1	0,7775351	1,286115571	1,616666667
ARL6IP1	0,185448208	-0,363025082	0,762	0,63	1	0,777532518	1,286119843	1,20952381
TERF2IP	0,61110439	-0,363098407	0,812	0,56	1	0,777493001	1,286185212	1,45
HLA-E	0,358854506	-0,363193732	0,863	0,62	1	0,77744163	1,286270198	1,391935484
TCEAL9	0,675311081	-0,363286724	0,8	0,54	1	0,77739152	1,28635311	1,481481481
SERINC5	0,207078538	-0,363567499	0,362	0,21	1	0,77724024	1,286603483	1,723809524
TRA2A	0,842070509	-0,363594832	0,537	0,37	1	0,777225515	1,286627859	1,451351351
MOSPD2	0,403423503	-0,363983276	0,125	0,15	1	0,777016276	1,286974328	0,833333333
TFEB	0,049955767	-0,364008847	0,05	0,13	1	0,777002504	1,28699714	0,384615385
SEMA3G	0,002307447	-0,364145391	0	0,11	1	0,776928968	1,287118953	0
FHL1	0,660023269	-0,364438262	0,388	0,28	1	0,776771265	1,287380269	1,385714286
U2AF1	0,280009358	-0,36450412	0,1	0,14	1	0,776735807	1,287439038	0,714285714
SYF2	0,724003955	-0,365163074	0,738	0,51	1	0,776381112	1,288027213	1,447058824
VSIR	0,009198586	-0,365239174	0,038	0,15	1	0,77634016	1,288095156	0,253333333
NDFIP2	0,597408779	-0,365367369	0,438	0,29	1	0,776271179	1,288209619	1,510344828
RNF138	0,888354171	-0,365834599	0,2	0,16	1	0,776019818	1,288626884	1,25
USP53	0,865728969	-0,366365286	0,425	0,31	1	0,775734416	1,289100986	1,370967742
RMND5A	0,669292482	-0,366706921	0,2	0,19	1	0,775550741	1,289406285	1,052631579
SEC24A	0,844568054	-0,368081122	0,312	0,23	1	0,774812363	1,29063506	1,356521739
SELENOK	0,137375098	-0,368192012	0,912	0,71	1	0,77475281	1,290734266	1,284507042

Supplementary Table 4

Differentially expressed genes_keloid-CCD_ comparing SC-Keloid vs. (SC-Myel, SC-Nonmyel)								
gene	p_val	avg_log2FC	pct.1	pct.2	p_val_adj	Foldchange_UP	Foldchange_DOWN	Ratio_pct1_pct2
ZMYM2	0,779302333	-0,36821687	0,375	0,32	1	0,774739461	1,290756506	1,171875
MTR	0,574854686	-0,368304479	0,312	0,22	1	0,774692416	1,290834891	1,418181818
KBTBD2	0,887006711	-0,368355092	0,325	0,26	1	0,774665238	1,290880177	1,25
SERPING1	0,156879371	-0,368663081	0,062	0,12	1	0,774499879	1,291155786	0,516666667
IRF7	0,661545066	-0,368726305	0,25	0,18	1	0,774465939	1,29121237	1,388888889
SPART	0,971966758	-0,368966447	0,3	0,24	1	0,774337037	1,291427315	1,25
RBMS1	0,823502126	-0,369845117	0,662	0,47	1	0,773865572	1,292214095	1,408510638
FMNL2	0,83218863	-0,370262977	0,162	0,13	1	0,773641463	1,292588424	1,246153846
MAP7D1	0,983921188	-0,370592661	0,575	0,41	1	0,773464691	1,29288384	1,402439024
RNF5	0,616780522	-0,371468126	0,5	0,33	1	0,772995475	1,293668634	1,515151515
CDC73	0,755939473	-0,371629009	0,488	0,37	1	0,772909279	1,293812906	1,318918919
TRPM3	0,00613773	-0,371658284	0	0,09	1	0,772893595	1,29383916	0
RND3	0,885742368	-0,372745608	0,688	0,49	1	0,772311304	1,294814662	1,404081633
BCAS2	0,360289754	-0,372810243	0,537	0,32	1	0,772276704	1,294872674	1,678125
GRIK3	0,003765792	-0,373303294	0	0,1	1	0,772012818	1,295315281	0
NEK7	0,929267363	-0,373382978	0,238	0,19	1	0,771970179	1,295386827	1,252631579
SRSF2	0,271092504	-0,37382277	0,912	0,78	1	0,771734887	1,295781773	1,169230769
ALDH3A2	0,326814843	-0,374268508	0,162	0,19	1	0,771496487	1,296182183	0,852631579
CCND3	0,787133346	-0,374410818	0,362	0,26	1	0,771420389	1,296310047	1,392307692
MORF4L2	0,272591951	-0,374423215	0,887	0,66	1	0,77141376	1,296321186	1,343939394
SEMA6D	0,859426941	-0,374694702	0,188	0,17	1	0,771268609	1,296565151	1,105882353
UPF2	0,718357918	-0,37478011	0,475	0,33	1	0,77122295	1,296641911	1,439393939
MYO9A	0,85036292	-0,374847997	0,312	0,23	1	0,771186661	1,296702926	1,356521739
PTPN1	0,783964045	-0,375295245	0,425	0,3	1	0,770947624	1,297104978	1,416666667
PYGL	0,878132601	-0,375422498	0,275	0,23	1	0,770879625	1,297219394	1,195652174
SLITRK2	0,003765792	-0,375680574	0	0,1	1	0,770741739	1,297451468	0
ASAP2	0,233131297	-0,37602161	0,537	0,46	1	0,770559566	1,297758206	1,167391304
KANSL1	0,341134272	-0,376254353	0,5	0,3	1	0,770435266	1,297967584	1,666666667
GNG2	0,845893818	-0,37685879	0,75	0,5	1	0,770112549	1,298511499	1,5
SPIRE1	0,894074668	-0,377128124	0,238	0,19	1	0,769968791	1,298753938	1,252631579

Supplementary Table 4

Differentially expressed genes_keloid-CCD_ comparing SC-Keloid vs. (SC-Myel, SC-Nonmyel)								
gene	p_val	avg_log2FC	pct.1	pct.2	p_val_adj	Foldchange_UP	Foldchange_DOWN	Ratio_pct1_pct2
FBLN1	0,249481491	-0,377147244	0,125	0,17	1	0,769958587	1,298771151	0,735294118
SCAF11	0,86215792	-0,377343938	0,688	0,44	1	0,76985362	1,298948235	1,563636364
RNF19A	0,933207718	-0,377475558	0,525	0,38	1	0,769783387	1,299066746	1,381578947
WASL	0,922395258	-0,377505328	0,6	0,4	1	0,769767503	1,299093553	1,5
SERINC3	0,975264376	-0,378485074	0,462	0,34	1	0,769244925	1,299976077	1,358823529
RGS10	0,714825442	-0,378595911	0,175	0,17	1	0,769185829	1,300075953	1,029411765
C1orf52	0,949641122	-0,378911703	0,388	0,3	1	0,76901748	1,300360559	1,293333333
CTR9	0,679512298	-0,379324213	0,325	0,23	1	0,768797626	1,300732424	1,413043478
FRMD6	0,443290488	-0,379369973	0,725	0,47	1	0,768773242	1,300773681	1,542553191
FND3B	0,844693098	-0,380155885	0,588	0,42	1	0,768354565	1,301482474	1,4
ERV3-1	0,339043402	-0,380561546	0,075	0,11	1	0,768138547	1,30184848	0,681818182
ZFAS1	0,062894078	-0,381355452	0,975	0,8	1	0,767715961	1,302565077	1,21875
KCMF1	0,909342542	-0,381831529	0,613	0,41	1	0,767462664	1,302994983	1,495121951
NR4A3	0,036883336	-0,381846009	0,038	0,12	1	0,76745496	1,303008061	0,316666667
ARID2	0,909574988	-0,38219825	0,262	0,22	1	0,767267605	1,303326236	1,190909091
FAM102A	0,831422843	-0,38256352	0,2	0,18	1	0,767073369	1,303656261	1,111111111
ZNF667-AS1	0,208200632	-0,383485532	0,038	0,08	1	0,766583296	1,304489681	0,475
PCF11	0,89483757	-0,383495776	0,45	0,35	1	0,766577853	1,304498944	1,285714286
NGDN	0,574430175	-0,383580221	0,288	0,27	1	0,766532985	1,304575302	1,066666667
ZC3H6	0,686834487	-0,383893118	0,188	0,18	1	0,766366754	1,304858274	1,044444444
BCL7B	0,897761165	-0,383921308	0,525	0,37	1	0,76635178	1,304883771	1,418918919
PAQR6	0,140917042	-0,384008866	0,062	0,12	1	0,766305271	1,304962967	0,516666667
MGAT4C	0,003765792	-0,384167314	0	0,1	1	0,766221114	1,305106296	0
SLC22A17	0,837057914	-0,384325742	0,575	0,42	1	0,766136977	1,305249623	1,369047619
IER2	0,774858919	-0,384719656	0,8	0,56	1	0,765927819	1,305606058	1,428571429
MED17	0,179143683	-0,386727959	0,238	0,13	1	0,764862351	1,307424791	1,830769231
SRSF3	0,095250854	-0,386835898	0,912	0,85	1	0,764805128	1,307522614	1,072941176
KIF5B	0,178880569	-0,386857089	0,875	0,77	1	0,764793894	1,30754182	1,136363636
SORT1	0,839969465	-0,388067451	0,35	0,25	1	0,764152533	1,308639254	1,4
TSPYL1	1	-0,388678706	0,188	0,16	1	0,763828838	1,309193828	1,175

Supplementary Table 4

Differentially expressed genes_keloid-CCD_ comparing SC-Keloid vs. (SC-Myel, SC-Nonmyel)								
gene	p_val	avg_log2FC	pct.1	pct.2	p_val_adj	Foldchange_UP	Foldchange_DOWN	Ratio_pct1_pct2
TAPT1	0,228509972	-0,389001681	0,112	0,16	1	0,763657859	1,309486949	0,7
ARID1B	0,874581776	-0,389166572	0,55	0,4	1	0,763570583	1,309636624	1,375
RFX3	0,846292343	-0,389338714	0,238	0,21	1	0,763479479	1,309792898	1,133333333
TMF1	0,616371571	-0,389720389	0,438	0,36	1	0,763277522	1,310139459	1,216666667
MAP2K3	0,730181036	-0,391845466	0,4	0,28	1	0,762154049	1,312070705	1,428571429
ATF1	0,927914696	-0,392009116	0,388	0,3	1	0,7620676	1,312219546	1,293333333
NARF	0,311423872	-0,392964985	0,325	0,2	1	0,761562853	1,313089255	1,625
ZBTB4	0,45951512	-0,393859947	0,188	0,2	1	0,761090571	1,313904071	0,94
ARHGEF10	0,450115392	-0,394448911	0,075	0,1	1	0,760779928	1,314440567	0,75
CLEC2B	0,474979985	-0,394456577	0,075	0,1	1	0,760775886	1,314447551	0,75
RAB5A	0,688564523	-0,394568251	0,575	0,36	1	0,760716999	1,314549302	1,597222222
ZRANB1	0,994006366	-0,396160256	0,288	0,23	1	0,759878015	1,3160007	1,252173913
SRSF5	0,019993725	-0,396519264	0,838	0,71	1	0,759688947	1,316328221	1,18028169
DDHD1	0,937092475	-0,396581227	0,262	0,22	1	0,75965632	1,316384757	1,190909091
ATF7IP	0,753197782	-0,397306219	0,312	0,23	1	0,759274668	1,317046442	1,356521739
TP53INP2	0,172934671	-0,397440661	0,15	0,2	1	0,759203916	1,31716918	0,75
TOM1L2	0,74358406	-0,397920283	0,225	0,17	1	0,758951562	1,317607145	1,323529412
IL34	0,022780083	-0,398691461	0,013	0,09	1	0,75854598	1,318311647	0,144444444
DEGS1	0,406147629	-0,398953387	0,762	0,55	1	0,758408276	1,318551012	1,385454545
TRAK1	0,692389194	-0,399228153	0,262	0,19	1	0,758263849	1,318802158	1,378947368
FAM53C	0,469281447	-0,399696268	0,2	0,21	1	0,758017853	1,319230143	0,952380952
SPAG9	0,313026017	-0,400342023	0,713	0,53	1	0,757678638	1,319820766	1,345283019
ISG20L2	0,296560465	-0,400394236	0,175	0,21	1	0,757651216	1,319868534	0,833333333
EPB41L4A-AS1	0,714894567	-0,400473241	0,512	0,35	1	0,757609727	1,319940814	1,462857143
USP51	0,796979246	-0,400520253	0,075	0,08	1	0,75758504	1,319983827	0,9375
GGNBP2	0,695735916	-0,401045963	0,65	0,43	1	0,75730903	1,320464909	1,511627907
TNFAIP2	0,444216253	-0,401831442	0,225	0,16	1	0,756896824	1,321184036	1,40625
IST1	0,918489913	-0,401968965	0,375	0,28	1	0,756824677	1,321309982	1,339285714
COPS3	0,717013399	-0,402899103	0,525	0,35	1	0,756336892	1,322162134	1,5
CTNNA1	0,015522096	-0,403045123	0,912	0,82	1	0,756260345	1,322295962	1,112195122

Supplementary Table 4

Differentially expressed genes_keloid-CCD_ comparing SC-Keloid vs. (SC-Myel, SC-Nonmyel)								
gene	p_val	avg_log2FC	pct.1	pct.2	p_val_adj	Foldchange_UP	Foldchange_DOWN	Ratio_pct1_pct2
FZD7	0,204775794	-0,403723493	0,1	0,15	1	0,755904827	1,322917865	0,666666667
TMEM65	0,392336547	-0,403882617	0,262	0,17	1	0,755821458	1,323063786	1,541176471
IP6K1	0,607940089	-0,404074545	0,262	0,24	1	0,755720915	1,323239811	1,091666667
ETFHD	0,248630236	-0,404527373	0,138	0,18	1	0,755483749	1,32365521	0,766666667
TERF1	0,597334916	-0,404661501	0,55	0,35	1	0,755413514	1,323778276	1,571428571
CCNDBP1	0,652066296	-0,404878715	0,375	0,26	1	0,755299787	1,323977602	1,442307692
VWA1	0,063893614	-0,405004827	0,975	0,88	1	0,755233766	1,324093341	1,107954545
PHF1	0,441020783	-0,405011906	0,25	0,25	1	0,75523006	1,324099838	1
KLHL28	0,957803463	-0,405246979	0,25	0,21	1	0,755107013	1,324315604	1,19047619
AKAP8L	0,428693427	-0,405827559	0,4	0,35	1	0,754803198	1,324848652	1,142857143
SOS2	0,42619859	-0,406119336	0,562	0,33	1	0,754650559	1,325116623	1,703030303
GPNMB	0,173082809	-0,406480137	0,125	0,18	1	0,754461853	1,32544806	0,694444444
GFRA2	0,654727359	-0,406764665	0,175	0,13	1	0,754313073	1,325709491	1,346153846
TCEAL1	0,886944795	-0,406792015	0,225	0,18	1	0,754298773	1,325734623	1,25
EIF2AK3	0,620043923	-0,407126628	0,238	0,22	1	0,754123844	1,326042145	1,081818182
NPTX2	0,001961202	-0,407903059	0,013	0,14	1	0,753718099	1,326755987	0,092857143
ATXN2L	0,450214102	-0,408144789	0,35	0,23	1	0,75359182	1,32697831	1,52173913
WAC	0,403726279	-0,409234827	0,613	0,49	1	0,753022654	1,327981296	1,251020408
GAB1	0,789561541	-0,409444027	0,35	0,29	1	0,752913469	1,328173876	1,206896552
STX11	0,724646597	-0,409456301	0,175	0,17	1	0,752907063	1,328185176	1,029411765
GNL3	0,34084416	-0,409656332	0,588	0,35	1	0,752802679	1,328369342	1,68
MECP2	0,528830809	-0,410298818	0,275	0,27	1	0,752467503	1,328961046	1,018518519
GRPEL1	0,97107077	-0,410905427	0,275	0,22	1	0,75215118	1,329519951	1,25
SNN	0,418363623	-0,411084953	0,2	0,21	1	0,75205759	1,329685404	0,952380952
ZNF638	0,877317006	-0,411515489	0,375	0,28	1	0,75183319	1,330082274	1,339285714
SPRING1	0,472231865	-0,411605388	0,175	0,19	1	0,751786342	1,330165159	0,921052632
BACH2	0,456989901	-0,411765755	0,188	0,2	1	0,75170278	1,330313026	0,94
TPST1	0,54771146	-0,412100667	0,262	0,18	1	0,751528298	1,330621885	1,455555556
PPTC7	0,973174384	-0,412284635	0,25	0,2	1	0,751432471	1,330791572	1,25
INSIG1	0,168836582	-0,413283898	0,175	0,23	1	0,750912182	1,331713646	0,760869565

Supplementary Table 4

Differentially expressed genes_keloid-CCD_ comparing SC-Keloid vs. (SC-Myel, SC-Nonmyel)								
gene	p_val	avg_log2FC	pct.1	pct.2	p_val_adj	Foldchange_UP	Foldchange_DOWN	Ratio_pct1_pct2
HNRNPU	0,010687508	-0,413638837	0,8	0,75	1	0,750727462	1,332041321	1,066666667
AGO3	0,856555678	-0,413973486	0,3	0,23	1	0,750553342	1,332350339	1,304347826
BBC3	0,64758621	-0,41459352	0,362	0,26	1	0,750230843	1,332923073	1,392307692
CCSER2	0,842852507	-0,415038939	0,438	0,33	1	0,749999252	1,333334664	1,327272727
PTMA	1,80353E-05	-0,415179692	1	1	0,380562051	0,749926083	1,333464754	1
ZFP91	0,324159162	-0,415305703	0,325	0,2	1	0,749860585	1,333581229	1,625
TLE3	0,951462726	-0,415315736	0,45	0,33	1	0,74985537	1,333590503	1,363636364
TMEM87A	0,720799544	-0,415364213	0,438	0,36	1	0,749830174	1,333635315	1,216666667
EFNA5	0,050621736	-0,415751345	0,05	0,13	1	0,749628992	1,33399323	0,384615385
USP38	0,797786505	-0,416075079	0,225	0,2	1	0,749460798	1,334292605	1,125
PAXBP1	0,799821223	-0,416686076	0,362	0,3	1	0,74914346	1,334857813	1,206666667
ARL4D	0,148986473	-0,417390903	0,375	0,21	1	0,748777556	1,335510115	1,785714286
DPYSL2	0,564531105	-0,417498342	0,288	0,27	1	0,748721796	1,335609576	1,066666667
ARHGAP5	0,586372745	-0,418005146	0,5	0,39	1	0,748458824	1,336078844	1,282051282
SIK3	0,351520436	-0,418220061	0,275	0,28	1	0,748347336	1,336277891	0,982142857
MAG1	0,009653657	-0,419201479	0,038	0,15	1	0,747838433	1,337187227	0,253333333
CGRRF1	0,801956707	-0,419438798	0,2	0,18	1	0,747715426	1,337407208	1,111111111
DDX24	0,688575024	-0,419480893	0,7	0,51	1	0,747693609	1,337446232	1,37254902
SMAD4	0,816818419	-0,419509611	0,375	0,3	1	0,747678726	1,337472855	1,25
BEX4	0,998464078	-0,419773023	0,262	0,22	1	0,747542225	1,337717077	1,190909091
DUSP5	0,90209082	-0,41984005	0,3	0,25	1	0,747507495	1,337779228	1,2
RBM11	0,337942689	-0,420517869	0,125	0,16	1	0,747156377	1,338407902	0,78125
SERINC1	0,408416181	-0,420980838	0,738	0,55	1	0,746916649	1,338837474	1,341818182
DUSP1	0,593676664	-0,421289536	0,7	0,49	1	0,746756846	1,33912398	1,428571429
DEPDC7	0,07782619	-0,421693673	0,1	0,18	1	0,746547689	1,339499157	0,555555556
PHACTR4	0,748987569	-0,422089843	0,412	0,33	1	0,746342712	1,339867039	1,248484848
HCFC1R1	0,307600183	-0,422358527	0,625	0,5	1	0,746203728	1,340116596	1,25
ZNF704	0,01396673	-0,423630647	0,013	0,1	1	0,745546041	1,341298787	0,13
ARRDC3	0,915487195	-0,423904707	0,325	0,26	1	0,745404427	1,34155361	1,25
CUL3	0,833855934	-0,424452592	0,488	0,35	1	0,745121403	1,342063181	1,394285714

Supplementary Table 4

Differentially expressed genes_keloid-CCD_ comparing SC-Keloid vs. (SC-Myel, SC-Nonmyel)								
gene	p_val	avg_log2FC	pct.1	pct.2	p_val_adj	Foldchange_UP	Foldchange_DOWN	Ratio_pct1_pct2
RAP2A	0,396561626	-0,424917308	0,35	0,22	1	0,744881425	1,342495552	1,590909091
PRKAR1A	0,654736981	-0,425288946	0,725	0,51	1	0,744689569	1,342841423	1,421568627
NFKBIB	0,835389306	-0,425323913	0,225	0,2	1	0,74467152	1,34287397	1,125
CREBBP	0,98797867	-0,42553658	0,425	0,31	1	0,744561756	1,343071937	1,370967742
CYTH3	0,441272227	-0,425889484	0,175	0,19	1	0,744379648	1,343400512	0,921052632
PRIMA1	0,003705344	-0,426619528	0,025	0,15	1	0,744003066	1,344080482	0,166666667
LG1	0,959903244	-0,427150729	0,15	0,13	1	0,743729174	1,344575465	1,153846154
NEDD4L	0,045089569	-0,427279564	0,088	0,18	1	0,743662761	1,344695543	0,488888889
ANKRD28	0,599196653	-0,428224326	0,35	0,3	1	0,743175926	1,345576417	1,166666667
FAM133B	0,170766461	-0,428346898	0,725	0,59	1	0,743112788	1,345690742	1,228813559
PPT1	0,368522196	-0,428558289	0,613	0,36	1	0,743003912	1,345887934	1,702777778
HNRNPH2	0,752060747	-0,428693361	0,338	0,28	1	0,742934351	1,346013949	1,207142857
MAP3K8	0,887096898	-0,428774129	0,288	0,22	1	0,74289276	1,346089306	1,309090909
TMED5	0,223384317	-0,429787751	0,525	0,3	1	0,742370995	1,347035386	1,75
NCOA1	0,750954517	-0,429790053	0,275	0,24	1	0,74236981	1,347037536	1,145833333
TRIM13	0,907954846	-0,429907864	0,25	0,21	1	0,742309191	1,34714754	1,19047619
GOSR1	0,542563145	-0,430771239	0,288	0,27	1	0,741865091	1,347953977	1,066666667
SARAF	0,014711002	-0,430835921	0,963	0,8	1	0,741831831	1,348014412	1,20375
CDADC1	0,418899732	-0,430928482	0,25	0,25	1	0,741784238	1,348100901	1
MPRIIP	0,355975555	-0,431677324	0,388	0,24	1	0,741399309	1,348800825	1,616666667
SLFN11	0,74358406	-0,431778712	0,225	0,17	1	0,741347208	1,348895618	1,323529412
RNF149	0,06354833	-0,432157201	0,112	0,2	1	0,741152742	1,349249545	0,56
UBE2B	0,084997688	-0,4324204	0,9	0,66	1	0,741017542	1,349495719	1,363636364
B4GALT5	0,92940026	-0,432596179	0,225	0,18	1	0,740927261	1,349660152	1,25
MX1	0,528034014	-0,433206806	0,125	0,14	1	0,740613727	1,350231523	0,892857143
LAMB1	0,736146624	-0,433228445	0,588	0,45	1	0,740602618	1,350251776	1,306666667
ATP1A1	0,920475213	-0,433424116	0,662	0,45	1	0,740502178	1,35043492	1,471111111
KAT2B	0,402999791	-0,433426672	0,112	0,14	1	0,740500866	1,350437313	0,8
PDE8A	0,817493013	-0,434031701	0,212	0,19	1	0,740190384	1,35100377	1,115789474
DUSP3	0,674139771	-0,434082267	0,325	0,23	1	0,740164441	1,351051123	1,413043478

Supplementary Table 4

Differentially expressed genes_keloid-CCD_ comparing SC-Keloid vs. (SC-Myel, SC-Nonmyel)								
gene	p_val	avg_log2FC	pct.1	pct.2	p_val_adj	Foldchange_UP	Foldchange_DOWN	Ratio_pct1_pct2
AHSA1	0,671512893	-0,434570266	0,562	0,36	1	0,739914119	1,351508201	1,561111111
B4GALNT4	0,030285711	-0,434612766	0,062	0,16	1	0,739892323	1,351548015	0,3875
SRSF10	0,420528867	-0,434631295	0,65	0,53	1	0,73988282	1,351565374	1,226415094
ZNF219	0,045089569	-0,435058234	0,088	0,18	1	0,739663898	1,351965403	0,488888889
RIF1	0,978271032	-0,435281077	0,5	0,36	1	0,739549656	1,352174248	1,388888889
JMY	0,473087064	-0,43552348	0,25	0,25	1	0,739425407	1,352401461	1
FBXL3	0,696361223	-0,435579871	0,55	0,39	1	0,739396505	1,352454324	1,41025641
CD46	0,521930026	-0,435925883	0,537	0,43	1	0,739219191	1,352778732	1,248837209
COBL	0,893124972	-0,436281901	0,462	0,33	1	0,739036794	1,353112602	1,4
PTGS2	0,024908063	-0,436389294	0,05	0,15	1	0,738981784	1,35321333	0,333333333
KLF13	0,466369872	-0,43742366	0,438	0,28	1	0,738452147	1,354183889	1,564285714
FUS	0,05375585	-0,43790251	0,938	0,79	1	0,738207085	1,354633435	1,187341772
SLC25A29	0,326531211	-0,437968905	0,212	0,23	1	0,738173113	1,354695779	0,92173913
ADAM23	0,015108289	-0,43913032	0,05	0,16	1	0,737579099	1,355786791	0,3125
SYPL1	0,319021892	-0,439740426	0,762	0,57	1	0,737267248	1,356360265	1,336842105
GFRA1	0,932846232	-0,439749747	0,25	0,21	1	0,737262485	1,356369028	1,19047619
MAP4	0,009491448	-0,439822183	0,925	0,79	1	0,737225469	1,356437132	1,170886076
GLI3	0,784873022	-0,439869124	0,238	0,21	1	0,737201482	1,356481267	1,133333333
SELE	0,976971284	-0,439909243	0,075	0,07	1	0,737180982	1,356518989	1,071428571
NCOA3	0,4425104	-0,440547852	0,162	0,18	1	0,736854741	1,357119585	0,9
CYCS	0,228211337	-0,441310515	0,8	0,64	1	0,736465315	1,357837199	1,25
CRY1	0,899183535	-0,441592337	0,312	0,24	1	0,736321465	1,35810247	1,3
CASC15	0,993224631	-0,441673562	0,4	0,3	1	0,73628001	1,358178935	1,333333333
KMT2C	0,73716191	-0,44246252	0,462	0,37	1	0,735877475	1,358921878	1,248648649
EHD1	0,328715867	-0,442557813	0,138	0,17	1	0,735828871	1,35901164	0,811764706
PTBP2	0,23160048	-0,44265961	0,212	0,25	1	0,735776952	1,359107536	0,848
ADNP	0,618585907	-0,442762601	0,388	0,33	1	0,735724428	1,359204563	1,175757576
TMOD2	0,839625284	-0,443320164	0,325	0,24	1	0,735440145	1,359729961	1,354166667
TRA2B	0,40828924	-0,44344582	0,688	0,52	1	0,735376093	1,359848396	1,323076923
CEBPG	0,866514259	-0,44352247	0,475	0,33	1	0,735337023	1,359920646	1,439393939

Supplementary Table 4

Differentially expressed genes_keloid-CCD_ comparing SC-Keloid vs. (SC-Myel, SC-Nonmyel)								
gene	p_val	avg_log2FC	pct.1	pct.2	p_val_adj	Foldchange_UP	Foldchange_DOWN	Ratio_pct1_pct2
HNRNPK	0,043043153	-0,443527575	0,938	0,81	1	0,735334421	1,359925459	1,158024691
OSBPL1A	0,840841215	-0,443673387	0,162	0,15	1	0,735260105	1,360062912	1,08
TBC1D15	0,304169637	-0,444556822	0,375	0,23	1	0,734810006	1,360896002	1,630434783
A2M	0,018453387	-0,445134924	0,1	0,23	1	0,73451562	1,361441436	0,434782609
IFIT3	0,106098163	-0,445354581	0,1	0,17	1	0,734403795	1,361648737	0,588235294
RSBN1L	0,730971616	-0,445556248	0,462	0,32	1	0,734301144	1,361839088	1,44375
CASK	0,268578087	-0,445671395	0,175	0,21	1	0,734242539	1,361947786	0,833333333
ZC3HAV1	0,971954947	-0,446154814	0,425	0,31	1	0,73399655	1,362404225	1,370967742
EP300	0,804084376	-0,446874585	0,312	0,26	1	0,733630445	1,363084107	1,2
IFITM2	0,457001475	-0,447175459	0,775	0,54	1	0,733477462	1,363368408	1,435185185
FGFR1	0,171197379	-0,447263129	0,075	0,13	1	0,733432891	1,36345126	0,576923077
HLA-DPB1	0,051519506	-0,447284392	0,15	0,24	1	0,733422082	1,363471356	0,625
SRRM1	0,1749169	-0,447323088	0,912	0,72	1	0,73340241	1,363507928	1,266666667
NR1D2	0,247485197	-0,447773736	0,312	0,32	1	0,733173356	1,363933906	0,975
CWC25	0,850548064	-0,447833685	0,45	0,34	1	0,733142891	1,363990584	1,323529412
RALGPS2	0,324833956	-0,448358108	0,225	0,24	1	0,73287644	1,364486488	0,9375
MAGEH1	0,874582653	-0,44886736	0,375	0,28	1	0,732617791	1,364968218	1,339285714
INPP1	0,769709446	-0,449204306	0,238	0,21	1	0,732446705	1,365287049	1,133333333
SQLE	0,712615422	-0,449437117	0,425	0,3	1	0,732328518	1,365507385	1,416666667
UBE2S	0,00628687	-0,449479988	0,875	0,78	1	0,732306757	1,365547963	1,121794872
GRAMD2B	0,655798315	-0,449552242	0,325	0,28	1	0,732270081	1,365616356	1,160714286
MORF4L1	0,007489269	-0,44963212	0,95	0,86	1	0,732229539	1,365691968	1,104651163
STAT3	0,913360172	-0,4500497	0,562	0,41	1	0,73201763	1,366087317	1,370731707
CHD2	0,830513524	-0,450713936	0,362	0,27	1	0,731680677	1,366716426	1,340740741
CSF1	0,424527118	-0,450983305	0,162	0,18	1	0,731544076	1,366971633	0,9
CHMP1B	0,757245201	-0,451449626	0,388	0,31	1	0,731307658	1,36741355	1,251612903
YTHDC1	0,917876219	-0,451560163	0,537	0,36	1	0,731251628	1,367518322	1,491666667
IFNAR2	0,873881147	-0,451654329	0,262	0,2	1	0,7312039	1,367607585	1,31
LGALS3	0,004918927	-0,451873691	0,988	0,84	1	0,731092729	1,367815545	1,176190476
DEDD2	0,434523547	-0,452002281	0,4	0,35	1	0,731027569	1,367937466	1,142857143

Supplementary Table 4

Differentially expressed genes_keloid-CCD_ comparing SC-Keloid vs. (SC-Myel, SC-Nonmyel)								
gene	p_val	avg_log2FC	pct.1	pct.2	p_val_adj	Foldchange_UP	Foldchange_DOWN	Ratio_pct1_pct2
KIF1B	0,52807378	-0,452361591	0,55	0,43	1	0,730845525	1,3682782	1,279069767
SRCIN1	0,000860865	-0,452363853	0	0,13	1	0,730844379	1,368280346	0
RAB4A	0,973410862	-0,452612743	0,438	0,31	1	0,730718307	1,368516418	1,412903226
GDF11	0,859627541	-0,45317289	0,325	0,24	1	0,73043465	1,369047867	1,354166667
MKNK1	0,840841215	-0,453193703	0,162	0,15	1	0,730424113	1,369067618	1,08
MARCHF5	0,416512728	-0,453223799	0,35	0,31	1	0,730408876	1,369096178	1,129032258
IL11RA	0,645508535	-0,454198863	0,262	0,24	1	0,729915386	1,370021813	1,091666667
CIRBP	0,002353984	-0,454252226	0,988	0,94	1	0,729888388	1,370072488	1,05106383
CIT	0,526831748	-0,455582548	0,525	0,34	1	0,729215662	1,371336427	1,544117647
ROCK2	0,376630957	-0,455846497	0,7	0,39	1	0,72908226	1,371587343	1,794871795
TMPRSS5	0,094913323	-0,456324021	0,062	0,13	1	0,728840977	1,372041407	0,476923077
HERC4	0,425608445	-0,456863418	0,35	0,22	1	0,728568528	1,372554483	1,590909091
MOB4	0,885364135	-0,457735752	0,6	0,39	1	0,728128128	1,373384658	1,538461538
RAB2B	0,537798922	-0,458262842	0,188	0,13	1	0,727862154	1,373886517	1,446153846
PAPOLA	0,92196558	-0,458424815	0,675	0,46	1	0,727780441	1,374040773	1,467391304
CCNG2	0,546300741	-0,458952804	0,225	0,22	1	0,727514141	1,374543728	1,022727273
POU3F1	0,613384856	-0,458981224	0,7	0,47	1	0,72749981	1,374570806	1,489361702
NAV2	0,927909985	-0,459453062	0,262	0,22	1	0,727261918	1,375020437	1,190909091
KIAA2026	0,643239175	-0,459988527	0,338	0,29	1	0,72699204	1,37553088	1,165517241
NEU1	0,714628792	-0,460154879	0,525	0,35	1	0,726908218	1,375689496	1,5
SLU7	0,945281133	-0,46020632	0,388	0,29	1	0,7268823	1,375738549	1,337931034
TOR1AIP1	0,336163865	-0,460469383	0,262	0,27	1	0,726749771	1,375989426	0,97037037
MAPK8IP1	0,076733472	-0,460615518	0,05	0,12	1	0,72667616	1,37612881	0,416666667
RB1CC1	0,942012608	-0,460771327	0,537	0,37	1	0,726597684	1,376277439	1,451351351
YPEL2	0,611027459	-0,460869611	0,288	0,26	1	0,726548186	1,376371201	1,107692308
RASEF	0,003170304	-0,461322042	0,013	0,13	1	0,726320375	1,376802901	0,1
TFAP2C	1	-0,46142925	0,175	0,15	1	0,726266404	1,376905216	1,166666667
CDC34	0,902586941	-0,461586885	0,462	0,34	1	0,726187054	1,37705567	1,358823529
ZBTB1	0,458136814	-0,461790357	0,375	0,33	1	0,726084642	1,377249899	1,136363636
ANK2	0,990811805	-0,461852223	0,45	0,33	1	0,726053506	1,37730896	1,363636364

Supplementary Table 4

Differentially expressed genes_keloid-CCD_ comparing SC-Keloid vs. (SC-Myel, SC-Nonmyel)								
gene	p_val	avg_log2FC	pct.1	pct.2	p_val_adj	Foldchange_UP	Foldchange_DOWN	Ratio_pct1_pct2
PPP3CA	0,894024557	-0,46229255	0,55	0,39	1	0,725831941	1,377729395	1,41025641
LIMCH1	0,675367647	-0,462327438	0,3	0,22	1	0,725814388	1,377762712	1,363636364
HTRA1	0,144536828	-0,46250622	0,713	0,55	1	0,725724449	1,377933458	1,296363636
NRIP1	0,505231898	-0,462786296	0,475	0,31	1	0,725583575	1,378200988	1,532258065
GAN	0,260953592	-0,463091926	0,238	0,14	1	0,72542988	1,378492985	1,7
ARFGAP2	0,953932811	-0,463404798	0,3	0,23	1	0,725272575	1,378791966	1,304347826
PAPSS1	0,848025842	-0,46366385	0,438	0,33	1	0,725142356	1,379039567	1,327272727
ACVR1	0,537028079	-0,463702218	0,112	0,13	1	0,725123071	1,379076242	0,861538462
DCUN1D3	0,095833093	-0,463803914	0,125	0,2	1	0,725071959	1,379173456	0,625
TSC22D1	0,649609452	-0,463804587	0,775	0,5	1	0,725071621	1,3791741	1,55
BACH1	0,787099739	-0,4649899	0,7	0,5	1	0,724476149	1,38030769	1,4
DCTN6	0,703984072	-0,465097416	0,65	0,5	1	0,72442216	1,38041056	1,3
LEPROT	0,150311082	-0,465695773	0,625	0,54	1	0,724121769	1,380983204	1,157407407
PPP4R3B	0,447447903	-0,466097133	0,325	0,3	1	0,723920345	1,381367449	1,083333333
KCNG1	0,523136538	-0,466277989	0,312	0,21	1	0,7238296	1,381540628	1,485714286
NAA50	0,590746417	-0,466335477	0,55	0,35	1	0,723800757	1,38159568	1,571428571
EHD4	0,965097297	-0,466450502	0,562	0,39	1	0,723743052	1,381705838	1,441025641
TCP1	0,392777277	-0,46670975	0,713	0,53	1	0,723613009	1,381954149	1,345283019
SGCE	0,025130594	-0,46689787	0,887	0,76	1	0,72351866	1,38213436	1,167105263
CHMP4B	0,916164741	-0,467514727	0,488	0,34	1	0,723209369	1,38272545	1,435294118
ICAM1	0,565648439	-0,468344894	0,138	0,15	1	0,722793334	1,383521337	0,92
PCDH17	0,005755872	-0,468696174	0,025	0,14	1	0,722617363	1,38385825	0,178571429
DPM1	0,835118846	-0,468885829	0,362	0,29	1	0,722522375	1,384040183	1,248275862
DUSP8	0,391883649	-0,468927582	0,35	0,32	1	0,722501465	1,384080238	1,09375
SEMA3C	0,00228592	-0,468976595	0,912	0,81	1	0,72247692	1,384127261	1,125925926
MOAP1	0,098069222	-0,469631637	0,1	0,17	1	0,722148961	1,384755853	0,588235294
SH3D19	0,439544632	-0,4700034	0,212	0,22	1	0,721962896	1,385112732	0,963636364
C1orf21	0,99041691	-0,470325124	0,375	0,3	1	0,721801915	1,38542165	1,25
HSPE1	0,423678462	-0,471565566	0,925	0,67	1	0,72118157	1,38661336	1,380597015
MB21D2	0,699430114	-0,472109398	0,188	0,18	1	0,720909768	1,38713615	1,044444444

Supplementary Table 4

Differentially expressed genes_keloid-CCD_ comparing SC-Keloid vs. (SC-Myel, SC-Nonmyel)								
gene	p_val	avg_log2FC	pct.1	pct.2	p_val_adj	Foldchange_UP	Foldchange_DOWN	Ratio_pct1_pct2
TGFBR2	0,679657177	-0,472346681	0,662	0,47	1	0,720791208	1,387364314	1,408510638
LRCH3	0,80681184	-0,472376846	0,5	0,33	1	0,720776138	1,387393322	1,515151515
AOPEP	0,226096659	-0,472535042	0,738	0,54	1	0,720697107	1,387545462	1,366666667
RBMXL1	0,245691437	-0,472905331	0,125	0,17	1	0,720512152	1,387901643	0,735294118
C12orf57	0,10852433	-0,473162541	0,838	0,66	1	0,720383708	1,388149106	1,26969697
ZNF24	0,498189686	-0,47326278	0,412	0,35	1	0,720333657	1,388245558	1,177142857
RBM25	0,007155655	-0,473672577	0,925	0,78	1	0,720129076	1,388639945	1,185897436
ZFYVE21	0,551792984	-0,47446788	0,312	0,28	1	0,719732205	1,389405661	1,114285714
ENPP2	0,143129625	-0,475735578	0,1	0,16	1	0,719100053	1,39062707	0,625
SGK1	0,613974058	-0,47591632	0,225	0,22	1	0,71900997	1,390801299	1,022727273
PABPN1	0,258805883	-0,476189441	0,7	0,52	1	0,718873864	1,391064621	1,346153846
ADGRB3	0,000743114	-0,476339763	0,013	0,16	1	0,718798965	1,391209571	0,08125
EGR3	0,287024009	-0,476668999	0,175	0,21	1	0,718634948	1,391527094	0,833333333
IDI1	0,463894291	-0,476972748	0,588	0,35	1	0,71848366	1,3918201	1,68
RBMX	0,170624798	-0,477324087	0,8	0,62	1	0,718308709	1,392159091	1,290322581
AEBP1	0,080004161	-0,477456232	0,637	0,56	1	0,718242918	1,392286613	1,1375
STAM	0,39597508	-0,477728765	0,3	0,29	1	0,718107251	1,392549649	1,034482759
STIP1	0,545077262	-0,4793162	0,537	0,34	1	0,717317533	1,394082751	1,579411765
RIPK2	0,921573609	-0,479363931	0,312	0,25	1	0,717293802	1,394128874	1,248
ZBTB2	0,219975341	-0,479393098	0,188	0,23	1	0,7172793	1,39415706	0,817391304
TNRC6B	0,832638437	-0,480067572	0,575	0,43	1	0,716944043	1,394808994	1,337209302
PLPP3	0,162962619	-0,480162869	0,225	0,27	1	0,716896687	1,394901131	0,833333333
HEY1	0,142802269	-0,480692589	0,15	0,21	1	0,71663351	1,395413397	0,714285714
SFXN5	0,574854686	-0,482095393	0,275	0,25	1	0,71593703	1,396770886	1,1
CBX4	0,798538016	-0,482314334	0,288	0,25	1	0,715828389	1,396982873	1,152
CRBN	0,978331829	-0,482435159	0,325	0,25	1	0,715768441	1,397099876	1,3
RBM23	0,93590671	-0,482592867	0,338	0,26	1	0,715690202	1,397252607	1,3
SPRY2	0,671423776	-0,482617613	0,388	0,32	1	0,715677925	1,397276574	1,2125
NMB	0,354157792	-0,483467156	0,225	0,14	1	0,715256617	1,398099614	1,607142857
PAG1	0,002140241	-0,483579644	0,038	0,18	1	0,71520085	1,39820863	0,211111111

Supplementary Table 4

Differentially expressed genes_keloid-CCD_ comparing SC-Keloid vs. (SC-Myel, SC-Nonmyel)								
gene	p_val	avg_log2FC	pct.1	pct.2	p_val_adj	Foldchange_UP	Foldchange_DOWN	Ratio_pct1_pct2
RBPM5	0,256530512	-0,483831212	0,212	0,24	1	0,715076148	1,398452462	0,883333333
ARIH1	0,358374513	-0,48401009	0,425	0,38	1	0,714987493	1,398625865	1,118421053
DHR53	0,008543722	-0,484238018	0,013	0,11	1	0,714874543	1,398846847	0,118181818
DOK6	0,001160836	-0,484510417	0,013	0,15	1	0,714739578	1,399110993	0,086666667
TRIM47	0,809672254	-0,484544002	0,475	0,32	1	0,714722939	1,399143563	1,484375
PDP1	0,888847117	-0,485705915	0,3	0,23	1	0,71414755	1,400270855	1,304347826
UBE2D1	0,680796158	-0,485877731	0,412	0,28	1	0,714062504	1,400437629	1,471428571
CTTNBP2NL	0,875821031	-0,486048542	0,338	0,27	1	0,713977966	1,400603446	1,251851852
SPTSSA	0,444073112	-0,486220544	0,925	0,67	1	0,713892849	1,40077044	1,380597015
USP12	0,848859046	-0,486811759	0,275	0,21	1	0,713600356	1,401344592	1,30952381
SLC9A3R1	0,121264871	-0,487147677	0,125	0,19	1	0,713434221	1,401670919	0,657894737
CHD1	0,647696173	-0,48734321	0,562	0,41	1	0,713337533	1,401860906	1,370731707
SKIL	0,570547675	-0,487634285	0,625	0,48	1	0,713193627	1,40214377	1,302083333
COL21A1	0,001411118	-0,487641045	0	0,12	1	0,713190285	1,40215034	0
RLF	0,995722529	-0,487790223	0,338	0,26	1	0,713116543	1,402295333	1,3
ZNF536	0,833804773	-0,488075386	0,275	0,21	1	0,712975602	1,402572538	1,30952381
TFAP2A	0,318220454	-0,488506005	0,512	0,31	1	0,712762823	1,402991244	1,651612903
FAM174A	0,734093988	-0,489022239	0,388	0,3	1	0,712507824	1,403493361	1,293333333
GINM1	0,294107048	-0,489812086	0,525	0,44	1	0,712117846	1,404261956	1,193181818
NUDT3	0,905810918	-0,489890166	0,425	0,32	1	0,712079307	1,404337958	1,328125
SHF	0,115256598	-0,490054194	0,075	0,14	1	0,711998352	1,404497633	0,535714286
MARCKS	5,46923E-05	-0,490312603	1	0,96	1	0,711870833	1,404749224	1,041666667
SAMHD1	0,194692589	-0,490896013	0,275	0,3	1	0,711583019	1,405317404	0,916666667
GLDN	0,120814239	-0,491087993	0	0,03	1	0,711488334	1,405504422	0
MED13	0,687113866	-0,49125299	0,537	0,4	1	0,711406968	1,405665175	1,3425
KPNA2	0,092026614	-0,491438348	0,512	0,51	1	0,711315572	1,405845787	1,003921569
RPGR	0,565146594	-0,491477487	0,325	0,22	1	0,711296275	1,405883927	1,477272727
ZCCHC3	0,117003145	-0,491552597	0,125	0,19	1	0,711259244	1,405957122	0,657894737
KANSL1L	0,137385055	-0,493040281	0,138	0,2	1	0,710526183	1,40740767	0,69
LMNA	0,01027544	-0,493161986	1	0,99	1	0,710466246	1,407526404	1,01010101

Supplementary Table 4

Differentially expressed genes_keloid-CCD_ comparing SC-Keloid vs. (SC-Myel, SC-Nonmyel)								
gene	p_val	avg_log2FC	pct.1	pct.2	p_val_adj	Foldchange_UP	Foldchange_DOWN	Ratio_pct1_pct2
ZNF462	0,719733381	-0,494406726	0,288	0,25	1	0,709853528	1,408741325	1,152
SPIN1	0,922490839	-0,494441461	0,4	0,29	1	0,709836438	1,408775243	1,379310345
ADAMTS8	0,041155255	-0,495635909	0,062	0,15	1	0,709248988	1,40994209	0,413333333
GPR137B	0,799190278	-0,49585193	0,35	0,28	1	0,709142796	1,410153223	1,25
PLPP1	0,114511267	-0,495963434	0,95	0,79	1	0,70908799	1,410262216	1,202531646
CLDND1	0,830108121	-0,495995625	0,637	0,44	1	0,709072168	1,410293684	1,447727273
RERE	0,847385974	-0,497259335	0,325	0,26	1	0,708451337	1,411529554	1,25
TAF7	0,898128997	-0,497316849	0,588	0,42	1	0,708423095	1,411585826	1,4
GBP1	0,330989881	-0,497701224	0,3	0,19	1	0,708234376	1,411961962	1,578947368
JMJD6	0,265862956	-0,498339137	0,338	0,32	1	0,707921287	1,412586425	1,05625
AC009041.2	0,001282601	-0,498443303	0,025	0,17	1	0,707870175	1,412688421	0,147058824
SCCPDH	0,056298747	-0,499209639	0,863	0,68	1	0,707494266	1,413439017	1,269117647
TXLNG	0,174300354	-0,499210338	0,15	0,2	1	0,707493923	1,413439702	0,75
MTHFD2	0,510091673	-0,500042526	0,4	0,35	1	0,707085938	1,41425525	1,142857143
PRX	0,098032255	-0,501400867	0,013	0,06	1	0,706420509	1,41558744	0,216666667
GNG12	0,244006253	-0,501879147	0,75	0,56	1	0,706186356	1,416056811	1,339285714
PRPF38B	0,26772943	-0,502900152	0,662	0,49	1	0,70568676	1,417059319	1,351020408
EIF1AX	0,341573573	-0,503018721	0,75	0,55	1	0,705628765	1,417175786	1,363636364
MED28	0,108161494	-0,503652765	0,3	0,33	1	0,705318719	1,417798752	0,909090909
HNRNPF	0,219002156	-0,504114294	0,825	0,61	1	0,705093119	1,418252389	1,352459016
TJP1	0,817520933	-0,504277331	0,5	0,34	1	0,705013442	1,418412673	1,470588235
STOM	0,896277603	-0,504581249	0,3	0,25	1	0,704864939	1,418711506	1,2
MAPK8	0,730707235	-0,504680695	0,238	0,21	1	0,704816354	1,418809303	1,133333333
C1S	0,083175612	-0,505014195	0,075	0,15	1	0,704653445	1,419137319	0,5
SRSF11	0,029534035	-0,505088898	0,863	0,7	1	0,704616958	1,419210804	1,232857143
CDC42EP4	0,790752958	-0,505242509	0,4	0,31	1	0,704541938	1,419361923	1,290322581
LURAP1L	0,008884256	-0,505288911	0,013	0,11	1	0,704519278	1,419407576	0,118181818
ATP6V1C1	0,742639249	-0,506131987	0,238	0,21	1	0,704107694	1,420237285	1,133333333
OAT	0,089130145	-0,50681371	0,613	0,53	1	0,703775058	1,420908554	1,156603774
MRPS6	0,678975533	-0,507084144	0,3	0,26	1	0,703643147	1,42117493	1,153846154

Supplementary Table 4

Differentially expressed genes_keloid-CCD_ comparing SC-Keloid vs. (SC-Myel, SC-Nonmyel)								
gene	p_val	avg_log2FC	pct.1	pct.2	p_val_adj	Foldchange_UP	Foldchange_DOWN	Ratio_pct1_pct2
CECR2	0,008007404	-0,507234926	0,05	0,17	1	0,70356961	1,42132347	0,294117647
ERO1B	0,131529733	-0,507308985	0,15	0,21	1	0,703533494	1,421396434	0,714285714
UBXN7	0,73610303	-0,508425477	0,438	0,33	1	0,702989245	1,422496869	1,327272727
EVI5	0,367519273	-0,508809568	0,575	0,45	1	0,702802112	1,422875633	1,277777778
CEP350	0,581725998	-0,508906125	0,488	0,38	1	0,702755076	1,422970866	1,284210526
SECISBP2L	0,988923919	-0,508917321	0,6	0,41	1	0,702749623	1,42298191	1,463414634
SNTB2	0,976676697	-0,50925433	0,175	0,15	1	0,702585482	1,423314352	1,166666667
REST	0,88021378	-0,509737385	0,525	0,37	1	0,702350276	1,423790998	1,418918919
ASXL1	0,555746993	-0,510645333	0,525	0,42	1	0,701908396	1,424687331	1,25
CDKN2AIP	0,864412579	-0,510798571	0,312	0,24	1	0,701833846	1,424838664	1,3
LAMP2	0,258194135	-0,512058737	0,838	0,61	1	0,701221076	1,426083777	1,373770492
AKIRIN2	0,126148666	-0,512156624	0,338	0,36	1	0,701173499	1,42618054	0,938888889
CLK4	0,611973729	-0,512419266	0,4	0,33	1	0,701045863	1,426440199	1,212121212
QKI	0,073243739	-0,512944683	0,95	0,72	1	0,700790594	1,426959791	1,319444444
ARHGAP39	0,003382129	-0,514312587	0,05	0,19	1	0,700126448	1,428313418	0,263157895
SOD1	0,000866307	-0,515038414	0,938	0,88	1	0,6997743	1,42903219	1,065909091
RBM8A	0,054606124	-0,515573716	0,875	0,72	1	0,699514702	1,42956252	1,215277778
ARID4A	0,893124902	-0,516143263	0,462	0,33	1	0,699238602	1,430126995	1,4
DIP2B	0,922476428	-0,516719642	0,3	0,25	1	0,698959301	1,430698466	1,2
METRNL	0,804837053	-0,516748423	0,488	0,33	1	0,698945357	1,430727008	1,478787879
ZNF652	0,52558364	-0,5167842	0,262	0,25	1	0,698928024	1,430762489	1,048
SNHG32	0,692423683	-0,51739203	0,637	0,46	1	0,698633617	1,431365419	1,384782609
FSTL1	0,176666811	-0,517473055	0,588	0,47	1	0,698594381	1,43144581	1,25106383
SIRT1	0,976028826	-0,517581452	0,288	0,23	1	0,698541894	1,431553366	1,252173913
PRPF4B	0,746471844	-0,517618397	0,588	0,39	1	0,698524007	1,431590025	1,507692308
ZNFX1	0,378925999	-0,518688918	0,225	0,23	1	0,698005874	1,432652701	0,97826087
FNIP1	0,447167966	-0,519862598	0,562	0,45	1	0,697438254	1,433818685	1,248888889
CST3	0,000159685	-0,520151464	1	0,98	1	0,697298622	1,434105802	1,020408163
MFSD2A	0,429901086	-0,520764126	0,15	0,17	1	0,697002567	1,434714946	0,882352941
PNPLA8	0,164745828	-0,521590308	0,362	0,35	1	0,696603531	1,435536794	1,034285714

Supplementary Table 4

Differentially expressed genes_keloid-CCD_ comparing SC-Keloid vs. (SC-Myel, SC-Nonmyel)								
gene	p_val	avg_log2FC	pct.1	pct.2	p_val_adj	Foldchange_UP	Foldchange_DOWN	Ratio_pct1_pct2
SRSF7	0,260152072	-0,521866249	0,863	0,71	1	0,696470307	1,435811391	1,215492958
NFKB1	0,513130599	-0,524805034	0,625	0,4	1	0,695053033	1,438739136	1,5625
BPTF	0,473539851	-0,525136045	0,588	0,48	1	0,694893579	1,439069277	1,225
CTSL	0,848547415	-0,525666093	0,4	0,31	1	0,694638321	1,43959809	1,290322581
KMT2A	0,395917487	-0,525885682	0,575	0,45	1	0,6945326	1,439817224	1,277777778
C1R	0,393989074	-0,526240008	0,3	0,29	1	0,694362044	1,440170887	1,034482759
LUC7L3	0,343932152	-0,526722717	0,787	0,6	1	0,694129757	1,440652832	1,311666667
CBX6	0,527151434	-0,527243045	0,45	0,36	1	0,693879454	1,441172517	1,25
MAFK	0,001306961	-0,528594163	0,025	0,17	1	0,693229924	1,442522841	0,147058824
CRIM1	0,01020975	-0,528685266	0,075	0,2	1	0,69318615	1,442613936	0,375
SLC44A1	0,627651198	-0,529005385	0,388	0,32	1	0,693032356	1,442934072	1,2125
MIDN	0,415465677	-0,529114496	0,588	0,47	1	0,692979944	1,443043206	1,25106383
IL6	0,224950798	-0,529614611	0,1	0,15	1	0,692739762	1,443543528	0,666666667
SLC39A6	0,957379154	-0,530422146	0,488	0,34	1	0,692352116	1,444351764	1,435294118
CLMN	0,072430572	-0,531382486	0,1	0,18	1	0,6918914	1,445313527	0,555555556
PRKCA	0,412722362	-0,531716189	0,475	0,39	1	0,691731381	1,445647874	1,217948718
SHC4	0,239761584	-0,531722314	0,238	0,26	1	0,691728444	1,445654012	0,915384615
LGI4	0,055444693	-0,532151314	0,475	0,47	1	0,691522782	1,446083956	1,010638298
RNF103	0,575466512	-0,532377367	0,288	0,26	1	0,691414437	1,446310557	1,107692308
CNBP	0,014141484	-0,534777884	0,863	0,68	1	0,690264941	1,448719093	1,269117647
OLFM1	0,276357324	-0,535043659	0,2	0,23	1	0,690137792	1,448986003	0,869565217
KLF5	0,504867845	-0,535635324	0,512	0,4	1	0,689854816	1,44958037	1,28
HNRNPH1	0,011202498	-0,535729002	0,938	0,81	1	0,689810024	1,449674498	1,158024691
SBSPON	0,041681864	-0,535781097	0,062	0,15	1	0,689785116	1,449726846	0,413333333
TBPL1	0,44891287	-0,535783576	0,3	0,28	1	0,68978393	1,449729337	1,071428571
CCDC82	0,377250234	-0,536200127	0,525	0,42	1	0,689584797	1,450147979	1,25
RGS11	0,002067391	-0,536253652	0,038	0,18	1	0,689559213	1,450201783	0,211111111
EMP1	0,189365103	-0,536497088	0,838	0,63	1	0,689442869	1,450446505	1,33015873
ARMCX3	0,348518203	-0,537472821	0,7	0,53	1	0,688976738	1,451427813	1,320754717
DUSP14	0,99610888	-0,53749297	0,475	0,34	1	0,688967115	1,451448084	1,397058824

Supplementary Table 4

Differentially expressed genes_keloid-CCD_ comparing SC-Keloid vs. (SC-Myel, SC-Nonmyel)								
gene	p_val	avg_log2FC	pct.1	pct.2	p_val_adj	Foldchange_UP	Foldchange_DOWN	Ratio_pct1_pct2
ISCA1	0,610290649	-0,537504657	0,525	0,33	1	0,688961535	1,451459841	1,590909091
ADAM17	0,437116751	-0,537842541	0,575	0,44	1	0,688800196	1,451799819	1,306818182
ITGA1	0,690332906	-0,538694021	0,7	0,5	1	0,688393786	1,452656925	1,4
HES4	0,56246719	-0,53930883	0,138	0,15	1	0,688100487	1,453276111	0,92
RAB9A	1	-0,539729301	0,588	0,39	1	0,687899971	1,453699728	1,507692308
SF1	0,195680172	-0,54089083	0,812	0,56	1	0,687346358	1,454870588	1,45
PAIP2	0,232701284	-0,542179314	0,688	0,52	1	0,686732757	1,456170526	1,323076923
TBC1D23	0,50288659	-0,542267901	0,3	0,2	1	0,68669059	1,456259944	1,5
NUFIP2	0,08715275	-0,542387666	0,588	0,52	1	0,686633587	1,45638084	1,130769231
MAT2A	0,352480982	-0,542710472	0,338	0,32	1	0,686479968	1,456706745	1,05625
RAPGEF5	0,024553368	-0,543099873	0,025	0,11	1	0,686294704	1,457099981	0,227272727
EIF3A	0,064740602	-0,54347537	0,825	0,66	1	0,686116102	1,457479276	1,25
RELT	0,53548035	-0,54551183	0,188	0,19	1	0,685148287	1,459538058	0,989473684
GHITM	0,173167504	-0,545807339	0,662	0,51	1	0,685007961	1,459837048	1,298039216
CTSF	0,137806819	-0,546234802	0,188	0,24	1	0,684805027	1,460269654	0,783333333
FAM181B	0,016555125	-0,546696263	0,075	0,19	1	0,68458602	1,460736811	0,394736842
LRR8A	0,938749568	-0,549422681	0,338	0,26	1	0,683293505	1,463499934	1,3
PFKFB3	0,203329468	-0,549667738	0,15	0,2	1	0,68317745	1,463748546	0,75
GADD45G	0,473997065	-0,550367981	0,138	0,16	1	0,682845936	1,46445918	0,8625
CPPED1	0,561128721	-0,551023259	0,262	0,24	1	0,682535855	1,465124495	1,091666667
PTPDC1	0,220289901	-0,551775689	0,125	0,17	1	0,682179975	1,465888822	0,735294118
PELO	0,520063164	-0,553504262	0,425	0,35	1	0,681363107	1,467646238	1,214285714
SGMS1	0,153648381	-0,553988295	0,112	0,17	1	0,681134544	1,468138724	0,658823529
RORB	0,001160836	-0,554099914	0,013	0,15	1	0,681081847	1,468252317	0,086666667
ERBIN	0,782036651	-0,555419647	0,562	0,41	1	0,680459099	1,469596043	1,370731707
RP2	0,528938892	-0,555894144	0,35	0,3	1	0,680235336	1,470079467	1,166666667
RRAGC	0,062945024	-0,556410544	0,25	0,31	1	0,679991895	1,470605763	0,806451613
VEZF1	0,607859949	-0,557059247	0,575	0,41	1	0,679686208	1,471267165	1,402439024
MARCHF6	0,650147937	-0,558728118	0,5	0,38	1	0,678900419	1,472970073	1,315789474
TEAD1	0,283050874	-0,558820118	0,388	0,36	1	0,678857128	1,473064006	1,077777778

Supplementary Table 4

Differentially expressed genes_keloid-CCD_ comparing SC-Keloid vs. (SC-Myel, SC-Nonmyel)								
gene	p_val	avg_log2FC	pct.1	pct.2	p_val_adj	Foldchange_UP	Foldchange_DOWN	Ratio_pct1_pct2
INO80D	0,264848117	-0,559303958	0,238	0,26	1	0,678629496	1,473558114	0,915384615
KIAA1191	0,583270941	-0,559574119	0,362	0,24	1	0,678502427	1,47383408	1,508333333
MIDEAS	0,199995277	-0,559803059	0,375	0,36	1	0,678394765	1,47406798	1,041666667
POLR1F	0,690528522	-0,559916323	0,475	0,32	1	0,678341507	1,474183712	1,484375
VGLL3	0,005465601	-0,559929173	0,075	0,21	1	0,678335465	1,474196842	0,357142857
ZBTB21	0,154193498	-0,560666041	0,175	0,23	1	0,677989088	1,474949992	0,760869565
ZMYM5	0,236752947	-0,560804311	0,412	0,38	1	0,677924112	1,47509136	1,084210526
RBMS3	0,010454448	-0,562958603	0,088	0,21	1	0,676912563	1,477295674	0,419047619
ASPH	0,75007682	-0,563302826	0,588	0,41	1	0,676751073	1,477648194	1,434146341
SLC25A4	0,715438892	-0,563877883	0,35	0,29	1	0,676481374	1,4782373	1,206896552
SLC25A36	0,576353143	-0,564562734	0,462	0,36	1	0,676160323	1,47893919	1,283333333
CCDC59	0,947976142	-0,565455162	0,525	0,36	1	0,67574219	1,479854322	1,458333333
FGF7	0,002207458	-0,567013127	0,025	0,16	1	0,675012851	1,481453278	0,15625
LACTB	0,755220253	-0,567702895	0,3	0,26	1	0,674690197	1,482161746	1,153846154
C16orf72	0,55258303	-0,568178284	0,475	0,31	1	0,674467913	1,48265022	1,532258065
PABPC1	0,004874796	-0,568476147	0,887	0,73	1	0,674328675	1,482956363	1,215068493
ASH1L	0,31165656	-0,56967229	0,713	0,52	1	0,673769819	1,484186398	1,371153846
PSD3	0,305759162	-0,570890127	0,125	0,16	1	0,673201302	1,485439788	0,78125
TCF7	0,06292865	-0,571155337	0,188	0,26	1	0,67307756	1,48571288	0,723076923
UAP1	0,523948887	-0,572106247	0,575	0,34	1	0,672634066	1,486692468	1,691176471
PPP2R2D	0,295541305	-0,572803738	0,25	0,26	1	0,672308951	1,487411403	0,961538462
MARCHF3	0,250522893	-0,573104237	0,238	0,26	1	0,67216893	1,487721249	0,915384615
SH3RF1	0,514233481	-0,573915666	0,312	0,28	1	0,671790982	1,488558237	1,114285714
YBX3	0,65675074	-0,574979793	0,4	0,28	1	0,671295654	1,489656598	1,428571429
ALKBH5	0,409818561	-0,575843472	0,412	0,36	1	0,670893898	1,490548658	1,144444444
NUP153	0,479645541	-0,576672031	0,238	0,23	1	0,670508706	1,491404945	1,034782609
ARHGEF2	0,940985635	-0,577411659	0,45	0,33	1	0,670165044	1,492169742	1,363636364
TAF1D	0,021340912	-0,578171159	0,812	0,65	1	0,669812331	1,492955494	1,249230769
NEGR1	0,042997563	-0,57974723	0,125	0,22	1	0,669080995	1,494587364	0,568181818
NET1	0,092423786	-0,582072502	0,225	0,29	1	0,668003468	1,496998215	0,775862069

Supplementary Table 4

Differentially expressed genes_keloid-CCD_ comparing SC-Keloid vs. (SC-Myel, SC-Nonmyel)								
gene	p_val	avg_log2FC	pct.1	pct.2	p_val_adj	Foldchange_UP	Foldchange_DOWN	Ratio_pct1_pct2
NFATC1	0,002140241	-0,582098702	0,038	0,18	1	0,667991337	1,497025402	0,211111111
MOSMO	0,759122484	-0,582222251	0,3	0,25	1	0,667934134	1,49715361	1,2
ANKRD37	0,089762199	-0,582494354	0,175	0,24	1	0,667808169	1,49743601	0,729166667
CREM	0,571379229	-0,582626813	0,3	0,21	1	0,667746858	1,497573502	1,428571429
MAPKAPK2	0,694981252	-0,582763742	0,312	0,27	1	0,667683483	1,497715646	1,155555556
TXNIP	0,737162917	-0,582913534	0,65	0,44	1	0,667614163	1,497871159	1,477272727
RBM7	0,280504922	-0,58467834	0,288	0,29	1	0,66679799	1,499704581	0,993103448
CLK1	0,579611859	-0,585974396	0,588	0,43	1	0,666199235	1,501052458	1,36744186
DYNC1L12	0,025388247	-0,586853978	0,725	0,6	1	0,665793191	1,501967898	1,208333333
TRIM8	0,362025719	-0,588032848	0,613	0,46	1	0,665249374	1,503195703	1,332608696
PCNP	0,044749254	-0,588920524	0,675	0,54	1	0,664840178	1,50412089	1,25
NFAT5	0,819516591	-0,589120086	0,562	0,39	1	0,66474822	1,504328962	1,441025641
MT-ND2	3,1515E-07	-0,589307418	1	0,96	0,006649989	0,664661909	1,50452431	1,041666667
SOD3	0,21228794	-0,589744113	0,112	0,16	1	0,66446075	1,50497979	0,7
MKRN1	0,126008346	-0,589882085	0,262	0,3	1	0,664397208	1,505123724	0,873333333
PGRMC1	0,006408421	-0,590936824	0,825	0,71	1	0,663911651	1,506224508	1,161971831
ZBTB43	0,714209235	-0,591037531	0,3	0,22	1	0,663865309	1,506329652	1,363636364
KIF21A	0,039174854	-0,592156461	0,112	0,21	1	0,663350626	1,507498389	0,533333333
SPATA13	0,171930584	-0,592217009	0,138	0,19	1	0,663322786	1,507561659	0,726315789
SCN9A	0,457275916	-0,593369417	0,45	0,37	1	0,662793143	1,508766362	1,216216216
CNOT4	0,069252274	-0,594631579	0,338	0,36	1	0,662213543	1,510086906	0,938888889
EPC1	0,012285894	-0,59480435	0,613	0,57	1	0,662134244	1,510267758	1,075438596
AMOTL2	0,524333541	-0,596593736	0,2	0,2	1	0,661313503	1,512142117	1
ANTXR2	0,096318356	-0,596820161	0,15	0,22	1	0,66120972	1,51237946	0,681818182
EPHA2	0,040352861	-0,598774495	0,188	0,28	1	0,660314625	1,514429579	0,671428571
BIRC2	0,141411225	-0,599456454	0,675	0,53	1	0,660002569	1,515145617	1,273584906
HDGF	0,055549581	-0,599653756	0,662	0,54	1	0,659912314	1,515352841	1,225925926
FRMD3	0,000108243	-0,601294913	0,025	0,22	1	0,659162049	1,517077632	0,113636364
CAMLG	0,082475494	-0,602662248	0,725	0,58	1	0,658537614	1,518516146	1,25
SLIT2	0,03808203	-0,603956775	0,138	0,23	1	0,657946975	1,519879319	0,6

Supplementary Table 4

Differentially expressed genes_keloid-CCD_ comparing SC-Keloid vs. (SC-Myel, SC-Nonmyel)								
gene	p_val	avg_log2FC	pct.1	pct.2	p_val_adj	Foldchange_UP	Foldchange_DOWN	Ratio_pct1_pct2
PER1	0,343556384	-0,60430405	0,325	0,31	1	0,657788618	1,520245216	1,048387097
ITPRID2	0,535098385	-0,604826722	0,5	0,39	1	0,657550352	1,520796084	1,282051282
PPP2R2A	0,087650385	-0,604885913	0,562	0,49	1	0,657523374	1,52085848	1,146938776
FAM214A	0,020890906	-0,605950038	0,15	0,26	1	0,657038567	1,521980673	0,576923077
SPECC1	0,112679847	-0,607266265	0,338	0,35	1	0,656439398	1,523369868	0,965714286
PROS1	0,477371824	-0,607458002	0,488	0,38	1	0,656352162	1,52357234	1,284210526
TOP1	0,688660914	-0,607852708	0,613	0,42	1	0,656172616	1,523989231	1,45952381
RAPGEF2	0,332459973	-0,608233832	0,262	0,27	1	0,655999294	1,524391884	0,97037037
FNDC3A	0,04099346	-0,608430714	0,575	0,52	1	0,655909777	1,524599929	1,105769231
PCID2	0,95779907	-0,608588437	0,4	0,29	1	0,655838074	1,524766616	1,379310345
PTPN13	0,09603758	-0,609754286	0,175	0,24	1	0,655308302	1,525999285	0,729166667
IFITM3	0,009210518	-0,610292236	1	0,89	1	0,655063997	1,526568403	1,123595506
PDZRN3	0,048577894	-0,610596501	0,112	0,2	1	0,654925858	1,526890391	0,56
HIPK3	0,089239168	-0,611238664	0,275	0,32	1	0,654634407	1,527570182	0,859375
PDLIM3	0,498491465	-0,61331826	0,525	0,33	1	0,653691453	1,529773711	1,590909091
GALNT2	0,573309398	-0,613822787	0,588	0,43	1	0,65346289	1,530308784	1,36744186
SRGAP1	0,686382787	-0,614595562	0,275	0,24	1	0,653112958	1,531128708	1,145833333
PPP1R15B	0,300959796	-0,614627862	0,325	0,31	1	0,653098336	1,531162988	1,048387097
CAMTA1	0,032644597	-0,614684693	0,838	0,66	1	0,65307261	1,531223306	1,26969697
ATOX8	0,01396673	-0,615324287	0,013	0,1	1	0,652783146	1,531902297	0,13
OTUD1	0,032425262	-0,615394476	0,162	0,26	1	0,652751387	1,531976828	0,623076923
HERPUD2	0,994762908	-0,616185083	0,188	0,16	1	0,652393773	1,532816592	1,175
PNPLA2	0,345131768	-0,619081558	0,4	0,35	1	0,651085287	1,535897094	1,142857143
STX3	0,017327469	-0,619331839	0,088	0,2	1	0,650972345	1,536163567	0,44
PDCD4	0,304048248	-0,621979884	0,35	0,32	1	0,649778591	1,538985762	1,09375
ELF2	0,124632821	-0,623165516	0,35	0,36	1	0,649244811	1,540251047	0,972222222
YWHAH	0,180700154	-0,624001143	0,7	0,53	1	0,648868869	1,541143438	1,320754717
DCP1A	0,135278832	-0,624649218	0,438	0,4	1	0,648577455	1,541835893	1,095
FADS3	0,98832701	-0,625156839	0,475	0,34	1	0,64834929	1,542378492	1,397058824
ABCA1	0,249628549	-0,62599519	0,262	0,28	1	0,647972643	1,54327503	0,935714286

Supplementary Table 4

Differentially expressed genes_keloid-CCD_ comparing SC-Keloid vs. (SC-Myel, SC-Nonmyel)								
gene	p_val	avg_log2FC	pct.1	pct.2	p_val_adj	Foldchange_UP	Foldchange_DOWN	Ratio_pct1_pct2
BLOC1S6	0,532421627	-0,627601944	0,488	0,38	1	0,647251387	1,544994759	1,284210526
SEPTIN10	0,16686164	-0,62763718	0,662	0,52	1	0,647235579	1,545032493	1,273076923
FAM126A	0,383321697	-0,628399766	0,5	0,41	1	0,64689355	1,54584939	1,219512195
SESN3	0,126141931	-0,628611116	0,25	0,29	1	0,64679879	1,546075868	0,862068966
NR2F2	0,125047301	-0,628898448	0,662	0,53	1	0,646669984	1,546383821	1,249056604
CXCL8	0,966056691	-0,62921135	0,1	0,09	1	0,646529745	1,546719247	1,111111111
PTPN12	0,054436425	-0,629354018	0,637	0,54	1	0,646465812	1,54687221	1,17962963
PLEKHA3	0,314444843	-0,629491656	0,512	0,41	1	0,64640414	1,547019794	1,248780488
PCM1	0,029379447	-0,629637703	0,725	0,58	1	0,646338707	1,54717641	1,25
BRD4	0,014035603	-0,63193839	0,7	0,63	1	0,645308802	1,549645683	1,111111111
TRIP10	0,742767303	-0,632350803	0,25	0,22	1	0,645124359	1,550088732	1,136363636
DDX17	0,007009369	-0,632372995	0,875	0,7	1	0,645114436	1,550112577	1,25
MRPL18	0,506498539	-0,63274152	0,787	0,51	1	0,644949667	1,550508592	1,543137255
CD44	0,066023638	-0,633890386	0,65	0,58	1	0,644436277	1,551743805	1,120689655
TNRC6C	0,059605642	-0,635122289	0,188	0,27	1	0,643886234	1,553069389	0,696296296
PCBP1	0,005791105	-0,636271236	0,825	0,68	1	0,643373654	1,55430673	1,213235294
RNF130	0,090461757	-0,638257628	0,425	0,41	1	0,642488427	1,55644827	1,036585366
SELENOW	0,000113073	-0,638763207	0,925	0,82	1	0,642263312	1,556993808	1,12804878
NFIL3	0,154168112	-0,638956938	0,662	0,51	1	0,642177072	1,557202901	1,298039216
MTUS1	0,001394626	-0,639482547	0,1	0,28	1	0,641943154	1,557770332	0,357142857
GPATCH8	0,168437179	-0,640954543	0,3	0,32	1	0,641288507	1,559360551	0,9375
PLSCR4	0,041747119	-0,641771659	0,138	0,23	1	0,640925396	1,560243995	0,6
DDX3Y	0,142349981	-0,642758557	0,4	0,39	1	0,640487111	1,56131167	1,025641026
SNHG12	0,547257681	-0,643296065	0,35	0,3	1	0,640248527	1,561893479	1,166666667
OTUD7B	0,588727387	-0,643613984	0,438	0,35	1	0,640107455	1,562237703	1,251428571
FCGRT	0,017842921	-0,644860127	0,55	0,53	1	0,639554794	1,563587685	1,037735849
SOCS3	0,50886881	-0,645846956	0,35	0,32	1	0,639117477	1,564657572	1,09375
BRAF	0,089943034	-0,645958314	0,312	0,34	1	0,639068147	1,564778349	0,917647059
ATP6V1B2	0,209790589	-0,645963744	0,25	0,27	1	0,639065742	1,564784238	0,925925926
JMJD1C	0,144025691	-0,646244215	0,762	0,56	1	0,638941514	1,565088475	1,360714286

Supplementary Table 4

Differentially expressed genes_keloid-CCD_ comparing SC-Keloid vs. (SC-Myel, SC-Nonmyel)								
gene	p_val	avg_log2FC	pct.1	pct.2	p_val_adj	Foldchange_UP	Foldchange_DOWN	Ratio_pct1_pct2
BCL3	0,23467011	-0,647044307	0,188	0,22	1	0,638587268	1,565956684	0,854545455
NR2F1	0,083077451	-0,647787789	0,212	0,27	1	0,638258261	1,566763896	0,785185185
IGSF1	0,000698486	-0,648126078	0,013	0,16	1	0,638108617	1,567131321	0,08125
FOXD3	0,129688719	-0,649053392	0,812	0,63	1	0,637698595	1,568138941	1,288888889
PLXDC2	0,146592436	-0,649309107	0,238	0,28	1	0,637585574	1,568416915	0,85
BORCS7	0,269175139	-0,650543119	0,525	0,43	1	0,637040447	1,569759038	1,220930233
POGZ	0,095203999	-0,652219395	0,438	0,42	1	0,636300696	1,571584011	1,042857143
MBNL1	0,005504253	-0,652675666	0,65	0,58	1	0,63609949	1,572081123	1,120689655
TMEM41B	0,300773687	-0,653292114	0,25	0,26	1	0,635827749	1,572753	0,961538462
NKAIN3	0,00119888	-0,653731418	0,05	0,21	1	0,635634168	1,573231979	0,238095238
LUC7L	0,184552988	-0,654590934	0,462	0,4	1	0,635255588	1,574169546	1,155
MAPK6	0,619827251	-0,655054832	0,462	0,3	1	0,635051355	1,5746758	1,54
GABARAPL1	0,005601337	-0,65515362	0,125	0,27	1	0,635007871	1,57478363	0,462962963
NPC2	0,168958508	-0,65532247	0,525	0,44	1	0,634933555	1,57496795	1,193181818
VAMP2	0,000536033	-0,656706423	0,825	0,73	1	0,634324766	1,576479515	1,130136986
TMEM50B	0,361804116	-0,656807649	0,412	0,35	1	0,634280261	1,576590132	1,177142857
PAX3	0,11376215	-0,656856784	0,275	0,31	1	0,634258659	1,576643827	0,887096774
EGFLAM	8,77724E-05	-0,658052959	0,013	0,2	1	0,633732997	1,577951605	0,065
C16orf87	0,176020058	-0,659155661	0,462	0,42	1	0,633248798	1,579158149	1,1
CEMIP2	0,075080213	-0,659505676	0,112	0,19	1	0,633095183	1,579541318	0,589473684
HBEGF	0,071762694	-0,65969801	0,85	0,7	1	0,633010787	1,57975191	1,214285714
HNRNPC	1,31843E-05	-0,660830633	0,838	0,83	0,278202906	0,632514022	1,58099262	1,009638554
RAB7A	0,000674334	-0,660935722	0,85	0,72	1	0,63246795	1,581107787	1,180555556
RAB1A	0,218790742	-0,661062029	0,637	0,49	1	0,63241258	1,581246218	1,3
TUBB4B	0,005414139	-0,662386261	0,912	0,83	1	0,631832363	1,58269829	1,098795181
PHIP	0,927954314	-0,663163508	0,537	0,36	1	0,631492057	1,583551194	1,491666667
ADI1	0,539993828	-0,663281463	0,613	0,44	1	0,631440428	1,58368067	1,393181818
KLF2	0,563796394	-0,663337836	0,725	0,45	1	0,631415755	1,583742553	1,611111111
HMGNS5	0,197775801	-0,663859639	0,1	0,15	1	0,631187422	1,584315474	0,666666667
PPIL4	0,644943489	-0,666457419	0,588	0,41	1	0,630051901	1,587170832	1,434146341

Supplementary Table 4

Differentially expressed genes_keloid-CCD_ comparing SC-Keloid vs. (SC-Myel, SC-Nonmyel)								
gene	p_val	avg_log2FC	pct.1	pct.2	p_val_adj	Foldchange_UP	Foldchange_DOWN	Ratio_pct1_pct2
INSC	0,047179944	-0,666850745	0,188	0,27	1	0,629880151	1,587603607	0,696296296
AK3	0,107684447	-0,669382421	0,425	0,4	1	0,628775792	1,590392017	1,0625
NR3C1	0,014416765	-0,670118153	0,688	0,62	1	0,628455216	1,591203278	1,109677419
EMP2	0,034119762	-0,670571802	0,8	0,67	1	0,628257632	1,591703703	1,194029851
ZBTB7A	0,273243861	-0,672124645	0,625	0,5	1	0,627581772	1,593417854	1,25
SLC25A25	0,006527866	-0,672772292	0,162	0,3	1	0,627300105	1,594133322	0,54
RFX1	0,276612403	-0,674055431	0,238	0,25	1	0,626742429	1,595551782	0,952
ART3	0,000191892	-0,675105266	0	0,16	1	0,626286521	1,596713272	0
ZNF326	0,021633492	-0,675907175	0,5	0,49	1	0,625938502	1,597601038	1,020408163
ZFP36	0,037534828	-0,676242712	0,55	0,54	1	0,62579294	1,597972645	1,018518519
ZEB2	2,29731E-05	-0,676880826	0,875	0,84	0,484756107	0,625516209	1,598679596	1,041666667
LUC7L2	0,182329805	-0,677158803	0,462	0,41	1	0,625395697	1,598987657	1,126829268
MAP3K2	0,261043881	-0,677438728	0,537	0,44	1	0,625274363	1,599297938	1,220454545
BBX	0,219697911	-0,67953159	0,425	0,38	1	0,62436796	1,601619661	1,118421053
KLHL21	0,196992297	-0,679683488	0,3	0,31	1	0,624302225	1,601788301	0,967741935
ITM2B	1,54928E-07	-0,680745748	0,975	0,97	0,003269131	0,623842719	1,602968136	1,005154639
TLE1	0,031728651	-0,682631701	0,5	0,48	1	0,623027737	1,605064975	1,041666667
BCL6	0,050747365	-0,682857494	0,188	0,27	1	0,622930236	1,6053162	0,696296296
PRDX1	0,012664901	-0,684694632	0,825	0,72	1	0,622137498	1,607361723	1,145833333
RDH10	0,088147564	-0,685964952	0,312	0,36	1	0,621589935	1,608777659	0,866666667
RIT1	0,07727818	-0,68603192	0,312	0,36	1	0,621561082	1,608852338	0,866666667
ZNF106	0,940833468	-0,686697899	0,488	0,35	1	0,621274222	1,60959519	1,394285714
COPS2	0,040614404	-0,688027289	0,613	0,52	1	0,620702005	1,611079056	1,178846154
COL3A1	1,26505E-08	-0,689115636	0,675	0,76	0,000266938	0,620233933	1,612294888	0,888157895
REL	0,118830188	-0,689262497	0,325	0,34	1	0,620170799	1,612459022	0,955882353
MYADM	0,095564089	-0,690114272	0,575	0,48	1	0,619804755	1,613411307	1,197916667
ARL13B	0,74263685	-0,690945482	0,525	0,37	1	0,619447757	1,614341144	1,418918919
MID1	0,000769073	-0,691215875	0,025	0,18	1	0,619331669	1,614643735	0,138888889
PPP4R2	0,704916074	-0,692667465	0,725	0,46	1	0,618708832	1,616269152	1,576086957
GTF2B	0,201331491	-0,692799811	0,425	0,39	1	0,618652078	1,616417428	1,08974359

Supplementary Table 4

Differentially expressed genes_keloid-CCD_ comparing SC-Keloid vs. (SC-Myel, SC-Nonmyel)								
gene	p_val	avg_log2FC	pct.1	pct.2	p_val_adj	Foldchange_UP	Foldchange_DOWN	Ratio_pct1_pct2
CADM4	0,156693003	-0,693893909	0,45	0,41	1	0,618183088	1,617643736	1,097560976
MT-ND3	5,36741E-06	-0,694439524	1	1	0,113257746	0,617949341	1,61825563	1
SSBP2	0,329719536	-0,698230037	0,25	0,26	1	0,616327882	1,622512999	0,961538462
BTG2	0,00893568	-0,698531335	0,188	0,32	1	0,616199179	1,622851886	0,5875
NCOA7	0,126870837	-0,698823805	0,2	0,25	1	0,616074273	1,623180913	0,8
LRRFIP2	0,737784166	-0,699034688	0,55	0,38	1	0,615984226	1,623418195	1,447368421
TSPYL2	0,055301316	-0,700673259	0,3	0,35	1	0,615285006	1,625263073	0,857142857
GSTM3	0,219242602	-0,700881623	0,338	0,33	1	0,615196149	1,625497822	1,024242424
TGIF2	0,246979004	-0,702378564	0,275	0,28	1	0,614558152	1,627185315	0,982142857
MEGF9	0,384919418	-0,703226142	0,388	0,34	1	0,614197208	1,628141561	1,141176471
ERF	0,024026304	-0,704101295	0,562	0,52	1	0,613824742	1,629129507	1,080769231
ADAMTS1	0,801748976	-0,706829466	0,637	0,44	1	0,612665082	1,632213145	1,447727273
ARAP2	0,001562211	-0,709200108	0,062	0,22	1	0,611659175	1,634897408	0,281818182
CRYL1	0,004347418	-0,711002259	0,125	0,27	1	0,610895594	1,636940926	0,462962963
PPM1B	0,213846293	-0,712599575	0,262	0,28	1	0,6102196	1,63875431	0,935714286
GABARAPL2	2,25957E-05	-0,713708386	0,938	0,85	0,476792313	0,609750784	1,640014291	1,103529412
CCDC126	0,003373332	-0,715290462	0,112	0,26	1	0,609082491	1,641813735	0,430769231
HNRNPA1	3,72288E-07	-0,715621692	0,975	0,95	0,007855658	0,608942667	1,642190725	1,026315789
PTEN	0,082781731	-0,715946665	0,625	0,49	1	0,608805516	1,642560676	1,275510204
N4BP2L1	0,032775854	-0,716465053	0,188	0,28	1	0,6085868	1,643150986	0,671428571
MLF1	0,300830446	-0,719318326	0,35	0,32	1	0,607384364	1,646403924	1,09375
TOPORS	0,028410221	-0,723333538	0,325	0,38	1	0,605696282	1,650992468	0,855263158
YY1	0,000714614	-0,723911141	0,725	0,68	1	0,605453832	1,651653597	1,066176471
PELI1	0,012927543	-0,724721056	0,275	0,37	1	0,605114032	1,65258108	0,743243243
RELB	0,138490885	-0,725353644	0,275	0,31	1	0,604848761	1,653305857	0,887096774
FCGR2B	0,003584775	-0,726764024	0,038	0,17	1	0,60425775	1,654922921	0,223529412
HLA-DRA	0,255466116	-0,728415262	0,112	0,16	1	0,603566542	1,656818148	0,7
FOXP1	0,208256035	-0,728914006	0,7	0,53	1	0,603357923	1,657391015	1,320754717
ARID4B	0,005827068	-0,730774756	0,738	0,64	1	0,60258023	1,659530053	1,153125
NLGN4X	0,003260268	-0,730824586	0,15	0,3	1	0,602559417	1,659587374	0,5

Supplementary Table 4

Differentially expressed genes_keloid-CCD_ comparing SC-Keloid vs. (SC-Myel, SC-Nonmyel)								
gene	p_val	avg_log2FC	pct.1	pct.2	p_val_adj	Foldchange_UP	Foldchange_DOWN	Ratio_pct1_pct2
JDP2	0,130127188	-0,73182469	0,275	0,31	1	0,602141856	1,66073823	0,887096774
TIFA	0,009789541	-0,731892359	0,112	0,24	1	0,602113613	1,660816128	0,466666667
KCTD9	0,068025462	-0,736216684	0,462	0,43	1	0,600311544	1,665801716	1,074418605
RAB21	0,090318919	-0,737221493	0,35	0,36	1	0,599893584	1,666962319	0,972222222
DST	1,09534E-05	-0,737849062	0,925	0,81	0,231127165	0,599632689	1,667687601	1,141975309
RHOBTB3	0,913459088	-0,738121922	0,388	0,28	1	0,59951929	1,668003044	1,385714286
HNRNPA0	0,000200631	-0,738418307	0,825	0,74	1	0,599396138	1,668345751	1,114864865
TOB1	0,229356474	-0,738719159	0,562	0,46	1	0,599271156	1,668693696	1,22173913
IGFBP7	0,020485953	-0,739863061	0,938	0,86	1	0,598796187	1,670017315	1,090697674
DMD	0,004686671	-0,740484424	0,162	0,3	1	0,598538343	1,67073674	0,54
SMC5	0,46043083	-0,741478958	0,613	0,44	1	0,598125878	1,671888873	1,393181818
RSPO3	0,000924298	-0,741892239	0,112	0,29	1	0,59795456	1,672367879	0,386206897
SDCBP	0,004875251	-0,74243701	0,537	0,57	1	0,597728812	1,672999495	0,942105263
PRNP	3,02762E-05	-0,742467039	0,975	0,97	0,638857911	0,59771637	1,673034318	1,005154639
KCTD11	0,048066995	-0,743204141	0,112	0,2	1	0,597411063	1,673889323	0,56
UBE2R2	0,061393377	-0,743368466	0,6	0,51	1	0,597343021	1,674079992	1,176470588
S1PR3	0,012981341	-0,743740327	0,212	0,32	1	0,597189073	1,67451155	0,6625
MCL1	0,029274128	-0,747762102	0,7	0,56	1	0,595526618	1,679186068	1,25
RPS6KA5	0,002369197	-0,748672539	0,15	0,31	1	0,595150919	1,680246081	0,483870968
SLC25A33	0,240367814	-0,749372641	0,288	0,3	1	0,594862178	1,681061658	0,96
AATK	0,043308584	-0,752149325	0,212	0,29	1	0,593718377	1,684300231	0,731034483
CCND2	0,003407216	-0,754065756	0,038	0,17	1	0,592930224	1,686539088	0,223529412
BRD2	0,008532684	-0,754233231	0,787	0,7	1	0,592861398	1,686734882	1,124285714
IFIT2	0,001921845	-0,754958695	0,013	0,14	1	0,592563351	1,687583275	0,092857143
AZIN1	0,120081129	-0,755844705	0,475	0,42	1	0,592199548	1,688619998	1,130952381
RBM39	3,22935E-08	-0,756549126	0,963	0,89	0,000681425	0,591910467	1,689444697	1,082022472
SDC2	0,00141003	-0,757214841	0,162	0,33	1	0,5916374	1,690224452	0,490909091
KCNQ1OT1	0,093778149	-0,759368478	0,438	0,46	1	0,59075487	1,692749483	0,952173913
TTR	0,057431879	-0,759591289	0,075	0,16	1	0,59066364	1,693010932	0,46875
PLAAT3	0,049390946	-0,760150728	0,713	0,55	1	0,590434641	1,693667564	1,296363636

Supplementary Table 4

Differentially expressed genes_keloid-CCD_ comparing SC-Keloid vs. (SC-Myel, SC-Nonmyel)								
gene	p_val	avg_log2FC	pct.1	pct.2	p_val_adj	Foldchange_UP	Foldchange_DOWN	Ratio_pct1_pct2
COQ10B	0,052579556	-0,760381251	0,438	0,43	1	0,590340305	1,693938211	1,018604651
HTATIP2	0,295575183	-0,762449286	0,238	0,25	1	0,589494686	1,696368132	0,952
NCAM1	0,667080374	-0,762614111	0,362	0,29	1	0,589427341	1,69656195	1,248275862
DDX6	0,03454322	-0,763727729	0,562	0,5	1	0,588972537	1,697872034	1,124
NDRG1	0,045550628	-0,763747798	0,262	0,33	1	0,588964345	1,697895652	0,793939394
OSER1	0,075814891	-0,76436886	0,288	0,33	1	0,588710857	1,698626732	0,872727273
C1orf198	0,076523356	-0,764664268	0,562	0,48	1	0,588590324	1,698974581	1,170833333
CLEC14A	0,000495504	-0,76984028	0,025	0,19	1	0,5864824	1,705081004	0,131578947
PLEKHA4	0,008939837	-0,770674694	0,825	0,66	1	0,586143293	1,70606746	1,25
CLIC4	2,53449E-05	-0,770817957	0,95	0,81	0,534803538	0,586085091	1,706236886	1,172839506
INTS6	0,046923051	-0,772693169	0,713	0,57	1	0,585323794	1,70845609	1,250877193
ODC1	0,62134361	-0,772766332	0,688	0,49	1	0,585294111	1,708542733	1,404081633
TSPAN15	0,000366078	-0,772865677	0,2	0,39	1	0,585253808	1,708660389	0,512820513
CHIC2	0,130007583	-0,776140248	0,338	0,34	1	0,583926929	1,712543042	0,994117647
STK17A	0,093126033	-0,777230376	0,863	0,61	1	0,58348587	1,713837561	1,414754098
PMP22	1,18632E-05	-0,778087247	1	0,95	0,250324897	0,583139419	1,714855776	1,052631579
ZBTB10	0,02381098	-0,778295257	0,212	0,31	1	0,583055347	1,715103044	0,683870968
PPM1K	0,082945994	-0,779739208	0,25	0,3	1	0,582472076	1,7168205	0,833333333
CNN3	2,83144E-07	-0,781413016	1	0,95	0,005974629	0,581796686	1,718813503	1,052631579
PNRC2	0,01145271	-0,78300214	0,338	0,42	1	0,581156192	1,720707813	0,804761905
IGSF11	3,31313E-05	-0,787343508	0,025	0,24	0,699103926	0,579410001	1,725893578	0,104166667
APLP2	0,006401227	-0,787535104	0,775	0,63	1	0,579333058	1,726122799	1,23015873
FGF2	0,162403666	-0,790967935	0,625	0,5	1	0,577956199	1,730234924	1,25
FILIP1L	0,437284787	-0,794891025	0,288	0,28	1	0,57638671	1,734946318	1,028571429
XBP1	0,027218945	-0,797313548	0,713	0,6	1	0,575419673	1,737862027	1,188333333
KLHL24	0,039068902	-0,797983643	0,262	0,33	1	0,575152468	1,738669408	0,793939394
DOCK5	0,074094469	-0,800369762	0,288	0,33	1	0,574201991	1,741547428	0,872727273
ASPA	0,036238124	-0,80629715	0,525	0,48	1	0,571847692	1,748717385	1,09375
NFKB2	0,044467971	-0,806589517	0,3	0,35	1	0,571731816	1,749071805	0,857142857
TGIF1	0,00413451	-0,809442305	0,425	0,5	1	0,57060239	1,752533843	0,85

Supplementary Table 4

Differentially expressed genes_keloid-CCD_ comparing SC-Keloid vs. (SC-Myel, SC-Nonmyel)								
gene	p_val	avg_log2FC	pct.1	pct.2	p_val_adj	Foldchange_UP	Foldchange_DOWN	Ratio_pct1_pct2
RNF13	0,022404721	-0,811543456	0,462	0,46	1	0,569771966	1,755088106	1,004347826
PLEKHA1	0,030627423	-0,812712766	0,637	0,56	1	0,569310351	1,756511188	1,1375
LGALS1	0,000137919	-0,812764256	0,05	0,25	1	0,569290032	1,75657388	0,2
LATS2	0,000135826	-0,813943737	0,15	0,36	1	0,568824797	1,758010561	0,416666667
RHOB	0,162365947	-0,814271208	0,988	0,81	1	0,568695697	1,758409649	1,219753086
ITPR1	0,001269495	-0,815827625	0,112	0,28	1	0,568082504	1,760307691	0,4
AKIRIN1	0,006205331	-0,817596555	0,35	0,43	1	0,567386388	1,762467379	0,813953488
EPB41L2	0,002419108	-0,820745999	0,338	0,46	1	0,566149118	1,766319098	0,734782609
PURA	0,005191867	-0,821096411	0,688	0,58	1	0,566011625	1,766748166	1,186206897
CHMP2B	0,043185136	-0,821156923	0,412	0,43	1	0,565987885	1,766822271	0,958139535
SYNE2	0,043448476	-0,821517709	0,275	0,34	1	0,565846361	1,76726417	0,808823529
IER5	0,449153946	-0,821725309	0,575	0,45	1	0,565764943	1,767518493	1,277777778
KCTD12	0,0834881	-0,823356125	0,575	0,48	1	0,565125767	1,769517617	1,197916667
NEDD9	0,000583504	-0,823845432	0,25	0,42	1	0,56493413	1,770117872	0,595238095
AHNAK	4,22202E-06	-0,824241217	0,9	0,86	0,089088854	0,564779169	1,770603547	1,046511628
TM4SF1	0,038754827	-0,825428893	0,112	0,21	1	0,564314415	1,772061769	0,533333333
ZNF644	0,003698637	-0,827691376	0,55	0,54	1	0,563430131	1,774842956	1,018518519
NASP	0,001491211	-0,828206542	0,762	0,69	1	0,563228974	1,775476841	1,104347826
MT3	0,001411118	-0,829708381	0	0,12	1	0,562642961	1,777326067	0
N4BP2L2	0,063655873	-0,830156929	0,688	0,55	1	0,562468057	1,77787874	1,250909091
HNRNPH3	0,008411101	-0,831779768	0,8	0,66	1	0,561835711	1,779879741	1,212121212
MYC	0,708316726	-0,833708792	0,312	0,27	1	0,561084984	1,782261207	1,155555556
F3	0,00077652	-0,835783308	0,112	0,29	1	0,560278754	1,784825843	0,386206897
ARHGEF26	0,022022629	-0,836885671	0,312	0,38	1	0,559850809	1,786190149	0,821052632
NFKBIZ	0,206916987	-0,844424846	0,45	0,39	1	0,556932795	1,795548778	1,153846154
HEXIM1	0,00140848	-0,845300268	0,575	0,61	1	0,556594953	1,796638641	0,942622951
DDX3X	0,010233343	-0,845378994	0,825	0,66	1	0,556564581	1,796736683	1,25
RXRG	2,59961E-06	-0,846179317	0,038	0,31	0,054854429	0,556255917	1,797733685	0,122580645
CDKN1A	0,018964481	-0,846340836	0,362	0,41	1	0,556193644	1,797934964	0,882926829
GBP2	0,00703293	-0,847053919	0,138	0,27	1	0,555918802	1,798823852	0,511111111

Supplementary Table 4

Differentially expressed genes_keloid-CCD_ comparing SC-Keloid vs. (SC-Myel, SC-Nonmyel)								
gene	p_val	avg_log2FC	pct.1	pct.2	p_val_adj	Foldchange_UP	Foldchange_DOWN	Ratio_pct1_pct2
PMAIP1	0,026485278	-0,849365258	0,162	0,26	1	0,555028878	1,801708054	0,623076923
VASN	0,000573236	-0,854745305	0,088	0,27	1	0,552962939	1,808439463	0,325925926
EGR1	0,376054656	-0,85648187	0,537	0,44	1	0,55229774	1,810617584	1,220454545
KHDRBS3	8,59428E-05	-0,85676408	0,725	0,72	1	0,552189714	1,810971799	1,006944444
ABLIM1	0,027874504	-0,858024218	0,162	0,26	1	0,551707609	1,812554303	0,623076923
SOX2	0,053874671	-0,858405453	0,488	0,46	1	0,551561838	1,813033338	1,060869565
BAG3	0,012961151	-0,858796626	0,388	0,43	1	0,551412307	1,813524991	0,902325581
MIR22HG	0,047048645	-0,861818601	0,5	0,47	1	0,550258488	1,817327715	1,063829787
IGFBP4	0,039269186	-0,862530122	0,362	0,4	1	0,549987173	1,818224221	0,905
FAM3C	0,000637652	-0,863544154	0,787	0,69	1	0,549600738	1,819502652	1,14057971
GPBP1	2,60095E-06	-0,86371873	0,75	0,77	0,054882594	0,549534236	1,819722837	0,974025974
KCNE4	0,178996593	-0,864627813	0,138	0,19	1	0,549188068	1,820869858	0,726315789
SELENOM	1,35577E-05	-0,867809631	0,912	0,85	0,286081475	0,547978186	1,82489016	1,072941176
FOXO1	0,003273797	-0,868586837	0,2	0,34	1	0,54768306	1,825873526	0,588235294
HSP90AB1	1,33594E-05	-0,86901587	1	0,99	0,281897485	0,547520213	1,82641659	1,01010101
CDKN1B	0,00499401	-0,870344624	0,35	0,44	1	0,547016166	1,828099536	0,795454545
CDC42EP3	0,010206614	-0,870407114	0,637	0,58	1	0,546992473	1,828178722	1,098275862
PNISR	2,33019E-06	-0,870627821	0,925	0,82	0,049169385	0,546908799	1,828458422	1,12804878
DCD	0,00189507	-0,871575505	0,162	0,33	1	0,546549661	1,829659903	0,490909091
CD74	0,00143499	-0,873782553	0,1	0,28	1	0,545714184	1,832461075	0,357142857
TSC22D4	0,076749689	-0,876359076	0,262	0,31	1	0,544740457	1,835736609	0,84516129
UGCG	0,249936272	-0,876504017	0,425	0,37	1	0,544685733	1,835921046	1,148648649
CNKS3	0,075619154	-0,878945368	0,462	0,44	1	0,543764786	1,83903045	1,05
MXI1	0,000400538	-0,879600385	0,188	0,37	1	0,543517961	1,839865602	0,508108108
SIPA1L2	0,038956528	-0,879973228	0,55	0,49	1	0,543377515	1,840341149	1,12244898
PPP2CA	0,005959466	-0,880052256	0,625	0,59	1	0,54334775	1,840441963	1,059322034
EIF4E	0,269028297	-0,881493204	0,662	0,49	1	0,542805331	1,842281095	1,351020408
PCDH9	0,103260673	-0,882293162	0,15	0,22	1	0,542504436	1,843302901	0,681818182
SOX8	1,83267E-05	-0,882703998	0,025	0,25	0,386711511	0,542349969	1,843827893	0,1
ING1	0,002988847	-0,883683585	0,5	0,55	1	0,541981839	1,845080274	0,909090909

Supplementary Table 4

Differentially expressed genes_keloid-CCD_ comparing SC-Keloid vs. (SC-Myel, SC-Nonmyel)								
gene	p_val	avg_log2FC	pct.1	pct.2	p_val_adj	Foldchange_UP	Foldchange_DOWN	Ratio_pct1_pct2
JUNB	6,46845E-05	-0,883730507	0,938	0,92	1	0,541964212	1,845140284	1,019565217
CITED2	0,038873964	-0,884371798	0,188	0,28	1	0,541723357	1,845960648	0,671428571
TSC22D3	0,660166695	-0,884789299	0,425	0,33	1	0,541566611	1,846494927	1,287878788
IFI16	0,012035301	-0,885503587	0,675	0,59	1	0,541298544	1,847409366	1,144067797
PRRG4	0,000712518	-0,886273546	0,075	0,25	1	0,541009733	1,848395581	0,3
EIF1	2,82293E-18	-0,887025371	1	1	5,95667E-14	0,540727873	1,849359078	1
MAP4K5	0,003461028	-0,889955306	0,512	0,52	1	0,539630836	1,853118714	0,984615385
RTN4	1,2135E-05	-0,890994738	0,887	0,85	0,256060413	0,539242183	1,854454329	1,043529412
CADM3	4,75511E-05	-0,893482214	0,05	0,27	1	0,538313229	1,857654514	0,185185185
SIAH1	0,014311777	-0,893952549	0,488	0,49	1	0,538137762	1,858260229	0,995918367
CHORDC1	0,140913861	-0,894397841	0,4	0,37	1	0,53797169	1,858833874	1,081081081
ARF6	0,00132474	-0,89473545	0,625	0,59	1	0,537845812	1,859268916	1,059322034
AKAP13	3,858E-05	-0,897315613	0,863	0,74	0,814076133	0,536884771	1,862597069	1,166216216
SNHG8	0,000304715	-0,897391173	0,8	0,68	1	0,536856652	1,862694623	1,176470588
PHLDA1	0,006930129	-0,900545591	0,588	0,55	1	0,535684111	1,866771816	1,069090909
TNFAIP3	0,133851034	-0,900555682	0,462	0,43	1	0,535680364	1,866784873	1,074418605
YPEL5	0,003853732	-0,903786469	0,5	0,53	1	0,534482097	1,870970056	0,943396226
MAP1LC3B	0,000606834	-0,904950593	0,787	0,71	1	0,534050993	1,872480368	1,108450704
ARHGAP24	0,000516274	-0,905115917	0,188	0,38	1	0,533989797	1,872694956	0,494736842
RBBP6	0,002802462	-0,905380173	0,637	0,6	1	0,533891997	1,873038005	1,061666667
MYOT	0,018178371	-0,905866609	0,613	0,55	1	0,533712013	1,873669647	1,114545455
GLUL	0,009751801	-0,909785925	0,338	0,42	1	0,532264066	1,878766696	0,804761905
SAV1	0,008357172	-0,909862842	0,312	0,39	1	0,532235689	1,878866864	0,8
NFIA	9,18753E-05	-0,911238289	0,112	0,33	1	0,531728504	1,880659006	0,339393939
ZBTB44	0,0045	-0,912849488	0,3	0,4	1	0,531135002	1,882760496	0,75
KMT2E	5,92118E-06	-0,913314436	0,863	0,77	0,124942787	0,530963857	1,883367365	1,120779221
VMP1	0,00141099	-0,916996407	0,775	0,66	1	0,529610486	1,888180136	1,174242424
SON	3,47146E-09	-0,917828685	0,9	0,87	7,32513E-05	0,529305047	1,889269725	1,034482759
HSPA8	4,86973E-06	-0,918724654	0,975	0,93	0,102756225	0,52897643	1,890443398	1,048387097
PIM3	0,003167224	-0,921363486	0,5	0,53	1	0,528009764	1,89390437	0,943396226

Supplementary Table 4

Differentially expressed genes_keloid-CCD_comparing SC-Keloid vs. (SC-Myel, SC-Nonmyel)								
gene	p_val	avg_log2FC	pct.1	pct.2	p_val_adj	Foldchange_UP	Foldchange_DOWN	Ratio_pct1_pct2
CACYBP	0,112704703	-0,921637281	0,675	0,52	1	0,527909568	1,89426383	1,298076923
SYNE1	0,002229833	-0,921775823	0,238	0,38	1	0,527858875	1,894445745	0,626315789
AP1S2	5,59453E-06	-0,922123002	0,875	0,82	0,118050244	0,527731863	1,89490169	1,067073171
GATM	0,047860816	-0,923639228	0,3	0,35	1	0,527177525	1,896894218	0,857142857
RSRC2	3,12937E-06	-0,926630702	0,838	0,8	0,06603276	0,526085539	1,900831569	1,0475
RSRP1	1,62899E-07	-0,927517816	0,85	0,83	0,003437337	0,525762148	1,902000752	1,024096386
RYBP	0,000487483	-0,928095794	0,475	0,54	1	0,525551557	1,902762891	0,87962963
MTRFR	0,009720008	-0,93032549	0,125	0,25	1	0,524739941	1,905705898	0,5
CCNL1	0,002161557	-0,930888337	0,8	0,64	1	0,524535261	1,906449527	1,25
SAP18	8,48613E-07	-0,936828813	0,938	0,91	0,017906576	0,522379862	1,914315755	1,030769231
ALCAM	0,000534167	-0,937290382	0,3	0,45	1	0,522212761	1,914928309	0,666666667
VAPA	1,25644E-11	-0,940732674	0,938	0,92	2,65121E-07	0,520968239	1,919502813	1,019565217
HSPD1	0,019744091	-0,94164429	0,838	0,67	1	0,520639151	1,9207161	1,250746269
GAS2L3	0,002395622	-0,943714721	0,125	0,28	1	0,519892511	1,923474523	0,446428571
NEAT1	5,97975E-07	-0,943926308	0,988	0,95	0,012617879	0,519816269	1,923756643	1,04
DNAJB9	0,002459996	-0,944136242	0,4	0,48	1	0,519740633	1,924036598	0,833333333
CYLD	0,003977181	-0,944342505	0,55	0,56	1	0,519666331	1,924311699	0,982142857
ARHGAP15	0,010397406	-0,945760612	0,2	0,31	1	0,519155772	1,926204144	0,64516129
RASGEF1B	0,000313295	-0,947178407	0,112	0,31	1	0,518645828	1,928098033	0,361290323
FLRT3	0,003583404	-0,949830625	0,162	0,31	1	0,517693237	1,931645865	0,522580645
IVNS1ABP	0,00026693	-0,952178954	0,325	0,47	1	0,516851253	1,934792639	0,691489362
FIGN	0,017056337	-0,953154502	0,388	0,42	1	0,516501877	1,936101386	0,923809524
SFPQ	3,27121E-09	-0,953787157	0,925	0,88	6,90257E-05	0,516275429	1,936950597	1,051136364
CD59	2,02804E-09	-0,95383976	0,95	0,94	4,27937E-05	0,516256605	1,937021222	1,010638298
ELF1	0,058851062	-0,955246596	0,6	0,5	1	0,515753426	1,938911018	1,2
EDNRB	0,000154369	-0,956149263	0,537	0,61	1	0,515430829	1,940124538	0,880327869
FKBP4	0,001150019	-0,957936052	0,225	0,38	1	0,51479286	1,942528885	0,592105263
UBL3	0,001851484	-0,963066194	0,625	0,61	1	0,512965536	1,949448704	1,024590164
GLIS3	0,098230649	-0,963243564	0,45	0,42	1	0,512902474	1,949688391	1,071428571
KLF10	0,001151625	-0,966350731	0,675	0,62	1	0,511799013	1,953892007	1,088709677

Supplementary Table 4

Differentially expressed genes_keloid-CCD_ comparing SC-Keloid vs. (SC-Myel, SC-Nonmyel)								
gene	p_val	avg_log2FC	pct.1	pct.2	p_val_adj	Foldchange_UP	Foldchange_DOWN	Ratio_pct1_pct2
ATP1A2	5,92704E-08	-0,96982022	0,013	0,33	0,001250664	0,510569683	1,958596511	0,039393939
ANKRD12	0,000407986	-0,970756952	0,662	0,63	1	0,510238281	1,959868628	1,050793651
DDIT4	0,56973868	-0,974405092	0,45	0,37	1	0,508949673	1,964830814	1,216216216
KCNMB4	0,007627813	-0,975532784	0,512	0,51	1	0,508552004	1,966367237	1,003921569
KDM6B	0,001474365	-0,97847165	0,488	0,53	1	0,507517104	1,970376942	0,920754717
CD83	0,002473542	-0,981066407	0,312	0,43	1	0,50660513	1,97392395	0,725581395
MAL	0,000154238	-0,984347722	0,4	0,55	1	0,5054542	1,978418619	0,727272727
MYLIP	0,001590434	-0,985149198	0,212	0,36	1	0,505173477	1,979518017	0,588888889
MKNK2	0,000118775	-0,987082747	0,225	0,42	1	0,50449688	1,982172812	0,535714286
MSX1	0,044188104	-0,988242285	0,412	0,43	1	0,504091564	1,983766586	0,958139535
CADM1	5,81388E-08	-0,989544453	0,925	0,89	0,001226787	0,503636779	1,985557931	1,039325843
IRS2	0,001209658	-0,995240588	0,238	0,39	1	0,50165221	1,993412925	0,61025641
ISG20	0,00118208	-0,996658808	0,112	0,28	1	0,501159311	1,995373484	0,4
H3-3B	8,90705E-15	-0,998312738	1	0,98	1,87948E-10	0,500585103	1,997662325	1,020408163
ABHD5	0,026784999	-0,99939819	0,425	0,43	1	0,500208615	1,999165888	0,988372093
MAPRE2	0,002549366	-1,000646308	0,338	0,44	1	0,499776057	2,000896174	0,768181818
PPP1R12B	0,002978532	-1,002142975	0,162	0,31	1	0,499257853	2,002973002	0,522580645
SELENOP	8,58953E-05	-1,002921148	0,05	0,26	1	0,498988632	2,004053673	0,192307692
SPTBN1	7,03218E-08	-1,006824854	0,938	0,82	0,001483861	0,497640272	2,00948367	1,143902439
SOX4	2,77847E-06	-1,007486428	0,975	0,87	0,058628526	0,497412122	2,010405368	1,120689655
LMO4	6,65366E-07	-1,009406438	0,838	0,78	0,014039881	0,496750582	2,013082696	1,074358974
DNAJB6	3,13073E-06	-1,010725152	0,863	0,77	0,066061614	0,496296728	2,014923621	1,120779221
EIF4A3	0,001292744	-1,012452115	0,662	0,6	1	0,495702997	2,017337008	1,103333333
BTG3	3,20745E-05	-1,016163301	0,825	0,74	0,676803269	0,49442949	2,022533082	1,114864865
YME1L1	0,000171325	-1,016852484	0,688	0,65	1	0,494193355	2,023499488	1,058461538
GEM	0,026540661	-1,021569483	0,325	0,39	1	0,492580191	2,030126298	0,833333333
CREBRF	0,000807967	-1,023312289	0,488	0,57	1	0,491985503	2,032580215	0,856140351
HSPA12A	0,00010831	-1,031649346	0,562	0,63	1	0,489150613	2,044360109	0,892063492
NIBAN1	0,00096701	-1,032823636	0,188	0,35	1	0,488752628	2,046024806	0,537142857
RAB32	0,009033346	-1,033053625	0,637	0,54	1	0,488674719	2,046351	1,17962963

Supplementary Table 4

Differentially expressed genes_keloid-CCD_ comparing SC-Keloid vs. (SC-Myel, SC-Nonmyel)								
gene	p_val	avg_log2FC	pct.1	pct.2	p_val_adj	Foldchange_UP	Foldchange_DOWN	Ratio_pct1_pct2
CAB39L	3,61063E-05	-1,033632188	0,062	0,29	0,761879183	0,488478785	2,047171812	0,213793103
NR4A1	0,000287495	-1,034470141	0,725	0,69	1	0,488195147	2,048361206	1,050724638
GFRA3	0,000422022	-1,03660518	0,838	0,71	1	0,487473203	2,051394812	1,18028169
CTSC	0,015788167	-1,03786762	0,713	0,58	1	0,487046823	2,053190684	1,229310345
SORCS1	5,75626E-07	-1,038844783	0,088	0,39	0,012146281	0,486717049	2,054581818	0,225641026
ZSWIM6	0,001027277	-1,039196903	0,288	0,42	1	0,48659827	2,055083343	0,685714286
CDKN1C	0,222826914	-1,042500129	0,4	0,37	1	0,485485419	2,059794097	1,081081081
ARL4A	0,010712745	-1,043223993	0,55	0,51	1	0,48524189	2,060827847	1,078431373
TIPARP	0,000121678	-1,044482329	0,2	0,41	1	0,484818841	2,062626109	0,487804878
TGFBR3	2,32024E-05	-1,044939675	0,062	0,3	0,489594241	0,484665174	2,063280082	0,206666667
ITIH5	0,014262535	-1,047331469	0,662	0,59	1	0,48386233	2,06670356	1,122033898
SNHG15	0,027668166	-1,052231624	0,525	0,48	1	0,482221666	2,073735112	1,09375
CD9	6,77188E-13	-1,053776837	1	0,99	1,42893E-08	0,481705454	2,075957397	1,01010101
UBE2D3	2,55288E-06	-1,056762281	0,812	0,75	0,053868334	0,480709666	2,080257732	1,082666667
NAMPT	0,001002334	-1,057002765	0,537	0,56	1	0,480629543	2,080604521	0,958928571
NFKBIA	1,97458E-10	-1,059527328	0,812	0,98	4,16657E-06	0,479789228	2,084248545	0,828571429
SOWAHC	0,001903633	-1,069604205	0,288	0,41	1	0,476449692	2,098857479	0,702439024
PDK4	3,38712E-06	-1,07400597	0,013	0,26	0,07147162	0,474998226	2,105271022	0,05
RETREG1	1,45466E-05	-1,076706739	0,075	0,32	0,306948489	0,474109846	2,109215844	0,234375
STARD13	0,002214482	-1,080710526	0,338	0,44	1	0,472795915	2,115077498	0,768181818
ARMCX1	9,77851E-05	-1,081975964	0,238	0,43	1	0,47238139	2,116933521	0,553488372
ITGB4	0,002516329	-1,08217942	0,275	0,4	1	0,472314778	2,117232082	0,6875
GJC1	0,000472471	-1,082912012	0,288	0,44	1	0,472075	2,118307472	0,654545455
ID2	0,010220163	-1,087065727	0,412	0,49	1	0,470717787	2,124415156	0,840816327
ITGB8	0,000847131	-1,091080662	0,738	0,66	1	0,469409628	2,130335512	1,118181818
BNIP3L	0,001054371	-1,099839742	0,412	0,51	1	0,46656832	2,143308828	0,807843137
SBDS	1,21466E-09	-1,100913206	0,875	0,88	2,56305E-05	0,466221291	2,14490419	0,994318182
MAFB	0,017888543	-1,114765126	0,362	0,42	1	0,461766326	2,165597498	0,861904762
PLLP	4,88314E-05	-1,115716243	0,075	0,3	1	0,461462	2,16702567	0,25
CSRNP1	1,33505E-05	-1,116380117	0,45	0,61	0,281708669	0,461249702	2,168023083	0,737704918

Supplementary Table 4

Differentially expressed genes_keloid-CCD_ comparing SC-Keloid vs. (SC-Myel, SC-Nonmyel)								
gene	p_val	avg_log2FC	pct.1	pct.2	p_val_adj	Foldchange_UP	Foldchange_DOWN	Ratio_pct1_pct2
JUND	1,10247E-11	-1,123872557	1	1	2,32631E-07	0,458860474	2,179311702	1
PTK2	0,000566503	-1,126007092	0,6	0,6	1	0,45818207	2,182538484	1
WSB1	4,40759E-08	-1,126437685	0,838	0,83	0,000930045	0,45804534	2,183189989	1,009638554
LRR4C	3,58342E-07	-1,126753037	0,112	0,42	0,007561385	0,457945228	2,183667256	0,266666667
ZNF503	0,000555535	-1,129876984	0,488	0,55	1	0,456954687	2,188400793	0,887272727
HLA-DRB1	0,000498439	-1,130978402	0,062	0,25	1	0,456605961	2,190072155	0,248
SPRY1	0,024496185	-1,133260816	0,225	0,31	1	0,455884159	2,193539698	0,725806452
FOSL2	0,000138668	-1,136046442	0,3	0,47	1	0,455004765	2,197779182	0,638297872
CADM2	1,09723E-06	-1,138613727	0,013	0,28	0,023152592	0,454195801	2,201693627	0,046428571
LAMP5	3,32526E-08	-1,150726115	0,013	0,34	0,000701664	0,450398487	2,220256128	0,038235294
PLEKHA5	9,29868E-05	-1,155933964	0,175	0,39	1	0,448775566	2,228285305	0,448717949
LPAR1	2,65321E-06	-1,15697021	0,212	0,47	0,055985356	0,44845334	2,229886393	0,45106383
IQGAP2	5,22449E-07	-1,15765776	0,375	0,6	0,01102419	0,44823967	2,230949351	0,625
FSTL3	4,84373E-06	-1,159764737	0,863	0,83	0,102207499	0,447585518	2,23420991	1,039759036
DNAJB4	0,087710379	-1,159819024	0,45	0,42	1	0,447568676	2,234293982	1,071428571
KDSR	0,000209844	-1,161733972	0,45	0,54	1	0,446974994	2,23726162	0,833333333
FAM107B	0,013411973	-1,163326896	0,488	0,48	1	0,446481748	2,239733214	1,016666667
ZFAND5	9,86124E-05	-1,16363376	0,588	0,62	1	0,44638679	2,24020966	0,948387097
HSPB1	6,12117E-06	-1,164722464	0,975	0,88	0,129162722	0,44605006	2,241900833	1,107954545
MAFG	4,12616E-07	-1,16793342	0,388	0,62	0,008706613	0,445058405	2,246896111	0,625806452
FNIP2	0,001324685	-1,16852278	0,2	0,36	1	0,44487663	2,247814185	0,555555556
EIF1B	2,06725E-05	-1,168798291	0,863	0,74	0,436209473	0,444791681	2,248243489	1,166216216
SAMD4A	1,28213E-05	-1,178261743	0,275	0,48	0,270542287	0,441883589	2,263039464	0,572916667
SLC38A2	5,51047E-09	-1,189093142	0,625	0,77	0,000116276	0,438578458	2,280093746	0,811688312
FTH1	1,10397E-19	-1,195604944	1	1	2,32949E-15	0,436603335	2,290408522	1
WTAP	8,28594E-06	-1,203962022	0,625	0,68	0,174841553	0,434081541	2,30371464	0,919117647
PLK2	0,047108217	-1,209596302	0,262	0,33	1	0,432389591	2,312729125	0,793939394
KLF6	2,07598E-06	-1,221485828	0,825	0,81	0,043805312	0,428840829	2,331867521	1,018518519
AMD1	6,18813E-05	-1,227138011	0,512	0,58	1	0,427164005	2,341021218	0,882758621
HERPUD1	2,4582E-09	-1,22799305	0,825	0,83	5,18706E-05	0,426910914	2,342409077	0,993975904

Supplementary Table 4

Differentially expressed genes_keloid-CCD_ comparing SC-Keloid vs. (SC-Myel, SC-Nonmyel)								
gene	p_val	avg_log2FC	pct.1	pct.2	p_val_adj	Foldchange_UP	Foldchange_DOWN	Ratio_pct1_pct2
PPP1R10	3,70128E-07	-1,228269384	0,525	0,66	0,007810066	0,426829151	2,342857786	0,795454545
ADD3	4,22347E-05	-1,230309268	0,3	0,48	0,891195408	0,426226067	2,34617279	0,625
IL6ST	4,38056E-07	-1,235743705	0,588	0,67	0,009243419	0,424623551	2,355027171	0,87761194
UBC	1,09313E-15	-1,243491218	1	0,99	2,3066E-11	0,422349363	2,367708079	1,01010101
TENT5A	0,002763106	-1,263984422	0,65	0,61	1	0,416392382	2,401580922	1,06557377
C2orf88	1,83796E-07	-1,267776608	0,025	0,33	0,003878273	0,415299314	2,407901885	0,075757576
DDIT3	0,000469482	-1,268475021	0,45	0,54	1	0,415098314	2,40906784	0,833333333
BTG1	7,95639E-14	-1,298178091	0,963	0,93	1,67888E-09	0,406639399	2,459181286	1,035483871
SORBS1	5,48643E-07	-1,303397438	0,312	0,56	0,011576918	0,405170927	2,468094165	0,557142857
HSPA2	0,048247142	-1,309670549	0,325	0,36	1	0,403412992	2,47884927	0,902777778
SERTAD2	2,86925E-07	-1,314428641	0,45	0,63	0,006054399	0,402084704	2,487038155	0,714285714
GPR155	1,11242E-06	-1,316866296	0,412	0,61	0,023473218	0,401405893	2,491243941	0,675409836
THSD7A	2,52298E-09	-1,322659765	0,112	0,5	5,32374E-05	0,399797189	2,501268209	0,224
BCL2	5,31134E-07	-1,331018995	0,062	0,36	0,011207456	0,397487392	2,515803067	0,172222222
CHL1	9,56721E-09	-1,340425948	0,013	0,36	0,000201878	0,394904045	2,532260714	0,036111111
GADD45A	0,002436393	-1,34270852	0,625	0,6	1	0,394279739	2,536270323	1,041666667
SERTAD1	2,47196E-10	-1,344968445	0,637	0,83	5,21608E-06	0,393662598	2,540246404	0,76746988
FTL	4,40143E-17	-1,345098909	1	1	9,28745E-13	0,393627001	2,54047613	1
PGM2L1	1,00208E-06	-1,346304787	0,613	0,69	0,021144905	0,393298125	2,542600478	0,888405797
MBNL2	3,40191E-09	-1,354035293	0,512	0,69	7,17838E-05	0,391196321	2,55626126	0,742028986
NFIB	1,27534E-07	-1,357581366	0,088	0,41	0,002691085	0,39023596	2,562552152	0,214634146
C11orf96	0,019291205	-1,386589898	0,438	0,48	1	0,382467775	2,614599363	0,9125
EIF5	1,06352E-15	-1,388512299	0,963	0,94	2,24413E-11	0,381958473	2,618085656	1,024468085
GPM6B	3,69383E-19	-1,413774675	1	1	7,79434E-15	0,37532839	2,664333492	1
EIF4A2	1,87305E-12	-1,415847821	0,812	0,84	3,95231E-08	0,374789432	2,668164879	0,966666667
HSPA1B	0,056424244	-1,417281184	0,85	0,67	1	0,374417252	2,670817104	1,268656716
HES1	0,005587436	-1,418960997	0,525	0,53	1	0,37398155	2,673928701	0,990566038
MTURN	1,36004E-06	-1,422875123	0,362	0,57	0,028698161	0,372968289	2,681193094	0,635087719
NR4A2	2,42639E-07	-1,43455364	0,475	0,67	0,005119927	0,369961323	2,702985252	0,708955224
DDX5	7,17044E-17	-1,435678883	0,988	0,96	1,51304E-12	0,369672881	2,705094291	1,029166667

Supplementary Table 4

Differentially expressed genes_keloid-CCD_ comparing SC-Keloid vs. (SC-Myel, SC-Nonmyel)								
gene	p_val	avg_log2FC	pct.1	pct.2	p_val_adj	Foldchange_UP	Foldchange_DOWN	Ratio_pct1_pct2
TCIM	0,000124772	-1,443242941	0,575	0,61	1	0,367739756	2,719314361	0,942622951
ZFP36L1	9,9542E-09	-1,459866339	0,662	0,79	0,000210044	0,363526807	2,750828769	0,837974684
ETS1	5,74144E-10	-1,472632256	0,525	0,73	1,2115E-05	0,360324272	2,775277927	0,719178082
TSC22D2	2,24367E-06	-1,474360343	0,5	0,63	0,047343699	0,359892928	2,778604198	0,793650794
ARID5A	2,90542E-06	-1,477523714	0,188	0,45	0,06130725	0,359104662	2,784703478	0,417777778
IFRD1	1,40512E-07	-1,490284369	0,637	0,72	0,00296495	0,355942382	2,809443465	0,884722222
RELN	5,5409E-11	-1,504034777	0,013	0,44	1,16919E-06	0,352565991	2,836348442	0,029545455
CEBPD	0,000501594	-1,508914764	0,212	0,4	1	0,351375434	2,845958776	0,53
FST	8,32756E-07	-1,511015585	0,325	0,56	0,017571989	0,350864141	2,850106017	0,580357143
PMP2	6,70525E-05	-1,513321932	0,537	0,6	1	0,350303685	2,854665948	0,895
CREB5	1,23499E-07	-1,514227268	0,662	0,69	0,002605953	0,350083927	2,856457903	0,95942029
MBP	0,024553368	-1,526089339	0,025	0,11	1	0,347217282	2,880040977	0,227272727
FOS	0,004470372	-1,527479332	0,863	0,78	1	0,34688291	2,882817148	1,106410256
HBP1	9,96448E-10	-1,53028464	0,438	0,69	2,1026E-05	0,346209054	2,888428215	0,634782609
COL28A1	8,73553E-10	-1,537316869	0	0,38	1,84328E-05	0,344525609	2,902541851	0
ID4	2,68042E-07	-1,546711434	0,55	0,7	0,005655955	0,342289411	2,921504342	0,785714286
RGCC	0,000220554	-1,549510795	0,4	0,55	1	0,341625887	2,927178644	0,727272727
LITAF	7,05045E-09	-1,552267538	0,512	0,68	0,000148772	0,340973722	2,932777327	0,752941176
LTBP4	1,57235E-09	-1,554307812	0,312	0,63	3,31783E-05	0,340491854	2,936927824	0,495238095
CTNNAL1	5,81675E-07	-1,571532918	0,525	0,64	0,012273926	0,336450713	2,972203542	0,8203125
KLF9	1,65787E-07	-1,574089656	0,5	0,67	0,003498277	0,335854984	2,977475539	0,746268657
SLC3A2	2,34592E-11	-1,58197993	0,812	0,85	4,95013E-07	0,334023166	2,993804325	0,955294118
PTX3	0,000468402	-1,589031684	0,388	0,5	1	0,332394477	3,008473573	0,776
TUBB2B	3,47152E-09	-1,590007135	0,362	0,65	7,32526E-05	0,332169811	3,010508384	0,556923077
HSP90AA1	5,72942E-11	-1,597900924	1	0,99	1,20897E-06	0,330357288	3,0270257	1,01010101
BGN	3,04115E-08	-1,608236217	0,138	0,48	0,000641713	0,327999105	3,048788808	0,2875
NFATC2	1,06296E-06	-1,630499305	0,35	0,57	0,022429618	0,322976409	3,096201372	0,614035088
MAFF	9,6892E-10	-1,640358129	0,525	0,71	2,04452E-05	0,320776836	3,117432081	0,73943662
IER3	8,67641E-13	-1,642198154	0,925	0,96	1,83081E-08	0,320367976	3,121410616	0,963541667
FOSB	4,47856E-08	-1,64314706	0,7	0,78	0,000945021	0,320157329	3,123464341	0,897435897

Supplementary Table 4

Differentially expressed genes_keloid-CCD_ comparing SC-Keloid vs. (SC-Myel, SC-Nonmyel)								
gene	p_val	avg_log2FC	pct.1	pct.2	p_val_adj	Foldchange_UP	Foldchange_DOWN	Ratio_pct1_pct2
IRF1	2,48033E-08	-1,65010723	0,575	0,72	0,000523375	0,318616474	3,138569662	0,798611111
BIRC3	1,02807E-07	-1,654633077	0,212	0,54	0,002169341	0,317618516	3,148431058	0,392592593
NFE2L2	7,22565E-10	-1,65509326	0,762	0,78	1,52468E-05	0,31751722	3,149435487	0,976923077
DLC1	4,9601E-11	-1,667808343	0,537	0,74	1,04663E-06	0,314731102	3,177315477	0,725675676
SFRP1	6,03222E-10	-1,673527364	0,05	0,45	1,27286E-05	0,313485938	3,189935744	0,111111111
ARID5B	6,97656E-06	-1,690994106	0,637	0,67	0,147212292	0,30971344	3,228791107	0,950746269
ZBTB20	2,86451E-11	-1,697886737	0,725	0,81	6,0444E-07	0,308237279	3,244253913	0,895061728
ANK3	1,04503E-09	-1,70564406	0,125	0,51	2,20512E-05	0,306584346	3,26174514	0,245098039
XKR4	1,1486E-09	-1,708632205	0,088	0,48	2,42366E-05	0,305949998	3,268507946	0,183333333
ZFP36L2	1,7285E-12	-1,723516913	0,825	0,87	3,6473E-08	0,30280965	3,302404663	0,948275862
NNMT	0,000261614	-1,725080525	0,15	0,35	1	0,302481639	3,305985794	0,428571429
DKK3	1,63454E-08	-1,732552908	0,175	0,51	0,000344905	0,300918997	3,323153439	0,343137255
NRN1	9,67739E-08	-1,737686179	0,55	0,67	0,002042027	0,299850196	3,334998655	0,820895522
AHR	2,36003E-07	-1,760257484	0,5	0,64	0,004979905	0,295195476	3,387585792	0,78125
HSPA1A	0,000136444	-1,761387492	0,963	0,86	1	0,294964351	3,390240198	1,119767442
HSPH1	4,5248E-08	-1,77578003	0,662	0,72	0,000954777	0,292036372	3,424231001	0,919444444
SOD2	0,000292516	-1,803957867	0,4	0,51	1	0,286387838	3,491768388	0,784313725
ABL2	1,04515E-08	-1,820376996	0,75	0,75	0,000220538	0,283146971	3,531734755	1
FXYD1	7,04359E-14	-1,86644646	0,637	0,83	1,48627E-09	0,274248102	3,646333352	0,76746988
BPGM	5,18449E-10	-1,869680544	0,525	0,72	1,09398E-05	0,273634009	3,654516492	0,729166667
KLF4	2,8418E-11	-1,877420065	0,338	0,69	5,99649E-07	0,272169995	3,674174291	0,489855072
DNAJA1	1,59987E-18	-1,903692188	0,925	0,96	3,37588E-14	0,267258514	3,741695582	0,963541667
TMEM176B	1,20185E-13	-1,910449201	0,112	0,66	2,53603E-09	0,266009707	3,759261307	0,16969697
TMEM176A	3,79621E-12	-1,922442407	0,075	0,56	8,01039E-08	0,26380752	3,790642516	0,133928571
MATN2	3,0838E-11	-1,93034428	0,475	0,73	6,50713E-07	0,262366553	3,811461439	0,650684932
NDRG2	1,97048E-15	-1,943723717	0,262	0,76	4,15791E-11	0,259944635	3,846973034	0,344736842
ADIRF	1,0258E-08	-1,966033759	0,188	0,56	0,000216455	0,255955736	3,906925535	0,335714286
GADD45B	4,2373E-16	-1,966987673	0,938	0,96	8,94112E-12	0,255786553	3,909509662	0,977083333
PLP1	8,3954E-15	-1,985991254	0,812	0,9	1,77151E-10	0,252439355	3,961347473	0,902222222
PPP1R15A	4,56786E-21	-1,98646498	0,9	0,98	9,63864E-17	0,252356477	3,962648442	0,918367347

Supplementary Table 4

Differentially expressed genes_keloid-CCD_comparing SC-Keloid vs. (SC-Myel, SC-Nonmyel)								
gene	p_val	avg_log2FC	pct.1	pct.2	p_val_adj	Foldchange_UP	Foldchange_DOWN	Ratio_pct1_pct2
DNAJB1	9,18538E-10	-2,035382916	0,912	0,85	1,93821E-05	0,243943185	4,099315176	1,072941176
CEBPB	4,51803E-16	-2,070787152	0,662	0,85	9,53349E-12	0,238029592	4,201158313	0,778823529
PCSK2	8,76227E-12	-2,100076909	0,062	0,52	1,84893E-07	0,233245813	4,287322397	0,119230769
JUN	6,91071E-11	-2,12178532	0,95	0,93	1,45823E-06	0,229762408	4,352322072	1,021505376
SAT1	3,38296E-09	-2,171044453	0,338	0,64	7,13839E-05	0,222049857	4,503493105	0,528125
COL14A1	3,2086E-10	-2,178134304	0,4	0,67	6,77047E-06	0,220961312	4,525679137	0,597014925
PNRC1	1,25799E-24	-2,179077907	0,625	0,98	2,65449E-20	0,220816838	4,528640153	0,637755102
CDH19	4,21925E-19	-2,180287694	0,863	0,96	8,90305E-15	0,220631748	4,532439285	0,898958333
SNCA	1,46996E-18	-2,192390172	0,2	0,77	3,10177E-14	0,218788654	4,57062093	0,25974026
ATF3	3,18937E-17	-2,285905338	0,475	0,87	6,72989E-13	0,205056682	4,876700381	0,545977011
SQSTM1	1,58625E-18	-2,320762997	0,8	0,9	3,34715E-14	0,200161582	4,995963708	0,888888889
CCN1	4,45772E-15	-2,348545231	0,588	0,88	9,40623E-11	0,196343912	5,093104189	0,668181818
SCN7A	6,96678E-16	-2,352813764	0,15	0,7	1,47006E-11	0,195763843	5,108195582	0,214285714
FGL2	6,76994E-09	-2,362073629	0,062	0,43	0,000142853	0,194511367	5,141087722	0,144186047
CRYAB	2,76929E-19	-2,418639612	0,988	0,96	5,84348E-15	0,187032435	5,346666208	1,029166667
MPZ	3,32148E-10	-2,437901849	0,225	0,65	7,00866E-06	0,184551856	5,418531257	0,346153846
RARRES2	8,12371E-18	-2,451708736	0,05	0,68	1,71418E-13	0,182794081	5,470636643	0,073529412
HSPA6	0,67744427	-2,480886601	0,188	0,18	1	0,179134286	5,58240425	1,044444444
NRXN1	4,94836E-24	-3,109310154	0,212	0,89	1,04415E-19	0,115878904	8,629698489	0,238202247
CCL2	2,51312E-07	-3,560195593	0,162	0,48	0,005302933	0,084776276	11,79575284	0,3375

Supplementary Table 5

Differentially expressed genes_total calculation_ comparing SC-Keloid vs. (SC-Myel, SC-Nonmyel)								
gene	p_val	avg_log2FC	pct.1	pct.2	p_val_adj	Foldchange_UP	Foldchange_DOWN	Ratio_pct1_pct2
TGFBI	5,4254E-157	3,9142699	0,689	0,031	1,1448E-152	15,07692072	0,066326541	22,22580645
IGFBP3	2,1896E-125	3,623292358	0,596	0,028	4,6202E-121	12,32309178	0,081148466	21,28571429
IBSP	7,03777E-47	3,041607221	0,256	0,005	1,48504E-42	8,234078603	0,121446497	51,2
IGFBP5	8,3086E-213	2,938763044	0,986	0,569	1,7532E-208	7,667536046	0,130419993	1,732864675
COL1A1	2,2691E-135	2,504172227	0,858	0,505	4,788E-131	5,673237367	0,176266201	1,699009901
CCN3	3,72269E-82	2,458134656	0,568	0,129	7,85525E-78	5,495057797	0,181981707	4,403100775
TAGLN	3,88557E-60	2,38256811	0,428	0,08	8,19895E-56	5,214641635	0,191767732	5,35
COL7A1	4,3247E-77	2,35507468	0,482	0,071	9,12554E-73	5,116207155	0,195457293	6,788732394
ELN	3,6153E-57	2,230519265	0,447	0,11	7,62865E-53	4,693028642	0,213082015	4,063636364
ATOX1	7,35647E-70	2,21901903	0,567	0,193	1,55229E-65	4,655767549	0,214787356	2,937823834
SPARCL1	2,04561E-89	2,217783107	0,757	0,365	4,31644E-85	4,651780771	0,214971438	2,073972603
S100A4	2,2655E-101	2,208559288	0,896	0,665	4,78052E-97	4,622134648	0,216350253	1,347368421
S100A6	1,1638E-225	2,182991865	0,999	0,974	2,4558E-221	4,540942804	0,220218585	1,025667351
PTN	2,1761E-126	2,126556702	0,874	0,56	4,5918E-122	4,366740206	0,229003777	1,560714286
TPM2	2,07177E-49	2,103962793	0,414	0,106	4,37165E-45	4,298885823	0,232618413	3,905660377
ITGB1	3,6323E-133	2,100228278	0,891	0,73	7,6646E-129	4,287772252	0,233221342	1,220547945
PPP1R14B	5,36656E-67	2,099050849	0,61	0,275	1,1324E-62	4,284274294	0,233411759	2,218181818
MYL6	1,24E-144	2,097600275	0,905	0,78	2,6165E-140	4,279968786	0,233646564	1,16025641
CSRP2	1,18306E-50	2,087842339	0,399	0,088	2,49638E-46	4,2511181	0,235232232	4,534090909
S100A13	4,91823E-64	2,069656286	0,622	0,313	1,0378E-59	4,197866498	0,238216246	1,987220447
LSM7	1,42662E-63	2,043179313	0,607	0,28	3,01031E-59	4,121528048	0,242628459	2,167857143
FABP5	1,3676E-55	2,018973627	0,542	0,206	2,88576E-51	4,05295351	0,246733647	2,631067961
COL12A1	2,10651E-49	2,010125868	0,504	0,197	4,44495E-45	4,028173622	0,248251464	2,558375635
S100A16	5,46546E-63	2,007756015	0,577	0,252	1,15327E-58	4,021562147	0,248659591	2,28968254
TNC	1,20429E-67	1,964017745	0,639	0,293	2,54118E-63	3,901469834	0,256313657	2,180887372
COL8A1	2,42012E-60	1,958983909	0,522	0,168	5,1067E-56	3,887880589	0,257209546	3,107142857
COL6A1	2,01681E-83	1,904860859	0,78	0,536	4,25567E-79	3,744727811	0,267042106	1,455223881
POSTN	3,83097E-28	1,892523488	0,277	0,075	8,08373E-24	3,712840882	0,269335539	3,693333333
SEM1	9,7043E-63	1,879455604	0,644	0,336	2,0477E-58	3,679361946	0,271786254	1,916666667
NES	1,82782E-57	1,872988698	0,559	0,235	3,85689E-53	3,662906051	0,273007275	2,378723404

Supplementary Table 5

Differentially expressed genes_total calculation_ comparing SC-Keloid vs. (SC-Myel, SC-Nonmyel)								
gene	p_val	avg_log2FC	pct.1	pct.2	p_val_adj	Foldchange_UP	Foldchange_DOWN	Ratio_pct1_pct2
TMSB10	2,8643E-174	1,872289085	0,985	0,931	6,044E-170	3,661130211	0,273139698	1,058002148
ATP5F1E	1,3437E-111	1,865767165	0,845	0,636	2,8354E-107	3,644616874	0,274377262	1,328616352
PMEPA1	2,83317E-97	1,845875787	0,803	0,459	5,97827E-93	3,594710995	0,27818648	1,749455338
CDH6	1,05234E-45	1,802766902	0,426	0,121	2,22053E-41	3,488887075	0,286624353	3,520661157
ENC1	8,87847E-52	1,7984831	0,34	0,038	1,87345E-47	3,478542868	0,287476693	8,947368421
CALB2	1,14779E-48	1,788951916	0,254	0	2,42195E-44	3,455637574	0,289382199	#DIV/0!
FN1	3,37652E-52	1,786284914	0,66	0,431	7,1248E-48	3,449255297	0,289917653	1,531322506
DYNLT1	3,46251E-46	1,778609139	0,438	0,136	7,30625E-42	3,430952467	0,291464254	3,220588235
COL6A3	1,28336E-37	1,770590414	0,251	0,026	2,70802E-33	3,411935595	0,293088768	9,653846154
PSMA7	4,80704E-55	1,758435368	0,666	0,411	1,01433E-50	3,383309991	0,295568542	1,620437956
CYTL1	5,39023E-50	1,739533845	0,334	0,039	1,13739E-45	3,339272539	0,299466422	8,564102564
TNFAIP6	1,83396E-48	1,729405711	0,654	0,429	3,86984E-44	3,315911979	0,30157616	1,524475524
PPIB	2,56566E-74	1,718194903	0,758	0,562	5,41381E-70	3,290244745	0,303928758	1,348754448
TXNDC17	6,95269E-41	1,677305596	0,397	0,117	1,46709E-36	3,198300724	0,312666033	3,393162393
PHLDA2	4,49561E-44	1,663866484	0,413	0,117	9,48619E-40	3,168645983	0,315592214	3,52991453
TNFRSF12A	2,1923E-57	1,659613097	0,673	0,379	4,62597E-53	3,159317866	0,316524023	1,775725594
SEC61G	4,72705E-33	1,654804981	0,569	0,376	9,97454E-29	3,148806231	0,317580672	1,513297872
LOXL2	6,47717E-50	1,653804419	0,312	0,027	1,36675E-45	3,146623177	0,317801002	11,55555556
PLCG2	1,74879E-23	1,645007852	0,196	0,035	3,69013E-19	3,127495594	0,319744655	5,6
TPM4	2,67702E-52	1,638875882	0,671	0,46	5,64878E-48	3,11423083	0,321106576	1,458695652
PHPT1	1,93024E-37	1,636819793	0,533	0,29	4,073E-33	3,109795674	0,321564535	1,837931034
MYL12A	1,28482E-57	1,608633787	0,707	0,548	2,71111E-53	3,049629092	0,327908729	1,290145985
SH3BGR13	2,03909E-30	1,600883406	0,482	0,284	4,30268E-26	3,033289941	0,329675046	1,697183099
NDUFA4	1,01987E-73	1,568945627	0,775	0,559	2,15203E-69	2,966878048	0,337054636	1,386404293
COL1A2	6,22127E-76	1,568115838	0,832	0,673	1,31275E-71	2,965172091	0,337248554	1,236255572
COL5A2	1,53972E-36	1,557039366	0,524	0,284	3,24896E-32	2,94249378	0,339847787	1,845070423
S100A11	1,57634E-86	1,550398805	0,861	0,712	3,32624E-82	2,92898094	0,341415673	1,209269663
CDH2	8,22634E-43	1,528656083	0,366	0,081	1,73584E-38	2,885169511	0,346600086	4,518518519
MMP15	2,23606E-41	1,524944099	0,312	0,052	4,71832E-37	2,877755651	0,347493019	6
PLS3	9,36298E-35	1,496820746	0,441	0,183	1,97568E-30	2,822201009	0,354333372	2,409836066

Supplementary Table 5

Differentially expressed genes_total calculation_ comparing SC-Keloid vs. (SC-Myel, SC-Nonmyel)								
gene	p_val	avg_log2FC	pct.1	pct.2	p_val_adj	Foldchange_UP	Foldchange_DOWN	Ratio_pct1_pct2
COX7A2	6,22933E-41	1,495930917	0,634	0,44	1,31445E-36	2,820460861	0,354551986	1,440909091
NDUFB2	3,93373E-31	1,473754555	0,536	0,328	8,30055E-27	2,777437708	0,360044078	1,634146341
PDLIM7	5,41625E-35	1,464756939	0,374	0,123	1,14288E-30	2,760169642	0,362296572	3,040650407
DNAJC15	4,27122E-36	1,456628954	0,381	0,113	9,0127E-32	2,744662873	0,364343472	3,371681416
S100A10	2,5316E-131	1,435622217	0,978	0,919	5,3419E-127	2,704988043	0,369687401	1,064200218
ANAPC11	7,1166E-28	1,426044456	0,441	0,221	1,50167E-23	2,687089652	0,372149846	1,995475113
RPS26	3,60778E-42	1,422413676	0,685	0,526	7,61277E-38	2,68033565	0,373087602	1,302281369
FKBP2	2,88061E-22	1,420254644	0,36	0,167	6,07838E-18	2,676327456	0,373646356	2,155688623
CCND1	5,09012E-23	1,416075458	0,464	0,301	1,07407E-18	2,668585912	0,3747303	1,541528239
CALD1	9,91355E-34	1,402492994	0,614	0,471	2,09186E-29	2,643580014	0,378274913	1,303609342
EMP3	7,51445E-43	1,390010909	0,673	0,491	1,58562E-38	2,620806626	0,381561917	1,370672098
C4orf48	7,72039E-24	1,384553782	0,353	0,149	1,62908E-19	2,610911908	0,383007943	2,369127517
SEC61B	1,54859E-34	1,38430555	0,63	0,469	3,26768E-30	2,610462709	0,38307385	1,343283582
COX6C	2,35615E-37	1,377732493	0,667	0,501	4,97171E-33	2,598596245	0,384823153	1,331337325
LYPD1	2,63286E-39	1,37531459	0,283	0,038	5,5556E-35	2,594244742	0,385468643	7,447368421
COL5A1	5,14997E-29	1,350883283	0,419	0,183	1,08669E-24	2,55068242	0,392051944	2,289617486
SCRG1	9,89767E-16	1,348515859	0,263	0,115	2,08851E-11	2,54650025	0,392695818	2,286956522
ELOB	1,28757E-37	1,343784033	0,646	0,491	2,7169E-33	2,538161788	0,393985917	1,315682281
HMCN2	1,73176E-42	1,343152098	0,248	0,011	3,65419E-38	2,537050257	0,39415853	22,54545455
PRRX1	9,95244E-31	1,334699306	0,276	0,058	2,10006E-26	2,522229066	0,396474695	4,75862069
MGST3	2,34342E-27	1,327495127	0,555	0,369	4,94485E-23	2,509665569	0,398459465	1,504065041
NID1	2,04832E-21	1,31820662	0,313	0,125	4,32217E-17	2,493559485	0,401033144	2,504
PRDX4	2,56556E-22	1,311166826	0,373	0,178	5,41359E-18	2,481421518	0,402994813	2,095505618
RPS27L	5,89758E-16	1,303320304	0,517	0,398	1,24445E-11	2,46796221	0,40519259	1,298994975
NDUFS5	6,22494E-30	1,301422649	0,617	0,476	1,31352E-25	2,4647181	0,405725912	1,296218487
ADAMTS16	2,65168E-36	1,288555253	0,228	0,016	5,5953E-32	2,442833023	0,409360767	14,25
ACTB	2,96152E-76	1,288251538	0,902	0,881	6,24911E-72	2,442318813	0,409446955	1,023836549
IL1RAP	1,77119E-22	1,27389977	0,306	0,113	3,73738E-18	2,418143347	0,413540414	2,707964602
ABHD2	9,2272E-28	1,261886094	0,341	0,114	1,94703E-23	2,398090482	0,416998444	2,99122807
UQCRCQ	1,37028E-18	1,26004869	0,477	0,319	2,89143E-14	2,395038239	0,417529868	1,495297806

Supplementary Table 5

Differentially expressed genes_total calculation_ comparing SC-Keloid vs. (SC-Myel, SC-Nonmyel)								
gene	p_val	avg_log2FC	pct.1	pct.2	p_val_adj	Foldchange_UP	Foldchange_DOWN	Ratio_pct1_pct2
ISLR	1,49131E-36	1,254767693	0,219	0,011	3,1468E-32	2,386287208	0,41906104	19,90909091
IGFBP2	7,80927E-10	1,254363611	0,225	0,121	1,64783E-05	2,385618931	0,419178431	1,859504132
CYTOR	2,55005E-25	1,253372794	0,327	0,119	5,38087E-21	2,383981093	0,419466414	2,74789916
CRLF1	1,04654E-21	1,249467123	0,213	0,052	2,20831E-17	2,377535895	0,420603534	4,096153846
OSTC	2,64766E-17	1,239020341	0,388	0,224	5,58684E-13	2,360381966	0,423660244	1,732142857
POMP	3,21312E-20	1,23426089	0,494	0,33	6,78001E-16	2,352607897	0,425060207	1,496969697
VCAN	9,33532E-26	1,232737692	0,261	0,066	1,96985E-21	2,350125323	0,425509223	3,954545455
HSBP1	9,97239E-22	1,225520639	0,563	0,438	2,10427E-17	2,338398225	0,427643157	1,285388128
DSEL	2,8591E-23	1,194958014	0,293	0,098	6,03299E-19	2,289381694	0,43679916	2,989795918
MYLK	4,78758E-30	1,18547429	0,211	0,023	1,01023E-25	2,274381533	0,439679968	9,173913043
NDUFAB1	1,90484E-14	1,183246127	0,383	0,233	4,0194E-10	2,270871587	0,440359554	1,643776824
ARPC5	4,81327E-23	1,181312191	0,59	0,48	1,01565E-18	2,267829518	0,440950253	1,229166667
TXNL4A	3,58684E-20	1,180096456	0,342	0,157	7,56859E-16	2,265919261	0,441321991	2,178343949
RPS4Y1	1,05327E-13	1,178499874	0,255	0,121	2,2225E-09	2,263413031	0,441810658	2,107438017
TMEM167A	1,9282E-19	1,177944243	0,331	0,147	4,0687E-15	2,262541481	0,441980847	2,25170068
KRT10	1,21024E-24	1,17542589	0,603	0,472	2,55374E-20	2,258595459	0,442753038	1,277542373
MRPL52	3,5676E-17	1,166335154	0,328	0,159	7,528E-13	2,244408301	0,445551729	2,062893082
MIR4435-2HG	3,45132E-22	1,16439485	0,233	0,06	7,28262E-18	2,241391789	0,446151362	3,883333333
CALU	1,41268E-20	1,164322345	0,553	0,431	2,98089E-16	2,241279147	0,446173785	1,283062645
SDCCAG8	5,15328E-19	1,162384304	0,282	0,109	1,08739E-14	2,238270352	0,446773554	2,587155963
ANXA5	3,033E-50	1,151087802	0,773	0,697	6,39994E-46	2,220812822	0,450285585	1,109038737
AP2S1	2,60241E-18	1,148957529	0,35	0,179	5,49134E-14	2,217536005	0,450950964	1,955307263
OST4	2,12044E-21	1,144930692	0,553	0,461	4,47434E-17	2,211355069	0,452211413	1,199566161
ATP5PF	5,42767E-15	1,142823472	0,512	0,421	1,14529E-10	2,208127492	0,452872402	1,216152019
CD151	9,49193E-21	1,140366314	0,518	0,398	2,00289E-16	2,204369871	0,453644378	1,301507538
ABI2	2,82482E-11	1,135677026	0,304	0,175	5,96065E-07	2,197216492	0,455121288	1,737142857
PSMB1	3,60159E-17	1,133114369	0,48	0,341	7,59971E-13	2,193317044	0,455930438	1,407624633
SLIRP	4,65933E-12	1,132995811	0,338	0,206	9,83164E-08	2,193136809	0,455967907	1,640776699
ATP5MC3	4,70053E-15	1,132169064	0,48	0,349	9,91859E-11	2,191880376	0,456229277	1,375358166
SSBP1	2,84725E-15	1,131707629	0,377	0,22	6,00798E-11	2,191179432	0,456375222	1,713636364

Supplementary Table 5

Differentially expressed genes_total calculation_ comparing SC-Keloid vs. (SC-Myel, SC-Nonmyel)								
gene	p_val	avg_log2FC	pct.1	pct.2	p_val_adj	Foldchange_UP	Foldchange_DOWN	Ratio_pct1_pct2
APRT	3,17896E-18	1,130630138	0,392	0,22	6,70792E-14	2,189543539	0,456716198	1,781818182
SERPINE2	1,49393E-18	1,129131945	0,35	0,17	3,15234E-14	2,187270947	0,457190729	2,058823529
PDGFC	1,56E-23	1,128475275	0,236	0,057	3,29175E-19	2,186275597	0,457398876	4,140350877
VAMP5	3,28945E-16	1,123250079	0,399	0,248	6,94108E-12	2,1783716	0,4590585	1,608870968
PDCD5	4,62336E-16	1,118502686	0,392	0,235	9,75574E-12	2,17121514	0,460571586	1,668085106
GNG5	3,27554E-20	1,114130984	0,567	0,463	6,91171E-16	2,164645811	0,461969341	1,22462203
RPL22L1	7,17272E-10	1,109723241	0,438	0,342	1,51351E-05	2,158042446	0,463382915	1,280701754
RAPH1	2,66236E-18	1,10794623	0,207	0,058	5,61784E-14	2,155385956	0,46395403	3,568965517
MMP14	3,03422E-15	1,106597933	0,368	0,209	6,40252E-11	2,153372542	0,464387829	1,76076555
SH3GLB1	1,72012E-14	1,098588424	0,384	0,231	3,62962E-10	2,14145064	0,466973173	1,662337662
TMEM160	2,86185E-17	1,097295975	0,298	0,132	6,03879E-13	2,139533065	0,467391702	2,257575758
ATP5MF	9,06246E-17	1,094216718	0,455	0,315	1,91227E-12	2,134971362	0,468390358	1,444444444
PLAC9	2,60124E-11	1,093416229	0,357	0,231	5,48888E-07	2,133787088	0,468650319	1,545454545
ADAMTSL1	6,14767E-27	1,090272456	0,256	0,057	1,29722E-22	2,12914242	0,469672668	4,49122807
NDUFA1	1,75653E-12	1,088827348	0,492	0,393	3,70645E-08	2,127010785	0,470143361	1,251908397
GADD45GIP1	1,94725E-12	1,088469002	0,363	0,228	4,10888E-08	2,126482529	0,470260153	1,592105263
SNRPD1	1,09659E-13	1,086480849	0,341	0,193	2,31392E-09	2,123554078	0,470908657	1,766839378
LGALS1	1,61636E-61	1,083467954	0,937	0,923	3,41067E-57	2,11912392	0,471893121	1,015167931
VDAC1	1,00832E-13	1,077002104	0,353	0,206	2,12766E-09	2,10964771	0,474012791	1,713592233
CALR	2,85934E-16	1,071320372	0,542	0,483	6,03349E-12	2,101355674	0,475883266	1,122153209
PPFIBP1	1,06476E-15	1,070339161	0,456	0,313	2,24676E-11	2,099926978	0,476207035	1,45686901
CLIC1	3,65205E-22	1,068138608	0,579	0,493	7,70618E-18	2,096726386	0,476933951	1,174442191
ARPC3	2,61664E-13	1,067758775	0,455	0,349	5,52138E-09	2,096174432	0,477059535	1,303724928
ROMO1	3,48597E-12	1,066964293	0,411	0,278	7,35575E-08	2,095020402	0,477322321	1,478417266
COL11A1	6,52114E-23	1,066286727	0,173	0,023	1,37603E-18	2,094036699	0,477546549	7,52173913
FRMD4A	3,1872E-16	1,062662714	0,382	0,213	6,72532E-12	2,088783134	0,478747642	1,79342723
MYH9	1,46554E-14	1,062596263	0,305	0,156	3,09244E-10	2,088686927	0,478769694	1,955128205
DBI	6,72558E-20	1,054704421	0,611	0,502	1,41917E-15	2,077292567	0,48139584	1,217131474
CIAO2B	6,35288E-11	1,05448934	0,452	0,36	1,34052E-06	2,076982902	0,481467613	1,255555556
BEX3	1,03406E-13	1,050555264	0,485	0,383	2,18197E-09	2,071326906	0,482782316	1,266318538

Supplementary Table 5

Differentially expressed genes_total calculation_ comparing SC-Keloid vs. (SC-Myel, SC-Nonmyel)								
gene	p_val	avg_log2FC	pct.1	pct.2	p_val_adj	Foldchange_UP	Foldchange_DOWN	Ratio_pct1_pct2
CALM1	2,57932E-44	1,050027739	0,793	0,748	5,44262E-40	2,070569658	0,482958878	1,060160428
SEC11A	2,89532E-12	1,049410246	0,481	0,379	6,10941E-08	2,069683616	0,483165636	1,269129288
NDUFA12	1,12972E-15	1,048470645	0,386	0,225	2,38382E-11	2,068336108	0,483480415	1,715555556
RAB13	1,86212E-16	1,042474363	0,414	0,271	3,92926E-12	2,05975731	0,485494089	1,527675277
PDIA4	1,31272E-16	1,042369396	0,32	0,152	2,76997E-12	2,059607453	0,485529414	2,105263158
UQCR11	1,17119E-13	1,03469031	0,444	0,324	2,47134E-09	2,048673829	0,48812065	1,37037037
PTPRZ1	7,28635E-18	1,031010373	0,537	0,368	1,53749E-13	2,043454857	0,489367307	1,45923913
COX17	6,67778E-08	1,025388179	0,321	0,221	0,001409078	2,035506994	0,491278096	1,452488688
CTHRC1	3,00029E-21	1,022765491	0,177	0,03	6,33091E-17	2,03180999	0,492172007	5,9
ACTR2	3,9999E-12	1,021686536	0,341	0,205	8,44018E-08	2,030291019	0,492540227	1,663414634
RPL12	1,62385E-67	1,021619248	0,91	0,882	3,42649E-63	2,030196327	0,4925632	1,031746032
MMP2	8,95608E-20	1,019701049	0,261	0,09	1,88982E-15	2,027498784	0,493218545	2,9
TIMM8B	9,92927E-16	1,009355481	0,322	0,157	2,09518E-11	2,013011594	0,496768128	2,050955414
SWI5	4,94454E-17	1,006489188	0,25	0,092	1,04335E-12	2,009016187	0,497756069	2,717391304
TBCA	6,88281E-10	1,001535433	0,518	0,467	1,45234E-05	2,002129695	0,499468143	1,109207709
KCNMA1	4,30743E-19	1,001367615	0,268	0,094	9,08911E-15	2,001896816	0,499526245	2,85106383
CCN2	1,00578E-15	0,999775746	0,324	0,157	2,12231E-11	1,999689142	0,500077727	2,063694268
NOP10	2,46518E-12	0,998021672	0,336	0,195	5,20177E-08	1,997259335	0,500686106	1,723076923
SSR4	9,34992E-14	0,996679998	0,513	0,441	1,97293E-09	1,995402792	0,50115195	1,163265306
GPC1	1,9069E-11	0,99168356	0,434	0,342	4,02375E-07	1,988504131	0,502890582	1,269005848
P3H2	5,61103E-26	0,987779366	0,204	0,03	1,18398E-21	1,983130155	0,504253338	6,8
LIF	3,71211E-17	0,987734458	0,133	0,019	7,83292E-13	1,983068424	0,504269035	7
FKBP3	5,79472E-17	0,987177914	0,271	0,109	1,22274E-12	1,98230357	0,504463602	2,486238532
THBS2	9,58363E-18	0,98519679	0,246	0,087	2,02224E-13	1,979583318	0,505156813	2,827586207
COX7B	5,7598E-09	0,98275648	0,469	0,398	0,000121538	1,976237695	0,506012006	1,17839196
PLOD1	1,21982E-21	0,981405473	0,233	0,061	2,57394E-17	1,974387921	0,506486081	3,819672131
RNF7	6,79662E-13	0,981168099	0,317	0,175	1,43416E-08	1,974063091	0,506569422	1,811428571
KIRREL3	1,17254E-17	0,97987388	0,239	0,081	2,47417E-13	1,972292984	0,507024062	2,950617284
NDUFB1	2,8593E-09	0,978407917	0,39	0,277	6,0334E-05	1,9702899	0,507539525	1,407942238
NDUFS6	6,36903E-10	0,977765322	0,39	0,282	1,34393E-05	1,969412502	0,50776564	1,382978723

Supplementary Table 5

Differentially expressed genes_total calculation_ comparing SC-Keloid vs. (SC-Myel, SC-Nonmyel)								
gene	p_val	avg_log2FC	pct.1	pct.2	p_val_adj	Foldchange_UP	Foldchange_DOWN	Ratio_pct1_pct2
SPCS3	2,8956E-09	0,977478674	0,289	0,174	6,11001E-05	1,96902124	0,507866538	1,66091954
TIMM13	1,75848E-11	0,977045219	0,335	0,205	3,71057E-07	1,96842974	0,508019148	1,634146341
CMYA5	2,51398E-11	0,976583351	0,229	0,106	5,30475E-07	1,967799664	0,508181813	2,160377358
TIMP1	2,34983E-24	0,971940018	0,702	0,657	4,95839E-20	1,961476455	0,509820038	1,068493151
COL6A2	1,51528E-11	0,971230335	0,526	0,516	3,19739E-07	1,960511813	0,510070887	1,019379845
MEF2C	7,66057E-14	0,971123887	0,37	0,213	1,61646E-09	1,960367164	0,510108524	1,737089202
PARK7	8,48926E-17	0,968671253	0,532	0,41	1,79132E-12	1,9570373	0,510976464	1,297560976
SPCS1	3,11305E-10	0,968647969	0,445	0,353	6,56886E-06	1,957005715	0,510984711	1,260623229
MTPN	1,9862E-11	0,962982917	0,328	0,194	4,19109E-07	1,949336179	0,512995147	1,690721649
RPS23	1,34011E-60	0,955017416	0,916	0,883	2,82776E-56	1,938603037	0,515835362	1,037372593
RPL11	3,72917E-64	0,955004833	0,931	0,917	7,86893E-60	1,938586128	0,515839862	1,015267176
MRPL41	2,93531E-13	0,9514451	0,369	0,22	6,19379E-09	1,933808721	0,517114226	1,677272727
BBLN	1,102E-11	0,944949665	0,362	0,233	2,32532E-07	1,925121719	0,519447675	1,553648069
NAA38	9,12883E-11	0,943829228	0,34	0,214	1,92628E-06	1,923627196	0,519851249	1,588785047
UQCRH	1,99992E-10	0,942596253	0,477	0,407	4,22004E-06	1,921983903	0,520295721	1,171990172
RNASEH2C	2,36953E-09	0,941270468	0,272	0,156	4,99994E-05	1,92021848	0,520774074	1,743589744
DCBLD2	5,26569E-09	0,938952734	0,288	0,175	0,000111111	1,917136067	0,521611386	1,645714286
COX6A1	1,2636E-10	0,936082979	0,504	0,436	2,66631E-06	1,913326361	0,522649988	1,155963303
PSMA4	2,43701E-10	0,932658838	0,367	0,244	5,14234E-06	1,908790592	0,523891937	1,504098361
AKAP12	1,60688E-11	0,931987942	0,278	0,148	3,39068E-07	1,907903155	0,524135618	1,878378378
HSP90B1	1,24936E-21	0,931966457	0,673	0,624	2,63626E-17	1,907874741	0,524143424	1,078525641
ATP5MJ	2,39818E-10	0,931169358	0,371	0,251	5,06041E-06	1,90682092	0,524433097	1,478087649
MYDGF	7,25194E-09	0,9299357	0,386	0,296	0,000153023	1,905191081	0,524881735	1,304054054
FHDC1	1,41128E-18	0,922483087	0,192	0,046	2,97793E-14	1,895374702	0,527600162	4,173913043
PDIA6	7,81694E-10	0,920902136	0,46	0,372	1,64945E-05	1,893298828	0,52817864	1,23655914
MICOS13	1,12229E-09	0,920298561	0,328	0,209	2,36814E-05	1,892506901	0,528399659	1,56937799
GUK1	2,35883E-11	0,91599462	0,485	0,419	4,97736E-07	1,886869466	0,529978368	1,1575179
MTRNR2L12	1,89253E-06	0,915267065	0,094	0,037	0,039934346	1,885918152	0,530245705	2,540540541
SEPTIN7	3,62894E-14	0,914221305	0,594	0,535	7,65743E-10	1,884551611	0,530630201	1,110280374
UQCC2	1,10462E-12	0,912590142	0,253	0,115	2,33086E-08	1,882422072	0,53123049	2,2

Supplementary Table 5

Differentially expressed genes_total calculation_ comparing SC-Keloid vs. (SC-Myel, SC-Nonmyel)								
gene	p_val	avg_log2FC	pct.1	pct.2	p_val_adj	Foldchange_UP	Foldchange_DOWN	Ratio_pct1_pct2
IFI27L2	8,10502E-11	0,912109766	0,393	0,271	1,71024E-06	1,881795384	0,531407404	1,450184502
LOXL3	1,82345E-20	0,911640265	0,249	0,075	3,84767E-16	1,881183085	0,53158037	3,32
COL5A3	8,12689E-09	0,910240081	0,364	0,258	0,000171485	1,879358219	0,532096537	1,410852713
ACTN1	2,14753E-13	0,908737831	0,333	0,182	4,53151E-09	1,877402299	0,532650887	1,82967033
RPS7	2,65271E-42	0,908265324	0,857	0,859	5,59747E-38	1,876787518	0,532825368	0,997671711
HINT1	5,13207E-13	0,9070638	0,561	0,501	1,08292E-08	1,875225119	0,533269307	1,119760479
TIMP4	3,40124E-16	0,905717811	0,249	0,095	7,17696E-12	1,873476409	0,533767063	2,621052632
SCX	3,28893E-17	0,905587057	0,147	0,026	6,93996E-13	1,873306619	0,533815441	5,653846154
BAX	1,56423E-09	0,901745754	0,296	0,178	3,30069E-05	1,868325411	0,535238666	1,662921348
RCN2	1,93424E-08	0,901561969	0,371	0,267	0,000408144	1,868087419	0,535306854	1,389513109
CBX3	1,75463E-06	0,897068298	0,376	0,297	0,037024429	1,862277799	0,536976814	1,265993266
SHTN1	8,46056E-17	0,896750874	0,176	0,043	1,78526E-12	1,861868103	0,537094974	4,093023256
POLR2L	3,17067E-10	0,890933358	0,469	0,398	6,69044E-06	1,854375432	0,539265125	1,17839196
FABP7	2,31295E-18	0,887240717	0,149	0,023	4,88057E-14	1,849635146	0,540647166	6,47826087
MXRA5	5,85431E-21	0,886519505	0,15	0,016	1,23532E-16	1,848710733	0,540917507	9,375
RPL26L1	1,21856E-11	0,878457769	0,239	0,111	2,57127E-07	1,838409004	0,543948598	2,153153153
LRRFIP1	2,7829E-13	0,878375311	0,246	0,109	5,8722E-09	1,838303932	0,543979688	2,256880734
SNRPD2	4,66489E-07	0,877626676	0,38	0,289	0,009843393	1,837350257	0,544262041	1,314878893
UBL5	2,43965E-12	0,872894302	0,574	0,522	5,14791E-08	1,831333197	0,546050277	1,099616858
COX4I1	8,30311E-14	0,87267649	0,589	0,54	1,75204E-09	1,831056731	0,546132724	1,090740741
NDUFB10	3,72075E-10	0,870713623	0,416	0,299	7,85117E-06	1,82856717	0,546876274	1,391304348
SERPINE1	8,12636E-17	0,870136959	0,197	0,056	1,71474E-12	1,827836414	0,547094911	3,517857143
LIMA1	2,90927E-09	0,869021743	0,338	0,218	6,13884E-05	1,826424025	0,547517984	1,550458716
MRPL20	5,38787E-10	0,866521029	0,325	0,201	1,13689E-05	1,823260912	0,548467854	1,616915423
STX8	1,40545E-13	0,863469012	0,24	0,103	2,96563E-09	1,819407887	0,549629364	2,330097087
COL4A1	1,87268E-16	0,863419292	0,661	0,655	3,95155E-12	1,819345185	0,549648307	1,009160305
NDUFB3	8,86053E-11	0,859203243	0,284	0,153	1,86966E-06	1,814036196	0,551256917	1,85620915
GLIPR1	8,3528E-25	0,844079785	0,162	0,012	1,76252E-20	1,795119374	0,557066017	13,5
PRELID1	1,87042E-08	0,84370435	0,314	0,205	0,000394677	1,794652288	0,557211002	1,531707317
TMEM208	1,59311E-10	0,842514506	0,234	0,115	3,36162E-06	1,793172781	0,557670745	2,034782609

Supplementary Table 5

Differentially expressed genes_total calculation_ comparing SC-Keloid vs. (SC-Myel, SC-Nonmyel)								
gene	p_val	avg_log2FC	pct.1	pct.2	p_val_adj	Foldchange_UP	Foldchange_DOWN	Ratio_pct1_pct2
MRPL51	7,16574E-09	0,840324742	0,389	0,28	0,000151204	1,790453117	0,558517836	1,389285714
MT-CO1	2,14045E-29	0,839854453	0,861	0,79	4,51657E-25	1,78986956	0,558699931	1,089873418
NDUFC1	1,10293E-06	0,839681354	0,446	0,373	0,023272879	1,78965482	0,558766969	1,195710456
STMP1	8,124E-12	0,838209102	0,312	0,172	1,71425E-07	1,787829431	0,559337475	1,813953488
CD276	5,6763E-19	0,837780494	0,248	0,081	1,19776E-14	1,787298366	0,559503673	3,061728395
SF3B5	7,46747E-09	0,83769593	0,356	0,246	0,000157571	1,787193607	0,559536469	1,447154472
RPL7A	8,71957E-42	0,837486708	0,861	0,858	1,83992E-37	1,786934443	0,55961762	1,003496503
MRPS34	7,63347E-08	0,836224893	0,241	0,141	0,001610739	1,785372233	0,560107288	1,709219858
TPST2	1,82922E-22	0,832908712	0,194	0,035	3,85983E-18	1,781273086	0,561396233	5,542857143
NIFK	2,13485E-09	0,830606758	0,214	0,107	4,50475E-05	1,778433166	0,562292708	2
ANGPTL2	4,48555E-13	0,828028032	0,25	0,111	9,46495E-09	1,775257168	0,563298669	2,252252252
PDGFA	2,83237E-06	0,827322029	0,467	0,417	0,059765853	1,774388633	0,563574395	1,119904077
RPL39	1,21334E-38	0,827011843	0,893	0,837	2,56027E-34	1,774007173	0,563695579	1,066905615
CCDC50	1,56178E-08	0,823992864	0,224	0,118	0,000329551	1,770298772	0,564876401	1,898305085
ATP5MC2	3,68824E-08	0,822103902	0,505	0,465	0,000778255	1,767982386	0,565616495	1,086021505
TMCO1	1,36921E-07	0,821376625	0,347	0,244	0,002889172	1,767091354	0,565901699	1,422131148
ATP5MC1	9,16956E-07	0,820073495	0,36	0,277	0,019348693	1,76549593	0,566413087	1,299638989
MACF1	9,53737E-08	0,819281652	0,311	0,204	0,00201248	1,764527179	0,566724056	1,524509804
NCS1	1,7326E-19	0,819178095	0,205	0,052	3,65596E-15	1,764400526	0,566764737	3,942307692
OCIAD2	3,8685E-23	0,818193784	0,148	0,009	8,16292E-19	1,763197134	0,567151557	16,44444444
NDUFAF8	7,32947E-12	0,817538591	0,26	0,128	1,54659E-07	1,762396568	0,567409185	2,03125
MICOS10	7,22625E-07	0,816682208	0,339	0,246	0,015248107	1,761350721	0,567746099	1,37804878
ATP6VOB	2,92779E-06	0,814891725	0,407	0,343	0,061779315	1,759166121	0,568451148	1,186588921
P4HA2	7,44191E-08	0,813320312	0,326	0,225	0,001570316	1,757251044	0,569070654	1,448888889
FLNA	1,01496E-05	0,810304207	0,455	0,436	0,214166351	1,753581164	0,5702616	1,043577982
GTF3C6	1,28112E-13	0,807667046	0,226	0,09	2,70329E-09	1,750378649	0,571304958	2,511111111
RPS8	5,18997E-45	0,805844614	0,935	0,917	1,09514E-40	1,748168943	0,572027094	1,019629226
MYL12B	4,01461E-14	0,802835724	0,624	0,628	8,47124E-10	1,744526755	0,573221361	0,993630573
MYL9	7,39127E-11	0,802071523	0,496	0,418	1,55963E-06	1,743602918	0,573525078	1,186602871
TRAF1	5,92976E-19	0,799326042	0,178	0,037	1,25124E-14	1,740287958	0,574617549	4,810810811

Supplementary Table 5

Differentially expressed genes_total calculation_ comparing SC-Keloid vs. (SC-Myel, SC-Nonmyel)								
gene	p_val	avg_log2FC	pct.1	pct.2	p_val_adj	Foldchange_UP	Foldchange_DOWN	Ratio_pct1_pct2
PLGRKT	7,735E-13	0,797223019	0,172	0,057	1,63216E-08	1,73775298	0,575455782	3,01754386
ADARB1	6,58082E-21	0,792873111	0,172	0,027	1,38862E-16	1,732521326	0,577193472	6,37037037
CDKN2A	3,87477E-17	0,790643159	0,137	0,02	8,17615E-13	1,729845463	0,578086321	6,85
NME1	8,91259E-08	0,790352996	0,262	0,161	0,001880645	1,729497582	0,578202601	1,627329193
RRBP1	1,10902E-05	0,790087623	0,317	0,237	0,234013274	1,729179483	0,578308967	1,337552743
GTF2H5	1,62976E-08	0,789966186	0,346	0,231	0,000343895	1,729033937	0,578357647	1,497835498
CCDC167	8,76895E-16	0,787342008	0,178	0,049	1,85034E-11	1,725891784	0,579410603	3,632653061
ADAMTS2	2,4727E-18	0,787162269	0,139	0,018	5,21764E-14	1,725676776	0,579482794	7,722222222
NDUFB4	8,1798E-07	0,786429199	0,435	0,369	0,017260201	1,724800139	0,579777319	1,178861789
OPRD1	1,18845E-21	0,78598252	0,123	0,003	2,50775E-17	1,724266199	0,579956854	41
MRC2	3,21897E-20	0,78129902	0,128	0,008	6,79234E-16	1,718677694	0,581842659	16
UQCR10	0,000148835	0,779092588	0,374	0,318	1	1,716051189	0,5827332	1,176100629
ARL4C	3,46939E-18	0,778660324	0,206	0,056	7,32075E-14	1,715537098	0,582907826	3,678571429
SCAND1	5,87052E-06	0,777179086	0,315	0,229	0,123873792	1,713776633	0,583506614	1,375545852
NDUFA6	0,000147764	0,774708676	0,283	0,212	1	1,710844545	0,584506642	1,33490566
GAPDH	5,94849E-14	0,774680242	0,683	0,73	1,25519E-09	1,710810826	0,584518162	0,935616438
IKBIP	4,18569E-15	0,773867081	0,183	0,054	8,83223E-11	1,709846816	0,584847713	3,388888889
MRPL54	1,31894E-11	0,772615227	0,244	0,114	2,78309E-07	1,708363793	0,585355417	2,140350877
TMED9	4,32071E-06	0,769305899	0,364	0,301	0,091171384	1,704449551	0,586699676	1,209302326
ATP5MG	6,38791E-07	0,766591468	0,506	0,48	0,013479125	1,701245645	0,587804591	1,054166667
PRKACB	1,78738E-14	0,76650591	0,163	0,043	3,77154E-10	1,701144756	0,587839451	3,790697674
PGLS	2,38423E-09	0,764671654	0,274	0,157	5,03097E-05	1,698983279	0,588587311	1,74522293
NAA10	3,4046E-08	0,764173593	0,261	0,156	0,000718404	1,698396841	0,588790544	1,673076923
CSTB	6,10786E-06	0,763626681	0,363	0,278	0,128881971	1,697753117	0,589013791	1,305755396
COMMD6	4,40245E-06	0,760646543	0,48	0,425	0,092896009	1,694249731	0,59023176	1,129411765
COL4A2	9,32227E-15	0,760315487	0,655	0,674	1,96709E-10	1,693860996	0,590367216	0,971810089
DSTN	4,28801E-05	0,758709533	0,434	0,393	0,904812316	1,691976502	0,591024756	1,1043257
C19orf53	0,000219753	0,757735292	0,381	0,33	1	1,69083431	0,591424006	1,154545455
SNRPG	6,78201E-05	0,757562608	0,366	0,304	1	1,690631936	0,591494801	1,203947368
TENM3	1,0858E-11	0,757524152	0,298	0,161	2,29115E-07	1,690586872	0,591510567	1,850931677

Supplementary Table 5

Differentially expressed genes_total calculation_ comparing SC-Keloid vs. (SC-Myel, SC-Nonmyel)								
gene	p_val	avg_log2FC	pct.1	pct.2	p_val_adj	Foldchange_UP	Foldchange_DOWN	Ratio_pct1_pct2
SNRPE	7,41387E-07	0,756979031	0,31	0,213	0,015644016	1,689948206	0,591734111	1,455399061
LAMTOR4	8,11758E-05	0,753772757	0,378	0,322	1	1,686196602	0,593050655	1,173913043
ZNHIT1	3,37693E-05	0,753435136	0,324	0,254	0,712566706	1,685802043	0,593189458	1,275590551
MORN2	5,51928E-14	0,753086779	0,186	0,06	1,16462E-09	1,685395034	0,593332708	3,1
CBX5	0,000379995	0,752217505	0,348	0,293	1	1,68437983	0,59369032	1,187713311
GLRX2	2,90582E-09	0,752140433	0,177	0,077	6,13158E-05	1,684289849	0,593722037	2,298701299
MRPL27	2,27637E-05	0,751492907	0,185	0,113	0,480337346	1,683534058	0,593988577	1,637168142
RBX1	1,47813E-06	0,750807175	0,51	0,474	0,031189967	1,682734042	0,594270975	1,075949367
MRPL57	3,9404E-08	0,75033651	0,257	0,151	0,000831465	1,682185156	0,594464882	1,701986755
SMARCD1	2,55499E-09	0,750025065	0,201	0,095	5,39128E-05	1,681822049	0,594593227	2,115789474
NDUFB11	6,93124E-05	0,749037803	0,371	0,309	1	1,680671543	0,595000257	1,200647249
RPL36AL	1,19349E-09	0,747855174	0,618	0,594	2,51838E-05	1,6792944	0,5954882	1,04040404
TUSC3	1,28536E-22	0,747781242	0,148	0,011	2,71224E-18	1,679208346	0,595518717	13,45454545
DNPH1	1,86642E-08	0,747079849	0,241	0,133	0,000393832	1,678392166	0,59580831	1,812030075
DGUOK	6,50187E-07	0,745732218	0,278	0,178	0,0137196	1,676825101	0,596365119	1,561797753
MTLN	2,0716E-12	0,745447344	0,205	0,08	4,37128E-08	1,676494028	0,596482888	2,5625
TRUB2	8,60869E-22	0,742888369	0,179	0,028	1,81652E-17	1,673522989	0,597541836	6,392857143
BMP1	1,00152E-15	0,742370864	0,222	0,077	2,11331E-11	1,672922792	0,597756217	2,883116883
CMC1	6,17509E-09	0,742149037	0,176	0,079	0,0001303	1,672665585	0,597848135	2,227848101
ERLEC1	1,81791E-07	0,741746277	0,22	0,122	0,003835964	1,672198689	0,598015061	1,803278689
ANO4	9,47648E-23	0,740521557	0,146	0,009	1,99963E-18	1,670779743	0,598522938	16,22222222
VCL	0,000246186	0,73871379	0,398	0,349	1	1,668687486	0,599273386	1,140401146
TCEA1	0,000554351	0,73834037	0,356	0,303	1	1,668255627	0,599428519	1,174917492
DDT	0,000208195	0,736556244	0,292	0,221	1	1,666193833	0,600170268	1,321266968
SELENOH	8,42121E-06	0,735831866	0,322	0,24	0,177695852	1,665357447	0,600471689	1,341666667
NDUFB7	4,29835E-05	0,735242897	0,383	0,323	0,90699577	1,664677717	0,600716877	1,185758514
HOXB2	2,20958E-15	0,735228637	0,185	0,054	4,66244E-11	1,664661262	0,600722815	3,425925926
SH3PXD2A	1,31415E-05	0,731376255	0,444	0,383	0,277298029	1,6602221	0,60232905	1,15926893
ABRACL	1,56472E-14	0,730790514	0,132	0,026	3,30172E-10	1,65954818	0,602573648	5,076923077
NUCB2	5,28611E-07	0,72717247	0,278	0,183	0,01115423	1,655391518	0,6040867	1,519125683

Supplementary Table 5

Differentially expressed genes_total calculation_ comparing SC-Keloid vs. (SC-Myel, SC-Nonmyel)								
gene	p_val	avg_log2FC	pct.1	pct.2	p_val_adj	Foldchange_UP	Foldchange_DOWN	Ratio_pct1_pct2
RPS13	5,01168E-31	0,723418813	0,874	0,874	1,05751E-26	1,651090057	0,605660482	1
MRPS33	1,4836E-09	0,723333925	0,176	0,075	3,13054E-05	1,65099291	0,60569612	2,346666667
ARPC2	8,93461E-07	0,723326908	0,454	0,415	0,018852911	1,65098488	0,605699066	1,093975904
SPCS2	1,24433E-05	0,721773204	0,499	0,468	0,262565532	1,649207816	0,606351722	1,066239316
TPM3	0,001589377	0,721265791	0,389	0,35	1	1,648627873	0,606565021	1,111428571
COPS9	6,62385E-05	0,72118757	0,378	0,326	1	1,648538488	0,606597909	1,159509202
NEDD8	6,2067E-05	0,718314713	0,421	0,379	1	1,645259	0,607807038	1,110817942
PLXNA4	7,61529E-11	0,717853477	0,123	0,034	1,6069E-06	1,644733087	0,608001388	3,617647059
ZCRB1	9,58538E-08	0,717748522	0,253	0,147	0,002022612	1,644613438	0,608045621	1,721088435
MANF	1,10874E-07	0,716299669	0,297	0,193	0,002339545	1,642962634	0,608656569	1,538860104
PSMA5	3,41347E-07	0,715981111	0,271	0,171	0,007202758	1,642599895	0,60879098	1,584795322
RASSF8	0,000904107	0,714651673	0,267	0,204	1	1,641086943	0,609352237	1,308823529
UBE2L3	0,000122594	0,712900364	0,291	0,22	1	1,639096012	0,610092388	1,322727273
PSMD8	7,83378E-05	0,712021492	0,343	0,289	1	1,638097799	0,610464162	1,186851211
CHMP2A	7,53493E-06	0,708726669	0,361	0,277	0,158994505	1,634360984	0,611859932	1,303249097
FAM114A1	8,03754E-07	0,707355045	0,302	0,202	0,016960008	1,632807874	0,612441926	1,495049505
RPLP1	1,35209E-59	0,707205533	0,979	0,976	2,85305E-55	1,632638669	0,6125054	1,00307377
RTRAF	0,000396747	0,707018363	0,371	0,323	1	1,63242687	0,612584869	1,148606811
CYBA	1,53835E-05	0,705809082	0,391	0,33	0,324607583	1,631059128	0,613098558	1,184848485
NUDT1	1,27536E-10	0,705113339	0,211	0,095	2,69115E-06	1,630272735	0,613394298	2,221052632
PSMB6	2,16685E-05	0,705000174	0,334	0,261	0,457225968	1,630144861	0,613442415	1,279693487
MRPL13	6,33578E-09	0,70458023	0,177	0,08	0,000133691	1,629670423	0,613621003	2,2125
RBIS	0,000104879	0,703754189	0,37	0,308	1	1,628737593	0,613972443	1,201298701
ITGA1	1,06434E-06	0,703526034	0,339	0,24	0,022458641	1,628480037	0,614069548	1,4125
ATP5PD	5,45819E-05	0,70313656	0,343	0,273	1	1,628040467	0,614235346	1,256410256
RSU1	5,57877E-11	0,702704981	0,232	0,107	1,17718E-06	1,627553515	0,614419121	2,168224299
EID1	1,65482E-15	0,701836426	0,655	0,604	3,49184E-11	1,626573963	0,614789135	1,084437086
DTYMK	1,97466E-13	0,70162218	0,176	0,056	4,16672E-09	1,626332428	0,614880441	3,142857143
GSTO1	8,10628E-06	0,701515403	0,296	0,208	0,171050554	1,626212065	0,614925951	1,423076923
ATP6VOE1	0,008159109	0,700784959	0,396	0,369	1	1,625388914	0,61523737	1,073170732

Supplementary Table 5

Differentially expressed genes_total calculation_ comparing SC-Keloid vs. (SC-Myel, SC-Nonmyel)								
gene	p_val	avg_log2FC	pct.1	pct.2	p_val_adj	Foldchange_UP	Foldchange_DOWN	Ratio_pct1_pct2
DBNDD1	4,46613E-27	0,700331761	0,159	0,005	9,42399E-23	1,624878406	0,615430666	31,8
LAMTOR2	1,05006E-07	0,699734907	0,24	0,137	0,002215736	1,62420632	0,615685327	1,751824818
SERF2	3,42856E-26	0,698562235	0,783	0,83	7,2346E-22	1,622886646	0,616185981	0,943373494
MRPL36	4,95449E-07	0,696405551	0,186	0,099	0,010454475	1,620462406	0,617107806	1,878787879
NDUFS8	1,99283E-07	0,696299089	0,254	0,156	0,004205073	1,62034283	0,617153347	1,628205128
TCEAL4	4,76586E-05	0,695507853	0,39	0,316	1	1,619454408	0,617491913	1,234177215
NT5E	8,10971E-22	0,694984314	0,134	0,007	1,71123E-17	1,618866831	0,617716035	19,14285714
ATP5F1C	0,000453655	0,693918683	0,362	0,315	1	1,617671515	0,618172472	1,149206349
PIN4	0,001897531	0,693043707	0,224	0,168	1	1,616690716	0,6185475	1,333333333
CD63	1,86242E-29	0,692233929	0,828	0,849	3,9299E-25	1,615783529	0,618894785	0,975265018
SLFN5	4,58015E-09	0,692163445	0,13	0,046	9,66457E-05	1,615704591	0,618925022	2,826086957
YWHAZ	0,000105076	0,691351636	0,516	0,517	1	1,614795684	0,619273392	0,998065764
KRTDAP	0,000434382	0,690398628	0,093	0,05	1	1,613729343	0,619682603	1,86
TRAPPC1	1,26704E-12	0,689665651	0,215	0,085	2,67359E-08	1,612909678	0,61999752	2,529411765
WLS	4,70638E-05	0,689342587	0,237	0,159	0,993093421	1,612548538	0,620136372	1,490566038
ACTG1	1,6419E-15	0,689001734	0,774	0,889	3,46458E-11	1,612167601	0,620282903	0,87064117
KDELR2	0,000102802	0,684826207	0,349	0,286	1	1,607508323	0,62208076	1,22027972
SLC15A3	3,52382E-11	0,684438966	0,25	0,123	7,43561E-07	1,607076901	0,622247759	2,032520325
APOD	6,09508E-43	0,684052882	0,449	0,151	1,28612E-38	1,606646884	0,622414303	2,973509934
HMG3	0,012682444	0,683533468	0,414	0,407	1	1,606068546	0,622638431	1,017199017
TCF4	1,08637E-05	0,683487253	0,381	0,296	0,229235427	1,606017098	0,622658377	1,287162162
CHCHD1	9,06601E-13	0,682974108	0,18	0,061	1,91302E-08	1,605445964	0,622879886	2,950819672
NDUFC2	7,50789E-06	0,682244323	0,431	0,362	0,158424042	1,604634058	0,623195049	1,190607735
TAF10	1,46226E-10	0,680494848	0,215	0,099	3,08551E-06	1,602689388	0,623951221	2,171717172
PDLIM1	1,29889E-12	0,678998654	0,208	0,083	2,74079E-08	1,601028128	0,624598645	2,506024096
IFI44	4,192E-10	0,678977429	0,173	0,069	8,84555E-06	1,601004574	0,624607835	2,507246377
RABAC1	0,00022791	0,678824183	0,448	0,44	1	1,60083452	0,624674186	1,018181818
SELENOS	3,51305E-05	0,678577579	0,334	0,254	0,741289153	1,600560908	0,624780972	1,31496063
YWHAZ	2,25201E-05	0,678206136	0,471	0,455	0,475195652	1,600148873	0,624941852	1,035164835
TRAPPC2L	5,82461E-11	0,675808227	0,198	0,081	1,22905E-06	1,59749147	0,625981433	2,444444444

Supplementary Table 5

Differentially expressed genes_total calculation_ comparing SC-Keloid vs. (SC-Myel, SC-Nonmyel)								
gene	p_val	avg_log2FC	pct.1	pct.2	p_val_adj	Foldchange_UP	Foldchange_DOWN	Ratio_pct1_pct2
GTF3A	1,31379E-08	0,67522426	0,246	0,134	0,000277223	1,596844975	0,626234867	1,835820896
EVA1B	3,52612E-09	0,67474113	0,212	0,103	7,44046E-05	1,596310313	0,626444615	2,058252427
DENR	3,22619E-06	0,674600871	0,196	0,113	0,06807578	1,596155128	0,626505521	1,734513274
AURKAIP1	7,78328E-06	0,674477126	0,305	0,217	0,164234897	1,596018225	0,626559261	1,405529954
ATP5ME	0,000238878	0,671920738	0,53	0,537	1	1,593192659	0,627670479	0,986964618
COX5A	5,48684E-06	0,670543486	0,274	0,185	0,115777841	1,591672463	0,628269963	1,481081081
COX7A1	0,001708312	0,669031123	0,253	0,194	1	1,590004802	0,628928918	1,304123711
CHCHD5	5,48019E-09	0,668431349	0,191	0,09	0,000115638	1,589343924	0,629190438	2,122222222
FNBP1L	1,42793E-11	0,667130164	0,137	0,039	3,01307E-07	1,587911121	0,629758169	3,512820513
SF3B6	0,003999754	0,666928186	0,38	0,347	1	1,587688828	0,629846342	1,095100865
LRRC75A	7,23606E-07	0,66628146	0,133	0,06	0,015268805	1,586977265	0,63012875	2,216666667
IL7R	9,82133E-17	0,663341291	0,106	0,007	2,0724E-12	1,583746346	0,631414243	15,14285714
PFDN5	9,86003E-09	0,663063678	0,629	0,672	0,000208056	1,583441621	0,631535755	0,936011905
PET100	0,001683432	0,662451338	0,302	0,244	1	1,582769684	0,631803863	1,237704918
COX7A2L	2,43133E-05	0,662310186	0,29	0,205	0,513035768	1,582614835	0,631865681	1,414634146
LSM3	8,36772E-05	0,661260033	0,282	0,204	1	1,581463252	0,63232579	1,382352941
NPL	1,75507E-20	0,660633844	0,142	0,014	3,70336E-16	1,580776982	0,632600305	10,14285714
TMEM14C	6,46958E-05	0,659124037	0,291	0,21	1	1,579123535	0,633262679	1,385714286
NOL7	0,000174987	0,658627404	0,328	0,258	1	1,578580031	0,633480711	1,271317829
DRAP1	0,000450496	0,656474024	0,399	0,353	1	1,576225585	0,634426956	1,130311615
EIF4E2	1,56237E-09	0,655598347	0,179	0,077	3,29675E-05	1,575269148	0,634812153	2,324675325
TMA7	4,77867E-06	0,65553658	0,608	0,677	0,10083481	1,575201707	0,634839332	0,898079764
TMEM126A	7,00841E-08	0,654811105	0,175	0,084	0,001478845	1,574409798	0,635158649	2,083333333
ATP5F1D	0,001547488	0,653152621	0,357	0,328	1	1,572600939	0,63588923	1,088414634
MRPS21	0,000257699	0,652812076	0,32	0,247	1	1,572229774	0,636039348	1,295546559
REX1BD	0,000973219	0,651663547	0,299	0,236	1	1,570978621	0,6365459	1,266949153
MCRIP1	0,000268341	0,650482716	0,288	0,224	1	1,569693316	0,63706712	1,285714286
SNRPB2	0,000975055	0,649492013	0,32	0,258	1	1,568615774	0,637504746	1,240310078
ALDH1A3	3,34588E-09	0,648587074	0,19	0,085	7,06013E-05	1,567632159	0,63790475	2,235294118
PFDN2	0,061177444	0,648407297	0,382	0,377	1	1,567436825	0,637984245	1,013262599

Supplementary Table 5

Differentially expressed genes_total calculation_ comparing SC-Keloid vs. (SC-Myel, SC-Nonmyel)								
gene	p_val	avg_log2FC	pct.1	pct.2	p_val_adj	Foldchange_UP	Foldchange_DOWN	Ratio_pct1_pct2
EPB41L3	2,45157E-06	0,647709461	0,184	0,102	0,051730677	1,566678834	0,638292915	1,803921569
SNRPF	0,000214547	0,647073988	0,318	0,248	1	1,565988901	0,63857413	1,282258065
FIBP	1,17079E-06	0,64544673	0,207	0,119	0,024704871	1,564223573	0,639294802	1,739495798
EEF1B2	0,000118249	0,64422712	0,515	0,537	1	1,562901784	0,639835471	0,959031657
UQCRB	0,02570942	0,641849943	0,459	0,491	1	1,56032866	0,640890619	0,934826884
SDF2L1	1,99543E-08	0,641228924	0,222	0,118	0,000421056	1,559657149	0,641166554	1,881355932
COX7C	0,000111403	0,640779987	0,526	0,524	1	1,559171891	0,641366103	1,003816794
PRKDC	5,54396E-05	0,64037561	0,242	0,166	1	1,558734927	0,641545899	1,457831325
FAM210B	4,84848E-06	0,638669008	0,281	0,187	0,102307807	1,556892149	0,642305249	1,502673797
MSI2	7,86373E-10	0,637600326	0,128	0,041	1,65933E-05	1,555739303	0,642781215	3,12195122
BOLA3	3,23816E-11	0,636645581	0,168	0,06	6,83284E-07	1,554710088	0,643206735	2,8
MT-ND6	6,19287E-05	0,636614042	0,066	0,024	1	1,5546761	0,643220797	2,75
GNG11	5,22544E-05	0,636268921	0,29	0,208	1	1,554304235	0,643374686	1,394230769
GALR1	5,6696E-05	0,635898246	0,221	0,147	1	1,553904936	0,643540011	1,503401361
ITGB5	3,25257E-11	0,633469473	0,126	0,034	6,86325E-07	1,551291142	0,644624322	3,705882353
MFAP2	4,86524E-20	0,632528653	0,125	0,007	1,02661E-15	1,550279833	0,645044836	17,85714286
COX5B	0,001133968	0,632318464	0,411	0,385	1	1,550053987	0,64513882	1,067532468
CTSZ	0,00052134	0,631305829	0,285	0,221	1	1,548966378	0,645591805	1,28959276
ZYX	7,22092E-09	0,631187845	0,187	0,088	0,000152369	1,548839708	0,645644604	2,125
PDIA3	1,25274E-05	0,630102132	0,483	0,463	0,2643414	1,547674553	0,646130673	1,043196544
RPL30	1,9604E-31	0,628381638	0,924	0,91	4,13664E-27	1,545829965	0,646901679	1,015384615
MRPL17	2,35604E-12	0,627577187	0,171	0,057	4,97147E-08	1,544968247	0,647262494	3
SELENON	3,03708E-11	0,626975141	0,217	0,094	6,40853E-07	1,544323656	0,647532657	2,308510638
RPL19	1,91376E-27	0,626174331	0,88	0,905	4,03823E-23	1,543466672	0,647892189	0,972375691
NDUFB6	0,004278885	0,626147472	0,286	0,232	1	1,543437937	0,647904251	1,232758621
SNF8	5,86642E-06	0,625548872	0,247	0,159	0,123787393	1,54279767	0,648173133	1,553459119
GNG7	1,64716E-10	0,625471141	0,133	0,041	3,47568E-06	1,542714548	0,648208057	3,243902439
CDC26	5,21308E-06	0,625450626	0,17	0,092	0,110001115	1,54269261	0,648217275	1,847826087
RPA3	1,25866E-08	0,624649758	0,146	0,058	0,00026559	1,541836469	0,648577213	2,517241379
RPS24	1,68152E-34	0,624627348	0,887	0,891	3,54819E-30	1,54181252	0,648587287	0,995510662

Supplementary Table 5

Differentially expressed genes_total calculation_ comparing SC-Keloid vs. (SC-Myel, SC-Nonmyel)								
gene	p_val	avg_log2FC	pct.1	pct.2	p_val_adj	Foldchange_UP	Foldchange_DOWN	Ratio_pct1_pct2
RPL28	1,19641E-21	0,623595519	0,796	0,893	2,52454E-17	1,540710195	0,649051329	0,89137738
GTF2A2	0,000773257	0,622796786	0,297	0,233	1	1,539857433	0,649410769	1,274678112
C1QBP	9,16555E-06	0,622663186	0,271	0,185	0,193402234	1,539714842	0,64947091	1,464864865
SMAP2	4,34876E-13	0,622280767	0,136	0,033	9,17633E-09	1,53930676	0,64964309	4,121212121
MRPL40	4,54583E-08	0,622132906	0,218	0,114	0,000959216	1,539149006	0,649709675	1,912280702
GSTP1	0,001025446	0,622075638	0,484	0,503	1	1,53908791	0,649735466	0,96222664
DAD1	0,000341178	0,621318506	0,54	0,596	1	1,538280403	0,650076539	0,906040268
H3-3A	4,38415E-24	0,621253969	0,82	0,821	9,251E-20	1,538211591	0,65010562	0,998781973
PRDX5	0,000446189	0,621018643	0,369	0,324	1	1,537960705	0,650211671	1,138888889
RUNX1	2,07505E-05	0,620891262	0,268	0,18	0,437857184	1,537824919	0,650269083	1,488888889
GAP43	5,8239E-09	0,620166191	0,144	0,056	0,00012289	1,537052232	0,650595978	2,571428571
PDGFB	5,29858E-13	0,619594489	0,208	0,077	1,11805E-08	1,536443259	0,650853843	2,701298701
PSMD12	0,015428187	0,619096647	0,206	0,164	1	1,535913158	0,651078477	1,256097561
APOE	0,222622442	0,61711478	0,093	0,115	1	1,533804683	0,651973495	0,808695652
P4HB	0,000501275	0,616354884	0,382	0,357	1	1,532997011	0,652316993	1,070028011
SNRPD3	8,51779E-05	0,616032397	0,296	0,217	1	1,532654376	0,652462822	1,3640553
MAP1B	0,000484646	0,615727173	0,478	0,475	1	1,532330155	0,652600875	1,006315789
ATP5MK	0,001292003	0,615571138	0,468	0,461	1	1,532164434	0,652671461	1,015184382
COMMD1	7,1046E-05	0,615516951	0,201	0,129	1	1,532106888	0,652695976	1,558139535
A1BG	3,1689E-05	0,615268042	0,249	0,166	0,668670204	1,531842575	0,652808595	1,5
FAM204A	0,000807785	0,614913916	0,242	0,179	1	1,531466613	0,652968855	1,351955307
PSMA3	0,031044621	0,614522082	0,297	0,263	1	1,531050726	0,653146224	1,129277567
PTMS	2,26701E-06	0,614375382	0,573	0,624	0,047836157	1,530895049	0,653212642	0,918269231
ARHGAP21	2,21617E-13	0,61313693	0,194	0,066	4,67635E-09	1,529581448	0,65377362	2,939393939
ZSWIM7	7,12371E-07	0,611706035	0,183	0,095	0,01503174	1,528065129	0,654422368	1,926315789
ST8SIA2	6,34256E-16	0,610060165	0,128	0,019	1,33834E-11	1,52632286	0,655169379	6,736842105
EPRS1	5,60664E-06	0,608519356	0,184	0,104	0,118305708	1,524693606	0,655869478	1,769230769
RPL36	4,60826E-21	0,60734307	0,785	0,824	9,72389E-17	1,523450971	0,656404452	0,952669903
MACIR	1,25761E-08	0,606887505	0,144	0,057	0,000265368	1,52296998	0,65661176	2,526315789
PCDHGC3	6,45727E-14	0,606636921	0,119	0,02	1,36255E-09	1,522705476	0,656725818	5,95

Supplementary Table 5

Differentially expressed genes_total calculation_ comparing SC-Keloid vs. (SC-Myel, SC-Nonmyel)								
gene	p_val	avg_log2FC	pct.1	pct.2	p_val_adj	Foldchange_UP	Foldchange_DOWN	Ratio_pct1_pct2
RNASEH2B	5,63774E-10	0,606010196	0,176	0,071	1,18962E-05	1,522044138	0,65701117	2,478873239
C1orf122	5,59598E-05	0,60556522	0,296	0,217	1	1,52157476	0,657213846	1,3640553
MPG	3,38799E-05	0,603883771	0,283	0,202	0,714899841	1,51980241	0,65798027	1,400990099
PXDN	9,20127E-08	0,603137353	0,184	0,091	0,001941561	1,519016302	0,658320782	2,021978022
FIS1	0,000781698	0,602416183	0,419	0,379	1	1,518257171	0,658649944	1,105540897
EDF1	0,000872896	0,601677781	0,478	0,506	1	1,517480293	0,658987141	0,944664032
ADH5	0,004690656	0,600047428	0,229	0,176	1	1,515766396	0,659732266	1,301136364
GASK1B	8,36799E-06	0,599908305	0,143	0,073	0,176572869	1,515620233	0,65979589	1,95890411
NDUFA3	2,22966E-05	0,598253146	0,231	0,148	0,470480727	1,513882407	0,660553287	1,560810811
FKBP10	1,53587E-06	0,597088524	0,213	0,122	0,032408452	1,512660812	0,661086737	1,745901639
SFRP2	0,001228842	0,596985907	0,083	0,043	1	1,512553222	0,661133761	1,930232558
MRPL33	0,011868066	0,596576185	0,393	0,365	1	1,512123721	0,661321548	1,076712329
PSMC5	0,000270542	0,596542736	0,254	0,185	1	1,512088663	0,661336881	1,372972973
CHCHD2	0,000334505	0,595772499	0,509	0,547	1	1,511281593	0,661690055	0,930530165
EIF4EBP1	3,16838E-11	0,595643123	0,157	0,053	6,68559E-07	1,511146073	0,661749395	2,962264151
ANXA1	4,49735E-28	0,595143766	0,772	0,647	9,48985E-24	1,510623113	0,661978485	1,193199382
PERP	2,79288E-09	0,593751139	0,229	0,115	5,89325E-05	1,509165619	0,662617798	1,991304348
LEPROTL1	2,96724E-07	0,593088258	0,203	0,109	0,00626118	1,508472355	0,662922324	1,862385321
TPRKB	7,45373E-09	0,592913044	0,168	0,072	0,000157281	1,508289164	0,66300284	2,333333333
SFXN3	9,05287E-09	0,592454451	0,149	0,058	0,000191025	1,507809797	0,663213624	2,568965517
RPLP0	9,22852E-11	0,592145178	0,667	0,725	1,94731E-06	1,507486599	0,663355814	0,92
C14orf132	2,26184E-10	0,591303041	0,112	0,028	4,7727E-06	1,506606899	0,663743144	4
NDUFAF2	1,41815E-05	0,591216397	0,198	0,119	0,299244675	1,506516419	0,663783008	1,663865546
CAMK2N1	2,66531E-05	0,591050962	0,251	0,171	0,562407202	1,506343676	0,663859128	1,467836257
NDUFB8	0,022122892	0,590752081	0,354	0,332	1	1,506031641	0,663996674	1,06626506
EMC6	3,487E-06	0,590241156	0,197	0,113	0,073579245	1,505498381	0,664231867	1,743362832
TMEM14B	0,002631331	0,589437792	0,257	0,197	1	1,504660278	0,664601847	1,304568528
NSA2	6,69174E-05	0,589313234	0,322	0,243	1	1,504530375	0,66465923	1,325102881
TMEM141	5,17363E-06	0,588941978	0,176	0,096	0,109168679	1,504143257	0,664830291	1,833333333
PPP1CA	9,00028E-10	0,588350837	0,199	0,088	1,89915E-05	1,503527064	0,66510276	2,261363636

Supplementary Table 5

Differentially expressed genes_total calculation_ comparing SC-Keloid vs. (SC-Myel, SC-Nonmyel)								
gene	p_val	avg_log2FC	pct.1	pct.2	p_val_adj	Foldchange_UP	Foldchange_DOWN	Ratio_pct1_pct2
GNB1	0,097049336	0,587804236	0,369	0,37	1	1,502957523	0,665354798	0,997297297
ITPA	2,26347E-07	0,585173697	0,208	0,113	0,004776155	1,500219601	0,66656908	1,840707965
CHST3	5,80596E-08	0,584818856	0,213	0,111	0,001225116	1,499850657	0,666733048	1,918918919
SSB	0,000456065	0,583009341	0,345	0,278	1	1,497970633	0,667569829	1,241007194
ANO6	3,30871E-06	0,582907628	0,143	0,071	0,069817099	1,497865027	0,667616896	2,014084507
S100A8	0,001529833	0,582867982	0,051	0,022	1	1,497823866	0,667635243	2,318181818
ATP2B1	1,04446E-05	0,582250199	0,225	0,138	0,220392374	1,497182613	0,667921195	1,630434783
COX6B1	0,007225255	0,581268885	0,435	0,452	1	1,496164582	0,668375666	0,962389381
MYO10	3,11632E-06	0,581031467	0,17	0,091	0,065757421	1,495918385	0,668485667	1,868131868
FAAP20	3,34358E-05	0,580748376	0,253	0,17	0,705529403	1,49562488	0,668616853	1,488235294
KDEL3	7,2589E-15	0,580654765	0,171	0,046	1,5317E-10	1,495527838	0,668660238	3,717391304
IL11	8,39603E-13	0,580336149	0,095	0,012	1,77165E-08	1,49519759	0,668807926	7,916666667
PRTFDC1	2,60361E-18	0,580200037	0,112	0,005	5,49388E-14	1,495056532	0,668871029	22,4
PLPP4	3,69043E-19	0,580168373	0,116	0,005	7,78719E-15	1,495023718	0,668885709	23,2
PFKFB4	2,95414E-15	0,579907845	0,113	0,014	6,23353E-11	1,494753765	0,66900651	8,071428571
PDLIM4	0,000341828	0,579719901	0,504	0,537	1	1,494559052	0,669093669	0,938547486
RAB31	1,77591E-05	0,577840013	0,207	0,128	0,374735049	1,492612852	0,669966093	1,6171875
ACSL3	0,016926652	0,577581857	0,185	0,145	1	1,492345787	0,670085987	1,275862069
PGAM1	0,000182442	0,577557958	0,27	0,201	1	1,492321066	0,670097087	1,343283582
H2AJ	0,025817883	0,577083977	0,434	0,414	1	1,491830861	0,670317277	1,048309179
PSMB5	0,00837957	0,57600259	0,274	0,227	1	1,490713063	0,670819908	1,207048458
NGFR	0,000774674	0,575929767	0,427	0,414	1	1,490637818	0,67085377	1,031400966
HOXB7	5,31624E-18	0,575027278	0,137	0,018	1,12178E-13	1,48970563	0,671273559	7,611111111
DNM1	2,07133E-14	0,574989102	0,102	0,011	4,37072E-10	1,489666211	0,671291322	9,272727273
VPS29	0,02569497	0,574924337	0,283	0,243	1	1,489599338	0,671321459	1,164609053
MRPS18C	0,000989488	0,573295044	0,172	0,117	1	1,487918024	0,672080036	1,47008547
SRP14	1,65722E-10	0,571260303	0,71	0,771	3,49691E-06	1,48582098	0,67302859	0,920881971
CCDC90B	0,001843347	0,570167399	0,218	0,159	1	1,484695833	0,673538632	1,371069182
TSPO	0,000669092	0,569447857	0,463	0,449	1	1,483955528	0,673874642	1,031180401
PSMB9	7,03877E-06	0,569059992	0,205	0,122	0,148525008	1,483556624	0,674055836	1,680327869

Supplementary Table 5

Differentially expressed genes_total calculation_ comparing SC-Keloid vs. (SC-Myel, SC-Nonmyel)								
gene	p_val	avg_log2FC	pct.1	pct.2	p_val_adj	Foldchange_UP	Foldchange_DOWN	Ratio_pct1_pct2
TRAPPC4	6,26663E-07	0,568659162	0,172	0,088	0,013223225	1,483144498	0,674243138	1,954545455
RER1	0,000204325	0,568543503	0,276	0,202	1	1,483025601	0,674297193	1,366336634
DEF8	1,85635E-09	0,566638457	0,151	0,057	3,91708E-05	1,481068592	0,675188175	2,649122807
CXCL12	9,63703E-07	0,566221898	0,221	0,126	0,020335107	1,480641014	0,675383155	1,753968254
PKM	0,044938645	0,566194022	0,326	0,326	1	1,480612406	0,675396205	1
TMEM47	8,06138E-05	0,56597388	0,269	0,191	1	1,480386496	0,675499272	1,408376963
ST6GAL2	4,07085E-14	0,564843433	0,075	0	8,5899E-10	1,479226969	0,676028778	#DIV/0!
TXNDC9	4,20424E-07	0,564151107	0,133	0,057	0,008871356	1,478517282	0,676353271	2,333333333
DYRK2	6,20481E-10	0,563917178	0,172	0,068	1,30928E-05	1,478277564	0,676462949	2,529411765
LBH	1,80683E-08	0,561685349	0,166	0,073	0,000381258	1,475992458	0,677510237	2,273972603
NDUFA8	3,04914E-06	0,56152766	0,184	0,1	0,0643398	1,475831137	0,677584294	1,84
MZT2B	0,015407136	0,559767787	0,417	0,417	1	1,474031942	0,67841135	1
SKP1	4,82648E-05	0,55959029	0,623	0,692	1	1,4738506	0,678494822	0,900289017
BRK1	0,003291178	0,559349129	0,41	0,391	1	1,473604252	0,678608248	1,04859335
COX8A	0,019628634	0,558930619	0,41	0,408	1	1,473176837	0,678805134	1,004901961
AGA	2,26307E-06	0,558517402	0,161	0,081	0,047753	1,47275495	0,678999585	1,987654321
SEPTIN9	8,18218E-05	0,557575587	0,277	0,202	1	1,471793825	0,679442992	1,371287129
FAT1	0,022567686	0,556346921	0,172	0,133	1	1,470540911	0,680021883	1,293233083
CNN2	9,18672E-17	0,555192816	0,109	0,008	1,93849E-12	1,469365	0,680566095	13,625
FIBIN	0,001995974	0,555126259	0,236	0,178	1	1,469297215	0,680597493	1,325842697
NRXN2	2,89151E-05	0,555052217	0,143	0,077	0,61013693	1,469221809	0,680632423	1,857142857
NME4	2,47677E-06	0,553130009	0,197	0,113	0,052262275	1,467265562	0,681539883	1,743362832
UBA52	8,52661E-11	0,552551381	0,672	0,731	1,7992E-06	1,466677197	0,681813287	0,919288646
REXO2	5,3634E-05	0,552458918	0,243	0,164	1	1,4665832	0,681856986	1,481707317
MLEC	0,010520197	0,549997514	0,231	0,18	1	1,464083173	0,683021306	1,283333333
UXT	0,005291421	0,549595258	0,244	0,19	1	1,46367501	0,683211774	1,284210526
SSNA1	0,000933292	0,549116821	0,22	0,157	1	1,463189697	0,683438383	1,401273885
UBXN4	0,110604811	0,548834542	0,364	0,354	1	1,462903436	0,683572118	1,028248588
MRPL14	0,002762625	0,548712718	0,235	0,175	1	1,46277991	0,683629843	1,342857143
TNIK	3,85121E-13	0,548651478	0,098	0,012	8,12643E-09	1,462717819	0,683658862	8,166666667

Supplementary Table 5

Differentially expressed genes_total calculation_ comparing SC-Keloid vs. (SC-Myel, SC-Nonmyel)								
gene	p_val	avg_log2FC	pct.1	pct.2	p_val_adj	Foldchange_UP	Foldchange_DOWN	Ratio_pct1_pct2
THOC7	0,000716824	0,548100376	0,211	0,147	1	1,462159175	0,683920067	1,43537415
LOXL1	1,45783E-18	0,548092165	0,137	0,016	3,07616E-14	1,462150853	0,683923959	8,5625
SNU13	0,030260266	0,546466012	0,357	0,331	1	1,460503699	0,684695288	1,078549849
MRPS26	5,74986E-05	0,546400389	0,22	0,142	1	1,460437267	0,684726433	1,549295775
ERH	0,158661073	0,545317453	0,345	0,343	1	1,459341425	0,685240604	1,005830904
CAVIN3	7,42283E-05	0,545310154	0,558	0,589	1	1,459334042	0,685244071	0,947368421
GPR17	7,78285E-16	0,545125141	0,157	0,034	1,64226E-11	1,459146906	0,685331954	4,617647059
SPARC	6,97714E-30	0,54497785	0,948	0,939	1,47225E-25	1,458997943	0,685401926	1,009584665
TPGS1	1,17748E-05	0,542828931	0,21	0,126	0,24846092	1,45682636	0,686423604	1,666666667
TLN1	0,062853369	0,542517365	0,364	0,349	1	1,456511776	0,686571861	1,042979943
SET	0,006009695	0,542328348	0,546	0,601	1	1,456320961	0,686661819	0,908485857
EIF3K	0,100054409	0,541853247	0,396	0,4	1	1,455841451	0,686887985	0,99
HMCN1	2,61245E-11	0,541688072	0,111	0,024	5,51253E-07	1,45567478	0,686966631	4,625
ADAM19	1,4579E-08	0,539910702	0,203	0,098	0,000307631	1,453882524	0,687813481	2,071428571
TNFRSF19	0,001568931	0,538895669	0,208	0,148	1	1,45285998	0,688297574	1,405405405
SAR1B	0,000180511	0,537453024	0,173	0,109	1	1,451407897	0,688986192	1,587155963
GCSH	0,050581896	0,537348506	0,249	0,21	1	1,451302751	0,689036109	1,185714286
C2orf74	7,59286E-06	0,536420231	0,073	0,024	0,160216951	1,450369238	0,689479599	3,041666667
RPS3A	3,63484E-19	0,536334528	0,851	0,853	7,66988E-15	1,450283082	0,689520558	0,997655334
RWDD1	0,017150147	0,536113438	0,315	0,274	1	1,450060846	0,689626234	1,149635036
SUB1	0,179701692	0,536006321	0,455	0,484	1	1,449953186	0,689677439	0,940082645
TP53I3	9,16835E-09	0,53543666	0,155	0,062	0,000193461	1,449380772	0,689949818	2,5
RPLP2	5,53196E-17	0,534716415	0,786	0,859	1,1673E-12	1,448657369	0,690294352	0,915017462
CSPG4	7,57789E-07	0,534716171	0,184	0,096	0,015990097	1,448657124	0,690294469	1,916666667
RPL10	3,6332E-26	0,534663253	0,941	0,954	7,66642E-22	1,448603989	0,690319789	0,986373166
DECR1	0,062916701	0,533707241	0,205	0,172	1	1,447644379	0,690777386	1,191860465
REEP3	0,005644026	0,532308208	0,277	0,225	1	1,446241227	0,691447582	1,231111111
CIB1	0,024186952	0,531851167	0,26	0,218	1	1,445783135	0,691666665	1,19266055
MICAL2	1,96858E-12	0,531683645	0,091	0,011	4,15389E-08	1,445615264	0,691746985	8,272727273
MRPL3	4,6404E-08	0,531606614	0,163	0,073	0,000979171	1,445538079	0,691783921	2,232876712

Supplementary Table 5

Differentially expressed genes_total calculation_ comparing SC-Keloid vs. (SC-Myel, SC-Nonmyel)								
gene	p_val	avg_log2FC	pct.1	pct.2	p_val_adj	Foldchange_UP	Foldchange_DOWN	Ratio_pct1_pct2
PTP4A1	0,001007977	0,531547316	0,111	0,065	1	1,445478666	0,691812355	1,707692308
STK32B	2,56524E-15	0,530388087	0,113	0,014	5,4129E-11	1,444317667	0,692368461	8,071428571
TUBB	0,202529367	0,529102839	0,445	0,517	1	1,443031546	0,692985543	0,86073501
ACTA2	1,33956E-05	0,528679856	0,063	0,019	0,282661177	1,442608526	0,693188749	3,315789474
CCDC25	2,31725E-05	0,527358923	0,151	0,083	0,488963371	1,441288278	0,693823724	1,819277108
MYL6B	2,25115E-06	0,52721718	0,182	0,098	0,047501432	1,44114668	0,693891895	1,857142857
ACP1	1,03874E-05	0,526790421	0,204	0,121	0,219184418	1,440720442	0,694097183	1,685950413
RPS14	9,65704E-16	0,526756264	0,818	0,89	2,03773E-11	1,440686332	0,694113617	0,919101124
GIPC1	1,72742E-08	0,525969596	0,206	0,102	0,000364504	1,439900973	0,694492204	2,019607843
MCTS1	3,44262E-07	0,525685637	0,169	0,083	0,007264279	1,439617592	0,694628911	2,036144578
CWC15	0,058697662	0,525518224	0,196	0,161	1	1,439450546	0,694709521	1,217391304
ACTR3	0,00219854	0,525397763	0,257	0,195	1	1,439330361	0,69476753	1,317948718
GLDC	3,702E-15	0,523998324	0,104	0,009	7,8116E-11	1,437934863	0,695441794	11,55555556
ERCC1	4,5277E-07	0,52381675	0,206	0,111	0,009553903	1,437753899	0,695529326	1,855855856
LSM4	0,000100766	0,523718634	0,206	0,133	1	1,437656122	0,695576629	1,54887218
HM13	0,009877866	0,523702901	0,225	0,178	1	1,437640444	0,695584215	1,264044944
CD82	0,000346981	0,521038778	0,217	0,149	1	1,434988105	0,696869888	1,456375839
TAGLN2	4,94735E-07	0,51999658	0,589	0,638	0,010439404	1,433951849	0,697373486	0,923197492
MRPS23	9,13709E-07	0,519985503	0,146	0,068	0,019280167	1,433940839	0,697378841	2,147058824
METAP2	0,0125384	0,519620582	0,265	0,217	1	1,433578178	0,697555261	1,221198157
LPGAT1	0,006732637	0,518368875	0,213	0,163	1	1,432334921	0,698160734	1,306748466
PSMD1	3,06879E-05	0,517935005	0,193	0,117	0,647545475	1,431904231	0,698370728	1,64957265
LAMTOR5	0,318918238	0,517691902	0,391	0,412	1	1,431662966	0,698488418	0,949029126
EIF2S2	0,037550434	0,517052217	0,341	0,308	1	1,431028313	0,698798193	1,107142857
PSMB3	0,019073758	0,516861546	0,284	0,246	1	1,430839197	0,698890554	1,154471545
MRPL47	0,000196473	0,516519585	0,182	0,115	1	1,430500087	0,699056232	1,582608696
BCAP29	0,032937679	0,516354404	0,247	0,208	1	1,430336312	0,699136274	1,1875
NDUFS2	6,62767E-07	0,514740776	0,212	0,117	0,013985037	1,428737401	0,699918683	1,811965812
PGM3	3,7033E-05	0,513430506	0,214	0,136	0,781433491	1,427440396	0,700554645	1,573529412
RPS12	3,07454E-23	0,512583995	0,893	0,897	6,48759E-19	1,426603082	0,700965821	0,995540691

Supplementary Table 5

Differentially expressed genes_total calculation_ comparing SC-Keloid vs. (SC-Myel, SC-Nonmyel)								
gene	p_val	avg_log2FC	pct.1	pct.2	p_val_adj	Foldchange_UP	Foldchange_DOWN	Ratio_pct1_pct2
PFN1	0,221786573	0,512503352	0,434	0,541	1	1,42652334	0,701005004	0,802218115
FAU	1,50498E-15	0,511839473	0,852	0,878	3,17565E-11	1,425867054	0,701327657	0,970387244
MESD	1,89698E-05	0,510670228	0,197	0,117	0,400281798	1,424711915	0,701896285	1,683760684
CISD2	0,00130833	0,509962761	0,156	0,102	1	1,424013438	0,702240564	1,529411765
FAM136A	5,54665E-10	0,509699193	0,123	0,037	1,1704E-05	1,423753307	0,702368869	3,324324324
CDC42	0,077369904	0,508640751	0,49	0,535	1	1,422709144	0,702884355	0,91588785
KCNN4	4,61417E-14	0,5083438	0,133	0,027	9,73635E-10	1,422416338	0,703029045	4,925925926
GANAB	0,001489188	0,508183481	0,219	0,157	1	1,422258281	0,703107174	1,394904459
RPE65	1,05817E-14	0,507541462	0,081	0,001	2,23284E-10	1,421625497	0,703420136	81
CLTA	0,049421325	0,506976009	0,373	0,36	1	1,421068412	0,70369589	1,036111111
PTRHD1	1,75633E-07	0,506968846	0,134	0,056	0,003706042	1,421061356	0,703699383	2,392857143
HMGB1	4,69339E-14	0,505928197	0,799	0,862	9,90352E-10	1,420036681	0,704207161	0,926914153
LSM5	0,000851013	0,505878699	0,179	0,119	1	1,419987962	0,704231322	1,504201681
DHRS7	0,000157934	0,505198859	0,237	0,163	1	1,419318979	0,704563255	1,45398773
HMGNI	0,17969629	0,504206248	0,377	0,395	1	1,418342787	0,705048179	0,95443038
VPS28	0,049251314	0,503085528	0,318	0,285	1	1,417241413	0,70559609	1,115789474
ADGRL4	1,00302E-14	0,502866728	0,107	0,012	2,11648E-10	1,417026489	0,70570311	8,916666667
CTNNB1	0,58379872	0,502688798	0,345	0,381	1	1,416851736	0,70579015	0,905511811
PLEKHG1	4,52453E-05	0,502293812	0,148	0,083	0,954721225	1,416463879	0,70598341	1,78313253
ZNF593	9,00713E-09	0,501540506	0,144	0,056	0,000190059	1,415724462	0,706352137	2,571428571
BLOC1S1	0,000308307	0,501072735	0,371	0,299	1	1,41526551	0,706581198	1,240802676
GLRX5	0,000484615	0,499091626	0,205	0,14	1	1,413323402	0,707552142	1,464285714
SRA1	1,99398E-05	0,4975675	0,151	0,081	0,420750183	1,411831094	0,708300026	1,864197531
LIMS1	0,006549019	0,49746688	0,374	0,341	1	1,41173263	0,708349427	1,096774194
LPP	0,002451297	0,497131979	0,263	0,201	1	1,411404954	0,70851388	1,308457711
BTC	3,64029E-12	0,496535067	0,086	0,009	7,68137E-08	1,410821109	0,708807086	9,555555556
METTL5	1,6415E-05	0,496213352	0,19	0,111	0,346372603	1,410506537	0,708965165	1,711711712
MRPS12	4,0227E-12	0,494758567	0,155	0,047	8,4883E-08	1,409084927	0,709680432	3,29787234
C12orf75	3,91877E-10	0,494120484	0,129	0,039	8,26899E-06	1,408461847	0,709994383	3,307692308
MAGOHB	4,88588E-06	0,494117484	0,121	0,056	0,103096856	1,408458918	0,709995859	2,160714286

Supplementary Table 5

Differentially expressed genes_total calculation_ comparing SC-Keloid vs. (SC-Myel, SC-Nonmyel)								
gene	p_val	avg_log2FC	pct.1	pct.2	p_val_adj	Foldchange_UP	Foldchange_DOWN	Ratio_pct1_pct2
RPL41	1,50477E-27	0,493130104	0,969	0,902	3,17521E-23	1,4074953	0,710481946	1,074279379
PSMD13	0,00061624	0,493111152	0,204	0,137	1	1,407477169	0,710491099	1,489051095
CNIH4	0,000623419	0,493035497	0,206	0,141	1	1,407403003	0,710528539	1,460992908
TIMM10	2,57329E-08	0,492534039	0,161	0,069	0,000542991	1,406913898	0,71077555	2,333333333
EFEMP2	6,80252E-07	0,492239983	0,199	0,107	0,014353994	1,406627164	0,710920438	1,859813084
MSRB2	7,94208E-05	0,492194309	0,143	0,08	1	1,406582632	0,710942946	1,7875
NRAS	6,56822E-08	0,491649974	0,111	0,038	0,001385959	1,406052022	0,711211238	2,921052632
RTTN	5,49475E-09	0,491382224	0,093	0,023	0,000115945	1,405791098	0,711343244	4,043478261
RHOA	0,000329385	0,491200115	0,583	0,659	1	1,405613658	0,711433041	0,884673748
NDUFV2	0,030177305	0,490230863	0,298	0,259	1	1,404669636	0,711911167	1,150579151
TMEM54	5,0796E-14	0,490099684	0,1	0,011	1,07185E-09	1,40454192	0,711975902	9,090909091
ARL6IP4	0,084323729	0,48970689	0,391	0,403	1	1,404159566	0,712169774	0,970223325
MAD2L2	6,91399E-05	0,489665692	0,192	0,118	1	1,404119469	0,71219011	1,627118644
XRCC5	0,280542371	0,489219973	0,324	0,315	1	1,403685734	0,712410175	1,028571429
MRPL21	0,000818753	0,48892208	0,191	0,129	1	1,403395926	0,712557291	1,480620155
SMAP1	0,006311529	0,488831076	0,141	0,096	1	1,403307405	0,71260224	1,46875
ZCCHC17	0,001465005	0,485824981	0,199	0,14	1	1,400386424	0,714088613	1,421428571
RPS27A	3,52784E-18	0,485510739	0,907	0,932	7,4441E-14	1,400081431	0,71424417	0,973175966
RFC1	0,087074103	0,485128963	0,17	0,141	1	1,399710981	0,714433204	1,205673759
PLOD3	1,53993E-05	0,48510567	0,236	0,151	0,324941682	1,399688382	0,714444738	1,562913907
PLN	9,22486E-11	0,484909997	0,069	0,005	1,94654E-06	1,399498554	0,714541646	13,8
NOPCHAP1	5,18612E-06	0,484876024	0,127	0,06	0,109432416	1,3994656	0,714558472	2,116666667
LAGE3	7,45261E-07	0,484613414	0,166	0,081	0,015725755	1,399210881	0,714688553	2,049382716
ITGAE	2,65085E-05	0,484469527	0,18	0,106	0,559356489	1,399071338	0,714759836	1,698113208
RPL5	5,32923E-09	0,482712441	0,785	0,82	0,000112452	1,397368419	0,715630886	0,957317073
COX20	0,015862395	0,481272477	0,281	0,232	1	1,395974393	0,716345518	1,211206897
FAM207A	7,14837E-10	0,480388138	0,104	0,026	1,50838E-05	1,395118954	0,716784757	4
NUDT5	1,43344E-05	0,480166056	0,155	0,083	0,302469742	1,394904213	0,716895104	1,86746988
ARL1	0,073282573	0,479859142	0,229	0,195	1	1,394607497	0,71704763	1,174358974
DCTN3	0,008781206	0,479728256	0,251	0,202	1	1,39448098	0,717112685	1,242574257

Supplementary Table 5

Differentially expressed genes_total calculation_ comparing SC-Keloid vs. (SC-Myel, SC-Nonmyel)								
gene	p_val	avg_log2FC	pct.1	pct.2	p_val_adj	Foldchange_UP	Foldchange_DOWN	Ratio_pct1_pct2
PHB	0,013038675	0,479331813	0,236	0,189	1	1,394097838	0,71730977	1,248677249
RAB14	0,177790746	0,478978444	0,285	0,263	1	1,393756414	0,717485487	1,08365019
RMDN1	2,74719E-05	0,477670245	0,135	0,071	0,579684215	1,392493164	0,71813638	1,901408451
PSMB2	0,000522234	0,477191498	0,247	0,176	1	1,392031153	0,718374727	1,403409091
MAGED2	0,049356685	0,477043414	0,383	0,403	1	1,391888277	0,718448468	0,950372208
YIF1A	0,00174755	0,477014845	0,217	0,156	1	1,391860714	0,718462695	1,391025641
ARPC4	0,000132777	0,476711372	0,221	0,147	1	1,391567965	0,718613841	1,503401361
PRKAR1B	9,78833E-10	0,476608892	0,14	0,047	2,06543E-05	1,39146912	0,718664889	2,978723404
SCARB2	0,352773198	0,47658053	0,407	0,444	1	1,391441765	0,718679017	0,916666667
ZNF706	0,193799361	0,475762677	0,416	0,426	1	1,390653191	0,719086546	0,976525822
EFHD2	2,64145E-05	0,47382809	0,176	0,1	0,557373026	1,388789639	0,720051455	1,76
RPL22	2,48387E-08	0,473374735	0,745	0,799	0,000524121	1,388353292	0,720277761	0,932415519
C1orf56	0,905442695	0,473160014	0,178	0,18	1	1,388146674	0,72038497	0,988888889
S100B	3,64884E-10	0,472857451	0,888	0,874	7,69941E-06	1,387855581	0,720536065	1,016018307
RPS19BP1	0,033211724	0,47272368	0,274	0,232	1	1,387726902	0,720602878	1,181034483
TMEM50A	0,255333355	0,472479025	0,36	0,36	1	1,387491588	0,72072509	1
MICU1	0,012412456	0,471607077	0,166	0,122	1	1,386653258	0,72116082	1,360655738
TOMM7	0,059077238	0,470472236	0,581	0,672	1	1,385562929	0,721728317	0,864583333
GOLT1B	0,000105824	0,470398689	0,186	0,115	1	1,385492296	0,72176511	1,617391304
ANTKMT	0,000230985	0,469799694	0,217	0,142	1	1,384917171	0,722064843	1,528169014
NDUFA2	0,032112043	0,469364588	0,248	0,209	1	1,384499553	0,722282646	1,186602871
EIF6	0,000299742	0,468905651	0,218	0,148	1	1,384059199	0,722512448	1,472972973
USP8	0,038651275	0,468901437	0,169	0,133	1	1,384055156	0,722514558	1,270676692
UFM1	0,370665089	0,468341605	0,233	0,22	1	1,383518183	0,722794982	1,059090909
ATP5F1A	0,071290364	0,467730285	0,293	0,263	1	1,382932063	0,72310132	1,114068441
CARD19	0,003653717	0,466598237	0,204	0,148	1	1,381847335	0,723668943	1,378378378
RGS16	1,15019E-09	0,465713065	0,393	0,271	2,42701E-05	1,380999756	0,72411309	1,450184502
CCL4	0,002060585	0,465647328	0,013	0	1	1,380936832	0,724146084	#DIV/0!
EEF1E1	1,57234E-08	0,465529485	0,168	0,072	0,00033178	1,380824038	0,724205237	2,333333333
ABLIM3	1,54695E-10	0,464406957	0,139	0,043	3,26421E-06	1,379750068	0,724768944	3,23255814

Supplementary Table 5

Differentially expressed genes_total calculation_ comparing SC-Keloid vs. (SC-Myel, SC-Nonmyel)								
gene	p_val	avg_log2FC	pct.1	pct.2	p_val_adj	Foldchange_UP	Foldchange_DOWN	Ratio_pct1_pct2
ZNF385A	1,22077E-14	0,464067966	0,109	0,014	2,57596E-10	1,379425906	0,724939263	7,785714286
CIBAR1	6,16918E-06	0,463672191	0,126	0,058	0,130175818	1,379047539	0,725138163	2,172413793
DAG1	0,014158556	0,463367457	0,455	0,44	1	1,37875628	0,725291347	1,034090909
SYT11	0,013282908	0,46305036	0,284	0,235	1	1,378453269	0,72545078	1,208510638
LYRM2	0,00054127	0,462960775	0,153	0,095	1	1,378367677	0,725495829	1,610526316
DYNLL1	1,36283E-10	0,462861359	0,718	0,693	2,87571E-06	1,378272696	0,725545825	1,036075036
LMAN1	0,287961786	0,462478225	0,297	0,282	1	1,377906719	0,725738532	1,053191489
COQ4	2,90744E-06	0,462386086	0,179	0,096	0,061349919	1,377818721	0,725784883	1,864583333
KCTD20	0,004204908	0,462340435	0,157	0,109	1	1,377775123	0,72580785	1,440366972
MAP9	0,000279508	0,461930385	0,126	0,071	1	1,377383582	0,726014172	1,774647887
RPL18	1,16586E-11	0,461786887	0,807	0,887	2,46009E-07	1,377246587	0,726086388	0,909808343
HIKESHI	0,003827958	0,461031345	0,213	0,156	1	1,376525509	0,726466741	1,365384615
YBX1	2,62154E-06	0,459654872	0,657	0,678	0,055317141	1,375212795	0,727160192	0,969026549
RPL6	1,0004E-11	0,459074029	0,759	0,841	2,11094E-07	1,374659231	0,727453013	0,902497027
GMFG	1,88773E-09	0,458843424	0,055	0,003	3,98329E-05	1,37443952	0,727569301	18,33333333
CFL1	4,2155E-05	0,458652619	0,638	0,782	0,889512047	1,374257753	0,727665533	0,815856777
CLDN4	5,79312E-12	0,458160768	0,097	0,015	1,22241E-07	1,373789314	0,727913654	6,466666667
AP1S1	3,35826E-10	0,457983243	0,164	0,061	7,08626E-06	1,373620278	0,72800323	2,68852459
PTS	0,000700107	0,457480766	0,148	0,092	1	1,373141943	0,728256831	1,608695652
TMSB4X	1,45251E-26	0,457404241	0,901	0,89	3,06494E-22	1,373069109	0,728295461	1,012359551
FHL3	7,69986E-10	0,454075041	0,147	0,052	1,62475E-05	1,369904233	0,729978035	2,826923077
DYNLT2B	2,91415E-10	0,45400953	0,123	0,035	6,14915E-06	1,369842028	0,730011183	3,514285714
SMIM15	2,95066E-08	0,45394245	0,165	0,072	0,00062262	1,369778338	0,730045127	2,291666667
PSMC1	0,014018266	0,453869382	0,203	0,156	1	1,369708965	0,730082102	1,301282051
COTL1	0,068132033	0,453495667	0,299	0,275	1	1,369354201	0,730271247	1,087272727
CHMP5	0,752310895	0,452540781	0,299	0,303	1	1,368448158	0,730754756	0,98679868
MXRA7	0,094268723	0,452126826	0,234	0,197	1	1,368055564	0,730964463	1,187817259
IARS2	1,84755E-05	0,451990296	0,125	0,061	0,389852165	1,367926102	0,731033642	2,049180328
UBE2Q2	2,07561E-05	0,451390007	0,19	0,111	0,437974856	1,367357043	0,731337879	1,711711712
HINT2	4,96871E-05	0,451263232	0,207	0,128	1	1,367236893	0,731402148	1,6171875

Supplementary Table 5

Differentially expressed genes_total calculation_ comparing SC-Keloid vs. (SC-Myel, SC-Nonmyel)								
gene	p_val	avg_log2FC	pct.1	pct.2	p_val_adj	Foldchange_UP	Foldchange_DOWN	Ratio_pct1_pct2
NAV1	1,57217E-06	0,451011463	0,154	0,075	0,033174331	1,366998314	0,731529798	2,053333333
OSTM1	0,000783329	0,450080168	0,144	0,09	1	1,366116168	0,732002171	1,6
UQCC3	4,05039E-06	0,449803656	0,164	0,085	0,085467374	1,365854358	0,732142482	1,929411765
FHL2	2,01821E-13	0,449686651	0,116	0,02	4,25862E-09	1,365743589	0,732201863	5,8
ITPRIPL2	0,001933574	0,449152065	0,168	0,113	1	1,365237611	0,732473228	1,486725664
SSR3	0,068645761	0,449108455	0,319	0,294	1	1,365196343	0,73249537	1,085034014
ACTR6	0,000279102	0,448695102	0,132	0,076	1	1,364805251	0,73270527	1,736842105
CMSS1	2,46477E-05	0,448495312	0,169	0,095	0,520091299	1,364616261	0,732806745	1,778947368
C3orf70	5,68133E-05	0,448345464	0,148	0,081	1	1,364474529	0,732882863	1,827160494
HDDC2	0,000462688	0,448186833	0,143	0,085	1	1,364324508	0,732963451	1,682352941
TULP4	0,036714614	0,44764157	0,161	0,123	1	1,363808961	0,733240526	1,308943089
NACA	3,19312E-12	0,446399631	0,817	0,871	6,73781E-08	1,362635436	0,733872005	0,938002296
PFDN4	0,06291492	0,445188693	0,184	0,149	1	1,361492177	0,734488245	1,234899329
MRPS16	8,98663E-10	0,444186598	0,144	0,05	1,89627E-05	1,360546814	0,734998597	2,88
LSM10	0,000151226	0,444053453	0,172	0,104	1	1,360421256	0,735066433	1,653846154
CISD1	1,53602E-05	0,443292192	0,108	0,049	0,324116473	1,359703598	0,735454405	2,204081633
CFAP36	0,000320843	0,443042024	0,176	0,111	1	1,359467841	0,735581946	1,585585586
ANXA6	5,88619E-05	0,442971951	0,207	0,13	1	1,359401812	0,735617675	1,592307692
ACTG2	1,19684E-09	0,442487862	0,049	0	2,52545E-05	1,358945748	0,735864549	#DIV/0!
DDOST	0,003389697	0,441933257	0,235	0,178	1	1,358423438	0,736147487	1,320224719
CKLF	0,001993654	0,441515674	0,182	0,125	1	1,358030305	0,736360593	1,456
CDK6	0,007207293	0,441396375	0,217	0,164	1	1,357918012	0,736421486	1,323170732
MAGOH	0,057073522	0,440984881	0,211	0,175	1	1,357530753	0,736631563	1,205714286
MELTF	3,30866E-12	0,440683009	0,098	0,015	6,98161E-08	1,357246731	0,736785713	6,533333333
FAM174C	9,73932E-06	0,440323015	0,162	0,087	0,205509481	1,356908101	0,736969585	1,862068966
RBM3	0,049804184	0,44023244	0,454	0,49	1	1,356822915	0,737015855	0,926530612
CAPG	1,82654E-15	0,439978002	0,111	0,012	3,85419E-11	1,356583642	0,737145849	9,25
SEC11C	0,112843543	0,439890368	0,185	0,156	1	1,356501241	0,737190627	1,185897436
HACD3	0,000111596	0,438328285	0,175	0,106	1	1,35503328	0,737989255	1,650943396
ATP5IF1	0,199050243	0,437824557	0,406	0,404	1	1,354560242	0,738246974	1,004950495

Supplementary Table 5

Differentially expressed genes_total calculation_ comparing SC-Keloid vs. (SC-Myel, SC-Nonmyel)								
gene	p_val	avg_log2FC	pct.1	pct.2	p_val_adj	Foldchange_UP	Foldchange_DOWN	Ratio_pct1_pct2
BTF3L4	0,000686238	0,437610561	0,204	0,137	1	1,354359335	0,738356487	1,489051095
ZBTB8OS	7,90755E-06	0,43760838	0,147	0,075	0,166857119	1,354357287	0,738357603	1,96
MACROH2A1	0,073938891	0,437490472	0,205	0,171	1	1,354246603	0,73841795	1,198830409
RPS5	7,10007E-06	0,436857745	0,672	0,741	0,149818496	1,353652797	0,738741871	0,906882591
SEC61A1	0,002330028	0,436550344	0,177	0,121	1	1,353364399	0,738899295	1,462809917
PTPN14	0,004284656	0,436520163	0,175	0,125	1	1,353336088	0,738914752	1,4
RECQL	0,012791441	0,435536903	0,157	0,115	1	1,352414044	0,739418527	1,365217391
RALA	0,003411482	0,434336671	0,184	0,129	1	1,351289388	0,740033933	1,426356589
CBX1	0,008718787	0,434214819	0,144	0,1	1	1,351175261	0,74009644	1,44
CILK1	8,62548E-05	0,43389503	0,097	0,045	1	1,350875791	0,740260508	2,155555556
ANXA2	4,94936E-08	0,433851993	0,773	0,872	0,001044365	1,350835494	0,740282591	0,88646789
RAMP1	4,91162E-07	0,433788968	0,105	0,038	0,010364005	1,350776484	0,740314932	2,763157895
ABCC3	1,21103E-12	0,433326268	0,07	0,001	2,5554E-08	1,350343333	0,740552403	70
ANAPC15	9,91453E-11	0,432977016	0,137	0,042	2,09207E-06	1,350016478	0,7407317	3,261904762
GOLIM4	0,018090603	0,432792314	0,193	0,148	1	1,349843652	0,740826538	1,304054054
POLE4	0,00166325	0,431958526	0,158	0,104	1	1,349063752	0,741254814	1,519230769
TRIM44	0,100873811	0,431643102	0,164	0,134	1	1,348768831	0,741416896	1,223880597
DIRC3	1,87041E-10	0,431622951	0,064	0,004	3,94674E-06	1,348749992	0,741427252	16
COA6	0,000258348	0,430910149	0,121	0,066	1	1,348083771	0,741793664	1,833333333
DUSP10	2,84693E-08	0,430837265	0,105	0,033	0,00060073	1,348015668	0,74183114	3,181818182
MED4	0,019725939	0,430562978	0,19	0,144	1	1,347759406	0,741972192	1,319444444
SSR2	0,200289349	0,430124485	0,377	0,411	1	1,347349829	0,742197741	0,917274939
RAD51C	8,17708E-06	0,427841829	0,088	0,034	0,172544605	1,345219716	0,743372988	2,588235294
SUMO1	0,707177961	0,427254484	0,278	0,282	1	1,344672167	0,743675689	0,985815603
CACNA1D	2,68806E-08	0,426567186	0,051	0,004	0,000567207	1,344031719	0,744030059	12,75
SCARA3	0,000353471	0,426487745	0,179	0,115	1	1,343957713	0,74407103	1,556521739
SH2B3	7,87425E-08	0,425415536	0,127	0,049	0,001661546	1,342959256	0,744624229	2,591836735
LAMTOR1	0,120185795	0,425073813	0,272	0,244	1	1,342641195	0,744800624	1,114754098
ECM1	1,64914E-05	0,424923056	0,236	0,147	0,347985378	1,342500901	0,744878458	1,605442177
GLT8D1	0,003501857	0,424770587	0,19	0,134	1	1,342359028	0,744957183	1,417910448

Supplementary Table 5

Differentially expressed genes_total calculation_ comparing SC-Keloid vs. (SC-Myel, SC-Nonmyel)								
gene	p_val	avg_log2FC	pct.1	pct.2	p_val_adj	Foldchange_UP	Foldchange_DOWN	Ratio_pct1_pct2
VTI1B	0,00306977	0,424408752	0,15	0,1	1	1,3420224	0,745144045	1,5
UFC1	0,008389768	0,424366666	0,233	0,178	1	1,341983251	0,745165783	1,308988764
EEF1D	0,00726133	0,42422439	0,586	0,659	1	1,341850914	0,745239273	0,8892261
RGS20	7,05763E-11	0,423404564	0,066	0,004	1,48923E-06	1,34108861	0,745662884	16,5
ST6GAL1	3,10365E-05	0,423299254	0,157	0,085	0,654901812	1,34099072	0,745717315	1,847058824
SEMA3C	0,085160379	0,423294176	0,43	0,425	1	1,340986001	0,74571994	1,011764706
METTL23	6,66831E-06	0,422190305	0,144	0,072	0,140708085	1,339960344	0,746290742	2
RANBP1	0,287076806	0,421861985	0,282	0,267	1	1,339655439	0,746460598	1,056179775
ZNF365	1,19034E-12	0,421340908	0,073	0,003	2,51174E-08	1,339171665	0,746730256	24,33333333
POLE3	0,001534795	0,421062837	0,172	0,114	1	1,338913573	0,746874197	1,50877193
MAPKAP1	0,002291508	0,418847355	0,119	0,073	1	1,336859041	0,74802202	1,630136986
NUDCD2	0,18575871	0,418286865	0,213	0,187	1	1,33633977	0,748312684	1,139037433
CCT8	0,296869999	0,418158137	0,231	0,21	1	1,336220537	0,748379457	1,1
PDCD6	0,289271061	0,418129967	0,278	0,259	1	1,336194446	0,74839407	1,073359073
MRPS15	6,45565E-05	0,418076704	0,168	0,098	1	1,336145116	0,748421701	1,714285714
ARL3	0,584003528	0,418053892	0,257	0,254	1	1,336123989	0,748433535	1,011811024
LSM1	0,001793299	0,417928954	0,18	0,121	1	1,336008285	0,748498352	1,487603306
SPPL2A	0,211656049	0,417661796	0,386	0,395	1	1,335760906	0,748636972	0,97721519
LDHB	0,204557022	0,417381638	0,307	0,294	1	1,335501538	0,748782365	1,044217687
COA3	3,21448E-08	0,417129139	0,159	0,068	0,000678287	1,335267821	0,748913427	2,338235294
SRPX2	2,79438E-10	0,416190893	0,114	0,03	5,89642E-06	1,334399722	0,749400636	3,8
PSMB8	0,007238864	0,415911563	0,204	0,152	1	1,334141385	0,749545746	1,342105263
ITIH5	0,801266362	0,415367428	0,285	0,301	1	1,333638287	0,749828503	0,946843854
THRAP3	0,239961637	0,4152692	0,261	0,242	1	1,333547487	0,749879558	1,078512397
AASDHPPT	0,000961642	0,415088711	0,135	0,083	1	1,333380664	0,749973377	1,626506024
ERGIC1	1,44236E-05	0,414964761	0,168	0,092	0,304352863	1,333266111	0,750037815	1,826086957
SLC39A3	1,00058E-10	0,414648417	0,129	0,037	2,11133E-06	1,332973793	0,750202296	3,486486486
ZMPSTE24	0,000193893	0,414573331	0,144	0,083	1	1,33290442	0,750241341	1,734939759
RNF128	2,38574E-14	0,414493878	0,09	0,005	5,03414E-10	1,332831015	0,75028266	18
PARVB	2,5593E-12	0,413300101	0,14	0,037	5,40037E-08	1,331728603	0,750903749	3,783783784

Supplementary Table 5

Differentially expressed genes_total calculation_ comparing SC-Keloid vs. (SC-Myel, SC-Nonmyel)								
gene	p_val	avg_log2FC	pct.1	pct.2	p_val_adj	Foldchange_UP	Foldchange_DOWN	Ratio_pct1_pct2
RPL39L	5,55212E-09	0,412859617	0,139	0,05	0,000117155	1,331322062	0,751133305	2,78
ERP29	0,033705154	0,411675163	0,219	0,176	1	1,330229493	0,751749984	1,244318182
C1orf131	4,95947E-05	0,41143735	0,088	0,038	1	1,330010237	0,751873912	2,315789474
DHX30	0,016626437	0,41036478	0,121	0,084	1	1,32902181	0,7524331	1,44047619
SLC25A24	3,96111E-05	0,409966429	0,101	0,046	0,835833663	1,328654896	0,752640887	2,195652174
ARPC5L	0,035702538	0,409789552	0,18	0,141	1	1,328492011	0,752733168	1,276595745
DDX52	0,004636062	0,409662571	0,118	0,075	1	1,328375087	0,752799424	1,573333333
RPL24	6,92933E-11	0,409037901	0,789	0,837	1,46216E-06	1,327800041	0,753125448	0,94265233
TOMM22	1,93162E-05	0,409008446	0,163	0,09	0,407590491	1,327772931	0,753140824	1,811111111
APEX1	0,010332207	0,408216156	0,244	0,191	1	1,327043954	0,753554543	1,277486911
PPM1G	0,001319532	0,407978651	0,187	0,128	1	1,326825506	0,753678608	1,4609375
DPY30	0,014707991	0,407465725	0,189	0,141	1	1,326353859	0,753946613	1,340425532
TTC3	0,587706831	0,407241406	0,356	0,396	1	1,326147646	0,75406385	0,898989899
CCT5	0,061369696	0,406775559	0,239	0,204	1	1,325719501	0,754307377	1,171568627
ZBED5	0,040443166	0,406331589	0,092	0,065	1	1,325311591	0,754539541	1,415384615
CCL4L2	0,005346706	0,406299558	0,01	0	1	1,325282167	0,754556294	#DIV/0!
MMADHC	0,008008663	0,40590937	0,127	0,085	1	1,324923783	0,754760397	1,494117647
TXNL1	0,541835134	0,405767559	0,239	0,229	1	1,324793555	0,75483459	1,043668122
EMC10	0,047284809	0,405390999	0,279	0,248	1	1,324447813	0,755031637	1,125
GPX7	1,2621E-10	0,405088559	0,091	0,016	2,66316E-06	1,324170191	0,755189934	5,6875
ZMAT3	0,0173332	0,405077321	0,109	0,075	1	1,324159876	0,755195817	1,453333333
TSTD1	0,035040812	0,404063077	0,065	0,042	1	1,323229293	0,755726922	1,547619048
PFDN6	0,00059589	0,403777375	0,14	0,084	1	1,322967275	0,755876596	1,666666667
IAH1	0,748892243	0,403542459	0,282	0,284	1	1,322751871	0,755999686	0,992957746
AGK	1,28958E-06	0,403091107	0,093	0,033	0,027211331	1,322338109	0,75623624	2,818181818
PCMTD1	0,955798202	0,402462619	0,158	0,161	1	1,321762178	0,756565755	0,98136646
SLC20A1	0,021700459	0,402028747	0,179	0,137	1	1,321364735	0,756793317	1,306569343
DCUN1D5	1,57916E-05	0,401745353	0,141	0,072	0,333218339	1,321105199	0,756941991	1,958333333
STAMPB	0,001660268	0,401542459	0,156	0,102	1	1,320919419	0,757048451	1,529411765
SEMA4D	0,006287224	0,401407432	0,097	0,06	1	1,320795795	0,757119309	1,616666667

Supplementary Table 5

Differentially expressed genes_total calculation_ comparing SC-Keloid vs. (SC-Myel, SC-Nonmyel)								
gene	p_val	avg_log2FC	pct.1	pct.2	p_val_adj	Foldchange_UP	Foldchange_DOWN	Ratio_pct1_pct2
NAP1L4	0,008099245	0,401226873	0,217	0,161	1	1,320630503	0,757214072	1,347826087
UQCRC1	1,8442E-05	0,400175473	0,196	0,114	0,389144963	1,319668411	0,757766111	1,719298246
ECHDC1	0,083664174	0,399659693	0,171	0,14	1	1,319196698	0,75803707	1,221428571
RPS15A	3,54202E-11	0,399098015	0,815	0,867	7,47402E-07	1,318683202	0,758332251	0,940023068
MRPL15	1,36107E-10	0,3990631	0,109	0,026	2,87199E-06	1,318651288	0,758350603	4,192307692
POLR2K	0,715896528	0,398593555	0,26	0,255	1	1,318222184	0,758597459	1,019607843
FHOD1	1,90464E-09	0,397941648	0,116	0,034	4,01898E-05	1,317626657	0,758940322	3,411764706
LARS1	0,096555296	0,397629378	0,197	0,166	1	1,317341489	0,759104612	1,186746988
PSMA1	0,100685528	0,396260496	0,272	0,242	1	1,31609214	0,75982522	1,123966942
SPOCD1	1,8254E-10	0,395313443	0,073	0,008	3,85178E-06	1,315228478	0,760324169	9,125
PPCS	0,000115852	0,395304485	0,143	0,08	1	1,315220312	0,76032889	1,7875
MRPL34	0,001282778	0,395296602	0,192	0,129	1	1,315213126	0,760333044	1,488372093
SRPX	5,02545E-07	0,395156995	0,177	0,088	0,01060421	1,315085861	0,760406624	2,011363636
OSBPL8	0,365171573	0,394956431	0,228	0,213	1	1,31490305	0,760512343	1,070422535
PDAP1	0,015199732	0,393906921	0,274	0,223	1	1,313946851	0,761065791	1,228699552
SYNCRIP	0,191956394	0,393833527	0,261	0,237	1	1,313880009	0,761104509	1,101265823
PAFAH1B3	1,43569E-09	0,39356374	0,122	0,038	3,02946E-05	1,313634334	0,761246851	3,210526316
PYGB	2,5952E-06	0,393538543	0,158	0,079	0,054761344	1,313611391	0,761260146	2
TMEM242	0,110076154	0,392850453	0,109	0,085	1	1,312985017	0,761623314	1,282352941
PSENE1	0,000269904	0,392653331	0,172	0,107	1	1,31280563	0,761727385	1,607476636
HDLBP	0,060569511	0,392360184	0,274	0,236	1	1,312538903	0,76188218	1,161016949
DNM3	6,5912E-08	0,391621481	0,125	0,046	0,001390809	1,311867015	0,762272386	2,717391304
PSMG3	0,001769504	0,391595838	0,136	0,085	1	1,311843698	0,762285935	1,6
CNIH3	1,84909E-13	0,391230093	0,1	0,012	3,90177E-09	1,311511168	0,762479211	8,333333333
SUCLG1	0,000341905	0,389997289	0,147	0,087	1	1,310390942	0,763131038	1,689655172
SNRNP200	0,113756046	0,389889611	0,139	0,113	1	1,310293142	0,763187998	1,230088496
IFT22	1,51205E-09	0,389856997	0,128	0,041	3,19057E-05	1,310263521	0,763205251	3,12195122
PAICS	0,000310574	0,389686676	0,108	0,057	1	1,310108844	0,763295359	1,894736842
MAP3K12	0,020259402	0,389610157	0,08	0,052	1	1,310039359	0,763335844	1,538461538
TMEM59L	4,04442E-06	0,389370924	0,137	0,065	0,085341336	1,309822142	0,763462434	2,107692308

Supplementary Table 5

Differentially expressed genes_total calculation_ comparing SC-Keloid vs. (SC-Myel, SC-Nonmyel)								
gene	p_val	avg_log2FC	pct.1	pct.2	p_val_adj	Foldchange_UP	Foldchange_DOWN	Ratio_pct1_pct2
GGH	3,05368E-05	0,389261001	0,106	0,049	0,644357344	1,309722347	0,763520606	2,163265306
PRICKLE2	0,013254866	0,389092953	0,118	0,08	1	1,309569796	0,763609548	1,475
POLR2J	0,156762372	0,388765835	0,241	0,214	1	1,309272897	0,763782709	1,126168224
ISG15	0,001646751	0,388329206	0,277	0,208	1	1,308876707	0,764013902	1,331730769
TCEAL8	0,008033961	0,388302133	0,221	0,168	1	1,308852146	0,764028239	1,31547619
ACLY	0,002259072	0,388085112	0,111	0,066	1	1,308655273	0,764143178	1,681818182
RGS3	4,05749E-05	0,38761844	0,257	0,172	0,856170099	1,308232028	0,764390398	1,494186047
PTBP3	0,004738068	0,387498447	0,123	0,08	1	1,308123223	0,764453977	1,5375
COMMD8	6,33723E-05	0,387165501	0,104	0,049	1	1,307821368	0,764630418	2,12244898
HS2ST1	0,000498049	0,386533951	0,093	0,047	1	1,307248986	0,764965214	1,978723404
PBDC1	8,40673E-05	0,386370456	0,153	0,087	1	1,307100849	0,765051909	1,75862069
WSB2	0,002105946	0,386266384	0,154	0,1	1	1,307006562	0,7651071	1,54
DAAM1	0,007711633	0,385829848	0,168	0,119	1	1,306611143	0,765338644	1,411764706
BCL2L13	0,000101491	0,385041762	0,093	0,043	1	1,305897588	0,765756832	2,162790698
BZW1	0,942021697	0,384829082	0,32	0,341	1	1,305705089	0,765869727	0,938416422
GARS1	1,14007E-05	0,384369352	0,142	0,072	0,240567148	1,305289079	0,766113818	1,972222222
COPZ2	0,00153417	0,384100384	0,213	0,148	1	1,30504575	0,766256662	1,439189189
TMOD3	0,025367021	0,382525578	0,147	0,109	1	1,303621976	0,767093543	1,348623853
HNRNPAB	0,509691795	0,38229976	0,307	0,3	1	1,303417942	0,767213622	1,023333333
NENF	0,512627107	0,382154051	0,298	0,29	1	1,303286307	0,767291112	1,027586207
KRR1	0,169909982	0,381972957	0,162	0,137	1	1,303122723	0,767387432	1,182481752
BRI3	0,664039007	0,381923229	0,291	0,313	1	1,303077806	0,767413884	0,92971246
GNAI2	0,498505202	0,381916778	0,411	0,461	1	1,303071979	0,767417315	0,89154013
TIMP2	0,932686733	0,381457629	0,459	0,554	1	1,302657332	0,767661591	0,828519856
SRSF9	0,577179502	0,380822922	0,279	0,275	1	1,30208436	0,767999394	1,014545455
GABRA2	0,570329829	0,380820556	0,222	0,209	1	1,302082225	0,768000654	1,062200957
NME3	0,464482705	0,380773221	0,311	0,307	1	1,302039504	0,768025852	1,013029316
POP5	3,59545E-05	0,380599929	0,141	0,075	0,758676332	1,301883117	0,76811811	1,88
MTX2	1,20453E-05	0,380202084	0,134	0,065	0,254168818	1,301524152	0,76832996	2,061538462
SMDT1	0,018005243	0,380177781	0,269	0,225	1	1,301502228	0,768342903	1,195555556

Supplementary Table 5

Differentially expressed genes_total calculation_ comparing SC-Keloid vs. (SC-Myel, SC-Nonmyel)								
gene	p_val	avg_log2FC	pct.1	pct.2	p_val_adj	Foldchange_UP	Foldchange_DOWN	Ratio_pct1_pct2
FSCN1	0,002700541	0,380174366	0,211	0,152	1	1,301499147	0,768344722	1,388157895
MSRB3	0,000347053	0,37991757	0,077	0,035	1	1,301267504	0,768481497	2,2
NARS1	0,09589305	0,379834182	0,192	0,16	1	1,301192293	0,768525917	1,2
ACTN4	0,540243942	0,379621053	0,334	0,353	1	1,301000082	0,76863946	0,946175637
CDC5L	0,020763232	0,379526642	0,187	0,142	1	1,300914946	0,768689762	1,316901408
EIF2AK1	0,00134317	0,379239144	0,129	0,079	1	1,300655728	0,76884296	1,632911392
CBFB	0,04781946	0,379064915	0,199	0,157	1	1,300498662	0,768935816	1,267515924
RAP1B	0,507908663	0,378827963	0,34	0,339	1	1,300285082	0,769062118	1,002949853
DMAC1	0,000132015	0,378268097	0,141	0,079	1	1,299780579	0,769360626	1,784810127
SSBP4	1,93176E-05	0,377717436	0,169	0,094	0,407620357	1,299284562	0,769654339	1,79787234
C11orf58	0,907641864	0,377677696	0,395	0,429	1	1,299248772	0,76967554	0,920745921
RTN1	6,11761E-15	0,377397728	0,083	0,001	1,29088E-10	1,298996666	0,769824917	83
PPP1R7	0,000374727	0,377218533	0,187	0,121	1	1,298835329	0,769920541	1,545454545
ARHGAP18	2,07519E-06	0,376940836	0,085	0,028	0,043788618	1,298585347	0,770068754	3,035714286
EML1	0,00085204	0,376149567	0,076	0,037	1	1,297873313	0,770491226	2,054054054
NDUFB9	0,050616722	0,375765915	0,249	0,21	1	1,297528219	0,770696148	1,185714286
ATP6V1G1	0,823217343	0,375643915	0,369	0,399	1	1,297418499	0,770761324	0,92481203
HDAC9	5,09759E-07	0,375366273	0,076	0,02	0,010756422	1,297168839	0,770909669	3,8
TASP1	1,92971E-05	0,374892793	0,112	0,052	0,407187607	1,296743189	0,771162716	2,153846154
JPT1	0,000168742	0,374778289	0,144	0,083	1	1,296640274	0,771223924	1,734939759
WDR1	0,187498103	0,374569288	0,262	0,246	1	1,296452445	0,771335658	1,06504065
KCND3	4,42914E-10	0,374443754	0,093	0,019	9,34593E-06	1,296339641	0,771402778	4,894736842
KLHL4	4,97284E-10	0,374087364	0,055	0,001	1,04932E-05	1,296019445	0,771593361	55
RGMB	0,140843332	0,373942866	0,201	0,174	1	1,295889644	0,771670647	1,155172414
RASSF4	0,087020544	0,373658485	0,298	0,267	1	1,295634226	0,771822772	1,116104869
UROS	2,14971E-08	0,37352623	0,143	0,056	0,000453609	1,295515458	0,77189353	2,553571429
HADHA	0,135390431	0,373365308	0,253	0,224	1	1,295370961	0,771979633	1,129464286
NAA20	0,022296167	0,373334165	0,179	0,134	1	1,295342999	0,771996298	1,335820896
RCC2	0,013752069	0,372740928	0,164	0,119	1	1,294810462	0,772313809	1,378151261
MTCH2	0,000231433	0,372214485	0,14	0,08	1	1,294338069	0,77259568	1,75

Supplementary Table 5

Differentially expressed genes_total calculation_ comparing SC-Keloid vs. (SC-Myel, SC-Nonmyel)								
gene	p_val	avg_log2FC	pct.1	pct.2	p_val_adj	Foldchange_UP	Foldchange_DOWN	Ratio_pct1_pct2
PSMD14	2,59434E-05	0,372136206	0,158	0,085	0,54743258	1,294267841	0,772637601	1,858823529
DTWD1	0,450431123	0,372136092	0,132	0,121	1	1,29426774	0,772637662	1,090909091
SCG5	7,41001E-10	0,371379899	0,084	0,015	1,56359E-05	1,293589523	0,773042748	5,6
LIMK1	3,14681E-08	0,371059073	0,088	0,023	0,000664008	1,293301887	0,773214676	3,826086957
ATP5PB	0,013923554	0,370665052	0,221	0,172	1	1,292948715	0,773425882	1,284883721
C14orf119	1,55321E-05	0,370444259	0,126	0,061	0,327742262	1,292750855	0,773544258	2,06557377
FMN1	2,95969E-06	0,3703335	0,036	0,003	0,062452486	1,292651611	0,773603646	12
ZNF428	0,907073099	0,370266864	0,331	0,345	1	1,292591907	0,773639379	0,95942029
UBE2I	0,76788354	0,369507674	0,269	0,267	1	1,291911885	0,774046598	1,007490637
ASPN	0,012771468	0,369255649	0,042	0,02	1	1,29168622	0,774181829	2,1
EEA1	0,31585315	0,368698218	0,254	0,237	1	1,291187232	0,774481016	1,071729958
COMMD10	4,91001E-06	0,368049685	0,093	0,035	0,103606039	1,290606937	0,774829246	2,657142857
KIFAP3	6,24337E-06	0,367362141	0,156	0,08	0,131741383	1,28999202	0,775198594	1,95
TMEM33	0,034571877	0,367088901	0,136	0,102	1	1,289747725	0,775345427	1,333333333
COL18A1	3,99415E-07	0,366086668	0,711	0,763	0,008428062	1,288852054	0,775884243	0,931847969
NBEAL1	0,722751551	0,365359783	0,183	0,197	1	1,288202845	0,776275261	0,92893401
WDR61	0,001010714	0,365346709	0,177	0,115	1	1,288191171	0,776282296	1,539130435
EIF2S1	0,133995233	0,364958669	0,146	0,121	1	1,287844734	0,77649112	1,20661157
BLOC1S2	0,000175796	0,364841759	0,158	0,092	1	1,287740377	0,776554046	1,717391304
SPATS2L	0,377481586	0,364744384	0,268	0,254	1	1,287653463	0,776606462	1,05511811
CISD3	2,33389E-06	0,364546183	0,13	0,058	0,049247311	1,287476575	0,776713161	2,24137931
SH3KBP1	1,36975E-05	0,364109759	0,168	0,091	0,289031903	1,287087164	0,776948157	1,846153846
RAB2A	0,70638759	0,363910971	0,396	0,419	1	1,286909829	0,77705522	0,945107399
VPS25	5,36522E-10	0,363822578	0,141	0,046	1,13211E-05	1,286830983	0,777102831	3,065217391
PDCL3	0,000209146	0,363801508	0,119	0,064	1	1,28681219	0,77711418	1,859375
FAM89B	0,000313197	0,363369529	0,171	0,106	1	1,286426944	0,777346902	1,613207547
ODF2L	0,000164766	0,363270253	0,127	0,069	1	1,286338424	0,777400396	1,84057971
TTYH3	3,35155E-05	0,363219369	0,098	0,043	0,707210926	1,286293056	0,777427815	2,279069767
GPX8	6,21696E-05	0,363199092	0,171	0,1	1	1,286274977	0,777438742	1,71
GSTZ1	3,05277E-06	0,362180657	0,133	0,061	0,064416462	1,285367283	0,777987749	2,180327869

Supplementary Table 5

Differentially expressed genes_total calculation_ comparing SC-Keloid vs. (SC-Myel, SC-Nonmyel)								
gene	p_val	avg_log2FC	pct.1	pct.2	p_val_adj	Foldchange_UP	Foldchange_DOWN	Ratio_pct1_pct2
COA4	0,050702092	0,361499665	0,184	0,147	1	1,284760698	0,778355068	1,25170068
RPL35	1,13987E-05	0,36135842	0,723	0,847	0,240524886	1,284634921	0,778431275	0,853600945
PSMD4	0,070673076	0,361306095	0,22	0,183	1	1,28458833	0,778459508	1,202185792
NRBF2	3,99806E-05	0,361274086	0,15	0,081	0,843630041	1,284559829	0,778476781	1,851851852
MAP2K2	0,083062844	0,361225218	0,25	0,218	1	1,284516318	0,77850315	1,146788991
CHPF	8,52655E-05	0,361139393	0,196	0,119	1	1,284439905	0,778549464	1,647058824
SMC6	4,17411E-06	0,360703407	0,126	0,057	0,088077976	1,284051803	0,778784779	2,210526316
RAMAC	2,90348E-05	0,360620871	0,091	0,038	0,612662768	1,283978345	0,778829334	2,394736842
MAP7D3	5,72211E-06	0,36046896	0,102	0,042	0,120742238	1,283843153	0,778911347	2,428571429
IFT43	0,00066034	0,359793582	0,115	0,065	1	1,283242281	0,779276069	1,769230769
PSME2	0,05645251	0,359620146	0,241	0,204	1	1,283088023	0,779369757	1,181372549
WAC-AS1	1,25411E-05	0,359590384	0,072	0,024	0,264629201	1,283061554	0,779385835	3
APC	0,012333287	0,359290466	0,153	0,11	1	1,28279485	0,779547876	1,390909091
AMOTL1	0,420256819	0,35916212	0,123	0,111	1	1,282680733	0,77961723	1,108108108
MRPS36	0,169614677	0,358888807	0,184	0,156	1	1,282437758	0,779764939	1,179487179
RPL8	8,66977E-06	0,358496106	0,74	0,841	0,182940732	1,282088726	0,77997722	0,879904875
NREP	0,002307481	0,35809906	0,15	0,098	1	1,281735929	0,780191908	1,530612245
PRDX6	0,969950973	0,357370196	0,352	0,379	1	1,281088547	0,780586168	0,928759894
FAM50A	0,012081275	0,356970479	0,2	0,152	1	1,280733654	0,780802469	1,315789474
RUFY1	0,001931691	0,356874902	0,085	0,046	1	1,280648809	0,780854199	1,847826087
DBN1	5,53892E-07	0,356556519	0,157	0,073	0,011687667	1,280366219	0,781026541	2,150684932
PNKD	0,864410296	0,356464279	0,206	0,206	1	1,28028436	0,781076479	1
SRP9	0,896810268	0,356398213	0,303	0,318	1	1,280225733	0,781112248	0,952830189
EMC7	0,649337045	0,356055799	0,27	0,263	1	1,279921917	0,781297661	1,02661597
TMEM134	0,005647019	0,355660548	0,155	0,106	1	1,279571308	0,78151174	1,462264151
ZNF827	7,92904E-07	0,355613748	0,079	0,023	0,016731076	1,2795298	0,781537093	3,434782609
DNAJC1	0,020222623	0,355305931	0,183	0,138	1	1,279256825	0,781703861	1,326086957
CCT2	0,81441247	0,355240318	0,321	0,332	1	1,279198647	0,781739414	0,96686747
TAF11	0,004070126	0,355174147	0,142	0,094	1	1,279139976	0,78177527	1,510638298
CAPZA1	0,127981569	0,355083706	0,2	0,168	1	1,279059791	0,78182428	1,19047619

Supplementary Table 5

Differentially expressed genes_total calculation_ comparing SC-Keloid vs. (SC-Myel, SC-Nonmyel)								
gene	p_val	avg_log2FC	pct.1	pct.2	p_val_adj	Foldchange_UP	Foldchange_DOWN	Ratio_pct1_pct2
ACSBG1	7,87209E-09	0,354908704	0,121	0,039	0,000166109	1,278904647	0,781919123	3,102564103
ADAM12	5,87128E-09	0,354868025	0,076	0,014	0,00012389	1,278868587	0,781941171	5,428571429
NCBP2	0,005908074	0,354729749	0,148	0,1	1	1,278746019	0,78201612	1,48
RARS1	2,01599E-05	0,354596148	0,106	0,047	0,425394989	1,278627606	0,782088542	2,255319149
RTKN2	1,61839E-08	0,354245664	0,068	0,011	0,000341496	1,278317019	0,782278563	6,181818182
DRAXIN	2,69597E-10	0,354184154	0,109	0,027	5,68876E-06	1,278262518	0,782311916	4,037037037
FRG1	0,09764902	0,353526596	0,157	0,128	1	1,277680038	0,782668564	1,2265625
RALB	1,42264E-05	0,353477347	0,109	0,049	0,300190761	1,277636423	0,782695281	2,224489796
PPIH	0,00030204	0,352958094	0,112	0,06	1	1,277176661	0,782977039	1,866666667
PARP1	0,044685154	0,352893055	0,166	0,13	1	1,277119085	0,783012338	1,276923077
EMC3	0,001088823	0,352043555	0,158	0,1	1	1,276367302	0,783473534	1,58
XYL1	0,000569485	0,351875683	0,098	0,052	1	1,276218792	0,783564704	1,884615385
ACOT13	0,024708824	0,351596038	0,105	0,072	1	1,27597144	0,783716601	1,458333333
SLN	5,0002E-07	0,3514916	0,037	0,001	0,010550931	1,275879075	0,783773337	37
THUMP3	1,70345E-05	0,351085711	0,102	0,045	0,359444643	1,275520169	0,783993875	2,266666667
POLR2G	0,005196041	0,350743609	0,236	0,176	1	1,275217744	0,784179803	1,340909091
CAPRIN1	0,427598513	0,350549701	0,189	0,176	1	1,275046358	0,78428521	1,073863636
EDEM3	0,004735084	0,35016331	0,1	0,061	1	1,274704913	0,784495289	1,639344262
NME7	0,000384861	0,350022189	0,079	0,037	1	1,274580231	0,784572031	2,135135135
SRP54	0,854309245	0,34995284	0,144	0,142	1	1,274518964	0,784609745	1,014084507
SNRNP25	3,78146E-05	0,349569229	0,106	0,049	0,797926741	1,274180116	0,7848184	2,163265306
PDHA1	0,001324022	0,349524329	0,112	0,065	1	1,274140461	0,784842826	1,723076923
ETFRF1	0,54970531	0,348698638	0,185	0,175	1	1,273411447	0,78529214	1,057142857
PCDH20	0,111223408	0,348151921	0,182	0,153	1	1,272928972	0,785589787	1,189542484
PRKAR1A	0,114460966	0,347919862	0,281	0,327	1	1,272724237	0,78571616	0,859327217
CTSK	0,022304385	0,347006651	0,114	0,08	1	1,271918871	0,786213667	1,425
UBE2V2	0,563706878	0,346939097	0,179	0,168	1	1,271859314	0,786250483	1,06547619
RPS28	1,57567E-07	0,346916253	0,829	0,889	0,00332482	1,271839175	0,786262933	0,932508436
HYAL2	3,66639E-06	0,346669607	0,136	0,064	0,077364526	1,271621758	0,786397365	2,125
PIN1	0,120863205	0,346300637	0,243	0,21	1	1,271296582	0,786598512	1,157142857

Supplementary Table 5

Differentially expressed genes_total calculation_ comparing SC-Keloid vs. (SC-Myel, SC-Nonmyel)								
gene	p_val	avg_log2FC	pct.1	pct.2	p_val_adj	Foldchange_UP	Foldchange_DOWN	Ratio_pct1_pct2
LDLRAP1	0,000109649	0,345966534	0,092	0,042	1	1,271002205	0,786780696	2,19047619
TWF1	0,002351308	0,345938637	0,126	0,077	1	1,270977629	0,78679591	1,636363636
SMURF2	0,053681813	0,345712209	0,139	0,106	1	1,270778167	0,786919406	1,311320755
MPC2	0,110728442	0,345570727	0,232	0,197	1	1,270653551	0,786996581	1,177664975
TMEM178B	2,68032E-05	0,345107148	0,068	0,023	0,565574078	1,270245319	0,787249506	2,956521739
SERBP1	0,873666533	0,344810141	0,396	0,434	1	1,269983841	0,787411593	0,912442396
HSPB3	1,68882E-06	0,344501961	0,041	0,004	0,035635884	1,269712584	0,787579814	10,25
CLINT1	0,434752532	0,344322565	0,132	0,119	1	1,269554707	0,787677754	1,109243697
CAP1	0,549747758	0,344094542	0,369	0,403	1	1,269354066	0,787802258	0,915632754
MCAM	0,085328617	0,343961614	0,435	0,44	1	1,269237115	0,787874849	0,988636364
ACTL6A	0,000845303	0,343812341	0,116	0,066	1	1,269105796	0,787956373	1,757575758
NHP2	0,012145927	0,343380147	0,2	0,151	1	1,268725662	0,788192459	1,324503311
SRI	0,659803157	0,343297179	0,292	0,293	1	1,2686527	0,788237789	0,996587031
DPCD	3,85294E-10	0,343110396	0,099	0,022	8,13009E-06	1,268488461	0,788339847	4,5
EAPP	0,9100558	0,343089351	0,191	0,19	1	1,268469957	0,788351347	1,005263158
BCHE	0,025224632	0,343007538	0,092	0,062	1	1,268398027	0,788396055	1,483870968
CRTAP	0,35087582	0,343004556	0,2	0,18	1	1,268395405	0,788397684	1,111111111
SLC6A6	0,000615905	0,342528193	0,073	0,034	1	1,267976663	0,788658048	2,147058824
CCDC28B	1,8953E-08	0,342508734	0,101	0,03	0,000399927	1,26795956	0,788668686	3,366666667
ITGA3	2,27834E-05	0,342391705	0,205	0,122	0,480752505	1,26785671	0,788732664	1,680327869
AAMDC	0,111483149	0,342384522	0,166	0,136	1	1,267850398	0,788736591	1,220588235
HSPB11	0,011250866	0,341747265	0,166	0,119	1	1,267290495	0,789085063	1,394957983
ENY2	0,506453379	0,341196669	0,333	0,365	1	1,266806934	0,78938627	0,912328767
AGRN	0,002829697	0,340925623	0,254	0,189	1	1,266568955	0,78953459	1,343915344
ALKBH7	0,723187329	0,340722354	0,22	0,213	1	1,266390514	0,789645839	1,03286385
UBR4	0,003963413	0,340490765	0,196	0,138	1	1,266187243	0,789772607	1,420289855
FDPS	0,071103331	0,339715939	0,219	0,182	1	1,265507396	0,790196883	1,203296703
TGFB1I1	0,00297378	0,339658495	0,244	0,186	1	1,265457008	0,790228347	1,311827957
APLNR	3,02555E-07	0,339454176	0,042	0,003	0,006384222	1,265277803	0,79034027	14
COPE	0,735014797	0,339322175	0,3	0,32	1	1,26516204	0,790412586	0,9375

Supplementary Table 5

Differentially expressed genes_total calculation_ comparing SC-Keloid vs. (SC-Myel, SC-Nonmyel)								
gene	p_val	avg_log2FC	pct.1	pct.2	p_val_adj	Foldchange_UP	Foldchange_DOWN	Ratio_pct1_pct2
ATP6V1D	0,035529866	0,339274044	0,176	0,136	1	1,265119833	0,790438956	1,294117647
RPL27	0,008307892	0,339239471	0,629	0,763	1	1,265089516	0,790457898	0,824377457
PTPMT1	4,33337E-05	0,337915765	0,134	0,069	0,91438519	1,263929299	0,791183495	1,942028986
SNRNP35	0,000250718	0,337794818	0,083	0,038	1	1,263823343	0,791249826	2,184210526
SLC25A11	0,000687409	0,337674578	0,146	0,088	1	1,263718016	0,791315774	1,659090909
PMM2	0,000145174	0,337657241	0,066	0,026	1	1,263702829	0,791325284	2,538461538
VMA21	0,386625222	0,337371965	0,15	0,134	1	1,263452972	0,791481774	1,119402985
RAB1B	0,021097949	0,337090087	0,169	0,125	1	1,263206139	0,791636432	1,352
PAK2	0,846405483	0,336798409	0,321	0,327	1	1,262950774	0,791796498	0,981651376
MRPL11	0,000585614	0,336753859	0,154	0,094	1	1,262911776	0,791820948	1,638297872
MARCKSL1	0,050254206	0,336540706	0,282	0,248	1	1,262725198	0,791937946	1,137096774
HIGD2A	0,030791049	0,33595259	0,203	0,157	1	1,262210553	0,792260846	1,292993631
PSMC3	0,27572823	0,335463942	0,241	0,221	1	1,261783108	0,792529234	1,090497738
HP1BP3	0,328755316	0,334918872	0,341	0,388	1	1,261306479	0,792828719	0,878865979
PDE4B	4,13566E-06	0,334649402	0,052	0,011	0,087266657	1,261070911	0,792976819	4,727272727
CD2BP2	0,003993157	0,334552731	0,126	0,08	1	1,260986413	0,793029956	1,575
CHST11	5,25769E-09	0,333341072	0,076	0,014	0,000110942	1,259927808	0,793696269	5,428571429
CENPW	4,07085E-14	0,332937698	0,075	0	8,5899E-10	1,259575585	0,793918215	#DIV/0!
SPTSSA	0,368902622	0,332589862	0,367	0,422	1	1,259271936	0,794109653	0,869668246
CCDC88A	1,33925E-05	0,332370027	0,104	0,045	0,282595113	1,259080065	0,794230667	2,311111111
SHC1	1,09779E-05	0,332184176	0,158	0,083	0,231643668	1,258917878	0,794332988	1,903614458
FAM229B	0,108542225	0,332150679	0,127	0,1	1	1,258888649	0,794351431	1,27
METTL26	0,556117988	0,332085486	0,242	0,229	1	1,258831762	0,794387328	1,056768559
FAM32A	0,002778779	0,331912506	0,144	0,094	1	1,258680837	0,794482581	1,531914894
JOSD2	0,0606057	0,331763588	0,244	0,202	1	1,25855092	0,794564593	1,207920792
RANBP9	0,043804194	0,331211715	0,14	0,104	1	1,258069579	0,794868596	1,346153846
RPL7L1	0,078080465	0,331203077	0,169	0,134	1	1,258062047	0,794873355	1,26119403
PDZD11	1,49576E-05	0,331149838	0,13	0,064	0,315621324	1,258015622	0,794902688	2,03125
FBN1	0,00127195	0,331105781	0,143	0,09	1	1,257977206	0,794926963	1,588888889
MGMT	0,008809843	0,330964093	0,161	0,114	1	1,257853665	0,795005037	1,412280702

Supplementary Table 5

Differentially expressed genes_total calculation_ comparing SC-Keloid vs. (SC-Myel, SC-Nonmyel)								
gene	p_val	avg_log2FC	pct.1	pct.2	p_val_adj	Foldchange_UP	Foldchange_DOWN	Ratio_pct1_pct2
DCTPP1	3,12952E-05	0,330873144	0,108	0,05	0,660361053	1,257774371	0,795055157	2,16
EVA1A	4,55033E-10	0,330517582	0,062	0,004	9,60165E-06	1,257464423	0,795251128	15,5
CYB5R3	0,190381746	0,330033382	0,275	0,252	1	1,25704246	0,795518076	1,091269841
NONO	0,879130425	0,329956608	0,246	0,242	1	1,256975568	0,795560411	1,016528926
TOR1A	3,55898E-07	0,329667877	0,105	0,037	0,007509813	1,256724031	0,795719645	2,837837838
ARHGEF12	0,917991237	0,329450786	0,269	0,274	1	1,256534938	0,795839391	0,981751825
CHID1	0,004687368	0,329173908	0,172	0,119	1	1,256293811	0,795992141	1,445378151
CTSB	0,000121516	0,329068262	0,171	0,102	1	1,256201817	0,796050432	1,676470588
HYI	0,000280499	0,328614235	0,189	0,121	1	1,255806543	0,796300995	1,561983471
RPN2	0,230112597	0,328509217	0,307	0,296	1	1,255715133	0,796358962	1,037162162
APP	0,520097289	0,32844437	0,406	0,486	1	1,255658692	0,796394758	0,835390947
ASNSD1	0,396774483	0,327897012	0,091	0,08	1	1,255182386	0,796696967	1,1375
COA8	0,001673583	0,327881025	0,151	0,096	1	1,255168477	0,796705796	1,572916667
GPSM2	0,136264021	0,327639658	0,146	0,119	1	1,254958502	0,796839098	1,226890756
SUMF2	0,540121607	0,327483641	0,165	0,155	1	1,254822794	0,796925275	1,064516129
GAR1	0,000159905	0,327281045	0,095	0,046	1	1,254646593	0,797037194	2,065217391
PLAUR	0,002468658	0,327139221	0,224	0,163	1	1,254523261	0,797115551	1,374233129
HAUS1	2,3345E-05	0,327005445	0,079	0,03	0,492603797	1,254406939	0,797189468	2,633333333
PHACTR1	0,034046611	0,326687753	0,14	0,103	1	1,25413074	0,797365034	1,359223301
GPX4	0,614637623	0,326557465	0,475	0,545	1	1,254017486	0,797437046	0,871559633
DNTTIP1	4,84217E-05	0,326187338	0,107	0,05	1	1,253695806	0,797641657	2,14
NDUFS4	0,367758185	0,325206246	0,278	0,308	1	1,252843531	0,798184271	0,902597403
GNAS	0,003232645	0,324923786	0,643	0,756	1	1,252598265	0,79834056	0,850529101
AQP1	0,057438679	0,324865155	0,225	0,191	1	1,252547361	0,798373005	1,178010471
POP7	0,000161993	0,324508769	0,133	0,073	1	1,252237985	0,798570249	1,821917808
PCMTD2	0,070462494	0,324330582	0,139	0,109	1	1,252083331	0,798668887	1,275229358
MCUR1	0,060312766	0,324236976	0,168	0,132	1	1,252002095	0,798720708	1,272727273
SCG2	8,02724E-10	0,32389423	0,057	0,003	1,69383E-05	1,251704688	0,798910486	19
EIF1AY	5,16748E-06	0,323594583	0,066	0,019	0,109039054	1,251444736	0,799076437	3,473684211
CASP3	0,017045437	0,322214963	0,111	0,075	1	1,250248577	0,799840943	1,48

Supplementary Table 5

Differentially expressed genes_total calculation_ comparing SC-Keloid vs. (SC-Myel, SC-Nonmyel)								
gene	p_val	avg_log2FC	pct.1	pct.2	p_val_adj	Foldchange_UP	Foldchange_DOWN	Ratio_pct1_pct2
FBLIM1	5,71128E-07	0,321879097	0,063	0,014	0,012051379	1,249957548	0,80002717	4,5
PSMG1	0,000411424	0,321777733	0,088	0,043	1	1,249869728	0,800083383	2,046511628
RUVBL1	0,000274173	0,321643993	0,094	0,046	1	1,249753869	0,800157555	2,043478261
APMAP	9,69004E-05	0,321445175	0,134	0,072	1	1,249581652	0,800267832	1,861111111
RRP36	0,000148802	0,321138072	0,113	0,058	1	1,249315685	0,800438202	1,948275862
SPAG7	0,047300227	0,321082477	0,155	0,118	1	1,249267543	0,800469048	1,313559322
NNT	6,23783E-09	0,320948273	0,086	0,019	0,000131624	1,249151337	0,800543513	4,526315789
COL9A2	2,41207E-05	0,32083238	0,079	0,03	0,508970573	1,249050996	0,800607824	2,633333333
ITGB1BP1	0,782539144	0,320736885	0,257	0,254	1	1,248968322	0,80066082	1,011811024
F2R	0,01619739	0,320626062	0,1	0,066	1	1,248872383	0,800722326	1,515151515
IFNAR1	0,555018056	0,320531735	0,186	0,172	1	1,248790732	0,800774681	1,081395349
AKR7A2	0,000468881	0,320493619	0,154	0,092	1	1,248757739	0,800795838	1,673913043
PHTF2	0,002481875	0,320325108	0,064	0,031	1	1,248611889	0,800889379	2,064516129
P4HA1	0,227927461	0,319907327	0,146	0,123	1	1,248250364	0,801121337	1,18699187
STOML2	0,053693411	0,319726584	0,171	0,134	1	1,248093991	0,801221709	1,276119403
UFD1	0,006547618	0,319615891	0,173	0,122	1	1,247998233	0,801283186	1,418032787
CERCAM	2,96889E-06	0,319609456	0,132	0,06	0,062646585	1,247992666	0,80128676	2,2
BBIP1	0,026382306	0,319534693	0,146	0,107	1	1,247927994	0,801328285	1,364485981
EIF3J	0,849719408	0,31944656	0,247	0,258	1	1,247851762	0,801377239	0,957364341
CFAP410	0,02613317	0,319353476	0,161	0,119	1	1,247771252	0,801428946	1,352941176
SNX6	0,966739266	0,319172418	0,24	0,244	1	1,247614667	0,801529532	0,983606557
BUD31	0,839620037	0,318989389	0,265	0,265	1	1,247456397	0,801631226	1
MRPS18A	7,8194E-05	0,318649083	0,085	0,037	1	1,247162179	0,801820338	2,297297297
PPFIA1	0,048451331	0,318165291	0,147	0,114	1	1,246744027	0,802089265	1,289473684
RPS15	1,31611E-09	0,317893186	0,884	0,929	2,77713E-05	1,246508902	0,80224056	0,951560818
PSMD7	0,170807691	0,317791011	0,242	0,218	1	1,246420624	0,802297379	1,110091743
PIGP	0,026767687	0,317012937	0,172	0,129	1	1,245748586	0,802730191	1,333333333
FAM98A	0,023147318	0,316976521	0,105	0,072	1	1,245717142	0,802750453	1,458333333
LEF1	0,000124075	0,316902111	0,081	0,035	1	1,245652893	0,802791858	2,314285714
FAM118A	0,01938834	0,316321721	0,083	0,053	1	1,245151873	0,803114882	1,566037736

Supplementary Table 5

Differentially expressed genes_total calculation_ comparing SC-Keloid vs. (SC-Myel, SC-Nonmyel)								
gene	p_val	avg_log2FC	pct.1	pct.2	p_val_adj	Foldchange_UP	Foldchange_DOWN	Ratio_pct1_pct2
UBTD1	2,4851E-09	0,315600866	0,129	0,042	5,24382E-05	1,244529878	0,803516265	3,071428571
MRPS7	0,00229155	0,31534107	0,144	0,092	1	1,244305787	0,803660973	1,565217391
LINC00623	9,38085E-06	0,31521991	0,163	0,085	0,197945219	1,244201292	0,803728469	1,917647059
NKAP	0,025942073	0,314775973	0,132	0,095	1	1,243818493	0,803975826	1,389473684
CTSA	8,50335E-06	0,314745539	0,172	0,092	0,179429131	1,243792255	0,803992786	1,869565217
CCDC66	0,284887036	0,31474429	0,115	0,099	1	1,243791179	0,803993481	1,161616162
STK17A	0,2235714	0,314495867	0,29	0,262	1	1,243577024	0,804131936	1,106870229
HPF1	0,022332116	0,313994276	0,139	0,1	1	1,243144736	0,804411563	1,39
MNAT1	0,036655348	0,31360882	0,119	0,085	1	1,242812641	0,804626512	1,4
POLR2F	0,893597616	0,313450445	0,347	0,357	1	1,242676216	0,804714846	0,971988796
SHISA4	0,008276256	0,312910831	0,194	0,142	1	1,242211502	0,805015892	1,366197183
EIF2AK4	0,000346474	0,312733732	0,142	0,083	1	1,242059023	0,805114718	1,710843373
GOPC	0,022130495	0,312498837	0,164	0,122	1	1,241856811	0,805245815	1,344262295
ARHGDI1	0,7895945	0,312368653	0,302	0,315	1	1,241744755	0,805318481	0,958730159
FKBP11	0,000694224	0,312343376	0,084	0,042	1	1,241722999	0,805332591	2
MED8	0,000563025	0,312314133	0,094	0,049	1	1,24169783	0,805348915	1,918367347
RPS19	4,27887E-06	0,312208978	0,786	0,868	0,090288372	1,241607328	0,805407617	0,905529954
PTTG1IP	0,437705458	0,312198279	0,276	0,263	1	1,241598121	0,80541359	1,049429658
WDR11	0,002146696	0,31213252	0,091	0,05	1	1,241541529	0,805450302	1,82
COL9A3	0,692847523	0,312035383	0,368	0,426	1	1,241457938	0,805504536	0,863849765
KLF3	0,36548098	0,311832262	0,182	0,164	1	1,241283163	0,805617952	1,109756098
ECHS1	0,077783041	0,311822798	0,197	0,163	1	1,24127502	0,805623238	1,208588957
PUS7L	0,009391856	0,311296841	0,085	0,052	1	1,240822577	0,805916993	1,634615385
C12orf57	0,178675496	0,311172823	0,364	0,426	1	1,240715916	0,805986275	0,854460094
FAM162A	0,003860782	0,310749862	0,189	0,13	1	1,240352224	0,806222604	1,453846154
AIMP1	0,366239118	0,310108582	0,196	0,175	1	1,239801008	0,806581051	1,12
SHROOM4	0,000804196	0,309790967	0,075	0,035	1	1,239528091	0,806758643	2,142857143
USB1	2,5852E-05	0,309697362	0,098	0,042	0,545503608	1,23944767	0,806810988	2,333333333
SEPTIN2	0,293663474	0,309696152	0,395	0,48	1	1,239446631	0,806811665	0,822916667
PPP4C	0,007026874	0,309560803	0,187	0,134	1	1,239330355	0,806887361	1,395522388

Supplementary Table 5

Differentially expressed genes_total calculation_ comparing SC-Keloid vs. (SC-Myel, SC-Nonmyel)								
gene	p_val	avg_log2FC	pct.1	pct.2	p_val_adj	Foldchange_UP	Foldchange_DOWN	Ratio_pct1_pct2
GDI2	0,659903931	0,309393293	0,272	0,289	1	1,239186466	0,806981054	0,941176471
CRIP1	0,548110444	0,309119863	0,123	0,114	1	1,238951629	0,807134013	1,078947368
SMS	0,026246043	0,308921771	0,207	0,163	1	1,238781524	0,807244846	1,26993865
MSL3	0,021542551	0,308734343	0,099	0,066	1	1,238620598	0,807349725	1,5
MRPS25	0,003705969	0,308342897	0,092	0,053	1	1,238284569	0,807568813	1,735849057
RPL32	4,735E-09	0,308294411	0,884	0,954	9,99132E-05	1,238242954	0,807595954	0,926624738
TRIAP1	0,000195327	0,3079516	0,105	0,053	1	1,237948759	0,807787877	1,981132075
UBLCP1	0,00038016	0,307789924	0,121	0,066	1	1,237810036	0,807878407	1,833333333
PFDN1	0,231615612	0,307536666	0,284	0,261	1	1,237592763	0,808020239	1,088122605
STX2	0,236580225	0,307507326	0,147	0,126	1	1,237567595	0,808036671	1,166666667
MRPL22	0,51091988	0,307323102	0,184	0,171	1	1,237409575	0,80813986	1,076023392
CMTM3	0,038474732	0,307306877	0,234	0,191	1	1,237395659	0,808148948	1,22513089
SUMO2	0,277781313	0,306781052	0,537	0,646	1	1,236944742	0,808443551	0,83126935
DPY19L1	0,002732628	0,306699791	0,095	0,054	1	1,236875071	0,808489089	1,759259259
GRB10	0,004754106	0,306585677	0,135	0,088	1	1,236777241	0,808553041	1,534090909
CLTC	0,37930099	0,306486941	0,196	0,178	1	1,236692601	0,80860838	1,101123596
COMMD3	0,005024202	0,306412985	0,159	0,109	1	1,236629207	0,808649831	1,458715596
SH3GL1	0,006892628	0,306327123	0,173	0,119	1	1,236555611	0,80869796	1,453781513
COA5	0,071974856	0,306288566	0,107	0,08	1	1,236522564	0,808719573	1,3375
SEC62	0,356650327	0,306206541	0,441	0,509	1	1,236452262	0,808765555	0,866404715
SACS	0,000457645	0,306103752	0,08	0,038	1	1,236364172	0,808823179	2,105263158
QPCT	1,92119E-09	0,305846915	0,139	0,047	4,0539E-05	1,236144087	0,808967183	2,957446809
MED11	0,003764837	0,305839144	0,083	0,046	1	1,236137428	0,808971541	1,804347826
PRSS23	0,349131647	0,305556449	0,348	0,35	1	1,235895231	0,809130074	0,994285714
MT-CO3	4,61189E-07	0,30532632	0,824	0,826	0,009731547	1,235698105	0,809259151	0,997578692
SEC31A	0,89975641	0,30437857	0,239	0,237	1	1,234886605	0,809790953	1,008438819
PURB	0,655734526	0,304132871	0,179	0,17	1	1,234676315	0,809928876	1,052941176
TWF2	3,25913E-08	0,30386934	0,132	0,049	0,000687708	1,234450802	0,810076836	2,693877551
ZMAT2	0,023154614	0,303579774	0,139	0,099	1	1,234203057	0,810239445	1,404040404
TMEM219	0,133658215	0,30317365	0,257	0,224	1	1,233855674	0,810467562	1,147321429

Supplementary Table 5

Differentially expressed genes_total calculation_ comparing SC-Keloid vs. (SC-Myel, SC-Nonmyel)								
gene	p_val	avg_log2FC	pct.1	pct.2	p_val_adj	Foldchange_UP	Foldchange_DOWN	Ratio_pct1_pct2
FBXO22	0,000107472	0,302733547	0,109	0,054	1	1,233479336	0,810714838	2,018518519
MAPRE3	9,85704E-05	0,302168476	0,098	0,046	1	1,232996305	0,811032439	2,130434783
TPGS2	1,27073E-06	0,302006634	0,115	0,046	0,026813762	1,232857995	0,811123426	2,5
ADGRG1	0,000175465	0,301709504	0,158	0,091	1	1,232604108	0,811290498	1,736263736
PIH1D1	0,147119198	0,30134369	0,123	0,099	1	1,232291605	0,811496237	1,242424242
HOXC9	4,4186E-08	0,30129602	0,133	0,05	0,00093237	1,232250887	0,811523051	2,66
UBFD1	0,000858841	0,301253597	0,087	0,045	1	1,232214653	0,811546915	1,933333333
PLOD2	6,52132E-06	0,300912459	0,077	0,026	0,137606433	1,231923319	0,811738835	2,961538462
DCTN2	0,045251677	0,300763517	0,237	0,194	1	1,231796144	0,811822642	1,221649485
HIF1A	0,285183957	0,300473497	0,141	0,125	1	1,231548545	0,811985856	1,128
POLR3K	2,56585E-05	0,300439668	0,085	0,034	0,541419933	1,231519668	0,812004896	2,5
KCNMB1	4,48189E-12	0,300417639	0,07	0,003	9,45724E-08	1,231500863	0,812017295	23,33333333
SEC13	0,007254041	0,300028935	0,149	0,102	1	1,231169106	0,812236106	1,460784314
SUGT1	0,2511519	0,299973383	0,194	0,168	1	1,231121699	0,812267382	1,154761905
NAT14	0,000830165	0,299741138	0,191	0,123	1	1,23092353	0,812398151	1,552845528
VBP1	0,229250099	0,299392559	0,182	0,157	1	1,230626154	0,812594464	1,159235669
SIVA1	0,21265319	0,299389013	0,261	0,296	1	1,230623129	0,812596461	0,881756757
SMARCB1	0,000497894	0,29902906	0,165	0,102	1	1,230316126	0,81279923	1,617647059
SRPRB	8,23559E-07	0,298976797	0,114	0,045	0,017377913	1,230271558	0,812828675	2,533333333
PCBD1	0,004066892	0,298712008	0,123	0,077	1	1,230045777	0,812977873	1,597402597
SLC22A18	1,15175E-07	0,298347366	0,08	0,02	0,00243031	1,229734922	0,81318338	4
TM9SF3	0,394922364	0,298329845	0,282	0,313	1	1,229719988	0,813193255	0,900958466
ZNHIT6	0,391777167	0,298298972	0,071	0,061	1	1,229693672	0,813210658	1,163934426
PPP1CB	0,422696651	0,298175592	0,312	0,351	1	1,229588512	0,813280207	0,888888889
TMED1	0,004004711	0,297839735	0,129	0,083	1	1,2293023	0,813469559	1,554216867
GOLM1	0,028161916	0,297620143	0,071	0,045	1	1,229115203	0,813593386	1,577777778
ZFPM1	0,017552666	0,297575398	0,088	0,057	1	1,229077082	0,813618621	1,543859649
RPS3	0,000394356	0,297566374	0,753	0,84	1	1,229069394	0,81362371	0,896428571
LRPAP1	0,280156953	0,297316389	0,254	0,289	1	1,228856444	0,813764703	0,878892734
SURF2	0,000111601	0,297026647	0,125	0,065	1	1,228609673	0,813928151	1,923076923

Supplementary Table 5

Differentially expressed genes_total calculation_ comparing SC-Keloid vs. (SC-Myel, SC-Nonmyel)								
gene	p_val	avg_log2FC	pct.1	pct.2	p_val_adj	Foldchange_UP	Foldchange_DOWN	Ratio_pct1_pct2
DERL2	0,000584052	0,296810993	0,146	0,087	1	1,228426034	0,814049827	1,67816092
COA1	0,002395376	0,29645377	0,139	0,088	1	1,228121904	0,814251417	1,579545455
WIPF1	0,280975322	0,296421088	0,228	0,206	1	1,228094082	0,814269863	1,106796117
NSRP1	0,282599126	0,295662286	0,158	0,138	1	1,227448322	0,81469825	1,144927536
PYCR1	2,62269E-11	0,295596554	0,081	0,009	5,53414E-07	1,227392399	0,81473537	9
IFI44L	1,52805E-05	0,29555134	0,109	0,049	0,322434676	1,227353933	0,814760904	2,224489796
CTTN	0,517961848	0,295479958	0,286	0,27	1	1,227293207	0,814801218	1,059259259
CLPP	1,08264E-05	0,295478517	0,133	0,064	0,22844884	1,227291981	0,814802032	2,078125
DPM2	1,12943E-06	0,294873396	0,153	0,072	0,02383211	1,226777316	0,815143863	2,125
CD320	0,002609205	0,294775447	0,133	0,084	1	1,226694029	0,815199207	1,583333333
MRGBP	0,000398281	0,294081914	0,079	0,037	1	1,226104475	0,815591184	2,135135135
ARID3B	1,64213E-05	0,29349051	0,065	0,02	0,346506193	1,225601961	0,815925588	3,25
TMEM121	0,000258937	0,293258942	0,079	0,035	1	1,225405254	0,816056563	2,257142857
APPL2	0,006623019	0,292806192	0,075	0,042	1	1,225020755	0,8163127	1,785714286
CDC37L1	0,069039865	0,292645084	0,122	0,094	1	1,224883962	0,816403864	1,29787234
MAML2	0,410807826	0,291510314	0,206	0,193	1	1,223920893	0,81704627	1,067357513
USE1	0,043283255	0,291235698	0,121	0,09	1	1,223687943	0,817201808	1,344444444
EXOSC7	0,024115423	0,291114819	0,088	0,058	1	1,223585418	0,817270282	1,517241379
INSYN2A	7,52773E-10	0,290987339	0,05	0	1,58843E-05	1,223477304	0,817342501	#DIV/0!
ATRAID	0,620263883	0,290614804	0,284	0,284	1	1,223161416	0,817553584	1
C5orf15	0,07689604	0,290493265	0,2	0,161	1	1,223058376	0,817622461	1,242236025
TM9SF2	0,129451543	0,290027837	0,172	0,142	1	1,222663869	0,817886277	1,211267606
TMEM223	2,73367E-05	0,289948364	0,087	0,035	0,576830807	1,222596518	0,817931333	2,485714286
NUDT9	0,123155371	0,289896222	0,094	0,072	1	1,222552332	0,817960895	1,305555556
SPRYD7	0,002094741	0,289850731	0,099	0,057	1	1,222513783	0,817986687	1,736842105
MAP3K13	0,045145099	0,289612609	0,137	0,103	1	1,22231202	0,81812171	1,330097087
TXNDC15	0,429134092	0,289193358	0,196	0,178	1	1,221956864	0,818359493	1,101123596
PRPS2	0,005061719	0,288907304	0,092	0,054	1	1,221714601	0,818521772	1,703703704
COMMD2	0,164273948	0,288133635	0,12	0,098	1	1,221059612	0,818960835	1,224489796
EPN2	0,440776831	0,28809056	0,148	0,134	1	1,221023156	0,818985287	1,104477612

Supplementary Table 5

Differentially expressed genes_total calculation_ comparing SC-Keloid vs. (SC-Myel, SC-Nonmyel)								
gene	p_val	avg_log2FC	pct.1	pct.2	p_val_adj	Foldchange_UP	Foldchange_DOWN	Ratio_pct1_pct2
AMPH	2,0334E-10	0,287851691	0,057	0,001	4,29068E-06	1,220821006	0,819120899	57
RASL11B	2,19984E-05	0,287667087	0,05	0,012	0,464189139	1,220664802	0,819225719	4,166666667
MRPS10	0,007948846	0,286878622	0,126	0,084	1	1,219997864	0,819673566	1,5
B4GALT6	0,012426108	0,286864955	0,102	0,066	1	1,219986307	0,819681331	1,545454545
CBY1	0,143184243	0,286859377	0,113	0,09	1	1,21998159	0,8196845	1,255555556
P3H1	8,15379E-05	0,286543286	0,141	0,076	1	1,219714324	0,819864111	1,855263158
PITPNM3	5,11303E-09	0,286511364	0,049	0,001	0,00010789	1,219687336	0,819882252	49
COPZ1	0,000877182	0,286509276	0,151	0,094	1	1,219685571	0,819883439	1,606382979
DNAJC19	0,200009854	0,286218471	0,21	0,183	1	1,219439743	0,82004872	1,147540984
SAMM50	0,004584063	0,286182599	0,101	0,061	1	1,219409422	0,82006911	1,655737705
UTP11	0,394542606	0,286140978	0,143	0,128	1	1,219374243	0,820092769	1,1171875
NDUFA5	0,653108601	0,28609094	0,222	0,233	1	1,219331952	0,820121214	0,9527897
AKT1	0,136252686	0,285951007	0,206	0,172	1	1,21921369	0,820200764	1,197674419
PNO1	0,02291505	0,285931595	0,093	0,062	1	1,219197284	0,820211801	1,5
MCEE	0,026220734	0,285697112	0,068	0,042	1	1,218999143	0,820345121	1,619047619
FXYS5	0,00293597	0,285620521	0,206	0,148	1	1,21893443	0,820388673	1,391891892
AP3B1	0,010664569	0,28538995	0,097	0,061	1	1,218739636	0,820519798	1,590163934
C1QL1	0,000788575	0,285115454	0,179	0,117	1	1,218507773	0,82067593	1,52991453
LHFPL6	0,467127856	0,28487761	0,143	0,132	1	1,218306905	0,820811239	1,083333333
MIER1	0,458064296	0,284832126	0,148	0,134	1	1,218268496	0,820837117	1,104477612
HK1	0,034822484	0,284828564	0,134	0,098	1	1,218265488	0,820839144	1,367346939
UBE2J1	0,024226585	0,284759668	0,121	0,085	1	1,218207311	0,820878344	1,423529412
RABL6	0,001680372	0,284509495	0,162	0,104	1	1,217996084	0,821020702	1,557692308
ANAPC16	0,793054189	0,284419021	0,268	0,263	1	1,217919704	0,821072191	1,019011407
ORAI2	7,36065E-06	0,284355084	0,077	0,026	0,155317013	1,21786573	0,82110858	2,961538462
DNAJC8	0,261649238	0,284134416	0,26	0,29	1	1,217679465	0,821234182	0,896551724
GNS	0,092767498	0,284006042	0,091	0,068	1	1,217571118	0,821307261	1,338235294
NANS	0,071666118	0,283969016	0,148	0,115	1	1,21753987	0,82132834	1,286956522
HLA-A	0,40336226	0,283416398	0,559	0,696	1	1,217073586	0,821643006	0,80316092
IFT57	0,661373373	0,283406099	0,163	0,153	1	1,217064898	0,821648872	1,065359477

Supplementary Table 5

Differentially expressed genes_total calculation_ comparing SC-Keloid vs. (SC-Myel, SC-Nonmyel)								
gene	p_val	avg_log2FC	pct.1	pct.2	p_val_adj	Foldchange_UP	Foldchange_DOWN	Ratio_pct1_pct2
PHF6	0,089105724	0,283326883	0,081	0,06	1	1,216998073	0,821693988	1,35
NOTCH3	8,51652E-06	0,28332133	0,048	0,009	0,179707104	1,216993388	0,821697151	5,333333333
NUDT22	7,35622E-05	0,283241443	0,104	0,049	1	1,216926001	0,821742653	2,12244898
COPS6	0,296430644	0,282854218	0,226	0,205	1	1,216599417	0,821963241	1,102439024
TATDN1	0,007676296	0,282753793	0,122	0,08	1	1,216514733	0,82202046	1,525
KNOP1	0,024062954	0,282560217	0,088	0,058	1	1,216351517	0,822130763	1,517241379
PTPRK	0,00352602	0,281266291	0,121	0,076	1	1,215261083	0,822868447	1,592105263
NPM3	1,49548E-05	0,280525597	0,072	0,024	0,31556125	1,214637315	0,823291025	3
TCAF1	0,034306116	0,2803908	0,125	0,09	1	1,214523832	0,823367952	1,388888889
XRN2	0,181318372	0,280200499	0,193	0,167	1	1,214363639	0,823476567	1,155688623
YBEY	2,15246E-05	0,280182637	0,116	0,054	0,454190202	1,214348605	0,823486762	2,148148148
AC147651.4	0,00116151	0,280077916	0,097	0,053	1	1,214260462	0,823546538	1,830188679
TRPV2	7,8555E-10	0,279320522	0,07	0,008	1,65759E-05	1,21362316	0,823979002	8,75
BCL7C	0,377490692	0,278956588	0,222	0,205	1	1,21331705	0,824186885	1,082926829
OXLD1	1,4783E-05	0,278793646	0,075	0,026	0,311935509	1,213180023	0,824279976	2,884615385
YIPF5	0,046091027	0,278741028	0,132	0,099	1	1,213135776	0,82431004	1,333333333
ARL16	0,006259559	0,278728253	0,12	0,077	1	1,213125034	0,824317339	1,558441558
GAS8	4,50178E-07	0,278317978	0,066	0,015	0,009499204	1,212780093	0,824551793	4,4
MTIF3	0,01238658	0,278295844	0,156	0,111	1	1,212761487	0,824564443	1,405405405
KRCC1	0,028606687	0,278125864	0,157	0,117	1	1,212618606	0,8246616	1,341880342
ACBD3	0,219687067	0,278033097	0,189	0,161	1	1,212540635	0,824714629	1,173913043
NDUFA9	0,026982111	0,277783044	0,114	0,08	1	1,212330492	0,824857584	1,425
EBPL	0,004471193	0,277688413	0,141	0,092	1	1,212250974	0,82491169	1,532608696
R3HCC1	0,000304248	0,27762075	0,132	0,073	1	1,21219412	0,82495038	1,808219178
TMEM51	8,23713E-08	0,277220741	0,055	0,007	0,001738117	1,211858068	0,825179141	7,857142857
CCT6A	0,386292187	0,277112459	0,218	0,199	1	1,211767114	0,825241078	1,095477387
DCTN1	0,087097169	0,276853011	0,148	0,115	1	1,211549216	0,825389499	1,286956522
FYTTD1	0,913233361	0,27675715	0,199	0,201	1	1,211468715	0,825444345	0,990049751
PLXND1	0,275353008	0,27620882	0,171	0,149	1	1,211008356	0,825758133	1,147651007
ANAPC5	0,109570228	0,276202247	0,207	0,172	1	1,211002839	0,825761896	1,203488372

Supplementary Table 5

Differentially expressed genes_total calculation_ comparing SC-Keloid vs. (SC-Myel, SC-Nonmyel)								
gene	p_val	avg_log2FC	pct.1	pct.2	p_val_adj	Foldchange_UP	Foldchange_DOWN	Ratio_pct1_pct2
DNAJC21	0,828072921	0,276089744	0,172	0,176	1	1,210908407	0,825826292	0,977272727
PPP1R2	0,10993284	0,276058137	0,193	0,16	1	1,210881878	0,825844385	1,20625
CASD1	0,051702637	0,27596543	0,094	0,066	1	1,21080407	0,825897455	1,424242424
MRPL19	0,077610775	0,275873682	0,149	0,117	1	1,210727072	0,82594998	1,273504274
TRIO	0,121896992	0,275741275	0,139	0,111	1	1,210615959	0,826025787	1,252252252
RAB34	0,960216681	0,275723598	0,224	0,224	1	1,210601126	0,826035908	1
GLB1	0,005019905	0,275608538	0,078	0,043	1	1,21050458	0,82610179	1,813953488
IQSEC1	0,114332703	0,275188786	0,104	0,08	1	1,210152435	0,826342179	1,3
ATP5PO	0,240535443	0,275155232	0,285	0,322	1	1,21012429	0,826361398	0,885093168
HRAS	0,410568892	0,275060957	0,162	0,147	1	1,210045215	0,8264154	1,102040816
TMED3	4,81952E-06	0,27492538	0,171	0,09	0,101696653	1,209931506	0,826493066	1,9
CARD8	0,019832712	0,274722028	0,044	0,023	1	1,209760975	0,82660957	1,913043478
PRMT2	0,302749914	0,2747115	0,281	0,313	1	1,209752147	0,826615603	0,897763578
MTHFD1L	2,10881E-07	0,274529795	0,073	0,018	0,004449798	1,209599791	0,82671972	4,055555556
NT5C	0,955097276	0,274479893	0,21	0,209	1	1,209557952	0,826748316	1,004784689
UBE2K	0,612344234	0,274420079	0,172	0,183	1	1,209507805	0,826782594	0,93989071
IMMT	0,01875051	0,2742364	0,133	0,094	1	1,209353824	0,826887864	1,414893617
TMEM18	0,05295405	0,274017279	0,133	0,1	1	1,209170157	0,827013464	1,33
GPATCH11	0,016395253	0,273612992	0,073	0,045	1	1,208831359	0,82724525	1,622222222
ETFB	0,509957489	0,272984944	0,208	0,194	1	1,208305233	0,827605453	1,072164948
NPTN	0,031455954	0,272827543	0,228	0,18	1	1,208173412	0,827695751	1,266666667
AC011043.1	0,019084368	0,272744956	0,054	0,03	1	1,208104252	0,827743134	1,8
UBA5	0,047695894	0,27272182	0,079	0,054	1	1,208084878	0,827756408	1,462962963
ARF5	0,989682173	0,27252775	0,25	0,254	1	1,207922379	0,827867765	0,984251969
LMAN2	0,690061662	0,272216972	0,207	0,198	1	1,207662203	0,828046119	1,045454545
PPP1R12A	0,741237564	0,27195558	0,288	0,305	1	1,207443414	0,828196161	0,944262295
LSM2	0,615218238	0,27188866	0,208	0,195	1	1,207387408	0,828234578	1,066666667
UCN2	2,18359E-09	0,271740483	0,064	0,007	4,6076E-05	1,207263405	0,828319649	9,142857143
MTAP	0,179396792	0,271660795	0,092	0,073	1	1,207196724	0,828365403	1,260273973
KIF9	0,00125397	0,271659537	0,09	0,047	1	1,20719567	0,828366125	1,914893617

Supplementary Table 5

Differentially expressed genes_total calculation_ comparing SC-Keloid vs. (SC-Myel, SC-Nonmyel)								
gene	p_val	avg_log2FC	pct.1	pct.2	p_val_adj	Foldchange_UP	Foldchange_DOWN	Ratio_pct1_pct2
RCAN1	0,832042297	0,271381504	0,466	0,535	1	1,206963045	0,828525781	0,871028037
PSMD10	0,053749873	0,27126317	0,088	0,062	1	1,20686405	0,828593743	1,419354839
TSEN15	0,00047601	0,271103694	0,083	0,039	1	1,206730651	0,82868534	2,128205128
ARL14EP	0,139132647	0,2708948	0,068	0,05	1	1,206555935	0,828805338	1,36
GLCE	0,009499681	0,27073421	0,051	0,026	1	1,206421638	0,8288976	1,961538462
MED10	0,311447214	0,270703684	0,197	0,174	1	1,206396112	0,828915138	1,132183908
MAZ	0,080523413	0,270585196	0,218	0,182	1	1,206297035	0,82898322	1,197802198
COPS7A	0,003810606	0,270362271	0,102	0,061	1	1,206110653	0,829111324	1,672131148
ITGA5	9,93165E-05	0,269722576	0,086	0,038	1	1,205575979	0,829479035	2,263157895
TMEM230	0,334282037	0,269643495	0,246	0,224	1	1,205509897	0,829524505	1,098214286
LNPEP	0,709517133	0,269616685	0,116	0,111	1	1,205487495	0,82953992	1,045045045
SETX	0,537562232	0,269524827	0,137	0,126	1	1,205410742	0,82959274	1,087301587
SH3YL1	0,147548729	0,268815368	0,12	0,096	1	1,204818116	0,8300008	1,25
TTL	0,033045525	0,268808852	0,105	0,073	1	1,204812674	0,830004549	1,438356164
SPAG16	0,751452484	0,268284227	0,075	0,071	1	1,204374633	0,830306428	1,056338028
CCPG1	0,186307762	0,267437137	0,208	0,179	1	1,203667683	0,830794092	1,162011173
POMC	0,001614657	0,267307018	0,03	0,008	1	1,203559127	0,830869026	3,75
DCTD	0,292259718	0,267236713	0,134	0,115	1	1,203500476	0,830909518	1,165217391
TBC1D8B	0,000485385	0,267160365	0,048	0,016	1	1,203436788	0,830953491	3
VPS26C	0,100193005	0,266582797	0,075	0,054	1	1,202955102	0,831286221	1,388888889
NMI	0,019139225	0,266486767	0,1	0,066	1	1,202875032	0,831341556	1,515151515
EPHA3	0,000102511	0,266298906	0,041	0,009	1	1,20271841	0,831449816	4,555555556
LTBP1	1,34641E-06	0,266259908	0,078	0,023	0,028410695	1,202685899	0,831472291	3,391304348
ZFPL1	0,009332477	0,266247079	0,077	0,045	1	1,202675204	0,831479685	1,711111111
LEO1	0,000563	0,266104125	0,087	0,043	1	1,202556039	0,831562079	2,023255814
TUBB3	2,11615E-05	0,265941152	0,101	0,045	0,446528748	1,202420201	0,831656021	2,244444444
NLRP1	0,003717015	0,265355627	0,125	0,079	1	1,201932292	0,831993621	1,582278481
CDC42SE1	0,077491493	0,265235296	0,236	0,286	1	1,201832046	0,832063019	0,825174825
CLNS1A	0,120594767	0,264950464	0,179	0,145	1	1,201594791	0,832227309	1,234482759
CFDP1	0,960864083	0,264908848	0,197	0,198	1	1,20156013	0,832251316	0,994949495

Supplementary Table 5

Differentially expressed genes_total calculation_ comparing SC-Keloid vs. (SC-Myel, SC-Nonmyel)								
gene	p_val	avg_log2FC	pct.1	pct.2	p_val_adj	Foldchange_UP	Foldchange_DOWN	Ratio_pct1_pct2
GFUS	6,94909E-05	0,264594987	0,112	0,054	1	1,201298758	0,832432393	2,074074074
NDUFB5	0,083153968	0,264271689	0,187	0,151	1	1,201029584	0,832618957	1,238410596
LAP3	0,007640964	0,263431569	0,122	0,08	1	1,200330396	0,833103955	1,525
SERPINH1	0,931867033	0,263081583	0,354	0,374	1	1,200039241	0,833306083	0,946524064
ALG5	0,213529012	0,262956587	0,151	0,128	1	1,199935274	0,833378284	1,1796875
TPM1	0,117656489	0,26282149	0,143	0,115	1	1,199822915	0,833456327	1,243478261
NUTF2	0,005180764	0,262635631	0,153	0,102	1	1,199668354	0,833563707	1,5
AP3S1	0,127289656	0,262397729	0,179	0,148	1	1,199470544	0,833701174	1,209459459
PDHB	0,010140229	0,262247464	0,151	0,104	1	1,199345618	0,833788013	1,451923077
SLC39A10	0,003075078	0,262224301	0,139	0,09	1	1,199326362	0,8338014	1,544444444
ST3GAL2	0,000435418	0,26215683	0,063	0,026	1	1,199270275	0,833840395	2,423076923
KATNAL1	0,137200781	0,262147721	0,132	0,106	1	1,199262703	0,83384566	1,245283019
TUBB6	0,129973287	0,262064461	0,172	0,144	1	1,199193494	0,833893784	1,194444444
OXTR	1,21061E-08	0,261996799	0,043	0	0,000255451	1,199137254	0,833932894	#DIV/0!
CHMP3	0,954196016	0,261966775	0,239	0,24	1	1,199112298	0,83395025	0,995833333
HOOK3	0,789363162	0,261764321	0,226	0,235	1	1,198944038	0,834067286	0,961702128
RAP1GDS1	0,912451567	0,261080318	0,176	0,172	1	1,198375736	0,834462823	1,023255814
SYNC	0,060368849	0,261070796	0,078	0,054	1	1,198367826	0,834468331	1,444444444
B3GALT6	6,57478E-09	0,260940234	0,086	0,019	0,000138735	1,19825938	0,834543853	4,526315789
CLUAP1	0,001753452	0,260869185	0,088	0,047	1	1,198200371	0,834584953	1,872340426
GRN	0,107847329	0,260480767	0,217	0,182	1	1,197877821	0,834809679	1,192307692
MED31	0,004147438	0,260438916	0,1	0,06	1	1,197843073	0,834833897	1,666666667
MMP11	1,21554E-10	0,260006968	0,065	0,004	2,5649E-06	1,197484488	0,835083886	16,25
DCBLD1	9,05856E-07	0,259903758	0,059	0,012	0,019114464	1,197398824	0,83514363	4,916666667
SRPK1	0,945479901	0,259856922	0,079	0,079	1	1,197359952	0,835170743	1
RAB22A	0,37942577	0,259508115	0,146	0,129	1	1,197070496	0,83537269	1,131782946
ZNF720	0,07424333	0,25946633	0,077	0,054	1	1,197035825	0,835396885	1,425925926
LYPLA1	1,7051E-05	0,259431601	0,109	0,049	0,359793364	1,19700701	0,835416996	2,224489796
PAFAH1B1	0,565336363	0,259419062	0,276	0,296	1	1,196996607	0,835424256	0,932432432
B4GALT2	2,78388E-05	0,259345247	0,098	0,042	0,58742678	1,196935364	0,835467002	2,333333333

Supplementary Table 5

Differentially expressed genes_total calculation_ comparing SC-Keloid vs. (SC-Myel, SC-Nonmyel)								
gene	p_val	avg_log2FC	pct.1	pct.2	p_val_adj	Foldchange_UP	Foldchange_DOWN	Ratio_pct1_pct2
C5orf51	0,046019876	0,259180975	0,055	0,034	1	1,196799083	0,835562137	1,617647059
GALNT11	0,261917571	0,259119886	0,107	0,09	1	1,196748408	0,835597519	1,188888889
FUCA2	0,005305908	0,258998131	0,128	0,083	1	1,196647413	0,835668041	1,542168675
ZDHHC5	0,000554628	0,258635324	0,093	0,047	1	1,19634652	0,835878221	1,978723404
COP5	0,147525408	0,258303822	0,142	0,115	1	1,196071655	0,83607031	1,234782609
PITPNA-AS1	0,001914898	0,258082208	0,071	0,035	1	1,195887939	0,83619875	2,028571429
LZIC	0,131428438	0,258045812	0,133	0,107	1	1,19585777	0,836219846	1,242990654
ZNRD2	0,001847516	0,257769532	0,119	0,071	1	1,195628782	0,836379999	1,676056338
LARP7	0,041806529	0,257629025	0,192	0,152	1	1,195512343	0,83646146	1,263157895
IFI27L1	1,52205E-05	0,257552366	0,118	0,054	0,321167129	1,19544882	0,836505908	2,185185185
ZFYVE16	0,537374449	0,257420463	0,172	0,159	1	1,195339527	0,836582391	1,081761006
FAHD1	9,47896E-05	0,256770974	0,062	0,022	1	1,194801516	0,836959099	2,818181818
MMP16	3,06174E-07	0,256736665	0,035	0	0,006460576	1,194773103	0,836979002	#DIV/0!
TCTN1	0,000115127	0,256653236	0,092	0,042	1	1,194704013	0,837027405	2,19047619
PAFAH1B2	0,752194726	0,256396143	0,178	0,17	1	1,194491132	0,837176579	1,047058824
ZNF160	0,100442182	0,255912039	0,049	0,033	1	1,194090381	0,837457546	1,484848485
STT3A	0,005146991	0,255737563	0,088	0,052	1	1,193945979	0,837558832	1,692307692
PDCL	0,011253118	0,254912578	0,09	0,056	1	1,193263433	0,838037915	1,607142857
S100A7	0,553179177	0,254796356	0,024	0,02	1	1,193167309	0,838105429	1,2
PTGR1	0,000605791	0,254380298	0,135	0,079	1	1,192823262	0,838347165	1,708860759
KHDRBS1	0,626354098	0,254053273	0,274	0,289	1	1,192552908	0,83853722	0,948096886
KIN	0,635406219	0,253951269	0,086	0,08	1	1,192468592	0,83859651	1,075
AFAP1L1	2,64515E-05	0,253889313	0,09	0,037	0,558152066	1,192417384	0,838632524	2,432432432
UBE2G2	0,936082783	0,253877474	0,159	0,16	1	1,192407598	0,838639406	0,99375
CHTF8	5,26146E-06	0,253832609	0,041	0,005	0,111022052	1,192370518	0,838665486	8,2
IMMP1L	0,002987952	0,253710973	0,099	0,057	1	1,192269991	0,838736198	1,736842105
ELMOD2	0,001662646	0,253631999	0,087	0,046	1	1,192204728	0,838782113	1,891304348
GSPT1	0,682460915	0,253520557	0,169	0,16	1	1,192112638	0,838846908	1,05625
LIMD2	5,80708E-06	0,253415866	0,098	0,038	0,12253521	1,192026134	0,838907782	2,578947368
ADGRG6	0,303700772	0,253370504	0,164	0,144	1	1,191988654	0,83893416	1,138888889

Supplementary Table 5

Differentially expressed genes_total calculation_ comparing SC-Keloid vs. (SC-Myel, SC-Nonmyel)								
gene	p_val	avg_log2FC	pct.1	pct.2	p_val_adj	Foldchange_UP	Foldchange_DOWN	Ratio_pct1_pct2
NCBP2AS2	0,065029529	0,253283998	0,108	0,08	1	1,191917183	0,838984465	1,35
SVBP	0,105160041	0,252857323	0,106	0,081	1	1,191564728	0,83923263	1,308641975
CREB3L1	1,30972E-09	0,252400521	0,056	0,003	2,76364E-05	1,191187501	0,839498399	18,66666667
ICE1	0,097912742	0,252396992	0,128	0,1	1	1,191184587	0,839500453	1,28
RPL23	0,808967257	0,25226745	0,541	0,665	1	1,191077633	0,839575836	0,813533835
RASSF8-AS1	0,081730274	0,252005394	0,136	0,106	1	1,190861302	0,839728353	1,283018868
PA2G4	0,286733	0,251851681	0,295	0,326	1	1,190734428	0,839817827	0,904907975
ZNF226	9,51442E-05	0,251776639	0,075	0,03	1	1,190672493	0,839861512	2,5
HAX1	0,035792616	0,251631462	0,165	0,125	1	1,190552682	0,839946031	1,32
FMNL3	0,033274714	0,251426229	0,134	0,098	1	1,190383331	0,840065527	1,367346939
TASOR	0,718987372	0,251116048	0,098	0,092	1	1,190127424	0,840246161	1,065217391
MVP	0,004131149	0,250867618	0,13	0,083	1	1,189922504	0,840390863	1,56626506
HSPA4	0,544305072	0,250864783	0,135	0,123	1	1,189920165	0,840392515	1,097560976
MYEOV	1,93797E-11	0,250705452	0,063	0,001	4,0893E-07	1,189788759	0,840485332	63
ZNHIT3	0,039946006	0,250660962	0,123	0,09	1	1,189752068	0,840511252	1,366666667
PHACTR2	0,232581268	0,250601901	0,076	0,094	1	1,189703362	0,840545662	0,808510638
IER3IP1	0,106955808	0,250389849	0,184	0,148	1	1,189528509	0,840669216	1,243243243
RP9	0,00610524	0,250153391	0,105	0,065	1	1,189333561	0,840807014	1,615384615
GART	0,001125614	0,250107125	0,079	0,039	1	1,189295421	0,840833978	2,025641026
C15orf61	0,00809723	0,250100388	0,088	0,053	1	1,189289867	0,840837905	1,660377358
SLF2	0,585765608	0,250054015	0,109	0,1	1	1,18925164	0,840864933	1,09
LAMA2	0,830088255	0,249953018	0,136	0,132	1	1,189168388	0,8409238	1,03030303
PHAX	0,059251557	0,249613153	0,123	0,092	1	1,188888282	0,841121925	1,336956522
NUDT15	0,018304675	0,24940455	0,05	0,027	1	1,18871639	0,841243554	1,851851852
HMGXB4	0,207666747	0,249193849	0,109	0,09	1	1,188542794	0,841366423	1,211111111
HS3ST1	5,45036E-08	0,249134526	0,072	0,015	0,001150082	1,188493922	0,841401021	4,8
DCAF13	0,078090212	0,249049971	0,122	0,094	1	1,188424268	0,841450336	1,29787234
CCL21	0,578814735	0,248281664	0,009	0,012	1	1,187791542	0,84189857	0,75
LSM6	0,097639723	0,248082823	0,123	0,095	1	1,187627844	0,842014613	1,294736842
SPNS1	5,00151E-06	0,247987094	0,108	0,045	0,10553696	1,187549043	0,842070486	2,4

Supplementary Table 5

Differentially expressed genes_total calculation_ comparing SC-Keloid vs. (SC-Myel, SC-Nonmyel)								
gene	p_val	avg_log2FC	pct.1	pct.2	p_val_adj	Foldchange_UP	Foldchange_DOWN	Ratio_pct1_pct2
H2AZ2	0,078764134	0,247898594	0,296	0,35	1	1,187476196	0,842122144	0,845714286
SEC23A	0,337142359	0,247467319	0,127	0,11	1	1,187121269	0,842373923	1,154545455
CYB561D2	2,96228E-05	0,24743516	0,075	0,027	0,625069713	1,187094807	0,8423927	2,777777778
TMEM267	0,014224657	0,247253995	0,068	0,039	1	1,186945748	0,842498489	1,743589744
CIB2	3,49541E-09	0,247064092	0,063	0,007	7,37566E-05	1,18678952	0,842609395	9
NDUFS3	0,042582786	0,246995514	0,204	0,16	1	1,186733108	0,84264945	1,275
UTP23	0,001371783	0,246975464	0,078	0,039	1	1,186716615	0,842661161	2
ACBD6	0,184476215	0,246826434	0,144	0,119	1	1,186594034	0,842748212	1,210084034
RRP7A	0,007175032	0,246766394	0,099	0,061	1	1,186544653	0,842783285	1,62295082
ZNF322	0,488713044	0,246496188	0,097	0,087	1	1,186322443	0,842941146	1,114942529
KIFC3	3,38484E-05	0,246349317	0,14	0,072	0,714235798	1,186201677	0,843026965	1,944444444
ACOT7	3,33357E-06	0,246300741	0,134	0,061	0,070341615	1,186161738	0,843055351	2,196721311
GCC2	0,528498981	0,246284915	0,201	0,217	1	1,186148727	0,843064598	0,926267281
SMIM7	0,337742488	0,246024113	0,217	0,195	1	1,185934321	0,843217016	1,112820513
PLEKHG4	2,02403E-07	0,245670027	0,069	0,015	0,0042709	1,185643288	0,843423996	4,6
PAM	0,001784747	0,245572227	0,083	0,043	1	1,185562917	0,843481173	1,930232558
TCF12	0,003854023	0,245337681	0,139	0,09	1	1,185370189	0,843618313	1,544444444
PLA2G4A	0,008938189	0,245157931	0,057	0,03	1	1,185222509	0,843723429	1,9
MAN1B1	0,010885038	0,245096323	0,161	0,114	1	1,185171897	0,84375946	1,412280702
PHC2	0,03895493	0,244952518	0,197	0,153	1	1,185053767	0,843843569	1,287581699
TMEM147	0,05699142	0,244922135	0,193	0,151	1	1,185028811	0,84386134	1,278145695
WDR83OS	0,202860689	0,244893835	0,367	0,434	1	1,185005566	0,843877893	0,84562212
MRPL42	0,906286819	0,244798257	0,186	0,19	1	1,184927062	0,843933801	0,978947368
SLC9A3R2	0,080045435	0,244728995	0,246	0,21	1	1,184870177	0,843974319	1,171428571
CNPY2	0,238981805	0,244237435	0,343	0,408	1	1,184466532	0,84426193	0,840686275
MFN1	2,18389E-05	0,243223656	0,092	0,038	0,460822743	1,183634502	0,844855399	2,421052632
ZBTB14	0,000357977	0,243142287	0,04	0,011	1	1,183567746	0,844903051	3,636363636
HMOX2	0,023857219	0,242905259	0,125	0,087	1	1,183373307	0,845041876	1,436781609
SDHAF3	0,002285482	0,242473672	0,125	0,076	1	1,183019351	0,845294711	1,644736842
EEF1AKMT1	0,012392217	0,242449391	0,059	0,033	1	1,18299944	0,845308937	1,787878788

Supplementary Table 5

Differentially expressed genes_total calculation_ comparing SC-Keloid vs. (SC-Myel, SC-Nonmyel)								
gene	p_val	avg_log2FC	pct.1	pct.2	p_val_adj	Foldchange_UP	Foldchange_DOWN	Ratio_pct1_pct2
TARS1	0,974305227	0,242298084	0,165	0,164	1	1,182875376	0,845397597	1,006097561
CANX	0,154588217	0,242296029	0,392	0,478	1	1,182873691	0,845398801	0,820083682
ELP5	0,2442882	0,242134514	0,122	0,102	1	1,182741272	0,845493451	1,196078431
KLHL9	0,044554614	0,24210301	0,062	0,039	1	1,182715444	0,845511915	1,58974359
MYEF2	0,025087832	0,241994622	0,081	0,053	1	1,182626592	0,845575439	1,528301887
BTBD10	0,005923447	0,241869097	0,079	0,045	1	1,182523699	0,845649014	1,755555556
TAOK3	0,264316284	0,241730739	0,139	0,118	1	1,182410297	0,845730118	1,177966102
FKBP9	0,035015802	0,241714102	0,182	0,138	1	1,182396662	0,845739871	1,31884058
CHD9	0,67082464	0,241377875	0,293	0,311	1	1,182121131	0,845936997	0,942122186
NFE2L3	0,002879796	0,241305522	0,056	0,026	1	1,182061847	0,845979423	2,153846154
ATG12	0,496481168	0,241279705	0,136	0,148	1	1,182040695	0,845994562	0,918918919
PLPP5	0,021201093	0,241258616	0,105	0,071	1	1,182023416	0,846006929	1,478873239
MT1F	3,56145E-05	0,241063695	0,122	0,06	0,751501968	1,181863725	0,84612124	2,033333333
DDR1	0,370631787	0,240986307	0,156	0,137	1	1,18180033	0,846166628	1,138686131
B3GALT2	0,010869862	0,240961179	0,043	0,02	1	1,181779746	0,846181366	2,15
HOXD-AS2	3,78178E-08	0,24054502	0,081	0,019	0,000797993	1,1814389	0,84642549	4,263157895
DNAJC3	0,15161568	0,240501925	0,232	0,265	1	1,181403609	0,846450774	0,875471698
PSME3IP1	0,038714266	0,240420117	0,119	0,085	1	1,18133662	0,846498774	1,4
GPATCH4	0,001938278	0,240181624	0,084	0,045	1	1,181141349	0,84663872	1,866666667
CARNMT1	0,154893932	0,240141115	0,043	0,03	1	1,181108184	0,846662494	1,433333333
PTRH1	0,00041319	0,240136637	0,073	0,033	1	1,181104518	0,846665121	2,212121212
LAYN	0,000214196	0,239763382	0,084	0,038	1	1,180798981	0,846884199	2,210526316
EBAG9	0,458915549	0,239755246	0,087	0,076	1	1,180792322	0,846888976	1,144736842
GEMIN6	0,000489865	0,239160187	0,048	0,016	1	1,180305389	0,847238358	3
POLR1H	0,021435528	0,239010567	0,097	0,064	1	1,180182987	0,847326229	1,515625
POLR3G	6,09328E-07	0,238432834	0,078	0,022	0,012857422	1,179710473	0,847665612	3,545454545
EIF2B3	0,024317601	0,238214258	0,073	0,046	1	1,179531754	0,847794047	1,586956522
CD58	0,006043428	0,238095326	0,132	0,085	1	1,17943452	0,847863941	1,552941176
IRAK1	0,000543128	0,238002793	0,092	0,046	1	1,179358876	0,847918323	2
SLC25A13	0,013314916	0,237996092	0,092	0,058	1	1,179353398	0,847922261	1,586206897

Supplementary Table 5

Differentially expressed genes_total calculation_ comparing SC-Keloid vs. (SC-Myel, SC-Nonmyel)								
gene	p_val	avg_log2FC	pct.1	pct.2	p_val_adj	Foldchange_UP	Foldchange_DOWN	Ratio_pct1_pct2
TGOLN2	0,61461166	0,237767165	0,275	0,288	1	1,179166273	0,84805682	0,954861111
DCTN5	0,067864825	0,237739372	0,059	0,039	1	1,179143557	0,848073158	1,512820513
GRSF1	0,008994792	0,237681024	0,112	0,072	1	1,179095869	0,848107458	1,555555556
FKBP14	0,102864531	0,237507343	0,087	0,065	1	1,17895393	0,848209565	1,338461538
ADAMTS12	1,20976E-06	0,237465684	0,038	0,003	0,025527082	1,178919887	0,848234058	12,66666667
SMIM26	0,941447935	0,237146052	0,211	0,21	1	1,178658724	0,848422007	1,004761905
NUDT16	0,008694907	0,236938704	0,083	0,049	1	1,178489336	0,848543953	1,693877551
TAF12	0,036953777	0,23693638	0,12	0,087	1	1,178487438	0,84854532	1,379310345
PDCD10	0,769130148	0,236919801	0,171	0,176	1	1,178473895	0,848555071	0,971590909
JAG1	0,379297776	0,236662844	0,192	0,172	1	1,178264017	0,84870622	1,11627907
SRM	0,05655146	0,236599061	0,189	0,151	1	1,178211926	0,848743743	1,251655629
DUSP23	0,002362974	0,236397572	0,161	0,104	1	1,178047386	0,848862288	1,548076923
BAD	0,591020998	0,236169338	0,178	0,166	1	1,177861035	0,848996588	1,072289157
ICAM3	0,000227624	0,235862105	0,068	0,027	1	1,177610226	0,849177409	2,518518519
SLC4A7	0,347104748	0,235654959	0,069	0,057	1	1,177441154	0,849299344	1,210526316
SPA17	2,16469E-06	0,23565275	0,043	0,005	0,045677026	1,177439352	0,849300644	8,6
EXOSC4	0,009833691	0,235379449	0,084	0,05	1	1,17721632	0,84946155	1,68
MRTO4	0,002411708	0,235204392	0,098	0,056	1	1,177073486	0,84956463	1,75
RPF1	0,003250475	0,235138351	0,104	0,061	1	1,177019605	0,84960352	1,704918033
NIBAN2	0,793175424	0,234589347	0,284	0,3	1	1,176571787	0,84992689	0,946666667
DNAJC10	0,064481362	0,234385953	0,139	0,106	1	1,176405923	0,850046723	1,311320755
RFLNB	6,9605E-06	0,234306166	0,054	0,012	0,146873462	1,176340865	0,850093736	4,5
MSC	4,46965E-11	0,234066965	0,071	0,005	9,43141E-07	1,176145842	0,850234694	14,2
TTI2	0,060390923	0,2338197	0,04	0,023	1	1,175944279	0,850380429	1,739130435
DAB2	0,001657363	0,233684229	0,03	0,008	1	1,175833861	0,850460285	3,75
STUB1	0,745802435	0,233280549	0,237	0,246	1	1,175504897	0,850698285	0,963414634
UHMK1	0,053355092	0,232980033	0,099	0,071	1	1,175260063	0,850875505	1,394366197
SCFD1	0,185575325	0,232978142	0,147	0,121	1	1,175258522	0,850876621	1,214876033
ATP6VOA2	0,778769123	0,232678812	0,049	0,046	1	1,175014705	0,851053179	1,065217391
CNIH1	0,025720516	0,23264497	0,163	0,119	1	1,174987143	0,851073143	1,369747899

Supplementary Table 5

Differentially expressed genes_total calculation_ comparing SC-Keloid vs. (SC-Myel, SC-Nonmyel)								
gene	p_val	avg_log2FC	pct.1	pct.2	p_val_adj	Foldchange_UP	Foldchange_DOWN	Ratio_pct1_pct2
AKT2	0,106282204	0,232439083	0,109	0,084	1	1,174819472	0,851194608	1,297619048
NDUFA11	0,133781271	0,232144495	0,311	0,366	1	1,174579607	0,851368434	0,849726776
ATP6V1E1	0,724357061	0,231681304	0,161	0,153	1	1,174202558	0,851641817	1,052287582
TRAK2	0,109391994	0,231078496	0,084	0,062	1	1,173712038	0,851997737	1,35483871
CDC123	0,001077197	0,23103997	0,141	0,085	1	1,173680695	0,852020489	1,658823529
AP2B1	0,093827791	0,231038206	0,176	0,142	1	1,17367926	0,852021531	1,23943662
TIMM17A	0,08166761	0,230909075	0,156	0,122	1	1,173574212	0,852097796	1,278688525
TMEM39A	0,343347813	0,230684241	0,075	0,062	1	1,173391333	0,8522306	1,209677419
USO1	0,239232676	0,230474145	0,137	0,115	1	1,173220467	0,852354718	1,191304348
PSMC2	0,164874166	0,230199628	0,133	0,109	1	1,172997247	0,85251692	1,220183486
FARP1	0,0001016	0,22998034	0,059	0,02	1	1,172818967	0,852646511	2,95
NUCKS1	0,394894155	0,229813458	0,575	0,71	1	1,17268331	0,852745145	0,809859155
RNF40	0,031809007	0,229701753	0,079	0,052	1	1,172592515	0,852811175	1,519230769
MEAF6	0,23683475	0,229424737	0,211	0,185	1	1,172367384	0,852974941	1,140540541
MTCO2P12	9,28493E-05	0,22887639	0,764	0,771	1	1,17192187	0,853299205	0,990920882
FAM184B	0,000765844	0,228680824	0,035	0,009	1	1,171763019	0,853414883	3,888888889
CYREN	0,000975513	0,228505001	0,058	0,024	1	1,171620223	0,853518897	2,416666667
ZNF217	0,613287171	0,228471269	0,077	0,071	1	1,17159283	0,853538853	1,084507042
UNC5B	3,07418E-05	0,228442415	0,075	0,027	0,648682066	1,171569398	0,853555924	2,777777778
LTBP2	2,62996E-06	0,228433055	0,1	0,038	0,055494721	1,171561797	0,853561462	2,631578947
CS	0,249660335	0,228342004	0,083	0,066	1	1,17148786	0,853615333	1,257575758
SERP1	0,21514383	0,228175895	0,283	0,322	1	1,171352985	0,853713623	0,878881988
MESP1	0,019041401	0,227939946	0,029	0,012	1	1,171161429	0,853853256	2,416666667
SOX11	4,54891E-05	0,227881897	0,043	0,009	0,959864642	1,171114307	0,853887613	4,777777778
CUL5	0,376574253	0,227202214	0,106	0,092	1	1,170562701	0,854289992	1,152173913
ALKBH2	0,125477623	0,22709389	0,072	0,053	1	1,170474813	0,854354138	1,358490566
OXCT1	0,046905669	0,226950382	0,065	0,042	1	1,170358389	0,854439127	1,547619048
SLC26A2	0,991463726	0,226886194	0,052	0,053	1	1,170306319	0,854477143	0,981132075
NECAP2	0,000519035	0,22665548	0,12	0,066	1	1,17011918	0,854613801	1,818181818
PGP	0,064064081	0,226626958	0,159	0,123	1	1,170096047	0,854630697	1,292682927

Supplementary Table 5

Differentially expressed genes_total calculation_ comparing SC-Keloid vs. (SC-Myel, SC-Nonmyel)								
gene	p_val	avg_log2FC	pct.1	pct.2	p_val_adj	Foldchange_UP	Foldchange_DOWN	Ratio_pct1_pct2
AFAP1	0,025183954	0,226611807	0,101	0,068	1	1,170083759	0,854639672	1,485294118
DR1	0,285765352	0,226514695	0,123	0,104	1	1,170005	0,854697202	1,182692308
ROCK1	0,524926295	0,22640006	0,212	0,228	1	1,169912036	0,854765118	0,929824561
RFXANK	0,003769991	0,226381036	0,118	0,072	1	1,169896609	0,85477639	1,638888889
ERLIN2	0,14344611	0,226200289	0,071	0,053	1	1,169750049	0,854883486	1,339622642
SNW1	0,756654113	0,226090829	0,187	0,18	1	1,169661301	0,854948351	1,038888889
DESI1	5,42808E-05	0,225676657	0,101	0,046	1	1,16932556	0,855193826	2,195652174
ARNTL	0,416089796	0,225584787	0,085	0,073	1	1,169251101	0,855248286	1,164383562
DGKI	1,21744E-07	0,225507909	0,037	0	0,002568928	1,169188796	0,855293862	#DIV/0!
GOT2	0,000456108	0,225480128	0,063	0,026	1	1,169166282	0,855310332	2,423076923
GATAD1	0,769013192	0,225372849	0,115	0,121	1	1,169079346	0,855373935	0,950413223
GLOD4	0,000731947	0,22535825	0,134	0,079	1	1,169067515	0,855382591	1,696202532
ABR	0,000270853	0,225096073	0,097	0,047	1	1,168855084	0,855538051	2,063829787
CYRIB	0,034700398	0,224598164	0,088	0,06	1	1,168451752	0,855833369	1,466666667
RPL35A	0,000262951	0,224488031	0,835	0,89	1	1,168362558	0,855898705	0,938202247
MRPL4	0,180029893	0,224436288	0,148	0,123	1	1,168320655	0,855929402	1,203252033
RANBP6	0,097691946	0,223842971	0,041	0,026	1	1,167840275	0,856281481	1,576923077
NCK2	4,17677E-06	0,223747796	0,109	0,045	0,08813399	1,167763235	0,856337972	2,422222222
AIFM1	0,000732773	0,223678887	0,057	0,023	1	1,167707459	0,856378875	2,47826087
HMGB3	0,092189238	0,223040639	0,077	0,056	1	1,16719098	0,85675782	1,375
SMIM30	0,052142222	0,222910063	0,108	0,079	1	1,167085344	0,856835368	1,367088608
HPCAL1	0,273057821	0,222839464	0,158	0,137	1	1,167028233	0,856877299	1,153284672
ATG5	0,208052152	0,222419455	0,088	0,071	1	1,166688528	0,857126796	1,23943662
TTC19	0,20502759	0,222323466	0,118	0,096	1	1,166610906	0,857183826	1,229166667
TMX3	0,129629743	0,222276667	0,17	0,138	1	1,166573064	0,857211632	1,231884058
CCDC6	0,228866174	0,222200806	0,088	0,072	1	1,166511723	0,857256708	1,222222222
RPAIN	0,614707947	0,2220606	0,198	0,183	1	1,166398363	0,857340024	1,081967213
COL20A1	0,002284975	0,222016534	0,057	0,026	1	1,166362737	0,85736621	2,192307692
SURF4	0,120708408	0,22195289	0,221	0,187	1	1,166311284	0,857404034	1,181818182
EXTL2	0,050750577	0,221947672	0,093	0,065	1	1,166307066	0,857407135	1,430769231

Supplementary Table 5

Differentially expressed genes_total calculation_ comparing SC-Keloid vs. (SC-Myel, SC-Nonmyel)								
gene	p_val	avg_log2FC	pct.1	pct.2	p_val_adj	Foldchange_UP	Foldchange_DOWN	Ratio_pct1_pct2
TBX3	0,027125717	0,221783683	0,043	0,023	1	1,166174501	0,857504601	1,869565217
RTCB	0,01126257	0,221384323	0,107	0,069	1	1,165851731	0,857742004	1,550724638
RO60	0,969109153	0,221369296	0,251	0,255	1	1,165839588	0,857750938	0,984313725
GON7	0,001512631	0,22134339	0,052	0,022	1	1,165818653	0,857766341	2,363636364
FAIM	0,138956128	0,221253191	0,079	0,06	1	1,165745767	0,857819971	1,316666667
MFSD12	0,326102319	0,221010055	0,183	0,16	1	1,165549321	0,857964551	1,14375
FAM104A	0,00073203	0,220937347	0,077	0,037	1	1,165490582	0,858007791	2,081081081
COPB1	0,213487533	0,220809468	0,166	0,141	1	1,165387279	0,858083847	1,177304965
RAD17	0,005649649	0,220727608	0,054	0,026	1	1,165321156	0,858132537	2,076923077
TFPT	0,00071742	0,220689002	0,068	0,03	1	1,165289973	0,858155501	2,266666667
CELSR1	1,22293E-06	0,220396365	0,038	0,003	0,025805081	1,165053628	0,858329587	12,66666667
C12orf76	0,170502472	0,220324823	0,111	0,088	1	1,164995856	0,858372152	1,261363636
FBXO4	0,067048047	0,220087283	0,066	0,045	1	1,164804055	0,858513495	1,466666667
STON2	0,037595264	0,220081314	0,059	0,037	1	1,164799236	0,858517047	1,594594595
SLC35G1	3,15203E-05	0,220051138	0,036	0,005	0,665110863	1,164774872	0,858535004	7,2
TNFSF4	9,23633E-05	0,219999848	0,03	0,004	1	1,164733463	0,858565527	7,5
RPS4X	0,000668831	0,219961998	0,817	0,902	1	1,164702907	0,858588052	0,905764967
GOLGA3	0,937720418	0,219888609	0,106	0,103	1	1,16464366	0,858631729	1,029126214
SPOCK1	6,95736E-08	0,219853609	0,058	0,008	0,001468073	1,164615406	0,85865256	7,25
RABIF	0,002175347	0,219809529	0,071	0,035	1	1,164579823	0,858678796	2,028571429
TCF3	0,01455393	0,219711424	0,112	0,073	1	1,164500633	0,858737189	1,534246575
SPG11	0,018804323	0,219467697	0,063	0,037	1	1,16430392	0,858882275	1,702702703
BCAT1	5,1423E-06	0,219455014	0,031	0,001	0,108507766	1,164293685	0,858889826	31
MCM3	0,154701194	0,219441551	0,061	0,045	1	1,16428282	0,85889784	1,355555556
NSD2	0,049130229	0,219337561	0,063	0,041	1	1,164198901	0,858959753	1,536585366
PRRC1	0,090463392	0,219328091	0,087	0,064	1	1,164191259	0,858965391	1,359375
MAP4K4	0,8527961	0,219212056	0,243	0,244	1	1,164097628	0,85903448	0,995901639
UBE4A	0,217878661	0,219055254	0,094	0,076	1	1,163971113	0,85912785	1,236842105
MVB12A	0,029624955	0,219029238	0,155	0,113	1	1,163950123	0,859143343	1,371681416
GTF2F2	0,785222645	0,219017698	0,142	0,134	1	1,163940813	0,859150215	1,059701493

Supplementary Table 5

Differentially expressed genes_total calculation_ comparing SC-Keloid vs. (SC-Myel, SC-Nonmyel)								
gene	p_val	avg_log2FC	pct.1	pct.2	p_val_adj	Foldchange_UP	Foldchange_DOWN	Ratio_pct1_pct2
TMEM263	0,678539337	0,218929061	0,177	0,182	1	1,163869304	0,859203002	0,972527473
CINP	0,022937849	0,218753529	0,072	0,045	1	1,163727705	0,859307547	1,6
LIG3	0,008160075	0,218444939	0,036	0,015	1	1,163478813	0,859491371	2,4
OS9	0,815286419	0,218407772	0,237	0,242	1	1,163448839	0,859513514	0,979338843
SNAPC5	0,001866264	0,218284533	0,093	0,052	1	1,163349459	0,859586939	1,788461538
GTF3C1	0,035157906	0,218137029	0,093	0,064	1	1,163230522	0,859674829	1,453125
SRBD1	0,104358608	0,218128918	0,049	0,033	1	1,163223982	0,859679663	1,484848485
MDM2	0,440485759	0,217970511	0,086	0,076	1	1,163096267	0,85977406	1,131578947
CALHM2	0,001435301	0,21764834	0,055	0,023	1	1,162836563	0,859966079	2,391304348
SLC16A3	5,12093E-10	0,217436563	0,058	0,003	1,08057E-05	1,16266588	0,860092325	19,33333333
SLC35B2	0,032339322	0,216990665	0,136	0,099	1	1,162306587	0,860358198	1,373737374
MRPS11	0,027014707	0,21698811	0,109	0,075	1	1,162304528	0,860359721	1,453333333
MMGT1	0,09312223	0,216801403	0,1	0,075	1	1,162154118	0,860471072	1,333333333
GK5	0,048277136	0,216652672	0,063	0,041	1	1,162034315	0,860559785	1,536585366
GBP3	0,033046065	0,216634895	0,072	0,046	1	1,162019996	0,860570389	1,565217391
RPP38	0,124462693	0,216616685	0,056	0,039	1	1,162005329	0,860581251	1,435897436
MLX	0,001608919	0,216563204	0,111	0,064	1	1,161962254	0,860613154	1,734375
MTREX	0,756051484	0,216404206	0,069	0,073	1	1,161834203	0,860708006	0,945205479
POPDC3	2,36528E-05	0,216378886	0,069	0,023	0,499097476	1,161813812	0,860723112	3
NDUFAF5	0,001359369	0,216238198	0,063	0,028	1	1,16170052	0,860807052	2,25
ZADH2	0,000513945	0,215910638	0,069	0,03	1	1,161436789	0,861002518	2,3
TRIM24	0,079025918	0,215892124	0,109	0,083	1	1,161421884	0,861013568	1,313253012
SNRPC	0,002801512	0,215859821	0,142	0,09	1	1,16139588	0,861032846	1,577777778
TEN1	0,000295044	0,215743754	0,079	0,035	1	1,161302448	0,86110212	2,257142857
ECE1	0,977788855	0,215646247	0,218	0,214	1	1,161223961	0,861160322	1,018691589
SPDL1	0,107567849	0,215409529	0,042	0,027	1	1,161033443	0,861301633	1,555555556
MGST2	0,027156243	0,215401292	0,05	0,028	1	1,161026814	0,86130655	1,785714286
ARMC9	9,78677E-05	0,215268932	0,038	0,008	1	1,160920301	0,861385574	4,75
MRPL55	0,017257758	0,215245036	0,17	0,123	1	1,160901072	0,861399842	1,382113821
ARF3	0,022824521	0,215237649	0,139	0,098	1	1,160895128	0,861404253	1,418367347

Supplementary Table 5

Differentially expressed genes_total calculation_ comparing SC-Keloid vs. (SC-Myel, SC-Nonmyel)								
gene	p_val	avg_log2FC	pct.1	pct.2	p_val_adj	Foldchange_UP	Foldchange_DOWN	Ratio_pct1_pct2
S100A1	0,417275794	0,214983144	0,105	0,092	1	1,160690353	0,861556226	1,141304348
SNX7	0,030792453	0,21480554	0,141	0,102	1	1,160547474	0,861662295	1,382352941
STAM2	0,08774813	0,214583367	0,071	0,05	1	1,160368766	0,861795	1,42
PWP1	0,016310416	0,214505343	0,13	0,09	1	1,160306012	0,861841609	1,444444444
SEMA6A	0,000440879	0,214402263	0,055	0,02	1	1,160223112	0,861903189	2,75
DDX50	0,366030734	0,214316931	0,099	0,085	1	1,160154489	0,86195417	1,164705882
MZT1	0,566178644	0,214205322	0,122	0,111	1	1,160064742	0,862020855	1,099099099
SOCS4	0,270226857	0,214107951	0,077	0,062	1	1,159986448	0,862079037	1,241935484
ABHD17A	0,459979226	0,214065375	0,194	0,176	1	1,159952216	0,862104478	1,102272727
PCDHGA10	0,002781924	0,213963724	0,042	0,016	1	1,159870489	0,862165224	2,625
METTL9	0,510139487	0,213749983	0,175	0,159	1	1,159698663	0,862292966	1,100628931
ROGDI	1,2164E-06	0,213635416	0,058	0,012	0,025667203	1,159606573	0,862361445	4,833333333
BCCIP	0,15701597	0,213455968	0,083	0,064	1	1,159462345	0,862468716	1,296875
NPTXR	1,61724E-05	0,21326233	0,051	0,012	0,341253221	1,159306733	0,862584484	4,25
CDK5	1,56901E-06	0,213122154	0,063	0,015	0,033107741	1,159194098	0,862668299	4,2
LSM12	0,26561785	0,213039235	0,143	0,121	1	1,159127475	0,862717882	1,181818182
GDE1	0,002369313	0,212916959	0,121	0,073	1	1,159029237	0,862791005	1,657534247
DGCR6L	0,001504588	0,212766899	0,161	0,102	1	1,158908688	0,862880752	1,578431373
EFR3A	0,932289477	0,212711238	0,094	0,095	1	1,158863977	0,862914043	0,989473684
ATAD1	0,857762341	0,212632682	0,142	0,138	1	1,158800877	0,862961031	1,028985507
SMIM20	0,012565106	0,21244393	0,093	0,058	1	1,158649278	0,863073942	1,603448276
KLHL42	0,297929869	0,212288109	0,114	0,096	1	1,158524142	0,863167165	1,1875
CANT1	0,00017585	0,212078796	0,049	0,015	1	1,158356071	0,863292406	3,266666667
ZNF480	0,000514724	0,211894377	0,043	0,014	1	1,158208008	0,863402768	3,071428571
DDX1	0,403364541	0,211687913	0,158	0,142	1	1,158042269	0,863526338	1,112676056
CLPTM1L	0,03244711	0,211322932	0,101	0,069	1	1,157749338	0,863744825	1,463768116
FAM91A1	0,073011985	0,211322659	0,064	0,043	1	1,157749119	0,863744989	1,488372093
ZBTB6	0,007812324	0,211068066	0,026	0,008	1	1,157544829	0,863897428	3,25
SEC14L2	0,008731879	0,210834258	0,076	0,043	1	1,157357248	0,864037446	1,76744186
ADSS2	0,108241904	0,210830004	0,109	0,084	1	1,157353836	0,864039993	1,297619048

Supplementary Table 5

Differentially expressed genes_total calculation_ comparing SC-Keloid vs. (SC-Myel, SC-Nonmyel)								
gene	p_val	avg_log2FC	pct.1	pct.2	p_val_adj	Foldchange_UP	Foldchange_DOWN	Ratio_pct1_pct2
CPD	0,143600598	0,210742652	0,087	0,066	1	1,157283762	0,864092311	1,318181818
MOSPD1	0,041079773	0,210667143	0,061	0,038	1	1,157223193	0,864137537	1,605263158
NUS1	0,27784704	0,210651176	0,092	0,076	1	1,157210385	0,864147101	1,210526316
DCSTAMP	1,22515E-05	0,210569771	0,026	0	0,258519095	1,157145091	0,864195863	#DIV/0!
TSR3	0,003155248	0,210442692	0,14	0,088	1	1,157043169	0,864271988	1,590909091
COMMD7	0,001532083	0,210413402	0,153	0,096	1	1,157019678	0,864289535	1,59375
FUNDC1	0,001204759	0,210309833	0,079	0,039	1	1,156936621	0,864351583	2,025641026
SYAP1	0,728081677	0,210197775	0,158	0,152	1	1,156846762	0,864418723	1,039473684
C8orf33	0,063082877	0,209839828	0,113	0,083	1	1,156559772	0,86463322	1,361445783
CTNBL1	0,226212093	0,209770244	0,086	0,069	1	1,156503991	0,864674924	1,246376812
NTAN1	0,082760472	0,209756144	0,112	0,084	1	1,156492687	0,864683375	1,333333333
EEF2KMT	2,97856E-05	0,209515833	0,044	0,009	0,628504916	1,156300066	0,864827418	4,888888889
MTMR6	0,379568768	0,209496879	0,07	0,058	1	1,156284874	0,86483878	1,206896552
COMP	0,452591405	0,20948646	0,024	0,019	1	1,156276524	0,864845026	1,263157895
MANEA	0,002269703	0,209442201	0,081	0,043	1	1,156241052	0,864871558	1,88372093
ALYREF	0,072673084	0,208874652	0,14	0,107	1	1,155786282	0,865211861	1,308411215
MYO5A	0,200193611	0,208617446	0,115	0,094	1	1,155580245	0,865366126	1,223404255
WWC1	2,2249E-06	0,20860724	0,043	0,005	0,046947707	1,15557207	0,865372248	8,6
ZNF22	0,901101141	0,208450461	0,177	0,172	1	1,1554465	0,865466294	1,029069767
PRKAG1	0,008816733	0,208417192	0,072	0,041	1	1,155419855	0,865486252	1,756097561
RALBP1	0,75695092	0,208292678	0,246	0,252	1	1,155320139	0,865560952	0,976190476
MTRNR2L8	0,010275484	0,207972543	0,015	0,003	1	1,155063801	0,865753042	5
SIL1	0,047539246	0,207875981	0,148	0,11	1	1,154986494	0,86581099	1,345454545
DCPS	0,013482273	0,207845933	0,113	0,075	1	1,154962438	0,865829023	1,506666667
LIX1L	0,093310124	0,207840137	0,097	0,072	1	1,154957798	0,865832502	1,347222222
SLC35C2	0,005142434	0,207792598	0,084	0,047	1	1,154919741	0,865861033	1,787234043
ENSA	0,364893213	0,207772818	0,187	0,204	1	1,154903907	0,865872904	0,916666667
PIGT	0,019894583	0,207425891	0,17	0,125	1	1,154626219	0,866081147	1,36
PPIP5K2	0,043444417	0,20734205	0,111	0,079	1	1,15455912	0,86613148	1,405063291
CAAP1	0,000227324	0,207307422	0,065	0,026	1	1,154531409	0,866152269	2,5

Supplementary Table 5

Differentially expressed genes_total calculation_ comparing SC-Keloid vs. (SC-Myel, SC-Nonmyel)								
gene	p_val	avg_log2FC	pct.1	pct.2	p_val_adj	Foldchange_UP	Foldchange_DOWN	Ratio_pct1_pct2
PITPNA	0,847010721	0,206948056	0,121	0,117	1	1,154243858	0,866368049	1,034188034
SDF4	0,904654546	0,206799506	0,24	0,24	1	1,154125016	0,866457261	1
FAM220A	0,001079253	0,206744302	0,021	0,003	1	1,154080855	0,866490416	7
DRG2	0,002063054	0,206489127	0,087	0,047	1	1,153876745	0,86664369	1,85106383
EIF3I	0,896870731	0,206379321	0,237	0,233	1	1,153788925	0,866709654	1,017167382
PCSK7	0,050003298	0,206355724	0,113	0,083	1	1,153770054	0,86672383	1,361445783
ZC3H15	0,042995433	0,206343086	0,228	0,281	1	1,153759947	0,866731422	0,8113879
KARS1	0,012749102	0,206258903	0,105	0,068	1	1,153692626	0,866781999	1,544117647
ATXN7L3B	0,527341908	0,206132323	0,135	0,123	1	1,153591407	0,866858052	1,097560976
ALDH18A1	9,50722E-05	0,206086362	0,066	0,024	1	1,153554657	0,866885669	2,75
CCDC85B	0,122209502	0,205824396	0,262	0,303	1	1,153345212	0,867043093	0,864686469
NDRG4	1,57595E-05	0,20563998	0,035	0,004	0,332541519	1,153197792	0,867153932	8,75
AARD	1,31075E-05	0,205629816	0,038	0,005	0,276582224	1,153189668	0,867160041	7,6
PUSL1	2,38796E-07	0,205491338	0,061	0,011	0,005038828	1,153078984	0,86724328	5,545454545
NAGK	0,387916163	0,205228696	0,142	0,123	1	1,152869085	0,867401176	1,154471545
CCDC47	0,074277008	0,205154239	0,232	0,273	1	1,152809588	0,867445943	0,84981685
UBE2M	0,835906151	0,204848654	0,222	0,217	1	1,152565431	0,867629701	1,023041475
ALDH1L2	0,000240879	0,204728246	0,055	0,019	1	1,152469241	0,867702117	2,894736842
SMAD1	0,003411449	0,204535611	0,054	0,024	1	1,152315368	0,867817984	2,25
CHPF2	0,001398293	0,204479639	0,075	0,037	1	1,152270663	0,867851653	2,027027027
SNX17	0,013709478	0,204429215	0,158	0,111	1	1,152230391	0,867881986	1,423423423
TRAM2	0,076430934	0,204225123	0,119	0,09	1	1,152067401	0,868004771	1,322222222
PGK1	0,560118262	0,204116003	0,222	0,208	1	1,151980266	0,868070426	1,067307692
CRLS1	0,003248322	0,204110557	0,099	0,057	1	1,151975917	0,868073703	1,736842105
DARS1	0,096232331	0,204024231	0,118	0,09	1	1,151906989	0,868125647	1,311111111
EIF3M	0,951948587	0,203957286	0,189	0,189	1	1,151853539	0,868165931	1
ZC3H13	0,510930663	0,203926826	0,189	0,199	1	1,151829219	0,868184261	0,949748744
KRT10-AS1	0,055344781	0,203858265	0,049	0,03	1	1,151774482	0,868225521	1,633333333
FILIP1L	0,761832158	0,203754382	0,105	0,11	1	1,151691551	0,86828804	0,954545455
RBM8A	0,135246481	0,203721213	0,39	0,463	1	1,151665072	0,868308004	0,842332613

Supplementary Table 5

Differentially expressed genes_total calculation_ comparing SC-Keloid vs. (SC-Myel, SC-Nonmyel)								
gene	p_val	avg_log2FC	pct.1	pct.2	p_val_adj	Foldchange_UP	Foldchange_DOWN	Ratio_pct1_pct2
SHROOM2	9,81277E-08	0,203716154	0,051	0,005	0,002070593	1,151661034	0,868311048	10,2
DYNLT3	0,622111388	0,203695859	0,203	0,213	1	1,151644833	0,868323263	0,953051643
CERK	0,00082568	0,203569859	0,055	0,022	1	1,151544257	0,868399103	2,5
PSMB4	0,629837574	0,203549815	0,242	0,232	1	1,151528258	0,868411168	1,043103448
ACAD8	0,000811862	0,203493777	0,065	0,028	1	1,15148353	0,8684449	2,321428571
MITD1	0,285052656	0,203450839	0,094	0,079	1	1,151449261	0,868470747	1,189873418
POP4	0,007649101	0,203141988	0,071	0,039	1	1,151202785	0,868656689	1,820512821
POLDIP2	5,41251E-05	0,203023421	0,087	0,037	1	1,151108179	0,868728082	2,351351351
DLG1	0,330323531	0,202838411	0,141	0,157	1	1,150960571	0,868839494	0,898089172
CBR1	0,668142305	0,202773071	0,277	0,271	1	1,150908445	0,868878845	1,022140221
SRP19	0,099200798	0,202652208	0,177	0,142	1	1,15081203	0,868951639	1,246478873
DPT	0,042115803	0,202526108	0,024	0,011	1	1,150711447	0,869027594	2,181818182
MIEN1	0,228831706	0,202513309	0,176	0,149	1	1,150701239	0,869035303	1,181208054
LIMD1	0,000715612	0,202481857	0,047	0,016	1	1,150676153	0,869054249	2,9375
VDAC3	0,740266025	0,201941046	0,189	0,18	1	1,150244889	0,869380086	1,05
TSFM	0,000703599	0,201878596	0,059	0,024	1	1,150195099	0,869417719	2,458333333
PHKG1	0,034685688	0,201735311	0,063	0,039	1	1,15008087	0,869504072	1,615384615
CPNE8	0,075709115	0,201478575	0,049	0,031	1	1,149876225	0,869658819	1,580645161
CCS	0,167564046	0,201447082	0,135	0,11	1	1,149851125	0,869677803	1,227272727
UGGT2	0,014382752	0,201427156	0,113	0,075	1	1,149835243	0,869689815	1,506666667
PARN	0,248612799	0,201404947	0,05	0,038	1	1,149817543	0,869703203	1,315789474
TMEM60	0,000980407	0,201372519	0,064	0,028	1	1,149791698	0,869722752	2,285714286
GALNT7	0,007588849	0,201311157	0,052	0,026	1	1,149742795	0,869759745	2
FAM210A	0,054292835	0,201083852	0,049	0,03	1	1,14956166	0,869896792	1,633333333
GNA12	0,00972536	0,200852955	0,121	0,079	1	1,149377693	0,870036025	1,53164557
VPS36	0,349821974	0,200820849	0,093	0,08	1	1,149352115	0,870055388	1,1625
TRUB1	0,039736005	0,200797493	0,04	0,022	1	1,149333508	0,870069474	1,818181818
HNRNPR	0,078601105	0,200615184	0,305	0,364	1	1,14918828	0,870179428	0,837912088
BANF1	0,944611358	0,200553369	0,267	0,274	1	1,149139041	0,870216714	0,974452555
ANKH	0,001204096	0,200519747	0,111	0,062	1	1,149112261	0,870236994	1,790322581

Supplementary Table 5

Differentially expressed genes_total calculation_ comparing SC-Keloid vs. (SC-Myel, SC-Nonmyel)								
gene	p_val	avg_log2FC	pct.1	pct.2	p_val_adj	Foldchange_UP	Foldchange_DOWN	Ratio_pct1_pct2
ACYP2	0,008985112	0,200516229	0,094	0,058	1	1,149109459	0,870239117	1,620689655
NOC3L	0,082600898	0,200274257	0,091	0,066	1	1,148916744	0,870385087	1,378787879
CDR2L	2,70161E-06	0,200214412	0,071	0,02	0,057006598	1,148869086	0,870421192	3,55
NNT-AS1	0,027701767	0,200169184	0,066	0,041	1	1,14883307	0,870448481	1,609756098
WNT16	1,22515E-05	0,200062258	0,026	0	0,258519095	1,148747927	0,870512997	#DIV/0!
BOP1	0,000254411	0,199688664	0,081	0,037	1	1,14845049	0,87073845	2,189189189
ZNF407-AS1	0,12746326	0,19959062	0,048	0,033	1	1,148372446	0,870797627	1,454545455
FXD3	0,259264951	0,199533472	0,087	0,072	1	1,148326958	0,870832121	1,208333333
CHURC1	0,630631686	0,199454847	0,286	0,301	1	1,148264377	0,870879582	0,950166113
PMVK	0,360820092	0,19927257	0,161	0,14	1	1,148119309	0,87098962	1,15
RPAP3	0,121386391	0,199218831	0,064	0,046	1	1,148076543	0,871022064	1,391304348
AGTRAP	0,000419667	0,199010312	0,118	0,064	1	1,147910619	0,871147966	1,84375
EMB	1,18429E-05	0,198909027	0,033	0,003	0,24989684	1,147830032	0,871209127	11
CALML5	0,079210689	0,198839479	0,022	0,011	1	1,1477747	0,871251126	2
STRN3	0,655916976	0,198837054	0,128	0,134	1	1,147772771	0,871252591	0,955223881
CCDC112	0,18138913	0,198689366	0,114	0,092	1	1,147655279	0,871341785	1,239130435
RAB2B	0,705177008	0,198495475	0,054	0,058	1	1,147501051	0,871458897	0,931034483
ETV5	0,006370739	0,198314095	0,061	0,031	1	1,147356792	0,871568466	1,967741935
SANBR	0,06869651	0,198252305	0,048	0,03	1	1,147307653	0,871605796	1,6
RAB23	0,000869207	0,198239534	0,071	0,033	1	1,147297497	0,871613511	2,151515152
EXTL1	0,007689805	0,198190121	0,065	0,035	1	1,147258202	0,871643365	1,857142857
ARCN1	0,408423801	0,19779624	0,165	0,148	1	1,146945024	0,871881371	1,114864865
SMARCA4	0,057038178	0,197449259	0,116	0,085	1	1,146669206	0,872091092	1,364705882
TMX1	0,303971749	0,197323183	0,172	0,149	1	1,146569004	0,872167307	1,154362416
DNAAF4	0,013352691	0,196824896	0,044	0,022	1	1,146173063	0,872468593	2
TES	0,000299638	0,196679918	0,058	0,022	1	1,146057889	0,872556273	2,636363636
RMDN3	0,84120854	0,196416135	0,072	0,075	1	1,145848362	0,872715826	0,96
HAGH	0,188903144	0,196056936	0,162	0,133	1	1,145563107	0,87293314	1,218045113
BLOC1S4	0,006845418	0,195886142	0,07	0,038	1	1,145427497	0,873036489	1,842105263
SEPTIN11	0,161170207	0,195738895	0,15	0,123	1	1,145310596	0,873125599	1,219512195

Supplementary Table 5

Differentially expressed genes_total calculation_ comparing SC-Keloid vs. (SC-Myel, SC-Nonmyel)								
gene	p_val	avg_log2FC	pct.1	pct.2	p_val_adj	Foldchange_UP	Foldchange_DOWN	Ratio_pct1_pct2
VHL	0,050035406	0,195474688	0,07	0,046	1	1,14510087	0,873285512	1,52173913
ISCA1	0,806937811	0,195219226	0,147	0,151	1	1,144898121	0,873440162	0,973509934
PITPNB	0,301826469	0,195115214	0,199	0,216	1	1,144815582	0,873503135	0,921296296
FKBP15	0,001463827	0,195077413	0,052	0,022	1	1,144785586	0,873526023	2,363636364
UCK2	0,000345467	0,195009647	0,08	0,037	1	1,144731815	0,873567054	2,162162162
OSBPL10	0,032501423	0,194830316	0,055	0,033	1	1,144589531	0,873675648	1,666666667
ARHGAP12	0,604189874	0,194785453	0,149	0,157	1	1,144553938	0,873702817	0,949044586
NDUFA10	0,472167905	0,194366859	0,191	0,202	1	1,144221898	0,873956356	0,945544554
ENDOV	0,025926292	0,194161571	0,086	0,056	1	1,144059092	0,874080724	1,535714286
PSMB10	0,003183058	0,19410933	0,086	0,047	1	1,144017665	0,874112376	1,829787234
ANKRD44	0,373058622	0,19389562	0,088	0,076	1	1,143848212	0,87424187	1,157894737
APOM	0,012958265	0,193786382	0,033	0,014	1	1,143761605	0,874308068	2,357142857
SNAPC2	9,77957E-05	0,193565781	0,119	0,06	1	1,143586727	0,874441768	1,983333333
DNMT1	0,269781354	0,193545408	0,165	0,142	1	1,143570579	0,874454117	1,161971831
RC3H2	0,487929071	0,19322483	0,086	0,096	1	1,143316496	0,874648449	0,895833333
C1D	0,760083142	0,193196006	0,169	0,159	1	1,143293654	0,874665924	1,062893082
AGPS	9,71904E-05	0,193144224	0,098	0,045	1	1,143252619	0,874697318	2,177777778
MRPL58	0,000281284	0,193092925	0,071	0,03	1	1,143211968	0,874728421	2,366666667
EFCAB11	0,004405945	0,192909486	0,036	0,014	1	1,143066618	0,87483965	2,571428571
KMT5B	0,65384457	0,19272242	0,112	0,103	1	1,142918413	0,874953093	1,087378641
MRPL35	0,000438112	0,192630753	0,068	0,028	1	1,142845795	0,875008688	2,428571429
RIOK2	0,200741219	0,192348889	0,068	0,052	1	1,142622535	0,875179658	1,307692308
KDEL1	0,87610658	0,19233132	0,253	0,256	1	1,142608621	0,875190316	0,98828125
AUP1	0,204198726	0,192286092	0,179	0,152	1	1,142572801	0,875217753	1,177631579
GNB4	0,318709808	0,192284046	0,144	0,125	1	1,14257118	0,875218995	1,152
NSF	0,038080127	0,192237561	0,059	0,037	1	1,142534367	0,875247195	1,594594595
SERPINB8	0,18248592	0,192228166	0,076	0,058	1	1,142526926	0,875252895	1,310344828
POLR3H	0,021923857	0,192176938	0,061	0,035	1	1,142486358	0,875283975	1,742857143
HUWE1	0,879962198	0,19170414	0,151	0,153	1	1,142112004	0,875570869	0,986928105
UPF3A	0,999809456	0,191502203	0,191	0,189	1	1,141952152	0,875693432	1,010582011

Supplementary Table 5

Differentially expressed genes_total calculation_ comparing SC-Keloid vs. (SC-Myel, SC-Nonmyel)								
gene	p_val	avg_log2FC	pct.1	pct.2	p_val_adj	Foldchange_UP	Foldchange_DOWN	Ratio_pct1_pct2
MAML3	0,168422439	0,191400366	0,069	0,052	1	1,141871547	0,875755248	1,326923077
CTNNBIP1	0,00080156	0,19137665	0,101	0,054	1	1,141852776	0,875769645	1,87037037
BEND6	0,020194836	0,19122504	0,054	0,03	1	1,141732787	0,875861682	1,8
CCT7	0,570746915	0,191048355	0,201	0,185	1	1,141592969	0,875968955	1,086486486
RSL1D1	0,061687241	0,190983136	0,207	0,246	1	1,141541363	0,876008555	0,841463415
COPRS	0,685269987	0,190974379	0,169	0,174	1	1,141534435	0,876013872	0,971264368
FAM177A1	0,388857366	0,190821879	0,25	0,269	1	1,141413775	0,876106476	0,92936803
PSMB7	0,604902445	0,190552029	0,232	0,221	1	1,141200298	0,876270363	1,049773756
POLR2I	0,623461011	0,190418356	0,247	0,233	1	1,141094565	0,876351558	1,060085837
CCT3	0,487232591	0,190267018	0,237	0,248	1	1,140974871	0,876443492	0,955645161
GUF1	0,004505388	0,190214283	0,047	0,02	1	1,140933166	0,876475529	2,35
PRPF19	0,001896752	0,190140514	0,073	0,037	1	1,140874828	0,876520347	1,972972973
PTPRE	0,455491045	0,190032255	0,172	0,156	1	1,140789221	0,876586123	1,102564103
DHX29	0,097146494	0,19001985	0,156	0,125	1	1,140779412	0,87659366	1,248
RPAP2	0,542454803	0,189807001	0,058	0,052	1	1,140611119	0,876722999	1,115384615
B3GAT3	0,047239051	0,189517674	0,154	0,115	1	1,140382396	0,87689884	1,339130435
ABI1	0,358454238	0,189237562	0,139	0,155	1	1,140161003	0,877069114	0,896774194
SCP2	0,535928728	0,188993987	0,268	0,281	1	1,139968521	0,877217205	0,953736655
NABP2	0,001212755	0,1889174	0,092	0,049	1	1,139908006	0,877263774	1,87755102
IFT20	0,017710113	0,188915506	0,14	0,098	1	1,13990651	0,877264926	1,428571429
PRKACA	0,0895867	0,188867482	0,104	0,077	1	1,139868566	0,877294129	1,350649351
PSMG4	0,678558694	0,188642384	0,079	0,073	1	1,139690731	0,87743102	1,082191781
SLC15A4	0,003152549	0,188532868	0,083	0,045	1	1,139604219	0,877497629	1,844444444
DOCK2	1,60138E-05	0,188423816	0,035	0,004	0,337908245	1,13951808	0,877563961	8,75
SDHC	0,001657612	0,188151782	0,179	0,117	1	1,139303234	0,877729449	1,52991453
MSRA	1,12369E-05	0,188029511	0,078	0,027	0,237109202	1,13920668	0,877803841	2,888888889
FAHD2B	0,021864742	0,187984094	0,048	0,026	1	1,139170817	0,877831476	1,846153846
CCDC124	0,120560241	0,187951799	0,178	0,142	1	1,139145317	0,877851127	1,253521127
INHBA	0,014878444	0,187710276	0,028	0,011	1	1,138954628	0,877998101	2,545454545
RFC4	0,000157237	0,187679477	0,04	0,009	1	1,138930313	0,878016845	4,444444444

Supplementary Table 5

Differentially expressed genes_total calculation_ comparing SC-Keloid vs. (SC-Myel, SC-Nonmyel)								
gene	p_val	avg_log2FC	pct.1	pct.2	p_val_adj	Foldchange_UP	Foldchange_DOWN	Ratio_pct1_pct2
SSRP1	0,026623579	0,187602581	0,136	0,096	1	1,13886961	0,878063644	1,416666667
CDR1	0,19432594	0,187539699	0,015	0,008	1	1,138819971	0,878101917	1,875
SPATA33	0,019257531	0,187510741	0,063	0,037	1	1,138797113	0,878119543	1,702702703
IFRD2	0,000497066	0,187370201	0,113	0,061	1	1,138686183	0,878205088	1,852459016
DDX18	0,703722288	0,186984065	0,272	0,282	1	1,138381456	0,878440171	0,964539007
KIAA1143	0,120636585	0,186976209	0,106	0,081	1	1,138375256	0,878444954	1,308641975
PIEZO1	0,002489148	0,186783574	0,128	0,079	1	1,138223266	0,878562256	1,620253165
TRIP12	0,30479181	0,186538408	0,132	0,147	1	1,138029857	0,878711568	0,897959184
VIM-AS1	0,375439498	0,186208735	0,017	0,012	1	1,137769833	0,878912387	1,416666667
YEATS4	0,027659995	0,186086412	0,1	0,068	1	1,137673368	0,878986911	1,470588235
GNPNAT1	0,082998549	0,185906498	0,073	0,052	1	1,137531501	0,879096534	1,403846154
RBM18	0,011422537	0,185882464	0,062	0,034	1	1,137512551	0,879111179	1,823529412
BDNF	0,000985931	0,185815528	0,027	0,005	1	1,137459776	0,879151968	5,4
BCL10	0,135563264	0,185811216	0,1	0,077	1	1,137456376	0,879154595	1,298701299
LACC1	0,011605359	0,185754496	0,024	0,008	1	1,137411657	0,87918916	3
SMUG1	5,90927E-05	0,185694199	0,055	0,016	1	1,13736412	0,879225907	3,4375
URM1	0,003544882	0,185390355	0,155	0,103	1	1,137124607	0,879411098	1,504854369
TCHP	0,015805944	0,18523749	0,055	0,03	1	1,137004126	0,879504284	1,833333333
TNFAIP8	0,000154452	0,185177182	0,061	0,022	1	1,136956598	0,87954105	2,772727273
SAMD12	0,070019457	0,185142738	0,059	0,039	1	1,136929454	0,879562049	1,512820513
SSR1	0,853643668	0,185085266	0,19	0,183	1	1,136884163	0,879597088	1,038251366
HOXB3	0,000972331	0,185082863	0,027	0,005	1	1,13688227	0,879598554	5,4
NDUFAF3	0,079675973	0,184993653	0,274	0,318	1	1,136811972	0,879652946	0,86163522
ERGIC3	0,589951532	0,184824558	0,194	0,18	1	1,136678737	0,879756054	1,077777778
DBNL	0,010151546	0,184793204	0,147	0,1	1	1,136654034	0,879775174	1,47
BID	0,000111673	0,184726297	0,055	0,018	1	1,136601321	0,879815975	3,055555556
CDKN2B	0,008551698	0,184556411	0,056	0,028	1	1,136467487	0,879919585	2
JKAMP	0,049115561	0,184459377	0,147	0,11	1	1,136391052	0,87997877	1,336363636
CAPNS1	0,875831838	0,184283642	0,246	0,247	1	1,136252637	0,880085967	0,995951417
MRPL16	0,009939556	0,184117953	0,12	0,079	1	1,136122149	0,880187047	1,518987342

Supplementary Table 5

Differentially expressed genes_total calculation_ comparing SC-Keloid vs. (SC-Myel, SC-Nonmyel)								
gene	p_val	avg_log2FC	pct.1	pct.2	p_val_adj	Foldchange_UP	Foldchange_DOWN	Ratio_pct1_pct2
PXN-AS1	0,008332736	0,18407391	0,044	0,02	1	1,136087466	0,880213919	2,2
CHCHD3	0,7515323	0,183988404	0,108	0,102	1	1,136020134	0,880266089	1,058823529
PHB2	0,824656733	0,183896117	0,219	0,21	1	1,135947466	0,8803224	1,042857143
GGCT	0,75070275	0,183820717	0,139	0,132	1	1,1358881	0,88036841	1,053030303
ESCO1	0,057612754	0,183788401	0,064	0,042	1	1,135862657	0,88038813	1,523809524
MEGF8	0,061529313	0,183605301	0,107	0,079	1	1,135718508	0,880499872	1,35443038
CAPZB	0,257461898	0,183573066	0,274	0,305	1	1,135693132	0,880519545	0,898360656
SNX5	0,801486374	0,183533929	0,144	0,144	1	1,135662323	0,880543432	1
TMEM181	0,081285026	0,183524537	0,061	0,041	1	1,13565493	0,880549164	1,487804878
RPL14	0,162229421	0,18346663	0,717	0,851	1	1,135609348	0,880584509	0,84253819
PLRG1	0,177034781	0,183420306	0,097	0,076	1	1,135572885	0,880612785	1,276315789
CMPK1	0,140488345	0,18336527	0,21	0,242	1	1,135529566	0,880646379	0,867768595
KCNC2	3,24331E-06	0,183226115	0,033	0,001	0,068437155	1,135420044	0,880731325	33
MRPL28	0,029204466	0,183207794	0,143	0,103	1	1,135405625	0,88074251	1,388349515
PRELID3B	0,674866642	0,183034496	0,1	0,092	1	1,135269247	0,880848312	1,086956522
FLNC	1,79454E-05	0,182803407	0,056	0,015	0,378666084	1,135087416	0,880989416	3,733333333
PRPF6	0,631575757	0,182794397	0,134	0,125	1	1,135080327	0,880994918	1,072
SLC19A1	0,087845057	0,182416329	0,029	0,016	1	1,13478291	0,881225819	1,8125
PCDHGA12	2,90045E-05	0,182302236	0,03	0,003	0,612024839	1,134693172	0,881295512	10
RNF217	0,141429731	0,182169978	0,065	0,047	1	1,134589154	0,881376308	1,382978723
LINC00900	0,006610798	0,18199337	0,016	0,003	1	1,134450272	0,881484209	5,333333333
TSN	0,99151402	0,181876778	0,106	0,104	1	1,134358594	0,881555449	1,019230769
BLVRA	0,836210133	0,181789344	0,099	0,095	1	1,134289848	0,881608877	1,042105263
AKT3	0,471910162	0,18172901	0,151	0,161	1	1,134242413	0,881645747	0,937888199
UBP1	0,609706553	0,181698903	0,065	0,058	1	1,134218743	0,881664146	1,120689655
GSS	0,000186516	0,181325175	0,085	0,038	1	1,133924964	0,881892569	2,236842105
ACTR8	0,009360921	0,181124681	0,048	0,023	1	1,133767391	0,882015136	2,086956522
DNMT3A	0,101921622	0,181033486	0,085	0,062	1	1,133695726	0,882070892	1,370967742
SLC35B4	0,008668815	0,181030567	0,05	0,024	1	1,133693432	0,882072676	2,083333333
NUP50	0,423031489	0,180973671	0,075	0,064	1	1,133648724	0,882107463	1,171875

Supplementary Table 5

Differentially expressed genes_total calculation_ comparing SC-Keloid vs. (SC-Myel, SC-Nonmyel)								
gene	p_val	avg_log2FC	pct.1	pct.2	p_val_adj	Foldchange_UP	Foldchange_DOWN	Ratio_pct1_pct2
URI1	0,550436572	0,180912649	0,205	0,187	1	1,133600774	0,882144775	1,096256684
MED7	0,019562984	0,180631032	0,047	0,024	1	1,133379515	0,882316988	1,958333333
TRIM37	0,201345379	0,180615664	0,061	0,046	1	1,133367442	0,882326387	1,326086957
NTN1	0,003097475	0,180556012	0,05	0,022	1	1,133320581	0,88236287	2,272727273
USP14	0,30256879	0,180243719	0,147	0,126	1	1,133075283	0,882553891	1,166666667
REEP5	0,290135261	0,180200431	0,253	0,278	1	1,133041286	0,882580372	0,910071942
TYW5	0,477911293	0,180148523	0,026	0,02	1	1,13300052	0,882612128	1,3
LRIF1	0,017269766	0,180132405	0,065	0,038	1	1,132987862	0,882621989	1,710526316
CALM2	0,010063591	0,179909412	0,771	0,875	1	1,132812753	0,882758424	0,881142857
TOR4A	3,26563E-06	0,179869264	0,033	0,001	0,068907955	1,132781229	0,88278299	33
FAM174B	0,007764489	0,179868742	0,052	0,026	1	1,132780819	0,882783309	2
KLHL29	0,185133293	0,17986638	0,085	0,066	1	1,132778965	0,882784754	1,287878788
PLP2	0,474488195	0,179645729	0,196	0,214	1	1,132605726	0,882919781	0,91588785
HLCS	0,033873688	0,179638816	0,035	0,018	1	1,1326003	0,882924012	1,944444444
TMED2	0,235074612	0,179523726	0,234	0,263	1	1,132509951	0,882994449	0,88973384
RSRC1	0,810629146	0,179467811	0,13	0,133	1	1,132466058	0,883028673	0,977443609
CRELD2	0,319835411	0,179433103	0,15	0,13	1	1,132438814	0,883049916	1,153846154
VKORC1	0,680898741	0,178997563	0,24	0,248	1	1,13209699	0,883316544	0,967741935
SH3BGRL	0,235427551	0,178817949	0,302	0,334	1	1,131956053	0,883426523	0,904191617
AGAP2-AS1	8,70043E-05	0,178771723	0,071	0,027	1	1,131919784	0,883454829	2,62962963
ARMT1	0,08030256	0,178660026	0,042	0,026	1	1,131832152	0,883523231	1,615384615
RPN1	0,509519018	0,178631896	0,162	0,148	1	1,131810084	0,883540458	1,094594595
SEC24D	0,073540729	0,178088313	0,122	0,091	1	1,131383717	0,883873424	1,340659341
C17orf75	0,019093587	0,178006243	0,047	0,024	1	1,131319358	0,883923706	1,958333333
INTS1	0,390186965	0,177867462	0,077	0,065	1	1,131210536	0,88400874	1,184615385
TTC1	0,283297479	0,177854912	0,171	0,149	1	1,131200696	0,88401643	1,147651007
RILPL2	0,098379006	0,177758899	0,059	0,041	1	1,131125415	0,884075264	1,43902439
BICD1	0,401086244	0,177611124	0,201	0,217	1	1,13100956	0,884165824	0,926267281
ARNT2	0,000145934	0,177556788	0,058	0,02	1	1,130966964	0,884199125	2,9
ARPC1A	0,400363495	0,177457468	0,218	0,197	1	1,130889107	0,884259999	1,106598985

Supplementary Table 5

Differentially expressed genes_total calculation_ comparing SC-Keloid vs. (SC-Myel, SC-Nonmyel)								
gene	p_val	avg_log2FC	pct.1	pct.2	p_val_adj	Foldchange_UP	Foldchange_DOWN	Ratio_pct1_pct2
CRABP1	3,94382E-05	0,177364832	0,033	0,004	0,8321848	1,130816494	0,884316779	8,25
LARP6	0,749407898	0,177107556	0,099	0,094	1	1,130614853	0,884474494	1,053191489
PPP2R3C	0,00350607	0,17696501	0,116	0,072	1	1,130503149	0,884561888	1,611111111
PGRMC2	0,487919265	0,176845687	0,189	0,201	1	1,130409651	0,884635052	0,940298507
UBE3C	0,094698552	0,176660873	0,095	0,071	1	1,13026485	0,884748384	1,338028169
FAM168A	0,476895943	0,176642085	0,102	0,091	1	1,130250131	0,884759906	1,120879121
MRPS35	0,004470644	0,176591009	0,095	0,056	1	1,130210118	0,88479123	1,696428571
MYG1	0,33987122	0,176566788	0,123	0,104	1	1,130191143	0,884806085	1,182692308
FOXS1	5,89089E-05	0,176302374	0,031	0,004	1	1,129984022	0,884968265	7,75
MEA1	0,088755318	0,17617365	0,106	0,079	1	1,129883204	0,88504723	1,341772152
PPIL1	0,001351624	0,176107189	0,057	0,024	1	1,129831156	0,885088002	2,375
PUS7	0,001547082	0,176096834	0,042	0,015	1	1,129823046	0,885094355	2,8
VAMP3	0,054463385	0,175962089	0,19	0,229	1	1,129717528	0,885177025	0,829694323
ATMIN	0,004353694	0,175945373	0,079	0,043	1	1,129704438	0,885187281	1,837209302
COIL	0,456298125	0,175865171	0,062	0,053	1	1,129641638	0,885236491	1,169811321
CENPJ	0,072087235	0,175820369	0,037	0,022	1	1,129606558	0,885263982	1,681818182
NOSIP	0,478623788	0,175771444	0,114	0,1	1	1,129568251	0,885294005	1,14
SUCLA2	0,656791313	0,175734567	0,106	0,111	1	1,129539378	0,885316634	0,954954955
ETFA	0,25046387	0,175706944	0,169	0,144	1	1,129517751	0,885333585	1,173611111
SCOC	0,994323231	0,175621071	0,206	0,202	1	1,129450521	0,885386284	1,01980198
TBC1D7	0,009107817	0,175584597	0,097	0,06	1	1,129421967	0,885408668	1,616666667
TRIM38	0,183415053	0,17516606	0,057	0,042	1	1,129094361	0,88566557	1,357142857
MTDH	0,116359917	0,175046048	0,352	0,412	1	1,12900044	0,885739248	0,854368932
LCTL	0,000176714	0,174812605	0,049	0,015	1	1,128817771	0,885882581	3,266666667
EXOSC8	0,71132218	0,174560138	0,128	0,121	1	1,128620249	0,886037621	1,05785124
ENDOG	0,028757492	0,174363732	0,095	0,064	1	1,12846661	0,886158253	1,484375
DNAJC16	0,018496669	0,174353577	0,031	0,014	1	1,128458667	0,886164491	2,214285714
MGP	0,652837244	0,174167383	0,084	0,079	1	1,128313038	0,886278866	1,063291139
OLA1	0,155602555	0,174055002	0,156	0,129	1	1,128225149	0,886347907	1,209302326
SCUBE3	1,28392E-05	0,174023056	0,029	0,001	0,270920947	1,128200167	0,886367534	29

Supplementary Table 5

Differentially expressed genes_total calculation_ comparing SC-Keloid vs. (SC-Myel, SC-Nonmyel)								
gene	p_val	avg_log2FC	pct.1	pct.2	p_val_adj	Foldchange_UP	Foldchange_DOWN	Ratio_pct1_pct2
TGFBR1	0,736953229	0,173611795	0,078	0,073	1	1,127878604	0,886620241	1,068493151
RCN3	0,044152002	0,173447045	0,133	0,098	1	1,127749812	0,886721496	1,357142857
LNPB	0,136385157	0,173445782	0,087	0,066	1	1,127748824	0,886722273	1,318181818
CPSF2	0,04718453	0,17339851	0,073	0,049	1	1,127711872	0,886751328	1,489795918
MORF4L1	0,080351874	0,173180735	0,549	0,711	1	1,127541657	0,886885193	0,772151899
AIDA	0,860823599	0,17315145	0,129	0,13	1	1,127518769	0,886903196	0,992307692
B9D1	2,40293E-05	0,173001879	0,04	0,007	0,507043014	1,12740188	0,88699515	5,714285714
TRIB2	0,245623829	0,172995759	0,108	0,09	1	1,127397098	0,886998913	1,2
HDAC2	0,895498169	0,172900966	0,18	0,182	1	1,127323024	0,887057195	0,989010989
SKIL	0,344655478	0,172501413	0,237	0,258	1	1,127010856	0,887302899	0,918604651
VPS41	0,015087678	0,172447422	0,084	0,052	1	1,126968681	0,887336105	1,615384615
NUP43	0,001657363	0,172429959	0,03	0,008	1	1,126955039	0,887346847	3,75
UBXN6	0,036473816	0,172183337	0,104	0,072	1	1,126762408	0,887498547	1,444444444
LRRTM2	0,410476476	0,172155007	0,054	0,045	1	1,126740282	0,887515975	1,2
MCUB	0,037762534	0,172047215	0,042	0,023	1	1,1266561	0,887582289	1,826086957
XPOT	0,788368677	0,172002484	0,094	0,09	1	1,126621168	0,887609809	1,044444444
POLR3GL	0,396150306	0,171988068	0,128	0,111	1	1,126609911	0,887618679	1,153153153
ZNF107	0,033385998	0,171965305	0,023	0,009	1	1,126592135	0,887632683	2,555555556
MRPS14	0,147012914	0,171925201	0,095	0,073	1	1,126560818	0,887657358	1,301369863
KCTD10	0,039867756	0,171785972	0,052	0,031	1	1,126452104	0,887743027	1,677419355
NFU1	0,58404859	0,171742193	0,13	0,118	1	1,126417921	0,887769966	1,101694915
HDDC3	0,004175917	0,171621781	0,049	0,022	1	1,126323911	0,887844065	2,227272727
RAB12	0,197044529	0,171621587	0,068	0,052	1	1,12632376	0,887844185	1,307692308
PARP14	0,702073656	0,171502326	0,111	0,103	1	1,126230656	0,887917582	1,077669903
COL22A1	4,69194E-05	0,171470481	0,029	0,003	0,990047121	1,126205796	0,887937181	9,666666667
ADGRE5	0,202719718	0,171425567	0,121	0,099	1	1,126170736	0,887964825	1,222222222
RINL	0,0527598	0,171171653	0,026	0,012	1	1,125972547	0,88812112	2,166666667
SPAST	0,329517683	0,170957199	0,062	0,05	1	1,125805186	0,888253148	1,24
SDSL	1,60138E-05	0,17094691	0,035	0,004	0,337908245	1,125797157	0,888259482	8,75
MTRES1	0,02548861	0,170896633	0,049	0,027	1	1,125757924	0,888290438	1,814814815

Supplementary Table 5

Differentially expressed genes_total calculation_ comparing SC-Keloid vs. (SC-Myel, SC-Nonmyel)								
gene	p_val	avg_log2FC	pct.1	pct.2	p_val_adj	Foldchange_UP	Foldchange_DOWN	Ratio_pct1_pct2
CENPK	0,000135835	0,170882143	0,035	0,007	1	1,125746618	0,88829936	5
SDF2	0,061577445	0,17076782	0,146	0,11	1	1,125657414	0,888369754	1,327272727
ADAM10	0,652732201	0,170650499	0,212	0,22	1	1,125565878	0,888442	0,963636364
HIVEP3	0,003147411	0,170584116	0,068	0,034	1	1,125514089	0,888482881	2
TMEM250	0,000450152	0,170494989	0,055	0,02	1	1,125444558	0,888537772	2,75
KMT5A	0,033498281	0,170406921	0,121	0,085	1	1,125375859	0,888592013	1,423529412
C4orf3	0,017934488	0,170257945	0,356	0,445	1	1,125259656	0,888683776	0,8
STX4	0,29759859	0,170136382	0,114	0,096	1	1,125164844	0,88875866	1,1875
ATIC	0,000665542	0,170081321	0,064	0,027	1	1,125121903	0,888792581	2,37037037
UTP14C	0,00075685	0,170037455	0,033	0,008	1	1,125087693	0,888819606	4,125
SLC27A4	1,12004E-07	0,169881953	0,073	0,016	0,002363399	1,124966431	0,888915413	4,5625
ZNF281	0,03905657	0,169880484	0,063	0,039	1	1,124965286	0,888916318	1,615384615
SMC2	0,045191293	0,169853013	0,095	0,066	1	1,124943866	0,888933244	1,439393939
EIF4G2	0,241330554	0,169707113	0,442	0,548	1	1,124830106	0,889023147	0,806569343
ETAA1	0,010668501	0,169589142	0,029	0,011	1	1,12473813	0,889095847	2,636363636
RAB18	0,52329144	0,169558705	0,171	0,18	1	1,124714402	0,889114604	0,95
SLC35F6	0,000876071	0,169537436	0,055	0,022	1	1,124697821	0,889127712	2,5
ZNF544	0,002947257	0,169500003	0,042	0,016	1	1,124668639	0,889150782	2,625
SLC35B1	0,024993652	0,169384333	0,137	0,098	1	1,124578471	0,889222074	1,397959184
ITGA6	0,382826737	0,169321901	0,444	0,514	1	1,124529806	0,889260556	0,86381323
NAE1	0,033073132	0,169296253	0,116	0,081	1	1,124509815	0,889276364	1,432098765
TRIQK	0,2968039	0,169221547	0,088	0,073	1	1,124451587	0,889322414	1,205479452
FZD6	0,000116789	0,168904643	0,033	0,005	1	1,124204615	0,889517786	6,6
MDH1	0,211307811	0,168817855	0,203	0,227	1	1,124136989	0,889571298	0,894273128
RRM2B	0,764852045	0,16881326	0,059	0,056	1	1,124133409	0,889574131	1,053571429
TPPP3	0,129213495	0,168568281	0,184	0,155	1	1,123942539	0,889725199	1,187096774
BEND5	0,017552601	0,168424799	0,049	0,026	1	1,123830764	0,889813691	1,884615385
MSANTD4	0,000457348	0,168412714	0,057	0,022	1	1,12382135	0,889821144	2,590909091
ZFP90	0,193374505	0,168309784	0,05	0,037	1	1,123741174	0,889884631	1,351351351
PTPN9	0,019343968	0,168274786	0,066	0,039	1	1,123713913	0,889906219	1,692307692

Supplementary Table 5

Differentially expressed genes_total calculation_ comparing SC-Keloid vs. (SC-Myel, SC-Nonmyel)								
gene	p_val	avg_log2FC	pct.1	pct.2	p_val_adj	Foldchange_UP	Foldchange_DOWN	Ratio_pct1_pct2
TUSC2	0,000466264	0,168190714	0,097	0,049	1	1,123648431	0,889958079	1,979591837
USP22	0,593794343	0,168184731	0,217	0,201	1	1,123643771	0,88996177	1,07960199
PEMT	0,009058825	0,168120234	0,09	0,054	1	1,123593539	0,890001558	1,666666667
MICALL1	5,42893E-07	0,16807562	0,058	0,011	0,011455586	1,123558794	0,89002908	5,272727273
VEGFB	0,389629954	0,167965429	0,151	0,132	1	1,123472981	0,890097062	1,143939394
GTF2H2	0,070298643	0,16788801	0,037	0,022	1	1,123412694	0,890144828	1,681818182
MUC12	0,000363875	0,167881952	0,049	0,016	1	1,123407977	0,890148566	3,0625
CENPB	0,126415954	0,167860459	0,121	0,095	1	1,123391241	0,890161828	1,273684211
ELK3	0,152389503	0,167715288	0,15	0,123	1	1,123278205	0,890251405	1,219512195
TMEM30A	0,307586733	0,167713068	0,243	0,267	1	1,123276476	0,890252775	0,91011236
ABHD6	0,000258431	0,167314562	0,043	0,012	1	1,122966245	0,890498717	3,583333333
SV2A	0,000229269	0,167288805	0,036	0,008	1	1,122946196	0,890514615	4,5
RPL34	0,000439524	0,167137038	0,844	0,901	1	1,122828072	0,8906083	0,936736959
ZNF697	0,330170107	0,167133891	0,033	0,024	1	1,122825622	0,890610243	1,375
RRP15	0,271605628	0,166960517	0,12	0,1	1	1,122690697	0,890717277	1,2
LFNG	0,00612323	0,166924648	0,037	0,015	1	1,122662784	0,890739423	2,466666667
CRCP	0,495443738	0,166885774	0,065	0,057	1	1,122632533	0,890763425	1,140350877
UCHL3	0,092555921	0,166841878	0,114	0,085	1	1,122598377	0,890790527	1,341176471
SLC52A2	4,05881E-06	0,166813231	0,114	0,047	0,085644953	1,122576085	0,890808216	2,425531915
QSOX2	0,00670398	0,166660336	0,035	0,014	1	1,122457122	0,890902628	2,5
HOXB6	1,76323E-06	0,166532424	0,041	0,004	0,03720601	1,122357608	0,89098162	10,25
SSU72	0,78329802	0,166517855	0,203	0,193	1	1,122346274	0,890990617	1,051813472
GUSB	0,200431335	0,166494273	0,155	0,129	1	1,122327929	0,891005182	1,201550388
BMERB1	0,018171511	0,166491363	0,094	0,061	1	1,122325665	0,891006979	1,540983607
BRAP	0,103395575	0,166431429	0,034	0,02	1	1,122279041	0,891043995	1,7
WDR41	0,001999843	0,166419366	0,083	0,043	1	1,122269657	0,891051445	1,930232558
CFAP97	0,451852869	0,166384601	0,242	0,256	1	1,122242614	0,891072917	0,9453125
PGGT1B	0,150665632	0,166093511	0,076	0,057	1	1,122016204	0,891252726	1,333333333
GSN-AS1	0,006585628	0,16588187	0,016	0,003	1	1,121851618	0,891383481	5,333333333
VIM	0,001343456	0,165818993	0,984	0,991	1	1,121802725	0,891422331	0,992936428

Supplementary Table 5

Differentially expressed genes_total calculation_ comparing SC-Keloid vs. (SC-Myel, SC-Nonmyel)								
gene	p_val	avg_log2FC	pct.1	pct.2	p_val_adj	Foldchange_UP	Foldchange_DOWN	Ratio_pct1_pct2
CCNC	0,056942399	0,165784122	0,079	0,054	1	1,121775611	0,891443877	1,462962963
FEZ2	0,604127437	0,165714783	0,205	0,213	1	1,121721698	0,891486723	0,962441315
LYRM4	0,037134887	0,165388755	0,129	0,094	1	1,121468233	0,891688209	1,372340426
DNAH14	0,000124027	0,165348088	0,02	0	1	1,121436621	0,891713345	#DIV/0!
MFSD8	0,038352167	0,165301858	0,033	0,016	1	1,121400687	0,891741919	2,0625
ORC4	0,465732029	0,165190719	0,071	0,061	1	1,121314302	0,891810617	1,163934426
USP16	0,309150399	0,16513061	0,185	0,204	1	1,121267584	0,891847775	0,906862745
UCHL5	0,072818498	0,164733751	0,084	0,06	1	1,120959187	0,892093139	1,4
ERVMER34-1	7,72141E-06	0,164689952	0,027	0	0,162929489	1,120925155	0,892120224	#DIV/0!
COPG1	0,006480875	0,164637592	0,083	0,047	1	1,120884474	0,892152602	1,765957447
RPGRIP1L	0,001715705	0,164474599	0,035	0,011	1	1,120757846	0,892253401	3,181818182
FAM114A2	0,02980455	0,164319649	0,047	0,026	1	1,12063748	0,892349237	1,807692308
TMC7	0,033422722	0,164152972	0,048	0,027	1	1,120508018	0,892452338	1,777777778
TAF15	0,32470434	0,164128539	0,144	0,125	1	1,120489041	0,892467452	1,152
POLR2B	0,669840693	0,164114196	0,129	0,119	1	1,120477901	0,892476325	1,084033613
UBE2H	0,079667984	0,164071293	0,269	0,309	1	1,120444581	0,892502866	0,870550162
PIGX	0,008255922	0,163830584	0,081	0,047	1	1,120257654	0,89265179	1,723404255
ALG8	0,139410994	0,163716715	0,061	0,043	1	1,120169238	0,892722248	1,418604651
RASA1	0,000619115	0,163491049	0,078	0,037	1	1,119994035	0,892861898	2,108108108
EPST11	0,000124027	0,163467733	0,02	0	1	1,119975935	0,892876328	#DIV/0!
CHSY1	0,259113914	0,163445681	0,073	0,058	1	1,119958816	0,892889976	1,25862069
SYNJ2	0,003656886	0,163309407	0,028	0,008	1	1,119853032	0,89297432	3,5
TOPBP1	0,019663392	0,163230392	0,066	0,039	1	1,1197917	0,893023229	1,692307692
ATP6V1F	0,856011758	0,163194449	0,255	0,25	1	1,119763802	0,893045478	1,02
METRNL	0,111863301	0,1625817	0,374	0,437	1	1,119288312	0,893424857	0,85583524
CRIP2	0,191252051	0,162334944	0,364	0,448	1	1,119096886	0,893577681	0,8125
HSDL1	0,131888382	0,162249685	0,033	0,02	1	1,119030753	0,89363049	1,65
UTP20	0,275402352	0,162057203	0,057	0,045	1	1,118881464	0,893749724	1,266666667
THAP1	0,029430063	0,162051745	0,047	0,026	1	1,118877231	0,893753106	1,807692308
RBM15B	0,478439698	0,16200153	0,062	0,053	1	1,118838288	0,893784214	1,169811321

Supplementary Table 5

Differentially expressed genes_total calculation_ comparing SC-Keloid vs. (SC-Myel, SC-Nonmyel)								
gene	p_val	avg_log2FC	pct.1	pct.2	p_val_adj	Foldchange_UP	Foldchange_DOWN	Ratio_pct1_pct2
ECD	0,275982598	0,161854147	0,061	0,047	1	1,118723995	0,893875526	1,29787234
GORASP2	0,625632252	0,161831835	0,114	0,104	1	1,118706694	0,893889351	1,096153846
TMEM209	0,216147572	0,161782695	0,038	0,027	1	1,11866859	0,893919798	1,407407407
RNMT	0,107966428	0,1617616	0,163	0,195	1	1,118652233	0,893932869	0,835897436
NFIX	0,202318189	0,161761092	0,253	0,284	1	1,118651839	0,893933184	0,89084507
LKAAEAR1	1,21744E-07	0,161731584	0,037	0	0,002568928	1,118628958	0,893951468	#DIV/0!
WWTR1	0,383699425	0,161667044	0,227	0,242	1	1,118578917	0,893991461	0,938016529
THOC2	0,471503554	0,161560771	0,157	0,167	1	1,118496522	0,894057317	0,94011976
THADA	0,555457362	0,161486026	0,035	0,03	1	1,118438576	0,894103639	1,166666667
CFAP298	0,158347573	0,161463403	0,14	0,113	1	1,118421037	0,894117659	1,238938053
TMEM179B	0,537269878	0,161349145	0,176	0,159	1	1,118332464	0,894188474	1,106918239
NORAD	0,012307433	0,161266658	0,356	0,446	1	1,118268525	0,894239601	0,798206278
GXYLT2	0,000149027	0,161239313	0,063	0,023	1	1,118247329	0,894256551	2,739130435
TUBGCP2	0,009766879	0,161227801	0,112	0,072	1	1,118238407	0,894263687	1,555555556
RNF150	0,000560183	0,161226551	0,038	0,011	1	1,118237437	0,894264462	3,454545455
ST3GAL4	0,348738212	0,161136618	0,172	0,151	1	1,118167733	0,894320209	1,139072848
MRTFB	0,168781549	0,160916212	0,043	0,03	1	1,117996918	0,894456848	1,433333333
SMAD5	0,185914983	0,160914058	0,148	0,172	1	1,117995249	0,894458184	0,860465116
TTC37	0,02219021	0,16077029	0,143	0,102	1	1,117883844	0,894547323	1,401960784
SRP72	0,791779971	0,160755493	0,206	0,208	1	1,117872379	0,894556498	0,990384615
GREB1	0,017282134	0,160745621	0,023	0,008	1	1,117864729	0,894562619	2,875
VAMP7	0,346666234	0,160643294	0,077	0,064	1	1,117785444	0,894626071	1,203125
TMPO	0,828197059	0,160640236	0,065	0,062	1	1,117783076	0,894627967	1,048387097
PXDC1	0,235574216	0,160580646	0,218	0,242	1	1,117736906	0,89466492	0,900826446
CD99	0,331177928	0,160515292	0,445	0,541	1	1,117686275	0,894705449	0,822550832
SUPT16H	0,876581227	0,16048437	0,175	0,17	1	1,117662319	0,894724626	1,029411765
SQLE	0,738901393	0,160365378	0,134	0,128	1	1,117570139	0,894798425	1,046875
IDH2	0,000754915	0,160337108	0,085	0,042	1	1,11754824	0,894815959	2,023809524
YWHAE	0,511385728	0,1601336	0,579	0,708	1	1,117390608	0,894942192	0,81779661
GOLGA5	0,037980876	0,160080059	0,066	0,042	1	1,117349141	0,894975405	1,571428571

Supplementary Table 5

Differentially expressed genes_total calculation_ comparing SC-Keloid vs. (SC-Myel, SC-Nonmyel)								
gene	p_val	avg_log2FC	pct.1	pct.2	p_val_adj	Foldchange_UP	Foldchange_DOWN	Ratio_pct1_pct2
CRYZ	0,021950109	0,15979864	0,044	0,023	1	1,117131207	0,89515	1,913043478
CYB5B	0,199769938	0,1597868	0,101	0,081	1	1,117122039	0,895157347	1,24691358
TRPT1	0,034453307	0,159592074	0,098	0,066	1	1,116971267	0,895278178	1,484848485
CZIB	0,022087987	0,159254641	0,186	0,138	1	1,116710048	0,895487599	1,347826087
GOLM2	0,63440674	0,15921058	0,173	0,179	1	1,116675943	0,895514949	0,966480447
ACAA2	0,015045346	0,159199319	0,109	0,072	1	1,116667227	0,895521938	1,513888889
POU5F2	0,005219424	0,159188256	0,022	0,005	1	1,116658664	0,895528806	4,4
MAN2A1	0,124721514	0,159002779	0,115	0,09	1	1,116515112	0,895643945	1,277777778
DPH3	0,20005286	0,158563902	0,108	0,087	1	1,116175513	0,895916447	1,24137931
SMARCA1	0,761469478	0,158556193	0,098	0,092	1	1,116169549	0,895921234	1,065217391
STARD4-AS1	0,337486198	0,158507978	0,024	0,018	1	1,116132248	0,895951176	1,333333333
TNFAIP1	0,011755544	0,158234856	0,068	0,038	1	1,115920968	0,896120808	1,789473684
N6AMT1	0,053757047	0,157978138	0,035	0,019	1	1,115722415	0,896280282	1,842105263
ZNF557	0,046823747	0,157923507	0,022	0,009	1	1,115680166	0,896314222	2,444444444
KPNA6	0,630689975	0,157858941	0,099	0,106	1	1,115630237	0,896354336	0,933962264
SMG6	0,667018988	0,15772455	0,065	0,071	1	1,115526317	0,896437838	0,915492958
PACS1	0,156911591	0,15772245	0,066	0,049	1	1,115524693	0,896439143	1,346938776
BECN1	0,14998683	0,157588441	0,098	0,076	1	1,11542108	0,896522415	1,289473684
BRD7	0,697520809	0,157575341	0,154	0,159	1	1,115410951	0,896530556	0,968553459
SMC4	0,685725432	0,157375718	0,091	0,084	1	1,115256625	0,896654616	1,083333333
ARFRP1	0,548986124	0,157189555	0,127	0,114	1	1,115112723	0,896770326	1,114035088
VEGFC	0,000180217	0,157166076	0,031	0,005	1	1,115094576	0,89678492	6,2
TUBG1	0,002287345	0,157127338	0,057	0,026	1	1,115064634	0,896809	2,192307692
ENTR1	0,146515298	0,156915788	0,073	0,054	1	1,114901138	0,896940514	1,351851852
SFT2D3	0,003292051	0,156805597	0,037	0,014	1	1,114815988	0,897009023	2,642857143
NXPH3	5,7129E-05	0,156779534	0,037	0,007	1	1,114795848	0,897025228	5,285714286
TRAPPC6A	0,080900682	0,156468165	0,077	0,054	1	1,114555274	0,897218849	1,425925926
DDX46	0,709696482	0,156441839	0,214	0,22	1	1,114534935	0,897235222	0,972727273
PLPBP	0,111915815	0,156439421	0,055	0,075	1	1,114533068	0,897236725	0,733333333
ITGB3	0,000321516	0,156184435	0,021	0,001	1	1,114336099	0,89739532	21

Supplementary Table 5

Differentially expressed genes_total calculation_ comparing SC-Keloid vs. (SC-Myel, SC-Nonmyel)								
gene	p_val	avg_log2FC	pct.1	pct.2	p_val_adj	Foldchange_UP	Foldchange_DOWN	Ratio_pct1_pct2
MIA3	0,987375255	0,156164068	0,15	0,148	1	1,114320368	0,897407989	1,013513514
WDR36	0,329025383	0,156013458	0,047	0,037	1	1,114204044	0,897501678	1,27027027
CAND1	0,459114557	0,155964248	0,178	0,16	1	1,11416604	0,897532293	1,1125
CORO2A	0,000360579	0,155849316	0,027	0,004	1	1,114077284	0,897603797	6,75
RNF170	0,026668046	0,155834516	0,049	0,027	1	1,114065855	0,897613005	1,814814815
PTK7	0,0053322	0,155769071	0,031	0,011	1	1,114015318	0,897653725	2,818181818
C11orf49	0,00012834	0,155706185	0,068	0,026	1	1,11396676	0,897692854	2,615384615
CD109	0,001135163	0,155623217	0,043	0,015	1	1,113902699	0,897744448	2,866666667
SAE1	0,014075555	0,155594342	0,104	0,066	1	1,113880405	0,897762449	1,575757576
EREG	0,004908286	0,155545427	0,02	0,004	1	1,11384264	0,897792888	5
DDR2	0,235752503	0,155538014	0,132	0,109	1	1,113836916	0,897797501	1,211009174
SLC35A4	0,004286062	0,155535211	0,076	0,041	1	1,113834752	0,897799245	1,853658537
ZDHHC20	0,56439563	0,155525917	0,077	0,084	1	1,113827576	0,89780503	0,916666667
ERI1	0,000367212	0,155507587	0,04	0,011	1	1,113813425	0,897816437	3,636363636
TBC1D23	0,314204934	0,155457959	0,093	0,109	1	1,113775111	0,897847321	0,853211009
SNAP23	0,7391969	0,155455552	0,097	0,091	1	1,113773253	0,897848819	1,065934066
XIAP	0,306275041	0,155381348	0,137	0,155	1	1,113715968	0,897895001	0,883870968
PRPF40A	0,218714031	0,155296	0,224	0,25	1	1,113650084	0,89794812	0,896
EPS8L1	1,92962E-05	0,155062849	0,031	0,003	0,407168881	1,113470124	0,898093248	10,33333333
CPSF3	0,162240129	0,155007256	0,047	0,033	1	1,113427218	0,898127856	1,424242424
MTX3	0,781714621	0,154877355	0,049	0,046	1	1,113326969	0,898208728	1,065217391
SOCS2	0,9439896	0,154868849	0,254	0,254	1	1,113320405	0,898214023	1
HARS1	0,095562856	0,15468673	0,104	0,077	1	1,113179874	0,898327416	1,350649351
CCDC136	0,002042347	0,154570151	0,016	0,001	1	1,113089926	0,89840001	16
DPAGT1	0,002469228	0,154535882	0,049	0,02	1	1,113063485	0,898421351	2,45
NUDT8	0,002133178	0,154529806	0,043	0,016	1	1,113058798	0,898425134	2,6875
NIP7	0,077879287	0,154330531	0,064	0,043	1	1,112905065	0,898549239	1,488372093
VPS45	0,040386033	0,154273652	0,068	0,043	1	1,112861189	0,898584666	1,581395349
PCDHGB6	0,003691772	0,154228859	0,026	0,007	1	1,112826638	0,898612566	3,714285714
UNC93B1	0,005704059	0,154024849	0,059	0,03	1	1,112669285	0,898739647	1,966666667

Supplementary Table 5

Differentially expressed genes_total calculation_ comparing SC-Keloid vs. (SC-Myel, SC-Nonmyel)								
gene	p_val	avg_log2FC	pct.1	pct.2	p_val_adj	Foldchange_UP	Foldchange_DOWN	Ratio_pct1_pct2
GAS7	0,195692156	0,153947048	0,504	0,611	1	1,112609283	0,898788115	0,82487725
OTUD6B	0,127465284	0,153796815	0,055	0,038	1	1,112493429	0,898881713	1,447368421
B3GAT2	0,030539521	0,15371632	0,026	0,011	1	1,11243136	0,898931868	2,363636364
ZNF814	0,015346089	0,153608248	0,028	0,011	1	1,112348031	0,898999209	2,545454545
TADA3	0,001694116	0,153508795	0,149	0,092	1	1,112271353	0,899061184	1,619565217
MMP17	0,02120728	0,153497114	0,194	0,145	1	1,112262347	0,899068464	1,337931034
RPL31	0,014137657	0,153496765	0,455	0,588	1	1,112262078	0,899068681	0,773809524
CEBPZ	0,218473805	0,153440963	0,15	0,174	1	1,112219058	0,899103457	0,862068966
SPRY4	0,030578358	0,153216301	0,031	0,015	1	1,112045872	0,89924348	2,066666667
SH3BGR	0,022758463	0,153183728	0,119	0,081	1	1,112020765	0,899263783	1,469135802
SEL1L	0,899000344	0,153118173	0,154	0,149	1	1,111970237	0,899304646	1,033557047
HGS	0,053157966	0,153060983	0,112	0,08	1	1,111926158	0,899340296	1,4
SNAPIN	0,142981469	0,15297846	0,091	0,069	1	1,111862557	0,899391741	1,31884058
LMF2	0,048947411	0,152938238	0,136	0,099	1	1,111831559	0,899416816	1,373737374
TPMT	0,514668962	0,152792272	0,075	0,065	1	1,111719074	0,89950782	1,153846154
TRAPPC2	0,03372366	0,152646386	0,048	0,027	1	1,111606662	0,899598783	1,777777778
SEZ6L2	0,003327297	0,152556522	0,056	0,026	1	1,111537424	0,899654819	2,153846154
MEAK7	0,007696829	0,152526383	0,03	0,011	1	1,111514203	0,899673614	2,727272727
PPIL2	0,082384862	0,152367206	0,061	0,041	1	1,111391572	0,899772884	1,487804878
MAPKAPK5-AS1	0,458127132	0,152263316	0,07	0,06	1	1,111311543	0,899837679	1,166666667
CCDC137	0,016757996	0,152101993	0,058	0,033	1	1,111187282	0,899938306	1,757575758
MTX1	0,009670726	0,152098843	0,108	0,069	1	1,111184856	0,89994027	1,565217391
ITGA2	0,046454175	0,152058604	0,139	0,103	1	1,111153864	0,899965372	1,349514563
LRP12	0,188764733	0,152014691	0,076	0,094	1	1,111120043	0,899992765	0,808510638
RNF181	0,994335459	0,152002205	0,197	0,191	1	1,111110427	0,900000554	1,031413613
VAR51	0,02842753	0,151969113	0,08	0,052	1	1,111084941	0,900021198	1,538461538
PSMD2	0,923021351	0,151822137	0,185	0,18	1	1,110971754	0,900112894	1,027777778
LINC00592	0,00019746	0,151598315	0,019	0	1	1,11079941	0,900252549	#DIV/0!
GSTT2B	0,009423231	0,151519366	0,083	0,049	1	1,110738624	0,900301816	1,693877551
MAD2L1	0,01651679	0,151443558	0,04	0,019	1	1,110680261	0,900349124	2,105263158

Supplementary Table 5

Differentially expressed genes_total calculation_ comparing SC-Keloid vs. (SC-Myel, SC-Nonmyel)								
gene	p_val	avg_log2FC	pct.1	pct.2	p_val_adj	Foldchange_UP	Foldchange_DOWN	Ratio_pct1_pct2
FAP	0,026597644	0,151375278	0,015	0,004	1	1,110627696	0,900391737	3,75
HOMER3	0,054449651	0,15135654	0,141	0,104	1	1,110613271	0,900403431	1,355769231
EXOC5	0,698658046	0,151106239	0,101	0,094	1	1,110420601	0,900559661	1,074468085
WDR12	0,009085365	0,15108704	0,042	0,019	1	1,110405824	0,900571646	2,210526316
EFCAB2	0,487283812	0,150790711	0,052	0,045	1	1,110177771	0,900756641	1,155555556
TMEM127	0,054827234	0,15078759	0,052	0,033	1	1,110175369	0,90075859	1,575757576
PEG10	0,235269532	0,150675956	0,283	0,261	1	1,110089468	0,900828293	1,084291188
DHRS7B	0,033885115	0,150619451	0,079	0,052	1	1,110045991	0,900863575	1,519230769
SKAP1	8,1064E-05	0,150569886	0,024	0,001	1	1,110007855	0,900894525	24
VPS53	0,505394223	0,150539012	0,049	0,042	1	1,109984101	0,900913805	1,166666667
RNASEH1-AS1	0,020565527	0,150340367	0,041	0,02	1	1,109831278	0,90103786	2,05
TSPAN6	0,296947131	0,150311471	0,068	0,054	1	1,109809049	0,901055908	1,259259259
TMTC2	0,460714209	0,150191712	0,05	0,042	1	1,109716926	0,901130708	1,19047619
PIGC	0,150733279	0,150175977	0,119	0,094	1	1,109704823	0,901140537	1,265957447
RASSF3	0,24283391	0,14988975	0,045	0,034	1	1,109484683	0,901319338	1,323529412
PCYT1A	0,000170199	0,14969915	0,101	0,049	1	1,109338114	0,901438423	2,06122449
SLC36A4	0,808733646	0,149666806	0,043	0,041	1	1,109313244	0,901458633	1,048780488
BMPER	0,003278775	0,149585164	0,015	0,001	1	1,10925047	0,901509647	15
KIAA0895L	0,007895872	0,149574568	0,028	0,009	1	1,109242323	0,901516269	3,111111111
PYCARD	0,316474014	0,149461431	0,041	0,031	1	1,109155338	0,901586969	1,322580645
PTPN11	0,494467445	0,149410903	0,144	0,155	1	1,109116493	0,901618546	0,929032258
C12orf43	0,004413407	0,149365194	0,038	0,015	1	1,109081353	0,901647113	2,533333333
VTI1A	0,136730542	0,14935285	0,052	0,037	1	1,109071864	0,901654827	1,405405405
IFTAP	0,059944273	0,149341267	0,09	0,062	1	1,10906296	0,901662066	1,451612903
S1PR2	0,033304551	0,149162529	0,057	0,034	1	1,108925564	0,901773782	1,676470588
MFSD1	0,807146248	0,149050733	0,075	0,071	1	1,108839636	0,901843664	1,056338028
RNF121	0,014371548	0,149042556	0,063	0,035	1	1,108833351	0,901848776	1,8
ARAP3	0,086324238	0,148958541	0,05	0,033	1	1,10876878	0,901901296	1,515151515
ESD	0,983006249	0,148865875	0,243	0,242	1	1,108697565	0,901959228	1,004132231
CCDC107	0,546007559	0,148821154	0,192	0,201	1	1,108663198	0,901987188	0,955223881

Supplementary Table 5

Differentially expressed genes_total calculation_ comparing SC-Keloid vs. (SC-Myel, SC-Nonmyel)								
gene	p_val	avg_log2FC	pct.1	pct.2	p_val_adj	Foldchange_UP	Foldchange_DOWN	Ratio_pct1_pct2
SLC17A9	0,000905982	0,148660808	0,055	0,022	1	1,108539984	0,902087443	2,5
LINC00920	8,91048E-06	0,148646934	0,063	0,018	0,188020095	1,108529324	0,902096118	3,5
PGAP6	0,00044155	0,148623147	0,09	0,043	1	1,108511046	0,902110992	2,093023256
GSTCD	0,134700317	0,148600709	0,033	0,02	1	1,108493806	0,902125023	1,65
PHTF1	0,112912155	0,148451528	0,057	0,039	1	1,108379189	0,902218311	1,461538462
CLDN12	0,007568199	0,148317174	0,03	0,011	1	1,108275974	0,902302336	2,727272727
JTB	0,142767691	0,148308043	0,246	0,277	1	1,108268959	0,902308047	0,888086643
WDHD1	0,004250953	0,148269883	0,017	0,003	1	1,108239645	0,902331914	5,666666667
GTPBP3	0,007552872	0,148101748	0,041	0,018	1	1,108110496	0,90243708	2,277777778
LCLAT1	0,031642077	0,148068853	0,031	0,015	1	1,10808523	0,902457656	2,066666667
G3BP2	0,626481974	0,147873152	0,125	0,13	1	1,107934929	0,902580083	0,961538462
ARMC1	0,378823345	0,147836946	0,084	0,071	1	1,107907125	0,902602734	1,183098592
C16orf91	0,184675113	0,147825862	0,075	0,057	1	1,107898613	0,902609669	1,315789474
ADAM9	0,507675158	0,147824017	0,116	0,103	1	1,107897196	0,902610823	1,126213592
SMIM19	0,89423754	0,147780707	0,206	0,201	1	1,107863937	0,90263792	1,024875622
RPL29	0,241087	0,147722553	0,708	0,882	1	1,107819281	0,902674306	0,802721088
LZTS1	0,005044207	0,147705044	0,044	0,019	1	1,107805836	0,902685261	2,315789474
ANP32A	0,973761183	0,147665478	0,189	0,186	1	1,107775455	0,902710018	1,016129032
LBR	0,223206171	0,147441213	0,078	0,061	1	1,107603266	0,902850353	1,278688525
DPP3	4,85015E-06	0,147440564	0,055	0,012	0,102342938	1,107602768	0,902850759	4,583333333
TRNT1	0,013846201	0,14729248	0,05	0,026	1	1,107489085	0,902943436	1,923076923
THTPA	0,036517581	0,147095078	0,038	0,02	1	1,107337559	0,903066993	1,9
ANO10	0,109844652	0,147023932	0,073	0,053	1	1,107282952	0,903111529	1,377358491
DUT	0,11782508	0,146989137	0,253	0,292	1	1,107256247	0,903133331	0,866438356
NOL3	0,009596122	0,146874375	0,042	0,019	1	1,107168172	0,903205155	2,210526316
HBS1L	0,311223885	0,146832171	0,083	0,068	1	1,107135784	0,903231577	1,220588235
UFL1	0,642943571	0,146825405	0,123	0,13	1	1,107130592	0,903235813	0,946153846
TRIM13	0,015553024	0,146621245	0,088	0,128	1	1,106973929	0,903363642	0,6875
POGLUT2	1,45092E-05	0,146469815	0,047	0,009	0,306159331	1,106857743	0,903458467	5,222222222
TRPV4	1,98453E-06	0,146392014	0,037	0,003	0,041875528	1,106798055	0,90350719	12,33333333

Supplementary Table 5

Differentially expressed genes_total calculation_ comparing SC-Keloid vs. (SC-Myel, SC-Nonmyel)								
gene	p_val	avg_log2FC	pct.1	pct.2	p_val_adj	Foldchange_UP	Foldchange_DOWN	Ratio_pct1_pct2
SMARCA5	0,114569565	0,146369534	0,231	0,267	1	1,106780809	0,903521268	0,865168539
GPI	0,493698857	0,14632187	0,1	0,088	1	1,106744244	0,903551119	1,136363636
GPALPP1	0,428126778	0,146174776	0,059	0,05	1	1,106631408	0,903643248	1,18
PCOLCE	0,363867807	0,145928762	0,047	0,057	1	1,106442717	0,903797354	0,824561404
EFTUD2	0,002499645	0,145824243	0,075	0,038	1	1,106362561	0,903862834	1,973684211
DOK1	1,68736E-05	0,145768155	0,092	0,037	0,356049258	1,10631955	0,903897974	2,486486486
TMEM63B	0,393452485	0,145728553	0,057	0,047	1	1,106289182	0,903922786	1,212765957
BOLA1	0,234014239	0,145694826	0,052	0,039	1	1,10626332	0,903943918	1,333333333
BPHL	0,275129057	0,14557789	0,061	0,047	1	1,106173657	0,904017189	1,29787234
YIPF2	0,101929019	0,145476485	0,092	0,068	1	1,106095908	0,904080734	1,352941176
C15orf40	0,092091818	0,145349866	0,07	0,049	1	1,105998835	0,904160085	1,428571429
IFT27	0,063961751	0,145337008	0,101	0,073	1	1,105988978	0,904168143	1,383561644
CPSF6	0,822741786	0,145233933	0,123	0,125	1	1,105909962	0,904232744	0,984
MOCS2	0,6314227	0,145045052	0,19	0,195	1	1,105765183	0,904351136	0,974358974
RACK1	0,768127945	0,144989042	0,605	0,788	1	1,105722255	0,904386247	0,767766497
COQ3	0,055026358	0,144983096	0,038	0,022	1	1,105717698	0,904389974	1,727272727
AC005523.2	0,294168653	0,144853646	0,019	0,012	1	1,105618488	0,904471127	1,583333333
JAM3	0,846751431	0,144752266	0,203	0,201	1	1,105540798	0,904534688	1,009950249
IFT81	0,066366747	0,144423816	0,062	0,041	1	1,105289134	0,904740641	1,512195122
P3H4	0,00243657	0,14441968	0,063	0,03	1	1,105285966	0,904743235	2,1
CUL4B	0,177146954	0,144398561	0,075	0,057	1	1,105269786	0,904756479	1,315789474
PRR16	1,36112E-05	0,14435343	0,062	0,018	0,287210025	1,105235211	0,904784783	3,444444444
LMLN	0,000261859	0,144333067	0,043	0,012	1	1,105219611	0,904797553	3,583333333
PRPF38A	0,85748293	0,144203977	0,088	0,084	1	1,105120722	0,904878517	1,047619048
SAMD9	0,427320293	0,144145549	0,043	0,035	1	1,105075967	0,904915164	1,228571429
MDFIC	0,0455692	0,144072114	0,068	0,043	1	1,105019719	0,904961227	1,581395349
SF3A3	0,076924229	0,144039358	0,114	0,084	1	1,104994629	0,904981774	1,357142857
PARP8	0,675437324	0,14401472	0,052	0,057	1	1,104975759	0,904997229	0,912280702
TNS3	0,477024213	0,143762411	0,276	0,299	1	1,10478253	0,905155515	0,923076923
PRMT1	0,085439884	0,143730778	0,268	0,316	1	1,104758306	0,905175362	0,848101266

Supplementary Table 5

Differentially expressed genes_total calculation_ comparing SC-Keloid vs. (SC-Myel, SC-Nonmyel)								
gene	p_val	avg_log2FC	pct.1	pct.2	p_val_adj	Foldchange_UP	Foldchange_DOWN	Ratio_pct1_pct2
MICU2	0,544558266	0,143715539	0,113	0,121	1	1,104746637	0,905184923	0,933884298
PGM2	0,000259537	0,143688954	0,05	0,016	1	1,10472628	0,905201604	3,125
TASOR2	0,48402272	0,143471635	0,081	0,091	1	1,104559883	0,905337968	0,89010989
HDGFL3	0,524259135	0,143402956	0,087	0,077	1	1,104507301	0,905381068	1,12987013
LRRC28	0,002648651	0,143300241	0,07	0,035	1	1,104428667	0,90544553	2
HSD17B4	0,309356956	0,143296866	0,102	0,085	1	1,104426084	0,905447648	1,2
LCMT1	0,00217354	0,143219335	0,08	0,042	1	1,104366733	0,905496309	1,904761905
TOMM5	0,774687146	0,14321567	0,172	0,175	1	1,104363928	0,905498609	0,982857143
HELLS	0,185120178	0,143104519	0,063	0,047	1	1,104278846	0,905568375	1,340425532
MTERF3	0,055753872	0,14298254	0,049	0,03	1	1,104185484	0,905644944	1,633333333
CYB5D2	0,189077347	0,142712155	0,057	0,042	1	1,103978561	0,905814692	1,357142857
MRPS5	0,947658588	0,142506807	0,122	0,121	1	1,103821435	0,905943632	1,008264463
FKBP1B	0,031836328	0,142438702	0,041	0,022	1	1,103769329	0,905986399	1,863636364
KCTD15	0,122021972	0,142363192	0,068	0,049	1	1,10371156	0,90603382	1,387755102
DHRX	0,00104936	0,142325557	0,058	0,024	1	1,103682767	0,906057456	2,416666667
SRPRA	0,224171515	0,141935934	0,135	0,111	1	1,103384741	0,906302184	1,216216216
SYCP2	0,140754472	0,141917207	0,044	0,03	1	1,103370418	0,906313948	1,466666667
HOXB5	7,72141E-06	0,141896943	0,027	0	0,162929489	1,10335492	0,906326678	#DIV/0!
CCDC32	0,494870545	0,141869457	0,057	0,049	1	1,1033339	0,906343946	1,163265306
UBB	7,87342E-07	0,141667054	0,525	0,425	0,0166137	1,103179119	0,90647111	1,235294118
POLR3F	0,098077337	0,141619101	0,023	0,012	1	1,103142451	0,90650124	1,916666667
RAD23B	0,160029696	0,141587085	0,166	0,193	1	1,10311797	0,906521357	0,860103627
UBA6	0,931541288	0,141513003	0,12	0,119	1	1,103061327	0,906567908	1,008403361
TYW1	0,003110897	0,141437567	0,05	0,022	1	1,103003652	0,906615312	2,272727273
CHST1	3,58652E-06	0,141390456	0,042	0,005	0,075679152	1,102967634	0,906644918	8,4
IBTK	0,247306771	0,14137421	0,106	0,087	1	1,102955213	0,906655128	1,218390805
NIT2	0,466986248	0,141336965	0,149	0,133	1	1,10292674	0,906678535	1,120300752
VPS8	0,31727539	0,141274989	0,061	0,049	1	1,10287936	0,906717485	1,244897959
BCS1L	0,00674956	0,141191617	0,07	0,038	1	1,102815628	0,906769885	1,842105263
C3orf38	0,466195191	0,141147565	0,071	0,061	1	1,102781955	0,906797573	1,163934426

Supplementary Table 5

Differentially expressed genes_total calculation_ comparing SC-Keloid vs. (SC-Myel, SC-Nonmyel)								
gene	p_val	avg_log2FC	pct.1	pct.2	p_val_adj	Foldchange_UP	Foldchange_DOWN	Ratio_pct1_pct2
MARS1	0,017297403	0,141138953	0,062	0,035	1	1,102775372	0,906802986	1,771428571
KCTD17	0,000532426	0,141063088	0,071	0,031	1	1,102717383	0,906850672	2,290322581
RNF19A	0,115349786	0,141060028	0,168	0,195	1	1,102715044	0,906852595	0,861538462
LRRC15	0,002090734	0,141012601	0,022	0,004	1	1,102678794	0,906882408	5,5
CHCHD7	0,773969274	0,141006078	0,079	0,075	1	1,102673808	0,906886508	1,053333333
DALRD3	0,020623585	0,141003778	0,076	0,046	1	1,10267205	0,906887954	1,652173913
BRMS1	0,009476749	0,140946717	0,109	0,069	1	1,102628439	0,906923824	1,579710145
OSR1	0,000183715	0,140873585	0,026	0,003	1	1,102572546	0,906969798	8,666666667
SAYSD1	0,156869055	0,140716858	0,05	0,035	1	1,102452776	0,907068332	1,428571429
C2orf27A	2,16815E-06	0,140661603	0,077	0,023	0,04575023	1,102410553	0,907103073	3,347826087
DCAF12	0,13511498	0,140623287	0,072	0,053	1	1,102381274	0,907127165	1,358490566
GALK1	0,007818571	0,140554923	0,087	0,052	1	1,102329038	0,907170151	1,673076923
SLC25A40	0,154214561	0,140522174	0,023	0,014	1	1,102304015	0,907190744	1,642857143
RREB1	0,853387842	0,140508021	0,062	0,064	1	1,102293201	0,907199644	0,96875
MCFD2	0,968806546	0,140499346	0,118	0,115	1	1,102286574	0,907205099	1,026086957
DYNC1L1	0,539855241	0,140497015	0,149	0,157	1	1,102284793	0,907206565	0,949044586
WDR46	0,101677102	0,140338474	0,084	0,061	1	1,102163666	0,907306265	1,37704918
HUS1	0,063427377	0,140318487	0,062	0,041	1	1,102148397	0,907318835	1,512195122
SLC12A4	0,230844423	0,140111114	0,1	0,08	1	1,101989986	0,907449262	1,25
SUGP2	0,958880956	0,140026634	0,133	0,13	1	1,101925458	0,907502402	1,023076923
LASP1	0,742799809	0,139965908	0,13	0,134	1	1,101879077	0,907540601	0,970149254
INTS12	0,103567018	0,139921373	0,071	0,05	1	1,101845063	0,907568617	1,42
DMTF1	0,993233909	0,139886277	0,064	0,064	1	1,10181826	0,907590695	1
NAPG	0,111444539	0,139785218	0,077	0,056	1	1,101741081	0,907654273	1,375
IPO9	0,4743852	0,139733181	0,068	0,058	1	1,101701343	0,907687012	1,172413793
TMED8	0,130233891	0,139694886	0,043	0,028	1	1,1016721	0,907711106	1,535714286
TFDP1	0,188130495	0,139635893	0,101	0,08	1	1,101627053	0,907748224	1,2625
NOL8	0,19119754	0,13957152	0,062	0,046	1	1,101577899	0,907788728	1,347826087
DGAT1	0,011415845	0,139479529	0,071	0,041	1	1,101507661	0,907846614	1,731707317
GMFB	0,284204222	0,139368035	0,14	0,157	1	1,101422538	0,907916776	0,891719745

Supplementary Table 5

Differentially expressed genes_total calculation_ comparing SC-Keloid vs. (SC-Myel, SC-Nonmyel)								
gene	p_val	avg_log2FC	pct.1	pct.2	p_val_adj	Foldchange_UP	Foldchange_DOWN	Ratio_pct1_pct2
EPDR1	0,254004184	0,139268923	0,09	0,107	1	1,101346874	0,907979152	0,841121495
COL19A1	0,065513527	0,139246702	0,021	0,009	1	1,10132991	0,907993137	2,333333333
PIAS2	0,888576671	0,139223043	0,087	0,088	1	1,101311849	0,908008027	0,988636364
CPNE2	0,012773543	0,139164525	0,121	0,08	1	1,101267179	0,908044859	1,5125
UBXN2B	0,004848206	0,139141603	0,02	0,004	1	1,101249682	0,908059286	5
EMC8	0,061376316	0,139115341	0,102	0,073	1	1,101229636	0,908075816	1,397260274
SMU1	0,839574625	0,139111612	0,121	0,123	1	1,10122679	0,908078163	0,983739837
SMIM12	0,616528336	0,139010602	0,099	0,09	1	1,10114969	0,908141744	1,1
BBS7	0,152249399	0,138987992	0,058	0,042	1	1,101132433	0,908155977	1,380952381
MPV17	0,148757872	0,13894682	0,122	0,096	1	1,101101009	0,908181894	1,270833333
XPO1	0,279247756	0,138894504	0,185	0,204	1	1,101061081	0,908214828	0,906862745
UBQLN1	0,281259113	0,13884507	0,127	0,144	1	1,101023354	0,908245948	0,881944444
COG2	0,576066761	0,138774791	0,035	0,03	1	1,10096972	0,908290193	1,166666667
TIAM1	0,032863194	0,138713623	0,023	0,009	1	1,100923042	0,908328704	2,555555556
ACSL4	0,00679293	0,138514086	0,093	0,056	1	1,100770785	0,908454343	1,660714286
NIPA2	0,09020214	0,138465686	0,099	0,073	1	1,100733857	0,90848482	1,356164384
TRAPPC6B	0,304565019	0,138371159	0,086	0,071	1	1,100661738	0,908544347	1,211267606
NUDT16L1	0,010437208	0,138362115	0,091	0,056	1	1,100654838	0,908550042	1,625
YKT6	0,065634723	0,138351984	0,1	0,072	1	1,100647109	0,908556423	1,388888889
RPA2	0,278334989	0,13833173	0,062	0,049	1	1,100631657	0,908569178	1,265306122
ISOC2	0,503523133	0,138324334	0,158	0,142	1	1,100626015	0,908573836	1,112676056
BRIX1	0,874630256	0,138222929	0,126	0,121	1	1,100548656	0,9086377	1,041322314
FADD	0,000699473	0,13821441	0,051	0,019	1	1,100542157	0,908643066	2,684210526
SDC1	1,04821E-05	0,138193297	0,05	0,011	0,22118229	1,100526052	0,908656363	4,545454545
ZNF605	0,00461447	0,138119446	0,038	0,015	1	1,100469718	0,908702878	2,533333333
SNRPA1	0,582980857	0,137976669	0,12	0,128	1	1,100360814	0,908792813	0,9375
EHD2	0,01914359	0,137960908	0,097	0,062	1	1,100348794	0,908802741	1,564516129
CDCA4	0,000279165	0,137932288	0,03	0,005	1	1,100326965	0,90882077	6
CUL2	0,066848249	0,137878037	0,077	0,053	1	1,100285589	0,908854946	1,452830189
TRIM22	0,104293671	0,137845774	0,034	0,02	1	1,100260984	0,908875271	1,7

Supplementary Table 5

Differentially expressed genes_total calculation_ comparing SC-Keloid vs. (SC-Myel, SC-Nonmyel)								
gene	p_val	avg_log2FC	pct.1	pct.2	p_val_adj	Foldchange_UP	Foldchange_DOWN	Ratio_pct1_pct2
MNS1	0,132299935	0,137718191	0,048	0,033	1	1,100163688	0,90895565	1,454545455
MRPL12	0,002383013	0,137652402	0,108	0,062	1	1,10011352	0,908997101	1,741935484
ATF6	0,715669855	0,137594614	0,091	0,084	1	1,100069455	0,909033512	1,083333333
PKIA	0,233495272	0,13757517	0,076	0,06	1	1,100054629	0,909045763	1,266666667
TIPRL	0,84378922	0,137450164	0,136	0,13	1	1,099959316	0,909124533	1,046153846
NF2	0,108144821	0,137429039	0,061	0,042	1	1,099943209	0,909137846	1,452380952
DHX33	0,046846655	0,136991266	0,054	0,033	1	1,099609492	0,909413757	1,636363636
GCNT1	0,000319295	0,136969864	0,033	0,007	1	1,09959318	0,909427248	4,714285714
TYMS	0,000456945	0,136926026	0,031	0,007	1	1,099559768	0,909454882	4,428571429
KDM5A	0,96752038	0,136877781	0,143	0,141	1	1,099522998	0,909485296	1,014184397
GTF2F1	0,665885155	0,136691743	0,098	0,09	1	1,099381222	0,909602584	1,088888889
L3HYPDH	0,074590956	0,136670522	0,059	0,039	1	1,099365051	0,909615963	1,512820513
LANCL1	0,090774006	0,136634201	0,058	0,039	1	1,099337374	0,909638864	1,487179487
ASAP1	0,949280865	0,136627584	0,077	0,077	1	1,099332332	0,909643036	1
LINC01137	0,000320927	0,136431472	0,033	0,007	1	1,099182905	0,909766696	4,714285714
SMCR5	0,182015248	0,136289272	0,012	0,005	1	1,099074569	0,909856372	2,4
CTSO	0,562876785	0,13625106	0,069	0,061	1	1,099045458	0,909880472	1,131147541
ELOC	0,013946764	0,136041209	0,289	0,351	1	1,098885605	0,91001283	0,823361823
NUDCD1	0,83570595	0,135994491	0,055	0,057	1	1,098850021	0,910042299	0,964912281
MRPS30	0,447509849	0,135921675	0,064	0,054	1	1,098794562	0,910088232	1,185185185
DNAJB11	0,771714976	0,135889605	0,184	0,172	1	1,098770137	0,910108463	1,069767442
TIMM8A	0,192128278	0,135813274	0,029	0,019	1	1,098712004	0,910156617	1,526315789
TRDMT1	0,892700505	0,135746117	0,048	0,046	1	1,09866086	0,910198985	1,043478261
STYX	0,075570194	0,135727069	0,041	0,024	1	1,098646354	0,910211003	1,708333333
PAQR3	0,302040805	0,135647089	0,049	0,061	1	1,09858545	0,910261464	0,803278689
TMEM169	0,00172469	0,135599884	0,02	0,003	1	1,098549504	0,910291249	6,666666667
DNM3OS	0,092379569	0,135554272	0,012	0,004	1	1,098514773	0,910320029	3
RGS5	0,836926266	0,1355062	0,01	0,009	1	1,098478171	0,910350362	1,111111111
UBE2A	0,605807041	0,13524213	0,19	0,193	1	1,098277124	0,910517007	0,984455959
GLRX	0,210775471	0,135125428	0,03	0,02	1	1,098188286	0,910590664	1,5

Supplementary Table 5

Differentially expressed genes_total calculation_ comparing SC-Keloid vs. (SC-Myel, SC-Nonmyel)								
gene	p_val	avg_log2FC	pct.1	pct.2	p_val_adj	Foldchange_UP	Foldchange_DOWN	Ratio_pct1_pct2
PRELID2	0,79819437	0,135039642	0,022	0,02	1	1,098122987	0,910644811	1,1
CNPY3	0,005973135	0,134988507	0,101	0,061	1	1,098084066	0,910677088	1,655737705
ATP11B	0,686252582	0,134956312	0,113	0,104	1	1,098059562	0,910697411	1,086538462
CDK18	0,091849573	0,134913728	0,093	0,068	1	1,098027151	0,910724293	1,367647059
MCAT	0,000209556	0,134901426	0,034	0,007	1	1,098017787	0,910732059	4,857142857
CACNA2D4	5,33E-07	0,134878233	0,066	0,015	0,011246841	1,098000136	0,9107467	4,4
FBXO32	0,212256164	0,134862566	0,051	0,038	1	1,097988212	0,91075659	1,342105263
CRISPLD1	0,418332836	0,134831983	0,028	0,022	1	1,097964936	0,910775897	1,272727273
MPHOSPH9	0,155454919	0,134788037	0,042	0,028	1	1,097931492	0,91080364	1,5
GMPPB	1,74507E-05	0,134744586	0,051	0,012	0,368228219	1,097898425	0,910831072	4,25
TMEM234	0,000384421	0,134724909	0,044	0,014	1	1,097883451	0,910843495	3,142857143
ARMCX6	0,737262725	0,13461615	0,113	0,104	1	1,097800689	0,910912163	1,086538462
DCK	0,730006115	0,134275575	0,056	0,052	1	1,097541564	0,911127226	1,076923077
TCEAL7	0,14237818	0,134216957	0,129	0,103	1	1,09749697	0,911164247	1,252427184
CHRAC1	0,954065709	0,13400653	0,115	0,114	1	1,097336905	0,911297156	1,00877193
DFFA	0,526114868	0,133821783	0,059	0,052	1	1,097196392	0,911413861	1,134615385
UBAP2L	0,129156039	0,133771632	0,107	0,083	1	1,097158252	0,911445544	1,289156627
JMJD4	0,00312151	0,133610236	0,042	0,016	1	1,097035518	0,911547515	2,625
SLC41A2	0,609748293	0,133583895	0,037	0,033	1	1,097015489	0,911564158	1,121212121
CLPX	0,440540778	0,133542257	0,075	0,064	1	1,096983828	0,911590467	1,171875
MLPH	8,01571E-05	0,133524062	0,024	0,001	1	1,096969993	0,911601964	24
ARHGAP1	0,003261078	0,133482445	0,108	0,064	1	1,096938349	0,911628261	1,6875
WDFY1	0,860810929	0,133311411	0,076	0,073	1	1,096808313	0,911736342	1,04109589
CENPP	0,005352941	0,133177612	0,022	0,005	1	1,096706597	0,911820903	4,4
PLEC	0,169312439	0,133145052	0,321	0,374	1	1,096681846	0,911841482	0,85828877
DCAF16	0,583288235	0,133015564	0,054	0,06	1	1,096583419	0,911923327	0,9
POMGNT1	0,001868974	0,132995213	0,104	0,058	1	1,09656795	0,911936191	1,793103448
ECI1	0,837137115	0,132944308	0,157	0,149	1	1,096529259	0,911968369	1,053691275
RAI14	0,059447795	0,132852538	0,087	0,061	1	1,096459511	0,912026382	1,426229508
COPS4	0,002625977	0,132727335	0,106	0,061	1	1,096364359	0,912105535	1,737704918

Supplementary Table 5

Differentially expressed genes_total calculation_ comparing SC-Keloid vs. (SC-Myel, SC-Nonmyel)								
gene	p_val	avg_log2FC	pct.1	pct.2	p_val_adj	Foldchange_UP	Foldchange_DOWN	Ratio_pct1_pct2
CCDC43	0,26340227	0,13271239	0,087	0,071	1	1,096353002	0,912114983	1,225352113
RNF8	0,244170698	0,132688706	0,063	0,049	1	1,096335004	0,912129957	1,285714286
LPAR4	4,9051E-05	0,132650051	0,022	0	1	1,09630563	0,912154396	#DIV/0!
GMCL1	0,751946405	0,132628245	0,08	0,084	1	1,096289059	0,912168184	0,952380952
ANXA11	0,097059067	0,132616359	0,156	0,122	1	1,096280028	0,912175699	1,278688525
EYA3	0,013338517	0,132379432	0,033	0,014	1	1,096100006	0,912325513	2,357142857
GALNS	0,174161295	0,13236016	0,048	0,034	1	1,096085363	0,912337701	1,411764706
BPNT1	0,102116681	0,132235077	0,037	0,023	1	1,095990336	0,912416804	1,608695652
ATL3	0,668933577	0,132091069	0,123	0,114	1	1,095880941	0,912507885	1,078947368
SRRD	0,002694661	0,132013047	0,061	0,028	1	1,095821676	0,912557236	2,178571429
CST6	0,000512102	0,131973851	0,02	0,001	1	1,095791905	0,912582029	20
CTPS1	0,001089429	0,131947544	0,045	0,016	1	1,095771924	0,91259867	2,8125
NIPSNAP3A	0,000847312	0,131936812	0,085	0,042	1	1,095763773	0,912605458	2,023809524
BEX1	0,268817951	0,131892761	0,065	0,052	1	1,095730315	0,912633324	1,25
ZNF776	0,126414966	0,131803361	0,019	0,009	1	1,095662418	0,912689879	2,111111111
THAP11	0,005008889	0,131754673	0,083	0,046	1	1,095625442	0,912720682	1,804347826
EIF5A	0,020616443	0,131703996	0,308	0,385	1	1,095586957	0,912752743	0,8
ARSB	0,009436305	0,131602578	0,042	0,019	1	1,095509943	0,912816909	2,210526316
AVEN	0,016885548	0,131483315	0,04	0,019	1	1,095419384	0,912892372	2,105263158
YARS2	0,023468632	0,131355079	0,044	0,023	1	1,09532202	0,91297352	1,913043478
POGLUT3	0,396637006	0,13100315	0,071	0,06	1	1,095054862	0,913196256	1,183333333
GINS2	0,0003565	0,130802687	0,027	0,004	1	1,094902714	0,913323154	6,75
RFC5	0,000999277	0,130723776	0,048	0,018	1	1,094842828	0,913373111	2,666666667
PLEKHO1	0,991014963	0,130707528	0,221	0,22	1	1,094830498	0,913383398	1,004545455
CXXC5	0,313654682	0,130646914	0,328	0,385	1	1,0947845	0,913421774	0,851948052
C12orf73	0,001074744	0,130478029	0,066	0,03	1	1,094656349	0,913528708	2,2
RAB5C	0,33130538	0,130441321	0,215	0,232	1	1,094628497	0,913551952	0,926724138
ZNF785	0,047403842	0,130435884	0,022	0,009	1	1,094624372	0,913555394	2,444444444
BET1	0,014475307	0,13030033	0,063	0,035	1	1,094521527	0,913641235	1,8
H1-5	0,005346706	0,130291283	0,01	0	1	1,094514664	0,913646964	#DIV/0!

Supplementary Table 5

Differentially expressed genes_total calculation_ comparing SC-Keloid vs. (SC-Myel, SC-Nonmyel)								
gene	p_val	avg_log2FC	pct.1	pct.2	p_val_adj	Foldchange_UP	Foldchange_DOWN	Ratio_pct1_pct2
PICALM	0,805034515	0,130291066	0,141	0,142	1	1,094514499	0,913647102	0,992957746
HMGCR	0,812888104	0,130226392	0,049	0,052	1	1,094465434	0,913688061	0,942307692
TIMM22	0,001403393	0,129976328	0,065	0,03	1	1,094275746	0,913846444	2,166666667
RPS6KC1	0,00955799	0,129852933	0,054	0,027	1	1,094182155	0,91392461	2
HLTF	0,096156558	0,129829412	0,084	0,061	1	1,094164317	0,913939511	1,37704918
GOLGA2	0,391174408	0,129819626	0,196	0,208	1	1,094156895	0,91394571	0,942307692
CAPS	0,206251961	0,129817549	0,184	0,157	1	1,094155319	0,913947026	1,171974522
NOP14	0,665143934	0,129749625	0,041	0,037	1	1,094103807	0,913990056	1,108108108
TMTC3	0,151165237	0,129603915	0,075	0,056	1	1,093993309	0,914082373	1,339285714
B4GALT1	0,721381162	0,129537842	0,118	0,11	1	1,093943207	0,914124237	1,072727273
RBFA	0,604200329	0,129519355	0,095	0,087	1	1,09392919	0,914135951	1,091954023
ZDHHC21	0,059323712	0,129411219	0,071	0,047	1	1,093847198	0,914204472	1,510638298
METTL13	0,038089773	0,129407125	0,033	0,016	1	1,093844094	0,914207066	2,0625
SHMT2	0,012091109	0,129351775	0,095	0,06	1	1,093802129	0,914242141	1,583333333
MAK16	0,034836317	0,129231538	0,044	0,024	1	1,093710973	0,914318339	1,833333333
PHF5A	0,466033005	0,129206416	0,072	0,081	1	1,093691928	0,91433426	0,888888889
POLR3E	0,703745598	0,12908145	0,05	0,054	1	1,093597197	0,914413463	0,925925926
SACM1L	0,539176525	0,129060274	0,061	0,053	1	1,093581145	0,914426885	1,150943396
CDK5R1	0,001114392	0,129054954	0,029	0,007	1	1,093577112	0,914430257	4,142857143
MYO19	0,101517872	0,128963558	0,041	0,026	1	1,093507836	0,914488189	1,576923077
HNRNPA3	0,004203734	0,128961242	0,441	0,571	1	1,09350608	0,914489657	0,772329247
TMEM45A	0,012389389	0,128858858	0,075	0,043	1	1,09342848	0,914554558	1,744186047
PRDX3	0,230166727	0,128703768	0,158	0,178	1	1,093310943	0,914652878	0,887640449
EMILIN1	0,007712163	0,128615429	0,098	0,06	1	1,093243999	0,914708886	1,633333333
MMAB	0,012710441	0,128566497	0,069	0,039	1	1,09320692	0,914739911	1,769230769
C1QTNF1	0,006262168	0,12852092	0,037	0,015	1	1,093172384	0,914768809	2,466666667
ABCF1	0,933277425	0,128508522	0,133	0,129	1	1,09316299	0,91477667	1,031007752
NCOR2	0,756349588	0,128493097	0,177	0,167	1	1,093151302	0,914786451	1,05988024
ATP10B	0,48565669	0,128392626	0,021	0,016	1	1,093075176	0,91485016	1,3125
CCDC34	0,001113847	0,128342486	0,064	0,028	1	1,093037188	0,914881956	2,285714286

Supplementary Table 5

Differentially expressed genes_total calculation_ comparing SC-Keloid vs. (SC-Myel, SC-Nonmyel)								
gene	p_val	avg_log2FC	pct.1	pct.2	p_val_adj	Foldchange_UP	Foldchange_DOWN	Ratio_pct1_pct2
RUNX2	0,033133185	0,128243262	0,061	0,037	1	1,092962015	0,914944881	1,648648649
DIRAS1	1,40085E-07	0,128217808	0,054	0,007	0,00295593	1,092942732	0,914961023	7,714285714
RAD1	0,480142779	0,128214081	0,051	0,043	1	1,092939908	0,914963387	1,186046512
MRPL2	0,334365935	0,128196201	0,107	0,09	1	1,092926363	0,914974726	1,188888889
PPME1	0,708247195	0,128158555	0,061	0,056	1	1,092897844	0,914998603	1,089285714
PRKAR2B	0,009555591	0,12787121	0,034	0,014	1	1,092680191	0,915180863	2,428571429
XRCC4	0,002311587	0,127858901	0,051	0,022	1	1,092670868	0,915188671	2,318181818
SS18	0,740226277	0,127762244	0,107	0,111	1	1,092597664	0,915249989	0,963963964
C6orf226	0,522958326	0,127684304	0,075	0,065	1	1,092538639	0,915299436	1,153846154
FCF1	0,329336212	0,127597696	0,047	0,037	1	1,092473054	0,915354384	1,27027027
LAPTM4B	0,233200211	0,127554137	0,102	0,083	1	1,09244007	0,915382022	1,228915663
ZFP62	0,062428477	0,127070123	0,033	0,018	1	1,092073625	0,915689178	1,833333333
ANKRD54	0,042588696	0,126967897	0,088	0,06	1	1,091996246	0,915754064	1,466666667
SEPHS1	0,488018435	0,126945869	0,047	0,039	1	1,091979573	0,915768046	1,205128205
MPLKIP	0,529120137	0,126890659	0,13	0,14	1	1,091937785	0,915803092	0,928571429
PGM1	0,029402147	0,12687518	0,043	0,023	1	1,09192607	0,915812918	1,869565217
KIF4A	0,678601926	0,126868939	0,017	0,015	1	1,091921346	0,91581688	1,133333333
SPTLC2	0,03891746	0,126681555	0,073	0,047	1	1,091779532	0,915935838	1,553191489
RB1	0,593161659	0,126578234	0,106	0,096	1	1,091701345	0,916001436	1,104166667
EIPR1	0,035377623	0,126535447	0,048	0,027	1	1,091668968	0,916028603	1,777777778
H4C3	0,10304663	0,126463071	0,098	0,125	1	1,091614204	0,916074559	0,784
MIX23	0,410373378	0,126441371	0,042	0,034	1	1,091597784	0,916088338	1,235294118
TIPIN	0,46774516	0,126379877	0,03	0,024	1	1,091551257	0,916127387	1,25
SRR	0,001163502	0,126273224	0,041	0,014	1	1,091470565	0,916195115	2,928571429
MEDAG	0,026246826	0,126203268	0,02	0,007	1	1,091417641	0,916239543	2,857142857
KLHL12	0,920081051	0,126136788	0,021	0,02	1	1,091367349	0,916281764	1,05
CHDH	0,838078162	0,126094824	0,017	0,016	1	1,091335605	0,916308416	1,0625
UBE2D4	0,010736535	0,126047236	0,077	0,045	1	1,091299607	0,916338642	1,711111111
HCG18	0,708632474	0,125952606	0,071	0,076	1	1,091228028	0,916398749	0,934210526
DHRS4-AS1	0,000125187	0,1259436	0,045	0,012	1	1,091221216	0,91640447	3,75

Supplementary Table 5

Differentially expressed genes_total calculation_ comparing SC-Keloid vs. (SC-Myel, SC-Nonmyel)								
gene	p_val	avg_log2FC	pct.1	pct.2	p_val_adj	Foldchange_UP	Foldchange_DOWN	Ratio_pct1_pct2
RPF2	0,233819216	0,125817972	0,104	0,084	1	1,091126198	0,916484272	1,238095238
MARCHF7	0,1834507	0,125794229	0,098	0,118	1	1,091108241	0,916499356	0,830508475
NPHP1	0,063425245	0,125609127	0,036	0,02	1	1,090968258	0,916616953	1,8
DESI2	0,903517045	0,12551555	0,118	0,114	1	1,090897498	0,916676408	1,035087719
DNAL1	0,534410972	0,125462469	0,063	0,071	1	1,090857361	0,916710137	0,887323944
SEC16A	0,405698557	0,125445865	0,062	0,052	1	1,090844806	0,916720687	1,192307692
SLC35C1	0,000996246	0,125345089	0,027	0,005	1	1,09076861	0,916784725	5,4
TRMT10B	0,639979303	0,125274132	0,033	0,028	1	1,090714964	0,916829816	1,178571429
IDE	0,007686503	0,125268828	0,041	0,018	1	1,090710954	0,916833187	2,277777778
YTHDF3-DT	0,294795678	0,125151984	0,03	0,022	1	1,090622621	0,916907444	1,363636364
RARS2	0,106124201	0,125117946	0,08	0,058	1	1,09059689	0,916929077	1,379310345
RAD18	0,250849356	0,125100374	0,024	0,016	1	1,090583606	0,916940246	1,5
CBARP	0,082542844	0,124998915	0,031	0,018	1	1,090506912	0,917004733	1,722222222
ENTPD4	0,43950503	0,124997701	0,079	0,068	1	1,090505995	0,917005504	1,161764706
AGPAT2	0,044569054	0,124986799	0,133	0,096	1	1,090497754	0,917012434	1,385416667
APPL1	0,677707033	0,124916287	0,134	0,125	1	1,090444458	0,917057254	1,072
ZNF469	0,000203783	0,12489429	0,022	0,001	1	1,090427831	0,917071237	22
SNAP29	0,059150166	0,124665976	0,076	0,052	1	1,090255279	0,917216379	1,461538462
COQ9	0,003721678	0,124637739	0,069	0,035	1	1,090233941	0,917234332	1,971428571
AGPAT1	0,106740683	0,124559988	0,139	0,109	1	1,090175186	0,917283766	1,275229358
TRAM2-AS1	0,472514823	0,124521284	0,041	0,034	1	1,09014594	0,917308375	1,205882353
LYPLA2	0,033303106	0,124514818	0,068	0,042	1	1,090141053	0,917312486	1,619047619
ALKBH8	0,152348455	0,124486524	0,023	0,014	1	1,090119674	0,917330477	1,642857143
ZFX	0,01260997	0,124482445	0,109	0,151	1	1,090116592	0,91733307	0,721854305
AKR1A1	0,601777722	0,124389471	0,136	0,125	1	1,090046342	0,917392189	1,088
GMDS	0,028610987	0,124295044	0,04	0,02	1	1,089974999	0,917452236	2
BVES	0,017697641	0,124256294	0,04	0,019	1	1,089945723	0,917476879	2,105263158
MOB1B	0,161766447	0,124148923	0,055	0,039	1	1,089864608	0,917545164	1,41025641
PSMD5	0,837852421	0,124101859	0,038	0,037	1	1,089829055	0,917575097	1,027027027
RTCA	0,369695038	0,124069342	0,058	0,047	1	1,089804492	0,917595778	1,234042553

Supplementary Table 5

Differentially expressed genes_total calculation_ comparing SC-Keloid vs. (SC-Myel, SC-Nonmyel)								
gene	p_val	avg_log2FC	pct.1	pct.2	p_val_adj	Foldchange_UP	Foldchange_DOWN	Ratio_pct1_pct2
CDK4	0,124802788	0,123965196	0,157	0,125	1	1,089725823	0,91766202	1,256
SEPSECS	0,73038662	0,123902763	0,026	0,023	1	1,089678666	0,917701733	1,130434783
ATP7A	0,737631998	0,123764773	0,045	0,042	1	1,089574446	0,917789513	1,071428571
ZDHHC12	0,000271919	0,123760435	0,076	0,033	1	1,089571169	0,917792273	2,303030303
KIF2A	0,380594278	0,123610026	0,098	0,11	1	1,089457581	0,917887963	0,890909091
TENT2	0,387701878	0,123500868	0,077	0,065	1	1,089375154	0,917957415	1,184615385
GLRX3	0,123657395	0,123488425	0,137	0,109	1	1,089365758	0,917965332	1,256880734
ZNF675	0,260947622	0,123419055	0,021	0,014	1	1,089313379	0,918009472	1,5
BICC1	0,048055948	0,123381679	0,028	0,014	1	1,089285158	0,918033256	2
LRRC23	0,076009012	0,123249962	0,059	0,039	1	1,089185712	0,918117075	1,512820513
PPP6R1	0,02653108	0,123224485	0,076	0,047	1	1,089166478	0,918133288	1,617021277
RND2	1,16185E-05	0,123122758	0,052	0,012	0,245162686	1,089089681	0,91819803	4,333333333
PPIC	0,277112655	0,123102328	0,023	0,033	1	1,089074259	0,918211033	0,696969697
TRIM73	0,81497242	0,123079175	0,016	0,015	1	1,089056781	0,918225768	1,066666667
IMP4	0,324713582	0,123007399	0,102	0,085	1	1,0890026	0,918271453	1,2
FAF2	0,394643799	0,122905643	0,077	0,065	1	1,088925793	0,918336223	1,184615385
NCLN	0,036844034	0,122891512	0,079	0,052	1	1,088915128	0,918345218	1,519230769
RNF141	0,285065048	0,122878883	0,071	0,057	1	1,088905596	0,918353256	1,245614035
DNAAF5	0,030426975	0,122791254	0,043	0,023	1	1,088839458	0,918409039	1,869565217
MRM3	0,754315883	0,122747285	0,038	0,035	1	1,088806274	0,91843703	1,085714286
DDX60L	0,005353433	0,122612474	0,031	0,011	1	1,088704536	0,918522856	2,818181818
LINC00926	3,0691E-06	0,122477031	0,029	0	0,064760982	1,088602332	0,918609093	#DIV/0!
CTXN1	3,29859E-09	0,122457769	0,05	0,001	6,96035E-05	1,088587797	0,918621357	50
TMEM67	0,640032785	0,122404601	0,054	0,058	1	1,08854768	0,918655212	0,931034483
SPATC1L	0,000320195	0,12235897	0,091	0,043	1	1,088513251	0,918684269	2,11627907
RNASEH1	0,212392703	0,122285813	0,077	0,06	1	1,088458055	0,918730855	1,283333333
AMMECR1	0,374984813	0,122277324	0,026	0,019	1	1,08845165	0,918736261	1,368421053
NEDD4	0,237285107	0,122219594	0,044	0,033	1	1,088408097	0,918773026	1,333333333
NINL	0,103340381	0,121977925	0,017	0,008	1	1,088225791	0,918926944	2,125
ARFGAP3	0,333810193	0,121970039	0,183	0,198	1	1,088219842	0,918931967	0,924242424

Supplementary Table 5

Differentially expressed genes_total calculation_ comparing SC-Keloid vs. (SC-Myel, SC-Nonmyel)								
gene	p_val	avg_log2FC	pct.1	pct.2	p_val_adj	Foldchange_UP	Foldchange_DOWN	Ratio_pct1_pct2
MRPL1	0,224330013	0,12192958	0,078	0,061	1	1,088189324	0,918957738	1,278688525
RPAP1	0,035918775	0,121789592	0,029	0,014	1	1,08808374	0,919046911	2,071428571
NOL9	0,087942802	0,121757795	0,054	0,035	1	1,088059759	0,919067167	1,542857143
KIAA2013	0,042640695	0,121695938	0,112	0,079	1	1,088013108	0,919106574	1,417721519
CDC42BPB	0,362675295	0,121666237	0,114	0,098	1	1,087990709	0,919125496	1,163265306
ZXDC	0,372816129	0,121533234	0,04	0,049	1	1,087890412	0,919210234	0,816326531
EXTL3	0,101881449	0,121529339	0,041	0,026	1	1,087887474	0,919212716	1,576923077
UBE2Q1	0,508101801	0,121520541	0,085	0,075	1	1,08788084	0,919218321	1,133333333
TACO1	0,0003776	0,121469903	0,047	0,015	1	1,087842656	0,919250587	3,133333333
ZNF32	0,123755976	0,121458557	0,125	0,096	1	1,087834102	0,919257816	1,302083333
GET3	0,077100072	0,121444109	0,141	0,107	1	1,087823207	0,919267022	1,317757009
NR2C2AP	0,006406892	0,121327142	0,063	0,033	1	1,087735015	0,919341555	1,909090909
SLC30A7	0,340398175	0,121284723	0,08	0,066	1	1,087703033	0,919368586	1,212121212
TRIM5	0,369989309	0,121228442	0,026	0,019	1	1,087660602	0,919404452	1,368421053
RWDD4	0,428104141	0,121201575	0,095	0,083	1	1,087640347	0,919421575	1,144578313
RIC8A	0,013348762	0,121170289	0,104	0,066	1	1,087616761	0,919441513	1,575757576
ORMDL2	0,001707073	0,120980288	0,087	0,046	1	1,087473533	0,91956261	1,891304348
POLR2H	0,544866354	0,120977898	0,168	0,174	1	1,087471731	0,919564133	0,965517241
EIF5B	0,086799292	0,120826595	0,295	0,345	1	1,087357688	0,919660578	0,855072464
ETV3	0,838121004	0,120805887	0,07	0,066	1	1,08734208	0,919673779	1,060606061
PPIG	0,158235908	0,120803996	0,256	0,289	1	1,087340655	0,919674984	0,885813149
LGALS8	0,501721377	0,120775778	0,054	0,046	1	1,087319388	0,919692973	1,173913043
NTMT1	0,3949715	0,120730878	0,14	0,153	1	1,087285548	0,919721596	0,91503268
FAM76A	0,650006925	0,120701132	0,064	0,058	1	1,087263131	0,919740559	1,103448276
VDAC2	0,087943386	0,120644644	0,293	0,343	1	1,08722056	0,919776572	0,854227405
FURIN	0,096352959	0,12064163	0,113	0,084	1	1,087218289	0,919778494	1,345238095
TRPM7	0,968693786	0,120276585	0,122	0,119	1	1,086943225	0,920011255	1,025210084
MZT2A	0,316124672	0,120210614	0,156	0,133	1	1,086893523	0,920053325	1,172932331
CIAPIN1	0,000485015	0,12020193	0,097	0,049	1	1,086886981	0,920058863	1,979591837
LLPH	0,360885849	0,120196963	0,092	0,077	1	1,086883239	0,920062031	1,194805195

Supplementary Table 5

Differentially expressed genes_total calculation_ comparing SC-Keloid vs. (SC-Myel, SC-Nonmyel)								
gene	p_val	avg_log2FC	pct.1	pct.2	p_val_adj	Foldchange_UP	Foldchange_DOWN	Ratio_pct1_pct2
PLAGL1	0,001138215	0,12015152	0,031	0,008	1	1,086849004	0,920091012	3,875
ZNF43	0,686428885	0,120131509	0,036	0,033	1	1,086833928	0,920103775	1,090909091
PPID	0,725940095	0,120121566	0,068	0,062	1	1,086826438	0,920110116	1,096774194
DIP2C-AS1	0,778483297	0,120086125	0,015	0,014	1	1,08679974	0,920132719	1,071428571
VAC14	0,002830988	0,120074151	0,047	0,019	1	1,08679072	0,920140356	2,473684211
BAG1	0,012090456	0,119974814	0,187	0,24	1	1,086715891	0,920203715	0,779166667
PLCB3	0,028006863	0,119920953	0,04	0,02	1	1,086675321	0,92023807	2
FH	0,825250533	0,119887012	0,097	0,091	1	1,086649756	0,92025972	1,065934066
BACE1	0,065012426	0,119857818	0,111	0,08	1	1,086627767	0,920278342	1,3875
MRPL46	0,029247147	0,119719646	0,043	0,023	1	1,086523702	0,920366485	1,869565217
CREB3	0,220129042	0,11970645	0,133	0,109	1	1,086513764	0,920374903	1,220183486
METTL16	0,677462544	0,119693113	0,052	0,057	1	1,086503719	0,920383412	0,912280702
QSOX1	0,003226121	0,119685787	0,135	0,084	1	1,086498202	0,920388085	1,607142857
CHMP7	0,021587198	0,11968512	0,05	0,027	1	1,0864977	0,920388511	1,851851852
SRFBP1	0,430157663	0,119650905	0,078	0,088	1	1,086471932	0,920410339	0,886363636
TMEM237	0,035458884	0,119650249	0,044	0,024	1	1,086471438	0,920410758	1,833333333
LGI1	0,705733027	0,119625556	0,069	0,064	1	1,086452843	0,920426512	1,078125
PCED1A	0,734779808	0,119551128	0,057	0,053	1	1,086396794	0,920473997	1,075471698
S100A9	0,264331183	0,119431673	0,017	0,011	1	1,086306845	0,920550215	1,545454545
MTPAP	0,306645178	0,119402412	0,027	0,019	1	1,086284812	0,920568886	1,421052632
TXLNA	0,164513029	0,119340803	0,095	0,075	1	1,086238425	0,920608199	1,266666667
COX14	0,93551872	0,119284736	0,18	0,178	1	1,086196211	0,920643977	1,011235955
U2SURP	0,418000822	0,11922021	0,224	0,239	1	1,086147631	0,920685155	0,937238494
NPB	0,296779462	0,119095399	0,035	0,026	1	1,08605367	0,920764809	1,346153846
PSMD11	0,157698921	0,119062122	0,186	0,212	1	1,086028619	0,920786048	0,877358491
CSNK1A1	0,002379274	0,118917078	0,371	0,484	1	1,085919439	0,920878625	0,766528926
CXADR	0,083993195	0,118829985	0,022	0,011	1	1,085853886	0,920934219	2
HTATSF1	0,199089155	0,118722006	0,123	0,1	1	1,085772618	0,921003149	1,23
VPS35	0,268713797	0,118684026	0,146	0,163	1	1,085744035	0,921027395	0,895705521
BAALC	0,000117571	0,118534305	0,027	0,003	1	1,085631364	0,921122983	9

Supplementary Table 5

Differentially expressed genes_total calculation_ comparing SC-Keloid vs. (SC-Myel, SC-Nonmyel)								
gene	p_val	avg_log2FC	pct.1	pct.2	p_val_adj	Foldchange_UP	Foldchange_DOWN	Ratio_pct1_pct2
COP1	0,02431939	0,11851903	0,048	0,026	1	1,085619869	0,921132736	1,846153846
ZNF354A	0,504424177	0,118336329	0,026	0,031	1	1,085482396	0,921249395	0,838709677
N4BP2	0,253893571	0,118322851	0,033	0,023	1	1,085472255	0,921258001	1,434782609
DOCK8	0,133188214	0,118280355	0,033	0,02	1	1,085440282	0,921285138	1,65
SLC30A5	0,237902145	0,118274256	0,084	0,066	1	1,085435693	0,921289033	1,272727273
USP5	0,010184723	0,11823219	0,073	0,042	1	1,085404045	0,921315896	1,738095238
PRKCSH	0,214325239	0,118222325	0,15	0,125	1	1,085396623	0,921322196	1,2
CLCN3	0,782102869	0,118055011	0,135	0,137	1	1,085270754	0,921429051	0,98540146
SLX4	0,038307177	0,11787899	0,019	0,007	1	1,085138349	0,92154148	2,714285714
CCDC191	0,092932425	0,117800784	0,029	0,016	1	1,085079527	0,921591436	1,8125
SLC30A9	0,180843184	0,117779181	0,086	0,066	1	1,08506328	0,921605236	1,303030303
TMA16	0,224805905	0,117757302	0,09	0,072	1	1,085046824	0,921619213	1,25
MFSD3	0,00012542	0,1175796	0,052	0,016	1	1,084913183	0,921732739	3,25
KCNA2	0,39346966	0,11754045	0,056	0,046	1	1,084883742	0,921757752	1,217391304
SNX14	0,151203715	0,117485472	0,097	0,075	1	1,084842401	0,921792879	1,293333333
ARMC10	0,706338435	0,117402101	0,109	0,102	1	1,084779712	0,921846149	1,068627451
TTC9C	0,397994647	0,117398875	0,041	0,033	1	1,084777286	0,921848211	1,242424242
OPA3	0,281390826	0,117398374	0,038	0,028	1	1,084776909	0,921848531	1,357142857
PSMC4	0,765297806	0,117391866	0,164	0,164	1	1,084772016	0,921852689	1
TOR3A	0,015509238	0,11736311	0,077	0,046	1	1,084750394	0,921871064	1,673913043
OTUD5	0,666001089	0,117295558	0,073	0,066	1	1,084699603	0,921914231	1,106060606
HEXB	0,22723978	0,117216811	0,141	0,117	1	1,084640398	0,921964553	1,205128205
PNKP	0,019049242	0,117049281	0,069	0,041	1	1,084514454	0,922071621	1,682926829
ATAD2B	0,430386924	0,117026073	0,043	0,052	1	1,084497008	0,922086453	0,826923077
COX10	0,07741537	0,116894361	0,028	0,015	1	1,084398003	0,92217064	1,866666667
SYF2	0,001966767	0,116745659	0,242	0,316	1	1,084286237	0,922265695	0,765822785
WDR55	0,05998502	0,116726959	0,049	0,03	1	1,084272183	0,922277649	1,633333333
B2M	0,000195988	0,116579201	0,977	0,995	1	1,084161139	0,922372112	0,981909548
ZDHHC3	0,041927305	0,11653368	0,078	0,052	1	1,084126932	0,922401216	1,5
TM9SF4	0,259596805	0,116502296	0,071	0,056	1	1,084103348	0,922421282	1,267857143

Supplementary Table 5

Differentially expressed genes_total calculation_ comparing SC-Keloid vs. (SC-Myel, SC-Nonmyel)								
gene	p_val	avg_log2FC	pct.1	pct.2	p_val_adj	Foldchange_UP	Foldchange_DOWN	Ratio_pct1_pct2
CDKN2AIPNL	0,019539524	0,116497612	0,059	0,034	1	1,084099828	0,922424277	1,735294118
PRPF31	0,082879784	0,116482647	0,144	0,11	1	1,084088583	0,922433845	1,309090909
CHMP4A	0,756952487	0,116424157	0,156	0,157	1	1,084044632	0,922471243	0,993630573
CCDC127	0,519083993	0,116397293	0,065	0,057	1	1,084024447	0,922488421	1,140350877
HYOU1	0,156232239	0,116332381	0,106	0,083	1	1,083975674	0,922529928	1,277108434
ZFY	0,117906433	0,116331003	0,028	0,016	1	1,083974639	0,922530809	1,75
LIG4	0,002422346	0,116309095	0,036	0,012	1	1,083958179	0,922544818	3
ZNF518B	0,352166176	0,116242058	0,024	0,018	1	1,083907812	0,922587686	1,333333333
TMEM254	0,020182347	0,116241565	0,029	0,012	1	1,083907441	0,922588001	2,416666667
RNF34	0,003769694	0,116206712	0,08	0,043	1	1,083881257	0,92261029	1,860465116
LATS1	0,594277826	0,116188027	0,068	0,075	1	1,083867219	0,922622239	0,906666667
TLL1	0,039920092	0,115912457	0,033	0,016	1	1,083660208	0,922798487	2,0625
OAF	0,530469048	0,115890294	0,17	0,179	1	1,08364356	0,922812663	0,94972067
CEP78	0,239070498	0,115886419	0,031	0,022	1	1,083640651	0,922815141	1,409090909
LRRC59	0,894414062	0,115853575	0,149	0,144	1	1,08361598	0,922836151	1,034722222
RBMX2	0,092483474	0,115717305	0,086	0,062	1	1,083513632	0,922923321	1,387096774
R3HDM1	0,003757515	0,115631436	0,057	0,027	1	1,083449144	0,922978255	2,111111111
SLC35A3	0,318246314	0,115484517	0,075	0,061	1	1,083338814	0,923072253	1,229508197
FUT8	0,478927274	0,115386186	0,106	0,094	1	1,083264979	0,923135169	1,127659574
NDE1	0,742321144	0,115363161	0,07	0,065	1	1,083247691	0,923149902	1,076923077
ZNF35	0,00835211	0,115206351	0,023	0,007	1	1,083129957	0,923250247	3,285714286
ATG7	0,068945463	0,115189843	0,065	0,043	1	1,083117563	0,923260812	1,511627907
MYH10	0,861641737	0,11516684	0,061	0,058	1	1,083100293	0,923275533	1,051724138
CYP27C1	0,099000059	0,115129601	0,051	0,034	1	1,083072336	0,923299365	1,5
CDKL1	0,523540414	0,114999358	0,022	0,027	1	1,082974564	0,923382722	0,814814815
CSTF2	0,066034118	0,114879382	0,021	0,009	1	1,082884506	0,923459514	2,333333333
ZDHHC24	0,00470214	0,114791282	0,07	0,037	1	1,082818381	0,923515908	1,891891892
ANKRD39	0,080492119	0,114730804	0,083	0,058	1	1,08277299	0,923554623	1,431034483
CHRN1	0,052173389	0,114679097	0,044	0,026	1	1,082734183	0,923587725	1,692307692
MRPS27	0,619812931	0,114620744	0,054	0,047	1	1,08269039	0,923625082	1,14893617

Supplementary Table 5

Differentially expressed genes_total calculation_ comparing SC-Keloid vs. (SC-Myel, SC-Nonmyel)								
gene	p_val	avg_log2FC	pct.1	pct.2	p_val_adj	Foldchange_UP	Foldchange_DOWN	Ratio_pct1_pct2
TBK1	0,334104364	0,11457038	0,054	0,065	1	1,082652594	0,923657326	0,830769231
MTERF4	0,33085617	0,114569014	0,066	0,054	1	1,082651569	0,9236582	1,222222222
GSKIP	0,600271278	0,114480644	0,057	0,05	1	1,082585255	0,923714779	1,14
HOXB4	3,29125E-05	0,114447464	0,036	0,005	0,69448744	1,082560357	0,923736024	7,2
TRAPPC9	0,010477616	0,114393584	0,031	0,012	1	1,082519928	0,923770523	2,583333333
LIMK2	0,158493308	0,114289388	0,038	0,026	1	1,082441748	0,923837243	1,461538462
UPP1	0,729453549	0,114260265	0,17	0,171	1	1,082419898	0,923855892	0,994152047
MYCBP	0,003594905	0,114224007	0,035	0,012	1	1,082392695	0,923879111	2,916666667
DYNC1I2	0,057701076	0,114204872	0,284	0,338	1	1,082378338	0,923891365	0,840236686
MOGS	0,014966342	0,114195042	0,076	0,045	1	1,082370963	0,92389766	1,688888889
SERP2	0,004114302	0,114178162	0,049	0,022	1	1,0823583	0,92390847	2,227272727
CCDC9B	0,553624492	0,114145969	0,08	0,088	1	1,082334147	0,923929087	0,909090909
PCGF3	0,496849889	0,114043178	0,095	0,084	1	1,082257035	0,923994918	1,130952381
BUD23	0,238718993	0,114012622	0,17	0,142	1	1,082234113	0,924014488	1,197183099
C9orf78	0,789674014	0,113938899	0,173	0,163	1	1,082178811	0,924061707	1,061349693
RBM33	0,292411925	0,11393806	0,132	0,148	1	1,082178182	0,924062245	0,891891892
CEP170	0,582884142	0,113906905	0,224	0,232	1	1,082154813	0,9240822	0,965517241
LENG1	0,922877181	0,113814418	0,064	0,062	1	1,082085441	0,924141442	1,032258065
TPX2	0,017352177	0,11361333	0,023	0,008	1	1,081934626	0,924270262	2,875
DNAJC2	0,233903497	0,113574504	0,104	0,084	1	1,081905509	0,924295136	1,238095238
DIMT1	0,032423962	0,113524222	0,081	0,053	1	1,081867803	0,924327351	1,528301887
SORCS2	0,789581377	0,113501927	0,043	0,046	1	1,081851084	0,924341635	0,934782609
PRAF2	0,134319727	0,113292959	0,107	0,083	1	1,081694394	0,924475532	1,289156627
CCDC88B	0,018256768	0,113191378	0,019	0,005	1	1,081618234	0,924540627	3,8
TEX264	0,196470446	0,113101612	0,106	0,084	1	1,081550937	0,924598154	1,261904762
SPON2	0,214029015	0,11307013	0,033	0,045	1	1,081527336	0,924618331	0,733333333
TGS1	0,158250998	0,112959795	0,078	0,098	1	1,081444625	0,924689047	0,795918367
SLC38A6	0,630943035	0,112786946	0,027	0,023	1	1,081315065	0,92479984	1,173913043
NDUFAF1	0,001537616	0,112748841	0,063	0,028	1	1,081286506	0,924824267	2,25
C8orf76	0,053626662	0,112686712	0,044	0,026	1	1,081239942	0,924864095	1,692307692

Supplementary Table 5

Differentially expressed genes_total calculation_ comparing SC-Keloid vs. (SC-Myel, SC-Nonmyel)								
gene	p_val	avg_log2FC	pct.1	pct.2	p_val_adj	Foldchange_UP	Foldchange_DOWN	Ratio_pct1_pct2
HEBP2	0,584981362	0,112588506	0,119	0,109	1	1,081166343	0,924927053	1,091743119
SMIM4	0,688003166	0,112582243	0,092	0,096	1	1,081161649	0,924931069	0,958333333
DLGAP4	0,53151748	0,112563219	0,248	0,262	1	1,081147392	0,924943266	0,946564885
S100PBP	0,244905214	0,112546284	0,054	0,041	1	1,081134702	0,924954123	1,317073171
ZBTB37	0,466001744	0,112490523	0,05	0,042	1	1,081092916	0,924989874	1,19047619
COQ2	0,001011906	0,112371591	0,027	0,005	1	1,081003798	0,92506613	5,4
LOXL1-AS1	0,000696974	0,112364788	0,022	0,003	1	1,0809987	0,925070493	7,333333333
PDZD8	0,183880914	0,112348339	0,084	0,102	1	1,080986375	0,92508104	0,823529412
CGGBP1	0,058771489	0,112323266	0,203	0,24	1	1,080967588	0,925097118	0,845833333
FANCL	0,868565187	0,112254589	0,04	0,038	1	1,080916132	0,925141156	1,052631579
TMEM42	0,40033877	0,112140916	0,045	0,037	1	1,080830967	0,925214053	1,216216216
PTRH2	0,975604413	0,112140304	0,052	0,052	1	1,080830509	0,925214446	1
UTRN	0,004328947	0,112111224	0,296	0,377	1	1,080808723	0,925233095	0,785145889
FBXW5	0,561821725	0,112057202	0,127	0,114	1	1,080768253	0,925267741	1,114035088
UEVLD	0,114694952	0,111904615	0,042	0,027	1	1,080653951	0,925365607	1,555555556
NAPEPLD	0,419394811	0,111899526	0,052	0,043	1	1,08065014	0,925368871	1,209302326
NSMCE1	0,068738362	0,111791415	0,113	0,083	1	1,080569162	0,925438218	1,361445783
GCFC2	0,102468578	0,111779612	0,064	0,045	1	1,080560322	0,925445789	1,422222222
ELP6	0,148078614	0,11176507	0,078	0,058	1	1,08054943	0,925455118	1,344827586
ARHGDI1	0,006785778	0,111738945	0,035	0,014	1	1,080529863	0,925471877	2,5
RAP2C	0,192007181	0,111647055	0,075	0,057	1	1,080461043	0,925530825	1,315789474
RNF182	0,006623415	0,111637794	0,016	0,003	1	1,080454107	0,925536766	5,333333333
COLGALT1	0,755181483	0,111557624	0,083	0,077	1	1,080394068	0,925588199	1,077922078
PCNX4	0,702436888	0,111529106	0,079	0,073	1	1,080372712	0,925606496	1,082191781
APOC2	0,003541582	0,111521379	0,065	0,033	1	1,080366926	0,925611453	1,96969697
CLSPN	0,042738922	0,111402767	0,024	0,011	1	1,080278107	0,925687556	2,181818182
ARL15	0,322650301	0,111391624	0,028	0,02	1	1,080269763	0,925694706	1,4
ALG3	0,000178667	0,111389819	0,071	0,028	1	1,080268411	0,925695864	2,535714286
CSTF3	0,802972853	0,111358161	0,056	0,053	1	1,080244706	0,925716177	1,056603774
SLITRK6	0,533311512	0,11132064	0,219	0,202	1	1,080216612	0,925740253	1,084158416

Supplementary Table 5

Differentially expressed genes_total calculation_ comparing SC-Keloid vs. (SC-Myel, SC-Nonmyel)								
gene	p_val	avg_log2FC	pct.1	pct.2	p_val_adj	Foldchange_UP	Foldchange_DOWN	Ratio_pct1_pct2
ZBED4	0,133142708	0,111288652	0,04	0,026	1	1,080192661	0,92576078	1,538461538
AGPAT4	0,05529101	0,111272477	0,075	0,05	1	1,08018055	0,925771159	1,5
UBA6-DT	0,019204571	0,111245499	0,037	0,018	1	1,080160352	0,92578847	2,055555556
METTL21A	0,023071139	0,111117296	0,057	0,033	1	1,080064369	0,925870743	1,727272727
MAPKAPK3	0,000379144	0,111055175	0,047	0,015	1	1,080017864	0,925910611	3,133333333
ACAT2	0,745301438	0,110924208	0,069	0,064	1	1,079919824	0,925994669	1,078125
NDUFA7	0,036055413	0,110832526	0,133	0,095	1	1,079851199	0,926053517	1,4
CASP6	0,036616695	0,110815416	0,038	0,02	1	1,079838392	0,926064499	1,9
VPS33A	0,137508922	0,110756159	0,029	0,018	1	1,07979404	0,926102537	1,611111111
ZBTB41	0,951453458	0,110637182	0,065	0,064	1	1,079704995	0,926178914	1,015625
RWDD2A	0,005374741	0,110515454	0,031	0,011	1	1,079613898	0,926257065	2,818181818
MYL5	0,016203738	0,110464347	0,051	0,027	1	1,079575654	0,926289877	1,888888889
ING4	0,468078013	0,110400513	0,065	0,056	1	1,079527887	0,926330863	1,160714286
LMO4	0,020092545	0,110318572	0,393	0,479	1	1,079466575	0,926383478	0,82045929
UBE2T	0,003656724	0,110048231	0,033	0,011	1	1,079264317	0,926557085	3
ANKFY1	0,095928019	0,110044533	0,078	0,056	1	1,079261551	0,92655946	1,392857143
PGD	0,032552036	0,109976044	0,078	0,05	1	1,079210316	0,926603448	1,56
ATP6AP1	0,148352989	0,109854289	0,175	0,198	1	1,079119241	0,926681651	0,883838384
POLR1A	0,01158663	0,109852996	0,027	0,009	1	1,079118273	0,926682482	3
MCM4	0,015464769	0,109798349	0,048	0,024	1	1,079077399	0,926717584	2
UBL7-DT	0,152700786	0,109572902	0,027	0,016	1	1,078908787	0,926862412	1,6875
PRPF4	0,110847826	0,109562272	0,049	0,033	1	1,078900838	0,92686924	1,484848485
GFPT1	0,923654435	0,109493216	0,09	0,087	1	1,078849196	0,926913607	1,034482759
NUDT2	0,032646499	0,109351675	0,081	0,053	1	1,078743357	0,92700455	1,528301887
NUP155	0,345444036	0,10925834	0,024	0,018	1	1,07867357	0,927064524	1,333333333
C3orf14	0,000401523	0,109224181	0,09	0,043	1	1,07864803	0,927086475	2,093023256
AKIP1	0,066297091	0,109201946	0,057	0,037	1	1,078631406	0,927100764	1,540540541
DPH6	0,414846941	0,109188117	0,052	0,043	1	1,078621067	0,92710965	1,209302326
TSR1	0,191290127	0,109130037	0,052	0,038	1	1,078577645	0,927146974	1,368421053
TLCD5	0,634245736	0,109097684	0,033	0,037	1	1,078553458	0,927167766	0,891891892

Supplementary Table 5

Differentially expressed genes_total calculation_ comparing SC-Keloid vs. (SC-Myel, SC-Nonmyel)								
gene	p_val	avg_log2FC	pct.1	pct.2	p_val_adj	Foldchange_UP	Foldchange_DOWN	Ratio_pct1_pct2
ABHD18	0,155019618	0,109059937	0,023	0,014	1	1,078525238	0,927192025	1,642857143
RAC2	0,000288167	0,108963861	0,024	0,003	1	1,078453416	0,927253774	8
CCDC74A	0,000640958	0,10892654	0,028	0,005	1	1,078425519	0,927277761	5,6
ZNF780A	0,532931953	0,108900929	0,017	0,014	1	1,078406374	0,927294222	1,214285714
MAFG-DT	0,025530206	0,108831066	0,022	0,008	1	1,078354153	0,927339128	2,75
RIOX2	0,093184337	0,1088098	0,04	0,024	1	1,078338258	0,927352798	1,666666667
GRPEL2	0,293337224	0,108780761	0,022	0,015	1	1,078316553	0,927371464	1,466666667
BBS10	0,490887934	0,108667156	0,021	0,016	1	1,078231644	0,927444493	1,3125
KDM1B	0,205366277	0,108431734	0,034	0,023	1	1,07805571	0,927595847	1,47826087
XPNPEP3	0,33048072	0,108208176	0,051	0,041	1	1,07788867	0,927739597	1,243902439
YES1	0,73390141	0,10798942	0,076	0,071	1	1,077725241	0,927880281	1,070422535
ILRUN	0,930489012	0,107806629	0,065	0,064	1	1,077588701	0,927997852	1,015625
CFAP20DC	0,000286992	0,107804291	0,024	0,003	1	1,077586955	0,927999356	8
ACTR10	0,793482512	0,107801629	0,214	0,21	1	1,077584966	0,928001068	1,019047619
STXBP6	0,008289488	0,107747019	0,094	0,057	1	1,077544177	0,928036196	1,649122807
POGLUT1	0,086050313	0,107708421	0,057	0,038	1	1,07751535	0,928061025	1,5
UBE2F	0,399610401	0,107630026	0,099	0,084	1	1,077456799	0,928111457	1,178571429
PAIP1	0,551129476	0,107563148	0,15	0,156	1	1,077406854	0,928154481	0,961538462
KRT80	0,000185232	0,107379367	0,026	0,003	1	1,077269615	0,928272724	8,666666667
ZNF25	0,600132134	0,107308241	0,052	0,046	1	1,077216506	0,92831849	1,130434783
SIPA1L3	0,019638829	0,107280821	0,037	0,018	1	1,077196033	0,928336134	2,055555556
GOLGA7B	0,000236556	0,107245266	0,028	0,004	1	1,077169486	0,928359013	7
SEC23IP	0,343999832	0,107216628	0,047	0,037	1	1,077148104	0,928377441	1,27027027
ORA1	0,343841756	0,107204379	0,137	0,117	1	1,077138958	0,928385324	1,170940171
RUNX1T1	0,276309732	0,107172381	0,026	0,018	1	1,077115068	0,928405915	1,444444444
TOP3B	0,080361671	0,107161908	0,031	0,018	1	1,077107249	0,928412655	1,722222222
B4GALNT3	0,003334029	0,107133093	0,056	0,026	1	1,077085736	0,928431198	2,153846154
ZNF260	0,51023314	0,107101637	0,052	0,045	1	1,077062252	0,928451441	1,155555556
GFM1	0,300643746	0,106979691	0,045	0,057	1	1,076971216	0,928529923	0,789473684
KCNS3	0,677185008	0,106906273	0,159	0,148	1	1,076916411	0,928577177	1,074324324

Supplementary Table 5

Differentially expressed genes_total calculation_ comparing SC-Keloid vs. (SC-Myel, SC-Nonmyel)								
gene	p_val	avg_log2FC	pct.1	pct.2	p_val_adj	Foldchange_UP	Foldchange_DOWN	Ratio_pct1_pct2
EPB41L4A	0,067898367	0,106853083	0,03	0,016	1	1,076876707	0,928611413	1,875
P4HA3	0,018035291	0,106601051	0,021	0,007	1	1,076688598	0,928773651	3
CEP68	0,69669161	0,106553498	0,041	0,045	1	1,076653109	0,928804265	0,911111111
BLOC1S6	0,017326707	0,106020762	0,171	0,217	1	1,076255613	0,929147303	0,788018433
SLC16A4	0,258306231	0,105842137	0,058	0,072	1	1,076122366	0,929262351	0,805555556
LRRC40	0,366290986	0,105811501	0,052	0,042	1	1,076099515	0,929282084	1,238095238
HPRT1	0,116081483	0,105727909	0,09	0,066	1	1,076037166	0,929335929	1,363636364
CHMP6	0,070666946	0,10570326	0,084	0,058	1	1,076018782	0,929351808	1,448275862
IDH3B	0,795455784	0,105661684	0,142	0,133	1	1,075987773	0,929378591	1,067669173
SCO1	0,004637205	0,105607428	0,052	0,024	1	1,075947309	0,929413543	2,166666667
PFN2	0,02977711	0,105601517	0,132	0,094	1	1,075942901	0,92941735	1,404255319
TMEM177	0,00055453	0,105594121	0,036	0,009	1	1,075937385	0,929422115	4
ZNF626	0,450011267	0,105530377	0,024	0,019	1	1,075889846	0,929463182	1,263157895
MTIF2	0,052630902	0,105505887	0,048	0,028	1	1,075871583	0,92947896	1,714285714
LRRC27	0,079528275	0,10548285	0,028	0,015	1	1,075854404	0,929493802	1,866666667
STYXL1	0,000998094	0,105444661	0,05	0,019	1	1,075825926	0,929518406	2,631578947
TUFM	0,301584259	0,105439156	0,242	0,265	1	1,075821821	0,929521953	0,913207547
EXOSC9	0,176511022	0,105319172	0,073	0,056	1	1,075732352	0,929599261	1,303571429
ZFP69B	0,061696105	0,105304788	0,013	0,004	1	1,075721626	0,92960853	3,25
PBRM1	0,1292664	0,105287336	0,173	0,201	1	1,075708614	0,929619775	0,860696517
REEP4	0,64473591	0,105249161	0,027	0,023	1	1,07568015	0,929644374	1,173913043
ATF7	0,893507086	0,105239874	0,102	0,103	1	1,075673226	0,929650359	0,990291262
ANKRD35	0,139186321	0,105235229	0,01	0,004	1	1,075669762	0,929653352	2,5
ARF4	0,019433328	0,105214605	0,326	0,41	1	1,075654385	0,929666642	0,795121951
LAMB2	0,97165555	0,105214065	0,186	0,182	1	1,075653982	0,92966699	1,021978022
PTCD2	0,144542918	0,105181378	0,016	0,008	1	1,075629612	0,929688053	2
BTBD1	0,251255589	0,10506797	0,076	0,06	1	1,075545061	0,929761138	1,266666667
NRSN2	0,018474101	0,104945765	0,062	0,035	1	1,075453961	0,929839897	1,771428571
CLEC11A	0,758472139	0,104899315	0,137	0,13	1	1,075419335	0,929869836	1,053846154
LENG8	0,157337876	0,10487797	0,135	0,161	1	1,075403424	0,929883593	0,838509317

Supplementary Table 5

Differentially expressed genes_total calculation_ comparing SC-Keloid vs. (SC-Myel, SC-Nonmyel)								
gene	p_val	avg_log2FC	pct.1	pct.2	p_val_adj	Foldchange_UP	Foldchange_DOWN	Ratio_pct1_pct2
SUDS3	0,057345659	0,104865254	0,101	0,13	1	1,075393945	0,929891789	0,776923077
FLYWCH2	0,36237942	0,104840029	0,135	0,115	1	1,075375143	0,929908048	1,173913043
IMPACT	0,54386605	0,104826239	0,08	0,071	1	1,075364864	0,929916937	1,126760563
FAM78B	0,065038491	0,10471614	0,05	0,031	1	1,0752828	0,929987906	1,612903226
PLAT	0,133074593	0,104679357	0,416	0,503	1	1,075255385	0,930011618	0,827037773
TRIP11	0,807475177	0,104639399	0,133	0,134	1	1,075225605	0,930037376	0,992537313
BRD9	0,502154297	0,104622402	0,126	0,111	1	1,075212937	0,930048333	1,135135135
HSPA13	0,614556004	0,104562099	0,155	0,159	1	1,075167996	0,930087209	0,974842767
WDR54	0,005942895	0,104552777	0,069	0,037	1	1,075161048	0,930093219	1,864864865
SOX5	0,730709802	0,104505978	0,109	0,114	1	1,075126172	0,93012339	0,956140351
PLEK2	3,25798E-05	0,10448466	0,027	0,001	0,687466042	1,075110285	0,930137135	27
DCTN4	0,4211494	0,104416187	0,054	0,062	1	1,07505926	0,930181282	0,870967742
MUS81	0,35422475	0,104399034	0,076	0,062	1	1,075046478	0,930192341	1,225806452
EPS15	0,403706979	0,104347374	0,115	0,126	1	1,075007983	0,93022565	0,912698413
ZNF7	0,43611589	0,104317952	0,043	0,035	1	1,07498606	0,930244621	1,228571429
E2F3	0,558047933	0,104242855	0,029	0,024	1	1,074930105	0,930293045	1,208333333
RARRES1	0,480464091	0,104237978	0,012	0,008	1	1,074926471	0,930296189	1,5
DHCR7	0,00051324	0,104014275	0,02	0,001	1	1,074759807	0,930440451	20
METTL14	0,477356067	0,103897359	0,034	0,041	1	1,074672712	0,930515857	0,829268293
SULF1	0,006343897	0,103756322	0,037	0,015	1	1,074567658	0,930606828	2,466666667
ELOVL1	0,001452497	0,103751903	0,115	0,066	1	1,074564367	0,930609678	1,742424242
MED19	0,830269823	0,103601639	0,078	0,08	1	1,074452451	0,930706612	0,975
WDR83	0,603560701	0,103517244	0,042	0,037	1	1,074389599	0,930761058	1,135135135
COPA	0,347470507	0,103513669	0,158	0,174	1	1,074386937	0,930763364	0,908045977
NIN	0,274175891	0,103438697	0,075	0,09	1	1,074331106	0,930811734	0,833333333
PRR13	0,104133909	0,10342575	0,095	0,071	1	1,074321465	0,930820087	1,338028169
DUSP12	0,477493383	0,103242939	0,08	0,069	1	1,074185341	0,930938044	1,15942029
TAF2	0,620520394	0,103208158	0,054	0,047	1	1,074159445	0,930960487	1,14893617
LRRC45	0,034036225	0,103202122	0,041	0,022	1	1,07415495	0,930964383	1,863636364
SELENOF	0,005147825	0,10311369	0,307	0,395	1	1,07408911	0,931021449	0,77721519

Supplementary Table 5

Differentially expressed genes_total calculation_ comparing SC-Keloid vs. (SC-Myel, SC-Nonmyel)								
gene	p_val	avg_log2FC	pct.1	pct.2	p_val_adj	Foldchange_UP	Foldchange_DOWN	Ratio_pct1_pct2
MDC1	0,389370776	0,103090287	0,036	0,028	1	1,074071688	0,931036551	1,285714286
CYFIP1	0,487620687	0,103044942	0,108	0,118	1	1,074037929	0,931065815	0,915254237
IPP	0,57003857	0,103031459	0,035	0,03	1	1,074027891	0,931074517	1,166666667
SHARPIN	0,201660943	0,103016269	0,129	0,104	1	1,074016583	0,93108432	1,240384615
RPL13	0,065449437	0,102996221	0,863	0,946	1	1,074001658	0,931097259	0,912262156
SLC35F2	0,038513743	0,102918216	0,019	0,007	1	1,07394359	0,931147604	2,714285714
ZNF765	0,055769227	0,102872946	0,017	0,007	1	1,073909891	0,931176822	2,428571429
GEN1	0,092426252	0,102809389	0,02	0,009	1	1,073862582	0,931217845	2,222222222
APEH	0,002544735	0,102619126	0,08	0,042	1	1,07372097	0,931340663	1,904761905
UMPS	0,009211063	0,102542765	0,036	0,015	1	1,07366414	0,931389959	2,4
ISCA2	0,91176207	0,102539497	0,055	0,053	1	1,073661708	0,931392069	1,037735849
PRLR	0,111520552	0,102441005	0,065	0,046	1	1,073588412	0,931455657	1,413043478
HIF1AN	0,153952199	0,102396473	0,03	0,019	1	1,073555274	0,931484409	1,578947368
TMED10	0,000502947	0,102390165	0,384	0,513	1	1,07355058	0,931488482	0,748538012
EPB41	0,153372101	0,102329068	0,03	0,019	1	1,073505117	0,93152793	1,578947368
DZIP1L	0,689609423	0,102312758	0,023	0,02	1	1,073492981	0,931538462	1,15
TAF9	0,163741102	0,102196042	0,126	0,1	1	1,073406137	0,931613828	1,26
TRAF3IP2	0,025272967	0,102161781	0,013	0,003	1	1,073380647	0,931635951	4,333333333
VPS39	0,168051174	0,102057136	0,051	0,037	1	1,073302792	0,93170353	1,378378378
CAMK1D	0,009263499	0,101987347	0,065	0,035	1	1,073250873	0,931748601	1,857142857
FTX	0,336667152	0,101947802	0,1	0,115	1	1,073221455	0,931774141	0,869565217
NAT10	0,205635425	0,101932407	0,034	0,023	1	1,073210003	0,931784084	1,47826087
GLO1	0,69471182	0,101858793	0,163	0,164	1	1,073155244	0,93183163	0,993902439
NLGN4Y	0,005346706	0,101845081	0,01	0	1	1,073145044	0,931840486	#DIV/0!
UQCRFS1	0,893116665	0,101801251	0,151	0,144	1	1,073112442	0,931868797	1,048611111
ASB7	0,223309899	0,101799068	0,027	0,018	1	1,073110818	0,931870207	1,5
SYCE1L	0,000285822	0,10176773	0,024	0,003	1	1,073087508	0,931890449	8
HMGXB3	0,583547872	0,101747793	0,092	0,083	1	1,073072679	0,931903327	1,108433735
ARHGAP42	0,394504715	0,101742548	0,076	0,064	1	1,073068778	0,931906715	1,1875
VRK2	0,131249228	0,101566855	0,04	0,026	1	1,072938107	0,932020211	1,538461538

Supplementary Table 5

Differentially expressed genes_total calculation_ comparing SC-Keloid vs. (SC-Myel, SC-Nonmyel)								
gene	p_val	avg_log2FC	pct.1	pct.2	p_val_adj	Foldchange_UP	Foldchange_DOWN	Ratio_pct1_pct2
ASNS	0,005501391	0,101527646	0,042	0,018	1	1,072908947	0,932045541	2,333333333
ADAT1	0,29610486	0,101479805	0,035	0,026	1	1,072873369	0,932076449	1,346153846
RAB8A	0,569846922	0,101464927	0,1	0,09	1	1,072862305	0,932086061	1,111111111
TRIM14	0,005452289	0,101447299	0,05	0,023	1	1,072849196	0,93209745	2,173913043
ERG28	0,023992115	0,101391536	0,068	0,041	1	1,072807729	0,932133478	1,658536585
HGSNAT	0,914247778	0,101281614	0,114	0,11	1	1,072725993	0,932204502	1,036363636
INPPL1	0,062877699	0,101242748	0,099	0,071	1	1,072697094	0,932229616	1,394366197
CSMD2	0,013571373	0,101228081	0,033	0,014	1	1,072686189	0,932239093	2,357142857
RNH1	0,021692782	0,101226493	0,298	0,364	1	1,072685007	0,93224012	0,818681319
ARSI	0,009048836	0,101200593	0,044	0,02	1	1,072665751	0,932256856	2,2
DDX10	0,638791241	0,10119072	0,062	0,056	1	1,07265841	0,932263236	1,107142857
SETD4	0,541236089	0,101159932	0,044	0,038	1	1,072635519	0,932283131	1,157894737
GTF2E2	0,998946153	0,101156123	0,075	0,073	1	1,072632687	0,932285593	1,02739726
TRADD	4,6496E-05	0,10114245	0,083	0,033	0,981112377	1,072622521	0,932294428	2,515151515
C6orf47	0,011661239	0,100861513	0,037	0,016	1	1,072413669	0,932475992	2,3125
ASS1	0,007869743	0,100788493	0,021	0,005	1	1,072359391	0,932523189	4,2
ARL6	0,000289938	0,100596784	0,024	0,003	1	1,072216903	0,932647114	8
C1orf53	0,003314026	0,100583737	0,012	0	1	1,072207207	0,932655548	#DIV/0!
ANKRD6	0,006537357	0,10055294	0,057	0,028	1	1,072184319	0,932675457	2,035714286
TEFM	0,901676874	0,100474529	0,034	0,033	1	1,072126047	0,93272615	1,03030303
COX15	0,586780533	0,100355037	0,042	0,037	1	1,072037251	0,932803407	1,135135135
VKORC1L1	0,981566863	0,100319419	0,085	0,083	1	1,072010784	0,932826437	1,024096386
DDX54	0,131931133	0,100301443	0,083	0,061	1	1,071997427	0,93283806	1,360655738
APOOL	0,668182186	0,100231277	0,047	0,042	1	1,071945291	0,93288343	1,119047619
MYD88	0,011039695	0,100222474	0,029	0,011	1	1,07193875	0,932889122	2,636363636
TRAF7	0,967113633	0,100220393	0,078	0,076	1	1,071937204	0,932890468	1,026315789
PPP2R1A	0,428936543	0,100200148	0,178	0,157	1	1,071922162	0,932903559	1,133757962
FAM216A	0,098268762	0,100173481	0,023	0,012	1	1,071902348	0,932920803	1,916666667
STK19	0,077089067	0,100094293	0,073	0,05	1	1,071843515	0,932972012	1,46
HLA-B	0,977179204	0,100066725	0,619	0,765	1	1,071823033	0,93298984	0,809150327

Supplementary Table 5

Differentially expressed genes_total calculation_ comparing SC-Keloid vs. (SC-Myel, SC-Nonmyel)								
gene	p_val	avg_log2FC	pct.1	pct.2	p_val_adj	Foldchange_UP	Foldchange_DOWN	Ratio_pct1_pct2
PKP1	8,32111E-07	0,100035652	0,068	0,016	0,017558382	1,071799948	0,933009935	4,25
ETV2	0,001109841	0,099994685	0,021	0,003	1	1,071769514	0,933036429	7
PIP5K1C	0,180866523	0,099850671	0,056	0,041	1	1,071662532	0,933129572	1,365853659
BOLA3-AS1	0,398655599	0,099812906	0,022	0,016	1	1,07163448	0,933153998	1,375
ZNF641	0,542510154	0,099712932	0,028	0,023	1	1,071560222	0,933218665	1,217391304
ACP2	0,030829231	0,099575555	0,043	0,023	1	1,07145819	0,933307533	1,869565217
PIGF	0,702069315	0,09955511	0,095	0,099	1	1,071443006	0,933320759	0,95959596
PI4KA	0,811122788	0,099533324	0,051	0,053	1	1,071426826	0,933334854	0,962264151
DTX3L	0,582831434	0,09946186	0,043	0,049	1	1,071373755	0,933381087	0,87755102
RBCK1	0,136362805	0,099454458	0,149	0,118	1	1,071368258	0,933385876	1,262711864
PMPCB	0,933211699	0,099419725	0,115	0,111	1	1,071342465	0,933408348	1,036036036
DNAJC24	0,361583416	0,099404794	0,075	0,085	1	1,071331377	0,933418008	0,882352941
SGCB	0,080885487	0,099396404	0,286	0,332	1	1,071325147	0,933423436	0,861445783
DACT1	0,114960097	0,09939613	0,045	0,03	1	1,071324943	0,933423614	1,5
TP53	0,194038035	0,099238794	0,093	0,073	1	1,071208114	0,933525416	1,273972603
RTL6	0,031320844	0,099127691	0,037	0,019	1	1,071125623	0,93359731	1,947368421
ELAVL1	0,486446421	0,098885023	0,156	0,14	1	1,07094547	0,933754359	1,114285714
DHX32	0,19959156	0,098773388	0,045	0,033	1	1,070862604	0,933826615	1,363636364
RHNO1	0,001231666	0,098686207	0,036	0,011	1	1,070797894	0,933883047	3,272727273
BMS1	0,178704424	0,098679291	0,087	0,068	1	1,070792761	0,933887523	1,279411765
MAGED1	0,111008892	0,098602519	0,127	0,098	1	1,070735781	0,933937221	1,295918367
MGAT2	0,000399754	0,098583275	0,047	0,015	1	1,070721499	0,933949679	3,133333333
GFM2	0,007787026	0,098563545	0,03	0,011	1	1,070706856	0,933962452	2,727272727
CBL	0,324949995	0,098551634	0,116	0,132	1	1,070698016	0,933970162	0,878787879
AIP	0,287705412	0,098544771	0,18	0,195	1	1,070692922	0,933974606	0,923076923
SMARCD1	0,216840227	0,09843419	0,055	0,041	1	1,070610858	0,934046196	1,341463415
HEATR3	0,061927005	0,098430422	0,033	0,018	1	1,070608062	0,934048636	1,833333333
ZFP37	0,018368385	0,098404766	0,019	0,005	1	1,070589023	0,934065247	3,8
FUBP1	0,098363789	0,098380177	0,132	0,16	1	1,070570776	0,934081167	0,825
ILK	0,814736302	0,098365938	0,235	0,237	1	1,07056021	0,934090386	0,991561181

Supplementary Table 5

Differentially expressed genes_total calculation_ comparing SC-Keloid vs. (SC-Myel, SC-Nonmyel)								
gene	p_val	avg_log2FC	pct.1	pct.2	p_val_adj	Foldchange_UP	Foldchange_DOWN	Ratio_pct1_pct2
ARFIP1	0,491496313	0,098348473	0,122	0,132	1	1,070547251	0,934101694	0,924242424
KEAP1	0,062047169	0,098242369	0,071	0,047	1	1,070468519	0,934170395	1,510638298
TIGAR	0,157172539	0,098228208	0,045	0,031	1	1,070458012	0,934179565	1,451612903
ZNF431	0,647685374	0,098224781	0,052	0,047	1	1,070455469	0,934181784	1,106382979
ZNF512	0,50688595	0,098222341	0,036	0,03	1	1,070453659	0,934183364	1,2
MBD3	0,109175929	0,098022968	0,102	0,076	1	1,070305738	0,934312472	1,342105263
HOGA1	1,22515E-05	0,097955514	0,026	0	0,258519095	1,070255696	0,934356158	#DIV/0!
DTD1	0,415885561	0,097911106	0,157	0,137	1	1,070222753	0,934384919	1,145985401
DDA1	0,024250146	0,097881988	0,119	0,081	1	1,070201153	0,934403778	1,469135802
COA7	0,406605176	0,097873963	0,014	0,009	1	1,0701952	0,934408975	1,555555556
SLC7A6OS	0,579698057	0,09775179	0,035	0,03	1	1,070104575	0,934488108	1,166666667
TFDP2	0,552017268	0,097709844	0,106	0,114	1	1,070073463	0,934515278	0,929824561
ENAH	0,007159945	0,097699848	0,055	0,027	1	1,070066048	0,934521754	2,037037037
PMM1	0,006177552	0,09767263	0,109	0,068	1	1,07004586	0,934539385	1,602941176
XPO5	0,167208561	0,097655972	0,035	0,023	1	1,070033506	0,934550175	1,52173913
PNPT1	0,514097515	0,097639255	0,073	0,064	1	1,070021107	0,934561004	1,140625
VPS4B	0,316614567	0,097631303	0,121	0,136	1	1,070015209	0,934566155	0,889705882
ZNF568	0,169276263	0,097616943	0,035	0,023	1	1,070004559	0,934575458	1,52173913
LINC00665	0,004936968	0,097578763	0,047	0,02	1	1,069976242	0,934600191	2,35
DDX27	0,942116643	0,097497008	0,106	0,104	1	1,06991561	0,934653154	1,019230769
MPHOSPH10	0,982548063	0,097473616	0,113	0,111	1	1,069898262	0,934668309	1,018018018
SARS1	0,046433847	0,097346602	0,2	0,239	1	1,069804074	0,9347506	0,836820084
ELOVL6	0,052245972	0,097324908	0,02	0,008	1	1,069787987	0,934764657	2,5
MAPKAPK5	0,274711633	0,097291113	0,07	0,056	1	1,069762927	0,934786554	1,25
ELAVL4	0,00019746	0,097205216	0,019	0	1	1,069699237	0,934842212	#DIV/0!
SND1	0,446995431	0,097199199	0,13	0,14	1	1,069694775	0,934846111	0,928571429
ZNF655	0,52145071	0,097131758	0,092	0,081	1	1,069644771	0,934889813	1,135802469
ANAPC4	0,840972201	0,096901369	0,044	0,042	1	1,06947397	0,93503912	1,047619048
ADGRA3	0,33693501	0,096816469	0,033	0,024	1	1,069411035	0,935094148	1,375
MUL1	0,002420654	0,096770001	0,051	0,022	1	1,069376591	0,935124266	2,318181818

Supplementary Table 5

Differentially expressed genes_total calculation_ comparing SC-Keloid vs. (SC-Myel, SC-Nonmyel)								
gene	p_val	avg_log2FC	pct.1	pct.2	p_val_adj	Foldchange_UP	Foldchange_DOWN	Ratio_pct1_pct2
G6PC3	0,009854454	0,096694621	0,09	0,054	1	1,069320718	0,935173127	1,666666667
ALG14	0,58028397	0,096627366	0,115	0,104	1	1,06927087	0,935216724	1,105769231
PEX2	0,808528292	0,096590157	0,109	0,111	1	1,069243293	0,935240844	0,981981982
SPATA7	0,22234535	0,096587137	0,027	0,018	1	1,069241054	0,935242803	1,5
E2F7	0,003788918	0,096420262	0,028	0,008	1	1,069117384	0,935350987	3,5
PDRG1	0,69307935	0,096411577	0,077	0,071	1	1,069110947	0,935356618	1,084507042
TMEM241	0,038152871	0,09638743	0,019	0,007	1	1,069093053	0,935372274	2,714285714
ZNF599	0,226872175	0,096345342	0,027	0,018	1	1,069061865	0,935399562	1,5
PDHX	0,137352685	0,096330817	0,033	0,02	1	1,069051101	0,93540898	1,65
AZIN2	0,07832437	0,096303849	0,063	0,042	1	1,069031118	0,935426465	1,5
TMEM53	9,19702E-05	0,096258168	0,036	0,007	1	1,06899727	0,935456084	5,142857143
CDH11	0,292274804	0,096248687	0,022	0,015	1	1,068990245	0,935462232	1,466666667
ITGA7	0,96655593	0,096152719	0,097	0,094	1	1,068919137	0,935524461	1,031914894
M6PR	0,54974001	0,096118119	0,116	0,104	1	1,068893502	0,935546898	1,115384615
ZNF84	0,423013196	0,096085506	0,037	0,03	1	1,068869339	0,935568047	1,233333333
SS18L2	0,912957481	0,09604	0,097	0,096	1	1,068835625	0,935597557	1,010416667
CCNQ	0,02307114	0,09603614	0,057	0,033	1	1,068832765	0,935600061	1,727272727
B4GALT7	6,01649E-06	0,095981385	0,09	0,033	0,126954014	1,0687922	0,935635571	2,727272727
STK40	0,701861599	0,095932734	0,071	0,065	1	1,068756159	0,935667123	1,092307692
POMGNT2	0,001194378	0,095921577	0,038	0,012	1	1,068747894	0,935674358	3,166666667
EXOSC10	0,354808057	0,095842947	0,105	0,118	1	1,068689646	0,935725356	0,889830508
GNB5	0,03792617	0,095831147	0,038	0,02	1	1,068680905	0,93573301	1,9
STX18	0,178969404	0,095794601	0,078	0,06	1	1,068653834	0,935756714	1,3
RIPK1	0,201294563	0,095787151	0,045	0,033	1	1,068648316	0,935761546	1,363636364
C1GALT1C1	0,044769592	0,095766745	0,098	0,068	1	1,0686332	0,935774782	1,441176471
CNEP1R1	0,724814865	0,095756129	0,03	0,027	1	1,068625337	0,935781668	1,111111111
MAN1C1	0,03224828	0,095746582	0,037	0,019	1	1,068618265	0,93578786	1,947368421
BPNT2	0,62975643	0,095664526	0,158	0,145	1	1,068557488	0,935841086	1,089655172
CAPN5	0,327529228	0,095607812	0,069	0,056	1	1,068515482	0,935877876	1,232142857
TTN	0,093058931	0,095581332	0,012	0,004	1	1,06849587	0,935895054	3

Supplementary Table 5

Differentially expressed genes_total calculation_ comparing SC-Keloid vs. (SC-Myel, SC-Nonmyel)								
gene	p_val	avg_log2FC	pct.1	pct.2	p_val_adj	Foldchange_UP	Foldchange_DOWN	Ratio_pct1_pct2
B3GALT4	0,018608799	0,095510213	0,049	0,026	1	1,068443199	0,935941191	1,884615385
STARD4	0,018368385	0,095489774	0,019	0,005	1	1,068428063	0,93595445	3,8
STIM2	0,83958388	0,095453004	0,054	0,056	1	1,068400832	0,935978305	0,964285714
DDB1	0,844795505	0,095330437	0,146	0,145	1	1,068310067	0,936057827	1,006896552
NT5C3A	0,261413422	0,095308426	0,112	0,129	1	1,068293769	0,936072108	0,868217054
NPEPL1	0,207400332	0,095284943	0,106	0,084	1	1,06827638	0,936087345	1,261904762
SPTLC1	0,363346348	0,095235921	0,123	0,137	1	1,068240081	0,936119153	0,897810219
GORAB	0,047098108	0,095160396	0,047	0,027	1	1,06818416	0,93616816	1,740740741
IFITM10	0,00115594	0,095105002	0,043	0,015	1	1,068143146	0,936204106	2,866666667
YIF1B	0,021518256	0,095104767	0,087	0,056	1	1,068142973	0,936204259	1,553571429
RAB15	0,005346706	0,095067793	0,01	0	1	1,068115598	0,936228253	#DIV/0!
CEBPZOS	0,783814384	0,094984167	0,098	0,092	1	1,068053686	0,936282523	1,065217391
FASTKD2	0,923226851	0,094917556	0,037	0,038	1	1,068004374	0,936325753	0,973684211
OPA1	0,668509489	0,094856879	0,069	0,062	1	1,067959457	0,936365134	1,112903226
ANO8	0,720211211	0,09481547	0,024	0,022	1	1,067928804	0,936392011	1,090909091
CETN2	0,047691057	0,094798915	0,12	0,085	1	1,06791655	0,936402756	1,411764706
MON1A	0,157312862	0,09478817	0,027	0,016	1	1,067908596	0,93640973	1,6875
THUMPD1	0,678827098	0,094767901	0,126	0,132	1	1,067893592	0,936422886	0,954545455
TPD5L2	0,80951357	0,094753834	0,115	0,115	1	1,06788318	0,936432016	1
C11orf1	0,454931055	0,094611594	0,049	0,041	1	1,067777899	0,936524347	1,195121951
COPS8	0,314347328	0,094517739	0,163	0,14	1	1,067708437	0,936585275	1,164285714
VSTM4	0,000867436	0,094512872	0,024	0,004	1	1,067704835	0,936588434	6
DIP2C	0,00307516	0,094405197	0,094	0,144	1	1,06762515	0,936658339	0,652777778
COPG2	0,15488522	0,09440377	0,023	0,014	1	1,067624094	0,936659266	1,642857143
ARMCS	0,458032642	0,094385353	0,02	0,015	1	1,067610465	0,936671223	1,333333333
BBS9	0,337096717	0,094203293	0,037	0,028	1	1,067475747	0,936789433	1,321428571
ITPK1-AS1	0,539711392	0,094188666	0,02	0,024	1	1,067464925	0,936798931	0,833333333
LRWD1	0,000439494	0,094165438	0,062	0,024	1	1,067447738	0,936814014	2,583333333
RPUSD3	0,821247273	0,094154124	0,052	0,054	1	1,067439367	0,93682136	0,962962963
THAP12	0,092921025	0,094137385	0,078	0,056	1	1,067426982	0,93683223	1,392857143

Supplementary Table 5

Differentially expressed genes_total calculation_ comparing SC-Keloid vs. (SC-Myel, SC-Nonmyel)								
gene	p_val	avg_log2FC	pct.1	pct.2	p_val_adj	Foldchange_UP	Foldchange_DOWN	Ratio_pct1_pct2
IL32	0,014023592	0,094135861	0,054	0,028	1	1,067425855	0,936833219	1,928571429
POLR3D	0,146668648	0,094083144	0,075	0,056	1	1,067386851	0,936867452	1,339285714
RGS19	2,39696E-06	0,094060356	0,049	0,008	0,050578229	1,067369991	0,936882251	6,125
QTRT2	0,723317117	0,094015749	0,043	0,039	1	1,067336989	0,936911219	1,102564103
NFKBIL1	0,353297636	0,093963054	0,062	0,05	1	1,067298006	0,936945441	1,24
CIAO2A	0,031545549	0,093947477	0,08	0,052	1	1,067286481	0,936955557	1,538461538
NCAM2	0,062356197	0,093900514	0,081	0,109	1	1,067251739	0,936986058	0,743119266
COMMD9	0,002867056	0,093882415	0,084	0,045	1	1,06723835	0,936997813	1,866666667
RIDA	0,104742877	0,093872547	0,037	0,023	1	1,067231051	0,937004221	1,608695652
DIS3L	0,300848647	0,093822061	0,035	0,026	1	1,067193705	0,937037012	1,346153846
INTS8	0,513068269	0,093785319	0,031	0,026	1	1,067166526	0,937060876	1,192307692
SLC25A26	0,100348755	0,093664179	0,075	0,053	1	1,067076922	0,937139563	1,41509434
ITGA4	0,956337286	0,093491926	0,023	0,023	1	1,066949524	0,937251461	1
HKDC1	0,000466961	0,093373149	0,055	0,02	1	1,066861686	0,937328627	2,75
RRP1B	0,074544065	0,093371339	0,059	0,039	1	1,066860348	0,937329804	1,512820513
NKAPD1	0,403656447	0,093219574	0,087	0,075	1	1,066748125	0,937428412	1,16
SATB1	0,549953132	0,093166718	0,099	0,088	1	1,066709043	0,937462757	1,125
LRR1	0,186813645	0,093083316	0,036	0,024	1	1,066647378	0,937516953	1,5
GPATCH2	0,456410144	0,093045235	0,125	0,11	1	1,066619224	0,9375417	1,136363636
BTN3A2	0,778899665	0,093039425	0,04	0,037	1	1,066614928	0,937545476	1,081081081
ERI2	0,082949165	0,093026169	0,022	0,011	1	1,066605128	0,93755409	2
DAPL1	0,338127727	0,092996502	0,02	0,014	1	1,066583195	0,93757337	1,428571429
LINC01116	0,287210394	0,092899982	0,134	0,113	1	1,06651184	0,937636098	1,185840708
TERF2	0,553853313	0,092834307	0,044	0,038	1	1,066463291	0,937678782	1,157894737
MLST8	0,014210609	0,092831181	0,072	0,042	1	1,06646098	0,937680814	1,714285714
LINC00839	0,001247559	0,092828553	0,036	0,011	1	1,066459038	0,937682522	3,272727273
TRAPPC13	0,523433703	0,092808373	0,052	0,045	1	1,06644412	0,937695638	1,155555556
ATG16L1	0,552037109	0,09275282	0,028	0,023	1	1,066403056	0,937731746	1,217391304
GPC2	0,116115787	0,092733154	0,015	0,007	1	1,06638852	0,937744529	2,142857143
RPS18	0,190698131	0,092637935	0,843	0,947	1	1,066318139	0,937806423	0,890179514

Supplementary Table 5

Differentially expressed genes_total calculation_ comparing SC-Keloid vs. (SC-Myel, SC-Nonmyel)								
gene	p_val	avg_log2FC	pct.1	pct.2	p_val_adj	Foldchange_UP	Foldchange_DOWN	Ratio_pct1_pct2
SUPT7L	0,277937626	0,092577889	0,051	0,039	1	1,066273759	0,937845456	1,307692308
REP15	0,000128648	0,092553252	0,023	0,001	1	1,066255551	0,937861472	23
DGKZ	0,077252209	0,092508631	0,084	0,06	1	1,066222573	0,937890479	1,4
TSHZ3	0,065241094	0,092482043	0,04	0,023	1	1,066202924	0,937907764	1,739130435
ELK1	0,812684024	0,092401783	0,036	0,038	1	1,06614361	0,937959943	0,947368421
MRPL9	0,372246277	0,092295172	0,081	0,068	1	1,066064828	0,938029258	1,191176471
FUT11	0,059767313	0,092284998	0,049	0,03	1	1,06605731	0,938035874	1,633333333
HMBS	0,000502379	0,09221966	0,052	0,019	1	1,066009031	0,938078357	2,736842105
SNX8	0,036548232	0,092201723	0,044	0,024	1	1,065995777	0,93809002	1,833333333
INPP5F	0,134074511	0,092180568	0,168	0,195	1	1,065980146	0,938103776	0,861538462
WDR82	0,393566758	0,091993034	0,132	0,144	1	1,06584159	0,938225727	0,916666667
WDR24	0,100199472	0,091984162	0,023	0,012	1	1,065835035	0,938231497	1,916666667
PSTK	0,86517561	0,091929042	0,024	0,026	1	1,065794314	0,938267344	0,923076923
GEMIN7	0,001231097	0,091856149	0,038	0,012	1	1,065740466	0,938314751	3,166666667
WDR43	0,31456225	0,091848597	0,102	0,118	1	1,065734887	0,938319663	0,86440678
NDUFAF7	0,990009518	0,091823286	0,034	0,034	1	1,06571619	0,938336125	1
GRHPR	0,246785996	0,091734216	0,193	0,212	1	1,065650396	0,938394058	0,910377358
STN1	0,012229558	0,091676903	0,049	0,024	1	1,065608062	0,938431338	2,041666667
METTL1	0,011081639	0,091628257	0,029	0,011	1	1,065572132	0,938462982	2,636363636
SLC25A6	0,000427157	0,091605904	0,355	0,472	1	1,065555622	0,938477522	0,752118644
BCL2L1	0,108056912	0,091479611	0,079	0,057	1	1,065462348	0,93855968	1,385964912
VASH1	0,021774083	0,091423681	0,066	0,039	1	1,065421043	0,938596067	1,692307692
HYKK	0,114739006	0,091393321	0,021	0,011	1	1,065398623	0,938615818	1,909090909
PRAG1	0,00389216	0,091358785	0,045	0,019	1	1,065373119	0,938638287	2,368421053
PIK3CA	0,911273538	0,091349903	0,079	0,08	1	1,06536656	0,938644066	0,9875
DUSP2	0,195767901	0,091332987	0,016	0,026	1	1,065354068	0,938655072	0,615384615
ASB2	0,002060585	0,091332893	0,013	0	1	1,065353999	0,938655134	#DIV/0!
ZDHC13	0,012174386	0,091273808	0,022	0,007	1	1,065310369	0,938693576	3,142857143
AP2A1	0,317725084	0,091181202	0,097	0,08	1	1,065241989	0,938753833	1,2125
ZNF268	0,352842915	0,0911705	0,024	0,018	1	1,065234087	0,938760797	1,333333333

Supplementary Table 5

Differentially expressed genes_total calculation_ comparing SC-Keloid vs. (SC-Myel, SC-Nonmyel)								
gene	p_val	avg_log2FC	pct.1	pct.2	p_val_adj	Foldchange_UP	Foldchange_DOWN	Ratio_pct1_pct2
TEX9	0,026613143	0,091089635	0,02	0,007	1	1,065174381	0,938813417	2,857142857
LUM	0,295695823	0,091082904	0,065	0,053	1	1,065169411	0,938817797	1,226415094
FKBP7	0,270448842	0,090997448	0,126	0,103	1	1,065106319	0,938873408	1,223300971
GALNT5	0,006686827	0,09095633	0,016	0,003	1	1,065075963	0,938900167	5,333333333
PRPF8	0,182063045	0,090926402	0,128	0,149	1	1,065053869	0,938919645	0,859060403
CWF19L1	0,38866533	0,090926088	0,017	0,012	1	1,065053637	0,938919849	1,416666667
ARID1B	0,013736629	0,090911544	0,2	0,25	1	1,065042901	0,938929314	0,8
PUM3	0,741467908	0,090877733	0,105	0,109	1	1,06501794	0,938951319	0,963302752
TRMT13	0,823600821	0,090710349	0,045	0,047	1	1,064894382	0,939060264	0,957446809
SHLD2	0,683879007	0,090694167	0,049	0,053	1	1,064882438	0,939070797	0,924528302
SEMA3E	0,01845249	0,090674526	0,019	0,005	1	1,064867941	0,939083582	3,8
PPWD1	0,107532703	0,09057238	0,051	0,071	1	1,064792549	0,939150073	0,718309859
MAD1L1	0,066648569	0,090510948	0,064	0,042	1	1,064747209	0,939190065	1,523809524
WDR18	0,022927973	0,09045043	0,102	0,068	1	1,064702546	0,939229463	1,5
RALYL	3,03792E-05	0,090333112	0,03	0,003	0,641032045	1,064615969	0,939305842	10
POMT2	0,260454479	0,090332402	0,054	0,041	1	1,064615445	0,939306305	1,317073171
ACYP1	0,692803732	0,089968491	0,058	0,053	1	1,064346936	0,939543269	1,094339623
DPYSL3	0,007398855	0,089891551	0,055	0,027	1	1,064290175	0,939593377	2,037037037
ELMOD1	0,000314694	0,089835205	0,017	0	1	1,064248609	0,939630074	#DIV/0!
ABHD4	0,194038598	0,089756446	0,041	0,028	1	1,064190512	0,939681372	1,464285714
AIMP2	0,098461221	0,089719858	0,055	0,037	1	1,064163523	0,939705203	1,486486486
SFI1	0,048401724	0,089679192	0,028	0,014	1	1,064133528	0,939731692	2
RSPH9	0,030969523	0,089675207	0,026	0,011	1	1,064130589	0,939734287	2,363636364
ZNF93	0,45977596	0,089641659	0,02	0,015	1	1,064105844	0,93975614	1,333333333
SLC25A3	0,01090139	0,089598318	0,406	0,551	1	1,064073877	0,939784372	0,736842105
CUL4A	0,723973353	0,089497437	0,076	0,069	1	1,063999474	0,939850089	1,101449275
CUTC	0,747345164	0,089452928	0,068	0,071	1	1,063966649	0,939879085	0,957746479
TECPR2	0,524953418	0,089432307	0,043	0,037	1	1,063951441	0,939892519	1,162162162
ZBTB24	0,240303084	0,089087981	0,04	0,028	1	1,063697539	0,940116869	1,428571429
ELOF1	0,253207328	0,088922885	0,123	0,102	1	1,063575821	0,940224458	1,205882353

Supplementary Table 5

Differentially expressed genes_total calculation_ comparing SC-Keloid vs. (SC-Myel, SC-Nonmyel)								
gene	p_val	avg_log2FC	pct.1	pct.2	p_val_adj	Foldchange_UP	Foldchange_DOWN	Ratio_pct1_pct2
NAA25	0,194796029	0,088820943	0,054	0,069	1	1,06350067	0,940290898	0,782608696
YAE1	0,388427306	0,088718522	0,049	0,039	1	1,063425173	0,940357654	1,256410256
KRBOX1	0,220425209	0,088642146	0,027	0,018	1	1,063368876	0,940407438	1,5
FRY	0,8374195	0,088637036	0,01	0,009	1	1,06336511	0,940410768	1,111111111
MAML1	0,494246366	0,088573786	0,047	0,039	1	1,063318491	0,940451998	1,205128205
SLC37A4	0,122102548	0,088520508	0,031	0,019	1	1,063279224	0,940486729	1,631578947
UBE3D	0,115150912	0,088516881	0,015	0,007	1	1,063276551	0,940489094	2,142857143
LARP1B	0,708849948	0,088434465	0,107	0,099	1	1,063215812	0,940542822	1,080808081
NUP214	0,559940657	0,088416391	0,044	0,05	1	1,063202492	0,940554605	0,88
VRK1	0,431826533	0,088393965	0,038	0,031	1	1,063185965	0,940569226	1,225806452
ICA1L	0,977993791	0,088370975	0,023	0,023	1	1,063169023	0,940584214	1
COX18	0,011601906	0,088203467	0,027	0,009	1	1,063045588	0,94069343	3
TUBGCP5	0,052875097	0,088191742	0,044	0,026	1	1,063036948	0,940701075	1,692307692
SERPINB6	0,058582403	0,088011874	0,226	0,265	1	1,062904422	0,940818364	0,852830189
ANKRA2	0,687992481	0,088008675	0,041	0,037	1	1,062902066	0,94082045	1,108108108
EXOC6	0,241770612	0,088008431	0,028	0,019	1	1,062901886	0,940820609	1,473684211
OGFOD3	0,15663697	0,08785293	0,08	0,061	1	1,062787327	0,940922021	1,31147541
NINJ2	0,094291883	0,087738022	0,012	0,004	1	1,062702681	0,940996967	3
ELAC2	0,041395187	0,087735752	0,052	0,031	1	1,062701009	0,940998448	1,677419355
ARMC7	0,036968971	0,08770672	0,021	0,008	1	1,062679624	0,941017384	2,625
PRKAA1	0,608113781	0,087704428	0,064	0,057	1	1,062677936	0,941018879	1,122807018
EHMT1	0,568444712	0,087672774	0,066	0,058	1	1,06265462	0,941039526	1,137931034
SLC31A2	0,043135962	0,087606333	0,036	0,019	1	1,062605682	0,941082865	1,894736842
CKAP2	0,900778651	0,087522942	0,041	0,039	1	1,062544263	0,941137263	1,051282051
TRIM27	0,861483684	0,08746323	0,058	0,06	1	1,062500287	0,941176217	0,966666667
ZDHHC9	0,517986888	0,087448975	0,027	0,022	1	1,062489788	0,941185516	1,227272727
DNAJC4	0,127006668	0,087423524	0,109	0,084	1	1,062471044	0,94120212	1,297619048
FRMPD4	0,005346706	0,087409678	0,01	0	1	1,062460847	0,941211154	#DIV/0!
PROCR	0,000663869	0,087045605	0,028	0,005	1	1,062192763	0,941448704	5,6
CHN1	0,045724097	0,086873559	0,083	0,056	1	1,0620661	0,941560982	1,482142857

Supplementary Table 5

Differentially expressed genes_total calculation_ comparing SC-Keloid vs. (SC-Myel, SC-Nonmyel)								
gene	p_val	avg_log2FC	pct.1	pct.2	p_val_adj	Foldchange_UP	Foldchange_DOWN	Ratio_pct1_pct2
DHODH	0,254147594	0,086851475	0,024	0,016	1	1,062049843	0,941575394	1,5
PLBD2	0,414972929	0,086778658	0,061	0,05	1	1,06199624	0,94162292	1,22
LENG8-AS1	0,623064972	0,086753688	0,01	0,008	1	1,061977859	0,941639218	1,25
ZDHHC4	0,092788361	0,086736916	0,077	0,054	1	1,061965513	0,941650164	1,425925926
EDEM2	0,018906017	0,086695467	0,076	0,046	1	1,061935003	0,941677219	1,652173913
DRAM2	0,423193663	0,086665336	0,072	0,061	1	1,061912824	0,941696886	1,180327869
CIT	0,061220941	0,086576954	0,176	0,213	1	1,061847772	0,941754578	0,82629108
SLC25A46	0,219157539	0,086464103	0,069	0,053	1	1,061764715	0,941828247	1,301886792
PPM1L	0,094016768	0,086406482	0,012	0,004	1	1,061722309	0,941865864	3
NAGPA	0,187422908	0,086395477	0,036	0,024	1	1,06171421	0,941873049	1,5
UTY	0,172312066	0,086335921	0,017	0,009	1	1,061670382	0,941911931	1,888888889
FICD	0,198450557	0,086322247	0,029	0,019	1	1,06166032	0,941920858	1,526315789
SNX3	0,003504642	0,086255545	0,356	0,456	1	1,061611236	0,941964409	0,780701754
MPI	0,011740193	0,086238598	0,027	0,009	1	1,061598765	0,941975474	3
IQCG	0,681216943	0,086147832	0,047	0,042	1	1,061531978	0,942034739	1,119047619
PAK1IP1	0,183819313	0,08613895	0,087	0,068	1	1,061525442	0,942040539	1,279411765
PGBD1	0,157453937	0,08613576	0,023	0,014	1	1,061523095	0,942042622	1,642857143
FAM234A	0,798619825	0,086046054	0,147	0,138	1	1,061457092	0,942101199	1,065217391
SLC1A4	0,497491372	0,08604213	0,028	0,034	1	1,061454206	0,942103762	0,823529412
ATE1	0,476918209	0,086034131	0,071	0,061	1	1,06144832	0,942108985	1,163934426
RESF1	0,811220848	0,086009541	0,049	0,046	1	1,061430229	0,942125043	1,065217391
METTL8	0,244761282	0,08600451	0,036	0,026	1	1,061426527	0,942128329	1,384615385
HOXB8	7,32793E-07	0,085889356	0,043	0,004	0,015462673	1,061341809	0,942203531	10,75
ZDHHC16	0,014688368	0,085867273	0,038	0,018	1	1,061325563	0,942217953	2,111111111
ICA1	0,062546361	0,085599847	0,013	0,004	1	1,061128848	0,942392624	3,25
ZSCAN16	0,060051896	0,085533595	0,015	0,005	1	1,061080119	0,942435903	3
SEPTIN6	0,234242706	0,085420137	0,016	0,009	1	1,060996677	0,942510021	1,777777778
BLM	0,127979002	0,085054462	0,013	0,005	1	1,060727783	0,942748947	2,6
RALGAPB	0,088988916	0,085030438	0,047	0,066	1	1,06071012	0,942764645	0,712121212
CBWD1	0,321094397	0,084965327	0,094	0,077	1	1,06066225	0,942807195	1,220779221

Supplementary Table 5

Differentially expressed genes_total calculation_ comparing SC-Keloid vs. (SC-Myel, SC-Nonmyel)								
gene	p_val	avg_log2FC	pct.1	pct.2	p_val_adj	Foldchange_UP	Foldchange_DOWN	Ratio_pct1_pct2
ABCB8	0,028220074	0,084899281	0,049	0,027	1	1,060613694	0,942850357	1,814814815
TRNP1	0,103653104	0,08488857	0,086	0,062	1	1,060605819	0,942857357	1,387096774
NBL1	0,291445186	0,08474082	0,043	0,033	1	1,060497206	0,942953922	1,303030303
ADAMTS6	0,002711077	0,084729917	0,019	0,003	1	1,060489191	0,942961049	6,333333333
LCA5L	0,061790103	0,084724808	0,013	0,004	1	1,060485436	0,942964388	3,25
APTX	0,018071424	0,084637249	0,075	0,045	1	1,060421076	0,943021619	1,666666667
CARM1	0,176183741	0,084626784	0,077	0,058	1	1,060413384	0,94302846	1,327586207
ZNF74	0,334939922	0,084596395	0,02	0,014	1	1,060391047	0,943048324	1,428571429
NSUN3	0,199304891	0,084475145	0,029	0,019	1	1,060301931	0,943127585	1,526315789
ZCCHC9	0,045835037	0,084441217	0,068	0,043	1	1,060276997	0,943149765	1,581395349
SNX27	0,703714785	0,084428556	0,122	0,126	1	1,060267692	0,943158042	0,968253968
YARS1	0,473484152	0,084422383	0,083	0,072	1	1,060263155	0,943162077	1,152777778
PDXK	0,677605594	0,084412759	0,091	0,096	1	1,060256082	0,943168369	0,947916667
TSPAN4	0,329477937	0,084382282	0,105	0,118	1	1,060233684	0,943188294	0,889830508
RXYLT1	0,127690496	0,084100214	0,104	0,079	1	1,060026414	0,943372719	1,316455696
TAF9B	0,017534778	0,084050434	0,045	0,023	1	1,059989838	0,94340527	1,956521739
CEP89	0,024688738	0,083999906	0,068	0,041	1	1,059952714	0,943438313	1,658536585
ZNF684	0,349691836	0,083870111	0,024	0,018	1	1,059857358	0,943523195	1,333333333
TPK1	0,08807384	0,083848455	0,014	0,005	1	1,059841448	0,943537358	2,8
C2orf69	0,826824752	0,083845266	0,023	0,022	1	1,059839106	0,943539443	1,045454545
UVSSA	0,971604252	0,083843961	0,045	0,045	1	1,059838147	0,943540297	1
VCP	0,230468985	0,083792828	0,197	0,216	1	1,059800585	0,943573739	0,912037037
SEMA6D	0,842796203	0,083699338	0,07	0,066	1	1,059731909	0,943634887	1,060606061
ENKD1	0,581378202	0,083668759	0,045	0,039	1	1,059709447	0,943654888	1,153846154
SIKE1	0,299196204	0,083571174	0,068	0,054	1	1,05963777	0,94371872	1,259259259
PAPOLG	0,121389089	0,083526159	0,026	0,039	1	1,059604708	0,943748166	0,666666667
ZFAND3	0,607444519	0,083487446	0,126	0,13	1	1,059576276	0,94377349	0,969230769
EXOSC5	0,460159355	0,083345353	0,064	0,054	1	1,059471921	0,943866449	1,185185185
PHACTR3	0,005213592	0,083333208	0,014	0,001	1	1,059463003	0,943874394	14
TMX4	0,403495237	0,083099349	0,173	0,185	1	1,059291279	0,944027408	0,935135135

Supplementary Table 5

Differentially expressed genes_total calculation_ comparing SC-Keloid vs. (SC-Myel, SC-Nonmyel)								
gene	p_val	avg_log2FC	pct.1	pct.2	p_val_adj	Foldchange_UP	Foldchange_DOWN	Ratio_pct1_pct2
PIGW	0,001560525	0,083090276	0,026	0,005	1	1,059284617	0,944033345	5,2
SH3BP1	0,001215343	0,08305892	0,034	0,009	1	1,059261594	0,944053863	3,777777778
NKAIN4	0,252467975	0,083030859	0,044	0,033	1	1,059240991	0,944072225	1,333333333
RNF14	0,024026949	0,082983306	0,064	0,038	1	1,059206078	0,944103343	1,684210526
CDC42SE2	0,432043255	0,082830686	0,078	0,066	1	1,059094033	0,944203224	1,181818182
CUTA	0,068960633	0,082803926	0,261	0,315	1	1,059074388	0,944220738	0,828571429
TBC1D22A	0,073360756	0,082799411	0,044	0,027	1	1,059071073	0,944223693	1,62962963
FAM89A	0,088629158	0,082734042	0,057	0,038	1	1,059023088	0,944266477	1,5
TIMM10B	0,186329747	0,082683741	0,054	0,069	1	1,058986164	0,9442994	0,782608696
GNPDA2	0,374918974	0,08265449	0,069	0,057	1	1,058964694	0,944318546	1,210526316
CEP57L1	0,298332911	0,082639246	0,057	0,045	1	1,058953504	0,944328524	1,266666667
ADCY1	0,056570468	0,082621476	0,017	0,007	1	1,058940461	0,944340156	2,428571429
DCAF11	0,483352523	0,08249402	0,055	0,046	1	1,058846912	0,944423588	1,195652174
SAAL1	0,239690971	0,082438258	0,031	0,022	1	1,058805987	0,944460092	1,409090909
TYMP	0,916432101	0,082433834	0,05	0,049	1	1,05880274	0,944462988	1,020408163
MLYCD	0,466831082	0,082406395	0,029	0,023	1	1,058782603	0,944480951	1,260869565
RTL10	0,269561029	0,082393923	0,017	0,011	1	1,05877345	0,944489116	1,545454545
IFIT5	0,21234302	0,082359491	0,031	0,043	1	1,058748181	0,944511658	0,720930233
SMYD2	0,027630426	0,082337002	0,062	0,037	1	1,058731677	0,944526381	1,675675676
SGO2	0,093013753	0,08227486	0,029	0,016	1	1,058686075	0,944567066	1,8125
HIGD1A	0,777482253	0,082179621	0,157	0,147	1	1,058616188	0,944629424	1,068027211
NIPAL3	0,404167923	0,082156166	0,027	0,034	1	1,058598978	0,944644781	0,794117647
SPACA9	0,015945039	0,082107321	0,036	0,016	1	1,058563138	0,944676764	2,25
NFATC3	0,359957209	0,082055592	0,048	0,038	1	1,058525183	0,944710637	1,263157895
AP4E1	0,020991859	0,082038356	0,029	0,012	1	1,058512536	0,944721924	2,416666667
RABL3	0,09626269	0,08194133	0,04	0,024	1	1,058441351	0,944785462	1,666666667
BEX4	0,00148387	0,081898474	0,097	0,149	1	1,05840991	0,944813527	0,651006711
TRMT61B	0,265379251	0,08189797	0,045	0,034	1	1,058409539	0,944813858	1,323529412
NACA2	0,437220897	0,081841861	0,01	0,015	1	1,058368377	0,944850604	0,666666667
FAM200A	0,018424419	0,081762554	0,021	0,007	1	1,058310199	0,944902545	3

Supplementary Table 5

Differentially expressed genes_total calculation_ comparing SC-Keloid vs. (SC-Myel, SC-Nonmyel)								
gene	p_val	avg_log2FC	pct.1	pct.2	p_val_adj	Foldchange_UP	Foldchange_DOWN	Ratio_pct1_pct2
CARD6	0,002055812	0,081651299	0,016	0,001	1	1,058228589	0,944975415	16
ZSCAN16-AS1	0,572756754	0,081581842	0,13	0,118	1	1,058177643	0,945020911	1,101694915
GEMIN2	0,05262654	0,081498754	0,044	0,026	1	1,058116702	0,945075339	1,692307692
ARMCX5	0,487270907	0,081491985	0,03	0,024	1	1,058111738	0,945079772	1,25
SSX2IP	0,137638458	0,081454748	0,026	0,015	1	1,058084427	0,945104166	1,733333333
NEK5	0,039654921	0,081439054	0,012	0,003	1	1,058072917	0,945114448	4
C19orf25	0,058701244	0,081366165	0,085	0,058	1	1,058019461	0,945162198	1,465517241
DUSP4	0,05247227	0,081199569	0,048	0,028	1	1,057897293	0,945271348	1,714285714
NFXL1	0,385963379	0,081182098	0,035	0,027	1	1,057884482	0,945282795	1,296296296
AP5S1	0,121634458	0,08114277	0,028	0,016	1	1,057855645	0,945308564	1,75
GNE	0,750383249	0,081138048	0,026	0,023	1	1,057852182	0,945311658	1,130434783
URB2	0,577372428	0,081132026	0,014	0,011	1	1,057847767	0,945315604	1,272727273
SZRD1	0,496621622	0,081067897	0,156	0,163	1	1,057800745	0,945357625	0,957055215
COG6	0,097784867	0,080994905	0,065	0,045	1	1,057747228	0,945405455	1,444444444
WDR53	0,719611653	0,080980447	0,013	0,011	1	1,057736628	0,94541493	1,181818182
DHRS4	0,164953579	0,080977832	0,047	0,033	1	1,057734711	0,945416644	1,424242424
CD68	0,23031017	0,080859904	0,027	0,018	1	1,057648254	0,945493926	1,5
ABCC10	0,300744682	0,080787569	0,019	0,012	1	1,057595225	0,945541334	1,583333333
WNK1	0,022093058	0,080646797	0,2	0,248	1	1,057492035	0,9456336	0,806451613
KIF3B	0,040642151	0,080605901	0,059	0,037	1	1,057462058	0,945660406	1,594594595
DYNC2I2	0,008396468	0,080512421	0,107	0,066	1	1,057393542	0,945721683	1,621212121
MMS19	0,016356709	0,080466979	0,057	0,031	1	1,057360237	0,945751471	1,838709677
MACO1	0,754782772	0,080456348	0,097	0,09	1	1,057352446	0,94575844	1,077777778
EEF1AKMT3	0,060302649	0,080351093	0,015	0,005	1	1,057275307	0,945827443	3
SYNRG	0,630329277	0,080238006	0,076	0,081	1	1,057192434	0,945901586	0,938271605
TSTD2	0,707543254	0,080169362	0,041	0,045	1	1,057142134	0,945946593	0,911111111
CCNT2	0,06332994	0,080111399	0,081	0,109	1	1,057099662	0,945984599	0,743119266
TTC12	0,08830934	0,080098341	0,014	0,005	1	1,057090094	0,945993161	2,8
ZSCAN5A	0,271920453	0,080066202	0,014	0,008	1	1,057066546	0,946014235	1,75
TP53INP1	0,424044629	0,080060769	0,033	0,026	1	1,057062565	0,946017798	1,269230769

Supplementary Table 5

Differentially expressed genes_total calculation_ comparing SC-Keloid vs. (SC-Myel, SC-Nonmyel)								
gene	p_val	avg_log2FC	pct.1	pct.2	p_val_adj	Foldchange_UP	Foldchange_DOWN	Ratio_pct1_pct2
C11orf80	0,229056638	0,080031199	0,038	0,027	1	1,057040899	0,946037188	1,407407407
GLI4	0,50063974	0,079942088	0,057	0,049	1	1,056975611	0,946095624	1,163265306
ZNF287	0,008122861	0,079843718	0,028	0,009	1	1,056903544	0,946160135	3,111111111
ACADM	0,89306021	0,079837638	0,086	0,087	1	1,05689909	0,946164123	0,988505747
DYNC1LI2	4,4865E-05	0,07980634	0,295	0,406	0,946696901	1,056876161	0,946184649	0,726600985
RGS8	0,000802422	0,079739137	0,015	0	1	1,056826931	0,946228725	#DIV/0!
C11orf54	0,029869608	0,079621178	0,051	0,079	1	1,056740526	0,946306095	0,64556962
COG8	0,04395915	0,079614198	0,024	0,011	1	1,056735413	0,946310673	2,181818182
STXBP4	0,056186822	0,079226275	0,035	0,019	1	1,056451308	0,946565159	1,842105263
MIA2	0,640484626	0,079156894	0,043	0,038	1	1,056400503	0,946610681	1,131578947
C17orf58	0,054740412	0,079150692	0,026	0,012	1	1,056395962	0,946614751	2,166666667
MRPL37	0,002157701	0,079126063	0,101	0,057	1	1,056377928	0,946630911	1,771929825
ADAMTS15	0,123452433	0,079094334	0,031	0,019	1	1,056354695	0,94665173	1,631578947
ACAP2	0,504804417	0,079035469	0,161	0,17	1	1,056311595	0,946690357	0,947058824
MORN4	0,002197872	0,079010868	0,043	0,016	1	1,056293582	0,9467065	2,6875
DIDO1	0,355841379	0,078969549	0,061	0,072	1	1,056263331	0,946733614	0,847222222
RAB11B-AS1	0,178902794	0,078912285	0,021	0,012	1	1,056221405	0,946771193	1,75
SEMA7A	0,545036749	0,078744424	0,038	0,033	1	1,056098519	0,946881358	1,151515152
RPS6	0,075158869	0,07871732	0,725	0,868	1	1,056078679	0,946899147	0,835253456
SEMA3A	0,134737482	0,078622493	0,022	0,012	1	1,056009266	0,946961388	1,833333333
PCNX2	0,000399204	0,078535148	0,042	0,012	1	1,055945333	0,947018722	3,5
ATP2C1	0,647128482	0,078494103	0,114	0,104	1	1,055915292	0,947045665	1,096153846
LYSMD4	0,003220404	0,078411663	0,021	0,004	1	1,055854955	0,947099784	5,25
PES1	0,094988662	0,078380878	0,05	0,033	1	1,055832426	0,947119993	1,515151515
FOXRED2	0,233375539	0,078364612	0,016	0,009	1	1,055820522	0,947130672	1,777777778
NAALADL1	0,567187927	0,078357913	0,034	0,028	1	1,055815619	0,94713507	1,214285714
H1-3	0,670674876	0,078331252	0,012	0,009	1	1,055796108	0,947152573	1,333333333
PPM1M	0,472376455	0,078325994	0,04	0,033	1	1,055792259	0,947156025	1,212121212
BTN3A1	0,024042296	0,078279718	0,024	0,009	1	1,055758394	0,947186407	2,666666667
HAUS6	0,387978345	0,078240899	0,044	0,035	1	1,055729987	0,947211893	1,257142857

Supplementary Table 5

Differentially expressed genes_total calculation_ comparing SC-Keloid vs. (SC-Myel, SC-Nonmyel)								
gene	p_val	avg_log2FC	pct.1	pct.2	p_val_adj	Foldchange_UP	Foldchange_DOWN	Ratio_pct1_pct2
TBC1D12	0,858341176	0,078191264	0,057	0,054	1	1,055693666	0,947244482	1,055555556
APCDD1L	0,00019746	0,078038517	0,019	0	1	1,055581899	0,947344778	#DIV/0!
ANKRD10	0,004042601	0,078021225	0,412	0,56	1	1,055569247	0,947356133	0,735714286
DFFB	0,093090888	0,077952232	0,008	0,018	1	1,055518768	0,947401439	0,444444444
FAM193A	0,729524948	0,077948483	0,078	0,072	1	1,055516026	0,947403901	1,083333333
RSPH3	0,529278077	0,077839397	0,017	0,014	1	1,055436218	0,947475539	1,214285714
PIGM	0,344389611	0,077797572	0,037	0,028	1	1,055405621	0,947503007	1,321428571
HBB	0,263879743	0,077739143	0,017	0,011	1	1,055362878	0,947541382	1,545454545
DHX8	0,804472447	0,077701145	0,054	0,056	1	1,055335082	0,947566339	0,964285714
TOR1AIP2	0,61972126	0,077693433	0,148	0,153	1	1,055329441	0,947571404	0,967320261
CNPY4	0,058927803	0,0775904	0,056	0,035	1	1,055254074	0,94763908	1,6
TDP2	0,727629293	0,077568201	0,047	0,05	1	1,055237837	0,947653661	0,94
CTU2	0,018161578	0,077565856	0,051	0,027	1	1,055236122	0,947655202	1,888888889
TMCO3	0,832006181	0,077461977	0,085	0,087	1	1,055160144	0,947723439	0,977011494
HOMER1	0,464256294	0,077362474	0,055	0,046	1	1,055087372	0,947788805	1,195652174
NLE1	0,000288327	0,077269201	0,03	0,005	1	1,055019161	0,947850084	6
SELENOK	0,01294852	0,077231009	0,391	0,486	1	1,054991232	0,947875176	0,804526749
SGPL1	0,952946686	0,077215246	0,051	0,05	1	1,054979705	0,947885533	1,02
DNAJC13	0,295640958	0,077176181	0,052	0,041	1	1,054951139	0,9479112	1,268292683
BHLHB9	0,039865372	0,077160594	0,012	0,003	1	1,054939741	0,947921441	4
MCCC2	0,885188233	0,077135652	0,047	0,047	1	1,054921503	0,947937829	1
H2BC5	0,911756383	0,077073001	0,013	0,012	1	1,054875693	0,947978996	1,083333333
ABCC1	0,926399456	0,077068456	0,021	0,02	1	1,05487237	0,947981982	1,05
STARD3NL	0,812989441	0,077062095	0,088	0,083	1	1,054867719	0,947986162	1,060240964
AVL9	0,833362081	0,077027869	0,043	0,041	1	1,054842694	0,948008652	1,048780488
IKBKG	0,025528932	0,076989792	0,051	0,028	1	1,054814853	0,948033673	1,821428571
ANP32B	0,041293522	0,076984922	0,265	0,322	1	1,054811293	0,948036873	0,822981366
ALG1	0,000867543	0,076965305	0,042	0,014	1	1,05479695	0,948049764	3
MRPL23	0,815065675	0,076899934	0,164	0,166	1	1,054749157	0,948092723	0,987951807
CD200	0,409294061	0,07668746	0,065	0,075	1	1,054593829	0,948232364	0,866666667

Supplementary Table 5

Differentially expressed genes_total calculation_ comparing SC-Keloid vs. (SC-Myel, SC-Nonmyel)								
gene	p_val	avg_log2FC	pct.1	pct.2	p_val_adj	Foldchange_UP	Foldchange_DOWN	Ratio_pct1_pct2
RNPEPL1	0,025812141	0,076624883	0,118	0,08	1	1,054548087	0,948273495	1,475
FIGNL1	0,849145646	0,076601673	0,017	0,016	1	1,054531122	0,948288751	1,0625
DGUOK-AS1	0,102259144	0,07659166	0,023	0,012	1	1,054523802	0,948295333	1,916666667
MCM8	0,201189508	0,076533298	0,015	0,008	1	1,054481144	0,948333695	1,875
CCNJL	0,026754723	0,076456764	0,03	0,014	1	1,054425206	0,948384005	2,142857143
E2F1	0,005690822	0,07643966	0,027	0,008	1	1,054412706	0,948395249	3,375
BBOX1	0,067161154	0,07642022	0,021	0,009	1	1,054398498	0,948408028	2,333333333
PLEKHJ1	0,059424375	0,076405665	0,111	0,079	1	1,05438786	0,948417596	1,405063291
FAM86C1P	0,012269426	0,07637536	0,02	0,005	1	1,054365712	0,948437519	4
INIP	0,278686305	0,076358447	0,063	0,076	1	1,054353352	0,948448637	0,828947368
ST7	0,135991	0,076236309	0,022	0,012	1	1,054264094	0,948528936	1,833333333
ELK4	0,153144496	0,076147551	0,128	0,152	1	1,054199235	0,948587294	0,842105263
BACH1	0,117418131	0,076138123	0,275	0,315	1	1,054192346	0,948593493	0,873015873
XXYL1	0,005357481	0,076131959	0,044	0,019	1	1,054187842	0,948597546	2,315789474
PGAP3	0,978993837	0,076084898	0,023	0,023	1	1,054153455	0,94862849	1
SHISAL1	0,00051324	0,076068689	0,02	0,001	1	1,054141611	0,948639148	20
PXYLP1	0,061340198	0,076064057	0,023	0,011	1	1,054138227	0,948642194	2,090909091
RPIA	0,474094648	0,076055435	0,059	0,05	1	1,054131927	0,948647863	1,18
GTF3C3	0,147846711	0,076046718	0,052	0,037	1	1,054125558	0,948653595	1,405405405
RPE	0,264730738	0,076046336	0,054	0,041	1	1,054125279	0,948653846	1,317073171
ZNF354C	0,38724499	0,076028582	0,017	0,012	1	1,054112307	0,948665521	1,416666667
CEP44	0,250460902	0,076017741	0,04	0,052	1	1,054104386	0,948672649	0,769230769
TRIM16	0,006867825	0,075976256	0,051	0,024	1	1,054074075	0,948699929	2,125
MTMR2	0,117518794	0,075946318	0,068	0,047	1	1,054052202	0,948719616	1,446808511
TYW3	0,734551036	0,075904778	0,092	0,085	1	1,054021852	0,948746933	1,082352941
WDR81	0,156097986	0,075886196	0,023	0,014	1	1,054008277	0,948759153	1,642857143
GET1	0,63579851	0,07586683	0,091	0,096	1	1,053994129	0,948771889	0,947916667
SYNGR1	0,034138065	0,075804511	0,171	0,209	1	1,0539486	0,948812873	0,818181818
TBC1D22B	0,70232671	0,075689117	0,014	0,016	1	1,053864304	0,948888767	0,875
PTPRG	0,834269087	0,075660896	0,016	0,018	1	1,05384369	0,948907328	0,888888889

Supplementary Table 5

Differentially expressed genes_total calculation_ comparing SC-Keloid vs. (SC-Myel, SC-Nonmyel)								
gene	p_val	avg_log2FC	pct.1	pct.2	p_val_adj	Foldchange_UP	Foldchange_DOWN	Ratio_pct1_pct2
PLAA	0,430907532	0,075614198	0,037	0,03	1	1,053809578	0,948938044	1,233333333
BABAM1	0,845775826	0,075545027	0,111	0,104	1	1,053759054	0,948983543	1,067307692
TPRN	0,045958248	0,075408375	0,043	0,024	1	1,053659247	0,949073434	1,791666667
EIF4G1	0,120878245	0,07539552	0,151	0,178	1	1,053649858	0,949081891	0,848314607
ROPN1B	0,135739579	0,075359242	0,022	0,012	1	1,053623364	0,949105757	1,833333333
ULBP2	0,000830919	0,075269968	0,035	0,009	1	1,053558167	0,949164449	3,888888889
BEAN1	0,041249853	0,075237922	0,014	0,004	1	1,053534765	0,949185573	3,5
TIMM9	0,759708818	0,075206843	0,084	0,077	1	1,05351207	0,949206021	1,090909091
MINPP1	0,011763509	0,075156158	0,037	0,016	1	1,053475058	0,949239369	2,3125
BRI3BP	0,522480249	0,075046263	0,027	0,022	1	1,053394815	0,949311679	1,227272727
HNRNPD	7,63218E-05	0,075003063	0,296	0,407	1	1,053363273	0,949340105	0,727272727
CDC73	0,03999318	0,07492385	0,162	0,201	1	1,053305438	0,949392231	0,805970149
ZC3H8	0,72630249	0,074906905	0,037	0,034	1	1,053293066	0,949403383	1,088235294
CEP126	0,527044936	0,074833872	0,037	0,043	1	1,053239747	0,949451445	0,860465116
CEP162	0,499054298	0,074813926	0,036	0,03	1	1,053225186	0,949464572	1,2
RBBP9	0,027420353	0,074778014	0,017	0,005	1	1,053198969	0,949488207	3,4
ABT1	0,428250103	0,074762533	0,047	0,038	1	1,053187667	0,949498395	1,236842105
ATP8B2	0,207405643	0,074761041	0,063	0,079	1	1,053186578	0,949499377	0,797468354
RRAS	0,644485396	0,074742165	0,212	0,214	1	1,053172798	0,9495118	0,990654206
ACAP3	0,794082336	0,074645316	0,088	0,083	1	1,053102101	0,949575544	1,060240964
HHAT	0,200372972	0,074621099	0,015	0,008	1	1,053084423	0,949591484	1,875
RAE1	0,393289649	0,074583838	0,065	0,054	1	1,053057226	0,949616009	1,203703704
GEMIN4	0,617024715	0,074511666	0,015	0,012	1	1,053004547	0,949663516	1,25
SLC39A13	0,554185845	0,074503472	0,108	0,096	1	1,052998566	0,94966891	1,125
DSCC1	0,003615411	0,074438405	0,023	0,005	1	1,052951076	0,949711742	4,6
NHLRC2	0,572882535	0,074437718	0,065	0,072	1	1,052950575	0,949712194	0,902777778
DKC1	0,518812734	0,07440855	0,072	0,062	1	1,052929287	0,949731395	1,161290323
SMARCC1	0,304242857	0,074344685	0,099	0,113	1	1,052882676	0,949773439	0,876106195
SLC25A14	0,283765736	0,074311885	0,026	0,018	1	1,052858739	0,949795032	1,444444444
MCM5	0,664236188	0,074272746	0,045	0,041	1	1,052830177	0,949820799	1,097560976

Supplementary Table 5

Differentially expressed genes_total calculation_ comparing SC-Keloid vs. (SC-Myel, SC-Nonmyel)								
gene	p_val	avg_log2FC	pct.1	pct.2	p_val_adj	Foldchange_UP	Foldchange_DOWN	Ratio_pct1_pct2
MRPL24	0,030657089	0,074258873	0,098	0,065	1	1,052820053	0,949829933	1,507692308
UGGT1	0,045687189	0,074174801	0,068	0,043	1	1,052758702	0,949885285	1,581395349
ZNF48	0,012389662	0,074171115	0,022	0,007	1	1,052756012	0,949887712	3,142857143
ANAPC10	0,528254215	0,074140128	0,075	0,065	1	1,052733401	0,949908115	1,153846154
GPATCH1	0,744044153	0,074127812	0,02	0,018	1	1,052724414	0,949916223	1,111111111
TEX30	0,118274417	0,074095793	0,042	0,027	1	1,05270105	0,949937306	1,555555556
IQCK	0,172647808	0,074078032	0,035	0,023	1	1,05268809	0,949949001	1,52173913
ACBD5	0,420492853	0,074067126	0,105	0,091	1	1,052680133	0,949956182	1,153846154
ZWINT	0,002693591	0,074049084	0,031	0,009	1	1,052666968	0,949968062	3,444444444
AP5M1	0,025633944	0,074000588	0,051	0,028	1	1,052631584	0,949999996	1,821428571
SUMF1	0,615542589	0,073818759	0,069	0,061	1	1,052498925	0,950119735	1,131147541
ABHD12	0,993835378	0,073764901	0,136	0,132	1	1,052459634	0,950155206	1,03030303
OSCP1	0,01043103	0,073752934	0,015	0,003	1	1,052450904	0,950163087	5
ALKBH4	0,455363144	0,073736777	0,029	0,023	1	1,052439117	0,950173729	1,260869565
PSORS1C1	0,074560769	0,073733354	0,019	0,008	1	1,05243662	0,950175983	2,375
PRECSIT	0,016081693	0,073693805	0,028	0,011	1	1,05240777	0,950202031	2,545454545
DTX2	0,11067846	0,073674536	0,03	0,018	1	1,052393714	0,950214722	1,666666667
STK10	0,122629947	0,073665925	0,07	0,05	1	1,052387432	0,950220394	1,4
SUSD1	0,08830934	0,073648318	0,014	0,005	1	1,052374589	0,95023199	2,8
POC1A	0,001296146	0,073636498	0,017	0,001	1	1,052365966	0,950239776	17
RNASE1	0,019479563	0,073624617	0,02	0,039	1	1,0523573	0,950247601	0,512820513
CYBC1	0,142345636	0,073621343	0,071	0,052	1	1,052354912	0,950249757	1,365384615
SLAIN2	0,046484669	0,073612712	0,146	0,183	1	1,052348616	0,950255442	0,797814208
ZNF264	0,254353281	0,073609214	0,04	0,052	1	1,052346065	0,950257746	0,769230769
CCDC138	0,150999964	0,073548996	0,02	0,011	1	1,052302141	0,950297411	1,818181818
RPS2	0,472915523	0,073512782	0,708	0,912	1	1,052275727	0,950321265	0,776315789
METTL17	0,828148333	0,073461511	0,07	0,072	1	1,052238331	0,950355039	0,972222222
XPNPEP1	0,388507234	0,07336578	0,058	0,047	1	1,052168511	0,950418103	1,234042553
TDP1	0,353294531	0,073359825	0,024	0,018	1	1,052164168	0,950422025	1,333333333
LINC00973	0,061871786	0,073358992	0,01	0,003	1	1,052163561	0,950422574	3,333333333

Supplementary Table 5

Differentially expressed genes_total calculation_ comparing SC-Keloid vs. (SC-Myel, SC-Nonmyel)								
gene	p_val	avg_log2FC	pct.1	pct.2	p_val_adj	Foldchange_UP	Foldchange_DOWN	Ratio_pct1_pct2
BTBD3	0,569763846	0,073357608	0,062	0,068	1	1,052162552	0,950423486	0,911764706
NOC2L	0,614400284	0,073345638	0,085	0,091	1	1,052153822	0,950431371	0,934065934
CCZ1B	0,889647445	0,073330086	0,047	0,047	1	1,05214248	0,950441617	1
MYT1	0,01342148	0,073316471	0,012	0,001	1	1,052132551	0,950450587	12
BET1L	0,332178933	0,073263643	0,05	0,039	1	1,052094025	0,95048539	1,282051282
METTL25	0,727361838	0,073209923	0,024	0,027	1	1,05205485	0,950520783	0,888888889
FOXC2	0,018293901	0,073104095	0,021	0,007	1	1,05197768	0,950590511	3
DNAAF9	0,912847907	0,073034748	0,063	0,061	1	1,051927115	0,950636204	1,032786885
PPP4R1	0,815742305	0,073010755	0,114	0,107	1	1,051909621	0,950652014	1,065420561
PCDHGA6	0,153319521	0,072990796	0,02	0,011	1	1,051895068	0,950665166	1,818181818
TRAPPC12	0,266920327	0,072988277	0,076	0,06	1	1,051893231	0,950666826	1,266666667
ZNF746	0,411251303	0,07292112	0,022	0,016	1	1,051844268	0,95071108	1,375
GOLPH3L	0,532361145	0,07290618	0,021	0,026	1	1,051833375	0,950720926	0,807692308
TLK1	0,449402365	0,072667786	0,078	0,066	1	1,051659582	0,950878038	1,181818182
RUFY2	0,626341356	0,072606118	0,064	0,069	1	1,05161463	0,950918684	0,927536232
FER	0,016043174	0,072573037	0,086	0,123	1	1,051590517	0,950940489	0,699186992
CCNA2	0,093605303	0,072559774	0,012	0,004	1	1,051580849	0,950949231	3
NACC1	0,00209505	0,072557028	0,045	0,018	1	1,051578848	0,950951041	2,5
TMED4	0,090147847	0,072491776	0,214	0,246	1	1,051531287	0,950994053	0,869918699
SNAI2	0,005766056	0,07247553	0,042	0,018	1	1,051519446	0,951004762	2,333333333
TOR2A	0,027583377	0,072424046	0,017	0,005	1	1,051481922	0,9510387	3,4
USP46-DT	0,093058931	0,072414213	0,012	0,004	1	1,051474755	0,951045182	3
PDE6D	0,879194403	0,07240862	0,051	0,049	1	1,051470679	0,951048869	1,040816327
ARNT	0,254227067	0,072385495	0,04	0,052	1	1,051453825	0,951064114	0,769230769
METTL15	0,955849175	0,072331396	0,05	0,049	1	1,051414398	0,951099778	1,020408163
CCDC113	0,002086953	0,07229113	0,022	0,004	1	1,051385053	0,951126323	5,5
CUL7	0,274848766	0,072261428	0,029	0,02	1	1,051363408	0,951145905	1,45
HNRNPLL	0,283734971	0,072252094	0,058	0,071	1	1,051356606	0,951152059	0,816901408
RSL24D1	0,016006937	0,072215534	0,282	0,341	1	1,051329963	0,951176163	0,826979472
PRKRA	0,811008929	0,072156713	0,133	0,123	1	1,051287099	0,951214945	1,081300813

Supplementary Table 5

Differentially expressed genes_total calculation_ comparing SC-Keloid vs. (SC-Myel, SC-Nonmyel)								
gene	p_val	avg_log2FC	pct.1	pct.2	p_val_adj	Foldchange_UP	Foldchange_DOWN	Ratio_pct1_pct2
METTL6	0,024207306	0,07214655	0,033	0,015	1	1,051279694	0,951221645	2,2
CTDSPL2	0,203797045	0,072072803	0,073	0,091	1	1,051225956	0,951270271	0,802197802
FGF5	0,00498652	0,072026878	0,02	0,004	1	1,051192493	0,951300553	5
CDC27	0,991683786	0,072003896	0,102	0,099	1	1,051175748	0,951315707	1,03030303
EVL	0,032413799	0,071969913	0,084	0,054	1	1,051150988	0,951338116	1,555555556
FOXM1	0,008321582	0,071906796	0,013	0,001	1	1,051105001	0,951379737	13
ZNF521	0,690723472	0,071903866	0,016	0,019	1	1,051102867	0,95138167	0,842105263
GCAT	0,337636031	0,071876889	0,02	0,014	1	1,051083212	0,95139946	1,428571429
CTIF	0,8572578	0,071855215	0,024	0,023	1	1,051067422	0,951413753	1,043478261
CASP8	0,021510388	0,071843304	0,01	0,001	1	1,051058744	0,951421608	10
CC2D1B	0,623897405	0,071842177	0,036	0,041	1	1,051057922	0,951422351	0,87804878
ZNF484	0,181767048	0,071834283	0,024	0,015	1	1,051052172	0,951427557	1,6
PEX3	0,569591792	0,071715647	0,029	0,024	1	1,050965745	0,951505798	1,208333333
FAM151B	0,039795117	0,071661139	0,012	0,003	1	1,050926038	0,951541749	4
LRCH2	0,228336684	0,071542223	0,013	0,007	1	1,050839417	0,951620184	1,857142857
SPG21	0,438425419	0,071518995	0,092	0,079	1	1,050822499	0,951635506	1,164556962
TUT7	0,893230685	0,071494618	0,056	0,057	1	1,050804743	0,951651586	0,98245614
C2orf76	0,80710215	0,071484986	0,066	0,062	1	1,050797728	0,951657939	1,064516129
DEPDC5	0,989679588	0,071471801	0,017	0,018	1	1,050788124	0,951666636	0,944444444
TIMM23	0,124099486	0,071409721	0,042	0,027	1	1,050742909	0,951707588	1,555555556
ZNF805	0,02229619	0,071408885	0,035	0,016	1	1,0507423	0,95170814	2,1875
ZNF573	0,235547733	0,071369302	0,016	0,009	1	1,050713472	0,951734252	1,777777778
AC093157.1	0,433766757	0,071352263	0,028	0,022	1	1,050701062	0,951745493	1,272727273
CENPH	0,374301164	0,071327593	0,026	0,019	1	1,050683096	0,951761767	1,368421053
KDM1A	0,75593171	0,071276575	0,075	0,069	1	1,050645941	0,951795425	1,086956522
PIGO	0,490179916	0,071275253	0,026	0,02	1	1,050644978	0,951796297	1,3
SPATA17	0,021420005	0,071274974	0,01	0,001	1	1,050644775	0,951796481	10
GRWD1	0,211524733	0,071236307	0,05	0,037	1	1,050616616	0,951821991	1,351351351
MICAL3	0,255144675	0,07122436	0,111	0,129	1	1,050607916	0,951829874	0,860465116
IRAK1BP1	0,137287369	0,071140671	0,026	0,015	1	1,050546974	0,951885089	1,733333333

Supplementary Table 5

Differentially expressed genes_total calculation_ comparing SC-Keloid vs. (SC-Myel, SC-Nonmyel)								
gene	p_val	avg_log2FC	pct.1	pct.2	p_val_adj	Foldchange_UP	Foldchange_DOWN	Ratio_pct1_pct2
ZKSCAN8	0,988624971	0,07113755	0,024	0,024	1	1,050544701	0,951887149	1
TRMT5	0,663750992	0,07108106	0,028	0,024	1	1,050503566	0,951924422	1,166666667
PRCP	0,28609885	0,070999756	0,126	0,142	1	1,050444366	0,951978069	0,887323944
EBP	0,009573148	0,070867677	0,088	0,053	1	1,050348202	0,952065227	1,660377358
DNAJC5	0,15577052	0,070835359	0,057	0,041	1	1,050324673	0,952086555	1,390243902
SLC35E4	0,13304931	0,070834913	0,058	0,041	1	1,050324349	0,952086849	1,414634146
USP18	0,43272835	0,070775895	0,023	0,018	1	1,050281383	0,952125798	1,277777778
UBTD2	0,48588967	0,070774248	0,083	0,091	1	1,050280184	0,952126885	0,912087912
BCL2L12	0,005950783	0,070671654	0,062	0,031	1	1,050205498	0,952194596	2
UPRT	0,779506815	0,070637245	0,033	0,03	1	1,050180451	0,952217306	1,1
LRRC57	0,987784885	0,07061126	0,049	0,049	1	1,050161536	0,952234457	1
ZMYND11	0,030983135	0,07059041	0,118	0,153	1	1,050146359	0,952248219	0,77124183
CSK	0,004537449	0,070571248	0,081	0,045	1	1,050132411	0,952260867	1,8
MRPL44	0,212715597	0,070557045	0,059	0,045	1	1,050122073	0,952270242	1,311111111
GNPDA1	0,082404351	0,070512133	0,058	0,08	1	1,050089382	0,952299887	0,725
NECAB1	0,74188331	0,070494993	0,012	0,014	1	1,050076907	0,952311201	0,857142857
SEC61A2	0,273703161	0,070463575	0,017	0,011	1	1,050054039	0,95233194	1,545454545
TBL2	0,042561188	0,070411716	0,045	0,026	1	1,050016295	0,952366173	1,730769231
HSPBP1	0,007797959	0,070411468	0,086	0,05	1	1,050016114	0,952366337	1,72
FBXW2	0,857270245	0,070400178	0,087	0,088	1	1,050007897	0,95237379	0,988636364
ARHGAP22	0,000151793	0,070364352	0,037	0,008	1	1,049981822	0,95239744	4,625
ZBTB46	0,7274433	0,070330766	0,019	0,016	1	1,049957379	0,952419612	1,1875
TK1	0,012193065	0,070274513	0,02	0,005	1	1,04991644	0,952456749	4
PPP2R5C	0,942035138	0,070221225	0,116	0,115	1	1,049877661	0,95249193	1,008695652
CCDC8	0,025733719	0,070196718	0,013	0,003	1	1,049859827	0,952508111	4,333333333
FMNL1	0,092626609	0,070173533	0,02	0,009	1	1,049842955	0,952523418	2,222222222
GPSM3	0,000574966	0,070018527	0,052	0,019	1	1,049730164	0,952625764	2,736842105
PIBF1	0,043822588	0,069997904	0,062	0,088	1	1,049715158	0,952639382	0,704545455
MLLT11	0,026745074	0,069952126	0,075	0,046	1	1,049681851	0,95266961	1,630434783
SLC30A6	0,571564587	0,06989453	0,019	0,015	1	1,049639945	0,952707644	1,266666667

Supplementary Table 5

Differentially expressed genes_total calculation_ comparing SC-Keloid vs. (SC-Myel, SC-Nonmyel)								
gene	p_val	avg_log2FC	pct.1	pct.2	p_val_adj	Foldchange_UP	Foldchange_DOWN	Ratio_pct1_pct2
CCDC181	0,01159271	0,069821824	0,017	0,004	1	1,04958705	0,952755658	4,25
LAPTM5	0,13972144	0,069688399	0,016	0,027	1	1,049489985	0,952843776	0,592592593
PPP1R37	0,053368663	0,069683116	0,041	0,023	1	1,049486141	0,952847266	1,782608696
MTHFD2	0,818343307	0,069682367	0,099	0,094	1	1,049485597	0,95284776	1,053191489
CDK1	0,232294785	0,069670108	0,016	0,009	1	1,049476679	0,952855857	1,777777778
THOC3	0,108252949	0,069646804	0,044	0,028	1	1,049459727	0,952871248	1,571428571
DHRS4L2	0,778148292	0,069579333	0,087	0,081	1	1,049410648	0,952915812	1,074074074
PCDHGB7	0,046878736	0,069535705	0,022	0,009	1	1,049378913	0,95294463	2,444444444
IRAK4	0,383239379	0,069522126	0,044	0,035	1	1,049369036	0,952953599	1,257142857
GPR107	0,282874603	0,069496936	0,069	0,054	1	1,049350714	0,952970239	1,277777778
PABPC1L	0,248019554	0,069477328	0,031	0,022	1	1,049336452	0,952983191	1,409090909
PCLAF	0,04821486	0,069406631	0,022	0,009	1	1,049285032	0,953029891	2,444444444
ANKRD52	0,006515325	0,069380399	0,045	0,02	1	1,049265954	0,95304722	2,25
PSMC3IP	0,966229077	0,069271445	0,027	0,027	1	1,049186715	0,953119197	1
HAUS2	0,701001354	0,069269599	0,038	0,042	1	1,049185372	0,953120417	0,904761905
PPP3CB	0,301962741	0,069194478	0,106	0,087	1	1,049130743	0,953170048	1,218390805
ZNF584	0,017719811	0,069163093	0,034	0,015	1	1,04910792	0,953190783	2,266666667
NCAPG2	0,204925157	0,069134864	0,022	0,014	1	1,049087393	0,953209434	1,571428571
ESYT1	0,023453964	0,068996525	0,073	0,045	1	1,048986801	0,953300841	1,622222222
B3GNTL1	0,010489895	0,068968628	0,015	0,003	1	1,048966517	0,953319276	5
NUBPL	0,948803872	0,068966787	0,028	0,028	1	1,048965178	0,953320492	1
RNFT1	0,122130537	0,068950098	0,035	0,022	1	1,048953044	0,95333152	1,590909091
ZMYM1	0,490179916	0,068884502	0,026	0,02	1	1,048905352	0,953374867	1,3
DOP1A	0,943662141	0,068802698	0,028	0,028	1	1,048845878	0,953428927	1
HRH1	0,006686827	0,068801398	0,016	0,003	1	1,048844933	0,953429786	5,333333333
BTN2A2	0,186084462	0,06878709	0,036	0,024	1	1,048834531	0,953439241	1,5
TIMELESS	0,010391948	0,068747964	0,015	0,003	1	1,048806087	0,953465099	5
TMBIM4	0,230333121	0,068706897	0,302	0,334	1	1,048776233	0,95349224	0,904191617
DEAF1	0,115557542	0,068663996	0,072	0,052	1	1,048745046	0,953520595	1,384615385
APOO	0,657353153	0,068500665	0,038	0,034	1	1,048626322	0,953628551	1,117647059

Supplementary Table 5

Differentially expressed genes_total calculation_ comparing SC-Keloid vs. (SC-Myel, SC-Nonmyel)								
gene	p_val	avg_log2FC	pct.1	pct.2	p_val_adj	Foldchange_UP	Foldchange_DOWN	Ratio_pct1_pct2
SLC29A1	0,287641699	0,068374697	0,026	0,018	1	1,048534765	0,95371182	1,444444444
CCNY	0,175424158	0,068112447	0,109	0,085	1	1,048344183	0,9538852	1,282352941
SETD7	0,548816661	0,068112085	0,068	0,075	1	1,04834392	0,953885439	0,906666667
ZNF587	0,106551551	0,068091619	0,03	0,018	1	1,048329048	0,953898971	1,666666667
TMEM251	0,636443101	0,06802858	0,061	0,054	1	1,048283242	0,953940653	1,12962963
JOSD1	0,395627489	0,068021475	0,109	0,121	1	1,048278079	0,953945351	0,900826446
GTF2H3	0,008834394	0,068001403	0,071	0,039	1	1,048263495	0,953958623	1,820512821
SPEF2	0,687849585	0,067900948	0,029	0,026	1	1,048190507	0,954025049	1,115384615
LMBR1	0,341684922	0,067854717	0,033	0,024	1	1,048156918	0,954055621	1,375
DBF4	0,85175544	0,067854068	0,024	0,023	1	1,048156447	0,95405605	1,043478261
NGLY1	0,568189722	0,067835468	0,055	0,061	1	1,048142933	0,954068351	0,901639344
NACAD	0,775918575	0,067773302	0,051	0,047	1	1,04809777	0,954109463	1,085106383
ARNTL2	0,002132736	0,067704079	0,022	0,004	1	1,048047481	0,954155244	5,5
ADAR	0,24408882	0,067536877	0,143	0,163	1	1,047926024	0,954265833	0,877300613
ZC3H7B	0,055645748	0,06748299	0,071	0,098	1	1,047886884	0,954301476	0,724489796
SAMD9L	0,547106227	0,067482534	0,044	0,038	1	1,047886552	0,954301778	1,157894737
GAL3ST4	0,00127447	0,067476155	0,036	0,011	1	1,047881919	0,954305997	3,272727273
SAC3D1	0,038510415	0,067347829	0,051	0,03	1	1,047788715	0,954390886	1,7
DHX16	0,850221866	0,067325554	0,043	0,045	1	1,047772538	0,954405621	0,955555556
MSANTD2	0,249244752	0,06732514	0,044	0,033	1	1,047772237	0,954405896	1,333333333
SLF1	0,096676592	0,067312679	0,058	0,039	1	1,047763187	0,954414139	1,487179487
ZNF570	0,873355888	0,067287362	0,019	0,018	1	1,047744801	0,954430887	1,055555556
PIGH	0,474801813	0,067210058	0,076	0,065	1	1,047688661	0,95448203	1,169230769
PPP3CA	0,007156687	0,067207441	0,2	0,256	1	1,04768676	0,954483762	0,78125
STX12	0,292871089	0,067204419	0,153	0,167	1	1,047684565	0,954485761	0,916167665
MGAT5	0,819366538	0,067204093	0,028	0,03	1	1,047684329	0,954485977	0,933333333
RMI1	0,000325842	0,067182602	0,021	0,001	1	1,047668723	0,954500195	21
B3GNT7	0,004015458	0,067131486	0,045	0,019	1	1,047631603	0,954534015	2,368421053
SOCS7	0,32695083	0,067126971	0,029	0,038	1	1,047628325	0,954537002	0,763157895
POLI	0,252176028	0,066969431	0,041	0,053	1	1,047513931	0,954641242	0,773584906

Supplementary Table 5

Differentially expressed genes_total calculation_ comparing SC-Keloid vs. (SC-Myel, SC-Nonmyel)								
gene	p_val	avg_log2FC	pct.1	pct.2	p_val_adj	Foldchange_UP	Foldchange_DOWN	Ratio_pct1_pct2
C9orf85	0,923563508	0,066959752	0,049	0,047	1	1,047506904	0,954647646	1,042553191
AC002454.1	0,00019746	0,066837157	0,019	0	1	1,047417894	0,954728772	#DIV/0!
MAT2B	0,97041123	0,066704262	0,052	0,052	1	1,047321414	0,954816722	1
MCM2	0,260779581	0,066663772	0,01	0,005	1	1,047292021	0,95484352	2
FANCF	0,23210965	0,06657603	0,023	0,015	1	1,047228329	0,954901593	1,533333333
TBC1D1	0,288598802	0,066572612	0,038	0,028	1	1,047225848	0,954903856	1,357142857
TTC4	0,186813645	0,066550391	0,036	0,024	1	1,047209718	0,954918564	1,5
RAMP2	0,414188987	0,066528442	0,014	0,009	1	1,047193786	0,954933092	1,555555556
TIMM29	0,61908729	0,066473645	0,058	0,052	1	1,047154012	0,954969363	1,115384615
TIGD5	0,502349636	0,066436709	0,026	0,02	1	1,047127203	0,954993812	1,3
LDAH	0,204085222	0,066372862	0,022	0,014	1	1,047080863	0,955036077	1,571428571
FABP4	0,84729735	0,066350225	0,01	0,009	1	1,047064434	0,955051063	1,111111111
MRPL50	0,831694969	0,066336829	0,09	0,091	1	1,047054711	0,955059931	0,989010989
MR1	0,075719518	0,06631036	0,024	0,012	1	1,047035502	0,955077453	2
ANTXR1	0,8006534	0,06626881	0,121	0,115	1	1,047005347	0,95510496	1,052173913
NELFE	0,05407641	0,066253778	0,144	0,107	1	1,046994438	0,955114912	1,345794393
LYSMD3	0,959401022	0,066252187	0,065	0,064	1	1,046993283	0,955115965	1,015625
CPT2	0,114624771	0,066228469	0,021	0,011	1	1,046976071	0,955131667	1,909090909
GATC	0,812895835	0,066219802	0,035	0,033	1	1,046969781	0,955137405	1,060606061
ERCC2	0,114510627	0,066208024	0,021	0,011	1	1,046961234	0,955145203	1,909090909
HTT	0,121274749	0,066201745	0,081	0,103	1	1,046956677	0,95514936	0,786407767
SEC31B	0,263758112	0,0661897	0,01	0,005	1	1,046947936	0,955157334	2
PELP1	0,886339068	0,066148953	0,056	0,057	1	1,046918367	0,955184312	0,98245614
ATG10	0,862449081	0,066116657	0,042	0,043	1	1,046894931	0,955205695	0,976744186
AFF2	0,041078792	0,066041606	0,016	0,005	1	1,046840472	0,955255387	3,2
WDPCP	0,374738064	0,065968607	0,021	0,015	1	1,046787504	0,955303724	1,4
FAM219A	0,565348898	0,06593688	0,04	0,034	1	1,046764484	0,955324732	1,176470588
EIF1AD	0,703627773	0,06591541	0,041	0,037	1	1,046748905	0,95533895	1,108108108
ATAT1	0,175375319	0,065882651	0,043	0,03	1	1,046725138	0,955360642	1,433333333
GPN1	0,209851286	0,065873688	0,045	0,033	1	1,046718634	0,955366578	1,363636364

Supplementary Table 5

Differentially expressed genes_total calculation_ comparing SC-Keloid vs. (SC-Myel, SC-Nonmyel)								
gene	p_val	avg_log2FC	pct.1	pct.2	p_val_adj	Foldchange_UP	Foldchange_DOWN	Ratio_pct1_pct2
SMARCE1	0,804734771	0,065853205	0,18	0,168	1	1,046703774	0,955380142	1,071428571
RMDN2	0,207120743	0,065852229	0,022	0,014	1	1,046703065	0,955380788	1,571428571
PSMG3-AS1	0,053709581	0,065718652	0,031	0,016	1	1,046606157	0,95546925	1,9375
IREB2	0,936624286	0,065714089	0,064	0,062	1	1,046602847	0,955472272	1,032258065
MYNN	0,631459554	0,065649689	0,037	0,033	1	1,046556129	0,955514924	1,121212121
CNFN	0,001119864	0,065647788	0,029	0,007	1	1,046554751	0,955516183	4,142857143
LONP1	0,166672381	0,065641442	0,062	0,045	1	1,046550147	0,955520386	1,377777778
SOX18	0,087838847	0,065630867	0,014	0,005	1	1,046542476	0,95552739	2,8
PTGES2	0,17668875	0,065587869	0,079	0,06	1	1,046511285	0,955555868	1,316666667
TRPS1	0,457097336	0,065557915	0,104	0,113	1	1,046489557	0,955575708	0,920353982
TIGD7	0,618544856	0,065535484	0,015	0,012	1	1,046473287	0,955590566	1,25
RNF6	0,977756527	0,065528173	0,064	0,064	1	1,046467983	0,955595409	1
DPM1	0,670035225	0,065485807	0,111	0,115	1	1,046437254	0,955623471	0,965217391
CDK2AP1	0,125763462	0,065475074	0,203	0,24	1	1,046429468	0,95563058	0,845833333
POLR1B	0,350829602	0,065449193	0,016	0,011	1	1,046410696	0,955647724	1,454545455
PMS1	0,282360303	0,065416159	0,051	0,039	1	1,046386737	0,955669606	1,307692308
MTHFS	0,022017433	0,065260397	0,056	0,031	1	1,046273768	0,955772791	1,806451613
ST7-AS1	0,056790644	0,065235776	0,017	0,007	1	1,046255913	0,955789103	2,428571429
UROD	0,296117309	0,065233378	0,095	0,079	1	1,046254174	0,955790691	1,202531646
PIGS	0,287260774	0,065195211	0,071	0,057	1	1,046226495	0,955815977	1,245614035
PPAT	0,789495721	0,065185324	0,03	0,033	1	1,046219325	0,955822527	0,909090909
SPOUT1	0,050032495	0,065166925	0,037	0,02	1	1,046205983	0,955834717	1,85
NTAQ1	0,017855307	0,065165242	0,034	0,015	1	1,046204762	0,955835832	2,266666667
PARG	0,567747669	0,065128793	0,029	0,024	1	1,046178331	0,955859982	1,208333333
NFX1	0,835515991	0,065113449	0,05	0,047	1	1,046167204	0,955870148	1,063829787
FAM120B	0,982517599	0,065045949	0,034	0,034	1	1,046118257	0,955914872	1
CDKL5	0,510649568	0,064939829	0,031	0,026	1	1,046041311	0,955985188	1,192307692
HOXC8	0,004924601	0,064851195	0,064	0,033	1	1,045977048	0,956043922	1,939393939
H4C5	0,944801427	0,064841727	0,01	0,011	1	1,045970184	0,956050197	0,909090909
ZNF621	0,361300156	0,064771576	0,043	0,053	1	1,045919325	0,956096686	0,811320755

Supplementary Table 5

Differentially expressed genes_total calculation_ comparing SC-Keloid vs. (SC-Myel, SC-Nonmyel)								
gene	p_val	avg_log2FC	pct.1	pct.2	p_val_adj	Foldchange_UP	Foldchange_DOWN	Ratio_pct1_pct2
FO XK2	0,33379428	0,064701988	0,062	0,073	1	1,045868877	0,956142804	0,849315068
HDAC1	0,217893177	0,064582152	0,094	0,075	1	1,045782006	0,956222228	1,253333333
ZNF664	0,29931305	0,064569453	0,098	0,113	1	1,045772801	0,956230645	0,867256637
WIPF2	0,229900067	0,064430711	0,099	0,115	1	1,045672235	0,956322609	0,860869565
ZNF254	0,364615751	0,064299678	0,038	0,047	1	1,045577266	0,956409471	0,808510638
SNX11	0,530473138	0,064292784	0,022	0,018	1	1,045572227	0,956414041	1,222222222
FARSA	0,05264032	0,064286543	0,065	0,042	1	1,045567746	0,956418179	1,547619048
BR SK1	0,545540349	0,064199463	0,088	0,079	1	1,045504639	0,956475909	1,113924051
HHLA3	0,115196838	0,064160958	0,021	0,011	1	1,045476735	0,956501438	1,909090909
NBN	0,48524823	0,064129678	0,127	0,137	1	1,045454068	0,956522176	0,927007299
MORC4	0,004564341	0,064090365	0,035	0,066	1	1,045425579	0,956548242	0,53030303
FLOT2	0,901176619	0,063924165	0,063	0,064	1	1,045305153	0,956658443	0,984375
INTS2	0,694251255	0,063875529	0,035	0,031	1	1,045269914	0,956690695	1,129032258
TMEM59	0,000107952	0,063853747	0,431	0,604	1	1,045254133	0,956705139	0,713576159
SNX12	0,630752856	0,063836191	0,044	0,049	1	1,045241413	0,956716781	0,897959184
CSTF2T	0,69753581	0,063689759	0,023	0,02	1	1,045135327	0,956813892	1,15
CSNK1G1	0,89964943	0,063681122	0,04	0,038	1	1,045129071	0,95681962	1,052631579
ZNF736	0,845614286	0,063613273	0,024	0,023	1	1,04507992	0,956864619	1,043478261
LRRC8E	0,005346706	0,063585247	0,01	0	1	1,045059618	0,956883208	#DIV/0!
R3HDM4	0,037357928	0,063582584	0,097	0,065	1	1,045057689	0,956884974	1,492307692
SLC39A7	0,479704503	0,063508444	0,171	0,179	1	1,045003985	0,95693415	0,955307263
ZNF195	0,655439187	0,063478233	0,033	0,028	1	1,044982102	0,956954189	1,178571429
CDCA7	0,021420005	0,063354619	0,01	0,001	1	1,044892569	0,957036187	10
C4orf33	0,987177625	0,063213293	0,038	0,038	1	1,044790217	0,957129942	1
NKX6-1	0,005030469	0,063206286	0,02	0,004	1	1,044785142	0,957134591	5
CACNA1C	0,001284512	0,062979107	0,014	0	1	1,044620635	0,957285321	#DIV/0!
PJA1	0,604232427	0,062949575	0,086	0,092	1	1,044599251	0,957304917	0,934782609
KSR2	0,00328592	0,062934935	0,015	0,001	1	1,044588651	0,957314632	15
MRPS9	0,392792824	0,062811243	0,059	0,049	1	1,044499096	0,957396712	1,204081633
GOSR2	0,459514103	0,062770489	0,064	0,054	1	1,044469591	0,957423757	1,185185185

Supplementary Table 5

Differentially expressed genes_total calculation_ comparing SC-Keloid vs. (SC-Myel, SC-Nonmyel)								
gene	p_val	avg_log2FC	pct.1	pct.2	p_val_adj	Foldchange_UP	Foldchange_DOWN	Ratio_pct1_pct2
RSPRY1	0,792188967	0,062724104	0,071	0,066	1	1,044436009	0,957454541	1,075757576
ZC2HC1A	0,416838135	0,062651519	0,104	0,115	1	1,044383463	0,957502714	0,904347826
NEPRO	0,215797663	0,062629669	0,064	0,079	1	1,044367646	0,957517215	0,810126582
MT-CYB	0,492274559	0,062625077	0,788	0,852	1	1,044364321	0,957520263	0,924882629
PCCB	0,004281166	0,062595386	0,063	0,031	1	1,044342829	0,957539969	2,032258065
TMEM222	0,77841763	0,062571531	0,09	0,083	1	1,044325561	0,957555802	1,084337349
SENP5	0,169658951	0,062551951	0,09	0,11	1	1,044311387	0,957568798	0,818181818
ABHD11	0,001213257	0,062531522	0,056	0,023	1	1,044296599	0,957582358	2,434782609
MFSD5	0,464594055	0,062514027	0,034	0,027	1	1,044283936	0,95759397	1,259259259
AGTPBP1	0,725096789	0,062509326	0,03	0,027	1	1,044280533	0,95759709	1,111111111
STK39	0,253932649	0,062502066	0,021	0,03	1	1,044275278	0,957601909	0,7
MRPS2	0,013850603	0,062480593	0,071	0,041	1	1,044259735	0,957616163	1,731707317
POLR2D	0,105387343	0,062468312	0,041	0,026	1	1,044250845	0,957624314	1,576923077
STXBP3	0,632852291	0,06246763	0,122	0,111	1	1,044250352	0,957624767	1,099099099
GOLGB1	0,027330067	0,062405119	0,19	0,236	1	1,044205107	0,957666261	0,805084746
CCDC61	0,07113082	0,062403853	0,03	0,016	1	1,04420419	0,957667101	1,875
SLC9A7	7,49086E-05	0,062296622	0,028	0,003	1	1,044126581	0,957738284	9,333333333
AC004637.1	0,000325117	0,062296583	0,021	0,001	1	1,044126553	0,95773831	21
L1TD1	0,318028144	0,062091587	0,01	0,016	1	1,043978201	0,957874407	0,625
POLR3A	0,956942382	0,062032771	0,027	0,027	1	1,04393564	0,957913459	1
KIF13B	0,697499226	0,061950794	0,142	0,144	1	1,043876323	0,957967891	0,986111111
ZNF146	0,873098486	0,061809834	0,079	0,076	1	1,043774335	0,958061495	1,039473684
UTP15	0,321688554	0,061762912	0,031	0,023	1	1,043740389	0,958092655	1,347826087
ARMC6	0,124661095	0,061760685	0,05	0,034	1	1,043738777	0,958094134	1,470588235
SHCBP1	0,005224884	0,061736937	0,014	0,001	1	1,043721597	0,958109905	14
YRDC	0,600232932	0,061735567	0,052	0,046	1	1,043720605	0,958110815	1,130434783
PKN3	0,412864085	0,061666861	0,014	0,009	1	1,043670901	0,958156445	1,555555556
CRAT	0,007557585	0,061665908	0,07	0,038	1	1,043670212	0,958157078	1,842105263
SPRYD3	0,741332627	0,061599709	0,049	0,045	1	1,043622323	0,958201044	1,088888889
PUS3	0,964376383	0,061592781	0,022	0,022	1	1,043617311	0,958205646	1

Supplementary Table 5

Differentially expressed genes_total calculation_ comparing SC-Keloid vs. (SC-Myel, SC-Nonmyel)								
gene	p_val	avg_log2FC	pct.1	pct.2	p_val_adj	Foldchange_UP	Foldchange_DOWN	Ratio_pct1_pct2
CCNK	0,003669265	0,061534709	0,05	0,087	1	1,043575305	0,958244216	0,574712644
ERCC3	0,848481702	0,061520928	0,05	0,052	1	1,043565336	0,95825337	0,961538462
MED16	0,034639754	0,061356739	0,057	0,034	1	1,043446578	0,958362432	1,676470588
TRMT11	0,958743875	0,061353437	0,072	0,071	1	1,043444189	0,958364626	1,014084507
AMMECR1L	0,196661334	0,061333116	0,04	0,053	1	1,043429492	0,958378125	0,754716981
MIB1	0,35230919	0,061201678	0,12	0,133	1	1,043334434	0,958465443	0,902255639
CLCC1	0,471860209	0,061201571	0,056	0,064	1	1,043334357	0,958465514	0,875
THBS3	0,38059156	0,061167037	0,049	0,039	1	1,043309382	0,958488457	1,256410256
IL4R	0,210017586	0,061144256	0,022	0,014	1	1,043292908	0,958503592	1,571428571
NAV2-AS3	0,031502319	0,061136821	0,014	0,03	1	1,043287531	0,958508532	0,466666667
MCM6	0,368938344	0,061123738	0,021	0,015	1	1,04327807	0,958517225	1,4
SRD5A1	0,001774042	0,061064341	0,04	0,014	1	1,043235118	0,958556688	2,857142857
MIOS	0,641503495	0,061024806	0,035	0,039	1	1,04320653	0,958582956	0,897435897
MIS18BP1	0,058621756	0,060986604	0,063	0,041	1	1,043178908	0,958608339	1,536585366
RHOBTB2	0,024132359	0,060979726	0,024	0,009	1	1,043173934	0,95861291	2,666666667
BICRAL	0,21789376	0,060926555	0,029	0,041	1	1,043135488	0,95864824	0,707317073
CTSS	0,904221741	0,060912954	0,013	0,014	1	1,043125654	0,958657278	0,928571429
ALG13	0,1080025	0,060899075	0,079	0,057	1	1,043115619	0,958666501	1,385964912
IRGQ	0,765223662	0,060895891	0,04	0,037	1	1,043113317	0,958668616	1,081081081
SFXN1	0,2697193	0,060792431	0,05	0,038	1	1,043038515	0,958737368	1,315789474
NEIL2	0,016098474	0,060684275	0,036	0,016	1	1,042960323	0,958809245	2,25
SLC35A5	0,162899541	0,060672042	0,037	0,052	1	1,04295148	0,958817375	0,711538462
USP48	0,155601977	0,060614226	0,113	0,134	1	1,042909684	0,958855801	0,843283582
PRR5	0,024881852	0,060605218	0,033	0,015	1	1,042903172	0,958861788	2,2
FAM167B	0,003264526	0,060572811	0,015	0,001	1	1,042879746	0,958883326	15
FAM131A	0,965986357	0,060495109	0,042	0,042	1	1,042823579	0,958934972	1
RAB32	0,741403011	0,060473774	0,171	0,16	1	1,042808158	0,958949153	1,06875
DSG2	0,003300254	0,060443531	0,015	0,001	1	1,042786298	0,958969256	15
SOAT1	0,816415111	0,060397281	0,061	0,057	1	1,042752868	0,958999999	1,070175439
DNAL4	0,001119351	0,060364062	0,061	0,026	1	1,042728859	0,959022081	2,346153846

Supplementary Table 5

Differentially expressed genes_total calculation_ comparing SC-Keloid vs. (SC-Myel, SC-Nonmyel)								
gene	p_val	avg_log2FC	pct.1	pct.2	p_val_adj	Foldchange_UP	Foldchange_DOWN	Ratio_pct1_pct2
TBCB	0,014857648	0,060358126	0,31	0,37	1	1,042724568	0,959026027	0,837837838
TMEM120B	0,299712126	0,060278862	0,03	0,022	1	1,042667281	0,959078719	1,363636364
LYPD6	0,025640992	0,06019529	0,013	0,003	1	1,042606884	0,959134278	4,333333333
AP3M2	0,708856477	0,060120722	0,038	0,042	1	1,042552996	0,959183854	0,904761905
OPRL1	0,021465155	0,060097215	0,01	0,001	1	1,042536009	0,959199482	10
FHIP2A	0,89991204	0,060067101	0,03	0,031	1	1,042514248	0,959219504	0,967741935
VTA1	0,799595695	0,060057446	0,072	0,075	1	1,042507271	0,959225923	0,96
ANKRD17	0,169986842	0,060034821	0,113	0,134	1	1,042490922	0,959240967	0,843283582
MFSD6	0,270677587	0,059947667	0,042	0,031	1	1,042427946	0,959298917	1,35483871
PNPO	0,435585412	0,059847203	0,023	0,018	1	1,042355358	0,959365721	1,277777778
MPDZ	0,375740998	0,059838629	0,098	0,11	1	1,042349163	0,959371423	0,890909091
TACC2	0,671393937	0,059825097	0,057	0,052	1	1,042339387	0,959380421	1,096153846
TTY14	0,316694025	0,059797605	0,012	0,007	1	1,042319524	0,959398704	1,714285714
IGSF3	0,428065644	0,05979696	0,02	0,026	1	1,042319058	0,959399132	0,769230769
FADS1	0,402301851	0,05969918	0,086	0,098	1	1,042248416	0,959464159	0,87755102
TMEM218	0,191644628	0,059695272	0,069	0,052	1	1,042245593	0,959466758	1,326923077
METTL27	0,001350218	0,059694734	0,023	0,004	1	1,042245204	0,959467116	5,75
PIF1	0,041509715	0,059663685	0,014	0,004	1	1,042222774	0,959487765	3,5
DLGAP1-AS1	0,77158232	0,059609862	0,021	0,023	1	1,042183892	0,959523562	0,913043478
PRR7	0,198861502	0,059584698	0,052	0,038	1	1,042165714	0,959540298	1,368421053
DPY19L3	0,377812645	0,05955653	0,078	0,065	1	1,042145367	0,959559033	1,2
SKA2	0,273943783	0,059542801	0,189	0,208	1	1,042135449	0,959568165	0,908653846
GMNN	0,13499325	0,059524043	0,043	0,028	1	1,042121899	0,959580641	1,535714286
F11R	0,062641429	0,0594113	0,013	0,004	1	1,042040464	0,959655632	3,25
CHST6	0,972377714	0,059407761	0,015	0,015	1	1,042037907	0,959657987	1
FASTKD3	0,392659126	0,059407503	0,017	0,012	1	1,042037721	0,959658158	1,416666667
CKMT2-AS1	0,757500147	0,059404755	0,023	0,026	1	1,042035736	0,959659986	0,884615385
C10orf88	0,726723975	0,059378669	0,019	0,016	1	1,042016895	0,959677338	1,1875
NTHL1	0,54436867	0,059315284	0,109	0,117	1	1,041971115	0,959719503	0,931623932
GYPC	0,581331686	0,059302508	0,009	0,012	1	1,041961888	0,959728001	0,75

Supplementary Table 5

Differentially expressed genes_total calculation_ comparing SC-Keloid vs. (SC-Myel, SC-Nonmyel)								
gene	p_val	avg_log2FC	pct.1	pct.2	p_val_adj	Foldchange_UP	Foldchange_DOWN	Ratio_pct1_pct2
CDH15	0,43793108	0,059288876	0,023	0,018	1	1,041952042	0,959737071	1,277777778
THG1L	0,27534941	0,059280747	0,037	0,027	1	1,041946171	0,959742478	1,37037037
SAMD5	0,310210249	0,059239497	0,061	0,073	1	1,04191638	0,959769919	0,835616438
TATDN3	0,275790459	0,05921171	0,017	0,011	1	1,041896312	0,959788406	1,545454545
USP13	0,323379476	0,059139999	0,031	0,023	1	1,041844525	0,959836114	1,347826087
NUF2	0,263160536	0,059114624	0,01	0,005	1	1,0418262	0,959852996	2
NOL6	0,024516638	0,059100279	0,033	0,015	1	1,041815841	0,95986254	2,2
CRNKL1	0,48851044	0,059083357	0,054	0,061	1	1,041803621	0,959873799	0,885245902
ZNF579	0,014852279	0,059026239	0,044	0,022	1	1,041762376	0,959911802	2
GLE1	0,263278595	0,059004442	0,024	0,016	1	1,041746636	0,959926306	1,5
LRRC41	0,828887278	0,058988078	0,072	0,068	1	1,04173482	0,959937194	1,058823529
MILR1	0,021465155	0,058973396	0,01	0,001	1	1,041724219	0,959946963	10
CMIP	0,130272924	0,058874875	0,075	0,054	1	1,041653083	0,960012519	1,388888889
CENPS	0,016180755	0,058832218	0,028	0,011	1	1,041622284	0,960040905	2,545454545
TMSB15A	0,603813704	0,058808701	0,02	0,016	1	1,041605304	0,960056555	1,25
RBM12	0,610476976	0,058805786	0,051	0,057	1	1,0416032	0,960058494	0,894736842
ERFE	0,001299001	0,058796922	0,017	0,001	1	1,041596801	0,960064393	17
ELOA	0,929002137	0,058735603	0,056	0,054	1	1,04155253	0,9601052	1,037037037
ZMYND19	0,052716118	0,058648981	0,041	0,023	1	1,041489996	0,960162848	1,782608696
SMCO4	0,525929812	0,058646508	0,027	0,022	1	1,04148821	0,960164494	1,227272727
SLC36A1	0,061473115	0,058642852	0,023	0,011	1	1,041485571	0,960166927	2,090909091
IPPK	0,485584714	0,058489893	0,012	0,008	1	1,041375155	0,960268732	1,5
B3GLCT	0,049250177	0,058481169	0,028	0,014	1	1,041368858	0,960274539	2
WDR7	0,929560425	0,058469228	0,021	0,02	1	1,041360239	0,960282487	1,05
DOK4	0,735732665	0,058412875	0,019	0,016	1	1,041319563	0,960319997	1,1875
CHUK	0,369325531	0,058403391	0,038	0,03	1	1,041312718	0,96032631	1,266666667
SCYL2	0,410733956	0,058397182	0,056	0,065	1	1,041308236	0,960330443	0,861538462
ZNF880	0,882622202	0,058369621	0,031	0,03	1	1,041288344	0,960348789	1,033333333
YJU2	0,242658048	0,058306227	0,04	0,028	1	1,041242589	0,960390989	1,428571429
DYRK1B	0,223661101	0,058276274	0,03	0,02	1	1,041220971	0,960410929	1,5

Supplementary Table 5

Differentially expressed genes_total calculation_ comparing SC-Keloid vs. (SC-Myel, SC-Nonmyel)								
gene	p_val	avg_log2FC	pct.1	pct.2	p_val_adj	Foldchange_UP	Foldchange_DOWN	Ratio_pct1_pct2
ILVBL	0,914674333	0,058264859	0,068	0,065	1	1,041212733	0,960418528	1,046153846
ERCC8	0,010515985	0,058237201	0,031	0,012	1	1,041192772	0,96043694	2,583333333
NUP133	0,986575798	0,058203512	0,033	0,033	1	1,041168459	0,960459368	1
OSBPL3	0,179185705	0,058189453	0,028	0,018	1	1,041158312	0,960468728	1,555555556
GINS1	0,021374938	0,058076634	0,01	0,001	1	1,041076897	0,96054384	10
ARSD	0,731876675	0,058056033	0,054	0,057	1	1,041062031	0,960557556	0,947368421
IL27RA	0,022712957	0,058027375	0,027	0,011	1	1,041041351	0,960576637	2,454545455
MGAT4B	0,502705122	0,058014519	0,18	0,16	1	1,041032074	0,960585197	1,125
PIDD1	0,721695472	0,057962777	0,019	0,016	1	1,040994739	0,960619649	1,1875
ERMARD	0,903992584	0,057938705	0,027	0,026	1	1,040977369	0,960635677	1,038461538
ZNF524	0,278732693	0,057935017	0,072	0,057	1	1,040974708	0,960638133	1,263157895
AACS	0,978660485	0,057931866	0,023	0,023	1	1,040972435	0,960640231	1
CCDC92	0,80909688	0,057910994	0,058	0,054	1	1,040957375	0,960654129	1,074074074
TOP2A	0,428807202	0,057795447	0,01	0,007	1	1,040874007	0,960731072	1,428571429
ZNF837	0,003300254	0,057731917	0,015	0,001	1	1,040828172	0,960773379	15
ZNF75D	0,717876998	0,057673593	0,013	0,011	1	1,040786095	0,960812221	1,181818182
MCRS1	0,082783096	0,057589546	0,086	0,061	1	1,040725464	0,960868197	1,409836066
ABCC5	0,282195612	0,057562785	0,047	0,058	1	1,040706159	0,960886021	0,810344828
FITM2	0,684729548	0,057251301	0,016	0,019	1	1,040481491	0,961093502	0,842105263
CEP63	0,721791963	0,057155514	0,092	0,085	1	1,040412411	0,961157316	1,082352941
RANGRF	0,20843383	0,057149446	0,083	0,064	1	1,040408035	0,961161358	1,296875
ZYG11B	0,982898034	0,057111158	0,081	0,08	1	1,040380728	0,961186586	1,0125
ZC3HC1	0,011436713	0,05709128	0,029	0,011	1	1,040366089	0,961200111	2,636363636
TMEM161B	0,007881906	0,05708618	0,047	0,022	1	1,040362411	0,961203509	2,136363636
ZBTB33	0,913458801	0,057063126	0,021	0,022	1	1,040345786	0,961218869	0,954545455
CLIP1	0,543441421	0,056945149	0,13	0,138	1	1,040260715	0,961297476	0,942028986
DDX49	0,181571183	0,056832241	0,092	0,071	1	1,040179306	0,961372712	1,295774648
NSUN5	0,068836925	0,056805087	0,054	0,034	1	1,040159728	0,961390807	1,588235294
MPC1	0,092078807	0,056706485	0,206	0,232	1	1,04008864	0,961456516	0,887931034
CPSF4	0,375752433	0,056692298	0,021	0,015	1	1,040078412	0,961465971	1,4

Supplementary Table 5

Differentially expressed genes_total calculation_ comparing SC-Keloid vs. (SC-Myel, SC-Nonmyel)								
gene	p_val	avg_log2FC	pct.1	pct.2	p_val_adj	Foldchange_UP	Foldchange_DOWN	Ratio_pct1_pct2
CIRBP-AS1	0,005346706	0,056622332	0,01	0	1	1,040027973	0,9615126	#DIV/0!
BICD2	0,556510783	0,056619	0,112	0,118	1	1,040025571	0,961514821	0,949152542
PLA2G15	0,00935033	0,056493378	0,044	0,02	1	1,039935015	0,961598547	2,2
PAXIP1	0,857693435	0,056474561	0,015	0,016	1	1,039921452	0,961611089	0,9375
C9orf64	0,639990848	0,056424612	0,037	0,033	1	1,039885448	0,961644383	1,121212121
INO80C	0,240549308	0,056409522	0,048	0,035	1	1,039874571	0,961654441	1,371428571
CMAS	0,111019704	0,056393343	0,085	0,062	1	1,039862909	0,961665226	1,370967742
CCDC57	0,913916048	0,056387014	0,034	0,033	1	1,039858348	0,961669445	1,03030303
CCDC121	0,576124614	0,056321494	0,01	0,014	1	1,039811124	0,96171312	0,714285714
KRBA2	0,274266501	0,05625622	0,014	0,008	1	1,039764079	0,961756633	1,75
ZSCAN29	0,237514907	0,056226957	0,016	0,009	1	1,039742989	0,961776141	1,777777778
HSCB	0,645276207	0,05619913	0,049	0,043	1	1,039722934	0,961794692	1,139534884
TNIP1	0,275695467	0,056140949	0,135	0,111	1	1,039681006	0,96183348	1,216216216
RIN3	0,027420353	0,056112067	0,017	0,005	1	1,039660191	0,961852736	3,4
CHCHD6	0,123043586	0,056044701	0,054	0,037	1	1,039611646	0,961897651	1,459459459
KLHL35	0,117644843	0,056033425	0,015	0,007	1	1,039603521	0,961905168	2,142857143
CERS5	0,204607967	0,056002977	0,084	0,065	1	1,03958158	0,96192547	1,292307692
SASS6	0,494923011	0,0559904	0,026	0,02	1	1,039572518	0,961933855	1,3
KLHDC10	0,945111229	0,055976887	0,071	0,071	1	1,039562781	0,961942865	1
TSPAN9	0,027442524	0,055918116	0,064	0,038	1	1,039520433	0,961982053	1,684210526
DYNC1H1	0,000585917	0,055891969	0,315	0,417	1	1,039501593	0,961999488	0,755395683
MSH2	0,065905356	0,0558266	0,057	0,037	1	1,039454494	0,962043077	1,540540541
DNAJC17	0,03512942	0,055790704	0,057	0,034	1	1,039428632	0,962067014	1,676470588
PPM1F	0,581279879	0,055784149	0,062	0,068	1	1,039423909	0,962071386	0,911764706
APAF1	0,841445831	0,055701864	0,043	0,041	1	1,039364626	0,96212626	1,048780488
FBXL5	0,69313158	0,055661685	0,095	0,088	1	1,03933568	0,962153055	1,079545455
TP53TG1	0,13276056	0,055634614	0,076	0,056	1	1,039316178	0,96217111	1,357142857
C20orf27	0,007081436	0,055617797	0,085	0,049	1	1,039304063	0,962182325	1,734693878
UBR1	0,934662383	0,055287117	0,058	0,058	1	1,039065871	0,962402892	1
AC023590.1	0,628144197	0,055276029	0,01	0,008	1	1,039057886	0,962410289	1,25

Supplementary Table 5

Differentially expressed genes_total calculation_ comparing SC-Keloid vs. (SC-Myel, SC-Nonmyel)								
gene	p_val	avg_log2FC	pct.1	pct.2	p_val_adj	Foldchange_UP	Foldchange_DOWN	Ratio_pct1_pct2
KIAA0232	0,324577804	0,055184332	0,115	0,129	1	1,038991846	0,962471461	0,891472868
INPP5B	0,235631202	0,05516637	0,02	0,012	1	1,03897891	0,962483444	1,666666667
CCDC186	0,420429386	0,055046524	0,104	0,115	1	1,038892605	0,962563402	0,904347826
LEMD2	0,550474321	0,055020999	0,062	0,068	1	1,038874224	0,962580432	0,911764706
EIF3B	0,631755571	0,054976641	0,128	0,133	1	1,038842283	0,962610029	0,962406015
SHFL	0,43606258	0,054900174	0,136	0,145	1	1,038787223	0,962661051	0,937931034
ABAT	0,529744532	0,054878389	0,013	0,009	1	1,038771537	0,962675588	1,444444444
NSL1	0,840697004	0,054810492	0,107	0,107	1	1,038722651	0,962720895	1
SPIDR	0,30448866	0,054783567	0,04	0,05	1	1,038703266	0,962738862	0,8
TMEM101	0,215054406	0,054779091	0,068	0,052	1	1,038700043	0,962741849	1,307692308
WWC3	0,131033674	0,054771003	0,066	0,085	1	1,03869422	0,962747247	0,776470588
ATP10D	0,415002883	0,054769992	0,059	0,069	1	1,038693492	0,962747921	0,855072464
AGER	0,897666581	0,054623592	0,013	0,014	1	1,038588094	0,962845622	0,928571429
TIA1	0,523681542	0,054548086	0,119	0,128	1	1,038533739	0,962896016	0,9296875
VAMP4	0,515333382	0,054520439	0,062	0,053	1	1,038513837	0,962914469	1,169811321
PRMT7	0,322815193	0,054516294	0,031	0,023	1	1,038510854	0,962917235	1,347826087
TXN2	0,086496638	0,054464989	0,132	0,099	1	1,038473923	0,962951479	1,333333333
LBX2	0,128797564	0,054462896	0,013	0,005	1	1,038472416	0,962952876	2,6
PLAAT1	0,002042347	0,054422473	0,016	0,001	1	1,038443319	0,962979858	16
TBC1D19	0,205976888	0,05441886	0,037	0,026	1	1,038440719	0,962982269	1,423076923
MRS2	0,055113581	0,054377428	0,044	0,026	1	1,038410897	0,963009925	1,692307692
LINC01060	0,00329308	0,054322499	0,015	0,001	1	1,038371361	0,963046591	15
ULK2	0,874453288	0,054294543	0,047	0,045	1	1,038351241	0,963065253	1,044444444
RIC1	0,543844683	0,054267673	0,033	0,027	1	1,038331901	0,96308319	1,222222222
DNASE1	0,081147433	0,054255909	0,012	0,023	1	1,038323435	0,963091043	0,52173913
NFYB	0,012259858	0,054243269	0,101	0,142	1	1,038314338	0,963099481	0,711267606
WIZ	0,428998497	0,054213974	0,051	0,042	1	1,038293254	0,963119038	1,214285714
ANPEP	0,001024244	0,054205644	0,027	0,005	1	1,038287259	0,963124599	5,4
ANKIB1	0,594373406	0,054197034	0,098	0,088	1	1,038281063	0,963130347	1,113636364
APEX2	0,016022512	0,054192023	0,028	0,011	1	1,038277456	0,963133693	2,545454545

Supplementary Table 5

Differentially expressed genes_total calculation_ comparing SC-Keloid vs. (SC-Myel, SC-Nonmyel)								
gene	p_val	avg_log2FC	pct.1	pct.2	p_val_adj	Foldchange_UP	Foldchange_DOWN	Ratio_pct1_pct2
POLA1	0,815499509	0,054178661	0,019	0,02	1	1,03826784	0,963142613	0,95
ZNF333	0,8733988	0,054156716	0,033	0,034	1	1,038252047	0,963157263	0,970588235
KCTD5	0,259735216	0,054132207	0,063	0,049	1	1,038234409	0,963173626	1,285714286
ARHGEF40	0,012665171	0,054128723	0,185	0,236	1	1,038231902	0,963175952	0,783898305
ZNF770	0,19698548	0,054072787	0,065	0,049	1	1,038191648	0,963213297	1,326530612
DIAPH1	0,315082042	0,054046632	0,094	0,077	1	1,038172826	0,963230759	1,220779221
RAI1	0,797627864	0,054016488	0,047	0,049	1	1,038151135	0,963250885	0,959183673
DIRAS3	0,000868587	0,053946802	0,04	0,012	1	1,038100991	0,963297414	3,333333333
EPM2A	0,465906734	0,053910437	0,02	0,015	1	1,038074824	0,963321696	1,333333333
CYP20A1	0,563267138	0,053825817	0,09	0,08	1	1,038013939	0,9633782	1,125
TRIM61	0,013364494	0,053720233	0,012	0,001	1	1,037937975	0,963448707	12
TSPAN17	0,007130607	0,053702133	0,035	0,014	1	1,037924952	0,963460795	2,5
GPR39	0,005346706	0,053701354	0,01	0	1	1,037924392	0,963461315	#DIV/0!
IWS1	0,546482545	0,053695207	0,064	0,056	1	1,03791997	0,96346542	1,142857143
ADA2	0,027021185	0,05369359	0,02	0,007	1	1,037918807	0,9634665	2,857142857
STK32C	0,636920013	0,053685565	0,055	0,049	1	1,037913033	0,96347186	1,12244898
DHX40	0,880686643	0,05368278	0,062	0,062	1	1,037911029	0,96347372	1
LTC4S	0,136873807	0,053664801	0,022	0,012	1	1,037898095	0,963485726	1,833333333
BCOR	0,827273329	0,053662031	0,078	0,08	1	1,037896102	0,963487576	0,975
HSD11B1L	0,157438962	0,053613651	0,027	0,016	1	1,037861298	0,963519887	1,6875
UTP6	0,579954387	0,053592993	0,07	0,076	1	1,037846436	0,963533684	0,921052632
RCN1	0,133803847	0,053581229	0,198	0,225	1	1,037837974	0,96354154	0,88
TMEM199	0,009985401	0,053571645	0,042	0,019	1	1,037831079	0,963547942	2,210526316
DARS2	0,272700937	0,053541238	0,014	0,008	1	1,037809205	0,96356825	1,75
GTF2A1	0,886326834	0,053479332	0,099	0,099	1	1,037764674	0,963609598	1
UTP25	0,66518037	0,053441138	0,019	0,022	1	1,037737201	0,963635108	0,863636364
STK16	0,026101236	0,053427637	0,064	0,038	1	1,037727489	0,963644127	1,684210526
TMEM203	0,096019958	0,053380152	0,077	0,054	1	1,037693334	0,963675844	1,425925926
VAV3	0,141340214	0,053369932	0,01	0,004	1	1,037685983	0,963682671	2,5
GBF1	0,795504858	0,053331315	0,058	0,054	1	1,037658207	0,963708467	1,074074074

Supplementary Table 5

Differentially expressed genes_total calculation_ comparing SC-Keloid vs. (SC-Myel, SC-Nonmyel)								
gene	p_val	avg_log2FC	pct.1	pct.2	p_val_adj	Foldchange_UP	Foldchange_DOWN	Ratio_pct1_pct2
ELOVL4	0,999024965	0,053305217	0,024	0,024	1	1,037639436	0,9637259	1
VPS35L	0,600889289	0,05324173	0,036	0,031	1	1,037593776	0,96376831	1,161290323
ANKRD27	0,330643284	0,053237527	0,017	0,024	1	1,037590753	0,963771118	0,708333333
LOXL4	0,001592789	0,053210782	0,026	0,005	1	1,037571518	0,963788985	5,2
TSPAN3	0,056272591	0,053159525	0,213	0,252	1	1,037534655	0,963823228	0,845238095
ECI2	0,895870297	0,053142841	0,097	0,092	1	1,037522656	0,963834374	1,054347826
ACSS2	0,061005327	0,053095348	0,021	0,037	1	1,037488502	0,963866103	0,567567568
APH1A	0,833793989	0,053018628	0,162	0,16	1	1,037433332	0,963917362	1,0125
LRFN4	0,102846387	0,052999915	0,086	0,062	1	1,037419875	0,963929865	1,387096774
MCPH1	0,724964227	0,052980714	0,035	0,038	1	1,037406068	0,963942694	0,921052632
SLC38A9	0,555780765	0,052842366	0,023	0,019	1	1,03730659	0,964035136	1,210526316
RASSF7	0,007677179	0,052818812	0,019	0,004	1	1,037289655	0,964050875	4,75
TRMT6	0,217191994	0,052816155	0,038	0,027	1	1,037287745	0,96405265	1,407407407
TAF6	0,155475142	0,052815245	0,057	0,041	1	1,037287091	0,964053259	1,390243902
CHAF1A	0,024771033	0,052789666	0,024	0,009	1	1,037268699	0,964070352	2,666666667
MPV17L2	0,075689556	0,052767488	0,034	0,019	1	1,037252754	0,964085172	1,789473684
DUSP11	0,612596169	0,052743014	0,058	0,052	1	1,037235158	0,964101527	1,115384615
ZNF711	0,963102915	0,052701949	0,034	0,034	1	1,037205635	0,96412897	1
SUPT20H	0,573046312	0,052676685	0,1	0,09	1	1,037187472	0,964145853	1,111111111
ZNF224	0,478675237	0,052663179	0,044	0,052	1	1,037177762	0,964154879	0,846153846
PHETA2	0,046983692	0,052649794	0,04	0,022	1	1,037168139	0,964163825	1,818181818
FOCAD	0,128789325	0,052612866	0,019	0,009	1	1,037141592	0,964188504	2,111111111
CCR1	0,025456406	0,052579642	0,013	0,003	1	1,037117708	0,964210709	4,333333333
PHAF1	0,261584718	0,05256187	0,024	0,016	1	1,037104932	0,964222587	1,5
GABRB1	0,000802422	0,052554771	0,015	0	1	1,037099829	0,964227331	#DIV/0!
INVS	0,32934756	0,052488345	0,014	0,02	1	1,037052079	0,964271728	0,7
ZUP1	0,725221184	0,052479763	0,024	0,022	1	1,037045909	0,964277464	1,090909091
XKR8	0,010529307	0,052478486	0,015	0,003	1	1,037044992	0,964278318	5
H2AC20	0,492825638	0,052435268	0,03	0,024	1	1,037013926	0,964307205	1,25
SENP1	0,661057485	0,05241445	0,022	0,019	1	1,036998962	0,964321119	1,157894737

Supplementary Table 5

Differentially expressed genes_total calculation_ comparing SC-Keloid vs. (SC-Myel, SC-Nonmyel)								
gene	p_val	avg_log2FC	pct.1	pct.2	p_val_adj	Foldchange_UP	Foldchange_DOWN	Ratio_pct1_pct2
TRIB3	0,014064017	0,052396194	0,033	0,014	1	1,03698584	0,964333322	2,357142857
DSN1	0,060554269	0,052374211	0,015	0,005	1	1,036970039	0,964348016	3
ZNF251	0,120604851	0,052372064	0,024	0,014	1	1,036968495	0,964349452	1,714285714
COL3A1	0,009934271	0,052309168	0,477	0,579	1	1,036923289	0,964391495	0,823834197
SHLD1	0,180814576	0,052300783	0,028	0,018	1	1,036917262	0,964397099	1,555555556
PTPRA	0,157164814	0,052298573	0,178	0,202	1	1,036915674	0,964398577	0,881188119
SCNM1	0,571613955	0,052291504	0,071	0,062	1	1,036910593	0,964403302	1,14516129
TRIP13	0,061871786	0,052284467	0,01	0,003	1	1,036905535	0,964408006	3,333333333
ATPAF1	0,473412604	0,052264377	0,04	0,033	1	1,036891096	0,964421436	1,212121212
KLHL7	0,939039047	0,052186086	0,066	0,066	1	1,036834829	0,964473774	1
PNN	0,00171422	0,052113209	0,26	0,335	1	1,036782454	0,964522495	0,776119403
DOLK	0,012700408	0,052094621	0,022	0,007	1	1,036769097	0,964534922	3,142857143
PSKH1	0,140928241	0,052064283	0,029	0,018	1	1,036747295	0,964555205	1,611111111
CEP290	0,902972114	0,052055765	0,084	0,081	1	1,036741173	0,964560901	1,037037037
LINC00662	0,545240211	0,052019453	0,059	0,052	1	1,03671508	0,964585178	1,134615385
GGCX	0,800709265	0,051991963	0,068	0,071	1	1,036695325	0,964603558	0,957746479
TELO2	0,020720888	0,051950986	0,052	0,028	1	1,036665881	0,964630957	1,857142857
WRAP73	0,550004397	0,051945936	0,048	0,041	1	1,036662252	0,964634333	1,170731707
TADA2A	0,939127262	0,051938065	0,028	0,028	1	1,036656596	0,964639596	1
GAS2L1	0,429547064	0,05193632	0,071	0,06	1	1,036655343	0,964640762	1,183333333
PEX11B	0,082216163	0,051889577	0,028	0,015	1	1,036621756	0,964672017	1,866666667
NUFIP1	0,656762854	0,051862508	0,033	0,037	1	1,036602306	0,964690118	0,891891892
CCAR1	0,950588166	0,05185126	0,134	0,132	1	1,036594224	0,964697639	1,015151515
FNDC10	0,025687319	0,051835812	0,013	0,003	1	1,036583125	0,964707968	4,333333333
PYROXD1	0,300872921	0,051759675	0,048	0,037	1	1,036528421	0,964758882	1,297297297
RFTN1	0,869626148	0,051741609	0,014	0,015	1	1,036515441	0,964770963	0,933333333
AFG3L2	0,779790015	0,051595326	0,094	0,096	1	1,036410349	0,964868791	0,979166667
SLC66A2	0,855040725	0,051275957	0,085	0,085	1	1,036180944	0,965082407	1
ZDHHC1	0,003127573	0,051273618	0,044	0,018	1	1,036179264	0,965083972	2,444444444
SNAPC1	0,91595843	0,051224598	0,055	0,053	1	1,036144058	0,965116764	1,037735849

Supplementary Table 5

Differentially expressed genes_total calculation_ comparing SC-Keloid vs. (SC-Myel, SC-Nonmyel)								
gene	p_val	avg_log2FC	pct.1	pct.2	p_val_adj	Foldchange_UP	Foldchange_DOWN	Ratio_pct1_pct2
ZNF738	0,482468322	0,051207759	0,03	0,024	1	1,036131964	0,965128029	1,25
CRYBG3	0,231884967	0,051185181	0,051	0,065	1	1,036115748	0,965143133	0,784615385
URB1	0,873743136	0,0511394	0,051	0,049	1	1,03608287	0,965173761	1,040816327
CAMKK2	0,216112113	0,051062461	0,076	0,058	1	1,036027617	0,965225235	1,310344828
ZNF407	0,38998836	0,050910831	0,03	0,038	1	1,035918734	0,965326687	0,789473684
GNB1L	0,17590113	0,050834435	0,017	0,009	1	1,03586388	0,965377806	1,888888889
WDR77	0,011325484	0,050834078	0,051	0,026	1	1,035863624	0,965378045	1,961538462
ASPCR1	0,127630807	0,050765346	0,078	0,057	1	1,035814275	0,965424038	1,368421053
EIF4ENIF1	0,90896877	0,050763332	0,021	0,022	1	1,035812829	0,965425386	0,954545455
CCDC77	0,23443277	0,05067886	0,023	0,015	1	1,035752182	0,965481914	1,533333333
GDAP1	0,79186063	0,05066528	0,034	0,031	1	1,035742433	0,965491003	1,096774194
CEP135	0,437756032	0,050636769	0,033	0,026	1	1,035721964	0,965510083	1,269230769
ZNF566	0,142305686	0,050631929	0,017	0,028	1	1,03571849	0,965513322	0,607142857
SLC2A6	0,003278339	0,050587284	0,021	0,004	1	1,035686439	0,965543201	5,25
AGPAT5	0,48353131	0,050576615	0,055	0,046	1	1,03567878	0,965550342	1,195652174
ADPRS	0,396608651	0,050560099	0,068	0,056	1	1,035666924	0,965561395	1,214285714
FDXR	0,853979956	0,050427467	0,023	0,022	1	1,035571715	0,965650167	1,045454545
HACE1	0,756337992	0,050426087	0,02	0,018	1	1,035570725	0,96565109	1,111111111
NUP88	0,306849208	0,050421939	0,035	0,026	1	1,035567748	0,965653867	1,346153846
SETD6	0,856531562	0,050399686	0,03	0,028	1	1,035551775	0,965668762	1,071428571
PIGZ	0,972101573	0,050358724	0,017	0,018	1	1,035522373	0,96569618	0,944444444
STRN	0,397287421	0,050344949	0,069	0,079	1	1,035512486	0,965705401	0,873417722
MBTPS1	0,434493471	0,050269721	0,144	0,156	1	1,035458491	0,965755758	0,923076923
FBXO28	0,471162136	0,050233545	0,045	0,053	1	1,035432527	0,965779975	0,849056604
STAT5B	0,019581864	0,050219734	0,035	0,06	1	1,035422615	0,96578922	0,583333333
RABEPK	0,1383473	0,050179438	0,051	0,035	1	1,035393695	0,965816196	1,457142857
ADAL	0,52939098	0,050131962	0,027	0,022	1	1,035359623	0,965847979	1,227272727
PAFAH2	0,355865884	0,050131532	0,016	0,011	1	1,035359314	0,965848268	1,454545455
TCTN2	0,082918715	0,050067703	0,016	0,007	1	1,035313508	0,965891001	2,285714286
C5orf63	0,027133402	0,050059183	0,02	0,007	1	1,035307394	0,965896704	2,857142857

Supplementary Table 5

Differentially expressed genes_total calculation_ comparing SC-Keloid vs. (SC-Myel, SC-Nonmyel)								
gene	p_val	avg_log2FC	pct.1	pct.2	p_val_adj	Foldchange_UP	Foldchange_DOWN	Ratio_pct1_pct2
TRIM66	0,758922006	0,050050814	0,014	0,012	1	1,035301388	0,965902308	1,166666667
NANP	0,626295151	0,050027871	0,01	0,008	1	1,035284924	0,965917668	1,25
COMMD5	0,277266184	0,05002051	0,072	0,057	1	1,035279642	0,965922597	1,263157895
FMR1	0,012982556	0,049999965	0,088	0,126	1	1,035264899	0,965936352	0,698412698
KHDC4	0,016704092	0,049987633	0,088	0,125	1	1,03525605	0,965944609	0,704
GTF3C4	0,493472648	0,049930004	0,056	0,047	1	1,035214696	0,965983195	1,191489362
LPCAT2	0,716916013	0,049896535	0,133	0,136	1	1,035190681	0,966005605	0,977941176
GTPBP6	0,116185652	0,049844114	0,102	0,123	1	1,035153068	0,966040706	0,829268293
ILDR2	0,751928618	0,049840086	0,023	0,026	1	1,035150178	0,966043403	0,884615385
TCIRG1	0,005291416	0,0498026	0,064	0,033	1	1,035123281	0,966068504	1,939393939
DLD	0,432596624	0,049761865	0,079	0,066	1	1,035094055	0,966095782	1,196969697
FBL	0,09140954	0,049724054	0,135	0,16	1	1,035066927	0,966121102	0,84375
PTDSS2	0,199510765	0,049642706	0,073	0,056	1	1,035008565	0,96617558	1,303571429
C2orf72	0,061977988	0,049639932	0,01	0,003	1	1,035006575	0,966177437	3,333333333
TEAD4	0,71560283	0,049622939	0,026	0,028	1	1,034994384	0,966188818	0,928571429
NEURL1B	0,024639636	0,049595518	0,023	0,043	1	1,034974712	0,966207182	0,534883721
PTGER1	0,025181683	0,049544153	0,013	0,003	1	1,034937864	0,966241583	4,333333333
KATNB1	0,000886939	0,049536016	0,04	0,012	1	1,034932026	0,966247033	3,333333333
C8orf88	0,412057364	0,049528579	0,031	0,024	1	1,034926691	0,966252014	1,291666667
TAF6L	0,09495587	0,049505803	0,02	0,009	1	1,034910353	0,966267268	2,222222222
NDUFS7	0,181860158	0,049448838	0,199	0,221	1	1,03486949	0,966305422	0,900452489
GLTP	0,042136428	0,049410355	0,105	0,137	1	1,034841886	0,966331198	0,766423358
LIN7B	0,307885289	0,049383636	0,04	0,03	1	1,034822721	0,966349095	1,333333333
TMEM161A	0,219488436	0,049352623	0,068	0,052	1	1,034800476	0,966369869	1,307692308
MPDU1	0,006718605	0,049240126	0,101	0,061	1	1,034719789	0,966445226	1,655737705
LOX	0,654658684	0,049175091	0,016	0,014	1	1,034673146	0,966488793	1,142857143
LRRCC1	0,892754219	0,049108244	0,14	0,138	1	1,034625206	0,966533576	1,014492754
DNAJB5	0,45647304	0,049095457	0,031	0,038	1	1,034616035	0,966542143	0,815789474
TSNAX	0,951968122	0,049087759	0,107	0,103	1	1,034610515	0,9665473	1,038834951
C18orf54	0,649625425	0,049076974	0,021	0,024	1	1,03460278	0,966554526	0,875

Supplementary Table 5

Differentially expressed genes_total calculation_ comparing SC-Keloid vs. (SC-Myel, SC-Nonmyel)								
gene	p_val	avg_log2FC	pct.1	pct.2	p_val_adj	Foldchange_UP	Foldchange_DOWN	Ratio_pct1_pct2
MOCS3	0,317955932	0,049075213	0,012	0,007	1	1,034601518	0,966555705	1,714285714
MAP1S	0,287367385	0,049066762	0,034	0,024	1	1,034595457	0,966561368	1,416666667
ACP6	0,603682585	0,049055545	0,035	0,03	1	1,034587413	0,966568883	1,166666667
OLFML3	0,833760796	0,049050336	0,023	0,022	1	1,034583677	0,966572373	1,045454545
ZNF248	0,519041672	0,048855066	0,042	0,049	1	1,034443655	0,966703208	0,857142857
PIGB	0,105105347	0,048841294	0,017	0,008	1	1,034433781	0,966712436	2,125
ST8SIA4	0,010529307	0,048808664	0,015	0,003	1	1,034410385	0,966734301	5
PDCD2	0,257204073	0,048784703	0,105	0,084	1	1,034393205	0,966750357	1,25
MEIS3	0,809446277	0,048732949	0,028	0,03	1	1,034356098	0,966785038	0,933333333
ZBED5-AS1	0,551509743	0,048703414	0,015	0,019	1	1,034334924	0,96680483	0,789473684
ZNF85	0,116232214	0,048701001	0,021	0,011	1	1,034333193	0,966806447	1,909090909
TPP1	0,249755694	0,048693018	0,101	0,117	1	1,03432747	0,966811797	0,863247863
FAM47E	0,010529307	0,048558911	0,015	0,003	1	1,034231328	0,966901672	5
CXorf38	0,980859581	0,048500115	0,063	0,062	1	1,034189179	0,966941078	1,016129032
FERMT3	0,179679555	0,048460572	0,031	0,02	1	1,034160833	0,966967582	1,55
DDB2	0,784583397	0,048442161	0,065	0,068	1	1,034147636	0,966979922	0,955882353
RMI2	0,001284512	0,048343371	0,014	0	1	1,034076824	0,967046139	#DIV/0!
TEAD2	0,487030166	0,048270227	0,03	0,024	1	1,034024398	0,967095169	1,25
ZNF485	0,062927351	0,048222645	0,013	0,004	1	1,033990296	0,967127065	3,25
GTPBP2	0,109142027	0,048202686	0,041	0,026	1	1,033975991	0,967140445	1,576923077
SLC25A45	0,754251212	0,048199406	0,022	0,024	1	1,03397364	0,967142644	0,916666667
ZNF175	0,793092672	0,04818212	0,015	0,014	1	1,033961251	0,967154232	1,071428571
STAT1	0,114232701	0,048110092	0,08	0,058	1	1,033909631	0,96720252	1,379310345
SRSF6	0,105703642	0,048083033	0,185	0,213	1	1,033890239	0,96722066	0,868544601
KPNA3	0,527762501	0,048045607	0,085	0,092	1	1,033863419	0,967245752	0,923913043
ZNF611	0,749980338	0,048025446	0,01	0,012	1	1,033848971	0,967259269	0,833333333
CENPM	0,01342148	0,048011621	0,012	0,001	1	1,033839064	0,967268538	12
CCDC82	0,007166043	0,048011331	0,183	0,235	1	1,033838856	0,967268733	0,778723404
SDK1	0,224924126	0,047995016	0,027	0,018	1	1,033827165	0,967279671	1,5
WASHC3	0,944366175	0,047983214	0,129	0,123	1	1,033818707	0,967287584	1,048780488

Supplementary Table 5

Differentially expressed genes_total calculation_ comparing SC-Keloid vs. (SC-Myel, SC-Nonmyel)								
gene	p_val	avg_log2FC	pct.1	pct.2	p_val_adj	Foldchange_UP	Foldchange_DOWN	Ratio_pct1_pct2
TAX1BP1	0,045013242	0,047941668	0,228	0,27	1	1,033788936	0,96731544	0,844444444
HIRA	0,808008365	0,047893695	0,034	0,031	1	1,033754561	0,967347606	1,096774194
PCBP4	0,17517126	0,047878299	0,243	0,273	1	1,033743529	0,967357929	0,89010989
JAGN1	0,134779643	0,04786767	0,1	0,076	1	1,033735913	0,967365057	1,315789474
SCFD2	0,005074769	0,047819856	0,02	0,004	1	1,033701654	0,967397118	5
KAT14	0,945164687	0,047816392	0,014	0,014	1	1,033699172	0,96739944	1
MCRIP2	0,58902236	0,047815004	0,04	0,034	1	1,033698177	0,967400371	1,176470588
BNIP1	0,228700237	0,047753072	0,043	0,031	1	1,033653804	0,9674419	1,387096774
LYST	0,059945965	0,047734844	0,144	0,178	1	1,033640743	0,967454124	0,808988764
PRR14L	0,879334267	0,047727258	0,04	0,038	1	1,033635309	0,967459211	1,052631579
ARMCX3	0,015684817	0,047720741	0,248	0,3	1	1,033630639	0,967463581	0,826666667
ZNF317	0,5369325	0,047681596	0,017	0,014	1	1,033602594	0,967489832	1,214285714
SLC12A2	0,122383541	0,047637431	0,086	0,107	1	1,033570953	0,96751945	0,803738318
IQCE	0,319119623	0,047637243	0,044	0,034	1	1,033570819	0,967519576	1,294117647
ZNF134	0,622352348	0,047637165	0,015	0,012	1	1,033570763	0,967519628	1,25
NEK8	0,062451412	0,047519675	0,013	0,004	1	1,033486594	0,967598424	3,25
TOP3A	0,982660941	0,047491256	0,023	0,023	1	1,033466236	0,967617485	1
SLC25A17	0,663927249	0,047439667	0,038	0,034	1	1,033429281	0,967652086	1,117647059
TTC8	0,108742198	0,047438776	0,037	0,023	1	1,033428643	0,967652684	1,608695652
MED6	0,663945744	0,047430666	0,073	0,066	1	1,033422834	0,967658123	1,106060606
KIF5A	0,327436799	0,04738814	0,023	0,016	1	1,033392373	0,967686647	1,4375
RPRD1A	0,061968206	0,047373762	0,079	0,106	1	1,033382073	0,967696291	0,745283019
PANK3	0,698601828	0,047368962	0,115	0,106	1	1,033378635	0,967699511	1,08490566
ERLIN1	0,792697453	0,047359844	0,052	0,049	1	1,033372104	0,967705627	1,06122449
TTC26	0,27416607	0,047354967	0,017	0,011	1	1,033368611	0,967708898	1,545454545
ZNF439	0,25141353	0,047350693	0,036	0,026	1	1,03336555	0,967711765	1,384615385
CEP43	0,982994334	0,047289953	0,023	0,023	1	1,033322044	0,967752508	1
PDCD1LG2	0,001284512	0,047201176	0,014	0	1	1,03325846	0,967812062	#DIV/0!
FAF1	0,436284171	0,047197967	0,081	0,069	1	1,033256161	0,967814214	1,173913043
TRIM41	0,540364638	0,047154436	0,034	0,039	1	1,033224985	0,967843417	0,871794872

Supplementary Table 5

Differentially expressed genes_total calculation_ comparing SC-Keloid vs. (SC-Myel, SC-Nonmyel)								
gene	p_val	avg_log2FC	pct.1	pct.2	p_val_adj	Foldchange_UP	Foldchange_DOWN	Ratio_pct1_pct2
NT5M	0,581628741	0,047118562	0,014	0,011	1	1,033199293	0,967867484	1,272727273
FBXW8	0,30621915	0,047109938	0,019	0,012	1	1,033193117	0,967873269	1,583333333
GTF3C2	0,405476896	0,047063751	0,044	0,035	1	1,033160041	0,967904255	1,257142857
CDK16	0,585919894	0,046970986	0,107	0,095	1	1,033093611	0,967966494	1,126315789
CNOT8	0,436239786	0,046956141	0,071	0,06	1	1,033082981	0,967976454	1,183333333
ATAD2	0,428065644	0,046940195	0,02	0,026	1	1,033071562	0,967987152	0,769230769
MFAP3	0,435798933	0,046893605	0,019	0,014	1	1,033038201	0,968018413	1,357142857
SCN1B	0,275153212	0,046846962	0,064	0,05	1	1,033004803	0,96804971	1,28
RNF214	0,783298086	0,046827354	0,049	0,052	1	1,032990763	0,968062867	0,942307692
ERCC6	0,668770267	0,046811244	0,019	0,022	1	1,032979228	0,968073677	0,863636364
MPZL1	0,331122177	0,046768468	0,033	0,042	1	1,032948601	0,968102381	0,785714286
EARS2	0,041612665	0,046765999	0,016	0,005	1	1,032946833	0,968104038	3,2
MED1	0,389046158	0,046749752	0,064	0,053	1	1,032935201	0,96811494	1,20754717
NME6	0,121698769	0,046712215	0,024	0,014	1	1,032908325	0,96814013	1,714285714
WNT10A	0,001284512	0,046704505	0,014	0	1	1,032902805	0,968145304	#DIV/0!
BANP	0,767347574	0,04668812	0,033	0,03	1	1,032891074	0,968156299	1,1
ZPR1	0,425339584	0,046677202	0,062	0,052	1	1,032883258	0,968163626	1,192307692
CD6	0,00329308	0,046661199	0,015	0,001	1	1,032871801	0,968174365	15
CCDC180	0,185351104	0,046634076	0,012	0,005	1	1,032852383	0,968192567	2,4
HPS1	0,786587961	0,04657095	0,057	0,053	1	1,032807191	0,968234932	1,075471698
SUFU	0,73068323	0,046536816	0,019	0,016	1	1,032782755	0,968257841	1,1875
PGPEP1	0,811277108	0,046530007	0,035	0,033	1	1,032777881	0,96826241	1,060606061
SPATS2	0,265547159	0,046491805	0,052	0,065	1	1,032750533	0,96828805	0,8
PGAM5	0,57991817	0,04644115	0,029	0,024	1	1,032714273	0,968322049	1,208333333
AAGAB	0,017933141	0,046352358	0,034	0,015	1	1,032650715	0,968381647	2,266666667
ZNF771	0,904087688	0,046320776	0,033	0,031	1	1,032628109	0,968402846	1,064516129
RNASEL	0,088643746	0,04632032	0,026	0,014	1	1,032627783	0,968403152	1,857142857
PCYT2	0,798111724	0,046312572	0,052	0,049	1	1,032622237	0,968408353	1,06122449
DAP3	0,202220871	0,046308326	0,106	0,084	1	1,032619199	0,968411203	1,261904762
SASH1	0,112553295	0,046256293	0,113	0,138	1	1,032581956	0,96844613	0,81884058

Supplementary Table 5

Differentially expressed genes_total calculation_ comparing SC-Keloid vs. (SC-Myel, SC-Nonmyel)								
gene	p_val	avg_log2FC	pct.1	pct.2	p_val_adj	Foldchange_UP	Foldchange_DOWN	Ratio_pct1_pct2
VCPIP1	0,165885412	0,046176105	0,056	0,072	1	1,032524565	0,96849996	0,777777778
GMPPA	0,04030001	0,046156101	0,055	0,033	1	1,032510248	0,96851339	1,666666667
FREM1	0,021465155	0,046103181	0,01	0,001	1	1,032472375	0,968548916	10
SLC39A9	0,31056827	0,046099426	0,044	0,034	1	1,032469687	0,968551438	1,294117647
CHFR	0,048211559	0,046091047	0,047	0,027	1	1,032463691	0,968557062	1,740740741
ANP32E	0,001984109	0,046066864	0,116	0,17	1	1,032446385	0,968573298	0,682352941
CDC23	0,796240861	0,045995025	0,058	0,054	1	1,032394975	0,968621529	1,074074074
H1-4	0,493310257	0,045959603	0,03	0,024	1	1,032369628	0,968645312	1,25
PROSER1	0,363265962	0,045929584	0,029	0,022	1	1,032348147	0,968665467	1,318181818
VDR	0,315284259	0,045923109	0,015	0,009	1	1,032343513	0,968669815	1,666666667
L3MBTL2	0,261958256	0,04589138	0,054	0,041	1	1,03232081	0,968691119	1,317073171
EDC3	0,7274433	0,045883498	0,019	0,016	1	1,032315169	0,968696411	1,1875
MEOX1	0,917138954	0,045828768	0,013	0,012	1	1,032276008	0,968733161	1,083333333
GABPB1	0,869805552	0,045746987	0,033	0,034	1	1,032217494	0,968788076	0,970588235
NHLRC3	0,922396258	0,045741696	0,052	0,053	1	1,032213708	0,968791629	0,981132075
UHRF1BP1L	0,064368594	0,045661212	0,058	0,081	1	1,032156126	0,968845676	0,716049383
SMIM27	0,872454398	0,045652137	0,057	0,054	1	1,032149633	0,968851771	1,055555556
ZBTB8A	0,383262177	0,045617307	0,04	0,031	1	1,032124715	0,968875161	1,290322581
BIVM	0,94673381	0,045598962	0,027	0,027	1	1,032111591	0,968887482	1
NIPA1	0,081838498	0,045458185	0,028	0,015	1	1,032010884	0,968982029	1,866666667
SLC41A3	0,4083716	0,045282819	0,07	0,058	1	1,031885445	0,969099821	1,206896552
LRTOMT	0,535612379	0,045279332	0,013	0,009	1	1,031882952	0,969102163	1,444444444
EXOSC1	0,382537065	0,045235554	0,068	0,056	1	1,03185164	0,96913157	1,214285714
TRIM62	0,02437396	0,045140929	0,024	0,009	1	1,031783964	0,969195137	2,666666667
LTO1	0,989401757	0,045130851	0,033	0,033	1	1,031776756	0,969201907	1
KPNA5	0,902233728	0,045126405	0,055	0,056	1	1,031773577	0,969204894	0,982142857
TRAF3	0,694191737	0,045104662	0,047	0,05	1	1,031758027	0,969219501	0,94
ZNF775	0,766293193	0,045099006	0,05	0,046	1	1,031753982	0,969223301	1,086956522
FAM227A	0,26465623	0,045073073	0,01	0,005	1	1,031735436	0,969240723	2
CAMKMT	0,648980029	0,045059788	0,02	0,023	1	1,031725935	0,969249649	0,869565217

Supplementary Table 5

Differentially expressed genes_total calculation_ comparing SC-Keloid vs. (SC-Myel, SC-Nonmyel)								
gene	p_val	avg_log2FC	pct.1	pct.2	p_val_adj	Foldchange_UP	Foldchange_DOWN	Ratio_pct1_pct2
UBXN2A	0,02829788	0,045039694	0,166	0,209	1	1,031711565	0,969263148	0,794258373
C9orf40	0,056937824	0,044995099	0,017	0,007	1	1,031679675	0,969293109	2,428571429
C7orf50	0,53150843	0,044983954	0,215	0,221	1	1,031671705	0,969300598	0,972850679
FASTKD1	0,26233662	0,044847383	0,024	0,016	1	1,031574047	0,96939236	1,5
AQP7	0,052824651	0,044812072	0,02	0,008	1	1,031548799	0,969416086	2,5
SLC25A16	0,812086371	0,044704726	0,035	0,033	1	1,031472048	0,96948822	1,060606061
DHRS1	0,631677394	0,044610089	0,059	0,053	1	1,031404388	0,969551818	1,113207547
PSMG2	0,889733254	0,044577573	0,169	0,164	1	1,031381142	0,969573671	1,030487805
GPR153	0,310131767	0,044555985	0,05	0,061	1	1,031365709	0,969588179	0,819672131
FAM168B	0,007487228	0,044548331	0,084	0,125	1	1,031360238	0,969593323	0,672
CLBA1	0,026983868	0,0445322	0,02	0,007	1	1,031348706	0,969604165	2,857142857
ARPP19	0,000996573	0,044496205	0,268	0,345	1	1,031322975	0,969628356	0,776811594
HSDL2	0,859309393	0,044456895	0,057	0,054	1	1,031294874	0,969654776	1,055555556
THAP6	0,601582355	0,044372822	0,027	0,031	1	1,031234777	0,969711285	0,870967742
SMPDL3A	0,030056795	0,04436562	0,034	0,016	1	1,031229628	0,969716126	2,125
SNX13	0,040344835	0,044343633	0,09	0,119	1	1,031213913	0,969730904	0,756302521
DUS1L	0,502831245	0,04430564	0,092	0,08	1	1,031186756	0,969756442	1,15
ZFP1	0,932198175	0,044295608	0,028	0,027	1	1,031179586	0,969763186	1,037037037
UBAC2	0,870093844	0,044283197	0,076	0,072	1	1,031170715	0,969771528	1,055555556
SFMBT2	0,436556604	0,04423426	0,015	0,02	1	1,031135737	0,969804424	0,75
ZNF701	0,847489243	0,044209963	0,026	0,027	1	1,031118372	0,969820757	0,962962963
RILPL1	0,20965886	0,044198674	0,078	0,06	1	1,031110303	0,969828346	1,3
ZNF567	0,583390213	0,044114544	0,027	0,031	1	1,031050177	0,969884902	0,870967742
PSMA2	0,010025388	0,044062642	0,212	0,263	1	1,031013085	0,969919795	0,80608365
TUBGCP4	0,961439653	0,044052463	0,034	0,034	1	1,031005811	0,969926638	1
RAB5IF	0,862053134	0,044012574	0,156	0,148	1	1,030977305	0,969953456	1,054054054
ZNF16	0,883740888	0,043943985	0,012	0,011	1	1,030928291	0,969999571	1,090909091
MMRN2	0,156607823	0,043935767	0,005	0,011	1	1,030922418	0,970005097	0,454545455
PUS10	0,678284028	0,043934674	0,012	0,009	1	1,030921637	0,970005832	1,333333333
MARK3	0,201844987	0,043837382	0,176	0,197	1	1,030852116	0,970071249	0,893401015

Supplementary Table 5

Differentially expressed genes_total calculation_ comparing SC-Keloid vs. (SC-Myel, SC-Nonmyel)								
gene	p_val	avg_log2FC	pct.1	pct.2	p_val_adj	Foldchange_UP	Foldchange_DOWN	Ratio_pct1_pct2
HEATR6	0,175761221	0,043834028	0,031	0,02	1	1,03084972	0,970073504	1,55
TCN2	0,431962332	0,04383055	0,01	0,007	1	1,030847235	0,970075843	1,428571429
MFSD4B	0,325371159	0,043820676	0,016	0,023	1	1,03084018	0,970082482	0,695652174
ZNF783	0,815396373	0,043810907	0,022	0,02	1	1,030833199	0,970089051	1,1
PLPP1	0,033738135	0,043810038	0,456	0,577	1	1,030832578	0,970089635	0,790294627
IK	0,115440546	0,043799009	0,189	0,213	1	1,030824698	0,970097051	0,887323944
PARP11	0,889146463	0,043729149	0,019	0,018	1	1,030774783	0,970144028	1,055555556
RTP4	0,262265926	0,043712564	0,01	0,005	1	1,030762934	0,97015518	2
FBXW11	0,024247619	0,043618536	0,126	0,166	1	1,030695756	0,970218413	0,759036145
FAM111B	0,039654921	0,043575634	0,012	0,003	1	1,030665106	0,970247265	4
TPR	0,143955252	0,043462953	0,211	0,24	1	1,03058461	0,970323048	0,879166667
VSIG10	0,698623684	0,043459989	0,029	0,026	1	1,030582492	0,970325042	1,115384615
DNAJC14	0,488559096	0,043457211	0,035	0,028	1	1,030580508	0,97032691	1,25
MECR	0,056559997	0,043443463	0,048	0,028	1	1,030570687	0,970336157	1,714285714
NME5	0,062546361	0,043342531	0,013	0,004	1	1,03049859	0,970404045	3,25
GSPT2	0,008122861	0,043306224	0,028	0,009	1	1,030472657	0,970428466	3,111111111
DAP	0,884238745	0,043301583	0,186	0,185	1	1,030469342	0,970431588	1,005405405
OTUB1	0,542576707	0,043288655	0,118	0,104	1	1,030460108	0,970440284	1,134615385
ANLN	0,016180755	0,04321468	0,028	0,011	1	1,030407272	0,970490045	2,545454545
CLK2	0,199304891	0,043189026	0,029	0,019	1	1,030388949	0,970507303	1,526315789
FBXO38	0,991329959	0,04318452	0,023	0,023	1	1,030385731	0,970510334	1
MTERF1	0,833504293	0,043166498	0,016	0,015	1	1,03037286	0,970522457	1,066666667
PHETA1	0,01850312	0,043122571	0,021	0,007	1	1,030341488	0,970552008	3
RFWD3	0,060654292	0,043098011	0,029	0,015	1	1,030323947	0,970568531	1,933333333
FBXO9	0,505878943	0,043097388	0,118	0,125	1	1,030323502	0,97056895	0,944
STX10	0,820831979	0,043002792	0,129	0,128	1	1,030255948	0,970632591	1,0078125
FAM199X	0,738213207	0,042944616	0,084	0,087	1	1,030214404	0,970671732	0,965517241
SLC46A1	0,431567206	0,042882831	0,01	0,007	1	1,030170284	0,970713303	1,428571429
ZNF121	0,647577753	0,042847691	0,034	0,038	1	1,030145193	0,970736947	0,894736842
TMEM214	0,071975523	0,042825607	0,069	0,046	1	1,030129424	0,970751807	1,5

Supplementary Table 5

Differentially expressed genes_total calculation_ comparing SC-Keloid vs. (SC-Myel, SC-Nonmyel)								
gene	p_val	avg_log2FC	pct.1	pct.2	p_val_adj	Foldchange_UP	Foldchange_DOWN	Ratio_pct1_pct2
RDH11	0,937447136	0,042791716	0,121	0,119	1	1,030105225	0,970774612	1,016806723
SLC25A32	0,982729558	0,042744439	0,044	0,043	1	1,030071469	0,970806424	1,023255814
CLCN5	0,065192806	0,042663215	0,023	0,039	1	1,030013478	0,970861083	0,58974359
ADO	0,387690999	0,04250485	0,03	0,038	1	1,029900419	0,97096766	0,789473684
TFB2M	0,409463736	0,042491711	0,031	0,024	1	1,029891039	0,970976503	1,291666667
RETREG2	0,390833795	0,042482139	0,092	0,077	1	1,029884206	0,970982946	1,194805195
STRAP	0,023835843	0,042462314	0,218	0,263	1	1,029870054	0,970996288	0,828897338
ZNF420	0,926354502	0,042446597	0,02	0,02	1	1,029858834	0,971006867	1
RBBP4	0,145735602	0,042348239	0,169	0,194	1	1,029788624	0,971073069	0,871134021
ZNF101	0,094085476	0,042271155	0,012	0,004	1	1,029733604	0,971124955	3
FBXL15	0,879275065	0,042263832	0,073	0,073	1	1,029728377	0,971129885	1
FAM135A	0,202514869	0,042254529	0,022	0,033	1	1,029721737	0,971136147	0,666666667
ALG10B	0,52899102	0,042174406	0,022	0,027	1	1,029664551	0,971190082	0,814814815
ASB13	0,140750264	0,042165966	0,01	0,004	1	1,029658527	0,971195764	2,5
BIRC5	0,021510388	0,042131247	0,01	0,001	1	1,029633748	0,971219137	10
RRS1	0,439955664	0,042094869	0,033	0,026	1	1,029607786	0,971243626	1,269230769
GTF2E1	0,146576668	0,042055121	0,016	0,008	1	1,02957942	0,971270385	2
SIMC1	0,678732658	0,042052806	0,012	0,009	1	1,029577768	0,971271944	1,333333333
CTPS2	0,433170052	0,04203926	0,019	0,014	1	1,0295681	0,971281064	1,357142857
DERL1	0,575617253	0,041945592	0,102	0,091	1	1,029501258	0,971344127	1,120879121
COPB2	0,233386653	0,041858225	0,141	0,159	1	1,029438914	0,971402952	0,886792453
PCNX1	0,244933078	0,041818173	0,056	0,069	1	1,029410336	0,97142992	0,811594203
ZKSCAN1	0,341742475	0,041765442	0,094	0,107	1	1,029372711	0,971465427	0,878504673
ZMIZ2	0,590551085	0,041720228	0,062	0,054	1	1,029340451	0,971495873	1,148148148
ATRX	0,013011139	0,041597669	0,278	0,339	1	1,029253011	0,971578406	0,820058997
PEX26	0,102398588	0,041578567	0,051	0,034	1	1,029239383	0,971591271	1,5
NOTCH2	0,094262242	0,041574614	0,066	0,088	1	1,029236563	0,971593933	0,75
MROH1	0,555799111	0,04153927	0,014	0,018	1	1,029211349	0,971617736	0,777777778
VPS50	0,460122073	0,041495959	0,029	0,023	1	1,029180451	0,971646905	1,260869565
SCRN3	0,957841029	0,04149039	0,036	0,035	1	1,029176478	0,971650656	1,028571429

Supplementary Table 5

Differentially expressed genes_total calculation_ comparing SC-Keloid vs. (SC-Myel, SC-Nonmyel)								
gene	p_val	avg_log2FC	pct.1	pct.2	p_val_adj	Foldchange_UP	Foldchange_DOWN	Ratio_pct1_pct2
PLPP6	0,094291883	0,041442597	0,012	0,004	1	1,029142385	0,971682845	3
FAM172A	0,650780804	0,041418995	0,116	0,121	1	1,029125548	0,971698741	0,958677686
DHTKD1	0,333065804	0,04141656	0,017	0,024	1	1,029123812	0,971700381	0,708333333
CAMKK1	0,140750264	0,041397977	0,01	0,004	1	1,029110556	0,971712898	2,5
VIPAS39	0,096420663	0,041294448	0,036	0,022	1	1,029036708	0,971782631	1,636363636
GOLGA1	0,658413613	0,041294006	0,044	0,039	1	1,029036393	0,971782929	1,128205128
FAM189B	0,933707497	0,041217295	0,034	0,033	1	1,028981679	0,971834602	1,03030303
SP110	0,329455747	0,041070348	0,049	0,06	1	1,028876876	0,971933594	0,816666667
PRICKLE1	0,254168417	0,041038153	0,041	0,03	1	1,028853916	0,971955284	1,366666667
TNFRSF10B	0,348438744	0,041032163	0,041	0,05	1	1,028849645	0,971959319	0,82
FAM104B	0,179664303	0,041017299	0,072	0,054	1	1,028839045	0,971969333	1,333333333
VPS37C	0,264255906	0,040993853	0,044	0,033	1	1,028822325	0,971985129	1,333333333
RAD54L2	0,549945004	0,040985697	0,064	0,071	1	1,028816508	0,971990624	0,901408451
DYSF	0,005346706	0,040982329	0,01	0	1	1,028814106	0,971992894	#DIV/0!
FUCA1	0,495543839	0,040952097	0,035	0,028	1	1,028792547	0,972013262	1,25
WASHC5	0,59310382	0,040914135	0,035	0,03	1	1,028765477	0,972038839	1,166666667
PEX13	0,016428349	0,040906809	0,042	0,02	1	1,028760253	0,972043775	2,1
SETD1B	0,406870294	0,040866376	0,027	0,034	1	1,028731422	0,972071018	0,794117647
ZNF883	0,460857724	0,040838493	0,015	0,011	1	1,028711539	0,972089806	1,363636364
RRP8	0,808620258	0,040833647	0,047	0,043	1	1,028708084	0,972093071	1,093023256
TMEM243	0,661450587	0,040791277	0,087	0,091	1	1,028677873	0,97212162	0,956043956
EIF2B2	0,326784521	0,040764262	0,083	0,068	1	1,02865861	0,972139824	1,220588235
BCL2A1	0,006750784	0,040670219	0,016	0,003	1	1,028591559	0,972203195	5,333333333
AGPAT3	0,273555299	0,040660686	0,077	0,061	1	1,028584762	0,972209619	1,262295082
MORC2-AS1	0,314739599	0,040659772	0,015	0,009	1	1,028584111	0,972210235	1,666666667
FASTKD5	0,429969467	0,040541089	0,014	0,019	1	1,028499498	0,972290217	0,736842105
HPS3	0,838355736	0,040523942	0,035	0,037	1	1,028487273	0,972301774	0,945945946
FAM171B	0,91983168	0,040493331	0,013	0,012	1	1,028465452	0,972322404	1,083333333
FKTN	0,699915797	0,040456492	0,036	0,033	1	1,02843919	0,972347232	1,090909091
HOMEZ	0,942850782	0,040448888	0,01	0,011	1	1,028433769	0,972352357	0,909090909

Supplementary Table 5

Differentially expressed genes_total calculation_ comparing SC-Keloid vs. (SC-Myel, SC-Nonmyel)								
gene	p_val	avg_log2FC	pct.1	pct.2	p_val_adj	Foldchange_UP	Foldchange_DOWN	Ratio_pct1_pct2
ARPIN	0,932313279	0,040405855	0,041	0,039	1	1,028403093	0,972381361	1,051282051
FAM214B	0,515402194	0,040401155	0,086	0,075	1	1,028399743	0,972384529	1,146666667
TCEANC2	0,53718265	0,04038079	0,013	0,009	1	1,028385226	0,972398256	1,444444444
CCDC189	0,017878207	0,040256198	0,016	0,004	1	1,028296418	0,972482236	4
DNLZ	0,42959567	0,040208336	0,031	0,024	1	1,028262304	0,972514499	1,291666667
TMEM186	0,710008011	0,040178292	0,014	0,016	1	1,028240891	0,972534752	0,875
DNAJB14	0,062705337	0,040154494	0,135	0,166	1	1,02822393	0,972550794	0,813253012
FYCO1	0,365811746	0,040135264	0,034	0,026	1	1,028210225	0,972563758	1,307692308
STK4	0,357360356	0,040132139	0,091	0,103	1	1,028207998	0,972565864	0,883495146
GMEB2	0,722650772	0,040065357	0,013	0,011	1	1,028160404	0,972610885	1,181818182
ARL10	0,754093806	0,040046111	0,026	0,023	1	1,028146688	0,97262386	1,130434783
ATP9A	0,419729133	0,040033872	0,008	0,012	1	1,028137965	0,972632112	0,666666667
FBXO16	0,00430878	0,040017644	0,017	0,003	1	1,028126401	0,972643052	5,666666667
C19orf73	0,012559569	0,040008659	0,02	0,005	1	1,028119998	0,972649109	4
TMCC1	0,627004855	0,039936393	0,054	0,047	1	1,028068499	0,972697832	1,14893617
EOGT	0,834295017	0,039884207	0,016	0,015	1	1,028031312	0,972733017	1,066666667
LYPLAL1	0,372835909	0,039881847	0,083	0,069	1	1,02802963	0,972734608	1,202898551
GAB2	0,070405285	0,039840521	0,016	0,03	1	1,028000183	0,972762473	0,533333333
PABIR1	0,049897885	0,039797003	0,026	0,043	1	1,027969174	0,972791816	0,604651163
PACC1	0,267822619	0,039793042	0,041	0,03	1	1,027966352	0,972794487	1,366666667
NEK3	0,993075698	0,039775686	0,033	0,033	1	1,027953985	0,97280619	1
ZCCHC7	0,644295424	0,03975799	0,073	0,079	1	1,027941376	0,972818123	0,924050633
CYP2R1	0,201598686	0,039718881	0,015	0,008	1	1,027913511	0,972844495	1,875
RPL18A	0,528425611	0,039587118	0,745	0,868	1	1,027819635	0,972933349	0,858294931
NAA35	0,144414733	0,039557092	0,045	0,061	1	1,027798243	0,972953599	0,737704918
PXMP4	0,834824204	0,039509289	0,035	0,033	1	1,027764189	0,972985837	1,060606061
SNCG	0,307405988	0,039469097	0,009	0,015	1	1,027735557	0,973012944	0,6
ZZEF1	0,564385349	0,039440858	0,043	0,049	1	1,02771544	0,97303199	0,87755102
PHEX	0,005346706	0,039394251	0,01	0	1	1,02768224	0,973063425	#DIV/0!
LBX2-AS1	0,082064928	0,039369541	0,028	0,015	1	1,027664638	0,973080091	1,866666667

Supplementary Table 5

Differentially expressed genes_total calculation_ comparing SC-Keloid vs. (SC-Myel, SC-Nonmyel)								
gene	p_val	avg_log2FC	pct.1	pct.2	p_val_adj	Foldchange_UP	Foldchange_DOWN	Ratio_pct1_pct2
DNAJC30	0,373939326	0,039269398	0,038	0,03	1	1,027593307	0,973147639	1,266666667
SHISA5	0,320712089	0,039268681	0,112	0,125	1	1,027592796	0,973148122	0,896
ZNF8	0,436384376	0,03922632	0,014	0,019	1	1,027562623	0,973176697	0,736842105
KLC4	0,723519899	0,039030587	0,013	0,011	1	1,027423222	0,973308739	1,181818182
SBF1	0,481413185	0,039019439	0,044	0,037	1	1,027415283	0,97331626	1,189189189
TMEM43	0,227681879	0,039012263	0,113	0,13	1	1,027410173	0,973321101	0,869230769
AGL	0,981121291	0,03900872	0,037	0,037	1	1,027407649	0,973323491	1
THUMPD2	0,297913497	0,038949337	0,062	0,049	1	1,027365361	0,973363555	1,265306122
DNAJC9	0,147252824	0,038927715	0,069	0,05	1	1,027349963	0,973378143	1,38
EXOC2	0,441128169	0,038926449	0,028	0,022	1	1,027349062	0,973378997	1,272727273
HPS4	0,940648149	0,038922681	0,062	0,06	1	1,027346379	0,973381539	1,033333333
GATD1	0,508417042	0,038919723	0,057	0,049	1	1,027344272	0,973383535	1,163265306
MTRF1	0,919163015	0,038902195	0,012	0,012	1	1,027331791	0,973395362	1
NR2C2	0,250629591	0,038853115	0,058	0,072	1	1,027296842	0,973428477	0,805555556
VPS33B	0,08925642	0,038842185	0,014	0,005	1	1,027289059	0,973435851	2,8
TTLL7	0,872228817	0,038838181	0,149	0,147	1	1,027286208	0,973438553	1,013605442
GRK6	0,585809039	0,038803221	0,04	0,034	1	1,027261315	0,973462142	1,176470588
TINF2	0,573554214	0,038767608	0,08	0,071	1	1,027235957	0,973486172	1,126760563
TTC13	0,044705309	0,038693495	0,024	0,011	1	1,027183188	0,973536183	2,181818182
VWA8	0,529539224	0,038671308	0,02	0,024	1	1,027167391	0,973551155	0,833333333
DUSP14	0,426410291	0,038670556	0,104	0,113	1	1,027166856	0,973551663	0,920353982
KNSTRN	0,657646239	0,038667441	0,016	0,014	1	1,027164638	0,973553765	1,142857143
RGMB-AS1	0,061765735	0,038626579	0,01	0,003	1	1,027135545	0,973581339	3,333333333
CEP55	0,093879452	0,038620149	0,012	0,004	1	1,027130967	0,973585679	3
ELAC1	0,515007517	0,038612534	0,031	0,026	1	1,027125546	0,973590818	1,192307692
NEMP2	0,269994685	0,038611746	0,021	0,014	1	1,027124986	0,973591349	1,5
GPN3	0,789627614	0,038610349	0,092	0,095	1	1,027123991	0,973592292	0,968421053
NRM	0,223874924	0,038599138	0,059	0,045	1	1,027116009	0,973599857	1,311111111
DZIP1	0,730020694	0,038598556	0,036	0,033	1	1,027115595	0,97360025	1,090909091
FNTB	0,261236071	0,038533837	0,063	0,049	1	1,02706952	0,973643927	1,285714286

Supplementary Table 5

Differentially expressed genes_total calculation_ comparing SC-Keloid vs. (SC-Myel, SC-Nonmyel)								
gene	p_val	avg_log2FC	pct.1	pct.2	p_val_adj	Foldchange_UP	Foldchange_DOWN	Ratio_pct1_pct2
TTN-AS1	0,409709516	0,038528163	0,022	0,028	1	1,02706548	0,973647756	0,785714286
FAM229A	0,111616835	0,038507719	0,034	0,02	1	1,027050926	0,973661553	1,7
TNPO3	0,6738977	0,038494007	0,056	0,05	1	1,027041164	0,973670808	1,12
IQGAP1	0,02150564	0,03841663	0,227	0,277	1	1,026986082	0,97372303	0,819494585
TEP1	0,303830882	0,038409373	0,019	0,012	1	1,026980916	0,973727929	1,583333333
CCDC157	0,618925147	0,038405189	0,015	0,012	1	1,026977938	0,973730752	1,25
TWINK	0,010509586	0,038404992	0,015	0,003	1	1,026977797	0,973730886	5
RELA	0,43111836	0,038361855	0,092	0,102	1	1,026947091	0,97376	0,901960784
PABIR3	0,431962332	0,03835469	0,01	0,007	1	1,026941991	0,973764836	1,428571429
SUV39H2	0,012645074	0,038344567	0,022	0,007	1	1,026934785	0,97377167	3,142857143
DHX34	0,041249853	0,038342858	0,014	0,004	1	1,026933569	0,973772823	3,5
SP140L	0,607210758	0,038307454	0,051	0,045	1	1,026908368	0,97379672	1,133333333
DEXI	0,738638301	0,038274983	0,083	0,085	1	1,026885255	0,973818638	0,976470588
NELFB	0,921049616	0,038247328	0,083	0,079	1	1,026865571	0,973837305	1,050632911
UGDH-AS1	0,41150307	0,038186676	0,007	0,011	1	1,026822402	0,973878246	0,636363636
RUNDC1	0,504478992	0,038148562	0,023	0,028	1	1,026795275	0,973903975	0,821428571
C1QTNF3	0,158955772	0,038074425	0,023	0,014	1	1,026742512	0,973954023	1,642857143
PTPRF	0,925183205	0,038054503	0,118	0,113	1	1,026728333	0,973967473	1,044247788
KICS2	0,318794249	0,038043476	0,012	0,018	1	1,026720486	0,973974917	0,666666667
TMEM154	0,060554269	0,03799958	0,015	0,005	1	1,026689247	0,974004552	3
S100A3	2,05879E-05	0,037981871	0,058	0,016	0,434425927	1,026676644	0,974016508	3,625
RIC8B	0,264924286	0,037958855	0,045	0,057	1	1,026660265	0,974032047	0,789473684
FDX2	0,175880952	0,037900336	0,066	0,049	1	1,026618623	0,974071557	1,346938776
EXOSC3	0,377465597	0,037892076	0,048	0,057	1	1,026612745	0,974077134	0,842105263
EXOC4	0,386968854	0,037858284	0,058	0,047	1	1,026588699	0,97409995	1,234042553
PYM1	0,339827269	0,037834042	0,055	0,043	1	1,026571449	0,974116318	1,279069767
ANAPC7	0,603452433	0,037809002	0,055	0,06	1	1,026553632	0,974133225	0,916666667
LGALS7B	0,022174993	0,037730038	0,02	0,039	1	1,026497446	0,974186545	0,512820513
TSPYL5	0,752856318	0,037699182	0,026	0,023	1	1,026475492	0,974207381	1,130434783
ZNF140	0,425252675	0,037670132	0,017	0,023	1	1,026454823	0,974226997	0,739130435

Supplementary Table 5

Differentially expressed genes_total calculation_ comparing SC-Keloid vs. (SC-Myel, SC-Nonmyel)								
gene	p_val	avg_log2FC	pct.1	pct.2	p_val_adj	Foldchange_UP	Foldchange_DOWN	Ratio_pct1_pct2
SLC7A5	0,123773475	0,037566328	0,035	0,022	1	1,026380971	0,974297097	1,590909091
ZNF747	0,114624771	0,037488961	0,021	0,011	1	1,026325931	0,974349347	1,909090909
SPRYD4	0,634169684	0,037430775	0,01	0,008	1	1,026284539	0,974388644	1,25
BTBD6	0,950183725	0,037409355	0,092	0,088	1	1,026269301	0,974403111	1,045454545
SLC35G2	0,238785491	0,037394312	0,02	0,012	1	1,0262586	0,974413272	1,666666667
CCDC86	0,26922485	0,037373638	0,033	0,023	1	1,026243894	0,974427235	1,434782609
TMEM229B	0,208821236	0,037308355	0,022	0,014	1	1,026197457	0,97447133	1,571428571
STK17B	0,377722521	0,037299417	0,033	0,041	1	1,026191099	0,974477367	0,804878049
PTDSS1	0,88591087	0,037281722	0,038	0,037	1	1,026178513	0,974489319	1,027027027
FLVCR1	0,606950512	0,037277734	0,03	0,026	1	1,026175676	0,974492013	1,153846154
G2E3	0,064400027	0,037269156	0,038	0,058	1	1,026169575	0,974497807	0,655172414
RABEP1	0,156183048	0,037255574	0,129	0,149	1	1,026159914	0,974506981	0,865771812
SLC27A5	0,592375399	0,03724848	0,024	0,02	1	1,026154868	0,974511773	1,2
ST3GAL5	0,731553177	0,037245014	0,066	0,061	1	1,026152403	0,974514114	1,081967213
TMEM217	0,010529307	0,037184804	0,015	0,003	1	1,026109578	0,974554786	5
G6PD	0,728767657	0,037166884	0,043	0,039	1	1,026096832	0,974566892	1,102564103
FASTK	0,636992629	0,037114058	0,114	0,103	1	1,026059261	0,974602577	1,106796117
FAM118B	0,030757356	0,03707922	0,034	0,016	1	1,026034485	0,974626111	2,125
IARS1	0,331907661	0,037054166	0,078	0,091	1	1,026016666	0,974643037	0,857142857
MPP3	0,283865216	0,037007915	0,007	0,012	1	1,025983774	0,974674284	0,583333333
ZNF846	0,968826906	0,036991064	0,022	0,022	1	1,02597179	0,974685668	1
PBK	0,005346706	0,036961136	0,01	0	1	1,025950508	0,974705887	#DIV/0!
SINHCAF	0,52977025	0,036867881	0,037	0,043	1	1,025884193	0,974768894	0,860465116
MED24	0,311741747	0,036813378	0,049	0,038	1	1,025845437	0,97480572	1,289473684
MAN2B2	0,191151631	0,036803678	0,065	0,049	1	1,02583854	0,974812274	1,326530612
TRIT1	0,472206666	0,036750493	0,024	0,019	1	1,025800723	0,974848211	1,263157895
CEPT1	0,63506202	0,036721421	0,021	0,024	1	1,025780052	0,974867856	0,875
TIMM23B	0,543356062	0,03670292	0,033	0,027	1	1,025766897	0,974880358	1,222222222
ALG9	0,443169608	0,036663883	0,023	0,018	1	1,025739142	0,974906737	1,277777778
SLC7A6	0,917699606	0,036645576	0,027	0,026	1	1,025726126	0,974919108	1,038461538

Supplementary Table 5

Differentially expressed genes_total calculation_ comparing SC-Keloid vs. (SC-Myel, SC-Nonmyel)								
gene	p_val	avg_log2FC	pct.1	pct.2	p_val_adj	Foldchange_UP	Foldchange_DOWN	Ratio_pct1_pct2
D2HGDH	0,519136331	0,036615582	0,036	0,042	1	1,025704802	0,974939377	0,857142857
DNAH5	0,005346706	0,03661333	0,01	0	1	1,0257032	0,974940899	#DIV/0!
CAMK2N2	0,000202873	0,036602437	0,022	0,001	1	1,025695456	0,97494826	22
BAK1	0,005130769	0,036588695	0,047	0,02	1	1,025685686	0,974957547	2,35
ZNF445	0,573071536	0,036522463	0,029	0,034	1	1,025638599	0,975002307	0,852941176
WDR90	0,554773592	0,036519669	0,015	0,019	1	1,025636613	0,975004195	0,789473684
NCAPD2	0,572559772	0,036471515	0,019	0,015	1	1,02560238	0,975036739	1,266666667
ERGIC2	0,033826978	0,036461178	0,182	0,221	1	1,025595032	0,975043725	0,823529412
SLC25A35	0,62999558	0,036425063	0,01	0,008	1	1,025569358	0,975068134	1,25
HES6	0,923325645	0,036371391	0,122	0,117	1	1,025531205	0,97510441	1,042735043
CTDNEP1	0,921843274	0,036342976	0,185	0,178	1	1,025511006	0,975123615	1,039325843
PPP4R3B	0,005262773	0,036323635	0,094	0,138	1	1,025497258	0,975136688	0,68115942
UQCRC2	0,591249072	0,036310894	0,13	0,136	1	1,025488202	0,975145299	0,955882353
WDR91	0,83299369	0,036292639	0,029	0,027	1	1,025475226	0,975157638	1,074074074
ADGRE2	0,005346706	0,036232758	0,01	0	1	1,025432664	0,975198115	#DIV/0!
TMEM150A	0,653999956	0,036222562	0,027	0,023	1	1,025425416	0,975205007	1,173913043
NEK4	0,549280743	0,036171245	0,017	0,022	1	1,025388942	0,975239695	0,772727273
THAP9	0,185575091	0,036168081	0,012	0,005	1	1,025386694	0,975241834	2,4
MAP3K1	0,548841855	0,036130826	0,076	0,083	1	1,025360215	0,975267018	0,915662651
FPGT	0,60148502	0,036110733	0,024	0,02	1	1,025345935	0,975280601	1,2
DRD2	0,006737948	0,036062078	0,016	0,003	1	1,025311355	0,975313494	5,333333333
AAR2	0,044355782	0,036055264	0,024	0,011	1	1,025306512	0,9753181	2,181818182
PDIK1L	0,374231514	0,036024246	0,021	0,015	1	1,025284469	0,97533907	1,4
C6orf89	0,736007362	0,035963886	0,088	0,081	1	1,025241573	0,975379877	1,086419753
COMTD1	0,151362556	0,035962108	0,068	0,049	1	1,02524031	0,975381079	1,387755102
ZNF500	0,569674025	0,035915731	0,012	0,015	1	1,025207353	0,975412435	0,8
HS3ST3A1	0,414338408	0,035845723	0,055	0,045	1	1,025157605	0,975459768	1,222222222
B3GNT9	0,069011427	0,035822809	0,027	0,014	1	1,025141323	0,975475262	1,928571429
ATRNL	0,163359615	0,035788458	0,04	0,054	1	1,025116914	0,975498488	0,740740741
CHD8	0,662774925	0,035784904	0,08	0,085	1	1,025114389	0,975500891	0,941176471

Supplementary Table 5

Differentially expressed genes_total calculation_ comparing SC-Keloid vs. (SC-Myel, SC-Nonmyel)								
gene	p_val	avg_log2FC	pct.1	pct.2	p_val_adj	Foldchange_UP	Foldchange_DOWN	Ratio_pct1_pct2
ARSK	0,93971019	0,035718826	0,044	0,045	1	1,025067438	0,975545572	0,977777778
BCAR1	0,102153972	0,035696389	0,128	0,152	1	1,025051496	0,975560744	0,842105263
APH1B	0,078302557	0,035618547	0,037	0,056	1	1,02499619	0,975613383	0,660714286
NEMP1	0,322910491	0,035611807	0,012	0,018	1	1,024991402	0,97561794	0,666666667
CHST8	0,003314026	0,03560372	0,012	0	1	1,024985656	0,975623409	#DIV/0!
DLAT	0,80493065	0,035560748	0,04	0,037	1	1,024955126	0,97565247	1,081081081
PEA15	0,022419398	0,03555671	0,276	0,335	1	1,024952258	0,9756552	0,823880597
TRO	0,276255773	0,035546536	0,017	0,011	1	1,02494503	0,97566208	1,545454545
ZNF629	0,102457047	0,035521885	0,023	0,012	1	1,024927517	0,975678752	1,916666667
ESS2	0,610939922	0,03549523	0,03	0,026	1	1,02490858	0,975696778	1,153846154
PRMT6	0,037486875	0,035399934	0,021	0,008	1	1,024840883	0,97576123	2,625
CNOT3	0,328506548	0,035328975	0,056	0,066	1	1,024790478	0,975809223	0,848484848
UTP3	0,8865472	0,03524318	0,052	0,05	1	1,024729536	0,975867255	1,04
KIAA1586	0,759639155	0,035197245	0,038	0,035	1	1,02469691	0,975898327	1,085714286
CHD1L	0,222151969	0,035172053	0,03	0,02	1	1,024679017	0,975915368	1,5
IFT80	0,987890044	0,035104584	0,04	0,039	1	1,024631098	0,975961009	1,025641026
SP2	0,777863453	0,035078909	0,047	0,049	1	1,024612863	0,975978378	0,959183673
TSHZ1	0,48042316	0,035073362	0,044	0,037	1	1,024608924	0,97598213	1,189189189
LRRC14	0,77158232	0,03506964	0,021	0,023	1	1,024606281	0,975984648	0,913043478
RALGPS2	0,040482677	0,035006857	0,073	0,102	1	1,024561693	0,976027122	0,715686275
CDKAL1	0,464012388	0,034915642	0,031	0,038	1	1,024496916	0,976088833	0,815789474
WARS2	0,971337557	0,034898133	0,017	0,018	1	1,024484483	0,97610068	0,944444444
GFOD2	0,341780968	0,034865208	0,041	0,031	1	1,024461102	0,976122957	1,322580645
KIF23	0,018086526	0,034767789	0,016	0,004	1	1,024391927	0,976188872	4
GLIPR2	0,375493702	0,034733139	0,092	0,077	1	1,024367324	0,976212318	1,194805195
TMEM102	0,001284512	0,034681191	0,014	0	1	1,02433044	0,97624747	#DIV/0!
CD2AP	0,404402075	0,034618816	0,088	0,075	1	1,024286154	0,976289679	1,173333333
FBXO7	0,198230214	0,034588742	0,153	0,171	1	1,024264802	0,97631003	0,894736842
NUDT21	0,652454002	0,034587827	0,093	0,096	1	1,024264152	0,97631065	0,96875
NEK7	4,17787E-07	0,034566199	0,063	0,14	0,008815722	1,024248798	0,976325286	0,45

Supplementary Table 5

Differentially expressed genes_total calculation_ comparing SC-Keloid vs. (SC-Myel, SC-Nonmyel)								
gene	p_val	avg_log2FC	pct.1	pct.2	p_val_adj	Foldchange_UP	Foldchange_DOWN	Ratio_pct1_pct2
ZNF33A	0,700882578	0,034543612	0,042	0,038	1	1,024232762	0,976340572	1,105263158
OXSM	0,470356316	0,034479843	0,024	0,019	1	1,02418749	0,976383728	1,263157895
KIAA0753	0,498497314	0,034462268	0,021	0,016	1	1,024175014	0,976395622	1,3125
PCBD2	0,393518165	0,034392264	0,017	0,012	1	1,024125319	0,976443001	1,416666667
TP53BP1	0,888861881	0,034387823	0,068	0,068	1	1,024122167	0,976446007	1
TRMT10A	0,326485857	0,034383351	0,017	0,024	1	1,024118992	0,976449034	0,708333333
BTN3A3	0,094567643	0,034185605	0,012	0,004	1	1,023978628	0,976582882	3
CBLL1	0,365234287	0,034174361	0,036	0,045	1	1,023970648	0,976590493	0,8
ZNF468	0,166886441	0,03408983	0,014	0,007	1	1,023910653	0,976647716	2
ETV4	0,000147781	0,03401872	0,029	0,004	1	1,023860185	0,976695856	7,25
PDE1C	0,653556022	0,034011315	0,063	0,068	1	1,023854931	0,976700869	0,926470588
ATXN1	0,235444402	0,034008046	0,108	0,126	1	1,023852611	0,976703082	0,857142857
CARD10	0,625395602	0,033974028	0,037	0,033	1	1,023828469	0,976726112	1,121212121
SLC35B3	0,422563681	0,03392129	0,065	0,054	1	1,023791043	0,976761817	1,203703704
CD34	0,286509551	0,033910367	0,007	0,012	1	1,023783292	0,976769212	0,583333333
LRIG3	0,499163056	0,033885532	0,023	0,028	1	1,023765668	0,976786027	0,821428571
KRI1	0,841339117	0,033853715	0,026	0,027	1	1,023743091	0,976807569	0,962962963
NKIRAS1	0,877526209	0,033851541	0,014	0,015	1	1,023741548	0,976809041	0,933333333
LZTFL1	0,419677553	0,03372222	0,031	0,024	1	1,023649786	0,976896605	1,291666667
FPGS	0,033205554	0,033674582	0,059	0,035	1	1,023615985	0,976928862	1,685714286
UBN1	0,940901445	0,033663234	0,081	0,079	1	1,023607933	0,976936547	1,025316456
METTL2A	0,070347034	0,033631045	0,043	0,026	1	1,023585095	0,976958345	1,653846154
AEN	0,123697253	0,033567834	0,03	0,045	1	1,023540248	0,977001151	0,666666667
FGFR4	0,021374938	0,033565544	0,01	0,001	1	1,023538623	0,977002701	10
ACAD10	0,130928827	0,033513525	0,019	0,009	1	1,023501719	0,977037929	2,111111111
CHST14	0,078223498	0,033453935	0,073	0,05	1	1,023459444	0,977078286	1,46
LRP6	0,003255345	0,033448842	0,108	0,157	1	1,023455831	0,977081736	0,687898089
ACACA	0,107308572	0,03342607	0,041	0,026	1	1,023439677	0,977097159	1,576923077
PLAG1	0,430648938	0,033396746	0,015	0,02	1	1,023418875	0,977117019	0,75
SLC10A3	0,24310405	0,033350267	0,056	0,042	1	1,023385904	0,977148499	1,333333333

Supplementary Table 5

Differentially expressed genes_total calculation_ comparing SC-Keloid vs. (SC-Myel, SC-Nonmyel)								
gene	p_val	avg_log2FC	pct.1	pct.2	p_val_adj	Foldchange_UP	Foldchange_DOWN	Ratio_pct1_pct2
TMEM104	0,012469865	0,033239591	0,024	0,008	1	1,023307398	0,977223464	3
FGF10	0,025640992	0,033226638	0,013	0,003	1	1,023298211	0,977232237	4,333333333
NSMCE2	0,924225035	0,03321087	0,07	0,069	1	1,023287026	0,977242919	1,014492754
SMIM10	0,42873214	0,0331513	0,062	0,052	1	1,023244775	0,97728327	1,192307692
MAP2	0,971361	0,033054241	0,03	0,03	1	1,023175937	0,977349021	1
EIF5AL1	0,160803731	0,032957218	0,03	0,019	1	1,02310713	0,97741475	1,578947368
JAK2	0,969493144	0,032956285	0,015	0,015	1	1,023106468	0,977415383	1
SPATA22	0,369386718	0,032935918	0,013	0,008	1	1,023092025	0,977429181	1,625
CMTR2	0,090918256	0,032862291	0,064	0,043	1	1,023039814	0,977479065	1,488372093
ANKRD9	0,020649553	0,032856789	0,043	0,022	1	1,023035912	0,977482793	1,954545455
ASTE1	0,275051581	0,032815369	0,014	0,008	1	1,023006541	0,977510857	1,75
MGRN1	0,838030998	0,032794246	0,072	0,073	1	1,022991563	0,977525169	0,98630137
CDK7	0,462042335	0,032767278	0,038	0,031	1	1,02297244	0,977543442	1,225806452
LRR37B	0,575882984	0,032741902	0,019	0,015	1	1,022954447	0,977560636	1,266666667
CCNB1	0,057529719	0,032675625	0,017	0,007	1	1,022907454	0,977605546	2,428571429
MINDY4	0,062927351	0,032645513	0,013	0,004	1	1,022886104	0,977625951	3,25
TIMM50	0,145557564	0,032636731	0,084	0,062	1	1,022879877	0,977631902	1,35483871
USP3	0,053020088	0,032601569	0,027	0,045	1	1,022854947	0,97765573	0,6
ZNF615	0,882330489	0,032594664	0,012	0,011	1	1,022850052	0,977660409	1,090909091
MRPL32	0,315127852	0,032576403	0,137	0,151	1	1,022837106	0,977672783	0,907284768
ZNF250	0,537631281	0,032566367	0,016	0,02	1	1,02282999	0,977679585	0,8
NUBP1	0,460027791	0,032562892	0,068	0,057	1	1,022827526	0,97768194	1,192982456
MYBL2	0,005346706	0,032536838	0,01	0	1	1,022809055	0,977699596	#DIV/0!
ABCF3	0,51342363	0,032450026	0,036	0,03	1	1,022747511	0,977758429	1,2
ZFP28	0,315360335	0,032422286	0,01	0,016	1	1,022727846	0,97777723	0,625
ZSCAN30	0,495059891	0,032420073	0,045	0,038	1	1,022726277	0,97777873	1,184210526
ZNF124	0,574552607	0,03238322	0,019	0,015	1	1,022700152	0,977803707	1,266666667
TTC31	0,383594139	0,032289881	0,035	0,027	1	1,022633988	0,97786697	1,296296296
LRCH1	0,922109923	0,032254909	0,055	0,056	1	1,022609199	0,977890675	0,982142857
FARS2	0,575536348	0,032253824	0,038	0,043	1	1,02260843	0,97789141	0,88372093

Supplementary Table 5

Differentially expressed genes_total calculation_ comparing SC-Keloid vs. (SC-Myel, SC-Nonmyel)								
gene	p_val	avg_log2FC	pct.1	pct.2	p_val_adj	Foldchange_UP	Foldchange_DOWN	Ratio_pct1_pct2
DAGLA	0,413140911	0,032228857	0,031	0,024	1	1,022590733	0,977908334	1,291666667
FAH	0,53860384	0,032189081	0,017	0,014	1	1,02256254	0,977935296	1,214285714
TUBD1	0,731025747	0,032112386	0,03	0,027	1	1,022508181	0,977987285	1,111111111
CHEK1	0,005502919	0,032099397	0,022	0,005	1	1,022498975	0,97799609	4,4
TAPBP	0,046499419	0,032079005	0,228	0,267	1	1,022484522	0,978009914	0,853932584
GNA13	0,305799398	0,032073052	0,078	0,091	1	1,022480304	0,978013949	0,857142857
ALPK3	0,631385644	0,032004061	0,01	0,008	1	1,022431409	0,97806072	1,25
SYNGAP1	0,252575831	0,031983151	0,022	0,031	1	1,02241659	0,978074896	0,709677419
R3HDM2	0,405986529	0,031904861	0,151	0,163	1	1,022361109	0,978127974	0,926380368
ZNF91	0,049443847	0,031903222	0,057	0,081	1	1,022359947	0,978129085	0,703703704
AMACR	0,057233135	0,031902965	0,017	0,007	1	1,022359765	0,97812926	2,428571429
UTP14A	0,469481538	0,03177959	0,029	0,023	1	1,022272339	0,97821291	1,260869565
WDR5B	0,117505188	0,031768424	0,015	0,007	1	1,022264427	0,978220481	2,142857143
CBX2	0,354462364	0,031707955	0,016	0,011	1	1,022221581	0,978261483	1,454545455
ZNF789	0,798794077	0,031701876	0,015	0,014	1	1,022217274	0,978265605	1,071428571
ABHD13	0,886694163	0,031679611	0,038	0,037	1	1,022201498	0,978280703	1,027027027
CCDC174	0,441534995	0,03162848	0,064	0,073	1	1,022165271	0,978315375	0,876712329
ZNF662	0,630922144	0,031532416	0,01	0,008	1	1,022097211	0,978380519	1,25
SPRED3	0,018086526	0,031531753	0,016	0,004	1	1,022096741	0,978380969	4
GPAA1	0,82102213	0,031499268	0,169	0,167	1	1,022073727	0,978403	1,011976048
USP46	0,331036553	0,031481905	0,062	0,073	1	1,022061426	0,978414775	0,849315068
COPS7B	0,52069574	0,031367197	0,056	0,062	1	1,021980166	0,978492571	0,903225806
CMTM8	0,231276108	0,031258222	0,013	0,007	1	1,021902972	0,978566485	1,857142857
HOXD8	0,026494211	0,031225051	0,03	0,014	1	1,021879477	0,978588985	2,142857143
INPP4B	0,875593489	0,031205883	0,023	0,024	1	1,0218659	0,978601987	0,958333333
FAM71E1	0,061871786	0,031183104	0,01	0,003	1	1,021849766	0,978617438	3,333333333
DYNC2H1	0,978088489	0,031142301	0,052	0,052	1	1,021820866	0,978645116	1
CLN6	0,427573051	0,031138729	0,015	0,02	1	1,021818336	0,978647539	0,75
FANCA	0,129454981	0,031117296	0,019	0,009	1	1,021803155	0,978662079	2,111111111
MBLAC1	0,082200953	0,031074511	0,016	0,007	1	1,021772853	0,978691103	2,285714286

Supplementary Table 5

Differentially expressed genes_total calculation_ comparing SC-Keloid vs. (SC-Myel, SC-Nonmyel)								
gene	p_val	avg_log2FC	pct.1	pct.2	p_val_adj	Foldchange_UP	Foldchange_DOWN	Ratio_pct1_pct2
ASB8	0,394656943	0,031060189	0,064	0,053	1	1,02176271	0,978700818	1,20754717
RIN1	0,005828668	0,031036744	0,029	0,009	1	1,021746105	0,978716723	3,222222222
ZNF598	0,684047749	0,031006185	0,056	0,05	1	1,021724463	0,978737454	1,12
FBXO46	0,687720481	0,030985306	0,015	0,018	1	1,021709677	0,978751619	0,833333333
NDUFV1	0,342116009	0,030925275	0,165	0,176	1	1,021667164	0,978792346	0,9375
SDC3	0,019832693	0,030916514	0,332	0,406	1	1,021660959	0,97879829	0,81773399
PSPH	0,141785813	0,030909738	0,026	0,015	1	1,021656161	0,978802887	1,733333333
PGBD2	0,369386718	0,030880065	0,013	0,008	1	1,021635148	0,978823019	1,625
CASTOR3	0,21293445	0,030878987	0,026	0,016	1	1,021634384	0,978823751	1,625
UNK	0,754765478	0,030823956	0,08	0,083	1	1,021595415	0,978861088	0,963855422
NAGLU	0,045631124	0,03081617	0,07	0,045	1	1,021589902	0,978866371	1,555555556
MRM1	0,061978454	0,030801405	0,013	0,004	1	1,021579447	0,978876389	3,25
ANKLE2	0,241973009	0,030797175	0,122	0,14	1	1,021576451	0,978879259	0,871428571
SLCO3A1	0,7983091	0,030790533	0,047	0,043	1	1,021571748	0,978883766	1,093023256
E2F4	0,5348523	0,030684518	0,065	0,072	1	1,021496682	0,978955701	0,902777778
ZNF227	0,197740656	0,030674468	0,02	0,03	1	1,021489566	0,97896252	0,666666667
INPP4A	0,898620614	0,030622578	0,034	0,033	1	1,021452826	0,978997732	1,03030303
MSRB1	0,026661215	0,030563964	0,051	0,028	1	1,021411327	0,979037507	1,821428571
METTL22	0,08549042	0,030539848	0,022	0,011	1	1,021394254	0,979053873	2
USP15	0,027079847	0,030529338	0,121	0,159	1	1,021386813	0,979061005	0,761006289
SURF6	0,810861618	0,030528949	0,065	0,061	1	1,021386538	0,979061269	1,06557377
DUS4L	0,884577631	0,030520786	0,013	0,014	1	1,021380758	0,979066809	0,928571429
PARP3	0,00263381	0,030492866	0,036	0,012	1	1,021360993	0,979085756	3
RANBP17	0,186023667	0,030491937	0,012	0,005	1	1,021360335	0,979086387	2,4
ZMYND10	0,013450053	0,030475958	0,012	0,001	1	1,021349022	0,979097231	12
KIAA0825	0,686989301	0,030448181	0,015	0,018	1	1,021329358	0,979116083	0,833333333
PHF20L1	0,082781739	0,030445525	0,163	0,193	1	1,021327478	0,979117885	0,844559585
GTSE1	0,094705765	0,030422734	0,012	0,004	1	1,021311343	0,979133353	3
ETNK2	0,331889104	0,030405053	0,023	0,016	1	1,021298827	0,979145353	1,4375
EXOSC2	0,725703471	0,030382981	0,012	0,014	1	1,021283202	0,979160333	0,857142857

Supplementary Table 5

Differentially expressed genes_total calculation_ comparing SC-Keloid vs. (SC-Myel, SC-Nonmyel)								
gene	p_val	avg_log2FC	pct.1	pct.2	p_val_adj	Foldchange_UP	Foldchange_DOWN	Ratio_pct1_pct2
DCAF17	0,719318001	0,030341345	0,024	0,027	1	1,021253728	0,979188592	0,888888889
HAUS5	0,307658066	0,030297491	0,019	0,012	1	1,021222686	0,979218357	1,583333333
ATP13A2	0,012101402	0,030269125	0,037	0,016	1	1,021202607	0,97923761	2,3125
TMEM216	0,275556805	0,030256851	0,029	0,02	1	1,021193918	0,979245942	1,45
METTL25B	0,056310347	0,030218346	0,026	0,012	1	1,021166663	0,979272077	2,166666667
ZBTB1	0,000850125	0,03018875	0,1	0,156	1	1,021145715	0,979292167	0,641025641
ZNF780B	0,501014682	0,030174799	0,016	0,012	1	1,02113584	0,979301637	1,333333333
YWHAH	0,003786113	0,030158106	0,255	0,322	1	1,021124025	0,979312968	0,791925466
TRIM35	0,700028193	0,030156469	0,014	0,016	1	1,021122867	0,979314079	0,875
MDH2	0,712409969	0,030056219	0,192	0,195	1	1,021051914	0,979382132	0,984615385
C15orf65	0,947741388	0,0300108	0,014	0,014	1	1,021019769	0,979412966	1
ZNF10	0,940456406	0,029950059	0,021	0,02	1	1,020976783	0,979454202	1,05
C1orf109	0,578039327	0,029898363	0,04	0,034	1	1,020940198	0,9794893	1,176470588
ZFP14	0,907708495	0,029893518	0,03	0,031	1	1,02093677	0,979492589	0,967741935
SKP2	0,682325785	0,029889978	0,012	0,009	1	1,020934265	0,979494992	1,333333333
MRPL10	0,064063536	0,029853516	0,049	0,03	1	1,020908463	0,979519748	1,633333333
TBP	0,685081591	0,029829138	0,016	0,019	1	1,020891212	0,9795363	0,842105263
KCNK6	0,018508747	0,029827343	0,019	0,005	1	1,020889941	0,979537519	3,8
RABEP2	0,024280722	0,029808046	0,054	0,03	1	1,020876287	0,97955062	1,8
TMEM107	0,941243866	0,029806279	0,085	0,084	1	1,020875036	0,97955182	1,011904762
CUX1	0,237965729	0,029794708	0,191	0,21	1	1,020866849	0,979559676	0,90952381
SCAF8	0,856220932	0,029787189	0,063	0,06	1	1,020861528	0,979564782	1,05
TMEM44	0,089733018	0,029720862	0,014	0,005	1	1,020814595	0,979609818	2,8
ZNF12	0,129478857	0,029717261	0,036	0,052	1	1,020812048	0,979612263	0,692307692
PRUNE1	0,457843219	0,029657905	0,015	0,011	1	1,02077005	0,979652567	1,363636364
ZNF563	0,294759745	0,0296519	0,008	0,014	1	1,020765801	0,979656645	0,571428571
TBC1D20	0,373807681	0,029577082	0,065	0,076	1	1,020712866	0,979707451	0,855263158
TWIST1	0,91983168	0,029565354	0,013	0,012	1	1,020704568	0,979715416	1,083333333
AGBL3	0,844331401	0,029553614	0,01	0,009	1	1,020696262	0,979723388	1,111111111
FBXL6	0,129458459	0,02953928	0,054	0,037	1	1,020686121	0,979733122	1,459459459

Supplementary Table 5

Differentially expressed genes_total calculation_ comparing SC-Keloid vs. (SC-Myel, SC-Nonmyel)								
gene	p_val	avg_log2FC	pct.1	pct.2	p_val_adj	Foldchange_UP	Foldchange_DOWN	Ratio_pct1_pct2
DERA	0,612347573	0,029384842	0,086	0,077	1	1,020576864	0,979838006	1,116883117
POLR3B	0,0622975	0,029364512	0,01	0,003	1	1,020562483	0,979851814	3,333333333
CCDC18	0,574937864	0,029352131	0,01	0,014	1	1,020553724	0,979860223	0,714285714
ABITRAM	0,23423031	0,029321757	0,035	0,024	1	1,020532238	0,979880853	1,458333333
KCTD14	0,039935732	0,02927176	0,012	0,003	1	1,020496872	0,979914811	4
WWP2	0,988689216	0,029270606	0,03	0,03	1	1,020496055	0,979915596	1
FBXO8	0,557824184	0,029225018	0,055	0,047	1	1,020463809	0,979946561	1,170212766
USP19	0,158264062	0,029128724	0,028	0,041	1	1,020395699	0,98001197	0,682926829
ATAD3A	0,061850028	0,029108628	0,063	0,041	1	1,020381486	0,980025622	1,536585366
NCEH1	0,969905201	0,029055407	0,015	0,015	1	1,020343845	0,980061775	1
IRAK3	0,854910383	0,029048745	0,015	0,016	1	1,020339133	0,980066301	0,9375
HDHD5	0,069909747	0,029004684	0,057	0,037	1	1,020307972	0,980096233	1,540540541
TSIX	0,000824525	0,028958647	0,029	0,065	1	1,020275414	0,980127509	0,446153846
USP37	0,004809395	0,028905155	0,031	0,061	1	1,020237585	0,980163851	0,508196721
DNAJC11	0,342066406	0,028891242	0,037	0,028	1	1,020227746	0,980173303	1,321428571
MEN1	0,752029561	0,028880338	0,022	0,024	1	1,020220035	0,980180712	0,916666667
ACAD9	0,161760098	0,028876718	0,042	0,028	1	1,020217475	0,980183171	1,5
LARS2	0,487562021	0,028875743	0,012	0,008	1	1,020216786	0,980183833	1,5
FAM222B	0,618925147	0,028848637	0,015	0,012	1	1,020197617	0,98020225	1,25
APOC1	0,115701494	0,028848088	0,015	0,007	1	1,02019723	0,980202622	2,142857143
PPP2R5D	0,998953231	0,028842623	0,038	0,038	1	1,020193365	0,980206336	1
SLC25A39	0,717623699	0,028828302	0,092	0,084	1	1,020183238	0,980216066	1,095238095
PROSER3	0,238389583	0,028808398	0,02	0,012	1	1,020169163	0,980229589	1,666666667
TMEM260	0,94319744	0,028807494	0,028	0,027	1	1,020168524	0,980230204	1,037037037
CHMP1A	0,098882404	0,028797657	0,099	0,072	1	1,020161568	0,980236887	1,375
ZNF550	0,657272494	0,028767082	0,016	0,014	1	1,020139948	0,980257662	1,142857143
CEP250	0,221099924	0,028754808	0,03	0,02	1	1,020131269	0,980266002	1,5
PALB2	0,094291883	0,028666559	0,012	0,004	1	1,02006887	0,980325966	3
LPCAT1	0,223509859	0,028636129	0,03	0,02	1	1,020047354	0,980346644	1,5
RBM4B	0,568734962	0,028632204	0,04	0,034	1	1,020044579	0,980349311	1,176470588

Supplementary Table 5

Differentially expressed genes_total calculation_ comparing SC-Keloid vs. (SC-Myel, SC-Nonmyel)								
gene	p_val	avg_log2FC	pct.1	pct.2	p_val_adj	Foldchange_UP	Foldchange_DOWN	Ratio_pct1_pct2
POLH	0,630922144	0,028614793	0,01	0,008	1	1,020032269	0,980361142	1,25
FGD5-AS1	0,000730789	0,028599559	0,191	0,263	1	1,020021498	0,980371494	0,726235741
FDX1	0,094165961	0,028551664	0,17	0,195	1	1,019987635	0,980404041	0,871794872
MAPK14	0,573017282	0,028549901	0,041	0,046	1	1,019986389	0,980405239	0,891304348
CHIC1	0,272915692	0,028512481	0,026	0,035	1	1,019959934	0,980430669	0,742857143
UBXN1	0,001637954	0,028509412	0,261	0,336	1	1,019957764	0,980432755	0,776785714
TFAM	0,913126153	0,028447582	0,097	0,096	1	1,019914053	0,980474774	1,010416667
BIN1	0,826201874	0,028415642	0,142	0,14	1	1,019891473	0,980496481	1,014285714
CFAP251	0,039935732	0,028356464	0,012	0,003	1	1,019849639	0,980536701	4
FAM98B	0,890600572	0,028339242	0,045	0,043	1	1,019837464	0,980548406	1,046511628
CPE	0,087300575	0,028311178	0,013	0,024	1	1,019817626	0,98056748	0,541666667
JADE2	0,857456837	0,028265574	0,037	0,035	1	1,01978539	0,980598477	1,057142857
MON2	0,688888964	0,02825878	0,083	0,087	1	1,019780587	0,980603095	0,954022989
SDHAF4	0,592478152	0,028240991	0,029	0,024	1	1,019768013	0,980615186	1,208333333
GDPD5	0,094291883	0,028198558	0,012	0,004	1	1,01973802	0,980644029	3
DENND3	0,370040606	0,028172808	0,013	0,008	1	1,019719819	0,980661532	1,625
SIDT2	0,016451736	0,028167299	0,057	0,031	1	1,019715925	0,980665277	1,838709677
FSD1	0,005048147	0,028166215	0,02	0,004	1	1,019715159	0,980666013	5
SF3A1	0,19545088	0,02812121	0,075	0,091	1	1,019683349	0,980696606	0,824175824
DOCK6	0,241934227	0,028106694	0,048	0,035	1	1,01967309	0,980706473	1,371428571
ISY1	0,209584961	0,028060723	0,062	0,046	1	1,019640599	0,980737724	1,347826087
CHAMP1	0,684988119	0,027982724	0,028	0,024	1	1,019585474	0,980790749	1,166666667
WDR3	0,370230948	0,027904089	0,029	0,022	1	1,019529902	0,980844209	1,318181818
CATSPER1	0,000802422	0,027889959	0,015	0	1	1,019519916	0,980853816	#DIV/0!
PTPA	0,103311908	0,02782937	0,122	0,092	1	1,0194771	0,98089501	1,326086957
MTHFD2L	0,307761398	0,027780003	0,048	0,037	1	1,019442216	0,980928574	1,297297297
ZNF138	0,588700859	0,02776418	0,035	0,03	1	1,019431035	0,980939333	1,166666667
NRP1	0,582642204	0,027758773	0,119	0,107	1	1,019427215	0,980943009	1,112149533
NLRX1	0,681426824	0,027710267	0,012	0,009	1	1,01939294	0,980975991	1,333333333
HIP1	0,270836827	0,027709882	0,063	0,076	1	1,019392668	0,980976253	0,828947368

Supplementary Table 5

Differentially expressed genes_total calculation_ comparing SC-Keloid vs. (SC-Myel, SC-Nonmyel)								
gene	p_val	avg_log2FC	pct.1	pct.2	p_val_adj	Foldchange_UP	Foldchange_DOWN	Ratio_pct1_pct2
CDT1	0,001307601	0,027642571	0,017	0,001	1	1,019345108	0,981022023	17
RPP30	0,484911299	0,027608439	0,085	0,073	1	1,019320992	0,981045233	1,164383562
POLR2E	0,913157452	0,027567566	0,178	0,174	1	1,019292114	0,981073027	1,022988506
TMEM63A	0,552717689	0,027559947	0,038	0,033	1	1,019286731	0,981078208	1,151515152
BRCA2	0,186023667	0,027557261	0,012	0,005	1	1,019284834	0,981080035	2,4
TRAF3IP2-AS1	0,717291348	0,027551982	0,035	0,038	1	1,019281104	0,981083625	0,921052632
PSMC6	0,072299123	0,02755042	0,159	0,19	1	1,01928	0,981084687	0,836842105
STX1A	0,265556453	0,02754782	0,01	0,005	1	1,019278163	0,981086455	2
ZMYM4	0,997535703	0,027545412	0,09	0,088	1	1,019276462	0,981088093	1,022727273
PCCA	0,440889593	0,027507898	0,028	0,022	1	1,019249958	0,981113604	1,272727273
ZFAND2B	0,886469738	0,027422243	0,081	0,077	1	1,019189446	0,981171856	1,051948052
NSMCE3	0,417555816	0,027418325	0,088	0,075	1	1,019186678	0,98117452	1,173333333
TM2D2	0,452821896	0,027330271	0,088	0,076	1	1,019124474	0,981234408	1,157894737
CC2D2A	0,443930939	0,027219718	0,033	0,026	1	1,019046382	0,981309602	1,269230769
DOP1B	0,99781965	0,027211789	0,016	0,016	1	1,019040782	0,981314995	1
AVIL	0,14248739	0,027129493	0,009	0,018	1	1,018982654	0,981370975	0,5
NADSYN1	0,458719919	0,027111347	0,038	0,031	1	1,018969838	0,981383318	1,225806452
MYO1B	0,980113058	0,027068893	0,042	0,042	1	1,018939853	0,981412197	1
RFXAP	0,329851063	0,026779734	0,019	0,026	1	1,018735647	0,981608922	0,730769231
NPW	0,904136606	0,026759817	0,021	0,022	1	1,018721584	0,981622473	0,954545455
LRP11	0,080328476	0,026756034	0,02	0,034	1	1,018718912	0,981625047	0,588235294
MAN1A2	0,403894379	0,026740213	0,157	0,167	1	1,018707741	0,981635811	0,94011976
C2orf81	0,238587479	0,026715506	0,02	0,012	1	1,018690295	0,981652623	1,666666667
LINC00672	0,728882671	0,026670283	0,019	0,016	1	1,018658363	0,981683394	1,1875
NIF3L1	0,144072502	0,026662247	0,029	0,018	1	1,018652689	0,981688863	1,611111111
KLF12	0,207799731	0,02662656	0,022	0,014	1	1,018627492	0,981713146	1,571428571
SH3BP4	0,003528308	0,026580346	0,04	0,015	1	1,018594863	0,981744594	2,666666667
PUS1	0,992524837	0,026575364	0,024	0,024	1	1,018591345	0,981747984	1
KDM4A	0,505749075	0,026568616	0,023	0,028	1	1,018586581	0,981752576	0,821428571
VILL	0,53836187	0,026519786	0,013	0,009	1	1,018552106	0,981785806	1,444444444

Supplementary Table 5

Differentially expressed genes_total calculation_ comparing SC-Keloid vs. (SC-Myel, SC-Nonmyel)								
gene	p_val	avg_log2FC	pct.1	pct.2	p_val_adj	Foldchange_UP	Foldchange_DOWN	Ratio_pct1_pct2
TAF1A	0,889809637	0,026488511	0,013	0,014	1	1,018530026	0,981807089	0,928571429
SULF2	0,760162385	0,026480153	0,009	0,011	1	1,018524125	0,981812777	0,818181818
MCC	0,897802353	0,02645785	0,037	0,038	1	1,018508379	0,981827956	0,973684211
PREPL	0,024572892	0,026452593	0,07	0,1	1	1,018504669	0,981831533	0,7
CDC16	0,125525132	0,026444287	0,07	0,05	1	1,018498804	0,981837186	1,4
CAPZA2	0,010773759	0,026430649	0,217	0,27	1	1,018489177	0,981846467	0,803703704
RIOK1	0,830841779	0,026346542	0,052	0,054	1	1,018429802	0,981903709	0,962962963
CHTF18	0,948195926	0,026336964	0,021	0,02	1	1,018423041	0,981910228	1,05
POP1	0,630458789	0,02627933	0,01	0,008	1	1,018382356	0,981949455	1,25
GSDMD	0,459605163	0,02625994	0,118	0,102	1	1,018368669	0,981962653	1,156862745
PFAS	0,02637664	0,026241718	0,022	0,008	1	1,018355807	0,981975055	2,75
RBM41	0,157392793	0,026191634	0,022	0,034	1	1,018320455	0,982009145	0,647058824
C18orf21	0,571352496	0,026121591	0,029	0,034	1	1,018271016	0,982056824	0,852941176
DAGLB	0,542896693	0,026111292	0,022	0,018	1	1,018263747	0,982063834	1,222222222
SLC46A3	0,041770962	0,026075944	0,014	0,004	1	1,018238799	0,982087896	3,5
PKN1	0,954663101	0,026040731	0,164	0,16	1	1,018213946	0,982111867	1,025
NRG2	0,397830406	0,02591969	0,017	0,012	1	1,018128522	0,982194269	1,416666667
TBL1XR1	0,00141095	0,025913207	0,165	0,227	1	1,018123948	0,982198683	0,726872247
CDK8	0,675839006	0,025910294	0,029	0,033	1	1,018121892	0,982200666	0,878787879
AP1S2	0,001049728	0,025905038	0,448	0,585	1	1,018118183	0,982204244	0,765811966
AC007364.1	0,32427814	0,025839127	0,013	0,019	1	1,01807167	0,982249118	0,684210526
NCDN	0,408661741	0,025779122	0,022	0,016	1	1,018029326	0,982289974	1,375
ETS2	0,944903939	0,025751039	0,083	0,083	1	1,01800951	0,982309094	1
AIFM2	0,265633815	0,025723104	0,041	0,03	1	1,017989799	0,982328115	1,366666667
BRF2	0,161575348	0,025690468	0,023	0,014	1	1,01796677	0,982350337	1,642857143
TLCD3A	0,01140758	0,025646572	0,04	0,018	1	1,017935798	0,982380227	2,222222222
C3orf62	0,699826662	0,025634002	0,017	0,015	1	1,017926929	0,982388786	1,133333333
H4-16	0,245997463	0,025611722	0,015	0,023	1	1,017911209	0,982403958	0,652173913
PRMT9	0,389335061	0,025588792	0,028	0,035	1	1,01789503	0,982419572	0,8
AQR	0,654584495	0,025565419	0,056	0,05	1	1,01787854	0,982435488	1,12

Supplementary Table 5

Differentially expressed genes_total calculation_ comparing SC-Keloid vs. (SC-Myel, SC-Nonmyel)								
gene	p_val	avg_log2FC	pct.1	pct.2	p_val_adj	Foldchange_UP	Foldchange_DOWN	Ratio_pct1_pct2
OGG1	0,562586007	0,02550398	0,054	0,046	1	1,017835193	0,982477327	1,173913043
SORT1	0,031524026	0,025474667	0,112	0,147	1	1,017814513	0,98249729	0,761904762
YDJC	0,056841918	0,025457338	0,026	0,012	1	1,017802287	0,982509091	2,166666667
HEMK1	0,536666833	0,025399508	0,022	0,018	1	1,017761489	0,982548476	1,222222222
MOB1A	0,04684653	0,025374294	0,18	0,216	1	1,017743702	0,982565648	0,833333333
PI4K2B	0,757394676	0,025370136	0,02	0,018	1	1,017740769	0,98256848	1,111111111
DYNC1I1	0,317324567	0,025221122	0,012	0,007	1	1,017635653	0,982669973	1,714285714
VIRMA	0,888292459	0,025206329	0,051	0,049	1	1,017625219	0,982680049	1,040816327
DIP2A	0,554026064	0,02514912	0,107	0,114	1	1,017584867	0,982719017	0,938596491
THAP4	0,494135844	0,02511214	0,059	0,05	1	1,017558783	0,982744207	1,18
TCTA	0,297507844	0,025109846	0,059	0,046	1	1,017557165	0,98274577	1,282608696
CLOCK	0,723302159	0,025022961	0,077	0,08	1	1,017495885	0,982804957	0,9625
U2AF2	0,017776802	0,024951047	0,106	0,142	1	1,017445168	0,982853948	0,746478873
ZSCAN21	0,183197988	0,024899917	0,021	0,012	1	1,01740911	0,982888781	1,75
ZCWPW1	0,327724091	0,024871258	0,019	0,026	1	1,017388899	0,982908307	0,730769231
SUPT3H	0,746587737	0,024813135	0,049	0,052	1	1,017347912	0,982947906	0,942307692
C1QTNF6	0,035417557	0,024807573	0,041	0,022	1	1,017343989	0,982951696	1,863636364
ANO1	0,504378447	0,024805853	0,016	0,012	1	1,017342777	0,982952868	1,333333333
TMEM138	0,144907973	0,02473667	0,033	0,02	1	1,017293992	0,983000006	1,65
MIS18A	0,96251856	0,024714067	0,035	0,035	1	1,017278054	0,983015406	1
SLC33A1	0,781591185	0,024609805	0,073	0,076	1	1,017204539	0,983086451	0,960526316
PCYOX1	0,97561264	0,024604098	0,099	0,098	1	1,017200516	0,983090339	1,010204082
CYFIP2	0,744129381	0,024562033	0,034	0,037	1	1,017170857	0,983119005	0,918918919
ZEB1	0,753233702	0,024536955	0,111	0,113	1	1,017153176	0,983136093	0,982300885
LRFN3	0,542289947	0,024492165	0,017	0,014	1	1,017121598	0,983166617	1,214285714
CIAO3	0,722771819	0,024485936	0,034	0,037	1	1,017117206	0,983170861	0,918918919
RNF135	0,236330587	0,024464833	0,043	0,031	1	1,017102329	0,983185243	1,387096774
TBC1D4	0,9184852	0,024411766	0,013	0,012	1	1,017064917	0,983221408	1,083333333
MINDY3	0,429885476	0,024367303	0,047	0,038	1	1,017033572	0,983251711	1,236842105
BCAP31	0,2419901	0,024299314	0,184	0,201	1	1,016985644	0,983298049	0,915422886

Supplementary Table 5

Differentially expressed genes_total calculation_ comparing SC-Keloid vs. (SC-Myel, SC-Nonmyel)								
gene	p_val	avg_log2FC	pct.1	pct.2	p_val_adj	Foldchange_UP	Foldchange_DOWN	Ratio_pct1_pct2
TLR3	0,186023667	0,02423295	0,012	0,005	1	1,016938864	0,983343282	2,4
C5orf34	0,016470291	0,024174214	0,014	0,003	1	1,016897462	0,983383317	4,666666667
TANC2	0,068076916	0,024099004	0,108	0,137	1	1,016844451	0,983434584	0,788321168
PLXNA1	0,94209634	0,024077286	0,027	0,027	1	1,016829144	0,983449389	1
MAP3K10	0,591136072	0,024036589	0,029	0,024	1	1,01680046	0,983477131	1,208333333
IPO4	0,022784255	0,023947875	0,035	0,016	1	1,016737937	0,983537609	2,1875
GPRASP2	0,021555704	0,023937806	0,01	0,001	1	1,016730842	0,983544473	10
KIRREL1	0,252507204	0,023924855	0,101	0,117	1	1,016721714	0,983553303	0,863247863
ENDOD1	0,039474775	0,023799984	0,21	0,247	1	1,016633717	0,983638437	0,850202429
PLEKHA8	0,202007502	0,02373985	0,033	0,045	1	1,016591343	0,983679437	0,733333333
RITA1	0,003295904	0,023721038	0,021	0,004	1	1,016578087	0,983692264	5,25
MACROD1	0,051361521	0,023700752	0,057	0,035	1	1,016563793	0,983706096	1,628571429
HMGCL	0,867709318	0,023660622	0,057	0,054	1	1,016535516	0,983733459	1,055555556
PLEKHS1	0,094844049	0,023649007	0,012	0,004	1	1,016527333	0,983741379	3
CYP4V2	0,078443363	0,023646224	0,041	0,024	1	1,016525371	0,983743277	1,708333333
CBX8	0,884211103	0,023568624	0,012	0,011	1	1,016470696	0,983796192	1,090909091
RINT1	0,762773745	0,023537725	0,026	0,023	1	1,016448926	0,983817263	1,130434783
CACNG4	0,021374938	0,023423099	0,01	0,001	1	1,01636817	0,983895433	10
PPP2R2D	0,038353102	0,023388596	0,081	0,111	1	1,016343863	0,983918964	0,72972973
PRMT3	0,483078997	0,023387327	0,026	0,031	1	1,016342968	0,983919829	0,838709677
SMYD4	0,519001759	0,023318302	0,021	0,026	1	1,016294344	0,983966905	0,807692308
APOL6	0,583817948	0,02330507	0,051	0,057	1	1,016285022	0,98397593	0,894736842
DIAPH2	0,497652267	0,023303935	0,024	0,03	1	1,016284223	0,983976704	0,8
STK36	0,488750488	0,023287248	0,012	0,008	1	1,016272468	0,983988086	1,5
TTC27	0,239181862	0,023283349	0,02	0,012	1	1,016269721	0,983990745	1,666666667
IFT74	0,451646773	0,023256492	0,048	0,056	1	1,016250803	0,984009062	0,857142857
SHQ1	0,826662679	0,023235654	0,016	0,018	1	1,016236124	0,984023276	0,888888889
SLC17A5	0,440174306	0,023231492	0,028	0,022	1	1,016233193	0,984026114	1,272727273
NBR1	0,701671216	0,023216414	0,094	0,098	1	1,016222572	0,984036399	0,959183673
C9orf116	0,130115717	0,023208049	0,013	0,005	1	1,01621668	0,984042104	2,6

Supplementary Table 5

Differentially expressed genes_total calculation_ comparing SC-Keloid vs. (SC-Myel, SC-Nonmyel)								
gene	p_val	avg_log2FC	pct.1	pct.2	p_val_adj	Foldchange_UP	Foldchange_DOWN	Ratio_pct1_pct2
ZRANB2	0,00913067	0,023136739	0,196	0,248	1	1,016166451	0,984090746	0,790322581
CPOX	0,895486063	0,023127876	0,026	0,024	1	1,016160209	0,984096791	1,083333333
SETMAR	0,542961498	0,023081398	0,017	0,014	1	1,016127472	0,984128495	1,214285714
ZNF589	0,419001932	0,023038036	0,008	0,012	1	1,016096932	0,984158075	0,666666667
ACVR1	0,909664092	0,023032829	0,045	0,046	1	1,016093264	0,984161627	0,97826087
GLRB	0,027434616	0,022969212	0,02	0,007	1	1,01604846	0,984205025	2,857142857
DLG5	0,564444379	0,022969062	0,042	0,047	1	1,016048354	0,984205128	0,893617021
MARK4	0,685858581	0,022944425	0,038	0,042	1	1,016031003	0,984221935	0,904761905
ATXN7L3	0,987672924	0,022835617	0,045	0,045	1	1,015954377	0,984296168	1
DCAKD	0,88809167	0,022767207	0,03	0,031	1	1,015906203	0,984342843	0,967741935
SLC9A5	0,018206517	0,022740927	0,016	0,004	1	1,015887698	0,984360773	4
PIK3CD	0,321125095	0,022724089	0,012	0,007	1	1,015875841	0,984372262	1,714285714
URGCP	0,04072839	0,022665703	0,029	0,049	1	1,01583473	0,984412101	0,591836735
TMEM106C	0,57982732	0,022651256	0,105	0,094	1	1,015824557	0,984421959	1,117021277
PAR6A	0,152575093	0,02260214	0,037	0,024	1	1,015789974	0,984455473	1,541666667
TRIM52	0,566679149	0,022569417	0,028	0,033	1	1,015766935	0,984477803	0,848484848
MYLK-AS1	0,485584714	0,022565701	0,012	0,008	1	1,015764318	0,984480339	1,5
SPNS2	0,395527011	0,022542083	0,017	0,012	1	1,01574769	0,984496455	1,416666667
PWWP2A	0,286812481	0,022387308	0,102	0,117	1	1,015638724	0,98460208	0,871794872
DDX60	0,849662431	0,022321114	0,023	0,022	1	1,015592125	0,984647257	1,045454545
TEDC1	0,09870786	0,022253406	0,05	0,033	1	1,015544463	0,984693469	1,515151515
TMEM238	0,886092371	0,022247629	0,012	0,011	1	1,015540397	0,984697412	1,090909091
RABL2A	0,428969593	0,022236434	0,015	0,02	1	1,015532516	0,984705053	0,75
TCEAL9	0,075346956	0,022213835	0,355	0,41	1	1,015516609	0,984720478	0,865853659
RAB6A	0,106013192	0,022208716	0,212	0,237	1	1,015513006	0,984723971	0,894514768
MRPL48	0,636987788	0,022153327	0,061	0,065	1	1,015474018	0,984761778	0,938461538
CKAP5	0,272813411	0,02214036	0,083	0,066	1	1,015464891	0,98477063	1,257575758
MRPL45	0,049857784	0,022094903	0,061	0,038	1	1,015432895	0,984801659	1,605263158
HAS2-AS1	0,564066982	0,022056166	0,012	0,015	1	1,015405631	0,984828101	0,8
RTN2	0,049467605	0,022045175	0,022	0,009	1	1,015397895	0,984835605	2,444444444

Supplementary Table 5

Differentially expressed genes_total calculation_ comparing SC-Keloid vs. (SC-Myel, SC-Nonmyel)								
gene	p_val	avg_log2FC	pct.1	pct.2	p_val_adj	Foldchange_UP	Foldchange_DOWN	Ratio_pct1_pct2
ITGA11	0,082405512	0,022024942	0,016	0,007	1	1,015383655	0,984849416	2,285714286
SLC35D1	0,76092022	0,021980079	0,02	0,018	1	1,01535208	0,984880042	1,111111111
AHCY	0,193986078	0,021973736	0,111	0,087	1	1,015347616	0,984884373	1,275862069
BTBD19	0,132144353	0,021950257	0,019	0,009	1	1,015331092	0,984900401	2,111111111
TBC1D9	0,563694126	0,021860478	0,012	0,015	1	1,01526791	0,984961693	0,8
ADPRH	0,08925642	0,02180674	0,014	0,005	1	1,015230094	0,984998382	2,8
ZNF347	0,253236362	0,021798413	0,023	0,033	1	1,015224234	0,985004067	0,696969697
CRLF3	0,15724539	0,021783041	0,01	0,019	1	1,015213417	0,985014563	0,526315789
ANKRD13C	0,663655475	0,021773883	0,071	0,064	1	1,015206973	0,985020815	1,109375
ACOX3	0,026171315	0,021741334	0,022	0,008	1	1,015184069	0,985043039	2,75
TRAPPC3	0,425041783	0,02174059	0,113	0,123	1	1,015183545	0,985043547	0,918699187
CDK20	0,239975997	0,02173835	0,02	0,012	1	1,015181969	0,985045077	1,666666667
MRPL39	0,971266722	0,021725788	0,048	0,047	1	1,01517313	0,985053653	1,021276596
DTWD2	0,433461696	0,021666798	0,019	0,014	1	1,015131621	0,985093932	1,357142857
DCAF4	0,315284259	0,021644611	0,015	0,009	1	1,01511601	0,985109082	1,666666667
KDM2B	0,982226786	0,021586995	0,03	0,03	1	1,01507547	0,985148424	1
CPXM1	0,218998341	0,021571465	0,034	0,023	1	1,015064543	0,985159029	1,47826087
SLC35F5	0,677808753	0,02155569	0,04	0,043	1	1,015053445	0,985169801	0,930232558
ZNF385D	0,576721194	0,02154352	0,009	0,012	1	1,015044882	0,985178111	0,75
ATP13A1	0,197179767	0,021531493	0,044	0,031	1	1,01503642	0,985186324	1,419354839
DDX56	0,595382251	0,02147624	0,058	0,064	1	1,014997546	0,985224057	0,90625
TMUB2	0,944445803	0,021473123	0,054	0,052	1	1,014995353	0,985226185	1,038461538
ARGLU1	1,21205E-07	0,02144465	0,331	0,482	0,002557548	1,014975322	0,985245629	0,686721992
IKZF2	0,486770577	0,021437544	0,012	0,008	1	1,014970323	0,985250482	1,5
GGA1	0,873724688	0,021405205	0,07	0,071	1	1,014947572	0,985272568	0,985915493
ABRAXAS2	0,345900111	0,02133858	0,033	0,024	1	1,014900701	0,98531807	1,375
CLDN1	0,688817798	0,021332403	0,015	0,018	1	1,014896356	0,985322288	0,833333333
CHD4	0,066649324	0,021305283	0,254	0,294	1	1,014877278	0,985340811	0,863945578
NECAP1	0,463412375	0,021297588	0,057	0,065	1	1,014871865	0,985346067	0,876923077
H4C8	0,734204444	0,021237858	0,012	0,014	1	1,014829848	0,985386862	0,857142857

Supplementary Table 5

Differentially expressed genes_total calculation_ comparing SC-Keloid vs. (SC-Myel, SC-Nonmyel)								
gene	p_val	avg_log2FC	pct.1	pct.2	p_val_adj	Foldchange_UP	Foldchange_DOWN	Ratio_pct1_pct2
ZNF451	0,074582836	0,021227362	0,088	0,113	1	1,014822465	0,985394031	0,778761062
USP11	0,028013416	0,021205921	0,153	0,189	1	1,014807383	0,985408676	0,80952381
EPN1	0,56204549	0,02116627	0,12	0,106	1	1,014779493	0,985435759	1,132075472
CDIN1	0,273743966	0,021077035	0,014	0,008	1	1,014716728	0,985496713	1,75
MTMR14	0,086333747	0,020968419	0,049	0,031	1	1,014640336	0,985570911	1,580645161
IDH1	0,153313808	0,020923816	0,065	0,047	1	1,014608967	0,985601382	1,382978723
PKNOX1	0,414403632	0,020921909	0,038	0,046	1	1,014607626	0,985602685	0,826086957
CKAP4	0,270647157	0,020910498	0,094	0,11	1	1,014599601	0,98561048	0,854545455
PDE4A	0,321861038	0,02090433	0,041	0,031	1	1,014595263	0,985614695	1,322580645
RABL2B	0,565956662	0,020904085	0,03	0,035	1	1,014595091	0,985614862	0,857142857
ANKS6	0,54430584	0,020879125	0,017	0,014	1	1,014577537	0,985631914	1,214285714
KIAA0513	0,414654321	0,020876259	0,008	0,012	1	1,014575522	0,985633872	0,666666667
IL1R1	0,055417381	0,020854415	0,012	0,024	1	1,01456016	0,985648796	0,5
SLC5A6	0,665139005	0,020846224	0,016	0,014	1	1,0145544	0,985654392	1,142857143
XPO4	0,398521141	0,020813781	0,024	0,031	1	1,014531585	0,985676557	0,774193548
ZNF529	0,155209615	0,020801544	0,028	0,041	1	1,01452298	0,985684918	0,682926829
C19orf54	0,766074761	0,020777582	0,014	0,012	1	1,014506129	0,98570129	1,166666667
KLHL13	0,674242901	0,020743764	0,022	0,019	1	1,014482349	0,985724395	1,157894737
ZNF45	0,166135477	0,020724504	0,014	0,007	1	1,014468806	0,985737555	2
GPATCH3	0,768693819	0,0207078	0,02	0,018	1	1,01445706	0,985748968	1,111111111
USP31	0,471148832	0,020704569	0,024	0,019	1	1,014454788	0,985751175	1,263157895
DDI2	0,964592414	0,020692135	0,036	0,035	1	1,014446045	0,985759672	1,028571429
NARS2	0,248489469	0,020680864	0,019	0,027	1	1,01443812	0,985767373	0,703703704
ERMAP	0,666345763	0,02043373	0,017	0,02	1	1,014264361	0,985936249	0,85
PLA2R1	0,276100739	0,020339774	0,014	0,008	1	1,014198309	0,986000461	1,75
RNF157	0,504615749	0,020305063	0,026	0,02	1	1,014173908	0,986024184	1,3
ZFYVE9	0,740334333	0,02022742	0,037	0,034	1	1,014119328	0,986077252	1,088235294
ANKRD16	0,116232214	0,020182239	0,021	0,011	1	1,01408757	0,986108133	1,909090909
PRIM1	0,431713535	0,020169117	0,014	0,019	1	1,014078346	0,986117102	0,736842105
NATD1	0,372334874	0,020149334	0,013	0,008	1	1,01406444	0,986130625	1,625

Supplementary Table 5

Differentially expressed genes_total calculation_ comparing SC-Keloid vs. (SC-Myel, SC-Nonmyel)								
gene	p_val	avg_log2FC	pct.1	pct.2	p_val_adj	Foldchange_UP	Foldchange_DOWN	Ratio_pct1_pct2
ATF6B	0,973839197	0,020116901	0,093	0,091	1	1,014041644	0,986152793	1,021978022
CWC27	0,946909262	0,020108241	0,073	0,071	1	1,014035557	0,986158713	1,028169014
DDX42	0,126506182	0,020100315	0,122	0,144	1	1,014029986	0,986164131	0,847222222
VAX2	0,025826735	0,020012034	0,013	0,003	1	1,013967938	0,986224478	4,333333333
SLC31A1	0,320205018	0,019999716	0,04	0,03	1	1,01395928	0,986232898	1,333333333
ZNF682	0,369060043	0,019945226	0,013	0,008	1	1,013920984	0,986270149	1,625
ADRM1	0,195169483	0,019890065	0,18	0,202	1	1,013882218	0,98630786	0,891089109
CABLES1	0,714754337	0,019839704	0,013	0,015	1	1,013846826	0,98634229	0,866666667
ARV1	0,18215939	0,019800073	0,043	0,03	1	1,013818976	0,986369385	1,433333333
VANGL1	0,029927197	0,019790473	0,028	0,012	1	1,01381223	0,986375949	2,333333333
P2RY1	0,496963287	0,01976302	0,051	0,058	1	1,013792939	0,986394718	0,879310345
ATG4C	0,730557194	0,019731703	0,024	0,022	1	1,013770932	0,986416131	1,090909091
ZNF180	0,281528611	0,019718336	0,007	0,012	1	1,013761539	0,98642527	0,583333333
ASPHD2	0,062736617	0,019717674	0,013	0,004	1	1,013761074	0,986425723	3,25
ARHGEF19	0,801934928	0,019694147	0,027	0,024	1	1,013744542	0,986441809	1,125
A1BG-AS1	0,663637743	0,019638126	0,016	0,014	1	1,013705178	0,986480114	1,142857143
SNAPC4	0,459516576	0,019637646	0,015	0,011	1	1,013704841	0,986480442	1,363636364
SPOP	0,268463492	0,019627895	0,115	0,13	1	1,013697989	0,98648711	0,884615385
RAD51AP1	0,131063456	0,019591377	0,019	0,009	1	1,013672331	0,986512081	2,111111111
RBFOX2	0,42378773	0,019565396	0,113	0,122	1	1,013654076	0,986529846	0,926229508
GPATCH2L	0,287884303	0,019550227	0,092	0,106	1	1,013643418	0,986540219	0,867924528
MTMR10	0,099532454	0,019493294	0,037	0,054	1	1,013603418	0,986579151	0,685185185
ORMDL3	0,09671808	0,019474405	0,061	0,041	1	1,013590147	0,986592069	1,487804878
LRRK1	0,676301311	0,019413579	0,016	0,019	1	1,013547413	0,986633666	0,842105263
RBM26	0,522835625	0,019393592	0,121	0,129	1	1,013533372	0,986647335	0,937984496
POLR2C	0,497386105	0,019392401	0,101	0,109	1	1,013532535	0,98664815	0,926605505
DDX55	0,918736249	0,019384559	0,047	0,045	1	1,013527026	0,986653513	1,044444444
YIPF1	0,099286275	0,019347719	0,036	0,022	1	1,013501145	0,986678707	1,636363636
NT5C2	0,998847829	0,019317602	0,031	0,031	1	1,013479988	0,986699305	1
ARSA	0,793003542	0,019303032	0,064	0,06	1	1,013469753	0,98670927	1,066666667

Supplementary Table 5

Differentially expressed genes_total calculation_ comparing SC-Keloid vs. (SC-Myel, SC-Nonmyel)								
gene	p_val	avg_log2FC	pct.1	pct.2	p_val_adj	Foldchange_UP	Foldchange_DOWN	Ratio_pct1_pct2
MORC2	0,918323265	0,019301847	0,027	0,026	1	1,01346892	0,986710081	1,038461538
BCAS4	0,008389415	0,019271883	0,028	0,009	1	1,013447872	0,986730574	3,111111111
COG5	0,216679395	0,019239846	0,048	0,061	1	1,013425366	0,986752486	0,786885246
CEP83	0,883314325	0,019235547	0,038	0,039	1	1,013422347	0,986755426	0,974358974
SYTL2	0,026275799	0,019234439	0,102	0,068	1	1,013421568	0,986756185	1,5
EMC1	0,575173513	0,01914143	0,065	0,057	1	1,013356237	0,986819801	1,140350877
ST20-AS1	0,062511264	0,019049843	0,01	0,003	1	1,013291907	0,98688245	3,333333333
PARP4	0,821465039	0,019027858	0,055	0,052	1	1,013276466	0,986897489	1,057692308
EXOC6B	0,045046797	0,01899456	0,022	0,039	1	1,013253079	0,986920268	0,564102564
HDAC6	0,731979559	0,018932273	0,044	0,047	1	1,013209334	0,986962877	0,936170213
MAP3K7	0,860339055	0,018897646	0,068	0,064	1	1,013185016	0,986986566	1,0625
UHRF2	0,499347163	0,018867795	0,083	0,091	1	1,013164052	0,987006989	0,912087912
EEF2K	0,397449055	0,018864754	0,024	0,031	1	1,013161916	0,987009069	0,774193548
ABCD1	0,470019012	0,018813688	0,02	0,015	1	1,013126055	0,987044006	1,333333333
AGO1	0,627860507	0,018761887	0,055	0,06	1	1,013089679	0,987079447	0,916666667
SLC10A7	0,888834394	0,018740415	0,022	0,023	1	1,013074601	0,987094138	0,956521739
RTL8C	0,112809259	0,018728015	0,186	0,213	1	1,013065893	0,987102623	0,873239437
PIGL	0,84104102	0,018721065	0,023	0,022	1	1,013061013	0,987107378	1,045454545
PLD3	0,283338887	0,018713961	0,185	0,201	1	1,013056024	0,987112239	0,92039801
SUCLG2	0,212283116	0,018705888	0,123	0,141	1	1,013050356	0,987117762	0,872340426
CYB5R4	0,25694717	0,018680116	0,044	0,033	1	1,013032259	0,987135396	1,333333333
SLC16A2	0,529124325	0,01854724	0,027	0,022	1	1,01293896	0,987226318	1,227272727
NR2F6	0,17564827	0,018492705	0,104	0,08	1	1,012900671	0,987263637	1,3
TET3	0,913339583	0,018442625	0,043	0,043	1	1,012865511	0,987297908	1
PPP1R14A	0,314297339	0,018423844	0,01	0,016	1	1,012852325	0,987310761	0,625
TUBGCP3	0,058570896	0,01842051	0,048	0,028	1	1,012849985	0,987313042	1,714285714
TLCD1	0,003314026	0,018358366	0,012	0	1	1,012806358	0,987355572	#DIV/0!
RUVBL2	0,14100527	0,018341902	0,098	0,073	1	1,0127948	0,987366839	1,342465753
OBI1	0,454893214	0,018266361	0,043	0,035	1	1,01274177	0,98741854	1,228571429
ATP6V0A1	0,05761115	0,018106609	0,069	0,094	1	1,012629633	0,987527885	0,734042553

Supplementary Table 5

Differentially expressed genes_total calculation_ comparing SC-Keloid vs. (SC-Myel, SC-Nonmyel)								
gene	p_val	avg_log2FC	pct.1	pct.2	p_val_adj	Foldchange_UP	Foldchange_DOWN	Ratio_pct1_pct2
STIM1	0,359326066	0,018103971	0,079	0,065	1	1,012627782	0,98752969	1,215384615
CABCOC1	0,105937144	0,018103689	0,017	0,008	1	1,012627584	0,987529883	2,125
PLCXD1	0,633241093	0,018103623	0,01	0,008	1	1,012627538	0,987529928	1,25
SHKBP1	0,325491859	0,018100533	0,065	0,052	1	1,012625369	0,987532044	1,25
ALDH1B1	0,186698033	0,018099623	0,012	0,005	1	1,01262473	0,987532666	2,4
TRIM39	0,301670005	0,018061322	0,009	0,015	1	1,012597847	0,987558884	0,6
GTPBP10	0,911457911	0,018016919	0,02	0,019	1	1,012566682	0,98758928	1,052631579
BLCAP	0,085958806	0,017974568	0,065	0,087	1	1,012536958	0,987618271	0,747126437
BAG2	0,322122679	0,01794516	0,027	0,019	1	1,012516318	0,987638403	1,421052632
IVD	0,676309098	0,017904113	0,075	0,079	1	1,012487511	0,987666503	0,949367089
TM2D3	0,120056317	0,0178841	0,111	0,132	1	1,012473466	0,987680204	0,840909091
GBA	0,15006479	0,017845936	0,052	0,037	1	1,012446683	0,987706332	1,405405405
MRPL30	0,514577771	0,017768128	0,047	0,039	1	1,012392081	0,987759603	1,205128205
EHD3	0,318271923	0,017765343	0,012	0,007	1	1,012390127	0,98776151	1,714285714
TRAPPC11	0,911435996	0,017764206	0,029	0,03	1	1,012389329	0,987762288	0,966666667
HARS2	0,984327933	0,017693968	0,023	0,023	1	1,012340042	0,987810378	1
COG3	0,266555173	0,017678313	0,044	0,056	1	1,012329056	0,987821098	0,785714286
MIPEP	0,181279672	0,01766537	0,021	0,012	1	1,012319975	0,98782996	1,75
MFSD9	0,141932062	0,01761655	0,01	0,004	1	1,012285719	0,987863388	2,5
CASP2	0,430871734	0,017499736	0,037	0,045	1	1,012203758	0,987943378	0,822222222
EXOC3-AS1	0,23985655	0,0174592	0,023	0,015	1	1,012175318	0,987971137	1,533333333
PSMB8-AS1	0,312001628	0,017450247	0,019	0,012	1	1,012169037	0,987977268	1,583333333
MTHFSD	0,207858655	0,017398415	0,026	0,016	1	1,012132673	0,988012764	1,625
THNSL1	0,140554036	0,017334502	0,01	0,004	1	1,012087836	0,988056535	2,5
TIMMDC1	0,015428885	0,017305834	0,162	0,204	1	1,012067724	0,988076169	0,794117647
XRCC6	0,000299291	0,01728175	0,192	0,263	1	1,01205083	0,988092664	0,730038023
SPIN3	0,885621993	0,017179873	0,012	0,011	1	1,011979365	0,988162442	1,090909091
TRAM1L1	0,433544926	0,017104991	0,01	0,007	1	1,01192684	0,988213733	1,428571429
BLOC1S5	0,996011185	0,017098063	0,037	0,037	1	1,011921981	0,988218478	1
ZNF839	0,705011756	0,017080641	0,014	0,016	1	1,011909761	0,988230412	0,875

Supplementary Table 5

Differentially expressed genes_total calculation_ comparing SC-Keloid vs. (SC-Myel, SC-Nonmyel)								
gene	p_val	avg_log2FC	pct.1	pct.2	p_val_adj	Foldchange_UP	Foldchange_DOWN	Ratio_pct1_pct2
APLF	0,061229514	0,017021804	0,015	0,005	1	1,011868494	0,988270715	3
GLYCTK	0,241070956	0,017013768	0,02	0,012	1	1,011862858	0,98827622	1,666666667
TRIP4	0,775918575	0,016998269	0,051	0,047	1	1,011851987	0,988286837	1,085106383
RPTOR	0,982270181	0,016979765	0,015	0,015	1	1,011839009	0,988299513	1
GRIK4	0,319854962	0,016944051	0,012	0,007	1	1,011813961	0,988323979	1,714285714
FAM110B	0,283865216	0,016934858	0,007	0,012	1	1,011807514	0,988330277	0,583333333
ZNF583	0,679415975	0,016881633	0,022	0,019	1	1,011770186	0,988366739	1,157894737
AREG	0,524433586	0,016829016	0,021	0,026	1	1,011733286	0,988402787	0,807692308
IL15	0,902225948	0,016813911	0,04	0,038	1	1,011722693	0,988413136	1,052631579
TOR1B	0,451940415	0,01666079	0,028	0,022	1	1,01161532	0,988518047	1,272727273
PPA2	0,349827361	0,016626329	0,064	0,052	1	1,011591156	0,988541659	1,230769231
MYOF	0,563280269	0,016605837	0,098	0,087	1	1,011576787	0,988555701	1,126436782
DHCR24	0,348308716	0,016568975	0,02	0,014	1	1,011550941	0,988580959	1,428571429
PECR	0,86599392	0,016524627	0,017	0,016	1	1,011519847	0,988611349	1,0625
ZNF362	0,2457418	0,016509894	0,075	0,058	1	1,011509517	0,988621444	1,293103448
AP1M1	0,017898019	0,016508465	0,073	0,043	1	1,011508515	0,988622424	1,697674419
TMEM14A	0,41321559	0,016442536	0,163	0,172	1	1,011462292	0,988667604	0,947674419
HMGN2	0,001322707	0,016401348	0,302	0,389	1	1,011433416	0,98869583	0,776349614
RGL3	0,575048936	0,016396493	0,009	0,012	1	1,011430012	0,988699157	0,75
AP001816.1	0,52214585	0,016323438	0,041	0,034	1	1,011378797	0,988749224	1,205882353
VEZT	0,240751646	0,01627773	0,102	0,118	1	1,011346754	0,98878055	0,86440678
SUPT6H	0,604751949	0,016273851	0,079	0,084	1	1,011344035	0,988783209	0,94047619
ERAP2	0,781941329	0,016187393	0,047	0,049	1	1,011283429	0,988842466	0,959183673
TRIM58	0,931294102	0,016168724	0,041	0,039	1	1,011270343	0,988855262	1,051282051
EDEM1	0,687871733	0,015999458	0,048	0,052	1	1,011151701	0,988971288	0,923076923
PHF21A	0,006467584	0,015995583	0,056	0,091	1	1,011148985	0,988973944	0,615384615
ARSL	0,810159827	0,015856895	0,052	0,054	1	1,011051787	0,98906902	0,962962963
SLC26A6	0,765653452	0,015815277	0,014	0,012	1	1,011022621	0,989097552	1,166666667
NIPSNAP1	0,306507307	0,015790711	0,022	0,015	1	1,011005406	0,989114395	1,466666667
C15orf48	0,416462575	0,015775802	0,008	0,012	1	1,010994958	0,989124617	0,666666667

Supplementary Table 5

Differentially expressed genes_total calculation_ comparing SC-Keloid vs. (SC-Myel, SC-Nonmyel)								
gene	p_val	avg_log2FC	pct.1	pct.2	p_val_adj	Foldchange_UP	Foldchange_DOWN	Ratio_pct1_pct2
HIPK1	0,057442141	0,015771844	0,112	0,142	1	1,010992184	0,98912733	0,788732394
SLC25A51	0,420974688	0,015771723	0,019	0,024	1	1,0109921	0,989127413	0,791666667
ATG13	0,710206314	0,01575019	0,063	0,057	1	1,01097701	0,989142177	1,105263158
SYT1	0,04183649	0,015743744	0,014	0,004	1	1,010972493	0,989146596	3,5
MIER2	0,982682437	0,015734274	0,015	0,015	1	1,010965857	0,989153089	1
CEP19	0,663262638	0,015685088	0,016	0,014	1	1,010931391	0,989186813	1,142857143
KLHDC8B	0,691351129	0,015682618	0,028	0,024	1	1,010929659	0,989188507	1,166666667
ZNF319	0,623878186	0,015664835	0,015	0,012	1	1,010917199	0,989200699	1,25
PIGN	0,976940191	0,015654537	0,03	0,03	1	1,010909983	0,989207761	1
MIPOL1	0,401185582	0,015650657	0,029	0,037	1	1,010907264	0,989210421	0,783783784
DCAF10	0,134392839	0,015643405	0,056	0,073	1	1,010902182	0,989215394	0,767123288
PIP5K1A	0,233146564	0,015576661	0,061	0,075	1	1,010855416	0,989261159	0,813333333
WDR89	0,434337479	0,015548097	0,01	0,007	1	1,010835402	0,989280745	1,428571429
EIF4E3	0,198681353	0,01551898	0,03	0,042	1	1,010815001	0,989300712	0,714285714
TRMT112	7,30162E-05	0,015490933	0,314	0,433	1	1,010795351	0,989319944	0,72517321
B9D2	0,86455097	0,015482914	0,023	0,024	1	1,010789732	0,989325443	0,958333333
THOP1	0,384368708	0,015465842	0,043	0,034	1	1,010777771	0,989337151	1,264705882
NSMCE4A	0,678426171	0,01546165	0,072	0,076	1	1,010774834	0,989340025	0,947368421
NOM1	0,712119887	0,015443653	0,045	0,049	1	1,010762225	0,989352367	0,918367347
BRCA1	0,887515681	0,015434744	0,03	0,031	1	1,010755983	0,989358477	0,967741935
CD93	0,267061507	0,015429757	0,006	0,011	1	1,01075249	0,989361897	0,545454545
FDFT1	0,625983641	0,015384944	0,07	0,062	1	1,010721094	0,989392629	1,129032258
C21orf91	0,206351368	0,01536178	0,023	0,034	1	1,010704866	0,989408515	0,676470588
ABCA3	0,816742264	0,015335466	0,045	0,047	1	1,010686431	0,989426561	0,957446809
NCBP3	0,719029069	0,015335034	0,112	0,115	1	1,010686129	0,989426857	0,973913043
NAA40	0,377277164	0,015329819	0,021	0,015	1	1,010682475	0,989430434	1,4
ALG2	0,747831468	0,015268562	0,043	0,039	1	1,010639563	0,989472446	1,102564103
VPS11	0,899764767	0,015239853	0,038	0,037	1	1,010619452	0,989492136	1,027027027
EXO5	0,061314356	0,015224003	0,015	0,005	1	1,010608349	0,989503007	3
ATL2	0,52661738	0,015211743	0,057	0,064	1	1,01059976	0,989511416	0,890625

Supplementary Table 5

Differentially expressed genes_total calculation_ comparing SC-Keloid vs. (SC-Myel, SC-Nonmyel)								
gene	p_val	avg_log2FC	pct.1	pct.2	p_val_adj	Foldchange_UP	Foldchange_DOWN	Ratio_pct1_pct2
NDC80	0,040147446	0,015191112	0,012	0,003	1	1,010585309	0,989525567	4
FXN	0,377277164	0,01516899	0,021	0,015	1	1,010569812	0,98954074	1,4
ANAPC1	0,827250304	0,015118102	0,035	0,037	1	1,010534167	0,989575645	0,945945946
STK38L	0,040856708	0,015117509	0,02	0,037	1	1,010533752	0,989576051	0,540540541
TESK1	0,914915035	0,015117221	0,047	0,045	1	1,010533551	0,989576249	1,044444444
CDR2	0,497265848	0,015072553	0,077	0,084	1	1,010502263	0,989606888	0,916666667
ZFTA	0,395744264	0,015068271	0,023	0,03	1	1,010499264	0,989609825	0,766666667
CYB561	0,658361007	0,015058609	0,027	0,023	1	1,010492496	0,989616453	1,173913043
MELTF-AS1	0,327618114	0,015057694	0,016	0,023	1	1,010491856	0,98961708	0,695652174
POLA2	0,319114208	0,014846504	0,015	0,009	1	1,010343945	0,989761957	1,666666667
EMSY	0,478862632	0,014835733	0,054	0,061	1	1,010336402	0,989769347	0,885245902
SPRED2	0,931921085	0,014832063	0,042	0,041	1	1,010333832	0,989771864	1,024390244
ZNF92	0,53314211	0,014788927	0,033	0,038	1	1,010303624	0,989801458	0,868421053
PMPCA	0,603332045	0,014722665	0,083	0,073	1	1,010257222	0,98984692	1,136986301
RNF20	0,059529512	0,014710186	0,063	0,041	1	1,010248483	0,989855483	1,536585366
CEP20	0,38764953	0,014699428	0,048	0,057	1	1,01024095	0,989862864	0,842105263
ZBTB42	0,106534475	0,014690389	0,017	0,008	1	1,010234621	0,989869065	2,125
MVK	0,659817287	0,014664267	0,027	0,023	1	1,01021633	0,989886988	1,173913043
VAMP8	0,993062601	0,014659072	0,016	0,016	1	1,010212691	0,989890553	1
INTS9	0,794720531	0,014614812	0,015	0,014	1	1,0101817	0,989920922	1,071428571
RHOJ	0,127162892	0,014519469	0,073	0,094	1	1,010114942	0,989986345	0,776595745
NOL10	0,689926463	0,01446477	0,054	0,057	1	1,010076646	0,99002388	0,947368421
LPCAT4	0,940860006	0,014451209	0,027	0,027	1	1,010067151	0,990033186	1
TRPM8	0,021555704	0,014448438	0,01	0,001	1	1,010065211	0,990035088	10
ZNF100	0,735371609	0,014441374	0,019	0,016	1	1,010060265	0,990039936	1,1875
RCOR3	0,065538085	0,014412621	0,072	0,098	1	1,010040135	0,990059667	0,734693878
SDHAF2	0,575215016	0,014395297	0,087	0,077	1	1,010028007	0,990071556	1,12987013
KANSL1-AS1	0,501551117	0,014378137	0,026	0,02	1	1,010015992	0,990083333	1,3
KRT8	0,683675072	0,014361694	0,012	0,009	1	1,010004481	0,990094617	1,333333333
MIEF1	0,208803621	0,014330437	0,026	0,016	1	1,009982599	0,990116069	1,625

Supplementary Table 5

Differentially expressed genes_total calculation_ comparing SC-Keloid vs. (SC-Myel, SC-Nonmyel)								
gene	p_val	avg_log2FC	pct.1	pct.2	p_val_adj	Foldchange_UP	Foldchange_DOWN	Ratio_pct1_pct2
KCTD7	0,88682669	0,014319049	0,022	0,023	1	1,009974627	0,990123884	0,956521739
STK38	0,202152003	0,014298048	0,028	0,039	1	1,009959925	0,990138297	0,717948718
ZNF346	0,948487846	0,014256658	0,019	0,019	1	1,00993095	0,990166704	1
C17orf100	0,319537943	0,014199591	0,012	0,007	1	1,009891002	0,990205871	1,714285714
RAB29	0,244695643	0,014192586	0,031	0,022	1	1,009886099	0,990210679	1,409090909
ZNF18	0,491529638	0,01417423	0,012	0,008	1	1,009873249	0,990223279	1,5
RRP1	0,103304834	0,014152996	0,062	0,042	1	1,009858386	0,990237853	1,476190476
MFSD10	0,285302485	0,014094389	0,194	0,208	1	1,009817363	0,99027808	0,932692308
AP4M1	0,231505246	0,014035442	0,051	0,038	1	1,009776104	0,990318543	1,342105263
CHML	0,017469205	0,014008371	0,055	0,085	1	1,009757156	0,990337126	0,647058824
SLC22A15	0,282111535	0,013948172	0,007	0,012	1	1,009715024	0,99037845	0,583333333
RBL1	0,871368367	0,013939975	0,023	0,024	1	1,009709287	0,990384077	0,958333333
SMG9	0,640811483	0,01387708	0,07	0,062	1	1,009665269	0,990427254	1,129032258
PRKAB2	0,834776732	0,013873765	0,044	0,046	1	1,009662949	0,99042953	0,956521739
PPP1R26	0,827042619	0,013812743	0,016	0,018	1	1,009620244	0,990471424	0,888888889
TRMT2A	0,394072439	0,013811211	0,054	0,043	1	1,009619172	0,990472475	1,255813953
C5orf24	0,021988556	0,01379365	0,217	0,263	1	1,009606882	0,990484532	0,825095057
ZSWIM4	0,301564693	0,013715408	0,035	0,045	1	1,009552129	0,99053825	0,777777778
MRPL53	0,745693354	0,013628698	0,022	0,024	1	1,009491455	0,990597786	0,916666667
BZW2	0,54167858	0,013615763	0,135	0,14	1	1,009482404	0,990606668	0,964285714
PAQR7	0,464438591	0,013535662	0,038	0,031	1	1,009426357	0,99066167	1,225806452
IFFO2	0,775481416	0,013525271	0,072	0,075	1	1,009419086	0,990668805	0,96
NDOR1	0,486770577	0,013489851	0,012	0,008	1	1,009394304	0,990693127	1,5
NOP16	0,101113423	0,013467043	0,041	0,058	1	1,009378347	0,99070879	0,706896552
ZNF714	0,673500822	0,013457044	0,016	0,019	1	1,009371351	0,990715656	0,842105263
F8A1	0,080016349	0,013405119	0,044	0,027	1	1,009335022	0,990751314	1,62962963
TRMT12	0,624259898	0,013398925	0,015	0,012	1	1,009330689	0,990755568	1,25
LINC00511	0,258630772	0,013370898	0,166	0,183	1	1,009311081	0,990774815	0,907103825
PTPN4	0,861416055	0,013274602	0,037	0,035	1	1,009243714	0,990840949	1,057142857
BCL7A	0,503948689	0,013273941	0,021	0,026	1	1,009243252	0,990841403	0,807692308

Supplementary Table 5

Differentially expressed genes_total calculation_ comparing SC-Keloid vs. (SC-Myel, SC-Nonmyel)								
gene	p_val	avg_log2FC	pct.1	pct.2	p_val_adj	Foldchange_UP	Foldchange_DOWN	Ratio_pct1_pct2
IPO11	0,500007886	0,013232711	0,016	0,012	1	1,00921441	0,99086972	1,333333333
CYB5A	0,011779905	0,013220284	0,159	0,208	1	1,009205717	0,990878256	0,764423077
PEX7	0,456835512	0,013174478	0,03	0,037	1	1,009173675	0,990909717	0,810810811
DHRS11	0,178535344	0,013139533	0,031	0,02	1	1,009149231	0,990933719	1,55
ZBTB34	0,224425312	0,013082504	0,01	0,018	1	1,00910934	0,990972891	0,555555556
CRABP2	0,25691322	0,013081803	0,024	0,034	1	1,009108851	0,990973372	0,705882353
RUFY3	0,032457427	0,01306167	0,061	0,088	1	1,009094768	0,990987201	0,693181818
SLC25A23	0,744637622	0,013060823	0,03	0,027	1	1,009094175	0,990987783	1,111111111
GPR176	0,560695111	0,012963936	0,03	0,035	1	1,00902641	0,991054337	0,857142857
RBM45	0,49588722	0,012956768	0,023	0,028	1	1,009021397	0,991059261	0,821428571
RPP25	0,977901987	0,012955049	0,022	0,022	1	1,009020195	0,991060442	1
STIL	0,141537286	0,012949161	0,01	0,004	1	1,009016077	0,991064487	2,5
SLC12A6	0,089579527	0,012899268	0,014	0,026	1	1,008981182	0,991098762	0,538461538
POLM	0,825896716	0,012879511	0,022	0,02	1	1,008967365	0,991112334	1,1
KBTBD3	0,396843291	0,012878788	0,027	0,034	1	1,008966859	0,991112831	0,794117647
ZNF71	0,266308589	0,012877302	0,024	0,016	1	1,00896582	0,991113852	1,5
NUDT18	0,0279946	0,012865207	0,017	0,005	1	1,008957361	0,991122161	3,4
PYCR3	0,010827466	0,012863565	0,031	0,012	1	1,008956213	0,991123289	2,583333333
DDX39A	0,146640212	0,012837873	0,129	0,149	1	1,008938245	0,991140939	0,865771812
SNX1	0,008131326	0,012766357	0,105	0,148	1	1,008888232	0,991190073	0,709459459
UNG	0,419510062	0,012715636	0,036	0,028	1	1,008852763	0,991224921	1,285714286
ZNF384	0,064017503	0,012713567	0,049	0,03	1	1,008851317	0,991226342	1,633333333
ATXN2	0,011578732	0,012712791	0,135	0,179	1	1,008850773	0,991226875	0,754189944
MATN3	0,539516189	0,012663215	0,015	0,019	1	1,008816107	0,991260938	0,789473684
DNAJB12	0,303118813	0,012649826	0,078	0,062	1	1,008806744	0,991270138	1,258064516
MFAP5	0,192201062	0,012617498	0,007	0,014	1	1,008784139	0,99129235	0,5
LGALS3	0,065571875	0,012581086	0,561	0,657	1	1,008758679	0,991317369	0,853881279
RIPOR3	0,231522268	0,012539871	0,013	0,007	1	1,008729861	0,99134569	1,857142857
CLSTN3	0,078628769	0,012539318	0,012	0,023	1	1,008729474	0,99134607	0,52173913
TRAPPC14	0,185131306	0,012531529	0,021	0,012	1	1,008724028	0,991351422	1,75

Supplementary Table 5

Differentially expressed genes_total calculation_ comparing SC-Keloid vs. (SC-Myel, SC-Nonmyel)								
gene	p_val	avg_log2FC	pct.1	pct.2	p_val_adj	Foldchange_UP	Foldchange_DOWN	Ratio_pct1_pct2
TMEM258	0,000734003	0,012500105	0,425	0,574	1	1,008702057	0,991373015	0,740418118
ZNF75A	0,6914691	0,012483497	0,037	0,041	1	1,008690445	0,991384428	0,902439024
CDKN3	0,117784628	0,01235938	0,015	0,007	1	1,00860367	0,991469722	2,142857143
ATRIP	0,57296252	0,012351954	0,01	0,014	1	1,008598478	0,991474825	0,714285714
SLC2A13	0,194295821	0,012338003	0,057	0,072	1	1,008588725	0,991484413	0,791666667
MTF1	0,392344547	0,012299599	0,027	0,034	1	1,008561878	0,991510806	0,794117647
ZNF581	0,691160449	0,012169477	0,047	0,05	1	1,008470915	0,991600238	0,94
IFT52	0,299727954	0,012168597	0,087	0,071	1	1,0084703	0,991600843	1,225352113
JMJD8	0,22715747	0,012165954	0,115	0,092	1	1,008468453	0,991602659	1,25
CAMK1	0,155904227	0,012162752	0,068	0,049	1	1,008466215	0,99160486	1,387755102
ZNF512B	0,951760027	0,012150955	0,028	0,027	1	1,008457968	0,991612969	1,037037037
CCDC71	0,214852591	0,012067999	0,022	0,014	1	1,008399983	0,991669989	1,571428571
NUDT19	0,919382827	0,012032005	0,013	0,012	1	1,008374825	0,99169473	1,083333333
ORC6	0,72428091	0,011999902	0,024	0,022	1	1,008352386	0,991716798	1,090909091
MKRN2	0,99093698	0,011966055	0,064	0,062	1	1,00832873	0,991740065	1,032258065
HEATR1	0,522093756	0,011963876	0,042	0,035	1	1,008327207	0,991741563	1,2
PABPC5	0,813496783	0,011955206	0,017	0,019	1	1,008321147	0,991747523	0,894736842
CTBP1-DT	0,443958464	0,011894808	0,023	0,018	1	1,008278935	0,991789043	1,277777778
CENPN	0,435506382	0,011888713	0,019	0,014	1	1,008274675	0,991793233	1,357142857
SPATA5L1	0,837855337	0,011858748	0,016	0,015	1	1,008253733	0,991813833	1,066666667
MEX3A	0,620734229	0,01179018	0,047	0,041	1	1,008205814	0,991860973	1,146341463
PIK3R4	0,414467847	0,011790095	0,019	0,024	1	1,008205755	0,991861031	0,791666667
API5	0,459031267	0,011763929	0,083	0,091	1	1,00818747	0,99187902	0,912087912
RFX7	0,766590279	0,011752031	0,031	0,034	1	1,008179155	0,991887201	0,911764706
PRRT2	0,9899249	0,011750371	0,024	0,024	1	1,008177995	0,991888342	1
OAS3	0,668704445	0,011744266	0,017	0,02	1	1,008173729	0,991892539	0,85
UBE2J2	0,846575287	0,011690255	0,102	0,096	1	1,008135986	0,991929674	1,0625
RIF1	0,003540847	0,011677966	0,158	0,213	1	1,008127399	0,991938123	0,741784038
UBE3B	0,077153158	0,011675067	0,048	0,03	1	1,008125373	0,991940116	1,6
NAA50	0,000110055	0,011580529	0,126	0,194	1	1,008059314	0,99200512	0,649484536

Supplementary Table 5

Differentially expressed genes_total calculation_ comparing SC-Keloid vs. (SC-Myel, SC-Nonmyel)								
gene	p_val	avg_log2FC	pct.1	pct.2	p_val_adj	Foldchange_UP	Foldchange_DOWN	Ratio_pct1_pct2
KCNH1	0,005346706	0,01149949	0,01	0	1	1,008002691	0,992060844	#DIV/0!
SLC2A10	0,836668191	0,011491346	0,016	0,015	1	1,007997001	0,992066444	1,066666667
FAM8A1	0,230363311	0,011426131	0,042	0,054	1	1,007951437	0,99211129	0,777777778
RASA4	0,42911507	0,011362173	0,009	0,014	1	1,007906753	0,992155274	0,642857143
FO XK1	0,262159741	0,011359692	0,051	0,064	1	1,00790502	0,992156979	0,796875
ALK	0,435527877	0,011284599	0,01	0,007	1	1,007852559	0,992208623	1,428571429
MAP3K7CL	0,738743354	0,011241717	0,024	0,022	1	1,007822602	0,992238116	1,090909091
DOLPP1	0,294114797	0,011241189	0,026	0,018	1	1,007822234	0,992238479	1,444444444
EFNA4	0,806926113	0,011233337	0,017	0,019	1	1,007816748	0,992243879	0,894736842
JCAD	0,412656453	0,011218035	0,007	0,011	1	1,007806059	0,992254403	0,636363636
ABRAXAS1	0,641015685	0,011170861	0,034	0,038	1	1,007773106	0,992286849	0,894736842
RNF123	0,471413168	0,011074795	0,024	0,019	1	1,007706003	0,992352926	1,263157895
GIGYF2	0,294845083	0,011068018	0,07	0,083	1	1,007701269	0,992357588	0,843373494
CLYBL	0,081207132	0,010934078	0,007	0,016	1	1,007607718	0,992449723	0,4375
CNOT6	0,011469533	0,010899776	0,047	0,077	1	1,007583761	0,992473319	0,61038961
NMRAL1	0,435132841	0,010851231	0,056	0,046	1	1,007549858	0,992506716	1,217391304
FRMD5	0,442839142	0,01085033	0,112	0,096	1	1,007549228	0,992507335	1,166666667
ARRB2	0,869635026	0,01080573	0,031	0,033	1	1,007518081	0,992538018	0,939393939
POLR1C	0,355286117	0,010729131	0,035	0,043	1	1,007464589	0,992590718	0,813953488
NKIRAS2	0,811238029	0,010727365	0,07	0,065	1	1,007463356	0,992591933	1,076923077
A4GALT	0,057987514	0,010695147	0,005	0,014	1	1,007440858	0,9926141	0,357142857
PCDH7	0,010652906	0,010657369	0,031	0,058	1	1,007414478	0,992640092	0,534482759
TCP11L1	0,94209634	0,010634996	0,027	0,027	1	1,007398855	0,992655486	1
RHBDF2	0,099720642	0,010612751	0,043	0,027	1	1,007383321	0,992670792	1,592592593
ZNF576	0,506736708	0,010516096	0,03	0,024	1	1,007315833	0,992737299	1,25
FBXW9	0,047953194	0,010484614	0,04	0,022	1	1,007293852	0,992758963	1,818181818
TFB1M	0,348308716	0,010443677	0,02	0,014	1	1,00726527	0,992787133	1,428571429
DPF1	0,003314026	0,010436379	0,012	0	1	1,007260175	0,992792155	#DIV/0!
LXN	0,328272176	0,010386157	0,013	0,019	1	1,007225112	0,992826716	0,684210526
CSNK2A1	0,384263244	0,010363695	0,144	0,156	1	1,007209429	0,992842174	0,923076923

Supplementary Table 5

Differentially expressed genes_total calculation_ comparing SC-Keloid vs. (SC-Myel, SC-Nonmyel)								
gene	p_val	avg_log2FC	pct.1	pct.2	p_val_adj	Foldchange_UP	Foldchange_DOWN	Ratio_pct1_pct2
ZBTB25	0,152037844	0,010336802	0,023	0,035	1	1,007190655	0,992860681	0,657142857
MTMR11	0,145208394	0,010314303	0,029	0,018	1	1,007174947	0,992876166	1,611111111
SCRN2	0,593884425	0,01031352	0,057	0,062	1	1,007174401	0,992876704	0,919354839
MRTFA	0,809653503	0,0102754	0,051	0,047	1	1,007147789	0,992902939	1,085106383
LINC01560	0,145975284	0,010259752	0,009	0,018	1	1,007136865	0,992913709	0,5
TSPYL4	0,323969195	0,010234716	0,047	0,057	1	1,007119388	0,99293094	0,824561404
KRBA1	0,736970816	0,010228306	0,03	0,027	1	1,007114913	0,992935351	1,111111111
PMS2	0,930644562	0,010190139	0,036	0,037	1	1,00708827	0,99296162	0,972972973
OTUD3	0,784402117	0,010180754	0,029	0,031	1	1,007081719	0,992968079	0,935483871
OSBPL6	0,140946704	0,010137113	0,01	0,004	1	1,007051255	0,992998117	2,5
TMEM19	0,125135596	0,010133095	0,035	0,05	1	1,007048451	0,993000882	0,7
ST6GALNAC4	0,014652761	0,010124767	0,047	0,023	1	1,007042637	0,993006615	2,043478261
DLG4	0,127613095	0,010089179	0,038	0,024	1	1,007017796	0,99303111	1,583333333
C8orf48	0,902066755	0,010082306	0,021	0,022	1	1,007012999	0,993035841	0,954545455
DCAF7	0,044187498	0,010072737	0,094	0,123	1	1,007006319	0,993042428	0,764227642
C22orf39	0,735529586	0,010042861	0,078	0,081	1	1,006985466	0,993062992	0,962962963
SNRNP40	0,855934271	0,01000931	0,084	0,084	1	1,006962048	0,993086087	1
TMEM184B	0,282191234	-0,010013125	0,093	0,107	1	0,993083461	1,006964711	0,869158879
IDNK	0,328702297	-0,010085705	0,02	0,027	1	0,993033501	1,007015371	0,740740741
SERINC3	0,000206761	-0,010109083	0,164	0,236	1	0,99301741	1,00703169	0,694915254
ASPHD1	0,71527958	-0,01022677	0,023	0,026	1	0,992936408	1,007113841	0,884615385
SLC35A2	0,909130257	-0,010232864	0,071	0,068	1	0,992932214	1,007118095	1,044117647
SCAI	0,960541247	-0,010242608	0,036	0,035	1	0,992925508	1,007124897	1,028571429
CCAR2	0,512723717	-0,010307491	0,034	0,039	1	0,992880854	1,007170192	0,871794872
ZNF721	0,38954801	-0,010320527	0,062	0,072	1	0,992871882	1,007179293	0,861111111
GK	0,311357744	-0,010323131	0,027	0,035	1	0,99287009	1,007181111	0,771428571
OSBPL9	0,009943843	-0,01035604	0,156	0,201	1	0,992847442	1,007204086	0,776119403
MCM9	0,769492294	-0,010360482	0,02	0,022	1	0,992844385	1,007207186	0,909090909
C2orf92	0,740963258	-0,010379326	0,01	0,012	1	0,992831418	1,007220342	0,833333333
IGF2R	0,119897405	-0,010448298	0,035	0,05	1	0,992783953	1,007268496	0,7

Supplementary Table 5

Differentially expressed genes_total calculation_ comparing SC-Keloid vs. (SC-Myel, SC-Nonmyel)								
gene	p_val	avg_log2FC	pct.1	pct.2	p_val_adj	Foldchange_UP	Foldchange_DOWN	Ratio_pct1_pct2
FAM27C	0,088768323	-0,010465953	0,008	0,018	1	0,992771804	1,007280823	0,444444444
PGBD4	0,202218365	-0,01050687	0,008	0,015	1	0,992743648	1,007309391	0,533333333
SPICE1	0,615917605	-0,010512787	0,022	0,026	1	0,992739577	1,007313523	0,846153846
ODF3L1	0,153227685	-0,010536173	0,005	0,011	1	0,992723484	1,007329852	0,454545455
ZNF596	0,910881399	-0,010549557	0,012	0,012	1	0,992714275	1,007339196	1
TMEM9B	0,670170486	-0,010561313	0,149	0,149	1	0,992706186	1,007347405	1
CUBN	0,386256272	-0,010578877	0,029	0,037	1	0,9926941	1,007359669	0,783783784
HIC2	0,888806247	-0,010595795	0,026	0,024	1	0,992682459	1,007371482	1,083333333
ADPRM	0,63144284	-0,010600373	0,021	0,024	1	0,992679309	1,007374679	0,875
KIF3A	0,08876693	-0,01061905	0,055	0,075	1	0,992666458	1,00738772	0,733333333
MYCN	0,261373418	-0,01065424	0,006	0,011	1	0,992642245	1,007412293	0,545454545
TRIM33	0,022157615	-0,010672631	0,078	0,11	1	0,992629592	1,007425135	0,709090909
PNPLA4	0,409955306	-0,010687854	0,022	0,016	1	0,992619117	1,007435765	1,375
DHX36	0,000261122	-0,010721095	0,221	0,303	1	0,992596247	1,007458977	0,729372937
PLCG1	0,888379687	-0,010757186	0,031	0,03	1	0,992571416	1,00748418	1,033333333
HLA-DMB	0,045325212	-0,010768091	0,003	0,012	1	0,992563914	1,007491796	0,25
PLD1	0,109233385	-0,010791203	0,006	0,014	1	0,992548013	1,007507936	0,428571429
ASCC3	0,498260163	-0,010811457	0,075	0,083	1	0,992534079	1,007522081	0,903614458
TGDS	0,627897729	-0,010811576	0,036	0,031	1	0,992533997	1,007522164	1,161290323
REV3L	0,023097776	-0,010883671	0,041	0,066	1	0,992484399	1,007572513	0,621212121
ACTR5	0,316221328	-0,010885039	0,014	0,02	1	0,992483458	1,007573469	0,7
ZNF33B	0,058435096	-0,010897783	0,005	0,014	1	0,99247469	1,007582369	0,357142857
PTPRS	0,580193799	-0,010914966	0,041	0,046	1	0,99246287	1,00759437	0,891304348
ZNF737	0,417804675	-0,010962021	0,016	0,022	1	0,9924305	1,007627234	0,727272727
BOLA2B	0,181855698	-0,01101072	0,031	0,02	1	0,992397001	1,007661248	1,55
ZNF692	0,905997724	-0,011034078	0,026	0,024	1	0,992380933	1,007677563	1,083333333
PDK2	0,829706682	-0,011041785	0,041	0,038	1	0,992375632	1,007682946	1,078947368
KLHL11	0,734223643	-0,011067719	0,01	0,012	1	0,992357793	1,00770106	0,833333333
SCPEP1	0,4955014	-0,011089298	0,108	0,115	1	0,99234295	1,007716133	0,939130435
VPS51	0,157530256	-0,011159833	0,114	0,133	1	0,992294435	1,007765402	0,857142857

Supplementary Table 5

Differentially expressed genes_total calculation_ comparing SC-Keloid vs. (SC-Myel, SC-Nonmyel)								
gene	p_val	avg_log2FC	pct.1	pct.2	p_val_adj	Foldchange_UP	Foldchange_DOWN	Ratio_pct1_pct2
SLC38A7	0,745693354	-0,011203889	0,024	0,022	1	0,992264133	1,007796177	1,090909091
CHCHD4	0,4196031	-0,011219461	0,022	0,016	1	0,992253423	1,007807055	1,375
ATP6V1H	0,622811511	-0,011224497	0,058	0,062	1	0,992249959	1,007810573	0,935483871
PRKAG2	0,017611144	-0,01129653	0,009	0,024	1	0,992200418	1,007860894	0,375
SPIN4	0,721888957	-0,011318244	0,012	0,014	1	0,992185485	1,007876063	0,857142857
ZNF562	0,899941409	-0,011331897	0,029	0,03	1	0,992176095	1,007885601	0,966666667
ZNF449	0,985980641	-0,011336127	0,015	0,015	1	0,992173186	1,007888556	1
TRIM2	0,021114596	-0,011402357	0,059	0,09	1	0,992127639	1,007934827	0,655555556
TTL12	0,077881295	-0,011428319	0,024	0,012	1	0,992109785	1,007952966	2
TRAF5	0,446329838	-0,011439944	0,023	0,018	1	0,992101791	1,007961087	1,277777778
NCAPD3	0,155897504	-0,011455398	0,038	0,053	1	0,992091164	1,007971884	0,716981132
CRPPA	0,423609662	-0,011461634	0,014	0,019	1	0,992086876	1,007976241	0,736842105
TCEA2	0,073287624	-0,011470216	0,155	0,185	1	0,992080974	1,007982237	0,837837838
AK2	0,687462795	-0,011515449	0,133	0,134	1	0,99204987	1,008013841	0,992537313
C19orf12	0,168427528	-0,011547709	0,052	0,068	1	0,992027687	1,008036382	0,764705882
MEMO1	0,40629	-0,011587368	0,022	0,028	1	0,992000417	1,008064092	0,785714286
OARD1	0,05993439	-0,011695538	0,056	0,079	1	0,991926042	1,008139677	0,708860759
BST1	0,117391192	-0,011706748	0,021	0,011	1	0,991918334	1,008147511	1,909090909
PDIA5	0,111963049	-0,011739613	0,034	0,02	1	0,991895738	1,008170477	1,7
DDX28	0,07598693	-0,011750173	0,003	0,011	1	0,991888478	1,008177857	0,272727273
GCHFR	0,010086398	-0,011779637	0,001	0,011	1	0,991868221	1,008198447	0,090909091
ZNF594	0,417187178	-0,011790671	0,008	0,012	1	0,991860635	1,008206158	0,666666667
ZNF57	0,014805176	-0,011814096	0,003	0,015	1	0,991844531	1,008222528	0,2
MFSD13A	0,415681232	-0,011818367	0,009	0,014	1	0,991841594	1,008225513	0,642857143
INO80E	0,799686792	-0,011923061	0,068	0,069	1	0,99176962	1,008298681	0,985507246
ZNF415	0,530298977	-0,011948301	0,017	0,022	1	0,99175227	1,008316321	0,772727273
ACIN1	0,010260264	-0,011949582	0,106	0,147	1	0,991751389	1,008317217	0,721088435
FAS	0,618953395	-0,011965134	0,03	0,026	1	0,991740698	1,008328086	1,153846154
GAN	0,963241918	-0,011991929	0,036	0,035	1	0,991722279	1,008346814	1,028571429
PJKV	0,571069991	-0,012116251	0,008	0,011	1	0,991636822	1,00843371	0,727272727

Supplementary Table 5

Differentially expressed genes_total calculation_ comparing SC-Keloid vs. (SC-Myel, SC-Nonmyel)								
gene	p_val	avg_log2FC	pct.1	pct.2	p_val_adj	Foldchange_UP	Foldchange_DOWN	Ratio_pct1_pct2
CSRP1	0,000425694	-0,012141059	0,373	0,516	1	0,991619771	1,008451051	0,722868217
ANKMY1	0,094291883	-0,012144926	0,005	0,012	1	0,991617113	1,008453754	0,416666667
ICE2	0,066697015	-0,012174959	0,052	0,075	1	0,991596471	1,008474747	0,693333333
DCUN1D2	0,422191065	-0,01217699	0,014	0,009	1	0,991595075	1,008476167	1,555555556
CSNK2A2	0,150414833	-0,012210875	0,126	0,145	1	0,991571784	1,008499854	0,868965517
TMEM187	0,317365052	-0,012235265	0,013	0,019	1	0,991555022	1,008516903	0,684210526
STAP2	0,373320825	-0,012255417	0,013	0,008	1	0,991541171	1,008530991	1,625
NCKIPSD	0,19266443	-0,012263693	0,024	0,035	1	0,991535483	1,008536777	0,685714286
PIP4K2C	0,763055069	-0,012318689	0,021	0,023	1	0,991497686	1,008575223	0,913043478
SLC27A3	0,3195765	-0,012363543	0,013	0,019	1	0,991466861	1,00860658	0,684210526
MTRFR1L	0,986804612	-0,012404834	0,087	0,085	1	0,991438485	1,008635448	1,023529412
CTSD	0,001171232	-0,012462098	0,314	0,422	1	0,991399133	1,008675484	0,744075829
RCBTB1	0,331442121	-0,0124891	0,023	0,016	1	0,991380578	1,008694363	1,4375
TSGA10	0,090369937	-0,012502741	0,008	0,018	1	0,991371204	1,0087039	0,444444444
ENPP1	0,40304252	-0,012514299	0,017	0,012	1	0,991363261	1,008711982	1,416666667
FBXL17	0,869378372	-0,012548209	0,063	0,064	1	0,99133996	1,008735691	0,984375
CPM	0,043244985	-0,012568069	0,006	0,016	1	0,991326314	1,008749577	0,375
HMGN3-AS1	0,921627343	-0,012592934	0,013	0,012	1	0,991309229	1,008766963	1,083333333
E2F6	0,428826112	-0,012649932	0,036	0,043	1	0,991270065	1,008806818	0,837209302
KDM4C	0,480948141	-0,012659093	0,026	0,031	1	0,99126377	1,008813224	0,838709677
UBAC1	0,961155586	-0,012660242	0,079	0,076	1	0,99126298	1,008814028	1,039473684
C2CD2L	0,862153852	-0,012684386	0,014	0,015	1	0,991246391	1,008830911	0,933333333
RSKR	0,848286483	-0,012725475	0,01	0,009	1	0,99121816	1,008859644	1,111111111
RBM19	0,331227806	-0,012746778	0,043	0,053	1	0,991203524	1,008874541	0,811320755
MIA	0,169379449	-0,012752974	0,44	0,528	1	0,991199267	1,008878874	0,833333333
CDC7	0,42301124	-0,01282046	0,01	0,015	1	0,991152903	1,008926067	0,666666667
WDR76	0,077967977	-0,01282113	0,012	0,023	1	0,991152442	1,008926536	0,52173913
METAP1	0,473826171	-0,012855535	0,056	0,064	1	0,991128806	1,008950597	0,875
UAP1	0,653083312	-0,012861679	0,142	0,144	1	0,991124585	1,008954894	0,986111111
NAXE	0,411771974	-0,012880678	0,101	0,085	1	0,991111532	1,008968181	1,188235294

Supplementary Table 5

Differentially expressed genes_total calculation_ comparing SC-Keloid vs. (SC-Myel, SC-Nonmyel)								
gene	p_val	avg_log2FC	pct.1	pct.2	p_val_adj	Foldchange_UP	Foldchange_DOWN	Ratio_pct1_pct2
TARS2	0,963317111	-0,012933033	0,017	0,018	1	0,991075566	1,009004797	0,944444444
ZBTB40	0,75418031	-0,012960078	0,031	0,034	1	0,991056987	1,009023712	0,911764706
EXOSC6	0,872869901	-0,012982174	0,088	0,088	1	0,991041808	1,009039166	1
NTPCR	0,820682275	-0,013075144	0,093	0,087	1	0,990977946	1,009104193	1,068965517
PTCD1	0,239492235	-0,013079815	0,023	0,015	1	0,990974738	1,00910746	1,533333333
SNX16	0,563318086	-0,013092411	0,028	0,033	1	0,990966086	1,00911627	0,848484848
TMEM39B	0,749490175	-0,013094809	0,03	0,033	1	0,990964438	1,009117947	0,909090909
NAP1L3	0,633701855	-0,013143254	0,02	0,023	1	0,990931163	1,009151833	0,869565217
IFT122	0,327125389	-0,013236041	0,022	0,03	1	0,990867433	1,00921674	0,733333333
ZNF90	0,736467937	-0,01334696	0,01	0,012	1	0,990791255	1,009294334	0,833333333
H2BC9	0,589794908	-0,013409347	0,014	0,011	1	0,990748411	1,009337981	1,272727273
GULP1	0,004076162	-0,013413023	0,247	0,309	1	0,990745886	1,009340553	0,799352751
ANGEL2	0,3272379	-0,013414091	0,044	0,054	1	0,990745153	1,009341299	0,814814815
PLVAP	0,420743892	-0,013494436	0,012	0,016	1	0,990689979	1,009397512	0,75
CSTF1	0,239674344	-0,013507539	0,023	0,015	1	0,990680981	1,00940668	1,533333333
LRRC8D	0,112246468	-0,01351242	0,012	0,022	1	0,990677629	1,009410095	0,545454545
GRAMD4	0,771594136	-0,013565103	0,038	0,035	1	0,990641453	1,009446957	1,085714286
ENTPD1	0,026565728	-0,013581549	0,017	0,035	1	0,990630161	1,009458464	0,485714286
PPIL6	0,278356312	-0,01360803	0,017	0,011	1	0,990611978	1,009476992	1,545454545
NFS1	0,898180779	-0,013628181	0,031	0,03	1	0,990598141	1,009491093	1,033333333
BATF3	0,424488933	-0,013656963	0,016	0,022	1	0,990578379	1,009511232	0,727272727
H2AZ1	0,098834057	-0,013657313	0,494	0,579	1	0,990578138	1,009511477	0,853195164
CENPU	0,869831868	-0,013675076	0,017	0,016	1	0,990565942	1,009523907	1,0625
SLC45A4	0,85620802	-0,013716897	0,01	0,009	1	0,990537228	1,009553171	1,111111111
EIF2B1	0,465792398	-0,013746302	0,087	0,075	1	0,990517039	1,009573749	1,16
EBF1	0,044934789	-0,013781526	0,003	0,012	1	0,990492855	1,009598398	0,25
PRIMPOL	0,830965787	-0,013783978	0,041	0,038	1	0,990491172	1,009600114	1,078947368
NDUFAF4	0,417870565	-0,013802245	0,073	0,083	1	0,990478631	1,009612897	0,879518072
IL1RAPL1	0,180830264	-0,013827681	0,058	0,075	1	0,990461168	1,009630698	0,773333333
ULK3	0,572027847	-0,01383625	0,05	0,056	1	0,990455285	1,009636694	0,892857143

Supplementary Table 5

Differentially expressed genes_total calculation_ comparing SC-Keloid vs. (SC-Myel, SC-Nonmyel)								
gene	p_val	avg_log2FC	pct.1	pct.2	p_val_adj	Foldchange_UP	Foldchange_DOWN	Ratio_pct1_pct2
GM2A	0,616481289	-0,013856985	0,034	0,038	1	0,99044105	1,009651206	0,894736842
FBXL7	0,141653415	-0,01386315	0,019	0,03	1	0,990436817	1,00965552	0,633333333
POLR3C	0,989662729	-0,013865733	0,023	0,023	1	0,990435045	1,009657327	1
LIN9	0,560787827	-0,013922506	0,01	0,014	1	0,990396069	1,009697061	0,714285714
SSC5D	0,720578464	-0,013994034	0,146	0,133	1	0,990346967	1,009747122	1,097744361
FLII	0,031517223	-0,013996818	0,073	0,102	1	0,990345056	1,009749071	0,715686275
APOBEC3C	0,992318961	-0,014045455	0,085	0,083	1	0,99031167	1,009783112	1,024096386
ETV6	0,055576602	-0,014106856	0,066	0,091	1	0,990269523	1,00982609	0,725274725
CEP128	0,200746996	-0,014116617	0,008	0,015	1	0,990262823	1,009832922	0,533333333
NBPF1	0,771504212	-0,014123969	0,037	0,034	1	0,990257776	1,009838068	1,088235294
MANBA	0,826292062	-0,014132147	0,028	0,026	1	0,990252163	1,009843792	1,076923077
TMCO6	0,9099618	-0,01423555	0,012	0,012	1	0,990181191	1,009916174	1
ROR1	0,094016768	-0,014254236	0,005	0,012	1	0,990168366	1,009929255	0,416666667
NAIF1	0,186664461	-0,014305033	0,007	0,014	1	0,990133503	1,009964814	0,5
TRIM36	0,304316522	-0,014323371	0,01	0,016	1	0,990120918	1,009977652	0,625
TTI1	0,241705871	-0,014362015	0,016	0,009	1	0,990094397	1,010004706	1,777777778
AC144652.1	0,852740515	-0,014397001	0,01	0,009	1	0,990070387	1,010029199	1,111111111
AGAP9	0,418416459	-0,014416866	0,009	0,014	1	0,990056755	1,010043107	0,642857143
AGGF1	0,920209004	-0,014426468	0,043	0,043	1	0,990050165	1,010049829	1
BTBD7	0,071571109	-0,014435825	0,111	0,138	1	0,990043744	1,01005638	0,804347826
ARL17A	0,064571146	-0,014487916	0,009	0,02	1	0,990007997	1,010092851	0,45
DENND6B	0,880310305	-0,01451739	0,024	0,023	1	0,989987771	1,010113487	1,043478261
ZNF766	0,327511884	-0,014532158	0,019	0,026	1	0,989977638	1,010123827	0,730769231
MTG2	0,763218742	-0,014533508	0,055	0,05	1	0,989976711	1,010124772	1,1
RAP2C-AS1	0,833899634	-0,014570144	0,015	0,016	1	0,989951572	1,010150424	0,9375
AGFG1	0,042685461	-0,014580522	0,105	0,136	1	0,989944451	1,01015769	0,772058824
TFCP2	0,470372553	-0,014612159	0,041	0,047	1	0,989922743	1,010179842	0,872340426
GTF2I	1,88918E-07	-0,014640991	0,295	0,436	0,003986357	0,989902959	1,010200031	0,676605505
CTDP1	0,978758293	-0,014650338	0,022	0,022	1	0,989896546	1,010206576	1
ZNF283	0,419788037	-0,014676609	0,009	0,014	1	0,989878521	1,010224971	0,642857143

Supplementary Table 5

Differentially expressed genes_total calculation_ comparing SC-Keloid vs. (SC-Myel, SC-Nonmyel)								
gene	p_val	avg_log2FC	pct.1	pct.2	p_val_adj	Foldchange_UP	Foldchange_DOWN	Ratio_pct1_pct2
PAIP2	6,14193E-06	-0,014728247	0,243	0,349	0,129600922	0,98984309	1,010261131	0,696275072
TTC33	0,652504983	-0,014733596	0,049	0,053	1	0,98983942	1,010264877	0,924528302
ZNF213	0,935957263	-0,014738412	0,019	0,019	1	0,989836116	1,010268249	1
ZNF764	0,210314796	-0,014798355	0,009	0,016	1	0,98979499	1,010310226	0,5625
DHDDS	0,897671548	-0,014801499	0,038	0,037	1	0,989792833	1,010312428	1,027027027
PCDHB6	0,031852646	-0,014843546	0,002	0,011	1	0,989763986	1,010341873	0,181818182
CCDC102A	0,761764821	-0,014907971	0,03	0,027	1	0,989719788	1,010386992	1,111111111
ARIH2	0,086057729	-0,014946377	0,108	0,133	1	0,989693441	1,01041389	0,812030075
NUDT4	0,352569933	-0,014947217	0,268	0,288	1	0,989692865	1,010414478	0,930555556
TUFT1	0,144191866	-0,01496893	0,036	0,023	1	0,98967797	1,010429685	1,565217391
BRMS1L	0,152921012	-0,014975005	0,033	0,046	1	0,989673803	1,01043394	0,717391304
EME2	0,574213668	-0,014993363	0,009	0,012	1	0,989661209	1,010446798	0,75
ZNF234	0,05943173	-0,015028954	0,008	0,019	1	0,989636795	1,010471726	0,421052632
RAVER2	0,076997588	-0,015042696	0,003	0,011	1	0,989627369	1,010481351	0,272727273
PXMP2	0,884196439	-0,015113784	0,051	0,049	1	0,989578606	1,010531143	1,040816327
BGLAP	0,424878428	-0,015191872	0,014	0,009	1	0,989525046	1,010585841	1,555555556
TXN	0,053870484	-0,01521891	0,449	0,558	1	0,9895065	1,010604781	0,804659498
PDGFRL	0,026343539	-0,015241446	0,003	0,014	1	0,989491044	1,010620567	0,214285714
MASTL	0,617651588	-0,015241691	0,021	0,024	1	0,989490876	1,010620739	0,875
SKIV2L	0,844340379	-0,015249835	0,035	0,033	1	0,98948529	1,010626444	1,060606061
LANCL2	0,819451613	-0,015276043	0,016	0,018	1	0,989467315	1,010644803	0,888888889
FMC1	0,297717767	-0,01527644	0,135	0,148	1	0,989467043	1,010645081	0,912162162
GCC1	0,534838533	-0,015293344	0,016	0,02	1	0,98945545	1,010656923	0,8
MFGE8	0,08867493	-0,015318642	0,295	0,341	1	0,989438099	1,010674645	0,865102639
SAP130	0,250230225	-0,015323743	0,019	0,027	1	0,989434601	1,010678219	0,703703704
LRFN5	0,009588809	-0,015326928	0,002	0,014	1	0,989432417	1,01068045	0,142857143
LURAP1	0,145643505	-0,015427176	0,021	0,033	1	0,989363667	1,010750681	0,636363636
ZCCHC24	0,193668335	-0,015429218	0,224	0,244	1	0,989362266	1,010752112	0,918032787
EFR3B	0,612149567	-0,015440601	0,022	0,026	1	0,98935446	1,010760086	0,846153846
MDFI	0,521600026	-0,015460565	0,036	0,03	1	0,989340769	1,010774074	1,2

Supplementary Table 5

Differentially expressed genes_total calculation_ comparing SC-Keloid vs. (SC-Myel, SC-Nonmyel)								
gene	p_val	avg_log2FC	pct.1	pct.2	p_val_adj	Foldchange_UP	Foldchange_DOWN	Ratio_pct1_pct2
TLL9	0,044547205	-0,015511106	0,003	0,012	1	0,989306111	1,010809484	0,25
CAP2	0,076238574	-0,015587557	0,003	0,011	1	0,989253688	1,01086305	0,272727273
SHC2	0,044316012	-0,015630594	0,003	0,012	1	0,989224177	1,010893206	0,25
KBTBD8	0,031536193	-0,01563221	0,002	0,011	1	0,98922307	1,010894338	0,181818182
NAP1L5	0,937992275	-0,015646275	0,027	0,026	1	0,989213425	1,010904193	1,038461538
TLCD2	0,180928279	-0,015764707	0,016	0,026	1	0,989132224	1,010987183	0,615384615
SETDB1	0,705176329	-0,015786691	0,023	0,02	1	0,989117151	1,011002588	1,15
PLBD1	0,11354004	-0,015867504	0,023	0,037	1	0,989061747	1,011059222	0,621621622
TIMM21	0,423166485	-0,015879325	0,027	0,02	1	0,989053643	1,011067506	1,35
KPNB1	0,003807001	-0,015882041	0,199	0,258	1	0,989051781	1,011069409	0,771317829
MAGEE1	0,076997588	-0,015886497	0,003	0,011	1	0,989048726	1,011072532	0,272727273
TKT	0,249395358	-0,01589245	0,18	0,197	1	0,989044645	1,011076704	0,913705584
RFK	0,234757621	-0,015928569	0,07	0,084	1	0,989019884	1,011102018	0,833333333
NOB1	0,345986568	-0,015929964	0,058	0,068	1	0,989018927	1,011102996	0,852941176
LACTB2	0,768913378	-0,015933177	0,037	0,034	1	0,989016725	1,011105247	1,088235294
TEX10	0,246085745	-0,015979398	0,033	0,043	1	0,988985039	1,011137641	0,76744186
CRACD	0,07598693	-0,016085376	0,003	0,011	1	0,988912393	1,011211921	0,272727273
ZNF300	0,839042853	-0,016096042	0,015	0,016	1	0,988905081	1,011219397	0,9375
ZNF337	0,601012146	-0,016133006	0,024	0,028	1	0,988879745	1,011245306	0,857142857
CNPPD1	0,936985827	-0,016171658	0,083	0,079	1	0,988853252	1,011272399	1,050632911
CDK5RAP3	0,761616614	-0,01617764	0,111	0,102	1	0,988849151	1,011276592	1,088235294
UTP4	0,801193212	-0,016238358	0,033	0,03	1	0,988807535	1,011319155	1,1
RAB20	0,85469387	-0,01624654	0,014	0,015	1	0,988801927	1,01132489	0,933333333
SARS2	0,728243751	-0,016330264	0,023	0,026	1	0,988744546	1,011383582	0,884615385
FRS3	0,419745846	-0,016359674	0,01	0,015	1	0,988724389	1,0114042	0,666666667
ADGRB2	0,752001868	-0,01636968	0,009	0,011	1	0,988717532	1,011411214	0,818181818
C17orf80	0,328634977	-0,016457268	0,026	0,034	1	0,988657508	1,01147262	0,764705882
CHP1	0,132968289	-0,016477894	0,112	0,133	1	0,988643373	1,011487082	0,842105263
POFUT1	0,886911753	-0,016495372	0,038	0,039	1	0,988631396	1,011499336	0,974358974
GEMIN5	0,162688029	-0,016497058	0,023	0,014	1	0,988630241	1,011500517	1,642857143

Supplementary Table 5

Differentially expressed genes_total calculation_ comparing SC-Keloid vs. (SC-Myel, SC-Nonmyel)								
gene	p_val	avg_log2FC	pct.1	pct.2	p_val_adj	Foldchange_UP	Foldchange_DOWN	Ratio_pct1_pct2
USP21	0,109233385	-0,016497225	0,006	0,014	1	0,988630126	1,011500635	0,428571429
ZBTB45	0,233994104	-0,016507784	0,013	0,007	1	0,98862289	1,011508038	1,857142857
LTB4R	0,122431829	-0,016536157	0,007	0,015	1	0,988603448	1,011527931	0,466666667
EOLA1	0,85469387	-0,01654262	0,014	0,015	1	0,988599019	1,011532462	0,933333333
KDM4B	0,787591489	-0,016546535	0,054	0,056	1	0,988596337	1,011535207	0,964285714
BRF1	0,873564535	-0,016597117	0,04	0,041	1	0,988561676	1,011570673	0,975609756
WWOX	0,366471351	-0,016606621	0,033	0,041	1	0,988555164	1,011577337	0,804878049
RAP2B	0,083486772	-0,016662363	0,08	0,104	1	0,988516969	1,011616422	0,769230769
KRT19	0,407290399	-0,016684111	0,007	0,011	1	0,988502068	1,011631673	0,636363636
SHPRH	0,002015564	-0,016708207	0,073	0,118	1	0,988485558	1,011648569	0,618644068
INKA1	0,772825043	-0,016739465	0,014	0,012	1	0,988464141	1,011670488	1,166666667
LSG1	0,350128638	-0,016817442	0,037	0,046	1	0,988410717	1,011725169	0,804347826
METTL4	0,496835126	-0,016877645	0,037	0,043	1	0,988369472	1,011767389	0,860465116
PDP2	0,032150893	-0,016904788	0,01	0,024	1	0,988350876	1,011786425	0,416666667
CRYBB2	0,294667643	-0,016926943	0,009	0,015	1	0,988335699	1,011801963	0,6
ZNF253	0,15803979	-0,016951416	0,012	0,02	1	0,988318934	1,011819126	0,6
VPS13C	0,001829422	-0,017054965	0,191	0,254	1	0,988248	1,011891752	0,751968504
TST	0,054287345	-0,017145016	0,04	0,06	1	0,988186317	1,011954915	0,666666667
PTPN3	0,314204723	-0,017225508	0,012	0,018	1	0,988131184	1,012011376	0,666666667
MPND	0,113809132	-0,017238267	0,03	0,018	1	0,988122445	1,012020327	1,666666667
TBC1D32	0,851589731	-0,017293303	0,024	0,026	1	0,988084751	1,012058934	0,923076923
TTC38	0,858967147	-0,01736963	0,023	0,022	1	0,988032477	1,012112479	1,045454545
PLXNB3	0,057100896	-0,017370568	0,005	0,014	1	0,988031835	1,012113137	0,357142857
CTDSP2	0,001035251	-0,017371553	0,144	0,205	1	0,98803116	1,012113828	0,702439024
EDN1	0,571956352	-0,017402855	0,008	0,011	1	0,988009723	1,012135788	0,727272727
VPS26A	0,014025533	-0,017414975	0,151	0,191	1	0,988001423	1,012144291	0,790575916
ROBO1	0,892072105	-0,017424346	0,021	0,022	1	0,987995005	1,012150866	0,954545455
SMCR8	0,556632523	-0,017439452	0,012	0,015	1	0,987984661	1,012161463	0,8
PCNA	0,843844237	-0,017469833	0,094	0,09	1	0,987963855	1,012182778	1,044444444
ZFP30	0,280074878	-0,017507031	0,007	0,012	1	0,987938383	1,012208876	0,583333333

Supplementary Table 5

Differentially expressed genes_total calculation_ comparing SC-Keloid vs. (SC-Myel, SC-Nonmyel)								
gene	p_val	avg_log2FC	pct.1	pct.2	p_val_adj	Foldchange_UP	Foldchange_DOWN	Ratio_pct1_pct2
AHCYL1	0,000327451	-0,017513828	0,147	0,21	1	0,987933728	1,012213645	0,7
NFYC	0,132509267	-0,017524467	0,061	0,079	1	0,987926442	1,01222111	0,772151899
CACNA1A	0,323286488	-0,017531022	0,019	0,026	1	0,987921954	1,012225709	0,730769231
ASMTL	0,737255745	-0,017561638	0,069	0,071	1	0,987900989	1,01224719	0,971830986
KIAA0895	0,057956681	-0,01757682	0,008	0,019	1	0,987890593	1,012257842	0,421052632
GDF10	0,570462087	-0,017593847	0,009	0,012	1	0,987878934	1,012269789	0,75
PDSS1	0,130944865	-0,017601666	0,013	0,005	1	0,98787358	1,012275275	2,6
NDUFS1	0,404062137	-0,017622874	0,107	0,117	1	0,987859058	1,012290156	0,914529915
ANAPC13	0,282855289	-0,017628962	0,107	0,121	1	0,987854889	1,012294428	0,884297521
RCC1	0,568258901	-0,017634232	0,027	0,031	1	0,987851281	1,012298126	0,870967742
EHD4	0,408612759	-0,01770606	0,165	0,175	1	0,9878021	1,012348526	0,942857143
MAP1LC3B2	0,026343539	-0,017727628	0,003	0,014	1	0,987787332	1,012363661	0,214285714
MTMR9	0,1778499	-0,01773755	0,05	0,065	1	0,987780539	1,012370624	0,769230769
KRT18	0,443444954	-0,017744906	0,019	0,014	1	0,987775502	1,012375785	1,357142857
HOXB-AS1	0,551530168	-0,017793894	0,031	0,037	1	0,987741962	1,012410162	0,837837838
SMPD1	0,822269406	-0,01780753	0,064	0,06	1	0,987732626	1,012419731	1,066666667
PEX11A	0,571956352	-0,017818008	0,008	0,011	1	0,987725452	1,012427085	0,727272727
PTPN18	0,736137725	-0,017910079	0,049	0,052	1	0,987662419	1,012491699	0,942307692
BDH1	0,121397267	-0,017930163	0,007	0,015	1	0,987648669	1,012505794	0,466666667
DSC3	0,020961785	-0,017972043	0,01	0,026	1	0,987619999	1,012535186	0,384615385
WFS1	0,694675691	-0,018009274	0,014	0,016	1	0,987594513	1,012561316	0,875
DGKQ	0,633451055	-0,018074203	0,015	0,012	1	0,987550067	1,012606888	1,25
RFC3	0,33933086	-0,018085211	0,044	0,054	1	0,987542532	1,012614615	0,814814815
ZNF211	0,670006569	-0,018209709	0,016	0,019	1	0,987457315	1,012702003	0,842105263
DCAF15	0,479218128	-0,018322444	0,043	0,035	1	0,987380156	1,01278114	1,228571429
SGTB	0,004639246	-0,018342579	0,043	0,076	1	0,987366376	1,012795275	0,565789474
RNF208	0,861760229	-0,018356368	0,031	0,033	1	0,987356939	1,012804955	0,939393939
AL137026.1	0,687278102	-0,018372645	0,012	0,009	1	0,987345799	1,012816382	1,333333333
INSIG2	0,654370838	-0,018380515	0,041	0,045	1	0,987340413	1,012821907	0,911111111
BRWD3	0,016403306	-0,018385108	0,052	0,081	1	0,98733727	1,012825131	0,641975309

Supplementary Table 5

Differentially expressed genes_total calculation_ comparing SC-Keloid vs. (SC-Myel, SC-Nonmyel)								
gene	p_val	avg_log2FC	pct.1	pct.2	p_val_adj	Foldchange_UP	Foldchange_DOWN	Ratio_pct1_pct2
C18orf25	0,597611113	-0,018400405	0,049	0,054	1	0,987326801	1,012835871	0,907407407
KIAA1191	0,065025906	-0,018439535	0,098	0,123	1	0,987300022	1,012863342	0,796747967
KIF22	0,224972211	-0,018462923	0,058	0,072	1	0,987284017	1,012879762	0,805555556
B3GNT2	0,026292044	-0,018501597	0,041	0,065	1	0,987257552	1,012906914	0,630769231
LINC00052	0,010086398	-0,018528334	0,001	0,011	1	0,987239255	1,012925686	0,090909091
C1QTNF4	0,032561837	-0,018643209	0,035	0,057	1	0,987160649	1,013006344	0,614035088
TRIM25	0,496390447	-0,018644894	0,023	0,028	1	0,987159496	1,013007527	0,821428571
MRPS22	0,802775261	-0,018647364	0,086	0,087	1	0,987157806	1,013009261	0,988505747
SYN3	0,573731033	-0,018723568	0,008	0,011	1	0,987105665	1,013062771	0,727272727
CYHR1	0,10140574	-0,018780982	0,121	0,144	1	0,987066383	1,013103088	0,840277778
ETFBKMT	0,14384452	-0,018783335	0,009	0,018	1	0,987064773	1,01310474	0,5
LTV1	0,401747263	-0,018790212	0,069	0,057	1	0,987060068	1,013109569	1,210526316
TMEM128	0,070884903	-0,018823506	0,065	0,088	1	0,987037289	1,01313295	0,738636364
WBP4	0,050692601	-0,01887111	0,137	0,17	1	0,98700472	1,01316638	0,805882353
HECTD4	0,01414282	-0,018916034	0,048	0,077	1	0,986973987	1,013197929	0,623376623
XPA	0,196214716	-0,018970721	0,097	0,114	1	0,986936575	1,013236337	0,850877193
ATG4B	0,617814955	-0,018975356	0,078	0,083	1	0,986933404	1,013239592	0,939759036
TLR1	0,042866094	-0,018998717	0,006	0,016	1	0,986917424	1,013255999	0,375
ANKAR	0,065211695	-0,019031552	0,015	0,028	1	0,986894962	1,013279061	0,535714286
ITGA10	0,07776275	-0,019047185	0,003	0,011	1	0,986884268	1,01329004	0,272727273
C6orf120	0,246027258	-0,019088107	0,02	0,028	1	0,986856275	1,013318783	0,714285714
RPS6KA4	0,150714259	-0,019148447	0,048	0,033	1	0,986815002	1,013361165	1,454545455
ITGB3BP	0,70743864	-0,019185091	0,08	0,073	1	0,986789937	1,013386905	1,095890411
ZFYVE19	0,905786604	-0,019230066	0,038	0,037	1	0,986759175	1,013418497	1,027027027
MED14OS	0,706918617	-0,01924836	0,013	0,015	1	0,986746663	1,013431347	0,866666667
ODR4	0,033368117	-0,019264448	0,07	0,098	1	0,986735659	1,013442649	0,714285714
CCDC24	0,107254793	-0,019270583	0,017	0,008	1	0,986731463	1,013446958	2,125
FN3KRP	0,504623418	-0,019289232	0,045	0,038	1	0,986718708	1,013460059	1,184210526
EIF3G	9,40956E-05	-0,019295102	0,257	0,349	1	0,986714694	1,013464182	0,736389685
TRMO	0,40932387	-0,019307217	0,035	0,027	1	0,986706408	1,013472693	1,296296296

Supplementary Table 5

Differentially expressed genes_total calculation_ comparing SC-Keloid vs. (SC-Myel, SC-Nonmyel)								
gene	p_val	avg_log2FC	pct.1	pct.2	p_val_adj	Foldchange_UP	Foldchange_DOWN	Ratio_pct1_pct2
MIS12	0,152758887	-0,019324716	0,035	0,049	1	0,98669444	1,013484986	0,714285714
NSUN4	0,552067768	-0,019325746	0,014	0,018	1	0,986693735	1,013485709	0,777777778
CD81	0,327136704	-0,019351333	0,644	0,794	1	0,986676236	1,013503684	0,811083123
BRME1	0,172381095	-0,01938685	0,006	0,012	1	0,986651946	1,013528635	0,5
ZNF513	0,352414112	-0,019392466	0,035	0,043	1	0,986648105	1,013532581	0,813953488
ORC2	0,72969672	-0,01940381	0,034	0,037	1	0,986640347	1,01354055	0,918918919
USF3	0,05970101	-0,019422502	0,043	0,064	1	0,986627564	1,013553682	0,671875
GRPEL1	0,016938728	-0,019429805	0,087	0,122	1	0,98662257	1,013558813	0,713114754
TBC1D5	0,242553266	-0,019447985	0,108	0,123	1	0,986610137	1,013571585	0,87804878
HDHD3	0,322860268	-0,019494126	0,014	0,02	1	0,986578583	1,013604002	0,7
PTP4A3	0,188143359	-0,019497037	0,007	0,014	1	0,986576592	1,013606047	0,5
NT5DC1	0,800042821	-0,019514298	0,021	0,019	1	0,986564788	1,013618175	1,105263158
FCSK	0,567972886	-0,019557258	0,008	0,011	1	0,986535411	1,013648358	0,727272727
RAB27A	0,678965777	-0,019570112	0,015	0,018	1	0,986526621	1,01365739	0,833333333
ZHX3	0,581106966	-0,01960563	0,026	0,03	1	0,986502334	1,013682345	0,866666667
LPXN	0,265556453	-0,019609873	0,006	0,011	1	0,986499433	1,013685327	0,545454545
PAPOLA	1,05426E-05	-0,0196206	0,237	0,338	0,222460396	0,986492098	1,013692864	0,701183432
TPD52L1	0,031473227	-0,019705903	0,002	0,011	1	0,986433771	1,013752803	0,181818182
ZNF799	0,152391384	-0,019706877	0,005	0,011	1	0,986433105	1,013753487	0,454545455
BEX5	0,930180469	-0,019752709	0,01	0,011	1	0,986401768	1,013785693	0,909090909
MTMR1	0,27891557	-0,019756755	0,007	0,012	1	0,986399002	1,013788536	0,583333333
SEC23B	0,641904138	-0,01982465	0,04	0,043	1	0,986352581	1,013836248	0,930232558
GPD1L	0,06556958	-0,019916321	0,009	0,02	1	0,986289909	1,01390067	0,45
JAKMIP2	0,461102374	-0,019933945	0,033	0,039	1	0,986277861	1,013913056	0,846153846
PIGQ	0,369342571	-0,019965241	0,056	0,045	1	0,986256466	1,013935051	1,244444444
BAZ1B	0,08378235	-0,019984893	0,136	0,164	1	0,986243032	1,013948862	0,829268293
KIF27	0,800732958	-0,020045579	0,017	0,019	1	0,986201547	1,013991514	0,894736842
PLCD1	0,216702542	-0,020067358	0,01	0,018	1	0,986186659	1,014006822	0,555555556
PEX1	0,499505676	-0,020077279	0,036	0,042	1	0,986179878	1,014013795	0,857142857
TSPAN31	0,863585407	-0,020087434	0,086	0,081	1	0,986172936	1,014020932	1,061728395

Supplementary Table 5

Differentially expressed genes_total calculation_ comparing SC-Keloid vs. (SC-Myel, SC-Nonmyel)								
gene	p_val	avg_log2FC	pct.1	pct.2	p_val_adj	Foldchange_UP	Foldchange_DOWN	Ratio_pct1_pct2
DTNBP1	0,717802759	-0,020108227	0,043	0,046	1	0,986158723	1,014035547	0,934782609
ZNF398	0,226831192	-0,020116327	0,012	0,019	1	0,986153186	1,01404124	0,631578947
MIR155HG	0,034680977	-0,020116329	0,005	0,015	1	0,986153185	1,014041242	0,333333333
MAP2K6	0,532690769	-0,02011768	0,017	0,022	1	0,986152261	1,014042191	0,772727273
TCF19	0,41918926	-0,020261103	0,012	0,016	1	0,986054229	1,014143006	0,75
MBNL3	0,554041793	-0,020265603	0,012	0,015	1	0,986051153	1,014146169	0,8
MOXD1	0,177941703	-0,020284127	0,052	0,068	1	0,986038493	1,014159191	0,764705882
ALPK1	0,247204885	-0,020294365	0,02	0,028	1	0,986031496	1,014166388	0,714285714
MFAP1	0,22652494	-0,020300302	0,064	0,079	1	0,986027438	1,014170561	0,810126582
UNC119B	0,134501776	-0,020414333	0,05	0,034	1	0,985949505	1,014250725	1,470588235
TMEM184C	0,93330529	-0,020474339	0,027	0,026	1	0,985908497	1,014292911	1,038461538
CEP41	0,604437035	-0,020541058	0,024	0,02	1	0,985862904	1,014339819	1,2
IL1RAPL2	0,253728742	-0,020544374	0,03	0,041	1	0,985860638	1,014342151	0,731707317
HINT3	0,218539685	-0,020582778	0,04	0,052	1	0,985834395	1,014369153	0,769230769
ZFAT	0,922974354	-0,020733955	0,013	0,012	1	0,985731097	1,014475452	1,083333333
BMT2	0,152008486	-0,020763038	0,027	0,039	1	0,985711226	1,014495902	0,692307692
BCDIN3D	0,168206762	-0,02082323	0,014	0,007	1	0,985670101	1,01453823	2
CDCA2	0,094429682	-0,020843173	0,005	0,012	1	0,985656476	1,014552254	0,416666667
CACNA2D1	0,450490842	-0,02089213	0,03	0,037	1	0,985623029	1,014586683	0,810810811
ECH1	0,662913126	-0,020916209	0,173	0,174	1	0,985606579	1,014603617	0,994252874
LINC00663	0,922525325	-0,020931565	0,013	0,012	1	0,985596088	1,014614416	1,083333333
KRT16	0,066556535	-0,021029776	0,015	0,028	1	0,985528996	1,014683489	0,535714286
SLC1A5	0,518831448	-0,021047388	0,086	0,075	1	0,985516965	1,014695875	1,146666667
PARL	0,288762875	-0,02109117	0,1	0,114	1	0,985487058	1,014726669	0,877192982
IRF3	0,486494253	-0,021109844	0,115	0,1	1	0,985474302	1,014739804	1,15
ATG4D	0,351758554	-0,021134594	0,028	0,02	1	0,985457396	1,014757212	1,4
NAA60	0,900307414	-0,021148643	0,069	0,065	1	0,9854478	1,014767094	1,061538462
VASP	0,949391509	-0,021175367	0,105	0,1	1	0,985429545	1,014785892	1,05
ELP3	0,604164184	-0,021260902	0,023	0,027	1	0,985371123	1,014846058	0,851851852
RNGTT	0,788473341	-0,021266356	0,038	0,035	1	0,985367398	1,014849895	1,085714286

Supplementary Table 5

Differentially expressed genes_total calculation_ comparing SC-Keloid vs. (SC-Myel, SC-Nonmyel)								
gene	p_val	avg_log2FC	pct.1	pct.2	p_val_adj	Foldchange_UP	Foldchange_DOWN	Ratio_pct1_pct2
SLC66A1	0,850143653	-0,021269056	0,016	0,015	1	0,985365554	1,014851794	1,066666667
STAT6	0,036872764	-0,021273064	0,064	0,091	1	0,985362816	1,014854614	0,703296703
FAM72A	0,781712517	-0,021307316	0,019	0,02	1	0,985339422	1,014878708	0,95
SIRT5	0,351577102	-0,021315304	0,02	0,014	1	0,985333967	1,014884328	1,428571429
C9orf50	0,773977507	-0,02132787	0,026	0,023	1	0,985325384	1,014893167	1,130434783
KHK	0,313846588	-0,021351043	0,023	0,031	1	0,985309558	1,014909469	0,741935484
ZNF862	0,67210227	-0,02135896	0,016	0,019	1	0,985304151	1,014915038	0,842105263
TRIM65	0,848683716	-0,021426544	0,023	0,024	1	0,985257995	1,014962584	0,958333333
INTS5	0,716813693	-0,021443012	0,012	0,014	1	0,985246748	1,014974169	0,857142857
EGFL7	0,588235379	-0,021602152	0,014	0,011	1	0,985138074	1,015086135	1,272727273
ACADSB	0,15539891	-0,021604941	0,023	0,035	1	0,98513617	1,015088097	0,657142857
FKBP1A	0,001770636	-0,021615575	0,261	0,341	1	0,985128909	1,015095579	0,765395894
MEST	0,01743744	-0,021685572	0,002	0,012	1	0,985081113	1,015144831	0,166666667
TEX2	0,034741309	-0,021695938	0,063	0,09	1	0,985074035	1,015152125	0,7
TRIM45	0,40538408	-0,021749116	0,007	0,011	1	0,985037725	1,015189545	0,636363636
UHRF1BP1	0,416164951	-0,021839839	0,014	0,019	1	0,984975784	1,015253386	0,736842105
LYSMD2	0,244721622	-0,021851705	0,056	0,069	1	0,984967683	1,015261736	0,811594203
COMMD4	0,764010663	-0,021867808	0,154	0,141	1	0,984956689	1,015273068	1,092198582
BMP8B	0,350735514	-0,021903664	0,136	0,148	1	0,984932209	1,015298302	0,918918919
FOXD1	0,159837991	-0,02190773	0,02	0,011	1	0,984929433	1,015301164	1,818181818
CLDN5	0,291384325	-0,021963972	0,008	0,014	1	0,984891038	1,015340745	0,571428571
OASL	0,407290399	-0,022039775	0,007	0,011	1	0,98483929	1,015394095	0,636363636
HPS6	0,989279084	-0,022151461	0,015	0,015	1	0,984763053	1,015472704	1
RAB11A	0,001031685	-0,022239268	0,159	0,216	1	0,984703118	1,015534511	0,736111111
PARP16	0,079762897	-0,02225022	0,007	0,016	1	0,984695643	1,01554222	0,4375
COQ8B	0,669195371	-0,022263231	0,048	0,052	1	0,984686763	1,015551379	0,923076923
CDS2	0,144266003	-0,022295381	0,064	0,081	1	0,98466482	1,015574011	0,790123457
ARHGAP20	0,210314796	-0,022322041	0,009	0,016	1	0,984646624	1,015592778	0,5625
RACGAP1	0,262265926	-0,022340386	0,006	0,011	1	0,984634103	1,015605692	0,545454545
B4GALT4	0,044149975	-0,022342922	0,038	0,06	1	0,984632373	1,015607477	0,633333333

Supplementary Table 5

Differentially expressed genes_total calculation_ comparing SC-Keloid vs. (SC-Myel, SC-Nonmyel)								
gene	p_val	avg_log2FC	pct.1	pct.2	p_val_adj	Foldchange_UP	Foldchange_DOWN	Ratio_pct1_pct2
MDN1	0,162005834	-0,02235856	0,036	0,05	1	0,9846217	1,015618486	0,72
GCNA	0,227683241	-0,02236172	0,013	0,02	1	0,984619543	1,015620711	0,65
KLHL2	0,505148159	-0,022404321	0,022	0,027	1	0,984590469	1,015650701	0,814814815
TAF1B	0,410768703	-0,022537428	0,04	0,047	1	0,984499632	1,015744412	0,85106383
HNRNPUL2	0,033018507	-0,022543742	0,088	0,119	1	0,984495323	1,015748858	0,739495798
MTMR4	0,899941409	-0,022571179	0,029	0,03	1	0,9844766	1,015768175	0,966666667
ZWILCH	0,128299797	-0,022595321	0,028	0,016	1	0,984460127	1,015785173	1,75
TUBE1	0,096835236	-0,022610452	0,033	0,049	1	0,984449802	1,015795827	0,673469388
CNOT2	0,005470873	-0,022613286	0,142	0,191	1	0,984447868	1,015797822	0,743455497
PTPRM	0,44649566	-0,022627039	0,045	0,053	1	0,984438483	1,015807506	0,849056604
MTRF1L	0,694600121	-0,022694408	0,054	0,057	1	0,984392514	1,015854941	0,947368421
RAD51D	0,552610514	-0,022707384	0,03	0,035	1	0,98438366	1,015864079	0,857142857
SERPINA5	0,566722226	-0,022712941	0,009	0,012	1	0,984379869	1,015867991	0,75
CSNK1D	0,008447565	-0,022721511	0,105	0,147	1	0,984374021	1,015874026	0,714285714
ZNF575	0,152391384	-0,022728742	0,005	0,011	1	0,984369088	1,015879118	0,454545455
RALY	0,549096449	-0,022748787	0,171	0,174	1	0,984355411	1,015893233	0,982758621
SLC9B2	0,981567748	-0,022761794	0,016	0,016	1	0,984346536	1,015902391	1
ZNHIT2	0,843400192	-0,022783423	0,016	0,015	1	0,984331779	1,015917622	1,066666667
TBCEL	0,192514959	-0,022832003	0,023	0,034	1	0,984298634	1,015951832	0,676470588
SIAE	0,572843367	-0,022882868	0,008	0,011	1	0,984263931	1,015987652	0,727272727
FUBP3	0,003095979	-0,022912963	0,078	0,121	1	0,984243399	1,016008846	0,644628099
SOGA1	0,42275197	-0,022956732	0,1	0,11	1	0,984213539	1,016039671	0,909090909
RBM48	0,148347948	-0,02298151	0,022	0,034	1	0,984196636	1,016057121	0,647058824
MAP3K2	0,002734322	-0,023057908	0,159	0,217	1	0,984144519	1,016110928	0,732718894
PHKB	0,481898019	-0,023178445	0,054	0,061	1	0,984062297	1,016195827	0,885245902
ACTR1B	0,637001131	-0,02319732	0,076	0,08	1	0,984049423	1,016209122	0,95
TMEM25	0,306922418	-0,023228641	0,01	0,016	1	0,984028059	1,016231184	0,625
SMAD9	0,263160536	-0,02325468	0,006	0,011	1	0,984010299	1,016249526	0,545454545
POLN	0,169639922	-0,023393296	0,006	0,012	1	0,983915758	1,016347174	0,5
TRMT10C	0,046893687	-0,023409431	0,059	0,084	1	0,983904754	1,016358541	0,702380952

Supplementary Table 5

Differentially expressed genes_total calculation_ comparing SC-Keloid vs. (SC-Myel, SC-Nonmyel)								
gene	p_val	avg_log2FC	pct.1	pct.2	p_val_adj	Foldchange_UP	Foldchange_DOWN	Ratio_pct1_pct2
ZNF582	0,017581739	-0,023450662	0,002	0,012	1	0,983876635	1,016387588	0,166666667
BRD3OS	0,87803268	-0,023461309	0,024	0,023	1	0,983869375	1,016395088	1,043478261
PEAK1	0,044590083	-0,023481802	0,073	0,1	1	0,983855399	1,016409526	0,73
SOCS6	0,087959644	-0,023525998	0,041	0,058	1	0,98382526	1,016440664	0,706896552
ARID3A	0,672790545	-0,023571885	0,015	0,018	1	0,983793968	1,016472994	0,833333333
ARMH3	0,027178889	-0,023581259	0,02	0,038	1	0,983787576	1,016479598	0,526315789
GOT1	0,55527592	-0,02358442	0,037	0,031	1	0,98378542	1,016481826	1,193548387
RPS6KL1	0,412850717	-0,023622996	0,008	0,012	1	0,983759116	1,016509005	0,666666667
DTNA	0,15051459	-0,023623037	0,028	0,041	1	0,983759088	1,016509034	0,682926829
CHST10	0,23359257	-0,023663574	0,015	0,023	1	0,983731446	1,016537596	0,652173913
ZNF334	0,209492554	-0,023681131	0,009	0,016	1	0,983719475	1,016549967	0,5625
C1orf216	0,569319979	-0,023751002	0,026	0,03	1	0,983671834	1,016599201	0,866666667
ZNF436	0,149496363	-0,02375178	0,01	0,019	1	0,983671303	1,016599749	0,526315789
C2CD2	0,118337227	-0,023783005	0,013	0,023	1	0,983650013	1,016621752	0,565217391
PPP1R11	0,573277968	-0,023791579	0,081	0,087	1	0,983644167	1,016627794	0,931034483
PISD	0,478114981	-0,023850013	0,026	0,031	1	0,983604327	1,016668972	0,838709677
DDX19A	0,75975771	-0,023856104	0,066	0,061	1	0,983600175	1,016673264	1,081967213
CD164	0,003837505	-0,023891138	0,231	0,292	1	0,983576289	1,016697953	0,79109589
GRK5	0,310917224	-0,023947634	0,012	0,018	1	0,983537773	1,016737767	0,666666667
GSTM4	0,357798216	-0,023959246	0,033	0,041	1	0,983529857	1,016745951	0,804878049
MTM1	0,46103965	-0,02397238	0,028	0,034	1	0,983520903	1,016755208	0,823529412
WASHC2C	0,90612835	-0,02400247	0,029	0,03	1	0,98350039	1,016776414	0,966666667
STOML1	0,140422562	-0,024010447	0,047	0,031	1	0,983494952	1,016782036	1,516129032
RPS6KB2	0,387155383	-0,024017636	0,076	0,062	1	0,983490051	1,016787103	1,225806452
ZSCAN9	0,720195829	-0,024035911	0,012	0,014	1	0,983477593	1,016799983	0,857142857
SLC50A1	0,656060093	-0,024078811	0,057	0,061	1	0,983448349	1,016830219	0,93442623
ULK4	0,548011291	-0,024150904	0,017	0,014	1	0,983399206	1,016881032	1,214285714
MMD	0,192537417	-0,024196787	0,024	0,035	1	0,983367931	1,016913374	0,685714286
ZNF555	0,435130869	-0,024205839	0,01	0,007	1	0,983361761	1,016919754	1,428571429
RBSN	0,587225187	-0,024212526	0,037	0,042	1	0,983357203	1,016924467	0,880952381

Supplementary Table 5

Differentially expressed genes_total calculation_ comparing SC-Keloid vs. (SC-Myel, SC-Nonmyel)								
gene	p_val	avg_log2FC	pct.1	pct.2	p_val_adj	Foldchange_UP	Foldchange_DOWN	Ratio_pct1_pct2
ARHGEF9	0,027553097	-0,024232148	0,069	0,098	1	0,983343829	1,016938298	0,704081633
LINC01117	0,691791889	-0,024274804	0,012	0,009	1	0,983314755	1,016968367	1,333333333
CHD3	0,103452229	-0,024316709	0,15	0,176	1	0,983286194	1,016997906	0,852272727
DVL1	0,338017243	-0,024335501	0,091	0,102	1	0,983273385	1,017011154	0,892156863
CLSTN2	0,000893891	-0,024401632	0,002	0,019	1	0,983228315	1,017057773	0,105263158
TEX261	0,369066108	-0,024409363	0,059	0,047	1	0,983223046	1,017063223	1,255319149
CPTP	0,005152363	-0,024441599	0,049	0,022	1	0,983201077	1,017085948	2,227272727
CEP104	0,291455642	-0,024446732	0,036	0,046	1	0,983197579	1,017089567	0,782608696
SDHB	0,199370383	-0,024450121	0,143	0,16	1	0,983195269	1,017091957	0,89375
RBBP8	0,073960746	-0,024470772	0,036	0,054	1	0,983181196	1,017106516	0,666666667
PDCD11	0,88084986	-0,024520964	0,047	0,047	1	0,983146991	1,017141901	1
PSME4	0,000612598	-0,024539401	0,062	0,109	1	0,983134427	1,0171549	0,568807339
ATXN10	0,377666361	-0,024551227	0,129	0,138	1	0,983126368	1,017163238	0,934782609
ZNF841	0,415681232	-0,024585906	0,009	0,014	1	0,983102736	1,017187689	0,642857143
OR7C1	0,268269766	-0,024593218	0,01	0,005	1	0,983097753	1,017192844	2
NUP93	0,954793047	-0,02463462	0,042	0,041	1	0,983069541	1,017222035	1,024390244
ZNF674-AS1	0,279494816	-0,024642549	0,007	0,012	1	0,983064138	1,017227627	0,583333333
XKR6	0,26495607	-0,024675674	0,006	0,011	1	0,983041567	1,017250983	0,545454545
MVB12B	0,049470195	-0,024705854	0,058	0,083	1	0,983021003	1,017272263	0,698795181
CIPC	0,029527729	-0,024707447	0,014	0,03	1	0,983019917	1,017273386	0,466666667
ZNF329	0,403862872	-0,024755302	0,007	0,011	1	0,98298731	1,017307131	0,636363636
LSR	0,503681994	-0,024781292	0,021	0,026	1	0,982969603	1,017325457	0,807692308
AHCYL2	0,024801857	-0,024791476	0,017	0,035	1	0,982962663	1,017332639	0,485714286
WDR27	0,532690769	-0,024799263	0,017	0,022	1	0,982957358	1,01733813	0,772727273
BAG5	0,155857623	-0,024808381	0,104	0,123	1	0,982951146	1,017344559	0,845528455
FECH	0,984738461	-0,024837998	0,016	0,016	1	0,982930967	1,017365444	1
ACAA1	0,1824535	-0,024907199	0,102	0,119	1	0,982883821	1,017414245	0,857142857
NSMF	0,693205361	-0,024975937	0,038	0,034	1	0,982836991	1,017462722	1,117647059
PCAT6	0,732667065	-0,02499167	0,013	0,011	1	0,982826273	1,017473817	1,181818182
DYNC2LI1	0,038395195	-0,024992107	0,044	0,024	1	0,982825976	1,017474126	1,833333333

Supplementary Table 5

Differentially expressed genes_total calculation_ comparing SC-Keloid vs. (SC-Myel, SC-Nonmyel)								
gene	p_val	avg_log2FC	pct.1	pct.2	p_val_adj	Foldchange_UP	Foldchange_DOWN	Ratio_pct1_pct2
KTI12	0,933895978	-0,02501809	0,02	0,019	1	0,982808275	1,017492451	1,052631579
BCLAF3	0,058544588	-0,025072512	0,041	0,061	1	0,982771202	1,017530833	0,672131148
MAP6	0,116272191	-0,025096653	0,027	0,041	1	0,982754757	1,017547861	0,658536585
TRPV3	0,191731739	-0,025154863	0,031	0,043	1	0,982715106	1,017588917	0,720930233
ABHD8	0,474314301	-0,025161186	0,024	0,03	1	0,982710798	1,017593377	0,8
CREB1	0,008800514	-0,025166406	0,104	0,145	1	0,982707243	1,017597059	0,717241379
STX5	0,979444932	-0,025203834	0,094	0,091	1	0,982681749	1,017623459	1,032967033
LPP-AS2	0,423869497	-0,02520981	0,014	0,009	1	0,982677678	1,017627674	1,555555556
RHBDD3	0,72870561	-0,025233411	0,029	0,026	1	0,982661602	1,017644322	1,115384615
TOM1L1	0,376848837	-0,025235316	0,029	0,022	1	0,982660305	1,017645666	1,318181818
WDR17	0,000767842	-0,025258727	0,008	0,031	1	0,982644359	1,017662179	0,258064516
GALK2	0,06063519	-0,025260918	0,048	0,069	1	0,982642867	1,017663725	0,695652174
CALCOCO1	0,044764595	-0,02526954	0,059	0,084	1	0,982636995	1,017669806	0,702380952
CNOT9	0,754762528	-0,025301764	0,066	0,068	1	0,982615046	1,017692538	0,970588235
SDCBP2	0,02541044	-0,025317536	0,003	0,014	1	0,982604305	1,017703663	0,214285714
VPS26B	0,252540678	-0,025329912	0,069	0,053	1	0,982595875	1,017712394	1,301886792
SLX1A	0,267665168	-0,025334426	0,01	0,005	1	0,982592801	1,017715578	2
AHNAK2	0,03514464	-0,025390708	0,047	0,026	1	0,982554469	1,017755282	1,807692308
ADM5	0,740963258	-0,025437268	0,01	0,012	1	0,98252276	1,017788128	0,833333333
NOP14-AS1	0,526126504	-0,02546196	0,017	0,022	1	0,982505944	1,017805548	0,772727273
C14orf93	0,555891712	-0,025534471	0,012	0,015	1	0,982456563	1,017856705	0,8
CREM	0,105124471	-0,025556267	0,09	0,113	1	0,98244172	1,017872083	0,796460177
NIT1	0,247975423	-0,025634124	0,033	0,043	1	0,982388703	1,017927015	0,76744186
TBC1D24	0,420737133	-0,025643918	0,014	0,019	1	0,982382034	1,017933925	0,736842105
PLAAT4	0,004993614	-0,025659198	0,013	0,034	1	0,98237163	1,017944706	0,382352941
RRP9	0,549420367	-0,025722312	0,042	0,035	1	0,982328655	1,017989239	1,2
PRRT3-AS1	0,046823747	-0,025811508	0,01	0,023	1	0,982267923	1,01805218	0,434782609
FAM24B	0,570045967	-0,025858156	0,009	0,012	1	0,982236163	1,018085098	0,75
PPP1R3B	0,010976979	-0,025859464	0,009	0,026	1	0,982235272	1,018086021	0,346153846
C19orf48	0,888314649	-0,025905499	0,066	0,062	1	0,982203931	1,018118508	1,064516129

Supplementary Table 5

Differentially expressed genes_total calculation_ comparing SC-Keloid vs. (SC-Myel, SC-Nonmyel)								
gene	p_val	avg_log2FC	pct.1	pct.2	p_val_adj	Foldchange_UP	Foldchange_DOWN	Ratio_pct1_pct2
POLE	0,822486028	-0,025917245	0,016	0,018	1	0,982195934	1,018126797	0,888888889
GHDC	0,425906859	-0,025976118	0,041	0,033	1	0,982155853	1,018168345	1,242424242
NOP9	0,568234878	-0,025989973	0,01	0,014	1	0,982146421	1,018178123	0,714285714
GBE1	0,620626333	-0,025994855	0,071	0,076	1	0,982143098	1,018181568	0,934210526
PBLD	0,736161795	-0,02602462	0,013	0,011	1	0,982122835	1,018202576	1,181818182
LIPA	0,968033203	-0,026073548	0,08	0,077	1	0,982089528	1,018237107	1,038961039
ADAM15	0,785524994	-0,026115274	0,078	0,072	1	0,982061124	1,018266558	1,083333333
EXD2	0,743690535	-0,026133315	0,019	0,016	1	0,982048843	1,018279292	1,1875
PSEN2	0,31589634	-0,026163102	0,019	0,012	1	0,982028567	1,018300316	1,583333333
TNKS2	0,046161553	-0,02618667	0,101	0,13	1	0,982012525	1,018316951	0,776923077
MZF1	0,690643935	-0,026203205	0,027	0,03	1	0,98200127	1,018328622	0,9
LRP2BP	0,03200274	-0,026257135	0,007	0,019	1	0,981964562	1,01836669	0,368421053
NAV3	0,122386872	-0,026265153	0,038	0,054	1	0,981959105	1,018372349	0,703703704
TLE5	1,88493E-05	-0,026324344	0,319	0,452	0,397738363	0,981918817	1,018414132	0,705752212
LTBR	0,630824343	-0,026398308	0,114	0,118	1	0,981868478	1,018466345	0,966101695
WDR25	0,687098506	-0,02639895	0,026	0,028	1	0,981868041	1,018466798	0,928571429
NEURL4	0,550928842	-0,026429212	0,013	0,016	1	0,981847445	1,018488162	0,8125
STEEP1	0,104349416	-0,026502432	0,017	0,03	1	0,981797615	1,018539854	0,566666667
RNF11	0,000396459	-0,026526537	0,136	0,199	1	0,981781212	1,018556872	0,683417085
PTCH2	0,088345111	-0,026557513	0,008	0,018	1	0,981760132	1,018578742	0,444444444
PPP1R9B	0,678883626	-0,026558589	0,049	0,043	1	0,9817594	1,018579501	1,139534884
EDRF1	0,10844472	-0,02658172	0,022	0,035	1	0,981743659	1,018595832	0,628571429
BAIAP2-DT	0,563815415	-0,02660939	0,028	0,033	1	0,98172483	1,018615369	0,848484848
CIZ1	0,734768189	-0,026611126	0,066	0,069	1	0,981723649	1,018616595	0,956521739
F2RL2	0,010086398	-0,026624409	0,001	0,011	1	0,98171461	1,018625973	0,090909091
RPP40	0,658772142	-0,026672918	0,021	0,018	1	0,981681602	1,018660224	1,166666667
ZNF408	0,844602059	-0,026715791	0,022	0,02	1	0,981652429	1,018690496	1,1
AKNA	0,885449289	-0,026814617	0,013	0,014	1	0,981585187	1,01876028	0,928571429
ZCCHC18	0,568382935	-0,02682334	0,009	0,012	1	0,981579252	1,01876644	0,75
CRADD	0,395319078	-0,026842815	0,054	0,062	1	0,981566002	1,018780192	0,870967742

Supplementary Table 5

Differentially expressed genes_total calculation_ comparing SC-Keloid vs. (SC-Myel, SC-Nonmyel)								
gene	p_val	avg_log2FC	pct.1	pct.2	p_val_adj	Foldchange_UP	Foldchange_DOWN	Ratio_pct1_pct2
CEP70	0,034625284	-0,026853267	0,017	0,034	1	0,98155889	1,018787573	0,5
SPRING1	0,102783245	-0,026912346	0,062	0,081	1	0,981518696	1,018829293	0,765432099
KLHDC2	0,207117058	-0,027064897	0,108	0,126	1	0,981414916	1,01893703	0,857142857
GINM1	0,002837665	-0,027148866	0,159	0,214	1	0,981357796	1,018996337	0,742990654
CTF1	0,121250032	-0,027165746	0,007	0,015	1	0,981346314	1,01900826	0,466666667
SEC22A	0,159418746	-0,027190806	0,037	0,024	1	0,981329268	1,019025961	1,541666667
DYM	0,77738483	-0,027209109	0,055	0,057	1	0,981316818	1,019038889	0,964912281
PFKM	0,489120376	-0,027257567	0,023	0,028	1	0,981283858	1,019073117	0,821428571
RGMA	0,261670687	-0,027287017	0,006	0,011	1	0,981263827	1,01909392	0,545454545
STX18-AS1	0,057631503	-0,027310988	0,005	0,014	1	0,981247523	1,019110853	0,357142857
RMC1	0,252919813	-0,027368498	0,029	0,039	1	0,981208408	1,019151479	0,743589744
TBC1D10B	0,602972471	-0,027370997	0,063	0,068	1	0,981206708	1,019153244	0,926470588
C1orf112	0,560006684	-0,027427249	0,01	0,014	1	0,981168451	1,019192982	0,714285714
RGL1	0,006159548	-0,027431631	0,015	0,037	1	0,981165471	1,019196078	0,405405405
CACUL1	0,148375125	-0,027482398	0,085	0,104	1	0,981130945	1,019231943	0,817307692
AASDH	0,056524271	-0,027518512	0,037	0,057	1	0,981106386	1,019257457	0,649122807
HECTD2	0,666880799	-0,027534617	0,049	0,043	1	0,981095434	1,019268835	1,139534884
RDH13	0,510463093	-0,027541792	0,016	0,012	1	0,981090555	1,019273904	1,333333333
DENND1A	0,845778953	-0,027552781	0,016	0,015	1	0,981083081	1,019281668	1,066666667
CFAP44	0,152809099	-0,02757036	0,005	0,011	1	0,981071127	1,019294089	0,454545455
TIGD6	0,738264993	-0,027631231	0,01	0,012	1	0,981029734	1,019337096	0,833333333
SART3	0,419776044	-0,027718463	0,061	0,069	1	0,980970419	1,019398731	0,884057971
C2orf68	0,018140345	-0,027804589	0,026	0,047	1	0,980911858	1,019459589	0,553191489
POLD1	0,542301959	-0,027822113	0,013	0,009	1	0,980899943	1,019471972	1,444444444
GOLGA8N	0,094705765	-0,027851639	0,005	0,012	1	0,980879868	1,019492837	0,416666667
AR	0,170690326	-0,027856597	0,006	0,012	1	0,980876498	1,019496341	0,5
ARIH2OS	0,501251724	-0,027877189	0,022	0,027	1	0,980862497	1,019510892	0,814814815
YTHDC2	0,114307499	-0,027953593	0,07	0,09	1	0,980810553	1,019564886	0,777777778
ZCWPW2	0,992165375	-0,02796116	0,015	0,015	1	0,980805409	1,019570234	1
FGD6	0,568856953	-0,027988596	0,008	0,011	1	0,980786757	1,019589623	0,727272727

Supplementary Table 5

Differentially expressed genes_total calculation_ comparing SC-Keloid vs. (SC-Myel, SC-Nonmyel)								
gene	p_val	avg_log2FC	pct.1	pct.2	p_val_adj	Foldchange_UP	Foldchange_DOWN	Ratio_pct1_pct2
EVI5L	0,534838533	-0,028041278	0,016	0,02	1	0,980750943	1,019626856	0,8
TMEM131L	0,109811515	-0,028045962	0,006	0,014	1	0,980747758	1,019630166	0,428571429
RETSAT	0,0713091	-0,028049246	0,033	0,05	1	0,980745526	1,019632487	0,66
MN1	0,017921556	-0,028062184	0,009	0,024	1	0,980736731	1,019641632	0,375
HSD17B8	0,872620193	-0,0280865	0,03	0,028	1	0,980720201	1,019658817	1,071428571
C6orf136	0,13128914	-0,028096955	0,031	0,019	1	0,980713094	1,019666206	1,631578947
PPARD	0,193716954	-0,028121303	0,028	0,039	1	0,980696543	1,019683415	0,717948718
MARK1	0,063209444	-0,028153372	0,009	0,02	1	0,980674744	1,019706081	0,45
ZNF526	0,132791722	-0,028198503	0,008	0,016	1	0,980644066	1,019737981	0,5
ADCK1	0,23573548	-0,028246701	0,013	0,007	1	0,980611305	1,019772049	1,857142857
ZNF607	0,092244176	-0,028337566	0,005	0,012	1	0,980549545	1,01983628	0,416666667
MINK1	0,19838718	-0,02835052	0,026	0,037	1	0,980540741	1,019845436	0,702702703
GSK3B	0,102742225	-0,028355707	0,115	0,14	1	0,980537215	1,019849103	0,821428571
ZNF830	0,130788064	-0,028365053	0,049	0,065	1	0,980530864	1,01985571	0,753846154
VPS72	0,838503433	-0,028368149	0,077	0,072	1	0,980528759	1,019857899	1,069444444
KRBOX4	0,30803012	-0,028410937	0,024	0,033	1	0,980499679	1,019888147	0,727272727
CHRD1	3,72051E-05	-0,028504507	0,001	0,023	0,785065488	0,980436088	1,019954296	0,043478261
EXT2	0,461700334	-0,028550282	0,091	0,077	1	0,98040498	1,019986659	1,181818182
NLGN1	0,234506736	-0,028560519	0,014	0,022	1	0,980398024	1,019993896	0,636363636
THAP2	0,238514344	-0,028575435	0,034	0,045	1	0,980387887	1,020004442	0,755555556
TRIB1	0,519859431	-0,028603205	0,054	0,06	1	0,980369016	1,020024076	0,9
ZGRF1	0,16766543	-0,028605336	0,013	0,022	1	0,980367568	1,020025583	0,590909091
PHLPP2	0,001920397	-0,028621636	0,02	0,047	1	0,980356492	1,020037107	0,425531915
ZNF552	0,153437305	-0,028626258	0,005	0,011	1	0,980353351	1,020040376	0,454545455
LSP1	0,062429817	-0,028673441	0,014	0,027	1	0,980321289	1,020073736	0,518518519
UNC119	0,914954926	-0,028682988	0,02	0,02	1	0,980314802	1,020080486	1
STAC2	0,010086398	-0,028708607	0,001	0,011	1	0,980297394	1,020098601	0,090909091
LRRC37A2	0,026201714	-0,028745192	0,003	0,014	1	0,980272535	1,020124469	0,214285714
TEC	0,042116728	-0,028852706	0,006	0,016	1	0,980199485	1,020200495	0,375
RYK	0,267614327	-0,028881104	0,077	0,09	1	0,980180191	1,020220577	0,855555556

Supplementary Table 5

Differentially expressed genes_total calculation_ comparing SC-Keloid vs. (SC-Myel, SC-Nonmyel)								
gene	p_val	avg_log2FC	pct.1	pct.2	p_val_adj	Foldchange_UP	Foldchange_DOWN	Ratio_pct1_pct2
HOXC5	0,5466526	-0,028907318	0,013	0,009	1	0,980162381	1,020239115	1,444444444
CABIN1	0,355733387	-0,028929392	0,051	0,061	1	0,980147384	1,020254725	0,836065574
BLMH	0,520920603	-0,028951367	0,061	0,052	1	0,980132455	1,020270266	1,173076923
PGAP2	0,835219308	-0,028958335	0,024	0,026	1	0,980127721	1,020275194	0,923076923
TFAP4	0,880656914	-0,02895841	0,013	0,014	1	0,98012767	1,020275246	0,928571429
SCAMP3	0,4749008	-0,029017755	0,087	0,075	1	0,980087353	1,020317216	1,16
SPRTN	0,742458327	-0,029029843	0,041	0,043	1	0,980079141	1,020325765	0,953488372
CD79B	0,069011188	-0,029035027	0,006	0,015	1	0,98007562	1,020329431	0,4
SH3BP5L	0,247102976	-0,029062121	0,019	0,027	1	0,980057214	1,020348594	0,703703704
GIN1	0,977045707	-0,029062229	0,022	0,022	1	0,98005714	1,02034867	1
ZNF212	0,736467937	-0,029089478	0,01	0,012	1	0,98003863	1,020367942	0,833333333
TMEM170B	0,003276301	-0,02910838	0,006	0,023	1	0,980025789	1,020381311	0,260869565
ACOT9	0,98612735	-0,029121997	0,099	0,095	1	0,98001654	1,020390942	1,042105263
ZFYVE26	0,320954219	-0,029129412	0,014	0,02	1	0,980011503	1,020396186	0,7
HAUS8	0,083032232	-0,029138286	0,013	0,024	1	0,980005475	1,020402463	0,541666667
APBA1	0,025743368	-0,029203167	0,006	0,018	1	0,979961403	1,020448354	0,333333333
ZFAND4	0,069397831	-0,029226827	0,006	0,015	1	0,979945332	1,020465089	0,4
PANK4	0,99835058	-0,029301402	0,015	0,015	1	0,979894679	1,020517839	1
PRKD2	0,880538001	-0,029308018	0,03	0,028	1	0,979890185	1,020522519	1,071428571
TIPARP-AS1	0,031473227	-0,029317594	0,002	0,011	1	0,97988368	1,020529293	0,181818182
DNALI1	0,749490175	-0,029334326	0,03	0,033	1	0,979872316	1,020541129	0,909090909
ELOVL7	0,017401528	-0,029338568	0,002	0,012	1	0,979869435	1,02054413	0,166666667
FAM117B	0,185508592	-0,02935377	0,017	0,027	1	0,97985911	1,020554884	0,62962963
RXRA	0,274176639	-0,02936826	0,1	0,114	1	0,979849269	1,020565134	0,877192982
MAP3K6	0,952715105	-0,029374981	0,035	0,034	1	0,979844704	1,020569888	1,029411765
ENGASE	0,101177943	-0,029375711	0,017	0,03	1	0,979844208	1,020570405	0,566666667
VPS18	0,802917369	-0,029425184	0,017	0,019	1	0,979810608	1,020605403	0,894736842
ACO1	0,685124265	-0,029450757	0,036	0,039	1	0,97979324	1,020623494	0,923076923
RAB11FIP4	0,009988906	-0,029452744	0,001	0,011	1	0,979791891	1,020624899	0,090909091
DYNC2I1	0,022460902	-0,029464384	0,095	0,129	1	0,979783985	1,020633135	0,736434109

Supplementary Table 5

Differentially expressed genes_total calculation_ comparing SC-Keloid vs. (SC-Myel, SC-Nonmyel)								
gene	p_val	avg_log2FC	pct.1	pct.2	p_val_adj	Foldchange_UP	Foldchange_DOWN	Ratio_pct1_pct2
ADSL	0,379687684	-0,029502277	0,061	0,049	1	0,979758251	1,020659942	1,244897959
CMTR1	0,927784749	-0,029509335	0,04	0,038	1	0,979753458	1,020664936	1,052631579
H2AC11	0,02541044	-0,029512274	0,003	0,014	1	0,979751462	1,020667015	0,214285714
CCDC91	0,973921537	-0,029512476	0,116	0,113	1	0,979751325	1,020667158	1,026548673
NBEAL2	0,127001914	-0,029514538	0,015	0,026	1	0,979749925	1,020668616	0,576923077
TRMT1L	0,526721542	-0,029517377	0,017	0,022	1	0,979747997	1,020670625	0,772727273
SEH1L	0,010577108	-0,02954114	0,042	0,071	1	0,979731859	1,020687437	0,591549296
RFX5	0,118337227	-0,029577376	0,013	0,023	1	0,979707251	1,020713074	0,565217391
ZNF232	0,932128677	-0,029647193	0,01	0,011	1	0,979659841	1,020762471	0,909090909
STK11IP	0,195833277	-0,029649547	0,029	0,041	1	0,979658243	1,020764136	0,707317073
COQ5	0,411070613	-0,029665175	0,058	0,047	1	0,979647631	1,020775194	1,234042553
ALDH16A1	0,777390606	-0,029710225	0,037	0,039	1	0,97961704	1,020807069	0,948717949
ALDH4A1	0,749128238	-0,029784291	0,009	0,011	1	0,97956675	1,020859477	0,818181818
ZBTB11-AS1	0,184775662	-0,029796423	0,007	0,014	1	0,979558512	1,020868062	0,5
TIAL1	0,009291436	-0,029801924	0,171	0,214	1	0,979554777	1,020871955	0,799065421
CYGB	0,108657664	-0,029805753	0,006	0,014	1	0,979552177	1,020874664	0,428571429
FNDC4	0,157613513	-0,029811882	0,041	0,027	1	0,979548016	1,020879001	1,518518519
GSDMB	0,057012858	-0,029822218	0,005	0,014	1	0,979540998	1,020886315	0,357142857
TEPSIN	0,910328706	-0,029826033	0,02	0,02	1	0,979538408	1,020889015	1
RPL15	0,86803051	-0,029829235	0,753	0,891	1	0,979536234	1,020891281	0,845117845
SLC38A10	0,408404411	-0,029940588	0,104	0,087	1	0,979460632	1,02097008	1,195402299
FAR2	0,03105144	-0,029963675	0,015	0,031	1	0,979444958	1,020986419	0,483870968
TYSND1	0,759474232	-0,030007204	0,03	0,027	1	0,979415407	1,021017224	1,111111111
AGFG2	0,031599267	-0,030019315	0,002	0,011	1	0,979407185	1,021025795	0,181818182
TTC23	0,188858232	-0,030033157	0,037	0,05	1	0,979397788	1,021035592	0,74
ZNF22-AS1	0,186875205	-0,030102188	0,007	0,014	1	0,979350927	1,021084448	0,5
OSER1-DT	0,181546725	-0,030155419	0,017	0,027	1	0,979314792	1,021122124	0,62962963
FOXP1	0,04113358	-0,03021234	0,24	0,284	1	0,979276154	1,021162412	0,845070423
XRN1	0,039566028	-0,030231066	0,1	0,13	1	0,979263444	1,021175667	0,769230769
LRMDA	0,487837666	-0,030244886	0,081	0,09	1	0,979254063	1,021185449	0,9

Supplementary Table 5

Differentially expressed genes_total calculation_ comparing SC-Keloid vs. (SC-Myel, SC-Nonmyel)								
gene	p_val	avg_log2FC	pct.1	pct.2	p_val_adj	Foldchange_UP	Foldchange_DOWN	Ratio_pct1_pct2
TTC7B	0,308344835	-0,030288862	0,028	0,037	1	0,979224214	1,021216577	0,756756757
ZSCAN31	0,261670687	-0,030304669	0,006	0,011	1	0,979213485	1,021227766	0,545454545
SENP3	0,057774453	-0,030420225	0,008	0,019	1	0,979135056	1,021309567	0,421052632
SLC9A1	0,246228777	-0,03044377	0,027	0,037	1	0,979119076	1,021326235	0,72972973
P4HTM	0,161103393	-0,030502301	0,125	0,144	1	0,979079354	1,021367672	0,868055556
ZKSCAN5	0,421272719	-0,030567444	0,016	0,022	1	0,979035145	1,021413792	0,727272727
LMBRD2	0,235242884	-0,030614511	0,037	0,049	1	0,979003205	1,021447115	0,755102041
HGH1	0,144563055	-0,030705147	0,026	0,015	1	0,978941703	1,021511289	1,733333333
MAP3K20	0,093603144	-0,030743997	0,035	0,052	1	0,978915341	1,021538797	0,673076923
KCNE4	0,15833231	-0,030829788	0,043	0,058	1	0,978857131	1,021599545	0,74137931
INSYN1	0,186453893	-0,030849857	0,007	0,014	1	0,978843514	1,021613757	0,5
UBTF	0,340303418	-0,030915521	0,161	0,171	1	0,978798964	1,021660256	0,941520468
KIAA1217	0,006717805	-0,030933993	0,07	0,109	1	0,978786432	1,021673337	0,642201835
CAMTA2	0,991625997	-0,030943346	0,038	0,038	1	0,978780086	1,021679961	1
EFEMP1	0,045325212	-0,030966054	0,003	0,012	1	0,97876468	1,021696042	0,25
RNPS1	0,027408008	-0,030967286	0,205	0,244	1	0,978763844	1,021696915	0,840163934
SLC2A4RG	0,742297703	-0,030995208	0,151	0,14	1	0,978744902	1,021716689	1,078571429
ZSCAN25	0,903987401	-0,031009949	0,012	0,012	1	0,978734901	1,021727129	1
ADAMTS10	0,034625111	-0,031023829	0,005	0,015	1	0,978725485	1,021736959	0,333333333
RAB3GAP2	0,083403557	-0,031025304	0,069	0,091	1	0,978724484	1,021738003	0,758241758
ZNF519	0,311673856	-0,031036987	0,012	0,018	1	0,978716558	1,021746278	0,666666667
ZKSCAN4	0,189186159	-0,031048723	0,012	0,005	1	0,978708597	1,021754589	2,4
SLC9A3	0,261670687	-0,031109912	0,006	0,011	1	0,978667088	1,021797925	0,545454545
CTBS	0,514509545	-0,031131265	0,086	0,075	1	0,978652602	1,021813049	1,146666667
LINC01006	0,042971099	-0,03113437	0,041	0,062	1	0,978650496	1,021815248	0,661290323
CRNDE	0,829818353	-0,031143938	0,043	0,045	1	0,978644006	1,021822025	0,955555556
GFPT2	0,637740402	-0,031154306	0,02	0,023	1	0,978636973	1,021829368	0,869565217
ARFGAP1	0,429874726	-0,03120047	0,08	0,088	1	0,978605658	1,021862066	0,909090909
GPBP1L1	0,005031978	-0,031202086	0,09	0,133	1	0,978604562	1,021863211	0,676691729
ZNF280D	0,156362221	-0,031274768	0,078	0,096	1	0,978555263	1,021914692	0,8125

Supplementary Table 5

Differentially expressed genes_total calculation_ comparing SC-Keloid vs. (SC-Myel, SC-Nonmyel)								
gene	p_val	avg_log2FC	pct.1	pct.2	p_val_adj	Foldchange_UP	Foldchange_DOWN	Ratio_pct1_pct2
CCDC85C	0,078744138	-0,031288372	0,007	0,016	1	0,978546035	1,021924329	0,4375
PEX19	0,405595038	-0,031320036	0,041	0,049	1	0,978524558	1,021946758	0,836734694
NIPSNAP2	0,143461758	-0,0313426	0,106	0,126	1	0,978509254	1,021962742	0,841269841
FAM83H	0,057738071	-0,03136509	0,008	0,019	1	0,978494	1,021978673	0,421052632
TMEM248	0,010617192	-0,031379766	0,127	0,167	1	0,978484046	1,021989069	0,760479042
ZNF786	0,076743902	-0,031391922	0,003	0,011	1	0,978475802	1,021997681	0,272727273
ZNF181	0,134858449	-0,031412793	0,017	0,028	1	0,978461647	1,022012465	0,607142857
FAM110A	0,295470003	-0,031448404	0,009	0,015	1	0,978437495	1,022037693	0,6
TTC14	0,083533482	-0,031505164	0,072	0,095	1	0,978399001	1,022077903	0,757894737
DUSP18	0,671845713	-0,031528143	0,033	0,028	1	0,978383417	1,022094183	1,178571429
TRABD2A	0,403483104	-0,031536314	0,007	0,011	1	0,978377876	1,022099972	0,636363636
HPGD	0,009772919	-0,03153635	0,002	0,014	1	0,978377852	1,022099998	0,142857143
ZNF668	0,181829737	-0,031551612	0,017	0,009	1	0,978367502	1,02211081	1,888888889
ZC3H4	0,201528099	-0,031554855	0,055	0,069	1	0,978365303	1,022113108	0,797101449
TLL2	0,031410369	-0,031569816	0,002	0,011	1	0,978355156	1,022123708	0,181818182
E2F5	0,882241705	-0,031576408	0,058	0,058	1	0,978350686	1,022128378	1
CSNK2B	0,002906992	-0,031621436	0,197	0,254	1	0,978320151	1,02216028	0,775590551
INTS14	0,587682465	-0,031718078	0,024	0,028	1	0,978254619	1,022228754	0,857142857
TMEM69	0,98050123	-0,031776294	0,024	0,024	1	0,978215145	1,022270004	1
ARHGAP26	0,001851717	-0,031781848	0,035	0,069	1	0,978211379	1,02227394	0,507246377
KCTD18	0,316117359	-0,031801043	0,021	0,028	1	0,978198364	1,022287541	0,75
PRKCZ	0,41794799	-0,031804109	0,012	0,016	1	0,978196286	1,022289713	0,75
HSD3B7	0,902150202	-0,031811971	0,012	0,012	1	0,978190955	1,022295284	1
NLN	0,268908829	-0,031832175	0,043	0,054	1	0,978177255	1,022309601	0,796296296
FUOM	0,296038205	-0,031880189	0,05	0,061	1	0,978144701	1,022343625	0,819672131
SLC36A2	0,002214594	-0,031890835	0	0,011	1	0,978137484	1,022351169	0
ANKRD40	0,08218559	-0,031911766	0,156	0,182	1	0,978123293	1,022366002	0,857142857
MANSC1	0,008433259	-0,03192961	0,003	0,016	1	0,978111195	1,022378647	0,1875
PPP5C	0,273349124	-0,031938829	0,049	0,037	1	0,978104944	1,02238518	1,324324324
CAND2	0,290824291	-0,031942895	0,008	0,014	1	0,978102188	1,022388061	0,571428571

Supplementary Table 5

Differentially expressed genes_total calculation_ comparing SC-Keloid vs. (SC-Myel, SC-Nonmyel)								
gene	p_val	avg_log2FC	pct.1	pct.2	p_val_adj	Foldchange_UP	Foldchange_DOWN	Ratio_pct1_pct2
LOH12CR2	0,008417081	-0,03194524	0,003	0,016	1	0,978100599	1,022389723	0,1875
ZNF667	0,002343588	-0,031964343	0,005	0,022	1	0,978087647	1,022403261	0,227272727
AZI2	0,592596877	-0,032024788	0,097	0,1	1	0,978046669	1,022446098	0,97
CAST	0,00269579	-0,03204099	0,25	0,32	1	0,978035685	1,02245758	0,78125
ZNF511	0,430620656	-0,032056029	0,095	0,081	1	0,97802549	1,022468239	1,172839506
NFYA	0,064571146	-0,032068429	0,009	0,02	1	0,978017084	1,022477027	0,45
OSTF1	0,023378216	-0,032082362	0,143	0,18	1	0,978007639	1,022486901	0,794444444
TMEM233	0,435130869	-0,032127244	0,01	0,007	1	0,977977213	1,022518712	1,428571429
AP3M1	0,84369443	-0,032137806	0,056	0,057	1	0,977970053	1,022526198	0,98245614
TINCR	0,002214594	-0,032162943	0	0,011	1	0,977953014	1,022544014	0
KMT2D	0,372620065	-0,032184184	0,029	0,037	1	0,977938615	1,022559069	0,783783784
MON1B	0,759570151	-0,032216935	0,04	0,042	1	0,977916415	1,022582282	0,952380952
FAXC	0,838251135	-0,032316999	0,015	0,016	1	0,97784859	1,022653211	0,9375
PRADC1	0,258358805	-0,032359785	0,052	0,039	1	0,97781959	1,02268354	1,333333333
BBOF1	0,867624844	-0,03237015	0,023	0,022	1	0,977812566	1,022690887	1,045454545
SCHIP1	0,117747768	-0,032445985	0,035	0,05	1	0,977761168	1,022744646	0,7
CASC3	0,000956471	-0,032446346	0,118	0,175	1	0,977760923	1,022744902	0,674285714
ELP4	0,363625	-0,032480165	0,033	0,041	1	0,977738003	1,022768877	0,804878049
CNKSRI	0,094016768	-0,032509424	0,005	0,012	1	0,977718175	1,02278962	0,416666667
ZNF182	0,030975977	-0,032548744	0,007	0,019	1	0,977691528	1,022817496	0,368421053
VPS52	0,907747639	-0,032550623	0,028	0,028	1	0,977690254	1,022818828	1
NACC2	0,826025781	-0,032590718	0,065	0,066	1	0,977663083	1,022847254	0,984848485
NPRL3	0,744111484	-0,032595966	0,056	0,058	1	0,977659527	1,022850975	0,965517241
HIBCH	0,052414057	-0,032609279	0,078	0,104	1	0,977650505	1,022860414	0,75
SHPK	0,287201727	-0,032675107	0,008	0,014	1	0,977605897	1,022907086	0,571428571
C2orf49	0,559059629	-0,032708398	0,059	0,065	1	0,977583339	1,022930691	0,907692308
ARHGEF18	0,288591401	-0,032743147	0,008	0,014	1	0,977559793	1,02295533	0,571428571
LGI2	0,031473227	-0,032757246	0,002	0,011	1	0,977550239	1,022965327	0,181818182
SLC7A8	0,110392061	-0,032828939	0,006	0,014	1	0,977501662	1,023016163	0,428571429
HDAC8	0,337470002	-0,032857684	0,04	0,03	1	0,977482186	1,023036546	1,333333333

Supplementary Table 5

Differentially expressed genes_total calculation_ comparing SC-Keloid vs. (SC-Myel, SC-Nonmyel)								
gene	p_val	avg_log2FC	pct.1	pct.2	p_val_adj	Foldchange_UP	Foldchange_DOWN	Ratio_pct1_pct2
ETV1	0,246799891	-0,03291936	0,035	0,046	1	0,977440399	1,023080283	0,760869565
SAMD8	0,002838722	-0,032949838	0,097	0,144	1	0,97741975	1,023101896	0,673611111
COG4	0,550380601	-0,032954438	0,057	0,049	1	0,977416634	1,023105158	1,163265306
CCDC152	0,291454361	-0,033002691	0,037	0,047	1	0,977383943	1,023139378	0,787234043
WASF2	3,77534E-05	-0,033098069	0,275	0,379	0,79663357	0,97731933	1,023207021	0,725593668
TMEM240	0,090585231	-0,033154347	0,008	0,018	1	0,977281207	1,023246936	0,444444444
C16orf86	0,404271802	-0,0331857	0,02	0,026	1	0,977259968	1,023269174	0,769230769
FLVCR1-DT	0,197827727	-0,033189438	0,008	0,015	1	0,977257436	1,023271825	0,533333333
GFER	0,359875076	-0,033316462	0,064	0,052	1	0,977171396	1,023361924	1,230769231
CEP85	0,151558561	-0,033345735	0,005	0,011	1	0,977151569	1,023382689	0,454545455
DOCK1	0,009207035	-0,033348062	0,113	0,155	1	0,977149992	1,02338434	0,729032258
ZNF441	0,239091064	-0,033358848	0,015	0,023	1	0,977142687	1,023391991	0,652173913
TBX19	0,078845535	-0,033361696	0,007	0,016	1	0,977140758	1,023394011	0,4375
ANKRD49	0,15269339	-0,033369625	0,037	0,052	1	0,977135388	1,023399636	0,711538462
TNFRSF10D	0,131897027	-0,033370024	0,008	0,016	1	0,977135118	1,023399919	0,5
NDUFA13	5,1949E-05	-0,033371716	0,317	0,456	1	0,977133972	1,023401119	0,695175439
SLC25A21-AS1	0,104193889	-0,033452653	0,01	0,02	1	0,977079154	1,023458535	0,5
EIF4EBP3	0,407499518	-0,033518603	0,017	0,023	1	0,977034491	1,023505321	0,739130435
RAB30-DT	0,174804934	-0,03355693	0,063	0,079	1	0,977008534	1,023532512	0,797468354
ZFHX4	0,078339511	-0,033640601	0,035	0,053	1	0,976951873	1,023591875	0,660377358
DENND4B	0,47674093	-0,033681369	0,04	0,046	1	0,976924267	1,023620801	0,869565217
KANSL1	0,211375003	-0,033681592	0,148	0,164	1	0,976924116	1,023620958	0,902439024
TCF25	0,000672493	-0,033697791	0,31	0,4	1	0,976913147	1,023632452	0,775
GFAP	0,044392964	-0,033708688	0,003	0,012	1	0,976905768	1,023640184	0,25
SERPINB1	0,580844376	-0,033725623	0,091	0,096	1	0,976894301	1,0236522	0,947916667
MEF2A	0,004795438	-0,033825505	0,186	0,242	1	0,97682667	1,023723073	0,768595041
ZSCAN32	0,906284623	-0,033915328	0,012	0,012	1	0,976765854	1,023786813	1
TRIM16L	0,420397737	-0,033937514	0,01	0,015	1	0,976750833	1,023802557	0,666666667
GAMT	0,808665591	-0,033968613	0,085	0,079	1	0,976729778	1,023824626	1,075949367
IBA57	0,550928842	-0,033979483	0,013	0,016	1	0,976722419	1,02383234	0,8125

Supplementary Table 5

Differentially expressed genes_total calculation_ comparing SC-Keloid vs. (SC-Myel, SC-Nonmyel)								
gene	p_val	avg_log2FC	pct.1	pct.2	p_val_adj	Foldchange_UP	Foldchange_DOWN	Ratio_pct1_pct2
ADK	0,037695357	-0,034033526	0,183	0,221	1	0,976685832	1,023870693	0,828054299
PAXIP1-AS2	0,570627055	-0,034048526	0,008	0,011	1	0,976675677	1,023881339	0,727272727
THSD1	0,056924932	-0,034150467	0,005	0,014	1	0,976606667	1,023953689	0,357142857
PRIM2	0,717013709	-0,034197073	0,023	0,02	1	0,976575119	1,023986768	1,15
HMG20A	0,047897256	-0,03420472	0,045	0,068	1	0,976569943	1,023992196	0,661764706
DGKE	0,025941713	-0,03421289	0,006	0,018	1	0,976564412	1,023997995	0,333333333
RHOC	0,000162019	-0,034213182	0,364	0,518	1	0,976564215	1,023998202	0,702702703
SLC9A6	0,072323874	-0,034219898	0,019	0,033	1	0,976559669	1,024002969	0,575757576
PKP4	0,147242906	-0,03422003	0,034	0,047	1	0,976559579	1,024003062	0,723404255
SIRT6	0,742333738	-0,034229006	0,047	0,042	1	0,976553504	1,024009433	1,119047619
SPTY2D1	0,089359204	-0,034238237	0,077	0,099	1	0,976547255	1,024015985	0,777777778
IFT140	0,409615968	-0,034254937	0,008	0,012	1	0,976535951	1,024027839	0,666666667
REM1	0,450828718	-0,034263605	0,023	0,018	1	0,976530084	1,024033992	1,277777778
STK24	0,03449704	-0,034266922	0,051	0,076	1	0,976527839	1,024036346	0,671052632
ADAT3	0,567972886	-0,034393868	0,008	0,011	1	0,976441916	1,024126457	0,727272727
TIMP3	0,000698023	-0,034422718	0,556	0,707	1	0,97642239	1,024146937	0,786421499
SIGMAR1	0,318318163	-0,034442407	0,065	0,052	1	0,976409064	1,024160914	1,25
FIG4	0,456793538	-0,034514303	0,028	0,022	1	0,976360406	1,024211954	1,272727273
C1orf35	0,008937069	-0,03454536	0,102	0,145	1	0,976339389	1,024234003	0,703448276
LIPT1	0,096773433	-0,034579376	0,009	0,019	1	0,976316368	1,024258153	0,473684211
CHP2	0,002214594	-0,034589859	0	0,011	1	0,976309274	1,024265595	0
IFT88	0,012114676	-0,034635035	0,047	0,076	1	0,976278703	1,024297669	0,618421053
PDE7B	0,057012858	-0,034639567	0,005	0,014	1	0,976275636	1,024300887	0,357142857
DCAF5	0,010606635	-0,034641997	0,064	0,098	1	0,976273992	1,024302612	0,653061224
PBXIP1	0,469211969	-0,034645795	0,063	0,071	1	0,976271422	1,024305309	0,887323944
PKDCC	0,521687925	-0,034661184	0,043	0,049	1	0,976261008	1,024316235	0,87755102
PAN3	0,027137793	-0,03466435	0,111	0,144	1	0,976258866	1,024318482	0,770833333
ATP9B	0,004882926	-0,034675301	0,05	0,085	1	0,976251455	1,024326258	0,588235294
CBWD2	0,653280907	-0,034739623	0,042	0,037	1	0,97620793	1,024371928	1,135135135
RPUSD1	0,0636315	-0,034746178	0,042	0,024	1	0,976203495	1,024376582	1,75

Supplementary Table 5

Differentially expressed genes_total calculation_ comparing SC-Keloid vs. (SC-Myel, SC-Nonmyel)								
gene	p_val	avg_log2FC	pct.1	pct.2	p_val_adj	Foldchange_UP	Foldchange_DOWN	Ratio_pct1_pct2
MSTO1	0,679058213	-0,034757226	0,027	0,03	1	0,976196019	1,024384427	0,9
BIRC6	0,048018487	-0,034778825	0,106	0,137	1	0,976181404	1,024399764	0,773722628
MTCL1	0,149903322	-0,034819	0,005	0,011	1	0,976154221	1,02442829	0,454545455
DNAAF2	0,477170769	-0,034823607	0,05	0,057	1	0,976151104	1,024431562	0,877192982
HCG11	0,153561129	-0,034846873	0,026	0,038	1	0,976135362	1,024448083	0,684210526
ASF1A	0,821184132	-0,034872199	0,057	0,058	1	0,976118226	1,024466067	0,982758621
TMTC4	0,054610109	-0,034877904	0,013	0,026	1	0,976114366	1,024470118	0,5
USP7	0,234994725	-0,034911826	0,122	0,137	1	0,976091415	1,024494207	0,890510949
CUL9	0,239831039	-0,034938206	0,015	0,023	1	0,976073567	1,02451294	0,652173913
C1RL-AS1	0,044316012	-0,03494805	0,003	0,012	1	0,976066907	1,02451993	0,25
ZNF777	0,490619808	-0,034950125	0,023	0,028	1	0,976065503	1,024521404	0,821428571
ELP1	0,083514605	-0,034977786	0,022	0,037	1	0,976046789	1,024541048	0,594594595
MAGEF1	0,266682843	-0,035022822	0,107	0,121	1	0,976016321	1,024573031	0,884297521
OTUD7A	0,107798587	-0,035034455	0,006	0,014	1	0,976008451	1,024581292	0,428571429
KIAA1614	0,163327725	-0,035104478	0,012	0,02	1	0,975961081	1,024631023	0,6
OCIAD1	0,008580801	-0,035183249	0,248	0,305	1	0,975907794	1,024686969	0,813114754
TTC32	0,068808706	-0,035195919	0,061	0,083	1	0,975899224	1,024695968	0,734939759
PDS5A	0,347226636	-0,035198774	0,077	0,088	1	0,975897292	1,024697996	0,875
MTFP1	0,848487096	-0,035240856	0,014	0,015	1	0,975868828	1,024727885	0,933333333
ZC3H18	0,299916618	-0,035247231	0,062	0,073	1	0,975864515	1,024732414	0,849315068
DHX35	0,159086869	-0,035255918	0,012	0,02	1	0,975858639	1,024738584	0,6
ACTR3B	0,241489952	-0,035278935	0,017	0,026	1	0,97584307	1,024754933	0,653846154
ASCC2	0,906531604	-0,035300314	0,051	0,049	1	0,975828609	1,024770119	1,040816327
GNPAT	0,912460243	-0,03531983	0,071	0,068	1	0,975815409	1,024783981	1,044117647
PIK3C3	0,677008977	-0,035382337	0,045	0,049	1	0,975773131	1,024828383	0,918367347
CYP26B1	0,014558441	-0,03541045	0,003	0,015	1	0,975754117	1,024848353	0,2
TNNC1	0,00116827	-0,03543158	0	0,012	1	0,975739826	1,024863364	0
ZNF429	0,025743368	-0,035454996	0,006	0,018	1	0,975723989	1,024879998	0,333333333
GZF1	0,185955359	-0,035523879	0,02	0,03	1	0,975677403	1,024928933	0,666666667
TOMM20	6,98876E-06	-0,035639453	0,36	0,498	0,147469919	0,975599245	1,025011043	0,722891566

Supplementary Table 5

Differentially expressed genes_total calculation_ comparing SC-Keloid vs. (SC-Myel, SC-Nonmyel)								
gene	p_val	avg_log2FC	pct.1	pct.2	p_val_adj	Foldchange_UP	Foldchange_DOWN	Ratio_pct1_pct2
KLHL25	0,088768323	-0,035679816	0,008	0,018	1	0,975571951	1,025039721	0,444444444
PPP1R35	0,439419957	-0,035707844	0,081	0,09	1	0,975552998	1,025059635	0,9
RABGAP1	0,013882223	-0,035710871	0,069	0,102	1	0,975550951	1,025061786	0,676470588
RADX	0,509767189	-0,035723625	0,02	0,024	1	0,975542327	1,025070848	0,833333333
OGFOD2	0,090211663	-0,035757392	0,014	0,005	1	0,975519494	1,025094841	2,8
PRPF18	0,545641453	-0,035762966	0,059	0,065	1	0,975515725	1,025098801	0,907692308
PORCN	0,841815143	-0,035822365	0,015	0,016	1	0,975475562	1,025141007	0,9375
UBE2D1	0,919362445	-0,035827421	0,106	0,1	1	0,975472143	1,0251446	1,06
BBS12	0,124436746	-0,035831018	0,014	0,024	1	0,975469711	1,025147156	0,583333333
FBXO45	0,569639878	-0,035878327	0,043	0,037	1	0,975437724	1,025180773	1,162162162
ORC5	0,720065651	-0,035900721	0,029	0,026	1	0,975422583	1,025196687	1,115384615
PLEKHH2	0,005396928	-0,035933285	0,002	0,015	1	0,975400566	1,025219827	0,133333333
PCDHB11	0,076238574	-0,036025878	0,003	0,011	1	0,975337966	1,025285629	0,272727273
TMEM41B	0,004971086	-0,036035613	0,085	0,126	1	0,975331385	1,025292547	0,674603175
MFF	0,019336108	-0,036055453	0,132	0,168	1	0,975317972	1,025306647	0,785714286
CXCL16	0,093402418	-0,036117779	0,04	0,057	1	0,975275839	1,025350942	0,701754386
ZNF558	0,411236856	-0,036173541	0,019	0,024	1	0,975238144	1,025390574	0,791666667
AGO4	0,069294457	-0,036184515	0,016	0,03	1	0,975230725	1,025398374	0,533333333
DAZAP2	0,017166722	-0,036189847	0,194	0,237	1	0,975227121	1,025402164	0,818565401
RNF115	0,037733759	-0,036197312	0,118	0,151	1	0,975222075	1,02540747	0,781456954
ATP2B2	0,700002831	-0,036240011	0,026	0,028	1	0,975193212	1,025437819	0,928571429
TSLP	0,031108278	-0,036387958	0,007	0,019	1	0,975093212	1,025542982	0,368421053
SPSB1	0,665958953	-0,036403177	0,045	0,049	1	0,975082926	1,0255538	0,918367347
STT3B	0,114517881	-0,036478028	0,094	0,115	1	0,975032337	1,02560701	0,817391304
PIAS3	0,177428453	-0,03648859	0,043	0,057	1	0,975025199	1,025614518	0,754385965
MCTP1	0,289985599	-0,036518973	0,008	0,014	1	0,975004666	1,025636118	0,571428571
PLA2G12A	0,395541087	-0,036529943	0,068	0,077	1	0,974997251	1,025643917	0,883116883
NMNAT3	0,03166245	-0,036543309	0,002	0,011	1	0,974988218	1,025653419	0,181818182
PCSK5	0,045698741	-0,036559302	0,024	0,042	1	0,97497741	1,025664789	0,571428571
ZNF569	0,572399778	-0,036583971	0,008	0,011	1	0,974960739	1,025682327	0,727272727

Supplementary Table 5

Differentially expressed genes_total calculation_ comparing SC-Keloid vs. (SC-Myel, SC-Nonmyel)								
gene	p_val	avg_log2FC	pct.1	pct.2	p_val_adj	Foldchange_UP	Foldchange_DOWN	Ratio_pct1_pct2
LAG3	0,259003671	-0,036750739	0,006	0,011	1	0,974848045	1,025800898	0,545454545
GBA2	0,905080676	-0,036761957	0,044	0,045	1	0,974840465	1,025808874	0,977777778
TBRG1	0,109419451	-0,036764264	0,1	0,122	1	0,974838907	1,025810514	0,819672131
THAP7-AS1	0,242541728	-0,036831571	0,017	0,026	1	0,974793427	1,025858374	0,653846154
ECSIT	0,552321441	-0,036869667	0,068	0,058	1	0,974767687	1,025885463	1,172413793
MAN1A1	0,031760918	-0,036906576	0,01	0,024	1	0,97474275	1,025911709	0,416666667
IGIP	0,154249675	-0,03690728	0,027	0,039	1	0,974742274	1,025912209	0,692307692
PSPC1	0,031387293	-0,036947901	0,072	0,1	1	0,97471483	1,025941096	0,72
FOXO6	0,000869923	-0,036959802	0,002	0,019	1	0,974706789	1,025949559	0,105263158
AKAP6	0,006441385	-0,037000188	0,012	0,031	1	0,974679504	1,025978279	0,387096774
RPS11	0,020227383	-0,037074769	0,639	0,836	1	0,974629119	1,026031319	0,764354067
TRAPPC10	0,15798909	-0,037086079	0,055	0,071	1	0,974621478	1,026039363	0,774647887
CEP152	0,06587716	-0,03710103	0,027	0,043	1	0,974611378	1,026049996	0,627906977
TSSC4	0,276226062	-0,037185269	0,126	0,138	1	0,974554472	1,026109909	0,913043478
LINC00526	0,880594165	-0,037189329	0,017	0,016	1	0,974551729	1,026112796	1,0625
CDC20	0,149903322	-0,037198672	0,005	0,011	1	0,974545418	1,026119442	0,454545455
SURF1	0,469282879	-0,037278666	0,121	0,129	1	0,974491383	1,026176339	0,937984496
MROH8	0,184357856	-0,037322703	0,007	0,014	1	0,974461638	1,026207663	0,5
PCDHB16	0,011855812	-0,037381005	0,005	0,018	1	0,974422259	1,026249134	0,277777778
MMP24OS	0,630071366	-0,037441775	0,146	0,13	1	0,974381215	1,026292364	1,123076923
ZNF282	0,495451532	-0,037467751	0,021	0,026	1	0,974363671	1,026310842	0,807692308
TCERG1	0,291433066	-0,037555313	0,098	0,111	1	0,974304535	1,026373134	0,882882883
CAD	0,55365959	-0,03758782	0,022	0,018	1	0,974282583	1,026396261	1,222222222
TMUB1	0,523538777	-0,037593484	0,08	0,069	1	0,974278758	1,02640029	1,15942029
CCR10	0,068434545	-0,037605171	0,006	0,015	1	0,974270865	1,026408605	0,4
KAZALD1	0,106661526	-0,037607199	0,006	0,014	1	0,974269496	1,026410048	0,428571429
PANK2	0,009561615	-0,037608978	0,063	0,096	1	0,974268294	1,026411314	0,65625
UBOX5	0,261670687	-0,037694212	0,006	0,011	1	0,974210736	1,026471956	0,545454545
UBE2Q2L	0,001346613	-0,037698221	0,005	0,023	1	0,974208029	1,026474808	0,217391304
PLEKHG5	0,002588225	-0,037764272	0,007	0,026	1	0,974163429	1,026521804	0,269230769

Supplementary Table 5

Differentially expressed genes_total calculation_ comparing SC-Keloid vs. (SC-Myel, SC-Nonmyel)								
gene	p_val	avg_log2FC	pct.1	pct.2	p_val_adj	Foldchange_UP	Foldchange_DOWN	Ratio_pct1_pct2
ZNF483	0,009388736	-0,037825452	0,006	0,02	1	0,974122118	1,026565337	0,3
MMUT	0,134853067	-0,037880509	0,044	0,06	1	0,974084944	1,026604514	0,733333333
PTCH1	0,057447656	-0,037881394	0,008	0,019	1	0,974084346	1,026605144	0,421052632
OSBPL2	0,401085062	-0,037901589	0,038	0,046	1	0,974070711	1,026619514	0,826086957
NPRL2	0,300049021	-0,037930155	0,03	0,039	1	0,974051424	1,026639842	0,769230769
CDC6	0,411411186	-0,037932815	0,008	0,012	1	0,974049628	1,026641735	0,666666667
NUDT17	0,546706967	-0,037939681	0,013	0,016	1	0,974044993	1,026646621	0,8125
RECQL5	0,530298977	-0,03795936	0,017	0,022	1	0,974031706	1,026660625	0,772727273
NOTCH2NLA	0,016544814	-0,037961042	0,017	0,037	1	0,97403057	1,026661822	0,459459459
SMO	0,068147712	-0,037969166	0,006	0,015	1	0,974025086	1,026667603	0,4
ZNF503-AS1	0,025664397	-0,038052731	0,006	0,018	1	0,973968669	1,026727072	0,333333333
TFAP2B	0,019127017	-0,038105349	0,036	0,061	1	0,973933147	1,02676452	0,590163934
KLF8	0,002890943	-0,038112452	0,002	0,016	1	0,973928352	1,026769575	0,125
FES	0,078796416	-0,038159452	0,022	0,037	1	0,973896624	1,026803025	0,594594595
CALHM5	0,303278289	-0,038221999	0,01	0,016	1	0,973854402	1,026847543	0,625
SNIP1	0,187333123	-0,038237356	0,04	0,053	1	0,973844036	1,026858473	0,754716981
NETO2	0,07498712	-0,038283376	0,003	0,011	1	0,973812972	1,026891229	0,272727273
RPS20	0,001888506	-0,038284698	0,506	0,657	1	0,97381208	1,02689217	0,770167428
C9orf72	0,082865079	-0,038287112	0,013	0,024	1	0,973810451	1,026893888	0,541666667
CCNB1IP1	0,19128859	-0,038290806	0,097	0,113	1	0,973807957	1,026896518	0,85840708
TRPM4	0,234320479	-0,03832298	0,015	0,023	1	0,97378624	1,026919419	0,652173913
ZNF724	0,092108942	-0,038371874	0,005	0,012	1	0,973753238	1,026954223	0,416666667
GOLPH3	0,014047527	-0,038403206	0,099	0,136	1	0,973732091	1,026976526	0,727941176
TRAF3IP1	0,458003564	-0,038436639	0,041	0,047	1	0,973709526	1,027000325	0,872340426
WDTC1	0,480219169	-0,038488292	0,04	0,046	1	0,973674664	1,027037096	0,869565217
LNX2	0,112022002	-0,038500367	0,012	0,022	1	0,973666515	1,027045692	0,545454545
GMDS-DT	0,296273824	-0,038556574	0,009	0,015	1	0,973628582	1,027085707	0,6
GDI1	0,069413279	-0,038565594	0,198	0,228	1	0,973622495	1,027092128	0,868421053
PIK3CB	0,001896444	-0,038571373	0,013	0,037	1	0,973618595	1,027096242	0,351351351
PHGDH	0,870632618	-0,038582063	0,062	0,058	1	0,973611381	1,027103853	1,068965517

Supplementary Table 5

Differentially expressed genes_total calculation_ comparing SC-Keloid vs. (SC-Myel, SC-Nonmyel)								
gene	p_val	avg_log2FC	pct.1	pct.2	p_val_adj	Foldchange_UP	Foldchange_DOWN	Ratio_pct1_pct2
ZNF274	0,034282166	-0,038621103	0,017	0,034	1	0,973585035	1,027131647	0,5
ME2	0,034284234	-0,038663376	0,133	0,167	1	0,973556508	1,027161744	0,796407186
SLTM	0,00020398	-0,03867592	0,193	0,271	1	0,973548043	1,027170675	0,712177122
TANGO2	0,841194236	-0,038691608	0,022	0,02	1	0,973537456	1,027181844	1,1
ZNF506	0,088267011	-0,038703927	0,059	0,08	1	0,973529143	1,027190616	0,7375
IQSEC2	0,847762329	-0,038713238	0,016	0,015	1	0,97352286	1,027197245	1,066666667
HNRNPA1L2	0,682243796	-0,038715777	0,015	0,018	1	0,973521147	1,027199053	0,833333333
RCCD1	0,24707885	-0,038750478	0,022	0,031	1	0,973497731	1,02722376	0,709677419
ZNF350	0,995876465	-0,038781194	0,015	0,015	1	0,973477005	1,027245631	1
GDPD3	0,057100896	-0,038824972	0,005	0,014	1	0,973447466	1,027276803	0,357142857
RPL37	0,249765595	-0,038853203	0,735	0,898	1	0,973428417	1,027296905	0,818485523
DDX20	0,271861427	-0,038872942	0,024	0,016	1	0,973415099	1,02731096	1,5
USP35	0,409615968	-0,038892971	0,008	0,012	1	0,973401585	1,027325223	0,666666667
CHAC1	0,02598154	-0,038903624	0,006	0,018	1	0,973394398	1,027332808	0,333333333
DENND4C	0,097614286	-0,038906625	0,036	0,053	1	0,973392372	1,027334946	0,679245283
ING5	0,195585448	-0,03897026	0,061	0,076	1	0,973349439	1,027380261	0,802631579
ESF1	0,981082487	-0,039005266	0,173	0,17	1	0,973325822	1,027405189	1,017647059
PIWIL4	0,411051769	-0,039038919	0,008	0,012	1	0,973303117	1,027429156	0,666666667
RASA2	0,002584279	-0,03905918	0,034	0,066	1	0,973289449	1,027443585	0,515151515
MOB3A	0,544296861	-0,039108424	0,031	0,026	1	0,973256228	1,027478655	1,192307692
RPS6KB1	0,029183369	-0,039121426	0,056	0,083	1	0,973247456	1,027487916	0,674698795
PEDS1	0,513281755	-0,039140832	0,085	0,073	1	0,973234365	1,027501736	1,164383562
STAT5A	0,036757931	-0,039160518	0,019	0,035	1	0,973221085	1,027515757	0,542857143
LINC00847	0,543901312	-0,03916637	0,013	0,016	1	0,973217138	1,027519925	0,8125
MDP1	0,620907042	-0,039216174	0,062	0,054	1	0,973183541	1,027555397	1,148148148
BCAS2	0,195579295	-0,039272171	0,119	0,137	1	0,973145768	1,027595282	0,868613139
CASTOR1	0,593646265	-0,039337182	0,019	0,015	1	0,973101917	1,027641588	1,266666667
MED9	0,222882856	-0,039356432	0,012	0,019	1	0,973088934	1,0276553	0,631578947
CEP57	0,153647661	-0,039466258	0,109	0,129	1	0,973014859	1,027733534	0,84496124
PHF14	0,538372987	-0,039499897	0,163	0,17	1	0,972992172	1,027757498	0,958823529

Supplementary Table 5

Differentially expressed genes_total calculation_ comparing SC-Keloid vs. (SC-Myel, SC-Nonmyel)								
gene	p_val	avg_log2FC	pct.1	pct.2	p_val_adj	Foldchange_UP	Foldchange_DOWN	Ratio_pct1_pct2
TARBP2	0,190111604	-0,039503564	0,028	0,018	1	0,972989699	1,02776011	1,555555556
AKAP1	0,387996493	-0,039515936	0,026	0,033	1	0,972981355	1,027768924	0,787878788
GNPTAB	0,741019724	-0,03953204	0,058	0,061	1	0,972970494	1,027780396	0,950819672
TRMT1	0,038213186	-0,039601733	0,033	0,053	1	0,972923493	1,027830047	0,622641509
RFC2	0,08958874	-0,039658894	0,043	0,061	1	0,972884946	1,027870771	0,704918033
WDR35	0,904920079	-0,039762647	0,035	0,035	1	0,972814982	1,027944695	1
HSD17B14	0,031097692	-0,039794591	0,002	0,011	1	0,972793443	1,027967456	0,181818182
THAP7	0,227491301	-0,039794881	0,078	0,092	1	0,972793247	1,027967662	0,847826087
COG1	0,447127529	-0,039797878	0,03	0,037	1	0,972791226	1,027969798	0,810810811
OSGEP	0,856133516	-0,039937272	0,1	0,094	1	0,972697239	1,028069125	1,063829787
CCDC22	0,500837607	-0,039943515	0,044	0,037	1	0,97269303	1,028073575	1,189189189
ACSF3	0,745305732	-0,039984223	0,042	0,038	1	0,972665584	1,028102584	1,105263158
TMSB15B	0,56664802	-0,040081246	0,008	0,011	1	0,972600174	1,028171727	0,727272727
LINC00462	0,002214594	-0,040092766	0	0,011	1	0,972592407	1,028179937	0
REEP2	0,555514597	-0,040112365	0,042	0,035	1	0,972579194	1,028193905	1,2
SLC44A4	0,009487867	-0,040112847	0,002	0,014	1	0,97257887	1,028194248	0,142857143
SRPK3	0,299503732	-0,040132208	0,009	0,015	1	0,972565818	1,028208047	0,6
RECQL4	0,07598693	-0,040133406	0,003	0,011	1	0,97256501	1,028208901	0,272727273
NPM1	0,001295687	-0,04015801	0,481	0,64	1	0,972548424	1,028226436	0,7515625
GATB	0,309573541	-0,040234726	0,023	0,031	1	0,97249671	1,028281114	0,741935484
RAB11FIP2	0,052846802	-0,040236717	0,051	0,075	1	0,972495367	1,028282533	0,68
ANKRD13D	0,626228947	-0,040253868	0,098	0,087	1	0,972483806	1,028294758	1,126436782
GAK	0,414031694	-0,040274359	0,059	0,068	1	0,972469994	1,028309363	0,867647059
PUDP	0,133540884	-0,040319112	0,008	0,016	1	0,972439828	1,028341262	0,5
PDSS2	0,868543155	-0,040332667	0,03	0,031	1	0,972430691	1,028350924	0,967741935
GRIPAP1	0,530526538	-0,040344153	0,043	0,049	1	0,972422949	1,028359111	0,87755102
C16orf46	0,960417608	-0,040349364	0,014	0,014	1	0,972419437	1,028362825	1
DXO	0,329520584	-0,040371191	0,037	0,046	1	0,972404725	1,028378384	0,804347826
SMARCAL1	0,671220173	-0,040435428	0,027	0,023	1	0,972361429	1,028424175	1,173913043
SLC4A3	0,042379497	-0,040452645	0,009	0,022	1	0,972349825	1,028436447	0,409090909

Supplementary Table 5

Differentially expressed genes_total calculation_ comparing SC-Keloid vs. (SC-Myel, SC-Nonmyel)								
gene	p_val	avg_log2FC	pct.1	pct.2	p_val_adj	Foldchange_UP	Foldchange_DOWN	Ratio_pct1_pct2
CEACAM19	0,07598693	-0,040458991	0,003	0,011	1	0,972345548	1,028440972	0,272727273
PLEKHH1	0,764766914	-0,040464896	0,02	0,022	1	0,972341568	1,028445181	0,909090909
HECTD3	0,549519769	-0,04051929	0,013	0,016	1	0,972304909	1,028483957	0,8125
PRXL2A	8,01146E-05	-0,040537325	0,024	0,065	1	0,972292754	1,028496814	0,369230769
HOMER2	0,07498712	-0,040555768	0,003	0,011	1	0,972280325	1,028509962	0,272727273
PHOSPHO2	0,961922294	-0,040559518	0,014	0,014	1	0,972277797	1,028512636	1
FBXL19	0,835481417	-0,040639011	0,015	0,016	1	0,972224226	1,028569308	0,9375
ASB6	0,57769394	-0,040662079	0,038	0,033	1	0,972208681	1,028585755	1,151515152
HIBADH	0,849468608	-0,040699913	0,047	0,043	1	0,972183185	1,02861273	1,093023256
EFHC1	0,21912446	-0,040742519	0,113	0,129	1	0,972154475	1,028643108	0,875968992
PPP1R3F	0,079095259	-0,040750053	0,013	0,024	1	0,972149398	1,028648479	0,541666667
RAB3GAP1	0,001533637	-0,040750205	0,085	0,133	1	0,972149296	1,028648587	0,639097744
RPP25L	0,184220746	-0,040756654	0,023	0,034	1	0,972144951	1,028653185	0,676470588
RTN4IP1	0,017081228	-0,040898402	0,002	0,012	1	0,97204944	1,028754258	0,166666667
EIF3E	1,85224E-05	-0,040926629	0,292	0,398	0,390841789	0,972030421	1,028774386	0,733668342
FBXO21	0,347655842	-0,040948085	0,092	0,103	1	0,972015965	1,028789687	0,893203883
ZDHHC17	0,036942952	-0,041011476	0,069	0,096	1	0,971973256	1,028834892	0,71875
GDAP2	0,648345477	-0,041035257	0,029	0,033	1	0,971957235	1,028851851	0,878787879
KIAA0586	0,179371445	-0,041092361	0,045	0,06	1	0,971918764	1,028892575	0,75
CCNDBP1	0,345482642	-0,041099452	0,107	0,118	1	0,971913987	1,028897633	0,906779661
RPS6KA1	0,897912449	-0,041110346	0,024	0,023	1	0,971906648	1,028905402	1,043478261
SUCO	0,142158196	-0,04113059	0,066	0,084	1	0,97189301	1,02891984	0,785714286
NT5C3B	0,421596591	-0,041138332	0,092	0,102	1	0,971887795	1,028925361	0,901960784
ZNF609	0,017709256	-0,041146874	0,035	0,06	1	0,97188204	1,028931453	0,583333333
TDRD7	0,067115976	-0,041162287	0,016	0,03	1	0,971871657	1,028942446	0,533333333
H2AC16	0,020172327	-0,041180624	0,005	0,016	1	0,971859305	1,028955524	0,3125
ZNF510	0,542625671	-0,041289971	0,014	0,018	1	0,971785647	1,029033515	0,777777778
UCHL1	0,956288614	-0,041392797	0,069	0,068	1	0,971716386	1,029106861	1,014705882
PRORP	0,543633462	-0,04144281	0,014	0,018	1	0,971682701	1,029142537	0,777777778
SMG8	0,153018283	-0,041543315	0,005	0,011	1	0,971615011	1,029214234	0,454545455

Supplementary Table 5

Differentially expressed genes_total calculation_ comparing SC-Keloid vs. (SC-Myel, SC-Nonmyel)								
gene	p_val	avg_log2FC	pct.1	pct.2	p_val_adj	Foldchange_UP	Foldchange_DOWN	Ratio_pct1_pct2
MFSD4A	0,009588809	-0,041590389	0,002	0,014	1	0,971583309	1,029247818	0,142857143
ZBTB48	0,387275253	-0,041626734	0,023	0,03	1	0,971558833	1,029273746	0,766666667
AP5Z1	0,960761971	-0,04163496	0,038	0,038	1	0,971553293	1,029279616	1
PEX5	0,548749855	-0,041654863	0,029	0,034	1	0,97153989	1,029293815	0,852941176
TMEM200B	0,001538315	-0,041661101	0,001	0,015	1	0,971535689	1,029298266	0,066666667
SLC4A5	0,420397737	-0,041690952	0,01	0,015	1	0,971515587	1,029319563	0,666666667
POLD3	0,383003223	-0,041692057	0,028	0,035	1	0,971514843	1,029320352	0,8
MPHOSPH8	0,000781182	-0,041724454	0,247	0,327	1	0,971493027	1,029343467	0,755351682
ZNF580	0,780979747	-0,041726596	0,137	0,136	1	0,971491585	1,029344994	1,007352941
ERI3	0,696911683	-0,041851277	0,095	0,098	1	0,97140763	1,029433957	0,969387755
RRM1	0,302230133	-0,041918083	0,056	0,043	1	0,971362649	1,029481627	1,302325581
FAM241B	0,001538315	-0,041923728	0,001	0,015	1	0,971358848	1,029485655	0,066666667
DNM1L	0,883980676	-0,04194513	0,115	0,114	1	0,971344438	1,029500928	1,00877193
TOMM40	0,62624511	-0,041957598	0,121	0,109	1	0,971336043	1,029509825	1,110091743
FOLH1	0,001496476	-0,041959879	0,001	0,015	1	0,971334508	1,029511453	0,066666667
PLEKHA2	0,105624989	-0,042030898	0,021	0,034	1	0,971286693	1,029562133	0,617647059
HBEGF	0,009209884	-0,042071207	0,367	0,461	1	0,971259556	1,029590899	0,796095445
ATG4A	0,18909479	-0,04209276	0,022	0,033	1	0,971245046	1,029606282	0,666666667
RBM23	0,009221265	-0,042139698	0,093	0,132	1	0,971213447	1,02963978	0,704545455
FXR2	0,114005448	-0,042156114	0,061	0,079	1	0,971202396	1,029651496	0,772151899
TMEM126B	0,006139843	-0,042213328	0,139	0,183	1	0,971163881	1,029692331	0,759562842
SEC24C	0,808303374	-0,042326504	0,05	0,052	1	0,971087699	1,029773111	0,961538462
C3orf18	0,546706967	-0,042347184	0,013	0,016	1	0,971073779	1,029787872	0,8125
ALG6	0,399274342	-0,042348406	0,052	0,042	1	0,971072957	1,029788744	1,238095238
GOLGA6L9	0,151350898	-0,042390859	0,005	0,011	1	0,971044382	1,029819047	0,454545455
NKD2	0,002214594	-0,042395375	0	0,011	1	0,971041342	1,029822271	0
SOBP	0,002214593	-0,042469672	0	0,011	1	0,970991336	1,029875307	0
FAM161A	0,191082626	-0,042475527	0,028	0,039	1	0,970987395	1,029879486	0,717948718
FANCG	0,315859884	-0,042478957	0,015	0,022	1	0,970985087	1,029881935	0,681818182
IL20RB	0,009892254	-0,042538362	0,001	0,011	1	0,970945106	1,029924343	0,090909091

Supplementary Table 5

Differentially expressed genes_total calculation_ comparing SC-Keloid vs. (SC-Myel, SC-Nonmyel)								
gene	p_val	avg_log2FC	pct.1	pct.2	p_val_adj	Foldchange_UP	Foldchange_DOWN	Ratio_pct1_pct2
CDC42BPA	0,225932291	-0,042583618	0,129	0,145	1	0,970914649	1,029956651	0,889655172
ZNF133	0,423996941	-0,042689506	0,013	0,018	1	0,970843391	1,030032248	0,722222222
CCDC106	0,846681128	-0,0427054	0,058	0,054	1	0,970832695	1,030043596	1,074074074
ALG12	0,426294328	-0,042706012	0,041	0,033	1	0,970832283	1,030044033	1,242424242
USP25	0,01117746	-0,042738329	0,038	0,066	1	0,970810536	1,030067107	0,575757576
MAP2K4	0,139311365	-0,04276887	0,042	0,057	1	0,970789985	1,030088913	0,736842105
KCNK1	0,010086398	-0,042861531	0,001	0,011	1	0,970727635	1,030155076	0,090909091
AC097532.2	0,009588806	-0,042865091	0,002	0,014	1	0,97072524	1,030157617	0,142857143
SCGB1B2P	0,168803095	-0,042871995	0,006	0,012	1	0,970720594	1,030162547	0,5
TTF1	0,371027824	-0,042874026	0,058	0,068	1	0,970719228	1,030163997	0,852941176
PRXL2B	0,639719629	-0,042877451	0,041	0,045	1	0,970716923	1,030166443	0,911111111
THAP10	0,000822944	-0,042888905	0,001	0,016	1	0,970709216	1,030174622	0,0625
RMRP	0,786615848	-0,04290494	0,019	0,02	1	0,970698427	1,030186072	0,95
DGKB	0,723306274	-0,042908772	0,083	0,085	1	0,970695849	1,030188808	0,976470588
USF1	0,409534922	-0,042920882	0,017	0,023	1	0,970687701	1,030197456	0,739130435
LEPROT	1,67863E-06	-0,042926664	0,263	0,383	0,035420792	0,970683811	1,030201585	0,686684073
DPP7	0,073641549	-0,042931626	0,184	0,213	1	0,970680472	1,030205128	0,863849765
ZNF565	0,08898054	-0,042946493	0,008	0,018	1	0,970670469	1,030215744	0,444444444
CDK14	0,150207803	-0,042992646	0,026	0,038	1	0,970639418	1,030248702	0,684210526
SIK1	0,01475003	-0,04301189	0,003	0,015	1	0,97062647	1,030262444	0,2
AL035681.1	0,008417081	-0,043055454	0,003	0,016	1	0,970597162	1,030293555	0,1875
ZNF713	0,050383891	-0,043122533	0,007	0,018	1	0,970552034	1,03034146	0,388888889
RAI2	0,002214594	-0,043185641	0	0,011	1	0,97050958	1,030386532	0
TRIM26	0,334508438	-0,043249673	0,042	0,052	1	0,970466506	1,030432265	0,807692308
GUCY1B1	0,182901044	-0,043326532	0,007	0,014	1	0,970414806	1,030487162	0,5
NBAS	0,18430568	-0,04333363	0,05	0,065	1	0,970410032	1,030492232	0,769230769
BHLHE41	0,137345108	-0,04333423	0,019	0,03	1	0,970409628	1,030492661	0,633333333
NTF3	0,300044325	-0,043334338	0,009	0,015	1	0,970409556	1,030492738	0,6
MBLAC2	0,687854416	-0,043336319	0,022	0,019	1	0,970408223	1,030494153	1,157894737
TPP2	0,036840627	-0,043336752	0,054	0,079	1	0,970407932	1,030494462	0,683544304

Supplementary Table 5

Differentially expressed genes_total calculation_ comparing SC-Keloid vs. (SC-Myel, SC-Nonmyel)								
gene	p_val	avg_log2FC	pct.1	pct.2	p_val_adj	Foldchange_UP	Foldchange_DOWN	Ratio_pct1_pct2
TCEANC	0,093058931	-0,04335016	0,005	0,012	1	0,970398913	1,030504039	0,416666667
INO80	0,059705745	-0,043396188	0,073	0,098	1	0,970367954	1,030536917	0,744897959
LEMD3	0,005025623	-0,043409219	0,051	0,085	1	0,970359189	1,030546226	0,6
AIG1	0,139283875	-0,043489795	0,123	0,144	1	0,970304995	1,030603784	0,854166667
MAPK1	0,091992142	-0,043493376	0,194	0,221	1	0,970302587	1,030606342	0,877828054
NUDT12	0,049741344	-0,043530714	0,03	0,049	1	0,970277475	1,030633016	0,612244898
DMAC2L	0,120261403	-0,043590448	0,083	0,103	1	0,970237302	1,030675689	0,805825243
ZBTB7B	0,420503901	-0,043618949	0,034	0,041	1	0,970218135	1,03069605	0,829268293
AC093323.1	0,574228798	-0,043705942	0,036	0,041	1	0,970159634	1,030758202	0,87804878
LIPC	0,002834179	-0,043718282	0,002	0,016	1	0,970151336	1,030767019	0,125
SIPA1L1	0,003912532	-0,04373229	0,057	0,095	1	0,970141916	1,030777027	0,6
CETN3	0,147409686	-0,043757936	0,048	0,064	1	0,97012467	1,030795351	0,75
TUBGCP6	0,413206733	-0,0438106	0,015	0,02	1	0,970089257	1,03083298	0,75
SELPLG	0,05558943	-0,04389961	0,008	0,019	1	0,970029408	1,030896581	0,421052632
CHM	0,333442122	-0,04391199	0,073	0,084	1	0,970021083	1,030905428	0,869047619
AKR1B1	0,488237972	-0,043922282	0,136	0,142	1	0,970014164	1,030912782	0,957746479
TTC7A	0,040890009	-0,043928863	0,014	0,028	1	0,970009739	1,030917484	0,5
SLC2A9	0,002873058	-0,043934346	0,001	0,014	1	0,970006052	1,030921403	0,071428571
KBTBD4	0,560090616	-0,04396001	0,028	0,033	1	0,969988797	1,030939742	0,848484848
TNNI3K	0,00116827	-0,043973334	0	0,012	1	0,969979838	1,030949263	0
RNF216	0,237529819	-0,043975571	0,081	0,096	1	0,969978335	1,030950862	0,84375
TMEM220	0,200014199	-0,044079939	0,027	0,038	1	0,969908167	1,031025446	0,710526316
NADK	0,810862924	-0,04408186	0,056	0,052	1	0,969906875	1,031026818	1,076923077
TIMM17B	0,862137183	-0,044116562	0,105	0,103	1	0,969883546	1,031051619	1,019417476
NBPF20	0,640219519	-0,04415892	0,01	0,008	1	0,96985507	1,031081892	1,25
NPLOC4	0,22266405	-0,044164427	0,075	0,09	1	0,969851368	1,031085827	0,833333333
HLA-C	0,006469192	-0,044216642	0,537	0,741	1	0,969816267	1,031123146	0,724696356
GID4	0,100051739	-0,044223513	0,017	0,03	1	0,969811648	1,031128056	0,566666667
MVD	0,25026807	-0,044273112	0,069	0,053	1	0,969778307	1,031163507	1,301886792
BUD13	0,595010493	-0,044337697	0,024	0,028	1	0,969734895	1,031209669	0,857142857

Supplementary Table 5

Differentially expressed genes_total calculation_ comparing SC-Keloid vs. (SC-Myel, SC-Nonmyel)								
gene	p_val	avg_log2FC	pct.1	pct.2	p_val_adj	Foldchange_UP	Foldchange_DOWN	Ratio_pct1_pct2
VPS4A	0,161712707	-0,044375328	0,092	0,11	1	0,969709601	1,031236568	0,836363636
KIAA1549	0,057720335	-0,044421732	0,005	0,014	1	0,96967841	1,031269738	0,357142857
ALS2CL	0,005376673	-0,044454793	0,001	0,012	1	0,969656189	1,031293371	0,083333333
GRAMD1B	0,000175145	-0,044526658	0	0,016	1	0,969607889	1,031344744	0
PLEKHM1	0,068952545	-0,044550808	0,029	0,046	1	0,969591658	1,031362009	0,630434783
KLHL17	0,976415982	-0,044567446	0,016	0,016	1	0,969580476	1,031373903	1
CPT1B	0,056486996	-0,044568847	0,005	0,014	1	0,969579535	1,031374904	0,357142857
C7orf26	0,717094257	-0,044573571	0,042	0,045	1	0,96957636	1,031378282	0,933333333
PIGG	0,317965352	-0,044595595	0,044	0,054	1	0,969561559	1,031394027	0,814814815
KDM5C	0,015979529	-0,044635105	0,059	0,091	1	0,969535006	1,031422273	0,648351648
RNF4	0,422642038	-0,044663352	0,059	0,068	1	0,969516024	1,031442468	0,867647059
ZNF514	0,681285818	-0,044689471	0,027	0,03	1	0,969498471	1,031461142	0,9
HEPACAM	0,002873058	-0,04472375	0,001	0,014	1	0,969475436	1,03148565	0,071428571
LINC01011	0,056399746	-0,044770222	0,005	0,014	1	0,969444208	1,031518876	0,357142857
PITPNM2	0,017365681	-0,044843154	0,002	0,012	1	0,969395202	1,031571023	0,166666667
SYS1	0,660913766	-0,044884611	0,047	0,05	1	0,969367345	1,031600667	0,94
EEFSEC	0,920791661	-0,044918783	0,027	0,027	1	0,969344385	1,031625102	1
KLHL36	0,064659559	-0,044919639	0,061	0,083	1	0,96934381	1,031625714	0,734939759
CDK10	0,894918094	-0,045016613	0,068	0,064	1	0,969278655	1,031695059	1,0625
TRIM34	0,030973371	-0,045022072	0,002	0,011	1	0,969274988	1,031698963	0,181818182
CDK3	0,159837991	-0,045046747	0,012	0,02	1	0,96925841	1,031716609	0,6
RNF26	0,998332653	-0,045109515	0,023	0,023	1	0,969216241	1,031761497	1
CSDE1	5,30439E-08	-0,045135483	0,315	0,457	0,001119279	0,969198796	1,031780069	0,689277899
GPRC5B	0,00840093	-0,045149953	0,003	0,016	1	0,969189075	1,031790417	0,1875
DDRGK1	0,380186819	-0,045162066	0,135	0,144	1	0,969180937	1,031799081	0,9375
NXT2	0,712089113	-0,045164188	0,023	0,026	1	0,969179512	1,031800598	0,884615385
SPINT1	0,002837596	-0,045287501	0,001	0,014	1	0,969096676	1,031888794	0,071428571
ALDH3B1	0,432263321	-0,045323122	0,031	0,024	1	0,969072748	1,031914272	1,291666667
TENT5C	0,047320606	-0,045351083	0,01	0,023	1	0,969053967	1,031934272	0,434782609
ASB16-AS1	0,289148537	-0,045359849	0,008	0,014	1	0,969048079	1,031940542	0,571428571

Supplementary Table 5

Differentially expressed genes_total calculation_ comparing SC-Keloid vs. (SC-Myel, SC-Nonmyel)								
gene	p_val	avg_log2FC	pct.1	pct.2	p_val_adj	Foldchange_UP	Foldchange_DOWN	Ratio_pct1_pct2
WDR45B	0,011524715	-0,045499687	0,159	0,205	1	0,968954155	1,032040572	0,775609756
GOSR1	0,014768947	-0,045502276	0,116	0,156	1	0,968952416	1,032042424	0,743589744
CCDC51	0,908229653	-0,045532432	0,026	0,024	1	0,968932163	1,032063996	1,083333333
DENND11	0,057086347	-0,045558253	0,008	0,019	1	0,968914822	1,032082468	0,421052632
SHC3	0,093058931	-0,045603785	0,005	0,012	1	0,968884242	1,032115041	0,416666667
THAP8	0,784310258	-0,045616185	0,02	0,018	1	0,968875915	1,032123912	1,111111111
MPP2	0,151143452	-0,045616974	0,005	0,011	1	0,968875385	1,032124477	0,454545455
CDC37	0,000298063	-0,045624633	0,24	0,322	1	0,968870241	1,032129957	0,745341615
SNX19	0,907705488	-0,045707958	0,036	0,037	1	0,968814284	1,03218957	0,972972973
ERP44	0,028351708	-0,045720645	0,151	0,186	1	0,968805765	1,032198647	0,811827957
MARCHF10	0,017401528	-0,045779423	0,002	0,012	1	0,968766295	1,032240702	0,166666667
SOX3	0,002214594	-0,045781061	0	0,011	1	0,968765195	1,032241874	0
RHCE	0,002214594	-0,045916776	0	0,011	1	0,968674067	1,032338982	0
ZBTB5	0,143183122	-0,045990506	0,024	0,037	1	0,968624564	1,032391741	0,648648649
RICTOR	0,001722185	-0,04600016	0,077	0,122	1	0,968618082	1,03239865	0,631147541
EAF1	0,26917404	-0,046181122	0,038	0,049	1	0,968496592	1,032528155	0,775510204
CSPG5	0,075485673	-0,046198645	0,003	0,011	1	0,968484829	1,032540697	0,272727273
SECISBP2	0,110624133	-0,046321246	0,102	0,125	1	0,96840253	1,032628446	0,816
TSPOAP1-AS1	0,010061946	-0,046341654	0,001	0,011	1	0,968388831	1,032643054	0,090909091
LMOD1	0,017545566	-0,046364773	0,002	0,012	1	0,968373314	1,032659601	0,166666667
RAB5A	0,002446701	-0,046394424	0,177	0,233	1	0,968353411	1,032680825	0,759656652
CFB	0,000618779	-0,046397055	0	0,014	1	0,968351645	1,032682708	0
STARD7	0,013853202	-0,046413066	0,094	0,13	1	0,968340899	1,032694169	0,723076923
PAXBP1-AS1	0,092922739	-0,046431472	0,005	0,012	1	0,968328544	1,032707345	0,416666667
NANOS3	0,548238926	-0,046454557	0,013	0,009	1	0,96831305	1,03272387	1,444444444
NHSL1	0,078845535	-0,046519698	0,007	0,016	1	0,968269329	1,032770501	0,4375
MTHFD1	0,902749989	-0,046521182	0,05	0,047	1	0,968268333	1,032771563	1,063829787
PTGER4	0,014888236	-0,046521758	0,003	0,015	1	0,968267947	1,032771975	0,2
TMEM165	0,005448362	-0,046607171	0,196	0,247	1	0,968210623	1,032833121	0,793522267
LIN7C	0,002969121	-0,046616917	0,095	0,141	1	0,968204083	1,032840099	0,673758865

Supplementary Table 5

Differentially expressed genes_total calculation_ comparing SC-Keloid vs. (SC-Myel, SC-Nonmyel)								
gene	p_val	avg_log2FC	pct.1	pct.2	p_val_adj	Foldchange_UP	Foldchange_DOWN	Ratio_pct1_pct2
AMDHD2	0,300599246	-0,046634803	0,028	0,037	1	0,96819208	1,032852903	0,756756757
PDE7A	0,305126728	-0,046641062	0,027	0,035	1	0,968187879	1,032857384	0,771428571
TMCC2	0,009892254	-0,046666707	0,001	0,011	1	0,968170669	1,032875744	0,090909091
NICN1	0,149903322	-0,046699422	0,005	0,011	1	0,968148715	1,032899166	0,454545455
IL16	1,41537E-05	-0,046748104	0,003	0,031	0,298658123	0,968116046	1,03293402	0,096774194
AP2M1	0,00237992	-0,046785532	0,254	0,331	1	0,96809093	1,032960819	0,767371601
ZNF606	0,27891557	-0,046822146	0,007	0,012	1	0,968066362	1,032987034	0,583333333
TBC1D15	0,010768559	-0,046835058	0,098	0,137	1	0,968057698	1,032996279	0,715328467
TMEM185A	0,902608643	-0,046854096	0,058	0,058	1	0,968044923	1,033009911	1
TSEN2	0,316140815	-0,046880107	0,013	0,019	1	0,96802747	1,033028535	0,684210526
MYBBP1A	0,689943914	-0,047026437	0,027	0,03	1	0,96792929	1,033133319	0,9
AMBRA1	0,052432374	-0,04704363	0,019	0,034	1	0,967917755	1,033145632	0,558823529
FADS2	0,191731742	-0,0470692	0,031	0,043	1	0,9679006	1,033163943	0,720930233
PACSIN2	0,075271478	-0,047079031	0,129	0,156	1	0,967894004	1,033170983	0,826923077
SLC12A7	0,033145516	-0,047114969	0,005	0,015	1	0,967869894	1,03319672	0,333333333
SGSH	0,321466422	-0,047139294	0,022	0,03	1	0,967853575	1,033214141	0,733333333
ZNF618	0,001526252	-0,047164884	0,007	0,027	1	0,967836407	1,033232468	0,259259259
MALSU1	0,420255196	-0,047178858	0,105	0,114	1	0,967827033	1,033242476	0,921052632
KLHDC1	0,104304082	-0,047242913	0,01	0,02	1	0,967784063	1,033288352	0,5
ZNF14	0,01464028	-0,047248844	0,003	0,015	1	0,967780085	1,0332926	0,2
WFIKKN1	0,067577011	-0,047252846	0,006	0,015	1	0,9677774	1,033295466	0,4
SPTLC3	0,01155016	-0,047310162	0,005	0,018	1	0,967738952	1,033336519	0,277777778
PRKAA2	0,00116827	-0,047331374	0	0,012	1	0,967724724	1,033351712	0
DUSP28	0,606372592	-0,047341554	0,022	0,026	1	0,967717896	1,033359003	0,846153846
MOCS1	0,810742868	-0,047344912	0,016	0,018	1	0,967715643	1,033361409	0,888888889
BBS1	0,145211541	-0,047348101	0,009	0,018	1	0,967713504	1,033363693	0,5
STIMATE	0,972576124	-0,047390044	0,028	0,027	1	0,96768537	1,033393736	1,037037037
SAT2	2,35656E-05	-0,047399501	0,275	0,374	0,497258603	0,967679027	1,03340051	0,735294118
USP10	0,105811913	-0,047402053	0,09	0,111	1	0,967677315	1,033402338	0,810810811
EYA2	0,000443078	-0,047475856	0,001	0,018	1	0,967627814	1,033455205	0,055555556

Supplementary Table 5

Differentially expressed genes_total calculation_ comparing SC-Keloid vs. (SC-Myel, SC-Nonmyel)								
gene	p_val	avg_log2FC	pct.1	pct.2	p_val_adj	Foldchange_UP	Foldchange_DOWN	Ratio_pct1_pct2
PAIP2B	0,027781371	-0,04747769	0,009	0,023	1	0,967626583	1,033456518	0,391304348
MRM2	0,417707123	-0,0474863	0,044	0,035	1	0,967620809	1,033462686	1,257142857
CORO7	0,094854157	-0,047511827	0,033	0,049	1	0,967603688	1,033480972	0,673469388
C6orf62	0,000909232	-0,04753454	0,156	0,217	1	0,967588454	1,033497243	0,718894009
CDON	0,291104217	-0,047549269	0,008	0,014	1	0,967578576	1,033507794	0,571428571
ZCCHC14	0,072128613	-0,047551363	0,073	0,096	1	0,967577172	1,033509295	0,760416667
UNKL	0,005036716	-0,047583579	0,017	0,041	1	0,967555566	1,033532373	0,414634146
ZC4H2	0,230761849	-0,047611137	0,013	0,02	1	0,967537084	1,033552115	0,65
SCYL3	0,158487898	-0,047675884	0,012	0,02	1	0,967493663	1,033598502	0,6
BCKDK	0,316687644	-0,047733132	0,081	0,065	1	0,967455272	1,033639517	1,246153846
SLC16A5	0,07498712	-0,047770307	0,003	0,011	1	0,967430343	1,033666152	0,272727273
LYRM1	0,361684826	-0,047775782	0,03	0,038	1	0,967426671	1,033670075	0,789473684
METAP1D	0,45731144	-0,04778431	0,042	0,049	1	0,967420953	1,033676185	0,857142857
USP28	0,236697275	-0,047785195	0,015	0,023	1	0,96742036	1,033676819	0,652173913
AC104695.3	0,00517985	-0,047797774	0,002	0,015	1	0,967411925	1,033685832	0,133333333
DONSON	0,407843707	-0,047799805	0,036	0,043	1	0,967410563	1,033687287	0,837209302
CDK12	0,080732236	-0,047841328	0,101	0,126	1	0,96738272	1,033717038	0,801587302
FAM20B	0,261227509	-0,047873207	0,044	0,056	1	0,967361343	1,033739881	0,785714286
SLC26A11	0,001289638	-0,047920007	0,016	0,043	1	0,967329963	1,033773415	0,372093023
PSD2	0,04400933	-0,047939216	0,003	0,012	1	0,967317084	1,03378718	0,25
TBC1D16	0,059688308	-0,047954487	0,045	0,066	1	0,967306845	1,033798122	0,681818182
RNASEH2A	0,900313526	-0,048065748	0,012	0,012	1	0,967232249	1,033877852	1
GIT2	0,300875885	-0,048104325	0,031	0,041	1	0,967206386	1,033905498	0,756097561
FAM149B1	0,986979929	-0,048119864	0,022	0,022	1	0,967195968	1,033916634	1
ZMYM6	0,282670363	-0,048222594	0,036	0,046	1	0,9671271	1,033990259	0,782608696
KNTC1	0,542289947	-0,048257326	0,014	0,018	1	0,967103817	1,034015152	0,777777778
BLZF1	0,621097505	-0,048305064	0,052	0,057	1	0,967071817	1,034049367	0,912280702
TCAIM	0,719296815	-0,048346977	0,035	0,031	1	0,967043721	1,034079409	1,129032258
GNPTG	0,00139109	-0,048359026	0,101	0,151	1	0,967035646	1,034088045	0,668874172
FAHD2A	0,169931632	-0,048408989	0,045	0,06	1	0,967002155	1,034123858	0,75

Supplementary Table 5

Differentially expressed genes_total calculation_ comparing SC-Keloid vs. (SC-Myel, SC-Nonmyel)								
gene	p_val	avg_log2FC	pct.1	pct.2	p_val_adj	Foldchange_UP	Foldchange_DOWN	Ratio_pct1_pct2
GNAZ	0,089512873	-0,04844788	0,008	0,018	1	0,966976089	1,034151735	0,444444444
ZNF433	0,688577148	-0,048455667	0,014	0,016	1	0,966970869	1,034157318	0,875
PEX5L	0,000146568	-0,048497891	0,002	0,023	1	0,966942569	1,034187585	0,086956522
CALM3	0,001547735	-0,048501157	0,148	0,204	1	0,96694038	1,034189926	0,725490196
FAM53C	0,004912483	-0,048545057	0,062	0,099	1	0,966910957	1,034221396	0,626262626
SMARCA2	0,092492121	-0,04856263	0,07	0,091	1	0,966899179	1,034233994	0,769230769
SCD	0,00049237	-0,048571221	0,212	0,286	1	0,966893422	1,034240152	0,741258741
FBXO34	0,017486352	-0,048576962	0,034	0,058	1	0,966889574	1,034244268	0,586206897
ZNF699	0,631531497	-0,04859052	0,015	0,012	1	0,966880488	1,034253987	1,25
CNNM2	0,159988537	-0,048600585	0,012	0,02	1	0,966873742	1,034261203	0,6
KYAT3	0,150095366	-0,048637751	0,059	0,076	1	0,966848834	1,034287848	0,776315789
RPUSD2	0,054610109	-0,048638376	0,013	0,026	1	0,966848416	1,034288296	0,5
ZFP64	0,302760056	-0,048707961	0,01	0,016	1	0,966801783	1,034338183	0,625
ZBED3-AS1	0,00162268	-0,048709144	0,002	0,018	1	0,96680099	1,034339031	0,111111111
LRP5	0,004769166	-0,048730178	0,003	0,018	1	0,966786894	1,034354112	0,166666667
ZNF688	0,098494825	-0,048737655	0,076	0,053	1	0,966781884	1,034359473	1,433962264
RRAS2	0,620585128	-0,048770807	0,041	0,045	1	0,966759669	1,034383242	0,911111111
SCAMP4	0,87071756	-0,048785382	0,079	0,079	1	0,966749902	1,034393692	1
TTC17	0,014776481	-0,048797238	0,093	0,129	1	0,966741957	1,034402192	0,720930233
MFHAS1	0,867124919	-0,048929515	0,022	0,023	1	0,966653323	1,034497038	0,956521739
SUMO4	0,46281495	-0,048933434	0,028	0,034	1	0,966650697	1,034499849	0,823529412
LCA5	0,114296004	-0,048992925	0,033	0,047	1	0,966610838	1,034542508	0,70212766
FLRT2	0,002739524	-0,04901683	0,003	0,019	1	0,966594821	1,03455965	0,157894737
TBC1D13	0,891712916	-0,049126337	0,024	0,023	1	0,966521455	1,034638181	1,043478261
LRP4	0,000865986	-0,04914613	0,002	0,019	1	0,966508195	1,034652376	0,105263158
C7orf31	0,009892254	-0,049211341	0,001	0,011	1	0,966464509	1,034699144	0,090909091
MPV17L	0,001144792	-0,049254956	0,006	0,026	1	0,966435291	1,034730425	0,230769231
PIP4K2A	0,048759351	-0,049263086	0,062	0,087	1	0,966429846	1,034736256	0,712643678
UGDH	0,074564847	-0,049290878	0,109	0,136	1	0,966411229	1,034756189	0,801470588
SFXN5	0,028167996	-0,049313478	0,075	0,104	1	0,96639609	1,034772399	0,721153846

Supplementary Table 5

Differentially expressed genes_total calculation_ comparing SC-Keloid vs. (SC-Myel, SC-Nonmyel)								
gene	p_val	avg_log2FC	pct.1	pct.2	p_val_adj	Foldchange_UP	Foldchange_DOWN	Ratio_pct1_pct2
PRC1	0,4175386	-0,0493386	0,016	0,022	1	0,966379262	1,034790418	0,727272727
SMOC2	0,017329899	-0,049342893	0,002	0,012	1	0,966376386	1,034793497	0,166666667
GPHN	0,182456275	-0,049377601	0,02	0,03	1	0,966353138	1,034818392	0,666666667
CLHC1	0,319663819	-0,049388109	0,015	0,009	1	0,966346099	1,034825929	1,666666667
RPUSD4	0,073954569	-0,049408094	0,02	0,034	1	0,966332713	1,034840264	0,588235294
ZC3H10	0,163793818	-0,049410951	0,013	0,022	1	0,966330799	1,034842314	0,590909091
GPAM	0,721522907	-0,049478651	0,023	0,026	1	0,966285454	1,034890876	0,884615385
TMTC1	0,002214594	-0,049482002	0	0,011	1	0,966283209	1,03489328	0
PHF8	0,020983239	-0,049492188	0,022	0,042	1	0,966276387	1,034900587	0,523809524
MCM3AP	0,339658121	-0,049543606	0,052	0,062	1	0,96624195	1,034937471	0,838709677
FGFBP1	0,025826735	-0,049554885	0,003	0,014	1	0,966234396	1,034945562	0,214285714
HSPB8	0,07498712	-0,049597811	0,003	0,011	1	0,966205646	1,034976357	0,272727273
VAPB	0,067343896	-0,049615012	0,101	0,126	1	0,966194127	1,034988696	0,801587302
PCDHB15	0,020003409	-0,049633599	0,005	0,016	1	0,966181679	1,035002031	0,3125
PKNOX2	0,534234314	-0,049635652	0,031	0,037	1	0,966180304	1,035003504	0,837837838
SLC27A6	0,000328784	-0,049665646	0	0,015	1	0,966160217	1,035025022	0
RBM5	3,34531E-05	-0,049681374	0,141	0,217	0,705893472	0,966149684	1,035036306	0,649769585
PLA2G6	0,041328051	-0,049718988	0,014	0,028	1	0,966124495	1,035063292	0,5
NOL4L	0,252592713	-0,049796852	0,044	0,056	1	0,966072354	1,035119157	0,785714286
OCLN	0,557003109	-0,049872589	0,012	0,015	1	0,966021639	1,035173499	0,8
OXNAD1	0,41609015	-0,049922503	0,012	0,016	1	0,965988218	1,035209314	0,75
SCARF2	0,070322712	-0,049933569	0,01	0,022	1	0,965980808	1,035217255	0,454545455
GUCD1	0,516044323	-0,049954922	0,059	0,05	1	0,965966511	1,035232577	1,18
CYTH2	0,718908156	-0,049959481	0,137	0,137	1	0,965963458	1,035235848	1
CPEB4	0,000385405	-0,050017576	0,072	0,125	1	0,965924562	1,035277536	0,576
KCNJ10	0,00116827	-0,050028545	0	0,012	1	0,965917217	1,035285408	0
PHRF1	0,020592022	-0,050071662	0,03	0,053	1	0,96588835	1,035316349	0,566037736
FBXL4	0,590788022	-0,050089843	0,037	0,042	1	0,965876178	1,035329396	0,880952381
PDE12	0,086367169	-0,050094589	0,033	0,049	1	0,965873	1,035332802	0,673469388
ZSWIM9	0,02213373	-0,050117203	0,012	0,027	1	0,965857861	1,035349031	0,444444444

Supplementary Table 5

Differentially expressed genes_total calculation_ comparing SC-Keloid vs. (SC-Myel, SC-Nonmyel)								
gene	p_val	avg_log2FC	pct.1	pct.2	p_val_adj	Foldchange_UP	Foldchange_DOWN	Ratio_pct1_pct2
CBLB	0,055499319	-0,050126693	0,033	0,052	1	0,965851507	1,035355842	0,634615385
DDX23	0,197136333	-0,050148068	0,054	0,068	1	0,965837197	1,035371182	0,794117647
SFSWAP	0,000905317	-0,050156849	0,151	0,21	1	0,965831318	1,035377484	0,719047619
RFFL	0,014631149	-0,05021259	0,012	0,028	1	0,965794003	1,035417488	0,428571429
MBD4	0,608307192	-0,050228749	0,08	0,085	1	0,965783185	1,035429085	0,941176471
SEMA6C	0,159837991	-0,050238617	0,012	0,02	1	0,965776579	1,035436168	0,6
GGT7	0,619613382	-0,050341178	0,051	0,056	1	0,965707925	1,035509779	0,910714286
PIP4K2B	0,276928507	-0,050385673	0,059	0,072	1	0,965678142	1,035541716	0,819444444
SYTL1	0,009528129	-0,050385802	0,002	0,014	1	0,965678055	1,035541809	0,142857143
ZNF646	0,009250531	-0,050412459	0,006	0,02	1	0,965660212	1,035560943	0,3
PRR4	0,06691617	-0,050426411	0,006	0,015	1	0,965650874	1,035570957	0,4
NPHP4	0,046702607	-0,050444467	0,016	0,031	1	0,965638788	1,035583918	0,516129032
KIFC2	0,393178127	-0,050464781	0,024	0,031	1	0,965625191	1,0355985	0,774193548
PTPRJ	0,000419049	-0,050471687	0,073	0,125	1	0,965620569	1,035603457	0,584
ZNF660	0,702404604	-0,050474555	0,017	0,015	1	0,965618649	1,035605516	1,133333333
TFRC	0,373848177	-0,050475156	0,045	0,054	1	0,965618247	1,035605948	0,833333333
SMIM1	0,056399746	-0,050527952	0,005	0,014	1	0,965582911	1,035643847	0,357142857
TMEM143	0,121102937	-0,050557728	0,007	0,015	1	0,965562982	1,035665222	0,466666667
UPF3B	0,497779697	-0,050567609	0,073	0,08	1	0,965556369	1,035672315	0,9125
FANCM	0,416546951	-0,05059263	0,013	0,018	1	0,965539623	1,035690277	0,722222222
ZNF345	0,063284467	-0,050641189	0,009	0,02	1	0,965507125	1,035725137	0,45
BCKDHB	0,281171853	-0,050657292	0,051	0,062	1	0,965496349	1,035736698	0,822580645
NUDT3	0,000611379	-0,05067941	0,148	0,214	1	0,965481547	1,035752577	0,691588785
PLCD3	0,084944728	-0,050690201	0,028	0,043	1	0,965474325	1,035760324	0,651162791
SNUPN	0,543731891	-0,05074022	0,063	0,069	1	0,965440852	1,035796235	0,913043478
CDC25B	0,545625865	-0,050829444	0,029	0,034	1	0,965381146	1,035860297	0,852941176
FBXL18	0,41068193	-0,050835049	0,01	0,015	1	0,965377396	1,035864321	0,666666667
RBMS2	0,250855406	-0,050885352	0,063	0,076	1	0,965343736	1,035900439	0,828947368
RAB35	0,623288994	-0,050921368	0,059	0,064	1	0,965319636	1,035926301	0,921875
GPER1	0,407110505	-0,050926936	0,008	0,012	1	0,965315911	1,035930298	0,666666667

Supplementary Table 5

Differentially expressed genes_total calculation_ comparing SC-Keloid vs. (SC-Myel, SC-Nonmyel)								
gene	p_val	avg_log2FC	pct.1	pct.2	p_val_adj	Foldchange_UP	Foldchange_DOWN	Ratio_pct1_pct2
HYPK	0,021794725	-0,050941447	0,031	0,054	1	0,965306202	1,035940718	0,574074074
DNAJC27-AS1	0,042116728	-0,050948405	0,006	0,016	1	0,965301546	1,035945714	0,375
DSG1	0,097207797	-0,050959435	0,009	0,019	1	0,965294166	1,035953635	0,473684211
HLA-DOA	0,005376673	-0,050986273	0,001	0,012	1	0,965276209	1,035972906	0,083333333
SLC9A8	0,312012981	-0,05101455	0,015	0,022	1	0,96525729	1,035993212	0,681818182
OCRL	0,302760056	-0,051045999	0,01	0,016	1	0,965236249	1,036015795	0,625
TPCN2	0,469058421	-0,05110509	0,028	0,034	1	0,965196714	1,03605823	0,823529412
TBCD	0,182606723	-0,051253	0,034	0,046	1	0,965097764	1,036164456	0,739130435
XPO6	0,315354721	-0,051294034	0,069	0,08	1	0,965070315	1,036193928	0,8625
ZNF189	0,534210138	-0,051328887	0,015	0,019	1	0,965047001	1,03621896	0,789473684
MTRNR2L1	0,244721788	-0,051351494	0,023	0,033	1	0,965031878	1,036235198	0,696969697
KDM3B	0,092781731	-0,051419962	0,037	0,054	1	0,964986081	1,036284377	0,685185185
PCDH1	0,702099477	-0,051445524	0,094	0,096	1	0,964968983	1,036302739	0,979166667
ZNF318	0,015175391	-0,051456462	0,012	0,028	1	0,964961667	1,036310596	0,428571429
KLC2	0,517507871	-0,05147689	0,035	0,028	1	0,964948004	1,036325269	1,25
HELQ	0,398591945	-0,051497839	0,023	0,03	1	0,964933992	1,036340318	0,766666667
LINC00115	0,002583908	-0,051504491	0,007	0,026	1	0,964929543	1,036345096	0,269230769
MAPRE1	0,00055493	-0,051511993	0,204	0,27	1	0,964924526	1,036350485	0,755555556
NAA30	0,120577028	-0,051526578	0,038	0,054	1	0,964914771	1,036360962	0,703703704
AFG1L	0,151350898	-0,051542687	0,005	0,011	1	0,964903996	1,036372534	0,454545455
TNRC6A	0,019188748	-0,051543954	0,13	0,168	1	0,964903149	1,036373444	0,773809524
MIGA2	0,242366208	-0,051576349	0,017	0,026	1	0,964881483	1,036396716	0,653846154
TNFAIP8L1	0,029614651	-0,051640817	0,01	0,024	1	0,964838367	1,036443029	0,416666667
ADSS1	0,041992917	-0,051698532	0,006	0,016	1	0,96479977	1,036484493	0,375
DENND10	0,163054273	-0,051734758	0,051	0,066	1	0,964775544	1,036510519	0,772727273
ECT2	0,369022147	-0,051819271	0,029	0,037	1	0,964719029	1,03657124	0,783783784
MAMSTR	0,030973371	-0,051828562	0,002	0,011	1	0,964712816	1,036577915	0,181818182
SPPL3	0,207975282	-0,051854336	0,121	0,137	1	0,964695582	1,036596434	0,883211679
SCAP	0,723575617	-0,051867593	0,049	0,052	1	0,964686717	1,036605959	0,942307692
INKA2	0,275744639	-0,051886307	0,036	0,046	1	0,964674204	1,036619406	0,782608696

Supplementary Table 5

Differentially expressed genes_total calculation_ comparing SC-Keloid vs. (SC-Myel, SC-Nonmyel)								
gene	p_val	avg_log2FC	pct.1	pct.2	p_val_adj	Foldchange_UP	Foldchange_DOWN	Ratio_pct1_pct2
GNAI3	0,174364965	-0,051932072	0,179	0,197	1	0,964643603	1,03665229	0,908629442
DCAF1	0,050668654	-0,051987278	0,019	0,034	1	0,964606691	1,036691959	0,558823529
MYBL1	0,362207024	-0,052004502	0,033	0,041	1	0,964595174	1,036704336	0,804878049
SYPL2	0,005297926	-0,052006848	0,001	0,012	1	0,964593606	1,036706022	0,083333333
BTRC	0,505684019	-0,052090887	0,021	0,026	1	0,964537419	1,036766413	0,807692308
CYB561A3	0,788023059	-0,052096082	0,055	0,05	1	0,964533946	1,036770146	1,1
SMC3	0,029052221	-0,052098857	0,185	0,224	1	0,964532091	1,03677214	0,825892857
LAMB3	0,674967546	-0,052113457	0,015	0,018	1	0,96452233	1,036782633	0,833333333
ZC3H14	0,003388954	-0,052135413	0,079	0,121	1	0,964507651	1,036798411	0,652892562
TAB1	0,490173642	-0,052173157	0,038	0,031	1	0,964482417	1,036825537	1,225806452
FZD8	0,403113874	-0,052195245	0,022	0,028	1	0,964467651	1,036841411	0,785714286
NUDCD3	0,336893647	-0,052211356	0,063	0,073	1	0,964456881	1,036852989	0,863013699
VPS54	0,03034031	-0,052255514	0,034	0,056	1	0,964427361	1,036884726	0,607142857
PRKCI	0,006307185	-0,052270986	0,062	0,098	1	0,964417018	1,036895846	0,632653061
POC1B	0,051506853	-0,052342045	0,029	0,047	1	0,964369518	1,036946919	0,617021277
TRMT2B	0,077251957	-0,05234514	0,003	0,011	1	0,964367448	1,036949144	0,272727273
ZFHX2	0,011651258	-0,052392485	0,005	0,018	1	0,964335801	1,036983174	0,277777778
CD302	0,914100183	-0,05240789	0,036	0,037	1	0,964325505	1,036994246	0,972972973
SERTAD4-AS1	0,000873875	-0,052506003	0,002	0,019	1	0,964259926	1,037064772	0,105263158
KPTN	0,994664525	-0,052510404	0,023	0,023	1	0,964256984	1,037067935	1
C2orf42	0,557276845	-0,052544635	0,01	0,014	1	0,964234106	1,037092542	0,714285714
EPB41L5	0,048709274	-0,052689975	0,017	0,033	1	0,964136972	1,037197026	0,515151515
CCDC120	0,017401528	-0,052755244	0,002	0,012	1	0,964093354	1,037243951	0,166666667
IL17RE	0,145315247	-0,052769211	0,029	0,042	1	0,964084021	1,037253993	0,69047619
DCLRE1C	0,877310739	-0,05289066	0,03	0,028	1	0,964002866	1,037341314	1,071428571
PPIL3	0,897427546	-0,052923422	0,057	0,057	1	0,963980974	1,037364872	1
CENPF	0,974510667	-0,052926806	0,029	0,028	1	0,963978714	1,037367305	1,035714286
C16orf87	0,00565757	-0,052967163	0,15	0,201	1	0,963951748	1,037396324	0,746268657
EIF4G3	0,061966665	-0,05297989	0,099	0,126	1	0,963943245	1,037405476	0,785714286
BLVRB	0,211959534	-0,053001181	0,158	0,176	1	0,963929019	1,037420786	0,897727273

Supplementary Table 5

Differentially expressed genes_total calculation_ comparing SC-Keloid vs. (SC-Myel, SC-Nonmyel)								
gene	p_val	avg_log2FC	pct.1	pct.2	p_val_adj	Foldchange_UP	Foldchange_DOWN	Ratio_pct1_pct2
HIP1R	0,399697203	-0,05300367	0,007	0,011	1	0,963927356	1,037422576	0,636363636
TESK2	0,003904931	-0,053028285	0,005	0,02	1	0,963910909	1,037440276	0,25
TRPV1	0,041021006	-0,053029043	0,014	0,028	1	0,963910403	1,037440821	0,5
ARMC8	0,092719139	-0,053070382	0,076	0,098	1	0,963882784	1,037470548	0,775510204
QPRT	0,006701262	-0,053086427	0,009	0,027	1	0,963872064	1,037482087	0,333333333
BMP1A	0,000379605	-0,05308992	0,033	0,072	1	0,96386973	1,037484599	0,458333333
HACD1	0,679467275	-0,05316173	0,016	0,014	1	0,963821755	1,037536241	1,142857143
VAT1	0,015858166	-0,053167156	0,157	0,195	1	0,96381813	1,037540143	0,805128205
MFS11	0,175509602	-0,053226226	0,063	0,079	1	0,963778668	1,037582625	0,797468354
RCOR1	0,043347086	-0,05335194	0,054	0,077	1	0,963694689	1,037673042	0,701298701
CEBPG	0,050846399	-0,053372206	0,097	0,123	1	0,963681152	1,037687618	0,788617886
GMEB1	0,15146407	-0,053376705	0,03	0,043	1	0,963678147	1,037690854	0,697674419
DPY19L4	0,165855653	-0,053410823	0,07	0,087	1	0,963655358	1,037715395	0,804597701
PHF7	0,132941293	-0,053510713	0,008	0,016	1	0,963588637	1,037787248	0,5
EID2	0,103562215	-0,053515142	0,044	0,061	1	0,963585679	1,037790434	0,721311475
IL17RA	0,553089912	-0,05353313	0,029	0,034	1	0,963573666	1,037803373	0,852941176
LINC00702	0,561178587	-0,053555327	0,01	0,014	1	0,96355884	1,037819341	0,714285714
HEXD	0,450419885	-0,053564845	0,043	0,05	1	0,963552483	1,037826188	0,86
PTOV1	0,239067861	-0,053570598	0,164	0,179	1	0,963548641	1,037830326	0,916201117
MPP1	0,083309151	-0,05357403	0,014	0,026	1	0,963546348	1,037832795	0,538461538
TMEM205	0,001909365	-0,053575844	0,143	0,195	1	0,963545137	1,0378341	0,733333333
GRK4	0,760453348	-0,053591583	0,029	0,031	1	0,963534626	1,037845422	0,935483871
DNAH10OS	0,005258945	-0,053657235	0,001	0,012	1	0,963490779	1,037892652	0,083333333
BEGAIN	0,000430864	-0,053675447	0,001	0,018	1	0,963478617	1,037905754	0,055555556
NDP	0,406787944	-0,053725256	0,019	0,024	1	0,963445354	1,037941588	0,791666667
SEC16B	0,009407797	-0,053736528	0,002	0,014	1	0,963437826	1,037949698	0,142857143
ZNF836	0,085607176	-0,053741016	0,014	0,026	1	0,963434829	1,037952926	0,538461538
ATP2B1-AS1	0,575266276	-0,053745008	0,04	0,045	1	0,963432163	1,037955799	0,888888889
EFNA3	0,41684346	-0,053760219	0,013	0,018	1	0,963422005	1,037966742	0,722222222
CIITA	0,001538315	-0,053798366	0,001	0,015	1	0,963396531	1,037994188	0,066666667

Supplementary Table 5

Differentially expressed genes_total calculation_ comparing SC-Keloid vs. (SC-Myel, SC-Nonmyel)								
gene	p_val	avg_log2FC	pct.1	pct.2	p_val_adj	Foldchange_UP	Foldchange_DOWN	Ratio_pct1_pct2
HCG25	0,009568544	-0,053813026	0,002	0,014	1	0,963386741	1,038004736	0,142857143
ITIH4	0,000618779	-0,053860329	0	0,014	1	0,963355155	1,03803877	0
ZNF354B	0,037425922	-0,053917708	0,02	0,037	1	0,96331684	1,038080056	0,540540541
TMEM185B	0,778512129	-0,053924386	0,037	0,034	1	0,963312382	1,038084861	1,088235294
IDI1	0,046056327	-0,053984012	0,144	0,176	1	0,963272569	1,038127766	0,818181818
VPS16	0,387349578	-0,053987599	0,048	0,038	1	0,963270174	1,038130347	1,263157895
FEN1	0,43574939	-0,054001849	0,033	0,039	1	0,96326066	1,038140601	0,846153846
EPPK1	0,017294181	-0,054028294	0,002	0,012	1	0,963243003	1,038159631	0,166666667
REEP6	0,618994905	-0,054061241	0,024	0,02	1	0,963221005	1,03818334	1,2
TFIP11	0,107920637	-0,054082709	0,026	0,039	1	0,963206672	1,038198788	0,666666667
DLX1	0,124891445	-0,054092928	0,014	0,024	1	0,96319985	1,038206142	0,583333333
NOG	0,276319076	-0,054105055	0,007	0,012	1	0,963191753	1,038214869	0,583333333
THUMPD3-AS1	0,029038766	-0,054139832	0,126	0,163	1	0,963168535	1,038239896	0,773006135
KIF20B	0,356161509	-0,054199043	0,034	0,042	1	0,963129005	1,038282509	0,80952381
ZNF17	0,107798587	-0,054204419	0,006	0,014	1	0,963125417	1,038286377	0,428571429
C11orf71	0,066267053	-0,05421002	0,017	0,031	1	0,963121677	1,038290409	0,548387097
DET1	0,29734786	-0,05422065	0,009	0,015	1	0,963114581	1,038298059	0,6
DZIP3	0,737013195	-0,05422785	0,041	0,043	1	0,963109775	1,038303241	0,953488372
DNPEP	0,509613036	-0,054233787	0,071	0,077	1	0,963105811	1,038307514	0,922077922
XPO7	0,040778219	-0,054237254	0,047	0,069	1	0,963103497	1,038310009	0,68115942
PPHLN1	0,44332687	-0,054343955	0,101	0,109	1	0,963032269	1,038386804	0,926605505
TMEM253	0,15072921	-0,054364244	0,005	0,011	1	0,963018725	1,038401408	0,454545455
BTBD9	0,078934571	-0,054395618	0,013	0,024	1	0,962997783	1,038423989	0,541666667
ZNF177	0,149903322	-0,054410501	0,005	0,011	1	0,962987849	1,038434702	0,454545455
OSBPL7	0,40882202	-0,054417247	0,02	0,026	1	0,962983346	1,038439558	0,769230769
ESAM	0,010037547	-0,05444155	0,001	0,011	1	0,962967124	1,038457052	0,090909091
STK35	0,129071498	-0,054471829	0,016	0,027	1	0,962946914	1,038478846	0,592592593
MYCL	0,017151955	-0,054482393	0,002	0,012	1	0,962939863	1,038486451	0,166666667
CASZ1	0,00116827	-0,054489187	0	0,012	1	0,962935328	1,038491341	0
TFPI	0,00590234	-0,054528407	0,019	0,042	1	0,96290915	1,038519573	0,452380952

Supplementary Table 5

Differentially expressed genes_total calculation_ comparing SC-Keloid vs. (SC-Myel, SC-Nonmyel)								
gene	p_val	avg_log2FC	pct.1	pct.2	p_val_adj	Foldchange_UP	Foldchange_DOWN	Ratio_pct1_pct2
IGHMBP2	0,304379597	-0,054618455	0,026	0,034	1	0,962849051	1,038584396	0,764705882
ST3GAL3	0,837600109	-0,054644175	0,041	0,042	1	0,962831886	1,038602912	0,976190476
PDK1	0,304162112	-0,054657115	0,012	0,018	1	0,96282325	1,038612227	0,666666667
PYCARD-AS1	0,00116827	-0,054661786	0	0,012	1	0,962820133	1,03861559	0
ZNF136	0,039100059	-0,054666678	0,022	0,039	1	0,962816867	1,038619112	0,564102564
FLAD1	0,874187015	-0,05466843	0,043	0,041	1	0,962815698	1,038620373	1,048780488
AKAP10	0,023325739	-0,054685331	0,033	0,056	1	0,962804419	1,038632541	0,589285714
SLC25A1	0,598443228	-0,054758402	0,061	0,065	1	0,962755655	1,038685148	0,938461538
FAM117A	0,209956431	-0,054782656	0,01	0,018	1	0,96273947	1,038702609	0,555555556
KAZN	0,271177708	-0,054846388	0,04	0,05	1	0,962696941	1,038748496	0,8
GLIPR1L2	0,121692156	-0,054878109	0,007	0,015	1	0,962675775	1,038771336	0,466666667
LRCH4	0,387376905	-0,054896324	0,026	0,033	1	0,96266362	1,038784451	0,787878788
CCNE2	0,007156661	-0,054962271	0,007	0,023	1	0,962619617	1,038831936	0,304347826
ZNF23	0,995876465	-0,054980957	0,015	0,015	1	0,962607149	1,038845391	1
CSE1L	0,353575798	-0,054999391	0,071	0,081	1	0,96259485	1,038858665	0,87654321
PRMT5	0,210577871	-0,055005058	0,041	0,053	1	0,962591068	1,038862746	0,773584906
GPD2	0,004238781	-0,055013092	0,031	0,061	1	0,962585708	1,038868531	0,508196721
NSUN2	0,818772493	-0,055037681	0,041	0,042	1	0,962569302	1,038886237	0,976190476
PBX2	0,012824983	-0,05504407	0,078	0,113	1	0,962565039	1,038890838	0,690265487
APBB3	0,672946786	-0,055075051	0,027	0,03	1	0,962544369	1,038913147	0,9
STAU2	0,920243925	-0,055096361	0,051	0,049	1	0,962530152	1,038928493	1,040816327
TNFRSF21	0,025045287	-0,055109482	0,003	0,014	1	0,962521397	1,038937942	0,214285714
ZNF749	0,917863319	-0,055127358	0,019	0,018	1	0,962509471	1,038950816	1,055555556
OLFM2	0,584663397	-0,055160859	0,023	0,027	1	0,962487121	1,038974941	0,851851852
ZNF442	0,000838303	-0,055169809	0,003	0,022	1	0,96248115	1,038981387	0,136363636
ADIPOR1	0,720383769	-0,055173083	0,115	0,115	1	0,962478965	1,038983745	1
DUBR	0,04880251	-0,05519113	0,017	0,033	1	0,962466926	1,038996742	0,515151515
TNFSF10	0,219930602	-0,055193715	0,01	0,018	1	0,962465201	1,038998603	0,555555556
C16orf74	0,002615574	-0,055204562	0,003	0,019	1	0,962457965	1,039006415	0,157894737
ABCA6	0,001538315	-0,055231374	0,001	0,015	1	0,962440078	1,039025725	0,066666667

Supplementary Table 5

Differentially expressed genes_total calculation_ comparing SC-Keloid vs. (SC-Myel, SC-Nonmyel)								
gene	p_val	avg_log2FC	pct.1	pct.2	p_val_adj	Foldchange_UP	Foldchange_DOWN	Ratio_pct1_pct2
LDLRAD3	0,218110598	-0,055270422	0,01	0,018	1	0,962414029	1,039053848	0,555555556
CDYL	0,030857648	-0,055322769	0,08	0,11	1	0,962379109	1,039091549	0,727272727
GOLGA6L10	0,273168031	-0,055347074	0,007	0,012	1	0,962362896	1,039109055	0,583333333
AP1B1	0,638741182	-0,055389263	0,04	0,043	1	0,962334754	1,039139443	0,930232558
LIG1	0,885213457	-0,055457834	0,017	0,016	1	0,962289016	1,039188834	1,0625
AC003102.1	0,103644312	-0,055462976	0,01	0,02	1	0,962285586	1,039192538	0,5
H1-2	0,013301285	-0,055479376	0,059	0,092	1	0,962274647	1,039204351	0,641304348
SV2C	0,000825022	-0,055504944	0,001	0,016	1	0,962257594	1,039222768	0,0625
ZNF395	0,013131974	-0,055525314	0,015	0,034	1	0,962244007	1,039237441	0,441176471
MCOLN2	0,009940476	-0,055540179	0,001	0,011	1	0,962234092	1,03924815	0,090909091
CNOT7	0,117619325	-0,055570845	0,066	0,085	1	0,96221364	1,03927024	0,776470588
PCGF6	0,947358132	-0,05557312	0,041	0,039	1	0,962212122	1,039271879	1,051282051
CTNS	0,245189483	-0,055584379	0,023	0,033	1	0,962204613	1,03927999	0,696969697
PRPSAP2	0,380318832	-0,055597048	0,059	0,069	1	0,962196163	1,039289116	0,855072464
POLG	0,388300049	-0,055638319	0,042	0,05	1	0,962168639	1,039318847	0,84
FAM107A	0,00116827	-0,055640709	0	0,012	1	0,962167044	1,039320569	0
VEGFA	0,002580002	-0,055685135	0,193	0,251	1	0,962137416	1,039352574	0,768924303
TBC1D8	0,001496476	-0,055721525	0,001	0,015	1	0,962113148	1,039378791	0,066666667
SETD3	0,00030848	-0,05572685	0,056	0,104	1	0,962109596	1,039382627	0,538461538
USP40	0,191734145	-0,055736793	0,069	0,052	1	0,962102966	1,03938979	1,326923077
ITFG2	0,309506464	-0,055757408	0,031	0,041	1	0,962089218	1,039404643	0,756097561
BCO2	0,049302167	-0,055786674	0,007	0,018	1	0,962069702	1,039425728	0,388888889
TERF2IP	7,61827E-05	-0,0558253	0,277	0,372	1	0,962043944	1,039453557	0,744623656
LDHD	0,005202323	-0,055825792	0,002	0,015	1	0,962043616	1,039453912	0,133333333
SLC45A3	0,262563895	-0,055829206	0,006	0,011	1	0,96204134	1,039456371	0,545454545
WRAP53	0,38397331	-0,055843556	0,029	0,022	1	0,962031771	1,039466711	1,318181818
HTRA2	0,217647901	-0,055850588	0,083	0,098	1	0,962027082	1,039471777	0,846938776
SSUH2	0,191226442	-0,055889026	0,029	0,041	1	0,96200145	1,039499472	0,707317073
PACRG	0,122877316	-0,055933063	0,007	0,015	1	0,961972087	1,039531203	0,466666667
GNAL	0,000418592	-0,055962613	0,005	0,026	1	0,961952383	1,039552495	0,192307692

Supplementary Table 5

Differentially expressed genes_total calculation_ comparing SC-Keloid vs. (SC-Myel, SC-Nonmyel)								
gene	p_val	avg_log2FC	pct.1	pct.2	p_val_adj	Foldchange_UP	Foldchange_DOWN	Ratio_pct1_pct2
PAXIP1-DT	0,068092166	-0,05599105	0,029	0,046	1	0,961933422	1,039572986	0,630434783
VAR52	0,621344245	-0,055998552	0,02	0,023	1	0,96192842	1,039578392	0,869565217
PKHD1	0,002214594	-0,056029992	0	0,011	1	0,961907457	1,039601047	0
BANK1	0,014477005	-0,056050507	0,003	0,015	1	0,96189378	1,03961583	0,2
UBA3	0,361951011	-0,056074564	0,09	0,1	1	0,96187774	1,039633166	0,9
NCK1	0,045178646	-0,056104581	0,106	0,136	1	0,961857727	1,039654797	0,779411765
ZNF816	0,108370705	-0,056136341	0,006	0,014	1	0,961836553	1,039677685	0,428571429
PLEKHG2	0,223006738	-0,056179966	0,045	0,058	1	0,961807469	1,039709123	0,775862069
BOD1L1	0,030955045	-0,056227029	0,196	0,231	1	0,961776093	1,039743041	0,848484848
ZNF266	0,505365471	-0,056247769	0,02	0,024	1	0,961762267	1,039757988	0,833333333
RAD52	0,304056742	-0,056254913	0,01	0,016	1	0,961757504	1,039763137	0,625
UBR7	0,11150493	-0,056259803	0,043	0,06	1	0,961754245	1,039766661	0,716666667
CLIC2	0,00116827	-0,056264967	0	0,012	1	0,961750802	1,039770383	0
ZNF710	0,554781399	-0,056273843	0,012	0,015	1	0,961744885	1,03977678	0,8
C3	0,167761421	-0,056294145	0,006	0,012	1	0,961731351	1,039791412	0,5
SLK	0,124066363	-0,056295198	0,122	0,144	1	0,961730649	1,039792171	0,847222222
SNX4	0,668980047	-0,056309729	0,085	0,088	1	0,961720962	1,039802644	0,965909091
RNF220	0,834960751	-0,056348326	0,056	0,057	1	0,961695234	1,039830463	0,98245614
HES7	0,274024959	-0,056365128	0,007	0,012	1	0,961684034	1,039842573	0,583333333
CA11	0,114849279	-0,056464306	0,03	0,045	1	0,961617925	1,039914059	0,666666667
AUH	0,002539969	-0,056485253	0,028	0,058	1	0,961603963	1,039929158	0,482758621
CBWD3	0,136440079	-0,05648748	0,022	0,034	1	0,961602478	1,039930764	0,647058824
SFRP4	0,011131228	-0,056495451	0,013	0,031	1	0,961597166	1,039936509	0,419354839
ATR	0,733911725	-0,056496492	0,036	0,033	1	0,961596472	1,03993726	1,090909091
HPDL	0,009387874	-0,056592414	0,002	0,014	1	0,96153254	1,040006405	0,142857143
STXBP5	0,551556039	-0,056617539	0,04	0,045	1	0,961515794	1,040024518	0,888888889
DNAJC25	0,57219068	-0,056643536	0,026	0,03	1	0,961498468	1,040043259	0,866666667
MRI1	0,95663795	-0,056690569	0,033	0,033	1	0,961467123	1,040077166	1
PET117	0,609766976	-0,056700947	0,024	0,02	1	0,961460206	1,040084648	1,2
C1QTNF2	0,005580659	-0,056709225	0,006	0,022	1	0,96145469	1,040090615	0,272727273

Supplementary Table 5

Differentially expressed genes_total calculation_ comparing SC-Keloid vs. (SC-Myel, SC-Nonmyel)								
gene	p_val	avg_log2FC	pct.1	pct.2	p_val_adj	Foldchange_UP	Foldchange_DOWN	Ratio_pct1_pct2
SPR	0,710908332	-0,056741442	0,012	0,014	1	0,96143322	1,040113842	0,857142857
REXO4	0,852081266	-0,056755144	0,055	0,056	1	0,961424089	1,04012372	0,982142857
ANKRD26	0,488521431	-0,056791241	0,057	0,064	1	0,961400033	1,040149745	0,890625
AK4	0,00840093	-0,05680925	0,003	0,016	1	0,961388033	1,040162729	0,1875
ABHD14A	0,781207776	-0,05690134	0,079	0,073	1	0,961326667	1,040229127	1,082191781
AC002451.1	0,002214594	-0,056947926	0	0,011	1	0,961295626	1,040262718	0
PRH1	0,77357041	-0,056993753	0,043	0,039	1	0,961265091	1,040295762	1,102564103
KRT7	0,932615794	-0,057028422	0,01	0,011	1	0,961241991	1,040320761	0,909090909
L2HGDH	0,025782931	-0,057039543	0,006	0,018	1	0,961234581	1,040328781	0,333333333
HOXC-AS1	0,535263772	-0,057047099	0,014	0,018	1	0,961229547	1,040334229	0,777777778
C14orf28	0,611696793	-0,057066029	0,024	0,02	1	0,961216935	1,04034788	1,2
CDAN1	0,00473174	-0,057100913	0,003	0,018	1	0,961193693	1,040373036	0,166666667
NPIP15	0,000518488	-0,05711226	0,016	0,046	1	0,961186133	1,040381218	0,347826087
RBM26-AS1	0,001538315	-0,057113642	0,001	0,015	1	0,961185213	1,040382214	0,066666667
ATAD3C	0,026342323	-0,057149326	0,009	0,023	1	0,961161438	1,040407948	0,391304348
ZBTB17	0,085438746	-0,05719577	0,035	0,052	1	0,961130497	1,040441442	0,673076923
RELL1	0,032653275	-0,057197546	0,016	0,033	1	0,961129314	1,040442723	0,484848485
ZNF700	0,03591161	-0,057206442	0,008	0,02	1	0,961123387	1,040449139	0,4
TADA2B	0,814526469	-0,057260259	0,016	0,018	1	0,961087535	1,040487951	0,888888889
OR2A1-AS1	0,309101452	-0,057278663	0,013	0,019	1	0,961075275	1,040501224	0,684210526
KATNIP	0,764429719	-0,057359806	0,02	0,022	1	0,961021221	1,040559748	0,909090909
GABPB2	0,147058302	-0,057420959	0,022	0,034	1	0,960980486	1,040603856	0,647058824
ANKRD46	0,007307317	-0,05743203	0,022	0,046	1	0,960973112	1,040611842	0,47826087
GLMN	0,054274274	-0,057444771	0,02	0,035	1	0,960964625	1,040621032	0,571428571
LRP3	0,000257964	-0,057484842	0,008	0,034	1	0,960937934	1,040649936	0,235294118
CREB3L4	0,305878291	-0,057498912	0,01	0,016	1	0,960928563	1,040660085	0,625
ZNF337-AS1	0,009892254	-0,057520386	0,001	0,011	1	0,96091426	1,040675575	0,090909091
NYNRIN	0,067482278	-0,057523655	0,006	0,015	1	0,960912083	1,040677932	0,4
SGTA	0,087047178	-0,057557319	0,094	0,117	1	0,960889661	1,040702216	0,803418803
CR1	0,00116827	-0,057635239	0	0,012	1	0,960837764	1,040758427	0

Supplementary Table 5

Differentially expressed genes_total calculation_ comparing SC-Keloid vs. (SC-Myel, SC-Nonmyel)								
gene	p_val	avg_log2FC	pct.1	pct.2	p_val_adj	Foldchange_UP	Foldchange_DOWN	Ratio_pct1_pct2
ARHGEF11	0,170176409	-0,057672535	0,075	0,091	1	0,960812926	1,040785332	0,824175824
ITPKB	0,044072812	-0,057699453	0,038	0,06	1	0,960794999	1,040804751	0,633333333
RHOBTB1	0,230580927	-0,057702315	0,028	0,038	1	0,960793093	1,040806816	0,736842105
HEYL	0,011842237	-0,057710024	0,007	0,022	1	0,960787959	1,040812377	0,318181818
GPR146	0,005324058	-0,057761422	0,001	0,012	1	0,96075373	1,040849458	0,083333333
AXL	0,147989104	-0,05776564	0,154	0,172	1	0,960750922	1,040852502	0,895348837
DMPK	0,070349689	-0,057787307	0,058	0,08	1	0,960736492	1,040868134	0,725
MIR4458HG	0,205102569	-0,057836939	0,048	0,061	1	0,960703442	1,040903942	0,786885246
UBE4B	0,164337474	-0,05786178	0,049	0,064	1	0,9606869	1,040921866	0,765625
NUB1	0,047084869	-0,057917273	0,118	0,148	1	0,960649948	1,040961905	0,797297297
RALGAPA2	0,128085831	-0,057950469	0,016	0,027	1	0,960627844	1,040985857	0,592592593
USP27X	0,27345347	-0,057958781	0,007	0,012	1	0,96062231	1,040991855	0,583333333
ECHDC3	0,313141204	-0,057962919	0,015	0,022	1	0,960619554	1,040994841	0,681818182
CTNNA2	0,002214594	-0,058020742	0	0,011	1	0,960581054	1,041036565	0
MKNK1	0,208809606	-0,058095006	0,048	0,061	1	0,960531608	1,041090155	0,786885246
MTSS1	0,012024777	-0,058097002	0,007	0,022	1	0,960530279	1,041091595	0,318181818
KANTR	0,038745907	-0,058101142	0,02	0,037	1	0,960527522	1,041094583	0,540540541
GGPS1	0,079811209	-0,058155546	0,065	0,087	1	0,960491302	1,041133843	0,747126437
FBXO5	0,173567314	-0,058164041	0,015	0,024	1	0,960485646	1,041139973	0,625
TMEM86B	0,120223297	-0,058316431	0,007	0,015	1	0,960384196	1,041249954	0,466666667
SERHL2	0,18373246	-0,05837598	0,007	0,014	1	0,960344557	1,041292933	0,5
DHX37	0,046659105	-0,058455606	0,01	0,023	1	0,960291554	1,041350406	0,434782609
PDPK1	0,005064686	-0,058484301	0,055	0,09	1	0,960272454	1,041371119	0,611111111
TMEM87B	0,552463358	-0,058513775	0,042	0,035	1	0,960252836	1,041392394	1,2
TOP2B	0,006128308	-0,05852331	0,115	0,16	1	0,96024649	1,041399277	0,71875
NVL	0,748121938	-0,058639037	0,03	0,033	1	0,960169466	1,041482817	0,909090909
C8orf58	0,534930341	-0,058647298	0,014	0,018	1	0,960163968	1,041488781	0,777777778
ZNF444	0,166925153	-0,058672447	0,059	0,075	1	0,96014723	1,041506936	0,786666667
AKNAD1	0,263758112	-0,058763299	0,006	0,011	1	0,960086768	1,041572526	0,545454545
NIFK-AS1	0,308058769	-0,058847463	0,027	0,035	1	0,96003076	1,041633291	0,771428571

Supplementary Table 5

Differentially expressed genes_total calculation_ comparing SC-Keloid vs. (SC-Myel, SC-Nonmyel)								
gene	p_val	avg_log2FC	pct.1	pct.2	p_val_adj	Foldchange_UP	Foldchange_DOWN	Ratio_pct1_pct2
PRPF38B	0,000227956	-0,058886733	0,191	0,263	1	0,960004629	1,041661644	0,726235741
FRRS1L	0,002214594	-0,058965302	0	0,011	1	0,959952349	1,041718374	0
SCLY	0,16232281	-0,05897784	0,013	0,022	1	0,959944006	1,041727428	0,590909091
TMEM115	0,303871534	-0,059029059	0,068	0,053	1	0,959909926	1,041764412	1,283018868
ZNF296	0,139802645	-0,059044762	0,009	0,018	1	0,959899478	1,041775751	0,5
AC132192.1	0,009174538	-0,059064733	0,006	0,02	1	0,95988619	1,041790173	0,3
DOK5	0,073011111	-0,059088991	0,038	0,057	1	0,959870051	1,04180769	0,666666667
AADAT	0,312200558	-0,059178751	0,021	0,028	1	0,959810333	1,04187251	0,75
MGST1	0,00259979	-0,059248873	0,003	0,019	1	0,959763682	1,041923151	0,157894737
JRKL	0,367542306	-0,05928013	0,033	0,041	1	0,959742888	1,041945726	0,804878049
ADI1	0,002396929	-0,059298844	0,2	0,265	1	0,959730439	1,041959241	0,754716981
DLL1	0,05683712	-0,059301988	0,005	0,014	1	0,959728348	1,041961512	0,357142857
LRRC24	0,120956482	-0,059355184	0,014	0,024	1	0,95969296	1,041999932	0,583333333
CHMP1B	0,152398275	-0,05937774	0,105	0,123	1	0,959677956	1,042016224	0,853658537
LINC00324	0,220927238	-0,059407056	0,012	0,019	1	0,959658456	1,042037398	0,631578947
C19orf81	0,15803979	-0,059450664	0,012	0,02	1	0,959629448	1,042068896	0,6
VCPKMT	0,287488139	-0,059494004	0,034	0,043	1	0,959600621	1,042100201	0,790697674
MLH1	0,907211622	-0,059527416	0,043	0,043	1	0,959578397	1,042124336	1
TMC6	0,316581647	-0,059541277	0,024	0,033	1	0,959569178	1,042134349	0,727272727
QRSL1	0,560384486	-0,059600704	0,027	0,031	1	0,959529652	1,042177277	0,870967742
TYK2	0,712213399	-0,059627705	0,065	0,068	1	0,959511695	1,042196781	0,955882353
FHIT	0,000800396	-0,059641199	0,001	0,016	1	0,95950272	1,04220653	0,0625
DNAAF10	0,321606324	-0,059659495	0,019	0,026	1	0,959490551	1,042219747	0,730769231
C1orf174	0,087884091	-0,059661783	0,034	0,05	1	0,95948903	1,0422214	0,68
BORCS8	0,909263042	-0,059678431	0,056	0,056	1	0,959477958	1,042233426	1
CA13	0,241846148	-0,059749737	0,026	0,035	1	0,959430536	1,042284941	0,742857143
MPST	0,007422458	-0,059752585	0,104	0,144	1	0,959428643	1,042286998	0,722222222
SERAC1	0,185008172	-0,059765231	0,027	0,038	1	0,959420232	1,042296135	0,710526316
RTF1	0,036562815	-0,059767596	0,235	0,274	1	0,95941866	1,042297844	0,857664234
TMEM184A	0,002873058	-0,05981459	0,001	0,014	1	0,959387409	1,042331795	0,071428571

Supplementary Table 5

Differentially expressed genes_total calculation_ comparing SC-Keloid vs. (SC-Myel, SC-Nonmyel)								
gene	p_val	avg_log2FC	pct.1	pct.2	p_val_adj	Foldchange_UP	Foldchange_DOWN	Ratio_pct1_pct2
PRRG2	0,717658709	-0,059817658	0,012	0,014	1	0,959385368	1,042334012	0,857142857
UBL7	0,306500605	-0,059851811	0,038	0,028	1	0,959362657	1,042358687	1,357142857
CSGALNACT1	7,22701E-05	-0,059871291	0,006	0,033	1	0,959349703	1,042372762	0,181818182
URB1-AS1	0,239066752	-0,059907969	0,019	0,027	1	0,959325314	1,042399263	0,703703704
L3MBTL1	0,215301039	-0,059963079	0,01	0,018	1	0,959288669	1,042439083	0,555555556
ERAP1	0,19348848	-0,0599818	0,054	0,068	1	0,959276221	1,04245261	0,794117647
DAXX	0,529480368	-0,05998217	0,059	0,065	1	0,959275974	1,042452878	0,907692308
ICAM2	0,309658867	-0,059994237	0,012	0,018	1	0,959267951	1,042461597	0,666666667
CDC42BPG	0,004621053	-0,060028786	0,003	0,018	1	0,959244979	1,042486561	0,166666667
FSIP1	0,014477005	-0,06003962	0,003	0,015	1	0,959237776	1,04249439	0,2
SC5D	0,143207446	-0,060041488	0,03	0,043	1	0,959236534	1,04249574	0,697674419
KIAA0100	0,181631929	-0,060071952	0,05	0,065	1	0,959216279	1,042517753	0,769230769
GTF2H1	0,042103433	-0,060083767	0,052	0,076	1	0,959208424	1,042526291	0,684210526
GCDH	0,878561421	-0,060094395	0,044	0,045	1	0,959201357	1,042533971	0,977777778
THAP5	0,034539939	-0,060107891	0,08	0,11	1	0,959192384	1,042543724	0,727272727
CCDC171	0,007145898	-0,06010935	0,016	0,038	1	0,959191414	1,042544778	0,421052632
RGS9	0,013494715	-0,060109961	0,02	0,041	1	0,959191008	1,04254522	0,487804878
TSNARE1	0,011610725	-0,060141712	0,005	0,018	1	0,959169898	1,042568164	0,277777778
C4orf46	0,187650508	-0,060172449	0,028	0,039	1	0,959149463	1,042590377	0,717948718
SPAG8	0,078037318	-0,060204628	0,007	0,016	1	0,95912807	1,042613632	0,4375
NEK11	0,946525356	-0,060209462	0,017	0,018	1	0,959124856	1,042617125	0,944444444
KIF1C	0,118983273	-0,060218568	0,064	0,083	1	0,959118802	1,042623706	0,771084337
TALDO1	0,011206359	-0,060252235	0,264	0,326	1	0,95909642	1,042648037	0,809815951
NBPF9	0,858686513	-0,060252579	0,01	0,009	1	0,959096191	1,042648286	1,111111111
ESRRA	0,319489684	-0,06030753	0,052	0,062	1	0,959059661	1,042688	0,838709677
SLIT3	0,004066163	-0,060375671	0,005	0,02	1	0,959014364	1,042737249	0,25
PITPNC1	0,056084726	-0,060380695	0,008	0,019	1	0,959011024	1,042740881	0,421052632
GTPBP4	0,191110568	-0,060427759	0,07	0,085	1	0,95897974	1,042774897	0,823529412
LIME1	0,288313104	-0,060516854	0,008	0,014	1	0,958920519	1,042839298	0,571428571
ZNF460	0,088273623	-0,0605369	0,028	0,043	1	0,958907195	1,042853787	0,651162791

Supplementary Table 5

Differentially expressed genes_total calculation_ comparing SC-Keloid vs. (SC-Myel, SC-Nonmyel)								
gene	p_val	avg_log2FC	pct.1	pct.2	p_val_adj	Foldchange_UP	Foldchange_DOWN	Ratio_pct1_pct2
THEM4	0,201999543	-0,060542509	0,065	0,08	1	0,958903467	1,042857842	0,8125
C2CD5	0,585519243	-0,060618522	0,024	0,028	1	0,958852945	1,04291279	0,857142857
RCAN3	0,018908341	-0,060674957	0,094	0,13	1	0,958815438	1,042953587	0,723076923
RBM12B	0,099993644	-0,060738378	0,038	0,056	1	0,958773289	1,042999436	0,678571429
ALG11	0,816419899	-0,060762984	0,016	0,018	1	0,958756937	1,043017226	0,888888889
PTPN1	0,160395739	-0,060777908	0,1	0,119	1	0,958747019	1,043028015	0,840336134
RNF139-AS1	0,015150772	-0,060783539	0,006	0,019	1	0,958743277	1,043032086	0,315789474
QDPR	0,088606711	-0,060792403	0,115	0,138	1	0,958737386	1,043038494	0,833333333
KANK3	9,34934E-05	-0,060798428	0	0,018	1	0,958733382	1,043042851	0
TMEM231	0,100337959	-0,060827328	0,019	0,031	1	0,958714177	1,043063745	0,612903226
RBBP5	0,293636393	-0,060880554	0,033	0,042	1	0,958678808	1,043102227	0,785714286
MEX3B	0,945909435	-0,060949501	0,055	0,054	1	0,958632993	1,043152079	1,018518519
AL592183.1	0,167365195	-0,061011029	0,013	0,022	1	0,95859211	1,043196568	0,590909091
IFT46	0,483933295	-0,061024327	0,037	0,043	1	0,958583275	1,043206184	0,860465116
MAPK6	0,001190388	-0,061039286	0,116	0,168	1	0,958573335	1,043217001	0,69047619
TCP11L2	0,099535335	-0,061119091	0,017	0,03	1	0,958520312	1,04327471	0,566666667
UBE2E1	0,09094455	-0,061145574	0,079	0,102	1	0,958502717	1,043293861	0,774509804
GLI1	0,001496476	-0,061149884	0,001	0,015	1	0,958499853	1,043296978	0,066666667
RBMS3-AS3	0,055942839	-0,061257765	0,008	0,019	1	0,958428182	1,043374996	0,421052632
PSMD3	0,922221085	-0,061324672	0,13	0,126	1	0,958383734	1,043423385	1,031746032
HELZ	0,010905701	-0,061356239	0,099	0,138	1	0,958362764	1,043446216	0,717391304
SLC35E2B	0,797373436	-0,061371418	0,044	0,046	1	0,958352681	1,043457194	0,956521739
KCNJ14	0,010061946	-0,061393404	0,001	0,011	1	0,958338076	1,043473096	0,090909091
TAMM41	0,311518415	-0,061405745	0,021	0,028	1	0,958329879	1,043482022	0,75
FAM43A	0,195555896	-0,061421679	0,008	0,015	1	0,958319295	1,043493547	0,533333333
FTSJ3	0,378111373	-0,06142629	0,041	0,049	1	0,958316232	1,043496882	0,836734694
ZNF669	0,059158733	-0,061445614	0,014	0,027	1	0,958303396	1,043510859	0,518518519
ARHGAP6	0,002214594	-0,061470692	0	0,011	1	0,958286738	1,043528999	0
CROT	0,552245725	-0,061512209	0,042	0,035	1	0,958259161	1,043559029	1,2
ACAP1	0,000169951	-0,061663821	0,013	0,043	1	0,958158464	1,043668702	0,302325581

Supplementary Table 5

Differentially expressed genes_total calculation_ comparing SC-Keloid vs. (SC-Myel, SC-Nonmyel)								
gene	p_val	avg_log2FC	pct.1	pct.2	p_val_adj	Foldchange_UP	Foldchange_DOWN	Ratio_pct1_pct2
RCE1	0,03892916	-0,061701362	0,041	0,022	1	0,958133531	1,04369586	1,863636364
SEC14L5	0,000175145	-0,061701575	0	0,016	1	0,958133339	1,043696014	0
SLC13A3	0,002837595	-0,061744347	0,001	0,014	1	0,958104984	1,043726958	0,071428571
CES4A	0,000618779	-0,061806018	0	0,014	1	0,958064029	1,043771574	0
EML4	0,045608425	-0,061815364	0,065	0,091	1	0,958057823	1,043778336	0,714285714
UBAP2	0,00084847	-0,061850974	0,069	0,117	1	0,958034175	1,0438041	0,58974359
DZANK1	0,025364545	-0,061862058	0,003	0,014	1	0,958026814	1,04381212	0,214285714
ENTPD1-AS1	0,700936531	-0,061877962	0,028	0,024	1	0,958016254	1,043823626	1,166666667
CLASP1	0,307487682	-0,06188321	0,058	0,069	1	0,958012769	1,043827423	0,84057971
OCEL1	0,98564963	-0,061916249	0,057	0,056	1	0,957990829	1,043851328	1,017857143
ZNF490	0,029323636	-0,06195926	0,01	0,024	1	0,95796227	1,043882449	0,416666667
PINLYP	0,019971811	-0,061966048	0,01	0,026	1	0,957957763	1,04388736	0,384615385
H6PD	0,181781355	-0,061985202	0,049	0,064	1	0,957945044	1,04390122	0,765625
ZNF718	0,04400933	-0,062078819	0,003	0,012	1	0,957882884	1,043968961	0,25
ZNF548	0,029945009	-0,062097949	0,01	0,024	1	0,957870183	1,043982804	0,416666667
LARGE1	0,016001093	-0,062112471	0,068	0,099	1	0,957860542	1,043993313	0,686868687
PLCL1	0,009528129	-0,062119819	0,002	0,014	1	0,957855663	1,04399863	0,142857143
RNF19B	0,793053116	-0,06217821	0,049	0,045	1	0,957816896	1,044040885	1,088888889
SOSTDC1	0,002214594	-0,062209408	0	0,011	1	0,957796184	1,044063463	0
ZBTB4	0,000816349	-0,062220095	0,065	0,111	1	0,957789089	1,044071197	0,585585586
SPHK2	0,187100894	-0,062343682	0,03	0,042	1	0,957707044	1,04416064	0,714285714
KIAA1522	0,014155199	-0,062379964	0,008	0,023	1	0,957682959	1,0441869	0,347826087
TIAM2	0,069618449	-0,062416007	0,01	0,022	1	0,957659034	1,044212987	0,454545455
TLN2	0,17549667	-0,062508285	0,087	0,104	1	0,957597781	1,04427978	0,836538462
MYOZ1	0,004630187	-0,062536733	0,003	0,018	1	0,957578899	1,044300371	0,166666667
POLR1D	0,000493167	-0,062574901	0,197	0,265	1	0,957553565	1,044328	0,743396226
RNF215	0,798687189	-0,062614056	0,027	0,028	1	0,957527578	1,044356344	0,964285714
PIK3C2B	0,002334796	-0,062626516	0,005	0,022	1	0,957519308	1,044365363	0,227272727
ZNF649	0,067240634	-0,062682786	0,029	0,046	1	0,957481962	1,044406098	0,630434783
SLC35F1	0,00016014	-0,06270748	0,159	0,232	1	0,957465574	1,044423975	0,685344828

Supplementary Table 5

Differentially expressed genes_total calculation_ comparing SC-Keloid vs. (SC-Myel, SC-Nonmyel)								
gene	p_val	avg_log2FC	pct.1	pct.2	p_val_adj	Foldchange_UP	Foldchange_DOWN	Ratio_pct1_pct2
SCO2	0,8985654	-0,062718827	0,024	0,023	1	0,957458043	1,044432189	1,043478261
LINC00882	0,005310976	-0,062738484	0,001	0,012	1	0,957444997	1,04444642	0,083333333
SYDE1	0,352731228	-0,062779705	0,069	0,056	1	0,957417641	1,044476263	1,232142857
TPRG1L	0,830451274	-0,062847236	0,041	0,042	1	0,957372827	1,044525154	0,976190476
ROM1	0,009144297	-0,06286547	0,006	0,02	1	0,957360727	1,044538356	0,3
CTBP1	0,330756043	-0,06287049	0,129	0,14	1	0,957357396	1,044541991	0,921428571
RIT1	2,41174E-05	-0,062987227	0,149	0,232	0,508900484	0,957279934	1,044626514	0,642241379
LRRC37A3	0,182072419	-0,063003179	0,007	0,014	1	0,957269349	1,044638065	0,5
ZCCHC10	0,455010231	-0,063009714	0,091	0,099	1	0,957265012	1,044642797	0,919191919
LY6D	0,006137657	-0,06303592	0,012	0,031	1	0,957247625	1,044661772	0,387096774
ARL2BP	0,498819546	-0,063060974	0,185	0,193	1	0,957231001	1,044679914	0,958549223
ATP23	0,024732979	-0,063096683	0,006	0,018	1	0,957207308	1,044705772	0,333333333
PCYOX1L	0,8985654	-0,063197195	0,024	0,023	1	0,957140622	1,044778559	1,043478261
TRIP6	0,130908151	-0,063240148	0,142	0,161	1	0,957112126	1,044809665	0,881987578
RALGPS1	0,310917224	-0,063247985	0,012	0,018	1	0,957106927	1,044815341	0,666666667
AFF4	2,92288E-06	-0,06333106	0,194	0,292	0,061675745	0,957051815	1,044875506	0,664383562
RAB40C	0,710933404	-0,063442064	0,033	0,035	1	0,95697818	1,044955905	0,942857143
ABCB10	0,415163061	-0,063470065	0,012	0,016	1	0,956959607	1,044976186	0,75
SUOX	0,295202387	-0,063478867	0,009	0,015	1	0,956953768	1,044982561	0,6
LGMN	0,198500357	-0,063567284	0,086	0,102	1	0,956895122	1,045046607	0,843137255
NUAK2	0,179720334	-0,063581335	0,022	0,033	1	0,956885803	1,045056785	0,666666667
IGBP1	0,141830143	-0,063661583	0,127	0,145	1	0,956832578	1,045114916	0,875862069
AMPD2	0,375743368	-0,063667092	0,04	0,047	1	0,956828925	1,045118906	0,85106383
USP36	0,000526942	-0,063691697	0,05	0,094	1	0,956812607	1,045136731	0,531914894
FZD2	0,093776191	-0,063730297	0,009	0,019	1	0,956787007	1,045164695	0,473684211
SUGCT	0,009916339	-0,063760167	0,001	0,011	1	0,956767197	1,045186335	0,090909091
STRADA	0,222500111	-0,063776018	0,038	0,05	1	0,956756685	1,045197818	0,76
LAMTOR3	0,201357662	-0,063799978	0,076	0,091	1	0,956740796	1,045215176	0,835164835
PINK1	0,283249815	-0,063851742	0,081	0,094	1	0,956706469	1,04525268	0,861702128
FIZ1	0,520374064	-0,06390538	0,016	0,02	1	0,9566709	1,045291542	0,8

Supplementary Table 5

Differentially expressed genes_total calculation_ comparing SC-Keloid vs. (SC-Myel, SC-Nonmyel)								
gene	p_val	avg_log2FC	pct.1	pct.2	p_val_adj	Foldchange_UP	Foldchange_DOWN	Ratio_pct1_pct2
DPP8	0,063146192	-0,063929585	0,062	0,084	1	0,956654849	1,045309079	0,738095238
SMN2	0,010689232	-0,064002247	0,009	0,026	1	0,956606668	1,045361728	0,346153846
SHANK3	0,025687319	-0,064012071	0,003	0,014	1	0,956600155	1,045368846	0,214285714
TMEM97	0,190319656	-0,0641626	0,023	0,034	1	0,956500349	1,045477925	0,676470588
C2CD4B	0,274024959	-0,064175823	0,007	0,012	1	0,956491582	1,045487507	0,583333333
TRIM29	0,008979557	-0,064191111	0,006	0,02	1	0,956481447	1,045498586	0,3
C19orf44	0,188983351	-0,064255297	0,028	0,018	1	0,956438893	1,045545102	1,555555556
LINC01550	0,057447656	-0,064265935	0,008	0,019	1	0,956431841	1,045552811	0,421052632
RNF43	0,009387874	-0,064278366	0,002	0,014	1	0,956423599	1,045561821	0,142857143
TCOF1	0,840410919	-0,064279677	0,052	0,049	1	0,95642273	1,045562771	1,06122449
DVL3	0,140990491	-0,064311373	0,073	0,092	1	0,956401718	1,045585742	0,793478261
CDCA7L	0,114107794	-0,064318384	0,013	0,023	1	0,95639707	1,045590823	0,565217391
EP400	0,00417587	-0,064320824	0,056	0,092	1	0,956395453	1,045592591	0,608695652
TAP2	0,246277652	-0,06432233	0,063	0,076	1	0,956394455	1,045593683	0,828947368
HFE	0,14384452	-0,06432429	0,009	0,018	1	0,956393155	1,045595103	0,5
FZD1	0,240942394	-0,06433732	0,021	0,03	1	0,956384518	1,045604547	0,7
MST1	0,022425069	-0,064340353	0,008	0,022	1	0,956382506	1,045606745	0,363636364
GSTM2	0,002219031	-0,064425825	0,005	0,022	1	0,956325848	1,045668693	0,227272727
STK25	0,487789663	-0,064431743	0,095	0,102	1	0,956321925	1,045672983	0,931372549
HIVEP1	0,001459569	-0,064450184	0,088	0,137	1	0,956309701	1,045686349	0,642335766
PHF19	0,366546165	-0,064520756	0,098	0,109	1	0,956262923	1,045737502	0,899082569
GCH1	0,002274097	-0,064535003	0,005	0,022	1	0,956253479	1,045747829	0,227272727
PRDM4	0,142518017	-0,064543312	0,027	0,039	1	0,956247972	1,045753852	0,692307692
HILPDA	0,135971073	-0,064645321	0,044	0,06	1	0,956180361	1,045827797	0,733333333
MCOLN3	0,005258945	-0,064672912	0,001	0,012	1	0,956162074	1,045847798	0,083333333
PGBD5	0,005258945	-0,064750015	0,001	0,012	1	0,956110975	1,045903694	0,083333333
F10	0,001496476	-0,064764896	0,001	0,015	1	0,956101113	1,045914482	0,066666667
BROX	0,010458541	-0,064803471	0,106	0,147	1	0,956075549	1,045942448	0,721088435
SSH3	0,115209092	-0,064814079	0,013	0,023	1	0,956068519	1,045950139	0,565217391
NUMB	0,014193456	-0,064853156	0,105	0,142	1	0,956042623	1,04597847	0,73943662

Supplementary Table 5

Differentially expressed genes_total calculation_ comparing SC-Keloid vs. (SC-Myel, SC-Nonmyel)								
gene	p_val	avg_log2FC	pct.1	pct.2	p_val_adj	Foldchange_UP	Foldchange_DOWN	Ratio_pct1_pct2
GPR157	0,025194963	-0,06485988	0,006	0,018	1	0,956038167	1,045983345	0,333333333
RAB10	1,11818E-05	-0,064873747	0,235	0,332	0,235947736	0,956028978	1,045993399	0,707831325
LY96	0,068338824	-0,064887865	0,006	0,015	1	0,956019622	1,046003635	0,4
HDAC3	0,073521545	-0,064959107	0,07	0,092	1	0,955972414	1,046055289	0,760869565
TMEM191C	0,040952912	-0,064966448	0,006	0,016	1	0,95596755	1,046060612	0,375
MT-ND4	0,221740487	-0,065009223	0,785	0,875	1	0,955939206	1,046091628	0,897142857
SLC22A5	0,006890242	-0,065142461	0,005	0,019	1	0,955850926	1,046188242	0,263157895
NAALAD2	0,009892254	-0,065160521	0,001	0,011	1	0,955838961	1,046201338	0,090909091
BIN3	0,266169248	-0,065219213	0,071	0,083	1	0,955800076	1,046243901	0,855421687
ADHFE1	0,000268017	-0,065226459	0,002	0,022	1	0,955795275	1,046249156	0,090909091
ANXA2R	0,141438657	-0,06526911	0,009	0,018	1	0,955767019	1,046280087	0,5
CNOT10	0,969344992	-0,065270701	0,04	0,039	1	0,955765965	1,046281241	1,025641026
ALKBH1	0,229640442	-0,065377472	0,014	0,022	1	0,955695234	1,046358677	0,636363636
CORO6	0,000328784	-0,065379436	0	0,015	1	0,955693933	1,046360101	0
RTN4R	0,002214594	-0,065446481	0	0,011	1	0,95564952	1,046408729	0
SRSF4	8,78687E-05	-0,065479254	0,192	0,27	1	0,955627812	1,0464325	0,711111111
GRIA2	0,000800396	-0,065518259	0,001	0,016	1	0,955601975	1,046460792	0,0625
TICAM1	0,372091031	-0,065544616	0,027	0,034	1	0,955584517	1,04647991	0,794117647
FRZB	0,001496476	-0,065583822	0,001	0,015	1	0,955558549	1,04650835	0,066666667
EXOC8	0,101901132	-0,065631026	0,01	0,02	1	0,955527284	1,046542591	0,5
PARP9	0,274090172	-0,065665865	0,041	0,052	1	0,95550421	1,046567864	0,788461538
IPO5	0,022142754	-0,065697175	0,119	0,153	1	0,955483473	1,046590578	0,777777778
PRKX	0,002760233	-0,06572378	0,024	0,053	1	0,955465854	1,046609877	0,452830189
ACCS	0,542625671	-0,065727618	0,014	0,018	1	0,955463312	1,046612662	0,777777778
GALM	0,139229377	-0,0657689	0,021	0,033	1	0,955435972	1,046642611	0,636363636
SALL2	0,275457253	-0,06578249	0,007	0,012	1	0,955426972	1,04665247	0,583333333
ARG2	0,018105972	-0,065817351	0,028	0,05	1	0,955403885	1,046677761	0,56
ANKRD42	0,006962149	-0,065820226	0,022	0,046	1	0,955401982	1,046679847	0,47826087
FRMD1	9,34934E-05	-0,06582171	0	0,018	1	0,955400999	1,046680924	0
ZNF592	0,0490392	-0,065842042	0,027	0,045	1	0,955387534	1,046695675	0,6

Supplementary Table 5

Differentially expressed genes_total calculation_ comparing SC-Keloid vs. (SC-Myel, SC-Nonmyel)								
gene	p_val	avg_log2FC	pct.1	pct.2	p_val_adj	Foldchange_UP	Foldchange_DOWN	Ratio_pct1_pct2
PCDH18	0,033361241	-0,06587904	0,005	0,015	1	0,955363033	1,046722518	0,333333333
FMOD	0,419420124	-0,06588218	0,01	0,015	1	0,955360954	1,046724796	0,666666667
TRIM32	0,00869503	-0,065904049	0,008	0,024	1	0,955346473	1,046740663	0,333333333
MALT1	0,24239822	-0,065937822	0,021	0,03	1	0,955324109	1,046765167	0,7
PELI3	0,008068115	-0,065968725	0,003	0,016	1	0,955303646	1,046787589	0,1875
ADGRL2	0,009427758	-0,066013398	0,002	0,014	1	0,955274065	1,046820004	0,142857143
SNX2	0,181201877	-0,066032683	0,085	0,102	1	0,955261296	1,046833997	0,833333333
ZNF687	0,01399331	-0,0660727	0,008	0,023	1	0,955234799	1,046863034	0,347826087
SLFN13	0,215301039	-0,0662074	0,01	0,018	1	0,955145616	1,046960781	0,555555556
NLRC5	0,531807045	-0,066279581	0,015	0,019	1	0,955097829	1,047013164	0,789473684
COQ6	0,80026152	-0,066332636	0,043	0,045	1	0,955062707	1,047051668	0,955555556
TRMT61A	0,648976259	-0,06639354	0,072	0,064	1	0,955022389	1,047095871	1,125
TBC1D10A	0,138133119	-0,066412335	0,087	0,106	1	0,955009947	1,047109512	0,820754717
LMOD3	0,131599836	-0,066455492	0,008	0,016	1	0,954981379	1,047140836	0,5
C12orf29	0,027510346	-0,066478855	0,071	0,1	1	0,954965914	1,047157794	0,71
YEATS2	0,008752134	-0,066514333	0,031	0,058	1	0,95494243	1,047183546	0,534482759
ZNF768	0,006831861	-0,066521435	0,028	0,054	1	0,95493773	1,0471887	0,518518519
ATG3	0,042838405	-0,066650899	0,121	0,152	1	0,95485204	1,047282677	0,796052632
CCDC12	0,005471285	-0,066666174	0,136	0,182	1	0,95484193	1,047293765	0,747252747
LDAF1	0,037202496	-0,066706663	0,033	0,053	1	0,954815133	1,047323157	0,622641509
CYB5D1	0,055136718	-0,066741965	0,013	0,026	1	0,95479177	1,047348785	0,5
LEAP2	0,036090387	-0,066751973	0,019	0,035	1	0,954785146	1,047356051	0,542857143
FCHSD1	0,308406235	-0,066800065	0,016	0,023	1	0,954753319	1,047390965	0,695652174
ERAL1	0,540577346	-0,06688458	0,041	0,034	1	0,95469739	1,047452324	1,205882353
MAPK7	0,306941149	-0,066928796	0,022	0,03	1	0,95466813	1,047484428	0,733333333
COPS3	0,01407842	-0,066992363	0,121	0,157	1	0,954626067	1,047530582	0,770700637
GEMIN8	0,055390425	-0,067145743	0,041	0,061	1	0,954524582	1,047641956	0,672131148
MSH6	0,000242732	-0,067153748	0,056	0,104	1	0,954519286	1,047647769	0,538461538
MFN2	0,704397895	-0,067173463	0,043	0,046	1	0,954506242	1,047662085	0,934782609
C11orf68	0,009156383	-0,067182269	0,075	0,11	1	0,954500416	1,04766848	0,681818182

Supplementary Table 5

Differentially expressed genes_total calculation_ comparing SC-Keloid vs. (SC-Myel, SC-Nonmyel)								
gene	p_val	avg_log2FC	pct.1	pct.2	p_val_adj	Foldchange_UP	Foldchange_DOWN	Ratio_pct1_pct2
FAM161B	0,041013479	-0,067187312	0,006	0,016	1	0,954497079	1,047672143	0,375
ERCC4	0,510500327	-0,067223473	0,035	0,041	1	0,954473155	1,047698403	0,853658537
CYC1	0,015397819	-0,067252281	0,19	0,232	1	0,954454096	1,047719323	0,818965517
PREP	0,716344182	-0,067258225	0,023	0,026	1	0,954450164	1,04772364	0,884615385
LPCAT3	0,064339091	-0,067265562	0,03	0,047	1	0,95444531	1,047728969	0,638297872
LY6G5B	0,009892254	-0,067272097	0,001	0,011	1	0,954440986	1,047733715	0,090909091
NDFIP2	0,305297047	-0,067289552	0,118	0,13	1	0,954429439	1,047746391	0,907692308
IDH3G	0,224540645	-0,067294982	0,13	0,145	1	0,954425847	1,047750334	0,896551724
UQCC1	0,308249098	-0,06742498	0,026	0,034	1	0,954339849	1,047844749	0,764705882
TADA1	0,058259217	-0,067432192	0,014	0,027	1	0,954335079	1,047849987	0,518518519
ARHGAP33	0,406183979	-0,067443559	0,02	0,026	1	0,95432756	1,047858243	0,769230769
TMEM8B	0,844537732	-0,067552895	0,047	0,047	1	0,954255238	1,047937659	1
AP3D1	0,191549665	-0,067574974	0,099	0,115	1	0,954240634	1,047953697	0,860869565
PPP1R9A	4,02565E-05	-0,067583196	0,08	0,145	0,849452987	0,954235195	1,04795967	0,551724138
CRBN	0,003575321	-0,067595489	0,1	0,145	1	0,954227064	1,047968599	0,689655172
MTFR1	0,442670811	-0,067604869	0,029	0,035	1	0,954220861	1,047975412	0,828571429
NUDT7	0,000878809	-0,067605	0,007	0,028	1	0,954220774	1,047975508	0,25
CCDC80	0,060804293	-0,067719463	0,235	0,191	1	0,954145069	1,048058657	1,230366492
WASHC2A	0,142061728	-0,067725482	0,037	0,052	1	0,954141089	1,048063029	0,711538462
AAAS	0,79199905	-0,067766918	0,044	0,046	1	0,954113685	1,048093132	0,956521739
MRAS	0,004238471	-0,067773257	0,026	0,053	1	0,954109493	1,048097737	0,490566038
PYGO1	0,031064124	-0,067832096	0,007	0,019	1	0,954070581	1,048140484	0,368421053
ARL6IP5	0,000250849	-0,067855814	0,291	0,387	1	0,954054896	1,048157716	0,751937984
CAB39	0,039823085	-0,067906594	0,078	0,106	1	0,954021316	1,048194609	0,735849057
ALDH5A1	0,002802534	-0,067910731	0,001	0,014	1	0,95401858	1,048197614	0,071428571
MKKS	0,231830558	-0,067930949	0,035	0,046	1	0,954005211	1,048212304	0,760869565
TNK1	0,009507979	-0,067945704	0,002	0,014	1	0,953995453	1,048223025	0,142857143
HYLS1	0,049503493	-0,067981638	0,007	0,018	1	0,953971692	1,048249134	0,388888889
ZNF184	0,236276066	-0,068161631	0,016	0,024	1	0,95385268	1,048379923	0,666666667
WASF1	0,001966055	-0,068261975	0,006	0,024	1	0,953786339	1,048452844	0,25

Supplementary Table 5

Differentially expressed genes_total calculation_ comparing SC-Keloid vs. (SC-Myel, SC-Nonmyel)								
gene	p_val	avg_log2FC	pct.1	pct.2	p_val_adj	Foldchange_UP	Foldchange_DOWN	Ratio_pct1_pct2
CLIP2	0,002004783	-0,068308843	0,049	0,087	1	0,953755355	1,048486905	0,563218391
CEP295	0,106787101	-0,06833712	0,024	0,038	1	0,953736661	1,048507456	0,631578947
PROX1	0,002334796	-0,068386774	0,005	0,022	1	0,953703836	1,048543543	0,227272727
TBCK	0,3116154	-0,06845462	0,02	0,027	1	0,953658987	1,048592855	0,740740741
NEDD1	0,136005019	-0,068513983	0,056	0,073	1	0,953619748	1,048636002	0,767123288
ERMP1	0,056225583	-0,068539728	0,005	0,014	1	0,95360273	1,048654716	0,357142857
TOE1	0,620664703	-0,068550256	0,02	0,016	1	0,953595772	1,048662368	1,25
FGFR3	0,017329899	-0,06856183	0,002	0,012	1	0,953588122	1,048670781	0,166666667
PHF11	0,120017902	-0,068613061	0,064	0,083	1	0,95355426	1,04870802	0,771084337
EFS	0,131386559	-0,068652904	0,148	0,168	1	0,953527926	1,048736983	0,880952381
LRRC61	0,637555953	-0,068656913	0,03	0,026	1	0,953525276	1,048739897	1,153846154
TAF5	0,208059236	-0,068676414	0,009	0,016	1	0,953512387	1,048754073	0,5625
PGF	0,009225378	-0,068762313	0,012	0,03	1	0,953455616	1,048816519	0,4
KAT8	0,006222017	-0,068770507	0,062	0,096	1	0,953450201	1,048822475	0,645833333
CATSPERG	0,002039467	-0,068773734	0,01	0,033	1	0,953448068	1,048824822	0,303030303
CRTC1	0,707271741	-0,068782019	0,035	0,038	1	0,953442593	1,048830845	0,921052632
ST3GAL1	0,01073818	-0,068793814	0,022	0,045	1	0,953434798	1,04883942	0,488888889
TMEM88	0,02500157	-0,068814285	0,006	0,018	1	0,953421269	1,048854302	0,333333333
MMP19	0,981475989	-0,068827403	0,024	0,024	1	0,9534126	1,048863839	1
TECPR1	0,05043417	-0,068893812	0,019	0,034	1	0,953368714	1,048912121	0,558823529
MED23	0,302805955	-0,068952171	0,026	0,034	1	0,95333015	1,048954551	0,764705882
DTD2	0,064327647	-0,06896571	0,015	0,028	1	0,953321204	1,048964395	0,535714286
MTOR	0,229028247	-0,068968788	0,038	0,05	1	0,95331917	1,048966633	0,76
PJA2	8,19146E-07	-0,069091502	0,285	0,411	0,017284804	0,953238085	1,049055861	0,693430657
ZNF875	0,188270381	-0,069117235	0,023	0,034	1	0,953221083	1,049074573	0,676470588
NBPF15	0,86096194	-0,069121864	0,029	0,027	1	0,953218024	1,049077939	1,074074074
DDX5	0,000775506	-0,06912241	0,674	0,82	1	0,953217663	1,049078337	0,82195122
MAST4	0,41727262	-0,069143554	0,016	0,022	1	0,953203693	1,049093711	0,727272727
SLFN12	0,02602678	-0,0691678	0,047	0,072	1	0,953187673	1,049111343	0,652777778
CX3CL1	0,017258528	-0,069193789	0,002	0,012	1	0,953170503	1,049130242	0,166666667

Supplementary Table 5

Differentially expressed genes_total calculation_ comparing SC-Keloid vs. (SC-Myel, SC-Nonmyel)								
gene	p_val	avg_log2FC	pct.1	pct.2	p_val_adj	Foldchange_UP	Foldchange_DOWN	Ratio_pct1_pct2
TP53I13	0,182140027	-0,069200981	0,133	0,152	1	0,953165751	1,049135472	0,875
EIF3D	0,190273173	-0,069245975	0,172	0,191	1	0,953136025	1,049168192	0,90052356
YAP1	8,09865E-05	-0,069250512	0,099	0,164	1	0,953133027	1,049171491	0,603658537
MAPK8	0,034106835	-0,06926818	0,062	0,088	1	0,953121355	1,04918434	0,704545455
PRCC	0,867144226	-0,069282221	0,086	0,08	1	0,953112079	1,049194552	1,075
SLC25A5	0,00028738	-0,069341168	0,354	0,464	1	0,953073136	1,049237422	0,762931034
ABCF2	0,9486823	-0,069413076	0,033	0,031	1	0,953025634	1,04928972	1,064516129
TMEM139	0,004639337	-0,069427907	0,003	0,018	1	0,953015836	1,049300507	0,166666667
OGT	0,012921878	-0,069514592	0,099	0,137	1	0,952958576	1,049363556	0,722627737
UBE2O	0,080506888	-0,069520653	0,023	0,038	1	0,952954572	1,049367965	0,605263158
HMGNA4	0,336775281	-0,069531636	0,052	0,041	1	0,952947318	1,049375953	1,268292683
STRIP1	0,283034971	-0,069542126	0,031	0,041	1	0,952940389	1,049383584	0,756097561
MAP4K2	0,009189692	-0,069578644	0,006	0,02	1	0,952916268	1,049410146	0,3
TRAPPC8	0,071109659	-0,069583889	0,033	0,05	1	0,952912803	1,049413962	0,66
FCHSD2	0,057158457	-0,069592865	0,008	0,019	1	0,952906875	1,04942049	0,421052632
RNF113A	0,222007254	-0,069616463	0,037	0,049	1	0,952891288	1,049437656	0,755102041
ZNF823	0,019569988	-0,069699347	0,005	0,016	1	0,952836545	1,049497949	0,3125
PGS1	0,074784026	-0,06969967	0,02	0,034	1	0,952836332	1,049498184	0,588235294
ABTB2	0,058199655	-0,069739138	0,014	0,027	1	0,952810266	1,049526895	0,518518519
MYSM1	0,159892028	-0,069769225	0,081	0,099	1	0,952790395	1,049548783	0,818181818
DOCK11	0,026342323	-0,069843762	0,009	0,023	1	0,95274117	1,04960301	0,391304348
MAMDC2	0,238208693	-0,069874918	0,022	0,031	1	0,952720596	1,049625677	0,709677419
DGCR8	0,244176006	-0,069905684	0,027	0,037	1	0,952700279	1,049648061	0,72972973
DHFR	0,78304934	-0,069967282	0,028	0,03	1	0,952659602	1,049692878	0,933333333
CCDC102B	0,135823427	-0,07002859	0,019	0,03	1	0,95261912	1,049737486	0,633333333
BFAR	0,613342722	-0,070104439	0,087	0,091	1	0,952569038	1,049792677	0,956043956
PDLIM2	0,021175043	-0,070156586	0,114	0,149	1	0,952534607	1,049830623	0,765100671
PTCD3	0,159791895	-0,070168277	0,059	0,076	1	0,952526888	1,049839131	0,776315789
TTC9	0,000434164	-0,070210259	0,001	0,018	1	0,95249917	1,049869681	0,055555556
MAGI3	0,022630483	-0,070231431	0,024	0,045	1	0,952485192	1,049885088	0,533333333

Supplementary Table 5

Differentially expressed genes_total calculation_ comparing SC-Keloid vs. (SC-Myel, SC-Nonmyel)								
gene	p_val	avg_log2FC	pct.1	pct.2	p_val_adj	Foldchange_UP	Foldchange_DOWN	Ratio_pct1_pct2
TOP1MT	0,232393932	-0,07024995	0,027	0,037	1	0,952472966	1,049898565	0,72972973
UBIAD1	0,011911946	-0,070263169	0,026	0,049	1	0,952464239	1,049908185	0,530612245
SAR1A	0,001491374	-0,070264444	0,219	0,285	1	0,952463397	1,049909113	0,768421053
STX7	0,035059264	-0,070300041	0,092	0,122	1	0,952439896	1,049935018	0,754098361
ARSG	0,008720925	-0,070333482	0,008	0,024	1	0,952417819	1,049959356	0,333333333
SLC35E2A	0,543201019	-0,070356664	0,013	0,016	1	0,952402515	1,049976227	0,8125
MPRIP-AS1	4,17713E-05	-0,070365397	0,021	0,061	0,881415272	0,95239675	1,049982583	0,344262295
RGL2	0,849777604	-0,070482735	0,085	0,084	1	0,952319292	1,050067985	1,011904762
HEPN1	0,000618779	-0,070486351	0	0,014	1	0,952316905	1,050070617	0
ARHGAP35	0,153996496	-0,070549668	0,092	0,111	1	0,952275111	1,050116703	0,828828829
SGF29	0,238521037	-0,070728502	0,027	0,037	1	0,952157077	1,050246881	0,72972973
YPEL1	0,823253939	-0,070760075	0,026	0,027	1	0,952136239	1,050269866	0,962962963
POLG2	0,431441743	-0,070795244	0,031	0,038	1	0,952113028	1,050295469	0,815789474
HDAC10	0,88846777	-0,070823364	0,03	0,028	1	0,952094471	1,050315941	1,071428571
DICER1-AS1	0,010452141	-0,070852286	0,009	0,026	1	0,952075384	1,050336997	0,346153846
SLC25A19	0,147568513	-0,070866045	0,01	0,019	1	0,952066304	1,050347014	0,526315789
DDX59	0,361853068	-0,070872605	0,033	0,041	1	0,952061975	1,05035179	0,804878049
PYGO2	0,795717508	-0,070905038	0,035	0,037	1	0,952040572	1,050375403	0,945945946
MYO6	0,000838267	-0,07098726	0,036	0,073	1	0,951986315	1,050435268	0,493150685
CIDEB	0,005394299	-0,07102342	0,006	0,022	1	0,951962455	1,050461596	0,272727273
CAPN15	0,181872782	-0,071030267	0,026	0,037	1	0,951957936	1,050466582	0,702702703
TXNRD3	0,002834179	-0,071096335	0,002	0,016	1	0,951914343	1,050514689	0,125
PDCD7	0,033019084	-0,071309292	0,104	0,134	1	0,951773841	1,050669767	0,776119403
EID2B	0,116096135	-0,071311011	0,013	0,023	1	0,951772707	1,05067102	0,565217391
PKP2	0,000238222	-0,071366163	0,001	0,019	1	0,951736323	1,050711186	0,052631579
UNC13D	0,002802534	-0,071385879	0,001	0,014	1	0,951723316	1,050725545	0,071428571
FBF1	0,131451435	-0,071387296	0,008	0,016	1	0,951722381	1,050726577	0,5
ABCB4	0,241140074	-0,071460107	0,017	0,026	1	0,951674351	1,050779607	0,653846154
TRNAU1AP	0,53854594	-0,071514337	0,075	0,08	1	0,951638578	1,050819106	0,9375
KIAA1549L	6,0816E-06	-0,071524778	0,008	0,043	0,128327907	0,951631691	1,050826711	0,186046512

Supplementary Table 5

Differentially expressed genes_total calculation_ comparing SC-Keloid vs. (SC-Myel, SC-Nonmyel)								
gene	p_val	avg_log2FC	pct.1	pct.2	p_val_adj	Foldchange_UP	Foldchange_DOWN	Ratio_pct1_pct2
RABGEF1	0,924920358	-0,071527273	0,045	0,043	1	0,951630045	1,050828528	1,046511628
CHEK2	0,017305455	-0,071561904	0,009	0,024	1	0,951607202	1,050853753	0,375
TBC1D25	0,482510388	-0,071603525	0,024	0,03	1	0,951579749	1,05088407	0,8
STARD5	0,027384862	-0,071710768	0,014	0,03	1	0,951509016	1,050962191	0,466666667
ZC3H3	0,054435507	-0,071728788	0,013	0,026	1	0,951497131	1,050975318	0,5
PPP1R3E	0,0059371	-0,071749326	0,015	0,037	1	0,951483586	1,05099028	0,405405405
SPINT2	0,041317453	-0,071760368	0,006	0,016	1	0,951476303	1,050998324	0,375
CDKL3	0,048454899	-0,071828629	0,019	0,034	1	0,951431286	1,051048052	0,558823529
FAM13A-AS1	0,002214594	-0,071851024	0	0,011	1	0,951416516	1,051064368	0
TGFBRAP1	0,843523796	-0,071852679	0,035	0,033	1	0,951415426	1,051065574	1,060606061
ZGPAT	0,082742521	-0,071904977	0,014	0,026	1	0,951380937	1,051103676	0,538461538
ENHO	0,000458425	-0,072024052	0,003	0,023	1	0,951302417	1,051190434	0,130434783
ALAD	0,055021763	-0,072027289	0,04	0,06	1	0,951300282	1,051192792	0,666666667
GPR89B	0,410773753	-0,072038028	0,014	0,019	1	0,951293201	1,051200617	0,736842105
C3orf52	0,220302043	-0,072043587	0,013	0,02	1	0,951289536	1,051204668	0,65
CDK5RAP2	0,446010187	-0,072049528	0,054	0,061	1	0,951285618	1,051208996	0,885245902
ARHGAP4	0,014359884	-0,07205281	0,008	0,023	1	0,951283454	1,051211388	0,347826087
TOM1	0,625749631	-0,072097152	0,03	0,034	1	0,951254216	1,051243698	0,882352941
LRP1	1,04172E-05	-0,072126394	0,219	0,322	0,219813033	0,951234935	1,051265006	0,680124224
CYP4F11	0,00116827	-0,07214988	0	0,012	1	0,95121945	1,05128212	0
EPB41L1	0,519308336	-0,072167792	0,017	0,022	1	0,95120764	1,051295172	0,772727273
NBPF3	0,015078228	-0,072170823	0,006	0,019	1	0,951205641	1,051297381	0,315789474
SLC25A10	0,672790545	-0,07217155	0,015	0,018	1	0,951205163	1,051297911	0,833333333
TUBB4A	0,000128199	-0,072247262	0,001	0,02	1	0,951155245	1,051353084	0,05
CCL28	0,150992355	-0,072280159	0,01	0,019	1	0,951133557	1,051377058	0,526315789
PPP1R12C	0,023717923	-0,072403786	0,058	0,085	1	0,951052055	1,051467156	0,682352941
SYNPO	0,529372352	-0,072434514	0,09	0,096	1	0,951031799	1,051489551	0,9375
ANGPTL1	0,002275389	-0,072445016	0,019	0,045	1	0,951024876	1,051497206	0,422222222
CUL3	0,000317803	-0,0724501	0,127	0,189	1	0,951021525	1,051500911	0,671957672
ZNF324	0,000560068	-0,072532653	0,012	0,038	1	0,950967108	1,051561081	0,315789474

Supplementary Table 5

Differentially expressed genes_total calculation_ comparing SC-Keloid vs. (SC-Myel, SC-Nonmyel)								
gene	p_val	avg_log2FC	pct.1	pct.2	p_val_adj	Foldchange_UP	Foldchange_DOWN	Ratio_pct1_pct2
NISCH	0,026514052	-0,072548014	0,07	0,099	1	0,950956982	1,051572278	0,707070707
SULT1A2	0,002214594	-0,072585972	0	0,011	1	0,950931962	1,051599946	0
CCDC173	0,002202335	-0,072608216	0,005	0,022	1	0,950917301	1,051616159	0,227272727
RPL7	0,062648007	-0,072646963	0,651	0,811	1	0,950891762	1,051644404	0,8027127
PHF20	0,002590923	-0,072690987	0,112	0,16	1	0,950862746	1,051676495	0,7
LINC00598	9,34934E-05	-0,072725427	0	0,018	1	0,950840048	1,051701601	0
CELF1	0,000516957	-0,072777836	0,151	0,214	1	0,950805507	1,051739807	0,705607477
TMEM192	0,115779514	-0,07282248	0,036	0,052	1	0,950776085	1,051772353	0,692307692
EIF3C	0,307750196	-0,072855123	0,015	0,022	1	0,950754572	1,051796152	0,681818182
TKFC	0,171325344	-0,072858937	0,016	0,026	1	0,950752059	1,051798932	0,615384615
TECR	0,000712495	-0,072863723	0,261	0,346	1	0,950748905	1,051802421	0,75433526
SIN3B	0,061180392	-0,07294202	0,056	0,079	1	0,950697308	1,051859506	0,708860759
ANKRD20A1	0,024732979	-0,073001732	0,006	0,018	1	0,95065796	1,051903042	0,333333333
PCNT	0,052738787	-0,073004759	0,033	0,052	1	0,950655966	1,051905249	0,634615385
MTA3	0,297798629	-0,073017849	0,048	0,058	1	0,950647339	1,051914794	0,827586207
TMEM62	0,543901312	-0,073053843	0,013	0,016	1	0,950623622	1,051941038	0,8125
ZBED1	0,01103205	-0,073084947	0,043	0,072	1	0,950603128	1,051963718	0,597222222
FTO	0,205519495	-0,073099717	0,047	0,06	1	0,950593395	1,051974488	0,783333333
TMCC3	0,001860303	-0,073199568	0,006	0,024	1	0,950527606	1,052047299	0,25
MCCC1	0,056876546	-0,073211212	0,022	0,038	1	0,950519934	1,05205579	0,578947368
DCST2	0,009916339	-0,073225305	0,001	0,011	1	0,950510649	1,052066067	0,090909091
MTG1	0,579866261	-0,073234163	0,045	0,05	1	0,950504813	1,052072526	0,9
MTFMT	0,582500279	-0,073245146	0,038	0,043	1	0,950497577	1,052080536	0,88372093
EPOR	0,025117451	-0,073291162	0,006	0,018	1	0,95046726	1,052114093	0,333333333
LRRC3	0,030973371	-0,073302442	0,002	0,011	1	0,950459829	1,05212232	0,181818182
KLHL18	0,833407747	-0,073315741	0,041	0,042	1	0,950451067	1,052132018	0,976190476
RAB5B	0,045151709	-0,073378116	0,064	0,09	1	0,950409976	1,052177508	0,711111111
TMF1	1,56909E-05	-0,073412345	0,108	0,185	0,331094351	0,950387427	1,052202472	0,583783784
ZBED6	0,00710028	-0,073531352	0,007	0,023	1	0,950309033	1,052289272	0,304347826
MEF2B	0,085736761	-0,073633653	0,008	0,018	1	0,95024165	1,052363891	0,444444444

Supplementary Table 5

Differentially expressed genes_total calculation_ comparing SC-Keloid vs. (SC-Myel, SC-Nonmyel)								
gene	p_val	avg_log2FC	pct.1	pct.2	p_val_adj	Foldchange_UP	Foldchange_DOWN	Ratio_pct1_pct2
ZNF740	0,313909862	-0,073646052	0,019	0,026	1	0,950233483	1,052372936	0,730769231
PPARG	0,004639337	-0,073683372	0,003	0,018	1	0,950208902	1,05240016	0,166666667
GTF2H2C	0,589372327	-0,073700527	0,023	0,027	1	0,950197604	1,052412673	0,851851852
NR3C2	0,000476407	-0,073762802	0,002	0,02	1	0,950156588	1,052458102	0,1
BRD1	0,0376908	-0,073784584	0,081	0,11	1	0,950142242	1,052473993	0,736363636
FAM217B	0,982356099	-0,07384216	0,045	0,045	1	0,950104325	1,052515996	1
INTS4	0,493029335	-0,073843124	0,035	0,041	1	0,95010369	1,0525167	0,853658537
PLAGL2	0,040878357	-0,073854229	0,009	0,022	1	0,950096377	1,052524801	0,409090909
ZNF532	0,000231984	-0,073901656	0,073	0,129	1	0,950065143	1,052559403	0,565891473
TAOK2	0,255183603	-0,073963009	0,049	0,061	1	0,950024741	1,052604165	0,803278689
SOX1-OT	0,000175145	-0,074003223	0	0,016	1	0,94999826	1,052633507	0
ZNF302	0,143247629	-0,074060428	0,058	0,076	1	0,949960592	1,052675246	0,763157895
HEXIM2	0,385766957	-0,074063709	0,023	0,03	1	0,949958432	1,05267764	0,766666667
UVRAG	0,08958721	-0,074080159	0,052	0,072	1	0,9499476	1,052689643	0,722222222
DAZAP1	0,005286997	-0,07417293	0,108	0,152	1	0,949886517	1,052757337	0,710526316
DDX47	0,078374255	-0,074328789	0,013	0,024	1	0,949783903	1,052871076	0,541666667
TBRG4	0,523057829	-0,074373747	0,043	0,049	1	0,949754306	1,052903886	0,87755102
PIKFYVE	0,118603537	-0,074380581	0,041	0,057	1	0,949749807	1,052908874	0,719298246
MAPK3	0,387504404	-0,074405448	0,084	0,069	1	0,949733437	1,052927022	1,217391304
TRAFD1	0,612736718	-0,074452414	0,042	0,046	1	0,94970252	1,0529613	0,913043478
TRIM23	0,097770733	-0,074566765	0,037	0,054	1	0,949627247	1,053044764	0,685185185
MAEA	0,588898998	-0,074578499	0,077	0,081	1	0,949619524	1,053053328	0,950617284
DUSP22	0,005699087	-0,074582622	0,031	0,06	1	0,949616809	1,053056338	0,516666667
MAP2K5	0,13898618	-0,074596733	0,022	0,034	1	0,949607521	1,053066638	0,647058824
TMEM95	0,00116827	-0,074631023	0	0,012	1	0,949584952	1,053091667	0
SLC25A30-AS1	0,009892254	-0,074705082	0,001	0,011	1	0,949536207	1,053145728	0,090909091
ZNF595	0,067104437	-0,074711783	0,006	0,015	1	0,949531797	1,05315062	0,4
RAB33A	0,009114145	-0,074739556	0,006	0,02	1	0,949513518	1,053170894	0,3
SLC25A42	0,242080006	-0,074754334	0,024	0,034	1	0,949503791	1,053181682	0,705882353
DRG1	0,600835836	-0,074769657	0,062	0,066	1	0,949493706	1,053192868	0,939393939

Supplementary Table 5

Differentially expressed genes_total calculation_ comparing SC-Keloid vs. (SC-Myel, SC-Nonmyel)								
gene	p_val	avg_log2FC	pct.1	pct.2	p_val_adj	Foldchange_UP	Foldchange_DOWN	Ratio_pct1_pct2
HELB	2,95183E-05	-0,074772979	0,016	0,054	0,622866312	0,94949152	1,053195293	0,296296296
TPRA1	0,064796311	-0,074823814	0,035	0,053	1	0,949458065	1,053232404	0,660377358
FHIP2B	0,399487153	-0,074847822	0,05	0,058	1	0,949442265	1,053249931	0,862068966
ATM	0,093143407	-0,074860972	0,105	0,129	1	0,94943361	1,053259532	0,813953488
ACBD4	0,043684055	-0,074924889	0,015	0,03	1	0,949391548	1,053306196	0,5
DOCK10	4,23962E-05	-0,07495461	0,006	0,034	0,894601247	0,949371989	1,053327896	0,176470588
ZNF426	0,390519402	-0,075013132	0,023	0,03	1	0,94933348	1,053370624	0,766666667
CASTOR2	0,301701051	-0,075019339	0,022	0,03	1	0,949329396	1,053375156	0,733333333
PDK3	0,000248853	-0,075134471	0,015	0,046	1	0,949253639	1,053459223	0,326086957
ZDHHC7	0,810244666	-0,075140319	0,051	0,053	1	0,949249791	1,053463493	0,962264151
FAM185A	0,012288903	-0,075170491	0,01	0,027	1	0,949229939	1,053485525	0,37037037
MTARC2	0,238222161	-0,075215989	0,02	0,028	1	0,949200004	1,053518748	0,714285714
MTMR12	0,055935772	-0,075226049	0,035	0,054	1	0,949193385	1,053526095	0,648148148
CMPK2	0,092515122	-0,075239647	0,005	0,012	1	0,949184438	1,053536025	0,416666667
PPP1R13B	0,003241629	-0,075254943	0,008	0,027	1	0,949174374	1,053547195	0,296296296
FBXW4	0,031975604	-0,075348253	0,035	0,057	1	0,949112986	1,053615338	0,614035088
GRIK5	0,002214594	-0,075394607	0	0,011	1	0,949082492	1,053649191	0
UBE2B	6,08538E-07	-0,075404293	0,302	0,431	0,01284075	0,94907612	1,053656266	0,700696056
NAALADL2	0,014589632	-0,075422202	0,044	0,072	1	0,949064339	1,053669345	0,611111111
MUTYH	0,027361545	-0,075434037	0,021	0,039	1	0,949056553	1,053677989	0,538461538
VRK3	0,072196235	-0,075443302	0,019	0,033	1	0,949050458	1,053684756	0,575757576
SLC49A4	0,635989938	-0,075472837	0,017	0,02	1	0,949031029	1,053706327	0,85
SIRT3	0,074652044	-0,0754811	0,012	0,023	1	0,949025594	1,053712362	0,52173913
DCLK2	0,008396067	-0,075481539	0,02	0,042	1	0,949025305	1,053712682	0,476190476
ZNF487	0,128195064	-0,075483559	0,016	0,027	1	0,949023976	1,053714158	0,592592593
TCFL5	0,068303505	-0,075488042	0,017	0,031	1	0,949021027	1,053717432	0,548387097
MFSD14B	0,109697779	-0,075511892	0,071	0,091	1	0,949005338	1,053734852	0,78021978
ATG101	0,036174091	-0,075545123	0,172	0,206	1	0,948983479	1,053759124	0,834951456
P2RX4	0,455799701	-0,075583631	0,05	0,041	1	0,94895815	1,053787251	1,219512195
ZCCHC4	0,102009393	-0,075672617	0,01	0,02	1	0,948899619	1,053852251	0,5

Supplementary Table 5

Differentially expressed genes_total calculation_ comparing SC-Keloid vs. (SC-Myel, SC-Nonmyel)								
gene	p_val	avg_log2FC	pct.1	pct.2	p_val_adj	Foldchange_UP	Foldchange_DOWN	Ratio_pct1_pct2
CUL1	0,058119266	-0,075788114	0,054	0,076	1	0,948823657	1,053936622	0,710526316
POLR2A	0,017665141	-0,075852381	0,112	0,149	1	0,948781391	1,053983573	0,751677852
STAM	0,000382064	-0,075885781	0,073	0,125	1	0,948759426	1,054007974	0,584
AHRR	0,000328784	-0,075931619	0	0,015	1	0,948729282	1,054041462	0
CDRT4	0,149903322	-0,075931625	0,005	0,011	1	0,948729278	1,054041467	0,454545455
KAT6B	0,07821434	-0,075981209	0,104	0,128	1	0,948696672	1,054077694	0,8125
UCP2	0,000800396	-0,076008462	0,001	0,016	1	0,948678751	1,054097606	0,0625
TEF	0,065368877	-0,076049409	0,029	0,046	1	0,948651825	1,054127524	0,630434783
TET2	0,000944516	-0,076060405	0,073	0,121	1	0,948644595	1,054135559	0,603305785
MAGT1	0,025989274	-0,07610554	0,12	0,153	1	0,948614917	1,054168538	0,784313725
MUC20	0,000440833	-0,076178139	0,001	0,018	1	0,948567182	1,054221587	0,055555556
MFS14C	0,0121874	-0,076217064	0,047	0,076	1	0,94854159	1,054250031	0,618421053
FAM120AOS	0,022639691	-0,076255203	0,077	0,107	1	0,948516514	1,054277902	0,719626168
NHEJ1	0,119785357	-0,076261146	0,007	0,015	1	0,948512607	1,054282244	0,466666667
CPSF1	0,237478899	-0,076286069	0,034	0,045	1	0,948496221	1,054300458	0,755555556
OSGIN1	0,035390592	-0,076303169	0,008	0,02	1	0,948484979	1,054312954	0,4
ADAMTSL4	0,004639337	-0,076305964	0,003	0,018	1	0,948483142	1,054314996	0,166666667
PCGF1	0,291765984	-0,076343847	0,03	0,039	1	0,948458236	1,054342682	0,769230769
AL445989.1	0,092786707	-0,07650334	0,005	0,012	1	0,948353387	1,054459248	0,416666667
TTF2	0,401889172	-0,076504302	0,02	0,026	1	0,948352755	1,054459951	0,769230769
PRKD3	1,66665E-05	-0,076516666	0,105	0,178	0,351678916	0,948344628	1,054468988	0,58988764
DGKG	0,001261386	-0,076553678	0,005	0,023	1	0,948320299	1,05449604	0,217391304
ZNF436-AS1	0,000424012	-0,076588466	0,008	0,033	1	0,948297432	1,054521468	0,242424242
MED25	0,522871505	-0,076642094	0,042	0,047	1	0,948262182	1,054560667	0,893617021
TNPO2	0,293212744	-0,076648112	0,058	0,069	1	0,948258227	1,054565066	0,84057971
SMNDC1	0,021338857	-0,076704515	0,092	0,125	1	0,948221155	1,054606296	0,736
TP53RK	0,259542506	-0,076742799	0,058	0,071	1	0,948195993	1,054634282	0,816901408
HEXA	0,04498515	-0,076776991	0,119	0,148	1	0,94817352	1,054659278	0,804054054
ST7L	0,043148243	-0,076846827	0,041	0,062	1	0,948127624	1,054710331	0,661290323
USP30	0,094624848	-0,076864395	0,009	0,019	1	0,948116079	1,054723174	0,473684211

Supplementary Table 5

Differentially expressed genes_total calculation_ comparing SC-Keloid vs. (SC-Myel, SC-Nonmyel)								
gene	p_val	avg_log2FC	pct.1	pct.2	p_val_adj	Foldchange_UP	Foldchange_DOWN	Ratio_pct1_pct2
SLC25A27	0,005202323	-0,076874133	0,002	0,015	1	0,948109679	1,054730294	0,133333333
CEP170B	0,10554115	-0,076920072	0,023	0,037	1	0,948079489	1,054763879	0,621621622
SCNN1D	0,005571205	-0,076935954	0,006	0,022	1	0,948069052	1,054775491	0,272727273
QSER1	0,025961817	-0,076962789	0,08	0,111	1	0,948051418	1,054795111	0,720720721
ZNF37A	0,182046091	-0,077017515	0,045	0,06	1	0,948015456	1,054835123	0,75
NDST2	0,283884964	-0,077054239	0,008	0,014	1	0,947991324	1,054861974	0,571428571
ADAT2	0,028425946	-0,0770894	0,022	0,041	1	0,94796822	1,054887683	0,536585366
CHST7	0,134829563	-0,077145891	0,022	0,034	1	0,947931102	1,05492899	0,647058824
SETD1A	0,003911163	-0,077158646	0,024	0,052	1	0,947922721	1,054938317	0,461538462
RHEBL1	0,009024221	-0,077204407	0,006	0,02	1	0,947892655	1,054971779	0,3
COASY	0,679260365	-0,077204663	0,052	0,056	1	0,947892486	1,054971966	0,928571429
HMGA2	0,000328784	-0,077237315	0	0,015	1	0,947871033	1,054995843	0
EHMT2	0,024680758	-0,077239276	0,041	0,065	1	0,947869745	1,054997277	0,630769231
CTH	0,00321618	-0,077249012	0,008	0,027	1	0,947863348	1,055004397	0,296296296
SMIM43	0,002214594	-0,07733085	0	0,011	1	0,947809581	1,055064245	0
FRS2	0,001814864	-0,07733159	0,113	0,164	1	0,947809095	1,055064786	0,68902439
HERC3	0,000264353	-0,077366317	0,008	0,034	1	0,947786281	1,055090183	0,235294118
CTDSP1	0,415782365	-0,07741852	0,114	0,122	1	0,947751986	1,055128361	0,93442623
UBE2D2	8,37032E-05	-0,077578662	0,254	0,345	1	0,94764679	1,055245489	0,736231884
EIF2AK2	0,331432331	-0,077623519	0,136	0,149	1	0,947617325	1,0552783	0,912751678
HK2	0,001172881	-0,077636533	0,008	0,03	1	0,947608777	1,055287819	0,266666667
ECRG4	0,111043206	-0,07771003	0,03	0,018	1	0,947560503	1,055341581	1,666666667
NOCT	0,000494703	-0,077710358	0,007	0,03	1	0,947560288	1,055341821	0,233333333
GNL2	0,192584534	-0,07776091	0,069	0,084	1	0,947527086	1,055378801	0,821428571
PDPR	0,190738294	-0,07780536	0,026	0,037	1	0,947497893	1,055411318	0,702702703
SEC24A	0,016065654	-0,077822749	0,071	0,103	1	0,947486473	1,055424039	0,689320388
NOD1	0,001477406	-0,077873839	0,007	0,027	1	0,94745292	1,055461416	0,259259259
ACSS3	0,025596929	-0,077903163	0,019	0,037	1	0,947433662	1,055482869	0,513513514
ADGRL1	0,123683997	-0,077997495	0,015	0,026	1	0,947371715	1,055551885	0,576923077
LIN37	0,001174822	-0,078019197	0,008	0,03	1	0,947357465	1,055567763	0,266666667

Supplementary Table 5

Differentially expressed genes_total calculation_ comparing SC-Keloid vs. (SC-Myel, SC-Nonmyel)								
gene	p_val	avg_log2FC	pct.1	pct.2	p_val_adj	Foldchange_UP	Foldchange_DOWN	Ratio_pct1_pct2
DDX31	0,138181234	-0,07810937	0,009	0,018	1	0,947298254	1,055633742	0,5
IZUMO4	0,001457178	-0,078133651	0,003	0,02	1	0,94728231	1,055651509	0,15
ADCY3	0,005405683	-0,078182107	0,029	0,057	1	0,947250494	1,055686966	0,50877193
C12orf4	0,039314803	-0,078198328	0,021	0,038	1	0,947239844	1,055698835	0,552631579
CPNE3	0,000738506	-0,078202708	0,164	0,229	1	0,947236968	1,05570204	0,716157205
NUP160	0,000175026	-0,078216459	0,052	0,102	1	0,94722794	1,055712103	0,509803922
INTU	0,017340091	-0,078265311	0,035	0,06	1	0,947195866	1,055747851	0,583333333
EBLN2	0,019110613	-0,07826838	0,02	0,039	1	0,947193851	1,055750097	0,512820513
TAPBPL	0,35081471	-0,078287623	0,033	0,041	1	0,947181217	1,055764179	0,804878049
ACOT2	0,468667884	-0,07842664	0,047	0,053	1	0,947089951	1,055865917	0,886792453
ZNF330	0,001373789	-0,07855102	0,062	0,104	1	0,947008303	1,05595695	0,596153846
GNL3L	0,779652559	-0,078554151	0,044	0,046	1	0,947006248	1,055959242	0,956521739
TNKS1BP1	0,0616339	-0,078586625	0,061	0,083	1	0,946984932	1,055983011	0,734939759
TNKS	0,008207699	-0,078630216	0,079	0,117	1	0,946956319	1,056014918	0,675213675
ABCA5	0,00281314	-0,07866318	0,013	0,035	1	0,946934682	1,056039048	0,371428571
VCAM1	0,043932941	-0,078665572	0,003	0,012	1	0,946933113	1,056040798	0,25
LINC00639	0,002214594	-0,07871014	0	0,011	1	0,94690386	1,056073423	0
CIART	0,008746889	-0,078747469	0,008	0,024	1	0,94687936	1,056100748	0,333333333
COX19	0,0135581	-0,078846275	0,057	0,088	1	0,946814513	1,05617308	0,647727273
PITRM1	0,223661528	-0,078920754	0,037	0,049	1	0,946765635	1,056227606	0,755102041
AP5B1	0,049699772	-0,078975721	0,012	0,024	1	0,946729564	1,056267849	0,5
NSG1	0,017151955	-0,078987333	0,002	0,012	1	0,946721944	1,056276351	0,166666667
WDR73	0,356858818	-0,079004249	0,048	0,057	1	0,946710843	1,056288736	0,842105263
YTHDF3	0,060689076	-0,079008802	0,092	0,118	1	0,946707855	1,05629207	0,779661017
LIPE-AS1	0,000250621	-0,079011543	0,008	0,034	1	0,946706057	1,056294077	0,235294118
KANK2	0,002023713	-0,079044745	0,172	0,233	1	0,946684269	1,056318387	0,738197425
NRDC	0,012217983	-0,079053026	0,156	0,198	1	0,946678836	1,05632445	0,787878788
GLS	4,64938E-05	-0,079078648	0,176	0,256	0,981066283	0,946662023	1,05634321	0,6875
SPTBN4	0,001548229	-0,079108104	0,002	0,018	1	0,946642695	1,056364778	0,111111111
CREBL2	0,055557769	-0,079145379	0,055	0,077	1	0,946618237	1,056392071	0,714285714

Supplementary Table 5

Differentially expressed genes_total calculation_ comparing SC-Keloid vs. (SC-Myel, SC-Nonmyel)								
gene	p_val	avg_log2FC	pct.1	pct.2	p_val_adj	Foldchange_UP	Foldchange_DOWN	Ratio_pct1_pct2
AARS2	0,033469554	-0,079160612	0,005	0,015	1	0,946608242	1,056403226	0,333333333
VMAC	0,122182592	-0,079174646	0,014	0,024	1	0,946599033	1,056413502	0,583333333
ZHX2	0,00696659	-0,079175419	0,007	0,023	1	0,946598526	1,056414068	0,304347826
PLEKHF2	0,001213917	-0,079219954	0,076	0,122	1	0,946569306	1,05644668	0,62295082
CFAP91	4,99915E-05	-0,079231641	0	0,019	1	0,946561638	1,056455238	0
AAMP	0,015791526	-0,079245184	0,107	0,142	1	0,946552752	1,056465155	0,753521127
ARVCF	0,003780197	-0,079309612	0,012	0,033	1	0,946510482	1,056512336	0,363636364
FAM219B	0,109134264	-0,07932129	0,054	0,072	1	0,946502821	1,056520887	0,75
SH2B1	0,053051482	-0,079326418	0,047	0,068	1	0,946499456	1,056524643	0,691176471
TMEM167B	0,122332783	-0,079362478	0,056	0,073	1	0,946475799	1,056551051	0,767123288
WNT2B	0,003902641	-0,079362798	0,012	0,033	1	0,946475589	1,056551285	0,363636364
NOMO1	0,703085761	-0,079386677	0,05	0,045	1	0,946459924	1,056568773	1,111111111
NF1	0,298618722	-0,079408567	0,129	0,141	1	0,946445563	1,056584804	0,914893617
CREB3L2	0,002618514	-0,079480679	0,233	0,296	1	0,946398257	1,056637619	0,787162162
OAZ1	0,000856566	-0,079482648	0,568	0,779	1	0,946396965	1,056639061	0,729139923
H2BC18	0,008920312	-0,079559042	0,006	0,02	1	0,946346853	1,056695013	0,3
PPP2R5B	0,770468649	-0,079602982	0,049	0,045	1	0,94631803	1,056727198	1,088888889
CBR4	0,033258687	-0,079606428	0,045	0,069	1	0,94631577	1,056729722	0,652173913
MAOB	6,62501E-05	-0,079705038	0,001	0,022	1	0,94625109	1,056801953	0,045454545
SPIN1	0,000156961	-0,079757768	0,09	0,149	1	0,946216505	1,05684058	0,604026846
IKZF5	0,0003937	-0,079775265	0,042	0,084	1	0,94620503	1,056853397	0,5
NAB1	0,197426823	-0,079821839	0,061	0,075	1	0,946174484	1,056887516	0,813333333
CRAMP1	0,024720438	-0,079838623	0,027	0,047	1	0,946163477	1,056899811	0,574468085
TNIP2	0,055287863	-0,079897452	0,084	0,11	1	0,946124896	1,05694291	0,763636364
NBPF14	0,414173879	-0,079966411	0,014	0,019	1	0,946079673	1,056993431	0,736842105
AMZ2	0,530431395	-0,07999139	0,069	0,075	1	0,946063293	1,057011733	0,92
MAPK8IP3	0,094732695	-0,080004204	0,043	0,061	1	0,94605489	1,05702112	0,704918033
PLPP2	0,002821704	-0,080050671	0,002	0,016	1	0,946024419	1,057055167	0,125
SLC2A8	0,029671279	-0,080102258	0,058	0,084	1	0,945990593	1,057092964	0,69047619
LGALS7	0,000822944	-0,080104596	0,001	0,016	1	0,94598906	1,057094677	0,0625

Supplementary Table 5

Differentially expressed genes_total calculation_ comparing SC-Keloid vs. (SC-Myel, SC-Nonmyel)								
gene	p_val	avg_log2FC	pct.1	pct.2	p_val_adj	Foldchange_UP	Foldchange_DOWN	Ratio_pct1_pct2
IDO1	0,009916339	-0,080186719	0,001	0,011	1	0,945935212	1,057154853	0,090909091
PDE4DIP	0,008129449	-0,080429236	0,056	0,09	1	0,945776214	1,057332575	0,622222222
POLDIP3	0,021750907	-0,08044364	0,08	0,111	1	0,945766771	1,057343132	0,720720721
SDAD1	0,598808247	-0,080467061	0,063	0,068	1	0,945751418	1,057360297	0,926470588
SP1	0,035347266	-0,080534037	0,051	0,076	1	0,945707513	1,057409385	0,671052632
PRRC2C	1,73921E-05	-0,080586271	0,32	0,431	0,366991673	0,945673273	1,057447671	0,742459397
FAM98C	0,30043142	-0,080678844	0,069	0,08	1	0,945612595	1,057515526	0,8625
NCKAP5L	0,347767868	-0,08067926	0,056	0,065	1	0,945612322	1,057515831	0,861538462
RTF2	0,005604222	-0,080696001	0,163	0,213	1	0,945601349	1,057528102	0,765258216
CDK5RAP1	0,141229752	-0,080730012	0,037	0,052	1	0,945579057	1,057553033	0,711538462
GRIN2C	0,009892254	-0,08073037	0,001	0,011	1	0,945578823	1,057553295	0,090909091
RNF25	0,238834721	-0,080741934	0,022	0,031	1	0,945571243	1,057561773	0,709677419
SDHAF1	0,359622912	-0,080830054	0,055	0,064	1	0,94551349	1,05762637	0,859375
EPS15L1	0,708589782	-0,081024787	0,044	0,039	1	0,945385874	1,057769137	1,128205128
BCAT2	0,922569472	-0,081025106	0,056	0,053	1	0,945385665	1,057769371	1,056603774
NCOA5	0,128632701	-0,081027082	0,016	0,027	1	0,94538437	1,05777082	0,592592593
DYNLT2	0,000800396	-0,081116336	0,001	0,016	1	0,945325884	1,057836262	0,0625
RABGAP1L	0,003811614	-0,081117367	0,047	0,081	1	0,945325209	1,057837018	0,580246914
TTC5	0,429985527	-0,081133069	0,034	0,041	1	0,94531492	1,057848531	0,829268293
LINC01001	0,033253229	-0,081143508	0,005	0,015	1	0,94530808	1,057856186	0,333333333
KATNA1	0,011102873	-0,081172822	0,073	0,107	1	0,945288872	1,057877681	0,682242991
CDC42EP2	0,035015734	-0,081178609	0,008	0,02	1	0,945285081	1,057881923	0,4
KLHL34	0,001258956	-0,081210297	0,005	0,023	1	0,945264318	1,05790516	0,217391304
SLC12A9	0,080401308	-0,081228969	0,024	0,039	1	0,945252085	1,057918852	0,615384615
ARL17B	0,007928701	-0,081251314	0,01	0,028	1	0,945237444	1,057935237	0,357142857
PPP4R3A	0,001496679	-0,081412696	0,104	0,153	1	0,945131714	1,058053586	0,679738562
PON3	0,000258257	-0,081508794	0,002	0,022	1	0,945068762	1,058124065	0,090909091
ACOX2	0,005660001	-0,08151792	0,012	0,031	1	0,945062783	1,058130759	0,387096774
FAM81A	0,002802534	-0,081616074	0,001	0,014	1	0,944998488	1,058202751	0,071428571
HERPUD2	0,156361982	-0,081682492	0,051	0,066	1	0,944954983	1,05825147	0,772727273

Supplementary Table 5

Differentially expressed genes_total calculation_ comparing SC-Keloid vs. (SC-Myel, SC-Nonmyel)								
gene	p_val	avg_log2FC	pct.1	pct.2	p_val_adj	Foldchange_UP	Foldchange_DOWN	Ratio_pct1_pct2
LRP1B	0,02538965	-0,081742077	0,006	0,018	1	0,944915957	1,058295177	0,333333333
EIF2A	0,029043702	-0,081771059	0,143	0,175	1	0,944896975	1,058316437	0,817142857
MTERF2	0,11156936	-0,081806201	0,043	0,06	1	0,944873959	1,058342217	0,716666667
AMOT	0,005207739	-0,081944594	0,01	0,03	1	0,944783324	1,058443745	0,333333333
CCNYL1	0,01509848	-0,081973722	0,022	0,043	1	0,94476425	1,058465115	0,511627907
HSD17B7	0,101912102	-0,08199844	0,021	0,034	1	0,944748063	1,05848325	0,617647059
TRIM9	0,022906551	-0,082097237	0,023	0,043	1	0,944683368	1,058555738	0,534883721
UCK1	0,570427704	-0,082146172	0,056	0,061	1	0,944651325	1,058591645	0,918032787
EIF2S3	0,00057227	-0,082221452	0,162	0,227	1	0,944602034	1,058646884	0,713656388
PUM2	0,054874636	-0,082319948	0,102	0,129	1	0,944537546	1,058719162	0,790697674
MED27	0,309652163	-0,082392564	0,055	0,065	1	0,944490006	1,058772452	0,846153846
ASRGL1	0,000267902	-0,082412694	0,013	0,042	1	0,944476827	1,058787226	0,30952381
ZNF708	0,000152733	-0,082416415	0,028	0,068	1	0,944474391	1,058789957	0,411764706
TRMU	0,445322915	-0,082447324	0,04	0,046	1	0,944454157	1,058812641	0,869565217
LRP10	0,002594908	-0,082547709	0,159	0,21	1	0,944388443	1,058886317	0,757142857
UFSP2	0,57877311	-0,082554661	0,127	0,13	1	0,944383892	1,05889142	0,976923077
AJAP1	0,000123354	-0,082562823	0,001	0,02	1	0,944378549	1,058897411	0,05
EPOP	0,015175021	-0,082565383	0,006	0,019	1	0,944376873	1,058899289	0,315789474
MSMO1	0,332703278	-0,082605643	0,081	0,094	1	0,94435052	1,05892884	0,861702128
GAPVD1	0,084973942	-0,08261113	0,113	0,137	1	0,944346928	1,058932867	0,824817518
ARFGF2	0,03010131	-0,082660752	0,022	0,041	1	0,944314448	1,05896929	0,536585366
WDR4	0,260186678	-0,08267401	0,006	0,011	1	0,94430577	1,058979021	0,545454545
SETDB2	0,077904664	-0,082719652	0,022	0,037	1	0,944275895	1,059012525	0,594594595
GTF3C5	0,212521333	-0,082807892	0,042	0,054	1	0,944218142	1,0590773	0,777777778
HLA-F	0,054550478	-0,082880883	0,078	0,103	1	0,944170372	1,059130883	0,757281553
PNPLA7	4,99915E-05	-0,082914668	0	0,019	1	0,944148262	1,059155686	0
C7orf25	0,156823811	-0,082921415	0,013	0,022	1	0,944143846	1,05916064	0,590909091
FAM227B	0,056902048	-0,08301181	0,014	0,027	1	0,944084691	1,059227006	0,518518519
OTULIN	0,132155168	-0,083012652	0,054	0,071	1	0,94408414	1,059227624	0,76056338
PICK1	0,067503672	-0,083056163	0,034	0,052	1	0,944055667	1,05925957	0,653846154

Supplementary Table 5

Differentially expressed genes_total calculation_ comparing SC-Keloid vs. (SC-Myel, SC-Nonmyel)								
gene	p_val	avg_log2FC	pct.1	pct.2	p_val_adj	Foldchange_UP	Foldchange_DOWN	Ratio_pct1_pct2
FAM133B	0,000154563	-0,083114312	0,268	0,355	1	0,944017617	1,059302265	0,754929577
RHOU	0,000462334	-0,083131429	0,003	0,023	1	0,944006417	1,059314833	0,130434783
CWC22	0,066469633	-0,083196238	0,057	0,079	1	0,94396401	1,059362422	0,721518987
CNTROB	0,019401376	-0,083282402	0,02	0,039	1	0,943907635	1,059425693	0,512820513
PCNX3	0,627270245	-0,083291049	0,03	0,034	1	0,943901977	1,059432043	0,882352941
ZNF653	0,411525367	-0,083330446	0,013	0,018	1	0,943876202	1,059460974	0,722222222
LSM14B	0,02478512	-0,083336269	0,027	0,047	1	0,943872392	1,05946525	0,574468085
THOC6	0,236556511	-0,08334251	0,061	0,073	1	0,943868309	1,059469834	0,835616438
CASP9	0,140585729	-0,083364189	0,024	0,037	1	0,943854126	1,059485754	0,648648649
DMXL2	0,039193718	-0,083402492	0,031	0,052	1	0,943829067	1,059513883	0,596153846
MRPS31	0,005368888	-0,083424601	0,05	0,084	1	0,943814603	1,05953012	0,595238095
GNL1	0,280330658	-0,083497371	0,102	0,115	1	0,943766998	1,059583565	0,886956522
SPOPL	0,024562229	-0,083510537	0,047	0,072	1	0,943758386	1,059593234	0,652777778
ABCE1	0,036079456	-0,083557833	0,12	0,151	1	0,943727447	1,059627971	0,794701987
DCTN6	0,000114325	-0,083568533	0,198	0,277	1	0,943720447	1,059635831	0,714801444
HUS1B	0,001496476	-0,083623445	0,001	0,015	1	0,943684528	1,059676163	0,066666667
SYT8	0,002214594	-0,083739652	0	0,011	1	0,943608519	1,059761522	0
TNFRSF1B	0,000251908	-0,08378981	0,005	0,027	1	0,943575713	1,059798367	0,185185185
PDLIM5	0,015743645	-0,083836295	0,085	0,119	1	0,943545311	1,059832515	0,714285714
CHST15	0,005146305	-0,083836695	0,002	0,015	1	0,943545049	1,05983281	0,133333333
LRRC4B	0,000458156	-0,083881363	0,002	0,02	1	0,943515836	1,059865624	0,1
SAP30L	0,018456709	-0,083967611	0,07	0,1	1	0,943459432	1,059928987	0,7
BAZ2B	0,000680871	-0,084047622	0,107	0,163	1	0,943407109	1,059987772	0,656441718
PRKCE	1,8295E-05	-0,084068666	0,008	0,041	0,386041879	0,943393348	1,060003234	0,195121951
SUSD6	0,023001855	-0,084073951	0,041	0,065	1	0,943389892	1,060007117	0,630769231
NINJ1	0,020659195	-0,084095249	0,182	0,221	1	0,943375966	1,060022765	0,823529412
LAMC1	3,39259E-06	-0,084097271	0,241	0,35	0,071587099	0,943374644	1,060024251	0,688571429
NOP2	0,05515537	-0,084286644	0,022	0,038	1	0,943250821	1,060163402	0,578947368
HAUS3	0,416400902	-0,084433967	0,047	0,054	1	0,943154505	1,060271668	0,87037037
GLMP	0,48302573	-0,084453622	0,066	0,056	1	0,943141655	1,060286113	1,178571429

Supplementary Table 5

Differentially expressed genes_total calculation_ comparing SC-Keloid vs. (SC-Myel, SC-Nonmyel)								
gene	p_val	avg_log2FC	pct.1	pct.2	p_val_adj	Foldchange_UP	Foldchange_DOWN	Ratio_pct1_pct2
STS	0,008340754	-0,08455014	0,01	0,028	1	0,94307856	1,06035705	0,357142857
DCUN1D4	0,010922961	-0,084583428	0,041	0,069	1	0,9430568	1,060381516	0,594202899
EIF3J-DT	0,001280342	-0,084635053	0,036	0,072	1	0,943023055	1,060419461	0,5
GABRB3	7,69825E-06	-0,084674133	0	0,023	0,162440745	0,94299751	1,060448187	0
OPCML	0,000328784	-0,084716473	0	0,015	1	0,942969836	1,060479309	0
NAPB	0,000404042	-0,084779003	0,008	0,033	1	0,942928966	1,060525274	0,242424242
APOL2	0,106826365	-0,084785767	0,034	0,049	1	0,942924545	1,060530247	0,693877551
PLIN3	0,318968813	-0,084796544	0,148	0,159	1	0,942917502	1,060538168	0,93081761
PPOX	0,061300651	-0,084803712	0,027	0,043	1	0,942912816	1,060543438	0,627906977
ME1	0,076046282	-0,084807683	0,007	0,016	1	0,942910221	1,060546357	0,4375
GCA	0,004840602	-0,0849277	0,038	0,069	1	0,942831784	1,060634587	0,550724638
PABIR2	0,46581807	-0,08497008	0,04	0,046	1	0,942804088	1,060665744	0,869565217
LMO2	0,149903322	-0,084980544	0,005	0,011	1	0,94279725	1,060673437	0,454545455
WDR5	0,697165372	-0,085122458	0,043	0,046	1	0,942704515	1,060777778	0,934782609
TNXB	0,122877316	-0,085149225	0,007	0,015	1	0,942687024	1,060797459	0,466666667
TMEM140	0,00885559	-0,085153207	0,015	0,035	1	0,942684422	1,060800387	0,428571429
NADK2	0,060132083	-0,085216394	0,026	0,042	1	0,942643136	1,060846849	0,619047619
ADPGK	0,388368391	-0,085331893	0,073	0,083	1	0,942567673	1,060931781	0,879518072
LONP2	0,093982013	-0,085476908	0,071	0,092	1	0,942472933	1,061038428	0,77173913
DENND2C	0,17170214	-0,085511666	0,015	0,024	1	0,942450227	1,061063992	0,625
IRX5	0,043476948	-0,085551087	0,003	0,012	1	0,942424476	1,061092985	0,25
MSI1	0,000175145	-0,085557178	0	0,016	1	0,942420497	1,061097465	0
CCDC71L	0,474385307	-0,08559328	0,086	0,094	1	0,942396914	1,061124018	0,914893617
KIAA0040	0,000606498	-0,085595573	0,006	0,027	1	0,942395416	1,061125704	0,222222222
GRAMD2A	0,05613867	-0,085809575	0,005	0,014	1	0,942255637	1,061283118	0,357142857
SELENOO	0,843533626	-0,085814948	0,031	0,033	1	0,942252127	1,061287071	0,939393939
GSAP	0,162029809	-0,085860238	0,013	0,022	1	0,942222548	1,061320388	0,590909091
HEPH	0,006555008	-0,085862104	0,027	0,053	1	0,942221329	1,06132176	0,509433962
POT1	0,006767185	-0,085878844	0,013	0,033	1	0,942210396	1,061334076	0,393939394
UST	0,004960035	-0,085897311	0,01	0,03	1	0,942198336	1,061347661	0,333333333

Supplementary Table 5

Differentially expressed genes_total calculation_ comparing SC-Keloid vs. (SC-Myel, SC-Nonmyel)								
gene	p_val	avg_log2FC	pct.1	pct.2	p_val_adj	Foldchange_UP	Foldchange_DOWN	Ratio_pct1_pct2
SP100	0,000783941	-0,085929985	0,143	0,202	1	0,942176998	1,061371698	0,707920792
RPL37A	0,003716072	-0,085955811	0,768	0,908	1	0,942160131	1,061390699	0,845814978
HEY2	0,000416926	-0,085976278	0,005	0,026	1	0,942146765	1,061405757	0,192307692
IMMP2L	0,007699989	-0,086031294	0,019	0,041	1	0,942110838	1,061446233	0,463414634
IFT172	0,062910089	-0,086097687	0,009	0,02	1	0,942067483	1,061495082	0,45
MIGA1	0,046635415	-0,086143695	0,066	0,092	1	0,942037441	1,061528934	0,717391304
INPP5A	0,465627695	-0,086153231	0,04	0,046	1	0,942031214	1,06153595	0,869565217
FGF18	0,159121713	-0,086223388	0,013	0,022	1	0,941985405	1,061587573	0,590909091
GJB6	9,34934E-05	-0,08626338	0	0,018	1	0,941959293	1,061617001	0
CDC14A	0,001385829	-0,086399981	0,021	0,05	1	0,941870108	1,061717525	0,42
ZNF507	0,007998048	-0,08646891	0,033	0,06	1	0,941825109	1,061768252	0,55
GKAP1	0,000865986	-0,086484603	0,002	0,019	1	0,941814864	1,061779802	0,105263158
PMF1	0,244937835	-0,086501601	0,098	0,111	1	0,941803768	1,061792312	0,882882883
RAB3D	0,035959298	-0,086519634	0,008	0,02	1	0,941791995	1,061805585	0,4
RPRD1B	0,27672688	-0,086615807	0,036	0,046	1	0,941729216	1,061876369	0,782608696
BTD	0,016472245	-0,086662133	0,042	0,068	1	0,941698977	1,061910467	0,617647059
LTN1	0,049558513	-0,086836639	0,093	0,121	1	0,941585077	1,062038921	0,768595041
ZNF76	0,014279321	-0,086837073	0,023	0,045	1	0,941584794	1,062039241	0,511111111
SULT1C4	0,006902596	-0,086921835	0,005	0,019	1	0,941529475	1,062101641	0,263157895
FAM3A	0,987034948	-0,087032506	0,084	0,08	1	0,941457252	1,062183119	1,05
DUOX1	0,00023661	-0,087033031	0,005	0,027	1	0,941456909	1,062183505	0,185185185
ZNF438	0,143240133	-0,087058838	0,009	0,018	1	0,941440069	1,062202506	0,5
CDK17	0,02731249	-0,087116172	0,043	0,068	1	0,941402656	1,062244719	0,632352941
SPG7	0,054923568	-0,087140547	0,111	0,138	1	0,94138675	1,062262667	0,804347826
TDRD3	0,034379198	-0,08714297	0,066	0,094	1	0,94138517	1,062264451	0,70212766
ZNF275	0,049459243	-0,087235205	0,019	0,034	1	0,941324986	1,062332366	0,558823529
LIAS	0,389730865	-0,087296546	0,04	0,047	1	0,941284963	1,062377536	0,85106383
DGLUCY	0,009039154	-0,087317705	0,006	0,02	1	0,941271159	1,062393117	0,3
HHIPL1	0,010794454	-0,087320448	0,009	0,026	1	0,941269369	1,062395137	0,346153846
BRD3	0,018937083	-0,087336057	0,118	0,153	1	0,941259185	1,062406632	0,77124183

Supplementary Table 5

Differentially expressed genes_total calculation_ comparing SC-Keloid vs. (SC-Myel, SC-Nonmyel)								
gene	p_val	avg_log2FC	pct.1	pct.2	p_val_adj	Foldchange_UP	Foldchange_DOWN	Ratio_pct1_pct2
WDR33	0,013641074	-0,087477144	0,128	0,167	1	0,94116714	1,062510534	0,766467066
UBE2Z	0,161884702	-0,087501491	0,136	0,155	1	0,941151257	1,062528465	0,877419355
APLP1	0,002375308	-0,087507831	0,009	0,03	1	0,941147121	1,062533134	0,3
PDCD4	6,74081E-07	-0,087520237	0,087	0,17	0,014223778	0,941139028	1,062542271	0,511764706
SLC22A4	0,29786623	-0,087582412	0,01	0,016	1	0,941098469	1,062588064	0,625
FSD1L	0,000735792	-0,087591758	0,016	0,045	1	0,941092373	1,062594947	0,355555556
RFX3	0,00433169	-0,087595141	0,051	0,087	1	0,941090166	1,062597439	0,586206897
BRPF3	0,002941625	-0,087598279	0,033	0,064	1	0,941088119	1,06259975	0,515625
CKS2	0,001063196	-0,08764768	0,105	0,159	1	0,941055895	1,062636136	0,660377358
FRAS1	0,000618779	-0,087710743	0	0,014	1	0,94101476	1,062682587	0
HPR	4,99915E-05	-0,087718619	0	0,019	1	0,941009623	1,062688389	0
MADD	0,014115028	-0,087793554	0,022	0,043	1	0,940960747	1,062743588	0,511627907
AC016831.7	3,74406E-05	-0,087796748	0,006	0,034	0,790033773	0,940958664	1,06274594	0,176470588
GSTA4	0,686815512	-0,087812978	0,093	0,095	1	0,940948078	1,062757896	0,978947368
RASL11A	6,71109E-05	-0,087840389	0,001	0,022	1	0,940930201	1,062778088	0,045454545
UBALD1	0,468007331	-0,087841752	0,061	0,05	1	0,940929312	1,062779093	1,22
RSAD2	0,000885835	-0,087863773	0,002	0,019	1	0,94091495	1,062795315	0,105263158
WASL	4,42105E-05	-0,087876057	0,154	0,227	0,932885736	0,940906938	1,062804364	0,678414097
C1RL	0,079256212	-0,088065718	0,013	0,024	1	0,940783252	1,062944093	0,541666667
DLX5	0,90105071	-0,088077463	0,036	0,037	1	0,940775593	1,062952746	0,972972973
HABP4	0,002909128	-0,088121267	0,107	0,152	1	0,940747029	1,062985021	0,703947368
CNNM3	0,008958861	-0,088125093	0,02	0,042	1	0,940744534	1,06298784	0,476190476
SEPTIN4	6,62501E-05	-0,088163957	0,001	0,022	1	0,940719192	1,063016476	0,045454545
RAB31L1	0,000712332	-0,088196086	0,005	0,024	1	0,940698242	1,063040149	0,208333333
FEM1A	0,131125685	-0,088239476	0,019	0,03	1	0,940669951	1,063072121	0,633333333
GFOD1	8,14256E-05	-0,088352436	0,012	0,043	1	0,940596301	1,063155361	0,279069767
MNT	0,006340776	-0,088423655	0,035	0,064	1	0,940549869	1,063207845	0,546875
CYP46A1	0,00025702	-0,088451001	0,003	0,024	1	0,940532042	1,063227998	0,125
RAB43	0,048924847	-0,088508418	0,012	0,024	1	0,940494611	1,063270314	0,5
BORCS6	0,133247255	-0,088556339	0,03	0,043	1	0,940463372	1,063305632	0,697674419

Supplementary Table 5

Differentially expressed genes_total calculation_ comparing SC-Keloid vs. (SC-Myel, SC-Nonmyel)								
gene	p_val	avg_log2FC	pct.1	pct.2	p_val_adj	Foldchange_UP	Foldchange_DOWN	Ratio_pct1_pct2
ZXDB	0,004521655	-0,088559924	0,003	0,018	1	0,940461034	1,063308275	0,166666667
RNF122	0,066353977	-0,088596479	0,006	0,015	1	0,940437206	1,063335217	0,4
LZTS3	0,03445336	-0,088665661	0,017	0,034	1	0,940392109	1,063386209	0,5
RAB33B	0,001514791	-0,088685953	0,051	0,091	1	0,940378883	1,063401165	0,56043956
PAK4	0,231729906	-0,088824156	0,023	0,033	1	0,940288804	1,063503039	0,696969697
GLYR1	0,071162468	-0,08883319	0,072	0,095	1	0,940282915	1,063509699	0,757894737
CRTC3	0,024612813	-0,088884587	0,087	0,118	1	0,940249418	1,063547588	0,737288136
RGS7	0,000175145	-0,088892293	0	0,016	1	0,940244396	1,063553268	0
HOXC4	0,291450504	-0,088908413	0,03	0,039	1	0,94023389	1,063565152	0,769230769
EPG5	0,968806813	-0,088930523	0,024	0,024	1	0,94021948	1,063581452	1
NOXA1	0,000800396	-0,088944546	0,001	0,016	1	0,940210341	1,06359179	0,0625
DAPK3	0,278381274	-0,089065342	0,081	0,094	1	0,940131622	1,063680847	0,861702128
TSEN54	0,98810391	-0,08907356	0,036	0,035	1	0,940126266	1,063686907	1,028571429
ARRDC1	0,278081571	-0,08913304	0,034	0,043	1	0,940087507	1,063730762	0,790697674
MAST2	0,107906614	-0,08917597	0,036	0,052	1	0,940059533	1,063762416	0,692307692
ZNF528	0,244794063	-0,089339287	0,028	0,038	1	0,939953122	1,063882843	0,736842105
TENT5B	0,018852466	-0,089365234	0,01	0,026	1	0,939936218	1,063901977	0,384615385
MAMLD1	0,217970009	-0,089389804	0,041	0,053	1	0,939920209	1,063920097	0,773584906
TMEM65	0,092326164	-0,08941855	0,069	0,09	1	0,939901481	1,063941296	0,766666667
LTA4H	0,011415505	-0,08943044	0,03	0,056	1	0,939893736	1,063950064	0,535714286
LAT	0,006611533	-0,089468989	0,005	0,019	1	0,939868622	1,063978493	0,263157895
UMAD1	0,903232425	-0,08948457	0,028	0,028	1	0,939858471	1,063989984	1
AC083843.3	0,000428678	-0,089544052	0,001	0,018	1	0,939819722	1,064033853	0,055555556
H2BC11	0,000117492	-0,089545412	0,006	0,031	1	0,939818836	1,064034856	0,193548387
ACER3	0,001133169	-0,089552538	0,04	0,077	1	0,939814194	1,064040111	0,519480519
ATP2A2	0,000283398	-0,089569653	0,141	0,206	1	0,939803045	1,064052735	0,684466019
RNASET2	0,00258512	-0,089608142	0,02	0,046	1	0,939777973	1,064081122	0,434782609
PIP	0,017222939	-0,08974292	0,002	0,012	1	0,939690181	1,064180535	0,166666667
CCDC142	0,04424738	-0,089745817	0,01	0,023	1	0,939688295	1,064182672	0,434782609
XYLT2	0,05399987	-0,08974932	0,021	0,037	1	0,939686013	1,064185256	0,567567568

Supplementary Table 5

Differentially expressed genes_total calculation_ comparing SC-Keloid vs. (SC-Myel, SC-Nonmyel)								
gene	p_val	avg_log2FC	pct.1	pct.2	p_val_adj	Foldchange_UP	Foldchange_DOWN	Ratio_pct1_pct2
CYP2J2	0,000838303	-0,089773399	0,003	0,022	1	0,93967033	1,064203017	0,136363636
BSG	4,28216E-05	-0,089789716	0,313	0,453	0,903579069	0,939659702	1,064215053	0,690949227
ICMT	0,782745395	-0,089812128	0,059	0,061	1	0,939645105	1,064231586	0,967213115
AURKB	0,00129088	-0,08981553	0,005	0,023	1	0,939642889	1,064234095	0,217391304
TRAM1	0,000792269	-0,089835379	0,219	0,284	1	0,939629961	1,064248737	0,771126761
HIRIP3	0,087584624	-0,089886835	0,05	0,069	1	0,939596448	1,064286696	0,724637681
AFMID	0,016294389	-0,089895158	0,031	0,056	1	0,939591028	1,064292836	0,553571429
EGFR	0,000800396	-0,089935199	0,001	0,016	1	0,939564951	1,064322375	0,0625
PIGA	0,007296901	-0,08995229	0,017	0,039	1	0,93955382	1,064334984	0,435897436
RRAGA	0,330639587	-0,089984913	0,146	0,155	1	0,939532574	1,064359052	0,941935484
H2AC19	0,000472595	-0,089985213	0,002	0,02	1	0,939532379	1,064359273	0,1
ZNF623	0,081848635	-0,089999526	0,024	0,039	1	0,939523058	1,064369833	0,615384615
SFMBT1	0,000675307	-0,090006987	0,013	0,039	1	0,939518199	1,064375337	0,333333333
LMCD1-AS1	0,001258956	-0,09004994	0,005	0,023	1	0,939490227	1,064407027	0,217391304
AJUBA	0,008541097	-0,090066009	0,008	0,024	1	0,939479764	1,064418882	0,333333333
NCAPH2	0,430473934	-0,09009908	0,054	0,061	1	0,939458228	1,064443282	0,885245902
GPC3	0,010037547	-0,090214724	0,001	0,011	1	0,939382926	1,06452861	0,090909091
TMEM158	0,006759287	-0,090221024	0,022	0,046	1	0,939378823	1,064533259	0,47826087
POU2F1	0,000685368	-0,09023516	0,071	0,119	1	0,939369619	1,06454369	0,596638655
SOX17	0,107228862	-0,090236096	0,006	0,014	1	0,939369009	1,06454438	0,428571429
AS3MT	0,000430864	-0,090268581	0,001	0,018	1	0,939347858	1,064568351	0,055555556
RAD50	0,5122334	-0,090313625	0,058	0,064	1	0,93931853	1,064601589	0,90625
PHF2	0,015793993	-0,090403327	0,063	0,094	1	0,939260129	1,064667784	0,670212766
ORMDL1	0,000122539	-0,09040336	0,18	0,256	1	0,939260107	1,064667809	0,703125
PHLPP1	0,025167524	-0,090461054	0,028	0,049	1	0,939222546	1,064710386	0,571428571
GRK3	0,000259459	-0,090612126	0,002	0,022	1	0,9391242	1,064821884	0,090909091
RBM24	2,67675E-05	-0,090660208	0	0,02	0,56482021	0,939092902	1,064857372	0
ANKRD30B	0,000175145	-0,090718413	0	0,016	1	0,939055016	1,064900334	0
FAM76B	0,002880115	-0,090721625	0,097	0,142	1	0,939052924	1,064902706	0,683098592
C8orf82	0,497879698	-0,090738371	0,093	0,099	1	0,939042025	1,064915066	0,939393939

Supplementary Table 5

Differentially expressed genes_total calculation_ comparing SC-Keloid vs. (SC-Myel, SC-Nonmyel)								
gene	p_val	avg_log2FC	pct.1	pct.2	p_val_adj	Foldchange_UP	Foldchange_DOWN	Ratio_pct1_pct2
TSEN34	0,370198916	-0,090744759	0,093	0,102	1	0,939037867	1,064919782	0,911764706
MAP2K1	0,006543023	-0,090848872	0,051	0,084	1	0,938970103	1,064996635	0,607142857
RNF167	0,012099087	-0,090891553	0,064	0,096	1	0,938942324	1,065028143	0,666666667
LRCH3	0,000408818	-0,090900031	0,14	0,204	1	0,938936807	1,065034401	0,68627451
TVP23B	0,040744896	-0,091172687	0,04	0,061	1	0,938759373	1,065235702	0,655737705
ROPN1	0,395414272	-0,091273416	0,017	0,023	1	0,938693831	1,06531008	0,739130435
NQO1	0,809016554	-0,091302562	0,033	0,03	1	0,938674868	1,065331601	1,1
IKBKB	0,002866774	-0,09132147	0,05	0,087	1	0,938662565	1,065345564	0,574712644
NAF1	0,0339618	-0,091380671	0,031	0,052	1	0,938624048	1,065389281	0,596153846
ACAT1	0,003273126	-0,091409297	0,063	0,102	1	0,938605424	1,065410421	0,617647059
PRDM11	0,001903998	-0,091481037	0,006	0,024	1	0,938558752	1,065463401	0,25
ZNF600	0,011644285	-0,091656451	0,007	0,022	1	0,938444642	1,065592956	0,318181818
R3HCC1L	0,021892189	-0,091703855	0,012	0,027	1	0,938413807	1,06562797	0,444444444
NOC4L	0,676183322	-0,091713399	0,051	0,054	1	0,938407599	1,06563502	0,944444444
YIPF3	0,15459746	-0,091837055	0,159	0,178	1	0,93832717	1,065726361	0,893258427
NRIP1	0,045668367	-0,091871254	0,106	0,136	1	0,938304927	1,065751624	0,779411765
HERC6	0,068380728	-0,091918399	0,01	0,022	1	0,938274265	1,065786452	0,454545455
HEATR5B	0,038521522	-0,091923221	0,034	0,054	1	0,938271129	1,065790014	0,62962963
TCEA3	5,67411E-05	-0,092010113	0,007	0,035	1	0,93821462	1,065854207	0,2
NEK6	0,041059089	-0,092025282	0,048	0,071	1	0,938204755	1,065865414	0,676056338
CCDC30	0,074652044	-0,092163639	0,012	0,023	1	0,938114784	1,065967638	0,52173913
AC018742.1	0,000258257	-0,092166462	0,002	0,022	1	0,938112949	1,065969723	0,090909091
CEP164	0,358630197	-0,092189018	0,057	0,066	1	0,938098282	1,065986389	0,863636364
PI16	0,000428678	-0,092191409	0,001	0,018	1	0,938096727	1,065988156	0,055555556
CLN5	0,011889011	-0,092197889	0,12	0,157	1	0,938092513	1,065992944	0,76433121
LRRC4	0,000313666	-0,092202692	0,007	0,031	1	0,93808939	1,065996493	0,225806452
DGCR6	0,100711	-0,092262661	0,02	0,033	1	0,938050397	1,066040805	0,606060606
SARM1	0,236330509	-0,092457957	0,015	0,023	1	0,937923422	1,066185124	0,652173913
CCDC146	0,000866584	-0,092482856	0,007	0,028	1	0,937907236	1,066203524	0,25
HTRA1	0,000771908	-0,092538623	0,248	0,318	1	0,937870982	1,066244739	0,779874214

Supplementary Table 5

Differentially expressed genes_total calculation_ comparing SC-Keloid vs. (SC-Myel, SC-Nonmyel)								
gene	p_val	avg_log2FC	pct.1	pct.2	p_val_adj	Foldchange_UP	Foldchange_DOWN	Ratio_pct1_pct2
PRR14	0,178420081	-0,092549303	0,09	0,106	1	0,937864039	1,066252632	0,849056604
FKRP	0,058047859	-0,092619085	0,023	0,039	1	0,937818676	1,066304207	0,58974359
MALINC1	0,005157465	-0,092619473	0,002	0,015	1	0,937818424	1,066304494	0,133333333
ORC3	0,16167585	-0,092661081	0,05	0,065	1	0,937791378	1,066335247	0,769230769
FOXC1	0,733668152	-0,092668074	0,03	0,033	1	0,937786832	1,066340416	0,909090909
PCIF1	0,202268356	-0,092767184	0,062	0,076	1	0,93772241	1,066413673	0,815789474
GPRC5A	0,004521655	-0,092787952	0,003	0,018	1	0,937708911	1,066429025	0,166666667
TCF7	0,003812029	-0,092850399	0,041	0,073	1	0,937668323	1,066475186	0,561643836
SUPV3L1	0,083047986	-0,092941197	0,042	0,06	1	0,937609312	1,066542309	0,7
BIRC7	3,7109E-05	-0,092957512	0,001	0,023	0,783036608	0,937598709	1,06655437	0,043478261
MCU	0,042822608	-0,093010276	0,023	0,041	1	0,937564418	1,066593378	0,56097561
REPIN1	0,05151739	-0,093051671	0,085	0,11	1	0,937537517	1,066623982	0,772727273
NDN	0,006986204	-0,093097785	0,063	0,098	1	0,93750755	1,066658076	0,642857143
UBE2N	0,000450201	-0,093121241	0,199	0,265	1	0,937492308	1,066675419	0,750943396
ARHGEF25	0,001475015	-0,093140174	0,012	0,035	1	0,937480005	1,066689417	0,342857143
ABL1	0,022903716	-0,09321162	0,063	0,091	1	0,93743358	1,066742244	0,692307692
TRERF1	0,00116827	-0,093243204	0	0,012	1	0,937413058	1,066765597	0
NOTCH4	0,020809925	-0,093255347	0,034	0,057	1	0,937405168	1,066774576	0,596491228
EML2	0,280065008	-0,093291152	0,033	0,042	1	0,937381903	1,066801051	0,785714286
CDHR3	0,003586287	-0,093483948	0,019	0,043	1	0,937256643	1,066943624	0,441860465
PPP1R13L	0,0509952	-0,093565843	0,012	0,024	1	0,937203442	1,067004191	0,5
ARHGEF37	6,7802E-07	-0,093589497	0,005	0,041	0,014306909	0,937188075	1,067021686	0,12195122
TUT1	0,112362975	-0,093632587	0,013	0,023	1	0,937160085	1,067053555	0,565217391
RBM22	0,015561749	-0,093692885	0,107	0,144	1	0,937120916	1,067098154	0,743055556
FBXL19-AS1	0,001496476	-0,093696162	0,001	0,015	1	0,937118788	1,067100578	0,066666667
FAM111A	0,015887049	-0,093704637	0,073	0,106	1	0,937113283	1,067106847	0,688679245
PODN	0,000268306	-0,0937396	0,003	0,024	1	0,937090572	1,067132708	0,125
DPF2	0,003458321	-0,093805678	0,069	0,109	1	0,937047653	1,067181586	0,633027523
FBXO48	0,003200999	-0,093812018	0,008	0,027	1	0,937043535	1,067186275	0,296296296
UTP18	0,001342074	-0,093815408	0,042	0,079	1	0,937041333	1,067188783	0,53164557

Supplementary Table 5

Differentially expressed genes_total calculation_ comparing SC-Keloid vs. (SC-Myel, SC-Nonmyel)								
gene	p_val	avg_log2FC	pct.1	pct.2	p_val_adj	Foldchange_UP	Foldchange_DOWN	Ratio_pct1_pct2
PPP1R1C	0,000814126	-0,093895086	0,003	0,022	1	0,936989583	1,067247724	0,136363636
AP3S2	0,050503687	-0,093929424	0,03	0,049	1	0,936967282	1,067273126	0,612244898
COL23A1	4,99915E-05	-0,093947961	0	0,019	1	0,936955243	1,06728684	0
CLN3	0,535083151	-0,093998787	0,028	0,033	1	0,936922235	1,06732444	0,848484848
TAP1	0,044975281	-0,094045579	0,106	0,134	1	0,936891847	1,067359059	0,791044776
RTN3	0,004820755	-0,094061617	0,156	0,204	1	0,936881432	1,067370924	0,764705882
MED28	0,000812691	-0,094127599	0,083	0,132	1	0,936838585	1,067419742	0,628787879
ENPP4	0,296273824	-0,094140987	0,009	0,015	1	0,936829891	1,067429648	0,6
DDX19B	0,430468161	-0,094148026	0,054	0,043	1	0,93682532	1,067434855	1,255813953
AP2A2	0,713794422	-0,094174069	0,094	0,096	1	0,936808409	1,067454125	0,979166667
YJEFN3	0,022331994	-0,094292955	0,008	0,022	1	0,936731214	1,067542092	0,363636364
DNM2	0,115391371	-0,094330138	0,085	0,104	1	0,936707072	1,067569606	0,817307692
ARRB1	0,000465591	-0,09436211	0,002	0,02	1	0,936686313	1,067593266	0,1
MRPL43	0,139328759	-0,094468139	0,184	0,202	1	0,936617476	1,067671729	0,910891089
CMBL	0,004539582	-0,094489777	0,003	0,018	1	0,936603428	1,067687743	0,166666667
B3GAT1	4,22731E-05	-0,094496275	0,003	0,028	0,892004351	0,936599209	1,067692552	0,107142857
ZMYM3	0,083279332	-0,094528422	0,026	0,041	1	0,93657834	1,067716343	0,634146341
NELFA	0,187260885	-0,094573324	0,058	0,073	1	0,936549191	1,067749575	0,794520548
CCL14	0,065798831	-0,094659193	0,016	0,03	1	0,936493449	1,067813129	0,533333333
PIR	0,000135341	-0,094662774	0,002	0,023	1	0,936491124	1,06781578	0,086956522
PATJ	0,002441006	-0,094685822	0,007	0,026	1	0,936476163	1,067832839	0,269230769
ZBTB49	0,712593827	-0,094687199	0,012	0,014	1	0,936475269	1,067833859	0,857142857
EFCAB14	0,020661099	-0,094727592	0,099	0,133	1	0,93644905	1,067863756	0,744360902
THBD	0,003345271	-0,09479355	0,008	0,027	1	0,936406238	1,067912579	0,296296296
ANKS1B	3,72051E-05	-0,094801448	0,001	0,023	0,785065488	0,936401111	1,067918425	0,043478261
GLG1	0,000315823	-0,09481494	0,254	0,332	1	0,936392355	1,067928412	0,765060241
SPATA20	0,038979744	-0,094817197	0,048	0,071	1	0,936390889	1,067930083	0,676056338
TSPOAP1	0,000804452	-0,094878683	0,001	0,016	1	0,936350983	1,067975597	0,0625
ZNF496	0,039456741	-0,094959124	0,033	0,053	1	0,936298776	1,068035147	0,622641509
LETMD1	0,068217677	-0,094975688	0,056	0,077	1	0,936288026	1,068047409	0,727272727

Supplementary Table 5

Differentially expressed genes_total calculation_ comparing SC-Keloid vs. (SC-Myel, SC-Nonmyel)								
gene	p_val	avg_log2FC	pct.1	pct.2	p_val_adj	Foldchange_UP	Foldchange_DOWN	Ratio_pct1_pct2
CREBZF	2,1309E-07	-0,094976491	0,101	0,191	0,004496419	0,936287504	1,068048004	0,528795812
SOCS5	0,054321348	-0,095049106	0,045	0,066	1	0,93624038	1,068101763	0,681818182
LSMEM2	0,000123354	-0,095052006	0,001	0,02	1	0,936238497	1,06810391	0,05
DDX58	0,003763878	-0,095119012	0,023	0,05	1	0,936195015	1,06815352	0,46
FUZ	0,221897141	-0,09523755	0,031	0,042	1	0,936118096	1,068241287	0,738095238
TMX2	0,249879075	-0,095283467	0,097	0,11	1	0,936088303	1,068275287	0,881818182
SRSF12	0,012135494	-0,095397351	0,007	0,022	1	0,936014413	1,068359618	0,318181818
POLR2M	0,008097624	-0,095435324	0,055	0,087	1	0,935989776	1,068387738	0,632183908
GPR161	0,023285082	-0,095478046	0,017	0,035	1	0,935962059	1,068419376	0,485714286
BTN2A1	0,121039687	-0,095546761	0,061	0,079	1	0,935917481	1,068470266	0,772151899
ZNF628	0,691560246	-0,09555198	0,024	0,027	1	0,935914095	1,068474132	0,888888889
PRKN	0,005276197	-0,095560147	0,006	0,022	1	0,935908797	1,06848018	0,272727273
RAP1A	7,27826E-06	-0,09565325	0,26	0,364	0,153578649	0,935848401	1,068549136	0,714285714
CLEC16A	0,012272558	-0,095764086	0,01	0,027	1	0,935776506	1,068631231	0,37037037
LPIN2	0,000550006	-0,095767896	0,041	0,081	1	0,935774035	1,068634053	0,50617284
TBKBP1	0,003180613	-0,095800744	0,006	0,023	1	0,935752729	1,068658384	0,260869565
MTARC1	2,67675E-05	-0,095873867	0	0,02	0,56482021	0,935705302	1,068712551	0
HLF	0,000453582	-0,095966844	0,003	0,023	1	0,935645	1,068781428	0,130434783
TSTD3	0,071882759	-0,096000137	0,02	0,034	1	0,935623409	1,068806093	0,588235294
IRF8	2,43874E-05	-0,096004042	0,003	0,03	0,514598411	0,935620877	1,068808986	0,1
LRSAM1	0,007745567	-0,096082177	0,01	0,028	1	0,935570206	1,068866873	0,357142857
POMZP3	0,026342323	-0,096140143	0,009	0,023	1	0,935532616	1,06890982	0,391304348
NPIP4	0,000856296	-0,096147783	0,012	0,037	1	0,935527662	1,068915481	0,324324324
SCN5A	1,43484E-05	-0,09616858	0	0,022	0,302765143	0,935514176	1,068930889	0
GCN1	0,109208091	-0,096189102	0,03	0,045	1	0,935500869	1,068946094	0,666666667
GRK2	0,213679368	-0,096194798	0,078	0,094	1	0,935497175	1,068950315	0,829787234
ASCC1	0,051810004	-0,096204065	0,049	0,071	1	0,935491166	1,068957181	0,690140845
ATG14	0,001366199	-0,096269759	0,048	0,087	1	0,935448569	1,069005858	0,551724138
AMY2B	0,001288398	-0,096288613	0,005	0,023	1	0,935436344	1,069019829	0,217391304
CACNB1	0,013027428	-0,096305194	0,01	0,027	1	0,935425593	1,069032115	0,37037037

Supplementary Table 5

Differentially expressed genes_total calculation_ comparing SC-Keloid vs. (SC-Myel, SC-Nonmyel)								
gene	p_val	avg_log2FC	pct.1	pct.2	p_val_adj	Foldchange_UP	Foldchange_DOWN	Ratio_pct1_pct2
USP20	0,014338305	-0,096307488	0,012	0,028	1	0,935424106	1,069033815	0,428571429
NDST1	0,007236575	-0,096573553	0,059	0,094	1	0,935251608	1,069230987	0,627659574
SHB	0,019021531	-0,096593135	0,022	0,042	1	0,935238914	1,0692455	0,523809524
CLIP3	0,028506227	-0,096700213	0,04	0,062	1	0,935169502	1,069324863	0,64516129
DCP2	0,099352708	-0,096719512	0,051	0,069	1	0,935156993	1,069339168	0,739130435
FBXO33	0,064233796	-0,096751057	0,04	0,058	1	0,935136546	1,069362549	0,689655172
UBQLN4	0,027022154	-0,096791172	0,054	0,08	1	0,935110544	1,069392283	0,675
ATG16L2	0,059363273	-0,096880138	0,023	0,039	1	0,935052881	1,069458231	0,58974359
RBAK	0,028349437	-0,096998506	0,015	0,031	1	0,934976166	1,069545981	0,483870968
STAU1	0,006961614	-0,097250257	0,169	0,216	1	0,934813027	1,069732633	0,782407407
FKBP5	0,001086414	-0,09726235	0,041	0,079	1	0,934805191	1,0697416	0,518987342
ZXDA	0,000123672	-0,097283542	0,001	0,02	1	0,934791459	1,069757313	0,05
APOL3	0,040651213	-0,097332209	0,006	0,016	1	0,934759926	1,0697934	0,375
MED26	0,011041534	-0,097336794	0,019	0,039	1	0,934756956	1,0697968	0,487179487
BMF	0,004226495	-0,097361357	0,016	0,039	1	0,93474104	1,069815015	0,41025641
CLCN2	0,088774839	-0,09739901	0,016	0,028	1	0,934716645	1,069842937	0,571428571
ZNF665	0,000866584	-0,097423009	0,007	0,028	1	0,934701096	1,069860733	0,25
SNAP47	0,993826448	-0,097498491	0,042	0,041	1	0,934652194	1,06991671	1,024390244
PUF60	0,00020691	-0,097692364	0,251	0,332	1	0,934526601	1,070060498	0,756024096
NTNG2	0,000238222	-0,097696426	0,001	0,019	1	0,93452397	1,07006351	0,052631579
PIP4P2	0,054429142	-0,097719212	0,088	0,114	1	0,93450921	1,070080411	0,771929825
RNF185	0,184415493	-0,097726286	0,034	0,046	1	0,934504628	1,070085658	0,739130435
NECTIN3	0,158130775	-0,097927779	0,05	0,065	1	0,93437412	1,070235122	0,769230769
FAM72D	0,008052565	-0,098006275	0,003	0,016	1	0,934323283	1,070293354	0,1875
FOXP4	0,026779599	-0,098012579	0,029	0,05	1	0,9343192	1,070298031	0,58
ZNF263	0,010749388	-0,09803728	0,023	0,046	1	0,934303203	1,070316356	0,5
MBD1	0,056646343	-0,098048493	0,042	0,062	1	0,934295942	1,070324675	0,677419355
CTCF	0,080777282	-0,098070634	0,095	0,119	1	0,934281604	1,0703411	0,798319328
DEFB1	0,000428678	-0,098122496	0,001	0,018	1	0,934248019	1,070379578	0,055555556
RSAD1	0,415905352	-0,098137427	0,047	0,054	1	0,93423835	1,070390656	0,87037037

Supplementary Table 5

Differentially expressed genes_total calculation_ comparing SC-Keloid vs. (SC-Myel, SC-Nonmyel)								
gene	p_val	avg_log2FC	pct.1	pct.2	p_val_adj	Foldchange_UP	Foldchange_DOWN	Ratio_pct1_pct2
SYBU	0,000143189	-0,098150949	0,003	0,026	1	0,934229594	1,070400688	0,115384615
SMG5	0,636035292	-0,098159249	0,04	0,043	1	0,934224219	1,070406846	0,930232558
RAP1GAP2	0,104977151	-0,098160137	0,024	0,038	1	0,934223644	1,070407505	0,631578947
CEP192	0,005922531	-0,098206059	0,015	0,037	1	0,934193907	1,070441578	0,405405405
PHF10	0,000434242	-0,098220064	0,098	0,153	1	0,934184838	1,070451969	0,640522876
LUZP1	0,014415395	-0,098284284	0,13	0,171	1	0,934143255	1,07049962	0,760233918
CTSH	0,001293367	-0,098294636	0,005	0,023	1	0,934136553	1,070507301	0,217391304
MAP1LC3A	0,000159917	-0,098345427	0,237	0,32	1	0,934103666	1,07054499	0,740625
OXA1L	0,985773452	-0,098373464	0,113	0,107	1	0,934085513	1,070565795	1,056074766
ZNF267	0,095164215	-0,098410624	0,071	0,092	1	0,934061454	1,07059337	0,77173913
CLP1	0,100502052	-0,098487787	0,01	0,02	1	0,934011497	1,070650633	0,5
DEK	1,64136E-05	-0,098577307	0,291	0,4	0,346343811	0,933953543	1,070717069	0,7275
TRPC4AP	0,055015942	-0,098622119	0,084	0,109	1	0,933924533	1,070750328	0,770642202
TMEFF1	2,17337E-05	-0,09872801	0,002	0,027	0,458602809	0,933855987	1,070828922	0,074074074
KREMEN1	0,00151668	-0,09876635	0,009	0,031	1	0,93383117	1,07085738	0,290322581
JPX	0,000103019	-0,09879581	0,118	0,185	1	0,933812101	1,070879247	0,637837838
HCFC2	0,011934632	-0,098807476	0,051	0,081	1	0,93380455	1,070887907	0,62962963
TNS4	0,002802534	-0,098812087	0,001	0,014	1	0,933801566	1,070891329	0,071428571
FEM1B	0,07080827	-0,098853121	0,066	0,088	1	0,933775007	1,070921788	0,75
POU6F1	0,076416708	-0,098855976	0,012	0,023	1	0,933773159	1,070923908	0,52173913
CPNE1	0,013171644	-0,09886276	0,156	0,194	1	0,933768768	1,070928943	0,804123711
DMXL1	0,001049383	-0,098924162	0,058	0,102	1	0,933729027	1,070974524	0,568627451
DENND5A	0,008838807	-0,098987434	0,118	0,157	1	0,933688077	1,071021494	0,751592357
C17orf67	5,65186E-06	-0,098999187	0,008	0,043	0,119259913	0,933680471	1,07103022	0,186046512
SLC25A43	0,069254715	-0,099017666	0,02	0,034	1	0,933668512	1,071043938	0,588235294
LAMA3	0,000818801	-0,09902933	0,001	0,016	1	0,933660963	1,071052598	0,0625
GLCC1	0,092041582	-0,099138553	0,017	0,03	1	0,933590281	1,071133688	0,566666667
IQCB1	0,187300938	-0,099173351	0,026	0,037	1	0,933567763	1,071159523	0,702702703
USP33	0,002597029	-0,09918283	0,079	0,122	1	0,933561629	1,071166561	0,647540984
MDM4	4,11088E-05	-0,099213144	0,169	0,25	0,867436543	0,933542013	1,071189069	0,676

Supplementary Table 5

Differentially expressed genes_total calculation_ comparing SC-Keloid vs. (SC-Myel, SC-Nonmyel)								
gene	p_val	avg_log2FC	pct.1	pct.2	p_val_adj	Foldchange_UP	Foldchange_DOWN	Ratio_pct1_pct2
APPBP2	0,040344015	-0,099250557	0,073	0,1	1	0,933517804	1,071216848	0,73
ZNF787	0,373680626	-0,09936002	0,062	0,071	1	0,933446977	1,071298129	0,873239437
GRINA	0,116828009	-0,099390778	0,111	0,132	1	0,933427077	1,071320969	0,840909091
PCSK1N	0,000250464	-0,099510935	0,003	0,024	1	0,933349337	1,0714102	0,125
NKRF	0,005926576	-0,099511332	0,021	0,045	1	0,933349081	1,071410494	0,466666667
LZTR1	0,719260866	-0,099556797	0,049	0,052	1	0,933319668	1,071444259	0,942307692
SF3B3	0,070989159	-0,0995993	0,05	0,071	1	0,933292172	1,071475825	0,704225352
AC011752.1	2,67675E-05	-0,099642373	0	0,02	0,56482021	0,933264308	1,071507816	0
LLGL2	0,004621053	-0,099652415	0,003	0,018	1	0,933257812	1,071515274	0,166666667
SCMH1	0,0022455	-0,099700799	0,027	0,057	1	0,933226514	1,07155121	0,473684211
RPS21	0,003459757	-0,099724813	0,574	0,744	1	0,93321098	1,071569046	0,771505376
WDR20	0,019965821	-0,09973765	0,055	0,083	1	0,933202677	1,071578581	0,662650602
KIF7	0,003941056	-0,099765804	0,005	0,02	1	0,933184465	1,071599493	0,25
TMEM74	0,000135341	-0,099820305	0,002	0,023	1	0,933149213	1,071639976	0,086956522
ALDH3A1	0,00116827	-0,09993239	0	0,012	1	0,933076718	1,071723237	0
BCL9	0,053303884	-0,099982165	0,034	0,053	1	0,933044526	1,071760213	0,641509434
RNF41	0,22985379	-0,100022324	0,051	0,064	1	0,933018554	1,071790047	0,796875
ARHGDI3	0,000472053	-0,100035744	0,002	0,02	1	0,933009875	1,071800017	0,1
HHEX	0,133703361	-0,100073388	0,023	0,035	1	0,932985531	1,071827983	0,657142857
TTL4	0,094569863	-0,100080061	0,017	0,03	1	0,932981215	1,071832941	0,566666667
PQBP1	0,028793282	-0,10014876	0,121	0,153	1	0,932936789	1,071883982	0,790849673
SMIM14	0,005296798	-0,100214076	0,106	0,151	1	0,932894552	1,071932511	0,701986755
FOXJ2	0,066411574	-0,100229723	0,033	0,05	1	0,932884435	1,071944136	0,66
CNTF	1,43484E-05	-0,100232479	0	0,022	0,302765291	0,932882653	1,071946184	0
ARID2	0,002418957	-0,100255663	0,077	0,121	1	0,932867661	1,071963411	0,636363636
SAP25	0,011671572	-0,100319055	0,005	0,018	1	0,932826672	1,072010514	0,277777778
TXNDC16	0,010463208	-0,100344573	0,023	0,046	1	0,932810173	1,072029475	0,5
CORO1B	0,621729542	-0,100411649	0,142	0,126	1	0,932766804	1,072079319	1,126984127
CES2	0,296941067	-0,100452259	0,028	0,037	1	0,932740548	1,072109497	0,756756757
CARF	0,309758518	-0,1004662	0,023	0,031	1	0,932731535	1,072119857	0,741935484

Supplementary Table 5

Differentially expressed genes_total calculation_ comparing SC-Keloid vs. (SC-Myel, SC-Nonmyel)								
gene	p_val	avg_log2FC	pct.1	pct.2	p_val_adj	Foldchange_UP	Foldchange_DOWN	Ratio_pct1_pct2
EXOC7	0,071943199	-0,100607928	0,088	0,113	1	0,932639909	1,072225186	0,778761062
PER2	0,01076012	-0,100651174	0,023	0,046	1	0,932611953	1,072257327	0,5
WHRN	0,07821476	-0,100746803	0,013	0,024	1	0,932550137	1,072328404	0,541666667
HDX	0,006723528	-0,100929754	0,013	0,033	1	0,932431886	1,072464396	0,393939394
RAB8B	0,000719812	-0,100960052	0,143	0,204	1	0,932412304	1,07248692	0,700980392
PGAP1	0,014441249	-0,100961477	0,047	0,075	1	0,932411383	1,072487979	0,626666667
RAPGEF1	0,000508508	-0,10104978	0,024	0,058	1	0,932354315	1,072553624	0,413793103
WWP1	8,94066E-05	-0,101055345	0,048	0,098	1	0,932350719	1,072557762	0,489795918
PHKG2	0,963513462	-0,101163803	0,045	0,045	1	0,93228063	1,072638397	1
RAB11FIP3	0,767592782	-0,101167582	0,044	0,046	1	0,932278188	1,072641207	0,956521739
AIF1L	0,068753113	-0,10116962	0,077	0,1	1	0,932276871	1,072642722	0,77
BDP1	0,018501302	-0,101185196	0,157	0,198	1	0,932266806	1,072654302	0,792929293
PIK3R1	1,33715E-09	-0,101186033	0,305	0,474	2,82153E-05	0,932266264	1,072654925	0,643459916
SLC24A4	0,000229849	-0,101209948	0,001	0,019	1	0,932250811	1,072672706	0,052631579
CROCC	0,048005787	-0,101293542	0,029	0,047	1	0,932196795	1,072734862	0,617021277
MED15	0,011535935	-0,10133853	0,157	0,198	1	0,932167727	1,072768314	0,792929293
GOLGA6L4	0,005114354	-0,101384195	0,008	0,026	1	0,932138222	1,07280227	0,307692308
PHC1	0,005868953	-0,10143944	0,061	0,096	1	0,932102528	1,072843352	0,635416667
FGFBP3	0,004810132	-0,101498852	0,014	0,035	1	0,932064144	1,072887533	0,4
MRPS18B	0,017544631	-0,101514099	0,092	0,125	1	0,932054293	1,072898872	0,736
THEM6	0,010537357	-0,101592784	0,036	0,062	1	0,93200346	1,07295739	0,580645161
BABAM2	0,570604636	-0,101631458	0,045	0,05	1	0,931978477	1,072986153	0,9
HMCES	0,142205085	-0,101688795	0,028	0,041	1	0,931941437	1,073028798	0,682926829
IQCJ-SCHIP1	0,363884223	-0,101790087	0,026	0,033	1	0,931876008	1,073104137	0,787878788
NDC1	0,013773381	-0,101796778	0,008	0,023	1	0,931871686	1,073109115	0,347826087
CAPN3	0,000257659	-0,101802424	0,002	0,022	1	0,931868039	1,073113314	0,090909091
STEAP1B	0,00101362	-0,101941093	0,037	0,075	1	0,931778474	1,073216465	0,493333333
CNTRL	0,089767324	-0,101952749	0,051	0,071	1	0,931770946	1,073225136	0,718309859
CLCN7	0,222946456	-0,102019777	0,066	0,08	1	0,931727657	1,073274999	0,825
SMPD4	0,067416069	-0,102077012	0,056	0,077	1	0,931690694	1,073317579	0,727272727

Supplementary Table 5

Differentially expressed genes_total calculation_ comparing SC-Keloid vs. (SC-Myel, SC-Nonmyel)								
gene	p_val	avg_log2FC	pct.1	pct.2	p_val_adj	Foldchange_UP	Foldchange_DOWN	Ratio_pct1_pct2
SNX33	0,007570428	-0,102195581	0,014	0,034	1	0,931614125	1,073405794	0,411764706
CASKIN1	4,99915E-05	-0,102218316	0	0,019	1	0,931599444	1,07342271	0
OGFRL1	0,012700421	-0,102223415	0,027	0,05	1	0,931596152	1,073426504	0,54
ELMO2	0,005198811	-0,102228591	0,019	0,042	1	0,93159281	1,073430355	0,452380952
SLU7	0,001622578	-0,102287422	0,113	0,164	1	0,931554821	1,073474129	0,68902439
TOR1AIP1	0,007058152	-0,10229608	0,071	0,107	1	0,931549231	1,073480571	0,663551402
PBX4	0,03548484	-0,102474729	0,008	0,02	1	0,931433884	1,073613509	0,4
KAT7	0,032266859	-0,102545565	0,048	0,072	1	0,931388152	1,073666224	0,666666667
CAMSAP1	0,030526897	-0,102564684	0,041	0,064	1	0,931375809	1,073680453	0,640625
INTS13	0,13875895	-0,102611578	0,034	0,047	1	0,931345536	1,073715352	0,723404255
TOLLIP	0,033041283	-0,102722164	0,104	0,133	1	0,931274148	1,073797659	0,781954887
PLA2G4C	4,61555E-06	-0,102734838	0,019	0,064	0,097392767	0,931265967	1,073807092	0,296875
FZD3	0,034678106	-0,102734907	0,055	0,08	1	0,931265923	1,073807143	0,6875
IGSF9B	0,091960073	-0,102792553	0,016	0,028	1	0,931228713	1,07385005	0,571428571
LINS1	0,308751903	-0,102838028	0,024	0,033	1	0,93119936	1,0738839	0,727272727
CCDC149	0,000245366	-0,102956234	0,026	0,062	1	0,931123066	1,073971891	0,419354839
ZDHHC14	0,053972179	-0,102987961	0,013	0,026	1	0,93110259	1,073995509	0,5
KBTBD6	0,037250518	-0,103062182	0,02	0,037	1	0,931054689	1,074050764	0,540540541
GSK3A	0,15805256	-0,103066931	0,085	0,102	1	0,931051625	1,074054299	0,833333333
GLIS3	0,002153892	-0,103105868	0,184	0,243	1	0,931026496	1,074083287	0,757201646
KLHL20	0,388243848	-0,10313825	0,052	0,061	1	0,9310056	1,074107396	0,852459016
FILIP1	7,07752E-06	-0,103204265	0,002	0,03	0,149342765	0,930963	1,074156546	0,066666667
LDOC1	0,016738349	-0,103262403	0,019	0,038	1	0,930925484	1,074199834	0,5
CGRRF1	0,000646118	-0,103343487	0,052	0,096	1	0,930873165	1,074260209	0,541666667
COQ7	0,057843832	-0,103344448	0,024	0,041	1	0,930872545	1,074260924	0,585365854
DUS3L	0,05694651	-0,103605442	0,023	0,039	1	0,930704158	1,074455283	0,58974359
TVP23C	0,231381779	-0,103636595	0,019	0,027	1	0,930684061	1,074478485	0,703703704
ANKS1A	0,000401382	-0,103638483	0,017	0,049	1	0,930682843	1,074479891	0,346938776
ENTPD3-AS1	0,079113448	-0,103682999	0,023	0,038	1	0,930654127	1,074513046	0,605263158
MTO1	0,242547491	-0,103703658	0,023	0,033	1	0,9306408	1,074528433	0,696969697

Supplementary Table 5

Differentially expressed genes_total calculation_ comparing SC-Keloid vs. (SC-Myel, SC-Nonmyel)								
gene	p_val	avg_log2FC	pct.1	pct.2	p_val_adj	Foldchange_UP	Foldchange_DOWN	Ratio_pct1_pct2
SEPHS2	0,386693653	-0,103739777	0,08	0,09	1	0,9306175	1,074555335	0,888888889
PRDM5	0,003625735	-0,103753625	0,012	0,033	1	0,930608568	1,074565649	0,363636364
RNF138	0,006926522	-0,103862083	0,03	0,057	1	0,93053861	1,074646435	0,526315789
USP4	0,087529751	-0,103863195	0,038	0,056	1	0,930537893	1,074647263	0,678571429
AATF	0,383543675	-0,103871493	0,08	0,09	1	0,93053254	1,074653445	0,888888889
RRAGD	1,75718E-07	-0,103907595	0,002	0,038	0,003707833	0,930509255	1,074680337	0,052631579
NDFIP1	6,37313E-07	-0,103927408	0,241	0,358	0,013447951	0,930496476	1,074695096	0,673184358
IPCEF1	0,001462283	-0,10392921	0,007	0,027	1	0,930495314	1,074696438	0,259259259
EGLN1	0,172749938	-0,103985309	0,072	0,088	1	0,930459133	1,074738229	0,818181818
SLC2A1	0,003707986	-0,104006539	0,026	0,053	1	0,93044544	1,074754044	0,490566038
NCOA6	0,069356043	-0,104008049	0,047	0,066	1	0,930444466	1,074755169	0,712121212
ACY1	0,031992933	-0,104026075	0,017	0,034	1	0,930432841	1,074768598	0,5
MIER3	0,019532591	-0,104035031	0,023	0,043	1	0,930427065	1,07477527	0,534883721
NKTR	0,000263574	-0,104229318	0,219	0,292	1	0,930301773	1,074920019	0,75
BCL7B	0,294587204	-0,104332613	0,132	0,142	1	0,930235167	1,074996985	0,929577465
GPR89A	0,93346464	-0,104366568	0,026	0,024	1	0,930213274	1,075022286	1,083333333
MITF	6,6514E-05	-0,104444641	0,009	0,039	1	0,930162936	1,075080464	0,230769231
JHY	0,218016925	-0,104522461	0,012	0,019	1	0,930112764	1,075138455	0,631578947
DDX51	0,055981172	-0,104590039	0,024	0,041	1	0,930069196	1,075188818	0,585365854
HSF1	0,376446009	-0,104614808	0,087	0,096	1	0,930053229	1,075207277	0,90625
GORASP1	0,065174374	-0,104620813	0,029	0,046	1	0,930049358	1,075211753	0,630434783
OSBP	0,00131978	-0,104629954	0,069	0,113	1	0,930043465	1,075218565	0,610619469
KLHDC4	0,602901428	-0,10475564	0,033	0,037	1	0,929962444	1,075312242	0,891891892
TENM4	0,000370968	-0,104790008	0,006	0,028	1	0,92994029	1,075337858	0,214285714
ATF2	0,010254571	-0,104842779	0,102	0,14	1	0,929906276	1,075377193	0,728571429
AFDN	0,011950885	-0,104871139	0,02	0,041	1	0,929887996	1,075398332	0,487804878
ZNF367	0,000910581	-0,104997264	0,012	0,037	1	0,929806706	1,075492351	0,324324324
ABCC8	3,57874E-05	-0,105005046	0,001	0,023	0,755149842	0,92980169	1,075498152	0,043478261
RSPO3	0,00099482	-0,105032933	0,065	0,111	1	0,929783718	1,075518942	0,585585586
LSS	0,324662192	-0,105119693	0,036	0,045	1	0,929727805	1,075583622	0,8

Supplementary Table 5

Differentially expressed genes_total calculation_ comparing SC-Keloid vs. (SC-Myel, SC-Nonmyel)								
gene	p_val	avg_log2FC	pct.1	pct.2	p_val_adj	Foldchange_UP	Foldchange_DOWN	Ratio_pct1_pct2
FGF1	0,029285823	-0,105175374	0,03	0,052	1	0,929691922	1,075625136	0,576923077
GRIN2B	2,67675E-05	-0,105198473	0	0,02	0,56482021	0,929677037	1,075642357	0
KANK1	0,003975096	-0,105232442	0,015	0,038	1	0,929655148	1,075667684	0,394736842
TXNDC11	0,274897003	-0,105309149	0,034	0,043	1	0,92960572	1,075724878	0,790697674
EMC4	0,044302524	-0,105326467	0,186	0,216	1	0,929594561	1,075737792	0,861111111
UBA2	0,007027151	-0,105402115	0,123	0,166	1	0,929545819	1,075794199	0,740963855
KLK6	0,027958858	-0,10548459	0,033	0,054	1	0,929492681	1,075855701	0,611111111
EGLN3	0,001427484	-0,105494395	0,003	0,02	1	0,929486364	1,075863013	0,15
ZFYVE27	0,221342226	-0,105520773	0,034	0,045	1	0,929469369	1,075882684	0,755555556
MBTPS2	0,179667452	-0,105570469	0,029	0,041	1	0,929437353	1,075919745	0,707317073
GALNT1	0,156233404	-0,105590707	0,072	0,09	1	0,929424315	1,075934839	0,8
WNK3	0,019139907	-0,105601177	0,021	0,041	1	0,92941757	1,075942647	0,512195122
NMD3	0,188643387	-0,105646707	0,069	0,084	1	0,929388239	1,075976603	0,821428571
WDR13	0,028915713	-0,10567893	0,156	0,187	1	0,929367481	1,076000636	0,834224599
MTF2	0,04475993	-0,105696556	0,068	0,092	1	0,929356126	1,076013782	0,739130435
PABPN1	8,10845E-07	-0,105701634	0,212	0,318	0,017109644	0,929352855	1,076017569	0,666666667
B4GALT3	0,627460338	-0,10570934	0,047	0,05	1	0,929347891	1,076023317	0,94
DLG2	2,72394E-06	-0,105712933	0,009	0,047	0,057477755	0,929345577	1,076025996	0,191489362
TMEM201	0,058127624	-0,105750804	0,024	0,041	1	0,929321181	1,076054243	0,585365854
ELMOD3	0,042416838	-0,105768899	0,023	0,041	1	0,929309525	1,076067739	0,56097561
ACOX1	0,194589994	-0,105787307	0,049	0,062	1	0,929297668	1,076081469	0,790322581
TRABD	0,381833087	-0,105792819	0,063	0,072	1	0,929294117	1,076085581	0,875
AEBP1	4,49972E-06	-0,105812052	0,243	0,351	0,094948661	0,929281729	1,076099926	0,692307692
LIN7A	0,241002762	-0,105877421	0,023	0,033	1	0,929239624	1,076148686	0,696969697
CPPED1	0,283824108	-0,105953193	0,085	0,098	1	0,929190821	1,076205207	0,867346939
AMIGO2	0,015078228	-0,106091481	0,006	0,019	1	0,929101758	1,076308371	0,315789474
IRF6	0,067387654	-0,106169518	0,006	0,015	1	0,929051503	1,076366592	0,4
MDM1	0,052033711	-0,106189562	0,035	0,054	1	0,929038596	1,076381546	0,648148148
SERGEF	0,006676407	-0,10621039	0,038	0,068	1	0,929025183	1,076397086	0,558823529
RAPGEFL1	0,008037042	-0,106223792	0,003	0,016	1	0,929016553	1,076407085	0,1875

Supplementary Table 5

Differentially expressed genes_total calculation_ comparing SC-Keloid vs. (SC-Myel, SC-Nonmyel)								
gene	p_val	avg_log2FC	pct.1	pct.2	p_val_adj	Foldchange_UP	Foldchange_DOWN	Ratio_pct1_pct2
MBIP	0,026597794	-0,106242534	0,062	0,09	1	0,929004485	1,076421069	0,688888889
ACVR2B	0,007751785	-0,10626683	0,019	0,041	1	0,92898884	1,076439196	0,463414634
EID3	0,00418716	-0,10641929	0,021	0,046	1	0,928890672	1,076552957	0,456521739
RANBP2	0,000496324	-0,106439702	0,102	0,16	1	0,928877529	1,07656819	0,6375
SERPINB5	0,011573034	-0,10646615	0,007	0,022	1	0,928860501	1,076587926	0,318181818
ILF3	0,003018293	-0,106500552	0,198	0,254	1	0,928838352	1,076613598	0,779527559
FLT3LG	0,077651392	-0,106501148	0,022	0,037	1	0,928837969	1,076614042	0,594594595
DEPTOR	0,00236538	-0,106514244	0,012	0,034	1	0,928829537	1,076623816	0,352941176
HEG1	0,013709696	-0,10652025	0,03	0,054	1	0,92882567	1,076628298	0,555555556
USP2	7,69825E-06	-0,106526862	0	0,023	0,162440745	0,928821413	1,076633232	0
MAPKBP1	0,033696909	-0,106539295	0,026	0,045	1	0,928813409	1,07664251	0,577777778
THBS1	3,42842E-05	-0,106600435	0,17	0,255	0,723431402	0,928774048	1,076688138	0,666666667
C1orf50	0,17990318	-0,106608523	0,024	0,035	1	0,928768841	1,076694174	0,685714286
ERO1A	0,050928785	-0,106610556	0,047	0,068	1	0,928767532	1,076695691	0,691176471
GTF2IRD1	0,04906351	-0,106624306	0,03	0,049	1	0,92875868	1,076705953	0,612244898
TAF4	0,003783921	-0,106646192	0,015	0,038	1	0,928744591	1,076722287	0,394736842
HVCN1	0,003247889	-0,106656434	0,006	0,023	1	0,928737998	1,076729931	0,260869565
TCF20	0,002937871	-0,106683847	0,021	0,047	1	0,92872035	1,076750391	0,446808511
BAP1	0,240647569	-0,106711936	0,047	0,058	1	0,928702269	1,076771355	0,810344828
NOL12	0,084110663	-0,106816484	0,04	0,057	1	0,928634971	1,076849388	0,701754386
NAAA	0,023044272	-0,106835389	0,017	0,035	1	0,928622802	1,076863499	0,485714286
CSRNP2	0,000668046	-0,106882837	0,033	0,069	1	0,928592261	1,076898916	0,47826087
SPTBN5	0,000520862	-0,106901295	0,014	0,042	1	0,928580381	1,076912694	0,333333333
DNAJC18	0,079122888	-0,106908227	0,027	0,042	1	0,928575919	1,076917869	0,642857143
MSX2	0,035202737	-0,106964144	0,008	0,02	1	0,92853993	1,076959609	0,4
FCHO2	0,326408228	-0,107018415	0,061	0,072	1	0,928505001	1,077000123	0,847222222
YJU2B	0,072803346	-0,107067866	0,083	0,106	1	0,928473175	1,07703704	0,783018868
ANAPC2	0,232385203	-0,107105053	0,024	0,034	1	0,928449243	1,077064802	0,705882353
TDRP	5,58816E-05	-0,10712942	0,007	0,035	1	0,928433561	1,077082994	0,2
WASHC4	0,180762127	-0,107161028	0,121	0,138	1	0,928413221	1,077106592	0,876811594

Supplementary Table 5

Differentially expressed genes_total calculation_ comparing SC-Keloid vs. (SC-Myel, SC-Nonmyel)								
gene	p_val	avg_log2FC	pct.1	pct.2	p_val_adj	Foldchange_UP	Foldchange_DOWN	Ratio_pct1_pct2
NAA15	0,002299506	-0,107177662	0,09	0,134	1	0,928402517	1,077119011	0,671641791
MATN1-AS1	0,008336606	-0,107208222	0,003	0,016	1	0,928382851	1,077141827	0,1875
CWF19L2	0,000179816	-0,107376547	0,098	0,159	1	0,928274539	1,077267509	0,616352201
POLL	0,464782882	-0,107414055	0,026	0,031	1	0,928250405	1,077295517	0,838709677
TRMT9B	0,001424545	-0,107477384	0,003	0,02	1	0,92820966	1,077342807	0,15
CHTOP	0,007269665	-0,107530532	0,128	0,171	1	0,928175465	1,077382497	0,748538012
PEX6	0,177338033	-0,10756029	0,022	0,033	1	0,92815632	1,07740472	0,666666667
ACACB	0,002898931	-0,107717356	0,013	0,035	1	0,928055278	1,077522023	0,371428571
FRMD4B	4,31423E-05	-0,107734118	0,005	0,031	0,910345014	0,928044495	1,077534542	0,161290323
C1orf159	0,015661583	-0,107734938	0,017	0,037	1	0,928043968	1,077535154	0,459459459
CFH	0,001411959	-0,107767691	0,014	0,039	1	0,928022899	1,077559618	0,358974359
RHOQ	0,000766803	-0,107786349	0,205	0,271	1	0,928010897	1,077573553	0,756457565
SHISA9	0,046288965	-0,107856204	0,016	0,031	1	0,927965964	1,077625731	0,516129032
PTGFRN	0,006935415	-0,107920396	0,013	0,033	1	0,927924675	1,07767368	0,393939394
TMEM38B	0,000160564	-0,10793178	0,048	0,095	1	0,927917353	1,077682184	0,505263158
SGK3	0,000192658	-0,107944984	0,009	0,037	1	0,927908861	1,077692047	0,243243243
EPHA10	0,000618779	-0,108041824	0	0,014	1	0,927846578	1,077764389	0
NMRK1	0,039796622	-0,108082793	0,07	0,096	1	0,927820229	1,077794996	0,729166667
PEPD	0,005246221	-0,108132493	0,171	0,218	1	0,927788267	1,077832125	0,78440367
EIF2D	0,4468573	-0,108159	0,069	0,076	1	0,927771221	1,077851929	0,907894737
ARHGAP10	0,001974564	-0,108165017	0,058	0,099	1	0,927767351	1,077856424	0,585858586
BCL2L2	0,04948417	-0,108170673	0,031	0,05	1	0,927763714	1,07786065	0,62
FRA10AC1	0,005462047	-0,108267603	0,058	0,094	1	0,927701383	1,077933071	0,617021277
TMEM161B-DT	0,123141225	-0,108324216	0,035	0,05	1	0,927664979	1,077975371	0,7
NUCB1	0,000520647	-0,108397018	0,218	0,288	1	0,927618168	1,078029769	0,756944444
DGKD	0,022451688	-0,108420249	0,017	0,035	1	0,927603232	1,078047128	0,485714286
DENND6A	0,02516785	-0,108566532	0,044	0,069	1	0,927509181	1,078156444	0,637681159
YLPM1	0,000208874	-0,10856787	0,058	0,109	1	0,927508321	1,078157443	0,532110092
ZNF292	0,091924716	-0,108644401	0,101	0,125	1	0,927459121	1,078214638	0,808
PIGU	0,136890381	-0,108668995	0,038	0,053	1	0,92744331	1,078233019	0,716981132

Supplementary Table 5

Differentially expressed genes_total calculation_ comparing SC-Keloid vs. (SC-Myel, SC-Nonmyel)								
gene	p_val	avg_log2FC	pct.1	pct.2	p_val_adj	Foldchange_UP	Foldchange_DOWN	Ratio_pct1_pct2
ORAI3	0,810799088	-0,108707713	0,024	0,026	1	0,92741842	1,078261956	0,923076923
DGCR2	0,06233693	-0,108748012	0,057	0,079	1	0,927392515	1,078292076	0,721518987
SETD2	8,04741E-06	-0,108777593	0,102	0,176	0,169808418	0,9273735	1,078314185	0,579545455
LIPE	0,000836554	-0,108789934	0,003	0,022	1	0,927365567	1,078323409	0,136363636
NEFM	0,140258679	-0,108880171	0,075	0,054	1	0,927307564	1,078390858	1,388888889
TSG101	0,340654102	-0,108977066	0,139	0,149	1	0,927245286	1,078463288	0,932885906
C1GALT1	0,000106616	-0,109010179	0,054	0,104	1	0,927224004	1,078488041	0,519230769
CARS2	0,334318961	-0,109021301	0,077	0,087	1	0,927216856	1,078496355	0,885057471
SPATA2	0,013764266	-0,109053577	0,016	0,035	1	0,927196113	1,078520484	0,457142857
RNF144A	0,005290195	-0,109083574	0,008	0,026	1	0,927176834	1,078542909	0,307692308
IQCIN	0,101145867	-0,109141979	0,01	0,02	1	0,9271393	1,078586572	0,5
PHLDB3	0,00542189	-0,10924917	0,006	0,022	1	0,927070417	1,078666714	0,272727273
RGS12	0,000599048	-0,109275389	0,042	0,083	1	0,927053569	1,078686317	0,506024096
ASAH1	0,004553086	-0,109305774	0,222	0,277	1	0,927034044	1,078709036	0,801444043
YPEL4	0,001418685	-0,109352086	0,003	0,02	1	0,927004286	1,078743664	0,15
SMARCD3	0,038819266	-0,109384028	0,041	0,062	1	0,926983762	1,078767548	0,661290323
MYRF	0,000175145	-0,109404607	0	0,016	1	0,926970539	1,078782936	0
ACSL1	8,39074E-05	-0,109414168	0,027	0,068	1	0,926964396	1,078790086	0,397058824
CEP120	0,13356536	-0,109551115	0,019	0,03	1	0,926876409	1,078892494	0,633333333
TINAGL1	0,004741072	-0,109602583	0,003	0,018	1	0,926843343	1,078930984	0,166666667
CLCN6	0,004592461	-0,109639357	0,017	0,041	1	0,926819718	1,078958486	0,414634146
ABHD16A	0,161129626	-0,109679003	0,047	0,061	1	0,926794249	1,078988137	0,770491803
GJB1	0,000128215	-0,109684609	0,005	0,028	1	0,926790648	1,07899233	0,178571429
ZNF326	0,000125592	-0,109695132	0,133	0,199	1	0,926783887	1,0790002	0,668341709
NPR2	0,306432123	-0,109721195	0,014	0,02	1	0,926767145	1,079019693	0,7
TPD52	7,77087E-08	-0,109784498	0,001	0,037	0,001639731	0,926726481	1,079067039	0,027027027
EBF4	0,024038268	-0,109857544	0,013	0,028	1	0,926679561	1,079121675	0,464285714
NAP1L2	0,000143178	-0,1098596	0,002	0,023	1	0,92667824	1,079123213	0,086956522
TLNRD1	0,017277588	-0,109870574	0,062	0,091	1	0,926671191	1,079131422	0,681318681
ZBTB20-AS2	0,015296782	-0,109899154	0,006	0,019	1	0,926652834	1,0791528	0,315789474

Supplementary Table 5

Differentially expressed genes_total calculation_ comparing SC-Keloid vs. (SC-Myel, SC-Nonmyel)								
gene	p_val	avg_log2FC	pct.1	pct.2	p_val_adj	Foldchange_UP	Foldchange_DOWN	Ratio_pct1_pct2
CXCR4	0,000948944	-0,109926998	0,031	0,066	1	0,92663495	1,079173627	0,46969697
THNSL2	0,068263075	-0,110007463	0,04	0,058	1	0,926583269	1,079233819	0,689655172
LINC01023	0,011239846	-0,11001144	0,007	0,022	1	0,926580714	1,079236795	0,318181818
DUSP15	0,676251877	-0,110060265	0,044	0,047	1	0,926549357	1,079273319	0,936170213
ASAP2	3,71524E-06	-0,110202623	0,173	0,269	0,078395295	0,926457934	1,079379822	0,643122677
POLRMT	0,065099375	-0,110330211	0,03	0,047	1	0,926376004	1,079475284	0,638297872
IMP3	0,009571061	-0,110367611	0,107	0,148	1	0,926351989	1,079503268	0,722972973
KIF3C	0,001556228	-0,110445007	0,022	0,052	1	0,926302295	1,079561181	0,423076923
ABHD14B	0,29552833	-0,110446793	0,075	0,085	1	0,926301148	1,079562518	0,882352941
DDX21	0,000669116	-0,110484739	0,232	0,301	1	0,926276785	1,079590913	0,77076412
ZNF3	0,226508582	-0,110517223	0,031	0,042	1	0,926255929	1,079615222	0,738095238
SWT1	0,033028846	-0,110550301	0,012	0,026	1	0,926234692	1,079639976	0,461538462
PATZ1	0,116269102	-0,110629691	0,037	0,053	1	0,926183723	1,079699389	0,698113208
ABHD10	0,053662096	-0,11064495	0,022	0,038	1	0,926173928	1,079710808	0,578947368
ACTR1A	0,521750425	-0,110766537	0,105	0,11	1	0,926095875	1,079801808	0,954545455
RWDD3	0,50960333	-0,110810714	0,041	0,046	1	0,926067517	1,079834873	0,891304348
CCHCR1	0,269028785	-0,110823552	0,034	0,043	1	0,926059277	1,079844482	0,790697674
ZC3H7A	0,001472093	-0,110868335	0,094	0,142	1	0,926030531	1,079878002	0,661971831
DTX3	0,280439217	-0,110958197	0,062	0,073	1	0,925972853	1,079945267	0,849315068
ANKRD29	7,92722E-05	-0,111028552	0,003	0,027	1	0,925927698	1,079997933	0,111111111
SORD	0,00131151	-0,111250666	0,017	0,045	1	0,925785155	1,080164221	0,377777778
IRAK2	0,137759522	-0,11139525	0,022	0,034	1	0,925692379	1,080272478	0,647058824
LIN54	0,001064708	-0,111533587	0,02	0,049	1	0,925603621	1,080376067	0,408163265
LMF1	0,13480644	-0,111843519	0,043	0,058	1	0,925404796	1,080608188	0,74137931
TMEM116	0,169852008	-0,11190279	0,015	0,024	1	0,925366778	1,080652584	0,625
VWC2	1,43484E-05	-0,11198551	0	0,022	0,302765291	0,925313722	1,080714547	0
DTX4	1,12803E-06	-0,11202902	0,002	0,034	0,023802562	0,925285816	1,080747141	0,058823529
NRDE2	0,021749569	-0,112070142	0,061	0,09	1	0,925259442	1,080777947	0,677777778
NSMAF	0,000988971	-0,112147395	0,026	0,058	1	0,925209898	1,080835821	0,448275862
TGFB2	0,050639263	-0,112268929	0,05	0,072	1	0,92513196	1,080926876	0,694444444

Supplementary Table 5

Differentially expressed genes_total calculation_ comparing SC-Keloid vs. (SC-Myel, SC-Nonmyel)								
gene	p_val	avg_log2FC	pct.1	pct.2	p_val_adj	Foldchange_UP	Foldchange_DOWN	Ratio_pct1_pct2
PFKP	0,066576427	-0,112304904	0,043	0,062	1	0,925108892	1,080953831	0,693548387
FAM13B	5,08747E-05	-0,112321775	0,07	0,13	1	0,925098074	1,080966471	0,538461538
CAMLG	0,001245405	-0,112402843	0,214	0,275	1	0,925046092	1,081027215	0,778181818
ZNF143	0,004087917	-0,112437534	0,033	0,062	1	0,925023849	1,081053209	0,532258065
CNTNAP1	7,1553E-05	-0,112443621	0,005	0,03	1	0,925019946	1,08105777	0,166666667
POLK	0,000964113	-0,112498274	0,098	0,149	1	0,924984904	1,081098724	0,657718121
ZBED3	0,006047458	-0,11254045	0,012	0,031	1	0,924957863	1,08113033	0,387096774
RASGEF1C	0,048326764	-0,112578709	0,118	0,147	1	0,924933335	1,081159001	0,802721088
PTHLH	0,015899811	-0,112761748	0,017	0,037	1	0,924815993	1,08129618	0,459459459
MERTK	6,54608E-07	-0,112836877	0,003	0,038	0,013812889	0,924767834	1,08135249	0,078947368
DHRS12	0,355356235	-0,112843742	0,044	0,053	1	0,924763434	1,081357636	0,830188679
PRRC2B	0,008678633	-0,112861294	0,14	0,183	1	0,924752183	1,081370791	0,765027322
TANK	0,000328263	-0,11289104	0,093	0,148	1	0,924733116	1,081393088	0,628378378
SIRT7	0,281591686	-0,112962227	0,057	0,068	1	0,924687488	1,081446448	0,838235294
EPS8L2	0,032797145	-0,112983006	0,012	0,026	1	0,92467417	1,081462025	0,461538462
KIF16B	0,000185622	-0,113004232	0,03	0,071	1	0,924660566	1,081477936	0,422535211
FAAH	0,000328784	-0,113021121	0	0,015	1	0,924649741	1,081490596	0
BMP2	0,034942777	-0,113067463	0,028	0,047	1	0,92462004	1,081525336	0,595744681
RCL1	0,097988128	-0,113071364	0,021	0,034	1	0,92461754	1,081528261	0,617647059
DGKA	0,068535558	-0,113170719	0,02	0,034	1	0,924553866	1,081602746	0,588235294
MOB3C	0,011412986	-0,11321587	0,014	0,033	1	0,924524931	1,081636597	0,424242424
RHOF	0,004832774	-0,11329792	0,017	0,041	1	0,924472352	1,081698114	0,414634146
PRICKLE3	0,01608493	-0,113298864	0,009	0,024	1	0,924471748	1,081698821	0,375
RBP1	3,32745E-05	-0,113404396	0,022	0,064	0,702126053	0,924404126	1,08177795	0,34375
SPSB2	0,002864782	-0,113428021	0,021	0,047	1	0,924388989	1,081795664	0,446808511
PLEKHO2	0,020395973	-0,113434957	0,055	0,083	1	0,924384544	1,081800866	0,662650602
IFIH1	0,014202847	-0,113508553	0,016	0,035	1	0,92433739	1,081856053	0,457142857
ATP6AP2	9,83557E-08	-0,113588276	0,348	0,516	0,002075403	0,924286312	1,081915838	0,674418605
ADAMTS5	0,020206259	-0,113593794	0,005	0,016	1	0,924282777	1,081919976	0,3125
PGM5	0,017294181	-0,113612852	0,002	0,012	1	0,924270568	1,081934268	0,166666667

Supplementary Table 5

Differentially expressed genes_total calculation_ comparing SC-Keloid vs. (SC-Myel, SC-Nonmyel)								
gene	p_val	avg_log2FC	pct.1	pct.2	p_val_adj	Foldchange_UP	Foldchange_DOWN	Ratio_pct1_pct2
APC2	0,000229849	-0,113659898	0,001	0,019	1	0,924240428	1,08196955	0,052631579
RMND5B	0,378721889	-0,113761626	0,048	0,056	1	0,92417526	1,082045845	0,857142857
LMCD1	0,054976285	-0,113846401	0,077	0,102	1	0,924120955	1,08210943	0,754901961
ADCK2	0,683722104	-0,113931741	0,034	0,037	1	0,924066292	1,082173442	0,918918919
TUSC1	0,115987654	-0,114008307	0,108	0,128	1	0,924017252	1,082230876	0,84375
CCNE1	0,000495589	-0,114146678	0,007	0,03	1	0,923928632	1,08233468	0,233333333
RNF149	4,41262E-06	-0,114158662	0,05	0,113	0,093110781	0,923920957	1,08234367	0,442477876
ZNF821	0,003358574	-0,114236081	0,037	0,069	1	0,923871379	1,082401753	0,536231884
ASIC3	0,009387874	-0,114298343	0,002	0,014	1	0,923831509	1,082448467	0,142857143
BDH2	0,005736035	-0,114305993	0,116	0,161	1	0,923826609	1,082454207	0,720496894
FAM126B	0,003185617	-0,114333332	0,044	0,079	1	0,923809104	1,082474719	0,556962025
NUP62	0,708712145	-0,11435337	0,056	0,058	1	0,923796273	1,082489754	0,965517241
TAOK1	1,04466E-06	-0,114358057	0,233	0,339	0,022043338	0,923793271	1,082493271	0,687315634
PSRC1	0,107064639	-0,114376796	0,012	0,022	1	0,923781272	1,082507332	0,545454545
FRAT2	0,011663378	-0,11451782	0,014	0,033	1	0,923690977	1,082613152	0,424242424
UBL4A	0,434659257	-0,114616857	0,068	0,056	1	0,92362757	1,082687473	1,214285714
CCL27	0,030844158	-0,114643112	0,007	0,019	1	0,923610762	1,082707177	0,368421053
NDRG3	0,360451909	-0,114677837	0,043	0,052	1	0,923588531	1,082733237	0,826923077
SMARCC2	5,21856E-06	-0,114761019	0,085	0,157	0,110116787	0,923535281	1,082795667	0,541401274
AL627171.1	0,000104787	-0,114870048	0,007	0,034	1	0,923465489	1,0828775	0,205882353
TEX41	0,000433061	-0,114960519	0,001	0,018	1	0,923407581	1,082945409	0,055555556
FAM221A	0,015872346	-0,114968264	0,036	0,061	1	0,923402623	1,082951223	0,590163934
PPP2R5A	0,419929345	-0,115013937	0,052	0,06	1	0,923373391	1,082985507	0,866666667
PFKFB2	2,02475E-05	-0,11502826	0,01	0,045	0,427242782	0,923364223	1,082996259	0,222222222
SIPA1	0,000909834	-0,115057324	0,066	0,11	1	0,923345622	1,083018077	0,6
ARSJ	0,007732181	-0,115252853	0,014	0,034	1	0,923220489	1,083164869	0,411764706
KLHL8	9,30203E-05	-0,115289208	0,017	0,053	1	0,923197225	1,083192164	0,320754717
HDGFL2	0,113617756	-0,115420052	0,081	0,102	1	0,9231135	1,083290408	0,794117647
TAFAZZIN	0,119592056	-0,115439187	0,051	0,068	1	0,923101256	1,083304776	0,75
NUP35	0,056683124	-0,115478532	0,022	0,038	1	0,923076082	1,083334321	0,578947368

Supplementary Table 5

Differentially expressed genes_total calculation_ comparing SC-Keloid vs. (SC-Myel, SC-Nonmyel)								
gene	p_val	avg_log2FC	pct.1	pct.2	p_val_adj	Foldchange_UP	Foldchange_DOWN	Ratio_pct1_pct2
FZD4	0,008963092	-0,115539403	0,012	0,03	1	0,923037136	1,08338003	0,4
GARNL3	0,000328784	-0,115589625	0	0,015	1	0,923005005	1,083417744	0
SENP7	0,004499908	-0,115599078	0,09	0,132	1	0,922998957	1,083424843	0,681818182
PKD1	0,144615703	-0,115668846	0,1	0,119	1	0,922954322	1,083477239	0,840336134
MED21	0,0121257	-0,115719489	0,072	0,106	1	0,922921924	1,083515273	0,679245283
ENOPH1	0,007637313	-0,115722709	0,121	0,16	1	0,922919864	1,083517691	0,75625
NUP188	0,003603333	-0,115928092	0,05	0,085	1	0,922788486	1,083671952	0,588235294
KCNAB3	0,010306347	-0,116027963	0,009	0,026	1	0,922724608	1,083746972	0,346153846
AARSD1	0,209399731	-0,11609221	0,038	0,05	1	0,922683518	1,083795235	0,76
ZNF616	0,006684654	-0,116110695	0,007	0,023	1	0,922671695	1,083809122	0,304347826
ADAMTS4	0,000193339	-0,116172059	0,069	0,122	1	0,922632451	1,083855222	0,56557377
ADGRB1	0,035816396	-0,116274909	0,008	0,02	1	0,922566678	1,083932493	0,4
CHERP	0,002080543	-0,116279114	0,042	0,077	1	0,92256399	1,083935652	0,545454545
DDX3Y	0,205543351	-0,116540485	0,044	0,057	1	0,922396865	1,084132045	0,771929825
PHYHD1	0,109429452	-0,116641983	0,03	0,045	1	0,922331974	1,08420832	0,666666667
PIM1	0,00521433	-0,116669189	0,024	0,05	1	0,922314581	1,084228766	0,48
FREM2	0,001241095	-0,116764444	0,051	0,092	1	0,922253686	1,084300356	0,554347826
SNHG10	0,00071576	-0,116821155	0,023	0,056	1	0,922217434	1,084342979	0,410714286
SYT10	0,051260832	-0,116952667	0,013	0,026	1	0,922133371	1,084441829	0,5
DMAP1	0,317246451	-0,117014049	0,077	0,087	1	0,922094138	1,08448797	0,885057471
DMWD	0,506243438	-0,11702839	0,092	0,098	1	0,922084972	1,08449875	0,93877551
GARRE1	9,85402E-07	-0,117145646	0,044	0,109	0,020792965	0,922010032	1,084586897	0,403669725
B3GNT5	0,289591138	-0,117149019	0,049	0,06	1	0,922007877	1,084589433	0,816666667
HACD2	0,008929432	-0,117162829	0,055	0,087	1	0,921999051	1,084599814	0,632183908
FAM83F	0,000236404	-0,117354641	0,001	0,019	1	0,921876476	1,084744026	0,052631579
DOHH	0,791411362	-0,11735579	0,042	0,043	1	0,921875742	1,08474489	0,976744186
BCR	0,006205468	-0,117381665	0,016	0,038	1	0,921859208	1,084764345	0,421052632
IDS	0,011760236	-0,117403241	0,198	0,242	1	0,921845421	1,084780568	0,818181818
ERN1	0,04149533	-0,117406712	0,049	0,072	1	0,921843204	1,084783178	0,680555556
ZFAND1	0,006859425	-0,117442199	0,042	0,072	1	0,921820528	1,084809862	0,583333333

Supplementary Table 5

Differentially expressed genes_total calculation_ comparing SC-Keloid vs. (SC-Myel, SC-Nonmyel)								
gene	p_val	avg_log2FC	pct.1	pct.2	p_val_adj	Foldchange_UP	Foldchange_DOWN	Ratio_pct1_pct2
WIPI2	0,269952763	-0,117594017	0,113	0,126	1	0,921723528	1,084924025	0,896825397
HSD17B11	0,797336692	-0,117636454	0,077	0,077	1	0,921696416	1,084955938	1
HNRNPA2B1	0,000117059	-0,117655678	0,66	0,815	1	0,921684135	1,084970396	0,809815951
PEG3	0,000114764	-0,117717198	0,006	0,031	1	0,921644833	1,085016662	0,193548387
UBXN7	0,001469496	-0,117723417	0,108	0,159	1	0,92164086	1,085021339	0,679245283
KIAA1671	0,000319608	-0,117911251	0,012	0,039	1	0,921520873	1,085162615	0,307692308
NUP58	0,017042638	-0,117964819	0,075	0,107	1	0,921486657	1,085202909	0,700934579
FAM72B	0,045735314	-0,117995731	0,01	0,023	1	0,921466913	1,08522616	0,434782609
MAK	0,00012689	-0,118008782	0,001	0,02	1	0,921458577	1,085235978	0,05
PXN	0,073315404	-0,118018792	0,087	0,111	1	0,921452184	1,085243508	0,783783784
PPP2R3B	0,085825033	-0,118038908	0,038	0,056	1	0,921439336	1,085258639	0,678571429
DHX58	0,001231203	-0,118098524	0,014	0,039	1	0,92140126	1,085303487	0,358974359
MTA2	0,031401309	-0,118152531	0,026	0,045	1	0,921366768	1,085344116	0,577777778
NUP107	0,277900085	-0,11815472	0,051	0,062	1	0,92136537	1,085345762	0,822580645
CAMK2G	0,180209726	-0,118308444	0,036	0,049	1	0,921267201	1,085461416	0,734693878
ANKMY2	0,044406975	-0,118328428	0,026	0,043	1	0,92125444	1,085476451	0,604651163
PIM2	0,001789581	-0,118383716	0,01	0,033	1	0,921219136	1,08551805	0,303030303
ZFPM2	2,67675E-05	-0,118434809	0	0,02	0,56482021	0,921186511	1,085556495	0
MET	0,003150863	-0,118462354	0,008	0,027	1	0,921168923	1,085577222	0,296296296
SLC8B1	0,00653443	-0,118494428	0,013	0,033	1	0,921148444	1,085601356	0,393939394
SNX30	0,001654065	-0,118682435	0,023	0,053	1	0,921028411	1,085742837	0,433962264
POM121C	0,006537984	-0,118807282	0,047	0,079	1	0,920948711	1,085836798	0,594936709
PPP6R2	0,060965122	-0,118830742	0,065	0,088	1	0,920933736	1,085854456	0,738636364
SLC4A1AP	0,858173905	-0,118907217	0,051	0,052	1	0,920884919	1,085912017	0,980769231
SBF2	3,29565E-06	-0,119015547	0,049	0,111	0,069541484	0,920815774	1,085993559	0,441441441
NCL	5,49687E-08	-0,119052584	0,389	0,559	0,001159894	0,920792135	1,086021439	0,69588551
GLI3	0,000415177	-0,119188906	0,099	0,155	1	0,920705132	1,086124064	0,638709677
SH3RF1	0,010549349	-0,11925824	0,091	0,128	1	0,920660886	1,086176263	0,7109375
FYN	0,00010893	-0,119267829	0,189	0,265	1	0,920654766	1,086183482	0,713207547
SLC16A1-AS1	0,006570501	-0,119285454	0,016	0,038	1	0,920643519	1,086196752	0,421052632

Supplementary Table 5

Differentially expressed genes_total calculation_ comparing SC-Keloid vs. (SC-Myel, SC-Nonmyel)								
gene	p_val	avg_log2FC	pct.1	pct.2	p_val_adj	Foldchange_UP	Foldchange_DOWN	Ratio_pct1_pct2
HAUS4	0,110804193	-0,119305872	0,04	0,056	1	0,92063049	1,086212124	0,714285714
EVI5	8,49932E-07	-0,119454793	0,182	0,284	0,017934425	0,920535463	1,086324254	0,64084507
MIR181A1HG	0,166783819	-0,119636227	0,035	0,047	1	0,920419703	1,086460879	0,744680851
CPED1	7,35764E-06	-0,119657361	0,003	0,033	0,155253514	0,92040622	1,086476794	0,090909091
NCOA3	1,25638E-05	-0,119707718	0,064	0,128	0,265108129	0,920374094	1,086514718	0,5
ZNF865	0,071387728	-0,119747894	0,02	0,034	1	0,920348464	1,086544976	0,588235294
ARFGAP2	0,029098403	-0,119894784	0,083	0,111	1	0,920254763	1,086655609	0,747747748
ATG9A	0,067119804	-0,119934526	0,019	0,033	1	0,920229412	1,086685544	0,575757576
GLA	0,003985975	-0,120046433	0,072	0,111	1	0,920158035	1,086769839	0,648648649
SEPTIN3	1,24631E-05	-0,12010974	0,002	0,028	0,26298369	0,920117658	1,086817529	0,071428571
SIGIRR	0,001866793	-0,120290852	0,187	0,242	1	0,920002157	1,086953974	0,772727273
TRIM21	0,212319835	-0,12032003	0,01	0,018	1	0,91998355	1,086975958	0,555555556
EDNRB	2,84471E-06	-0,120336157	0,201	0,307	0,060026305	0,919973266	1,086988108	0,654723127
WDR70	0,00361938	-0,120356875	0,054	0,09	1	0,919960055	1,087003718	0,6
SCAMP1	0,004350815	-0,120375717	0,085	0,125	1	0,91994804	1,087017915	0,68
RCHY1	0,00240158	-0,120386364	0,038	0,072	1	0,919941251	1,087025937	0,527777778
ACD	0,23596187	-0,120417732	0,048	0,06	1	0,919921249	1,087049572	0,8
PREX2	4,30133E-05	-0,120422036	0,002	0,026	0,907622686	0,919918505	1,087052815	0,076923077
DRAM1	0,000532732	-0,120496401	0,024	0,058	1	0,919871088	1,08710885	0,413793103
CD47	0,000213627	-0,120575126	0,199	0,277	1	0,919820894	1,087168173	0,718411552
TBC1D9B	0,058518962	-0,120579522	0,101	0,128	1	0,919818091	1,087171485	0,7890625
ASAP3	6,64214E-05	-0,120725661	0,001	0,022	1	0,919724922	1,087281617	0,045454545
TMEM70	0,265405765	-0,120768604	0,077	0,09	1	0,919697546	1,087313981	0,855555556
PPIA	7,53776E-06	-0,120770944	0,494	0,771	0,159054315	0,919696054	1,087315745	0,640726329
NUP205	0,015263114	-0,120786431	0,022	0,043	1	0,919686181	1,087327417	0,511627907
STARD10	0,000215128	-0,120810696	0,017	0,05	1	0,919670714	1,087345705	0,34
TMEM215	1,43484E-05	-0,120991849	0	0,022	0,302765291	0,919555242	1,087482247	0
CDH1	1,02949E-05	-0,121197873	0,001	0,026	0,217232958	0,919423934	1,087637555	0,038461538
DELE1	0,857809499	-0,121217438	0,065	0,061	1	0,919411465	1,087652305	1,06557377
TRIM4	0,000496907	-0,121272463	0,029	0,065	1	0,919376399	1,08769379	0,446153846

Supplementary Table 5

Differentially expressed genes_total calculation_ comparing SC-Keloid vs. (SC-Myel, SC-Nonmyel)								
gene	p_val	avg_log2FC	pct.1	pct.2	p_val_adj	Foldchange_UP	Foldchange_DOWN	Ratio_pct1_pct2
AFAP1L2	2,68241E-07	-0,121278287	0,207	0,318	0,005660155	0,919372687	1,087698181	0,650943396
GPCPD1	0,004654235	-0,121288401	0,05	0,084	1	0,919366242	1,087705807	0,595238095
MRPS17	0,820859509	-0,121327638	0,041	0,042	1	0,919341239	1,087735389	0,976190476
EXD3	0,040225222	-0,121457316	0,023	0,041	1	0,919258607	1,087833165	0,56097561
ITGAV	1,59042E-05	-0,121479781	0,227	0,322	0,335594801	0,919244292	1,087850105	0,704968944
IPO13	0,709396739	-0,121516493	0,038	0,034	1	0,919220901	1,087877787	1,117647059
CFAP70	0,000141179	-0,121527231	0,002	0,023	1	0,919214059	1,087885884	0,086956522
NUDT14	0,023758247	-0,1216676	0,019	0,037	1	0,919124627	1,087991737	0,513513514
TRAF2	0,360959616	-0,122047136	0,029	0,037	1	0,918882861	1,088277998	0,783783784
SMYD3	0,280761867	-0,122256379	0,031	0,041	1	0,9187496	1,088435849	0,756097561
TXNDC5	0,574289439	-0,122266203	0,071	0,076	1	0,918743343	1,08844326	0,934210526
CENPL	0,052340172	-0,122268365	0,021	0,037	1	0,918741966	1,088444892	0,567567568
ADRA2A	0,000123672	-0,122348627	0,001	0,02	1	0,918690855	1,088505447	0,05
GXYLT1	0,003303352	-0,122383297	0,03	0,06	1	0,918668778	1,088531605	0,5
ME3	0,229748608	-0,122383831	0,051	0,064	1	0,918668438	1,088532009	0,796875
DACT3	0,105053276	-0,122466504	0,033	0,047	1	0,918615796	1,088594388	0,70212766
METTL7A	6,90421E-05	-0,122476984	0,001	0,022	1	0,918609123	1,088602296	0,045454545
BDNF-AS	0,016674142	-0,122500315	0,013	0,03	1	0,918594267	1,088619901	0,433333333
CYP19A1	0,000138881	-0,122507076	0,002	0,023	1	0,918589962	1,088625003	0,086956522
LY6E	0,962036026	-0,122561312	0,201	0,194	1	0,91855543	1,088665928	1,036082474
USP6NL	9,16577E-05	-0,122570636	0,056	0,109	1	0,918549493	1,088672965	0,513761468
SRRT	0,04585336	-0,122589095	0,087	0,114	1	0,918537741	1,088686894	0,763157895
RADIL	0,000132947	-0,122592528	0,003	0,026	1	0,918535555	1,088689485	0,115384615
THOC1	0,03258308	-0,122620262	0,054	0,079	1	0,918517898	1,088710413	0,683544304
SELENOI	0,005234571	-0,122620301	0,055	0,09	1	0,918517872	1,088710443	0,611111111
MPHOSPH6	0,000530032	-0,122707452	0,012	0,038	1	0,918462388	1,088776212	0,315789474
WDR48	0,00235078	-0,122761832	0,051	0,088	1	0,918427769	1,088817253	0,579545455
DMKN	0,000987096	-0,122936013	0,028	0,062	1	0,918316891	1,088948717	0,451612903
BRWD1	0,000658234	-0,122963192	0,09	0,141	1	0,918299591	1,088969231	0,638297872
LGR4	4,40003E-05	-0,122984281	0,052	0,106	0,928450508	0,918286167	1,08898515	0,490566038

Supplementary Table 5

Differentially expressed genes_total calculation_ comparing SC-Keloid vs. (SC-Myel, SC-Nonmyel)								
gene	p_val	avg_log2FC	pct.1	pct.2	p_val_adj	Foldchange_UP	Foldchange_DOWN	Ratio_pct1_pct2
TBXA2R	0,001794876	-0,123033044	0,006	0,024	1	0,91825513	1,089021959	0,25
LRRC75B	0,010103165	-0,123141741	0,031	0,057	1	0,918185948	1,089104012	0,543859649
TSPAN13	8,68703E-07	-0,123176633	0,015	0,061	0,018330505	0,918163742	1,089130353	0,245901639
CLPTM1	0,055171433	-0,123198553	0,134	0,16	1	0,918149792	1,0891469	0,8375
HINFP	0,060858143	-0,123222256	0,016	0,03	1	0,918134707	1,089164795	0,533333333
MAVS	0,069812098	-0,123235191	0,044	0,064	1	0,918126475	1,08917456	0,6875
DKK1	0,000328784	-0,123247478	0	0,015	1	0,918118656	1,089183836	0
BSDC1	0,027242178	-0,123304496	0,095	0,126	1	0,918082371	1,089226884	0,753968254
SZT2	0,313193918	-0,123467784	0,022	0,03	1	0,917978466	1,089350172	0,733333333
SGMS2	0,000691193	-0,123501953	0,028	0,062	1	0,917956725	1,089375973	0,451612903
FAM184A	7,32149E-05	-0,123540859	0,003	0,027	1	0,91793197	1,089405351	0,111111111
LRRN1	1,84417E-05	-0,123594174	0,01	0,045	0,389138972	0,917898048	1,089445611	0,222222222
OGFR	0,014856533	-0,123619635	0,093	0,128	1	0,917881849	1,089464838	0,7265625
CYS1	1,91414E-05	-0,123704418	0,001	0,024	0,403901779	0,91782791	1,089528864	0,041666667
MOSMO	0,00199086	-0,123919397	0,072	0,114	1	0,917691152	1,08969123	0,631578947
XRR1	0,000268028	-0,123925679	0,055	0,102	1	0,917687156	1,089695974	0,539215686
APTR	0,001388965	-0,123982281	0,028	0,06	1	0,917651152	1,089738728	0,466666667
TOX4	0,025372416	-0,124027473	0,129	0,163	1	0,917622408	1,089772864	0,791411043
ELP2	0,002332266	-0,124076622	0,08	0,123	1	0,917591147	1,089809991	0,650406504
NOP58	0,026412597	-0,124086032	0,094	0,126	1	0,917585163	1,089817099	0,746031746
TMEM106B	2,51907E-06	-0,124110551	0,165	0,256	0,053154872	0,917569568	1,089835621	0,64453125
ZNF276	0,001773155	-0,124185098	0,052	0,092	1	0,917522156	1,089891937	0,565217391
NCKAP1	0,077187984	-0,124200564	0,141	0,166	1	0,91751232	1,089903621	0,84939759
RAB3IP	0,004474764	-0,12420858	0,034	0,064	1	0,917507223	1,089909676	0,53125
COL8A2	1,03218E-05	-0,124254676	0,001	0,026	0,217800979	0,917477908	1,089944501	0,038461538
PPP1R21	0,005753197	-0,124319213	0,02	0,043	1	0,917436866	1,089993259	0,465116279
FCGR2A	0,004775894	-0,124482839	0,017	0,041	1	0,917332819	1,09011689	0,414634146
PEX14	0,046848393	-0,124557241	0,019	0,034	1	0,917285512	1,09017311	0,558823529
TMEM94	0,112545611	-0,12468387	0,034	0,049	1	0,917205003	1,090268802	0,693877551
ZNF277	0,015630032	-0,124834566	0,038	0,064	1	0,917109202	1,090382691	0,59375

Supplementary Table 5

Differentially expressed genes_total calculation_ comparing SC-Keloid vs. (SC-Myel, SC-Nonmyel)								
gene	p_val	avg_log2FC	pct.1	pct.2	p_val_adj	Foldchange_UP	Foldchange_DOWN	Ratio_pct1_pct2
CCDC144A	0,002115522	-0,12485518	0,021	0,049	1	0,917096098	1,090398272	0,428571429
NELFCD	0,223751984	-0,124911592	0,107	0,122	1	0,917060239	1,090440908	0,87704918
KANSL3	0,138020784	-0,124968397	0,037	0,052	1	0,917024131	1,090483845	0,711538462
NAXD	0,169651481	-0,124988316	0,037	0,05	1	0,91701147	1,090498901	0,74
SELENOT	5,9857E-07	-0,124998821	0,219	0,328	0,012630425	0,917004793	1,090506842	0,667682927
ZNF585A	0,140861137	-0,125014822	0,023	0,035	1	0,916994622	1,090518937	0,657142857
MRE11	6,44711E-05	-0,125035594	0,037	0,084	1	0,916981419	1,090534638	0,44047619
TSPAN8	9,34934E-05	-0,125095805	0	0,018	1	0,91694315	1,090580152	0
SCRIB	0,036585803	-0,125097932	0,064	0,09	1	0,916941798	1,09058176	0,711111111
NPC1	7,45006E-06	-0,125129304	0,033	0,084	0,157203707	0,916921859	1,090605476	0,392857143
TNFSF13	0,003012655	-0,125221473	0,006	0,023	1	0,916863282	1,090675153	0,260869565
CD4	0,071129378	-0,125278578	0,043	0,062	1	0,916826991	1,090718325	0,693548387
SMIM11A	0,000328784	-0,125336578	0	0,015	1	0,916790133	1,090762176	0
CSNK1G2	0,134405272	-0,125385534	0,092	0,111	1	0,916759023	1,09079919	0,828828829
RAB24	0,103299515	-0,125417004	0,026	0,039	1	0,916739026	1,090822985	0,666666667
MBTD1	0,013823201	-0,125446561	0,029	0,053	1	0,916720245	1,090845332	0,547169811
NUP85	0,49502218	-0,125459996	0,033	0,038	1	0,916711707	1,090855491	0,868421053
NEK9	0,00186183	-0,125460507	0,038	0,073	1	0,916711383	1,090855878	0,520547945
TAF1C	0,015601818	-0,125483672	0,024	0,046	1	0,916696663	1,090873393	0,52173913
COL17A1	0,000802281	-0,125554887	0,003	0,022	1	0,916651415	1,090927243	0,136363636
CDIP1	0,001362745	-0,125619274	0,012	0,035	1	0,916610505	1,090975931	0,342857143
PTMA	0,019490751	-0,125633492	0,946	0,981	1	0,916601472	1,090986684	0,96432212
PTPN21	0,007168015	-0,125676809	0,042	0,072	1	0,916573952	1,09101944	0,583333333
L3MBTL3	0,000199953	-0,12582124	0,012	0,041	1	0,916482196	1,09112867	0,292682927
HCFC1	0,184364623	-0,125890792	0,062	0,076	1	0,916438014	1,091181275	0,815789474
DPM3	0,075403059	-0,125894431	0,155	0,18	1	0,916435702	1,091184027	0,861111111
LYPD3	9,46775E-05	-0,125931879	0,007	0,034	1	0,916411914	1,091212351	0,205882353
ISOC1	0,078824028	-0,125975444	0,036	0,053	1	0,916384242	1,091245303	0,679245283
PPARA	0,002052287	-0,126075366	0,021	0,049	1	0,916320775	1,091320886	0,428571429
LHFPL2	0,048286057	-0,126088991	0,065	0,09	1	0,916312122	1,091331192	0,722222222

Supplementary Table 5

Differentially expressed genes_total calculation_ comparing SC-Keloid vs. (SC-Myel, SC-Nonmyel)								
gene	p_val	avg_log2FC	pct.1	pct.2	p_val_adj	Foldchange_UP	Foldchange_DOWN	Ratio_pct1_pct2
NAT9	0,03776647	-0,126150771	0,05	0,073	1	0,916272883	1,091377927	0,684931507
NLK	0,033136931	-0,126203774	0,024	0,043	1	0,916239221	1,091418024	0,558139535
BCL2L11	0,003846147	-0,126335968	0,026	0,053	1	0,91615527	1,091518035	0,490566038
SPIN2B	0,030089427	-0,12640365	0,016	0,033	1	0,916112291	1,091569243	0,484848485
OTUD6B-AS1	0,02679869	-0,126458647	0,156	0,193	1	0,916077368	1,091610856	0,808290155
HMGNS	0,000323325	-0,12646584	0,038	0,08	1	0,916072801	1,091616298	0,475
ANO3	3,60668E-05	-0,126480883	0,001	0,023	0,761044998	0,916063249	1,091627681	0,043478261
AKAP8	0,004015534	-0,12670232	0,048	0,081	1	0,915922655	1,091795246	0,592592593
MRPL18	0,075218499	-0,126984625	0,193	0,218	1	0,915743446	1,092008908	0,885321101
WRNIP1	0,012156338	-0,127013113	0,043	0,071	1	0,915725363	1,092030471	0,605633803
TSPAN14	0,000269026	-0,127075942	0,055	0,103	1	0,915685485	1,09207803	0,533980583
LINC00667	0,065082553	-0,127381284	0,093	0,118	1	0,915491703	1,092309189	0,788135593
KIF5B	7,86248E-07	-0,127452491	0,35	0,497	0,016590613	0,915446518	1,092363104	0,704225352
MBOAT7	0,01694602	-0,127455664	0,04	0,065	1	0,915444505	1,092365506	0,615384615
MC1R	0,400926231	-0,127459611	0,017	0,023	1	0,915442	1,092368495	0,739130435
PRDM8	4,1333E-06	-0,127501927	0	0,024	0,087216733	0,915415149	1,092400536	0
TMEM170A	0,024131342	-0,127625921	0,081	0,111	1	0,915336476	1,092494428	0,72972973
TMEM259	1,70876E-07	-0,127691004	0,192	0,296	0,003605662	0,915295185	1,092543713	0,648648649
LIFR	0,000312672	-0,127743375	0,012	0,039	1	0,915261959	1,092583374	0,307692308
RHOT1	0,354346767	-0,127743589	0,076	0,085	1	0,915261824	1,092583536	0,894117647
GMPS	0,079713446	-0,127746548	0,087	0,11	1	0,915259946	1,092585778	0,790909091
GRAMD1A	0,078636007	-0,127789377	0,071	0,092	1	0,915232776	1,092618213	0,77173913
CCDC7	0,01408632	-0,127892939	0,012	0,028	1	0,915167079	1,092696648	0,428571429
ARMH4	0,00088653	-0,127922936	0,007	0,028	1	0,915148051	1,092719368	0,25
RASA3	0,005096789	-0,127940959	0,098	0,14	1	0,915136619	1,092733019	0,7
MRPL49	0,005512139	-0,12800035	0,05	0,083	1	0,915098946	1,092778004	0,602409639
TULP3	0,001118831	-0,128031922	0,128	0,182	1	0,91507892	1,092801919	0,703296703
NAT8L	6,42143E-06	-0,128032339	0,002	0,03	0,135498557	0,915078656	1,092802235	0,066666667
DDX41	0,420710288	-0,128084124	0,054	0,061	1	0,91504581	1,092841461	0,885245902
C2CD3	0,011988751	-0,128110754	0,02	0,041	1	0,91502892	1,092861633	0,487804878

Supplementary Table 5

Differentially expressed genes_total calculation_ comparing SC-Keloid vs. (SC-Myel, SC-Nonmyel)								
gene	p_val	avg_log2FC	pct.1	pct.2	p_val_adj	Foldchange_UP	Foldchange_DOWN	Ratio_pct1_pct2
RNF187	0,131078691	-0,128148706	0,157	0,175	1	0,915004849	1,092890383	0,897142857
TTBK2	0,001868827	-0,128206314	0,038	0,073	1	0,914968313	1,092934024	0,520547945
PVR	0,049183614	-0,128299018	0,019	0,034	1	0,914909521	1,093004255	0,558823529
ANKRD13A	0,00188277	-0,128434204	0,036	0,071	1	0,914823795	1,093106679	0,507042254
OBSCN	0,000428678	-0,128563362	0,001	0,018	1	0,914741898	1,093204545	0,055555556
LAS1L	0,0122053	-0,128609902	0,04	0,066	1	0,91471239	1,09323981	0,606060606
IFFO1	0,152370991	-0,12865365	0,052	0,068	1	0,914684653	1,093272962	0,764705882
KCNG1	0,405710372	-0,12869634	0,065	0,073	1	0,914657587	1,093305313	0,890410959
NRF1	0,040455907	-0,128698754	0,014	0,028	1	0,914656057	1,093307143	0,5
CCNH	0,010520432	-0,128939917	0,068	0,1	1	0,914503175	1,093489916	0,68
SOX13	0,017770596	-0,128940301	0,076	0,107	1	0,914502931	1,093490208	0,710280374
PTPRU	0,000191024	-0,128945288	0,009	0,037	1	0,91449977	1,093493988	0,243243243
RAB30	0,039249333	-0,12903684	0,045	0,068	1	0,914441739	1,093563382	0,661764706
ARHGAP23	0,024650108	-0,129083667	0,064	0,092	1	0,914412058	1,093598877	0,695652174
GPRASP1	0,00400081	-0,129110312	0,009	0,028	1	0,91439517	1,093619075	0,321428571
SRXN1	0,005067323	-0,129167521	0,008	0,026	1	0,914358911	1,093662442	0,307692308
NTNG1	0,008359696	-0,129170399	0,02	0,042	1	0,914357087	1,093664624	0,476190476
PWWP2B	0,001354178	-0,129225132	0,017	0,045	1	0,914322398	1,093706117	0,377777778
MAT2A	4,99233E-06	-0,129392381	0,075	0,145	0,105343197	0,914216409	1,093832916	0,517241379
ATP1B1	0,056060377	-0,12940536	0,302	0,346	1	0,914208185	1,093842756	0,87283237
TJP1	2,36645E-05	-0,129407679	0,169	0,252	0,4993449	0,914206715	1,093844514	0,670634921
ZC3H11A	7,38657E-05	-0,129477472	0,003	0,027	1	0,914162489	1,093897432	0,111111111
GPT2	0,004371352	-0,129498214	0,022	0,047	1	0,914149347	1,093913159	0,468085106
GJC2	0,0001623	-0,129562884	0,007	0,033	1	0,91410837	1,093962196	0,212121212
SNTB1	0,003821022	-0,12962384	0,024	0,052	1	0,914069748	1,094008419	0,461538462
LRPPRC	0,160635909	-0,129756573	0,085	0,103	1	0,913985655	1,094109076	0,825242718
CACNA2D2	0,000139492	-0,129802308	0,003	0,026	1	0,913956681	1,094143761	0,115384615
SEPTIN1	0,017502021	-0,129823116	0,044	0,071	1	0,913943499	1,094159542	0,61971831
PRPF3	0,000266996	-0,129879633	0,035	0,076	1	0,913907696	1,094202406	0,460526316
ADAMTS1	0,113793427	-0,130033981	0,262	0,293	1	0,913809926	1,094319476	0,894197952

Supplementary Table 5

Differentially expressed genes_total calculation_ comparing SC-Keloid vs. (SC-Myel, SC-Nonmyel)								
gene	p_val	avg_log2FC	pct.1	pct.2	p_val_adj	Foldchange_UP	Foldchange_DOWN	Ratio_pct1_pct2
ARHGAP36	1,43484E-05	-0,130121641	0	0,022	0,302765291	0,913754404	1,094385971	0
MOK	0,002898258	-0,130163439	0,048	0,083	1	0,91372793	1,094417678	0,578313253
ANOS1	3,13243E-06	-0,130222302	0,001	0,028	0,066097391	0,913690651	1,094462332	0,035714286
REPS1	0,017297889	-0,130282492	0,027	0,049	1	0,913652532	1,094507994	0,551020408
NAGA	0,103227916	-0,130499696	0,038	0,054	1	0,913514988	1,094672789	0,703703704
TIMM44	0,01455585	-0,130606034	0,084	0,117	1	0,913447657	1,094753479	0,717948718
CFLAR	4,96621E-07	-0,130662683	0,095	0,182	0,010479198	0,91341179	1,094796466	0,521978022
HDHD2	0,285340207	-0,130666989	0,045	0,056	1	0,913409064	1,094799734	0,803571429
SDK2	6,98029E-06	-0,13068092	0,003	0,033	0,147291116	0,913400244	1,094810305	0,090909091
IDH3A	0,033563528	-0,130691661	0,065	0,091	1	0,913393443	1,094818457	0,714285714
WWC2	0,020529469	-0,130697637	0,057	0,085	1	0,91338966	1,094822992	0,670588235
TMEM129	0,055566857	-0,130808927	0,058	0,08	1	0,913319204	1,09490745	0,725
RHAG	2,22051E-06	-0,130949314	0	0,026	0,046854929	0,913230334	1,095013999	0
ZNF652	0,000517301	-0,131012255	0,098	0,153	1	0,913190493	1,095061773	0,640522876
SNRNP48	0,087216814	-0,131064864	0,044	0,062	1	0,913157193	1,095101706	0,709677419
DOCK7	0,028190183	-0,131069042	0,128	0,161	1	0,913154549	1,095104877	0,795031056
SOGA3	0,002793979	-0,131115535	0,017	0,042	1	0,913125122	1,095140169	0,404761905
FBXO30	6,08495E-05	-0,131155543	0,042	0,091	1	0,9130998	1,095170539	0,461538462
PILRB	0,110784762	-0,131164853	0,033	0,047	1	0,913093907	1,095177606	0,70212766
PEF1	0,549391132	-0,13118386	0,104	0,107	1	0,913081878	1,095192035	0,971962617
OSMR-DT	2,37382E-05	-0,131203456	0,003	0,03	0,500899155	0,913069475	1,095206912	0,1
RTL8B	0,203444759	-0,131320578	0,038	0,05	1	0,912995353	1,095295827	0,76
SNX21	0,211749319	-0,131393988	0,038	0,05	1	0,912948898	1,095351561	0,76
CIAO1	0,098534258	-0,131442697	0,093	0,114	1	0,912918074	1,095388544	0,815789474
RAD9A	0,091916795	-0,131490669	0,052	0,071	1	0,912887719	1,095424968	0,732394366
NUSAP1	0,004804281	-0,131533251	0,01	0,03	1	0,912860775	1,095457301	0,333333333
CAPN2	0,019580567	-0,131648223	0,141	0,178	1	0,91278803	1,095544604	0,792134831
SEPTIN8	0,000139242	-0,131731722	0,04	0,084	1	0,912735202	1,095608012	0,476190476
SCAPER	0,002039846	-0,13180154	0,048	0,085	1	0,912691032	1,095661034	0,564705882
ZNF394	0,00094585	-0,131812273	0,04	0,077	1	0,912684242	1,095669186	0,519480519

Supplementary Table 5

Differentially expressed genes_total calculation_ comparing SC-Keloid vs. (SC-Myel, SC-Nonmyel)								
gene	p_val	avg_log2FC	pct.1	pct.2	p_val_adj	Foldchange_UP	Foldchange_DOWN	Ratio_pct1_pct2
MAP2K7	0,024456038	-0,131860833	0,055	0,081	1	0,912653522	1,095706066	0,679012346
AK9	0,0001533	-0,131870762	0,015	0,047	1	0,912647241	1,095713607	0,319148936
SMN1	0,001757726	-0,132069254	0,016	0,042	1	0,912521684	1,09586437	0,380952381
NRTN	0,00231528	-0,132071165	0,012	0,034	1	0,912520475	1,095865822	0,352941176
IL6R	2,11607E-06	-0,13207966	0,014	0,057	0,044651137	0,912515101	1,095872275	0,245614035
DENND1B	0,016050311	-0,132118927	0,019	0,038	1	0,912490266	1,095902102	0,5
SLC39A14	0,008531821	-0,132125168	0,051	0,083	1	0,912486318	1,095906843	0,614457831
RAB4B	0,645719497	-0,132175996	0,048	0,052	1	0,912454171	1,095945454	0,923076923
PIP4P1	0,000399888	-0,132184694	0,041	0,081	1	0,912448669	1,095952061	0,50617284
APOBEC3G	0,824906016	-0,132195135	0,064	0,06	1	0,912442066	1,095959993	1,066666667
LNP1	0,001223027	-0,13221725	0,005	0,023	1	0,912428079	1,095976793	0,217391304
BARD1	0,003219793	-0,132268376	0,055	0,092	1	0,912395745	1,096015632	0,597826087
AC116407.2	0,000503631	-0,132344777	0,007	0,03	1	0,912347428	1,096073676	0,233333333
ANKRD13B	0,182452649	-0,132394278	0,024	0,035	1	0,912316125	1,096111284	0,685714286
TEAD3	0,080025159	-0,132415044	0,043	0,061	1	0,912302993	1,096127062	0,704918033
TMEM11	0,156992099	-0,132503827	0,071	0,087	1	0,912246852	1,09619452	0,816091954
PYGL	5,59401E-05	-0,132529883	0,057	0,111	1	0,912230377	1,096214318	0,513513514
MOB2	0,004619653	-0,132655059	0,119	0,161	1	0,91215123	1,096309435	0,739130435
RNPEP	0,223314276	-0,132738222	0,066	0,08	1	0,912098652	1,096372633	0,825
TJAP1	0,009430783	-0,132798929	0,047	0,076	1	0,912060272	1,096418768	0,618421053
EMD	0,003273148	-0,132813682	0,126	0,172	1	0,912050946	1,09642998	0,73255814
COL11A2	2,98006E-06	-0,132976322	0,001	0,028	0,062882266	0,911948133	1,096553591	0,035714286
ITIH3	6,41652E-07	-0,132993998	0	0,028	0,01353949	0,91193696	1,096567026	0
RDH14	0,004360451	-0,133138009	0,071	0,11	1	0,911845934	1,096676492	0,645454545
TTC39C	1,67777E-05	-0,133504392	0,047	0,102	0,35402638	0,911614393	1,096955037	0,460784314
UIMC1	0,003276299	-0,133559316	0,047	0,081	1	0,911579688	1,096996799	0,580246914
CYRIA	0,009497355	-0,133623875	0,022	0,045	1	0,911538897	1,09704589	0,488888889
AQP11	6,73808E-06	-0,133651111	0,005	0,035	0,142180149	0,911521688	1,0970666	0,142857143
KPNA4	3,2843E-07	-0,13383852	0,137	0,232	0,00693021	0,911403288	1,097209121	0,590517241
MED30	0,033097326	-0,133843842	0,095	0,126	1	0,911399926	1,097213168	0,753968254

Supplementary Table 5

Differentially expressed genes_total calculation_ comparing SC-Keloid vs. (SC-Myel, SC-Nonmyel)								
gene	p_val	avg_log2FC	pct.1	pct.2	p_val_adj	Foldchange_UP	Foldchange_DOWN	Ratio_pct1_pct2
EDC4	0,760332957	-0,133887217	0,028	0,03	1	0,911372525	1,097246157	0,933333333
POFUT2	0,47722805	-0,133926638	0,068	0,075	1	0,911347622	1,097276139	0,906666667
ARHGAP29	0,000452441	-0,134032893	0,013	0,041	1	0,911280504	1,097356957	0,317073171
PRDM2	0,000141932	-0,134048215	0,098	0,159	1	0,911270826	1,097368611	0,616352201
TNPO1	0,001510287	-0,13412467	0,12	0,17	1	0,911222534	1,097426767	0,705882353
MEGF10	1,69921E-06	-0,134296759	0,001	0,03	0,035855113	0,911113848	1,097557679	0,033333333
ROCK2	0,000307965	-0,134333023	0,192	0,261	1	0,911090946	1,097585268	0,735632184
ZDHHC6	0,099830471	-0,134585944	0,042	0,058	1	0,910931235	1,097777705	0,724137931
ZBTB47	0,001392576	-0,134703551	0,019	0,046	1	0,91085698	1,097867198	0,413043478
HSPA1L	0,001878929	-0,134750745	0,008	0,028	1	0,910827184	1,097903112	0,285714286
GTF2H4	0,023935661	-0,134842453	0,029	0,05	1	0,910769287	1,097972905	0,58
PLA2G4B	0,000111001	-0,134881321	0,006	0,031	1	0,91074475	1,098002486	0,193548387
MLF1	0,007766208	-0,13488674	0,115	0,157	1	0,910741329	1,09800661	0,732484076
PPP3CC	0,011636373	-0,134932341	0,042	0,069	1	0,910712543	1,098041317	0,608695652
TMEM178A	0,000457103	-0,134987784	0,002	0,02	1	0,910677545	1,098083516	0,1
RBM15	0,000153185	-0,134999242	0,01	0,039	1	0,910670312	1,098092237	0,256410256
CAMK2B	0,00032925	-0,135053882	0,009	0,035	1	0,910635822	1,098133826	0,257142857
LINC00685	0,003695332	-0,13523614	0,023	0,05	1	0,910520788	1,098272564	0,46
SLC35E3	0,005771154	-0,135632336	0,052	0,087	1	0,910270773	1,098574215	0,597701149
SERPINF1	0,013720699	-0,135634126	0,015	0,034	1	0,910269644	1,098575578	0,441176471
CEP350	2,49651E-05	-0,135825773	0,133	0,21	0,526788909	0,910148732	1,098721522	0,633333333
SEC63	0,001026981	-0,135832595	0,149	0,206	1	0,910144428	1,098726718	0,723300971
ACVR1B	0,131653088	-0,136085807	0,019	0,03	1	0,909984699	1,098919576	0,633333333
SENP2	0,034298385	-0,13621644	0,03	0,05	1	0,909902306	1,099019085	0,6
HLA-DQA1	9,12312E-05	-0,136254695	0,008	0,037	1	0,909878179	1,099048228	0,216216216
FBXO3	0,001461818	-0,136257266	0,075	0,119	1	0,909876557	1,099050187	0,630252101
FARP2	0,000239423	-0,13629514	0,054	0,102	1	0,909852672	1,099079039	0,529411765
DENND4A	0,000217149	-0,136410811	0,026	0,062	1	0,909779725	1,099167164	0,419354839
PPP1R1B	5,55295E-06	-0,136414573	0,001	0,027	0,117172699	0,909777353	1,09917003	0,037037037
ATP6V1E2	0,001382815	-0,136468148	0,022	0,052	1	0,909743568	1,099210849	0,423076923

Supplementary Table 5

Differentially expressed genes_total calculation_ comparing SC-Keloid vs. (SC-Myel, SC-Nonmyel)								
gene	p_val	avg_log2FC	pct.1	pct.2	p_val_adj	Foldchange_UP	Foldchange_DOWN	Ratio_pct1_pct2
COQ10A	0,005181916	-0,136505044	0,024	0,05	1	0,909720303	1,09923896	0,48
BAZ1A	0,020422885	-0,136509034	0,146	0,183	1	0,909717787	1,099242001	0,797814208
GRB2	0,001894125	-0,136669304	0,15	0,204	1	0,909616731	1,099364123	0,735294118
FGGY	0,05411839	-0,136807012	0,021	0,037	1	0,90952991	1,099469065	0,567567568
ANXA3	3,43686E-05	-0,136840494	0,024	0,066	0,725211947	0,909508803	1,099494581	0,363636364
COQ8A	6,58978E-06	-0,136858963	0,006	0,038	0,139051011	0,909497159	1,099508657	0,157894737
PHLDA3	0,003982733	-0,136890565	0,183	0,239	1	0,909477237	1,099532742	0,765690377
LRATD2	2,31575E-05	-0,136895704	0,003	0,03	0,488646934	0,909473998	1,099536658	0,1
SLC23A2	0,003847402	-0,13696297	0,073	0,113	1	0,909431594	1,099587926	0,646017699
NQO2	0,090282858	-0,137019841	0,068	0,088	1	0,909395745	1,099631272	0,772727273
SLC44A3	0,000402207	-0,137095456	0,005	0,026	1	0,909348083	1,099688908	0,192307692
TAF13	0,042315097	-0,137184805	0,066	0,091	1	0,909291767	1,099757016	0,725274725
PI4KB	0,027574426	-0,137188101	0,081	0,11	1	0,909289689	1,099759529	0,736363636
KIAA0319L	0,227465086	-0,137193916	0,056	0,069	1	0,909286024	1,099763961	0,811594203
PDCD6IP	0,00325277	-0,137216945	0,147	0,195	1	0,90927151	1,099781516	0,753846154
GLIS2	2,11825E-05	-0,137229042	0,005	0,033	0,446970905	0,909263886	1,099790738	0,151515152
LUC7L	7,50074E-06	-0,13728933	0,137	0,216	0,158273154	0,90922589	1,099836698	0,634259259
PELO	0,001226179	-0,137508402	0,129	0,185	1	0,909087835	1,100003719	0,697297297
FHIP1B	0,048094718	-0,137529175	0,033	0,052	1	0,909074745	1,100019559	0,634615385
ABTB1	0,003925417	-0,137576433	0,02	0,045	1	0,909044968	1,100055592	0,444444444
ACAD11	0,027984792	-0,137736917	0,015	0,031	1	0,908943852	1,100177968	0,483870968
ARAF	0,029995509	-0,137844409	0,055	0,08	1	0,908876131	1,100259943	0,6875
SLC22A23	0,025607368	-0,137859935	0,02	0,038	1	0,90886635	1,100271784	0,526315789
SLC43A3	0,024344075	-0,137942104	0,063	0,091	1	0,908814587	1,100334452	0,692307692
CHKA	7,26484E-05	-0,13806023	0,055	0,107	1	0,908740177	1,10042455	0,514018692
TUBA1C	0,005154562	-0,138082044	0,204	0,258	1	0,908726437	1,100441188	0,790697674
BCAR3	0,008082287	-0,138145462	0,081	0,117	1	0,908686492	1,100489562	0,692307692
MED22	0,124308245	-0,138179469	0,016	0,027	1	0,908665073	1,100515503	0,592592593
KLHL5	0,012783941	-0,138297131	0,045	0,073	1	0,908590968	1,100605262	0,616438356
DIS3	0,081010488	-0,138459283	0,057	0,077	1	0,908488853	1,100728971	0,74025974

Supplementary Table 5

Differentially expressed genes_total calculation_ comparing SC-Keloid vs. (SC-Myel, SC-Nonmyel)								
gene	p_val	avg_log2FC	pct.1	pct.2	p_val_adj	Foldchange_UP	Foldchange_DOWN	Ratio_pct1_pct2
CEP131	0,017856994	-0,138532472	0,021	0,041	1	0,908442765	1,100784814	0,512195122
CAPN1	0,084455558	-0,138553248	0,114	0,137	1	0,908429683	1,100800666	0,832116788
MARCHF3	0,038630369	-0,138651819	0,041	0,062	1	0,908367617	1,10087588	0,661290323
NFKBIE	0,181620174	-0,138702451	0,064	0,079	1	0,908335739	1,100914516	0,810126582
MARCHF8	0,003022262	-0,138842049	0,01	0,031	1	0,90824785	1,101021048	0,322580645
FAM13A	0,087723132	-0,138905284	0,031	0,047	1	0,908208042	1,101069308	0,659574468
CDK13	0,001806469	-0,138964452	0,148	0,202	1	0,908170794	1,101114467	0,732673267
NRIP2	2,13401E-06	-0,138976288	0,005	0,038	0,045029698	0,908163344	1,1011235	0,131578947
LCORL	0,00242961	-0,139170586	0,054	0,091	1	0,908041043	1,101271806	0,593406593
ZNF414	0,048128968	-0,139189023	0,042	0,062	1	0,908029439	1,10128588	0,677419355
AXIN1	0,039338625	-0,139311222	0,043	0,065	1	0,90795253	1,101379165	0,661538462
MAP4	3,54464E-06	-0,139313001	0,445	0,613	0,074795362	0,907951411	1,101380523	0,72593801
ASXL2	0,000195321	-0,139353576	0,028	0,066	1	0,907925876	1,101411499	0,424242424
LINC02693	0,021415979	-0,139501182	0,012	0,027	1	0,907832988	1,101524193	0,444444444
RFNG	0,297775194	-0,13951302	0,106	0,117	1	0,907825539	1,101533232	0,905982906
BRSK2	6,41652E-07	-0,139539746	0	0,028	0,01353949	0,907808721	1,101553638	0
ANKDD1A	0,00190824	-0,139607929	0,05	0,088	1	0,907765819	1,1016057	0,568181818
C16orf72	3,90815E-05	-0,139698036	0,094	0,16	0,824658794	0,907709124	1,101674505	0,5875
CES1	0,00484194	-0,139701511	0,01	0,03	1	0,907706937	1,101677159	0,333333333
GNB2	2,93151E-07	-0,13981667	0,271	0,4	0,006185785	0,907634485	1,101765101	0,6775
AGAP3	0,007089465	-0,139874145	0,049	0,08	1	0,907598327	1,101808995	0,6125
COX11	0,008302992	-0,139966989	0,085	0,121	1	0,907539921	1,101879903	0,702479339
SNRPB	8,84495E-09	-0,140018878	0,271	0,417	0,000186637	0,90750728	1,101919535	0,649880096
CA5B	0,000447059	-0,140060053	0,02	0,052	1	0,90748138	1,101950984	0,384615385
PBX3	0,137968065	-0,140173142	0,063	0,08	1	0,907410248	1,102037367	0,7875
NECTIN1	0,000123545	-0,140216135	0,012	0,042	1	0,907383207	1,102070208	0,285714286
INTS6L	0,000209084	-0,14025217	0,014	0,045	1	0,907360543	1,102097736	0,311111111
POM121	0,009821739	-0,140273873	0,045	0,075	1	0,907346893	1,102114315	0,6
SREK1	8,23219E-05	-0,140274233	0,184	0,258	1	0,907346667	1,10211459	0,713178295
RECK	0,001110546	-0,140306342	0,02	0,049	1	0,907326473	1,102139119	0,408163265

Supplementary Table 5

Differentially expressed genes_total calculation_ comparing SC-Keloid vs. (SC-Myel, SC-Nonmyel)								
gene	p_val	avg_log2FC	pct.1	pct.2	p_val_adj	Foldchange_UP	Foldchange_DOWN	Ratio_pct1_pct2
C11orf91	0,000467114	-0,140368941	0,007	0,03	1	0,907287104	1,102186943	0,233333333
SFT2D2	7,38508E-05	-0,140417339	0,054	0,106	1	0,907256669	1,102223918	0,509433962
ENOSF1	0,106010175	-0,140470536	0,029	0,043	1	0,907223216	1,102264562	0,674418605
DIS3L2	0,187067698	-0,140617788	0,035	0,047	1	0,907130623	1,102377072	0,744680851
WDR59	0,039411635	-0,140703319	0,037	0,058	1	0,907076844	1,10244243	0,637931034
ARHGAP17	0,004882243	-0,140790054	0,035	0,065	1	0,907022312	1,102508711	0,538461538
LRIG2	0,007564315	-0,140801963	0,022	0,046	1	0,907014825	1,102517811	0,47826087
OSMR	0,0001533	-0,140861137	0,015	0,047	1	0,906977623	1,102563034	0,319148936
TRAF4	0,039321104	-0,14090323	0,044	0,066	1	0,906951161	1,102595203	0,666666667
ZBTB38	3,70809E-06	-0,141068178	0,162	0,252	0,078244304	0,906847472	1,102721274	0,642857143
SOS2	0,006911491	-0,141142359	0,121	0,161	1	0,906800845	1,102777975	0,751552795
PSMD6	0,00494773	-0,141169567	0,129	0,172	1	0,906783744	1,102798773	0,75
MLLT3	0,000435871	-0,141265093	0,01	0,037	1	0,906723705	1,102871795	0,27027027
DNAJA2	6,32283E-06	-0,141379184	0,129	0,209	0,133418021	0,906652002	1,102959016	0,61722488
ATXN1L	0,000177958	-0,141396418	0,033	0,073	1	0,906641171	1,102972192	0,452054795
PDPN	0,009855449	-0,141411716	0,022	0,045	1	0,906631558	1,102983887	0,488888889
RIPOR1	0,001419767	-0,141425787	0,056	0,096	1	0,906622715	1,102994645	0,583333333
ACO2	0,047424498	-0,141431273	0,075	0,099	1	0,906619268	1,10299884	0,757575758
TTL5	0,032542454	-0,141521963	0,028	0,047	1	0,906562278	1,103068178	0,595744681
GSE1	0,022427273	-0,141637586	0,034	0,057	1	0,906489625	1,103156586	0,596491228
CAPN10	0,425821057	-0,141740392	0,03	0,037	1	0,906425031	1,103235199	0,810810811
ETHE1	0,011015596	-0,141796635	0,081	0,115	1	0,906389695	1,103278209	0,704347826
UNC45A	0,0562391	-0,141900634	0,059	0,081	1	0,906324359	1,103357744	0,728395062
BST2	0,000332873	-0,141929125	0,012	0,039	1	0,906306461	1,103379533	0,307692308
CCDC59	0,000954343	-0,141956411	0,144	0,204	1	0,90628932	1,103400402	0,705882353
UBR2	0,003308456	-0,142006731	0,073	0,114	1	0,90625771	1,103438889	0,640350877
BASP1	0,000162712	-0,142169161	0,013	0,043	1	0,906155682	1,103563129	0,302325581
LINC01003	0,004058673	-0,14219448	0,04	0,071	1	0,90613978	1,103582496	0,563380282
LINC00327	0,000584517	-0,14229002	0,012	0,038	1	0,906079774	1,103655582	0,315789474
SVIP	0,0637662	-0,14237273	0,143	0,172	1	0,906027829	1,103718857	0,831395349

Supplementary Table 5

Differentially expressed genes_total calculation_ comparing SC-Keloid vs. (SC-Myel, SC-Nonmyel)								
gene	p_val	avg_log2FC	pct.1	pct.2	p_val_adj	Foldchange_UP	Foldchange_DOWN	Ratio_pct1_pct2
ZNF654	0,000133332	-0,142488688	0,036	0,08	1	0,905955009	1,103807573	0,45
EIF4H	4,58814E-07	-0,142525414	0,237	0,345	0,009681427	0,905931947	1,103835672	0,686956522
TOGARAM1	0,000233492	-0,142532013	0,083	0,137	1	0,905927804	1,103840721	0,605839416
CC2D1A	0,203669844	-0,142542274	0,043	0,056	1	0,90592136	1,103848572	0,767857143
MCOLN1	0,077914844	-0,142544756	0,044	0,062	1	0,905919802	1,103850471	0,709677419
AFF1	0,000359304	-0,142573163	0,035	0,075	1	0,905901965	1,103872206	0,466666667
GPR173	0,000203161	-0,142653189	0,012	0,041	1	0,905851716	1,103933439	0,292682927
CDK11A	0,021555327	-0,142820411	0,048	0,073	1	0,905746725	1,104061403	0,657534247
HOOK2	0,014357606	-0,142885948	0,035	0,06	1	0,905705581	1,104111558	0,583333333
ATPCKMT	0,231828024	-0,143083236	0,017	0,026	1	0,905581734	1,104262556	0,653846154
GOLGA8B	0,016638636	-0,143144033	0,029	0,052	1	0,905543573	1,104309091	0,557692308
KLHL3	0,097616008	-0,143172968	0,02	0,033	1	0,905525411	1,10433124	0,606060606
EIF2B4	0,129258179	-0,143188171	0,061	0,077	1	0,905515869	1,104342877	0,792207792
MED12	0,013864355	-0,143406047	0,022	0,043	1	0,905379128	1,104509668	0,511627907
NTN4	0,004030773	-0,143588557	0,009	0,028	1	0,905264599	1,104649404	0,321428571
TNFSF9	0,000875853	-0,143588617	0,014	0,041	1	0,905264561	1,10464945	0,341463415
FGFRL1	1,34445E-07	-0,143597447	0,001	0,035	0,002836929	0,905259021	1,104656211	0,028571429
SLC25A44	0,003274965	-0,143694576	0,023	0,05	1	0,905198077	1,104730584	0,46
RBBP7	0,000574192	-0,143942982	0,182	0,243	1	0,905042231	1,104920815	0,748971193
EFNB1	0,035992027	-0,143980404	0,033	0,053	1	0,905018756	1,104949476	0,622641509
CERS2	0,001960092	-0,144110506	0,163	0,217	1	0,904937145	1,105049125	0,751152074
LINC00461	0,00085501	-0,14474084	0,012	0,037	1	0,904541851	1,105532042	0,324324324
CAVIN2	0,000826132	-0,144999006	0,003	0,022	1	0,904380001	1,105729892	0,136363636
PAPSS1	1,72486E-05	-0,145003983	0,116	0,187	0,363963174	0,904376881	1,105733706	0,620320856
PTPRN2	0,000451659	-0,145043119	0,003	0,023	1	0,904352348	1,105763702	0,130434783
AKAP8L	3,89616E-06	-0,145055206	0,107	0,185	0,082212921	0,904344771	1,105772966	0,578378378
TSPAN7	0,000412848	-0,145060157	0,023	0,057	1	0,904341668	1,10577676	0,403508772
JAK1	0,000947031	-0,145101339	0,144	0,204	1	0,904315854	1,105808326	0,705882353
LAMA5	0,112044635	-0,145161481	0,064	0,083	1	0,904278156	1,105854424	0,771084337
CLEC2D	0,000759007	-0,145214818	0,016	0,045	1	0,904244725	1,105895309	0,355555556

Supplementary Table 5

Differentially expressed genes_total calculation_ comparing SC-Keloid vs. (SC-Myel, SC-Nonmyel)								
gene	p_val	avg_log2FC	pct.1	pct.2	p_val_adj	Foldchange_UP	Foldchange_DOWN	Ratio_pct1_pct2
VOPP1	0,235516726	-0,14526411	0,043	0,054	1	0,904213831	1,105933095	0,796296296
LRRC42	0,002587481	-0,145343584	0,05	0,085	1	0,904164021	1,105994019	0,588235294
ERV3-1	0,004924831	-0,145343617	0,029	0,057	1	0,904164	1,105994045	0,50877193
CMC4	0,043975764	-0,145364979	0,044	0,065	1	0,904150613	1,106010421	0,676923077
ARL2	2,49921E-05	-0,145505691	0,243	0,338	0,527358041	0,904062432	1,1061183	0,718934911
TK2	0,015048444	-0,145623049	0,058	0,088	1	0,903988893	1,106208282	0,659090909
FBXO31	0,001061011	-0,145716031	0,024	0,056	1	0,903930632	1,10627958	0,428571429
KRT6B	0,0040699	-0,145788707	0,007	0,024	1	0,903885098	1,10633531	0,291666667
ARHGAP32	7,27564E-05	-0,145800538	0,005	0,03	1	0,903877685	1,106344383	0,166666667
ARHGEF1	0,36306401	-0,145807304	0,078	0,087	1	0,903873446	1,106349572	0,896551724
PC	3,61939E-05	-0,145856502	0,009	0,041	0,763728112	0,903842623	1,106387301	0,219512195
SNX29	0,141835097	-0,145896822	0,038	0,053	1	0,903817363	1,106418222	0,716981132
DNHD1	0,0008408	-0,146182659	0,002	0,019	1	0,90363831	1,106637455	0,105263158
TFPI2	0,57105035	-0,146238722	0,033	0,027	1	0,903603196	1,10668046	1,222222222
PRPSAP1	0,000135187	-0,146424211	0,122	0,185	1	0,903487026	1,106822756	0,659459459
TWSG1	0,001025982	-0,146615095	0,111	0,161	1	0,903367493	1,10696921	0,689440994
AGAP1	0,0033567	-0,146894391	0,116	0,164	1	0,903192624	1,107183533	0,707317073
LAPTM4A	7,49597E-08	-0,147203211	0,467	0,664	0,001581725	0,902999309	1,107420559	0,703313253
GRAMD2B	3,54259E-06	-0,147235764	0,108	0,189	0,074752179	0,902978934	1,107445547	0,571428571
NHS	6,62501E-05	-0,147250145	0,001	0,022	1	0,902969933	1,107456587	0,045454545
ZMYND8	0,046153638	-0,14741764	0,077	0,103	1	0,902865106	1,107585168	0,747572816
ZNF335	0,002672046	-0,14743537	0,022	0,049	1	0,90285401	1,10759878	0,448979592
MSANTD3	0,001258326	-0,147468575	0,09	0,137	1	0,90283323	1,107624273	0,656934307
PARD6B	0,002320635	-0,147539117	0,03	0,061	1	0,902789086	1,107678433	0,491803279
PPM1A	0,000792218	-0,147562665	0,102	0,153	1	0,902774351	1,107696513	0,666666667
SLC25A38	0,024077997	-0,147613785	0,029	0,05	1	0,902742362	1,107735763	0,58
EDA	0,000785638	-0,147642546	0,003	0,022	1	0,902724366	1,107757847	0,136363636
AC019117.2	0,002451261	-0,147669836	0,007	0,026	1	0,90270729	1,107778801	0,269230769
MAST3	0,000156782	-0,147671597	0,01	0,039	1	0,902706188	1,107780153	0,256410256
UBE2W	1,38229E-05	-0,147707923	0,059	0,119	0,291677325	0,902683459	1,107808047	0,495798319

Supplementary Table 5

Differentially expressed genes_total calculation_ comparing SC-Keloid vs. (SC-Myel, SC-Nonmyel)								
gene	p_val	avg_log2FC	pct.1	pct.2	p_val_adj	Foldchange_UP	Foldchange_DOWN	Ratio_pct1_pct2
ZNF286A	0,025346486	-0,147708189	0,021	0,039	1	0,902683293	1,107808251	0,538461538
DICER1	0,000709548	-0,147740717	0,139	0,198	1	0,902662941	1,107833228	0,702020202
EPHB6	0,000702595	-0,147982378	0,005	0,024	1	0,902511751	1,108018814	0,208333333
FAT4	1,85597E-07	-0,148021914	0	0,031	0,003916278	0,902487019	1,108049178	0
MSL2	0,006244655	-0,148059968	0,037	0,066	1	0,902463214	1,108078406	0,560606061
ST3GAL6-AS1	0,000841954	-0,148065396	0,017	0,046	1	0,902459819	1,108082575	0,369565217
TNRC6C	1,57755E-07	-0,148114116	0,078	0,163	0,003328786	0,902429343	1,108119996	0,478527607
RNF126	0,004988916	-0,148193114	0,119	0,161	1	0,90237993	1,108180675	0,739130435
PPT2	0,603761038	-0,148268514	0,073	0,064	1	0,90233277	1,108238594	1,140625
MB21D2	0,000749184	-0,148290519	0,036	0,073	1	0,902319007	1,108255498	0,493150685
EPS8	0,016077991	-0,148294343	0,109	0,145	1	0,902316615	1,108258435	0,751724138
ZNF148	0,009621116	-0,148551726	0,108	0,147	1	0,902155653	1,10845617	0,734693878
LRBA	0,105605158	-0,148558694	0,038	0,054	1	0,902151295	1,108461524	0,703703704
MGAT1	0,015045437	-0,148762139	0,113	0,148	1	0,902024085	1,108617847	0,763513514
DPH7	0,010515098	-0,148845016	0,035	0,061	1	0,901972269	1,108681535	0,573770492
PAQR8	0,054062306	-0,148850824	0,044	0,065	1	0,901968638	1,108685999	0,676923077
PLEKHF1	0,000143569	-0,149175118	0,01	0,039	1	0,901765913	1,108935241	0,256410256
ALMS1	0,006525949	-0,149197144	0,013	0,033	1	0,901752146	1,108952171	0,393939394
HACL1	1,50553E-06	-0,149438411	0,022	0,072	0,031768185	0,901601355	1,109137641	0,305555556
GON4L	0,000309896	-0,149461435	0,108	0,167	1	0,901586967	1,109155342	0,646706587
TMEM44-AS1	0,000642966	-0,149498133	0,01	0,035	1	0,901564033	1,109183556	0,285714286
SNORC	2,67675E-05	-0,149545939	0	0,02	0,56482021	0,901534159	1,109220311	0
LYRM7	0,03365832	-0,14954863	0,042	0,065	1	0,901532477	1,10922238	0,646153846
MTCH1	4,5512E-06	-0,149698133	0,249	0,351	0,096034838	0,901439058	1,109337332	0,709401709
TLE2	0,000943381	-0,149716687	0,02	0,049	1	0,901427465	1,109351599	0,408163265
EMP1	0,050718052	-0,14978999	0,417	0,468	1	0,901381665	1,109407966	0,891025641
PRPS1	0,00050398	-0,149875923	0,054	0,098	1	0,901327977	1,109474049	0,551020408
ABI3BP	0,039825981	-0,149970408	0,044	0,066	1	0,901268949	1,109546714	0,666666667
SSBP3	0,00503191	-0,149990777	0,106	0,147	1	0,901256224	1,109562379	0,721088435
THAP3	0,003052798	-0,150001244	0,036	0,068	1	0,901249685	1,109570429	0,529411765

Supplementary Table 5

Differentially expressed genes_total calculation_ comparing SC-Keloid vs. (SC-Myel, SC-Nonmyel)								
gene	p_val	avg_log2FC	pct.1	pct.2	p_val_adj	Foldchange_UP	Foldchange_DOWN	Ratio_pct1_pct2
RAPGEF6	0,001501602	-0,150025314	0,037	0,072	1	0,901234649	1,109588941	0,513888889
HS6ST1	9,6628E-05	-0,150123634	0,019	0,054	1	0,901173232	1,109664562	0,351851852
KLHL15	0,000318986	-0,150135447	0,024	0,06	1	0,901165853	1,109673649	0,4
GDNF	4,18017E-05	-0,150167486	0,005	0,031	0,882057289	0,901145841	1,109698292	0,161290323
TBL3	0,952213499	-0,150272436	0,031	0,031	1	0,901080288	1,109779021	1
FAM200B	0,012396765	-0,150289227	0,106	0,144	1	0,901069801	1,109791938	0,736111111
ALS2	0,000245366	-0,150330436	0,026	0,062	1	0,901044063	1,109823638	0,419354839
CYP2U1	0,000505588	-0,150359958	0,021	0,053	1	0,901025625	1,109846349	0,396226415
ZNF397	0,000180289	-0,150381834	0,05	0,099	1	0,901011963	1,109863178	0,505050505
RPRD2	0,002399379	-0,150440889	0,036	0,069	1	0,900975082	1,109908609	0,52173913
KLF11	0,048621526	-0,150459396	0,048	0,069	1	0,900963524	1,109922848	0,695652174
PLIN2	0,007437881	-0,150465082	0,04	0,069	1	0,900959973	1,109927222	0,579710145
TENT4A	3,50108E-05	-0,15072415	0,043	0,095	0,738763657	0,9007982	1,110126552	0,452631579
USPL1	0,00876296	-0,1508222	0,041	0,069	1	0,900736981	1,110202002	0,594202899
CAVIN4	0,000135885	-0,150983098	0,003	0,026	1	0,900636531	1,110325825	0,115384615
PRKCD	0,010208049	-0,151004317	0,034	0,06	1	0,900623285	1,110342156	0,566666667
DAB1	9,04289E-07	-0,151427034	0,014	0,06	0,019081399	0,900359436	1,11066754	0,233333333
ACKR1	0,000120412	-0,151514876	0,02	0,056	1	0,900304618	1,110735167	0,357142857
HERC4	0,003152545	-0,151701593	0,088	0,132	1	0,900188106	1,110878931	0,666666667
RORA	1,1964E-05	-0,151755222	0,019	0,061	0,252453398	0,900154644	1,110920226	0,31147541
PLXNB2	0,209537142	-0,151767032	0,119	0,134	1	0,900147275	1,11092932	0,888059701
HSPA14	3,94593E-05	-0,151829396	0,016	0,053	0,832630259	0,900108364	1,110977344	0,301886792
SMAD7	0,161048202	-0,151894721	0,044	0,058	1	0,900067609	1,11102765	0,75862069
ASB3	0,008165932	-0,152034387	0,055	0,087	1	0,899980479	1,111135212	0,632183908
LURAP1L	4,45107E-05	-0,152038003	0,012	0,045	0,939219564	0,899978223	1,111137997	0,266666667
PELI2	3,65645E-07	-0,152050796	0,003	0,039	0,007715484	0,899970242	1,111147851	0,076923077
SEMA3D	0,000625777	-0,152121773	0,019	0,049	1	0,899925967	1,111202518	0,387755102
SF3B4	0,02602482	-0,15217164	0,079	0,109	1	0,899894861	1,111240927	0,724770642
PLXNB1	0,004141614	-0,152195596	0,013	0,034	1	0,899879919	1,11125938	0,382352941
CSPP1	0,010725947	-0,15224201	0,049	0,079	1	0,899850969	1,111295131	0,620253165

Supplementary Table 5

Differentially expressed genes_total calculation_ comparing SC-Keloid vs. (SC-Myel, SC-Nonmyel)								
gene	p_val	avg_log2FC	pct.1	pct.2	p_val_adj	Foldchange_UP	Foldchange_DOWN	Ratio_pct1_pct2
WRN	0,004680367	-0,152329875	0,045	0,079	1	0,899796166	1,111362815	0,569620253
POMT1	0,025560688	-0,152499138	0,03	0,052	1	0,899690604	1,111493212	0,576923077
POR	0,017898992	-0,1525325	0,064	0,092	1	0,899669799	1,111518916	0,695652174
SETD9	0,105411032	-0,152550845	0,035	0,05	1	0,89965836	1,111533049	0,7
MBNL1-AS1	0,000381215	-0,152604725	0,013	0,041	1	0,899624761	1,111574562	0,317073171
NFRKB	0,00023221	-0,152636181	0,021	0,056	1	0,899605146	1,111598799	0,375
FLYWCH1	0,001374049	-0,152747201	0,028	0,06	1	0,899535921	1,111684343	0,466666667
ZNF131	9,87528E-06	-0,152831923	0,072	0,137	0,208378341	0,899483098	1,111749628	0,525547445
ACADS	0,086214582	-0,152854688	0,054	0,072	1	0,899468905	1,111767171	0,75
BCAS3	0,081346062	-0,153037628	0,027	0,042	1	0,899354855	1,111908158	0,642857143
ETV7	6,3785E-05	-0,153062477	0,006	0,033	1	0,899339365	1,111927309	0,181818182
RNF111	0,004850016	-0,153165303	0,03	0,058	1	0,899275268	1,112006563	0,517241379
PATL1	0,000317706	-0,153299441	0,033	0,072	1	0,89919166	1,112109959	0,458333333
TRIOBP	0,037742548	-0,153484816	0,085	0,113	1	0,899076128	1,112252866	0,752212389
ITPKC	0,014182179	-0,153600459	0,023	0,045	1	0,899004063	1,112342025	0,511111111
FZR1	0,082683581	-0,153618992	0,044	0,062	1	0,898992514	1,112356315	0,709677419
WDR44	0,045711291	-0,153709466	0,031	0,05	1	0,898936138	1,112426075	0,62
RANGAP1	0,008936246	-0,153713234	0,045	0,075	1	0,898933791	1,11242898	0,6
SORCS3	7,69825E-06	-0,153755195	0	0,023	0,162440745	0,898907645	1,112461336	0
ANXA7	0,000846333	-0,153810414	0,186	0,244	1	0,898873241	1,112503915	0,762295082
UGP2	0,039563709	-0,153827862	0,108	0,138	1	0,89886237	1,112517371	0,782608696
PDGFRB	0,000419823	-0,153871567	0,027	0,062	1	0,89883514	1,112551074	0,435483871
CYP1B1	0,000291149	-0,153877169	0,007	0,031	1	0,89883165	1,112555393	0,225806452
NP1PA1	0,000103402	-0,154044318	0,034	0,077	1	0,898727518	1,1126843	0,441558442
GALNT4	0,030106251	-0,154055035	0,007	0,019	1	0,898720842	1,112692566	0,368421053
PLEKHH3	0,004965214	-0,154131719	0,051	0,085	1	0,898673073	1,112751711	0,6
MKRN1	0,000120363	-0,154241988	0,081	0,138	1	0,898604388	1,112836765	0,586956522
VANGL2	0,001561211	-0,154299847	0,036	0,071	1	0,89856835	1,112881396	0,507042254
BORCS5	0,003416366	-0,154364997	0,041	0,073	1	0,898527773	1,112931653	0,561643836
ADAM33	4,29612E-05	-0,154426786	0,005	0,031	0,906524408	0,898489291	1,11297932	0,161290323

Supplementary Table 5

Differentially expressed genes_total calculation_ comparing SC-Keloid vs. (SC-Myel, SC-Nonmyel)								
gene	p_val	avg_log2FC	pct.1	pct.2	p_val_adj	Foldchange_UP	Foldchange_DOWN	Ratio_pct1_pct2
HSPA5	0,229123345	-0,154562324	0,499	0,619	1	0,898404884	1,113083886	0,806138934
RUSF1	0,125366284	-0,154622393	0,047	0,062	1	0,898367478	1,113130233	0,758064516
BCKDHA	0,221883919	-0,154680095	0,028	0,038	1	0,898331548	1,113174754	0,736842105
TMEM41A	0,009484773	-0,154741222	0,029	0,054	1	0,898293486	1,113221921	0,537037037
KHNYN	0,000176995	-0,154820647	0,031	0,072	1	0,898244034	1,113283208	0,430555556
FGF14-AS2	0,00023301	-0,154844387	0,008	0,034	1	0,898229253	1,113301528	0,235294118
NAB2	0,16873834	-0,154875013	0,073	0,09	1	0,898210185	1,113325162	0,811111111
LDLR	0,000589463	-0,154915113	0,036	0,075	1	0,89818522	1,113356107	0,48
SNTA1	0,093534577	-0,154922895	0,05	0,068	1	0,898180375	1,113362113	0,735294118
ULK1	0,042070085	-0,154925553	0,069	0,095	1	0,89817872	1,113364164	0,726315789
NR1H3	0,00018699	-0,154968297	0,012	0,041	1	0,898152109	1,113397151	0,292682927
SIRPA	2,27951E-05	-0,155042001	0,003	0,03	0,48099913	0,898106226	1,113454034	0,1
CARHSP1	0,024741676	-0,155048402	0,099	0,13	1	0,898102241	1,113458974	0,761538462
ITPK1	0,001730608	-0,15510786	0,213	0,273	1	0,898065229	1,113504864	0,78021978
ATF5	0,09958266	-0,155118687	0,04	0,056	1	0,898058489	1,113513221	0,714285714
ABCD4	0,183236816	-0,155152276	0,085	0,1	1	0,89803758	1,113539146	0,85
PYURF	6,2828E-05	-0,155180563	0,236	0,319	1	0,898019972	1,113560979	0,739811912
LMO7DN	7,69825E-06	-0,155230553	0	0,023	0,162440745	0,897988856	1,113599565	0
INO80D	3,16564E-07	-0,155297952	0,086	0,171	0,006679827	0,897946905	1,113651591	0,502923977
HECTD1	0,000965545	-0,15535848	0,122	0,176	1	0,897909233	1,113698315	0,693181818
AC144831.1	0,000457103	-0,155361625	0,002	0,02	1	0,897907276	1,113700743	0,1
TNFRSF1A	0,036415189	-0,155477292	0,143	0,175	1	0,897835289	1,113790037	0,817142857
MICU3	0,036449496	-0,155717944	0,041	0,062	1	0,897685537	1,11397584	0,661290323
DSTYK	0,000130967	-0,155829017	0,048	0,096	1	0,897616427	1,114061608	0,5
STXBP1	0,001064767	-0,156039081	0,035	0,071	1	0,897485738	1,114223834	0,492957746
DISC1	0,031567391	-0,156044179	0,066	0,094	1	0,897482567	1,114227771	0,70212766
TOX2	0,000641058	-0,156061983	0,041	0,08	1	0,897471491	1,114241521	0,5125
DHX9	0,00026656	-0,156065048	0,149	0,212	1	0,897469585	1,114243888	0,702830189
BACE2	0,007281263	-0,156096472	0,122	0,163	1	0,897450037	1,114268159	0,748466258
KDM7A	8,26961E-05	-0,156369627	0,021	0,058	1	0,897280133	1,11447915	0,362068966

Supplementary Table 5

Differentially expressed genes_total calculation_ comparing SC-Keloid vs. (SC-Myel, SC-Nonmyel)								
gene	p_val	avg_log2FC	pct.1	pct.2	p_val_adj	Foldchange_UP	Foldchange_DOWN	Ratio_pct1_pct2
QRICH1	0,233982649	-0,156382451	0,044	0,056	1	0,897272157	1,114489057	0,785714286
IGF1R	0,000487089	-0,156639013	0,031	0,069	1	0,897112604	1,11468727	0,449275362
MOAP1	3,91202E-06	-0,156658263	0,041	0,098	0,082547466	0,897100634	1,114702144	0,418367347
USF2	0,000831136	-0,156860231	0,156	0,212	1	0,896975055	1,114858205	0,735849057
EXT1	0,000896286	-0,156861855	0,041	0,079	1	0,896974045	1,11485946	0,518987342
PRRG1	3,98528E-06	-0,156922514	0,031	0,084	0,084093394	0,896936332	1,114906336	0,369047619
PRRG3	1,85597E-07	-0,156937096	0	0,031	0,003916278	0,896927266	1,114917605	0
ARHGEF28	0,000767594	-0,156943189	0,024	0,057	1	0,896923478	1,114922314	0,421052632
PAPPA	0,054731927	-0,157300804	0,022	0,038	1	0,896701177	1,115198715	0,578947368
NRCAM	1,4296E-08	-0,157334933	0,012	0,065	0,00030166	0,896679964	1,115225097	0,184615385
MLLT10	0,029093109	-0,157767741	0,052	0,077	1	0,896411001	1,115559714	0,675324675
TMEM255A	5,66557E-05	-0,157814125	0,015	0,05	1	0,896382181	1,115595581	0,3
KIAA0408	0,001072352	-0,157852155	0,008	0,03	1	0,896358552	1,115624989	0,266666667
CCNT1	0,000896717	-0,157963071	0,041	0,079	1	0,896289642	1,115710763	0,518987342
DISP1	1,02357E-05	-0,158008796	0,007	0,039	0,215984466	0,896261235	1,115746125	0,179487179
PHF12	0,010193883	-0,158229672	0,044	0,073	1	0,896124029	1,115916958	0,602739726
TPST1	0,001486442	-0,15829867	0,048	0,085	1	0,896081172	1,115970329	0,564705882
FNTA	0,000114358	-0,158323276	0,159	0,231	1	0,896065888	1,115989363	0,688311688
RTL8A	0,045345617	-0,158372832	0,133	0,161	1	0,89603511	1,116027697	0,826086957
FOXJ1	2,67675E-05	-0,158405284	0	0,02	0,56482021	0,896014954	1,116052801	0
WNK2	3,1489E-06	-0,158459442	0,001	0,028	0,066444855	0,895981319	1,116094698	0,035714286
ZDBF2	0,000331651	-0,158466396	0,006	0,028	1	0,895977	1,116100078	0,214285714
RAB11FIP5	1,03716E-07	-0,158486378	0,012	0,06	0,00218852	0,895964591	1,116115537	0,2
RIN2	5,57851E-05	-0,158594733	0,021	0,06	1	0,895897301	1,116199367	0,35
CTR9	0,01298794	-0,158606231	0,054	0,083	1	0,895890161	1,116208262	0,65060241
AGO2	5,18791E-08	-0,158674917	0,102	0,198	0,0010947	0,895847509	1,116261406	0,515151515
IPO8	0,015729956	-0,158763494	0,041	0,066	1	0,895792508	1,116329943	0,621212121
LSM14A	0,000227338	-0,15891836	0,136	0,201	1	0,895696355	1,116449782	0,676616915
SLC35A1	0,001728924	-0,158978741	0,03	0,062	1	0,895658868	1,116496509	0,483870968
MMP28	0,026465623	-0,159202136	0,054	0,08	1	0,89552019	1,116669407	0,675

Supplementary Table 5

Differentially expressed genes_total calculation_ comparing SC-Keloid vs. (SC-Myel, SC-Nonmyel)								
gene	p_val	avg_log2FC	pct.1	pct.2	p_val_adj	Foldchange_UP	Foldchange_DOWN	Ratio_pct1_pct2
TRIM3	0,00613145	-0,159230575	0,028	0,054	1	0,895502537	1,11669142	0,518518519
C3orf33	0,001405623	-0,159317655	0,007	0,027	1	0,895448487	1,116758825	0,259259259
CCM2	0,015900124	-0,15935217	0,111	0,145	1	0,895427065	1,116785542	0,765517241
MORC3	2,69677E-06	-0,159390906	0,062	0,129	0,056904462	0,895403023	1,116815528	0,480620155
ZMYM2	2,35968E-06	-0,159430888	0,132	0,218	0,049791628	0,895378208	1,11684648	0,605504587
DHX38	0,004721332	-0,159492883	0,068	0,104	1	0,895339734	1,116894473	0,653846154
GRB14	0,000104618	-0,159511247	0,015	0,049	1	0,895328337	1,11690869	0,306122449
AKT1S1	0,057754226	-0,159555731	0,068	0,09	1	0,895300731	1,116943129	0,755555556
NPHP3	0,018963076	-0,159598819	0,055	0,083	1	0,895273992	1,116976489	0,662650602
FIP1L1	0,014902123	-0,159652612	0,083	0,115	1	0,895240611	1,117018138	0,72173913
PAN2	0,019139907	-0,159662054	0,021	0,041	1	0,895234752	1,117025449	0,512195122
TMEM183A	0,000416233	-0,159671994	0,073	0,123	1	0,895228584	1,117033145	0,593495935
COL16A1	0,002626407	-0,159688229	0,248	0,309	1	0,895218509	1,117045715	0,802588997
KLF15	9,85448E-08	-0,159698855	0,002	0,039	0,002079393	0,895211916	1,117053943	0,051282051
LMTK2	0,005249759	-0,159865747	0,008	0,026	1	0,895108363	1,117183172	0,307692308
ENO2	0,001156286	-0,160025454	0,037	0,073	1	0,89500928	1,117306851	0,506849315
SLC48A1	0,001408864	-0,160195695	0,017	0,045	1	0,894903673	1,117438703	0,377777778
CNST	4,29905E-07	-0,160552619	0,045	0,111	0,009071421	0,8946823	1,117715193	0,405405405
FN3K	3,75753E-06	-0,160630224	0,005	0,037	0,079287614	0,894634175	1,117775318	0,135135135
KIAA1109	9,78145E-05	-0,160678452	0,079	0,138	1	0,894604269	1,117812685	0,572463768
GSTK1	5,67598E-05	-0,160679795	0,184	0,261	1	0,894603436	1,117813726	0,704980843
LCOR	0,000184499	-0,160709138	0,086	0,142	1	0,894585241	1,117836461	0,605633803
CDC42EP5	1,45867E-05	-0,160719941	0,26	0,364	0,307794282	0,894578542	1,117844832	0,714285714
ELOVL5	0,000139937	-0,16075882	0,066	0,119	1	0,894554435	1,117874956	0,554621849
LRRTM4	1,92376E-06	-0,160766042	0,006	0,041	0,040593286	0,894549957	1,117880553	0,146341463
CDH13	0,084356485	-0,160789425	0,094	0,117	1	0,894535458	1,117898671	0,803418803
MIF4GD	0,333183642	-0,160812224	0,068	0,077	1	0,894521322	1,117916337	0,883116883
CERS6	0,001645869	-0,160833918	0,045	0,083	1	0,894507871	1,117933148	0,542168675
CRTAC1	1,06048E-06	-0,160846748	0,002	0,034	0,022377147	0,894499916	1,11794309	0,058823529
C17orf49	0,039575979	-0,160884497	0,091	0,119	1	0,894476511	1,117972342	0,764705882

Supplementary Table 5

Differentially expressed genes_total calculation_ comparing SC-Keloid vs. (SC-Myel, SC-Nonmyel)								
gene	p_val	avg_log2FC	pct.1	pct.2	p_val_adj	Foldchange_UP	Foldchange_DOWN	Ratio_pct1_pct2
MYO9A	0,000263898	-0,160897175	0,084	0,14	1	0,894468651	1,117982166	0,6
RASGRF1	2,67675E-05	-0,161197528	0	0,02	0,56482021	0,894282452	1,118214942	0
SOX9	0,00674879	-0,161230309	0,007	0,023	1	0,894262132	1,118240351	0,304347826
TUBA4A	0,001234635	-0,161387286	0,017	0,045	1	0,894164834	1,118362031	0,377777778
SFT2D1	0,000356166	-0,1616192	0,159	0,22	1	0,894021108	1,118541823	0,722727273
LINC01588	1,98942E-05	-0,161790638	0,013	0,049	0,419788534	0,893914877	1,118674748	0,265306122
MINDY1	3,37316E-06	-0,16194218	0,007	0,042	0,071177092	0,893820984	1,118792261	0,166666667
FBXO17	0,005983872	-0,161968184	0,077	0,114	1	0,893804873	1,118812427	0,675438596
IPO7	1,72794E-06	-0,162054631	0,127	0,213	0,036461268	0,893751318	1,118879469	0,596244131
RTL5	5,20063E-06	-0,162073635	0,008	0,043	0,109738586	0,893739545	1,118894208	0,186046512
BCORL1	2,03297E-05	-0,162127037	0,013	0,049	0,428977478	0,893706463	1,118935625	0,265306122
KRT6A	0,000590844	-0,162329822	0,006	0,027	1	0,893580853	1,119092914	0,222222222
ZNRF3	0,003014416	-0,162455016	0,014	0,037	1	0,893503313	1,11919003	0,378378378
LONRF3	3,45065E-07	-0,162519162	0	0,03	0,007281215	0,893463587	1,119239793	0
CPEB3	0,000684717	-0,16253514	0,008	0,031	1	0,893453691	1,119252189	0,258064516
TAF4B	0,000249547	-0,162643479	0,019	0,052	1	0,8933866	1,119336243	0,365384615
SUMO3	0,041473189	-0,162786979	0,166	0,195	1	0,893297742	1,119447585	0,851282051
CADM1	6,08863E-07	-0,162889783	0,467	0,664	0,012847615	0,89323409	1,119527357	0,703313253
POC5	0,12248452	-0,163095786	0,015	0,026	1	0,893106554	1,119687227	0,576923077
TRIR	3,17478E-09	-0,1631677	0,311	0,467	6,69911E-05	0,893062036	1,119743041	0,665952891
TOLLIP-DT	0,001453665	-0,163211644	0,009	0,031	1	0,893034834	1,119777149	0,290322581
ANG	0,001786895	-0,163254502	0,01	0,033	1	0,893008305	1,119810414	0,303030303
NUP98	3,70979E-09	-0,163411831	0,045	0,128	7,82802E-05	0,892910926	1,119932538	0,3515625
ERICH1	0,002586411	-0,163485073	0,069	0,11	1	0,892865596	1,119989396	0,627272727
STARD3	0,058998847	-0,163520614	0,079	0,103	1	0,892843601	1,120016988	0,766990291
HSPA4L	3,37837E-07	-0,163703758	0,006	0,045	0,00712869	0,892730265	1,120159178	0,133333333
REL	1,09936E-06	-0,163885673	0,076	0,153	0,023197654	0,892617704	1,120300432	0,496732026
TM2D1	0,000576757	-0,163890856	0,079	0,13	1	0,892614498	1,120304457	0,607692308
WDR6	0,10681911	-0,163997903	0,063	0,081	1	0,892548269	1,120387586	0,777777778
SAMD1	0,344778551	-0,164141595	0,102	0,111	1	0,892459376	1,120499181	0,918918919

Supplementary Table 5

Differentially expressed genes_total calculation_ comparing SC-Keloid vs. (SC-Myel, SC-Nonmyel)								
gene	p_val	avg_log2FC	pct.1	pct.2	p_val_adj	Foldchange_UP	Foldchange_DOWN	Ratio_pct1_pct2
RBM10	0,001382743	-0,16414657	0,045	0,083	1	0,892456298	1,120503045	0,542168675
GYG1	0,034569053	-0,164214126	0,051	0,075	1	0,892414509	1,120555516	0,68
EIF3H	1,57824E-06	-0,164362746	0,243	0,351	0,03330242	0,892322581	1,120670957	0,692307692
TMEM175	0,044012798	-0,164452345	0,052	0,075	1	0,892267165	1,120740558	0,693333333
WIPI1	4,60892E-05	-0,16481808	0,035	0,081	0,972528967	0,892040996	1,121024711	0,432098765
RTN4RL2	3,56023E-05	-0,164851732	0,001	0,023	0,751243855	0,892020189	1,12105086	0,043478261
PPT1	0,002514007	-0,164931791	0,149	0,199	1	0,89197069	1,121113072	0,748743719
UBA7	0,035266427	-0,165025366	0,02	0,037	1	0,891912837	1,121185791	0,540540541
MBOAT1	1,7833E-07	-0,165049064	0,007	0,049	0,003762933	0,891898186	1,121204208	0,142857143
AP1AR	0,009570099	-0,165057638	0,045	0,075	1	0,891892886	1,121210871	0,6
SEC22C	0,000895326	-0,165080135	0,078	0,125	1	0,891878978	1,121228355	0,624
FBXL12	0,116034837	-0,165145814	0,05	0,066	1	0,891838376	1,1212794	0,757575758
NBEA	6,10327E-08	-0,165237291	0,003	0,043	0,001287852	0,891781829	1,1213505	0,069767442
BMP4	3,92087E-08	-0,165313377	0,001	0,038	0,000827343	0,891734799	1,12140964	0,026315789
SLC37A3	0,016547529	-0,165410827	0,042	0,068	1	0,891674567	1,121485391	0,617647059
ISYNA1	0,4593574	-0,165474729	0,066	0,073	1	0,891635072	1,121535066	0,904109589
USP54	0,000106208	-0,165937126	0,012	0,042	1	0,891349341	1,121894586	0,285714286
DEGS1	6,30994E-06	-0,165964906	0,214	0,305	0,13314605	0,891332178	1,121916189	0,701639344
SYMPK	0,033790116	-0,165978787	0,065	0,091	1	0,891323601	1,121926984	0,714285714
WDR26	5,69911E-06	-0,165986666	0,075	0,144	0,120256831	0,891318734	1,121933111	0,520833333
USP47	2,00318E-05	-0,166002292	0,149	0,227	0,422690878	0,89130908	1,121945263	0,656387665
NLGN3	0,001004196	-0,166045448	0,04	0,077	1	0,891282418	1,121978825	0,519480519
ZNF34	0,008275721	-0,166058108	0,026	0,05	1	0,891274597	1,121988671	0,52
AKR1C2	0,000154931	-0,166235948	0,007	0,033	1	0,891164737	1,122126986	0,212121212
HAT1	0,002852659	-0,166323857	0,114	0,16	1	0,891110437	1,122195363	0,7125
DCAF6	0,000346094	-0,166328154	0,063	0,111	1	0,891107782	1,122198706	0,567567568
DOT1L	0,000334292	-0,166697789	0,048	0,092	1	0,8908795	1,122486263	0,52173913
CNR1	0,000142256	-0,166859744	0,003	0,026	1	0,890779497	1,122612278	0,115384615
UBE2S	0,008222363	-0,166880616	0,271	0,326	1	0,890766609	1,12262852	0,831288344
ARRDC1-AS1	0,003968564	-0,166894923	0,022	0,047	1	0,890757775	1,122639653	0,468085106

Supplementary Table 5

Differentially expressed genes_total calculation_ comparing SC-Keloid vs. (SC-Myel, SC-Nonmyel)								
gene	p_val	avg_log2FC	pct.1	pct.2	p_val_adj	Foldchange_UP	Foldchange_DOWN	Ratio_pct1_pct2
PLAU	0,017214968	-0,166908602	0,02	0,039	1	0,89074933	1,122650297	0,512820513
SCAMP2	0,005091607	-0,167011983	0,09	0,129	1	0,890685502	1,122730748	0,697674419
ZHX1	4,11204E-06	-0,167113006	0,071	0,138	0,08676812	0,890623136	1,122809368	0,514492754
WAPL	0,000643062	-0,167126387	0,092	0,144	1	0,890614875	1,122819782	0,638888889
ANKRD65	0,112176862	-0,167145213	0,056	0,073	1	0,890603253	1,122834434	0,767123288
MOSPD3	0,366042633	-0,167151125	0,049	0,057	1	0,890599603	1,122839036	0,859649123
NTM	0,000378008	-0,167171213	0,48	0,601	1	0,890587203	1,12285467	0,798668885
PI4K2A	0,044315581	-0,167416097	0,059	0,083	1	0,890436047	1,12304528	0,710843373
TXNL4B	4,23761E-05	-0,167422561	0,016	0,053	0,894179094	0,890432057	1,123050312	0,301886792
ZFC3H1	5,77751E-06	-0,167510352	0,076	0,145	0,121911304	0,890377874	1,123118654	0,524137931
AMT	0,005130119	-0,167514216	0,008	0,026	1	0,89037549	1,123121662	0,307692308
ATAD3B	0,034699967	-0,167542624	0,036	0,057	1	0,890357958	1,123143777	0,631578947
PALLD	1,39173E-05	-0,167544285	0,255	0,351	0,293669498	0,890356932	1,123145071	0,726495726
TMED7	0,000617859	-0,167687094	0,15	0,208	1	0,890268803	1,123256254	0,721153846
LPIN3	0,000518632	-0,168008625	0,009	0,034	1	0,890070412	1,12350662	0,264705882
LMAN2L	0,183731693	-0,168065722	0,021	0,031	1	0,890035187	1,123551085	0,677419355
FAM107B	1,86204E-05	-0,16808512	0,153	0,236	0,392909081	0,89002322	1,123566192	0,648305085
PDP1	0,000266832	-0,168166556	0,061	0,11	1	0,889972982	1,123629616	0,554545455
GPR37L1	4,45676E-09	-0,168252683	0,002	0,046	9,40422E-05	0,889919853	1,123696698	0,043478261
USP44	8,88413E-07	-0,168874113	0,001	0,031	0,018746405	0,88953661	1,124180825	0,032258065
UBE2E2	5,44023E-05	-0,168878957	0,033	0,077	1	0,889533623	1,1241846	0,428571429
PIEZO2	9,2083E-08	-0,169034483	0,002	0,039	0,001943044	0,889437734	1,124305796	0,051282051
YIPF4	2,91173E-07	-0,169154779	0,136	0,233	0,006144038	0,889363573	1,124399548	0,583690987
KRT1	7,05144E-05	-0,169181068	0,05	0,104	1	0,889347368	1,124420037	0,480769231
RGPD5	5,60609E-06	-0,169436657	0,023	0,071	0,118294157	0,889189824	1,124619258	0,323943662
GNG12	1,72171E-07	-0,169476835	0,24	0,354	0,003632974	0,889165061	1,124650578	0,677966102
SGCE	9,57511E-10	-0,169611978	0,333	0,509	2,02044E-05	0,889081773	1,124755933	0,654223969
MFAP4	5,98186E-05	-0,169626577	0,019	0,056	1	0,889072777	1,124767315	0,339285714
SNX24	6,07378E-09	-0,169767135	0,008	0,06	0,000128163	0,88898616	1,124876904	0,133333333
SH3RF3	0,014514707	-0,169779214	0,033	0,057	1	0,888978717	1,124886322	0,578947368

Supplementary Table 5

Differentially expressed genes_total calculation_ comparing SC-Keloid vs. (SC-Myel, SC-Nonmyel)								
gene	p_val	avg_log2FC	pct.1	pct.2	p_val_adj	Foldchange_UP	Foldchange_DOWN	Ratio_pct1_pct2
RUSC1	0,153813848	-0,169986377	0,044	0,058	1	0,888851074	1,125047861	0,75862069
AAK1	0,000449498	-0,16998815	0,144	0,206	1	0,888849982	1,125049244	0,699029126
SLC30A4	3,46318E-07	-0,170200268	0,008	0,05	0,007307665	0,888719305	1,12521467	0,16
KCTD6	2,06191E-05	-0,17031062	0,024	0,068	0,435083775	0,888651329	1,125300742	0,352941176
TMEM91	0,006540899	-0,170436276	0,022	0,046	1	0,888573933	1,125398758	0,47826087
CCNI	1,55431E-08	-0,170468035	0,375	0,562	0,000327974	0,888554372	1,125423532	0,667259786
BAHD1	0,000692269	-0,170526487	0,016	0,045	1	0,888518372	1,125469131	0,355555556
UNC50	0,000900318	-0,170545609	0,1	0,151	1	0,888506596	1,125484048	0,662251656
ATP5F1B	6,96126E-08	-0,170696343	0,31	0,457	0,001468895	0,888413769	1,125601646	0,67833698
CPT1A	1,91839E-08	-0,170858347	0,013	0,066	0,000404799	0,888314012	1,12572805	0,196969697
MARCHF1	1,79349E-07	-0,170910739	0,014	0,064	0,003784435	0,888281753	1,125768932	0,21875
YWHAQ	8,41465E-08	-0,171141433	0,34	0,509	0,001775576	0,888139724	1,125948962	0,667976424
FANCB	0,006622044	-0,171155894	0,023	0,047	1	0,888130822	1,125960248	0,489361702
WHAMM	0,000338887	-0,171283839	0,041	0,083	1	0,888052061	1,126060108	0,493975904
JMY	2,95329E-05	-0,17138483	0,065	0,125	0,623174608	0,887989898	1,126138937	0,52
RPS6KA2	2,04609E-06	-0,171479158	0,006	0,041	0,043174441	0,887931841	1,12621257	0,146341463
GBP4	4,57587E-07	-0,171513116	0,01	0,054	0,009655536	0,887910941	1,126239079	0,185185185
PAPSS2	3,97324E-06	-0,17153691	0,006	0,039	0,083839411	0,887896297	1,126257653	0,153846154
GDF11	0,008429001	-0,171564388	0,055	0,087	1	0,887879386	1,126279105	0,632183908
PINX1	2,10529E-06	-0,171715856	0,009	0,047	0,044423626	0,887786173	1,126397359	0,191489362
RBPM5	2,95742E-05	-0,171735337	0,063	0,121	0,624044314	0,887774185	1,126412569	0,520661157
SCAF1	0,024423312	-0,171751329	0,057	0,083	1	0,887764344	1,126425055	0,686746988
ARRDC2	0,002582075	-0,171820323	0,02	0,046	1	0,88772189	1,126478925	0,434782609
FAN1	0,000994378	-0,171903892	0,023	0,054	1	0,887670469	1,126544179	0,425925926
SESN1	0,001507507	-0,172014452	0,034	0,068	1	0,887602446	1,126630514	0,5
FLRT1	0,084804342	-0,17207308	0,041	0,058	1	0,887566376	1,126676299	0,706896552
GPR137	0,782459912	-0,172140924	0,055	0,056	1	0,887524639	1,126729283	0,982142857
CRY2	0,000147443	-0,172185707	0,01	0,039	1	0,887497089	1,126764259	0,256410256
SPP1	0,014359884	-0,172249192	0,008	0,023	1	0,887458037	1,126813842	0,347826087
NCOA2	1,42569E-05	-0,172463728	0,027	0,073	0,300835318	0,887326077	1,126981418	0,369863014

Supplementary Table 5

Differentially expressed genes_total calculation_ comparing SC-Keloid vs. (SC-Myel, SC-Nonmyel)								
gene	p_val	avg_log2FC	pct.1	pct.2	p_val_adj	Foldchange_UP	Foldchange_DOWN	Ratio_pct1_pct2
RGS10	6,49889E-06	-0,172481035	0,072	0,14	0,137133144	0,887315432	1,126994938	0,514285714
CUEDC1	0,066649126	-0,172505346	0,099	0,122	1	0,88730048	1,127013929	0,81147541
PRRX2	0,000221736	-0,172517689	0,005	0,027	1	0,887292889	1,127023571	0,185185185
KIDINS220	1,21506E-05	-0,172611323	0,169	0,254	0,256390043	0,887235304	1,127096719	0,665354331
NFKBID	3,05158E-07	-0,172774444	0,007	0,047	0,006439133	0,887134992	1,127224165	0,14893617
MBD6	0,015577503	-0,1728275	0,061	0,091	1	0,887102368	1,127265619	0,67032967
NPR3	3,94149E-07	-0,173089517	0,005	0,042	0,008316934	0,88694127	1,127470368	0,119047619
FBH1	0,001610127	-0,173166987	0,041	0,076	1	0,886893644	1,127530912	0,539473684
MED29	0,090441543	-0,173269641	0,079	0,1	1	0,88683054	1,127611144	0,79
KIAA0930	8,96908E-06	-0,17328619	0,049	0,107	0,189256512	0,886820367	1,127624079	0,457943925
PLD6	1,65551E-07	-0,173289429	0,007	0,049	0,003493302	0,886818376	1,127626611	0,142857143
MPP7	2,88858E-08	-0,173343471	0	0,035	0,000609519	0,886785158	1,127668851	0
ADNP2	8,39467E-05	-0,173352935	0,028	0,069	1	0,88677934	1,127676249	0,405797101
SRGAP3	1,72487E-05	-0,173438237	0,012	0,047	0,363965341	0,88672691	1,127742926	0,255319149
NR1H2	0,083406851	-0,173534998	0,092	0,113	1	0,886667439	1,127818566	0,814159292
SP3	3,29723E-05	-0,173546882	0,108	0,178	0,695749309	0,886660135	1,127827857	0,606741573
EPHA7	1,85597E-07	-0,173573413	0	0,031	0,003916278	0,88664383	1,127848597	0
BTBD2	0,597091083	-0,173631007	0,064	0,068	1	0,886608435	1,127893623	0,941176471
DOCK9	3,65312E-06	-0,173650609	0,006	0,039	0,077084549	0,886596389	1,127908948	0,153846154
EIF2B5	0,045472088	-0,173746546	0,05	0,072	1	0,886537433	1,127983955	0,694444444
CDK11B	0,538986912	-0,173799826	0,064	0,069	1	0,886504693	1,128025613	0,927536232
ANKZF1	0,007142855	-0,174149347	0,023	0,047	1	0,886289946	1,128298933	0,489361702
ARHGEF17	0,00013873	-0,174155044	0,041	0,085	1	0,886286447	1,128303387	0,482352941
NFATC4	1,91287E-06	-0,174185229	0,015	0,06	0,040363411	0,886267903	1,128326995	0,25
SGPP1	0,000510849	-0,174475941	0,012	0,038	1	0,886089333	1,128554383	0,315789474
CERS1	0,00037561	-0,174731395	0,063	0,11	1	0,885932449	1,12875423	0,572727273
EPC1	1,97202E-05	-0,174762148	0,187	0,27	0,416115541	0,885913565	1,128778292	0,692592593
NFKBIB	0,04873777	-0,174798557	0,056	0,079	1	0,885891207	1,128806779	0,708860759
PIGK	0,004282051	-0,174849712	0,091	0,132	1	0,885859796	1,128846805	0,689393939
FOXJ3	2,39E-05	-0,175007857	0,091	0,157	0,504312913	0,885762695	1,128970553	0,579617834

Supplementary Table 5

Differentially expressed genes_total calculation_ comparing SC-Keloid vs. (SC-Myel, SC-Nonmyel)								
gene	p_val	avg_log2FC	pct.1	pct.2	p_val_adj	Foldchange_UP	Foldchange_DOWN	Ratio_pct1_pct2
MYO1E	0,000698689	-0,175052431	0,049	0,091	1	0,885735329	1,129005434	0,538461538
CBR3	7,58119E-05	-0,175092691	0,058	0,111	1	0,885710612	1,129036942	0,522522523
IGSF8	0,008309513	-0,175136374	0,12	0,159	1	0,885683794	1,129071128	0,754716981
WTIP	1,0086E-05	-0,175219046	0,048	0,104	0,212825481	0,885633042	1,12913583	0,461538462
ZNRF2	6,6835E-05	-0,175288917	0,146	0,217	1	0,885590151	1,129190516	0,67281106
RARB	0,003082079	-0,175365125	0,006	0,023	1	0,885543373	1,129250166	0,260869565
GATD3A	0,000451731	-0,175591094	0,014	0,042	1	0,885404681	1,129427054	0,333333333
OAZ2	0,000618266	-0,175652724	0,112	0,166	1	0,885366858	1,129475302	0,674698795
BEND7	0,015326709	-0,175662813	0,017	0,037	1	0,885360667	1,129483201	0,459459459
PTBP1	0,000191679	-0,175776874	0,179	0,248	1	0,885290672	1,129572502	0,721774194
B3GALNT2	0,010568379	-0,17577804	0,064	0,096	1	0,885289957	1,129573416	0,666666667
RNF2	0,011933962	-0,17605908	0,038	0,065	1	0,885117517	1,12979348	0,584615385
SMAD2	0,000241523	-0,176305502	0,132	0,193	1	0,884966346	1,129986473	0,683937824
DENND2A	8,68875E-06	-0,176419061	0,021	0,065	0,183341414	0,88489669	1,130075421	0,323076923
RALGAPA1	0,000266095	-0,176509446	0,086	0,141	1	0,884841253	1,130146223	0,609929078
UBN2	0,002420214	-0,176658039	0,064	0,103	1	0,884750122	1,13026263	0,621359223
ING3	0,004204282	-0,17678421	0,044	0,077	1	0,88467275	1,130361481	0,571428571
FXYP7	5,46155E-05	-0,176809207	0,007	0,035	1	0,884657422	1,130381067	0,2
RENBP	1,57864E-06	-0,176817246	0,008	0,046	0,03331095	0,884652492	1,130387365	0,173913043
NAPRT	0,196481737	-0,176900712	0,071	0,085	1	0,884601312	1,130452766	0,835294118
TLK2	0,000973807	-0,176901481	0,083	0,13	1	0,884600841	1,130453368	0,638461538
RNF146	0,000315512	-0,177037906	0,116	0,174	1	0,884517195	1,130560271	0,666666667
RNF139	0,027243378	-0,17706026	0,056	0,081	1	0,884503489	1,13057779	0,691358025
SAP18	8,19618E-07	-0,177454294	0,418	0,574	0,017294765	0,884261944	1,130886619	0,728222997
RNF31	0,001638881	-0,177556272	0,016	0,042	1	0,884199441	1,130966559	0,380952381
MIB2	0,017766159	-0,177612742	0,051	0,079	1	0,884164833	1,131010828	0,64556962
GMPR2	0,02050941	-0,177682515	0,044	0,069	1	0,884122073	1,131065529	0,637681159
ZNF236	0,000994264	-0,17784724	0,036	0,072	1	0,884021131	1,13119468	0,5
ZNF672	0,000455393	-0,177909953	0,026	0,06	1	0,883982704	1,131243853	0,433333333
CDC34	0,037548641	-0,177991779	0,098	0,125	1	0,883932568	1,131308016	0,784

Supplementary Table 5

Differentially expressed genes_total calculation_ comparing SC-Keloid vs. (SC-Myel, SC-Nonmyel)								
gene	p_val	avg_log2FC	pct.1	pct.2	p_val_adj	Foldchange_UP	Foldchange_DOWN	Ratio_pct1_pct2
PLTP	0,075109802	-0,178019896	0,113	0,137	1	0,883915341	1,131330065	0,824817518
GAS2	6,6215E-06	-0,178083703	0,003	0,033	0,139720183	0,883876248	1,131380102	0,090909091
ARTN	0,000127901	-0,178110854	0,027	0,066	1	0,883859614	1,131401394	0,409090909
RP2	0,000142294	-0,178161959	0,073	0,128	1	0,883828306	1,131441473	0,5703125
EPC2	0,002727351	-0,178179599	0,088	0,13	1	0,883817499	1,131455307	0,676923077
SULT1A1	6,95391E-07	-0,178356554	0,006	0,043	0,014673436	0,8837091	1,131594095	0,139534884
RARA	0,000183016	-0,178376518	0,14	0,202	1	0,883696872	1,131609755	0,693069307
TRIM11	0,030909527	-0,178605865	0,027	0,046	1	0,8835564	1,131789662	0,586956522
PIK3R2	0,213865823	-0,178838119	0,031	0,042	1	0,883414171	1,131971879	0,738095238
RAB11B	0,040021921	-0,17886575	0,171	0,199	1	0,883397252	1,13199356	0,859296482
TMEM64	0,001206598	-0,179024639	0,058	0,1	1	0,883299966	1,132118237	0,58
RARG	0,000416716	-0,179306355	0,041	0,081	1	0,8831275	1,132339328	0,50617284
TOP1	2,83226E-07	-0,179335787	0,17	0,274	0,005976354	0,883109484	1,132362429	0,620437956
CELSR2	0,004987461	-0,179352767	0,051	0,084	1	0,88309909	1,132375756	0,607142857
ARMCX2	0,007655	-0,179357839	0,034	0,061	1	0,883095986	1,132379737	0,557377049
GABBR1	0,000206526	-0,179429425	0,048	0,094	1	0,883052168	1,132435927	0,510638298
CREG1	0,048283078	-0,179431154	0,041	0,061	1	0,88305111	1,132437284	0,672131148
PAAF1	0,000534594	-0,179504141	0,037	0,076	1	0,883006437	1,132494576	0,486842105
RPP21	0,000257586	-0,179567736	0,07	0,119	1	0,882967513	1,132544499	0,588235294
NSD1	0,007092146	-0,179646835	0,112	0,153	1	0,882919104	1,132606595	0,732026144
SYDE2	8,43971E-08	-0,17974523	0,013	0,062	0,001780863	0,882858889	1,132683843	0,209677419
CHD7	0,000496057	-0,179752801	0,111	0,167	1	0,882854256	1,132689788	0,664670659
RAVER1	0,000286188	-0,17977314	0,017	0,049	1	0,88284181	1,132705756	0,346938776
MCMBP	0,018006049	-0,179799109	0,08	0,111	1	0,882825919	1,132726145	0,720720721
TM9SF1	0,060114194	-0,179809625	0,068	0,09	1	0,882819484	1,132734402	0,755555556
OPTN	1,73162E-06	-0,179837034	0,184	0,28	0,036538918	0,882802712	1,132755922	0,657142857
UPF1	0,001537086	-0,179995726	0,047	0,084	1	0,882705611	1,132880529	0,55952381
CHST12	0,115093356	-0,180075993	0,085	0,104	1	0,882656502	1,13294356	0,817307692
SEC24B	0,000104906	-0,180180971	0,026	0,065	1	0,882592278	1,133026002	0,4
DUSP3	0,000225189	-0,180235324	0,063	0,113	1	0,882559027	1,13306869	0,557522124

Supplementary Table 5

Differentially expressed genes_total calculation_ comparing SC-Keloid vs. (SC-Myel, SC-Nonmyel)								
gene	p_val	avg_log2FC	pct.1	pct.2	p_val_adj	Foldchange_UP	Foldchange_DOWN	Ratio_pct1_pct2
IPMK	0,000410288	-0,180243131	0,02	0,052	1	0,882554251	1,133074821	0,384615385
PTP4A2	3,23345E-07	-0,180431629	0,226	0,338	0,006822897	0,882438946	1,133222875	0,668639053
SRF	0,002895829	-0,180454115	0,048	0,083	1	0,882425193	1,133240538	0,578313253
HEBP1	1,8923E-05	-0,180519626	0,013	0,049	0,399293363	0,882385124	1,133291998	0,265306122
CDK2	2,89182E-05	-0,18059957	0,027	0,071	0,610203413	0,88233623	1,133354798	0,38028169
PHYHIPL	1,23492E-06	-0,180911662	0,005	0,039	0,026058019	0,882145378	1,133599999	0,128205128
OPHN1	0,000150219	-0,181191348	0,035	0,077	1	0,881974379	1,133819784	0,454545455
CRKL	0,031399194	-0,181193541	0,061	0,085	1	0,881973039	1,133821507	0,717647059
SLC25A28	0,000293221	-0,181207083	0,05	0,095	1	0,88196476	1,13383215	0,526315789
FAM228B	0,013815374	-0,181207567	0,069	0,1	1	0,881964464	1,133832531	0,69
TBPL1	0,001306173	-0,181247322	0,059	0,1	1	0,881940161	1,133863775	0,59
PSAT1	0,016828928	-0,181254384	0,043	0,069	1	0,881935844	1,133869325	0,623188406
HCN1	2,88858E-08	-0,181428548	0	0,035	0,000609519	0,881829382	1,134006216	0
PCMT1	7,81144E-07	-0,181514921	0,257	0,366	0,016482909	0,881776589	1,134074109	0,702185792
ATF1	0,001104329	-0,181787958	0,068	0,111	1	0,881609724	1,134288759	0,612612613
C1orf43	0,000492696	-0,181811409	0,168	0,228	1	0,881595394	1,134307197	0,736842105
RHOT2	0,015720127	-0,181875746	0,1	0,133	1	0,88155608	1,134357783	0,751879699
BAG4	7,29772E-05	-0,181982413	0,051	0,102	1	0,881490904	1,134441655	0,5
TARBP1	0,063587383	-0,182035011	0,045	0,065	1	0,881458767	1,134483016	0,692307692
MYO18A	0,006715543	-0,182244487	0,03	0,057	1	0,88133079	1,134647752	0,526315789
MSN	5,55847E-05	-0,182293795	0,295	0,398	1	0,881300669	1,134686533	0,74120603
FASN	0,071720846	-0,182555456	0,057	0,077	1	0,881140842	1,134892349	0,74025974
CAV1	0,459778755	-0,182948787	0,235	0,246	1	0,880900644	1,135201804	0,955284553
MTMR3	7,9089E-07	-0,183023523	0,031	0,09	0,01668858	0,880855012	1,135260612	0,344444444
HERC1	0,0112783	-0,183096305	0,065	0,098	1	0,880810575	1,135317886	0,663265306
AKTIP	0,038664696	-0,183226326	0,047	0,069	1	0,880731197	1,135420209	0,68115942
KDM6A	4,39446E-06	-0,183351621	0,035	0,09	0,092727598	0,880654711	1,135518823	0,388888889
PHF3	2,40925E-07	-0,183496791	0,111	0,202	0,005083765	0,8805661	1,135633089	0,54950495
STRN4	0,00030256	-0,184009624	0,061	0,109	1	0,880253141	1,136036843	0,559633028
BOD1	0,003812684	-0,184072742	0,1	0,142	1	0,880214631	1,136086546	0,704225352

Supplementary Table 5

Differentially expressed genes_total calculation_ comparing SC-Keloid vs. (SC-Myel, SC-Nonmyel)								
gene	p_val	avg_log2FC	pct.1	pct.2	p_val_adj	Foldchange_UP	Foldchange_DOWN	Ratio_pct1_pct2
WDR86	5,37019E-08	-0,184134264	0	0,034	0,001133163	0,880177097	1,136134994	0
H3-2	5,25655E-05	-0,18427627	0,007	0,035	1	0,880090464	1,136246831	0,2
MYH14	5,32541E-05	-0,184357601	0,023	0,064	1	0,880040851	1,136310887	0,359375
PBX1	1,23318E-06	-0,18462871	0,017	0,065	0,026021429	0,879875491	1,136524441	0,261538462
MAFA	4,64636E-06	-0,184639818	0,008	0,043	0,098042898	0,879868716	1,136533192	0,186046512
ZNF207	2,21723E-06	-0,184697925	0,211	0,304	0,046785832	0,879833279	1,136578968	0,694078947
WDFY2	0,013597843	-0,184736708	0,073	0,106	1	0,879809627	1,136609523	0,688679245
ARHGEF3	1,75834E-08	-0,184736801	0,005	0,049	0,000371027	0,87980957	1,136609596	0,102040816
MAU2	0,000496894	-0,184868341	0,03	0,066	1	0,879729356	1,136713233	0,454545455
SDE2	0,000711002	-0,1848892	0,037	0,075	1	0,879716636	1,136729668	0,493333333
IFNAR2	0,001529308	-0,184930988	0,083	0,128	1	0,879691155	1,136762595	0,6484375
COBLL1	0,000283072	-0,185077821	0,055	0,102	1	0,879601628	1,136878296	0,539215686
FHL1	0,002168722	-0,185486038	0,122	0,172	1	0,879352776	1,137200027	0,709302326
ATL1	0,097160433	-0,185582662	0,057	0,076	1	0,879293884	1,137276193	0,75
HADHB	0,001281121	-0,185632593	0,17	0,227	1	0,879263452	1,137315554	0,748898678
MAPK10	5,68677E-08	-0,185645383	0,007	0,052	0,001199966	0,879255657	1,137325637	0,134615385
CNOT6L	5,979E-05	-0,185698207	0,058	0,113	1	0,879223464	1,137367281	0,513274336
ADRB2	1,73137E-07	-0,185859944	0,003	0,041	0,003653373	0,879124902	1,137494795	0,073170732
UBA1	0,005224483	-0,185886826	0,139	0,18	1	0,879108521	1,13751599	0,772222222
WDFY3	0,001829583	-0,185944935	0,052	0,091	1	0,879073113	1,137561808	0,571428571
MARCHF9	0,26033551	-0,186040043	0,077	0,088	1	0,879015163	1,137636803	0,875
SPECC1L	0,000425129	-0,186100361	0,037	0,077	1	0,878978413	1,137684368	0,480519481
KIAA1755	0,000121952	-0,186371384	0,049	0,098	1	0,878813304	1,137898112	0,5
TRAF6	3,28863E-06	-0,18641662	0,01	0,049	0,069393311	0,878785749	1,137933792	0,204081633
SLC43A2	1,70379E-05	-0,186429359	0,017	0,057	0,359516889	0,87877799	1,13794384	0,298245614
ZC3HAV1	0,001553438	-0,186680073	0,098	0,147	1	0,878625288	1,138141611	0,666666667
RBM14	0,000114931	-0,186690049	0,059	0,111	1	0,878619212	1,138149481	0,531531532
H2AC6	8,5364E-05	-0,186701742	0,031	0,075	1	0,878612091	1,138158706	0,413333333
CCDC93	7,66538E-06	-0,186757455	0,034	0,085	0,161747103	0,878578162	1,138202659	0,4
ERC1	0,000393034	-0,18702484	0,07	0,119	1	0,878415344	1,13841363	0,588235294

Supplementary Table 5

Differentially expressed genes_total calculation_ comparing SC-Keloid vs. (SC-Myel, SC-Nonmyel)								
gene	p_val	avg_log2FC	pct.1	pct.2	p_val_adj	Foldchange_UP	Foldchange_DOWN	Ratio_pct1_pct2
CEP95	0,00100742	-0,187059831	0,045	0,084	1	0,878394039	1,138441241	0,535714286
CLK3	0,000344583	-0,187118582	0,051	0,095	1	0,878358269	1,138487603	0,536842105
SFR1	3,20628E-06	-0,187146089	0,028	0,079	0,067655678	0,878341522	1,13850931	0,35443038
U2AF1L4	0,00655306	-0,187192031	0,035	0,062	1	0,878313552	1,138545566	0,564516129
ITPRIP	0,001285381	-0,187233682	0,022	0,052	1	0,878288195	1,138578437	0,423076923
PXK	9,39181E-05	-0,187317521	0,044	0,092	1	0,878237157	1,138644604	0,47826087
PPRC1	0,000560892	-0,187597167	0,028	0,062	1	0,87806694	1,138865336	0,451612903
IMPDH2	0,109267315	-0,187787868	0,151	0,172	1	0,877950881	1,139015886	0,877906977
TLCD4	0,000386957	-0,188009431	0,008	0,033	1	0,877816059	1,139190824	0,242424242
HSPB2	0,000225314	-0,188120093	0,14	0,204	1	0,877748729	1,139278209	0,68627451
SLC25A37	0,000588881	-0,18812862	0,1	0,152	1	0,877743541	1,139284943	0,657894737
NCSTN	0,006886875	-0,188134502	0,109	0,148	1	0,877739963	1,139289588	0,736486486
PITPNM1	0,002469069	-0,188151558	0,036	0,068	1	0,877729585	1,139303057	0,529411765
TBC1D14	0,008404274	-0,188172557	0,03	0,056	1	0,87771681	1,13931964	0,535714286
PYCR2	0,016354106	-0,188639234	0,091	0,123	1	0,877432936	1,139688242	0,739837398
MEPCE	0,004603632	-0,188642415	0,05	0,083	1	0,877431001	1,139690755	0,602409639
GABRE	5,02016E-08	-0,188690551	0,002	0,041	0,001059305	0,877401726	1,139728782	0,048780488
TMEM74B	6,41652E-07	-0,188699616	0	0,028	0,01353949	0,877396212	1,139735943	0
NCOA4	0,001939433	-0,188712115	0,101	0,148	1	0,877388611	1,139745817	0,682432432
TSPAN5	0,007754121	-0,188855995	0,158	0,202	1	0,877301114	1,13985949	0,782178218
RAD21	2,1497E-07	-0,188996227	0,192	0,294	0,004536075	0,877215843	1,139970291	0,653061224
BAMBI	1,4694E-05	-0,189019898	0,008	0,041	0,310059075	0,87720145	1,139988996	0,195121951
ERO1B	0,000571733	-0,189073538	0,04	0,079	1	0,877168836	1,140031382	0,506329114
ADCY6	3,8701E-06	-0,189104248	0,04	0,096	0,081662995	0,877150164	1,140055649	0,416666667
E4F1	0,011158875	-0,189119332	0,027	0,05	1	0,877140993	1,140067569	0,54
MDGA1	2,49889E-07	-0,189201874	0,001	0,034	0,005272903	0,87709081	1,140132799	0,029411765
ALDH9A1	0,032140307	-0,189314278	0,091	0,119	1	0,877022476	1,140221633	0,764705882
SRRM2	2,14501E-09	-0,189450646	0,38	0,55	4,52619E-05	0,876939582	1,140329415	0,690909091
DSE	0,002112979	-0,189482892	0,022	0,05	1	0,876919981	1,140354903	0,44
INPP5E	0,07860738	-0,189580264	0,029	0,045	1	0,876860797	1,140431872	0,644444444

Supplementary Table 5

Differentially expressed genes_total calculation_ comparing SC-Keloid vs. (SC-Myel, SC-Nonmyel)								
gene	p_val	avg_log2FC	pct.1	pct.2	p_val_adj	Foldchange_UP	Foldchange_DOWN	Ratio_pct1_pct2
PSEN1	0,000319923	-0,18991113	0,057	0,104	1	0,876659722	1,140693447	0,548076923
OSGIN2	5,7811E-06	-0,190080155	0,04	0,095	0,121986896	0,876557019	1,140827098	0,421052632
VAV2	1,01548E-05	-0,19014006	0,007	0,039	0,214276887	0,876520623	1,140874469	0,179487179
IL17D	1,0074E-07	-0,190242223	0,003	0,042	0,002125719	0,876458555	1,140955261	0,071428571
IRF2BP1	0,002176803	-0,190261527	0,033	0,064	1	0,876446827	1,140970529	0,515625
COQ10B	0,000492451	-0,19028779	0,104	0,157	1	0,876430873	1,140991299	0,662420382
SELENOW	2,42861E-11	-0,190750576	0,389	0,583	5,12462E-07	0,876149777	1,141357364	0,667238422
KLHDC8A	1,69109E-07	-0,190959995	0,007	0,049	0,003568372	0,876022606	1,141523053	0,142857143
UXS1	0,14363526	-0,190960545	0,104	0,123	1	0,876022273	1,141523488	0,845528455
FBXO44	1,73825E-05	-0,190988909	0,026	0,071	0,366787666	0,876005049	1,141545932	0,366197183
ST3GAL6	8,30628E-05	-0,191001174	0,061	0,114	1	0,875997602	1,141555636	0,535087719
COX16	0,021135829	-0,191630835	0,116	0,151	1	0,875615359	1,142053974	0,768211921
SERINC1	1,11635E-14	-0,191907853	0,29	0,487	2,35561E-10	0,875447244	1,142273286	0,595482546
NCALD	1,19345E-06	-0,191971235	0	0,027	0,025182886	0,875408784	1,142323471	0
SREBF2	0,003129773	-0,19197552	0,059	0,096	1	0,875406183	1,142326864	0,614583333
CHCHD10	0,00233157	-0,192152678	0,17	0,221	1	0,875298694	1,142467145	0,769230769
INTS10	0,00144139	-0,192311494	0,083	0,129	1	0,875202343	1,142592919	0,643410853
HMG20B	1,28502E-05	-0,192329447	0,236	0,33	0,271151363	0,875191452	1,142607138	0,715151515
PIAS1	1,93512E-07	-0,192409716	0,052	0,125	0,004083305	0,87514276	1,142670712	0,416
TAF8	0,013943318	-0,192449377	0,034	0,058	1	0,875118702	1,142702125	0,586206897
RBM17	3,60079E-05	-0,192547193	0,165	0,24	0,759801836	0,87505937	1,142779604	0,6875
ZNF574	0,002033229	-0,192677793	0,023	0,052	1	0,874980158	1,142883059	0,442307692
OTUD4	0,000297616	-0,192726249	0,072	0,123	1	0,874950771	1,142921446	0,585365854
AGAP4	0,000157254	-0,192730342	0,007	0,033	1	0,874948289	1,142924688	0,212121212
LARP4B	0,000130383	-0,192802144	0,064	0,117	1	0,874904744	1,142981573	0,547008547
IFITM1	8,91174E-07	-0,192815149	0,009	0,05	0,018804659	0,874896857	1,142991876	0,18
BNIP3	8,73721E-07	-0,192951596	0,054	0,121	0,018436392	0,874814115	1,143099983	0,446280992
TNS2	0,000355139	-0,19303317	0,063	0,111	1	0,874764652	1,143164619	0,567567568
PNPLA8	2,73647E-07	-0,193059282	0,126	0,221	0,005774231	0,87474882	1,14318531	0,570135747
CENPT	0,018666422	-0,193084606	0,043	0,068	1	0,874733465	1,143205376	0,632352941

Supplementary Table 5

Differentially expressed genes_total calculation_ comparing SC-Keloid vs. (SC-Myel, SC-Nonmyel)								
gene	p_val	avg_log2FC	pct.1	pct.2	p_val_adj	Foldchange_UP	Foldchange_DOWN	Ratio_pct1_pct2
RERG	3,67379E-07	-0,193250569	0,003	0,039	0,007752054	0,874632844	1,143336895	0,076923077
SRC	0,044974687	-0,19335548	0,052	0,075	1	0,874569245	1,143420039	0,693333333
GPANK1	0,026783466	-0,193381577	0,063	0,09	1	0,874553425	1,143440723	0,7
ST6GALNAC2	3,34177E-07	-0,193423061	0,003	0,039	0,007051467	0,874528277	1,143473603	0,076923077
ZRSR2	0,001186623	-0,193497826	0,047	0,085	1	0,874482958	1,143532863	0,552941176
MMP1	9,27345E-05	-0,193712503	0,007	0,034	1	0,874352842	1,143703036	0,205882353
APBB2	0,014330434	-0,193727988	0,033	0,057	1	0,874343458	1,143715311	0,578947368
TUBA1A	0,022757034	-0,193741698	0,61	0,742	1	0,874335149	1,14372618	0,822102426
NOVA1	0,057406716	-0,193943431	0,092	0,117	1	0,874212898	1,14388612	0,786324786
SLC25A4	0,002074938	-0,194095162	0,098	0,144	1	0,87412096	1,144006431	0,680555556
MARCHF2	0,059859058	-0,194119001	0,081	0,104	1	0,874106517	1,144025334	0,778846154
FKBPL	0,02780682	-0,194325284	0,037	0,06	1	0,873981542	1,144188924	0,616666667
SLC41A1	2,15062E-07	-0,194369376	0,03	0,091	0,004538024	0,873954831	1,144223894	0,32967033
CBFA2T2	0,000118118	-0,194596612	0,021	0,057	1	0,873817187	1,144404132	0,368421053
RTKN	0,000403179	-0,194602618	0,101	0,153	1	0,873813549	1,144408897	0,660130719
SMIM13	0,000706999	-0,194651626	0,058	0,102	1	0,873783867	1,144447772	0,568627451
MYCBP2	0,000940176	-0,194653146	0,114	0,168	1	0,873782946	1,144448978	0,678571429
RNF114	8,92252E-08	-0,194699166	0,154	0,255	0,001882742	0,873755074	1,144485485	0,603921569
RFTN2	1,37588E-05	-0,194764493	0,062	0,123	0,290323477	0,873715511	1,14453731	0,504065041
KAT2A	0,000345822	-0,194865466	0,027	0,062	1	0,873654362	1,144617418	0,435483871
INTS11	0,022908996	-0,194989089	0,092	0,122	1	0,873579503	1,144715503	0,754098361
SCYL1	0,018356143	-0,195203948	0,081	0,111	1	0,873449411	1,144885997	0,72972973
TAF3	0,009739896	-0,195205667	0,059	0,091	1	0,87344837	1,144887362	0,648351648
SYNJ2BP	0,000854465	-0,195218	0,071	0,117	1	0,873440904	1,144897149	0,606837607
GLUD1	0,000780353	-0,1953531	0,088	0,137	1	0,873359115	1,145004367	0,642335766
PRR12	0,011741105	-0,195483771	0,027	0,05	1	0,873280015	1,145108079	0,54
FEZ1	5,32346E-05	-0,195559625	0,211	0,288	1	0,8732341	1,145168288	0,732638889
NARF	0,104363399	-0,195679068	0,083	0,102	1	0,873161807	1,145263102	0,81372549
ATG2B	0,00037293	-0,19578118	0,045	0,088	1	0,873100008	1,145344165	0,511363636
OLFML2B	1,71874E-05	-0,195783496	0,02	0,061	0,362671656	0,873098606	1,145346004	0,327868852

Supplementary Table 5

Differentially expressed genes_total calculation_ comparing SC-Keloid vs. (SC-Myel, SC-Nonmyel)								
gene	p_val	avg_log2FC	pct.1	pct.2	p_val_adj	Foldchange_UP	Foldchange_DOWN	Ratio_pct1_pct2
PABPC4	0,001785414	-0,195861154	0,12	0,167	1	0,87305161	1,145407658	0,718562874
DCLK3	3,45065E-07	-0,195896889	0	0,03	0,007281215	0,873029985	1,14543603	0
SMAD3	9,39695E-08	-0,196136152	0,003	0,042	0,00198285	0,87288521	1,14562601	0,071428571
APBB1	0,006250745	-0,196139404	0,029	0,056	1	0,872883243	1,145628592	0,517857143
ZNF670	2,17262E-05	-0,196139492	0,014	0,05	0,458444046	0,872883189	1,145628662	0,28
HCFC1R1	5,55045E-07	-0,196163548	0,219	0,324	0,011712011	0,872868634	1,145647765	0,675925926
BRAT1	0,009553798	-0,19628444	0,034	0,06	1	0,872795495	1,145743769	0,566666667
SLC19A2	0,002498759	-0,196536926	0,016	0,041	1	0,872642761	1,145944303	0,390243902
PAGR1	0,81837685	-0,196581276	0,045	0,046	1	0,872615935	1,145979532	0,97826087
WFDC2	7,45459E-09	-0,196710767	0,002	0,045	0,000157299	0,872537616	1,146082395	0,044444444
SOX15	4,99111E-06	-0,196736178	0,012	0,05	0,105317513	0,872522247	1,146102582	0,24
SIX5	0,015483993	-0,196751969	0,026	0,047	1	0,872512697	1,146115126	0,553191489
CCZ1	0,39477251	-0,196815829	0,095	0,103	1	0,872474076	1,14616586	0,922330097
ISG20L2	0,048871368	-0,196882173	0,043	0,064	1	0,872433956	1,146218569	0,671875
PPP6C	0,138289128	-0,19703703	0,09	0,106	1	0,872340315	1,146341608	0,849056604
LYRM9	2,12319E-06	-0,197042368	0,028	0,08	0,044801346	0,872337087	1,14634585	0,35
CYTH1	0,000217559	-0,197180499	0,044	0,09	1	0,872253569	1,146455613	0,488888889
BAG6	0,338709995	-0,197282256	0,127	0,136	1	0,872192049	1,146536478	0,933823529
YPEL3	0,000392914	-0,197569101	0,119	0,176	1	0,872018652	1,146764462	0,676136364
QTRT1	0,032264946	-0,198120535	0,094	0,122	1	0,871685408	1,147202867	0,770491803
KMT2B	0,005594556	-0,198192182	0,054	0,087	1	0,87164212	1,147259841	0,620689655
DDHD2	0,000149452	-0,198222285	0,062	0,114	1	0,871623933	1,14728378	0,543859649
CIRBP	2,99849E-08	-0,198232656	0,499	0,71	0,000632711	0,871617667	1,147292027	0,702816901
GALT	0,00026027	-0,198328513	0,031	0,071	1	0,871559756	1,14736826	0,436619718
ERCC5	0,000398164	-0,198356153	0,024	0,058	1	0,871543058	1,147390242	0,413793103
CEP97	0,000283062	-0,198445753	0,091	0,147	1	0,871488932	1,147461503	0,619047619
ADCY9	1,62311E-06	-0,198503489	0,008	0,046	0,034249315	0,871454056	1,147507426	0,173913043
UAP1L1	0,000213403	-0,19855741	0,022	0,057	1	0,871421486	1,147550314	0,385964912
CERT1	2,98867E-06	-0,198874023	0,069	0,138	0,063064018	0,871230265	1,147802183	0,5
XPC	0,08913502	-0,198904061	0,081	0,103	1	0,871212126	1,147826081	0,786407767

Supplementary Table 5

Differentially expressed genes_total calculation_ comparing SC-Keloid vs. (SC-Myel, SC-Nonmyel)								
gene	p_val	avg_log2FC	pct.1	pct.2	p_val_adj	Foldchange_UP	Foldchange_DOWN	Ratio_pct1_pct2
CASC15	0,000293384	-0,198924427	0,157	0,221	1	0,871199827	1,147842284	0,71040724
TMEM87A	1,54033E-05	-0,198972294	0,154	0,233	0,325025	0,871170922	1,147880369	0,660944206
PKD2	0,000181754	-0,19909023	0,076	0,13	1	0,87109971	1,147974209	0,584615385
CCDC3	2,26354E-05	-0,199097124	0,009	0,042	0,477629208	0,871095547	1,147979694	0,214285714
FBRS	0,064006296	-0,199137917	0,091	0,114	1	0,871070916	1,148012155	0,798245614
BCL9L	0,001486848	-0,199204246	0,075	0,119	1	0,871030869	1,148064937	0,630252101
AC087239.1	1,98303E-06	-0,199225543	0,01	0,05	0,04184383	0,871018011	1,148081885	0,2
DOCK4	1,1412E-06	-0,199419468	0,003	0,037	0,024080463	0,870900938	1,148236218	0,081081081
ADPRHL1	4,49209E-09	-0,199504248	0	0,039	9,47875E-05	0,870849761	1,148303697	0
CNOT1	1,45579E-06	-0,199533468	0,09	0,168	0,030718673	0,870832123	1,148326955	0,535714286
PCDHB4	3,64545E-06	-0,199656018	0,006	0,039	0,076922553	0,870758154	1,148424503	0,153846154
SCAF11	1,62671E-05	-0,199794453	0,217	0,308	0,343252125	0,870674603	1,148534707	0,704545455
MATR3	2,22051E-06	-0,200077931	0	0,026	0,046854929	0,87050354	1,148760406	0
CNTN4	1,40309E-06	-0,200083274	0,009	0,049	0,029606559	0,870500316	1,148764661	0,183673469
CMC2	0,001038967	-0,200216079	0,18	0,237	1	0,870420187	1,148870414	0,759493671
SDR39U1	0,003282727	-0,200227054	0,066	0,104	1	0,870413565	1,148879154	0,634615385
HADH	0,079099761	-0,200276177	0,034	0,05	1	0,870383929	1,148918273	0,68
AKR1C3	0,000716543	-0,20028422	0,005	0,024	1	0,870379076	1,148924678	0,208333333
MIR4500HG	1,85597E-07	-0,200491255	0	0,031	0,003916278	0,870254181	1,149089567	0
SUPT5H	2,95557E-06	-0,200545429	0,09	0,164	0,062365465	0,870221503	1,149132717	0,548780488
DIPK2A	1,31627E-06	-0,2005705	0,02	0,068	0,027774625	0,87020638	1,149152687	0,294117647
HDAC5	0,015301267	-0,200658456	0,068	0,098	1	0,870153328	1,149222749	0,693877551
GAA	0,001833438	-0,200927021	0,104	0,151	1	0,86999136	1,149436702	0,688741722
OSBPL5	3,52773E-05	-0,200986223	0,024	0,066	0,744387316	0,86995566	1,149483871	0,363636364
ATG2A	9,74941E-06	-0,201254921	0,02	0,062	0,205722262	0,869793649	1,149697979	0,322580645
XAF1	0,140436626	-0,201296106	0,036	0,05	1	0,869768819	1,1497308	0,72
CLIP4	1,91915E-06	-0,201914663	0,029	0,083	0,040495931	0,869395984	1,150223854	0,34939759
MEX3C	0,000370627	-0,202120356	0,125	0,182	1	0,869272039	1,150387859	0,686813187
DCXR	0,000451594	-0,202511811	0,1	0,153	1	0,869036206	1,150700044	0,653594771
PLEKHA3	3,58685E-05	-0,202511989	0,133	0,205	0,756861168	0,869036098	1,150700186	0,648780488

Supplementary Table 5

Differentially expressed genes_total calculation_ comparing SC-Keloid vs. (SC-Myel, SC-Nonmyel)								
gene	p_val	avg_log2FC	pct.1	pct.2	p_val_adj	Foldchange_UP	Foldchange_DOWN	Ratio_pct1_pct2
CPEB2	1,05523E-06	-0,20270539	0,04	0,1	0,022266494	0,868919607	1,150854454	0,4
RND1	1,68989E-08	-0,203069797	0,005	0,049	0,000356583	0,868700157	1,151145182	0,102040816
THSD7B	3,35025E-07	-0,203168782	0,002	0,037	0,007069369	0,868640556	1,151224166	0,054054054
CRISPLD2	0,002096325	-0,20318611	0,041	0,075	1	0,868630123	1,151237993	0,546666667
KBTBD7	0,000305809	-0,203201838	0,017	0,049	1	0,868620653	1,151250544	0,346938776
SNRNP27	0,016050277	-0,203245189	0,128	0,164	1	0,868594553	1,151285138	0,780487805
ARAP1	0,011845469	-0,203330659	0,028	0,052	1	0,868543096	1,151353346	0,538461538
ZCCHC8	0,004758371	-0,203427393	0,063	0,099	1	0,868484861	1,151430548	0,636363636
BOC	1,1412E-06	-0,203899709	0,003	0,037	0,024080463	0,86820058	1,15180757	0,081081081
PAM16	0,051923818	-0,203991443	0,059	0,081	1	0,868145377	1,151880811	0,728395062
EIF2AK3	1,36096E-07	-0,204000955	0,063	0,14	0,002871763	0,868139653	1,151888405	0,45
BMPR1B	9,18797E-09	-0,204095356	0,006	0,053	0,000193875	0,868082849	1,15196378	0,113207547
ACSS1	1,92154E-06	-0,20410671	0,027	0,079	0,040546398	0,868076017	1,151972846	0,341772152
ARL6IP6	0,005995896	-0,204338768	0,127	0,17	1	0,867936398	1,152158156	0,747058824
KANSL2	0,007858183	-0,204373152	0,036	0,064	1	0,867915713	1,152185616	0,5625
AEBP2	0,000559275	-0,204390179	0,098	0,151	1	0,86790547	1,152199214	0,649006623
SHROOM3	2,88858E-08	-0,204587068	0	0,035	0,000609519	0,867787032	1,152356469	0
USP24	0,000805432	-0,204636584	0,05	0,091	1	0,867757248	1,152396021	0,549450549
PPP3R1	6,56762E-05	-0,204723082	0,088	0,148	1	0,867705223	1,152465116	0,594594595
NMT2	0,000123963	-0,204794463	0,038	0,083	1	0,867662292	1,152522138	0,457831325
ALDH7A1	0,001892603	-0,204836995	0,071	0,114	1	0,867636713	1,152556116	0,622807018
CLTB	4,24913E-08	-0,205176116	0,189	0,294	0,000896609	0,867432789	1,152827069	0,642857143
FOXO4	8,15766E-06	-0,205243095	0,012	0,049	0,172134706	0,867392519	1,152880592	0,244897959
FMN2	5,50172E-10	-0,205353055	0,001	0,047	1,16092E-05	0,86732641	1,152968466	0,021276596
FAR1	1,09532E-06	-0,20540863	0,069	0,141	0,023112317	0,867292999	1,153012881	0,489361702
FBXO25	2,76106E-07	-0,205477985	0,051	0,122	0,005826102	0,867251307	1,153068311	0,418032787
CAV2	0,000394112	-0,20575205	0,151	0,209	1	0,867086573	1,153287377	0,722488038
NUDC	8,58025E-07	-0,205833726	0,226	0,33	0,018105191	0,867037486	1,153352671	0,684848485
ADNP	1,93959E-06	-0,205904407	0,112	0,194	0,040927323	0,866995009	1,153409177	0,577319588
N4BP2L2	1,30592E-09	-0,206055148	0,292	0,45	2,75562E-05	0,866904425	1,153529699	0,648888889

Supplementary Table 5

Differentially expressed genes_total calculation_ comparing SC-Keloid vs. (SC-Myel, SC-Nonmyel)								
gene	p_val	avg_log2FC	pct.1	pct.2	p_val_adj	Foldchange_UP	Foldchange_DOWN	Ratio_pct1_pct2
KIF5C	5,95292E-07	-0,206078663	0,006	0,043	0,012561248	0,866890295	1,153548501	0,139534884
FAM222A	5,81501E-06	-0,206130781	0,016	0,058	0,122702564	0,866858979	1,153590174	0,275862069
RING1	0,003699655	-0,206195076	0,086	0,126	1	0,866820347	1,153641586	0,682539683
MOSPD2	2,11453E-06	-0,206223493	0,045	0,107	0,044618603	0,866803274	1,153664309	0,420560748
MARK2	0,00404979	-0,20622653	0,063	0,099	1	0,866801449	1,153666738	0,636363636
GPATCH8	8,83489E-05	-0,206377224	0,112	0,176	1	0,866710914	1,153787248	0,636363636
HCCS	1,39985E-05	-0,206444996	0,033	0,081	0,295382692	0,8666702	1,15384145	0,407407407
NR1D2	1,39835E-09	-0,206495153	0,073	0,171	2,95066E-05	0,86664007	1,153881565	0,426900585
TSR2	8,77636E-05	-0,206507504	0,078	0,136	1	0,86663265	1,153891444	0,573529412
PON2	9,12423E-07	-0,206540275	0,229	0,334	0,019253034	0,866612965	1,153917655	0,685628743
TNK2	0,018471391	-0,206651692	0,058	0,087	1	0,86654604	1,154006774	0,666666667
TMEM117	7,69503E-07	-0,2068612	0,009	0,05	0,016237282	0,86642021	1,15417437	0,18
SEC14L1	0,000107254	-0,206866965	0,095	0,156	1	0,866416747	1,154178983	0,608974359
HSD17B12	0,005136848	-0,207020592	0,123	0,166	1	0,866324491	1,154301893	0,740963855
DDHD1	0,0001775	-0,207026229	0,068	0,119	1	0,866321106	1,154306403	0,571428571
TMEM256	5,40468E-05	-0,207032614	0,154	0,227	1	0,866317272	1,154311512	0,678414097
EZH1	2,51937E-07	-0,207087499	0,038	0,104	0,005316116	0,866284315	1,154355427	0,365384615
CYSTM1	1,46713E-05	-0,207130098	0,271	0,364	0,309579358	0,866258736	1,154389512	0,744505495
CDC14B	0,000304302	-0,207887948	0,066	0,115	1	0,865803809	1,154996074	0,573913043
SGSM3	0,09491625	-0,208206604	0,058	0,076	1	0,865612595	1,155251212	0,763157895
SPECC1	0,002917381	-0,208227967	0,087	0,129	1	0,865599777	1,155268319	0,674418605
ARHGEF10L	0,020972732	-0,208307086	0,048	0,073	1	0,865552308	1,155331677	0,657534247
CLEC2B	2,09431E-07	-0,208523522	0,026	0,084	0,0044192	0,865422466	1,155505015	0,30952381
DNAJC27	3,27357E-05	-0,208639057	0,028	0,072	0,690756508	0,865353163	1,155597555	0,388888889
PANX1	2,52831E-05	-0,20867252	0,036	0,084	0,533498739	0,865333092	1,155624359	0,428571429
KCTD4	8,93112E-07	-0,208761882	0,001	0,031	0,018845559	0,865279494	1,155695942	0,032258065
CYP27A1	0,004333363	-0,208884415	0,059	0,095	1	0,865206006	1,155794103	0,621052632
RAB28	0,054453934	-0,208885734	0,051	0,072	1	0,865205215	1,15579516	0,708333333
RBM43	0,000866628	-0,209196064	0,085	0,136	1	0,865019125	1,156043804	0,625
BORCS7	0,000338363	-0,209328907	0,122	0,18	1	0,864939478	1,156150257	0,677777778

Supplementary Table 5

Differentially expressed genes_total calculation_ comparing SC-Keloid vs. (SC-Myel, SC-Nonmyel)								
gene	p_val	avg_log2FC	pct.1	pct.2	p_val_adj	Foldchange_UP	Foldchange_DOWN	Ratio_pct1_pct2
SPART	9,07658E-06	-0,209353006	0,084	0,152	0,191524925	0,86492503	1,15616957	0,552631579
PGGHG	6,52369E-05	-0,209376037	0,009	0,039	1	0,864911223	1,156188027	0,230769231
SLC20A2	0,019037315	-0,209657632	0,087	0,119	1	0,86474242	1,156413721	0,731092437
CTDSPL	0,000108289	-0,210027164	0,078	0,133	1	0,864520953	1,156709963	0,586466165
GTPBP1	0,000724484	-0,210033073	0,038	0,076	1	0,864517413	1,1567147	0,5
ATP11C	5,34464E-05	-0,21039337	0,026	0,066	1	0,864301536	1,157003613	0,393939394
MPPE1	0,446337865	-0,210487092	0,058	0,065	1	0,86424539	1,157078778	0,892307692
PPP2CB	1,80429E-08	-0,210525222	0,269	0,395	0,000380723	0,864222548	1,15710936	0,681012658
DVL2	0,010890219	-0,210672167	0,043	0,071	1	0,864134528	1,157227223	0,605633803
ABCD3	6,95553E-07	-0,210893119	0,102	0,185	0,014676859	0,864002194	1,157404468	0,551351351
ITFG1	0,004365367	-0,210998188	0,118	0,16	1	0,863939272	1,157488763	0,7375
IDUA	1,27851E-05	-0,21106596	0,019	0,06	0,269777846	0,863898689	1,157543139	0,316666667
RPP14	0,000268308	-0,211154105	0,016	0,047	1	0,863845909	1,157613864	0,340425532
THAP9-AS1	0,000145935	-0,211308963	0,066	0,118	1	0,863753189	1,157738128	0,559322034
NLGN2	0,000457802	-0,211429594	0,052	0,096	1	0,86368097	1,157834936	0,541666667
HLA-DQB1	0,005798516	-0,211607146	0,034	0,062	1	0,863574683	1,15797744	0,548387097
LYNX1	1,04562E-10	-0,211730068	0,002	0,054	2,20635E-06	0,863501107	1,158076107	0,037037037
CFL2	0,002070827	-0,211757196	0,094	0,138	1	0,86348487	1,158097883	0,68115942
SART1	0,041069258	-0,211795687	0,065	0,09	1	0,863461833	1,158128781	0,722222222
CCSER2	3,89336E-07	-0,211817192	0,177	0,28	0,008215386	0,863448962	1,158146045	0,632142857
CASK	2,80272E-06	-0,211943802	0,044	0,104	0,059140225	0,863373189	1,158247688	0,423076923
PKIB	1,10663E-08	-0,212198901	0,007	0,056	0,000233511	0,86322054	1,158452508	0,125
BUB3	0,000110024	-0,21230942	0,105	0,164	1	0,863154415	1,158541256	0,640243902
SESN2	8,29089E-06	-0,212427954	0,024	0,071	0,174946047	0,8630835	1,158636447	0,338028169
DUSP5	0,000808847	-0,212606535	0,056	0,098	1	0,862976671	1,158779876	0,571428571
MCM7	9,01575E-05	-0,212617014	0,054	0,104	1	0,862970403	1,158788293	0,519230769
HERC5	1,0074E-07	-0,212680162	0,003	0,042	0,002125719	0,862932631	1,158839015	0,071428571
HELZ2	0,010775627	-0,213166497	0,037	0,064	1	0,862641784	1,159229727	0,578125
ST6GALNAC3	4,80658E-07	-0,213283126	0,009	0,052	0,010142368	0,86257205	1,159323444	0,173076923
IP6K1	2,12453E-06	-0,213347464	0,064	0,132	0,044829643	0,862533584	1,159375146	0,484848485

Supplementary Table 5

Differentially expressed genes_total calculation_ comparing SC-Keloid vs. (SC-Myel, SC-Nonmyel)								
gene	p_val	avg_log2FC	pct.1	pct.2	p_val_adj	Foldchange_UP	Foldchange_DOWN	Ratio_pct1_pct2
MXD4	1,67917E-05	-0,213492713	0,169	0,248	0,354321756	0,862446749	1,159491877	0,681451613
STK3	0,000260954	-0,213515666	0,047	0,091	1	0,862433028	1,159510325	0,516483516
ZNF24	6,62848E-07	-0,21377022	0,15	0,246	0,013986766	0,862280871	1,15971493	0,609756098
USP39	0,003914486	-0,213975832	0,049	0,083	1	0,862157988	1,159880224	0,590361446
CLCF1	1,68985E-08	-0,213982133	0,006	0,052	0,000356574	0,862154222	1,15988529	0,115384615
RPL4	1,90241E-09	-0,21401814	0,386	0,611	4,01428E-05	0,862132705	1,159914239	0,631751227
CAMK2D	3,85951E-05	-0,214063078	0,107	0,175	0,814394825	0,862105851	1,159950369	0,611428571
ATF7IP	2,90313E-05	-0,214125067	0,108	0,179	0,612589819	0,862068809	1,16000021	0,603351955
SESN3	1,56281E-09	-0,214238765	0,084	0,187	3,29769E-05	0,862000872	1,160091633	0,449197861
HOXC6	0,011877636	-0,214252342	0,064	0,095	1	0,86199276	1,160102551	0,673684211
SLC16A1	0,00336476	-0,214315087	0,044	0,077	1	0,861955272	1,160153006	0,571428571
CNTFR	5,51656E-10	-0,214320968	0,001	0,047	1,16405E-05	0,861951758	1,160157736	0,021276596
SGCD	6,53264E-05	-0,214578641	0,029	0,072	1	0,861797823	1,160364964	0,402777778
ATP6V1C1	2,51269E-06	-0,214590563	0,056	0,119	0,053020216	0,861790701	1,160374553	0,470588235
IRS1	0,001185178	-0,214664779	0,026	0,057	1	0,86174637	1,160434247	0,456140351
ZSCAN18	2,6832E-07	-0,214763275	0,049	0,119	0,005661813	0,861687538	1,160513476	0,411764706
SLC25A48	2,88858E-08	-0,214780412	0	0,035	0,000609519	0,861677303	1,160527261	0
GNG10	0,000296454	-0,214918974	0,121	0,182	1	0,861594548	1,160638727	0,664835165
TBCE	3,27215E-05	-0,214927716	0,021	0,061	0,690455899	0,861589327	1,160645761	0,344262295
AP1G1	0,000466682	-0,21532131	0,085	0,137	1	0,861354302	1,16096245	0,620437956
GPM6A	2,88858E-08	-0,215480492	0	0,035	0,000609519	0,861259268	1,161090553	0
INAFM1	0,001454766	-0,215602879	0,062	0,103	1	0,861186209	1,161189055	0,601941748
CACTIN	0,008637616	-0,215772144	0,031	0,057	1	0,861085175	1,1613253	0,543859649
ATXN2L	4,97235E-05	-0,215788406	0,104	0,168	1	0,861075469	1,161338391	0,619047619
KCNIP4	3,13226E-07	-0,215898287	0,002	0,037	0,006609373	0,861009889	1,161426846	0,054054054
PSME1	2,83772E-07	-0,216143194	0,274	0,395	0,005987868	0,860863739	1,161624023	0,693670886
NKD1	8,85146E-07	-0,216713414	0,009	0,05	0,018677459	0,860523554	1,162083241	0,18
MANBAL	0,808766349	-0,216782984	0,112	0,11	1	0,860482058	1,162139281	1,018181818
PARP6	0,035018316	-0,216809531	0,04	0,061	1	0,860466225	1,162160665	0,655737705
CCDC159	0,015672493	-0,216939506	0,051	0,079	1	0,860388707	1,162265371	0,64556962

Supplementary Table 5

Differentially expressed genes_total calculation_ comparing SC-Keloid vs. (SC-Myel, SC-Nonmyel)								
gene	p_val	avg_log2FC	pct.1	pct.2	p_val_adj	Foldchange_UP	Foldchange_DOWN	Ratio_pct1_pct2
SOX12	1,89439E-05	-0,217160988	0,024	0,068	0,399736061	0,86025663	1,162443816	0,352941176
SNRPA	0,01987602	-0,217204655	0,088	0,119	1	0,860230593	1,162479	0,739495798
CTBP2	3,57168E-05	-0,217267074	0,094	0,159	0,753660304	0,860193375	1,162529297	0,591194969
CHST9	5,44285E-08	-0,217306907	0,005	0,046	0,001148496	0,860169626	1,162561395	0,108695652
MSL1	9,10039E-07	-0,217444861	0,143	0,235	0,019202741	0,860087378	1,162672567	0,608510638
ZC3H6	3,56468E-05	-0,21744738	0,07	0,129	0,752182238	0,860085876	1,162674597	0,542635659
CLASP2	9,33292E-09	-0,217555093	0,071	0,161	0,000196934	0,860021664	1,162761407	0,440993789
SQOR	1,32955E-08	-0,217575218	0,01	0,062	0,000280549	0,860009667	1,162777627	0,161290323
MTHFR	1,03646E-06	-0,21766896	0,026	0,079	0,021870345	0,859953788	1,162853183	0,329113924
SYT14	1,26066E-09	-0,217758731	0,002	0,049	2,66011E-05	0,85990028	1,162925543	0,040816327
NT5DC3	0,000190472	-0,217770842	0,03	0,069	1	0,859893061	1,162935306	0,434782609
ATP6VOE2	0,01581396	-0,21792008	0,104	0,136	1	0,859804115	1,163055611	0,764705882
RFLNA	8,52719E-11	-0,218172147	0,001	0,052	1,79932E-06	0,859653903	1,163258837	0,019230769
SH3PXD2B	0,00384979	-0,21871014	0,071	0,11	1	0,859333391	1,163692707	0,645454545
OXR1	9,0815E-06	-0,218776518	0,093	0,164	0,191628711	0,859293854	1,16374625	0,567073171
ANKRD20A4P	5,62437E-08	-0,21885126	0,003	0,043	0,001186798	0,859249338	1,163806541	0,069767442
ZFH3	6,13167E-06	-0,218909437	0,088	0,16	0,129384461	0,859214689	1,163853473	0,55
MME	5,37019E-08	-0,219039447	0	0,034	0,001133163	0,859137264	1,16395836	0
DNTTIP2	1,78466E-06	-0,219148009	0,087	0,164	0,037658076	0,859072616	1,16404595	0,530487805
PRXL2C	0,000222938	-0,219426799	0,143	0,205	1	0,858906623	1,164270915	0,697560976
SMCHD1	2,84085E-06	-0,219681925	0,108	0,187	0,059944831	0,858754747	1,164476823	0,577540107
NTRK2	1,6056E-07	-0,219792452	0,002	0,038	0,003387983	0,85868896	1,164566038	0,052631579
TMEM50B	3,72925E-05	-0,219927987	0,133	0,204	0,786908254	0,858608294	1,164675449	0,651960784
DHPS	0,00466518	-0,220068048	0,101	0,141	1	0,858524941	1,164788525	0,716312057
KIAA2026	4,43984E-05	-0,220315413	0,088	0,151	0,936849778	0,858377751	1,164988257	0,582781457
NPIP11	3,10573E-08	-0,220326292	0,005	0,047	0,000655339	0,858371278	1,164997042	0,106382979
NR3C1	2,00487E-10	-0,220608659	0,271	0,434	4,23047E-06	0,858203292	1,16522508	0,624423963
NUMA1	1,88627E-05	-0,22067346	0,109	0,18	0,398021226	0,858164746	1,165277419	0,605555556
PHYKPL	0,000593226	-0,221011317	0,05	0,092	1	0,8579638	1,165550341	0,543478261
ZSWIM8	0,003988116	-0,221080013	0,052	0,087	1	0,857922948	1,165605842	0,597701149

Supplementary Table 5

Differentially expressed genes_total calculation_ comparing SC-Keloid vs. (SC-Myel, SC-Nonmyel)								
gene	p_val	avg_log2FC	pct.1	pct.2	p_val_adj	Foldchange_UP	Foldchange_DOWN	Ratio_pct1_pct2
POLB	0,000141531	-0,221362385	0,03	0,071	1	0,857755047	1,165834003	0,422535211
TOB2	2,46934E-10	-0,221470624	0,104	0,216	5,21054E-06	0,857690696	1,165921473	0,481481481
CLN8	6,66569E-08	-0,221542642	0,048	0,121	0,001406528	0,857647882	1,165979676	0,396694215
ZNF622	0,000193422	-0,221557246	0,057	0,104	1	0,8576392	1,165991479	0,548076923
RASSF1	7,56063E-07	-0,221734165	0,113	0,197	0,015953695	0,857534034	1,166134475	0,573604061
HAUS7	0,0081929	-0,221860625	0,029	0,054	1	0,85745887	1,166236697	0,537037037
SMIM29	0,005188379	-0,222099696	0,104	0,142	1	0,857316791	1,166429972	0,732394366
KXD1	0,017089682	-0,222178667	0,112	0,145	1	0,857269864	1,166493822	0,772413793
PODXL2	2,90703E-07	-0,222184891	0,007	0,047	0,006134127	0,857266166	1,166498854	0,14893617
GNG2	2,25301E-08	-0,222296356	0,297	0,431	0,000475407	0,857199934	1,166588984	0,689095128
PARVA	0,000292388	-0,222343503	0,113	0,171	1	0,857171921	1,166627108	0,660818713
RBM27	2,20243E-08	-0,222544937	0,047	0,122	0,000464735	0,857052248	1,166790009	0,385245902
CYB5R1	0,032484525	-0,222621454	0,057	0,081	1	0,857006794	1,166851894	0,703703704
INSIG1	1,39501E-06	-0,223192458	0,05	0,114	0,029436206	0,856667666	1,167313813	0,438596491
PITHD1	9,11512E-05	-0,223219352	0,17	0,239	1	0,856651697	1,167335574	0,711297071
NOP56	0,007764932	-0,22334233	0,141	0,182	1	0,856578677	1,167435084	0,774725275
EML3	0,000475249	-0,223615535	0,037	0,076	1	0,856416481	1,167656183	0,486842105
RAB9A	0,000108874	-0,223757417	0,144	0,21	1	0,856332261	1,167771022	0,685714286
HDAC4	1,55614E-06	-0,223797209	0,02	0,068	0,032836036	0,856308642	1,167803232	0,294117647
FBXO2	5,78917E-11	-0,224006102	0	0,049	1,22157E-06	0,856184663	1,167972335	0
SPRED1	3,30588E-07	-0,224029157	0,095	0,182	0,006975737	0,856170981	1,167991	0,521978022
PCGF2	0,009732798	-0,224068604	0,071	0,104	1	0,856147571	1,168022936	0,682692308
HUNK	9,8946E-05	-0,224224068	0,016	0,05	1	0,856055318	1,168148808	0,32
TUBG2	2,13064E-06	-0,224240489	0,036	0,092	0,044958577	0,856045575	1,168162104	0,391304348
CNRIP1	0,001042084	-0,224354026	0,057	0,098	1	0,855978209	1,16825404	0,581632653
NSFL1C	0,009313844	-0,224371077	0,099	0,134	1	0,855968092	1,168267847	0,73880597
MLF2	0,000136702	-0,22537521	0,203	0,274	1	0,855372535	1,169081259	0,740875912
BICRA	0,00043166	-0,225437376	0,02	0,052	1	0,855335677	1,169131636	0,384615385
SOS1	0,002044367	-0,225539721	0,044	0,08	1	0,855275002	1,169214577	0,55
NKX6-2	2,88858E-08	-0,22564118	0	0,035	0,000609519	0,855214857	1,169296806	0

Supplementary Table 5

Differentially expressed genes_total calculation_ comparing SC-Keloid vs. (SC-Myel, SC-Nonmyel)								
gene	p_val	avg_log2FC	pct.1	pct.2	p_val_adj	Foldchange_UP	Foldchange_DOWN	Ratio_pct1_pct2
GPS2	0,001426727	-0,22567154	0,112	0,159	1	0,855196859	1,169321413	0,704402516
MEX3D	0,002253494	-0,225671575	0,104	0,149	1	0,855196839	1,169321441	0,697986577
BEST1	7,8771E-07	-0,225749321	0,009	0,05	0,016621462	0,855150754	1,169384457	0,18
RXRB	0,000294604	-0,225989182	0,057	0,103	1	0,855008589	1,169578894	0,553398058
PALM	4,22196E-09	-0,226020239	0,012	0,068	8,90876E-05	0,854990184	1,169604071	0,176470588
ECPAS	0,006120804	-0,226053472	0,037	0,066	1	0,854970489	1,169631014	0,560606061
GTF2IRD2B	0,000154475	-0,226471453	0,023	0,06	1	0,854722821	1,169969931	0,383333333
PHF23	1,2299E-05	-0,226789121	0,062	0,122	0,259520802	0,854534639	1,170227576	0,508196721
NBPF12	7,89938E-05	-0,226803449	0,015	0,049	1	0,854526152	1,170239199	0,306122449
PKIG	0,022887871	-0,227211452	0,194	0,228	1	0,854284522	1,170570196	0,850877193
INTS3	0,001608126	-0,227592329	0,054	0,092	1	0,854059017	1,170879272	0,586956522
USP38	5,52679E-07	-0,2276438	0,051	0,118	0,011662073	0,854028547	1,170921046	0,43220339
FBRSL1	1,24087E-05	-0,227730856	0,031	0,08	0,26183604	0,853977014	1,170991705	0,3875
UBAP1	1,06816E-06	-0,227795228	0,063	0,133	0,022539315	0,853938911	1,171043955	0,473684211
ZDHHC2	2,45857E-07	-0,227932609	0,019	0,071	0,005187838	0,853857599	1,171155473	0,267605634
LMBR1L	0,000734304	-0,228120273	0,037	0,075	1	0,853746537	1,171307826	0,493333333
MTR	2,60802E-06	-0,228129963	0,097	0,176	0,055031779	0,853740803	1,171315693	0,551136364
CPSF7	0,037290007	-0,228254569	0,063	0,088	1	0,853667068	1,171416864	0,715909091
CTNNA3	1,5536E-08	-0,228297479	0	0,037	0,000327825	0,853641678	1,171451706	0
STX16	2,27552E-05	-0,228317014	0,121	0,193	0,48015712	0,853630119	1,171467568	0,626943005
FOSL1	5,49376E-07	-0,228474162	0,02	0,071	0,011592383	0,853537142	1,171595179	0,281690141
MAF	9,0896E-06	-0,228478859	0,247	0,346	0,191799708	0,853534363	1,171598993	0,713872832
FGD4	5,83088E-07	-0,229211278	0,056	0,126	0,012303732	0,853101155	1,172193935	0,444444444
MRPL38	0,087162645	-0,229238436	0,065	0,084	1	0,853085096	1,172216001	0,773809524
AXIN2	2,65197E-06	-0,229242245	0,012	0,052	0,055959162	0,853082844	1,172219096	0,230769231
BCAM	8,92996E-07	-0,229332908	0,012	0,054	0,01884311	0,853029236	1,172292764	0,222222222
UBE3A	0,000234863	-0,22946731	0,135	0,198	1	0,85294977	1,172401981	0,681818182
ADAP1	0,00011004	-0,229487195	0,024	0,062	1	0,852938014	1,17241814	0,387096774
KLC1	6,93546E-08	-0,229945634	0,17	0,277	0,001463452	0,852667023	1,172790753	0,613718412
NUMBL	0,00071573	-0,230000393	0,031	0,066	1	0,852634659	1,172835269	0,46969697

Supplementary Table 5

Differentially expressed genes_total calculation_ comparing SC-Keloid vs. (SC-Myel, SC-Nonmyel)								
gene	p_val	avg_log2FC	pct.1	pct.2	p_val_adj	Foldchange_UP	Foldchange_DOWN	Ratio_pct1_pct2
IL10RB	0,002674928	-0,230122419	0,029	0,058	1	0,852562545	1,172934474	0,5
REST	2,12843E-06	-0,230142852	0,154	0,243	0,04491196	0,85255047	1,172951086	0,633744856
SAFB	1,52739E-06	-0,230306411	0,078	0,152	0,032229488	0,852453822	1,173084071	0,513157895
SLC30A1	3,98135E-06	-0,230424789	0,033	0,085	0,084010436	0,852383878	1,173180331	0,388235294
SRP68	6,32851E-06	-0,230449062	0,042	0,096	0,133537987	0,852369537	1,17320007	0,4375
SPATA6	1,61536E-07	-0,230615725	0,217	0,328	0,003408561	0,852271075	1,173335608	0,661585366
NR2C1	0,000664736	-0,230733735	0,041	0,079	1	0,852201364	1,173431589	0,518987342
RNF38	0,005771456	-0,23099244	0,062	0,096	1	0,85204856	1,173642028	0,645833333
DPYD	2,08786E-06	-0,231353275	0,028	0,08	0,044055886	0,851835479	1,173935607	0,35
BNIP2	0,000191509	-0,231479727	0,121	0,18	1	0,851760819	1,174038507	0,672222222
TRAPPC5	0,12862883	-0,232050743	0,083	0,1	1	0,85142376	1,174503281	0,83
MINDY2	8,53989E-08	-0,232123144	0,135	0,236	0,001802003	0,851381033	1,174562224	0,572033898
RANBP3	0,000694041	-0,232151869	0,038	0,076	1	0,851364082	1,174585611	0,5
GGNBP2	1,89816E-05	-0,232487801	0,158	0,235	0,400531227	0,851165865	1,174859145	0,672340426
CHKB	0,017450472	-0,232683195	0,056	0,083	1	0,851050593	1,175018275	0,674698795
FAM178B	4,21802E-05	-0,232884386	0,008	0,038	0,890044948	0,850931919	1,175182148	0,210526316
STOX2	2,54215E-09	-0,23330215	0,031	0,106	5,3642E-05	0,850685548	1,175522497	0,29245283
TTLL3	0,000690304	-0,233302852	0,044	0,084	1	0,850685134	1,17552307	0,523809524
GTF2IRD2	0,003945644	-0,233593888	0,04	0,071	1	0,850513542	1,175760232	0,563380282
PSMD9	0,019698633	-0,233675889	0,147	0,179	1	0,850465201	1,175827063	0,82122905
SDHD	1,79517E-08	-0,23380432	0,122	0,224	0,000378798	0,850389495	1,175931742	0,544642857
REC8	2,59609E-05	-0,23389512	0,023	0,065	0,547801163	0,850335975	1,176005755	0,353846154
NEIL1	3,03435E-08	-0,233995028	0,005	0,047	0,000640278	0,850277091	1,176087197	0,106382979
PDXP	0,01862651	-0,23405952	0,042	0,066	1	0,850239082	1,176139772	0,636363636
DBP	0,000292362	-0,234314053	0,029	0,066	1	0,850089088	1,176347295	0,439393939
DNAJA4	0,001494413	-0,234416533	0,04	0,075	1	0,850028706	1,176430859	0,533333333
FNDC3A	2,37141E-05	-0,234443762	0,164	0,24	0,500390645	0,850012662	1,176453063	0,683333333
EPHB3	2,28397E-06	-0,23465778	0,022	0,071	0,04819413	0,849886576	1,176627597	0,309859155
ZCCHC3	0,00013538	-0,234674884	0,035	0,077	1	0,8498765	1,176641547	0,454545455
MDK	0,001335746	-0,234812092	0,139	0,195	1	0,849795676	1,176753458	0,712820513

Supplementary Table 5

Differentially expressed genes_total calculation_ comparing SC-Keloid vs. (SC-Myel, SC-Nonmyel)								
gene	p_val	avg_log2FC	pct.1	pct.2	p_val_adj	Foldchange_UP	Foldchange_DOWN	Ratio_pct1_pct2
PPA1	8,70682E-05	-0,235178294	0,177	0,248	1	0,849579998	1,177052193	0,713709677
DNAJC6	2,75558E-10	-0,23539347	0,007	0,064	5,81456E-06	0,849453294	1,177227762	0,109375
TRIM56	1,94815E-06	-0,23636686	0,047	0,11	0,041107946	0,848880359	1,178022308	0,427272727
EHBP1L1	0,000600797	-0,236638227	0,052	0,095	1	0,848720702	1,178243912	0,547368421
TJP2	1,844E-09	-0,236698167	0,001	0,045	3,89103E-05	0,848685441	1,178292866	0,022222222
PTBP2	1,13676E-09	-0,236957634	0,078	0,179	2,39868E-05	0,84853282	1,178504799	0,43575419
RAP2A	5,52749E-07	-0,237045439	0,075	0,149	0,011663554	0,848481178	1,178576528	0,503355705
AK3	4,78035E-09	-0,237156229	0,109	0,212	0,00010087	0,848416022	1,178667038	0,514150943
RNF168	6,90371E-05	-0,237467895	0,068	0,122	1	0,848232758	1,178921694	0,557377049
NANOS1	1,50469E-08	-0,237986657	0,003	0,046	0,000317504	0,847927807	1,179345685	0,065217391
CENATAC	7,56144E-06	-0,238299438	0,043	0,099	0,159553861	0,847743993	1,179601399	0,434343434
ALDOC	0,000755744	-0,238639518	0,017	0,046	1	0,847544182	1,179879493	0,369565217
FLCN	3,01238E-06	-0,238892089	0,024	0,073	0,063564308	0,847395816	1,180086072	0,328767123
FLNB	0,010745316	-0,238935726	0,072	0,106	1	0,847370186	1,180121766	0,679245283
ANKRD18A	6,41652E-07	-0,239489706	0	0,028	0,01353949	0,847044866	1,180575008	0
CXCL3	7,6069E-05	-0,239498069	0,017	0,053	1	0,847039957	1,180581851	0,320754717
HSF2	8,65823E-08	-0,239524568	0,041	0,109	0,001826973	0,847024398	1,180603536	0,376146789
ZNF800	0,002355811	-0,239635848	0,079	0,121	1	0,846959067	1,180694603	0,652892562
PAX3	5,41238E-06	-0,239711913	0,075	0,141	0,114206627	0,846914413	1,180756856	0,531914894
CTNNA1	2,83653E-11	-0,240027311	0,423	0,65	5,98536E-07	0,846729283	1,181015019	0,650769231
PLK3	0,001069049	-0,240135673	0,056	0,096	1	0,846665687	1,181103729	0,583333333
IRF2BPL	2,3352E-05	-0,240706522	0,099	0,167	0,492749858	0,846330743	1,181571163	0,592814371
ATP8A1	9,83537E-11	-0,240776935	0,009	0,072	2,07536E-06	0,846289437	1,181628833	0,125
ZNF704	4,30207E-11	-0,240859462	0,013	0,081	9,07779E-07	0,846241028	1,181696428	0,160493827
DDX17	6,95944E-10	-0,240920372	0,411	0,592	1,46851E-05	0,846205301	1,18174632	0,694256757
SP4	2,02531E-07	-0,241268921	0,014	0,062	0,004273606	0,846000886	1,182031859	0,225806452
TMEM132A	0,005136754	-0,241699874	0,072	0,109	1	0,845748211	1,182385001	0,660550459
AC012368.1	6,15919E-10	-0,241739779	0,002	0,05	1,29965E-05	0,845724818	1,182417707	0,04
EXOC3	0,001458065	-0,241774453	0,069	0,11	1	0,845704492	1,182446125	0,627272727
PALS1	9,74298E-09	-0,241830114	0,044	0,122	0,000205587	0,845671865	1,182491746	0,360655738

Supplementary Table 5

Differentially expressed genes_total calculation_ comparing SC-Keloid vs. (SC-Myel, SC-Nonmyel)								
gene	p_val	avg_log2FC	pct.1	pct.2	p_val_adj	Foldchange_UP	Foldchange_DOWN	Ratio_pct1_pct2
TCEAL1	0,000438199	-0,241966536	0,077	0,126	1	0,845591901	1,182603569	0,611111111
GAL3ST1	1,69662E-08	-0,241973097	0,027	0,092	0,000358003	0,845588056	1,182608947	0,293478261
SIK2	3,73765E-09	-0,24219981	0,027	0,096	7,88682E-05	0,845455186	1,182794803	0,28125
PIK3R3	4,03349E-05	-0,24291367	0,035	0,081	0,851106705	0,845036949	1,183380207	0,432098765
FAM241A	2,52198E-07	-0,242942532	0,021	0,075	0,005321629	0,845020044	1,183403881	0,28
INO80B	0,001889765	-0,242942869	0,038	0,072	1	0,845019847	1,183404158	0,527777778
SYNGR2	5,41619E-07	-0,243205071	0,033	0,091	0,011428705	0,844866283	1,183619255	0,362637363
RBM11	2,00813E-06	-0,243255262	0,037	0,095	0,042373578	0,84483689	1,183660434	0,389473684
DAAM2	1,62714E-05	-0,243641174	0,064	0,126	0,343342229	0,844610932	1,183977097	0,507936508
CMTM7	2,65585E-05	-0,243651768	0,02	0,06	0,560409964	0,84460473	1,183985792	0,333333333
PSMA6	0,0093922	-0,243662958	0,109	0,148	1	0,844598179	1,183994975	0,736486486
PMAIP1	0,001622321	-0,244118546	0,033	0,065	1	0,844331506	1,184368927	0,507692308
PPP2R3A	0,000272687	-0,244207337	0,079	0,133	1	0,844279543	1,184441822	0,593984962
KIF13A	0,00025173	-0,244247968	0,049	0,094	1	0,844255766	1,18447518	0,521276596
CCDC28A	0,000293882	-0,244415799	0,044	0,087	1	0,844157558	1,18461298	0,505747126
ZEB2-AS1	1,26933E-07	-0,244935239	0,012	0,06	0,002678406	0,843853675	1,185039574	0,2
HLA-DMA	1,77174E-07	-0,24494368	0,008	0,052	0,003738546	0,843848738	1,185046508	0,153846154
CALCOCO2	1,43278E-06	-0,245196584	0,087	0,163	0,030233043	0,843700824	1,185254264	0,533742331
ARHGEF6	6,26647E-07	-0,245342236	0,031	0,09	0,013222873	0,84361565	1,185373932	0,344444444
UPK3BL1	0,002359069	-0,24542622	0,036	0,068	1	0,843566542	1,185442939	0,529411765
MTA1	0,003644036	-0,246291851	0,078	0,117	1	0,843060545	1,186154429	0,666666667
SRSF1	2,27283E-06	-0,246623821	0,146	0,232	0,047959085	0,842866576	1,186427399	0,629310345
LRRC7	9,366E-08	-0,246673875	0,016	0,069	0,00197632	0,842837334	1,186468563	0,231884058
SMG1	5,75858E-09	-0,24683841	0,141	0,258	0,000121512	0,842741216	1,186603884	0,546511628
RBP7	2,92751E-10	-0,246845059	0,001	0,049	6,17734E-06	0,842737332	1,186609353	0,020408163
TP53BP2	1,37003E-06	-0,246889368	0,071	0,144	0,028908966	0,84271145	1,186645797	0,493055556
CLSTN1	3,15193E-06	-0,246973642	0,19	0,281	0,066508879	0,842662225	1,186715116	0,676156584
CCDC9	1,17115E-06	-0,247132873	0,019	0,066	0,024712384	0,842569225	1,186846102	0,287878788
OXSRI	0,000121341	-0,247446214	0,088	0,147	1	0,842386246	1,187103903	0,598639456
SPINDOC	1,31051E-05	-0,247607587	0,023	0,066	0,276531536	0,842292026	1,187236694	0,348484848

Supplementary Table 5

Differentially expressed genes_total calculation_ comparing SC-Keloid vs. (SC-Myel, SC-Nonmyel)								
gene	p_val	avg_log2FC	pct.1	pct.2	p_val_adj	Foldchange_UP	Foldchange_DOWN	Ratio_pct1_pct2
STAG1	1,33992E-06	-0,247727044	0,095	0,174	0,028273597	0,842222286	1,187335003	0,545977011
FZD5	9,97975E-08	-0,24791322	0,005	0,045	0,002105827	0,842113606	1,187488235	0,111111111
ZRANB1	0,000512349	-0,248054577	0,066	0,113	1	0,842031099	1,187604592	0,584070796
SSH1	0,023642284	-0,24816742	0,058	0,085	1	0,841965241	1,187697486	0,682352941
MGAT3	1,38249E-07	-0,248194932	0,009	0,054	0,002917191	0,841949185	1,187720136	0,166666667
NR6A1	6,00509E-10	-0,248479989	0,013	0,075	1,26713E-05	0,841782844	1,187954836	0,173333333
TTC28	9,85642E-07	-0,248834863	0,02	0,069	0,020798032	0,841575807	1,188247086	0,289855072
RAB38	9,08304E-08	-0,248872913	0,024	0,083	0,001916613	0,841553611	1,188278425	0,289156627
COPS2	9,98249E-10	-0,248908954	0,198	0,328	2,1064E-05	0,841532588	1,188308111	0,603658537
PDE8A	0,000272167	-0,249164329	0,084	0,138	1	0,84138364	1,188518474	0,608695652
SELE	6,09649E-06	-0,249199044	0,02	0,064	0,128642126	0,841363394	1,188547074	0,3125
CDKN2D	0,000236838	-0,249244234	0,084	0,138	1	0,84133704	1,188584304	0,608695652
PRRT1	7,30247E-06	-0,249453602	0,023	0,069	0,154089357	0,841214952	1,188756807	0,333333333
GABARAPL1	4,66637E-10	-0,249637966	0,045	0,132	9,8465E-06	0,841107459	1,188908729	0,340909091
SNTB2	1,48439E-06	-0,249714862	0,056	0,122	0,031322057	0,841062628	1,188972101	0,459016393
CGAS	1,11942E-05	-0,249777024	0,036	0,087	0,236209566	0,84102639	1,189023331	0,413793103
DENND5B	6,96697E-05	-0,249828197	0,02	0,057	1	0,840996559	1,189065507	0,350877193
SMG7	0,000469772	-0,249954378	0,05	0,094	1	0,840923007	1,189169509	0,531914894
HR	1,83249E-06	-0,249955766	0,03	0,084	0,038667451	0,840922198	1,189170654	0,357142857
PTAR1	1,26356E-07	-0,250229054	0,121	0,217	0,002666248	0,840762919	1,189395938	0,557603687
IFI27	0,03794149	-0,250253101	0,18	0,223	1	0,840748904	1,189415763	0,807174888
SUN1	0,000122542	-0,250293796	0,113	0,176	1	0,840725189	1,189449315	0,642045455
CNNM4	3,89031E-07	-0,25033614	0,015	0,062	0,008208939	0,840700514	1,189484226	0,241935484
ZNF141	7,47014E-05	-0,250405222	0,024	0,064	1	0,840660258	1,189541185	0,375
TPI1	7,09062E-10	-0,250506212	0,346	0,528	1,49619E-05	0,840601414	1,189624457	0,65530303
MAGI2	3,80513E-05	-0,250610806	0,054	0,109	0,8029199	0,840540473	1,189710706	0,495412844
CHMP4B	2,72729E-07	-0,250991118	0,162	0,259	0,005754847	0,840318925	1,19002437	0,625482625
CASP4	0,05576291	-0,251041688	0,059	0,081	1	0,840289471	1,190066084	0,728395062
SLC2A3	2,76832E-06	-0,251164731	0,068	0,136	0,058414229	0,840217808	1,190167585	0,5
HNRNPUL1	0,000590131	-0,251167638	0,168	0,227	1	0,840216115	1,190169984	0,740088106

Supplementary Table 5

Differentially expressed genes_total calculation_ comparing SC-Keloid vs. (SC-Myel, SC-Nonmyel)								
gene	p_val	avg_log2FC	pct.1	pct.2	p_val_adj	Foldchange_UP	Foldchange_DOWN	Ratio_pct1_pct2
SRPK2	5,79054E-05	-0,251188604	0,115	0,18	1	0,840203905	1,19018728	0,638888889
ARF1	2,72674E-11	-0,251448472	0,356	0,559	5,7537E-07	0,840052575	1,190401683	0,636851521
MT-ND5	4,44596E-10	-0,251474871	0,37	0,554	9,38141E-06	0,840037204	1,190423466	0,667870036
YTHDF1	1,32235E-05	-0,251550634	0,05	0,106	0,279030001	0,83999309	1,190485983	0,471698113
NXT1	3,81321E-05	-0,251607634	0,113	0,179	0,804624583	0,839959904	1,190533019	0,631284916
SRGN	1,79349E-08	-0,251666293	0,023	0,087	0,000378444	0,839925752	1,190581427	0,264367816
APOA1	1,02412E-10	-0,251728406	0,002	0,054	2,16099E-06	0,839889591	1,190632687	0,037037037
CCDC126	8,15828E-09	-0,251783491	0,054	0,137	0,000172148	0,839857523	1,190678148	0,394160584
SLC35D2	0,008998233	-0,251991801	0,056	0,087	1	0,839736265	1,190850082	0,643678161
SHROOM1	3,20961E-07	-0,252107714	0,003	0,039	0,006772595	0,839668799	1,190945764	0,076923077
SDC4	0,000109657	-0,252411615	0,087	0,145	1	0,839491943	1,191196661	0,6
YTHDC1	7,22492E-12	-0,252769452	0,163	0,308	1,52453E-07	0,839283747	1,191492154	0,529220779
AKAP17A	2,7407E-06	-0,252856402	0,069	0,136	0,057831454	0,839233166	1,191563967	0,507352941
WARS1	0,006130284	-0,252984388	0,114	0,155	1	0,839158718	1,191669679	0,735483871
RLIM	1,93246E-05	-0,253026387	0,049	0,104	0,407767421	0,839134289	1,191704371	0,471153846
SDR42E2	9,40223E-07	-0,253059618	0,012	0,054	0,019839651	0,839114961	1,191731821	0,222222222
PPFIBP2	1,25555E-06	-0,253138444	0,027	0,08	0,026493351	0,839069114	1,191796937	0,3375
ANGPTL7	0,010281572	-0,253259193	0,056	0,088	1	0,83899889	1,19189669	0,636363636
NOTCH1	0,0001606	-0,253264827	0,107	0,167	1	0,838995613	1,191901345	0,640718563
RAB4A	3,52456E-07	-0,253578751	0,108	0,193	0,007437168	0,838813071	1,192160726	0,559585492
SNX15	0,005079779	-0,253631431	0,015	0,037	1	0,838782443	1,192204258	0,405405405
ARL8B	0,000100132	-0,253849195	0,085	0,141	1	0,838655845	1,192384226	0,602836879
FRMD8	2,50861E-06	-0,254198261	0,063	0,129	0,052934251	0,838452953	1,192672763	0,488372093
FEM1C	9,43874E-08	-0,254204682	0,095	0,183	0,001991668	0,838449221	1,192678071	0,519125683
PTK2	7,56928E-09	-0,254238992	0,178	0,296	0,000159719	0,838429282	1,192706435	0,601351351
ERBB3	2,2434E-07	-0,254292854	0,361	0,503	0,004733796	0,83839798	1,192750965	0,717693837
TCTN3	0,000111387	-0,254337773	0,061	0,113	1	0,838371876	1,192788103	0,539823009
WEE1	1,76554E-07	-0,254432804	0,07	0,148	0,003725461	0,838316655	1,192866675	0,472972973
B4GALT5	0,000264764	-0,254691508	0,057	0,104	1	0,838166341	1,193080599	0,548076923
CHIC2	3,68175E-05	-0,254840772	0,086	0,149	0,776886737	0,838079627	1,193204044	0,577181208

Supplementary Table 5

Differentially expressed genes_total calculation_ comparing SC-Keloid vs. (SC-Myel, SC-Nonmyel)								
gene	p_val	avg_log2FC	pct.1	pct.2	p_val_adj	Foldchange_UP	Foldchange_DOWN	Ratio_pct1_pct2
NR4A3	1,65699E-09	-0,254928399	0,007	0,06	3,49642E-05	0,838028725	1,193276519	0,116666667
RFX2	5,13241E-06	-0,255069968	0,022	0,068	0,108298917	0,837946495	1,193393619	0,323529412
UBE2G1	0,000324314	-0,25521236	0,093	0,145	1	0,837863795	1,193511411	0,64137931
ERBIN	2,10019E-06	-0,255332496	0,15	0,239	0,044316099	0,837794027	1,193610802	0,627615063
ERRFI1	0,000416595	-0,255513916	0,056	0,1	1	0,83768868	1,193760908	0,56
OBSL1	2,28928E-06	-0,255555814	0,043	0,102	0,048306069	0,837664353	1,193795578	0,421568627
TRHDE	3,53636E-09	-0,255910294	0,001	0,043	7,46207E-05	0,837458559	1,194088937	0,023255814
SYP	0,000104645	-0,255922406	0,02	0,056	1	0,837451528	1,194098962	0,357142857
CAPN7	3,33159E-06	-0,255935449	0,064	0,13	0,070299796	0,837443957	1,194109758	0,492307692
VPS13A	7,65421E-06	-0,256311855	0,043	0,099	0,161511382	0,837225492	1,194421347	0,434343434
RBM42	6,83375E-05	-0,256443983	0,123	0,189	1	0,837148819	1,194530742	0,650793651
CRIM1	1,36941E-06	-0,256467302	0,049	0,114	0,028895817	0,837135288	1,19455005	0,429824561
CA2	6,20194E-05	-0,25661019	0,012	0,043	1	0,83705238	1,194668367	0,279069767
TMEM80	0,000368333	-0,256736926	0,052	0,096	1	0,836978851	1,194773319	0,541666667
ILF3-DT	5,33132E-05	-0,25688309	0,045	0,095	1	0,836894058	1,194894372	0,473684211
TARDBP	8,75394E-10	-0,256917321	0,101	0,209	1,84717E-05	0,836874201	1,194922723	0,483253589
MICA	1,2873E-05	-0,256920514	0,061	0,119	0,271632606	0,836872349	1,194925368	0,512605042
EPB41L4B	2,44587E-11	-0,257050777	0,001	0,054	5,16102E-07	0,83679679	1,195033264	0,018518519
CARS1	1,94885E-06	-0,257053289	0,069	0,137	0,041122744	0,836795334	1,195035345	0,503649635
DDX24	9,21112E-11	-0,257394468	0,263	0,411	1,94364E-06	0,836597465	1,19531799	0,639902676
MT-ATP8	2,20421E-05	-0,257422899	0,063	0,121	0,465109342	0,836580979	1,195341546	0,520661157
ZCCHC2	2,14181E-09	-0,257595805	0,012	0,069	4,51944E-05	0,836480721	1,195484815	0,173913043
SLFN11	1,89528E-05	-0,257794201	0,052	0,109	0,399922132	0,836365698	1,195649227	0,47706422
CCDC184	2,30701E-11	-0,257967103	0,007	0,069	4,86802E-07	0,836265468	1,19579253	0,101449275
MAN2B1	0,249396388	-0,258088481	0,051	0,062	1	0,836195114	1,195893139	0,822580645
ZNF844	7,30008E-07	-0,258377309	0,009	0,05	0,015403899	0,836027724	1,196132582	0,18
TXNRD2	0,000162476	-0,25843771	0,048	0,094	1	0,835992723	1,196182661	0,510638298
THY1	0,13514285	-0,25873291	0,069	0,087	1	0,835821683	1,196427445	0,793103448
BMP7	8,91726E-12	-0,25922699	0	0,053	1,88163E-07	0,835535488	1,196837255	0
KLF7	9,55583E-05	-0,259439742	0,058	0,11	1	0,835412281	1,197013765	0,527272727

Supplementary Table 5

Differentially expressed genes_total calculation_ comparing SC-Keloid vs. (SC-Myel, SC-Nonmyel)								
gene	p_val	avg_log2FC	pct.1	pct.2	p_val_adj	Foldchange_UP	Foldchange_DOWN	Ratio_pct1_pct2
ADIPOR2	2,17529E-06	-0,259989937	0,052	0,115	0,045900853	0,835093744	1,197470352	0,452173913
PIAS4	1,11208E-05	-0,260090443	0,027	0,073	0,234660118	0,835035569	1,197553778	0,369863014
NXPE3	5,78604E-07	-0,260343317	0,065	0,138	0,012209123	0,834889218	1,197763702	0,471014493
LRR8C	1,28836E-11	-0,260464641	0,009	0,076	2,71858E-07	0,83481901	1,197864432	0,118421053
CFAP20	0,007008195	-0,260641017	0,162	0,204	1	0,834716956	1,198010885	0,794117647
BOLA2	0,000467405	-0,260801963	0,027	0,061	1	0,834623841	1,198144542	0,442622951
MAP3K3	1,75392E-05	-0,260944058	0,042	0,094	0,370094755	0,834541641	1,198262557	0,446808511
NT5DC2	0,020214634	-0,261007176	0,155	0,19	1	0,83450513	1,198314982	0,815789474
AHDC1	1,29144E-05	-0,261020278	0,087	0,155	0,272507779	0,834497552	1,198325865	0,561290323
RIMKLB	2,71925E-06	-0,261246893	0,03	0,083	0,057378802	0,834366481	1,198514109	0,361445783
ILF2	2,85345E-06	-0,261387531	0,211	0,301	0,060210615	0,834285149	1,19863095	0,700996678
PRRC2A	4,97564E-05	-0,26149945	0,112	0,176	1	0,83422043	1,198723939	0,636363636
EPM2AIP1	6,43737E-05	-0,261579711	0,071	0,129	1	0,834174022	1,198790628	0,550387597
TFG	1,47152E-08	-0,261606898	0,176	0,286	0,000310505	0,834158302	1,19881322	0,615384615
MAP1A	0,000215552	-0,261765487	0,081	0,134	1	0,834066612	1,198945007	0,604477612
LINC00342	2,28665E-05	-0,262332801	0,016	0,054	0,482505173	0,833738695	1,199416564	0,296296296
PTPN23	0,008604307	-0,262400534	0,034	0,06	1	0,833699553	1,199472876	0,566666667
TMEM9	2,73306E-05	-0,262669165	0,073	0,133	0,5767032	0,833544331	1,19969624	0,54887218
LCAT	0,002858618	-0,262756486	0,058	0,095	1	0,833493881	1,199768855	0,610526316
ABHD3	3,26138E-06	-0,263072511	0,024	0,073	0,068818314	0,833311323	1,200031696	0,328767123
RIPK4	2,97531E-08	-0,263336475	0,003	0,045	0,000627821	0,83315887	1,20025128	0,066666667
BCLAF1	1,19009E-09	-0,263366492	0,225	0,357	2,51122E-05	0,833141535	1,200276253	0,630252101
TAB2	5,67463E-08	-0,263521597	0,108	0,202	0,001197404	0,833051968	1,200405302	0,534653465
USP12	3,59133E-08	-0,26376796	0,063	0,144	0,000757806	0,832909723	1,200610308	0,4375
TNRC6B	5,9905E-10	-0,264048668	0,237	0,381	1,26406E-05	0,832747678	1,200843937	0,622047244
PDE4D	4,67085E-07	-0,264052289	0,023	0,077	0,009855967	0,832745589	1,20084695	0,298701299
CCNG1	7,09428E-06	-0,264347283	0,035	0,087	0,14969637	0,832575331	1,201092517	0,402298851
CITED4	3,71797E-06	-0,264352499	0,009	0,046	0,078452942	0,832572321	1,20109686	0,195652174
BRD8	0,000325288	-0,264402043	0,061	0,109	1	0,832543729	1,201138108	0,559633028
MGAT4C	1,02243E-09	-0,2646296	0,001	0,046	2,15742E-05	0,832412422	1,201327579	0,02173913

Supplementary Table 5

Differentially expressed genes_total calculation_ comparing SC-Keloid vs. (SC-Myel, SC-Nonmyel)								
gene	p_val	avg_log2FC	pct.1	pct.2	p_val_adj	Foldchange_UP	Foldchange_DOWN	Ratio_pct1_pct2
TMEM100	0,00016446	-0,264717593	0,019	0,053	1	0,832361653	1,201400853	0,358490566
GRIK2	0,001393547	-0,264878608	0,056	0,096	1	0,832268761	1,201534945	0,583333333
SNHG18	6,54251E-10	-0,264918464	0,017	0,083	1,38054E-05	0,832245769	1,201568139	0,204819277
BSCL2	0,002012943	-0,265420318	0,049	0,084	1	0,831956315	1,201986188	0,583333333
PPP1CC	5,57712E-07	-0,265529116	0,147	0,239	0,011768286	0,831893577	1,202076837	0,615062762
PTGES3	1,79474E-12	-0,266313496	0,346	0,535	3,78709E-08	0,831441408	1,202730572	0,646728972
TARS3	4,39931E-07	-0,266430874	0,1	0,185	0,009282986	0,831373764	1,202828431	0,540540541
HDAC11	2,16638E-09	-0,266762568	0,036	0,113	4,57128E-05	0,831182642	1,203105009	0,318584071
GATAD2B	7,57252E-07	-0,26679207	0,093	0,172	0,015978785	0,831165646	1,203129611	0,540697674
EXOC1	0,662309137	-0,267011243	0,09	0,092	1	0,831039385	1,203312403	0,97826087
PARP10	0,002288484	-0,267320657	0,052	0,088	1	0,830861172	1,203570505	0,590909091
ITPR2	2,42701E-05	-0,267563853	0,024	0,068	0,5121244	0,830721125	1,203773408	0,352941176
SHF	1,79889E-07	-0,26756738	0,012	0,058	0,00379583	0,830719094	1,203776352	0,206896552
PRKD1	2,35927E-07	-0,268438411	0,009	0,053	0,004978306	0,830217696	1,204503354	0,169811321
AQP3	0,009040083	-0,26844308	0,034	0,06	1	0,83021501	1,204507252	0,566666667
CDKN2C	1,36243E-06	-0,268452114	0,105	0,186	0,028748578	0,830209811	1,204514795	0,564516129
PACSIN3	1,25705E-07	-0,268454033	0,028	0,088	0,002652511	0,830208706	1,204516397	0,318181818
MED17	3,14051E-05	-0,268455315	0,052	0,106	0,662678357	0,830207969	1,204517467	0,490566038
REXO1	0,00141169	-0,268463179	0,049	0,087	1	0,830203443	1,204524033	0,563218391
TIFA	9,07109E-09	-0,268583867	0,013	0,068	0,000191409	0,830133996	1,204624801	0,191176471
SNHG9	0,00402657	-0,268676264	0,147	0,193	1	0,830080832	1,204701953	0,761658031
SHMT1	2,30951E-06	-0,268800751	0,017	0,062	0,048732866	0,830009209	1,204805909	0,274193548
PHLDB2	2,50211E-05	-0,26902206	0,092	0,157	0,527969788	0,829881896	1,204990741	0,585987261
OSBPL11	0,040479012	-0,269376842	0,043	0,064	1	0,82967784	1,205287103	0,671875
ZNF667-AS1	2,70546E-07	-0,269395524	0,027	0,084	0,005708794	0,829667096	1,205302711	0,321428571
UBQLN2	8,00557E-05	-0,269783212	0,05	0,099	1	0,829444174	1,205626649	0,505050505
CYP51A1	3,0026E-06	-0,269858706	0,033	0,085	0,063357888	0,829400771	1,20568974	0,388235294
TNFRSF14	2,39815E-05	-0,270226458	0,052	0,107	0,506032844	0,829189379	1,205997117	0,485981308
CCSAP	5,81535E-09	-0,270450768	0,015	0,073	0,00012271	0,829060467	1,206184639	0,205479452
AKIRIN1	2,31579E-09	-0,270814787	0,086	0,185	4,88655E-05	0,828851306	1,206489021	0,464864865

Supplementary Table 5

Differentially expressed genes_total calculation_ comparing SC-Keloid vs. (SC-Myel, SC-Nonmyel)								
gene	p_val	avg_log2FC	pct.1	pct.2	p_val_adj	Foldchange_UP	Foldchange_DOWN	Ratio_pct1_pct2
TTR	0,003876198	-0,270834002	0,02	0,045	1	0,828840266	1,20650509	0,444444444
ABHD17B	5,70333E-07	-0,270980845	0,021	0,072	0,012034604	0,828755908	1,206627899	0,291666667
PDZD2	6,40481E-12	-0,27119957	0,005	0,066	1,35148E-07	0,828630271	1,206810848	0,075757576
RIOK3	7,96635E-07	-0,27148273	0,143	0,235	0,016809785	0,82846765	1,207047734	0,608510638
CCNG2	1,01627E-07	-0,271508091	0,051	0,125	0,002144424	0,828453087	1,207068953	0,408
CXCL8	1,976E-06	-0,27151461	0,02	0,066	0,0416955	0,828449344	1,207074407	0,303030303
TFE3	0,001023737	-0,271661149	0,055	0,095	1	0,8283652	1,207197019	0,578947368
PM20D2	4,08001E-09	-0,271717172	0,021	0,085	8,60924E-05	0,828333033	1,207243898	0,247058824
PTPN13	2,25279E-10	-0,271783788	0,068	0,167	4,7536E-06	0,828294786	1,207299644	0,407185629
PALMD	3,4478E-08	-0,271837202	0,007	0,053	0,00072752	0,82826412	1,207344343	0,132075472
TNRC18	0,000119745	-0,271902729	0,045	0,092	1	0,828226501	1,207399182	0,489130435
ZNF462	2,88132E-07	-0,272611622	0,088	0,174	0,006079869	0,827819637	1,207992605	0,505747126
PNRC2	3,61502E-13	-0,273328331	0,105	0,242	7,62804E-09	0,827408492	1,208592866	0,433884298
RSBN1	1,90722E-06	-0,273362883	0,078	0,149	0,040244217	0,827388676	1,208621811	0,523489933
BBC3	5,3497E-06	-0,27365404	0,068	0,132	0,112884007	0,827221714	1,208865753	0,515151515
RPSA	1,84996E-09	-0,273849897	0,482	0,741	3,90361E-05	0,827109419	1,209029878	0,650472335
TFAP2C	2,83303E-07	-0,274088741	0,037	0,1	0,005977981	0,826972499	1,209230054	0,37
ARHGAP5-AS1	1,08864E-05	-0,27413917	0,015	0,054	0,229714309	0,826943593	1,209272323	0,277777778
TNS1	6,10545E-07	-0,274169043	0,078	0,156	0,012883109	0,826926471	1,209297363	0,5
SMURF1	5,34228E-09	-0,274310087	0,024	0,091	0,000112728	0,82684563	1,209415595	0,263736264
CDK19	7,45511E-08	-0,27454843	0,041	0,11	0,001573102	0,826709041	1,209615415	0,372727273
BRAF	1,54703E-09	-0,274767849	0,08	0,178	3,26438E-05	0,826583317	1,209799399	0,449438202
TANC1	4,62316E-10	-0,274968283	0,113	0,227	9,75533E-06	0,826468487	1,209967489	0,497797357
LARP4	4,29854E-05	-0,27502489	0,111	0,176	0,907035979	0,82643606	1,210014965	0,630681818
SRCAP	4,1311E-06	-0,275030415	0,019	0,062	0,087170395	0,826432895	1,210019599	0,306451613
GABARAPL2	8,58745E-15	-0,275276868	0,388	0,607	1,81204E-10	0,826291729	1,210226322	0,639209226
ARIH1	5,21383E-07	-0,275342621	0,119	0,209	0,011001694	0,82625407	1,210281481	0,56937799
EPAS1	2,30085E-12	-0,276127421	0,016	0,095	4,85502E-08	0,825804725	1,210940032	0,168421053
EPHX1	2,54858E-07	-0,276137567	0,017	0,068	0,005377755	0,825798918	1,210948548	0,25
H2BC15	7,55747E-06	-0,276721807	0,016	0,057	0,159470184	0,825464567	1,211439037	0,280701754

Supplementary Table 5

Differentially expressed genes_total calculation_ comparing SC-Keloid vs. (SC-Myel, SC-Nonmyel)								
gene	p_val	avg_log2FC	pct.1	pct.2	p_val_adj	Foldchange_UP	Foldchange_DOWN	Ratio_pct1_pct2
G3BP1	9,81428E-08	-0,276933608	0,192	0,297	0,002070912	0,825343389	1,211616901	0,646464646
ZNF358	0,000426023	-0,277109029	0,084	0,133	1	0,82524304	1,211764234	0,631578947
CAMTA1	3,67264E-11	-0,277382923	0,262	0,418	7,74965E-07	0,825086383	1,211994308	0,626794258
KCNK5	6,34815E-12	-0,277393684	0,001	0,057	1,33952E-07	0,825080229	1,212003348	0,01754386
GOLGA4	1,26626E-08	-0,277400581	0,212	0,338	0,000267193	0,825076285	1,212009142	0,627218935
SOX7	2,39236E-07	-0,277568698	0,009	0,053	0,005048126	0,824980144	1,212150385	0,169811321
MAX	4,96335E-08	-0,278171936	0,086	0,174	0,001047317	0,824635265	1,212657331	0,494252874
CTTNBP2NL	3,64309E-12	-0,278938145	0,083	0,201	7,68729E-08	0,824197422	1,213301539	0,412935323
TENT4B	0,000271114	-0,279136987	0,072	0,122	1	0,824083833	1,213468776	0,590163934
HERC2	6,96468E-06	-0,279258871	0,101	0,174	0,146961796	0,824014214	1,213571299	0,58045977
CNBD2	0,001225958	-0,279261122	0,035	0,069	1	0,824012929	1,213573192	0,507246377
TBX2	3,38133E-10	-0,279263238	0,012	0,073	7,13494E-06	0,82401172	1,213574972	0,164383562
NR2F2-AS1	1,25799E-05	-0,279718309	0,024	0,069	0,265447588	0,823751842	1,213957832	0,347826087
PRPF39	0,000231087	-0,279725422	0,04	0,081	1	0,82374778	1,213963818	0,49382716
TGIF2	1,78681E-07	-0,279774691	0,045	0,114	0,003770349	0,823719649	1,214005276	0,394736842
ALDH2	1,423E-08	-0,280024678	0,03	0,098	0,000300267	0,823576929	1,214215654	0,306122449
CKS1B	3,77723E-11	-0,280170756	0,116	0,239	7,97034E-07	0,823493544	1,214338604	0,485355649
RAB11FIP1	4,14894E-10	-0,280471364	0,022	0,094	8,75467E-06	0,823321974	1,214591656	0,234042553
SCCPDH	4,20175E-07	-0,280608604	0,293	0,411	0,008866112	0,823243657	1,214707203	0,712895377
DUSP7	0,000453742	-0,280789804	0,051	0,094	1	0,823140266	1,214859778	0,542553191
LRRTM1	1,07906E-10	-0,280944337	0	0,047	2,27692E-06	0,8230521	1,214989913	0
SMOX	4,74606E-05	-0,281161697	0,061	0,114	1	0,822928107	1,21517298	0,535087719
MRGPRF	1,01869E-12	-0,281469223	0,003	0,068	2,14953E-08	0,822752709	1,215432035	0,044117647
NIM1K	4,17562E-07	-0,281523771	0,02	0,071	0,008810983	0,822721602	1,215477992	0,281690141
CORO2B	5,85234E-05	-0,28155765	0,042	0,09	1	0,822702282	1,215506535	0,466666667
PACS2	0,000259159	-0,281671561	0,081	0,134	1	0,822637326	1,215602512	0,604477612
MAP3K8	5,63438E-05	-0,281738628	0,028	0,069	1	0,822599085	1,215659023	0,405797101
CRK	0,000161567	-0,281840092	0,142	0,206	1	0,822541234	1,215744523	0,689320388
PDE5A	3,25502E-09	-0,282275037	0,013	0,071	6,86841E-05	0,822293291	1,216111102	0,183098592
BBS5	4,66178E-05	-0,282341829	0,031	0,076	0,983683106	0,822255222	1,216167405	0,407894737

Supplementary Table 5

Differentially expressed genes_total calculation_ comparing SC-Keloid vs. (SC-Myel, SC-Nonmyel)								
gene	p_val	avg_log2FC	pct.1	pct.2	p_val_adj	Foldchange_UP	Foldchange_DOWN	Ratio_pct1_pct2
CTNND1	1,30975E-12	-0,282356678	0,154	0,299	2,7637E-08	0,822246759	1,216179922	0,515050167
XAB2	3,8161E-05	-0,282647121	0,027	0,069	0,805235047	0,822081242	1,216424788	0,391304348
ZDHHC8	3,21388E-06	-0,282657669	0,057	0,121	0,067816037	0,822075231	1,216433682	0,47107438
RPS25	3,51769E-10	-0,28286905	0,614	0,877	7,42269E-06	0,821954791	1,216611925	0,700114025
ISCU	7,38655E-09	-0,283109916	0,207	0,33	0,000155864	0,821817572	1,216815062	0,627272727
NFAT5	3,13478E-11	-0,283289515	0,122	0,248	6,61469E-07	0,821715272	1,216966551	0,491935484
PAF1	5,29966E-07	-0,28353971	0,069	0,142	0,011182818	0,821572781	1,217177617	0,485915493
REV1	9,62668E-07	-0,283574195	0,058	0,126	0,020313261	0,821553143	1,217206713	0,46031746
KIF1B	5,83036E-09	-0,284244175	0,154	0,266	0,000123026	0,821171706	1,217772108	0,578947368
ARL4D	0,010461806	-0,284306294	0,077	0,11	1	0,82113635	1,217824543	0,7
LRRC8B	6,79616E-10	-0,284334701	0,036	0,117	1,43406E-05	0,821120181	1,217848523	0,307692308
TRPM3	1,13317E-10	-0,284375761	0,002	0,054	2,39111E-06	0,821096812	1,217883184	0,037037037
WBP11	1,29914E-06	-0,284499112	0,158	0,244	0,027413217	0,821026611	1,217987318	0,647540984
ELF2	9,78976E-09	-0,284841349	0,098	0,195	0,000206574	0,820831869	1,218276284	0,502564103
FAM171A1	2,61949E-07	-0,284854906	0,024	0,08	0,005527396	0,820824156	1,218287733	0,3
MARVELD1	0,001298792	-0,284872277	0,171	0,225	1	0,820814273	1,218302401	0,76
SLC11A2	8,04609E-05	-0,285448196	0,05	0,099	1	0,820486672	1,218788841	0,505050505
ROBO3	3,82504E-06	-0,285790998	0,035	0,088	0,080712112	0,820291738	1,219078474	0,397727273
DNAJB2	2,42425E-09	-0,285863479	0,15	0,261	5,11542E-05	0,820250527	1,219139723	0,574712644
SIRT1	2,49926E-07	-0,286246258	0,056	0,128	0,00527369	0,820032925	1,219463231	0,4375
NABP1	5,06295E-11	-0,28648887	0,014	0,083	1,06833E-06	0,819895035	1,219668319	0,168674699
ATP11A	2,28362E-09	-0,287754563	0,019	0,083	4,81866E-05	0,819176048	1,220738818	0,228915663
ZNF331	9,34199E-09	-0,288070377	0,029	0,098	0,000197125	0,818996745	1,221006074	0,295918367
GTF2B	2,68431E-07	-0,288307308	0,107	0,197	0,005664164	0,818862254	1,221206614	0,543147208
ADD1	2,06906E-07	-0,288326932	0,194	0,294	0,004365925	0,818851115	1,221223225	0,659863946
JADE1	2,75839E-05	-0,288367066	0,07	0,129	0,582048612	0,818828336	1,221257199	0,542635659
TSPAN11	0,010327424	-0,288573091	0,192	0,236	1	0,818711411	1,221431613	0,813559322
SYPL1	1,92828E-10	-0,288842463	0,232	0,376	4,06886E-06	0,818558561	1,221659693	0,617021277
C10orf90	1,41552E-09	-0,288899465	0,005	0,054	2,98688E-05	0,818526219	1,221707963	0,092592593
NRG1	1,56124E-10	-0,289250355	0,001	0,05	3,29437E-06	0,818327162	1,222005142	0,02

Supplementary Table 5

Differentially expressed genes_total calculation_ comparing SC-Keloid vs. (SC-Myel, SC-Nonmyel)								
gene	p_val	avg_log2FC	pct.1	pct.2	p_val_adj	Foldchange_UP	Foldchange_DOWN	Ratio_pct1_pct2
LMO7	3,44748E-08	-0,289592471	0,027	0,09	0,000727452	0,81813313	1,222294958	0,3
ETF1	2,32455E-09	-0,289668272	0,129	0,236	4,90504E-05	0,818090146	1,222359181	0,546610169
RAC1	3,52585E-13	-0,289728318	0,445	0,723	7,43989E-09	0,818056097	1,222410057	0,61549101
SRCIN1	1,1704E-09	-0,289743746	0,035	0,114	2,46966E-05	0,818047349	1,22242313	0,307017544
CNKS2	3,59042E-11	-0,289789869	0,009	0,073	7,57614E-07	0,818021196	1,222462211	0,123287671
ZNFX1	1,58852E-08	-0,289846717	0,043	0,118	0,000335193	0,817988964	1,222510382	0,36440678
KRT15	1,58159E-08	-0,290247171	0,008	0,057	0,000333731	0,817761943	1,222849766	0,140350877
S100A14	4,0343E-07	-0,290253056	0,009	0,052	0,008512775	0,817758607	1,222854754	0,173076923
MAP4K3	1,76875E-05	-0,290444497	0,052	0,107	0,373224564	0,8176501	1,223017033	0,485981308
AMFR	1,69211E-06	-0,290458972	0,077	0,149	0,035705207	0,817641896	1,223029305	0,516778523
SPSB3	2,13664E-06	-0,290459024	0,121	0,202	0,045085137	0,817641867	1,223029348	0,599009901
TRIM47	0,000394558	-0,29047859	0,097	0,148	1	0,817630778	1,223045935	0,655405405
ELL	1,64414E-05	-0,290496236	0,021	0,062	0,346930224	0,817620778	1,223060895	0,338709677
ARL5A	8,67805E-06	-0,290577282	0,13	0,205	0,183115501	0,817574848	1,223129605	0,634146341
PDS5B	7,87825E-10	-0,290816471	0,12	0,233	1,66239E-05	0,817439311	1,223332408	0,515021459
KLHL28	4,50417E-06	-0,290892766	0,055	0,115	0,095042436	0,817396082	1,223397104	0,47826087
RAD23A	3,07624E-05	-0,291146376	0,169	0,24	0,649117495	0,817252406	1,223612183	0,704166667
NPDC1	1,10664E-09	-0,291227258	0,142	0,256	2,33513E-05	0,817206589	1,223680784	0,5546875
SMAD4	4,47996E-07	-0,291362193	0,111	0,198	0,009453153	0,81713016	1,22379524	0,560606061
PPDPF	3,34359E-10	-0,291462084	0,475	0,723	7,05532E-06	0,817073584	1,223879978	0,656984786
JUP	3,81075E-07	-0,292005674	0,016	0,065	0,00804107	0,816765779	1,224341208	0,246153846
FAM193B	0,003533003	-0,292008208	0,061	0,096	1	0,816764344	1,224343358	0,635416667
UBR3	1,15303E-06	-0,292152624	0,05	0,115	0,02433004	0,816682589	1,224465923	0,434782609
RPS29	9,21739E-08	-0,292153516	0,658	0,855	0,001944962	0,816682084	1,224466668	0,769590643
KRT17	4,11699E-06	-0,29215749	0,034	0,087	0,08687261	0,816679834	1,224470053	0,390804598
CYB5R2	0,000121084	-0,292355555	0,066	0,118	1	0,816567722	1,22463817	0,559322034
MXD1	1,30077E-06	-0,292583073	0,058	0,125	0,027447474	0,816438956	1,224831315	0,464
STMN1	6,04588E-13	-0,292699876	0,367	0,574	1,27574E-08	0,816372859	1,224930483	0,639372822
NSUN6	0,00641793	-0,292718193	0,054	0,085	1	0,816362493	1,224946036	0,635294118
SCAF4	4,51753E-06	-0,292807397	0,058	0,119	0,095324301	0,816312018	1,225021778	0,487394958

Supplementary Table 5

Differentially expressed genes_total calculation_ comparing SC-Keloid vs. (SC-Myel, SC-Nonmyel)								
gene	p_val	avg_log2FC	pct.1	pct.2	p_val_adj	Foldchange_UP	Foldchange_DOWN	Ratio_pct1_pct2
WDR47	6,42737E-07	-0,292875582	0,061	0,13	0,013562404	0,816273438	1,225079677	0,469230769
PAXX	4,66229E-05	-0,293103848	0,161	0,228	0,983790142	0,816144296	1,225273527	0,706140351
UPF2	1,28581E-08	-0,293333026	0,139	0,248	0,00027132	0,816014659	1,225468181	0,560483871
CAPRIN2	9,73408E-08	-0,293723314	0,056	0,13	0,002053989	0,815793935	1,225799749	0,430769231
ZFR	2,49588E-09	-0,29395625	0,133	0,242	5,26656E-05	0,815662228	1,225997681	0,549586777
AGO3	6,56755E-10	-0,294376819	0,061	0,153	1,38582E-05	0,815424484	1,226355131	0,39869281
KMT2E-AS1	1,06084E-07	-0,29446596	0,024	0,083	0,002238489	0,815374102	1,226430908	0,289156627
CBX6	8,83156E-10	-0,295070414	0,13	0,242	1,86355E-05	0,815032552	1,22694486	0,537190083
DDAH2	7,00248E-10	-0,295203916	0,231	0,362	1,47759E-05	0,814957135	1,227058402	0,638121547
SOCS1	1,28453E-05	-0,29523197	0,022	0,065	0,271047963	0,814941288	1,227082263	0,338461538
MT-ATP6	1,30447E-05	-0,295471248	0,818	0,898	0,275256536	0,814806137	1,227285798	0,91091314
HSBP1L1	2,87275E-08	-0,296081174	0,021	0,08	0,000606179	0,814461736	1,227804765	0,2625
TSPYL1	1,07905E-08	-0,296216532	0,055	0,136	0,000227691	0,814385324	1,227919967	0,404411765
KLHL26	9,06914E-09	-0,296220976	0,017	0,076	0,000191368	0,814382815	1,227923749	0,223684211
NKAIN2	1,01264E-14	-0,296513882	0,002	0,075	2,13677E-10	0,814217491	1,228173076	0,026666667
EFNB2	1,11199E-07	-0,296981821	0,033	0,096	0,00234642	0,813953441	1,2285715	0,34375
ITSN2	7,56434E-06	-0,297241869	0,059	0,121	0,159615239	0,813806738	1,228792971	0,487603306
TACC1	0,000195841	-0,297364441	0,184	0,248	1	0,8137376	1,228897374	0,741935484
LAMP2	4,24358E-12	-0,297425271	0,34	0,528	8,95437E-08	0,81370329	1,228949191	0,643939394
MALAT1	9,79961E-10	-0,297488709	0,991	0,996	2,06782E-05	0,813667511	1,229003232	0,99497992
ZFAND2A	0,001094364	-0,297538142	0,084	0,129	1	0,813639632	1,229045343	0,651162791
SLC27A1	1,06596E-07	-0,29778005	0,055	0,128	0,002249284	0,813503213	1,229251444	0,4296875
NPIP5	6,2614E-06	-0,298007351	0,037	0,09	0,132121823	0,813375054	1,229445131	0,411111111
IGF2BP2	1,67633E-05	-0,298345842	0,058	0,117	0,353723081	0,813184239	1,229733623	0,495726496
EHD1	3,83672E-07	-0,298436981	0,024	0,079	0,008095872	0,813132869	1,229811311	0,303797468
CENPC	1,29993E-08	-0,298615987	0,07	0,157	0,000274298	0,813031984	1,229963912	0,445859873
MORF4L2	4,59637E-13	-0,29865803	0,271	0,45	9,69879E-09	0,813008291	1,229999756	0,602222222
RPS6KA3	2,07953E-07	-0,298929899	0,058	0,13	0,004388008	0,812855098	1,230231566	0,446153846
CLASRP	2,72276E-06	-0,299058288	0,036	0,091	0,057453059	0,812782763	1,230341053	0,395604396
ALKBH5	3,52836E-07	-0,299167461	0,115	0,199	0,007445199	0,81272126	1,230434159	0,577889447

Supplementary Table 5

Differentially expressed genes_total calculation_ comparing SC-Keloid vs. (SC-Myel, SC-Nonmyel)								
gene	p_val	avg_log2FC	pct.1	pct.2	p_val_adj	Foldchange_UP	Foldchange_DOWN	Ratio_pct1_pct2
TYRO3	4,38522E-11	-0,29933552	0,014	0,083	9,25325E-07	0,812626592	1,230577501	0,168674699
SIAH2	3,15948E-05	-0,29937602	0,059	0,114	0,666681692	0,81260378	1,230612046	0,51754386
CDH7	5,78917E-11	-0,299572656	0	0,049	1,22157E-06	0,812493031	1,230779787	0
TP53INP2	1,1367E-08	-0,299744351	0,031	0,1	0,000239855	0,812396342	1,230926271	0,31
H2BC21	5,128E-11	-0,299961162	0,013	0,08	1,08206E-06	0,812274263	1,231111271	0,1625
MLLT6	3,90414E-14	-0,300279662	0,063	0,187	8,23812E-10	0,812094959	1,23138309	0,336898396
NFIC	2,23002E-11	-0,300511494	0,328	0,506	4,70557E-07	0,811964471	1,231580981	0,648221344
CREBBP	1,01023E-07	-0,300683598	0,101	0,19	0,002131681	0,811867615	1,23172791	0,531578947
ELL2	0,002205531	-0,301394158	0,045	0,08	1	0,81146785	1,232334713	0,5625
ZNF410	6,27432E-06	-0,301450812	0,028	0,076	0,132394411	0,811435984	1,232383107	0,368421053
RAP1GAP	6,5442E-13	-0,301856522	0,007	0,077	1,38089E-08	0,811207827	1,232729723	0,090909091
CDADC1	1,19263E-08	-0,301891004	0,054	0,133	0,000251657	0,811188439	1,232759187	0,406015038
RUSC2	2,54463E-09	-0,302200985	0,012	0,068	5,36942E-05	0,811014164	1,233024089	0,176470588
INAFM2	4,83459E-08	-0,302375846	0,03	0,094	0,001020147	0,810915871	1,233173546	0,319148936
MIIP	0,000400387	-0,302416651	0,049	0,091	1	0,810892935	1,233208425	0,538461538
KITLG	2,33947E-06	-0,302569215	0,022	0,071	0,049365165	0,810807189	1,233338843	0,309859155
KDM2A	1,80462E-07	-0,302990033	0,139	0,232	0,00380793	0,81057072	1,233698647	0,599137931
NMT1	0,001627652	-0,303027608	0,114	0,161	1	0,810549609	1,233730779	0,708074534
TBL1X	1,98049E-11	-0,303041039	0,02	0,096	4,17903E-07	0,810542063	1,233742265	0,208333333
QKI	1,8396E-11	-0,303168295	0,506	0,715	3,88174E-07	0,81047057	1,233851094	0,707692308
TACSTD2	1,01374E-06	-0,303189997	0,012	0,054	0,021390922	0,810458379	1,233869655	0,222222222
NRARP	7,23219E-08	-0,303461129	0,014	0,065	0,001526065	0,81030608	1,234101563	0,215384615
LRR8A	2,36795E-06	-0,303743895	0,081	0,152	0,049966055	0,810147277	1,234343468	0,532894737
CERS4	6,44185E-05	-0,303958889	0,058	0,11	1	0,810026556	1,234527427	0,527272727
ZNF703	1,82732E-06	-0,303970139	0,029	0,081	0,038558315	0,810020239	1,234537054	0,358024691
SLC4A2	0,002393324	-0,305343197	0,078	0,118	1	0,809249685	1,235712561	0,661016949
TSC1	1,44977E-05	-0,305902371	0,049	0,104	0,305915027	0,808936088	1,236191604	0,471153846
CECR2	1,50352E-10	-0,305987174	0,027	0,104	3,17258E-06	0,808888539	1,23626427	0,259615385
HIVEP2	8,47954E-08	-0,306033578	0,093	0,182	0,001789268	0,808862522	1,236304035	0,510989011
ARRDC4	8,35142E-07	-0,306261335	0,069	0,141	0,01762233	0,808734838	1,236499225	0,489361702

Supplementary Table 5

Differentially expressed genes_total calculation_ comparing SC-Keloid vs. (SC-Myel, SC-Nonmyel)								
gene	p_val	avg_log2FC	pct.1	pct.2	p_val_adj	Foldchange_UP	Foldchange_DOWN	Ratio_pct1_pct2
CFD	7,393E-12	-0,306463875	0,027	0,111	1,56E-07	0,808621308	1,236672829	0,243243243
KLF16	8,15498E-05	-0,306877746	0,071	0,126	1	0,808389369	1,237027648	0,563492063
ITSN1	6,19636E-10	-0,306980005	0,059	0,152	1,30749E-05	0,808332072	1,237115332	0,388157895
RASL12	6,7181E-05	-0,307497361	0,062	0,115	1	0,808042253	1,237559046	0,539130435
GALNT17	0,001542763	-0,307891865	0,083	0,126	1	0,807821324	1,237897503	0,658730159
SLC25A36	1,91811E-09	-0,307903667	0,115	0,224	4,0474E-05	0,807814716	1,237907629	0,513392857
CCND3	2,9691E-06	-0,308216995	0,098	0,171	0,062650997	0,807639292	1,238176511	0,573099415
FAM214A	1,56755E-08	-0,308555013	0,041	0,114	0,000330769	0,807450087	1,238466644	0,359649123
SAP30BP	2,61374E-06	-0,308567107	0,158	0,243	0,055152609	0,807443318	1,238477027	0,650205761
PFKL	8,06482E-05	-0,308641627	0,097	0,156	1	0,807401612	1,238541	0,621794872
USP9X	5,33201E-07	-0,308725827	0,107	0,191	0,011251078	0,807354491	1,238613287	0,560209424
PHACTR4	1,67794E-10	-0,309283277	0,137	0,265	3,54062E-06	0,807042594	1,239091973	0,516981132
SRGAP2	8,88515E-08	-0,309578505	0,163	0,265	0,001874855	0,806877461	1,239345562	0,61509434
SF3A2	0,000207609	-0,309711778	0,084	0,136	1	0,806802926	1,239460056	0,617647059
ADGRA2	6,37452E-05	-0,309807008	0,041	0,088	1	0,806749672	1,239541873	0,465909091
RGS2	6,3378E-07	-0,310006465	0,08	0,159	0,013373386	0,806638145	1,239713255	0,503144654
MARCKS	8,91349E-07	-0,310085482	0,737	0,855	0,018808354	0,806593966	1,239781157	0,861988304
PSMF1	0,000124145	-0,310203516	0,111	0,168	1	0,806527977	1,239882593	0,660714286
MXRA8	7,08085E-08	-0,310254881	0,295	0,425	0,001494131	0,806499262	1,239926739	0,694117647
RPS17	7,22921E-13	-0,310781544	0,281	0,46	1,52543E-08	0,8062049	1,240379463	0,610869565
KAT5	0,000222298	-0,311081941	0,054	0,099	1	0,80603705	1,24063776	0,545454545
SERPINB2	1,65882E-07	-0,311227283	0,002	0,038	0,003500279	0,805955851	1,240762753	0,052631579
EZH2	4,02965E-07	-0,311372163	0,051	0,119	0,00850297	0,805874918	1,24088736	0,428571429
HSPE1	3,33195E-10	-0,311554116	0,42	0,596	7,03076E-06	0,805773288	1,241043871	0,704697987
ZNF644	2,21194E-11	-0,31167805	0,175	0,316	4,66742E-07	0,805704071	1,241150487	0,553797468
PARD3B	5,62817E-08	-0,311689934	0,015	0,068	0,001187599	0,805697434	1,241160711	0,220588235
KDM3A	9,37353E-08	-0,31325934	0,049	0,121	0,00197791	0,804821449	1,242511617	0,404958678
LRRC58	9,41819E-06	-0,313354889	0,094	0,163	0,198733141	0,804768148	1,24259391	0,576687117
GIT1	4,24607E-08	-0,313601332	0,109	0,205	0,000895963	0,804630689	1,24280619	0,531707317
PNP	0,000271692	-0,313726933	0,036	0,076	1	0,80456064	1,242914393	0,473684211

Supplementary Table 5

Differentially expressed genes_total calculation_ comparing SC-Keloid vs. (SC-Myel, SC-Nonmyel)								
gene	p_val	avg_log2FC	pct.1	pct.2	p_val_adj	Foldchange_UP	Foldchange_DOWN	Ratio_pct1_pct2
RIPK2	1,34896E-07	-0,313969291	0,065	0,141	0,002846439	0,804425494	1,243123207	0,460992908
APOLD1	2,91646E-08	-0,313980434	0,021	0,08	0,000615401	0,804419281	1,243132809	0,2625
USP51	1,36927E-05	-0,314113871	0,026	0,071	0,288929008	0,804344882	1,243247794	0,366197183
FXR1	1,14923E-12	-0,314222658	0,222	0,385	2,42498E-08	0,804284232	1,243341545	0,576623377
NAPA	1,11421E-06	-0,314240325	0,13	0,212	0,023510854	0,804274383	1,243356771	0,613207547
SESTD1	1,02485E-08	-0,314431173	0,041	0,115	0,000216253	0,804167996	1,24352126	0,356521739
SYNPO2	4,33654E-10	-0,314479429	0,009	0,068	9,15054E-06	0,804141098	1,243562855	0,132352941
RSBN1L	5,72945E-07	-0,314695798	0,144	0,236	0,012089723	0,804020506	1,243749373	0,610169492
ATP13A3	1,16666E-08	-0,315181925	0,108	0,206	0,000246178	0,803749631	1,244168534	0,524271845
TSC22D1	0,011436114	-0,315205786	0,214	0,266	1	0,803736338	1,244189112	0,804511278
NCOA1	3,88896E-08	-0,315222872	0,068	0,151	0,00082061	0,803726819	1,244203847	0,450331126
JARID2	1,68885E-07	-0,315226299	0,066	0,144	0,003563647	0,80372491	1,244206803	0,458333333
DSP	6,82624E-06	-0,315307193	0,01	0,047	0,144040593	0,803679845	1,244276569	0,212765957
KHSRP	7,25511E-07	-0,315814018	0,097	0,175	0,015308999	0,803397559	1,244713765	0,554285714
RBM6	6,37065E-09	-0,316196266	0,154	0,262	0,000134427	0,803184723	1,245043601	0,58778626
ARID4A	3,25534E-09	-0,316204781	0,099	0,201	6,8691E-05	0,803179983	1,245050949	0,492537313
NMB	7,37268E-08	-0,316441621	0,04	0,107	0,001555709	0,803048139	1,24525536	0,373831776
RUBCN	5,3914E-07	-0,3172636	0,047	0,111	0,011376385	0,802590731	1,24596505	0,423423423
ARHGEF2	2,84838E-06	-0,318345212	0,132	0,213	0,060103763	0,801989241	1,24689952	0,61971831
CPXM2	3,56502E-14	-0,318415223	0,002	0,072	7,52254E-10	0,801950323	1,246960031	0,027777778
AZIN1	3,39926E-10	-0,318435868	0,141	0,258	7,17277E-06	0,801938848	1,246977875	0,546511628
ARL5B	5,45664E-09	-0,318449824	0,08	0,174	0,00011514	0,80193109	1,246989938	0,459770115
TM7SF3	0,000209023	-0,31872714	0,055	0,1	1	0,801776957	1,247229658	0,55
RRAGC	1,8761E-07	-0,318806546	0,072	0,149	0,003958749	0,801732828	1,247298308	0,483221477
METRNL	3,49761E-11	-0,318835882	0,098	0,212	7,38031E-07	0,801716526	1,247323671	0,462264151
EIF3F	4,50671E-08	-0,319371953	0,227	0,342	0,00095096	0,801418682	1,247787233	0,66374269
MBD2	5,77686E-09	-0,31947791	0,119	0,221	0,000121898	0,801359825	1,247878878	0,538461538
TOPORS	9,72554E-08	-0,319588867	0,07	0,151	0,002052187	0,801298195	1,247974856	0,463576159
TUBA1B	5,95366E-09	-0,319669141	0,533	0,776	0,000125628	0,801253611	1,248044297	0,68685567
TAPT1	1,4302E-07	-0,320665045	0,041	0,107	0,003017868	0,80070069	1,24890613	0,38317757

Supplementary Table 5

Differentially expressed genes_total calculation_ comparing SC-Keloid vs. (SC-Myel, SC-Nonmyel)								
gene	p_val	avg_log2FC	pct.1	pct.2	p_val_adj	Foldchange_UP	Foldchange_DOWN	Ratio_pct1_pct2
NCOR1	2,72271E-05	-0,320786321	0,175	0,248	0,574518545	0,800633385	1,249011119	0,705645161
PLEKHA7	1,81294E-12	-0,320805769	0,001	0,06	3,82548E-08	0,800622592	1,249027957	0,016666667
RAB1A	1,80644E-13	-0,321206788	0,173	0,324	3,81177E-09	0,800400077	1,249375192	0,533950617
NAA16	5,91957E-10	-0,321212341	0,029	0,104	1,24909E-05	0,800396997	1,24938	0,278846154
MRFAP1	6,97692E-13	-0,321304307	0,314	0,497	1,4722E-08	0,800345976	1,249459646	0,631790744
RHBDD2	0,002950091	-0,321368983	0,086	0,125	1	0,800310098	1,24951566	0,688
COL15A1	1,41636E-07	-0,321409076	0,182	0,289	0,002988656	0,800287857	1,249550385	0,629757785
TXLNG	7,02936E-08	-0,321461825	0,04	0,107	0,001483265	0,800258597	1,249596073	0,373831776
NGDN	1,01768E-05	-0,321584549	0,063	0,123	0,214740886	0,800190525	1,249702375	0,512195122
HDGF	2,67806E-13	-0,322041134	0,172	0,318	5,65097E-09	0,79993732	1,250097944	0,540880503
ARL8A	6,39641E-09	-0,322361492	0,164	0,273	0,000134971	0,79975971	1,250375566	0,600732601
IL6	1,09371E-09	-0,322671068	0,01	0,068	2,30784E-05	0,799588114	1,250643903	0,147058824
STX11	1,71033E-07	-0,322997505	0,029	0,088	0,003608973	0,799407213	1,250926917	0,329545455
SIRT2	1,30991E-06	-0,323612587	0,15	0,235	0,027640504	0,799066464	1,251460354	0,638297872
GATAD2A	1,36835E-08	-0,323722512	0,088	0,18	0,000288736	0,799005583	1,251555711	0,488888889
CTSL	2,74604E-10	-0,324014761	0,112	0,225	5,79442E-06	0,798843743	1,251809267	0,497777778
TFEB	3,93487E-12	-0,324130338	0,019	0,098	8,30297E-08	0,798779749	1,251909555	0,193877551
BMI1	3,68776E-06	-0,324202963	0,07	0,134	0,077815481	0,798739539	1,251972577	0,52238806
FNBP1	1,11204E-11	-0,324564662	0,05	0,149	2,34652E-07	0,798539312	1,2522865	0,33557047
FKBP8	1,80198E-09	-0,324757434	0,214	0,338	3,80235E-05	0,798432619	1,252453841	0,633136095
EFNA5	8,58742E-09	-0,324865764	0,012	0,065	0,000181203	0,798372668	1,25254789	0,184615385
PER3	1,2179E-08	-0,32492055	0,085	0,179	0,00025699	0,79834235	1,252595455	0,474860335
ADAM17	2,57178E-08	-0,325228083	0,151	0,255	0,000542672	0,798172189	1,252862494	0,592156863
DBNDD2	3,39551E-08	-0,325467926	0,023	0,083	0,000716486	0,798039507	1,253070796	0,277108434
SPIRE1	1,56043E-13	-0,325474126	0,055	0,17	3,29266E-09	0,798036078	1,25307618	0,323529412
CHPT1	1,44996E-08	-0,326053396	0,079	0,17	0,000305957	0,797715715	1,253579416	0,464705882
MFSD14A	4,38781E-09	-0,326112248	0,023	0,088	9,25873E-05	0,797683174	1,253630555	0,261363636
KSR1	9,52217E-11	-0,326277392	0,002	0,054	2,00927E-06	0,797591869	1,253774065	0,037037037
EPHA2	7,39396E-09	-0,32639433	0,052	0,133	0,00015602	0,797527223	1,253875694	0,390977444
KCNQ1OT1	1,66368E-07	-0,326514147	0,12	0,218	0,003510528	0,79746099	1,253979834	0,550458716

Supplementary Table 5

Differentially expressed genes_total calculation_ comparing SC-Keloid vs. (SC-Myel, SC-Nonmyel)								
gene	p_val	avg_log2FC	pct.1	pct.2	p_val_adj	Foldchange_UP	Foldchange_DOWN	Ratio_pct1_pct2
PPIL4	7,82696E-10	-0,326745025	0,162	0,281	1,65157E-05	0,797333381	1,254180527	0,576512456
RNF145	2,35287E-07	-0,327197362	0,142	0,232	0,004964792	0,797083427	1,25457382	0,612068966
TPCN1	3,44393E-07	-0,327532636	0,016	0,065	0,007267036	0,796898211	1,254865409	0,246153846
VGLL4	1,79282E-07	-0,327879548	0,318	0,445	0,003783033	0,796706611	1,255167192	0,714606742
SCD5	3,43182E-11	-0,327973862	0,01	0,076	7,24148E-07	0,796654529	1,255249249	0,131578947
TBCC	0,000938238	-0,328157373	0,058	0,099	1	0,796553202	1,255408927	0,585858586
SAFB2	3,51747E-09	-0,328369944	0,075	0,167	7,4222E-05	0,796435844	1,255593916	0,449101796
ST6GALNAC5	4,50033E-11	-0,328652023	0,005	0,062	9,49615E-07	0,796280138	1,255839437	0,080645161
POLR2J3	5,13284E-06	-0,328742627	0,034	0,085	0,108308036	0,796230132	1,255918309	0,4
RPS9	2,6455E-10	-0,328952727	0,636	0,878	5,58227E-06	0,796114185	1,256101222	0,724373576
ID3	7,40202E-05	-0,328972799	0,354	0,468	1	0,796103109	1,256118697	0,756410256
ARPC1B	4,05453E-09	-0,329056956	0,361	0,539	8,55546E-05	0,796056671	1,256191973	0,669758813
FBLN1	1,78832E-08	-0,329117559	0,03	0,098	0,000377354	0,796023232	1,256244743	0,306122449
GALNT18	2,41293E-11	-0,329165896	0,001	0,054	5,09152E-07	0,795996562	1,256286834	0,018518519
MEG3	6,59498E-06	-0,329354076	0,265	0,361	0,139160778	0,795892742	1,25645071	0,734072022
RHPN1	1,21557E-06	-0,32948389	0,029	0,083	0,02564971	0,79582113	1,256563771	0,34939759
DYRK3	2,41663E-13	-0,329516261	0,007	0,079	5,09932E-09	0,795803274	1,256591965	0,088607595
CWC25	1,14029E-05	-0,329533722	0,076	0,138	0,24061234	0,795793642	1,256607175	0,550724638
IRF2	1,6382E-09	-0,330091174	0,075	0,17	3,45677E-05	0,79548621	1,257092817	0,441176471
WBP1	4,18476E-06	-0,330109369	0,037	0,091	0,088302719	0,795476177	1,257108671	0,406593407
YOD1	9,92913E-14	-0,330215299	0,02	0,109	2,09515E-09	0,795417771	1,257200978	0,183486239
TMEM71	3,10645E-07	-0,330477981	0,014	0,061	0,006554915	0,795272957	1,257429907	0,229508197
FLRT3	3,13992E-09	-0,331777631	0,092	0,194	6,62554E-05	0,794556859	1,258563171	0,474226804
SRSF10	4,06161E-10	-0,332246422	0,184	0,313	8,5704E-06	0,794298717	1,258972196	0,587859425
EIF4B	5,32571E-11	-0,332345264	0,149	0,277	1,12378E-06	0,7942443	1,259058454	0,537906137
P2RX7	4,70744E-07	-0,332471462	0,05	0,117	0,009933178	0,794174827	1,259168593	0,427350427
RHOG	5,95616E-05	-0,33264606	0,106	0,167	1	0,79407872	1,25932099	0,634730539
SNN	1,43296E-10	-0,332978678	0,034	0,114	3,02369E-06	0,793895664	1,259611363	0,298245614
NFKB1	2,68738E-05	-0,333206748	0,126	0,193	0,56706469	0,79377017	1,259810506	0,652849741
OFD1	3,64642E-08	-0,333257671	0,084	0,172	0,000769432	0,793742153	1,259854975	0,488372093

Supplementary Table 5

Differentially expressed genes_total calculation_ comparing SC-Keloid vs. (SC-Myel, SC-Nonmyel)								
gene	p_val	avg_log2FC	pct.1	pct.2	p_val_adj	Foldchange_UP	Foldchange_DOWN	Ratio_pct1_pct2
CHD6	1,02129E-09	-0,333267773	0,098	0,199	2,15502E-05	0,793736595	1,259863797	0,492462312
ZMIZ1	3,36133E-06	-0,333377756	0,083	0,155	0,070927438	0,793676087	1,259959845	0,535483871
SRRM1	7,43902E-16	-0,333521726	0,31	0,513	1,56971E-11	0,793596888	1,260085586	0,604288499
C10orf82	1,13753E-11	-0,333833124	0,008	0,073	2,4003E-07	0,793425613	1,260357598	0,109589041
CDC42EP3	9,22081E-05	-0,334139621	0,201	0,273	1	0,79325707	1,260625386	0,736263736
SGMS1	3,35096E-10	-0,334667831	0,042	0,126	7,07086E-06	0,79296669	1,26108702	0,333333333
GPX3	1,60365E-06	-0,334677582	0,001	0,03	0,033838516	0,79296133	1,261095544	0,033333333
C11orf24	0,000255408	-0,335195679	0,098	0,152	1	0,792676615	1,261548507	0,644736842
HDAC7	5,43471E-06	-0,335838806	0,061	0,123	0,114677919	0,792323333	1,262111007	0,495934959
ITM2A	3,11341E-12	-0,335907057	0,003	0,065	6,56961E-08	0,792285851	1,262170717	0,046153846
ATP6V1B2	1,51098E-10	-0,33592203	0,063	0,159	3,18831E-06	0,792277628	1,262183816	0,396226415
UBE2V1	2,33261E-09	-0,336006732	0,113	0,22	4,92205E-05	0,792231114	1,262257922	0,513636364
MICALL2	2,49173E-06	-0,336510508	0,18	0,267	0,052578086	0,791954523	1,262698768	0,674157303
ESPN	6,26551E-15	-0,336784519	0,001	0,072	1,32209E-10	0,791804121	1,262938616	0,013888889
ZNF608	2,82056E-10	-0,336956708	0,038	0,121	5,95167E-06	0,791709623	1,263089359	0,314049587
CNN3	9,34437E-11	-0,337026987	0,6	0,798	1,97176E-06	0,791671057	1,26315089	0,751879699
SDCBP	8,51236E-07	-0,337146924	0,176	0,269	0,01796194	0,791605245	1,263255905	0,654275093
SH3BP2	1,10283E-06	-0,337337188	0,085	0,161	0,023270773	0,791500854	1,263422516	0,527950311
C18orf32	6,89194E-07	-0,33734871	0,135	0,225	0,014542686	0,791494532	1,263432606	0,6
CLDN11	2,61694E-08	-0,33737814	0,023	0,084	0,000552201	0,791478387	1,263458379	0,273809524
CMTM6	3,16476E-09	-0,337418429	0,169	0,282	6,67796E-05	0,791456284	1,263493663	0,59929078
KMT2C	4,54745E-09	-0,338131328	0,127	0,232	9,59558E-05	0,791065288	1,264118165	0,547413793
RASEF	1,1152E-13	-0,338223853	0	0,062	2,35319E-09	0,791014556	1,26419924	0
TCF7L1	2,8048E-14	-0,338834654	0,008	0,087	5,91841E-10	0,790679731	1,264734584	0,091954023
HNRNPK	5,91333E-17	-0,338970816	0,399	0,662	1,24777E-12	0,790605109	1,264853956	0,602719033
TMBIM6	8,12307E-19	-0,33898626	0,38	0,639	1,71405E-14	0,790596646	1,264867496	0,594679186
USP42	3,46102E-08	-0,339059138	0,037	0,106	0,000730311	0,79055671	1,264931393	0,349056604
ILKAP	1,07914E-05	-0,339536682	0,092	0,16	0,227709488	0,790295072	1,265350165	0,575
PSD3	5,78329E-11	-0,339598306	0,026	0,104	1,22033E-06	0,790261316	1,265404215	0,25
SIN3A	8,20419E-10	-0,339943954	0,064	0,156	1,73117E-05	0,790072004	1,265707423	0,41025641

Supplementary Table 5

Differentially expressed genes_total calculation_ comparing SC-Keloid vs. (SC-Myel, SC-Nonmyel)								
gene	p_val	avg_log2FC	pct.1	pct.2	p_val_adj	Foldchange_UP	Foldchange_DOWN	Ratio_pct1_pct2
SBNO2	1,15955E-06	-0,34030778	0,043	0,103	0,024467703	0,789872785	1,266026656	0,417475728
CPQ	1,73992E-05	-0,340554856	0,13	0,204	0,367139801	0,789737523	1,266243493	0,637254902
RPL23A	7,2666E-11	-0,340707543	0,637	0,891	1,53332E-06	0,789653946	1,266377513	0,714927048
MAN2C1	4,28952E-05	-0,340782745	0,051	0,103	0,905131908	0,789612785	1,266443526	0,495145631
SLC7A2	7,92556E-11	-0,34081112	0,014	0,081	1,67237E-06	0,789597255	1,266468435	0,172839506
AKR1C1	1,70802E-06	-0,341184411	0,007	0,043	0,03604083	0,789392977	1,266796171	0,162790698
TOX	1,32866E-14	-0,341851844	0,008	0,088	2,8036E-10	0,789027865	1,267382363	0,090909091
ECHDC2	1,29093E-10	-0,341927477	0,015	0,083	2,724E-06	0,788986502	1,267448807	0,180722892
MFAP3L	3,0986E-12	-0,342316973	0,006	0,071	6,53836E-08	0,788773521	1,267791036	0,084507042
SPAG9	1,26752E-13	-0,342432035	0,232	0,4	2,6746E-09	0,788710615	1,267892153	0,58
MRPS28	0,01794073	-0,342778387	0,084	0,115	1	0,78852129	1,268196576	0,730434783
SERINC5	2,54597E-07	-0,342807218	0,102	0,189	0,005372246	0,788505532	1,26822192	0,53968254
VEZF1	3,54711E-08	-0,342849243	0,156	0,259	0,000748475	0,788482564	1,268258863	0,602316602
RNF5	5,13557E-09	-0,343017667	0,115	0,216	0,000108366	0,788390519	1,268406932	0,532407407
RYR1	7,41187E-17	-0,343528643	0,001	0,081	1,56398E-12	0,788111335	1,268856258	0,012345679
IL17B	4,36596E-07	-0,343529101	0,013	0,058	0,009212612	0,788111085	1,268856661	0,224137931
IRF7	8,71985E-05	-0,343803326	0,058	0,109	1	0,787961297	1,269097866	0,532110092
ZNF791	2,00119E-06	-0,343839547	0,044	0,104	0,042227034	0,787941514	1,269129729	0,423076923
SSH2	4,89886E-08	-0,344028984	0,05	0,123	0,001033708	0,787838058	1,269296386	0,406504065
KCNH8	9,2072E-11	-0,344091989	0,012	0,076	1,94281E-06	0,787803653	1,26935182	0,157894737
BTA1	3,23785E-09	-0,344367982	0,034	0,107	6,83219E-05	0,787652957	1,269594675	0,317757009
OTUD1	2,29278E-09	-0,344460402	0,04	0,117	4,83799E-05	0,787602501	1,269676009	0,341880342
LZTS2	0,000277788	-0,344502456	0,071	0,119	1	0,787579543	1,269713019	0,596638655
ELF1	2,15377E-07	-0,344558484	0,157	0,252	0,004544666	0,787548958	1,26976233	0,623015873
SLITRK2	1,00613E-15	-0,344801704	0,009	0,098	2,12304E-11	0,787416198	1,269976414	0,091836735
ARID1A	1,21959E-07	-0,344841012	0,122	0,216	0,002573451	0,787394744	1,270011017	0,564814815
PDE9A	1,69176E-14	-0,345356139	0	0,066	3,56979E-10	0,787113648	1,270464567	0
MEF2D	9,03223E-09	-0,345682082	0,09	0,185	0,000190589	0,786935839	1,270751631	0,486486486
SBNO1	4,99498E-07	-0,346120752	0,093	0,172	0,010539916	0,786696597	1,271138077	0,540697674
LINC00844	2,91932E-08	-0,346142674	0,019	0,076	0,000616005	0,786684643	1,271157393	0,25

Supplementary Table 5

Differentially expressed genes_total calculation_ comparing SC-Keloid vs. (SC-Myel, SC-Nonmyel)								
gene	p_val	avg_log2FC	pct.1	pct.2	p_val_adj	Foldchange_UP	Foldchange_DOWN	Ratio_pct1_pct2
PLXNA3	2,8739E-05	-0,34632203	0,078	0,14	0,606420711	0,786586848	1,271315433	0,557142857
MAP1LC3B	2,89257E-12	-0,346399059	0,284	0,459	6,10361E-08	0,786544852	1,271383313	0,618736383
ANKRD28	1,36313E-07	-0,346803751	0,086	0,171	0,002876346	0,786324248	1,271740001	0,502923977
RELT	6,71521E-10	-0,346838316	0,02	0,087	1,41698E-05	0,786305409	1,27177047	0,229885057
ST13	5,50063E-14	-0,347016098	0,289	0,475	1,16069E-09	0,786208519	1,271927199	0,608421053
SCGB1D2	0,001511568	-0,347231237	0,001	0,015	1	0,786091286	1,272116887	0,066666667
FUNDC2	5,75348E-08	-0,347307398	0,17	0,27	0,001214041	0,786049789	1,272184045	0,62962963
NDEL1	1,38544E-10	-0,347694893	0,084	0,189	2,92341E-06	0,785838692	1,272525788	0,444444444
RPS10	4,08646E-15	-0,347712219	0,448	0,767	8,62284E-11	0,785829254	1,27254107	0,584093872
WAC	4,10063E-15	-0,347730145	0,177	0,342	8,65273E-11	0,78581949	1,272556882	0,51754386
UBALD2	1,40312E-06	-0,348331019	0,177	0,265	0,029607271	0,785492269	1,273087005	0,667924528
UCKL1	2,50576E-06	-0,348805639	0,07	0,137	0,052874095	0,785233899	1,273505896	0,510948905
ZFYVE28	1,96299E-08	-0,349130854	0,015	0,071	0,000414211	0,78505691	1,273793005	0,211267606
EP300	7,18848E-08	-0,349237133	0,088	0,175	0,001516842	0,784999079	1,273886844	0,502857143
RAN	2,7666E-10	-0,34973947	0,347	0,518	5,8378E-06	0,784725796	1,27433048	0,66988417
CDK9	6,00388E-07	-0,349916098	0,055	0,122	0,012668781	0,784629728	1,274486505	0,450819672
ARHGAP5	7,62363E-16	-0,350326799	0,177	0,351	1,60866E-11	0,784406394	1,274849373	0,504273504
SUN2	1,48504E-06	-0,350737926	0,147	0,232	0,031335764	0,784182892	1,275212721	0,63362069
WDR74	0,000468183	-0,350812257	0,052	0,095	1	0,784142491	1,275278424	0,547368421
GHITM	1,53511E-08	-0,350953352	0,187	0,296	0,000323924	0,784065806	1,275403152	0,631756757
RBMX	2,06288E-12	-0,351496407	0,217	0,366	4,35289E-08	0,783770725	1,275883326	0,592896175
EIF1AX	1,22116E-13	-0,353229566	0,272	0,45	2,57677E-09	0,78282972	1,27741701	0,604444444
NGF	7,49171E-07	-0,353231743	0,015	0,061	0,015808261	0,782828539	1,277418937	0,245901639
YY1AP1	2,43542E-08	-0,353250618	0,068	0,151	0,000513897	0,782818297	1,27743565	0,450331126
GTDC1	3,26483E-06	-0,353618479	0,057	0,121	0,068891143	0,782618718	1,277761414	0,47107438
NR1D1	7,01022E-08	-0,35386234	0,04	0,107	0,001479226	0,782486442	1,277977414	0,373831776
TNFRSF25	1,37751E-09	-0,354045062	0,014	0,075	2,90669E-05	0,782387344	1,278139284	0,186666667
DUSP16	1,02256E-09	-0,354097438	0,031	0,107	2,15769E-05	0,78235894	1,278185687	0,289719626
SLC39A6	1,97317E-08	-0,354347309	0,105	0,198	0,000416358	0,78222345	1,278407085	0,53030303
DNAJC3-DT	3,34854E-07	-0,354510641	0,021	0,073	0,007065755	0,782134897	1,278551826	0,287671233

Supplementary Table 5

Differentially expressed genes_total calculation_ comparing SC-Keloid vs. (SC-Myel, SC-Nonmyel)								
gene	p_val	avg_log2FC	pct.1	pct.2	p_val_adj	Foldchange_UP	Foldchange_DOWN	Ratio_pct1_pct2
NSD3	1,00024E-11	-0,354949259	0,203	0,343	2,1106E-07	0,781897143	1,278940599	0,591836735
PDZD4	8,88567E-09	-0,354984289	0,026	0,091	0,000187497	0,781878158	1,278971653	0,285714286
CASKIN2	1,88011E-07	-0,355599698	0,049	0,119	0,003967213	0,781544704	1,279517339	0,411764706
RAB21	1,7909E-13	-0,355954382	0,129	0,274	3,77897E-09	0,781352586	1,279831945	0,47080292
CRYZL1	2,81714E-05	-0,356109759	0,055	0,109	0,594445249	0,781268439	1,27996979	0,504587156
MYO1C	6,35101E-09	-0,356371306	0,175	0,292	0,000134013	0,781126816	1,280201857	0,599315068
HSPA9	4,76339E-15	-0,356498881	0,201	0,37	1,00512E-10	0,781057745	1,280315067	0,543243243
DYNLL2	1,04965E-08	-0,356502865	0,104	0,201	0,000221487	0,781055588	1,280318603	0,517412935
SAP30	3,32739E-12	-0,357259512	0,092	0,214	7,02112E-08	0,780646057	1,280990265	0,429906542
BACH2	7,59242E-09	-0,357523273	0,043	0,119	0,000160208	0,780503349	1,281224484	0,361344538
GPR137B	1,11164E-07	-0,357647577	0,109	0,197	0,002345676	0,780436103	1,28133488	0,553299492
PPM1B	5,24426E-10	-0,357814973	0,087	0,19	1,10659E-05	0,780345554	1,281483562	0,457894737
WBP1L	1,88094E-05	-0,357858732	0,038	0,088	0,396896116	0,780321885	1,281522432	0,431818182
CCT4	1,09164E-11	-0,357970579	0,2	0,345	2,30347E-07	0,780261392	1,281621788	0,579710145
ADM	1,01078E-11	-0,358003872	0,01	0,079	2,13284E-07	0,780243386	1,281651364	0,126582278
INPP5K	0,000390895	-0,358434851	0,066	0,113	1	0,780010338	1,282034291	0,584070796
SAMD4B	6,82271E-07	-0,358450124	0,154	0,242	0,014396609	0,78000208	1,282047863	0,636363636
RASGEF1A	1,6618E-08	-0,35888625	0,022	0,083	0,000350656	0,779766321	1,282435484	0,265060241
RNF169	1,70998E-07	-0,359028827	0,07	0,148	0,003608227	0,779689263	1,28256223	0,472972973
CNN1	2,97481E-07	-0,359082174	0,026	0,081	0,00627715	0,779660433	1,282609657	0,320987654
AVPI1	8,02922E-08	-0,359961578	0,051	0,123	0,001694245	0,779185331	1,283391718	0,414634146
RALGDS	4,19282E-06	-0,360051666	0,055	0,115	0,088472593	0,779136677	1,28347186	0,47826087
CSAD	5,78343E-05	-0,360074452	0,098	0,159	1	0,779124371	1,283492132	0,616352201
CSGALNACT2	2,09261E-09	-0,360278499	0,097	0,197	4,41562E-05	0,779014184	1,283673675	0,492385787
RNF10	1,49779E-07	-0,360561396	0,106	0,19	0,00316048	0,778861442	1,283925415	0,557894737
GNAQ	2,6621E-13	-0,360916718	0,069	0,189	5,61729E-09	0,77866964	1,284241672	0,365079365
GNRH1	1,19824E-11	-0,361048391	0,015	0,088	2,52841E-07	0,778598575	1,284358888	0,170454545
CST3	1,53528E-06	-0,361178903	0,701	0,852	0,032395898	0,778528143	1,284475082	0,822769953
UBE2E3	2,36674E-10	-0,361339773	0,192	0,318	4,99406E-06	0,778441337	1,284618317	0,603773585
FAM53B	1,54867E-10	-0,362108372	0,023	0,098	3,26785E-06	0,778026731	1,285302883	0,234693878

Supplementary Table 5

Differentially expressed genes_total calculation_ comparing SC-Keloid vs. (SC-Myel, SC-Nonmyel)								
gene	p_val	avg_log2FC	pct.1	pct.2	p_val_adj	Foldchange_UP	Foldchange_DOWN	Ratio_pct1_pct2
RPL9	3,81057E-14	-0,362452661	0,62	0,877	8,04068E-10	0,777841082	1,285609648	0,70695553
ATXN7	9,65546E-08	-0,363131235	0,021	0,076	0,002037399	0,777475309	1,286214479	0,276315789
BBS2	2,91368E-08	-0,363231096	0,043	0,117	0,000614816	0,777421496	1,286303511	0,367521368
RSF1	7,63203E-15	-0,363637719	0,194	0,362	1,61043E-10	0,777202411	1,286666106	0,535911602
LGALS1	1,24244E-12	-0,363651206	0,012	0,085	2,62166E-08	0,777195145	1,286678135	0,141176471
CYP7B1	5,47445E-10	-0,363956463	0,043	0,126	1,15516E-05	0,777030717	1,286950409	0,341269841
CRTC2	1,62357E-08	-0,363973299	0,035	0,104	0,00034259	0,777021649	1,286965428	0,336538462
FBLN5	3,91736E-13	-0,36468248	0,013	0,091	8,26603E-09	0,776639785	1,287598213	0,142857143
ALDH6A1	6,94296E-09	-0,365093053	0,038	0,113	0,000146503	0,776418795	1,2879647	0,336283186
STX3	3,15873E-12	-0,36516031	0,023	0,107	6,66523E-08	0,7763826	1,288024745	0,214953271
GJA1	9,53831E-14	-0,36563157	0,024	0,119	2,01268E-09	0,776129034	1,28844555	0,201680672
CD46	1,74881E-11	-0,36571825	0,203	0,345	3,69017E-07	0,776082404	1,288522965	0,588405797
LMBRD1	2,76187E-09	-0,366258808	0,14	0,247	5,82783E-05	0,775791671	1,289005847	0,566801619
KCMF1	9,7175E-11	-0,366894886	0,134	0,252	2,05049E-06	0,775449703	1,289574289	0,531746032
MED13	1,82464E-09	-0,367340194	0,132	0,242	3,85017E-05	0,775210387	1,289972396	0,545454545
RBM38	1,09796E-05	-0,367400627	0,047	0,1	0,231680569	0,775177915	1,290026433	0,47
DYRK1A	4,4003E-10	-0,367878199	0,062	0,156	9,28508E-06	0,774921352	1,290453538	0,397435897
HNRNPM	2,40297E-12	-0,368382017	0,296	0,472	5,07051E-08	0,774650781	1,290904269	0,627118644
PCGF5	2,76551E-07	-0,368855078	0,081	0,16	0,005835496	0,774396814	1,291327627	0,50625
FA2H	1,44426E-14	-0,368982289	0,002	0,073	3,04753E-10	0,774328534	1,291441496	0,02739726
PNMA1	5,02637E-06	-0,36908768	0,129	0,205	0,106061415	0,77427197	1,291535841	0,629268293
FBXL3	6,15988E-08	-0,369143762	0,136	0,231	0,001299796	0,774241872	1,291586048	0,588744589
EVA1C	9,45906E-12	-0,369147646	0,019	0,095	1,99596E-07	0,774239788	1,291589525	0,2
SARAF	2,03714E-14	-0,369265456	0,314	0,512	4,29858E-10	0,774176566	1,291695001	0,61328125
A2M	7,51025E-07	-0,369368766	0,058	0,129	0,015847371	0,77412113	1,2917875	0,449612403
ANTXR2	1,63211E-11	-0,369447078	0,05	0,149	3,44391E-07	0,774079111	1,291857623	0,33557047
KCTD3	1,14594E-07	-0,369529169	0,057	0,13	0,00241805	0,774035066	1,291931133	0,438461538
FAM3C	1,2263E-11	-0,36971866	0,268	0,417	2,58761E-07	0,773933407	1,292100834	0,642685851
PTGS2	1,48739E-07	-0,371217417	0,008	0,052	0,003138543	0,773129817	1,293443841	0,153846154
SNRNP70	3,60784E-11	-0,371526123	0,221	0,365	7,6129E-07	0,772964401	1,293720641	0,605479452

Supplementary Table 5

Differentially expressed genes_total calculation_ comparing SC-Keloid vs. (SC-Myel, SC-Nonmyel)								
gene	p_val	avg_log2FC	pct.1	pct.2	p_val_adj	Foldchange_UP	Foldchange_DOWN	Ratio_pct1_pct2
FAXDC2	5,55758E-13	-0,371580426	0,007	0,077	1,1727E-08	0,772935307	1,293769338	0,090909091
TBC1D17	1,69974E-07	-0,37203469	0,033	0,094	0,003586623	0,77269197	1,294176773	0,35106383
GPSM1	1,72501E-07	-0,372213647	0,09	0,17	0,003639939	0,772596129	1,294337317	0,529411765
GSTM3	2,83071E-10	-0,372259713	0,097	0,206	5,97309E-06	0,772571459	1,294378647	0,470873786
FBXW7	2,18557E-07	-0,372297325	0,119	0,208	0,004611781	0,772551318	1,294412392	0,572115385
ZFYVE21	1,23107E-12	-0,372689293	0,113	0,243	2,59767E-08	0,772341451	1,294764121	0,465020576
ETFDH	8,86735E-11	-0,372746931	0,043	0,13	1,8711E-06	0,772310595	1,29481585	0,330769231
ST6GALNAC6	2,49406E-08	-0,373096706	0,03	0,095	0,000526272	0,772123375	1,295129811	0,315789474
HECA	5,81165E-13	-0,374142882	0,028	0,119	1,22632E-08	0,77156367	1,296069319	0,235294118
MPRIP	1,37528E-09	-0,374219407	0,137	0,25	2,90198E-05	0,771522744	1,296138069	0,548
HLA-DPA1	8,61254E-11	-0,374804482	0,019	0,091	1,81733E-06	0,771209922	1,296663815	0,208791209
MEGF6	1,8347E-07	-0,375656472	0,021	0,075	0,003871392	0,770754615	1,297429792	0,28
RAB40B	3,92293E-10	-0,375930416	0,038	0,119	8,27778E-06	0,770608275	1,297676176	0,319327731
STC1	0,012890848	-0,376546812	0,015	0,034	1	0,770279101	1,29823073	0,441176471
MTRFR	2,23439E-10	-0,376829825	0,037	0,121	4,71478E-06	0,77012801	1,298485429	0,305785124
TLE3	1,12461E-10	-0,376944634	0,15	0,277	2,37303E-06	0,770066726	1,298588766	0,541516245
RPL10A	2,50675E-13	-0,376961679	0,529	0,832	5,2895E-09	0,770057628	1,298604109	0,635817308
PLCB1	9,6299E-10	-0,377209178	0,062	0,153	2,032E-05	0,769925534	1,298826908	0,405228758
TMED5	3,37638E-09	-0,377612617	0,109	0,212	7,12451E-05	0,76971026	1,299190165	0,514150943
ANKRD36	9,04951E-09	-0,377666569	0,04	0,113	0,000190954	0,769681476	1,299238752	0,353982301
KCTD1	1,85213E-08	-0,37776179	0,027	0,091	0,000390817	0,769630677	1,299324508	0,296703297
DCP1A	1,86381E-10	-0,377903212	0,093	0,199	3,93282E-06	0,769555236	1,299451882	0,467336683
NASP	8,75152E-09	-0,378043075	0,233	0,355	0,000184666	0,769480635	1,299577863	0,656338028
MAPRE2	6,27536E-13	-0,378073886	0,148	0,296	1,32416E-08	0,769464202	1,299605619	0,5
SRSF11	1,23159E-15	-0,378120371	0,313	0,517	2,59878E-11	0,769439409	1,299647494	0,605415861
GALNT2	1,2112E-07	-0,379398422	0,201	0,301	0,002555758	0,768758082	1,300799333	0,667774086
BAZ2A	1,78272E-10	-0,38012882	0,094	0,202	3,76173E-06	0,768368979	1,301458059	0,465346535
MAFB	0,000554609	-0,38053491	0,149	0,212	1	0,768152729	1,301824445	0,702830189
PRDX1	2,76976E-13	-0,381336834	0,349	0,544	5,84446E-09	0,767725869	1,302548267	0,641544118
FZD7	1,31451E-13	-0,381626114	0,016	0,1	2,77375E-09	0,767571944	1,302809472	0,16

Supplementary Table 5

Differentially expressed genes_total calculation_ comparing SC-Keloid vs. (SC-Myel, SC-Nonmyel)								
gene	p_val	avg_log2FC	pct.1	pct.2	p_val_adj	Foldchange_UP	Foldchange_DOWN	Ratio_pct1_pct2
RASAL2	1,25459E-07	-0,382322321	0,058	0,133	0,002647315	0,767201624	1,303438326	0,436090226
POLD4	4,79886E-05	-0,382561504	0,062	0,114	1	0,767074441	1,303654439	0,543859649
HPS5	5,97283E-11	-0,382563299	0,044	0,136	1,26033E-06	0,767073487	1,303656061	0,323529412
FAM126A	7,38704E-10	-0,382665709	0,146	0,265	1,55874E-05	0,767019037	1,303748605	0,550943396
VPS37B	8,66812E-09	-0,382952804	0,1	0,195	0,000182906	0,766866417	1,304008075	0,512820513
MARCHF5	1,56825E-11	-0,383772037	0,076	0,186	3,30916E-07	0,766431076	1,304748766	0,408602151
ADAMTS9-AS2	6,96481E-15	-0,383850739	0,009	0,094	1,46964E-10	0,766389266	1,304819944	0,095744681
H2AW	4,7475E-09	-0,38398909	0,047	0,125	0,000100177	0,766315775	1,304945079	0,376
SWAP70	2,65849E-13	-0,384205194	0,012	0,09	5,60967E-09	0,766200996	1,305140564	0,133333333
CLDND2	1,12467E-11	-0,385121216	0,008	0,073	2,37317E-07	0,76571466	1,305969511	0,109589041
RNF103	1,45442E-11	-0,385164995	0,051	0,149	3,06898E-07	0,765691425	1,306009141	0,342281879
MTSS2	1,81219E-06	-0,385372539	0,068	0,134	0,038239095	0,765581281	1,306197035	0,507462687
TXNRD1	0,002067559	-0,385989059	0,087	0,133	1	0,765254188	1,306755344	0,654135338
PKN2	9,11138E-12	-0,386586626	0,127	0,254	1,92259E-07	0,764937284	1,307296717	0,5
FGFR1OP2	2,93051E-10	-0,386755986	0,116	0,228	6,18367E-06	0,764847493	1,307450191	0,50877193
ZNF219	1,36609E-12	-0,387165422	0,05	0,155	2,8826E-08	0,76463046	1,307821297	0,322580645
AFTPH	1,10508E-06	-0,38728429	0,075	0,145	0,023318279	0,764567462	1,307929057	0,517241379
DAB2IP	3,55711E-13	-0,387287092	0,022	0,11	7,50586E-09	0,764565977	1,307931597	0,2
TSC2	1,93565E-05	-0,387795902	0,095	0,16	0,408441102	0,764296378	1,30839296	0,59375
FRYL	1,63739E-09	-0,387844381	0,085	0,185	3,45505E-05	0,764270695	1,308436927	0,459459459
SERPINA3	4,1433E-11	-0,388347186	0,001	0,053	8,74277E-07	0,76400438	1,30889302	0,018867925
PPP1R12B	7,57748E-11	-0,388617146	0,056	0,153	1,59892E-06	0,763861431	1,309137965	0,366013072
TET1	1,57345E-09	-0,388626712	0,045	0,128	3,32013E-05	0,763856366	1,309146646	0,3515625
STAG2	7,57857E-12	-0,388921525	0,155	0,289	1,59915E-07	0,763700289	1,309414196	0,53633218
DCAF8	2,21145E-08	-0,388931179	0,072	0,156	0,000466638	0,763695179	1,309422958	0,461538462
PSAP	3,83466E-13	-0,389088745	0,539	0,809	8,09152E-09	0,763611775	1,309565976	0,666254635
ARHGAP39	3,39524E-13	-0,389515882	0,02	0,106	7,16431E-09	0,763385727	1,309953755	0,188679245
CBX7	2,07294E-10	-0,389899187	0,016	0,084	4,37411E-06	0,763182932	1,310301839	0,19047619
MEG8	0,000945936	-0,390141168	0,05	0,09	1	0,763054936	1,310521632	0,555555556
DHX15	8,06402E-10	-0,390196974	0,092	0,193	1,70159E-05	0,76302542	1,310572327	0,476683938

Supplementary Table 5

Differentially expressed genes_total calculation_ comparing SC-Keloid vs. (SC-Myel, SC-Nonmyel)								
gene	p_val	avg_log2FC	pct.1	pct.2	p_val_adj	Foldchange_UP	Foldchange_DOWN	Ratio_pct1_pct2
MX2	3,28879E-11	-0,390861714	0,031	0,118	6,93967E-07	0,762673927	1,311176329	0,262711864
YPEL2	3,40225E-12	-0,391410602	0,073	0,187	7,17909E-08	0,762383816	1,311675274	0,390374332
SEPTIN10	1,40714E-14	-0,391545105	0,19	0,347	2,9692E-10	0,762312741	1,311797568	0,547550432
PLEKHG3	6,77898E-18	-0,391789511	0,001	0,087	1,43043E-13	0,76218361	1,312019817	0,011494253
SEMA4A	2,77175E-12	-0,391915572	0,009	0,079	5,84868E-08	0,762117014	1,312134465	0,113924051
CHMP2B	9,07198E-08	-0,392388071	0,144	0,242	0,001914278	0,761867453	1,312564274	0,595041322
GPNMB	1,38983E-09	-0,392417127	0,035	0,111	2,93269E-05	0,761852109	1,312590709	0,315315315
C1orf52	4,57853E-10	-0,392747661	0,091	0,191	9,66115E-06	0,761677582	1,31289147	0,476439791
FOXN2	5,53714E-09	-0,392799845	0,058	0,142	0,000116839	0,761650032	1,312938959	0,408450704
ZNF83	2,12819E-06	-0,392839139	0,08	0,151	0,044906839	0,761629287	1,31297472	0,529801325
BIRC2	1,0296E-09	-0,393005643	0,207	0,328	2,17257E-05	0,761541391	1,313126262	0,631097561
TFAP2A	3,16696E-07	-0,393970216	0,157	0,247	0,006682599	0,761032401	1,3140045	0,63562753
COMT	1,45802E-15	-0,394481087	0,37	0,612	3,07658E-11	0,760762961	1,314469883	0,604575163
WNT6	5,09563E-14	-0,39477234	0,002	0,071	1,07523E-09	0,760609393	1,314735276	0,028169014
ATP1B3	4,82085E-08	-0,395004034	0,143	0,24	0,001017247	0,76048725	1,314946437	0,595833333
LRRC1	1,61297E-13	-0,395222636	0,015	0,099	3,40353E-09	0,760372027	1,315145697	0,151515152
CSNK1E	3,08513E-06	-0,395330433	0,214	0,303	0,065099368	0,760315215	1,315243967	0,706270627
DIO2	1,3125E-11	-0,395404664	0,001	0,056	2,76951E-07	0,760276096	1,315311642	0,017857143
FBXO11	1,08006E-10	-0,395482655	0,095	0,204	2,27903E-06	0,760234997	1,315382749	0,465686275
SNHG7	3,72801E-12	-0,395602828	0,18	0,323	7,86648E-08	0,760171674	1,315492322	0,557275542
RB1CC1	2,37025E-09	-0,395892486	0,134	0,244	5,00146E-05	0,760019065	1,315756468	0,549180328
SPTAN1	1,38852E-14	-0,396583701	0,264	0,449	2,92991E-10	0,759655017	1,316387015	0,587973274
ANK2	1,21695E-05	-0,396906055	0,149	0,228	0,256788541	0,759485299	1,31668118	0,653508772
NOLC1	2,90345E-07	-0,397148648	0,079	0,157	0,006126563	0,759357601	1,316902602	0,503184713
NFASC	1,81294E-12	-0,397606376	0,001	0,06	3,82548E-08	0,759116715	1,317320486	0,016666667
RDH5	2,28083E-08	-0,397789082	0,019	0,076	0,000481279	0,759020585	1,317487324	0,25
PSIP1	9,2209E-10	-0,397797524	0,091	0,194	1,9457E-05	0,759016144	1,317495034	0,469072165
RAB7A	2,57877E-15	-0,398240701	0,263	0,444	5,44145E-11	0,75878302	1,317899813	0,592342342
SPRY2	8,88466E-07	-0,39825338	0,136	0,223	0,018747518	0,758776351	1,317911396	0,609865471
TMBIM1	9,69548E-09	-0,398588414	0,095	0,189	0,000204584	0,758600163	1,318217487	0,502645503

Supplementary Table 5

Differentially expressed genes_total calculation_ comparing SC-Keloid vs. (SC-Myel, SC-Nonmyel)								
gene	p_val	avg_log2FC	pct.1	pct.2	p_val_adj	Foldchange_UP	Foldchange_DOWN	Ratio_pct1_pct2
NEGR1	2,9073E-10	-0,398606147	0,05	0,141	6,13469E-06	0,758590838	1,31823369	0,354609929
KMT5C	3,84257E-10	-0,399114348	0,027	0,1	8,10822E-06	0,758323665	1,318698131	0,27
ZFP91	1,95136E-11	-0,399254557	0,095	0,21	4,11757E-07	0,758249971	1,318826295	0,452380952
COBL	2,20454E-12	-0,399398223	0,143	0,282	4,65179E-08	0,758174467	1,318957633	0,507092199
GIGYF1	1,89252E-07	-0,399643296	0,044	0,111	0,003993409	0,758045686	1,319181705	0,396396396
PHF1	3,20485E-12	-0,399735577	0,056	0,159	6,76255E-08	0,757997199	1,319266088	0,352201258
RELB	3,97394E-10	-0,399911572	0,043	0,126	8,38542E-06	0,757904737	1,319427035	0,341269841
AKAP13	1,14105E-13	-0,401130427	0,313	0,498	2,40774E-09	0,757264694	1,320542219	0,628514056
VSIR	2,01023E-15	-0,401776093	0,01	0,098	4,2418E-11	0,756925862	1,32113335	0,102040816
RBMXL1	1,30061E-11	-0,402132009	0,031	0,118	2,74441E-07	0,75673915	1,321459316	0,262711864
INPP1	3,44453E-12	-0,402381419	0,063	0,17	7,26831E-08	0,756608338	1,321687786	0,370588235
UGT8	8,55615E-14	-0,402600613	0,005	0,076	1,80543E-09	0,756493393	1,321888611	0,065789474
RPL27A	4,23061E-14	-0,403447741	0,548	0,802	8,92702E-10	0,756049322	1,322665031	0,683291771
SOX10	2,03184E-10	-0,404008791	0,286	0,434	4,28739E-06	0,755755359	1,323179503	0,658986175
DYNLRB1	1,28134E-16	-0,404927237	0,339	0,555	2,70375E-12	0,755274384	1,324022131	0,610810811
AOPEP	7,417E-19	-0,404938709	0,264	0,48	1,56506E-14	0,755268379	1,324032659	0,55
SOX6	1,46683E-09	-0,405271642	0,126	0,236	3,09515E-05	0,755094105	1,324338243	0,533898305
KBTBD2	2,56188E-11	-0,405495599	0,064	0,166	5,40582E-07	0,754976896	1,324543844	0,385542169
LRRK2	9,25053E-14	-0,405803607	0,006	0,079	1,95195E-09	0,75481573	1,324826657	0,075949367
DIXDC1	2,07191E-09	-0,405886464	0,085	0,183	4,37193E-05	0,75477238	1,324902747	0,464480874
HMGA1	0,005485434	-0,406042205	0,168	0,216	1	0,754690906	1,32504578	0,777777778
RMND5A	2,82578E-14	-0,406454349	0,042	0,149	5,96268E-10	0,754475339	1,325424368	0,281879195
MFSD2A	4,52661E-09	-0,40662718	0,024	0,09	9,5516E-05	0,754384961	1,32558316	0,266666667
ZBTB11	2,07728E-12	-0,406790612	0,066	0,176	4,38327E-08	0,754299507	1,325733333	0,375
ZBTB2	2,0767E-10	-0,406918873	0,031	0,11	4,38205E-06	0,75423245	1,325851202	0,281818182
CEMIP2	7,07778E-13	-0,406944952	0,023	0,111	1,49348E-08	0,754218816	1,325875169	0,207207207
ZNF106	2,40673E-13	-0,406988645	0,135	0,284	5,07844E-09	0,754195974	1,325915325	0,475352113
NPNT	1,1152E-13	-0,407113798	0	0,062	2,35319E-09	0,754130551	1,326030352	0
SYNM	8,19825E-15	-0,407239918	0,041	0,152	1,72991E-10	0,754064628	1,326146278	0,269736842
EDIL3	1,05291E-13	-0,407821256	0,035	0,138	2,22174E-09	0,753760837	1,32668076	0,253623188

Supplementary Table 5

Differentially expressed genes_total calculation_ comparing SC-Keloid vs. (SC-Myel, SC-Nonmyel)								
gene	p_val	avg_log2FC	pct.1	pct.2	p_val_adj	Foldchange_UP	Foldchange_DOWN	Ratio_pct1_pct2
NECTIN2	5,79973E-10	-0,408167279	0,12	0,225	1,2238E-05	0,753580073	1,326998996	0,533333333
PREX1	1,04797E-13	-0,408381716	0,002	0,069	2,21133E-09	0,753468072	1,327196251	0,028985507
CD99L2	5,62759E-08	-0,408418033	0,063	0,14	0,001187478	0,753449105	1,327229661	0,45
CDK2AP2	3,1904E-11	-0,40948511	0,191	0,32	6,73205E-07	0,752892029	1,328211698	0,596875
CXCL14	0,000416167	-0,409738178	0,048	0,092	1	0,752759973	1,328444705	0,52173913
KLF5	8,42501E-06	-0,41001749	0,137	0,212	0,177776117	0,75261425	1,328701922	0,646226415
KLHL24	1,73863E-13	-0,410336196	0,076	0,197	3,66868E-09	0,752448008	1,328995478	0,385786802
PCBP1	9,29479E-17	-0,41056626	0,305	0,502	1,96129E-12	0,752328026	1,329207428	0,607569721
MYO15B	1,04199E-07	-0,410901435	0,028	0,088	0,002198707	0,752153261	1,329516272	0,318181818
USP32	4,16074E-11	-0,410909016	0,051	0,147	8,77957E-07	0,752149309	1,329523259	0,346938776
DUSP6	9,55467E-07	-0,41128655	0,079	0,156	0,020161311	0,751952507	1,329871223	0,506410256
GOS2	8,54359E-09	-0,411692824	0,006	0,053	0,000180278	0,751740781	1,330245778	0,113207547
AC007952.4	8,04164E-06	-0,412563825	0,033	0,083	0,169686735	0,751287069	1,331049131	0,397590361
BTF3	1,84146E-17	-0,413179361	0,453	0,744	3,88567E-13	0,750966595	1,331617154	0,608870968
FNIP1	9,2068E-12	-0,413543517	0,134	0,261	1,94273E-07	0,750777064	1,331953315	0,513409962
PHIP	4,63852E-11	-0,413731144	0,126	0,247	9,78775E-07	0,75067943	1,332126551	0,510121457
SRSF2	5,0485E-14	-0,413818138	0,304	0,494	1,06528E-09	0,750634166	1,33220688	0,615384615
CBX4	7,39823E-07	-0,414132522	0,065	0,134	0,015611004	0,75047061	1,332497219	0,485074627
FND3B	5,26139E-10	-0,414678301	0,176	0,3	1,1102E-05	0,750186756	1,333001405	0,586666667
JAM2	6,33972E-14	-0,414725176	0,012	0,092	1,33774E-09	0,750162382	1,333044717	0,130434783
RDX	2,70564E-16	-0,414969356	0,359	0,604	5,70916E-12	0,750035426	1,333270357	0,594370861
EIF3A	1,07716E-12	-0,415393278	0,232	0,388	2,27292E-08	0,749815067	1,333662184	0,597938144
KDM5B	1,08337E-05	-0,415690019	0,093	0,16	0,228601572	0,749660858	1,333936526	0,58125
EGLN2	6,08399E-09	-0,416009533	0,036	0,107	0,000128378	0,749494849	1,334231986	0,336448598
SLC25A29	3,62655E-12	-0,41618556	0,04	0,133	7,65238E-08	0,749403406	1,334394789	0,30075188
TMEM109	6,11856E-08	-0,416305881	0,144	0,236	0,001291078	0,749340908	1,334506083	0,610169492
CAVIN1	1,66339E-14	-0,416539753	0,297	0,491	3,50993E-10	0,749219444	1,334722434	0,604887984
PDZRN3	2,99198E-13	-0,41677274	0,033	0,129	6,31337E-09	0,749098459	1,334938002	0,255813953
EGFLAM	1,90518E-17	-0,417324245	0,012	0,111	4,02012E-13	0,748812153	1,335448411	0,108108108
RNF13	1,4577E-11	-0,417836509	0,163	0,293	3,0759E-07	0,748546316	1,335922679	0,556313993

Supplementary Table 5

Differentially expressed genes_total calculation_ comparing SC-Keloid vs. (SC-Myel, SC-Nonmyel)								
gene	p_val	avg_log2FC	pct.1	pct.2	p_val_adj	Foldchange_UP	Foldchange_DOWN	Ratio_pct1_pct2
RBPJ	2,39485E-13	-0,418040648	0,163	0,308	5,05338E-09	0,748440406	1,336111722	0,529220779
MKLN1	5,73648E-09	-0,419529869	0,068	0,156	0,000121045	0,747668227	1,337491636	0,435897436
CELF2	4,04177E-14	-0,420647874	0,194	0,36	8,52854E-10	0,747089052	1,338528515	0,538888889
SLC66A3	2,84898E-11	-0,421039545	0,048	0,142	6,01164E-07	0,746886256	1,338891956	0,338028169
RPL13A	1,91739E-11	-0,421854464	0,655	0,871	4,04589E-07	0,74646449	1,339648455	0,752009185
KANK4	2,78971E-13	-0,422114775	0,006	0,076	5,88656E-09	0,746329814	1,339890194	0,078947368
PPP1R16A	8,51747E-10	-0,422797485	0,048	0,132	1,79727E-05	0,745976721	1,340524405	0,363636364
KCNMB4	2,11276E-11	-0,42296205	0,177	0,312	4,45814E-07	0,745891634	1,340677325	0,567307692
CYBRD1	5,21494E-09	-0,422972342	0,066	0,152	0,00011004	0,745886313	1,340686889	0,434210526
TAMALIN	1,5856E-07	-0,423264381	0,109	0,198	0,003345778	0,745735341	1,340958306	0,550505051
CCNL2	9,05171E-06	-0,423499116	0,142	0,216	0,19100011	0,745614016	1,341176505	0,657407407
SLITRK5	7,93743E-11	-0,424541911	0,016	0,087	1,67488E-06	0,745075273	1,342146272	0,183908046
CNOT4	1,02614E-13	-0,424734219	0,119	0,258	2,16526E-09	0,744975962	1,34232519	0,46124031
NEDD4L	1,26365E-12	-0,425567752	0,031	0,123	2,66643E-08	0,744545668	1,343100957	0,25203252
CLK4	2,51533E-11	-0,425749276	0,068	0,17	5,3076E-07	0,744451994	1,343269961	0,4
UACA	1,48354E-07	-0,425894679	0,129	0,225	0,00313042	0,744376967	1,34340535	0,573333333
ZBTB43	2,03175E-09	-0,42606776	0,065	0,155	4,28719E-05	0,744287669	1,343566528	0,419354839
POGZ	2,86742E-11	-0,426093173	0,135	0,261	6,05053E-07	0,744274559	1,343590195	0,517241379
FHOD3	1,53649E-10	-0,426212088	0,026	0,1	3,24214E-06	0,744213214	1,343700947	0,26
ADAMTS9	1,67047E-09	-0,426725789	0,057	0,145	3,52486E-05	0,743948269	1,344179484	0,393103448
RHEB	2,41733E-19	-0,426962475	0,269	0,482	5,10082E-15	0,743826228	1,344400025	0,558091286
AL627171.2	2,32378E-09	-0,42704644	0,038	0,115	4,90342E-05	0,743782939	1,344478272	0,330434783
PRPF4B	2,29086E-12	-0,428445676	0,225	0,38	4,83395E-08	0,743061911	1,345782882	0,592105263
POLR1F	3,34848E-07	-0,430861607	0,111	0,198	0,007065627	0,741818624	1,348038413	0,560606061
PCNP	3,20705E-15	-0,431226	0,224	0,396	6,7672E-11	0,741631281	1,34837894	0,565656566
HEY1	2,35614E-09	-0,432351788	0,044	0,123	4,97168E-05	0,741052784	1,34943154	0,357723577
FSTL5	1,33792E-14	-0,432517068	0,001	0,071	2,82314E-10	0,740967891	1,349586145	0,014084507
MLXIP	3,20257E-09	-0,433102301	0,111	0,213	6,75773E-05	0,740667377	1,350133719	0,521126761
TNFAIP2	2,8781E-06	-0,433225676	0,037	0,092	0,060730748	0,74060404	1,350249184	0,402173913
NPEPPS	6,51646E-12	-0,433247403	0,118	0,242	1,37504E-07	0,740592886	1,350269519	0,487603306

Supplementary Table 5

Differentially expressed genes_total calculation_ comparing SC-Keloid vs. (SC-Myel, SC-Nonmyel)								
gene	p_val	avg_log2FC	pct.1	pct.2	p_val_adj	Foldchange_UP	Foldchange_DOWN	Ratio_pct1_pct2
PCM1	1,0687E-13	-0,433322188	0,239	0,403	2,25506E-09	0,740554497	1,350339515	0,593052109
HIPK2	1,76721E-10	-0,433367973	0,043	0,13	3,729E-06	0,740530995	1,350382369	0,330769231
LUC7L2	1,14481E-11	-0,433686811	0,122	0,246	2,41565E-07	0,740367355	1,350680839	0,495934959
ADAMTS7	1,91414E-06	-0,434246806	0,116	0,195	0,040390183	0,74008003	1,35120522	0,594871795
ARID4B	1,69648E-14	-0,435095425	0,2	0,369	3,57974E-10	0,73964483	1,352000257	0,54200542
AHCTF1	1,70555E-10	-0,435108007	0,059	0,153	3,59888E-06	0,73963838	1,352012047	0,385620915
SLC6A8	1,93193E-10	-0,435448838	0,042	0,126	4,07657E-06	0,739463664	1,352331492	0,333333333
CORO1C	1,22002E-07	-0,435516382	0,149	0,246	0,00257436	0,739429044	1,352394808	0,605691057
VPS13D	1,63625E-10	-0,435588182	0,028	0,106	3,45265E-06	0,739392245	1,352462115	0,264150943
IST1	7,08485E-11	-0,43561031	0,107	0,22	1,49497E-06	0,739380904	1,35248286	0,486363636
LGALS3BP	6,63491E-12	-0,436481467	0,258	0,418	1,40003E-07	0,738934572	1,353299789	0,61722488
NAV2	3,77584E-11	-0,437276653	0,073	0,18	7,9674E-07	0,738527397	1,354045908	0,405555556
H1-0	6,86282E-09	-0,437660441	0,17	0,282	0,000144812	0,738330959	1,354406161	0,602836879
IFNGR2	1,25015E-09	-0,437877787	0,242	0,374	2,63794E-05	0,738219736	1,354610222	0,647058824
GOLGA7	3,06659E-10	-0,438740961	0,147	0,263	6,47081E-06	0,737778186	1,355420936	0,558935361
MAGEH1	1,64468E-05	-0,439413951	0,105	0,171	0,347043407	0,737434107	1,356053362	0,614035088
CREB5	1,92254E-07	-0,43969624	0,236	0,342	0,004056752	0,737289829	1,356318724	0,69005848
ASPH	1,27359E-14	-0,43983695	0,182	0,341	2,68741E-10	0,737217923	1,356451016	0,53372434
SLC9A3R1	2,28338E-16	-0,440049791	0,026	0,134	4,81815E-12	0,737109169	1,356651148	0,194029851
AKAP7	1,64242E-10	-0,440218053	0,031	0,111	3,46567E-06	0,737023204	1,356809384	0,279279279
PAXBP1	1,74655E-12	-0,440628395	0,134	0,27	3,68539E-08	0,736813605	1,357195353	0,496296296
PPM1D	7,90864E-11	-0,441595598	0,038	0,123	1,6688E-06	0,7363198	1,35810554	0,308943089
USP34	3,97324E-11	-0,441747537	0,15	0,275	8,38394E-07	0,736242258	1,358248578	0,545454545
LACTB	1,75236E-12	-0,441845809	0,055	0,161	3,69766E-08	0,736192109	1,358341102	0,341614907
NRP2	2,46275E-09	-0,441980355	0,154	0,27	5,19666E-05	0,736123455	1,358467786	0,57037037
NKAIN3	3,33067E-18	-0,442969738	0,036	0,166	7,02806E-14	0,735618803	1,359399727	0,21686747
FIGN	3,9993E-16	-0,443244751	0,179	0,36	8,43893E-12	0,73547859	1,359658886	0,497222222
SEMA4B	1,0596E-09	-0,443316581	0,021	0,088	2,23586E-05	0,735441972	1,359726584	0,238636364
TRABD2B	2,25491E-13	-0,44413928	0,016	0,099	4,75808E-09	0,735022704	1,360502191	0,161616162
ARHGEF7	2,51887E-10	-0,445010097	0,095	0,201	5,31508E-06	0,734579175	1,361323644	0,472636816

Supplementary Table 5

Differentially expressed genes_total calculation_ comparing SC-Keloid vs. (SC-Myel, SC-Nonmyel)								
gene	p_val	avg_log2FC	pct.1	pct.2	p_val_adj	Foldchange_UP	Foldchange_DOWN	Ratio_pct1_pct2
SELENOM	2,01866E-16	-0,445290059	0,399	0,623	4,25958E-12	0,734436641	1,361587841	0,640449438
GOLGA8A	3,91632E-08	-0,445400826	0,048	0,121	0,000826383	0,734380255	1,361692385	0,396694215
PAQR6	4,61617E-12	-0,446911026	0,041	0,136	9,74059E-08	0,733611914	1,363118539	0,301470588
IFIT1	4,92649E-12	-0,447535627	0,021	0,102	1,03954E-07	0,733294372	1,363708816	0,205882353
KPNA2	8,03163E-11	-0,448229843	0,102	0,213	1,69475E-06	0,7329416	1,364365182	0,478873239
RNPC3	1,07215E-10	-0,44890874	0,04	0,125	2,26234E-06	0,732596778	1,365007369	0,32
TCP1	3,62269E-13	-0,449496914	0,207	0,361	7,64423E-09	0,732298165	1,365563984	0,573407202
PCID2	1,25664E-07	-0,449990629	0,101	0,186	0,002651642	0,732047603	1,366031384	0,543010753
PLEKHM2	1,86143E-08	-0,450060911	0,076	0,16	0,00039278	0,732011941	1,366097933	0,475
BRD4	1,50555E-15	-0,450826028	0,182	0,347	3,17686E-11	0,73162383	1,366822619	0,524495677
FGF2	2,51079E-09	-0,451065153	0,176	0,296	5,29802E-05	0,731502574	1,367049187	0,594594595
DNAJB9	7,96138E-11	-0,451465997	0,09	0,197	1,67993E-06	0,731299359	1,367429066	0,456852792
DEPP1	5,39495E-06	-0,451895702	0,047	0,104	0,113838844	0,731081575	1,367836414	0,451923077
SORBS3	3,36118E-13	-0,451932903	0,065	0,178	7,09242E-09	0,731062724	1,367871685	0,365168539
TNFSF12	3,76399E-06	-0,451950513	0,112	0,182	0,079423892	0,7310538	1,367888382	0,615384615
LRIG1	1,04189E-13	-0,452784671	0,037	0,138	2,19849E-09	0,730631232	1,368679516	0,268115942
DLX2	2,803E-08	-0,453338025	0,02	0,077	0,000591461	0,730351047	1,369204582	0,25974026
KIF1A	1,69176E-14	-0,453448143	0	0,066	3,56979E-10	0,730295303	1,369309094	0
PTPN12	8,82888E-17	-0,453477459	0,193	0,372	1,86298E-12	0,730280463	1,369336919	0,518817204
CDC20B	2,09345E-05	-0,45384739	0,026	0,069	0,441738138	0,730093231	1,369688085	0,376811594
ZC3H12A	7,40785E-10	-0,454133646	0,051	0,137	1,56313E-05	0,729948382	1,369959882	0,372262774
KIF19	5,95107E-14	-0,454193397	0	0,064	1,25574E-09	0,729918151	1,370016622	0
ENPP2	7,51656E-15	-0,454303012	0,027	0,128	1,58607E-10	0,729862695	1,370120719	0,2109375
RBM25	4,31009E-15	-0,454490687	0,272	0,457	9,09473E-11	0,729767756	1,370298965	0,595185996
AKIRIN2	4,7888E-11	-0,454577552	0,091	0,199	1,01049E-06	0,729723818	1,370381473	0,457286432
ANKRD50	4,88081E-12	-0,455624743	0,073	0,185	1,0299E-07	0,729194334	1,371376536	0,394594595
CAHM	4,65355E-13	-0,455968002	0,026	0,115	9,81946E-09	0,729020858	1,371702865	0,226086957
LAMP5	4,66911E-16	-0,455979255	0,013	0,107	9,8523E-12	0,729015172	1,371713564	0,121495327
SORBS2	2,05463E-08	-0,456183085	0,186	0,299	0,000433547	0,728912181	1,371907379	0,622073579
AASS	5,3886E-12	-0,457052491	0,049	0,149	1,13705E-07	0,728473052	1,372734376	0,32885906

Supplementary Table 5

Differentially expressed genes_total calculation_ comparing SC-Keloid vs. (SC-Myel, SC-Nonmyel)								
gene	p_val	avg_log2FC	pct.1	pct.2	p_val_adj	Foldchange_UP	Foldchange_DOWN	Ratio_pct1_pct2
RBM7	1,43076E-14	-0,457088033	0,061	0,179	3,01904E-10	0,728455105	1,372768195	0,340782123
SFN	4,88992E-10	-0,457139488	0,036	0,117	1,03182E-05	0,728429125	1,372817156	0,307692308
ACADVL	1,6875E-12	-0,457545133	0,215	0,358	3,56079E-08	0,72822434	1,373203208	0,600558659
PLCE1	9,20137E-10	-0,457909289	0,056	0,144	1,94158E-05	0,728040549	1,373549868	0,388888889
KAT6A	4,37427E-17	-0,457981709	0,078	0,225	9,23015E-13	0,728004004	1,373618818	0,346666667
C7orf61	1,1939E-18	-0,458020891	0,003	0,096	2,51924E-14	0,727984233	1,373656124	0,03125
ANKRD11	4,63059E-12	-0,458357276	0,197	0,334	9,77101E-08	0,727814513	1,37397645	0,589820359
CAT	1,45749E-10	-0,458736513	0,088	0,193	3,07545E-06	0,727623219	1,37433767	0,455958549
IFI35	3,52986E-08	-0,45914247	0,062	0,141	0,000744836	0,727418504	1,374724447	0,439716312
SH3GLB2	1,98127E-10	-0,459192382	0,126	0,236	4,18067E-06	0,727393338	1,374772007	0,533898305
SEMA4C	3,91725E-10	-0,459883679	0,066	0,163	8,26578E-06	0,727044876	1,375430916	0,404907975
PAG1	1,82811E-19	-0,460119539	0,01	0,118	3,8575E-15	0,726926024	1,375655798	0,084745763
TMEM132B	1,20724E-16	-0,460185736	0,009	0,102	2,5474E-12	0,726892671	1,37571892	0,088235294
CXCL2	1,15567E-05	-0,460568305	0,015	0,054	0,243857359	0,726699942	1,376083777	0,277777778
CUEDC2	0,000356759	-0,460723355	0,173	0,233	1	0,726621846	1,376231676	0,74248927
NFATC1	9,37994E-21	-0,460992985	0,01	0,125	1,97926E-16	0,726486057	1,376488909	0,08
ARMCX4	1,24054E-13	-0,461008386	0,015	0,098	2,61767E-09	0,726478302	1,376503603	0,153061224
MAPKAPK2	6,93441E-08	-0,461239483	0,078	0,159	0,00146323	0,726361941	1,376724115	0,490566038
EIF4E	3,67769E-12	-0,461255801	0,171	0,307	7,7603E-08	0,726353725	1,376739687	0,557003257
C1orf21	6,64435E-11	-0,461480875	0,161	0,293	1,40202E-06	0,726240416	1,376954488	0,549488055
MAP7D1	2,04353E-10	-0,461597039	0,126	0,236	4,31205E-06	0,726181942	1,377065363	0,533898305
MGLL	4,36517E-11	-0,461703539	0,013	0,08	9,21095E-07	0,726128338	1,377167021	0,1625
FOXN3	2,18119E-16	-0,461712348	0,037	0,155	4,60252E-12	0,726123904	1,377175431	0,238709677
BMP2K	4,38318E-11	-0,461977189	0,081	0,187	9,24896E-07	0,725990619	1,377428267	0,43315508
MIR22HG	9,91421E-08	-0,46289562	0,075	0,153	0,002091998	0,725528594	1,378305428	0,490196078
TUBB2A	6,52811E-10	-0,462924396	0,246	0,384	1,3775E-05	0,725514123	1,37833292	0,640625
APCDD1	1,16975E-13	-0,463775838	0,017	0,104	2,4683E-09	0,72508607	1,379146617	0,163461538
YPEL5	2,59955E-14	-0,463842334	0,146	0,297	5,48531E-10	0,72505265	1,379210185	0,491582492
ALDH3A2	3,28611E-13	-0,463938096	0,061	0,172	6,93401E-09	0,725004525	1,379301737	0,354651163
CDKN2AIP	6,02131E-12	-0,464216303	0,063	0,168	1,27056E-07	0,72486473	1,379567744	0,375

Supplementary Table 5

Differentially expressed genes_total calculation_ comparing SC-Keloid vs. (SC-Myel, SC-Nonmyel)								
gene	p_val	avg_log2FC	pct.1	pct.2	p_val_adj	Foldchange_UP	Foldchange_DOWN	Ratio_pct1_pct2
OTUD7B	4,68443E-13	-0,464292902	0,113	0,246	9,88461E-09	0,724826244	1,379640994	0,459349593
OGA	4,43717E-16	-0,464578287	0,132	0,289	9,36288E-12	0,724682878	1,379913933	0,456747405
MAPK8IP1	2,90099E-11	-0,465195653	0,024	0,103	6,12139E-07	0,724372834	1,38050456	0,233009709
VAPA	1,26932E-20	-0,46607572	0,352	0,598	2,6784E-16	0,723931089	1,381346947	0,588628763
AUTS2	4,95259E-12	-0,466135089	0,057	0,161	1,04505E-07	0,7239013	1,381403792	0,354037267
PHLDB1	3,94113E-09	-0,466473901	0,196	0,311	8,31618E-05	0,723731313	1,381728248	0,63022508
LPIN1	2,48416E-12	-0,467250939	0,03	0,121	5,24182E-08	0,723341616	1,38247265	0,247933884
EEF2	2,59672E-18	-0,467479368	0,453	0,738	5,47934E-14	0,723227094	1,382691561	0,613821138
CCDC115	5,6331E-09	-0,467509103	0,063	0,145	0,000118864	0,723212188	1,38272006	0,434482759
GCLM	3,19349E-05	-0,468474706	0,034	0,08	0,673857301	0,722728301	1,383645831	0,425
TTC21B	6,15055E-12	-0,468658662	0,031	0,119	1,29783E-07	0,722636152	1,383822269	0,260504202
MAP4K5	1,82553E-15	-0,469017614	0,172	0,336	3,85206E-11	0,722456378	1,384166616	0,511904762
FUS	2,13656E-17	-0,46991522	0,386	0,627	4,50835E-13	0,722007025	1,385028075	0,615629984
SHC4	2,39574E-13	-0,469941171	0,088	0,214	5,05526E-09	0,721994038	1,385052988	0,411214953
CAMSAP2	9,00191E-15	-0,47015544	0,086	0,218	1,89949E-10	0,721886815	1,385258712	0,394495413
EWSR1	1,46557E-15	-0,470403803	0,155	0,313	3,09249E-11	0,721762552	1,385497207	0,495207668
SSPN	2,96102E-10	-0,471753195	0,088	0,193	6,24805E-06	0,721087783	1,386793707	0,455958549
NIPBL	3,76403E-11	-0,472623513	0,121	0,237	7,94247E-07	0,720652912	1,387630554	0,510548523
PPP2R2A	4,20603E-15	-0,473710292	0,137	0,289	8,87514E-11	0,72011025	1,388676247	0,474048443
ATP2B4	5,53031E-12	-0,474014357	0,133	0,265	1,16695E-07	0,719958495	1,388968958	0,501886792
NGRN	1,73668E-10	-0,475202671	0,099	0,206	3,66456E-06	0,719365726	1,390113491	0,480582524
ANKRD36C	1,27614E-11	-0,47538516	0,043	0,136	2,69277E-07	0,719274738	1,390289339	0,316176471
SDHA	8,98921E-10	-0,475631315	0,099	0,197	1,89681E-05	0,719152024	1,390526573	0,502538071
NUFIP2	3,1039E-17	-0,47622223	0,172	0,353	6,54954E-13	0,718857526	1,391096237	0,487252125
ZNF638	1,70959E-12	-0,478098716	0,121	0,251	3,60741E-08	0,71792313	1,392906787	0,482071713
UBR5	4,35912E-14	-0,478110485	0,08	0,206	9,19818E-10	0,717917273	1,39291815	0,388349515
LSMEM1	4,68659E-12	-0,478261399	0,031	0,119	9,88918E-08	0,717842179	1,393063864	0,260504202
MARCHF6	3,00635E-15	-0,478403177	0,144	0,299	6,3437E-11	0,717771638	1,393200772	0,481605351
NUTM2A-AS1	1,80689E-11	-0,478898534	0,083	0,19	3,81272E-07	0,71752523	1,393679216	0,436842105
HEATR5A	1,57016E-12	-0,47912043	0,052	0,155	3,31319E-08	0,717414878	1,39389359	0,335483871

Supplementary Table 5

Differentially expressed genes_total calculation_ comparing SC-Keloid vs. (SC-Myel, SC-Nonmyel)								
gene	p_val	avg_log2FC	pct.1	pct.2	p_val_adj	Foldchange_UP	Foldchange_DOWN	Ratio_pct1_pct2
IFNGR1	1,98693E-14	-0,480166929	0,086	0,214	4,19261E-10	0,71689467	1,394905056	0,401869159
TTYH2	9,65091E-15	-0,480270892	0,019	0,111	2,03644E-10	0,716843011	1,39500558	0,171171171
SERTAD3	2,55789E-11	-0,481358614	0,086	0,195	5,3974E-07	0,71630275	1,396057742	0,441025641
ALDH1A1	8,48601E-18	-0,481938376	0	0,083	1,79063E-13	0,716014954	1,396618876	0
CDC42EP1	1,22937E-07	-0,481976784	0,175	0,27	0,002594084	0,715995893	1,396656057	0,648148148
PCDH17	1,67499E-16	-0,482046407	0,006	0,092	3,5344E-12	0,71596134	1,39672346	0,065217391
RPL21	3,54404E-16	-0,482183531	0,593	0,855	7,47827E-12	0,715893293	1,396856221	0,693567251
TRIM69	4,17976E-10	-0,483274224	0,042	0,125	8,81972E-06	0,715352275	1,397912658	0,336
SF3B1	4,14739E-19	-0,483477525	0,247	0,464	8,75141E-15	0,715251476	1,398109663	0,532327586
SRGAP1	2,66215E-12	-0,483579953	0,047	0,147	5,6174E-08	0,715200697	1,398208928	0,319727891
ZBTB16	9,70695E-13	-0,483630638	0,001	0,061	2,04826E-08	0,715175571	1,398258052	0,016393443
SREBF1	9,72663E-09	-0,484488371	0,09	0,183	0,000205242	0,7147505	1,399089612	0,491803279
FCGR2B	7,67627E-12	-0,486312184	0,014	0,087	1,61977E-07	0,713847504	1,40085942	0,16091954
PPP2CA	2,39095E-15	-0,486657961	0,201	0,372	5,04514E-11	0,713676434	1,401195209	0,540322581
PTPDC1	8,4719E-15	-0,487812004	0,03	0,134	1,78766E-10	0,713105777	1,402316504	0,223880597
SYNE3	1,9599E-18	-0,488066041	0,052	0,194	4,13558E-14	0,712980221	1,402563453	0,268041237
AHI1	3,66022E-10	-0,488281462	0,13	0,243	7,72342E-06	0,712873767	1,402772897	0,534979424
HNRNPH2	6,97204E-14	-0,488540768	0,097	0,225	1,47117E-09	0,712745649	1,40302505	0,431111111
PIK3IP1	1,88451E-14	-0,488707322	0,036	0,142	3,97651E-10	0,71266337	1,403187034	0,253521127
KTN1	4,58744E-19	-0,488834393	0,296	0,517	9,67996E-15	0,712600602	1,403310631	0,572533849
SNRPN	2,35847E-11	-0,48940054	0,171	0,293	4,97661E-07	0,712321016	1,40386143	0,583617747
NEK1	2,70472E-11	-0,48946022	0,048	0,141	5,70723E-07	0,71229155	1,403919505	0,340425532
KANSL1L	2,68396E-18	-0,489814484	0,036	0,164	5,66342E-14	0,712116663	1,404264289	0,219512195
FAM181B	1,3629E-14	-0,490210867	0,037	0,145	2,87587E-10	0,711921034	1,404650167	0,255172414
TRA2A	1,49409E-18	-0,490239791	0,178	0,369	3,15268E-14	0,711906762	1,404678329	0,482384824
NET1	5,21378E-12	-0,490339194	0,075	0,186	1,10016E-07	0,711857712	1,404775116	0,403225806
RLF	7,75179E-13	-0,490435605	0,072	0,189	1,6357E-08	0,711810143	1,404868996	0,380952381
UBL3	9,67859E-12	-0,490718964	0,168	0,3	2,04228E-07	0,71167035	1,405144953	0,56
CLDN19	1,18218E-14	-0,491907169	0,001	0,071	2,49451E-10	0,711084459	1,406302708	0,014084507
PUM1	1,63053E-13	-0,492086503	0,122	0,261	3,44057E-09	0,710996073	1,406477529	0,46743295

Supplementary Table 5

Differentially expressed genes_total calculation_ comparing SC-Keloid vs. (SC-Myel, SC-Nonmyel)								
gene	p_val	avg_log2FC	pct.1	pct.2	p_val_adj	Foldchange_UP	Foldchange_DOWN	Ratio_pct1_pct2
MID1IP1	1,15349E-11	-0,492801213	0,126	0,246	2,43397E-07	0,710643934	1,407174469	0,512195122
NFIL3	2,12277E-11	-0,493240983	0,191	0,326	4,47925E-07	0,710427344	1,407603477	0,585889571
IL34	7,10814E-19	-0,495409593	0,003	0,098	1,49989E-14	0,709360256	1,40972093	0,030612245
LUC7L3	3,88202E-15	-0,495533526	0,268	0,449	8,19145E-11	0,709299322	1,409842035	0,59688196
DEDD2	5,58944E-11	-0,497114905	0,078	0,18	1,17943E-06	0,708522265	1,411388251	0,433333333
INSR	6,07803E-13	-0,49820899	0,019	0,102	1,28253E-08	0,707985152	1,412458999	0,18627451
MAP3K11	3,95591E-12	-0,498502927	0,108	0,228	8,34736E-08	0,707840921	1,412746805	0,473684211
RNF24	2,09885E-12	-0,498724082	0,069	0,178	4,42879E-08	0,707732422	1,412963386	0,387640449
DOK6	1,94658E-24	-0,499062339	0,001	0,118	4,10747E-20	0,707566505	1,413294711	0,008474576
ITM2C	2,60211E-09	-0,499138184	0,254	0,38	5,49071E-05	0,707529309	1,413369012	0,668421053
EGR2	1,49092E-10	-0,499339767	0,027	0,103	3,14599E-06	0,707430455	1,413566512	0,262135922
RRAD	0,000292581	-0,499384928	0,075	0,126	1	0,70740831	1,413610761	0,595238095
PLEKHB1	1,60535E-09	-0,499881006	0,097	0,195	3,38744E-05	0,707165106	1,414096922	0,497435897
SH3BP5	1,18532E-14	-0,499984306	0,119	0,261	2,50114E-10	0,707114473	1,414198178	0,455938697
EHBP1	3,39616E-16	-0,500717962	0,191	0,362	7,16624E-12	0,706754975	1,414917526	0,527624309
DRP2	3,09945E-13	-0,500826972	0,001	0,064	6,54016E-09	0,706701574	1,415024441	0,015625
CNTN1	4,32121E-18	-0,50117314	0,002	0,091	9,11818E-14	0,706532025	1,41536401	0,021978022
IFIT2	3,46501E-14	-0,50117606	0,024	0,122	7,31152E-10	0,706530595	1,415366875	0,196721311
TERF1	2,31102E-12	-0,501608282	0,132	0,263	4,87649E-08	0,706318955	1,415790973	0,501901141
RHBDF1	2,72532E-08	-0,501791716	0,158	0,255	0,000575069	0,706229154	1,415970998	0,619607843
CIC	3,61312E-12	-0,501825685	0,09	0,205	7,62404E-08	0,706212526	1,416004338	0,43902439
KLF13	1,59248E-15	-0,501950433	0,121	0,275	3,36028E-11	0,706151463	1,416126784	0,44
SIAH1	1,60015E-14	-0,502171702	0,118	0,258	3,37647E-10	0,706043168	1,416343994	0,457364341
CNBP	4,41875E-19	-0,50255966	0,312	0,531	9,32401E-15	0,70585333	1,416724917	0,587570621
JMJD1C	3,44858E-15	-0,502803112	0,218	0,387	7,27684E-11	0,705734228	1,416964007	0,563307494
TMEM245	4,09088E-14	-0,503025016	0,071	0,194	8,63217E-10	0,705625686	1,41718197	0,365979381
U2AF1	2,3068E-09	-0,503046984	0,021	0,085	4,86758E-05	0,705614942	1,417203549	0,247058824
MED13L	8,9789E-15	-0,503200007	0,136	0,286	1,89464E-10	0,705540103	1,417353877	0,475524476
PROSER2	5,67174E-21	-0,503286851	0,009	0,122	1,19679E-16	0,705497634	1,417439198	0,073770492
LINC00632	9,48176E-15	-0,503371168	0,051	0,171	2,00075E-10	0,705456403	1,417522041	0,298245614

Supplementary Table 5

Differentially expressed genes_total calculation_ comparing SC-Keloid vs. (SC-Myel, SC-Nonmyel)								
gene	p_val	avg_log2FC	pct.1	pct.2	p_val_adj	Foldchange_UP	Foldchange_DOWN	Ratio_pct1_pct2
ZC3H12C	6,30082E-20	-0,504259064	0,016	0,133	1,32954E-15	0,705022368	1,418394713	0,120300752
JDP2	5,39566E-12	-0,504483513	0,079	0,193	1,13854E-07	0,704912692	1,418615399	0,409326425
AKAP9	4,74322E-13	-0,504605344	0,141	0,28	1,00087E-08	0,704853167	1,418735201	0,503571429
WBP2	2,73068E-10	-0,504953397	0,099	0,204	5,762E-06	0,70468314	1,419077515	0,485294118
RPL3	2,95268E-19	-0,50559955	0,668	0,92	6,23044E-15	0,704367598	1,419713233	0,726086957
CLDND1	1,73882E-21	-0,506299056	0,186	0,388	3,66909E-17	0,704026161	1,420401763	0,479381443
LHPP	5,00025E-12	-0,507106742	0,047	0,144	1,0551E-07	0,703632126	1,42119719	0,326388889
MAP2K3	6,73707E-15	-0,507225872	0,069	0,194	1,42159E-10	0,703574025	1,421314551	0,355670103
ICAM1	9,89893E-11	-0,507262127	0,021	0,094	2,08877E-06	0,703556345	1,421350269	0,223404255
MX1	3,59021E-14	-0,507743702	0,041	0,149	7,5757E-10	0,703321535	1,421824798	0,275167785
ZMAT1	4,54331E-14	-0,508007487	0,023	0,117	9,58684E-10	0,70319295	1,422084791	0,196581197
KAT2B	5,205E-13	-0,508559694	0,028	0,119	1,09831E-08	0,702923847	1,422629213	0,235294118
CDC42EP4	2,34641E-11	-0,508840415	0,072	0,174	4,95117E-07	0,702787085	1,422906056	0,413793103
FRMD3	4,35401E-19	-0,509578726	0,017	0,132	9,1874E-15	0,70242752	1,423634426	0,128787879
MOB4	3,14569E-14	-0,510018948	0,122	0,258	6,63772E-10	0,702213215	1,424068899	0,472868217
IP6K2	7,09366E-11	-0,510616473	0,125	0,24	1,49683E-06	0,701922438	1,424658832	0,520833333
MAG	2,55303E-15	-0,510652522	0	0,071	5,38714E-11	0,701904899	1,42469443	0
NPTX2	5,38571E-16	-0,511287896	0,009	0,098	1,13644E-11	0,701595842	1,425322015	0,091836735
ZNF536	8,67844E-15	-0,511812041	0,071	0,198	1,83124E-10	0,701340993	1,425839942	0,358585859
KCTD12	1,98884E-15	-0,511864587	0,173	0,338	4,19665E-11	0,701315449	1,425891875	0,51183432
STARD9	2,86018E-15	-0,513133694	0,033	0,141	6,03528E-11	0,700698788	1,427146753	0,234042553
PLSCR1	8,22079E-11	-0,513369633	0,036	0,119	1,73467E-06	0,700584205	1,427380168	0,302521008
NCOA7	7,63196E-14	-0,513464744	0,057	0,172	1,61042E-09	0,70053802	1,427474272	0,331395349
GBP1	2,29066E-07	-0,51435706	0,095	0,178	0,004833522	0,700104867	1,428357447	0,533707865
SSBP2	5,27747E-15	-0,514439609	0,075	0,202	1,1136E-10	0,700064809	1,428439178	0,371287129
CLMN	1,77711E-16	-0,514486375	0,042	0,164	3,74988E-12	0,700042116	1,428485483	0,256097561
GAS6	7,48804E-15	-0,514525042	0,009	0,092	1,58005E-10	0,700023353	1,42852377	0,097826087
ALDOA	1,27538E-08	-0,514996881	0,048	0,122	0,000269119	0,699794446	1,42899105	0,393442623
TTYH1	1,80605E-17	-0,515063144	0,097	0,254	3,81095E-13	0,699762305	1,429056686	0,381889764
TMEM98	2,36829E-05	-0,515187879	0,055	0,109	0,499732162	0,699701806	1,429180246	0,504587156

Supplementary Table 5

Differentially expressed genes_total calculation_ comparing SC-Keloid vs. (SC-Myel, SC-Nonmyel)								
gene	p_val	avg_log2FC	pct.1	pct.2	p_val_adj	Foldchange_UP	Foldchange_DOWN	Ratio_pct1_pct2
ARHGEF16	2,92181E-21	-0,515347135	0,001	0,103	6,16532E-17	0,699624572	1,429338019	0,009708738
ASTN2	7,60735E-14	-0,517661904	0,029	0,126	1,60523E-09	0,698502941	1,431633198	0,23015873
GNAI1	3,69952E-23	-0,51786933	0,012	0,138	7,80635E-19	0,69840252	1,431839049	0,086956522
PURA	3,16529E-17	-0,518270016	0,189	0,365	6,67908E-13	0,698208577	1,432236775	0,517808219
EIF1B	1,60188E-19	-0,519613461	0,282	0,502	3,38013E-15	0,697558704	1,433571102	0,561752988
TMPRSS5	7,92026E-18	-0,520799091	0,009	0,107	1,67125E-13	0,696985674	1,434749718	0,08411215
ZNF516	9,0543E-22	-0,520812964	0,023	0,156	1,91055E-17	0,696978972	1,434763515	0,147435897
NXF1	1,2922E-10	-0,522378513	0,061	0,155	2,72667E-06	0,696223052	1,436321302	0,393548387
RSRP1	3,50427E-18	-0,522610878	0,272	0,486	7,39436E-14	0,696110925	1,436552659	0,559670782
PNPLA2	5,22868E-14	-0,522889293	0,111	0,242	1,1033E-09	0,6959766	1,436829916	0,458677686
OSBPL1A	5,99004E-16	-0,523195591	0,04	0,156	1,26396E-11	0,695828854	1,437135	0,256410256
MAN2A2	1,98983E-22	-0,524075066	0,066	0,237	4,19874E-18	0,695404802	1,438011353	0,278481013
FRMD6	2,09873E-11	-0,524363077	0,211	0,349	4,42853E-07	0,695265989	1,438298457	0,604584527
PPP2R2B	2,71201E-20	-0,52466455	0,01	0,122	5,72261E-16	0,695120718	1,438599044	0,081967213
RAF1	1,96309E-09	-0,52519811	0,125	0,228	4,14231E-05	0,694863685	1,439131187	0,548245614
CRY1	2,17543E-07	-0,526973029	0,073	0,148	0,004590368	0,694009334	1,440902811	0,493243243
SNAI1	1,08679E-09	-0,52785068	0,043	0,123	2,29323E-05	0,693587268	1,441779638	0,349593496
SCN9A	1,39091E-19	-0,528339922	0,148	0,336	2,93496E-15	0,6933521	1,442268653	0,44047619
PLEKHA1	4,63903E-12	-0,528564154	0,166	0,301	9,78881E-08	0,693244344	1,442492836	0,551495017
ERBB2	3,83783E-11	-0,528999216	0,115	0,231	8,09821E-07	0,693035319	1,442927903	0,497835498
IGSF11	4,47633E-23	-0,529309283	0,01	0,136	9,44551E-19	0,692886387	1,443238053	0,073529412
FXVD6	0,000396629	-0,529812395	0,052	0,095	1	0,692644798	1,443741442	0,547368421
UBE2D3	1,06936E-20	-0,530326032	0,295	0,517	2,25645E-16	0,692398242	1,444255544	0,570599613
MAP3K4	1,50036E-19	-0,531943848	0,031	0,161	3,16591E-15	0,691622233	1,445876017	0,192546584
NPC2	8,8932E-19	-0,534182952	0,196	0,385	1,87655E-14	0,690549648	1,448121801	0,509090909
FCGRT	2,17619E-19	-0,534995546	0,144	0,326	4,59198E-15	0,690160807	1,448937682	0,441717791
LONRF1	4,2432E-14	-0,535930152	0,047	0,157	8,95357E-10	0,689713852	1,449876636	0,299363057
ADGRL3	1,33963E-23	-0,536233988	0,002	0,118	2,82675E-19	0,689568612	1,450182016	0,016949153
ETNK1	1,27994E-20	-0,537683026	0,1	0,274	2,70081E-16	0,688876359	1,451639306	0,364963504
RPL38	1,06056E-18	-0,538988	0,575	0,839	2,2379E-14	0,688253525	1,452952964	0,68533969

Supplementary Table 5

Differentially expressed genes_total calculation_ comparing SC-Keloid vs. (SC-Myel, SC-Nonmyel)								
gene	p_val	avg_log2FC	pct.1	pct.2	p_val_adj	Foldchange_UP	Foldchange_DOWN	Ratio_pct1_pct2
EZR	5,27025E-17	-0,539055935	0,203	0,381	1,11208E-12	0,688221117	1,453021384	0,532808399
GPC4	2,67404E-20	-0,539067586	0	0,095	5,64249E-16	0,688215559	1,453033118	0
GNL3	4,62818E-10	-0,539413748	0,134	0,247	9,76592E-06	0,688050448	1,453381802	0,542510121
NID2	7,73772E-21	-0,540803176	0,023	0,152	1,63274E-16	0,68738812	1,454782197	0,151315789
BBX	3,67527E-18	-0,541914698	0,12	0,289	7,75518E-14	0,686858727	1,455903464	0,415224913
OAT	1,21847E-20	-0,542132431	0,183	0,38	2,57109E-16	0,686755074	1,456123207	0,481578947
TNFAIP3	1,61096E-07	-0,54319195	0,141	0,233	0,003399277	0,686250904	1,45719298	0,605150215
HNRNPF	4,38228E-18	-0,543340038	0,239	0,43	9,24705E-14	0,686180466	1,457342564	0,555813953
COL27A1	4,43574E-11	-0,54451442	0,111	0,231	9,35986E-07	0,685622129	1,458529352	0,480519481
TRAK1	4,33124E-12	-0,546590389	0,094	0,21	9,13935E-08	0,684636261	1,460629617	0,447619048
MAF1	4,0819E-09	-0,547729708	0,141	0,242	8,61321E-05	0,684095807	1,461783554	0,582644628
IFIT3	1,2013E-10	-0,548153815	0,052	0,147	2,53486E-06	0,683894734	1,462213336	0,353741497
HAS2	8,62667E-06	-0,548862221	0,07	0,134	0,182031363	0,683559003	1,462931503	0,52238806
RNF213	2,16831E-13	-0,549084575	0,123	0,261	4,57534E-09	0,683453659	1,463156992	0,471264368
AK5	3,82351E-22	-0,549385388	0,003	0,114	8,06799E-18	0,683311168	1,463462104	0,026315789
PPM1K	2,73091E-17	-0,549443382	0,05	0,182	5,7625E-13	0,683283701	1,463520934	0,274725275
SRSF5	9,31807E-21	-0,551233701	0,297	0,531	1,96621E-16	0,682436303	1,465338224	0,559322034
SLC44A2	9,44471E-13	-0,551606202	0,106	0,231	1,99293E-08	0,682260122	1,46571662	0,458874459
ZBTB21	6,87514E-15	-0,553197538	0,045	0,16	1,45072E-10	0,681507983	1,467334242	0,28125
PPP4R2	3,81926E-17	-0,553634308	0,198	0,376	8,05903E-13	0,681301691	1,467778539	0,526595745
SARNP	1,258E-10	-0,553636038	0,094	0,198	2,6545E-06	0,681300874	1,467780299	0,474747475
MID1	2,36832E-24	-0,55544988	0,005	0,128	4,99739E-20	0,68044484	1,46962684	0,0390625
SLC25A33	6,3612E-13	-0,55563531	0,052	0,157	1,34228E-08	0,680357388	1,469815744	0,331210191
PLEKHB2	7,20466E-12	-0,556560566	0,114	0,233	1,52025E-07	0,679921188	1,470758696	0,489270386
IRF9	7,98764E-09	-0,556707834	0,071	0,156	0,000168547	0,679851787	1,470908836	0,455128205
INSC	1,59201E-12	-0,556866921	0,078	0,191	3,35929E-08	0,679776823	1,471071043	0,408376963
ARF6	7,10828E-17	-0,556927278	0,19	0,36	1,49992E-12	0,679748384	1,471132588	0,527777778
STK32A	1,20516E-22	-0,556992821	0,007	0,125	2,54301E-18	0,679717503	1,471199425	0,056
DPYSL2	3,09569E-12	-0,557706006	0,125	0,258	6,53221E-08	0,679381573	1,471926881	0,484496124
SOD1	2,07297E-24	-0,557762576	0,432	0,71	4,37416E-20	0,679354934	1,471984598	0,608450704

Supplementary Table 5

Differentially expressed genes_total calculation_ comparing SC-Keloid vs. (SC-Myel, SC-Nonmyel)								
gene	p_val	avg_log2FC	pct.1	pct.2	p_val_adj	Foldchange_UP	Foldchange_DOWN	Ratio_pct1_pct2
JMJD6	1,234E-17	-0,5591622	0,072	0,216	2,60387E-13	0,678696181	1,47341333	0,333333333
BTG3	4,20515E-15	-0,559171557	0,239	0,407	8,87328E-11	0,678691779	1,473422887	0,587223587
RNASE4	2,95783E-19	-0,56087288	0,017	0,13	6,24132E-15	0,677891892	1,47516147	0,130769231
NRBP2	1,12684E-13	-0,561767978	0,109	0,244	2,37775E-09	0,677471435	1,476076996	0,446721311
TAX1BP3	3,66128E-11	-0,561933127	0,271	0,425	7,72567E-07	0,677393887	1,476245976	0,637647059
LDHA	2,9576E-14	-0,561993457	0,269	0,452	6,24083E-10	0,677365561	1,47630771	0,595132743
SCML1	6,76241E-18	-0,563176328	0,068	0,213	1,42694E-13	0,676810414	1,477518637	0,319248826
MIF	2,59275E-20	-0,563805103	0,297	0,539	5,47096E-16	0,676515501	1,47816273	0,551020408
FST	1,19195E-17	-0,564592307	0,113	0,278	2,51513E-13	0,676146462	1,478969507	0,40647482
RBMS1	6,76812E-13	-0,564700167	0,192	0,336	1,42814E-08	0,676095914	1,479080083	0,571428571
DCN	0,002741245	-0,565273364	0,084	0,132	1	0,675827348	1,479667853	0,636363636
PPTC7	1,19274E-14	-0,56609594	0,054	0,17	2,51681E-10	0,675442124	1,480511749	0,317647059
YME1L1	1,11264E-16	-0,568172781	0,161	0,327	2,34779E-12	0,674470486	1,482644565	0,49235474
H3-3B	1,19408E-25	-0,56843738	0,81	0,965	2,51963E-21	0,674346795	1,482916516	0,839378238
BAIAP2	4,69367E-18	-0,569269078	0,056	0,191	9,90412E-14	0,673958154	1,483771647	0,293193717
THRA	1,55384E-13	-0,569323584	0,055	0,166	3,27876E-09	0,673932692	1,483827706	0,331325301
ELMO1	1,46602E-17	-0,569643536	0,006	0,098	3,09344E-13	0,673783248	1,484156817	0,06122449
MECP2	1,12412E-18	-0,569765335	0,092	0,251	2,37201E-14	0,673726366	1,484282121	0,366533865
MBOAT2	3,40995E-17	-0,571504613	0,079	0,223	7,19533E-13	0,672914628	1,486072614	0,35426009
ATOX8	1,25173E-18	-0,571682256	0	0,087	2,64128E-14	0,672831775	1,48625561	0
FSTL3	3,84538E-06	-0,571743132	0,247	0,341	0,081141309	0,672803385	1,486318326	0,724340176
CDKN1B	1,33461E-22	-0,572820878	0,076	0,25	2,81616E-18	0,672300964	1,487429075	0,304
SYNE1	4,53012E-18	-0,575955554	0,097	0,258	9,559E-14	0,670841779	1,490664462	0,375968992
S100A2	1,68233E-08	-0,578436002	0,07	0,155	0,000354988	0,669689381	1,49322959	0,451612903
ADAM23	1,10191E-19	-0,579378471	0,033	0,166	2,32514E-15	0,669252036	1,49420539	0,198795181
HTATIP2	9,52372E-21	-0,579643024	0,049	0,197	2,0096E-16	0,669129324	1,494479413	0,248730964
SPRY1	7,60797E-09	-0,57968589	0,099	0,198	0,000160536	0,669109443	1,494523819	0,5
B4GALNT1	1,81483E-22	-0,580068841	0,023	0,161	3,82948E-18	0,668931857	1,49492058	0,142857143
USP53	3,50432E-16	-0,580159997	0,147	0,308	7,39447E-12	0,668889592	1,495015039	0,477272727
KCNK12	6,6626E-14	-0,580246748	0,003	0,073	1,40588E-09	0,668849372	1,495104939	0,04109589

Supplementary Table 5

Differentially expressed genes_total calculation_ comparing SC-Keloid vs. (SC-Myel, SC-Nonmyel)								
gene	p_val	avg_log2FC	pct.1	pct.2	p_val_adj	Foldchange_UP	Foldchange_DOWN	Ratio_pct1_pct2
FERMT2	3,08719E-21	-0,580707891	0,263	0,487	6,51428E-17	0,668635616	1,49558291	0,540041068
TMEM123	7,09052E-18	-0,58229774	0,139	0,309	1,49617E-13	0,667899186	1,49723195	0,449838188
SF1	3,36134E-22	-0,582973869	0,257	0,478	7,09277E-18	0,667586243	1,497933803	0,537656904
SETD5	9,54344E-14	-0,58364299	0,155	0,299	2,01376E-09	0,667276689	1,498628705	0,518394649
MIR99AHG	6,75651E-14	-0,583933466	0,023	0,115	1,42569E-09	0,667142351	1,498930473	0,2
STON1	2,33371E-20	-0,584907874	0,009	0,119	4,92435E-16	0,66669191	1,499943204	0,075630252
ID1	0,000391769	-0,585074105	0,105	0,157	1	0,666615097	1,500116042	0,668789809
MKNK2	4,35015E-22	-0,585780211	0,052	0,21	9,17924E-18	0,666288911	1,500850432	0,247619048
DHH	9,54947E-20	-0,586301244	0,022	0,144	2,01503E-15	0,666048323	1,501392565	0,152777778
ASH1L	7,82351E-21	-0,586700574	0,159	0,351	1,65084E-16	0,66586399	1,5018082	0,452991453
TOM1L2	2,74712E-15	-0,58685496	0,057	0,178	5,79669E-11	0,665792738	1,501968921	0,320224719
TGIF1	3,15701E-11	-0,587119464	0,118	0,232	6,66162E-07	0,665670683	1,502244317	0,50862069
RFX1	7,74751E-17	-0,588892851	0,043	0,164	1,6348E-12	0,664852931	1,504092039	0,262195122
RND3	1,03793E-09	-0,589318704	0,319	0,474	2,19013E-05	0,664656709	1,50453608	0,672995781
FGF7	3,65797E-25	-0,589987463	0,008	0,141	7,71869E-21	0,66434868	1,505233667	0,056737589
ADAMTS8	2,70652E-23	-0,59278496	0,008	0,132	5,71102E-19	0,663061705	1,508155263	0,060606061
CSF1	6,69192E-16	-0,593035601	0,029	0,136	1,41206E-11	0,662946521	1,508417299	0,213235294
TRIM28	4,61652E-12	-0,593326167	0,148	0,274	9,74132E-08	0,662813013	1,508721132	0,540145985
MYOT	5,36584E-13	-0,593391411	0,192	0,342	1,13225E-08	0,662783039	1,508789364	0,561403509
CD83	2,7743E-11	-0,595033289	0,044	0,134	5,85406E-07	0,662029179	1,510507439	0,328358209
PFKFB3	3,16522E-22	-0,596454448	0,028	0,168	6,67894E-18	0,661377354	1,511996131	0,166666667
FNBP4	7,57085E-17	-0,597281928	0,129	0,289	1,59752E-12	0,660998119	1,512863608	0,446366782
ZBTB44	3,38534E-24	-0,598217919	0,072	0,255	7,14341E-20	0,660569416	1,513845442	0,282352941
FSTL1	6,89939E-21	-0,599012045	0,201	0,411	1,45584E-16	0,660205909	1,514678962	0,489051095
GAB1	1,42147E-19	-0,601099405	0,095	0,262	2,99943E-15	0,659251382	1,516872058	0,36259542
ARL13B	2,44255E-13	-0,60194616	0,106	0,233	5,15403E-09	0,658864564	1,517762611	0,454935622
ANKRD37	3,8352E-14	-0,604460897	0,038	0,142	8,09265E-10	0,657717109	1,520410503	0,267605634
NEU1	9,75305E-15	-0,607470184	0,093	0,225	2,05799E-10	0,65634662	1,523585205	0,413333333
MT1X	0,007431414	-0,607867726	0,186	0,231	1	0,656165785	1,524005095	0,805194805
KRT5	1,41998E-19	-0,60893209	0,021	0,142	2,9963E-15	0,65568187	1,525129861	0,147887324

Supplementary Table 5

Differentially expressed genes_total calculation_ comparing SC-Keloid vs. (SC-Myel, SC-Nonmyel)								
gene	p_val	avg_log2FC	pct.1	pct.2	p_val_adj	Foldchange_UP	Foldchange_DOWN	Ratio_pct1_pct2
AMOTL2	1,81945E-13	-0,609608053	0,043	0,145	3,83923E-09	0,655374728	1,525844616	0,296551724
UGCG	5,77181E-13	-0,61014883	0,113	0,242	1,21791E-08	0,655129115	1,526416668	0,466942149
IFI6	1,58445E-06	-0,61024692	0,2	0,292	0,033433465	0,655084573	1,526520454	0,684931507
TGFBR2	5,06331E-21	-0,610331384	0,263	0,491	1,06841E-16	0,655046222	1,526609828	0,535641548
HNRNPL	8,11215E-18	-0,611519547	0,141	0,304	1,71174E-13	0,654506967	1,527867618	0,463815789
MBNL1	1,66039E-22	-0,611779109	0,254	0,482	3,50359E-18	0,654389222	1,528142529	0,526970954
ANKRD12	3,32856E-22	-0,612002894	0,191	0,402	7,02359E-18	0,654287723	1,528379587	0,475124378
RBM4	4,00794E-13	-0,612218748	0,105	0,227	8,45716E-09	0,654189837	1,528608277	0,462555066
SH3D19	7,84271E-20	-0,61273384	0,073	0,232	1,65489E-15	0,65395631	1,529154141	0,314655172
PLPP3	2,43353E-22	-0,614082414	0,037	0,185	5,135E-18	0,653345304	1,530584201	0,2
SMC5	2,45974E-16	-0,614119642	0,146	0,304	5,1903E-12	0,653328444	1,530623699	0,480263158
ITM2B	2,45932E-31	-0,615372398	0,533	0,858	5,18942E-27	0,652761377	1,531953384	0,621212121
CLEC14A	7,68276E-23	-0,615999168	0,008	0,13	1,62114E-18	0,65247785	1,532619076	0,061538462
ANKHD1	2,93711E-19	-0,616946765	0,048	0,186	6,1976E-15	0,652049428	1,533626068	0,258064516
SFPQ	4,35032E-29	-0,617127588	0,319	0,597	9,1796E-25	0,651967707	1,5338183	0,534338358
ARHGEF26	2,84506E-19	-0,617959157	0,095	0,263	6,00337E-15	0,651592021	1,534702647	0,36121673
LRRFIP2	6,3705E-16	-0,618758036	0,135	0,29	1,34424E-11	0,651231308	1,53555271	0,465517241
YY1	2,48599E-26	-0,61904379	0,231	0,478	5,24569E-22	0,651102332	1,535856887	0,483263598
DEPDC7	3,0879E-22	-0,621040193	0,017	0,147	6,51577E-18	0,650201959	1,537983679	0,115646259
SCRN1	6,03568E-17	-0,621656115	0,041	0,163	1,27359E-12	0,64992443	1,538640422	0,251533742
S1PR3	1,98681E-22	-0,622397156	0,059	0,225	4,19237E-18	0,649590682	1,539430948	0,262222222
RPS16	6,86158E-26	-0,622465558	0,539	0,852	1,44786E-21	0,649559884	1,539503938	0,632629108
GRIK3	1,67408E-23	-0,625058306	0,006	0,128	3,53247E-19	0,648393572	1,542273154	0,046875
LAMP1	1,78795E-25	-0,625180977	0,263	0,51	3,77276E-21	0,648338442	1,542404298	0,515686275
TRIM8	6,88816E-16	-0,625528744	0,158	0,311	1,45347E-11	0,648182177	1,542776145	0,508038585
KDSR	3,96452E-24	-0,625885219	0,156	0,372	8,36553E-20	0,648022037	1,543157397	0,419354839
PDLIM3	1,4048E-07	-0,625975191	0,123	0,212	0,00296426	0,647981626	1,543253636	0,580188679
GFRA1	4,29424E-21	-0,627283866	0,072	0,237	9,06129E-17	0,647394105	1,544654164	0,303797468
STIP1	2,27935E-21	-0,628298875	0,135	0,318	4,80966E-17	0,646938791	1,545741289	0,424528302
PRDM16	4,23717E-22	-0,629279478	0,008	0,125	8,94084E-18	0,646499214	1,54679229	0,064

Supplementary Table 5

Differentially expressed genes_total calculation_ comparing SC-Keloid vs. (SC-Myel, SC-Nonmyel)								
gene	p_val	avg_log2FC	pct.1	pct.2	p_val_adj	Foldchange_UP	Foldchange_DOWN	Ratio_pct1_pct2
OSER1	2,60335E-19	-0,630115369	0,061	0,208	5,49334E-15	0,646124744	1,547688754	0,293269231
RSRC2	3,75538E-18	-0,630951809	0,328	0,537	7,92423E-14	0,645750245	1,548586327	0,610800745
MIDEAS	2,09957E-17	-0,631852094	0,099	0,254	4,43031E-13	0,645347403	1,549552992	0,38976378
SERPINB9	5,22547E-19	-0,63204186	0,005	0,102	1,10263E-14	0,645262523	1,549756827	0,049019608
ABHD5	1,08529E-14	-0,632319245	0,062	0,18	2,29008E-10	0,645138471	1,550054826	0,344444444
KMT2A	1,80444E-19	-0,632405888	0,177	0,366	3,80754E-15	0,645099727	1,550147919	0,483606557
MIDN	2,30426E-17	-0,633195571	0,148	0,32	4,86221E-13	0,644746718	1,55099665	0,4625
FOXO3	1,46063E-20	-0,633702967	0,079	0,242	3,08208E-16	0,64452	1,551542233	0,326446281
BNIP3L	4,10147E-20	-0,634797731	0,118	0,293	8,6545E-16	0,644031103	1,55272004	0,402730375
CNKS3	8,99944E-15	-0,636409282	0,135	0,284	1,89897E-10	0,643312095	1,554455463	0,475352113
TOMM6	4,48357E-13	-0,637140948	0,093	0,214	9,46078E-09	0,64298592	1,555244008	0,434579439
RBM39	4,92099E-32	-0,63788732	0,357	0,664	1,03838E-27	0,64265336	1,556048815	0,537650602
GFRA2	1,50474E-16	-0,639570537	0,068	0,206	3,17516E-12	0,641904003	1,557865344	0,330097087
RPS6KA5	1,31384E-20	-0,639877953	0,038	0,179	2,77232E-16	0,641767238	1,558197336	0,212290503
DIP2B	1,14346E-16	-0,640083361	0,1	0,25	2,41282E-12	0,641675871	1,558419204	0,4
TAF7	1,76644E-18	-0,640793496	0,18	0,361	3,72737E-14	0,641360097	1,559186491	0,498614958
SMIM5	1,21578E-11	-0,643812366	0,098	0,213	2,56543E-07	0,640019441	1,562452538	0,460093897
FGFR1	5,85026E-23	-0,644214314	0,026	0,168	1,23446E-18	0,639841151	1,562887912	0,154761905
EEF1A1	6,08032E-30	-0,644861777	0,913	0,974	1,28301E-25	0,639554063	1,563589473	0,937371663
CYCS	7,92862E-15	-0,646678108	0,233	0,393	1,67302E-10	0,63874938	1,565559249	0,592875318
KMT2E	3,28592E-22	-0,648514491	0,277	0,505	6,93362E-18	0,637936844	1,567553292	0,548514851
RPS27	2,74898E-32	-0,649993903	0,712	0,943	5,80063E-28	0,637283007	1,569161564	0,755037116
EPB41L4A-AS1	1,64327E-20	-0,650222587	0,115	0,288	3,46747E-16	0,637181998	1,569410315	0,399305556
HLA-DPB1	1,39005E-17	-0,651003019	0,047	0,176	2,93315E-13	0,636837405	1,570259523	0,267045455
CRIP1	1,15692E-12	-0,651516939	0,217	0,372	2,44122E-08	0,63661059	1,570818985	0,583333333
AK1	9,20217E-10	-0,652060092	0,098	0,193	1,94175E-05	0,636370961	1,571410485	0,507772021
RBMS3	1,60729E-26	-0,653298523	0,023	0,183	3,39154E-22	0,635824925	1,572759986	0,12568306
LMNA	4,74233E-19	-0,653571897	0,609	0,862	1,00068E-14	0,635704455	1,573058035	0,70649652
ODC1	1,18162E-14	-0,654861031	0,126	0,269	2,49334E-10	0,635136669	1,574464284	0,468401487
PLEKHA5	4,86541E-16	-0,655005697	0,091	0,237	1,02665E-11	0,635072983	1,574622171	0,383966245

Supplementary Table 5

Differentially expressed genes_total calculation_ comparing SC-Keloid vs. (SC-Myel, SC-Nonmyel)								
gene	p_val	avg_log2FC	pct.1	pct.2	p_val_adj	Foldchange_UP	Foldchange_DOWN	Ratio_pct1_pct2
INF2	8,11961E-20	-0,655704866	0,107	0,273	1,71332E-15	0,634765285	1,57538546	0,391941392
HNRNPDL	2,97765E-32	-0,656158769	0,392	0,711	6,28314E-28	0,634565605	1,575881188	0,551336146
PHF13	9,40267E-14	-0,656753602	0,068	0,182	1,98406E-09	0,634304023	1,57653107	0,373626374
DDX39B	7,11025E-15	-0,657231216	0,139	0,282	1,50033E-10	0,634094067	1,577053077	0,492907801
HIPK3	3,5887E-20	-0,658332186	0,097	0,262	7,57252E-16	0,633610353	1,57825704	0,370229008
CHORDC1	5,06529E-19	-0,658645111	0,09	0,247	1,06883E-14	0,633472936	1,578599405	0,36437247
SNHG12	3,27794E-17	-0,659029319	0,059	0,189	6,91678E-13	0,633304256	1,579019863	0,312169312
HNRNPH1	1,78515E-30	-0,659061932	0,369	0,676	3,76685E-26	0,63328994	1,579055558	0,545857988
CTSF	1,26981E-20	-0,659457324	0,061	0,213	2,67943E-16	0,633116402	1,57948838	0,286384977
AHSA1	6,79677E-16	-0,659758656	0,154	0,307	1,43419E-11	0,632984178	1,579818319	0,501628664
PRKCA	1,20895E-21	-0,660269226	0,143	0,334	2,55101E-17	0,632760204	1,580377516	0,428143713
CNP	3,12693E-20	-0,660613864	0,254	0,464	6,59814E-16	0,632609066	1,580755089	0,547413793
ZBTB10	1,48183E-22	-0,661571012	0,045	0,201	3,12682E-18	0,632189504	1,58180418	0,223880597
ARHGAP19	7,07717E-26	-0,661684062	0,007	0,141	1,49335E-21	0,632139967	1,581928136	0,04964539
KCTD11	4,5768E-19	-0,66212057	0,03	0,156	9,65751E-15	0,631948733	1,582406843	0,192307692
SAV1	9,84139E-20	-0,664153278	0,065	0,216	2,07663E-15	0,631058966	1,584637971	0,300925926
FGFBP2	2,86497E-14	-0,666409436	0,008	0,087	6,04537E-10	0,630072856	1,587118046	0,091954023
TMEM35B	5,41867E-18	-0,666574797	0,048	0,175	1,14339E-13	0,630000641	1,587299971	0,274285714
ZSWIM6	2,44809E-27	-0,667530483	0,08	0,284	5,16571E-23	0,629583448	1,588351796	0,281690141
BPTF	3,20775E-20	-0,669306107	0,148	0,332	6,76868E-16	0,628809053	1,590307893	0,445783133
SNHG8	1,14871E-23	-0,670689915	0,269	0,507	2,4239E-19	0,628206199	1,591834021	0,530571992
NUP153	7,3481E-24	-0,672356329	0,044	0,206	1,55052E-19	0,627480996	1,593673763	0,213592233
RASGEF1B	2,6053E-25	-0,672589958	0,03	0,187	5,49744E-21	0,62737939	1,593931863	0,160427807
ATP1B2	1,93269E-21	-0,673006578	0,014	0,134	4,07818E-17	0,627198242	1,594392223	0,104477612
EIF4A3	4,1758E-17	-0,673209279	0,155	0,315	8,81135E-13	0,627110126	1,594616253	0,492063492
LINC00472	1,48022E-24	-0,673341777	0,012	0,145	3,12341E-20	0,627052535	1,59476271	0,082758621
ATN1	4,94289E-20	-0,676253708	0,135	0,311	1,043E-15	0,625788171	1,597984825	0,434083601
RNF130	1,48396E-22	-0,677217078	0,146	0,345	3,1313E-18	0,625370436	1,599052247	0,423188406
ATF4	1,3464E-31	-0,677889588	0,299	0,602	2,84103E-27	0,625078988	1,599797816	0,496677741
CEP85L	2,56927E-18	-0,680412744	0,079	0,228	5,42142E-14	0,623986731	1,602598181	0,346491228

Supplementary Table 5

Differentially expressed genes_total calculation_ comparing SC-Keloid vs. (SC-Myel, SC-Nonmyel)								
gene	p_val	avg_log2FC	pct.1	pct.2	p_val_adj	Foldchange_UP	Foldchange_DOWN	Ratio_pct1_pct2
EFNA1	2,20324E-19	-0,680779317	0,012	0,119	4,64905E-15	0,623828203	1,603005435	0,100840336
GABARAP	5,91776E-28	-0,680907926	0,189	0,452	1,24871E-23	0,623772594	1,603148342	0,418141593
CMTM5	3,84256E-22	-0,681652951	0,129	0,316	8,10819E-18	0,623450554	1,60397644	0,408227848
TPT1	2,55223E-33	-0,682020247	0,745	0,948	5,38546E-29	0,623291849	1,604384849	0,785864979
FNIP2	3,0596E-20	-0,684615058	0,054	0,202	6,45606E-16	0,622171813	1,607273069	0,267326733
RAPGEF2	1,17037E-21	-0,688079325	0,061	0,22	2,4696E-17	0,620679618	1,611137166	0,277272727
TCF7L2	7,40235E-19	-0,688287637	0,066	0,213	1,56197E-14	0,620590004	1,611369816	0,309859155
PLXDC2	6,117E-23	-0,690097968	0,098	0,286	1,29075E-18	0,61981176	1,613393074	0,342657343
LAMA4	3,22905E-24	-0,691635218	0,207	0,437	6,81362E-20	0,619151677	1,615113126	0,473684211
LTBP3	2,40927E-23	-0,69194497	0,168	0,383	5,0838E-19	0,619018757	1,615459934	0,438642298
XBP1	1,00122E-14	-0,693076233	0,183	0,339	2,11267E-10	0,618533555	1,616727164	0,539823009
RBBP6	3,02761E-17	-0,693223142	0,151	0,316	6,38857E-13	0,618470573	1,616891804	0,477848101
ZMYM5	2,29317E-21	-0,694006023	0,093	0,266	4,83882E-17	0,61813505	1,61776945	0,34962406
SBDS	3,60757E-31	-0,69422593	0,334	0,626	7,61234E-27	0,618040836	1,618016063	0,533546326
ANKRD33B	1,13076E-23	-0,694913693	0	0,111	2,38603E-19	0,617746273	1,618787588	0
MXI1	9,07008E-25	-0,694953459	0,057	0,232	1,91388E-20	0,617729246	1,618832209	0,245689655
KIF21A	4,87279E-27	-0,69598526	0,024	0,183	1,02821E-22	0,61728761	1,619990396	0,131147541
SPHK1	5,94561E-19	-0,696545169	0,144	0,315	1,25458E-14	0,617048088	1,620619235	0,457142857
CHD1	5,00907E-22	-0,696792857	0,121	0,309	1,05696E-17	0,616942159	1,620897494	0,391585761
STOM	1,379E-22	-0,697022502	0,063	0,227	2,90983E-18	0,616843964	1,621155525	0,27753304
FBLN2	5,13669E-16	-0,698571688	0,121	0,273	1,08389E-11	0,616181944	1,62289728	0,443223443
GJC3	6,3918E-17	-0,699062246	0,003	0,088	1,34873E-12	0,61597246	1,623449205	0,034090909
SOX4	6,88854E-05	-0,700306373	0,583	0,684	1	0,615441496	1,624849812	0,852339181
PCF11	3,53305E-24	-0,700756431	0,114	0,313	7,4551E-20	0,615249536	1,625356773	0,364217252
NEAT1	9,60495E-19	-0,701143777	0,676	0,883	2,02674E-14	0,615084371	1,62579322	0,765571914
VAMP2	6,77462E-27	-0,701146629	0,239	0,478	1,42951E-22	0,615083155	1,625796434	0,5
ARL4A	5,01146E-19	-0,702013916	0,105	0,269	1,05747E-14	0,614713504	1,626774087	0,390334572
MRPS6	1,08742E-21	-0,70628018	0,075	0,244	2,29457E-17	0,61289839	1,63159182	0,307377049
ISG20	8,9241E-26	-0,706630262	0,014	0,156	1,88307E-21	0,612749683	1,631987788	0,08974359
N4BP2L1	1,88388E-29	-0,706776461	0,037	0,218	3,97517E-25	0,612687592	1,632153178	0,169724771

Supplementary Table 5

Differentially expressed genes_total calculation_ comparing SC-Keloid vs. (SC-Myel, SC-Nonmyel)								
gene	p_val	avg_log2FC	pct.1	pct.2	p_val_adj	Foldchange_UP	Foldchange_DOWN	Ratio_pct1_pct2
NME2	1,48558E-28	-0,706934125	0,158	0,422	3,13472E-24	0,612620638	1,632331556	0,374407583
TXNIP	5,66233E-18	-0,708581127	0,246	0,448	1,19481E-13	0,61192166	1,634196115	0,549107143
C1S	4,62537E-24	-0,709652904	0,02	0,163	9,76E-20	0,611467233	1,635410609	0,122699387
MAGI1	2,22367E-20	-0,711070412	0,024	0,152	4,69216E-16	0,610866736	1,637018257	0,157894737
PGM2L1	2,25012E-12	-0,711791376	0,196	0,334	4,74798E-08	0,610561542	1,637836535	0,586826347
AZGP1	8,00396E-17	-0,713314074	0,012	0,107	1,68892E-12	0,609917462	1,63956611	0,112149533
FAM102A	3,97959E-26	-0,716397319	0,064	0,247	8,39734E-22	0,608615373	1,643073843	0,259109312
RGS11	1,27017E-27	-0,719322908	0,027	0,191	2,68019E-23	0,607382435	1,646409153	0,141361257
PALM2AKAP2	3,05368E-12	-0,719470303	0,151	0,281	6,44356E-08	0,607320384	1,64657737	0,537366548
PTTG1	1,39684E-13	-0,719663502	0,078	0,199	2,94746E-09	0,60723906	1,646797886	0,391959799
HES4	2,08742E-17	-0,720166285	0,043	0,167	4,40467E-13	0,607027472	1,6473719	0,25748503
RERE	4,99076E-25	-0,720348916	0,092	0,286	1,0531E-20	0,606950633	1,647580454	0,321678322
PABPC1	6,72296E-29	-0,721372829	0,31	0,577	1,41861E-24	0,60652002	1,648750194	0,537261698
LGI4	1,32841E-21	-0,722237716	0,219	0,436	2,80307E-17	0,606156524	1,649738906	0,502293578
CRYL1	1,15408E-26	-0,723888543	0,041	0,214	2,43523E-22	0,605463316	1,651627727	0,191588785
CITED2	4,75424E-15	-0,724946891	0,069	0,195	1,00319E-10	0,605019316	1,652839791	0,353846154
NFKB2	2,93428E-21	-0,725433732	0,042	0,186	6,19162E-17	0,604815186	1,653397639	0,225806452
HNRNPU	6,77984E-25	-0,727513955	0,354	0,612	1,43061E-20	0,60394373	1,655783394	0,578431373
MTUS1	6,71375E-31	-0,72913769	0,041	0,237	1,41667E-26	0,603264382	1,657648006	0,172995781
H2AX	7,71757E-17	-0,733242844	0,114	0,265	1,62849E-12	0,601550248	1,662371521	0,430188679
ARRDC3	1,12708E-15	-0,735506052	0,095	0,235	2,37826E-11	0,600607314	1,66498139	0,404255319
PRDM16-DT	3,63897E-30	-0,736625452	0,017	0,185	7,6786E-26	0,600141478	1,666273765	0,091891892
SPEN	2,42932E-22	-0,737952919	0,102	0,286	5,12611E-18	0,599589524	1,66780766	0,356643357
SDC2	2,67413E-23	-0,738206836	0,045	0,202	5,64269E-19	0,599484004	1,668101223	0,222772277
CSKMT	2,1633E-11	-0,741450527	0,062	0,16	4,56479E-07	0,598137665	1,671855926	0,3875
CACYBP	2,17678E-18	-0,741489453	0,179	0,351	4,59323E-14	0,598121527	1,671901036	0,50997151
SFRP1	4,60265E-27	-0,742273896	0,036	0,212	9,71206E-23	0,597796396	1,672810353	0,169811321
IVNS1ABP	2,16523E-30	-0,742570935	0,084	0,305	4,56885E-26	0,597673327	1,673154807	0,275409836
LITAF	7,49065E-24	-0,743291381	0,164	0,369	1,5806E-19	0,597374938	1,673990547	0,444444444
NFKBIZ	7,7132E-21	-0,743670215	0,101	0,275	1,62756E-16	0,597218096	1,674430174	0,367272727

Supplementary Table 5

Differentially expressed genes_total calculation_ comparing SC-Keloid vs. (SC-Myel, SC-Nonmyel)								
gene	p_val	avg_log2FC	pct.1	pct.2	p_val_adj	Foldchange_UP	Foldchange_DOWN	Ratio_pct1_pct2
RDH10	4,79811E-24	-0,744075198	0,066	0,246	1,01245E-19	0,597050472	1,674900274	0,268292683
RASD1	5,30749E-15	-0,744132579	0,045	0,159	1,11993E-10	0,597026726	1,674966892	0,283018868
POU3F1	1,07521E-06	-0,744178224	0,2	0,289	0,022687973	0,597007837	1,675019887	0,692041522
IQGAP2	4,54861E-24	-0,747483121	0,14	0,35	9,59802E-20	0,595641789	1,678861388	0,4
MT-ND1	1,42796E-27	-0,74879714	0,562	0,83	3,01313E-23	0,59509952	1,680391205	0,677108434
ABCA8	1,0534E-18	-0,750690844	0,064	0,21	2,22278E-14	0,594318896	1,682598361	0,304761905
IRF2BP2	5,53192E-25	-0,752016918	0,144	0,355	1,16729E-20	0,59377287	1,684145656	0,405633803
ZBTB20	9,35822E-29	-0,752857068	0,288	0,563	1,97468E-24	0,593427189	1,6851267	0,511545293
SLC44A1	5,55053E-22	-0,753244853	0,113	0,299	1,17122E-17	0,593267701	1,68557971	0,377926421
TAF5	5,06856E-34	-0,755145284	0,006	0,176	1,06952E-29	0,592486717	1,687801551	0,034090909
HNRNPC	8,23096E-35	-0,755506303	0,317	0,623	1,73682E-30	0,592338472	1,688223958	0,50882825
IL11RA	1,11462E-21	-0,755960811	0,051	0,202	2,35196E-17	0,592151891	1,688755901	0,252475248
GSN	2,72362E-19	-0,760064445	0,511	0,787	5,74712E-15	0,590469954	1,693566274	0,649301144
PLAAT3	4,77582E-23	-0,763377801	0,168	0,37	1,00775E-18	0,589115411	1,697460262	0,454054054
MSX1	1,50654E-12	-0,76444238	0,08	0,194	3,17896E-08	0,588680857	1,698713297	0,412371134
CYTH3	2,898E-27	-0,76613118	0,063	0,252	6,11507E-23	0,587992158	1,700702953	0,25
ZEB2	8,37966E-37	-0,766781527	0,433	0,775	1,76819E-32	0,587727159	1,701469779	0,558709677
ARID5B	3,59031E-12	-0,767926321	0,214	0,355	7,57591E-08	0,587260977	1,702820449	0,602816901
LIMS2	1,32476E-17	-0,768441404	0,04	0,163	2,79537E-13	0,587051345	1,703428513	0,245398773
KCTD9	3,9035E-27	-0,768509754	0,104	0,313	8,23677E-23	0,587023533	1,703509218	0,332268371
PTEN	2,92128E-28	-0,76942118	0,164	0,399	6,16419E-24	0,586652797	1,704585753	0,411027569
SBSPON	2,97317E-33	-0,773134547	0,007	0,175	6,27369E-29	0,585144747	1,708978855	0,04
SKI	1,8785E-26	-0,77828327	0,122	0,334	3,96383E-22	0,583060191	1,715088794	0,365269461
RHOB	3,93923E-11	-0,779069912	0,501	0,673	8,31216E-07	0,582742359	1,716024217	0,744427935
KHDRBS3	2,07643E-22	-0,779096434	0,229	0,44	4,38148E-18	0,582731646	1,716055764	0,520454545
CADM4	9,79395E-32	-0,780070001	0,165	0,423	2,06662E-27	0,582338537	1,717214191	0,390070922
DCUN1D3	1,73866E-25	-0,780506535	0,034	0,194	3,66875E-21	0,582162358	1,717733868	0,175257732
PNISR	1,90982E-36	-0,783834236	0,331	0,654	4,02992E-32	0,580821098	1,721700543	0,506116208
ARMCX1	5,91391E-28	-0,789334682	0,051	0,236	1,24789E-23	0,578610865	1,728277261	0,216101695
ENTPD2	2,22659E-27	-0,789512321	0,006	0,144	4,69832E-23	0,578539625	1,728490076	0,041666667

Supplementary Table 5

Differentially expressed genes_total calculation_ comparing SC-Keloid vs. (SC-Myel, SC-Nonmyel)								
gene	p_val	avg_log2FC	pct.1	pct.2	p_val_adj	Foldchange_UP	Foldchange_DOWN	Ratio_pct1_pct2
LPAR1	1,53582E-28	-0,790396903	0,084	0,289	3,24074E-24	0,578185004	1,729550218	0,290657439
CNTN2	7,0666E-28	-0,790690811	0,001	0,134	1,49112E-23	0,578067228	1,729902599	0,007462687
UBE2R2	2,55251E-24	-0,791910977	0,169	0,374	5,38606E-20	0,577578531	1,731366292	0,451871658
PPP1R18	3,1384E-21	-0,792278954	0,162	0,353	6,62233E-17	0,577431232	1,731807954	0,458923513
WTAP	1,80598E-21	-0,793046701	0,182	0,379	3,81079E-17	0,577124027	1,732729801	0,480211082
HSPA8	4,05556E-26	-0,794611329	0,453	0,75	8,55763E-22	0,576498465	1,734609996	0,604
B4GALNT4	2,98943E-25	-0,795825116	0,043	0,21	6,308E-21	0,576013641	1,736069996	0,204761905
MT-ND4L	2,48269E-22	-0,797547775	0,201	0,407	5,23872E-18	0,575326259	1,738144198	0,493857494
CHADL	1,28221E-20	-0,798143485	0,076	0,232	2,70558E-16	0,575088748	1,738862052	0,327586207
RHOBTB3	5,29399E-13	-0,801695636	0,084	0,204	1,11708E-08	0,573674527	1,74314869	0,411764706
ING1	9,66717E-25	-0,804275068	0,127	0,328	2,03987E-20	0,572649756	1,746268098	0,387195122
MYLIP	2,0145E-27	-0,804963316	0,035	0,204	4,25079E-23	0,572376634	1,747101367	0,171568627
HNRNPA1	2,85454E-38	-0,805818178	0,389	0,733	6,02337E-34	0,572037576	1,74813691	0,530695771
RORB	4,10801E-29	-0,808909175	0,013	0,168	8,66831E-25	0,570813288	1,751886336	0,077380952
FKBP4	5,69011E-26	-0,814007661	0,061	0,24	1,20067E-21	0,568799593	1,758088458	0,254166667
KDM6B	1,03913E-26	-0,816827584	0,099	0,304	2,19268E-22	0,567688891	1,761528216	0,325657895
EIF5	4,74839E-27	-0,818532988	0,338	0,602	1,00196E-22	0,567018225	1,763611743	0,561461794
STAT3	1,29171E-33	-0,820007194	0,165	0,427	2,72564E-29	0,566439118	1,765414796	0,386416862
SLC5A3	1,96421E-25	-0,820009543	0,041	0,206	4,14468E-21	0,566438196	1,765417671	0,199029126
GADD45G	1,36384E-14	-0,82110812	0,043	0,153	2,87784E-10	0,566007031	1,766762505	0,281045752
MYADM	3,91715E-20	-0,821416866	0,185	0,373	8,26558E-16	0,565885915	1,767140643	0,495978552
SON	9,03473E-44	-0,822331609	0,407	0,76	1,90642E-39	0,565527228	1,768261458	0,535526316
PRIMA1	3,34764E-27	-0,8224399	0,02	0,176	7,06385E-23	0,56548478	1,768394191	0,113636364
NCMAP	5,71892E-17	-0,823967456	0	0,079	1,20675E-12	0,56488635	1,770267595	0
HNRNPH3	4,59789E-32	-0,8241129	0,264	0,529	9,70202E-28	0,564829404	1,770446072	0,49905482
HNRNPA0	2,3384E-32	-0,824462586	0,272	0,547	4,93425E-28	0,564692515	1,770875252	0,49725777
IFI16	2,46541E-23	-0,827529606	0,236	0,46	5,20226E-19	0,563493312	1,774643954	0,513043478
ACKR3	8,41016E-28	-0,827836943	0,005	0,144	1,77463E-23	0,563373284	1,775022046	0,03472222
SGK1	3,20027E-15	-0,828230588	0,041	0,152	6,75288E-11	0,563219587	1,775506434	0,269736842
RPL36A	3,06703E-49	-0,828712878	0,281	0,692	6,47175E-45	0,563031335	1,776100081	0,406069364

Supplementary Table 5

Differentially expressed genes_total calculation_ comparing SC-Keloid vs. (SC-Myel, SC-Nonmyel)								
gene	p_val	avg_log2FC	pct.1	pct.2	p_val_adj	Foldchange_UP	Foldchange_DOWN	Ratio_pct1_pct2
TEAD1	5,46486E-31	-0,830087525	0,122	0,362	1,15314E-26	0,562495116	1,777793214	0,337016575
SEMA3G	6,99657E-39	-0,832356289	0,006	0,199	1,47635E-34	0,561611238	1,780591149	0,030150754
RXRG	2,28866E-37	-0,838792942	0,028	0,24	4,82931E-33	0,559111164	1,78855309	0,116666667
IFITM2	4,76362E-29	-0,839819949	0,25	0,509	1,00517E-24	0,558713293	1,789826754	0,491159136
SFRP5	1,00774E-18	-0,841433408	0,002	0,094	2,12642E-14	0,558088797	1,791829553	0,021276596
F3	7,42949E-29	-0,845527346	0,031	0,209	1,5677E-24	0,556507353	1,796921451	0,148325359
RC3H1	1,13817E-29	-0,848337628	0,076	0,286	2,40165E-25	0,555424365	1,800425157	0,265734266
ARAP2	1,36334E-31	-0,84853645	0,013	0,182	2,87679E-27	0,555347826	1,800673296	0,071428571
SECISBP2L	6,00609E-23	-0,850743255	0,191	0,4	1,26734E-18	0,554498993	1,803429786	0,4775
ERF	1,92167E-27	-0,851815371	0,198	0,43	4,05491E-23	0,554087079	1,804770475	0,460465116
CHD2	1,79388E-23	-0,85201401	0,102	0,289	3,78527E-19	0,554010794	1,805018983	0,352941176
EGR3	1,35319E-19	-0,85244373	0,061	0,208	2,85536E-15	0,553845801	1,805556706	0,293269231
CREBRF	2,77965E-28	-0,853639897	0,112	0,33	5,86533E-24	0,553386787	1,807054348	0,339393939
SIK3	1,28552E-31	-0,855048714	0,066	0,28	2,71258E-27	0,552846659	1,808819831	0,235714286
NOP53	6,25002E-38	-0,859709433	0,218	0,503	1,31882E-33	0,551063534	1,814672788	0,433399602
ITPR1	6,61061E-29	-0,860124043	0,034	0,212	1,39491E-24	0,550905189	1,815194375	0,160377358
MT-ND2	2,28422E-35	-0,862437672	0,524	0,826	4,81993E-31	0,550022418	1,81810771	0,634382567
HBP1	3,78577E-32	-0,867009074	0,129	0,376	7,98835E-28	0,548282346	1,823877803	0,343085106
SLC25A25	1,70522E-31	-0,867626952	0,042	0,236	3,59818E-27	0,548047577	1,824659101	0,177966102
OLFM1	9,86535E-31	-0,86799432	0,05	0,247	2,08169E-26	0,54790804	1,825123792	0,20242915
HLA-E	2,94989E-32	-0,869866696	0,262	0,524	6,22455E-28	0,547197409	1,827494034	0,5
PRNP	1,43871E-30	-0,870371832	0,548	0,84	3,03583E-26	0,54700585	1,828134013	0,652380952
FOSL2	2,95138E-30	-0,870577094	0,087	0,304	6,22772E-26	0,54692803	1,828394132	0,286184211
DNAJB6	4,39681E-36	-0,871213003	0,234	0,516	9,27772E-32	0,546687009	1,829200227	0,453488372
RTN4	4,35943E-31	-0,87512267	0,321	0,597	9,19883E-27	0,545207506	1,834164036	0,537688442
APLP2	8,33835E-36	-0,875657554	0,258	0,556	1,75948E-31	0,545005406	1,834844185	0,464028777
CLIC4	5,08731E-40	-0,876026954	0,414	0,744	1,07347E-35	0,544865876	1,835314054	0,556451613
MUCL1	0,001401899	-0,877885981	0,009	0,031	1	0,544164226	1,837680525	0,290322581
AC009041.2	2,05641E-34	-0,878040464	0,022	0,214	4,33923E-30	0,54410596	1,837877314	0,102803738
BAG3	3,0555E-25	-0,878256834	0,09	0,28	6,44741E-21	0,544024363	1,838152973	0,321428571

Supplementary Table 5

Differentially expressed genes_total calculation_ comparing SC-Keloid vs. (SC-Myel, SC-Nonmyel)								
gene	p_val	avg_log2FC	pct.1	pct.2	p_val_adj	Foldchange_UP	Foldchange_DOWN	Ratio_pct1_pct2
MCL1	1,89306E-31	-0,879830991	0,236	0,495	3,99455E-27	0,543431089	1,840159718	0,476767677
TRA2B	3,87555E-41	-0,880545817	0,239	0,554	8,17781E-37	0,543161897	1,841071705	0,431407942
PTGDS	5,37392E-16	-0,881066475	0,016	0,113	1,13395E-11	0,542965909	1,841736254	0,14159292
TSPYL2	3,0402E-29	-0,88182218	0,079	0,29	6,41513E-25	0,54268157	1,842701235	0,272413793
BCL3	1,07533E-26	-0,883511419	0,03	0,19	2,26905E-22	0,542046521	1,844860102	0,157894737
FMNL2	3,02571E-40	-0,884207648	0,024	0,244	6,38454E-36	0,541784998	1,845750626	0,098360656
H1-10	3,21226E-21	-0,884887397	0,169	0,36	6,77818E-17	0,541529788	1,846620487	0,469444444
BCAS1	2,54059E-18	-0,885076451	0,003	0,095	5,3609E-14	0,541458829	1,846862487	0,031578947
IFITM3	6,22659E-34	-0,885303313	0,573	0,86	1,31387E-29	0,541373692	1,847152928	0,66627907
CKB	2,47976E-24	-0,888889573	0,165	0,381	5,23254E-20	0,540029613	1,851750303	0,433070866
NR2F1	7,51167E-22	-0,893117228	0,066	0,229	1,58504E-17	0,538449434	1,857184607	0,288209607
SLC22A17	4,87508E-29	-0,894111704	0,164	0,396	1,02869E-24	0,538078399	1,858465239	0,414141414
PGRMC1	6,51254E-37	-0,89526487	0,246	0,536	1,37421E-32	0,537648477	1,859951329	0,458955224
ANGPTL4	8,39762E-27	-0,897771644	0,015	0,164	1,77198E-22	0,53671509	1,863185922	0,091463415
KLF2	1,11358E-09	-0,898974094	0,206	0,323	2,34976E-05	0,536267938	1,864739488	0,637770898
FOXD3	2,87403E-24	-0,899217106	0,289	0,539	6,06449E-20	0,536177615	1,865053617	0,536178108
ABLIM1	1,48929E-29	-0,900858829	0,043	0,231	3,14255E-25	0,535567815	1,867177174	0,186147186
RYBP	8,46503E-29	-0,900887911	0,146	0,376	1,78621E-24	0,53555702	1,867214812	0,388297872
CYLD	3,77859E-26	-0,901086676	0,119	0,324	7,9732E-22	0,535483239	1,867472083	0,367283951
ASPA	3,47201E-34	-0,903326719	0,151	0,408	7,32629E-30	0,534652451	1,87037392	0,370098039
TSPAN15	1,03402E-34	-0,908279616	0,098	0,338	2,18188E-30	0,532820089	1,876806111	0,289940828
MAFK	1,60872E-33	-0,909506356	0,03	0,225	3,39456E-29	0,532367219	1,878402659	0,133333333
PCDH10	2,25835E-27	-0,910092312	0,019	0,172	4,76535E-23	0,53215104	1,879165734	0,110465116
TGFBR3	3,33158E-41	-0,911372961	0,017	0,237	7,02996E-37	0,531678871	1,880834569	0,071729958
DUSP8	2,39842E-29	-0,911880183	0,088	0,3	5,0609E-25	0,531491976	1,881495948	0,293333333
TM4SF1	3,54137E-23	-0,912503836	0,064	0,232	7,47265E-19	0,531262271	1,882309464	0,275862069
LRRC4C	1,38187E-32	-0,912749973	0,054	0,266	2,91588E-28	0,53117164	1,882630631	0,203007519
VASN	1,05524E-32	-0,912788779	0,015	0,191	2,22665E-28	0,531157353	1,88268127	0,078534031
SEMA5A	2,73744E-30	-0,913286937	0,012	0,172	5,77626E-26	0,530973977	1,883331467	0,069767442
SRSF7	1,51404E-33	-0,913734372	0,27	0,552	3,19478E-29	0,530809328	1,883915651	0,489130435

Supplementary Table 5

Differentially expressed genes_total calculation_ comparing SC-Keloid vs. (SC-Myel, SC-Nonmyel)								
gene	p_val	avg_log2FC	pct.1	pct.2	p_val_adj	Foldchange_UP	Foldchange_DOWN	Ratio_pct1_pct2
IGSF1	1,57231E-36	-0,914905872	0,006	0,189	3,31772E-32	0,530378474	1,885446053	0,031746032
LPL	5,50674E-31	-0,915441894	0,009	0,171	1,16198E-26	0,530181453	1,886146705	0,052631579
ARID5A	1,63435E-27	-0,919070575	0,072	0,269	3,44864E-23	0,528849611	1,890896731	0,267657993
PLSCR4	9,52203E-37	-0,919197725	0,042	0,262	2,00924E-32	0,528803003	1,89106339	0,160305344
FOXO1	6,28004E-38	-0,920486867	0,062	0,303	1,32515E-33	0,528330694	1,892753934	0,204620462
ZBTB7A	8,33535E-27	-0,92203643	0,153	0,366	1,75884E-22	0,527763532	1,894787987	0,418032787
HERPUD1	3,62233E-26	-0,924422003	0,198	0,421	7,64347E-22	0,526891568	1,897923711	0,470308789
GPR155	3,98023E-34	-0,927509911	0,17	0,448	8,39868E-30	0,525765029	1,90199033	0,379464286
THSD7A	9,6084E-43	-0,927855627	0,035	0,28	2,02747E-38	0,525639054	1,902446162	0,125
DHRS3	7,24996E-38	-0,934797117	0,002	0,185	1,52981E-33	0,523116029	1,911621789	0,010810811
IGFBP4	1,79364E-24	-0,939943575	0,092	0,278	3,78476E-20	0,521253266	1,918453206	0,330935252
ITGB8	1,48255E-22	-0,939994517	0,327	0,548	3,12832E-18	0,521234861	1,918520947	0,596715328
NAMPT	1,23148E-27	-0,940327507	0,119	0,335	2,59855E-23	0,521114568	1,918963814	0,355223881
ITPRID2	1,46849E-37	-0,941356831	0,133	0,404	3,09865E-33	0,5207429	1,920333432	0,329207921
XIST	3,41283E-48	-0,941735563	0,299	0,699	7,20141E-44	0,520606214	1,920837618	0,427753934
KRT14	1,93089E-29	-0,943244579	0,055	0,251	4,07437E-25	0,52006196	1,922847808	0,219123506
SPATA13	7,08229E-34	-0,944400612	0,034	0,233	1,49443E-29	0,519645401	1,924389205	0,145922747
PLK2	4,40421E-23	-0,945098142	0,08	0,256	9,29331E-19	0,519394218	1,925319855	0,3125
HSP90AB1	5,99557E-37	-0,948277905	0,662	0,885	1,26512E-32	0,518250711	1,929568025	0,748022599
PRELP	5,92039E-30	-0,957102717	0,005	0,153	1,24926E-25	0,515090302	1,941407159	0,032679739
COL21A1	4,80444E-35	-0,959901705	0,003	0,175	1,01378E-30	0,514091939	1,94517736	0,017142857
LIMCH1	1,79506E-21	-0,962890873	0,066	0,231	3,78776E-17	0,513027877	1,949211816	0,285714286
HEXIM1	1,64282E-19	-0,963518698	0,161	0,339	3,46652E-15	0,512804669	1,950060248	0,474926254
MT-ND3	1,87356E-30	-0,964701322	0,505	0,803	3,95341E-26	0,512384478	1,951659432	0,628891656
EPB41L2	1,55114E-46	-0,966561909	0,115	0,434	3,27306E-42	0,511724102	1,954178034	0,264976959
MLIP	1,524E-22	-0,967041504	0	0,106	3,2158E-18	0,511554018	1,954827769	0
KLHL21	6,49643E-24	-0,967298563	0,057	0,224	1,37081E-19	0,511462878	1,955176111	0,254464286
MYC	2,06005E-24	-0,971382898	0,051	0,216	4,34691E-20	0,510016951	1,960719146	0,236111111
PCDH9	6,98581E-23	-0,971888408	0,071	0,244	1,47407E-18	0,509838276	1,961406288	0,290983607
ARC	2,02564E-14	-0,972336034	0,073	0,193	4,27429E-10	0,509680113	1,962014949	0,378238342

Supplementary Table 5

Differentially expressed genes_total calculation_ comparing SC-Keloid vs. (SC-Myel, SC-Nonmyel)								
gene	p_val	avg_log2FC	pct.1	pct.2	p_val_adj	Foldchange_UP	Foldchange_DOWN	Ratio_pct1_pct2
KLF10	1,55056E-31	-0,973978025	0,15	0,391	3,27184E-27	0,509100354	1,964249271	0,383631714
C1R	2,32284E-25	-0,97399133	0,083	0,27	4,90142E-21	0,509095659	1,964267386	0,307407407
BTG1	1,19135E-37	-0,976503172	0,39	0,701	2,51388E-33	0,508210056	1,967690304	0,556348074
PLEKHA4	1,91178E-25	-0,978040153	0,279	0,509	4,03405E-21	0,507668921	1,969787709	0,548133595
TRIP10	9,05158E-38	-0,983187136	0,044	0,267	1,90997E-33	0,50586098	1,976827706	0,164794007
SNHG15	2,12266E-27	-0,986549599	0,141	0,36	4,47902E-23	0,504683351	1,981440436	0,391666667
IL6ST	8,51588E-43	-0,987342815	0,21	0,536	1,79694E-38	0,504405945	1,982530162	0,391791045
HSPD1	1,40815E-31	-0,989919705	0,246	0,516	2,97134E-27	0,503505798	1,98607445	0,476744186
MT1E	1,50247E-07	-0,9931865	0,165	0,263	0,003170356	0,502366964	1,990576753	0,627376426
NEDD9	4,63756E-27	-0,993749491	0,076	0,27	9,78571E-23	0,502170961	1,991353698	0,281481481
ARHGAP24	2,13905E-40	-0,994110235	0,087	0,355	4,51361E-36	0,502045409	1,991851696	0,245070423
PER1	5,81038E-34	-0,994534945	0,072	0,299	1,22605E-29	0,501897636	1,992438157	0,240802676
SIPA1L2	2,6836E-32	-0,994759393	0,184	0,438	5,66265E-28	0,501819559	1,992748155	0,420091324
MT1A	5,74986E-15	-0,998593999	0,009	0,092	1,21328E-10	0,50048752	1,998051818	0,097826087
SOX8	2,15422E-39	-1,00104888	0,02	0,232	4,54562E-35	0,499636618	2,001454585	0,086206897
PIM3	3,64905E-26	-1,003902385	0,115	0,319	7,69986E-22	0,498649364	2,005417178	0,360501567
NIBAN1	1,22109E-37	-1,004208147	0,069	0,318	2,57663E-33	0,498543692	2,005842247	0,216981132
SAMD4A	1,01298E-36	-1,004229415	0,048	0,269	2,1375E-32	0,498536343	2,005871816	0,178438662
EMP2	6,44154E-42	-1,005149034	0,26	0,578	1,35923E-37	0,498218662	2,007150829	0,44982699
ATP1A1	1,59749E-29	-1,008599528	0,2	0,438	3,37085E-25	0,497028496	2,011957079	0,456621005
PPP1R15B	2,37732E-37	-1,014851064	0,065	0,3	5,01639E-33	0,494879414	2,020694277	0,216666667
SORBS1	1,73097E-45	-1,016554543	0,094	0,388	3,65251E-41	0,494295424	2,023081645	0,242268041
CTSC	2,437E-40	-1,017172787	0,144	0,429	5,14232E-36	0,494083648	2,023948789	0,335664336
NNMT	6,88386E-23	-1,017571978	0,023	0,163	1,45256E-18	0,493946954	2,02450889	0,141104294
NLGN4X	2,63749E-32	-1,020008444	0,057	0,269	5,56536E-28	0,493113466	2,027930829	0,211895911
WSB1	1,52594E-46	-1,020455269	0,277	0,628	3,21989E-42	0,492960765	2,028559008	0,441082803
HMOX1	1,7767E-12	-1,022722921	0,007	0,075	3,74902E-08	0,49218653	2,031750037	0,093333333
C1orf198	2,49118E-41	-1,029379679	0,19	0,494	5,25663E-37	0,489920757	2,041146423	0,384615385
C11orf96	3,42435E-17	-1,030795524	0,105	0,259	7,22572E-13	0,48944019	2,043150565	0,405405405
OLFML2A	1,59602E-20	-1,032330393	0,25	0,452	3,36776E-16	0,488919756	2,045325409	0,553097345

Supplementary Table 5

Differentially expressed genes_total calculation_ comparing SC-Keloid vs. (SC-Myel, SC-Nonmyel)								
gene	p_val	avg_log2FC	pct.1	pct.2	p_val_adj	Foldchange_UP	Foldchange_DOWN	Ratio_pct1_pct2
PELI1	2,88483E-31	-1,03241374	0,075	0,285	6,08728E-27	0,488891511	2,045443575	0,263157895
TMOD2	2,18348E-38	-1,035627094	0,094	0,355	4,60737E-34	0,487803801	2,050004525	0,264788732
ARHGAP15	2,35051E-35	-1,039180406	0,035	0,244	4,95982E-31	0,486603834	2,055059844	0,143442623
MEGF9	5,4593E-43	-1,039984226	0,118	0,408	1,15197E-38	0,486332791	2,056205172	0,289215686
HLA-DRA	3,67954E-19	-1,043632045	0,049	0,193	7,76419E-15	0,485104664	2,061410814	0,25388601
SNHG32	2,76851E-37	-1,044027596	0,166	0,437	5,84184E-33	0,484971679	2,061976079	0,3798627
GATM	7,77066E-22	-1,04599672	0,102	0,278	1,63969E-17	0,484310196	2,064792377	0,366906475
IRS2	1,99267E-39	-1,046202098	0,055	0,293	4,20473E-35	0,484241256	2,065086335	0,187713311
EIF4A1	1,47867E-47	-1,047653201	0,305	0,687	3,12013E-43	0,483754437	2,067164502	0,443959243
SORCS1	2,94819E-48	-1,054096013	0,073	0,376	6,22097E-44	0,481598895	2,076416724	0,194148936
TLE1	8,64163E-39	-1,059611096	0,165	0,441	1,82347E-34	0,47976137	2,084369567	0,37414966
SLIT2	2,47523E-43	-1,060508039	0,017	0,242	5,22299E-39	0,479463189	2,085665851	0,070247934
ABCA2	2,51054E-32	-1,062008075	0,038	0,232	5,29749E-28	0,478964928	2,087835541	0,163793103
SRSF3	1,23803E-51	-1,063133219	0,345	0,72	2,61238E-47	0,478591534	2,089464459	0,479166667
SPTBN1	9,00984E-56	-1,063353443	0,424	0,803	1,90117E-51	0,478518483	2,089783435	0,528019925
HSPA12A	5,54422E-48	-1,064173988	0,198	0,548	1,16989E-43	0,478246399	2,090972355	0,361313869
MT2A	0,000431392	-1,065716346	0,559	0,666	1	0,477735388	2,093208969	0,839339339
ARL6IP1	2,45637E-38	-1,065968426	0,172	0,442	5,1832E-34	0,477651922	2,093574744	0,389140271
DDIT3	4,68468E-40	-1,06690678	0,134	0,414	9,88514E-36	0,477341349	2,094936886	0,323671498
SMTN	2,25117E-36	-1,068116972	0,045	0,265	4,75019E-32	0,476941104	2,096694942	0,169811321
COL14A1	1,42183E-40	-1,069482009	0,183	0,486	3,0002E-36	0,476490049	2,098679713	0,37654321
EEF1G	5,46005E-45	-1,077296915	0,14	0,474	1,15213E-40	0,473915938	2,110078856	0,29535865
TLE4	4,8541E-23	-1,079577939	0,105	0,289	1,02426E-18	0,473167228	2,113417709	0,363321799
AHNAK	6,6052E-60	-1,081466831	0,418	0,821	1,39376E-55	0,472548125	2,116186577	0,509135201
RNASEK	3,97887E-40	-1,085552462	0,177	0,475	8,39582E-36	0,471211789	2,122187993	0,372631579
STARD13	2,93602E-42	-1,087449582	0,139	0,436	6,19529E-38	0,47059256	2,124980471	0,318807339
IER2	1,19856E-33	-1,091397481	0,302	0,593	2,52907E-29	0,469306556	2,13080339	0,509274874
GJC1	2,37289E-27	-1,093853509	0,055	0,236	5,00703E-23	0,468508293	2,134433935	0,233050847
FTL	5,56872E-35	-1,094980735	0,81	0,935	1,17505E-30	0,468142375	2,136102292	0,86631016
DUSP1	7,54407E-26	-1,095656391	0,24	0,483	1,59187E-21	0,467923182	2,137102925	0,49689441

Supplementary Table 5

Differentially expressed genes_total calculation_ comparing SC-Keloid vs. (SC-Myel, SC-Nonmyel)								
gene	p_val	avg_log2FC	pct.1	pct.2	p_val_adj	Foldchange_UP	Foldchange_DOWN	Ratio_pct1_pct2
ARHGEF10	4,01164E-42	-1,098388869	0,049	0,3	8,46495E-38	0,46703777	2,141154453	0,163333333
NFIB	2,64037E-54	-1,102435501	0,051	0,362	5,57145E-50	0,465729605	2,147168632	0,140883978
HSPG2	1,05801E-33	-1,103447438	0,299	0,582	2,23251E-29	0,465403047	2,14867523	0,513745704
ADGRB3	7,54353E-45	-1,104338124	0,009	0,232	1,59176E-40	0,465115807	2,150002183	0,038793103
LATS2	1,93298E-36	-1,106799096	0,051	0,273	4,07878E-32	0,464323081	2,15367282	0,186813187
CD44	2,43353E-22	-1,109280066	0,235	0,437	5,13499E-18	0,463525282	2,157379629	0,537757437
SERTAD1	2,24106E-40	-1,110115686	0,179	0,478	4,72886E-36	0,463256882	2,158629561	0,374476987
SYNE2	8,97264E-43	-1,117767753	0,081	0,36	1,89332E-38	0,460806268	2,170109369	0,225
HMGB2	2,63749E-40	-1,11934301	0,075	0,331	5,56537E-36	0,460303396	2,172480172	0,226586103
EIF1	2,59821E-89	-1,129997465	0,719	0,966	5,48248E-85	0,456916528	2,188583556	0,744306418
C2orf88	2,24197E-47	-1,136602005	0,015	0,258	4,73079E-43	0,454829582	2,198625683	0,058139535
CD55	7,68114E-40	-1,137711898	0,017	0,229	1,6208E-35	0,454479808	2,200317777	0,074235808
PTX3	9,3532E-12	-1,140217117	0,092	0,204	1,97362E-07	0,453691295	2,204141918	0,450980392
TSC22D3	1,84903E-16	-1,152846355	0,136	0,289	3,90165E-12	0,44973705	2,2235215	0,470588235
ASXL1	1,20198E-43	-1,153838136	0,133	0,422	2,53629E-39	0,449427984	2,225050586	0,315165877
ABCA1	4,93396E-39	-1,154997948	0,051	0,285	1,04112E-34	0,449066825	2,226840069	0,178947368
BHLHE40	5,44672E-36	-1,156237656	0,15	0,414	1,14931E-31	0,448681108	2,228754416	0,362318841
TUBB4B	2,12394E-40	-1,159540914	0,228	0,531	4,48174E-36	0,447654963	2,233863316	0,429378531
NRXN3	5,40892E-35	-1,160083828	0,034	0,236	1,14134E-30	0,447486534	2,23470412	0,144067797
SERPING1	1,60448E-45	-1,161328857	0,014	0,248	3,38561E-41	0,447100524	2,236633477	0,056451613
ALCAM	4,58683E-50	-1,16235063	0,084	0,392	9,67867E-46	0,446783983	2,238218108	0,214285714
ZNF503	4,78112E-40	-1,163754983	0,122	0,396	1,00886E-35	0,446349284	2,240397904	0,308080808
FTH1	1,8942E-48	-1,165551978	0,878	0,982	3,99694E-44	0,445793666	2,243190241	0,894093686
HLA-DRB1	2,59268E-25	-1,169381532	0,043	0,217	5,47082E-21	0,4446119	2,249152575	0,198156682
CCND2	6,33565E-51	-1,174432792	0,015	0,273	1,33689E-46	0,443057917	2,257041259	0,054945055
ID4	3,03012E-37	-1,174617313	0,125	0,391	6,39385E-33	0,443001254	2,257329955	0,319693095
GLDN	2,03028E-21	-1,175274498	0	0,1	4,28409E-17	0,442799501	2,25835846	0
GFRA3	4,96163E-37	-1,179059017	0,254	0,531	1,04695E-32	0,441639459	2,264290428	0,47834275
ETS1	4,43176E-38	-1,179492916	0,213	0,501	9,35147E-34	0,441506653	2,26497153	0,425149701
ATP6VOC	3,35782E-48	-1,181249649	0,119	0,433	7,08534E-44	0,440969369	2,267731207	0,27482679

Supplementary Table 5

Differentially expressed genes_total calculation_ comparing SC-Keloid vs. (SC-Myel, SC-Nonmyel)								
gene	p_val	avg_log2FC	pct.1	pct.2	p_val_adj	Foldchange_UP	Foldchange_DOWN	Ratio_pct1_pct2
VGLL3	7,02351E-43	-1,182579799	0,02	0,248	1,48203E-38	0,440562987	2,269822997	0,080645161
GEM	4,9128E-23	-1,193114254	0,058	0,22	1,03665E-18	0,437357745	2,286457739	0,263636364
GPBP1	5,60042E-53	-1,19444091	0,249	0,609	1,18175E-48	0,436955749	2,288561259	0,408866995
CDKN1C	7,8577E-33	-1,195630444	0,107	0,345	1,65805E-28	0,436595618	2,290449007	0,310144928
PRRG4	3,24685E-52	-1,1962305	0,01	0,266	6,85118E-48	0,436414064	2,291401864	0,037593985
HSPA2	1,36679E-34	-1,197698187	0,041	0,244	2,88407E-30	0,435970315	2,293734148	0,168032787
INTS6	1,89593E-36	-1,20416859	0,156	0,419	4,00059E-32	0,434019392	2,304044514	0,372315036
SOWAHC	2,22713E-33	-1,210036278	0,055	0,263	4,69946E-29	0,432257746	2,31343454	0,209125475
CLK1	2,01725E-50	-1,211541088	0,18	0,514	4,2566E-46	0,431807112	2,315848839	0,350194553
MTURN	1,06979E-40	-1,211918133	0,098	0,369	2,25737E-36	0,431694276	2,316454159	0,265582656
DOCK5	1,23343E-45	-1,219273375	0,107	0,406	2,60267E-41	0,429498984	2,328294214	0,263546798
MAFG	1,88341E-36	-1,220580808	0,093	0,335	3,97418E-32	0,42910993	2,330405171	0,27761194
TIPARP	3,19529E-45	-1,229766609	0,051	0,313	6,74238E-41	0,426386419	2,34529046	0,162939297
ADD3	9,6056E-53	-1,237079702	0,076	0,385	2,02688E-48	0,424230513	2,357209037	0,197402597
CAB39L	1,93928E-58	-1,237580012	0,016	0,304	4,09207E-54	0,424083421	2,358026632	0,052631579
L1CAM	5,20438E-42	-1,238449767	0,288	0,594	1,09818E-37	0,423827831	2,359448639	0,484848485
PPP1R10	1,79312E-45	-1,239392644	0,119	0,408	3,78367E-41	0,423550928	2,360991167	0,291666667
ART3	3,86069E-56	-1,245475905	0,003	0,266	8,14645E-52	0,421768745	2,370967529	0,011278195
SAMHD1	1,68579E-42	-1,247351727	0,075	0,341	3,55718E-38	0,421220709	2,374052316	0,219941349
ATP1A2	5,26421E-56	-1,256996675	0,022	0,312	1,1108E-51	0,418414086	2,389976902	0,070512821
MRPS24	3,40564E-25	-1,25863296	0,084	0,266	7,18625E-21	0,417939795	2,392689119	0,315789474
GBP2	6,84132E-36	-1,259706635	0,047	0,265	1,44359E-31	0,417628874	2,394470456	0,177358491
DLC1	1,23618E-50	-1,261324079	0,187	0,525	2,60847E-46	0,417160921	2,397156467	0,356190476
VWA1	8,55847E-52	-1,262376342	0,325	0,696	1,80592E-47	0,416856766	2,398905525	0,466954023
GAS2L3	2,80185E-56	-1,264199719	0,027	0,319	5,91218E-52	0,416330247	2,401939344	0,084639498
DNAJB4	2,48832E-40	-1,265101815	0,12	0,393	5,25061E-36	0,416070003	2,403441711	0,305343511
EGR1	9,74163E-21	-1,274827056	0,255	0,463	2,05558E-16	0,413274698	2,419698099	0,55075594
RAPGEF5	2,69062E-52	-1,278481086	0,01	0,269	5,67747E-48	0,412229288	2,42583443	0,037174721
SERTAD2	5,96878E-50	-1,282950923	0,1	0,406	1,25947E-45	0,410954073	2,433361939	0,246305419
TOB1	1,57677E-44	-1,285678787	0,097	0,373	3,32714E-40	0,410177771	2,43796732	0,260053619

Supplementary Table 5

Differentially expressed genes_total calculation_ comparing SC-Keloid vs. (SC-Myel, SC-Nonmyel)								
gene	p_val	avg_log2FC	pct.1	pct.2	p_val_adj	Foldchange_UP	Foldchange_DOWN	Ratio_pct1_pct2
RELN	1,56233E-65	-1,289087044	0,029	0,365	3,29666E-61	0,409209901	2,443733639	0,079452055
SLC3A2	1,41323E-46	-1,293939779	0,215	0,536	2,98207E-42	0,40783577	2,451967368	0,401119403
LAMB1	3,61256E-52	-1,29556217	0,204	0,548	7,62286E-48	0,407377394	2,454726293	0,372262774
IER5	1,51887E-28	-1,295657958	0,118	0,331	3,20497E-24	0,407350347	2,45488928	0,356495468
SQSTM1	3,40588E-49	-1,2973013	0,255	0,59	7,18675E-45	0,406886607	2,457687184	0,43220339
PMP2	3,36319E-42	-1,29912698	0,176	0,482	7,09667E-38	0,406372032	2,46079927	0,365145228
CCN5	1,23299E-17	-1,299493609	0,01	0,109	2,60173E-13	0,406268775	2,461424706	0,091743119
NCAM1	3,32578E-49	-1,304933332	0,081	0,385	7,01772E-45	0,404739811	2,470723097	0,21038961
BGN	6,62538E-53	-1,305157617	0,055	0,362	1,39802E-48	0,404676894	2,471107232	0,151933702
GADD45A	4,25629E-27	-1,314916117	0,155	0,372	8,98119E-23	0,401948865	2,487878648	0,416666667
RETREG1	6,14243E-54	-1,318528612	0,049	0,35	1,29611E-49	0,400943648	2,49411608	0,14
SCGB2A2	3,85275E-07	-1,319998727	0,013	0,058	0,008129682	0,400535292	2,496658895	0,224137931
NDRG1	1,06182E-59	-1,321036557	0,094	0,446	2,24054E-55	0,400247263	2,49845556	0,210762332
DDX3X	9,4147E-54	-1,329570307	0,249	0,598	1,98659E-49	0,397886731	2,513278081	0,41638796
KLF6	2,06243E-52	-1,330088477	0,369	0,75	4,35193E-48	0,397743848	2,514180933	0,492
ITGB4	1,0841E-50	-1,331312007	0,105	0,418	2,28755E-46	0,39740667	2,51631408	0,251196172
TENT5A	1,33038E-37	-1,332177094	0,158	0,429	2,80723E-33	0,397168444	2,517823397	0,368298368
NRN1	3,56559E-54	-1,375936436	0,186	0,533	7,52375E-50	0,38530253	2,595363181	0,348968105
PLLP	7,21517E-60	-1,379588776	0,027	0,335	1,52247E-55	0,384328328	2,60194195	0,080597015
NFE2L2	6,22228E-58	-1,38364462	0,239	0,596	1,31296E-53	0,383249384	2,609267075	0,401006711
CD9	1,1088E-77	-1,389105729	0,54	0,898	2,33967E-73	0,381801393	2,619162786	0,601336303
TMEM176A	3,72061E-55	-1,397762153	0,052	0,361	7,85085E-51	0,379517376	2,634925467	0,144044321
UBC	1,89074E-85	-1,399959364	0,631	0,944	3,98965E-81	0,378939815	2,638941491	0,668432203
GLUL	2,84736E-48	-1,400405824	0,072	0,362	6,00822E-44	0,378822566	2,639758269	0,198895028
CADM3	7,29644E-60	-1,40218806	0,036	0,353	1,53962E-55	0,378354875	2,643021316	0,101983003
AMD1	9,52291E-61	-1,404692134	0,121	0,475	2,00943E-56	0,377698737	2,64761277	0,254736842
DNAJA1	1,34776E-60	-1,405149413	0,346	0,729	2,8439E-56	0,37757904	2,648452095	0,474622771
MBNL2	1,48624E-60	-1,412052988	0,166	0,537	3,13611E-56	0,375776567	2,661155821	0,309124767
NFATC2	4,62738E-38	-1,413893133	0,071	0,316	9,76423E-34	0,375297573	2,664552268	0,224683544
BRD2	6,25403E-55	-1,415168174	0,205	0,56	1,31966E-50	0,374966035	2,666908215	0,366071429

Supplementary Table 5

Differentially expressed genes_total calculation_ comparing SC-Keloid vs. (SC-Myel, SC-Nonmyel)								
gene	p_val	avg_log2FC	pct.1	pct.2	p_val_adj	Foldchange_UP	Foldchange_DOWN	Ratio_pct1_pct2
FADS3	1,40104E-52	-1,417029789	0,102	0,408	2,95633E-48	0,374482501	2,670351744	0,25
DMD	4,0916E-63	-1,423561111	0,045	0,38	8,63368E-59	0,372790988	2,682468278	0,118421053
SOD3	2,95909E-46	-1,424151765	0,009	0,237	6,24398E-42	0,372638395	2,683566734	0,037974684
CSRNP1	2,34697E-52	-1,42519731	0,119	0,437	4,95234E-48	0,372368435	2,685512265	0,272311213
JUND	7,38013E-73	-1,431149469	0,602	0,887	1,55728E-68	0,370835312	2,696614828	0,678692221
BCL6	5,74192E-53	-1,433264475	0,071	0,377	1,2116E-48	0,370292061	2,700570994	0,188328912
EIF4A2	6,10939E-77	-1,438530527	0,24	0,67	1,28914E-72	0,368942904	2,710446493	0,358208955
DST	3,55367E-68	-1,453193182	0,454	0,825	7,49861E-64	0,365212188	2,738134247	0,55030303
RPL17	9,58683E-79	-1,457561194	0,228	0,704	2,02292E-74	0,364108116	2,746436992	0,323863636
TUBB2B	4,42719E-57	-1,472340652	0,108	0,45	9,34181E-53	0,36039711	2,774717032	0,24
VMP1	1,78108E-44	-1,476255446	0,284	0,605	3,75826E-40	0,359420488	2,78225653	0,469421488
DDIT4	1,25412E-40	-1,478246165	0,128	0,408	2,64633E-36	0,35892488	2,786098309	0,31372549
BPGM	1,15895E-43	-1,478605562	0,118	0,398	2,44551E-39	0,358835477	2,786792454	0,296482412
NR2F2	1,01792E-51	-1,485314176	0,166	0,495	2,14792E-47	0,357170745	2,799781373	0,335353535
NFIA	4,22484E-77	-1,491600763	0,027	0,395	8,91483E-73	0,355617749	2,812008124	0,06835443
CDKN1A	1,00195E-66	-1,496317909	0,071	0,43	2,11421E-62	0,354456893	2,821217529	0,165116279
ZFAS1	1,32516E-52	-1,498089652	0,333	0,682	2,79622E-48	0,354021859	2,824684335	0,488269795
ZFAND5	5,35582E-64	-1,498138508	0,168	0,545	1,13013E-59	0,354009871	2,824779994	0,308256881
SOX2	8,47244E-48	-1,503442136	0,149	0,467	1,78777E-43	0,352710851	2,835183545	0,319057816
HSPH1	4,8963E-44	-1,507132576	0,176	0,467	1,03317E-39	0,351809763	2,84244528	0,376873662
CDH19	8,35713E-82	-1,509190174	0,477	0,885	1,76344E-77	0,351308363	2,84650212	0,538983051
PHLDA1	2,6863E-38	-1,516373181	0,166	0,436	5,66836E-34	0,349563588	2,860709856	0,380733945
ABL2	3,62354E-42	-1,521661919	0,189	0,476	7,64603E-38	0,348284477	2,871216103	0,397058824
MAFF	1,14243E-61	-1,521838254	0,104	0,456	2,41064E-57	0,348241911	2,87156706	0,228070175
IER5L	1,16387E-30	-1,532750539	0,213	0,455	2,45589E-26	0,345617808	2,893369426	0,468131868
ID2	2,69847E-39	-1,541684589	0,097	0,354	5,69405E-35	0,343484145	2,911342532	0,274011299
SELENOP	5,17791E-72	-1,552275068	0,019	0,368	1,09259E-67	0,340971942	2,932792635	0,051630435
IGFBP7	1,7045E-39	-1,554874456	0,47	0,777	3,59667E-35	0,340358146	2,938081581	0,604890605
BTG2	1,20641E-42	-1,557908747	0,078	0,346	2,54565E-38	0,339643054	2,944267488	0,225433526
IRF1	8,13392E-46	-1,564760734	0,12	0,419	1,71634E-41	0,338033765	2,958284356	0,286396181

Supplementary Table 5

Differentially expressed genes_total calculation_ comparing SC-Keloid vs. (SC-Myel, SC-Nonmyel)								
gene	p_val	avg_log2FC	pct.1	pct.2	p_val_adj	Foldchange_UP	Foldchange_DOWN	Ratio_pct1_pct2
TAF1D	8,12239E-45	-1,568346169	0,196	0,491	1,71391E-40	0,337194715	2,965645529	0,399185336
TSC22D4	9,58017E-54	-1,588985508	0,05	0,342	2,02151E-49	0,332405116	3,008377284	0,14619883
PNRC1	6,75605E-89	-1,589051636	0,289	0,764	1,42559E-84	0,33238988	3,00851518	0,378272251
EGFL8	1,17833E-57	-1,596017839	0,15	0,516	2,48639E-53	0,33078877	3,023077237	0,290697674
CD59	1,38538E-84	-1,59748698	0,369	0,836	2,92329E-80	0,330452089	3,026157297	0,44138756
GPM6B	2,9099E-122	-1,597738427	0,51	0,947	6,1402E-118	0,330394499	3,026684773	0,538542767
TSC22D2	3,35017E-54	-1,60058617	0,109	0,433	7,0692E-50	0,329742975	3,032665061	0,251732102
YBX3	6,25286E-46	-1,614096814	0,118	0,41	1,31942E-41	0,326669391	3,06119896	0,287804878
TMEM176B	6,10302E-73	-1,615901645	0,08	0,476	1,2878E-68	0,326260979	3,065030957	0,168067227
CTNNA1	1,79606E-71	-1,626437385	0,1	0,486	3,78987E-67	0,323887033	3,087496252	0,205761317
CCNL1	2,17733E-73	-1,640031196	0,2	0,6	4,59439E-69	0,320849537	3,116725711	0,333333333
SNCA	8,88517E-91	-1,643208031	0,072	0,532	1,87486E-86	0,320143798	3,123596349	0,135338346
IFRD1	6,25518E-70	-1,654051769	0,148	0,539	1,3199E-65	0,31774652	3,147162712	0,27458256
TCIM	5,48968E-44	-1,657505317	0,24	0,558	1,15838E-39	0,316986803	3,154705468	0,430107527
SOD2	2,80405E-45	-1,706245643	0,113	0,406	5,91684E-41	0,306456531	3,263105524	0,278325123
BCL2	5,86676E-80	-1,71861086	0,022	0,4	1,23795E-75	0,303841142	3,291193523	0,055
KLF9	3,27812E-84	-1,726622781	0,15	0,611	6,91716E-80	0,302158455	3,309521816	0,245499182
SLC38A2	4,67296E-80	-1,728980692	0,18	0,621	9,86042E-76	0,301665017	3,314935252	0,289855072
CHL1	1,44646E-86	-1,73293473	0,014	0,414	3,05217E-82	0,300839367	3,324033059	0,033816425
MT3	8,84408E-41	-1,736424213	0,002	0,197	1,86619E-36	0,300112598	3,332082712	0,010152284
ANK3	8,39113E-85	-1,739725756	0,068	0,505	1,77061E-80	0,299426589	3,339716766	0,134653465
MT1M	4,71247E-15	-1,744334634	0,048	0,163	9,94379E-11	0,298471558	3,350402989	0,294478528
KLF4	1,83583E-70	-1,769452367	0,126	0,516	3,87379E-66	0,293320058	3,409245205	0,244186047
CLU	5,31104E-72	-1,863231755	0,184	0,597	1,12068E-67	0,27485988	3,638217406	0,308207705
RARRES2	5,6595E-105	-1,881096407	0,05	0,554	1,1942E-100	0,271477322	3,683548932	0,090252708
MAL	1,57756E-88	-1,883580974	0,104	0,547	3,3288E-84	0,271010194	3,689898097	0,190127971
NR4A1	1,12641E-71	-1,88561688	0,268	0,678	2,37685E-67	0,270628019	3,695108893	0,395280236
RGCC	2,93544E-68	-1,889014193	0,12	0,507	6,19407E-64	0,269991484	3,703820527	0,236686391
AATK	3,66129E-60	-1,891722396	0,072	0,407	7,7257E-56	0,269485136	3,710779808	0,176904177
DKK3	6,40625E-85	-1,903028136	0,069	0,493	1,35178E-80	0,267381557	3,739973728	0,139959432

Supplementary Table 5

Differentially expressed genes_total calculation_ comparing SC-Keloid vs. (SC-Myel, SC-Nonmyel)								
gene	p_val	avg_log2FC	pct.1	pct.2	p_val_adj	Foldchange_UP	Foldchange_DOWN	Ratio_pct1_pct2
XKR4	1,00827E-87	-1,905174024	0,038	0,459	2,12755E-83	0,266984145	3,745540765	0,082788671
HSPA6	9,53029E-09	-1,908208649	0,059	0,141	0,000201099	0,26642315	3,753427585	0,418439716
CEBPB	4,70728E-75	-1,931058072	0,217	0,626	9,93284E-71	0,262236776	3,813347676	0,346645367
ZFP36L1	5,6295E-99	-1,952102703	0,261	0,752	1,18787E-94	0,258439286	3,869380763	0,347074468
CD74	1,06707E-34	-1,955794422	0,055	0,277	2,25163E-30	0,25777881	3,879294818	0,198555957
PMP22	6,7629E-104	-1,97161257	0,529	0,927	1,427E-99	0,254967882	3,922062619	0,570658037
PRX	7,13855E-23	-1,991964897	0,003	0,117	1,50631E-18	0,251396262	3,977783887	0,025641026
IER3	6,83189E-76	-1,995212884	0,291	0,729	1,4416E-71	0,250830922	3,986749292	0,399176955
CADM2	4,82561E-94	-1,995430627	0,008	0,422	1,01825E-89	0,250793067	3,98735105	0,018957346
NR4A2	8,38085E-84	-2,002677579	0,154	0,598	1,76844E-79	0,249536441	4,007430719	0,257525084
CCN1	4,97439E-71	-2,007060416	0,27	0,678	1,04965E-66	0,248779512	4,019623609	0,398230088
NDRG2	2,8202E-108	-2,009565792	0,133	0,646	5,951E-104	0,248347858	4,026610129	0,205882353
FXD1	8,6084E-119	-2,029913364	0,243	0,784	1,8165E-114	0,244869779	4,083803258	0,30994898
HSPB1	1,4276E-67	-2,049843241	0,463	0,82	3,01238E-63	0,241510323	4,140609766	0,564634146
PLP1	1,3111E-128	-2,064978803	0,318	0,856	2,7665E-124	0,238989841	4,184278281	0,371495327
HSP90AA1	3,1182E-93	-2,070287575	0,661	0,944	6,57971E-89	0,238112031	4,199703786	0,700211864
SOCS3	6,10238E-52	-2,082397255	0,107	0,412	1,28766E-47	0,236121734	4,235103582	0,259708738
LTBP4	1,0821E-109	-2,126960509	0,133	0,665	2,2833E-105	0,228939688	4,367962617	0,2
FOSB	7,17323E-77	-2,133035035	0,24	0,669	1,51362E-72	0,227977755	4,386392874	0,358744395
NFKBIA	3,9238E-100	-2,143623689	0,279	0,795	8,2797E-96	0,226310639	4,418705217	0,350943396
DNAJB1	1,68524E-74	-2,161301548	0,332	0,731	3,55602E-70	0,223554494	4,473182278	0,454172367
ZFP36L2	5,59591E-83	-2,165928325	0,271	0,699	1,18079E-78	0,222838695	4,487550968	0,38769671
NRXN1	3,5146E-137	-2,222606565	0,217	0,829	7,4162E-133	0,21425391	4,667359407	0,261761158
FOS	2,91695E-78	-2,294885151	0,421	0,822	6,15505E-74	0,203784305	4,90714925	0,51216545
ADIRF	7,7081E-118	-2,353796372	0,064	0,608	1,6265E-113	0,195630556	5,111675918	0,105263158
AHR	3,8827E-117	-2,367535879	0,194	0,729	8,1929E-113	0,193776311	5,160589513	0,26611797
MATN2	1,642E-106	-2,377902159	0,141	0,646	3,4648E-102	0,19238895	5,197803731	0,218266254
JUN	1,6068E-136	-2,412921156	0,463	0,935	3,3906E-132	0,187775253	5,325515404	0,495187166
PPP1R15A	1,618E-146	-2,42823407	0,318	0,868	3,4141E-142	0,185792727	5,38234202	0,366359447
COL28A1	1,0852E-137	-2,529040098	0,015	0,589	2,2899E-133	0,17325392	5,771875166	0,025466893

Supplementary Table 5

Differentially expressed genes_total calculation_ comparing SC-Keloid vs. (SC-Myel, SC-Nonmyel)								
gene	p_val	avg_log2FC	pct.1	pct.2	p_val_adj	Foldchange_UP	Foldchange_DOWN	Ratio_pct1_pct2
HES1	1,6728E-109	-2,557607803	0,207	0,729	3,5298E-105	0,169856955	5,887306765	0,283950617
PCSK2	1,6307E-114	-2,574949529	0,023	0,518	3,441E-110	0,167827434	5,958501398	0,044401544
DCD	8,73127E-31	-2,611565847	0,041	0,229	1,84238E-26	0,16362149	6,11166661	0,179039301
JUNB	2,5252E-124	-2,667921114	0,325	0,852	5,3284E-120	0,157353251	6,355127694	0,381455399
FGL2	7,8292E-101	-2,69297051	0,017	0,469	1,65204E-96	0,154644721	6,466434769	0,036247335
PDK4	3,4655E-104	-2,730273656	0,006	0,455	7,3125E-100	0,150697391	6,635814955	0,013186813
CRYAB	1,9656E-168	-2,769804712	0,519	0,962	4,1477E-164	0,146624215	6,820155871	0,53950104
ZFP36	1,7741E-100	-2,803759887	0,203	0,697	3,74363E-96	0,143213571	6,982578497	0,291248207
CEBPD	1,053E-70	-2,810997818	0,069	0,44	2,22193E-66	0,142496875	7,017697776	0,156818182
GADD45B	1,1388E-119	-2,854092883	0,283	0,807	2,403E-115	0,138303265	7,230487307	0,350681537
SAT1	2,2716E-136	-2,909645553	0,113	0,693	4,7933E-132	0,133078964	7,514335617	0,163059163
SCN7A	3,6201E-130	-2,95834798	0,107	0,672	7,6388E-126	0,128661473	7,772334436	0,15922619
BIRC3	8,98045E-92	-2,96076813	0,054	0,487	1,89497E-87	0,128445822	7,785383626	0,110882957
ATF3	2,6686E-154	-2,98923115	0,153	0,768	5,631E-150	0,125936541	7,940507129	0,19921875
MBP	2,04957E-38	-3,0055404	0,017	0,221	4,3248E-34	0,124520881	8,030781571	0,076923077
HSPA1A	1,119E-131	-3,169384101	0,42	0,908	2,3613E-127	0,111152777	8,996626321	0,462555066
MPZ	1,77871E-92	-3,44361809	0,147	0,632	3,75325E-88	0,091911036	10,88008626	0,232594937
HSPA1B	1,144E-127	-3,455926452	0,297	0,824	2,414E-123	0,091130232	10,97330688	0,360436893
CCL2	2,01133E-85	-3,887579528	0,028	0,426	4,24411E-81	0,067565027	14,80055661	0,0657277

Supplementary Table 6 – antibody information

1 st Antibodies					
Antigen	Species	catalog No	company	dilution	comment
S100	rabbit	#Z0311	DAKO	ready to use	o.n., 4°C
NGFR	mouse	#sc-13577	SantaCruz	1:100	o.n., 4°C
JUN	rabbit	#9165S	CellSignaling	1:300	o.n., 4°C
STAT3	rabbit	#9132	CellSignaling	1:200	o.n., 4°C
JUNB	rabbit	#3753	CellSignaling	1:200	o.n., 4°C
KLF4	rabbit	ab151733	abcam	1:200	o.n., 4°C
EGR1	rabbit	ab216964	abcam	1:200	o.n., 4°C
CCN3	rabbit	ab137677	abcam	1:200	o.n., 4°C
ELN	rabbit	ab21610	abcam	1:200	o.n., 4°C
2 nd Antibodies					
Antigen	Species	catalog No	company	dilution	comment
α rb AF488	goat	#A32731	Invitrogen	1:400	1 hr, RT
α ms AF594	donkey	#A21203	Invitrogen	1:400	1 hr, RT

Supplementary Table 7 – comparison_methods & materials

source	Dissociation
TT ¹	Whole Skin Dissociation Kit, human(Miltenyi Biotec, Germany) [37°C, 2h] + gentle MACS Octo Dissociator
XL ²	Whole Skin Dissociation Kit, human (Miltenyi Biotec, Germany) [37°C, over night] + gentle MACS Octo Dissociator
CCD ³	Dispase II (Sigma) [2h, 37°C] + epidermis peeled off + collagenase IV(YEASEN, China) [37°C, 2h]
MD ⁴	Whole Skin Dissociation Kit, human (Miltenyi Biotec, Germany) [37°C, 2.5h] + gentle MACS Octo Dissociator

source	filtration	enrichment	chemistry
TT ¹	2x 70µm	No	Chromium Single Cell 3' version 1 (10X Genomics, USA)
XL ²	100µm, 40µm	Dead Cell Removal Kit (Miltenyi Biotec, Germany)	Chromium Single Cell 3' version 3 (10X Genomics, USA)
CCD ³	70µm	No	Chromium Single Cell 3' version2 (10X Genomics, USA)
MD	100µm, 40µm	Dead Cell Removal Kit (Miltenyi Biotec, Germany)	Chromium Single Cell 3' version 3.1 (10X Genomics, USA)

source	sequencing	cell ranger version
TT ¹	NextSeq (Illumina, USA)	NA
XL ²	NovaSeq 6000 System (Illumina, USA)	Cell Ranger (v3.0.2, 10x Genomics)
CCD ³	Hiseq X or Novaseq (Illumina, USA)	Cell Ranger (v2.1.0, 10x Genomics)
MD ⁴	HiSeq 3000/4000 (Illumina, USA)	Cell Ranger (v3.0.2, 10x Genomics)

Supplementary Table 7: Comparison_methods & materials.

1. Tabib, T.; Morse, C.; Wang, T.; Chen, W.; Lafyatis, R. SFRP2/DPP4 and FMO1/LSP1 Define Major Fibroblast Populations in Human Skin. *J Invest Dermatol* 2018, 138, 802-810.
2. Liu, X.; Chen, W.; Zeng, Q.; Ma, B.; Li, Z.; Meng, T.; Chen, J.; Yu, N.; Zhou, Z.; Long, X. Single-cell RNA-seq reveals lineage-specific regulatory changes of fibroblasts and vascular endothelial cells in keloids. *J Invest Dermatol* 2021.
3. Deng, C.C.; Hu, Y.F.; Zhu, D.H.; Cheng, Q.; Gu, J.J.; Feng, Q.L.; Zhang, L.X.; Xu, Y.P.; Wang, D.; Rong, Z.; et al. Single-cell RNA-seq reveals fibroblast heterogeneity and increased mesenchymal fibroblasts in human fibrotic skin diseases. *Nat Commun* 2021, 12, 3709.
4. Direder, M.; Weiss, T.; Copic, D.; Vorstandlechner, V.; Laggner, M.; Mildner, C.S.; Klas, K.; Bormann, D.; Haslik, W.; Radtke, C.; et al. Schwann cells contribute to keloid formation. *medRxiv* 2021, 2021.2008.2009.21261701.

Supplementary Table 8

		gene regulation in keloidal repair-like SCs compared to myelinating/nonmyelinating SCs					gene regulation after peripheral nerve lesion in rat compared to no lesion source: DOI: 10.1111/j.1471-4159.2005.03635.x						
		rel. expression level					rel. expression level						
GBN	human homolog	category	adj_Skin XL	Keloid XL	Keloid CCD	Keloid MD	Mean	5-8h	2d	4d	7d	14d	28d
M61875	CD44	A											
X61654	CD63	A											
AF049882	CD82	A											
X76489	CD9	A											
D83349	CDH22	A											
D25290	CDH6	A											
M92848	CEACAM1	A											
D87248	CNTN6	A											
L26525	DDR1	A											
U60096	ITGB4	A											
AF009133	KLRD1	A											
U41663	NLGN3	A											
D10831	SELL	A											
Y13714	SPARC	A											
U90448	CXCL5	A											
U54791	CXCR4	A											
U97142	GFRA1	A											
J04811	GHR	A											
M61177	MAPK3	A											
U66274	NPY5R	A											
M63837	PDGFRA	A											
D64045	PIK3R1	A											
M20637	PLCD1	A											
D38222	PTPRN	A											
L13151	RASA1	A											
AF084205	TAOK1	A											
D14014	CCND1	B											
D16308	CCND2	B											
D16309	CCND3	B											
U05341	CDC20	B											
L11007	CDK4	B											
D64085	FGF5	B											
L32591	GADD45A	B											
X76453	PLAAT3	B											
M31177	THRA	B											
U72350	BCL2L1	B											
D26112	FAS	B											
L12458	LYZ	B											
X05137	NGFR	B											
Z54212	EMP1	B											
D85760	GNA12	B											
M31837	IGFBP3	B											
M69055	IGFBP6	B											
D50093	PRNP	B											
V01217	ACTB	B											
AF083269	ARPC1B	B											
L08505	DYNC1H1	B											
X67788	EZR	B											
U31367	MAL	B											
X60370	MAP1B	B											
U31463	MYH9	B											
X74815	MYO1E	B											
Z12152	NEFM	B											
X59601	PLEC	B											
X86789	SNCG	B											

Supplementary Table 8

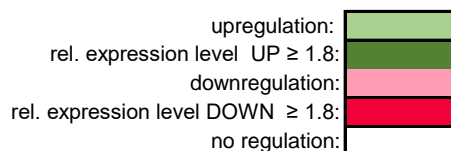
		gene regulation in keloidal repair-like SCs compared to myelinating/nonmyelinating SCs					gene regulation after peripheral nerve lesion in rat compared to no lesion source: DOI: 10.1111/j.1471-4159.2005.03635.x						
		rel. expression level					rel. expression level						
GBN	human homolog	category	adj_Skin XL	Keloid XL	Keloid CCD	Keloid MD	Mean	5-8h	2d	4d	7d	14d	28d
M83107	TAGLN	B											
V01227	TUBA1A	B											
AJ002967	UTRN	B											
AF051425	CNMD	B											
AJ224879	COL2A1	B											
J04035	ELN	B											
AJ009698	EMB	B											
L34067	GPC1	B											
L14851	NRXN3	B											
D88250	C1S	B											
M15768	CD4	B											
U17035	CXCL10	B											
AF010464	IL7	B											
M34253	IRF1	B											
D10754	PSMB6	B											
M20035	PTMA	B											
X52498	TGFBI	B											
D42117	TNFRSF8	B											
L38644	KPNB1	B											
L20822	STX5	B											
D17615	YWHAZ	B											
U53184	LITAF	B											
AF014503	NUPR1	B											
J03628	S100A4	B											
K01934	THRSP	B											
L15079	ABCB4	B											
L06040	ALOX15	B											
M21730	ANXA5	B											
X55572	APOD	B											
M28647	ATP1A1	B											
M14512	ATP1A2	B											
J04629	ATP1B2	B											
D84450	ATP1B3	B											
X14209	COX4I1	B											
D10952	COX5B	B											
D13205	CYB5A	B											
U17697	CYP51A1	B											
J02773	FABP3	B											
U75581	FABP4	B											
U13253	FABP5	B											
U58829	FTH1	B											
M26161	KCNA1	B											
M12516	POR	B											
Y09164	SCN7A	B											
J04793	SLC4A1	B											
M95738	SLC6A11	B											
L38247	SYT4	B											
AJ004912	TMED10	B											
L12385	ARF6	B											
AF019109	SORT1	B											
U29339	ERBB3	C											
M25889	MBP	C											
K03242	MPZ	C											
AB019393	MYOC	C											
M34384	NES	C											

Supplementary Table 8

		gene regulation in keloidal repair-like SCs compared to myelinating/nonmyelinating SCs					gene regulation after peripheral nerve lesion in rat compared to no lesion source: DOI: 10.1111/j.1471-4159.2005.03635.x						
		rel. expression level					rel. expression level						
GBN	human homolog	category	adj_Skin XL	Keloid XL	Keloid CCD	Keloid MD	Mean	5-8h	2d	4d	7d	14d	28d
Z49858	PLLP	C											
M11185	PLP1	C											
M69139	PMP22	C											
Z29649	PRX	C											
M54919	S100B	C											
M24067	SERPINE1	C											
M27876	STMN1	C											
M12919	ALDOA	D											
D83479	CDO1	D											
D38495	CMA1	D											
M36320	CTSH	D											
S73583	ENPEP	D											
X79807	F10	D											
L03294	LPL	D											
U03763	PLA2G5	D											
M23697	PLAT	D											
L26043	PLIN1	D											
U50194	TPP2	D											
D90109	ACSL1	D											
M22413	CA3	D											
L33869	CP	D											
M95591	FDFT1	D											
M34477	FDPS	D											
M17701	GAPDH	D											
X62404	GPX5	D											
X62660	GSTA4	D											
J02592	GSTM2	D											
X02904	GSTP1	D											
M63983	HPRT1	D											
U62803	LCAT	D											
J03752	MGST1	D											
U25651	PFKM	D											
L02615	PKIA	D											
D90164	PPP1CB	D											
M33962	PTPN1	D											
D86373	SOAT1	D											
X74593	SORD	D											
M97662	UBP1	D											
U07683	UGT8	D											
X70685	H1-0	D											
M37584	H2AZ1	D											
M64986	HMGB1	D											
D84418	HMGB2	D											
M12156	HNRNPA1	D											
D13374	NME1	D											
X60790	PTBP1	D											
Z46372	TOP2A	D											
D49708	TRA2B	D											
M14864	CKM	D											
X15800	PKM	D											
AF017637	CPZ	D											
X61043	EEF1A1	D											
J02646	EIF2S1	D											
X54793	HSPD1	D											
M86870	PDIA4	D											

Supplementary Table 8

		gene regulation in keloidal repair-like SCs compared to myelinating/nonmyelinating SCs					gene regulation after peripheral nerve lesion in rat compared to no lesion source: DOI: 10.1111/j.1471-4159.2005.03635.x						
		rel. expression level					rel. expression level						
GBN	human homolog	category	adj_Skin XL	Keloid XL	Keloid CCD	Keloid MD	Mean	5-8h	2d	4d	7d	14d	28d
L25331	PLOD1	D											
X93352	RPL10A	D											
M20156	RPL18	D											
X06148	RPL5	D											
X52445	RPS24	D											
X59051	RPS29	D											
M84716	RPS3A	D											
C07039	RPSA	D											
M65149	CEBPD	E											
X14788	CREB1	E											
D17512	CRIP2	E											
U09229	CUX1	E											
J03179	DBP	E											
D31734	DLX5	E											
D10862	ID1	E											
D10863	ID2	E											
D10864	ID3	E											
X17163	JUN	E											
X63594	NFKBIA	E											
U17254	NR4A1	E											
AF008554	MAGT1	F											
AF025506	RABAC1	F											
U25264	SELENOW	F											



GenBank accession number: GBN

SC-Repair gene expression pattern

Category according to Bosse et al. (2006):

- A: Cell communication
- B: Cellular physiological process
- C: Development
- D: Metabolism
- E: Transcription
- F: Miscellaneous